

Bijlagenoverzicht voor aanvraag omgevingsvergunning bouwen project BBB 380 kV
Maasbracht-Eindhoven – gemeente Helmond deel 2

Nummer	Titel	Datum
8	Archeologisch bureauonderzoek Helmond	27-7-2022
9	Uitgangspuntenrapport funderingen en mastconstructies	27-7-2022
10	Rapportage fundaties eenpaalsfundaties	26-7-2022
11	Rapportage fundaties meerpaalsfundaties	29-7-2022
12	Rapportage mastconstructie HA+0 & HA+0 T	6-7-2022
13	Rapportage mastconstructie HB+0_tc	6-7-2022
14	Rapportage mastconstructie S+0_tc	4-7-2022
15	Rapportage mastconstructie S+0_xc & S+0_xcT	21-7-2022
16	Rapportage mastconstructie S+9_c_mast116	6-7-2022
17	Rapportage mastconstructie S+9_mast112en113	6-7-2022
18	Rapportage mastconstructie S+9_tc_mast117	6-7-2022

Bijlage 8 Archeologisch bureauonderzoek Helmond

Rapport

Projectnummer: 51005311

Referentienummer: NL22-648800269-18246

Datum: 27-07-2022

Archeologisch bureauonderzoek Opwaardering 380 kV- verbinding Maasbracht-Eindhoven (MBT-EHV), gemeente Helmond

Bureauonderzoek

SWECO ARCHEOLOGISCHE RAPPORTEN 2470

D3 Definitief met aanpassing n.a.v. opmerkingen bevoegde overheid en
opdrachtgever en planwijzigingen

Revisiebeheer

Revisie	Datum	Status	Belangrijkste wijzigingen
D1	20-05-2022	Definitief	Concept omgezet naar definitief
D2	05-07-2022	Definitief	Herziene versie met planwijzigingen
D3	27-07-2022	Definitief	Herzien versie n.a.v. opmerkingen opdrachtgever

Verantwoording

Titel	Archeologisch bureauonderzoek Opwaardering 380 kV-verbinding Maasbracht-Eindhoven (MBT-EHV), gemeente Helmond
Subtitel	Bureauonderzoek
	SWECO ARCHEOLOGISCHE RAPPORTEN 2470
ISSN-nummer	2468-4813
Projectnummer	51005311
Referentienummer	NL22-648800269-18246
Revisie	D3
Datum	27-07-2022

Auteur  / Junior archeoloog
 / KNA-archeoloog
actornummer 54425479

E-mailadres 

Gecontroleerd door 

Senior KNA-archeoloog
Actornummer 64229705

Paraaf gecontroleerd 

Goedgekeurd door 

Paraaf goedgekeurd 

Sweco voert archeologisch onderzoek uit onder procescertificaat SIKB BRL 4000 'Archeologie' (versie 4.1) en de protocollen 4001, 4002, 4003 en 4004. De archeologische werkzaamheden worden uitgevoerd in overeenstemming met de Kwaliteitsnorm van de Nederlandse Archeologie (KNA, versie 4.1).

Administratieve gegevens

Uitvoerder	Sweco Nederland B.V.
Provincie	Noord-Brabant
Gemeente	Helmond
Plaats	n.v.t.
Toponiem	Opwaardering 380 kV-verbinding Maasbracht-Eindhoven (MBT-EHV)
Kadastrale gegevens	Kadastrale gemeente Helmond – sectie U – diverse percelen
Coördinaten uiteindes tracé	O: x: 171.874 / y: 384.942 W: x: 169.622 / y: 385.310
Digitale kaart onderzoeksgebied	Zie bijlage 1
Oprichtgever	TenneT TSO B.V.
Onderzoekskader	Omgevingsvergunning
Archis Zaakidentificatie	5105505100
Oppervlakte plangebied	Mast 021 EHVO-HMZ: werkterrein (1600 m ²) + aanrijroute (470 m ²) Mast 113: werkterrein (1600 m ²) + aanrijroute (90 m ²) Mast 114: werkterrein (2400 m ²) + 2x lierlocatie (p.s. 2025 m ²) + aanrijroute (225 m ²) Mast 115: werkterrein (1600 m ²) + aanrijroute (280 m ²) Mast 116: werkterrein (1600 m ²) + aanrijroute (185 m ²) Mast 117: werkterrein (1600 m ²) + aanrijroute (40 m ²) Mast 118: werkterrein (1600 m ²) + lierlocatie (518 m ²) + aanrijroute (35 m ²) Mast 119: werkterrein (2400 m ²) Mast 120: werkterrein (1600 m ²) + lierlocatie (2025 m ²) + aanrijroute (1410 m ²) Mast 121: deel werkterrein (302 m ²) (het overige deel ligt in de gemeente Geldrop-Mierlo)
Archeoregio	Brabants zandgebied
Bevoegde overheid	Gemeente Helmond (contactpersoon archeologie: ██████████, gemeente@helmond.nl, T 140492)
Projectmedewerker(s)	██████████ junior archeoloog; ██████████ KNA-archeoloog (actornummer 54425479)
Periode van uitvoering	Augustus 2021
Beheer en plaats van documentatie	Sweco Nederland B.V., vestiging Groningen

Inhoudsopgave

Samenvatting	6
1 Inleiding	8
1.1 Aanleiding van het onderzoek	8
1.2 Kader onderzoek	8
1.3 Uitvoering onderzoek.....	9
1.4 Doelstelling en vraagstelling	9
2 Bureauonderzoek	10
2.1 Afbakening plangebied, huidig gebruik en toekomstig gebruik	10
2.1.1 Afbakening plan- en onderzoeksgebied	10
2.1.2 Huidig gebruik van het plangebied	10
2.1.3 Toekomstig gebruik van het plangebied	10
2.2 Aardwetenschappelijke situatie	11
2.3 Archeologische waarden	12
2.3.1 Overheidsbeleid	12
2.3.2 Archeologische Monumenten.....	13
2.3.3 Archeologische vondstlocaties	13
2.3.4 Archeologische onderzoeksmeldingen	16
2.3.5 Samenvatting archeologische waarden	20
2.4 Historische situatie.....	20
2.4.1 Militair-historische gegevens.....	21
2.5 Ondergrondse bouwhistorische waarden en mogelijke verstoringen.....	21
3 Gespecificeerde archeologische verwachting	22
4 Conclusie en advies	24
4.1 Beantwoording onderzoeksvragen	24
4.2 Conclusie	24
4.3 Advies	25
Literatuurlijst en gebruikte bronnen.....	27
Bijlage 1	Locatie van het plangebied
Bijlage 2	Geomorfologische kaart
Bijlage 3	Bodemkaart
Bijlage 4	AHN
Bijlage 5	Archeologische verwachtingskaart
Bijlage 6	Bekende archeologische gegevens
Bijlage 7	TMK
Bijlage 8	Bonnebladen

Samenvatting

In opdracht van TenneT TSO B.V. heeft Sweco Nederland B.V. een bureauonderzoek uitgevoerd naar negen hoogspanningsmasten van de 380 kV-verbinding Maasbracht – Eindhoven en een hoogspanningsmast van de 150 kV-verbinding tussen Eindhoven Oost en Helmond Zuid binnen de gemeente Helmond ten behoeve van de voorgenomen opwaardering van de 380 kV-verbinding Maasbracht – Eindhoven. Het betreft masten 113 t/m 120 van deze verbinding. Hiervoor zullen werkterreinen, bouwwegen en lierlocaties worden ingericht, waarvoor rijplaten zullen worden aangebracht. Na afronding van de werkzaamheden zullen cultuurtechnische herstelwerkzaamheden plaatsvinden om de bouwvoor te herstellen. Het uitgangspunt voor de cultuurtechnische herstelwerkzaamheden is dat de bovengrond tot maximaal 0,3 m -mv losgeploegd wordt. Daarnaast worden in de gemeente Helmond bij masten 113 en 114 de mastvoeten verstevigd. Hiervoor zal per poer (vier per mast) een ontgraving worden aangelegd. De ontgraving zal aan het maaiveld aan alle zijden ca. 1,0 m meer bedragen dan de oppervlakte van de poer. De totale oppervlakte van de geplande ontgraving per mast varieert van 86,4 tot 100,0 m². De ontgravingen zullen in talud aflopen naar maximaal 2,0 m -mv.

Het plangebied bevindt zich in het Brabants zandgebied, een regio gekenmerkt door een dik dekzandpakket. In de top van dit pakket kunnen archeologische waarden uit het Laat-Paleolithicum tot en met de Nieuwe Tijd worden verwacht, met name in de deelgebieden bij masten 113 tot en met 115; bij masten 120 en 121 worden specifiek waarden verwacht gerelateerd aan de nederzettingen uit de Late Bronstijd t/m Romeinse Tijd die in de onmiddellijke nabijheid zijn opgegraven. Voor de overige deelgebieden is de verwachting voor alle perioden laag, omdat hier in de afgelopen decennia ingrijpende grondroerende werkzaamheden hebben plaatsgevonden en/of in de nabijheid archeologisch onderzoek is uitgevoerd waarvan de resultaten niet hebben geleid tot een archeologische verwachting voor de huidige deelgebieden.

Indien aanwezig, worden archeologische waarden direct of dicht onder het maaiveld verwacht. De voorgenomen werkzaamheden kunnen deze dus mogelijk verstoren of vernietigen. De voorgenomen werkzaamheden zullen volgens de huidige plannen echter slechts tot beperkte bodemverstoring leiden. In principe wordt daarom, in overleg met het bevoegd gezag, geen vervolgonderzoek geadviseerd. Wel wenst het bevoegd gezag geïnformeerd te worden over wanneer de funderingswerkzaamheden bij masten 113 en 114 uitgevoerd worden, zodat de gemeentearcheoloog de mogelijkheid heeft om zelf een extensieve inspectie van deze werkzaamheden uit te voeren. Daarnaast kan het rijden van zwaar materieel ook bij geen of beperkte ontgraving mogelijk het bodemarchief verstoren. Het bevoegd gezag heeft aangegeven dat daarom in ieder geval rijplaten op de werkterreinen, bouwwegen en lierlocaties vereist zijn om het bodemarchief te beschermen.

Als tijdens de uitvoering van de werkzaamheden blijkt dat toch ingrijpendere bodemingrepen vereist zijn dan momenteel gepland, kan bij een aantal masten wel vervolgonderzoek nodig zijn:

In de deelgebieden bij masten 113 t/m 115, 120 en 121 kunnen dicht onder het maaiveld archeologische waarden aanwezig zijn. Wanneer hier graafwerkzaamheden plaatsvinden onder de moderne bouwvoor (naar verwachting vanaf ca. 0,3 m -mv) kunnen deze dus mogelijk archeologische waarden verstoren of vernietigen. In overleg met het bevoegd gezag wordt daarom geadviseerd om graafwerkzaamheden over het gehele werkkerrein dieper dan 0,3 m -mv bij deze masten uit te voeren onder archeologische begeleiding, variant proefsleuven.¹ Wanneer behoudenswaardige archeologische waarden worden aangetroffen kan dit in overleg met het bevoegd gezag worden opgeschaald naar een opgraving.

Indien bij de uitvoering van de werkzaamheden toch onverwacht archeologische resten worden aangetroffen, dan is conform artikel 5.10 van de Erfgoedwet aanmelding van de desbetreffende vondsten bij de minister verplicht (vondstmelding via de Rijksdienst voor het Cultureel Erfgoed).²

De bevoegde overheid heeft kennisgenomen van dit rapport en dit advies is tot stand gekomen in overleg met de bevoegde overheid.

Tabel 1 *Overzicht van archeologische perioden³*

Periode	Tijd		
Laat-Paleolithicum (Oude Steentijd)		tot	9.000 v.Chr.
Mesolithicum (Middensteentijd)	9.000 v.Chr.	-	4.900 v.Chr.
Neolithicum (Nieuwe Steentijd)	5.325 v.Chr.	-	1.900 v.Chr.
Bronstijd	1.900 v.Chr.	-	800 v.Chr.
IJzertijd	800 v.Chr.	-	12 v.Chr.
Romeinse Tijd	12 v.Chr.	-	450 n.Chr.
Vroege Middeleeuwen	450	-	1.050 n.Chr.
Late Middeleeuwen	1.050	-	1.500 n.Chr.
Nieuwe Tijd	1.500	-	heden

Tabel 2 *Indeling van het Kwartair*

Chronostratigrafie			Jaren geleden		
Kwartair	Holoceen	Subatlanticum	3.000	- heden	
		Subboreaal	5.000	- 3.000	
		Atlanticum	8.000	- 5.000	
		Boreaal	9.000	- 8.000	
		Preboreaal	10.000	- 9.000	
	Pleistoceen	Laat		130.000	- 10.000
			Weichselien (ijstijd)	120.000	- 10.000
			Eemien	130.000	- 120.000
		Midden		800.000	- 130.000
			Saalien (ijstijd)	200.000	- 130.000
	Elsterien (ijstijd)	400.000	- 315.000		
Vroeg		2.400.000	- 800.000		

¹ Communicatie met Theo de Jong, gemeentearcheoloog Helmond, 1-2-2022.

² <https://formulier.cultureelerfgoed.nl/archis/vondstmeldingsformulier>

³ Bron: Archeologisch Basis Register 1992.

1 Inleiding

1.1 Aanleiding van het onderzoek

In opdracht van TenneT TSO B.V. heeft Sweco Nederland B.V. een archeologisch bureau-onderzoek uitgevoerd. De aanleiding voor dit onderzoek is de opwaardering van de hoogspanningsverbinding 380 kV-verbinding Maasbracht-Eindhoven (MBT-EHV). Om in de toekomst meer elektriciteit te kunnen transporteren, is het noodzakelijk om – naast de nieuwbouw van verbindingen – de bestaande hoogspanningsverbindingen aan te passen zodat er een grotere transportcapaciteit mogelijk wordt gemaakt. Voor de opwaardering van de bestaande 380 kV-verbinding MBT-EHV moeten diverse werkzaamheden worden uitgevoerd. In de basis betreft dit het ophangen van nieuwe geleiders met een hogere transportcapaciteit dan de huidige geleiders. Daarnaast zijn de masten constructief beschouwd en moet bij een aantal masten de fundering en/of het mastlichaam versterkt worden, waarbij graafwerkzaamheden tot 2,0 m -mv zullen plaatsvinden rond de mastvoet. Voor de werkzaamheden worden ook werkterreinen, lierlocaties en aanrijroutes aangelegd. De exacte aard en omvang van deze ingrepen is in paragraaf 2.1.3 opgenomen. Onderhavig rapport heeft enkel betrekking op de werkzaamheden in gemeente Helmond. Het onderzoek wordt verricht in het kader van de benodigde omgevingsvergunning.

1.2 Kader onderzoek

Gemeente Helmond heeft het archeologisch beleid vastgesteld in de archeologische beleidskaart en de vigerende bestemmingsplannen (Bestemmingsplan Brandevoort II, onherroepelijk vastgesteld 2011-10-19; Brandevoort II – Liverdonk Oost, onherroepelijk vastgesteld 2015-06-09; Bestemmingsplan Brandevoort Oost, onherroepelijk vastgesteld 2012-09-26; Bestemmingsplan 't Hout, onherroepelijk vastgesteld 2012-04-03; Bestemmingsplan Houtse Akker, onherroepelijk vastgesteld 2012-04-03). Hieruit blijkt dat op de meeste deellocaties in het plangebied een lage of geen archeologische verwachtingswaarde ligt. Hiervoor geldt geen onderzoeksplicht.

Op een aantal deelgebieden ligt echter een dubbelbestemming waarde – archeologie 2 of is op de archeologische beleidskaart aangegeven dat zij zich in een gebied met middelhoge archeologische waarde bevinden. Voor deze waarden is archeologisch onderzoek verplicht voor grondroerende werkzaamheden met een oppervlakte van meer dan 2500 m² en dieper dan 0,5 m -mv.

Bovenstaande vrijstellingsgrenzen werden in eerste instantie plaatselijk en ook door de totale oppervlakte van de voorgenomen ontwikkeling in het plangebied overschreden. Conform het archeologiebeleid/de planregels is daarom een archeologisch onderzoek in gang gezet. Door aanpassingen in de geplande werkzaamheden overschrijden de geplande werkzaamheden in de huidige vorm niet de vrijstellingsgrenzen.

Verdere toepassing van het vigerende overheidsbeleid met betrekking tot archeologie staat beschreven in paragraaf 2.3.1.

1.3 Uitvoering onderzoek

Dit rapport betreft een standaardrapport, zoals genoemd in de Kwaliteitsnorm Nederlandse Archeologie. Het bureauonderzoek is uitgevoerd conform SIKB BRL 4000 protocol 4002 en bestaat uit elf processtappen:

1. afbakenen plan- en onderzoeksgebied; vaststellen consequenties toekomstig gebruik (LS01);
2. aanmelden onderzoek bij Archis;
3. vermelden (en toepassen) overheidsbeleid (LS01);
4. beschrijven huidig gebruik (LS02);
5. beschrijven historische situatie en mogelijke verstoringen (LS03);
6. beschrijven mogelijke aanwezigheid bouwhistorische waarden ondergrond (LS02, LS03, LS04);
7. beschrijven bekende archeologische en aardwetenschappelijke kenmerken (LS04);
8. opstellen gespecificeerde verwachting en formuleren onderzoeksstrategie (LS05);
9. opstellen standaardrapport bureauonderzoek (LS06);
10. aanleveren standaardrapport - afmelden onderzoek in Archis;
11. aanleveren digitale gegevens bij e-depot (DS05).

Processtappen 1 tot en met 7 leveren gegevens op, op basis waarvan de gespecificeerde verwachting (stap 8) wordt opgesteld. Deze stappen worden behandeld in paragraaf 1.1 en hoofdstuk 2. Processtap 9 resulteert in het voorliggende rapport. Processtappen 10 en 11 hebben betrekking op het openbaar maken van het bureauonderzoek voor derden bij onder meer Archis en het e-Depot.

Bij de uitvoering van het onderzoek is niet afgeweken van de BRL.

1.4 Doelstelling en vraagstelling

De bodemingrepen die gepaard gaan met de geplande werkzaamheden, zullen eventueel aanwezige archeologische resten in de bodem verstoren en/of vernietigen.⁴ Doel van het onderzoek is een risicoanalyse van de gevolgen van de voorgenomen maatregelen en bodemingrepen op het behoud in situ van (mogelijk) aanwezige archeologische waarden. Derhalve dienen, voorafgaand aan die werkzaamheden, de archeologische waarden binnen het plangebied in kaart te worden gebracht.

De vraagstelling voor het onderzoek is: welke archeologische waarden zijn in het plangebied (mogelijk) aanwezig of kunnen worden verwacht?

Op basis van de vraagstelling zijn onderzoeksvragen geformuleerd die kunnen bijdragen aan de beantwoording van de doel- en vraagstelling:

- Welke archeologische waarden zijn in het plangebied aanwezig of kunnen aanwezig zijn? Op welke diepte t.o.v. maaiveld kunnen deze worden verwacht en op welke wijze lopen deze verwachte waarden een risico op verstoring/vernietiging door de uitvoering van de voorgenomen werkzaamheden?
- Is het plangebied voldoende onderzocht. Zo nee, welke vorm van nader archeologisch onderzoek wordt geadviseerd?

⁴ Een verstoring van archeologische waarden betekent dat deze waarden (deels) in situ aanwezig blijven, maar dat de conditie en conservering ervan verslechteren en daarmee de informatiewaarde. Vernietigen betekent dat de archeologische waarden verdwijnen.

2 Bureauonderzoek

2.1 Afbakening plangebied, huidig gebruik en toekomstig gebruik

2.1.1 Afbakening plan- en onderzoeksgebied

Het onderzoek omvat de assets van de 380 kV-verbinding Maasbracht-Eindhoven (MBT-EHV) in de gemeente Helmond. Binnen deze gemeente bevinden zich negen assets van deze verbinding en een asset van de 150 kV-verbinding tussen Eindhoven Oost en Helmond Zuid (EHVO-HMZ), waar ook werkzaamheden omheen gepland zijn. De deelgebieden (werkterreinen, bouwwegen en lierlocaties) bij deze hoogspanningsmasten vormen samen het plangebied.

Wat betreft de bouwwegen gaat het om wegen van 6 m breed met variabele lengte. De werkterreinen zijn overwegend vierkant, met zijden van 40 x 40 m. Andere zijn rechthoekig met zijden van 40 x 60 m. Lierlocaties zijn overwegend vierkant, met zijden van 45 x 45m. Een klein aantal deelgebieden heeft afmetingen en vormen die hiervan afwijken. Zie voor de exacte ligging en omvang per deelgebied bijlage 1 en de tabel "Administratieve gegevens".

Het onderzoeksgebied betreft een straal van 250 m om de deelgebieden heen.

2.1.2 Huidig gebruik van het plangebied

Er vindt een opwaardering plaats van een bestaande hoogspanningsverbinding. De werkterreinen bevinden zich daarom hoofzakelijk rondom bestaande hoogspanningsmasten. Alle assets zijn grotendeels in agrarisch gebied (bouwland en weiland) gelegen. Daarnaast omvatten de deelgebieden delen van groenstrook, wegen en wegberm. Er is nog geen KLIC-melding gedaan. Over bestaande ondergrondse kabels en leidingen in het plangebied is daarom nog niets bekend.

2.1.3 Toekomstig gebruik van het plangebied

Tijdens de werkzaamheden in het kader van de opwaardering van 380 kV-verbinding MBT-EHV vinden ingrepen plaats die het bodemarchief verstoren. De volgende uitgangspunten zijn opgenomen:

- Voor de werkzaamheden is geen zwaar materieel nodig.
- Voor de civieltechnische werkzaamheden worden ter plaatse van werkterreinen, aanrijroutes en lierlocaties rijplaten aangebracht.
- Na afronding van de werkzaamheden zullen cultuurtechnische herstelwerkzaamheden plaatsvinden om de bouwvoor te herstellen. Het uitgangspunt voor de cultuurtechnische herstelwerkzaamheden is dat de bovengrond tot maximaal 0,3 m -mv losgeploegd wordt.
- Daarnaast wordt bij een aantal masten de mastvoeten verstevigd. Hiervoor zal per poer (vier per mast) een ontgraving worden aangelegd. De oppervlakte van de poeren varieert per mast. De ontgraving zal aan het maaiveld aan alle zijden ca. 1,0 m meer bedragen dan de oppervlakte van de poer. De totale oppervlakte van de geplande ontgraving per mast varieert van 86,4 tot 100,0 m². In tabel 2.2 is de totale ontgravingsoppervlakte per mast gespecificeerd. De ontgravingen zullen in talud aflopen naar maximaal 2,0 m -mv.
- In gemeente Helmond vinden verstevigingen plaats bij masten 113 en 114.

2.2 Aardwetenschappelijke situatie

Om de landschapsgenese in beeld te brengen, is gebruik gemaakt van bodemkaarten en geologische en geomorfologische kaarten. Met behulp hiervan worden de bodem en het landschap beschreven. Onderdeel van deze studie vormt een analyse van het Actueel Hoogtebestand Nederland (AHN).

Tabel 2.1 Aardwetenschappelijke informatie

Bron	Informatie
Geologie	Formatie van Boxtel (BX) met een top van het Laagpakket van Wierden (BXWI)
Geomorfologie	Dekzandvlakte (M51), dekzandrug (B53), dekzandwelingen (L51), dalvormige laagte (R23) en plateau-achtige storthoop, opgespoten terrein of kunstmatig eiland (F91) (bijlage 2)
Bodemkunde	Veldpodzolgronden (Hn21 & Hn23), laarpodzolgronden (cHn23), beekerdgronden (pZg23) en hoge zwarte enkeerdgronden (zEZ23) (bijlage 3)
AHN	Ca. 17,7 tot 20,3 m +NAP (bijlage 4)
Grondwatertrap	III (GHG 0-40, GLG 80-120) tot VII (GHG 80-140, GLG >120)

Het plangebied bevindt zich in het Brabants zandgebied. Dit is een relatief vlak gebied dat wordt gekenmerkt door de aanwezigheid van een fijn vertakt stelsel van beken en een dik pakket dekzand. Dit landschap is gevormd tijdens de twee laatste ijstijden, het Saalien (circa 200.000-130.000 jaar geleden) en Weichselien (circa 120.000-10.000 jaar geleden).

In tegenstelling tot Noord-Nederland bleef het zuiden van Nederland tijdens het Saalien vrij van landijs. De nabijheid van het landijs betekende wel dat er in dit gebied periglaciale omstandigheden heersten. In dit koude, droge klimaat werden windafzettingen (dekzand en löss) en lokale beekafzettingen gevormd, behorend tot de Formatie van Boxtel, die in het plangebied een dikte heeft van meer dan 10 meter.

In de laatste ijstijd, het Weichselien, bleef heel Nederland ijsvrij. Er heersten echter opnieuw periglaciale omstandigheden, waardoor grote zandverstuivingen plaatsvonden. Het Laagpakket van Wierden dat in het plangebied de oudere afzettingen van de Formatie van Boxtel afdekt, bestaat uit windafzettingen uit deze periode.

Het resulterende dekzandlandschap bestaat grotendeels uit vlaktes, dekzandruggen en (beek)dalen en gebieden van dekzandwelingen. De mastlocaties bevinden zich volgens de geomorfologische kaart (zie bijlage 2) grotendeels op dekzandwelingen, -vlaktes en -ruggen, met een aantal deelgebieden in een dalvormige laagte; één deelgebied bevindt zich deels op een plateau-achtige storthoop of opgespoten terrein. Op het AHN (zie bijlage 4) is echter te zien dat het landschap niet langer deze contouren volgt; de soms abrupte overgangen tussen hoogtes en laagtes en de aanwezigheid van hoogtes binnen de contouren van het beekdal wijzen erop dat de bodem in de omgeving al vergraven is.

Verder wijst de bodemkaart (zie bijlage 3) uit dat de deelgebieden zich merendeels bevinden op podzolgronden. Podzobodems ontstaan in relatief droge gebieden, zoals de hoger gelegen delen van het plangebied. Kleine deeltjes in de bodem worden hier door regenwater uitgespoeld, waardoor onder een donkere, humeuze bovenlaag (de A-horizont) een lichte uitspoelingslaag (E-horizont) ontstaat. De deeltjes spoelen dan in de laag onder de E-horizont, waardoor een inspoelingslaag (B-horizont) ontstaat. Deze gaat geleidelijk over in de C-horizont, de oorspronkelijke, natuurlijke zandgrond. Of de podzobodems in het plangebied intact zijn, is afhankelijk van de intensiteit en aard van grondbewerking en/of andere werkzaamheden die hier hebben plaatsgevonden.

Deze hoge, droge zandgronden zullen al vanaf de Steentijd een aantrekkelijk woongebied gevormd hebben. Gekoppeld aan het feit dat de bodemopbouw hier sinds de laatste ijstijd weinig veranderd is, kunnen zich in de top van het dekzand dus archeologische waarden uit alle perioden bevinden.

Daarnaast bevindt een aantal deelgebieden zich op hoge zwarte enkeerdgronden, die aanwezig zijn op de hogere delen van het dekzandlandschap. Dit bodemtype stamt meestal uit de Middeleeuwen of Nieuwe Tijd en bestaat uit een humusrijk esdek en is ontstaan door het potstalsysteem, waarbij de grond werd bemest met dierlijke mest en plaggen. Dit is dus een relatief recente bodem, die de oorspronkelijke, prehistorische bodem afdekt waardoor oudere sporen onder het esdek goed bewaard kunnen zijn. Ook bevindt een deelgebied zich op beekkeerdgronden; ook dit type bodem heeft een humusrijke bovenlaag boven op het dekzand, maar in dit geval is dit patroon ontstaan door fluctuerende grondwaterstanden in een beekdal.

2.3 Archeologische waarden

Om de reeds bekende archeologische waarden in beeld te krijgen, zijn diverse bronnen geraadpleegd, zoals de Archeologische Monumentenkaart, Archis 3 en de archeologische verwachtingskaart van de gemeente Helmond.

2.3.1 Overheidsbeleid

Het archeologiebeleid van gemeente Helmond is vastgelegd in de archeologische beleidskaart⁵ en de vigerende bestemmingsplannen (Bestemmingsplan Brandevoort II, onherroepelijk vastgesteld 2011-10-19⁶; Brandevoort II – Liverdonk Oost, onherroepelijk vastgesteld 2015-06-09⁷; Bestemmingsplan Brandevoort Oost, onherroepelijk vastgesteld 2012-09-26⁸; Bestemmingsplan 't Hout, onherroepelijk vastgesteld 2012-04-03⁹; Bestemmingsplan Houtse Akker, onherroepelijk vastgesteld 2012-04-03¹⁰).

Zoals vermeld in paragraaf 1.2 kennen deze kaart en bestemmingsplannen verschillende archeologische (verwachtings)waarden toe aan de verschillende deelgebieden: op sommige rust een lage of geen waarde, op andere een middelhoge verwachtingswaarde dan wel een dubbelbestemming waarde – archeologie 2 (zie bijlage 5 voor de archeologische verwachtingskaart). Voor deze laatste twee categorieën gelden vrijstellingsgrenzen van 2500 m² en 0,5 m -mv. Qua maximale diepte overschrijden dus alleen de mastverstevigingen tot 1,2 m -mv deze vrijstellingsgrenzen. Voor de overige werkzaamheden (cultuurtechnisch herstel van de bouwvoor na afloop van de werkzaamheden) bedraagt de voorgenomen diepte maximaal 0,3 m -mv. De oppervlaktegrens wordt door de voorgenomen werkzaamheden dieper dan 0,5 m -mv niet overschreden.

⁵ Pauly 2017.

⁶ https://www.ruimtelijkeplannen.nl/documents/NL.IMRO.0794.2100BP100149-4000/r_NL.IMRO.0794.2100BP100149-4000_0000Document.html

⁷ https://www.ruimtelijkeplannen.nl/documents/NL.IMRO.0794.2100BPU150034-2000/r_NL.IMRO.0794.2100BPU150034-2000.html

⁸ https://www.ruimtelijkeplannen.nl/documents/NL.IMRO.0794.2100BP100149-4000/r_NL.IMRO.0794.2100BP100149-4000_0000Document.html

⁹ https://www.ruimtelijkeplannen.nl/documents/NL.IMRO.0794.1300BP080222-4000/r_NL.IMRO.0794.1300BP080222-4000_0000Regels.html

¹⁰ https://www.ruimtelijkeplannen.nl/documents/NL.IMRO.0794.1300BP090087-2000/r_NL.IMRO.0794.1300BP090087-2000_0000Regels.html

Tabel 2.2 Archeologische waarde en overschrijding per deelgebied

Mastnummer	Aard, oppervlakte en max. diepte werkzaamheden (m ² ; m -mv)	Archeologische verwachtingswaarde of bestemmingswaarde	Vrijstellingsgrenzen (m ² ; m -mv)
021 EHVO-HMZ	Werkterrein (1600; 0,3) Bouwweg (360; 0,3)	Laag of geen	-
113	Werkterrein (1600; 0,3) incl. fundatieversterkingen (86,4; 1,1) Bouwweg (90; 0,3)	Deels middelhoog, deels laag of geen Laag of geen	Middelhoog: 2500; 0,5 Laag/geen: -
114	Werkterrein (2400; 0,3) incl. fundatieversterkingen (100,0; 2,0) Lierlocatie O (2025; 0,3) Lierlocatie W (2025; 0,3) Bouwweg lierlocatie O (225; 0,3)	Archeologie 2 Deels archeologie 2, deels laag of geen Archeologie 2 Archeologie 2	Archeologie 2: 2500; 0,5 Laag/geen: -
115	Werkterrein (1600; 0,3) Bouwweg (280; 0,3)	Archeologie 2 Deels archeologie 2, deels laag of geen	Archeologie 2: 2500; 0,5 Laag/geen: -
116	Werkterrein (1600; 0,3) Bouwweg (185; 0,3)	Laag of geen	-
117	Werkterrein (1600; 0,3) Bouwweg (40; 0,3)	Laag of geen	-
118	Werkterrein (1600; 0,3) Bouwweg (35; 0,3) Lierlocaties (2 x 1015; 0,3)	Laag of geen	-
119	Werkterrein (2400; 0,3)	Laag of geen	-
120	Werkterrein (1600; 0,3) Bouwweg (1407; 0,3) Lierlocatie (2025; 0,3)	Laag of geen	-
121	Werkterrein (302; 0,3)	Laag of geen	-

2.3.2 Archeologische Monumenten

De Archeologische Monumentenkaart (AMK) bevat een overzicht van belangrijke archeologische terreinen in Nederland. In het plangebied en het onderzoeksgebied zijn geen AMK-terreinen geregistreerd (zie bijlage 6).

2.3.3 Archeologische vondstlocaties

In Archis 3 staan binnen het plangebied geen archeologische vondstlocaties geregistreerd. Binnen het onderzoeksgebied liggen zestien archeologische vondstlocaties (zie tabel 2.3 en bijlage 6).

Tabel 2.3 Archeologische vondstlocaties in het onderzoeksgebied

Zaakidentificatie	Complex	Aard/verwerving	Datering
2212711100	Bewoning (inclusief verdediging) onbepaald; afwaterings-/inundatiekanaal/ greppel/sloot	Archeologisch: proefputten/proefsleuven	Bronstijd – Nieuwe Tijd Laat
2324598100	Bewoning (inclusief verdediging) onbepaald	Archeologisch: proefputten/proefsleuven	Bronstijd – Nieuwe Tijd Laat
2329028100	Bewoning (inclusief verdediging) onbepaald; weg; agrarische productie en voedselvoorziening onbepaald	Archeologisch: opgraving	Neolithicum – Nieuwe Tijd Laat
2383728100	Bewoning (inclusief verdediging) onbepaald; agrarische productie en voedselvoorziening onbepaald; complextype niet te bepalen	Archeologisch: opgraving	Neolithicum – Nieuwe Tijd Laat
3116583100	Complextype niet te bepalen	Archeologisch: (veld)kartering	Paleolithicum – IJzertijd
3241388100	Versterking onbepaald	Indirect: archief	Middeleeuwen – Nieuwe Tijd
3243583100	-	Verwervingswijze niet te bepalen	IJzertijd
3262091100	Complextype niet te bepalen	Niet-archeologisch: metaaldetector	Vroege Middeleeuwen A – Nieuwe Tijd Laat
3262107100	Complextype niet te bepalen	Niet-archeologisch: metaaldetector	Nieuwe Tijd Vroeg
3262180100	Complextype niet te bepalen	Niet-archeologisch: kartering	Paleolithicum – IJzertijd
3262189100	Complextype niet te bepalen	Niet-archeologisch: kartering	IJzertijd – Vroege Middeleeuwen D
3262197100	Complextype niet te bepalen	Niet-archeologisch: kartering	Late IJzertijd – Vroeg Romeinse Tijd
3262212100	Complextype niet te bepalen	Niet-archeologisch: kartering	IJzertijd
3266003100	Complextype niet te bepalen	Archeologisch: (veld)kartering	Paleolithicum – Nieuwe Tijd Laat
3268394100	Complextype niet te bepalen	Archeologisch: (veld)kartering	Paleolithicum – Nieuwe Tijd Laat
3990347100	Complextype niet te bepalen	Niet-archeologisch: metaaldetector	Late IJzertijd – Nieuwe Tijd Laat

ZaakID 2212711100, 2324598100, 2329028100 en 2383728100
Zie paragraaf 2.3.4.

ZaakID 3116583100 en 3268394100

Bij veldonderzoeken in de periode 1991-1996 op een akker in Mierlo-Hout, enkele honderden meters ten zuiden van mast 119, werden een vuurstenen afslag en schrabber aangetroffen (vermoedelijke datering: Mesolithicum), alsmede 2 fragmenten IJzertijdaardewerk en een brok 'ftaniet'¹¹ met een datering tussen Paleolithicum en IJzertijd (ZaakID 3116583100); en een slijpsteen van onbekende ouderdom, 11 kleijpfragmenten en aardewerkfragmenten uit de Middeleeuwen en Nieuwe Tijd (ZaakID 3268394100).

¹¹ Mogelijk graniet?

ZaakID 3241388100

Het betreft een indirect vondstmelding op basis van archiefonderzoek. Het zou gaan om een kasteel te Mierlo. De vondstlocatie is enkele tientallen meters ten zuidwesten van mast 119 geplaatst. Het valt te betwijfelen of deze vondstmelding juist geplaatst is, aangezien het Kasteel van Mierlo zich op een andere locatie, ten zuiden van Mierlo, bevonden heeft.

ZaakID 3243583100

Drie fragmenten keramiek, gedateerd op de IJzertijd. Archis verschaft geen verdere informatie.

ZaakID 3262091100

Veldonderzoek met behulp van metaaldetector door twee amateurarcheologen in het gebied Hazenwinkel, kort ten noorden van mast 116. Hierbij werden munten en metalen gebruiksvoorwerpen uit de Middeleeuwen en Nieuwe Tijd gevonden. Naast metaalvondsten is ook aardewerk verzameld, ook uit de Middeleeuwen en Nieuwe Tijd.

ZaakID 3262107100

Veldonderzoek met behulp van metaaldetector door twee amateurarcheologen, kort ten zuiden van mast 119. Hierbij werd een koperen noodmunt¹² uit 1579, geslagen vanwege het beleg van Maastricht, gevonden.

ZaakID 3262180100 en 3262189100

In de periode 1962-2006 werden tijdens veldlopen op een aspergeveld (= diep gewoeld terrein) tussen Stepekolk en Hazenwinkel, enkele honderden meters ten zuiden van mast 119 en de lierlocatie ten oosten van mast 120, verscheidene archeologische vondsten gedaan. Het betreft 18 afslagen, klingen en werktuigen van vuursteen en Wommersomkwartsiet, uit de periode Paleolithicum tot en met IJzertijd (ZaakID 3262180100); en enkele tientallen fragmenten keramiek, zowel handgevormd als gedraaid, uit de IJzertijd tot Vroege Middeleeuwen (ZaakID 3262189100).

ZaakID 3262197100

Een veldverkenning op een andere akker iets verder naar het westen, enkele honderden meters ten zuiden van mast 120 en de lierlocatie ten oosten daarvan, leverde in 2001 een fragment van een La Tène-armband op. Het betreft een fragment, gemaakt van gele glaspasta (barnsteenkleurig), met resten van felgele glasversiering. De armband dateert uit de 1^e tot 2^e eeuw voor Chr.

ZaakID 3262212100

Een veldonderzoek op weer een andere akker, circa 100 m ten zuiden van mast 119, leverde in 1998 twee fragmenten handgevormd ijzertijdaardewerk op.

ZaakID 3266003100

In 1996 werd ten noorden van mast 118 een archeologische kartering uitgevoerd. Hierbij werden aardewerk uit de perioden IJzertijd – Nieuwe Tijd, één of meerdere vuurstenen werktuigonderdelen daterend uit het Paleolithicum tot de IJzertijd, één of meerdere Nieuwetijdse munten en ongespecificeerde metalen voorwerpen, één of meerdere kleipijpfragmenten en één of meerdere fragmenten Nieuwetijds bouw materiaal gevonden.

¹² Noodmunt: een munt geslagen door een stad onder beleg, wegens gebrek aan regulier geld, om bijvoorbeeld soldaten te kunnen blijven betalen; een tijdelijk betaalmiddel, op een later tijdstip in te wisselen tegen een vastgestelde waarde.

ZaakID 3990347100

Bij metaaldetectie door een particulier werden een ronde teugelring van een paardentuig en een 'Keltische' munt, gebaseerd op de prototypen van tetradrachmes van Philippus II van Macedonië (382-366 v.Chr.), aangetroffen. Van dit type zijn er eerder twee exemplaren in Nederland gevonden, alsmede enkele exemplaren in aangrenzende delen van Duitsland. Aan de authenticiteit van deze munt wordt door sommige geleerden getwijfeld; het staat vast dat er (sub-)recente vervalsingen van deze soort munt circuleren en de legering van de munt (koper: zink: 96,7%:3,15%) betekent dat de munt niet uit de IJzertijd maar op zijn vroegst uit de Romeinse Tijd kan dateren.

2.3.4 Archeologische onderzoeksmeldingen

In Archis 3 staan binnen het plangebied acht archeologische onderzoeksmeldingen geregistreerd (zie tabel 2.4 en bijlage 6). Binnen het onderzoeksgebied liggen veertien archeologische onderzoeksmeldingen.

Tabel 2.4 Archeologische onderzoeksmeldingen in het onderzoeksgebied

Zaakidentificatie	Type onderzoek	Locatie/toponiem	Publicatie/rapport	Overlap met deelgebied
2020871100	Verwervingswijze niet te bepalen	Brandevoort	Niet beschikbaar	
2042409100	Archeologisch: boring	Helmond	Niet beschikbaar	Werkterrein bij mast 021 EHVO-HMZ, oostelijke helft
2155445100	Archeologisch: boring	Brandevoort-II, deelgebied De Veste	Krekelbergh, N. 2007. <i>Plangebied Brandevoort II te Helmond</i> . BAAC rapport V07.0199.	Lierlocatie N bij mast 118 (slechts enkele meters)
2155501100	Archeologisch: boring	Brandevoort-II, deelgebied De Voort / Papenvoortse Dreef	Krekelbergh, N. 2007. <i>Plangebied Brandevoort II te Helmond</i> . BAAC rapport V07.0199.	Lierlocatie Z bij mast 118, volledig Werkterrein bij mast 119, zuidelijke helft
2167563100	Archeologisch: boring	Houtse Akker	Korthorst, L. 2008. <i>Archeologisch onderzoek gemeente Helmond, Mierlo-Hout - Houtse Akker : inventariserend en waarderend booronderzoek en oppervlaktekartering</i> .	Het werkterrein en de bouwweg bij mast 113, volledig
2177120100 (in het verlengde van Zaak ID's 2155445100 & 2155501100)	Archeologisch: proefputten/ proefsleuven	Brandevoort / Stepekolk	Krekelbergh, N.J. 2008. <i>Helmond, Mierlo-Hout, brandevoort II – De Veste – De Voort</i> . BAAC rapport A-07.0415.	Het werkterrein bij mast 119, volledig Lierlocatie ten oosten van mast 120, volledig

2212711100	Archeologisch: proefputten/ proefsleuven	Stepekolk-Hazenwinkel	Bruel, L. van den, Louvenberg, C. en Vos, K. de. 2009. <i>Archeologisch onderzoek Helmond, Brandevoort II - Stepekolk en Hazenwinkel. Inventariserend veldonderzoek- proefsleuven. ACEH-rapport 50.</i>	
2306120100	Archeologisch: bureauonderzoek	Broekstraat 87 te Mierlo	Schutte, A.H. 2011. <i>Archeologisch Bureauonderzoek en Verkenned Booronderzoek Broekstraat 87 te Mierlo in de gemeente Geldrop- Mierlo. Econsultancy- rapport 10091730.</i>	
2306129100 (in het verlengde van ZaakID 2306120100)	Archeologisch: boring	Broekstraat 87 te Mierlo	Schutte, A.H. 2011. Archeologisch Bureauonderzoek en Verkenned Booronderzoek Broekstraat 87 te Mierlo in de gemeente Geldrop- Mierlo. Econsultancy- rapport 10091730.	
2324598100	Archeologisch: proefputten/ proefsleuven	Liverdonk	Bruel, L. van den en Beumer, S. 2012. <i>Archeologisch onderzoek Helmond, Brandevoort II - fase 2 Liverdonk. Inventariserend veldonderzoek- proefsleuven. ACEH-rapport 73.</i>	Werkterrein bij mast 121, noordoostelijke hoek
2329028100 (in het verlengde van ZaakID 2212711100)	Archeologisch: opgraving	Hazenwinkel	Bruel, L. van den, Vroomans, J.-M., Beumer, S. en Vos, K. de. 2015. <i>Archeologisch onderzoek Helmond, Plangebied Brandevoort II-Hazenwinkel. De opgraving. Sporen van bewoning in de ijzertijd, Romeinse tijd, middeleeuwen en nieuwe tijd. ACEH-rapport 81.</i>	

2383728100	Archeologisch: opgraving	Liverdonk	Vroomans, J.M. 2014. <i>Archeologisch onderzoek Helmond, Brandevoort II - fase 2 Liverdonk. Opgraving van prehistorische bewoningssporen.</i> ACEH-rapport 87.	
4695403100	Archeologisch: proefputten/ proefsleuven	Brandevoort- Hazenwinkel	(Nog) niet vermeld in Archis.	Het werkterrein en de bouwweg bij mast 120, nagenoeg volledig
4736495100 (in het verlengde van ZaakID 4695403100)	Archeologisch: opgraving	Brandevoort- Hazenwinkel	(Nog) niet vermeld in Archis.	Het werkterrein en de bouwweg bij mast 120, nagenoeg volledig

ZaakID 2020871100

Registratie niet-rapportplichtige onderzoeksmelding; bouwwerkzaamheden aanleg vinex-locatie in 1997.

ZaakID 2042409100

Inventarisatie, kartering en waardering in bestemmingsplangebieden 'Buitengebied Helmond-West' en 'Buitengebied Helmond-Oost'.

ZaakID 2155445100, 2155501100 en 2177120100

Naar aanleiding van de aanleg van een woonwijk ten noorden van mast 119 en de lierlocaties bij mast 118 werden een bureauonderzoek en karterend booronderzoek uitgevoerd, verdeeld over twee deelgebieden. De zuidoostelijke hoek van het deelgebied De Veste (ZaakID 2155445100) valt net binnen de noordelijke lierlocatie bij mast 118 en het deelgebied De Voort / Papenvoortse Dreef (ZaakID 2155501100) overlapt de gehele lierlocatie ten westen van mast 118 en de zuidelijke helft van het werkterrein bij mast 119.

Het deelgebied De Veste bleek deels een intacte bodem te hebben, met in het noorden en westen een esdek van 50 tot 110 cm dik dat vermoedelijk terugging tot de Late Middeleeuwen, met daaronder een podzolbodem die verploegd was tot en met de Bhsb-horizont. In dit deel van De Veste werd in twee boringen Laatmiddeleeuws aardewerk aangetroffen. Het midden en zuidoosten van het plangebied waren echter opgehoogd met een ophogingslaag van 1,7 tot 3,6 m, met daaronder geen podzolbodem maar direct de C-horizont. In het deelgebied De Voort / Papenvoortse Dreef werd ook een esdek aangetroffen, met een dikte van 50 tot 130 cm, eveneens vermoedelijk ontstaan in de Late Middeleeuwen. Onder dit esdek bevond zich ofwel een intacte begraven bodem ofwel direct de C-horizont.

Naar aanleiding van deze resultaten werd overgegaan tot een proefsleuvenonderzoek (ZaakID 2177120100). Hierbij werden nauwelijks vondsten gedaan en slechts enkele antropogene sporen aangetroffen. Het betrof een aantal perceelsgreppels en verscheidene verspreide paalsporen, kuilen en een mogelijk hek. Ook bleek de bodem in het plangebied gedeeltelijk verstoord door ruilverkavelingsactiviteiten gedurende de vorige eeuw. Hierna werd het plangebied vrijgegeven.

ZaakID 2167563100

Rapport niet beschikbaar via Archis of DANS.

ZaakID 2212711100 en 2329028100

Naar aanleiding van de bouw van woningen en aanleg van wegen in de nieuwe woonwijk Brandevoort II, ten zuiden van masten 118 tot en met 120, werd een proefsleuven-onderzoek uitgevoerd (ZaakID 2212711100). Het onderzoek was verdeeld over twee deelgebieden: Stepekolk, ten zuiden van mast 11 en Hazenwinkel, ten zuiden van mast 119 en 120. Wegens de gunstige ligging van de deelgebieden op een dekzandrug, afgedekt door een esdek, was de verwachting hoog.

De bodem in deelgebied Stepekolk bleek sterk verstoord door de egalisering van het terrein ten behoeve van de ruilverkaveling in de vorige eeuw, waardoor weinig archeologische waarden werden aangetroffen. In het westen van het terrein werd wel een groot aantal kuilen uit de 13^e tot en met 14^e eeuw gevonden, die waarschijnlijk in verband stonden met het oude gehucht Stepekolk. Ook werden, verspreid over het terrein, perceelsgreppels gevonden uit de Middeleeuwen en Nieuwe Tijd en leemkuilen uit de Nieuwe Tijd. In het oosten werden mogelijke prehistorische paalsporen gevonden, maar er was geen sprake van een huisplattegrond.

In deelgebied Hazenwinkel bleek de bodem wel grotendeels intact. Hier werd een groot aantal archeologische sporen en vondsten aangetroffen, voornamelijk uit de Midden-IJzertijd en uit de overgangperiode tussen de Late IJzertijd en de Vroeg-Romeinse Tijd. Er waren drie vindplaatsen te onderscheiden, waarbinnen steeds gebouwplattegronden van zowel hoofdgebouwen als bijgebouwen werden herkend.

Er werd besloten om voor twee van de drie vindplaatsen in het deelgebied Hazenwinkel over te gaan tot een vlakdekkende opgraving (ZaakID 2329028100). Hieruit bleek dat zich in de Vroege en Late IJzertijd een nederzetting te Hazenwinkel bevond. Daarnaast werden twee parallele greppels uit de Romeinse Tijd gevonden, wellicht de bermsloten van een Romeinse weg. Ook werden er perceelsgreppels uit de Middeleeuwen of Nieuwe Tijd aangetroffen.

Qua vondsten werd er met name aardewerk uit de Vroege en Late IJzertijd gevonden, maar er werden ook glas, metaal en natuursteen (met name zandsteen en vuursteen) aangetroffen. Er was dus sprake van een bewoningshaat in de Midden-IJzertijd, net als op nabijgelegen vindplaatsen te Kranenbroek en Liverdonk.

ZaakID 2306120100 en 2306129100

Naar aanleiding van de herontwikkeling van het perceel aan de Broekstraat 87 te Mierlo, enkele honderden meters ten zuidwesten van mast 121, werden een bureauonderzoek en verkennend booronderzoek uitgevoerd. De bodem bleek sterk verstoord door recente landbouwactiviteiten en/of de bouw van bestaande bebouwing. Er werden geen archeologische indicatoren aangetroffen en de archeologische verwachting werd bijgesteld naar 'laag' voor alle perioden. Het plangebied werd vrijgegeven.

ZaakID 2324598100 en 2383728100

Naar aanleiding van de woningbouw in de woonwijk Brandevoort II werd een proefsleuven-onderzoek (ZaakID 2324598100) uitgevoerd ten noordwesten van mast 120 en de bijbehorende geplande bouwweg. Hierbij werden relatief veel archeologische sporen en vondsten aangetroffen, voornamelijk uit de prehistorie, waarschijnlijk uit de overgangperiode tussen de Late Bronstijd en Vroege IJzertijd. Het betrof kuilen en paalkuilen waarvan tenminste vijf structuren konden worden gevormd; drie spiekers en twee delen van grotere structuren, waarschijnlijk huisplattegronden. Ook werden er twee karrensporen, vermoedelijk uit de Late Middeleeuwen, en vele 19^e-eeuwse greppels aangetroffen.

Er werd besloten over te gaan tot een vlakdekkende opgraving van een deel van het terrein (ZaakID 2383728100). Hierbij werden vondsten uit het Neolithicum, de IJzertijd, Romeinse Tijd, Vroege en Late Middeleeuwen en Nieuwe Tijd aangetroffen, alsmede structuren uit de IJzertijd; er werd geen huisplattegrond gevonden, enkel spiekers en andere bijgebouwen. Ook werden er perceelsgrenzen en/of afwateringsloten uit de Nieuwe Tijd aangetroffen.

ZaakID 4695403100 en 4736495100

Het rapport is (nog) niet beschikbaar in Archis. Bekend is echter dat het gaat om de opgraving van een nederzetting uit de Romeinse Tijd aan de westelijke rand van Brandevoort bij Hazenwinkel en Liverdonk, waar het werkterrein en de bouwweg bij mast 120 gepland zijn. Er zijn minstens twaalf huisplattegronden aangetroffen, alsmede spiekers en andere bijgebouwen.

2.3.5 Samenvatting archeologische waarden

Bij eerdere onderzoeken binnen het onderzoeksgebied zijn archeologische resten uit alle perioden van het Paleolithicum tot de Nieuwe Tijd aangetroffen. De omgeving is vooral rijk aan vindplaatsen uit de IJzertijd en Romeinse Tijd, waarvan er meerdere zijn aangetroffen op de hoge zwarte enkeerdgronden in het onderzoeksgebied. In het westelijke deel van het huidige onderzoeksgebied blijkt al veel archeologisch onderzoek uitgevoerd te zijn in verband met de aanleg van nieuwe woonwijken, hierop rust nu een lage of geen archeologische verwachting. Er heeft echter geen opgraving plaatsgevonden onder de mastvoeten. Hier kunnen dus nog waarden aanwezig zijn.

Het grootste deel van het onderzoeksgebied is niet eerder invasief onderzocht; wel zijn er bij (veld)karteringen en door middel van metaaldetectie in de omgeving vondsten gedaan uit de IJzertijd tot Nieuwe Tijd.

2.4 **Historische situatie**

Voor het beschrijven van de historische situatie is gebruik gemaakt van cartografische bronnen waarop voor het plangebied relevante informatie is weergegeven, alsmede schriftelijke historische bronnen waarin het plangebied is vermeld.

Het tracé van de 380 kV-verbinding Maasbracht-Eindhoven (MBT-EHV) loopt in gemeente Helmond door Brandevoort, een recent gebouwde woonwijk, vernoemd naar het gehucht Brandevoort dat zich vroeger in dit gebied bevond. Op de kadastrale minuut 1811-1832¹³ is te zien dat dit gebied tussen de eeuwenoude plaatsen Helmond en Mierlo in, in ieder geval vanaf de vroege 19^e eeuw grotendeels in gebruik was voor land- en bosbouw. De percelen waarop zich nu de assets van de 380 kV-verbinding Maasbracht-Eindhoven (MBT-EHV) bevinden, waren toentertijd nog grotendeels met heide begroeid. De Topografische Militaire Kaart van het Koninkrijk der Nederlanden uit 1850-1864 (TMK) laat deze situatie goed zien (zie bijlage 7).

Daarnaast geeft deze kaart aan dat de geplande bouwweg ten westen van mast 120 mogelijk het tracé van een historische weg, die deels verlegd lijkt te zijn, kruist; ook het geplande werkterrein bij mast 119 ligt mogelijk over het tracé van een historische weg, die sindsdien is verdwenen.

¹³ beeldbank.cultureelergoed.nl

Rond de overgang van de 19^e naar de 20^e eeuw werd de Chromo-topografische kaart van het Koninkrijk der Nederlanden op de schaal van 1:25.000 (ook wel bekend als de Bonnebladen) vervaardigd.¹⁴ In deze halve eeuw veranderde er niets noemenswaardigs in het plangebied (zie bijlage 8). Ditzelfde geldt in grote lijnen voor de gehele 20^e eeuw; de grond binnen het onderzoeksgebied werd geleidelijk meer in cultuur gebracht en veranderde van heide en bos naar akker en weiland en vanaf circa 1950 vond er ruilverkaveling plaats, maar pas toen Helmond vanaf 2000 begon met de aanleg van de moderne woonwijk Brandevoort, ging het landschap echt andere vormen aannemen.

2.4.1 Militair-historische gegevens

De Indicatieve Kaart Militair Erfgoed (IKME)¹⁵ toont geen militair-historische waarden binnen het onderzoeksgebied. Wel moet hierbij worden opgemerkt dat er in de Tweede Wereldoorlog in de omgeving van Eindhoven hevig is gevochten. Er kunnen zich in het plangebied dus mogelijk archeologische waarden uit de Tweede Wereldoorlog bevinden.

2.5 Ondergrondse bouwhistorische waarden en mogelijke verstoringen

De Verstoringsbronnenkaart van de RCE geeft aan dat in het gehele onderzoeksgebied in de 20^e eeuw ruilverkaveling heeft plaatsgevonden.¹⁶ Hierbij kan de bodem zijn verstoord door het dempen, aanleggen, of verleggen van sloten en kan de grond geëgaliseerd zijn. Daarnaast zijn in het onderzoeksgebied vanaf 2000 veel bouw- en grondwerkzaamheden uitgevoerd, waardoor de bodem sterk verstoord kan zijn.

Binnen de deelgebieden is momenteel geen bebouwing aanwezig, anders dan de masten zelf en is ook geen bebouwing bekend op basis van historische kaarten. Er worden geen ondergrondse bouwhistorische waarden verwacht.

¹⁴ De bladen waarop Brandevoort zijn opgetekend komen uit 1900 en 1901.

¹⁵ ikme.nl

¹⁶ Geraadpleegd via <https://rce.webgispublisher.nl/Viewer.aspx?map=Verstoringsbronnenkaart>

3 Gespecificeerde archeologische verwachting

Op basis van bovenstaand onderzoek en communicatie met het bevoegd gezag¹⁷ is voor het plangebied een gespecificeerde archeologische verwachting opgesteld, zoals hieronder uiteengezet.

Masten 119 tot en met 121 en de hierlocatie ten westen van mast 118 vallen binnen eerdere onderzoeksgebieden. Hierop rust een lage of geen archeologische verwachting of bestemmingswaarde in de beleidsdocumenten. Bij de eerdere veldonderzoeken is echter niet bij de masten zelf onderzoek gedaan. Mast 120 bevindt zich waarschijnlijk in de periferie van een eerder aangetroffen nederzetting uit de IJzertijd/Romeinse Tijd, ten westen van de mast. Hier kunnen dus mogelijk archeologische waarden gerelateerd aan deze nederzetting aanwezig zijn. Mast 121 bevindt zich tussen een nederzetting uit de Late Bronstijd/Vroeg IJzertijd (ten noorden van de mast) en de voorgenoemde nederzetting uit de IJzertijd/Romeinse Tijd (ten zuidoosten van de mast). De mast staat in een laaggelegen, drassig gebied, waar hoogstwaarschijnlijk geen bewoning zal hebben plaatsgevonden. Hier kunnen echter wel waarden gerelateerd aan de nederzettingen aanwezig zijn, zoals bijvoorbeeld afvalkuilen. Het onderzoek in de buurt van mast 119 geeft geen aanwijzingen dat bij deze mast archeologische waarden te verwachten zijn.

Masten 116 t/m 118 bevinden zich in een zone waar op historische kaarten te zien is dat hier zeer ingrijpende bodemingrepen hebben plaatsgevonden, waardoor hoogstwaarschijnlijk geen (intacte) archeologische waarden (meer) aanwezig zullen zijn. Op de archeologische beleidskaart ligt op deze deelgebieden dan ook een lage of geen verwachting.

Voor de deelgebieden bij masten 113 tot en met 115 kan op basis van de historische kaarten worden gesteld dat de inrichting van het landschap hier in de historische periode veel minder sterk veranderd is, waardoor archeologische waarden hier mogelijk wel bewaard zijn. Deze masten bevinden zich daarnaast op een dekzandwieling die in het verleden een aantrekkelijke bewoningslocatie zal hebben gevormd. Op deze deelgebieden ligt een middelhoge verwachting volgens de archeologische beleidskaart (mast 113) of een archeologische dubbelbestemming – waarde 2 in de vigerende bestemmingsplannen (masten 114 en 115). Gezien de landschappelijke geschiedenis en de bekende archeologische waarden kunnen bij deze masten resten uit het Laat-Paleolithicum tot de Nieuwe Tijd worden aangetroffen. De waarden worden verwacht in de top van het dekzand, dat sinds de laatste ijstijd het oppervlak van het landschap vormt.

Vindplaatsen uit het Paleo- of Mesolithicum kunnen, gezien deze ondiepe ligging en de aard van dit soort vindplaatsen – ze bestaan vooral uit vuursteenspreidingen en mogelijk ondiepe grondsporen in de vorm van haardkuilen en/of staaksporen – verstoord of vernietigd zijn door landbouw en/of andere werkzaamheden. Vuurstenen artefacten kunnen ook in de bouwvoor aanwezig zijn, wanneer vindplaatsen zijn verploegd.

Archeologische waarden uit het Neolithicum tot de Vroege Middeleeuwen kunnen bestaan uit bewoningssporen, zoals huisplattengronden, paalkuilen, waterputten en -kuilen en afvalkuilen; of sporen van landbouwactiviteiten, zoals ploegsporen en greppels. Qua vondstmateriaal worden voor het Neolithicum naast vuurstenen artefacten ook ander bewerkt natuursteen en aardewerk verwacht; uit latere perioden kunnen ook metalen en glazen artefacten worden aangetroffen.

¹⁷ Communicatie met Theo de Jong, gemeentearcheoloog Helmond, 28-1-2022.

De waarden worden in de top van het dekzand verwacht. Grondsporen uit deze periodes reiken doorgaans dieper dan Paleolithische of Mesolithische grondsporen en kunnen dus bij verstoring van de top van de podzolbodem – het oorspronkelijke loopvlak – nog zichtbaar zijn in de dieper gelegen bodemlagen.

Vanaf de Late Middeleeuwen (vanaf circa 1050) raakte bewoning meer geconcentreerd in bewoningskernen en werd ook lagergelegen land in cultuur gebracht. De situatie vanaf de Late Middeleeuwen zal waarschijnlijk vergelijkbaar zijn met de situatie, zoals weergegeven op de vroegste historische kaarten van het gebied (zie paragraaf 2.4). Hieruit blijkt dat bewoning in de omgeving van het plangebied geconcentreerd was in de kernen van Helmond en Mierlo, met hieromheen landbouwgronden op de essen.

Geen van de deelgebieden bevindt zich op een locatie waar historische bebouwing bekend is; voor bewoningsresten vanaf de Late Middeleeuwen is de verwachtingswaarde dus in het gehele plangebied laag. Als deze toch worden aangetroffen, kunnen deze bestaan uit huisplattegronden, paalkuilen, steenbouwresten en vondstmateriaal van glas, aardewerk, of metaal, alsmede waterputten en -kuilen en afvalkuilen. Wel kunnen sporen van landbouw uit de Late Middeleeuwen of later worden verwacht; deze kunnen bestaan uit ploegsporen en/of greppels.

4 Conclusie en advies

4.1 Beantwoording onderzoeksvragen

Met de bevindingen en resultaten uit het bureauonderzoek kunnen de onderzoeksvragen worden beantwoord.

- *Welke archeologische waarden zijn in het plangebied aanwezig of kunnen aanwezig zijn? Op welke diepte t.o.v. maaiveld kunnen deze worden verwacht en op welke wijze lopen deze verwachte waarden een risico op verstoring/vernietiging door de uitvoering van de voorgenomen werkzaamheden?*

Ten westen van mast 120 is een nederzetting uit de IJzertijd/Romeinse Tijd opgegraven. Mast 120 bevindt zich waarschijnlijk in de periferie hiervan. Bij de mast is geen opgraving uitgevoerd. Hier kunnen dus mogelijk archeologische waarden gerelateerd aan deze nederzetting aanwezig zijn. Mast 121 bevindt zich tussen een nederzetting uit de Late Bronstijd/Vroeg IJzertijd (ten noorden van de mast) en de voornoemde nederzetting uit de IJzertijd/Romeinse Tijd (ten zuidoosten van de mast), in een laaggelegen, drassig gebied waar hoogstwaarschijnlijk geen bewoning zal hebben plaatsgevonden. Hier kunnen echter wel waarden gerelateerd aan de nederzettingen aanwezig zijn, zoals bijvoorbeeld afvalkuilen. Verder kunnen waarden worden verwacht uit het Laat Paleolithicum tot en met de Nieuwe Tijd in de deelgebieden bij masten 113 t/m 115. De waarden worden direct of dicht onder de recente bouwvoor verwacht en kunnen dus worden verstoord of vernietigd door de voorgenomen bodemroerende werkzaamheden wanneer deze dieper reiken dan de recente bouwvoor.

- *Is het plangebied voldoende onderzocht. Zo nee, welke vorm van nader archeologisch onderzoek wordt geadviseerd?*

Het plangebied is voldoende onderzocht voor het uitvoeren van de werkzaamheden volgens de huidige plannen. Als tijdens het uitvoeren van de werkzaamheden blijkt dat ingrijpender bodemingrepen nodig zijn, dan is bij masten 120 en 121 voor graafwerkzaamheden dieper dan de moderne bouwvoor aanvullend onderzoek nodig om vast te stellen of hier waarden aanwezig zijn gerelateerd aan de aangetroffen nederzettingen. Ook bij masten 113 t/m 115 is bij graafwerkzaamheden dieper dan de moderne bouwvoor aanvullend onderzoek nodig, omdat hier bewoningssporen uit het Laat Paleolithicum t/m de Vroege Middeleeuwen kunnen worden verwacht. Geadviseerd wordt om dit onderzoek, indien het nodig blijkt, uit te voeren in de vorm van een proefsleuvenonderzoek, variant begeleiding.

4.2 Conclusie

Het doel van onderhavig onderzoek was het opstellen van een gespecificeerde verwachting voor het plangebied, naar aanleiding van de voorgenomen werkzaamheden aan negen hoogspanningsmasten van de 380 kV-verbinding Maasbracht – Eindhoven en een hoogspanningsmast van de 150 kV-verbinding tussen Eindhoven Oost en Helmond Zuid binnen gemeente Helmond ten behoeve van de opwaardering van de 380 kV-verbinding Maasbracht – Eindhoven. Hiervoor zullen werkterreinen, bouwwegen en lierlocaties worden ingericht, waarvoor rijplaten zullen worden aangebracht. Na afronding van de werkzaamheden zullen cultuurtechnische herstelwerkzaamheden plaatsvinden om de bouwvoor te herstellen. Het uitgangspunt voor de cultuurtechnische herstelwerkzaamheden is dat de bovengrond tot maximaal 0,3 m -mv losgeploegd wordt. Daarnaast worden bij een aantal masten de mastvoeten verstevigd. De ontgraving zal aan het maaiveld aan alle zijden ca. 1,0 m meer bedragen dan de oppervlakte van de poer. De totale oppervlakte van de geplande ontgraving per mast varieert van 86,4 tot 100,0 m². De ontgravingen zullen in talud aflopen naar maximaal 2,0 m -mv. In gemeente Helmond vinden deze verstevigingen plaats bij masten 113 en 114.

Het plangebied bevindt zich in het Brabants zandgebied, een regio gekenmerkt door een dik dekzandpakket. In de top van dit pakket kunnen archeologische waarden uit het Laat-Paleolithicum tot en met de Nieuwe Tijd worden verwacht, met name in de deelgebieden bij masten 113 t/m 115; bij masten 120 en 121 worden specifiek waarden verwacht gerelateerd aan de nederzettingen uit de Late Bronstijd t/m Romeinse Tijd die in de onmiddellijke nabijheid zijn opgegraven. Voor de overige deelgebieden is de verwachting voor alle perioden laag, omdat hier in de afgelopen decennia ingrijpende grondroerende werkzaamheden hebben plaatsgevonden en/of in de nabijheid archeologisch onderzoek is uitgevoerd waarvan de resultaten niet hebben geleid tot een archeologische verwachting voor de huidige deelgebieden.

Indien aanwezig, worden archeologische waarden direct of dicht onder het maaiveld verwacht. De voorgenomen werkzaamheden kunnen deze dus mogelijk verstoren of vernietigen.

4.3 Advies

Op basis van de resultaten van dit bureauonderzoek heeft Sweco Nederland B.V. een advies opgesteld (zie ook tabel 4.1).

De voorgenomen werkzaamheden zullen volgens de huidige plannen slechts tot beperkte bodemverstoring leiden. In principe wordt daarom, in overleg met het bevoegd gezag, geen vervolgonderzoek geadviseerd. Wel wenst het bevoegd gezag geïnformeerd te worden over wanneer de funderingswerkzaamheden bij masten 113 en 114 uitgevoerd worden, zodat de gemeentearcheoloog de mogelijkheid heeft om zelf een extensieve inspectie van deze werkzaamheden uit te voeren. Daarnaast kan het rijden van zwaar materieel ook bij geen of beperkte ontgraving mogelijk het bodemarchief verstoren. Het bevoegd gezag heeft aangegeven dat daarom in ieder geval rijplaten op de werkterreinen, bouwwegen en lierlocaties vereist zijn om het bodemarchief te beschermen.¹⁸

Als tijdens de uitvoering van de werkzaamheden blijkt dat toch ingrijpender bodemingrepen vereist zijn dan momenteel gepland, kan bij een aantal masten wel vervolgonderzoek nodig zijn:

In de deelgebieden bij masten 113 t/m 115, 120 en 121 kunnen dicht onder het maaiveld archeologische waarden aanwezig zijn. Indien hier toch graafwerkzaamheden plaatsvinden onder de moderne bouwvoor (naar verwachting vanaf ca. 0,3 m -mv) kunnen deze dus mogelijk archeologische waarden verstoren of vernietigen. In overleg met het bevoegd gezag wordt daarom geadviseerd om bij deze masten, bij eventuele graafwerkzaamheden dieper dan 0,3 m -mv over het gehele werkterrein, deze werkzaamheden uit te voeren onder archeologische begeleiding, variant proefsleuven.¹⁹ Wanneer behoudenswaardige archeologische waarden worden aangetroffen kan dit in overleg met het bevoegd gezag worden opgeschaald naar een opgraving.

Indien bij de uitvoering van de werkzaamheden toch onverwacht archeologische resten worden aangetroffen, dan is conform artikel 5.10 van de Erfgoedwet aanmelding van de desbetreffende vondsten bij de minister verplicht (vondstmelding via de Rijksdienst voor het Cultureel Erfgoed).²⁰

¹⁸ Communicatie met Theo de Jong, gemeentearcheoloog Helmond, 28-1-2022.

¹⁹ Communicatie met Theo de Jong, gemeentearcheoloog Helmond, 1-2-2022.

²⁰ <https://formulier.cultureelerfgoed.nl/archis/vondstmeldingsformulier>

De bevoegde overheid heeft kennisgenomen van dit rapport en dit advies is tot stand gekomen in overleg met de bevoegde overheid.

Tabel 4.1 *Gespecificeerd advies per mastlocatie*

Mastnummer	Aard, oppervlakte en maximale diepte werkzaamheden (m²; m -mv)	Archeologische verwachting op basis van onderhavig onderzoek	Vervolgonderzoek geadviseerd
021 EHVO-HMZ	Werkterrein (1600; 0,3) Bouwweg (360; 0,3)	Laag of geen	Nee
113	Werkterrein (1600; 0,3) incl. fundatieversterkingen (86,4; 1,1) Bouwweg (90; 0,3)	Deels middelhoog, deels laag of geen Laag of geen	In principe inspectie van graafwerkzaamheden tot 1,1 m -mv door gemeentearcheoloog; eventueel archeologische begeleiding, protocol proefsleuven, bij graafwerkzaamheden >0,3 m -mv over geheel werkterrein
114	Werkterrein (2400; 0,3) incl. fundatieversterkingen (100; 2,0) Lierlocatie O (2025; 0,3) Lierlocatie W (2025; 0,3) Bouwweg lierlocatie O (225; 0,3)	Middelhoog	In principe inspectie van werkzaamheden tot 1,2 m -mv door gemeentearcheoloog; eventueel archeologische begeleiding, protocol proefsleuven, bij werkzaamheden >0,3 m -mv over geheel werkterrein
115	Werkterrein (1600; 0,3) Bouwweg (280; 0,3)	Middelhoog	In principe niet; eventueel archeologische begeleiding, protocol proefsleuven, bij werkzaamheden >0,3 m -mv over geheel werkterrein
116	Werkterrein (1600; 0,3) Bouwweg (185; 0,3)	Laag of geen	Nee
117	Werkterrein (1600; 0,3) Bouwweg (40; 0,3)	Laag of geen	Nee
118	Werkterrein (1600; 0,3) Bouwweg (35; 0,3) Lierlocaties (2 x 1015; 0,3)	Laag of geen	Nee
119	Werkterrein (2400; 0,3)	Laag of geen	Nee
120	Werkterrein (1600; 0,3) Bouwweg (1407; 0,3) Lierlocatie (2025; 0,3)	Hoog	In principe niet; eventueel archeologische begeleiding, protocol proefsleuven, bij werkzaamheden >0,3 m -mv over geheel werkterrein
121	Werkterrein (302; 0,3)	Hoog	In principe niet; eventueel archeologische begeleiding, protocol proefsleuven, bij werkzaamheden >0,3 m -mv over geheel werkterrein

Literatuurlijst en gebruikte bronnen

Literatuur

Bruel, L. van den, Louvenberg, C. en Vos, K. de. 2009.

Archeologisch onderzoek Helmond, Brandevoort II - Stepekolk en Hazenwinkel.

Inventariserend veldonderzoek-proefsleuven. ACEH-rapport 50.

<https://docplayer.nl/52870928-Archeologisch-centrum-eindhoven-en-helmond.html>.

Bruel, L. van den en Beumer, S. 2012. *Archeologisch onderzoek Helmond, Brandevoort II -*

fase 2 Liverdonk. Inventariserend veldonderzoek-proefsleuven. ACEH-rapport 73.

<https://archisarchief.cultureelerfgoed.nl/Archis2/Archeorapporten/26/AR27793>.

Bruel, L. van den, Vroomans, J.-M., Beumer, S. en Vos, K. de. 2015. *Archeologisch onderzoek Helmond, Plangebied Brandevoort II-Hazenwinkel. De opgraving. Sporen van*

bewoning in de ijzertijd, Romeinse tijd, middeleeuwen en nieuwe tijd. ACEH-rapport 81.

<https://archisarchief.cultureelerfgoed.nl/Archis3/Zaakdocumenten/232/2329028/afm/>.

Korthorst, L. 2008. *Archeologisch onderzoek gemeente Helmond, Mierlo-Hout –*

Houtse Akker : inventariserend en waarderend booronderzoek en oppervlaktekartering.

Krekelbergh, N. 2007. *Plangebied Brandevoort II te Helmond.* BAAC rapport V07.0199.

<https://doi.org/10.17026/dans-xs3-9uu8>.

Krekelbergh, N.J. 2008. *Helmond, Mierlo-Hout, brandevoort II – De Veste – De Voort.*

BAAC rapport A-07.0415.

Pauly, B.M. 2017. *Gemeente Helmond. Archeologische beleidskaart 2017.*

Schutte, A.H. 2011. *Archeologisch Bureauonderzoek en Verkennend Booronderzoek*

Broekstraat 87 te Mierlo in de gemeente Geldrop-Mierlo. Econsultancy-rapport 10091730.

Vroomans, J.M. 2014. *Archeologisch onderzoek Helmond, Brandevoort II - fase 2*

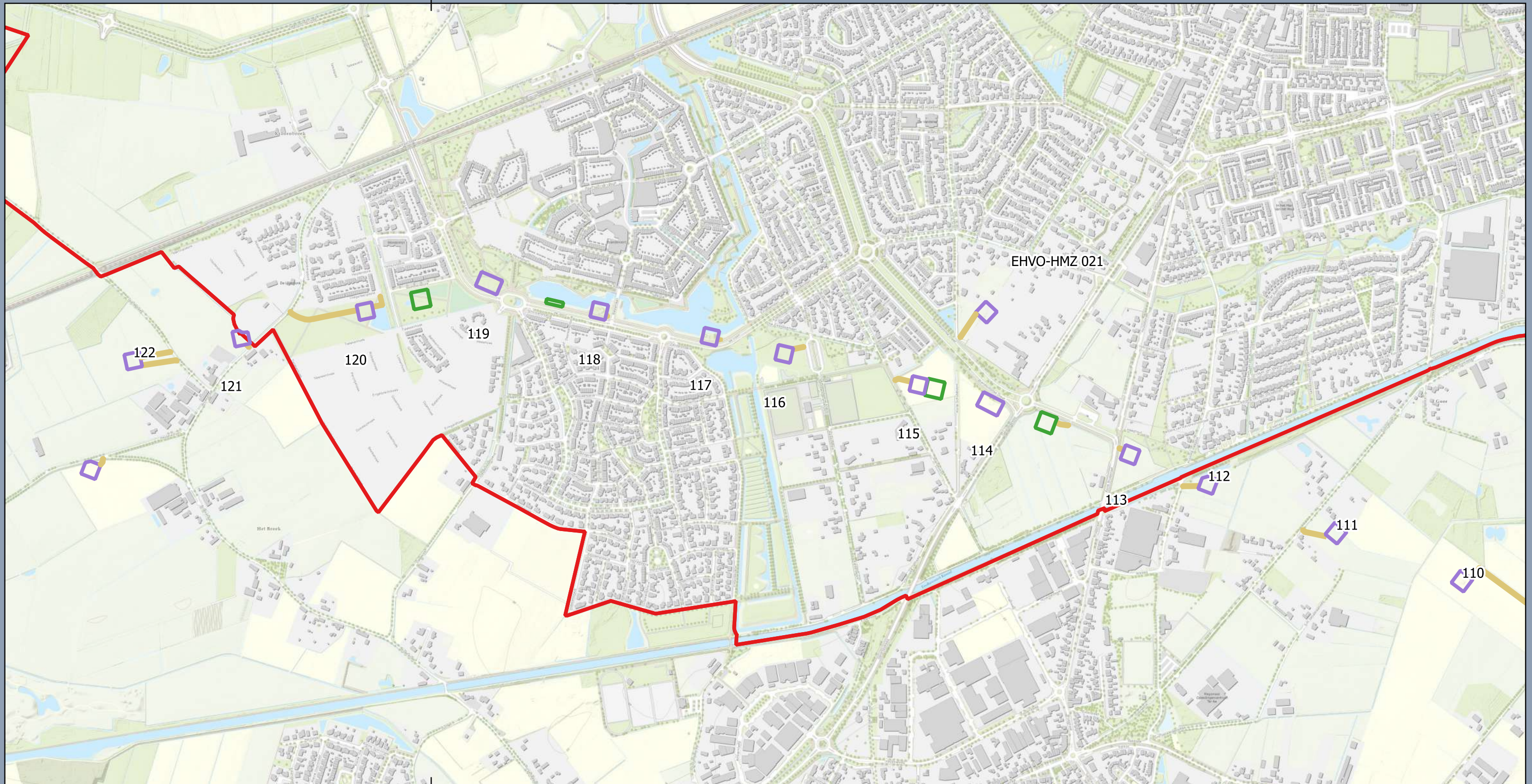
Liverdonk. Opgraving van prehistorische bewoningssporen. ACEH-rapport 87.

<https://archisarchief.cultureelerfgoed.nl/Archis3/Zaakdocumenten/238/2383728/afm/>.

Internetbronnen

- www.ahn.nl.
- archis.cultureelerfgoed.nl.
- beeldbank.cultureelerfgoed.nl.
- www.bodemloket.nl.
- www.dinoloket.nl.
- www.heemkunde-leivere.nl.
- ikme.nl.
- www.pdok.nl.
- www.topotijdreis.nl.

Bijlage 1 Locatie van het plangebied



Legenda

- Gemeentegrenzen
- MBT_EHV_Werkterreinen_MB_v7-7
- Lierlocatie
- Ruimtereservering aanrijroute (rijbaan)
- Werkterrein

Ligging deelgebieden

Opdrachtgever: Tennet TSO BV
 Projectnummer: 51005311

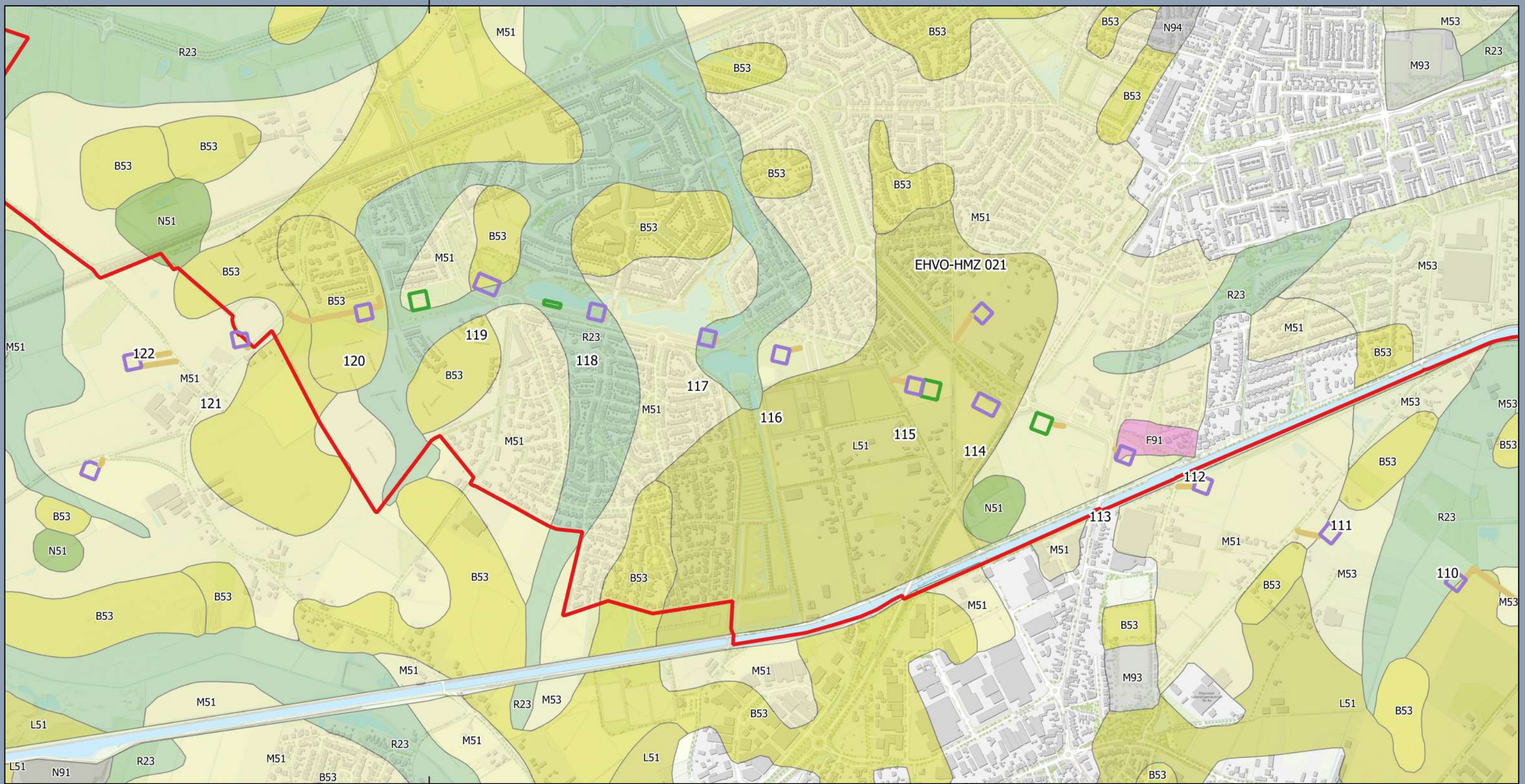


Datum: 01-03-2022
 Schaal: 1:10000
 Formaat: A3

0 150 300 450 600 meters



Bijlage 2 Geomorfologische kaart



Legenda

Gemeentegrenzen

MBT_EHV_Werkterreinen_MB_v7-7

Lierlocatie

Ruimtereservering aanrijroute (rijbaan)

Werkterrein

Geomorfologische kaart

B53 - Dekzandrug

F91 - Plateau-achtige storthoop, opgespoten terrein of kunstmatig eiland

L51 - Dekzandwelingen

M51 - Dekzandvlakte

M53 - Vlakke van ten dele verspoelde dekzanden of löss

M93 - Vlakke ontstaan door afgraving of egalisatie

N51 - Laagte zonder randwal

N91 - Groeve

N94 - Laagte ontstaan door afgraving

R23 - Dalvormige laagte

Geomorfologie

Opdrachtgever: Tennet TSO BV
Projectnummer: 51005311

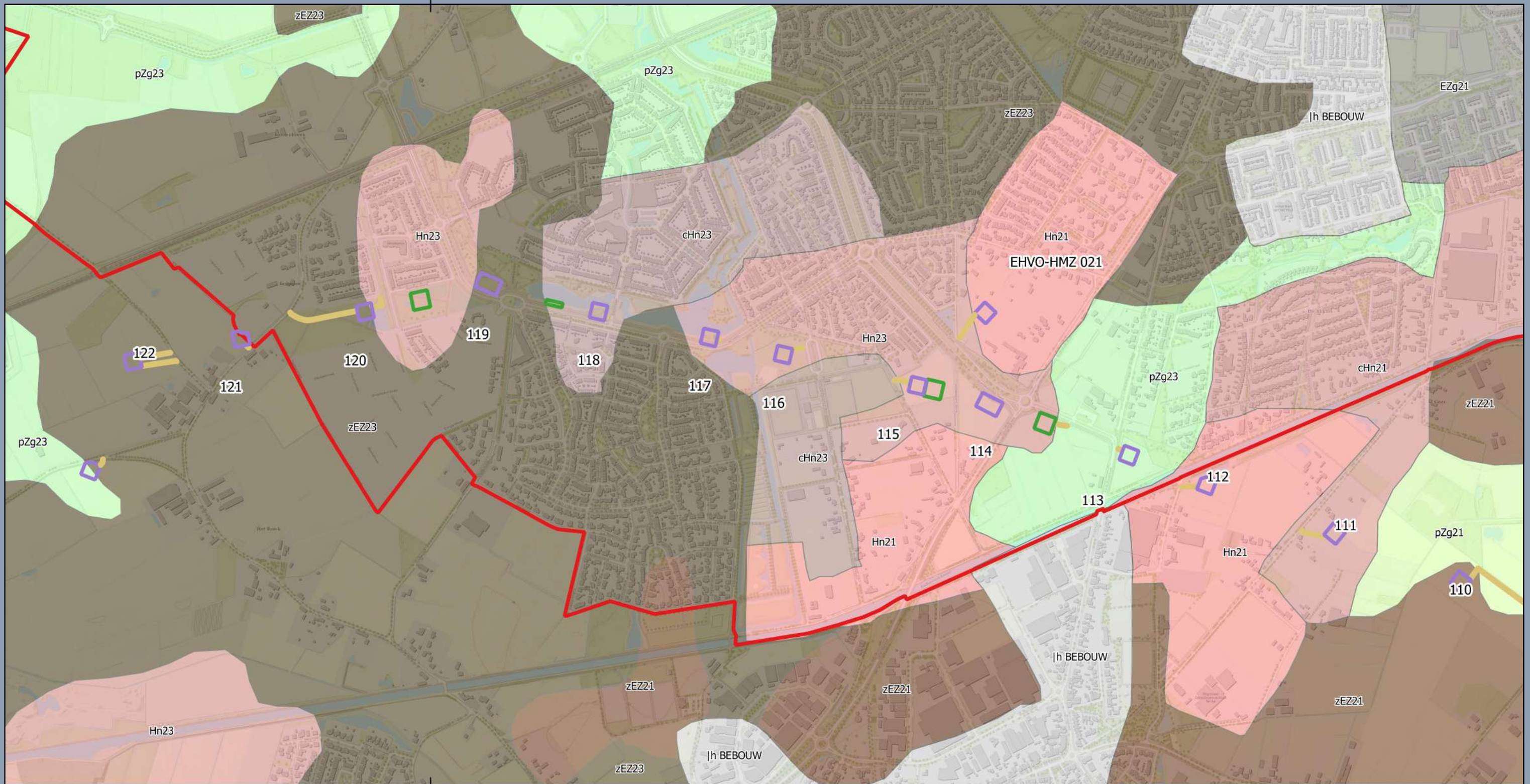


Datum: 01-03-2022
Schaal: 1:10000
Formaat: A3

0 150 300 450 600 meters



Bijlage 3 Bodemkaart



Legenda

Gemeentegrenzen	Bodemkaart	zEZ21 - Hoge zwarte enkeerdgronden
MBT_EHV_Werkterreinen_MB_v7-7	Bebouwing	zEZ23 - Hoge zwarte enkeerdgronden
Lierlocatie	cHn21 - Laarpodzolgronden	
Ruimtereservering aanrijroute (rijbaan)	cHn23 - Laarpodzolgronden	
Werkterrein	EZg21 - Lage enkeerdgronden	
	Hn21 - Veldpodzolgronden	
	Hn23 - Veldpodzolgronden	
	pZg21 - Beekeerdgronden	
	pZg23 - Beekeerdgronden	

Bodemkaart

Opdrachtgever: Tennet TSO BV
 Projectnummer: 51005311

Datum: 01-03-2022
 Schaal: 1:10000
 Formaat: A3

0 150 300 450 600 meters

© Sweco Nederland B.V. Alle rechten voorbehouden

Bijlage 4 AHN



Legenda

Gemeentegrenzen	AHN 3 (m +NAP)
MBT_EHV_Werkterreinen_MB_v7-7	18
Lierlocatie	20
Ruimtereservering aanrijroute (rijbaan)	22
Werkterrein	24
	26

Hoogtekaart (AHN 3)

Opdrachtgever: Tennet TSO BV
 Projectnummer: 51005311

SWECO

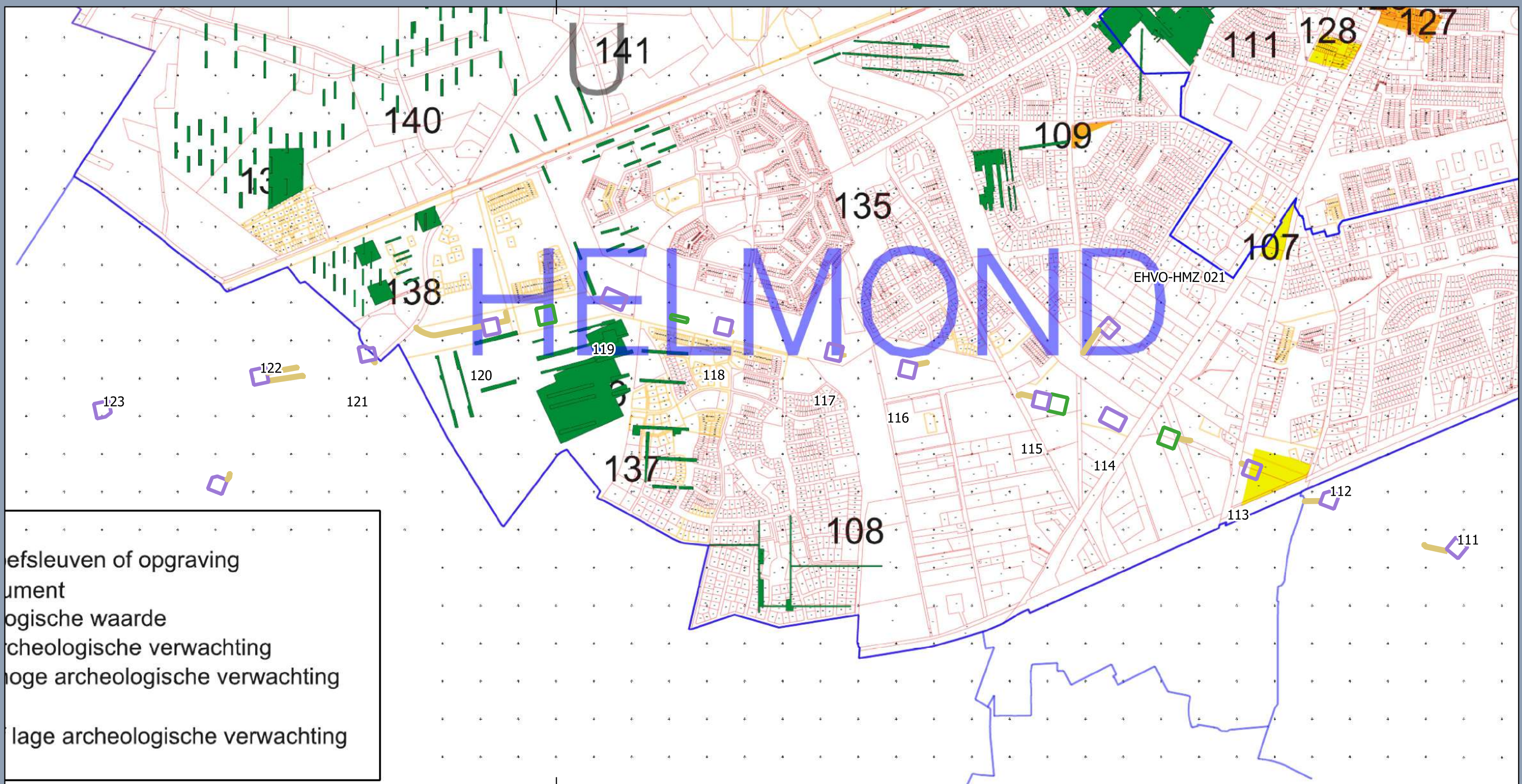
Datum: 01-03-2022
 Schaal: 1:10000
 Formaat: A3

0 150 300 450 600 meters

N





© Sweco Nederland B.V. Alle rechten voorbehouden

Bijlage 5 Archeologische verwachtingskaart



Proefsleuven of opgraving
 Monument
 Gebied met archeologische waarde
 Gebied met hoge archeologische verwachting
 Gebied met middelhoge archeologische verwachting
 Gebied met geen of lage archeologische verwachting

Legenda

-  Gemeentegrenzen
- MBT_EHV_Werkterreinen_MB_v7-7
-  Lierlocatie
-  Ruimtereservering aanrijroute (rijbaan)
-  Werkterrein

-  Onderzocht met proefsleuven of opgraving
-  Archeologisch monument
-  Gebied met archeologische waarde
-  Gebied met hoge archeologische verwachting
-  Gebied met middelhoge archeologische verwachting
-  Gebied met geen of lage archeologische verwachting

Archeologische beleidskaart

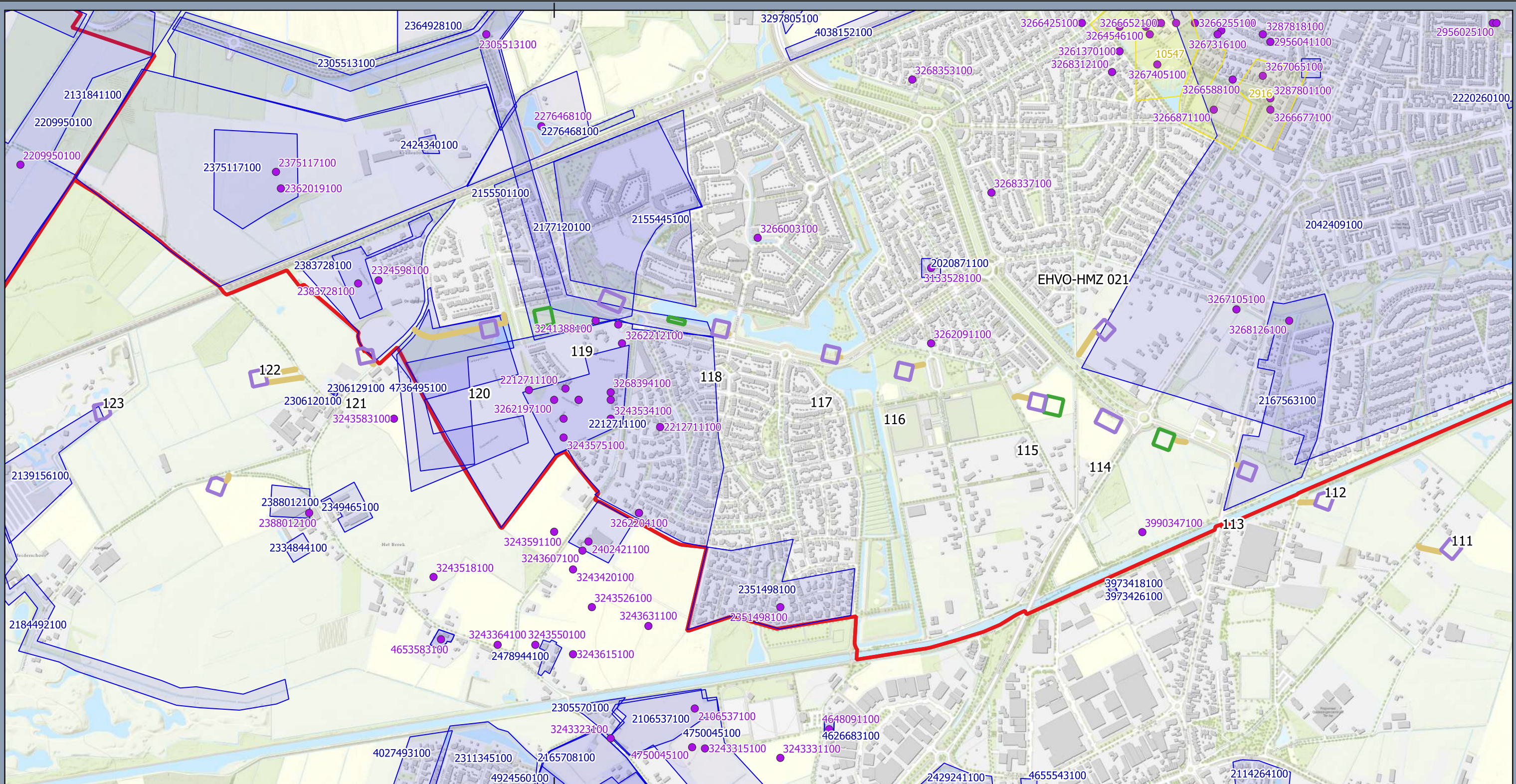
Opdrachtgever: Tennet TSO BV
 Projectnummer: 51005311



Datum: 01-03-2022
 Schaal: 1:10000
 Formaat: A3



Bijlage 6 Bekende archeologische gegevens



Legenda

- Gemeentegrenzen
- MBT_EHV_Werkterreinen_MB_v7-7
- Lierlocatie
- Ruimtereservering aanrijroute (rijbaan)
- Werkterrein
- Vondstlocaties
- Onderzoeksmeldingen
- Monumenten
- Hoge archeologische waarde

Archis

Opdrachtgever: Tennet TSO BV
 Projectnummer: 51005311



Datum: 01-03-2022
 Schaal: 1:10000
 Formaat: A3

0 150 300 450 600 meters



Bijlage 7 TMK



Legenda

- ▭ Gemeentegrenzen
- MBT_EHV_Werkterreinen_MB_v7-7
- Lierlocatie
- Ruimtereservering aanrijroute (rijbaan)
- Werkterrein

TMK ca. 1850

Opdrachtgever: Tennet TSO BV
Projectnummer: 51005311

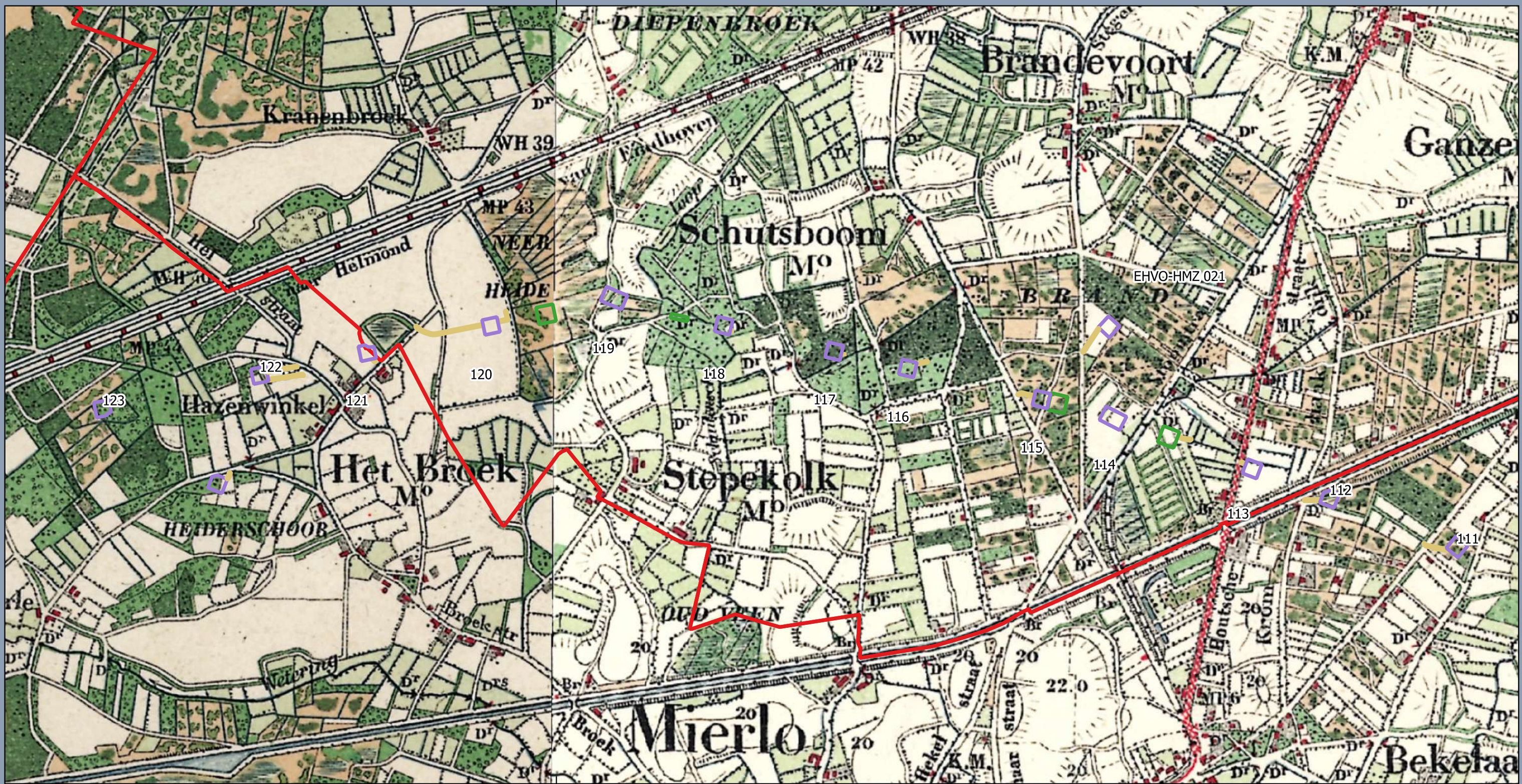


Datum: 01-03-2022
Schaal: 1:10000
Formaat: A3

0 150 300 450 600 meters



Bijlage 8 Bonnebladen



Legenda

- ▭ Gemeentegrenzen
- MBT_EHV_Werkterreinen_MB_v7-7
- ▭ Lierlocatie
- ▭ Ruimtereservering aanrijroute (rijbaan)
- ▭ Werkterrein

Bonnebladen ca. 1900

Opdrachtgever: Tennet TSO BV
Projectnummer: 51005311



Datum: 01-03-2022
Schaal: 1:10000
Formaat: A3

0 150 300 450 600 meters



Bijlage 9 Uitgangspuntenrapport funderingen en mastconstructies

TOETSING EN HERONTWERP MASTEN EN FUNDATIES BBB380

Uitgangspuntenrapport 380kV- verbinding Maasbracht - Eindhoven

TenneT TSO B.V.

Rapport nr.: 21-0138, Rev. 2

Meridian doc.nr.: 002.586.40 0825942

Datum: 2022-07-27



Projectnaam: Toetsing en herontwerp masten en fundaties BBB380 Energy Systems
 Rapport titel: Uitgangspuntenrapport 380kV-verbinding Maasbracht - Eindhoven DNV Netherlands B.V.
 Utrechtseweg 310-B50
 Klant: TenneT TSO B.V. 6812 AR Arnhem
 Datum uitgave: 2022-07-27
 Project nr.: 10166260
 Organisatie unit: TDT Handelsregister Arnhem 09006404
 Meridian doc.nr.: 002.586.40 0825942
 Rapport nr.: 21-0138, Rev. 2

G	B	oed
---	---	-----

Copyright © DNV 2022. All rights reserved. Unless otherwise agreed in writing: (i) This publication or parts thereof may not be copied, reproduced or transmitted in any form, or by any means, whether digitally or otherwise; (ii) The content of this publication shall be kept confidential by the customer; (iii) No third party may rely on its contents; and (iv) DNV undertakes no duty of care toward any third party. Reference to part of this publication which may lead to misinterpretation is prohibited.

DNV Distributie:

- Open
- Intern
- Commercieel vertrouwelijk
- Vertrouwelijk
- Geheim

Trefwoorden:

*Specificatie distributie: --

Rev.	Datum	Reden van uitgave	Auteur	Beoordeeld	Goedgekeurd
0	2021-02-01	Eerste uitgave			
1	2022-04-12	RFA-commentaar verwerkt, aanpassing vanuit E-studie verwerkt.			
2	2022-07-27	Referentieperiode fundaties aangepast			

Inhoudsopgave

1	INLEIDING	1
1.1	Relatie andere documenten	2
1.2	Doelstelling en structuur	2
1.3	Helmond – Brandevoort	2
2	UITGANGSPUNTEN EN RANDVOORWAARDEN	3
2.1	Normen	3
2.2	TenneT-specificaties	3
2.3	Gebruikte gegevens	4
2.4	Klokgetallen en klokgetal optimalisatie	5
2.5	Geleiders	6
2.6	Mastenlijst	6
2.7	Materialen	7
2.8	Kettinglijnparameter	8
2.9	Isolatorkettingen	8
2.10	Antenneopstellingen	9
3	BELASTINGEN	11
3.1	Algemene uitgangspunten	11
3.2	Gevolklasse	11
3.3	Belastingsfactoren	12
3.4	Belastingsgevallen	12
4	TOETSING	15
4.1	Masttypes	15
4.2	Staalconstructie	15
4.3	Fundatie	17
4.4	Sonderingen	20
5	REFERENTIES	21
Appendix A	TenneT-Standaarden	
Appendix B	Belastingfactoren	
Appendix C	Mastenlijst	
Appendix D	Wind/weight span & kettinglijnparameters	
Appendix E	Isolatoren	
Appendix F	Antenne-sites	
Appendix G	Asset-data	
Appendix H	Klokgetallen	

1 INLEIDING

Om in de toekomst meer elektriciteit te kunnen transporteren is het noodzakelijk om naast de nieuwbouw van verbindingen bestaande hoogspanningsverbindingen aan te passen zodat er een grotere transportcapaciteit mogelijk wordt gemaakt. Om die reden is de opdrachtgever (OG) voornemens de bestaande 380 kV-koppeling op te waarderen en de nieuwbouw van een aantal nieuwe verbindingen te realiseren. Het opwaarderen van de bestaande verbindingen valt onder het programma “Beter Benutten Bestaande 380 kV-ring” (BBB380) en omvat de volgende deelprojecten:

- Opwaardering 380 kV-verbinding Diemen – Lelystad (DIM-LLS380)
- Opwaardering 380 kV-verbinding Lelystad – Ens (LLS-ENS380)
- Opwaardering 380 kV-verbinding Rilland - Zandvliet (RLL-ZVL380)
- Opwaardering 380 kV-verbinding Krimpen aan de IJssel - Geertruidenberg (KIJ-GT380)
- Opwaardering 380 kV-verbinding Ens - Zwolle (ENS-ZL380)
- Opwaardering 380 kV-verbinding Maasbracht - Eindhoven (MBT-EHV380)



Figuur 1 Overzicht verbindingen BBB380

TenneT heeft DNV opdracht verstrekt voor het uitvoeren van de DO-werkzaamheden. Hieronder valt:

- Het opstellen van het uitgangspuntenrapport voor de constructieve analyses van de masten en fundaties in deze hoogspanningslijn.
- Het uitvoeren van berekeningen van mastconstructies en het bepalen van eventueel benodigde aanpassingen aan de constructie.
- Het uitvoeren van berekeningen van fundaties en het bepalen van eventueel benodigde aanpassingen aan de constructie.

1.1 Relatie andere documenten

Voorafgaand aan het opstellen van dit uitgangspunten document is in de memo “Keuze type ACCC-geleider en normkeuze voor interne en externe afstanden” [1] onderzocht welk geleidertype de voorkeur heeft om te worden toegepast en welke norm het beste toegepast kan worden voor de toetsing op interne- en externe spanningsafstanden.

Op basis van de uitkomsten van bovengenoemde memo is in de rapportage “E-studie deel 1” [2] onderzocht welke aanpassingen benodigd zijn om de nieuwe geleider binnen de verbinding Eindhoven – Maasbracht toe te passen. Op basis hiervan zijn de isolator ontwerpen geoptimaliseerd welke zijn opgenomen in Appendix E.

1.2 Doelstelling en structuur

In dit document worden de uitgangspunten en de van toepassing zijnde eisen beschreven voor de Geleiders, masten en fundaties binnen de lijn MBT-EHV380.

De opbouw van het rapport is als volgt. In hoofdstuk 2 worden de uitgangspunten en randvoorwaarden beschreven die gelden vanuit de normen en het programma van eisen van TenneT. In hoofdstuk 3 worden de belastingen uitgewerkt die van toepassing zijn op de hoogspanningslijn MBT-EHV380. Hoofdstuk 4 bevat de uitgangspunten waarmee de toetsing zal worden uitgevoerd.

1.3 Helmond – Brandevoort

De verbinding MBT-EHV is over een deel van het tracé ter plaatse van de nieuwbouwwijk Helmond – Brandevoort in 2012 gereconstrueerd. Hierbij is de daar aanwezige 150 kV-lijn gecombineerd op daartoe aangepaste masten in de 380 kV-lijn. De klokgetallen volgens de E-studie deel 1 zullen worden gehanteerd.

2 UITGANGSPUNTEN EN RANDVOORWAARDEN

2.1 Normen

Er is gebruik gemaakt van de volgende normen, voorschriften richtlijnen.

Tabel 1 Gebruikgemaakte normen, voorschriften en richtlijnen

	Norm	Titel
[3]	NEN 8700:2011	"Grondslagen voor de constructieve beoordeling van bestaande bouw en het constructief ontwerp ten behoeve van verbouw"
[4]	NEN 8701:2011	"Belastingen voor bestaande bouw"
[5]	NEN 8707:2019	"Geotechnisch ontwerp - Beoordeling van de constructieve veiligheid van een bestaand bouwwerk"
[6]	NEN-EN 50341-1:2013	"Overhead electrical lines exceeding AC 1 kV - Part 1: General requirements – Common"
[7]	NEN-EN 50341-2-15:2019	"Overhead electrical lines exceeding AC 1 kV Part 2 National Normative Aspects (NNA) for THE NETHERLANDS"
[8]	NEN-EN 1990+A1+A1/C2:2011	"Grondslagen van het ontwerp"
[9]	NEN-EN 1991-1-4+A1+C2:2011	"Deel 1-4: Windbelasting op constructies"
[10]	NEN-EN 1993-1-1+C2+A1:2016 nl	"Eurocode 3: Ontwerp en berekening van staalconstructies, deel 1-1: algemene regels en regels voor gebouwen"
[11]	NEN-EN 1993-3-1:2007	"Deel 3-1: Torens, masten en schoorstenen - Torens en masten"
[12]	NEN-EN 1993-1-8+C2:2011/NB:2011 nl	"Ontwerp en berekening van staalconstructies, deel 1-8: ontwerp en berekening van verbindingen"
[13]	NEN-EN 1997-1-C1+A1:2016/NB:2016 nl	"Geotechnisch – Algemeen"
[1]	10166260-TDT 20-0044	Keuze type ACCC-geleider en normkeuze voor interne en externe afstanden

De hoogspanningslijn MBT-EHV380 is ontworpen met NEN 1060:1964, voor het elektrisch ontwerp zal deze norm gehanteerd worden. Het lijndeel van mast 115 -122 is een combinatie met een 2 circuit 150 kV lijn Helmond - Brandevoort, welke is ontworpen is met NEN-EN 50341-3-15:2001.

Voor het toetsen van de constructieve veiligheid zal gebruik gemaakt worden van NEN 8700 en de Eurocode-normenreeks. Daarbij is voor toetsing van bestaande hoogspanningsmasten Annex NB (status draft) van NEN-EN 50341-2-15:2019 gehanteerd.

2.2 TenneT-specificaties

De voor de mechanische rapportages meest relevante van toepassing zijnde TenneT-specificaties zijn in Tabel 2 opgenomen.

Tabel 2 Relevante documenten t.b.v. mechanische rapportages binnen BBB380

	Nummer	Onderwerp
[14]	PVE.05.000 v3.2	PvE Lijnen
[15]	sPVE.05.001	sPvE Lijnen – MBT-EHV380
[16]	SPE.04.009	Paalfunderingen
[17]	SPE.05.346 v1.3	Algemene specificatie stalen masten

De complete lijst met TenneT specificaties is opgenomen in Appendix A. Deze specificaties zijn beoordeeld op relevantie voor de in hoofdstuk 1 beschreven uit te voeren DO werkzaamheden. De hieruit volgende lijst met eisen is opgenomen in het rapport: "Verificatie & validatieplan 380 kV verbinding Maasbracht - Eindhoven" [18].

2.3 Gebruikte gegevens

De Asset-data van TenneT zal worden gebruikt voor de modelleringen en berekeningen van de masten en de fundaties. De lijst met toegepaste asset-gegevens is opgenomen in Appendix G.

De asset-data is onderzocht op compleetheid, in Tabel 3 is beschreven welke relevante gegevens beschikbaar zijn en welke ontbreken.

Tabel 3 Bevindingen asset-data

Onderdeel	Bevinding	Oplossing
As-buult mastconstructies	Tekeningen zijn compleet van alle masttypes. Detailberekeningen hoofdconstructie van de masten van Helmond Brandevoort ontbreken. Tekeningen met blokdeuvels van in beton gestorte randstijl zijn niet van alle masttypes beschikbaar. Tekeningen portaalconstructie specifiek voor EHV en MBT ontbreken.	Bij masttypes met ontbrekende blokdeuvels uitgaan van basisversie S+0 of HA+0 als veilige aanname. Bij portalen uitgaan van standaard G-portaal.
As-buult poerfundaties	De poertekeningen van bestaande masten ontbreken. Er is een lijst met diameters van de funderingspoeren. Op deze lijst ontbreken mast 1, 7, 8, 71, 72 en 133. Van Helmond Brandevoort zijn , vorm- en wapeningstekeningen en wapeningberekeningen beschikbaar.	De controle van de wapening in de meerpaalspoeren is zonder wapeningstekening niet mogelijk. De controle zal achterwege worden gelaten. Dit is verantwoord doordat in het verleden een vrij ruime veiligheidsfactor op de doorsnede van wapeningsstaal werd gebruikt en de paalfunderingen van hoekmasten in het algemeen een minder hoge uitnutting hebben dan steunmasten. Uit referentieprojecten DIM-LLS380 en KIJ-GT380, waar bij geen van de poerconstructies in die lijnen overschrijdingen werden geconstateerd in relatie tot de wapening.
As-buult funderingspalen	Beperkte gegevens mast 133. Vanwege ontbrekende vormtekening is paalpositionering in meerpaalspoeren onbekend. Paalwapening van "ortbetonpalen" is onbekend. Vanwege ontbrekende as-buult is niet geheel zeker is of de stalen kokerpalen voorzien zijn van een punt of dat deze open zijn aan de onderzijde.	Op de nieuwbouwfundaties van Helmond is een suggestie van de bestaande palen zichtbaar, dit zal worden gebruikt als uitgangspunt. Er zal op basis van referentieprojecten KIJ-GT en DIM-LLS worden uitgegaan van een paal met punt.
Sonderingen	Grondprofielen en sonderingen zijn over het algemeen aanwezig. De sondering van mast 8 ontbreekt, hier is wel een grondboring voorhanden.	Er zal gebruik worden gemaakt van nieuw uitgevoerde sonderingen.
As-buult lijnportalen stations EHV en MBT	Vormtekeningen en wapeningstekeningen zijn aanwezig.	
Telecominstallatie	Het overzicht van 2018 is verstrekt.	In twijfelgevallen is nadere info vanuit Novec gebruikt en gecontroleerd met openbare beeldgegevens vanuit Google Maps.

2.4 Klokgetallen en klokgetal optimalisatie

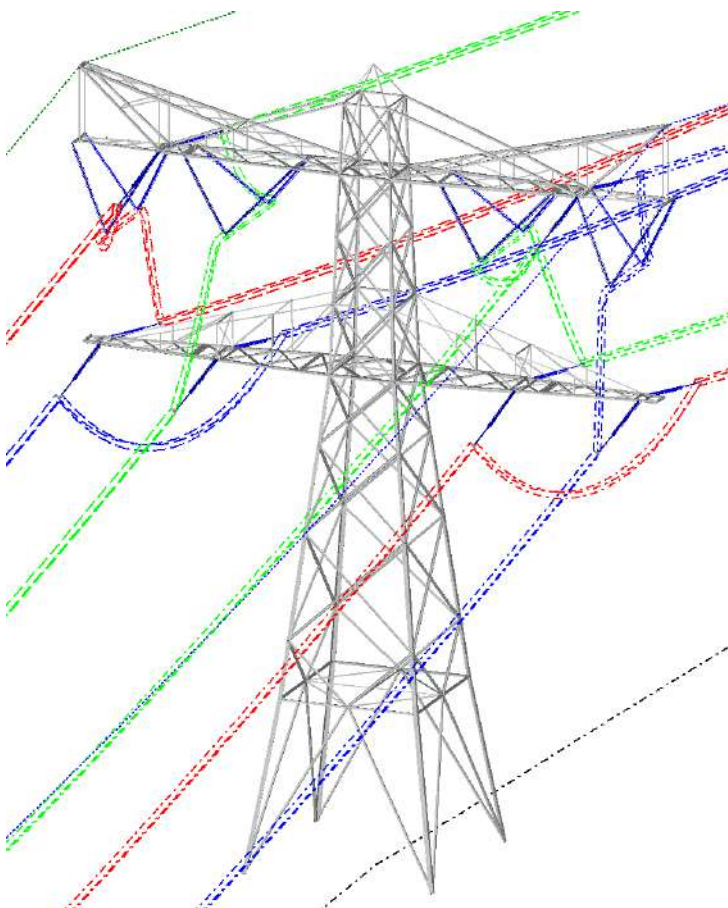
Appendix H geeft de huidige 380 kV klokgetallen¹ [19] in de lijn MBT-EHV380 en de huidige 150 kV klokgetallen in het lijndeel van mast 115 - 122 in combinatie met de 2 circuit 150 kV lijn ter hoogte van Helmond – Brandevoort. Op basis van deze klokgetallen zal de huidige magneetveldzonebreedte worden vastgesteld. In Tabel 4 worden de rekenstromen van toepassing weergegeven voor het berekenen de magneetveldzonebreedten in de huidige situatie.

Tabel 4 Stromen in de huidige situatie

Verbinding	Sectie	Voltage [kV]	Transportvermogen [MVA]	Stroom	Rekenstroom percentage	Rekenstroom	Kettinglijnparameter 15°C
MBT-EHV380	1-85	380	1860	2826	30%	848	1375
MBT-EHV380	85-128	380	2635	4000	30%	1200	1375
EHVO-HMZ150	2-30	150	350	1347	50%	674	1400

In de verbinding MBT-EHV380 bevinden zich in de huidige situatie 4 fasewisselingen. Tussen Portaal Maasbracht en mast 1 en in de masten 39, 85, en 128. Dit resulteert in 5 lijndelen zijn met verschillende klokgetallen.

In de nieuwe situatie dienen volledige fasewisseling in mast 39 en 85 te worden aangebracht (links en rechts) ter compensatie van de spanningsasymmetrie. Voor het principe van de wisseling zie Figuur 2. De nieuwe klokgetallen zijn in Appendix H opgenomen.



Figuur 2 Fasewisselmast

¹ De aangeleverde assetdata ten aanzien van de klokgetallen lijkt gedateerd te zijn. Er is gebruik gemaakt van de klokgetallen en ontwerpbelastingen die zijn vastgelegd in de Excel, "Klokgetal config TenneT.xlsx"

Uitgangspunt is dat de klokgetallen van de 150kV hetzelfde dienen te blijven bij het onderzoek naar een klokgetal optimalisatie.

2.5 Geleiders

De berekeningen zullen worden gebaseerd op de eigenschappen van de fasegeleiders, OPGW en bliksemraden en de daaraan gerelateerd bestaande geleidertrek, zoals opgenomen in Tabel 5.

Voor de mechanische eigenschappen van de geleiders wordt uitgegaan van de aangeleverde PLS-CADD file .wir files [20] [21] [22] [23] [24].

Voor de bretelle verbindingen in hoekmasten en het eerste veld van de portalen Maasbracht naar mast 1 is voor de fasegeleider de AAAC-TW-AL7 882.3 (Bobolink) van toepassing (<100m).

Tabel 5 Geleidereigenschappen

Eigenschap	Eenheid	Fasegeleider 380kV	Fasegeleider 380kV en bretelle	Fasegeleider 150kV	Hawk Bliksemdraad	OPGW
		ACCC Warsaw	AAAC-TW-AL7 882.3 (Bobolink)	AACSR/AS 242/39	241-AL3/39-A20SA	OPGW AFL 226
Oppervlak	[mm ²]	568,8	882,3	282,5	280,9	264,2
Diameter	[mm]	27,72	36,26	21,8	21,8	21,7
Gewicht	[N/m]	14,936	24,997	9,397	9,375	9,126
Elasticiteitsmodulus ²	[MPa/100]	637,50	550	770	701,65	720
Expansiecoëfficiënt ⁵	[/100°C]	0,001903	0,002304	0,0019	0,001974	0,00198
UTS	[N]	155000	225000	118000	118600	117868
Aantal draden per bundel	[-]	3	3	2	1	1
Bundel afstand	[m]	0.4	0.4	0.4/verticaal	-	-

2.6 Mastenlijst

In Appendix C is de mastenlijst opgenomen. De masten bevinden zich in windgebied III en door aanwezigheid van telecominstallaties en door toepassing van wisselmasten is het aantal masttypes groter dan de lijst op basis van de assetgegevens.

De masttypen weergegeven in Tabel 6 worden mechanisch getoetst en indien nodig wordt een versterkingsvoorstel bepaald. Telecomtypes worden in dezelfde rapportage opgenomen als de standaardmast zonder telecom.

Tabel 6 MBT-EHV: Masttypes

Masttype	Aantal masten
S+0	75
HA+0	8
S+12	7
S+3	6
S+3 T	1
S+0 T3	1
HB+0	3
HC+0	3
S+0 T1	4
S+15	3
S+9	2
EA+0 ³	2
HA+0 T1	2
S+0(TC)	2
S+6	2
WA+0	2

² Gecombineerde elasticiteitsmodulus en expansiecoëfficiënt voor de kern- en buitendraden.

³ EA+0 mast 133 zal tot wisselmast worden omgebouwd en zal apart worden behandeld van EA+0 (1).

Masttype	Aantal masten
EHV Portaal	1
HB+0(TC)	1
MBT Portaal	1
S+0(C)	1
S+0(XC)	1
S+0(XC) T1	1
S+15 T1	1
S+6 T3	1
S+9(112,113)	2
S+9(C)	1
S+9(TC)	1

2.7 Materialen

Voor de controle van de bestaande mastconstructies en funderingen gebouwd in 1968/1971 wordt uitgegaan van de eigenschappen volgens Tabel 7. Hierin zijn de resultaten van het rapport "Onderzoek en inspecties 380kV hoogspanningslijn Maasbracht – Eindhoven v1.0"d.d. 23 november 2020 [25], nog niet verwerkt. Op basis hiervan kan het toegestaan zijn een hogere beton kwaliteit te hanteren in de toetsingsberekeningen.

Tabel 7 Materialen bestaande constructie 1968/1971

	Aanduiding '71	Huidig uitgangspunt
Staalsoort	St.37	S235JR
	St.52	S355J0
Boutkwaliteit	8.8	8.8, gerolde draad
Betonkwaliteit	K225	C30/37 ⁴
Wapeningsstaal	FeB220, FeB400, FeB500	B220, B400, B500

Voor de controle de bestaande mastconstructies en funderingen gebouwd en verbouwd in 2013 (mast 112 t/m 122) wordt uitgegaan van de eigenschappen volgens Tabel 8. Mast 115, 121 en 122 zijn nieuw gebouwd. Mast 116, 117, 118, 119 en 120 zijn aangepast en verzwaard. Tegelijkertijd zijn mast 112 en 113 aangepast, dit zijn geen combinatiemasten.

Tabel 8 Materialen bestaande constructie 2013

	Aanduiding '71	Aanduiding 2013	Huidig uitgangspunt
Staalsoort	St.37	S355J2(+N)	S355J2(+N)
	St.52	S235J0	S235J0
Boutkwaliteit	8.8	8.8	8.8, gerolde draad
Betonkwaliteit	K225	C28/35	C25/30
Wapeningsstaal	FeB220, FeB400, FeB500	B220, B400, B500	B220, B400, B500

Voor de controle de bestaande funderingen welke zijn verzwaard in 1980 (mast 9 – 17) wordt uitgegaan van de eigenschappen volgens Tabel 9

Tabel 9 Materialen bestaande fundaties , verzwaard in 1980

	Aanduiding 1980	Huidig uitgangspunt
Betonkwaliteit	B22.5	C30/37
Wapeningsstaal	FeB220, FeB400, FeB500	B220, B400, B500

Voor modificaties van de constructie geldt conform TenneT-specificatie:

- Toe te passen bouten: M12⁵/M16/M20/M24;
- voor hoekstaal is de minimale afmeting L50x5 mm;
- minimale plaatdikte 6 mm.

⁴ Het uitgangspunt voor de betondruksterkte is gebaseerd op de resultaten van de veldonderzoek en cilinderproeven. Zie rapport Bejan 200152A-004 Maasbracht - Eindhoven v1.0. Gerapporteerd is een minimale betonsterkteklasse van C35/45. Veiligheidshalve wordt gerekend met C30/37, hetgeen reeds circa tweemaal hoger is dan standaard waarde van C16/20.

⁵ Door AM zijn M12-bouten toegestaan voor knikverkorters indien het bestaande boutgat t.b.v. M12 kan worden gehanteerd.

2.8 Kettinglijnparameter

De kettinglijnparameter "P" drukt de trekkracht in de geleider ten opzichte van het eigen gewicht van de geleider. De nieuwe ACCC-geleider zal met identieke kettinglijnparameter (1400m) worden ingetrokken ten opzichte van de huidige ACSR-geleider (SEP).

Uitgangspunt in de berekeningen is dat de bliksemgeleider en OPGW ook worden vervangen, waarbij de nieuwe kettinglijnparameter afgestemd wordt op de doorhang van de fase-geleider, dusdanig dat de zeeg bij 10°C na kruip van de OPGW en bliksemdraad nooit kleiner wordt dan die van de fasegeleider in initiële situatie⁶.

2.9 Isolatorkettingen

Berekeningen zijn gebaseerd op de principetekeningen van nieuw toe te passen isolatoren, ophangingen en afspanningen. Binnen het project is de keuze gemaakt om composiet isolatoren toe te passen, zie hiervoor [26].

Onderstaande Tabel 10 geeft informatie weer die in de berekening zal worden aangehouden.

Tabel 10 Isolator eigenschappen

Omschrijving	Ophanging	Gewicht ⁽¹⁾ [kN]	Lengte [m] ⁽¹⁾	Windopp. [m ²]
Fasegeleider ophanging	Dubbele ophanging	2,0	5,13	1
	Halfverankering ⁽³⁾	2,0	5,25	1,0
	V-Ophanging	2,0	4,6	1,0
Fasegeleider afspanning	Afspanisolatorset HA	2,0	6,7	1,0
	Afspanisolatorset HB	2,0	7,0	1,0
	Afspanisolatorset HC/E	2,0	7,5	1,0
	Afspanisolatorset portalen MBT en EHV	2,0	7,5	1,0
Bretelle fixatie	Bretelfixatie HA/HB/HC	3,0	5,0	2,0
	Bretelfixatie in portalen	3,0	5,0	2,0
Bliksemgeleider / OPGW	Ophanging	0,1	0,3	0,1
	Afspanning	0,1	0,2	0,1

Noot 1: Het opgegeven gewicht en windoppervlakte betreft de complete ketting. Hierin zijn gewicht en oppervlakte van stalen onderdelen en hulpconstructies in de isolator inbegrepen.

Noot 2: Wordt niet toegepast in de verbinding MBT-EHV380.

Noot 3: De tophoek van de halfverankering op tekening 002.515.40-301 dient 60° te zijn. De tekening laat 80° zien.

In de E-studie deel 1 [27] wordt per mastlocatie bepaald welk type afspanning en isolator toegepast dient te worden, zie ook mastenlijst in Appendix C. In Appendix E zijn de voorgestelde isolortekeningen en de daarvan afgeleide gewichten en windoppervlaktes opgenomen.

⁶ Uit eerdere projecten is gebleken dat de ACCC geleider nauwelijks kruipt. Zo kan het dus voorkomen dat (na pre-stress) de bliksemdraad voor zeer lange tijd niet voldoet aan de eisen als gesteld in de voorwaarden in norm en PVE.

2.10 Antenneopstellingen

Het lijndeel MBT - EHV bevat een aantal locaties met antenneopstelling waar rekening mee moet worden gehouden. Een opstelling in de mast betekent een lokale belasting op de staven en ten aanzien van de gehele constructie en een toename van met name de windbelasting. De locaties zijn gebaseerd NOVEC op 17-07-2018 aangeleverde overzicht van de telecomsites voor de 4 BBB380kV-hoogspanningslijnen [28].

Door TenneT is per locatie de asset-data verstrekt van de bestaande telecomopstellingen. In overleg met TenneT is bepaald dat iedere locatie specifiek zal worden gemodelleerd aan de hand van de beschikbare asset-informatie.

De telecomopstellingen komen in verschillende varianten en posities voor. Ter indicatie is in onderstaande tabel de typering van de configuratie aangegeven.

- Type 1 – Telecom in de top;
- Type 2 – Telecom in de top en ter plaatse van de ondertraverse;
- Type 3 – Telecom ter hoogte van de ondertraverse;
- Type 4 - Telecom in het onderstuk;
- Type 5 - Telecom in de top en in het onderstuk.

In Tabel 11 zijn de opstellingen opgesomd. In de kolom "Type" is het aangehouden type per locatie weergegeven. Indien er meerdere opstellingen zijn opgegeven wordt de aanwezigheid specifiek per locatie gecontroleerd aan de hand van meest recente NOVEC informatie en openbare data uit Google Maps. Daarmee wordt voorkomen dat onnodige opstelling van belasting ontstaat als de eerdere opstelling is vervangen.

Tabel 11 Type van de antenne

Relatie	Site	Masttype	Sitenr. NOVEC	Type ⁷	Opmerking
KPN Mobiel	Maasbracht-Eindhoven 380kV M012	S+0	2310	1	
KPN Mobiel	Maasbracht-Eindhoven 380kV M017	S+15	2311	3	
KPN SV	Maasbracht-Eindhoven 380kV M017	S+15	2311		
Tele2	Maasbracht-Eindhoven 380kV M017	S+15	2311		Opgezegd
T-Mobile	Maasbracht-Eindhoven 380kV M017	S+15	2311		
KPN Mobiel	Maasbracht-Eindhoven 380kV M032	S+6	2738	3	
KPN SV	Maasbracht-Eindhoven 380kV M032	S+6	2738		
Vodafone	Maasbracht-Eindhoven 380kV M032	S+6	2738		
T-Mobile	Maasbracht-Eindhoven 380kV M034	HA+0	382	1	
KPN Mobiel	Maasbracht-Eindhoven 380kV M035	S+3	2313	3	
ex Orange	Maasbracht-Eindhoven 380kV M043	S+0	2314		Niet meer actief
ex Telfort	Maasbracht-Eindhoven 380kV M058	S+0	2943		Niet meer actief
KPN Mobiel	Maasbracht-Eindhoven 380kV M064	S+0	2919	1	
Vodafone	Maasbracht-Eindhoven 380kV M070	S+0	2739	1	
KPN Mobiel	Maasbracht-Eindhoven 380kV M093	S+0	2317	3	
KPN SV	Maasbracht-Eindhoven 380kV M093	S+0	2317	3	
ex Telfort	Maasbracht-Eindhoven 380kV M112	S+9	2939		Niet meer actief
KPN Mobiel	Maasbracht-Eindhoven 380kV M115	S+0/xc	3391	1	
KPN SV	Maasbracht-Eindhoven 380kV M115	S+0/xc	3391	1	
T-Mobile	Maasbracht-Eindhoven 380kV M117	S+9/tc	13532	-	
Vodafone	Maasbracht-Eindhoven 380kV M117	S+9/tc	13532	-	
Mobirail	Maasbracht-Eindhoven 380kV M127	S+0	2705	1	
Vodafone	Maasbracht-Eindhoven 380kV M128	HA+0	2740	1	

In Figuur 3 is een voorbeeld weergegeven van een verhoogde mast met een Type 3 telecom opstelling.

⁷ Lege regels worden beschouwd als niet actief en niet in de berekeningen meegenomen.



Figuur 3 Voorbeeld van opstelling ter plaatse van het onderstuk (mast 17)

De antennegegevens en bekabelingen zijn geïventariseerd en in Appendix F opgenomen. De antenne met bijbehorende onderdelen is in PLS-TOWER gemodelleerd als “equipment” met de bijbehorende windoppervlaktes, gewicht en dragfactor.

De voedingskabels worden als toeslag op het windoppervlak meegenomen in de berekening. Het oppervlak van de kabels wordt gereduceerd met een factor van $\sqrt{2}$ om onder diagonale windrichting een dubbele optelling van het windoppervlak te voorkomen.

De controle beperkt zich tot de globale mastconstructie. Lokale inleiding van belastingen in de constructie valt buiten de scope en dient in het uitvoeringsontwerp van de antenne plaats te vinden.

De eventueel aanwezige aanpassingen in de masten met telecomopstelling worden meegenomen in de modellering. Masttypes met telecomopstelling zullen in de naam worden voorzien van een “T” met daarachter het type. Zie Tabel 12.

Tabel 12 Mastlocaties met telecomopstelling

Mastnummer	Masttype	Type	Mastbenaming
12	S+0	1	S+0 T1
17	S+15	1	S+15 T1
32	S+6	3	S+6 T3
34	HA+0	1	HA+0 T1
35	S+3	3	S+3 T3
43	S+0	3	S+0 T3
58	S+0	3	S+0 T3
64	S+0	1	S+0 T1
70	S+0	1	S+0 T1
93	S+0	3	S+0 T3
112	S+9	1	S+9 T1
115N	S+0/xc	1	S+0/xc T1
127	S+0	1	S+0 T1
128	HA+0	1	HA+0 T1

3 BELASTINGEN

3.1 Algemene uitgangspunten

Voor bestaande bouwwerken is door het Bouwbesluit 2012 de NEN 8700 aangewezen voor de toetsing van de constructieve veiligheid. Deze norm beschrijft drie veiligheidsniveaus waaraan getoetst kan worden:

- het afkeurniveau
- het verbouwniveau
- het nieuwbouwniveau.

In de draft Annex NB van NEN-EN 50341-2-15 worden in aanvulling hierop specifieke partiële belastingfactoren voor toetsing van hoogspanningsmasten aan het afkeurniveau (tabellen NB.4.13.1 tot en met NB.4.13.2) en het verbouwniveau (tabellen NB.4.13.5 en NB.4.13.6) gegeven.

Bij de beoordeling van de bestaande constructie zal voor de constructieve veiligheid worden uitgegaan van het afkeurniveau. Indien blijkt dat in de mastconstructie niet voldaan wordt aan het afkeurniveau worden aanpassingen bepaald op basis van het verbouwniveau. De aangepaste constructie zal daarnaast gecontroleerd worden aan het afkeurniveau om de niet aangepaste delen te toetsen. Voor de beoordeling van de funderingen zal eveneens ten aanzien van zowel afkeur- als verbouwniveau beoordeeld worden.

Alle berekeningen en mastaanpassingen zullen worden gebaseerd voor de nieuwe toe te passen fasegeleiders, OPGW en bliksemraden en de daaraan gerelateerde bestaande geleidertrek. Evenals de bestaande ophang- en afspansets.

3.2 Gevolgklasse

Op basis van draft Annex NB van NEN-EN 50341-2-15 en PVE 05.000 lijnen mogen onder een voorwaarde hoogspanningsmasten voor de toetsing aan afkeurniveau in gevolgklasse CC2-0 worden ingedeeld. Aan de voorwaarde (bouwjaar voor 1995) wordt voldaan. Voor de toetsing van nieuwe onderdelen in de bestaande masten is het verbouwniveau met gevolgklasse CC2 het uitgangspunt.

In geval van afkeurniveau dient volgens PVE 05.000 lijnen uitgegaan te worden van 30 jaar ontwerplevensduur. In geval van het verbouwniveau voor te vernieuwen of te verzwaren constructies wordt een referentieperiode van 50 jaar aangehouden.

De aangepaste masten die onderdeel zijn van de reconstructie in Helmond Brandevoort zijn gebouwd op basis van vergunningen die zijn ingediend voordat het Bouwbesluit 2012 van kracht werd. Deze masten vallen daarmee onder de toetsing met het afkeurniveau / verbouwniveau als de overige masten.

De volledig nieuw gebouwde masten van de reconstructie Brandevoort dienen te voldoen aan huidige nieuwbouweisen, gevolgklasse CC2 en 50 jaar referentieperiode. Eventueel kan gebruik worden gemaakt van reductie van referentieperiode met de verstreken tijd sinds 2013 (8 jaar). Vanwege het relatief kleine effect van 8 jaar reductie wordt gekozen om 50 jaar aan te houden.

Voor de fundaties is een referentieperiode van 15 jaar gehanteerd in plaats van de 30 jaar voor de mastconstructies. De wijziging naar 15 jaar is het wettelijk vereiste minimum voor de referentieperiode en is in overleg met de afdeling Asset Management van TenneT tot stand gekomen. De keuze is gemaakt om de omvang en het aantal van de benodigde aanpassingen aan de mastfundaties proportioneel te houden. In **Tabel 13** zijn de uitgangspunten samengevat.

Tabel 13 Betrouwbaarheidsniveau en referentieperiode voor toetsing mastfundaties

Masttypes	Betrouwbaarheidsniveau	Referentieperiode	Toelichting
Steunmasttypes S+0 t/m S+15	Afkeur CC2-0	15 jaar	Verlaagde referentieperiode
Hoekmasttypes HA+0, HB+0, HC+0, WA+0	Afkeur CC2-0	15 jaar	Verlaagde referentieperiode
EA+0	Afkeur CC2-0	30 jaar	Ongewijzigd vanwege verschillende belastingssituatie per circuit en ontbreken nuttig effect van verlaging
HB+0(tc), S+0(tc), S+9(c), S+9(tc),	Afkeur CC2-0	30 jaar	Ongewijzigd bij "Helmondmasten" vanwege voldoende reserve voor 30 jaar
S+0(xc), S+0(c)	Nieuwbouw CC2	50 jaar	Geen wijziging mogelijk

3.3 Belastingsfactoren

De beschouwde belastinggevallen worden in belastingcombinaties gecombineerd voor de toetsing. De te toetsen belastingcombinaties worden in principe bepaald op basis van artikel 4.12 en 4.13 van NEN-EN 50341-2-15.

In Appendix B is een volledig overzicht gegeven van belastingcombinaties en toegepaste belastingfactoren. Deze zijn overgenomen uit PVE 05.000 lijnen zijn in overeenstemming met draft Annex NB van NEN-EN 50341-2-15 en artikel 4.12 en 4.13 van NEN-EN 50341-2-15.

De belastingen ten gevolge van geleiderbreuk bij steunmasten ("Security loads", 5a) worden getoetst op 0,8 EDS voor de fasegeleiders en 1,0 EDS voor bliksemdraad en OPGW.

Voor de afwezigheid van de geleidertrekkkrachten bij hoekmasten zijn de belastingcombinaties van de "Special Limit State" van toepassing. In aanvulling hierop wordt de belastingfactor voor eigen gewicht 0,9 gehanteerd, indien het eigen gewicht gunstig werkt (van toepassing bij de bepaling van trek op de fundatie).

3.4 Belastingsgevallen

3.4.1 Eigen gewicht geleiders

Op basis van de opgegeven gewichten van de geleiders wordt de belasting op de geleider bepaald en de belasting die de geleider op de mastconstructie uitoefent.

Binnen de verbinding zal een toeslag op het eigen gewicht van 2% voor bundelafstandhouders in rekening worden gebracht.

Ingeval van waarschuwbollen in de bliksemdraad zal een specifieke toeslag op het gewicht gelden.

De longitudinale belasting door het eigen gewicht is temperatuursafhankelijk, zodat per belastingcombinatie hier rekening mee wordt gehouden. Dit is gespecificeerd in de tabellen van Appendix B.

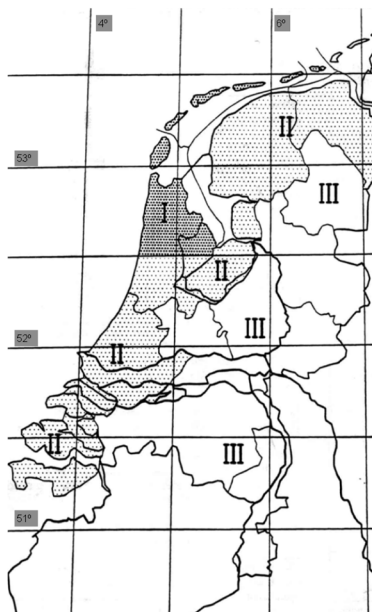
3.4.2 Eigen gewicht mastconstructie

Het eigen gewicht van de mast wordt op basis van de gemodelleerde staven automatisch door het rekenprogramma bepaald. Via een manueel in te voeren vergrotingsfactor "Dead load adjustment factor" wordt de invloed van schetsplaten, knikverkorters, bordesconstructies, klimvoorzieningen, zinklaag en bouten verdisconteerd. Dit zal in de documenten "Rapportage Mastconstructie" per masttype specifiek worden aangegeven.

3.4.3 Windbelasting

3.4.3.1 Windgebied

In figuur 4 is uit de nationale bijlage NEN-EN 50341-2-15 de windgebied-indeling van Nederland overgenomen. De hoogspanningslijn MBT-EHV380 in de provincies Limburg en Noord-Brabant bevindt zich windgebied III.



Figuur 4 Windgebieden Nederland overgenomen uit NEN-EN 50341-2-15, figuur 4.3.4/NL.1

3.4.3.2 Terreincategorie

Alle masten bevinden zich voldoende ver van open water met strijklengte 2 km, zodat het uitgangspunt van “onbebouwde omgeving” geldt.

Tabel 14 Stuwdrukwaardentabel windgebied III (50 jaar referentieperiode)

Windgebied III	
Hoogte (m)	$q_p(z)$
10	0,70
15	0,80
20	0,88
25	0,94
30	0,99
35	1,03
40	1,07
45	1,11
50	1,14
55	1,17
60	1,19
65	1,22
70	1,24
75	1,26
80	1,28
85	1,30
90	1,32
95	1,33
100	1,35

3.4.4 Windbelasting op geleiders

De windbelasting op de geleiders wordt bepaald op basis van artikel 4.4.1. van NEN-EN 50341-2-15. Een toeslag van 2% wordt aangehouden voor windoppervlak van bundelafstandshouders en vogelspiralen. Ingeval van waarschuwingsschermen wordt een hogere waarde gebruikt, specifiek te bepalen.

3.4.5 Windbelasting op isolatoren

Windbelasting op de isolatoren wordt bepaald op basis artikel 4.4.2 van NEN-EN 50341-2-15. De factor G_{ins} bedraagt 1,0 en de vormfactor C_{ins} is 1,2. Beide conform de aanbevolen waarde in de norm.

3.4.6 Windbelasting op mastconstructie

Windbelasting op de mastconstructie wordt op basis van artikel 4.4.3 van NEN-EN 50341-2-15.

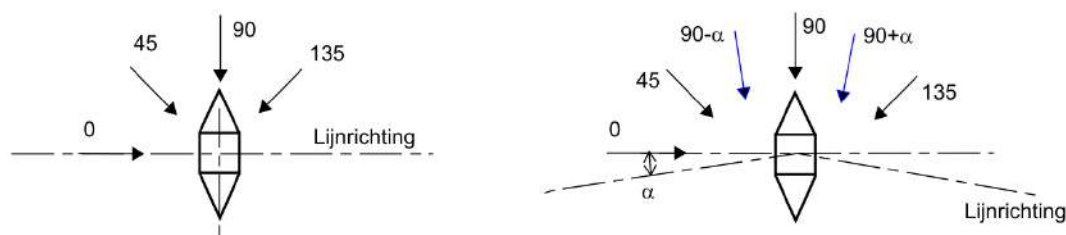
3.4.7 Windrichtingen

Berekeningen worden in principe uitgevoerd met vier windrichtingen. Dit zijn als eerste de twee hoofdrichtingen van de mastconstructie.

Bij de steunmasten waarbij de windbelasting op de mast dominant is, komen daarbij de twee diagonale hoofdrichtingen.

Bij hoekmasten waarbij de trekbelasting dominant is, worden de twee richtingen haaks op de geleider gezien vanuit de buitenbocht beschouwd.

De windrichtingen zijn geïllustreerd in Figuur 5.



Figuur 5 Windrichtingen, links: steunmasten, rechts: hoekmasten

3.4.8 IJzelbelasting op geleiders

Voor de provincie Limburg en Noord-Brabant wordt uitgegaan van ijsgebied B bij de bepaling van ijzelbelasting op de faseadraden. Voor de bliksemadraden en OPGW-geleider wordt de ijzelbelasting in dit project bepaald via ijsgebied B volgens 002.586.00 0735766AQUA - S1 PVE.05.001 MBT-EHV380 [15].

3.4.9 Belasting door inspectie en onderhoudswerkzaamheden

De belastingen ten gevolge van inspectie en onderhoudswerkzaamheden worden bepaald op basis van NEN-EN 50341-2-15 tabel 4.9.1/NL1.

Bij de controle van overige staven onder de belasting door klimmen wordt uitgegaan van een belasting van 1,0 kN. De toetsing wordt op basis van PVE lijnen PVE 05.000 beperkt tot beklimbare staven tot 30°. De last dient loodrecht op een van de flenzen van het hoekprofiel aangenomen te worden. Het is in overleg met AM toegestaan om voor de ULS plastisch te rekenen, met de voorwaarde dat de elastisch berekende spanning in de SLS onder de vloeigrens blijft.

Daarnaast is er volgens NEN-EN 50341-2-15 in al de geleiders van een circuit een belasting van 3 kN in rekening gebracht voor het uitvoeren van onderhoud in geval gebruik wordt gemaakt van lijnwagens. Deze belasting grijpt aan bij de ophangpunten van de geleider, of op de geleider zelf tussen twee masten.

3.4.10 Belasting door galloping als longitudinale belasting

Galloping is volgens NEN-EN 50341-2-15 een buitengewone belasting. Op basis van het beginsel van artikel 4.4.1 van NEN 8701 hoeft deze niet te worden getoetst in het kader van NEN 8700.

4 TOETSING

4.1 Masttypes

De masten worden in principe per masttype getoetst. Gezocht is naar een methode om met algemeen geldende uitgangspunten voor de veldlengte of lijnhoek de masten te berekenen. Het blijkt dat in MBT-EHV de variëteit in masttypes, veldlengtes en hoogteverschillen dermate groot is dat deze aanpak niet voldoende dekkend is voor een groot aantal locaties of te conservatief is. Daarom is de keuze gemaakt om voor ieder masttype uit te gaan van de daadwerkelijk aanwezige grootste veldlengte, lijnhoek, et cetera voor de maatgevende uitgangspunten.

Het tracé is in PLS-CADD gemodelleerd om maatgevende mastlocaties binnen een masttype te kunnen bepalen. In Appendix D is het overzicht opgenomen van de te beoordelen masttypen met de bijhorende veldlengtes “wind span”, gewichtsoverspanningen “weight span” en lijnhoeken. Deze uitgangspunten vormen de invoer voor het DNV geleiderbelastingenprogramma.

Voor elk masttype zullen met het programma PLS TOWER mastberekeningen worden uitgevoerd.

In onderstaande opsomming zijn de belangrijkste uitgangspunten samengevat.

4.1.1 Intrekwaarden

Voor fasegeleiders wordt uitgegaan van kettinglijnparameter P_{10} van 1400m. Voor OPGW en bliksemdraad⁸ geldt een P_{10} van 1500m⁹.

4.1.2 Veldlengtes

De veldlengtes worden ingevoerd conform werkelijk aanwezige veldlengtes bij de maatgevende masten. Hiervoor wordt verwezen naar Appendix C.

4.1.3 Vaklengte en lijnhoek

De vaklengte is gemodelleerd overeenkomstig het spanveldenschema.

4.1.4 Hoogteverschillen

Er zal rekening worden gehouden met de aanwezigheid van hoogteverschillen. Bij de locatiespecifieke masten zijn dit de werkelijk aanwezige hoogteverschillen voor die locatie.

Bij mastlocaties die gelden als maatgevend binnen een groep van masttypes zal rekening worden gehouden met het grootste hoogteverschil dat aanwezig is binnen de groep. Zie hiervoor in meer detail Appendix D.

4.2 Staalconstructie

In dit hoofdstuk wordt specifiek ingegaan op aspecten die van belang zijn bij de toetsing van de bestaande mastconstructies.

De volgende controles van de masten zullen plaatsvinden:

- Alle staven (inclusief knikverkorters) op trek belast (nettodoorsnede);
- Alle staven (inclusief knikverkorters) op druk belast (knik, nettodoorsnede);
- Van alle staven worden de boutverbindingen gecontroleerd;
- De interface met de fundering, via ingestorte blokdeuvels (“knaggen”) of ankerbouten;

⁸ Een circuits is voorzien van OPGW.

⁹ Een kettinglijn parameter van minimaal 1500m wordt geadviseerd. Indien er een Pre-stress wordt gehanteerd van 1.5* EDS voor de fase.

- In de verbindingen wordt niet op detailniveau getoetst zoals ingaan op schetsplaten, krachtslijnen et cetera. Dit vormt onderdeel van de UO-engineering. Uitzonderingen hierop zijn: liggers voor ophangpunten van isolatorkettingen.

4.2.1 Nettodoorsnede

Voor het toetsen van de nettodoorsnede worden de rekenregels gehanteerd conform artikel 3.10.3 van NEN-EN 1993-1-8, de norm voor verbindingen in staalconstructies.

4.2.2 Stuikkracht

De rekenregels van tabel 3.4 van NEN-EN 1993-1-8 worden gevolgd. Voor de stuikweerstand van een hoeklijn met een enkele bout wordt gebruikt gemaakt van artikel 7.3.8 van NEN-EN 50341-2-15.

Voor hoekstalen waarvan één zijde is aangesloten met één rij bouten, moet voor de toetsing op uitscheuren van boutgroepen, conform NEN-EN 50341-2-15; artikel 7.3.8. NL3 worden uitgevoerd in plaats van NEN-EN 1993-1-8, artikel 3.10.2, vergelijking (3.10).

4.2.3 Bouten

Voor de controle van boutverbindingen op afschuiving en stuik in het huidige project worden de rekenregels gebruikt van de Eurocode.

De maatvoering van de boutverbindingen heeft invloed op de sterkte van de verbinding, de stuikkracht wordt erdoor beïnvloed, bij enkelsnedig aangesloten profielen wordt via de β -factor ook de capaciteit van de nettodoorsnede beïnvloed. DNV zal in de basis uitgaan van de afstanden die volgens de constructietekeningen aanwezig zijn.

4.2.4 Kniklengtebepaling

De rekenregels in de norm voor torens, masten en schoorstenen, de NEN-EN 1993-3-1 zijn in Nederland van toepassing voor het bepalen van de kniklengte. Zie hiervoor het stroomschema in artikel 7.3.9 van NEN-EN 50341-2-15. Resumerend wordt de procedure van Annex G van NEN-EN 1993-3-1 gevolgd.

4.2.5 Verspringende verbanden

De rekenregels van NEN-EN 50341-1 worden gevolgd. Indien noodzakelijk wordt met een knikberekening de kniklengte bepaald voor invoer in PLS-TOWER.

4.2.6 Kruisende diagonalen

De rekenregels van NEN-EN 50341-1 worden gevolgd.

4.2.7 Torsieknik

Relatief dunne profielen zoals ze voorkomen in dit project kunnen gevoelig zijn voor torsieknik. Dit geldt met name voor profielen met kleine slankheid zoals hoekstijlen.

Op basis van NEN-EN 50341-2-15 artikel 7.3.6.NL.2 is toetsing op torsieknikstabiliteit is niet nodig voor centrisch gedrukte gelijkzijdige hoekprofielen. De toetsing op knik om de zwakke as conform NEN-EN 1993-3-1 volstaat.

Voor ongelijkzijdige hoekprofielen en gelijkzijdige hoekprofielen die met een flens zijn verbonden moet de toets uitgevoerd worden volgens NEN-EN 50341-1 artikel 7.3.5.

4.2.8 Sterkte-coördinatie

Overeenkomstig de bepaling AM-req-1077 in het PVE-lijnen worden in bestaande lijnen geen eisen gesteld aan sterkte-coördinatie. De handhaving van het bestaande mastontwerp prevaleert.

4.2.9 Elastische toetsing

Volgens de TenneT standaard voor stalen masten SPE05.346 dienen staaldoorsneden getoetst te worden op basis van de elastische spanningsverdeling. Dit uitgangspunt zal gebruikt worden bij toetsing van de doorsneden. Bij de toetsing van verbindingen waarbij de regels van de Eurocode worden gevolgd, is uitgangspunt in de regels dat er enige lokale plastificering optreedt bij boutgaten. Deze lokale plastificering bij verbindingen wordt beschouwd als niet-tegenstrijdig met de TenneT-eis over elastische spanningsverdeling.

4.3 Fundatie

In dit hoofdstuk wordt specifiek ingegaan op aspecten die van belang zijn bij de toetsing van de bestaande funderingen.

De volgende controles van de fundatie zullen plaatsvinden:

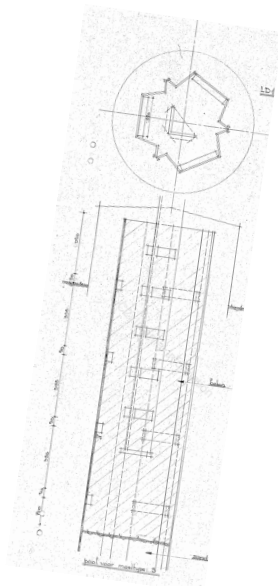
- Palen op trek belast
- Palen op druk belast
- Afdracht horizontale belastingen
- Wapening van betonconstructies

4.3.1 Fundatiebelastingen

Uitgangspunt vormen de fundatiebelastingen van het betreffende masttype op basis van de uitgangspunten van paragraaf 4.1. Voor de bestaande funderingen is afkeurniveau van toepassing zoals aangegeven in paragraaf 3.2. Voor nieuwbouw of aangepaste funderingen in Helmond zie uitgangspunt van 3.2.

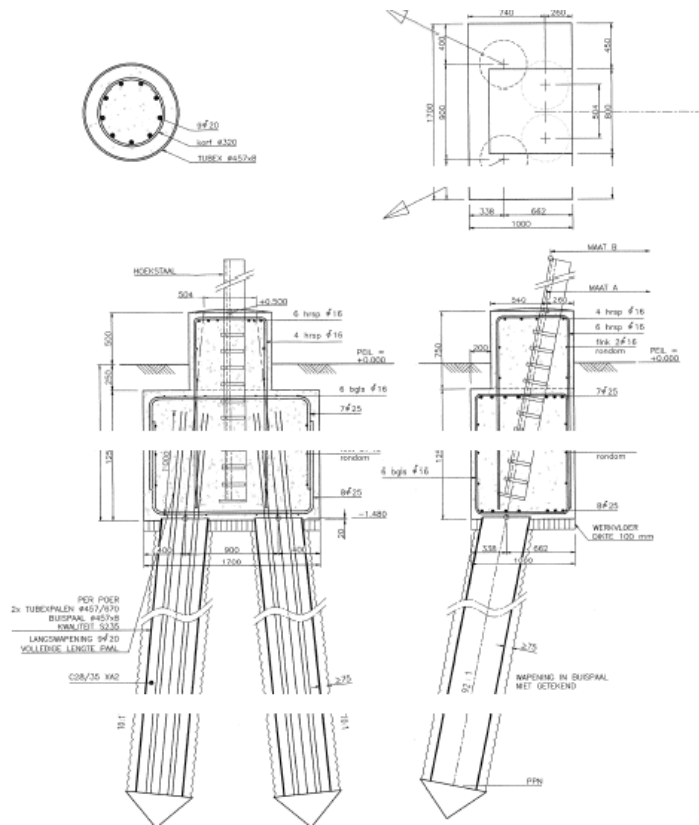
4.3.2 Paaltypen

Bij alle mastconstructies zijn paalfunderingen toegepast. Steunmasten zijn in de regel gefundeerd op een enkele paal per hoekpunt. Dit zijn geheide stalen kokerpalen van damwandprofiel LD1 of LV1, met punt. Hoekmasten en zwaarder belaste steunmasten zijn gefundeerd op meerdere palen per hoekpunt.



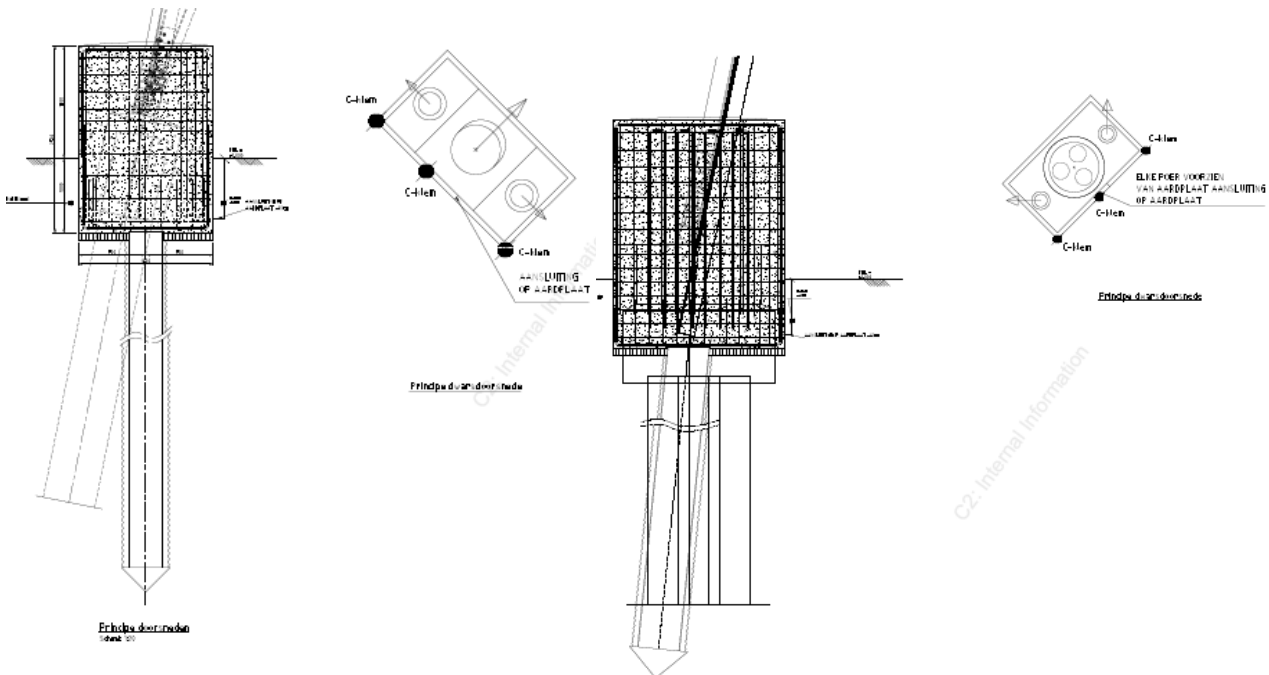
Figuur 6 Enkelpaalfundering oorsponkelijke steunmasten

Mast 2 t/m 17 zijn uitgevoerd met zogenaamde "Ortbeton"-palen, dit zijn in het werk gestorte ronde betonpalen met doorsnede 0,42 m. In de fundaties van de masten van de reconstructie bij Helmond, mast 115-122, zijn schroefinjectiepalen zijn toegepast, zie Figuur 7.



Figuur 7 Schroefinjectionpaal als fundering voor nieuwbouwmasten 115,121 en 122

Bij de verzwaarde masten in de reconstructie Helmond zijn de bestaande fundaties opgenomen in een nieuwe blokpoer. De fundatie is voorzien van twee nieuwe stalen schroefinjectionpalen per poer.



Figuur 8 Schroefinjectionpaal als versterkte fundering voor versterkte masten 116-120

4.3.3 Rekenmethode

De draagkracht van de fundaties werd in het verleden bepaald met een andere methode dan in de huidige voorschriften. De toenmalige slipmethode, ook wel "Begemann-methode" genaamd, was gebaseerd op de wrijvingsweerstand van een mechanische kleefmantelconus.

De rekensterkte van de fundatiepalen op trek en druk zal worden bepaald met de q_c -methode zoals voorgeschreven in de hedendaagse norm voor Geotechniek, de NEN-EN 1997-1.

Deze methode is gebaseerd op de conusweerstand van de sondering. In de planning voor MBT-EHV380 is het uitvoeren van nieuwe elektrische sonderingen. Voor dat deze beschikbaar zijn zal worden uitgegaan van bestaande sonderingen.

Bij wisselende gesteldheid volgens bijlage A van NEN-EN 1997-1 van de bodem wordt bij de keuze voor de $\gamma_{m,var,qc}$ -factoren uitgegaan van 1 sondering, ongeacht het aantal uitgevoerde sonderingen en aanwezige variatie. De capaciteit wordt berekend op basis van de minst gunstige sondering.

4.3.4 Palen op druk en trek belast

De rekenregels van NEN-EN 1997 artikel 7 worden gevolgd en de eisen zoals opgenomen in NEN 8707 voor de bestaande fundaties worden gevolgd.

Een belangrijke parameter die de berekende draagkracht reduceert is de partiele factor $\gamma_{m,var,qc}$ volgens NEN-EN 1997-1 artikel 7.6.3.3 (8) opmerking (d). Voor een paal die een wisselende belasting ondergaat tussen trek- en druk treedt een vermindering op van de schuifweerstand. Afhankelijk van de verhouding tussen uiterste trek- en drukkracht is de $\gamma_{m,var,qc}$ tussen de 1,0 en 1,5.

$$\gamma_{m,var,qc} = 1 + 0,25 \cdot \frac{F_{t,max,rep} - F_{t,min,rep}}{F_{t,max,rep}} \text{ en } \gamma_{m,var,qc} \leq 1,5$$

Voor de funderingen van de steunmasten waarbij zowel op trek- als drukbelasting optreedt levert het gebruik van de formule een factor in alle gevallen 1,5 op.

Bij de hoekmasten treedt de hoogste belasting op in de ULS- of de SpLS-grenstoestand (eenzijdige afwezigheid geleiders). Op basis van de meest op trek belaste stijl wordt de variatie bepaald en de bijbehorende factor $\gamma_{m,var,qz}$ berekend.

4.3.5 Betonconstructie

De rekenregels van de Eurocodes voor betonconstructies zullen worden gevolgd.

4.4 Sonderingen

4.4.1 Inleiding

Voor het beoordelen van het draagvermogen van de bestaande palen kan volgens NEN 8707 gebruik gemaakt worden van de bestaande sonderingen die zijn uitgevoerd tijdens de bouw van de hoogspanningslijn. Omdat gebruik gemaakt wordt van de conusweerstand is er in principe geen of weinig verschil tussen de elektrische conus van tegenwoordig of de mechanische conus die in het verleden werd gebruikt en zijn de oude sonderingen bruikbaar.

Indien een fundatie niet voldoet en versterking benodigd is, dan dienen nieuwe sonderingen gebruikt te worden om de draagkracht van aanvullende palen te berekenen.

4.4.2 Verkennend onderzoek

Omdat de toepassing van oude of nieuwe sonderingen afhankelijk is van de uitkomst van de toetsing van de fundatie en er tijd benodigd is voor de grondonderzoeken is door DNV een voorlopige controle van de mastfundaties uitgevoerd. De uitkomst van deze voorlopige toetsing is gebruikt om grondonderzoeken uit te voeren.

Met de verkennende berekeningen zijn per mast de paal draagvermogens voor trek- en drukbelasting bepaald op basis van de beschikbare sonderingen uit 1966 (uitzondering mast 115 t/m 122 met beschikbare sonderingen uit 2008). In de voorlopige berekening is een marge genomen, zodat het aantal mastlocaties ruim genoeg is.

De uitkomsten worden verdeeld in drie categorieën:

1. Draagvermogen is voldoende;
2. Draagvermogen is (mogelijk) onvoldoende ($UC \geq 0,90$);
3. Draagvermogen is onzeker (d.w.z. dat de beschikbare sondering onvoldoende diep is voor berekening van het draagvermogen). Hier zijn twee subcategorieën mogelijk;
 - a. Draagvermogen lijkt kritisch ($UC \geq 0,75$);
 - b. Draagvermogen lijkt niet kritisch ($UC < 0,75$).

Het aantal masten per categorie is in onderstaande tabel weergegeven.

Tabel 15 Conclusie uit berekeningen

Categorie	Aantal mastlocaties
1	32
2	88
3a	3 (incl. portalen)
3b	10

Bij 32 masten is het draagvermogen voldoende. Hier vallen de recent aangepaste of vernieuwde masten bij Helmond Brandevoort onder. Ook een groot deel van de hoekmasten voldoet. Bij 88 masten is het draagvermogen (mogelijk) onvoldoende en bij 13 masten is het draagvermogen onzeker.

Besloten is om grondonderzoek uit te voeren op alle mastlocaties die vallen onder categorie 2, 3a en 3b.

Grondonderzoek houdt in dat doorgaans minimaal twee sonderingen met kleefmeting per mastlocatie nodig zijn. Mast 115 t/m 122 van de reconstructie Helmond behoeft geen aanvullend grondonderzoek. In de rapportage van de fundaties zal verder worden ingegaan op het gebruik van de oude of de nieuwe sonderingen per locatie.

5 REFERENTIES

- [1] "600.006 0793236 - 10166260-TDT 20-0044 - "Keuze type ACCCZ-geleider en Normkeuze voor interne en externe afstanden", 2020-01-14.
- [2] "002.586.40 0825934 Rapport e-design deel 1".
- [3] NEN 8700:2011 - Belastingen voor bestaande bouw.
- [4] NEN 8701:2011 - Belastingen voor bestaande bouw.
- [5] NEN 8707:2019 - Geotechnisch ontwerp - Beoordeling van de constructieve veiligheid van een bestaand bouwwerk.
- [6] NEN-EN 50341-1:2013 - Overhead electrical lines exceeding AC 1 kV - Part 1: General requirements – Comm.
- [7] NEN-EN 50341-2-15:2019 - Overhead electrical lines exceeding AC 1 kV Part 2 National Normative Aspects (NNA) for THE NETHERLANDS.
- [8] NEN-EN 1990.
- [9] NEN 1991-1-4.
- [10] NEN 1993-1-1.
- [11] NEN-EN 1993-3-3.
- [12] NEN-EN 1993-1-8.
- [13] NEN 1997-1.
- [14] PVE.05.000 Lijnen Versie 3.2.
- [15] "002.586.00 0735766 AQUA - S1 PVE.05.001 EHV-.docx".
- [16] SPE 04.009 Paalfunderingen.
- [17] SPE 05.346 v1.3 Stalen masten.
- [18] "Verificatie & validatieplan 380 kV verbinding Maasbracht-Eindhoven".
- [19] "Klokgetal config TenneT 2019.xlsx".
- [20] "ACCC Warsaw.wir".
- [21] "AACSR Hawk (241-AL3-39-A20SA) (with grease).wir (bliksemdraad)".
- [22] "AAAC-TW-AL7 882.3 mm (Bobolink).wir".
- [23] "AACSR/AS 242/39 (150kV)".
- [24] "OPGW AFL_226.wir".
- [25] "200152A-004 Maasbracht - Eindhoven v1.0.pdf".
- [26] "002.800.40 0696355 - BBB: Onderbouwing uitvoeringsvorm isolatoren".
- [27] "002.586.40 0825934 Rapport e-design deel 1 MBR-EHV".
- [28] "Email van A.S. op 08-08-2019".

APPENDIX A

TenneT-Standaarden

Van toepassing zijnde standaarden van TenneT				
Type	Dis.	Naam	Ver.	Datum
PVE	00	PVE.00.001 Naamgeving assets standaard programma van eisen.pdf	1.1	30-11-2015
PVE	00	PVE.00.001 Bijlage Naamgeving assets.xlsx	1.0	11-10-2017
PVE	00	PVE.00.002 Planologische traceringsuitgangspunten en locatie-eisen (Excel Format).zip	2.0	25-04-2017
PVE	00	PVE.00.002 Planologische traceringsuitgangspunten en locatie-eisen.pdf	2.0	25-04-2017
PVE	00	PVE.00.003 Publieke en Private rechten (Excel Format).zip	2.0	25-04-2017
PVE	00	PVE.00.003 Publieke en Private rechten.pdf	1.0	25-04-2017
PVE	00	PVE.00.060 Meetbestek inmeten kabels en leidingen TenneT TSO	2.2	06-06-2018
TYP	00	TYP.00.002 Template Basisontwerp.docx	3.1	14-09-2016
TYP	00	TYP.00.002 Bijlagen Template basisontwerp.zip	-	14-09-2016
TYP	00	TYP.00.003 ENG Guidelines for Technical Drawing using.pdf	1.8	01-2018
TYP	00	TYP.00.003 Bijlage A TenneT-Acad2010.ctb	-	20-07-2015
TYP	00	TYP.00.003 Bijlage B ACAD-TenneT2014.zip	-	28-09-2017
TYP	00	TYP.00.003 BIJLAGE C TENNET-TOOL PALETTES.zip	-	11-04-2016
TYP	00	TYP.00.003 Appendix B ENG ACAD-TenneT2014.zip	1.7	18-05-2016
TYP	00	TYP.00.003 Richtlijnen voor technisch tekenen - AutoCAD.pdf	1.7	11-04-2016
TYP	00	TYP.00.004 TEMPLATE Typical Projectcommunicatie achtergronden en voorbeelden.docx	1.0	02-03-2016
SPE	00	SPE.00.901 Standaard specificatie kunststof borden.pdf	1.0	12-07-2011
SPE	00	SPE.00.901 Bijlage bronbestanden.zip	-	12-07-2011
SPE	00	SPE.00.901 Bijlage.zip	-	12-07-2011
SPE	00	SPE.00.903 Conservering Grote Buisconstructies.pdf	1.5	05-2016
SPE	00	SPE.00.905 Conservering Mastverzwaring.pdf	1.3	29-08-2016
SPE	00	SPE.00.906 Herstel Conservering Grote Buisconstructies.pdf	1.2	21-05-2015
SPE	00	SPE.00.907 Conservering Nieuwbouw Vakwerkmasten.pdf	1.3	21-05-2015
SPE	00	SPE.00.908 Conservering Onderhoud Vakwerkmasten en Stations.pdf	1.0	21-05-2015
SPE	00	SPE.00.910 Factory acceptance test planning.pdf	1.0	01-2016
PVE	01	PVE.01.000 Primair (Excel format).zip	2.0	19-05-2017
PVE	01	PVE.01.000 Primair.pdf	2.0	19-05-2017
PVE	01	PVE.01.001 Primair Projects specifiek EHV380	1.1	26-10-2017
PVE	01	PVE.01.001 Primair Projects specifiek MBT380	1.1	26-10-2017
TYP	01	TYP.01.380 Primary Installation.pdf	1.1	05-08-2015
SPE	01	SPE.01.100 Specificatie Staalwerk primaire ondersteuning portalen en bliksem pieken.pdf	1.1	06-2017
SPE	01	SPE.01.401 Disconnectors and earthing switches.pdf	3.2	11-2016
SPE	01	SPE.01.408 Generic Spec High Voltage Instrument Transformers.pdf	3.0	01-06-2016
SPE	01	SPE.01.408-N Primary Appendix High Voltage Instrument Transformers.pdf	3.0	23-02-2016
SPE	01	SPE.01.414 Dutch national Appendix 2 AC circuit-breakers.pdf	-	26-07-2016
SPE	01	SPE.01.414 Generic Specification AC circuit-breakers.pdf	4.0	06-2016
SPE	01	SPE.01.414-N Appendix 2 Circuit Breakers.pdf	2.0	10-2012
SPE	01	SPE.01.415 Model projectspecificatie vermogensschakelaar 380 kV.docx	1.0	21-03-2011
SPE	01	SPE.01.424 Algemene specificatie aluminium buizen ronde staven als geleider.pdf	1.0	24-03-2011
SPE	01	SPE.01.432 Generic Spec High Voltage Post Insulators and rotation rods.pdf	3.0	11-08-2016
SPE	01	SPE.01.432-N Appendix 2 High Voltage Post insulators and rotation rods.pdf	3.0	11-08-2016
SPE	01	SPE.01.439 Werkinstructie aluminium laswerk thermisch verzinken.docx	1.0	28-03-2011
SPE	01	SPE.01.441 Werkinstructie montage primaire componenten in openlucht stations.docx	1.0	28-03-2011
SPE	01	SPE.01.450 Algemene specificatie klemmen raildraagarmatuur geleider open station.pdf	1.0	25-03-2011
SPE	01	SPE.01.451 Model projectspecificatie klemmen ... raildraagarmatuur geleider openl station.docx	1.0	25-03-2011
SPE	01	SPE.01.459 Algemene specificatie aardnet 380kV stations.pdf	1.0	25-03-2011
SPE	01	SPE.01.460 Model Projectspecificatie aardnet 380 kV stations.docx	1.0	29-03-2011

Van toepassing zijnde standaarden van TenneT

Type	Dis.	Naam	Ver.	Datum
DAT	01	DAT.01.415 Datasheet for circuit breakers 380kV.pdf	2.0	27-10-2012
DAT	01	DAT.01.309-411 Technical specification Instrument Transformers.pdf	11.0	25-03-2016
DAT	01	DAT.01.309-411 Technical specification Instrument Transformers.xlsx	11.0	25-03-2016
DAT	01	DAT.01.433-N Technical specification post insulators.pdf	6.0	10-08-2016
DAT	01	DAT.01.433-N Technical specification post insulators.xlsx	6.0	10-08-2016
OIR	01	OIR.01.001 PRIM Object Interface Requirements (Excel Format).zip	2.0	24-05-2017
OIR	01	OIR.01.001 PRIM Object Interface Requirements.pdf	2.0	24-05-2017
PVE	02	PVE.02.000 Secundair (Excel Format).zip	4.0	22-05-2017
PVE	02	PVE.02.000 Secundair.pdf	4.0	22-05-2017
PVE	02	PVE.02.001 Secundair Projectspecifiek EHV380	3.1	06-10-2017
PVE	02	PVE.02.001 Secundair Projectspecifiek MBT380	3.1	06-10-2017
TYP	02	TYP.02.001 Richtlijnen Secundaire Tekenwijze TenneT Stations.pdf	4.0	01-10-2015
TYP	02	TYP.02.002 Bijlage A Standaard IO lijsten.xlsm	4.0	27-11-2017
TYP	02	TYP.02.002 Bijlage B Alarmomschrijvingen.xlsx	3.0	01-10-2015
TYP	02	TYP.02.002 Standaard I-O lijsten en alarmomschrijvingen.pdf	3.0	01-10-2015
TYP	02	TYP.02.003 Bijlage A verkortingen secundair.xls	2.0	01-10-2015
TYP	02	TYP.02.003 Bijlage B Register kasten en klemnummers.xlsx	2.0	01-10-2015
TYP	02	TYP.02.003 Register verkortingen secundair, kastenlijst en klemnummering.pdf	2.0	01-10-2015
SPE	02	SPE.02.501 Algemene specificatie secundaire installaties.pdf	1.3	05-2017
SPE	02	SPE.02.502 Model projectspecificatie secundaire installaties.docx	1.3	05-2017
SPE	02	SPE.02.543 Bijlage TenneT IEC 870-5-101 PID Balanced.pdf	1.3	07-07-2014
SPE	02	SPE.02.543 Bijlage TenneT IEC 870-5-101 PID Unbalanced.pdf	4.4	26-06-2014
SPE	02	SPE.02.543 Bijlage TenneT IEC 870-5-104 PID.pdf	2.5	10-04-2017
SPE	02	SPE.02.543 Protection and Substation Automation.pdf	2.10H	11-2016
SPE	02	SPE.02.543 Table of compliance protection and substation automation.xls	-	-
SPE	02	SPE.02.543-N National Appendix Netherlands.pdf	1.4	11-2016
OIR	02	OIR.02.001 SEC Object Interface Requirements (Excel Format).zip	2.0	24-05-2017
OIR	02	OIR.02.001 SEC Object Interface Requirements.pdf	2.0	24-05-2017
OIR	02	OIR.02.002 SEC Object Interface Requirements Principe Tekeningen.pdf	C	09-08-2017
DAT	02	DAT.02.BEV Aansluitschema 7SA611 MI MS 380 220 150 110 kV.pdf	-	12-2016
DAT	02	DAT.02.BEV Aansluitschema 7SA611 MI MS 380 220 150 110 kV.xls	-	12-2016
DAT	02	DAT.02.BEV Aansluitschema 7SA612 distantie 380 220 kV.pdf	-	12-2016
DAT	02	DAT.02.BEV Aansluitschema 7SA612 distantie 380 220 kV.xls	-	12-2016
DAT	02	DAT.02.BEV Aansluitschema 7SD52 differentiaal 380 220 150 110 kV.pdf	-	12-2016
DAT	02	DAT.02.BEV Aansluitschema 7SD52 distantie 380 220 150 110 kV.pdf	-	12-2016
DAT	02	DAT.02.BEV Aansluitschema 7SD52 langsdiff. 380 220 150 110 kV.xls	-	12-2016
DAT	02	DAT.02.BEV Aansluitschema 7SD52 totaaloverzicht 380 220 150 110 kV.pdf	-	12-2016
DAT	02	DAT.02.BEV Aansluitschema 7SD52 transf. diff. 380 220 150 110 kV.pdf	-	12-2016
DAT	02	DAT.02.BEV Aansluitschema 7SD52 veldifferentiaal 380 220 150 110 kV.pdf	-	12-2016
DAT	02	DAT.02.BEV Aansluitschema 7SJ611 MST 380 220 150 110 kV.pdf	-	12-2016
DAT	02	DAT.02.BEV Aansluitschema 7SJ611 MST 380 220 150 110 kV.xls	-	12-2016
DAT	02	DAT.02.BEV Aansluitschema 7SJ611 MST koppelveld 380 220 150 110 kV.pdf	-	12-2016
DAT	02	DAT.02.BEV Aansluitschema 7SS522 CU en BU railbeveiliging.xls	-	12-2016
DAT	02	DAT.02.BEV Aansluitschema 7SS522 CU railbeveiliging.pdf	-	12-2016
DAT	02	DAT.02.BEV Aansluitschema 7SS523 BU railbeveiliging.pdf	-	12-2016
DAT	02	DAT.02.BEV Aansluitschema VDF-10 TripCircuit Bewaking 150 110kV.pdf	-	12-2016
DAT	02	DAT.02.BEV Standaard instelverklaring GSN NA.xlsx	-	12-2016
PVE	03	PVE.03.000 Telecom.pdf	2.0	21-04-2017
PVE	03	PVE.03.000 Telecom (Excel Format).zip	2.0	21-04-2017
SPE	03	SPE.03.326 Algemene Specificatie Glasvezelkabel Koppelpunten.pdf	2.0	15-07-2014

Van toepassing zijnde standaarden van TenneT

Type	Dis.	Naam	Ver.	Datum
SPE	03	SPE.03.328 Algemene Specificatie montage koppelpunten ... HS lijnen.pdf	2.0	23-05-2014
SPE	03	SPE.03.559 Algemene Specificatie Aanleg en Montage van Glasvezelverbindingen.pdf	2.0	13-07-2016
SPE	03	SPE.03.563 Algemene Specificatie Aanleg en ... Glasvezelverbindingen.docx.pdf	1.0	15-11-2017
SPE	03	SPE.03.564 Algemene Specificatie metaalvrije Multi Mode Glasvezelkabels.pdf	2.1	15-11-2017
SPE	03	SPE.03.585 Algemene Specificatie metaalvrije G652D glasvezelkabel.pdf	3.1	15-11-2017
SPE	03	SPE.03.590 Alg Specificatie uitvoeren metingen singlemodefiber.pdf	2.1	10-10-2016
SPE	03	SPE.03.601 Algemene Specificatie voor categorie 6 netwerkbekabeling	1.0	06-02-2015
PVE	04	PVE.04.000 Bouwkunde.pdf	2.0	21-04-2017
PVE	04	PVE.04.000 Bouwkunde (Excel Format).zip	2.0	01-05-2017
PVE	04	PVE.04.001 Bouwkunde Projectsamenstelling EHV380	1.2	06-10-2017
PVE	04	PVE.04.001 Bouwkunde Projectsamenstelling MBT380	1.2	06-10-2017
PVE	04	PVE.04.001 Bouwkunde Projectsamenstelling.docx	1.1	06-2014
SPE	04	SPE.04.001 Specificatie Betonrenovatie.pdf	1.1	12-2017
SPE	04	SPE.04.002 Specificatie Hekwerken en Poorten.pdf	1.1	12-2013
SPE	04	SPE.04.004 Specificatie Constructieberekeningen.pdf	1.3	06-2017
SPE	04	SPE.04.006 Eisen Bouwbesluit 2012.pdf	2.1	12-2017
SPE	04	SPE.04.007 Vaste Trappen-(Kooi)ladders Hoogspanningslocaties.pdf	2.0	09-2015
SPE	04	SPE.04.008 HERGEBRUIK BESTAANDE BETONCONSTRUCTIES.pdf	1.0	07-2015
SPE	04	SPE.04.009 Specificatie (Paal)Funderingen.pdf	1.0	06-2017
BOU	04	BOU.04.003 Cable Trenches.pdf	1.0	02-2011
BOU	04	BOU.04.003 Cable trenches bronbestanden.zip	1.0	02-2011
BOU	04	BOU.04.004 Site Details and Facilities.pdf	1.1	02-2011
BOU	04	BOU.04.004 Site Details and Facilities bronbestanden.zip	1.1	02-2011
PVE	05	PVE.05.000 Lijnen.pdf	2.0	22-06-2014
PVE	05	PVE.05.001 Project specifiek lijnen.docx	4.0	01-12-2018
SPE	05	SPE.05.301 Generic Specification for Spacer for OHL.pdf	2.0	09-08-2016
SPE	05	SPE.05.302 Model Project Specification spacersdampers for OHL.docx	2.0	07-11-2016
SPE	05	SPE.05.303 Algemene specificatie trillingsdampers HS lijnen.pdf	1.0	30-04-2012
SPE	05	SPE.05.304 Modelspecificatie trillingdampers HS lijnen.docx	1.0	03-10-2014
SPE	05	SPE.05.312 Algemene specificatie transport ... staalconstructies HS stations en HS lijnen.pdf	1.0	22-03-2011
SPE	05	SPE.05.315 Generic specification for OPGW.pdf	2.4	30-07-2013
SPE	05	SPE.05.315 Addendum OPGW test bundel version 10.pdf	1.0	30-07-2013
SPE	05	SPE.05.316 Model project specification OPGW for framework contract.pdf	2.2	30-07-2013
SPE	05	SPE.05.316 Projectsamenstelling OPGW for framework contract.docx	2.2	30-07-2013
SPE	05	SPE.05.323 Handleiding montage HDPE buis.docx	1.0	23-03-2011
SPE	05	SPE.05.324 Algemene specificatie installatie geleiders.pdf	2.3	26-11-2012
SPE	05	SPE.05.325 Model projectsamenstelling installatie geleiders etc.docx	2.3	17-08-2014
SPE	05	SPE.05.330 Algemene specificatie keramische langstaafisolatoren V-isolator.pdf	1.0	22-03-2011
SPE	05	SPE.05.331 Model projectsamenstelling keramische langstaafisolatoren V-isolator.docx	1.0	22-03-2011
SPE	05	SPE.05.332 Generic specification for clamps and fittings in OHL.pdf	2.0	27-01-2016
SPE	05	SPE.05.333 Model project specification clamps.docx	2.0	01-03-2016
SPE	05	SPE.05.334 Specification for Conductors.pdf	2.1	11-2013
SPE	05	SPE.05.344 Algemene specificatie ontwerp axiaal belaste paalfunderingen	1.0	10-02-2011
SPE	05	SPE.05.344 Bijlage 00526-02-01.pdf	0	09-06-2003
SPE	05	SPE.05.344 Bijlage 00526-02-02.pdf	0	19-06-2003
SPE	05	SPE.05.345 Model projectsamenstelling ontwerp axiaal belaste paalfunderingen	1.0	24-07-2017
SPE	05	SPE.05.346 Algemene specificatie stalen HS masten.pdf	1.2	27-11-2012
SPE	05	SPE.05.350 Specification for Glasinsulators.pdf	2.0	12-03-2015
SPE	05	SPE.05.352 Generic specification for special OHL conductors.pdf	1.0	22-03-2011
SPE	05	SPE.05.353 Model project specification special OHL conductors.docx	1.0	22-03-2011

Van toepassing zijnde standaarden van TenneT

Type	Dis.	Naam	Ver.	Datum
SPE	05	SPE.05.354 Generic specification CFCC conductors.pdf	1.3	26-09-2018
SPE	05	SPE.05.355 Generic specification GZTACSR conductors.pdf	1.2	18-05-2017
SPE	05	SPE.05.356 Technical Specification Composite Long-rod Insulators for OHL.pdf	2.0	24-07-2015
SPE	05	SPE.05.357 Model Project Specification for Composite insulators.docx	2.0	24-07-2015
SPE	05	SPE.05.358 Technical Specification Composite Post Insulators for OHL.pdf	2.0	11-11-2015
SPE	05	SPE.05.359 Model project specification for CFCC and GTACSR conductors.docx	1.1	18-05-2017
SPE	05	SPE.05.360 Standaard specificatie kunststof borden mast.pdf	3.4	01-08-2016
SPE	05	SPE.05.360 bijlage met pdf en dwg tekeningen mastborden en stickers.zip	-	06-04-2016
SPE	05	SPE.05.360 bijlage met pdf en dwg tekeningen vlaggestokhouders.zip	-	06-04-2016
SPE	05	SPE.05.361 Model Projectsificatie kunststof mastborden.docx	1.1	08-02-2013
PVE	07	PVE.07.000 EMC en aarding (Excel Format).zip	2.2	16-05-2018
PVE	07	PVE.07.000 EMC en aarding.pdf	2.2	16-05-2018
PVE	07	PVE.07.001 EMC en aarding Projectsificiek.docx	1.3	26-10-2017

APPENDIX B

Belastingfactoren

Belastingfactoren en combinatiefactoren (Ultimate Limit State (ULS)) ; afkeur, gevolgklasse CC2-0 en referentieperiode : 30 jaar

Nr	Loadcase	Temp °C	partial factors				
			γ_g	γ_q			γ_a
			G_k	Q_{pk}	Q_{wk}	Q_{ik}	A_k
1a	Wind	10	1,05	-	1,13	-	-
2	Not relevant	-	-	-	-	-	-
3	Wind+Ice	-5	1,05	-	0,34	0,97	-
4	Min temp+wind	-20	1,05	-	0,23	-	-
5a	Torsional loads	10	1,0	1,0	-	-	1,0
5b	Longitudinal loads	10	1,0	-	-	-	1,0
6a	Construction + maintenance	5	1,05	1,2	0,23	-	-
6b	Weight of linesmen	5	1,05	1,2	0,23	-	-
7	Permanent	10	1,15	-	-	-	-
8	Special	10	1,0	-	-	-	1,0

Belastingfactoren en combinatiefactoren (Special Limit State (SpLS)) ; afkeur, gevolgklasse CC2-0

Nr	Loadcase	Temp °C	partial factors				
			γ_g	γ_q			γ_a
			G_k	Q_{pk}	Q_{wk}	Q_{ik}	A_k
1a	Wind	10	1,05	-	0,78	-	-
2	Not relevant	-	-	-	-	-	-
3	Wind+Ice	-5	1,05	-	0,36	0,34	-
4	Min temp+wind	-20	1,05	-	0,24	-	-
5a	Not relevant	-	-	-	-	-	-
5b	Not relevant	-	-	-	-	-	-
6a	Construction + maintenance	5	1,05	1,2	0,24	-	-
6b	Weight of linesmen	5	1,05	1,2	0,24	-	-
7	Not relevant	-	-	-	-	-	-
8	Not relevant	-	-	-	-	-	-

Belastingfactoren en combinatiefactoren (Ultimate Limit State (ULS)) ; afkeur, gevolgklasse CC2 en referentieperiode : 30 jaar

Nr	Loadcase	Temp °C	partial factors				
			γ_g	γ_q			γ_a
			G_k	Q_{pk}	Q_{wk}	Q_{ik}	A_k
1a	Wind	10	1,1	-	1,22	-	-
2	Not relevant	-	-	-	-	-	-
3	Wind+Ice	-5	1,1	-	0,37	1,01	-
4	Min temp+wind	-20	1,1	-	0,24	-	-
5a	Torsional loads	10	1,0	1,0	-	-	1,0
5b	Longitudinal loads	10	1,0	-	-	-	1,0
6a	Construction + maintenance	5	1,1	1,2	0,24	-	-
6b	Weight of linesmen	5	1,1	1,2	0,24	-	-
7	Permanent	10	1,2	-	-	-	-
8	Special	10	1,0	-	-	-	1,0

Belastingfactoren en combinatiefactoren (Special Limit State (SpLS)) ; afkeur, gevolgklasse CC2

Nr	Loadcase	Temp °C	partial factors				
			γ_g	γ_q			γ_a
			G_k	Q_{pk}	Q_{wk}	Q_{ik}	A_k
1a	Wind	10	1,1	-	0,78	-	-
2	Not relevant	-	-	-	-	-	-
3	Wind+Ice	-5	1,1	-	0,36	0,34	-
4	Min temp+wind	-20	1,1	-	0,24	-	-
5a	Not relevant	-	-	-	-	-	-
5b	Not relevant	-	-	-	-	-	-
6a	Construction + maintenance	5	1,1	1,2	0,24	-	-
6b	Weight of linesmen	5	1,1	1,2	0,24	-	-
7	Not relevant	-	-	-	-	-	-
8	Not relevant	-	-	-	-	-	-

Belastingfactoren en combinatiefactoren (Ultimate Limit State (ULS)) ; verbouw, gevolgklasse CC2 en referentieperiode: 50 jaar

Nr	Loadcase	Temp °C	partial factors				
			γ_g	γ_q			γ_a
			G_k	Q_{pk}	Q_{wk}	Q_{ik}	A_k
1a	Wind	10	1,15	-	1,40	-	-
2	Not relevant	-	-	-	-	-	-
3	Wind+Ice	-5	1,15	-	0,42	1,30	-
4	Min temp+wind	-20	1,15	-	0,28	-	-
5a	Torsional loads	10	1,0	1,0	-	-	1,0
5b	Longitudinal loads	10	1,0	-	-	-	1,0
6a	Construction + maintenance	5	1,15	1,3	0,28	-	-
6b	Weight of linesmen	5	1,15	1,3	0,28	-	-
7	Permanent	10	1,30	-	-	-	-
8	Special	10	1,0	-	-	-	1,0

Belastingfactoren en combinatiefactoren (Special Limit State (SpLS)) ; verbouw, gevolgklasse CC2

Nr	Loadcase	Temp °C	partial factors				
			γ_g	γ_q			γ_a
			G_k	Q_{pk}	Q_{wk}	Q_{ik}	A_k
1a	Wind	10	1,15	-	0,78	-	-
2	Not relevant	-	-	-	-	-	-
3	Wind+Ice	-5	1,15	-	0,36	0,34 (B) /0,12 (A)	-
4	Min temp+wind	-20	1,15	-	0,24	-	-
5a	Not relevant	-	-	-	-	-	-
5b	Not relevant	-	-	-	-	-	-
6a	Construction + maintenance	5	1,15	1,2	0,24	-	-
6b	Weight of linesmen	5	1,15	1,2	0,24	-	-
7	Not relevant	-	-	-	-	-	-
8	Not relevant	-	-	-	-	-	-

APPENDIX C

Mastenlijst

Mastnummer	Masttype	Veldlengte voorruit [m]	Lijnhoek [graden, decimaal] (>180° = afbuiging naar rechts, > 180° = afbuiging naar links)	Oriëntatie hoek [°] (t.o.v. de Bisector)	Afspanning/ophanging bestaand (existing insulator set)	Center lijn offset	Vaklengte [m]	Masthoogte [m]	Fundatie hoogte [m]	X-coördinaat [m]	Y-coördinaat [m]	NAP Hoogte maaiveld [m] (op centerline)	NAP Hoogte onderkant mast [m] (op centerline)	Hoogteverschil ophangpunt geleider tov voorgaande mast (back) [m]	Bretel fixatie/wisselmast	GSM antenne
MBT Portaal 1	Portaal (AK) III	73.8		16.0000	AK	0.00	74	22.5		192113.81	351203.81	27.48	27.48	12.07	3V-XB-R	
MBT Portaal 2	Portaal (AK) III	75.5		161.0000	AK	0.00		22.5		192078.84	351175.87	27.51	27.51	12.19	3V-XB-L	
MBT-EHV 001	EA+0 (AK) III	376.8	196.0	-10.0000	AK	0.00		45.0	0.700	192054.21	351247.25	27.27	27.97	-6.28	2P-XB-R	
MBT-EHV 002	S+0 (HV) III	404.2			HV	0.00		47.9	-1.006	191700.34	351376.64	22.91	21.90	0.74		
MBT-EHV 003	S+0 (HV) III	394.9			HV	0.00	1176	47.9	0.280	191320.68	351515.46	22.36	22.64	-1.58		
MBT-EHV 004	HC+0 (AK) III	305.1	126.8		AK	0.00		45.0	-0.857	190949.83	351651.06	21.73	20.87	1.16	3P-XB-L	
MBT-EHV 005	S+0 (HV) III	286.8			HV	0.00		47.9	0.318	190862.21	351943.35	21.91	22.23	7.61		
MBT-EHV 006	S+6 (HV) III	414.8			HV	0.00		53.9	1.619	190779.88	352218.04	22.21	23.83	7.65		
MBT-EHV 007	S+15 (HV) III	359.0			HV	0.00		63.0	0.400	190660.77	352615.40	22.08	22.48	0.33		
MBT-EHV 008	S+15 (HV) III	403.8			HV	0.00	1769	63.0	0.925	190557.70	352959.26	21.89	22.81	-14.42		
MBT-EHV 009	HA+0 (AK) III	299.9	199.3		AK	0.00		45.0	-0.200	190441.76	353346.04	23.39	23.19	2.71	2P-XB-R	
MBT-EHV 010	S+3 (HV) III	320.1			HV	0.00		51.0	0.300	190265.58	353588.72	22.80	23.10	-0.12		
MBT-EHV 011	S+3 (HV) III	334.9			HV	0.00		51.0	0.110	190077.50	353847.79	22.88	22.99	2.80		
MBT-EHV 012	S+0 (HV) III Telecom	271.4			HV	0.00	1226	47.9	0.052	189880.73	354118.84	28.73	28.78	0.34		Telecom
MBT-EHV 013	HA+0 (AK) III	400.4	166.8		AK	0.00		45.0		189721.27	354338.48	28.92	28.92	10.99	2P-XB-L	
MBT-EHV 014	S+12 (HV) III	411.5			HV	0.00		60.0		189566.00	354707.50	28.11	28.11	-1.71		
MBT-EHV 015	S+12 (HV) III	411.9			HV	0.00		60.0	0.055	189406.39	355086.82	26.34	26.40	-3.52		
MBT-EHV 016	S+9 (HV) III	390.9			HV	0.00		57.0	0.200	189246.62	355466.52	25.68	25.88	5.79		
MBT-EHV 017	S+15 (HV) III Telecom	400.1			HV	0.00		63.0	-0.014	189094.99	355826.87	25.68	25.67	-3.46		Telecom
MBT-EHV 018	S+9 (HV) III	400.6			HV	0.00		57.0	0.400	188939.83	356195.61	27.81	28.21	-10.25		
MBT-EHV 019	S+0 (HV) III	354.0			HV	0.00		47.9	0.507	188784.46	356564.85	26.46	26.96	-1.30		
MBT-EHV 020	S+0 (HV) III	317.8			HV	0.00		47.9	0.400	188647.15	356891.18	25.27	25.67	3.73		
MBT-EHV 021	S+0 (HV) III	304.9			HV	0.00		47.9	0.231	188523.90	357184.09	29.16	29.39	-1.64		
MBT-EHV 022	S+0 (EK) III	305.9			EK	0.00	3698	47.9	0.340	188405.63	357465.16	27.41	27.75	1.57		
MBT-EHV 023	HA+0 (AK) III	388.1	178.9		AK	0.00		45.0	0.617	188286.97	357747.16	28.50	29.12	-2.35	2P-XB-L	
MBT-EHV 024	S+0 (HV) III	382.4			HV	0.00		47.9	0.400	188143.15	358107.65	26.56	26.96	1.98		
MBT-EHV 025	S+0 (HV) III	400.4			HV	0.00		47.9	0.300	188001.45	358462.82	28.65	28.95	-0.15		

Mastnummer	Masttype	Veldlengte voorruit [m]	Lijnhoek [graden, decimaal] (>180° = afbuiging naar rechts, >180° = afbuiging naar links)	Oriëntatie hoek [°] (t.o.v. de Bisector)	Afspanning/ophangings bestaand (existing insulator set)	Center lijn offset	Vaklengte [m]	Masthoogte [m]	Fundatie hoogte [m]	X-coördinaat [m]	Y-coördinaat [m]	NAP Hoogte maaiveld [m] (op centerline)	NAP Hoogte onderkant mast [m] (op centerline)	Hoogteverschil ophangpunt geleider tov voorgaande mast (back) [m]	Bretel fixatie/wisselmast	GSM antenne
MBT-EHV 026	S+0 (HV) III	400.1			HV	0.00		47.9	0.431	187853.08	358834.71	28.37	28.80	10.92		
MBT-EHV 027	S+12 (HV) III	261.5			HV	0.00		60.0	0.300	187704.82	359206.34	27.42	27.72	0.42		
MBT-EHV 028	S+12 (HV) III	406.2			HV	0.00		60.0	0.199	187607.93	359449.18	27.94	28.14	-10.95		
MBT-EHV 029	S+0 (HV) III	387.7			HV	0.00		47.9	0.022	187457.43	359826.43	29.16	29.18	-0.99		
MBT-EHV 030	S+0 (EK) III	393.2			EK	0.00		47.9	0.300	187313.74	360186.57	27.90	28.20	1.38		
MBT-EHV 031	S+0 (EK) III	409.8			EK	0.00		47.9	0.235	187168.04	360551.77	29.34	29.58	6.78		
MBT-EHV 032	S+6 (HV) III Telecom	347.9			HV	0.00		53.9	0.670	187016.19	360932.39	29.69	30.36	-1.65		Telecom
MBT-EHV 033	S+6 (HV) III	400.6			HV	0.00	4178	53.9	0.300	186887.27	361255.53	28.41	28.71	-4.71		
MBT-EHV 034	HA+0 (AK) III Telecom	399.6	186.7		AK	0.00		45.0	0.800	186738.83	361627.61	29.00	29.80	2.41	2P-XB-R	Telecom
MBT-EHV 035	S+3 (HV) III Telecom	415.2			HV	0.00		51.0	0.500	186548.64	361979.09	28.91	29.41	-0.10		Telecom
MBT-EHV 036	S+3 (HV) III	383.4			HV	0.00		51.0	0.400	186351.06	362344.22	28.91	29.31	0.57		
MBT-EHV 037	S+3 (HV) III	397.2			HV	0.00		51.0	0.300	186168.60	362681.42	29.58	29.88	-3.10		
MBT-EHV 038	S+0 (HV) III	404.9			HV	0.00	2000	47.9	0.314	185979.59	363030.74	29.47	29.78	1.10		
MBT-EHV 039	HA+0 (AK) III	384.8	167.8		AK	0.00		45.0	0.860	185786.88	363386.87	29.83	30.69	-0.89	Van HA naar WA	
MBT-EHV 040	S+0 (HV) III	378.8			HV	0.00		47.9	0.700	185679.46	363756.36	29.30	30.00	0.00		
MBT-EHV 041	S+0 (HV) III	380.0			HV	0.00		47.9	0.127	185573.71	364120.09	29.87	29.99	1.06		
MBT-EHV 042	S+0 (EK) III	385.1			EK	0.00		47.9	0.446	185467.63	364484.95	30.61	31.06	-0.59		
MBT-EHV 043	S+0 (HV) III	367.8			HV	0.00		47.9	0.377	185360.11	364854.77	30.09	30.47	0.25		
MBT-EHV 044	S+0 (HV) III	360.9			HV	0.00		47.9	0.458	185257.44	365207.94	30.26	30.71	0.07		
MBT-EHV 045	S+0 (EK) III	365.7			EK	0.00		47.9	0.458	185156.68	365554.49	30.33	30.78	0.55		
MBT-EHV 046	S+0 (HV) III	382.6			HV	0.00		47.9	0.334	185054.59	365905.64	31.00	31.33	0.13		
MBT-EHV 047	S+0 (HV) III	354.7			HV	0.00		47.9	0.431	184947.78	366273.03	31.03	31.46	0.52		
MBT-EHV 048	S+0 (HV) III	362.8			HV	0.00		47.9	0.618	184848.76	366613.60	31.36	31.98	-0.48		
MBT-EHV 049	S+0 (HV) III	340.9			HV	0.00		47.9	0.898	184747.48	366961.98	30.61	31.51	11.77		
MBT-EHV 050	S+12 (HV) III	281.9			HV	0.00		60.0	0.300	184652.30	367289.35	30.97	31.27	-0.12		
MBT-EHV 051	S+12 (HV) III Telecom	405.0			HV	0.00		60.0	0.200	184573.59	367560.07	30.95	31.15	-11.41		Telecom
MBT-EHV 052	S+0 (HV) III	396.2			HV	0.00		47.9	0.443	184460.53	367948.96	31.30	31.75	-0.50		
MBT-EHV 053	S+0 (HV) III	397.1			HV	0.00	5544	47.9	0.200	184349.92	368329.40	31.04	31.24	0.25		
MBT-EHV 054	HB+0 (AK) III	394.5	214.5		AK	0.00		45.0	0.543	184239.06	368710.73	30.75	31.29	-0.52	2P-XB-R	
MBT-EHV 055	S+0 (HV) III	382.8			HV	0.00		47.9	0.525	183933.83	368960.60	30.45	30.97	-0.02		
MBT-EHV 056	S+0 (HV) III	384.3			HV	0.00		47.9	0.500	183637.60	369203.10	30.45	30.95	1.79		
MBT-EHV 057	S+3 (HV) III	413.7			HV	0.00		51.0	0.400	183340.22	369446.54	29.34	29.74	-2.02		
MBT-EHV 058	S+0 (HV) III	412.7			HV	0.00		47.9	0.489	183020.11	369708.60	30.22	30.71	0.21		

Mastnummer	Masttype	Veldlengte voorruit [m]	Lijnhoek [graden, decimaal] (>180° = afbuiging naar rechts, > 180° = afbuiging naar links)	Oriëntatie hoek [°] (t.o.v. de Bisector)	Afspanning/ophangings bestaand (existing insulator set)	Center lijn offset	Vaklengte [m]	Masthoogte [m]	Fundatie hoogte [m]	X-coördinaat [m]	Y-coördinaat [m]	NAP Hoogte maaiveld [m] (op centerline)	NAP Hoogte onderkant mast [m] (op centerline)	Hoogteverschil ophangpunt geleider tov voorgaande mast (back) [m]	Bretel fixatie/wisselmast	GSM antenne
MBT-EHV 059	S+3 (HV) III	413.6			HV	0.00		51.0	0.300	182700.78	369970.02	27.62	27.92	-3.30		
MBT-EHV 060	S+0 (HV) III	396.9			HV	0.00	2798	47.9	0.437	182380.73	370232.02	27.18	27.62	0.05		
MBT-EHV 061	HB+0 (AK) III	389.7	156.4		AK	0.00		45.0	0.587	182073.64	370483.41	26.88	27.47	-0.09	2P-XB-L	
MBT-EHV 062	S+0 (HV) III	390.2			HV	0.00		47.9	0.700	181895.91	370830.22	26.88	27.58	0.09		
MBT-EHV 063	S+0 (HV) III	388.0			HV	0.00		47.9	0.754	181717.94	371177.50	26.91	27.67	0.00		
MBT-EHV 064	S+0 (HV) III Telecom	377.0			HV	0.00		47.9	0.700	181541.00	371522.76	26.96	27.66	0.10		Telecom
MBT-EHV 065	S+0 (HV) III	368.3			HV	0.00		47.9	0.351	181369.06	371858.28	27.41	27.77	-0.82		
MBT-EHV 066	S+0 (EK) III	351.5			EK	0.00		47.9	0.455	181201.08	372186.05	26.49	26.94	0.35		
MBT-EHV 067	S+0 (EK) III	402.7			EK	0.00		47.9	0.013	181040.79	372498.84	27.29	27.30	0.26		
MBT-EHV 068	S+0 (EK) III	395.2			EK	0.00	3063	47.9	0.447	180857.11	372857.26	27.11	27.56	-0.44		
MBT-EHV 069	HA+0 (AK) III	372.7	174.0		AK	0.00		45.0	0.600	180676.86	373208.98	26.32	26.92	-1.95	2P-XB-L	
MBT-EHV 070	S+0 (HV) III Telecom	373.0			HV	0.00		47.9	0.400	180542.33	373556.61	24.77	25.17	-0.42		Telecom
MBT-EHV 071	S+0 (HV) III	372.2			HV	0.00		47.9	-0.104	180407.71	373904.50	24.85	24.75	-0.39		
MBT-EHV 072	S+0 (EK) III	385.9			EK	0.00		47.9	0.242	180273.39	374251.61	24.11	24.36	0.24		
MBT-EHV 073	S+0 (EK) III	407.8			EK	0.00		47.9	0.368	180134.12	374611.49	24.23	24.60	-0.01		
MBT-EHV 074	S+0 (EK) III	407.8			EK	0.00	2319	47.9	0.277	179986.95	374991.81	24.31	24.59	0.57		
MBT-EHV 075	HA+0 (AK) III	397.9	162.8		AK	0.00		45.0	0.800	179839.78	375372.09	24.16	24.96	-0.98	2P-XB-L	
MBT-EHV 076	S+0 (EK) III	399.7			EK	0.00		47.9	0.486	179812.49	375769.02	23.70	24.18	0.05		
MBT-EHV 077	S+0 (EK) III	399.8			EK	0.00		47.9	0.393	179785.07	376167.76	23.85	24.24	0.53		
MBT-EHV 078	S+0 (EK) III	399.7			EK	0.00		47.9	0.498	179757.65	376566.62	24.27	24.77	-0.97		
MBT-EHV 079	S+0 (EK) III	399.6			EK	0.00		47.9	0.466	179730.23	376965.40	23.33	23.80	-0.50		
MBT-EHV 080	S+0 (EK) III	399.8			EK	0.00		47.9	0.571	179702.82	377364.10	22.72	23.29	-0.17		
MBT-EHV 081	S+0 (EK) III	399.6			EK	0.00	2796	47.9	0.561	179675.39	377762.95	22.56	23.12	-0.10		
MBT-EHV 082	HC+0 (AK) III	383.6	229.2		AK	0.00		45.0	-0.235	179647.98	378161.62	23.06	22.82	-0.17	3P-XB-R	
MBT-EHV 083	S+0 (EK) III	379.7			EK	0.00		47.9	0.409	179341.21	378391.90	22.44	22.85	-0.20		
MBT-EHV 084	S+0 (HV) III	359.7			HV	0.00	1123	47.9	0.434	179037.53	378619.85	22.22	22.65	0.69		
MBT-EHV 085	WA+0 (AK) III	374.7	175.0		AK	0.00		45.0	0.548	178749.85	378835.79	22.60	23.14	-0.64	Wisselmast	
MBT-EHV 086	S+0 (HV) III	374.7			HV	0.00		47.9	0.600	178470.78	379085.76	22.10	22.70	-0.01		
MBT-EHV 087	S+0 (HV) III	374.8			HV	0.00		47.9	0.400	178191.70	379335.74	22.29	22.69	-0.94		
MBT-EHV 088	S+0 (HV) III	369.8			HV	0.00		47.9	0.300	177912.55	379585.79	21.44	21.74	0.31		
MBT-EHV 089	S+0 (EK) III	390.0			EK	0.00	1884	47.9	0.410	177637.11	379832.50	21.65	22.06	-0.07		
MBT-EHV 090	HB+0 (AK) III	299.4	144.0		AK	0.00		45.0	0.700	177346.63	380092.70	21.09	21.79	-0.46	2P-XB-L	
MBT-EHV 091	S+0 (EK) III	349.8			EK	0.00		47.9	0.442	177283.86	380385.47	22.01	22.45	-0.52		

Mastnummer	Masttype	Veldlengte voorruit [m]	Lijnhoek [graden, decimaal] (>180° = afbuiging naar rechts, > 180° = afbuiging naar links)	Oriëntatie hoek [°] (t.o.v. de Bisector)	Afspanning/ophangings bestaand (existing insulator set)	Center lijn offset	Vaklengte [m]	Masthoogte [m]	Fundatie hoogte [m]	X-coördinaat [m]	Y-coördinaat [m]	NAP Hoogte maaiveld [m] (op centerline)	NAP Hoogte onderkant mast [m] (op centerline)	Hoogteverschil ophangpunt geleider tov voorgaande mast (back) [m]	Bretel fixatie/wisselmast	GSM antenne
MBT-EHV 092	S+0 (HV) III	349.8			HV	0.00		47.9	0.350	177210.54	380727.47	22.62	22.97	-1.52		
MBT-EHV 093	S+0 (HV) III Telecom	349.8			HV	0.00		47.9	0.282	177137.23	381069.46	24.20	24.48	3.45		Telecom
MBT-EHV 094	S+0 (HV) III	339.7			HV	0.00		47.9	0.425	177063.89	381411.53	20.61	21.03	0.53		
MBT-EHV 095	S+0 (HV) III	399.7			HV	0.00		47.9	0.373	176992.69	381743.68	20.13	20.50	-0.03		
MBT-EHV 096	S+0 (EK) III	397.8			EK	0.00		47.9	0.179	176908.90	382134.50	20.35	20.53	0.24		
MBT-EHV 097	S+0 (EK) III	398.7			EK	0.00	2885	47.9	0.346	176825.52	382523.44	19.95	20.30	0.27		
MBT-EHV 098	HC+0 (AK) III	339.2	231.8		AK	0.00		45.0	0.596	176741.95	382913.26	19.23	19.83	-15.32	3P-XB-R	
MBT-EHV 099	S+15 (HV) III	332.5			HV	0.00		63.0	0.266	176437.31	383062.30	20.09	20.35	3.28		
MBT-EHV 100	S+12 (HV) III	398.9			HV	0.00		60.0	0.569	176138.64	383208.42	19.50	20.07	10.58		
MBT-EHV 101	S+0 (HV) III	398.7			HV	0.00		47.9	0.404	175780.32	383383.73	21.09	21.49	0.59		
MBT-EHV 102	S+0 (EK) III	384.8			EK	0.00	1854	47.9	1.068	175422.20	383558.94	19.83	20.90	-0.45		
MBT-EHV 103	HA+0 (AK) III	367.1	185.2		AK	0.00		45.0	0.579	175076.55	383728.04	20.57	21.15	0.89	2P-XB-R	
MBT-EHV 104	S+0 (HV) III	369.7			HV	0.00		47.9	0.128	174733.42	383858.65	20.33	20.46	-0.73		
MBT-EHV 105	S+0 (EK) III	384.7			EK	0.00		47.9	0.192	174387.87	383990.17	21.00	21.19	1.72		
MBT-EHV 106	S+0 (HV) III	354.7			HV	0.00		47.9	0.500	174028.29	384127.04	18.97	19.47	1.18		
MBT-EHV 107	S+0 (HV) III	329.7			HV	0.00		47.9	0.400	173696.75	384253.23	17.90	18.30	-0.32		
MBT-EHV 108	S+0 (EK) III	354.7			EK	0.00		47.9	0.183	173388.58	384370.53	18.43	18.61	-0.72		
MBT-EHV 109	S+0 (HV) III	369.8			HV	0.00		47.9	0.400	173057.07	384496.71	18.93	19.33	0.48		
MBT-EHV 110	S+0 (HV) III	354.7			HV	0.00		47.9	0.200	172711.48	384628.25	18.65	18.85	-0.35		
MBT-EHV 111	S+0 (HV) III	360.5			HV	0.00		47.9	0.300	172379.94	384754.44	18.90	19.20	-9.21		
MBT-EHV 112	S+9 (V) III	218.9			V	0.00		57.0	0.490	172042.98	384882.69	18.92	19.41	-1.27		
MBT-EHV 113	S+9 (V) III	389.7			V	0.00	3855	57.0	0.557	171838.36	384960.57	20.12	20.68	10.30		
MBT-EHV 114	HA+0 (AK) III	197.5	187.8		AK	0.00		45.0	0.110	171474.11	385099.22	19.07	19.18	0.36		
MBT-EHV 115	S+0/XC (V/DA) III Telecom	362.4			V/DA	0.00		51.9	0.200	171281.72	385143.86	18.82	19.02	-8.32		Telecom
MBT-EHV 116	S+9/C (V) III	199.7			V	0.00		57.0	0.300	170928.70	385225.79	18.05	18.35	0.13		
MBT-EHV 117	S+9/TC (V) III Telecom	299.9			V	0.00		57.0	-0.300	170734.20	385270.93	18.51	18.21	9.32		Telecom
MBT-EHV 118	S+0/TC (V) III	299.9			V	0.00	1360	57.3	-0.026	170442.07	385338.73	17.92	17.89	-0.49		
MBT-EHV 119	HB+0/TC (DA) III	329.8	205.1		DA	0.00		53.6	-0.134	170149.91	385406.53	18.32	18.19	-1.24		
MBT-EHV 120	S+0/TC (V) III	334.6			V	0.00		57.3	0.466	169827.33	385337.90	19.16	19.63	0.72		
MBT-EHV 121	S+0/C (V) III	290.1			V	0.00		51.9	0.300	169500.02	385268.27	18.60	18.90	0.56		
MBT-EHV 122	S+0/XC (V/DA) III	424.6			V/DA	0.00		51.9	0.400	169216.28	385207.90	17.94	18.34	0.46		
MBT-EHV 123	S+0 (EK) III	349.8			EK	0.00		47.9	0.419	168800.97	385119.55	17.47	17.89	-0.10		
MBT-EHV 124	S+0 (HV) III	349.8			HV	0.00		47.9	-0.111	168458.85	385046.76	18.10	17.99	1.11		

Mastnummer	Masttype	Veldlengte voorruit [m]	Lijnhoek [graden, decimaal] (>180° = afbuiging naar rechts, > 180° = afbuiging naar links)	Oriëntatie hoek [°] (t.o.v. de Bisector)	Afspanning/ophangings bestaand (existing insulator set)	Center lijn offset	Vaklengte [m]	Masthoogte [m]	Fundatie hoogte [m]	X-coördinaat [m]	Y-coördinaat [m]	NAP Hoogte maaiveld [m] (op centerline)	NAP Hoogte onderkant mast [m] (op centerline)	Hoogteverschil ophangpunt geleider tov voorgaande mast (back) [m]	Bretel fixatie/wisselmast	GSM antenne
MBT-EHV 125	S+0 (HV) III	349.8			HV	0.00		47.9	0.064	168116.73	384973.98	16.81	16.88	-1.48		
MBT-EHV 126	S+0 (EK) III	349.8			EK	0.00		47.9	0.186	167774.61	384901.19	18.17	18.36	-0.67		
MBT-EHV 127	S+0 (HV) III Telecom	398.8			HV	0.00	3179	47.9	0.385	167432.49	384828.41	18.65	19.04	0.30		Telecom
MBT-EHV 128	HA+0/W (AK) III Telecom	393.9	193.7		AK	0.00		45.0	0.472	167042.45	384745.43	18.06	18.53	-0.79	Van HA/W naar HA; Wisseling verwijderen	Telecom
MBT-EHV 129	S+0 (HV) III	398.8			HV	0.00	793	47.9	0.054	166687.57	384574.39	19.46	19.52	0.36		
MBT-EHV 130	HA+0 (AK) III	399.9	164.8		AK	0.00		45.0	0.376	166328.35	384401.25	18.58	18.96	1.32	2P-XB-L	
MBT-EHV 131	S+0 (HV) III	319.9			HV	0.00		47.9	0.214	165935.19	384327.88	17.63	17.84	1.13		
MBT-EHV 132	S+0 (HV) III	317.9			HV	0.00	1038	47.9	0.917	165620.69	384269.18	15.79	16.71	3.89		
MBT-EHV 133	EA+0 (AK) III	138.2	183.22	0.5000	AK	0.00	138	45.0	-4.080	165308.15	384210.86	16.70	12.62	5.59	2P-XB-L; fasewissel rechts	
EHV Portaal 2	Portaal (AK) III			-15.0000	AK	0.00		22.5		165187.89	384195.34	18.73	18.73		3V-XB-R	
EHV Portaal 1	Portaal (AK) III			-31.0000	AK	0.00		22.5		165172.48	384236.96	18.77	18.77		3V-XB-L	

APPENDIX D

Wind/weight span & kettlinglijnp parameters

Om een zo groot aantal mastlocaties te bestrijken per berekening van een bepaald masttype, is de keuze gemaakt om voor ieder masttype uit te gaan van de daadwerkelijk aanwezige grootste veldlengte, lijnhoek, etcetera.

In deze appendix is de toelichting opgenomen welke van de mastlocaties binnen een bepaald masttype beschouwt dient te worden, of dat een algemeen uitgangspunt kan worden gehanteerd.

Voor het vaststellen welke mastlocatie maatgevend voor elk masttype is met behulp van PLS-CADD de “wind-“ en “weight span” voor elk masttype bepaald en als input gebruikt voor de keuze van de maatgevende mast.

De wind span is gelijk aan de som van de helft van de veldlengte van de back- en ahead span. De wind span is vooral voor de steunmasten van belang en bepaalt de grootste krachten op de fundatie en de randstijlen.

De weight span is de afstand tussen de laagste punten in de zeeg van de back- en ahead span. De weight span bepaalt de grootte van de verticale belasting op de traverse. De weight span is afhankelijk van het hoogteverschil maar ook van de grootte van de zeeg in relatie tot de veldlengte. Voor hoekmasten is uiteraard de lijnhoek van belang. Een hogere mast naast het beschouwde type geeft een hogere windbelasting, hier moet de berekening ook dekkend voor zijn. Daarom is ook het hoogteverschil onderzocht.

In Tabel 16 is voor alle masttypes in de 380 kV-verbinding MBT-EHV een overzicht gegeven van weight- en wind spans en hoogteverschillen met alle tot het type behorende locaties.

Gearceerd zijn de grootste waarden voor weight span, wind span en hoogteverschil op basis waarvan de locatie wordt gekozen. Als er maar een locatie voor een bepaald type voorkomt is er geen selectie noodzakelijk en ontbreekt de arcering. De weight span voor Load Case EDS wordt als criterium gebruikt om de maatgevende locatie te bepalen. De vet gedrukte waarden zijn de maximale waarden per masttype.

Tabel 16 Keuze maatgevende mast

Masttype	Min van Lijnhoek (°)	Wind span (m)	Weight span (m)	Hoogteverschil ba+ah (m)	Hoogteverschil back (m)	Hoogteverschil ahead (m)
EA+0	164,0	229	402	-10,8	-0,6	-4,2
1	164,0	227	402	-16,3	-12,1	-4,2
133	180,0	229	313	-10,8	-0,6	-10,2
EHV Portaal 1	180,0	70	33	10,2	10,2	0,0
134	180,0	70	33	10,2	10,2	0,0
HA+0	160,7	403	413	18,4	15,2	11,5
9	160,7	352	285	18,4	15,2	3,2
13	166,8	336	295	11,7	0,2	11,5
23	178,9	347	365	-3,7	-1,9	-1,8
69	174,0	384	391	-1,3	0,1	-1,3
75	162,8	403	413	-1,9	-0,8	-1,2
103	174,8	376	383	-1,3	-0,7	-0,5
114	172,2	294	227	17,0	11,0	6,0
130	164,9	399	402	-0,3	0,8	-1,1
HA+0 T1	166,3	400	391	8,1	5,2	2,9
34	173,3	400	373	8,1	5,2	2,9
128	166,3	396	391	1,9	0,7	1,2
HB+0	144,0	396	396	0,7	0,3	0,4
54	145,5	396	396	0,2	0,3	-0,1
61	156,4	393	392	0,7	0,3	0,4
90	144,0	345	348	0,1	-0,2	0,3
HC+0	126,8	392	398	15,6	0,5	15,8
4	126,8	350	350	0,2	0,5	-0,2

Masttype	Min van Lijnhoek (°)	Wind span (m)	Weight span (m)	Hoogteverschil ba+ah (m)	Hoogteverschil back (m)	Hoogteverschil ahead (m)
82	130,8	392	398	-0,8	-0,2	-0,6
98	128,2	369	306	15,6	-0,3	15,8
MBT Portaal	180,0	39	-45	12,1	0,0	12,1
0	180,0	39	-45	12,1	0,0	12,1
S+0(C)	180,0	312	321	6,0	6,5	-0,5
121	180,0	312	321	6,0	6,5	-0,5
S+0(TC)	180,0	332	369	-2,1	-1,7	-0,2
118	180,0	300	312	-2,1	-2,0	-0,2
120	180,0	332	369	-8,2	-1,7	-6,5
S+0(XC)	180,0	357	380	-6,8	0,5	-7,3
122	180,0	357	380	-6,8	0,5	-7,3
S+0(XC) T1	180,0	280	312	-3,1	-6,0	2,9
115	180,0	280	312	-3,1	-6,0	2,9
S+9(TC)	180,0	250	243	2,0	0,0	2,0
117	180,0	250	243	2,0	0,0	2,0
WA+0	167,8	395	400	-0,3	-0,2	-0,1
39	167,8	395	400	-1,1	-0,7	-0,4
85	175,0	367	369	-0,3	-0,2	-0,1
S+0	180,0	413	412	12,3	11,3	11,7
2	180,0	390	378	3,6	4,2	-0,6
3	180,0	400	400	0,2	0,6	-0,5
5	180,0	296	264	6,6	0,2	6,4
19	180,0	377	347	9,0	10,2	-1,2
20	180,0	336	316	4,8	1,2	3,6
21	180,0	311	340	-6,0	-3,6	-2,4
22	180,0	305	287	4,2	2,4	1,9
24	180,0	385	373	3,8	1,8	2,0
25	180,0	391	401	-2,3	-2,0	-0,3
26	180,0	400	362	11,2	0,3	10,9
29	180,0	397	366	9,4	10,5	-1,0
30	180,0	390	387	1,5	1,0	0,5
31	180,0	402	379	6,8	-0,5	7,3
38	180,0	401	390	3,7	3,0	0,7
40	180,0	382	382	0,3	0,4	-0,1
41	180,0	379	380	0,6	0,1	0,4
42	180,0	383	385	-0,4	-0,4	0,1
43	180,0	376	378	0,1	-0,1	0,2
44	180,0	364	369	-0,7	-0,2	-0,5
45	180,0	363	357	1,8	0,5	1,3
46	180,0	374	381	-1,1	-1,3	0,1
47	180,0	369	368	0,4	-0,1	0,5
48	180,0	359	364	-1,1	-0,5	-0,6
49	180,0	352	302	12,3	0,6	11,7
52	180,0	401	364	10,9	11,3	-0,5
53	180,0	397	397	0,2	0,5	-0,3
55	180,0	389	389	0,2	0,1	0,1
56	180,0	384	379	1,6	-0,1	1,7
58	180,0	413	407	2,2	2,0	0,2
60	180,0	405	396	3,0	3,3	-0,3
62	180,0	390	392	-0,2	-0,4	0,2
63	180,0	389	392	-0,4	-0,2	-0,2
65	180,0	373	382	-1,8	-0,1	-1,7
66	180,0	360	352	2,2	1,7	0,5
67	180,0	377	380	-0,4	-0,5	0,1
68	180,0	399	401	-0,2	-0,1	-0,1

Masttype	Min van Lijnhoek (°)	Wind span (m)	Weight span (m)	Hoogteverschil ba+ah (m)	Hoogteverschil back (m)	Hoogteverschil ahead (m)
71	180,0	373	378	-0,9	0,3	-1,2
72	180,0	379	368	3,3	1,2	2,0
73	180,0	397	412	-3,8	-2,0	-1,8
74	180,0	408	400	2,6	1,8	0,8
76	180,0	399	396	1,1	1,2	-0,1
77	180,0	400	399	0,7	0,1	0,6
78	180,0	400	407	-1,7	-0,6	-1,0
79	180,0	400	399	0,6	1,0	-0,4
80	180,0	400	400	0,2	0,4	-0,2
81	180,0	400	400	0,4	0,2	0,2
83	180,0	382	378	1,3	0,6	0,7
84	180,0	370	374	-0,5	-0,7	0,2
86	180,0	375	375	0,1	0,1	0,0
87	180,0	375	379	-0,9	0,0	-0,9
88	180,0	372	373	0,3	0,9	-0,6
89	180,0	380	378	0,8	0,6	0,2
91	180,0	325	322	0,9	-0,3	1,2
92	180,0	350	351	0,3	-1,2	1,5
94	180,0	345	334	3,0	3,5	-0,5
95	180,0	370	372	-0,1	0,5	-0,6
96	180,0	399	400	0,0	0,6	-0,6
97	180,0	398	397	0,9	0,6	0,3
101	180,0	399	369	9,1	10,4	-1,3
102	180,0	392	386	2,0	1,3	0,7
104	180,0	368	368	0,7	0,5	0,2
105	180,0	377	383	-1,3	-0,2	-1,1
106	180,0	370	372	0,1	1,1	-1,1
107	180,0	342	342	0,7	1,1	-0,4
108	180,0	342	336	1,8	0,4	1,4
109	180,0	362	372	-1,9	-1,4	-0,5
110	180,0	362	360	0,8	0,5	0,4
111	180,0	358	328	9,2	-0,4	9,6
123	180,0	387	363	8,4	7,3	1,1
124	180,0	350	362	-2,4	-1,1	-1,3
125	180,0	350	343	2,1	1,3	0,9
126	180,0	350	349	0,4	-0,9	1,3
129	180,0	396	405	-2,0	-1,2	-0,8
131	180,0	360	363	-0,4	1,1	-1,4
132	180,0	319	310	2,1	1,4	0,6
S+6	180,0	374	387	2,7	1,6	9,1
6	180,0	351	352	2,7	-6,4	9,1
33	180,0	374	387	-3,6	1,6	-5,2
S+15	180,0	387	438	-8,5	-0,6	0,6
7	180,0	387	417	-8,5	-9,1	0,6
8	180,0	381	438	-15,8	-0,6	-15,2
99	180,0	336	418	-19,4	-15,8	-3,6
S+3	180,0	413	427	3,2	0,2	3,0
10	180,0	310	327	-3,4	-3,2	-0,2
11	180,0	328	315	3,2	0,2	3,0
35	180,0	407	419	-3,0	-2,9	-0,1
36	180,0	399	398	0,7	0,1	0,6
37	180,0	390	404	-3,6	-0,6	-3,0
57	180,0	399	413	-3,7	-1,7	-2,0
59	180,0	413	427	-3,5	-0,2	-3,3
S+0 T1	180,0	382	384	1,0	1,3	0,1

Masttype	Min van Lijnhoek (°)	Wind span (m)	Weight span (m)	Hoogteverschil ba+ah (m)	Hoogteverschil back (m)	Hoogteverschil ahead (m)
12	180,0	303	317	-3,2	-3,0	-0,2
64	180,0	382	383	0,2	0,2	0,1
70	180,0	373	370	1,0	1,3	-0,3
127	180,0	374	384	-2,0	-1,3	-0,7
S+12	180,0	412	453	-2,3	3,6	0,2
14	180,0	406	453	-12,9	-11,5	-1,5
15	180,0	412	421	-2,3	1,5	-3,8
27	180,0	331	369	-10,7	-10,9	0,2
28	180,0	334	372	-10,7	-0,2	-10,5
50	180,0	312	361	-11,9	-11,7	-0,1
51	180,0	344	383	-11,2	0,1	-11,3
100	180,0	366	388	-6,8	3,6	-10,4
S+9	180,0	401	425	9,8	3,8	6,0
16	180,0	401	368	9,8	3,8	6,0
18	180,0	400	425	-6,6	3,7	-10,2
113	180,0	304	353	-12,2	-1,2	-11,0
S+15 T1	180,0	396	431	-9,7	-6,0	-3,7
17	180,0	396	431	-9,7	-6,0	-3,7
S+6 T3	180,0	379	413	-8,9	-7,3	-1,6
32	180,0	379	413	-8,9	-7,3	-1,6
S+0 T3	180,0	350	371	-5,0	-1,5	-3,5
93	180,0	350	371	-5,0	-1,5	-3,5
S+9 T1	180,0	290	320	-8,4	-9,6	1,2
112	180,0	290	320	-8,4	-9,6	1,2
S+9(C)	180,0	281	348	-2,9	-2,9	0,0
116	180,0	281	348	-2,9	-2,9	0,0
HB+0(TC)	154,9	315	314	1,8	0,2	1,7
119	154,9	315	314	1,8	0,2	1,7

In Tabel 17 is voor alle masttypes in de 380 kV-verbinding MBT-EHV aangegeven welk mastnummer als maatgevend wordt gezien en waarvoor de berekening zal worden uitgevoerd. Vanwege de lijnhoek is het bij hoekmasten noodzakelijk om meer locaties te berekenen dan in het geval van steunmasten.

Tabel 17 Maatgevende masten

Masttype	Maatgevende Locatie	Opmerking
EA+0	1	Mast 1 maatgevend vanwege lijnhoek en weight span
EHV Portaal 1	134	Locatiespecifiek
HA+0	9, 75	Mast 9 met grootste lijnhoek maatgevend. Vanwege grotere weight span mast 75 ook beschouwen
HA+0 T1	128	Mast 128 vanwege lijnhoek maatgevend
HB+0	90, 54	Mast 90 maatgevend vanwege lijnhoek. Mast 54 vanwege weight span ook beschouwen.
HB+0(TC)	119	Locatiespecifiek
HC+0	4, 82, 98	Alle drie de locaties beschouwen
MBT Portaal	0	Locatiespecifiek
S+0	58	Mast 58 maatgevende wind en weight span. Hoogteverschil van 12 m ook meenemen.
S+0 T1	64	Mast 64 maatgevende wind span. Fractioneel grotere weight span en hoogteverschil overige masten verwaarloosbaar.
S+0 T3	93	Locatiespecifiek
S+0(C)	121	Locatiespecifiek
S+0(TC)	120	Mast 120 maatgevende wind span, hogere mast 118 meenemen
S+0(XC)	115	Locatiespecifiek
S+0(XC) T1	122	Locatiespecifiek
S+12	15	Mast 15 maatgevende wind span, lagere mast 14 meenemen
S+15	7	Mast 7 maatgevende wind span, lagere mast 8 meenemen
S+15 T1	17	Locatiespecifiek
S+3	59	Mast 59 maatgevende wind en weight span, hogere mast bij 11 meenemen
S+6	33	Mast 33 maatgevende wind en weight span, hogere mast bij 11 meenemen
S+6 T3	32	Locatiespecifiek
S+9	16	Mast 16 maatgevende wind span. Hoogteverschil van mast 18. S+9 Helmond locatiespecifiek
S+9 T1	112	Helmondmast. Locatiespecifiek
S+9(C)	116	Locatiespecifiek
S+9(TC)	117	Locatiespecifiek
WA+0	39	Mast 39 maatgevend vanwege grootste lijnhoek

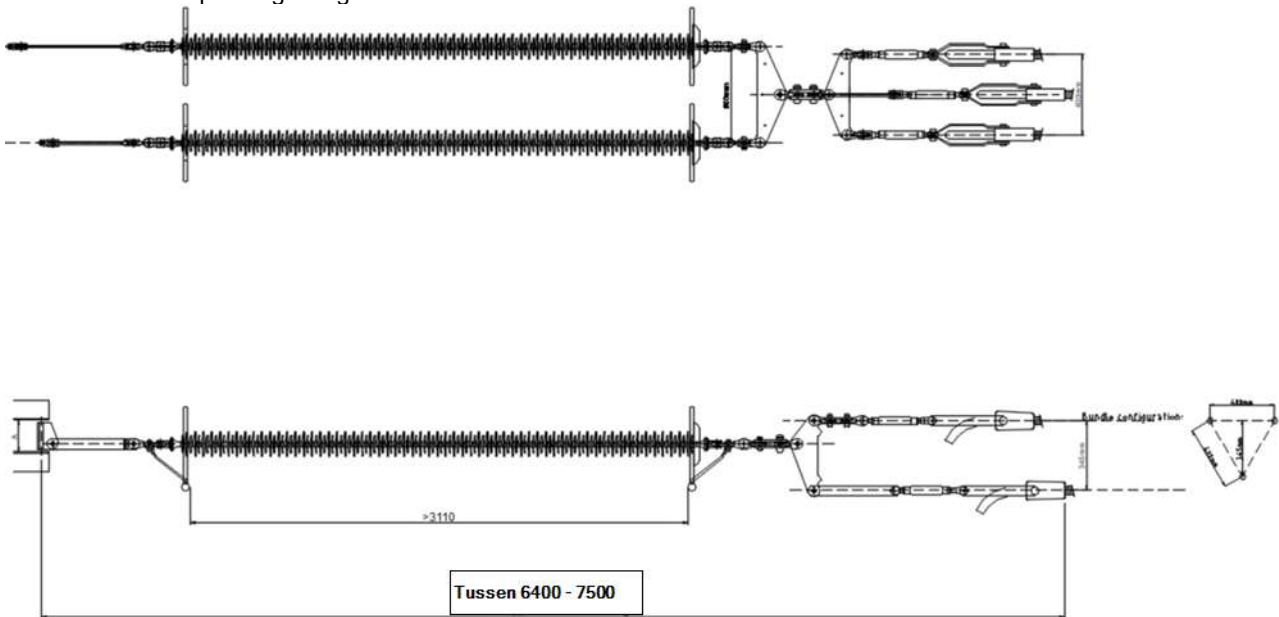
Mocht uit de toetsing van de fundatie blijken dat een van de locaties binnen de set van een masttype op basis van de maximale veldlengte en hoogteverschillen met een kleine overschrijding (5%) niet voldoet, dan is dat op basis van de locatie-specifieke veldlengte mogelijk wel het geval. In die gevallen waar dat zin heeft, bijvoorbeeld bij substantieel kleinere veldlengtes, dan wordt een locatiespecifieke berekening van de reacties uitgevoerd. Dit kan bepaald worden als de fundaties berekend zijn.

APPENDIX E

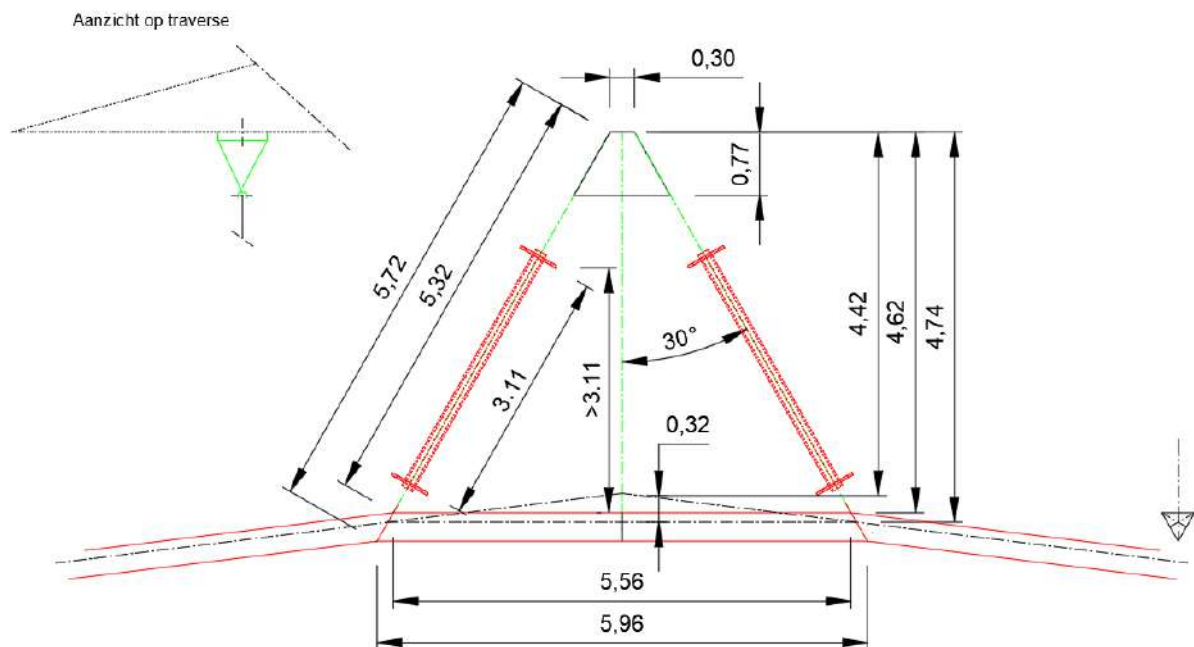
Isolatoren

Van onderstaande concept-tekeningen is gebruikgemaakt voor het opstellen van gewichten, windoppervlaktes en het toetsen van de elektrische afstanden.

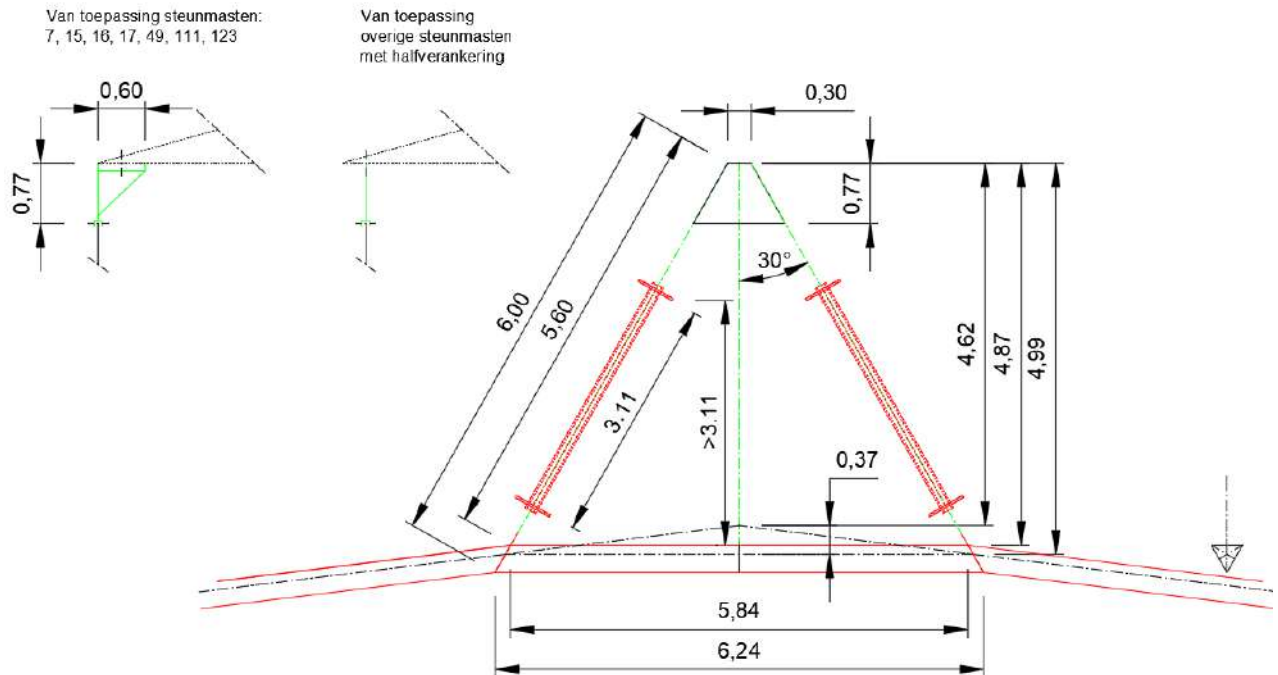
Voorbeeld van afspanning fasegeleider



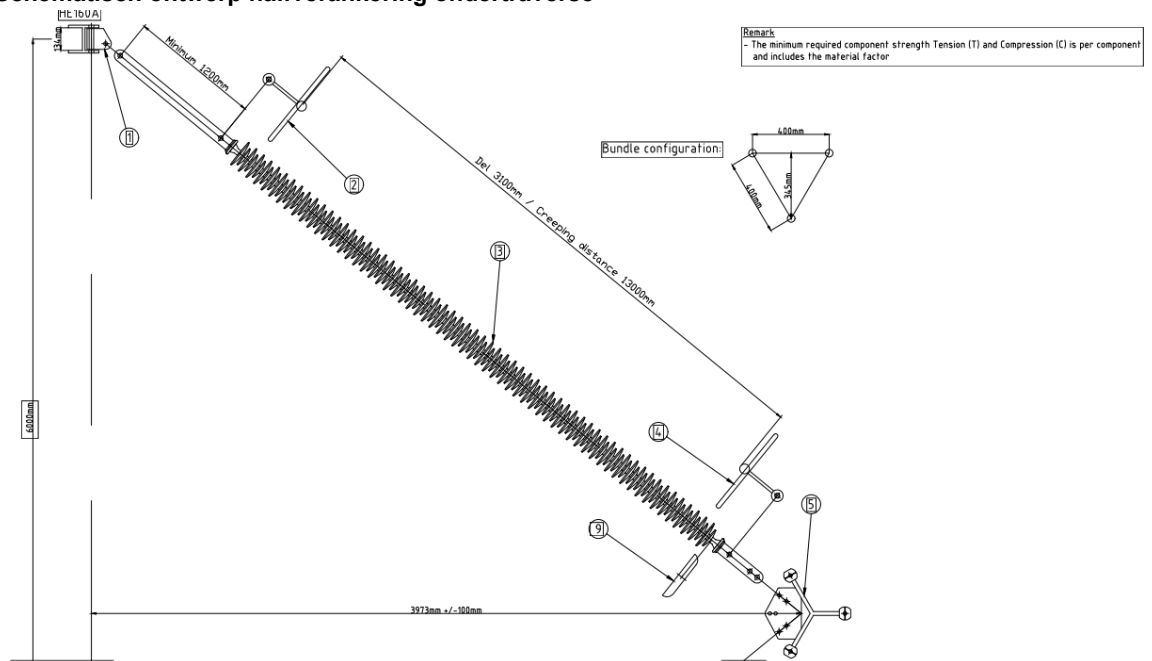
Figuur 9 Voorbeeld van afspanning fasegeleider



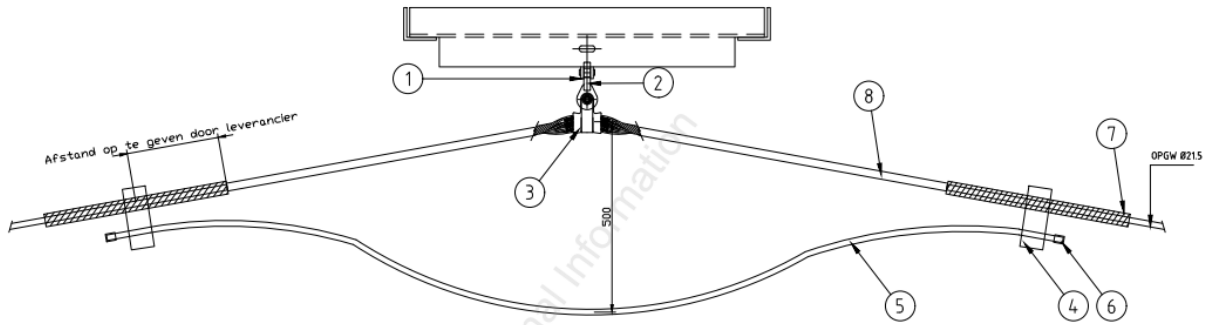
Figuur 10 Schematisch ontwerp halfverankering boventraverse.



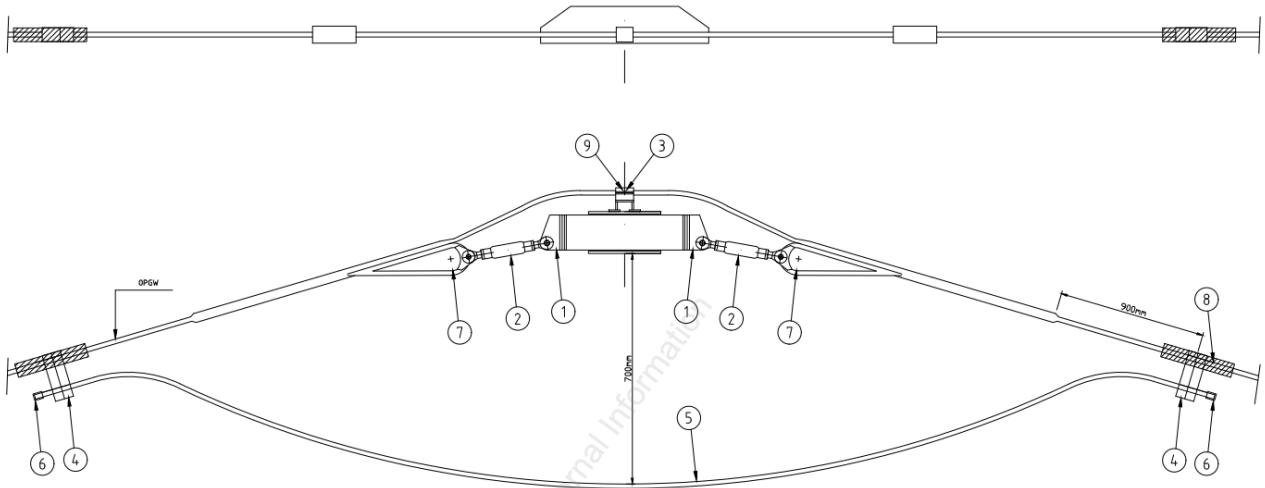
Figuur 11 Schematisch ontwerp halfverankering ondertraverse



Figuur 12 Schematisch ontwerp bretelle fixatie (90° groteerd)

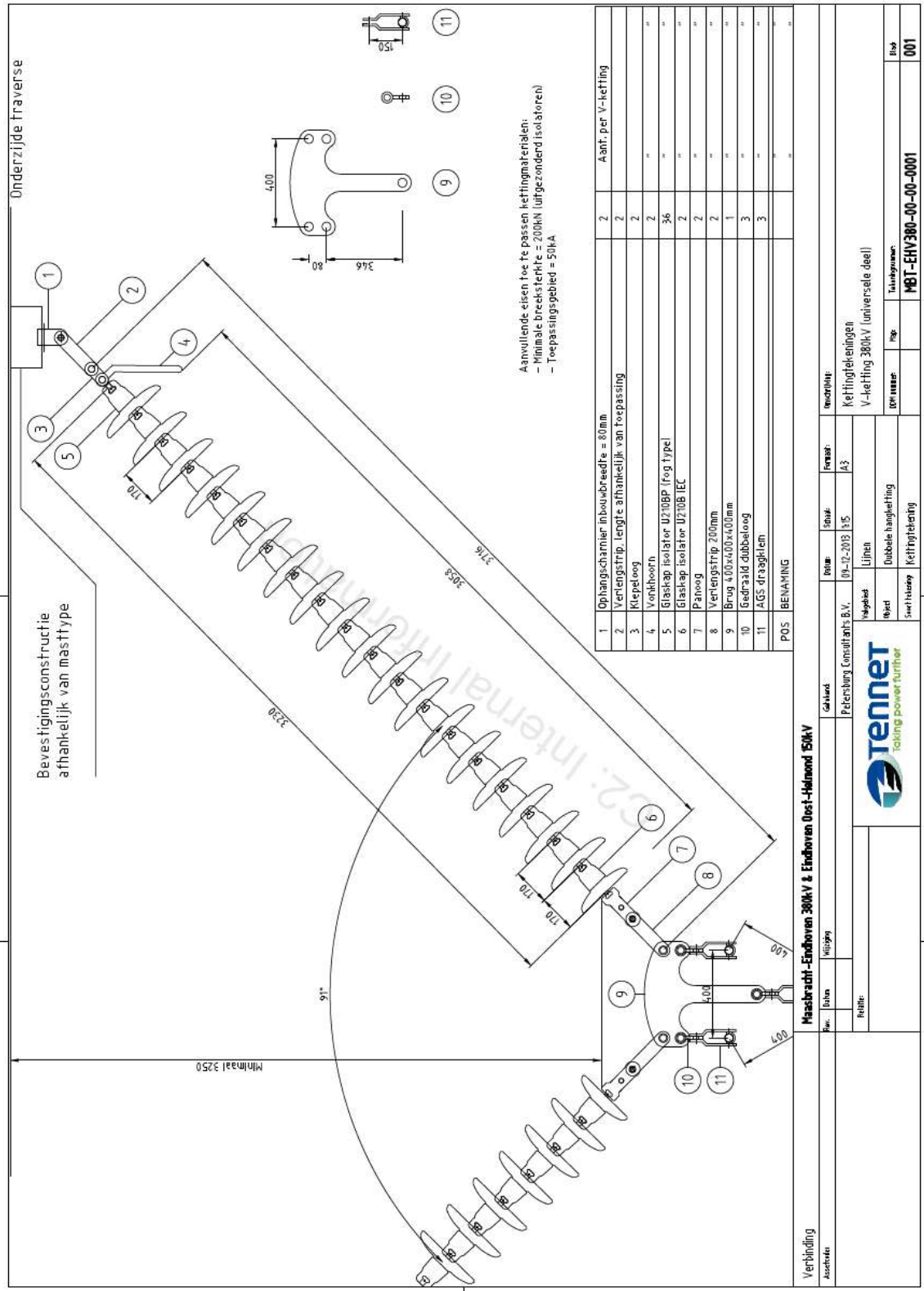


Figuur 13 Voorbeeld principe ophanging OPGW



Figuur 14 Voorbeeld principe afspanning OPGW

380kV Isolatorkettingen Combimasten Ter hoogte van Brandevoort-Helmond



Isolatoren

	Factor	Lengte	Breedte		Windoppervlak	Kettinggewicht leverancier	
						[kg]	[kN]
Dubbele ophanging							
Long rod insulator	2/3	3,1	0,15	0,31			
Strippen	1	1	0,07	0,07			
Corona ringen	2	0,025	1	0,05			
Brug	1	0,4	0,1	0,04			
Strippen en AGS klemmen	3	0,2	0,05	0,03			
					0,50 m ²		
Per set van dubbele ophanging (afgerond)					1,00 m ²		140 1,5
Halfverankering							
Long rod insulator	2/3	3,1	0,15	0,31			
Strippen toebehoren	1	1	0,07	0,07			
Corona ringen	2	0,025	1	0,05			
Brug	1	0,4	0,1	0,04			
Strippen en AGS klemmen	1	0,5	0,05	0,03			
					0,50 m ²		
Per set halfverankering (afgerond)					1,00 m ²		181 2,0
Ophanging bliksemendraad							
AGS-unit	1	0,2	0,1	0,02			
Strippen toebehoren	1	0,3	0,1	0,03			
					0,05 m ²		
Afspanning 380 kV							
Long rod insulator	2/3	3,1	0,15	0,31			
Strippen	1	1	0,07	0,07			
Corona ringen	2	0,025	1	0,05			
Brug	1	0,4	0,1	0,04			
					0,47 m ²		
Per twee benen					0,94		
Strippen en keilklemmen	3	0,3	0,05	0,05			
Per afspanset (per zijde)					1,00 m ²		173 2,0
V-ophanging							
Post rod isolator	2/3	5	0,25	0,83			
Coronaringen	2	0,025	1	0,05			
Stalen onderdelen en bevestiging	1	1	0,1	0,10			
					0,98 m ²		
Per set van dubbele ophanging (afgerond)					2,00 m ²		325 3,5
Bretel-fixatie							
Post rod isolator	2/3	5	0,25	0,83			
Coronaringen	2	0,025	1	0,05			
Stalen onderdelen en bevestiging	1	1	0,1	0,10			
					0,98 m ²		
Per set van dubbele ophanging (afgerond)					2,00 m ²		325 3,5
Afspanning bliksemendraad							
Keilklem met pendel	1	0,3	0,1	0,03			
Afgerond					0,05 m ²		

APPENDIX F

Antennesites

Telecommunications equipment for tower 12 (S+0)

Equipment label	Quantity	A _{frontal} /m [m ² /m]	A _{frontal} [m ²]	Mass [kg]	Mass [kg/m]
RFS antenne APXVERR26-C	1		0.74	28.30	
RFS antenne APXVERR26-C	2		0.47	28.30	
DTMA 1800	3		0.05	8.00	
Buis 139.7 x 6.3	7		0.14	20.59	
UNP 120	3		0.12	13.30	
Buis 60.3 x 4	6		0.06	5.50	
1 1/4" feederbundel 3 x 2 per m	50	0.14			7.89
1 1/4" feederbundel 3 x 2 per m	50	0.14			7.89
Total		0.28	3.53	326.10	15.78

Equipment details for tower 17 (S+15)

Equipment label	Quantity	A _{frontal} /m [m ² /m]	A _{frontal} [m ²]	Mass [kg]	Mass [kg/m]
Kathrein 742 215 Multiband F-paneel	1		0.20	7.50	
Kathrein 742 215 Multiband F-paneel	1		0.09	7.50	
Kathrein 742 215 Multiband F-paneel	1		0.09	7.50	
Ericsson KRY11242/3	1		0.05	5.00	
Ericsson KRY11242/4	1		0.03	5.00	
Ericsson KRY11242/5	1		0.03	5.00	
Schotel 600mm	1		0.28	40.00	
HUAWEI ADU451604 2.0 dualband	1		0.60	21.20	
HUAWEI ADU451604 2.0 dualband	1		0.30	21.20	
HUAWEI ADU451604 2.0 dualband	1		0.30	21.20	
Radio remote unit	2		0.38	40.00	
Radio remote unit	4		0.36	80.00	
Schotel 600mm	1		0.28	40.00	
Buis 60.3 x 5 mm per m	6		0.36	40.44	
HUAWEI ATR4518R7 2.5m Tri-Band	1		0.88	29.50	
HUAWEI ATR4518R7 2.5m Tri-Band	1		0.42	29.50	
HUAWEI ATR4518R7 2.5m Tri-Band	1		0.42	29.50	
T-Mobile RRU 3 st boven elkaar (900/1800/2100MHz)	1		0.36	48.00	
T-Mobile RRU 3 st boven elkaar (900/1800/2100MHz)	1		0.17	48.00	
T-Mobile RRU 3 st boven elkaar (900/1800/2100MHz)	1		0.17	48.00	
Schotel 300mm	1		0.07	25.00	
1 1/4" feederbundel 3x2 per m	39	0.14			5.16
1 1/2" hostalietpijp 2x1 per m	84	0.08			1.60
Total		0.22	5.80	599	6.76

Eigenschappen antenne mast 32 (S+6)

Object	Number	A _{frontal} /m	Mass	Orientation	A _{frontal}	A _{parallel}	C _{t,frontal}	C _{t,parallel}	n x A x C	n x A	M
	[-]	[m ² /m]	[kg]		[m ²]	[m ²]	[-]	[-]	[m ²]	[m ²]	[kg]
Kathrein 742 215 Multiband F-paneel	1		7.5	Loodrecht	0.2	0.09	2.0	2.0	0.4	0.2	7.5
Kathrein 742 351 paneel	1		13.5	Loodrecht	0.39	0.09	2.0	2.0	0.8	0.4	13.5
Kathrein 742 351 paneel	1		13.5	Evenwijdig	0.39	0.09	2.0	2.0	0.2	0.1	13.5
Schotel 300 mm	1		25	Loodrecht	0.07	0.06	2.0	2.0	0.1	0.1	25.0
Ericsson KRY11242/3	1		5	Loodrecht	0.05	0.03	2.0	2.0	0.1	0.1	5.0
Ericsson KRY11242/3	2		5	Evenwijdig	0.05	0.03	2.0	2.0	0.1	0.1	10.0
Ericsson KRY12163/1	1		0.5	Loodrecht	0.01	0.01	2.0	2.0	0.0	0.0	0.5
Ericsson KRY12163/1	2		0.5	Loodrecht	0.01	0.01	2.0	2.0	0.0	0.0	1.0
Buis 48.3 x 4 mm per m	6		4.34	Loodrecht	0.05	0.01	1.2	1.2	0.4	0.3	26.0
Buis 60.3 x 4 mm per m	4		5.52	Loodrecht	0.06	0.01	1.2	1.2	0.3	0.2	22.1
Kathrein 742 215 Multiband F-paneel	1		7.5	Loodrecht	0.2	0.09	2.0	2.0	0.4	0.2	7.5
Kathrein 742 215 Multiband F-paneel	2		7.5	Loodrecht	0.2	0.09	2.0	2.0	0.8	0.4	15.0
Schotel 600 mm	1		40	Loodrecht	0.28	0.12	2.0	2.0	0.6	0.3	40.0
Buis 48.3 x 4 mm per m	6		4.34	Loodrecht	0.05	0.01	1.2	1.2	0.4	0.3	26.0
Buis 60.3 x 4 mm per m	4		5.52	Loodrecht	0.06	0.01	1.2	1.2	0.3	0.2	22.1
Summed values VF									2.4	1.4	124.1
Summed values KPN									2.4	1.4	110.6
									Ct=	1.70	

Equipment details for tower 34 (HA+0)

Equipment label	Quantity	A _{frontal} /m	A _{frontal}	Mass	Mass
		[m ² /m]	[m ²]	[kg]	[kg/m]
HUAWEI ATR4518R7 Tri-Band	1		0.88	29.50	
HUAWEI ATR4518R7 Tri-Band	1		0.42	29.50	
HUAWEI ATR4518R7 Tri-Band	1		0.42	29.50	
T-Mobile RRU 3 st boven elkaar (900/1800/2100MHz	1		0.36	48.00	
T-Mobile RRU 3 st boven elkaar (900/1800/2100MHz	1		0.17	48.00	
T-Mobile RRU 3 st boven elkaar (900/1800/2100MHz	1		0.17	48.00	
Schotel 600 mm	1		0.28	40.00	
Buis 139.7 x 6.3 mm per m	7		0.98	144.13	
UNP 100 per m	4		0.40	42.40	
UNP 100 per m	4		0.40	42.40	
Voeding T-mob 3x3 14mm per m (zonder railsysteem)	47	0.04			2.67
Fiber T-mob 2x9 7mm per m (zonder railsysteem)	47	0.06			0.79
Trunkrail 41x41mm per m	47	0.09			2.58
RG214-50 1x1 per m (zonder railsysteem)	46	0.01			0.19
Total		0.20	4.48	501.43	6.23

Eigenschappen antenne mast 35 (S+3)

Object	Number	A _{frontal} /m	Mass	Orientation	A _{frontal}	A _{parallel}	C _{t,frontal}	C _{t,parallel}	n x A x C	n x A	M
	[-]	[m ² /m]	[kg]		[m ²]	[m ²]	[-]	[-]	[m ²]	[m ²]	[kg]
Kathrein 739 494 F-paneel	1		6,0	Frontal	0.2	0.06	2.0	2.0	0.4	0.2	6.0
Kathrein 739 494 F-paneel	2		6,0	Parallel	0.2	0.06	2.0	2.0	0.2	0.1	12.0
Ericsson KRY11242/3	1		5,0	Frontal	0.1	0.03	2.0	2.0	0.1	0.1	5.0
Ericsson KRY11242/3	2		5,0	Parallel	0.05	0.03	2.0	2.0	0.1	0.1	10.0
Buis 60.3 x 4 mm per m	24		6,0	Frontal	0.06	0.01	1.2	1.2	1.7	1.4	132.5
Buis 48.3 x 4 mm per m	8		4,0	Frontal	0.05	0.01	1.2	1.2	0.5	0.4	34.7
Summed values									3.1	2.3	200.2
									C _t =	1.35	

Telecommunications equipment for tower 64 (S+0)

Equipment label	Quantity	A _{frontal} /m	A _{frontal}	Mass	Mass
		[m ² /m]	[m ²]	[kg]	[kg/m]
Kathrein 742 215 Multiband F-paneel	1		0.20	7.50	
Kathrein 742 215 Multiband F-paneel	2		0.09	7.50	
Ericsson KRY11242/3	1		0.05	5.00	
Ericsson KRY11242/3	2		0.03	5.00	
Buis 114.3 x 5	5		0.11	13.35	
UNP 140	9		0.14	16.00	
1 1/4" feederbundel 3 x 2 per m	50	0.14			7.89
Total		0.14	2.30	248.30	7.89

Telecommunications equipment for tower 70 (S+0)

Equipment label	Quantity	A _{frontal} /m	A _{frontal}	Mass	Mass
		[m ² /m]	[m ²]	[kg]	[kg/m]
Schotel 300mm	1		0.07	25.00	
Schotel 300mm	1		0.06	25.00	
Kathrein 80010310V01 Panel Antenna 85°	1		0.67	14.00	
Kathrein 80010310V01 Panel Antenna 85°	2		0.25	14.00	
Buis 114.3 x 12.5	6		0.11	31.18	
UNP 160	6		0.16	18.90	
1 1/2" hostalietpijp 2 x 1 per m	53	0.08			4.33
7/8" feederbundel 3 x 2 per m	53	0.11			5.79
Total		0.19	2.92	392.50	10.12

Telecommunications equipment for tower 93 (S+0)

Equipment label	Quantity	A _{frontal} /m [m ² /m]	A _{frontal} [m ²]	Mass [kg]	Mass [kg/m]
Kathrein 80020892	1		1.02	44.70	
Kathrein 80020892	2		0.46	44.70	
Kathrein 782 109 (71 & 73) Dual-Band	1		0.04	5.80	
Kathrein 782 109 (71 & 73) Dual-Band	2		0.02	5.80	
Radio 2217 3 st + 1 Power 6302	3		0.21	52.00	
Radio 2212 RRU	3		0.14	20.00	
FTTA box	3		0.11	15.00	
Schotel 300mm	1		0.07	25.00	
Buis 60 x 5	22		0.06	6.74	
Voeding KPN 3 x 1 13mm per m (zonder railsysteem)	20	0.04			0.89
Hybride kabel (22mm) 3x	20	0.07			4.44
RG214-50 1 x 1 per m (zonder railsysteem)	25	0.01			0.19
Total		0.12	4.79	585.80	5.52

Equipment details for tower 115 (S+0 xc)

Equipment label	Quantity	A _{frontal} /m [m ² /m]	A _{frontal} [m ²]	Mass [kg]	Mass [kg/m]
Kathrein 800 10486	1		0.66	28.00	
Kathrein 800 10486	1		0.35	28.00	
Kathrein 800 10486	1		0.35	28.00	
Ericsson KRY11242/3	1		0.05	5.00	
Ericsson KRY11242/4	1		0.03	5.00	
Ericsson KRY11242/5	1		0.03	5.00	
Buis 114.3 x 5 mm met klimvoorziening per m	7		0.77	93.45	
1 1/4" feederbundel 3x2 per m	50	0.14			0.79
Total		0.14	2.24	192.45	0.79

Telecommunication equipment for mast 117 (S+9 tc)

Equipment label	Height (on Structure)	Quantity	A _{frontal} /m [m ² /m]	A _{frontal} [m ²]	Mass [kg]	Mass [kg/m]
Equipment between lowest and lower-middle crossarms						
Kathrein 80010691 Tripleband A-paneel - T-Mobile	26.5	1		0.62	28.5	
Kathrein 80010691 Tripleband A-paneel - T-Mobile	26.5	1		0.31	28.5	
Kathrein 80010691 Tripleband A-paneel - T-Mobile	26.5	1		0.31	28.5	
Buis 60.3 x 4mm per m		37.43	0.06			5.52
Total			0.06	1.24	85.5	5.52
Equipment between lower-middle and upper-middle crossarms						
Kathrein 80010699 Dualband A-paneel – Vodafone	37.5	1		0.68	28	
Kathrein 80010699 Dualband A-paneel – Vodafone	37.5	1		0.39	28	
Kathrein 80010699 Dualband A-paneel – Vodafone	37.5	1		0.39	28	
Schotel 300mm – Vodafone	39.3	1		0.07	25	
Buis 60.3 x 4mm per m		30.4	0.06			5.52
Total			0.06	1.53	109	5.52
Feeder cables						
1 x 5/8" feederbundel 3x2 per m		30	0.16			9.87
1 x 1/4" feederbundel 3x2 per m		30	0.14			7.89
1 x 1/4" feederbundel 3x2 per m		36	0.14			7.89
1 x 7/8" feederbundel 3x2 per m		36	0.11			5.79
Total			0.55			31.44

Telecommunications equipment for tower 127 (S+0)

Equipment label	Quantity	A _{frontal} /m [m ² /m]	A _{frontal} [m ²]	Mass [kg]	Mass [kg/m]
Horiz construction 1	1		0.55		
Horiz construction 1	1		0.25		
Vert. Pijp	1		1.11		
Schotel d = 390	1		0.12		
Schotel d = 690	1		0.37		
Antenna	2		0.51		
Kabel 7/8"	47	0.056			
Hostalietpijp 1-1/2"	47	0.040			
Rail	47	0.050			
Total		0.146	3.42		

Equipment details for tower 128 (HA+0)

Equipment label	Quantity	A _{frontal} /m [m ² /m]	A _{frontal} [m ²]	Mass [kg]	Mass [kg/m]
Kathrein 80010486V01 Dualband D-paneel	1		0.66	30.00	
Kathrein 80010486V01 Dualband D-paneel	1		0.35	30.00	
Kathrein 80010486V01 Dualband D-paneel	1		0.35	30.00	
Schotel 300mm	1		0.07	25.00	
Schotel 300mm	1		0.06	25.00	
Buis 139.7 x 10 mm met klimvoorziening per m	7		0.98	222.46	
Kathrein (D)TMA	1		0.04	3.50	
Kathrein (D)TMA	1		0.02	3.50	
Kathrein (D)TMA	1		0.02	3.50	
UNP 120 per m	5		0.60	66.50	
Ericsson KRY12163/1	2		0.02	1.00	
Ericsson KRY12163/1	2		0.02	1.00	
Ericsson KRY12163/1	2		0.02	1.00	
7/8" feederbundel 3x2 per m	48	0.110			3.06
1 1/4" feederbundel 4x2 per m	48	0.170			6.88
Rail per m	48	0.035			
Total		0.315	3.2	442.5	9.94

APPENDIX G

Asset-data

Tabel 18 Asset data Maasbracht Eindhoven

Omschrijving	File
Algemeen	150-380kV Combilijn Helmond-Brandevoort.pdf Overzicht klokgetallen en Cereuitkleuren.pdf
Reconstructie	Reconstructie MBT-EHV380 & EHVO-HMD150.pdf
Spanveldschema	Spanveldschema mast 103 tm 133.pdf Spanveldschema mast 61 tm 102.pdf
Trac,tekeningen	Mast 1 tm 5.pdf Mast 103 tm 109.pdf Mast 109 tm 115.pdf Mast 11 tm 19.pdf Mast 115 tm 122.pdf Mast 115n tm 122n.pdf Mast 122 tm 127.pdf Mast 127 tm 133.pdf Mast 13 tm 20.pdf Mast 131 tm station EHV380.pdf Mast 20 tm 28.pdf Mast 28 tm 32.pdf Mast 32 tm 36.pdf Mast 37 tm 41.pdf Mast 4 tm 7.pdf Mast 41 tm 45.pdf Mast 45 tm 50.pdf Mast 50 tm 55.pdf Mast 55 tm 58.pdf Mast 58 tm 63.pdf Mast 61 tm 64.pdf Mast 65 tm 70.pdf Mast 7 tm 11.pdf Mast 70 tm 75.pdf Mast 75 tm 80.pdf Mast 81 tm 86.pdf Mast 86 tm 92.pdf Mast 92 tm 98.pdf Mast 98 tm 103.pdf
Constructie berekening	1967 - Berekening Wisselmasten 180-160.pdf 1967 - Berekeningen Wisselmasten WA 160-140.pdf 2007 - 20070810 D&C 8615 Constructie berekeningen (mast 12).pdf 2008 - NV080100-R32 SR (mast 117).pdf 2010 - 17572 Detailberekening Rev.0 (mast 120).pdf 2010 - NV100100-R08 JJ (mast 120).pdf 2011 - MBT-EHV380 115 Ontwerp Petersburg.pdf 2011 - MBT-EHV380 119 Ontwerp Petersburg.pdf 2011 - MBT-EHV380 122 Ontwerp Petersburg.pdf 2011 - Reconstructie Helmond Ontwerp HB+0-tc.pdf 2011 - Reconstructie Helmond Ontwerp S+9-tc.pdf 2012 - B3a THelmonde_ExistTower#116_Platforms_Calcul_GA9032-12-029-B3a (mast 116).pdf 2012 - B4a THelmonde_ExistTower#117_Platforms_Calcul_GA9032-12-029-B4a (mast 117).pdf 2012 - Controle zijvlak mast 32.pdf 2012 - Detail engineering ladders platforms mast 117.pdf 2012 - Detail engineering ladders platforms.pdf 2012 - MBT-EHV380 120 Ontwerp Petersburg.pdf 2012 - MBT-EHV380 121 Ontwerp Petersburg.pdf 2012 - MBT-EHV380 118 Ontwerp Petersburg.pdf 2013 - Constructieberekening mast 117n.pdf xxxx - Reactiekrachten KPN 8661 Leveroy.pdf
Constructie tekG-portaal	00000061 traverse portaal g (1).pdf 00000061 traverse portaal g.pdf 1411-16-2 bovenkant.pdf 142301--.pdf 389888--.pdf 466AH-67.pdf 466AH-76.pdf 758-B-68.pdf 758-H-1.pdf 758-H-14.pdf

Omschrijving	File
	A1-E-1422-18.pdf E16727_STIJLEN_VAN_G_PORTAAL--.pdf E16729_DETAILS KLIMLADDER G PORTAAL-1.pdf TNNT001267-00062.pdf vraag JWL.pdf
Mast type EA	Bovenstuk type EA.pdf Boven traverse type EA.pdf Onderstuk type EA.pdf Onder traverse type EA.pdf Tussenstuk type EA.pdf
Mast type HA+0	Bovenstuk HA+0.pdf Boven traverse HA+0.pdf Onderstuk HA+0.pdf Onder traverse HA+0.pdf Tussenstuk HA+0.pdf
Mast type HB+0	Bovenstuk HB+0.pdf Boven traverse HB+0.pdf Onderstuk HB+0.pdf Onder traverse deel 1 HB+0.pdf Onder traverse deel 2 HB+0.pdf Tussenstuk HB+0.pdf
Mast type HB+0(tc) (mast 119)	1 Midden Traverse 1 2 HB+0(tc) mast 119.pdf 1 Midden Traverse 2 2 HB+0(tc) mast 119.pdf 1 Midden Traverse Bordessen HB+0(tc) mast 119.pdf 1 Tussenstuk HB+0(tc) mast 119.pdf 2 Midden Traverse 1 2 HB+0(tc) mast 119.pdf 2 Midden Traverse Bordessen HB+0(tc) mast 119.pdf 2 Tussenstuk HB+0(tc) mast 119.pdf 3 Tussenstuk HB+0(tc) mast 119.pdf 4 Tussenstuk HB+0(tc) mast 119.pdf 5 Tussenstuk HB+0(tc) mast 119.pdf Aanzicht A en Doorsnede A-A HB+0(tc) mast 119.pdf Bordessen Boven Traverse HB+0(tc) mast 119.pdf Bordessen HB+0(tc) mast 119.pdf Boven Traverse (Doorsnede C-C) HB+0(tc) mast 119.pdf Boven Traverse HB+0(tc) mast 119.pdf Bovenaanzicht met toe te passen kettingen.pdf Doorsnede A-A Bordessen HB+0(tc) mast 119.pdf Doorsnede B-B 1 Tussenstuk HB+0(tc) mast 119.pdf Doorsnede C-C, Doorsnede D-D en Doorsnede E-E mast119.pdf Doorsnede D-D Bordessen HB+0(tc) mast 119.pdf Doorsnede F-F Bordessen 1 2 HB+0(tc) mast 119.pdf Doorsnede F-F Bordessen 2 2 HB+0(tc) mast 119.pdf Doorsnede F-F HB+0(tc) mast 119.pdf Doorsnede H-H HB+0(tc) mast 119.pdf Doorsnede I-I HB+0(tc) mast 119.pdf Doorsnede J-J Bordessen HB+0(tc) mast 119.pdf Doorsnede J-J HB+0(tc) mast 119.pdf Doorsnede K-K HB+0(tc) mast 119.pdf -1 Midden Traverse 1 2 HB+0(tc) mast 119.pdf -1 Midden Traverse 2 2 HB+0(tc) mast 119.pdf -1 Midden Traverse Bordessen HB+0(tc) mast 119.pdf -1 Tussenstuk (Doorsnede B-B) HB+0(tc) mast 119.pdf -1 Tussenstuk HB+0(tc) mast 119.pdf -2 Midden Traverse 1 2 HB+0(tc) mast 119.pdf -2 Midden Traverse Bordessen HB+0(tc) mast 11.pdf -2 Tussenstuk HB+0(tc) mast 119.pdf -3 Tussenstuk HB+0(tc) mast 119.pdf -4 Tussenstuk HB+0(tc) mast 119.pdf -5 Tussenstuk HB+0(tc) mast 119.pdf -Aanzicht A en Doorsnede A-A HB+0(tc) mast 11.pdf -Bordessen Boven Traverse HB+0(tc) mast 119.pdf -Boven Traverse (Doorsnede C-C) HB+0(tc) mast.pdf -Boven Traverse HB+0(tc) mast 119.pdf -Doorsnede A-A Bordessen HB+0(tc) mast 119.pdf -Doorsnede C-C Doorsnede D-D en Doorsnede E-E mast119.pdf -Doorsnede D-D Bordessen HB+0(tc) mast 119.pdf -Doorsnede F-F Bordessen 1 2 HB+0(tc) mast 11.pdf -Doorsnede F-F Bordessen 2 2 HB+0(tc) mast 11.pdf -Doorsnede F-F HB+0(tc) mast 119.pdf -Doorsnede H-H HB+0(tc) mast 119.pdf

Omschrijving	File
	-Doorsnede I-I HB+0(tc) mast 119.pdf -Doorsnede J-J Bordessen HB+0(tc) mast 119.pdf -Doorsnede J-J HB+0(tc) mast 119.pdf -Doorsnede K-K HB+0(tc) mast 119.pdf -Ladder HB+0(tc) mast 119.pdf -Onder Traverse 1 2 HB+0(tc) mast 119.pdf -Onder Traverse 2 2 HB+0(tc) mast 119.pdf -Onder Traverse Bordessen HB+0(tc) mast 119.pdf -Onderstuk HB+0(tc) mast 119.pdf Ladder HB+0(tc) mast 119.pdf Montagerahmen fur Mastunterteil.pdf Onder Traverse 1 2 HB+0(tc) mast 119.pdf Onder Traverse 2 2 HB+0(tc) mast 119.pdf Onder Traverse Bordessen HB+0(tc) mast 119.pdf Onderstuk HB+0(tc) mast 119.pdf Schraubentausch vor Mastverstarkung.pdf
Mast type HC+0	Bovenstuk HC+0.pdf Boven Traverse HC+0.pdf Onder traverse HC+0.pdf Onderstuk HC+0.pdf Tussenstuk HC+0.pdf
Mast type S+0	1e Tussenstuk S+0.pdf 2e Tussenstuk S+0.pdf Bovenstuk S+0.pdf Onderstuk S+0.pdf Ondertraverse S+0.pdf S+0 - Bovenste tussenstuk.pdf S+0 - Bovenstuk.pdf S+0 - Boven Traverse.pdf S+0 - Mastbeeld (deel 1).pdf S+0 - Mastbeeld (deel 2).pdf S+0 - Mastbeeld.pdf S+0 - Onderste tussenstuk.pdf S+0 - Onderstuk.pdf S+0 - Ondertraverse.pdf
Mast type S+0(c) (mast 121)	90030-03-06335 1.0.pdf 90030-03-06337 1.0.pdf 90030-03-06341 1.0.pdf 90030-03-06433 1.0.pdf 90030-03-06435 1.0.pdf 90030-03-06437 1.0.pdf 90030-03-06439 1.0.pdf 90030-03-06441 1.0.pdf 90030-03-06443 1.0.pdf 90030-03-06445 1.0.pdf 90030-03-06447 1.0.pdf 90030-03-06449 1.0.pdf 90030-03-06451 1.0.pdf 90030-03-06453 1.0.pdf 90317-02-04694 1.0.pdf 90317-02-04696 1.0.pdf 90317-02-04698 1.0.pdf 90317-02-04704 1.0.pdf 90317-02-10408 1.0.pdf 90801-03-05601 1.0.pdf 90801-03-05602 1.0.pdf 90801-03-05603 1.0.pdf 90801-03-05604 1.0.pdf 90801-03-05605 1.0.pdf 90801-03-05606 1.0.pdf 90801-03-05607 1.0.pdf 90801-03-05608 1.0.pdf 90801-03-05609 1.0.pdf 90801-03-05610 1.0.pdf 90801-03-05611 1.0.pdf 90801-03-05612 1.0.pdf 90801-03-05613 1.0.pdf 90801-03-05614 1.0.pdf 90801-03-05615 1.0.pdf 90801-03-05616 1.0.pdf 90801-03-05617 1.0.pdf 90801-03-05692 1.0.pdf

Omschrijving	File
Mast type S+0(tc) Combi (mast 118 + 120)	<ul style="list-style-type: none"> -1e Tussenstuk S+0(tc) mast 118 en 120.pdf -2e Tussenstuk S+0(tc) mast 118 en 120.pdf -3e, 4e, 5e Tussenstuk S+0(tc) mast 118 en 120.pdf -6e Tussenstuk S+0(tc) mast 118 en 120.pdf -Aanzicht A en doorsnede A-A S+0(tc) mast 118 en 120.pdf -Bordessen blad 1 S+0(tc) mast 118 en 120.pdf -Bordessen blad 2 S+0(tc) mast 118 en 120.pdf -Boventraverse S+0(tc) mast 118 en 120.pdf -Detail blad 1 (Middentraverse 1) S+0(tc) mast 118 en 120.pdf -Detail blad 1 S+0(tc) (2e Tussenstuk) mast 118 en 120.pdf -Detail blad 2 (Tussenstuk 3, 4 en 5) S+0(tc) mast 118 en 120.pdf 1e Tussenstuk S+0(tc) mast 118 en 120.pdf 2e Tussenstuk S+0(tc) mast 118 en 120.pdf 6e Tussenstuk S+0(tc) mast 118 en 120.pdf Aanzicht A en doorsnede A-A S+0(tc) mast 118 en 120.pdf Middentraverse 1 detail blad 1 S+0(tc) mast 118 en 120.pdf Middentraverse 1 S+0(tc) mast 118 en 120.pdf Middentraverse 2 S+0(tc) mast 118 en 120.pdf Onderstuk S+0(tc) mast 118 en 120.pdf Ondertraverse S+0(tc) mast 118 en 120.pdf Tussenstuk 3, 4 en 5 blad 2 S+0(tc) mast 118 en 120.pdf Tussenstuk 3, 4 en 5 S+0(tc) mast 118 en 120.pdf -Ladder S+0(tc) mast 118 en 120.pdf -Ladderbevestiging S+0(tc) mast 118 en 120.pdf -Middentraverse 1 S+0(tc) mast 118 en 120.pdf -Middentraverse 2 S+0(tc) mast 118 en 120.pdf -Onderstuk S+0(tc) mast 118 en 120.pdf -Ondertraverse S+0(tc) mast 118 en 120.pdf
Mast type S+0(xc) Combi (mast 115 + 122)	<ul style="list-style-type: none"> 1e Tussenstuk S+0(xc) mast 115N en 122N.pdf 2e Tussenstuk doorsnede B-B S+0(xc) mast 115N en 122N.pdf 3e Tussenstuk S+0(xc) mast 115N en 122N.pdf 4e Tussenstuk S+0(xc) mast 115N en 122N.pdf Bordessen A-A S+0(xc) mast 115N en 122N.pdf Bordessen B-B S+0(xc) mast 115N en 122N.pdf Bordessen D-D S+0(xc) mast 115N en 122N.pdf Bordessen E-E S+0(xc) mast 115N en 122N.pdf Boventraverse 1-2 S+0(xc) mast 115N en 122N.pdf Boventraverse 2-2 S+0(xc) mast 115N en 122N.pdf Doorsnede A-A g-g h-h S+0(xc) mast 115N en 122N.pdf Doorsnede b-b c-c S+0(xc) mast 115N en 122N.pdf Doorsnede C-C S+0(xc) mast 115N en 122N.pdf Doorsnede D-D S+0(xc) mast 115N en 122N.pdf Ladder S+0(xc) mast 115N en 122N.pdf Middentraverse 1-3 S+0(xc) mast 115N en 122N.pdf Middentraverse detail 1-3 S+0(xc) mast 115N en 122N.pdf Middentraverse detail 2-3 S+0(xc) mast 115N en 122N.pdf Middentraverse detail 3-3 S+0(xc) mast 115N en 122N.pdf Onderstuk basis S+0(xc) mast 115N en 122N.pdf Onderstuk doorsnede E-E F-F S+0(xc) mast 115N en 122N.pdf Onderstuk sokkel S+0(xc) mast 115N en 122N.pdf Ondertraverse 1-5 S+0(xc) mast 115N en 122N.pdf Ondertraverse 2-5 S+0(xc) mast 115N en 122N.pdf Ondertraverse 3-5 S+0(xc) mast 115N en 122N.pdf Ondertraverse 4-5 S+0(xc) mast 115N en 122N.pdf Ondertraverse 5-5 S+0(xc) mast 115N en 122N.pdf
Mast type S+12	<ul style="list-style-type: none"> 1e Tussenstuk S+12.pdf 2e Tussenstuk S+12.pdf 3e Tussenstuk S+12.pdf Bovenstuk S+12.pdf Boventraverse S+12.pdf Onderstuk Deel 1.pdf Ondertraverse S+12.pdf
Mast type S+15	<ul style="list-style-type: none"> 1e Tussenstuk S+15.pdf 2e Tussenstuk S+15.pdf 3e Tussenstuk S+15.pdf Bovenstuk S+15.pdf Boventraverse S+15.pdf Onderstuk S+15.pdf Ondertraverse S+15.pdf

Omschrijving	File
Mast type S+3	1e Tussenstuk S+3.pdf 2e Tussenstuk S+3.pdf Bovenstuk S+3.pdf Boven traverse S+3.pdf Fundatiemal en Ankers S+3.pdf Onderstuk S+3.pdf Onder traverse S+3.pdf
Mast type S+6	1e Tussenstuk S+6.pdf 2e Tussenstuk S+6.pdf Bovenstuk S+6.pdf Boven traverse S+6.pdf Onderstuk S+6.pdf Onder traverse S+6.pdf
Mast type S+9	1e Tussenstuk S+9.pdf 3e Tussenstuk S+9.pdf Bovenstuk S+9.pdf Boven traverse S+9.pdf In te storten delen S+9.pdf Onderstuk S+9.pdf Onder traverse S+9.pdf
Mast type S+9 (mast 112 + 113)	Bordessen S+9 mast 112 en 113 blad 1 6.pdf Bordessen S+9 mast 112 en 113 blad 2 6.pdf Boven traverse verlagingsconstructie S+9 mast 112 en 113.pdf Ladder S+9 mast 112 en 113 5.pdf Ladderbevestiging S+9 mast 112 en 113 blad 1 3.pdf Ladderbevestiging S+9 mast 112 en 113 blad 2 3.pdf Leuningen S+9 mast 112 en 113.pdf Onder traverse verlagingsconstructie S+9 mast 112 en 113.pdf
Mast type S+9(c) (mast 116)	90030-03-06379 1.0.pdf 90030-03-06381 1.0.pdf 90030-03-06383 1.0.pdf 90030-03-06385 1.0.pdf 90030-03-06387 1.0.pdf 90030-03-06389 1.0.pdf 90030-03-06535 1.0.pdf 90107-03-03569 1.0.pdf 90317-02-04462 1.0.pdf 90317-02-04854 1.0.pdf 90317-02-04856 1.0.pdf 90317-02-04858 1.0.pdf 90317-02-04860 1.0.pdf 90317-02-10412 1.0.pdf 9032-12-029-Z11a.pdf 9032-12-029-Z12a.pdf 90801-03-05693 1.0.pdf 90801-03-05694 1.0.pdf 90801-03-05695 1.0.pdf 90801-03-05696 1.0.pdf 90801-03-05697 1.0.pdf 90801-03-05698 1.0.pdf 90801-03-05699 1.0.pdf 90801-03-05700 1.0.pdf 90801-03-05701 1.0.pdf 90801-03-05702 1.0.pdf 90801-03-05703 1.0.pdf 90801-03-05704 1.0.pdf 90801-03-05705 1.0.pdf 90801-03-05706 1.0.pdf 90801-03-05707 1.0.pdf
Mast type S+9(tc) (mast 117)	1 Onderstuk mast 117.pdf 1 Tussenstuk mast 117.pdf 2 Onderstuk mast 117.pdf 2 Tussenstuk mast 117.pdf 3 Tussenstuk mast 117.pdf 4, 5, 6 Tussenstuk mast 117.pdf Bordessen Blad 1 mast 117.pdf Bordessen Blad 2 mast 117.pdf Boven Traverse mast 117.pdf Boven Traverse Nieuwe (circuit wit) mast 117.pdf 1 Onderstuk - DUBBEL.pdf

Omschrijving	File
	-1 Onderstuk.pdf 1 Tussenstuk - DUBBEL.pdf -1 Tussenstuk.pdf 2 Onderstuk - DUBBEL.pdf -2 Onderstuk.pdf 2 Tussenstuk - DUBBEL.pdf -2 Tussenstuk.pdf 3 Tussenstuk - DUBBEL.pdf -3 Tussenstuk.pdf 4, 5, 6 Tussenstuk - DUBBEL.pdf -4, 5, 6 Tussenstuk.pdf
	Bordessen Blad 1 - DUBBEL.pdf -Bordessen Blad 1.pdf Bordessen Blad 2 - DUBBEL.pdf -Bordessen Blad 2.pdf Boven Traverse - DUBBEL 2.pdf Boven Traverse - DUBBEL.pdf Boven Traverse Nieuwe (circuit wit) - DUBBEL.pdf -Boven Traverse.pdf Ladder - DUBBEL.pdf Ladderbevestiging Blad 1 - DUBBEL.pdf -Ladderbevestiging Blad 1.pdf Ladderbevestiging Blad 2 Bordes Mid Trav-DUBBE.pdf -Ladderbevestiging Blad 2 en Bordes in Mid Trav 2.pdf Midden Traverse 1 - DUBBEL.pdf -Midden Traverse 1.pdf Midden Traverse 2 - DUBBEL.pdf -Midden Traverse 2.pdf Ondertraverse - DUBBEL.pdf -Ondertraverse.pdf
	Masten 117 en 118 Principe fundatie.pdf Mastfundatie 117.pdf Principe fundatie.pdf
	Ladder mast 117.pdf Ladderbevestiging Blad 1 mast 117.pdf Ladderbevestiging Blad 2 en Bordes in Mid Trav 2.pdf Midden Traverse 1 mast 117.pdf Midden Traverse 2 mast 117.pdf Ondertraverse mast 117.pdf
Mast type WA+0	Bovenstuk WA+0.pdf Boventraverse WA+0.pdf Klimpen voor WA+0.pdf Onderstuk WA+0.pdf Ondertraverse WA+0.pdf Tussenstuk WA+0.pdf
Doorhang tabellen	MBT-EHV380 richtlijnen doorhangtabellen.pdf Vak 10 ACSR 48-7.pdf Vak 10 ACSR Hawk.pdf Vak 14. 2 ACSR 48-7.pdf Vak 14. 2 ACSR Hawk.pdf Vak 16 ACSR 48-7.pdf Vak 16 ACSR Hawk.pdf Vak 17 ACSR 48-7.pdf Vak 17 ACSR Hawk.pdf Vak 18. 20 ACSR 48-7.pdf Vak 18. 20 ACSR Hawk.pdf Vak 19 ACSR 48-7.pdf Vak 19 ACSR Hawk.pdf Vak 3 ACSR 48-7.pdf Vak 3 ACSR Hawk.pdf Vak 4. 12. 13 ACSR 48-7.pdf Vak 4. 12. 13 ACSR Hawk.pdf Vak 5. 9 ACSR 48-7.pdf Vak 5. 9 ACSR Hawk.pdf Vak 6. 8. 11 ACSR 48-7.pdf Vak 6. 8. 11 ACSR Hawk.pdf Vak 7. 15 ACSR 48-7.pdf Vak 7. 15 ACSR Hawk.pdf
Fundatie	1967 - Ankers voor hoekmast HB+0.pdf

Omschrijving	File
1967 - Heistaten	<p>1967 - Ankers voor wisselmast.pdf 1967 - Fundatiemal en ankers voor steunmast S+3.pdf 1967 - Fundatiemal HC+0 1404-135-7A.pdf 1967 - Grondboringen illustratie (uit bundel - Paal voor masttype S+0, S+3 en S+6).pdf 1967 - Grondboringen tabellen (uit bundel - Paal voor masttype S+0, S+3 en S+6).pdf Rammprotocoll Mast nr.023.pdf Rammprotokoll mast 12.pdf Rammprotokoll Mast nr.004.pdf Rammprotokoll Mast nr.009.pdf Rammprotokoll Mast nr.034.pdf Rammprotokoll Mast nr.069.pdf Rammprotokoll Mast nr.075.pdf Rammprotokoll Mast nr.082.pdf Rammprotokoll Mast nr.098.pdf Rammprotokoll Mast nr.103.pdf Rammprotokoll Mast nr.114.pdf Rammprotokoll Mast nr.128.pdf Rammprotokoll Mast nr.130.pdf</p> <p>1967 - Mastenlijst paallengte (uit bundel - Paal voor masttype S+0, S+3 en S+6).pdf 1967 - Paal voor masttype S+0, S+3 en S+6.pdf 1967 - Pootspreiding (uit bundel - Paal voor masttype S+0, S+3 en S+6).pdf 1967 - Principe mastaanzicht (uit bundel - Paal voor masttype S+0, S+3 en S+6).pdf 1967 - Tekening fundatie LD1 (uit bundel - Paal voor masttype S+0, S+3 en S+6).pdf 1967 - Tekening fundatie LV1 (uit bundel - Paal voor masttype S+0, S+3 en S+6).pdf 1973 - Aardingsstaven in peorverzwaring.pdf 1973 - Verzwaring mastfundatie mast 10 en 11.pdf 1974 - Verzwaarde poeren masten 10, 11, 14, 15 en 16.pdf 1980 - Fundatie verzwaring HA+0 mast 9.pdf 2012 - Fundatie mast 115N+121N+122N.pdf 2013 - EHVO-HMZ150-00-31-1001-001_Layout1_MBT-EHV380.pdf 2013 - Fundatie reconstructie mast 115, 121 en 122.pdf 2013 - Fundatie reconstructie mast 116 en 120.pdf 2013 - Fundatie reconstructie mast 117 en 118.pdf 2013 - Fundatie reconstructie mast 119.pdf 2013 - In te storten delen mast 115 n en 122 n.pdf</p>
Fundatie berekening	<p>1967 - DV226 Scan gegevens 380kV palenstaat, paalkop en in te storten poten.pdf 1967 (vermoedelijk) - fundatiekracht per mast TNNT001610-00027.pdf 2011 - MBT-EHV380 115 Ontwerp Petersburg.pdf 2011 - MBT-EHV380 119 Ontwerp Petersburg.pdf 2011 - MBT-EHV380 122 Ontwerp Petersburg.pdf 2011 - Reconstructie Helmond Ontwerp HB+0-tc.pdf 2011 - Reconstructie Helmond Ontwerp S+9-tc.pdf 2012 - 31205-02 rev 2 Fundatie bestaande masten.pdf 2012 - 6933 B02-rev 3.pdf 2012 - MBT-EHV380 120 Ontwerp Petersburg.pdf 2012 - MBT-EHV380 121 Ontwerp Petersburg.pdf 2012 - MBT-EHV380 118 Ontwerp Petersburg.pdf 2016 - Beproeving van beton constructie mast 51.pdf xxxx - Fundatieverzwaring HA+0 mast 13.pdf</p>
Kettingtekeningen	<p>30720525-40-001.pdf 30720525-40-11.pdf 30720525-40-13.pdf Afspanning 140-120.pdf Afspanning 150kV.pdf Afspanning 180-140.pdf Afspanning wisselmasten.pdf Bretel hoek en trekmasten.pdf Bretel met stijve V-ketting voor traversen hoekmasten.pdf Bretelfixatie onderfase 150kV.pdf Dubbele ophanging 150kV.pdf EHV380 Afspanning portaal lijnzijde.pdf Enkele ophanging S+0, S+3, S+6.pdf Halfverankering boven traverse S+0, S+9, S+12, S+15.pdf Halfverankering boventraverse S+3, S+6.pdf Halfverankering ondertraverse S+0, S+3, S+6, S+9, S+12, S+15.pdf V- Ophanging 150kV.pdf</p>
Mast type S+0(tc) Combi (mast 118 + 120)	<p>MBT-EHV380-00-00-0001-007_007.pdf V - Ophanging 380kV 001.pdf V - Ophanging ondertraverse 380kV 008.pdf V - Ophanging verlengde strip 380kV 002.pdf</p>

Omschrijving	File
	MBT380 Afspanning portaal lijnzijde.pdf MBT-EHV380-00-00-0001-007_007.pdf V - Ophanging 380kV 001.pdf V - Ophanging boventraverse 380kV 006.pdf V - Ophanging boventraverse 380kV 007.pdf V - Ophanging ondertraverse 380kV 003.pdf V - Ophanging ondertraverse 380kV 004.pdf V - Ophanging ondertraverse 380kV 005.pdf V - Ophanging ondertraverse 380kV 008.pdf V - Ophanging verlengde strip 380kV 002.pdf V- Ophanging 150kV.pdf
Lengte-zeegprofiel	mast 1 tm 4.pdf mast 103 tm 109.pdf mast 109 tm 115.pdf Mast 111 tm 114, 114 tm 119, 119 tm 122.pdf mast 121 tm 127.pdf mast 127 tm 133.pdf mast 13 tm 17.pdf mast 17 tm 23.pdf mast 23 tm 28.pdf mast 28 tm 34.pdf mast 34 tm 39.pdf mast 39 tm 46.pdf mast 4 tm 13.pdf mast 46 tm 54.pdf mast 54 tm 61.pdf mast 61 tm 69.pdf mast 69 tm 73.pdf mast 73 tm 79.pdf mast 79 tm 85.pdf mast 85 tm 91.pdf mast 91 tm 97.pdf mast 97 tm 103.pdf
Mastbeeld	Mastbeeld EA+0.pdf Mastbeeld HA+0.pdf Mastbeeld HB+0(tc) mast 119.pdf Mastbeeld HC+0.pdf Mastbeeld S+0(C) mast 121(n).pdf Mastbeeld S+0(TC) 118 en 120.pdf Mastbeeld S+0(XC) 115(n) en 122(n) 1.pdf Mastbeeld S+0(XC) 115(n) en 122(n) 2.pdf Mastbeeld S+0.pdf Mastbeeld S+12.pdf Mastbeeld S+15.pdf Mastbeeld S+3.JPG Mastbeeld S+6.pdf Mastbeeld S+9 112 en 113.pdf Mastbeeld S+9(C) mast 116.pdf Mastbeeld S+9(tc) mast 117.pdf Mastbeeld S+9.pdf Mastbeeld WA.PNG
Sondering	Sondering mast 09.pdf Sondering Mast 10.tif Sondering mast 100.tif Sondering mast 101.tif Sondering mast 102.tif Sondering mast 103.tif Sondering mast 104.tif Sondering mast 105.tif Sondering mast 106.tif Sondering mast 107.tif Sondering mast 108.tif Sondering mast 109.tif Sondering mast 11.tif Sondering mast 110.tif Sondering mast 111.tif Sondering mast 112.tif Sondering mast 113.tif Sondering mast 114.tif Sondering mast 115.tif Sondering mast 116.tif Sondering mast 117.tif Sondering mast 118.tif

Omschrijving	File
	Sondering mast 119.tif
	Sondering mast 12.tif
	Sondering mast 120.tif
	Sondering mast 121.tif
	Sondering mast 122.tif
	Sondering mast 123.tif
	Sondering mast 124.tif
	Sondering mast 125.tif
	Sondering mast 126.tif
	Sondering mast 127.tif
	Sondering mast 128.tif
	Sondering mast 129.tif
	Sondering mast 13.tif
	Sondering mast 130.tif
	Sondering mast 131.tif
	Sondering mast 132 A.tif
	Sondering mast 132 B.tif
	Sondering mast 132 C.tif
	Sondering mast 132 D.tif
	Sondering mast 132.tif
	Sondering mast 133.tif
	Sondering mast 14.tif
	Sondering mast 15.tif
	Sondering mast 16.tif
	Sondering mast 17.tif
	Sondering mast 18.tif
	Sondering mast 19.tif
	Sondering mast 20.tif
	Sondering mast 21.tif
	Sondering mast 22.tif
	Sondering mast 23.tif
	Sondering mast 24.tif
	Sondering mast 25.tif
	Sondering mast 26.tif
	Sondering mast 27.tif
	Sondering mast 28.tif
	Sondering mast 29.tif
	Sondering mast 30.tif
	Sondering mast 31.tif
	Sondering mast 32.tif
	Sondering mast 33.tif
	Sondering mast 34.tif
	Sondering mast 35.tif
	Sondering mast 36.tif
	Sondering mast 37.tif
	Sondering mast 38.tif
	Sondering mast 39.tif
	Sondering mast 40.tif
	Sondering mast 41.tif
	Sondering mast 42.tif
	Sondering mast 43.tif
	Sondering mast 44.tif
	Sondering mast 45.tif
	Sondering mast 46.tif
	Sondering mast 47.tif
	Sondering mast 48.tif
	Sondering mast 49.tif
	Sondering mast 50 A.tif
	Sondering mast 51.tif
	Sondering mast 52.tif
	Sondering mast 53.tif
	Sondering mast 54 A.tif
	Sondering mast 55.tif
	Sondering mast 56 A.tif
	Sondering mast 57 A.tif
	Sondering mast 58 A.tif
	Sondering mast 59.tif
	Sondering mast 60.tif
	Sondering mast 61.tif
	Sondering mast 62.tif
	Sondering mast 63.tif
	Sondering mast 64.tif
	Sondering mast 65.tif
	Sondering mast 66.tif
	Sondering mast 67.tif
	Sondering mast 68.tif

Omschrijving	File
	Sondering mast 69 A.tif
	Sondering mast 70.tif
	Sondering mast 71.tif
	Sondering mast 72.tif
	Sondering mast 73.tif
	Sondering mast 74.tif
	Sondering mast 75.tif
	Sondering mast 76.tif
	Sondering mast 77.tif
	Sondering mast 78.tif
	Sondering mast 79.tif
	Sondering mast 80.tif
	Sondering mast 81.tif
	Sondering mast 82.tif
	Sondering mast 83.tif
	Sondering mast 84.tif
	Sondering mast 85.tif
	Sondering mast 86 .tif
	Sondering mast 87.tif
	Sondering mast 88.tif
	Sondering mast 89.tif
	Sondering mast 90.tif
	Sondering mast 91.tif
	Sondering mast 92.tif
	Sondering mast 93.tif
	Sondering mast 94.tif
	Sondering mast 95.tif
	Sondering mast 96.tif
	Sondering mast 97.tif
	Sondering mast 98.tif
	Sondering mast 99.tif
	Sonderingen mast 115 tm 122.pdf
Telecom site	Berekening antenne mast 93 KPN 8653.pdf
	Contrle mast 128 Vodafone 3614.pdf
	Controle mast 115n KPN 1705.pdf
	Controle mast 117n T-Mobile 6974 - Vodafone 3201.pdf
	Controle mast 12 KPN 8615.pdf
	Controle mast 120 T-Mobile 17572C.pdf
	Controle mast 17 KPN 0754.pdf
	Controle mast 17 Tele2 13436.pdf
	Controle mast 17 T-Mobile 3707.pdf
	Controle mast 32 KPN 5147.pdf
	Controle mast 32 Vodafone 3240.pdf
	Controle mast 34 T-Mobile 33300.pdf
	Controle mast 35 KPN 8661.pdf
	Controle mast 51 T-Mobile 17791-A.pdf
	Controle mast 51 T-Mobile 2979.pdf
	Controle mast 64 KPN 0731.pdf
	Controle mast 70 Vodafone 2584.pdf
	Controle mast 93 KPN 8653.pdf
	Controle topconstructie T-Mobile 17572-C.pdf
	Globale controle mastconstructie mast 12 KPN 8615.pdf
	Maasbracht-Eindhoven M017 (D&C).pdf
	Protocol mastcontrole mast 115n KPN1705.pdf
	Protocol mastcontrole mast 117n T-Mobile 6974 - Vodafone 3201.pdf
	Protocol mastcontrole mast 17.pdf
	Protocol mastcontrole mast 31 KPN 5147.pdf
	Protocol mastcontrole mast 32 Vodafone 3240.pdf
	Protocol mastcontrole mast 35 KPN 8661.pdf
	Protocol mastcontrole mast 51 T-Mobile 17791.pdf
	Protocol mastcontrole mast 64 KPN 0731.pdf
	Protocol mastcontrole Mast 70 Vodafone 2584.pdf
	Protocol mastcontrole mast 93 KPN 8653.pdf
	Protocol mastcontrole T-Mobile 17572C.pdf
	Protocol mastcontrole T-Mobile mast 92.pdf
	Protocol toetsing mast 12 KPN 8615.pdf
	Specificatie verzwareing mast 128 Vodafone 3614.pdf
	Specificatie verzwareing mast 17 T-Mobile 3707.pdf
	Specificatie verzwareing mast 32 Vodafone 3240.pdf
	Specificatie verzwareing mast 51 T-Mobile 2979.pdf
	Specifidatie verzwareing mast 17 TELE2 13436.pdf
	Statische berekening frames in hoogspanningsmast.pdf
	T-Mobile site 18447-C mast 117n.pdf
	T-Mobile site 6974 mast 117n.pdf
	Toetsing detailontwerp antenne T-Mobile 33300.pdf

Omschrijving	File
	Vodafone site S03201 mast 117n.pdf

Tabel 19 Asset data Maasbracht – Eindhoven (fundaties)

Omschrijving	File	
Fundatie	1967 - Ankers voor hoekmast HB+0.pdf	
	1967 - Ankers voor wisselmast.pdf	
	1967 - Fundatie mast 196 (LET OP andere lijn).pdf	
	1967 - Fundatiemal en ankers voor steunmast S+3.pdf	
	1967 - Fundatiemal HC+0 1404-135-7A.pdf	
	1967 - Grondboringen illustratie (uit bundel - Paal voor masttype S+0, S+3 en S+6).pdf	
	1967 - Grondboringen tabellen (uit bundel - Paal voor masttype S+0, S+3 en S+6).pdf	
	1967 - Heistaten	
	1967 - Mastenlijst paallengte (uit bundel - Paal voor masttype S+0, S+3 en S+6).pdf	
	1967 - Paal voor masttype S+0, S+3 en S+6.pdf	
	1967 - Pootspreiding (uit bundel - Paal voor masttype S+0, S+3 en S+6).pdf	
	1967 - Principe mastaanzicht (uit bundel - Paal voor masttype S+0, S+3 en S+6).pdf	
	1967 - Tekening fundatie LD1 (uit bundel - Paal voor masttype S+0, S+3 en S+6).pdf	
	1967 - Tekening fundatie LV1 (uit bundel - Paal voor masttype S+0, S+3 en S+6).pdf	
	1973 - Aardingsstaven in peorverzwaren.pdf	
	1973 - Verzwaren mastfundatie mast 10 en 11.pdf	
	1974 - Verzwaarde poeren masten 10, 11, 14, 15 en 16.pdf	
	1980 - Fundatie verzwaren HA+0 mast 9.pdf	
	2012 - Fundatie mast 115N+121N+122N.pdf	
	2013 - EHVO-HMZ150-00-31-1001-001_Layout1_MBT-EHV380.pdf	
	2013 - Fundatie reconstructie mast 115, 121 en 122.pdf	
	2013 - Fundatie reconstructie mast 116 en 120.pdf	
	2013 - Fundatie reconstructie mast 117 en 118.pdf	
	2013 - Fundatie reconstructie mast 119.pdf	
	2013 - In te storten delen mast 115 n en 122 n.pdf	
	1967 - Heistaten	Rammprotocoll Mast nr.023.pdf
		Rammprotokoll mast 12.pdf
Rammprotokoll Mast nr.004.pdf		
Rammprotokoll Mast nr.009.pdf		
Rammprotokoll Mast nr.034.pdf		
Rammprotokoll Mast nr.069.pdf		
Rammprotokoll Mast nr.075.pdf		
Rammprotokoll Mast nr.082.pdf		
Rammprotokoll Mast nr.098.pdf		
Rammprotokoll Mast nr.103.pdf		
Rammprotokoll Mast nr.114.pdf		
Rammprotokoll Mast nr.128.pdf		
Rammprotokoll Mast nr.130.pdf		
Fundatie berekening	1967 (vermoedelijk) - fundatiekracht per mast TNNT001610-00027.pdf	
	1967 - DV226 Scan gegevens 380kV palenstaat, paalkop en in te storten poten.pdf	
	2011 - MBT-EHV380 115 Ontwerp Petersburg.pdf	
	2011 - MBT-EHV380 119 Ontwerp Petersburg.pdf	
	2011 - MBT-EHV380 122 Ontwerp Petersburg.pdf	
	2011 - Reconstructie Helmond Ontwerp HB+0-tc.pdf	
	2011 - Reconstructie Helmond Ontwerp S+9-tc.pdf	
	2012 - 31205-02 rev 2 Fundatie bestaande masten.pdf	
	2012 - 6933 B02-rev 3.pdf	
	2012 - MBT-EHV380 120 Ontwerp Petersburg.pdf	
	2012 - MBT-EHV380 121 Ontwerp Petersburg.pdf	
	2012 - MBT-EHV380 118 Ontwerp Petersburg.pdf	
	2016 - Beproeving van beton constructie mast 51.pdf	
	xxxx - Fundatieverzwaren HA+0 mast 13.pdf	
Sondering	Sondering mast 09.pdf	
	Sondering Mast 10.tif	
	Sondering mast 100.tif	
	Sondering mast 101.tif	
	Sondering mast 102.tif	
	Sondering mast 103.tif	
	Sondering mast 104.tif	
	Sondering mast 105.tif	
	Sondering mast 106.tif	
	Sondering mast 107.tif	
	Sondering mast 108.tif	
	Sondering mast 109.tif	
Sondering mast 11.tif		

Omschrijving	File
	Sondering mast 110.tif
	Sondering mast 111.tif
	Sondering mast 112.tif
	Sondering mast 113.tif
	Sondering mast 114.tif
	Sondering mast 115.tif
	Sondering mast 116.tif
	Sondering mast 117.tif
	Sondering mast 118.tif
	Sondering mast 119.tif
	Sondering mast 12.tif
	Sondering mast 120.tif
	Sondering mast 121.tif
	Sondering mast 122.tif
	Sondering mast 123.tif
	Sondering mast 124.tif
	Sondering mast 125.tif
	Sondering mast 126.tif
	Sondering mast 127.tif
	Sondering mast 128.tif
	Sondering mast 129.tif
	Sondering mast 13.tif
	Sondering mast 130.tif
	Sondering mast 131.tif
	Sondering mast 132 A.tif
	Sondering mast 132 B.tif
	Sondering mast 132 C.tif
	Sondering mast 132 D.tif
	Sondering mast 132.tif
	Sondering mast 133.tif
	Sondering mast 14.tif
	Sondering mast 15.tif
	Sondering mast 16.tif
	Sondering mast 17.tif
	Sondering mast 18.tif
	Sondering mast 19.tif
	Sondering mast 20.tif
	Sondering mast 21.tif
	Sondering mast 22.tif
	Sondering mast 23.tif
	Sondering mast 24.tif
	Sondering mast 25.tif
	Sondering mast 26.tif
	Sondering mast 27.tif
	Sondering mast 28.tif
	Sondering mast 29.tif
	Sondering mast 30.tif
	Sondering mast 31.tif
	Sondering mast 32.tif
	Sondering mast 33.tif
	Sondering mast 34.tif
	Sondering mast 35.tif
	Sondering mast 36.tif
	Sondering mast 37.tif
	Sondering mast 38.tif
	Sondering mast 39.tif
	Sondering mast 40.tif
	Sondering mast 41.tif
	Sondering mast 42.tif
	Sondering mast 43.tif
	Sondering mast 44.tif
	Sondering mast 45.tif
	Sondering mast 46.tif
	Sondering mast 47.tif
	Sondering mast 48.tif
	Sondering mast 49.tif
	Sondering mast 50 A.tif
	Sondering mast 51.tif
	Sondering mast 52.tif
	Sondering mast 53.tif
	Sondering mast 54 A.tif
	Sondering mast 55.tif
	Sondering mast 56 A.tif
	Sondering mast 57 A.tif
	Sondering mast 58 A.tif
	Sondering mast 59.tif

Omschrijving	File
	Sondering mast 60.tif
	Sondering mast 61.tif
	Sondering mast 62.tif
	Sondering mast 63.tif
	Sondering mast 64.tif
	Sondering mast 65.tif
	Sondering mast 66.tif
	Sondering mast 67.tif
	Sondering mast 68.tif
	Sondering mast 69 A.tif
	Sondering mast 70.tif
	Sondering mast 71.tif
	Sondering mast 72.tif
	Sondering mast 73.tif
	Sondering mast 74.tif
	Sondering mast 75.tif
	Sondering mast 76.tif
	Sondering mast 77.tif
	Sondering mast 78.tif
	Sondering mast 79.tif
	Sondering mast 80.tif
	Sondering mast 81.tif
	Sondering mast 82.tif
	Sondering mast 83.tif
	Sondering mast 84.tif
	Sondering mast 85.tif
	Sondering mast 86.tif
	Sondering mast 87.tif
	Sondering mast 88.tif
	Sondering mast 89.tif
	Sondering mast 90.tif
	Sondering mast 91.tif
	Sondering mast 92.tif
	Sondering mast 93.tif
	Sondering mast 94.tif
	Sondering mast 95.tif
	Sondering mast 96.tif
	Sondering mast 97.tif
	Sondering mast 98.tif
	Sondering mast 99.tif
	Sonderingen mast 115 tm 122.pdf
Veldinspecties	200152A-004 Maasbracht - Eindhoven v1.0.pdf

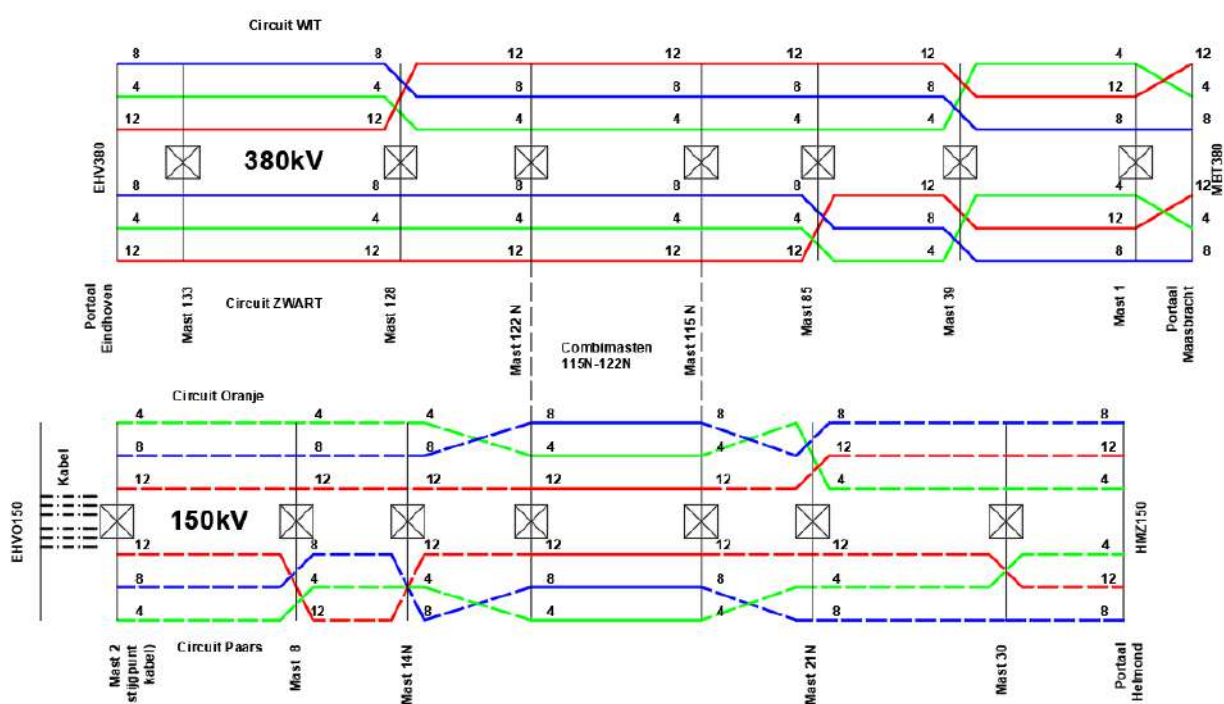
APPENDIX H

Klokgetallen

In de verbinding MBT-EHV bevinden zich 4 fasewisselingen: tussen Portaal Maasbracht en mast 1 en in de masten 39, 85, en 128. Dit resulteert in 5 lijndelen met verschillende klokgetallen.

In de nieuwe situatie dienen volledige fasewisseling in mast 39 en 85 te worden aangebracht (links en rechts) ter compensatie van de spanningsasymmetrie.

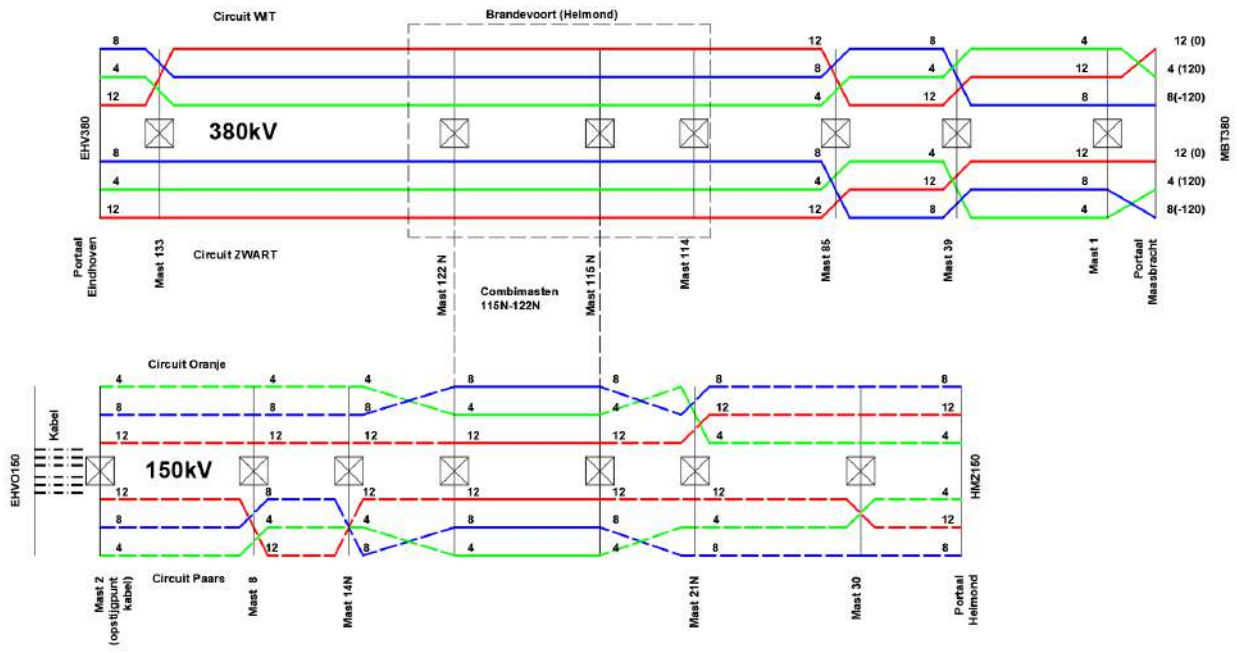
De huidige klokgetal configuratie in de lijn MBT-EHV380 is weergegeven in Figuur 15 tevens is de 150kV EHVO-HMZ150 lijn zichtbaar gemaakt met name van belang voor het deel waar de 380kV en 150kV is gecombineerd.



Figuur 15 Huidige klokgetalconfiguratie

Bij het vaststellen van de nieuwe klokgetallen is rekening gehouden of het fysiek mogelijk is met inbouwen. In de nieuwe situatie is mast 39, 85 en mast 133 voorzien van fasewisselingen en in mast 128 is de faseverwisseling verwijderd. Verder dient de huidige wisseling in veld portaal Maasbracht naar mast 1 van het zwarte circuit te worden gewijzigd van binnen fase – boven fase -> boven fase – buiten fase.

De nieuwe klokgetalconfiguratie is in Figuur 16 opgenomen.



Figuur 16 Nieuwe klokgetalconfiguratie



About DNV

DNV is the independent expert in risk management and assurance, operating in more than 100 countries. Through its broad experience and deep expertise DNV advances safety and sustainable performance, sets industry benchmarks, and inspires and invents solutions.

Whether assessing a new ship design, optimizing the performance of a wind farm, analyzing sensor data from a gas pipeline or certifying a food company's supply chain, DNV enables its customers and their stakeholders to make critical decisions with confidence.

Driven by its purpose, to safeguard life, property, and the environment, DNV helps tackle the challenges and global transformations facing its customers and the world today and is a trusted voice for many of the world's most successful and forward-thinking companies.

TOETSING EN HERONTWERP MASTEN EN FUNDATIES BBB380

Uitgangspuntenrapport 380kV- verbinding Maasbracht - Eindhoven

TenneT TSO B.V.

Rapport nr.: 21-0138, Rev. 2

Meridian doc.nr.: 002.586.40 0825942

Datum: 2022-07-27



Projectnaam: Toetsing en herontwerp masten en fundaties BBB380 Energy Systems
 Rapport titel: Uitgangspuntenrapport 380kV-verbinding Maasbracht - Eindhoven DNV Netherlands B.V.
 Utrechtseweg 310-B50
 Klant: TenneT TSO B.V. 6812 AR Arnhem
 Datum uitgave: 2022-07-27
 Project nr.: 10166260
 Organisatie unit: TDT Handelsregister Arnhem 09006404
 Meridian doc.nr.: 002.586.40 0825942
 Rapport nr.: 21-0138, Rev. 2

G [Redacted] B [Redacted] oed [Redacted]

Copyright © DNV 2022. All rights reserved. Unless otherwise agreed in writing: (i) This publication or parts thereof may not be copied, reproduced or transmitted in any form, or by any means, whether digitally or otherwise; (ii) The content of this publication shall be kept confidential by the customer; (iii) No third party may rely on its contents; and (iv) DNV undertakes no duty of care toward any third party. Reference to part of this publication which may lead to misinterpretation is prohibited.

DNV Distributie:

- Open
- Intern
- Commercieel vertrouwelijk
- Vertrouwelijk
- Geheim

Trefwoorden:

*Specificatie distributie: --

Rev.	Datum	Reden van uitgave	Auteur	Beoordeeld	Goedgekeurd
0	2021-02-01	Eerste uitgave	[Redacted]	[Redacted]	[Redacted]
1	2022-04-12	RFA-commentaar verwerkt, aanpassing vanuit E-studie verwerkt.	[Redacted]	[Redacted]	[Redacted]
2	2022-07-27	Referentieperiode fundaties aangepast	[Redacted]	[Redacted]	[Redacted]

Inhoudsopgave

1	INLEIDING	1
1.1	Relatie andere documenten	2
1.2	Doelstelling en structuur	2
1.3	Helmond – Brandevoort	2
2	UITGANGSPUNTEN EN RANDVOORWAARDEN	3
2.1	Normen	3
2.2	TenneT-specificaties	3
2.3	Gebruikte gegevens	4
2.4	Klokgetallen en klokgetal optimalisatie	5
2.5	Geleiders	6
2.6	Mastenlijst	6
2.7	Materialen	7
2.8	Kettinglijnparameter	8
2.9	Isolatorkettingen	8
2.10	Antenneopstellingen	9
3	BELASTINGEN	11
3.1	Algemene uitgangspunten	11
3.2	Gevolklasse	11
3.3	Belastingsfactoren	12
3.4	Belastingsgevallen	12
4	TOETSING	15
4.1	Masttypes	15
4.2	Staalconstructie	15
4.3	Fundatie	17
4.4	Sonderingen	20
5	REFERENTIES	21
Appendix A	TenneT-Standaarden	
Appendix B	Belastingfactoren	
Appendix C	Mastenlijst	
Appendix D	Wind/weight span & kettinglijnparameters	
Appendix E	Isolatoren	
Appendix F	Antenne-sites	
Appendix G	Asset-data	
Appendix H	Klokgetallen	

1 INLEIDING

Om in de toekomst meer elektriciteit te kunnen transporteren is het noodzakelijk om naast de nieuwbouw van verbindingen bestaande hoogspanningsverbindingen aan te passen zodat er een grotere transportcapaciteit mogelijk wordt gemaakt. Om die reden is de opdrachtgever (OG) voornemens de bestaande 380 kV-koppeling op te waarderen en de nieuwbouw van een aantal nieuwe verbindingen te realiseren. Het opwaarderen van de bestaande verbindingen valt onder het programma “Beter Benutten Bestaande 380 kV-ring” (BBB380) en omvat de volgende deelprojecten:

- Opwaardering 380 kV-verbinding Diemen – Lelystad (DIM-LLS380)
- Opwaardering 380 kV-verbinding Lelystad – Ens (LLS-ENS380)
- Opwaardering 380 kV-verbinding Rilland - Zandvliet (RLL-ZVL380)
- Opwaardering 380 kV-verbinding Krimpen aan de IJssel - Geertruidenberg (KIJ-GT380)
- Opwaardering 380 kV-verbinding Ens - Zwolle (ENS-ZL380)
- Opwaardering 380 kV-verbinding Maasbracht - Eindhoven (MBT-EHV380)



Figuur 1 Overzicht verbindingen BBB380

TenneT heeft DNV opdracht verstrekt voor het uitvoeren van de DO-werkzaamheden. Hieronder valt:

- Het opstellen van het uitgangspuntenrapport voor de constructieve analyses van de masten en fundaties in deze hoogspanningslijn.
- Het uitvoeren van berekeningen van mastconstructies en het bepalen van eventueel benodigde aanpassingen aan de constructie.
- Het uitvoeren van berekeningen van fundaties en het bepalen van eventueel benodigde aanpassingen aan de constructie.

1.1 Relatie andere documenten

Voorafgaand aan het opstellen van dit uitgangspunten document is in de memo “Keuze type ACCC-geleider en normkeuze voor interne en externe afstanden” [1] onderzocht welk geleidertype de voorkeur heeft om te worden toegepast en welke norm het beste toegepast kan worden voor de toetsing op interne- en externe spanningsafstanden.

Op basis van de uitkomsten van bovengenoemde memo is in de rapportage “E-studie deel 1” [2] onderzocht welke aanpassingen benodigd zijn om de nieuwe geleider binnen de verbinding Eindhoven – Maasbracht toe te passen. Op basis hiervan zijn de isolator ontwerpen geoptimaliseerd welke zijn opgenomen in Appendix E.

1.2 Doelstelling en structuur

In dit document worden de uitgangspunten en de van toepassing zijnde eisen beschreven voor de Geleiders, masten en fundaties binnen de lijn MBT-EHV380.

De opbouw van het rapport is als volgt. In hoofdstuk 2 worden de uitgangspunten en randvoorwaarden beschreven die gelden vanuit de normen en het programma van eisen van TenneT. In hoofdstuk 3 worden de belastingen uitgewerkt die van toepassing zijn op de hoogspanningslijn MBT-EHV380. Hoofdstuk 4 bevat de uitgangspunten waarmee de toetsing zal worden uitgevoerd.

1.3 Helmond – Brandevoort

De verbinding MBT-EHV is over een deel van het tracé ter plaatse van de nieuwbouwwijk Helmond – Brandevoort in 2012 gereconstrueerd. Hierbij is de daar aanwezige 150 kV-lijn gecombineerd op daartoe aangepaste masten in de 380 kV-lijn. De klokgetallen volgens de E-studie deel 1 zullen worden gehanteerd.

2 UITGANGSPUNTEN EN RANDVOORWAARDEN

2.1 Normen

Er is gebruik gemaakt van de volgende normen, voorschriften richtlijnen.

Tabel 1 Gebruikgemaakte normen, voorschriften en richtlijnen

	Norm	Titel
[3]	NEN 8700:2011	"Grondslagen voor de constructieve beoordeling van bestaande bouw en het constructief ontwerp ten behoeve van verbouw"
[4]	NEN 8701:2011	"Belastingen voor bestaande bouw"
[5]	NEN 8707:2019	"Geotechnisch ontwerp - Beoordeling van de constructieve veiligheid van een bestaand bouwwerk"
[6]	NEN-EN 50341-1:2013	"Overhead electrical lines exceeding AC 1 kV - Part 1: General requirements – Common"
[7]	NEN-EN 50341-2-15:2019	"Overhead electrical lines exceeding AC 1 kV Part 2 National Normative Aspects (NNA) for THE NETHERLANDS"
[8]	NEN-EN 1990+A1+A1/C2:2011	"Grondslagen van het ontwerp"
[9]	NEN-EN 1991-1-4+A1+C2:2011	"Deel 1-4: Windbelasting op constructies"
[10]	NEN-EN 1993-1-1+C2+A1:2016 nl	"Eurocode 3: Ontwerp en berekening van staalconstructies, deel 1-1: algemene regels en regels voor gebouwen"
[11]	NEN-EN 1993-3-1:2007	"Deel 3-1: Torens, masten en schoorstenen - Torens en masten"
[12]	NEN-EN 1993-1-8+C2:2011/NB:2011 nl	"Ontwerp en berekening van staalconstructies, deel 1-8: ontwerp en berekening van verbindingen"
[13]	NEN-EN 1997-1-C1+A1:2016/NB:2016 nl	"Geotechnisch – Algemeen"
[1]	10166260-TDT 20-0044	Keuze type ACCC-geleider en normkeuze voor interne en externe afstanden

De hoogspanningslijn MBT-EHV380 is ontworpen met NEN 1060:1964, voor het elektrisch ontwerp zal deze norm gehanteerd worden. Het lijndeel van mast 115 -122 is een combinatie met een 2 circuit 150 kV lijn Helmond - Brandevoort, welke is ontworpen is met NEN-EN 50341-3-15:2001.

Voor het toetsen van de constructieve veiligheid zal gebruik gemaakt worden van NEN 8700 en de Eurocode-normenreeks. Daarbij is voor toetsing van bestaande hoogspanningsmasten Annex NB (status draft) van NEN-EN 50341-2-15:2019 gehanteerd.

2.2 TenneT-specificaties

De voor de mechanische rapportages meest relevante van toepassing zijnde TenneT-specificaties zijn in Tabel 2 opgenomen.

Tabel 2 Relevante documenten t.b.v. mechanische rapportages binnen BBB380

	Nummer	Onderwerp
[14]	PVE.05.000 v3.2	PvE Lijnen
[15]	sPVE.05.001	sPvE Lijnen – MBT-EHV380
[16]	SPE.04.009	Paalfunderingen
[17]	SPE.05.346 v1.3	Algemene specificatie stalen masten

De complete lijst met TenneT specificaties is opgenomen in Appendix A. Deze specificaties zijn beoordeeld op relevantie voor de in hoofdstuk 1 beschreven uit te voeren DO werkzaamheden. De hieruit volgende lijst met eisen is opgenomen in het rapport: "Verificatie & validatieplan 380 kV verbinding Maasbracht - Eindhoven" [18].

2.3 Gebruikte gegevens

De Asset-data van TenneT zal worden gebruikt voor de modelleringen en berekeningen van de masten en de fundaties. De lijst met toegepaste asset-gegevens is opgenomen in Appendix G.

De asset-data is onderzocht op compleetheid, in Tabel 3 is beschreven welke relevante gegevens beschikbaar zijn en welke ontbreken.

Tabel 3 Bevindingen asset-data

Onderdeel	Bevinding	Oplossing
As-buult mastconstructies	Tekeningen zijn compleet van alle masttypes. Detailberekeningen hoofdconstructie van de masten van Helmond Brandevoort ontbreken. Tekeningen met blokdeuvels van in beton gestorte randstijl zijn niet van alle masttypes beschikbaar. Tekeningen portaalconstructie specifiek voor EHV en MBT ontbreken.	Bij masttypes met ontbrekende blokdeuvels uitgaan van basisversie S+0 of HA+0 als veilige aanname. Bij portalen uitgaan van standaard G-portaal.
As-buult poerfundaties	De poertekeningen van bestaande masten ontbreken. Er is een lijst met diameters van de funderingspoeren. Op deze lijst ontbreken mast 1, 7, 8, 71, 72 en 133. Van Helmond Brandevoort zijn , vorm- en wapeningstekeningen en wapeningberekeningen beschikbaar.	De controle van de wapening in de meerpaalspoeren is zonder wapeningstekening niet mogelijk. De controle zal achterwege worden gelaten. Dit is verantwoord doordat in het verleden een vrij ruime veiligheidsfactor op de doorsnede van wapeningsstaal werd gebruikt en de paalfunderingen van hoekmasten in het algemeen een minder hoge uitnutting hebben dan steunmasten. Uit referentieprojecten DIM-LLS380 en KIJ-GT380, waar bij geen van de poerconstructies in die lijnen overschrijdingen werden geconstateerd in relatie tot de wapening.
As-buult funderingspalen	Beperkte gegevens mast 133. Vanwege ontbrekende vormtekening is paalpositionering in meerpaalspoeren onbekend. Paalwapening van "ortbetonpalen" is onbekend. Vanwege ontbrekende as-buult is niet geheel zeker is of de stalen kokerpalen voorzien zijn van een punt of dat deze open zijn aan de onderzijde.	Op de nieuwbouwfundaties van Helmond is een suggestie van de bestaande palen zichtbaar, dit zal worden gebruikt als uitgangspunt. Er zal op basis van referentieprojecten KIJ-GT en DIM-LLS worden uitgegaan van een paal met punt.
Sonderingen	Grondprofielen en sonderingen zijn over het algemeen aanwezig. De sondering van mast 8 ontbreekt, hier is wel een grondboring voorhanden.	Er zal gebruik worden gemaakt van nieuw uitgevoerde sonderingen.
As-buult lijnportalen stations EHV en MBT	Vormtekeningen en wapeningstekeningen zijn aanwezig.	
Telecominstallatie	Het overzicht van 2018 is verstrekt.	In twijfelgevallen is nadere info vanuit Novec gebruikt en gecontroleerd met openbare beeldgegevens vanuit Google Maps.

2.4 Klokgetallen en klokgetal optimalisatie

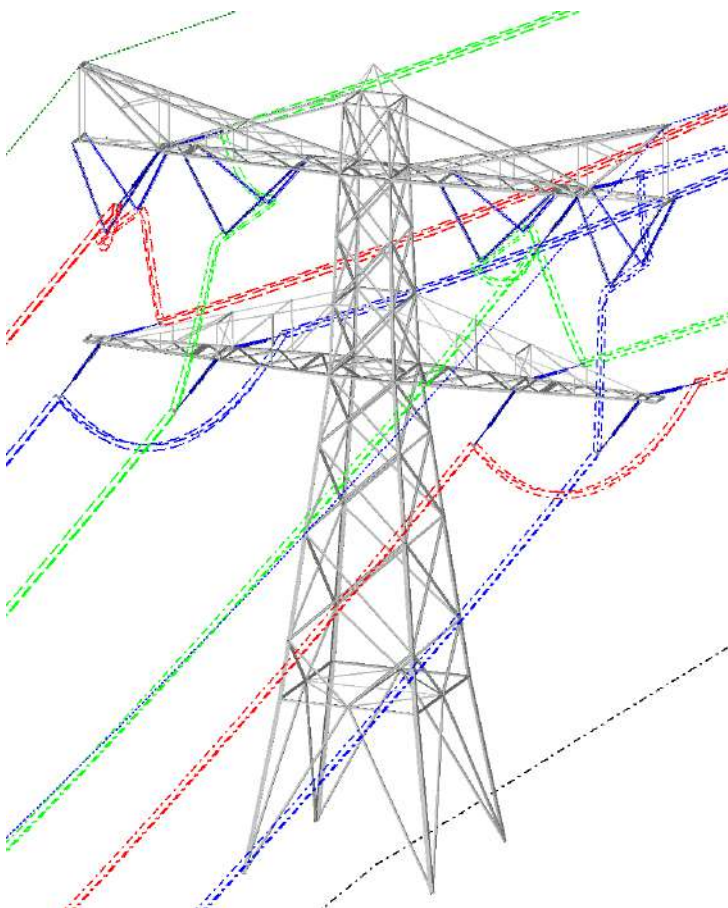
Appendix H geeft de huidige 380 kV klokgetallen¹ [19] in de lijn MBT-EHV380 en de huidige 150 kV klokgetallen in het lijndeel van mast 115 - 122 in combinatie met de 2 circuit 150 kV lijn ter hoogte van Helmond – Brandevoort. Op basis van deze klokgetallen zal de huidige magneetveldzonebreedte worden vastgesteld. In Tabel 4 worden de rekenstromen van toepassing weergegeven voor het berekenen de magneetveldzonebreedten in de huidige situatie.

Tabel 4 Stromen in de huidige situatie

Verbinding	Sectie	Voltage [kV]	Transportvermogen [MVA]	Stroom	Rekenstroom percentage	Rekenstroom	Kettinglijnparameter 15°C
MBT-EHV380	1-85	380	1860	2826	30%	848	1375
MBT-EHV380	85-128	380	2635	4000	30%	1200	1375
EHVO-HMZ150	2-30	150	350	1347	50%	674	1400

In de verbinding MBT-EHV380 bevinden zich in de huidige situatie 4 fasewisselingen. Tussen Portaal Maasbracht en mast 1 en in de masten 39, 85, en 128. Dit resulteert in 5 lijndelen zijn met verschillende klokgetallen.

In de nieuwe situatie dienen volledige fasewisseling in mast 39 en 85 te worden aangebracht (links en rechts) ter compensatie van de spanningsasymmetrie. Voor het principe van de wisseling zie Figuur 2. De nieuwe klokgetallen zijn in Appendix H opgenomen.



Figuur 2 Fasewisselmast

¹ De aangeleverde assetdata ten aanzien van de klokgetallen lijkt gedateerd te zijn. Er is gebruik gemaakt van de klokgetallen en ontwerpbelastingen die zijn vastgelegd in de Excel, "Klokgetal config TenneT.xlsx"

Uitgangspunt is dat de klokgetallen van de 150kV hetzelfde dienen te blijven bij het onderzoek naar een klokgetal optimalisatie.

2.5 Geleiders

De berekeningen zullen worden gebaseerd op de eigenschappen van de fasegeleiders, OPGW en bliksemraden en de daaraan gerelateerd bestaande geleidertrek, zoals opgenomen in Tabel 5.

Voor de mechanische eigenschappen van de geleiders wordt uitgegaan van de aangeleverde PLS-CADD file .wir files [20] [21] [22] [23] [24].

Voor de bretelle verbindingen in hoekmasten en het eerste veld van de portalen Maasbracht naar mast 1 is voor de fasegeleider de AAAC-TW-AL7 882.3 (Bobolink) van toepassing (<100m).

Tabel 5 Geleidereigenschappen

Eigenschap	Eenheid	Fasegeleider 380kV	Fasegeleider 380kV en bretelle	Fasegeleider 150kV	Hawk Bliksemdraad	OPGW
		ACCC Warsaw	AAAC-TW-AL7 882.3 (Bobolink)	AACSR/AS 242/39	241-AL3/39-A20SA	OPGW AFL 226
Oppervlak	[mm ²]	568,8	882,3	282,5	280,9	264,2
Diameter	[mm]	27,72	36,26	21,8	21,8	21,7
Gewicht	[N/m]	14,936	24,997	9,397	9,375	9,126
Elasticiteitsmodulus ²	[MPa/100]	637,50	550	770	701,65	720
Expansiecoëfficiënt ⁵	[/100°C]	0,001903	0,002304	0,0019	0,001974	0,00198
UTS	[N]	155000	225000	118000	118600	117868
Aantal draden per bundel	[-]	3	3	2	1	1
Bundel afstand	[m]	0.4	0.4	0.4/verticaal	-	-

2.6 Mastenlijst

In Appendix C is de mastenlijst opgenomen. De masten bevinden zich in windgebied III en door aanwezigheid van telecominstallaties en door toepassing van wisselmasten is het aantal masttypes groter dan de lijst op basis van de assetgegevens.

De masttypen weergegeven in Tabel 6 worden mechanisch getoetst en indien nodig wordt een versterkingsvoorstel bepaald. Telecomtypes worden in dezelfde rapportage opgenomen als de standaardmast zonder telecom.

Tabel 6 MBT-EHV: Masttypes

Masttype	Aantal masten
S+0	75
HA+0	8
S+12	7
S+3	6
S+3 T	1
S+0 T3	1
HB+0	3
HC+0	3
S+0 T1	4
S+15	3
S+9	2
EA+0 ³	2
HA+0 T1	2
S+0(TC)	2
S+6	2
WA+0	2

² Gecombineerde elasticiteitsmodulus en expansiecoëfficiënt voor de kern- en buitendraden.

³ EA+0 mast 133 zal tot wisselmast worden omgebouwd en zal apart worden behandeld van EA+0 (1).

Masttype	Aantal masten
EHV Portaal	1
HB+0(TC)	1
MBT Portaal	1
S+0(C)	1
S+0(XC)	1
S+0(XC) T1	1
S+15 T1	1
S+6 T3	1
S+9(112,113)	2
S+9(C)	1
S+9(TC)	1

2.7 Materialen

Voor de controle van de bestaande mastconstructies en funderingen gebouwd in 1968/1971 wordt uitgegaan van de eigenschappen volgens Tabel 7. Hierin zijn de resultaten van het rapport "Onderzoek en inspecties 380kV hoogspanningslijn Maasbracht – Eindhoven v1.0"d.d. 23 november 2020 [25], nog niet verwerkt. Op basis hiervan kan het toegestaan zijn een hogere beton kwaliteit te hanteren in de toetsingsberekeningen.

Tabel 7 Materialen bestaande constructie 1968/1971

	Aanduiding '71	Huidig uitgangspunt
Staalsoort	St.37	S235JR
	St.52	S355J0
Boutkwaliteit	8.8	8.8, gerolde draad
Betonkwaliteit	K225	C30/37 ⁴
Wapeningsstaal	FeB220, FeB400, FeB500	B220, B400, B500

Voor de controle de bestaande mastconstructies en funderingen gebouwd en verbouwd in 2013 (mast 112 t/m 122) wordt uitgegaan van de eigenschappen volgens Tabel 8. Mast 115, 121 en 122 zijn nieuw gebouwd. Mast 116, 117, 118, 119 en 120 zijn aangepast en verzwaard. Tegelijkertijd zijn mast 112 en 113 aangepast, dit zijn geen combinatiemasten.

Tabel 8 Materialen bestaande constructie 2013

	Aanduiding '71	Aanduiding 2013	Huidig uitgangspunt
Staalsoort	St.37	S355J2(+N)	S355J2(+N)
	St.52	S235J0	S235J0
Boutkwaliteit	8.8	8.8	8.8, gerolde draad
Betonkwaliteit	K225	C28/35	C25/30
Wapeningsstaal	FeB220, FeB400, FeB500	B220, B400, B500	B220, B400, B500

Voor de controle de bestaande funderingen welke zijn verzwaard in 1980 (mast 9 – 17) wordt uitgegaan van de eigenschappen volgens Tabel 9

Tabel 9 Materialen bestaande fundaties , verzwaard in 1980

	Aanduiding 1980	Huidig uitgangspunt
Betonkwaliteit	B22,5	C30/37
Wapeningsstaal	FeB220, FeB400, FeB500	B220, B400, B500

Voor modificaties van de constructie geldt conform TenneT-specificatie:

- Toe te passen bouten: M12⁵/M16/M20/M24;
- voor hoekstaal is de minimale afmeting L50x5 mm;
- minimale plaatdikte 6 mm.

⁴ Het uitgangspunt voor de betondruksterkte is gebaseerd op de resultaten van de veldonderzoek en cilinderproeven. Zie rapport Bejan 200152A-004 Maasbracht - Eindhoven v1.0. Gerapporteerd is een minimale betonsterkteklasse van C35/45. Veiligheidshalve wordt gerekend met C30/37, hetgeen reeds circa tweemaal hoger is dan standaard waarde van C16/20.

⁵ Door AM zijn M12-bouten toegestaan voor knikverkorters indien het bestaande boutgat t.b.v. M12 kan worden gehanteerd.

2.8 Kettinglijnparameter

De kettinglijnparameter "P" drukt de trekkracht in de geleider ten opzichte van het eigen gewicht van de geleider. De nieuwe ACCC-geleider zal met identieke kettinglijnparameter (1400m) worden ingetrokken ten opzichte van de huidige ACSR-geleider (SEP).

Uitgangspunt in de berekeningen is dat de bliksemgeleider en OPGW ook worden vervangen, waarbij de nieuwe kettinglijnparameter afgestemd wordt op de doorhang van de fase-geleider, dusdanig dat de zeeg bij 10°C na kruip van de OPGW en bliksemdraad nooit kleiner wordt dan die van de fasegeleider in initiële situatie⁶.

2.9 Isolatorkettingen

Berekeningen zijn gebaseerd op de principetekeningen van nieuw toe te passen isolatoren, ophangingen en afspanningen. Binnen het project is de keuze gemaakt om composiet isolatoren toe te passen, zie hiervoor [26].

Onderstaande Tabel 10 geeft informatie weer die in de berekening zal worden aangehouden.

Tabel 10 Isolator eigenschappen

Omschrijving	Ophanging	Gewicht ⁽¹⁾ [kN]	Lengte [m] ⁽¹⁾	Windopp. [m ²]
Fasegeleider ophanging	Dubbele ophanging	2,0	5,13	1
	Halfverankering ⁽³⁾	2,0	5,25	1,0
	V-Ophanging	2,0	4,6	1,0
Fasegeleider afspanning	Afspanisolatorset HA	2,0	6,7	1,0
	Afspanisolatorset HB	2,0	7,0	1,0
	Afspanisolatorset HC/E	2,0	7,5	1,0
	Afspanisolatorset portalen MBT en EHV	2,0	7,5	1,0
Bretelle fixatie	Bretelfixatie HA/HB/HC	3,0	5,0	2,0
	Bretelfixatie in portalen	3,0	5,0	2,0
Bliksemgeleider / OPGW	Ophanging	0,1	0,3	0,1
	Afspanning	0,1	0,2	0,1

Noot 1: Het opgegeven gewicht en windoppervlakte betreft de complete ketting. Hierin zijn gewicht en oppervlakte van stalen onderdelen en hulpconstructies in de isolator inbegrepen.

Noot 2: Wordt niet toegepast in de verbinding MBT-EHV380.

Noot 3: De tophoek van de halfverankering op tekening 002.515.40-301 dient 60° te zijn. De tekening laat 80° zien.

In de E-studie deel 1 [27] wordt per mastlocatie bepaald welk type afspanning en isolator toegepast dient te worden, zie ook mastenlijst in Appendix C. In Appendix E zijn de voorgestelde isolortekeningen en de daarvan afgeleide gewichten en windoppervlaktes opgenomen.

⁶ Uit eerdere projecten is gebleken dat de ACCC geleider nauwelijks kruipt. Zo kan het dus voorkomen dat (na pre-stress) de bliksemdraad voor zeer lange tijd niet voldoet aan de eisen als gesteld in de voorwaarden in norm en PVE.

2.10 Antenneopstellingen

Het lijndeel MBT - EHV bevat een aantal locaties met antenneopstelling waar rekening mee moet worden gehouden. Een opstelling in de mast betekent een lokale belasting op de staven en ten aanzien van de gehele constructie en een toename van met name de windbelasting. De locaties zijn gebaseerd NOVEC op 17-07-2018 aangeleverde overzicht van de telecomsites voor de 4 BBB380kV-hoogspanningslijnen [28].

Door TenneT is per locatie de asset-data verstrekt van de bestaande telecomopstellingen. In overleg met TenneT is bepaald dat iedere locatie specifiek zal worden gemodelleerd aan de hand van de beschikbare asset-informatie.

De telecomopstellingen komen in verschillende varianten en posities voor. Ter indicatie is in onderstaande tabel de typering van de configuratie aangegeven.

- Type 1 – Telecom in de top;
- Type 2 – Telecom in de top en ter plaatse van de ondertraverse;
- Type 3 – Telecom ter hoogte van de ondertraverse;
- Type 4 - Telecom in het onderstuk;
- Type 5 - Telecom in de top en in het onderstuk.

In Tabel 11 zijn de opstellingen opgesomd. In de kolom "Type" is het aangehouden type per locatie weergegeven. Indien er meerdere opstellingen zijn opgegeven wordt de aanwezigheid specifiek per locatie gecontroleerd aan de hand van meest recente NOVEC informatie en openbare data uit Google Maps. Daarmee wordt voorkomen dat onnodige opstelling van belasting ontstaat als de eerdere opstelling is vervangen.

Tabel 11 Type van de antenne

Relatie	Site	Masttype	Sitenr. NOVEC	Type ⁷	Opmerking
KPN Mobiel	Maasbracht-Eindhoven 380kV M012	S+0	2310	1	
KPN Mobiel	Maasbracht-Eindhoven 380kV M017	S+15	2311	3	
KPN SV	Maasbracht-Eindhoven 380kV M017	S+15	2311		
Tele2	Maasbracht-Eindhoven 380kV M017	S+15	2311		Opgezegd
T-Mobile	Maasbracht-Eindhoven 380kV M017	S+15	2311		
KPN Mobiel	Maasbracht-Eindhoven 380kV M032	S+6	2738	3	
KPN SV	Maasbracht-Eindhoven 380kV M032	S+6	2738		
Vodafone	Maasbracht-Eindhoven 380kV M032	S+6	2738		
T-Mobile	Maasbracht-Eindhoven 380kV M034	HA+0	382	1	
KPN Mobiel	Maasbracht-Eindhoven 380kV M035	S+3	2313	3	
ex Orange	Maasbracht-Eindhoven 380kV M043	S+0	2314		Niet meer actief
ex Telfort	Maasbracht-Eindhoven 380kV M058	S+0	2943		Niet meer actief
KPN Mobiel	Maasbracht-Eindhoven 380kV M064	S+0	2919	1	
Vodafone	Maasbracht-Eindhoven 380kV M070	S+0	2739	1	
KPN Mobiel	Maasbracht-Eindhoven 380kV M093	S+0	2317	3	
KPN SV	Maasbracht-Eindhoven 380kV M093	S+0	2317	3	
ex Telfort	Maasbracht-Eindhoven 380kV M112	S+9	2939		Niet meer actief
KPN Mobiel	Maasbracht-Eindhoven 380kV M115	S+0/xc	3391	1	
KPN SV	Maasbracht-Eindhoven 380kV M115	S+0/xc	3391	1	
T-Mobile	Maasbracht-Eindhoven 380kV M117	S+9/tc	13532	-	
Vodafone	Maasbracht-Eindhoven 380kV M117	S+9/tc	13532	-	
Mobirail	Maasbracht-Eindhoven 380kV M127	S+0	2705	1	
Vodafone	Maasbracht-Eindhoven 380kV M128	HA+0	2740	1	

In Figuur 3 is een voorbeeld weergegeven van een verhoogde mast met een Type 3 telecom opstelling.

⁷ Lege regels worden beschouwd als niet actief en niet in de berekeningen meegenomen.



Figuur 3 Voorbeeld van opstelling ter plaatse van het onderstuk (mast 17)

De antennegegevens en bekabelingen zijn geïventariseerd en in Appendix F opgenomen. De antenne met bijbehorende onderdelen is in PLS-TOWER gemodelleerd als “equipment” met de bijbehorende windoppervlaktes, gewicht en dragfactor.

De voedingskabels worden als toeslag op het windoppervlak meegenomen in de berekening. Het oppervlak van de kabels wordt gereduceerd met een factor van $\sqrt{2}$ om onder diagonale windrichting een dubbele optelling van het windoppervlak te voorkomen.

De controle beperkt zich tot de globale mastconstructie. Lokale inleiding van belastingen in de constructie valt buiten de scope en dient in het uitvoeringsontwerp van de antenne plaats te vinden.

De eventueel aanwezige aanpassingen in de masten met telecomopstelling worden meegenomen in de modellering. Masttypes met telecomopstelling zullen in de naam worden voorzien van een “T” met daarachter het type. Zie Tabel 12.

Tabel 12 Mastlocaties met telecomopstelling

Mastnummer	Masttype	Type	Mastbenaming
12	S+0	1	S+0 T1
17	S+15	1	S+15 T1
32	S+6	3	S+6 T3
34	HA+0	1	HA+0 T1
35	S+3	3	S+3 T3
43	S+0	3	S+0 T3
58	S+0	3	S+0 T3
64	S+0	1	S+0 T1
70	S+0	1	S+0 T1
93	S+0	3	S+0 T3
112	S+9	1	S+9 T1
115N	S+0/xc	1	S+0/xc T1
127	S+0	1	S+0 T1
128	HA+0	1	HA+0 T1

3 BELASTINGEN

3.1 Algemene uitgangspunten

Voor bestaande bouwwerken is door het Bouwbesluit 2012 de NEN 8700 aangewezen voor de toetsing van de constructieve veiligheid. Deze norm beschrijft drie veiligheidsniveaus waaraan getoetst kan worden:

- het afkeurniveau
- het verbouwniveau
- het nieuwbouwniveau.

In de draft Annex NB van NEN-EN 50341-2-15 worden in aanvulling hierop specifieke partiële belastingfactoren voor toetsing van hoogspanningsmasten aan het afkeurniveau (tabellen NB.4.13.1 tot en met NB.4.13.2) en het verbouwniveau (tabellen NB.4.13.5 en NB.4.13.6) gegeven.

Bij de beoordeling van de bestaande constructie zal voor de constructieve veiligheid worden uitgegaan van het afkeurniveau. Indien blijkt dat in de mastconstructie niet voldaan wordt aan het afkeurniveau worden aanpassingen bepaald op basis van het verbouwniveau. De aangepaste constructie zal daarnaast gecontroleerd worden aan het afkeurniveau om de niet aangepaste delen te toetsen. Voor de beoordeling van de funderingen zal eveneens ten aanzien van zowel afkeur- als verbouwniveau beoordeeld worden.

Alle berekeningen en mastaanpassingen zullen worden gebaseerd voor de nieuwe toe te passen fasegeleiders, OPGW en bliksemraden en de daaraan gerelateerde bestaande geleidertrek. Evenals de bestaande ophang- en afspansets.

3.2 Gevolgklasse

Op basis van draft Annex NB van NEN-EN 50341-2-15 en PVE 05.000 lijnen mogen onder een voorwaarde hoogspanningsmasten voor de toetsing aan afkeurniveau in gevolgklasse CC2-0 worden ingedeeld. Aan de voorwaarde (bouwjaar voor 1995) wordt voldaan. Voor de toetsing van nieuwe onderdelen in de bestaande masten is het verbouwniveau met gevolgklasse CC2 het uitgangspunt.

In geval van afkeurniveau dient volgens PVE 05.000 lijnen uitgegaan te worden van 30 jaar ontwerplevensduur. In geval van het verbouwniveau voor te vernieuwen of te verzwaren constructies wordt een referentieperiode van 50 jaar aangehouden.

De aangepaste masten die onderdeel zijn van de reconstructie in Helmond Brandevoort zijn gebouwd op basis van vergunningen die zijn ingediend voordat het Bouwbesluit 2012 van kracht werd. Deze masten vallen daarmee onder de toetsing met het afkeurniveau / verbouwniveau als de overige masten.

De volledig nieuw gebouwde masten van de reconstructie Brandevoort dienen te voldoen aan huidige nieuwbouweisen, gevolgklasse CC2 en 50 jaar referentieperiode. Eventueel kan gebruik worden gemaakt van reductie van referentieperiode met de verstreken tijd sinds 2013 (8 jaar). Vanwege het relatief kleine effect van 8 jaar reductie wordt gekozen om 50 jaar aan te houden.

Voor de fundaties is een referentieperiode van 15 jaar gehanteerd in plaats van de 30 jaar voor de mastconstructies. De wijziging naar 15 jaar is het wettelijk vereiste minimum voor de referentieperiode en is in overleg met de afdeling Asset Management van TenneT tot stand gekomen. De keuze is gemaakt om de omvang en het aantal van de benodigde aanpassingen aan de mastfundaties proportioneel te houden. In **Tabel 13** zijn de uitgangspunten samengevat.

Tabel 13 Betrouwbaarheidsniveau en referentieperiode voor toetsing mastfundaties

Masttypes	Betrouwbaarheidsniveau	Referentieperiode	Toelichting
Steunmasttypes S+0 t/m S+15	Afkeur CC2-0	15 jaar	Verlaagde referentieperiode
Hoekmasttypes HA+0, HB+0, HC+0, WA+0	Afkeur CC2-0	15 jaar	Verlaagde referentieperiode
EA+0	Afkeur CC2-0	30 jaar	Ongewijzigd vanwege verschillende belastingssituatie per circuit en ontbreken nuttig effect van verlaging
HB+0(tc), S+0(tc), S+9(c), S+9(tc),	Afkeur CC2-0	30 jaar	Ongewijzigd bij "Helmondmasten" vanwege voldoende reserve voor 30 jaar
S+0(xc), S+0(c)	Nieuwbouw CC2	50 jaar	Geen wijziging mogelijk

3.3 Belastingsfactoren

De beschouwde belastinggevallen worden in belastingcombinaties gecombineerd voor de toetsing. De te toetsen belastingcombinaties worden in principe bepaald op basis van artikel 4.12 en 4.13 van NEN-EN 50341-2-15.

In Appendix B is een volledig overzicht gegeven van belastingcombinaties en toegepaste belastingfactoren. Deze zijn overgenomen uit PVE 05.000 lijnen zijn in overeenstemming met draft Annex NB van NEN-EN 50341-2-15 en artikel 4.12 en 4.13 van NEN-EN 50341-2-15.

De belastingen ten gevolge van geleiderbreuk bij steunmasten ("Security loads", 5a) worden getoetst op 0,8 EDS voor de fasegeleiders en 1,0 EDS voor bliksemdraad en OPGW.

Voor de afwezigheid van de geleidertrekkkrachten bij hoekmasten zijn de belastingcombinaties van de "Special Limit State" van toepassing. In aanvulling hierop wordt de belastingfactor voor eigen gewicht 0,9 gehanteerd, indien het eigen gewicht gunstig werkt (van toepassing bij de bepaling van trek op de fundatie).

3.4 Belastingsgevallen

3.4.1 Eigen gewicht geleiders

Op basis van de opgegeven gewichten van de geleiders wordt de belasting op de geleider bepaald en de belasting die de geleider op de mastconstructie uitoefent.

Binnen de verbinding zal een toeslag op het eigen gewicht van 2% voor bundelafstandhouders in rekening worden gebracht.

Ingeval van waarschuwbollen in de bliksemdraad zal een specifieke toeslag op het gewicht gelden.

De longitudinale belasting door het eigen gewicht is temperatuursafhankelijk, zodat per belastingcombinatie hier rekening mee wordt gehouden. Dit is gespecificeerd in de tabellen van Appendix B.

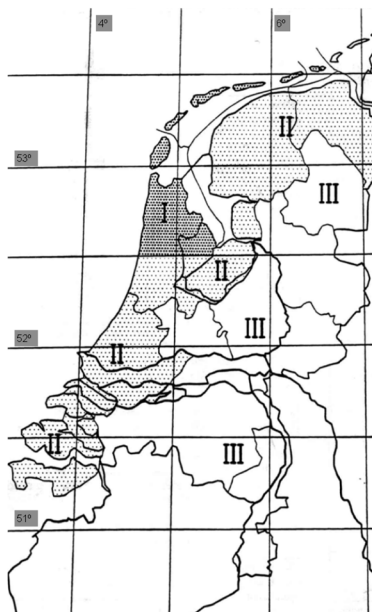
3.4.2 Eigen gewicht mastconstructie

Het eigen gewicht van de mast wordt op basis van de gemodelleerde staven automatisch door het rekenprogramma bepaald. Via een manueel in te voeren vergrotingsfactor "Dead load adjustment factor" wordt de invloed van schetsplaten, knikverkorters, bordesconstructies, klimvoorzieningen, zinklaag en bouten verdisconteerd. Dit zal in de documenten "Rapportage Mastconstructie" per masttype specifiek worden aangegeven.

3.4.3 Windbelasting

3.4.3.1 Windgebied

In figuur 4 is uit de nationale bijlage NEN-EN 50341-2-15 de windgebied-indeling van Nederland overgenomen. De hoogspanningslijn MBT-EHV380 in de provincies Limburg en Noord-Brabant bevindt zich windgebied III.



Figuur 4 Windgebieden Nederland overgenomen uit NEN-EN 50341-2-15, figuur 4.3.4/NL.1

3.4.3.2 Terreincategorie

Alle masten bevinden zich voldoende ver van open water met strijklengte 2 km, zodat het uitgangspunt van “onbebouwde omgeving” geldt.

Tabel 14 Stuwdrukwaardentabel windgebied III (50 jaar referentieperiode)

Windgebied III	
Hoogte (m)	$q_p(z)$
10	0,70
15	0,80
20	0,88
25	0,94
30	0,99
35	1,03
40	1,07
45	1,11
50	1,14
55	1,17
60	1,19
65	1,22
70	1,24
75	1,26
80	1,28
85	1,30
90	1,32
95	1,33
100	1,35

3.4.4 Windbelasting op geleiders

De windbelasting op de geleiders wordt bepaald op basis van artikel 4.4.1. van NEN-EN 50341-2-15. Een toeslag van 2% wordt aangehouden voor windoppervlak van bundelafstandshouders en vogelspiralen. Ingeval van waarschuwingsbollen wordt een hogere waarde gebruikt, specifiek te bepalen.

3.4.5 Windbelasting op isolatoren

Windbelasting op de isolatoren wordt bepaald op basis artikel 4.4.2 van NEN-EN 50341-2-15. De factor G_{ins} bedraagt 1,0 en de vormfactor C_{ins} is 1,2. Beide conform de aanbevolen waarde in de norm.

3.4.6 Windbelasting op mastconstructie

Windbelasting op de mastconstructie wordt op basis van artikel 4.4.3 van NEN-EN 50341-2-15.

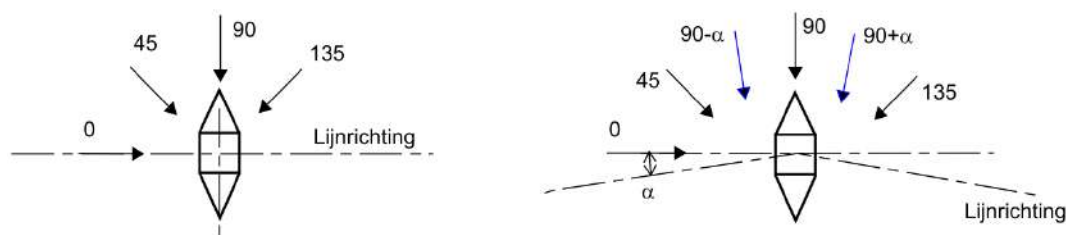
3.4.7 Windrichtingen

Berekeningen worden in principe uitgevoerd met vier windrichtingen. Dit zijn als eerste de twee hoofdrichtingen van de mastconstructie.

Bij de steunmasten waarbij de windbelasting op de mast dominant is, komen daarbij de twee diagonale hoofdrichtingen.

Bij hoekmasten waarbij de trekbelasting dominant is, worden de twee richtingen haaks op de geleider gezien vanuit de buitenbocht beschouwd.

De windrichtingen zijn geïllustreerd in Figuur 5.



Figuur 5 Windrichtingen, links: steunmasten, rechts: hoekmasten

3.4.8 IJzelbelasting op geleiders

Voor de provincie Limburg en Noord-Brabant wordt uitgegaan van ijsgebied B bij de bepaling van ijzelbelasting op de faseadraden. Voor de bliksemadraden en OPGW-geleider wordt de ijzelbelasting in dit project bepaald via ijsgebied B volgens 002.586.00 0735766AQUA - S1 PVE.05.001 MBT-EHV380 [15].

3.4.9 Belasting door inspectie en onderhoudswerkzaamheden

De belastingen ten gevolge van inspectie en onderhoudswerkzaamheden worden bepaald op basis van NEN-EN 50341-2-15 tabel 4.9.1/NL1.

Bij de controle van overige staven onder de belasting door klimmen wordt uitgegaan van een belasting van 1,0 kN. De toetsing wordt op basis van PVE lijnen PVE 05.000 beperkt tot beklimbare staven tot 30°. De last dient loodrecht op een van de flenzen van het hoekprofiel aangenomen te worden. Het is in overleg met AM toegestaan om voor de ULS plastisch te rekenen, met de voorwaarde dat de elastisch berekende spanning in de SLS onder de vloeigrens blijft.

Daarnaast is er volgens NEN-EN 50341-2-15 in al de geleiders van een circuit een belasting van 3 kN in rekening gebracht voor het uitvoeren van onderhoud in geval gebruik wordt gemaakt van lijnwagens. Deze belasting grijpt aan bij de ophangpunten van de geleider, of op de geleider zelf tussen twee masten.

3.4.10 Belasting door galloping als longitudinale belasting

Galloping is volgens NEN-EN 50341-2-15 een buitengewone belasting. Op basis van het beginsel van artikel 4.4.1 van NEN 8701 hoeft deze niet te worden getoetst in het kader van NEN 8700.

4 TOETSING

4.1 Masttypes

De masten worden in principe per masttype getoetst. Gezocht is naar een methode om met algemeen geldende uitgangspunten voor de veldlengte of lijnhoek de masten te berekenen. Het blijkt dat in MBT-EHV de variëteit in masttypes, veldlengtes en hoogteverschillen dermate groot is dat deze aanpak niet voldoende dekkend is voor een groot aantal locaties of te conservatief is. Daarom is de keuze gemaakt om voor ieder masttype uit te gaan van de daadwerkelijk aanwezige grootste veldlengte, lijnhoek, et cetera voor de maatgevende uitgangspunten.

Het tracé is in PLS-CADD gemodelleerd om maatgevende mastlocaties binnen een masttype te kunnen bepalen. In Appendix D is het overzicht opgenomen van de te beoordelen masttypen met de bijhorende veldlengtes “wind span”, gewichtsoverspanningen “weight span” en lijnhoeken. Deze uitgangspunten vormen de invoer voor het DNV geleiderbelastingenprogramma.

Voor elk masttype zullen met het programma PLS TOWER mastberekeningen worden uitgevoerd.

In onderstaande opsomming zijn de belangrijkste uitgangspunten samengevat.

4.1.1 Intrekwaarden

Voor fasegeleiders wordt uitgegaan van kettinglijnparameter P_{10} van 1400m. Voor OPGW en bliksemdraad⁸ geldt een P_{10} van 1500m⁹.

4.1.2 Veldlengtes

De veldlengtes worden ingevoerd conform werkelijk aanwezige veldlengtes bij de maatgevende masten. Hiervoor wordt verwezen naar Appendix C.

4.1.3 Vaklengte en lijnhoek

De vaklengte is gemodelleerd overeenkomstig het spanveldenschema.

4.1.4 Hoogteverschillen

Er zal rekening worden gehouden met de aanwezigheid van hoogteverschillen. Bij de locatiespecifieke masten zijn dit de werkelijk aanwezige hoogteverschillen voor die locatie.

Bij mastlocaties die gelden als maatgevend binnen een groep van masttypes zal rekening worden gehouden met het grootste hoogteverschil dat aanwezig is binnen de groep. Zie hiervoor in meer detail Appendix D.

4.2 Staalconstructie

In dit hoofdstuk wordt specifiek ingegaan op aspecten die van belang zijn bij de toetsing van de bestaande mastconstructies.

De volgende controles van de masten zullen plaatsvinden:

- Alle staven (inclusief knikverkorters) op trek belast (nettodoorsnede);
- Alle staven (inclusief knikverkorters) op druk belast (knik, nettodoorsnede);
- Van alle staven worden de boutverbindingen gecontroleerd;
- De interface met de fundering, via ingestorte blokdeuvels (“knaggen”) of ankerbouten;

⁸ Een circuits is voorzien van OPGW.

⁹ Een kettinglijn parameter van minimaal 1500m wordt geadviseerd. Indien er een Pre-stress wordt gehanteerd van 1.5* EDS voor de fase.

- In de verbindingen wordt niet op detailniveau getoetst zoals ingaan op schetsplaten, krachtslijnen et cetera. Dit vormt onderdeel van de UO-engineering. Uitzonderingen hierop zijn: liggers voor ophangpunten van isolatorkettingen.

4.2.1 Nettodoorsnede

Voor het toetsen van de nettodoorsnede worden de rekenregels gehanteerd conform artikel 3.10.3 van NEN-EN 1993-1-8, de norm voor verbindingen in staalconstructies.

4.2.2 Stuikkracht

De rekenregels van tabel 3.4 van NEN-EN 1993-1-8 worden gevolgd. Voor de stuikweerstand van een hoeklijn met een enkele bout wordt gebruikt gemaakt van artikel 7.3.8 van NEN-EN 50341-2-15.

Voor hoekstalen waarvan één zijde is aangesloten met één rij bouten, moet voor de toetsing op uitscheuren van boutgroepen, conform NEN-EN 50341-2-15; artikel 7.3.8. NL3 worden uitgevoerd in plaats van NEN-EN 1993-1-8, artikel 3.10.2, vergelijking (3.10).

4.2.3 Bouten

Voor de controle van boutverbindingen op afschuiving en stuik in het huidige project worden de rekenregels gebruikt van de Eurocode.

De maatvoering van de boutverbindingen heeft invloed op de sterkte van de verbinding, de stuikkracht wordt erdoor beïnvloed, bij enkelsnedig aangesloten profielen wordt via de β -factor ook de capaciteit van de nettodoorsnede beïnvloed. DNV zal in de basis uitgaan van de afstanden die volgens de constructietekeningen aanwezig zijn.

4.2.4 Kniklengtebepaling

De rekenregels in de norm voor torens, masten en schoorstenen, de NEN-EN 1993-3-1 zijn in Nederland van toepassing voor het bepalen van de kniklengte. Zie hiervoor het stroomschema in artikel 7.3.9 van NEN-EN 50341-2-15. Resumerend wordt de procedure van Annex G van NEN-EN 1993-3-1 gevolgd.

4.2.5 Verspringende verbanden

De rekenregels van NEN-EN 50341-1 worden gevolgd. Indien noodzakelijk wordt met een knikberekening de kniklengte bepaald voor invoer in PLS-TOWER.

4.2.6 Kruisende diagonalen

De rekenregels van NEN-EN 50341-1 worden gevolgd.

4.2.7 Torsieknik

Relatief dunne profielen zoals ze voorkomen in dit project kunnen gevoelig zijn voor torsieknik. Dit geldt met name voor profielen met kleine slankheid zoals hoekstijlen.

Op basis van NEN-EN 50341-2-15 artikel 7.3.6.NL.2 is toetsing op torsieknikstabiliteit is niet nodig voor centrisch gedrukte gelijkzijdige hoekprofielen. De toetsing op knik om de zwakke as conform NEN-EN 1993-3-1 volstaat.

Voor ongelijkzijdige hoekprofielen en gelijkzijdige hoekprofielen die met een flens zijn verbonden moet de toets uitgevoerd worden volgens NEN-EN 50341-1 artikel 7.3.5.

4.2.8 Sterkte-coördinatie

Overeenkomstig de bepaling AM-req-1077 in het PVE-lijnen worden in bestaande lijnen geen eisen gesteld aan sterkte-coördinatie. De handhaving van het bestaande mastontwerp prevaleert.

4.2.9 Elastische toetsing

Volgens de TenneT standaard voor stalen masten SPE05.346 dienen staaldoorsneden getoetst te worden op basis van de elastische spanningsverdeling. Dit uitgangspunt zal gebruikt worden bij toetsing van de doorsneden. Bij de toetsing van verbindingen waarbij de regels van de Eurocode worden gevolgd, is uitgangspunt in de regels dat er enige lokale plastificering optreedt bij boutgaten. Deze lokale plastificering bij verbindingen wordt beschouwd als niet-tegenstrijdig met de TenneT-eis over elastische spanningsverdeling.

4.3 Fundatie

In dit hoofdstuk wordt specifiek ingegaan op aspecten die van belang zijn bij de toetsing van de bestaande funderingen.

De volgende controles van de fundatie zullen plaatsvinden:

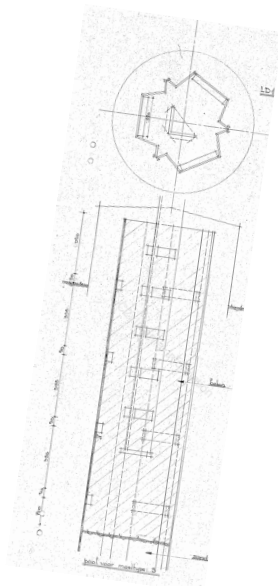
- Palen op trek belast
- Palen op druk belast
- Afdracht horizontale belastingen
- Wapening van betonconstructies

4.3.1 Fundatiebelastingen

Uitgangspunt vormen de fundatiebelastingen van het betreffende masttype op basis van de uitgangspunten van paragraaf 4.1. Voor de bestaande funderingen is afkeurniveau van toepassing zoals aangegeven in paragraaf 3.2. Voor nieuwbouw of aangepaste funderingen in Helmond zie uitgangspunt van 3.2.

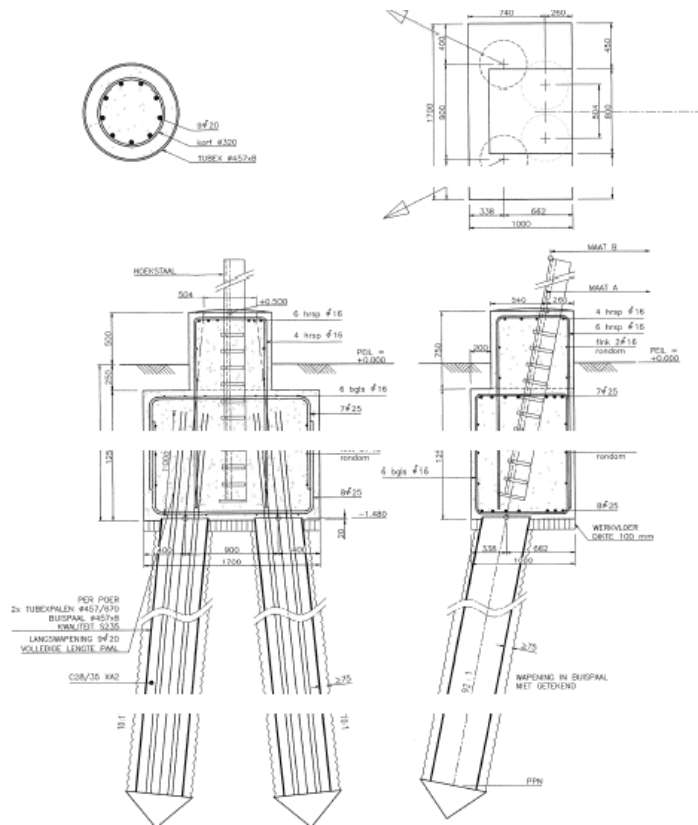
4.3.2 Paaltypen

Bij alle mastconstructies zijn paalfunderingen toegepast. Steunmasten zijn in de regel gefundeerd op een enkele paal per hoekpunt. Dit zijn geheide stalen kokerpalen van damwandprofiel LD1 of LV1, met punt. Hoekmasten en zwaarder belaste steunmasten zijn gefundeerd op meerdere palen per hoekpunt.



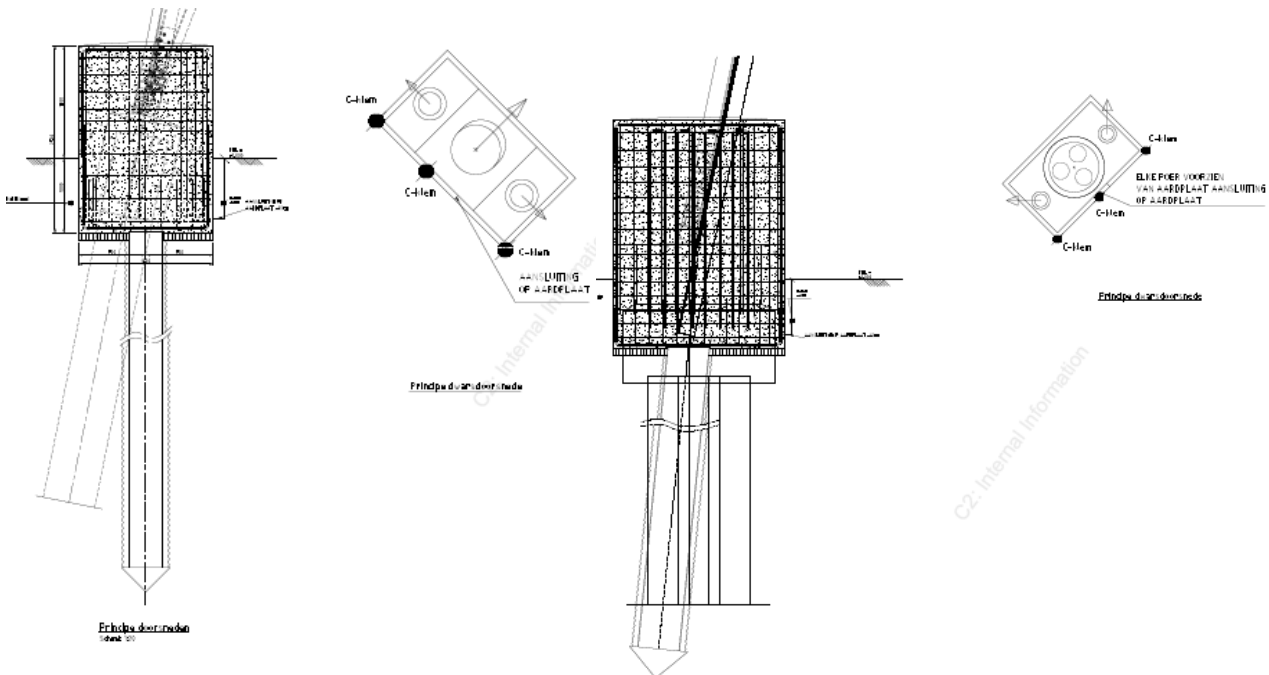
Figuur 6 Enkelpaalfundering oorsponkelijke steunmasten

Mast 2 t/m 17 zijn uitgevoerd met zogenaamde "Ortbeton"-palen, dit zijn in het werk gestorte ronde betonpalen met doorsnede 0,42 m. In de fundaties van de masten van de reconstructie bij Helmond, mast 115-122, zijn schroefinjectiepalen zijn toegepast, zie Figuur 7.



Figuur 7 Schroefinjectiepaal als fundering voor nieuwbouwmasten 115,121 en 122

Bij de verzwaarde masten in de reconstructie Helmond zijn de bestaande fundaties opgenomen in een nieuwe blokpoer. De fundatie is voorzien van twee nieuwe stalen schroefinjectiepalen per poer.



Figuur 8 Schroefinjectiepaal als versterkte fundering voor versterkte masten 116-120

4.3.3 Rekenmethode

De draagkracht van de fundaties werd in het verleden bepaald met een andere methode dan in de huidige voorschriften. De toenmalige slipmethode, ook wel "Begemann-methode" genaamd, was gebaseerd op de wrijvingsweerstand van een mechanische kleefmantelconus.

De rekensterkte van de fundatiepalen op trek en druk zal worden bepaald met de q_c -methode zoals voorgeschreven in de hedendaagse norm voor Geotechniek, de NEN-EN 1997-1.

Deze methode is gebaseerd op de conusweerstand van de sondering. In de planning voor MBT-EHV380 is het uitvoeren van nieuwe elektrische sonderingen. Voor dat deze beschikbaar zijn zal worden uitgegaan van bestaande sonderingen.

Bij wisselende gesteldheid volgens bijlage A van NEN-EN 1997-1 van de bodem wordt bij de keuze voor de $\gamma_{m,var,qc}$ -factoren uitgegaan van 1 sondering, ongeacht het aantal uitgevoerde sonderingen en aanwezige variatie. De capaciteit wordt berekend op basis van de minst gunstige sondering.

4.3.4 Palen op druk en trek belast

De rekenregels van NEN-EN 1997 artikel 7 worden gevolgd en de eisen zoals opgenomen in NEN 8707 voor de bestaande fundaties worden gevolgd.

Een belangrijke parameter die de berekende draagkracht reduceert is de partiele factor $\gamma_{m,var,qc}$ volgens NEN-EN 1997-1 artikel 7.6.3.3 (8) opmerking (d). Voor een paal die een wisselende belasting ondergaat tussen trek- en druk treedt een vermindering op van de schuifweerstand. Afhankelijk van de verhouding tussen uiterste trek- en drukkracht is de $\gamma_{m,var,qc}$ tussen de 1,0 en 1,5.

$$\gamma_{m,var,qc} = 1 + 0,25 \cdot \frac{F_{t,max,rep} - F_{t,min,rep}}{F_{t,max,rep}} \text{ en } \gamma_{m,var,qc} \leq 1,5$$

Voor de funderingen van de steunmasten waarbij zowel op trek- als drukbelasting optreedt levert het gebruik van de formule een factor in alle gevallen 1,5 op.

Bij de hoekmasten treedt de hoogste belasting op in de ULS- of de SpLS-grenstoestand (eenzijdige afwezigheid geleiders). Op basis van de meest op trek belaste stijl wordt de variatie bepaald en de bijbehorende factor $\gamma_{m,var,qz}$ berekend.

4.3.5 Betonconstructie

De rekenregels van de Eurocodes voor betonconstructies zullen worden gevolgd.

4.4 Sonderingen

4.4.1 Inleiding

Voor het beoordelen van het draagvermogen van de bestaande palen kan volgens NEN 8707 gebruik gemaakt worden van de bestaande sonderingen die zijn uitgevoerd tijdens de bouw van de hoogspanningslijn. Omdat gebruik gemaakt wordt van de conusweerstand is er in principe geen of weinig verschil tussen de elektrische conus van tegenwoordig of de mechanische conus die in het verleden werd gebruikt en zijn de oude sonderingen bruikbaar.

Indien een fundatie niet voldoet en versterking benodigd is, dan dienen nieuwe sonderingen gebruikt te worden om de draagkracht van aanvullende palen te berekenen.

4.4.2 Verkennend onderzoek

Omdat de toepassing van oude of nieuwe sonderingen afhankelijk is van de uitkomst van de toetsing van de fundatie en er tijd benodigd is voor de grondonderzoeken is door DNV een voorlopige controle van de mastfundaties uitgevoerd. De uitkomst van deze voorlopige toetsing is gebruikt om grondonderzoeken uit te voeren.

Met de verkennende berekeningen zijn per mast de paal draagvermogens voor trek- en drukbelasting bepaald op basis van de beschikbare sonderingen uit 1966 (uitzondering mast 115 t/m 122 met beschikbare sonderingen uit 2008). In de voorlopige berekening is een marge genomen, zodat het aantal mastlocaties ruim genoeg is.

De uitkomsten worden verdeeld in drie categorieën:

1. Draagvermogen is voldoende;
2. Draagvermogen is (mogelijk) onvoldoende ($UC \geq 0,90$);
3. Draagvermogen is onzeker (d.w.z. dat de beschikbare sondering onvoldoende diep is voor berekening van het draagvermogen). Hier zijn twee subcategorieën mogelijk;
 - a. Draagvermogen lijkt kritisch ($UC \geq 0,75$);
 - b. Draagvermogen lijkt niet kritisch ($UC < 0,75$).

Het aantal masten per categorie is in onderstaande tabel weergegeven.

Tabel 15 Conclusie uit berekeningen

Categorie	Aantal mastlocaties
1	32
2	88
3a	3 (incl. portalen)
3b	10

Bij 32 masten is het draagvermogen voldoende. Hier vallen de recent aangepaste of vernieuwde masten bij Helmond Brandevoort onder. Ook een groot deel van de hoekmasten voldoet. Bij 88 masten is het draagvermogen (mogelijk) onvoldoende en bij 13 masten is het draagvermogen onzeker.

Besloten is om grondonderzoek uit te voeren op alle mastlocaties die vallen onder categorie 2, 3a en 3b.

Grondonderzoek houdt in dat doorgaans minimaal twee sonderingen met kleefmeting per mastlocatie nodig zijn. Mast 115 t/m 122 van de reconstructie Helmond behoeft geen aanvullend grondonderzoek. In de rapportage van de fundaties zal verder worden ingegaan op het gebruik van de oude of de nieuwe sonderingen per locatie.

5 REFERENTIES

- [1] "600.006 0793236 - 10166260-TDT 20-0044 - "Keuze type ACCCZ-geleider en Normkeuze voor interne en externe afstanden", 2020-01-14.
- [2] "002.586.40 0825934 Rapport e-design deel 1".
- [3] NEN 8700:2011 - Belastingen voor bestaande bouw.
- [4] NEN 8701:2011 - Belastingen voor bestaande bouw.
- [5] NEN 8707:2019 - Geotechnisch ontwerp - Beoordeling van de constructieve veiligheid van een bestaand bouwwerk.
- [6] NEN-EN 50341-1:2013 - Overhead electrical lines exceeding AC 1 kV - Part 1: General requirements – Comm.
- [7] NEN-EN 50341-2-15:2019 - Overhead electrical lines exceeding AC 1 kV Part 2 National Normative Aspects (NNA) for THE NETHERLANDS.
- [8] NEN-EN 1990.
- [9] NEN 1991-1-4.
- [10] NEN 1993-1-1.
- [11] NEN-EN 1993-3-3.
- [12] NEN-EN 1993-1-8.
- [13] NEN 1997-1.
- [14] PVE.05.000 Lijnen Versie 3.2.
- [15] "002.586.00 0735766 AQUA - S1 PVE.05.001 EHV-.docx".
- [16] SPE 04.009 Paalfunderingen.
- [17] SPE 05.346 v1.3 Stalen masten.
- [18] "Verificatie & validatieplan 380 kV verbinding Maasbracht-Eindhoven".
- [19] "Klokgetal config TenneT 2019.xlsx".
- [20] "ACCC Warsaw.wir".
- [21] "AACSR Hawk (241-AL3-39-A20SA) (with grease).wir (bliksemdraad)".
- [22] "AAAC-TW-AL7 882.3 mm (Bobolink).wir".
- [23] "AACSR/AS 242/39 (150kV)".
- [24] "OPGW AFL_226.wir".
- [25] "200152A-004 Maasbracht - Eindhoven v1.0.pdf".
- [26] "002.800.40 0696355 - BBB: Onderbouwing uitvoeringsvorm isolatoren".
- [27] "002.586.40 0825934 Rapport e-design deel 1 MBR-EHV".
- [28] "Email van A.S. op 08-08-2019".

APPENDIX A

TenneT-Standaarden

Van toepassing zijnde standaarden van TenneT				
Type	Dis.	Naam	Ver.	Datum
PVE	00	PVE.00.001 Naamgeving assets standaard programma van eisen.pdf	1.1	30-11-2015
PVE	00	PVE.00.001 Bijlage Naamgeving assets.xlsx	1.0	11-10-2017
PVE	00	PVE.00.002 Planologische traceringsuitgangspunten en locatie-eisen (Excel Format).zip	2.0	25-04-2017
PVE	00	PVE.00.002 Planologische traceringsuitgangspunten en locatie-eisen.pdf	2.0	25-04-2017
PVE	00	PVE.00.003 Publieke en Private rechten (Excel Format).zip	2.0	25-04-2017
PVE	00	PVE.00.003 Publieke en Private rechten.pdf	1.0	25-04-2017
PVE	00	PVE.00.060 Meetbestek inmeten kabels en leidingen TenneT TSO	2.2	06-06-2018
TYP	00	TYP.00.002 Template Basisontwerp.docx	3.1	14-09-2016
TYP	00	TYP.00.002 Bijlagen Template basisontwerp.zip	-	14-09-2016
TYP	00	TYP.00.003 ENG Guidelines for Technical Drawing using.pdf	1.8	01-2018
TYP	00	TYP.00.003 Bijlage A TenneT-Acad2010.ctb	-	20-07-2015
TYP	00	TYP.00.003 Bijlage B ACAD-TenneT2014.zip	-	28-09-2017
TYP	00	TYP.00.003 BIJLAGE C TENNET-TOOL PALETTES.zip	-	11-04-2016
TYP	00	TYP.00.003 Appendix B ENG ACAD-TenneT2014.zip	1.7	18-05-2016
TYP	00	TYP.00.003 Richtlijnen voor technisch tekenen - AutoCAD.pdf	1.7	11-04-2016
TYP	00	TYP.00.004 TEMPLATE Typical Projectcommunicatie achtergronden en voorbeelden.docx	1.0	02-03-2016
SPE	00	SPE.00.901 Standaard specificatie kunststof borden.pdf	1.0	12-07-2011
SPE	00	SPE.00.901 Bijlage bronbestanden.zip	-	12-07-2011
SPE	00	SPE.00.901 Bijlage.zip	-	12-07-2011
SPE	00	SPE.00.903 Conservering Grote Buisconstructies.pdf	1.5	05-2016
SPE	00	SPE.00.905 Conservering Mastverzwaring.pdf	1.3	29-08-2016
SPE	00	SPE.00.906 Herstel Conservering Grote Buisconstructies.pdf	1.2	21-05-2015
SPE	00	SPE.00.907 Conservering Nieuwbouw Vakwerkmasten.pdf	1.3	21-05-2015
SPE	00	SPE.00.908 Conservering Onderhoud Vakwerkmasten en Stations.pdf	1.0	21-05-2015
SPE	00	SPE.00.910 Factory acceptance test planning.pdf	1.0	01-2016
PVE	01	PVE.01.000 Primair (Excel format).zip	2.0	19-05-2017
PVE	01	PVE.01.000 Primair.pdf	2.0	19-05-2017
PVE	01	PVE.01.001 Primair Projects specifiek EHV380	1.1	26-10-2017
PVE	01	PVE.01.001 Primair Projects specifiek MBT380	1.1	26-10-2017
TYP	01	TYP.01.380 Primary Installation.pdf	1.1	05-08-2015
SPE	01	SPE.01.100 Specificatie Staalwerk primaire ondersteuning portalen en bliksem pieken.pdf	1.1	06-2017
SPE	01	SPE.01.401 Disconnectors and earthing switches.pdf	3.2	11-2016
SPE	01	SPE.01.408 Generic Spec High Voltage Instrument Transformers.pdf	3.0	01-06-2016
SPE	01	SPE.01.408-N Primary Appendix High Voltage Instrument Transformers.pdf	3.0	23-02-2016
SPE	01	SPE.01.414 Dutch national Appendix 2 AC circuit-breakers.pdf	-	26-07-2016
SPE	01	SPE.01.414 Generic Specification AC circuit-breakers.pdf	4.0	06-2016
SPE	01	SPE.01.414-N Appendix 2 Circuit Breakers.pdf	2.0	10-2012
SPE	01	SPE.01.415 Model projectspecificatie vermogensschakelaar 380 kV.docx	1.0	21-03-2011
SPE	01	SPE.01.424 Algemene specificatie aluminium buizen ronde staven als geleider.pdf	1.0	24-03-2011
SPE	01	SPE.01.432 Generic Spec High Voltage Post Insulators and rotation rods.pdf	3.0	11-08-2016
SPE	01	SPE.01.432-N Appendix 2 High Voltage Post insulators and rotation rods.pdf	3.0	11-08-2016
SPE	01	SPE.01.439 Werkinstructie aluminium laswerk thermisch verzinken.docx	1.0	28-03-2011
SPE	01	SPE.01.441 Werkinstructie montage primaire componenten in openlucht stations.docx	1.0	28-03-2011
SPE	01	SPE.01.450 Algemene specificatie klemmen raildraagarmatuur geleider open station.pdf	1.0	25-03-2011
SPE	01	SPE.01.451 Model projectspecificatie klemmen ... raildraagarmatuur geleider openl station.docx	1.0	25-03-2011
SPE	01	SPE.01.459 Algemene specificatie aardnet 380kV stations.pdf	1.0	25-03-2011
SPE	01	SPE.01.460 Model Projectspecificatie aardnet 380 kV stations.docx	1.0	29-03-2011

Van toepassing zijnde standaarden van TenneT

Type	Dis.	Naam	Ver.	Datum
DAT	01	DAT.01.415 Datasheet for circuit breakers 380kV.pdf	2.0	27-10-2012
DAT	01	DAT.01.309-411 Technical specification Instrument Transformers.pdf	11.0	25-03-2016
DAT	01	DAT.01.309-411 Technical specification Instrument Transformers.xlsx	11.0	25-03-2016
DAT	01	DAT.01.433-N Technical specification post insulators.pdf	6.0	10-08-2016
DAT	01	DAT.01.433-N Technical specification post insulators.xlsx	6.0	10-08-2016
OIR	01	OIR.01.001 PRIM Object Interface Requirements (Excel Format).zip	2.0	24-05-2017
OIR	01	OIR.01.001 PRIM Object Interface Requirements.pdf	2.0	24-05-2017
PVE	02	PVE.02.000 Secundair (Excel Format).zip	4.0	22-05-2017
PVE	02	PVE.02.000 Secundair.pdf	4.0	22-05-2017
PVE	02	PVE.02.001 Secundair Projectspecifiek EHV380	3.1	06-10-2017
PVE	02	PVE.02.001 Secundair Projectspecifiek MBT380	3.1	06-10-2017
TYP	02	TYP.02.001 Richtlijnen Secundaire Tekenwijze TenneT Stations.pdf	4.0	01-10-2015
TYP	02	TYP.02.002 Bijlage A Standaard IO lijsten.xlsm	4.0	27-11-2017
TYP	02	TYP.02.002 Bijlage B Alarmomschrijvingen.xlsx	3.0	01-10-2015
TYP	02	TYP.02.002 Standaard I-O lijsten en alarmomschrijvingen.pdf	3.0	01-10-2015
TYP	02	TYP.02.003 Bijlage A verkortingen secundair.xls	2.0	01-10-2015
TYP	02	TYP.02.003 Bijlage B Register kasten en klemnummers.xlsx	2.0	01-10-2015
TYP	02	TYP.02.003 Register verkortingen secundair, kastenlijst en klemnummering.pdf	2.0	01-10-2015
SPE	02	SPE.02.501 Algemene specificatie secundaire installaties.pdf	1.3	05-2017
SPE	02	SPE.02.502 Model projectspecificatie secundaire installaties.docx	1.3	05-2017
SPE	02	SPE.02.543 Bijlage TenneT IEC 870-5-101 PID Balanced.pdf	1.3	07-07-2014
SPE	02	SPE.02.543 Bijlage TenneT IEC 870-5-101 PID Unbalanced.pdf	4.4	26-06-2014
SPE	02	SPE.02.543 Bijlage TenneT IEC 870-5-104 PID.pdf	2.5	10-04-2017
SPE	02	SPE.02.543 Protection and Substation Automation.pdf	2.10H	11-2016
SPE	02	SPE.02.543 Table of compliance protection and substation automation.xls	-	-
SPE	02	SPE.02.543-N National Appendix Netherlands.pdf	1.4	11-2016
OIR	02	OIR.02.001 SEC Object Interface Requirements (Excel Format).zip	2.0	24-05-2017
OIR	02	OIR.02.001 SEC Object Interface Requirements.pdf	2.0	24-05-2017
OIR	02	OIR.02.002 SEC Object Interface Requirements Principe Tekeningen.pdf	C	09-08-2017
DAT	02	DAT.02.BEV Aansluitschema 7SA611 MI MS 380 220 150 110 kV.pdf	-	12-2016
DAT	02	DAT.02.BEV Aansluitschema 7SA611 MI MS 380 220 150 110 kV.xls	-	12-2016
DAT	02	DAT.02.BEV Aansluitschema 7SA612 distantie 380 220 kV.pdf	-	12-2016
DAT	02	DAT.02.BEV Aansluitschema 7SA612 distantie 380 220 kV.xls	-	12-2016
DAT	02	DAT.02.BEV Aansluitschema 7SD52 differentiaal 380 220 150 110 kV.pdf	-	12-2016
DAT	02	DAT.02.BEV Aansluitschema 7SD52 distantie 380 220 150 110 kV.pdf	-	12-2016
DAT	02	DAT.02.BEV Aansluitschema 7SD52 langsdiff. 380 220 150 110 kV.xls	-	12-2016
DAT	02	DAT.02.BEV Aansluitschema 7SD52 totaaloverzicht 380 220 150 110 kV.pdf	-	12-2016
DAT	02	DAT.02.BEV Aansluitschema 7SD52 transf. diff. 380 220 150 110 kV.pdf	-	12-2016
DAT	02	DAT.02.BEV Aansluitschema 7SD52 velddifferentiaal 380 220 150 110 kV.pdf	-	12-2016
DAT	02	DAT.02.BEV Aansluitschema 7SJ611 MST 380 220 150 110 kV.pdf	-	12-2016
DAT	02	DAT.02.BEV Aansluitschema 7SJ611 MST 380 220 150 110 kV.xls	-	12-2016
DAT	02	DAT.02.BEV Aansluitschema 7SJ611 MST koppelveld 380 220 150 110 kV.pdf	-	12-2016
DAT	02	DAT.02.BEV Aansluitschema 7SS522 CU en BU railbeveiliging.xls	-	12-2016
DAT	02	DAT.02.BEV Aansluitschema 7SS522 CU railbeveiliging.pdf	-	12-2016
DAT	02	DAT.02.BEV Aansluitschema 7SS523 BU railbeveiliging.pdf	-	12-2016
DAT	02	DAT.02.BEV Aansluitschema VDF-10 TripCircuit Bewaking 150 110kV.pdf	-	12-2016
DAT	02	DAT.02.BEV Standaard instelverklaring GSN NA.xlsx	-	12-2016
PVE	03	PVE.03.000 Telecom.pdf	2.0	21-04-2017
PVE	03	PVE.03.000 Telecom (Excel Format).zip	2.0	21-04-2017
SPE	03	SPE.03.326 Algemene Specificatie Glasvezelkabel Koppelpunten.pdf	2.0	15-07-2014

Van toepassing zijnde standaarden van TenneT

Type	Dis.	Naam	Ver.	Datum
SPE	03	SPE.03.328 Algemene Specificatie montage koppelpunten ... HS lijnen.pdf	2.0	23-05-2014
SPE	03	SPE.03.559 Algemene Specificatie Aanleg en Montage van Glasvezelverbindingen.pdf	2.0	13-07-2016
SPE	03	SPE.03.563 Algemene Specificatie Aanleg en ... Glasvezelverbindingen.docx.pdf	1.0	15-11-2017
SPE	03	SPE.03.564 Algemene Specificatie metaalvrije Multi Mode Glasvezelkabels.pdf	2.1	15-11-2017
SPE	03	SPE.03.585 Algemene Specificatie metaalvrije G652D glasvezelkabel.pdf	3.1	15-11-2017
SPE	03	SPE.03.590 Alg Specificatie uitvoeren metingen singlemodefiber.pdf	2.1	10-10-2016
SPE	03	SPE.03.601 Algemene Specificatie voor categorie 6 netwerkbekabeling	1.0	06-02-2015
PVE	04	PVE.04.000 Bouwkunde.pdf	2.0	21-04-2017
PVE	04	PVE.04.000 Bouwkunde (Excel Format).zip	2.0	01-05-2017
PVE	04	PVE.04.001 Bouwkunde Projectsamenkomst EHV380	1.2	06-10-2017
PVE	04	PVE.04.001 Bouwkunde Projectsamenkomst MBT380	1.2	06-10-2017
PVE	04	PVE.04.001 Bouwkunde Projectsamenkomst.docx	1.1	06-2014
SPE	04	SPE.04.001 Specificatie Betonrenovatie.pdf	1.1	12-2017
SPE	04	SPE.04.002 Specificatie Hekwerken en Poorten.pdf	1.1	12-2013
SPE	04	SPE.04.004 Specificatie Constructieberekeningen.pdf	1.3	06-2017
SPE	04	SPE.04.006 Eisen Bouwbesluit 2012.pdf	2.1	12-2017
SPE	04	SPE.04.007 Vaste Trappen-(Kooi)ladders Hoogspanningslocaties.pdf	2.0	09-2015
SPE	04	SPE.04.008 HERGEBRUIK BESTAANDE BETONCONSTRUCTIES.pdf	1.0	07-2015
SPE	04	SPE.04.009 Specificatie (Paal)Funderingen.pdf	1.0	06-2017
BOU	04	BOU.04.003 Cable Trenches.pdf	1.0	02-2011
BOU	04	BOU.04.003 Cable trenches bronbestanden.zip	1.0	02-2011
BOU	04	BOU.04.004 Site Details and Facilities.pdf	1.1	02-2011
BOU	04	BOU.04.004 Site Details and Facilities bronbestanden.zip	1.1	02-2011
PVE	05	PVE.05.000 Lijnen.pdf	2.0	22-06-2014
PVE	05	PVE.05.001 Project specifiek lijnen.docx	4.0	01-12-2018
SPE	05	SPE.05.301 Generic Specification for Spacer for OHL.pdf	2.0	09-08-2016
SPE	05	SPE.05.302 Model Project Specification spacersdampers for OHL.docx	2.0	07-11-2016
SPE	05	SPE.05.303 Algemene specificatie trillingsdampers HS lijnen.pdf	1.0	30-04-2012
SPE	05	SPE.05.304 Modelspecificatie trillingdampers HS lijnen.docx	1.0	03-10-2014
SPE	05	SPE.05.312 Algemene specificatie transport ... staalconstructies HS stations en HS lijnen.pdf	1.0	22-03-2011
SPE	05	SPE.05.315 Generic specification for OPGW.pdf	2.4	30-07-2013
SPE	05	SPE.05.315 Addendum OPGW test bundel version 10.pdf	1.0	30-07-2013
SPE	05	SPE.05.316 Model project specification OPGW for framework contract.pdf	2.2	30-07-2013
SPE	05	SPE.05.316 Projectsamenkomst OPGW for framework contract.docx	2.2	30-07-2013
SPE	05	SPE.05.323 Handleiding montage HDPE buis.docx	1.0	23-03-2011
SPE	05	SPE.05.324 Algemene specificatie installatie geleiders.pdf	2.3	26-11-2012
SPE	05	SPE.05.325 Model projectsamenkomst installatie geleiders etc.docx	2.3	17-08-2014
SPE	05	SPE.05.330 Algemene specificatie keramische langstaafisolatoren V-isolator.pdf	1.0	22-03-2011
SPE	05	SPE.05.331 Model projectsamenkomst keramische langstaafisolatoren V-isolator.docx	1.0	22-03-2011
SPE	05	SPE.05.332 Generic specification for clamps and fittings in OHL.pdf	2.0	27-01-2016
SPE	05	SPE.05.333 Model project specification clamps.docx	2.0	01-03-2016
SPE	05	SPE.05.334 Specification for Conductors.pdf	2.1	11-2013
SPE	05	SPE.05.344 Algemene specificatie ontwerp axiaal belaste paalfunderingen	1.0	10-02-2011
SPE	05	SPE.05.344 Bijlage 00526-02-01.pdf	0	09-06-2003
SPE	05	SPE.05.344 Bijlage 00526-02-02.pdf	0	19-06-2003
SPE	05	SPE.05.345 Model projectsamenkomst ontwerp axiaal belaste paalfunderingen	1.0	24-07-2017
SPE	05	SPE.05.346 Algemene specificatie stalen HS masten.pdf	1.2	27-11-2012
SPE	05	SPE.05.350 Specification for Glasinsulators.pdf	2.0	12-03-2015
SPE	05	SPE.05.352 Generic specification for special OHL conductors.pdf	1.0	22-03-2011
SPE	05	SPE.05.353 Model project specification special OHL conductors.docx	1.0	22-03-2011

Van toepassing zijnde standaarden van TenneT

Type	Dis.	Naam	Ver.	Datum
SPE	05	SPE.05.354 Generic specification CFCC conductors.pdf	1.3	26-09-2018
SPE	05	SPE.05.355 Generic specification GZTACSR conductors.pdf	1.2	18-05-2017
SPE	05	SPE.05.356 Technical Specification Composite Long-rod Insulators for OHL.pdf	2.0	24-07-2015
SPE	05	SPE.05.357 Model Project Specification for Composite insulators.docx	2.0	24-07-2015
SPE	05	SPE.05.358 Technical Specification Composite Post Insulators for OHL.pdf	2.0	11-11-2015
SPE	05	SPE.05.359 Model project specification for CFCC and GTACSR conductors.docx	1.1	18-05-2017
SPE	05	SPE.05.360 Standaard specificatie kunststof borden mast.pdf	3.4	01-08-2016
SPE	05	SPE.05.360 bijlage met pdf en dwg tekeningen mastborden en stickers.zip	-	06-04-2016
SPE	05	SPE.05.360 bijlage met pdf en dwg tekeningen vlaggestokhouders.zip	-	06-04-2016
SPE	05	SPE.05.361 Model Projectsificatie kunststof mastborden.docx	1.1	08-02-2013
PVE	07	PVE.07.000 EMC en aarding (Excel Format).zip	2.2	16-05-2018
PVE	07	PVE.07.000 EMC en aarding.pdf	2.2	16-05-2018
PVE	07	PVE.07.001 EMC en aarding Projectsificiek.docx	1.3	26-10-2017

APPENDIX B

Belastingfactoren

Belastingfactoren en combinatiefactoren (Ultimate Limit State (ULS)) ; afkeur, gevolgklasse CC2-0 en referentieperiode : 30 jaar

Nr	Loadcase	Temp °C	partial factors				
			γ_g	γ_q			γ_a
			G_k	Q_{pk}	Q_{wk}	Q_{ik}	A_k
1a	Wind	10	1,05	-	1,13	-	-
2	Not relevant	-	-	-	-	-	-
3	Wind+Ice	-5	1,05	-	0,34	0,97	-
4	Min temp+wind	-20	1,05	-	0,23	-	-
5a	Torsional loads	10	1,0	1,0	-	-	1,0
5b	Longitudinal loads	10	1,0	-	-	-	1,0
6a	Construction + maintenance	5	1,05	1,2	0,23	-	-
6b	Weight of linesmen	5	1,05	1,2	0,23	-	-
7	Permanent	10	1,15	-	-	-	-
8	Special	10	1,0	-	-	-	1,0

Belastingfactoren en combinatiefactoren (Special Limit State (SpLS)) ; afkeur, gevolgklasse CC2-0

Nr	Loadcase	Temp °C	partial factors				
			γ_g	γ_q			γ_a
			G_k	Q_{pk}	Q_{wk}	Q_{ik}	A_k
1a	Wind	10	1,05	-	0,78	-	-
2	Not relevant	-	-	-	-	-	-
3	Wind+Ice	-5	1,05	-	0,36	0,34	-
4	Min temp+wind	-20	1,05	-	0,24	-	-
5a	Not relevant	-	-	-	-	-	-
5b	Not relevant	-	-	-	-	-	-
6a	Construction + maintenance	5	1,05	1,2	0,24	-	-
6b	Weight of linesmen	5	1,05	1,2	0,24	-	-
7	Not relevant	-	-	-	-	-	-
8	Not relevant	-	-	-	-	-	-

Belastingfactoren en combinatiefactoren (Ultimate Limit State (ULS)) ; afkeur, gevolgklasse CC2 en referentieperiode : 30 jaar

Nr	Loadcase	Temp °C	partial factors				
			γ_g	γ_q			γ_a
			G_k	Q_{pk}	Q_{wk}	Q_{ik}	A_k
1a	Wind	10	1,1	-	1,22	-	-
2	Not relevant	-	-	-	-	-	-
3	Wind+Ice	-5	1,1	-	0,37	1,01	-
4	Min temp+wind	-20	1,1	-	0,24	-	-
5a	Torsional loads	10	1,0	1,0	-	-	1,0
5b	Longitudinal loads	10	1,0	-	-	-	1,0
6a	Construction + maintenance	5	1,1	1,2	0,24	-	-
6b	Weight of linesmen	5	1,1	1,2	0,24	-	-
7	Permanent	10	1,2	-	-	-	-
8	Special	10	1,0	-	-	-	1,0

Belastingfactoren en combinatiefactoren (Special Limit State (SpLS)) ; afkeur, gevolgklasse CC2

Nr	Loadcase	Temp °C	partial factors				
			γ_g	γ_q			γ_a
			G_k	Q_{pk}	Q_{wk}	Q_{ik}	A_k
1a	Wind	10	1,1	-	0,78	-	-
2	Not relevant	-	-	-	-	-	-
3	Wind+Ice	-5	1,1	-	0,36	0,34	-
4	Min temp+wind	-20	1,1	-	0,24	-	-
5a	Not relevant	-	-	-	-	-	-
5b	Not relevant	-	-	-	-	-	-
6a	Construction + maintenance	5	1,1	1,2	0,24	-	-
6b	Weight of linesmen	5	1,1	1,2	0,24	-	-
7	Not relevant	-	-	-	-	-	-
8	Not relevant	-	-	-	-	-	-

Belastingfactoren en combinatiefactoren (Ultimate Limit State (ULS)) ; verbouw, gevolgklasse CC2 en referentieperiode: 50 jaar

Nr	Loadcase	Temp °C	partial factors				
			γ_g	γ_q			γ_a
			G_k	Q_{pk}	Q_{wk}	Q_{ik}	A_k
1a	Wind	10	1,15	-	1,40	-	-
2	Not relevant	-	-	-	-	-	-
3	Wind+Ice	-5	1,15	-	0,42	1,30	-
4	Min temp+wind	-20	1,15	-	0,28	-	-
5a	Torsional loads	10	1,0	1,0	-	-	1,0
5b	Longitudinal loads	10	1,0	-	-	-	1,0
6a	Construction + maintenance	5	1,15	1,3	0,28	-	-
6b	Weight of linesmen	5	1,15	1,3	0,28	-	-
7	Permanent	10	1,30	-	-	-	-
8	Special	10	1,0	-	-	-	1,0

Belastingfactoren en combinatiefactoren (Special Limit State (SpLS)) ; verbouw, gevolgklasse CC2

Nr	Loadcase	Temp °C	partial factors				
			γ_g	γ_q			γ_a
			G_k	Q_{pk}	Q_{wk}	Q_{ik}	A_k
1a	Wind	10	1,15	-	0,78	-	-
2	Not relevant	-	-	-	-	-	-
3	Wind+Ice	-5	1,15	-	0,36	0,34 (B) /0,12 (A)	-
4	Min temp+wind	-20	1,15	-	0,24	-	-
5a	Not relevant	-	-	-	-	-	-
5b	Not relevant	-	-	-	-	-	-
6a	Construction + maintenance	5	1,15	1,2	0,24	-	-
6b	Weight of linesmen	5	1,15	1,2	0,24	-	-
7	Not relevant	-	-	-	-	-	-
8	Not relevant	-	-	-	-	-	-

APPENDIX C

Mastenlijst

Mastnummer	Masttype	Veldlengte voorruit [m]	Lijnhoek [graden, decimaal] (>180° = afbuiging naar rechts, > 180° = afbuiging naar links)	Oriëntatie hoek [°] (t.o.v. de Bisector)	Afspanning/ophangings bestaand (existing insulator set)	Center lijn offset	Vaklengte [m]	Masthoogte [m]	Fundatie hoogte [m]	X-coördinaat [m]	Y-coördinaat [m]	NAP Hoogte maaiveld [m] (op centerline)	NAP Hoogte onderkant mast [m] (op centerline)	Hoogteverschil ophangpunt geleider tov voorgaande mast (back) [m]	Bretel fixatie/wisselmast	GSM antenne
MBT Portaal 1	Portaal (AK) III	73.8		16.0000	AK	0.00	74	22.5		192113.81	351203.81	27.48	27.48	12.07	3V-XB-R	
MBT Portaal 2	Portaal (AK) III	75.5		161.0000	AK	0.00		22.5		192078.84	351175.87	27.51	27.51	12.19	3V-XB-L	
MBT-EHV 001	EA+0 (AK) III	376.8	196.0	-10.0000	AK	0.00		45.0	0.700	192054.21	351247.25	27.27	27.97	-6.28	2P-XB-R	
MBT-EHV 002	S+0 (HV) III	404.2			HV	0.00		47.9	-1.006	191700.34	351376.64	22.91	21.90	0.74		
MBT-EHV 003	S+0 (HV) III	394.9			HV	0.00	1176	47.9	0.280	191320.68	351515.46	22.36	22.64	-1.58		
MBT-EHV 004	HC+0 (AK) III	305.1	126.8		AK	0.00		45.0	-0.857	190949.83	351651.06	21.73	20.87	1.16	3P-XB-L	
MBT-EHV 005	S+0 (HV) III	286.8			HV	0.00		47.9	0.318	190862.21	351943.35	21.91	22.23	7.61		
MBT-EHV 006	S+6 (HV) III	414.8			HV	0.00		53.9	1.619	190779.88	352218.04	22.21	23.83	7.65		
MBT-EHV 007	S+15 (HV) III	359.0			HV	0.00		63.0	0.400	190660.77	352615.40	22.08	22.48	0.33		
MBT-EHV 008	S+15 (HV) III	403.8			HV	0.00	1769	63.0	0.925	190557.70	352959.26	21.89	22.81	-14.42		
MBT-EHV 009	HA+0 (AK) III	299.9	199.3		AK	0.00		45.0	-0.200	190441.76	353346.04	23.39	23.19	2.71	2P-XB-R	
MBT-EHV 010	S+3 (HV) III	320.1			HV	0.00		51.0	0.300	190265.58	353588.72	22.80	23.10	-0.12		
MBT-EHV 011	S+3 (HV) III	334.9			HV	0.00		51.0	0.110	190077.50	353847.79	22.88	22.99	2.80		
MBT-EHV 012	S+0 (HV) III Telecom	271.4			HV	0.00	1226	47.9	0.052	189880.73	354118.84	28.73	28.78	0.34		Telecom
MBT-EHV 013	HA+0 (AK) III	400.4	166.8		AK	0.00		45.0		189721.27	354338.48	28.92	28.92	10.99	2P-XB-L	
MBT-EHV 014	S+12 (HV) III	411.5			HV	0.00		60.0		189566.00	354707.50	28.11	28.11	-1.71		
MBT-EHV 015	S+12 (HV) III	411.9			HV	0.00		60.0	0.055	189406.39	355086.82	26.34	26.40	-3.52		
MBT-EHV 016	S+9 (HV) III	390.9			HV	0.00		57.0	0.200	189246.62	355466.52	25.68	25.88	5.79		
MBT-EHV 017	S+15 (HV) III Telecom	400.1			HV	0.00		63.0	-0.014	189094.99	355826.87	25.68	25.67	-3.46		Telecom
MBT-EHV 018	S+9 (HV) III	400.6			HV	0.00		57.0	0.400	188939.83	356195.61	27.81	28.21	-10.25		
MBT-EHV 019	S+0 (HV) III	354.0			HV	0.00		47.9	0.507	188784.46	356564.85	26.46	26.96	-1.30		
MBT-EHV 020	S+0 (HV) III	317.8			HV	0.00		47.9	0.400	188647.15	356891.18	25.27	25.67	3.73		
MBT-EHV 021	S+0 (HV) III	304.9			HV	0.00		47.9	0.231	188523.90	357184.09	29.16	29.39	-1.64		
MBT-EHV 022	S+0 (EK) III	305.9			EK	0.00	3698	47.9	0.340	188405.63	357465.16	27.41	27.75	1.57		
MBT-EHV 023	HA+0 (AK) III	388.1	178.9		AK	0.00		45.0	0.617	188286.97	357747.16	28.50	29.12	-2.35	2P-XB-L	
MBT-EHV 024	S+0 (HV) III	382.4			HV	0.00		47.9	0.400	188143.15	358107.65	26.56	26.96	1.98		
MBT-EHV 025	S+0 (HV) III	400.4			HV	0.00		47.9	0.300	188001.45	358462.82	28.65	28.95	-0.15		

Mastnummer	Masttype	Veldlengte voorruit [m]	Lijnhoek [graden, decimaal] (>180° = afbuiging naar rechts, >180° = afbuiging naar links)	Oriëntatie hoek [°] (t.o.v. de Bisector)	Afspanning/ophangings bestaand (existing insulator set)	Center lijn offset	Vaklengte [m]	Masthoogte [m]	Fundatie hoogte [m]	X-coördinaat [m]	Y-coördinaat [m]	NAP Hoogte maaiveld [m] (op centerline)	NAP Hoogte onderkant mast [m] (op centerline)	Hoogteverschil ophangpunt geleider tov voorgaande mast (back) [m]	Bretel fixatie/wisselmast	GSM antenne
MBT-EHV 026	S+0 (HV) III	400.1			HV	0.00		47.9	0.431	187853.08	358834.71	28.37	28.80	10.92		
MBT-EHV 027	S+12 (HV) III	261.5			HV	0.00		60.0	0.300	187704.82	359206.34	27.42	27.72	0.42		
MBT-EHV 028	S+12 (HV) III	406.2			HV	0.00		60.0	0.199	187607.93	359449.18	27.94	28.14	-10.95		
MBT-EHV 029	S+0 (HV) III	387.7			HV	0.00		47.9	0.022	187457.43	359826.43	29.16	29.18	-0.99		
MBT-EHV 030	S+0 (EK) III	393.2			EK	0.00		47.9	0.300	187313.74	360186.57	27.90	28.20	1.38		
MBT-EHV 031	S+0 (EK) III	409.8			EK	0.00		47.9	0.235	187168.04	360551.77	29.34	29.58	6.78		
MBT-EHV 032	S+6 (HV) III Telecom	347.9			HV	0.00		53.9	0.670	187016.19	360932.39	29.69	30.36	-1.65		Telecom
MBT-EHV 033	S+6 (HV) III	400.6			HV	0.00	4178	53.9	0.300	186887.27	361255.53	28.41	28.71	-4.71		
MBT-EHV 034	HA+0 (AK) III Telecom	399.6	186.7		AK	0.00		45.0	0.800	186738.83	361627.61	29.00	29.80	2.41	2P-XB-R	Telecom
MBT-EHV 035	S+3 (HV) III Telecom	415.2			HV	0.00		51.0	0.500	186548.64	361979.09	28.91	29.41	-0.10		Telecom
MBT-EHV 036	S+3 (HV) III	383.4			HV	0.00		51.0	0.400	186351.06	362344.22	28.91	29.31	0.57		
MBT-EHV 037	S+3 (HV) III	397.2			HV	0.00		51.0	0.300	186168.60	362681.42	29.58	29.88	-3.10		
MBT-EHV 038	S+0 (HV) III	404.9			HV	0.00	2000	47.9	0.314	185979.59	363030.74	29.47	29.78	1.10		
MBT-EHV 039	HA+0 (AK) III	384.8	167.8		AK	0.00		45.0	0.860	185786.88	363386.87	29.83	30.69	-0.89	Van HA naar WA	
MBT-EHV 040	S+0 (HV) III	378.8			HV	0.00		47.9	0.700	185679.46	363756.36	29.30	30.00	0.00		
MBT-EHV 041	S+0 (HV) III	380.0			HV	0.00		47.9	0.127	185573.71	364120.09	29.87	29.99	1.06		
MBT-EHV 042	S+0 (EK) III	385.1			EK	0.00		47.9	0.446	185467.63	364484.95	30.61	31.06	-0.59		
MBT-EHV 043	S+0 (HV) III	367.8			HV	0.00		47.9	0.377	185360.11	364854.77	30.09	30.47	0.25		
MBT-EHV 044	S+0 (HV) III	360.9			HV	0.00		47.9	0.458	185257.44	365207.94	30.26	30.71	0.07		
MBT-EHV 045	S+0 (EK) III	365.7			EK	0.00		47.9	0.458	185156.68	365554.49	30.33	30.78	0.55		
MBT-EHV 046	S+0 (HV) III	382.6			HV	0.00		47.9	0.334	185054.59	365905.64	31.00	31.33	0.13		
MBT-EHV 047	S+0 (HV) III	354.7			HV	0.00		47.9	0.431	184947.78	366273.03	31.03	31.46	0.52		
MBT-EHV 048	S+0 (HV) III	362.8			HV	0.00		47.9	0.618	184848.76	366613.60	31.36	31.98	-0.48		
MBT-EHV 049	S+0 (HV) III	340.9			HV	0.00		47.9	0.898	184747.48	366961.98	30.61	31.51	11.77		
MBT-EHV 050	S+12 (HV) III	281.9			HV	0.00		60.0	0.300	184652.30	367289.35	30.97	31.27	-0.12		
MBT-EHV 051	S+12 (HV) III Telecom	405.0			HV	0.00		60.0	0.200	184573.59	367560.07	30.95	31.15	-11.41		Telecom
MBT-EHV 052	S+0 (HV) III	396.2			HV	0.00		47.9	0.443	184460.53	367948.96	31.30	31.75	-0.50		
MBT-EHV 053	S+0 (HV) III	397.1			HV	0.00	5544	47.9	0.200	184349.92	368329.40	31.04	31.24	0.25		
MBT-EHV 054	HB+0 (AK) III	394.5	214.5		AK	0.00		45.0	0.543	184239.06	368710.73	30.75	31.29	-0.52	2P-XB-R	
MBT-EHV 055	S+0 (HV) III	382.8			HV	0.00		47.9	0.525	183933.83	368960.60	30.45	30.97	-0.02		
MBT-EHV 056	S+0 (HV) III	384.3			HV	0.00		47.9	0.500	183637.60	369203.10	30.45	30.95	1.79		
MBT-EHV 057	S+3 (HV) III	413.7			HV	0.00		51.0	0.400	183340.22	369446.54	29.34	29.74	-2.02		
MBT-EHV 058	S+0 (HV) III	412.7			HV	0.00		47.9	0.489	183020.11	369708.60	30.22	30.71	0.21		

Mastnummer	Masttype	Veldlengte voorruit [m]	Lijnhoek [graden, decimaal] (>180° = afbuiging naar rechts, > 180° = afbuiging naar links)	Oriëntatie hoek [°] (t.o.v. de Bisector)	Afspanning/ophangings bestaand (existing insulator set)	Center lijn offset	Vaklengte [m]	Masthoogte [m]	Fundatie hoogte [m]	X-coördinaat [m]	Y-coördinaat [m]	NAP Hoogte maaiveld [m] (op centerline)	NAP Hoogte onderkant mast [m] (op centerline)	Hoogteverschil ophangpunt geleider tov voorgaande mast (back) [m]	Bretel fixatie/wisselmast	GSM antenne
MBT-EHV 059	S+3 (HV) III	413.6			HV	0.00		51.0	0.300	182700.78	369970.02	27.62	27.92	-3.30		
MBT-EHV 060	S+0 (HV) III	396.9			HV	0.00	2798	47.9	0.437	182380.73	370232.02	27.18	27.62	0.05		
MBT-EHV 061	HB+0 (AK) III	389.7	156.4		AK	0.00		45.0	0.587	182073.64	370483.41	26.88	27.47	-0.09	2P-XB-L	
MBT-EHV 062	S+0 (HV) III	390.2			HV	0.00		47.9	0.700	181895.91	370830.22	26.88	27.58	0.09		
MBT-EHV 063	S+0 (HV) III	388.0			HV	0.00		47.9	0.754	181717.94	371177.50	26.91	27.67	0.00		
MBT-EHV 064	S+0 (HV) III Telecom	377.0			HV	0.00		47.9	0.700	181541.00	371522.76	26.96	27.66	0.10		Telecom
MBT-EHV 065	S+0 (HV) III	368.3			HV	0.00		47.9	0.351	181369.06	371858.28	27.41	27.77	-0.82		
MBT-EHV 066	S+0 (EK) III	351.5			EK	0.00		47.9	0.455	181201.08	372186.05	26.49	26.94	0.35		
MBT-EHV 067	S+0 (EK) III	402.7			EK	0.00		47.9	0.013	181040.79	372498.84	27.29	27.30	0.26		
MBT-EHV 068	S+0 (EK) III	395.2			EK	0.00	3063	47.9	0.447	180857.11	372857.26	27.11	27.56	-0.44		
MBT-EHV 069	HA+0 (AK) III	372.7	174.0		AK	0.00		45.0	0.600	180676.86	373208.98	26.32	26.92	-1.95	2P-XB-L	
MBT-EHV 070	S+0 (HV) III Telecom	373.0			HV	0.00		47.9	0.400	180542.33	373556.61	24.77	25.17	-0.42		Telecom
MBT-EHV 071	S+0 (HV) III	372.2			HV	0.00		47.9	-0.104	180407.71	373904.50	24.85	24.75	-0.39		
MBT-EHV 072	S+0 (EK) III	385.9			EK	0.00		47.9	0.242	180273.39	374251.61	24.11	24.36	0.24		
MBT-EHV 073	S+0 (EK) III	407.8			EK	0.00		47.9	0.368	180134.12	374611.49	24.23	24.60	-0.01		
MBT-EHV 074	S+0 (EK) III	407.8			EK	0.00	2319	47.9	0.277	179986.95	374991.81	24.31	24.59	0.57		
MBT-EHV 075	HA+0 (AK) III	397.9	162.8		AK	0.00		45.0	0.800	179839.78	375372.09	24.16	24.96	-0.98	2P-XB-L	
MBT-EHV 076	S+0 (EK) III	399.7			EK	0.00		47.9	0.486	179812.49	375769.02	23.70	24.18	0.05		
MBT-EHV 077	S+0 (EK) III	399.8			EK	0.00		47.9	0.393	179785.07	376167.76	23.85	24.24	0.53		
MBT-EHV 078	S+0 (EK) III	399.7			EK	0.00		47.9	0.498	179757.65	376566.62	24.27	24.77	-0.97		
MBT-EHV 079	S+0 (EK) III	399.6			EK	0.00		47.9	0.466	179730.23	376965.40	23.33	23.80	-0.50		
MBT-EHV 080	S+0 (EK) III	399.8			EK	0.00		47.9	0.571	179702.82	377364.10	22.72	23.29	-0.17		
MBT-EHV 081	S+0 (EK) III	399.6			EK	0.00	2796	47.9	0.561	179675.39	377762.95	22.56	23.12	-0.10		
MBT-EHV 082	HC+0 (AK) III	383.6	229.2		AK	0.00		45.0	-0.235	179647.98	378161.62	23.06	22.82	-0.17	3P-XB-R	
MBT-EHV 083	S+0 (EK) III	379.7			EK	0.00		47.9	0.409	179341.21	378391.90	22.44	22.85	-0.20		
MBT-EHV 084	S+0 (HV) III	359.7			HV	0.00	1123	47.9	0.434	179037.53	378619.85	22.22	22.65	0.69		
MBT-EHV 085	WA+0 (AK) III	374.7	175.0		AK	0.00		45.0	0.548	178749.85	378835.79	22.60	23.14	-0.64	Wisselmast	
MBT-EHV 086	S+0 (HV) III	374.7			HV	0.00		47.9	0.600	178470.78	379085.76	22.10	22.70	-0.01		
MBT-EHV 087	S+0 (HV) III	374.8			HV	0.00		47.9	0.400	178191.70	379335.74	22.29	22.69	-0.94		
MBT-EHV 088	S+0 (HV) III	369.8			HV	0.00		47.9	0.300	177912.55	379585.79	21.44	21.74	0.31		
MBT-EHV 089	S+0 (EK) III	390.0			EK	0.00	1884	47.9	0.410	177637.11	379832.50	21.65	22.06	-0.07		
MBT-EHV 090	HB+0 (AK) III	299.4	144.0		AK	0.00		45.0	0.700	177346.63	380092.70	21.09	21.79	-0.46	2P-XB-L	
MBT-EHV 091	S+0 (EK) III	349.8			EK	0.00		47.9	0.442	177283.86	380385.47	22.01	22.45	-0.52		

Mastnummer	Masttype	Veldlengte voorruit [m]	Lijnhoek [graden, decimaal] (>180° = afbuiging naar rechts, > 180° = afbuiging naar links)	Oriëntatie hoek [°] (t.o.v. de Bisector)	Afspanning/ophangings bestaand (existing insulator set)	Center lijn offset	Vaklengte [m]	Masthoogte [m]	Fundatie hoogte [m]	X-coördinaat [m]	Y-coördinaat [m]	NAP Hoogte maaiveld [m] (op centerline)	NAP Hoogte onderkant mast [m] (op centerline)	Hoogteverschil ophangpunt geleider tov voorgaande mast (back) [m]	Bretel fixatie/wisselmast	GSM antenne
MBT-EHV 092	S+0 (HV) III	349.8			HV	0.00		47.9	0.350	177210.54	380727.47	22.62	22.97	-1.52		
MBT-EHV 093	S+0 (HV) III Telecom	349.8			HV	0.00		47.9	0.282	177137.23	381069.46	24.20	24.48	3.45		Telecom
MBT-EHV 094	S+0 (HV) III	339.7			HV	0.00		47.9	0.425	177063.89	381411.53	20.61	21.03	0.53		
MBT-EHV 095	S+0 (HV) III	399.7			HV	0.00		47.9	0.373	176992.69	381743.68	20.13	20.50	-0.03		
MBT-EHV 096	S+0 (EK) III	397.8			EK	0.00		47.9	0.179	176908.90	382134.50	20.35	20.53	0.24		
MBT-EHV 097	S+0 (EK) III	398.7			EK	0.00	2885	47.9	0.346	176825.52	382523.44	19.95	20.30	0.27		
MBT-EHV 098	HC+0 (AK) III	339.2	231.8		AK	0.00		45.0	0.596	176741.95	382913.26	19.23	19.83	-15.32	3P-XB-R	
MBT-EHV 099	S+15 (HV) III	332.5			HV	0.00		63.0	0.266	176437.31	383062.30	20.09	20.35	3.28		
MBT-EHV 100	S+12 (HV) III	398.9			HV	0.00		60.0	0.569	176138.64	383208.42	19.50	20.07	10.58		
MBT-EHV 101	S+0 (HV) III	398.7			HV	0.00		47.9	0.404	175780.32	383383.73	21.09	21.49	0.59		
MBT-EHV 102	S+0 (EK) III	384.8			EK	0.00	1854	47.9	1.068	175422.20	383558.94	19.83	20.90	-0.45		
MBT-EHV 103	HA+0 (AK) III	367.1	185.2		AK	0.00		45.0	0.579	175076.55	383728.04	20.57	21.15	0.89	2P-XB-R	
MBT-EHV 104	S+0 (HV) III	369.7			HV	0.00		47.9	0.128	174733.42	383858.65	20.33	20.46	-0.73		
MBT-EHV 105	S+0 (EK) III	384.7			EK	0.00		47.9	0.192	174387.87	383990.17	21.00	21.19	1.72		
MBT-EHV 106	S+0 (HV) III	354.7			HV	0.00		47.9	0.500	174028.29	384127.04	18.97	19.47	1.18		
MBT-EHV 107	S+0 (HV) III	329.7			HV	0.00		47.9	0.400	173696.75	384253.23	17.90	18.30	-0.32		
MBT-EHV 108	S+0 (EK) III	354.7			EK	0.00		47.9	0.183	173388.58	384370.53	18.43	18.61	-0.72		
MBT-EHV 109	S+0 (HV) III	369.8			HV	0.00		47.9	0.400	173057.07	384496.71	18.93	19.33	0.48		
MBT-EHV 110	S+0 (HV) III	354.7			HV	0.00		47.9	0.200	172711.48	384628.25	18.65	18.85	-0.35		
MBT-EHV 111	S+0 (HV) III	360.5			HV	0.00		47.9	0.300	172379.94	384754.44	18.90	19.20	-9.21		
MBT-EHV 112	S+9 (V) III	218.9			V	0.00		57.0	0.490	172042.98	384882.69	18.92	19.41	-1.27		
MBT-EHV 113	S+9 (V) III	389.7			V	0.00	3855	57.0	0.557	171838.36	384960.57	20.12	20.68	10.30		
MBT-EHV 114	HA+0 (AK) III	197.5	187.8		AK	0.00		45.0	0.110	171474.11	385099.22	19.07	19.18	0.36		
MBT-EHV 115	S+0/XC (V/DA) III Telecom	362.4			V/DA	0.00		51.9	0.200	171281.72	385143.86	18.82	19.02	-8.32		Telecom
MBT-EHV 116	S+9/C (V) III	199.7			V	0.00		57.0	0.300	170928.70	385225.79	18.05	18.35	0.13		
MBT-EHV 117	S+9/TC (V) III Telecom	299.9			V	0.00		57.0	-0.300	170734.20	385270.93	18.51	18.21	9.32		Telecom
MBT-EHV 118	S+0/TC (V) III	299.9			V	0.00	1360	57.3	-0.026	170442.07	385338.73	17.92	17.89	-0.49		
MBT-EHV 119	HB+0/TC (DA) III	329.8	205.1		DA	0.00		53.6	-0.134	170149.91	385406.53	18.32	18.19	-1.24		
MBT-EHV 120	S+0/TC (V) III	334.6			V	0.00		57.3	0.466	169827.33	385337.90	19.16	19.63	0.72		
MBT-EHV 121	S+0/C (V) III	290.1			V	0.00		51.9	0.300	169500.02	385268.27	18.60	18.90	0.56		
MBT-EHV 122	S+0/XC (V/DA) III	424.6			V/DA	0.00		51.9	0.400	169216.28	385207.90	17.94	18.34	0.46		
MBT-EHV 123	S+0 (EK) III	349.8			EK	0.00		47.9	0.419	168800.97	385119.55	17.47	17.89	-0.10		
MBT-EHV 124	S+0 (HV) III	349.8			HV	0.00		47.9	-0.111	168458.85	385046.76	18.10	17.99	1.11		

Mastnummer	Masttype	Veldlengte voorruit [m]	Lijnhoek [graden, decimaal] (>180° = afbuiging naar rechts, > 180° = afbuiging naar links)	Oriëntatie hoek [°] (t.o.v. de Bisector)	Afspanning/ophangings bestaand (existing insulator set)	Center lijn offset	Vaklengte [m]	Masthoogte [m]	Fundatie hoogte [m]	X-coördinaat [m]	Y-coördinaat [m]	NAP Hoogte maaiveld [m] (op centerline)	NAP Hoogte onderkant mast [m] (op centerline)	Hoogteverschil ophangpunt geleider tov voorgaande mast (back) [m]	Bretel fixatie/wisselmast	GSM antenne
MBT-EHV 125	S+0 (HV) III	349.8			HV	0.00		47.9	0.064	168116.73	384973.98	16.81	16.88	-1.48		
MBT-EHV 126	S+0 (EK) III	349.8			EK	0.00		47.9	0.186	167774.61	384901.19	18.17	18.36	-0.67		
MBT-EHV 127	S+0 (HV) III Telecom	398.8			HV	0.00	3179	47.9	0.385	167432.49	384828.41	18.65	19.04	0.30		Telecom
MBT-EHV 128	HA+0/W (AK) III Telecom	393.9	193.7		AK	0.00		45.0	0.472	167042.45	384745.43	18.06	18.53	-0.79	Van HA/W naar HA; Wisseling verwijderen	Telecom
MBT-EHV 129	S+0 (HV) III	398.8			HV	0.00	793	47.9	0.054	166687.57	384574.39	19.46	19.52	0.36		
MBT-EHV 130	HA+0 (AK) III	399.9	164.8		AK	0.00		45.0	0.376	166328.35	384401.25	18.58	18.96	1.32	2P-XB-L	
MBT-EHV 131	S+0 (HV) III	319.9			HV	0.00		47.9	0.214	165935.19	384327.88	17.63	17.84	1.13		
MBT-EHV 132	S+0 (HV) III	317.9			HV	0.00	1038	47.9	0.917	165620.69	384269.18	15.79	16.71	3.89		
MBT-EHV 133	EA+0 (AK) III	138.2	183.22	0.5000	AK	0.00	138	45.0	-4.080	165308.15	384210.86	16.70	12.62	5.59	2P-XB-L; fasewissel rechts	
EHV Portaal 2	Portaal (AK) III			-15.0000	AK	0.00		22.5		165187.89	384195.34	18.73	18.73		3V-XB-R	
EHV Portaal 1	Portaal (AK) III			-31.0000	AK	0.00		22.5		165172.48	384236.96	18.77	18.77		3V-XB-L	

APPENDIX D

Wind/weight span & kettlinglijnp parameters

Om een zo groot aantal mastlocaties te bestrijken per berekening van een bepaald masttype, is de keuze gemaakt om voor ieder masttype uit te gaan van de daadwerkelijk aanwezige grootste veldlengte, lijnhoek, etcetera.

In deze appendix is de toelichting opgenomen welke van de mastlocaties binnen een bepaald masttype beschouwt dient te worden, of dat een algemeen uitgangspunt kan worden gehanteerd.

Voor het vaststellen welke mastlocatie maatgevend voor elk masttype is met behulp van PLS-CADD de “wind-“ en “weight span” voor elk masttype bepaald en als input gebruikt voor de keuze van de maatgevende mast.

De wind span is gelijk aan de som van de helft van de veldlengte van de back- en ahead span. De wind span is vooral voor de steunmasten van belang en bepaalt de grootste krachten op de fundatie en de randstijlen.

De weight span is de afstand tussen de laagste punten in de zeeg van de back- en ahead span. De weight span bepaalt de grootte van de verticale belasting op de traverse. De weight span is afhankelijk van het hoogteverschil maar ook van de grootte van de zeeg in relatie tot de veldlengte. Voor hoekmasten is uiteraard de lijnhoek van belang. Een hogere mast naast het beschouwde type geeft een hogere windbelasting, hier moet de berekening ook dekkend voor zijn. Daarom is ook het hoogteverschil onderzocht.

In Tabel 16 is voor alle masttypes in de 380 kV-verbinding MBT-EHV een overzicht gegeven van weight- en wind spans en hoogteverschillen met alle tot het type behorende locaties.

Gearceerd zijn de grootste waarden voor weight span, wind span en hoogteverschil op basis waarvan de locatie wordt gekozen. Als er maar een locatie voor een bepaald type voorkomt is er geen selectie noodzakelijk en ontbreekt de arcering. De weight span voor Load Case EDS wordt als criterium gebruikt om de maatgevende locatie te bepalen. De vet gedrukte waarden zijn de maximale waarden per masttype.

Tabel 16 Keuze maatgevende mast

Masttype	Min van Lijnhoek (°)	Wind span (m)	Weight span (m)	Hoogteverschil ba+ah (m)	Hoogteverschil back (m)	Hoogteverschil ahead (m)
EA+0	164,0	229	402	-10,8	-0,6	-4,2
1	164,0	227	402	-16,3	-12,1	-4,2
133	180,0	229	313	-10,8	-0,6	-10,2
EHV Portaal 1	180,0	70	33	10,2	10,2	0,0
134	180,0	70	33	10,2	10,2	0,0
HA+0	160,7	403	413	18,4	15,2	11,5
9	160,7	352	285	18,4	15,2	3,2
13	166,8	336	295	11,7	0,2	11,5
23	178,9	347	365	-3,7	-1,9	-1,8
69	174,0	384	391	-1,3	0,1	-1,3
75	162,8	403	413	-1,9	-0,8	-1,2
103	174,8	376	383	-1,3	-0,7	-0,5
114	172,2	294	227	17,0	11,0	6,0
130	164,9	399	402	-0,3	0,8	-1,1
HA+0 T1	166,3	400	391	8,1	5,2	2,9
34	173,3	400	373	8,1	5,2	2,9
128	166,3	396	391	1,9	0,7	1,2
HB+0	144,0	396	396	0,7	0,3	0,4
54	145,5	396	396	0,2	0,3	-0,1
61	156,4	393	392	0,7	0,3	0,4
90	144,0	345	348	0,1	-0,2	0,3
HC+0	126,8	392	398	15,6	0,5	15,8
4	126,8	350	350	0,2	0,5	-0,2

Masttype	Min van Lijnhoek (°)	Wind span (m)	Weight span (m)	Hoogteverschil ba+ah (m)	Hoogteverschil back (m)	Hoogteverschil ahead (m)
82	130,8	392	398	-0,8	-0,2	-0,6
98	128,2	369	306	15,6	-0,3	15,8
MBT Portaal	180,0	39	-45	12,1	0,0	12,1
0	180,0	39	-45	12,1	0,0	12,1
S+0(C)	180,0	312	321	6,0	6,5	-0,5
121	180,0	312	321	6,0	6,5	-0,5
S+0(TC)	180,0	332	369	-2,1	-1,7	-0,2
118	180,0	300	312	-2,1	-2,0	-0,2
120	180,0	332	369	-8,2	-1,7	-6,5
S+0(XC)	180,0	357	380	-6,8	0,5	-7,3
122	180,0	357	380	-6,8	0,5	-7,3
S+0(XC) T1	180,0	280	312	-3,1	-6,0	2,9
115	180,0	280	312	-3,1	-6,0	2,9
S+9(TC)	180,0	250	243	2,0	0,0	2,0
117	180,0	250	243	2,0	0,0	2,0
WA+0	167,8	395	400	-0,3	-0,2	-0,1
39	167,8	395	400	-1,1	-0,7	-0,4
85	175,0	367	369	-0,3	-0,2	-0,1
S+0	180,0	413	412	12,3	11,3	11,7
2	180,0	390	378	3,6	4,2	-0,6
3	180,0	400	400	0,2	0,6	-0,5
5	180,0	296	264	6,6	0,2	6,4
19	180,0	377	347	9,0	10,2	-1,2
20	180,0	336	316	4,8	1,2	3,6
21	180,0	311	340	-6,0	-3,6	-2,4
22	180,0	305	287	4,2	2,4	1,9
24	180,0	385	373	3,8	1,8	2,0
25	180,0	391	401	-2,3	-2,0	-0,3
26	180,0	400	362	11,2	0,3	10,9
29	180,0	397	366	9,4	10,5	-1,0
30	180,0	390	387	1,5	1,0	0,5
31	180,0	402	379	6,8	-0,5	7,3
38	180,0	401	390	3,7	3,0	0,7
40	180,0	382	382	0,3	0,4	-0,1
41	180,0	379	380	0,6	0,1	0,4
42	180,0	383	385	-0,4	-0,4	0,1
43	180,0	376	378	0,1	-0,1	0,2
44	180,0	364	369	-0,7	-0,2	-0,5
45	180,0	363	357	1,8	0,5	1,3
46	180,0	374	381	-1,1	-1,3	0,1
47	180,0	369	368	0,4	-0,1	0,5
48	180,0	359	364	-1,1	-0,5	-0,6
49	180,0	352	302	12,3	0,6	11,7
52	180,0	401	364	10,9	11,3	-0,5
53	180,0	397	397	0,2	0,5	-0,3
55	180,0	389	389	0,2	0,1	0,1
56	180,0	384	379	1,6	-0,1	1,7
58	180,0	413	407	2,2	2,0	0,2
60	180,0	405	396	3,0	3,3	-0,3
62	180,0	390	392	-0,2	-0,4	0,2
63	180,0	389	392	-0,4	-0,2	-0,2
65	180,0	373	382	-1,8	-0,1	-1,7
66	180,0	360	352	2,2	1,7	0,5
67	180,0	377	380	-0,4	-0,5	0,1
68	180,0	399	401	-0,2	-0,1	-0,1

Masttype	Min van Lijnhoek (°)	Wind span (m)	Weight span (m)	Hoogteverschil ba+ah (m)	Hoogteverschil back (m)	Hoogteverschil ahead (m)
71	180,0	373	378	-0,9	0,3	-1,2
72	180,0	379	368	3,3	1,2	2,0
73	180,0	397	412	-3,8	-2,0	-1,8
74	180,0	408	400	2,6	1,8	0,8
76	180,0	399	396	1,1	1,2	-0,1
77	180,0	400	399	0,7	0,1	0,6
78	180,0	400	407	-1,7	-0,6	-1,0
79	180,0	400	399	0,6	1,0	-0,4
80	180,0	400	400	0,2	0,4	-0,2
81	180,0	400	400	0,4	0,2	0,2
83	180,0	382	378	1,3	0,6	0,7
84	180,0	370	374	-0,5	-0,7	0,2
86	180,0	375	375	0,1	0,1	0,0
87	180,0	375	379	-0,9	0,0	-0,9
88	180,0	372	373	0,3	0,9	-0,6
89	180,0	380	378	0,8	0,6	0,2
91	180,0	325	322	0,9	-0,3	1,2
92	180,0	350	351	0,3	-1,2	1,5
94	180,0	345	334	3,0	3,5	-0,5
95	180,0	370	372	-0,1	0,5	-0,6
96	180,0	399	400	0,0	0,6	-0,6
97	180,0	398	397	0,9	0,6	0,3
101	180,0	399	369	9,1	10,4	-1,3
102	180,0	392	386	2,0	1,3	0,7
104	180,0	368	368	0,7	0,5	0,2
105	180,0	377	383	-1,3	-0,2	-1,1
106	180,0	370	372	0,1	1,1	-1,1
107	180,0	342	342	0,7	1,1	-0,4
108	180,0	342	336	1,8	0,4	1,4
109	180,0	362	372	-1,9	-1,4	-0,5
110	180,0	362	360	0,8	0,5	0,4
111	180,0	358	328	9,2	-0,4	9,6
123	180,0	387	363	8,4	7,3	1,1
124	180,0	350	362	-2,4	-1,1	-1,3
125	180,0	350	343	2,1	1,3	0,9
126	180,0	350	349	0,4	-0,9	1,3
129	180,0	396	405	-2,0	-1,2	-0,8
131	180,0	360	363	-0,4	1,1	-1,4
132	180,0	319	310	2,1	1,4	0,6
S+6	180,0	374	387	2,7	1,6	9,1
6	180,0	351	352	2,7	-6,4	9,1
33	180,0	374	387	-3,6	1,6	-5,2
S+15	180,0	387	438	-8,5	-0,6	0,6
7	180,0	387	417	-8,5	-9,1	0,6
8	180,0	381	438	-15,8	-0,6	-15,2
99	180,0	336	418	-19,4	-15,8	-3,6
S+3	180,0	413	427	3,2	0,2	3,0
10	180,0	310	327	-3,4	-3,2	-0,2
11	180,0	328	315	3,2	0,2	3,0
35	180,0	407	419	-3,0	-2,9	-0,1
36	180,0	399	398	0,7	0,1	0,6
37	180,0	390	404	-3,6	-0,6	-3,0
57	180,0	399	413	-3,7	-1,7	-2,0
59	180,0	413	427	-3,5	-0,2	-3,3
S+0 T1	180,0	382	384	1,0	1,3	0,1

Masttype	Min van Lijnhoek (°)	Wind span (m)	Weight span (m)	Hoogteverschil ba+ah (m)	Hoogteverschil back (m)	Hoogteverschil ahead (m)
12	180,0	303	317	-3,2	-3,0	-0,2
64	180,0	382	383	0,2	0,2	0,1
70	180,0	373	370	1,0	1,3	-0,3
127	180,0	374	384	-2,0	-1,3	-0,7
S+12	180,0	412	453	-2,3	3,6	0,2
14	180,0	406	453	-12,9	-11,5	-1,5
15	180,0	412	421	-2,3	1,5	-3,8
27	180,0	331	369	-10,7	-10,9	0,2
28	180,0	334	372	-10,7	-0,2	-10,5
50	180,0	312	361	-11,9	-11,7	-0,1
51	180,0	344	383	-11,2	0,1	-11,3
100	180,0	366	388	-6,8	3,6	-10,4
S+9	180,0	401	425	9,8	3,8	6,0
16	180,0	401	368	9,8	3,8	6,0
18	180,0	400	425	-6,6	3,7	-10,2
113	180,0	304	353	-12,2	-1,2	-11,0
S+15 T1	180,0	396	431	-9,7	-6,0	-3,7
17	180,0	396	431	-9,7	-6,0	-3,7
S+6 T3	180,0	379	413	-8,9	-7,3	-1,6
32	180,0	379	413	-8,9	-7,3	-1,6
S+0 T3	180,0	350	371	-5,0	-1,5	-3,5
93	180,0	350	371	-5,0	-1,5	-3,5
S+9 T1	180,0	290	320	-8,4	-9,6	1,2
112	180,0	290	320	-8,4	-9,6	1,2
S+9(C)	180,0	281	348	-2,9	-2,9	0,0
116	180,0	281	348	-2,9	-2,9	0,0
HB+0(TC)	154,9	315	314	1,8	0,2	1,7
119	154,9	315	314	1,8	0,2	1,7

In Tabel 17 is voor alle masttypes in de 380 kV-verbinding MBT-EHV aangegeven welk mastnummer als maatgevend wordt gezien en waarvoor de berekening zal worden uitgevoerd. Vanwege de lijnhoek is het bij hoekmasten noodzakelijk om meer locaties te berekenen dan in het geval van steunmasten.

Tabel 17 Maatgevende masten

Masttype	Maatgevende Locatie	Opmerking
EA+0	1	Mast 1 maatgevend vanwege lijnhoek en weight span
EHV Portaal 1	134	Locatiespecifiek
HA+0	9, 75	Mast 9 met grootste lijnhoek maatgevend. Vanwege grotere weight span mast 75 ook beschouwen
HA+0 T1	128	Mast 128 vanwege lijnhoek maatgevend
HB+0	90, 54	Mast 90 maatgevend vanwege lijnhoek. Mast 54 vanwege weight span ook beschouwen.
HB+0(TC)	119	Locatiespecifiek
HC+0	4, 82, 98	Alle drie de locaties beschouwen
MBT Portaal	0	Locatiespecifiek
S+0	58	Mast 58 maatgevende wind en weight span. Hoogteverschil van 12 m ook meenemen.
S+0 T1	64	Mast 64 maatgevende wind span. Fractioneel grotere weight span en hoogteverschil overige masten verwaarloosbaar.
S+0 T3	93	Locatiespecifiek
S+0(C)	121	Locatiespecifiek
S+0(TC)	120	Mast 120 maatgevende wind span, hogere mast 118 meenemen
S+0(XC)	115	Locatiespecifiek
S+0(XC) T1	122	Locatiespecifiek
S+12	15	Mast 15 maatgevende wind span, lagere mast 14 meenemen
S+15	7	Mast 7 maatgevende wind span, lagere mast 8 meenemen
S+15 T1	17	Locatiespecifiek
S+3	59	Mast 59 maatgevende wind en weight span, hogere mast bij 11 meenemen
S+6	33	Mast 33 maatgevende wind en weight span, hogere mast bij 11 meenemen
S+6 T3	32	Locatiespecifiek
S+9	16	Mast 16 maatgevende wind span. Hoogteverschil van mast 18. S+9 Helmond locatiespecifiek
S+9 T1	112	Helmondmast. Locatiespecifiek
S+9(C)	116	Locatiespecifiek
S+9(TC)	117	Locatiespecifiek
WA+0	39	Mast 39 maatgevend vanwege grootste lijnhoek

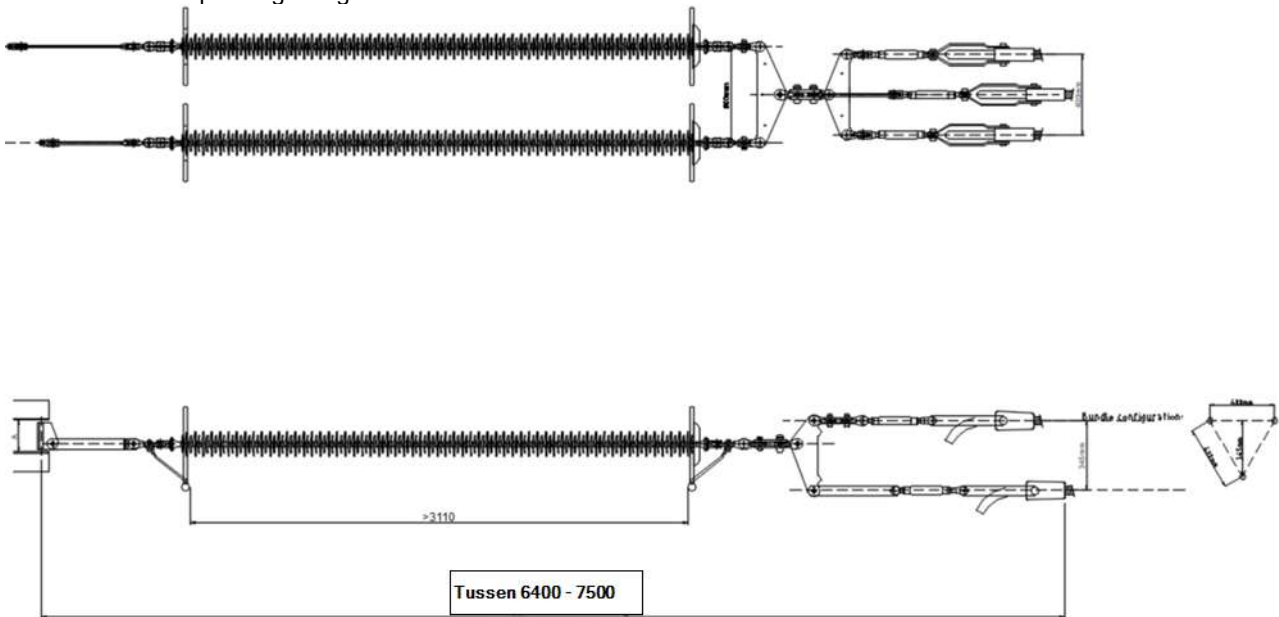
Mocht uit de toetsing van de fundatie blijken dat een van de locaties binnen de set van een masttype op basis van de maximale veldlengte en hoogteverschillen met een kleine overschrijding (5%) niet voldoet, dan is dat op basis van de locatie-specifieke veldlengte mogelijk wel het geval. In die gevallen waar dat zin heeft, bijvoorbeeld bij substantieel kleinere veldlengtes, dan wordt een locatiespecifieke berekening van de reacties uitgevoerd. Dit kan bepaald worden als de fundaties berekend zijn.

APPENDIX E

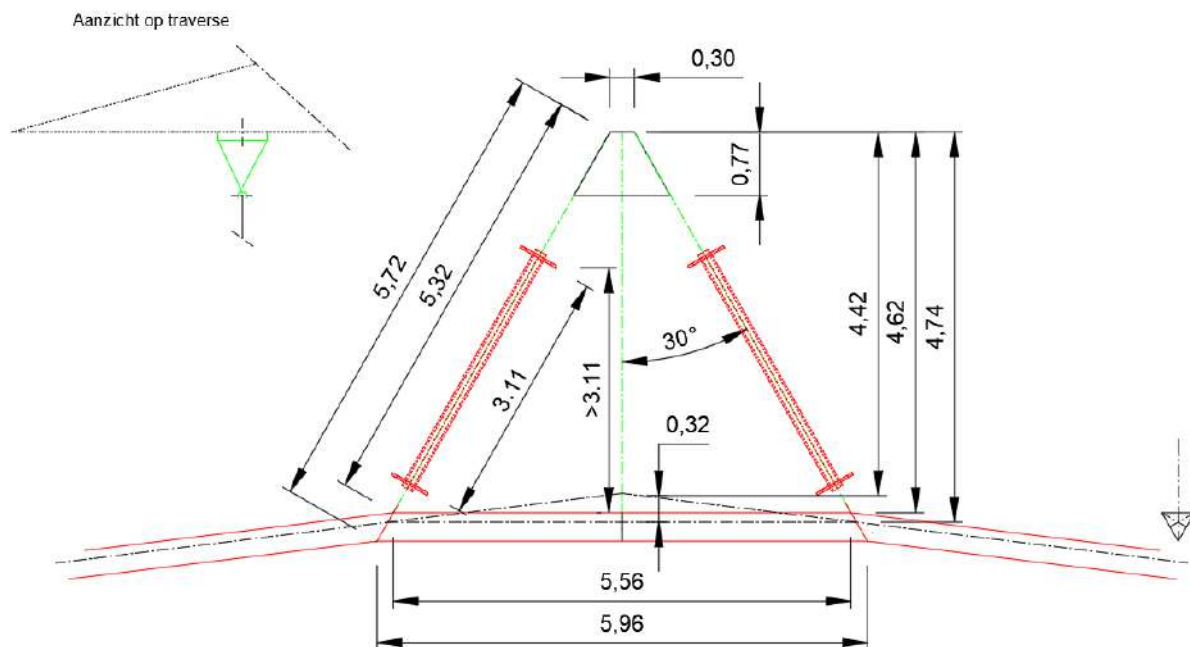
Isolatoren

Van onderstaande concept-tekeningen is gebruikgemaakt voor het opstellen van gewichten, windoppervlaktes en het toetsen van de elektrische afstanden.

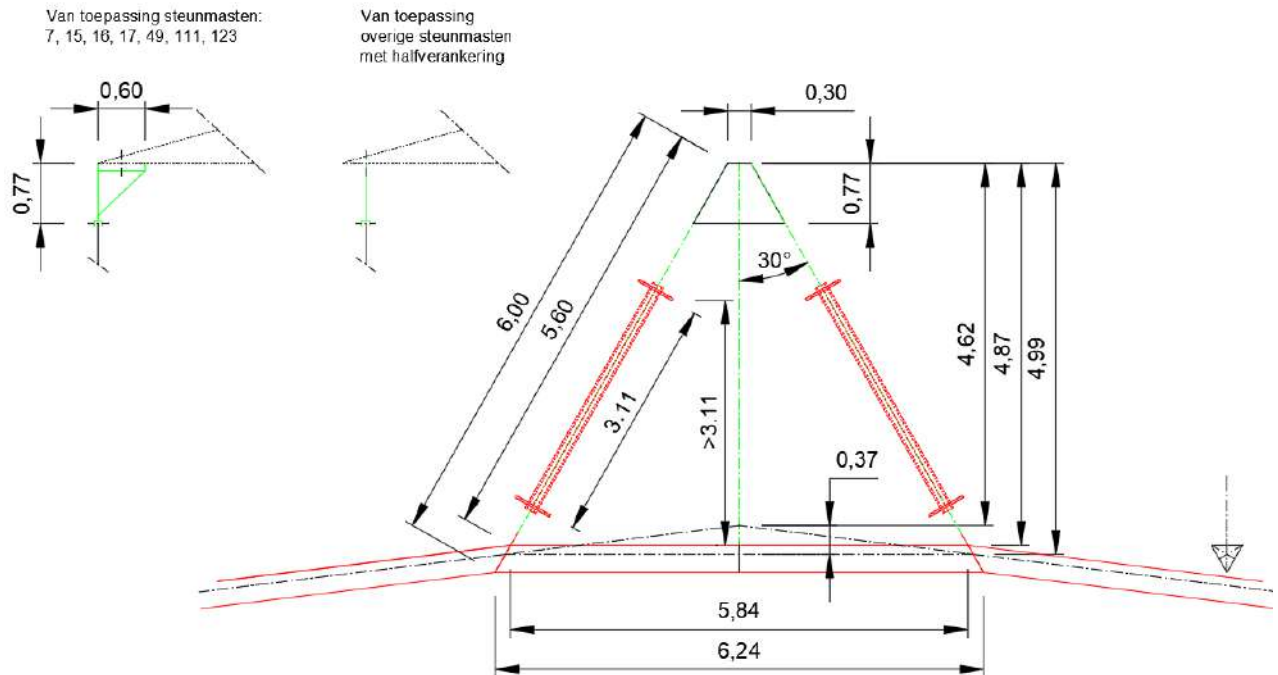
Voorbeeld van afspanning fasegeleider



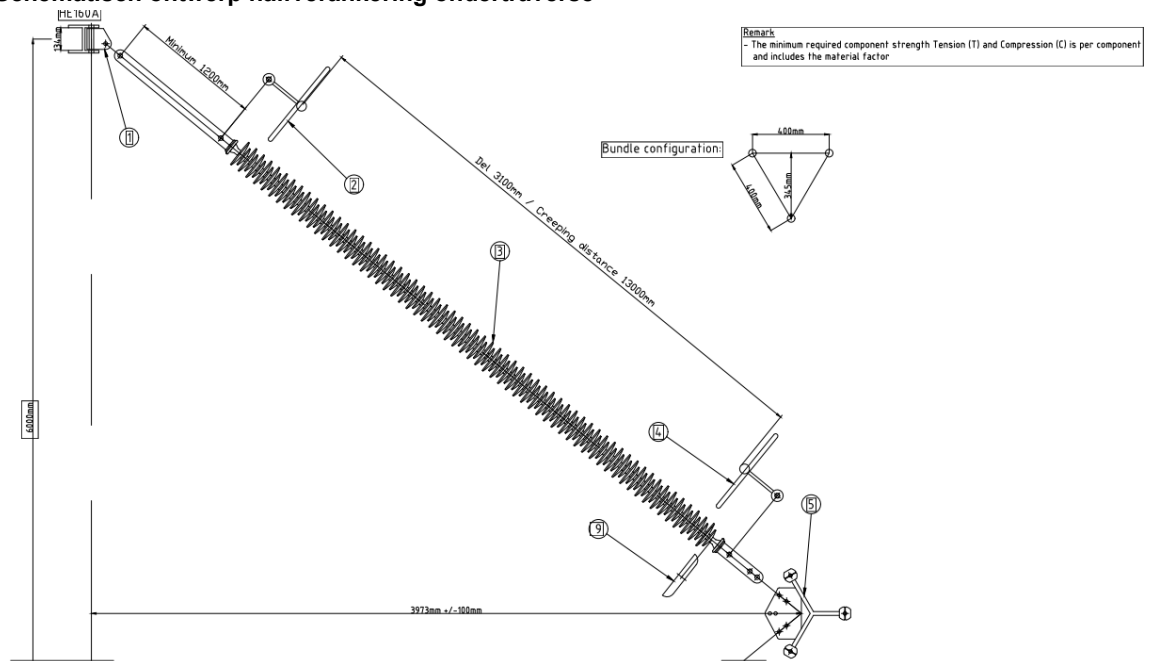
Figuur 9 Voorbeeld van afspanning fasegeleider



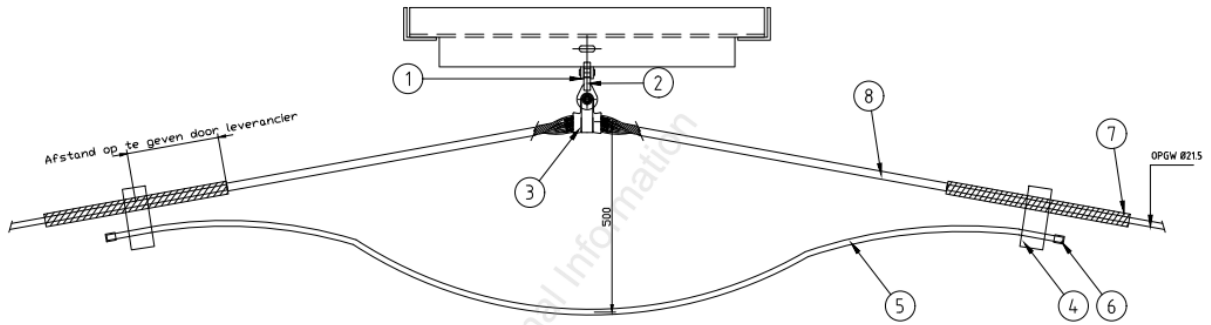
Figuur 10 Schematisch ontwerp halfverankering boventraverse.



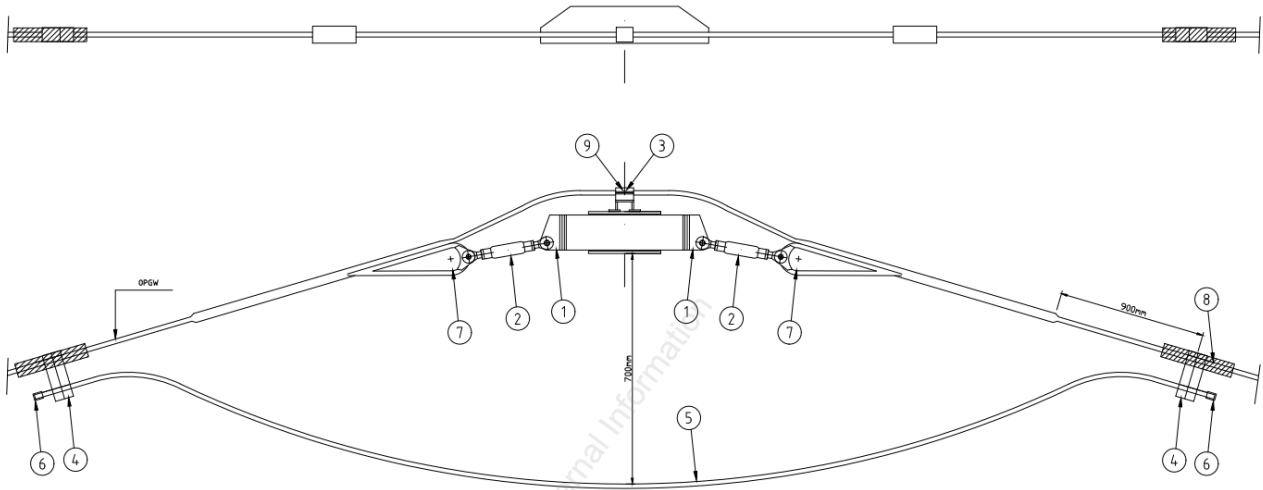
Figuur 11 Schematisch ontwerp halfverankering ondertraverse



Figuur 12 Schematisch ontwerp bretelle fixatie (90° groteerd)

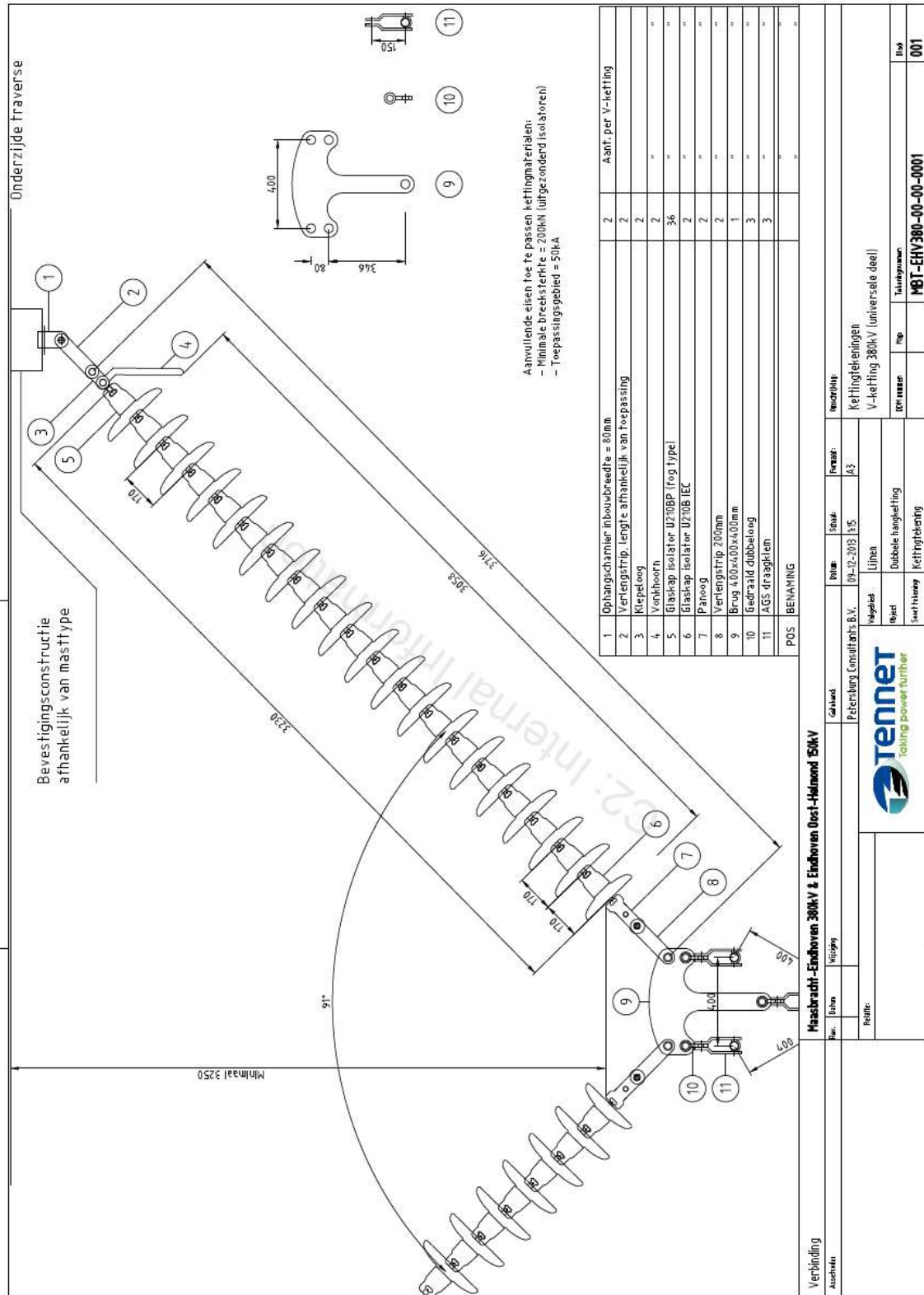


Figuur 13 Voorbeeld principe ophanging OPGW



Figuur 14 Voorbeeld principe afspanning OPGW

380kV Isolatorkettingen Combimasten Ter hoogte van Brandevoort-Helmond



Isolatoren

	Factor	Lengte	Breedte		Windoppervlak	Kettinggewicht leverancier	
						[kg]	[kN]
Dubbele ophanging							
Long rod insulator	2/3	3,1	0,15	0,31			
Strippen	1	1	0,07	0,07			
Corona ringen	2	0,025	1	0,05			
Brug	1	0,4	0,1	0,04			
Strippen en AGS klemmen	3	0,2	0,05	0,03			
					0,50 m ²		
Per set van dubbele ophanging (afgerond)					1,00 m ²		140 1,5
Halfverankering							
Long rod insulator	2/3	3,1	0,15	0,31			
Strippen toebehoren	1	1	0,07	0,07			
Corona ringen	2	0,025	1	0,05			
Brug	1	0,4	0,1	0,04			
Strippen en AGS klemmen	1	0,5	0,05	0,03			
					0,50 m ²		
Per set halfverankering (afgerond)					1,00 m ²		181 2,0
Ophanging bliksemendraad							
AGS-unit	1	0,2	0,1	0,02			
Strippen toebehoren	1	0,3	0,1	0,03			
					0,05 m ²		
Afspanning 380 kV							
Long rod insulator	2/3	3,1	0,15	0,31			
Strippen	1	1	0,07	0,07			
Corona ringen	2	0,025	1	0,05			
Brug	1	0,4	0,1	0,04			
					0,47 m ²		
Per twee benen					0,94		
Strippen en keilklemmen	3	0,3	0,05	0,05			
Per afspanset (per zijde)					1,00 m ²		173 2,0
V-ophanging							
Post rod isolator	2/3	5	0,25	0,83			
Coronaringen	2	0,025	1	0,05			
Stalen onderdelen en bevestiging	1	1	0,1	0,10			
					0,98 m ²		
Per set van dubbele ophanging (afgerond)					2,00 m ²		325 3,5
Bretel-fixatie							
Post rod isolator	2/3	5	0,25	0,83			
Coronaringen	2	0,025	1	0,05			
Stalen onderdelen en bevestiging	1	1	0,1	0,10			
					0,98 m ²		
Per set van dubbele ophanging (afgerond)					2,00 m ²		325 3,5
Afspanning bliksemendraad							
Keilklem met pendel	1	0,3	0,1	0,03			
Afgerond					0,05 m ²		

APPENDIX F

Antennesites

Telecommunications equipment for tower 12 (S+0)

Equipment label	Quantity	A _{frontal} /m [m ² /m]	A _{frontal} [m ²]	Mass [kg]	Mass [kg/m]
RFS antenne APXVERR26-C	1		0.74	28.30	
RFS antenne APXVERR26-C	2		0.47	28.30	
DTMA 1800	3		0.05	8.00	
Buis 139.7 x 6.3	7		0.14	20.59	
UNP 120	3		0.12	13.30	
Buis 60.3 x 4	6		0.06	5.50	
1 1/4" feederbundel 3 x 2 per m	50	0.14			7.89
1 1/4" feederbundel 3 x 2 per m	50	0.14			7.89
Total		0.28	3.53	326.10	15.78

Equipment details for tower 17 (S+15)

Equipment label	Quantity	A _{frontal} /m [m ² /m]	A _{frontal} [m ²]	Mass [kg]	Mass [kg/m]
Kathrein 742 215 Multiband F-paneel	1		0.20	7.50	
Kathrein 742 215 Multiband F-paneel	1		0.09	7.50	
Kathrein 742 215 Multiband F-paneel	1		0.09	7.50	
Ericsson KRY11242/3	1		0.05	5.00	
Ericsson KRY11242/4	1		0.03	5.00	
Ericsson KRY11242/5	1		0.03	5.00	
Schotel 600mm	1		0.28	40.00	
HUAWEI ADU451604 2.0 dualband	1		0.60	21.20	
HUAWEI ADU451604 2.0 dualband	1		0.30	21.20	
HUAWEI ADU451604 2.0 dualband	1		0.30	21.20	
Radio remote unit	2		0.38	40.00	
Radio remote unit	4		0.36	80.00	
Schotel 600mm	1		0.28	40.00	
Buis 60.3 x 5 mm per m	6		0.36	40.44	
HUAWEI ATR4518R7 2.5m Tri-Band	1		0.88	29.50	
HUAWEI ATR4518R7 2.5m Tri-Band	1		0.42	29.50	
HUAWEI ATR4518R7 2.5m Tri-Band	1		0.42	29.50	
T-Mobile RRU 3 st boven elkaar (900/1800/2100MHz)	1		0.36	48.00	
T-Mobile RRU 3 st boven elkaar (900/1800/2100MHz)	1		0.17	48.00	
T-Mobile RRU 3 st boven elkaar (900/1800/2100MHz)	1		0.17	48.00	
Schotel 300mm	1		0.07	25.00	
1 1/4" feederbundel 3x2 per m	39	0.14			5.16
1 1/2" hostalietpijp 2x1 per m	84	0.08			1.60
Total		0.22	5.80	599	6.76

Eigenschappen antenne mast 32 (S+6)

Object	Number	A _{frontal} /m	Mass	Orientation	A _{frontal}	A _{parallel}	C _{1,frontal}	C _{1,parallel}	n x A x C	n x A	M
	[-]	[m ² /m]	[kg]		[m ²]	[m ²]	[-]	[-]	[m ²]	[m ²]	[kg]
Kathrein 742 215 Multiband F-paneel	1		7.5	Loodrecht	0.2	0.09	2.0	2.0	0.4	0.2	7.5
Kathrein 742 351 paneel	1		13.5	Loodrecht	0.39	0.09	2.0	2.0	0.8	0.4	13.5
Kathrein 742 351 paneel	1		13.5	Evenwijdig	0.39	0.09	2.0	2.0	0.2	0.1	13.5
Schotel 300 mm	1		25	Loodrecht	0.07	0.06	2.0	2.0	0.1	0.1	25.0
Ericsson KRY11242/3	1		5	Loodrecht	0.05	0.03	2.0	2.0	0.1	0.1	5.0
Ericsson KRY11242/3	2		5	Evenwijdig	0.05	0.03	2.0	2.0	0.1	0.1	10.0
Ericsson KRY12163/1	1		0.5	Loodrecht	0.01	0.01	2.0	2.0	0.0	0.0	0.5
Ericsson KRY12163/1	2		0.5	Loodrecht	0.01	0.01	2.0	2.0	0.0	0.0	1.0
Buis 48.3 x 4 mm per m	6		4.34	Loodrecht	0.05	0.01	1.2	1.2	0.4	0.3	26.0
Buis 60.3 x 4 mm per m	4		5.52	Loodrecht	0.06	0.01	1.2	1.2	0.3	0.2	22.1
Kathrein 742 215 Multiband F-paneel	1		7.5	Loodrecht	0.2	0.09	2.0	2.0	0.4	0.2	7.5
Kathrein 742 215 Multiband F-paneel	2		7.5	Loodrecht	0.2	0.09	2.0	2.0	0.8	0.4	15.0
Schotel 600 mm	1		40	Loodrecht	0.28	0.12	2.0	2.0	0.6	0.3	40.0
Buis 48.3 x 4 mm per m	6		4.34	Loodrecht	0.05	0.01	1.2	1.2	0.4	0.3	26.0
Buis 60.3 x 4 mm per m	4		5.52	Loodrecht	0.06	0.01	1.2	1.2	0.3	0.2	22.1
Summed values VF									2.4	1.4	124.1
Summed values KPN									2.4	1.4	110.6
									Ct=	1.70	

Equipment details for tower 34 (HA+0)

Equipment label	Quantity	A _{frontal} /m	A _{frontal}	Mass	Mass
		[m ² /m]	[m ²]	[kg]	[kg/m]
HUAWEI ATR4518R7 Tri-Band	1		0.88	29.50	
HUAWEI ATR4518R7 Tri-Band	1		0.42	29.50	
HUAWEI ATR4518R7 Tri-Band	1		0.42	29.50	
T-Mobile RRU 3 st boven elkaar (900/1800/2100MHz	1		0.36	48.00	
T-Mobile RRU 3 st boven elkaar (900/1800/2100MHz	1		0.17	48.00	
T-Mobile RRU 3 st boven elkaar (900/1800/2100MHz	1		0.17	48.00	
Schotel 600 mm	1		0.28	40.00	
Buis 139.7 x 6.3 mm per m	7		0.98	144.13	
UNP 100 per m	4		0.40	42.40	
UNP 100 per m	4		0.40	42.40	
Voeding T-mob 3x3 14mm per m (zonder railsysteem)	47	0.04			2.67
Fiber T-mob 2x9 7mm per m (zonder railsysteem)	47	0.06			0.79
Trunkrail 41x41mm per m	47	0.09			2.58
RG214-50 1x1 per m (zonder railsysteem)	46	0.01			0.19
Total		0.20	4.48	501.43	6.23

Eigenschappen antenne mast 35 (S+3)

Object	Number	A _{frontal} /m	Mass	Orientation	A _{frontal}	A _{parallel}	C _{t,frontal}	C _{t,parallel}	n x A x C	n x A	M
	[-]	[m ² /m]	[kg]		[m ²]	[m ²]	[-]	[-]	[m ²]	[m ²]	[kg]
Kathrein 739 494 F-paneel	1		6,0	Frontal	0.2	0.06	2.0	2.0	0.4	0.2	6.0
Kathrein 739 494 F-paneel	2		6,0	Parallel	0.2	0.06	2.0	2.0	0.2	0.1	12.0
Ericsson KRY11242/3	1		5,0	Frontal	0.1	0.03	2.0	2.0	0.1	0.1	5.0
Ericsson KRY11242/3	2		5,0	Parallel	0.05	0.03	2.0	2.0	0.1	0.1	10.0
Buis 60.3 x 4 mm per m	24		6,0	Frontal	0.06	0.01	1.2	1.2	1.7	1.4	132.5
Buis 48.3 x 4 mm per m	8		4,0	Frontal	0.05	0.01	1.2	1.2	0.5	0.4	34.7
Summed values									3.1	2.3	200.2
									C _t =	1.35	

Telecommunications equipment for tower 64 (S+0)

Equipment label	Quantity	A _{frontal} /m	A _{frontal}	Mass	Mass
		[m ² /m]	[m ²]	[kg]	[kg/m]
Kathrein 742 215 Multiband F-paneel	1		0.20	7.50	
Kathrein 742 215 Multiband F-paneel	2		0.09	7.50	
Ericsson KRY11242/3	1		0.05	5.00	
Ericsson KRY11242/3	2		0.03	5.00	
Buis 114.3 x 5	5		0.11	13.35	
UNP 140	9		0.14	16.00	
1 1/4" feederbundel 3 x 2 per m	50	0.14			7.89
Total		0.14	2.30	248.30	7.89

Telecommunications equipment for tower 70 (S+0)

Equipment label	Quantity	A _{frontal} /m	A _{frontal}	Mass	Mass
		[m ² /m]	[m ²]	[kg]	[kg/m]
Schotel 300mm	1		0.07	25.00	
Schotel 300mm	1		0.06	25.00	
Kathrein 80010310V01 Panel Antenna 85°	1		0.67	14.00	
Kathrein 80010310V01 Panel Antenna 85°	2		0.25	14.00	
Buis 114.3 x 12.5	6		0.11	31.18	
UNP 160	6		0.16	18.90	
1 1/2" hostalietpijp 2 x 1 per m	53	0.08			4.33
7/8" feederbundel 3 x 2 per m	53	0.11			5.79
Total		0.19	2.92	392.50	10.12

Telecommunications equipment for tower 93 (S+0)

Equipment label	Quantity	A _{frontal} /m [m ² /m]	A _{frontal} [m ²]	Mass [kg]	Mass [kg/m]
Kathrein 80020892	1		1.02	44.70	
Kathrein 80020892	2		0.46	44.70	
Kathrein 782 109 (71 & 73) Dual-Band	1		0.04	5.80	
Kathrein 782 109 (71 & 73) Dual-Band	2		0.02	5.80	
Radio 2217 3 st + 1 Power 6302	3		0.21	52.00	
Radio 2212 RRU	3		0.14	20.00	
FTTA box	3		0.11	15.00	
Schotel 300mm	1		0.07	25.00	
Buis 60 x 5	22		0.06	6.74	
Voeding KPN 3 x 1 13mm per m (zonder railsysteem)	20	0.04			0.89
Hybride kabel (22mm) 3x	20	0.07			4.44
RG214-50 1 x 1 per m (zonder railsysteem)	25	0.01			0.19
Total		0.12	4.79	585.80	5.52

Equipment details for tower 115 (S+0 xc)

Equipment label	Quantity	A _{frontal} /m [m ² /m]	A _{frontal} [m ²]	Mass [kg]	Mass [kg/m]
Kathrein 800 10486	1		0.66	28.00	
Kathrein 800 10486	1		0.35	28.00	
Kathrein 800 10486	1		0.35	28.00	
Ericsson KRY11242/3	1		0.05	5.00	
Ericsson KRY11242/4	1		0.03	5.00	
Ericsson KRY11242/5	1		0.03	5.00	
Buis 114.3 x 5 mm met klimvoorziening per m	7		0.77	93.45	
1 1/4" feederbundel 3x2 per m	50	0.14			0.79
Total		0.14	2.24	192.45	0.79

Telecommunication equipment for mast 117 (S+9 tc)

Equipment label	Height (on Structure)	Quantity	A _{frontal} /m [m ² /m]	A _{frontal} [m ²]	Mass [kg]	Mass [kg/m]
Equipment between lowest and lower-middle crossarms						
Kathrein 80010691 Tripleband A-paneel - T-Mobile	26.5	1		0.62	28.5	
Kathrein 80010691 Tripleband A-paneel - T-Mobile	26.5	1		0.31	28.5	
Kathrein 80010691 Tripleband A-paneel - T-Mobile	26.5	1		0.31	28.5	
Buis 60.3 x 4mm per m		37.43	0.06			5.52
Total			0.06	1.24	85.5	5.52
Equipment between lower-middle and upper-middle crossarms						
Kathrein 80010699 Dualband A-paneel – Vodafone	37.5	1		0.68	28	
Kathrein 80010699 Dualband A-paneel – Vodafone	37.5	1		0.39	28	
Kathrein 80010699 Dualband A-paneel – Vodafone	37.5	1		0.39	28	
Schotel 300mm – Vodafone	39.3	1		0.07	25	
Buis 60.3 x 4mm per m		30.4	0.06			5.52
Total			0.06	1.53	109	5.52
Feeder cables						
1 x 5/8" feederbundel 3x2 per m		30	0.16			9.87
1 x 1/4" feederbundel 3x2 per m		30	0.14			7.89
1 x 1/4" feederbundel 3x2 per m		36	0.14			7.89
1 x 7/8" feederbundel 3x2 per m		36	0.11			5.79
Total			0.55			31.44

Telecommunications equipment for tower 127 (S+0)

Equipment label	Quantity	A _{frontal} /m [m ² /m]	A _{frontal} [m ²]	Mass [kg]	Mass [kg/m]
Horiz construction 1	1		0.55		
Horiz construction 1	1		0.25		
Vert. Pijp	1		1.11		
Schotel d = 390	1		0.12		
Schotel d = 690	1		0.37		
Antenna	2		0.51		
Kabel 7/8"	47	0.056			
Hostalietpijp 1-1/2"	47	0.040			
Rail	47	0.050			
Total		0.146	3.42		

Equipment details for tower 128 (HA+0)

Equipment label	Quantity	A _{frontal} /m [m ² /m]	A _{frontal} [m ²]	Mass [kg]	Mass [kg/m]
Kathrein 80010486V01 Dualband D-paneel	1		0.66	30.00	
Kathrein 80010486V01 Dualband D-paneel	1		0.35	30.00	
Kathrein 80010486V01 Dualband D-paneel	1		0.35	30.00	
Schotel 300mm	1		0.07	25.00	
Schotel 300mm	1		0.06	25.00	
Buis 139.7 x 10 mm met klimvoorziening per m	7		0.98	222.46	
Kathrein (D)TMA	1		0.04	3.50	
Kathrein (D)TMA	1		0.02	3.50	
Kathrein (D)TMA	1		0.02	3.50	
UNP 120 per m	5		0.60	66.50	
Ericsson KRY12163/1	2		0.02	1.00	
Ericsson KRY12163/1	2		0.02	1.00	
Ericsson KRY12163/1	2		0.02	1.00	
7/8" feederbundel 3x2 per m	48	0.110			3.06
1 1/4" feederbundel 4x2 per m	48	0.170			6.88
Rail per m	48	0.035			
Total		0.315	3.2	442.5	9.94

APPENDIX G

Asset-data

Tabel 18 Asset data Maasbracht Eindhoven

Omschrijving	File
Algemeen	150-380kV Combilijn Helmond-Brandevoort.pdf Overzicht klokgetallen en Cereuitkleuren.pdf
Reconstructie	Reconstructie MBT-EHV380 & EHVO-HMD150.pdf
Spanveldschema	Spanveldschema mast 103 tm 133.pdf Spanveldschema mast 61 tm 102.pdf
Trac,tekeningen	Mast 1 tm 5.pdf Mast 103 tm 109.pdf Mast 109 tm 115.pdf Mast 11 tm 19.pdf Mast 115 tm 122.pdf Mast 115n tm 122n.pdf Mast 122 tm 127.pdf Mast 127 tm 133.pdf Mast 13 tm 20.pdf Mast 131 tm station EHV380.pdf Mast 20 tm 28.pdf Mast 28 tm 32.pdf Mast 32 tm 36.pdf Mast 37 tm 41.pdf Mast 4 tm 7.pdf Mast 41 tm 45.pdf Mast 45 tm 50.pdf Mast 50 tm 55.pdf Mast 55 tm 58.pdf Mast 58 tm 63.pdf Mast 61 tm 64.pdf Mast 65 tm 70.pdf Mast 7 tm 11.pdf Mast 70 tm 75.pdf Mast 75 tm 80.pdf Mast 81 tm 86.pdf Mast 86 tm 92.pdf Mast 92 tm 98.pdf Mast 98 tm 103.pdf
Constructie berekening	1967 - Berekening Wisselmasten 180-160.pdf 1967 - Berekeningen Wisselmasten WA 160-140.pdf 2007 - 20070810 D&C 8615 Constructie berekeningen (mast 12).pdf 2008 - NV080100-R32 SR (mast 117).pdf 2010 - 17572 Detailberekening Rev.0 (mast 120).pdf 2010 - NV100100-R08 JJ (mast 120).pdf 2011 - MBT-EHV380 115 Ontwerp Petersburg.pdf 2011 - MBT-EHV380 119 Ontwerp Petersburg.pdf 2011 - MBT-EHV380 122 Ontwerp Petersburg.pdf 2011 - Reconstructie Helmond Ontwerp HB+0-tc.pdf 2011 - Reconstructie Helmond Ontwerp S+9-tc.pdf 2012 - B3a THelmonde_ExistTower#116_Platforms_Calcul_GA9032-12-029-B3a (mast 116).pdf 2012 - B4a THelmonde_ExistTower#117_Platforms_Calcul_GA9032-12-029-B4a (mast 117).pdf 2012 - Controle zijvlak mast 32.pdf 2012 - Detail engineering ladders platforms mast 117.pdf 2012 - Detail engineering ladders platforms.pdf 2012 - MBT-EHV380 120 Ontwerp Petersburg.pdf 2012 - MBT-EHV380 121 Ontwerp Petersburg.pdf 2012 - MBT-EHV380 118 Ontwerp Petersburg.pdf 2013 - Constructieberekening mast 117n.pdf xxxx - Reactiekrachten KPN 8661 Leveroy.pdf
Constructie tekG-portaal	00000061 traverse portaal g (1).pdf 00000061 traverse portaal g.pdf 1411-16-2 bovenkant.pdf 142301--.pdf 389888--.pdf 466AH-67.pdf 466AH-76.pdf 758-B-68.pdf 758-H-1.pdf 758-H-14.pdf

Omschrijving	File
	A1-E-1422-18.pdf E16727_STIJLEN_VAN_G_PORTAAL--.pdf E16729_DETAILS KLIMLADDER G PORTAAL-1.pdf TNNT001267-00062.pdf vraag JWL.pdf
Mast type EA	Bovenstuk type EA.pdf Boven traverse type EA.pdf Onderstuk type EA.pdf Onder traverse type EA.pdf Tussenstuk type EA.pdf
Mast type HA+0	Bovenstuk HA+0.pdf Boven traverse HA+0.pdf Onderstuk HA+0.pdf Onder traverse HA+0.pdf Tussenstuk HA+0.pdf
Mast type HB+0	Bovenstuk HB+0.pdf Boven traverse HB+0.pdf Onderstuk HB+0.pdf Onder traverse deel 1 HB+0.pdf Onder traverse deel 2 HB+0.pdf Tussenstuk HB+0.pdf
Mast type HB+0(tc) (mast 119)	1 Midden Traverse 1 2 HB+0(tc) mast 119.pdf 1 Midden Traverse 2 2 HB+0(tc) mast 119.pdf 1 Midden Traverse Bordessen HB+0(tc) mast 119.pdf 1 Tussenstuk HB+0(tc) mast 119.pdf 2 Midden Traverse 1 2 HB+0(tc) mast 119.pdf 2 Midden Traverse Bordessen HB+0(tc) mast 119.pdf 2 Tussenstuk HB+0(tc) mast 119.pdf 3 Tussenstuk HB+0(tc) mast 119.pdf 4 Tussenstuk HB+0(tc) mast 119.pdf 5 Tussenstuk HB+0(tc) mast 119.pdf Aanzicht A en Doorsnede A-A HB+0(tc) mast 119.pdf Bordessen Boven Traverse HB+0(tc) mast 119.pdf Bordessen HB+0(tc) mast 119.pdf Boven Traverse (Doorsnede C-C) HB+0(tc) mast 119.pdf Boven Traverse HB+0(tc) mast 119.pdf Bovenaanzicht met toe te passen kettingen.pdf Doorsnede A-A Bordessen HB+0(tc) mast 119.pdf Doorsnede B-B 1 Tussenstuk HB+0(tc) mast 119.pdf Doorsnede C-C, Doorsnede D-D en Doorsnede E-E mast119.pdf Doorsnede D-D Bordessen HB+0(tc) mast 119.pdf Doorsnede F-F Bordessen 1 2 HB+0(tc) mast 119.pdf Doorsnede F-F Bordessen 2 2 HB+0(tc) mast 119.pdf Doorsnede F-F HB+0(tc) mast 119.pdf Doorsnede H-H HB+0(tc) mast 119.pdf Doorsnede I-I HB+0(tc) mast 119.pdf Doorsnede J-J Bordessen HB+0(tc) mast 119.pdf Doorsnede J-J HB+0(tc) mast 119.pdf Doorsnede K-K HB+0(tc) mast 119.pdf -1 Midden Traverse 1 2 HB+0(tc) mast 119.pdf -1 Midden Traverse 2 2 HB+0(tc) mast 119.pdf -1 Midden Traverse Bordessen HB+0(tc) mast 119.pdf -1 Tussenstuk (Doorsnede B-B) HB+0(tc) mast 119.pdf -1 Tussenstuk HB+0(tc) mast 119.pdf -2 Midden Traverse 1 2 HB+0(tc) mast 119.pdf -2 Midden Traverse Bordessen HB+0(tc) mast 119.pdf -2 Tussenstuk HB+0(tc) mast 119.pdf -3 Tussenstuk HB+0(tc) mast 119.pdf -4 Tussenstuk HB+0(tc) mast 119.pdf -5 Tussenstuk HB+0(tc) mast 119.pdf -Aanzicht A en Doorsnede A-A HB+0(tc) mast 119.pdf -Bordessen Boven Traverse HB+0(tc) mast 119.pdf -Boven Traverse (Doorsnede C-C) HB+0(tc) mast.pdf -Boven Traverse HB+0(tc) mast 119.pdf -Doorsnede A-A Bordessen HB+0(tc) mast 119.pdf -Doorsnede C-C Doorsnede D-D en Doorsnede E-E mast119.pdf -Doorsnede D-D Bordessen HB+0(tc) mast 119.pdf -Doorsnede F-F Bordessen 1 2 HB+0(tc) mast 119.pdf -Doorsnede F-F Bordessen 2 2 HB+0(tc) mast 119.pdf -Doorsnede F-F HB+0(tc) mast 119.pdf -Doorsnede H-H HB+0(tc) mast 119.pdf

Omschrijving	File
	-Doorsnede I-I HB+0(tc) mast 119.pdf -Doorsnede J-J Bordessen HB+0(tc) mast 119.pdf -Doorsnede J-J HB+0(tc) mast 119.pdf -Doorsnede K-K HB+0(tc) mast 119.pdf -Ladder HB+0(tc) mast 119.pdf -Onder Traverse 1 2 HB+0(tc) mast 119.pdf -Onder Traverse 2 2 HB+0(tc) mast 119.pdf -Onder Traverse Bordessen HB+0(tc) mast 119.pdf -Onderstuk HB+0(tc) mast 119.pdf Ladder HB+0(tc) mast 119.pdf Montagerahmen fur Mastunterteil.pdf Onder Traverse 1 2 HB+0(tc) mast 119.pdf Onder Traverse 2 2 HB+0(tc) mast 119.pdf Onder Traverse Bordessen HB+0(tc) mast 119.pdf Onderstuk HB+0(tc) mast 119.pdf Schraubentausch vor Mastverstarkung.pdf
Mast type HC+0	Bovenstuk HC+0.pdf Boven Traverse HC+0.pdf Onder traverse HC+0.pdf Onderstuk HC+0.pdf Tussenstuk HC+0.pdf
Mast type S+0	1e Tussenstuk S+0.pdf 2e Tussenstuk S+0.pdf Bovenstuk S+0.pdf Onderstuk S+0.pdf Ondertraverse S+0.pdf S+0 - Bovenste tussenstuk.pdf S+0 - Bovenstuk.pdf S+0 - Boven Traverse.pdf S+0 - Mastbeeld (deel 1).pdf S+0 - Mastbeeld (deel 2).pdf S+0 - Mastbeeld.pdf S+0 - Onderste tussenstuk.pdf S+0 - Onderstuk.pdf S+0 - Ondertraverse.pdf
Mast type S+0(c) (mast 121)	90030-03-06335 1.0.pdf 90030-03-06337 1.0.pdf 90030-03-06341 1.0.pdf 90030-03-06433 1.0.pdf 90030-03-06435 1.0.pdf 90030-03-06437 1.0.pdf 90030-03-06439 1.0.pdf 90030-03-06441 1.0.pdf 90030-03-06443 1.0.pdf 90030-03-06445 1.0.pdf 90030-03-06447 1.0.pdf 90030-03-06449 1.0.pdf 90030-03-06451 1.0.pdf 90030-03-06453 1.0.pdf 90317-02-04694 1.0.pdf 90317-02-04696 1.0.pdf 90317-02-04698 1.0.pdf 90317-02-04704 1.0.pdf 90317-02-10408 1.0.pdf 90801-03-05601 1.0.pdf 90801-03-05602 1.0.pdf 90801-03-05603 1.0.pdf 90801-03-05604 1.0.pdf 90801-03-05605 1.0.pdf 90801-03-05606 1.0.pdf 90801-03-05607 1.0.pdf 90801-03-05608 1.0.pdf 90801-03-05609 1.0.pdf 90801-03-05610 1.0.pdf 90801-03-05611 1.0.pdf 90801-03-05612 1.0.pdf 90801-03-05613 1.0.pdf 90801-03-05614 1.0.pdf 90801-03-05615 1.0.pdf 90801-03-05616 1.0.pdf 90801-03-05617 1.0.pdf 90801-03-05692 1.0.pdf

Omschrijving	File
Mast type S+0(tc) Combi (mast 118 + 120)	<ul style="list-style-type: none"> -1e Tussenstuk S+0(tc) mast 118 en 120.pdf -2e Tussenstuk S+0(tc) mast 118 en 120.pdf -3e, 4e, 5e Tussenstuk S+0(tc) mast 118 en 120.pdf -6e Tussenstuk S+0(tc) mast 118 en 120.pdf -Aanzicht A en doorsnede A-A S+0(tc) mast 118 en 120.pdf -Bordessen blad 1 S+0(tc) mast 118 en 120.pdf -Bordessen blad 2 S+0(tc) mast 118 en 120.pdf -Boventraverse S+0(tc) mast 118 en 120.pdf -Detail blad 1 (Middentraverse 1) S+0(tc) mast 118 en 120.pdf -Detail blad 1 S+0(tc) (2e Tussenstuk) mast 118 en 120.pdf -Detail blad 2 (Tussenstuk 3, 4 en 5) S+0(tc) mast 118 en 120.pdf 1e Tussenstuk S+0(tc) mast 118 en 120.pdf 2e Tussenstuk S+0(tc) mast 118 en 120.pdf 6e Tussenstuk S+0(tc) mast 118 en 120.pdf Aanzicht A en doorsnede A-A S+0(tc) mast 118 en 120.pdf Middentraverse 1 detail blad 1 S+0(tc) mast 118 en 120.pdf Middentraverse 1 S+0(tc) mast 118 en 120.pdf Middentraverse 2 S+0(tc) mast 118 en 120.pdf Onderstuk S+0(tc) mast 118 en 120.pdf Ondertraverse S+0(tc) mast 118 en 120.pdf Tussenstuk 3, 4 en 5 blad 2 S+0(tc) mast 118 en 120.pdf Tussenstuk 3, 4 en 5 S+0(tc) mast 118 en 120.pdf -Ladder S+0(tc) mast 118 en 120.pdf -Ladderbevestiging S+0(tc) mast 118 en 120.pdf -Middentraverse 1 S+0(tc) mast 118 en 120.pdf -Middentraverse 2 S+0(tc) mast 118 en 120.pdf -Onderstuk S+0(tc) mast 118 en 120.pdf -Ondertraverse S+0(tc) mast 118 en 120.pdf
Mast type S+0(xc) Combi (mast 115 + 122)	<ul style="list-style-type: none"> 1e Tussenstuk S+0(xc) mast 115N en 122N.pdf 2e Tussenstuk doorsnede B-B S+0(xc) mast 115N en 122N.pdf 3e Tussenstuk S+0(xc) mast 115N en 122N.pdf 4e Tussenstuk S+0(xc) mast 115N en 122N.pdf Bordessen A-A S+0(xc) mast 115N en 122N.pdf Bordessen B-B S+0(xc) mast 115N en 122N.pdf Bordessen D-D S+0(xc) mast 115N en 122N.pdf Bordessen E-E S+0(xc) mast 115N en 122N.pdf Boventraverse 1-2 S+0(xc) mast 115N en 122N.pdf Boventraverse 2-2 S+0(xc) mast 115N en 122N.pdf Doorsnede A-A g-g h-h S+0(xc) mast 115N en 122N.pdf Doorsnede b-b c-c S+0(xc) mast 115N en 122N.pdf Doorsnede C-C S+0(xc) mast 115N en 122N.pdf Doorsnede D-D S+0(xc) mast 115N en 122N.pdf Ladder S+0(xc) mast 115N en 122N.pdf Middentraverse 1-3 S+0(xc) mast 115N en 122N.pdf Middentraverse detail 1-3 S+0(xc) mast 115N en 122N.pdf Middentraverse detail 2-3 S+0(xc) mast 115N en 122N.pdf Middentraverse detail 3-3 S+0(xc) mast 115N en 122N.pdf Onderstuk basis S+0(xc) mast 115N en 122N.pdf Onderstuk doorsnede E-E F-F S+0(xc) mast 115N en 122N.pdf Onderstuk sokkel S+0(xc) mast 115N en 122N.pdf Ondertraverse 1-5 S+0(xc) mast 115N en 122N.pdf Ondertraverse 2-5 S+0(xc) mast 115N en 122N.pdf Ondertraverse 3-5 S+0(xc) mast 115N en 122N.pdf Ondertraverse 4-5 S+0(xc) mast 115N en 122N.pdf Ondertraverse 5-5 S+0(xc) mast 115N en 122N.pdf
Mast type S+12	<ul style="list-style-type: none"> 1e Tussenstuk S+12.pdf 2e Tussenstuk S+12.pdf 3e Tussenstuk S+12.pdf Bovenstuk S+12.pdf Boventraverse S+12.pdf Onderstuk Deel 1.pdf Ondertraverse S+12.pdf
Mast type S+15	<ul style="list-style-type: none"> 1e Tussenstuk S+15.pdf 2e Tussenstuk S+15.pdf 3e Tussenstuk S+15.pdf Bovenstuk S+15.pdf Boventraverse S+15.pdf Onderstuk S+15.pdf Ondertraverse S+15.pdf

Omschrijving	File
Mast type S+3	1e Tussenstuk S+3.pdf 2e Tussenstuk S+3.pdf Bovenstuk S+3.pdf Boven traverse S+3.pdf Fundatiemal en Ankers S+3.pdf Onderstuk S+3.pdf Onder traverse S+3.pdf
Mast type S+6	1e Tussenstuk S+6.pdf 2e Tussenstuk S+6.pdf Bovenstuk S+6.pdf Boven traverse S+6.pdf Onderstuk S+6.pdf Onder traverse S+6.pdf
Mast type S+9	1e Tussenstuk S+9.pdf 3e Tussenstuk S+9.pdf Bovenstuk S+9.pdf Boven traverse S+9.pdf In te storten delen S+9.pdf Onderstuk S+9.pdf Onder traverse S+9.pdf
Mast type S+9 (mast 112 + 113)	Bordessen S+9 mast 112 en 113 blad 1 6.pdf Bordessen S+9 mast 112 en 113 blad 2 6.pdf Boven traverse verlagingsconstructie S+9 mast 112 en 113.pdf Ladder S+9 mast 112 en 113 5.pdf Ladderbevestiging S+9 mast 112 en 113 blad 1 3.pdf Ladderbevestiging S+9 mast 112 en 113 blad 2 3.pdf Leuningen S+9 mast 112 en 113.pdf Onder traverse verlagingsconstructie S+9 mast 112 en 113.pdf
Mast type S+9(c) (mast 116)	90030-03-06379 1.0.pdf 90030-03-06381 1.0.pdf 90030-03-06383 1.0.pdf 90030-03-06385 1.0.pdf 90030-03-06387 1.0.pdf 90030-03-06389 1.0.pdf 90030-03-06535 1.0.pdf 90107-03-03569 1.0.pdf 90317-02-04462 1.0.pdf 90317-02-04854 1.0.pdf 90317-02-04856 1.0.pdf 90317-02-04858 1.0.pdf 90317-02-04860 1.0.pdf 90317-02-10412 1.0.pdf 9032-12-029-Z11a.pdf 9032-12-029-Z12a.pdf 90801-03-05693 1.0.pdf 90801-03-05694 1.0.pdf 90801-03-05695 1.0.pdf 90801-03-05696 1.0.pdf 90801-03-05697 1.0.pdf 90801-03-05698 1.0.pdf 90801-03-05699 1.0.pdf 90801-03-05700 1.0.pdf 90801-03-05701 1.0.pdf 90801-03-05702 1.0.pdf 90801-03-05703 1.0.pdf 90801-03-05704 1.0.pdf 90801-03-05705 1.0.pdf 90801-03-05706 1.0.pdf 90801-03-05707 1.0.pdf
Mast type S+9(tc) (mast 117)	1 Onderstuk mast 117.pdf 1 Tussenstuk mast 117.pdf 2 Onderstuk mast 117.pdf 2 Tussenstuk mast 117.pdf 3 Tussenstuk mast 117.pdf 4, 5, 6 Tussenstuk mast 117.pdf Bordessen Blad 1 mast 117.pdf Bordessen Blad 2 mast 117.pdf Boven Traverse mast 117.pdf Boven Traverse Nieuwe (circuit wit) mast 117.pdf 1 Onderstuk - DUBBEL.pdf

Omschrijving	File
	-1 Onderstuk.pdf 1 Tussenstuk - DUBBEL.pdf -1 Tussenstuk.pdf 2 Onderstuk - DUBBEL.pdf -2 Onderstuk.pdf 2 Tussenstuk - DUBBEL.pdf -2 Tussenstuk.pdf 3 Tussenstuk - DUBBEL.pdf -3 Tussenstuk.pdf 4, 5, 6 Tussenstuk - DUBBEL.pdf -4, 5, 6 Tussenstuk.pdf
	Bordessen Blad 1 - DUBBEL.pdf -Bordessen Blad 1.pdf Bordessen Blad 2 - DUBBEL.pdf -Bordessen Blad 2.pdf Boven Traverse - DUBBEL 2.pdf Boven Traverse - DUBBEL.pdf Boven Traverse Nieuwe (circuit wit) - DUBBEL.pdf -Boven Traverse.pdf Ladder - DUBBEL.pdf Ladderbevestiging Blad 1 - DUBBEL.pdf -Ladderbevestiging Blad 1.pdf Ladderbevestiging Blad 2 Bordes Mid Trav-DUBBE.pdf -Ladderbevestiging Blad 2 en Bordes in Mid Trav 2.pdf Midden Traverse 1 - DUBBEL.pdf -Midden Traverse 1.pdf Midden Traverse 2 - DUBBEL.pdf -Midden Traverse 2.pdf Ondertraverse - DUBBEL.pdf -Ondertraverse.pdf
	Masten 117 en 118 Principe fundatie.pdf Mastfundatie 117.pdf Principe fundatie.pdf
	Ladder mast 117.pdf Ladderbevestiging Blad 1 mast 117.pdf Ladderbevestiging Blad 2 en Bordes in Mid Trav 2.pdf Midden Traverse 1 mast 117.pdf Midden Traverse 2 mast 117.pdf Ondertraverse mast 117.pdf
Mast type WA+0	Bovenstuk WA+0.pdf Boventraverse WA+0.pdf Klimpen voor WA+0.pdf Onderstuk WA+0.pdf Ondertraverse WA+0.pdf Tussenstuk WA+0.pdf
Doorhang tabellen	MBT-EHV380 richtlijnen doorhangtabellen.pdf Vak 10 ACSR 48-7.pdf Vak 10 ACSR Hawk.pdf Vak 14. 2 ACSR 48-7.pdf Vak 14. 2 ACSR Hawk.pdf Vak 16 ACSR 48-7.pdf Vak 16 ACSR Hawk.pdf Vak 17 ACSR 48-7.pdf Vak 17 ACSR Hawk.pdf Vak 18. 20 ACSR 48-7.pdf Vak 18. 20 ACSR Hawk.pdf Vak 19 ACSR 48-7.pdf Vak 19 ACSR Hawk.pdf Vak 3 ACSR 48-7.pdf Vak 3 ACSR Hawk.pdf Vak 4. 12. 13 ACSR 48-7.pdf Vak 4. 12. 13 ACSR Hawk.pdf Vak 5. 9 ACSR 48-7.pdf Vak 5. 9 ACSR Hawk.pdf Vak 6. 8. 11 ACSR 48-7.pdf Vak 6. 8. 11 ACSR Hawk.pdf Vak 7. 15 ACSR 48-7.pdf Vak 7. 15 ACSR Hawk.pdf
Fundatie	1967 - Ankers voor hoekmast HB+0.pdf

Omschrijving	File
1967 - Heistaten	1967 - Ankers voor wisselmast.pdf 1967 - Fundatiemal en ankers voor steunmast S+3.pdf 1967 - Fundatiemal HC+0 1404-135-7A.pdf 1967 - Grondboringen illustratie (uit bundel - Paal voor masttype S+0, S+3 en S+6).pdf 1967 - Grondboringen tabellen (uit bundel - Paal voor masttype S+0, S+3 en S+6).pdf Rammprotocoll Mast nr.023.pdf Rammprotokoll mast 12.pdf Rammprotokoll Mast nr.004.pdf Rammprotokoll Mast nr.009.pdf Rammprotokoll Mast nr.034.pdf Rammprotokoll Mast nr.069.pdf Rammprotokoll Mast nr.075.pdf Rammprotokoll Mast nr.082.pdf Rammprotokoll Mast nr.098.pdf Rammprotokoll Mast nr.103.pdf Rammprotokoll Mast nr.114.pdf Rammprotokoll Mast nr.128.pdf Rammprotokoll Mast nr.130.pdf
Fundatie berekening	1967 - Mastenlijst paallengte (uit bundel - Paal voor masttype S+0, S+3 en S+6).pdf 1967 - Paal voor masttype S+0, S+3 en S+6.pdf 1967 - Pootspreiding (uit bundel - Paal voor masttype S+0, S+3 en S+6).pdf 1967 - Principe mastaanzicht (uit bundel - Paal voor masttype S+0, S+3 en S+6).pdf 1967 - Tekening fundatie LD1 (uit bundel - Paal voor masttype S+0, S+3 en S+6).pdf 1967 - Tekening fundatie LV1 (uit bundel - Paal voor masttype S+0, S+3 en S+6).pdf 1973 - Aardingsstaven in peorverzwaring.pdf 1973 - Verzwaring mastfundatie mast 10 en 11.pdf 1974 - Verzwaarde poeren masten 10, 11, 14, 15 en 16.pdf 1980 - Fundatie verzwaring HA+0 mast 9.pdf 2012 - Fundatie mast 115N+121N+122N.pdf 2013 - EHVO-HMZ150-00-31-1001-001_Layout1_MBT-EHV380.pdf 2013 - Fundatie reconstructie mast 115, 121 en 122.pdf 2013 - Fundatie reconstructie mast 116 en 120.pdf 2013 - Fundatie reconstructie mast 117 en 118.pdf 2013 - Fundatie reconstructie mast 119.pdf 2013 - In te storten delen mast 115 n en 122 n.pdf
Kettingtekeningen	30720525-40-001.pdf 30720525-40-11.pdf 30720525-40-13.pdf Afspanning 140-120.pdf Afspanning 150kV.pdf Afspanning 180-140.pdf Afspanning wisselmasten.pdf Bretel hoek en trekmasten.pdf Bretel met stijve V-ketting voor traversen hoekmasten.pdf Bretelfixatie onderfase 150kV.pdf Dubbele ophanging 150kV.pdf EHV380 Afspanning portaal lijnzijde.pdf Enkele ophanging S+0, S+3, S+6.pdf Halfverankering boven traverse S+0, S+9, S+12, S+15.pdf Halfverankering boventraverse S+3, S+6.pdf Halfverankering ondertraverse S+0, S+3, S+6, S+9, S+12, S+15.pdf V- Ophanging 150kV.pdf
Mast type S+0(tc) Combi (mast 118 + 120)	MBT-EHV380-00-00-0001-007_007.pdf V - Ophanging 380kV 001.pdf V - Ophanging ondertraverse 380kV 008.pdf V - Ophanging verlengde strip 380kV 002.pdf

Omschrijving	File
	MBT380 Afspanning portaal lijnzijde.pdf MBT-EHV380-00-00-0001-007_007.pdf V - Ophanging 380kV 001.pdf V - Ophanging boventraverse 380kV 006.pdf V - Ophanging boventraverse 380kV 007.pdf V - Ophanging ondertraverse 380kV 003.pdf V - Ophanging ondertraverse 380kV 004.pdf V - Ophanging ondertraverse 380kV 005.pdf V - Ophanging ondertraverse 380kV 008.pdf V - Ophanging verlengde strip 380kV 002.pdf V- Ophanging 150kV.pdf
Lengte-zeegprofiel	mast 1 tm 4.pdf mast 103 tm 109.pdf mast 109 tm 115.pdf Mast 111 tm 114, 114 tm 119, 119 tm 122.pdf mast 121 tm 127.pdf mast 127 tm 133.pdf mast 13 tm 17.pdf mast 17 tm 23.pdf mast 23 tm 28.pdf mast 28 tm 34.pdf mast 34 tm 39.pdf mast 39 tm 46.pdf mast 4 tm 13.pdf mast 46 tm 54.pdf mast 54 tm 61.pdf mast 61 tm 69.pdf mast 69 tm 73.pdf mast 73 tm 79.pdf mast 79 tm 85.pdf mast 85 tm 91.pdf mast 91 tm 97.pdf mast 97 tm 103.pdf
Mastbeeld	Mastbeeld EA+0.pdf Mastbeeld HA+0.pdf Mastbeeld HB+0(tc) mast 119.pdf Mastbeeld HC+0.pdf Mastbeeld S+0(C) mast 121(n).pdf Mastbeeld S+0(TC) 118 en 120.pdf Mastbeeld S+0(XC) 115(n) en 122(n) 1.pdf Mastbeeld S+0(XC) 115(n) en 122(n) 2.pdf Mastbeeld S+0.pdf Mastbeeld S+12.pdf Mastbeeld S+15.pdf Mastbeeld S+3.JPG Mastbeeld S+6.pdf Mastbeeld S+9 112 en 113.pdf Mastbeeld S+9(C) mast 116.pdf Mastbeeld S+9(tc) mast 117.pdf Mastbeeld S+9.pdf Mastbeeld WA.PNG
Sondering	Sondering mast 09.pdf Sondering Mast 10.tif Sondering mast 100.tif Sondering mast 101.tif Sondering mast 102.tif Sondering mast 103.tif Sondering mast 104.tif Sondering mast 105.tif Sondering mast 106.tif Sondering mast 107.tif Sondering mast 108.tif Sondering mast 109.tif Sondering mast 11.tif Sondering mast 110.tif Sondering mast 111.tif Sondering mast 112.tif Sondering mast 113.tif Sondering mast 114.tif Sondering mast 115.tif Sondering mast 116.tif Sondering mast 117.tif Sondering mast 118.tif

Omschrijving	File
	Sondering mast 119.tif
	Sondering mast 12.tif
	Sondering mast 120.tif
	Sondering mast 121.tif
	Sondering mast 122.tif
	Sondering mast 123.tif
	Sondering mast 124.tif
	Sondering mast 125.tif
	Sondering mast 126.tif
	Sondering mast 127.tif
	Sondering mast 128.tif
	Sondering mast 129.tif
	Sondering mast 13.tif
	Sondering mast 130.tif
	Sondering mast 131.tif
	Sondering mast 132 A.tif
	Sondering mast 132 B.tif
	Sondering mast 132 C.tif
	Sondering mast 132 D.tif
	Sondering mast 132.tif
	Sondering mast 133.tif
	Sondering mast 14.tif
	Sondering mast 15.tif
	Sondering mast 16.tif
	Sondering mast 17.tif
	Sondering mast 18.tif
	Sondering mast 19.tif
	Sondering mast 20.tif
	Sondering mast 21.tif
	Sondering mast 22.tif
	Sondering mast 23.tif
	Sondering mast 24.tif
	Sondering mast 25.tif
	Sondering mast 26.tif
	Sondering mast 27.tif
	Sondering mast 28.tif
	Sondering mast 29.tif
	Sondering mast 30.tif
	Sondering mast 31.tif
	Sondering mast 32.tif
	Sondering mast 33.tif
	Sondering mast 34.tif
	Sondering mast 35.tif
	Sondering mast 36.tif
	Sondering mast 37.tif
	Sondering mast 38.tif
	Sondering mast 39.tif
	Sondering mast 40.tif
	Sondering mast 41.tif
	Sondering mast 42.tif
	Sondering mast 43.tif
	Sondering mast 44.tif
	Sondering mast 45.tif
	Sondering mast 46.tif
	Sondering mast 47.tif
	Sondering mast 48.tif
	Sondering mast 49.tif
	Sondering mast 50 A.tif
	Sondering mast 51.tif
	Sondering mast 52.tif
	Sondering mast 53.tif
	Sondering mast 54 A.tif
	Sondering mast 55.tif
	Sondering mast 56 A.tif
	Sondering mast 57 A.tif
	Sondering mast 58 A.tif
	Sondering mast 59.tif
	Sondering mast 60.tif
	Sondering mast 61.tif
	Sondering mast 62.tif
	Sondering mast 63.tif
	Sondering mast 64.tif
	Sondering mast 65.tif
	Sondering mast 66.tif
	Sondering mast 67.tif
	Sondering mast 68.tif

Omschrijving	File
	Sondering mast 69 A.tif
	Sondering mast 70.tif
	Sondering mast 71.tif
	Sondering mast 72.tif
	Sondering mast 73.tif
	Sondering mast 74.tif
	Sondering mast 75.tif
	Sondering mast 76.tif
	Sondering mast 77.tif
	Sondering mast 78.tif
	Sondering mast 79.tif
	Sondering mast 80.tif
	Sondering mast 81.tif
	Sondering mast 82.tif
	Sondering mast 83.tif
	Sondering mast 84.tif
	Sondering mast 85.tif
	Sondering mast 86 .tif
	Sondering mast 87.tif
	Sondering mast 88.tif
	Sondering mast 89.tif
	Sondering mast 90.tif
	Sondering mast 91.tif
	Sondering mast 92.tif
	Sondering mast 93.tif
	Sondering mast 94.tif
	Sondering mast 95.tif
	Sondering mast 96.tif
	Sondering mast 97.tif
	Sondering mast 98.tif
	Sondering mast 99.tif
	Sonderingen mast 115 tm 122.pdf
Telecom site	Berekening antenne mast 93 KPN 8653.pdf
	Contrle mast 128 Vodafone 3614.pdf
	Controle mast 115n KPN 1705.pdf
	Controle mast 117n T-Mobile 6974 - Vodafone 3201.pdf
	Controle mast 12 KPN 8615.pdf
	Controle mast 120 T-Mobile 17572C.pdf
	Controle mast 17 KPN 0754.pdf
	Controle mast 17 Tele2 13436.pdf
	Controle mast 17 T-Mobile 3707.pdf
	Controle mast 32 KPN 5147.pdf
	Controle mast 32 Vodafone 3240.pdf
	Controle mast 34 T-Mobile 33300.pdf
	Controle mast 35 KPN 8661.pdf
	Controle mast 51 T-Mobile 17791-A.pdf
	Controle mast 51 T-Mobile 2979.pdf
	Controle mast 64 KPN 0731.pdf
	Controle mast 70 Vodafone 2584.pdf
	Controle mast 93 KPN 8653.pdf
	Controle topconstructie T-Mobile 17572-C.pdf
	Globale controle mastconstructie mast 12 KPN 8615.pdf
	Maasbracht-Eindhoven M017 (D&C).pdf
	Protocol mastcontrole mast 115n KPN1705.pdf
	Protocol mastcontrole mast 117n T-Mobile 6974 - Vodafone 3201.pdf
	Protocol mastcontrole mast 17.pdf
	Protocol mastcontrole mast 31 KPN 5147.pdf
	Protocol mastcontrole mast 32 Vodafone 3240.pdf
	Protocol mastcontrole mast 35 KPN 8661.pdf
	Protocol mastcontrole mast 51 T-Mobile 17791.pdf
	Protocol mastcontrole mast 64 KPN 0731.pdf
	Protocol mastcontrole Mast 70 Vodafone 2584.pdf
	Protocol mastcontrole mast 93 KPN 8653.pdf
	Protocol mastcontrole T-Mobile 17572C.pdf
	Protocol mastcontrole T-Mobile mast 92.pdf
	Protocol toetsing mast 12 KPN 8615.pdf
	Specificatie verzwareing mast 128 Vodafone 3614.pdf
	Specificatie verzwareing mast 17 T-Mobile 3707.pdf
	Specificatie verzwareing mast 32 Vodafone 3240.pdf
	Specificatie verzwareing mast 51 T-Mobile 2979.pdf
	Specifidatie verzwareing mast 17 TELE2 13436.pdf
	Statische berekening frames in hoogspanningsmast.pdf
	T-Mobile site 18447-C mast 117n.pdf
	T-Mobile site 6974 mast 117n.pdf
	Toetsing detailontwerp antenne T-Mobile 33300.pdf

Omschrijving	File
	Vodafone site S03201 mast 117n.pdf

Tabel 19 Asset data Maasbracht – Eindhoven (fundaties)

Omschrijving	File	
Fundatie	1967 - Ankers voor hoekmast HB+0.pdf	
	1967 - Ankers voor wisselmast.pdf	
	1967 - Fundatie mast 196 (LET OP andere lijn).pdf	
	1967 - Fundatiemal en ankers voor steunmast S+3.pdf	
	1967 - Fundatiemal HC+0 1404-135-7A.pdf	
	1967 - Grondboringen illustratie (uit bundel - Paal voor masttype S+0, S+3 en S+6).pdf	
	1967 - Grondboringen tabellen (uit bundel - Paal voor masttype S+0, S+3 en S+6).pdf	
	1967 - Heistaten	
	1967 - Mastenlijst paallengte (uit bundel - Paal voor masttype S+0, S+3 en S+6).pdf	
	1967 - Paal voor masttype S+0, S+3 en S+6.pdf	
	1967 - Pootspreiding (uit bundel - Paal voor masttype S+0, S+3 en S+6).pdf	
	1967 - Principe mastaanzicht (uit bundel - Paal voor masttype S+0, S+3 en S+6).pdf	
	1967 - Tekening fundatie LD1 (uit bundel - Paal voor masttype S+0, S+3 en S+6).pdf	
	1967 - Tekening fundatie LV1 (uit bundel - Paal voor masttype S+0, S+3 en S+6).pdf	
	1973 - Aardingsstaven in peorverzwinging.pdf	
	1973 - Verzwinging mastfundatie mast 10 en 11.pdf	
	1974 - Verzwaarde poeren masten 10, 11, 14, 15 en 16.pdf	
	1980 - Fundatie verzwinging HA+0 mast 9.pdf	
	2012 - Fundatie mast 115N+121N+122N.pdf	
	2013 - EHVO-HMZ150-00-31-1001-001_Layout1_MBT-EHV380.pdf	
	2013 - Fundatie reconstructie mast 115, 121 en 122.pdf	
	2013 - Fundatie reconstructie mast 116 en 120.pdf	
	2013 - Fundatie reconstructie mast 117 en 118.pdf	
	2013 - Fundatie reconstructie mast 119.pdf	
	2013 - In te storten delen mast 115 n en 122 n.pdf	
	1967 - Heistaten	Rammprotocoll Mast nr.023.pdf
		Rammprotokoll mast 12.pdf
Rammprotokoll Mast nr.004.pdf		
Rammprotokoll Mast nr.009.pdf		
Rammprotokoll Mast nr.034.pdf		
Rammprotokoll Mast nr.069.pdf		
Rammprotokoll Mast nr.075.pdf		
Rammprotokoll Mast nr.082.pdf		
Rammprotokoll Mast nr.098.pdf		
Rammprotokoll Mast nr.103.pdf		
Rammprotokoll Mast nr.114.pdf		
Rammprotokoll Mast nr.128.pdf		
Rammprotokoll Mast nr.130.pdf		
Fundatie berekening	1967 (vermoedelijk) - fundatiekracht per mast TNNT001610-00027.pdf	
	1967 - DV226 Scan gegevens 380kV palenstaat, paalkop en in te storten poten.pdf	
	2011 - MBT-EHV380 115 Ontwerp Petersburg.pdf	
	2011 - MBT-EHV380 119 Ontwerp Petersburg.pdf	
	2011 - MBT-EHV380 122 Ontwerp Petersburg.pdf	
	2011 - Reconstructie Helmond Ontwerp HB+0-tc.pdf	
	2011 - Reconstructie Helmond Ontwerp S+9-tc.pdf	
	2012 - 31205-02 rev 2 Fundatie bestaande masten.pdf	
	2012 - 6933 B02-rev 3.pdf	
	2012 - MBT-EHV380 120 Ontwerp Petersburg.pdf	
	2012 - MBT-EHV380 121 Ontwerp Petersburg.pdf	
	2012 - MBT-EHV380 118 Ontwerp Petersburg.pdf	
	2016 - Beproeving van beton constructie mast 51.pdf	
	xxxx - Fundatieverzwinging HA+0 mast 13.pdf	
Sondering	Sondering mast 09.pdf	
	Sondering Mast 10.tif	
	Sondering mast 100.tif	
	Sondering mast 101.tif	
	Sondering mast 102.tif	
	Sondering mast 103.tif	
	Sondering mast 104.tif	
	Sondering mast 105.tif	
	Sondering mast 106.tif	
	Sondering mast 107.tif	
	Sondering mast 108.tif	
	Sondering mast 109.tif	
Sondering mast 11.tif		

Omschrijving	File
	Sondering mast 110.tif
	Sondering mast 111.tif
	Sondering mast 112.tif
	Sondering mast 113.tif
	Sondering mast 114.tif
	Sondering mast 115.tif
	Sondering mast 116.tif
	Sondering mast 117.tif
	Sondering mast 118.tif
	Sondering mast 119.tif
	Sondering mast 12.tif
	Sondering mast 120.tif
	Sondering mast 121.tif
	Sondering mast 122.tif
	Sondering mast 123.tif
	Sondering mast 124.tif
	Sondering mast 125.tif
	Sondering mast 126.tif
	Sondering mast 127.tif
	Sondering mast 128.tif
	Sondering mast 129.tif
	Sondering mast 13.tif
	Sondering mast 130.tif
	Sondering mast 131.tif
	Sondering mast 132 A.tif
	Sondering mast 132 B.tif
	Sondering mast 132 C.tif
	Sondering mast 132 D.tif
	Sondering mast 132.tif
	Sondering mast 133.tif
	Sondering mast 14.tif
	Sondering mast 15.tif
	Sondering mast 16.tif
	Sondering mast 17.tif
	Sondering mast 18.tif
	Sondering mast 19.tif
	Sondering mast 20.tif
	Sondering mast 21.tif
	Sondering mast 22.tif
	Sondering mast 23.tif
	Sondering mast 24.tif
	Sondering mast 25.tif
	Sondering mast 26.tif
	Sondering mast 27.tif
	Sondering mast 28.tif
	Sondering mast 29.tif
	Sondering mast 30.tif
	Sondering mast 31.tif
	Sondering mast 32.tif
	Sondering mast 33.tif
	Sondering mast 34.tif
	Sondering mast 35.tif
	Sondering mast 36.tif
	Sondering mast 37.tif
	Sondering mast 38.tif
	Sondering mast 39.tif
	Sondering mast 40.tif
	Sondering mast 41.tif
	Sondering mast 42.tif
	Sondering mast 43.tif
	Sondering mast 44.tif
	Sondering mast 45.tif
	Sondering mast 46.tif
	Sondering mast 47.tif
	Sondering mast 48.tif
	Sondering mast 49.tif
	Sondering mast 50 A.tif
	Sondering mast 51.tif
	Sondering mast 52.tif
	Sondering mast 53.tif
	Sondering mast 54 A.tif
	Sondering mast 55.tif
	Sondering mast 56 A.tif
	Sondering mast 57 A.tif
	Sondering mast 58 A.tif
	Sondering mast 59.tif

Omschrijving	File
	Sondering mast 60.tif
	Sondering mast 61.tif
	Sondering mast 62.tif
	Sondering mast 63.tif
	Sondering mast 64.tif
	Sondering mast 65.tif
	Sondering mast 66.tif
	Sondering mast 67.tif
	Sondering mast 68.tif
	Sondering mast 69 A.tif
	Sondering mast 70.tif
	Sondering mast 71.tif
	Sondering mast 72.tif
	Sondering mast 73.tif
	Sondering mast 74.tif
	Sondering mast 75.tif
	Sondering mast 76.tif
	Sondering mast 77.tif
	Sondering mast 78.tif
	Sondering mast 79.tif
	Sondering mast 80.tif
	Sondering mast 81.tif
	Sondering mast 82.tif
	Sondering mast 83.tif
	Sondering mast 84.tif
	Sondering mast 85.tif
	Sondering mast 86.tif
	Sondering mast 87.tif
	Sondering mast 88.tif
	Sondering mast 89.tif
	Sondering mast 90.tif
	Sondering mast 91.tif
	Sondering mast 92.tif
	Sondering mast 93.tif
	Sondering mast 94.tif
	Sondering mast 95.tif
	Sondering mast 96.tif
	Sondering mast 97.tif
	Sondering mast 98.tif
	Sondering mast 99.tif
	Sonderingen mast 115 tm 122.pdf
Veldinspecties	200152A-004 Maasbracht - Eindhoven v1.0.pdf

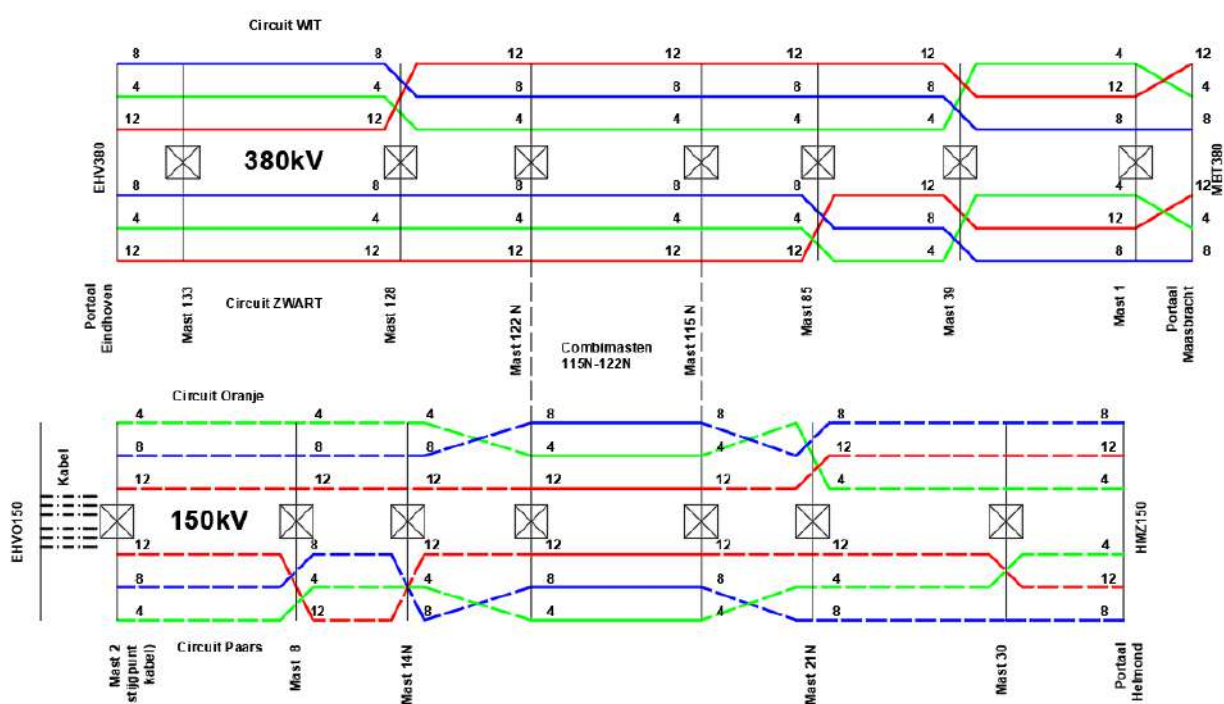
APPENDIX H

Klokgetallen

In de verbinding MBT-EHV bevinden zich 4 fasewisselingen: tussen Portaal Maasbracht en mast 1 en in de masten 39, 85, en 128. Dit resulteert in 5 lijndelen met verschillende klokgetallen.

In de nieuwe situatie dienen volledige fasewisseling in mast 39 en 85 te worden aangebracht (links en rechts) ter compensatie van de spanningsasymmetrie.

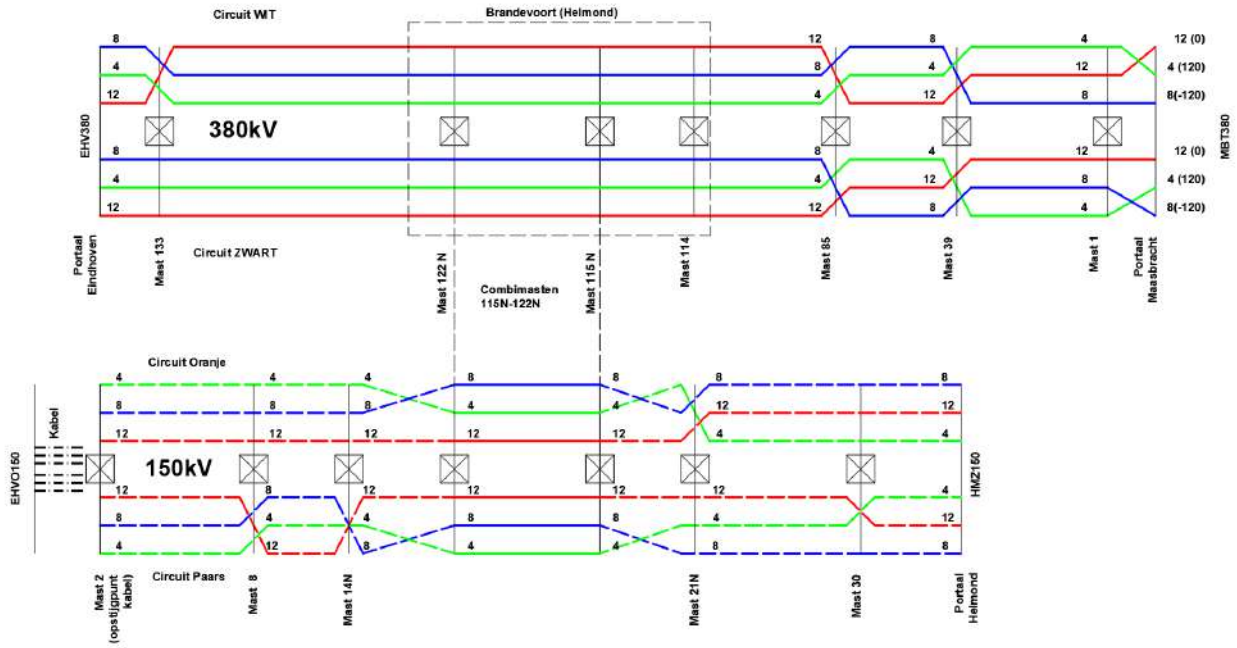
De huidige klokgetal configuratie in de lijn MBT-EHV380 is weergegeven in Figuur 15 tevens is de 150kV EHVO-HMZ150 lijn zichtbaar gemaakt met name van belang voor het deel waar de 380kV en 150kV is gecombineerd.



Figuur 15 Huidige klokgetalconfiguratie

Bij het vaststellen van de nieuwe klokgetallen is rekening gehouden of het fysiek mogelijk is met inbouwen. In de nieuwe situatie is mast 39, 85 en mast 133 voorzien van fasewisselingen en in mast 128 is de faseverwisseling verwijderd. Verder dient de huidige wisseling in veld portaal Maasbracht naar mast 1 van het zwarte circuit te worden gewijzigd van binnen fase – boven fase -> boven fase – buiten fase.

De nieuwe klokgetalconfiguratie is in Figuur 16 opgenomen.



Figuur 16 Nieuwe klokgetalconfiguratie



About DNV

DNV is the independent expert in risk management and assurance, operating in more than 100 countries. Through its broad experience and deep expertise DNV advances safety and sustainable performance, sets industry benchmarks, and inspires and invents solutions.

Whether assessing a new ship design, optimizing the performance of a wind farm, analyzing sensor data from a gas pipeline or certifying a food company's supply chain, DNV enables its customers and their stakeholders to make critical decisions with confidence.

Driven by its purpose, to safeguard life, property, and the environment, DNV helps tackle the challenges and global transformations facing its customers and the world today and is a trusted voice for many of the world's most successful and forward-thinking companies.

Bijlage 10 Rapportage fundaties eenpaalsfundaties

“TOETSING EN HERONTWERP MASTEN EN FUNDATIES BBB380”

MBT-EHV380 – Rapportage fundaties: eenpaalsfundaties

TenneT TSO B.V.

Meridian doc.nr.: 002.586.40 0825932

Rapport nr.: 22-0755, Rev. 3

Datum: 2022-07-26



Projectnaam: "Toetsing en herontwerp masten en fundaties BBB380" Energy Systems
 Rapport titel: MBT-EHV380 – Rapportage fundaties: DNV Netherlands B.V.
 eenpaalsfundaties Utrechtseweg 310-B50
 Klant: TenneT TSO B.V., 6812 AR Arnhem
 Contactpersoon klant: ■■■■■■■■■■
 Datum uitgave: 2022-07-26
 Project nr.: 10166262 ■■■■■■■■■■
 Organisatie unit: TDT Handelsregister Arnhem 09006404
 Meridian doc.nr.: 002.586.40 0825932
 Rapport nr.: 22-0755, Rev. 3

■■■■■■■■■■ Beo ■■■■■■■■■■ Go
 B. ■■■■■■■■■■

Copyright © DNV 2021. All rights reserved. Unless otherwise agreed in writing: (i) This publication or parts thereof may not be copied, reproduced or transmitted in any form, or by any means, whether digitally or otherwise; (ii) The content of this publication shall be kept confidential by the customer; (iii) No third party may rely on its contents; and (iv) DNV undertakes no duty of care toward any third party. Reference to part of this publication which may lead to misinterpretation is prohibited.

DNV Distributie:

- Open
- Intern
- Commercieel vertrouwelijk
- Vertrouwelijk
- Geheim

Trefwoorden:

*Specificatie distributie: --

Rev.	Datum	Reden van uitgave	Auteur	Beoordeeld	Goedgekeurd
0	2022-05-09	Eerste uitgave	■■■■■	■■■■■	■■■■■
1	2022-06-21	RFA-commentaar verwerkt	■■■■■	■■■■■	■■■■■
2	2022-07-06	2 ^e RFA-commentaar verwerkt	■■■■■	■■■■■	■■■■■
3	2022-07-26	Fundaties geroteerd en tekeningen toegevoegd	■■■■■	■■■■■	■■■■■

Inhoudsopgave

1	INLEIDING	1
1.1	Introductie	1
1.2	Toetsing fundaties	1
1.3	Doelstelling en scope van dit rapport	3
1.4	Relatie overige documenten	4
2	UITGANGSPUNTEN	5
2.1	Normen	5
2.2	TenneT-specificaties	5
2.3	Gebruikte gegevens	5
2.4	Software	5
2.5	Materialen	5
2.6	Sonderingen	6
2.7	Beschrijving grondopbouw	6
2.8	Uitgangspunten geotechniek	7
2.9	Duurzaamheid	9
2.10	Staaldikte funderingspalen	9
2.11	Vermoeiing	10
2.12	Omgeving	10
2.13	Aarding	10
3	BESTAANDE FUNDATIES	11
3.1	Ontbrekende gegevens	11
3.2	Paalfunderingen	11
3.3	Geotechnische eigenschappen paaltypes	12
4	AANPAK TOETSING FUNDATIES	13
4.1	Verticaal draagvermogen	13
4.2	Horizontaal draagvermogen	13
5	RESULTATEN TOETSING INITIËLE SITUATIE	14
5.1	Toetsing fundaties	14
5.2	Bijzonderheden	15
5.3	Horizontaal draagvermogen	16
6	VERSTERKINGSVOORSTEL	17
6.1	Ballastverzwaring	17
6.2	Paalfundering	18
6.3	Aanpak berekening	22
7	TOETSING VERSTERKTE FUNDATIES	23
7.1	Toetsing palen aan afkeurniveau	23
7.2	Toetsing palen aan verbouwniveau	23
7.3	Controle horizontale krachtsafdracht	24
7.4	Wapening poeren	24
8	CONCLUSIE	25
8.1	Toetsing bestaande fundaties afkeurniveau	25
8.2	Versterkingen	25



9	REFERENTIES	28
Appendix A	Asset-gegevens	
Appendix B	Gegevens funderingen	
Appendix C	Toetsing bestaande constructie	
Appendix D	Toetsing versterkte constructie & tekeningen	
Appendix E	Technosoft uitvoer paalfunderingen	
Appendix F	Betonberekeningen	
Appendix G	Horizontale belastingen	
Appendix H	Fundatiebelastingen	

1 INLEIDING

1.1 Introductie

Om in de toekomst meer elektriciteit te kunnen transporteren is het noodzakelijk om naast de nieuwbouw van verbindingen bestaande hoogspanningsverbindingen aan te passen zodat er een grotere transportcapaciteit mogelijk wordt gemaakt. Om die reden is de opdrachtgever (OG) voornemens de bestaande 380 kV-koppeling op te waarderen. Het opwaarderen van de bestaande verbindingen valt onder het programma “Beter benutten bestaande 380 kV-ring” en omvat de volgende deelprojecten:

1. Opwaardering 380 kV-verbinding Diemen – Lelystad (DIM-LLS380)
2. Opwaardering 380 kV-verbinding Lelystad – Ens (LLS-ENS380)
3. Opwaardering 380 kV-verbinding Rilland – Zandvliet (RLL-ZVL380)
4. Opwaardering 380 kV-verbinding Krimpen aan den IJssel - Geertruidenberg (KIJ-GT380)
5. Opwaardering 380 kV-verbinding Ens - Zwolle (ENS-ZL380)
6. Opwaardering 380 kV-verbinding Maasbracht - Eindhoven (MBT-EHV380)

Om te komen tot een DO waarmee de werkzaamheden kunnen worden gestart is door TenneT aan DNV opdracht verstrekt voor de volgende onderdelen:

1. In eerste fase het opstellen en creëren van:

- 1.1 E-studie deel 1
- 1.2 Uitgangspuntenrapporten ten behoeve van de constructieve analyse van masten en fundaties
- 1.3 Sonderingmodellen
- 1.4 Fundatiemodellen
- 1.5 Mastmodellen

2. In tweede fase de uitvoering van de DO-fase bevattende:

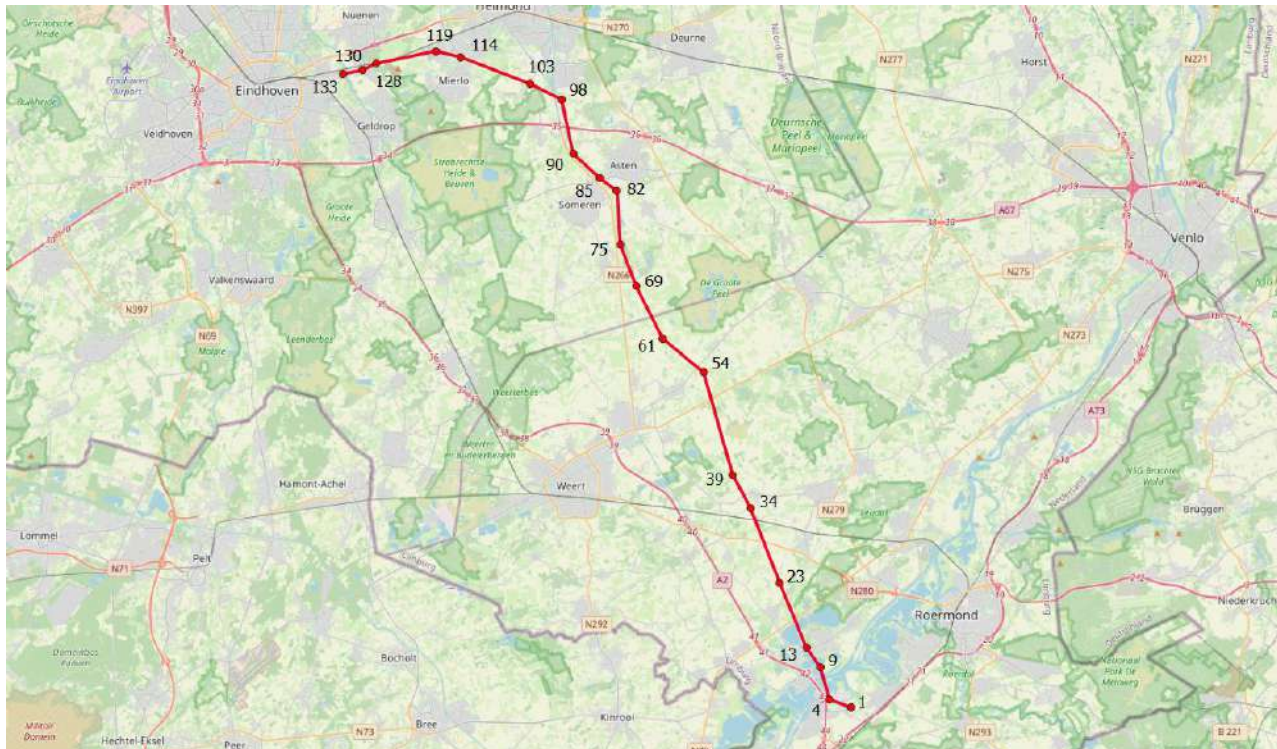
- 2.1 Toetsing conform het uitgangspuntenrapport van de bestaande fundaties
- 2.2 Specificatie van benodigde fundatieversterkingen ten behoeve van aanbesteding
- 2.3 Toetsing conform het uitgangspuntenrapport van de bestaande masten
- 2.4 Specificatie van benodigde mastversterkingen ten behoeve van aanbesteding
- 2.5 E-studie deel 2

1.2 Toetsing fundaties

De toetsing van de bestaande fundaties (fase 2.1) is vanwege de omvang verdeeld over drie rapportages. De onderverdeling is gemaakt op basis van het type fundatie. In het eerste deel zijn de masten opgenomen met een eenpaalsfundatie, in het tweede deel zijn de masten opgenomen met een meerpaalsfundatie en in het derde deel de fundaties van de portalen.

Dit voorliggende rapport betreft het eerste deel.

In Tabel 1-1 is de lijst met mastlocaties die in dit rapport behandeld worden weergegeven, in Figuur 1-1 is het geografische overzicht weergegeven, met daarin de hoekmastnummers ter indicatie van de plaatsbepaling van steunmasten in dit rapport.



Figuur 1-1 Geografische ligging MBT-EHV380 met hoekmastnummers voor de plaatsbepaling

Tabel 1-1 Mastlocaties

Gemeente	Mastnummer	Masttype	X-coördinaat [m]	Y-coördinaat [m]
Maasgouw	19	S+0	188784,5	356564,8
Leudal	20	S+0	188647,1	356891,2
Leudal	22	S+0	188405,6	357465,2
Leudal	24	S+0	188143,1	358107,6
Leudal	29	S+0	187457,4	359826,4
Leudal	30	S+0	187313,7	360186,6
Leudal	31	S+0	187168,0	360551,8
Leudal	32	S+6 T3	187016,2	360932,4
Leudal	33	S+6	186887,3	361255,5
Nederweert	35	S+3 T3	186548,6	361979,1
Nederweert	36	S+3	186351,1	362344,2
Nederweert	37	S+3	186168,6	362681,4
Nederweert	38	S+0	185979,6	363030,7
Nederweert	40	S+0	185679,5	363756,4
Nederweert	41	S+0	185573,7	364120,1
Nederweert	42	S+0	185467,6	364484,9
Nederweert	43	S+0	185360,1	364854,8
Nederweert	44	S+0	185257,4	365207,9
Nederweert	45	S+0	185156,7	365554,5
Nederweert	46	S+0	185054,6	365905,6
Nederweert	47	S+0	184947,8	366273,0
Nederweert	48	S+0	184848,8	366613,6
Nederweert	49	S+0	184747,5	366962,0
Nederweert	52	S+0	184460,5	367949,0
Nederweert	53	S+0	184349,9	368329,4
Nederweert	55	S+0	183933,8	368960,6
Nederweert	56	S+0	183637,6	369203,1
Nederweert	57	S+3	183340,2	369446,5
Nederweert	58	S+0	183020,1	369708,6
Nederweert	59	S+3	182700,8	369970,0
Nederweert	60	S+0	182380,7	370232,0

Gemeente	Mastnummer	Masttype	X-coördinaat [m]	Y-coördinaat [m]
Nederweert	62	S+0	181895,9	370830,2
Nederweert	63	S+0	181717,9	371177,5
Nederweert	64	S+0 T1	181541,0	371522,8
Someren	65	S+0	181369,1	371858,3
Someren	66	S+0	181201,1	372186,1
Someren	67	S+0	181040,8	372498,8
Someren	68	S+0	180857,1	372857,3
Someren	70	S+0 T1	180542,3	373556,6
Someren	71	S+0	180407,7	373904,5
Someren	72	S+0	180273,4	374251,6
Someren	73	S+0	180134,1	374611,5
Someren	74	S+0	179986,9	374991,8
Someren	76	S+0	179812,5	375769,0
Asten	77	S+0	179785,1	376167,8
Asten	78	S+0	179757,6	376566,6
Asten	79	S+0	179730,2	376965,4
Asten	80	S+0	179702,8	377364,1
Asten	81	S+0	179675,4	377762,9
Asten	83	S+0	179341,2	378391,9
Asten	84	S+0	179037,5	378619,8
Asten	86	S+0	178470,8	379085,8
Asten	87	S+0	178191,7	379335,7
Asten	88	S+0	177912,5	379585,8
Asten	89	S+0	177637,1	379832,5
Asten	91	S+0	177283,9	380385,5
Asten	92	S+0	177210,5	380727,5
Asten	93	S+0 T3	177137,2	381069,5
Asten	94	S+0	177063,9	381411,5
Asten	95	S+0	176992,7	381743,7
Asten	96	S+0	176908,9	382134,5
Asten	97	S+0	176825,5	382523,4
Someren	101	S+0	175780,3	383383,7
Someren	102	S+0	175422,2	383558,9
Someren	104	S+0	174733,4	383858,6
Someren	105	S+0	174387,9	383990,2
Someren	106	S+0	174028,3	384127,0
Someren	107	S+0	173696,8	384253,2
Geldrop-Mierlo	108	S+0	173388,6	384370,5
Geldrop-Mierlo	109	S+0	173057,1	384496,7
Geldrop-Mierlo	110	S+0	172711,5	384628,2
Geldrop-Mierlo	111	S+0	172379,9	384754,4
Geldrop-Mierlo	112	S+9 T1	172043,0	384882,7
Helmond	113	S+9	171838,4	384960,6
Geldrop-Mierlo	123	S+0	168801,0	385119,5
Geldrop-Mierlo	124	S+0	168458,8	385046,8
Nuenen, Gerwen en Nederwetten	125	S+0	168116,7	384974,0
Nuenen, Gerwen en Nederwetten	126	S+0	167774,6	384901,2
Nuenen, Gerwen en Nederwetten	127	S+0 T1	167432,5	384828,4
Nuenen, Gerwen en Nederwetten	129	S+0	166687,6	384574,4
Nuenen, Gerwen en Nederwetten	131	S+0	165935,2	384327,9
Nuenen, Gerwen en Nederwetten	132	S+0	165620,7	384269,2

1.3 Doelstelling en scope van dit rapport

In de verbinding MBT-EHV380 wordt de bestaande driebundel ACSR-geleider vervangen door een driebundel ACCC-“Warsaw”-geleider. Het doel van het rapport is om aan te tonen dat de in dit rapport beschreven mastfundaties voldoen aan het afkeurniveau met als uitgangspunt de belastingen die ontstaan na toepassing van de nieuwe Warsaw-geleider. De nieuwe geleider is zodanig gekozen dat belastingen in principe niet toenemen in de nieuwe situatie ten opzichte van de bestaande geleider. Indien een fundatie niet voldoet, dan wordt een verzwaring ontworpen van de betreffende fundatie.

Bij de beoordeling van de constructieve veiligheid van bestaande constructies is NEN 8700 aangewezen door het Bouwbesluit 2012. Uitgangspunt is het afkeurniveau met betrouwbaarheidsniveau CC2-0. Indien blijkt dat de fundatie niet voldoet aan het afkeurniveau worden aanpassingen bepaald op basis van het verbouwniveau CC2.

Nadat de wijzigingen zijn toegepast dient aantoonbaar geverifieerd te worden dat het systeem voldoet aan de vigerende eisen.

1.4 Relatie overige documenten

1.4.1 Verificatie & validatie plan

De door TenneT aangeleverde set met eisen is beoordeeld op relevantie en voor de relevantie eisen is aangegeven in welk document wordt aangetoond dat er aan de eis wordt voldaan. De resultaten hiervan zijn opgenomen in het rapport "Verificatie & validatieplan 380kV verbinding Maasbracht - Eindhoven" /3/.

1.4.2 E-studie deel 1

In de rapportage "21-0483 – MBT-EHV380 – E-studie Deel 1" /2/ is bepaald welke aanpassingen benodigd zijn om de ACCC-Warsaw geleider toe te passen binnen de verbinding Maasbracht - Eindhoven. Voor de steunmasten die behandeld worden in deze rapportage zijn er geen relevante aanpassingen anders dan nieuwe isolatoren en geleiders.

1.4.3 Uitgangspuntenrapport

De uitgangspunten op basis waarvan de berekeningen in deze rapportage zijn uitgevoerd zijn opgenomen in het rapport "21-0138 - Uitgangspuntenrapport 380kV verbinding Maasbracht - Eindhoven" /1/.

1.4.4 Rapportages masten

De belastingen op basis waarvan de fundaties worden doorgerekend komen voort uit de mastrapportages:

1. 22-0883 - MBT-EHV380 – Rapportage S+0 & S+0 T /4/
2. 21-1571 - MBT-EHV380 – Rapportage mast S+3 & S+3 T /5/
3. 21-1574 - MBT-EHV380 – Rapportage mast S+6 & S+6 T /6/
4. 22-0808 - MBT-EHV380 – Rapportage S+9 (Mast 112 & 113) /7/

2 UITGANGSPUNTEN

2.1 Normen

De volgende normen zijn gehanteerd bij het opstellen van dit rapport:

- NEN 8700:2011, “Grondslagen voor de constructieve beoordeling van bestaande bouw en het constructief ontwerp ten behoeve van verbouw” /9/;
- NEN-EN 1997-1-C1+A1:2016/NB:2016 nl, “Geotechnisch – Algemeen” /10/;
- NEN 8707:2019, “Geotechnisch ontwerp - Beoordeling van de constructieve veiligheid van een bestaand bouwwerk” /11/.
- NEN-EN 50341-1:2013; “Bovengrondse hoogspanningslijnen voor wisselspanning hoger dan 1 kV - Deel 1: Algemene eisen - Gemeenschappelijke specificaties”
- NEN-EN 50341-2-15:2019: “Bovengrondse hoogspanningslijnen voor wisselspanning hoger dan 1 kV - Deel 2-15: Nationale normatieve aspecten (NNA) voor Nederland”
- NEN-EN 1990+A1+A1/C2:2011; “Grondslagen van het ontwerp”
- NEN-EN 1991-1-4+A1+C2:2011; “Deel 1-4: Windbelasting op constructies”
- NEN-EN 1992-1-1+C2:2011/NB:2016+A1:2020; “Eurocode 2: Ontwerp en berekening van betonconstructies, deel 1-1: algemene regels en regels voor gebouwen”
- NEN-EN 1993-1-1+C2+A1:2016 nl; “Eurocode 3: Ontwerp en berekening van staalconstructies, deel 1-1: algemene regels en regels voor gebouwen”
- NEN-EN 1993-1-8+C2:2011/NB:2011 nl; “Ontwerp en berekening van staalconstructies, deel 1-8: ontwerp en berekening van verbindingen”

2.2 TenneT-specificaties

Voor de van toepassing zijnde TenneT-specificaties wordt verwezen naar het uitgangspuntenrapport behorend bij dit project; “21-0138 - Uitgangspuntenrapport 380kV verbinding Maasbracht - Eindhoven” /1/.

2.3 Gebruikte gegevens

Zie Appendix A van deze rapportage en de tabel in Appendix G van “21-0138 - Uitgangspuntenrapport 380kV verbinding Maasbracht - Eindhoven” /1/.

2.4 Software

Tabel 2-1 Software

Onderwerp	Software	Versie
Geotechnische berekeningen	Technosoft paalfunderingen	V6.70
Constructieve analyse	AxisVM	X6 1q
Algemene berekeningen	Excel	2016

2.5 Materialen

Voor de controle van de bestaande mastconstructies en funderingen gebouwd in 1967-1968 wordt uitgegaan van de eigenschappen volgens Tabel 2-2.

Tabel 2-2 Materialen bestaande constructie

	Aanduiding '71	Huidig uitgangspunt
Staalsoort	St.37 St.52	S235JR S355J0
Boutkwaliteit	8.8	8.8, gerolde draad
Betonkwaliteit	K225	C30/37 ¹
Wapeningsstaal	FeB220, FeB400, FeB500	B220, B400, B500

Voor de controle van de fundering in de nieuwe situatie geldt voor aan te brengen versterkingen als minimale kwaliteit:

Tabel 2-3 Materialen nieuwe constructie

	Aanduiding
Staalsoort	S355J0 (t≤16 mm) S355J2 (16<t≤40 mm)
Betonkwaliteit	C30/37
Wapeningstaal	B500

2.6 Sonderingen

De berekeningen in deze rapportage zijn deels gebaseerd op de mechanische sonderingen die beschikbaar zijn gekomen vanuit de bouwperiode (circa 1967-1968) en deels op nieuw uitgevoerde elektrische sonderingen.

Voor het doel van het toetsen van de bestaande paalfunderingen is het op basis van NEN 8707 mogelijk om bestaande mechanische sonderingen te gebruiken. Per mastlocatie is één sondering per mast beschikbaar. Er zijn geen nieuwe sonderingen gemaakt bij alle masten waar op basis van verkennende berekeningen geen versterkingen worden verwacht. Voor deze masten wordt de bestaande sondering als uitgangspunt genomen voor de toetsing. Dit geldt voor de masten met mastnummer 29, 30, 62, 65, 77, 83, 84, 87 en 105.

Mast 72 betreft een uitzondering. Op basis van de verkennende berekeningen zou het voor deze locatie wenselijk zijn nieuwe sonderingen te maken. Echter, tijdens uitvoering grondonderzoek is gebleken dat deze mast dermate slecht bereikbaar is, dat er is afgezien van het uitvoeren van nieuwe sonderingen. Voor nadere verklaring wordt verwezen naar hoofdstuk 5.2.

Voor alle overige masten wordt de draagkracht van de bestaande en nieuwe palen berekend op basis van nieuw uitgevoerde elektrische sonderingen, zoals vereist op basis van het Bouwbesluit 2012. Bestaande sonderingen worden hierbij buiten beschouwing gelaten.

2.7 Beschrijving grondopbouw

De grondopbouw van mast 19 tot en met mast 133 laat een gevarieerd beeld zien met zeer slappe kleilagen tot zeer vaste zandlagen op variërende diepten. In Tabel 2-4 is een indeling gemaakt van de lijn met een globale omschrijving van de grondopbouw op dat gedeelte, waarbij de globale omschrijving een conservatief beeld geeft over het betreffende gedeelte van de lijn. De grondopbouw is gebaseerd op de nieuw uitgevoerde sonderingen.

Tabel 2-4 Grondopbouw

Vanaf mast	Type	Globale omschrijving
19	4	Zand vanaf maaiveld, van los gepakt naar matig gepakt in ca. 2m, 7-10m zand, daarna klei
34	4	Zand vanaf maaiveld, van los gepakt naar matig gepakt in ca. 2m, verder zand
45	3	2m los gepakt zand vanaf maaiveld, daarna 2m slappe lagen, daarna zand
50	4	Zand vanaf maaiveld, los tot matig gepakt
59	2	2,5m slappe lagen vanaf maaiveld, dan los gepakt zand 4m, 3m klei, dan zand
66	1	5m slappe lagen vanaf maaiveld, 2m zand, 1m klei, 2m zand, 2m klei en dan zand

¹ Het uitgangspunt voor de betondruksterkte is gebaseerd op de resultaten van de veldonderzoek en cilinderproeven. Zie rapport Bejan 200152A-004 Maasbracht - Eindhoven v1.0. Gerapporteerd is een minimale betonsterkteklasse van C35/45. Veiligheidshalve wordt gerekend met C30/37, hetgeen reeds circa tweemaal hoger is dan standaard waarde van C16/20.

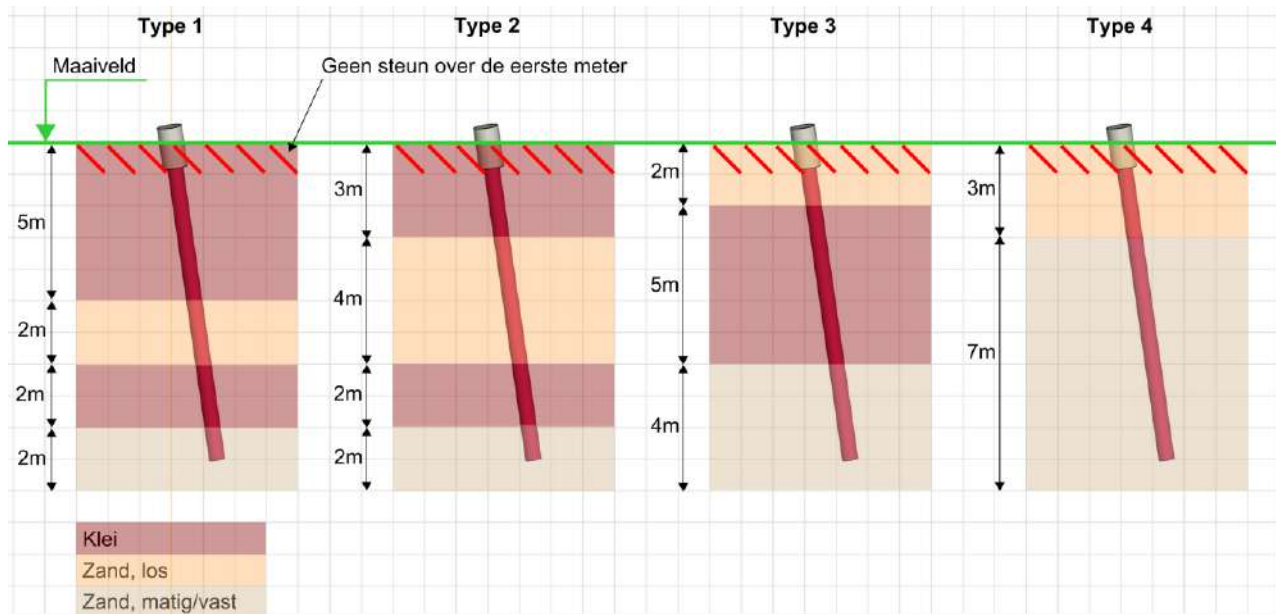
Vanaf mast	Type	Globale omschrijving
89	2	2m slappe lagen dan zand
100	3	2m zand (los, matig en vast), dan 5m klei en dan zand
109	2	3m slappe lagen, 6m zand, 1m klei daarna zand
127	4	Zand vanaf maaiveld, van los gepakt naar matig gepakt in ca. 2m verder zand
131	1	5m zeer gevarieerd, 3m zand, dan 3m klein en verder zand
132	4	Zand vanaf maaiveld, van los gepakt naar matig gepakt in ca. 2m verder zand

In onderstaande voorbeelden (zie Figuur 2-1) is de bodemopbouw opgenomen. Voor het beschrijven van de grondopbouw maken we gebruik van de nieuw uitgevoerde sonderingen.

Voor het verticale draagvermogen van de palen wordt er per locatie een grondprofiel geconstrueerd, zie ook hoofdstuk 4.1.2. Om de horizontale krachtafdracht te toetsen wordt de grondopbouw met een grove beschouwing verder in vier typen geclusterd. De opbouw van deze typen is conservatief gekozen, zodat alle voorkomende situaties voldoende geborgd zijn. Het gaat op de volgende typen:

- Type 1: slappe grondlagen tot ca. 5 m – MV, dan een los zandpakket van ca. 2 m, vervolgens nog een slappe laag van ca. 2 m en daarna zand (matig/vast);
- Type 2: slappe grondlagen tot ca. 3 m – MV, dan een los zandpakket van ca. 4 m, vervolgens nog een slappe laag van ca. 2 m en daarna zand (matig/vast);
- Type 3: los zandpakket tot ca. 2 m – MV, dan een slappe laag van ca. 5 m en daarna zand (matig/vast);
- Type 4: los zandpakket tot ca. 2 m – MV en daarna zand (matig/vast).

Er is uitgegaan van mogelijke aanwezigheid van sloten of andere ontgravingen, de eerste meter is geen steun tegen de paalkop gerekend. Zie ook Appendix G.



Figuur 2-1 Grondopbouw per type t.b.v. horizontale krachtafdracht

2.8 Uitgangspunten geotechniek

2.8.1 Paalklassefactoren

Met de 2016-versie van de Nationale Bijlage van de norm voor Geotechniek, de NEN-EN 1997-1 /10/, zijn per 1 januari 2017 de paalklassefactoren volgens tabel 7.c verlaagd. Deze verlaagde factoren gelden echter niet voor bestaande

paalfunderingen; via NEN 8700 /9/ wordt nog naar de NEN-EN 1997-1 /10/ van voor 2016 normatief verwezen. Daardoor hoeven de gereduceerde waarden niet te worden toegepast bij de toetsing van de fundaties in de bestaande situatie. Bij de controle van nieuw aan te brengen palen wordt de reductie wel in rekening gebracht.

2.8.2 Uitgangspunt hoogte fundatie

Voor het bepalen van de hoogtes van bovenkant fundatie en van het maaiveld zijn de hoogtes gehanteerd die zijn bepaald aan de hand van PLS-CADD. Deze gegevens zijn geijkt aan de LIDAR-gegevens.

2.8.3 Aannee kleef cohesieve lagen

In de berekeningen wordt de weerstand van de cohesieve lagen boven de draagkrachtige zandlaag meegenomen. Volgens opmerking (b) van 7.6.3.3 (8) van NEN-EN 1997-1 is de schachtwrijving tot 50% gereduceerd. Negatieve kleef is gerekend over de hoogte van de cohesieve laag en de grondlagen daarboven.

2.8.4 Sonderingen per locatie

De sonderingen uit de bouwperiode bevatten één sondering per locatie. De precieze positie is niet bekend, aangenomen wordt dat dit in het centrum van de mastpositie was. Met een afmeting van circa 10x10 m voor de pootspreiding wordt op basis van NEN 8707 voldaan aan het benodigde aantal sonderingen.

In het geval van nieuw uit te voeren sonderingen benodigd voor nieuwe funderingen zal het dekkingsgebied van de sonderingen een afmeting bestrijken van 25x25 m onder de voorwaarde dat $\Delta R_{c,cal} \leq 0,3R_{c,cal}$ volgens 3.2.3 opmerking (a) van NEN-EN 1997-1. Met twee sonderingen per locatie bij een mast met pootsprei van circa 10 m, vallen alle hoeken onder het dekkingsgebied van beide sonderingen. Indien variatie groter is, dan valt iedere hoek onder tenminste één sondering.

2.8.5 Ksi-factoren

De factoren ksi3 en ksi4 worden toegepast bij de bepaling van de karakteristieke weerstand van een paal. De waarden zijn afhankelijk van de aard van de constructie en het aantal beschikbare sonderingen. De ksi-factoren zijn ontleend aan NEN-EN 1997-1:2016, bijlage A, tabel 10. Per mastlocatie zijn maximaal twee nieuwe sonderingen beschikbaar. De eenpaalsfunderingen vallen onder "niet-stijf".

Tabel 2-5 Ksi-factoren niet-stijf bouwwerk

Aantal sonderingen	1	2	3	4	5	7	10
ksi3	1,39	1,32	1,30	1,28	1,28	1,27	1,25
ksi4	1,39	1,32	1,30	1,03	1,03	1,01	1,00

Indien bij sterk wisselende resultaten uit de verschillende sonderingen per mastlocatie niet voldaan wordt aan de eis van de variatiecoëfficiënt (NEN-EN 1997-1, opmerking in bijlage A), dan wordt de ksi-factor gekozen op basis van één sondering. De capaciteit wordt gebaseerd op de minst gunstige sondering.

2.8.6 Materiaalfactor $\gamma_{m,var,qc}$

Een belangrijke parameter die de berekende draagkracht reduceert is de partiële factor $\gamma_{m,var,qc}$ volgens NEN-EN 1997-1 artikel 7.6.3.3 (8) opmerking (d). Voor een paal die een wisselende belasting ondergaat tussen trek- en druk treedt een vermindering op van de schuifweerstand. Afhankelijk van de verhouding tussen uiterste trek- en drukkracht in de SLS is de $\gamma_{m,var,qc}$ tussen de 1,0 en 1,5.

$$\gamma_{m,var,qc} = 1 + 0,25 \cdot \frac{F_{t,max,rep} - F_{t,min,rep}}{F_{t,max,rep}} \text{ en } \gamma_{m,var,qc} \leq 1,5$$

Voor steunmasten met variatie waarbij de maximale drukbelasting minimaal gelijk is aan de trekbelasting levert de formule de waarde van 1,50 op. Deze waarde is gebruikt in de controle van bestaande en nieuwe palen.

2.9 Duurzaamheid

2.9.1 Bestaande betonpoeren

Alle berekeningen zijn opgesteld met het uitgangspunt dat door voldoende onderhoud geen achteruitgang is opgetreden. Dit uitgangspunt wordt ondersteund door het inspectierapport Bejan Bouw & BetonTechniek b.v., rapportnummer 200152A-004 v1.0 /12/. Daarin wordt onderstaande eindconclusie geschreven:

“De betonnen poeren hebben een restlevensduur van minimaal 50 jaar. Om deze restlevensduur te kunnen bereiken dienen de poeren voldoende te worden beschermd tegen indringing van carbonatatie. Om de kans op indringing van carbonatatie en carbonatatie geïnitieerde wapeningscorrosie te verkleinen adviseren wij om de betonconservering periodiek te vervangen.”

De betonsterkteklasse is ook geverifieerd aan de hand van cilinderdrukproeven. De minimaal gevonden karakteristieke druksterkte is 59,0 MPa en is veel hoger dan de aangenomen karakteristieke druksterkte van 30 MPa (C30/37). Dit betreft daarmee een veilige aanname. Voor resultaten, zie inspectierapport Bejan.

2.9.2 Nieuwe betonpoeren

De duurzaamheid van de nieuwe betonpoeren wordt geborgd door het toepassen van voldoende betondekking op het betonstaal. Conform TenneT-specificatie betreft dit een minimale betondekking van 40mm.

2.10 Staaldikte funderingspalen

Voor het dimensioneren van stalen palen dient volgens TenneT-specificatie 04.009 rekening te worden gehouden met afname van de staaldikte op basis van NEN 1993-5. Dit komt overeen met de CUR-aanbeveling 166 voor damwanden. Door SWECO is in opdracht van TenneT milieukundig onderzoek uitgevoerd, zie rapportage NL22-648800269-21186 /13/. Hieruit is per locatie de agressiviteit van het grondwater (pH-waarde) af te leiden. Uit de metingen blijkt dat er geen aanleiding is om te veronderstellen dat de palen zich bevinden in verontreinigde bodem of geroerde grond. De invloed van het zoutgehalte in het grondwater is gering².

Voor de nieuwe palen wordt uitgegaan van enkelzijdige afroesting op basis van geroerde grond, hetgeen leidt tot een afname van 1,50 mm na 50 jaar. Bij minimaal 12,5 mm dikte moet de U.C. voor nieuwe palen beneden de $(12,5 - 1,50)/12,5 = 0,88$ blijven.

Het dikteverlies van de bestaande palen wordt gebaseerd op de bouwperiode (1971) vermeerderd met de gewenste restlevensduur (50 jaar). De totale periode komt neer op $(51+50)= 101$ jaar. Het dikteverlies wordt bepaald op basis van geroerde grond en is gelijk aan: $101 / 50 \times 1,50\text{mm}/50 \text{ jaar} = 3,0 \text{ mm}$. Bij een initiële dikte van 9 mm voor de bestaande paal betekent dat de U.C. beneden de $(9-3,0)/9 = 0,67$ moet blijven. De keuze voor enkelzijdig volgt uit het gegeven dat de stalen palen deels gevuld zijn met beton en een gelaste gietstalen punt hebben.

Tabel 9.2. Aantasting (mm) van damwanden in bodem en ophogingen met of zonder grondwater (per blootgestelde zijde ^{*}).

Beoogde levensduur (jaar)	5 ^{***}	25 ^{***}	50	75	100
Ongeroerde, schone bodem	0,00	0,30	0,60	0,90	1,20
Verontreinigde bodem, geroerde grond	0,15	0,75	1,50	2,25	3,00
Zure bodem (veen, moeras)	0,20	1,00	1,75	2,50	3,25
Onverdichte grond (klei, zand) ^{**}	0,18	0,70	1,20	1,70	2,20
Onverdicht, agressief ophoogmateriaal (bodemas, slakken, sintels)	0,50	2,00	3,25	4,50	5,75

Figuur 2-2 Tabel 9.2 uit CUR 166

² Deltares, rapport 1209030, Corrosie van stalen damwandplanken in de grond;

2.11 Vermoeiing

De funderingen worden belast door vakwerkmasten. Deze zijn vanwege de aard van de constructie niet gevoelig voor vortex shedding of andere opslingeringen door wind. De wisselende belasting van wind is een quasi-statische belasting. Dit is vastgelegd in 7.3.10 van NEN-EN 50341-1:2013. Toetsing op vermoeiing door galloping (lijndansen), voor zover al relevant voor funderingen, is voor bestaande constructies niet vereist op basis NEN 8701.

2.12 Omgeving

De voorgestelde versterkingsoplossingen met betonpoeren vereisen ruimte buiten de huidige mastvoeten. Een gedetailleerde studie naar eventuele obstakels valt buiten de scope van deze rapportage, echter zijn de volgende zaken noemenswaardig:

- Mastlocaties mogelijk slecht bereikbaar door bebossing (mast 48, mast 72 en mast 123).

2.13 Aarding

Uitwerking van aardingsvoorzieningen vallen buiten de scope van deze rapportage. In de UO-fase dient de aarding in de betonpoeren te worden ontworpen op basis van de van toepassing zijnde TenneT-specificaties.

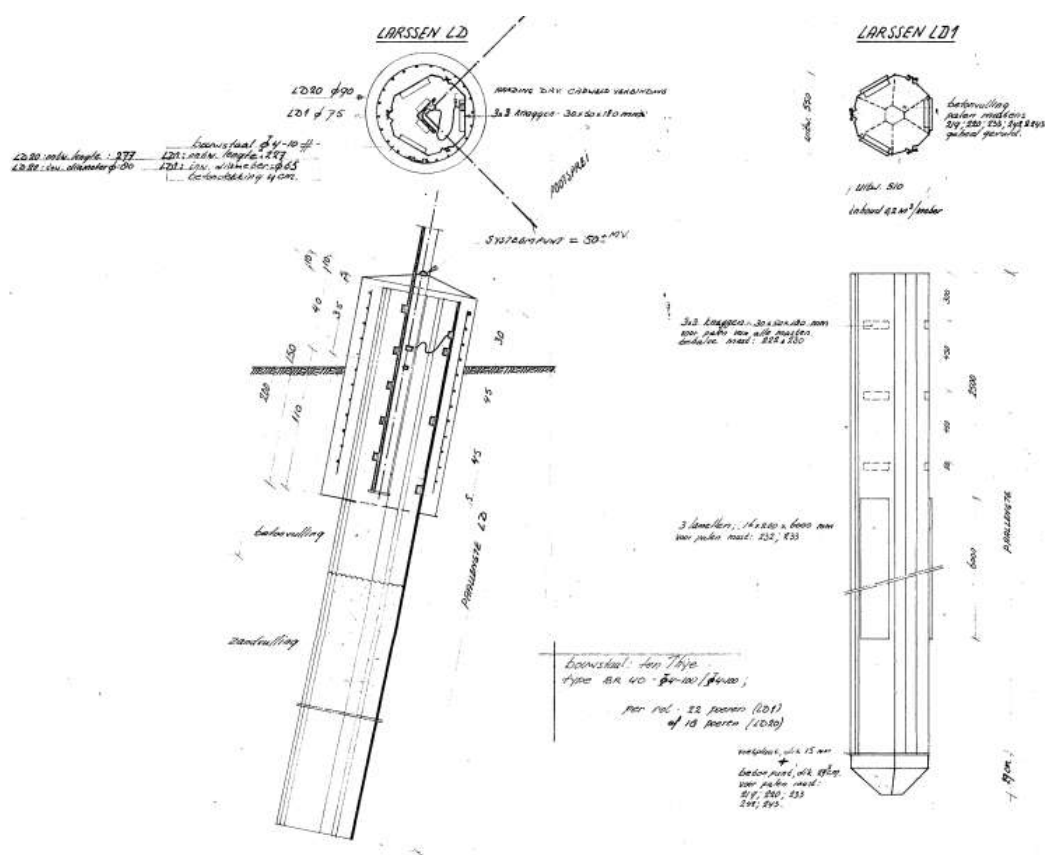
3 BESTAANDE FUNDATIES

In deze paragraaf worden de specifieke mechanische en geotechnische uitgangspunten behorend bij de aanwezige palen en fundaties beschreven die onderdeel zijn van deze rapportage. In alle gevallen betreft het een stalen buispaal met een gesloten voet.

3.1 Ontbrekende gegevens

De volgende as-built gegevens van de eenpaalsfundaties ontbreken:

- Detaillering van de paalpunt. De asset-gegevens bevatten geen as-built tekeningen van de palen. De detaillering van de paalpunt is niet met zekerheid bekend. De aanwezigheid en de detaillering van de paalpunt wordt gebaseerd op de LD1-paal vanuit de lijn Maasbracht-Dodewaard die tegelijkertijd als onderdeel van het koppelnet is gebouwd. In Figuur 3-1 is het principe van de paal gegeven.

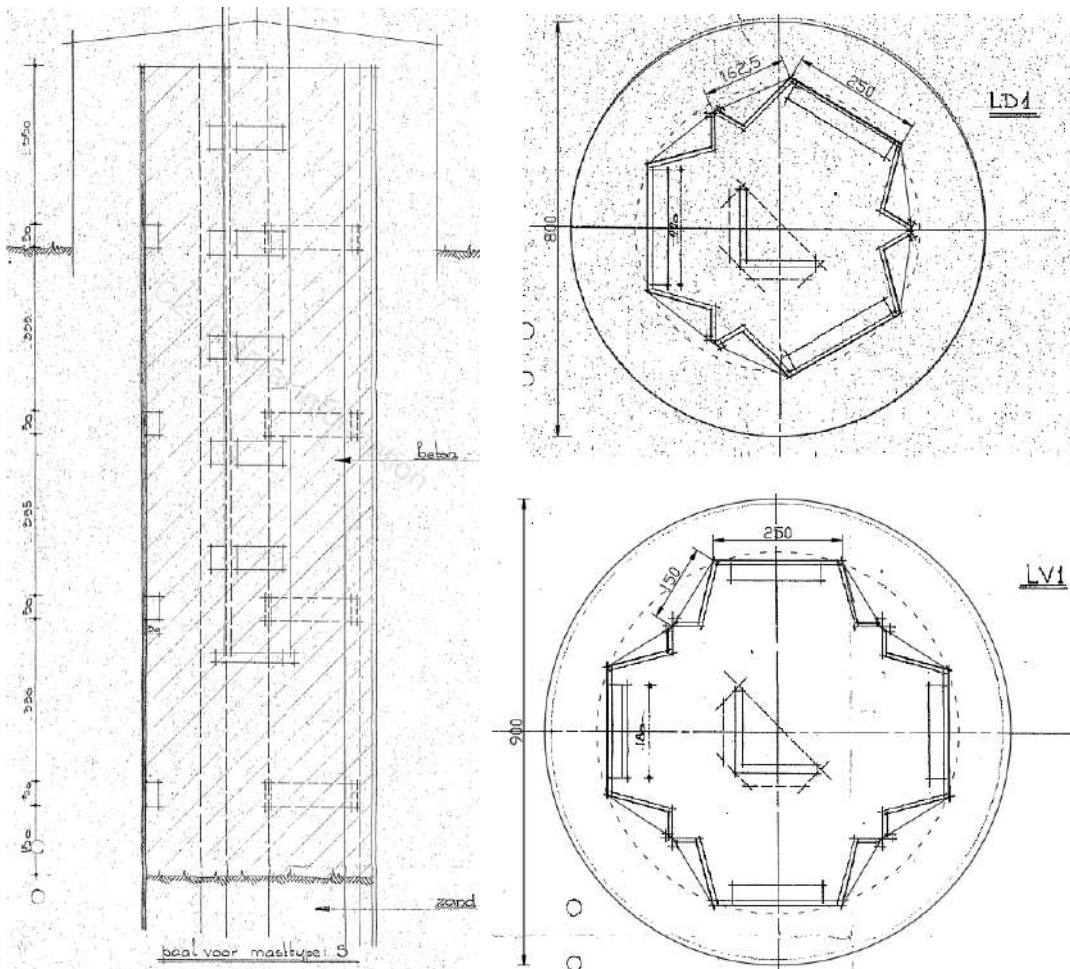


Figuur 3-1 As-built tekening LD-paal

3.2 Paalfunderingen

3.2.1 Kokerpalen met punt

Voor alle eenpaalsfunderingen is dit paalttype gebruikt, het type bestaat uit een geheide, stalen kokerpaal met punt. De palen zijn samengesteld uit drie (LD1-paal) of vier (LV1-paal) damwandsegmenten. De koker is over ca. bovenste 2 m gevuld met beton en verder met zand. De bovenzijde van de paal is voorzien van een betonnen omstorting met een diameter van 0,8 m bij de LD1-paal en 0,9 m bij de LV1-paal. De lengte van de omstorting is 1,5 m. Een principedetail van de funderingspaal is weergegeven in Figuur 3-2. De theoretische positie van de bovenkant van de paal ten opzichte van maaiveld is 0,4 m en de bovenzijde van de omstorting 0,5m. In werkelijkheid blijken deze maten te variëren per locatie (zie Appendix B).



Figuur 3-2 Gesloten stalen kokerpaal met punt

3.3 Geotechnische eigenschappen paaltypes

In Tabel 3-1 zijn de geotechnische eigenschappen op basis van NEN-EN 1997-1 samengevat waarmee de berekeningen worden uitgevoerd. De mechanische eigenschappen van de paaltypes zijn gebaseerd op archiefgegevens. Voor gebruik in het programma is een diameter ingevoerd met equivalente paalomtrek als de werkelijke paal. In Appendix E zijn de eigenschappen samengevat.

Tabel 3-1 Geotechnische eigenschappen palen

	LD1	LV1
Paaltipe	Geheide stalen koker met punt	Geheide stalen koker met punt
Diameter (m)	0,55	0,70
Factor α_s	0,010	0,010
Factor α_t	0,007	0,007
Factor α_p	1,0	1,0
Factor β	1,0	1,0

4 AANPAK TOETSING FUNDATIES

In dit hoofdstuk is een toelichting op de methode gegeven waarmee de bestaande paalfundaties zijn getoetst. De toetsing van de palen heeft ten eerste plaatsgevonden op basis van het verticale draagvermogen. Dat wil zeggen de maximale trek- of drukbelasting die opneembaar is. Ten tweede is beoordeeld of de palen in staat zijn om de horizontale belastingen af te dragen.

4.1 Verticaal draagvermogen

4.1.1 Belastingen

De fundatiebelastingen van de mastconstructies zijn opgenomen in Appendix H. Deze zijn in de basis ontleend aan de rapporten betreffende de mastconstructies. Een belangrijke wijziging heeft plaatsgevonden: de belasting voor afkeurniveau is gebruikt op basis van 15 jaar referentieperiode in plaats van 30 jaar vanuit de mastrapportages en in overeenstemming met beleid van TenneT. De wijziging naar 15 jaar is het wettelijk vereiste minimum voor de referentieperiode en is in overleg met Asset Management van TenneT tot stand gekomen. De keuze is gemaakt om de omvang en het aantal van de benodigde aanpassingen aan de mastfundaties proportioneel te houden.

De belastingen van de maatgevende masten uit een groep van gelijke masttypes zijn als uitgangspunt gebruikt. De belastingcombinatie met maximale trek of maximale drukbelasting is aangehouden in de berekeningen. Bij de steunmasten uit deze rapportage is dit in alle gevallen de overhoekse wind.

Het eigen gewicht van de mastconstructie, isolatoren, geleiders en eventuele telecominstallaties is in de belastingen inbegrepen.

Het gewicht van de paal wordt door het programma automatisch bepaald, waarbij de invloed van het grondwater wordt meegenomen.

4.1.2 Invoer TS paalfunderingen

De sonderingen zijn in digitaal formaat omgezet voor gebruik in het programma Technosoft Paalfunderingen. Aan de hand van de sonderingen en de beschikbare boringen is een grondprofiel geconstrueerd. De gebieden waarin negatieve en positieve schachtwrijving optreedt worden ingesteld per sondering. Positieve wrijving wordt bij controle van drukbelasting enkel ontleend aan de draagkrachtige zandlaag.

Alle in deze rapportage opgenomen masten uit de hoogspanningslijn zijn in één uitvoer opgenomen, zie Appendix E. Er is een uitvoer voor druk en een uitvoer voor trek gegenereerd, voor bestaande palen en voor nieuwe palen. De sondeergrafieken zijn in de uitvoer van de bestaande palen op trek voor de controleerbaarheid opgenomen.

De resultaten uit de berekeningen van het programma zijn vervolgens ten behoeve van de toetsing in een tabel met belastingen ingevoerd. Zie hiervoor Appendix C. De samenvatting hiervan in de vorm van unity-checks is opgenomen in de rapporttekst.

4.2 Horizontaal draagvermogen

Aan de hand van een 1D-stavenmodel in Axis VM is het horizontale draagvermogen getoetst. Hierbij is getoetst op de optredende spanningen in de buispaal en horizontale vervormingen op basis van maximale trekbelasting, maximale drukbelasting en torsiebelasting.

Voor verdere omschrijving, zie Appendix G.

5 RESULTATEN TOETSING INITIËLE SITUATIE

In dit hoofdstuk worden de resultaten van de toetsingsberekeningen gepresenteerd. De gehele tabel met toetsingsresultaat op trek- en drukbelasting is terug te vinden in Appendix C. In dit hoofdstuk is de samenvatting per funderingstype opgenomen. Het resultaat wordt gevormd door de getalswaarde van de “unity-check”. Indien deze kleiner of gelijk aan 1,00 is, voldoet de constructie ten aanzien van het betreffende betrouwbaarheidsniveau.

De berekeningen zijn gerangschikt naar oplopend mastnummer en naar funderingstype.

5.1 Toetsing fundaties

Zie Tabel 5-1 voor de resultaten van de toetsing van de masten met eenpaalfunderingen. Op 33 mastlocaties van de 82 mastlocaties hebben de palen onvoldoende capaciteit op trek, maar wel voldoende capaciteit op druk. Op 49 locaties hebben de palen voldoende capaciteit op trek en druk.

Tabel 5-1 Toetsing fundaties MBT-EHV380

Mast	Masttype	Poertype	Paaltype	U.C. Trek	U.C. Druk
19	S+0	Omstoring 1-paalfundering LD1	LD1	0,93	0,42
20	S+0	Omstoring 1-paalfundering LD1	LD1	1,26	0,49
22	S+0	Omstoring 1-paalfundering LD1	LD1	0,92	0,43
24	S+0	Omstoring 1-paalfundering LD1	LD1	0,99	0,32
29	S+0	Omstoring 1-paalfundering LV1	LV1	0,84	0,51
30	S+0	Omstoring 1-paalfundering LV1	LV1	0,91	0,37
31	S+0	Omstoring 1-paalfundering LD1	LD1	0,99	0,28
32	S+6 T3	Omstoring 1-paalfundering LD1	LD1	1,00	0,54
33	S+6	Omstoring 1-paalfundering LD1	LD1	1,04	0,27
35	S+3 T3	Omstoring 1-paalfundering LD1	LD1	1,22	0,21
36	S+3	Omstoring 1-paalfundering LD1	LD1	1,19	0,28
37	S+3	Omstoring 1-paalfundering LD1	LD1	1,03	0,27
38	S+0	Omstoring 1-paalfundering LD1	LD1	1,11	0,54
40	S+0	Omstoring 1-paalfundering LD1	LD1	1,24	0,35
41	S+0	Omstoring 1-paalfundering LD1	LD1	1,10	0,28
42	S+0	Omstoring 1-paalfundering LD1	LD1	0,93	0,21
43	S+0	Omstoring 1-paalfundering LD1	LD1	1,13	0,30
44	S+0	Omstoring 1-paalfundering LD1	LD1	1,08	0,57
45	S+0	Omstoring 1-paalfundering LD1	LD1	0,97	0,31
46	S+0	Omstoring 1-paalfundering LD1	LD1	1,14	0,56
47	S+0	Omstoring 1-paalfundering LD1	LD1	1,25	0,64
48	S+0	Omstoring 1-paalfundering LD1	LD1	1,01	0,44
49	S+0	Omstoring 1-paalfundering LD1	LD1	1,05	0,48
52	S+0	Omstoring 1-paalfundering LD1	LD1	0,75	0,61
53	S+0	Omstoring 1-paalfundering LD1	LD1	1,00	0,48
55	S+0	Omstoring 1-paalfundering LD1	LD1	1,12	0,68
56	S+0	Omstoring 1-paalfundering LD1	LD1	1,17	0,47
57	S+3	Omstoring 1-paalfundering LD1	LD1	0,85	0,87
58	S+0	Omstoring 1-paalfundering LD1	LD1	0,76	0,36
59	S+3	Omstoring 1-paalfundering LD1	LD1	0,99	0,38
60	S+0	Omstoring 1-paalfundering LD1	LD1	0,99	0,36
62	S+0	Omstoring 1-paalfundering LD1	LD1	0,77	0,28
63	S+0	Omstoring 1-paalfundering LV1	LV1	0,79	0,25
64	S+0 T1	Omstoring 1-paalfundering LD1	LD1	0,99	0,35
65	S+0	Omstoring 1-paalfundering LD1	LD1	0,77	0,32
66	S+0	Omstoring 1-paalfundering LD1	LD1	0,97	0,62
67	S+0	Omstoring 1-paalfundering LD1	LD1	0,86	0,31
68	S+0	Omstoring 1-paalfundering LD1	LD1	0,84	0,29
70	S+0 T1	Omstoring 1-paalfundering LD1	LD1	1,40	0,29
71	S+0	Omstoring 1-paalfundering LD1	LD1	0,97	0,43
72	S+0	Omstoring 1-paalfundering LD1	LD1	1,26	0,43
73	S+0	Omstoring 1-paalfundering LV1	LV1	0,84	0,15
74	S+0	Omstoring 1-paalfundering LD1	LD1	1,09	0,25
76	S+0	Omstoring 1-paalfundering LD1	LD1	1,12	0,28
77	S+0	Omstoring 1-paalfundering LD1	LD1	0,70	0,33
78	S+0	Omstoring 1-paalfundering LD1	LD1	0,95	0,48
79	S+0	Omstoring 1-paalfundering LD1	LD1	0,88	0,56
80	S+0	Omstoring 1-paalfundering LD1	LD1	1,05	0,61
81	S+0	Omstoring 1-paalfundering LD1	LD1	0,95	0,73
83	S+0	Omstoring 1-paalfundering LD1	LD1	0,74	0,26

Mast	Masttype	Poertype	Paaltype	U.C. Trek	U.C. Druk
84	S+0	Omstorting 1-paalfundering LD1	LD1	0,80	0,25
86	S+0	Omstorting 1-paalfundering LD1	LD1	0,84	0,61
87	S+0	Omstorting 1-paalfundering LD1	LD1	0,78	0,37
88	S+0	Omstorting 1-paalfundering LD1	LD1	0,88	0,27
89	S+0	Omstorting 1-paalfundering LD1	LD1	0,90	0,20
91	S+0	Omstorting 1-paalfundering LD1	LD1	0,70	0,24
92	S+0	Omstorting 1-paalfundering LD1	LD1	0,84	0,41
93	S+0 T3	Omstorting 1-paalfundering LD1	LD1	1,46	0,32
94	S+0	Omstorting 1-paalfundering LD1	LD1	1,02	0,45
95	S+0	Omstorting 1-paalfundering LD1	LD1	0,76	0,34
96	S+0	Omstorting 1-paalfundering LD1	LD1	1,11	0,56
97	S+0	Omstorting 1-paalfundering LD1	LD1	1,11	0,54
101	S+0	Omstorting 1-paalfundering LD1	LD1	0,89	0,50
102	S+0	Omstorting 1-paalfundering LD1	LD1	1,09	0,25
104	S+0	Omstorting 1-paalfundering LD1	LD1	1,04	0,26
105	S+0	Omstorting 1-paalfundering LD1	LD1	0,78	0,27
106	S+0	Omstorting 1-paalfundering LD1	LD1	0,99	0,37
107	S+0	Omstorting 1-paalfundering LD1	LD1	1,06	0,30
108	S+0	Omstorting 1-paalfundering LD1	LD1	0,79	0,21
109	S+0	Omstorting 1-paalfundering LD1	LD1	0,97	0,61
110	S+0	Omstorting 1-paalfundering LD1	LD1	1,19	0,30
111	S+0	Omstorting 1-paalfundering LD1	LD1	1,49	0,42
112	S+9	Omstorting 1-paalfundering LD1	LD1	0,87	0,43
113	S+9	Omstorting 1-paalfundering LD1	LD1	1,26	0,70
123	S+0	Omstorting 1-paalfundering LD1	LD1	1,06	0,44
124	S+0	Omstorting 1-paalfundering LD1	LD1	0,78	0,25
125	S+0	Omstorting 1-paalfundering LD1	LD1	0,78	0,56
126	S+0	Omstorting 1-paalfundering LD1	LD1	0,86	0,41
127	S+0 T1	Omstorting 1-paalfundering LD1	LD1	0,84	0,58
129	S+0	Omstorting 1-paalfundering LD1	LD1	0,88	0,29
131	S+0	Omstorting 1-paalfundering LD1	LD1	0,97	0,31
132	S+0	Omstorting 1-paalfundering LD1	LD1	1,79	0,38

5.2 Bijzonderheden

5.2.1 Mast 72

Bij uitvoering van de sonderingen is gebleken dat mast 72 alleen bereikbaar is met de sondeerwagen door het aanleggen van een werkweg. Om deze reden is er voor het DO-ontwerp voor gekozen om nog geen nieuwe sonderingen te maken. Deze zullen worden uitgevoerd ten tijde van de uitvoering van de versterking.

Voor toetsing van deze mast wordt het slechtste resultaat genomen van:

1. Het draagvermogen van de palen bij mast 72 gebaseerd op de sonderingen van mast 70, mast 71, mast 73 en mast 74;
2. Het minimaal gevonden draagvermogen van de palen bij mast 70, mast 71, mast 73 en mast 74.

Uit berekening blijkt dat het draagvermogen bij mast 70 maatgevend is volgens deze aanpak. De overschrijding is 26%. Op basis van de gevonden draagvermogens bij de andere locaties is het niet aannemelijk dat de fundering van mast 72 zal voldoen op basis van nieuw uit te voeren sonderingen op de locatie van deze mast. Om deze reden wordt er een versterking voorgesteld met nieuwe palen.

5.2.2 Mast 19, mast 22 en mast 24

Bij het uitvoeren van de nieuwe sonderingen bij de mast 19, mast 22 en mast 24 is er gestuit op een vaste (grind)laag op een niveau van 12 m tot 14 m onder maaiveld. Op dit niveau zijn de sonderingen gestopt, omdat de sondeerpoint niet dieper in deze laag gedrukt kon worden. Deze diepte is niet toereikend om het draagvermogen te berekenen tot aan de punt van de paal.

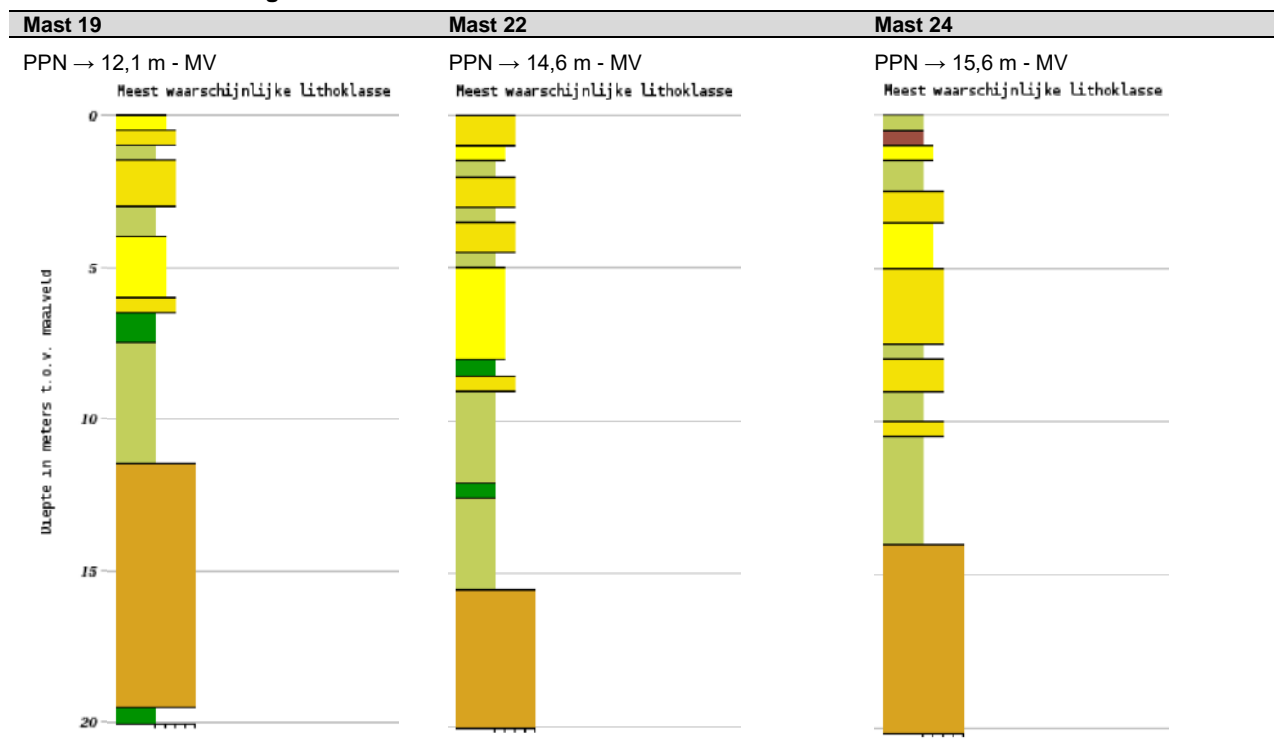
Voor het DO-ontwerp zullen de nieuwe sonderingen gebruikt worden ondanks de niet-toereikende lengte. Hiervoor moet een aanname worden gedaan voor de conusweerstand direct onder de paalpunt. Om een aanname te kunnen doen is er gebruik gemaakt van de ondergrondmodellen via het DINOloket. Middels deze ondergrondmodellen is aannemelijk te maken tot welke diepte deze vaste laag zich minimaal bevindt. Hieruit blijkt dat de vaste laag voldoende ver onder de paalpunt doorloopt. De modelonzekerheid is 0%-10% van de ondergrondmodellen van deze laag (zie Appendix E) en wordt aangenomen als betrouwbaar. Uit de sondering bij mast 22 blijkt wel dat de vaste laag in werkelijkheid minder diep ligt dan uit het DINOloket blijkt, echter is de laag voldoende dik dat het aannemelijk is dat ook deze tot voldoende ver onder paalpunt doorloopt.

In Technosoft worden de sonderingen bij deze mastlocaties verlengd, zodat de berekening uitgevoerd kan worden. Het betreft hier een zeer vaste laag waarvoor een minimale q_c -waarde van 15MPa wordt aangehouden.

Tabel 5-2 Diepte vaste laag

Mast	Sondering gestopt op	Vaste laag DINO-loket	Vershil
19	12,0 m - MV	11,5 m - MV	+ 0,5 m
22	13,5 m - MV	15,5 m - MV	- 2,0 m
24	13,0 m - MV	14,0 m - MV	- 1,0 m

Tabel 5-3 Grondboring via DINOloket



5.3 Horizontaal draagvermogen

Uit berekening blijkt dat alle palen de horizontale belasting af kunnen dragen naar de ondergrond. Voor berekening, zie Appendix G.

6 VERSTERKINGSVOORSTEL

In dit hoofdstuk worden voorstellen gegeven met welke maatregelen bereikt kan worden dat de funderingen voldoen aan de eisen. Alle verschillende verzwaren zijn opgenomen op de volgende tekeningen en toegevoegd aan Appendix D:

- 002.586.40 1025251 - 10166262-032-400 – 1-paals + poer – type 1
- 002.586.40 1025252 - 10166262-032-401 – 1-paals + poer – type 2a/b
- 002.586.40 1025253 - 10166262-032-402 – lijnpoer – 1P+2P

6.1 Ballastverzwaring

6.1.1 Ontwerp

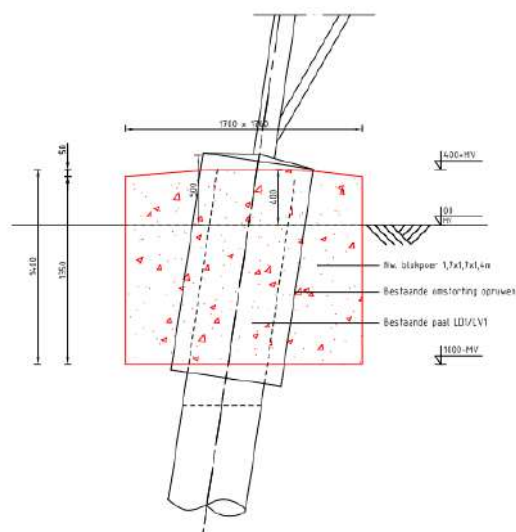
De optredende overschrijding van het trekdraagvermogen is in sommige gevallen beperkt. Als maximum wordt gevonden dat een overschrijding van 60 kN gecompenseerd kan worden met een ballastverzwaring. Deze relatief kleine overschrijdingen worden gecompenseerd met extra gewicht aan de paal in de vorm van een betonpoer. De beschikbare restcapaciteit op het drukdraagvermogen laat deze ballastverzwaring ook toe. Bij het uitwerken van dit voorstel zal er uitgegaan worden van de belastingen op basis van het afkeurniveau van NEN 8700 /9/. De ballastverzwaring komt voor met twee verschillende afmetingen:

- Type 1 1,7 m x 1,7 m x 1,4 m;
- Type 2 1,5 m x 1,5 m x 1,4 m.

De aanhechting van de nieuwe poer aan de bestaande paal en omstorting bestaat uit het opruwen van de bestaande omstorting. Zonder verdere rekentechnische onderbouwing is de cohesie en wrijving dat het aansluitvlak kan ontwikkelen ruimschoots voldoende om het eigen gewicht van de ballast op te nemen.

De ballastverzwaren worden evenwijdig met de zijvlakken van de mast gerealiseerd. Alleen bij mast 123 worden de fundaties 45 graden gedraaid in verband met het pad dat langs de mast loopt.

De eventuele conservering van het gedeelte van de paal, onder de bestaande omstorting kan gehandhaafd blijven. Mocht de conservering niet doorlopen tot onder het niveau van de nieuwe ballastpoer, dan wordt geadviseerd het gedeelte van de paal bij de onderzijde van de nieuwe poer te coaten.



Figuur 6-1 Principe ballastverzwaring

6.1.2 Aanpak berekening

Voor het berekenen van het gewicht van de nieuwe poer zijn de volgende aannamen gedaan:

- Inhoud van de nieuwe poer wordt verminderd met inhoud van de gedeelte paal dat in de poer wordt gestort (effectief blijft er ca. 85% van het poer gewicht over);
- Streven is om ca. 5% restcapaciteit over te houden van het trekdraagvermogen na aanbrengen van de poer.

6.2 Paalfundering

6.2.1 Paaltype

Voor de verzwaarde fundatie waarbij palen toegepast worden komt het volgende paaltype in aanmerking:

- geschroefde stalen buispaal met groutinjectie (schroefinjectiepaal, "SI-paal")

De achtergrond voor de keuze van deze paalsystemen is gelegen in het stijfheidsgedrag en de belasting die zowel op trek- als druk plaats kan vinden. De stijfheid van de paal dient zodanig te zijn dat zonder grote vervormingen de nieuwe paal belasting gaat overnemen van de bestaande paal. Vanuit die overweging is versterking met bijvoorbeeld een groutankerpaal niet mogelijk.

Vanwege de nabijheid tot de bestaande palen en het daarmee gepaard gaande risico op trillingen is gekozen voor het gebruik van enkel de geschroefde buispalen en geen geheid systeem.

Buiten de technische eisen heeft de uitvoerbaarheid van het aanbrengen van de palen grote invloed gehad op de paalkeuze. Zie daarvoor paragraaf 6.2.2. De palen dienen vanwege het verwachte dikteverlies door corrosie tijdens de restlevensduur een minimale wanddikte te bezitten van 12,5 mm. De paal moet met beton gevuld worden vanwege duurzaamheid en stijfheid ten opzichte met beton gevulde bestaande palen.

De palen worden ingelaten in de nieuwe poer. Via aan te lassen blokdeuvels of "knaggen" wordt de belasting ingeleid. In Tabel 6-1 zijn de geotechnische eigenschappen van de palen weergegeven. Hierin is rekening gehouden met de per januari 2017 gereduceerde puntfactoren volgens NEN-EN 1997-1 /10/.

Tabel 6-1 Geotechnische eigenschappen nieuwe palen

	SI-paal Ø273/400	SI-paal Ø323/450
Paaltype	In de grond gevormde geschroefde paal met groutinjectie	In de grond gevormde geschroefde paal met groutinjectie
Diameter buis (m)	0,273	0,323
Diameter grout (m)	0,400	0,450
Factor α_s	0,009	0,009
Factor α_t	0,009	0,009
Factor α_p	0,63	0,63
Factor β	1,0	1,0

6.2.2 Uitvoerbaarheid

De palen en nieuwe betonpoeren zullen moeten worden aangebracht bij een in bedrijf zijnde hoogspanningslijn. Dat stelt eisen ten aanzien van de uitvoeringswijze:

- vanwege de veilige werkafstand tot de onder spanning staande geleiders zal de giek of makelaar van de boorstelling een beperkte hoogte kunnen hebben. Hierbij geldt als absoluut minimum een veilige werkafstand van minimaal 5 meter tot de geleider of een afstand $1,6 m + 1,1 D_{el}$. Op basis bestaande kettingen met $D_{el} =$

4,2 m is de afstand minimaal 6 m. In combinatie met een kleinste ophanghoogte van 28 m, een verloop door de zeeg van maximaal 2 m is hiermee maximaal $28 - 2 - 6 = 20$ m hoogte mogelijk.

- het manoeuvreren met een omvangrijke boorstelling in de nabijheid van de mastconstructie is risicovol vanwege aanrijd- of stootgevaar. Geadviseerd wordt uit te gaan van maximaal 12 m hoogte, zie Figuur 6-2.

De keuze voor een stalen paal maakt het mogelijk om, indien de lengte van de paal te groot is in relatie tot de toegestane werkhoogte, de paal samen te stellen uit meerdere met een las- of geschroefde verbinding te verbinden delen. Dit is een gangbare techniek voor het versterken van bestaande funderingen. Zie Figuur 6-2 voor een voorbeeld van een boorstelling.



Figuur 6-2 Voorbeeld van boorstelling voor schroefinjectiepaal

De steunmasten moeten verzaard worden met in schoor aangebrachte palen. Daardoor is de afstand van de stelling tot de randstijl van de mast punt van aandacht. Als uitgangspunt is een werkafstand van 0,8 m gehanteerd met een aantal toeslagen voor misstanden, marge en afmeting klimbouten. Zie Tabel 6-2.

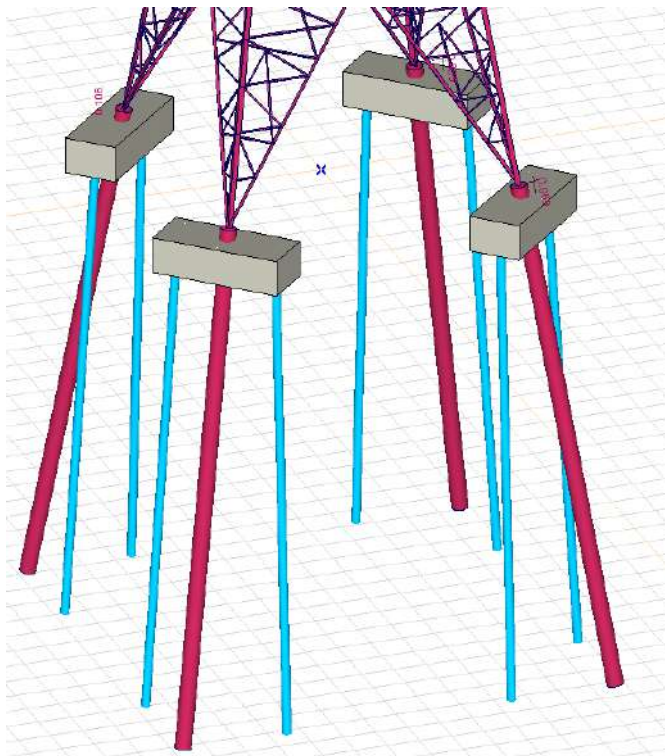
Tabel 6-2 Uitgangspunt afstand nieuwe paal tot schemalijn randstijl mastconstructie

Tolerantie	
Misstand hoekstaal in paal	0,1 m
Werkafstand	0,8 m
Paalmisstand	0,075 m
Veiligheidsmarge	0,1 m
	<hr/>
	1,075 m
Toeslag klimbouten	0,20 m
	<hr/>
	1,275 m

Bij de keuze voor een bepaalde boorstelling of boormotor moet gecontroleerd of aan deze afstanden voldaan kan worden.

6.2.3 Poertype 1P+2P

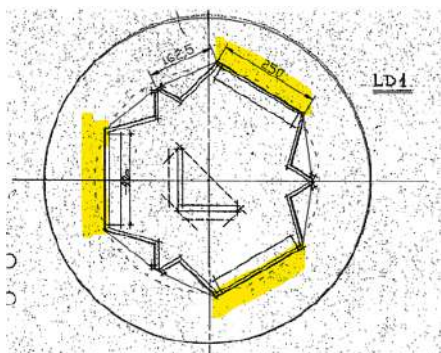
Gekozen is voor een oplossing met twee nieuwe palen aan weerszijden van de bestaande paal. De palen worden in schoor 15:1 geheid. De verbinding tussen nieuw aan te brengen palen en bestaande palen zal via een nieuwe betonpoer plaatsvinden. Als uitgangspunt voor het ontwerp van deze poeren is gehanteerd dat de hoogteligging van de bovenzijde van de poer gelijk is aan het niveau van de bestaande poer.



Figuur 6-3 Versterkte fundering, ieder hoekpunt wordt voorzien van twee extra palen

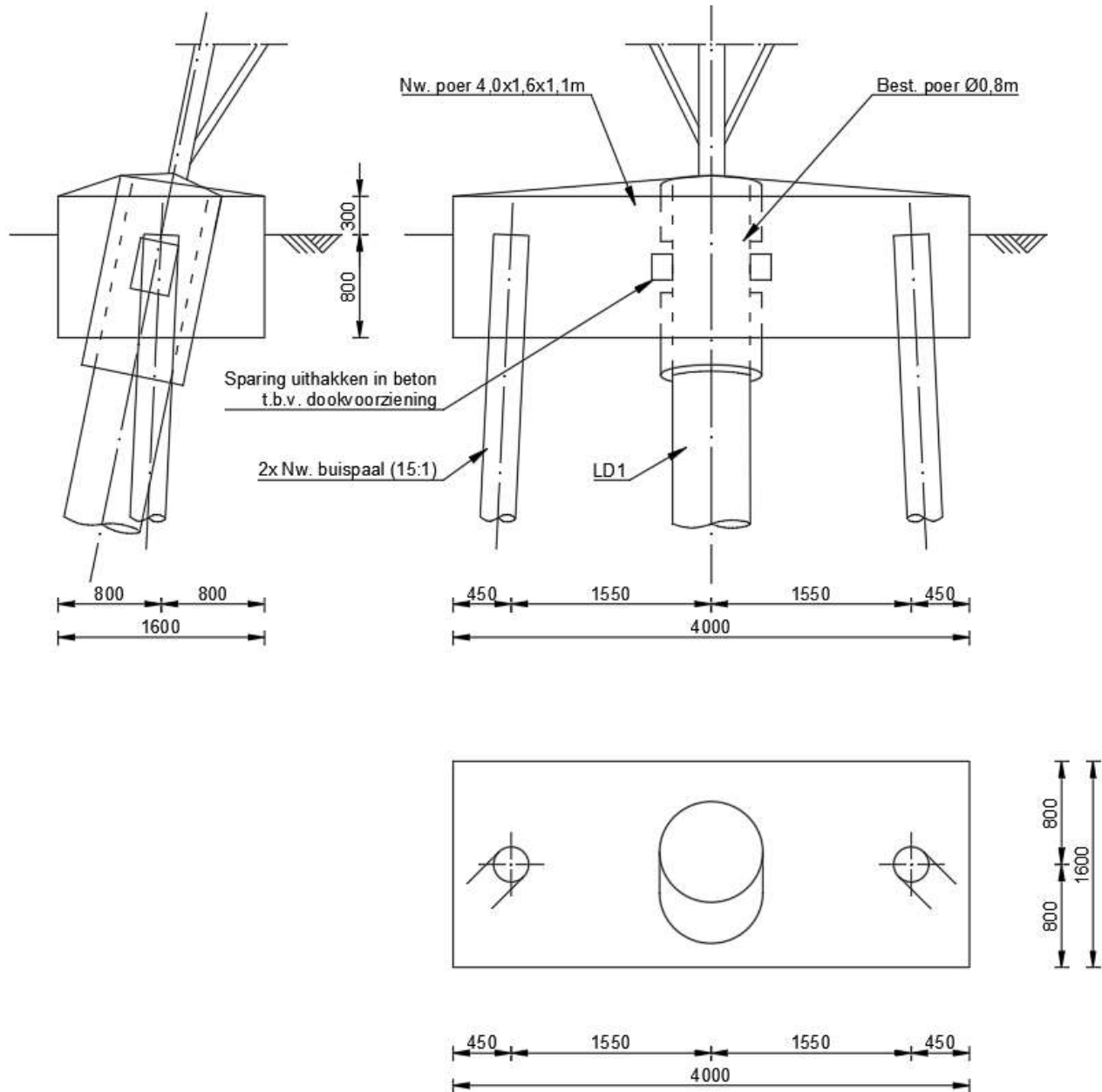
In Figuur 6-5 is een schets van de constructie weergegeven. De hoogteligging van de poer wordt gerelateerd aan het niveau van bovenkant bestaande paal.

De huidige cirkelvormige omstorting van de paal wordt geheel opgenomen in de nieuwe poer. De krachtsoverdracht van bestaand naar nieuw zal plaatsvinden door het uithakken van sparingen in de betonpoer en het aanbrengen van aan de stalen palen gelaste doken. De doken moeten worden geplaatst op de vlakke zijden van de stalen paal, zie Figuur 6-4. Alleen de fundaties met LD1 zullen worden verzwaaard met de lijnpoer.



Figuur 6-4 Positionering doken bij LD-paal, er zijn geen LV-palen waarbij de lijnpoer wordt verzwaaard met een lijnpoer met palen

De keuze voor 15:1 als schoorstand komt voort uit een parameterstudie waarbij voor verschillende schoorstanden de krachtsverdeling tussen bestaande en nieuwe paal is berekend, welke is uitgevoerd voor KIJ-GT380 /8/. De masten voor MBT-EHV380 hebben dezelfde afmetingen als de masten bij KIJ-GT380. Om deze reden wordt de uitkomst van deze parameterstudie overgenomen en ook gehanteerd voor de versterkingen bij MBT-EHV380.



Figuur 6-5 Principeontwerp versterking eenpaalsfundering

6.3 Aanpak berekening

Het benodigde aanvullende draagvermogen vanuit de nieuwe palen is uit de belastingtabel voor het verbouwniveau (Appendix D) berekend door de belasting op verbouwniveau te verminderen met het beschikbare draagvermogen van de bestaande palen. Het daarmee berekende tekort moet gecompenseerd worden door het gewicht van de nieuwe poer en de extra capaciteit van nieuwe palen.

- Er wordt rekening mee gehouden dat vanwege de schoorstanden in de palen de palen niet alle in gelijke mate belasting dragen. Dit wordt in de tabel van Appendix D aangeduid als “effectiviteit palen”. Voor de nieuwe palen die worden toegevoegd aan de eenpaalsfunderingen, is 80% het uitgangspunt. De waarde is onderbouwd in Appendix G;
- De toetsing van de nieuwe paal is uitgevoerd tegen het benodigde draagvermogen uit het tekort en tegen de bovengrens van de her te verdelen belasting.

Na het in rekening brengen van het aantal nieuwe palen en het gewicht van de nieuwe poer, volgt het benodigde draagvermogen van de nieuwe paal. Met het programma TS paalfunderingen is het draagvermogen van de nieuw aan te brengen palen op trek en op druk berekend, zie Appendix E.

Het paalpuntniveau van de nieuwe paal is zodanig dat deze in dezelfde zandlaag uitkomt als de huidige paalpunt. Er is een verschil in paalpuntniveau van maximaal 3 meter genomen tussen bestaand niveau en nieuw niveau. Een uitzondering hierop is mastlocatie 111. De bestaande paalpunt blijkt niet in een duidelijke zandlaag te staan. De paalpunt van de nieuwe palen is om deze reden 3,85 m dieper gekozen ten opzichte van de bestaande paalpunt om ervoor te zorgen dat de nieuwe palen wel in een zandlaag staan en er hierdoor niet te veel zetting zal optreden.

Door het ontbreken van nieuwe sonderingen zijn voor de mast 72 de sonderingen van naastgelegen masten gebruikt. Hiermee is een indicatie verkregen van het benodigde paalpuntniveau. Na gereed komen van nieuwe sonderingen, dient het draagvermogen van de palen voor deze masten geverifieerd te worden aan de hand van deze nieuwe sonderingen.

7 TOETSING VERSTERKTE FUNDATIES

7.1 Toetsing palen aan afkeurniveau

In deze paragraaf wordt de toetsing van de bestaande palen met nieuw aangebrachte poeren beschreven. De bestaande palen zijn zowel op trek als op druk gecontroleerd, waarbij de belasting is gehanteerd op basis van het afkeurniveau met referentieperiode 15 jaar.

Uit berekening blijkt dat alle paalfunderingen na versterking voldoen.

Tabel 7-1 Toetsing met ballast versterkte fundaties MBT-EHV380

Mast	Masttype	Paaltype bestaand	Poertype nieuw	U.C. Trek	U.C. Druk
33	S+6	LD1	1-paals + poer - type 2	0,95	0,30
37	S+3	LD1	1-paals + poer - type 2	0,91	0,30
38	S+0	LD1	1-paals + poer - type 1	0,95	0,63
41	S+0	LD1	1-paals + poer - type 1	0,94	0,32
43	S+0	LD1	1-paals + poer - type 1	0,96	0,34
44	S+0	LD1	1-paals + poer - type 1	0,92	0,66
48	S+0	LD1	1-paals + poer - type 2	0,90	0,49
49	S+0	LD1	1-paals + poer - type 2	0,94	0,54
55	S+0	LD1	1-paals + poer - type 1	0,96	0,78
74	S+0	LD1	1-paals + poer - type 1	0,93	0,29
76	S+0	LD1	1-paals + poer - type 1	0,95	0,33
80	S+0	LD1	1-paals + poer - type 2	0,94	0,68
94	S+0	LD1	1-paals + poer - type 2	0,91	0,50
96	S+0	LD1	1-paals + poer - type 1	0,95	0,65
97	S+0	LD1	1-paals + poer - type 1	0,95	0,63
102	S+0	LD1	1-paals + poer - type 1	0,93	0,29
104	S+0	LD1	1-paals + poer - type 2	0,93	0,29
107	S+0	LD1	1-paals + poer - type 2	0,95	0,33
123	S+0	LD1	1-paals + poer - type 2	0,95	0,49

7.2 Toetsing palen aan verbouwniveau

In deze paragraaf wordt het resultaat van de toetsing van de nieuw aan te brengen palen beschreven. De nieuwe palen zijn zowel ten aanzien van trek- als drukbelasting gecontroleerd, waarbij de belasting is gehanteerd op basis van het verbouwniveau met verbouwniveau 50 jaar.

Uit de berekening blijkt dat alle paalfunderingen na versterking voldoen³.

Tabel 7-2 Toetsing met palen versterkte fundaties MBT-EHV380

Mast	Masttype	Paaltype versterking	Poertype nieuw	U.C. Trek	U.C. Druk
20	S+0	SI-paal 273/400	Lijnpoer - 1P+2P	0,34	0,46
35	S+3 T3	SI-paal 273/400	Lijnpoer - 1P+2P	0,31	0,21
36	S+3	SI-paal 273/400	Lijnpoer - 1P+2P	0,30	0,28
40	S+0	SI-paal 273/400	Lijnpoer - 1P+2P	0,31	0,30
46	S+0	SI-paal 273/400	Lijnpoer - 1P+2P	0,27	0,26
47	S+0	SI-paal 273/400	Lijnpoer - 1P+2P	0,34	0,32
56	S+0	SI-paal 273/400	Lijnpoer - 1P+2P	0,48	0,42
70	S+0 T	SI-paal 323/450	Lijnpoer - 1P+2P	0,61	0,37
72	S+0	SI-paal 323/450	Lijnpoer - 1P+2P	0,52	0,37
93	S+0 T	SI-paal 273/400	Lijnpoer - 1P+2P	0,44	0,43
110	S+0	SI-paal 273/400	Lijnpoer - 1P+2P	0,29	0,38
111	S+0	SI-paal 273/400	Lijnpoer - 1P+2P	0,35	0,34
113	S+9	SI-paal 323/450	Lijnpoer - 1P+2P	0,77	0,33
132	S+0	SI-paal 323/450	Lijnpoer - 1P+2P	0,46	0,41

³ Het paalpuntniveau van de nieuwe palen wordt bepaald op basis van de aanwezige zandlagen. Om een paal op druk te laten voldoen, moet de paalpunt in een zandlaag worden geplaatst. Hierdoor wordt er soms een dieper gelegen niveau gekozen, dan noodzakelijk voor de benodigde trekcapaciteit. Het gevolg is dat de unity-check voor trek in een aantal gevallen betrekkelijk laag is.

7.3 Controle horizontale krachtsafdracht

In Appendix G is de horizontale krachtsafdracht van de versterkte fundering berekend. Uit de berekeningen blijkt dat de palen voldoende effectief zijn om de belasting over te nemen van de bestaande paal.

7.4 Wapening poeren

In Appendix F is op indicatieve wijze de wapening berekend voor de verzwaringen en zijn blokdeuvels uitgewerkt voor de paalkop en de bestaande paal.

8 CONCLUSIE

Als onderdeel van het opwaarderingsproject van de 380kV hoogspanningsverbinding Maasbracht - Eindhoven zijn de bestaande funderingen getoetst aan het afkeurniveau voor bestaande bouw volgens NEN 8700 /9/. In overleg met Asset Management van TenneT is uitgegaan van het wettelijk vereiste minimum van 15 jaar referentieperiode in plaats van 30 jaar. De palen zijn gecontroleerd ten aanzien van de aanwezige capaciteit op trek-, druk- en horizontale belasting. Voor fundaties die niet voldoen is een versterking uitgewerkt. De toetsing van de fundaties is verdeeld over drie rapporten. In dit eerste deel worden de eenpaalsfunderingen getoetst. In het tweede deel worden meerpaalsfunderaties getoetst en in het derde deel de fundaties van de portalen.

De berekeningen zijn deels uitgevoerd op basis van sonderingen die beschikbaar zijn vanuit de bouwperiode van de verbinding en deels op nieuw uitgevoerde sonderingen. Op basis van NEN8707 zijn de sonderingen van uit de bouwperiode bruikbaar voor toetsing van de bestaande funderingen.

Voor toetsing van mast 29, 30, 62, 65, 77, 83, 84, 87 en 105 zijn bestaande sonderingen gebruikt. Voor alle overige masten wordt de draagkracht van de bestaande palen berekend op basis van nieuw uitgevoerde elektrische sonderingen. Bestaande sonderingen worden hierbij buiten beschouwing gelaten. Op één mastlocaties (mast 72) was het uitvoeren van nieuwe sonderingen nog niet mogelijk, voor deze locatie zijn de sonderingen van de naastgelegen masten gebruikt. In UO-fase dienen er alsnog sonderingen gemaakt te worden op deze locatie.

8.1 Toetsing bestaande fundaties afkeurniveau

Op 33 mastlocaties van de 82 mastlocaties hebben de palen onvoldoende capaciteit op trek, maar wel voldoende capaciteit op druk. Op 49 locaties hebben de palen voldoende capaciteit op trek en druk.

8.2 Versterkingen

Voor de fundaties die niet voldoen zijn versterkingsvoorstellen uitgewerkt. Voor fundaties waarbij de overschrijding beperkt is (maximaal 12%), is gekozen voor een ballastverzwaring (19 locaties). Voor andere locaties is gekozen voor een verzwaring met palen (14 locaties).

8.2.1 Ballastverzwaring

De ballastverzwaring bestaat uit een betonnen poer van 1,7 m x 1,7 m x 1,4 m of 1,5 m x 1,5 m x 1,4 m. De bestaande palen met omstorting zullen worden opgenomen in deze poeren. Voor aanhechting dient het bestaande beton te worden opgeruwd.

Verder dienen er aardingsvoorzieningen te worden aangebracht in de nieuwe poeren (buiten scope van dit rapport).

In Tabel 8-1 zijn alle maatregelen met specificatie samengevat.

Tabel 8-1 Samenvattingstabel maatregelen - ballastverzwaring

Overzicht fundatieversterkingen						
Mastnr.	Masttype	Poertype	Afmeting nieuwe poer [m]	Wapeningshoeveelheid [kg/m ³]	Aantal poeren	
33	S+6	1-paals + poer - type 2	1,5x1,5x1,4	100	4	
37	S+3	1-paals + poer - type 2	1,5x1,5x1,4	100	4	
38	S+0	1-paals + poer - type 1	1,7x1,7x1,4	100	4	
41	S+0	1-paals + poer - type 1	1,7x1,7x1,4	100	4	
43	S+0	1-paals + poer - type 1	1,7x1,7x1,4	100	4	
44	S+0	1-paals + poer - type 1	1,7x1,7x1,4	100	4	
48	S+0	1-paals + poer - type 2	1,5x1,5x1,4	100	4	
49	S+0	1-paals + poer - type 2	1,5x1,5x1,4	100	4	
55	S+0	1-paals + poer - type 1	1,7x1,7x1,4	100	4	
74	S+0	1-paals + poer - type 1	1,7x1,7x1,4	100	4	
76	S+0	1-paals + poer - type 1	1,7x1,7x1,4	100	4	
80	S+0	1-paals + poer - type 2	1,5x1,5x1,4	100	4	
94	S+0	1-paals + poer - type 2	1,5x1,5x1,4	100	4	
96	S+0	1-paals + poer - type 1	1,7x1,7x1,4	100	4	
97	S+0	1-paals + poer - type 1	1,7x1,7x1,4	100	4	
102	S+0	1-paals + poer - type 1	1,7x1,7x1,4	100	4	
104	S+0	1-paals + poer - type 2	1,5x1,5x1,4	100	4	
107	S+0	1-paals + poer - type 2	1,5x1,5x1,4	100	4	
123	S+0	1-paals + poer - type 2	1,5x1,5x1,4	100	4	

8.2.2 Paalfundering

Eén paalsysteem is in aanmerking genomen; geschroefde stalen buispalen met groutinjectie (schroefinjectiepalen). In principe heeft de buis een diameter van 273 mm met schroefpunt 400 mm. In enkele gevallen is ervoor gekozen om een buisdiameter van 323 mm met schroefpunt 450 mm te hanteren in verband met een groot pakket aan slappe lagen in combinatie met een laag draagvermogen van de bestaande paal. De palen worden in een schoorstand van 15:1 aangebracht. De nieuwe palen dienen over de in te storten lengte te worden voorzien van opgelaste blokdeuvels.

Door middel van een nieuwe lijnvormige poer zullen de belastingen vanuit de mast worden overgedragen aan de nieuwe palen. De bestaande palen zullen met omstorting worden opgenomen in de poer. Voor de aanhechting moeten stalen doken worden gelast via spelingen in de betonomhulling.

Verder dienen nog aardingsvoorzieningen aanwezig te zijn in de nieuwe poeren en moeten aardingsvoorzieningen in bestaande poer worden gekoppeld aan nieuwe poeren (buiten de scope van dit rapport).

In Tabel 8-2 zijn alle maatregelen met specificatie samengevat.

Tabel 8-2 Samenvattingstabel maatregelen - paalfundering

Overzicht fundatieversterkingen								
Mast nr.	Masttype	Paaltype versterking	Paallengte [m]	Aantal palen	Poertype	Afmeting nieuwe poer [m]	Wapeningshoeveelheid [kg/m ³]	Aantal poeren
20	S+0	SI-paal 273/400	12,90	8	Lijnpoer - 1P+2P	4x1,6x1,1	150	4
35	S+3 T3	SI-paal 273/400	7,90	8	Lijnpoer - 1P+2P	4x1,6x1,1	150	4
36	S+3	SI-paal 273/400	8,00	8	Lijnpoer - 1P+2P	4x1,6x1,1	150	4
40	S+0	SI-paal 273/400	8,20	8	Lijnpoer - 1P+2P	4x1,6x1,1	150	4
46	S+0	SI-paal 273/400	10,50	8	Lijnpoer - 1P+2P	4x1,6x1,1	150	4
47	S+0	SI-paal 273/400	10,70	8	Lijnpoer - 1P+2P	4x1,6x1,1	150	4
56	S+0	SI-paal 273/400	7,90	8	Lijnpoer - 1P+2P	4x1,6x1,1	150	4
70	S+0 T	SI-paal 323/450	8,90	8	Lijnpoer - 1P+2P	4x1,6x1,1	150	4
72	S+0	SI-paal 323/450	9,10	8	Lijnpoer - 1P+2P	4x1,6x1,1	150	4
93	S+0 T	SI-paal 273/400	9,40	8	Lijnpoer - 1P+2P	4x1,6x1,1	150	4
110	S+0	SI-paal 273/400	9,80	8	Lijnpoer - 1P+2P	4x1,6x1,1	150	4
111	S+0	SI-paal 273/400	11,60	8	Lijnpoer - 1P+2P	4x1,6x1,1	150	4
113	S+9	SI-paal 323/450	7,90	8	Lijnpoer - 1P+2P	4x1,6x1,1	150	4
132	S+0	SI-paal 323/450	13,40	8	Lijnpoer - 1P+2P	4x1,6x1,1	150	4

In Tabel 8-3 zijn de uitgangspunten voor de maaiveldhoogte en de aanleghoogte van bovenkant poer en paal weergegeven. De hoogtes zijn afgeleid uit PLS-CADD (geijkt aan LIDAR-gegevens). Voor aanvang van het werk dienen de hoogtes gecontroleerd te worden. Voor uitvoeriger informatie zie Appendix B. De paallengte is berekend op basis van het verschil tussen maaiveld en benodigd paalpuntniveau ten opzichte NAP. Bij eventueel afwijkend niveau van maaiveld, dient het paalpuntniveau gehandhaafd te blijven.

Tabel 8-3 Aanleghoogtes en hoogteverschil met bestaande palen of maaiveld

Overzicht aanleghoogtes								
Mastnr.	Masttype	Maaiveldniveau tov. NAP. (m)	Bovenkant best. poer tov. NAP (m)	Bovenkant nw. poer tov. NAP (m)	Bovenkant nw. poer tov. maaiveld (m)	Bovenkant paal tov. NAP (m)	Paalpuntniveau tov. NAP (m)	Bovenkant paal tov. maaiveld (m)
20	S+0	25,23	25,67	25,67	0,43	25,37	12,47	0,13
35	S+3 T3	28,94	29,41	29,41	0,47	29,11	21,21	0,17
36	S+3	28,90	29,31	29,31	0,41	29,01	21,01	0,11
40	S+0	29,26	30,00	30,00	0,74	29,70	21,50	0,44
46	S+0	31,04	31,33	31,33	0,29	31,03	20,53	-0,01
47	S+0	31,02	31,46	31,46	0,44	31,16	20,46	0,14
56	S+0	30,47	30,95	30,95	0,48	30,65	22,75	0,18
70	S+0 T	24,65	25,17	25,17	0,52	24,87	15,97	0,22
72	S+0	24,11	24,36	24,36	0,24	24,06	14,96	-0,06
93	S+0 T	23,95	24,48	24,48	0,53	24,18	14,78	0,23
110	S+0	18,34	18,85	18,85	0,51	18,55	8,75	0,21
111	S+0	18,72	19,20	19,20	0,48	18,90	7,30	0,18
113	S+9	19,84	20,68	20,68	0,84	20,38	12,48	0,54
132	S+0	15,81	16,71	16,71	0,90	16,41	3,01	0,60

9 REFERENTIES

- /1/ 002.586.40 0825942 - 21-0138 - Uitgangspuntenrapport 380kV verbinding Maasbracht - Eindhoven
- /2/ 002.586.40 0825934 - 21-0483 – MBT-EHV380 – E-studie Deel 1
- /3/ Verificatie & validatieplan 380kV verbinding Maasbracht - Eindhoven
- /4/ 002.586.40 0945353 - 22-0883 - MBT-EHV380 – Rapportage S+0 & S+0 T
- /5/ 002.586.40 0825918 - 21-1571 - MBT-EHV380 – Rapportage S+3 & S+3 T
- /6/ 002.586.40 0825920 - 21-1574 - MBT-EHV380 – Rapportage S+6 & S+6 T
- /7/ 002.586.40 0945364 - 21-0808 - MBT-EHV380 – Rapportage S+9 (mast 112 & 113)
- /8/ 002.589.40 0808656 - 20-0731 – KIJ-GT380 – Rapportage fundaties S+0, S+3, S+6 en S+9
- /9/ NEN 8700:2011 - Belastingen voor bestaande bouw
- /10/ NEN 1997-1: Eurocode 7: Geotechnisch ontwerp - Deel 1: Algemene regels
- /11/ NEN 8707:2019 - Geotechnisch ontwerp - Beoordeling van de constructieve veiligheid van een bestaand bouwwerk
- /12/ Bejan Bouw & BetonTechniek b.v., rapportnummer 200152A-004 v1.0
- /13/ SWECO, Verkennend (water)bodemonderzoek, rapportnummer NL22-648800299-21186, dd. 12-04-2022

APPENDIX A

Asset-gegevens

Voor een volledig overzicht van de asset-gegevens wordt verwezen naar Appendix G van het uitgangspuntendocument "21-0138 - Uitgangspuntenrapport 380kV verbinding Maasbracht - Eindhoven" /1/.

In Tabel 9-1 zijn de belangrijkste documenten met betrekking tot de eenpaalsfunderingen nogmaals opgenomen.

Tabel 9-1 Asset data Maasbracht Eindhoven m.b.t. eenpaalsfunderingen

Omschrijving	File
Fundatie	1967 - Grondboringen illustratie (uit bundel - Paal voor masttype S+0, S+3 en S+6).pdf 1967 - Grondboringen tabellen (uit bundel - Paal voor masttype S+0, S+3 en S+6).pdf 1967 - Sondering 01 t/m 133
1967 - Heistaten	Rammprotocoll Mast nr.071.pdf Rammprotokoll Mast nr.072.pdf 1967 - Mastenlijst paallengte (uit bundel - Paal voor masttype S+0, S+3 en S+6).pdf 1967 - Paal voor masttype S+0, S+3 en S+6.pdf 1967 - Pootspreiding (uit bundel - Paal voor masttype S+0, S+3 en S+6).pdf 1967 - Tekening fundatie LD1 (uit bundel - Paal voor masttype S+0, S+3 en S+6).pdf 1967 - Tekening fundatie LV1 (uit bundel - Paal voor masttype S+0, S+3 en S+6).pdf 1969 - 1404-191-3 (lijst met poertypen)
Fundatie berekening	1967 - DV226 Scan gegevens 380kV palenstaat, paalkop en in te storten poten.pdf 1967 (vermoedelijk) - fundatiekracht per mast TNNT001610-00027.pdf

APPENDIX B

Gegevens funderingen

Paalgegevens, bestaand											
Mastrnr.	Masttype	Aantal palen	Paaltype	Paallengte [m]	Paal boven (oud) maaiveld [m]	Paalpuntniveau t.o.v. (oud) MV [m] ⁽¹⁾	Huidig maaiveld t.o.v. NAP [m]	Bovenkant fundatie t.o.v. NAP [m]	Paal tov. bk. fundatie [m]	Paalpuntniveau t.o.v. NAP [m]	
19	S+0	1	LD1	12,50	0,40	-11,91	26,27	26,96	0,10	14,36	
20	S+0	1	LD1	12,50	0,40	-12,17	25,23	25,67	0,10	13,07	
22	S+0	1	LD1	15,00	0,40	-14,75	27,40	27,75	0,10	12,65	
24	S+0	1	LD1	16,00	0,40	-15,59	26,45	26,96	0,10	10,86	
29	S+0	1	LV1	9,00	0,40	-8,60	29,16	29,18	0,10	20,08	
30	S+0	1	LV1	9,00	0,40	-8,60	27,90	28,20	0,10	19,10	
31	S+0	1	LD1	9,00	0,40	-8,80	29,28	29,58	0,10	20,48	
32	S+6 T3	1	LD1	13,50	0,40	-10,14	26,90	30,36	0,10	16,76	
33	S+6	1	LD1	10,00	0,40	-9,76	28,37	28,71	0,10	18,61	
35	S+3 T3	1	LD1	7,50	0,40	-7,13	28,94	29,41	0,10	21,81	
36	S+3	1	LD1	7,50	0,40	-7,19	28,90	29,31	0,10	21,71	
37	S+3	1	LD1	7,80	0,40	-7,59	29,57	29,88	0,10	21,98	
38	S+0	1	LD1	9,00	0,40	-8,56	29,24	29,78	0,10	20,68	
40	S+0	1	LD1	7,40	0,40	-6,76	29,26	30,00	0,10	22,50	
41	S+0	1	LD1	8,70	0,40	-8,53	29,72	29,99	0,10	21,19	
42	S+0	1	LD1	9,50	0,40	-9,23	30,69	31,06	0,10	21,46	
43	S+0	1	LD1	9,20	0,40	-8,78	29,95	30,47	0,10	21,17	
44	S+0	1	LD1	8,40	0,40	-8,02	30,23	30,71	0,10	22,21	
45	S+0	1	LD1	11,30	0,40	-10,96	30,34	30,78	0,10	19,38	
46	S+0	1	LD1	9,00	0,40	-8,81	31,04	31,33	0,10	22,23	
47	S+0	1	LD1	9,00	0,40	-8,66	31,02	31,46	0,10	22,36	
48	S+0	1	LD1	10,70	0,40	-10,20	31,38	31,98	0,10	21,18	
49	S+0	1	LD1	9,50	0,40	-9,11	31,01	31,51	0,10	21,91	
52	S+0	1	LD1	13,50	0,40	-13,15	31,29	31,75	0,10	18,15	
53	S+0	1	LD1	9,20	0,40	-8,72	30,66	31,24	0,10	21,94	
55	S+0	1	LD1	9,10	0,40	-8,67	30,44	30,97	0,10	21,77	
56	S+0	1	LD1	9,00	0,40	-8,62	30,47	30,95	0,10	21,85	
57	S+3	1	LD1	10,40	0,40	-10,13	29,36	29,74	0,10	19,24	
58	S+0	1	LD1	14,10	0,40	-13,66	30,17	30,71	0,10	16,51	
59	S+3	1	LD1	12,50	0,40	-12,02	27,34	27,92	0,10	15,32	
60	S+0	1	LD1	12,60	0,40	-12,11	27,03	27,62	0,10	14,92	
62	S+0	1	LD1	13,00	0,40	-12,60	26,88	27,58	0,10	14,48	
63	S+0	1	LV1	13,50	0,40	-12,50	26,56	27,67	0,10	14,07	
64	S+0 T1	1	LD1	13,00	0,40	-12,19	26,75	27,66	0,10	14,56	
65	S+0	1	LD1	13,00	0,40	-12,60	27,41	27,77	0,10	14,67	
66	S+0	1	LD1	12,00	0,40	-11,51	26,35	26,94	0,10	14,84	
67	S+0	1	LD1	12,00	0,40	-11,85	27,05	27,30	0,10	15,20	

Paalgegevens, bestaand

Mastrnr.	Masttype	Aantal palen	Paaltype	Paallengte [m]	Paal boven	Paalpuntniveau	Huidig maaiveld	Bovenkant	Paal tov. bk. fundatie [m]	Paalpuntniveau t.o.v. NAP [m]
					(oud) maaiveld [m]	t.o.v. (oud) MV [m] ⁽¹⁾	t.o.v. NAP [m]	fundatie t.o.v. NAP [m]		
68	S+0	1	LD1	12,50	0,40	-12,19	27,15	27,56	0,10	14,96
70	S+0 T1	1	LD1	9,50	0,40	-9,08	24,65	25,17	0,10	15,57
71	S+0	1	LD1	11,00	0,40	-11,07	24,72	24,75	0,10	13,65
72	S+0	1	LD1	11,00	0,40	-10,86	24,11	24,36	0,10	13,26
73	S+0	1	LV1	11,00	0,40	-11,91	25,41	24,60	0,10	13,50
74	S+0	1	LD1	10,00	0,40	-9,68	24,17	24,59	0,10	14,49
76	S+0	1	LD1	11,50	0,40	-11,02	23,60	24,18	0,10	12,58
77	S+0	1	LD1	12,00	0,40	-11,60	23,85	24,24	0,10	12,14
78	S+0	1	LD1	12,00	0,40	-11,41	24,08	24,77	0,10	12,67
79	S+0	1	LD1	13,00	0,40	-12,59	23,28	23,80	0,10	10,70
80	S+0	1	LD1	12,00	0,40	-11,48	22,67	23,29	0,10	11,19
81	S+0	1	LD1	12,50	0,40	-11,94	22,46	23,12	0,10	10,52
83	S+0	1	LD1	13,50	0,40	-13,10	22,44	22,85	0,10	9,25
84	S+0	1	LD1	13,60	0,40	-13,20	22,22	22,65	0,10	8,95
86	S+0	1	LD1	12,00	0,40	-11,51	22,11	22,70	0,10	10,60
87	S+0	1	LD1	12,00	0,40	-11,60	22,29	22,69	0,10	10,59
88	S+0	1	LD1	12,50	0,40	-12,30	21,44	21,74	0,10	9,14
89	S+0	1	LD1	12,00	0,40	-11,30	21,25	22,06	0,10	9,96
91	S+0	1	LD1	13,00	0,40	-12,75	22,10	22,45	0,10	9,35
92	S+0	1	LD1	11,00	0,40	-10,41	22,28	22,97	0,10	11,87
93	S+0 T3	1	LD1	9,00	0,40	-8,57	23,95	24,48	0,10	15,38
94	S+0	1	LD1	9,50	0,40	-9,09	20,52	21,03	0,10	11,43
95	S+0	1	LD1	13,00	0,40	-12,58	19,98	20,50	0,10	7,40
96	S+0	1	LD1	10,00	0,40	-9,45	19,88	20,53	0,10	10,43
97	S+0	1	LD1	10,00	0,40	-9,64	19,83	20,30	0,10	10,20
101	S+0	1	LD1	11,50	0,40	-11,08	20,97	21,49	0,10	9,89
102	S+0	1	LD1	11,00	0,40	-10,71	20,51	20,90	0,10	9,80
104	S+0	1	LD1	10,50	0,40	-10,35	20,21	20,46	0,10	9,86
105	S+0	1	LD1	13,50	0,40	-13,10	21,00	21,19	0,10	7,59
106	S+0	1	LD1	13,00	0,40	-12,47	18,84	19,47	0,10	6,37
107	S+0	1	LD1	11,50	0,40	-11,15	17,85	18,30	0,10	6,70
108	S+0	1	LD1	13,50	0,40	-13,39	18,40	18,61	0,10	5,01
109	S+0	1	LD1	9,00	0,40	-8,76	18,99	19,33	0,10	10,23
110	S+0	1	LD1	9,00	0,40	-8,59	18,34	18,85	0,10	9,75
111	S+0	1	LD1	8,00	0,40	-7,62	18,72	19,20	0,10	11,10
112	S+9	1	LD1	13,60	0,40	-13,11	18,82	19,41	0,10	5,71
113	S+9	1	LD1	10,00	0,40	-9,26	19,84	20,68	0,10	10,58
123	S+0	1	LD1	8,00	0,40	-7,60	17,39	17,89	0,10	9,79
124	S+0	1	LD1	10,50	0,40	-10,64	18,03	17,99	0,10	7,39
125	S+0	1	LD1	10,50	0,40	-12,10	18,38	16,88	0,10	6,28
126	S+0	1	LD1	9,00	0,40	-9,14	18,40	18,36	0,10	9,26

Paalgegevens, bestand

Mastrnr.	Masttype	Aantal palen	Paaltype	Paallengte [m]	Paal boven	Paalpuntniveau	Huidig maaiveld	Bovenkant	Paal tov. bk. fundatie [m]	Paalpuntniveau t.o.v. NAP [m]
					(oud) maaiveld [m]	t.o.v. (oud) MV [m] ⁽¹⁾	t.o.v. NAP [m]	fundatie t.o.v. NAP [m]		
127	S+0 T1	1	LD1	10,50	0,40	-10,45	18,88	19,04	0,10	8,44
129	S+0	1	LD1	11,00	0,40	-11,05	19,47	19,52	0,10	8,42
131	S+0	1	LD1	11,50	0,40	-11,39	17,63	17,84	0,10	6,24
132	S+0	1	LD1	11,50	0,40	-10,70	15,81	16,71	0,10	5,11

Poergegevens, bestand

Mastrnr.	Masttype	Poertype	L [m]	b [m]2	h [m]	Bovenkant	Onderkant	Volume.	Volume poer [m ³]	EG _{poer} [kN]
						poer tov MV [m] ⁽¹⁾	poer tov. MV [m]	onder GWS [m]		
19	S+0	Omstorting 1-paalfundering LD1	0,80	0,80	1,50	0,50	-1,00	0,00	0,45	11
20	S+0	Omstorting 1-paalfundering LD1	0,80	0,80	1,50	0,50	-1,00	0,00	0,45	11
22	S+0	Omstorting 1-paalfundering LD1	0,80	0,80	1,50	0,50	-1,00	0,00	0,45	11
24	S+0	Omstorting 1-paalfundering LD1	0,80	0,80	1,50	0,50	-1,00	0,00	0,45	11
29	S+0	Omstorting 1-paalfundering LV1	0,90	0,90	1,50	0,50	-1,00	0,00	0,48	12
30	S+0	Omstorting 1-paalfundering LV1	0,90	0,90	1,50	0,50	-1,00	0,00	0,48	12
31	S+0	Omstorting 1-paalfundering LD1	0,80	0,80	1,50	0,50	-1,00	0,00	0,45	11
32	S+6 T3	Omstorting 1-paalfundering LD1	0,80	0,80	1,50	0,50	-1,00	0,00	0,45	11
33	S+6	Omstorting 1-paalfundering LD1	0,80	0,80	1,50	0,50	-1,00	0,00	0,45	11
35	S+3 T3	Omstorting 1-paalfundering LD1	0,80	0,80	1,50	0,50	-1,00	0,00	0,45	11
36	S+3	Omstorting 1-paalfundering LD1	0,80	0,80	1,50	0,50	-1,00	0,00	0,45	11
37	S+3	Omstorting 1-paalfundering LD1	0,80	0,80	1,50	0,50	-1,00	0,00	0,45	11
38	S+0	Omstorting 1-paalfundering LD1	0,80	0,80	1,50	0,50	-1,00	0,00	0,45	11
40	S+0	Omstorting 1-paalfundering LD1	0,80	0,80	1,50	0,50	-1,00	0,00	0,45	11
41	S+0	Omstorting 1-paalfundering LD1	0,80	0,80	1,50	0,50	-1,00	0,00	0,45	11
42	S+0	Omstorting 1-paalfundering LD1	0,80	0,80	1,50	0,50	-1,00	0,00	0,45	11
43	S+0	Omstorting 1-paalfundering LD1	0,80	0,80	1,50	0,50	-1,00	0,00	0,45	11
44	S+0	Omstorting 1-paalfundering LD1	0,80	0,80	1,50	0,50	-1,00	0,00	0,45	11
45	S+0	Omstorting 1-paalfundering LD1	0,80	0,80	1,50	0,50	-1,00	0,00	0,45	11
46	S+0	Omstorting 1-paalfundering LD1	0,80	0,80	1,50	0,50	-1,00	0,00	0,45	11
47	S+0	Omstorting 1-paalfundering LD1	0,80	0,80	1,50	0,50	-1,00	0,00	0,45	11
48	S+0	Omstorting 1-paalfundering LD1	0,80	0,80	1,50	0,50	-1,00	0,00	0,45	11
49	S+0	Omstorting 1-paalfundering LD1	0,80	0,80	1,50	0,50	-1,00	0,00	0,45	11
52	S+0	Omstorting 1-paalfundering LD1	0,80	0,80	1,50	0,50	-1,00	0,00	0,45	11
53	S+0	Omstorting 1-paalfundering LD1	0,80	0,80	1,50	0,50	-1,00	0,00	0,45	11
55	S+0	Omstorting 1-paalfundering LD1	0,80	0,80	1,50	0,50	-1,00	0,00	0,45	11
56	S+0	Omstorting 1-paalfundering LD1	0,80	0,80	1,50	0,50	-1,00	0,00	0,45	11
57	S+3	Omstorting 1-paalfundering LD1	0,80	0,80	1,50	0,50	-1,00	0,00	0,45	11
58	S+0	Omstorting 1-paalfundering LD1	0,80	0,80	1,50	0,50	-1,00	0,00	0,45	11
59	S+3	Omstorting 1-paalfundering LD1	0,80	0,80	1,50	0,50	-1,00	0,00	0,45	11
60	S+0	Omstorting 1-paalfundering LD1	0,80	0,80	1,50	0,50	-1,00	0,00	0,45	11

Poergegevens, bestand

Mastrnr.	Masttype	Poertype	L [m]	b [m]2	h [m]	Bovenkant poer tov MV [m] ⁽¹⁾	Onderkant poer tov. MV [m]	Volume. onder GWS [m]	Volume poer [m ³]	EG _{poer} [kN]
62	S+0	Omstorting 1-paalfundering LD1	0,80	0,80	1,50	0,50	-1,00	0,00	0,45	11
63	S+0	Omstorting 1-paalfundering LV1	0,90	0,90	1,50	0,50	-1,00	0,00	0,48	12
64	S+0 T1	Omstorting 1-paalfundering LD1	0,80	0,80	1,50	0,50	-1,00	0,00	0,45	11
65	S+0	Omstorting 1-paalfundering LD1	0,80	0,80	1,50	0,50	-1,00	0,00	0,45	11
66	S+0	Omstorting 1-paalfundering LD1	0,80	0,80	1,50	0,50	-1,00	0,00	0,45	11
67	S+0	Omstorting 1-paalfundering LD1	0,80	0,80	1,50	0,50	-1,00	0,00	0,45	11
68	S+0	Omstorting 1-paalfundering LD1	0,80	0,80	1,50	0,50	-1,00	0,00	0,45	11
70	S+0 T1	Omstorting 1-paalfundering LD1	0,80	0,80	1,50	0,50	-1,00	0,00	0,45	11
71	S+0	Omstorting 1-paalfundering LD1	0,80	0,80	1,50	0,50	-1,00	0,00	0,45	11
72	S+0	Omstorting 1-paalfundering LD1	0,80	0,80	1,50	0,50	-1,00	0,00	0,45	11
73	S+0	Omstorting 1-paalfundering LV1	0,90	0,90	1,50	0,50	-1,00	0,00	0,48	12
74	S+0	Omstorting 1-paalfundering LD1	0,80	0,80	1,50	0,50	-1,00	0,00	0,45	11
76	S+0	Omstorting 1-paalfundering LD1	0,80	0,80	1,50	0,50	-1,00	0,00	0,45	11
77	S+0	Omstorting 1-paalfundering LD1	0,80	0,80	1,50	0,50	-1,00	0,00	0,45	11
78	S+0	Omstorting 1-paalfundering LD1	0,80	0,80	1,50	0,50	-1,00	0,00	0,45	11
79	S+0	Omstorting 1-paalfundering LD1	0,80	0,80	1,50	0,50	-1,00	0,00	0,45	11
80	S+0	Omstorting 1-paalfundering LD1	0,80	0,80	1,50	0,50	-1,00	0,00	0,45	11
81	S+0	Omstorting 1-paalfundering LD1	0,80	0,80	1,50	0,50	-1,00	0,00	0,45	11
83	S+0	Omstorting 1-paalfundering LD1	0,80	0,80	1,50	0,50	-1,00	0,00	0,45	11
84	S+0	Omstorting 1-paalfundering LD1	0,80	0,80	1,50	0,50	-1,00	0,00	0,45	11
86	S+0	Omstorting 1-paalfundering LD1	0,80	0,80	1,50	0,50	-1,00	0,00	0,45	11
87	S+0	Omstorting 1-paalfundering LD1	0,80	0,80	1,50	0,50	-1,00	0,00	0,45	11
88	S+0	Omstorting 1-paalfundering LD1	0,80	0,80	1,50	0,50	-1,00	0,00	0,45	11
89	S+0	Omstorting 1-paalfundering LD1	0,80	0,80	1,50	0,50	-1,00	0,00	0,45	11
91	S+0	Omstorting 1-paalfundering LD1	0,80	0,80	1,50	0,50	-1,00	0,00	0,45	11
92	S+0	Omstorting 1-paalfundering LD1	0,80	0,80	1,50	0,50	-1,00	0,00	0,45	11
93	S+0 T3	Omstorting 1-paalfundering LD1	0,80	0,80	1,50	0,50	-1,00	0,00	0,45	11
94	S+0	Omstorting 1-paalfundering LD1	0,80	0,80	1,50	0,50	-1,00	0,00	0,45	11
95	S+0	Omstorting 1-paalfundering LD1	0,80	0,80	1,50	0,50	-1,00	0,00	0,45	11
96	S+0	Omstorting 1-paalfundering LD1	0,80	0,80	1,50	0,50	-1,00	0,00	0,45	11
97	S+0	Omstorting 1-paalfundering LD1	0,80	0,80	1,50	0,50	-1,00	0,00	0,45	11
101	S+0	Omstorting 1-paalfundering LD1	0,80	0,80	1,50	0,50	-1,00	0,00	0,45	11
102	S+0	Omstorting 1-paalfundering LD1	0,80	0,80	1,50	0,50	-1,00	0,00	0,45	11
104	S+0	Omstorting 1-paalfundering LD1	0,80	0,80	1,50	0,50	-1,00	0,00	0,45	11
105	S+0	Omstorting 1-paalfundering LD1	0,80	0,80	1,50	0,50	-1,00	0,00	0,45	11
106	S+0	Omstorting 1-paalfundering LD1	0,80	0,80	1,50	0,50	-1,00	0,00	0,45	11
107	S+0	Omstorting 1-paalfundering LD1	0,80	0,80	1,50	0,50	-1,00	0,00	0,45	11
108	S+0	Omstorting 1-paalfundering LD1	0,80	0,80	1,50	0,50	-1,00	0,00	0,45	11
109	S+0	Omstorting 1-paalfundering LD1	0,80	0,80	1,50	0,50	-1,00	0,00	0,45	11
110	S+0	Omstorting 1-paalfundering LD1	0,80	0,80	1,50	0,50	-1,00	0,00	0,45	11
111	S+0	Omstorting 1-paalfundering LD1	0,80	0,80	1,50	0,50	-1,00	0,00	0,45	11
112	S+9	Omstorting 1-paalfundering LD1	0,80	0,80	1,50	0,50	-1,00	0,00	0,45	11

Poergegevens, bestaand

Mastrnr.	Masttype	Poertype	L [m]	b [m]2	h [m]	Bovenkant poer tov MV [m] ⁽¹⁾	Onderkant poer tov. MV [m]	Volume. onder GWS [m]	Volume poer [m ³]	EG _{poer} [kN]
113	S+9	Omstorting 1-paalfundering LD1	0,80	0,80	1,50	0,50	-1,00	0,00	0,45	11
123	S+0	Omstorting 1-paalfundering LD1	0,80	0,80	1,50	0,50	-1,00	0,00	0,45	11
124	S+0	Omstorting 1-paalfundering LD1	0,80	0,80	1,50	0,50	-1,00	0,00	0,45	11
125	S+0	Omstorting 1-paalfundering LD1	0,80	0,80	1,50	0,50	-1,00	0,00	0,45	11
126	S+0	Omstorting 1-paalfundering LD1	0,80	0,80	1,50	0,50	-1,00	0,00	0,45	11
127	S+0 T1	Omstorting 1-paalfundering LD1	0,80	0,80	1,50	0,50	-1,00	0,00	0,45	11
129	S+0	Omstorting 1-paalfundering LD1	0,80	0,80	1,50	0,50	-1,00	0,00	0,45	11
131	S+0	Omstorting 1-paalfundering LD1	0,80	0,80	1,50	0,50	-1,00	0,00	0,45	11
132	S+0	Omstorting 1-paalfundering LD1	0,80	0,80	1,50	0,50	-1,00	0,00	0,45	11

Paalgegevens, nieuw

Mastrnr.	Masttype	Aantal palen	Paaltype	Paallengte [m]	Bovenkant paal tov. NAP [m]	Maaveld t.o.v. NAP [m]	Verschil PP niveau t.o.v. bestaand [m] ⁽²⁾	PP niveau t.o.v. NAP [m]
20	S+0	2	SI-paal 273/400	12,90	25,37	25,23	-0,59	12,47
35	S+3 T3	2	SI-paal 273/400	7,90	29,11	28,94	-0,60	21,21
36	S+3	2	SI-paal 273/400	8,00	29,01	28,90	-0,70	21,01
40	S+0	2	SI-paal 273/400	8,20	29,70	29,26	-1,00	21,50
46	S+0	2	SI-paal 273/400	10,50	31,03	31,04	-1,70	20,53
47	S+0	2	SI-paal 273/400	10,70	31,16	31,02	-1,90	20,46
56	S+0	2	SI-paal 273/400	7,90	30,65	30,47	0,90	22,75
70	S+0 T	2	SI-paal 323/450	8,90	24,87	24,65	0,40	15,97
72	S+0	2	SI-paal 323/450	9,10	24,06	24,11	1,70	14,96
93	S+0 T	2	SI-paal 273/400	9,40	24,18	23,95	-0,60	14,78
110	S+0	2	SI-paal 273/400	9,80	18,55	18,34	-1,00	8,75
111	S+0	2	SI-paal 273/400	11,60	18,90	18,72	-3,80	7,30
113	S+9	2	SI-paal 323/450	7,90	20,38	19,84	1,90	12,48
132	S+0	2	SI-paal 323/450	13,40	16,41	15,81	-2,10	3,01

Poergegevens, nieuw

Mastrnr.	Masttype	Poertype	L [m]	b [m]2	h [m]	Bovenkant poer tov MV [m] ⁽¹⁾	Onderkant poer tov. MV [m]	Volume. onder GWS [m]	Volume poer [m ³]	EG _{poer} [kN]
20	S+0	Lijnpoer - 1P+2P	4,00	1,60	1,10	25,67	0,30	-0,80	7,04	169
35	S+3 T3	Lijnpoer - 1P+2P	4,00	1,60	1,10	29,41	0,30	-0,80	7,04	169
36	S+3	Lijnpoer - 1P+2P	4,00	1,60	1,10	29,31	0,30	-0,80	7,04	169
40	S+0	Lijnpoer - 1P+2P	4,00	1,60	1,10	30,00	0,30	-0,80	7,04	169
46	S+0	Lijnpoer - 1P+2P	4,00	1,60	1,10	31,33	0,30	-0,80	7,04	169
47	S+0	Lijnpoer - 1P+2P	4,00	1,60	1,10	31,46	0,30	-0,80	7,04	169

Poergegevens, nieuw

Mastrnr.	Masttype	Poertype	L [m]	b [m]2	h [m]	Bovenkant poer tov MV [m] ⁽¹⁾	Onderkant poer tov. MV [m]	Volume. onder GWS [m]	Volume poer [m ³]	EG _{poer} [kN]
56	S+0	Lijnpoer - 1P+2P	4,00	1,60	1,10	30,95	0,30	-0,80	7,04	169
70	S+0 T	Lijnpoer - 1P+2P	4,00	1,60	1,10	25,17	0,30	-0,80	7,04	169
72	S+0	Lijnpoer - 1P+2P	4,00	1,60	1,10	24,36	0,30	-0,80	7,04	169
93	S+0 T	Lijnpoer - 1P+2P	4,00	1,60	1,10	24,48	0,30	-0,80	7,04	169
110	S+0	Lijnpoer - 1P+2P	4,00	1,60	1,10	18,85	0,30	-0,80	7,04	169
111	S+0	Lijnpoer - 1P+2P	4,00	1,60	1,10	19,20	0,30	-0,80	7,04	169
113	S+9	Lijnpoer - 1P+2P	4,00	1,60	1,10	20,68	0,30	-0,80	7,04	169
132	S+0	Lijnpoer - 1P+2P	4,00	1,60	1,10	16,71	0,30	-0,80	7,04	169

Poergegevens, nieuw

Mastrnr.	Masttype	Poertype	L [m]	b [m]2	h [m]	Bovenkant poer tov MV [m] ⁽¹⁾	Onderkant poer tov. MV [m]	Volume. onder GWS [m]	Volume poer [m ³]	EG _{poer} [kN]
33	S+6	1-paals + poer - type 2	1,50	1,50	1,40	28,71	0,40	-1,00	2,82	68
37	S+3	1-paals + poer - type 2	1,50	1,50	1,40	29,88	0,40	-1,00	2,82	68
38	S+0	1-paals + poer - type 1	1,70	1,70	1,40	29,78	0,40	-1,00	3,71	89
41	S+0	1-paals + poer - type 1	1,70	1,70	1,40	29,99	0,40	-1,00	3,71	89
43	S+0	1-paals + poer - type 1	1,70	1,70	1,40	30,47	0,40	-1,00	3,71	89
44	S+0	1-paals + poer - type 1	1,70	1,70	1,40	30,71	0,40	-1,00	3,71	89
48	S+0	1-paals + poer - type 2	1,50	1,50	1,40	31,98	0,40	-1,00	2,82	68
49	S+0	1-paals + poer - type 2	1,50	1,50	1,40	31,51	0,40	-1,00	2,82	68
55	S+0	1-paals + poer - type 1	1,70	1,70	1,40	30,97	0,40	-1,00	3,71	89
74	S+0	1-paals + poer - type 1	1,70	1,70	1,40	24,59	0,40	-1,00	3,71	89
76	S+0	1-paals + poer - type 1	1,70	1,70	1,40	24,18	0,40	-1,00	3,71	89
80	S+0	1-paals + poer - type 2	1,50	1,50	1,40	23,29	0,40	-1,00	2,82	68
94	S+0	1-paals + poer - type 2	1,50	1,50	1,40	21,03	0,40	-1,00	2,82	68
96	S+0	1-paals + poer - type 1	1,70	1,70	1,40	20,53	0,40	-1,00	3,71	89
97	S+0	1-paals + poer - type 1	1,70	1,70	1,40	20,30	0,40	-1,00	3,71	89
102	S+0	1-paals + poer - type 1	1,70	1,70	1,40	20,90	0,40	-1,00	3,71	89
104	S+0	1-paals + poer - type 2	1,50	1,50	1,40	20,46	0,40	-1,00	2,82	68
107	S+0	1-paals + poer - type 2	1,50	1,50	1,40	18,30	0,40	-1,00	2,82	68
123	S+0	1-paals + poer - type 2	1,50	1,50	1,40	17,89	0,40	-1,00	2,82	68

APPENDIX C

Toetsing bestaande constructie

Toetsing funderingen op trekbelasting, initiële situatie

Mast	Masttype	Poertype	Paaltype	$F_{Ed,mast}$ [kN]	Aantal palen per randstijl	Effectivi- teit palen	F_{poe} $F_{r,d}$ [kN]	$F_{Ed,pa}$ F_{al} [kN]	$F_{R,d,tr}$ F_{ek} [kN]	U.C.	
19	S+0	Omstorting	1-paalfundering LD1	LD1	-421	1	100%	8	413	444	0,93
20	S+0	Omstorting	1-paalfundering LD1	LD1	-410	1	100%	8	402	320	1,26
22	S+0	Omstorting	1-paalfundering LD1	LD1	-410	1	100%	8	402	435	0,92
24	S+0	Omstorting	1-paalfundering LD1	LD1	-410	1	100%	8	402	406	0,99
29	S+0	Omstorting	1-paalfundering LV1	LV1	-421	1	100%	9	412	492	0,84
30	S+0	Omstorting	1-paalfundering LV1	LV1	-410	1	100%	9	401	440	0,91
31	S+0	Omstorting	1-paalfundering LD1	LD1	-421	1	100%	8	413	417	0,99
32	S+6 T3	Omstorting	1-paalfundering LD1	LD1	-492	1	100%	8	484	483	1,00
33	S+6	Omstorting	1-paalfundering LD1	LD1	-471	1	100%	8	463	444	1,04
35	S+3 T3	Omstorting	1-paalfundering LD1	LD1	-379	1	100%	8	371	303	1,22
36	S+3	Omstorting	1-paalfundering LD1	LD1	-379	1	100%	8	371	311	1,19
37	S+3	Omstorting	1-paalfundering LD1	LD1	-379	1	100%	8	371	361	1,03
38	S+0	Omstorting	1-paalfundering LD1	LD1	-410	1	100%	8	402	362	1,11
40	S+0	Omstorting	1-paalfundering LD1	LD1	-410	1	100%	8	402	325	1,24
41	S+0	Omstorting	1-paalfundering LD1	LD1	-410	1	100%	8	402	365	1,10
42	S+0	Omstorting	1-paalfundering LD1	LD1	-410	1	100%	8	402	430	0,93
43	S+0	Omstorting	1-paalfundering LD1	LD1	-410	1	100%	8	402	356	1,13
44	S+0	Omstorting	1-paalfundering LD1	LD1	-410	1	100%	8	402	371	1,08
45	S+0	Omstorting	1-paalfundering LD1	LD1	-410	1	100%	8	402	416	0,97
46	S+0	Omstorting	1-paalfundering LD1	LD1	-410	1	100%	8	402	353	1,14
47	S+0	Omstorting	1-paalfundering LD1	LD1	-410	1	100%	8	402	321	1,25
48	S+0	Omstorting	1-paalfundering LD1	LD1	-410	1	100%	8	402	398	1,01
49	S+0	Omstorting	1-paalfundering LD1	LD1	-421	1	100%	8	413	394	1,05
52	S+0	Omstorting	1-paalfundering LD1	LD1	-421	1	100%	8	413	554	0,75
53	S+0	Omstorting	1-paalfundering LD1	LD1	-410	1	100%	8	402	402	1,00
55	S+0	Omstorting	1-paalfundering LD1	LD1	-410	1	100%	8	402	358	1,12
56	S+0	Omstorting	1-paalfundering LD1	LD1	-410	1	100%	8	402	343	1,17
57	S+3	Omstorting	1-paalfundering LD1	LD1	-379	1	100%	8	371	437	0,85
58	S+0	Omstorting	1-paalfundering LD1	LD1	-410	1	100%	8	402	530	0,76
59	S+3	Omstorting	1-paalfundering LD1	LD1	-379	1	100%	8	371	375	0,99
60	S+0	Omstorting	1-paalfundering LD1	LD1	-410	1	100%	8	402	404	0,99
62	S+0	Omstorting	1-paalfundering LD1	LD1	-410	1	100%	8	402	524	0,77
63	S+0	Omstorting	1-paalfundering LV1	LV1	-410	1	100%	9	401	508	0,79
64	S+0 T	Omstorting	1-paalfundering LD1	LD1	-457	1	100%	8	449	454	0,99
65	S+0	Omstorting	1-paalfundering LD1	LD1	-410	1	100%	8	402	521	0,77
66	S+0	Omstorting	1-paalfundering LD1	LD1	-410	1	100%	8	402	413	0,97
67	S+0	Omstorting	1-paalfundering LD1	LD1	-410	1	100%	8	402	466	0,86
68	S+0	Omstorting	1-paalfundering LD1	LD1	-410	1	100%	8	402	477	0,84
70	S+0 T	Omstorting	1-paalfundering LD1	LD1	-455	1	100%	8	447	320	1,40
71	S+0	Omstorting	1-paalfundering LD1	LD1	-410	1	100%	8	402	415	0,97
72	S+0	Omstorting	1-paalfundering LD1	LD1	-410	1	100%	8	402	320	1,26
73	S+0	Omstorting	1-paalfundering LV1	LV1	-410	1	100%	9	401	478	0,84
74	S+0	Omstorting	1-paalfundering LD1	LD1	-410	1	100%	8	402	368	1,09
76	S+0	Omstorting	1-paalfundering LD1	LD1	-410	1	100%	8	402	360	1,12
77	S+0	Omstorting	1-paalfundering LD1	LD1	-410	1	100%	8	402	576	0,70
78	S+0	Omstorting	1-paalfundering LD1	LD1	-410	1	100%	8	402	421	0,95
79	S+0	Omstorting	1-paalfundering LD1	LD1	-410	1	100%	8	402	456	0,88
80	S+0	Omstorting	1-paalfundering LD1	LD1	-410	1	100%	8	402	382	1,05
81	S+0	Omstorting	1-paalfundering LD1	LD1	-410	1	100%	8	402	425	0,95
83	S+0	Omstorting	1-paalfundering LD1	LD1	-410	1	100%	8	402	543	0,74
84	S+0	Omstorting	1-paalfundering LD1	LD1	-410	1	100%	8	402	503	0,80
86	S+0	Omstorting	1-paalfundering LD1	LD1	-410	1	100%	8	402	480	0,84
87	S+0	Omstorting	1-paalfundering LD1	LD1	-410	1	100%	8	402	517	0,78
88	S+0	Omstorting	1-paalfundering LD1	LD1	-410	1	100%	8	402	459	0,88
89	S+0	Omstorting	1-paalfundering LD1	LD1	-410	1	100%	8	402	444	0,90
91	S+0	Omstorting	1-paalfundering LD1	LD1	-410	1	100%	8	402	573	0,70
92	S+0	Omstorting	1-paalfundering LD1	LD1	-410	1	100%	8	402	477	0,84
93	S+0 T	Omstorting	1-paalfundering LD1	LD1	-414	1	100%	8	405	277	1,46
94	S+0	Omstorting	1-paalfundering LD1	LD1	-410	1	100%	8	402	393	1,02
95	S+0	Omstorting	1-paalfundering LD1	LD1	-410	1	100%	8	402	530	0,76
96	S+0	Omstorting	1-paalfundering LD1	LD1	-410	1	100%	8	402	362	1,11
97	S+0	Omstorting	1-paalfundering LD1	LD1	-410	1	100%	8	402	361	1,11

Toetsing funderingen op trekbelasting, initiële situatie

Mast	Masttype	Poertype	Paaltype	$F_{Ed,mast}$ [kN]	Aantal palen per randstijl	Effectiviteit palen	$F_{r,d}$ [kN]	$F_{Ed,paal}$ [kN]	$F_{R,d,trek}$ [kN]	U.C.	
101	S+0	Omstorting	1-paalfundering LD1	LD1	-421	1	100%	8	413	463	0,89
102	S+0	Omstorting	1-paalfundering LD1	LD1	-410	1	100%	8	402	369	1,09
104	S+0	Omstorting	1-paalfundering LD1	LD1	-410	1	100%	8	402	388	1,04
105	S+0	Omstorting	1-paalfundering LD1	LD1	-410	1	100%	8	402	516	0,78
106	S+0	Omstorting	1-paalfundering LD1	LD1	-410	1	100%	8	402	404	0,99
107	S+0	Omstorting	1-paalfundering LD1	LD1	-410	1	100%	8	402	380	1,06
108	S+0	Omstorting	1-paalfundering LD1	LD1	-410	1	100%	8	402	509	0,79
109	S+0	Omstorting	1-paalfundering LD1	LD1	-410	1	100%	8	402	416	0,97
110	S+0	Omstorting	1-paalfundering LD1	LD1	-410	1	100%	8	402	338	1,19
111	S+0	Omstorting	1-paalfundering LD1	LD1	-421	1	100%	8	413	277	1,49
112	S+9	Omstorting	1-paalfundering LD1	LD1	-562	1	100%	8	554	638	0,87
113	S+9	Omstorting	1-paalfundering LD1	LD1	-565	1	100%	8	556	440	1,26
123	S+0	Omstorting	1-paalfundering LD1	LD1	-421	1	100%	8	413	388	1,06
124	S+0	Omstorting	1-paalfundering LD1	LD1	-410	1	100%	8	402	512	0,78
125	S+0	Omstorting	1-paalfundering LD1	LD1	-410	1	100%	8	402	518	0,78
126	S+0	Omstorting	1-paalfundering LD1	LD1	-410	1	100%	8	402	466	0,86
127	S+0 T	Omstorting	1-paalfundering LD1	LD1	-426	1	100%	8	418	497	0,84
129	S+0	Omstorting	1-paalfundering LD1	LD1	-410	1	100%	8	402	455	0,88
131	S+0	Omstorting	1-paalfundering LD1	LD1	-410	1	100%	8	402	412	0,97
132	S+0	Omstorting	1-paalfundering LD1	LD1	-410	1	100%	8	402	224	1,79

Toetsing funderingen op drukbelasting, initiële situatie

Mast	Masttype	Poertype	Paaltype	$F_{Ed,ma}$ st [kN]	Aantal palen per randstijl	Effectiv iteit palen	F_{poer} d al [kN]	$F_{Ed,pa}$ al [kN]	$F_{R,d,druk}$ [kN]	U.C.	
107	S+0	Omstorting	1-paalfundering LD1	LD1	579	1	100%	13	592	1971	0,30
108	S+0	Omstorting	1-paalfundering LD1	LD1	579	1	100%	13	592	2755	0,21
109	S+0	Omstorting	1-paalfundering LD1	LD1	579	1	100%	13	592	975	0,61
110	S+0	Omstorting	1-paalfundering LD1	LD1	579	1	100%	13	592	1971	0,30
111	S+0	Omstorting	1-paalfundering LD1	LD1	587	1	100%	13	600	1444	0,42
112	S+9	Omstorting	1-paalfundering LD1	LD1	794	1	100%	13	807	1873	0,43
113	S+9	Omstorting	1-paalfundering LD1	LD1	799	1	100%	13	813	1166	0,70
123	S+0	Omstorting	1-paalfundering LD1	LD1	587	1	100%	13	600	1363	0,44
124	S+0	Omstorting	1-paalfundering LD1	LD1	579	1	100%	13	592	2322	0,25
125	S+0	Omstorting	1-paalfundering LD1	LD1	579	1	100%	13	592	1064	0,56
126	S+0	Omstorting	1-paalfundering LD1	LD1	579	1	100%	13	592	1433	0,41
127	S+0 T	Omstorting	1-paalfundering LD1	LD1	591	1	100%	13	604	1033	0,58
129	S+0	Omstorting	1-paalfundering LD1	LD1	579	1	100%	13	592	2063	0,29
131	S+0	Omstorting	1-paalfundering LD1	LD1	579	1	100%	13	592	1914	0,31
132	S+0	Omstorting	1-paalfundering LD1	LD1	579	1	100%	13	592	1560	0,38

APPENDIX D

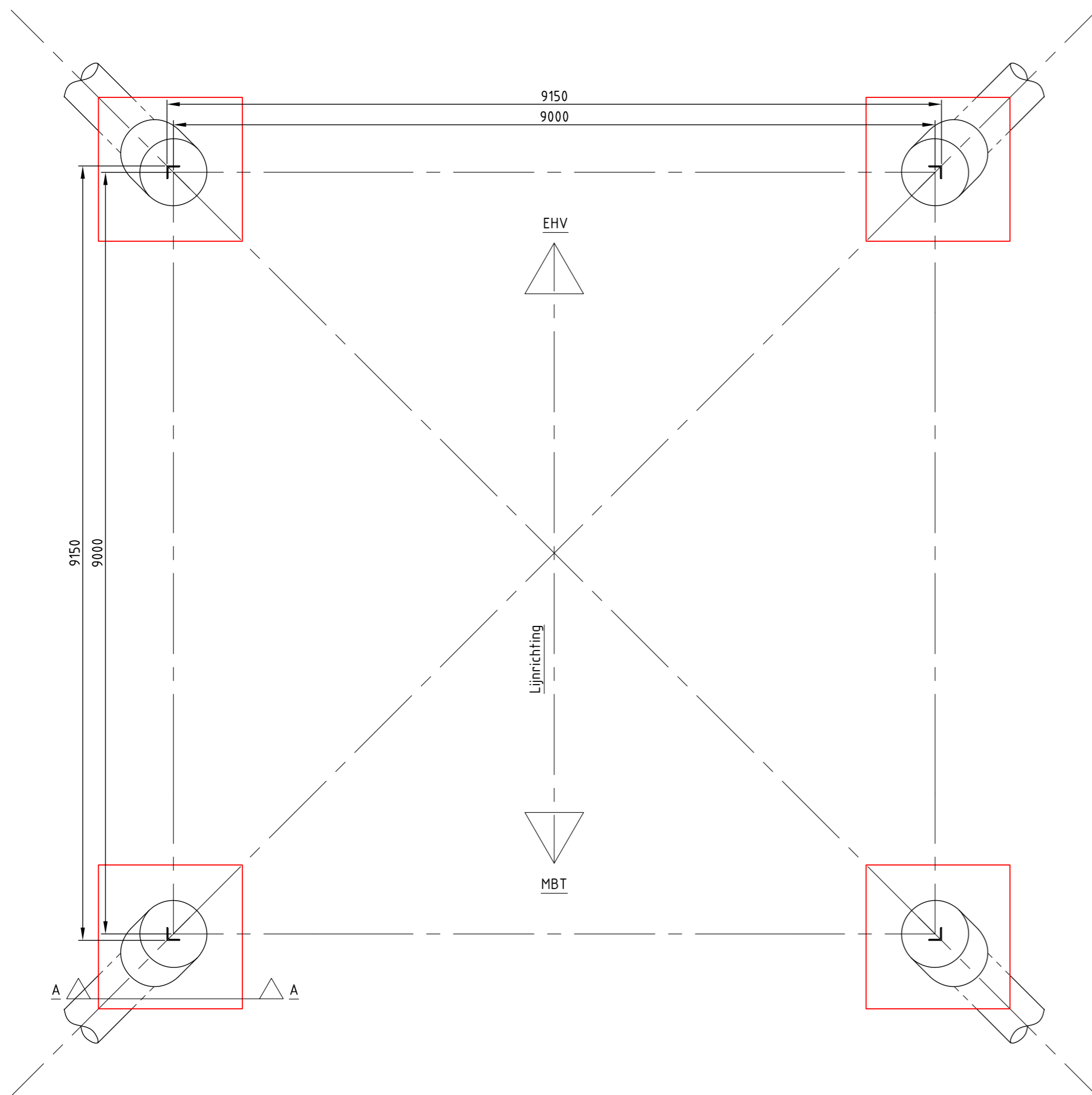
Toetsing versterkte constructie & tekeningen

Toetsing funderingen op trekbelasting – ballastverzwaring, afkeurniveau 15 jaar

Mast	Masttype	Poertype bestaand	Paal type	F _{Ed,mast} [kN]	Aantal palen per randstijl	Effecti- viteit palen	F _{R,d,trek} [kN]	Poertype nieuw	Tekort [kN]	Aantal nieuwe palen	Effectiviteit nw.palen	F _{poer,nw, d} [kN]	F _{rd,beno- digd} [kN]	Maxim- ale F _{r,d} [kN]	F _{r,d,nieuw} [kN]	U.C. nieuw
33	S+6	Omstorting 1-paalfundering LD1	LD1	-471	1	100%	444	1-paals + poer - type 2	-24	1	100%	51	0	500	444	0,95
37	S+3	Omstorting 1-paalfundering LD1	LD1	-379	1	100%	361	1-paals + poer - type 2	-33	1	100%	51	0	500	361	0,91
38	S+0	Omstorting 1-paalfundering LD1	LD1	-410	1	100%	362	1-paals + poer - type 1	-19	1	100%	67	0	500	362	0,95
41	S+0	Omstorting 1-paalfundering LD1	LD1	-410	1	100%	365	1-paals + poer - type 1	-22	1	100%	67	0	500	365	0,94
43	S+0	Omstorting 1-paalfundering LD1	LD1	-410	1	100%	356	1-paals + poer - type 1	-13	1	100%	67	0	500	356	0,96
44	S+0	Omstorting 1-paalfundering LD1	LD1	-410	1	100%	371	1-paals + poer - type 1	-28	1	100%	67	0	500	371	0,92
48	S+0	Omstorting 1-paalfundering LD1	LD1	-410	1	100%	398	1-paals + poer - type 2	-39	1	100%	51	0	500	398	0,90
49	S+0	Omstorting 1-paalfundering LD1	LD1	-421	1	100%	394	1-paals + poer - type 2	-24	1	100%	51	0	500	394	0,94
55	S+0	Omstorting 1-paalfundering LD1	LD1	-410	1	100%	358	1-paals + poer - type 1	-15	1	100%	67	0	500	358	0,96
74	S+0	Omstorting 1-paalfundering LD1	LD1	-410	1	100%	368	1-paals + poer - type 1	-25	1	100%	67	0	500	368	0,93
76	S+0	Omstorting 1-paalfundering LD1	LD1	-410	1	100%	360	1-paals + poer - type 1	-17	1	100%	67	0	500	360	0,95
80	S+0	Omstorting 1-paalfundering LD1	LD1	-410	1	100%	382	1-paals + poer - type 2	-23	1	100%	51	0	500	382	0,94
94	S+0	Omstorting 1-paalfundering LD1	LD1	-410	1	100%	393	1-paals + poer - type 2	-34	1	100%	51	0	500	393	0,91
96	S+0	Omstorting 1-paalfundering LD1	LD1	-410	1	100%	362	1-paals + poer - type 1	-19	1	100%	67	0	500	362	0,95
97	S+0	Omstorting 1-paalfundering LD1	LD1	-410	1	100%	361	1-paals + poer - type 1	-18	1	100%	67	0	500	361	0,95
102	S+0	Omstorting 1-paalfundering LD1	LD1	-410	1	100%	369	1-paals + poer - type 1	-26	1	100%	67	0	500	369	0,93
104	S+0	Omstorting 1-paalfundering LD1	LD1	-410	1	100%	388	1-paals + poer - type 2	-29	1	100%	51	0	500	388	0,93
107	S+0	Omstorting 1-paalfundering LD1	LD1	-410	1	100%	380	1-paals + poer - type 2	-21	1	100%	51	0	500	380	0,95
123	S+0	Omstorting 1-paalfundering LD1	LD1	-421	1	100%	388	1-paals + poer - type 2	-18	1	100%	51	0	500	388	0,95

Toetsing funderingen op drukbelasting - ballastverzwaring, afkeurniveau 15 jaar

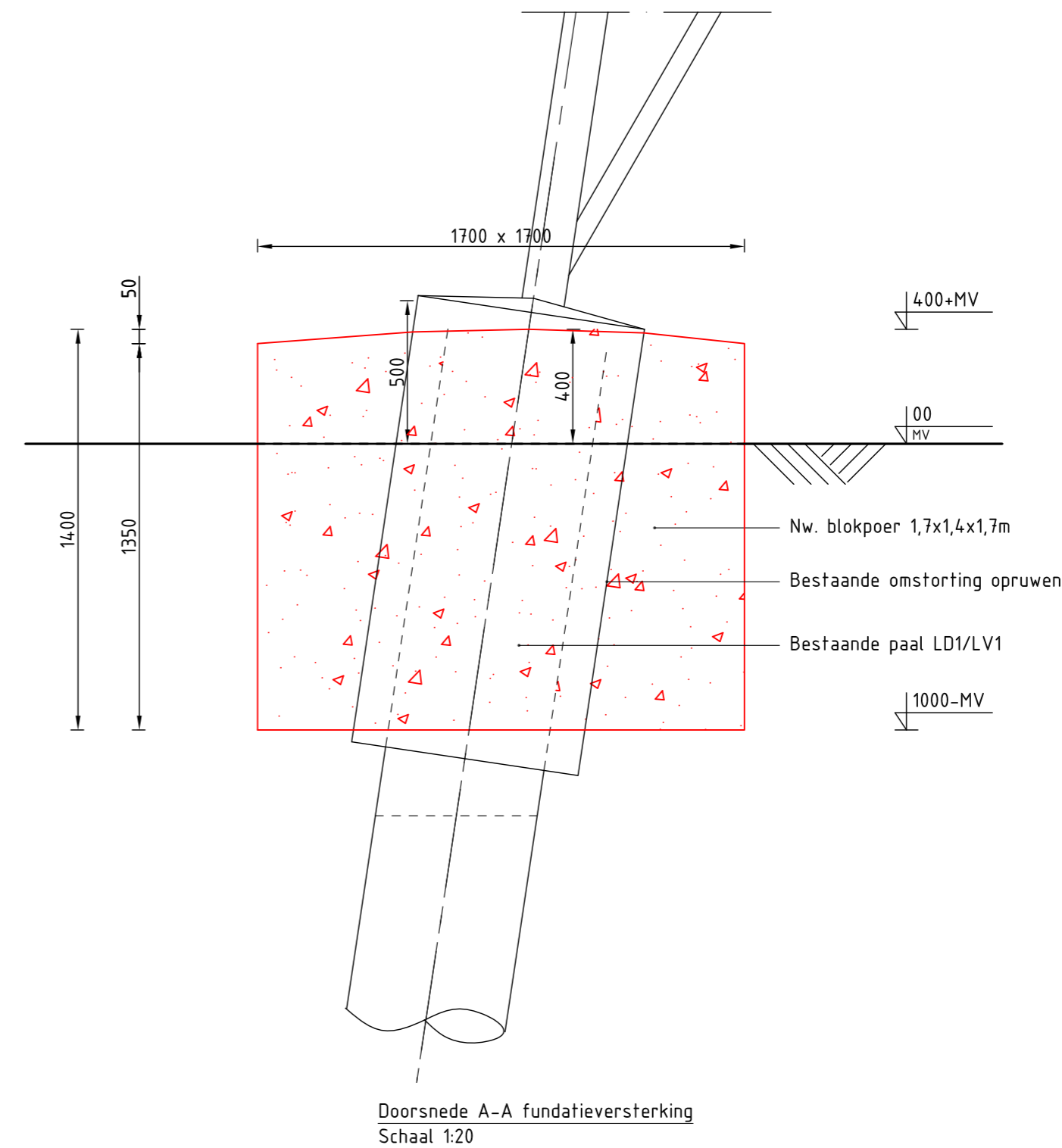
Mast	Masttype	Poertype bestaand	Paal type	F _{Ed,mast} [kN]	Aantal palen per randstijl	Effecti- viteit	F _{R,d,druk} [kN]	Poertype versterking	F _{poer,nw,d} [kN]	Aantal nw. palen	Tekort (kN)	Effectiviteit nw. palen	F _{rd,benodigd} [kN]	Minimale F _{r,d} [kN]	F _{r,d,nieuw} [kN]	U.C. nieuw
33	S+6	Omstorting 1-paalfundering LD1	LD1	658	1	100%	2483	1-paals + poer - type 2	81	1	0	100%	739	0	2483	0,30
37	S+3	Omstorting 1-paalfundering LD1	LD1	556	1	100%	2105	1-paals + poer - type 2	81	1	0	100%	637	0	2105	0,30
38	S+0	Omstorting 1-paalfundering LD1	LD1	579	1	100%	1089	1-paals + poer - type 1	107	1	0	100%	686	0	1089	0,63
41	S+0	Omstorting 1-paalfundering LD1	LD1	579	1	100%	2113	1-paals + poer - type 1	107	1	0	100%	686	0	2113	0,32
43	S+0	Omstorting 1-paalfundering LD1	LD1	579	1	100%	1998	1-paals + poer - type 1	107	1	0	100%	686	0	1998	0,34
44	S+0	Omstorting 1-paalfundering LD1	LD1	579	1	100%	1031	1-paals + poer - type 1	107	1	0	100%	686	0	1031	0,66
48	S+0	Omstorting 1-paalfundering LD1	LD1	579	1	100%	1358	1-paals + poer - type 2	81	1	0	100%	660	0	1358	0,49
49	S+0	Omstorting 1-paalfundering LD1	LD1	587	1	100%	1241	1-paals + poer - type 2	81	1	0	100%	668	0	1241	0,54
55	S+0	Omstorting 1-paalfundering LD1	LD1	579	1	100%	876	1-paals + poer - type 1	107	1	0	100%	686	0	876	0,78
74	S+0	Omstorting 1-paalfundering LD1	LD1	579	1	100%	2379	1-paals + poer - type 1	107	1	0	100%	686	0	2379	0,29
76	S+0	Omstorting 1-paalfundering LD1	LD1	579	1	100%	2097	1-paals + poer - type 1	107	1	0	100%	686	0	2097	0,33
80	S+0	Omstorting 1-paalfundering LD1	LD1	579	1	100%	965	1-paals + poer - type 2	81	1	0	100%	660	0	965	0,68
94	S+0	Omstorting 1-paalfundering LD1	LD1	579	1	100%	1326	1-paals + poer - type 2	81	1	0	100%	660	0	1326	0,50
96	S+0	Omstorting 1-paalfundering LD1	LD1	579	1	100%	1058	1-paals + poer - type 1	107	1	0	100%	686	0	1058	0,65
97	S+0	Omstorting 1-paalfundering LD1	LD1	579	1	100%	1086	1-paals + poer - type 1	107	1	0	100%	686	0	1086	0,63
102	S+0	Omstorting 1-paalfundering LD1	LD1	579	1	100%	2358	1-paals + poer - type 1	107	1	0	100%	686	0	2358	0,29



Bovenaanzicht fundatie
Schaal 1:50

Mastrnr.	Masttype
38	S+0
41	S+0
43	S+0
44	S+0
55	S+0
74	S+0
76	S+0
96	S+0
97	S+0
102	S+0

Overzichtstabel



Doorsnede A-A fundatieversterking
Schaal 1:20

Opmerkingen :

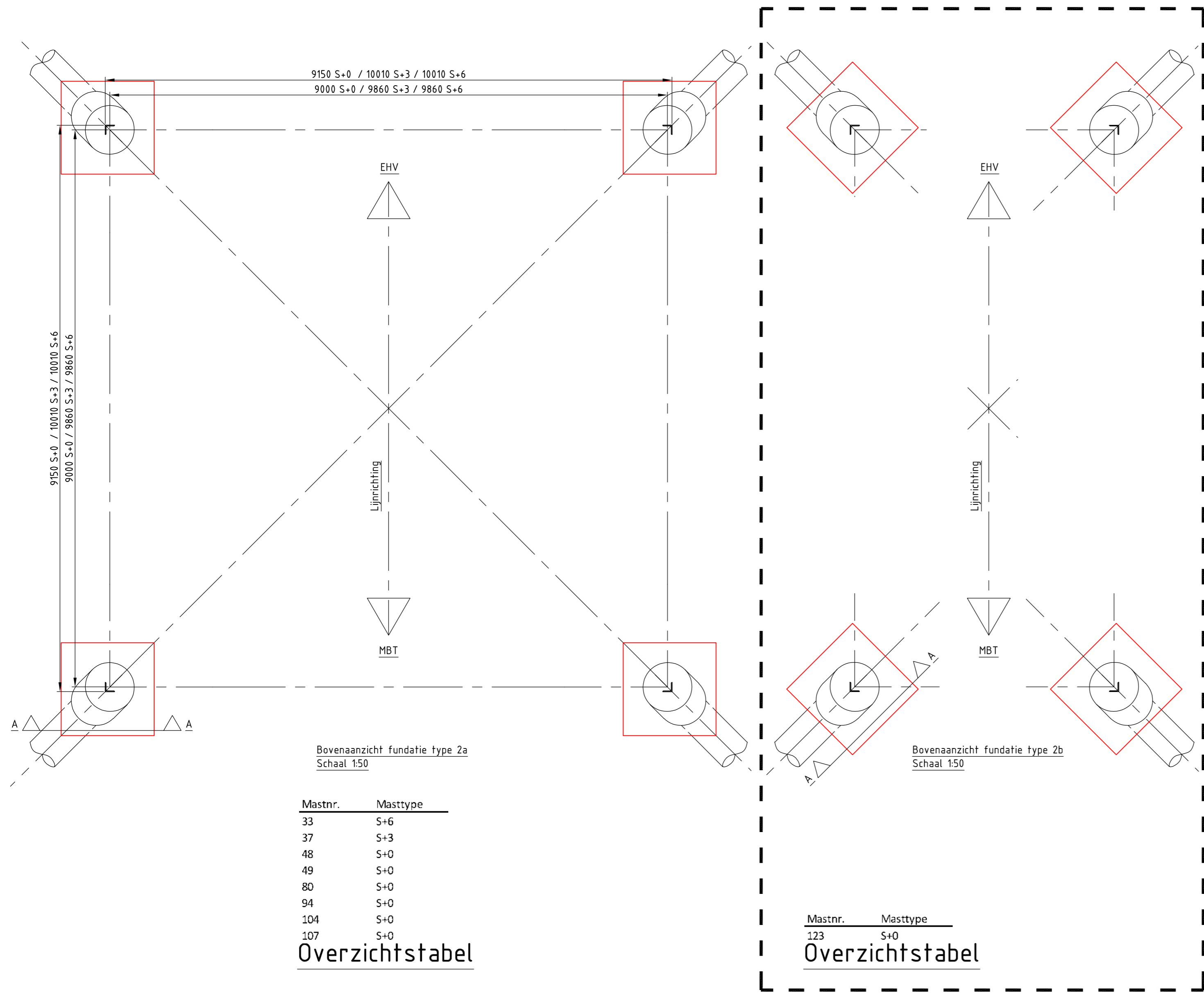
- Alle maatvoering in mm
- Alle hoogtemaatvoering in mm t.o.v. maaiveld (tenzij anders aangegeven)
- Maatvoering en hoogteligging i.h.w. controleren
- Legenda:

	Bestaande fundatie
	Nieuwe fundatie
- Zijvlakken bestaande poer opruwen t.p.v. aansluitvlak
- Aardingsvoorzieningen zijn niet weergegeven op tekening
- Ontwerp volgens rapportage DNV 22-0755 (Meridian 002.586.40 0825932)
- Betonsterkteklasse C30/37
- Milieuklasse XC4/XF3
- Wapeningstaal B500B, B220
- Staalkwaliteit S355J2H
- Ontwerplevensduur 50 jaar

Revisie	Datum	Omschrijving
1	25-07-2022	RFA opmerkingen verwerkt
0	14-06-2022	Eerste uitgave

	Projectnaam: BBB380 modelleren funderingen		
	Projectie: 		
Tekening nummer: 10166262-032-400	Blad: 001 Van: 001		
Status: DRAFT	Schaal: 1:50, 1:20	Omschrijving: Verbinding MBT-EHV380	Revisie: 1
Datum: 14-06-2022	Units: mm	Principetekening fundatieversterking	Formaat: A2
Getekend: DMR	Ref.nr.: 002.586.40 1025251	1-paals + poer - type 1	
Controle: MRE	Klant: TenneT		

DNV Energy Systems, Utrechtseweg 310, 6812 AR Arnhem, tel: +31 26 3 56 91 11, www.dnv.com



Bovenaanzicht fundatie type 2a
Schaal 1:50

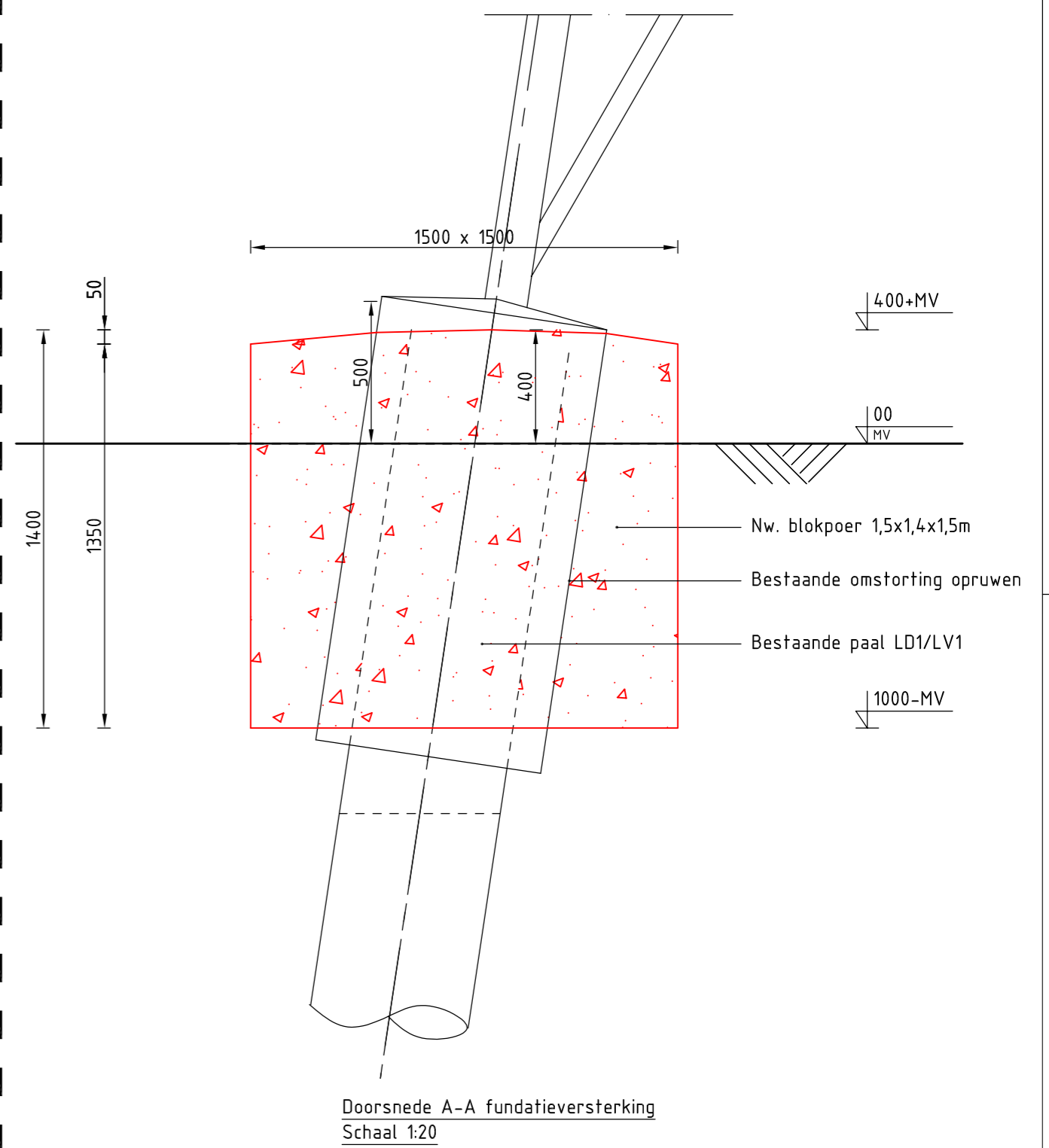
Mastrnr.	Masttype
33	S+6
37	S+3
48	S+0
49	S+0
80	S+0
94	S+0
104	S+0
107	S+0

Overzichtstabel

Bovenaanzicht fundatie type 2b
Schaal 1:50

Mastrnr.	Masttype
123	S+0

Overzichtstabel



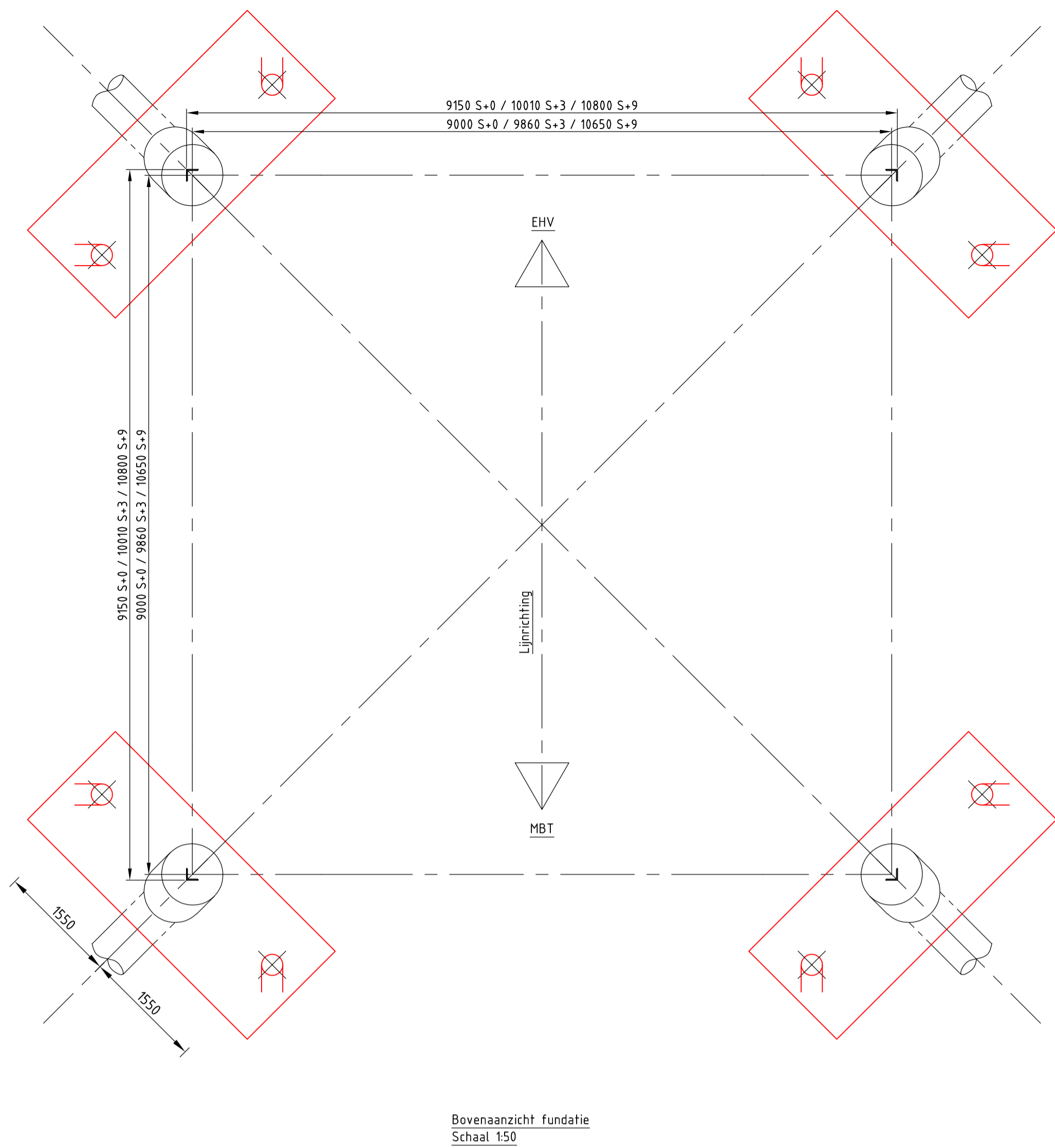
Doorsnede A-A fundatieversterking
Schaal 1:20

Opmerkingen :

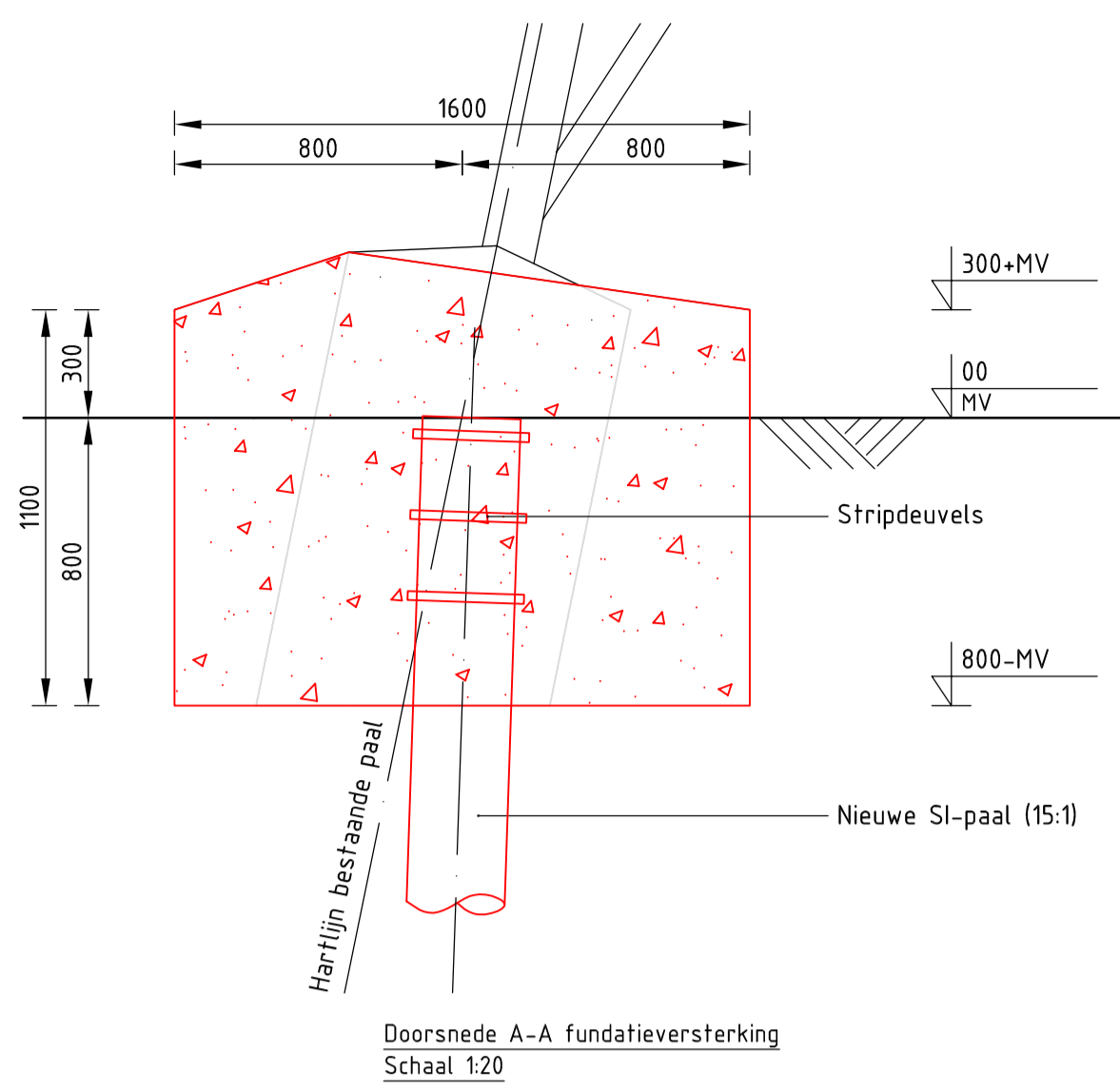
- Alle maatvoering in mm
- Alle hoogtemaatvoering in mm t.o.v. maaiveld (tenzij anders aangegeven)
- Maatvoering en hoogteligging i.h.w. controleren
- Legenda:

	Bestaande fundatie
	Nieuwe fundatie
- Zijvlakken bestaande poer opruwen t.p.v. aansluitvlak
- Aardingsvoorzieningen zijn niet weergegeven op tekening
- Ontwerp volgens rapportage DNV 22-0755 (Meridian 002.586.40 0825932)
- Betonsterkteklasse C30/37
- Milieuklasse XC4/XF3
- Wapeningstaal B500B, B220
- Staalkwaliteit S355J2H
- Ontwerplevensduur 50 jaar

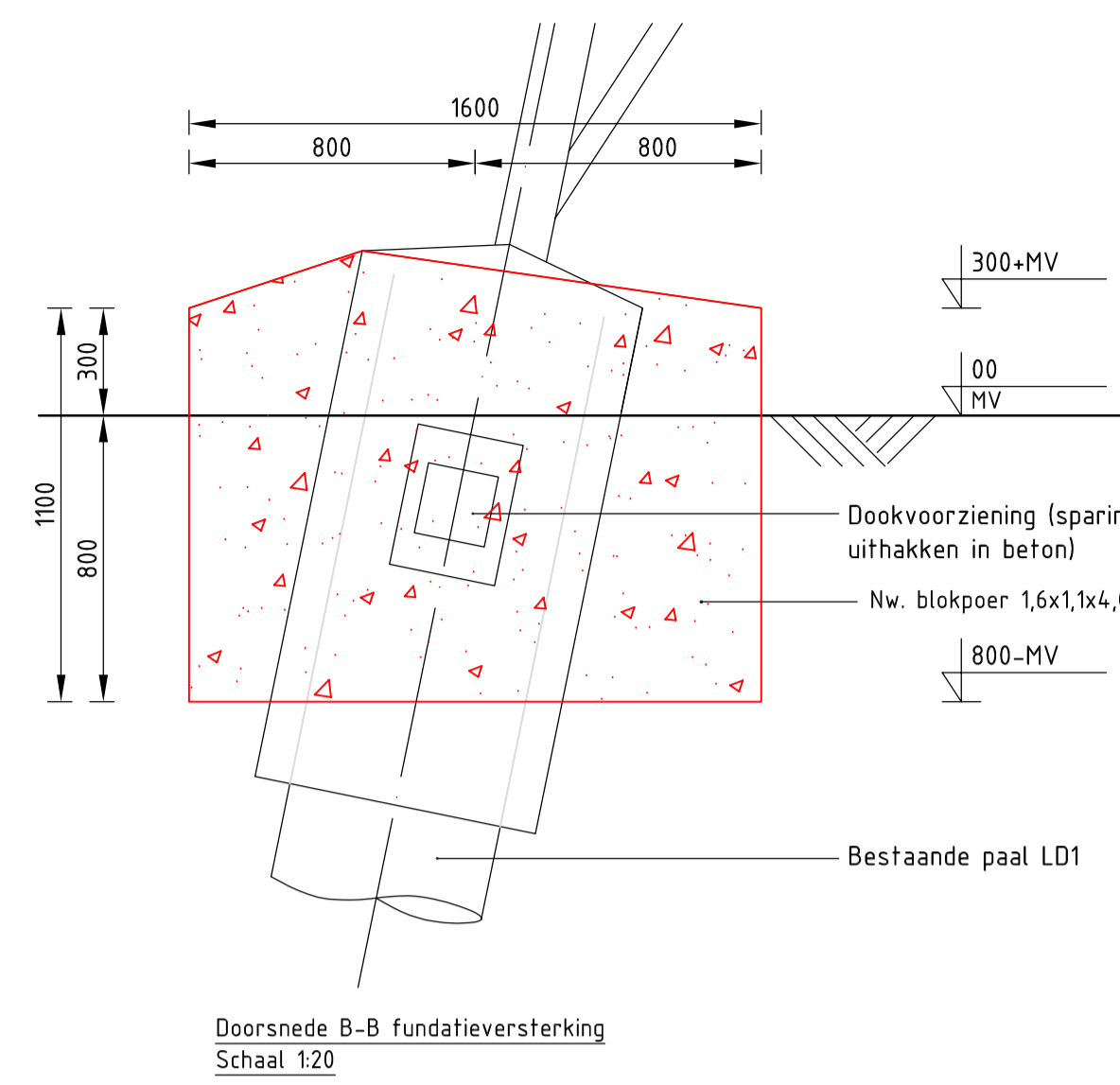
1		25-07-2022	RFA opmerkingen verwerkt
0		14-06-2022	Eerste uitgave
Revisie	Datum	Omschrijving	
		Projectnaam: BBB380 modelleren funderingen	
		Tekening nummer: 10166262-032-401	
Status: DRAFT		Schaal: 1:50, 1:20	
Datum: 14-06-2022		Units: mm	
Getekend: DMR		Ref.nr.: 002.586.40 1025252	
Controle: MRE		Klant: TenneT	
Omschrijving: Verbinding MBT-EHV380 Principetekening fundatieversterking 1-paals + poer - type 2a/b		Blad: 001	Van: 001
			Revisie: 1
			Formaat: A2
DNV Energy Systems, Utrechtseweg 310, 6812 AR Arnhem, tel: +31 26 3 56 91 11, www.dnv.com			



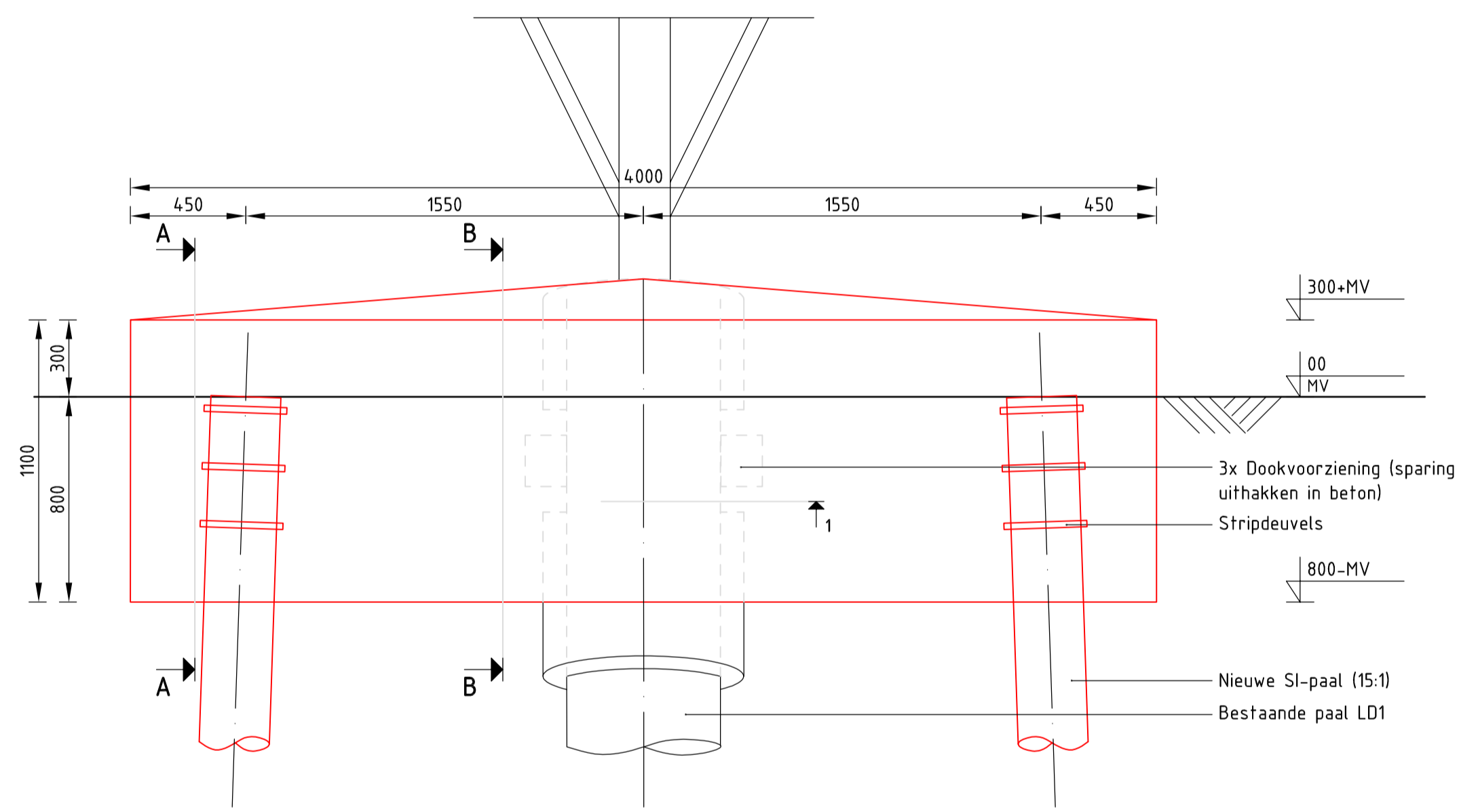
Bovenaanzicht fundatie
Schaal 1:50



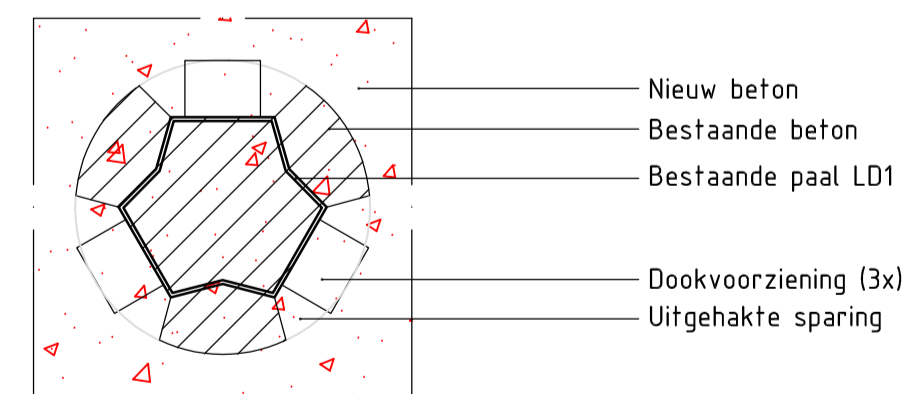
Doorsnede A-A fundatieversterking
Schaal 1:20



Doorsnede B-B fundatieversterking
Schaal 1:20



Aanzicht fundatieversterking
Schaal 1:20



Detail 1 - principe dookvoorziening
Schaal 1:20

Mastnr.	Masttype	Aantal	Paaltype	Paallengte (m)	b.k. paal t.o.v. NAP (m)	PPN t.o.v. NAP (m)	Schoorstand	Staaalkwaliteit
20	S+0	8	SI-paal 273/400	12,90	25,37	12,47	15:1	S355
35	S+3 T3	8	SI-paal 273/400	7,90	29,11	21,21	15:1	S355
36	S+3	8	SI-paal 273/400	8,00	29,01	21,01	15:1	S355
40	S+0	8	SI-paal 273/400	8,20	29,70	21,50	15:1	S355
46	S+0	8	SI-paal 273/400	10,50	31,03	20,53	15:1	S355
47	S+0	8	SI-paal 273/400	10,70	31,16	20,46	15:1	S355
56	S+0	8	SI-paal 273/400	7,90	30,65	22,75	15:1	S355
70	S+0 T	8	SI-paal 323/450	8,90	24,87	15,97	15:1	S355
72	S+0	8	SI-paal 323/450	9,10	24,06	14,96	15:1	S355
93	S+0 T	8	SI-paal 273/400	9,40	24,18	14,78	15:1	S355
110	S+0	8	SI-paal 273/400	9,80	18,55	8,75	15:1	S355
111	S+0	8	SI-paal 273/400	11,60	18,90	7,30	15:1	S355
113	S+9	8	SI-paal 323/450	7,90	20,38	12,48	15:1	S355
132	S+0	8	SI-paal 323/450	13,40	16,41	3,01	15:1	S355

Overzichtstabel

Opmerkingen :

- Alle maatvoering in mm
- Alle hoogtemaatvoering in mm t.o.v. maaiveld (tenzij anders aangegeven)
- Maatvoering en hoogteligging i.h.w. controleren
- Legenda:
 - Bestaande fundatie
 - Nieuwe fundatie
- Zijvlakken bestaande poer opruwen t.p.v. aansluitvlak
- Aardingsvoorzieningen zijn niet weergegeven op tekening
- Ontwerp volgens rapportage DNV 22-0755 (Meridian 002.586.40 0825932)
- Betonsterkteklasse C30/37
- Milieuklasse XC4/XF3
- Wapeningstaal B500B, B220
- Staaalkwaliteit S355J2H
- Ontwerplevensduur 50 jaar

Revisie	Datum	Omschrijving	Projectnaam	Projectie	Tekeningnummer	Status	Datum	Schaal	Units	Ref.nr.	Klant	Revisie
1	25-07-2022	RFA opmerkingen verwerkt	BBB380 modelleren funderingen	Projectie	10166262-032-402	DRAFT	14-06-2022	1:50, 1:20	mm	002.586.40.1025253	TenneT	0
1	14-06-2022	Eerste uitgave				DRAFT	14-06-2022	mm	002.586.40.1025253	TenneT	0	
												1

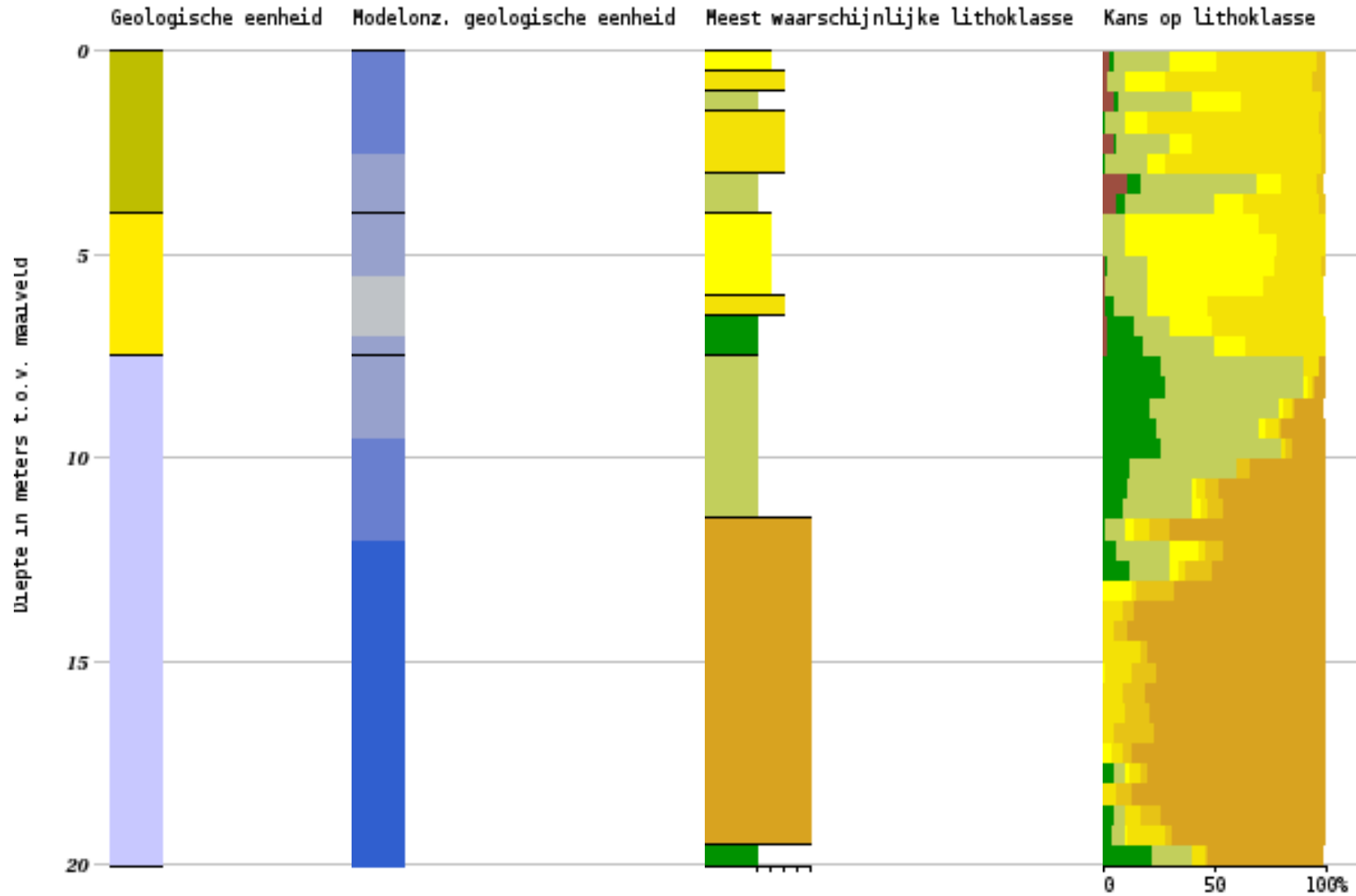
APPENDIX E

Technosoft uitvoer paalfunderingen

Ondergebracht in separate bijlagen:

- Grondboring mast 19, mast 22 en mast 24 DINOloket;
- Uitvoer TS paalfunderingen deel 1 – afkeur trek- en drukpalen – oude sonderingen;
- Uitvoer TS paalfunderingen deel 2 – afkeur trekpalen – nieuwe sonderingen;
- Uitvoer TS paalfunderingen deel 3 – afkeur drukpalen – nieuwe sonderingen;
- Uitvoer TS paalfunderingen deel 4 – verbouw trekpalen – nieuwe sonderingen;
- Uitvoer TS paalfunderingen deel 5 – verbouw drukpalen – nieuwe sonderingen.











Coördinaten: 188647, 356892 (RD)
 Maaiveld: 25.25 m t.o.v. NAP
 Diepte t.o.v maaiveld: 0.00 m - 75.50 m
 Geselecteerde diepte: 0.00 m - 20.05 m












Geologische eenheid










-  BXSII
-  BX
-  BE

Modelonz. geologische eenheid Lithoklasse

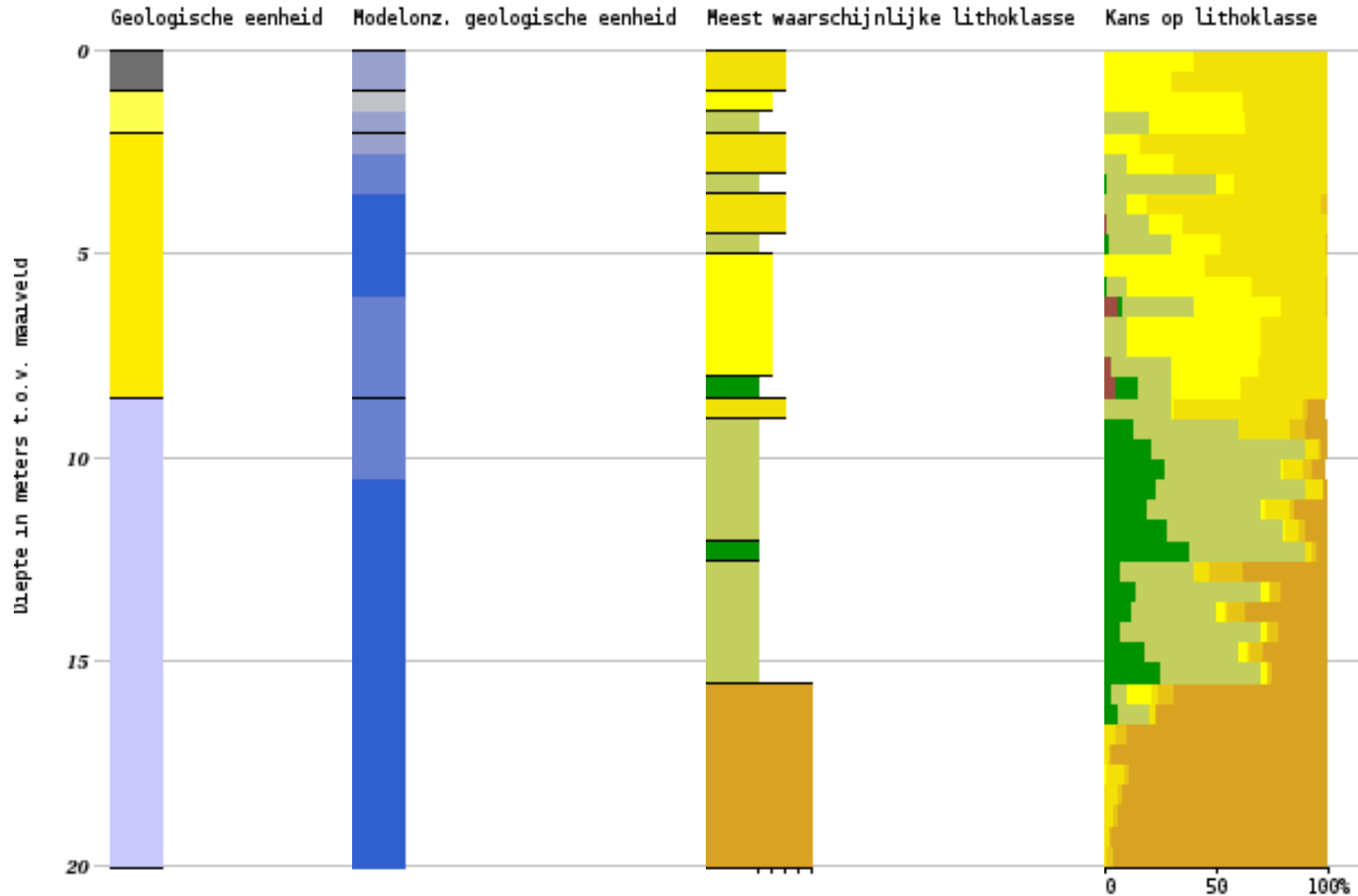
-  0.00 ≤ uncertainty < 0.10
-  0.10 ≤ uncertainty < 0.20
-  0.20 ≤ uncertainty < 0.30
-  0.30 ≤ uncertainty < 0.40
-  0.40 ≤ uncertainty < 0.50
-  0.50 ≤ uncertainty < 0.60
-  0.60 ≤ uncertainty < 0.70
-  0.70 ≤ uncertainty < 0.80
-  0.80 ≤ uncertainty < 0.90
-  0.90 ≤ uncertainty < 1.00

-  antropogeen
-  organisch materiaal (veen)
-  klei
-  kleiig zand, zandige klei en leem
-  zand fijn
-  zand midden
-  zand grof
-  grind
-  schelpen





Kans op lithoklasse

-  antropogeen
-  organisch materiaal (veen)
-  klei
-  kleiig zand, zandige klei en leem
-  zand fijn
-  zand midden
-  zand grof
-  grind
-  schelpen






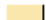




Coördinaten: 188405, 357464 (RD)
 Maaiveld: 27.75 m t.o.v. NAP
 Diepte t.o.v maaiveld: 0.00 m - 78.00 m
 Geselecteerde diepte: 0.00 m - 20.06 m












Geologische eenheid










-  AAES
-  BXWIKO
-  BX
-  BE

Modelonz. geologische eenheid Lithoklasse

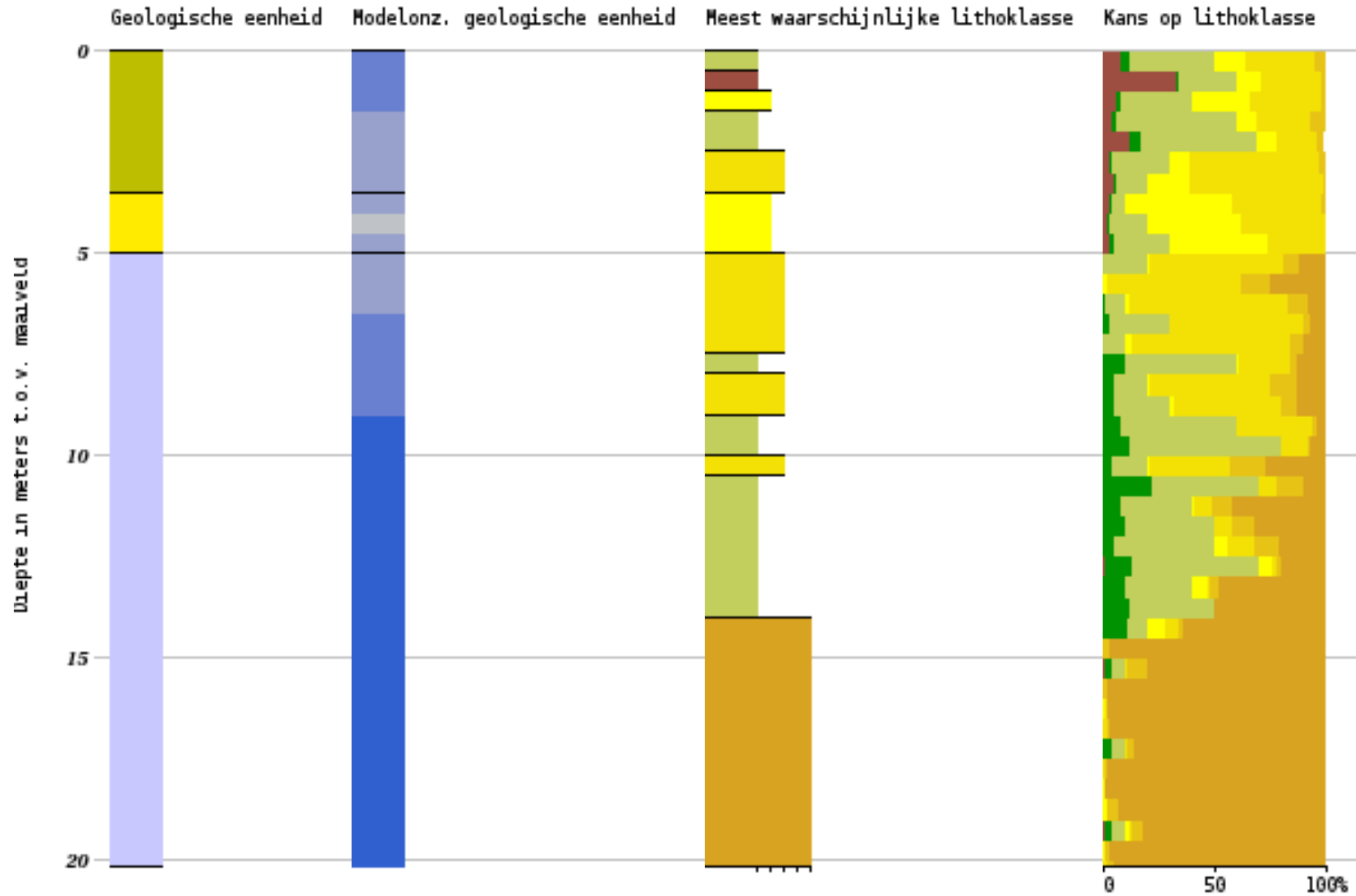
-  0.00 ≤ uncertainty < 0.10
-  0.10 ≤ uncertainty < 0.20
-  0.20 ≤ uncertainty < 0.30
-  0.30 ≤ uncertainty < 0.40
-  0.40 ≤ uncertainty < 0.50
-  0.50 ≤ uncertainty < 0.60
-  0.60 ≤ uncertainty < 0.70
-  0.70 ≤ uncertainty < 0.80
-  0.80 ≤ uncertainty < 0.90
-  0.90 ≤ uncertainty < 1.00

-  antropogeen
-  organisch materiaal (veen)
-  klei
-  kleilig zand, zandige klei en leem
-  zand fijn
-  zand midden
-  zand grof
-  grind
-  schelpen

Kans op lithoklasse

-  antropogeen
-  organisch materiaal (veen)
-  klei
-  kleilig zand, zandige klei en leem
-  zand fijn
-  zand midden
-  zand grof
-  grind
-  schelpen











Coördinaten: 188143, 358106 (RD)
 Maaiveld: 26.25 m t.o.v. NAP
 Diepte t.o.v maaiveld: 0.00 m - 76.50 m
 Geselecteerde diepte: 0.00 m - 20.18 m












Geologische eenheid










-  BXSII
-  BX
-  BE

Modelonz. geologische eenheid Lithoklasse

-  0.00 ≤ uncertainty < 0.10
-  0.10 ≤ uncertainty < 0.20
-  0.20 ≤ uncertainty < 0.30
-  0.30 ≤ uncertainty < 0.40
-  0.40 ≤ uncertainty < 0.50
-  0.50 ≤ uncertainty < 0.60
-  0.60 ≤ uncertainty < 0.70
-  0.70 ≤ uncertainty < 0.80
-  0.80 ≤ uncertainty < 0.90
-  0.90 ≤ uncertainty < 1.00

-  antropogeen
-  organisch materiaal (veen)
-  klei
-  kleilig zand, zandige klei en leem
-  zand fijn
-  zand midden
-  zand grof
-  grind
-  schelpen

Kans op lithoklasse

-  antropogeen
-  organisch materiaal (veen)
-  klei
-  kleilig zand, zandige klei en leem
-  zand fijn
-  zand midden
-  zand grof
-  grind
-  schelpen

ALGEMENE GEGEVENS

Project : BBB
 Onderdeel : MBT-EHV 380
 Datum : 07-01-2021
 Bestand : P:\EANL_Projects\10166262 - BBB modelleren
 funderingen 380 kV\02 Content\03
 Calculations\Technosoft
 Paalfunderingen\MBT-EHV380\DO\Bestaande
 sonderingen\MBT-EHV380 20-29 (21 23 29).pvw
 Berekeningstype : Verticaal belaste paal
 Alle niveaus/hogtes/peilmaten zijn t.o.v.: N.A.P.

Toegepaste normen volgens Eurocode met Nederlandse NB

Geotechniek	EN 1997-1:2004	AC:2009	
	NEN-EN 1997-1:2005	C1+A1:2013	NB:2016
	NEN 9997-1:2016	C2:2017	

GRONDSOORTEN

Nr. Omschrijving	$\gamma_{k;1}$ [kN/m ³]	$\gamma_{sat;k;1}$ [kN/m ³]	$\phi'_{k;1}$ [°]	$\gamma_{k;2}$ [kN/m ³]	$\gamma_{sat;k;2}$ [kN/m ³]	$\phi'_{k;2}$ [°]
1 Zand - Schoon - Los	17.00	19.00	30.00	18.00	20.00	32.50
2 Zand - Schoon - Matig	18.00	20.00	32.50	19.00	21.00	35.00
3 Zand - Schoon - Vast	19.00	21.00	35.00	20.00	22.00	40.00
4 Zand - Zwak siltig - Kleiig	18.00	20.00	27.00	19.00	21.00	32.50
5 Zand - Sterk siltig - Kleiig	18.00	20.00	25.00	19.00	21.00	30.00
6 Leem - Zwak zandig - Vast	21.00	21.00	27.50	22.00	22.00	35.00
7 Klei - Schoon - Matig	17.00	17.00	17.50	19.00	19.00	17.50
8 Klei - Schoon - Vast	19.00	19.00	17.50	20.00	20.00	25.00
9 Klei - Zwak zandig - Slap	15.00	15.00	22.50	18.00	18.00	22.50
10 Klei - Zwak zandig - Matig	18.00	18.00	22.50	20.00	20.00	22.50
11 Klei - Zwak zandig - Vast	20.00	20.00	22.50	21.00	21.00	27.50
12 Klei - Organisch - Matig	15.00	15.00	15.00	16.00	16.00	15.00
13 Veen - Niet voorbelast - Slap	10.00	10.00	15.00	12.00	12.00	15.00
14 Veen - Matig voorbelast - Matig	12.00	12.00	15.00	13.00	13.00	15.00

BODEMPROFIELGEGEVENS: 29

Alle niveaus/hogtes/peilmaten zijn t.o.v.: N.A.P.

d50-reductie is meegenomen overeenkomstig NEN-EN 9997 art. 7.6.2.3 (i)

Laag	Van [m]	Tot [m]	Omschrijving	OCR	Aandeel pos. kleef [%]	α_s	d_{50} [mm]
1	0.00	-2.03	Zand - Sterk siltig - Kleiig	1.0	100.0		
2	-2.03	-3.31	Zand - Zwak siltig - Kleiig	1.0	100.0		
3	-3.31	-4.15	Zand - Schoon - Matig	1.0	100.0		
4	-4.15	-4.72	Leem - Zwak zandig - Vast	1.0	50.0		
5	-4.72	-5.51	Zand - Schoon - Matig	1.0	100.0		
6	-5.51	-6.80	Zand - Schoon - Los	1.0	100.0		
7	-6.80	-7.56	Zand - Zwak siltig - Kleiig	1.0	100.0		
8	-7.56	-7.91	Zand - Schoon - Vast	1.0	100.0		
9	-7.91	-9.11	Zand - Schoon - Matig	1.0	100.0		
10	-9.11	-9.52	Zand - Zwak siltig - Kleiig	1.0	100.0		
11	-9.52	-9.80	Leem - Zwak zandig - Vast	1.0	50.0		
12	-9.80	-10.72	Klei - Zwak zandig - Slap	1.0	50.0		
13	-10.72	-11.33	Zand - Sterk siltig - Kleiig	1.0	100.0		
14	-11.33	-13.42	Leem - Zwak zandig - Vast	1.0	50.0		
15	-13.42	-16.91	Klei - Schoon - Matig	1.0	50.0		
16	-16.91	-17.31	Zand - Schoon - Los	1.0	100.0		
17	-17.31	-18.55	Zand - Sterk siltig - Kleiig	1.0	100.0		
18	-18.55	-18.85	Zand - Schoon - Los	1.0	100.0		
19	-18.85	-19.60	Zand - Schoon - Vast	1.0	100.0		
20	-19.60	-19.84	Zand - Schoon - Los	1.0	100.0		
21	-19.84	-19.97	Zand - Schoon - Matig	1.0	100.0		

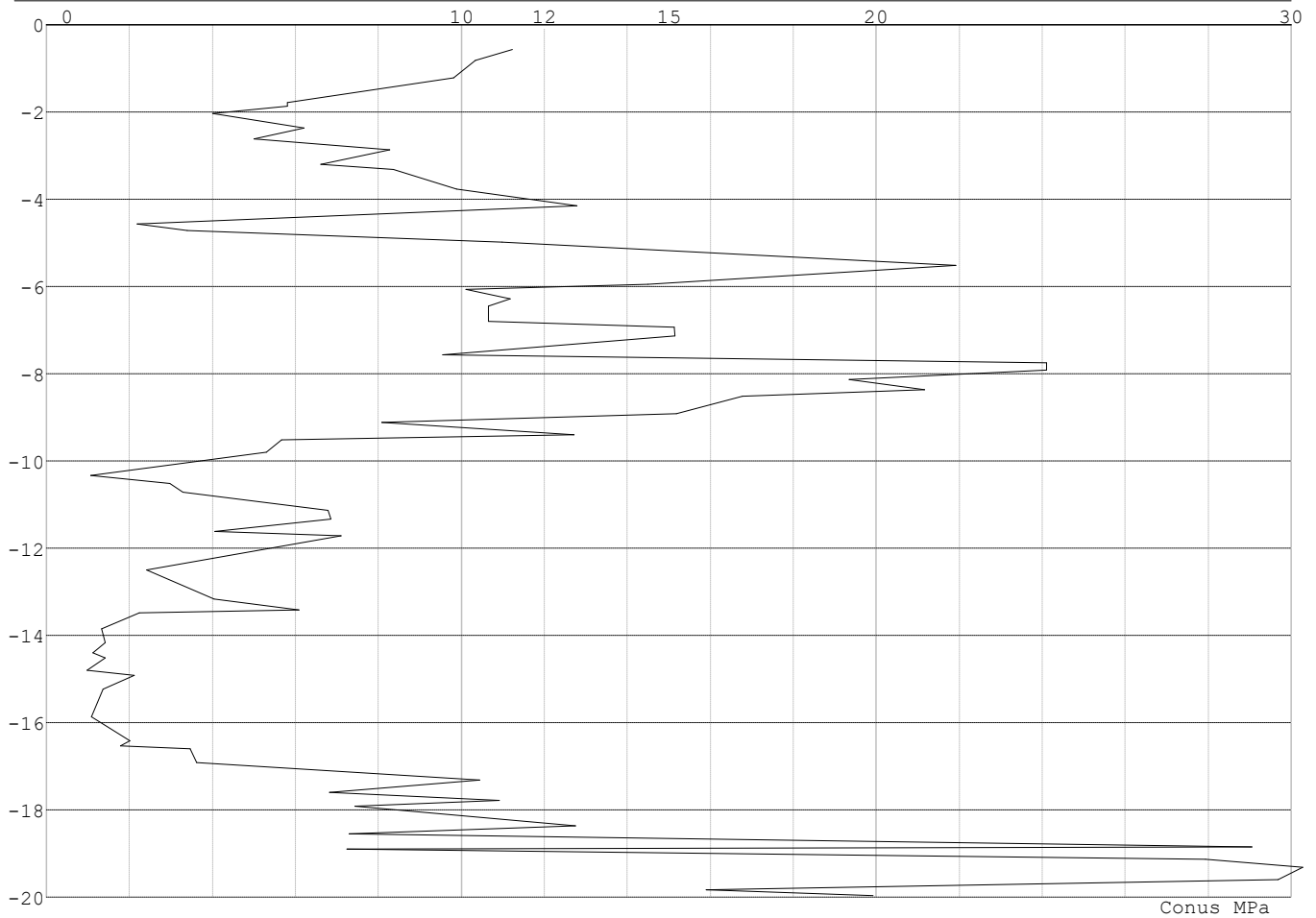
SONDERINGSGEGEVENS ALGEMEEN: 29

Alle niveaus/hogtes/peilmaten zijn t.o.v.: N.A.P.

Hoogte maaiveld [m] : 0.00 Bodemprofiel: 29
 Traject negatieve kleef : 0.00 tot -2.00 [m]
 Traject positieve kleef : -4.60 tot -19.97 [m]

Project : BBB
 Onderdeel : MBT-EHV 380

SONDERINGSGEGEVENS GRAFIEK: 29



REKENEGEVEENS Mast 29 - Afk Trk

Berekening : Controlerend
 Rekenmethode : Trekpalen volgens NEN-EN 1997-1, art. 7.6.3
 Sondering(en) : 29
 Let op: trekcapaciteit t.p.v. negatief kleeftraject is meegerekend.

Stijf bouwwerk : NEE
 Paalgroep : NEE
 Aantal sonderingen : 1
 Factor ξ_3 (n=1) : 1.39
 Factor ξ_3 (gem) : 1.39
 Factor ξ_4 (min) : 1.39
 Weerstandsfactor γ_R : 1.35
 $\gamma_{m;var;q_c}$: 1.50
 UGT draagvermogen zonder negatieve kleeft : NEE

Paal : LV1
 Niveau paalkop [m] : N.A.P. 0.40
 Paalpuntniveau : N.A.P. -8.60
 $E_{d;1}$ [kN] : 0.00 $E_{d;2}$ [kN] : 0.00
 Bovenbel. [kN/m²] : 0.00

RESULTATEN Mast 29 - Afk Trk (n=1)

Project : BBB
 Onderdeel : MBT-EHV 380

Sondering : 29

Alle niveaus/hogtes/peilmaten zijn t.o.v.: N.A.P.

Inheinniveau [m]	Effectief inheinniveau [m]	E.G. paal [kN]	$R_{t,cal;k}$ [kN]	$R_{t;d}$ [kN]	$F_{t,tot;1}$ [kN]	U.C.
-8.60	-8.60	55.3	492.3	492.3	0.0	0.00

SAMENVATTINGSTABEL Mast 29 - Afk Trk (n=1)**Uitgangspunten**

- paal : LV1
 - paaltype : Stalen buispaal (gesloten)
 - schachtafmeting : 765 mm
 Paalklassefactor α_p : 0.70
 Factor α_t (tabel 7.c EC 7.1) : 0.0070 (zandlagen; voor kleilagen zie tabel 7.d)
 Correlatiefactor $\xi_{3(n=1)}$: 1.39

Alle niveaus/hogtes/peilmaten zijn t.o.v.: N.A.P.

sondering	maaiveld niveau	paalpunt niveau	Bezuikdraagvermogen $R_{t,cal}$ [kN]	Rekenwaarden $R_{t;d}$ [kN]	$R_{t,netto;d}$ [kN]
29	0.00	-8.60	492.3	492.3	492.3

Totaal resultaten Mast 29 - Afk Trk (van 1 sonderingen)

Uitgangspunten

Correlatiefactor ξ_{3gem} (n= 1) : 1.39
 Correlatiefactor ξ_{4min} (n= 1) : 1.39

gebaseerd op sonderingen:
 29

$$R_{t;d} = \min.\{ R_{t,cal;gem}; R_{t,cal;min} \} (7.17) *$$

Inheinniveau
 [m]

$$-8.60 \quad R_{t;d} = \min.\{ 492.3; 492.3 \} = 492.3$$

*) Bij de trekpaalberekening zijn factoren ξ_3 en ξ_4 al bij de berekening van de conusweerstand $q_{c;z;d}$ in rekening gebracht, evenals factor $\gamma_{s;t}$. Dat is conform de opmerkingen in art. 7.6.3.3 (3) en (4).

Alle niveaus/hogtes/peilmaten zijn t.o.v.: N.A.P.

Inheinniveau [m]	$R_{t;k}$ [kN]	$R_{t;d}$ [kN]	$F_{t,tot;1}$ [kN]	$R_{t,netto;d}$ [kN]	U.C.
-8.60	492.3	492.3	0.0	492.3	0.00

Project : BBB
Onderdeel : MBT-EHV 380

SAMENVATTINGSTABEL Mast 29 - Afk Drk (n=1)**Uitgangspunten**

- paal : LV1
- paaltype : Stalen buispaal (gesloten)
- schachtafmeting : 765 mm
Paalklassefactor α_p : 0.70
Factor α_s (tabel 7.c EC 7.1) : 0.010 (zandlagen; voor kleilagen zie tabel 7.d)
Correlatiefactor $\xi_{3(n=1)}$: 1.39

Alle niveaus/hogtes/peilmaten zijn t.o.v.: N.A.P.

sondering	maaiveld paalpunt		Bezwijkdraagvermogen			Rekenwaarden		
	niveau	niveau	$R_{b;cal}$ [kN]	$R_{s;cal}$ [kN]	$R_{c;cal}$ [kN]	$R_{c;d}$ [kN]	$F_{nk;d}$ [kN]	$R_{c;netto;d}$ [kN]
29	0.00	-8.60	893.4	1089.7	1983.1	1188.9	-20.4	1168.5

Totaal resultaten Mast 29 - Afk Drk (van 1 sonderingen)

Uitgangspunten

Correlatiefactor ξ_{3gem} (n= 1) : 1.39
Correlatiefactor ξ_{4min} (n= 1) : 1.39

gebaseerd op sonderingen:
29

$$R_{c;k} = \min.\{ R_{c;cal;gem}/\xi_3; R_{c;cal;min}/\xi_4 \} \quad (7.8)$$

Inheinniveau
[m]

$$-8.60 \quad R_{c;k} = \min.\{ (1983.1/1.39); (1983.1/1.39) \} = 1426.7$$

Alle niveaus/hogtes/peilmaten zijn t.o.v.: N.A.P.

Inheinniveau [m]	$R_{c;k}$ [kN]	$R_{c;d}$ [kN]	$F_{c;tot;1}$ [kN]	$F_{nk;d}$ [kN]	$R_{c;netto;d}$ [kN]	U.C.	$s_{1;1}$ [mm]	$s_{1;2}$ [mm]
-8.60	1426.7	1188.9	-20.4	-20.4	1168.5	0.02	-0.1	-0.0

PAALGEGEVENS LV1

Type : Stalen buispaal (gesloten)
Wijze van installeren : Heien
Diameter [m] : 0.765
Elasticiteitsmodulus [N/mm²] : 20000
Factor α_s (tabel 7.c EC 7.1) : 0.010 (zandlagen; voor kleilagen zie tabel 7.d)
Factor α_t (tabel 7.c EC 7.1) : 0.0070 (zandlagen; voor kleilagen zie tabel 7.d)
Paalklassefactor α_p : 0.70
Paalvoetvormfactor β : 1.00
Type lastzakingsdiagram : Grondverdringende paal
Verm.factor * $\phi'_{j;k}$: 0.75
Groutomhulling : NEE

Project : BBB
 Onderdeel : MBT-EHV 380

OVERZICHT NETTO DRAAGVERMOGEN DRUKPALEN

Netto paal draagvermogen(s) zijn naar beneden toe afgerond op: 1.0 kN nauwkeurig
 Alle niveaus/hoogtes/peilmaten zijn t.o.v.: N.A.P.

sondering	maaiveld niveau	paalpunt niveau	$R_{c,netto;d}$ Mast 29 -	[kN]
29	0.00	-8.60	1168	

OVERZICHT NETTO DRAAGVERMOGEN TREKPALEN (n=1)

Netto paal draagvermogen(s) zijn naar beneden toe afgerond op: 1.0 kN nauwkeurig
 Alle niveaus/hoogtes/peilmaten zijn t.o.v.: N.A.P.

sondering	maaiveld niveau	paalpunt niveau	$R_{t,netto;d}$ Mast 29 -	[kN]
29	0.00	-8.60	492	

ALGEMENE GEGEVENS

Project : BBB
 Onderdeel : MBT-EHV 380
 Datum : 07-01-2021
 Bestand : P:\EANL_Projects\10166262 - BBB modelleren
 funderingen 380 kV\02 Content\03
 Calculations\Technosoft
 Paalfunderingen\MBT-EHV380\DO\Bestaande
 sonderingen\MBT-EHV380 30-39 (30 39).pvw
 Berekeningstype : Verticaal belaste paal
 Alle niveaus/hogtes/peilmaten zijn t.o.v.: N.A.P.

Toegepaste normen volgens Eurocode met Nederlandse NB

Geotechniek	EN 1997-1:2004	AC:2009	
	NEN-EN 1997-1:2005	C1+A1:2013	NB:2016
	NEN 9997-1:2016	C2:2017	

GRONDSOORTEN

Nr. Omschrijving	$\gamma_{k;1}$ [kN/m ³]	$\gamma_{sat;k;1}$ [kN/m ³]	$\phi'_{k;1}$ [°]	$\gamma_{k;2}$ [kN/m ³]	$\gamma_{sat;k;2}$ [kN/m ³]	$\phi'_{k;2}$ [°]
1 Zand - Schoon - Los	17.00	19.00	30.00	18.00	20.00	32.50
2 Zand - Schoon - Matig	18.00	20.00	32.50	19.00	21.00	35.00
3 Zand - Schoon - Vast	19.00	21.00	35.00	20.00	22.00	40.00
4 Zand - Zwak siltig - Kleiig	18.00	20.00	27.00	19.00	21.00	32.50
5 Zand - Sterk siltig - Kleiig	18.00	20.00	25.00	19.00	21.00	30.00
6 Leem - Zwak zandig - Vast	21.00	21.00	27.50	22.00	22.00	35.00
7 Klei - Schoon - Matig	17.00	17.00	17.50	19.00	19.00	17.50
8 Klei - Schoon - Vast	19.00	19.00	17.50	20.00	20.00	25.00
9 Klei - Zwak zandig - Slap	15.00	15.00	22.50	18.00	18.00	22.50
10 Klei - Zwak zandig - Matig	18.00	18.00	22.50	20.00	20.00	22.50
11 Klei - Zwak zandig - Vast	20.00	20.00	22.50	21.00	21.00	27.50

BODEMPROFIELGEGEVENS: 30

Alle niveaus/hogtes/peilmaten zijn t.o.v.: N.A.P.

d50-reductie is meegenomen overeenkomstig NEN-EN 9997 art. 7.6.2.3 (i)

Hoogte maaiveld [m]	: 0.00		Grondwaterstand [m]	: -1.00		
Laag	Van [m]	Tot [m]	Omschrijving	OCR	Aandeel pos. kleef [%]	α_s d_{50} [mm]
1	0.00	-4.00	Zand - Zwak siltig - Kleiig	1.0	100.0	
2	-4.00	-4.49	Klei - Schoon - Matig	1.0	50.0	
3	-4.49	-5.50	Zand - Schoon - Matig	1.0	100.0	
4	-5.50	-5.94	Zand - Schoon - Los	1.0	100.0	
5	-5.94	-6.66	Zand - Schoon - Matig	1.0	100.0	
6	-6.66	-7.38	Zand - Zwak siltig - Kleiig	1.0	100.0	
7	-7.38	-9.16	Zand - Schoon - Vast	1.0	100.0	
8	-9.16	-9.77	Leem - Zwak zandig - Vast	1.0	50.0	
9	-9.77	-17.79	Klei - Zwak zandig - Matig	1.0	50.0	
10	-17.79	-19.97	Zand - Schoon - Vast	1.0	100.0	

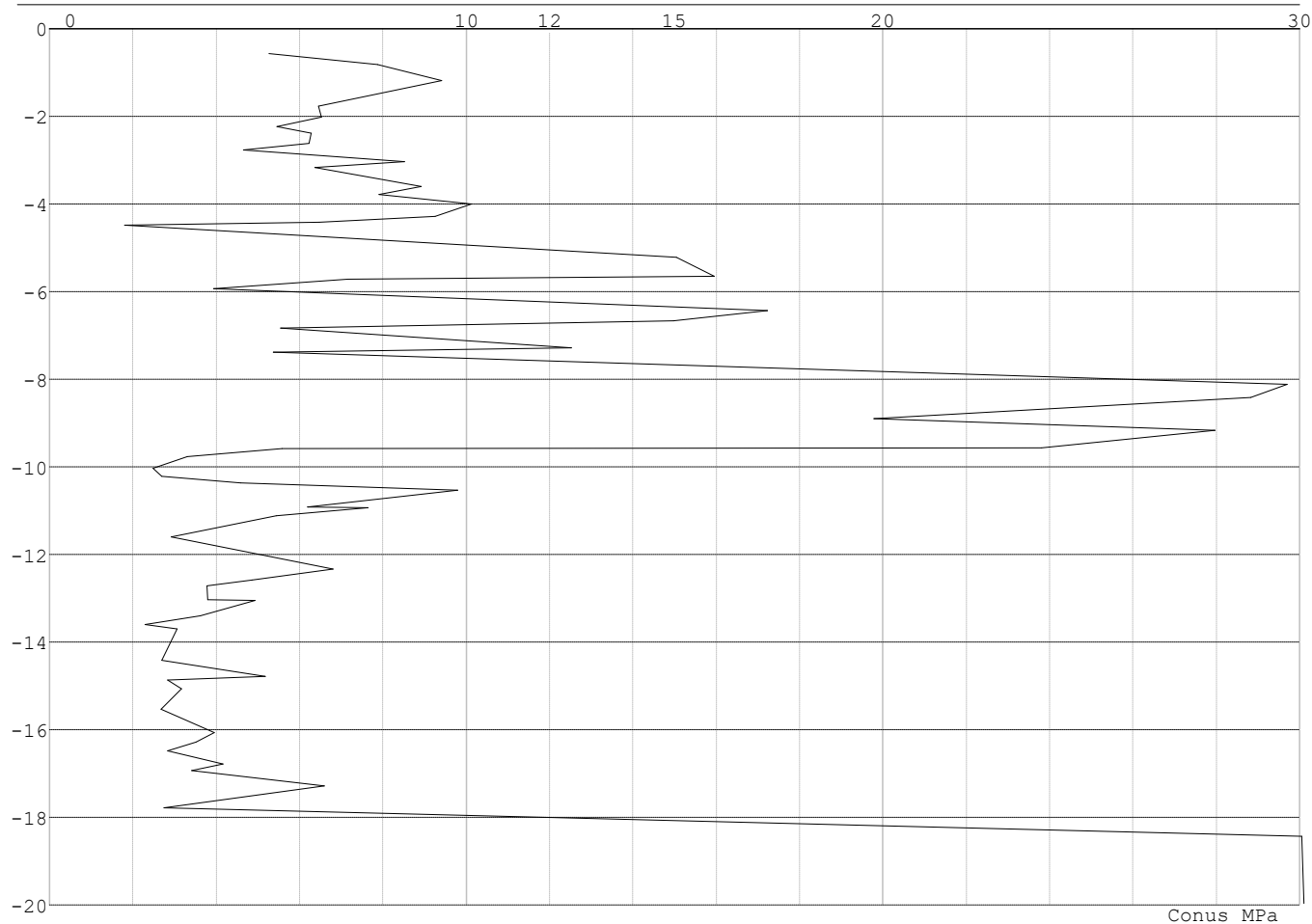
SONDERINGSGEGEVENS ALGEMEEN: 30

Alle niveaus/hogtes/peilmaten zijn t.o.v.: N.A.P.

Hoogte maaiveld [m] : 0.00 Bodemprofiel: 30
 Traject negatieve kleef : 0.00 tot -4.50 [m]
 Traject positieve kleef : -4.50 tot -19.97 [m]

Project : BBB
Onderdeel : MBT-EHV 380

SONDERINGSGEGEVENS GRAFIEK: 30



Project : BBB
 Onderdeel : MBT-EHV 380

REKENGEDEVENS Mast 30 - Afk Trk

Berekening : Controlerend
 Rekenmethode : Trekpalen volgens NEN-EN 1997-1, art. 7.6.3
 Sondering(en) : 30
 Let op: trekcapaciteit t.p.v. negatief kleeftraject is meegerekend.

Stijf bouwwerk : NEE
 Paalgroep : NEE
 Aantal sonderingen : 1
 Factor ξ_3 (n=1) : 1.39
 Factor ξ_3 (gem) : 1.39
 Factor ξ_4 (min) : 1.39
 Weerstandsfactor γ_R : 1.35
 $\gamma_{m,var;q_c}$: 1.50
 UGT draagvermogen zonder negatieve kleeft : NEE

Paal : LV1
 Niveau paalkop [m] : N.A.P. 0.40
 Paalpuntniveau : N.A.P. -8.60
 $E_{d,1}$ [kN] : 0.00 $E_{d,2}$ [kN] : 0.00
 Bovenbel. [kN/m²] : 0.00

RESULTATEN Mast 30 - Afk Trk (n=1)**Sondering : 30**

Alle niveaus/hogtes/peilmaten zijn t.o.v.: N.A.P.

Inheinniveau [m]	Effectief inheinniveau [m]	E.G. paal [kN]	$R_{t,cal;k}$ [kN]	$R_{t;d}$ [kN]	$F_{t,tot;1}$ [kN]	U.C.
-8.60	-8.60	46.3	440.2	440.2	0.0	0.00

Project : BBB
 Onderdeel : MBT-EHV 380

SAMENVATTINGSTABEL Mast 30 - Afk Trk (n=1)
Uitgangspunten

- paal : LV1
 - paaltype : Stalen buispaal (gesloten)
 - schachtafmeting : 700 mm
 Paalklassefactor α_p : 1.00
 Factor α_t (tabel 7.c EC 7.1) : 0.0070 (zandlagen; voor kleilagen zie tabel 7.d)
 Correlatiefactor $\xi_{3(n=1)}$: 1.39

Alle niveaus/hogtes/peilmaten zijn t.o.v.: N.A.P.

sondering	maaiveld paalpunt		Bezuikdraagvermogen $R_{t,cal}$ [kN]	Rekenwaarden	
	niveau	niveau		$R_{t,d}$ [kN]	$R_{t,netto,d}$ [kN]
30	0.00	-8.60	440.2	440.2	440.2

Totaal resultaten Mast 30 - Afk Trk (van 1 sonderingen)
Uitgangspunten

Correlatiefactor ξ_{3gem} (n= 1) : 1.39
 Correlatiefactor ξ_{4min} (n= 1) : 1.39

gebaseerd op sonderingen:
 30

$$R_{t,d} = \min.\{ R_{t,cal,gem}; R_{t,cal,min} \} (7.17) *$$

Inheinniveau
 [m]

$$-8.60 \quad R_{t,d} = \min.\{ 440.2; 440.2 \} = 440.2$$

*) Bij de trekpaalberekening zijn factoren ξ_3 en ξ_4 al bij de berekening van de conusweerstand $q_{c;z,d}$ in rekening gebracht, evenals factor $\gamma_{s;t}$. Dat is conform de opmerkingen in art. 7.6.3.3 (3) en (4).

Alle niveaus/hogtes/peilmaten zijn t.o.v.: N.A.P.

Inheinniveau [m]	$R_{t,k}$ [kN]	$R_{t,d}$ [kN]	$F_{t,tot;1}$ [kN]	$R_{t,netto,d}$ [kN]	U.C.
-8.60	440.2	440.2	0.0	440.2	0.00

Project : BBB
Onderdeel : MBT-EHV 380

SAMENVATTINGSTABEL Mast 30 - Afk Drk (n=1)**Uitgangspunten**

- paal : LV1
- paaltype : Stalen buispaal (gesloten)
- schachtafmeting : 700 mm
Paalklassefactor α_p : 1.00
Factor α_s (tabel 7.c EC 7.1) : 0.010 (zandlagen; voor kleilagen zie tabel 7.d)
Correlatiefactor $\xi_{3(n=1)}$: 1.39

Alle niveaus/hogtes/peilmaten zijn t.o.v.: N.A.P.

sondering	maaiveld paalpunt		Bezwijkdraagvermogen			Rekenwaarden		
	niveau	niveau	$R_{b;cal}$ [kN]	$R_{s;cal}$ [kN]	$R_{c;cal}$ [kN]	$R_{c;d}$ [kN]	$F_{nk;d}$ [kN]	$R_{c;netto;d}$ [kN]
30	0.00	-8.60	1885.5	926.3	2811.8	1685.7	-78.7	1607.1

Totaal resultaten Mast 30 - Afk Drk (van 1 sonderingen)

Uitgangspunten

Correlatiefactor ξ_{3gem} (n= 1) : 1.39
Correlatiefactor ξ_{4min} (n= 1) : 1.39

gebaseerd op sonderingen:
30

$$R_{c;k} = \min.\{ R_{c;cal;gem}/\xi_3; R_{c;cal;min}/\xi_4 \} \quad (7.8)$$

Inheinniveau
[m]

$$-8.60 \quad R_{c;k} = \min.\{ (2811.8/1.39); (2811.8/1.39) \} = 2022.9$$

Alle niveaus/hogtes/peilmaten zijn t.o.v.: N.A.P.

Inheinniveau [m]	$R_{c;k}$ [kN]	$R_{c;d}$ [kN]	$F_{c;tot;1}$ [kN]	$F_{nk;d}$ [kN]	$R_{c;netto;d}$ [kN]	U.C.	$s_{1;1}$ [mm]	$s_{1;2}$ [mm]
-8.60	2022.9	1685.7	-78.7	-78.7	1607.1	0.05	-0.2	-0.2

PAALGEGEVENS LV1

Type : Stalen buispaal (gesloten)
Wijze van installeren : Heien
Diameter [m] : 0.700
Elasticiteitsmodulus [N/mm²] : 20000
Factor α_s (tabel 7.c EC 7.1) : 0.010 (zandlagen; voor kleilagen zie tabel 7.d)
Factor α_t (tabel 7.c EC 7.1) : 0.0070 (zandlagen; voor kleilagen zie tabel 7.d)
Paalklassefactor α_p : 1.00
Paalvoetvormfactor β : 1.00
Type lastzakingsdiagram : Grondverdringende paal
Verm.factor * $\phi'_{j;k}$: 0.75
Groutomhulling : NEE

Project : BBB
 Onderdeel : MBT-EHV 380

OVERZICHT NETTO DRAAGVERMOGEN DRUKPALEN

Netto paal draagvermogen(s) zijn naar beneden toe afgerond op: 1.0 kN nauwkeurig
 Alle niveaus/hoogtes/peilmaten zijn t.o.v.: N.A.P.

sondering	maaiveld niveau	paalpunt niveau	$R_{c,netto;d}$ Mast 30 -	[kN]
30	0.00	-8.60	1607	

OVERZICHT NETTO DRAAGVERMOGEN TREKPALEN (n=1)

Netto paal draagvermogen(s) zijn naar beneden toe afgerond op: 1.0 kN nauwkeurig
 Alle niveaus/hoogtes/peilmaten zijn t.o.v.: N.A.P.

sondering	maaiveld niveau	paalpunt niveau	$R_{t,netto;d}$ Mast 30 -	[kN]
30	0.00	-8.60	440	

ALGEMENE GEGEVENS

Project : BBB
 Onderdeel : MBT-EHV 380
 Datum : 07-01-2021
 Bestand : P:\EANL_Projects\10166262 - BBB modelleren
 funderingen 380 kV\02 Content\03
 Calculations\Technosoft
 Paalfunderingen\MBT-EHV380\DO\Bestaande
 sonderingen\MBT-EHV380 60-69 (62 65 69).pvw
 Berekeningstype : Verticaal belaste paal
 Alle niveaus/hogtes/peilmaten zijn t.o.v.: N.A.P.

Toegepaste normen volgens Eurocode met Nederlandse NB

Geotechniek	EN 1997-1:2004	AC:2009	
	NEN-EN 1997-1:2005	C1+A1:2013	NB:2016
	NEN 9997-1:2016	C2:2017	

GRONDSOORTEN

Nr. Omschrijving	$\gamma_{k;1}$ [kN/m ³]	$\gamma_{sat;k;1}$ [kN/m ³]	$\phi'_{k;1}$ [°]	$\gamma_{k;2}$ [kN/m ³]	$\gamma_{sat;k;2}$ [kN/m ³]	$\phi'_{k;2}$ [°]
1 Zand - Schoon - Los	17.00	19.00	30.00	18.00	20.00	32.50
2 Zand - Schoon - Matig	18.00	20.00	32.50	19.00	21.00	35.00
3 Zand - Schoon - Vast	19.00	21.00	35.00	20.00	22.00	40.00
4 Zand - Zwak siltig - Kleiig	18.00	20.00	27.00	19.00	21.00	32.50
5 Zand - Sterk siltig - Kleiig	18.00	20.00	25.00	19.00	21.00	30.00
6 Leem - Zwak zandig - Matig	20.00	20.00	27.50	21.00	21.00	32.50
7 Leem - Zwak zandig - Vast	21.00	21.00	27.50	22.00	22.00	35.00
8 Klei - Schoon - Matig	17.00	17.00	17.50	19.00	19.00	17.50
9 Klei - Schoon - Vast	19.00	19.00	17.50	20.00	20.00	25.00
10 Klei - Zwak zandig - Slap	15.00	15.00	22.50	18.00	18.00	22.50
11 Klei - Zwak zandig - Matig	18.00	18.00	22.50	20.00	20.00	22.50
12 Klei - Zwak zandig - Vast	20.00	20.00	22.50	21.00	21.00	27.50
13 Klei - Organisch - Matig	15.00	15.00	15.00	16.00	16.00	15.00

BODEMPROFIELGEGEVENS: 62

Alle niveaus/hogtes/peilmaten zijn t.o.v.: N.A.P.

d50-reductie is meegenomen overeenkomstig NEN-EN 9997 art. 7.6.2.3 (i)

Hoogte maaiveld [m] : 0.00 Grondwaterstand [m] : -1.00

Laag	Van [m]	Tot [m]	Omschrijving	OCR	Aandeel pos. kleef [%]	α_s	d_{50} [mm]
1	0.00	-1.02	Klei - Zwak zandig - Slap	1.0	50.0		
2	-1.02	-1.64	Leem - Zwak zandig - Matig	1.0	0.0		
3	-1.64	-2.78	Zand - Schoon - Matig	1.0	100.0		
4	-2.78	-3.25	Zand - Schoon - Los	1.0	100.0		
5	-3.25	-4.82	Zand - Schoon - Vast	1.0	100.0		
6	-4.82	-5.98	Leem - Zwak zandig - Vast	1.0	50.0		
7	-5.98	-6.99	Zand - Schoon - Matig	1.0	100.0		
8	-6.99	-7.36	Zand - Zwak siltig - Kleiig	1.0	100.0		
9	-7.36	-9.04	Klei - Zwak zandig - Matig	1.0	50.0		
10	-9.04	-9.63	Leem - Zwak zandig - Vast	1.0	50.0		
11	-9.63	-9.77	Zand - Schoon - Los	1.0	100.0		
12	-9.77	-10.59	Klei - Zwak zandig - Matig	1.0	50.0		
13	-10.59	-12.19	Zand - Schoon - Vast	1.0	100.0		
14	-12.19	-13.50	Zand - Zwak siltig - Kleiig	1.0	100.0		
15	-13.50	-15.81	Zand - Schoon - Vast	1.0	100.0		

BODEMPROFIELGEGEVENS: 65

Alle niveaus/hogtes/peilmaten zijn t.o.v.: N.A.P.

d50-reductie is meegenomen overeenkomstig NEN-EN 9997 art. 7.6.2.3 (i)

Hoogte maaiveld [m] : 0.00 Grondwaterstand [m] : -1.00

Laag	Van [m]	Tot [m]	Omschrijving	OCR	Aandeel pos. kleef [%]	α_s	d_{50} [mm]
1	0.00	-1.19	Zand - Schoon - Matig	1.0	100.0		
2	-1.19	-2.12	Leem - Zwak zandig - Vast	1.0	0.0		
3	-2.12	-3.29	Klei - Schoon - Matig	1.0	50.0		
4	-3.29	-3.82	Zand - Schoon - Vast	1.0	100.0		
5	-3.82	-4.34	Zand - Schoon - Matig	1.0	100.0		
6	-4.34	-4.71	Zand - Schoon - Vast	1.0	100.0		

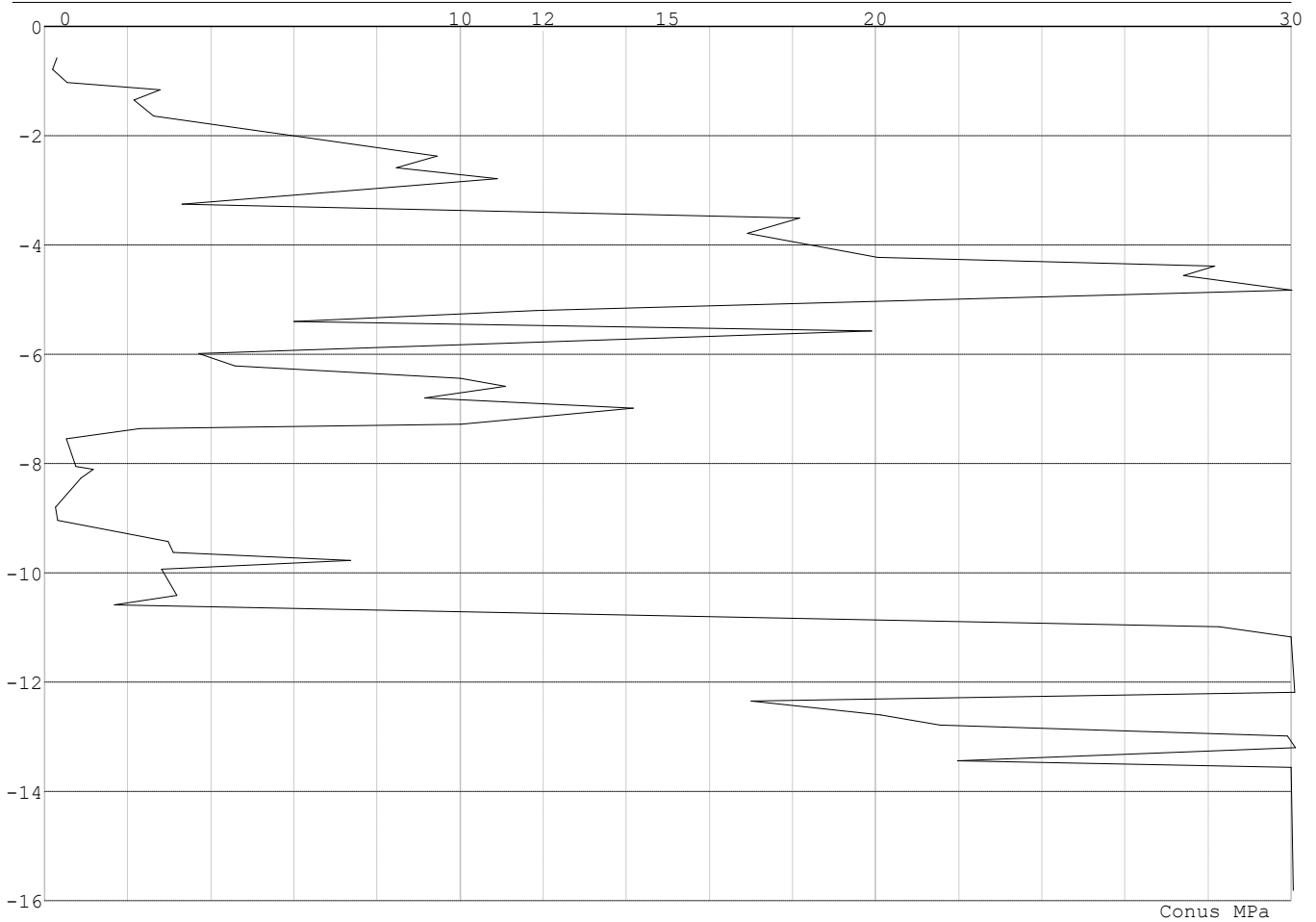
Project : BBB
 Onderdeel : MBT-EHV 380

Laag	Van [m]	Tot [m]	Omschrijving	OCR	Aandeel pos. kleef [%]	α_s	d_{50} [mm]
7	-4.71	-5.67	Zand - Schoon - Matig	1.0	100.0		
8	-5.67	-6.27	Zand - Schoon - Vast	1.0	100.0		
9	-6.27	-6.85	Klei - Organisch - Matig	1.0	50.0		
10	-6.85	-8.57	Klei - Schoon - Vast	1.0	50.0		
11	-8.57	-9.02	Zand - Schoon - Vast	1.0	100.0		
12	-9.02	-10.21	Klei - Zwak zandig - Matig	1.0	50.0		
13	-10.21	-10.98	Zand - Schoon - Vast	1.0	100.0		
14	-10.98	-13.43	Zand - Schoon - Matig	1.0	100.0		
15	-13.43	-15.98	Zand - Schoon - Vast	1.0	100.0		

SONDERINGSGEGEVENS ALGEMEEN: 62

Alle niveaus/hoogtes/peilmaten zijn t.o.v.: N.A.P.
 Hoogte maaiveld [m] : 0.00 Bodemprofiel: 62
 Traject negatieve kleef : 0.00 tot -10.60 [m]
 Traject positieve kleef : -10.60 tot -15.81 [m]

SONDERINGSGEGEVENS GRAFIEK: 62

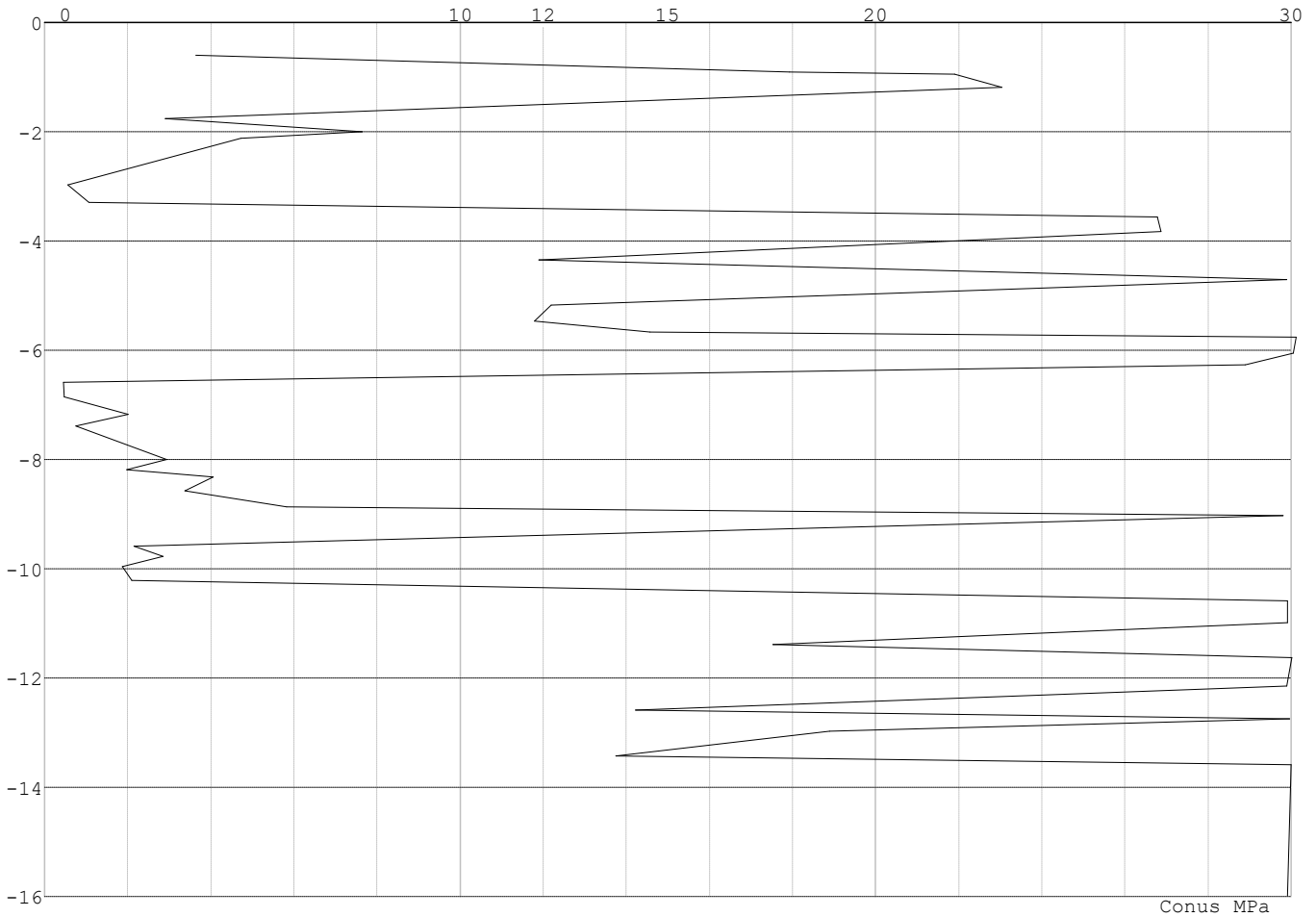


Project : BBB
Onderdeel : MBT-EHV 380

SONDERINGSGEGEVENS ALGEMEEN: 65

Alle niveaus/hoogtes/peilmaten zijn t.o.v.: N.A.P.
Hoogte maaiveld [m] : 0.00 Bodemprofiel: 65
Traject negatieve kleef : 0.00 tot -10.20 [m]
Traject positieve kleef : -10.20 tot -15.98 [m]

SONDERINGSGEGEVENS GRAFIEK: 65



Project : BBB
 Onderdeel : MBT-EHV 380

REKENGEDEVENS Mast 62 - Afk Trk

Berekening : Controlerend
 Rekenmethode : Trekpalen volgens NEN-EN 1997-1, art. 7.6.3
 Sondering(en) : 62
 Let op: trekcapaciteit t.p.v. negatief kleeftraject is meegerekend.

Stijf bouwwerk : NEE
 Paalgroep : NEE
 Aantal sonderingen : 1
 Factor ξ_3 (n=1) : 1.39
 Factor ξ_3 (gem) : 1.39
 Factor ξ_4 (min) : 1.39
 Weerstandsfactor γ_R : 1.35
 $\gamma_{m,var;q,c}$: 1.50
 UGT draagvermogen zonder negatieve kleeft : NEE

Paal : LD1
 Niveau paalkop [m] : N.A.P. 0.40
 Paalpuntniveau : N.A.P. -12.60
 $E_{d,1}$ [kN] : 0.00 $E_{d,2}$ [kN] : 0.00
 Bovenbel. [kN/m²] : 0.00

RESULTATEN Mast 62 - Afk Trk (n=1)**Sondering : 62**

Alle niveaus/hogtes/peilmaten zijn t.o.v.: N.A.P.

Inheinniveau [m]	Effectief inheinniveau [m]	E.G. paal [kN]	$R_{t,cal;k}$ [kN]	$R_{t;d}$ [kN]	$F_{t,tot;1}$ [kN]	U.C.
-12.60	-12.60	39.8	524.2	524.2	0.0	0.00

Project : BBB
Onderdeel : MBT-EHV 380

SAMENVATTINGSTABEL Mast 62 - Afk Trk (n=1)**Uitgangspunten**

- paal : LD1
- paaltype : Stalen buispaal (gesloten)
- schachtafmeting : 550 mm
Paalklassefactor α_p : 1.00
Factor α_t (tabel 7.c EC 7.1) : 0.0070 (zandlagen; voor kleilagen zie tabel 7.d)
Correlatiefactor $\xi_{3(n=1)}$: 1.39

Alle niveaus/hogtes/peilmaten zijn t.o.v.: N.A.P.

sondering	maaiveld paalpunt		Bezwijkdraagvermogen $R_{t,cal}$ [kN]	Rekenwaarden	
	niveau	niveau		$R_{t,d}$ [kN]	$R_{t,netto,d}$ [kN]
62	0.00	-12.60	524.2	524.2	524.2

Totaal resultaten Mast 62 - Afk Trk (van 1 sonderingen)

Uitgangspunten

Correlatiefactor ξ_{3gem} (n= 1) : 1.39
Correlatiefactor ξ_{4min} (n= 1) : 1.39

gebaseerd op sonderingen:
62

$$R_{t,d} = \min. \{ R_{t,cal,gem}; R_{t,cal,min} \} (7.17) *$$

Inheinniveau
[m]

$$-12.60 \quad R_{t,d} = \min. \{ 524.2; 524.2 \} = 524.2$$

*) Bij de trekpaalberekening zijn factoren ξ_3 en ξ_4 al bij de berekening van de conusweerstand $q_{c;z,d}$ in rekening gebracht, evenals factor $\gamma_{s;t}$. Dat is conform de opmerkingen in art. 7.6.3.3 (3) en (4).

Alle niveaus/hogtes/peilmaten zijn t.o.v.: N.A.P.

Inheinniveau [m]	$R_{t,k}$ [kN]	$R_{t,d}$ [kN]	$F_{t,tot;1}$ [kN]	$R_{t,netto,d}$ [kN]	U.C.
-12.60	524.2	524.2	0.0	524.2	0.00

REKENGEGEVENS Mast 65 - Afk Trk

Berekening : Controlerend
Rekenmethode : Trekpalen volgens NEN-EN 1997-1, art. 7.6.3
Sondering(en) : 65
Let op: trekcapaciteit t.p.v. negatief kleeftraject is meegerekend.

Stijf bouwwerk : NEE
Paalgroep : NEE
Aantal sonderingen : 1
Factor ξ_3 (n=1) : 1.39
Factor ξ_3 (gem) : 1.39
Factor ξ_4 (min) : 1.39
Weerstandsfactor γ_R : 1.35
 $\gamma_{m,var;q_c}$: 1.50
UGT draagvermogen zonder negatieve kleeft : NEE

Paal : LD1
Niveau paalkop [m] : N.A.P. 0.40
Paalpuntniveau : N.A.P. -12.60
 $E_{d,1}$ [kN] : 0.00
Bovenbel. [kN/m²] : 0.00
 $E_{d,2}$ [kN] : 0.00

RESULTATEN Mast 65 - Afk Trk (n=1)

Project : BBB
Onderdeel : MBT-EHV 380

Sondering : 65

Alle niveaus/hogtes/peilmaten zijn t.o.v.: N.A.P.

Inheinniveau [m]	Effectief inheinniveau [m]	E.G. paal [kN]	$R_{t,cal;k}$ [kN]	$R_{t;d}$ [kN]	$F_{t,tot;1}$ [kN]	U.C.
-12.60	-12.60	39.8	521.5	521.5	0.0	0.00

SAMENVATTINGSTABEL Mast 65 - Afk Trk (n=1)**Uitgangspunten**

- paal : LD1
- paaltype : Stalen buispaal (gesloten)
- schachtafmeting : 550 mm
Paalklassefactor α_p : 1.00
Factor α_t (tabel 7.c EC 7.1) : 0.0070 (zandlagen; voor kleilagen zie tabel 7.d)
Correlatiefactor $\xi_{3(n=1)}$: 1.39

Alle niveaus/hogtes/peilmaten zijn t.o.v.: N.A.P.

sondering	maaiveld niveau	paalpunt niveau	Bezwijkdraagvermogen $R_{t,cal}$ [kN]	Rekenwaarden $R_{t;d}$ [kN]	$R_{t,netto;d}$ [kN]
65	0.00	-12.60	521.5	521.5	521.5

Totaal resultaten Mast 65 - Afk Trk (van 1 sonderingen)

Uitgangspunten

Correlatiefactor ξ_{3gem} (n= 1) : 1.39
Correlatiefactor ξ_{4min} (n= 1) : 1.39

gebaseerd op sonderingen:
65

$$R_{t;d} = \min.\{ R_{t,cal;gem}; R_{t,cal;min} \} (7.17) *$$

Inheinniveau
[m]

-12.60	$R_{t;d} = \min.\{ 521.5; 521.5 \} = 521.5$
--------	---

*) Bij de trekpaalberekening zijn factoren ξ_3 en ξ_4 al bij de berekening van de conusweerstand $q_{c;z;d}$ in rekening gebracht, evenals factor $\gamma_{s;t}$. Dat is conform de opmerkingen in art. 7.6.3.3 (3) en (4).

Alle niveaus/hogtes/peilmaten zijn t.o.v.: N.A.P.

Inheinniveau [m]	$R_{t;k}$ [kN]	$R_{t;d}$ [kN]	$F_{t,tot;1}$ [kN]	$R_{t,netto;d}$ [kN]	U.C.
-12.60	521.5	521.5	0.0	521.5	0.00

Project : BBB
Onderdeel : MBT-EHV 380

SAMENVATTINGSTABEL Mast 62 - Afk Drk (n=1)**Uitgangspunten**

- paal : LD1
- paaltype : Stalen buispaal (gesloten)
- schachtafmeting : 550 mm
Paalklassefactor α_p : 1.00
Factor α_s (tabel 7.c EC 7.1) : 0.010 (zandlagen; voor kleilagen zie tabel 7.d)
Correlatiefactor $\xi_{3(n=1)}$: 1.39

Alle niveaus/hoogtes/peilmaten zijn t.o.v.: N.A.P.

sondering	maaiveld paalpunt		Bezwijkdraagvermogen			Rekenwaarden		
	niveau	niveau	$R_{b;cal}$ [kN]	$R_{s;cal}$ [kN]	$R_{c;cal}$ [kN]	$R_{c;d}$ [kN]	$F_{nk;d}$ [kN]	$R_{c;netto;d}$ [kN]
62	0.00	-12.60	3563.7	494.4	4058.1	2432.9	-305.0	2128.0

Totaal resultaten Mast 62 - Afk Drk (van 1 sonderingen)

Uitgangspunten

Correlatiefactor ξ_{3gem} (n= 1) : 1.39
Correlatiefactor ξ_{4min} (n= 1) : 1.39

gebaseerd op sonderingen:
62

$$R_{c;k} = \min.\{ R_{c;cal;gem}/\xi_3; R_{c;cal;min}/\xi_4 \} \quad (7.8)$$

Inheinniveau
[m]

$$-12.60 \quad R_{c;k} = \min.\{ (4058.1/1.39); (4058.1/1.39) \} = 2919.5$$

Alle niveaus/hoogtes/peilmaten zijn t.o.v.: N.A.P.

Inheinniveau [m]	$R_{c;k}$ [kN]	$R_{c;d}$ [kN]	$F_{c;tot;1}$ [kN]	$F_{nk;d}$ [kN]	$R_{c;netto;d}$ [kN]	U.C.	$s_{1;1}$ [mm]	$s_{1;2}$ [mm]
-12.60	2919.5	2432.9	-305.0	-305.0	2128.0	0.13	-1.2	-1.2

Project : BBB
Onderdeel : MBT-EHV 380

SAMENVATTINGSTABEL Mast 65 - Afk Drk (n=1)**Uitgangspunten**

- paal : LD1
- paaltype : Stalen buispaal (gesloten)
- schachtafmeting : 550 mm
Paalklassefactor α_p : 1.00
Factor α_s (tabel 7.c EC 7.1) : 0.010 (zandlagen; voor kleilagen zie tabel 7.d)
Correlatiefactor $\xi_{3(n=1)}$: 1.39

Alle niveaus/hoogtes/peilmaten zijn t.o.v.: N.A.P.

sondering	maaiveld paalpunt		Bezwijkdraagvermogen			Rekenwaarden		
	niveau	niveau	$R_{b;cal}$ [kN]	$R_{s;cal}$ [kN]	$R_{c;cal}$ [kN]	$R_{c;d}$ [kN]	$F_{nk;d}$ [kN]	$R_{c;netto;d}$ [kN]
65	0.00	-12.60	2946.8	596.1	3542.9	2124.1	-274.3	1849.8

Totaal resultaten Mast 65 - Afk Drk (van 1 sonderingen)

Uitgangspunten

Correlatiefactor ξ_{3gem} (n= 1) : 1.39
Correlatiefactor ξ_{4min} (n= 1) : 1.39

gebaseerd op sonderingen:
65

$$R_{c;k} = \min.\{ R_{c;cal;gem}/\xi_3; R_{c;cal;min}/\xi_4 \} \quad (7.8)$$

Inheinniveau
[m]

$$-12.60 \quad R_{c;k} = \min.\{ (3542.9/1.39); (3542.9/1.39) \} = 2548.9$$

Alle niveaus/hoogtes/peilmaten zijn t.o.v.: N.A.P.

Inheinniveau [m]	$R_{c;k}$ [kN]	$R_{c;d}$ [kN]	$F_{c;tot;1}$ [kN]	$F_{nk;d}$ [kN]	$R_{c;netto;d}$ [kN]	U.C.	$s_{1;1}$ [mm]	$s_{1;2}$ [mm]
-12.60	2548.9	2124.1	-274.3	-274.3	1849.8	0.13	-1.1	-1.1

PAALGEGEVENS LD1

Type : Stalen buispaal (gesloten)
Wijze van installeren : Heien
Diameter [m] : 0.550
Elasticiteitsmodulus [N/mm²] : 20000
Factor α_s (tabel 7.c EC 7.1) : 0.010 (zandlagen; voor kleilagen zie tabel 7.d)
Factor α_t (tabel 7.c EC 7.1) : 0.0070 (zandlagen; voor kleilagen zie tabel 7.d)
Paalklassefactor α_p : 1.00
Paalvoetvormfactor β : 1.00
Type lastzakingsdiagram : Grondverdringende paal
Verm.factor * $\phi'_{j;k}$: 0.75
Groutomhulling : NEE

Project : BBB
 Onderdeel : MBT-EHV 380

OVERZICHT NETTO DRAAGVERMOGEN DRUKPALEN

Netto paal draagvermogen(s) zijn naar beneden toe afgerond op: 1.0 kN nauwkeurig
 Alle niveaus/hogtes/peilmaten zijn t.o.v.: N.A.P.

sondering	maaiveld niveau	paalpunt niveau	$R_{t, netto; d}$ [kN] Mast 62 - Mast 65 -
62	0.00	-12.60	2127
65	0.00	-12.60	1849

OVERZICHT NETTO DRAAGVERMOGEN TREKPALEN (n=1)

Netto paal draagvermogen(s) zijn naar beneden toe afgerond op: 1.0 kN nauwkeurig
 Alle niveaus/hogtes/peilmaten zijn t.o.v.: N.A.P.

sondering	maaiveld niveau	paalpunt niveau	$R_{t, netto; d}$ [kN] Mast 62 - Mast 65 -
62	0.00	-12.60	524
65	0.00	-12.60	521

ALGEMENE GEGEVENS

Project : BBB
 Onderdeel : MBT-EHV 380
 Datum : 07-01-2021
 Bestand : P:\EANL_Projects\10166262 - BBB modelleren
 funderingen 380 kV\02 Content\03
 Calculations\Technosoft
 Paalfunderingen\MBT-EHV380\DO\Bestaande
 sonderingen\MBT-EHV380 70-79 (77).pvw
 Berekeningstype : Verticaal belaste paal
 Alle niveaus/hogtes/peilmaten zijn t.o.v.: N.A.P.

Toegepaste normen volgens Eurocode met Nederlandse NB

Geotechniek	EN 1997-1:2004	AC:2009	
	NEN-EN 1997-1:2005	C1+A1:2013	NB:2016
	NEN 9997-1:2016	C2:2017	

GRONDSOORTEN

Nr. Omschrijving	$\gamma_{k;1}$ [kN/m ³]	$\gamma_{sat;k;1}$ [kN/m ³]	$\phi'_{k;1}$ [°]	$\gamma_{k;2}$ [kN/m ³]	$\gamma_{sat;k;2}$ [kN/m ³]	$\phi'_{k;2}$ [°]
1 Zand - Schoon - Los	17.00	19.00	30.00	18.00	20.00	32.50
2 Zand - Schoon - Matig	18.00	20.00	32.50	19.00	21.00	35.00
3 Zand - Schoon - Vast	19.00	21.00	35.00	20.00	22.00	40.00
4 Zand - Zwak siltig - Kleiig	18.00	20.00	27.00	19.00	21.00	32.50
5 Zand - Sterk siltig - Kleiig	18.00	20.00	25.00	19.00	21.00	30.00
6 Leem - Zwak zandig - Vast	21.00	21.00	27.50	22.00	22.00	35.00
7 Klei - Schoon - Matig	17.00	17.00	17.50	19.00	19.00	17.50
8 Klei - Schoon - Vast	19.00	19.00	17.50	20.00	20.00	25.00
9 Klei - Zwak zandig - Slap	15.00	15.00	22.50	18.00	18.00	22.50
10 Klei - Zwak zandig - Matig	18.00	18.00	22.50	20.00	20.00	22.50
11 Klei - Zwak zandig - Vast	20.00	20.00	22.50	21.00	21.00	27.50
12 Klei - Organisch - Matig	15.00	15.00	15.00	16.00	16.00	15.00
13 Veen - Matig voorbelast - Matig	12.00	12.00	15.00	13.00	13.00	15.00

BODEMPROFIELGEGEVENS: 77

Alle niveaus/hogtes/peilmaten zijn t.o.v.: N.A.P.

d50-reductie is meegenomen overeenkomstig NEN-EN 9997 art. 7.6.2.3 (i)

Laag	Van [m]	Tot [m]	Omschrijving	OCR	Aandeel pos. kleef [%]	α_s	d_{50} [mm]
1	0.00	-0.93	Zand - Zwak siltig - Kleiig	1.0	100.0		
2	-0.93	-1.52	Leem - Zwak zandig - Vast	1.0	50.0		
3	-1.52	-3.79	Zand - Schoon - Matig	1.0	100.0		
4	-3.79	-5.93	Leem - Zwak zandig - Vast	1.0	50.0		
5	-5.93	-6.46	Klei - Zwak zandig - Matig	1.0	50.0		
6	-6.46	-7.82	Zand - Schoon - Vast	1.0	100.0		
7	-7.82	-8.13	Zand - Schoon - Matig	1.0	100.0		
8	-8.13	-8.95	Leem - Zwak zandig - Vast	1.0	50.0		
9	-8.95	-9.82	Klei - Zwak zandig - Vast	1.0	50.0		
10	-9.82	-10.75	Zand - Schoon - Vast	1.0	100.0		
11	-10.75	-12.41	Zand - Schoon - Matig	1.0	100.0		
12	-12.41	-13.54	Zand - Zwak siltig - Kleiig	1.0	100.0		
13	-13.54	-17.56	Zand - Schoon - Vast	1.0	100.0		

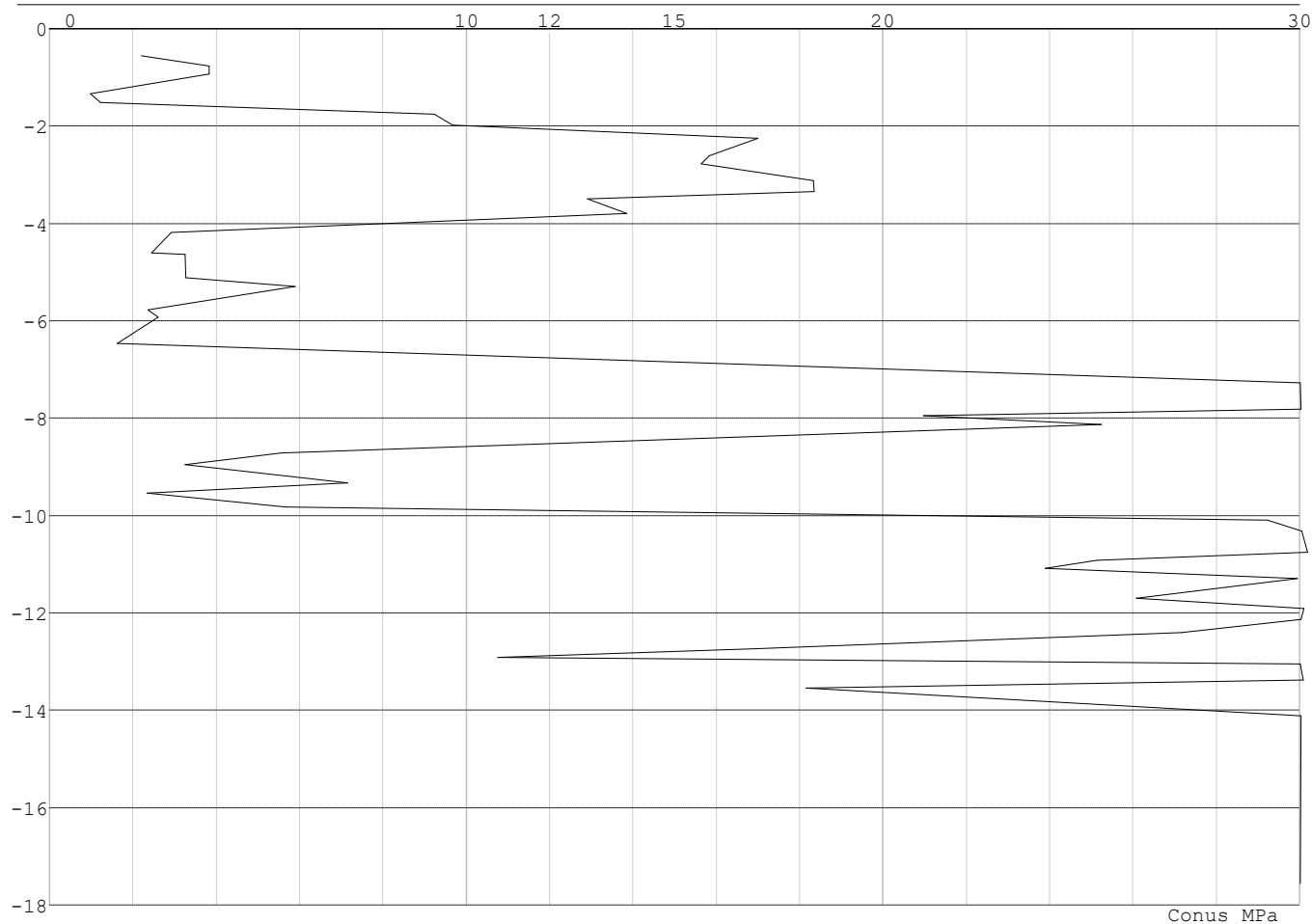
SONDERINGSGEGEVENS ALGEMEEN: 77

Alle niveaus/hogtes/peilmaten zijn t.o.v.: N.A.P.

Hoogte maaiveld [m] : 0.00 Bodemprofiel: 77
 Traject negatieve kleef : 0.00 tot -9.60 [m]
 Traject positieve kleef : -9.60 tot -17.56 [m]

Project : BBB
Onderdeel : MBT-EHV 380

SONDERINGSGEGEVENS GRAFIEK: 77



Project : BBB
 Onderdeel : MBT-EHV 380

REKENGEDEVENS Mast 77 - Afk Trk

Berekening : Controlerend
 Rekenmethode : Trekpalen volgens NEN-EN 1997-1, art. 7.6.3
 Sondering(en) : 77
 Let op: trekcapaciteit t.p.v. negatief kleeftraject is meegerekend.

Stijf bouwwerk : NEE
 Paalgroep : NEE
 Aantal sonderingen : 1
 Factor ξ_3 (n=1) : 1.39
 Factor ξ_3 (gem) : 1.39
 Factor ξ_4 (min) : 1.39
 Weerstandsfactor γ_R : 1.35
 $\gamma_{m,var,qc}$: 1.50
 UGT draagvermogen zonder negatieve kleeft : NEE

Paal : LD1
 Niveau paalkop [m] : N.A.P. 0.40
 Paalpuntniveau : N.A.P. -11.60
 $E_{d,1}$ [kN] : 0.00 $E_{d,2}$ [kN] : 0.00
 Bovenbel. [kN/m²] : 0.00

RESULTATEN Mast 77 - Afk Trk (n=1)**Sondering : 77**

Alle niveaus/hogtes/peilmaten zijn t.o.v.: N.A.P.

Inheinniveau [m]	Effectief inheinniveau [m]	E.G. paal [kN]	$R_{t,cal;k}$ [kN]	$R_{t;d}$ [kN]	$F_{t,tot;1}$ [kN]	U.C.
-11.60	-11.60	37.0	577.0	577.0	0.0	0.00

Project : BBB
 Onderdeel : MBT-EHV 380

SAMENVATTINGSTABEL Mast 77 - Afk Trk (n=1)

Uitgangspunten

- paal : LD1
 - paaltype : Stalen buispaal (gesloten)
 - schachtafmeting : 550 mm
 Paalklassefactor α_p : 1.00
 Factor α_t (tabel 7.c EC 7.1) : 0.0070 (zandlagen; voor kleilagen zie tabel 7.d)
 Correlatiefactor $\xi_{3(n=1)}$: 1.39

Alle niveaus/hogtes/peilmaten zijn t.o.v.: N.A.P.

sondering	maaiveld paalpunt		Bezuikdraagvermogen $R_{t,cal}$ [kN]	Rekenwaarden	
	niveau	niveau		$R_{t;d}$ [kN]	$R_{t,netto;d}$ [kN]
77	0.00	-11.60	577.0	577.0	577.0

Totaal resultaten Mast 77 - Afk Trk (van 1 sonderingen)

Uitgangspunten

Correlatiefactor ξ_{3gem} (n= 1) : 1.39
 Correlatiefactor ξ_{4min} (n= 1) : 1.39

gebaseerd op sonderingen:
 77

$$R_{t;d} = \min.\{ R_{t,cal;gem}; R_{t,cal;min} \} (7.17) *$$

Inheinniveau
 [m]

$$-11.60 \quad R_{t;d} = \min.\{ 577.0; 577.0 \} = 577.0$$

*) Bij de trekpaalberekening zijn factoren ξ_3 en ξ_4 al bij de berekening van de conusweerstand $q_{c;z;d}$ in rekening gebracht, evenals factor $\gamma_{s;t}$. Dat is conform de opmerkingen in art. 7.6.3.3 (3) en (4).

Alle niveaus/hogtes/peilmaten zijn t.o.v.: N.A.P.

Inheinniveau [m]	$R_{t;k}$ [kN]	$R_{t;d}$ [kN]	$F_{t;tot;1}$ [kN]	$R_{t,netto;d}$ [kN]	U.C.
-11.60	577.0	577.0	0.0	577.0	0.00

Project : BBB
Onderdeel : MBT-EHV 380

SAMENVATTINGSTABEL Mast 77 - Afk Drk (n=1)**Uitgangspunten**

- paal : LD1
- paaltype : Stalen buispaal (gesloten)
- schachtafmeting : 550 mm
Paalklassefactor α_p : 1.00
Factor α_s (tabel 7.c EC 7.1) : 0.010 (zandlagen; voor kleilagen zie tabel 7.d)
Correlatiefactor $\xi_{3(n=1)}$: 1.39

Alle niveaus/hoogtes/peilmaten zijn t.o.v.: N.A.P.

sondering	maaiveld paalpunt		Bezwijkdraagvermogen			Rekenwaarden		
	niveau	niveau	$R_{b;cal}$ [kN]	$R_{s;cal}$ [kN]	$R_{c;cal}$ [kN]	$R_{c;d}$ [kN]	$F_{nk;d}$ [kN]	$R_{c;netto;d}$ [kN]
77	0.00	-12.00	2821.9	576.7	3398.6	2037.5	-264.8	1772.8

Totaal resultaten Mast 77 - Afk Drk (van 1 sonderingen)

Uitgangspunten

Correlatiefactor ξ_{3gem} (n= 1) : 1.39
Correlatiefactor ξ_{4min} (n= 1) : 1.39

gebaseerd op sonderingen:
77

$$R_{c;k} = \min.\{ R_{c;cal;gem}/\xi_3; R_{c;cal;min}/\xi_4 \} \quad (7.8)$$

Inheinniveau
[m]

$$-12.00 \quad R_{c;k} = \min.\{ (3398.6/1.39); (3398.6/1.39) \} = 2445.0$$

Alle niveaus/hoogtes/peilmaten zijn t.o.v.: N.A.P.

Inheinniveau [m]	$R_{c;k}$ [kN]	$R_{c;d}$ [kN]	$F_{c;tot;1}$ [kN]	$F_{nk;d}$ [kN]	$R_{c;netto;d}$ [kN]	U.C.	$s_{1;1}$ [mm]	$s_{1;2}$ [mm]
-12.00	2445.0	2037.5	-264.8	-264.8	1772.8	0.13	-1.1	-1.0

PAALGEGEVENS LD1

Type : Stalen buispaal (gesloten)
Wijze van installeren : Heien
Diameter [m] : 0.550
Elasticiteitsmodulus [N/mm²] : 20000
Factor α_s (tabel 7.c EC 7.1) : 0.010 (zandlagen; voor kleilagen zie tabel 7.d)
Factor α_t (tabel 7.c EC 7.1) : 0.0070 (zandlagen; voor kleilagen zie tabel 7.d)
Paalklassefactor α_p : 1.00
Paalvoetvormfactor β : 1.00
Type lastzakingsdiagram : Grondverdringende paal
Verm.factor * $\phi'_{j;k}$: 0.75
Groutomhulling : NEE

Project : BBB
 Onderdeel : MBT-EHV 380

OVERZICHT NETTO DRAAGVERMOGEN DRUKPALEN

Netto paal draagvermogen(s) zijn naar beneden toe afgerond op: 1.0 kN nauwkeurig
 Alle niveaus/hoogtes/peilmaten zijn t.o.v.: N.A.P.

sondering	maaiveld niveau	paalpunt niveau	$R_{c,netto;d}$ Mast 77 -	[kN]
77	0.00	-12.00	1772	

OVERZICHT NETTO DRAAGVERMOGEN TREKPALEN (n=1)

Netto paal draagvermogen(s) zijn naar beneden toe afgerond op: 1.0 kN nauwkeurig
 Alle niveaus/hoogtes/peilmaten zijn t.o.v.: N.A.P.

sondering	maaiveld niveau	paalpunt niveau	$R_{t,netto;d}$ Mast 77 -	[kN]
77	0.00	-11.60	576	

Project : BBB
 Onderdeel : MBT-EHV 380

ALGEMENE GEGEVENS

Project : BBB
 Onderdeel : MBT-EHV 380
 Datum : 07-01-2021
 Bestand : P:\EANL_Projects\10166262 - BBB modelleren
 funderingen 380 kV\02 Content\03
 Calculations\Technosoft
 Paalfunderingen\MBT-EHV380\DO\Bestaande
 sonderingen\MBT-EHV380 80-89 (82 83 84 85
 87).pvw
 Berekeningstype : Verticaal belaste paal
 Alle niveaus/hogtes/peilmaten zijn t.o.v.: N.A.P.

Toegepaste normen volgens Eurocode met Nederlandse NB

Geotechniek	EN 1997-1:2004	AC:2009	
	NEN-EN 1997-1:2005	C1+A1:2013	NB:2016
	NEN 9997-1:2016	C2:2017	

GRONDSOORTEN

Nr. Omschrijving	$\gamma_{k;1}$ [kN/m ³]	$\gamma_{sat;k;1}$ [kN/m ³]	$\phi'_{k;1}$ [°]	$\gamma_{k;2}$ [kN/m ³]	$\gamma_{sat;k;2}$ [kN/m ³]	$\phi'_{k;2}$ [°]
1 Zand - Schoon - Los	17.00	19.00	30.00	18.00	20.00	32.50
2 Zand - Schoon - Matig	18.00	20.00	32.50	19.00	21.00	35.00
3 Zand - Schoon - Vast	19.00	21.00	35.00	20.00	22.00	40.00
4 Zand - Zwak siltig - Kleiig	18.00	20.00	27.00	19.00	21.00	32.50
5 Zand - Sterk siltig - Kleiig	18.00	20.00	25.00	19.00	21.00	30.00
6 Leem - Zwak zandig - Matig	20.00	20.00	27.50	21.00	21.00	32.50
7 Leem - Zwak zandig - Vast	21.00	21.00	27.50	22.00	22.00	35.00
8 Klei - Schoon - Matig	17.00	17.00	17.50	19.00	19.00	17.50
9 Klei - Schoon - Vast	19.00	19.00	17.50	20.00	20.00	25.00
10 Klei - Zwak zandig - Slap	15.00	15.00	22.50	18.00	18.00	22.50
11 Klei - Zwak zandig - Matig	18.00	18.00	22.50	20.00	20.00	22.50
12 Klei - Zwak zandig - Vast	20.00	20.00	22.50	21.00	21.00	27.50
13 Klei - Organisch - Matig	15.00	15.00	15.00	16.00	16.00	15.00
14 Veen - Niet voorbelast - Slap	10.00	10.00	15.00	12.00	12.00	15.00

BODEMPROFIELGEGEVENS: 83

Alle niveaus/hogtes/peilmaten zijn t.o.v.: N.A.P.

d50-reductie is meegenomen overeenkomstig NEN-EN 9997 art. 7.6.2.3 (i)

Laag	Van [m]	Tot [m]	Omschrijving	OCR	Aandeel kleef [%]	pos.	α_s	d_{50} [mm]
1	0.00	-1.00	Klei - Zwak zandig - Slap	1.0	50.0			
2	-1.00	-2.31	Klei - Schoon - Vast	1.0	50.0			
3	-2.31	-2.58	Leem - Zwak zandig - Vast	1.0	50.0			
4	-2.58	-4.61	Zand - Schoon - Matig	1.0	100.0			
5	-4.61	-6.38	Klei - Zwak zandig - Matig	1.0	50.0			
6	-6.38	-7.60	Zand - Schoon - Vast	1.0	100.0			
7	-7.60	-8.55	Leem - Zwak zandig - Vast	1.0	50.0			
8	-8.55	-9.56	Klei - Schoon - Matig	1.0	50.0			
9	-9.56	-11.39	Zand - Schoon - Los	1.0	100.0			
10	-11.39	-11.83	Klei - Zwak zandig - Matig	1.0	50.0			
11	-11.83	-17.85	Zand - Schoon - Vast	1.0	100.0			

BODEMPROFIELGEGEVENS: 84

Alle niveaus/hogtes/peilmaten zijn t.o.v.: N.A.P.

d50-reductie is meegenomen overeenkomstig NEN-EN 9997 art. 7.6.2.3 (i)

Laag	Van [m]	Tot [m]	Omschrijving	OCR	Aandeel kleef [%]	pos.	α_s	d_{50} [mm]
1	0.00	-1.70	Klei - Zwak zandig - Slap	1.0	50.0			
2	-1.70	-3.10	Zand - Zwak siltig - Kleiig	1.0	100.0			
3	-3.10	-3.39	Leem - Zwak zandig - Vast	1.0	50.0			
4	-3.39	-6.38	Zand - Schoon - Matig	1.0	100.0			
5	-6.38	-6.87	Zand - Zwak siltig - Kleiig	1.0	100.0			
6	-6.87	-9.18	Klei - Organisch - Matig	1.0	50.0			
7	-9.18	-9.88	Zand - Schoon - Matig	1.0	100.0			
8	-9.88	-10.38	Zand - Schoon - Los	1.0	100.0			

Project : BBB
 Onderdeel : MBT-EHV 380

Laag	Van [m]	Tot [m]	Omschrijving	OCR	Aandeel pos. kleef [%]	α_s	d_{50} [mm]
9	-10.38	-11.09	Zand - Schoon - Matig	1.0	100.0		
10	-11.09	-12.35	Zand - Zwak siltig - Kleiig	1.0	100.0		
11	-12.35	-17.06	Zand - Schoon - Vast	1.0	100.0		

BODEMPROFIELGEGEVENS: 87

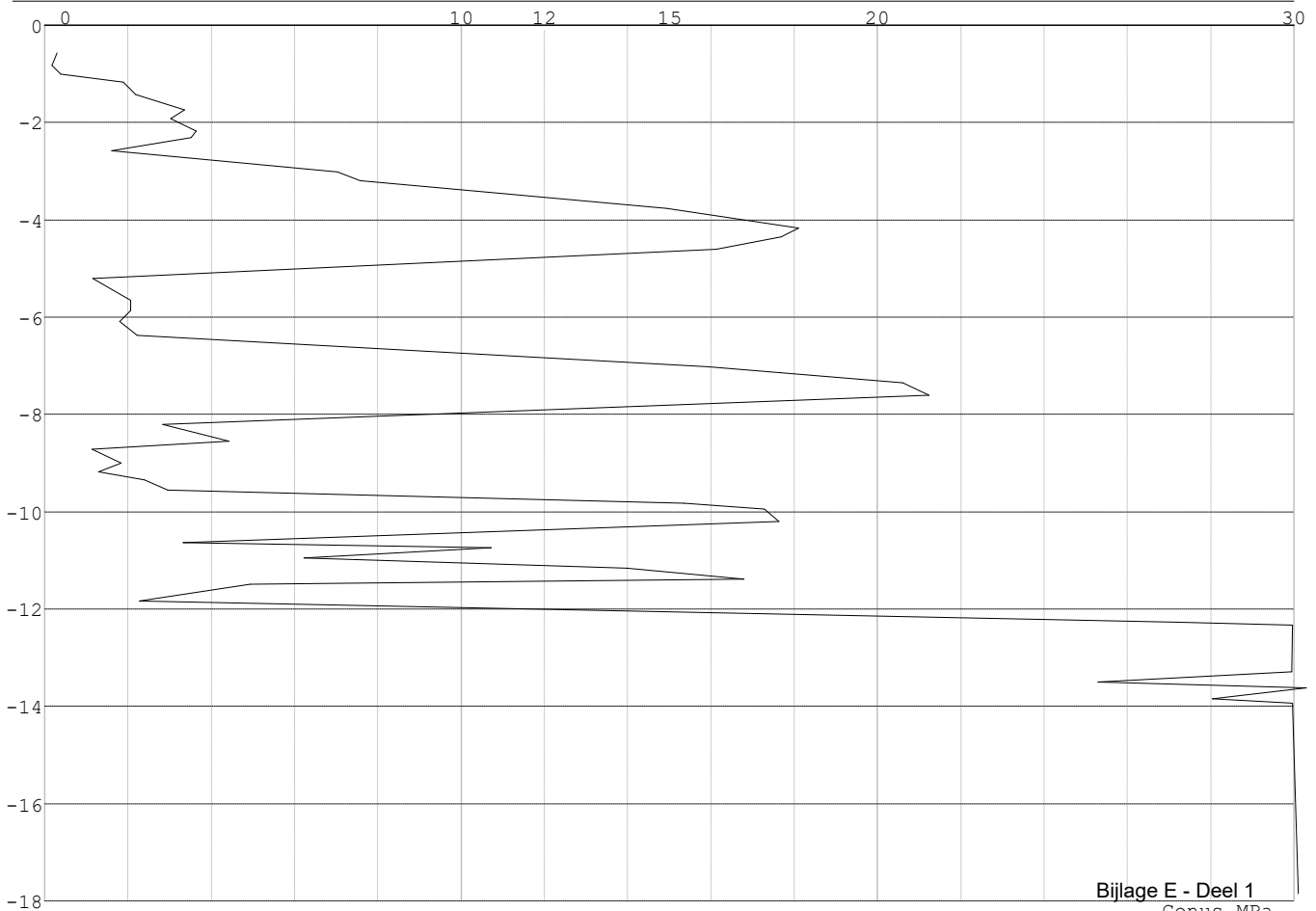
Alle niveaus/hogtes/peilmaten zijn t.o.v.: N.A.P.
 d50-reductie is meegenomen overeenkomstig NEN-EN 9997 art. 7.6.2.3 (i)
 Hoogte maaiveld [m] : 0.00 Grondwaterstand [m] : -1.00

Laag	Van [m]	Tot [m]	Omschrijving	OCR	Aandeel pos. kleef [%]	α_s	d_{50} [mm]
1	0.00	-3.22	Zand - Zwak siltig - Kleiig	1.0	100.0		
2	-3.22	-4.06	Leem - Zwak zandig - Vast	1.0	0.0		
3	-4.06	-6.20	Zand - Schoon - Los	1.0	100.0		
4	-6.20	-6.84	Zand - Schoon - Matig	1.0	100.0		
5	-6.84	-7.71	Zand - Schoon - Vast	1.0	100.0		
6	-7.71	-8.11	Zand - Sterk siltig - Kleiig	1.0	100.0		
7	-8.11	-8.59	Zand - Schoon - Los	1.0	100.0		
8	-8.59	-9.28	Klei - Schoon - Vast	1.0	50.0		
9	-9.28	-10.60	Zand - Schoon - Vast	1.0	100.0		
10	-10.60	-11.00	Leem - Zwak zandig - Vast	1.0	50.0		
11	-11.00	-14.21	Zand - Schoon - Matig	1.0	100.0		
12	-14.21	-17.93	Zand - Schoon - Vast	1.0	100.0		

SONDERINGSGEGEVENS ALGEMEEN: 83

Alle niveaus/hogtes/peilmaten zijn t.o.v.: N.A.P.
 Hoogte maaiveld [m] : 0.00 Bodemprofiel: 83
 Traject negatieve kleef : 0.00 tot -9.50 [m]
 Traject positieve kleef : -9.50 tot -17.85 [m]

SONDERINGSGEGEVENS GRAFIEK: 83

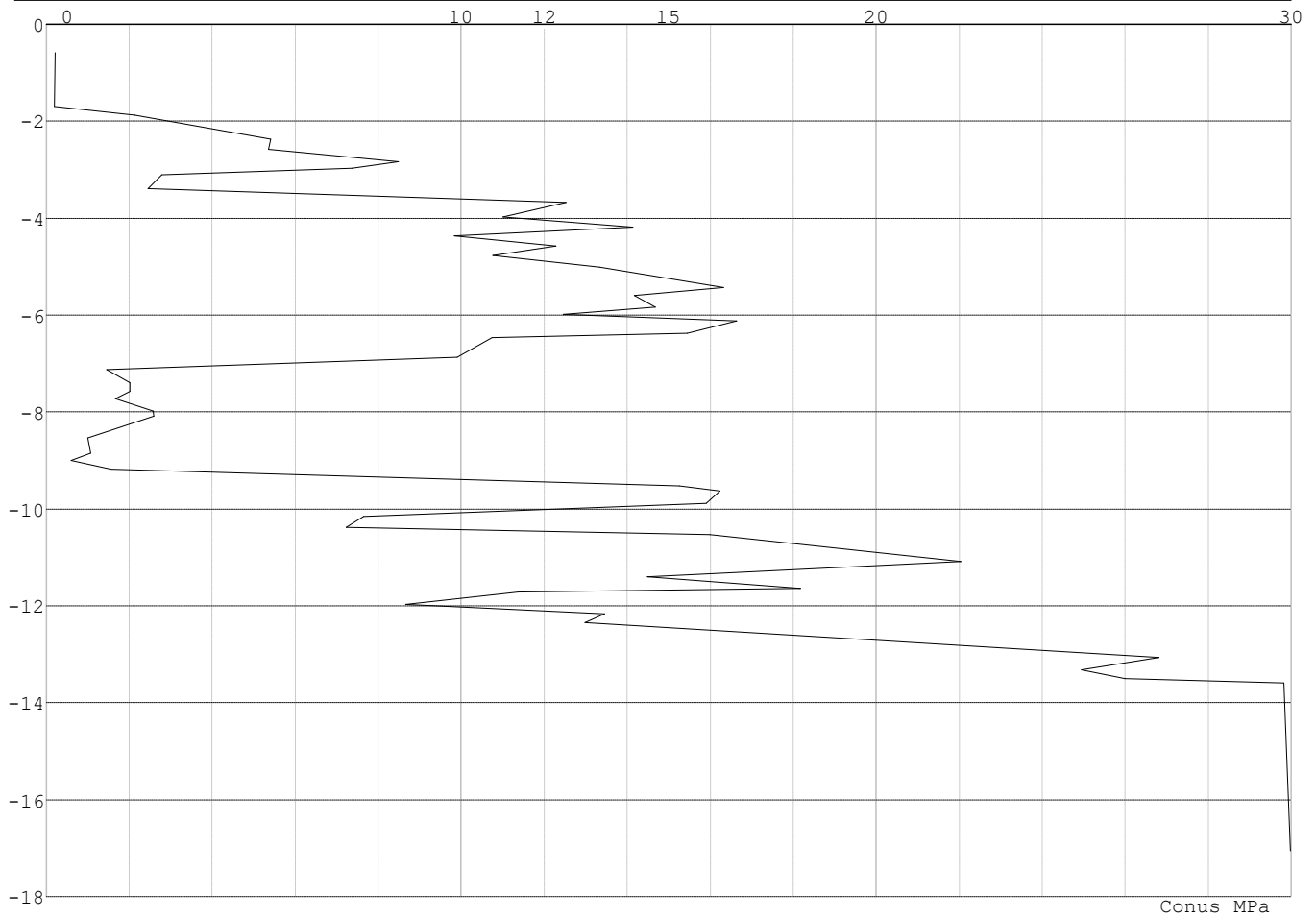


Project : BBB
 Onderdeel : MBT-EHV 380

SONDERINGSGEGEVENS ALGEMEEN: 84

Alle niveaus/hogtes/peilmaten zijn t.o.v.: N.A.P.
 Hoogte maaiveld [m] : 0.00 Bodemprofiel: 84
 Traject negatieve kleeft : 0.00 tot -9.10 [m]
 Traject positieve kleeft : -9.10 tot -17.06 [m]

SONDERINGSGEGEVENS GRAFIEK: 84

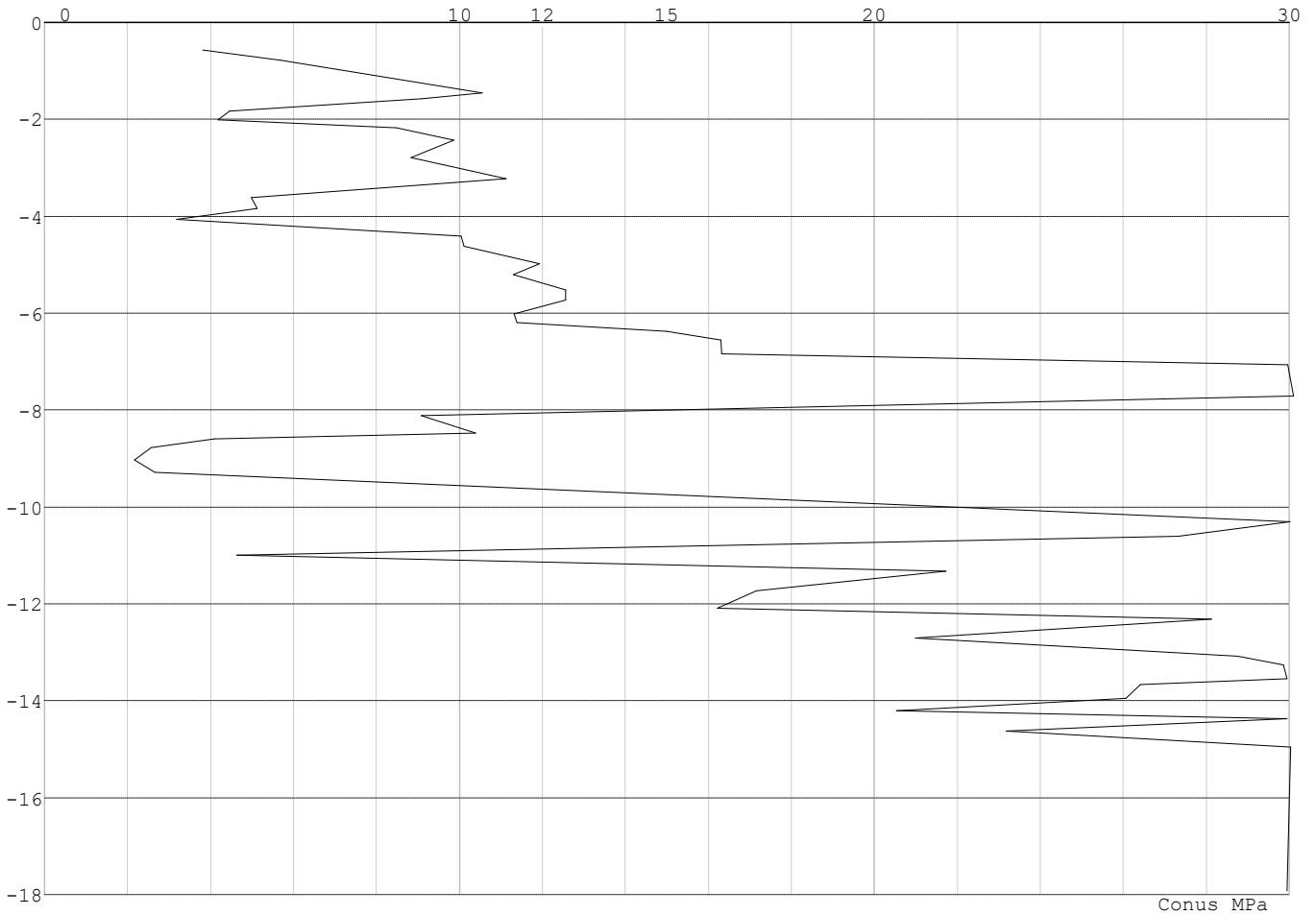


Project : BBB
Onderdeel : MBT-EHV 380

SONDERINGSGEGEVENS ALGEMEEN: 87

Alle niveaus/hogtes/peilmaten zijn t.o.v.: N.A.P.
Hoogte maaiveld [m] : 0.00 Bodemprofiel: 87
Traject negatieve kleef : 0.00 tot -9.20 [m]
Traject positieve kleef : -9.20 tot -17.93 [m]

SONDERINGSGEGEVENS GRAFIEK: 87



Project : BBB
 Onderdeel : MBT-EHV 380

REKENGEDEVENS Mast 83 - Afk Trk

Berekening : Controlerend
 Rekenmethode : Trekpalen volgens NEN-EN 1997-1, art. 7.6.3
 Sondering(en) : 83
 Let op: trekcapaciteit t.p.v. negatief kleeftraject is meegerekend.

Stijf bouwwerk : NEE
 Paalgroep : NEE
 Aantal sonderingen : 1
 Factor ξ_3 (n=1) : 1.39
 Factor ξ_3 (gem) : 1.39
 Factor ξ_4 (min) : 1.39
 Weerstandsfactor γ_R : 1.35
 $\gamma_{m,var,qc}$: 1.50
 UGT draagvermogen zonder negatieve kleef : NEE

Paal : LD1
 Niveau paalkop [m] : N.A.P. 0.40
 Paalpuntniveau : N.A.P. -13.10
 $E_{d,1}$ [kN] : 0.00 $E_{d,2}$ [kN] : 0.00
 Bovenbel. [kN/m²] : 0.00

RESULTATEN Mast 83 - Afk Trk (n=1)**Sondering : 83**

Alle niveaus/hogtes/peilmaten zijn t.o.v.: N.A.P.

Inheinniveau [m]	Effectief inheinniveau [m]	E.G. paal [kN]	$R_{t,cal;k}$ [kN]	$R_{t;d}$ [kN]	$F_{t,tot;1}$ [kN]	U.C.
-13.10	-13.10	41.2	543.4	543.4	0.0	0.00

Project : BBB
Onderdeel : MBT-EHV 380

SAMENVATTINGSTABEL Mast 83 - Afk Trk (n=1)**Uitgangspunten**

- paal : LD1
- paaltype : Stalen buispaal (gesloten)
- schachtafmeting : 550 mm
Paalklassefactor α_p : 1.00
Factor α_t (tabel 7.c EC 7.1) : 0.0070 (zandlagen; voor kleilagen zie tabel 7.d)
Correlatiefactor $\xi_{3(n=1)}$: 1.39

Alle niveaus/hogtes/peilmaten zijn t.o.v.: N.A.P.

sondering	maaiveld paalpunt		Bezwijkdraagvermogen $R_{t,cal}$ [kN]	Rekenwaarden	
	niveau	niveau		$R_{t,d}$ [kN]	$R_{t,netto,d}$ [kN]
83	0.00	-13.10	543.4	543.4	543.4

Totaal resultaten Mast 83 - Afk Trk (van 1 sonderingen)

Uitgangspunten

Correlatiefactor ξ_{3gem} (n= 1) : 1.39
Correlatiefactor ξ_{4min} (n= 1) : 1.39

gebaseerd op sonderingen:
83

$$R_{t,d} = \min. \{ R_{t,cal,gem}; R_{t,cal,min} \} (7.17) *$$

Inheinniveau
[m]

$$-13.10 \quad R_{t,d} = \min. \{ 543.4; 543.4 \} = 543.4$$

*) Bij de trekpaalberekening zijn factoren ξ_3 en ξ_4 al bij de berekening van de conusweerstand $q_{c;z;d}$ in rekening gebracht, evenals factor $\gamma_{s;t}$. Dat is conform de opmerkingen in art. 7.6.3.3 (3) en (4).

Alle niveaus/hogtes/peilmaten zijn t.o.v.: N.A.P.

Inheinniveau [m]	$R_{t,k}$ [kN]	$R_{t,d}$ [kN]	$F_{t,tot;1}$ [kN]	$R_{t,netto,d}$ [kN]	U.C.
-13.10	543.4	543.4	0.0	543.4	0.00

REKENGEDEGENS Mast 84 - Afk Trk

Berekening : Controlerend
Rekenmethode : Trekpalen volgens NEN-EN 1997-1, art. 7.6.3
Sondering(en) : 84
Let op: trekcapaciteit t.p.v. negatief kleefttraject is meegerekend.

Stijf bouwwerk : NEE
Paalgroep : NEE
Aantal sonderingen : 1
Factor ξ_3 (n=1) : 1.39
Factor ξ_3 (gem) : 1.39
Factor ξ_4 (min) : 1.39
Weerstandsfactor γ_R : 1.35
 $\gamma_{m,var;q_c}$: 1.50
UGT draagvermogen zonder negatieve kleeft : NEE

Paal : LD1
Niveau paalkop [m] : N.A.P. 0.40
Paalpuntniveau : N.A.P. -13.20
 $E_{d,1}$ [kN] : 0.00 $E_{d,2}$ [kN] : 0.00
Bovenbel. [kN/m²] : 0.00

RESULTATEN Mast 84 - Afk Trk (n=1)

Project : BBB
Onderdeel : MBT-EHV 380

Sondering : 84

Alle niveaus/hogtes/peilmaten zijn t.o.v.: N.A.P.

Inheinniveau [m]	Effectief inheinniveau [m]	E.G. paal [kN]	$R_{t,cal;k}$ [kN]	$R_{t;d}$ [kN]	$F_{t,tot;1}$ [kN]	U.C.
-13.20	-13.20	41.5	503.9	503.9	0.0	0.00

SAMENVATTINGSTABEL Mast 84 - Afk Trk (n=1)**Uitgangspunten**

- paal : LD1
- paaltype : Stalen buispaal (gesloten)
- schachtafmeting : 550 mm
Paalklassefactor α_p : 1.00
Factor α_t (tabel 7.c EC 7.1) : 0.0070 (zandlagen; voor kleilagen zie tabel 7.d)
Correlatiefactor $\xi_{3(n=1)}$: 1.39

Alle niveaus/hogtes/peilmaten zijn t.o.v.: N.A.P.

sondering	maaiveld niveau	paalpunt niveau	Bezijdraagvermogen $R_{t,cal}$ [kN]	Rekenwaarden $R_{t;d}$ [kN]	$R_{t,netto;d}$ [kN]
84	0.00	-13.20	503.9	503.9	503.9

Totaal resultaten Mast 84 - Afk Trk (van 1 sonderingen)**Uitgangspunten**

Correlatiefactor ξ_{3gem} (n= 1) : 1.39
Correlatiefactor ξ_{4min} (n= 1) : 1.39

gebaseerd op sonderingen:
84

$$R_{t;d} = \min.\{ R_{t,cal;gem}; R_{t,cal;min} \} (7.17) *$$

Inheinniveau
[m]

$$-13.20 \quad R_{t;d} = \min.\{ 503.9; 503.9 \} = 503.9$$

*) Bij de trekpaalberekening zijn factoren ξ_3 en ξ_4 al bij de berekening van de conusweerstand $q_{c;z;d}$ in rekening gebracht, evenals factor $\gamma_{s;t}$. Dat is conform de opmerkingen in art. 7.6.3.3 (3) en (4).

Alle niveaus/hogtes/peilmaten zijn t.o.v.: N.A.P.

Inheinniveau [m]	$R_{t;k}$ [kN]	$R_{t;d}$ [kN]	$F_{t,tot;1}$ [kN]	$R_{t,netto;d}$ [kN]	U.C.
-13.20	503.9	503.9	0.0	503.9	0.00

REKENGEDEGENS Mast 87 - Afk Trk

Berekening : Controlerend
Rekenmethode : Trekpalen volgens NEN-EN 1997-1, art. 7.6.3
Sondering(en) : 87
Let op: trekcapaciteit t.p.v. negatief kleeftraject is meegerekend.

Stijf bouwwerk : NEE
Paalgroep : NEE
Aantal sonderingen : 1
Factor ξ_3 (n=1) : 1.39
Factor ξ_3 (gem) : 1.39
Factor ξ_4 (min) : 1.39
Weerstandsfactor γ_R : 1.35
 $\gamma_{m,var;q_c}$: 1.50
UGT draagvermogen zonder negatieve kleef : NEE

Paal : LD1
Niveau paalkop [m] : N.A.P. 0.40
Paalpuntniveau : N.A.P. -11.60
 $E_{d;1}$ [kN] : 0.00
Bovenbel. [kN/m²] : 0.00
 $E_{d;2}$ [kN] : 0.00

Project : BBB
Onderdeel : MBT-EHV 380

RESULTATEN Mast 87 - Afk Trk (n=1)**Sondering : 87**

Alle niveaus/hogtes/peilmaten zijn t.o.v.: N.A.P.

Inheinniveau [m]	Effectief inheinniveau [m]	E.G. paal [kN]	$R_{t,cal;k}$ [kN]	$R_{t;d}$ [kN]	$F_{t,tot;1}$ [kN]	U.C.
-11.60	-11.60	37.0	517.1	517.1	0.0	0.00

SAMENVATTINGSTABEL Mast 87 - Afk Trk (n=1)**Uitgangspunten**

- paal : LD1
- paaltype : Stalen buispaal (gesloten)
- schachtafmeting : 550 mm
Paalklassefactor α_p : 1.00
Factor α_t (tabel 7.c EC 7.1) : 0.0070 (zandlagen; voor kleilagen zie tabel 7.d)
Correlatiefactor $\xi_{3(n=1)}$: 1.39

Alle niveaus/hogtes/peilmaten zijn t.o.v.: N.A.P.

sondering	maaiveld niveau	paalpunt niveau	Bezwijkdraagvermogen $R_{t,cal}$ [kN]	Rekenwaarden $R_{t;d}$ [kN]	$R_{t,netto;d}$ [kN]
87	0.00	-11.60	517.1	517.1	517.1

Totaal resultaten Mast 87 - Afk Trk (van 1 sonderingen)

Uitgangspunten

Correlatiefactor ξ_{3gem} (n= 1) : 1.39
Correlatiefactor ξ_{4min} (n= 1) : 1.39

gebaseerd op sonderingen:
87

$$R_{t;d} = \min.\{ R_{t,cal;gem}; R_{t,cal;min} \} (7.17) *$$

Inheinniveau
[m]

$$-11.60 \quad R_{t;d} = \min.\{ 517.1; 517.1 \} = 517.1$$

*) Bij de trekpaalberekening zijn factoren ξ_3 en ξ_4 al bij de berekening van de conusweerstand $q_{c;z;d}$ in rekening gebracht, evenals factor $\gamma_{s;t}$. Dat is conform de opmerkingen in art. 7.6.3.3 (3) en (4).

Alle niveaus/hogtes/peilmaten zijn t.o.v.: N.A.P.

Inheinniveau [m]	$R_{t;k}$ [kN]	$R_{t;d}$ [kN]	$F_{t,tot;1}$ [kN]	$R_{t,netto;d}$ [kN]	U.C.
-11.60	517.1	517.1	0.0	517.1	0.00

Project : BBB
 Onderdeel : MBT-EHV 380

SAMENVATTINGSTABEL Mast 83 - Afk Drk (n=1)

Uitgangspunten

- paal : LD1
 - paaltype : Stalen buispaal (gesloten)
 - schachtafmeting : 550 mm
 Paalklassefactor α_p : 1.00
 Factor α_s (tabel 7.c EC 7.1) : 0.010 (zandlagen; voor kleilagen zie tabel 7.d)
 Correlatiefactor $\xi_{3(n=1)}$: 1.39

Alle niveaus/hoogtes/peilmaten zijn t.o.v.: N.A.P.

sondering	maaiveld paalpunt		Bezwijkdraagvermogen			Rekenwaarden		
	niveau	niveau	$R_{b;cal}$ [kN]	$R_{s;cal}$ [kN]	$R_{c;cal}$ [kN]	$R_{c;d}$ [kN]	$F_{nk;d}$ [kN]	$R_{c;netto;d}$ [kN]
83	0.00	-13.10	3563.7	662.8	4226.6	2533.9	-239.1	2294.8

Totaal resultaten Mast 83 - Afk Drk (van 1 sonderingen)

Uitgangspunten

Correlatiefactor ξ_{3gem} (n= 1) : 1.39
 Correlatiefactor ξ_{4min} (n= 1) : 1.39

gebaseerd op sonderingen:
 83

$$R_{c;k} = \min.\{ R_{c;cal;gem}/\xi_3; R_{c;cal;min}/\xi_4 \} \quad (7.8)$$

Inheinniveau
 [m]

$$-13.10 \quad R_{c;k} = \min.\{ (4226.6/1.39); (4226.6/1.39) \} = 3040.7$$

Alle niveaus/hoogtes/peilmaten zijn t.o.v.: N.A.P.

Inheinniveau [m]	$R_{c;k}$ [kN]	$R_{c;d}$ [kN]	$F_{c;tot;1}$ [kN]	$F_{nk;d}$ [kN]	$R_{c;netto;d}$ [kN]	U.C.	$s_{1;1}$ [mm]	$s_{1;2}$ [mm]
-13.10	3040.7	2533.9	-239.1	-239.1	2294.8	0.09	-1.0	-0.9

Project : BBB
 Onderdeel : MBT-EHV 380

SAMENVATTINGSTABEL Mast 84 - Afk Drk (n=1)

Uitgangspunten

- paal : LD1
 - paaltype : Stalen buispaal (gesloten)
 - schachtafmeting : 550 mm
 Paalklassefactor α_p : 1.00
 Factor α_s (tabel 7.c EC 7.1) : 0.010 (zandlagen; voor kleilagen zie tabel 7.d)
 Correlatiefactor $\xi_{3(n=1)}$: 1.39

Alle niveaus/hoogtes/peilmaten zijn t.o.v.: N.A.P.

sondering	maaiveld paalpunt		Bezwijkdraagvermogen			Rekenwaarden		
	niveau	niveau	$R_{b;cal}$ [kN]	$R_{s;cal}$ [kN]	$R_{c;cal}$ [kN]	$R_{c;d}$ [kN]	$F_{nk;d}$ [kN]	$R_{c;netto;d}$ [kN]
84	0.00	-13.20	3563.7	813.5	4377.3	2624.3	-211.4	2412.9

Totaal resultaten Mast 84 - Afk Drk (van 1 sonderingen)

Uitgangspunten

Correlatiefactor ξ_{3gem} (n= 1) : 1.39
 Correlatiefactor ξ_{4min} (n= 1) : 1.39

gebaseerd op sonderingen:
 84

$$R_{c;k} = \min.\{ R_{c;cal;gem}/\xi_3; R_{c;cal;min}/\xi_4 \} \quad (7.8)$$

Inheinniveau
 [m]

$$-13.20 \quad R_{c;k} = \min.\{ (4377.3/1.39); (4377.3/1.39)\} = 3149.1$$

Alle niveaus/hoogtes/peilmaten zijn t.o.v.: N.A.P.

Inheinniveau [m]	$R_{c;k}$ [kN]	$R_{c;d}$ [kN]	$F_{c;tot;1}$ [kN]	$F_{nk;d}$ [kN]	$R_{c;netto;d}$ [kN]	U.C.	$s_{1;1}$ [mm]	$s_{1;2}$ [mm]
-13.20	3149.1	2624.3	-211.4	-211.4	2412.9	0.08	-0.8	-0.8

Project : BBB
Onderdeel : MBT-EHV 380

SAMENVATTINGSTABEL Mast 87 - Afk Drk (n=1)**Uitgangspunten**

- paal : LD1
- paaltype : Stalen buispaal (gesloten)
- schachtafmeting : 550 mm
Paalklassefactor α_p : 1.00
Factor α_s (tabel 7.c EC 7.1) : 0.010 (zandlagen; voor kleilagen zie tabel 7.d)
Correlatiefactor $\xi_{3(n=1)}$: 1.39

Alle niveaus/hoogtes/peilmaten zijn t.o.v.: N.A.P.

sondering	maaiveld paalpunt		Bezwijkdraagvermogen			Rekenwaarden		
	niveau	niveau	$R_{b;cal}$ [kN]	$R_{s;cal}$ [kN]	$R_{c;cal}$ [kN]	$R_{c;d}$ [kN]	$F_{nk;d}$ [kN]	$R_{c;netto;d}$ [kN]
87	0.00	-11.60	2537.6	527.9	3065.5	1837.8	-231.0	1606.9

Totaal resultaten Mast 87 - Afk Drk (van 1 sonderingen)

Uitgangspunten

Correlatiefactor ξ_{3gem} (n= 1) : 1.39
Correlatiefactor ξ_{4min} (n= 1) : 1.39

gebaseerd op sonderingen:
87

$$R_{c;k} = \min.\{ R_{c;cal;gem}/\xi_3; R_{c;cal;min}/\xi_4 \} \quad (7.8)$$

Inheinniveau
[m]

$$-11.60 \quad R_{c;k} = \min.\{ (3065.5/1.39); (3065.5/1.39) \} = 2205.4$$

Alle niveaus/hoogtes/peilmaten zijn t.o.v.: N.A.P.

Inheinniveau [m]	$R_{c;k}$ [kN]	$R_{c;d}$ [kN]	$F_{c;tot;1}$ [kN]	$F_{nk;d}$ [kN]	$R_{c;netto;d}$ [kN]	U.C.	$s_{1;1}$ [mm]	$s_{1;2}$ [mm]
-11.60	2205.4	1837.8	-231.0	-231.0	1606.9	0.13	-1.0	-0.9

PAALGEGEVENS LD1

Type : Stalen buispaal (gesloten)
Wijze van installeren : Heien
Diameter [m] : 0.550
Elasticiteitsmodulus [N/mm²] : 20000
Factor α_s (tabel 7.c EC 7.1) : 0.010 (zandlagen; voor kleilagen zie tabel 7.d)
Factor α_t (tabel 7.c EC 7.1) : 0.0070 (zandlagen; voor kleilagen zie tabel 7.d)
Paalklassefactor α_p : 1.00
Paalvoetvormfactor β : 1.00
Type lastzakingsdiagram : Grondverdringende paal
Verm.factor * $\phi'_{j;k}$: 0.75
Groutomhulling : NEE

Project : BBB
 Onderdeel : MBT-EHV 380

OVERZICHT NETTO DRAAGVERMOGEN DRUKPALEN

Netto paal draagvermogen(s) zijn naar beneden toe afgerond op: 1.0 kN nauwkeurig
 Alle niveaus/hoogtes/peilmaten zijn t.o.v.: N.A.P.

sondering	maaiveld paalpunt		$R_{c,netto;d}$ [kN]		
	niveau	niveau	Mast 83 -	Mast 84 -	Mast 87 -
83	0.00	-13.10	2294		
84	0.00	-13.20		2412	
87	0.00	-11.60			1606

Project : BBB
 Onderdeel : MBT-EHV 380

OVERZICHT NETTO DRAAGVERMOGEN TREKPALEN (n=1)

Netto paal draagvermogen(s) zijn naar beneden toe afgerond op: 1.0 kN nauwkeurig

Alle niveaus/hoogtes/peilmaten zijn t.o.v.: N.A.P.

sondering	maaiveld paalpunt		$R_{t,netto;d}$ [kN]		
	niveau	niveau	Mast 83 -	Mast 84 -	Mast 87 -
83	0.00	-13.10	543		
84	0.00	-13.20		503	
87	0.00	-11.60			517

Project : BBB
Onderdeel : MBT-EHV 380

ALGEMENE GEGEVENS

Project : BBB
Onderdeel : MBT-EHV 380
Datum : 07-01-2021
Bestand : P:\EANL_Projects\10166262 - BBB modelleren
funderingen 380 kV\02 Content\03
Calculations\Technosoft
Paalfunderingen\MBT-EHV380\DO\Bestaande
sonderingen\MBT-EHV380 100-109 (105).pvw
Berekeningstype : Verticaal belaste paal
Alle niveaus/hogtes/peilmaten zijn t.o.v.: N.A.P.

Toegepaste normen volgens Eurocode met Nederlandse NB

Geotechniek	EN 1997-1:2004	AC:2009	
	NEN-EN 1997-1:2005	C1+A1:2013	NB:2016
	NEN 9997-1:2016	C2:2017	

GRONDSOORTEN

Nr. Omschrijving	$\gamma_{k;1}$ [kN/m ³]	$\gamma_{sat;k;1}$ [kN/m ³]	$\phi'_{k;1}$ [°]	$\gamma_{k;2}$ [kN/m ³]	$\gamma_{sat;k;2}$ [kN/m ³]	$\phi'_{k;2}$ [°]
1 Zand - Schoon - Los	17.00	19.00	30.00	18.00	20.00	32.50
2 Zand - Schoon - Matig	18.00	20.00	32.50	19.00	21.00	35.00
3 Zand - Schoon - Vast	19.00	21.00	35.00	20.00	22.00	40.00
4 Zand - Zwak siltig - Kleiig	18.00	20.00	27.00	19.00	21.00	32.50
5 Zand - Sterk siltig - Kleiig	18.00	20.00	25.00	19.00	21.00	30.00
6 Leem - Zwak zandig - Vast	21.00	21.00	27.50	22.00	22.00	35.00
7 Leem - Sterk zandig	19.00	19.00	27.50	20.00	20.00	35.00
8 Klei - Schoon - Matig	17.00	17.00	17.50	19.00	19.00	17.50
9 Klei - Zwak zandig - Slap	15.00	15.00	22.50	18.00	18.00	22.50
10 Klei - Zwak zandig - Matig	18.00	18.00	22.50	20.00	20.00	22.50
11 Klei - Zwak zandig - Vast	20.00	20.00	22.50	21.00	21.00	27.50
12 Klei - Organisch - Matig	15.00	15.00	15.00	16.00	16.00	15.00
13 Veen - Niet voorbelast - Slap	10.00	10.00	15.00	12.00	12.00	15.00
14 Veen - Matig voorbelast - Matig	12.00	12.00	15.00	13.00	13.00	15.00

BODEMPROFIELGEGEVENS: 105

Alle niveaus/hogtes/peilmaten zijn t.o.v.: N.A.P.

d50-reductie is meegenomen overeenkomstig NEN-EN 9997 art. 7.6.2.3 (i)

Hoogte maaiveld [m]	: 0.00		Grondwaterstand [m]	: -1.00			
Laag	Van [m]	Tot [m]	Omschrijving	OCR	Aandeel pos. kleef [%]	α_s	d_{50} [mm]
1	0.00	-1.12	Leem - Zwak zandig - Vast	1.0	50.0		
2	-1.12	-2.96	Zand - Schoon - Vast	1.0	100.0		
3	-2.96	-4.37	Zand - Schoon - Matig	1.0	100.0		
4	-4.37	-4.95	Klei - Schoon - Matig	1.0	50.0		
5	-4.95	-6.01	Klei - Organisch - Matig	1.0	50.0		
6	-6.01	-9.22	Klei - Zwak zandig - Slap	1.0	50.0		
7	-9.22	-11.02	Zand - Schoon - Matig	1.0	100.0		
8	-11.02	-11.88	Leem - Zwak zandig - Vast	1.0	50.0		
9	-11.88	-12.21	Zand - Sterk siltig - Kleiig	1.0	100.0		
10	-12.21	-14.10	Zand - Schoon - Vast	1.0	100.0		
11	-14.10	-14.42	Zand - Schoon - Los	1.0	100.0		
12	-14.42	-15.38	Zand - Schoon - Vast	1.0	100.0		
13	-15.38	-15.90	Zand - Schoon - Los	1.0	100.0		
14	-15.90	-16.28	Leem - Zwak zandig - Vast	1.0	50.0		
15	-16.28	-19.11	Zand - Zwak siltig - Kleiig	1.0	100.0		
16	-19.11	-19.95	Zand - Schoon - Vast	1.0	100.0		

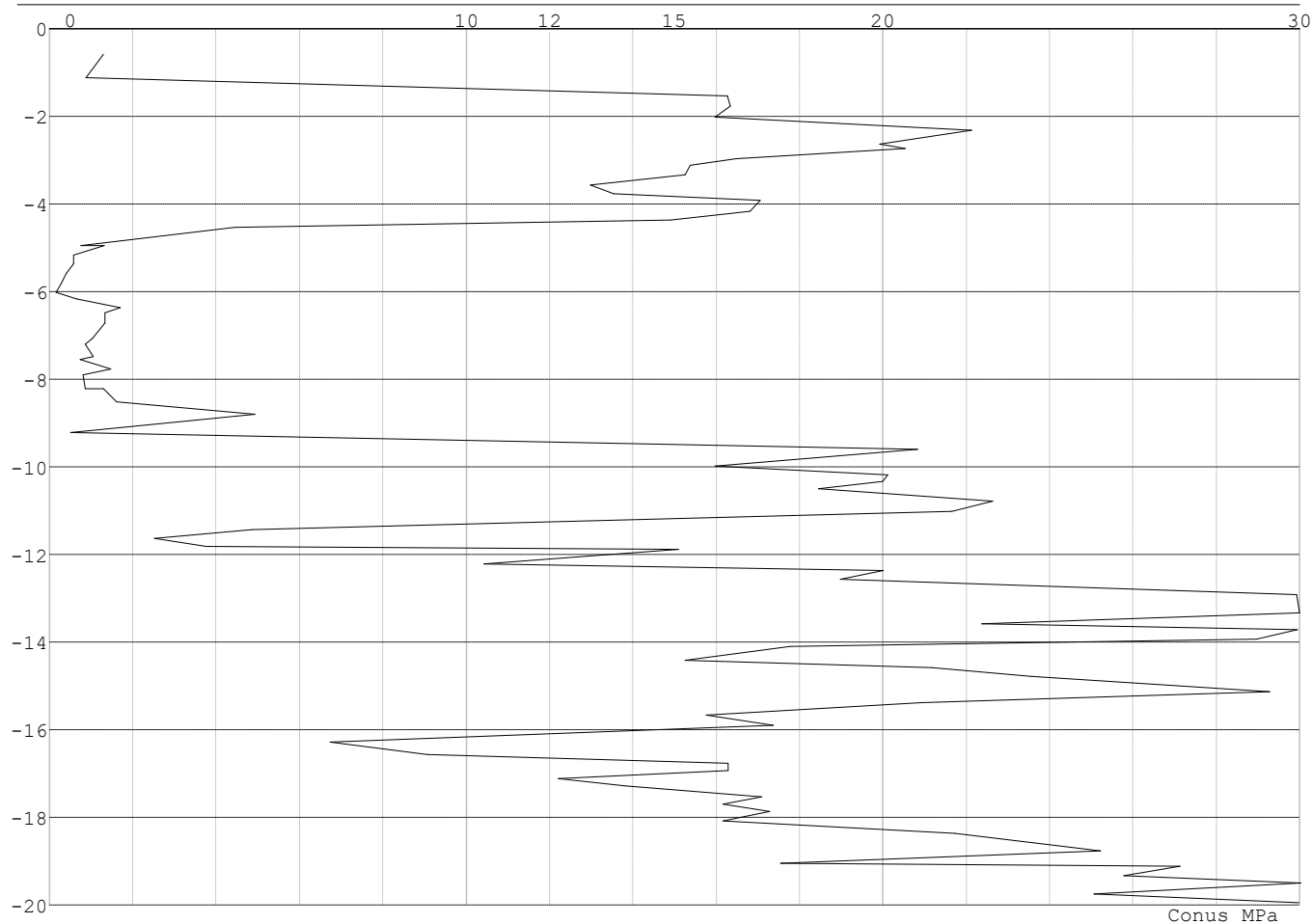
SONDERINGSGEGEVENS ALGEMEEN: 105

Alle niveaus/hogtes/peilmaten zijn t.o.v.: N.A.P.

Hoogte maaiveld [m] : 0.00 Bodemprofiel: 105
Traject negatieve kleef : 0.00 tot -9.20 [m]
Traject positieve kleef : -9.20 tot -19.95 [m]

Project : BBB
Onderdeel : MBT-EHV 380

SONDERINGSGEGEVENS GRAFIEK: 105



Project : BBB
 Onderdeel : MBT-EHV 380

REKENGEDEVENS Mast 105 - Afk Trk

Berekening : Controlerend
 Rekenmethode : Trekpalen volgens NEN-EN 1997-1, art. 7.6.3
 Sondering(en) : 105
 Let op: trekcapaciteit t.p.v. negatief kleeftraject is meegerekend.

Stijf bouwwerk : NEE
 Paalgroep : NEE
 Aantal sonderingen : 1
 Factor ξ_3 (n=1) : 1.39
 Factor ξ_3 (gem) : 1.39
 Factor ξ_4 (min) : 1.39
 Weerstandsfactor γ_R : 1.35
 $\gamma_{m;var;q_c}$: 1.50
 UGT draagvermogen zonder negatieve kleeft : NEE

Paal : LD1
 Niveau paalkop [m] : N.A.P. 0.40
 Paalpuntniveau : N.A.P. -13.10
 $E_{d;1}$ [kN] : 0.00 $E_{d;2}$ [kN] : 0.00
 Bovenbel. [kN/m²] : 0.00

RESULTATEN Mast 105 - Afk Trk (n=1)**Sondering : 105**

Alle niveaus/hogtes/peilmaten zijn t.o.v.: N.A.P.

Inheinniveau [m]	Effectief inheinniveau [m]	E.G. paal [kN]	$R_{t;cal;k}$ [kN]	$R_{t;d}$ [kN]	$F_{t;tot;1}$ [kN]	U.C.
-13.10	-13.10	41.2	516.7	516.7	0.0	0.00

Project : BBB
 Onderdeel : MBT-EHV 380

SAMENVATTINGSTABEL Mast 105 - Afk Trk (n=1)

Uitgangspunten

- paal : LD1
 - paaltype : Stalen buispaal (gesloten)
 - schachtafmeting : 550 mm
 Paalklassefactor α_p : 1.00
 Factor α_t (tabel 7.c EC 7.1) : 0.0070 (zandlagen; voor kleilagen zie tabel 7.d)
 Correlatiefactor $\xi_{3(n=1)}$: 1.39

Alle niveaus/hogtes/peilmaten zijn t.o.v.: N.A.P.

sondering	maaiveld paalpunt		Bezuikdraagvermogen $R_{t,cal}$ [kN]	Rekenwaarden	
	niveau	niveau		$R_{t,d}$ [kN]	$R_{t,netto,d}$ [kN]
105	0.00	-13.10	516.7	516.7	516.7

Totaal resultaten Mast 105 - Afk Trk (van 1 sonderingen)

Uitgangspunten

Correlatiefactor ξ_{3gem} (n= 1) : 1.39
 Correlatiefactor ξ_{4min} (n= 1) : 1.39

gebaseerd op sonderingen:
 105

$$R_{t,d} = \min.\{ R_{t,cal,gem}; R_{t,cal,min} \} (7.17) *$$

Inheinniveau
 [m]

$$-13.10 \quad R_{t,d} = \min.\{ 516.7; 516.7 \} = 516.7$$

*) Bij de trekpaalberekening zijn factoren ξ_3 en ξ_4 al bij de berekening van de conusweerstand $q_{c;z,d}$ in rekening gebracht, evenals factor $\gamma_{s;t}$. Dat is conform de opmerkingen in art. 7.6.3.3 (3) en (4).

Alle niveaus/hogtes/peilmaten zijn t.o.v.: N.A.P.

Inheinniveau [m]	$R_{t,k}$ [kN]	$R_{t,d}$ [kN]	$F_{t,tot;1}$ [kN]	$R_{t,netto,d}$ [kN]	U.C.
-13.10	516.7	516.7	0.0	516.7	0.00

Project : BBB
Onderdeel : MBT-EHV 380

SAMENVATTINGSTABEL Mast 105 - Afk Drk (n=1)**Uitgangspunten**

- paal : LD1
- paaltype : Stalen buispaal (gesloten)
- schachtafmeting : 550 mm
Paalklassefactor α_p : 1.00
Factor α_s (tabel 7.c EC 7.1) : 0.010 (zandlagen; voor kleilagen zie tabel 7.d)
Correlatiefactor $\xi_{3(n=1)}$: 1.39

Alle niveaus/hogtes/peilmaten zijn t.o.v.: N.A.P.

sondering	maaiveld paalpunt		Bezwijkdraagvermogen			Rekenwaarden		
	niveau	niveau	$R_{b;cal}$ [kN]	$R_{s;cal}$ [kN]	$R_{c;cal}$ [kN]	$R_{c;d}$ [kN]	$F_{nk;d}$ [kN]	$R_{c;netto;d}$ [kN]
105	0.00	-13.50	3064.6	962.3	4026.9	2414.2	-231.5	2182.7

Totaal resultaten Mast 105 - Afk Drk (van 1 sonderingen)

Uitgangspunten

Correlatiefactor ξ_{3gem} (n= 1) : 1.39
Correlatiefactor ξ_{4min} (n= 1) : 1.39

gebaseerd op sonderingen:
105

$$R_{c;k} = \min.\{ R_{c;cal;gem}/\xi_3; R_{c;cal;min}/\xi_4 \} \quad (7.8)$$

Inheinniveau
[m]

$$-13.50 \quad R_{c;k} = \min.\{ (4026.9/1.39); (4026.9/1.39) \} = 2897.1$$

Alle niveaus/hogtes/peilmaten zijn t.o.v.: N.A.P.

Inheinniveau [m]	$R_{c;k}$ [kN]	$R_{c;d}$ [kN]	$F_{c;tot;1}$ [kN]	$F_{nk;d}$ [kN]	$R_{c;netto;d}$ [kN]	U.C.	$s_{1;1}$ [mm]	$s_{1;2}$ [mm]
-13.50	2897.1	2414.2	-231.5	-231.5	2182.7	0.10	-0.9	-0.8

PAALGEGEVENS LD1

Type : Stalen buispaal (gesloten)
Wijze van installeren : Heien
Diameter [m] : 0.550
Elasticiteitsmodulus [N/mm²] : 20000
Factor α_s (tabel 7.c EC 7.1) : 0.010 (zandlagen; voor kleilagen zie tabel 7.d)
Factor α_t (tabel 7.c EC 7.1) : 0.0070 (zandlagen; voor kleilagen zie tabel 7.d)
Paalklassefactor α_p : 1.00
Paalvoetvormfactor β : 1.00
Type lastzakingsdiagram : Grondverdringende paal
Verm.factor * $\phi'_{j;k}$: 0.75
Groutomhulling : NEE

Project : BBB
Onderdeel : MBT-EHV 380

OVERZICHT NETTO DRAAGVERMOGEN DRUKPALEN

Netto paal draagvermogen(s) zijn naar beneden toe afgerond op: 1.0 kN nauwkeurig
Alle niveaus/hoogtes/peilmaten zijn t.o.v.: N.A.P.

sondering	maaiveld	paalpunt	$R_{c, netto; d}$	[kN]
	niveau	niveau	Mast 105	
105	0.00	-13.50	2182	

OVERZICHT NETTO DRAAGVERMOGEN TREKPALEN (n=1)

Netto paal draagvermogen(s) zijn naar beneden toe afgerond op: 1.0 kN nauwkeurig
Alle niveaus/hoogtes/peilmaten zijn t.o.v.: N.A.P.

sondering	maaiveld	paalpunt	$R_{t, netto; d}$	[kN]
	niveau	niveau	Mast 105	
105	0.00	-13.10	516	

Project :
Onderdeel :

ALGEMENE GEGEVENS

Project :
Onderdeel :
Datum : 10-12-2021
Bestand : \\Arh7001.verit.dnv.com\projects\EANL_Projects\
10166262 - BBB modelleren funderingen 380
kV\02 Content\03 Calculations\Technosoft
Paalfunderingen\MBT-EHV380\DO\Nieuw
Sonderingen\Mast 010-019.pvw
Berekeningstype : Verticaal belaste paal
Alle niveaus/hogtes/peilmaten zijn t.o.v.: N.A.P.

Toegepaste normen volgens Eurocode met Nederlandse NB

Geotechniek	EN 1997-1:2004	AC:2009	
	NEN-EN 1997-1:2005	C1+A1:2013	NB:2016
	NEN 9997-1:2016	C2:2017	

GRONDSOORTEN

Nr. Omschrijving	$\gamma_{k;1}$ [kN/m ³]	$\gamma_{sat;k;1}$ [kN/m ³]	$\phi'_{k;1}$ [°]	$\gamma_{k;2}$ [kN/m ³]	$\gamma_{sat;k;2}$ [kN/m ³]	$\phi'_{k;2}$ [°]
1 Zand - Schoon - Los	17.00	19.00	30.00	18.00	20.00	32.50
2 Zand - Schoon - Matig	18.00	20.00	32.50	19.00	21.00	35.00
3 Zand - Schoon - Vast	19.00	21.00	35.00	20.00	22.00	40.00
4 Zand - Zwak siltig - Kleiig	18.00	20.00	27.00	19.00	21.00	32.50
5 Zand - Sterk siltig - Kleiig	18.00	20.00	25.00	19.00	21.00	30.00
6 Leem - Zwak zandig - Vast	21.00	21.00	27.50	22.00	22.00	35.00
7 Klei - Schoon - Matig	17.00	17.00	17.50	19.00	19.00	17.50
8 Klei - Zwak zandig - Slap	15.00	15.00	22.50	18.00	18.00	22.50
9 Klei - Zwak zandig - Matig	18.00	18.00	22.50	20.00	20.00	22.50
10 Klei - Zwak zandig - Vast	20.00	20.00	22.50	21.00	21.00	27.50
11 Klei - Organisch - Matig	15.00	15.00	15.00	16.00	16.00	15.00

BODEMPROFIELGEGEVENS: S019-1

Alle niveaus/hogtes/peilmaten zijn t.o.v.: N.A.P.

d50-reductie is meegenomen overeenkomstig NEN-EN 9997 art. 7.6.2.3 (i)

Hoogte maaiveld [m] : 26.26 Grondwaterstand [m] : 25.26

Laag	Van [m]	Tot [m]	Omschrijving	OCR	Aandeel pos. kleef [%]	α_s	d_{50} [mm]
1	26.26	25.71	Zand - Zwak siltig - Kleiig	1.0	100.0		
2	25.71	25.35	Klei - Zwak zandig - Vast	1.0	50.0		
3	25.35	24.59	Zand - Schoon - Los	1.0	100.0		
4	24.59	24.21	Zand - Zwak siltig - Kleiig	1.0	100.0		
5	24.21	23.29	Zand - Schoon - Matig	1.0	100.0		
6	23.29	22.75	Zand - Schoon - Los	1.0	100.0		
7	22.75	22.50	Leem - Zwak zandig - Vast	1.0	0.0		
8	22.50	22.29	Zand - Schoon - Matig	1.0	100.0		
9	22.29	21.67	Klei - Organisch - Matig	1.0	50.0		
10	21.67	20.97	Zand - Schoon - Matig	1.0	100.0		
11	20.97	20.21	Zand - Zwak siltig - Kleiig	1.0	100.0		
12	20.21	19.57	Zand - Schoon - Vast	1.0	100.0		
13	19.57	18.97	Zand - Schoon - Los	1.0	100.0		
14	18.97	18.21	Klei - Schoon - Matig	1.0	50.0		
15	18.21	17.81	Zand - Sterk siltig - Kleiig	1.0	100.0		
16	17.81	16.75	Klei - Schoon - Matig	1.0	50.0		
17	16.75	15.59	Klei - Zwak zandig - Vast	1.0	50.0		
18	15.59	15.33	Zand - Schoon - Matig	1.0	100.0		
19	15.33	14.93	Zand - Sterk siltig - Kleiig	1.0	100.0		
20	14.93	10.00	Zand - Schoon - Vast	1.0	100.0		

BODEMPROFIELGEGEVENS: S019-2

Alle niveaus/hogtes/peilmaten zijn t.o.v.: N.A.P.

d50-reductie is meegenomen overeenkomstig NEN-EN 9997 art. 7.6.2.3 (i)

Hoogte maaiveld [m] : 26.29 Grondwaterstand [m] : 25.29

Project :
Onderdeel :

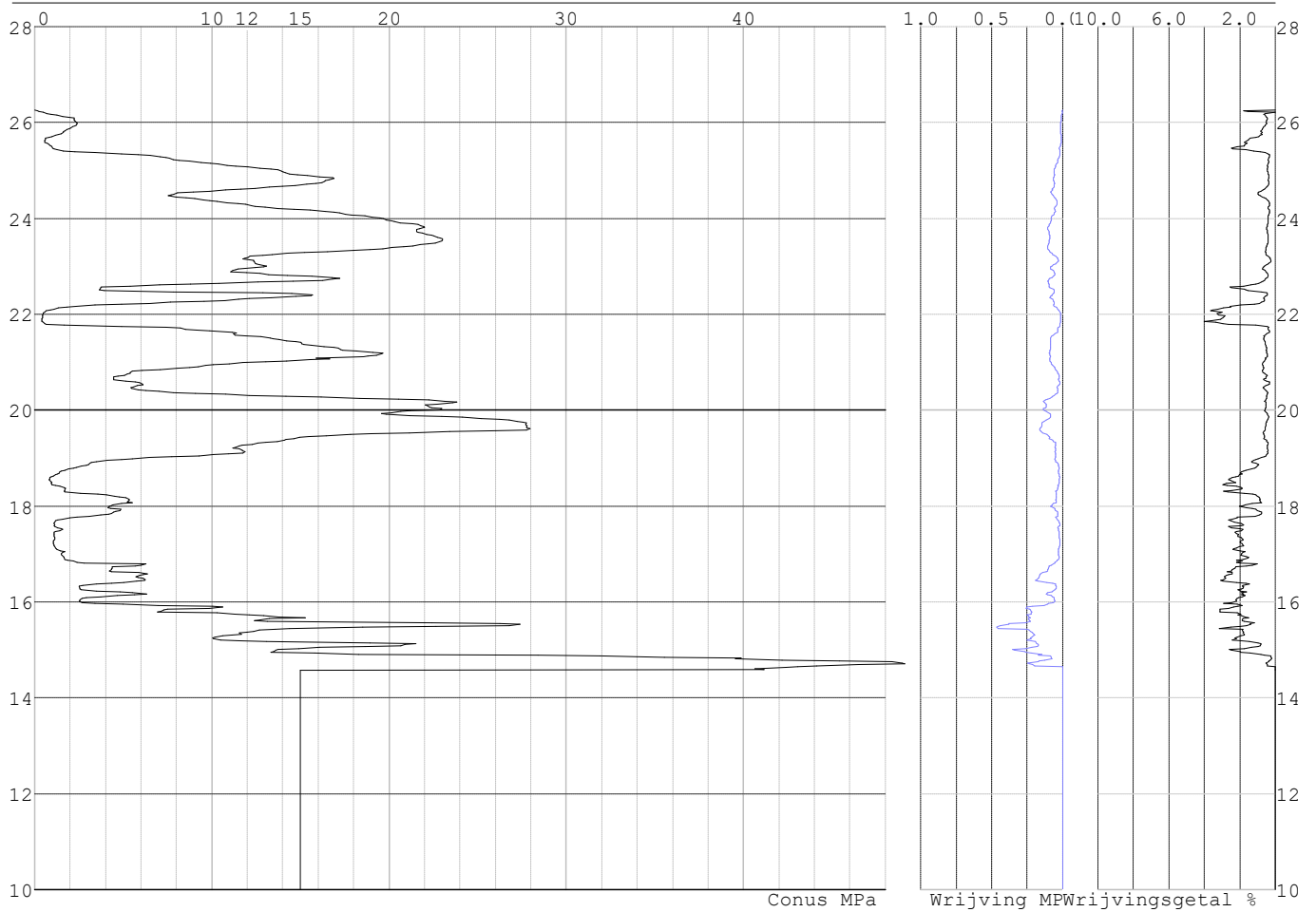
Laag	Van [m]	Tot [m]	Omschrijving	OCR	Aandeel pos. kleef [%]	α_s	d_{50} [mm]
1	26.29	25.02	Zand - Zwak siltig - Kleiig	1.0	100.0		
2	25.02	24.16	Zand - Schoon - Los	1.0	100.0		
3	24.16	23.24	Zand - Schoon - Matig	1.0	100.0		
4	23.24	22.62	Zand - Zwak siltig - Kleiig	1.0	100.0		
5	22.62	22.26	Klei - Schoon - Matig	1.0	50.0		
6	22.26	22.00	Zand - Schoon - Matig	1.0	100.0		
7	22.00	21.62	Klei - Schoon - Matig	1.0	50.0		
8	21.62	20.92	Zand - Schoon - Matig	1.0	100.0		
9	20.92	20.46	Zand - Schoon - Los	1.0	100.0		
10	20.46	19.96	Zand - Schoon - Matig	1.0	100.0		
11	19.96	19.20	Zand - Schoon - Matig	1.0	100.0		
12	19.20	18.94	Zand - Sterk siltig - Kleiig	1.0	100.0		
13	18.94	18.02	Klei - Schoon - Matig	1.0	50.0		
14	18.02	17.32	Klei - Zwak zandig - Vast	1.0	50.0		
15	17.32	17.00	Zand - Zwak siltig - Kleiig	1.0	100.0		
16	17.00	15.74	Leem - Zwak zandig - Vast	1.0	50.0		
17	15.74	15.36	Zand - Schoon - Los	1.0	100.0		
18	15.36	10.00	Zand - Schoon - Vast	1.0	100.0		

Project :
Onderdeel :

SONDERINGSGEGEVENS ALGEMEEN: S019-1

Alle niveaus/hoogtes/peilmaten zijn t.o.v.: N.A.P.
Hoogte maaiveld [m] : 26.26 Bodemprofiel: S019-1
Traject negatieve kleef : 26.26 tot 21.70 [m]
Traject positieve kleef : 21.70 tot 14.58 [m]

SONDERINGSGEGEVENS GRAFIEK: S019-1

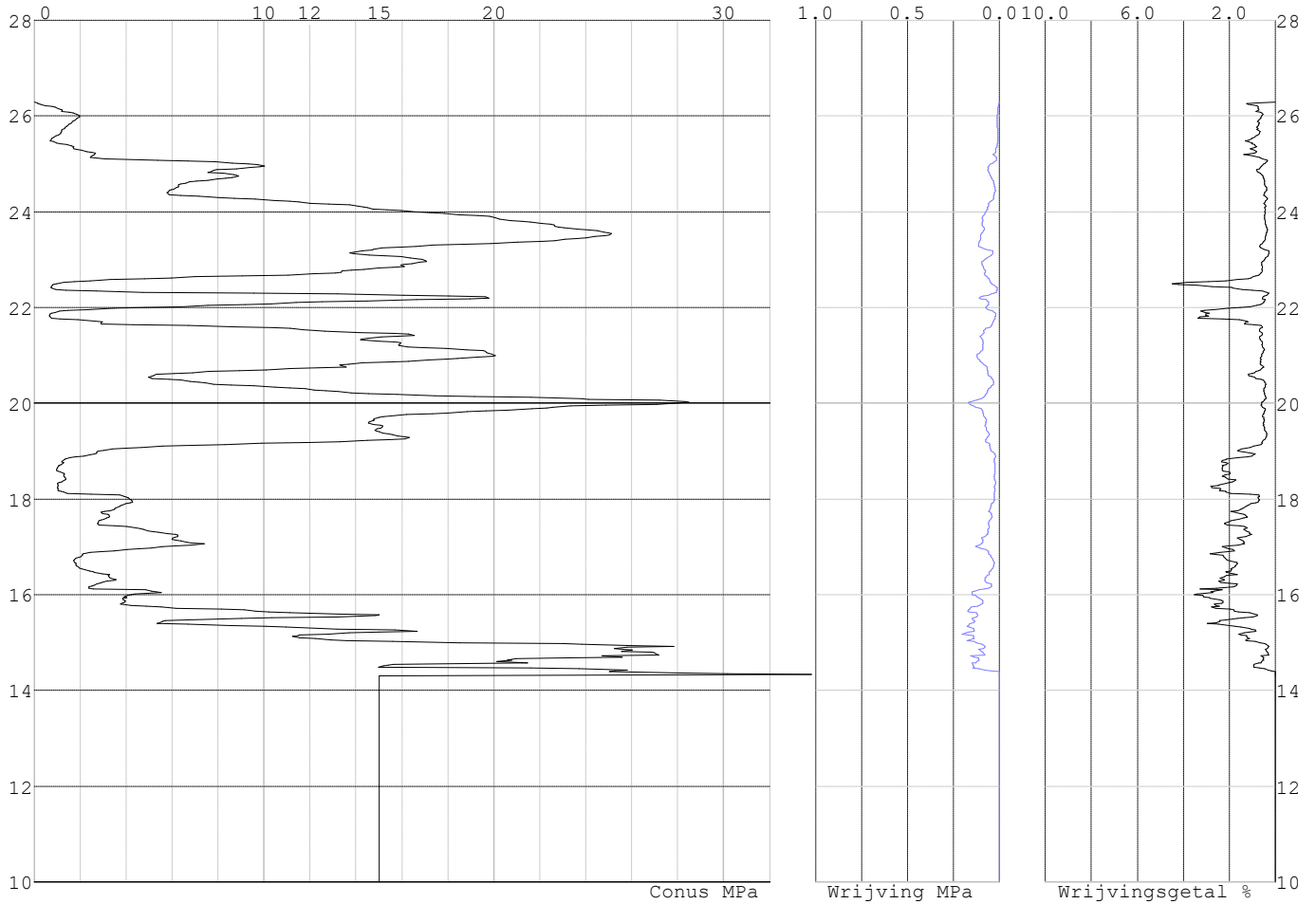


Project :
Onderdeel :

SONDERINGSGEGEVENS ALGEMEEN: S019-2

Alle niveaus/hoogtes/peilmaten zijn t.o.v.: N.A.P.
Hoogte maaiveld [m] : 26.29 Bodemprofiel: S019-2
Traject negatieve kleef : 26.29 tot 21.60 [m]
Traject positieve kleef : 21.60 tot 14.32 [m]

SONDERINGSGEGEVENS GRAFIEK: S019-2



Project :
Onderdeel :

REKENEGEVENES Mast 019

Berekening : Controlerend
Rekenmethode : Trekpalen volgens NEN-EN 1997-1, art. 7.6.3
Sondering(en) : S019-1, S019-2
Let op: trekcapaciteit t.p.v. negatief kleeftraject is meegerekend.

Stijf bouwwerk : NEE
Paalgroep : NEE
Aantal sonderingen : 2
Factor ξ_3 (n=1) : 1.39
Factor ξ_3 (gem) : 1.32
Factor ξ_4 (min) : 1.32
Weerstandsfactor γ_R : 1.35
 $\gamma_{m,var;q_c}$: 1.50
UGT draagvermogen zonder negatieve kleeft : NEE

Paal : LD1
Niveau paalkop [m] : N.A.P. 26.86
Paalpuntniveau : N.A.P. 14.36
 $E_{d,1}$ [kN] : 0.00 $E_{d,2}$ [kN] : 0.00
Bovenbel. [kN/m²] : 0.00

RESULTATEN Mast 019 (n=1)**Sondering : S019-1**

Alle niveaus/hogtes/peilmaten zijn t.o.v.: N.A.P.

Inheinniveau [m]	Effectief inheinniveau [m]	E.G. paal [kN]	$R_{t,cal;k}$ [kN]	$R_{t;d}$ [kN]	$F_{t,tot;1}$ [kN]	U.C.
14.36	14.36	35.4	459.8	459.8	0.0	0.00

Sondering : S019-2

Alle niveaus/hogtes/peilmaten zijn t.o.v.: N.A.P.

Inheinniveau [m]	Effectief inheinniveau [m]	E.G. paal [kN]	$R_{t,cal;k}$ [kN]	$R_{t;d}$ [kN]	$F_{t,tot;1}$ [kN]	U.C.
14.36	14.36	35.4	444.6	444.6	0.0	0.00

Project :
Onderdeel :

SAMENVATTINGSTABEL Mast 019 (n=1)**Uitgangspunten**

- paal : LD1
 - paaltype : Stalen buispaal (gesloten)
 - schachtafmeting : 525 mm
 Paalklassefactor α_p : 0.70
 Factor α_t (tabel 7.c EC 7.1) : 0.0070 (zandlagen; voor kleilagen zie tabel 7.d)
 Correlatiefactor $\xi_{3(n=1)}$: 1.39

Alle niveaus/hogtes/peilmaten zijn t.o.v.: N.A.P.

sondering	maaiveld paalpunt		Bezwijkdraagvermogen $R_{t,cal}$ [kN]	Rekenwaarden		
	niveau	niveau		$R_{t,d}$ [kN]	$R_{t,netto,d}$ [kN]	
S019-1	26.26	14.36	459.8	459.8	459.8	
S019-2	26.29	14.36	444.6	444.6	444.6	

Project :
Onderdeel :

SAMENVATTINGSTABEL Mast 019 (van 2 sonderingen)**Uitgangspunten**

- paal : LD1
 - paaltype : Stalen buispaal (gesloten)
 - schachtafmeting : 525 mm
 Paalklassefactor α_p : 0.70
 Factor α_t (tabel 7.c EC 7.1) : 0.0070 (zandlagen; voor kleilagen zie tabel 7.d)
 Correlatiefactor $\xi_{3gem}(n=2)$: 1.32
 Correlatiefactor $\xi_{4min}(n=2)$: 1.32

Alle niveaus/hogtes/peilmaten zijn t.o.v.: N.A.P.

sondering	maaiveld	paalpunt	Bezwijkdraagvermogen
	niveau	niveau	E.G. paal $R_{t,cal}$
			[kN] [kN]

met ξ_3 (gem) = 1.32

S019-1	26.26	14.36	35.4	482.3
--------	-------	-------	------	-------

S019-2	26.29	14.36	35.4	466.3
--------	-------	-------	------	-------

		14.36	$R_{t,cal,gem}$	474.3
--	--	-------	-----------------	-------

met ξ_4 (min) = 1.32

S019-1	26.26	14.36	35.4	482.3
--------	-------	-------	------	-------

S019-2	26.29	14.36	35.4	466.3
--------	-------	-------	------	-------

		14.36	$R_{t,cal,min}$	466.3
--	--	-------	-----------------	-------

Totaal resultaten Mast 019 (van 2 sonderingen)

Uitgangspunten

Correlatiefactor $\xi_{3gem}(n=2)$: 1.32

Correlatiefactor $\xi_{4min}(n=2)$: 1.32

gebaseerd op sonderingen:

S019-1 S019-2

$R_{t,d} = \min.\{ R_{t,cal,gem}; R_{t,cal,min} \}$ (7.17) *)

Inheinniveau

[m]

14.36	$R_{t,d} = \min.\{ 474.3; 466.3 \} = 466.3$
-------	---

*) Bij de trekpaalberekening zijn factoren ξ_3 en ξ_4 al bij de berekening van de conusweerstand $q_{c;z,d}$ in rekening gebracht, evenals factor $\gamma_{s;t}$. Dat is conform de opmerkingen in art. 7.6.3.3 (3) en (4).

Alle niveaus/hogtes/peilmaten zijn t.o.v.: N.A.P.

Inheinniveau	$R_{t;k}$	$R_{t;d}$	$F_{t,tot;1}$	$R_{t,netto;d}$	U.C.
[m]	[kN]	[kN]	[kN]	[kN]	
14.36	466.3	466.3	0.0	466.3	0.00

PAALGEGEVENS LD1

Type : Stalen buispaal (gesloten)
 Wijze van installeren : Heien
 Diameter [m] : 0.525
 Elasticiteitsmodulus [N/mm²] : 20000
 Factor α_s (tabel 7.c EC 7.1) : 0.010 (zandlagen; voor kleilagen zie tabel 7.d)
 Factor α_t (tabel 7.c EC 7.1) : 0.0070 (zandlagen; voor kleilagen zie tabel 7.d)
 Paalklassefactor α_p : 0.70
 Paalvoetvormfactor β : 1.00
 Type lastzakkingsdiagram : Grondverdringende paal
 Verm.factor * $\phi'_{j;k}$: 0.75
 Groutomhulling : NEE

Project :
Onderdeel :

OVERZICHT NETTO DRAAGVERMOGEN TREKPALEN (n=1)

Netto paal draagvermogen(s) zijn naar beneden toe afgerond op: 1.0 kN nauwkeurig
Alle niveaus/hoogtes/peilmaten zijn t.o.v.: N.A.P.

sondering	maaiveld niveau	paalpunt niveau	$R_{t, netto; d}$ Mast 019	[kN]
S019-1	26.26	14.36	459	
S019-2	26.29	14.36	444	

Project :
Onderdeel :

ALGEMENE GEGEVENS

Project :
Onderdeel :
Datum : 10-12-2021
Bestand : P:\EANL_Projects\10166262 - BBB modelleren
funderingen 380 kV\02 Content\03
Calculations\Technosoft
Paalfunderingen\MBT-EHV380\DO\Nieuw
Sonderingen\Mast 020-029.pvw
Berekeningstype : Verticaal belaste paal
Alle niveaus/hogtes/peilmaten zijn t.o.v.: N.A.P.

Toegepaste normen volgens Eurocode met Nederlandse NB

Geotechniek	EN 1997-1:2004	AC:2009	
	NEN-EN 1997-1:2005	C1+A1:2013	NB:2016
	NEN 9997-1:2016	C2:2017	

GRONDSOORTEN

Nr. Omschrijving	$\gamma_{k;1}$ [kN/m ³]	$\gamma_{sat;k;1}$ [kN/m ³]	$\phi'_{k;1}$ [°]	$\gamma_{k;2}$ [kN/m ³]	$\gamma_{sat;k;2}$ [kN/m ³]	$\phi'_{k;2}$ [°]
1 Grind - Zwak siltig - Vast	19.00	21.00	37.50	20.00	22.00	40.00
2 Grind - Sterk siltig - Los	18.00	20.00	30.00	19.00	21.00	32.50
3 Zand - Schoon - Los	17.00	19.00	30.00	18.00	20.00	32.50
4 Zand - Schoon - Matig	18.00	20.00	32.50	19.00	21.00	35.00
5 Zand - Schoon - Vast	19.00	21.00	35.00	20.00	22.00	40.00
6 Zand - Zwak siltig - Kleiig	18.00	20.00	27.00	19.00	21.00	32.50
7 Zand - Sterk siltig - Kleiig	18.00	20.00	25.00	19.00	21.00	30.00
8 Leem - Zwak zandig - Vast	21.00	21.00	27.50	22.00	22.00	35.00
9 Klei - Schoon - Matig	17.00	17.00	17.50	19.00	19.00	17.50
10 Klei - Schoon - Vast	19.00	19.00	17.50	20.00	20.00	25.00
11 Klei - Zwak zandig - Slap	15.00	15.00	22.50	18.00	18.00	22.50
12 Klei - Zwak zandig - Matig	18.00	18.00	22.50	20.00	20.00	22.50
13 Klei - Zwak zandig - Vast	20.00	20.00	22.50	21.00	21.00	27.50
14 Klei - Organisch - Matig	15.00	15.00	15.00	16.00	16.00	15.00
15 Veen - Niet voorbelast - Slap	10.00	10.00	15.00	12.00	12.00	15.00
16 Veen - Matig voorbelast - Matig	12.00	12.00	15.00	13.00	13.00	15.00

BODEMPROFIELGEGEVENS: S022-1

Alle niveaus/hogtes/peilmaten zijn t.o.v.: N.A.P.

d50-reductie is meegenomen overeenkomstig NEN-EN 9997 art. 7.6.2.3 (i)

Laag	Van [m]	Tot [m]	Omschrijving	OCR	Aandeel pos. kleef [%]	α_s	d_{50} [mm]
1	27.34	25.95	Zand - Zwak siltig - Kleiig	1.0	100.0		
2	25.95	25.21	Zand - Schoon - Matig	1.0	100.0		
3	25.21	23.93	Zand - Schoon - Los	1.0	100.0		
4	23.93	22.81	Zand - Schoon - Matig	1.0	100.0		
5	22.81	22.67	Zand - Schoon - Los	1.0	100.0		
6	22.67	22.41	Klei - Zwak zandig - Matig	1.0	50.0		
7	22.41	22.03	Zand - Schoon - Matig	1.0	100.0		
8	22.03	21.91	Klei - Zwak zandig - Vast	1.0	50.0		
9	21.91	21.53	Zand - Schoon - Matig	1.0	100.0		
10	21.53	21.29	Klei - Schoon - Matig	1.0	50.0		
11	21.29	20.19	Zand - Zwak siltig - Kleiig	1.0	100.0		
12	20.19	18.63	Klei - Schoon - Matig	1.0	50.0		
13	18.63	18.17	Zand - Zwak siltig - Kleiig	1.0	100.0		
14	18.17	17.27	Klei - Schoon - Matig	1.0	50.0		
15	17.27	17.02	Leem - Zwak zandig - Vast	1.0	50.0		
16	17.02	16.76	Klei - Zwak zandig - Slap	1.0	50.0		
17	16.76	16.50	Veen - Matig voorbelast - Matig	1.0	50.0		
18	16.50	15.00	Klei - Schoon - Matig	1.0	50.0		
19	15.00	10.00	Zand - Schoon - Vast	1.0	100.0		

Project :
Onderdeel :

BODEMPROFIELGEGEVENS: S022-2

Alle niveaus/hogtes/peilmaten zijn t.o.v.: N.A.P.
d50-reductie is meegenomen overeenkomstig NEN-EN 9997 art. 7.6.2.3 (i)

Laag	Van [m]	Tot [m]	Omschrijving	OCR	Aandeel pos. kleef [%]	α_s	d_{50} [mm]
	Hoogte maaiveld [m] : 27.45			Grondwaterstand [m] : 26.45			
1	27.45	26.54	Zand - Zwak siltig - Kleiig	1.0	100.0		
2	26.54	25.88	Zand - Schoon - Los	1.0	100.0		
3	25.88	25.02	Zand - Schoon - Matig	1.0	100.0		
4	25.02	23.26	Zand - Zwak siltig - Kleiig	1.0	100.0		
5	23.26	23.00	Zand - Schoon - Matig	1.0	100.0		
6	23.00	22.76	Zand - Zwak siltig - Kleiig	1.0	100.0		
7	22.76	22.50	Klei - Zwak zandig - Matig	1.0	50.0		
8	22.50	22.26	Zand - Zwak siltig - Kleiig	1.0	100.0		
9	22.26	22.12	Klei - Schoon - Vast	1.0	50.0		
10	22.12	21.88	Zand - Schoon - Matig	1.0	100.0		
11	21.88	21.26	Klei - Zwak zandig - Matig	1.0	50.0		
12	21.26	20.50	Zand - Schoon - Los	1.0	100.0		
13	20.50	18.63	Klei - Schoon - Matig	1.0	50.0		
14	18.63	18.33	Leem - Zwak zandig - Vast	1.0	50.0		
15	18.33	17.45	Klei - Schoon - Matig	1.0	50.0		
16	17.45	17.27	Leem - Zwak zandig - Vast	1.0	50.0		
17	17.27	14.83	Klei - Zwak zandig - Matig	1.0	50.0		
18	14.83	10.00	Zand - Schoon - Vast	1.0	100.0		

BODEMPROFIELGEGEVENS: S024-1

Alle niveaus/hogtes/peilmaten zijn t.o.v.: N.A.P.
d50-reductie is meegenomen overeenkomstig NEN-EN 9997 art. 7.6.2.3 (i)

Laag	Van [m]	Tot [m]	Omschrijving	OCR	Aandeel pos. kleef [%]	α_s	d_{50} [mm]
	Hoogte maaiveld [m] : 26.45			Grondwaterstand [m] : 25.45			
1	26.45	24.88	Zand - Zwak siltig - Kleiig	1.0	100.0		
2	24.88	24.28	Zand - Schoon - Los	1.0	100.0		
3	24.28	21.98	Zand - Zwak siltig - Kleiig	1.0	100.0		
4	21.98	21.74	Leem - Zwak zandig - Vast	1.0	0.0		
5	21.74	21.22	Klei - Organisch - Matig	1.0	0.0		
6	21.22	20.60	Zand - Schoon - Vast	1.0	100.0		
7	20.60	20.12	Zand - Schoon - Matig	1.0	100.0		
8	20.12	19.76	Leem - Zwak zandig - Vast	1.0	0.0		
9	19.76	19.16	Zand - Zwak siltig - Kleiig	1.0	100.0		
10	19.16	18.78	Leem - Zwak zandig - Vast	1.0	0.0		
11	18.78	18.42	Klei - Schoon - Matig	1.0	0.0		
12	18.42	17.96	Leem - Zwak zandig - Vast	1.0	0.0		
13	17.96	16.28	Klei - Schoon - Matig	1.0	0.0		
14	16.28	16.00	Zand - Schoon - Los	1.0	100.0		
15	16.00	14.30	Klei - Zwak zandig - Vast	1.0	0.0		
16	14.30	14.02	Leem - Zwak zandig - Vast	1.0	0.0		
17	14.02	13.74	Zand - Schoon - Matig	1.0	100.0		
18	13.74	13.12	Leem - Zwak zandig - Vast	1.0	0.0		
19	13.12	8.00	Zand - Schoon - Vast	1.0	100.0		

BODEMPROFIELGEGEVENS: S024-2

Alle niveaus/hogtes/peilmaten zijn t.o.v.: N.A.P.
d50-reductie is meegenomen overeenkomstig NEN-EN 9997 art. 7.6.2.3 (i)

Laag	Van [m]	Tot [m]	Omschrijving	OCR	Aandeel pos. kleef [%]	α_s	d_{50} [mm]
	Hoogte maaiveld [m] : 26.46			Grondwaterstand [m] : 25.46			
1	26.46	24.89	Zand - Zwak siltig - Kleiig	1.0	100.0		
2	24.89	24.09	Zand - Schoon - Los	1.0	100.0		
3	24.09	23.03	Zand - Schoon - Matig	1.0	100.0		
4	23.03	21.99	Zand - Schoon - Los	1.0	100.0		
5	21.99	21.35	Klei - Schoon - Matig	1.0	50.0		
6	21.35	20.47	Zand - Zwak siltig - Kleiig	1.0	100.0		
7	20.47	20.13	Leem - Zwak zandig - Vast	1.0	50.0		
8	20.13	19.75	Klei - Zwak zandig - Matig	1.0	50.0		
9	19.75	18.95	Zand - Sterk siltig - Kleiig	1.0	100.0		
10	18.95	18.57	Leem - Zwak zandig - Vast	1.0	50.0		
11	18.57	16.21	Klei - Schoon - Matig	1.0	50.0		

Project :
Onderdeel :

Laag	Van [m]	Tot [m]	Omschrijving	OCR	Aandeel pos. kleef [%]	α_s	d_{50} [mm]
12	16.21	15.67	Zand - Sterk siltig - Kleiig	1.0	100.0		
13	15.67	14.16	Klei - Schoon - Matig	1.0	50.0		
14	14.16	8.00	Zand - Schoon - Vast	1.0	100.0		

BODEMPROFIELGEGEVENS: S020-1

Alle niveaus/hoogtes/peilmaten zijn t.o.v.: N.A.P.

d50-reductie is meegenomen overeenkomstig NEN-EN 9997 art. 7.6.2.3 (i)

Hoogte maaiveld [m] : 25.22 Grondwaterstand [m] : 24.22

Laag	Van [m]	Tot [m]	Omschrijving	OCR	Aandeel pos. kleef [%]	α_s	d_{50} [mm]
1	25.22	24.96	Veen - Matig voorbelast - Matig	1.0	50.0		
2	24.96	24.34	Zand - Sterk siltig - Kleiig	1.0	100.0		
3	24.34	24.10	Leem - Zwak zandig - Vast	1.0	50.0		
4	24.10	22.38	Zand - Schoon - Matig	1.0	100.0		
5	22.38	22.12	Leem - Zwak zandig - Vast	1.0	50.0		
6	22.12	21.34	Klei - Schoon - Matig	1.0	50.0		
7	21.34	20.44	Zand - Schoon - Matig	1.0	100.0		
8	20.44	19.90	Zand - Schoon - Los	1.0	100.0		
9	19.90	19.10	Klei - Zwak zandig - Matig	1.0	50.0		
10	19.10	18.58	Zand - Schoon - Los	1.0	100.0		
11	18.58	15.58	Zand - Sterk siltig - Kleiig	1.0	50.0		
12	15.58	14.47	Zand - Schoon - Vast	1.0	100.0		
13	14.47	14.19	Leem - Zwak zandig - Vast	1.0	50.0		
14	14.19	9.00	Zand - Schoon - Matig	1.0	100.0		
15	9.00	7.35	Klei - Schoon - Matig	1.0	50.0		
16	7.35	6.19	Zand - Schoon - Vast	1.0	100.0		

BODEMPROFIELGEGEVENS: S020-2

Alle niveaus/hoogtes/peilmaten zijn t.o.v.: N.A.P.

d50-reductie is meegenomen overeenkomstig NEN-EN 9997 art. 7.6.2.3 (i)

Hoogte maaiveld [m] : 25.23 Grondwaterstand [m] : 24.23

Laag	Van [m]	Tot [m]	Omschrijving	OCR	Aandeel pos. kleef [%]	α_s	d_{50} [mm]
1	25.23	24.85	Veen - Matig voorbelast - Matig	1.0	50.0		
2	24.85	22.45	Zand - Schoon - Los	1.0	100.0		
3	22.45	21.87	Klei - Schoon - Matig	1.0	50.0		
4	21.87	19.80	Zand - Schoon - Matig	1.0	100.0		
5	19.80	19.20	Klei - Schoon - Matig	1.0	0.0		
6	19.20	18.00	Zand - Schoon - Matig	1.0	50.0		
7	18.00	15.80	Zand - Sterk siltig - Kleiig	1.0	100.0		
8	15.80	14.00	Zand - Schoon - Vast	1.0	100.0		
9	14.00	13.55	Klei - Schoon - Matig	1.0	50.0		
10	13.55	12.30	Zand - Schoon - Matig	1.0	100.0		
11	12.30	9.57	Zand - Schoon - Vast	1.0	100.0		
12	9.57	8.80	Zand - Schoon - Matig	1.0	100.0		
13	8.80	7.40	Klei - Zwak zandig - Matig	1.0	50.0		
14	7.40	6.64	Zand - Sterk siltig - Kleiig	1.0	100.0		
15	6.64	5.71	Zand - Schoon - Vast	1.0	100.0		

SONDERINGSGEGEVENS ALGEMEEN: S022-1

Alle niveaus/hoogtes/peilmaten zijn t.o.v.: N.A.P.

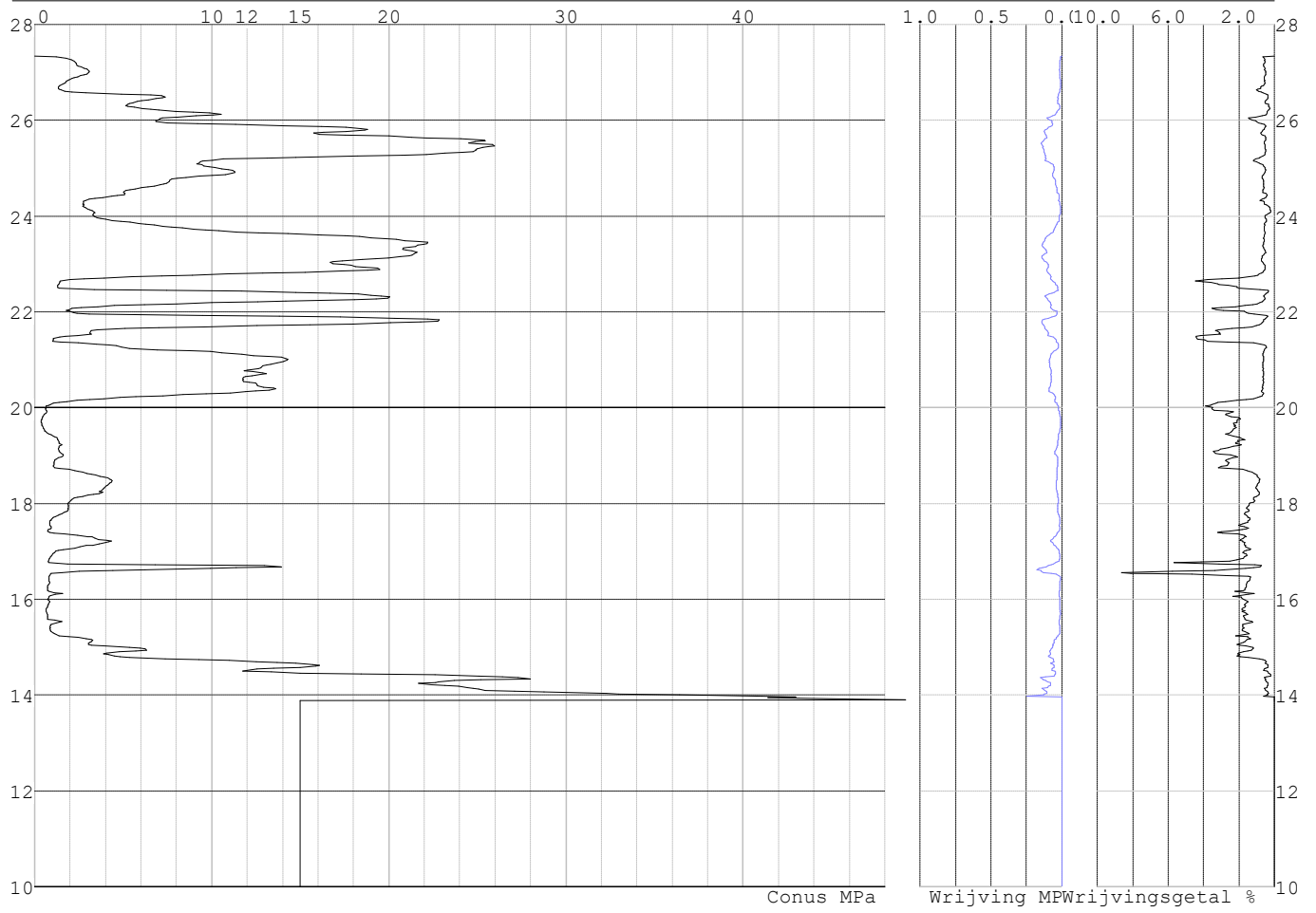
Hoogte maaiveld [m] : 27.34 Bodemprofiel: S022-1

Traject negatieve kleef : 27.34 tot 15.10 [m]

Traject positieve kleef : 15.10 tot 13.89 [m]

Project :
Onderdeel :

SONDERINGSGEGEVENS GRAFIEK: S022-1

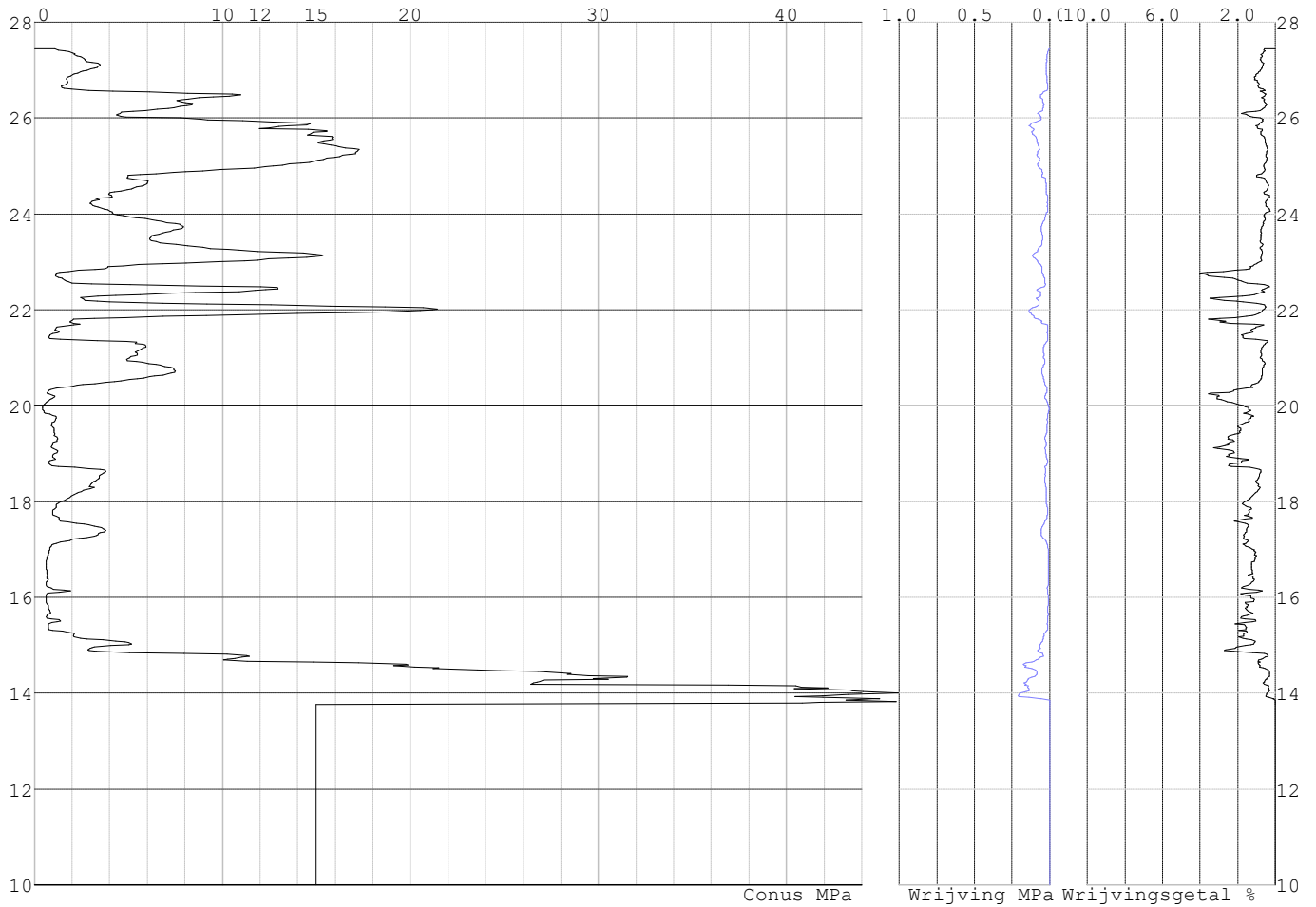


Project :
Onderdeel :

SONDERINGSGEGEVENS ALGEMEEN: S022-2

Alle niveaus/hoogtes/peilmaten zijn t.o.v.: N.A.P.
Hoogte maaiveld [m] : 27.45 Bodemprofiel: S022-2
Traject negatieve kleeft : 27.45 tot 14.90 [m]
Traject positieve kleeft : 14.90 tot 13.78 [m]

SONDERINGSGEGEVENS GRAFIEK: S022-2

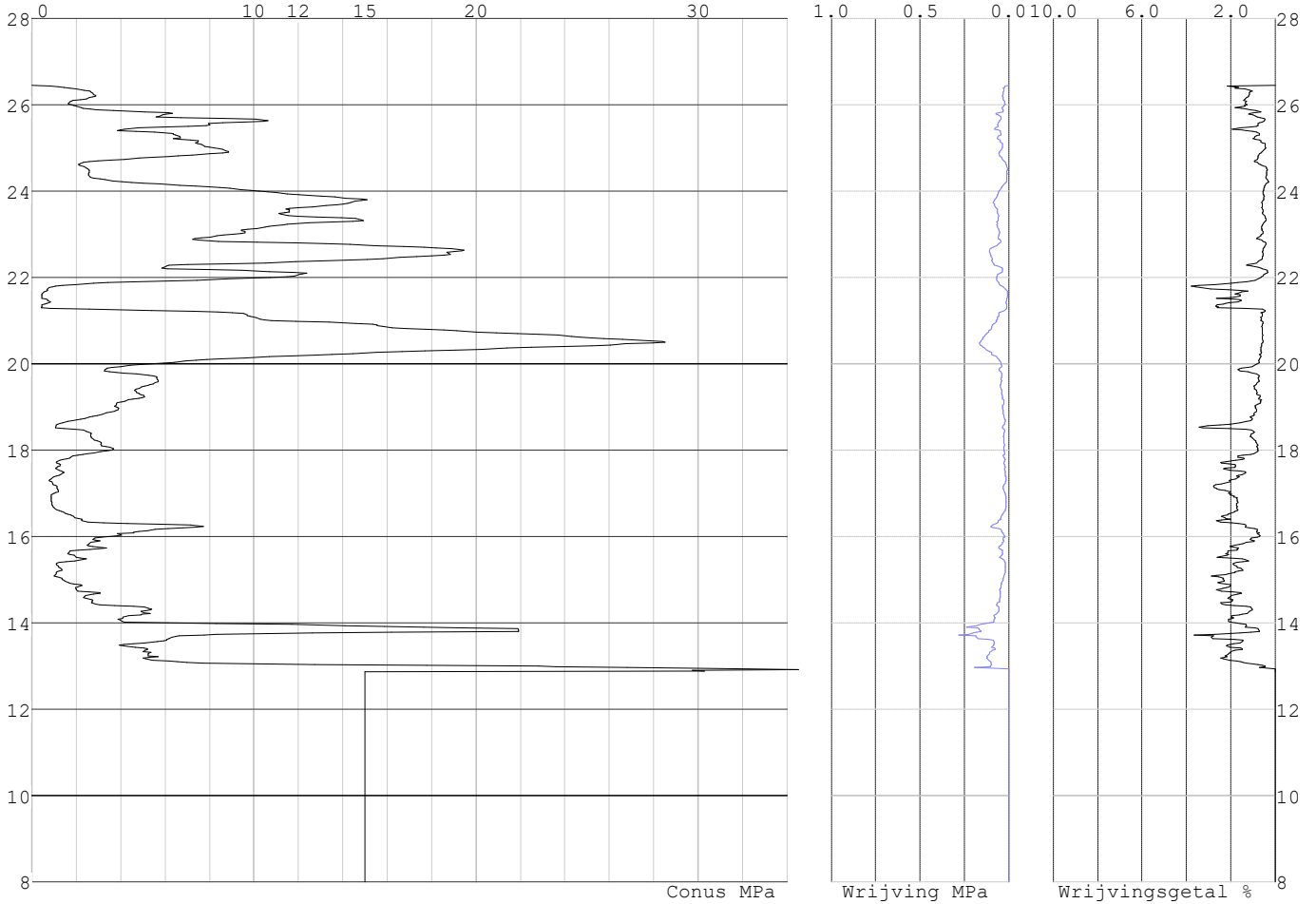


Project :
Onderdeel :

SONDERINGSGEGEVENS ALGEMEEN: S024-1

Alle niveaus/hogtes/peilmaten zijn t.o.v.: N.A.P.
Hoogte maaiveld [m] : 26.45 Bodemprofiel: S024-1
Traject negatieve kleeft : 26.45 tot 21.20 [m]
Traject positieve kleeft : 21.20 tot 12.87 [m]

SONDERINGSGEGEVENS GRAFIEK: S024-1

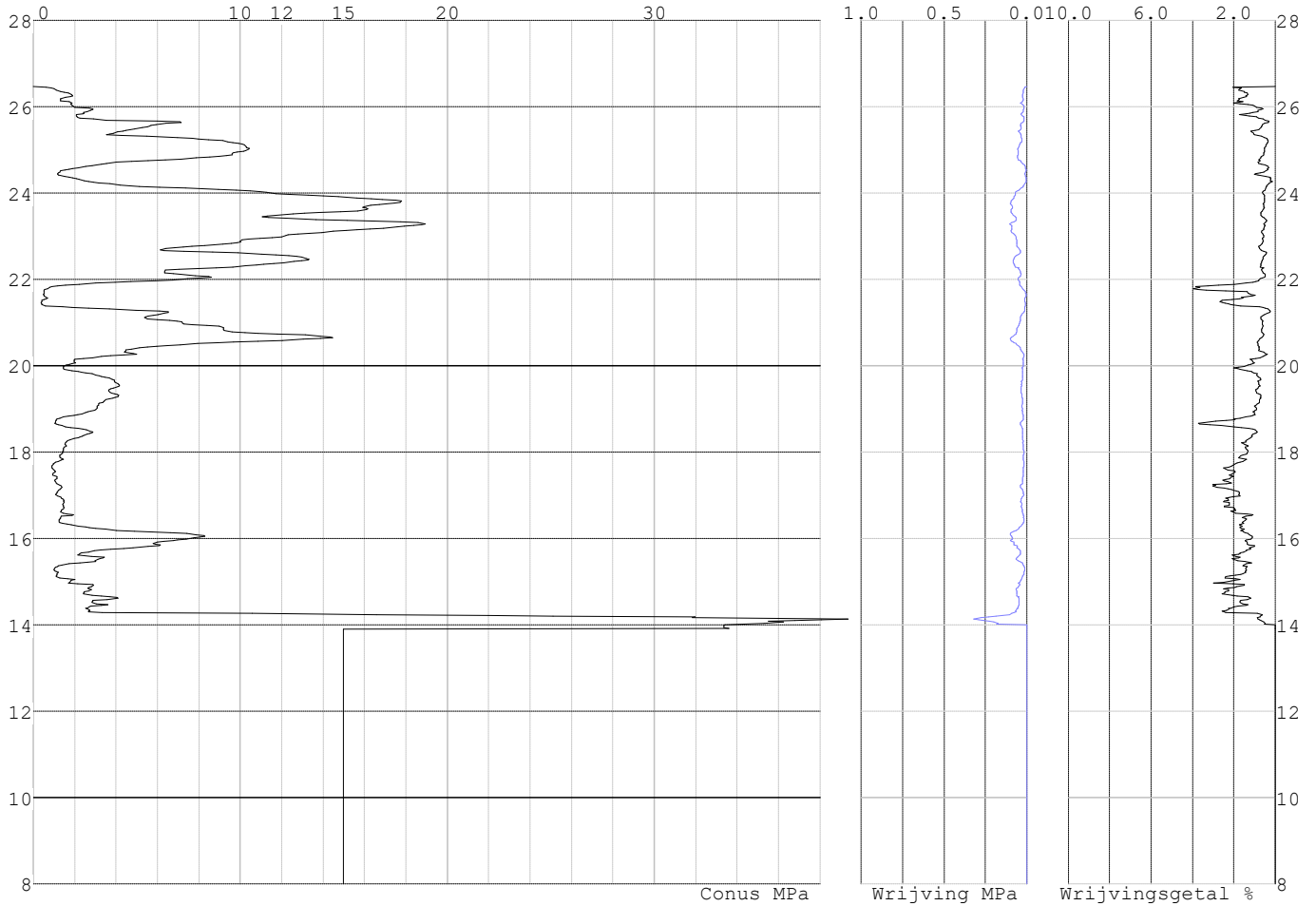


Project :
Onderdeel :

SONDERINGSGEGEVENS ALGEMEEN: S024-2

Alle niveaus/hogtes/peilmaten zijn t.o.v.: N.A.P.
Hoogte maaiveld [m] : 26.46 Bodemprofiel: S024-2
Traject negatieve kleef : 26.46 tot 21.30 [m]
Traject positieve kleef : 21.30 tot 13.90 [m]

SONDERINGSGEGEVENS GRAFIEK: S024-2

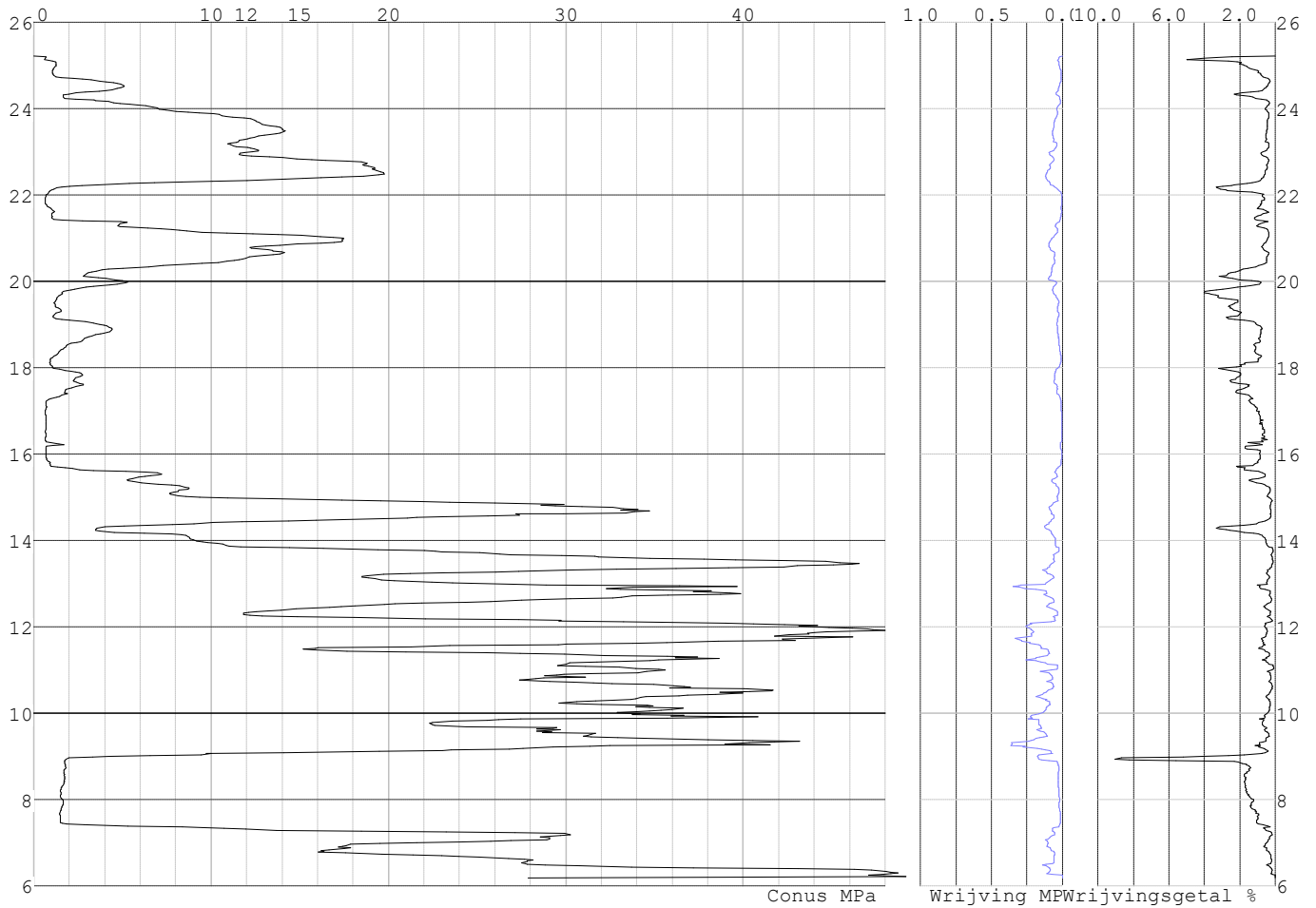


Project :
Onderdeel :

SONDERINGSGEGEVENS ALGEMEEN: S020-1

Alle niveaus/hogtes/peilmaten zijn t.o.v.: N.A.P.
Hoogte maaiveld [m] : 25.22 Bodemprofiel: S020-1
Traject negatieve kleeft : 25.22 tot 21.40 [m]
Traject positieve kleeft : 19.10 tot 6.19 [m]

SONDERINGSGEGEVENS GRAFIEK: S020-1

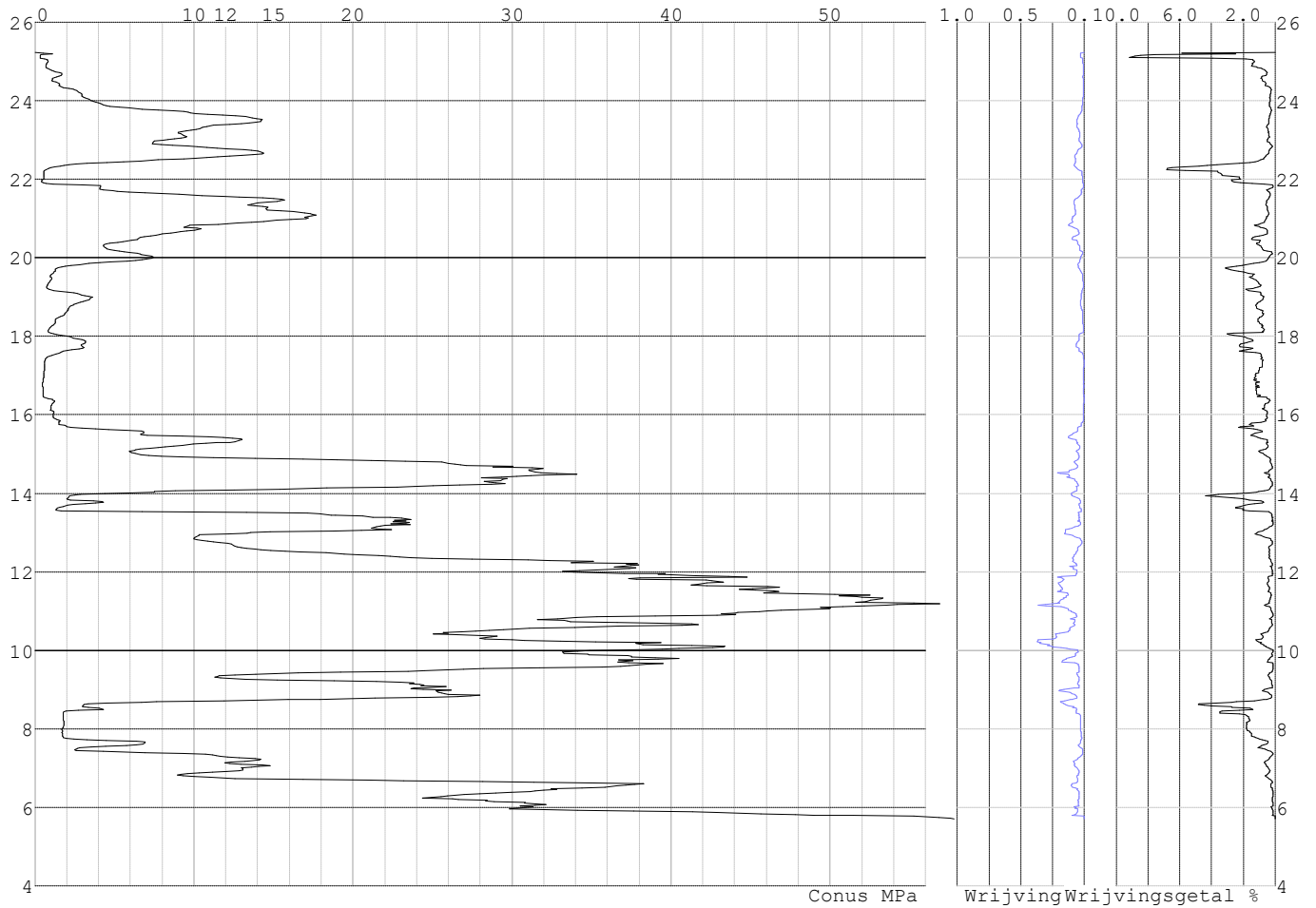


Project :
Onderdeel :

SONDERINGSGEGEVENS ALGEMEEN: S020-2

Alle niveaus/hogtes/peilmaten zijn t.o.v.: N.A.P.
Hoogte maaiveld [m] : 25.23 Bodemprofiel: S020-2
Traject negatieve kleeft : 25.23 tot 21.90 [m]
Traject positieve kleeft : 19.20 tot 5.70 [m]

SONDERINGSGEGEVENS GRAFIEK: S020-2

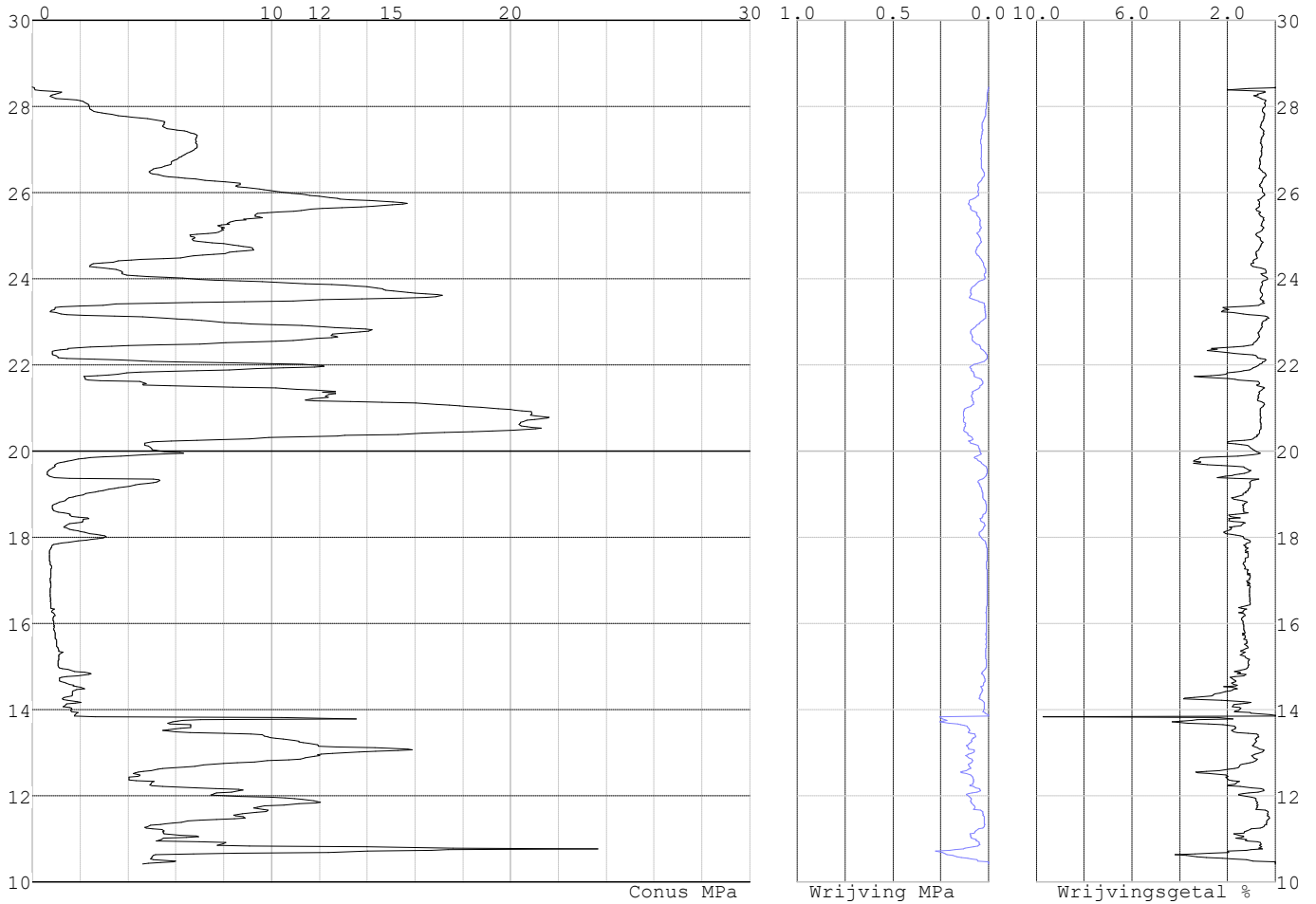


Project :
Onderdeel :

SONDERINGSGEGEVENS ALGEMEEN: S026-1

Alle niveaus/hogtes/peilmaten zijn t.o.v.: N.A.P.
Hoogte maaiveld [m] : 28.45 Bodemprofiel: S026-1
Traject negatieve kleef : 28.45 tot 28.10 [m]
Traject positieve kleef : 28.10 tot 10.41 [m]

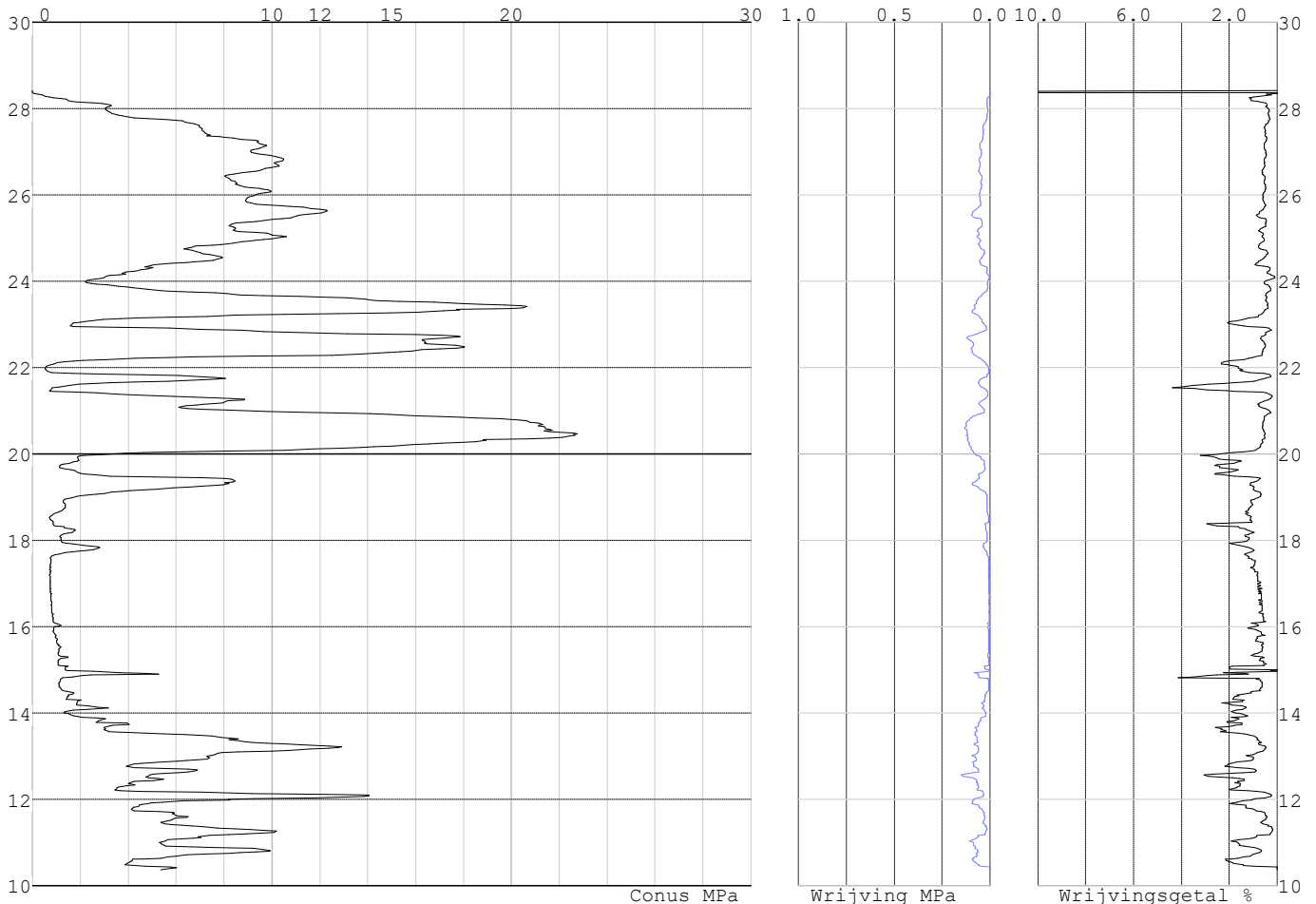
SONDERINGSGEGEVENS GRAFIEK: S026-1



Project :
Onderdeel :

SONDERINGSGEGEVENS ALGEMEEN: S026-2

Alle niveaus/hoogtes/peilmaten zijn t.o.v.: N.A.P.
 Hoogte maaiveld [m] : 28.41 Bodemprofiel: S026-1
 Traject negatieve kleef : 28.41 tot 27.90 [m]
 Traject positieve kleef : 27.90 tot 10.37 [m]

SONDERINGSGEGEVENS GRAFIEK: S026-2**REKENGEGEVENS Mast 020**

Berekening : Controlerend
 Rekenmethode : Trekpalen volgens NEN-EN 1997-1, art. 7.6.3
 Sondering(en) : S020-1, S020-2
 Let op: trekcapaciteit t.p.v. negatief kleeftraject is meegerekend.

Stijf bouwwerk : NEE
 Paalgroep : NEE
 Aantal sonderingen : 2
 Factor ξ_3 (n=1) : 1.39
 Factor ξ_3 (gem) : 1.32
 Factor ξ_4 (min) : 1.32
 Weerstandsfactor γ_R : 1.35
 $\gamma_{m;var;q_c}$: 1.50
 UGT draagvermogen zonder negatieve kleef : NEE

Paal : LD1
 Niveau paalkop [m] : N.A.P. 25.67
 Paalpuntniveau : N.A.P. 13.07
 $E_{d,1}$ [kN] : 0.00 $E_{d,2}$ [kN] : 0.00
 Bovenbel. [kN/m²] : 0.00

RESULTATEN Mast 020 (n=1)

Project :
Onderdeel :

Sondering : S020-1

Alle niveaus/hogtes/peilmaten zijn t.o.v.: N.A.P.

Inheinniveau [m]	Effectief inheinniveau [m]	E.G. paal [kN]	$R_{t,cal;k}$ [kN]	$R_{t;d}$ [kN]	$F_{t,tot;1}$ [kN]	U.C.
13.07	13.07	38.8	343.6	343.6	0.0	0.00

Sondering : S020-2

Alle niveaus/hogtes/peilmaten zijn t.o.v.: N.A.P.

Inheinniveau [m]	Effectief inheinniveau [m]	E.G. paal [kN]	$R_{t,cal;k}$ [kN]	$R_{t;d}$ [kN]	$F_{t,tot;1}$ [kN]	U.C.
13.07	13.07	38.8	305.6	305.6	0.0	0.00

Project :
Onderdeel :

SAMENVATTINGSTABEL Mast 020 (n=1)

Uitgangspunten

- paal : LD1
 - paaltype : Stalen buispaal (gesloten)
 - schachtafmeting : 550 mm
 Paalklassefactor α_p : 1.00
 Factor α_t (tabel 7.c EC 7.1) : 0.0070 (zandlagen; voor kleilagen zie tabel 7.d)
 Correlatiefactor $\xi_{3(n=1)}$: 1.39

Alle niveaus/hogtes/peilmaten zijn t.o.v.: N.A.P.

sondering	maaiveld paalpunt		Bezwijkdraagvermogen $R_{t,cal}$ [kN]	Rekenwaarden		
	niveau	niveau		$R_{t,d}$ [kN]	$R_{t,netto,d}$ [kN]	
S020-1	25.22	13.07	343.6	343.6	343.6	
S020-2	25.23	13.07	305.6	305.6	305.6	

Project :
Onderdeel :

SAMENVATTINGSTABEL Mast 020 (van 2 sonderingen)**Uitgangspunten**

- paal : LD1
 - paaltype : Stalen buispaal (gesloten)
 - schachtafmeting : 550 mm
 Paalklassefactor α_p : 1.00
 Factor α_t (tabel 7.c EC 7.1) : 0.0070 (zandlagen; voor kleilagen zie tabel 7.d)
 Correlatiefactor $\xi_{3\text{gem}}(n=2)$: 1.32
 Correlatiefactor $\xi_{4\text{min}}(n=2)$: 1.32

Alle niveaus/hogtes/peilmaten zijn t.o.v.: N.A.P.

sondering	maaiveld	paalpunt	Bezuikdraagvermogen
	niveau	niveau	E.G. paal $R_{t,cal}$
			[kN] [kN]

met ξ_3 (gem) = 1.32

S020-1	25.22	13.07	38.8	359.7
--------	-------	-------	------	-------

S020-2	25.23	13.07	38.8	319.7
--------	-------	-------	------	-------

		13.07	$R_{t,cal,gem}$	339.7
--	--	-------	-----------------	-------

met ξ_4 (min) = 1.32

S020-1	25.22	13.07	38.8	359.7
--------	-------	-------	------	-------

S020-2	25.23	13.07	38.8	319.7
--------	-------	-------	------	-------

		13.07	$R_{t,cal,min}$	319.7
--	--	-------	-----------------	-------

Totaal resultaten Mast 020 (van 2 sonderingen)

Uitgangspunten

Correlatiefactor $\xi_{3\text{gem}}(n=2)$: 1.32

Correlatiefactor $\xi_{4\text{min}}(n=2)$: 1.32

gebaseerd op sonderingen:

S020-1 S020-2

$R_{t,d} = \min.\{ R_{t,cal,gem}; R_{t,cal,min} \}$ (7.17) *)

Inheinniveau

[m]

13.07	$R_{t,d} = \min.\{ 339.7; 319.7 \} = 319.7$
-------	---

*) Bij de trekpaalberekening zijn factoren ξ_3 en ξ_4 al bij de berekening van de conusweerstand $q_{c,z;d}$ in rekening gebracht, evenals factor $\gamma_{s;t}$. Dat is conform de opmerkingen in art. 7.6.3.3 (3) en (4).

Alle niveaus/hogtes/peilmaten zijn t.o.v.: N.A.P.

Inheinniveau	$R_{t,k}$	$R_{t,d}$	$F_{t,tot;1}$	$R_{t,netto;d}$	U.C.
[m]	[kN]	[kN]	[kN]	[kN]	
13.07	319.7	319.7	0.0	319.7	0.00

REKENGEGEVENS Mast 022

Berekening : Controlerend

Rekenmethode : Trekpalen volgens NEN-EN 1997-1, art. 7.6.3

Sondering(en) : S022-1, S022-2

Let op: trekcapaciteit t.p.v. negatief kleeftraject is meegerekend.

Stijf bouwwerk : NEE

Paalgroep : NEE

Aantal sonderingen : 2

Factor ξ_3 (n=1) : 1.39

Factor ξ_3 (gem) : 1.32

Factor ξ_4 (min) : 1.32

Weerstandsfactor γ_R : 1.35

$\gamma_{m,var;q_c}$: 1.50

UGT draagvermogen zonder negatieve kleef : NEE

Paal : LD1

Niveau paalkop [m] : N.A.P. 27.65

Paalpuntniveau : N.A.P. 12.65

$E_{d,1}$ [kN] : 0.00

Bovenbel. [kN/m²] : 0.00

$E_{d,2}$ [kN] : 0.00

Project :
Onderdeel :

RESULTATEN Mast 022 (n=1)**Sondering : S022-1**

Alle niveaus/hogtes/peilmaten zijn t.o.v.: N.A.P.

Inheinniveau [m]	Effectief inheinniveau [m]	E.G. paal [kN]	$R_{t,cal;k}$ [kN]	$R_{t;d}$ [kN]	$F_{t,tot;1}$ [kN]	U.C.
12.65	12.65	45.2	469.1	469.1	0.0	0.00

Sondering : S022-2

Alle niveaus/hogtes/peilmaten zijn t.o.v.: N.A.P.

Inheinniveau [m]	Effectief inheinniveau [m]	E.G. paal [kN]	$R_{t,cal;k}$ [kN]	$R_{t;d}$ [kN]	$F_{t,tot;1}$ [kN]	U.C.
12.65	12.65	45.0	435.2	435.2	0.0	0.00

Project :
Onderdeel :

SAMENVATTINGSTABEL Mast 022 (n=1)**Uitgangspunten**

- paal : LD1
 - paaltype : Stalen buispaal (gesloten)
 - schachtafmeting : 550 mm
 Paalklassefactor α_p : 1.00
 Factor α_t (tabel 7.c EC 7.1) : 0.0070 (zandlagen; voor kleilagen zie tabel 7.d)
 Correlatiefactor $\xi_{3(n=1)}$: 1.39

Alle niveaus/hogtes/peilmaten zijn t.o.v.: N.A.P.

sondering	maaiveld paalpunt		Bezwijkdraagvermogen $R_{t,cal}$ [kN]	Rekenwaarden	
	niveau	niveau		$R_{t,d}$ [kN]	$R_{t,netto,d}$ [kN]
S022-1	27.34	12.65	469.1	469.1	469.1
S022-2	27.45	12.65	435.2	435.2	435.2

Project :
Onderdeel :

SAMENVATTINGSTABEL Mast 022 (van 2 sonderingen)**Uitgangspunten**

- paal : LD1
 - paaltype : Stalen buispaal (gesloten)
 - schachtafmeting : 550 mm
 Paalklassefactor α_p : 1.00
 Factor α_t (tabel 7.c EC 7.1) : 0.0070 (zandlagen; voor kleilagen zie tabel 7.d)
 Correlatiefactor $\xi_{3gem}(n=2)$: 1.32
 Correlatiefactor $\xi_{4min}(n=2)$: 1.32

Alle niveaus/hogtes/peilmaten zijn t.o.v.: N.A.P.

sondering	maaiveld niveau	paalpunt niveau	Bezuikdraagvermogen E.G. paal [kN]	$R_{t,cal}$ [kN]
-----------	--------------------	--------------------	--	---------------------

met ξ_3 (gem) = 1.32

S022-1	27.34	12.65	45.2	491.6
--------	-------	-------	------	-------

S022-2	27.45	12.65	45.2	455.9
--------	-------	-------	------	-------

		12.65	$R_{t,cal,gem}$	473.7
--	--	-------	-----------------	-------

met ξ_4 (min) = 1.32

S022-1	27.34	12.65	45.2	491.6
--------	-------	-------	------	-------

S022-2	27.45	12.65	45.2	455.9
--------	-------	-------	------	-------

		12.65	$R_{t,cal,min}$	455.9
--	--	-------	-----------------	-------

Totaal resultaten Mast 022 (van 2 sonderingen)

Uitgangspunten

Correlatiefactor $\xi_{3gem}(n=2)$: 1.32

Correlatiefactor $\xi_{4min}(n=2)$: 1.32

gebaseerd op sonderingen:

S022-1 S022-2

$R_{t,d} = \min. \{ R_{t,cal,gem}; R_{t,cal,min} \} (7.17) *$

Inheinniveau
[m]

12.65	$R_{t,d} = \min. \{ 473.7; 455.9 \} = 455.9$
-------	--

*) Bij de trekpaalberekening zijn factoren ξ_3 en ξ_4 al bij de berekening van de conusweerstand $q_{c;z,d}$ in rekening gebracht, evenals factor $\gamma_{s;t}$. Dat is conform de opmerkingen in art. 7.6.3.3 (3) en (4).

Alle niveaus/hogtes/peilmaten zijn t.o.v.: N.A.P.

Inheinniveau [m]	$R_{t,k}$ [kN]	$R_{t,d}$ [kN]	$F_{t,tot;1}$ [kN]	$R_{t,netto;d}$ [kN]	U.C.
12.65	455.9	455.9	0.0	455.9	0.00

REKENGEDEGENS Mast 024

Berekening : Controlerend
 Rekenmethode : Trekpalen volgens NEN-EN 1997-1, art. 7.6.3
 Sondering(en) : S024-1, S024-2
 Let op: trekcapaciteit t.p.v. negatief kleeftraject is meegerekend.

Stijf bouwwerk : NEE
 Paalgroep : NEE
 Aantal sonderingen : 2
 Factor ξ_3 (n=1) : 1.39
 Factor ξ_3 (gem) : 1.32
 Factor ξ_4 (min) : 1.32
 Weerstandsfactor γ_R : 1.35
 $\gamma_{m,var;q_c}$: 1.50
 UGT draagvermogen zonder negatieve kleef : NEE

Paal : LD1

Niveau paalkop [m] : N.A.P. 26.86

Paalpuntniveau : N.A.P. 10.86

$E_{d,1}$ [kN] : 0.00

Bovenbel. [kN/m²] : 0.00

$E_{d,2}$ [kN] : 0.00

Project :
Onderdeel :

RESULTATEN Mast 024 (n=1)**Sondering : S024-1**

Alle niveaus/hogtes/peilmaten zijn t.o.v.: N.A.P.

Inheinniveau [m]	Effectief inheinniveau [m]	E.G. paal [kN]	$R_{t,cal;k}$ [kN]	$R_{t;d}$ [kN]	$F_{t,tot;1}$ [kN]	U.C.
10.86	10.86	48.3	406.1	406.1	0.0	0.00

Sondering : S024-2

Alle niveaus/hogtes/peilmaten zijn t.o.v.: N.A.P.

Inheinniveau [m]	Effectief inheinniveau [m]	E.G. paal [kN]	$R_{t,cal;k}$ [kN]	$R_{t;d}$ [kN]	$F_{t,tot;1}$ [kN]	U.C.
10.86	10.86	48.3	540.9	540.9	0.0	0.00

Project :
Onderdeel :

SAMENVATTINGSTABEL Mast 024 (n=1)

Uitgangspunten

- paal : LD1
 - paaltype : Stalen buispaal (gesloten)
 - schachtafmeting : 550 mm
 Paalklassefactor α_p : 1.00
 Factor α_t (tabel 7.c EC 7.1) : 0.0070 (zandlagen; voor kleilagen zie tabel 7.d)
 Correlatiefactor $\xi_{3(n=1)}$: 1.39

Alle niveaus/hogtes/peilmaten zijn t.o.v.: N.A.P.

sondering	maaiveld paalpunt		Bezwijkdraagvermogen $R_{t,cal}$ [kN]	Rekenwaarden		
	niveau	niveau		$R_{t,d}$ [kN]	$R_{t,netto,d}$ [kN]	
S024-1	26.45	10.86	406.1	406.1	406.1	406.1
S024-2	26.46	10.86	540.9	540.9	540.9	540.9

Project :
Onderdeel :

SAMENVATTINGSTABEL Mast 024 (van 2 sonderingen)**Uitgangspunten**

- paal : LD1
 - paaltype : Stalen buispaal (gesloten)
 - schachtafmeting : 550 mm
 Paalklassefactor α_p : 1.00
 Factor α_t (tabel 7.c EC 7.1) : 0.0070 (zandlagen; voor kleilagen zie tabel 7.d)
 Correlatiefactor $\xi_{3gem}(n=2)$: 1.32
 Correlatiefactor $\xi_{4min}(n=2)$: 1.32

Alle niveaus/hogtes/peilmaten zijn t.o.v.: N.A.P.

sondering	maaiveld paalpunt		Bezwijkdraagvermogen	
	niveau	niveau	E.G. paal	$R_{t,cal}$
			[kN]	[kN]

met ξ_3 (gem) = 1.32

S024-1	26.45	10.86	48.3	425.1
S024-2	26.46	10.86	48.3	567.0

		10.86	$R_{t,cal,gem}$	496.1
--	--	-------	-----------------	-------

met ξ_4 (min) = 1.32

S024-1	26.45	10.86	48.3	425.1
S024-2	26.46	10.86	48.3	567.0

		10.86	$R_{t,cal,min}$	425.1
--	--	-------	-----------------	-------

Totaal resultaten Mast 024 (van 2 sonderingen)

Uitgangspunten

Correlatiefactor $\xi_{3gem}(n=2)$: 1.32
 Correlatiefactor $\xi_{4min}(n=2)$: 1.32

gebaseerd op sonderingen:
 S024-1 S024-2

$$R_{t,d} = \min. \{ R_{t,cal,gem}; R_{t,cal,min} \} (7.17) *$$

Inheinniveau
 [m]

10.86	$R_{t,d} = \min. \{ 496.1; 425.1 \} =$	425.1
-------	--	-------

* Bij de trekpaalberekening zijn factoren ξ_3 en ξ_4 al bij de berekening van de conusweerstand $q_{c;z,d}$ in rekening gebracht, evenals factor $\gamma_{s;t}$. Dat is conform de opmerkingen in art. 7.6.3.3 (3) en (4).

Alle niveaus/hogtes/peilmaten zijn t.o.v.: N.A.P.

Inheinniveau	$R_{t,k}$	$R_{t,d}$	$F_{t,tot;1}$	$R_{t,netto;d}$	U.C.
[m]	[kN]	[kN]	[kN]	[kN]	
10.86	425.1	425.1	0.0	425.1	0.00 *

*** WAARSCHUWING n.a.v. NEN-NA 1997-1 art. A.3.3.3 1)**

Bij toepassing van de waarden van ξ_1 , ξ_2 , ξ_3 en ξ_4 van de tabellen A.9 en A.10 mag de variatiecoëfficiënt van de draagkracht van palen in een groep, bepaald volgens de verschillende voor deze groep geldende sonderingen, niet groter zijn dan 12%. Deze variatiecoëfficiënt van 12% geeft bij een kans van onderschrijding van 5% een minimumdraagkracht groter dan 80% van het gemiddelde.

Inheinniveau	Aantal	$R_{t,cal,gem}$	Var.coëff.
[m]	[-]	[kN]	[%]
10.86	2	496.06	20.2

Project :
Onderdeel :

PAALGEGEVENS LD1

Type : Stalen buispaal (gesloten)
Wijze van installeren : Heien
Diameter [m] : 0.550
Elasticiteitsmodulus [N/mm²] : 20000
Factor α_s (tabel 7.c EC 7.1) : 0.010 (zandlagen; voor kleilagen zie tabel 7.d)
Factor α_t (tabel 7.c EC 7.1) : 0.0070 (zandlagen; voor kleilagen zie tabel 7.d)
Paalklassefactor α_p : 1.00
Paalvoetvormfactor β : 1.00
Type lastzakkingsdiagram : Grondverdringende paal
Verm.factor * $\phi'_{j,k}$: 0.75
Groutomhulling : NEE

Project :
Onderdeel :

OVERZICHT NETTO DRAAGVERMOGEN TREKPALEN (n=1)

Netto paal draagvermogen(s) zijn naar beneden toe afgerond op: 1.0 kN nauwkeurig

Alle niveaus/hogtes/peilmaten zijn t.o.v.: N.A.P.

sondering	maaiveld paalpunt		$R_{t, netto; d}$ [kN]		
	niveau	niveau	Mast 020	Mast 022	Mast 024
S022-1	27.34	12.65		469	
S022-2	27.45	12.65		435	
S024-1	26.45	10.86			406
S024-2	26.46	10.86			540
S020-1	25.22	13.07	343		
S020-2	25.23	13.07	305		

Project :
Onderdeel :

ALGEMENE GEGEVENS

Project :
Onderdeel :
Datum : 10-12-2021
Bestand : P:\EANL_Projects\10166262 - BBB modelleren
funderingen 380 kV\02 Content\03
Calculations\Technosoft
Paalfunderingen\MBT-EHV380\DO\Nieuw
Sonderingen\Mast 030-039.pvw
Berekeningstype : Verticaal belaste paal
Alle niveaus/hogtes/peilmaten zijn t.o.v.: N.A.P.

Toegepaste normen volgens Eurocode met Nederlandse NB

Geotechniek	EN 1997-1:2004	AC:2009	
	NEN-EN 1997-1:2005	C1+A1:2013	NB:2016
	NEN 9997-1:2016	C2:2017	

GRONDSOORTEN

Nr. Omschrijving	$\gamma_{k;1}$ [kN/m ³]	$\gamma_{sat;k;1}$ [kN/m ³]	$\phi'_{k;1}$ [°]	$\gamma_{k;2}$ [kN/m ³]	$\gamma_{sat;k;2}$ [kN/m ³]	$\phi'_{k;2}$ [°]
1 Grind - Zwak siltig - Vast	19.00	21.00	37.50	20.00	22.00	40.00
2 Zand - Schoon - Los	17.00	19.00	30.00	18.00	20.00	32.50
3 Zand - Schoon - Matig	18.00	20.00	32.50	19.00	21.00	35.00
4 Zand - Schoon - Vast	19.00	21.00	35.00	20.00	22.00	40.00
5 Zand - Zwak siltig - Kleiig	18.00	20.00	27.00	19.00	21.00	32.50
6 Zand - Sterk siltig - Kleiig	18.00	20.00	25.00	19.00	21.00	30.00
7 Leem - Zwak zandig - Vast	21.00	21.00	27.50	22.00	22.00	35.00
8 Klei - Schoon - Matig	17.00	17.00	17.50	19.00	19.00	17.50
9 Klei - Schoon - Vast	19.00	19.00	17.50	20.00	20.00	25.00
10 Klei - Zwak zandig - Slap	15.00	15.00	22.50	18.00	18.00	22.50
11 Klei - Zwak zandig - Matig	18.00	18.00	22.50	20.00	20.00	22.50
12 Klei - Zwak zandig - Vast	20.00	20.00	22.50	21.00	21.00	27.50
13 Klei - Sterk zandig	18.00	18.00	27.50	20.00	20.00	32.50
14 Klei - Organisch - Matig	15.00	15.00	15.00	16.00	16.00	15.00
15 Veen - Niet voorbelast - Slap	10.00	10.00	15.00	12.00	12.00	15.00
16 Veen - Matig voorbelast - Matig	12.00	12.00	15.00	13.00	13.00	15.00

BODEMPROFIELGEGEVENS: S031-1

Alle niveaus/hogtes/peilmaten zijn t.o.v.: N.A.P.

d50-reductie is meegenomen overeenkomstig NEN-EN 9997 art. 7.6.2.3 (i)

Laag	Van [m]	Tot [m]	Omschrijving	OCR	Aandeel pos. kleef [%]	α_s	d_{50} [mm]
1	29.27	29.16	Veen - Niet voorbelast - Slap	1.0	50.0		
2	29.16	26.06	Zand - Schoon - Los	1.0	100.0		
3	26.06	24.00	Zand - Zwak siltig - Kleiig	1.0	100.0		
4	24.00	22.88	Zand - Schoon - Matig	1.0	100.0		
5	22.88	22.46	Klei - Sterk zandig	1.0	50.0		
6	22.46	18.96	Zand - Schoon - Matig	1.0	100.0		
7	18.96	18.46	Zand - Schoon - Los	1.0	100.0		
8	18.46	18.16	Klei - Schoon - Vast	1.0	50.0		
9	18.16	15.95	Zand - Schoon - Matig	1.0	100.0		
10	15.95	13.89	Zand - Sterk siltig - Kleiig	1.0	100.0		
11	13.89	13.49	Klei - Zwak zandig - Matig	1.0	50.0		
12	13.49	13.11	Zand - Schoon - Los	1.0	100.0		
13	13.11	10.40	Klei - Zwak zandig - Vast	1.0	50.0		
14	10.40	10.14	Zand - Schoon - Matig	1.0	100.0		
15	10.14	9.72	Klei - Zwak zandig - Matig	1.0	50.0		
16	9.72	9.33	Zand - Sterk siltig - Kleiig	1.0	100.0		
17	9.33	8.95	Zand - Schoon - Vast	1.0	100.0		

Project :
Onderdeel :

BODEMPROFIELGEGEVENS: S033-2

Alle niveaus/hoogtes/peilmaten zijn t.o.v.: N.A.P.

d50-reductie is meegenomen overeenkomstig NEN-EN 9997 art. 7.6.2.3 (i)

Hoogte maaiveld [m]	: 28.44		Grondwaterstand [m]	: 27.44			
Laag	Van [m]	Tot [m]	Omschrijving	OCR	Aandeel pos. kleef [%]	α_s	d_{50} [mm]
1	28.44	26.71	Zand - Schoon - Los	1.0	100.0		
2	26.71	26.07	Zand - Zwak siltig - Kleiig	1.0	100.0		
3	26.07	25.53	Zand - Zwak siltig - Kleiig	1.0	50.0		
4	25.53	23.29	Zand - Schoon - Matig	1.0	100.0		
5	23.29	22.19	Zand - Zwak siltig - Kleiig	1.0	100.0		
6	22.19	21.41	Klei - Zwak zandig - Matig	1.0	50.0		
7	21.41	20.00	Zand - Schoon - Vast	1.0	100.0		
8	20.00	19.10	Zand - Schoon - Matig	1.0	100.0		
9	19.10	18.10	Zand - Zwak siltig - Kleiig	1.0	100.0		
10	18.10	16.50	Zand - Schoon - Vast	1.0	100.0		
11	16.50	15.97	Zand - Schoon - Matig	1.0	100.0		
12	15.97	15.58	Zand - Schoon - Vast	1.0	100.0		
13	15.58	14.56	Zand - Sterk siltig - Kleiig	1.0	100.0		
14	14.56	14.30	Klei - Schoon - Vast	1.0	50.0		
15	14.30	9.51	Zand - Schoon - Vast	1.0	100.0		
16	9.51	9.25	Zand - Zwak siltig - Kleiig	1.0	100.0		
17	9.25	8.73	Klei - Zwak zandig - Slap	1.0	50.0		
18	8.73	8.46	Zand - Schoon - Matig	1.0	100.0		
19	8.46	8.30	Klei - Schoon - Matig	1.0	50.0		

BODEMPROFIELGEGEVENS: S036-1

Alle niveaus/hoogtes/peilmaten zijn t.o.v.: N.A.P.

d50-reductie is meegenomen overeenkomstig NEN-EN 9997 art. 7.6.2.3 (i)

Hoogte maaiveld [m]	: 28.88		Grondwaterstand [m]	: 27.88			
Laag	Van [m]	Tot [m]	Omschrijving	OCR	Aandeel pos. kleef [%]	α_s	d_{50} [mm]
1	28.88	26.99	Zand - Sterk siltig - Kleiig	1.0	100.0		
2	26.99	26.75	Zand - Schoon - Los	1.0	100.0		
3	26.75	26.47	Klei - Schoon - Matig	1.0	50.0		
4	26.47	20.87	Zand - Zwak siltig - Kleiig	1.0	100.0		
5	20.87	19.67	Zand - Schoon - Vast	1.0	100.0		
6	19.67	19.15	Zand - Schoon - Los	1.0	100.0		
7	19.15	16.26	Zand - Schoon - Vast	1.0	100.0		
8	16.26	15.74	Zand - Schoon - Los	1.0	100.0		
9	15.74	15.32	Klei - Schoon - Matig	1.0	50.0		
10	15.32	14.65	Zand - Schoon - Vast	1.0	100.0		
11	14.65	14.39	Klei - Sterk zandig	1.0	50.0		
12	14.39	13.69	Zand - Schoon - Vast	1.0	100.0		
13	13.69	13.41	Klei - Sterk zandig	1.0	50.0		
14	13.41	11.40	Zand - Schoon - Vast	1.0	100.0		

BODEMPROFIELGEGEVENS: S037-2

Alle niveaus/hoogtes/peilmaten zijn t.o.v.: N.A.P.

d50-reductie is meegenomen overeenkomstig NEN-EN 9997 art. 7.6.2.3 (i)

Hoogte maaiveld [m]	: 29.55		Grondwaterstand [m]	: 28.55			
Laag	Van [m]	Tot [m]	Omschrijving	OCR	Aandeel pos. kleef [%]	α_s	d_{50} [mm]
1	29.55	28.08	Zand - Zwak siltig - Kleiig	1.0	100.0		
2	28.08	26.72	Zand - Schoon - Matig	1.0	100.0		
3	26.72	26.46	Zand - Schoon - Los	1.0	100.0		
4	26.46	26.22	Klei - Schoon - Matig	1.0	50.0		
5	26.22	24.02	Zand - Zwak siltig - Kleiig	1.0	100.0		
6	24.02	20.65	Zand - Schoon - Vast	1.0	100.0		
7	20.65	20.25	Zand - Schoon - Los	1.0	100.0		
8	20.25	19.87	Klei - Zwak zandig - Slap	1.0	50.0		
9	19.87	19.13	Zand - Schoon - Matig	1.0	100.0		
10	19.13	18.87	Leem - Zwak zandig - Vast	1.0	50.0		
11	18.87	15.60	Zand - Schoon - Vast	1.0	100.0		
12	15.60	15.22	Zand - Schoon - Matig	1.0	100.0		
13	15.22	14.96	Leem - Zwak zandig - Vast	1.0	50.0		
14	14.96	11.49	Zand - Schoon - Vast	1.0	100.0		

Project :
Onderdeel :

BODEMPROFIELGEGEVENS: S038-1

Alle niveaus/hogtes/peilmaten zijn t.o.v.: N.A.P.

d50-reductie is meegenomen overeenkomstig NEN-EN 9997 art. 7.6.2.3 (i)

Laag	Van [m]	Tot [m]	Omschrijving	OCR	Aandeel pos. kleef [%]	α_s	d_{50} [mm]
	: 29.31		Grondwaterstand	[m]	: 28.31		
1	29.31	28.68	Zand - Sterk siltig - Kleiig	1.0	100.0		
2	28.68	28.28	Zand - Zwak siltig - Kleiig	1.0	100.0		
3	28.28	27.30	Zand - Schoon - Matig	1.0	100.0		
4	27.30	26.92	Zand - Sterk siltig - Kleiig	1.0	100.0		
5	26.92	26.66	Klei - Zwak zandig - Vast	1.0	50.0		
6	26.66	24.58	Zand - Sterk siltig - Kleiig	1.0	100.0		
7	24.58	23.88	Zand - Schoon - Los	1.0	100.0		
8	23.88	23.58	Klei - Zwak zandig - Vast	1.0	50.0		
9	23.58	21.94	Zand - Schoon - Los	1.0	100.0		
10	21.94	20.32	Zand - Schoon - Vast	1.0	100.0		
11	20.32	19.92	Zand - Zwak siltig - Kleiig	1.0	100.0		
12	19.92	19.44	Klei - Sterk zandig	1.0	50.0		
13	19.44	15.01	Zand - Schoon - Vast	1.0	100.0		

BODEMPROFIELGEGEVENS: S035-1

Alle niveaus/hogtes/peilmaten zijn t.o.v.: N.A.P.

d50-reductie is meegenomen overeenkomstig NEN-EN 9997 art. 7.6.2.3 (i)

Laag	Van [m]	Tot [m]	Omschrijving	OCR	Aandeel pos. kleef [%]	α_s	d_{50} [mm]
	: 28.71		Grondwaterstand	[m]	: 27.71		
1	28.71	28.27	Zand - Schoon - Los	1.0	100.0		
2	28.27	27.01	Zand - Schoon - Matig	1.0	100.0		
3	27.01	24.85	Zand - Schoon - Los	1.0	100.0		
4	24.85	21.34	Zand - Schoon - Matig	1.0	100.0		
5	21.34	16.50	Zand - Schoon - Vast	1.0	100.0		
6	16.50	15.50	Zand - Schoon - Los	1.0	100.0		
7	15.50	15.12	Zand - Zwak siltig - Kleiig	1.0	100.0		
8	15.12	14.61	Zand - Schoon - Vast	1.0	100.0		
9	14.61	14.33	Klei - Schoon - Vast	1.0	50.0		
10	14.33	13.60	Zand - Schoon - Vast	1.0	100.0		

BODEMPROFIELGEGEVENS: S032-1

Alle niveaus/hogtes/peilmaten zijn t.o.v.: N.A.P.

d50-reductie is meegenomen overeenkomstig NEN-EN 9997 art. 7.6.2.3 (i)

Laag	Van [m]	Tot [m]	Omschrijving	OCR	Aandeel pos. kleef [%]	α_s	d_{50} [mm]
	: 29.80		Grondwaterstand	[m]	: 28.80		
1	29.80	25.76	Zand - Schoon - Los	1.0	100.0		
2	25.76	24.06	Zand - Sterk siltig - Kleiig	1.0	100.0		
3	24.06	23.34	Zand - Schoon - Matig	1.0	100.0		
4	23.34	23.10	Leem - Zwak zandig - Vast	1.0	50.0		
5	23.10	21.46	Zand - Schoon - Matig	1.0	100.0		
6	21.46	21.22	Zand - Sterk siltig - Kleiig	1.0	100.0		
7	21.22	20.36	Klei - Schoon - Matig	1.0	50.0		
8	20.36	19.90	Zand - Sterk siltig - Kleiig	1.0	100.0		
9	19.90	19.12	Klei - Zwak zandig - Matig	1.0	50.0		
10	19.12	18.30	Leem - Zwak zandig - Vast	1.0	50.0		
11	18.30	17.60	Klei - Zwak zandig - Matig	1.0	50.0		
12	17.60	16.57	Zand - Schoon - Vast	1.0	100.0		
13	16.57	16.33	Zand - Sterk siltig - Kleiig	1.0	100.0		
14	16.33	15.93	Klei - Zwak zandig - Vast	1.0	50.0		
15	15.93	14.95	Zand - Schoon - Matig	1.0	100.0		
16	14.95	14.55	Klei - Zwak zandig - Vast	1.0	50.0		
17	14.55	14.21	Zand - Schoon - Los	1.0	100.0		
18	14.21	13.12	Klei - Schoon - Vast	1.0	50.0		
19	13.12	12.38	Zand - Sterk siltig - Kleiig	1.0	100.0		
20	12.38	11.90	Zand - Schoon - Vast	1.0	100.0		
21	11.90	11.50	Klei - Schoon - Vast	1.0	50.0		
22	11.50	6.28	Zand - Schoon - Matig	1.0	100.0		
23	6.28	6.04	Klei - Sterk zandig	1.0	50.0		
24	6.04	4.86	Zand - Schoon - Matig	1.0	100.0		

Project :
Onderdeel :

BODEMPROFIELGEGEVENS: S032-2

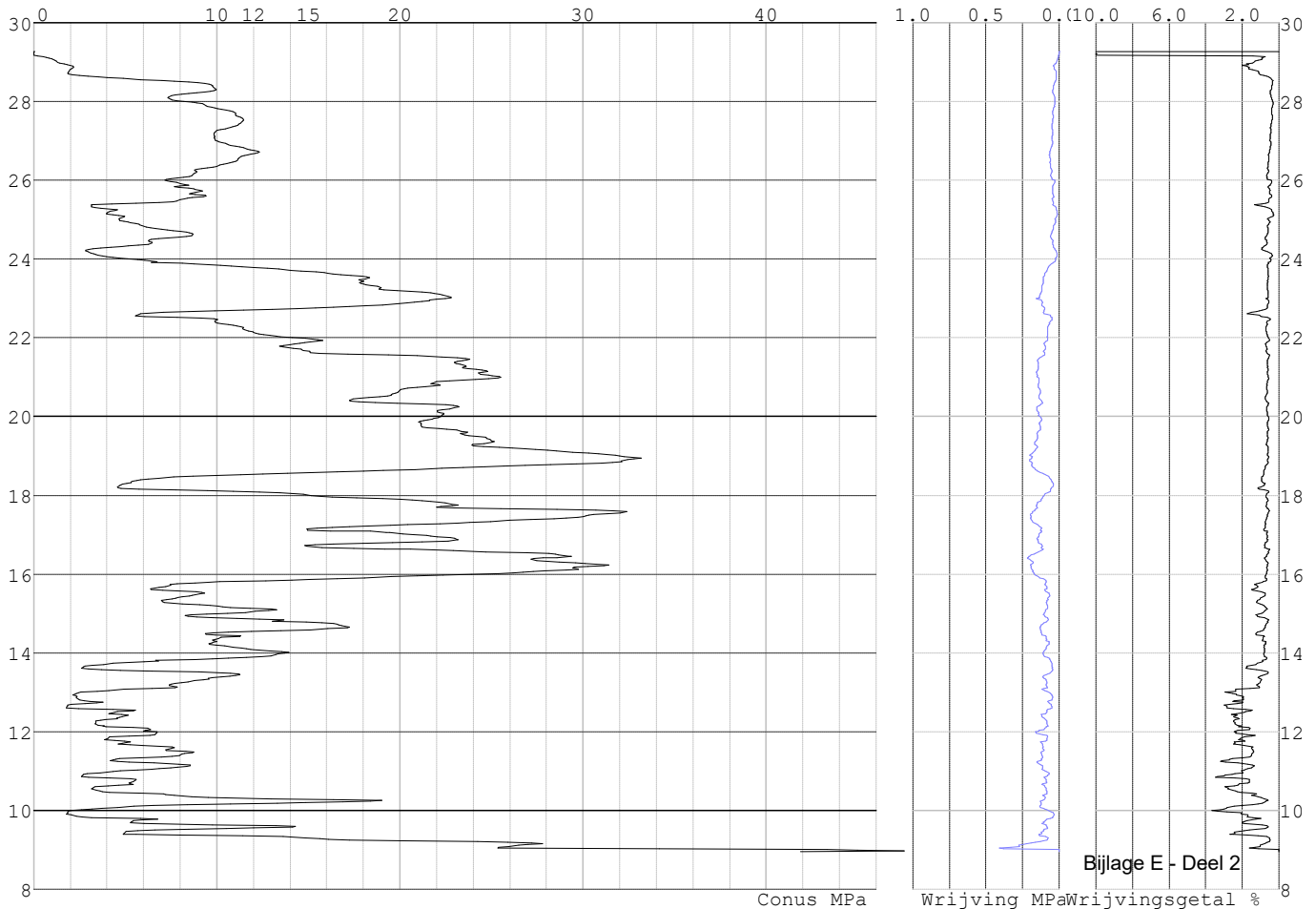
Alle niveaus/hoogtes/peilmaten zijn t.o.v.: N.A.P.
d50-reductie is meegenomen overeenkomstig NEN-EN 9997 art. 7.6.2.3 (i)

Laag	Van [m]	Tot [m]	Omschrijving	OCR	Aandeel pos. kleef [%]	α_s	d_{50} [mm]
1	29.41	21.55	Zand - Zwak siltig - Kleiig	1.0	100.0		
2	21.55	21.03	Zand - Schoon - Los	1.0	100.0		
3	21.03	18.79	Klei - Zwak zandig - Matig	1.0	50.0		
4	18.79	18.15	Zand - Schoon - Los	1.0	100.0		
5	18.15	17.21	Klei - Zwak zandig - Slap	1.0	50.0		
6	17.21	16.59	Zand - Schoon - Vast	1.0	100.0		
7	16.59	15.62	Klei - Zwak zandig - Matig	1.0	50.0		
8	15.62	15.08	Zand - Sterk siltig - Kleiig	1.0	100.0		
9	15.08	14.82	Klei - Schoon - Vast	1.0	50.0		
10	14.82	14.56	Zand - Sterk siltig - Kleiig	1.0	100.0		
11	14.56	13.70	Klei - Zwak zandig - Vast	1.0	50.0		
12	13.70	12.16	Zand - Sterk siltig - Kleiig	1.0	100.0		
13	12.16	11.82	Leem - Zwak zandig - Vast	1.0	50.0		
14	11.82	9.17	Zand - Schoon - Vast	1.0	100.0		
15	9.17	8.29	Zand - Schoon - Matig	1.0	100.0		
16	8.29	7.89	Zand - Schoon - Vast	1.0	100.0		
17	7.89	7.65	Zand - Zwak siltig - Kleiig	1.0	100.0		
18	7.65	5.88	Klei - Zwak zandig - Slap	1.0	50.0		
19	5.88	4.46	Zand - Schoon - Matig	1.0	100.0		

SONDERINGSGEGEVENS ALGEMEEN: S031-1

Alle niveaus/hoogtes/peilmaten zijn t.o.v.: N.A.P.
 Hoogte maaiveld [m] : 29.27 Bodemprofiel: S031-1
 Traject negatieve kleef : 29.27 tot 29.27 [m]
 Traject positieve kleef : 29.20 tot 8.94 [m]

SONDERINGSGEGEVENS GRAFIEK: S031-1

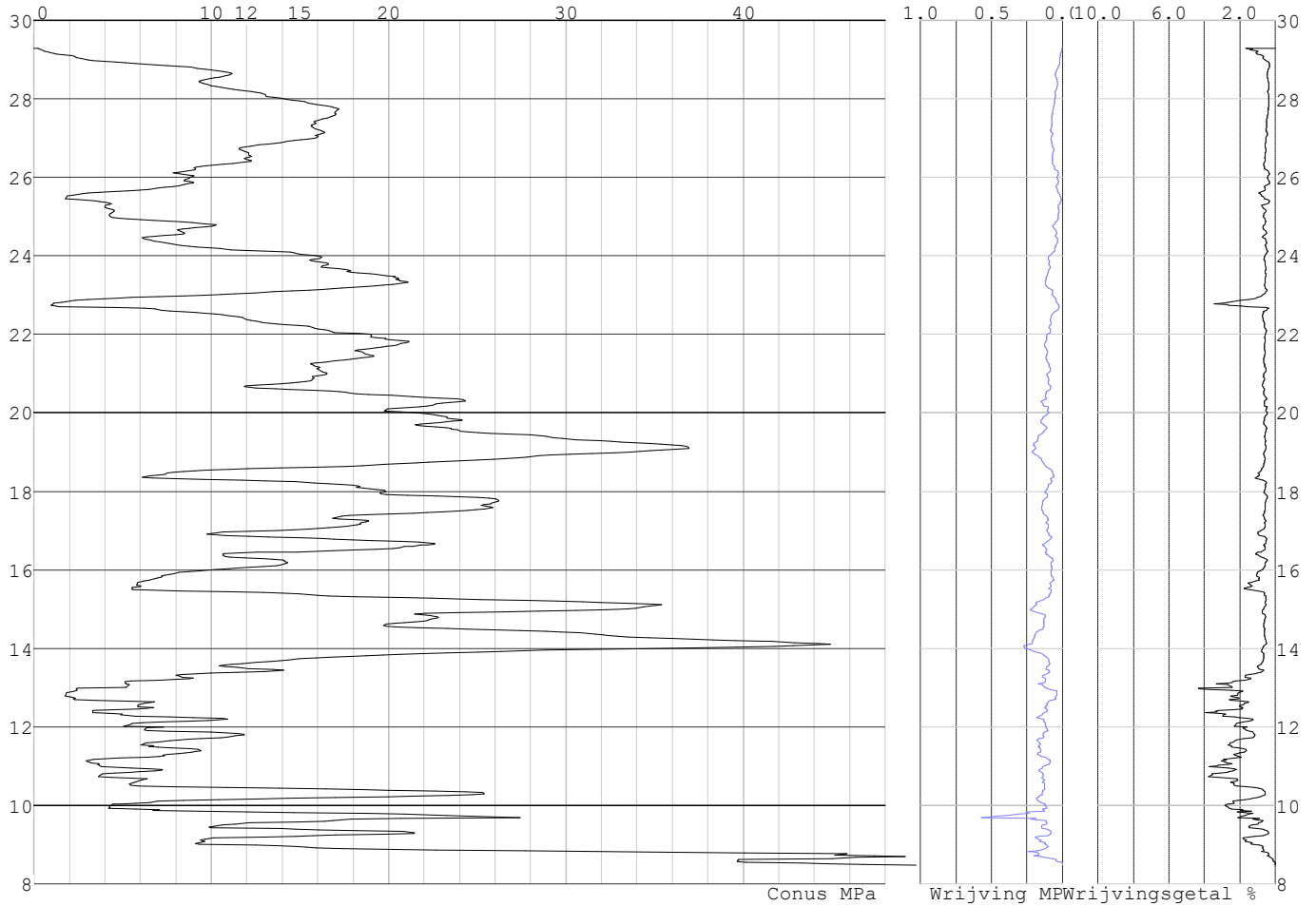


Project :
Onderdeel :

SONDERINGSGEGEVENS ALGEMEEN: S031-2

Alle niveaus/hogtes/peilmaten zijn t.o.v.: N.A.P.
Hoogte maaiveld [m] : 29.29 Bodemprofiel: S031-1
Traject negatieve kleef : 29.29 tot 29.29 [m]
Traject positieve kleef : 29.29 tot 8.46 [m]

SONDERINGSGEGEVENS GRAFIEK: S031-2

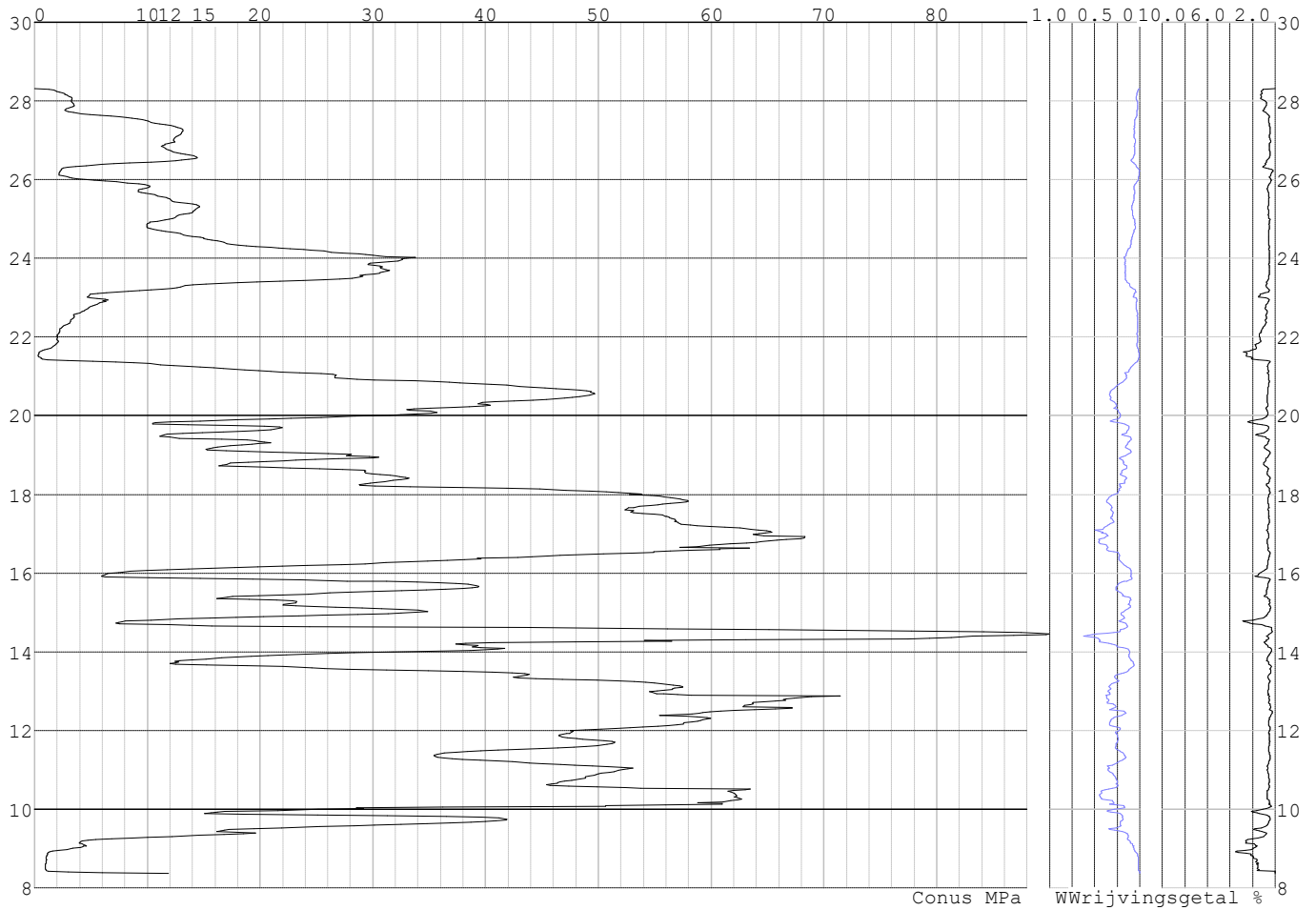


Project :
Onderdeel :

SONDERINGSGEGEVENS ALGEMEEN: S033-1

Alle niveaus/hogtes/peilmaten zijn t.o.v.: N.A.P.
Hoogte maaiveld [m] : 28.31 Bodemprofiel: S033-2
Traject negatieve kleeft : 28.31 tot 26.20 [m]
Traject positieve kleeft : 26.20 tot 8.35 [m]

SONDERINGSGEGEVENS GRAFIEK: S033-1

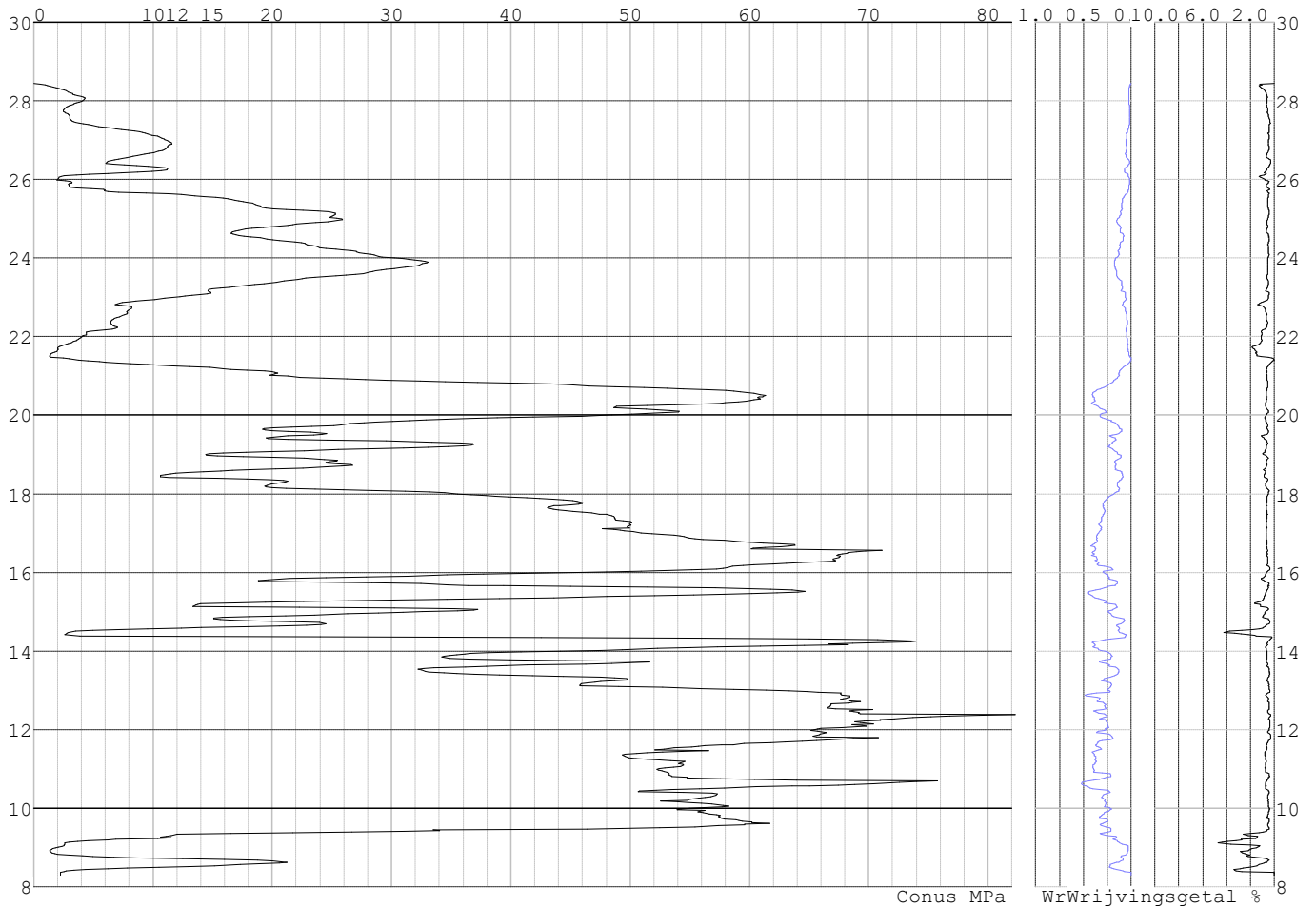


Project :
Onderdeel :

SONDERINGSGEGEVENS ALGEMEEN: S033-2

Alle niveaus/hogtes/peilmaten zijn t.o.v.: N.A.P.
Hoogte maaiveld [m] : 28.44 Bodemprofiel: S033-2
Traject negatieve kleeft : 28.44 tot 25.90 [m]
Traject positieve kleeft : 25.90 tot 8.29 [m]

SONDERINGSGEGEVENS GRAFIEK: S033-2

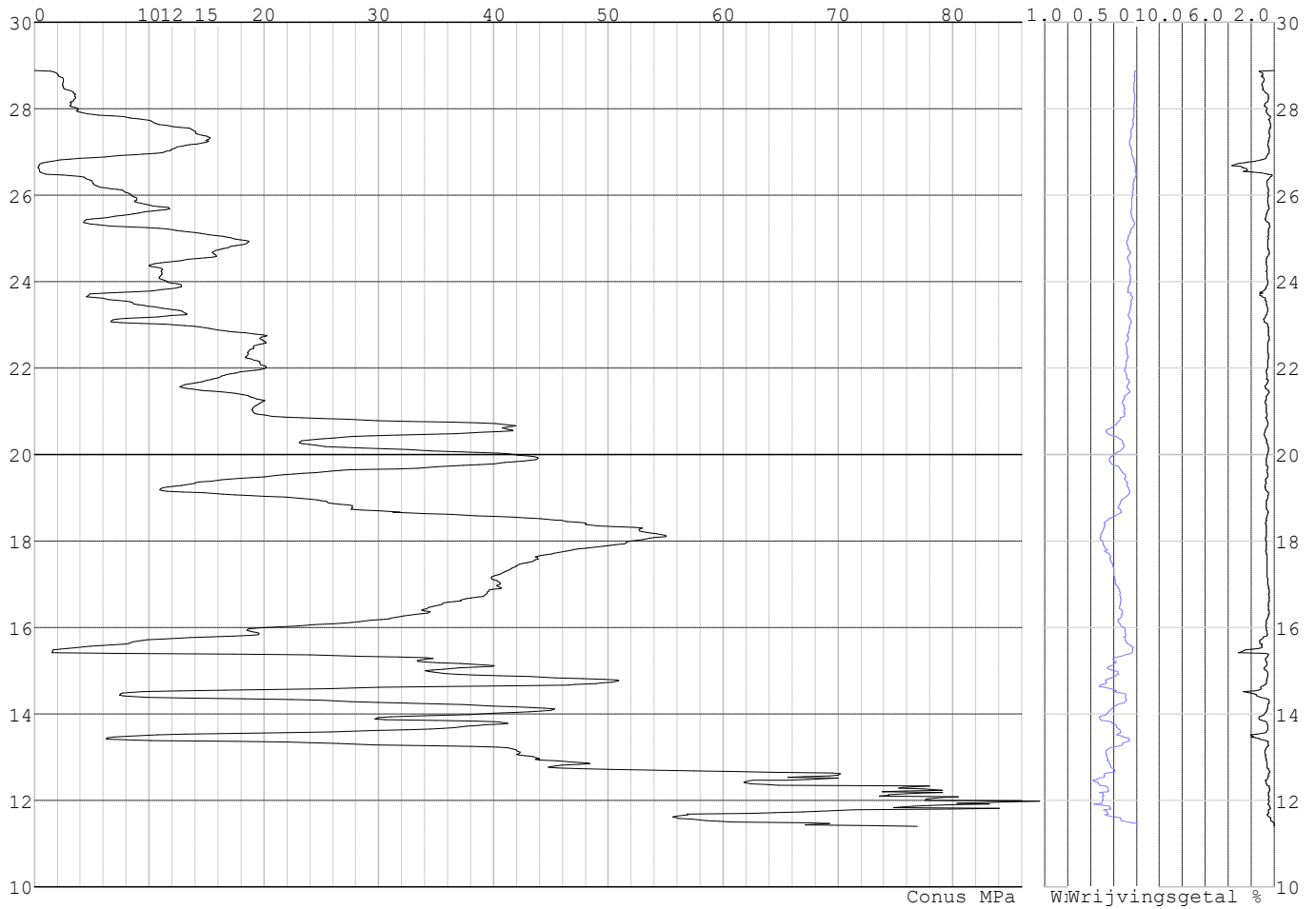


Project :
Onderdeel :

SONDERINGSGEGEVENS ALGEMEEN: S036-1

Alle niveaus/hogtes/peilmaten zijn t.o.v.: N.A.P.
Hoogte maaiveld [m] : 28.88 Bodemprofiel: S036-1
Traject negatieve kleef : 28.88 tot 26.30 [m]
Traject positieve kleef : 26.30 tot 11.39 [m]

SONDERINGSGEGEVENS GRAFIEK: S036-1

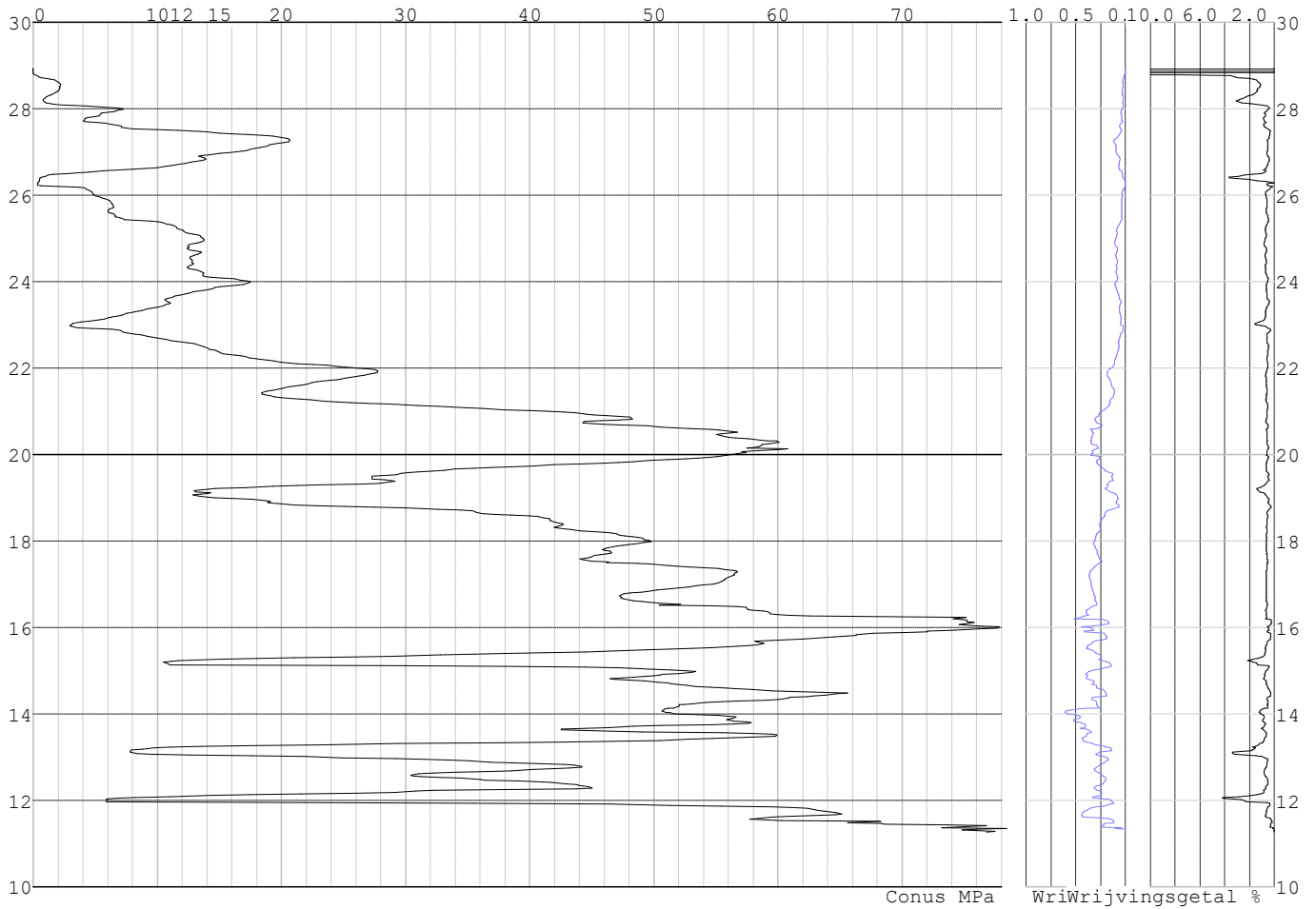


Project :
Onderdeel :

SONDERINGSGEGEVENS ALGEMEEN: S036-2

Alle niveaus/hogtes/peilmaten zijn t.o.v.: N.A.P.
Hoogte maaiveld [m] : 28.93 Bodemprofiel: S036-1
Traject negatieve kleeft : 28.93 tot 26.10 [m]
Traject positieve kleeft : 26.10 tot 11.26 [m]

SONDERINGSGEGEVENS GRAFIEK: S036-2

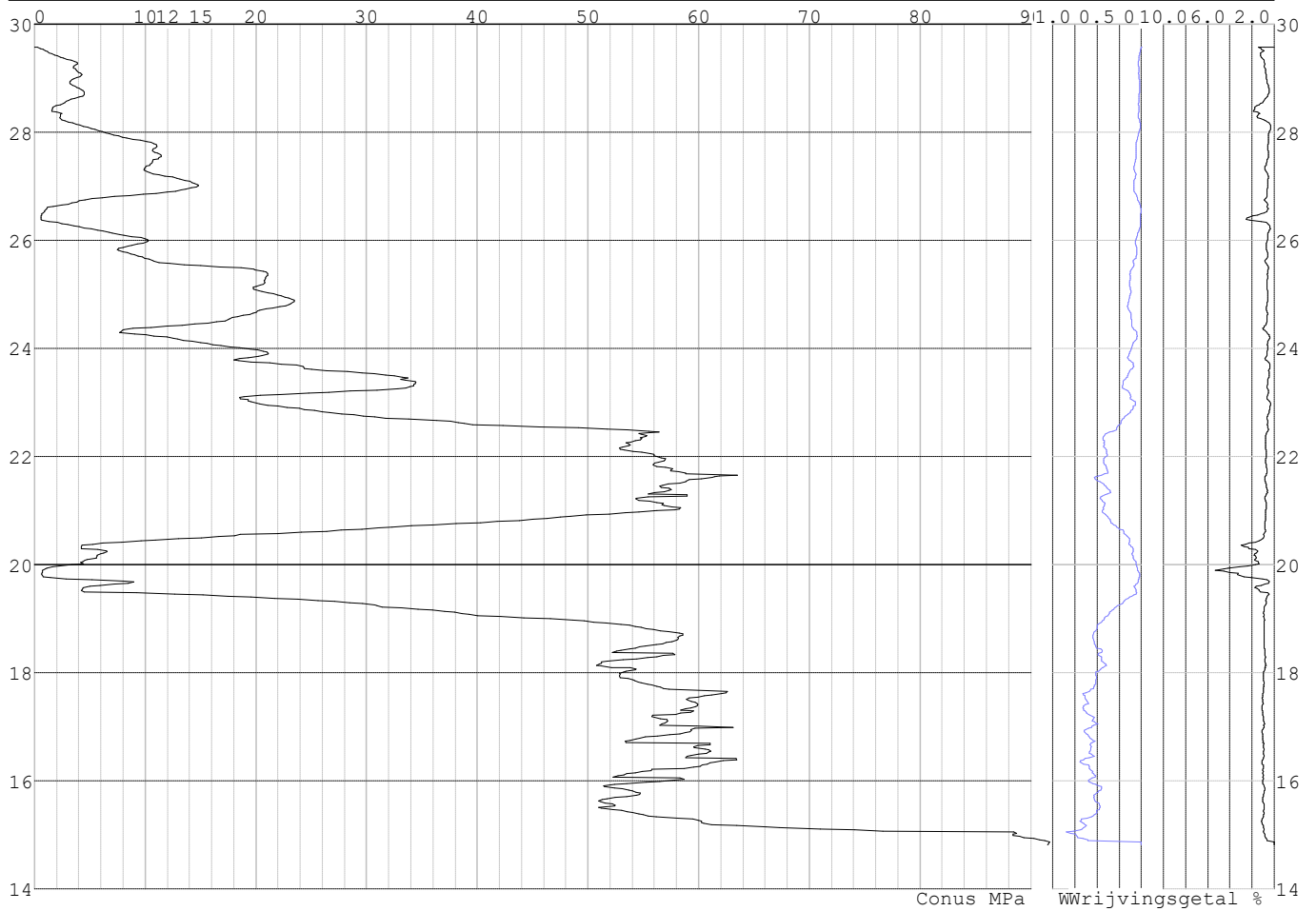


Project :
Onderdeel :

SONDERINGSGEGEVENS ALGEMEEN: S037-1

Alle niveaus/hogtes/peilmaten zijn t.o.v.: N.A.P.
Hoogte maaiveld [m] : 29.58 Bodemprofiel: S037-2
Traject negatieve kleef : 29.58 tot 29.58 [m]
Traject positieve kleef : 29.58 tot 14.80 [m]

SONDERINGSGEGEVENS GRAFIEK: S037-1

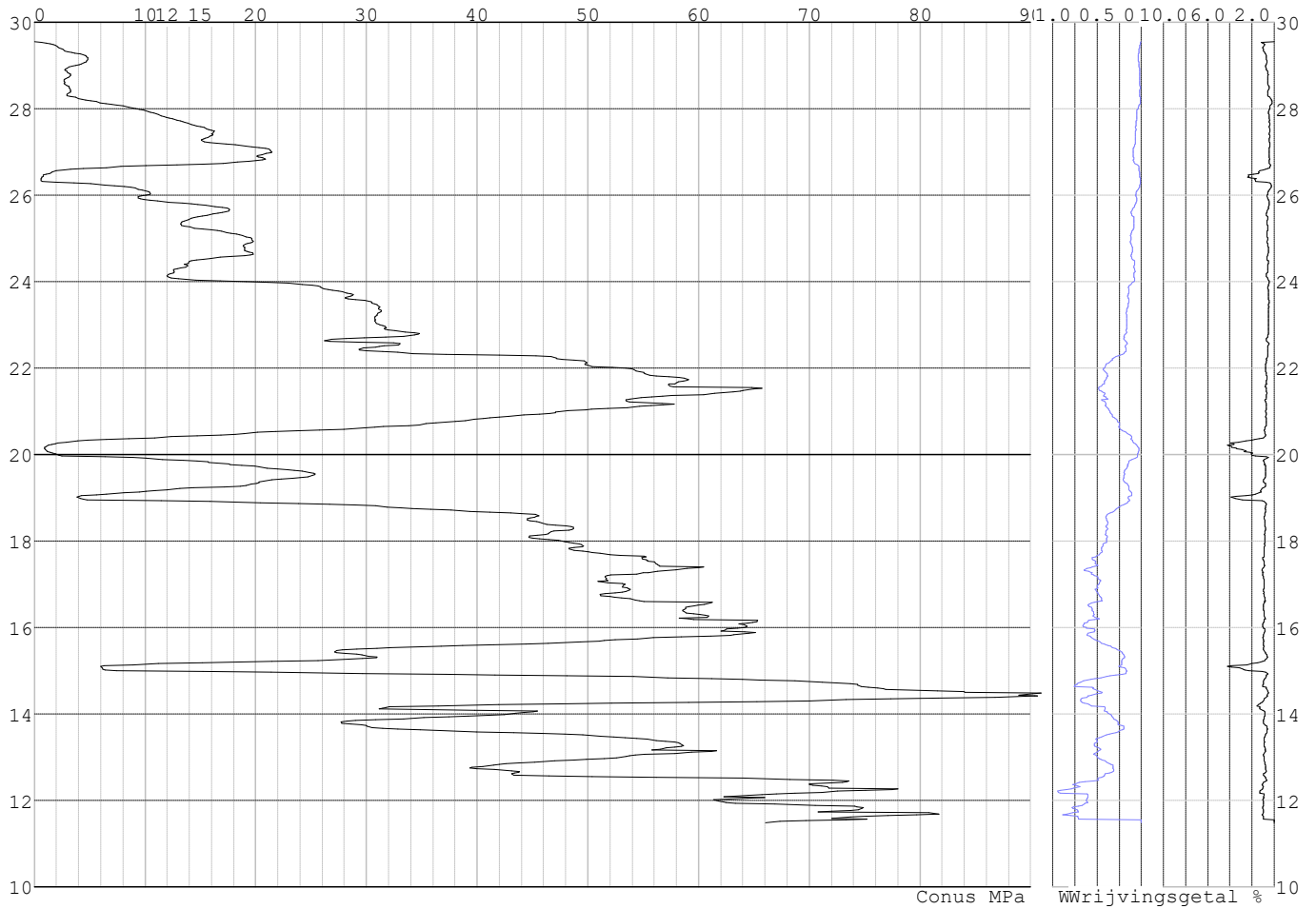


Project :
Onderdeel :

SONDERINGSGEGEVENS ALGEMEEN: S037-2

Alle niveaus/hoogtes/peilmaten zijn t.o.v.: N.A.P.
Hoogte maaiveld [m] : 29.55 Bodemprofiel: S037-2
Traject negatieve kleeft : 29.55 tot 29.55 [m]
Traject positieve kleeft : 29.55 tot 11.48 [m]

SONDERINGSGEGEVENS GRAFIEK: S037-2

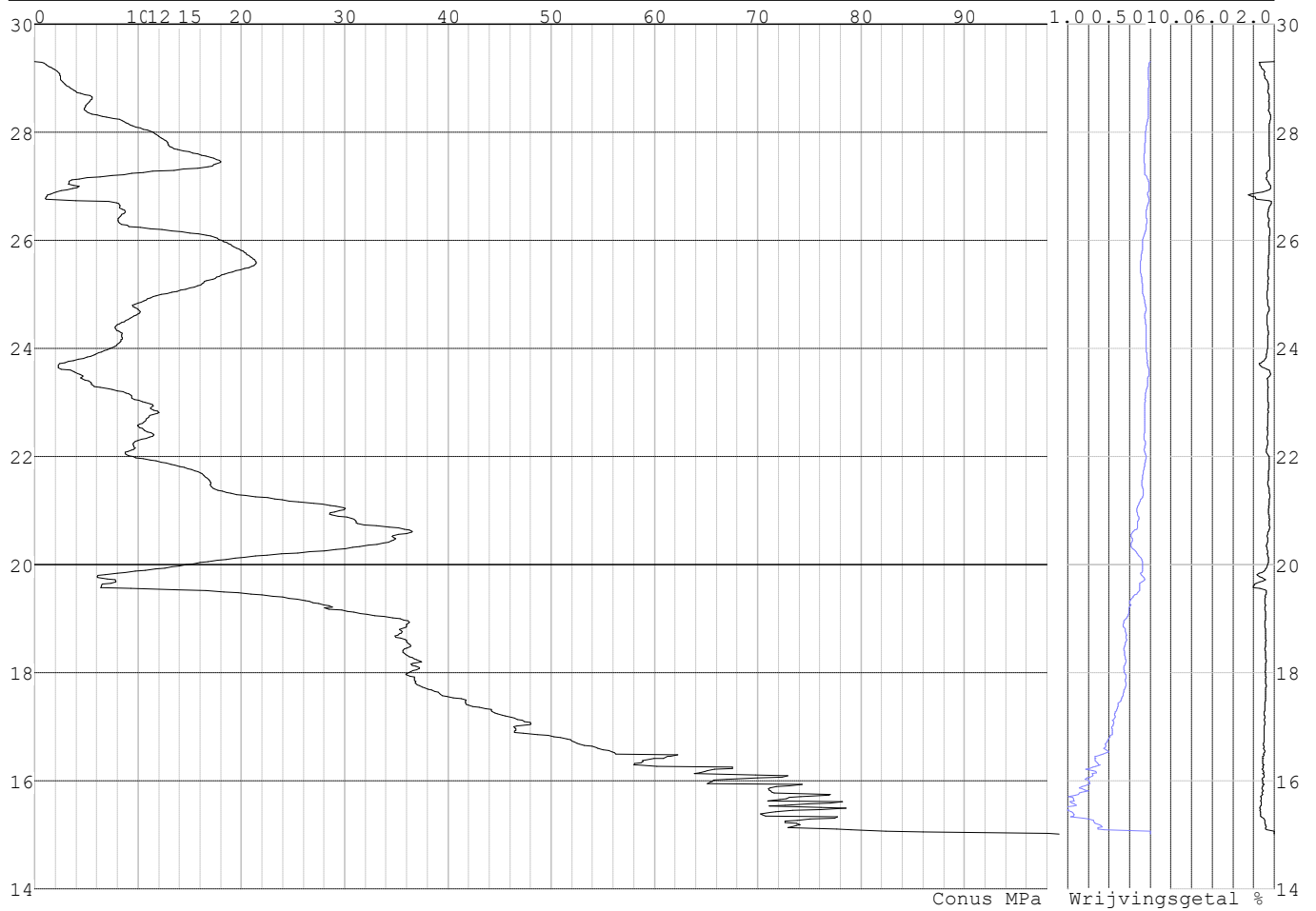


Project :
Onderdeel :

SONDERINGSGEGEVENS ALGEMEEN: S038-1

Alle niveaus/hogtes/peilmaten zijn t.o.v.: N.A.P.
Hoogte maaiveld [m] : 29.31 Bodemprofiel: S038-1
Traject negatieve kleef : 29.31 tot 26.60 [m]
Traject positieve kleef : 26.60 tot 15.00 [m]

SONDERINGSGEGEVENS GRAFIEK: S038-1

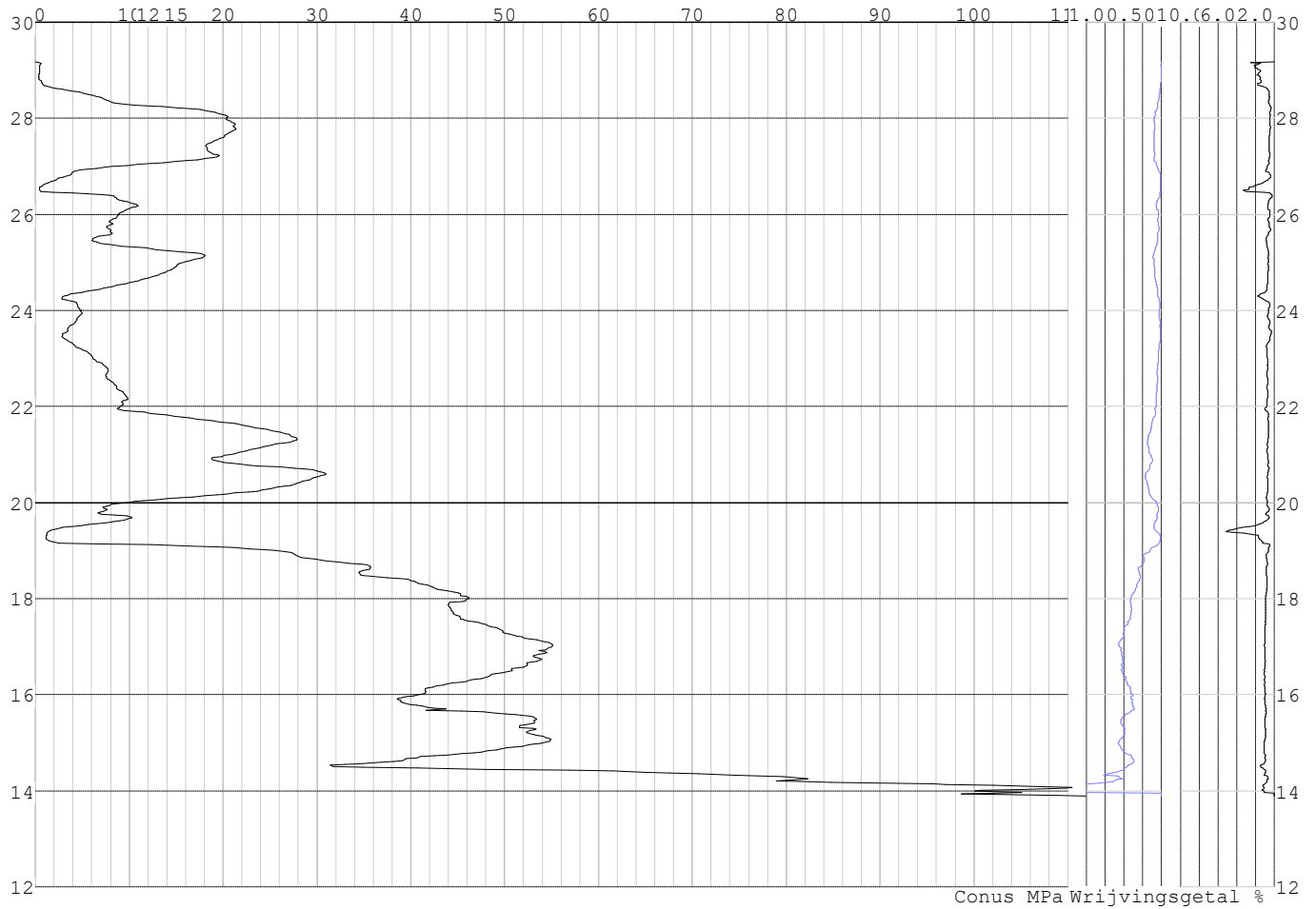


Project :
Onderdeel :

SONDERINGSGEGEVENS ALGEMEEN: S038-2

Alle niveaus/hogtes/peilmaten zijn t.o.v.: N.A.P.
Hoogte maaiveld [m] : 29.17 Bodemprofiel: S038-1
Traject negatieve kleeft : 29.17 tot 26.30 [m]
Traject positieve kleeft : 26.30 tot 13.88 [m]

SONDERINGSGEGEVENS GRAFIEK: S038-2

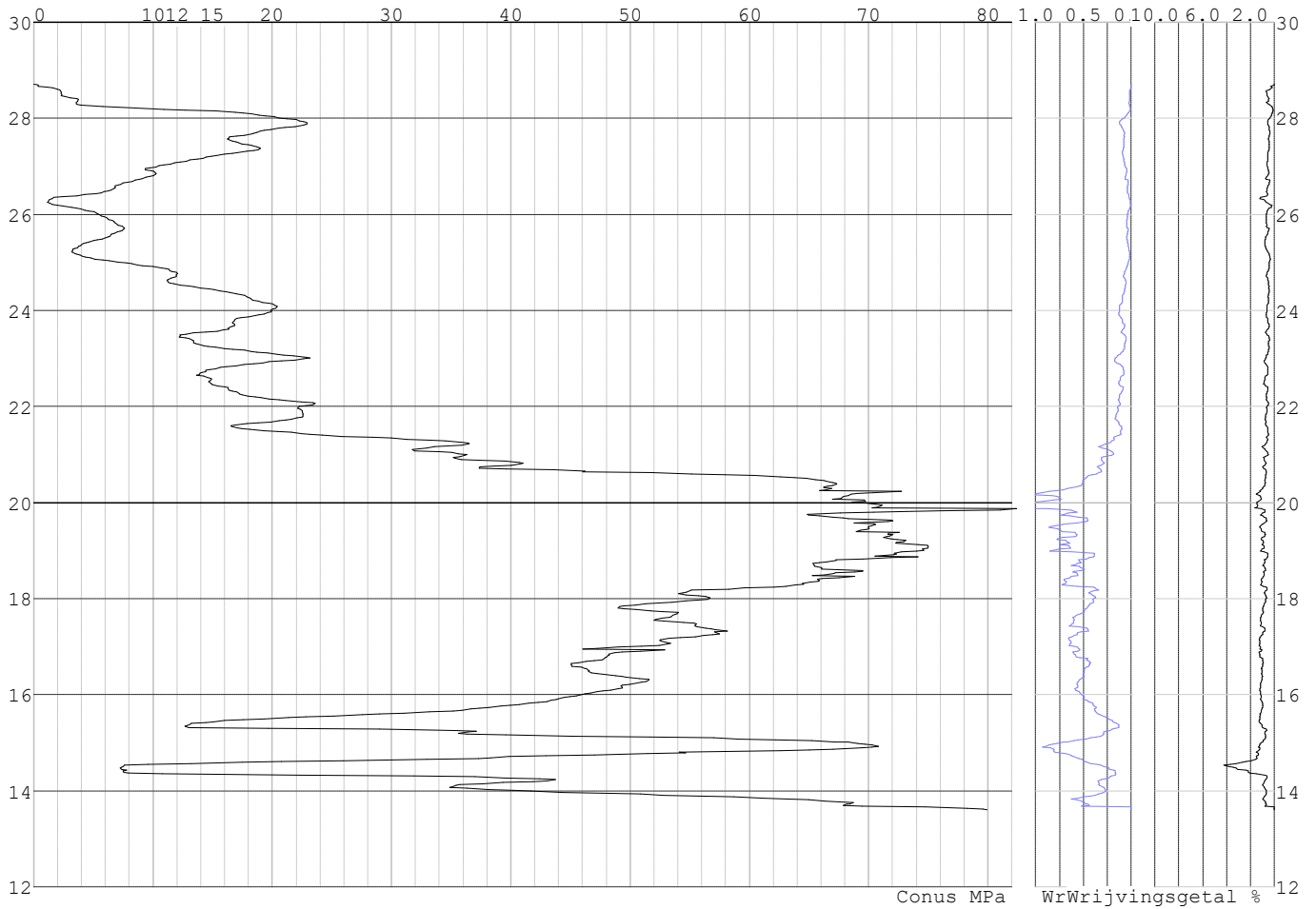


Project :
Onderdeel :

SONDERINGSGEGEVENS ALGEMEEN: S035-1

Alle niveaus/hogtes/peilmaten zijn t.o.v.: N.A.P.
Hoogte maaiveld [m] : 28.71 Bodemprofiel: S035-1
Traject negatieve kleeft : 28.71 tot 28.71 [m]
Traject positieve kleeft : 28.71 tot 13.60 [m]

SONDERINGSGEGEVENS GRAFIEK: S035-1

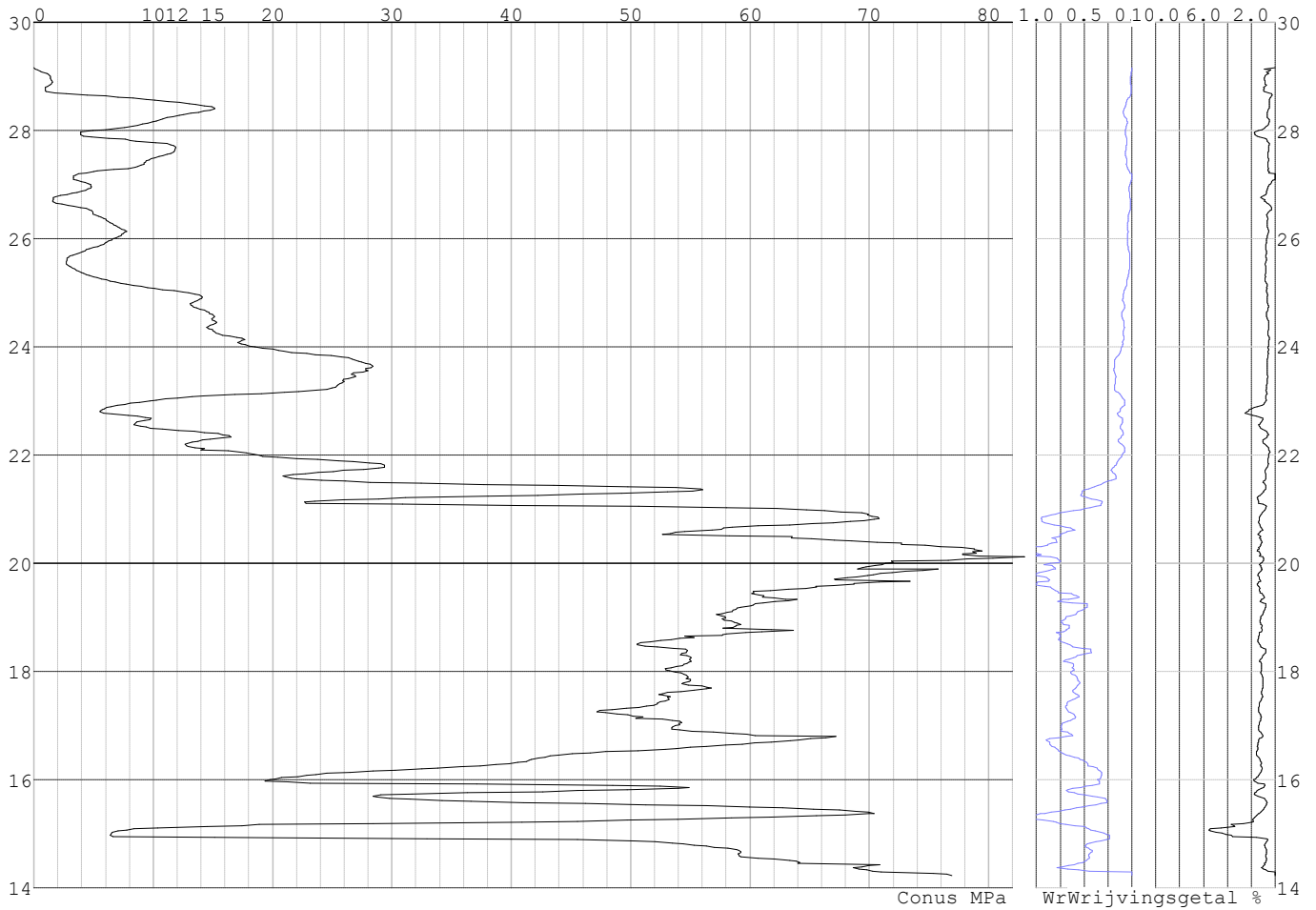


Project :
Onderdeel :

SONDERINGSGEGEVENS ALGEMEEN: S035-2

Alle niveaus/hogtes/peilmaten zijn t.o.v.: N.A.P.
Hoogte maaiveld [m] : 29.16 Bodemprofiel: S035-1
Traject negatieve kleeft : 28.70 tot 28.70 [m]
Traject positieve kleeft : 28.60 tot 14.23 [m]

SONDERINGSGEGEVENS GRAFIEK: S035-2

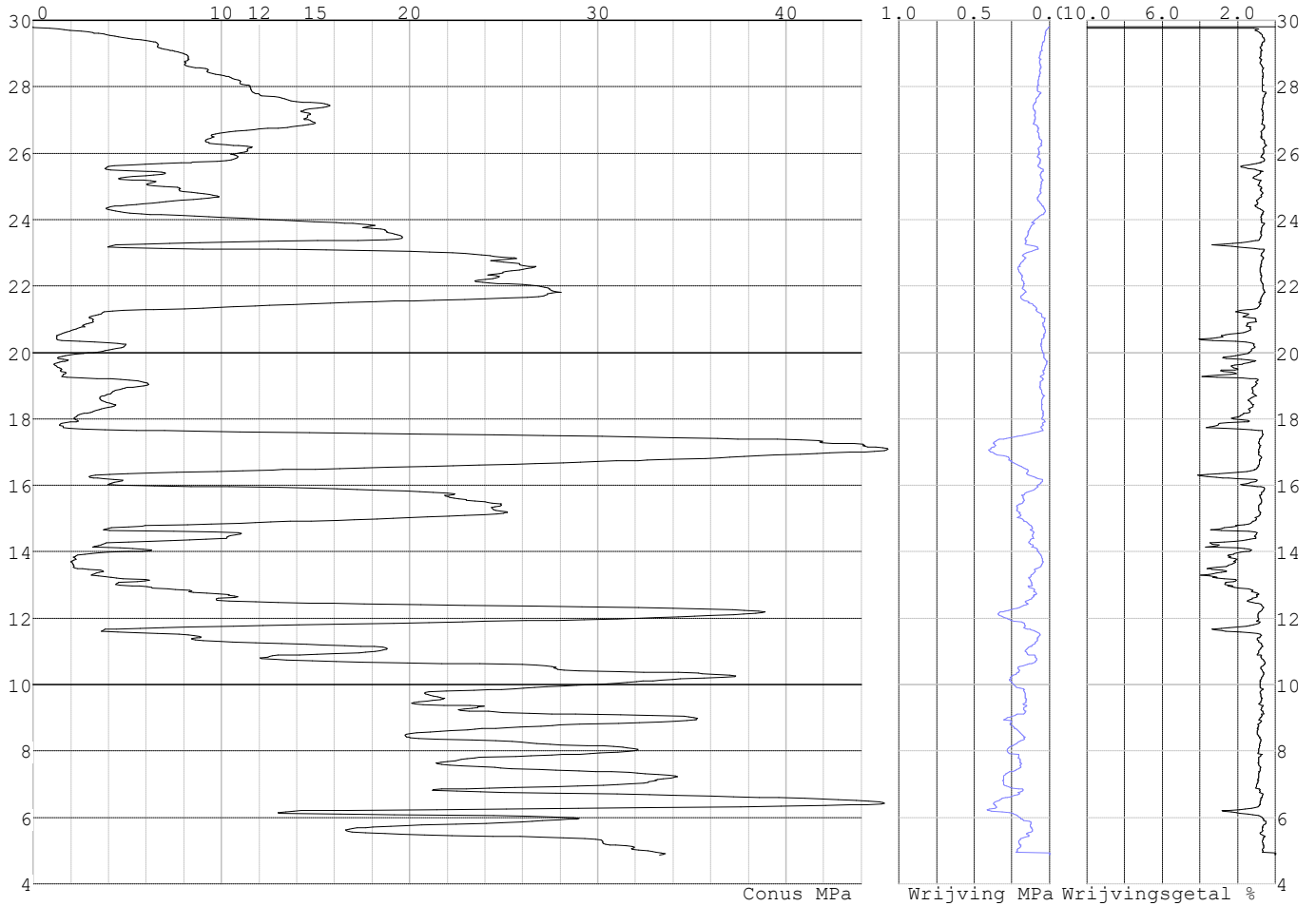


Project :
Onderdeel :

SONDERINGSGEGEVENS ALGEMEEN: S032-1

Alle niveaus/hoogtes/peilmaten zijn t.o.v.: N.A.P.
Hoogte maaiveld [m] : 29.80 Bodemprofiel: S032-1
Traject negatieve kleeft : 29.80 tot 29.80 [m]
Traject positieve kleeft : 28.00 tot 4.86 [m]

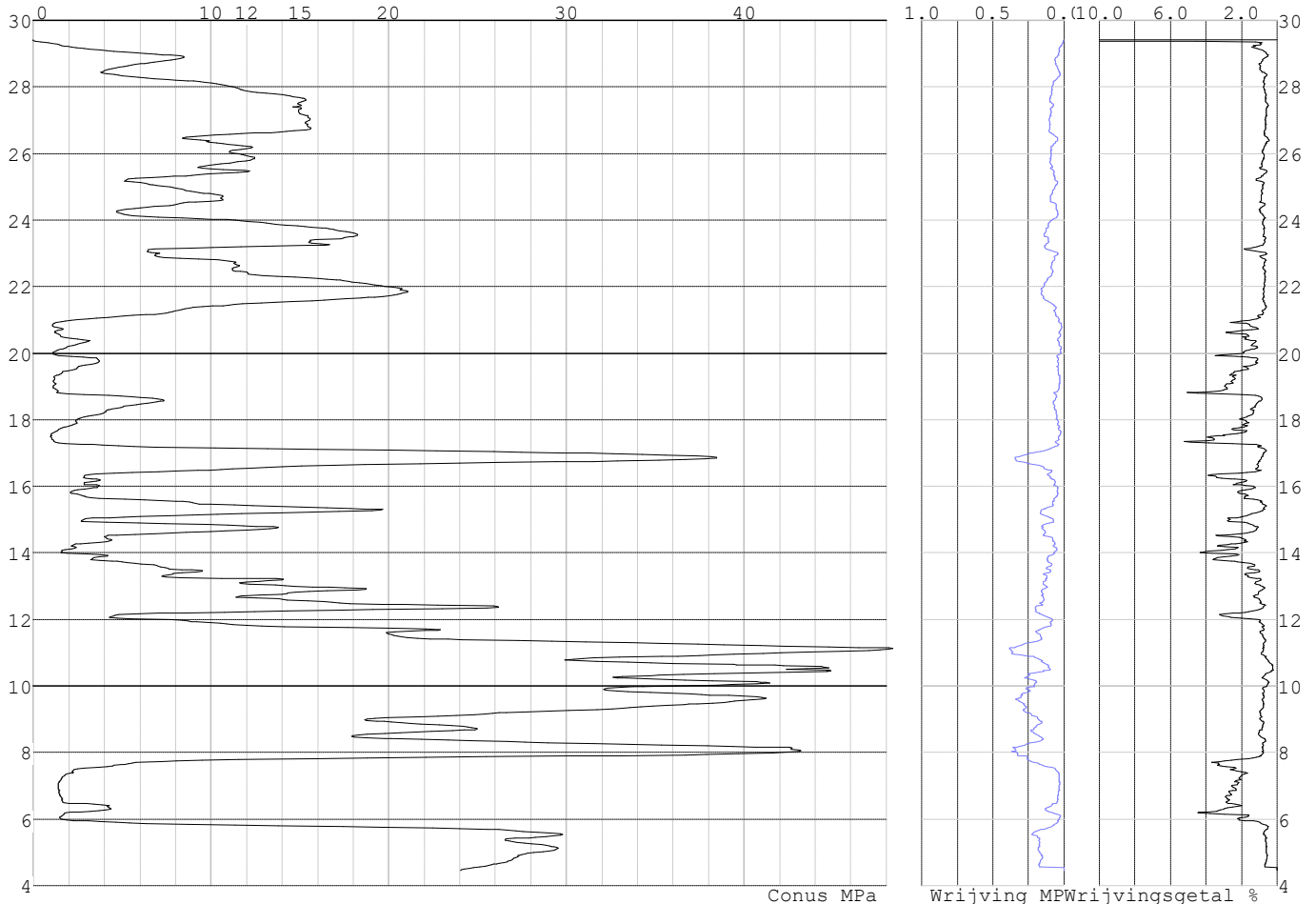
SONDERINGSGEGEVENS GRAFIEK: S032-1



Project :
Onderdeel :

SONDERINGSGEGEVENS ALGEMEEN: S032-2

Alle niveaus/hogtes/peilmaten zijn t.o.v.: N.A.P.
 Hoogte maaiveld [m] : 29.41 Bodemprofiel: S032-2
 Traject negatieve kleef : 29.41 tot 29.41 [m]
 Traject positieve kleef : 28.00 tot 4.46 [m]

SONDERINGSGEGEVENS GRAFIEK: S032-2**REKENGEGEVENS Mast 031**

Berekening : Controlerend
 Rekenmethode : Trekpalen volgens NEN-EN 1997-1, art. 7.6.3
 Sondering(en) : S031-1, S031-2
 Let op: trekcapaciteit t.p.v. negatief kleeftraject is meegerekend.

Stijf bouwwerk : NEE
 Paalgroep : NEE
 Aantal sonderingen : 2
 Factor ξ_3 (n=1) : 1.39
 Factor ξ_3 (gem) : 1.32
 Factor ξ_4 (min) : 1.32
 Weerstandsfactor γ_R : 1.35
 $\gamma_{m;var;q_c}$: 1.50
 UGT draagvermogen zonder negatieve kleef : NEE

Paal : LD1
 Niveau paalkop [m] : N.A.P. 29.48
 Paalpuntniveau : N.A.P. 20.48
 $E_{d,1}$ [kN] : 0.00 $E_{d,2}$ [kN] : 0.00
 Bovenbel. [kN/m²] : 0.00

RESULTATEN Mast 031 (n=1)

Project :
Onderdeel :

Sondering : S031-1

Alle niveaus/hogtes/peilmaten zijn t.o.v.: N.A.P.

Inheinniveau [m]	Effectief inheinniveau [m]	E.G. paal [kN]	$R_{t,cal;k}$ [kN]	$R_{t;d}$ [kN]	$F_{t,tot;1}$ [kN]	U.C.
20.48	20.48	28.1	397.5	397.5	0.0	0.00

Sondering : S031-2

Alle niveaus/hogtes/peilmaten zijn t.o.v.: N.A.P.

Inheinniveau [m]	Effectief inheinniveau [m]	E.G. paal [kN]	$R_{t,cal;k}$ [kN]	$R_{t;d}$ [kN]	$F_{t,tot;1}$ [kN]	U.C.
20.48	20.48	28.1	423.7	423.7	0.0	0.00

Project :
Onderdeel :

SAMENVATTINGSTABEL Mast 031 (n=1)

Uitgangspunten

- paal : LD1
 - paaltype : Stalen buispaal (gesloten)
 - schachtafmeting : 550 mm
 Paalklassefactor α_p : 1.00
 Factor α_t (tabel 7.c EC 7.1) : 0.0070 (zandlagen; voor kleilagen zie tabel 7.d)
 Correlatiefactor $\xi_{3(n=1)}$: 1.39

Alle niveaus/hogtes/peilmaten zijn t.o.v.: N.A.P.

sondering	maaiveld paalpunt		Bezwijkdraagvermogen $R_{t,cal}$ [kN]	Rekenwaarden	
	niveau	niveau		$R_{t;d}$ [kN]	$R_{t,netto;d}$ [kN]
S031-1	29.27	20.48	397.5	397.5	397.5
S031-2	29.29	20.48	423.7	423.7	423.7

Project :
Onderdeel :

SAMENVATTINGSTABEL Mast 031 (van 2 sonderingen)**Uitgangspunten**

- paal : LD1
 - paaltype : Stalen buispaal (gesloten)
 - schachtafmeting : 550 mm
 Paalklassefactor α_p : 1.00
 Factor α_t (tabel 7.c EC 7.1) : 0.0070 (zandlagen; voor kleilagen zie tabel 7.d)
 Correlatiefactor $\xi_{3gem}(n=2)$: 1.32
 Correlatiefactor $\xi_{4min}(n=2)$: 1.32

Alle niveaus/hogtes/peilmaten zijn t.o.v.: N.A.P.

sondering	maaiveld paalpunt		Bezwijkdraagvermogen	
	niveau	niveau	E.G. paal	$R_{t,cal}$
			[kN]	[kN]

met ξ_3 (gem) = 1.32

S031-1	29.27	20.48	28.1	417.0
S031-2	29.29	20.48	28.1	444.7

		20.48	$R_{t,cal,gem}$	430.9
--	--	-------	-----------------	-------

met ξ_4 (min) = 1.32

S031-1	29.27	20.48	28.1	417.0
S031-2	29.29	20.48	28.1	444.7

		20.48	$R_{t,cal,min}$	417.0
--	--	-------	-----------------	-------

Totaal resultaten Mast 031 (van 2 sonderingen)

Uitgangspunten

Correlatiefactor $\xi_{3gem}(n=2)$: 1.32
 Correlatiefactor $\xi_{4min}(n=2)$: 1.32

gebaseerd op sonderingen:
 S031-1 S031-2

$R_{t,d} = \min. \{ R_{t,cal,gem}; R_{t,cal,min} \} (7.17) *$

Inheinniveau
 [m]

20.48	$R_{t,d} = \min. \{ 430.9; 417.0 \} =$	417.0
-------	--	-------

* Bij de trekpaalberekening zijn factoren ξ_3 en ξ_4 al bij de berekening van de conusweerstand $q_{c,z;d}$ in rekening gebracht, evenals factor $\gamma_{s;t}$. Dat is conform de opmerkingen in art. 7.6.3.3 (3) en (4).

Alle niveaus/hogtes/peilmaten zijn t.o.v.: N.A.P.

Inheinniveau	$R_{t,k}$	$R_{t,d}$	$F_{t,tot;1}$	$R_{t,netto;d}$	U.C.
[m]	[kN]	[kN]	[kN]	[kN]	
20.48	417.0	417.0	0.0	417.0	0.00

REKENEGEVEENS Mast 032

Berekening : Controlerend
 Rekenmethode : Trekpalen volgens NEN-EN 1997-1, art. 7.6.3
 Sondering(en) : S032-1, S032-2
 Let op: trekcapaciteit t.p.v. negatief kleeftraject is meegerekend.

Stijf bouwwerk : NEE
 Paalgroep : NEE
 Aantal sonderingen : 2
 Factor ξ_3 (n=1) : 1.39
 Factor ξ_3 (gem) : 1.32
 Factor ξ_4 (min) : 1.32
 Weerstandsfactor γ_R : 1.35
 $\gamma_{m,var;q_c}$: 1.50
 UGT draagvermogen zonder negatieve kleef : NEE

Paal : LD1
 Niveau paalkop [m] : N.A.P. 30.26
 Paalpuntniveau : N.A.P. 16.76
 $E_{d,1}$ [kN] : 0.00
 Bovenbel. [kN/m²] : 0.00

$E_{d,2}$ [kN] : 0.00

Project :
Onderdeel :

RESULTATEN Mast 032 (n=1)**Sondering : S032-1**

Alle niveaus/hogtes/peilmaten zijn t.o.v.: N.A.P.

Inheinniveau [m]	Effectief inheinniveau [m]	E.G. paal [kN]	$R_{t,cal;k}$ [kN]	$R_{t;d}$ [kN]	$F_{t,tot;1}$ [kN]	U.C.
16.76	16.76	41.4	530.5	530.5	0.0	0.00

Sondering : S032-2

Alle niveaus/hogtes/peilmaten zijn t.o.v.: N.A.P.

Inheinniveau [m]	Effectief inheinniveau [m]	E.G. paal [kN]	$R_{t,cal;k}$ [kN]	$R_{t;d}$ [kN]	$F_{t,tot;1}$ [kN]	U.C.
16.76	16.76	42.3	460.7	460.7	0.0	0.00

Project :
Onderdeel :

SAMENVATTINGSTABEL Mast 032 (n=1)**Uitgangspunten**

- paal : LD1
 - paaltype : Stalen buispaal (gesloten)
 - schachtafmeting : 550 mm
 Paalklassefactor α_p : 1.00
 Factor α_t (tabel 7.c EC 7.1) : 0.0070 (zandlagen; voor kleilagen zie tabel 7.d)
 Correlatiefactor $\xi_{3(n=1)}$: 1.39

Alle niveaus/hogtes/peilmaten zijn t.o.v.: N.A.P.

sondering	maaiveld paalpunt		Bezwijkdraagvermogen $R_{t,cal}$ [kN]	Rekenwaarden		
	niveau	niveau		$R_{t;d}$ [kN]	$R_{t,netto;d}$ [kN]	
S032-1	29.80	16.76	530.5	530.5	530.5	
S032-2	29.41	16.76	460.7	460.7	460.7	

Project :
Onderdeel :

SAMENVATTINGSTABEL Mast 032 (van 2 sonderingen)**Uitgangspunten**

- paal : LD1
- paaltype : Stalen buispaal (gesloten)
- schachtafmeting : 550 mm
Paalklassefactor α_p : 1.00
Factor α_t (tabel 7.c EC 7.1) : 0.0070 (zandlagen; voor kleilagen zie tabel 7.d)
Correlatiefactor $\xi_{3gem}(n=2)$: 1.32
Correlatiefactor $\xi_{4min}(n=2)$: 1.32

Alle niveaus/hogtes/peilmaten zijn t.o.v.: N.A.P.

sondering	maaiveld	paalpunt	Bezuikdraagvermogen
	niveau	niveau	E.G. paal $R_{t,cal}$
			[kN] [kN]

met ξ_3 (gem) = 1.32

S032-1	29.80	16.76	41.4	556.4
--------	-------	-------	------	-------

S032-2	29.41	16.76	41.4	482.8
--------	-------	-------	------	-------

		16.76	$R_{t,cal,gem}$	519.6
--	--	-------	-----------------	-------

met ξ_4 (min) = 1.32

S032-1	29.80	16.76	41.4	556.4
--------	-------	-------	------	-------

S032-2	29.41	16.76	41.4	482.8
--------	-------	-------	------	-------

		16.76	$R_{t,cal,min}$	482.8
--	--	-------	-----------------	-------

Totaal resultaten Mast 032 (van 2 sonderingen)

Uitgangspunten

Correlatiefactor $\xi_{3gem}(n=2)$: 1.32

Correlatiefactor $\xi_{4min}(n=2)$: 1.32

gebaseerd op sonderingen:

S032-1 S032-2

$R_{t,d} = \min.\{ R_{t,cal,gem}; R_{t,cal,min} \}$ (7.17) *)

Inheinniveau

[m]

16.76	$R_{t,d} = \min.\{ 519.6; 482.8 \} = 482.8$
-------	---

*) Bij de trekpaalberekening zijn factoren ξ_3 en ξ_4 al bij de berekening van de conusweerstand $q_{c;z,d}$ in rekening gebracht, evenals factor $\gamma_{s;t}$. Dat is conform de opmerkingen in art. 7.6.3.3 (3) en (4).

Alle niveaus/hogtes/peilmaten zijn t.o.v.: N.A.P.

Inheinniveau	$R_{t;k}$	$R_{t;d}$	$F_{t,tot;1}$	$R_{t,netto;d}$	U.C.
[m]	[kN]	[kN]	[kN]	[kN]	
16.76	482.8	482.8	0.0	482.8	0.00

REKENGEGEVENS Mast 033

Berekening : Controlerend

Rekenmethode : Trekpalen volgens NEN-EN 1997-1, art. 7.6.3

Sondering(en) : S033-1, S033-2

Let op: trekcapaciteit t.p.v. negatief kleeftraject is meegerekend.

Stijf bouwwerk : NEE

Paalgroep : NEE

Aantal sonderingen : 2

Factor ξ_3 (n=1) : 1.39

Factor ξ_3 (gem) : 1.32

Factor ξ_4 (min) : 1.32

Weerstandsfactor γ_R : 1.35

$\gamma_{m,var;q_c}$: 1.50

UGT draagvermogen zonder negatieve kleef : NEE

Paal : LD1

Niveau paalkop [m] : N.A.P. 28.61

Paalpuntniveau : N.A.P. 18.61

$E_{d,1}$ [kN] : 0.00

Bovenbel. [kN/m²] : 0.00

$E_{d,2}$ [kN] : 0.00

Project :
Onderdeel :

RESULTATEN Mast 033 (n=1)**Sondering : S033-1**

Alle niveaus/hogtes/peilmaten zijn t.o.v.: N.A.P.

Inheinniveau [m]	Effectief inheinniveau [m]	E.G. paal [kN]	$R_{t,cal;k}$ [kN]	$R_{t;d}$ [kN]	$F_{t,tot;1}$ [kN]	U.C.
18.61	18.61	30.9	423.0	423.0	0.0	0.00

Sondering : S033-2

Alle niveaus/hogtes/peilmaten zijn t.o.v.: N.A.P.

Inheinniveau [m]	Effectief inheinniveau [m]	E.G. paal [kN]	$R_{t,cal;k}$ [kN]	$R_{t;d}$ [kN]	$F_{t,tot;1}$ [kN]	U.C.
18.61	18.61	30.9	471.4	471.4	0.0	0.00

Project :
Onderdeel :

SAMENVATTINGSTABEL Mast 033 (n=1)

Uitgangspunten

- paal : LD1
 - paaltype : Stalen buispaal (gesloten)
 - schachtafmeting : 550 mm
 Paalklassefactor α_p : 1.00
 Factor α_t (tabel 7.c EC 7.1) : 0.0070 (zandlagen; voor kleilagen zie tabel 7.d)
 Correlatiefactor $\xi_{3(n=1)}$: 1.39

Alle niveaus/hogtes/peilmaten zijn t.o.v.: N.A.P.

sondering	maaiveld paalpunt		Bezwijkdraagvermogen $R_{t,cal}$ [kN]	Rekenwaarden		
	niveau	niveau		$R_{t;d}$ [kN]	$R_{t,netto;d}$ [kN]	
S033-1	28.31	18.61	423.0	423.0	423.0	
S033-2	28.44	18.61	471.4	471.4	471.4	

Project :
Onderdeel :

SAMENVATTINGSTABEL Mast 033 (van 2 sonderingen)**Uitgangspunten**

- paal : LD1
- paaltype : Stalen buispaal (gesloten)
- schachtafmeting : 550 mm
Paalklassefactor α_p : 1.00
Factor α_t (tabel 7.c EC 7.1) : 0.0070 (zandlagen; voor kleilagen zie tabel 7.d)
Correlatiefactor $\xi_{3\text{gem}}(n=2)$: 1.32
Correlatiefactor $\xi_{4\text{min}}(n=2)$: 1.32

Alle niveaus/hogtes/peilmaten zijn t.o.v.: N.A.P.

sondering	maaiveld	paalpunt	Bezuikdraagvermogen
	niveau	niveau	E.G. paal $R_{t,cal}$
			[kN] [kN]

met ξ_3 (gem) = 1.32

S033-1	28.31	18.61	30.9	443.8
S033-2	28.44	18.61	30.9	494.8

		18.61	$R_{t,cal,gem}$	469.3
--	--	-------	-----------------	-------

met ξ_4 (min) = 1.32

S033-1	28.31	18.61	30.9	443.8
S033-2	28.44	18.61	30.9	494.8

		18.61	$R_{t,cal,min}$	443.8
--	--	-------	-----------------	-------

Totaal resultaten Mast 033 (van 2 sonderingen)

Uitgangspunten

Correlatiefactor $\xi_{3\text{gem}}(n=2)$: 1.32
Correlatiefactor $\xi_{4\text{min}}(n=2)$: 1.32

gebaseerd op sonderingen:
S033-1 S033-2

$$R_{t,d} = \min. \{ R_{t,cal,gem}; R_{t,cal,min} \} (7.17) *$$

Inheinniveau
[m]

18.61	$R_{t,d} = \min. \{ 469.3; 443.8 \} = 443.8$
-------	--

*) Bij de trekpaalberekening zijn factoren ξ_3 en ξ_4 al bij de berekening van de conusweerstand $q_{c,z;d}$ in rekening gebracht, evenals factor $\gamma_{s;t}$. Dat is conform de opmerkingen in art. 7.6.3.3 (3) en (4).

Alle niveaus/hogtes/peilmaten zijn t.o.v.: N.A.P.

Inheinniveau	$R_{t,k}$	$R_{t,d}$	$F_{t,tot;1}$	$R_{t,netto;d}$	U.C.
[m]	[kN]	[kN]	[kN]	[kN]	
18.61	443.8	443.8	0.0	443.8	0.00

REKENGEDEVENS Mast 035

Berekening : Controlerend
Rekenmethode : Trekpalen volgens NEN-EN 1997-1, art. 7.6.3
Sondering(en) : S035-1, S035-2
Let op: trekcapaciteit t.p.v. negatief kleefttraject is meegerekend.

Stijf bouwwerk : NEE
Paalgroep : NEE
Aantal sonderingen : 2
Factor ξ_3 (n=1) : 1.39
Factor ξ_3 (gem) : 1.32
Factor ξ_4 (min) : 1.32
Weerstandsfactor γ_R : 1.35
 $\gamma_{m,var;q_c}$: 1.50
UGT draagvermogen zonder negatieve kleeft : NEE

Paal : LD1
Niveau paalkop [m] : N.A.P. 29.31
Paalpuntniveau : N.A.P. 21.81
 $E_{d,1}$ [kN] : 0.00
Bovenbel. [kN/m²] : 0.00

$E_{d,2}$ [kN] : 0.00

Project :
Onderdeel :

RESULTATEN Mast 035 (n=1)**Sondering : S035-1**

Alle niveaus/hogtes/peilmaten zijn t.o.v.: N.A.P.

Inheinniveau [m]	Effectief inheinniveau [m]	E.G. paal [kN]	$R_{t,cal;k}$ [kN]	$R_{t;d}$ [kN]	$F_{t,tot;1}$ [kN]	U.C.
21.81	21.81	24.9	297.9	297.9	0.0	0.00

Sondering : S035-2

Alle niveaus/hogtes/peilmaten zijn t.o.v.: N.A.P.

Inheinniveau [m]	Effectief inheinniveau [m]	E.G. paal [kN]	$R_{t,cal;k}$ [kN]	$R_{t;d}$ [kN]	$F_{t,tot;1}$ [kN]	U.C.
21.81	21.81	24.9	288.7	288.7	0.0	0.00

Project :
Onderdeel :

SAMENVATTINGSTABEL Mast 035 (n=1)

Uitgangspunten

- paal : LD1
 - paaltype : Stalen buispaal (gesloten)
 - schachtafmeting : 550 mm
 Paalklassefactor α_p : 1.00
 Factor α_t (tabel 7.c EC 7.1) : 0.0070 (zandlagen; voor kleilagen zie tabel 7.d)
 Correlatiefactor $\xi_{3(n=1)}$: 1.39

Alle niveaus/hogtes/peilmaten zijn t.o.v.: N.A.P.

sondering	maaiveld paalpunt		Bezwijkdraagvermogen $R_{t,cal}$ [kN]	Rekenwaarden		
	niveau	niveau		$R_{t;d}$ [kN]	$R_{t,netto;d}$ [kN]	
S035-1	28.71	21.81	297.9	297.9	297.9	
S035-2	29.16	21.81	288.7	288.7	288.7	

Project :
Onderdeel :

SAMENVATTINGSTABEL Mast 035 (van 2 sonderingen)**Uitgangspunten**

- paal : LD1
 - paaltype : Stalen buispaal (gesloten)
 - schachtafmeting : 550 mm
 Paalklassefactor α_p : 1.00
 Factor α_t (tabel 7.c EC 7.1) : 0.0070 (zandlagen; voor kleilagen zie tabel 7.d)
 Correlatiefactor $\xi_{3gem}(n=2)$: 1.32
 Correlatiefactor $\xi_{4min}(n=2)$: 1.32

Alle niveaus/hogtes/peilmaten zijn t.o.v.: N.A.P.

sondering	maaiveld	paalpunt	Bezuikdraagvermogen
	niveau	niveau	E.G. paal $R_{t,cal}$
			[kN] [kN]

met ξ_3 (gem) = 1.32

S035-1	28.71	21.81	24.9	312.4
S035-2	29.16	21.81	24.9	302.7

		21.81	$R_{t,cal,gem}$	307.5
--	--	-------	-----------------	-------

met ξ_4 (min) = 1.32

S035-1	28.71	21.81	24.9	312.4
S035-2	29.16	21.81	24.9	302.7

		21.81	$R_{t,cal,min}$	302.7
--	--	-------	-----------------	-------

Totaal resultaten Mast 035 (van 2 sonderingen)

Uitgangspunten

Correlatiefactor $\xi_{3gem}(n=2)$: 1.32
 Correlatiefactor $\xi_{4min}(n=2)$: 1.32

gebaseerd op sonderingen:
 S035-1 S035-2

$R_{t,d} = \min.\{ R_{t,cal,gem}; R_{t,cal,min} \}$ (7.17) *)

Inheinniveau
 [m]

21.81	$R_{t,d} = \min.\{ 307.5; 302.7 \} = 302.7$
-------	---

*) Bij de trekpaalberekening zijn factoren ξ_3 en ξ_4 al bij de berekening van de conusweerstand $q_{c;z,d}$ in rekening gebracht, evenals factor $\gamma_{s;t}$. Dat is conform de opmerkingen in art. 7.6.3.3 (3) en (4).

Alle niveaus/hogtes/peilmaten zijn t.o.v.: N.A.P.

Inheinniveau	$R_{t,k}$	$R_{t,d}$	$F_{t,tot;1}$	$R_{t,netto;d}$	U.C.
[m]	[kN]	[kN]	[kN]	[kN]	
21.81	302.7	302.7	0.0	302.7	0.00

REKENGEDEVENS Mast 036

Berekening : Controlerend
 Rekenmethode : Trekpalen volgens NEN-EN 1997-1, art. 7.6.3
 Sondering(en) : S036-1, S036-2
 Let op: trekcapaciteit t.p.v. negatief kleefttraject is meegerekend.

Stijf bouwwerk : NEE
 Paalgroep : NEE
 Aantal sonderingen : 2
 Factor ξ_3 (n=1) : 1.39
 Factor ξ_3 (gem) : 1.32
 Factor ξ_4 (min) : 1.32
 Weerstandsfactor γ_R : 1.35
 $\gamma_{m,var;q_c}$: 1.50
 UGT draagvermogen zonder negatieve kleeft : NEE

Paal : LD1
 Niveau paalkop [m] : N.A.P. 29.21
 Paalpuntniveau : N.A.P. 21.71
 $E_{d,1}$ [kN] : 0.00
 Bovenbel. [kN/m²] : 0.00

$E_{d,2}$ [kN] : 0.00

Project :
Onderdeel :

RESULTATEN Mast 036 (n=1)**Sondering : S036-1**

Alle niveaus/hogtes/peilmaten zijn t.o.v.: N.A.P.

Inheinniveau [m]	Effectief inheinniveau [m]	E.G. paal [kN]	$R_{t,cal;k}$ [kN]	$R_{t;d}$ [kN]	$F_{t,tot;1}$ [kN]	U.C.
21.71	21.71	24.2	296.5	296.5	0.0	0.00

Sondering : S036-2

Alle niveaus/hogtes/peilmaten zijn t.o.v.: N.A.P.

Inheinniveau [m]	Effectief inheinniveau [m]	E.G. paal [kN]	$R_{t,cal;k}$ [kN]	$R_{t;d}$ [kN]	$F_{t,tot;1}$ [kN]	U.C.
21.71	21.71	24.2	297.8	297.8	0.0	0.00

Project :
Onderdeel :

SAMENVATTINGSTABEL Mast 036 (n=1)

Uitgangspunten

- paal : LD1
 - paaltype : Stalen buispaal (gesloten)
 - schachtafmeting : 550 mm
 Paalklassefactor α_p : 1.00
 Factor α_t (tabel 7.c EC 7.1) : 0.0070 (zandlagen; voor kleilagen zie tabel 7.d)
 Correlatiefactor $\xi_{3(n=1)}$: 1.39

Alle niveaus/hogtes/peilmaten zijn t.o.v.: N.A.P.

sondering	maaiveld paalpunt		Bezwijkdraagvermogen $R_{t,cal}$ [kN]	Rekenwaarden		
	niveau	niveau		$R_{t;d}$ [kN]	$R_{t,netto;d}$ [kN]	
S036-1	28.88	21.71	296.5	296.5	296.5	
S036-2	28.93	21.71	297.8	297.8	297.8	

Project :
Onderdeel :

SAMENVATTINGSTABEL Mast 036 (van 2 sonderingen)**Uitgangspunten**

- paal : LD1
 - paaltype : Stalen buispaal (gesloten)
 - schachtafmeting : 550 mm
 Paalklassefactor α_p : 1.00
 Factor α_t (tabel 7.c EC 7.1) : 0.0070 (zandlagen; voor kleilagen zie tabel 7.d)
 Correlatiefactor $\xi_{3gem}(n=2)$: 1.32
 Correlatiefactor $\xi_{4min}(n=2)$: 1.32

Alle niveaus/hogtes/peilmaten zijn t.o.v.: N.A.P.

sondering	maaiveld niveau	paalpunt niveau	Bezwijkdraagvermogen E.G. paal [kN]	$R_{t,cal}$ [kN]
-----------	--------------------	--------------------	---	---------------------

met ξ_3 (gem) = 1.32

S036-1	28.88	21.71	24.2	310.9
S036-2	28.93	21.71	24.2	312.3

		21.71	$R_{t,cal,gem}$	311.6
--	--	-------	-----------------	-------

met ξ_4 (min) = 1.32

S036-1	28.88	21.71	24.2	310.9
S036-2	28.93	21.71	24.2	312.3

		21.71	$R_{t,cal,min}$	310.9
--	--	-------	-----------------	-------

Totaal resultaten Mast 036 (van 2 sonderingen)**Uitgangspunten**

Correlatiefactor $\xi_{3gem}(n=2)$: 1.32
 Correlatiefactor $\xi_{4min}(n=2)$: 1.32

gebaseerd op sonderingen:
S036-1 S036-2

$R_{t,d} = \min. \{ R_{t,cal,gem}; R_{t,cal,min} \}$ (7.17) *)

Inheinniveau
[m]

21.71	$R_{t,d} = \min. \{ 311.6; 310.9 \} =$	310.9
-------	--	-------

*) Bij de trekpaalberekening zijn factoren ξ_3 en ξ_4 al bij de berekening van de conusweerstand $q_{c;z,d}$ in rekening gebracht, evenals factor $\gamma_{s;t}$. Dat is conform de opmerkingen in art. 7.6.3.3 (3) en (4).

Alle niveaus/hogtes/peilmaten zijn t.o.v.: N.A.P.

Inheinniveau [m]	$R_{t,k}$ [kN]	$R_{t,d}$ [kN]	$F_{t,tot;1}$ [kN]	$R_{t,netto;d}$ [kN]	U.C.
21.71	310.9	310.9	0.0	310.9	0.00

REKENGEGEVENS Mast 037

Berekening : Controlerend
 Rekenmethode : Trekpalen volgens NEN-EN 1997-1, art. 7.6.3
 Sondering(en) : S037-1, S037-2
 Let op: trekcapaciteit t.p.v. negatief kleeftraject is meegerekend.

Stijf bouwwerk : NEE
 Paalgroep : NEE
 Aantal sonderingen : 2
 Factor ξ_3 (n=1) : 1.39
 Factor ξ_3 (gem) : 1.32
 Factor ξ_4 (min) : 1.32
 Weerstandsfactor γ_R : 1.35
 $\gamma_{m,var;q_c}$: 1.50
 UGT draagvermogen zonder negatieve kleef : NEE

Paal : LD1
 Niveau paalkop [m] : N.A.P. 29.78
 Paalpuntniveau : N.A.P. 21.98
 $E_{d,1}$ [kN] : 0.00
 Bovenbel. [kN/m²] : 0.00

$E_{d,2}$ [kN] : 0.00

Project :
Onderdeel :

RESULTATEN Mast 037 (n=1)**Sondering : S037-1**

Alle niveaus/hogtes/peilmaten zijn t.o.v.: N.A.P.

Inheinniveau [m]	Effectief inheinniveau [m]	E.G. paal [kN]	$R_{t,cal;k}$ [kN]	$R_{t;d}$ [kN]	$F_{t,tot;1}$ [kN]	U.C.
21.98	21.98	24.8	344.4	344.4	0.0	0.00

Sondering : S037-2

Alle niveaus/hogtes/peilmaten zijn t.o.v.: N.A.P.

Inheinniveau [m]	Effectief inheinniveau [m]	E.G. paal [kN]	$R_{t,cal;k}$ [kN]	$R_{t;d}$ [kN]	$F_{t,tot;1}$ [kN]	U.C.
21.98	21.98	24.8	367.0	367.0	0.0	0.00

Project :
Onderdeel :

SAMENVATTINGSTABEL Mast 037 (n=1)

Uitgangspunten

- paal : LD1
 - paaltype : Stalen buispaal (gesloten)
 - schachtafmeting : 550 mm
 Paalklassefactor α_p : 1.00
 Factor α_t (tabel 7.c EC 7.1) : 0.0070 (zandlagen; voor kleilagen zie tabel 7.d)
 Correlatiefactor $\xi_{3(n=1)}$: 1.39

Alle niveaus/hogtes/peilmaten zijn t.o.v.: N.A.P.

sondering	maaiveld paalpunt		Bezwijkdraagvermogen $R_{t,cal}$ [kN]	Rekenwaarden	
	niveau	niveau		$R_{t,d}$ [kN]	$R_{t,netto,d}$ [kN]
S037-1	29.58	21.98	344.4	344.4	344.4
S037-2	29.55	21.98	367.0	367.0	367.0

Project :
Onderdeel :

SAMENVATTINGSTABEL Mast 037 (van 2 sonderingen)**Uitgangspunten**

- paal : LD1
 - paaltype : Stalen buispaal (gesloten)
 - schachtafmeting : 550 mm
 Paalklassefactor α_p : 1.00
 Factor α_t (tabel 7.c EC 7.1) : 0.0070 (zandlagen; voor kleilagen zie tabel 7.d)
 Correlatiefactor $\xi_{3gem}(n=2)$: 1.32
 Correlatiefactor $\xi_{4min}(n=2)$: 1.32

Alle niveaus/hogtes/peilmaten zijn t.o.v.: N.A.P.

sondering	maaiveld niveau	paalpunt niveau	Bezwijkdraagvermogen E.G. paal [kN]	$R_{t,cal}$ [kN]
-----------	--------------------	--------------------	---	---------------------

met ξ_3 (gem) = 1.32

S037-1	29.58	21.98	24.8	361.4
--------	-------	-------	------	-------

S037-2	29.55	21.98	24.8	385.1
--------	-------	-------	------	-------

		21.98	$R_{t,cal,gem}$	373.2
--	--	-------	-----------------	-------

met ξ_4 (min) = 1.32

S037-1	29.58	21.98	24.8	361.4
--------	-------	-------	------	-------

S037-2	29.55	21.98	24.8	385.1
--------	-------	-------	------	-------

		21.98	$R_{t,cal,min}$	361.4
--	--	-------	-----------------	-------

Totaal resultaten Mast 037 (van 2 sonderingen)

Uitgangspunten

Correlatiefactor $\xi_{3gem}(n=2)$: 1.32

Correlatiefactor $\xi_{4min}(n=2)$: 1.32

gebaseerd op sonderingen:

S037-1 S037-2

$R_{t,d} = \min. \{ R_{t,cal,gem}; R_{t,cal,min} \}$ (7.17) *

Inheinniveau

[m]

21.98	$R_{t,d} = \min. \{ 373.2; 361.4 \} =$	361.4
-------	--	-------

* Bij de trekpaalberekening zijn factoren ξ_3 en ξ_4 al bij de berekening van de conusweerstand $q_{c,z;d}$ in rekening gebracht, evenals factor $\gamma_{s;t}$. Dat is conform de opmerkingen in art. 7.6.3.3 (3) en (4).

Alle niveaus/hogtes/peilmaten zijn t.o.v.: N.A.P.

Inheinniveau [m]	$R_{t,k}$ [kN]	$R_{t,d}$ [kN]	$F_{t,tot;1}$ [kN]	$R_{t,netto;d}$ [kN]	U.C.
21.98	361.4	361.4	0.0	361.4	0.00

REKENGEGEVENS Mast 038

Berekening : Controlerend

Rekenmethode : Trekpalen volgens NEN-EN 1997-1, art. 7.6.3

Sondering(en) : S038-1, S038-2

Let op: trekcapaciteit t.p.v. negatief kleeftraject is meegerekend.

Stijf bouwwerk : NEE

Paalgroep : NEE

Aantal sonderingen : 2

Factor ξ_3 (n=1) : 1.39

Factor ξ_3 (gem) : 1.32

Factor ξ_4 (min) : 1.32

Weerstandsfactor γ_R : 1.35

$\gamma_{m,var;q_c}$: 1.50

UGT draagvermogen zonder negatieve kleeft : NEE

Paal : LD1

Niveau paalkop [m] : N.A.P. 29.68

Paalpuntniveau : N.A.P. 20.68

$E_{d,1}$ [kN] : 0.00

Bovenbel. [kN/m²] : 0.00

$E_{d,2}$ [kN] : 0.00

Project :
Onderdeel :

RESULTATEN Mast 038 (n=1)**Sondering : S038-1**

Alle niveaus/hogtes/peilmaten zijn t.o.v.: N.A.P.

Inheinniveau [m]	Effectief inheinniveau [m]	E.G. paal [kN]	$R_{t,cal;k}$ [kN]	$R_{t;d}$ [kN]	$F_{t,tot;1}$ [kN]	U.C.
20.68	20.68	28.5	383.3	383.3	0.0	0.00

Sondering : S038-2

Alle niveaus/hogtes/peilmaten zijn t.o.v.: N.A.P.

Inheinniveau [m]	Effectief inheinniveau [m]	E.G. paal [kN]	$R_{t,cal;k}$ [kN]	$R_{t;d}$ [kN]	$F_{t,tot;1}$ [kN]	U.C.
20.68	20.68	28.5	344.9	344.9	0.0	0.00

Project :
Onderdeel :

SAMENVATTINGSTABEL Mast 038 (n=1)

Uitgangspunten

- paal : LD1
 - paaltype : Stalen buispaal (gesloten)
 - schachtafmeting : 550 mm
 Paalklassefactor α_p : 1.00
 Factor α_t (tabel 7.c EC 7.1) : 0.0070 (zandlagen; voor kleilagen zie tabel 7.d)
 Correlatiefactor $\xi_{3(n=1)}$: 1.39

Alle niveaus/hogtes/peilmaten zijn t.o.v.: N.A.P.

sondering	maaiveld paalpunt		Bezwijkdraagvermogen $R_{t,cal}$ [kN]	Rekenwaarden	
	niveau	niveau		$R_{t,d}$ [kN]	$R_{t,netto,d}$ [kN]
S038-1	29.31	20.68	383.3	383.3	383.3
S038-2	29.17	20.68	344.9	344.9	344.9

Project :
Onderdeel :

SAMENVATTINGSTABEL Mast 038 (van 2 sonderingen)**Uitgangspunten**

- paal : LD1
 - paaltype : Stalen buispaal (gesloten)
 - schachtafmeting : 550 mm
 Paalklassefactor α_p : 1.00
 Factor α_t (tabel 7.c EC 7.1) : 0.0070 (zandlagen; voor kleilagen zie tabel 7.d)
 Correlatiefactor $\xi_{3gem}(n=2)$: 1.32
 Correlatiefactor $\xi_{4min}(n=2)$: 1.32

Alle niveaus/hogtes/peilmaten zijn t.o.v.: N.A.P.

sondering	maaiveld niveau	paalpunt niveau	Bezwijkdraagvermogen E.G. paal $R_{t,cal}$ [kN]	$R_{t,cal}$ [kN]
-----------	--------------------	--------------------	---	---------------------

met ξ_3 (gem) = 1.32

S038-1	29.31	20.68	28.5	402.1
S038-2	29.17	20.68	28.5	361.7

		20.68	$R_{t,cal,gem}$	381.9
--	--	-------	-----------------	-------

met ξ_4 (min) = 1.32

S038-1	29.31	20.68	28.5	402.1
S038-2	29.17	20.68	28.5	361.7

		20.68	$R_{t,cal,min}$	361.7
--	--	-------	-----------------	-------

Totaal resultaten Mast 038 (van 2 sonderingen)

Uitgangspunten

Correlatiefactor $\xi_{3gem}(n=2)$: 1.32
 Correlatiefactor $\xi_{4min}(n=2)$: 1.32

gebaseerd op sonderingen:
 S038-1 S038-2

$$R_{t,d} = \min.\{ R_{t,cal,gem}; R_{t,cal,min} \} (7.17) *$$

Inheinniveau
 [m]

20.68	$R_{t,d} = \min.\{ 381.9; 361.7 \} =$	361.7
-------	---------------------------------------	-------

* Bij de trekpaalberekening zijn factoren ξ_3 en ξ_4 al bij de berekening van de conusweerstand $q_{c;z,d}$ in rekening gebracht, evenals factor $\gamma_{s;t}$. Dat is conform de opmerkingen in art. 7.6.3.3 (3) en (4).

Alle niveaus/hogtes/peilmaten zijn t.o.v.: N.A.P.

Inheinniveau [m]	$R_{t,k}$ [kN]	$R_{t,d}$ [kN]	$F_{t,tot;1}$ [kN]	$R_{t,netto;d}$ [kN]	U.C.
20.68	361.7	361.7	0.0	361.7	0.00

PAALGEGEVENS LD1

Type : Stalen buispaal (gesloten)
 Wijze van installeren : Heien
 Diameter [m] : 0.550
 Elasticiteitsmodulus [N/mm²] : 20000
 Factor α_s (tabel 7.c EC 7.1) : 0.010 (zandlagen; voor kleilagen zie tabel 7.d)
 Factor α_t (tabel 7.c EC 7.1) : 0.0070 (zandlagen; voor kleilagen zie tabel 7.d)
 Paalklassefactor α_p : 1.00
 Paalvoetvormfactor β : 1.00
 Type lastzakingsdiagram : Grondverdringende paal
 Verm.factor * $\phi'_{j,k}$: 0.75
 Groutomhulling : NEE

Project :
Onderdeel :

OVERZICHT NETTO DRAAGVERMOGEN TREKPALEN (n=1)

Netto paal draagvermogen(s) zijn naar beneden toe afgerond op: 1.0 kN nauwkeurig
Alle niveaus/hoogtes/peilmaten zijn t.o.v.: N.A.P.

sondering	maaiveld paalpunt		$R_{t, netto, d}$ [kN]				
	niveau	niveau	Mast 031	Mast 032	Mast 033	Mast 035	Mast 036
S031-1	29.27	20.48	397				
S031-2	29.29	20.48	423				
S033-1	28.31	18.61			422		
S033-2	28.44	18.61			471		
S036-1	28.88	21.71					296
S036-2	28.93	21.71					297
S035-1	28.71	21.81				297	
S035-2	29.16	21.81				288	
S032-1	29.80	16.76		530			
S032-2	29.41	16.76		460			

Project :
Onderdeel :

Netto paal draagvermogen(s) zijn naar beneden toe afgerond op: 1.0 kN nauwkeurig
Alle niveaus/hogtes/peilmaten zijn t.o.v.: N.A.P.

sondering	maaiveld niveau	paalpunt niveau	$R_{t,netto;d}$ Mast 037	[kN] Mast 038
-----------	--------------------	--------------------	-----------------------------	------------------

S037-1	29.58	21.98	344	
S037-2	29.55	21.98	366	
S038-1	29.31	20.68		383
S038-2	29.17	20.68		344

Project :
Onderdeel :

ALGEMENE GEGEVENS

Project :
Onderdeel :
Datum : 04-03-2022
Bestand : P:\EANL_Projects\10166262 - BBB modelleren
funderingen 380 kV\02 Content\03
Calculations\Technosoft
Paalfunderingen\MBT-EHV380\DO\Nieuw
Sonderingen\Mast 040-049.pvw
Berekeningstype : Verticaal belaste paal
Alle niveaus/hogtes/peilmaten zijn t.o.v.: N.A.P.

Toegepaste normen volgens Eurocode met Nederlandse NB

Geotechniek	EN 1997-1:2004	AC:2009	
	NEN-EN 1997-1:2005	C1+A1:2013	NB:2016
	NEN 9997-1:2016	C2:2017	

GRONDSOORTEN

Nr. Omschrijving	$\gamma_{k;1}$ [kN/m ³]	$\gamma_{sat;k;1}$ [kN/m ³]	$\phi'_{k;1}$ [°]	$\gamma_{k;2}$ [kN/m ³]	$\gamma_{sat;k;2}$ [kN/m ³]	$\phi'_{k;2}$ [°]
1 Zand - Schoon - Los	17.00	19.00	30.00	18.00	20.00	32.50
2 Zand - Schoon - Matig	18.00	20.00	32.50	19.00	21.00	35.00
3 Zand - Schoon - Vast	19.00	21.00	35.00	20.00	22.00	40.00
4 Zand - Zwak siltig - Kleiig	18.00	20.00	27.00	19.00	21.00	32.50
5 Zand - Sterk siltig - Kleiig	18.00	20.00	25.00	19.00	21.00	30.00
6 Leem - Zwak zandig - Matig	20.00	20.00	27.50	21.00	21.00	32.50
7 Leem - Zwak zandig - Vast	21.00	21.00	27.50	22.00	22.00	35.00
8 Klei - Schoon - Matig	17.00	17.00	17.50	19.00	19.00	17.50
9 Klei - Schoon - Vast	19.00	19.00	17.50	20.00	20.00	25.00
10 Klei - Zwak zandig - Slap	15.00	15.00	22.50	18.00	18.00	22.50
11 Klei - Zwak zandig - Matig	18.00	18.00	22.50	20.00	20.00	22.50
12 Klei - Zwak zandig - Vast	20.00	20.00	22.50	21.00	21.00	27.50
13 Klei - Organisch - Matig	15.00	15.00	15.00	16.00	16.00	15.00

BODEMPROFIELGEGEVENS: S042-1

Alle niveaus/hogtes/peilmaten zijn t.o.v.: N.A.P.

d50-reductie is meegenomen overeenkomstig NEN-EN 9997 art. 7.6.2.3 (i)

Hoogte maaiveld [m] : 30.69 Grondwaterstand [m] : 29.69

Laag	Van [m]	Tot [m]	Omschrijving	OCR	Aandeel pos. kleef [%]	α_s	d_{50} [mm]
1	30.69	28.50	Zand - Schoon - Los	1.0	100.0		
2	28.50	27.35	Zand - Sterk siltig - Kleiig	1.0	100.0		
3	27.35	27.09	Klei - Zwak zandig - Vast	1.0	50.0		
4	27.09	25.00	Zand - Schoon - Vast	1.0	100.0		
5	25.00	24.57	Zand - Schoon - Los	1.0	100.0		
6	24.57	24.33	Klei - Schoon - Vast	1.0	50.0		
7	24.33	23.43	Zand - Schoon - Vast	1.0	100.0		
8	23.43	22.96	Zand - Zwak siltig - Kleiig	1.0	100.0		
9	22.96	22.70	Klei - Schoon - Matig	1.0	50.0		
10	22.70	22.31	Zand - Schoon - Los	1.0	100.0		
11	22.31	21.78	Klei - Zwak zandig - Matig	1.0	50.0		
12	21.78	12.87	Zand - Schoon - Vast	1.0	100.0		

BODEMPROFIELGEGEVENS: S045-1

Alle niveaus/hogtes/peilmaten zijn t.o.v.: N.A.P.

d50-reductie is meegenomen overeenkomstig NEN-EN 9997 art. 7.6.2.3 (i)

Hoogte maaiveld [m] : 30.42 Grondwaterstand [m] : 29.42

Laag	Van [m]	Tot [m]	Omschrijving	OCR	Aandeel pos. kleef [%]	α_s	d_{50} [mm]
1	30.42	28.24	Zand - Schoon - Los	1.0	100.0		
2	28.24	26.92	Klei - Zwak zandig - Matig	1.0	50.0		
3	26.92	24.38	Zand - Sterk siltig - Kleiig	1.0	100.0		
4	24.38	23.38	Zand - Schoon - Vast	1.0	100.0		
5	23.38	22.88	Zand - Schoon - Los	1.0	100.0		
6	22.88	22.50	Klei - Zwak zandig - Vast	1.0	50.0		
7	22.50	21.82	Zand - Zwak siltig - Kleiig	1.0	100.0		
8	21.82	21.58	Leem - Zwak zandig - Vast	1.0	50.0		
9	21.58	21.09	Zand - Schoon - Vast	1.0	100.0		

Project :
Onderdeel :

Laag	Van [m]	Tot [m]	Omschrijving	OCR	Aandeel pos. kleef [%]	α_s	d_{50} [mm]
10	21.09	20.71	Klei - Schoon - Matig	1.0	50.0		
11	20.71	20.01	Zand - Schoon - Vast	1.0	100.0		
12	20.01	19.75	Leem - Zwak zandig - Vast	1.0	50.0		
13	19.75	11.82	Zand - Schoon - Vast	1.0	100.0		

BODEMPROFIELGEGEVENS: S045-2

Alle niveaus/hogtes/peilmaten zijn t.o.v.: N.A.P.

d50-reductie is meegenomen overeenkomstig NEN-EN 9997 art. 7.6.2.3 (i)

Hoogte maaiveld [m] : 30.26 Grondwaterstand [m] : 29.26

Laag	Van [m]	Tot [m]	Omschrijving	OCR	Aandeel pos. kleef [%]	α_s	d_{50} [mm]
1	30.26	29.76	Klei - Schoon - Vast	1.0	50.0		
2	29.76	28.28	Zand - Schoon - Los	1.0	100.0		
3	28.28	28.04	Zand - Zwak siltig - Kleiig	1.0	100.0		
4	28.04	26.56	Klei - Schoon - Matig	1.0	50.0		
5	26.56	25.66	Zand - Zwak siltig - Kleiig	1.0	100.0		
6	25.66	24.71	Zand - Schoon - Vast	1.0	100.0		
7	24.71	23.97	Zand - Schoon - Matig	1.0	100.0		
8	23.97	23.49	Zand - Schoon - Vast	1.0	100.0		
9	23.49	22.03	Zand - Sterk siltig - Kleiig	1.0	100.0		
10	22.03	21.77	Leem - Zwak zandig - Vast	1.0	50.0		
11	21.77	21.27	Zand - Schoon - Vast	1.0	100.0		
12	21.27	21.01	Zand - Schoon - Matig	1.0	100.0		
13	21.01	19.87	Klei - Zwak zandig - Vast	1.0	50.0		
14	19.87	9.35	Zand - Schoon - Vast	1.0	100.0		

BODEMPROFIELGEGEVENS: S041-1

Alle niveaus/hogtes/peilmaten zijn t.o.v.: N.A.P.

d50-reductie is meegenomen overeenkomstig NEN-EN 9997 art. 7.6.2.3 (i)

Hoogte maaiveld [m] : 29.64 Grondwaterstand [m] : 28.64

Laag	Van [m]	Tot [m]	Omschrijving	OCR	Aandeel pos. kleef [%]	α_s	d_{50} [mm]
1	29.64	27.64	Zand - Schoon - Matig	1.0	100.0		
2	27.64	27.10	Leem - Zwak zandig - Vast	1.0	50.0		
3	27.10	26.54	Zand - Zwak siltig - Kleiig	1.0	100.0		
4	26.54	26.04	Klei - Zwak zandig - Vast	1.0	50.0		
5	26.04	24.00	Zand - Zwak siltig - Kleiig	1.0	100.0		
6	24.00	23.76	Zand - Sterk siltig - Kleiig	1.0	100.0		
7	23.76	23.00	Zand - Schoon - Vast	1.0	100.0		
8	23.00	22.76	Zand - Schoon - Los	1.0	100.0		
9	22.76	22.44	Klei - Zwak zandig - Matig	1.0	50.0		
10	22.44	20.26	Zand - Schoon - Matig	1.0	100.0		
11	20.26	14.73	Zand - Schoon - Vast	1.0	100.0		
12	14.73	14.47	Zand - Schoon - Matig	1.0	100.0		
13	14.47	13.89	Klei - Schoon - Matig	1.0	50.0		
14	13.89	13.04	Zand - Schoon - Vast	1.0	100.0		
15	13.04	12.64	Zand - Schoon - Matig	1.0	100.0		
16	12.64	11.71	Zand - Schoon - Vast	1.0	100.0		

BODEMPROFIELGEGEVENS: S041-2

Alle niveaus/hogtes/peilmaten zijn t.o.v.: N.A.P.

d50-reductie is meegenomen overeenkomstig NEN-EN 9997 art. 7.6.2.3 (i)

Hoogte maaiveld [m] : 29.79 Grondwaterstand [m] : 28.79

Laag	Van [m]	Tot [m]	Omschrijving	OCR	Aandeel pos. kleef [%]	α_s	d_{50} [mm]
1	29.79	29.01	Zand - Sterk siltig - Kleiig	1.0	100.0		
2	29.01	28.11	Zand - Schoon - Los	1.0	100.0		
3	28.11	27.59	Klei - Schoon - Matig	1.0	50.0		
4	27.59	26.59	Zand - Schoon - Los	1.0	100.0		
5	26.59	26.35	Klei - Schoon - Vast	1.0	50.0		
6	26.35	25.13	Zand - Schoon - Los	1.0	100.0		
7	25.13	24.51	Zand - Schoon - Matig	1.0	100.0		
8	24.51	23.34	Zand - Schoon - Vast	1.0	100.0		
9	23.34	22.70	Zand - Sterk siltig - Kleiig	1.0	100.0		
10	22.70	22.10	Klei - Schoon - Matig	1.0	50.0		
11	22.10	15.02	Zand - Schoon - Vast	1.0	100.0		

Project :
Onderdeel :

Laag	Van [m]	Tot [m]	Omschrijving	OCR	Aandeel pos. kleef [%]	α_s	d_{50} [mm]
12	15.02	14.75	Leem - Zwak zandig - Vast	1.0	50.0		
13	14.75	14.08	Zand - Schoon - Los	1.0	100.0		
14	14.08	12.91	Zand - Schoon - Vast	1.0	100.0		

BODEMPROFIELGEGEVENS: S043-1

Alle niveaus/hogtes/peilmaten zijn t.o.v.: N.A.P.

d50-reductie is meegenomen overeenkomstig NEN-EN 9997 art. 7.6.2.3 (i)

Hoogte maaiveld [m] : 30.06 Grondwaterstand [m] : 29.06

Laag	Van [m]	Tot [m]	Omschrijving	OCR	Aandeel pos. kleef [%]	α_s	d_{50} [mm]
1	30.06	29.40	Zand - Schoon - Los	1.0	100.0		
2	29.40	29.24	Leem - Zwak zandig - Vast	1.0	50.0		
3	29.24	28.74	Zand - Schoon - Los	1.0	100.0		
4	28.74	28.46	Zand - Sterk siltig - Kleiig	1.0	100.0		
5	28.46	27.92	Klei - Schoon - Vast	1.0	50.0		
6	27.92	27.04	Zand - Zwak siltig - Kleiig	1.0	100.0		
7	27.04	26.54	Klei - Schoon - Vast	1.0	50.0		
8	26.54	24.46	Zand - Schoon - Vast	1.0	100.0		
9	24.46	23.98	Zand - Schoon - Matig	1.0	100.0		
10	23.98	23.74	Zand - Schoon - Los	1.0	100.0		
11	23.74	23.22	Klei - Zwak zandig - Matig	1.0	50.0		
12	23.22	22.16	Zand - Zwak siltig - Kleiig	1.0	100.0		
13	22.16	21.54	Klei - Schoon - Matig	1.0	50.0		
14	21.54	21.18	Zand - Schoon - Matig	1.0	100.0		
15	21.18	15.10	Zand - Schoon - Vast	1.0	100.0		

BODEMPROFIELGEGEVENS: S043-2

Alle niveaus/hogtes/peilmaten zijn t.o.v.: N.A.P.

d50-reductie is meegenomen overeenkomstig NEN-EN 9997 art. 7.6.2.3 (i)

Hoogte maaiveld [m] : 29.87 Grondwaterstand [m] : 28.87

Laag	Van [m]	Tot [m]	Omschrijving	OCR	Aandeel pos. kleef [%]	α_s	d_{50} [mm]
1	29.87	28.63	Zand - Schoon - Matig	1.0	100.0		
2	28.63	27.51	Leem - Zwak zandig - Matig	1.0	50.0		
3	27.51	26.63	Zand - Schoon - Los	1.0	100.0		
4	26.63	26.37	Klei - Schoon - Vast	1.0	50.0		
5	26.37	23.79	Zand - Schoon - Vast	1.0	100.0		
6	23.79	23.50	Zand - Sterk siltig - Kleiig	1.0	100.0		
7	23.50	23.17	Klei - Zwak zandig - Vast	1.0	50.0		
8	23.17	22.32	Zand - Schoon - Matig	1.0	100.0		
9	22.32	21.94	Zand - Sterk siltig - Kleiig	1.0	100.0		
10	21.94	21.42	Klei - Schoon - Vast	1.0	50.0		
11	21.42	12.43	Zand - Schoon - Vast	1.0	100.0		

BODEMPROFIELGEGEVENS: S046-1

Alle niveaus/hogtes/peilmaten zijn t.o.v.: N.A.P.

d50-reductie is meegenomen overeenkomstig NEN-EN 9997 art. 7.6.2.3 (i)

Hoogte maaiveld [m] : 31.15 Grondwaterstand [m] : 30.15

Laag	Van [m]	Tot [m]	Omschrijving	OCR	Aandeel pos. kleef [%]	α_s	d_{50} [mm]
1	31.15	30.13	Zand - Zwak siltig - Kleiig	1.0	100.0		
2	30.13	29.19	Zand - Schoon - Los	1.0	100.0		
3	29.19	28.75	Zand - Sterk siltig - Kleiig	1.0	100.0		
4	28.75	27.31	Klei - Zwak zandig - Slap	1.0	50.0		
5	27.31	26.37	Zand - Sterk siltig - Kleiig	1.0	100.0		
6	26.37	24.14	Zand - Schoon - Vast	1.0	100.0		
7	24.14	23.72	Leem - Zwak zandig - Vast	1.0	50.0		
8	23.72	22.74	Zand - Schoon - Vast	1.0	100.0		
9	22.74	22.34	Leem - Zwak zandig - Vast	1.0	50.0		
10	22.34	21.97	Zand - Schoon - Vast	1.0	100.0		
11	21.97	21.35	Klei - Zwak zandig - Vast	1.0	50.0		
12	21.35	20.85	Zand - Sterk siltig - Kleiig	1.0	100.0		
13	20.85	15.58	Zand - Schoon - Vast	1.0	100.0		

Project :
Onderdeel :

BODEMPROFIELGEGEVENS: S046-2

Alle niveaus/hogtes/peilmaten zijn t.o.v.: N.A.P.

d50-reductie is meegenomen overeenkomstig NEN-EN 9997 art. 7.6.2.3 (i)

Laag	Van [m]	Tot [m]	Omschrijving	OCR	Aandeel pos. kleef [%]	α_s	d_{50} [mm]
1	30.93	29.01	Zand - Schoon - Los	1.0	100.0		
2	29.01	28.63	Zand - Sterk siltig - Kleiig	1.0	100.0		
3	28.63	27.01	Klei - Organisch - Matig	1.0	50.0		
4	27.01	26.49	Zand - Schoon - Los	1.0	100.0		
5	26.49	25.57	Zand - Schoon - Matig	1.0	100.0		
6	25.57	23.40	Zand - Schoon - Vast	1.0	100.0		
7	23.40	23.00	Zand - Schoon - Los	1.0	100.0		
8	23.00	22.12	Leem - Zwak zandig - Vast	1.0	50.0		
9	22.12	21.42	Zand - Schoon - Matig	1.0	100.0		
10	21.42	20.70	Klei - Schoon - Matig	1.0	50.0		
11	20.70	14.48	Zand - Schoon - Vast	1.0	100.0		
12	14.48	14.08	Zand - Schoon - Los	1.0	100.0		
13	14.08	12.35	Zand - Schoon - Vast	1.0	100.0		

BODEMPROFIELGEGEVENS: S047-1

Alle niveaus/hogtes/peilmaten zijn t.o.v.: N.A.P.

d50-reductie is meegenomen overeenkomstig NEN-EN 9997 art. 7.6.2.3 (i)

Laag	Van [m]	Tot [m]	Omschrijving	OCR	Aandeel pos. kleef [%]	α_s	d_{50} [mm]
1	31.00	29.10	Zand - Zwak siltig - Kleiig	1.0	100.0		
2	29.10	28.42	Klei - Zwak zandig - Slap	1.0	50.0		
3	28.42	28.12	Zand - Schoon - Los	1.0	100.0		
4	28.12	26.84	Klei - Zwak zandig - Matig	1.0	50.0		
5	26.84	25.66	Zand - Schoon - Matig	1.0	100.0		
6	25.66	25.28	Zand - Schoon - Los	1.0	100.0		
7	25.28	24.05	Zand - Schoon - Vast	1.0	100.0		
8	24.05	23.67	Zand - Schoon - Los	1.0	100.0		
9	23.67	23.17	Leem - Zwak zandig - Vast	1.0	50.0		
10	23.17	22.57	Zand - Schoon - Vast	1.0	100.0		
11	22.57	22.33	Zand - Schoon - Matig	1.0	100.0		
12	22.33	22.07	Leem - Zwak zandig - Vast	1.0	50.0		
13	22.07	21.95	Zand - Sterk siltig - Kleiig	1.0	100.0		
14	21.95	21.83	Leem - Zwak zandig - Vast	1.0	50.0		
15	21.83	21.45	Zand - Schoon - Los	1.0	100.0		
16	21.45	21.25	Leem - Zwak zandig - Vast	1.0	50.0		
17	21.25	17.70	Zand - Schoon - Matig	1.0	100.0		
18	17.70	15.17	Zand - Schoon - Vast	1.0	100.0		

BODEMPROFIELGEGEVENS: S047-2

Alle niveaus/hogtes/peilmaten zijn t.o.v.: N.A.P.

d50-reductie is meegenomen overeenkomstig NEN-EN 9997 art. 7.6.2.3 (i)

Laag	Van [m]	Tot [m]	Omschrijving	OCR	Aandeel pos. kleef [%]	α_s	d_{50} [mm]
1	31.04	28.94	Zand - Zwak siltig - Kleiig	1.0	100.0		
2	28.94	28.70	Zand - Schoon - Los	1.0	100.0		
3	28.70	27.68	Klei - Zwak zandig - Matig	1.0	50.0		
4	27.68	27.16	Zand - Schoon - Los	1.0	100.0		
5	27.16	26.06	Zand - Schoon - Matig	1.0	100.0		
6	26.06	24.30	Zand - Schoon - Vast	1.0	100.0		
7	24.30	23.92	Zand - Sterk siltig - Kleiig	1.0	100.0		
8	23.92	23.28	Klei - Zwak zandig - Vast	1.0	50.0		
9	23.28	22.74	Zand - Schoon - Vast	1.0	100.0		
10	22.74	20.98	Zand - Sterk siltig - Kleiig	1.0	100.0		
11	20.98	20.60	Klei - Zwak zandig - Matig	1.0	50.0		
12	20.60	13.96	Zand - Schoon - Vast	1.0	100.0		
13	13.96	13.38	Zand - Zwak siltig - Kleiig	1.0	100.0		
14	13.38	12.08	Zand - Schoon - Vast	1.0	100.0		

Project :
Onderdeel :

BODEMPROFIELGEGEVENS: S048-1

Alle niveaus/hogtes/peilmaten zijn t.o.v.: N.A.P.

d50-reductie is meegenomen overeenkomstig NEN-EN 9997 art. 7.6.2.3 (i)

Laag	Van [m]	Tot [m]	Omschrijving	OCR	Aandeel pos. kleef [%]	α_s	d_{50} [mm]
	Hoogte maaiveld [m] : 31.37		Grondwaterstand [m] : 30.37				
1	31.37	31.03	Klei - Zwak zandig - Matig	1.0	50.0		
2	31.03	29.97	Zand - Sterk siltig - Kleiig	1.0	100.0		
3	29.97	29.05	Zand - Schoon - Matig	1.0	100.0		
4	29.05	28.81	Zand - Schoon - Los	1.0	100.0		
5	28.81	28.39	Klei - Zwak zandig - Slap	1.0	50.0		
6	28.39	27.41	Zand - Schoon - Los	1.0	100.0		
7	27.41	26.87	Leem - Zwak zandig - Vast	1.0	50.0		
8	26.87	25.99	Zand - Sterk siltig - Kleiig	1.0	100.0		
9	25.99	24.78	Zand - Schoon - Matig	1.0	100.0		
10	24.78	24.04	Zand - Schoon - Vast	1.0	100.0		
11	24.04	23.60	Zand - Schoon - Los	1.0	100.0		
12	23.60	22.72	Klei - Zwak zandig - Matig	1.0	50.0		
13	22.72	21.96	Klei - Zwak zandig - Matig	1.0	50.0		
14	21.96	21.60	Zand - Schoon - Vast	1.0	100.0		
15	21.60	21.21	Klei - Schoon - Vast	1.0	50.0		
16	21.21	20.47	Zand - Schoon - Matig	1.0	100.0		
17	20.47	19.71	Leem - Zwak zandig - Vast	1.0	50.0		
18	19.71	14.46	Zand - Schoon - Vast	1.0	100.0		
19	14.46	13.41	Zand - Schoon - Los	1.0	100.0		
20	13.41	10.46	Zand - Schoon - Vast	1.0	100.0		

BODEMPROFIELGEGEVENS: S049-1

Alle niveaus/hogtes/peilmaten zijn t.o.v.: N.A.P.

d50-reductie is meegenomen overeenkomstig NEN-EN 9997 art. 7.6.2.3 (i)

Laag	Van [m]	Tot [m]	Omschrijving	OCR	Aandeel pos. kleef [%]	α_s	d_{50} [mm]
	Hoogte maaiveld [m] : 30.90		Grondwaterstand [m] : 29.90				
1	30.90	30.24	Klei - Schoon - Matig	1.0	50.0		
2	30.24	29.76	Zand - Schoon - Los	1.0	100.0		
3	29.76	28.50	Leem - Zwak zandig - Vast	1.0	50.0		
4	28.50	27.00	Zand - Sterk siltig - Kleiig	1.0	100.0		
5	27.00	24.74	Zand - Schoon - Matig	1.0	100.0		
6	24.74	24.10	Leem - Zwak zandig - Vast	1.0	50.0		
7	24.10	23.72	Klei - Schoon - Matig	1.0	50.0		
8	23.72	21.94	Zand - Schoon - Matig	1.0	100.0		
9	21.94	21.58	Zand - Schoon - Los	1.0	100.0		
10	21.58	20.92	Leem - Zwak zandig - Vast	1.0	50.0		
11	20.92	20.42	Zand - Sterk siltig - Kleiig	1.0	100.0		
12	20.42	19.92	Leem - Zwak zandig - Vast	1.0	50.0		
13	19.92	19.35	Zand - Schoon - Vast	1.0	100.0		
14	19.35	18.63	Klei - Schoon - Matig	1.0	50.0		
15	18.63	12.81	Zand - Schoon - Vast	1.0	100.0		
16	12.81	11.83	Zand - Schoon - Los	1.0	100.0		
17	11.83	10.85	Zand - Schoon - Vast	1.0	100.0		

BODEMPROFIELGEGEVENS: S049-2

Alle niveaus/hogtes/peilmaten zijn t.o.v.: N.A.P.

d50-reductie is meegenomen overeenkomstig NEN-EN 9997 art. 7.6.2.3 (i)

Laag	Van [m]	Tot [m]	Omschrijving	OCR	Aandeel pos. kleef [%]	α_s	d_{50} [mm]
	Hoogte maaiveld [m] : 31.12		Grondwaterstand [m] : 30.12				
1	31.12	29.10	Zand - Schoon - Los	1.0	100.0		
2	29.10	28.18	Klei - Schoon - Matig	1.0	50.0		
3	28.18	27.78	Leem - Zwak zandig - Vast	1.0	50.0		
4	27.78	27.12	Zand - Schoon - Los	1.0	100.0		
5	27.12	25.38	Zand - Schoon - Matig	1.0	100.0		
6	25.38	24.54	Klei - Schoon - Matig	1.0	50.0		
7	24.54	24.16	Zand - Schoon - Los	1.0	100.0		
8	24.16	23.78	Klei - Zwak zandig - Matig	1.0	50.0		
9	23.78	22.10	Zand - Schoon - Matig	1.0	100.0		
10	22.10	20.97	Zand - Sterk siltig - Kleiig	1.0	100.0		
11	20.97	20.71	Leem - Zwak zandig - Vast	1.0	50.0		

Project :
Onderdeel :

Laag	Van [m]	Tot [m]	Omschrijving	OCR	Aandeel pos. kleef [%]	α_s	d_{50} [mm]
12	20.71	20.33	Zand - Schoon - Matig	1.0	100.0		
13	20.33	20.01	Leem - Zwak zandig - Vast	1.0	50.0		
14	20.01	19.41	Zand - Schoon - Vast	1.0	100.0		
15	19.41	18.67	Klei - Schoon - Matig	1.0	50.0		
16	18.67	13.00	Zand - Schoon - Vast	1.0	100.0		
17	13.00	12.10	Zand - Schoon - Matig	1.0	100.0		
18	12.10	11.16	Zand - Schoon - Vast	1.0	100.0		

BODEMPROFIELGEGEVENS: S040-2

Alle niveaus/hogtes/peilmaten zijn t.o.v.: N.A.P.

d50-reductie is meegenomen overeenkomstig NEN-EN 9997 art. 7.6.2.3 (i)

Hoogte maaiveld [m] : 29.27 Grondwaterstand [m] : 28.27

Laag	Van [m]	Tot [m]	Omschrijving	OCR	Aandeel pos. kleef [%]	α_s	d_{50} [mm]
1	29.27	28.67	Leem - Zwak zandig - Vast	1.0	50.0		
2	28.67	25.25	Zand - Schoon - Matig	1.0	100.0		
3	25.25	24.75	Zand - Schoon - Los	1.0	100.0		
4	24.75	23.99	Zand - Sterk siltig - Kleiig	1.0	100.0		
5	23.99	23.53	Zand - Zwak siltig - Kleiig	1.0	100.0		
6	23.53	22.26	Zand - Schoon - Vast	1.0	100.0		
7	22.26	21.75	Zand - Zwak siltig - Kleiig	1.0	100.0		
8	21.75	21.28	Leem - Zwak zandig - Vast	1.0	50.0		
9	21.28	15.03	Zand - Schoon - Vast	1.0	100.0		
10	15.03	14.63	Leem - Zwak zandig - Vast	1.0	50.0		
11	14.63	14.13	Zand - Schoon - Matig	1.0	100.0		
12	14.13	13.74	Klei - Zwak zandig - Matig	1.0	50.0		
13	13.74	12.43	Zand - Schoon - Vast	1.0	100.0		

BODEMPROFIELGEGEVENS: S044-2

Alle niveaus/hogtes/peilmaten zijn t.o.v.: N.A.P.

d50-reductie is meegenomen overeenkomstig NEN-EN 9997 art. 7.6.2.3 (i)

Hoogte maaiveld [m] : 30.19 Grondwaterstand [m] : 29.19

Laag	Van [m]	Tot [m]	Omschrijving	OCR	Aandeel pos. kleef [%]	α_s	d_{50} [mm]
1	30.19	29.83	Klei - Schoon - Matig	1.0	50.0		
2	29.83	29.03	Zand - Schoon - Los	1.0	100.0		
3	29.03	28.17	Leem - Zwak zandig - Vast	1.0	50.0		
4	28.17	27.53	Zand - Schoon - Los	1.0	100.0		
5	27.53	24.10	Zand - Schoon - Vast	1.0	100.0		
6	24.10	23.35	Klei - Zwak zandig - Matig	1.0	50.0		
7	23.35	22.97	Zand - Sterk siltig - Kleiig	1.0	100.0		
8	22.97	22.59	Klei - Schoon - Vast	1.0	50.0		
9	22.59	22.09	Zand - Schoon - Vast	1.0	100.0		
10	22.09	21.58	Klei - Zwak zandig - Matig	1.0	50.0		
11	21.58	12.42	Zand - Schoon - Vast	1.0	100.0		

SONDERINGSGEGEVENS ALGEMEEN: S042-1

Alle niveaus/hogtes/peilmaten zijn t.o.v.: N.A.P.

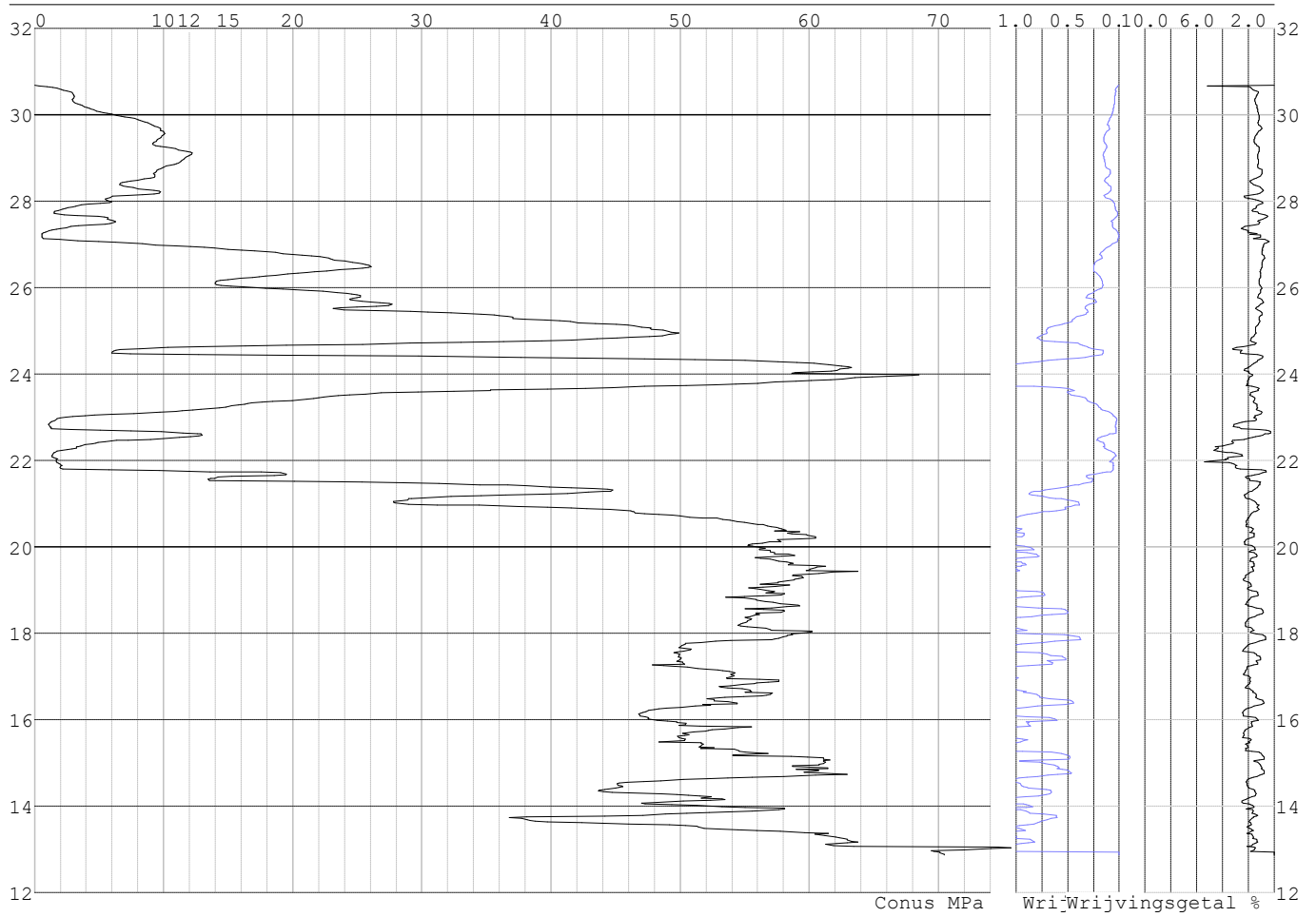
Hoogte maaiveld [m] : 30.69 Bodemprofiel: S042-1

Traject negatieve kleef : 30.69 tot 27.00 [m]

Traject positieve kleef : 27.00 tot 12.87 [m]

Project :
Onderdeel :

SONDERINGSGEGEVENS GRAFIEK: S042-1

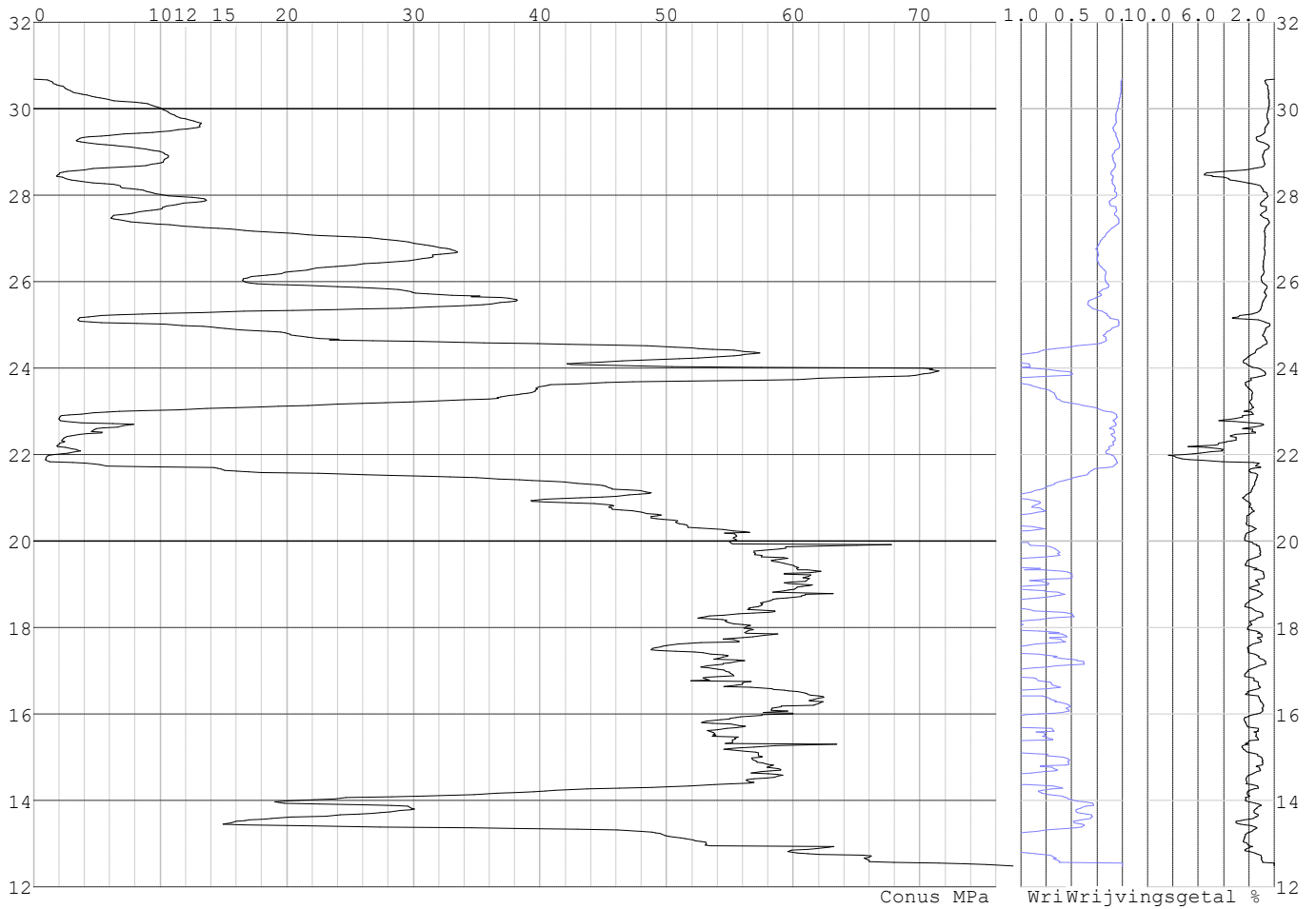


Project :
Onderdeel :

SONDERINGSGEGEVENS ALGEMEEN: S042-2

Alle niveaus/hogtes/peilmaten zijn t.o.v.: N.A.P.
Hoogte maaiveld [m] : 30.69 Bodemprofiel: S042-1
Traject negatieve kleeft : 30.69 tot 27.10 [m]
Traject positieve kleeft : 27.10 tot 12.49 [m]

SONDERINGSGEGEVENS GRAFIEK: S042-2

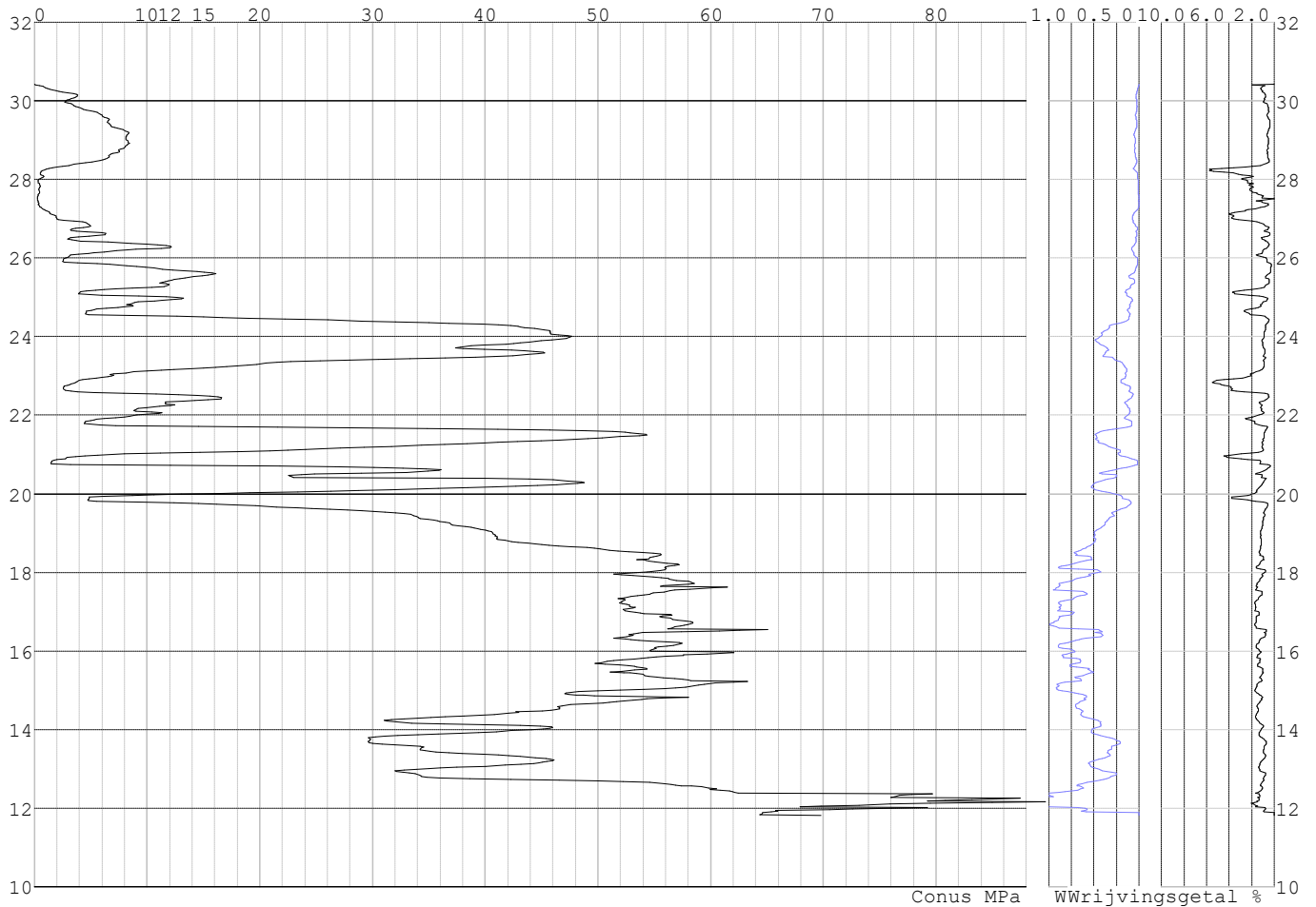


Project :
Onderdeel :

SONDERINGSGEGEVENS ALGEMEEN: S045-1

Alle niveaus/hoogtes/peilmaten zijn t.o.v.: N.A.P.
Hoogte maaiveld [m] : 30.42 Bodemprofiel: S045-1
Traject negatieve kleeft : 30.42 tot 19.90 [m]
Traject positieve kleeft : 19.90 tot 11.82 [m]

SONDERINGSGEGEVENS GRAFIEK: S045-1

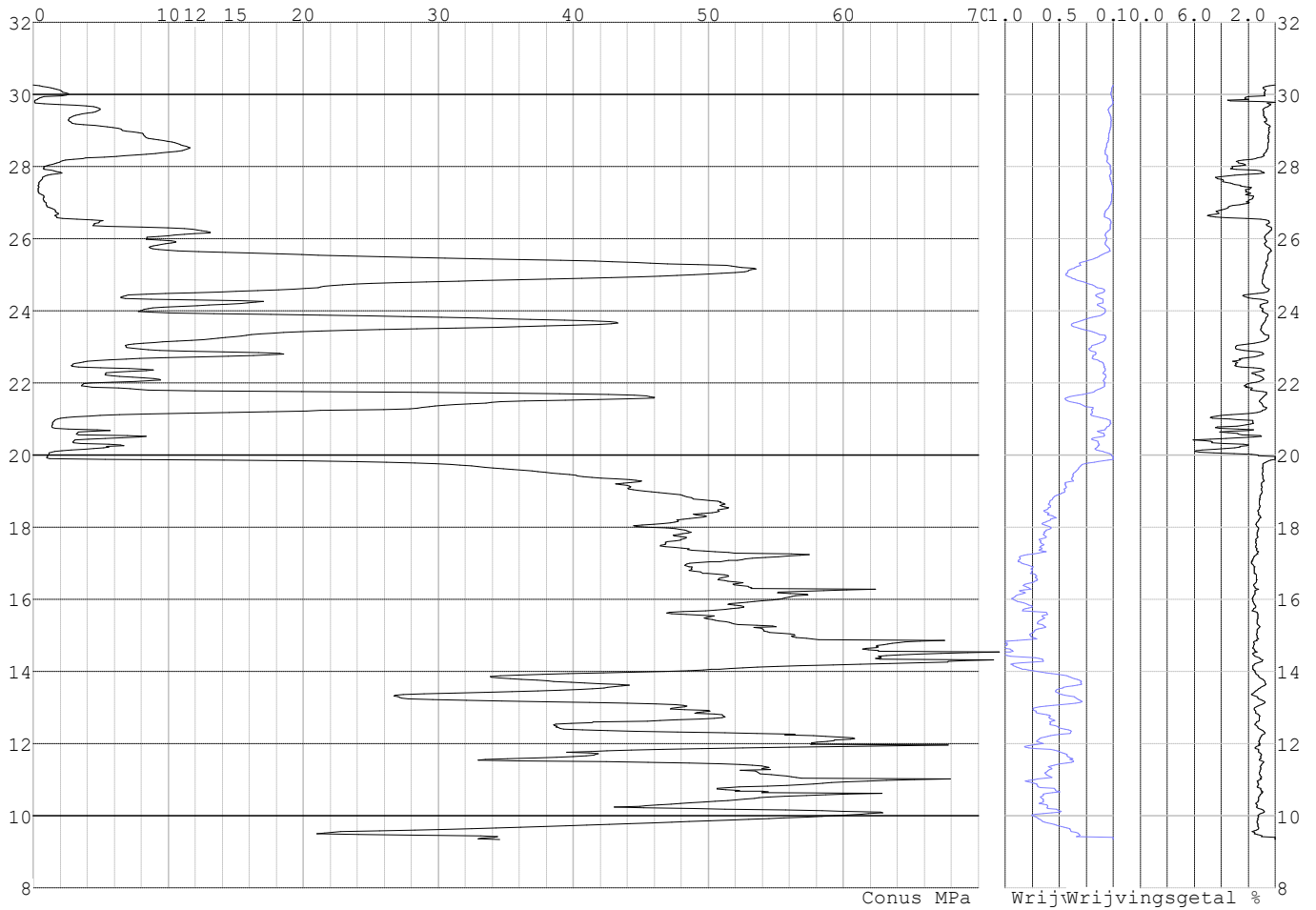


Project :
Onderdeel :

SONDERINGSGEGEVENS ALGEMEEN: S045-2

Alle niveaus/hogtes/peilmaten zijn t.o.v.: N.A.P.
Hoogte maaiveld [m] : 30.26 Bodemprofiel: S045-2
Traject negatieve kleef : 30.26 tot 19.90 [m]
Traject positieve kleef : 19.90 tot 9.35 [m]

SONDERINGSGEGEVENS GRAFIEK: S045-2

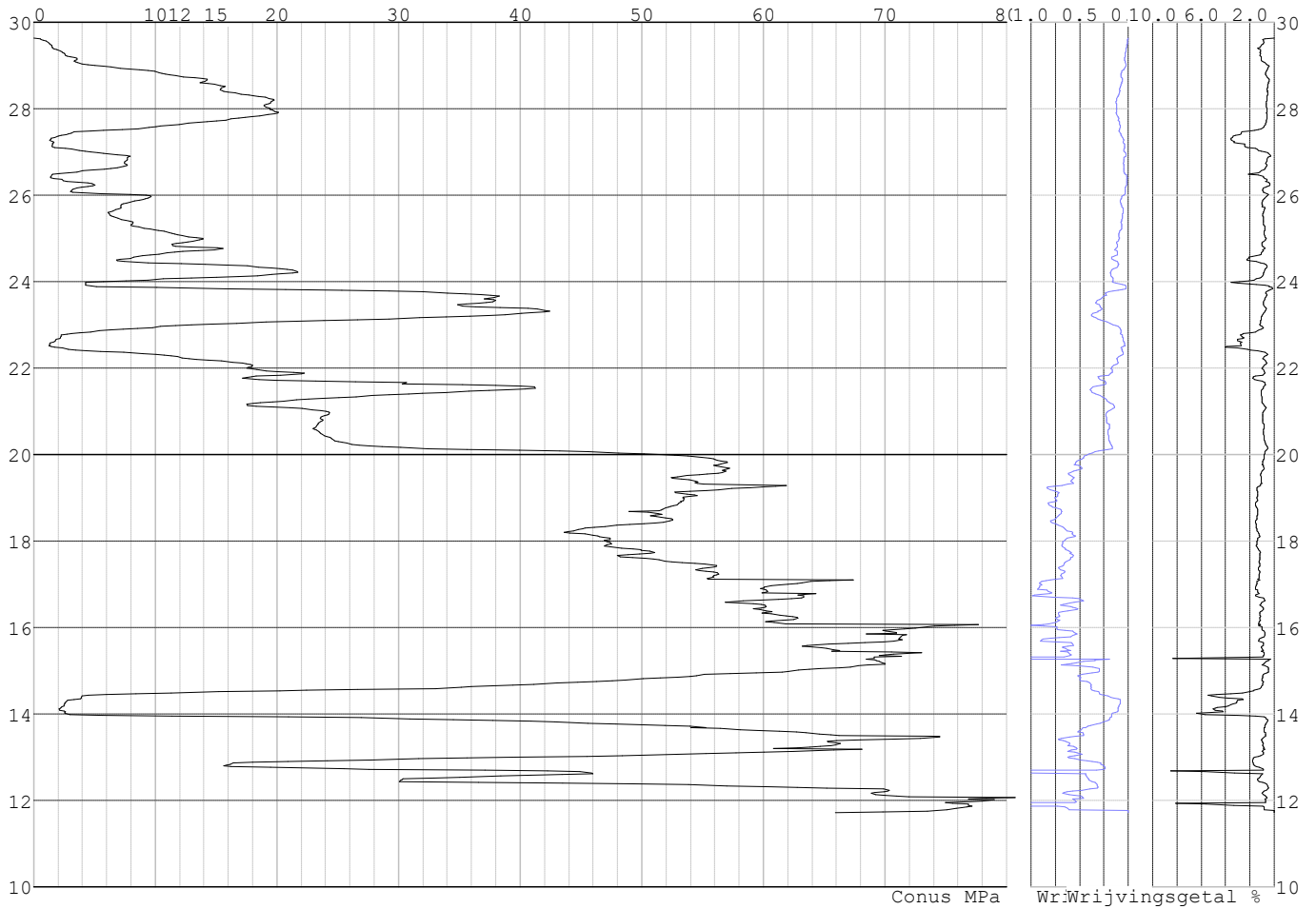


Project :
Onderdeel :

SONDERINGSGEGEVENS ALGEMEEN: S041-1

Alle niveaus/hogtes/peilmaten zijn t.o.v.: N.A.P.
Hoogte maaiveld [m] : 29.64 Bodemprofiel: S041-1
Traject negatieve kleef : 29.64 tot 26.00 [m]
Traject positieve kleef : 26.00 tot 11.71 [m]

SONDERINGSGEGEVENS GRAFIEK: S041-1

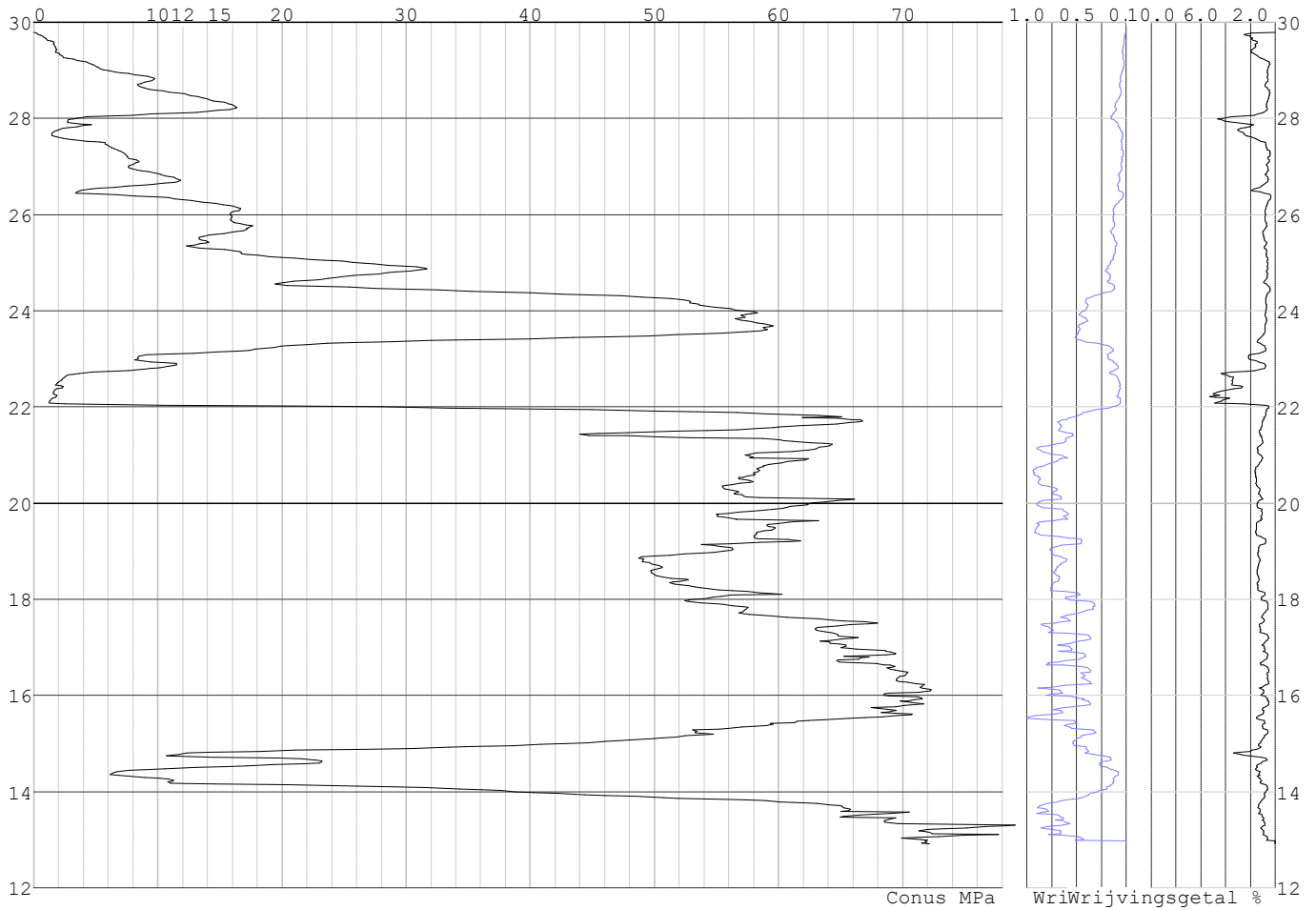


Project :
Onderdeel :

SONDERINGSGEGEVENS ALGEMEEN: S041-2

Alle niveaus/hogtes/peilmaten zijn t.o.v.: N.A.P.
Hoogte maaiveld [m] : 29.79 Bodemprofiel: S041-2
Traject negatieve kleef : 29.79 tot 22.10 [m]
Traject positieve kleef : 22.10 tot 12.91 [m]

SONDERINGSGEGEVENS GRAFIEK: S041-2

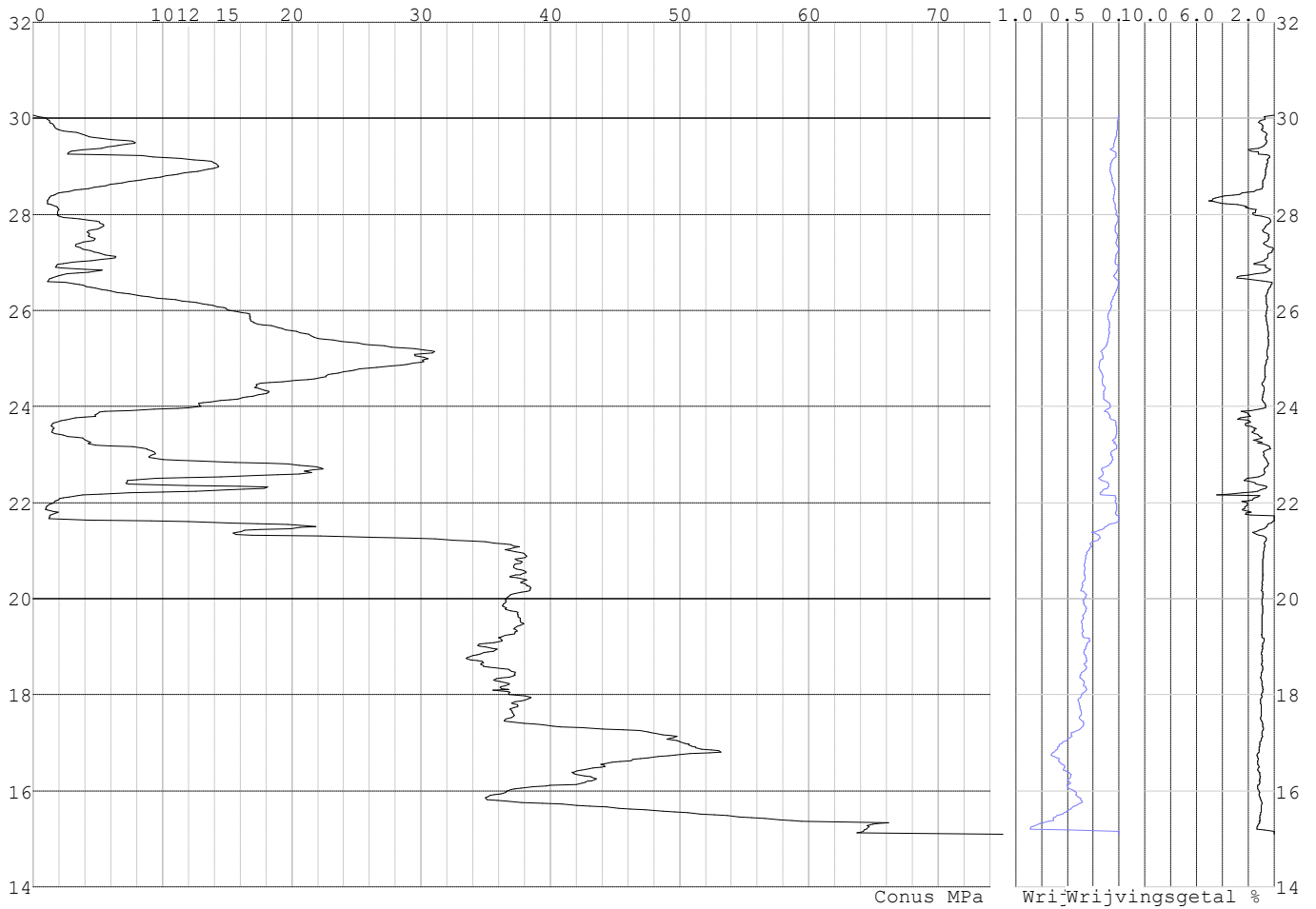


Project :
Onderdeel :

SONDERINGSGEGEVENS ALGEMEEN: S043-1

Alle niveaus/hogtes/peilmaten zijn t.o.v.: N.A.P.
Hoogte maaiveld [m] : 30.06 Bodemprofiel: S043-1
Traject negatieve kleef : 30.06 tot 21.70 [m]
Traject positieve kleef : 21.70 tot 15.10 [m]

SONDERINGSGEGEVENS GRAFIEK: S043-1

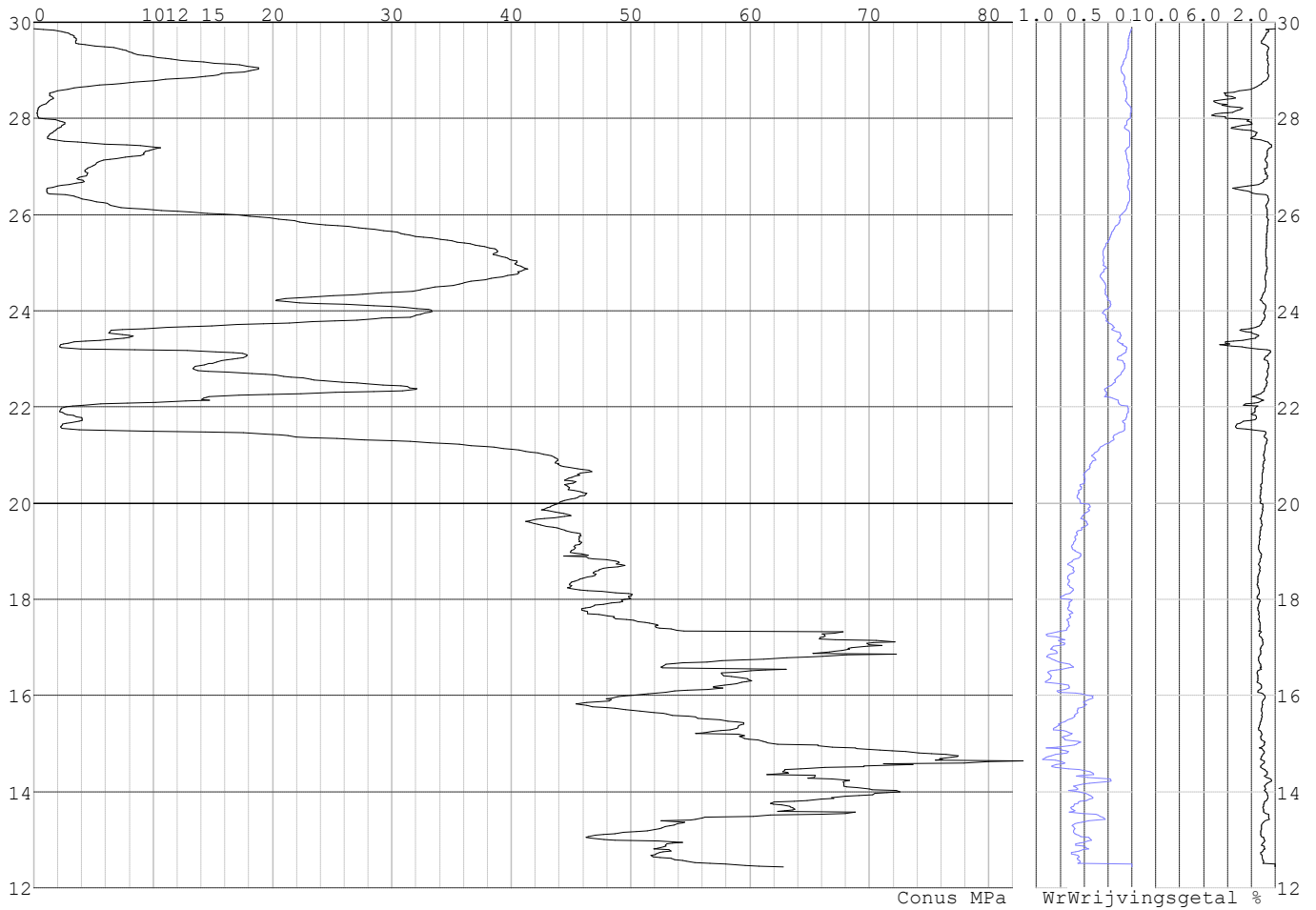


Project :
Onderdeel :

SONDERINGSGEGEVENS ALGEMEEN: S043-2

Alle niveaus/hogtes/peilmaten zijn t.o.v.: N.A.P.
Hoogte maaiveld [m] : 29.87 Bodemprofiel: S043-2
Traject negatieve kleeft : 29.87 tot 21.50 [m]
Traject positieve kleeft : 21.50 tot 12.43 [m]

SONDERINGSGEGEVENS GRAFIEK: S043-2

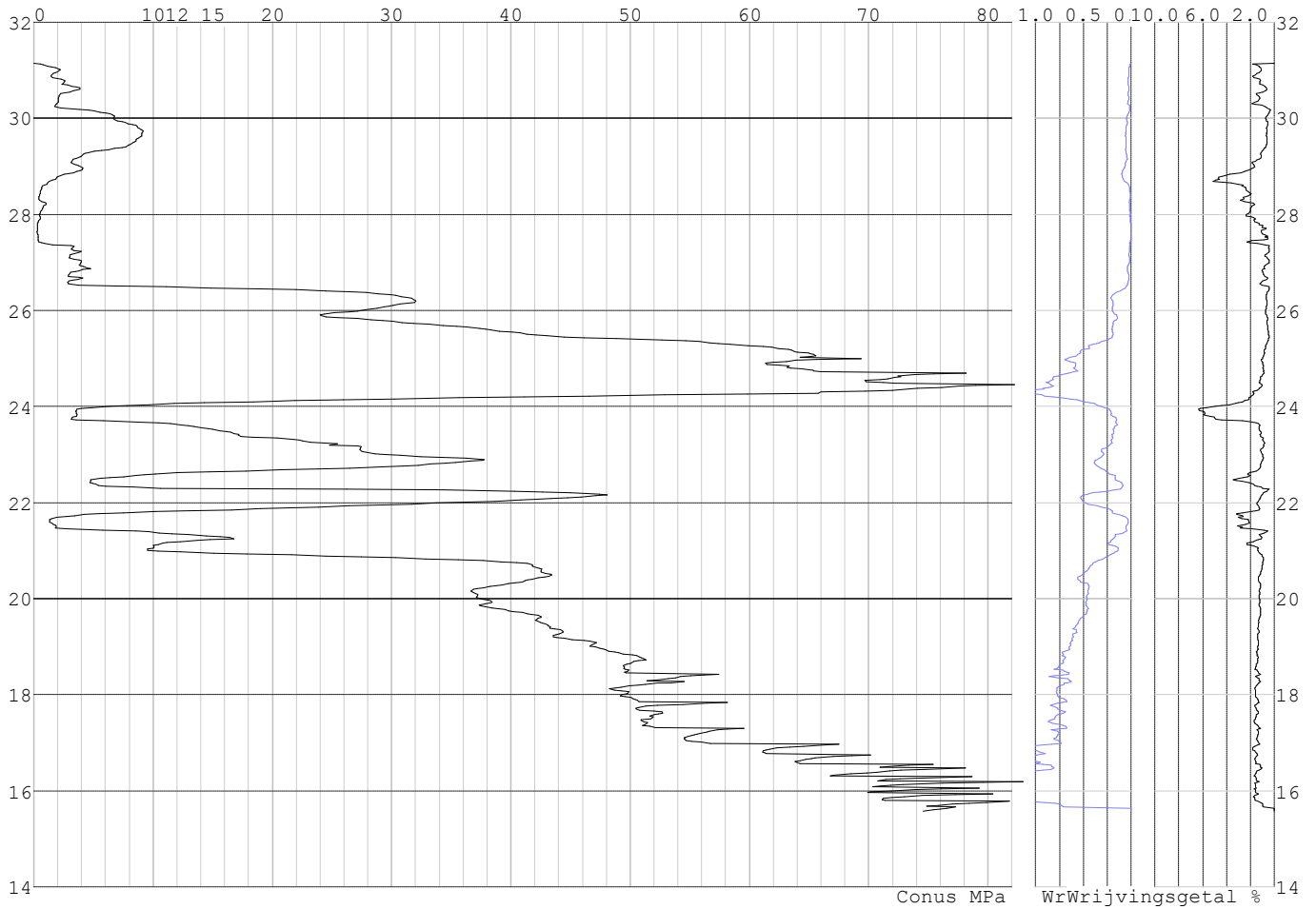


Project :
Onderdeel :

SONDERINGSGEGEVENS ALGEMEEN: S046-1

Alle niveaus/hogtes/peilmaten zijn t.o.v.: N.A.P.
Hoogte maaiveld [m] : 31.15 Bodemprofiel: S046-1
Traject negatieve kleeft : 31.15 tot 27.30 [m]
Traject positieve kleeft : 27.30 tot 15.58 [m]

SONDERINGSGEGEVENS GRAFIEK: S046-1

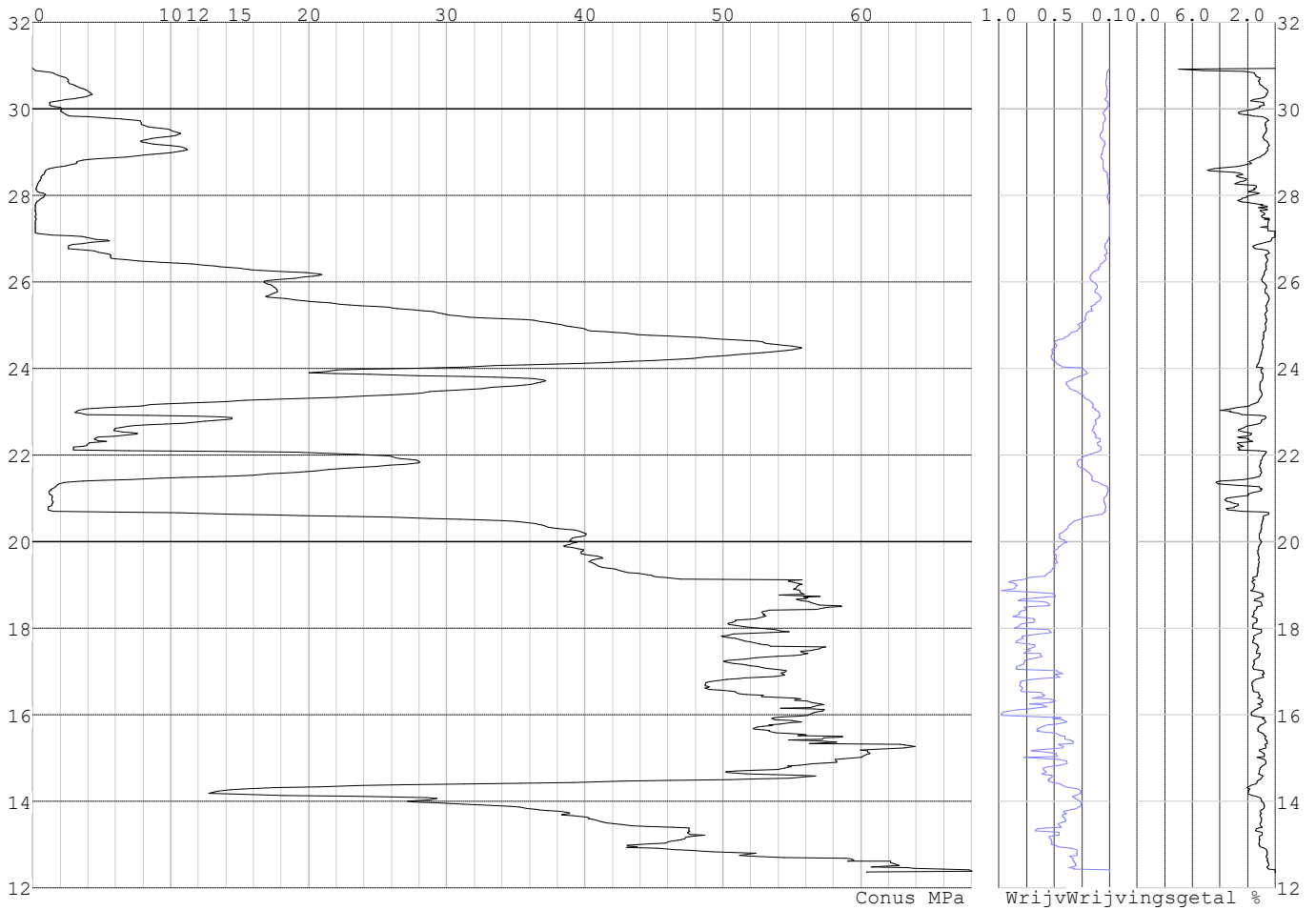


Project :
Onderdeel :

SONDERINGSGEGEVENS ALGEMEEN: S046-2

Alle niveaus/hogtes/peilmaten zijn t.o.v.: N.A.P.
Hoogte maaiveld [m] : 30.93 Bodemprofiel: S046-2
Traject negatieve kleeft : 30.93 tot 27.00 [m]
Traject positieve kleeft : 27.00 tot 12.35 [m]

SONDERINGSGEGEVENS GRAFIEK: S046-2

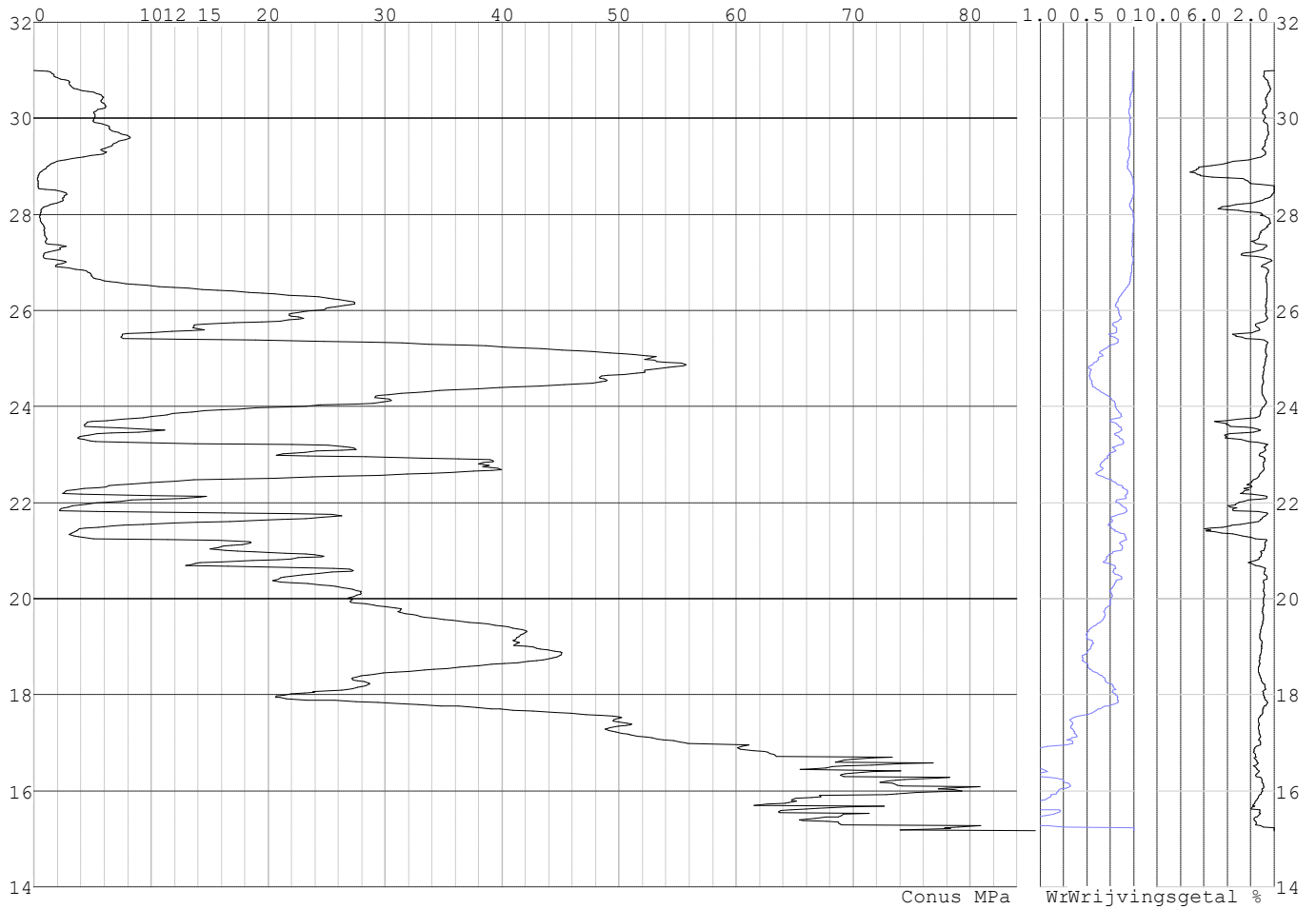


Project :
Onderdeel :

SONDERINGSGEGEVENS ALGEMEEN: S047-1

Alle niveaus/hogtes/peilmaten zijn t.o.v.: N.A.P.
Hoogte maaiveld [m] : 31.00 Bodemprofiel: S047-1
Traject negatieve kleeft : 31.00 tot 26.80 [m]
Traject positieve kleeft : 26.80 tot 15.17 [m]

SONDERINGSGEGEVENS GRAFIEK: S047-1

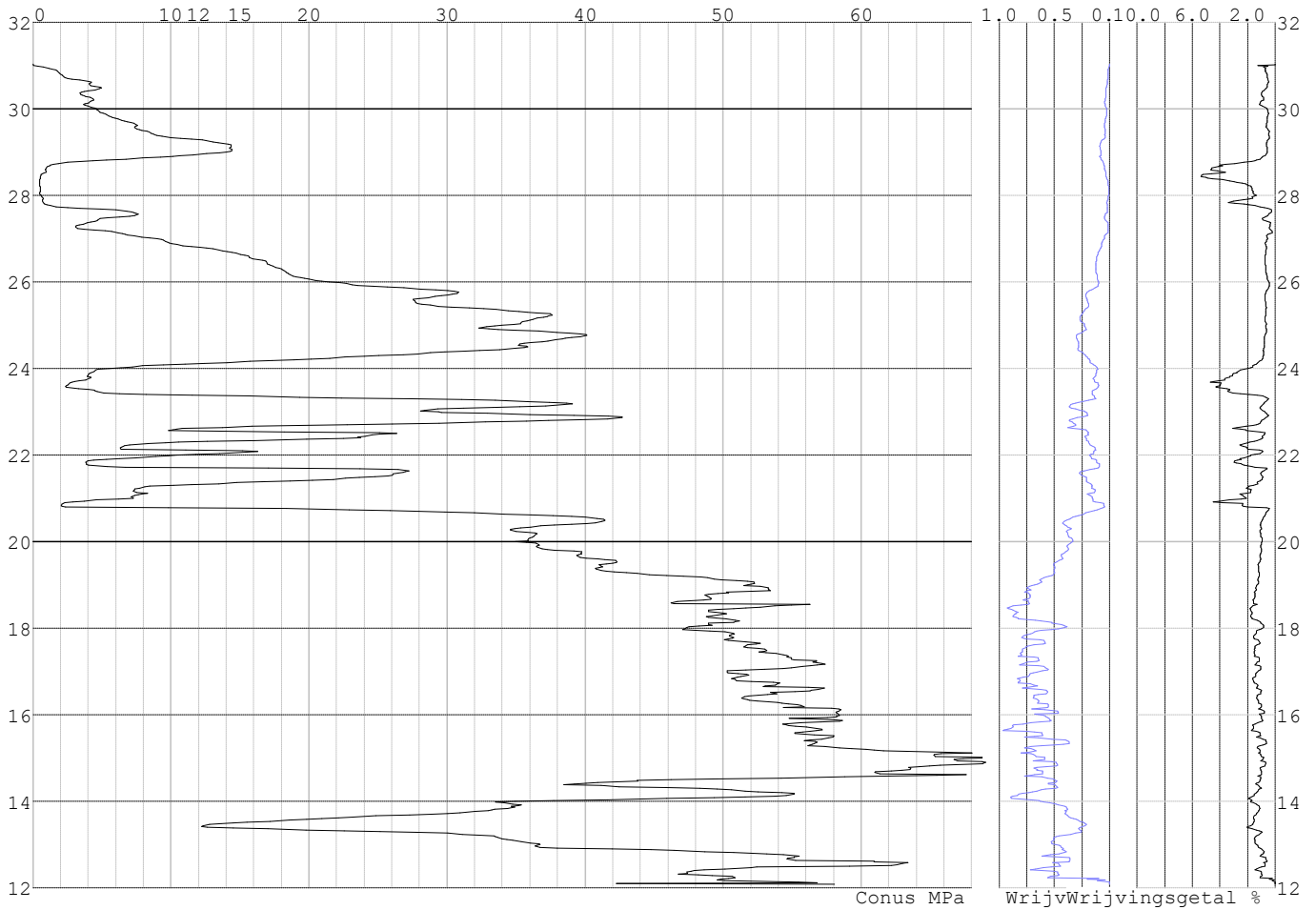


Project :
Onderdeel :

SONDERINGSGEGEVENS ALGEMEEN: S047-2

Alle niveaus/hogtes/peilmaten zijn t.o.v.: N.A.P.
Hoogte maaiveld [m] : 31.04 Bodemprofiel: S047-2
Traject negatieve kleeft : 31.04 tot 27.60 [m]
Traject positieve kleeft : 27.60 tot 12.08 [m]

SONDERINGSGEGEVENS GRAFIEK: S047-2

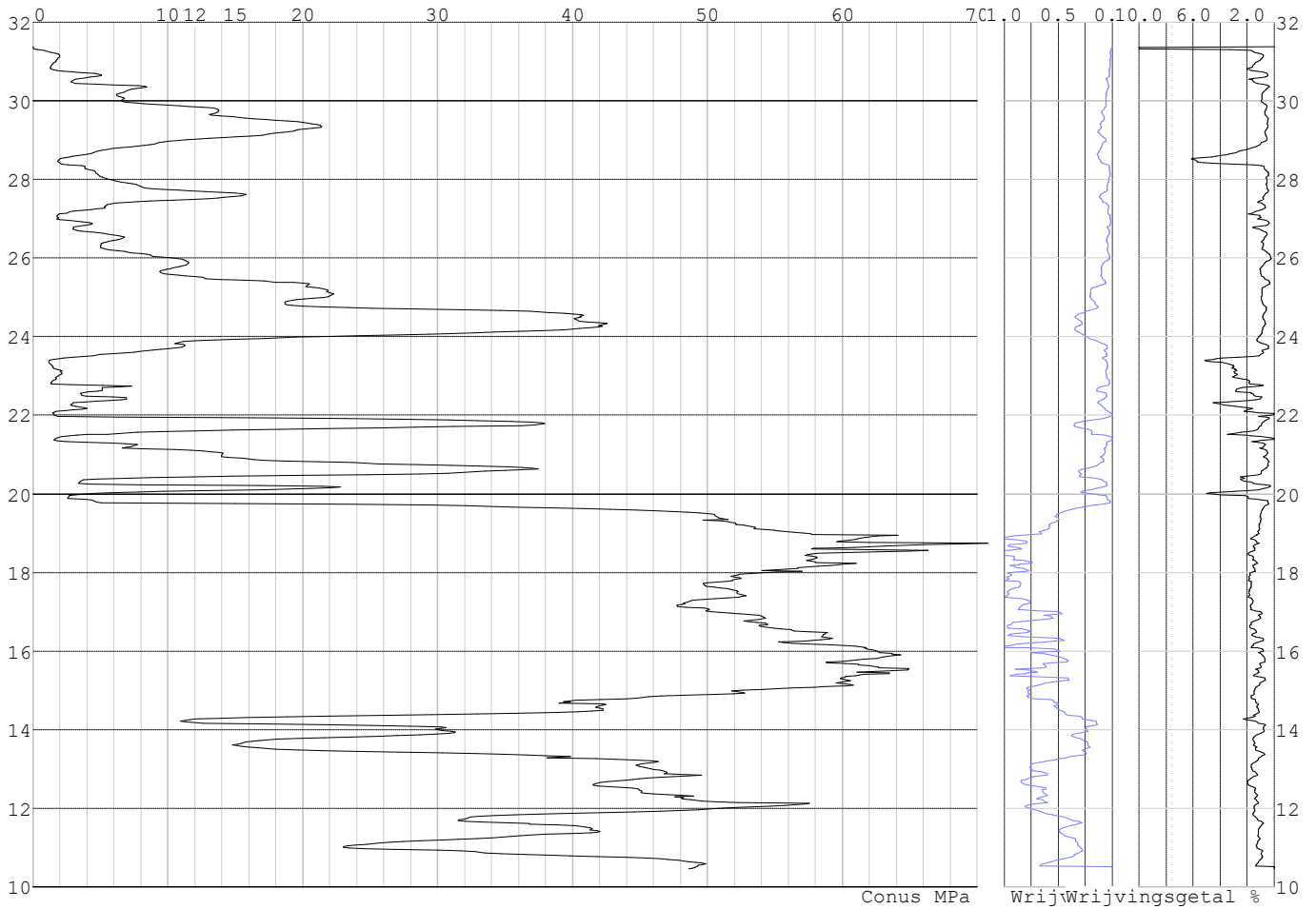


Project :
Onderdeel :

SONDERINGSGEGEVENS ALGEMEEN: S048-1

Alle niveaus/hogtes/peilmaten zijn t.o.v.: N.A.P.
Hoogte maaiveld [m] : 31.37 Bodemprofiel: S048-1
Traject negatieve kleeft : 31.37 tot 31.37 [m]
Traject positieve kleeft : 28.40 tot 10.45 [m]

SONDERINGSGEGEVENS GRAFIEK: S048-1

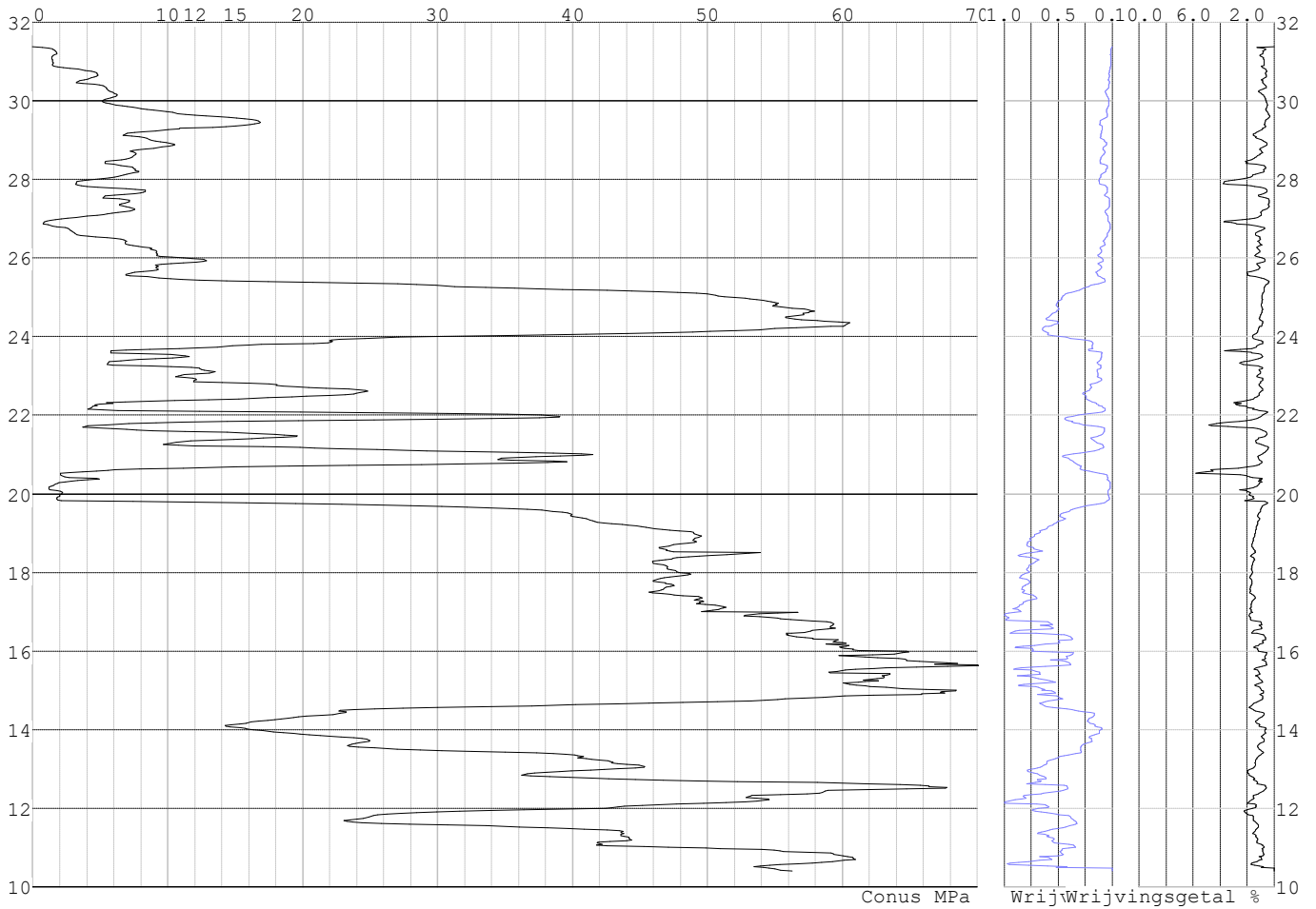


Project :
Onderdeel :

SONDERINGSGEGEVENS ALGEMEEN: S048-2

Alle niveaus/hogtes/peilmaten zijn t.o.v.: N.A.P.
Hoogte maaiveld [m] : 31.38 Bodemprofiel: S048-1
Traject negatieve kleeft : 31.38 tot 31.38 [m]
Traject positieve kleeft : 26.90 tot 10.41 [m]

SONDERINGSGEGEVENS GRAFIEK: S048-2

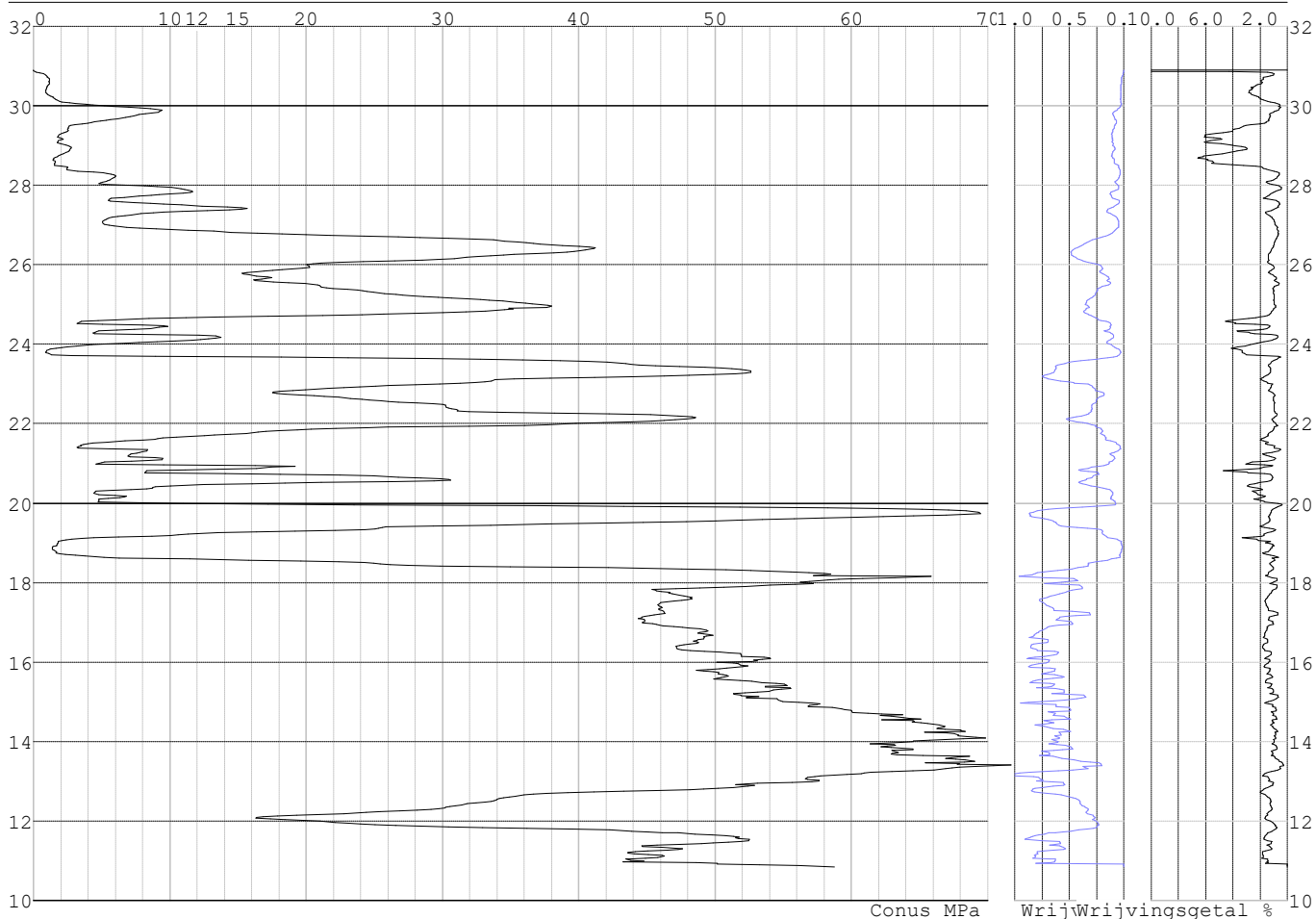


Project :
Onderdeel :

SONDERINGSGEGEVENS ALGEMEEN: S049-1

Alle niveaus/hogtes/peilmaten zijn t.o.v.: N.A.P.
Hoogte maaiveld [m] : 30.90 Bodemprofiel: S049-1
Traject negatieve kleef : 30.90 tot 27.00 [m]
Traject positieve kleef : 27.00 tot 10.85 [m]

SONDERINGSGEGEVENS GRAFIEK: S049-1

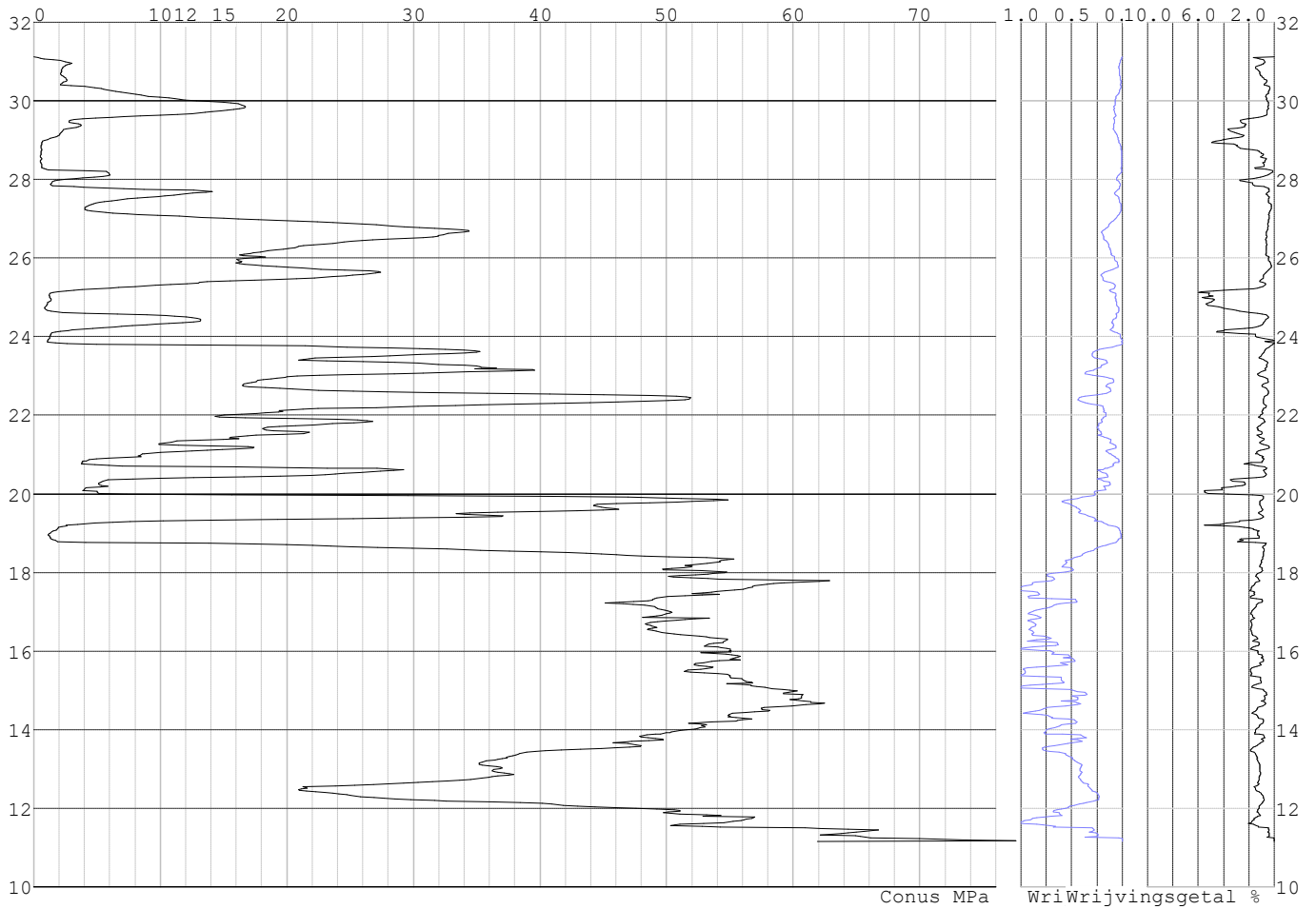


Project :
Onderdeel :

SONDERINGSGEGEVENS ALGEMEEN: S049-2

Alle niveaus/hogtes/peilmaten zijn t.o.v.: N.A.P.
Hoogte maaiveld [m] : 31.12 Bodemprofiel: S049-2
Traject negatieve kleeft : 31.12 tot 28.20 [m]
Traject positieve kleeft : 28.20 tot 11.16 [m]

SONDERINGSGEGEVENS GRAFIEK: S049-2

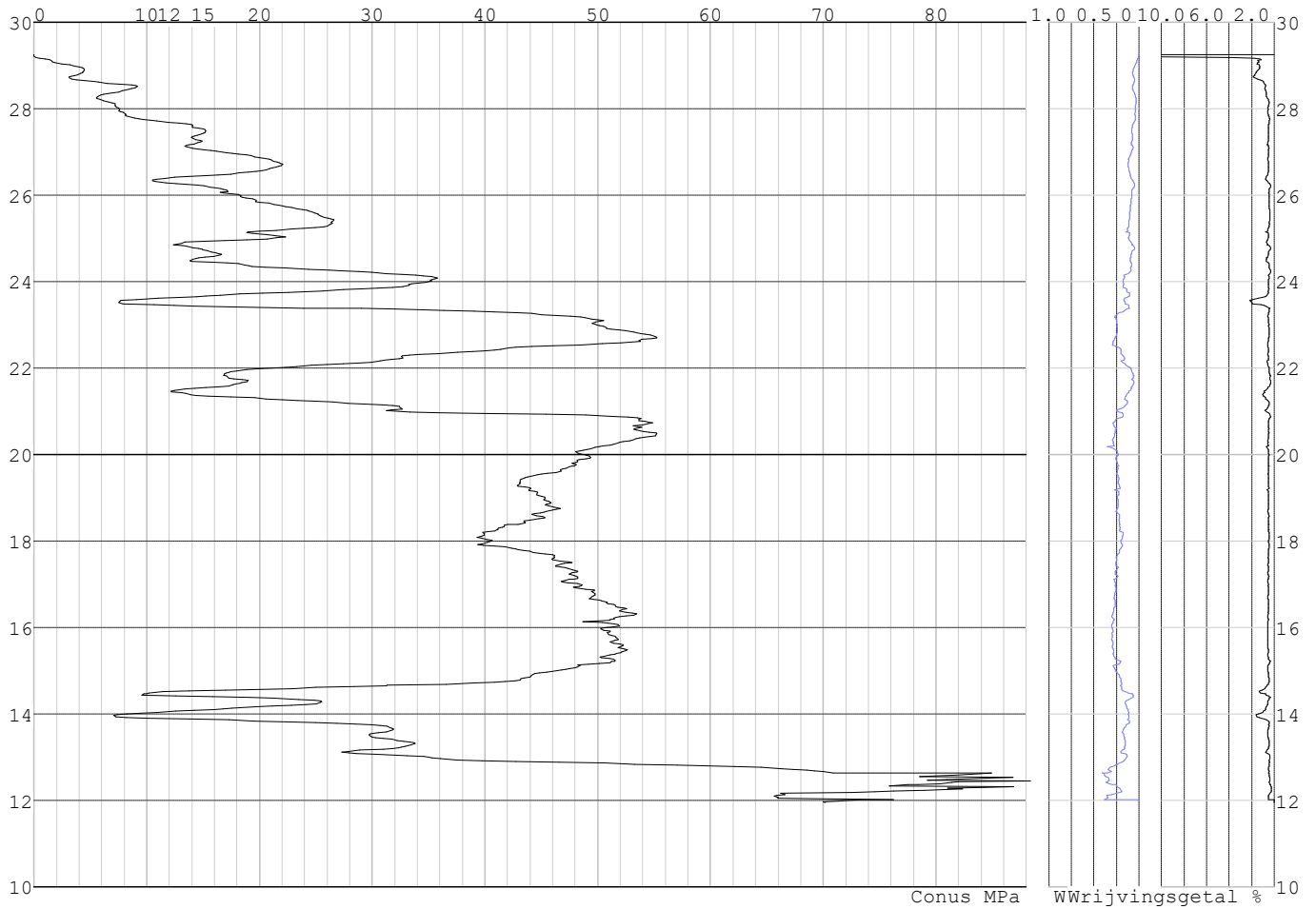


Project :
Onderdeel :

SONDERINGSGEGEVENS ALGEMEEN: S040-1

Alle niveaus/hogtes/peilmaten zijn t.o.v.: N.A.P.
Hoogte maaiveld [m] : 29.25 Bodemprofiel: S040-2
Traject negatieve kleef : 29.25 tot 29.25 [m]
Traject positieve kleef : 29.20 tot 11.95 [m]

SONDERINGSGEGEVENS GRAFIEK: S040-1

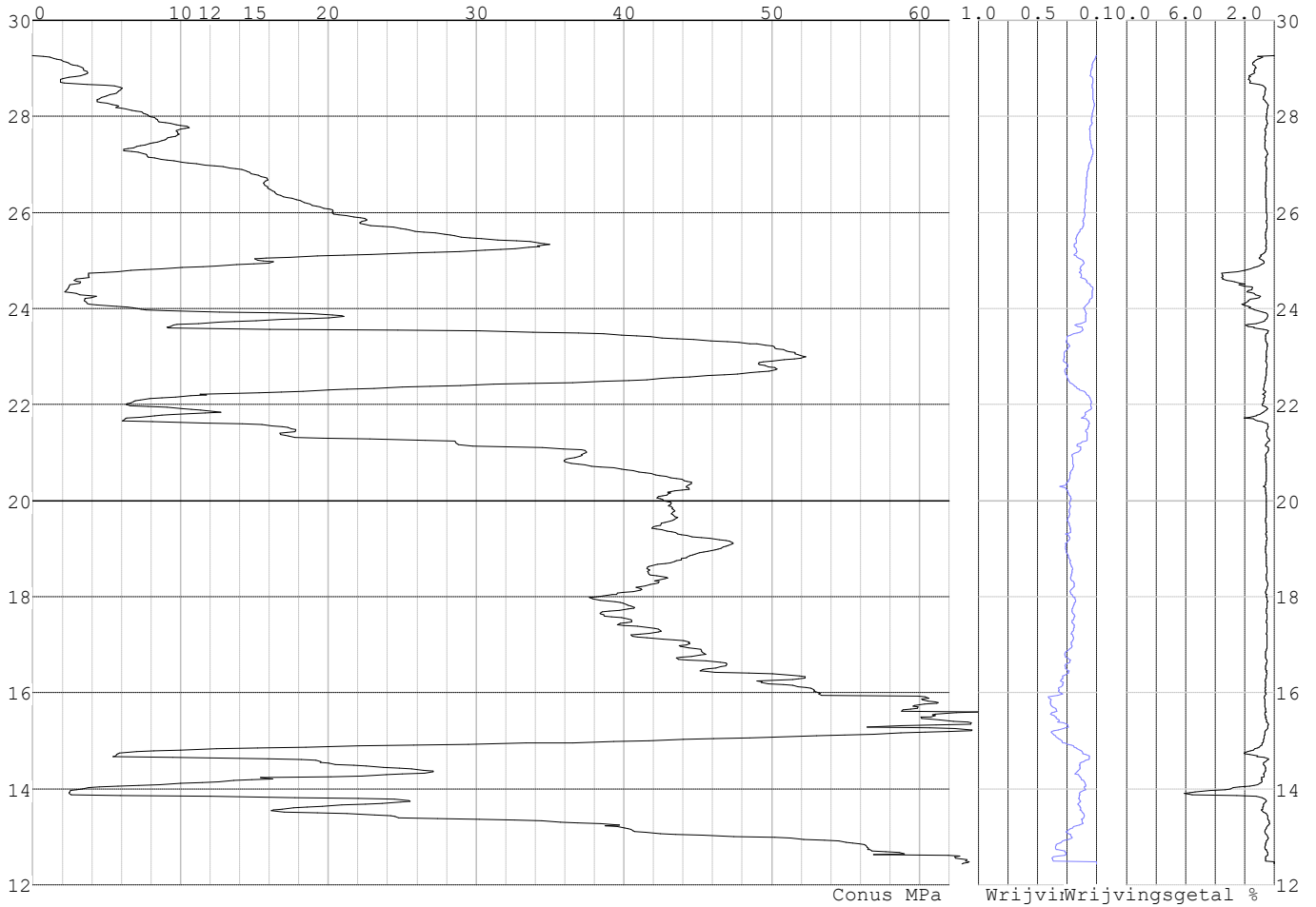


Project :
Onderdeel :

SONDERINGSGEGEVENS ALGEMEEN: S040-2

Alle niveaus/hogtes/peilmaten zijn t.o.v.: N.A.P.
Hoogte maaiveld [m] : 29.27 Bodemprofiel: S040-2
Traject negatieve kleef : 29.27 tot 29.27 [m]
Traject positieve kleef : 29.27 tot 12.43 [m]

SONDERINGSGEGEVENS GRAFIEK: S040-2

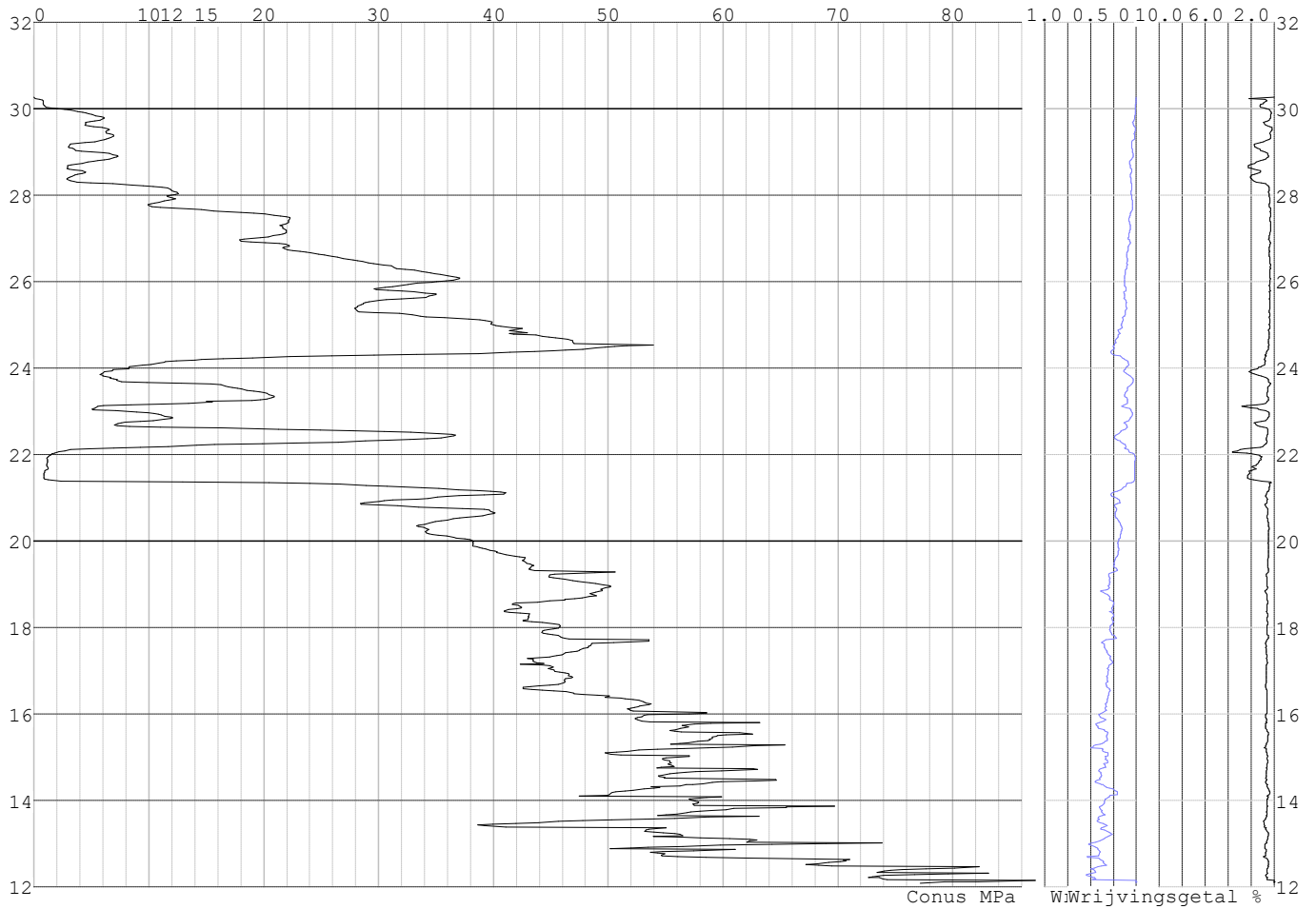


Project :
Onderdeel :

SONDERINGSGEGEVENS ALGEMEEN: S044-1

Alle niveaus/hogtes/peilmaten zijn t.o.v.: N.A.P.
Hoogte maaiveld [m] : 30.26 Bodemprofiel: S044-2
Traject negatieve kleef : 30.26 tot 30.26 [m]
Traject positieve kleef : 28.30 tot 12.09 [m]

SONDERINGSGEGEVENS GRAFIEK: S044-1

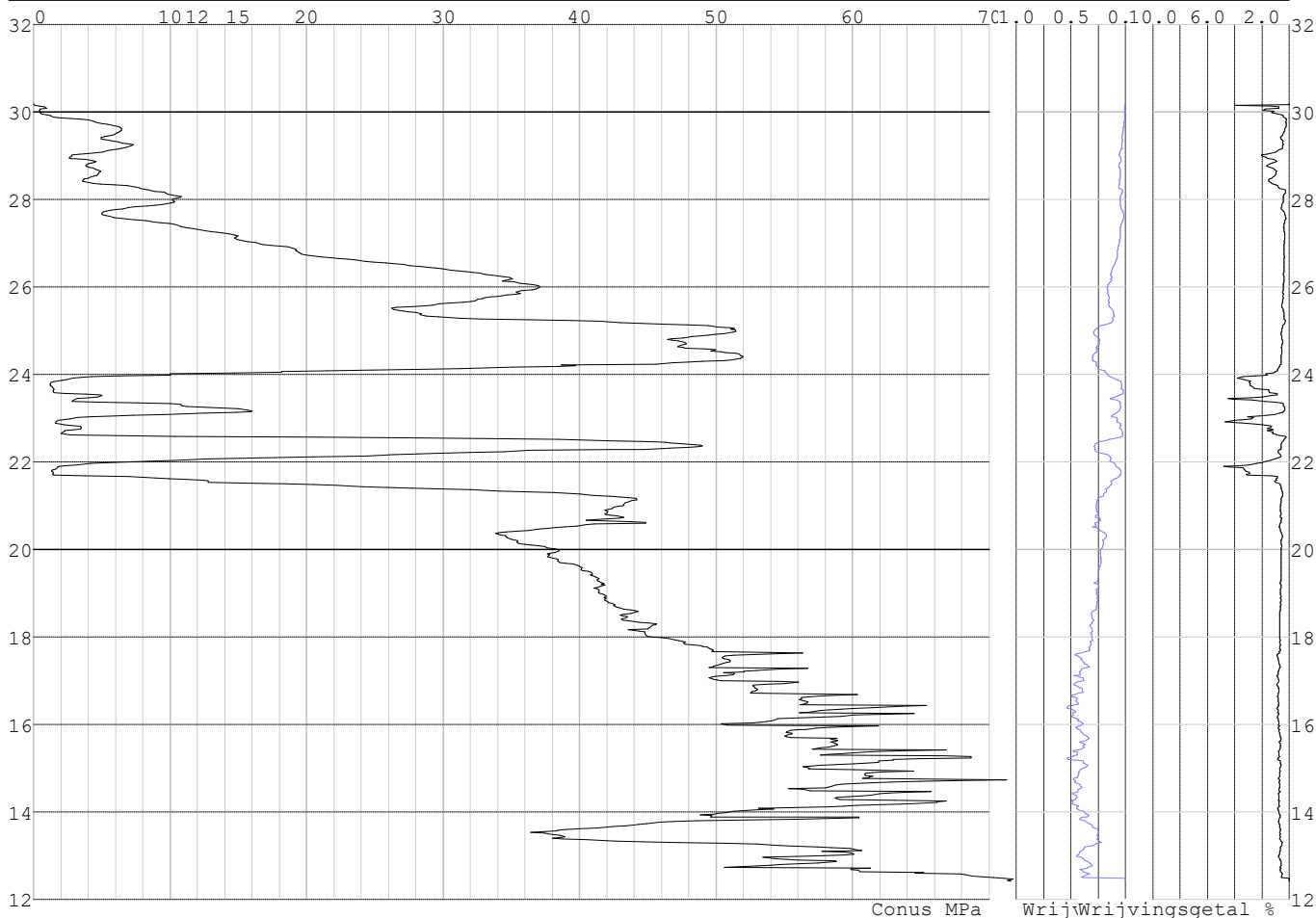


Project :
 Onderdeel :

SONDERINGSGEGEVENS ALGEMEEN: S044-2

Alle niveaus/hoogtes/peilmaten zijn t.o.v.: N.A.P.
 Hoogte maaiveld [m] : 30.19 Bodemprofiel: S044-2
 Traject negatieve kleeft : 30.19 tot 30.19 [m]
 Traject positieve kleeft : 27.60 tot 12.42 [m]

SONDERINGSGEGEVENS GRAFIEK: S044-2



REKENGEGEVENS Mast 040

Berekening : Controlerend
 Rekenmethode : Trekpalen volgens NEN-EN 1997-1, art. 7.6.3
 Sondering(en) : S040-1, S040-2
 Let op: trekcapaciteit t.p.v. negatief kleefttraject is meegerekend.

Stijf bouwwerk : NEE
 Paalgroep : NEE
 Aantal sonderingen : 2
 Factor ξ_3 (n=1) : 1.39
 Factor ξ_3 (gem) : 1.32
 Factor ξ_4 (min) : 1.32
 Weerstandsfactor γ_R : 1.35
 $\gamma_{m;var;q_c}$: 1.50
 UGT draagvermogen zonder negatieve kleeft : NEE

Paal : LD1
 Niveau paalkop [m] : N.A.P. 29.90
 Paalpuntniveau : N.A.P. 22.50
 $E_{d,1}$ [kN] : 0.00 $E_{d,2}$ [kN] : 0.00
 Bovenbel. [kN/m²] : 0.00

RESULTATEN Mast 040 (n=1)

Project :
Onderdeel :

Sondering : S040-1

Alle niveaus/hogtes/peilmaten zijn t.o.v.: N.A.P.

Inheinniveau [m]	Effectief inheinniveau [m]	E.G. paal [kN]	$R_{t,cal;k}$ [kN]	$R_{t;d}$ [kN]	$F_{t,tot;1}$ [kN]	U.C.
22.50	22.50	24.7	354.8	354.8	0.0	0.00

Sondering : S040-2

Alle niveaus/hogtes/peilmaten zijn t.o.v.: N.A.P.

Inheinniveau [m]	Effectief inheinniveau [m]	E.G. paal [kN]	$R_{t,cal;k}$ [kN]	$R_{t;d}$ [kN]	$F_{t,tot;1}$ [kN]	U.C.
22.50	22.50	24.7	309.7	309.7	0.0	0.00

Project :
Onderdeel :

SAMENVATTINGSTABEL Mast 040 (n=1)**Uitgangspunten**

- paal : LD1
 - paaltype : Stalen buispaal (gesloten)
 - schachtafmeting : 550 mm
 Paalklassefactor α_p : 1.00
 Factor α_t (tabel 7.c EC 7.1) : 0.0070 (zandlagen; voor kleilagen zie tabel 7.d)
 Correlatiefactor $\xi_{3(n=1)}$: 1.39

Alle niveaus/hogtes/peilmaten zijn t.o.v.: N.A.P.

sondering	maaiveld paalpunt		Bezwijkdraagvermogen $R_{t,cal}$ [kN]	Rekenwaarden		
	niveau	niveau		$R_{t;d}$ [kN]	$R_{t,netto;d}$ [kN]	
S040-1	29.25	22.50	354.8	354.8	354.8	
S040-2	29.27	22.50	309.7	309.7	309.7	

Project :
Onderdeel :

SAMENVATTINGSTABEL Mast 040 (van 2 sonderingen)**Uitgangspunten**

- paal : LD1
- paaltype : Stalen buispaal (gesloten)
- schachtafmeting : 550 mm
Paalklassefactor α_p : 1.00
Factor α_t (tabel 7.c EC 7.1) : 0.0070 (zandlagen; voor kleilagen zie tabel 7.d)
Correlatiefactor $\xi_{3gem}(n=2)$: 1.32
Correlatiefactor $\xi_{4min}(n=2)$: 1.32

Alle niveaus/hogtes/peilmaten zijn t.o.v.: N.A.P.

sondering	maaiveld niveau	paalpunt niveau	Bezwijkdraagvermogen E.G. paal [kN]	$R_{t,cal}$ [kN]
-----------	--------------------	--------------------	---	---------------------

met ξ_3 (gem) = 1.32

S040-1	29.25	22.50	24.7	372.3
--------	-------	-------	------	-------

S040-2	29.27	22.50	24.7	324.8
--------	-------	-------	------	-------

		22.50	$R_{t,cal,gem}$	348.6
--	--	-------	-----------------	-------

met ξ_4 (min) = 1.32

S040-1	29.25	22.50	24.7	372.3
--------	-------	-------	------	-------

S040-2	29.27	22.50	24.7	324.8
--------	-------	-------	------	-------

		22.50	$R_{t,cal,min}$	324.8
--	--	-------	-----------------	-------

Totaal resultaten Mast 040 (van 2 sonderingen)

Uitgangspunten

Correlatiefactor $\xi_{3gem}(n=2)$: 1.32

Correlatiefactor $\xi_{4min}(n=2)$: 1.32

gebaseerd op sonderingen:

S040-1 S040-2

$R_{t,d} = \min.\{ R_{t,cal,gem}; R_{t,cal,min} \}$ (7.17) *)

Inheinniveau

[m]

22.50	$R_{t,d} = \min.\{ 348.6; 324.8 \} =$	324.8
-------	---------------------------------------	-------

*) Bij de trekpaalberekening zijn factoren ξ_3 en ξ_4 al bij de berekening van de conusweerstand $q_{c;z,d}$ in rekening gebracht, evenals factor $\gamma_{s;t}$. Dat is conform de opmerkingen in art. 7.6.3.3 (3) en (4).

Alle niveaus/hogtes/peilmaten zijn t.o.v.: N.A.P.

Inheinniveau [m]	$R_{t,k}$ [kN]	$R_{t,d}$ [kN]	$F_{t,tot;1}$ [kN]	$R_{t,netto;d}$ [kN]	U.C.
22.50	324.8	324.8	0.0	324.8	0.00

REKENGEGEVENS Mast 041

Berekening : Controlerend

Rekenmethode : Trekpalen volgens NEN-EN 1997-1, art. 7.6.3

Sondering(en) : S041-1, S041-2

Let op: trekcapaciteit t.p.v. negatief kleeftraject is meegerekend.

Stijf bouwwerk : NEE

Paalgroep : NEE

Aantal sonderingen : 2

Factor ξ_3 (n=1) : 1.39

Factor ξ_3 (gem) : 1.32

Factor ξ_4 (min) : 1.32

Weerstandsfactor γ_R : 1.35

$\gamma_{m,var;q_c}$: 1.50

UGT draagvermogen zonder negatieve kleef : NEE

Paal : LD1

Niveau paalkop [m] : N.A.P. 29.89

Paalpuntniveau : N.A.P. 21.19

$E_{d,1}$ [kN] : 0.00

Bovenbel. [kN/m²] : 0.00

$E_{d,2}$ [kN] : 0.00

Project :
Onderdeel :

RESULTATEN Mast 041 (n=1)**Sondering : S041-1**

Alle niveaus/hogtes/peilmaten zijn t.o.v.: N.A.P.

Inheinniveau [m]	Effectief inheinniveau [m]	E.G. paal [kN]	$R_{t,cal;k}$ [kN]	$R_{t;d}$ [kN]	$F_{t,tot;1}$ [kN]	U.C.
21.19	21.19	27.4	348.0	348.0	0.0	0.00

Sondering : S041-2

Alle niveaus/hogtes/peilmaten zijn t.o.v.: N.A.P.

Inheinniveau [m]	Effectief inheinniveau [m]	E.G. paal [kN]	$R_{t,cal;k}$ [kN]	$R_{t;d}$ [kN]	$F_{t,tot;1}$ [kN]	U.C.
21.19	21.19	27.0	398.1	398.1	0.0	0.00

Project :
Onderdeel :

SAMENVATTINGSTABEL Mast 041 (n=1)

Uitgangspunten

- paal : LD1
 - paaltype : Stalen buispaal (gesloten)
 - schachtafmeting : 550 mm
 Paalklassefactor α_p : 1.00
 Factor α_t (tabel 7.c EC 7.1) : 0.0070 (zandlagen; voor kleilagen zie tabel 7.d)
 Correlatiefactor $\xi_{3(n=1)}$: 1.39

Alle niveaus/hogtes/peilmaten zijn t.o.v.: N.A.P.

sondering	maaiveld paalpunt		Bezwijkdraagvermogen $R_{t,cal}$ [kN]	Rekenwaarden		
	niveau	niveau		$R_{t,d}$ [kN]	$R_{t,netto,d}$ [kN]	
S041-1	29.64	21.19	348.0	348.0	348.0	
S041-2	29.79	21.19	398.1	398.1	398.1	

Project :
Onderdeel :

SAMENVATTINGSTABEL Mast 041 (van 2 sonderingen)**Uitgangspunten**

- paal : LD1
- paaltype : Stalen buispaal (gesloten)
- schachtafmeting : 550 mm
Paalklassefactor α_p : 1.00
Factor α_t (tabel 7.c EC 7.1) : 0.0070 (zandlagen; voor kleilagen zie tabel 7.d)
Correlatiefactor $\xi_{3gem}(n=2)$: 1.32
Correlatiefactor $\xi_{4min}(n=2)$: 1.32

Alle niveaus/hogtes/peilmaten zijn t.o.v.: N.A.P.

sondering	maaiveld	paalpunt	Bezuikdraagvermogen
	niveau	niveau	E.G. paal $R_{t,cal}$
			[kN] [kN]

met ξ_3 (gem) = 1.32

S041-1	29.64	21.19	27.4	365.0
S041-2	29.79	21.19	27.4	417.8

		21.19	$R_{t,cal,gem}$	391.4
--	--	-------	-----------------	-------

met ξ_4 (min) = 1.32

S041-1	29.64	21.19	27.4	365.0
S041-2	29.79	21.19	27.4	417.8

		21.19	$R_{t,cal,min}$	365.0
--	--	-------	-----------------	-------

Totaal resultaten Mast 041 (van 2 sonderingen)

Uitgangspunten

Correlatiefactor $\xi_{3gem}(n=2)$: 1.32
Correlatiefactor $\xi_{4min}(n=2)$: 1.32

gebaseerd op sonderingen:
S041-1 S041-2

$R_{t,d} = \min.\{ R_{t,cal,gem}; R_{t,cal,min} \}$ (7.17) *)

Inheinniveau
[m]

21.19	$R_{t,d} = \min.\{ 391.4; 365.0 \}$	=	365.0
-------	-------------------------------------	---	-------

*) Bij de trekpaalberekening zijn factoren ξ_3 en ξ_4 al bij de berekening van de conusweerstand $q_{c,z;d}$ in rekening gebracht, evenals factor $\gamma_{s;t}$. Dat is conform de opmerkingen in art. 7.6.3.3 (3) en (4).

Alle niveaus/hogtes/peilmaten zijn t.o.v.: N.A.P.

Inheinniveau	$R_{t,k}$	$R_{t,d}$	$F_{t,tot;1}$	$R_{t,netto;d}$	U.C.
[m]	[kN]	[kN]	[kN]	[kN]	
21.19	365.0	365.0	0.0	365.0	0.00

REKENEGEVEENS Mast 042

Berekening : Controlerend
Rekenmethode : Trekpalen volgens NEN-EN 1997-1, art. 7.6.3
Sondering(en) : S042-1, S042-2
Let op: trekcapaciteit t.p.v. negatief kleeftraject is meegerekend.

Stijf bouwwerk : NEE
Paalgroep : NEE
Aantal sonderingen : 2
Factor ξ_3 (n=1) : 1.39
Factor ξ_3 (gem) : 1.32
Factor ξ_4 (min) : 1.32
Weerstandsfactor γ_R : 1.35
 $\gamma_{m,var;q_c}$: 1.50
UGT draagvermogen zonder negatieve kleeft : NEE

Paal : LD1
Niveau paalkop [m] : N.A.P. 30.96
Paalpuntniveau : N.A.P. 21.46
 $E_{d,1}$ [kN] : 0.00
Bovenbel. [kN/m²] : 0.00

$E_{d,2}$ [kN] : 0.00

Project :
Onderdeel :

RESULTATEN Mast 042 (n=1)**Sondering : S042-1**

Alle niveaus/hogtes/peilmaten zijn t.o.v.: N.A.P.

Inheinniveau [m]	Effectief inheinniveau [m]	E.G. paal [kN]	$R_{t,cal;k}$ [kN]	$R_{t;d}$ [kN]	$F_{t,tot;1}$ [kN]	U.C.
21.46	21.46	29.7	409.4	409.4	0.0	0.00

Sondering : S042-2

Alle niveaus/hogtes/peilmaten zijn t.o.v.: N.A.P.

Inheinniveau [m]	Effectief inheinniveau [m]	E.G. paal [kN]	$R_{t,cal;k}$ [kN]	$R_{t;d}$ [kN]	$F_{t,tot;1}$ [kN]	U.C.
21.46	21.46	29.7	452.3	452.3	0.0	0.00

Project :
Onderdeel :

SAMENVATTINGSTABEL Mast 042 (n=1)**Uitgangspunten**

- paal : LD1
 - paaltype : Stalen buispaal (gesloten)
 - schachtafmeting : 550 mm
 Paalklassefactor α_p : 1.00
 Factor α_t (tabel 7.c EC 7.1) : 0.0070 (zandlagen; voor kleilagen zie tabel 7.d)
 Correlatiefactor $\xi_{3(n=1)}$: 1.39

Alle niveaus/hogtes/peilmaten zijn t.o.v.: N.A.P.

sondering	maaiveld paalpunt		Bezwijkdraagvermogen $R_{t,cal}$ [kN]	Rekenwaarden		
	niveau	niveau		$R_{t,d}$ [kN]	$R_{t,netto,d}$ [kN]	
S042-1	30.69	21.46	409.4	409.4	409.4	409.4
S042-2	30.69	21.46	452.3	452.3	452.3	452.3

Project :
Onderdeel :

SAMENVATTINGSTABEL Mast 042 (van 2 sonderingen)**Uitgangspunten**

- paal : LD1
 - paaltype : Stalen buispaal (gesloten)
 - schachtafmeting : 550 mm
 Paalklassefactor α_p : 1.00
 Factor α_t (tabel 7.c EC 7.1) : 0.0070 (zandlagen; voor kleilagen zie tabel 7.d)
 Correlatiefactor $\xi_{3gem}(n=2)$: 1.32
 Correlatiefactor $\xi_{4min}(n=2)$: 1.32

Alle niveaus/hogtes/peilmaten zijn t.o.v.: N.A.P.

sondering	maaiveld paalpunt		Bezwijkdraagvermogen	
	niveau	niveau	E.G. paal	$R_{t,cal}$
			[kN]	[kN]

met ξ_3 (gem) = 1.32

S042-1	30.69	21.46	29.7	429.5
--------	-------	-------	------	-------

S042-2	30.69	21.46	29.7	474.7
--------	-------	-------	------	-------

		21.46	$R_{t,cal,gem}$	452.1
--	--	-------	-----------------	-------

met ξ_4 (min) = 1.32

S042-1	30.69	21.46	29.7	429.5
--------	-------	-------	------	-------

S042-2	30.69	21.46	29.7	474.7
--------	-------	-------	------	-------

		21.46	$R_{t,cal,min}$	429.5
--	--	-------	-----------------	-------

Totaal resultaten Mast 042 (van 2 sonderingen)

Uitgangspunten

Correlatiefactor $\xi_{3gem}(n=2)$: 1.32

Correlatiefactor $\xi_{4min}(n=2)$: 1.32

gebaseerd op sonderingen:

S042-1 S042-2

$R_{t,d} = \min. \{ R_{t,cal,gem}; R_{t,cal,min} \} (7.17) *$

Inheinniveau

[m]

21.46	$R_{t,d} = \min. \{ 452.1; 429.5 \} =$	429.5
-------	--	-------

*) Bij de trekpaalberekening zijn factoren ξ_3 en ξ_4 al bij de berekening van de conusweerstand $q_{c,z;d}$ in rekening gebracht, evenals factor $\gamma_{s;t}$. Dat is conform de opmerkingen in art. 7.6.3.3 (3) en (4).

Alle niveaus/hogtes/peilmaten zijn t.o.v.: N.A.P.

Inheinniveau	$R_{t,k}$	$R_{t,d}$	$F_{t,tot;1}$	$R_{t,netto;d}$	U.C.
[m]	[kN]	[kN]	[kN]	[kN]	
21.46	429.5	429.5	0.0	429.5	0.00

REKENEGEVEENS Mast 043

Berekening : Controlerend

Rekenmethode : Trekpalen volgens NEN-EN 1997-1, art. 7.6.3

Sondering(en) : S043-1, S043-2

Let op: trekcapaciteit t.p.v. negatief kleeftraject is meegerekend.

Stijf bouwwerk : NEE

Paalgroep : NEE

Aantal sonderingen : 2

Factor ξ_3 (n=1) : 1.39

Factor ξ_3 (gem) : 1.32

Factor ξ_4 (min) : 1.32

Weerstandsfactor γ_R : 1.35

$\gamma_{m,var;q_c}$: 1.50

UGT draagvermogen zonder negatieve kleeft : NEE

Paal : LD1

Niveau paalkop [m] : N.A.P. 30.37

Paalpuntniveau : N.A.P. 21.17

$E_{d,1}$ [kN] : 0.00

Bovenbel. [kN/m²] : 0.00

$E_{d,2}$ [kN] : 0.00

Project :
Onderdeel :

RESULTATEN Mast 043 (n=1)**Sondering : S043-1**

Alle niveaus/hogtes/peilmaten zijn t.o.v.: N.A.P.

Inheinniveau [m]	Effectief inheinniveau [m]	E.G. paal [kN]	$R_{t,cal;k}$ [kN]	$R_{t;d}$ [kN]	$F_{t,tot;1}$ [kN]	U.C.
21.17	21.17	28.9	339.0	339.0	0.0	0.00

Sondering : S043-2

Alle niveaus/hogtes/peilmaten zijn t.o.v.: N.A.P.

Inheinniveau [m]	Effectief inheinniveau [m]	E.G. paal [kN]	$R_{t,cal;k}$ [kN]	$R_{t;d}$ [kN]	$F_{t,tot;1}$ [kN]	U.C.
21.17	21.17	29.4	362.8	362.8	0.0	0.00

Project :
Onderdeel :

SAMENVATTINGSTABEL Mast 043 (n=1)

Uitgangspunten

- paal : LD1
 - paaltype : Stalen buispaal (gesloten)
 - schachtafmeting : 550 mm
 Paalklassefactor α_p : 1.00
 Factor α_t (tabel 7.c EC 7.1) : 0.0070 (zandlagen; voor kleilagen zie tabel 7.d)
 Correlatiefactor $\xi_{3(n=1)}$: 1.39

Alle niveaus/hogtes/peilmaten zijn t.o.v.: N.A.P.

sondering	maaiveld paalpunt		Bezwijkdraagvermogen $R_{t,cal}$ [kN]	Rekenwaarden		
	niveau	niveau		$R_{t,d}$ [kN]	$R_{t,netto,d}$ [kN]	
S043-1	30.06	21.17	339.0	339.0	339.0	
S043-2	29.87	21.17	362.8	362.8	362.8	

Project :
Onderdeel :

SAMENVATTINGSTABEL Mast 043 (van 2 sonderingen)**Uitgangspunten**

- paal : LD1
 - paaltype : Stalen buispaal (gesloten)
 - schachtafmeting : 550 mm
 Paalklassefactor α_p : 1.00
 Factor α_t (tabel 7.c EC 7.1) : 0.0070 (zandlagen; voor kleilagen zie tabel 7.d)
 Correlatiefactor $\xi_{3gem}(n=2)$: 1.32
 Correlatiefactor $\xi_{4min}(n=2)$: 1.32

Alle niveaus/hogtes/peilmaten zijn t.o.v.: N.A.P.

sondering	maaiveld niveau	paalpunt niveau	Bezuikdraagvermogen E.G. paal [kN]	$R_{t,cal}$ [kN]
-----------	--------------------	--------------------	--	---------------------

met ξ_3 (gem) = 1.32

S043-1	30.06	21.17	28.9	355.5
--------	-------	-------	------	-------

S043-2	29.87	21.17	28.9	380.5
--------	-------	-------	------	-------

		21.17	$R_{t,cal,gem}$	368.0
--	--	-------	-----------------	-------

met ξ_4 (min) = 1.32

S043-1	30.06	21.17	28.9	355.5
--------	-------	-------	------	-------

S043-2	29.87	21.17	28.9	380.5
--------	-------	-------	------	-------

		21.17	$R_{t,cal,min}$	355.5
--	--	-------	-----------------	-------

Totaal resultaten Mast 043 (van 2 sonderingen)

Uitgangspunten

Correlatiefactor $\xi_{3gem}(n=2)$: 1.32

Correlatiefactor $\xi_{4min}(n=2)$: 1.32

gebaseerd op sonderingen:

S043-1 S043-2

$R_{t,d} = \min.\{ R_{t,cal,gem}; R_{t,cal,min} \}$ (7.17) *)

Inheinniveau

[m]

21.17	$R_{t,d} = \min.\{ 368.0; 355.5 \}$	=	355.5
-------	-------------------------------------	---	-------

*) Bij de trekpaalberekening zijn factoren ξ_3 en ξ_4 al bij de berekening van de conusweerstand $q_{c,z;d}$ in rekening gebracht, evenals factor $\gamma_{s;t}$. Dat is conform de opmerkingen in art. 7.6.3.3 (3) en (4).

Alle niveaus/hogtes/peilmaten zijn t.o.v.: N.A.P.

Inheinniveau [m]	$R_{t,k}$ [kN]	$R_{t,d}$ [kN]	$F_{t,tot;1}$ [kN]	$R_{t,netto;d}$ [kN]	U.C.
21.17	355.5	355.5	0.0	355.5	0.00

REKENGEGEVENS Mast 044

Berekening : Controlerend

Rekenmethode : Trekpalen volgens NEN-EN 1997-1, art. 7.6.3

Sondering(en) : S044-1, S044-2

Let op: trekcapaciteit t.p.v. negatief kleeftraject is meegerekend.

Stijf bouwwerk : NEE

Paalgroep : NEE

Aantal sonderingen : 2

Factor ξ_3 (n=1) : 1.39

Factor ξ_3 (gem) : 1.32

Factor ξ_4 (min) : 1.32

Weerstandsfactor γ_R : 1.35

$\gamma_{m,var;q_c}$: 1.50

UGT draagvermogen zonder negatieve kleef : NEE

Paal : LD1

Niveau paalkop [m] : N.A.P. 30.61

Paalpuntniveau : N.A.P. 22.21

$E_{d,1}$ [kN] : 0.00

Bovenbel. [kN/m²] : 0.00

$E_{d,2}$ [kN] : 0.00

Project :
Onderdeel :

RESULTATEN Mast 044 (n=1)**Sondering : S044-1**

Alle niveaus/hogtes/peilmaten zijn t.o.v.: N.A.P.

Inheinniveau [m]	Effectief inheinniveau [m]	E.G. paal [kN]	$R_{t,cal;k}$ [kN]	$R_{t;d}$ [kN]	$F_{t,tot;1}$ [kN]	U.C.
22.21	22.21	27.0	450.8	450.8	0.0	0.00

Sondering : S044-2

Alle niveaus/hogtes/peilmaten zijn t.o.v.: N.A.P.

Inheinniveau [m]	Effectief inheinniveau [m]	E.G. paal [kN]	$R_{t,cal;k}$ [kN]	$R_{t;d}$ [kN]	$F_{t,tot;1}$ [kN]	U.C.
22.21	22.21	27.0	371.8	371.8	0.0	0.00

Project :
Onderdeel :

SAMENVATTINGSTABEL Mast 044 (n=1)

Uitgangspunten

- paal : LD1
 - paaltype : Stalen buispaal (gesloten)
 - schachtafmeting : 550 mm
 Paalklassefactor α_p : 1.00
 Factor α_t (tabel 7.c EC 7.1) : 0.0070 (zandlagen; voor kleilagen zie tabel 7.d)
 Correlatiefactor $\xi_{3(n=1)}$: 1.39

Alle niveaus/hogtes/peilmaten zijn t.o.v.: N.A.P.

sondering	maaiveld paalpunt		Bezwijkdraagvermogen $R_{t,cal}$ [kN]	Rekenwaarden		
	niveau	niveau		$R_{t;d}$ [kN]	$R_{t,netto;d}$ [kN]	
S044-1	30.26	22.21	450.8	450.8	450.8	
S044-2	30.19	22.21	371.8	371.8	371.8	

Project :
Onderdeel :

SAMENVATTINGSTABEL Mast 044 (van 2 sonderingen)**Uitgangspunten**

- paal : LD1
 - paaltype : Stalen buispaal (gesloten)
 - schachtafmeting : 550 mm
 Paalklassefactor α_p : 1.00
 Factor α_t (tabel 7.c EC 7.1) : 0.0070 (zandlagen; voor kleilagen zie tabel 7.d)
 Correlatiefactor $\xi_{3gem}(n=2)$: 1.32
 Correlatiefactor $\xi_{4min}(n=2)$: 1.32

Alle niveaus/hogtes/peilmaten zijn t.o.v.: N.A.P.

sondering	maaiveld	paalpunt	Bezwijkdraagvermogen	
	niveau	niveau	E.G. paal	$R_{t,cal}$
			[kN]	[kN]

met ξ_3 (gem) = 1.32

S044-1	30.26	22.21	27.0	473.3
--------	-------	-------	------	-------

S044-2	30.19	22.21	27.0	390.1
--------	-------	-------	------	-------

		22.21	$R_{t,cal,gem}$	431.7
--	--	-------	-----------------	-------

met ξ_4 (min) = 1.32

S044-1	30.26	22.21	27.0	473.3
--------	-------	-------	------	-------

S044-2	30.19	22.21	27.0	390.1
--------	-------	-------	------	-------

		22.21	$R_{t,cal,min}$	390.1
--	--	-------	-----------------	-------

Totaal resultaten Mast 044 (van 2 sonderingen)

Uitgangspunten

Correlatiefactor $\xi_{3gem}(n=2)$: 1.32

Correlatiefactor $\xi_{4min}(n=2)$: 1.32

gebaseerd op sonderingen:

S044-1 S044-2

$R_{t,d} = \min.\{ R_{t,cal,gem}; R_{t,cal,min} \}$ (7.17) *

Inheinniveau

[m]

22.21	$R_{t,d} = \min.\{ 431.7; 390.1 \} = 390.1$
-------	---

* Bij de trekpaalberekening zijn factoren ξ_3 en ξ_4 al bij de berekening van de conusweerstand $q_{c;z,d}$ in rekening gebracht, evenals factor $\gamma_{s;t}$. Dat is conform de opmerkingen in art. 7.6.3.3 (3) en (4).

Alle niveaus/hogtes/peilmaten zijn t.o.v.: N.A.P.

Inheinniveau	$R_{t,k}$	$R_{t,d}$	$F_{t,tot;1}$	$R_{t,netto;d}$	U.C.
[m]	[kN]	[kN]	[kN]	[kN]	
22.21	390.1	390.1	0.0	390.1	0.00 *

*** WAARSCHUWING n.a.v. NEN-NA 1997-1 art. A.3.3.3 1)**

Bij toepassing van de waarden van ξ_1 , ξ_2 , ξ_3 en ξ_4 van de tabellen A.9 en A.10 mag de variatiecoëfficiënt van de draagkracht van palen in een groep, bepaald volgens de verschillende voor deze groep geldende sonderingen, niet groter zijn dan 12%. Deze variatiecoëfficiënt van 12% geeft bij een kans van onderschrijding van 5% een minimumdraagkracht groter dan 80% van het gemiddelde.

Inheinniveau	Aantal	$R_{t,cal,gem}$	Var.coëff.
[m]	[-]	[kN]	[%]
22.21	2	431.69	13.6

Project :
Onderdeel :

REKENGEDEVENS Mast 045

Berekening : Controlerend
Rekenmethode : Trekpalen volgens NEN-EN 1997-1, art. 7.6.3
Sondering(en) : S045-1, S045-2
Let op: trekcapaciteit t.p.v. negatief kleeftraject is meegerekend.

Stijf bouwwerk : NEE
Paalgroep : NEE
Aantal sonderingen : 2
Factor ξ_3 (n=1) : 1.39
Factor ξ_3 (gem) : 1.32
Factor ξ_4 (min) : 1.32
Weerstandsfactor γ_R : 1.35
 $\gamma_{m,var;q,c}$: 1.50
UGT draagvermogen zonder negatieve kleef : NEE

Paal : LD1
Niveau paalkop [m] : N.A.P. 30.68
Paalpuntniveau : N.A.P. 19.38
 $E_{d,1}$ [kN] : 0.00 $E_{d,2}$ [kN] : 0.00
Bovenbel. [kN/m²] : 0.00

RESULTATEN Mast 045 (n=1)**Sondering : S045-1**

Alle niveaus/hogtes/peilmaten zijn t.o.v.: N.A.P.

Inheinniveau [m]	Effectief inheinniveau [m]	E.G. paal [kN]	$R_{t,cal;k}$ [kN]	$R_{t;d}$ [kN]	$F_{t,tot;1}$ [kN]	U.C.
19.38	19.38	34.7	430.2	430.2	0.0	0.00

Sondering : S045-2

Alle niveaus/hogtes/peilmaten zijn t.o.v.: N.A.P.

Inheinniveau [m]	Effectief inheinniveau [m]	E.G. paal [kN]	$R_{t,cal;k}$ [kN]	$R_{t;d}$ [kN]	$F_{t,tot;1}$ [kN]	U.C.
19.38	19.38	35.1	397.0	397.0	0.0	0.00

Project :
Onderdeel :

SAMENVATTINGSTABEL Mast 045 (n=1)

Uitgangspunten

- paal : LD1
 - paaltype : Stalen buispaal (gesloten)
 - schachtafmeting : 550 mm
 Paalklassefactor α_p : 1.00
 Factor α_t (tabel 7.c EC 7.1) : 0.0070 (zandlagen; voor kleilagen zie tabel 7.d)
 Correlatiefactor $\xi_{3(n=1)}$: 1.39

Alle niveaus/hogtes/peilmaten zijn t.o.v.: N.A.P.

sondering	maaiveld paalpunt		Bezwijkdraagvermogen $R_{t,cal}$ [kN]	Rekenwaarden		
	niveau	niveau		$R_{t,d}$ [kN]	$R_{t,netto,d}$ [kN]	
S045-1	30.42	19.38	430.2	430.2	430.2	
S045-2	30.26	19.38	397.0	397.0	397.0	

Project :
Onderdeel :

SAMENVATTINGSTABEL Mast 045 (van 2 sonderingen)**Uitgangspunten**

- paal : LD1
 - paaltype : Stalen buispaal (gesloten)
 - schachtafmeting : 550 mm
 Paalklassefactor α_p : 1.00
 Factor α_t (tabel 7.c EC 7.1) : 0.0070 (zandlagen; voor kleilagen zie tabel 7.d)
 Correlatiefactor $\xi_{3gem}(n=2)$: 1.32
 Correlatiefactor $\xi_{4min}(n=2)$: 1.32

Alle niveaus/hogtes/peilmaten zijn t.o.v.: N.A.P.

sondering	maai veld	paalpunt	Bezuikdraagvermogen
	niveau	niveau	E.G. paal $R_{t,cal}$
			[kN] [kN]

met ξ_3 (gem) = 1.32

S045-1	30.42	19.38	34.7	451.2
--------	-------	-------	------	-------

S045-2	30.26	19.38	34.7	416.2
--------	-------	-------	------	-------

		19.38	$R_{t,cal,gem}$	433.7
--	--	-------	-----------------	-------

met ξ_4 (min) = 1.32

S045-1	30.42	19.38	34.7	451.2
--------	-------	-------	------	-------

S045-2	30.26	19.38	34.7	416.2
--------	-------	-------	------	-------

		19.38	$R_{t,cal,min}$	416.2
--	--	-------	-----------------	-------

Totaal resultaten Mast 045 (van 2 sonderingen)

Uitgangspunten

Correlatiefactor $\xi_{3gem}(n=2)$: 1.32
 Correlatiefactor $\xi_{4min}(n=2)$: 1.32

gebaseerd op sonderingen:
 S045-1 S045-2

$R_{t,d} = \min.\{ R_{t,cal,gem}; R_{t,cal,min} \}$ (7.17) *)

Inheinniveau
 [m]

19.38	$R_{t,d} = \min.\{ 433.7; 416.2 \} = 416.2$
-------	---

*) Bij de trekpaalberekening zijn factoren ξ_3 en ξ_4 al bij de berekening van de conusweerstand $q_{c;z,d}$ in rekening gebracht, evenals factor $\gamma_{s;t}$. Dat is conform de opmerkingen in art. 7.6.3.3 (3) en (4).

Alle niveaus/hogtes/peilmaten zijn t.o.v.: N.A.P.

Inheinniveau	$R_{t,k}$	$R_{t,d}$	$F_{t,tot;1}$	$R_{t,netto;d}$	U.C.
[m]	[kN]	[kN]	[kN]	[kN]	
19.38	416.2	416.2	0.0	416.2	0.00

REKENGEGEVENS Mast 046

Berekening : Controlerend
 Rekenmethode : Trekpalen volgens NEN-EN 1997-1, art. 7.6.3
 Sondering(en) : S046-1, S046-2
 Let op: trekcapaciteit t.p.v. negatief kleeftraject is meegerekend.

Stijf bouwwerk : NEE
 Paalgroep : NEE
 Aantal sonderingen : 2
 Factor ξ_3 (n=1) : 1.39
 Factor ξ_3 (gem) : 1.32
 Factor ξ_4 (min) : 1.32
 Weerstandsfactor γ_R : 1.35
 $\gamma_{m,var;q_c}$: 1.50
 UGT draagvermogen zonder negatieve kleef : NEE

Paal : LD1

Niveau paalkop [m] : N.A.P. 31.23

Paalpuntniveau : N.A.P. 22.23

$E_{d,1}$ [kN] : 0.00

Bovenbel. [kN/m²] : 0.00

$E_{d,2}$ [kN] : 0.00

Project :
Onderdeel :

RESULTATEN Mast 046 (n=1)**Sondering : S046-1**

Alle niveaus/hogtes/peilmaten zijn t.o.v.: N.A.P.

Inheinniveau [m]	Effectief inheinniveau [m]	E.G. paal [kN]	$R_{t,cal;k}$ [kN]	$R_{t;d}$ [kN]	$F_{t,tot;1}$ [kN]	U.C.
22.23	22.23	27.8	336.9	336.9	0.0	0.00

Sondering : S046-2

Alle niveaus/hogtes/peilmaten zijn t.o.v.: N.A.P.

Inheinniveau [m]	Effectief inheinniveau [m]	E.G. paal [kN]	$R_{t,cal;k}$ [kN]	$R_{t;d}$ [kN]	$F_{t,tot;1}$ [kN]	U.C.
22.23	22.23	28.4	342.2	342.2	0.0	0.00

Project :
Onderdeel :

SAMENVATTINGSTABEL Mast 046 (n=1)**Uitgangspunten**

- paal : LD1
 - paaltype : Stalen buispaal (gesloten)
 - schachtafmeting : 550 mm
 Paalklassefactor α_p : 1.00
 Factor α_t (tabel 7.c EC 7.1) : 0.0070 (zandlagen; voor kleilagen zie tabel 7.d)
 Correlatiefactor $\xi_{3(n=1)}$: 1.39

Alle niveaus/hogtes/peilmaten zijn t.o.v.: N.A.P.

sondering	maaiveld paalpunt		Bezwijkdraagvermogen $R_{t,cal}$ [kN]	Rekenwaarden		
	niveau	niveau		$R_{t,d}$ [kN]	$R_{t,netto,d}$ [kN]	
S046-1	31.15	22.23	336.9	336.9	336.9	
S046-2	30.93	22.23	342.2	342.2	342.2	

Project :
Onderdeel :

SAMENVATTINGSTABEL Mast 046 (van 2 sonderingen)**Uitgangspunten**

- paal : LD1
- paaltype : Stalen buispaal (gesloten)
- schachtafmeting : 550 mm
Paalklassefactor α_p : 1.00
Factor α_t (tabel 7.c EC 7.1) : 0.0070 (zandlagen; voor kleilagen zie tabel 7.d)
Correlatiefactor $\xi_{3gem}(n=2)$: 1.32
Correlatiefactor $\xi_{4min}(n=2)$: 1.32

Alle niveaus/hogtes/peilmaten zijn t.o.v.: N.A.P.

sondering	maaiveld paalpunt		Bezwijkdraagvermogen	
	niveau	niveau	E.G. paal	$R_{t,cal}$
			[kN]	[kN]

met $\xi_3(gem) = 1.32$

S046-1	31.15	22.23	27.8	353.3
--------	-------	-------	------	-------

S046-2	30.93	22.23	27.8	358.8
--------	-------	-------	------	-------

	22.23		$R_{t,cal,gem}$	356.1
--	-------	--	-----------------	-------

met $\xi_4(min) = 1.32$

S046-1	31.15	22.23	27.8	353.3
--------	-------	-------	------	-------

S046-2	30.93	22.23	27.8	358.8
--------	-------	-------	------	-------

	22.23		$R_{t,cal,min}$	353.3
--	-------	--	-----------------	-------

Totaal resultaten Mast 046 (van 2 sonderingen)

Uitgangspunten

Correlatiefactor $\xi_{3gem}(n=2)$: 1.32

Correlatiefactor $\xi_{4min}(n=2)$: 1.32

gebaseerd op sonderingen:

S046-1 S046-2

$R_{t,d} = \min.\{ R_{t,cal,gem}; R_{t,cal,min} \} (7.17) *$

Inheinniveau
[m]

22.23	$R_{t,d} = \min.\{ 356.1; 353.3 \} =$	353.3
-------	---------------------------------------	-------

* Bij de trekpaalberekening zijn factoren ξ_3 en ξ_4 al bij de berekening van de conusweerstand $q_{c;z;d}$ in rekening gebracht, evenals factor $\gamma_{s;t}$. Dat is conform de opmerkingen in art. 7.6.3.3 (3) en (4).

Alle niveaus/hogtes/peilmaten zijn t.o.v.: N.A.P.

Inheinniveau	$R_{t;k}$	$R_{t;d}$	$F_{t,tot;1}$	$R_{t,netto;d}$	U.C.
[m]	[kN]	[kN]	[kN]	[kN]	
22.23	353.3	353.3	0.0	353.3	0.00

REKENGEGEVENS Mast 047

Berekening : Controlerend
Rekenmethode : Trekpalen volgens NEN-EN 1997-1, art. 7.6.3
Sondering(en) : S047-1, S047-2
Let op: trekcapaciteit t.p.v. negatief kleeftraject is meegerekend.

Stijf bouwwerk : NEE
Paalgroep : NEE
Aantal sonderingen : 2
Factor $\xi_3(n=1)$: 1.39
Factor $\xi_3(gem)$: 1.32
Factor $\xi_4(min)$: 1.32
Weerstandsfactor γ_R : 1.35
 $\gamma_{m,var;q_c}$: 1.50
UGT draagvermogen zonder negatieve kleef : NEE

Paal : LD1

Niveau paalkop [m] : N.A.P. 31.36

Paalpuntniveau : N.A.P. 22.36

$E_{d;1}$ [kN] : 0.00

Bovenbel. [kN/m²] : 0.00

$E_{d;2}$ [kN] : 0.00

Project :
Onderdeel :

RESULTATEN Mast 047 (n=1)**Sondering : S047-1**

Alle niveaus/hogtes/peilmaten zijn t.o.v.: N.A.P.

Inheinniveau [m]	Effectief inheinniveau [m]	E.G. paal [kN]	$R_{t,cal;k}$ [kN]	$R_{t;d}$ [kN]	$F_{t,tot;1}$ [kN]	U.C.
22.36	22.36	28.5	306.1	306.1	0.0	0.00

Sondering : S047-2

Alle niveaus/hogtes/peilmaten zijn t.o.v.: N.A.P.

Inheinniveau [m]	Effectief inheinniveau [m]	E.G. paal [kN]	$R_{t,cal;k}$ [kN]	$R_{t;d}$ [kN]	$F_{t,tot;1}$ [kN]	U.C.
22.36	22.36	28.4	361.7	361.7	0.0	0.00

Project :
Onderdeel :

SAMENVATTINGSTABEL Mast 047 (n=1)**Uitgangspunten**

- paal : LD1
 - paaltype : Stalen buispaal (gesloten)
 - schachtafmeting : 550 mm
 Paalklassefactor α_p : 1.00
 Factor α_t (tabel 7.c EC 7.1) : 0.0070 (zandlagen; voor kleilagen zie tabel 7.d)
 Correlatiefactor $\xi_{3(n=1)}$: 1.39

Alle niveaus/hogtes/peilmaten zijn t.o.v.: N.A.P.

sondering	maaiveld paalpunt		Bezwijkdraagvermogen $R_{t,cal}$ [kN]	Rekenwaarden		
	niveau	niveau		$R_{t;d}$ [kN]	$R_{t,netto;d}$ [kN]	
S047-1	31.00	22.36	306.1	306.1	306.1	
S047-2	31.04	22.36	361.7	361.7	361.7	

Project :
Onderdeel :

SAMENVATTINGSTABEL Mast 047 (van 2 sonderingen)**Uitgangspunten**

- paal : LD1
 - paaltype : Stalen buispaal (gesloten)
 - schachtafmeting : 550 mm
 Paalklassefactor α_p : 1.00
 Factor α_t (tabel 7.c EC 7.1) : 0.0070 (zandlagen; voor kleilagen zie tabel 7.d)
 Correlatiefactor $\xi_{3gem}(n=2)$: 1.32
 Correlatiefactor $\xi_{4min}(n=2)$: 1.32

Alle niveaus/hogtes/peilmaten zijn t.o.v.: N.A.P.

sondering	maaiveld	paalpunt	Bezuikdraagvermogen
	niveau	niveau	E.G. paal $R_{t,cal}$
			[kN] [kN]

met ξ_3 (gem) = 1.32

S047-1	31.00	22.36	28.5	320.9
--------	-------	-------	------	-------

S047-2	31.04	22.36	28.5	379.4
--------	-------	-------	------	-------

		22.36	$R_{t,cal,gem}$	350.1
--	--	-------	-----------------	-------

met ξ_4 (min) = 1.32

S047-1	31.00	22.36	28.5	320.9
--------	-------	-------	------	-------

S047-2	31.04	22.36	28.5	379.4
--------	-------	-------	------	-------

		22.36	$R_{t,cal,min}$	320.9
--	--	-------	-----------------	-------

Totaal resultaten Mast 047 (van 2 sonderingen)

Uitgangspunten

Correlatiefactor $\xi_{3gem}(n=2)$: 1.32

Correlatiefactor $\xi_{4min}(n=2)$: 1.32

gebaseerd op sonderingen:

S047-1 S047-2

$R_{t,d} = \min. \{ R_{t,cal,gem}; R_{t,cal,min} \}$ (7.17) *)

Inheinniveau

[m]

22.36	$R_{t,d} = \min. \{ 350.1; 320.9 \} =$	320.9
-------	--	-------

*) Bij de trekpaalberekening zijn factoren ξ_3 en ξ_4 al bij de berekening van de conusweerstand $q_{c,z;d}$ in rekening gebracht, evenals factor $\gamma_{s;t}$. Dat is conform de opmerkingen in art. 7.6.3.3 (3) en (4).

Alle niveaus/hogtes/peilmaten zijn t.o.v.: N.A.P.

Inheinniveau	$R_{t,k}$	$R_{t,d}$	$F_{t,tot;1}$	$R_{t,netto;d}$	U.C.
[m]	[kN]	[kN]	[kN]	[kN]	
22.36	320.9	320.9	0.0	320.9	0.00

REKENGEDEVENS Mast 048

Berekening : Controlerend

Rekenmethode : Trekpalen volgens NEN-EN 1997-1, art. 7.6.3

Sondering(en) : S048-1, S048-2

Let op: trekcapaciteit t.p.v. negatief kleeftraject is meegerekend.

Stijf bouwwerk : NEE

Paalgroep : NEE

Aantal sonderingen : 2

Factor ξ_3 (n=1) : 1.39

Factor ξ_3 (gem) : 1.32

Factor ξ_4 (min) : 1.32

Weerstandsfactor γ_R : 1.35

$\gamma_{m,var;q_c}$: 1.50

UGT draagvermogen zonder negatieve kleeft : NEE

Paal : LD1

Niveau paalkop [m] : N.A.P. 31.88

Paalpuntniveau : N.A.P. 21.18

$E_{d,1}$ [kN] : 0.00

Bovenbel. [kN/m²] : 0.00

$E_{d,2}$ [kN] : 0.00

Project :
Onderdeel :

RESULTATEN Mast 048 (n=1)**Sondering : S048-1**

Alle niveaus/hogtes/peilmaten zijn t.o.v.: N.A.P.

Inheinniveau [m]	Effectief inheinniveau [m]	E.G. paal [kN]	$R_{t,cal;k}$ [kN]	$R_{t;d}$ [kN]	$F_{t,tot;1}$ [kN]	U.C.
21.18	21.18	33.6	398.1	398.1	0.0	0.00

Sondering : S048-2

Alle niveaus/hogtes/peilmaten zijn t.o.v.: N.A.P.

Inheinniveau [m]	Effectief inheinniveau [m]	E.G. paal [kN]	$R_{t,cal;k}$ [kN]	$R_{t;d}$ [kN]	$F_{t,tot;1}$ [kN]	U.C.
21.18	21.18	33.6	531.2	531.2	0.0	0.00

Project :
Onderdeel :

SAMENVATTINGSTABEL Mast 048 (n=1)**Uitgangspunten**

- paal : LD1
 - paaltype : Stalen buispaal (gesloten)
 - schachtafmeting : 550 mm
 Paalklassefactor α_p : 1.00
 Factor α_t (tabel 7.c EC 7.1) : 0.0070 (zandlagen; voor kleilagen zie tabel 7.d)
 Correlatiefactor $\xi_{3(n=1)}$: 1.39

Alle niveaus/hogtes/peilmaten zijn t.o.v.: N.A.P.

sondering	maaiveld paalpunt		Bezwijkdraagvermogen $R_{t,cal}$ [kN]	Rekenwaarden		
	niveau	niveau		$R_{t,d}$ [kN]	$R_{t,netto,d}$ [kN]	
S048-1	31.37	21.18	398.1	398.1	398.1	
S048-2	31.38	21.18	531.2	531.2	531.2	

Project :
Onderdeel :

SAMENVATTINGSTABEL Mast 048 (van 2 sonderingen)**Uitgangspunten**

- paal : LD1
 - paaltype : Stalen buispaal (gesloten)
 - schachtafmeting : 550 mm
 Paalklassefactor α_p : 1.00
 Factor α_t (tabel 7.c EC 7.1) : 0.0070 (zandlagen; voor kleilagen zie tabel 7.d)
 Correlatiefactor $\xi_{3gem}(n=2)$: 1.32
 Correlatiefactor $\xi_{4min}(n=2)$: 1.32

Alle niveaus/hogtes/peilmaten zijn t.o.v.: N.A.P.

sondering	maaiveld paalpunt		Bezwijkdraagvermogen	
	niveau	niveau	E.G. paal	$R_{t,cal}$
			[kN]	[kN]

met ξ_3 (gem) = 1.32

S048-1	31.37	21.18	33.6	417.4
S048-2	31.38	21.18	33.6	557.6

	21.18		$R_{t,cal,gem}$	487.5
--	-------	--	-----------------	-------

met ξ_4 (min) = 1.32

S048-1	31.37	21.18	33.6	417.4
S048-2	31.38	21.18	33.6	557.6

	21.18		$R_{t,cal,min}$	417.4
--	-------	--	-----------------	-------

Totaal resultaten Mast 048 (van 2 sonderingen)

Uitgangspunten

Correlatiefactor $\xi_{3gem}(n=2)$: 1.32
 Correlatiefactor $\xi_{4min}(n=2)$: 1.32

gebaseerd op sonderingen:
 S048-1 S048-2

$$R_{t,d} = \min.\{ R_{t,cal,gem}; R_{t,cal,min} \} (7.17) *$$

Inheinniveau
 [m]

21.18	$R_{t,d} = \min.\{ 487.5; 417.4 \} =$	417.4
-------	---------------------------------------	-------

*) Bij de trekpaalberekening zijn factoren ξ_3 en ξ_4 al bij de berekening van de conusweerstand $q_{c;z;d}$ in rekening gebracht, evenals factor $\gamma_{s;t}$. Dat is conform de opmerkingen in art. 7.6.3.3 (3) en (4).

Alle niveaus/hogtes/peilmaten zijn t.o.v.: N.A.P.

Inheinniveau	$R_{t,k}$	$R_{t,d}$	$F_{t,tot;1}$	$R_{t,netto;d}$	U.C.
[m]	[kN]	[kN]	[kN]	[kN]	
21.18	417.4	417.4	0.0	417.4	0.00 *

*** WAARSCHUWING n.a.v. NEN-NA 1997-1 art. A.3.3.3 1)**

Bij toepassing van de waarden van ξ_1 , ξ_2 , ξ_3 en ξ_4 van de tabellen A.9 en A.10 mag de variatiecoëfficiënt van de draagkracht van palen in een groep, bepaald volgens de verschillende voor deze groep geldende sonderingen, niet groter zijn dan 12%. Deze variatiecoëfficiënt van 12% geeft bij een kans van onderschrijding van 5% een minimumdraagkracht groter dan 80% van het gemiddelde.

Inheinniveau	Aantal	$R_{t,cal,gem}$	Var.coëff.
[m]	[-]	[kN]	[%]
21.18	2	487.48	20.3

Project :
Onderdeel :

REKENGEDEVENS Mast 049

Berekening : Controlerend
Rekenmethode : Trekpalen volgens NEN-EN 1997-1, art. 7.6.3
Sondering(en) : S049-1, S049-2
Let op: trekcapaciteit t.p.v. negatief kleeftraject is meegerekend.

Stijf bouwwerk : NEE
Paalgroep : NEE
Aantal sonderingen : 2
Factor ξ_3 (n=1) : 1.39
Factor ξ_3 (gem) : 1.32
Factor ξ_4 (min) : 1.32
Weerstandsfactor γ_R : 1.35
 $\gamma_{m,var;q,c}$: 1.50
UGT draagvermogen zonder negatieve kleeft : NEE

Paal : LD1
Niveau paalkop [m] : N.A.P. 31.41
Paalpuntniveau : N.A.P. 21.91
 $E_{d,1}$ [kN] : 0.00 $E_{d,2}$ [kN] : 0.00
Bovenbel. [kN/m²] : 0.00

RESULTATEN Mast 049 (n=1)**Sondering : S049-1**

Alle niveaus/hogtes/peilmaten zijn t.o.v.: N.A.P.

Inheinniveau [m]	Effectief inheinniveau [m]	E.G. paal [kN]	$R_{t,cal;k}$ [kN]	$R_{t;d}$ [kN]	$F_{t,tot;1}$ [kN]	U.C.
21.91	21.91	30.3	417.5	417.5	0.0	0.00

Sondering : S049-2

Alle niveaus/hogtes/peilmaten zijn t.o.v.: N.A.P.

Inheinniveau [m]	Effectief inheinniveau [m]	E.G. paal [kN]	$R_{t,cal;k}$ [kN]	$R_{t;d}$ [kN]	$F_{t,tot;1}$ [kN]	U.C.
21.91	21.91	29.7	375.5	375.5	0.0	0.00

Project :
Onderdeel :

SAMENVATTINGSTABEL Mast 049 (n=1)

Uitgangspunten

- paal : LD1
 - paaltype : Stalen buispaal (gesloten)
 - schachtafmeting : 550 mm
 Paalklassefactor α_p : 1.00
 Factor α_t (tabel 7.c EC 7.1) : 0.0070 (zandlagen; voor kleilagen zie tabel 7.d)
 Correlatiefactor $\xi_{3(n=1)}$: 1.39

Alle niveaus/hogtes/peilmaten zijn t.o.v.: N.A.P.

sondering	maaiveld paalpunt		Bezwijkdraagvermogen $R_{t,cal}$ [kN]	Rekenwaarden		
	niveau	niveau		$R_{t,d}$ [kN]	$R_{t,netto,d}$ [kN]	
S049-1	30.90	21.91	417.5	417.5	417.5	
S049-2	31.12	21.91	375.5	375.5	375.5	

Project :
Onderdeel :

SAMENVATTINGSTABEL Mast 049 (van 2 sonderingen)**Uitgangspunten**

- paal : LD1
 - paaltype : Stalen buispaal (gesloten)
 - schachtafmeting : 550 mm
 Paalklassefactor α_p : 1.00
 Factor α_t (tabel 7.c EC 7.1) : 0.0070 (zandlagen; voor kleilagen zie tabel 7.d)
 Correlatiefactor $\xi_{3gem}(n=2)$: 1.32
 Correlatiefactor $\xi_{4min}(n=2)$: 1.32

Alle niveaus/hogtes/peilmaten zijn t.o.v.: N.A.P.

sondering	maaiveld	paalpunt	Bezuikdraagvermogen
	niveau	niveau	E.G. paal $R_{t,cal}$
			[kN] [kN]

met $\xi_3(gem) = 1.32$

S049-1	30.90	21.91	30.3	438.1
--------	-------	-------	------	-------

S049-2	31.12	21.91	30.3	393.8
--------	-------	-------	------	-------

		21.91	$R_{t,cal,gem}$	415.9
--	--	-------	-----------------	-------

met $\xi_4(min) = 1.32$

S049-1	30.90	21.91	30.3	438.1
--------	-------	-------	------	-------

S049-2	31.12	21.91	30.3	393.8
--------	-------	-------	------	-------

		21.91	$R_{t,cal,min}$	393.8
--	--	-------	-----------------	-------

Totaal resultaten Mast 049 (van 2 sonderingen)

Uitgangspunten

Correlatiefactor $\xi_{3gem}(n=2)$: 1.32

Correlatiefactor $\xi_{4min}(n=2)$: 1.32

gebaseerd op sonderingen:

S049-1 S049-2

$R_{t,d} = \min.\{ R_{t,cal,gem}; R_{t,cal,min} \} (7.17) *$

Inheinniveau

[m]

21.91	$R_{t,d} = \min.\{ 415.9; 393.8 \} = 393.8$
-------	---

*) Bij de trekpaalberekening zijn factoren ξ_3 en ξ_4 al bij de berekening van de conusweerstand $q_{c;z,d}$ in rekening gebracht, evenals factor $\gamma_{s;t}$. Dat is conform de opmerkingen in art. 7.6.3.3 (3) en (4).

Alle niveaus/hogtes/peilmaten zijn t.o.v.: N.A.P.

Inheinniveau	$R_{t;k}$	$R_{t;d}$	$F_{t,tot;1}$	$R_{t,netto;d}$	U.C.
[m]	[kN]	[kN]	[kN]	[kN]	
21.91	393.8	393.8	0.0	393.8	0.00

PAALGEGEVENS LD1

Type : Stalen buispaal (gesloten)
 Wijze van installeren : Heien
 Diameter [m] : 0.550
 Elasticiteitsmodulus [N/mm²] : 20000
 Factor α_s (tabel 7.c EC 7.1) : 0.010 (zandlagen; voor kleilagen zie tabel 7.d)
 Factor α_t (tabel 7.c EC 7.1) : 0.0070 (zandlagen; voor kleilagen zie tabel 7.d)
 Paalklassefactor α_p : 1.00
 Paalvoetvormfactor β : 1.00
 Type lastzakingsdiagram : Grondverdringende paal
 Verm.factor * $\phi'_{j;k}$: 0.75
 Groutomhulling : NEE

Project :
Onderdeel :

OVERZICHT NETTO DRAAGVERMOGEN TREKPALEN (n=1)

Netto paal draagvermogen(s) zijn naar beneden toe afgerond op: 1.0 kN nauwkeurig
Alle niveaus/hoogtes/peilmaten zijn t.o.v.: N.A.P.

sondering	maaiveld paalpunt		$R_{t, netto; d}$ [kN]				
	niveau	niveau	Mast 040	Mast 041	Mast 042	Mast 043	Mast 044
S042-1	30.69	21.46			409		
S042-2	30.69	21.46			452		
S041-1	29.64	21.19		348			
S041-2	29.79	21.19		398			
S043-1	30.06	21.17				339	
S043-2	29.87	21.17				362	
S040-1	29.25	22.50	354				
S040-2	29.27	22.50	309				
S044-1	30.26	22.21					450
S044-2	30.19	22.21					371

Project :
Onderdeel :

Netto paal draagvermogen(s) zijn naar beneden toe afgerond op: 1.0 kN nauwkeurig
Alle niveaus/hogtes/peilmaten zijn t.o.v.: N.A.P.

sondering	maaiveld paalpunt		R _{t,netto;d} [kN]				
	niveau	niveau	Mast 045	Mast 046	Mast 047	Mast 048	Mast 049
S045-1	30.42	19.38	430				
S045-2	30.26	19.38	397				
S046-1	31.15	22.23		336			
S046-2	30.93	22.23		342			
S047-1	31.00	22.36			306		
S047-2	31.04	22.36			361		
S048-1	31.37	21.18				398	
S048-2	31.38	21.18				531	
S049-1	30.90	21.91					417
S049-2	31.12	21.91					375

Project :
Onderdeel :

ALGEMENE GEGEVENS

Project :
Onderdeel :
Datum : 04-03-2022
Bestand : P:\EANL_Projects\10166262 - BBB modelleren
funderingen 380 kV\02 Content\03
Calculations\Technosoft
Paalfunderingen\MBT-EHV380\DO\Nieuw
Sonderingen\Mast 050-059.pvw
Berekeningstype : Verticaal belaste paal
Alle niveaus/hogtes/peilmaten zijn t.o.v.: N.A.P.

Toegepaste normen volgens Eurocode met Nederlandse NB

Geotechniek	EN 1997-1:2004	AC:2009	
	NEN-EN 1997-1:2005	C1+A1:2013	NB:2016
	NEN 9997-1:2016	C2:2017	

GRONDSOORTEN

Nr. Omschrijving	$\gamma_{k;1}$ [kN/m ³]	$\gamma_{sat;k;1}$ [kN/m ³]	$\phi'_{k;1}$ [°]	$\gamma_{k;2}$ [kN/m ³]	$\gamma_{sat;k;2}$ [kN/m ³]	$\phi'_{k;2}$ [°]
1 Zand - Schoon - Los	17.00	19.00	30.00	18.00	20.00	32.50
2 Zand - Schoon - Matig	18.00	20.00	32.50	19.00	21.00	35.00
3 Zand - Schoon - Vast	19.00	21.00	35.00	20.00	22.00	40.00
4 Zand - Zwak siltig - Kleiig	18.00	20.00	27.00	19.00	21.00	32.50
5 Zand - Sterk siltig - Kleiig	18.00	20.00	25.00	19.00	21.00	30.00
6 Leem - Zwak zandig - Vast	21.00	21.00	27.50	22.00	22.00	35.00
7 Leem - Sterk zandig	19.00	19.00	27.50	20.00	20.00	35.00
8 Klei - Schoon - Matig	17.00	17.00	17.50	19.00	19.00	17.50
9 Klei - Schoon - Vast	19.00	19.00	17.50	20.00	20.00	25.00
10 Klei - Zwak zandig - Slap	15.00	15.00	22.50	18.00	18.00	22.50
11 Klei - Zwak zandig - Matig	18.00	18.00	22.50	20.00	20.00	22.50
12 Klei - Zwak zandig - Vast	20.00	20.00	22.50	21.00	21.00	27.50
13 Klei - Organisch - Matig	15.00	15.00	15.00	16.00	16.00	15.00
14 Veen - Niet voorbelast - Slap	10.00	10.00	15.00	12.00	12.00	15.00
15 Veen - Matig voorbelast - Matig	12.00	12.00	15.00	13.00	13.00	15.00

BODEMPROFIELGEGEVENS: S056-1

Alle niveaus/hogtes/peilmaten zijn t.o.v.: N.A.P.

d50-reductie is meegenomen overeenkomstig NEN-EN 9997 art. 7.6.2.3 (i)

Hoogte maaiveld [m] : 30.53 Grondwaterstand [m] : 29.53

Laag	Van [m]	Tot [m]	Omschrijving	OCR	Aandeel pos. kleef [%]	α_s	d_{50} [mm]
1	30.53	30.29	Veen - Matig voorbelast - Matig	1.0	50.0		
2	30.29	25.75	Zand - Zwak siltig - Kleiig	1.0	100.0		
3	25.75	25.03	Klei - Schoon - Vast	1.0	50.0		
4	25.03	23.71	Zand - Zwak siltig - Kleiig	1.0	100.0		
5	23.71	23.11	Leem - Zwak zandig - Vast	1.0	50.0		
6	23.11	21.18	Zand - Schoon - Vast	1.0	100.0		
7	21.18	19.66	Zand - Schoon - Los	1.0	100.0		
8	19.66	18.04	Klei - Schoon - Matig	1.0	50.0		
9	18.04	17.66	Zand - Schoon - Vast	1.0	100.0		
10	17.66	16.72	Klei - Zwak zandig - Vast	1.0	50.0		
11	16.72	13.97	Zand - Schoon - Vast	1.0	100.0		
12	13.97	13.08	Zand - Schoon - Matig	1.0	100.0		
13	13.08	12.64	Leem - Zwak zandig - Vast	1.0	50.0		
14	12.64	11.58	Zand - Schoon - Vast	1.0	100.0		
15	11.58	11.42	Zand - Sterk siltig - Kleiig	1.0	100.0		

BODEMPROFIELGEGEVENS: S057-1

Alle niveaus/hogtes/peilmaten zijn t.o.v.: N.A.P.

d50-reductie is meegenomen overeenkomstig NEN-EN 9997 art. 7.6.2.3 (i)

Hoogte maaiveld [m] : 29.29 Grondwaterstand [m] : 28.29

Laag	Van [m]	Tot [m]	Omschrijving	OCR	Aandeel pos. kleef [%]	α_s	d_{50} [mm]
1	29.29	29.03	Veen - Niet voorbelast - Slap	1.0	50.0		
2	29.03	27.95	Leem - Zwak zandig - Vast	1.0	50.0		
3	27.95	26.75	Zand - Schoon - Matig	1.0	100.0		
4	26.75	26.51	Zand - Schoon - Los	1.0	100.0		

Project :
Onderdeel :

Laag	Van [m]	Tot [m]	Omschrijving	OCR	Aandeel pos. kleef [%]	α_s	d_{50} [mm]
5	26.51	26.01	Leem - Zwak zandig - Vast	1.0	50.0		
6	26.01	25.61	Zand - Sterk siltig - Kleiig	1.0	100.0		
7	25.61	24.33	Klei - Zwak zandig - Vast	1.0	50.0		
8	24.33	22.15	Zand - Schoon - Matig	1.0	100.0		
9	22.15	21.17	Leem - Zwak zandig - Vast	1.0	50.0		
10	21.17	19.05	Zand - Schoon - Matig	1.0	100.0		
11	19.05	18.81	Zand - Zwak siltig - Kleiig	1.0	100.0		
12	18.81	18.21	Klei - Schoon - Vast	1.0	50.0		
13	18.21	17.77	Zand - Schoon - Vast	1.0	100.0		
14	17.77	17.13	Klei - Schoon - Vast	1.0	50.0		
15	17.13	12.52	Zand - Schoon - Vast	1.0	100.0		

BODEMPROFIELGEGEVENS: S057-2

Alle niveaus/hogtes/peilmaten zijn t.o.v.: N.A.P.

d50-reductie is meegenomen overeenkomstig NEN-EN 9997 art. 7.6.2.3 (i)

Hoogte maaiveld [m] : 29.43 Grondwaterstand [m] : 28.43

Laag	Van [m]	Tot [m]	Omschrijving	OCR	Aandeel pos. kleef [%]	α_s	d_{50} [mm]
1	29.43	28.95	Veen - Matig voorbelast - Matig	1.0	50.0		
2	28.95	27.75	Zand - Zwak siltig - Kleiig	1.0	100.0		
3	27.75	26.63	Zand - Schoon - Matig	1.0	100.0		
4	26.63	26.19	Leem - Sterk zandig	1.0	50.0		
5	26.19	25.61	Zand - Zwak siltig - Kleiig	1.0	100.0		
6	25.61	24.23	Klei - Zwak zandig - Vast	1.0	50.0		
7	24.23	22.09	Zand - Schoon - Matig	1.0	100.0		
8	22.09	21.57	Leem - Zwak zandig - Vast	1.0	50.0		
9	21.57	20.67	Zand - Zwak siltig - Kleiig	1.0	100.0		
10	20.67	20.09	Klei - Schoon - Matig	1.0	50.0		
11	20.09	19.51	Zand - Zwak siltig - Kleiig	1.0	100.0		
12	19.51	18.29	Klei - Zwak zandig - Matig	1.0	50.0		
13	18.29	17.69	Zand - Schoon - Matig	1.0	100.0		
14	17.69	17.03	Klei - Schoon - Vast	1.0	50.0		
15	17.03	14.00	Zand - Schoon - Vast	1.0	100.0		
16	14.00	13.62	Leem - Sterk zandig	1.0	50.0		
17	13.62	12.71	Zand - Schoon - Vast	1.0	100.0		
18	12.71	12.31	Zand - Zwak siltig - Kleiig	1.0	100.0		
19	12.31	10.50	Zand - Schoon - Vast	1.0	100.0		
20	10.50	9.99	Zand - Schoon - Vast	1.0	100.0		
21	9.99	9.87	Zand - Schoon - Matig	1.0	100.0		
22	9.87	9.35	Zand - Schoon - Vast	1.0	100.0		

BODEMPROFIELGEGEVENS: S058-2

Alle niveaus/hogtes/peilmaten zijn t.o.v.: N.A.P.

d50-reductie is meegenomen overeenkomstig NEN-EN 9997 art. 7.6.2.3 (i)

Hoogte maaiveld [m] : 30.18 Grondwaterstand [m] : 29.18

Laag	Van [m]	Tot [m]	Omschrijving	OCR	Aandeel pos. kleef [%]	α_s	d_{50} [mm]
1	30.18	27.46	Zand - Schoon - Matig	1.0	100.0		
2	27.46	27.22	Zand - Schoon - Los	1.0	100.0		
3	27.22	26.60	Klei - Zwak zandig - Matig	1.0	50.0		
4	26.60	23.62	Zand - Sterk siltig - Kleiig	1.0	100.0		
5	23.62	23.00	Zand - Schoon - Vast	1.0	100.0		
6	23.00	22.21	Zand - Schoon - Los	1.0	100.0		
7	22.21	20.09	Zand - Schoon - Matig	1.0	100.0		
8	20.09	18.10	Klei - Schoon - Matig	1.0	50.0		
9	18.10	17.50	Zand - Schoon - Vast	1.0	100.0		
10	17.50	16.70	Klei - Schoon - Matig	1.0	50.0		
11	16.70	14.39	Zand - Schoon - Vast	1.0	100.0		
12	14.39	13.67	Zand - Schoon - Matig	1.0	100.0		
13	13.67	13.19	Zand - Sterk siltig - Kleiig	1.0	100.0		
14	13.19	6.14	Zand - Schoon - Vast	1.0	100.0		

Project :
Onderdeel :

BODEMPROFIELGEGEVENS: S059-1

Alle niveaus/hogtes/peilmaten zijn t.o.v.: N.A.P.

d50-reductie is meegenomen overeenkomstig NEN-EN 9997 art. 7.6.2.3 (i)

Hoogte maaiveld [m] : 27.39 Grondwaterstand [m] : 26.39

Laag	Van [m]	Tot [m]	Omschrijving	OCR	Aandeel pos. kleef [%]	α_s	d_{50} [mm]
1	27.39	26.05	Leem - Zwak zandig - Vast	1.0	50.0		
2	26.05	23.95	Zand - Sterk siltig - Kleiig	1.0	100.0		
3	23.95	23.69	Klei - Zwak zandig - Matig	1.0	50.0		
4	23.69	21.07	Zand - Zwak siltig - Kleiig	1.0	100.0		
5	21.07	20.33	Zand - Schoon - Matig	1.0	100.0		
6	20.33	19.91	Zand - Sterk siltig - Kleiig	1.0	100.0		
7	19.91	17.82	Klei - Schoon - Matig	1.0	50.0		
8	17.82	17.22	Zand - Schoon - Vast	1.0	100.0		
9	17.22	16.12	Klei - Schoon - Vast	1.0	50.0		
10	16.12	14.48	Zand - Schoon - Vast	1.0	100.0		
11	14.48	13.80	Zand - Schoon - Matig	1.0	100.0		
12	13.80	6.16	Zand - Schoon - Vast	1.0	100.0		
13	6.16	4.36	Zand - Schoon - Los	1.0	100.0		

BODEMPROFIELGEGEVENS: S052-1

Alle niveaus/hogtes/peilmaten zijn t.o.v.: N.A.P.

d50-reductie is meegenomen overeenkomstig NEN-EN 9997 art. 7.6.2.3 (i)

Hoogte maaiveld [m] : 31.31 Grondwaterstand [m] : 30.31

Laag	Van [m]	Tot [m]	Omschrijving	OCR	Aandeel pos. kleef [%]	α_s	d_{50} [mm]
1	31.31	30.91	Veen - Matig voorbelast - Matig	1.0	50.0		
2	30.91	26.25	Zand - Schoon - Los	1.0	100.0		
3	26.25	25.53	Zand - Schoon - Vast	1.0	100.0		
4	25.53	24.99	Zand - Zwak siltig - Kleiig	1.0	100.0		
5	24.99	24.65	Leem - Zwak zandig - Vast	1.0	50.0		
6	24.65	24.01	Zand - Schoon - Matig	1.0	100.0		
7	24.01	23.75	Leem - Zwak zandig - Vast	1.0	50.0		
8	23.75	22.93	Klei - Schoon - Matig	1.0	50.0		
9	22.93	21.57	Zand - Schoon - Vast	1.0	100.0		
10	21.57	21.07	Zand - Schoon - Los	1.0	100.0		
11	21.07	19.58	Klei - Schoon - Matig	1.0	50.0		
12	19.58	18.58	Zand - Schoon - Vast	1.0	100.0		
13	18.58	18.32	Zand - Schoon - Los	1.0	100.0		
14	18.32	17.45	Klei - Organisch - Matig	1.0	50.0		
15	17.45	12.95	Zand - Schoon - Vast	1.0	100.0		

BODEMPROFIELGEGEVENS: S052-2

Alle niveaus/hogtes/peilmaten zijn t.o.v.: N.A.P.

d50-reductie is meegenomen overeenkomstig NEN-EN 9997 art. 7.6.2.3 (i)

Hoogte maaiveld [m] : 31.26 Grondwaterstand [m] : 30.26

Laag	Van [m]	Tot [m]	Omschrijving	OCR	Aandeel pos. kleef [%]	α_s	d_{50} [mm]
1	31.26	29.84	Zand - Schoon - Los	1.0	100.0		
2	29.84	28.92	Leem - Zwak zandig - Vast	1.0	50.0		
3	28.92	28.40	Klei - Zwak zandig - Matig	1.0	50.0		
4	28.40	24.79	Zand - Zwak siltig - Kleiig	1.0	100.0		
5	24.79	23.97	Zand - Sterk siltig - Kleiig	1.0	100.0		
6	23.97	23.43	Leem - Zwak zandig - Vast	1.0	50.0		
7	23.43	23.03	Klei - Schoon - Matig	1.0	50.0		
8	23.03	22.26	Zand - Sterk siltig - Kleiig	1.0	100.0		
9	22.26	21.72	Zand - Schoon - Vast	1.0	100.0		
10	21.72	21.20	Zand - Schoon - Los	1.0	100.0		
11	21.20	19.59	Klei - Zwak zandig - Matig	1.0	50.0		
12	19.59	18.85	Zand - Schoon - Vast	1.0	100.0		
13	18.85	18.06	Klei - Zwak zandig - Slap	1.0	50.0		
14	18.06	8.40	Zand - Schoon - Vast	1.0	100.0		

Project :
Onderdeel :

BODEMPROFIELGEGEVENS: S053-2

Alle niveaus/hoogtes/peilmaten zijn t.o.v.: N.A.P.

d50-reductie is meegenomen overeenkomstig NEN-EN 9997 art. 7.6.2.3 (i)

Hoogte maaiveld [m] : 30.68 Grondwaterstand [m] : 29.68

Laag	Van [m]	Tot [m]	Omschrijving	OCR	Aandeel pos. kleef [%]	α_s	d_{50} [mm]
1	30.68	29.80	Zand - Schoon - Los	1.0	100.0		
2	29.80	29.56	Leem - Sterk zandig	1.0	50.0		
3	29.56	28.52	Zand - Schoon - Matig	1.0	100.0		
4	28.52	28.12	Zand - Schoon - Los	1.0	100.0		
5	28.12	27.88	Klei - Zwak zandig - Slap	1.0	50.0		
6	27.88	27.18	Zand - Schoon - Vast	1.0	100.0		
7	27.18	26.78	Leem - Zwak zandig - Vast	1.0	50.0		
8	26.78	25.96	Zand - Zwak siltig - Kleiig	1.0	100.0		
9	25.96	25.30	Zand - Schoon - Vast	1.0	100.0		
10	25.30	24.88	Leem - Zwak zandig - Vast	1.0	50.0		
11	24.88	24.28	Zand - Zwak siltig - Kleiig	1.0	100.0		
12	24.28	23.53	Klei - Schoon - Matig	1.0	50.0		
13	23.53	22.60	Zand - Schoon - Vast	1.0	100.0		
14	22.60	22.34	Zand - Schoon - Matig	1.0	100.0		
15	22.34	21.70	Zand - Schoon - Vast	1.0	100.0		
16	21.70	21.32	Zand - Schoon - Los	1.0	100.0		
17	21.32	20.78	Klei - Schoon - Vast	1.0	50.0		
18	20.78	20.32	Zand - Schoon - Vast	1.0	100.0		
19	20.32	19.58	Zand - Sterk siltig - Kleiig	1.0	100.0		
20	19.58	18.16	Klei - Schoon - Matig	1.0	50.0		
21	18.16	14.19	Zand - Schoon - Vast	1.0	100.0		

BODEMPROFIELGEGEVENS: S055-1

Alle niveaus/hoogtes/peilmaten zijn t.o.v.: N.A.P.

d50-reductie is meegenomen overeenkomstig NEN-EN 9997 art. 7.6.2.3 (i)

Hoogte maaiveld [m] : 30.43 Grondwaterstand [m] : 29.43

Laag	Van [m]	Tot [m]	Omschrijving	OCR	Aandeel pos. kleef [%]	α_s	d_{50} [mm]
1	30.43	28.67	Zand - Sterk siltig - Kleiig	1.0	100.0		
2	28.67	26.89	Zand - Schoon - Vast	1.0	100.0		
3	26.89	26.47	Zand - Schoon - Matig	1.0	100.0		
4	26.47	26.21	Klei - Zwak zandig - Vast	1.0	50.0		
5	26.21	25.57	Zand - Schoon - Los	1.0	100.0		
6	25.57	24.67	Klei - Zwak zandig - Vast	1.0	50.0		
7	24.67	23.91	Zand - Zwak siltig - Kleiig	1.0	100.0		
8	23.91	23.13	Klei - Zwak zandig - Matig	1.0	50.0		
9	23.13	22.01	Zand - Schoon - Vast	1.0	100.0		
10	22.01	21.53	Zand - Schoon - Matig	1.0	100.0		
11	21.53	20.75	Zand - Schoon - Vast	1.0	100.0		
12	20.75	18.35	Klei - Zwak zandig - Vast	1.0	50.0		
13	18.35	17.97	Zand - Schoon - Vast	1.0	100.0		
14	17.97	17.71	Zand - Schoon - Los	1.0	100.0		
15	17.71	17.35	Klei - Schoon - Matig	1.0	50.0		
16	17.35	12.70	Zand - Schoon - Matig	1.0	100.0		
17	12.70	12.38	Zand - Schoon - Vast	1.0	100.0		

SONDERINGSGEGEVENS ALGEMEEN: S056-1

Alle niveaus/hoogtes/peilmaten zijn t.o.v.: N.A.P.

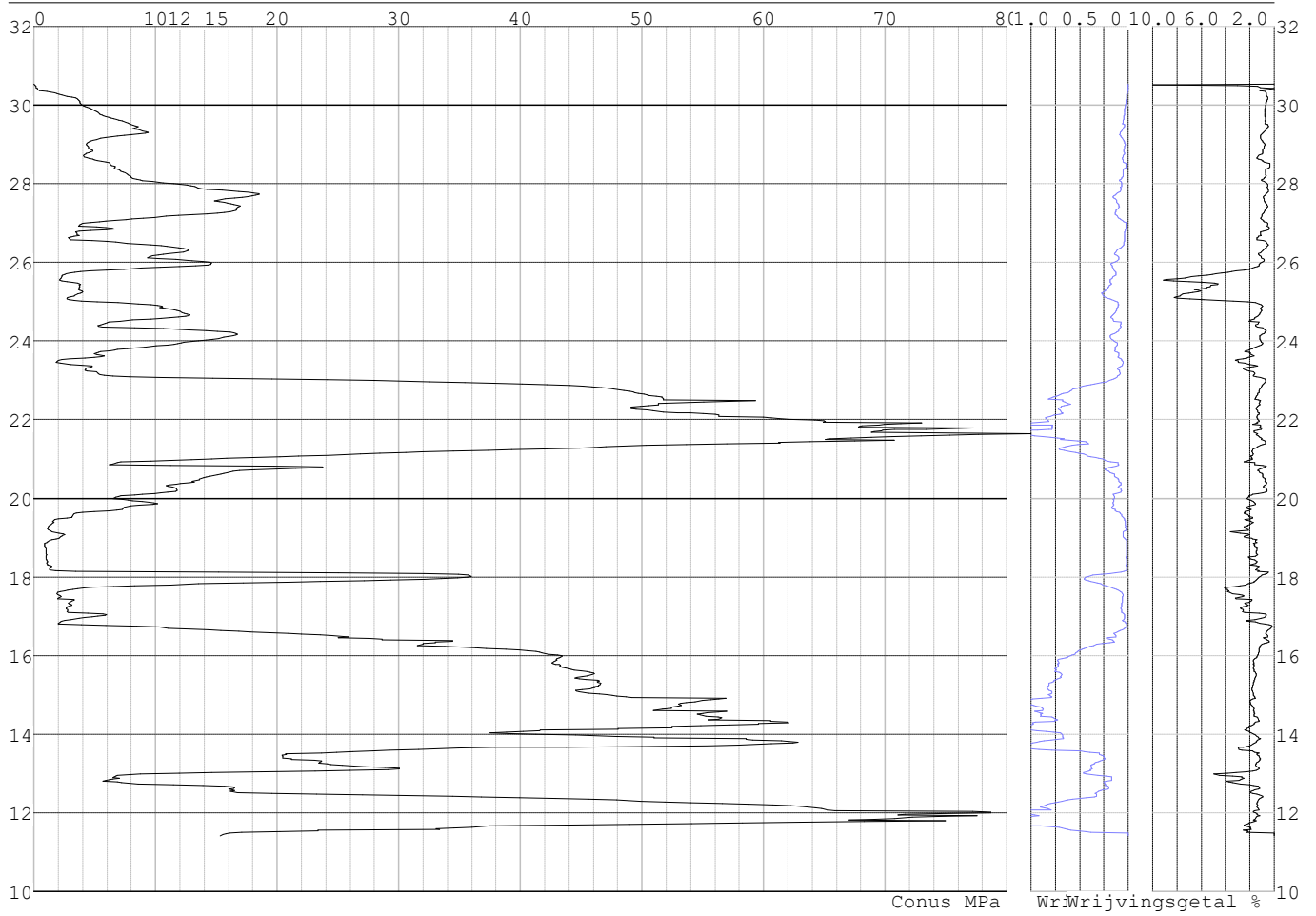
Hoogte maaiveld [m] : 30.53 Bodemprofiel: S056-1

Traject negatieve kleef : 30.53 tot 25.00 [m]

Traject positieve kleef : 25.00 tot 11.42 [m]

Project :
Onderdeel :

SONDERINGSGEGEVENS GRAFIEK: S056-1

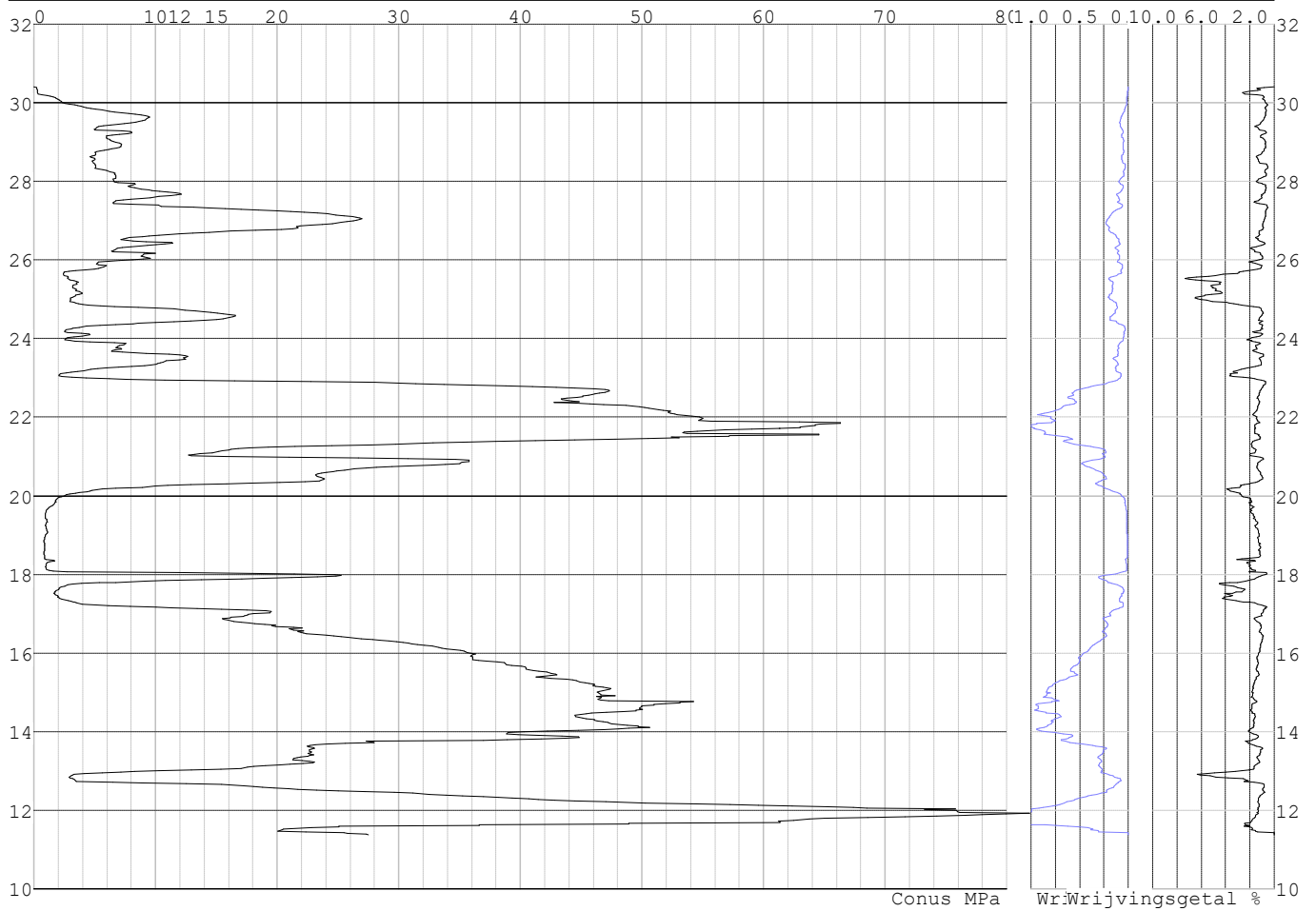


Project :
Onderdeel :

SONDERINGSGEGEVENS ALGEMEEN: S056-2

Alle niveaus/hogtes/peilmaten zijn t.o.v.: N.A.P.
Hoogte maaiveld [m] : 30.41 Bodemprofiel: S056-1
Traject negatieve kleef : 30.41 tot 25.00 [m]
Traject positieve kleef : 25.00 tot 11.37 [m]

SONDERINGSGEGEVENS GRAFIEK: S056-2

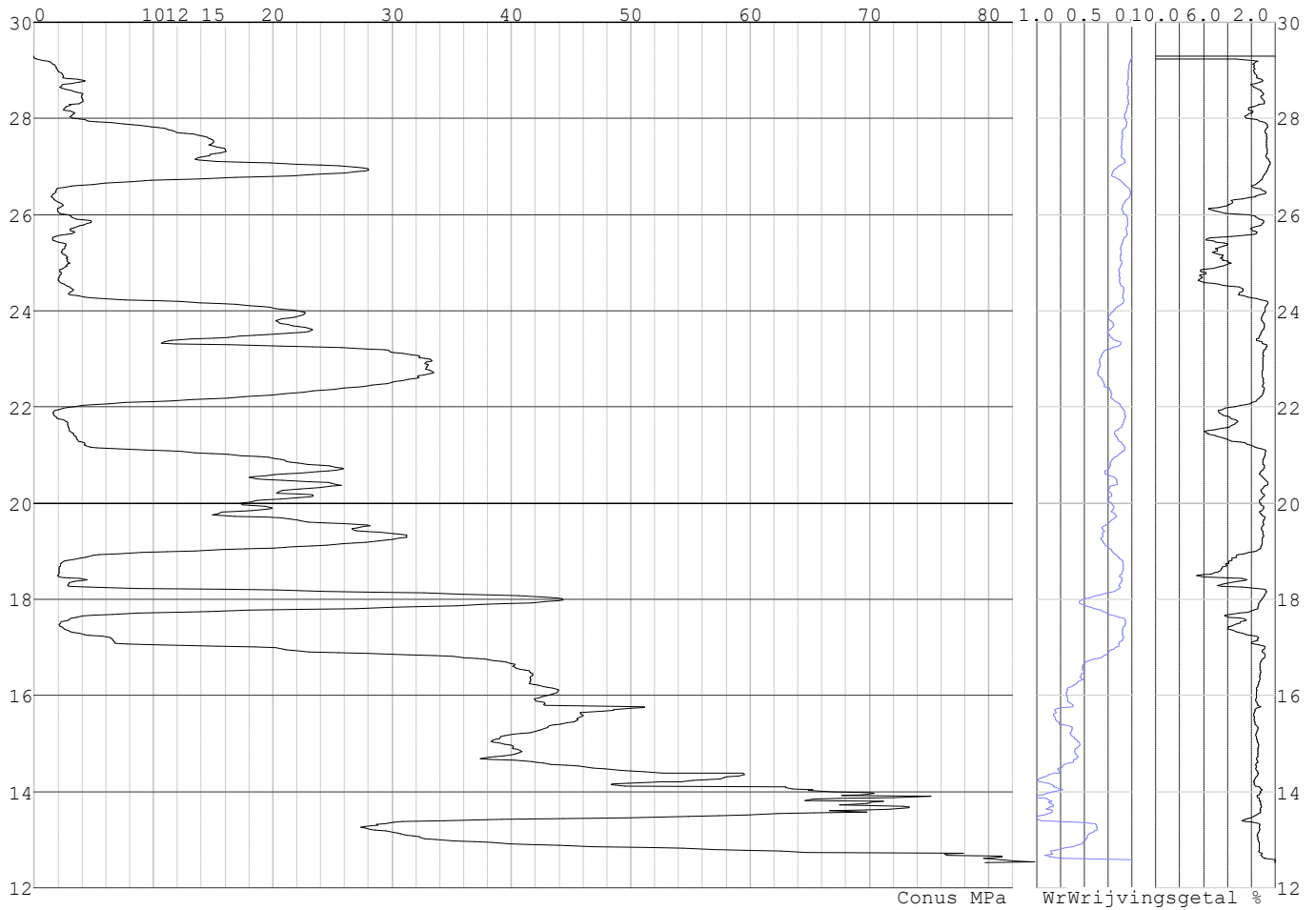


Project :
Onderdeel :

SONDERINGSGEGEVENS ALGEMEEN: S057-1

Alle niveaus/hogtes/peilmaten zijn t.o.v.: N.A.P.
Hoogte maaiveld [m] : 29.29 Bodemprofiel: S057-1
Traject negatieve kleef : 29.29 tot 24.30 [m]
Traject positieve kleef : 24.30 tot 12.52 [m]

SONDERINGSGEGEVENS GRAFIEK: S057-1

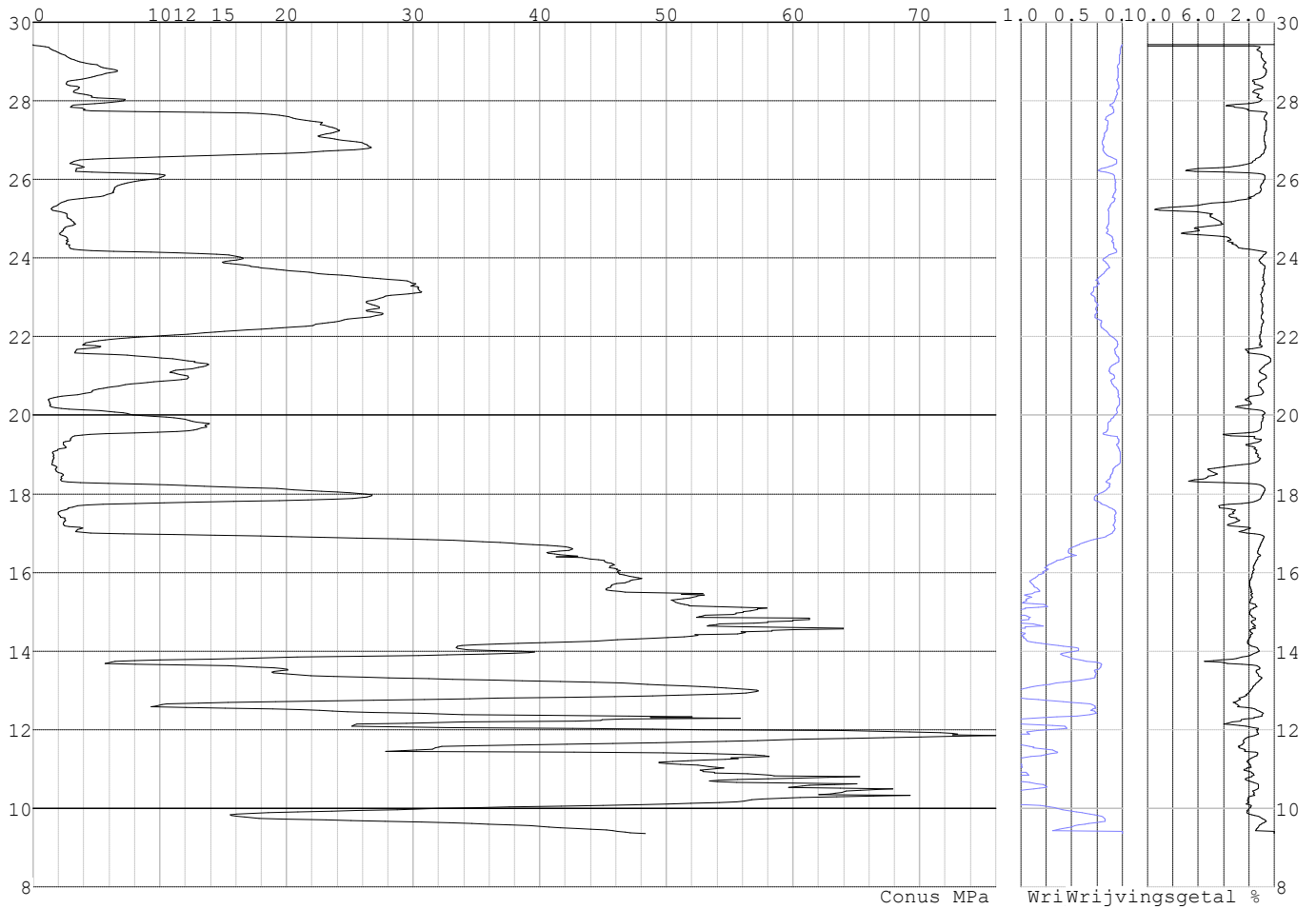


Project :
Onderdeel :

SONDERINGSGEGEVENS ALGEMEEN: S057-2

Alle niveaus/hogtes/peilmaten zijn t.o.v.: N.A.P.
Hoogte maaiveld [m] : 29.43 Bodemprofiel: S057-2
Traject negatieve kleeft : 29.43 tot 24.10 [m]
Traject positieve kleeft : 24.10 tot 9.35 [m]

SONDERINGSGEGEVENS GRAFIEK: S057-2

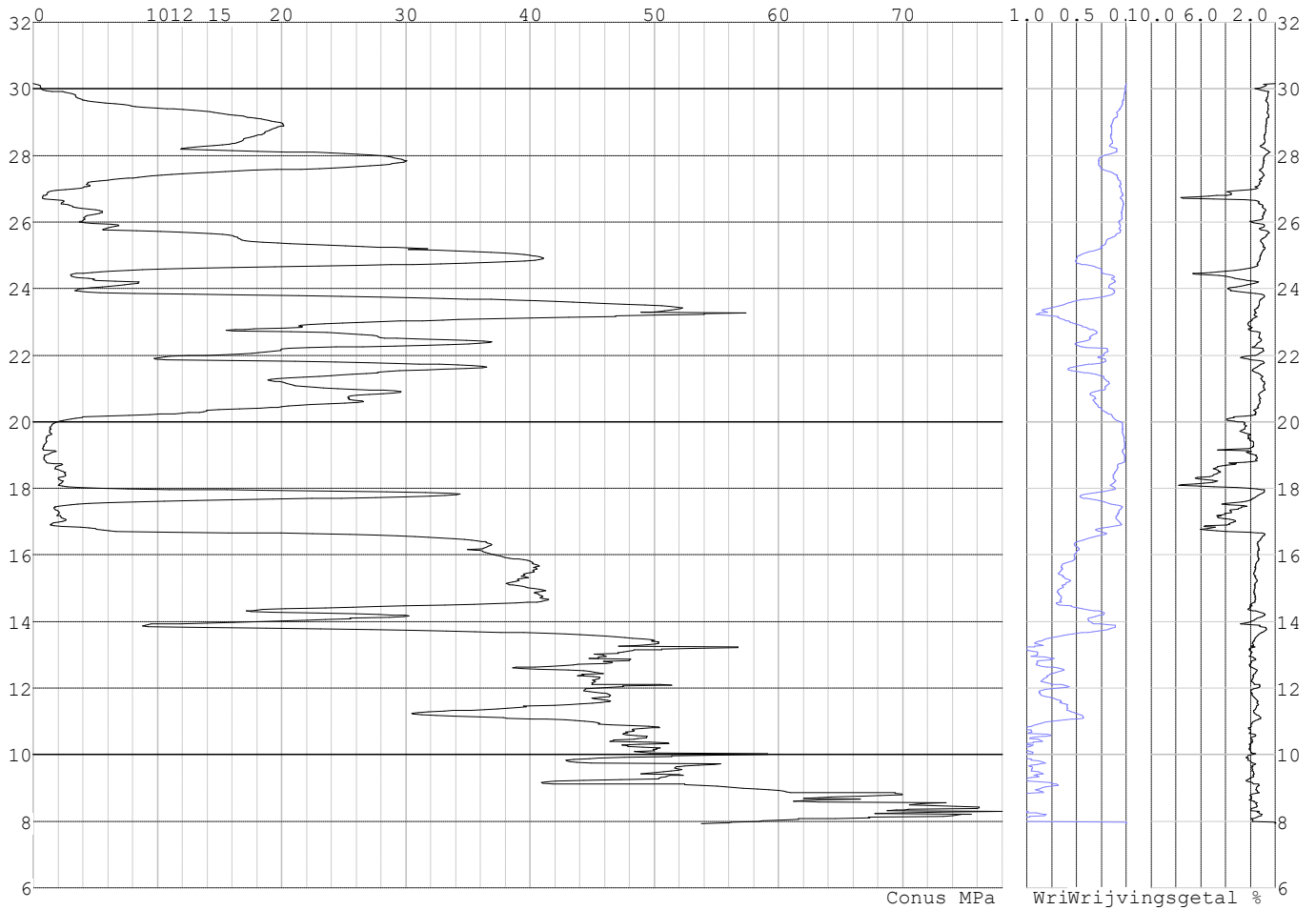


Project :
Onderdeel :

SONDERINGSGEGEVENS ALGEMEEN: S058-1

Alle niveaus/hogtes/peilmaten zijn t.o.v.: N.A.P.
Hoogte maaiveld [m] : 30.15 Bodemprofiel: S058-2
Traject negatieve kleef : 30.15 tot 16.80 [m]
Traject positieve kleef : 16.80 tot 7.92 [m]

SONDERINGSGEGEVENS GRAFIEK: S058-1

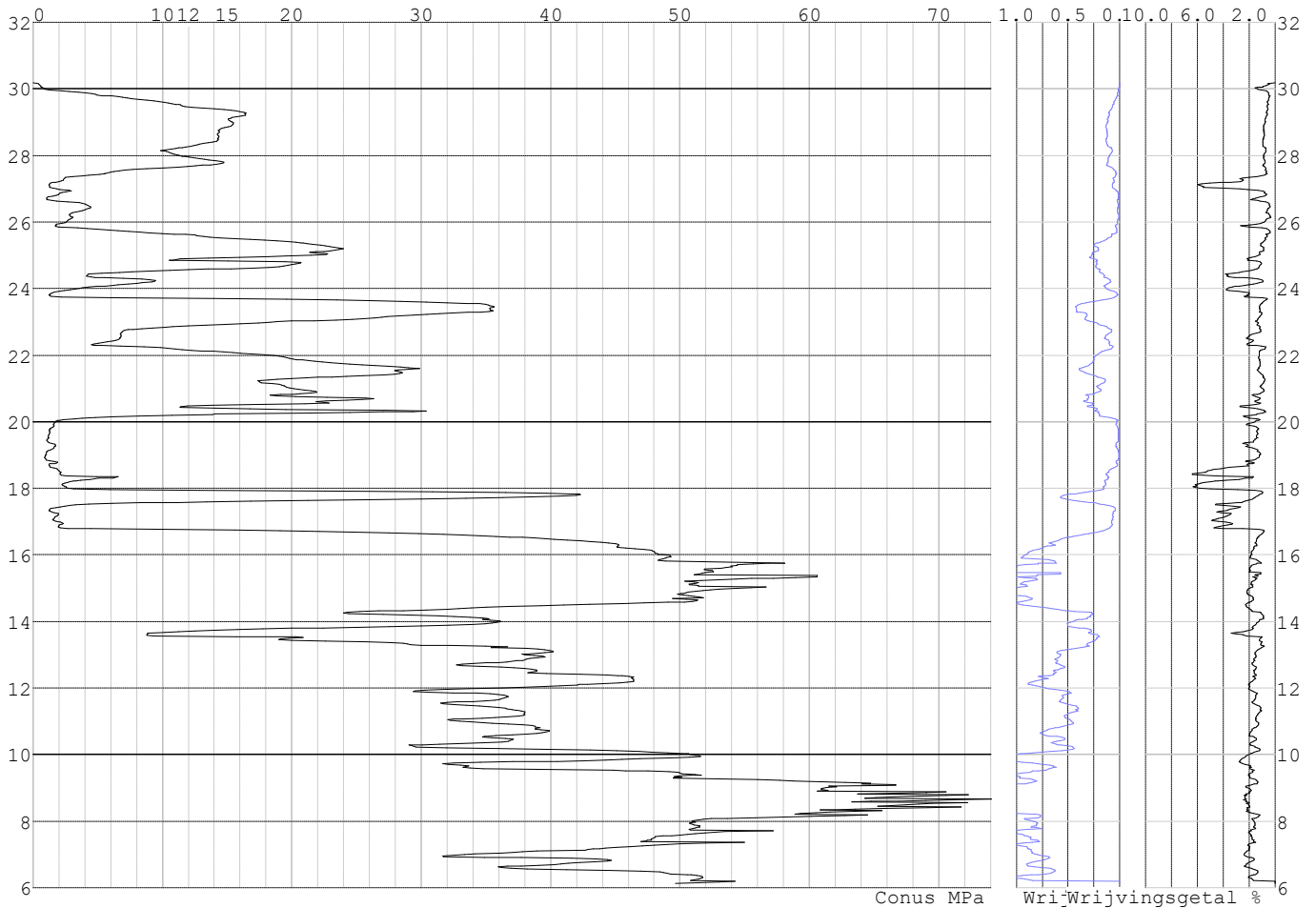


Project :
Onderdeel :

SONDERINGSGEGEVENS ALGEMEEN: S058-2

Alle niveaus/hogtes/peilmaten zijn t.o.v.: N.A.P.
Hoogte maaiveld [m] : 30.18 Bodemprofiel: S058-2
Traject negatieve kleeft : 30.18 tot 16.80 [m]
Traject positieve kleeft : 16.80 tot 6.14 [m]

SONDERINGSGEGEVENS GRAFIEK: S058-2

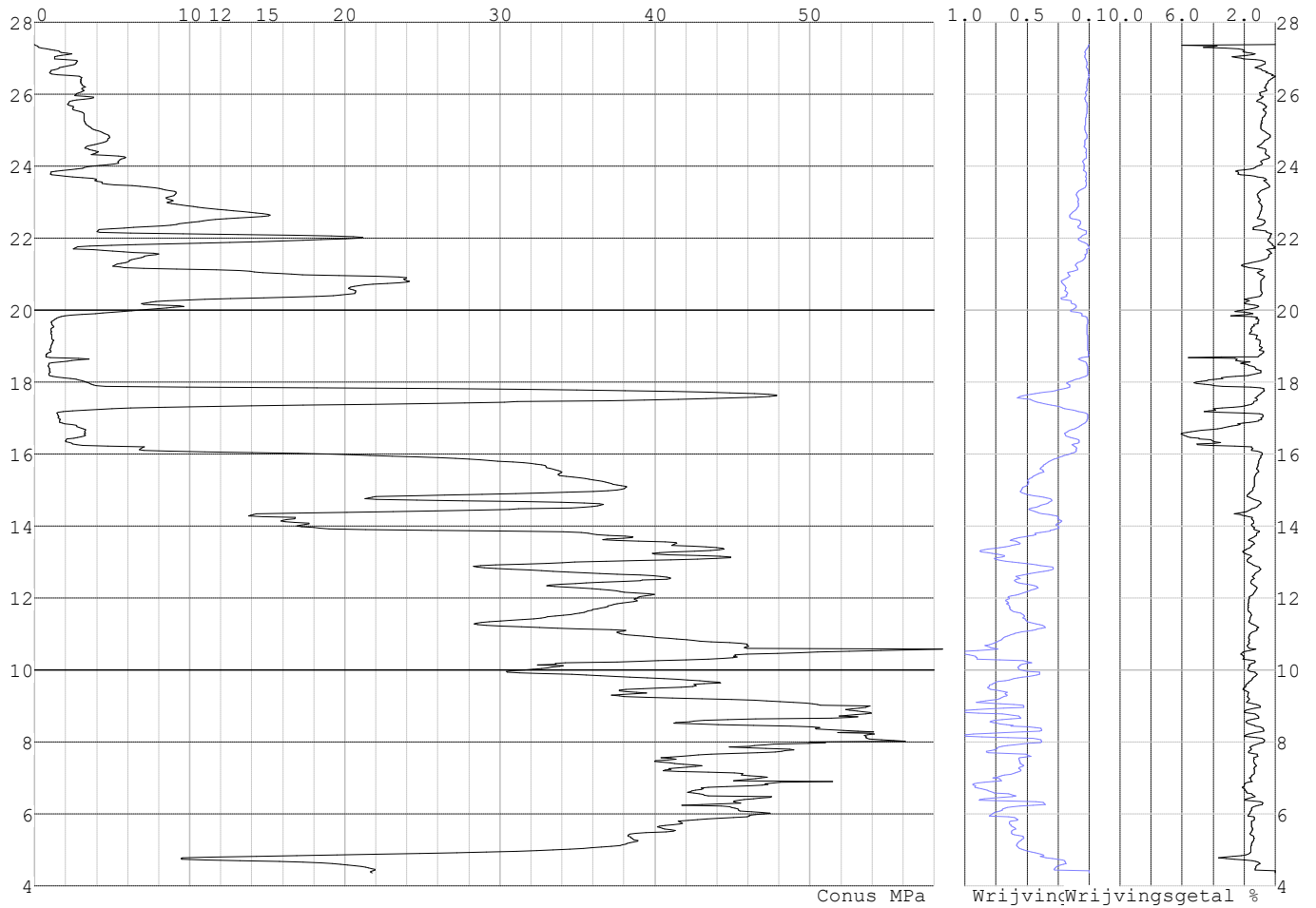


Project :
Onderdeel :

SONDERINGSGEGEVENS ALGEMEEN: S059-1

Alle niveaus/hogtes/peilmaten zijn t.o.v.: N.A.P.
Hoogte maaiveld [m] : 27.39 Bodemprofiel: S059-1
Traject negatieve kleeft : 27.39 tot 16.10 [m]
Traject positieve kleeft : 16.10 tot 4.36 [m]

SONDERINGSGEGEVENS GRAFIEK: S059-1

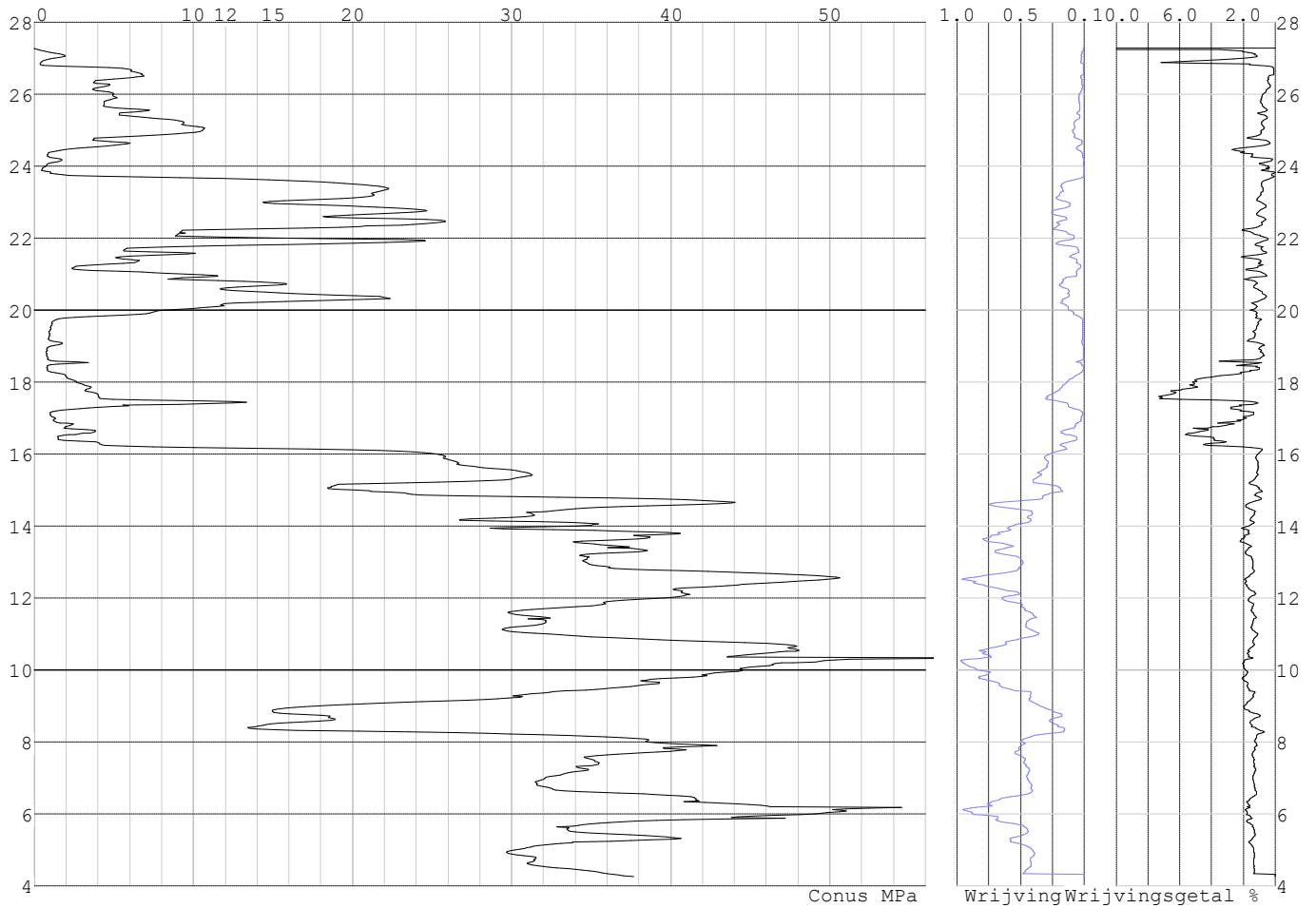


Project :
Onderdeel :

SONDERINGSGEGEVENS ALGEMEEN: S059-2

Alle niveaus/hogtes/peilmaten zijn t.o.v.: N.A.P.
Hoogte maaiveld [m] : 27.28 Bodemprofiel: S059-1
Traject negatieve kleeft : 27.28 tot 16.20 [m]
Traject positieve kleeft : 16.20 tot 4.27 [m]

SONDERINGSGEGEVENS GRAFIEK: S059-2

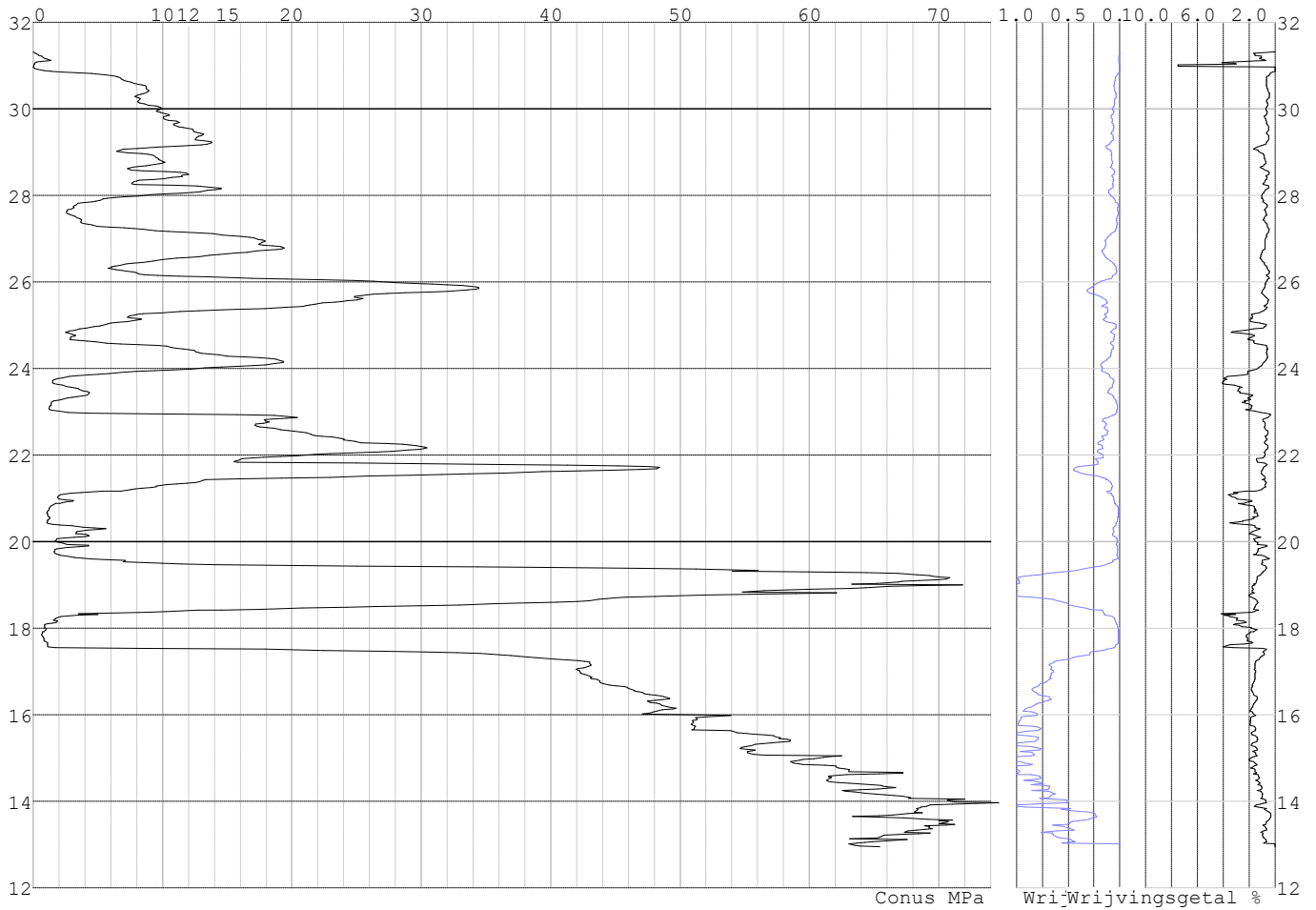


Project :
Onderdeel :

SONDERINGSGEGEVENS ALGEMEEN: S052-1

Alle niveaus/hogtes/peilmaten zijn t.o.v.: N.A.P.
Hoogte maaiveld [m] : 31.31 Bodemprofiel: S052-1
Traject negatieve kleeft : 31.31 tot 31.31 [m]
Traject positieve kleeft : 17.50 tot 12.95 [m]

SONDERINGSGEGEVENS GRAFIEK: S052-1

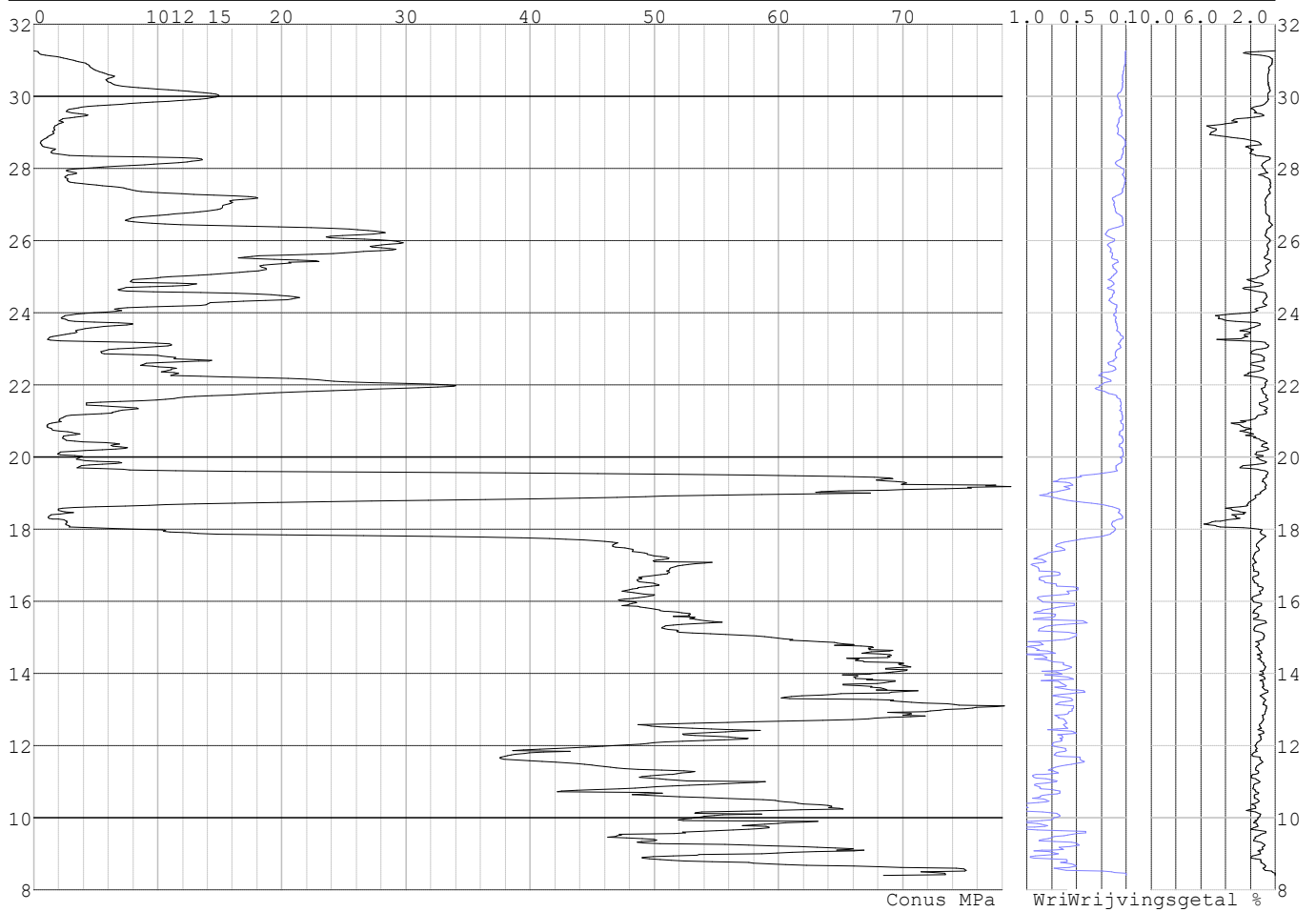


Project :
Onderdeel :

SONDERINGSGEGEVENS ALGEMEEN: S052-2

Alle niveaus/hogtes/peilmaten zijn t.o.v.: N.A.P.
Hoogte maaiveld [m] : 31.26 Bodemprofiel: S052-2
Traject negatieve kleeft : 31.26 tot 31.26 [m]
Traject positieve kleeft : 17.90 tot 8.40 [m]

SONDERINGSGEGEVENS GRAFIEK: S052-2

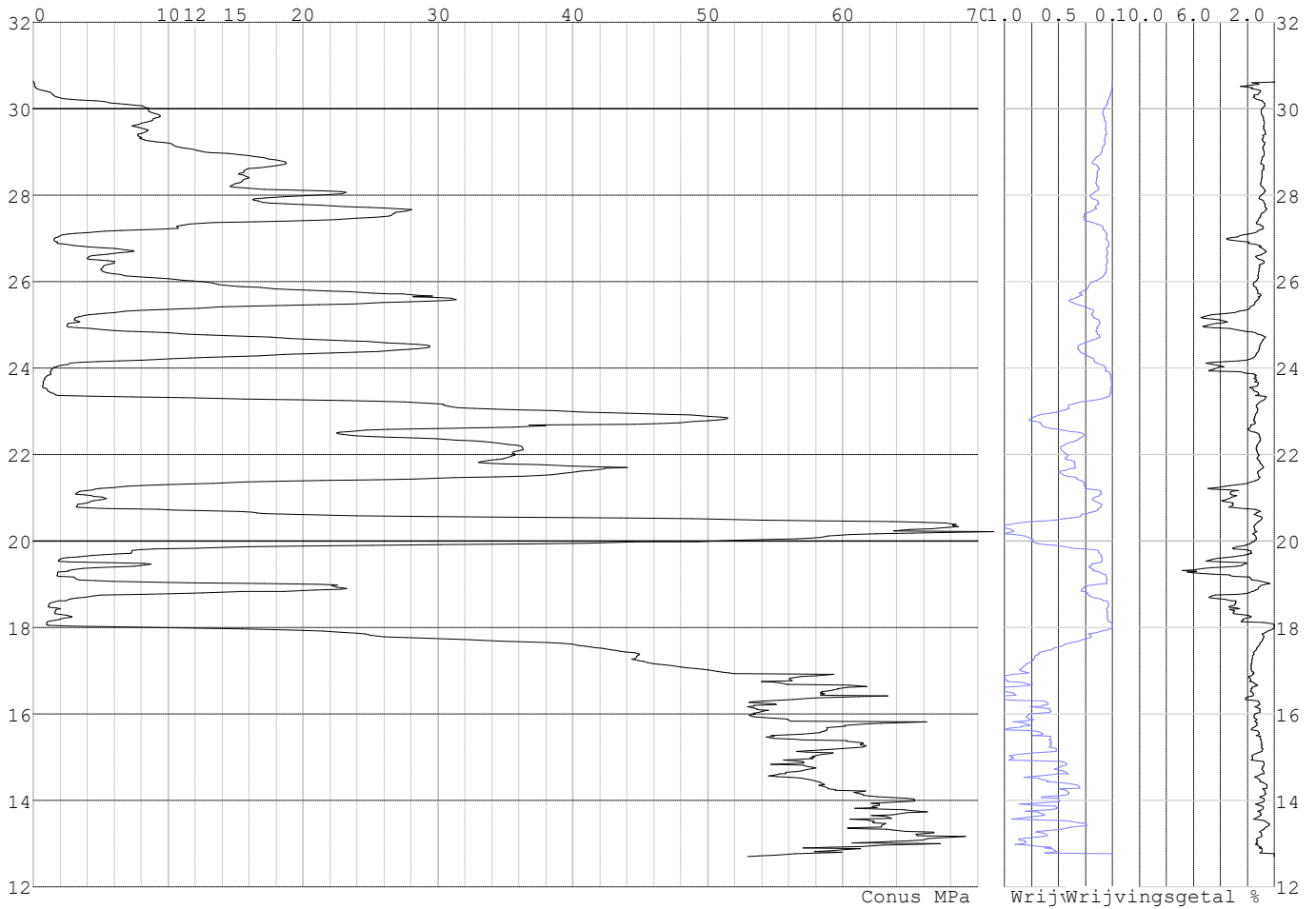


Project :
Onderdeel :

SONDERINGSGEGEVENS ALGEMEEN: S053-1

Alle niveaus/hogtes/peilmaten zijn t.o.v.: N.A.P.
Hoogte maaiveld [m] : 30.64 Bodemprofiel: S053-2
Traject negatieve kleeft : 30.64 tot 26.90 [m]
Traject positieve kleeft : 26.90 tot 12.70 [m]

SONDERINGSGEGEVENS GRAFIEK: S053-1

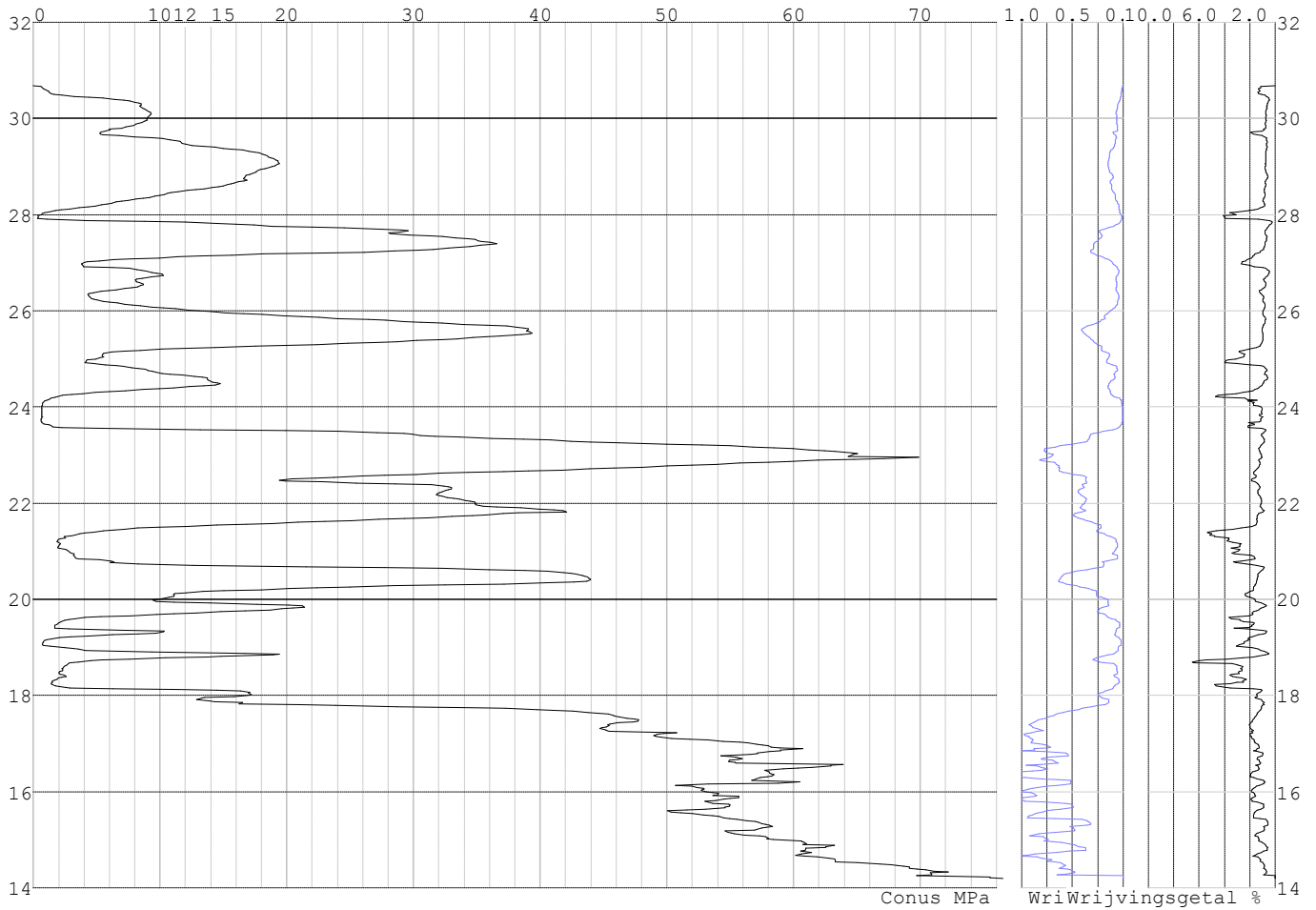


Project :
Onderdeel :

SONDERINGSGEGEVENS ALGEMEEN: S053-2

Alle niveaus/hogtes/peilmaten zijn t.o.v.: N.A.P.
Hoogte maaiveld [m] : 30.68 Bodemprofiel: S053-2
Traject negatieve kleeft : 30.68 tot 27.90 [m]
Traject positieve kleeft : 27.90 tot 14.19 [m]

SONDERINGSGEGEVENS GRAFIEK: S053-2

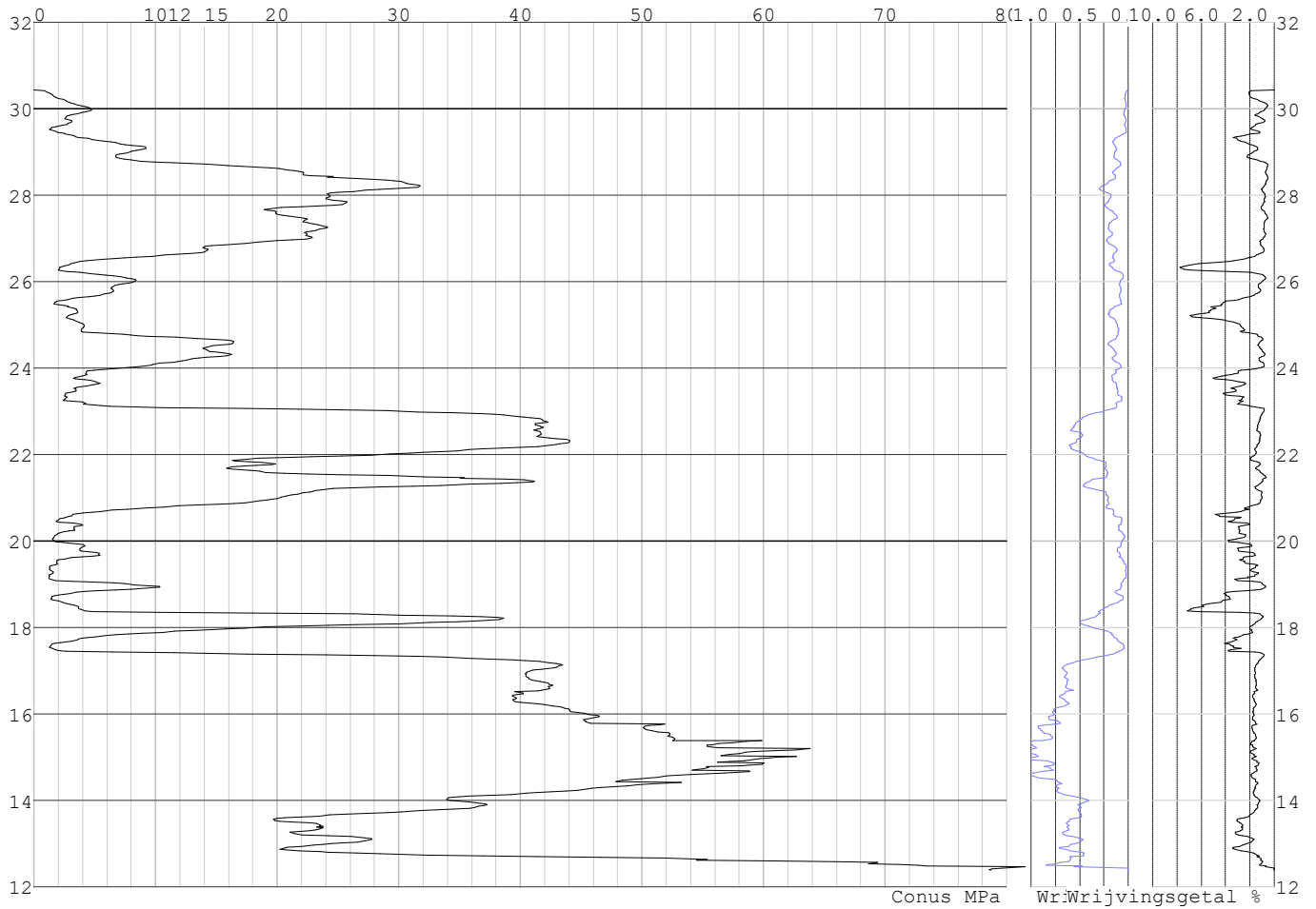


Project :
Onderdeel :

SONDERINGSGEGEVENS ALGEMEEN: S055-1

Alle niveaus/hogtes/peilmaten zijn t.o.v.: N.A.P.
Hoogte maaiveld [m] : 30.43 Bodemprofiel: S055-1
Traject negatieve kleeft : 30.43 tot 24.80 [m]
Traject positieve kleeft : 24.80 tot 12.38 [m]

SONDERINGSGEGEVENS GRAFIEK: S055-1

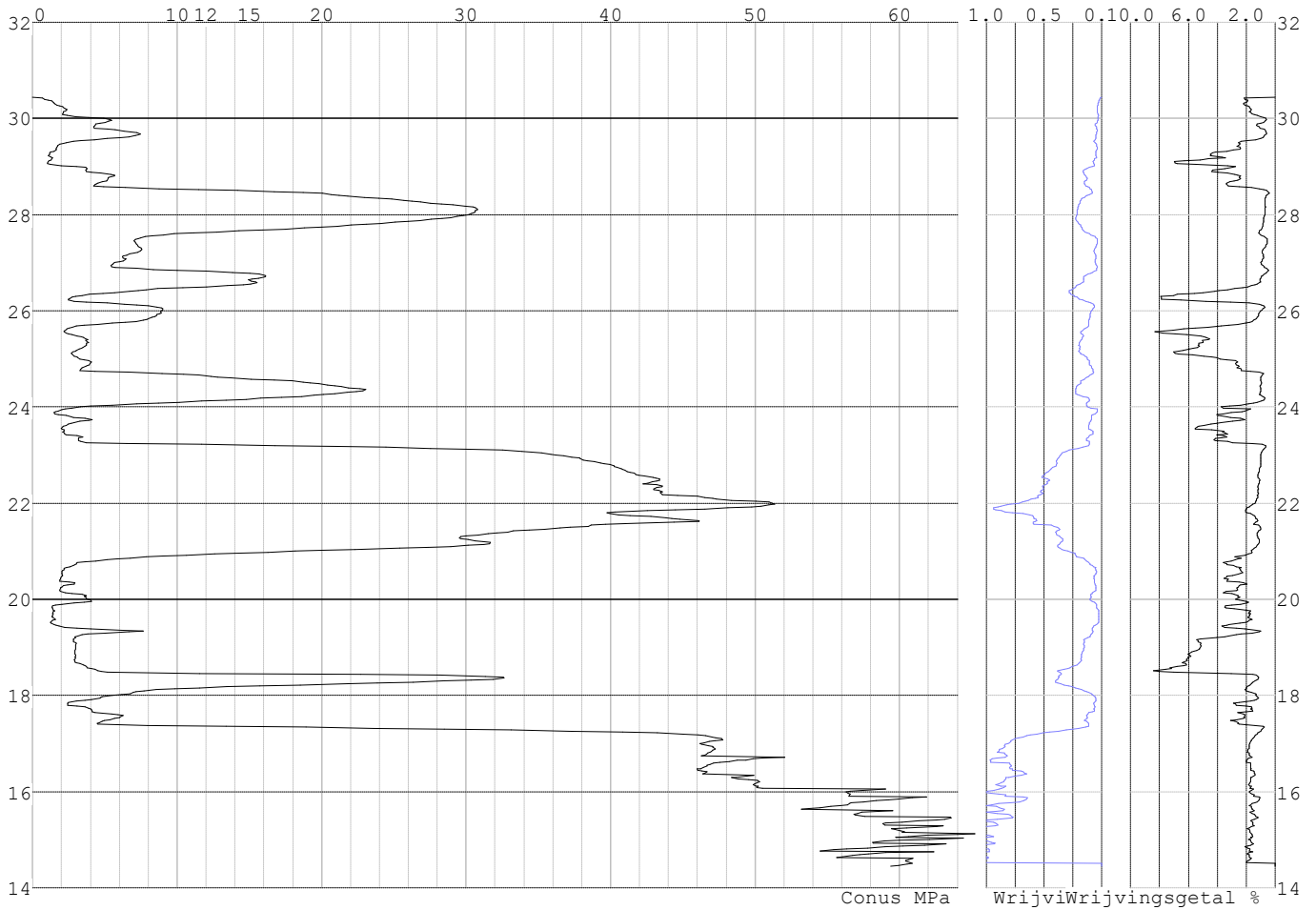


Project :
Onderdeel :

SONDERINGSGEGEVENS ALGEMEEN: S055-2

Alle niveaus/hogtes/peilmaten zijn t.o.v.: N.A.P.
Hoogte maaiveld [m] : 30.44 Bodemprofiel: S055-1
Traject negatieve kleeft : 30.44 tot 24.70 [m]
Traject positieve kleeft : 24.70 tot 14.45 [m]

SONDERINGSGEGEVENS GRAFIEK: S055-2



Project :
Onderdeel :

REKENGEDEVENS Mast 052

Berekening : Controlerend
 Rekenmethode : Trekpalen volgens NEN-EN 1997-1, art. 7.6.3
 Sondering(en) : S052-1, S052-2
 Let op: trekcapaciteit t.p.v. negatief kleeftraject is meegerekend.

Stijf bouwwerk : NEE
 Paalgroep : NEE
 Aantal sonderingen : 2
 Factor ξ_3 (n=1) : 1.39
 Factor ξ_3 (gem) : 1.32
 Factor ξ_4 (min) : 1.32
 Weerstandsfactor γ_R : 1.35
 $\gamma_{m,var;q_c}$: 1.50
 UGT draagvermogen zonder negatieve kleeft : NEE

Paal : LD1
 Niveau paalkop [m] : N.A.P. 31.65
 Paalpuntniveau : N.A.P. 18.15
 $E_{d,1}$ [kN] : 0.00 $E_{d,2}$ [kN] : 0.00
 Bovenbel. [kN/m²] : 0.00

RESULTATEN Mast 052 (n=1)**Sondering : S052-1**

Alle niveaus/hogtes/peilmaten zijn t.o.v.: N.A.P.

Inheinniveau [m]	Effectief inheinniveau [m]	E.G. paal [kN]	$R_{t,cal;k}$ [kN]	$R_{t;d}$ [kN]	$F_{t,tot;1}$ [kN]	U.C.
18.15	18.15	41.1	540.4	540.4	0.0	0.00

Sondering : S052-2

Alle niveaus/hogtes/peilmaten zijn t.o.v.: N.A.P.

Inheinniveau [m]	Effectief inheinniveau [m]	E.G. paal [kN]	$R_{t,cal;k}$ [kN]	$R_{t;d}$ [kN]	$F_{t,tot;1}$ [kN]	U.C.
18.15	18.15	41.2	528.4	528.4	0.0	0.00

Project :
Onderdeel :

SAMENVATTINGSTABEL Mast 052 (n=1)**Uitgangspunten**

- paal : LD1
 - paaltype : Stalen buispaal (gesloten)
 - schachtafmeting : 550 mm
 Paalklassefactor α_p : 1.00
 Factor α_t (tabel 7.c EC 7.1) : 0.0070 (zandlagen; voor kleilagen zie tabel 7.d)
 Correlatiefactor $\xi_{3(n=1)}$: 1.39

Alle niveaus/hogtes/peilmaten zijn t.o.v.: N.A.P.

sondering	maaiveld paalpunt		Bezwijkdraagvermogen $R_{t,cal}$ [kN]	Rekenwaarden		
	niveau	niveau		$R_{t;d}$ [kN]	$R_{t,netto;d}$ [kN]	
S052-1	31.31	18.15	540.4	540.4	540.4	540.4
S052-2	31.26	18.15	528.4	528.4	528.4	528.4

Project :
Onderdeel :

SAMENVATTINGSTABEL Mast 052 (van 2 sonderingen)**Uitgangspunten**

- paal : LD1
 - paaltype : Stalen buispaal (gesloten)
 - schachtafmeting : 550 mm
 Paalklassefactor α_p : 1.00
 Factor α_t (tabel 7.c EC 7.1) : 0.0070 (zandlagen; voor kleilagen zie tabel 7.d)
 Correlatiefactor $\xi_{3gem}(n=2)$: 1.32
 Correlatiefactor $\xi_{4min}(n=2)$: 1.32

Alle niveaus/hogtes/peilmaten zijn t.o.v.: N.A.P.

sondering	maaiveld	paalpunt	Bezwijkdraagvermogen	
	niveau	niveau	E.G. paal	$R_{t,cal}$
			[kN]	[kN]

met ξ_3 (gem) = 1.32

S052-1	31.31	18.15	41.1	566.9
--------	-------	-------	------	-------

S052-2	31.26	18.15	41.1	554.2
--------	-------	-------	------	-------

		18.15	$R_{t,cal,gem}$	560.6
--	--	-------	-----------------	-------

met ξ_4 (min) = 1.32

S052-1	31.31	18.15	41.1	566.9
--------	-------	-------	------	-------

S052-2	31.26	18.15	41.1	554.2
--------	-------	-------	------	-------

		18.15	$R_{t,cal,min}$	554.2
--	--	-------	-----------------	-------

Totaal resultaten Mast 052 (van 2 sonderingen)

Uitgangspunten

Correlatiefactor $\xi_{3gem}(n=2)$: 1.32

Correlatiefactor $\xi_{4min}(n=2)$: 1.32

gebaseerd op sonderingen:

S052-1 S052-2

$R_{t,d} = \min. \{ R_{t,cal,gem}; R_{t,cal,min} \}$ (7.17) *

Inheinniveau
[m]

18.15	$R_{t,d} = \min. \{ 560.6; 554.2 \} =$	554.2
-------	--	-------

* Bij de trekpaalberekening zijn factoren ξ_3 en ξ_4 al bij de berekening van de conusweerstand $q_{c;z,d}$ in rekening gebracht, evenals factor $\gamma_{s;t}$. Dat is conform de opmerkingen in art. 7.6.3.3 (3) en (4).

Alle niveaus/hogtes/peilmaten zijn t.o.v.: N.A.P.

Inheinniveau	$R_{t,k}$	$R_{t,d}$	$F_{t,tot;1}$	$R_{t,netto;d}$	U.C.
[m]	[kN]	[kN]	[kN]	[kN]	
18.15	554.2	554.2	0.0	554.2	0.00

REKENGEGEVENS Mast 053

Berekening : Controlerend

Rekenmethode : Trekpalen volgens NEN-EN 1997-1, art. 7.6.3

Sondering(en) : S053-1, S053-2

Let op: trekcapaciteit t.p.v. negatief kleeftraject is meegerekend.

Stijf bouwwerk : NEE

Paalgroep : NEE

Aantal sonderingen : 2

Factor ξ_3 (n=1) : 1.39

Factor ξ_3 (gem) : 1.32

Factor ξ_4 (min) : 1.32

Weerstandsfactor γ_R : 1.35

$\gamma_{m,var;q_c}$: 1.50

UGT draagvermogen zonder negatieve kleeft : NEE

Paal : LD1

Niveau paalkop [m] : N.A.P. 31.14

Paalpuntniveau : N.A.P. 21.94

$E_{d,1}$ [kN] : 0.00

Bovenbel. [kN/m²] : 0.00

$E_{d,2}$ [kN] : 0.00

Project :
Onderdeel :

RESULTATEN Mast 053 (n=1)**Sondering : S053-1**

Alle niveaus/hogtes/peilmaten zijn t.o.v.: N.A.P.

Inheinniveau [m]	Effectief inheinniveau [m]	E.G. paal [kN]	$R_{t,cal;k}$ [kN]	$R_{t;d}$ [kN]	$F_{t,tot;1}$ [kN]	U.C.
21.94	21.94	29.3	397.3	397.3	0.0	0.00

Sondering : S053-2

Alle niveaus/hogtes/peilmaten zijn t.o.v.: N.A.P.

Inheinniveau [m]	Effectief inheinniveau [m]	E.G. paal [kN]	$R_{t,cal;k}$ [kN]	$R_{t;d}$ [kN]	$F_{t,tot;1}$ [kN]	U.C.
21.94	21.94	29.3	383.2	383.2	0.0	0.00

Project :
Onderdeel :

SAMENVATTINGSTABEL Mast 053 (n=1)

Uitgangspunten

- paal : LD1
 - paaltype : Stalen buispaal (gesloten)
 - schachtafmeting : 550 mm
 Paalklassefactor α_p : 1.00
 Factor α_t (tabel 7.c EC 7.1) : 0.0070 (zandlagen; voor kleilagen zie tabel 7.d)
 Correlatiefactor $\xi_{3(n=1)}$: 1.39

Alle niveaus/hogtes/peilmaten zijn t.o.v.: N.A.P.

sondering	maaiveld paalpunt		Bezwijkdraagvermogen $R_{t,cal}$ [kN]	Rekenwaarden	
	niveau	niveau		$R_{t,d}$ [kN]	$R_{t,netto,d}$ [kN]
S053-1	30.64	21.94	397.3	397.3	397.3
S053-2	30.68	21.94	383.2	383.2	383.2

Project :
Onderdeel :

SAMENVATTINGSTABEL Mast 053 (van 2 sonderingen)**Uitgangspunten**

- paal : LD1
 - paaltype : Stalen buispaal (gesloten)
 - schachtafmeting : 550 mm
 Paalklassefactor α_p : 1.00
 Factor α_t (tabel 7.c EC 7.1) : 0.0070 (zandlagen; voor kleilagen zie tabel 7.d)
 Correlatiefactor $\xi_{3gem}(n=2)$: 1.32
 Correlatiefactor $\xi_{4min}(n=2)$: 1.32

Alle niveaus/hogtes/peilmaten zijn t.o.v.: N.A.P.

sondering	maaiveld niveau	paalpunt niveau	Bezwijkdraagvermogen E.G. paal [kN]	$R_{t,cal}$ [kN]
-----------	--------------------	--------------------	---	---------------------

met ξ_3 (gem) = 1.32

S053-1	30.64	21.94	29.3	416.8
--------	-------	-------	------	-------

S053-2	30.68	21.94	29.3	402.0
--------	-------	-------	------	-------

		21.94	$R_{t,cal,gem}$	409.4
--	--	-------	-----------------	-------

met ξ_4 (min) = 1.32

S053-1	30.64	21.94	29.3	416.8
--------	-------	-------	------	-------

S053-2	30.68	21.94	29.3	402.0
--------	-------	-------	------	-------

		21.94	$R_{t,cal,min}$	402.0
--	--	-------	-----------------	-------

Totaal resultaten Mast 053 (van 2 sonderingen)

Uitgangspunten

Correlatiefactor $\xi_{3gem}(n=2)$: 1.32

Correlatiefactor $\xi_{4min}(n=2)$: 1.32

gebaseerd op sonderingen:

S053-1 S053-2

$R_{t,d} = \min. \{ R_{t,cal,gem}; R_{t,cal,min} \} (7.17) *$

Inheinniveau

[m]

21.94	$R_{t,d} = \min. \{ 409.4; 402.0 \} = 402.0$
-------	--

*) Bij de trekpaalberekening zijn factoren ξ_3 en ξ_4 al bij de berekening van de conusweerstand $q_{c;z,d}$ in rekening gebracht, evenals factor $\gamma_{s;t}$. Dat is conform de opmerkingen in art. 7.6.3.3 (3) en (4).

Alle niveaus/hogtes/peilmaten zijn t.o.v.: N.A.P.

Inheinniveau [m]	$R_{t,k}$ [kN]	$R_{t,d}$ [kN]	$F_{t,tot;1}$ [kN]	$R_{t,netto;d}$ [kN]	U.C.
21.94	402.0	402.0	0.0	402.0	0.00

REKENGEGEVENS Mast 055

Berekening : Controlerend

Rekenmethode : Trekpalen volgens NEN-EN 1997-1, art. 7.6.3

Sondering(en) : S055-1, S055-2

Let op: trekcapaciteit t.p.v. negatief kleeftraject is meegerekend.

Stijf bouwwerk : NEE

Paalgroep : NEE

Aantal sonderingen : 2

Factor ξ_3 (n=1) : 1.39

Factor ξ_3 (gem) : 1.32

Factor ξ_4 (min) : 1.32

Weerstandsfactor γ_R : 1.35

$\gamma_{m,var;q_c}$: 1.50

UGT draagvermogen zonder negatieve kleeft : NEE

Paal : LD1

Niveau paalkop [m] : N.A.P. 30.87

Paalpuntniveau : N.A.P. 21.77

$E_{d,1}$ [kN] : 0.00

Bovenbel. [kN/m²] : 0.00

$E_{d,2}$ [kN] : 0.00

Project :
Onderdeel :

RESULTATEN Mast 055 (n=1)**Sondering : S055-1**

Alle niveaus/hogtes/peilmaten zijn t.o.v.: N.A.P.

Inheinniveau [m]	Effectief inheinniveau [m]	E.G. paal [kN]	$R_{t,cal;k}$ [kN]	$R_{t;d}$ [kN]	$F_{t,tot;1}$ [kN]	U.C.
21.77	21.77	29.0	394.6	394.6	0.0	0.00

Sondering : S055-2

Alle niveaus/hogtes/peilmaten zijn t.o.v.: N.A.P.

Inheinniveau [m]	Effectief inheinniveau [m]	E.G. paal [kN]	$R_{t,cal;k}$ [kN]	$R_{t;d}$ [kN]	$F_{t,tot;1}$ [kN]	U.C.
21.77	21.77	29.0	341.0	341.0	0.0	0.00

Project :
Onderdeel :

SAMENVATTINGSTABEL Mast 055 (n=1)**Uitgangspunten**

- paal : LD1
 - paaltype : Stalen buispaal (gesloten)
 - schachtafmeting : 550 mm
 Paalklassefactor α_p : 1.00
 Factor α_t (tabel 7.c EC 7.1) : 0.0070 (zandlagen; voor kleilagen zie tabel 7.d)
 Correlatiefactor $\xi_{3(n=1)}$: 1.39

Alle niveaus/hogtes/peilmaten zijn t.o.v.: N.A.P.

sondering	maaiveld paalpunt		Bezwijkdraagvermogen $R_{t,cal}$ [kN]	Rekenwaarden		
	niveau	niveau		$R_{t,d}$ [kN]	$R_{t,netto,d}$ [kN]	
S055-1	30.43	21.77	394.6	394.6	394.6	
S055-2	30.44	21.77	341.0	341.0	341.0	

Project :
Onderdeel :

SAMENVATTINGSTABEL Mast 055 (van 2 sonderingen)**Uitgangspunten**

- paal : LD1
 - paaltype : Stalen buispaal (gesloten)
 - schachtafmeting : 550 mm
 Paalklassefactor α_p : 1.00
 Factor α_t (tabel 7.c EC 7.1) : 0.0070 (zandlagen; voor kleilagen zie tabel 7.d)
 Correlatiefactor $\xi_{3gem}(n=2)$: 1.32
 Correlatiefactor $\xi_{4min}(n=2)$: 1.32

Alle niveaus/hogtes/peilmaten zijn t.o.v.: N.A.P.

sondering	maaiveld niveau	paalpunt niveau	Bezuigdraagvermogen E.G. paal [kN]	$R_{t,cal}$ [kN]
-----------	--------------------	--------------------	--	---------------------

met $\xi_3(gem) = 1.32$

S055-1	30.43	21.77	29.0	414.0
--------	-------	-------	------	-------

S055-2	30.44	21.77	29.0	357.6
--------	-------	-------	------	-------

		21.77	$R_{t,cal,gem}$	385.8
--	--	-------	-----------------	-------

met $\xi_4(min) = 1.32$

S055-1	30.43	21.77	29.0	414.0
--------	-------	-------	------	-------

S055-2	30.44	21.77	29.0	357.6
--------	-------	-------	------	-------

		21.77	$R_{t,cal,min}$	357.6
--	--	-------	-----------------	-------

Totaal resultaten Mast 055 (van 2 sonderingen)

Uitgangspunten

Correlatiefactor $\xi_{3gem}(n=2)$: 1.32

Correlatiefactor $\xi_{4min}(n=2)$: 1.32

gebaseerd op sonderingen:

S055-1 S055-2

$R_{t,d} = \min.\{ R_{t,cal,gem}; R_{t,cal,min} \} (7.17) *$

Inheinniveau
[m]

21.77	$R_{t,d} = \min.\{ 385.8; 357.6 \} =$	357.6
-------	---------------------------------------	-------

*) Bij de trekpaalberekening zijn factoren ξ_3 en ξ_4 al bij de berekening van de conusweerstand $q_{c,z;d}$ in rekening gebracht, evenals factor $\gamma_{s;t}$. Dat is conform de opmerkingen in art. 7.6.3.3 (3) en (4).

Alle niveaus/hogtes/peilmaten zijn t.o.v.: N.A.P.

Inheinniveau [m]	$R_{t,k}$ [kN]	$R_{t,d}$ [kN]	$F_{t,tot;1}$ [kN]	$R_{t,netto;d}$ [kN]	U.C.
21.77	357.6	357.6	0.0	357.6	0.00

REKENGEGEVENS Mast 056

Berekening : Controlerend

Rekenmethode : Trekpalen volgens NEN-EN 1997-1, art. 7.6.3

Sondering(en) : S056-1, S056-2

Let op: trekcapaciteit t.p.v. negatief kleeftraject is meegerekend.

Stijf bouwwerk : NEE

Paalgroep : NEE

Aantal sonderingen : 2

Factor $\xi_3(n=1)$: 1.39

Factor $\xi_3(gem)$: 1.32

Factor $\xi_4(min)$: 1.32

Weerstandsfactor γ_R : 1.35

$\gamma_{m,var;q_c}$: 1.50

UGT draagvermogen zonder negatieve kleeft : NEE

Paal : LD1

Niveau paalkop [m] : N.A.P. 30.85

Paalpuntniveau : N.A.P. 21.85

$E_{d,1}$ [kN] : 0.00

Bovenbel. [kN/m²] : 0.00

$E_{d,2}$ [kN] : 0.00

Project :
Onderdeel :

RESULTATEN Mast 056 (n=1)**Sondering : S056-1**

Alle niveaus/hogtes/peilmaten zijn t.o.v.: N.A.P.

Inheinniveau [m]	Effectief inheinniveau [m]	E.G. paal [kN]	$R_{t,cal;k}$ [kN]	$R_{t;d}$ [kN]	$F_{t,tot;1}$ [kN]	U.C.
21.85	21.85	28.4	336.6	336.6	0.0	0.00

Sondering : S056-2

Alle niveaus/hogtes/peilmaten zijn t.o.v.: N.A.P.

Inheinniveau [m]	Effectief inheinniveau [m]	E.G. paal [kN]	$R_{t,cal;k}$ [kN]	$R_{t;d}$ [kN]	$F_{t,tot;1}$ [kN]	U.C.
21.85	21.85	28.4	327.3	327.3	0.0	0.00

Project :
Onderdeel :

SAMENVATTINGSTABEL Mast 056 (n=1)**Uitgangspunten**

- paal : LD1
 - paaltype : Stalen buispaal (gesloten)
 - schachtafmeting : 550 mm
 Paalklassefactor α_p : 1.00
 Factor α_t (tabel 7.c EC 7.1) : 0.0070 (zandlagen; voor kleilagen zie tabel 7.d)
 Correlatiefactor $\xi_{3(n=1)}$: 1.39

Alle niveaus/hogtes/peilmaten zijn t.o.v.: N.A.P.

sondering	maaiveld paalpunt		Bezwijkdraagvermogen $R_{t,cal}$ [kN]	Rekenwaarden		
	niveau	niveau		$R_{t,d}$ [kN]	$R_{t,netto,d}$ [kN]	
S056-1	30.53	21.85	336.6	336.6	336.6	
S056-2	30.41	21.85	327.3	327.3	327.3	

Project :
Onderdeel :

SAMENVATTINGSTABEL Mast 056 (van 2 sonderingen)**Uitgangspunten**

- paal : LD1
- paaltype : Stalen buispaal (gesloten)
- schachtafmeting : 550 mm
Paalklassefactor α_p : 1.00
Factor α_t (tabel 7.c EC 7.1) : 0.0070 (zandlagen; voor kleilagen zie tabel 7.d)
Correlatiefactor $\xi_{3gem}(n=2)$: 1.32
Correlatiefactor $\xi_{4min}(n=2)$: 1.32

Alle niveaus/hogtes/peilmaten zijn t.o.v.: N.A.P.

sondering	maaiveld	paalpunt	Bezuikdraagvermogen
	niveau	niveau	E.G. paal $R_{t,cal}$
			[kN] [kN]

met ξ_3 (gem) = 1.32

S056-1	30.53	21.85	28.4	352.9
S056-2	30.41	21.85	28.4	343.2

		21.85	$R_{t,cal,gem}$	348.1
--	--	-------	-----------------	-------

met ξ_4 (min) = 1.32

S056-1	30.53	21.85	28.4	352.9
S056-2	30.41	21.85	28.4	343.2

		21.85	$R_{t,cal,min}$	343.2
--	--	-------	-----------------	-------

Totaal resultaten Mast 056 (van 2 sonderingen)

Uitgangspunten

Correlatiefactor $\xi_{3gem}(n=2)$: 1.32
Correlatiefactor $\xi_{4min}(n=2)$: 1.32

gebaseerd op sonderingen:
S056-1 S056-2

$R_{t,d} = \min. \{ R_{t,cal,gem}; R_{t,cal,min} \}$ (7.17) *

Inheinniveau
[m]

21.85	$R_{t,d} = \min. \{ 348.1; 343.2 \} =$	343.2
-------	--	-------

* Bij de trekpaalberekening zijn factoren ξ_3 en ξ_4 al bij de berekening van de conusweerstand $q_{c;z,d}$ in rekening gebracht, evenals factor $\gamma_{s;t}$. Dat is conform de opmerkingen in art. 7.6.3.3 (3) en (4).

Alle niveaus/hogtes/peilmaten zijn t.o.v.: N.A.P.

Inheinniveau	$R_{t,k}$	$R_{t,d}$	$F_{t,tot;1}$	$R_{t,netto;d}$	U.C.
[m]	[kN]	[kN]	[kN]	[kN]	
21.85	343.2	343.2	0.0	343.2	0.00

REKENGEDEVENS Mast 057

Berekening : Controlerend
Rekenmethode : Trekpalen volgens NEN-EN 1997-1, art. 7.6.3
Sondering(en) : S057-1, S057-2
Let op: trekcapaciteit t.p.v. negatief kleeftraject is meegerekend.

Stijf bouwwerk : NEE
Paalgroep : NEE
Aantal sonderingen : 2
Factor ξ_3 (n=1) : 1.39
Factor ξ_3 (gem) : 1.32
Factor ξ_4 (min) : 1.32
Weerstandsfactor γ_R : 1.35
 $\gamma_{m,var;q_c}$: 1.50
UGT draagvermogen zonder negatieve kleef : NEE

Paal : LD1
Niveau paalkop [m] : N.A.P. 29.64
Paalpuntniveau : N.A.P. 19.24
 $E_{d,1}$ [kN] : 0.00
Bovenbel. [kN/m²] : 0.00

$E_{d,2}$ [kN] : 0.00

Project :
Onderdeel :

RESULTATEN Mast 057 (n=1)**Sondering : S057-1**

Alle niveaus/hogtes/peilmaten zijn t.o.v.: N.A.P.

Inheinniveau [m]	Effectief inheinniveau [m]	E.G. paal [kN]	$R_{t,cal;k}$ [kN]	$R_{t;d}$ [kN]	$F_{t,tot;1}$ [kN]	U.C.
19.24	19.24	32.4	416.8	416.8	0.0	0.00

Sondering : S057-2

Alle niveaus/hogtes/peilmaten zijn t.o.v.: N.A.P.

Inheinniveau [m]	Effectief inheinniveau [m]	E.G. paal [kN]	$R_{t,cal;k}$ [kN]	$R_{t;d}$ [kN]	$F_{t,tot;1}$ [kN]	U.C.
19.24	19.24	32.1	427.3	427.3	0.0	0.00

Project :
Onderdeel :

SAMENVATTINGSTABEL Mast 057 (n=1)**Uitgangspunten**

- paal : LD1
 - paaltype : Stalen buispaal (gesloten)
 - schachtafmeting : 550 mm
 Paalklassefactor α_p : 1.00
 Factor α_t (tabel 7.c EC 7.1) : 0.0070 (zandlagen; voor kleilagen zie tabel 7.d)
 Correlatiefactor $\xi_{3(n=1)}$: 1.39

Alle niveaus/hogtes/peilmaten zijn t.o.v.: N.A.P.

sondering	maaiveld paalpunt		Bezwijkdraagvermogen $R_{t,cal}$ [kN]	Rekenwaarden		
	niveau	niveau		$R_{t,d}$ [kN]	$R_{t,netto,d}$ [kN]	
S057-1	29.29	19.24	416.8	416.8	416.8	
S057-2	29.43	19.24	427.3	427.3	427.3	

Project :
Onderdeel :

SAMENVATTINGSTABEL Mast 057 (van 2 sonderingen)**Uitgangspunten**

- paal : LD1
- paaltype : Stalen buispaal (gesloten)
- schachtafmeting : 550 mm
Paalklassefactor α_p : 1.00
Factor α_t (tabel 7.c EC 7.1) : 0.0070 (zandlagen; voor kleilagen zie tabel 7.d)
Correlatiefactor $\xi_{3gem}(n=2)$: 1.32
Correlatiefactor $\xi_{4min}(n=2)$: 1.32

Alle niveaus/hogtes/peilmaten zijn t.o.v.: N.A.P.

sondering	maaiveld niveau	paalpunt niveau	Bezwijkdraagvermogen E.G. paal [kN]	$R_{t,cal}$ [kN]
-----------	--------------------	--------------------	---	---------------------

met ξ_3 (gem) = 1.32

S057-1	29.29	19.24	32.4	437.1
--------	-------	-------	------	-------

S057-2	29.43	19.24	32.4	448.3
--------	-------	-------	------	-------

		19.24	$R_{t,cal,gem}$	442.7
--	--	-------	-----------------	-------

met ξ_4 (min) = 1.32

S057-1	29.29	19.24	32.4	437.1
--------	-------	-------	------	-------

S057-2	29.43	19.24	32.4	448.3
--------	-------	-------	------	-------

		19.24	$R_{t,cal,min}$	437.1
--	--	-------	-----------------	-------

Totaal resultaten Mast 057 (van 2 sonderingen)

Uitgangspunten

Correlatiefactor $\xi_{3gem}(n=2)$: 1.32

Correlatiefactor $\xi_{4min}(n=2)$: 1.32

gebaseerd op sonderingen:

S057-1 S057-2

$R_{t,d} = \min. \{ R_{t,cal,gem}; R_{t,cal,min} \} (7.17) *$

Inheinniveau
[m]

19.24	$R_{t,d} = \min. \{ 442.7; 437.1 \} = 437.1$
-------	--

* Bij de trekpaalberekening zijn factoren ξ_3 en ξ_4 al bij de berekening van de conusweerstand $q_{c,z;d}$ in rekening gebracht, evenals factor $\gamma_{s;t}$. Dat is conform de opmerkingen in art. 7.6.3.3 (3) en (4).

Alle niveaus/hogtes/peilmaten zijn t.o.v.: N.A.P.

Inheinniveau [m]	$R_{t,k}$ [kN]	$R_{t,d}$ [kN]	$F_{t,tot;1}$ [kN]	$R_{t,netto;d}$ [kN]	U.C.
19.24	437.1	437.1	0.0	437.1	0.00

REKENEGEVEENS Mast 058

Berekening : Controlerend

Rekenmethode : Trekpalen volgens NEN-EN 1997-1, art. 7.6.3

Sondering(en) : S058-1, S058-2

Let op: trekcapaciteit t.p.v. negatief kleeftraject is meegerekend.

Stijf bouwwerk : NEE

Paalgroep : NEE

Aantal sonderingen : 2

Factor ξ_3 (n=1) : 1.39

Factor ξ_3 (gem) : 1.32

Factor ξ_4 (min) : 1.32

Weerstandsfactor γ_R : 1.35

$\gamma_{m,var;q_c}$: 1.50

UGT draagvermogen zonder negatieve kleeft : NEE

Paal : LD1

Niveau paalkop [m] : N.A.P. 30.61

Paalpuntniveau : N.A.P. 16.51

$E_{d,1}$ [kN] : 0.00

Bovenbel. [kN/m²] : 0.00

$E_{d,2}$ [kN] : 0.00

Project :
Onderdeel :

RESULTATEN Mast 058 (n=1)**Sondering : S058-1**

Alle niveaus/hogtes/peilmaten zijn t.o.v.: N.A.P.

Inheinniveau [m]	Effectief inheinniveau [m]	E.G. paal [kN]	$R_{t,cal;k}$ [kN]	$R_{t;d}$ [kN]	$F_{t,tot;1}$ [kN]	U.C.
16.51	16.51	43.0	574.7	574.7	0.0	0.00

Sondering : S058-2

Alle niveaus/hogtes/peilmaten zijn t.o.v.: N.A.P.

Inheinniveau [m]	Effectief inheinniveau [m]	E.G. paal [kN]	$R_{t,cal;k}$ [kN]	$R_{t;d}$ [kN]	$F_{t,tot;1}$ [kN]	U.C.
16.51	16.51	43.0	505.0	505.0	0.0	0.00

Project :
Onderdeel :

SAMENVATTINGSTABEL Mast 058 (n=1)**Uitgangspunten**

- paal : LD1
 - paaltype : Stalen buispaal (gesloten)
 - schachtafmeting : 550 mm
 Paalklassefactor α_p : 1.00
 Factor α_t (tabel 7.c EC 7.1) : 0.0070 (zandlagen; voor kleilagen zie tabel 7.d)
 Correlatiefactor $\xi_{3(n=1)}$: 1.39

Alle niveaus/hogtes/peilmaten zijn t.o.v.: N.A.P.

sondering	maaiveld paalpunt		Bezwijkdraagvermogen $R_{t,cal}$ [kN]	Rekenwaarden		
	niveau	niveau		$R_{t,d}$ [kN]	$R_{t,netto,d}$ [kN]	
S058-1	30.15	16.51	574.7	574.7	574.7	
S058-2	30.18	16.51	505.0	505.0	505.0	

Project :
Onderdeel :

SAMENVATTINGSTABEL Mast 058 (van 2 sonderingen)**Uitgangspunten**

- paal : LD1
- paaltype : Stalen buispaal (gesloten)
- schachtafmeting : 550 mm
Paalklassefactor α_p : 1.00
Factor α_t (tabel 7.c EC 7.1) : 0.0070 (zandlagen; voor kleilagen zie tabel 7.d)
Correlatiefactor $\xi_{3gem}(n=2)$: 1.32
Correlatiefactor $\xi_{4min}(n=2)$: 1.32

Alle niveaus/hogtes/peilmaten zijn t.o.v.: N.A.P.

sondering	maaiveld	paalpunt	Bezwijkdraagvermogen	
	niveau	niveau	E.G. paal	$R_{t,cal}$
			[kN]	[kN]

met ξ_3 (gem) = 1.32

S058-1	30.15	16.51	43.0	602.8
--------	-------	-------	------	-------

S058-2	30.18	16.51	43.0	529.5
--------	-------	-------	------	-------

		16.51	$R_{t,cal,gem}$	566.2
--	--	-------	-----------------	-------

met ξ_4 (min) = 1.32

S058-1	30.15	16.51	43.0	602.8
--------	-------	-------	------	-------

S058-2	30.18	16.51	43.0	529.5
--------	-------	-------	------	-------

		16.51	$R_{t,cal,min}$	529.5
--	--	-------	-----------------	-------

Totaal resultaten Mast 058 (van 2 sonderingen)

Uitgangspunten

Correlatiefactor $\xi_{3gem}(n=2)$: 1.32

Correlatiefactor $\xi_{4min}(n=2)$: 1.32

gebaseerd op sonderingen:

S058-1 S058-2

$R_{t,d} = \min. \{ R_{t,cal,gem}; R_{t,cal,min} \}$ (7.17) *

Inheinniveau
[m]

16.51	$R_{t,d} = \min. \{ 566.2; 529.5 \} =$	529.5
-------	--	-------

* Bij de trekpaalberekening zijn factoren ξ_3 en ξ_4 al bij de berekening van de conusweerstand $q_{c;z,d}$ in rekening gebracht, evenals factor $\gamma_{s;t}$. Dat is conform de opmerkingen in art. 7.6.3.3 (3) en (4).

Alle niveaus/hogtes/peilmaten zijn t.o.v.: N.A.P.

Inheinniveau	$R_{t,k}$	$R_{t,d}$	$F_{t,tot;1}$	$R_{t,netto;d}$	U.C.
[m]	[kN]	[kN]	[kN]	[kN]	
16.51	529.5	529.5	0.0	529.5	0.00

REKENGEDEVENS Mast 059

Berekening : Controlerend

Rekenmethode : Trekpalen volgens NEN-EN 1997-1, art. 7.6.3

Sondering(en) : S059-1, S059-2

Let op: trekcapaciteit t.p.v. negatief kleeftraject is meegerekend.

Stijf bouwwerk : NEE

Paalgroep : NEE

Aantal sonderingen : 2

Factor ξ_3 (n=1) : 1.39

Factor ξ_3 (gem) : 1.32

Factor ξ_4 (min) : 1.32

Weerstandsfactor γ_R : 1.35

$\gamma_{m,var;q_c}$: 1.50

UGT draagvermogen zonder negatieve kleeft : NEE

Paal : LD1

Niveau paalkop [m] : N.A.P. 27.82

Paalpuntniveau : N.A.P. 15.32

$E_{d,1}$ [kN] : 0.00

Bovenbel. [kN/m²] : 0.00

$E_{d,2}$ [kN] : 0.00

Project :
Onderdeel :

RESULTATEN Mast 059 (n=1)**Sondering : S059-1**

Alle niveaus/hogtes/peilmaten zijn t.o.v.: N.A.P.

Inheinniveau [m]	Effectief inheinniveau [m]	E.G. paal [kN]	$R_{t,cal;k}$ [kN]	$R_{t;d}$ [kN]	$F_{t,tot;1}$ [kN]	U.C.
15.32	15.32	38.5	358.4	358.4	0.0	0.00

Sondering : S059-2

Alle niveaus/hogtes/peilmaten zijn t.o.v.: N.A.P.

Inheinniveau [m]	Effectief inheinniveau [m]	E.G. paal [kN]	$R_{t,cal;k}$ [kN]	$R_{t;d}$ [kN]	$F_{t,tot;1}$ [kN]	U.C.
15.32	15.32	38.5	396.1	396.1	0.0	0.00

Project :
Onderdeel :

SAMENVATTINGSTABEL Mast 059 (n=1)**Uitgangspunten**

- paal : LD1
 - paaltype : Stalen buispaal (gesloten)
 - schachtafmeting : 550 mm
 Paalklassefactor α_p : 1.00
 Factor α_t (tabel 7.c EC 7.1) : 0.0070 (zandlagen; voor kleilagen zie tabel 7.d)
 Correlatiefactor $\xi_{3(n=1)}$: 1.39

Alle niveaus/hogtes/peilmaten zijn t.o.v.: N.A.P.

sondering	maaiveld paalpunt		Bezwijkdraagvermogen $R_{t,cal}$ [kN]	Rekenwaarden		
	niveau	niveau		$R_{t,d}$ [kN]	$R_{t,netto,d}$ [kN]	
S059-1	27.39	15.32	358.4	358.4	358.4	
S059-2	27.28	15.32	396.1	396.1	396.1	

Project :
Onderdeel :

SAMENVATTINGSTABEL Mast 059 (van 2 sonderingen)**Uitgangspunten**

- paal : LD1
 - paaltype : Stalen buispaal (gesloten)
 - schachtafmeting : 550 mm
 Paalklassefactor α_p : 1.00
 Factor α_t (tabel 7.c EC 7.1) : 0.0070 (zandlagen; voor kleilagen zie tabel 7.d)
 Correlatiefactor $\xi_{3gem}(n=2)$: 1.32
 Correlatiefactor $\xi_{4min}(n=2)$: 1.32

Alle niveaus/hogtes/peilmaten zijn t.o.v.: N.A.P.

sondering	maaiveld	paalpunt	Bezuikdraagvermogen
	niveau	niveau	E.G. paal $R_{t,cal}$
			[kN] [kN]

met ξ_3 (gem) = 1.32

S059-1	27.39	15.32	38.5	375.4
--------	-------	-------	------	-------

S059-2	27.28	15.32	38.5	415.1
--------	-------	-------	------	-------

		15.32	$R_{t,cal,gem}$	395.2
--	--	-------	-----------------	-------

met ξ_4 (min) = 1.32

S059-1	27.39	15.32	38.5	375.4
--------	-------	-------	------	-------

S059-2	27.28	15.32	38.5	415.1
--------	-------	-------	------	-------

		15.32	$R_{t,cal,min}$	375.4
--	--	-------	-----------------	-------

Totaal resultaten Mast 059 (van 2 sonderingen)

Uitgangspunten

Correlatiefactor $\xi_{3gem}(n=2)$: 1.32

Correlatiefactor $\xi_{4min}(n=2)$: 1.32

gebaseerd op sonderingen:

S059-1 S059-2

$R_{t,d} = \min.\{ R_{t,cal,gem}; R_{t,cal,min} \}$ (7.17) *)

Inheinniveau

[m]

15.32	$R_{t,d} = \min.\{ 395.2; 375.4 \} =$	375.4
-------	---------------------------------------	-------

*) Bij de trekpaalberekening zijn factoren ξ_3 en ξ_4 al bij de berekening van de conusweerstand $q_{c;z,d}$ in rekening gebracht, evenals factor $\gamma_{s;t}$. Dat is conform de opmerkingen in art. 7.6.3.3 (3) en (4).

Alle niveaus/hogtes/peilmaten zijn t.o.v.: N.A.P.

Inheinniveau	$R_{t,k}$	$R_{t,d}$	$F_{t,tot;1}$	$R_{t,netto;d}$	U.C.
[m]	[kN]	[kN]	[kN]	[kN]	
15.32	375.4	375.4	0.0	375.4	0.00

PAALGEGEVENS LD1

Type : Stalen buispaal (gesloten)
 Wijze van installeren : Heien
 Diameter [m] : 0.550
 Elasticiteitsmodulus [N/mm²] : 20000
 Factor α_s (tabel 7.c EC 7.1) : 0.010 (zandlagen; voor kleilagen zie tabel 7.d)
 Factor α_t (tabel 7.c EC 7.1) : 0.0070 (zandlagen; voor kleilagen zie tabel 7.d)
 Paalklassefactor α_p : 1.00
 Paalvoetvormfactor β : 1.00
 Type lastzakingsdiagram : Grondverdringende paal
 Verm.factor * $\phi'_{j,k}$: 0.75
 Groutomhulling : NEE

Project :
Onderdeel :

OVERZICHT NETTO DRAAGVERMOGEN TREKPALEN (n=1)

Netto paal draagvermogen(s) zijn naar beneden toe afgerond op: 1.0 kN nauwkeurig
Alle niveaus/hoogtes/peilmaten zijn t.o.v.: N.A.P.

sondering	maaiveld paalpunt		$R_{t, netto; d}$ [kN]				
	niveau	niveau	Mast 052	Mast 053	Mast 055	Mast 056	Mast 057
S056-1	30.53	21.85				336	
S056-2	30.41	21.85				327	
S057-1	29.29	19.24					416
S057-2	29.43	19.24					427
S052-1	31.31	18.15	540				
S052-2	31.26	18.15	528				
S053-1	30.64	21.94		397			
S053-2	30.68	21.94		383			
S055-1	30.43	21.77			394		
S055-2	30.44	21.77			341		

Project :
Onderdeel :

Netto paal draagvermogen(s) zijn naar beneden toe afgerond op: 1.0 kN nauwkeurig
Alle niveaus/hogtes/peilmaten zijn t.o.v.: N.A.P.

sondering	maaiveld niveau	paalpunt niveau	$R_{t,netto;d}$ Mast 058	[kN] Mast 059
-----------	--------------------	--------------------	-----------------------------	------------------

S058-1	30.15	16.51	574	
S058-2	30.18	16.51	505	
S059-1	27.39	15.32		358
S059-2	27.28	15.32		396

Project :
Onderdeel :

ALGEMENE GEGEVENS

Project :
Onderdeel :
Datum : 10-12-2021
Bestand : P:\EANL_Projects\10166262 - BBB modelleren
funderingen 380 kV\02 Content\03
Calculations\Technosoft
Paalfunderingen\MBT-EHV380\DO\Nieuw
Sonderingen\Mast 060-069.pvw
Berekeningstype : Verticaal belaste paal
Alle niveaus/hogtes/peilmaten zijn t.o.v.: N.A.P.

Toegepaste normen volgens Eurocode met Nederlandse NB

Geotechniek	EN 1997-1:2004	AC:2009	
	NEN-EN 1997-1:2005	C1+A1:2013	NB:2016
	NEN 9997-1:2016	C2:2017	

GRONDSOORTEN

Nr. Omschrijving	$\gamma_{k;1}$ [kN/m ³]	$\gamma_{sat;k;1}$ [kN/m ³]	$\phi'_{k;1}$ [°]	$\gamma_{k;2}$ [kN/m ³]	$\gamma_{sat;k;2}$ [kN/m ³]	$\phi'_{k;2}$ [°]
1 Zand - Schoon - Los	17.00	19.00	30.00	18.00	20.00	32.50
2 Zand - Schoon - Matig	18.00	20.00	32.50	19.00	21.00	35.00
3 Zand - Schoon - Vast	19.00	21.00	35.00	20.00	22.00	40.00
4 Zand - Zwak siltig - Kleiig	18.00	20.00	27.00	19.00	21.00	32.50
5 Zand - Sterk siltig - Kleiig	18.00	20.00	25.00	19.00	21.00	30.00
6 Leem - Zwak zandig - Vast	21.00	21.00	27.50	22.00	22.00	35.00
7 Leem - Sterk zandig	19.00	19.00	27.50	20.00	20.00	35.00
8 Klei - Schoon - Matig	17.00	17.00	17.50	19.00	19.00	17.50
9 Klei - Schoon - Vast	19.00	19.00	17.50	20.00	20.00	25.00
10 Klei - Zwak zandig - Slap	15.00	15.00	22.50	18.00	18.00	22.50
11 Klei - Zwak zandig - Matig	18.00	18.00	22.50	20.00	20.00	22.50
12 Klei - Zwak zandig - Vast	20.00	20.00	22.50	21.00	21.00	27.50
13 Klei - Organisch - Matig	15.00	15.00	15.00	16.00	16.00	15.00
14 Veen - Matig voorbelast - Matig	12.00	12.00	15.00	13.00	13.00	15.00

BODEMPROFIELGEGEVENS: S063-1

Alle niveaus/hogtes/peilmaten zijn t.o.v.: N.A.P.

d50-reductie is meegenomen overeenkomstig NEN-EN 9997 art. 7.6.2.3 (i)

Hoogte maaiveld [m] : 26.59 Grondwaterstand [m] : 25.59

Laag	Van [m]	Tot [m]	Omschrijving	OCR	Aandeel pos. kleef [%]	α_s	d_{50} [mm]
1	26.59	26.22	Zand - Zwak siltig - Kleiig	1.0	100.0		
2	26.22	26.10	Leem - Zwak zandig - Vast	1.0	50.0		
3	26.10	24.00	Klei - Organisch - Matig	1.0	50.0		
4	24.00	23.62	Zand - Schoon - Los	1.0	100.0		
5	23.62	23.10	Klei - Zwak zandig - Vast	1.0	50.0		
6	23.10	22.28	Zand - Schoon - Los	1.0	100.0		
7	22.28	21.92	Klei - Zwak zandig - Vast	1.0	50.0		
8	21.92	21.66	Zand - Schoon - Los	1.0	100.0		
9	21.66	21.40	Leem - Zwak zandig - Vast	1.0	50.0		
10	21.40	20.88	Zand - Schoon - Matig	1.0	100.0		
11	20.88	20.62	Zand - Schoon - Los	1.0	100.0		
12	20.62	20.38	Leem - Zwak zandig - Vast	1.0	50.0		
13	20.38	20.26	Zand - Zwak siltig - Kleiig	1.0	100.0		
14	20.26	19.74	Zand - Schoon - Los	1.0	100.0		
15	19.74	17.85	Klei - Schoon - Matig	1.0	50.0		
16	17.85	17.59	Zand - Schoon - Los	1.0	100.0		
17	17.59	17.01	Klei - Zwak zandig - Matig	1.0	50.0		
18	17.01	16.75	Zand - Schoon - Los	1.0	100.0		
19	16.75	16.37	Klei - Zwak zandig - Matig	1.0	50.0		
20	16.37	15.41	Zand - Schoon - Vast	1.0	100.0		
21	15.41	14.95	Zand - Schoon - Los	1.0	100.0		
22	14.95	14.05	Zand - Zwak siltig - Kleiig	1.0	100.0		
23	14.05	13.10	Zand - Schoon - Vast	1.0	100.0		
24	13.10	12.82	Zand - Schoon - Los	1.0	100.0		
25	12.82	12.56	Klei - Zwak zandig - Matig	1.0	50.0		
26	12.56	11.61	Zand - Schoon - Vast	1.0	100.0		
27	11.61	11.33	Zand - Schoon - Los	1.0	100.0		
28	11.33	10.81	Klei - Zwak zandig - Matig	1.0	50.0		

Project :
Onderdeel :

Laag	Van [m]	Tot [m]	Omschrijving	OCR	Aandeel pos. kleef [%]	α_s	d_{50} [mm]
29	10.81	9.03	Zand - Schoon - Matig	1.0	100.0		
30	9.03	7.48	Zand - Zwak siltig - Kleiig	1.0	100.0		
31	7.48	3.99	Zand - Schoon - Vast	1.0	100.0		
32	3.99	3.24	Zand - Schoon - Los	1.0	100.0		
33	3.24	2.50	Zand - Schoon - Vast	1.0	100.0		

BODEMPROFIELGEGEVENS: S064-1

Alle niveaus/hoogtes/peilmaten zijn t.o.v.: N.A.P.

d50-reductie is meegenomen overeenkomstig NEN-EN 9997 art. 7.6.2.3 (i)

Hoogte maaiveld [m] : 26.83 Grondwaterstand [m] : 25.83

Laag	Van [m]	Tot [m]	Omschrijving	OCR	Aandeel pos. kleef [%]	α_s	d_{50} [mm]
1	26.83	26.34	Zand - Schoon - Los	1.0	100.0		
2	26.34	25.96	Klei - Zwak zandig - Slap	1.0	50.0		
3	25.96	24.20	Zand - Schoon - Los	1.0	100.0		
4	24.20	23.26	Klei - Zwak zandig - Matig	1.0	50.0		
5	23.26	22.50	Zand - Schoon - Matig	1.0	100.0		
6	22.50	22.12	Leem - Zwak zandig - Vast	1.0	50.0		
7	22.12	21.42	Zand - Schoon - Matig	1.0	100.0		
8	21.42	20.60	Zand - Schoon - Los	1.0	100.0		
9	20.60	19.92	Zand - Schoon - Vast	1.0	100.0		
10	19.92	19.54	Zand - Zwak siltig - Kleiig	1.0	100.0		
11	19.54	17.56	Klei - Zwak zandig - Vast	1.0	50.0		
12	17.56	17.10	Zand - Schoon - Matig	1.0	100.0		
13	17.10	16.22	Klei - Zwak zandig - Vast	1.0	50.0		
14	16.22	15.36	Zand - Schoon - Vast	1.0	100.0		
15	15.36	14.86	Zand - Schoon - Los	1.0	100.0		
16	14.86	14.58	Leem - Zwak zandig - Vast	1.0	50.0		
17	14.58	13.58	Zand - Zwak siltig - Kleiig	1.0	100.0		
18	13.58	13.14	Zand - Schoon - Vast	1.0	100.0		
19	13.14	12.74	Leem - Zwak zandig - Vast	1.0	50.0		
20	12.74	10.93	Zand - Schoon - Vast	1.0	100.0		
21	10.93	10.55	Zand - Zwak siltig - Kleiig	1.0	100.0		
22	10.55	9.53	Zand - Schoon - Vast	1.0	100.0		
23	9.53	8.89	Zand - Sterk siltig - Kleiig	1.0	100.0		
24	8.89	6.95	Zand - Schoon - Vast	1.0	100.0		
25	6.95	6.23	Zand - Zwak siltig - Kleiig	1.0	100.0		
26	6.23	3.58	Zand - Schoon - Vast	1.0	100.0		

BODEMPROFIELGEGEVENS: S067-2

Alle niveaus/hoogtes/peilmaten zijn t.o.v.: N.A.P.

d50-reductie is meegenomen overeenkomstig NEN-EN 9997 art. 7.6.2.3 (i)

Hoogte maaiveld [m] : 27.04 Grondwaterstand [m] : 26.04

Laag	Van [m]	Tot [m]	Omschrijving	OCR	Aandeel pos. kleef [%]	α_s	d_{50} [mm]
1	27.04	25.57	Zand - Schoon - Los	1.0	100.0		
2	25.57	24.63	Zand - Sterk siltig - Kleiig	1.0	100.0		
3	24.63	23.71	Leem - Zwak zandig - Vast	1.0	50.0		
4	23.71	22.01	Zand - Zwak siltig - Kleiig	1.0	100.0		
5	22.01	21.09	Zand - Schoon - Los	1.0	100.0		
6	21.09	19.87	Klei - Schoon - Vast	1.0	50.0		
7	19.87	19.01	Leem - Zwak zandig - Vast	1.0	50.0		
8	19.01	17.78	Zand - Schoon - Vast	1.0	100.0		
9	17.78	17.42	Zand - Schoon - Los	1.0	100.0		
10	17.42	16.36	Klei - Zwak zandig - Matig	1.0	50.0		
11	16.36	15.42	Zand - Schoon - Matig	1.0	100.0		
12	15.42	15.00	Zand - Sterk siltig - Kleiig	1.0	100.0		
13	15.00	9.61	Zand - Schoon - Vast	1.0	100.0		
14	9.61	8.81	Zand - Sterk siltig - Kleiig	1.0	100.0		
15	8.81	8.17	Zand - Schoon - Matig	1.0	100.0		
16	8.17	7.53	Zand - Schoon - Los	1.0	100.0		
17	7.53	5.06	Zand - Schoon - Vast	1.0	100.0		

Project :
Onderdeel :

BODEMPROFIELGEGEVENS: S068-2

Alle niveaus/hoogtes/peilmaten zijn t.o.v.: N.A.P.

d50-reductie is meegenomen overeenkomstig NEN-EN 9997 art. 7.6.2.3 (i)

Laag	Van [m]	Tot [m]	Omschrijving	OCR	Aandeel pos. kleef [%]	α_s	d_{50} [mm]
	Hoogte maaiveld [m] : 27.21		Grondwaterstand [m] : 26.21				
1	27.21	26.66	Zand - Zwak siltig - Kleiig	1.0	100.0		
2	26.66	25.22	Zand - Schoon - Los	1.0	100.0		
3	25.22	24.78	Zand - Zwak siltig - Kleiig	1.0	100.0		
4	24.78	24.36	Veen - Matig voorbelast - Matig	1.0	50.0		
5	24.36	22.60	Zand - Schoon - Vast	1.0	100.0		
6	22.60	22.13	Zand - Sterk siltig - Kleiig	1.0	100.0		
7	22.13	21.90	Klei - Zwak zandig - Vast	1.0	50.0		
8	21.90	21.54	Zand - Sterk siltig - Kleiig	1.0	100.0		
9	21.54	20.88	Klei - Schoon - Vast	1.0	50.0		
10	20.88	19.03	Klei - Zwak zandig - Matig	1.0	50.0		
11	19.03	18.41	Zand - Schoon - Vast	1.0	100.0		
12	18.41	18.17	Zand - Schoon - Los	1.0	100.0		
13	18.17	17.35	Klei - Schoon - Matig	1.0	50.0		
14	17.35	11.75	Zand - Schoon - Vast	1.0	100.0		
15	11.75	11.14	Zand - Schoon - Matig	1.0	100.0		
16	11.14	10.74	Zand - Schoon - Vast	1.0	100.0		
17	10.74	9.82	Zand - Schoon - Los	1.0	100.0		
18	9.82	7.23	Zand - Schoon - Vast	1.0	100.0		

BODEMPROFIELGEGEVENS: S066-1

Alle niveaus/hoogtes/peilmaten zijn t.o.v.: N.A.P.

d50-reductie is meegenomen overeenkomstig NEN-EN 9997 art. 7.6.2.3 (i)

Laag	Van [m]	Tot [m]	Omschrijving	OCR	Aandeel pos. kleef [%]	α_s	d_{50} [mm]
	Hoogte maaiveld [m] : 26.41		Grondwaterstand [m] : 25.41				
1	26.41	26.17	Veen - Matig voorbelast - Matig	1.0	50.0		
2	26.17	24.31	Zand - Schoon - Los	1.0	100.0		
3	24.31	22.95	Leem - Zwak zandig - Vast	1.0	50.0		
4	22.95	22.01	Zand - Zwak siltig - Kleiig	1.0	100.0		
5	22.01	21.77	Leem - Zwak zandig - Vast	1.0	50.0		
6	21.77	21.13	Zand - Schoon - Los	1.0	100.0		
7	21.13	18.69	Klei - Schoon - Matig	1.0	50.0		
8	18.69	18.33	Zand - Schoon - Matig	1.0	100.0		
9	18.33	17.93	Klei - Zwak zandig - Matig	1.0	50.0		
10	17.93	17.41	Zand - Schoon - Matig	1.0	100.0		
11	17.41	16.87	Klei - Schoon - Matig	1.0	50.0		
12	16.87	15.21	Zand - Schoon - Vast	1.0	100.0		
13	15.21	14.15	Zand - Zwak siltig - Kleiig	1.0	100.0		
14	14.15	12.37	Zand - Schoon - Vast	1.0	100.0		
15	12.37	9.72	Zand - Schoon - Matig	1.0	100.0		
16	9.72	5.64	Zand - Schoon - Vast	1.0	100.0		
17	5.64	5.00	Klei - Zwak zandig - Slap	1.0	50.0		
18	5.00	4.26	Zand - Zwak siltig - Kleiig	1.0	100.0		

BODEMPROFIELGEGEVENS: S066-2

Alle niveaus/hoogtes/peilmaten zijn t.o.v.: N.A.P.

d50-reductie is meegenomen overeenkomstig NEN-EN 9997 art. 7.6.2.3 (i)

Laag	Van [m]	Tot [m]	Omschrijving	OCR	Aandeel pos. kleef [%]	α_s	d_{50} [mm]
	Hoogte maaiveld [m] : 26.28		Grondwaterstand [m] : 25.28				
1	26.28	25.92	Leem - Sterk zandig	1.0	50.0		
2	25.92	24.26	Zand - Zwak siltig - Kleiig	1.0	100.0		
3	24.26	23.88	Zand - Sterk siltig - Kleiig	1.0	100.0		
4	23.88	23.44	Leem - Zwak zandig - Vast	1.0	50.0		
5	23.44	22.94	Zand - Sterk siltig - Kleiig	1.0	100.0		
6	22.94	22.30	Zand - Schoon - Vast	1.0	100.0		
7	22.30	22.06	Zand - Schoon - Los	1.0	100.0		
8	22.06	21.38	Klei - Zwak zandig - Vast	1.0	50.0		
9	21.38	20.50	Zand - Sterk siltig - Kleiig	1.0	100.0		
10	20.50	19.24	Klei - Zwak zandig - Matig	1.0	50.0		
11	19.24	18.10	Zand - Zwak siltig - Kleiig	1.0	100.0		
12	18.10	17.47	Klei - Zwak zandig - Vast	1.0	50.0		

Project :
Onderdeel :

Laag	Van [m]	Tot [m]	Omschrijving	OCR	Aandeel pos. kleef [%]	α_s	d_{50} [mm]
13	17.47	16.91	Zand - Zwak siltig - Kleiig	1.0	100.0		
14	16.91	16.65	Leem - Zwak zandig - Vast	1.0	50.0		
15	16.65	15.79	Zand - Schoon - Vast	1.0	100.0		
16	15.79	14.69	Zand - Schoon - Matig	1.0	100.0		
17	14.69	14.15	Zand - Zwak siltig - Kleiig	1.0	100.0		
18	14.15	8.00	Zand - Schoon - Vast	1.0	100.0		

BODEMPROFIELGEGEVENS: S060-1

Alle niveaus/hogtes/peilmaten zijn t.o.v.: N.A.P.

d50-reductie is meegenomen overeenkomstig NEN-EN 9997 art. 7.6.2.3 (i)

Hoogte maaiveld [m] : 27.04 Grondwaterstand [m] : 26.04

Laag	Van [m]	Tot [m]	Omschrijving	OCR	Aandeel pos. kleef [%]	α_s	d_{50} [mm]
1	27.04	26.46	Zand - Zwak siltig - Kleiig	1.0	100.0		
2	26.46	24.78	Klei - Organisch - Matig	1.0	50.0		
3	24.78	23.46	Zand - Schoon - Los	1.0	100.0		
4	23.46	20.60	Zand - Schoon - Matig	1.0	100.0		
5	20.60	20.34	Zand - Schoon - Los	1.0	100.0		
6	20.34	19.92	Zand - Schoon - Matig	1.0	100.0		
7	19.92	19.44	Leem - Zwak zandig - Vast	1.0	50.0		
8	19.44	17.45	Klei - Schoon - Vast	1.0	50.0		
9	17.45	17.01	Zand - Schoon - Matig	1.0	100.0		
10	17.01	16.61	Klei - Schoon - Vast	1.0	50.0		
11	16.61	16.15	Zand - Schoon - Los	1.0	100.0		
12	16.15	15.75	Klei - Zwak zandig - Vast	1.0	50.0		
13	15.75	14.81	Zand - Schoon - Matig	1.0	100.0		
14	14.81	14.41	Zand - Schoon - Los	1.0	100.0		
15	14.41	13.00	Zand - Schoon - Matig	1.0	100.0		
16	13.00	12.32	Zand - Schoon - Los	1.0	100.0		
17	12.32	4.03	Zand - Schoon - Matig	1.0	100.0		

BODEMPROFIELGEGEVENS: S060-2

Alle niveaus/hogtes/peilmaten zijn t.o.v.: N.A.P.

d50-reductie is meegenomen overeenkomstig NEN-EN 9997 art. 7.6.2.3 (i)

Hoogte maaiveld [m] : 27.02 Grondwaterstand [m] : 26.02

Laag	Van [m]	Tot [m]	Omschrijving	OCR	Aandeel pos. kleef [%]	α_s	d_{50} [mm]
1	27.02	26.50	Zand - Zwak siltig - Kleiig	1.0	100.0		
2	26.50	25.50	Klei - Organisch - Matig	1.0	50.0		
3	25.50	21.76	Zand - Zwak siltig - Kleiig	1.0	100.0		
4	21.76	21.50	Klei - Zwak zandig - Matig	1.0	50.0		
5	21.50	20.76	Zand - Schoon - Los	1.0	100.0		
6	20.76	20.52	Leem - Zwak zandig - Vast	1.0	50.0		
7	20.52	19.76	Zand - Schoon - Los	1.0	100.0		
8	19.76	17.51	Klei - Schoon - Matig	1.0	50.0		
9	17.51	17.25	Zand - Schoon - Los	1.0	100.0		
10	17.25	16.63	Klei - Schoon - Vast	1.0	50.0		
11	16.63	15.81	Zand - Schoon - Los	1.0	100.0		
12	15.81	14.09	Zand - Schoon - Vast	1.0	100.0		
13	14.09	13.65	Zand - Schoon - Los	1.0	100.0		
14	13.65	13.28	Leem - Zwak zandig - Vast	1.0	50.0		
15	13.28	12.22	Zand - Schoon - Vast	1.0	100.0		
16	12.22	10.51	Zand - Schoon - Los	1.0	100.0		
17	10.51	8.79	Zand - Schoon - Vast	1.0	100.0		
18	8.79	8.35	Zand - Schoon - Matig	1.0	100.0		
19	8.35	7.79	Zand - Schoon - Vast	1.0	100.0		
20	7.79	7.08	Zand - Schoon - Los	1.0	100.0		
21	7.08	4.80	Zand - Schoon - Vast	1.0	100.0		
22	4.80	4.05	Zand - Schoon - Matig	1.0	100.0		

SONDERINGSGEGEVENS ALGEMEEN: S063-1

Alle niveaus/hogtes/peilmaten zijn t.o.v.: N.A.P.

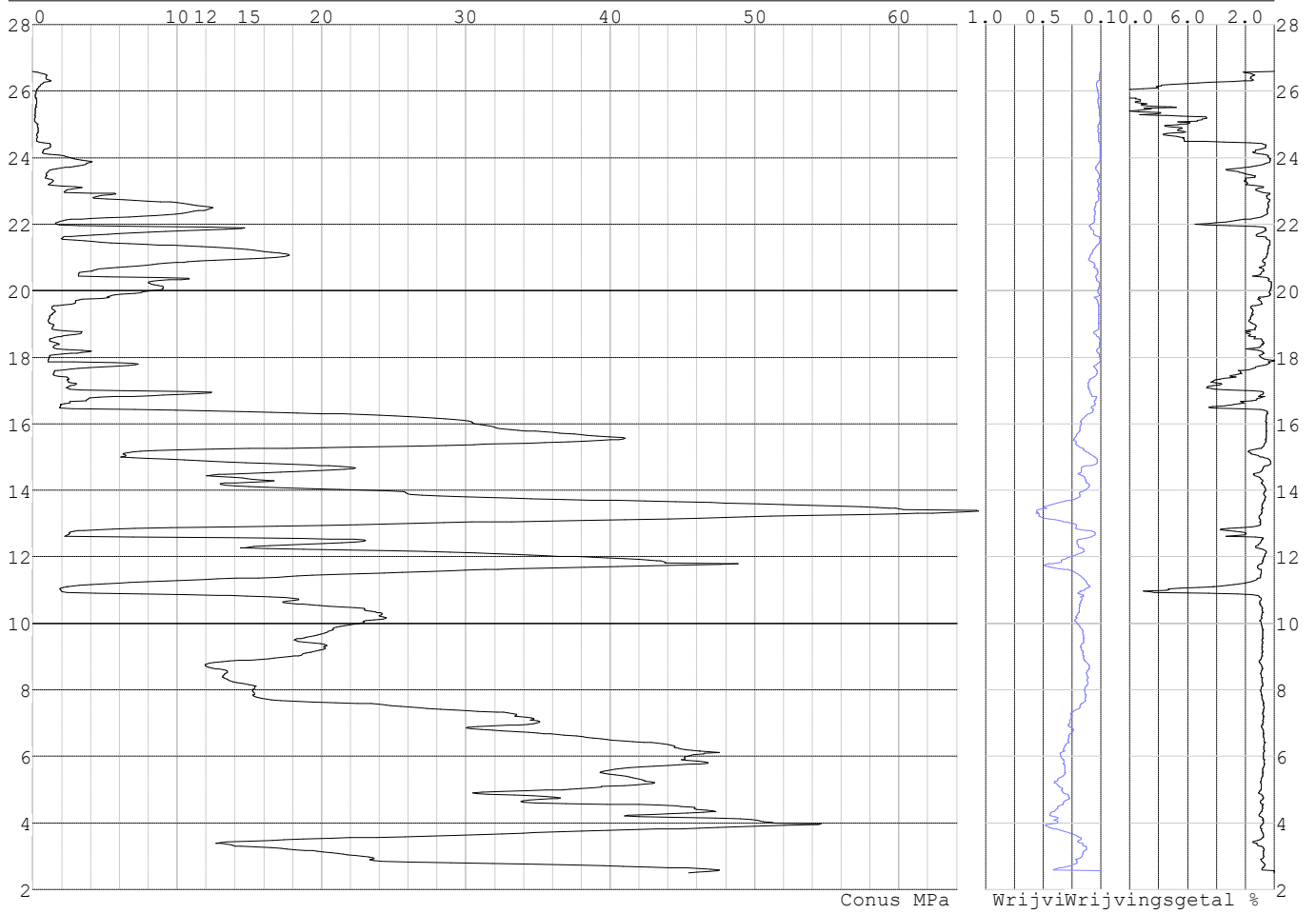
Hoogte maaiveld [m] : 26.59 Bodemprofiel: S063-1

Traject negatieve kleef : 26.59 tot 16.40 [m]

Traject positieve kleef : 16.40 tot 2.49 [m]

Project :
Onderdeel :

SONDERINGSGEGEVENS GRAFIEK: S063-1

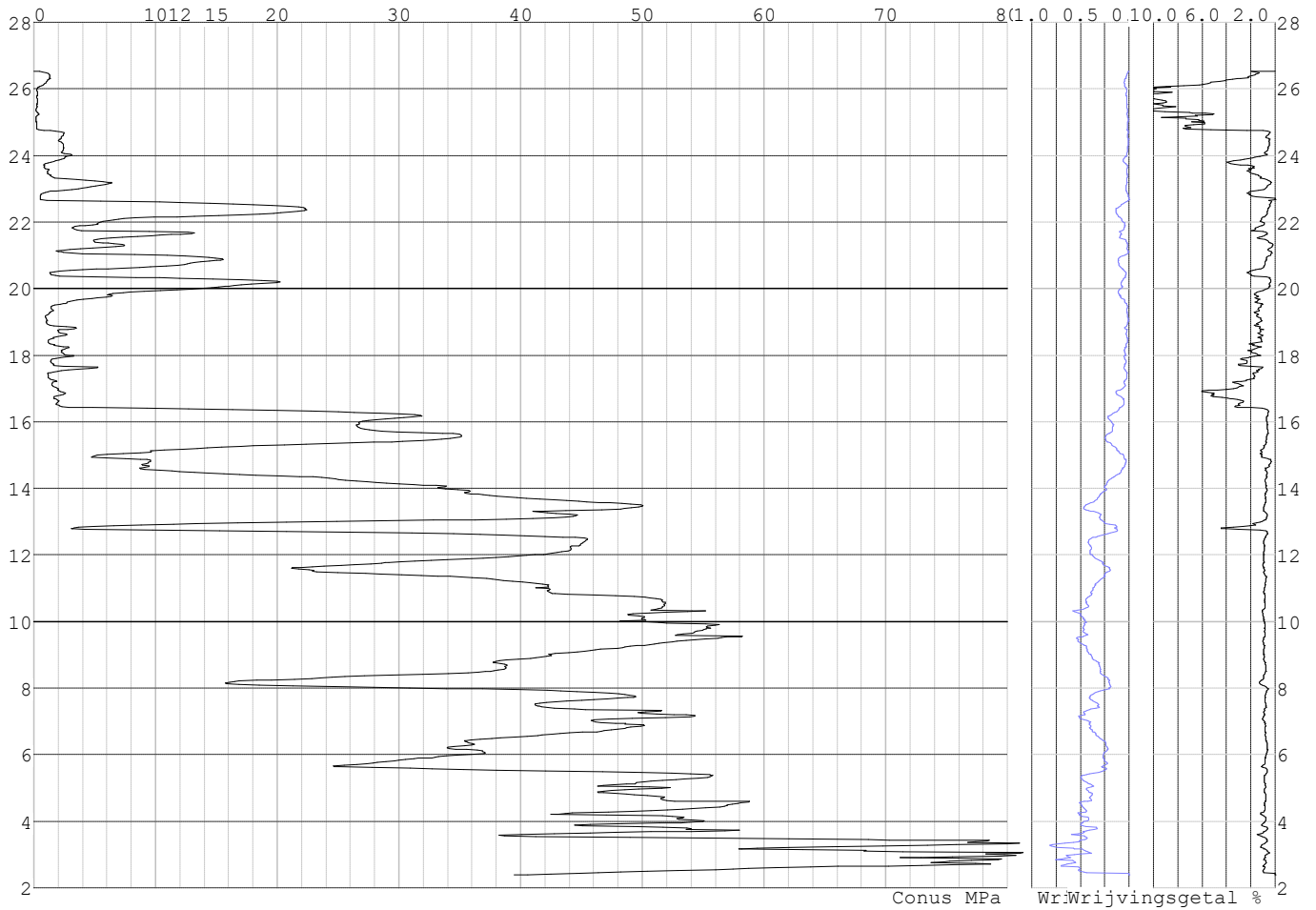


Project :
Onderdeel :

SONDERINGSGEGEVENS ALGEMEEN: S063-2

Alle niveaus/hogtes/peilmaten zijn t.o.v.: N.A.P.
Hoogte maaiveld [m] : 26.53 Bodemprofiel: S063-1
Traject negatieve kleeft : 26.53 tot 16.50 [m]
Traject positieve kleeft : 16.50 tot 2.37 [m]

SONDERINGSGEGEVENS GRAFIEK: S063-2

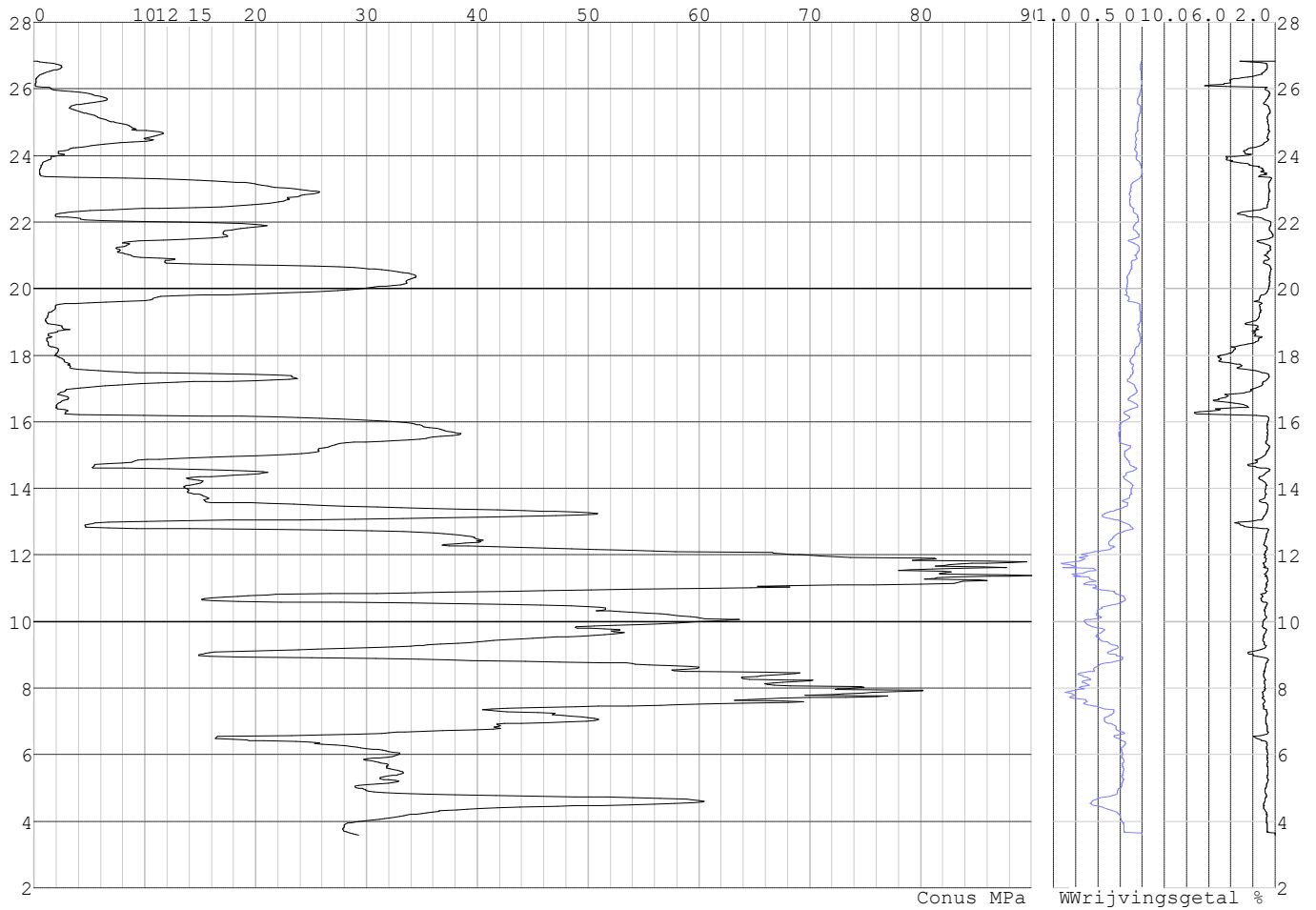


Project :
Onderdeel :

SONDERINGSGEGEVENS ALGEMEEN: S064-1

Alle niveaus/hogtes/peilmaten zijn t.o.v.: N.A.P.
Hoogte maaiveld [m] : 26.83 Bodemprofiel: S064-1
Traject negatieve kleef : 26.83 tot 23.40 [m]
Traject positieve kleef : 23.40 tot 3.57 [m]

SONDERINGSGEGEVENS GRAFIEK: S064-1

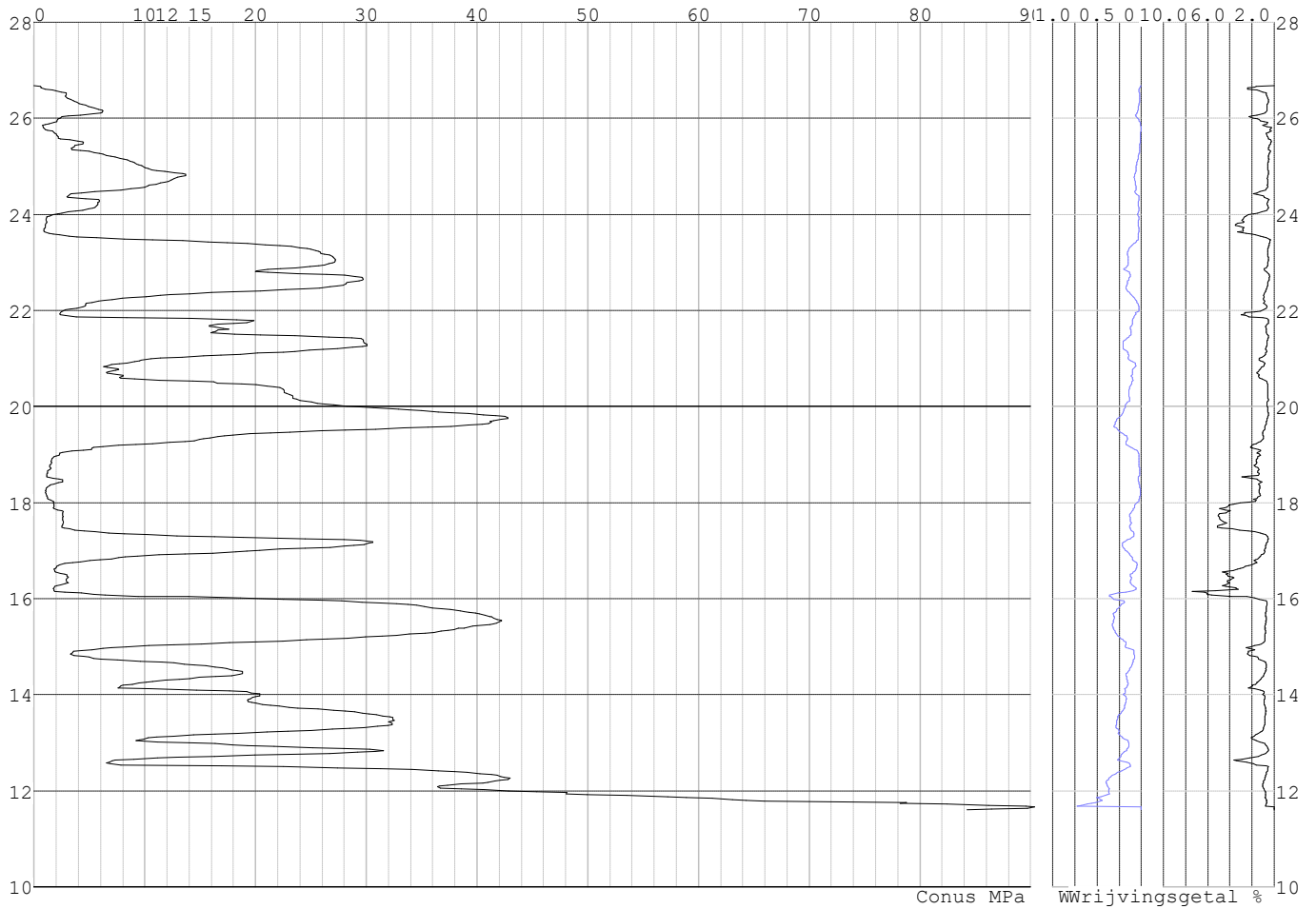


Project :
Onderdeel :

SONDERINGSGEGEVENS ALGEMEEN: S064-2

Alle niveaus/hogtes/peilmaten zijn t.o.v.: N.A.P.
Hoogte maaiveld [m] : 26.68 Bodemprofiel: S064-1
Traject negatieve kleeft : 26.68 tot 23.60 [m]
Traject positieve kleeft : 23.60 tot 11.59 [m]

SONDERINGSGEGEVENS GRAFIEK: S064-2

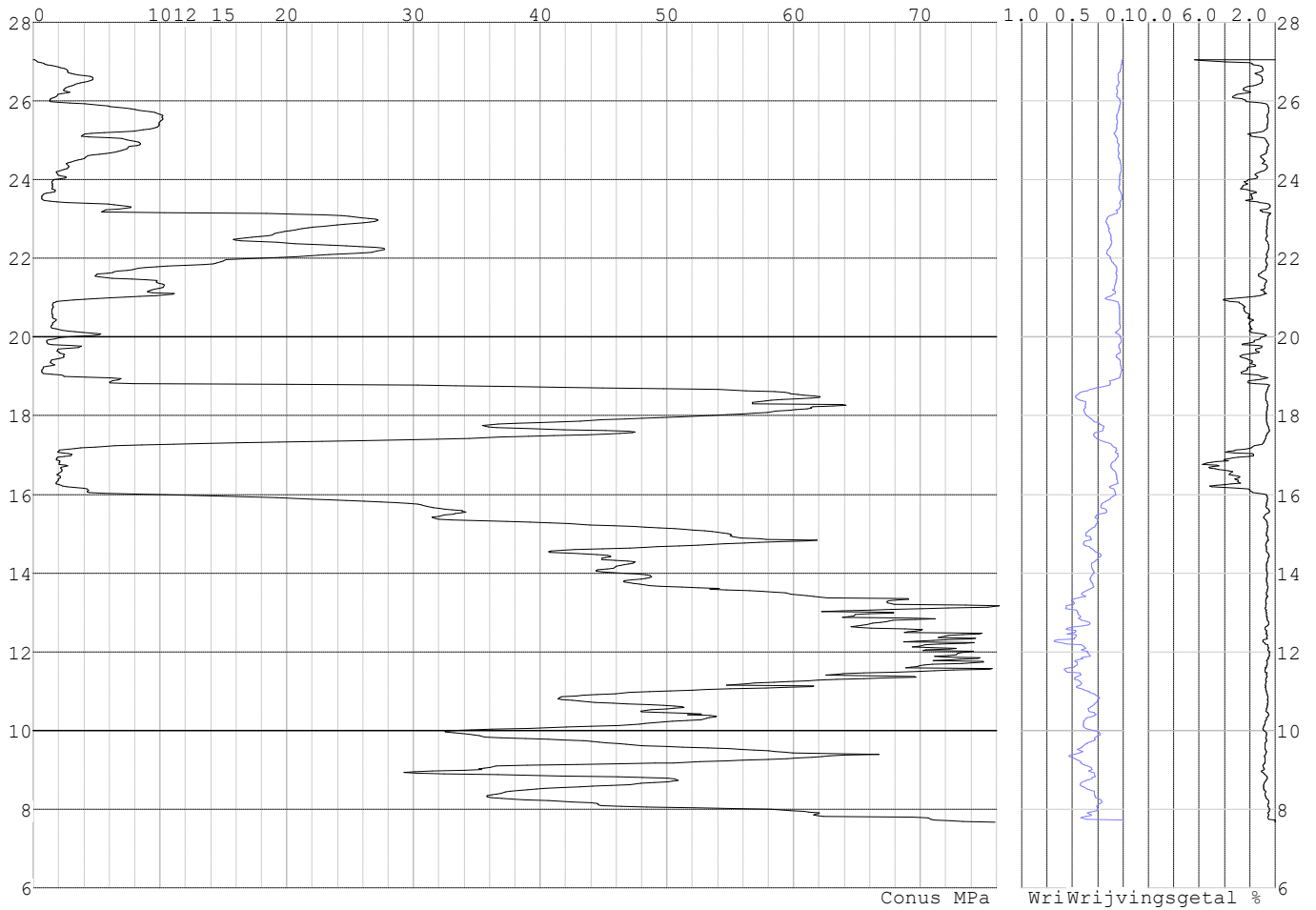


Project :
Onderdeel :

SONDERINGSGEGEVENS ALGEMEEN: S067-1

Alle niveaus/hogtes/peilmaten zijn t.o.v.: N.A.P.
Hoogte maaiveld [m] : 27.05 Bodemprofiel: S067-2
Traject negatieve kleeft : 27.05 tot 16.00 [m]
Traject positieve kleeft : 16.00 tot 7.66 [m]

SONDERINGSGEGEVENS GRAFIEK: S067-1

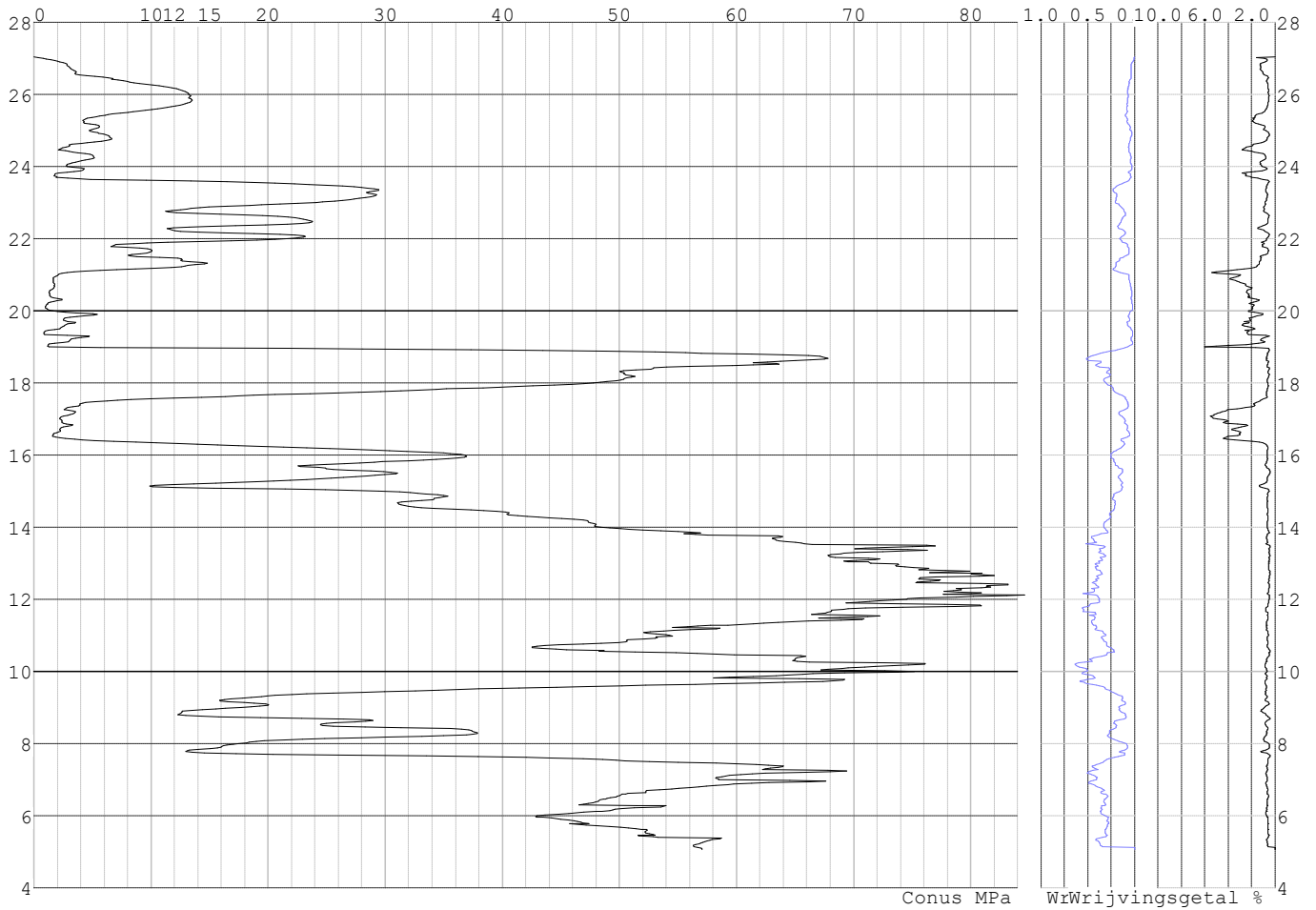


Project :
Onderdeel :

SONDERINGSGEGEVENS ALGEMEEN: S067-2

Alle niveaus/hoogtes/peilmaten zijn t.o.v.: N.A.P.
Hoogte maaiveld [m] : 27.04 Bodemprofiel: S067-2
Traject negatieve kleeft : 27.04 tot 16.40 [m]
Traject positieve kleeft : 16.40 tot 5.05 [m]

SONDERINGSGEGEVENS GRAFIEK: S067-2

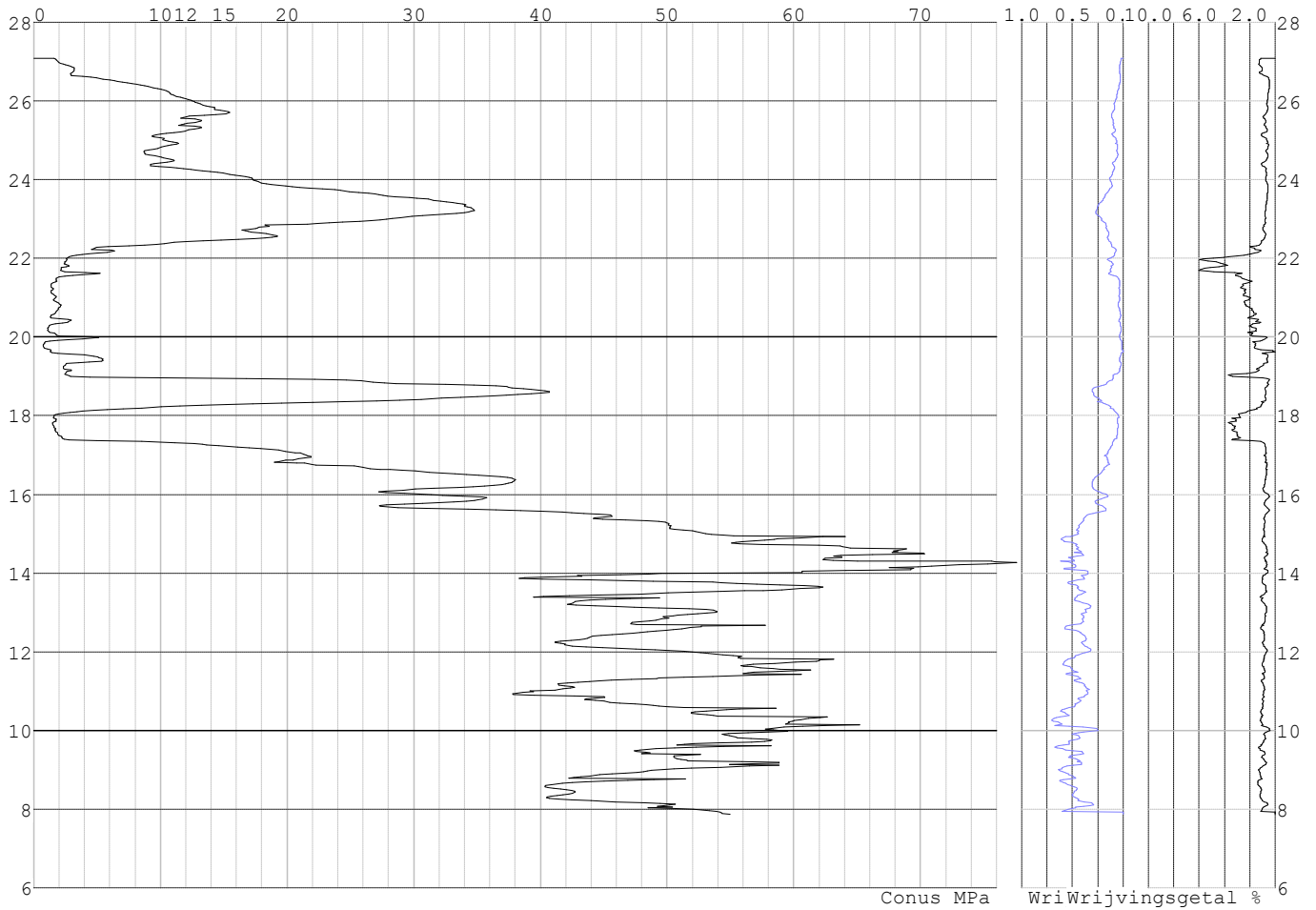


Project :
Onderdeel :

SONDERINGSGEGEVENS ALGEMEEN: S068-1

Alle niveaus/hogtes/peilmaten zijn t.o.v.: N.A.P.
Hoogte maaiveld [m] : 27.09 Bodemprofiel: S068-2
Traject negatieve kleef : 27.09 tot 17.40 [m]
Traject positieve kleef : 17.40 tot 7.86 [m]

SONDERINGSGEGEVENS GRAFIEK: S068-1

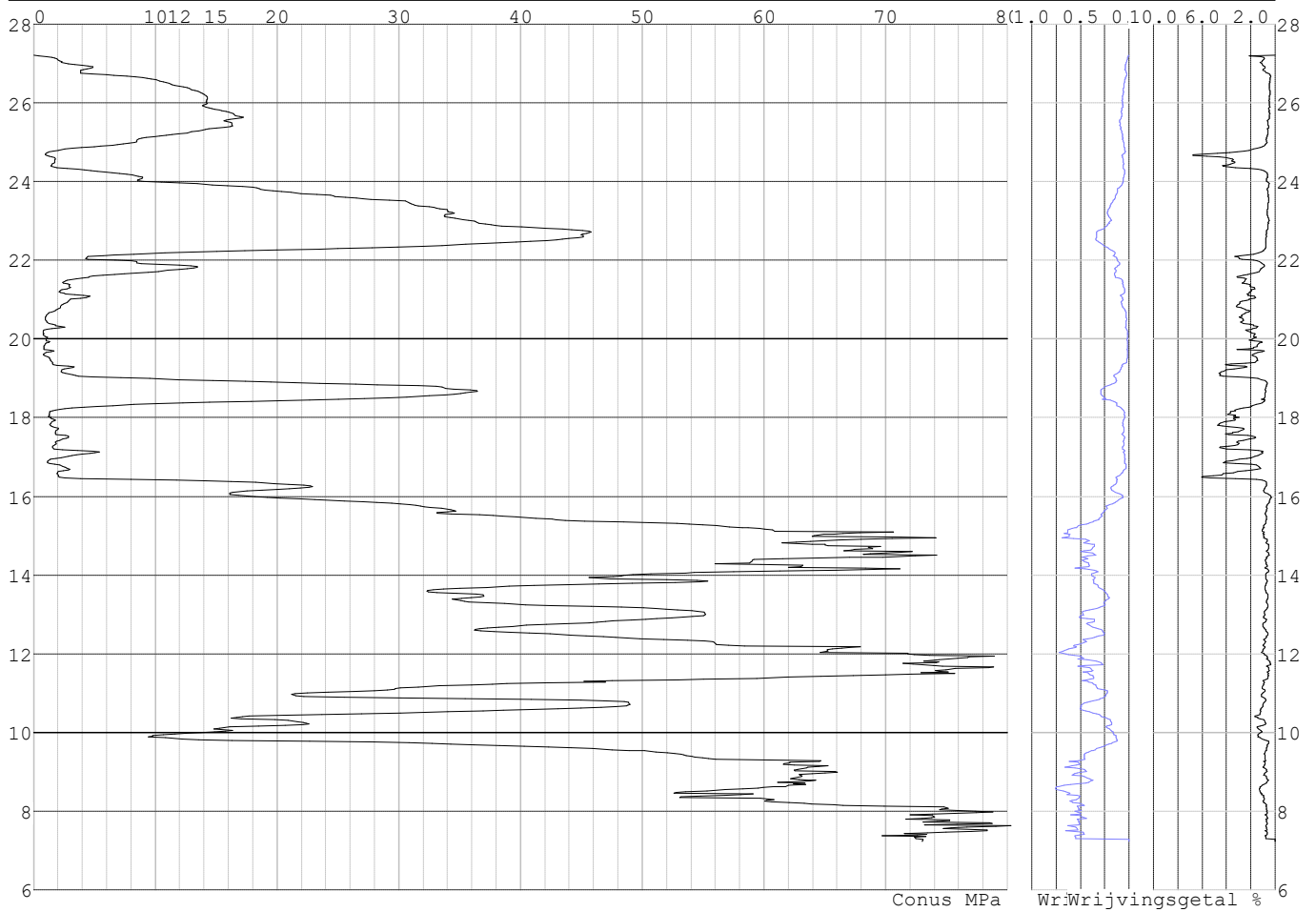


Project :
Onderdeel :

SONDERINGSGEGEVENS ALGEMEEN: S068-2

Alle niveaus/hoogtes/peilmaten zijn t.o.v.: N.A.P.
Hoogte maaiveld [m] : 27.21 Bodemprofiel: S068-2
Traject negatieve kleef : 27.21 tot 16.40 [m]
Traject positieve kleef : 16.40 tot 7.22 [m]

SONDERINGSGEGEVENS GRAFIEK: S068-2

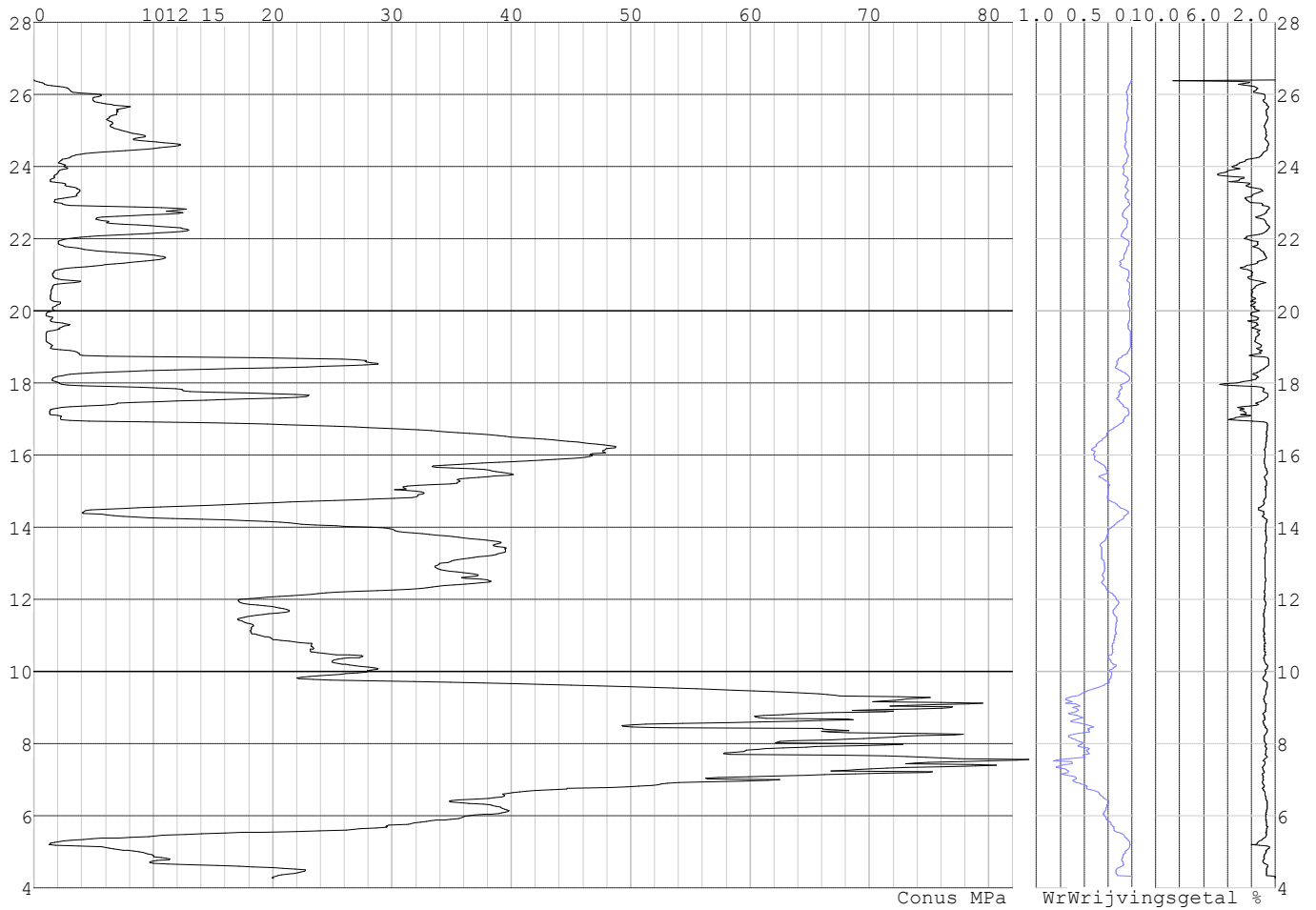


Project :
Onderdeel :

SONDERINGSGEGEVENS ALGEMEEN: S066-1

Alle niveaus/hogtes/peilmaten zijn t.o.v.: N.A.P.
Hoogte maaiveld [m] : 26.41 Bodemprofiel: S066-1
Traject negatieve kleef : 26.41 tot 17.00 [m]
Traject positieve kleef : 17.00 tot 4.26 [m]

SONDERINGSGEGEVENS GRAFIEK: S066-1

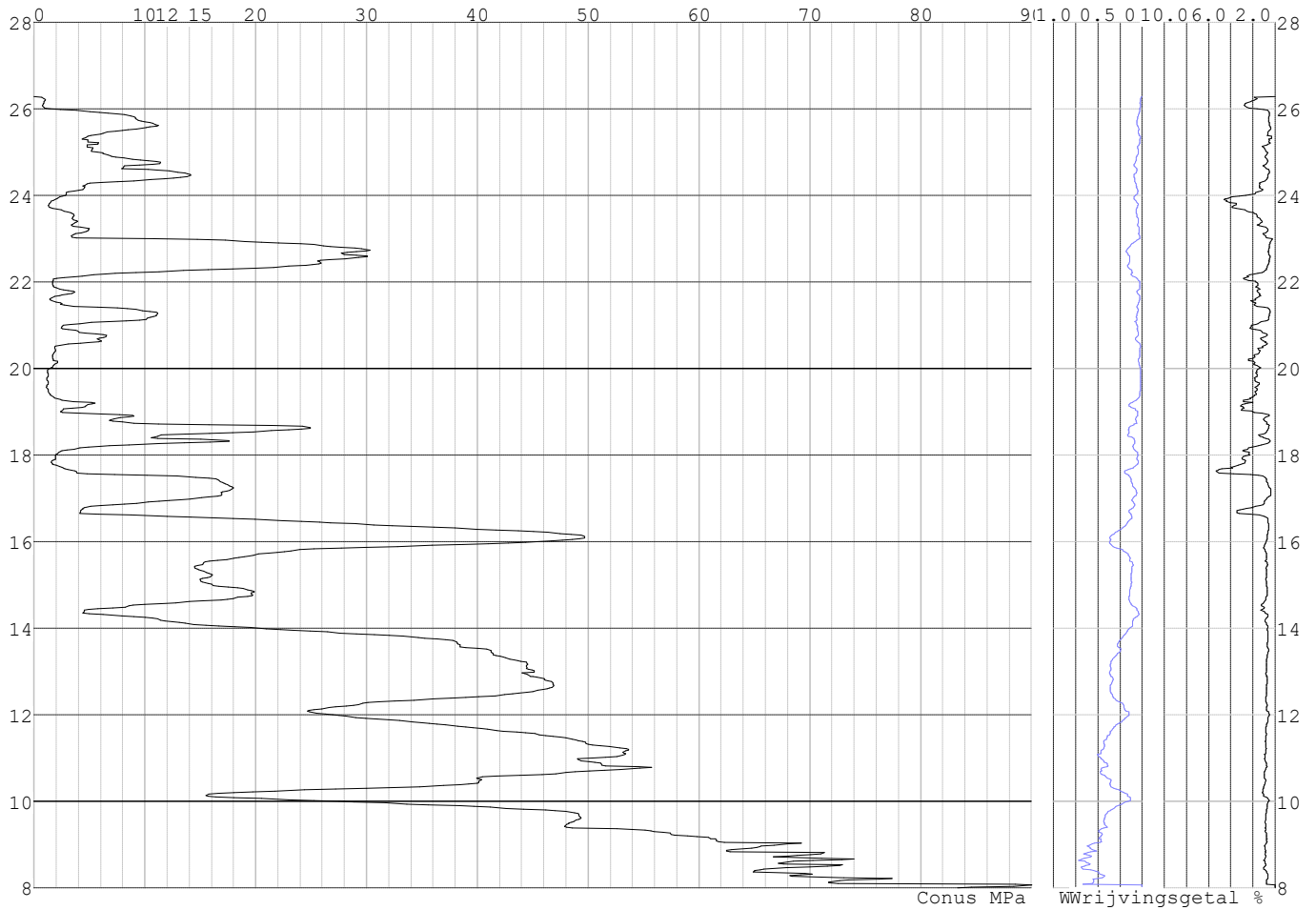


Project :
Onderdeel :

SONDERINGSGEGEVENS ALGEMEEN: S066-2

Alle niveaus/hogtes/peilmaten zijn t.o.v.: N.A.P.
Hoogte maaiveld [m] : 26.28 Bodemprofiel: S066-2
Traject negatieve kleef : 26.28 tot 17.70 [m]
Traject positieve kleef : 17.70 tot 8.00 [m]

SONDERINGSGEGEVENS GRAFIEK: S066-2

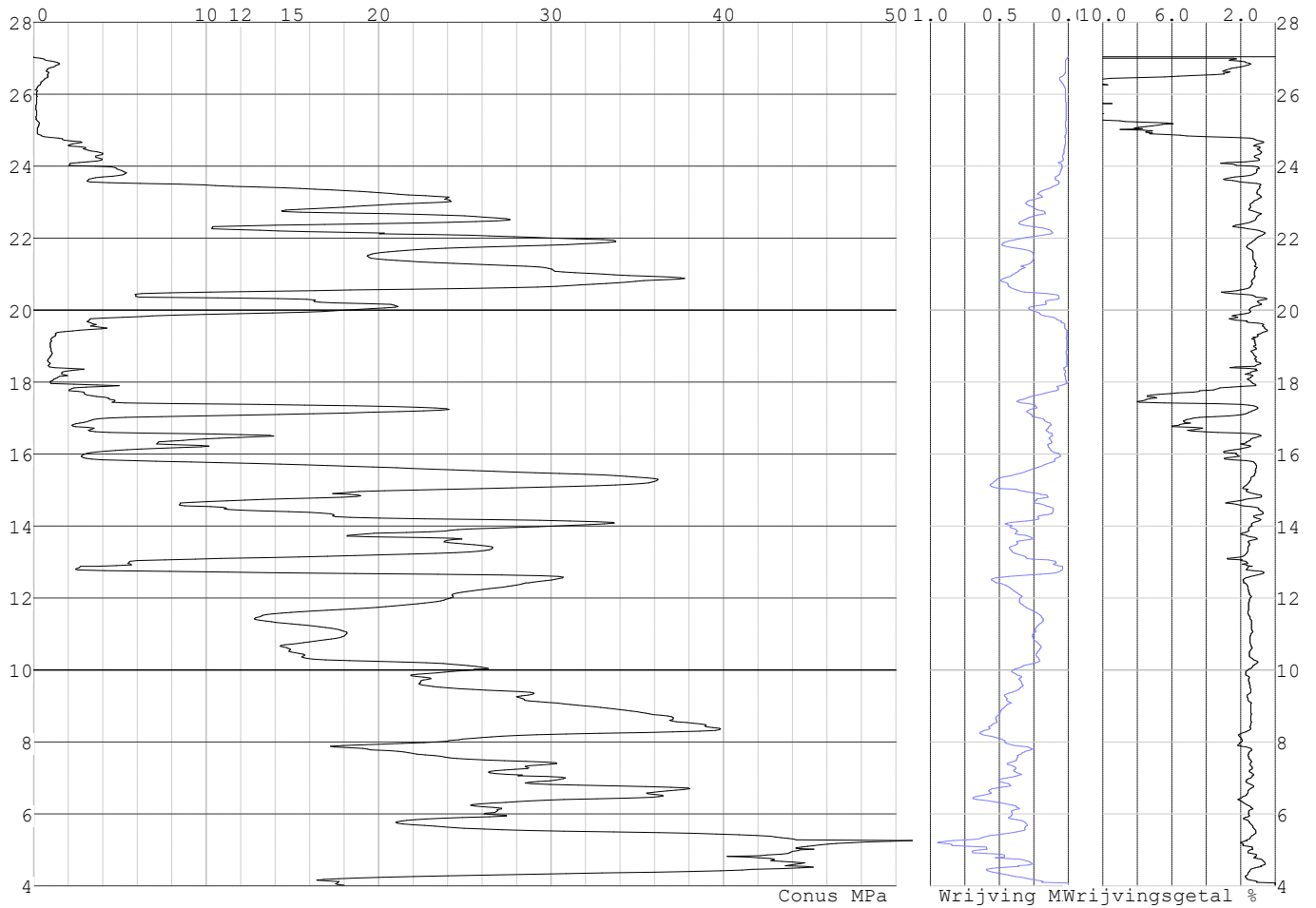


Project :
Onderdeel :

SONDERINGSGEGEVENS ALGEMEEN: S060-1

Alle niveaus/hogtes/peilmaten zijn t.o.v.: N.A.P.
Hoogte maaiveld [m] : 27.04 Bodemprofiel: S060-1
Traject negatieve kleeft : 27.04 tot 23.50 [m]
Traject positieve kleeft : 23.50 tot 4.03 [m]

SONDERINGSGEGEVENS GRAFIEK: S060-1

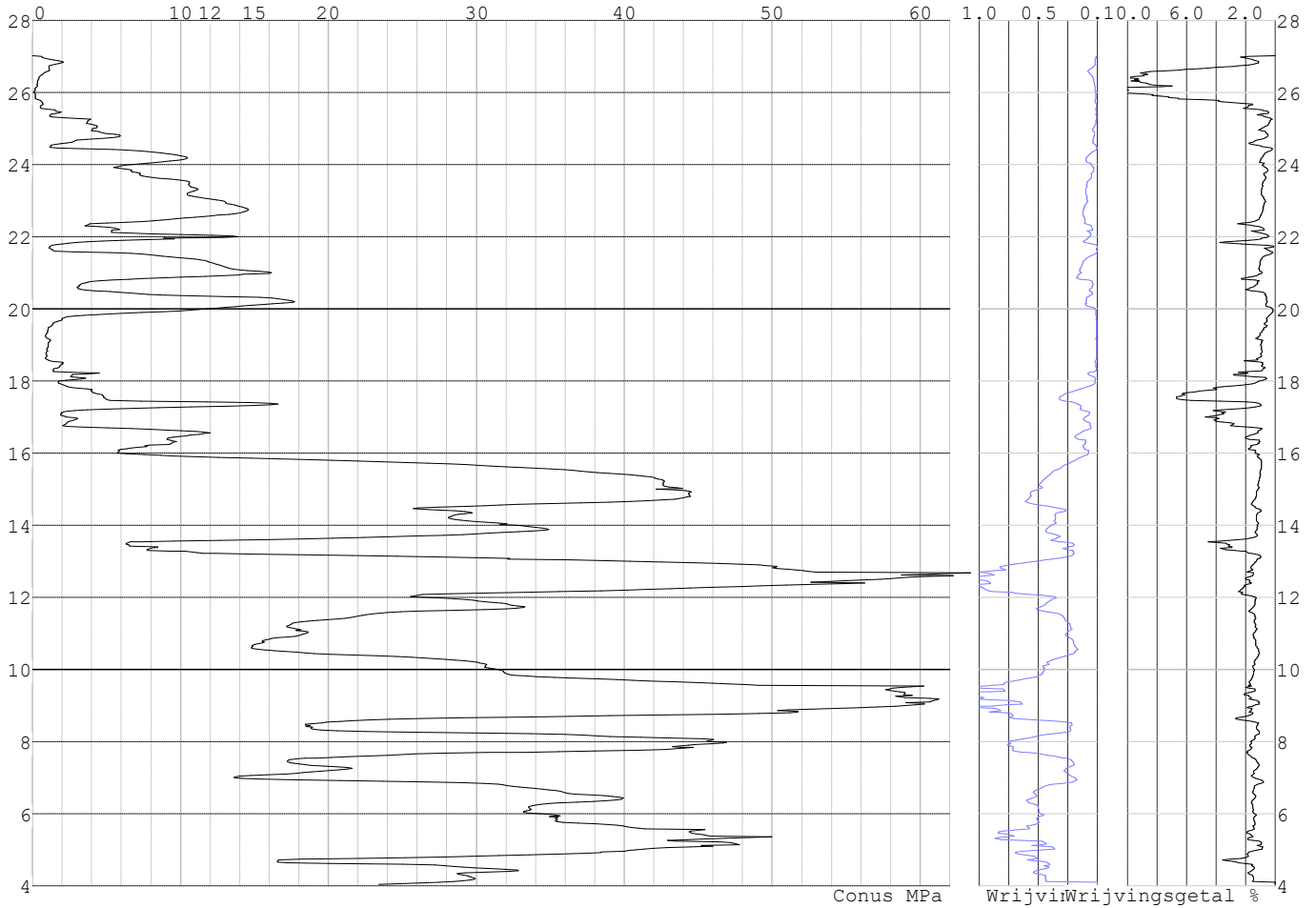


Project :
Onderdeel :

SONDERINGSGEGEVENS ALGEMEEN: S060-2

Alle niveaus/hoogtes/peilmaten zijn t.o.v.: N.A.P.
Hoogte maaiveld [m] : 27.02 Bodemprofiel: S060-2
Traject negatieve kleeft : 27.02 tot 24.50 [m]
Traject positieve kleeft : 24.50 tot 4.05 [m]

SONDERINGSGEGEVENS GRAFIEK: S060-2



Project :
Onderdeel :

REKENGEDEVENS Mast 060

Berekening : Controlerend
Rekenmethode : Trekpalen volgens NEN-EN 1997-1, art. 7.6.3
Sondering(en) : S060-1, S060-2
Let op: trekcapaciteit t.p.v. negatief kleeftraject is meegerekend.

Stijf bouwwerk : NEE
Paalgroep : NEE
Aantal sonderingen : 2
Factor ξ_3 (n=1) : 1.39
Factor ξ_3 (gem) : 1.32
Factor ξ_4 (min) : 1.32
Weerstandsfactor γ_R : 1.35
 $\gamma_{m,var;q,c}$: 1.50
UGT draagvermogen zonder negatieve kleeft : NEE

Paal : LD1
Niveau paalkop [m] : N.A.P. 27.52
Paalpuntniveau : N.A.P. 14.92
 $E_{d,1}$ [kN] : 0.00 $E_{d,2}$ [kN] : 0.00
Bovenbel. [kN/m²] : 0.00

RESULTATEN Mast 060 (n=1)**Sondering : S060-1**

Alle niveaus/hogtes/peilmaten zijn t.o.v.: N.A.P.

Inheinniveau [m]	Effectief inheinniveau [m]	E.G. paal [kN]	$R_{t,cal;k}$ [kN]	$R_{t;d}$ [kN]	$F_{t,tot;1}$ [kN]	U.C.
14.92	14.92	38.9	430.4	430.4	0.0	0.00

Sondering : S060-2

Alle niveaus/hogtes/peilmaten zijn t.o.v.: N.A.P.

Inheinniveau [m]	Effectief inheinniveau [m]	E.G. paal [kN]	$R_{t,cal;k}$ [kN]	$R_{t;d}$ [kN]	$F_{t,tot;1}$ [kN]	U.C.
14.92	14.92	38.9	385.4	385.4	0.0	0.00

Project :
Onderdeel :

SAMENVATTINGSTABEL Mast 060 (n=1)

Uitgangspunten

- paal : LD1
 - paaltype : Stalen buispaal (gesloten)
 - schachtafmeting : 550 mm
 Paalklassefactor α_p : 1.00
 Factor α_t (tabel 7.c EC 7.1) : 0.0070 (zandlagen; voor kleilagen zie tabel 7.d)
 Correlatiefactor $\xi_{3(n=1)}$: 1.39

Alle niveaus/hogtes/peilmaten zijn t.o.v.: N.A.P.

sondering	maaiveld paalpunt		Bezwijkdraagvermogen $R_{t,cal}$ [kN]	Rekenwaarden	
	niveau	niveau		$R_{t;d}$ [kN]	$R_{t,netto;d}$ [kN]
S060-1	27.04	14.92	430.4	430.4	430.4
S060-2	27.02	14.92	385.4	385.4	385.4

Project :
Onderdeel :

SAMENVATTINGSTABEL Mast 060 (van 2 sonderingen)**Uitgangspunten**

- paal : LD1
 - paaltype : Stalen buispaal (gesloten)
 - schachtafmeting : 550 mm
 Paalklassefactor α_p : 1.00
 Factor α_t (tabel 7.c EC 7.1) : 0.0070 (zandlagen; voor kleilagen zie tabel 7.d)
 Correlatiefactor $\xi_{3gem}(n=2)$: 1.32
 Correlatiefactor $\xi_{4min}(n=2)$: 1.32

Alle niveaus/hogtes/peilmaten zijn t.o.v.: N.A.P.

sondering	maaiveld paalpunt		Bezwijkdraagvermogen	
	niveau	niveau	E.G. paal	$R_{t,cal}$
			[kN]	[kN]

met ξ_3 (gem) = 1.32

S060-1	27.04	14.92	38.9	451.1
S060-2	27.02	14.92	38.9	403.8

	14.92	$R_{t,cal,gem}$	427.5
--	-------	-----------------	-------

met ξ_4 (min) = 1.32

S060-1	27.04	14.92	38.9	451.1
S060-2	27.02	14.92	38.9	403.8

	14.92	$R_{t,cal,min}$	403.8
--	-------	-----------------	-------

Totaal resultaten Mast 060 (van 2 sonderingen)

Uitgangspunten

Correlatiefactor $\xi_{3gem}(n=2)$: 1.32
 Correlatiefactor $\xi_{4min}(n=2)$: 1.32

gebaseerd op sonderingen:
 S060-1 S060-2

$R_{t,d} = \min.\{ R_{t,cal,gem}; R_{t,cal,min} \}$ (7.17) *)

Inheinniveau
 [m]

14.92	$R_{t,d} = \min.\{ 427.5; 403.8 \} = 403.8$
-------	---

*) Bij de trekpaalberekening zijn factoren ξ_3 en ξ_4 al bij de berekening van de conusweerstand $q_{c,z;d}$ in rekening gebracht, evenals factor $\gamma_{s;t}$. Dat is conform de opmerkingen in art. 7.6.3.3 (3) en (4).

Alle niveaus/hogtes/peilmaten zijn t.o.v.: N.A.P.

Inheinniveau	$R_{t,k}$	$R_{t,d}$	$F_{t,tot;1}$	$R_{t,netto;d}$	U.C.
[m]	[kN]	[kN]	[kN]	[kN]	
14.92	403.8	403.8	0.0	403.8	0.00

REKENEGEVEENS Mast 063

Berekening : Controlerend
 Rekenmethode : Trekpalen volgens NEN-EN 1997-1, art. 7.6.3
 Sondering(en) : S063-1, S063-2
 Let op: trekcapaciteit t.p.v. negatief kleeftraject is meegerekend.

Stijf bouwwerk : NEE
 Paalgroep : NEE
 Aantal sonderingen : 2
 Factor ξ_3 (n=1) : 1.39
 Factor ξ_3 (gem) : 1.32
 Factor ξ_4 (min) : 1.32
 Weerstandsfactor γ_R : 1.35
 $\gamma_{m,var;q_c}$: 1.50
 UGT draagvermogen zonder negatieve kleeft : NEE

Paal : LV1
 Niveau paalkop [m] : N.A.P. 27.57
 Paalpuntniveau : N.A.P. 14.07
 $E_{d,1}$ [kN] : 0.00
 Bovenbel. [kN/m²] : 0.00

$E_{d,2}$ [kN] : 0.00

Project :
Onderdeel :

RESULTATEN Mast 063 (n=1)**Sondering : S063-1**

Alle niveaus/hogtes/peilmaten zijn t.o.v.: N.A.P.

Inheinniveau [m]	Effectief inheinniveau [m]	E.G. paal [kN]	$R_{t,cal;k}$ [kN]	$R_{t;d}$ [kN]	$F_{t,tot;1}$ [kN]	U.C.
14.07	14.07	69.0	485.8	485.8	0.0	0.00

Sondering : S063-2

Alle niveaus/hogtes/peilmaten zijn t.o.v.: N.A.P.

Inheinniveau [m]	Effectief inheinniveau [m]	E.G. paal [kN]	$R_{t,cal;k}$ [kN]	$R_{t;d}$ [kN]	$F_{t,tot;1}$ [kN]	U.C.
14.07	14.07	69.0	503.6	503.6	0.0	0.00

Project :
Onderdeel :

SAMENVATTINGSTABEL Mast 063 (n=1)

Uitgangspunten

- paal : LV1
 - paaltype : Stalen buispaal (gesloten)
 - schachtafmeting : 700 mm
 Paalklassefactor α_p : 1.00
 Factor α_t (tabel 7.c EC 7.1) : 0.0070 (zandlagen; voor kleilagen zie tabel 7.d)
 Correlatiefactor $\xi_{3(n=1)}$: 1.39

Alle niveaus/hogtes/peilmaten zijn t.o.v.: N.A.P.

sondering	maaiveld paalpunt		Bezwijkdraagvermogen $R_{t,cal}$ [kN]	Rekenwaarden	
	niveau	niveau		$R_{t,d}$ [kN]	$R_{t,netto,d}$ [kN]
S063-1	26.59	14.07	485.8	485.8	485.8
S063-2	26.53	14.07	503.6	503.6	503.6

Project :
Onderdeel :

SAMENVATTINGSTABEL Mast 063 (van 2 sonderingen)**Uitgangspunten**

- paal : LV1
- paaltype : Stalen buispaal (gesloten)
- schachtafmeting : 700 mm
Paalklassefactor α_p : 1.00
Factor α_t (tabel 7.c EC 7.1) : 0.0070 (zandlagen; voor kleilagen zie tabel 7.d)
Correlatiefactor $\xi_{3gem}(n=2)$: 1.32
Correlatiefactor $\xi_{4min}(n=2)$: 1.32

Alle niveaus/hogtes/peilmaten zijn t.o.v.: N.A.P.

sondering	maaiveld	paalpunt	Bezuikdraagvermogen
	niveau	niveau	E.G. paal $R_{t,cal}$
			[kN] [kN]

met ξ_3 (gem) = 1.32

S063-1	26.59	14.07	69.0	507.9
--------	-------	-------	------	-------

S063-2	26.53	14.07	69.0	526.6
--------	-------	-------	------	-------

		14.07	$R_{t,cal,gem}$	517.3
--	--	-------	-----------------	-------

met ξ_4 (min) = 1.32

S063-1	26.59	14.07	69.0	507.9
--------	-------	-------	------	-------

S063-2	26.53	14.07	69.0	526.6
--------	-------	-------	------	-------

		14.07	$R_{t,cal,min}$	507.9
--	--	-------	-----------------	-------

Totaal resultaten Mast 063 (van 2 sonderingen)

Uitgangspunten

Correlatiefactor $\xi_{3gem}(n=2)$: 1.32

Correlatiefactor $\xi_{4min}(n=2)$: 1.32

gebaseerd op sonderingen:

S063-1 S063-2

$R_{t,d} = \min. \{ R_{t,cal,gem}; R_{t,cal,min} \} (7.17) *$

Inheinniveau
[m]

14.07	$R_{t,d} = \min. \{ 517.3; 507.9 \} = 507.9$
-------	--

*) Bij de trekpaalberekening zijn factoren ξ_3 en ξ_4 al bij de berekening van de conusweerstand $q_{c,z;d}$ in rekening gebracht, evenals factor $\gamma_{s;t}$. Dat is conform de opmerkingen in art. 7.6.3.3 (3) en (4).

Alle niveaus/hogtes/peilmaten zijn t.o.v.: N.A.P.

Inheinniveau	$R_{t,k}$	$R_{t,d}$	$F_{t,tot;1}$	$R_{t,netto;d}$	U.C.
[m]	[kN]	[kN]	[kN]	[kN]	
14.07	507.9	507.9	0.0	507.9	0.00

REKENGEDEVENS Mast 064

Berekening : Controlerend
Rekenmethode : Trekpalen volgens NEN-EN 1997-1, art. 7.6.3
Sondering(en) : S064-1, S064-2
Let op: trekcapaciteit t.p.v. negatief kleeftraject is meegerekend.

Stijf bouwwerk : NEE
Paalgroep : NEE
Aantal sonderingen : 2
Factor $\xi_3(n=1)$: 1.39
Factor $\xi_3(gem)$: 1.32
Factor $\xi_4(min)$: 1.32
Weerstandsfactor γ_R : 1.35
 $\gamma_{m,var;q_c}$: 1.50
UGT draagvermogen zonder negatieve kleef : NEE

Paal : LD1

Niveau paalkop [m] : N.A.P. 27.56

Paalpuntniveau : N.A.P. 14.56

$E_{d,1}$ [kN] : 0.00

Bovenbel. [kN/m²] : 0.00

$E_{d,2}$ [kN] : 0.00

Project :
Onderdeel :

RESULTATEN Mast 064 (n=1)**Sondering : S064-1**

Alle niveaus/hogtes/peilmaten zijn t.o.v.: N.A.P.

Inheinniveau [m]	Effectief inheinniveau [m]	E.G. paal [kN]	$R_{t,cal;k}$ [kN]	$R_{t;d}$ [kN]	$F_{t,tot;1}$ [kN]	U.C.
14.56	14.56	40.6	454.4	454.4	0.0	0.00

Sondering : S064-2

Alle niveaus/hogtes/peilmaten zijn t.o.v.: N.A.P.

Inheinniveau [m]	Effectief inheinniveau [m]	E.G. paal [kN]	$R_{t,cal;k}$ [kN]	$R_{t;d}$ [kN]	$F_{t,tot;1}$ [kN]	U.C.
14.56	14.56	40.6	547.7	547.7	0.0	0.00

Project :
Onderdeel :

SAMENVATTINGSTABEL Mast 064 (n=1)

Uitgangspunten

- paal : LD1
 - paaltype : Stalen buispaal (gesloten)
 - schachtafmeting : 550 mm
 Paalklassefactor α_p : 1.00
 Factor α_t (tabel 7.c EC 7.1) : 0.0070 (zandlagen; voor kleilagen zie tabel 7.d)
 Correlatiefactor $\xi_{3(n=1)}$: 1.39

Alle niveaus/hogtes/peilmaten zijn t.o.v.: N.A.P.

sondering	maaiveld paalpunt		Bezwijkdraagvermogen $R_{t,cal}$ [kN]	Rekenwaarden	
	niveau	niveau		$R_{t;d}$ [kN]	$R_{t,netto;d}$ [kN]
S064-1	26.83	14.56	454.4	454.4	454.4
S064-2	26.68	14.56	547.7	547.7	547.7

Project :
Onderdeel :

SAMENVATTINGSTABEL Mast 064 (van 2 sonderingen)**Uitgangspunten**

- paal : LD1
 - paaltype : Stalen buispaal (gesloten)
 - schachtafmeting : 550 mm
 Paalklassefactor α_p : 1.00
 Factor α_t (tabel 7.c EC 7.1) : 0.0070 (zandlagen; voor kleilagen zie tabel 7.d)
 Correlatiefactor $\xi_{3gem}(n=2)$: 1.32
 Correlatiefactor $\xi_{4min}(n=2)$: 1.32

Alle niveaus/hogtes/peilmaten zijn t.o.v.: N.A.P.

sondering	maaiveld niveau	paalpunt niveau	Bezwijkdraagvermogen E.G. paal $R_{t,cal}$ [kN]	$R_{t,cal}$ [kN]
-----------	--------------------	--------------------	---	---------------------

met $\xi_3(gem) = 1.32$

S064-1	26.83	14.56	40.6	476.3
--------	-------	-------	------	-------

S064-2	26.68	14.56	40.6	574.6
--------	-------	-------	------	-------

		14.56	$R_{t,cal,gem}$	525.5
--	--	-------	-----------------	-------

met $\xi_4(min) = 1.32$

S064-1	26.83	14.56	40.6	476.3
--------	-------	-------	------	-------

S064-2	26.68	14.56	40.6	574.6
--------	-------	-------	------	-------

		14.56	$R_{t,cal,min}$	476.3
--	--	-------	-----------------	-------

Totaal resultaten Mast 064 (van 2 sonderingen)

Uitgangspunten

Correlatiefactor $\xi_{3gem}(n=2)$: 1.32

Correlatiefactor $\xi_{4min}(n=2)$: 1.32

gebaseerd op sonderingen:

S064-1 S064-2

$R_{t,d} = \min.\{ R_{t,cal,gem}; R_{t,cal,min} \} (7.17) *$

Inheinniveau

[m]

14.56	$R_{t,d} = \min.\{ 525.5; 476.3 \} =$	476.3
-------	---------------------------------------	-------

* Bij de trekpaalberekening zijn factoren ξ_3 en ξ_4 al bij de berekening van de conusweerstand $q_{c;z;d}$ in rekening gebracht, evenals factor $\gamma_{s;t}$. Dat is conform de opmerkingen in art. 7.6.3.3 (3) en (4).

Alle niveaus/hogtes/peilmaten zijn t.o.v.: N.A.P.

Inheinniveau [m]	$R_{t,k}$ [kN]	$R_{t,d}$ [kN]	$F_{t,tot;1}$ [kN]	$R_{t,netto;d}$ [kN]	U.C.
14.56	476.3	476.3	0.0	476.3	0.00 *

*** WAARSCHUWING n.a.v. NEN-NA 1997-1 art. A.3.3.3 1)**

Bij toepassing van de waarden van ξ_1 , ξ_2 , ξ_3 en ξ_4 van de tabellen A.9 en A.10 mag de variatiecoëfficiënt van de draagkracht van palen in een groep, bepaald volgens de verschillende voor deze groep geldende sonderingen, niet groter zijn dan 12%. Deze variatiecoëfficiënt van 12% geeft bij een kans van onderschrijding van 5% een minimumdraagkracht groter dan 80% van het gemiddelde.

Inheinniveau [m]	Aantal [-]	$R_{t,cal,gem}$ [kN]	Var.coëff. [%]
14.56	2	525.47	13.2

Project :
Onderdeel :

REKENGEDEVENS Mast 066

Berekening : Controlerend
 Rekenmethode : Trekpalen volgens NEN-EN 1997-1, art. 7.6.3
 Sondering(en) : S066-1, S066-2
 Let op: trekcapaciteit t.p.v. negatief kleeftraject is meegerekend.

Stijf bouwwerk : NEE
 Paalgroep : NEE
 Aantal sonderingen : 2
 Factor ξ_3 (n=1) : 1.39
 Factor ξ_3 (gem) : 1.32
 Factor ξ_4 (min) : 1.32
 Weerstandsfactor γ_R : 1.35
 $\gamma_{m,var;q,c}$: 1.50
 UGT draagvermogen zonder negatieve kleeft : NEE

Paal : LD1
 Niveau paalkop [m] : N.A.P. 26.84
 Paalpuntniveau : N.A.P. 14.84
 $E_{d,1}$ [kN] : 0.00 $E_{d,2}$ [kN] : 0.00
 Bovenbel. [kN/m²] : 0.00

RESULTATEN Mast 066 (n=1)**Sondering : S066-1**

Alle niveaus/hogtes/peilmaten zijn t.o.v.: N.A.P.

Inheinniveau [m]	Effectief inheinniveau [m]	E.G. paal [kN]	$R_{t,cal;k}$ [kN]	$R_{t;d}$ [kN]	$F_{t,tot;1}$ [kN]	U.C.
14.84	14.84	37.1	394.1	394.1	0.0	0.00

Sondering : S066-2

Alle niveaus/hogtes/peilmaten zijn t.o.v.: N.A.P.

Inheinniveau [m]	Effectief inheinniveau [m]	E.G. paal [kN]	$R_{t,cal;k}$ [kN]	$R_{t;d}$ [kN]	$F_{t,tot;1}$ [kN]	U.C.
14.84	14.84	37.4	400.8	400.8	0.0	0.00

Project :
Onderdeel :

SAMENVATTINGSTABEL Mast 066 (n=1)**Uitgangspunten**

- paal : LD1
 - paaltype : Stalen buispaal (gesloten)
 - schachtafmeting : 550 mm
 Paalklassefactor α_p : 1.00
 Factor α_t (tabel 7.c EC 7.1) : 0.0070 (zandlagen; voor kleilagen zie tabel 7.d)
 Correlatiefactor $\xi_{3(n=1)}$: 1.39

Alle niveaus/hogtes/peilmaten zijn t.o.v.: N.A.P.

sondering	maaiveld paalpunt		Bezwijkdraagvermogen $R_{t,cal}$ [kN]	Rekenwaarden		
	niveau	niveau		$R_{t,d}$ [kN]	$R_{t,netto,d}$ [kN]	
S066-1	26.41	14.84	394.1	394.1	394.1	
S066-2	26.28	14.84	400.8	400.8	400.8	

Project :
Onderdeel :

SAMENVATTINGSTABEL Mast 066 (van 2 sonderingen)**Uitgangspunten**

- paal : LD1
 - paaltype : Stalen buispaal (gesloten)
 - schachtafmeting : 550 mm
 Paalklassefactor α_p : 1.00
 Factor α_t (tabel 7.c EC 7.1) : 0.0070 (zandlagen; voor kleilagen zie tabel 7.d)
 Correlatiefactor $\xi_{3gem}(n=2)$: 1.32
 Correlatiefactor $\xi_{4min}(n=2)$: 1.32

Alle niveaus/hogtes/peilmaten zijn t.o.v.: N.A.P.

sondering	maaiveld niveau	paalpunt niveau	Bezuikdraagvermogen E.G. paal [kN]	$R_{t,cal}$ [kN]
-----------	--------------------	--------------------	--	---------------------

met $\xi_3(gem) = 1.32$

S066-1	26.41	14.84	37.1	413.0
S066-2	26.28	14.84	37.1	420.1

		14.84	$R_{t,cal,gem}$	416.5
--	--	-------	-----------------	-------

met $\xi_4(min) = 1.32$

S066-1	26.41	14.84	37.1	413.0
S066-2	26.28	14.84	37.1	420.1

		14.84	$R_{t,cal,min}$	413.0
--	--	-------	-----------------	-------

Totaal resultaten Mast 066 (van 2 sonderingen)

Uitgangspunten

Correlatiefactor $\xi_{3gem}(n=2)$: 1.32
 Correlatiefactor $\xi_{4min}(n=2)$: 1.32

gebaseerd op sonderingen:
S066-1 S066-2

$R_{t,d} = \min.\{ R_{t,cal,gem}; R_{t,cal,min} \}$ (7.17) *)

Inheinniveau
[m]

14.84	$R_{t,d} = \min.\{ 416.5; 413.0 \} = 413.0$
-------	---

*) Bij de trekpaalberekening zijn factoren ξ_3 en ξ_4 al bij de berekening van de conusweerstand $q_{c;z,d}$ in rekening gebracht, evenals factor $\gamma_{s;t}$. Dat is conform de opmerkingen in art. 7.6.3.3 (3) en (4).

Alle niveaus/hogtes/peilmaten zijn t.o.v.: N.A.P.

Inheinniveau [m]	$R_{t,k}$ [kN]	$R_{t,d}$ [kN]	$F_{t,tot;1}$ [kN]	$R_{t,netto;d}$ [kN]	U.C.
14.84	413.0	413.0	0.0	413.0	0.00

REKENGEGEVENS Mast 067

Berekening : Controlerend
 Rekenmethode : Trekpalen volgens NEN-EN 1997-1, art. 7.6.3
 Sondering(en) : S067-1, S067-2
 Let op: trekcapaciteit t.p.v. negatief kleeftraject is meegerekend.

Stijf bouwwerk : NEE
 Paalgroep : NEE
 Aantal sonderingen : 2
 Factor $\xi_3(n=1)$: 1.39
 Factor $\xi_3(gem)$: 1.32
 Factor $\xi_4(min)$: 1.32
 Weerstandsfactor γ_R : 1.35
 $\gamma_{m,var;q_c}$: 1.50
 UGT draagvermogen zonder negatieve kleeft : NEE

Paal : LD1
 Niveau paalkop [m] : N.A.P. 27.20
 Paalpuntniveau : N.A.P. 15.20
 $E_{d,1}$ [kN] : 0.00
 Bovenbel. [kN/m²] : 0.00

$E_{d,2}$ [kN] : 0.00

Project :
Onderdeel :

RESULTATEN Mast 067 (n=1)**Sondering : S067-1**

Alle niveaus/hogtes/peilmaten zijn t.o.v.: N.A.P.

Inheinniveau [m]	Effectief inheinniveau [m]	E.G. paal [kN]	$R_{t,cal;k}$ [kN]	$R_{t;d}$ [kN]	$F_{t,tot;1}$ [kN]	U.C.
15.20	15.20	36.4	444.5	444.5	0.0	0.00

Sondering : S067-2

Alle niveaus/hogtes/peilmaten zijn t.o.v.: N.A.P.

Inheinniveau [m]	Effectief inheinniveau [m]	E.G. paal [kN]	$R_{t,cal;k}$ [kN]	$R_{t;d}$ [kN]	$F_{t,tot;1}$ [kN]	U.C.
15.20	15.20	36.4	458.6	458.6	0.0	0.00

Project :
Onderdeel :

SAMENVATTINGSTABEL Mast 067 (n=1)

Uitgangspunten

- paal : LD1
 - paaltype : Stalen buispaal (gesloten)
 - schachtafmeting : 550 mm
 Paalklassefactor α_p : 1.00
 Factor α_t (tabel 7.c EC 7.1) : 0.0070 (zandlagen; voor kleilagen zie tabel 7.d)
 Correlatiefactor $\xi_{3(n=1)}$: 1.39

Alle niveaus/hogtes/peilmaten zijn t.o.v.: N.A.P.

sondering	maaiveld paalpunt		Bezwijkdraagvermogen $R_{t;cal}$ [kN]	Rekenwaarden		
	niveau	niveau		$R_{t;d}$ [kN]	$R_{t;netto;d}$ [kN]	
S067-1	27.05	15.20	444.5	444.5	444.5	
S067-2	27.04	15.20	458.6	458.6	458.6	

Project :
Onderdeel :

SAMENVATTINGSTABEL Mast 067 (van 2 sonderingen)**Uitgangspunten**

- paal : LD1
 - paaltype : Stalen buispaal (gesloten)
 - schachtafmeting : 550 mm
 Paalklassefactor α_p : 1.00
 Factor α_t (tabel 7.c EC 7.1) : 0.0070 (zandlagen; voor kleilagen zie tabel 7.d)
 Correlatiefactor $\xi_{3gem}(n=2)$: 1.32
 Correlatiefactor $\xi_{4min}(n=2)$: 1.32

Alle niveaus/hogtes/peilmaten zijn t.o.v.: N.A.P.

sondering	maaiveld	paalpunt	Bezuikdraagvermogen
	niveau	niveau	E.G. paal $R_{t,cal}$
			[kN] [kN]

met ξ_3 (gem) = 1.32

S067-1	27.05	15.20	36.4	466.1
--------	-------	-------	------	-------

S067-2	27.04	15.20	36.4	481.0
--------	-------	-------	------	-------

		15.20	$R_{t,cal,gem}$	473.5
--	--	-------	-----------------	-------

met ξ_4 (min) = 1.32

S067-1	27.05	15.20	36.4	466.1
--------	-------	-------	------	-------

S067-2	27.04	15.20	36.4	481.0
--------	-------	-------	------	-------

		15.20	$R_{t,cal,min}$	466.1
--	--	-------	-----------------	-------

Totaal resultaten Mast 067 (van 2 sonderingen)

Uitgangspunten

Correlatiefactor $\xi_{3gem}(n=2)$: 1.32

Correlatiefactor $\xi_{4min}(n=2)$: 1.32

gebaseerd op sonderingen:

S067-1 S067-2

$R_{t,d} = \min. \{ R_{t,cal,gem}; R_{t,cal,min} \} (7.17) *$

Inheinniveau
[m]

15.20	$R_{t,d} = \min. \{ 473.5; 466.1 \} = 466.1$
-------	--

*) Bij de trekpaalberekening zijn factoren ξ_3 en ξ_4 al bij de berekening van de conusweerstand $q_{c;z,d}$ in rekening gebracht, evenals factor $\gamma_{s;t}$. Dat is conform de opmerkingen in art. 7.6.3.3 (3) en (4).

Alle niveaus/hogtes/peilmaten zijn t.o.v.: N.A.P.

Inheinniveau	$R_{t,k}$	$R_{t,d}$	$F_{t,tot;1}$	$R_{t,netto;d}$	U.C.
[m]	[kN]	[kN]	[kN]	[kN]	
15.20	466.1	466.1	0.0	466.1	0.00

REKENGEGEVENS Mast 068

Berekening : Controlerend
 Rekenmethode : Trekpalen volgens NEN-EN 1997-1, art. 7.6.3
 Sondering(en) : S068-1, S068-2
 Let op: trekcapaciteit t.p.v. negatief kleeftraject is meegerekend.

Stijf bouwwerk : NEE
 Paalgroep : NEE
 Aantal sonderingen : 2
 Factor ξ_3 (n=1) : 1.39
 Factor ξ_3 (gem) : 1.32
 Factor ξ_4 (min) : 1.32
 Weerstandsfactor γ_R : 1.35
 $\gamma_{m,var;q_c}$: 1.50
 UGT draagvermogen zonder negatieve kleef : NEE

Paal : LD1

Niveau paalkop [m] : N.A.P. 27.46

Paalpuntniveau : N.A.P. 14.96

$E_{d,1}$ [kN] : 0.00

Bovenbel. [kN/m²] : 0.00

$E_{d,2}$ [kN] : 0.00

Project :
Onderdeel :

RESULTATEN Mast 068 (n=1)**Sondering : S068-1**

Alle niveaus/hogtes/peilmaten zijn t.o.v.: N.A.P.

Inheinniveau [m]	Effectief inheinniveau [m]	E.G. paal [kN]	$R_{t,cal;k}$ [kN]	$R_{t;d}$ [kN]	$F_{t,tot;1}$ [kN]	U.C.
14.96	14.96	38.1	491.1	491.1	0.0	0.00

Sondering : S068-2

Alle niveaus/hogtes/peilmaten zijn t.o.v.: N.A.P.

Inheinniveau [m]	Effectief inheinniveau [m]	E.G. paal [kN]	$R_{t,cal;k}$ [kN]	$R_{t;d}$ [kN]	$F_{t,tot;1}$ [kN]	U.C.
14.96	14.96	38.1	454.5	454.5	0.0	0.00

Project :
Onderdeel :

SAMENVATTINGSTABEL Mast 068 (n=1)**Uitgangspunten**

- paal : LD1
 - paaltype : Stalen buispaal (gesloten)
 - schachtafmeting : 550 mm
 Paalklassefactor α_p : 1.00
 Factor α_t (tabel 7.c EC 7.1) : 0.0070 (zandlagen; voor kleilagen zie tabel 7.d)
 Correlatiefactor $\xi_{3(n=1)}$: 1.39

Alle niveaus/hogtes/peilmaten zijn t.o.v.: N.A.P.

sondering	maaiveld paalpunt		Bezwijkdraagvermogen $R_{t,cal}$ [kN]	Rekenwaarden		
	niveau	niveau		$R_{t,d}$ [kN]	$R_{t,netto,d}$ [kN]	
S068-1	27.09	14.96	491.1	491.1	491.1	491.1
S068-2	27.21	14.96	454.5	454.5	454.5	454.5

Project :
Onderdeel :

SAMENVATTINGSTABEL Mast 068 (van 2 sonderingen)**Uitgangspunten**

- paal : LD1
 - paaltype : Stalen buispaal (gesloten)
 - schachtafmeting : 550 mm
 Paalklassefactor α_p : 1.00
 Factor α_t (tabel 7.c EC 7.1) : 0.0070 (zandlagen; voor kleilagen zie tabel 7.d)
 Correlatiefactor $\xi_{3gem}(n=2)$: 1.32
 Correlatiefactor $\xi_{4min}(n=2)$: 1.32

Alle niveaus/hogtes/peilmaten zijn t.o.v.: N.A.P.

sondering	maaiveld paalpunt		Bezwijkdraagvermogen	
	niveau	niveau	E.G. paal	$R_{t,cal}$
			[kN]	[kN]

met ξ_3 (gem) = 1.32

S068-1	27.09	14.96	38.1	515.2
--------	-------	-------	------	-------

S068-2	27.21	14.96	38.1	476.5
--------	-------	-------	------	-------

		14.96	$R_{t,cal,gem}$	495.9
--	--	-------	-----------------	-------

met ξ_4 (min) = 1.32

S068-1	27.09	14.96	38.1	515.2
--------	-------	-------	------	-------

S068-2	27.21	14.96	38.1	476.5
--------	-------	-------	------	-------

		14.96	$R_{t,cal,min}$	476.5
--	--	-------	-----------------	-------

Totaal resultaten Mast 068 (van 2 sonderingen)

Uitgangspunten

Correlatiefactor $\xi_{3gem}(n=2)$: 1.32

Correlatiefactor $\xi_{4min}(n=2)$: 1.32

gebaseerd op sonderingen:

S068-1 S068-2

$R_{t,d} = \min.\{ R_{t,cal,gem}; R_{t,cal,min} \}$ (7.17) *)

Inheinniveau

[m]

14.96	$R_{t,d} = \min.\{ 495.9; 476.5 \} = 476.5$
-------	---

*) Bij de trekpaalberekening zijn factoren ξ_3 en ξ_4 al bij de berekening van de conusweerstand $q_{c,z;d}$ in rekening gebracht, evenals factor $\gamma_{s;t}$. Dat is conform de opmerkingen in art. 7.6.3.3 (3) en (4).

Alle niveaus/hogtes/peilmaten zijn t.o.v.: N.A.P.

Inheinniveau	$R_{t,k}$	$R_{t,d}$	$F_{t,tot;1}$	$R_{t,netto;d}$	U.C.
[m]	[kN]	[kN]	[kN]	[kN]	
14.96	476.5	476.5	0.0	476.5	0.00

PAALGEGEVENS LD1

Type : Stalen buispaal (gesloten)
 Wijze van installeren : Heien
 Diameter [m] : 0.550
 Elasticiteitsmodulus [N/mm²] : 20000
 Factor α_s (tabel 7.c EC 7.1) : 0.010 (zandlagen; voor kleilagen zie tabel 7.d)
 Factor α_t (tabel 7.c EC 7.1) : 0.0070 (zandlagen; voor kleilagen zie tabel 7.d)
 Paalklassefactor α_p : 1.00
 Paalvoetvormfactor β : 1.00
 Type lastzakingsdiagram : Grondverdringende paal
 Verm.factor * $\phi'_{j,k}$: 0.75
 Groutomhulling : NEE

Project :
Onderdeel :

PAALGEGEVENS LV1

Type : Stalen buispaal (gesloten)
Wijze van installeren : Heien
Diameter [m] : 0.700
Elasticiteitsmodulus [N/mm²] : 20000
Factor α_s (tabel 7.c EC 7.1) : 0.010 (zandlagen; voor kleilagen zie tabel 7.d)
Factor α_t (tabel 7.c EC 7.1) : 0.0070 (zandlagen; voor kleilagen zie tabel 7.d)
Paalklassefactor α_p : 1.00
Paalvoetvormfactor β : 1.00
Type lastzakkingsdiagram : Grondverdringende paal
Verm.factor * $\phi'_{j,k}$: 0.75
Groutomhulling : NEE

Project :
Onderdeel :

OVERZICHT NETTO DRAAGVERMOGEN TREKPALEN (n=1)

Netto paaldraagvermogen(s) zijn naar beneden toe afgerond op: 1.0 kN nauwkeurig
Alle niveaus/hoogtes/peilmaten zijn t.o.v.: N.A.P.

sondering	maaiveld paalpunt		$R_{t, netto; d}$ [kN]				
	niveau	niveau	Mast 060	Mast 063	Mast 064	Mast 066	Mast 067
S063-1	26.59	14.07		485			
S063-2	26.53	14.07		503			
S064-1	26.83	14.56			454		
S064-2	26.68	14.56			547		
S067-1	27.05	15.20					444
S067-2	27.04	15.20					458
S066-1	26.41	14.84				394	
S066-2	26.28	14.84				400	
S060-1	27.04	14.92	430				
S060-2	27.02	14.92	385				

Project :
Onderdeel :

Netto paal draagvermogen(s) zijn naar beneden toe afgerond op: 1.0 kN nauwkeurig
Alle niveaus/hogtes/peilmaten zijn t.o.v.: N.A.P.

sondering	maaiveld niveau	paalpunt niveau	$R_{t,netto;d}$ Mast 068	[kN]
-----------	--------------------	--------------------	-----------------------------	------

S068-1	27.09	14.96	491	
S068-2	27.21	14.96	454	

Project :
Onderdeel :

ALGEMENE GEGEVENS

Project :
Onderdeel :
Datum : 10-12-2021
Bestand : P:\EANL_Projects\10166262 - BBB modelleren
funderingen 380 kV\02 Content\03
Calculations\Technosoft
Paalfunderingen\MBT-EHV380\DO\Nieuw
Sonderingen\Mast 070-079.pvw
Berekeningstype : Verticaal belaste paal
Alle niveaus/hogtes/peilmaten zijn t.o.v.: N.A.P.

Toegepaste normen volgens Eurocode met Nederlandse NB

Geotechniek	EN 1997-1:2004	AC:2009	
	NEN-EN 1997-1:2005	C1+A1:2013	NB:2016
	NEN 9997-1:2016	C2:2017	

GRONDSOORTEN

Nr. Omschrijving	$\gamma_{k;1}$ [kN/m ³]	$\gamma_{sat;k;1}$ [kN/m ³]	$\phi'_{k;1}$ [°]	$\gamma_{k;2}$ [kN/m ³]	$\gamma_{sat;k;2}$ [kN/m ³]	$\phi'_{k;2}$ [°]
1 Zand - Schoon - Los	17.00	19.00	30.00	18.00	20.00	32.50
2 Zand - Schoon - Matig	18.00	20.00	32.50	19.00	21.00	35.00
3 Zand - Schoon - Vast	19.00	21.00	35.00	20.00	22.00	40.00
4 Zand - Zwak siltig - Kleiig	18.00	20.00	27.00	19.00	21.00	32.50
5 Zand - Sterk siltig - Kleiig	18.00	20.00	25.00	19.00	21.00	30.00
6 Leem - Zwak zandig - Vast	21.00	21.00	27.50	22.00	22.00	35.00
7 Leem - Sterk zandig	19.00	19.00	27.50	20.00	20.00	35.00
8 Klei - Schoon - Matig	17.00	17.00	17.50	19.00	19.00	17.50
9 Klei - Schoon - Vast	19.00	19.00	17.50	20.00	20.00	25.00
10 Klei - Zwak zandig - Matig	18.00	18.00	22.50	20.00	20.00	22.50
11 Klei - Zwak zandig - Vast	20.00	20.00	22.50	21.00	21.00	27.50
12 Klei - Organisch - Matig	15.00	15.00	15.00	16.00	16.00	15.00
13 Veen - Niet voorbelast - Slap	10.00	10.00	15.00	12.00	12.00	15.00
14 Veen - Matig voorbelast - Matig	12.00	12.00	15.00	13.00	13.00	15.00

BODEMPROFIELGEGEVENS: S074-1

Alle niveaus/hogtes/peilmaten zijn t.o.v.: N.A.P.

d50-reductie is meegenomen overeenkomstig NEN-EN 9997 art. 7.6.2.3 (i)

Laag	Van [m]	Tot [m]	Omschrijving	OCR	Aandeel pos. kleef [%]	α_s	d_{50} [mm]
1	24.16	23.79	Veen - Niet voorbelast - Slap	1.0	50.0		
2	23.79	22.01	Zand - Schoon - Los	1.0	100.0		
3	22.01	21.53	Leem - Zwak zandig - Vast	1.0	50.0		
4	21.53	20.75	Klei - Schoon - Matig	1.0	50.0		
5	20.75	20.51	Zand - Schoon - Los	1.0	100.0		
6	20.51	19.81	Klei - Schoon - Matig	1.0	50.0		
7	19.81	18.83	Zand - Schoon - Vast	1.0	100.0		
8	18.83	18.53	Zand - Zwak siltig - Kleiig	1.0	100.0		
9	18.53	18.00	Klei - Schoon - Matig	1.0	50.0		
10	18.00	16.33	Zand - Schoon - Vast	1.0	100.0		
11	16.33	15.49	Zand - Schoon - Los	1.0	100.0		
12	15.49	10.54	Zand - Schoon - Vast	1.0	100.0		
13	10.54	8.76	Zand - Schoon - Matig	1.0	100.0		
14	8.76	7.14	Zand - Schoon - Vast	1.0	100.0		
15	7.14	6.20	Zand - Schoon - Los	1.0	100.0		
16	6.20	3.99	Zand - Schoon - Vast	1.0	100.0		

BODEMPROFIELGEGEVENS: S076-1

Alle niveaus/hogtes/peilmaten zijn t.o.v.: N.A.P.

d50-reductie is meegenomen overeenkomstig NEN-EN 9997 art. 7.6.2.3 (i)

Laag	Van [m]	Tot [m]	Omschrijving	OCR	Aandeel pos. kleef [%]	α_s	d_{50} [mm]
1	23.70	22.93	Veen - Matig voorbelast - Matig	1.0	50.0		
2	22.93	20.85	Zand - Schoon - Los	1.0	100.0		
3	20.85	19.83	Klei - Schoon - Matig	1.0	50.0		
4	19.83	19.45	Zand - Schoon - Los	1.0	100.0		

Project :
Onderdeel :

Laag	Van [m]	Tot [m]	Omschrijving	OCR	Aandeel pos. kleef [%]	α_s	d_{50} [mm]
5	19.45	18.57	Klei - Zwak zandig - Matig	1.0	50.0		
6	18.57	18.03	Zand - Schoon - Los	1.0	100.0		
7	18.03	17.63	Klei - Schoon - Vast	1.0	50.0		
8	17.63	16.89	Zand - Schoon - Los	1.0	100.0		
9	16.89	16.01	Zand - Schoon - Matig	1.0	100.0		
10	16.01	15.21	Zand - Zwak siltig - Kleiig	1.0	100.0		
11	15.21	14.75	Leem - Zwak zandig - Vast	1.0	50.0		
12	14.75	14.23	Klei - Zwak zandig - Matig	1.0	50.0		
13	14.23	13.97	Zand - Schoon - Los	1.0	100.0		
14	13.97	13.71	Klei - Schoon - Matig	1.0	50.0		
15	13.71	7.10	Zand - Schoon - Vast	1.0	100.0		
16	7.10	6.10	Zand - Schoon - Los	1.0	100.0		
17	6.10	3.02	Zand - Schoon - Vast	1.0	100.0		
18	3.02	2.62	Zand - Schoon - Los	1.0	100.0		
19	2.62	0.87	Klei - Zwak zandig - Vast	1.0	50.0		
20	0.87	0.75	Zand - Schoon - Matig	1.0	100.0		

BODEMPROFIELGEGEVENS: S078-1

Alle niveaus/hogtes/peilmaten zijn t.o.v.: N.A.P.

d50-reductie is meegenomen overeenkomstig NEN-EN 9997 art. 7.6.2.3 (i)

Hoogte maaiveld [m] : 24.07 Grondwaterstand [m] : 23.07

Laag	Van [m]	Tot [m]	Omschrijving	OCR	Aandeel pos. kleef [%]	α_s	d_{50} [mm]
1	24.07	23.58	Veen - Matig voorbelast - Matig	1.0	50.0		
2	23.58	21.76	Zand - Schoon - Los	1.0	100.0		
3	21.76	19.20	Zand - Schoon - Matig	1.0	100.0		
4	19.20	18.82	Zand - Zwak siltig - Kleiig	1.0	100.0		
5	18.82	16.92	Klei - Schoon - Matig	1.0	50.0		
6	16.92	15.46	Zand - Schoon - Matig	1.0	100.0		
7	15.46	14.40	Zand - Schoon - Los	1.0	100.0		
8	14.40	13.82	Klei - Schoon - Matig	1.0	50.0		
9	13.82	8.85	Zand - Zwak siltig - Kleiig	1.0	100.0		
10	8.85	1.96	Zand - Schoon - Matig	1.0	100.0		

BODEMPROFIELGEGEVENS: S079-1

Alle niveaus/hogtes/peilmaten zijn t.o.v.: N.A.P.

d50-reductie is meegenomen overeenkomstig NEN-EN 9997 art. 7.6.2.3 (i)

Hoogte maaiveld [m] : 23.22 Grondwaterstand [m] : 22.22

Laag	Van [m]	Tot [m]	Omschrijving	OCR	Aandeel pos. kleef [%]	α_s	d_{50} [mm]
1	23.22	22.15	Veen - Matig voorbelast - Matig	1.0	50.0		
2	22.15	19.83	Zand - Schoon - Matig	1.0	100.0		
3	19.83	19.35	Zand - Schoon - Los	1.0	100.0		
4	19.35	18.83	Leem - Zwak zandig - Vast	1.0	50.0		
5	18.83	17.55	Zand - Schoon - Vast	1.0	100.0		
6	17.55	17.31	Zand - Sterk siltig - Kleiig	1.0	100.0		
7	17.31	15.49	Klei - Schoon - Matig	1.0	50.0		
8	15.49	14.73	Zand - Schoon - Vast	1.0	100.0		
9	14.73	14.07	Zand - Schoon - Los	1.0	100.0		
10	14.07	12.23	Klei - Zwak zandig - Matig	1.0	50.0		
11	12.23	10.95	Zand - Schoon - Vast	1.0	100.0		
12	10.95	10.49	Zand - Schoon - Los	1.0	100.0		
13	10.49	9.45	Zand - Schoon - Matig	1.0	100.0		
14	9.45	9.17	Zand - Schoon - Los	1.0	100.0		
15	9.17	7.99	Veen - Matig voorbelast - Matig	1.0	50.0		
16	7.99	7.15	Zand - Schoon - Vast	1.0	100.0		
17	7.15	6.32	Zand - Schoon - Los	1.0	100.0		
18	6.32	6.08	Klei - Zwak zandig - Vast	1.0	50.0		
19	6.08	5.20	Zand - Schoon - Vast	1.0	100.0		
20	5.20	4.02	Zand - Schoon - Matig	1.0	100.0		
21	4.02	3.30	Zand - Schoon - Vast	1.0	100.0		
22	3.30	3.04	Zand - Schoon - Los	1.0	100.0		
23	3.04	2.66	Klei - Zwak zandig - Matig	1.0	50.0		
24	2.66	0.17	Zand - Schoon - Vast	1.0	100.0		

Project :
Onderdeel :

BODEMPROFIELGEGEVENS: S071-1

Alle niveaus/hogtes/peilmaten zijn t.o.v.: N.A.P.

d50-reductie is meegenomen overeenkomstig NEN-EN 9997 art. 7.6.2.3 (i)

Hoogte maaiveld [m] : 25.04 Grondwaterstand [m] : 24.04

Laag	Van [m]	Tot [m]	Omschrijving	OCR	Aandeel pos. kleef [%]	α_s	d_{50} [mm]
1	25.04	24.53	Zand - Zwak siltig - Kleiig	1.0	100.0		
2	24.53	24.03	Leem - Zwak zandig - Vast	1.0	50.0		
3	24.03	23.39	Zand - Zwak siltig - Kleiig	1.0	100.0		
4	23.39	22.98	Leem - Zwak zandig - Vast	1.0	50.0		
5	22.98	22.53	Zand - Schoon - Los	1.0	100.0		
6	22.53	22.26	Leem - Zwak zandig - Vast	1.0	50.0		
7	22.26	21.96	Zand - Schoon - Los	1.0	100.0		
8	21.96	20.21	Klei - Schoon - Vast	1.0	50.0		
9	20.21	19.19	Leem - Zwak zandig - Vast	1.0	50.0		
10	19.19	18.69	Zand - Sterk siltig - Kleiig	1.0	100.0		
11	18.69	18.19	Klei - Schoon - Vast	1.0	50.0		
12	18.19	17.69	Zand - Schoon - Los	1.0	100.0		
13	17.69	17.19	Klei - Organisch - Matig	1.0	50.0		
14	17.19	16.28	Zand - Schoon - Matig	1.0	100.0		
15	16.28	15.90	Klei - Schoon - Vast	1.0	50.0		
16	15.90	13.97	Zand - Schoon - Vast	1.0	100.0		
17	13.97	12.10	Zand - Zwak siltig - Kleiig	1.0	100.0		
18	12.10	11.60	Klei - Zwak zandig - Matig	1.0	50.0		
19	11.60	9.34	Zand - Schoon - Vast	1.0	100.0		
20	9.34	8.62	Zand - Schoon - Los	1.0	100.0		
21	8.62	0.19	Zand - Schoon - Matig	1.0	100.0		

BODEMPROFIELGEGEVENS: S071-2

Alle niveaus/hogtes/peilmaten zijn t.o.v.: N.A.P.

d50-reductie is meegenomen overeenkomstig NEN-EN 9997 art. 7.6.2.3 (i)

Hoogte maaiveld [m] : 24.39 Grondwaterstand [m] : 23.39

Laag	Van [m]	Tot [m]	Omschrijving	OCR	Aandeel pos. kleef [%]	α_s	d_{50} [mm]
1	24.39	24.01	Zand - Zwak siltig - Kleiig	1.0	100.0		
2	24.01	23.53	Klei - Zwak zandig - Matig	1.0	50.0		
3	23.53	22.92	Zand - Zwak siltig - Kleiig	1.0	100.0		
4	22.92	22.51	Leem - Zwak zandig - Vast	1.0	50.0		
5	22.51	22.06	Zand - Schoon - Los	1.0	100.0		
6	22.06	21.57	Leem - Zwak zandig - Vast	1.0	50.0		
7	21.57	21.32	Zand - Zwak siltig - Kleiig	1.0	100.0		
8	21.32	20.28	Klei - Schoon - Matig	1.0	50.0		
9	20.28	19.84	Zand - Schoon - Los	1.0	100.0		
10	19.84	17.19	Klei - Schoon - Matig	1.0	50.0		
11	17.19	16.19	Zand - Schoon - Vast	1.0	100.0		
12	16.19	14.63	Zand - Schoon - Matig	1.0	100.0		
13	14.63	13.47	Zand - Schoon - Vast	1.0	100.0		
14	13.47	11.75	Zand - Schoon - Matig	1.0	100.0		
15	11.75	10.85	Zand - Sterk siltig - Kleiig	1.0	100.0		
16	10.85	-0.67	Zand - Schoon - Vast	1.0	100.0		

BODEMPROFIELGEGEVENS: S070-1

Alle niveaus/hogtes/peilmaten zijn t.o.v.: N.A.P.

d50-reductie is meegenomen overeenkomstig NEN-EN 9997 art. 7.6.2.3 (i)

Hoogte maaiveld [m] : 24.67 Grondwaterstand [m] : 23.67

Laag	Van [m]	Tot [m]	Omschrijving	OCR	Aandeel pos. kleef [%]	α_s	d_{50} [mm]
1	24.67	24.29	Zand - Sterk siltig - Kleiig	1.0	100.0		
2	24.29	23.79	Klei - Schoon - Matig	1.0	50.0		
3	23.79	23.33	Leem - Zwak zandig - Vast	1.0	50.0		
4	23.33	22.61	Zand - Schoon - Los	1.0	100.0		
5	22.61	22.35	Klei - Zwak zandig - Vast	1.0	50.0		
6	22.35	19.53	Zand - Sterk siltig - Kleiig	1.0	100.0		
7	19.53	19.17	Zand - Schoon - Los	1.0	100.0		
8	19.17	18.40	Zand - Schoon - Vast	1.0	100.0		
9	18.40	17.67	Klei - Zwak zandig - Vast	1.0	50.0		
10	17.67	17.29	Zand - Sterk siltig - Kleiig	1.0	100.0		
11	17.29	17.03	Klei - Zwak zandig - Vast	1.0	50.0		

Project :
Onderdeel :

Laag	Van [m]	Tot [m]	Omschrijving	OCR	Aandeel pos. kleef [%]	α_s	d_{50} [mm]
12	17.03	15.85	Zand - Schoon - Matig	1.0	100.0		
13	15.85	14.27	Zand - Schoon - Vast	1.0	100.0		
14	14.27	11.03	Zand - Schoon - Matig	1.0	100.0		
15	11.03	10.35	Zand - Schoon - Vast	1.0	100.0		

BODEMPROFIELGEGEVENS: S070-2

Alle niveaus/hogtes/peilmaten zijn t.o.v.: N.A.P.

d50-reductie is meegenomen overeenkomstig NEN-EN 9997 art. 7.6.2.3 (i)

Hoogte maaiveld [m] : 24.63 Grondwaterstand [m] : 23.63

Laag	Van [m]	Tot [m]	Omschrijving	OCR	Aandeel pos. kleef [%]	α_s	d_{50} [mm]
1	24.63	24.51	Veen - Matig voorbelast - Matig	1.0	50.0		
2	24.51	23.50	Klei - Zwak zandig - Matig	1.0	50.0		
3	23.50	22.67	Zand - Schoon - Los	1.0	100.0		
4	22.67	22.41	Klei - Zwak zandig - Vast	1.0	50.0		
5	22.41	21.01	Zand - Sterk siltig - Kleiig	1.0	50.0		
6	21.01	20.37	Klei - Zwak zandig - Matig	1.0	50.0		
7	20.37	20.01	Zand - Sterk siltig - Kleiig	1.0	100.0		
8	20.01	19.69	Zand - Schoon - Matig	1.0	100.0		
9	19.69	18.91	Klei - Zwak zandig - Vast	1.0	50.0		
10	18.91	18.33	Zand - Schoon - Vast	1.0	100.0		
11	18.33	17.95	Klei - Zwak zandig - Vast	1.0	50.0		
12	17.95	17.17	Zand - Schoon - Los	1.0	100.0		
13	17.17	12.99	Zand - Schoon - Vast	1.0	100.0		
14	12.99	12.61	Leem - Sterk zandig	1.0	50.0		
15	12.61	11.05	Zand - Schoon - Matig	1.0	100.0		
16	11.05	9.03	Zand - Schoon - Vast	1.0	100.0		
17	9.03	8.29	Zand - Sterk siltig - Kleiig	1.0	100.0		
18	8.29	7.55	Zand - Schoon - Vast	1.0	100.0		

BODEMPROFIELGEGEVENS: S073-1

Alle niveaus/hogtes/peilmaten zijn t.o.v.: N.A.P.

d50-reductie is meegenomen overeenkomstig NEN-EN 9997 art. 7.6.2.3 (i)

Hoogte maaiveld [m] : 25.31 Grondwaterstand [m] : 24.31

Laag	Van [m]	Tot [m]	Omschrijving	OCR	Aandeel pos. kleef [%]	α_s	d_{50} [mm]
1	25.31	25.15	Klei - Organisch - Matig	1.0	50.0		
2	25.15	25.01	Klei - Zwak zandig - Vast	1.0	50.0		
3	25.01	24.27	Zand - Sterk siltig - Kleiig	1.0	100.0		
4	24.27	23.43	Klei - Organisch - Matig	1.0	50.0		
5	23.43	22.51	Klei - Zwak zandig - Vast	1.0	50.0		
6	22.51	22.37	Zand - Schoon - Vast	1.0	100.0		
7	22.37	22.00	Klei - Zwak zandig - Vast	1.0	50.0		
8	22.00	21.60	Zand - Schoon - Matig	1.0	100.0		
9	21.60	20.88	Klei - Zwak zandig - Vast	1.0	50.0		
10	20.88	19.67	Zand - Schoon - Matig	1.0	100.0		
11	19.67	19.39	Klei - Zwak zandig - Vast	1.0	50.0		
12	19.39	18.91	Zand - Schoon - Vast	1.0	100.0		
13	18.91	17.94	Klei - Zwak zandig - Vast	1.0	50.0		
14	17.94	8.93	Zand - Schoon - Vast	1.0	100.0		

SONDERINGSGEGEVENS ALGEMEEN: S074-1

Alle niveaus/hogtes/peilmaten zijn t.o.v.: N.A.P.

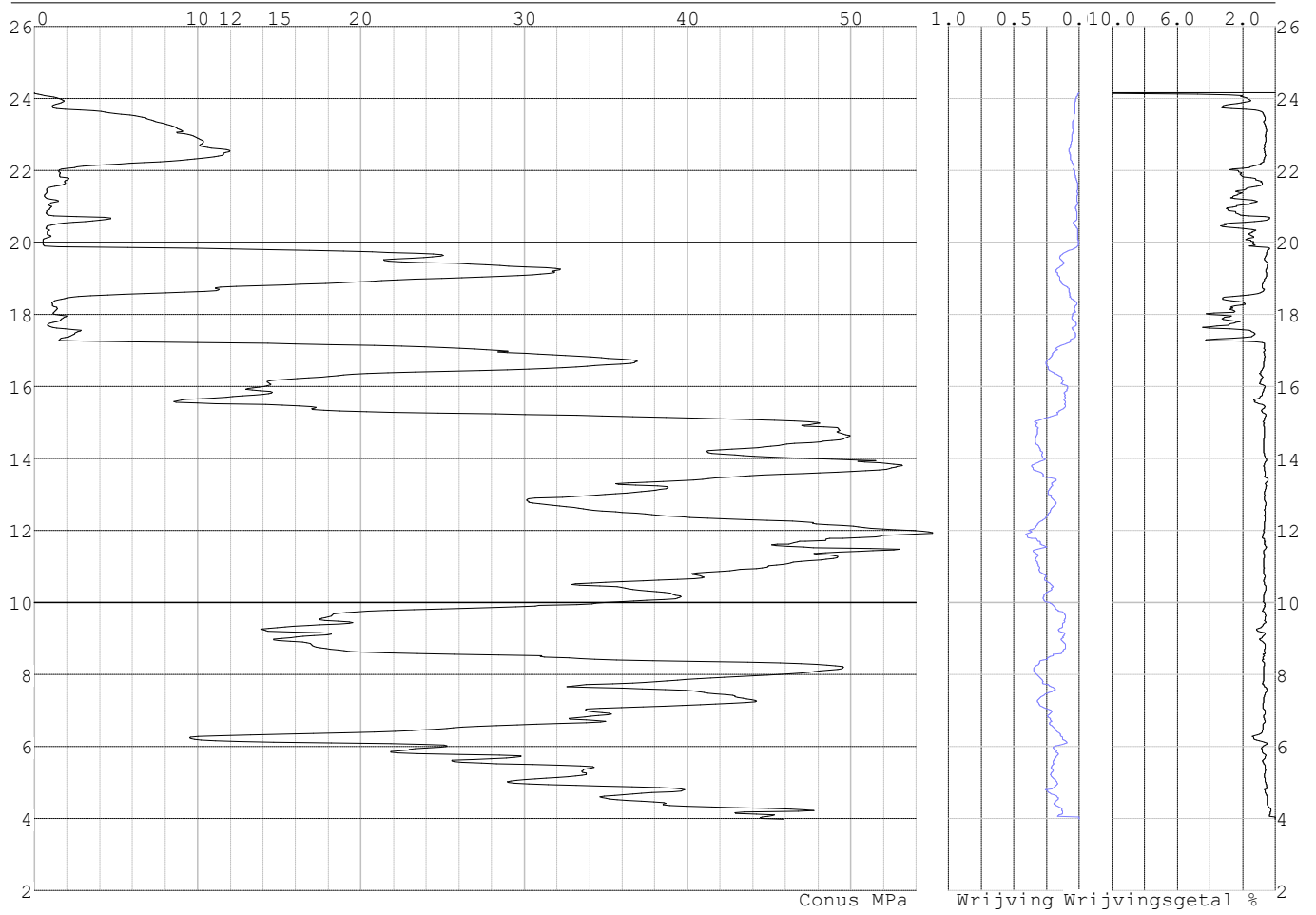
Hoogte maaiveld [m] : 24.16 Bodemprofiel: S074-1

Traject negatieve kleef : 24.16 tot 19.90 [m]

Traject positieve kleef : 19.90 tot 3.98 [m]

Project :
Onderdeel :

SONDERINGSGEGEVENS GRAFIEK: S074-1

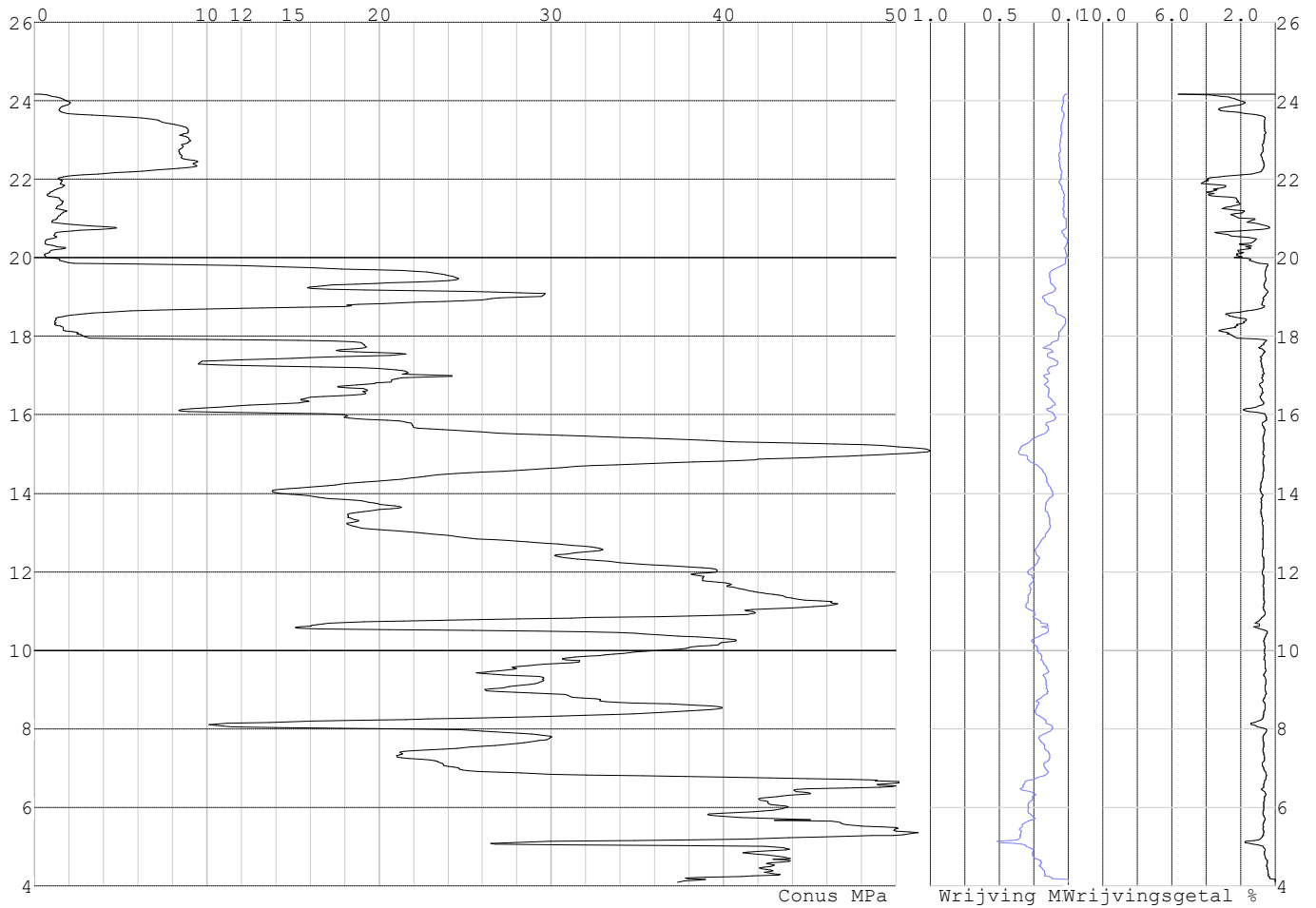


Project :
Onderdeel :

SONDERINGSGEGEVENS ALGEMEEN: S074-2

Alle niveaus/hogtes/peilmaten zijn t.o.v.: N.A.P.
Hoogte maaiveld [m] : 24.17 Bodemprofiel: S074-1
Traject negatieve kleef : 24.17 tot 19.90 [m]
Traject positieve kleef : 19.90 tot 4.09 [m]

SONDERINGSGEGEVENS GRAFIEK: S074-2

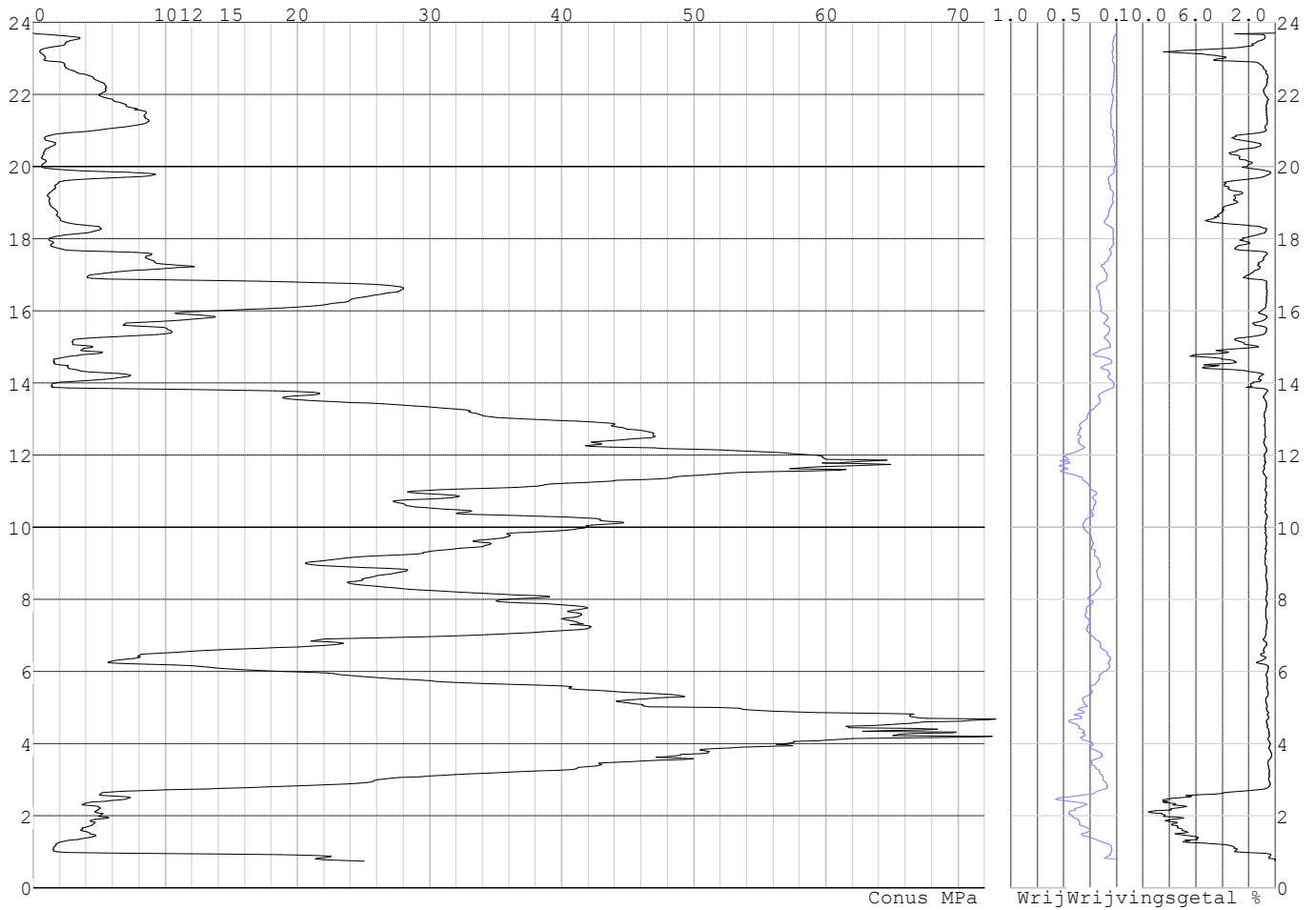


Project :
Onderdeel :

SONDERINGSGEGEVENS ALGEMEEN: S076-1

Alle niveaus/hogtes/peilmaten zijn t.o.v.: N.A.P.
Hoogte maaiveld [m] : 23.70 Bodemprofiel: S076-1
Traject negatieve kleeft : 23.70 tot 13.90 [m]
Traject positieve kleeft : 13.90 tot 0.74 [m]

SONDERINGSGEGEVENS GRAFIEK: S076-1

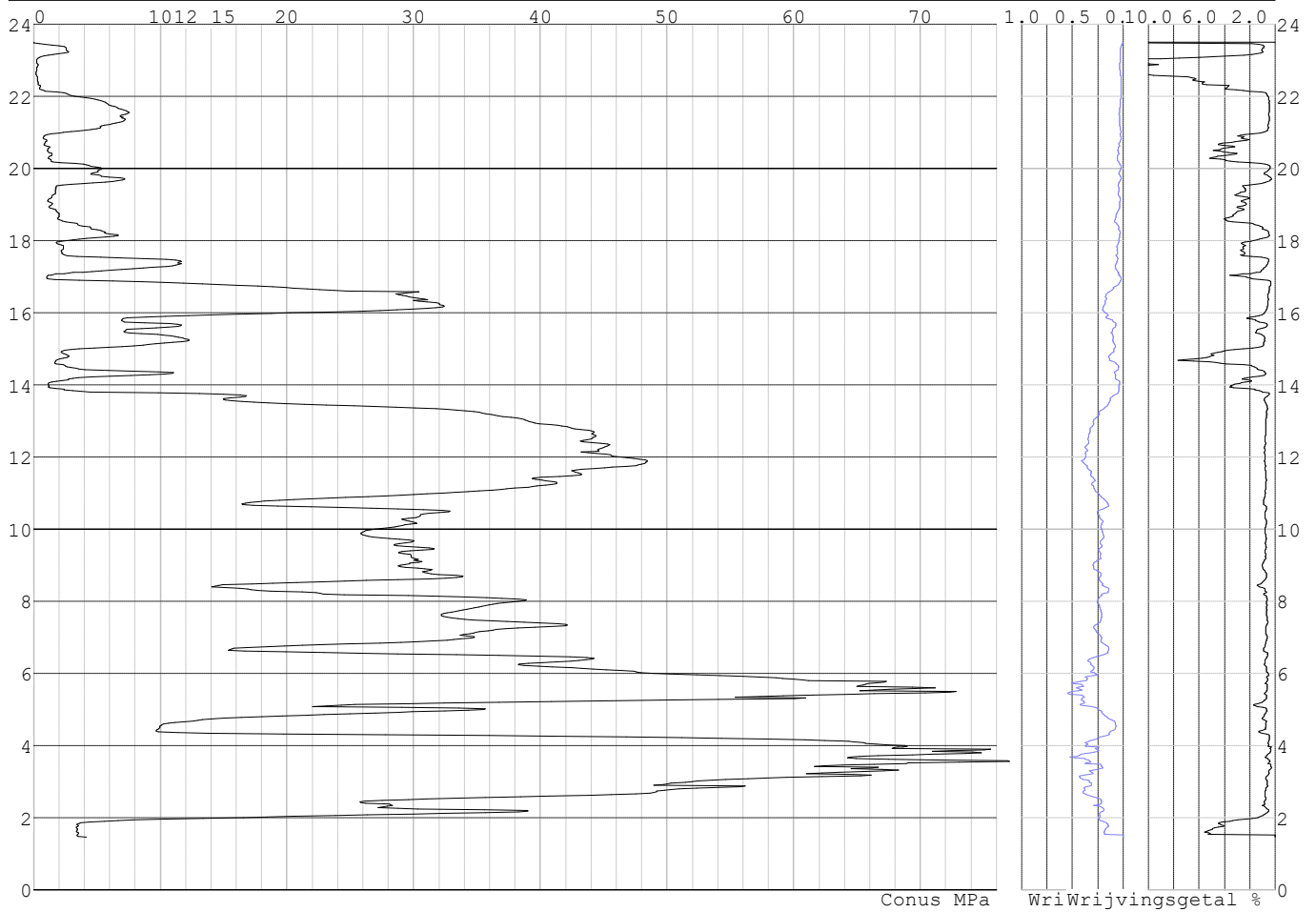


Project :
Onderdeel :

SONDERINGSGEGEVENS ALGEMEEN: S076-2

Alle niveaus/hogtes/peilmaten zijn t.o.v.: N.A.P.
Hoogte maaiveld [m] : 23.50 Bodemprofiel: S076-1
Traject negatieve kleef : 23.50 tot 13.80 [m]
Traject positieve kleef : 13.80 tot 1.45 [m]

SONDERINGSGEGEVENS GRAFIEK: S076-2

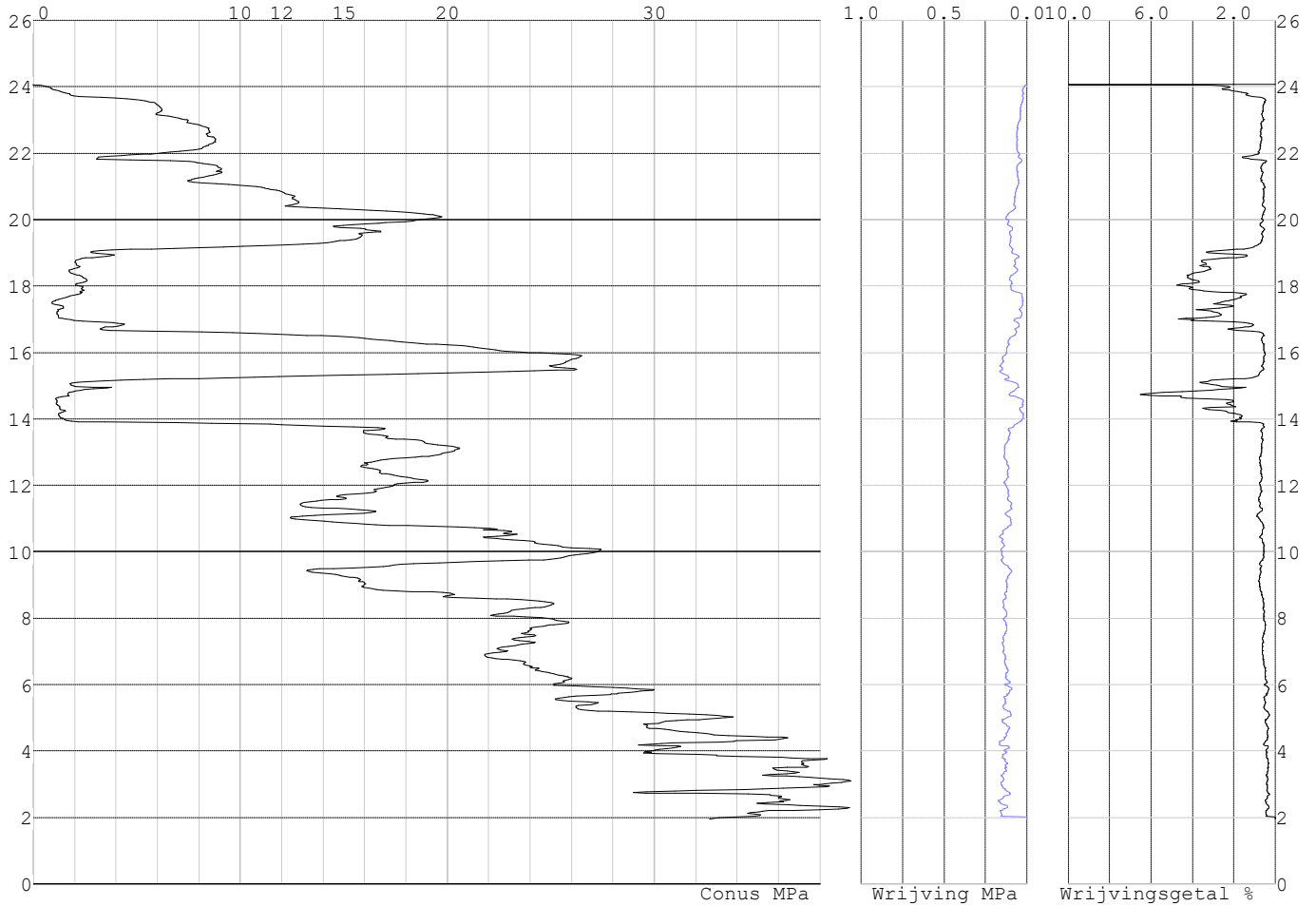


Project :
Onderdeel :

SONDERINGSGEGEVENS ALGEMEEN: S078-1

Alle niveaus/hogtes/peilmaten zijn t.o.v.: N.A.P.
Hoogte maaiveld [m] : 24.07 Bodemprofiel: S078-1
Traject negatieve kleeft : 24.07 tot 13.90 [m]
Traject positieve kleeft : 13.90 tot 1.95 [m]

SONDERINGSGEGEVENS GRAFIEK: S078-1

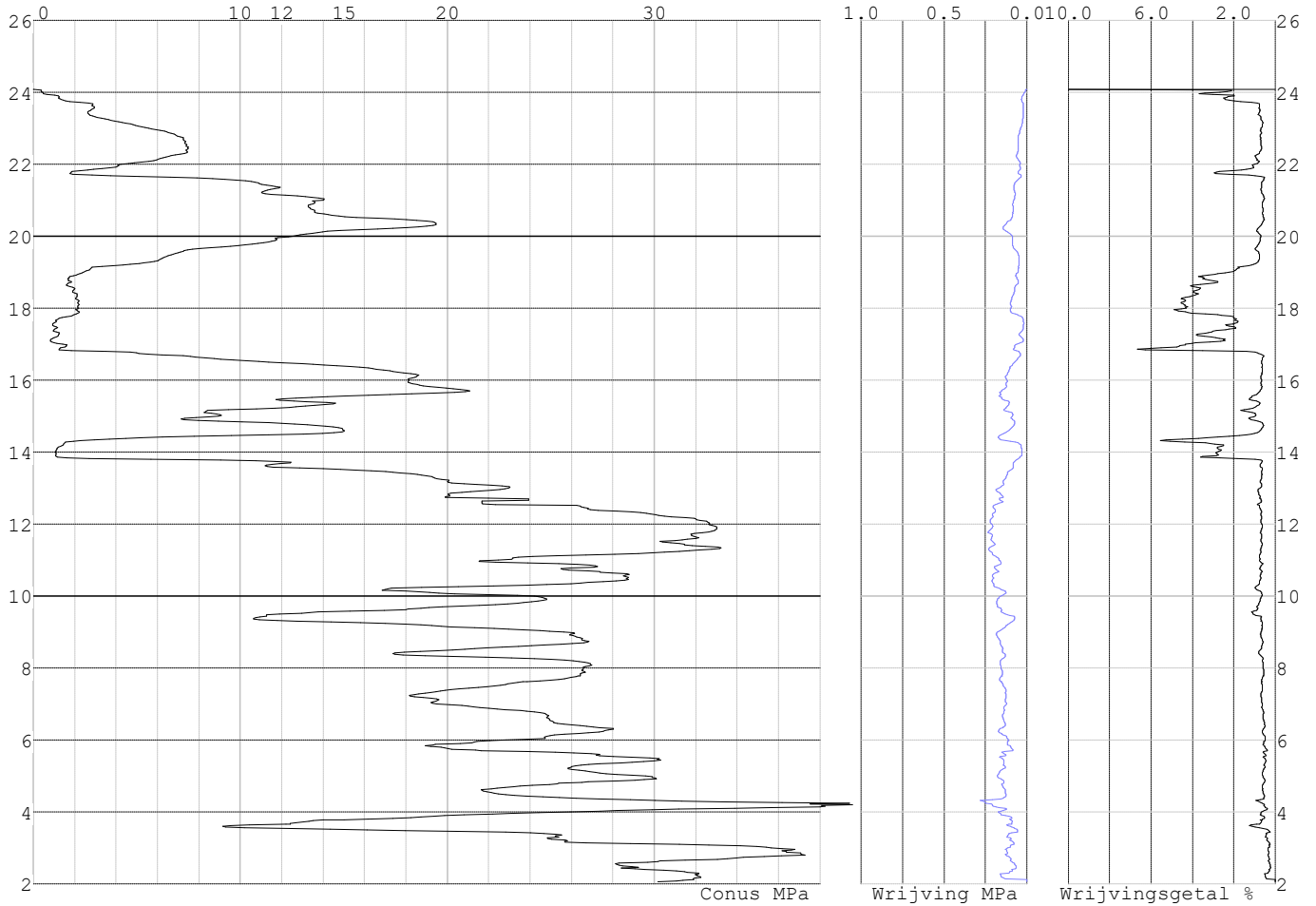


Project :
Onderdeel :

SONDERINGSGEGEVENS ALGEMEEN: S078-2

Alle niveaus/hogtes/peilmaten zijn t.o.v.: N.A.P.
Hoogte maaiveld [m] : 24.09 Bodemprofiel: S078-1
Traject negatieve kleeft : 24.09 tot 13.90 [m]
Traject positieve kleeft : 13.90 tot 2.06 [m]

SONDERINGSGEGEVENS GRAFIEK: S078-2

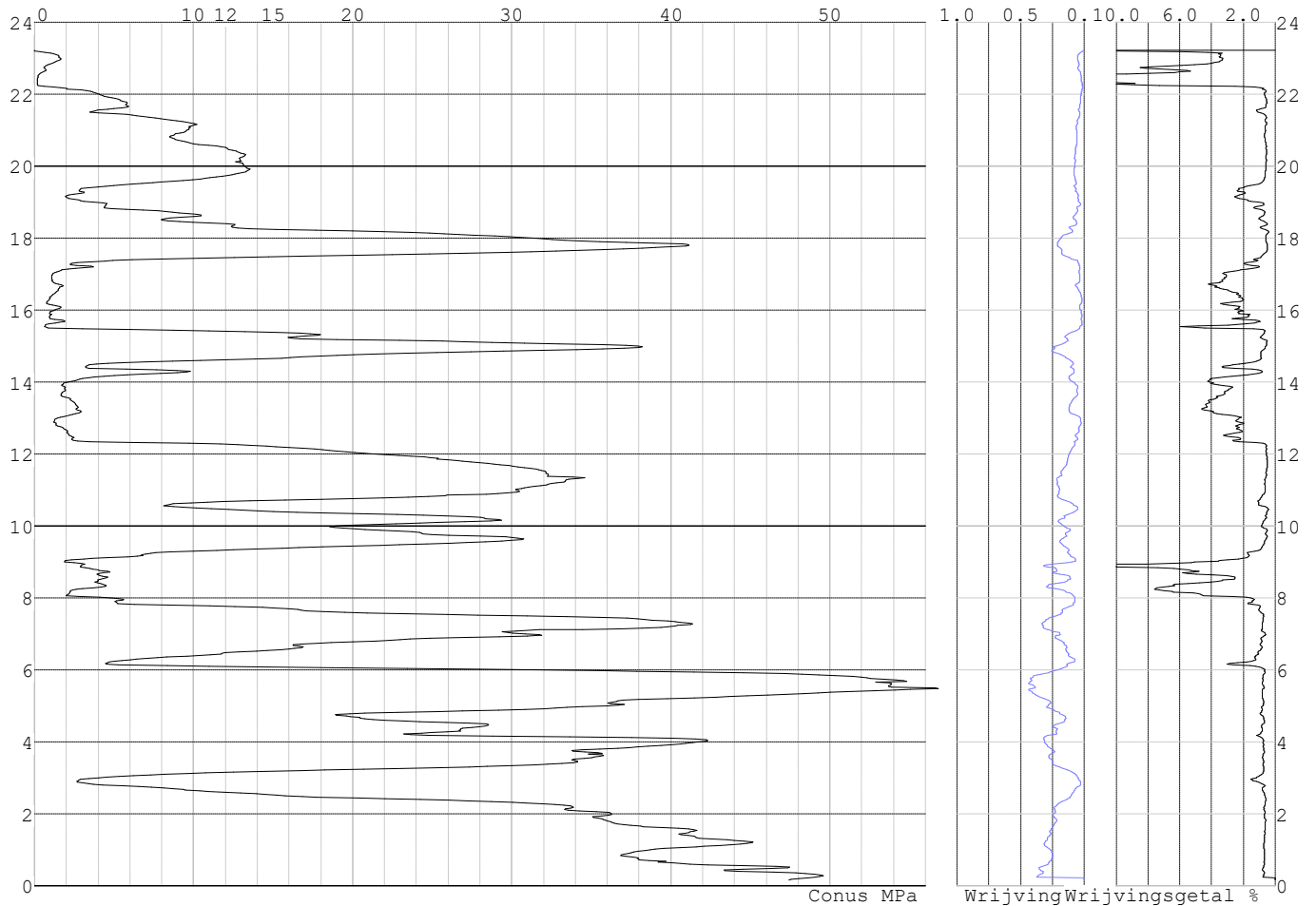


Project :
Onderdeel :

SONDERINGSGEGEVENS ALGEMEEN: S079-1

Alle niveaus/hogtes/peilmaten zijn t.o.v.: N.A.P.
Hoogte maaiveld [m] : 23.22 Bodemprofiel: S079-1
Traject negatieve kleeft : 23.22 tot 19.10 [m]
Traject positieve kleeft : 19.10 tot 0.16 [m]

SONDERINGSGEGEVENS GRAFIEK: S079-1

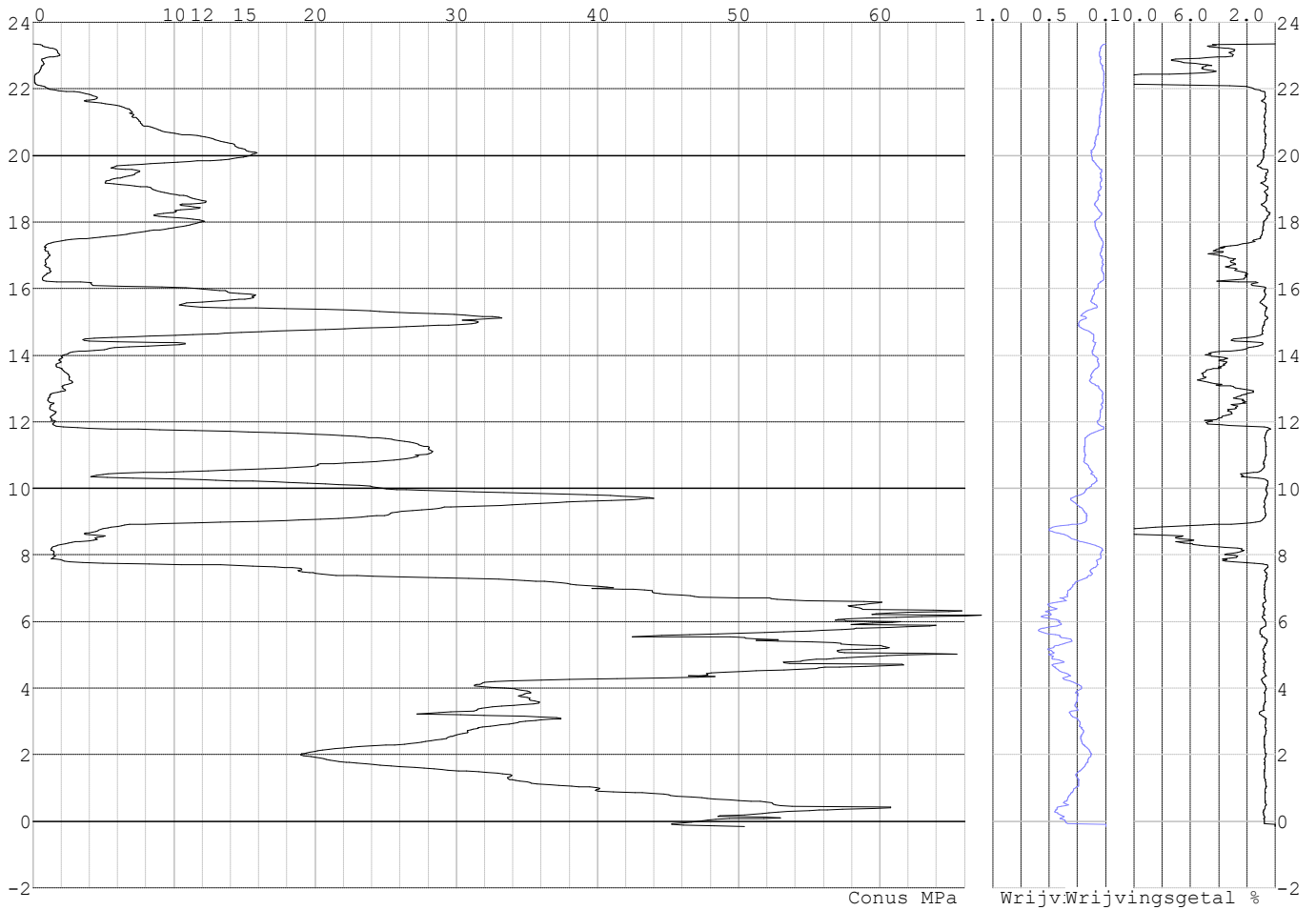


Project :
Onderdeel :

SONDERINGSGEGEVENS ALGEMEEN: S079-2

Alle niveaus/hogtes/peilmaten zijn t.o.v.: N.A.P.
Hoogte maaiveld [m] : 23.34 Bodemprofiel: S079-1
Traject negatieve kleeft : 23.34 tot 16.40 [m]
Traject positieve kleeft : 16.40 tot -0.16 [m]

SONDERINGSGEGEVENS GRAFIEK: S079-2

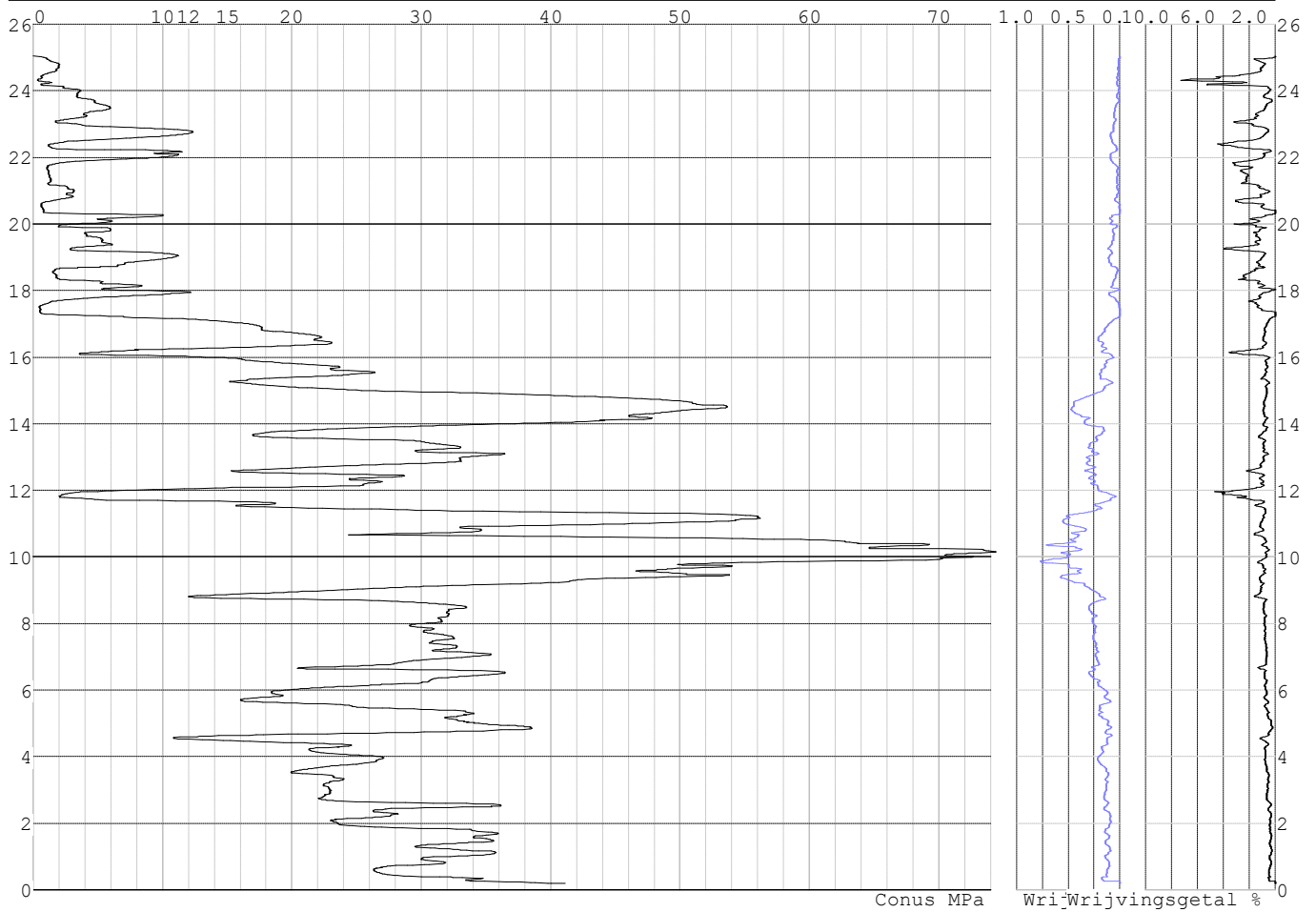


Project :
Onderdeel :

SONDERINGSGEGEVENS ALGEMEEN: S071-1

Alle niveaus/hogtes/peilmaten zijn t.o.v.: N.A.P.
Hoogte maaiveld [m] : 25.04 Bodemprofiel: S071-1
Traject negatieve kleef : 25.04 tot 17.20 [m]
Traject positieve kleef : 17.20 tot 0.19 [m]

SONDERINGSGEGEVENS GRAFIEK: S071-1

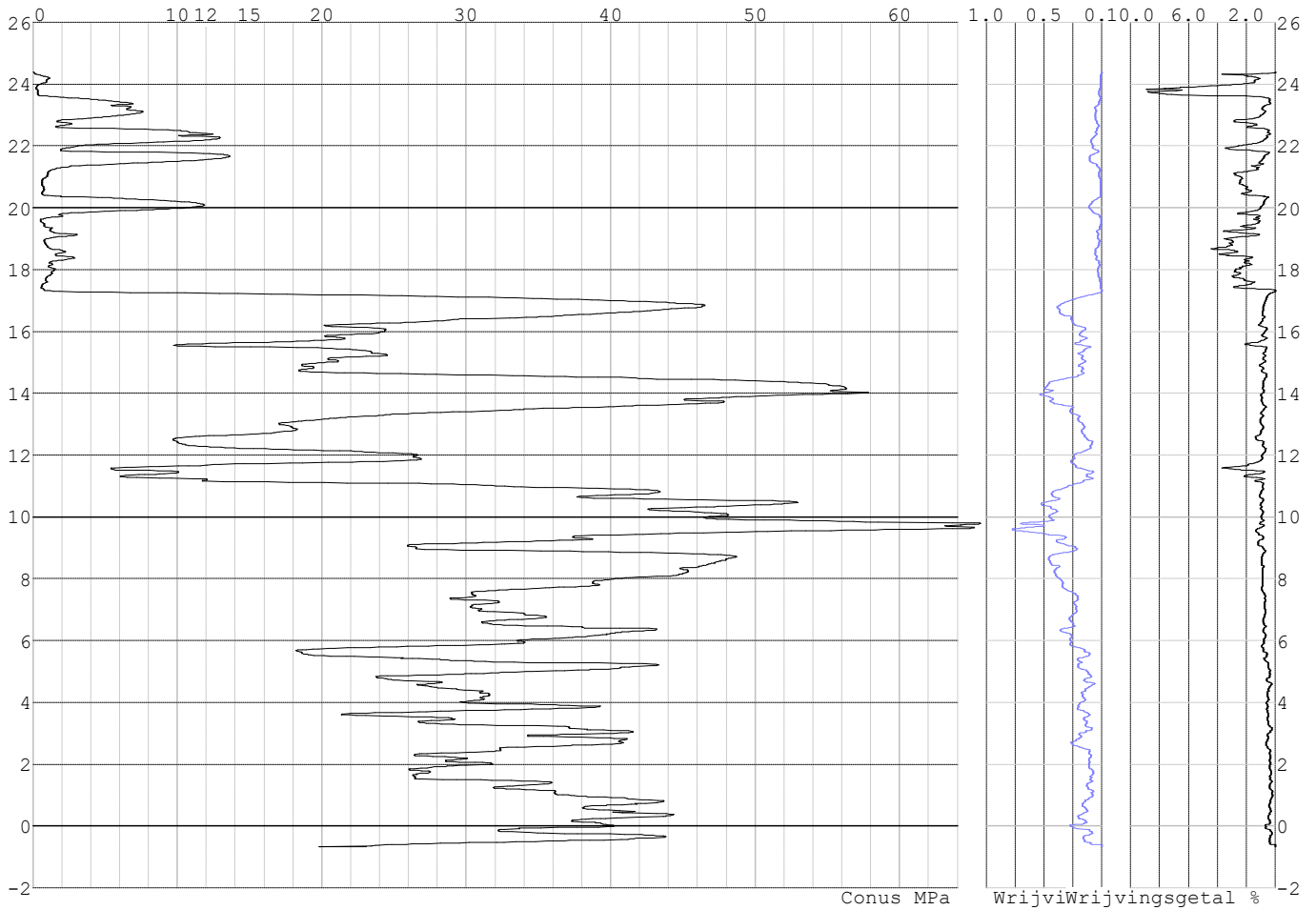


Project :
Onderdeel :

SONDERINGSGEGEVENS ALGEMEEN: S071-2

Alle niveaus/hogtes/peilmaten zijn t.o.v.: N.A.P.
Hoogte maaiveld [m] : 24.39 Bodemprofiel: S071-2
Traject negatieve kleeft : 24.39 tot 17.30 [m]
Traject positieve kleeft : 17.30 tot -0.67 [m]

SONDERINGSGEGEVENS GRAFIEK: S071-2

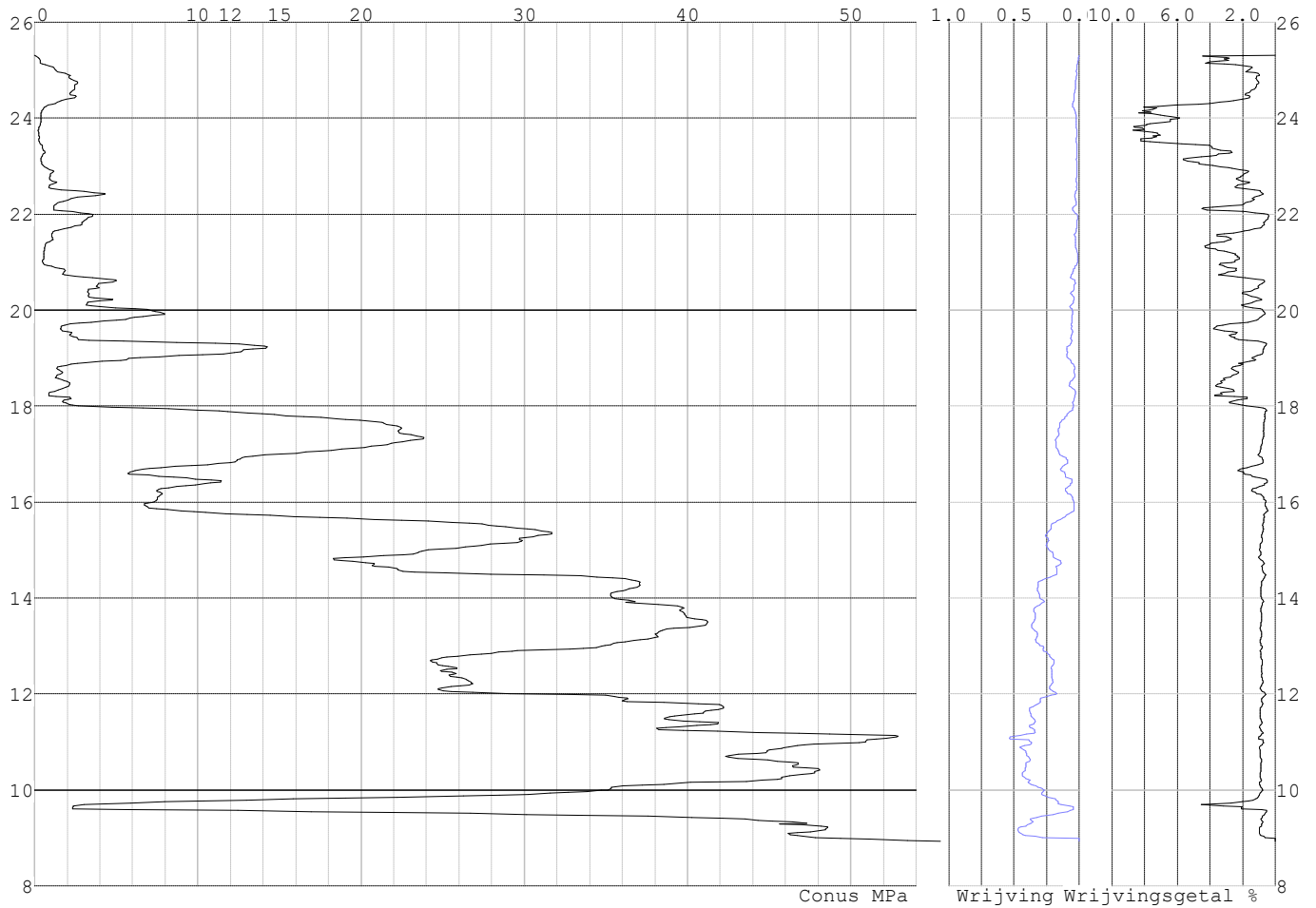


Project :
Onderdeel :

SONDERINGSGEGEVENS ALGEMEEN: S073-1

Alle niveaus/hogtes/peilmaten zijn t.o.v.: N.A.P.
Hoogte maaiveld [m] : 25.31 Bodemprofiel: S073-1
Traject negatieve kleeft : 25.31 tot 18.00 [m]
Traject positieve kleeft : 18.00 tot 8.93 [m]

SONDERINGSGEGEVENS GRAFIEK: S073-1

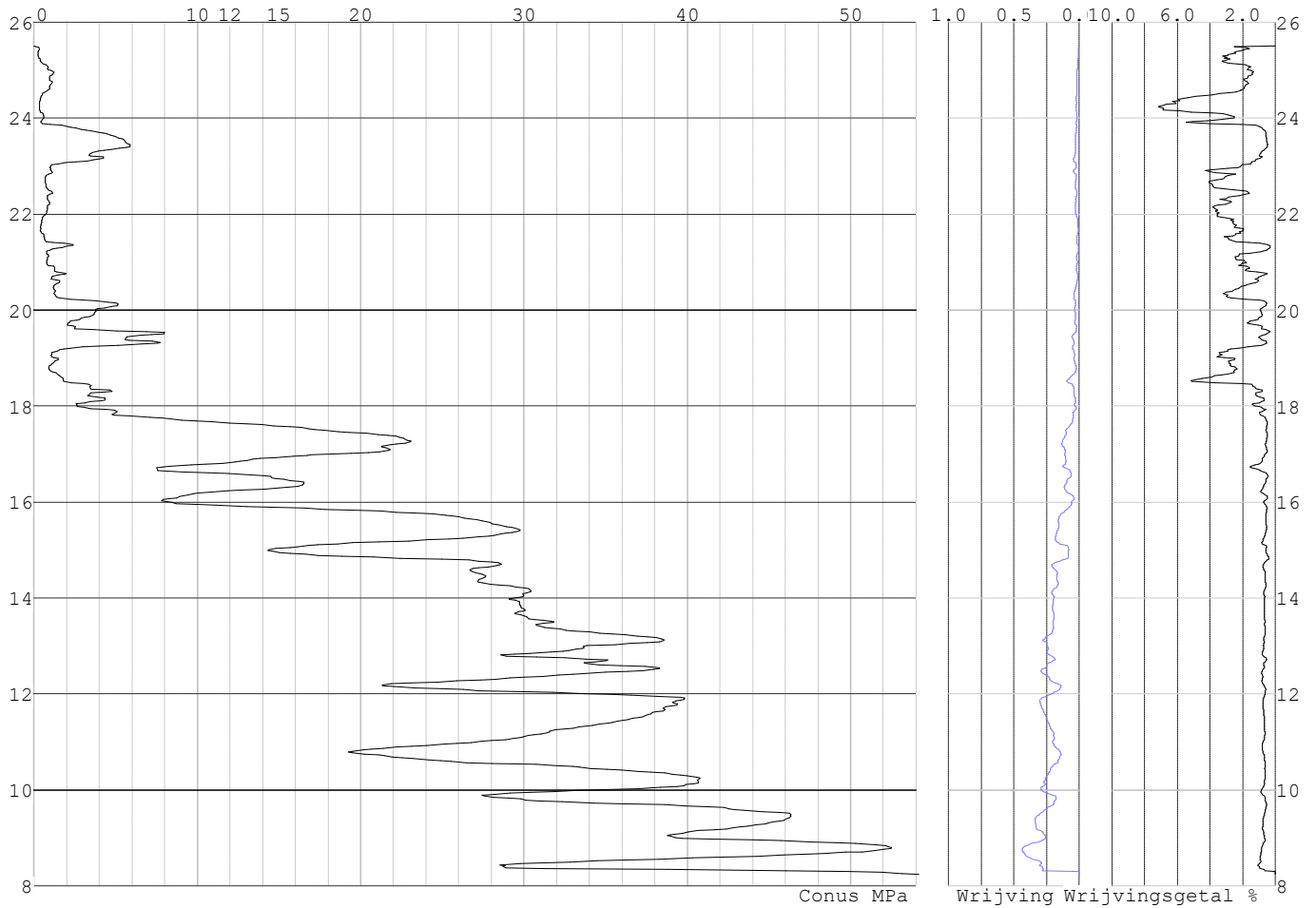


Project :
Onderdeel :

SONDERINGSGEGEVENS ALGEMEEN: S073-2

Alle niveaus/hogtes/peilmaten zijn t.o.v.: N.A.P.
Hoogte maaiveld [m] : 25.51 Bodemprofiel: S073-1
Traject negatieve kleef : 25.51 tot 18.00 [m]
Traject positieve kleef : 18.00 tot 8.24 [m]

SONDERINGSGEGEVENS GRAFIEK: S073-2

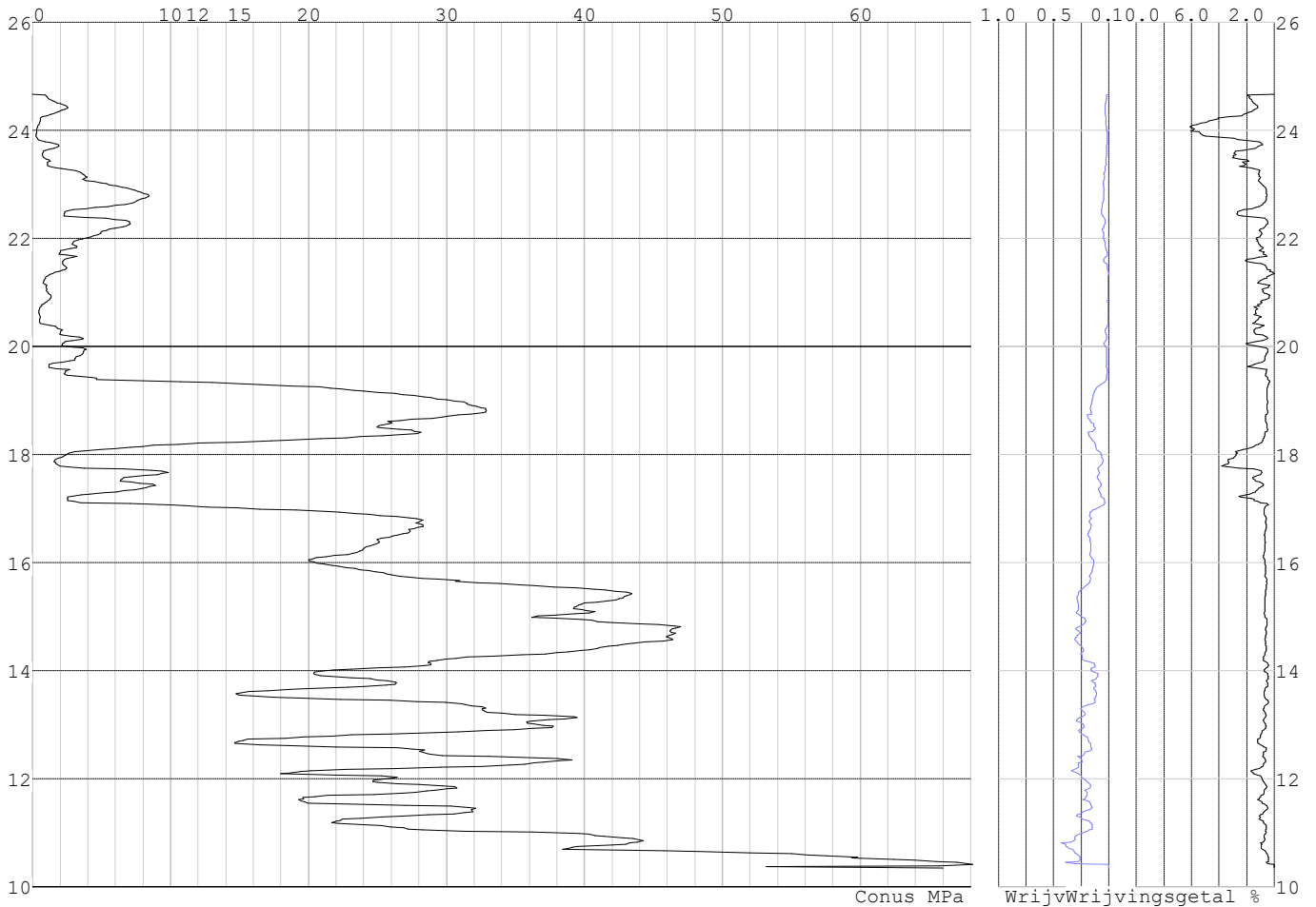


Project :
Onderdeel :

SONDERINGSGEGEVENS ALGEMEEN: S070-1

Alle niveaus/hogtes/peilmaten zijn t.o.v.: N.A.P.
Hoogte maaiveld [m] : 24.67 Bodemprofiel: S070-1
Traject negatieve kleeft : 24.67 tot 17.10 [m]
Traject positieve kleeft : 17.10 tot 10.35 [m]

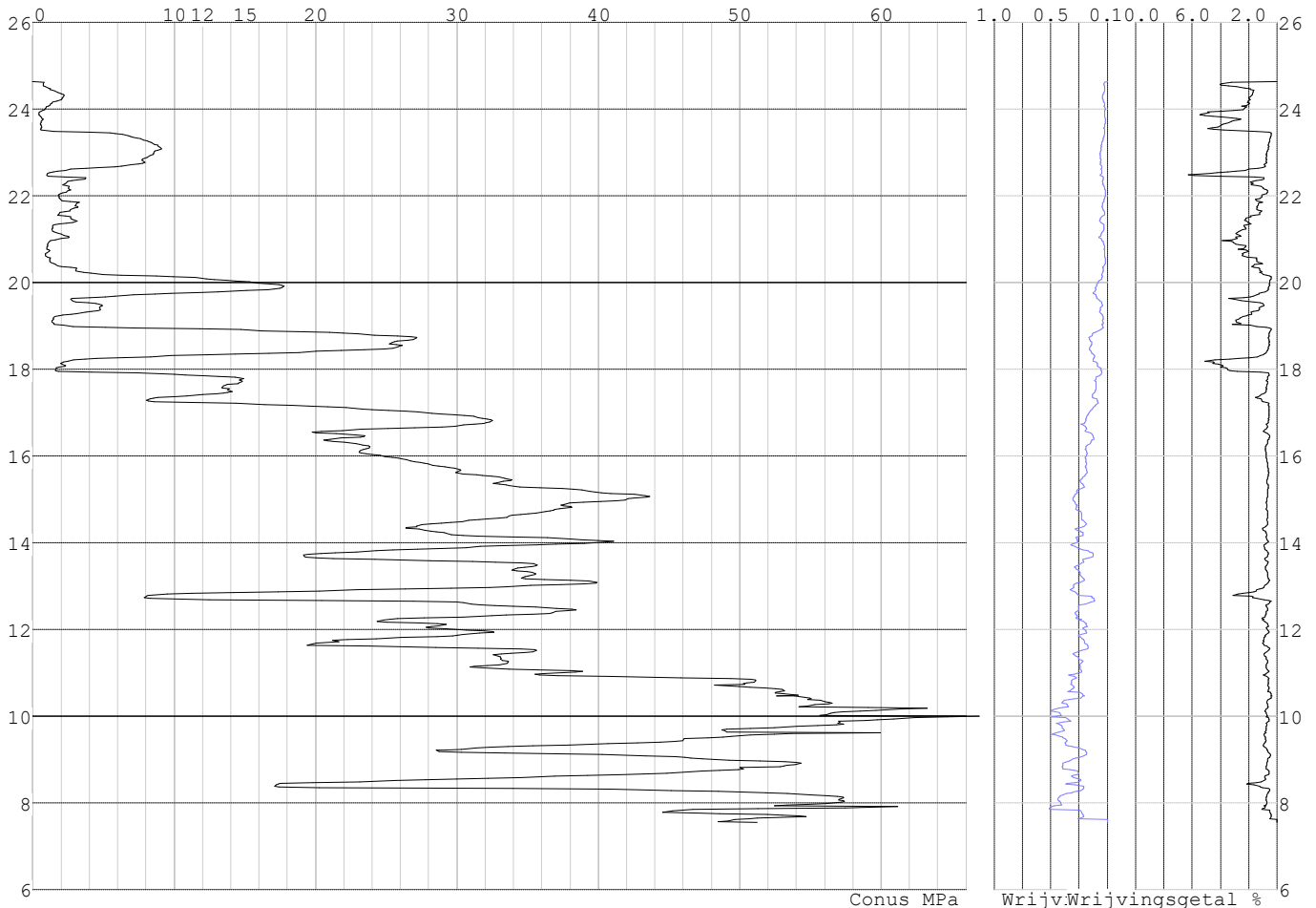
SONDERINGSGEGEVENS GRAFIEK: S070-1



Project :
Onderdeel :

SONDERINGSGEGEVENS ALGEMEEN: S070-2

Alle niveaus/hogtes/peilmaten zijn t.o.v.: N.A.P.
 Hoogte maaiveld [m] : 24.63 Bodemprofiel: S070-2
 Traject negatieve kleef : 24.63 tot 17.90 [m]
 Traject positieve kleef : 17.90 tot 7.55 [m]

SONDERINGSGEGEVENS GRAFIEK: S070-2**REKENGEVENS Mast 070**

Berekening : Controlerend
 Rekenmethode : Trekpalen volgens NEN-EN 1997-1, art. 7.6.3
 Sondering(en) : S070-1, S070-2
 Let op: trekcapaciteit t.p.v. negatief kleeftraject is meegerekend.

Stijf bouwwerk : NEE
 Paalgroep : NEE
 Aantal sonderingen : 2
 Factor ξ_3 (n=1) : 1.39
 Factor ξ_3 (gem) : 1.32
 Factor ξ_4 (min) : 1.32
 Weerstandsfactor γ_R : 1.35
 $\gamma_{m;var;q_c}$: 1.50
 UGT draagvermogen zonder negatieve kleef : NEE

Paal : LD1
 Niveau paalkop [m] : N.A.P. 25.07
 Paalpuntniveau : N.A.P. 15.57
 $E_{d;1}$ [kN] : 0.00 $E_{d;2}$ [kN] : 0.00
 Bovenbel. [kN/m²] : 0.00

RESULTATEN Mast 070 (n=1)

Project :
Onderdeel :

Sondering : S070-1

Alle niveaus/hogtes/peilmaten zijn t.o.v.: N.A.P.

Inheinniveau [m]	Effectief inheinniveau [m]	E.G. paal [kN]	$R_{t,cal;k}$ [kN]	$R_{t;d}$ [kN]	$F_{t,tot;1}$ [kN]	U.C.
15.57	15.57	30.0	315.1	315.1	0.0	0.00

Sondering : S070-2

Alle niveaus/hogtes/peilmaten zijn t.o.v.: N.A.P.

Inheinniveau [m]	Effectief inheinniveau [m]	E.G. paal [kN]	$R_{t,cal;k}$ [kN]	$R_{t;d}$ [kN]	$F_{t,tot;1}$ [kN]	U.C.
15.57	15.57	30.1	305.8	305.8	0.0	0.00

Project :
Onderdeel :

SAMENVATTINGSTABEL Mast 070 (n=1)**Uitgangspunten**

- paal : LD1
 - paaltype : Stalen buispaal (gesloten)
 - schachtafmeting : 550 mm
 Paalklassefactor α_p : 1.00
 Factor α_t (tabel 7.c EC 7.1) : 0.0070 (zandlagen; voor kleilagen zie tabel 7.d)
 Correlatiefactor $\xi_{3(n=1)}$: 1.39

Alle niveaus/hogtes/peilmaten zijn t.o.v.: N.A.P.

sondering	maaiveld paalpunt		Bezwijkdraagvermogen $R_{t,cal}$ [kN]	Rekenwaarden	
	niveau	niveau		$R_{t,d}$ [kN]	$R_{t,netto,d}$ [kN]
S070-1	24.67	15.57	315.1	315.1	315.1
S070-2	24.63	15.57	305.8	305.8	305.8

Project :
Onderdeel :

SAMENVATTINGSTABEL Mast 070 (van 2 sonderingen)**Uitgangspunten**

- paal : LD1
 - paaltype : Stalen buispaal (gesloten)
 - schachtafmeting : 550 mm
 Paalklassefactor α_p : 1.00
 Factor α_t (tabel 7.c EC 7.1) : 0.0070 (zandlagen; voor kleilagen zie tabel 7.d)
 Correlatiefactor $\xi_{3gem}(n=2)$: 1.32
 Correlatiefactor $\xi_{4min}(n=2)$: 1.32

Alle niveaus/hogtes/peilmaten zijn t.o.v.: N.A.P.

sondering	maaiveld	paalpunt	Bezuikdraagvermogen
	niveau	niveau	E.G. paal $R_{t,cal}$
			[kN] [kN]

met ξ_3 (gem) = 1.32

S070-1	24.67	15.57	30.0	330.2
S070-2	24.63	15.57	30.0	320.4

		15.57	$R_{t,cal,gem}$	325.3
--	--	-------	-----------------	-------

met ξ_4 (min) = 1.32

S070-1	24.67	15.57	30.0	330.2
S070-2	24.63	15.57	30.0	320.4

		15.57	$R_{t,cal,min}$	320.4
--	--	-------	-----------------	-------

Totaal resultaten Mast 070 (van 2 sonderingen)

Uitgangspunten

Correlatiefactor $\xi_{3gem}(n=2)$: 1.32
 Correlatiefactor $\xi_{4min}(n=2)$: 1.32

gebaseerd op sonderingen:
 S070-1 S070-2

$R_{t,d} = \min. \{ R_{t,cal,gem}; R_{t,cal,min} \}$ (7.17) *

Inheinniveau
 [m]

15.57	$R_{t,d} = \min. \{ 325.3; 320.4 \} =$	320.4
-------	--	-------

* Bij de trekpaalberekening zijn factoren ξ_3 en ξ_4 al bij de berekening van de conusweerstand $q_{c,z;d}$ in rekening gebracht, evenals factor $\gamma_{s;t}$. Dat is conform de opmerkingen in art. 7.6.3.3 (3) en (4).

Alle niveaus/hogtes/peilmaten zijn t.o.v.: N.A.P.

Inheinniveau	$R_{t,k}$	$R_{t,d}$	$F_{t,tot;1}$	$R_{t,netto;d}$	U.C.
[m]	[kN]	[kN]	[kN]	[kN]	
15.57	320.4	320.4	0.0	320.4	0.00

REKENGEGEVENS Mast 071

Berekening : Controlerend
 Rekenmethode : Trekpalen volgens NEN-EN 1997-1, art. 7.6.3
 Sondering(en) : S071-1, S071-2
 Let op: trekcapaciteit t.p.v. negatief kleeftraject is meegerekend.

Stijf bouwwerk : NEE
 Paalgroep : NEE
 Aantal sonderingen : 2
 Factor ξ_3 (n=1) : 1.39
 Factor ξ_3 (gem) : 1.32
 Factor ξ_4 (min) : 1.32
 Weerstandsfactor γ_R : 1.35
 $\gamma_{m,var;q_c}$: 1.50
 UGT draagvermogen zonder negatieve kleeft : NEE

Paal : LD1
 Niveau paalkop [m] : N.A.P. 24.65
 Paalpuntniveau : N.A.P. 13.65
 $E_{d,1}$ [kN] : 0.00
 Bovenbel. [kN/m²] : 0.00

$E_{d,2}$ [kN] : 0.00

Project :
Onderdeel :

RESULTATEN Mast 071 (n=1)**Sondering : S071-1**

Alle niveaus/hogtes/peilmaten zijn t.o.v.: N.A.P.

Inheinniveau [m]	Effectief inheinniveau [m]	E.G. paal [kN]	$R_{t,cal;k}$ [kN]	$R_{t;d}$ [kN]	$F_{t,tot;1}$ [kN]	U.C.
13.65	13.65	32.3	426.8	426.8	0.0	0.00

Sondering : S071-2

Alle niveaus/hogtes/peilmaten zijn t.o.v.: N.A.P.

Inheinniveau [m]	Effectief inheinniveau [m]	E.G. paal [kN]	$R_{t,cal;k}$ [kN]	$R_{t;d}$ [kN]	$F_{t,tot;1}$ [kN]	U.C.
13.65	13.65	33.9	396.1	396.1	0.0	0.00

Project :
Onderdeel :

SAMENVATTINGSTABEL Mast 071 (n=1)**Uitgangspunten**

- paal : LD1
 - paaltype : Stalen buispaal (gesloten)
 - schachtafmeting : 550 mm
 Paalklassefactor α_p : 1.00
 Factor α_t (tabel 7.c EC 7.1) : 0.0070 (zandlagen; voor kleilagen zie tabel 7.d)
 Correlatiefactor $\xi_{3(n=1)}$: 1.39

Alle niveaus/hogtes/peilmaten zijn t.o.v.: N.A.P.

sondering	maaiveld paalpunt		Bezwijkdraagvermogen $R_{t,cal}$ [kN]	Rekenwaarden		
	niveau	niveau		$R_{t,d}$ [kN]	$R_{t,netto,d}$ [kN]	
S071-1	25.04	13.65	426.8	426.8	426.8	
S071-2	24.39	13.65	396.1	396.1	396.1	

Project :
Onderdeel :

SAMENVATTINGSTABEL Mast 071 (van 2 sonderingen)**Uitgangspunten**

- paal : LD1
 - paaltype : Stalen buispaal (gesloten)
 - schachtafmeting : 550 mm
 Paalklassefactor α_p : 1.00
 Factor α_t (tabel 7.c EC 7.1) : 0.0070 (zandlagen; voor kleilagen zie tabel 7.d)
 Correlatiefactor $\xi_{3\text{gem}}(n=2)$: 1.32
 Correlatiefactor $\xi_{4\text{min}}(n=2)$: 1.32

Alle niveaus/hogtes/peilmaten zijn t.o.v.: N.A.P.

sondering	maaiveld	paalpunt	Bezuigdraagvermogen
	niveau	niveau	E.G. paal $R_{t,cal}$
			[kN] [kN]

met ξ_3 (gem) = 1.32

S071-1	25.04	13.65	32.3	447.7
S071-2	24.39	13.65	32.3	415.3

		13.65	$R_{t,cal,gem}$	431.5
--	--	-------	-----------------	-------

met ξ_4 (min) = 1.32

S071-1	25.04	13.65	32.3	447.7
S071-2	24.39	13.65	32.3	415.3

		13.65	$R_{t,cal,min}$	415.3
--	--	-------	-----------------	-------

Totaal resultaten Mast 071 (van 2 sonderingen)

Uitgangspunten

Correlatiefactor $\xi_{3\text{gem}}(n=2)$: 1.32
 Correlatiefactor $\xi_{4\text{min}}(n=2)$: 1.32

gebaseerd op sonderingen:

S071-1 S071-2

$R_{t,d} = \min.\{ R_{t,cal,gem}; R_{t,cal,min} \}$ (7.17) *

Inheinniveau
[m]

13.65	$R_{t,d} = \min.\{ 431.5; 415.3 \} = 415.3$
-------	---

* Bij de trekpaalberekening zijn factoren ξ_3 en ξ_4 al bij de berekening van de conusweerstand $q_{c;z,d}$ in rekening gebracht, evenals factor $\gamma_{s;t}$. Dat is conform de opmerkingen in art. 7.6.3.3 (3) en (4).

Alle niveaus/hogtes/peilmaten zijn t.o.v.: N.A.P.

Inheinniveau	$R_{t,k}$	$R_{t,d}$	$F_{t,tot;1}$	$R_{t,netto;d}$	U.C.
[m]	[kN]	[kN]	[kN]	[kN]	
13.65	415.3	415.3	0.0	415.3	0.00

REKENGEDEVENS Mast 072

Berekening : Controlerend
 Rekenmethode : Trekpalen volgens NEN-EN 1997-1, art. 7.6.3
 Sondering(en) : S074-1, S074-2, S071-1, S071-2, S073-1, S073-2, S070-1
 : S070-2

Let op: trekcapaciteit t.p.v. negatief kleeftraject is meegerekend.

Stijf bouwwerk : NEE
 Paalgroep : NEE
 Aantal sonderingen : 8
 Factor $\xi_3(n=1)$: 1.39
 Factor $\xi_3(gem)$: 1.27
 Factor $\xi_4(min)$: 1.01
 Weerstandsfactor γ_R : 1.35
 $\gamma_{m,var;q_c}$: 1.50
 UGT draagvermogen zonder negatieve kleeft : NEE

Paal : LD1
 Niveau paalkop [m] : N.A.P. 24.26
 Paalpuntniveau : N.A.P. 13.26
 $E_{d;1}$ [kN] : 0.00

$E_{d;2}$ [kN] : 0.00

Project :
Onderdeel :

RESULTATEN Mast 072 (n=1)**Sondering : S074-1**

Alle niveaus/hogtes/peilmaten zijn t.o.v.: N.A.P.

Inheineveau [m]	Effectief inheineveau [m]	E.G. paal [kN]	$R_{t,cal;k}$ [kN]	$R_{t;d}$ [kN]	$F_{t,tot;1}$ [kN]	U.C.
13.26	13.26	33.5	432.1	432.1	0.0	0.00

Sondering : S074-2

Alle niveaus/hogtes/peilmaten zijn t.o.v.: N.A.P.

Inheineveau [m]	Effectief inheineveau [m]	E.G. paal [kN]	$R_{t,cal;k}$ [kN]	$R_{t;d}$ [kN]	$F_{t,tot;1}$ [kN]	U.C.
13.26	13.26	33.5	456.2	456.2	0.0	0.00

Sondering : S071-1

Alle niveaus/hogtes/peilmaten zijn t.o.v.: N.A.P.

Inheineveau [m]	Effectief inheineveau [m]	E.G. paal [kN]	$R_{t,cal;k}$ [kN]	$R_{t;d}$ [kN]	$F_{t,tot;1}$ [kN]	U.C.
13.26	13.26	31.4	440.7	440.7	0.0	0.00

Sondering : S071-2

Alle niveaus/hogtes/peilmaten zijn t.o.v.: N.A.P.

Inheineveau [m]	Effectief inheineveau [m]	E.G. paal [kN]	$R_{t,cal;k}$ [kN]	$R_{t;d}$ [kN]	$F_{t,tot;1}$ [kN]	U.C.
13.26	13.26	33.0	416.8	416.8	0.0	0.00

Sondering : S073-1

Alle niveaus/hogtes/peilmaten zijn t.o.v.: N.A.P.

Inheineveau [m]	Effectief inheineveau [m]	E.G. paal [kN]	$R_{t,cal;k}$ [kN]	$R_{t;d}$ [kN]	$F_{t,tot;1}$ [kN]	U.C.
13.26	13.26	30.9	364.5	364.5	0.0	0.00

Sondering : S073-2

Alle niveaus/hogtes/peilmaten zijn t.o.v.: N.A.P.

Inheineveau [m]	Effectief inheineveau [m]	E.G. paal [kN]	$R_{t,cal;k}$ [kN]	$R_{t;d}$ [kN]	$F_{t,tot;1}$ [kN]	U.C.
13.26	13.26	30.9	361.0	361.0	0.0	0.00

Sondering : S070-1

Alle niveaus/hogtes/peilmaten zijn t.o.v.: N.A.P.

Inheineveau [m]	Effectief inheineveau [m]	E.G. paal [kN]	$R_{t,cal;k}$ [kN]	$R_{t;d}$ [kN]	$F_{t,tot;1}$ [kN]	U.C.
13.26	13.26	32.3	462.8	462.8	0.0	0.00

Sondering : S070-2

Alle niveaus/hogtes/peilmaten zijn t.o.v.: N.A.P.

Inheineveau [m]	Effectief inheineveau [m]	E.G. paal [kN]	$R_{t,cal;k}$ [kN]	$R_{t;d}$ [kN]	$F_{t,tot;1}$ [kN]	U.C.
13.26	13.26	32.4	450.1	450.1	0.0	0.00

Project :
Onderdeel :

SAMENVATTINGSTABEL Mast 072 (n=1)**Uitgangspunten**

- paal : LD1
 - paaltype : Stalen buispaal (gesloten)
 - schachtafmeting : 550 mm
 Paalklassefactor α_p : 1.00
 Factor α_t (tabel 7.c EC 7.1) : 0.0070 (zandlagen; voor kleilagen zie tabel 7.d)
 Correlatiefactor $\xi_{3(n=1)}$: 1.39

Alle niveaus/hogtes/peilmaten zijn t.o.v.: N.A.P.

sondering	maaiveld paalpunt		Bezwijkdraagvermogen $R_{t,cal}$ [kN]	Rekenwaarden	
	niveau	niveau		$R_{t,d}$ [kN]	$R_{t,netto,d}$ [kN]
S074-1	24.16	13.26	432.1	432.1	432.1
S074-2	24.17	13.26	456.2	456.2	456.2
S071-1	25.04	13.26	440.7	440.7	440.7
S071-2	24.39	13.26	416.8	416.8	416.8
S073-1	25.31	13.26	364.5	364.5	364.5
S073-2	25.51	13.26	361.0	361.0	361.0
S070-1	24.67	13.26	462.8	462.8	462.8
S070-2	24.63	13.26	450.1	450.1	450.1

Project :
Onderdeel :

SAMENVATTINGSTABEL Mast 072 (van 8 sonderingen)

Uitgangspunten

- paal : LD1
 - paaltype : Stalen buispaal (gesloten)
 - schachtafmeting : 550 mm
 Paalklassefactor α_p : 1.00
 Factor α_t (tabel 7.c EC 7.1) : 0.0070 (zandlagen; voor kleilagen zie tabel 7.d)
 Correlatiefactor $\xi_{3gem(n=8)}$: 1.27
 Correlatiefactor $\xi_{4min(n=8)}$: 1.01

Alle niveaus/hogtes/peilmaten zijn t.o.v.: N.A.P.

sondering	maaiveld paalpunt		Bezwijkdraagvermogen	
	niveau	niveau	E.G. paal	$R_{t,cal}$
			[kN]	[kN]

met $\xi_3(gem) = 1.27$

S074-1	24.16	13.26	33.5	469.8
S074-2	24.17	13.26	33.5	496.2
S071-1	25.04	13.26	33.5	479.3
S071-2	24.39	13.26	33.5	453.0
S073-1	25.31	13.26	33.5	396.0
S073-2	25.51	13.26	33.5	392.2
S070-1	24.67	13.26	33.5	503.5
S070-2	24.63	13.26	33.5	489.5

13.26 $R_{t,cal,gem}$ 459.9

met $\xi_4(min) = 1.01$

S074-1	24.16	13.26	33.5	582.1
S074-2	24.17	13.26	33.5	615.3
S071-1	25.04	13.26	33.5	594.7
S071-2	24.39	13.26	33.5	561.2
S073-1	25.31	13.26	33.5	490.0
S073-2	25.51	13.26	33.5	485.2
S070-1	24.67	13.26	33.5	624.8
S070-2	24.63	13.26	33.5	607.2

13.26 $R_{t,cal,min}$ 485.2

Totaal resultaten Mast 072 (van 8 sonderingen)

Uitgangspunten

Correlatiefactor $\xi_{3gem}(n=8)$: 1.27
 Correlatiefactor $\xi_{4min}(n=8)$: 1.01

gebaseerd op sonderingen:

S074-1 S074-2 S071-1 S071-2 S073-1 S073-2 S070-1 S070-2

$$R_{t,d} = \min.\{ R_{t,cal,gem}; R_{t,cal,min} \} (7.17) *$$

Inheinniveau
[m]

$$13.26 \quad R_{t,d} = \min.\{ 459.9; 485.2 \} = 459.9$$

*) Bij de trekpaalberekening zijn factoren ξ_3 en ξ_4 al bij de berekening van de conusweerstand $q_{c;z;d}$ in rekening gebracht, evenals factor $\gamma_{s;t}$. Dat is conform de opmerkingen in art. 7.6.3.3 (3) en (4).

Alle niveaus/hogtes/peilmaten zijn t.o.v.: N.A.P.

Inheinniveau	$R_{t,k}$	$R_{t,d}$	$F_{t,tot;1}$	$R_{t,netto;d}$	U.C.
[m]	[kN]	[kN]	[kN]	[kN]	
13.26	459.9	459.9	0.0	459.9	0.00

Project :
Onderdeel :

REKENGEDEVENS Mast 073

Berekening : Controlerend
Rekenmethode : Trekpalen volgens NEN-EN 1997-1, art. 7.6.3
Sondering(en) : S073-1, S073-2
Let op: trekcapaciteit t.p.v. negatief kleeftraject is meegerekend.

Stijf bouwwerk : NEE
Paalgroep : NEE
Aantal sonderingen : 2
Factor ξ_3 (n=1) : 1.39
Factor ξ_3 (gem) : 1.32
Factor ξ_4 (min) : 1.32
Weerstandsfactor γ_R : 1.35
 $\gamma_{m,var;q,c}$: 1.50
UGT draagvermogen zonder negatieve kleeft : NEE

Paal : LV1
Niveau paalkop [m] : N.A.P. 24.50
Paalpuntniveau : N.A.P. 13.50
 $E_{d,1}$ [kN] : 0.00 $E_{d,2}$ [kN] : 0.00
Bovenbel. [kN/m²] : 0.00

RESULTATEN Mast 073 (n=1)**Sondering : S073-1**

Alle niveaus/hogtes/peilmaten zijn t.o.v.: N.A.P.

Inheinniveau [m]	Effectief inheinniveau [m]	E.G. paal [kN]	$R_{t,cal;k}$ [kN]	$R_{t;d}$ [kN]	$F_{t,tot;1}$ [kN]	U.C.
13.50	13.50	50.8	456.6	456.6	0.0	0.00

Sondering : S073-2

Alle niveaus/hogtes/peilmaten zijn t.o.v.: N.A.P.

Inheinniveau [m]	Effectief inheinniveau [m]	E.G. paal [kN]	$R_{t,cal;k}$ [kN]	$R_{t;d}$ [kN]	$F_{t,tot;1}$ [kN]	U.C.
13.50	13.50	50.8	465.3	465.3	0.0	0.00

Project :
Onderdeel :

SAMENVATTINGSTABEL Mast 073 (n=1)

Uitgangspunten

- paal : LV1
 - paaltype : Stalen buispaal (gesloten)
 - schachtafmeting : 700 mm
 Paalklassefactor α_p : 1.00
 Factor α_t (tabel 7.c EC 7.1) : 0.0070 (zandlagen; voor kleilagen zie tabel 7.d)
 Correlatiefactor $\xi_{3(n=1)}$: 1.39

Alle niveaus/hogtes/peilmaten zijn t.o.v.: N.A.P.

sondering	maaiveld paalpunt		Bezwijkdraagvermogen $R_{t,cal}$ [kN]	Rekenwaarden	
	niveau	niveau		$R_{t,d}$ [kN]	$R_{t,netto,d}$ [kN]
S073-1	25.31	13.50	456.6	456.6	456.6
S073-2	25.51	13.50	465.3	465.3	465.3

Project :
Onderdeel :

SAMENVATTINGSTABEL Mast 073 (van 2 sonderingen)**Uitgangspunten**

- paal : LV1
 - paaltype : Stalen buispaal (gesloten)
 - schachtafmeting : 700 mm
 Paalklassefactor α_p : 1.00
 Factor α_t (tabel 7.c EC 7.1) : 0.0070 (zandlagen; voor kleilagen zie tabel 7.d)
 Correlatiefactor $\xi_{3gem}(n=2)$: 1.32
 Correlatiefactor $\xi_{4min}(n=2)$: 1.32

Alle niveaus/hogtes/peilmaten zijn t.o.v.: N.A.P.

sondering	maaiveld niveau	paalpunt niveau	Bezwijkdraagvermogen E.G. paal [kN]	$R_{t,cal}$ [kN]
-----------	--------------------	--------------------	---	---------------------

met ξ_3 (gem) = 1.32

S073-1	25.31	13.50	50.8	478.1
S073-2	25.51	13.50	50.8	487.3

		13.50	$R_{t,cal,gem}$	482.7
--	--	-------	-----------------	-------

met ξ_4 (min) = 1.32

S073-1	25.31	13.50	50.8	478.1
S073-2	25.51	13.50	50.8	487.3

		13.50	$R_{t,cal,min}$	478.1
--	--	-------	-----------------	-------

Totaal resultaten Mast 073 (van 2 sonderingen)

Uitgangspunten

Correlatiefactor $\xi_{3gem}(n=2)$: 1.32
 Correlatiefactor $\xi_{4min}(n=2)$: 1.32

gebaseerd op sonderingen:
 S073-1 S073-2

$R_{t,d} = \min. \{ R_{t,cal,gem}; R_{t,cal,min} \}$ (7.17) *)

Inheinniveau
 [m]

13.50	$R_{t,d} = \min. \{ 482.7; 478.1 \} =$	478.1
-------	--	-------

*) Bij de trekpaalberekening zijn factoren ξ_3 en ξ_4 al bij de berekening van de conusweerstand $q_{c,z;d}$ in rekening gebracht, evenals factor $\gamma_{s;t}$. Dat is conform de opmerkingen in art. 7.6.3.3 (3) en (4).

Alle niveaus/hogtes/peilmaten zijn t.o.v.: N.A.P.

Inheinniveau [m]	$R_{t,k}$ [kN]	$R_{t,d}$ [kN]	$F_{t,tot;1}$ [kN]	$R_{t,netto;d}$ [kN]	U.C.
13.50	478.1	478.1	0.0	478.1	0.00

REKENGEGEVENS Mast 074

Berekening : Controlerend
 Rekenmethode : Trekpalen volgens NEN-EN 1997-1, art. 7.6.3
 Sondering(en) : S074-1, S074-2
 Let op: trekcapaciteit t.p.v. negatief kleeftraject is meegerekend.

Stijf bouwwerk : NEE
 Paalgroep : NEE
 Aantal sonderingen : 2
 Factor ξ_3 (n=1) : 1.39
 Factor ξ_3 (gem) : 1.32
 Factor ξ_4 (min) : 1.32
 Weerstandsfactor γ_R : 1.35
 $\gamma_{m,var;q_c}$: 1.50
 UGT draagvermogen zonder negatieve kleeft : NEE

Paal : LD1
 Niveau paalkop [m] : N.A.P. 24.49
 Paalpuntniveau : N.A.P. 14.49
 $E_{d,1}$ [kN] : 0.00
 Bovenbel. [kN/m²] : 0.00

$E_{d,2}$ [kN] : 0.00

Project :
Onderdeel :

RESULTATEN Mast 074 (n=1)**Sondering : S074-1**

Alle niveaus/hogtes/peilmaten zijn t.o.v.: N.A.P.

Inheinniveau [m]	Effectief inheinniveau [m]	E.G. paal [kN]	$R_{t,cal;k}$ [kN]	$R_{t;d}$ [kN]	$F_{t,tot;1}$ [kN]	U.C.
14.49	14.49	31.2	350.6	350.6	0.0	0.00

Sondering : S074-2

Alle niveaus/hogtes/peilmaten zijn t.o.v.: N.A.P.

Inheinniveau [m]	Effectief inheinniveau [m]	E.G. paal [kN]	$R_{t,cal;k}$ [kN]	$R_{t;d}$ [kN]	$F_{t,tot;1}$ [kN]	U.C.
14.49	14.49	31.2	375.2	375.2	0.0	0.00

Project :
Onderdeel :

SAMENVATTINGSTABEL Mast 074 (n=1)

Uitgangspunten

- paal : LD1
 - paaltype : Stalen buispaal (gesloten)
 - schachtafmeting : 550 mm
 Paalklassefactor α_p : 1.00
 Factor α_t (tabel 7.c EC 7.1) : 0.0070 (zandlagen; voor kleilagen zie tabel 7.d)
 Correlatiefactor $\xi_{3(n=1)}$: 1.39

Alle niveaus/hogtes/peilmaten zijn t.o.v.: N.A.P.

sondering	maaiveld paalpunt		Bezwijkdraagvermogen $R_{t,cal}$ [kN]	Rekenwaarden		
	niveau	niveau		$R_{t,d}$ [kN]	$R_{t,netto,d}$ [kN]	
S074-1	24.16	14.49	350.6	350.6	350.6	
S074-2	24.17	14.49	375.2	375.2	375.2	

Project :
Onderdeel :

SAMENVATTINGSTABEL Mast 074 (van 2 sonderingen)**Uitgangspunten**

- paal : LD1
 - paaltype : Stalen buispaal (gesloten)
 - schachtafmeting : 550 mm
 Paalklassefactor α_p : 1.00
 Factor α_t (tabel 7.c EC 7.1) : 0.0070 (zandlagen; voor kleilagen zie tabel 7.d)
 Correlatiefactor $\xi_{3gem}(n=2)$: 1.32
 Correlatiefactor $\xi_{4min}(n=2)$: 1.32

Alle niveaus/hogtes/peilmaten zijn t.o.v.: N.A.P.

sondering	maaiveld paalpunt		Bezwijkdraagvermogen	
	niveau	niveau	E.G. paal	$R_{t,cal}$
			[kN]	[kN]

met $\xi_3(gem) = 1.32$

S074-1	24.16	14.49	31.2	367.5
S074-2	24.17	14.49	31.2	393.5

		14.49	$R_{t,cal,gem}$	380.5
--	--	-------	-----------------	-------

met $\xi_4(min) = 1.32$

S074-1	24.16	14.49	31.2	367.5
S074-2	24.17	14.49	31.2	393.5

		14.49	$R_{t,cal,min}$	367.5
--	--	-------	-----------------	-------

Totaal resultaten Mast 074 (van 2 sonderingen)

Uitgangspunten

Correlatiefactor $\xi_{3gem}(n=2)$: 1.32
 Correlatiefactor $\xi_{4min}(n=2)$: 1.32

gebaseerd op sonderingen:
 S074-1 S074-2

$R_{t,d} = \min.\{ R_{t,cal,gem}; R_{t,cal,min} \} (7.17) *$

Inheinniveau
 [m]

14.49	$R_{t,d} = \min.\{ 380.5; 367.5 \} =$	367.5
-------	---------------------------------------	-------

*) Bij de trekpaalberekening zijn factoren ξ_3 en ξ_4 al bij de berekening van de conusweerstand $q_{c,z;d}$ in rekening gebracht, evenals factor $\gamma_{s;t}$. Dat is conform de opmerkingen in art. 7.6.3.3 (3) en (4).

Alle niveaus/hogtes/peilmaten zijn t.o.v.: N.A.P.

Inheinniveau	$R_{t,k}$	$R_{t,d}$	$F_{t,tot;1}$	$R_{t,netto;d}$	U.C.
[m]	[kN]	[kN]	[kN]	[kN]	
14.49	367.5	367.5	0.0	367.5	0.00

REKENGEGEVENS Mast 076

Berekening : Controlerend
 Rekenmethode : Trekpalen volgens NEN-EN 1997-1, art. 7.6.3
 Sondering(en) : S076-1, S076-2
 Let op: trekcapaciteit t.p.v. negatief kleeftraject is meegerekend.

Stijf bouwwerk : NEE
 Paalgroep : NEE
 Aantal sonderingen : 2
 Factor $\xi_3(n=1)$: 1.39
 Factor $\xi_3(gem)$: 1.32
 Factor $\xi_4(min)$: 1.32
 Weerstandsfactor γ_R : 1.35
 $\gamma_{m,var;q_c}$: 1.50
 UGT draagvermogen zonder negatieve kleeft : NEE

Paal : LD1
 Niveau paalkop [m] : N.A.P. 24.08
 Paalpuntniveau : N.A.P. 12.58
 $E_{d,1}$ [kN] : 0.00
 Bovenbel. [kN/m²] : 0.00

$E_{d,2}$ [kN] : 0.00

Project :
Onderdeel :

RESULTATEN Mast 076 (n=1)**Sondering : S076-1**

Alle niveaus/hogtes/peilmaten zijn t.o.v.: N.A.P.

Inheinniveau [m]	Effectief inheinniveau [m]	E.G. paal [kN]	$R_{t,cal;k}$ [kN]	$R_{t;d}$ [kN]	$F_{t,tot;1}$ [kN]	U.C.
12.58	12.58	35.6	348.9	348.9	0.0	0.00

Sondering : S076-2

Alle niveaus/hogtes/peilmaten zijn t.o.v.: N.A.P.

Inheinniveau [m]	Effectief inheinniveau [m]	E.G. paal [kN]	$R_{t,cal;k}$ [kN]	$R_{t;d}$ [kN]	$F_{t,tot;1}$ [kN]	U.C.
12.58	12.58	35.6	343.2	343.2	0.0	0.00

Project :
Onderdeel :

SAMENVATTINGSTABEL Mast 076 (n=1)

Uitgangspunten

- paal : LD1
 - paaltype : Stalen buispaal (gesloten)
 - schachtafmeting : 550 mm
 Paalklassefactor α_p : 1.00
 Factor α_t (tabel 7.c EC 7.1) : 0.0070 (zandlagen; voor kleilagen zie tabel 7.d)
 Correlatiefactor $\xi_{3(n=1)}$: 1.39

Alle niveaus/hogtes/peilmaten zijn t.o.v.: N.A.P.

sondering	maaiveld paalpunt		Bezwijkdraagvermogen $R_{t,cal}$ [kN]	Rekenwaarden	
	niveau	niveau		$R_{t,d}$ [kN]	$R_{t,netto,d}$ [kN]
S076-1	23.70	12.58	348.9	348.9	348.9
S076-2	23.50	12.58	343.2	343.2	343.2

Project :
Onderdeel :

SAMENVATTINGSTABEL Mast 076 (van 2 sonderingen)**Uitgangspunten**

- paal : LD1
- paaltype : Stalen buispaal (gesloten)
- schachtafmeting : 550 mm
Paalklassefactor α_p : 1.00
Factor α_t (tabel 7.c EC 7.1) : 0.0070 (zandlagen; voor kleilagen zie tabel 7.d)
Correlatiefactor $\xi_{3gem}(n=2)$: 1.32
Correlatiefactor $\xi_{4min}(n=2)$: 1.32

Alle niveaus/hogtes/peilmaten zijn t.o.v.: N.A.P.

sondering	maaiveld paalpunt		Bezwijkdraagvermogen	
	niveau	niveau	E.G. paal	$R_{t,cal}$
			[kN]	[kN]

met ξ_3 (gem) = 1.32

S076-1	23.70	12.58	35.6	365.5
S076-2	23.50	12.58	35.6	359.6

		12.58	$R_{t,cal,gem}$	362.5
--	--	-------	-----------------	-------

met ξ_4 (min) = 1.32

S076-1	23.70	12.58	35.6	365.5
S076-2	23.50	12.58	35.6	359.6

		12.58	$R_{t,cal,min}$	359.6
--	--	-------	-----------------	-------

Totaal resultaten Mast 076 (van 2 sonderingen)

Uitgangspunten

Correlatiefactor $\xi_{3gem}(n=2)$: 1.32
Correlatiefactor $\xi_{4min}(n=2)$: 1.32

gebaseerd op sonderingen:
S076-1 S076-2

$R_{t,d} = \min. \{ R_{t,cal,gem}; R_{t,cal,min} \}$ (7.17) *

Inheinniveau
[m]

12.58	$R_{t,d} = \min. \{ 362.5; 359.6 \} =$	359.6
-------	--	-------

* Bij de trekpaalberekening zijn factoren ξ_3 en ξ_4 al bij de berekening van de conusweerstand $q_{c;z,d}$ in rekening gebracht, evenals factor $\gamma_{s;t}$. Dat is conform de opmerkingen in art. 7.6.3.3 (3) en (4).

Alle niveaus/hogtes/peilmaten zijn t.o.v.: N.A.P.

Inheinniveau	$R_{t,k}$	$R_{t,d}$	$F_{t,tot;1}$	$R_{t,netto;d}$	U.C.
[m]	[kN]	[kN]	[kN]	[kN]	
12.58	359.6	359.6	0.0	359.6	0.00

REKENGEGEVENS Mast 078

Berekening : Controlerend
Rekenmethode : Trekpalen volgens NEN-EN 1997-1, art. 7.6.3
Sondering(en) : S078-1, S078-2
Let op: trekcapaciteit t.p.v. negatief kleeftraject is meegerekend.

Stijf bouwwerk : NEE
Paalgroep : NEE
Aantal sonderingen : 2
Factor ξ_3 (n=1) : 1.39
Factor ξ_3 (gem) : 1.32
Factor ξ_4 (min) : 1.32
Weerstandsfactor γ_R : 1.35
 $\gamma_{m,var;q_c}$: 1.50
UGT draagvermogen zonder negatieve kleef : NEE

Paal : LD1
Niveau paalkop [m] : N.A.P. 24.67
Paalpuntniveau : N.A.P. 12.67
 $E_{d,1}$ [kN] : 0.00
Bovenbel. [kN/m²] : 0.00

$E_{d,2}$ [kN] : 0.00

Project :
Onderdeel :

RESULTATEN Mast 078 (n=1)**Sondering : S078-1**

Alle niveaus/hogtes/peilmaten zijn t.o.v.: N.A.P.

Inheinniveau [m]	Effectief inheinniveau [m]	E.G. paal [kN]	$R_{t,cal;k}$ [kN]	$R_{t;d}$ [kN]	$F_{t,tot;1}$ [kN]	U.C.
12.67	12.67	37.5	428.1	428.1	0.0	0.00

Sondering : S078-2

Alle niveaus/hogtes/peilmaten zijn t.o.v.: N.A.P.

Inheinniveau [m]	Effectief inheinniveau [m]	E.G. paal [kN]	$R_{t,cal;k}$ [kN]	$R_{t;d}$ [kN]	$F_{t,tot;1}$ [kN]	U.C.
12.67	12.67	37.5	401.6	401.6	0.0	0.00

Project :
Onderdeel :

SAMENVATTINGSTABEL Mast 078 (n=1)**Uitgangspunten**

- paal : LD1
 - paaltype : Stalen buispaal (gesloten)
 - schachtafmeting : 550 mm
 Paalklassefactor α_p : 1.00
 Factor α_t (tabel 7.c EC 7.1) : 0.0070 (zandlagen; voor kleilagen zie tabel 7.d)
 Correlatiefactor $\xi_{3(n=1)}$: 1.39

Alle niveaus/hogtes/peilmaten zijn t.o.v.: N.A.P.

sondering	maaiveld paalpunt		Bezwijkdraagvermogen $R_{t,cal}$ [kN]	Rekenwaarden		
	niveau	niveau		$R_{t,d}$ [kN]	$R_{t,netto,d}$ [kN]	
S078-1	24.07	12.67	428.1	428.1	428.1	
S078-2	24.09	12.67	401.6	401.6	401.6	

Project :
Onderdeel :

SAMENVATTINGSTABEL Mast 078 (van 2 sonderingen)**Uitgangspunten**

- paal : LD1
 - paaltype : Stalen buispaal (gesloten)
 - schachtafmeting : 550 mm
 Paalklassefactor α_p : 1.00
 Factor α_t (tabel 7.c EC 7.1) : 0.0070 (zandlagen; voor kleilagen zie tabel 7.d)
 Correlatiefactor $\xi_{3gem}(n=2)$: 1.32
 Correlatiefactor $\xi_{4min}(n=2)$: 1.32

Alle niveaus/hogtes/peilmaten zijn t.o.v.: N.A.P.

sondering	maaiveld	paalpunt	Bezuikdraagvermogen
	niveau	niveau	E.G. paal $R_{t,cal}$
			[kN] [kN]

met ξ_3 (gem) = 1.32

S078-1	24.07	12.67	37.5	448.8
S078-2	24.09	12.67	37.5	421.0

		12.67	$R_{t,cal,gem}$	434.9
--	--	-------	-----------------	-------

met ξ_4 (min) = 1.32

S078-1	24.07	12.67	37.5	448.8
S078-2	24.09	12.67	37.5	421.0

		12.67	$R_{t,cal,min}$	421.0
--	--	-------	-----------------	-------

Totaal resultaten Mast 078 (van 2 sonderingen)

Uitgangspunten

Correlatiefactor $\xi_{3gem}(n=2)$: 1.32
 Correlatiefactor $\xi_{4min}(n=2)$: 1.32

gebaseerd op sonderingen:
 S078-1 S078-2

$R_{t,d} = \min. \{ R_{t,cal,gem}; R_{t,cal,min} \}$ (7.17) *

Inheinniveau
 [m]

12.67	$R_{t,d} = \min. \{ 434.9; 421.0 \} =$	421.0
-------	--	-------

* Bij de trekpaalberekening zijn factoren ξ_3 en ξ_4 al bij de berekening van de conusweerstand $q_{c,z;d}$ in rekening gebracht, evenals factor $\gamma_{s;t}$. Dat is conform de opmerkingen in art. 7.6.3.3 (3) en (4).

Alle niveaus/hogtes/peilmaten zijn t.o.v.: N.A.P.

Inheinniveau	$R_{t,k}$	$R_{t,d}$	$F_{t,tot;1}$	$R_{t,netto;d}$	U.C.
[m]	[kN]	[kN]	[kN]	[kN]	
12.67	421.0	421.0	0.0	421.0	0.00

REKENGEGEVENS Mast 079

Berekening : Controlerend
 Rekenmethode : Trekpalen volgens NEN-EN 1997-1, art. 7.6.3
 Sondering(en) : S079-1, S079-2
 Let op: trekcapaciteit t.p.v. negatief kleeftraject is meegerekend.

Stijf bouwwerk : NEE
 Paalgroep : NEE
 Aantal sonderingen : 2
 Factor ξ_3 (n=1) : 1.39
 Factor ξ_3 (gem) : 1.32
 Factor ξ_4 (min) : 1.32
 Weerstandsfactor γ_R : 1.35
 $\gamma_{m,var;q_c}$: 1.50
 UGT draagvermogen zonder negatieve kleeft : NEE

Paal : LD1
 Niveau paalkop [m] : N.A.P. 23.70
 Paalpuntniveau : N.A.P. 10.70
 $E_{d,1}$ [kN] : 0.00
 Bovenbel. [kN/m²] : 0.00

$E_{d,2}$ [kN] : 0.00

Project :
Onderdeel :

RESULTATEN Mast 079 (n=1)**Sondering : S079-1**

Alle niveaus/hogtes/peilmaten zijn t.o.v.: N.A.P.

Inheinniveau [m]	Effectief inheinniveau [m]	E.G. paal [kN]	$R_{t,cal;k}$ [kN]	$R_{t;d}$ [kN]	$F_{t,tot;1}$ [kN]	U.C.
10.70	10.70	40.0	435.0	435.0	0.0	0.00

Sondering : S079-2

Alle niveaus/hogtes/peilmaten zijn t.o.v.: N.A.P.

Inheinniveau [m]	Effectief inheinniveau [m]	E.G. paal [kN]	$R_{t,cal;k}$ [kN]	$R_{t;d}$ [kN]	$F_{t,tot;1}$ [kN]	U.C.
10.70	10.70	40.0	451.5	451.5	0.0	0.00

Project :
Onderdeel :

SAMENVATTINGSTABEL Mast 079 (n=1)**Uitgangspunten**

- paal : LD1
 - paaltype : Stalen buispaal (gesloten)
 - schachtafmeting : 550 mm
 Paalklassefactor α_p : 1.00
 Factor α_t (tabel 7.c EC 7.1) : 0.0070 (zandlagen; voor kleilagen zie tabel 7.d)
 Correlatiefactor $\xi_{3(n=1)}$: 1.39

Alle niveaus/hogtes/peilmaten zijn t.o.v.: N.A.P.

sondering	maaiveld paalpunt		Bezwijkdraagvermogen $R_{t,cal}$ [kN]	Rekenwaarden		
	niveau	niveau		$R_{t,d}$ [kN]	$R_{t,netto,d}$ [kN]	
S079-1	23.22	10.70	435.0	435.0	435.0	
S079-2	23.34	10.70	451.5	451.5	451.5	

Project :
Onderdeel :

SAMENVATTINGSTABEL Mast 079 (van 2 sonderingen)**Uitgangspunten**

- paal : LD1
 - paaltype : Stalen buispaal (gesloten)
 - schachtafmeting : 550 mm
 Paalklassefactor α_p : 1.00
 Factor α_t (tabel 7.c EC 7.1) : 0.0070 (zandlagen; voor kleilagen zie tabel 7.d)
 Correlatiefactor $\xi_{3gem}(n=2)$: 1.32
 Correlatiefactor $\xi_{4min}(n=2)$: 1.32

Alle niveaus/hogtes/peilmaten zijn t.o.v.: N.A.P.

sondering	maaiveld	paalpunt	Bezuikdraagvermogen
	niveau	niveau	E.G. paal $R_{t,cal}$
			[kN] [kN]

met ξ_3 (gem) = 1.32

S079-1	23.22	10.70	40.0	455.9
S079-2	23.34	10.70	40.0	473.3

		10.70	$R_{t,cal,gem}$	464.6
--	--	-------	-----------------	-------

met ξ_4 (min) = 1.32

S079-1	23.22	10.70	40.0	455.9
S079-2	23.34	10.70	40.0	473.3

		10.70	$R_{t,cal,min}$	455.9
--	--	-------	-----------------	-------

Totaal resultaten Mast 079 (van 2 sonderingen)

Uitgangspunten

Correlatiefactor $\xi_{3gem}(n=2)$: 1.32
 Correlatiefactor $\xi_{4min}(n=2)$: 1.32

gebaseerd op sonderingen:
 S079-1 S079-2

$R_{t,d} = \min.\{ R_{t,cal,gem}; R_{t,cal,min} \}$ (7.17) *)

Inheinniveau
 [m]

10.70	$R_{t,d} = \min.\{ 464.6; 455.9 \} = 455.9$
-------	---

*) Bij de trekpaalberekening zijn factoren ξ_3 en ξ_4 al bij de berekening van de conusweerstand $q_{c;z,d}$ in rekening gebracht, evenals factor $\gamma_{s;t}$. Dat is conform de opmerkingen in art. 7.6.3.3 (3) en (4).

Alle niveaus/hogtes/peilmaten zijn t.o.v.: N.A.P.

Inheinniveau	$R_{t,k}$	$R_{t,d}$	$F_{t,tot;1}$	$R_{t,netto;d}$	U.C.
[m]	[kN]	[kN]	[kN]	[kN]	
10.70	455.9	455.9	0.0	455.9	0.00

PAALGEGEVENS LD1

Type : Stalen buispaal (gesloten)
 Wijze van installeren : Heien
 Diameter [m] : 0.550
 Elasticiteitsmodulus [N/mm²] : 20000
 Factor α_s (tabel 7.c EC 7.1) : 0.010 (zandlagen; voor kleilagen zie tabel 7.d)
 Factor α_t (tabel 7.c EC 7.1) : 0.0070 (zandlagen; voor kleilagen zie tabel 7.d)
 Paalklassefactor α_p : 1.00
 Paalvoetvormfactor β : 1.00
 Type lastzakingsdiagram : Grondverdringende paal
 Verm.factor * $\phi'_{j,k}$: 0.75
 Groutomhulling : NEE

Project :
Onderdeel :

PAALGEGEVENS LV1

Type : Stalen buispaal (gesloten)
Wijze van installeren : Heien
Diameter [m] : 0.700
Elasticiteitsmodulus [N/mm²] : 20000
Factor α_s (tabel 7.c EC 7.1) : 0.010 (zandlagen; voor kleilagen zie tabel 7.d)
Factor α_t (tabel 7.c EC 7.1) : 0.0070 (zandlagen; voor kleilagen zie tabel 7.d)
Paalklassefactor α_p : 1.00
Paalvoetvormfactor β : 1.00
Type lastzakkingsdiagram : Grondverdringende paal
Verm.factor * $\phi'_{j,k}$: 0.75
Groutomhulling : NEE

Project :
Onderdeel :

OVERZICHT NETTO DRAAGVERMOGEN TREKPALEN (n=1)

Netto paal draagvermogen(s) zijn naar beneden toe afgerond op: 1.0 kN nauwkeurig
Alle niveaus/hogtes/peilmaten zijn t.o.v.: N.A.P.

sondering	maaiveld paalpunt		$R_{t, netto; d}$ [kN]				
	niveau	niveau	Mast 070	Mast 071	Mast 072	Mast 073	Mast 074
S074-1	24.16	14.49 13.26			432		350
S074-2	24.17	14.49 13.26			456		375
S071-1	25.04	13.65 13.26		426	440		
S071-2	24.39	13.65 13.26		396	416		
S073-1	25.31	13.50 13.26			364	456	
S073-2	25.51	13.50 13.26			361	465	
S070-1	24.67	15.57 13.26	315		462		
S070-2	24.63	15.57 13.26	305		450		

Project :
Onderdeel :

Netto paal draagvermogen(s) zijn naar beneden toe afgerond op: 1.0 kN nauwkeurig
Alle niveaus/hogtes/peilmaten zijn t.o.v.: N.A.P.

sondering	maaiveld niveau	paalpunt niveau	$R_{t,netto;d}$ Mast 076	[kN] Mast 078	Mast 079
-----------	--------------------	--------------------	-----------------------------	------------------	----------

S076-1	23.70	12.58	348		
S076-2	23.50	12.58	343		
S078-1	24.07	12.67		428	
S078-2	24.09	12.67		401	
S079-1	23.22	10.70			434
S079-2	23.34	10.70			451

ALGEMENE GEGEVENS

Project :
 Onderdeel :
 Datum : 10-12-2021
 Bestand : P:\EANL_Projects\10166262 - BBB modelleren
 funderingen 380 kV\02 Content\03
 Calculations\Technosoft
 Paalfunderingen\MBT-EHV380\DO\Nieuw
 Sonderingen\Mast 080-089.pvw
 Berekeningstype : Verticaal belaste paal
 Alle niveaus/hogtes/peilmaten zijn t.o.v.: N.A.P.

Toegepaste normen volgens Eurocode met Nederlandse NB

Geotechniek	EN 1997-1:2004	AC:2009	
	NEN-EN 1997-1:2005	C1+A1:2013	NB:2016
	NEN 9997-1:2016	C2:2017	

GRONDSOORTEN

Nr. Omschrijving	$\gamma_{k;1}$ [kN/m ³]	$\gamma_{sat;k;1}$ [kN/m ³]	$\phi'_{k;1}$ [°]	$\gamma_{k;2}$ [kN/m ³]	$\gamma_{sat;k;2}$ [kN/m ³]	$\phi'_{k;2}$ [°]
1 Zand - Schoon - Los	17.00	19.00	30.00	18.00	20.00	32.50
2 Zand - Schoon - Matig	18.00	20.00	32.50	19.00	21.00	35.00
3 Zand - Schoon - Vast	19.00	21.00	35.00	20.00	22.00	40.00
4 Zand - Zwak siltig - Kleiig	18.00	20.00	27.00	19.00	21.00	32.50
5 Zand - Sterk siltig - Kleiig	18.00	20.00	25.00	19.00	21.00	30.00
6 Leem - Zwak zandig - Vast	21.00	21.00	27.50	22.00	22.00	35.00
7 Leem - Sterk zandig	19.00	19.00	27.50	20.00	20.00	35.00
8 Klei - Schoon - Matig	17.00	17.00	17.50	19.00	19.00	17.50
9 Klei - Schoon - Vast	19.00	19.00	17.50	20.00	20.00	25.00
10 Klei - Zwak zandig - Slap	15.00	15.00	22.50	18.00	18.00	22.50
11 Klei - Zwak zandig - Matig	18.00	18.00	22.50	20.00	20.00	22.50
12 Klei - Zwak zandig - Vast	20.00	20.00	22.50	21.00	21.00	27.50
13 Veen - Matig voorbelast - Matig	12.00	12.00	15.00	13.00	13.00	15.00

BODEMPROFIELGEGEVENS: S086-2

Alle niveaus/hogtes/peilmaten zijn t.o.v.: N.A.P.

d50-reductie is meegenomen overeenkomstig NEN-EN 9997 art. 7.6.2.3 (i)

Hoogte maaiveld [m] : 22.04 Grondwaterstand [m] : 21.04

Laag	Van [m]	Tot [m]	Omschrijving	OCR	Aandeel pos. kleef [%]	α_s	d_{50} [mm]
1	22.04	21.67	Klei - Zwak zandig - Vast	1.0	50.0		
2	21.67	20.77	Veen - Matig voorbelast - Matig	1.0	50.0		
3	20.77	19.09	Zand - Schoon - Los	1.0	100.0		
4	19.09	17.69	Zand - Zwak siltig - Kleiig	1.0	100.0		
5	17.69	14.93	Zand - Schoon - Matig	1.0	100.0		
6	14.93	14.62	Zand - Zwak siltig - Kleiig	1.0	100.0		
7	14.62	12.56	Klei - Schoon - Vast	1.0	50.0		
8	12.56	12.10	Zand - Schoon - Vast	1.0	100.0		
9	12.10	9.62	Zand - Zwak siltig - Kleiig	1.0	100.0		
10	9.62	8.74	Zand - Schoon - Matig	1.0	100.0		
11	8.74	7.54	Zand - Zwak siltig - Kleiig	1.0	100.0		
12	7.54	6.90	Zand - Schoon - Matig	1.0	100.0		
13	6.90	4.69	Zand - Schoon - Los	1.0	100.0		
14	4.69	4.31	Klei - Schoon - Vast	1.0	50.0		
15	4.31	1.19	Zand - Schoon - Vast	1.0	100.0		
16	1.19	-0.03	Zand - Schoon - Matig	1.0	100.0		

BODEMPROFIELGEGEVENS: S089-1

Alle niveaus/hogtes/peilmaten zijn t.o.v.: N.A.P.

d50-reductie is meegenomen overeenkomstig NEN-EN 9997 art. 7.6.2.3 (i)

Hoogte maaiveld [m] : 21.35 Grondwaterstand [m] : 20.35

Laag	Van [m]	Tot [m]	Omschrijving	OCR	Aandeel pos. kleef [%]	α_s	d_{50} [mm]
1	21.35	19.24	Veen - Matig voorbelast - Matig	1.0	50.0		
2	19.24	15.54	Zand - Zwak siltig - Kleiig	1.0	100.0		
3	15.54	12.62	Zand - Schoon - Matig	1.0	100.0		
4	12.62	12.22	Zand - Zwak siltig - Kleiig	1.0	100.0		
5	12.22	11.58	Leem - Zwak zandig - Vast	1.0	50.0		

Project :
Onderdeel :

Laag	Van [m]	Tot [m]	Omschrijving	OCR	Aandeel pos. kleef [%]	α_s	d_{50} [mm]
6	11.58	9.86	Zand - Schoon - Matig	1.0	100.0		
7	9.86	5.76	Zand - Schoon - Vast	1.0	100.0		
8	5.76	4.41	Zand - Schoon - Matig	1.0	100.0		
9	4.41	2.49	Zand - Schoon - Los	1.0	100.0		
10	2.49	1.77	Zand - Schoon - Matig	1.0	100.0		
11	1.77	1.13	Zand - Schoon - Los	1.0	100.0		
12	1.13	-0.48	Zand - Schoon - Matig	1.0	100.0		
13	-0.48	-0.50	Zand - Schoon - Vast	1.0	100.0		

BODEMPROFIELGEGEVENS: S080-1

Alle niveaus/hogtes/peilmaten zijn t.o.v.: N.A.P.
d50-reductie is meegenomen overeenkomstig NEN-EN 9997 art. 7.6.2.3 (i)

Laag	Van [m]	Tot [m]	Omschrijving	OCR	Aandeel pos. kleef [%]	α_s	d_{50} [mm]
Hoogte maaiveld [m] : 22.64 Grondwaterstand [m] : 21.64							
1	22.64	22.12	Leem - Zwak zandig - Vast	1.0	50.0		
2	22.12	21.00	Zand - Zwak siltig - Kleiig	1.0	100.0		
3	21.00	20.62	Leem - Zwak zandig - Vast	1.0	50.0		
4	20.62	17.86	Zand - Schoon - Los	1.0	100.0		
5	17.86	17.26	Klei - Schoon - Vast	1.0	50.0		
6	17.26	16.92	Zand - Sterk siltig - Kleiig	1.0	100.0		
7	16.92	16.08	Klei - Schoon - Vast	1.0	50.0		
8	16.08	15.48	Zand - Schoon - Matig	1.0	100.0		
9	15.48	15.22	Klei - Schoon - Matig	1.0	50.0		
10	15.22	14.56	Zand - Schoon - Matig	1.0	100.0		
11	14.56	12.30	Klei - Zwak zandig - Vast	1.0	50.0		
12	12.30	10.90	Zand - Schoon - Vast	1.0	100.0		
13	10.90	10.50	Zand - Schoon - Matig	1.0	100.0		
14	10.50	9.72	Zand - Schoon - Vast	1.0	100.0		
15	9.72	9.20	Leem - Zwak zandig - Vast	1.0	50.0		
16	9.20	8.54	Klei - Schoon - Matig	1.0	50.0		
17	8.54	6.50	Zand - Schoon - Vast	1.0	100.0		
18	6.50	6.05	Zand - Zwak siltig - Kleiig	1.0	100.0		
19	6.05	4.23	Zand - Schoon - Matig	1.0	100.0		
20	4.23	3.93	Zand - Zwak siltig - Kleiig	1.0	100.0		
21	3.93	3.47	Zand - Schoon - Matig	1.0	100.0		
22	3.47	2.85	Zand - Sterk siltig - Kleiig	1.0	100.0		
23	2.85	1.37	Zand - Schoon - Vast	1.0	100.0		
24	1.37	0.11	Zand - Schoon - Matig	1.0	100.0		

BODEMPROFIELGEGEVENS: S088-1

Alle niveaus/hogtes/peilmaten zijn t.o.v.: N.A.P.
d50-reductie is meegenomen overeenkomstig NEN-EN 9997 art. 7.6.2.3 (i)

Laag	Van [m]	Tot [m]	Omschrijving	OCR	Aandeel pos. kleef [%]	α_s	d_{50} [mm]
Hoogte maaiveld [m] : 21.47 Grondwaterstand [m] : 20.47							
1	21.47	20.85	Zand - Zwak siltig - Kleiig	1.0	100.0		
2	20.85	19.87	Klei - Zwak zandig - Slap	1.0	50.0		
3	19.87	19.49	Zand - Schoon - Los	1.0	100.0		
4	19.49	18.17	Klei - Schoon - Matig	1.0	50.0		
5	18.17	16.21	Zand - Zwak siltig - Kleiig	1.0	100.0		
6	16.21	14.13	Zand - Schoon - Matig	1.0	100.0		
7	14.13	13.63	Zand - Zwak siltig - Kleiig	1.0	100.0		
8	13.63	13.23	Klei - Schoon - Vast	1.0	50.0		
9	13.23	12.61	Zand - Schoon - Matig	1.0	100.0		
10	12.61	12.33	Zand - Schoon - Los	1.0	100.0		
11	12.33	11.00	Klei - Zwak zandig - Matig	1.0	50.0		
12	11.00	6.41	Zand - Schoon - Vast	1.0	100.0		
13	6.41	5.65	Zand - Schoon - Matig	1.0	100.0		
14	5.65	5.01	Zand - Schoon - Vast	1.0	100.0		
15	5.01	4.75	Zand - Schoon - Los	1.0	100.0		
16	4.75	4.36	Klei - Zwak zandig - Vast	1.0	50.0		
17	4.36	2.41	Zand - Schoon - Vast	1.0	100.0		
18	2.41	1.63	Zand - Zwak siltig - Kleiig	1.0	100.0		
19	1.63	-1.59	Zand - Schoon - Vast	1.0	100.0		

Project :
Onderdeel :

BODEMPROFIELGEGEVENS: S088-2

Alle niveaus/hogtes/peilmaten zijn t.o.v.: N.A.P.

d50-reductie is meegenomen overeenkomstig NEN-EN 9997 art. 7.6.2.3 (i)

Laag	Van [m]	Tot [m]	Omschrijving	OCR	Aandeel pos. kleef [%]	α_s	d_{50} [mm]
	: 21.40			Grondwaterstand [m] : 20.40			
1	21.40	20.62	Zand - Zwak siltig - Kleiig	1.0	100.0		
2	20.62	19.38	Klei - Schoon - Matig	1.0	50.0		
3	19.38	14.33	Zand - Schoon - Los	1.0	100.0		
4	14.33	13.61	Klei - Schoon - Vast	1.0	50.0		
5	13.61	12.33	Zand - Sterk siltig - Kleiig	1.0	100.0		
6	12.33	12.07	Leem - Zwak zandig - Vast	1.0	50.0		
7	12.07	11.81	Zand - Schoon - Los	1.0	100.0		
8	11.81	11.06	Klei - Schoon - Matig	1.0	50.0		
9	11.06	6.35	Zand - Schoon - Vast	1.0	100.0		
10	6.35	5.79	Zand - Schoon - Matig	1.0	100.0		
11	5.79	2.03	Zand - Schoon - Vast	1.0	100.0		
12	2.03	-1.57	Zand - Schoon - Matig	1.0	100.0		

BODEMPROFIELGEGEVENS: S081-1

Alle niveaus/hogtes/peilmaten zijn t.o.v.: N.A.P.

d50-reductie is meegenomen overeenkomstig NEN-EN 9997 art. 7.6.2.3 (i)

Laag	Van [m]	Tot [m]	Omschrijving	OCR	Aandeel pos. kleef [%]	α_s	d_{50} [mm]
	: 22.46			Grondwaterstand [m] : 21.46			
1	22.46	21.28	Leem - Zwak zandig - Vast	1.0	50.0		
2	21.28	20.00	Klei - Zwak zandig - Vast	1.0	50.0		
3	20.00	18.64	Zand - Zwak siltig - Kleiig	1.0	100.0		
4	18.64	16.86	Klei - Schoon - Matig	1.0	50.0		
5	16.86	15.36	Zand - Schoon - Vast	1.0	100.0		
6	15.36	15.08	Zand - Schoon - Los	1.0	100.0		
7	15.08	13.62	Klei - Zwak zandig - Vast	1.0	50.0		
8	13.62	11.77	Zand - Schoon - Vast	1.0	100.0		
9	11.77	11.23	Leem - Sterk zandig	1.0	50.0		
10	11.23	10.75	Zand - Schoon - Los	1.0	100.0		
11	10.75	9.63	Klei - Schoon - Matig	1.0	50.0		
12	9.63	9.23	Zand - Schoon - Los	1.0	100.0		
13	9.23	0.51	Zand - Schoon - Vast	1.0	100.0		

SONDERINGSGEGEVENS ALGEMEEN: S086-1

Alle niveaus/hogtes/peilmaten zijn t.o.v.: N.A.P.

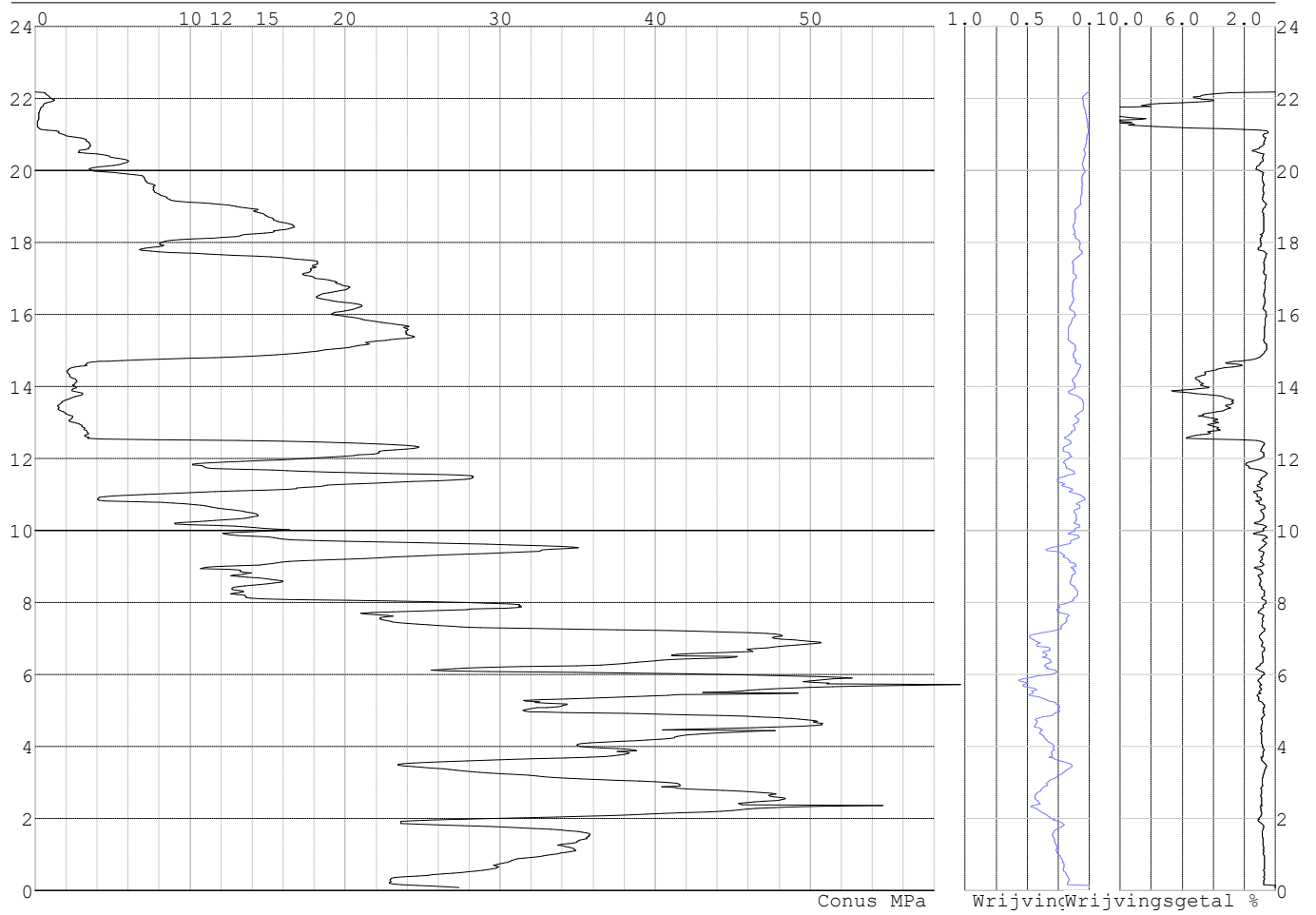
Hoogte maaiveld [m] : 22.18 Bodemprofiel: S086-2

Traject negatieve kleef : 22.18 tot 12.50 [m]

Traject positieve kleef : 12.50 tot 0.08 [m]

Project :
Onderdeel :

SONDERINGSGEGEVENS GRAFIEK: S086-1

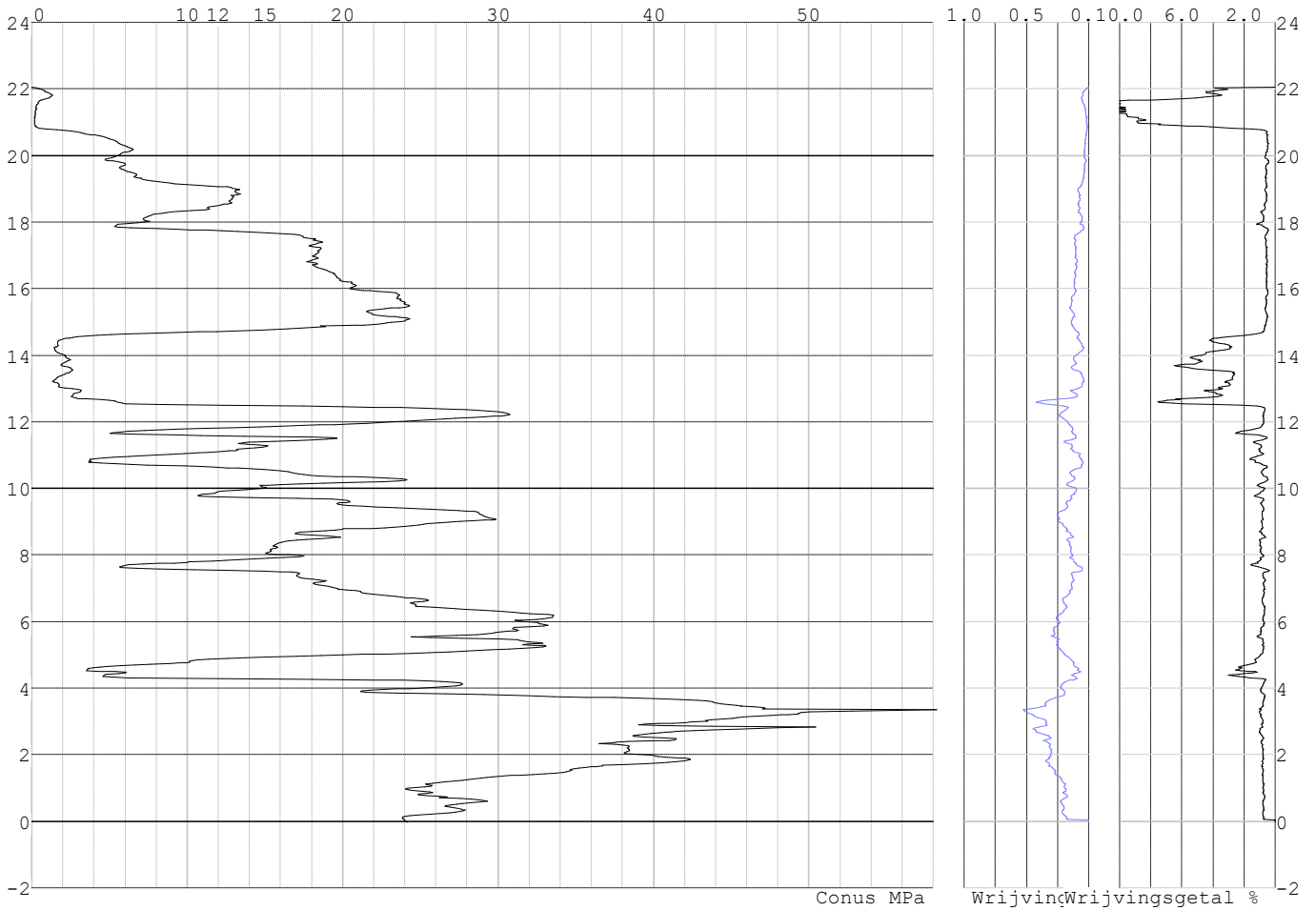


Project :
Onderdeel :

SONDERINGSGEGEVENS ALGEMEEN: S086-2

Alle niveaus/hogtes/peilmaten zijn t.o.v.: N.A.P.
Hoogte maaiveld [m] : 22.04 Bodemprofiel: S086-2
Traject negatieve kleeft : 22.04 tot 12.60 [m]
Traject positieve kleeft : 12.60 tot -0.04 [m]

SONDERINGSGEGEVENS GRAFIEK: S086-2

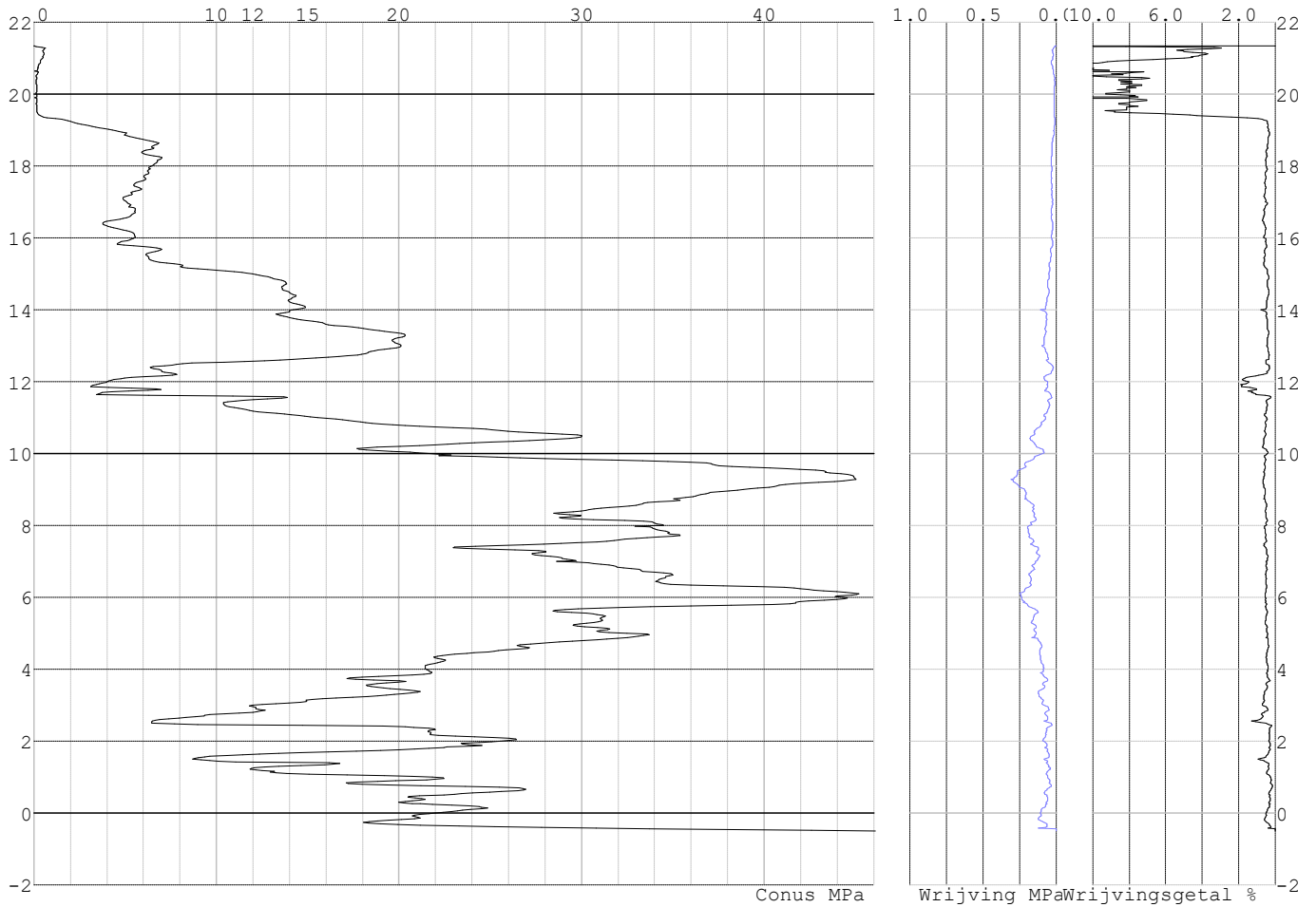


Project :
Onderdeel :

SONDERINGSGEGEVENS ALGEMEEN: S089-1

Alle niveaus/hoogtes/peilmaten zijn t.o.v.: N.A.P.
Hoogte maaiveld [m] : 21.35 Bodemprofiel: S089-1
Traject negatieve kleeft : 21.35 tot 18.90 [m]
Traject positieve kleeft : 18.90 tot -0.51 [m]

SONDERINGSGEGEVENS GRAFIEK: S089-1

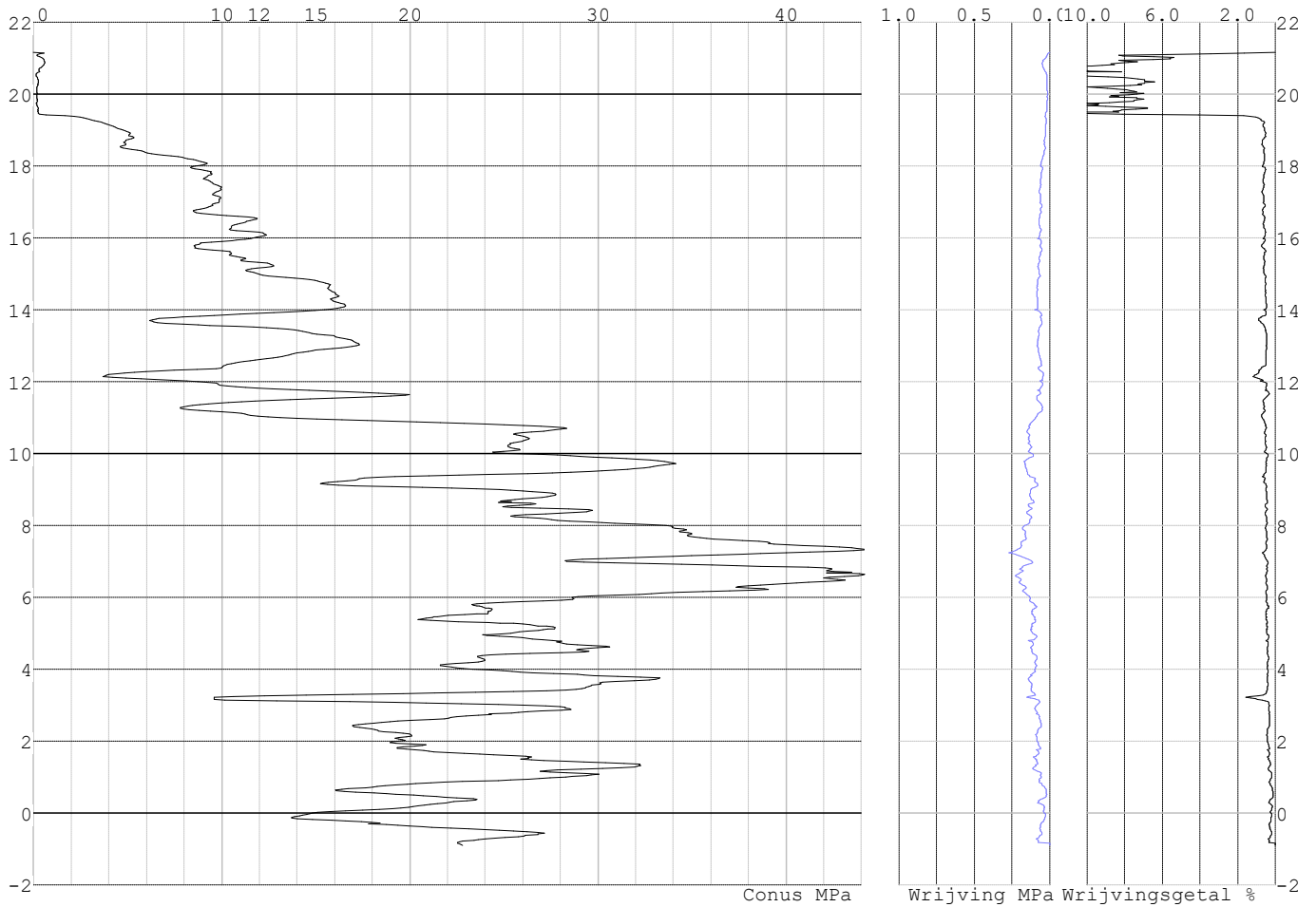


Project :
Onderdeel :

SONDERINGSGEGEVENS ALGEMEEN: S089-2

Alle niveaus/hogtes/peilmaten zijn t.o.v.: N.A.P.
Hoogte maaiveld [m] : 21.16 Bodemprofiel: S089-1
Traject negatieve kleeft : 21.16 tot 19.10 [m]
Traject positieve kleeft : 19.10 tot -0.91 [m]

SONDERINGSGEGEVENS GRAFIEK: S089-2

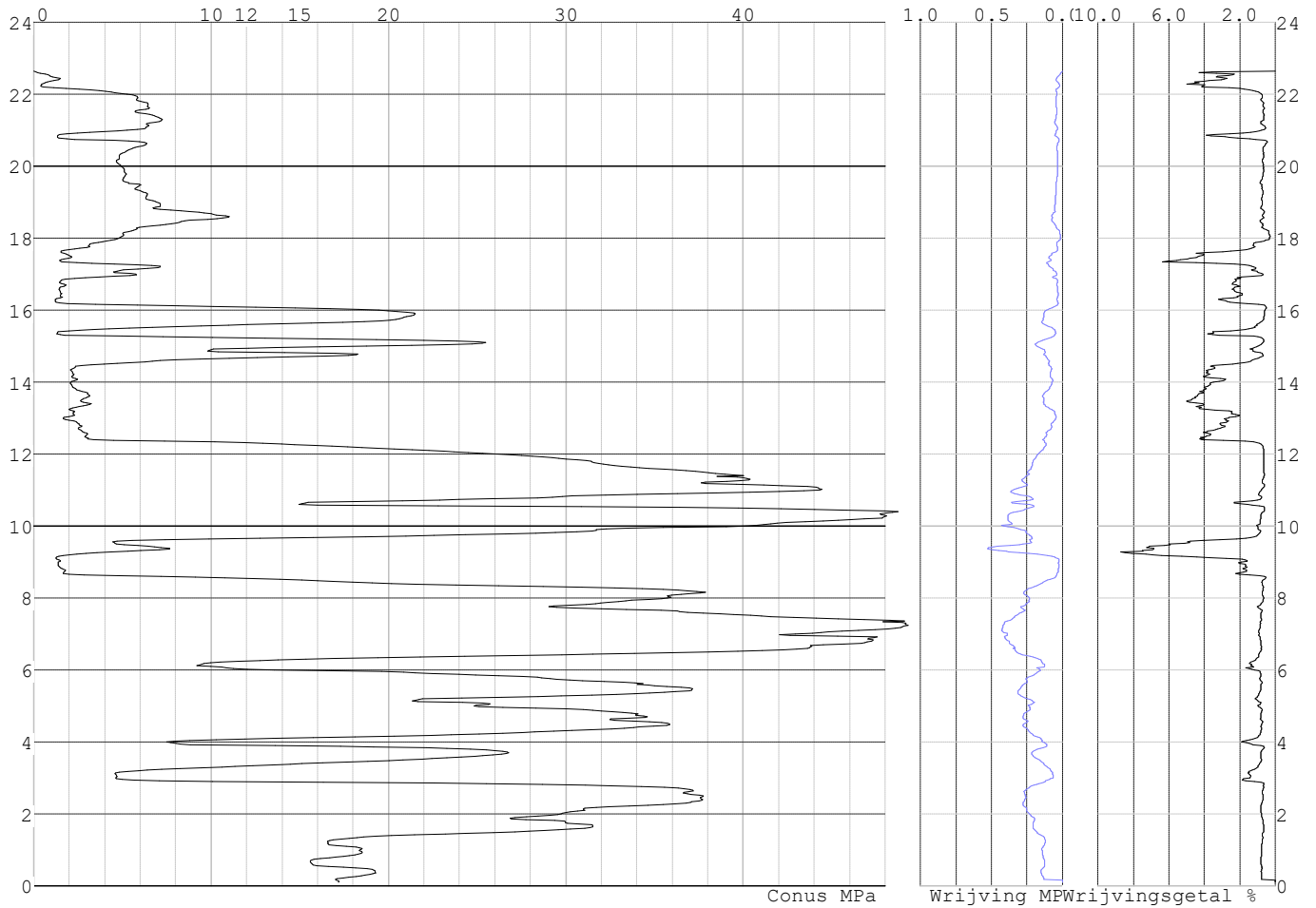


Project :
Onderdeel :

SONDERINGSGEGEVENS ALGEMEEN: S080-1

Alle niveaus/hoogtes/peilmaten zijn t.o.v.: N.A.P.
Hoogte maaiveld [m] : 22.64 Bodemprofiel: S080-1
Traject negatieve kleeft : 22.64 tot 12.40 [m]
Traject positieve kleeft : 12.40 tot 0.11 [m]

SONDERINGSGEGEVENS GRAFIEK: S080-1

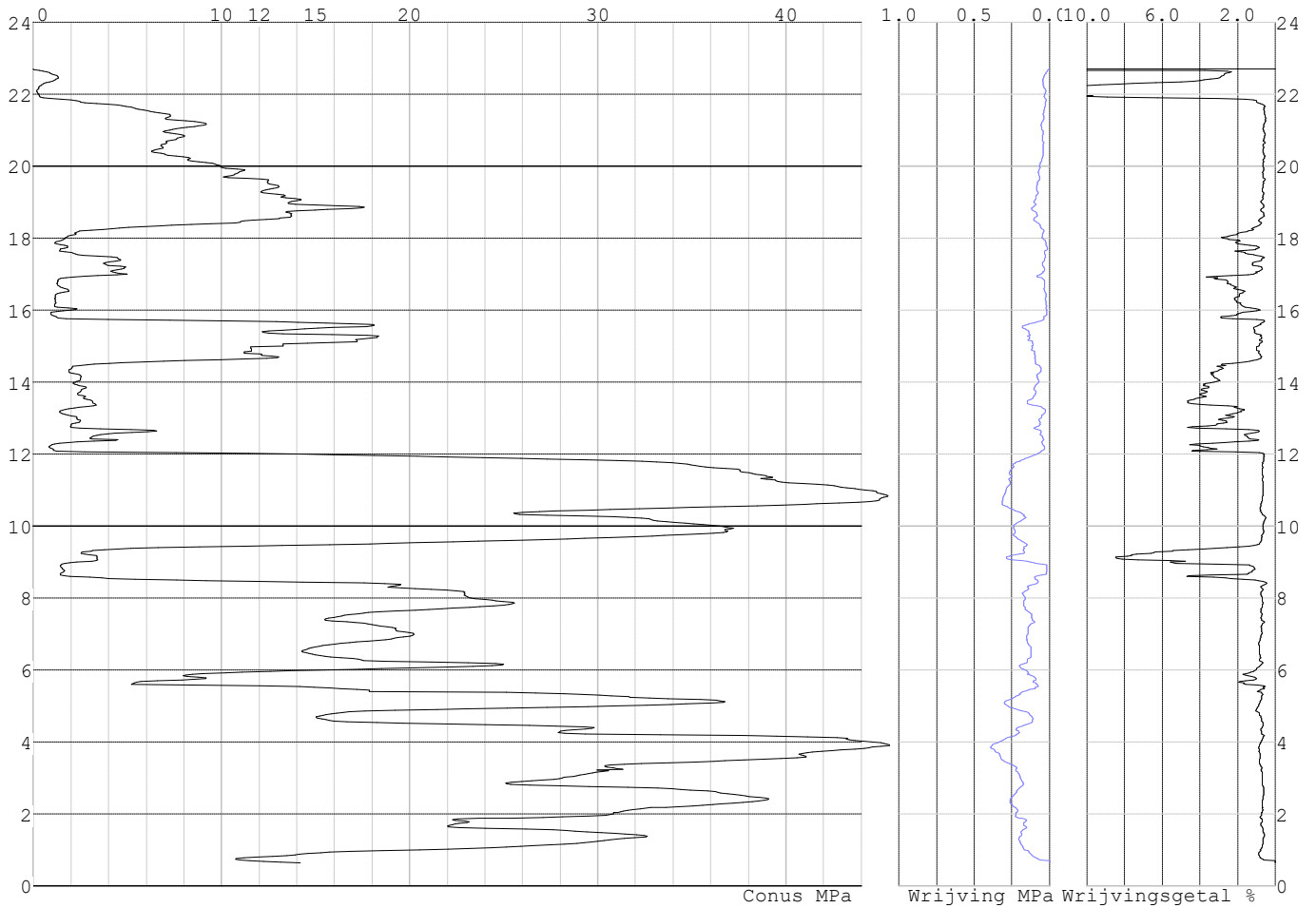


Project :
Onderdeel :

SONDERINGSGEGEVENS ALGEMEEN: S080-2

Alle niveaus/hogtes/peilmaten zijn t.o.v.: N.A.P.
Hoogte maaiveld [m] : 22.70 Bodemprofiel: S080-1
Traject negatieve kleeft : 22.70 tot 12.10 [m]
Traject positieve kleeft : 12.10 tot 0.64 [m]

SONDERINGSGEGEVENS GRAFIEK: S080-2

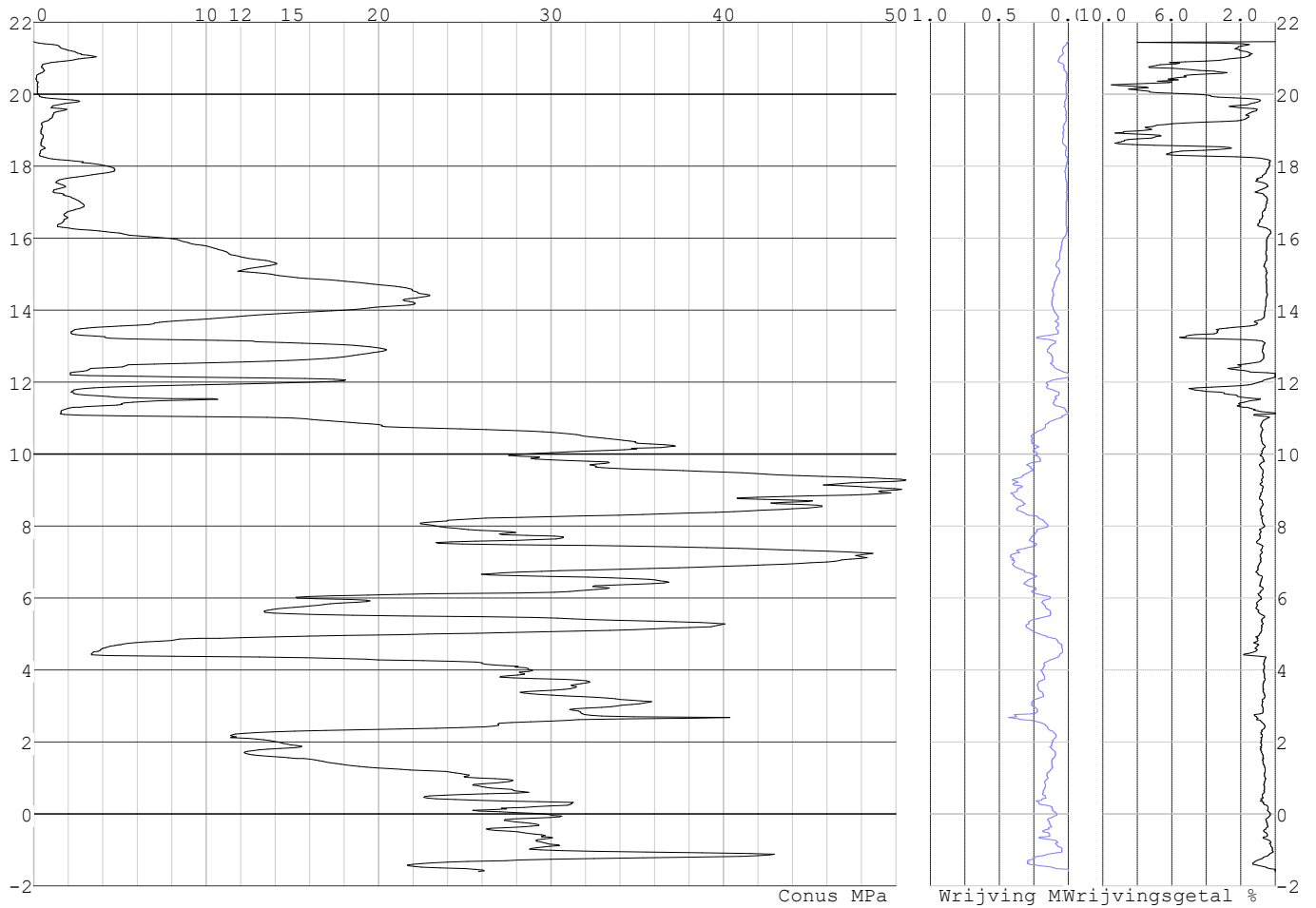


Project :
Onderdeel :

SONDERINGSGEGEVENS ALGEMEEN: S088-1

Alle niveaus/hogtes/peilmaten zijn t.o.v.: N.A.P.
Hoogte maaiveld [m] : 21.47 Bodemprofiel: S088-1
Traject negatieve kleeft : 21.47 tot 11.10 [m]
Traject positieve kleeft : 11.10 tot -1.59 [m]

SONDERINGSGEGEVENS GRAFIEK: S088-1

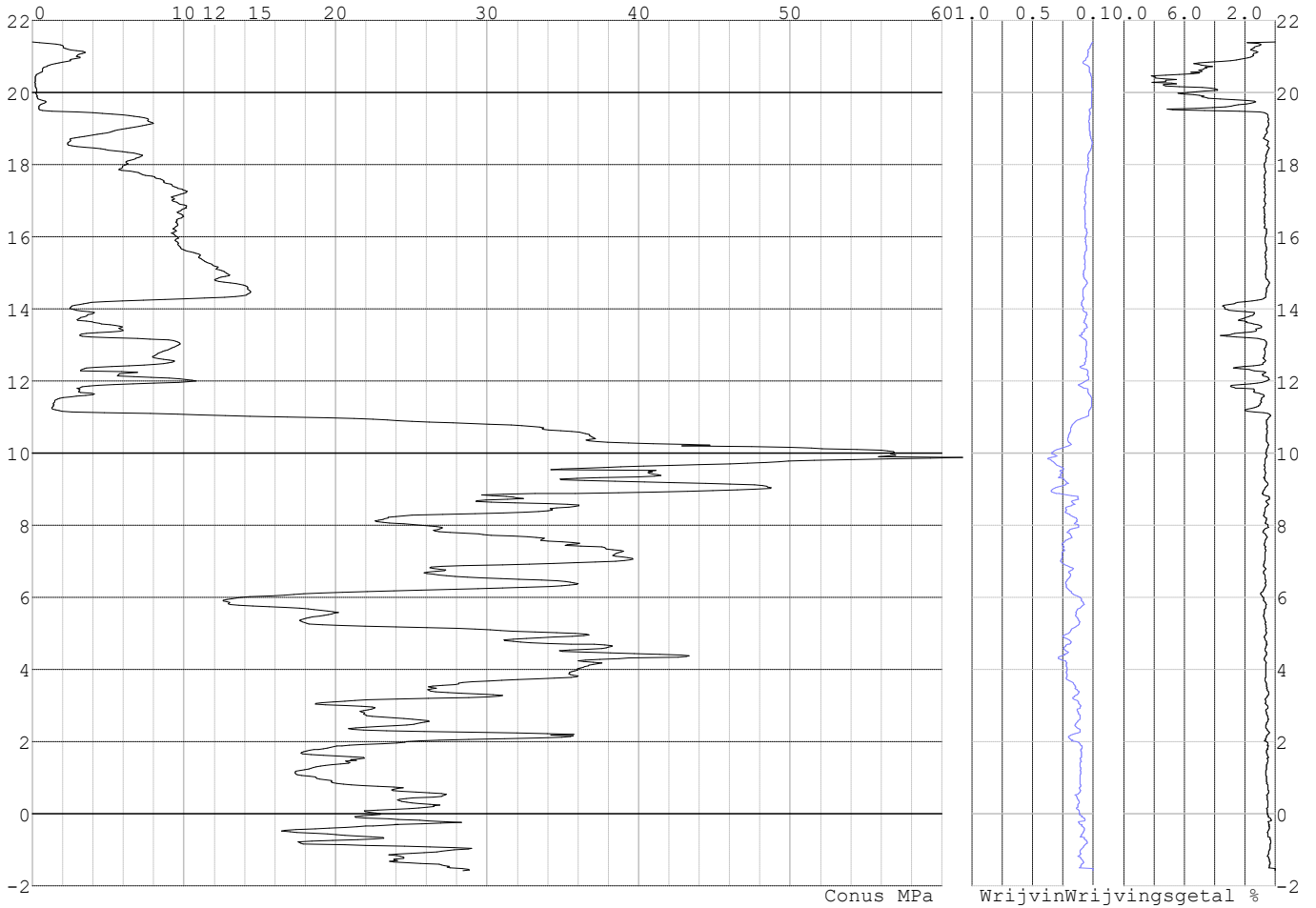


Project :
Onderdeel :

SONDERINGSGEGEVENS ALGEMEEN: S088-2

Alle niveaus/hogtes/peilmaten zijn t.o.v.: N.A.P.
Hoogte maaiveld [m] : 21.40 Bodemprofiel: S088-2
Traject negatieve kleef : 21.40 tot 11.10 [m]
Traject positieve kleef : 11.10 tot -1.57 [m]

SONDERINGSGEGEVENS GRAFIEK: S088-2

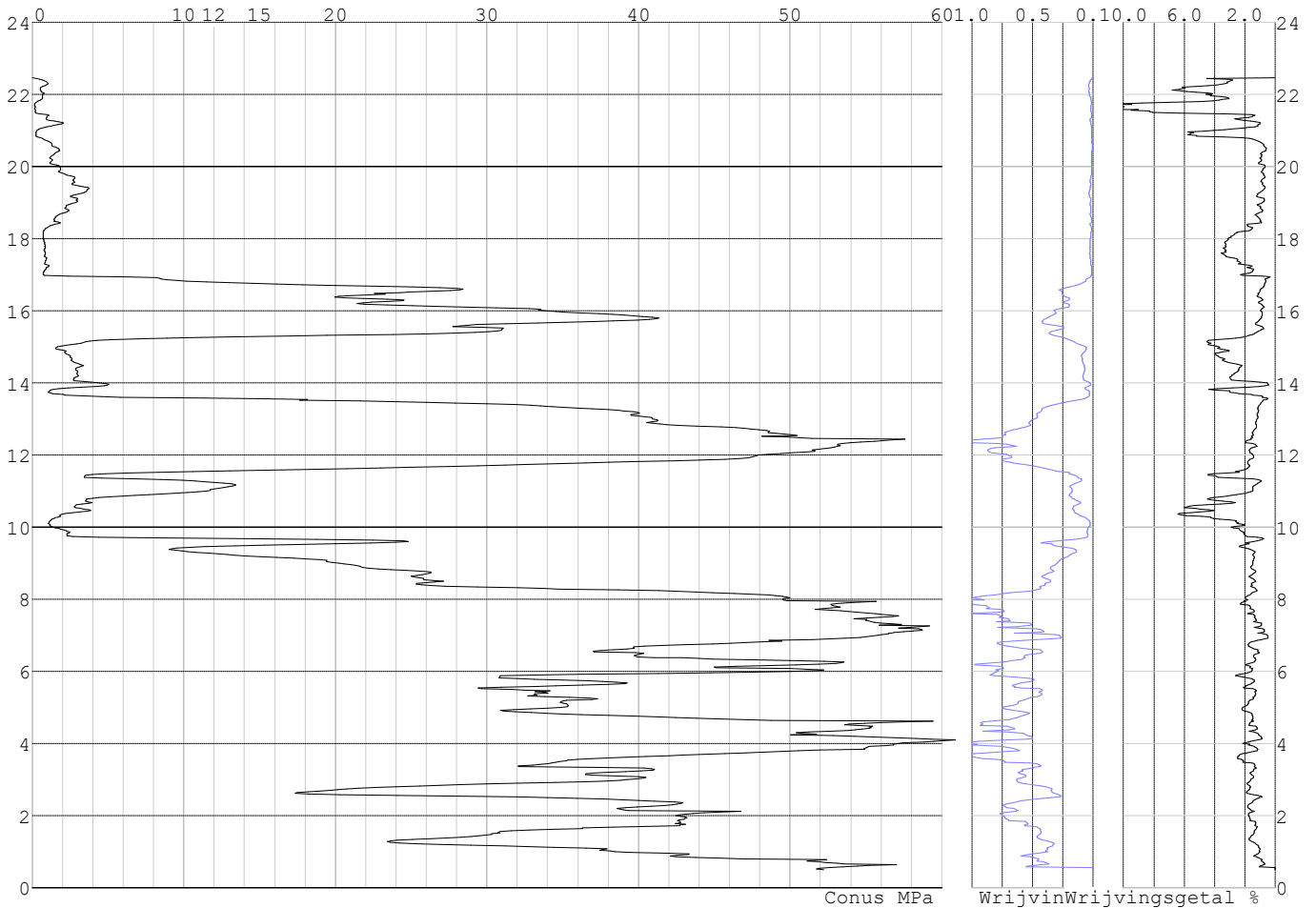


Project :
Onderdeel :

SONDERINGSGEGEVENS ALGEMEEN: S081-1

Alle niveaus/hogtes/peilmaten zijn t.o.v.: N.A.P.
Hoogte maaiveld [m] : 22.46 Bodemprofiel: S081-1
Traject negatieve kleeft : 22.46 tot 17.00 [m]
Traject positieve kleeft : 17.00 tot 0.51 [m]

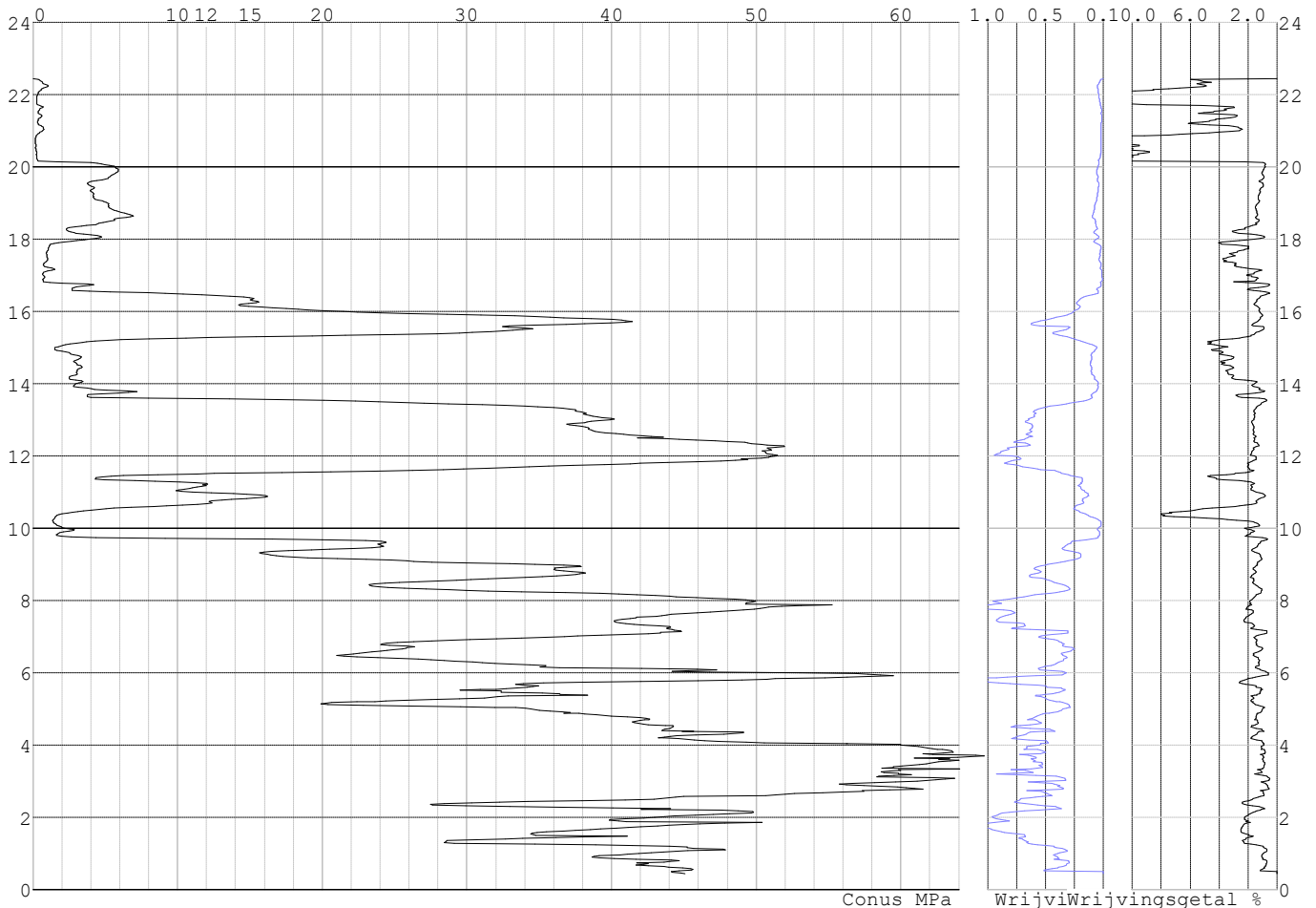
SONDERINGSGEGEVENS GRAFIEK: S081-1



Project :
Onderdeel :

SONDERINGSGEGEVENS ALGEMEEN: S081-2

Alle niveaus/hoogtes/peilmaten zijn t.o.v.: N.A.P.
 Hoogte maaiveld [m] : 22.45 Bodemprofiel: S081-1
 Traject negatieve kleef : 22.45 tot 16.80 [m]
 Traject positieve kleef : 16.80 tot 0.44 [m]

SONDERINGSGEGEVENS GRAFIEK: S081-2**REKENGEGEVENS Mast 080**

Berekening : Controlerend
 Rekenmethode : Trekpalen volgens NEN-EN 1997-1, art. 7.6.3
 Sondering(en) : S080-1, S080-2
 Let op: trekcapaciteit t.p.v. negatief kleeftraject is meegerekend.

Stijf bouwwerk : NEE
 Paalgroep : NEE
 Aantal sonderingen : 2
 Factor ξ_3 (n=1) : 1.39
 Factor ξ_3 (gem) : 1.32
 Factor ξ_4 (min) : 1.32
 Weerstandsfactor γ_R : 1.35
 $\gamma_{m;var;q_c}$: 1.50
 UGT draagvermogen zonder negatieve kleef : NEE

Paal : LD1
 Niveau paalkop [m] : N.A.P. 23.19
 Paalpuntniveau : N.A.P. 11.19
 $E_{d,1}$ [kN] : 0.00 $E_{d,2}$ [kN] : 0.00
 Bovenbel. [kN/m²] : 0.00

RESULTATEN Mast 080 (n=1)

Project :
Onderdeel :

Sondering : S080-1

Alle niveaus/hogtes/peilmaten zijn t.o.v.: N.A.P.

Inheinniveau [m]	Effectief inheinniveau [m]	E.G. paal [kN]	$R_{t,cal;k}$ [kN]	$R_{t;d}$ [kN]	$F_{t,tot;1}$ [kN]	U.C.
11.19	11.19	37.4	365.0	365.0	0.0	0.00

Sondering : S080-2

Alle niveaus/hogtes/peilmaten zijn t.o.v.: N.A.P.

Inheinniveau [m]	Effectief inheinniveau [m]	E.G. paal [kN]	$R_{t,cal;k}$ [kN]	$R_{t;d}$ [kN]	$F_{t,tot;1}$ [kN]	U.C.
11.19	11.19	37.4	399.1	399.1	0.0	0.00

Project :
Onderdeel :

SAMENVATTINGSTABEL Mast 080 (n=1)

Uitgangspunten

- paal : LD1
 - paaltype : Stalen buispaal (gesloten)
 - schachtafmeting : 550 mm
 Paalklassefactor α_p : 1.00
 Factor α_t (tabel 7.c EC 7.1) : 0.0070 (zandlagen; voor kleilagen zie tabel 7.d)
 Correlatiefactor $\xi_{3(n=1)}$: 1.39

Alle niveaus/hogtes/peilmaten zijn t.o.v.: N.A.P.

sondering	maaiveld paalpunt		Bezwijkdraagvermogen $R_{t,cal}$ [kN]	Rekenwaarden		
	niveau	niveau		$R_{t,d}$ [kN]	$R_{t,netto,d}$ [kN]	
S080-1	22.64	11.19	365.0	365.0	365.0	
S080-2	22.70	11.19	399.1	399.1	399.1	

Project :
Onderdeel :

SAMENVATTINGSTABEL Mast 080 (van 2 sonderingen)**Uitgangspunten**

- paal : LD1
 - paaltype : Stalen buispaal (gesloten)
 - schachtafmeting : 550 mm
 Paalklassefactor α_p : 1.00
 Factor α_t (tabel 7.c EC 7.1) : 0.0070 (zandlagen; voor kleilagen zie tabel 7.d)
 Correlatiefactor $\xi_{3gem}(n=2)$: 1.32
 Correlatiefactor $\xi_{4min}(n=2)$: 1.32

Alle niveaus/hogtes/peilmaten zijn t.o.v.: N.A.P.

sondering	maaiveld	paalpunt	Bezuikdraagvermogen
	niveau	niveau	E.G. paal $R_{t,cal}$
			[kN] [kN]

met ξ_3 (gem) = 1.32

S080-1	22.64	11.19	37.4	382.4
--------	-------	-------	------	-------

S080-2	22.70	11.19	37.4	418.3
--------	-------	-------	------	-------

		11.19	$R_{t,cal,gem}$	400.3
--	--	-------	-----------------	-------

met ξ_4 (min) = 1.32

S080-1	22.64	11.19	37.4	382.4
--------	-------	-------	------	-------

S080-2	22.70	11.19	37.4	418.3
--------	-------	-------	------	-------

		11.19	$R_{t,cal,min}$	382.4
--	--	-------	-----------------	-------

Totaal resultaten Mast 080 (van 2 sonderingen)

Uitgangspunten

Correlatiefactor $\xi_{3gem}(n=2)$: 1.32

Correlatiefactor $\xi_{4min}(n=2)$: 1.32

gebaseerd op sonderingen:

S080-1 S080-2

$R_{t,d} = \min. \{ R_{t,cal,gem}; R_{t,cal,min} \} (7.17) *$

Inheinniveau

[m]

11.19	$R_{t,d} = \min. \{ 400.3; 382.4 \} =$	382.4
-------	--	-------

*) Bij de trekpaalberekening zijn factoren ξ_3 en ξ_4 al bij de berekening van de conusweerstand $q_{c;z,d}$ in rekening gebracht, evenals factor $\gamma_{s;t}$. Dat is conform de opmerkingen in art. 7.6.3.3 (3) en (4).

Alle niveaus/hogtes/peilmaten zijn t.o.v.: N.A.P.

Inheinniveau	$R_{t,k}$	$R_{t,d}$	$F_{t,tot;1}$	$R_{t,netto;d}$	U.C.
[m]	[kN]	[kN]	[kN]	[kN]	
11.19	382.4	382.4	0.0	382.4	0.00

REKENGEDEVENS Mast 081

Berekening : Controlerend

Rekenmethode : Trekpalen volgens NEN-EN 1997-1, art. 7.6.3

Sondering(en) : S081-1, S081-2

Let op: trekcapaciteit t.p.v. negatief kleeftraject is meegerekend.

Stijf bouwwerk : NEE

Paalgroep : NEE

Aantal sonderingen : 2

Factor ξ_3 (n=1) : 1.39

Factor ξ_3 (gem) : 1.32

Factor ξ_4 (min) : 1.32

Weerstandsfactor γ_R : 1.35

$\gamma_{m,var;q_c}$: 1.50

UGT draagvermogen zonder negatieve kleeft : NEE

Paal : LD1

Niveau paalkop [m] : N.A.P. 23.02

Paalpuntniveau : N.A.P. 10.52

$E_{d,1}$ [kN] : 0.00

Bovenbel. [kN/m²] : 0.00

$E_{d,2}$ [kN] : 0.00

Project :
Onderdeel :

RESULTATEN Mast 081 (n=1)**Sondering : S081-1**

Alle niveaus/hogtes/peilmaten zijn t.o.v.: N.A.P.

Inheinniveau [m]	Effectief inheinniveau [m]	E.G. paal [kN]	$R_{t,cal;k}$ [kN]	$R_{t;d}$ [kN]	$F_{t,tot;1}$ [kN]	U.C.
10.52	10.52	38.8	405.8	405.8	0.0	0.00

Sondering : S081-2

Alle niveaus/hogtes/peilmaten zijn t.o.v.: N.A.P.

Inheinniveau [m]	Effectief inheinniveau [m]	E.G. paal [kN]	$R_{t,cal;k}$ [kN]	$R_{t;d}$ [kN]	$F_{t,tot;1}$ [kN]	U.C.
10.52	10.52	38.8	441.9	441.9	0.0	0.00

Project :
Onderdeel :

SAMENVATTINGSTABEL Mast 081 (n=1)

Uitgangspunten

- paal : LD1
 - paaltype : Stalen buispaal (gesloten)
 - schachtafmeting : 550 mm
 Paalklassefactor α_p : 1.00
 Factor α_t (tabel 7.c EC 7.1) : 0.0070 (zandlagen; voor kleilagen zie tabel 7.d)
 Correlatiefactor $\xi_{3(n=1)}$: 1.39

Alle niveaus/hogtes/peilmaten zijn t.o.v.: N.A.P.

sondering	maaiveld paalpunt		Bezwijkdraagvermogen $R_{t,cal}$ [kN]	Rekenwaarden		
	niveau	niveau		$R_{t;d}$ [kN]	$R_{t,netto;d}$ [kN]	
S081-1	22.46	10.52	405.8	405.8	405.8	
S081-2	22.45	10.52	441.9	441.9	441.9	

Project :
Onderdeel :

SAMENVATTINGSTABEL Mast 081 (van 2 sonderingen)**Uitgangspunten**

- paal : LD1
 - paaltype : Stalen buispaal (gesloten)
 - schachtafmeting : 550 mm
 Paalklassefactor α_p : 1.00
 Factor α_t (tabel 7.c EC 7.1) : 0.0070 (zandlagen; voor kleilagen zie tabel 7.d)
 Correlatiefactor $\xi_{3gem}(n=2)$: 1.32
 Correlatiefactor $\xi_{4min}(n=2)$: 1.32

Alle niveaus/hogtes/peilmaten zijn t.o.v.: N.A.P.

sondering	maaiveld	paalpunt	Bezuikdraagvermogen
	niveau	niveau	E.G. paal $R_{t,cal}$
			[kN] [kN]

met ξ_3 (gem) = 1.32

S081-1	22.46	10.52	38.8	425.2
S081-2	22.45	10.52	38.8	463.3

		10.52	$R_{t,cal,gem}$	444.2
--	--	-------	-----------------	-------

met ξ_4 (min) = 1.32

S081-1	22.46	10.52	38.8	425.2
S081-2	22.45	10.52	38.8	463.3

		10.52	$R_{t,cal,min}$	425.2
--	--	-------	-----------------	-------

Totaal resultaten Mast 081 (van 2 sonderingen)

Uitgangspunten

Correlatiefactor $\xi_{3gem}(n=2)$: 1.32
 Correlatiefactor $\xi_{4min}(n=2)$: 1.32

gebaseerd op sonderingen:
 S081-1 S081-2

$R_{t,d} = \min.\{ R_{t,cal,gem}; R_{t,cal,min} \}$ (7.17) *)

Inheinniveau
 [m]

10.52	$R_{t,d} = \min.\{ 444.2; 425.2 \} = 425.2$
-------	---

*) Bij de trekpaalberekening zijn factoren ξ_3 en ξ_4 al bij de berekening van de conusweerstand $q_{c,z;d}$ in rekening gebracht, evenals factor $\gamma_{s;t}$. Dat is conform de opmerkingen in art. 7.6.3.3 (3) en (4).

Alle niveaus/hogtes/peilmaten zijn t.o.v.: N.A.P.

Inheinniveau	$R_{t,k}$	$R_{t,d}$	$F_{t,tot;1}$	$R_{t,netto;d}$	U.C.
[m]	[kN]	[kN]	[kN]	[kN]	
10.52	425.2	425.2	0.0	425.2	0.00

REKENGEDEVENS Mast 086

Berekening : Controlerend
 Rekenmethode : Trekpalen volgens NEN-EN 1997-1, art. 7.6.3
 Sondering(en) : S086-1, S086-2
 Let op: trekcapaciteit t.p.v. negatief kleeftraject is meegerekend.

Stijf bouwwerk : NEE
 Paalgroep : NEE
 Aantal sonderingen : 2
 Factor ξ_3 (n=1) : 1.39
 Factor ξ_3 (gem) : 1.32
 Factor ξ_4 (min) : 1.32
 Weerstandsfactor γ_R : 1.35
 $\gamma_{m,var;q_c}$: 1.50
 UGT draagvermogen zonder negatieve kleef : NEE

Paal : LD1
 Niveau paalkop [m] : N.A.P. 22.60
 Paalpuntniveau : N.A.P. 10.60
 $E_{d,1}$ [kN] : 0.00
 Bovenbel. [kN/m²] : 0.00

$E_{d,2}$ [kN] : 0.00

Project :
Onderdeel :

RESULTATEN Mast 086 (n=1)**Sondering : S086-1**

Alle niveaus/hogtes/peilmaten zijn t.o.v.: N.A.P.

Inheinniveau [m]	Effectief inheinniveau [m]	E.G. paal [kN]	$R_{t,cal;k}$ [kN]	$R_{t;d}$ [kN]	$F_{t,tot;1}$ [kN]	U.C.
10.60	10.60	37.4	468.3	468.3	0.0	0.00

Sondering : S086-2

Alle niveaus/hogtes/peilmaten zijn t.o.v.: N.A.P.

Inheinniveau [m]	Effectief inheinniveau [m]	E.G. paal [kN]	$R_{t,cal;k}$ [kN]	$R_{t;d}$ [kN]	$F_{t,tot;1}$ [kN]	U.C.
10.60	10.60	37.4	458.1	458.1	0.0	0.00

Project :
Onderdeel :

SAMENVATTINGSTABEL Mast 086 (n=1)**Uitgangspunten**

- paal : LD1
 - paaltype : Stalen buispaal (gesloten)
 - schachtafmeting : 550 mm
 Paalklassefactor α_p : 1.00
 Factor α_t (tabel 7.c EC 7.1) : 0.0070 (zandlagen; voor kleilagen zie tabel 7.d)
 Correlatiefactor $\xi_{3(n=1)}$: 1.39

Alle niveaus/hogtes/peilmaten zijn t.o.v.: N.A.P.

sondering	maaiveld paalpunt		Bezwijkdraagvermogen $R_{t,cal}$ [kN]	Rekenwaarden		
	niveau	niveau		$R_{t;d}$ [kN]	$R_{t,netto;d}$ [kN]	
S086-1	22.18	10.60	468.3	468.3	468.3	
S086-2	22.04	10.60	458.1	458.1	458.1	

Project :
Onderdeel :

SAMENVATTINGSTABEL Mast 086 (van 2 sonderingen)**Uitgangspunten**

- paal : LD1
- paaltype : Stalen buispaal (gesloten)
- schachtafmeting : 550 mm
Paalklassefactor α_p : 1.00
Factor α_t (tabel 7.c EC 7.1) : 0.0070 (zandlagen; voor kleilagen zie tabel 7.d)
Correlatiefactor $\xi_{3gem}(n=2)$: 1.32
Correlatiefactor $\xi_{4min}(n=2)$: 1.32

Alle niveaus/hogtes/peilmaten zijn t.o.v.: N.A.P.

sondering	maaiveld niveau	paalpunt niveau	Bezwijkdraagvermogen E.G. paal $R_{t,cal}$ [kN]	$R_{t,cal}$ [kN]
-----------	--------------------	--------------------	---	---------------------

met ξ_3 (gem) = 1.32

S086-1	22.18	10.60	37.4	491.2
--------	-------	-------	------	-------

S086-2	22.04	10.60	37.4	480.4
--------	-------	-------	------	-------

		10.60	$R_{t,cal,gem}$	485.8
--	--	-------	-----------------	-------

met ξ_4 (min) = 1.32

S086-1	22.18	10.60	37.4	491.2
--------	-------	-------	------	-------

S086-2	22.04	10.60	37.4	480.4
--------	-------	-------	------	-------

		10.60	$R_{t,cal,min}$	480.4
--	--	-------	-----------------	-------

Totaal resultaten Mast 086 (van 2 sonderingen)

Uitgangspunten

Correlatiefactor $\xi_{3gem}(n=2)$: 1.32

Correlatiefactor $\xi_{4min}(n=2)$: 1.32

gebaseerd op sonderingen:

S086-1 S086-2

$R_{t,d} = \min. \{ R_{t,cal,gem}; R_{t,cal,min} \} (7.17) *$

Inheinniveau

[m]

10.60	$R_{t,d} = \min. \{ 485.8; 480.4 \} = 480.4$
-------	--

*) Bij de trekpaalberekening zijn factoren ξ_3 en ξ_4 al bij de berekening van de conusweerstand $q_{c,z;d}$ in rekening gebracht, evenals factor $\gamma_{s;t}$. Dat is conform de opmerkingen in art. 7.6.3.3 (3) en (4).

Alle niveaus/hogtes/peilmaten zijn t.o.v.: N.A.P.

Inheinniveau [m]	$R_{t,k}$ [kN]	$R_{t,d}$ [kN]	$F_{t,tot;1}$ [kN]	$R_{t,netto;d}$ [kN]	U.C.
10.60	480.4	480.4	0.0	480.4	0.00

REKENGEGEVENS Mast 088

Berekening : Controlerend

Rekenmethode : Trekpalen volgens NEN-EN 1997-1, art. 7.6.3

Sondering(en) : S088-1, S088-2

Let op: trekcapaciteit t.p.v. negatief kleeftraject is meegerekend.

Stijf bouwwerk : NEE

Paalgroep : NEE

Aantal sonderingen : 2

Factor ξ_3 (n=1) : 1.39

Factor ξ_3 (gem) : 1.32

Factor ξ_4 (min) : 1.32

Weerstandsfactor γ_R : 1.35

$\gamma_{m,var;q_c}$: 1.50

UGT draagvermogen zonder negatieve kleef : NEE

Paal : LD1

Niveau paalkop [m] : N.A.P. 21.64

Paalpuntniveau : N.A.P. 9.14

$E_{d,1}$ [kN] : 0.00

Bovenbel. [kN/m²] : 0.00

$E_{d,2}$ [kN] : 0.00

Project :
Onderdeel :

RESULTATEN Mast 088 (n=1)**Sondering : S088-1**

Alle niveaus/hogtes/peilmaten zijn t.o.v.: N.A.P.

Inheinniveau [m]	Effectief inheinniveau [m]	E.G. paal [kN]	$R_{t,cal;k}$ [kN]	$R_{t;d}$ [kN]	$F_{t,tot;1}$ [kN]	U.C.
9.14	9.14	37.9	437.7	437.7	0.0	0.00

Sondering : S088-2

Alle niveaus/hogtes/peilmaten zijn t.o.v.: N.A.P.

Inheinniveau [m]	Effectief inheinniveau [m]	E.G. paal [kN]	$R_{t,cal;k}$ [kN]	$R_{t;d}$ [kN]	$F_{t,tot;1}$ [kN]	U.C.
9.14	9.14	38.0	462.2	462.2	0.0	0.00

Project :
Onderdeel :

SAMENVATTINGSTABEL Mast 088 (n=1)

Uitgangspunten

- paal : LD1
 - paaltype : Stalen buispaal (gesloten)
 - schachtafmeting : 550 mm
 Paalklassefactor α_p : 1.00
 Factor α_t (tabel 7.c EC 7.1) : 0.0070 (zandlagen; voor kleilagen zie tabel 7.d)
 Correlatiefactor $\xi_{3(n=1)}$: 1.39

Alle niveaus/hogtes/peilmaten zijn t.o.v.: N.A.P.

sondering	maaiveld paalpunt		Bezwijkdraagvermogen $R_{t,cal}$ [kN]	Rekenwaarden	
	niveau	niveau		$R_{t,d}$ [kN]	$R_{t,netto,d}$ [kN]
S088-1	21.47	9.14	437.7	437.7	437.7
S088-2	21.40	9.14	462.2	462.2	462.2

Project :
Onderdeel :

SAMENVATTINGSTABEL Mast 088 (van 2 sonderingen)**Uitgangspunten**

- paal : LD1
- paaltype : Stalen buispaal (gesloten)
- schachtafmeting : 550 mm
Paalklassefactor α_p : 1.00
Factor α_t (tabel 7.c EC 7.1) : 0.0070 (zandlagen; voor kleilagen zie tabel 7.d)
Correlatiefactor $\xi_{3gem}(n=2)$: 1.32
Correlatiefactor $\xi_{4min}(n=2)$: 1.32

Alle niveaus/hogtes/peilmaten zijn t.o.v.: N.A.P.

sondering	maaiveld	paalpunt	Bezuikdraagvermogen
	niveau	niveau	E.G. paal $R_{t,cal}$
			[kN] [kN]

met ξ_3 (gem) = 1.32

S088-1	21.47	9.14	37.9	458.9
--------	-------	------	------	-------

S088-2	21.40	9.14	37.9	484.7
--------	-------	------	------	-------

		9.14	$R_{t,cal,gem}$	471.8
--	--	------	-----------------	-------

met ξ_4 (min) = 1.32

S088-1	21.47	9.14	37.9	458.9
--------	-------	------	------	-------

S088-2	21.40	9.14	37.9	484.7
--------	-------	------	------	-------

		9.14	$R_{t,cal,min}$	458.9
--	--	------	-----------------	-------

Totaal resultaten Mast 088 (van 2 sonderingen)

Uitgangspunten

Correlatiefactor $\xi_{3gem}(n=2)$: 1.32

Correlatiefactor $\xi_{4min}(n=2)$: 1.32

gebaseerd op sonderingen:

S088-1 S088-2

$R_{t,d} = \min. \{ R_{t,cal,gem}; R_{t,cal,min} \}$ (7.17) *)

Inheinniveau

[m]

9.14	$R_{t,d} = \min. \{ 471.8; 458.9 \} = 458.9$
------	--

*) Bij de trekpaalberekening zijn factoren ξ_3 en ξ_4 al bij de berekening van de conusweerstand $q_{c,z;d}$ in rekening gebracht, evenals factor $\gamma_{s;t}$. Dat is conform de opmerkingen in art. 7.6.3.3 (3) en (4).

Alle niveaus/hogtes/peilmaten zijn t.o.v.: N.A.P.

Inheinniveau	$R_{t,k}$	$R_{t,d}$	$F_{t,tot;1}$	$R_{t,netto;d}$	U.C.
[m]	[kN]	[kN]	[kN]	[kN]	
9.14	458.9	458.9	0.0	458.9	0.00

REKENGEGEVENS Mast 089

Berekening : Controlerend

Rekenmethode : Trekpalen volgens NEN-EN 1997-1, art. 7.6.3

Sondering(en) : S089-1, S089-2

Let op: trekcapaciteit t.p.v. negatief kleeftraject is meegerekend.

Stijf bouwwerk : NEE

Paalgroep : NEE

Aantal sonderingen : 2

Factor ξ_3 (n=1) : 1.39

Factor ξ_3 (gem) : 1.32

Factor ξ_4 (min) : 1.32

Weerstandsfactor γ_R : 1.35

$\gamma_{m,var;q_c}$: 1.50

UGT draagvermogen zonder negatieve kleeft : NEE

Paal : LD1

Niveau paalkop [m] : N.A.P. 21.96

Paalpuntniveau : N.A.P. 9.96

$E_{d,1}$ [kN] : 0.00

Bovenbel. [kN/m²] : 0.00

$E_{d,2}$ [kN] : 0.00

Project :
Onderdeel :

RESULTATEN Mast 089 (n=1)**Sondering : S089-1**

Alle niveaus/hogtes/peilmaten zijn t.o.v.: N.A.P.

Inheinniveau [m]	Effectief inheinniveau [m]	E.G. paal [kN]	$R_{t,cal;k}$ [kN]	$R_{t;d}$ [kN]	$F_{t,tot;1}$ [kN]	U.C.
9.96	9.96	37.5	423.6	423.6	0.0	0.00

Sondering : S089-2

Alle niveaus/hogtes/peilmaten zijn t.o.v.: N.A.P.

Inheinniveau [m]	Effectief inheinniveau [m]	E.G. paal [kN]	$R_{t,cal;k}$ [kN]	$R_{t;d}$ [kN]	$F_{t,tot;1}$ [kN]	U.C.
9.96	9.96	37.5	474.6	474.6	0.0	0.00

Project :
Onderdeel :

SAMENVATTINGSTABEL Mast 089 (n=1)**Uitgangspunten**

- paal : LD1
 - paaltype : Stalen buispaal (gesloten)
 - schachtafmeting : 550 mm
 Paalklassefactor α_p : 1.00
 Factor α_t (tabel 7.c EC 7.1) : 0.0070 (zandlagen; voor kleilagen zie tabel 7.d)
 Correlatiefactor $\xi_{3(n=1)}$: 1.39

Alle niveaus/hogtes/peilmaten zijn t.o.v.: N.A.P.

sondering	maaiveld paalpunt		Bezwijkdraagvermogen $R_{t,cal}$ [kN]	Rekenwaarden		
	niveau	niveau		$R_{t,d}$ [kN]	$R_{t,netto,d}$ [kN]	
S089-1	21.35	9.96	423.6	423.6	423.6	
S089-2	21.16	9.96	474.6	474.6	474.6	

Project :
Onderdeel :

SAMENVATTINGSTABEL Mast 089 (van 2 sonderingen)**Uitgangspunten**

- paal : LD1
 - paaltype : Stalen buispaal (gesloten)
 - schachtafmeting : 550 mm
 Paalklassefactor α_p : 1.00
 Factor α_t (tabel 7.c EC 7.1) : 0.0070 (zandlagen; voor kleilagen zie tabel 7.d)
 Correlatiefactor $\xi_{3gem}(n=2)$: 1.32
 Correlatiefactor $\xi_{4min}(n=2)$: 1.32

Alle niveaus/hogtes/peilmaten zijn t.o.v.: N.A.P.

sondering	maaiveld niveau	paalpunt niveau	Bezwijkdraagvermogen E.G. paal $R_{t,cal}$ [kN]	$R_{t,cal}$ [kN]
-----------	--------------------	--------------------	---	---------------------

met ξ_3 (gem) = 1.32

S089-1	21.35	9.96	37.5	444.1
S089-2	21.16	9.96	37.5	497.8

		9.96	$R_{t,cal,gem}$	471.0
--	--	------	-----------------	-------

met ξ_4 (min) = 1.32

S089-1	21.35	9.96	37.5	444.1
S089-2	21.16	9.96	37.5	497.8

		9.96	$R_{t,cal,min}$	444.1
--	--	------	-----------------	-------

Totaal resultaten Mast 089 (van 2 sonderingen)

Uitgangspunten

Correlatiefactor $\xi_{3gem}(n=2)$: 1.32
 Correlatiefactor $\xi_{4min}(n=2)$: 1.32

gebaseerd op sonderingen:
S089-1 S089-2

$$R_{t,d} = \min.\{ R_{t,cal,gem}; R_{t,cal,min} \} (7.17) *$$

Inheinniveau
[m]

9.96	$R_{t,d} = \min.\{ 471.0; 444.1 \} = 444.1$
------	---

*) Bij de trekpaalberekening zijn factoren ξ_3 en ξ_4 al bij de berekening van de conusweerstand $q_{c;z,d}$ in rekening gebracht, evenals factor $\gamma_{s;t}$. Dat is conform de opmerkingen in art. 7.6.3.3 (3) en (4).

Alle niveaus/hogtes/peilmaten zijn t.o.v.: N.A.P.

Inheinniveau [m]	$R_{t,k}$ [kN]	$R_{t,d}$ [kN]	$F_{t,tot;1}$ [kN]	$R_{t,netto;d}$ [kN]	U.C.
9.96	444.1	444.1	0.0	444.1	0.00

PAALGEGEVENS LD1

Type : Stalen buispaal (gesloten)
 Wijze van installeren : Heien
 Diameter [m] : 0.550
 Elasticiteitsmodulus [N/mm²] : 20000
 Factor α_s (tabel 7.c EC 7.1) : 0.010 (zandlagen; voor kleilagen zie tabel 7.d)
 Factor α_t (tabel 7.c EC 7.1) : 0.0070 (zandlagen; voor kleilagen zie tabel 7.d)
 Paalklassefactor α_p : 1.00
 Paalvoetvormfactor β : 1.00
 Type lastzakdiagram : Grondverdringende paal
 Verm.factor * $\phi'_{j,k}$: 0.75
 Groutomhulling : NEE

Project :
Onderdeel :

OVERZICHT NETTO DRAAGVERMOGEN TREKPALEN (n=1)

Netto paal draagvermogen(s) zijn naar beneden toe afgerond op: 1.0 kN nauwkeurig
Alle niveaus/hogtes/peilmaten zijn t.o.v.: N.A.P.

sondering	maaiveld paalpunt		$R_{t, netto; d}$ [kN]				
	niveau	niveau	Mast 080	Mast 081	Mast 086	Mast 088	Mast 089
S086-1	22.18	10.60			468		
S086-2	22.04	10.60			458		
S089-1	21.35	9.96					423
S089-2	21.16	9.96					474
S080-1	22.64	11.19	364				
S080-2	22.70	11.19	399				
S088-1	21.47	9.14				437	
S088-2	21.40	9.14				462	
S081-1	22.46	10.52		405			
S081-2	22.45	10.52		441			

Project :
Onderdeel :

ALGEMENE GEGEVENS

Project :
Onderdeel :
Datum : 23-11-2021
Bestand : P:\EANL_Projects\10166262 - BBB modelleren
funderingen 380 kV\02 Content\03
Calculations\Technosoft
Paalfunderingen\MBT-EHV380\DO\Nieuw
Sonderingen\Mast 090-099.pvw
Berekeningstype : Verticaal belaste paal
Alle niveaus/hogtes/peilmaten zijn t.o.v.: N.A.P.

Toegepaste normen volgens Eurocode met Nederlandse NB

Geotechniek	EN 1997-1:2004	AC:2009	
	NEN-EN 1997-1:2005	C1+A1:2013	NB:2016
	NEN 9997-1:2016	C2:2017	

GRONDSOORTEN

Nr. Omschrijving	$\gamma_{k;1}$ [kN/m ³]	$\gamma_{sat;k;1}$ [kN/m ³]	$\phi'_{k;1}$ [°]	$\gamma_{k;2}$ [kN/m ³]	$\gamma_{sat;k;2}$ [kN/m ³]	$\phi'_{k;2}$ [°]
1 Zand - Schoon - Los	17.00	19.00	30.00	18.00	20.00	32.50
2 Zand - Schoon - Matig	18.00	20.00	32.50	19.00	21.00	35.00
3 Zand - Schoon - Vast	19.00	21.00	35.00	20.00	22.00	40.00
4 Zand - Zwak siltig - Kleiig	18.00	20.00	27.00	19.00	21.00	32.50
5 Zand - Sterk siltig - Kleiig	18.00	20.00	25.00	19.00	21.00	30.00
6 Leem - Zwak zandig - Vast	21.00	21.00	27.50	22.00	22.00	35.00
7 Klei - Schoon - Matig	17.00	17.00	17.50	19.00	19.00	17.50
8 Klei - Schoon - Vast	19.00	19.00	17.50	20.00	20.00	25.00
9 Klei - Zwak zandig - Slap	15.00	15.00	22.50	18.00	18.00	22.50
10 Klei - Zwak zandig - Matig	18.00	18.00	22.50	20.00	20.00	22.50
11 Klei - Zwak zandig - Vast	20.00	20.00	22.50	21.00	21.00	27.50
12 Klei - Sterk zandig	18.00	18.00	27.50	20.00	20.00	32.50
13 Klei - Organisch - Matig	15.00	15.00	15.00	16.00	16.00	15.00
14 Veen - Niet voorbelast - Slap	10.00	10.00	15.00	12.00	12.00	15.00
15 Veen - Matig voorbelast - Matig	12.00	12.00	15.00	13.00	13.00	15.00

BODEMPROFIELGEGEVENS: S092-1

Alle niveaus/hogtes/peilmaten zijn t.o.v.: N.A.P.

d50-reductie is meegenomen overeenkomstig NEN-EN 9997 art. 7.6.2.3 (i)

Hoogte maaiveld [m] : 22.28 Grondwaterstand [m] : 21.28

Laag	Van [m]	Tot [m]	Omschrijving	OCR	Aandeel kleef [%]	pos. α_s	d_{50} [mm]
1	22.28	20.97	Zand - Schoon - Matig	1.0	100.0		
2	20.97	20.71	Zand - Sterk siltig - Kleiig	1.0	100.0		
3	20.71	20.47	Zand - Schoon - Matig	1.0	100.0		
4	20.47	19.97	Klei - Zwak zandig - Vast	1.0	50.0		
5	19.97	19.59	Zand - Schoon - Los	1.0	100.0		
6	19.59	19.21	Zand - Zwak siltig - Kleiig	1.0	100.0		
7	19.21	14.45	Zand - Schoon - Los	1.0	100.0		
8	14.45	13.00	Zand - Schoon - Matig	1.0	100.0		
9	13.00	12.50	Zand - Schoon - Matig	1.0	100.0		
10	12.50	11.91	Zand - Sterk siltig - Kleiig	1.0	50.0		
11	11.91	10.93	Zand - Schoon - Matig	1.0	100.0		
12	10.93	10.67	Zand - Schoon - Los	1.0	100.0		
13	10.67	9.67	Klei - Zwak zandig - Matig	1.0	50.0		
14	9.67	8.95	Zand - Schoon - Los	1.0	100.0		
15	8.95	7.82	Zand - Schoon - Matig	1.0	100.0		
16	7.82	5.64	Zand - Schoon - Vast	1.0	100.0		
17	5.64	5.12	Zand - Schoon - Los	1.0	100.0		
18	5.12	1.20	Zand - Schoon - Matig	1.0	100.0		

Project :
Onderdeel :

BODEMPROFIELGEGEVENS: S092-2

Alle niveaus/hogtes/peilmaten zijn t.o.v.: N.A.P.

d50-reductie is meegenomen overeenkomstig NEN-EN 9997 art. 7.6.2.3 (i)

Laag	Van [m]	Tot [m]	Omschrijving	OCR	Aandeel pos. kleef [%]	α_s	d_{50} [mm]
	22.28	21.83	Leem - Zwak zandig - Vast	1.0	50.0		
2	21.83	21.01	Zand - Schoon - Matig	1.0	100.0		
3	21.01	20.53	Zand - Schoon - Los	1.0	100.0		
4	20.53	20.17	Klei - Schoon - Vast	1.0	50.0		
5	20.17	14.68	Zand - Schoon - Los	1.0	100.0		
6	14.68	12.70	Zand - Schoon - Matig	1.0	100.0		
7	12.70	11.84	Zand - Sterk siltig - Kleiig	1.0	100.0		
8	11.84	11.13	Zand - Schoon - Matig	1.0	100.0		
9	11.13	10.63	Zand - Zwak siltig - Kleiig	1.0	100.0		
10	10.63	10.11	Zand - Sterk siltig - Kleiig	1.0	100.0		
11	10.11	9.31	Klei - Zwak zandig - Matig	1.0	50.0		
12	9.31	6.09	Zand - Schoon - Vast	1.0	100.0		
13	6.09	1.27	Zand - Schoon - Matig	1.0	100.0		

BODEMPROFIELGEGEVENS: S094-1

Alle niveaus/hogtes/peilmaten zijn t.o.v.: N.A.P.

d50-reductie is meegenomen overeenkomstig NEN-EN 9997 art. 7.6.2.3 (i)

Laag	Van [m]	Tot [m]	Omschrijving	OCR	Aandeel pos. kleef [%]	α_s	d_{50} [mm]
	20.53	19.96	Klei - Zwak zandig - Matig	1.0	50.0		
2	19.96	16.26	Zand - Zwak siltig - Kleiig	1.0	100.0		
3	16.26	15.46	Zand - Schoon - Matig	1.0	100.0		
4	15.46	14.53	Zand - Sterk siltig - Kleiig	1.0	100.0		
5	14.53	11.75	Zand - Schoon - Matig	1.0	100.0		
6	11.75	11.13	Zand - Schoon - Vast	1.0	100.0		
7	11.13	10.75	Zand - Sterk siltig - Kleiig	1.0	100.0		
8	10.75	9.53	Zand - Schoon - Matig	1.0	100.0		
9	9.53	8.92	Klei - Zwak zandig - Vast	1.0	50.0		
10	8.92	4.90	Zand - Schoon - Vast	1.0	100.0		
11	4.90	0.50	Zand - Schoon - Matig	1.0	100.0		

BODEMPROFIELGEGEVENS: S094-2

Alle niveaus/hogtes/peilmaten zijn t.o.v.: N.A.P.

d50-reductie is meegenomen overeenkomstig NEN-EN 9997 art. 7.6.2.3 (i)

Laag	Van [m]	Tot [m]	Omschrijving	OCR	Aandeel pos. kleef [%]	α_s	d_{50} [mm]
	20.50	19.87	Klei - Zwak zandig - Vast	1.0	50.0		
2	19.87	15.99	Zand - Zwak siltig - Kleiig	1.0	100.0		
3	15.99	15.09	Zand - Schoon - Matig	1.0	100.0		
4	15.09	13.91	Zand - Zwak siltig - Kleiig	1.0	100.0		
5	13.91	11.23	Zand - Schoon - Matig	1.0	100.0		
6	11.23	10.54	Zand - Zwak siltig - Kleiig	1.0	100.0		
7	10.54	10.28	Klei - Schoon - Vast	1.0	50.0		
8	10.28	10.00	Zand - Schoon - Los	1.0	100.0		
9	10.00	9.48	Leem - Zwak zandig - Vast	1.0	50.0		
10	9.48	8.56	Klei - Schoon - Matig	1.0	50.0		
11	8.56	7.70	Zand - Schoon - Los	1.0	100.0		
12	7.70	6.30	Zand - Schoon - Vast	1.0	100.0		
13	6.30	5.45	Klei - Schoon - Vast	1.0	50.0		
14	5.45	4.31	Zand - Schoon - Vast	1.0	100.0		
15	4.31	3.93	Klei - Sterk zandig	1.0	50.0		
16	3.93	0.46	Zand - Schoon - Vast	1.0	100.0		

Project :
Onderdeel :

BODEMPROFIELGEGEVENS: S096-1

Alle niveaus/hogtes/peilmaten zijn t.o.v.: N.A.P.

d50-reductie is meegenomen overeenkomstig NEN-EN 9997 art. 7.6.2.3 (i)

Laag	Van [m]	Tot [m]	Omschrijving	OCR	Aandeel pos. kleef [%]	α_s	d_{50} [mm]
							18.99
1	19.99	19.62	Klei - Zwak zandig - Vast	1.0	50.0		
2	19.62	16.32	Zand - Zwak siltig - Kleiig	1.0	100.0		
3	16.32	15.48	Klei - Schoon - Matig	1.0	50.0		
4	15.48	14.72	Zand - Sterk siltig - Kleiig	1.0	100.0		
5	14.72	14.46	Klei - Schoon - Vast	1.0	50.0		
6	14.46	12.38	Zand - Schoon - Matig	1.0	100.0		
7	12.38	10.82	Zand - Schoon - Vast	1.0	100.0		
8	10.82	9.92	Zand - Sterk siltig - Kleiig	1.0	100.0		
9	9.92	8.97	Klei - Schoon - Matig	1.0	50.0		
10	8.97	8.57	Zand - Sterk siltig - Kleiig	1.0	100.0		
11	8.57	7.95	Zand - Schoon - Vast	1.0	100.0		
12	7.95	7.11	Zand - Schoon - Matig	1.0	100.0		
13	7.11	6.71	Zand - Schoon - Vast	1.0	100.0		
14	6.71	6.35	Zand - Schoon - Matig	1.0	100.0		
15	6.35	3.94	Zand - Schoon - Vast	1.0	100.0		
16	3.94	3.30	Zand - Schoon - Los	1.0	100.0		
17	3.30	-0.15	Zand - Schoon - Matig	1.0	100.0		

BODEMPROFIELGEGEVENS: S096-2

Alle niveaus/hogtes/peilmaten zijn t.o.v.: N.A.P.

d50-reductie is meegenomen overeenkomstig NEN-EN 9997 art. 7.6.2.3 (i)

Laag	Van [m]	Tot [m]	Omschrijving	OCR	Aandeel pos. kleef [%]	α_s	d_{50} [mm]
							18.77
1	19.77	19.04	Klei - Schoon - Vast	1.0	50.0		
2	19.04	18.60	Zand - Schoon - Los	1.0	100.0		
3	18.60	17.32	Klei - Schoon - Vast	1.0	50.0		
4	17.32	15.50	Zand - Sterk siltig - Kleiig	1.0	100.0		
5	15.50	14.72	Klei - Zwak zandig - Vast	1.0	50.0		
6	14.72	14.03	Zand - Sterk siltig - Kleiig	1.0	100.0		
7	14.03	13.49	Klei - Schoon - Vast	1.0	50.0		
8	13.49	12.95	Zand - Schoon - Los	1.0	100.0		
9	12.95	9.90	Zand - Schoon - Vast	1.0	100.0		
10	9.90	9.47	Zand - Schoon - Los	1.0	100.0		
11	9.47	9.21	Veen - Matig voorbelast - Matig	1.0	50.0		
12	9.21	8.13	Klei - Schoon - Matig	1.0	50.0		
13	8.13	5.84	Zand - Schoon - Vast	1.0	100.0		
14	5.84	5.41	Zand - Schoon - Matig	1.0	100.0		
15	5.41	3.91	Zand - Schoon - Vast	1.0	100.0		
16	3.91	2.67	Zand - Zwak siltig - Kleiig	1.0	100.0		
17	2.67	-0.16	Zand - Schoon - Matig	1.0	100.0		

BODEMPROFIELGEGEVENS: S093-1

Alle niveaus/hogtes/peilmaten zijn t.o.v.: N.A.P.

d50-reductie is meegenomen overeenkomstig NEN-EN 9997 art. 7.6.2.3 (i)

Laag	Van [m]	Tot [m]	Omschrijving	OCR	Aandeel pos. kleef [%]	α_s	d_{50} [mm]
							23.06
1	24.06	22.91	Zand - Sterk siltig - Kleiig	1.0	100.0		
2	22.91	20.65	Zand - Schoon - Matig	1.0	100.0		
3	20.65	20.37	Zand - Schoon - Los	1.0	100.0		
4	20.37	20.13	Klei - Zwak zandig - Matig	1.0	50.0		
5	20.13	16.96	Zand - Sterk siltig - Kleiig	1.0	100.0		
6	16.96	12.50	Zand - Schoon - Matig	1.0	100.0		
7	12.50	11.00	Zand - Schoon - Vast	1.0	100.0		
8	11.00	10.56	Leem - Zwak zandig - Vast	1.0	50.0		
9	10.56	10.15	Zand - Schoon - Matig	1.0	100.0		
10	10.15	9.63	Klei - Zwak zandig - Matig	1.0	50.0		
11	9.63	9.49	Zand - Schoon - Matig	1.0	100.0		
12	9.49	8.24	Klei - Zwak zandig - Vast	1.0	50.0		
13	8.24	7.11	Zand - Schoon - Vast	1.0	100.0		
14	7.11	6.57	Zand - Schoon - Los	1.0	100.0		

Project :
Onderdeel :

Laag	Van [m]	Tot [m]	Omschrijving	OCR	Aandeel pos. kleef [%]	α_s	d_{50} [mm]
15	6.57	4.80	Zand - Schoon - Vast	1.0	100.0		

BODEMPROFIELGEGEVENS: S093-2

Alle niveaus/hogtes/peilmaten zijn t.o.v.: N.A.P.

d50-reductie is meegenomen overeenkomstig NEN-EN 9977 art. 7.6.2.3 (i)

Hoogte maaiveld [m] : 23.87 Grondwaterstand [m] : 22.87

Laag	Van [m]	Tot [m]	Omschrijving	OCR	Aandeel pos. kleef [%]	α_s	d_{50} [mm]
1	23.87	22.54	Zand - Sterk siltig - Kleiig	1.0	100.0		
2	22.54	21.06	Zand - Schoon - Los	1.0	100.0		
3	21.06	18.52	Zand - Sterk siltig - Kleiig	1.0	100.0		
4	18.52	17.94	Klei - Schoon - Vast	1.0	50.0		
5	17.94	16.28	Zand - Sterk siltig - Kleiig	1.0	100.0		
6	16.28	12.11	Zand - Schoon - Matig	1.0	100.0		
7	12.11	10.45	Zand - Schoon - Vast	1.0	100.0		
8	10.45	9.98	Zand - Zwak siltig - Kleiig	1.0	100.0		
9	9.98	9.52	Leem - Zwak zandig - Vast	1.0	50.0		
10	9.52	8.62	Klei - Zwak zandig - Matig	1.0	50.0		
11	8.62	7.42	Zand - Schoon - Vast	1.0	100.0		
12	7.42	7.18	Leem - Zwak zandig - Vast	1.0	50.0		
13	7.18	6.94	Zand - Schoon - Matig	1.0	100.0		
14	6.94	6.54	Leem - Zwak zandig - Vast	1.0	50.0		
15	6.54	4.74	Zand - Schoon - Vast	1.0	100.0		

BODEMPROFIELGEGEVENS: S095-2

Alle niveaus/hogtes/peilmaten zijn t.o.v.: N.A.P.

d50-reductie is meegenomen overeenkomstig NEN-EN 9977 art. 7.6.2.3 (i)

Hoogte maaiveld [m] : 19.85 Grondwaterstand [m] : 18.85

Laag	Van [m]	Tot [m]	Omschrijving	OCR	Aandeel pos. kleef [%]	α_s	d_{50} [mm]
1	19.85	19.26	Klei - Zwak zandig - Slap	1.0	50.0		
2	19.26	18.14	Klei - Zwak zandig - Vast	1.0	50.0		
3	18.14	16.04	Zand - Schoon - Los	1.0	100.0		
4	16.04	14.50	Klei - Zwak zandig - Vast	1.0	50.0		
5	14.50	13.80	Zand - Sterk siltig - Kleiig	1.0	100.0		
6	13.80	11.18	Zand - Schoon - Vast	1.0	100.0		
7	11.18	10.56	Zand - Schoon - Los	1.0	100.0		
8	10.56	10.14	Klei - Zwak zandig - Vast	1.0	50.0		
9	10.14	9.72	Zand - Schoon - Matig	1.0	100.0		
10	9.72	9.32	Leem - Zwak zandig - Vast	1.0	50.0		
11	9.32	8.92	Klei - Schoon - Matig	1.0	50.0		
12	8.92	7.08	Zand - Schoon - Vast	1.0	100.0		
13	7.08	6.80	Leem - Zwak zandig - Vast	1.0	50.0		
14	6.80	4.68	Zand - Schoon - Vast	1.0	100.0		
15	4.68	4.26	Zand - Schoon - Los	1.0	100.0		
16	4.26	4.02	Klei - Schoon - Vast	1.0	50.0		
17	4.02	1.54	Zand - Schoon - Matig	1.0	100.0		
18	1.54	0.88	Zand - Schoon - Vast	1.0	100.0		
19	0.88	-2.10	Zand - Schoon - Matig	1.0	100.0		
20	-2.10	-3.21	Zand - Schoon - Vast	1.0	100.0		

BODEMPROFIELGEGEVENS: S097-1

Alle niveaus/hogtes/peilmaten zijn t.o.v.: N.A.P.

d50-reductie is meegenomen overeenkomstig NEN-EN 9977 art. 7.6.2.3 (i)

Hoogte maaiveld [m] : 19.72 Grondwaterstand [m] : 18.72

Laag	Van [m]	Tot [m]	Omschrijving	OCR	Aandeel pos. kleef [%]	α_s	d_{50} [mm]
1	19.72	19.46	Veen - Matig voorbelast - Matig	1.0	50.0		
2	19.46	18.60	Zand - Sterk siltig - Kleiig	1.0	100.0		
3	18.60	18.34	Klei - Schoon - Vast	1.0	50.0		
4	18.34	14.28	Zand - Zwak siltig - Kleiig	1.0	100.0		
5	14.28	14.00	Zand - Schoon - Los	1.0	100.0		
6	14.00	13.06	Klei - Schoon - Matig	1.0	50.0		
7	13.06	9.78	Zand - Schoon - Vast	1.0	100.0		
8	9.78	9.24	Zand - Schoon - Matig	1.0	100.0		
9	9.24	8.30	Klei - Schoon - Matig	1.0	50.0		

Project :
Onderdeel :

Laag	Van [m]	Tot [m]	Omschrijving	OCR	Aandeel pos. kleef [%]	α_s	d_{50} [mm]
10	8.30	6.58	Zand - Schoon - Vast	1.0	100.0		
11	6.58	6.32	Zand - Schoon - Los	1.0	100.0		
12	6.32	-0.26	Zand - Schoon - Vast	1.0	100.0		

BODEMPROFIELGEGEVENS: S091-1

Alle niveaus/hogtes/peilmaten zijn t.o.v.: N.A.P.

d50-reductie is meegenomen overeenkomstig NEN-EN 9997 art. 7.6.2.3 (i)

Hoogte maaiveld [m] : 22.06 Grondwaterstand [m] : 21.06

Laag	Van [m]	Tot [m]	Omschrijving	OCR	Aandeel pos. kleef [%]	α_s	d_{50} [mm]
1	22.06	21.40	Zand - Sterk siltig - Kleiig	1.0	100.0		
2	21.40	20.28	Klei - Organisch - Matig	1.0	50.0		
3	20.28	15.11	Zand - Schoon - Los	1.0	100.0		
4	15.11	12.10	Zand - Schoon - Matig	1.0	100.0		
5	12.10	11.50	Klei - Zwak zandig - Matig	1.0	50.0		
6	11.50	9.76	Zand - Schoon - Vast	1.0	100.0		
7	9.76	8.50	Zand - Schoon - Matig	1.0	100.0		
8	8.50	7.16	Zand - Schoon - Vast	1.0	100.0		
9	7.16	6.58	Zand - Schoon - Matig	1.0	100.0		
10	6.58	6.05	Zand - Schoon - Vast	1.0	100.0		
11	6.05	3.93	Zand - Schoon - Matig	1.0	100.0		
12	3.93	3.28	Zand - Schoon - Vast	1.0	100.0		
13	3.28	2.40	Zand - Schoon - Los	1.0	100.0		
14	2.40	0.45	Zand - Schoon - Matig	1.0	100.0		
15	0.45	0.25	Zand - Schoon - Vast	1.0	100.0		

SONDERINGSGEGEVENS ALGEMEEN: S092-1

Alle niveaus/hogtes/peilmaten zijn t.o.v.: N.A.P.

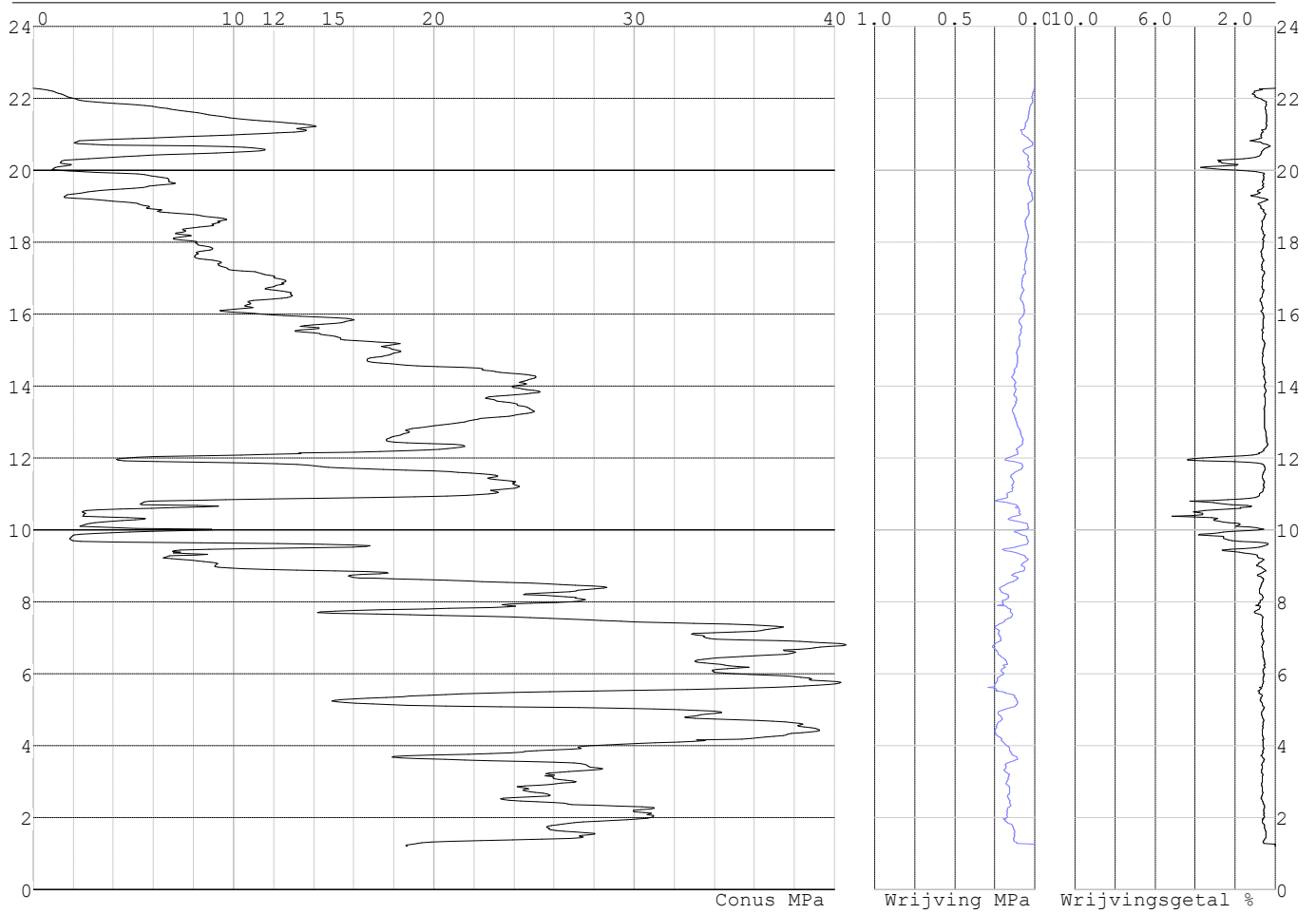
Hoogte maaiveld [m] : 22.28 Bodemprofiel: S092-1

Traject negatieve kleef : 22.28 tot 19.20 [m]

Traject positieve kleef : 19.20 tot 1.19 [m]

Project :
Onderdeel :

SONDERINGSGEGEVENS GRAFIEK: S092-1

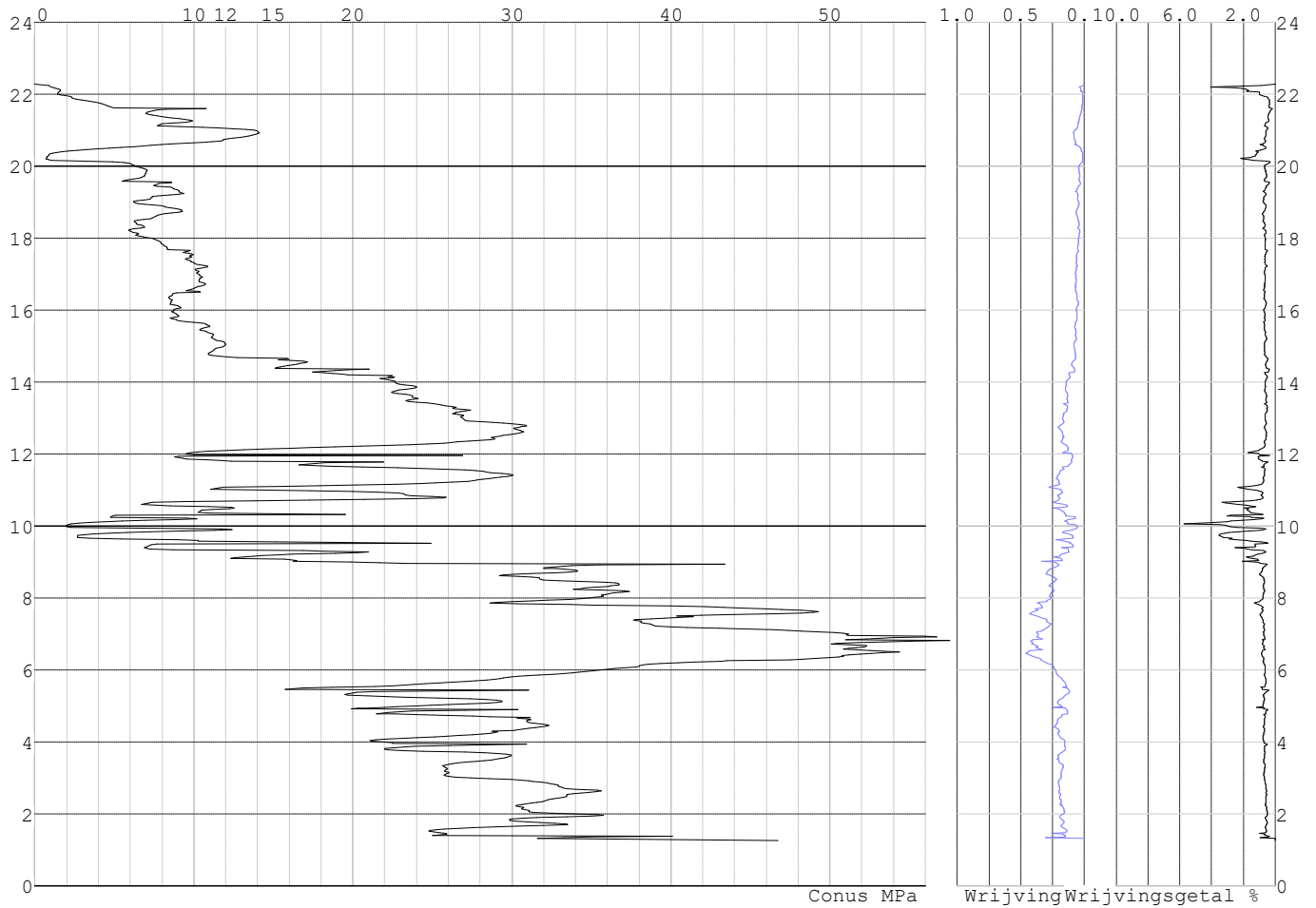


Project :
Onderdeel :

SONDERINGSGEGEVENS ALGEMEEN: S092-2

Alle niveaus/hogtes/peilmaten zijn t.o.v.: N.A.P.
Hoogte maaiveld [m] : 22.28 Bodemprofiel: S092-2
Traject negatieve kleef : 22.28 tot 20.10 [m]
Traject positieve kleef : 20.10 tot 1.26 [m]

SONDERINGSGEGEVENS GRAFIEK: S092-2

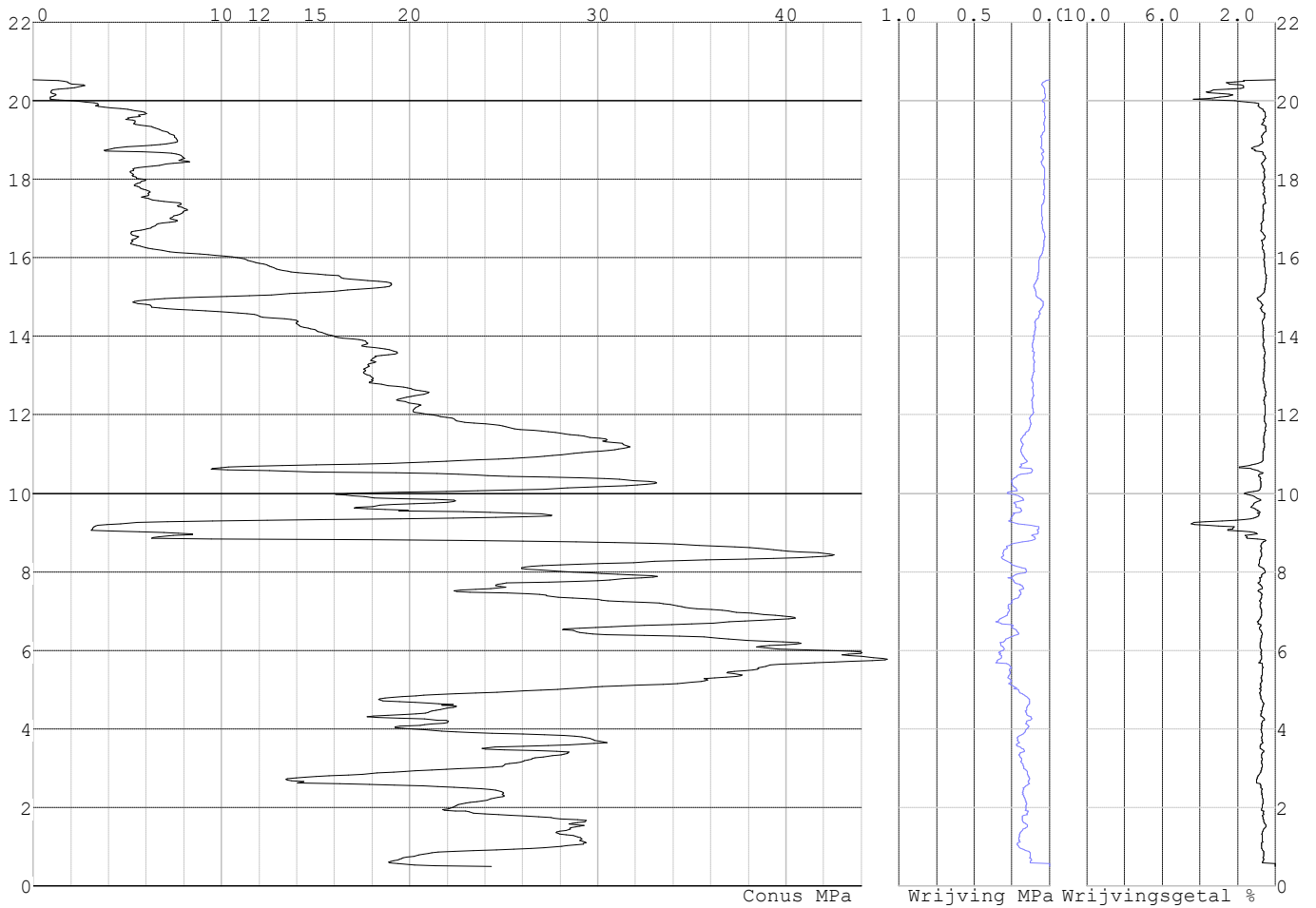


Project :
Onderdeel :

SONDERINGSGEGEVENS ALGEMEEN: S094-1

Alle niveaus/hogtes/peilmaten zijn t.o.v.: N.A.P.
Hoogte maaiveld [m] : 20.53 Bodemprofiel: S094-1
Traject negatieve kleeft : 20.53 tot 19.80 [m]
Traject positieve kleeft : 19.80 tot 0.49 [m]

SONDERINGSGEGEVENS GRAFIEK: S094-1

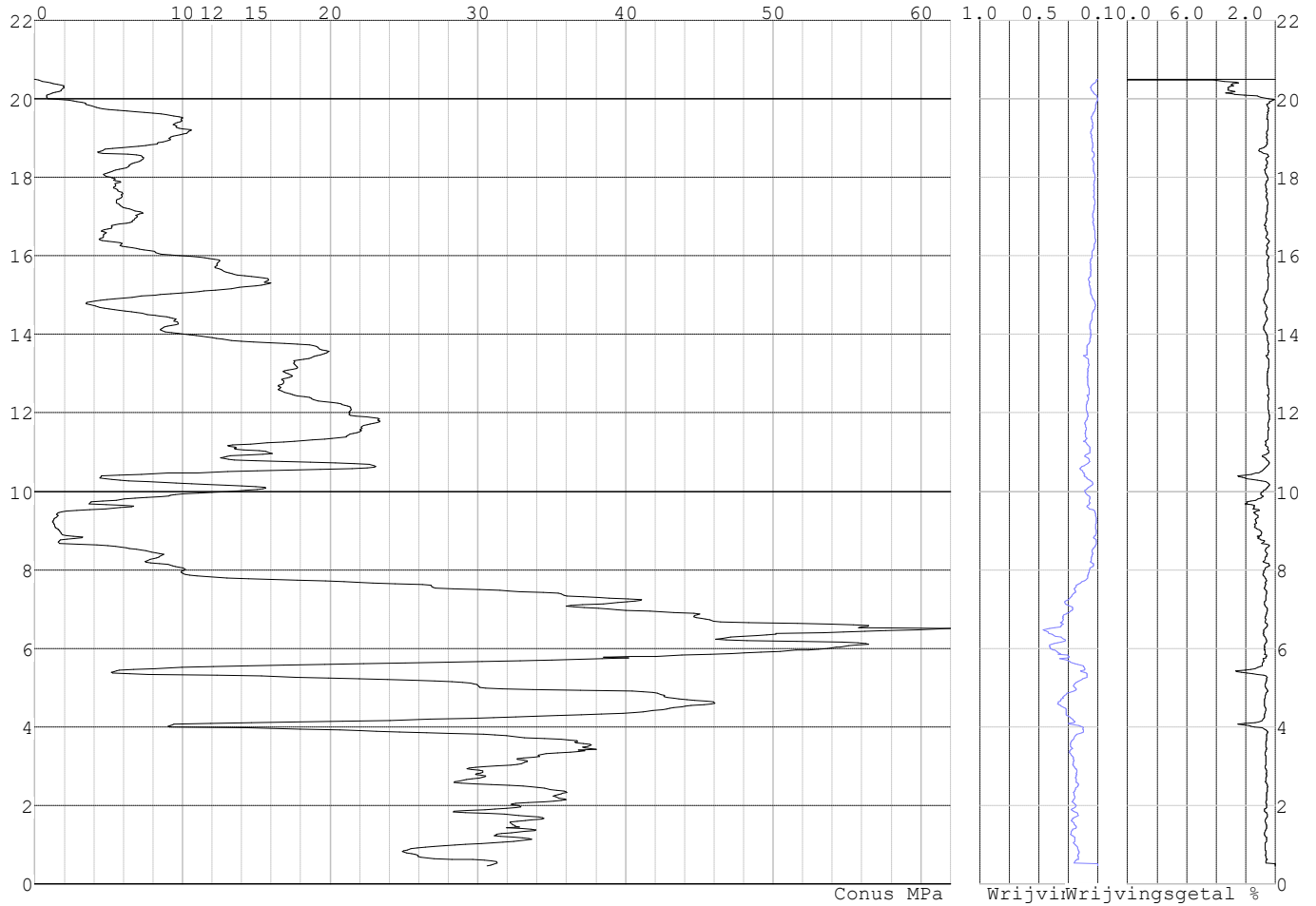


Project :
Onderdeel :

SONDERINGSGEGEVENS ALGEMEEN: S094-2

Alle niveaus/hogtes/peilmaten zijn t.o.v.: N.A.P.
Hoogte maaiveld [m] : 20.50 Bodemprofiel: S094-2
Traject negatieve kleeft : 20.50 tot 19.70 [m]
Traject positieve kleeft : 19.70 tot 0.44 [m]

SONDERINGSGEGEVENS GRAFIEK: S094-2

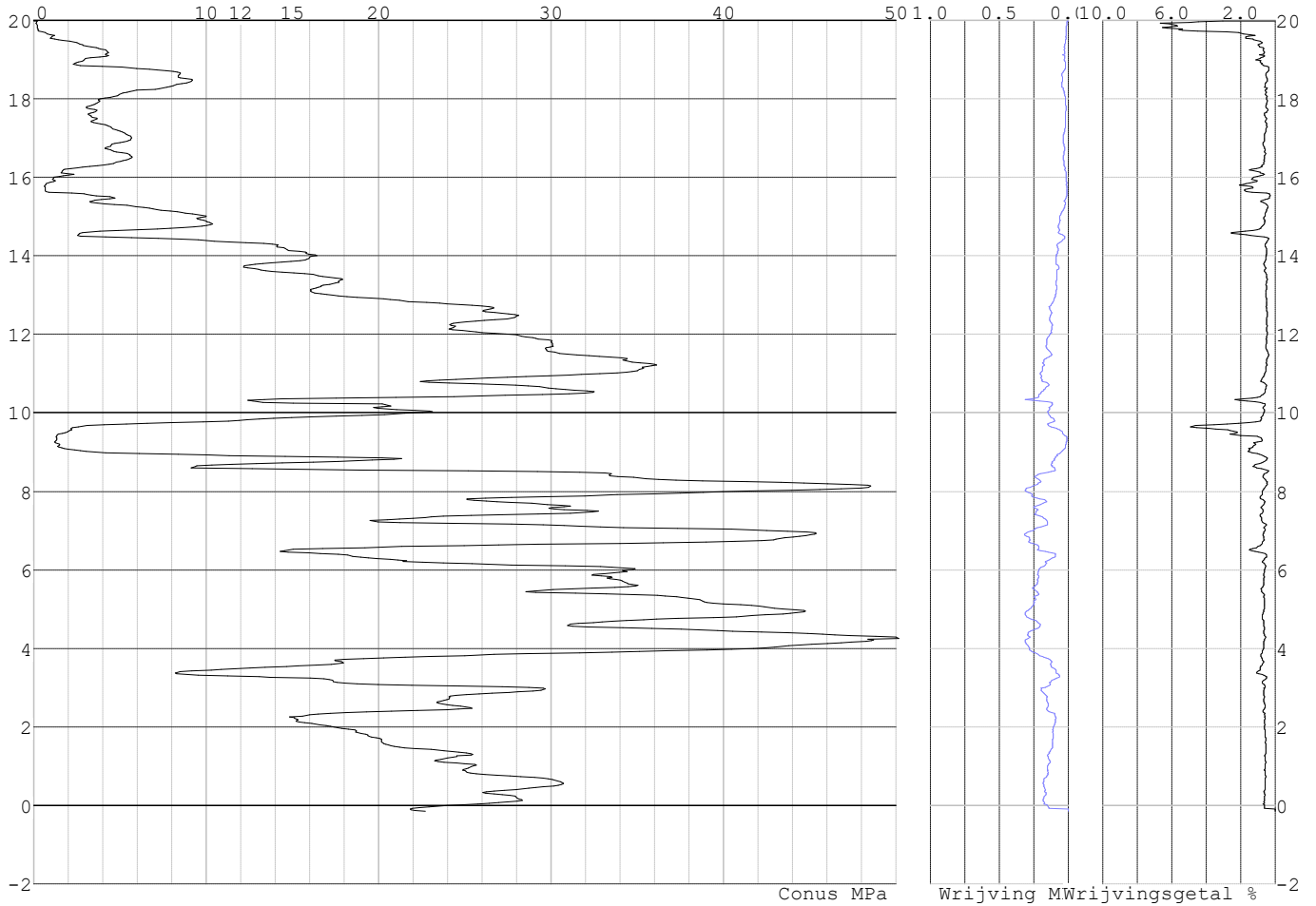


Project :
Onderdeel :

SONDERINGSGEGEVENS ALGEMEEN: S096-1

Alle niveaus/hogtes/peilmaten zijn t.o.v.: N.A.P.
Hoogte maaiveld [m] : 19.99 Bodemprofiel: S096-1
Traject negatieve kleeft : 19.99 tot 15.30 [m]
Traject positieve kleeft : 15.30 tot -0.16 [m]

SONDERINGSGEGEVENS GRAFIEK: S096-1

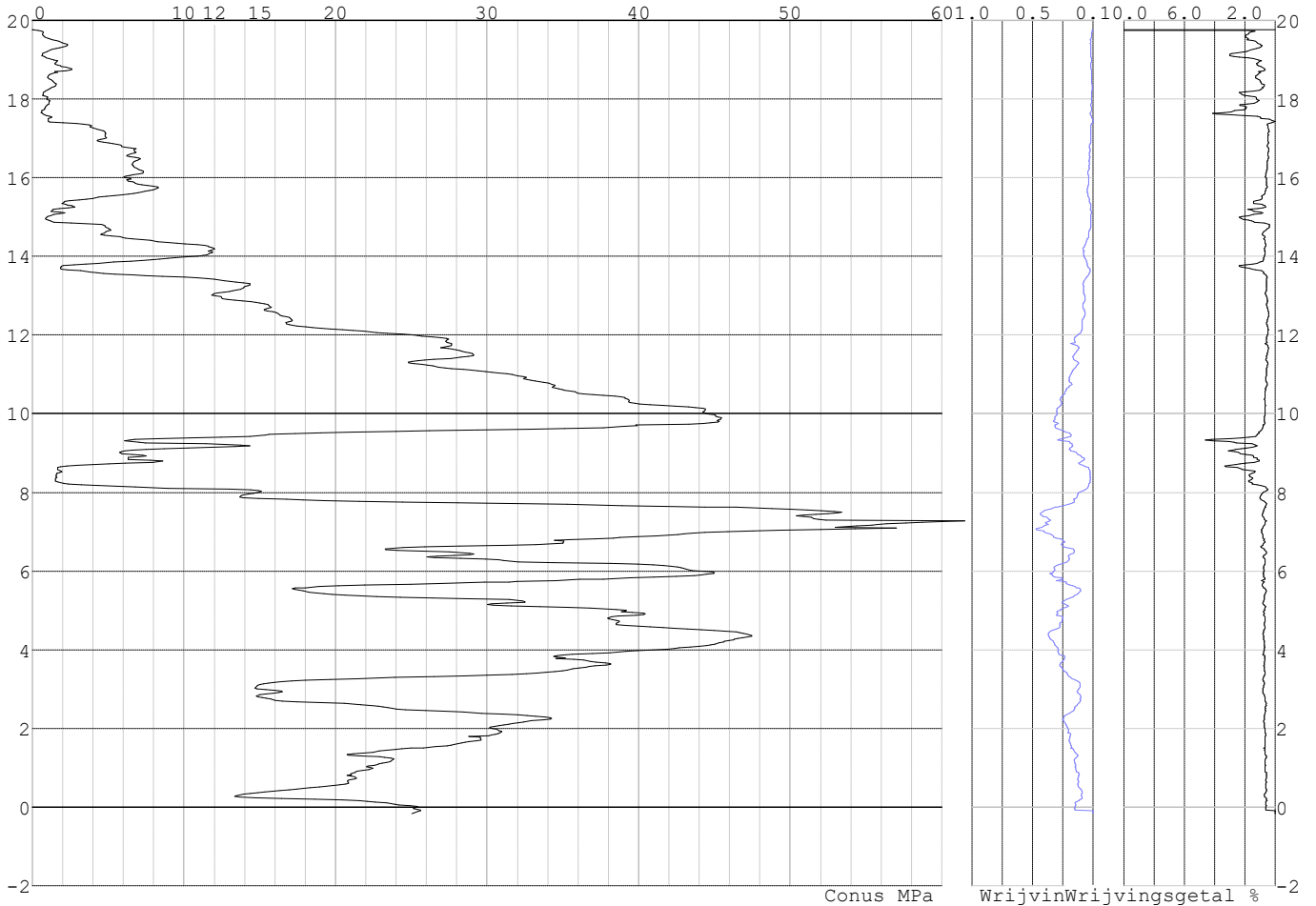


Project :
Onderdeel :

SONDERINGSGEGEVENS ALGEMEEN: S096-2

Alle niveaus/hogtes/peilmaten zijn t.o.v.: N.A.P.
Hoogte maaiveld [m] : 19.77 Bodemprofiel: S096-2
Traject negatieve kleeft : 19.77 tot 13.50 [m]
Traject positieve kleeft : 13.50 tot -0.17 [m]

SONDERINGSGEGEVENS GRAFIEK: S096-2

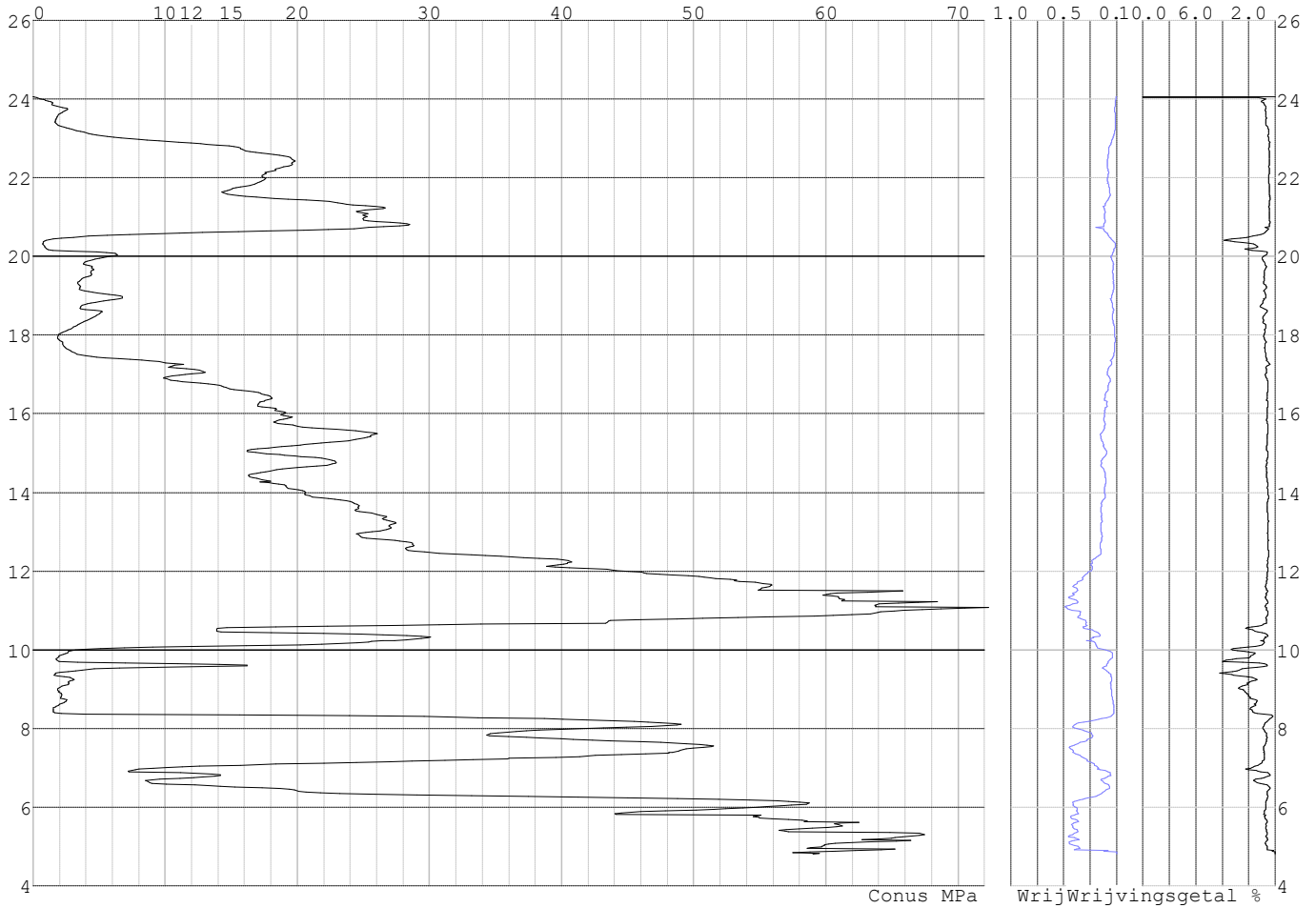


Project :
Onderdeel :

SONDERINGSGEGEVENS ALGEMEEN: S093-1

Alle niveaus/hogtes/peilmaten zijn t.o.v.: N.A.P.
Hoogte maaiveld [m] : 24.06 Bodemprofiel: S093-1
Traject negatieve kleeft : 24.06 tot 20.00 [m]
Traject positieve kleeft : 20.00 tot 4.79 [m]

SONDERINGSGEGEVENS GRAFIEK: S093-1

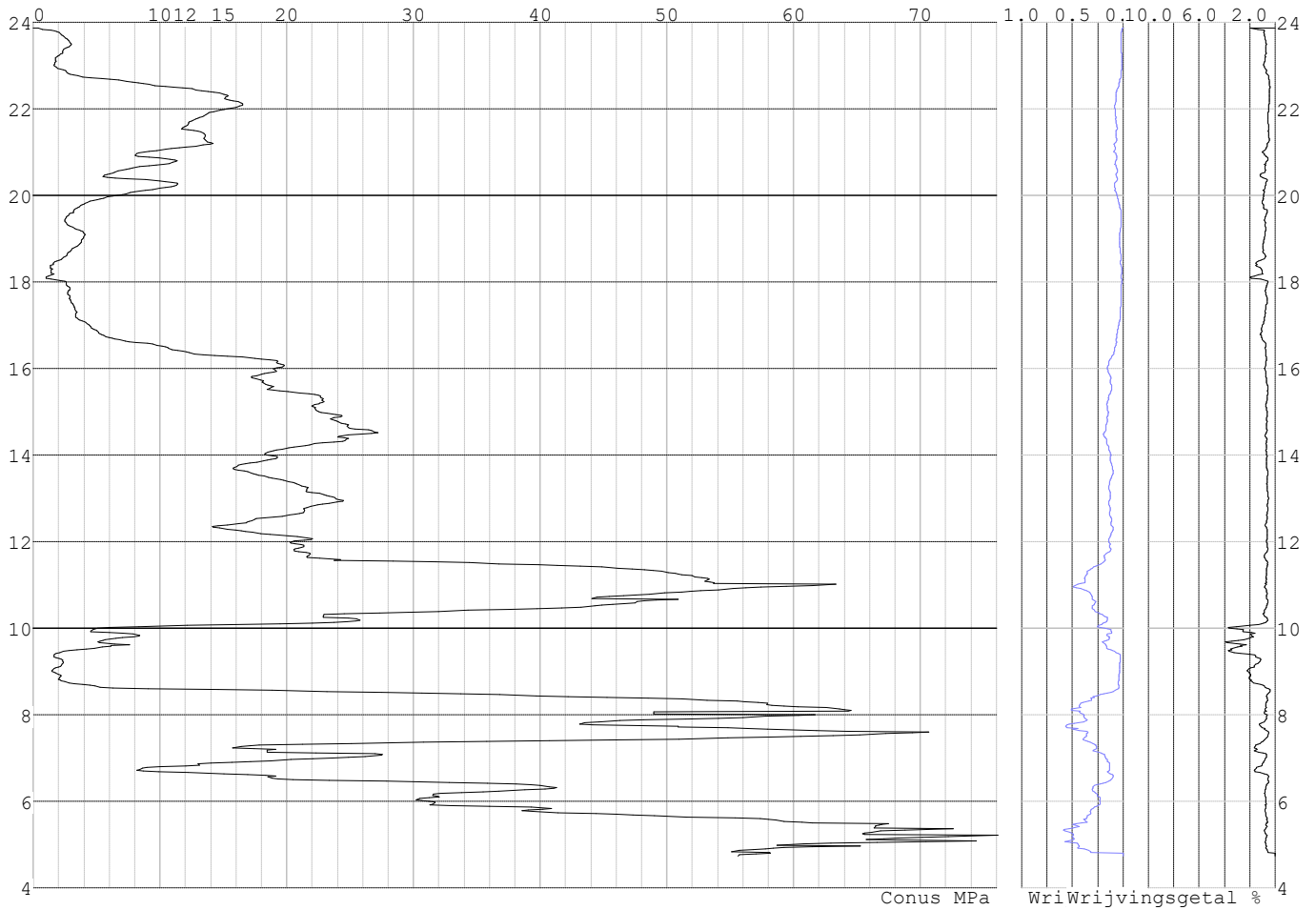


Project :
Onderdeel :

SONDERINGSGEGEVENS ALGEMEEN: S093-2

Alle niveaus/hogtes/peilmaten zijn t.o.v.: N.A.P.
Hoogte maaiveld [m] : 23.87 Bodemprofiel: S093-2
Traject negatieve kleeft : 23.87 tot 17.80 [m]
Traject positieve kleeft : 17.80 tot 4.73 [m]

SONDERINGSGEGEVENS GRAFIEK: S093-2

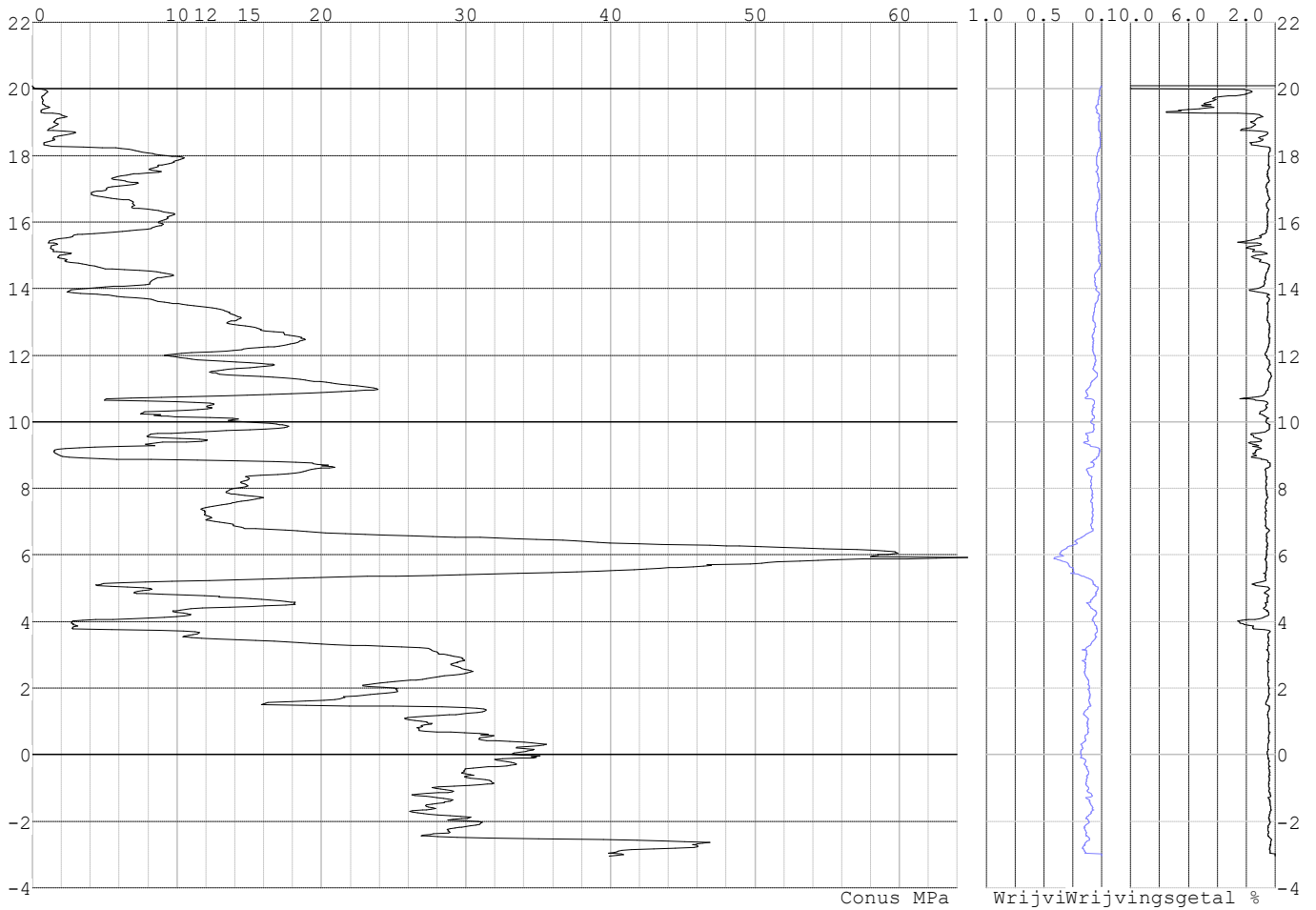


Project :
Onderdeel :

SONDERINGSGEGEVENS ALGEMEEN: S095-1

Alle niveaus/hogtes/peilmaten zijn t.o.v.: N.A.P.
Hoogte maaiveld [m] : 20.09 Bodemprofiel: S095-2
Traject negatieve kleeft : 20.09 tot 14.50 [m]
Traject positieve kleeft : 14.50 tot -3.06 [m]

SONDERINGSGEGEVENS GRAFIEK: S095-1

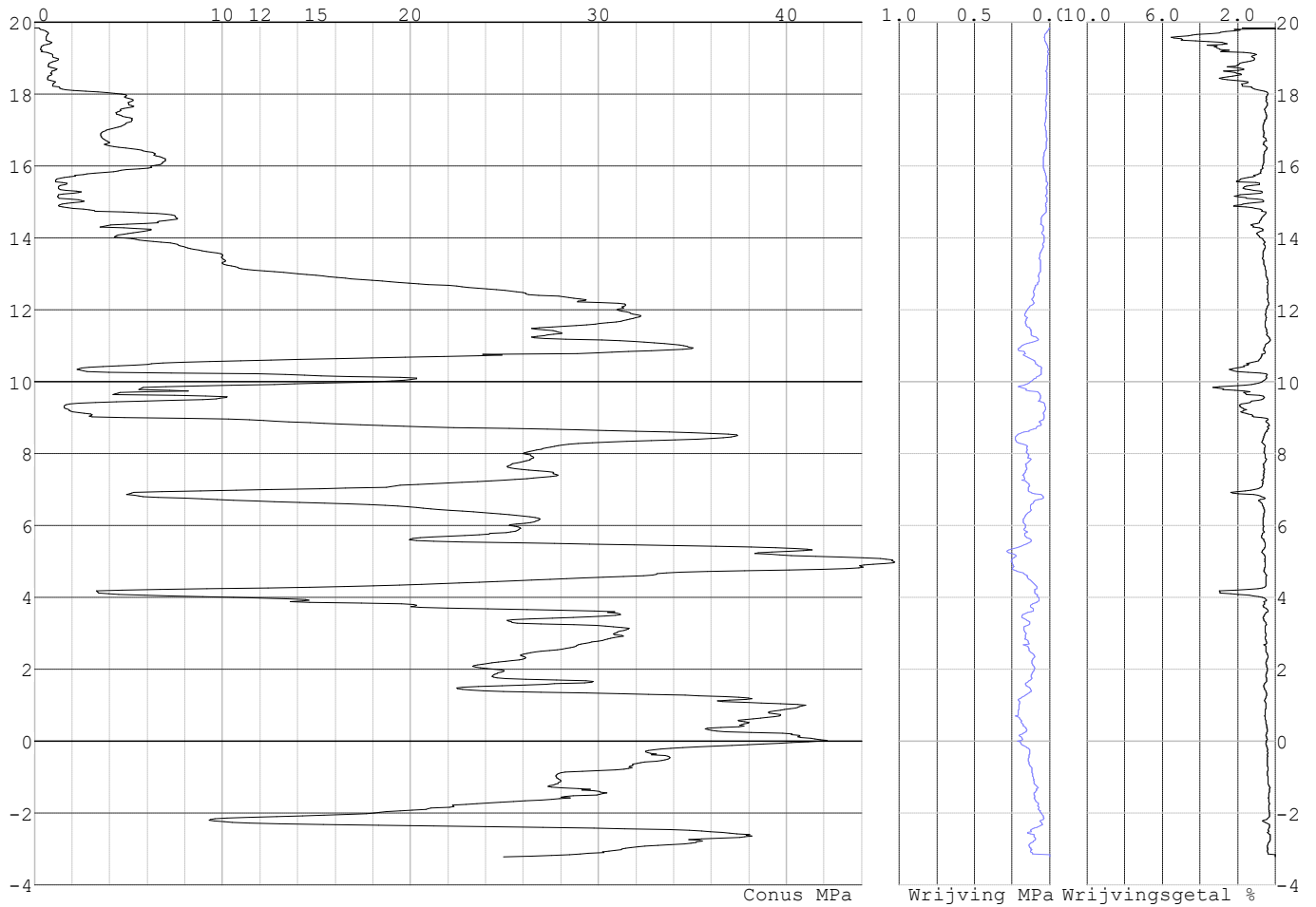


Project :
Onderdeel :

SONDERINGSGEGEVENS ALGEMEEN: S095-2

Alle niveaus/hogtes/peilmaten zijn t.o.v.: N.A.P.
Hoogte maaiveld [m] : 19.85 Bodemprofiel: S095-2
Traject negatieve kleeft : 19.85 tot 14.50 [m]
Traject positieve kleeft : 14.50 tot -3.22 [m]

SONDERINGSGEGEVENS GRAFIEK: S095-2

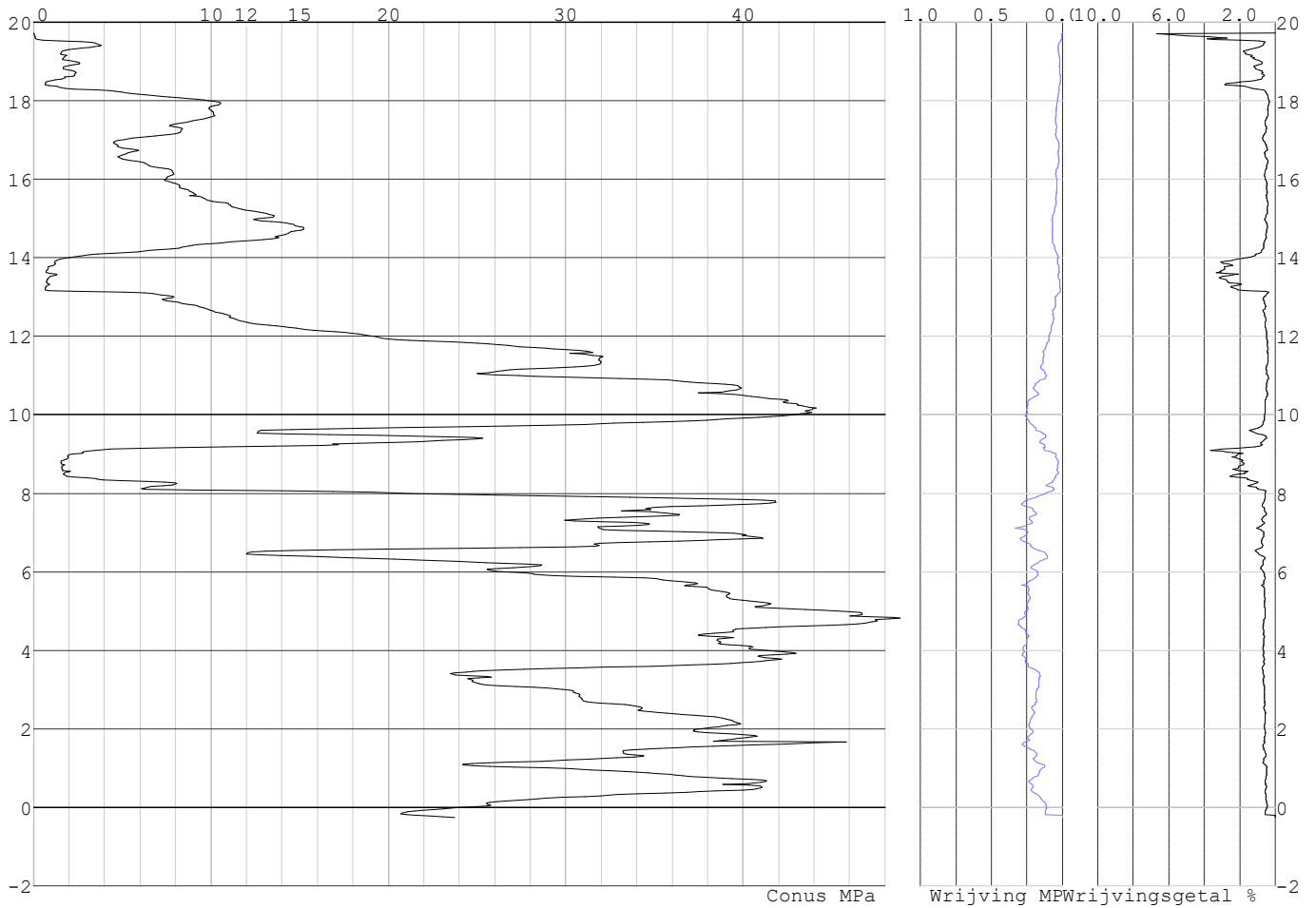


Project :
Onderdeel :

SONDERINGSGEGEVENS ALGEMEEN: S097-1

Alle niveaus/hogtes/peilmaten zijn t.o.v.: N.A.P.
Hoogte maaiveld [m] : 19.72 Bodemprofiel: S097-1
Traject negatieve kleeft : 19.72 tot 18.20 [m]
Traject positieve kleeft : 18.20 tot -0.26 [m]

SONDERINGSGEGEVENS GRAFIEK: S097-1

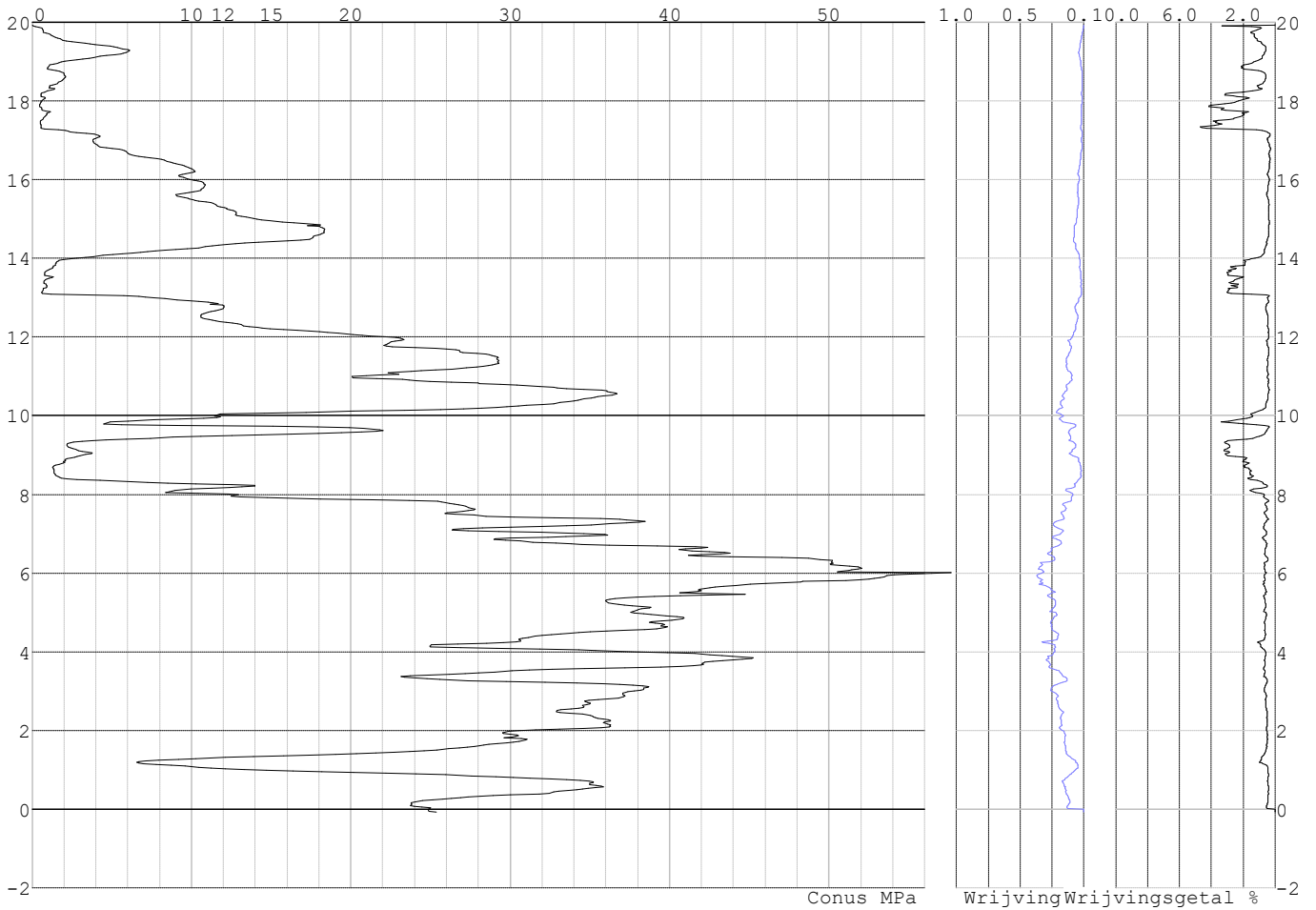


Project :
Onderdeel :

SONDERINGSGEGEVENS ALGEMEEN: S097-2

Alle niveaus/hogtes/peilmaten zijn t.o.v.: N.A.P.
Hoogte maaiveld [m] : 19.93 Bodemprofiel: S097-1
Traject negatieve kleeft : 19.93 tot 18.10 [m]
Traject positieve kleeft : 18.10 tot -0.07 [m]

SONDERINGSGEGEVENS GRAFIEK: S097-2

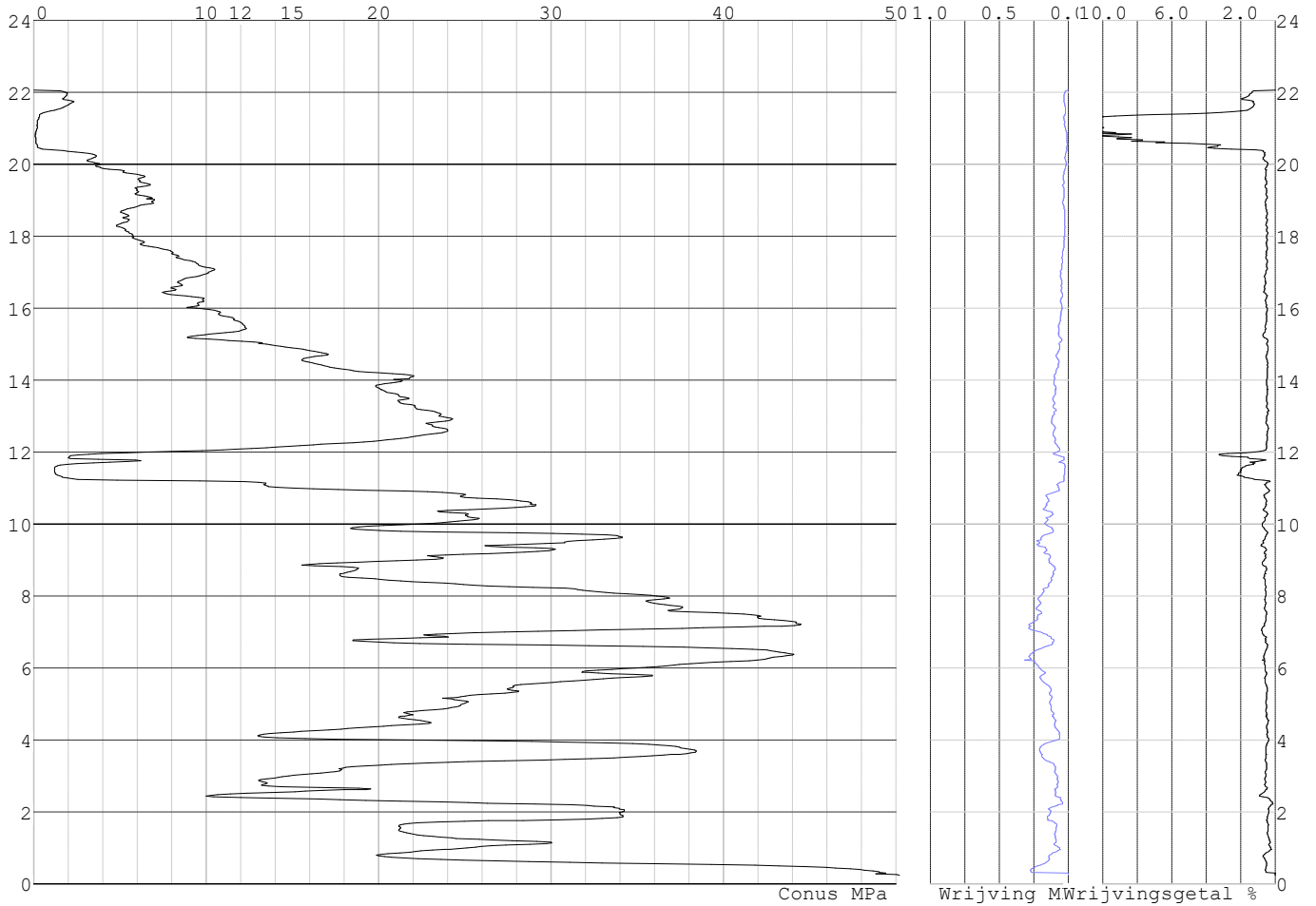


Project :
Onderdeel :

SONDERINGSGEGEVENS ALGEMEEN: S091-1

Alle niveaus/hoogtes/peilmaten zijn t.o.v.: N.A.P.
Hoogte maaiveld [m] : 22.06 Bodemprofiel: S091-1
Traject negatieve kleef : 22.06 tot 20.30 [m]
Traject positieve kleef : 20.30 tot 0.25 [m]

SONDERINGSGEGEVENS GRAFIEK: S091-1

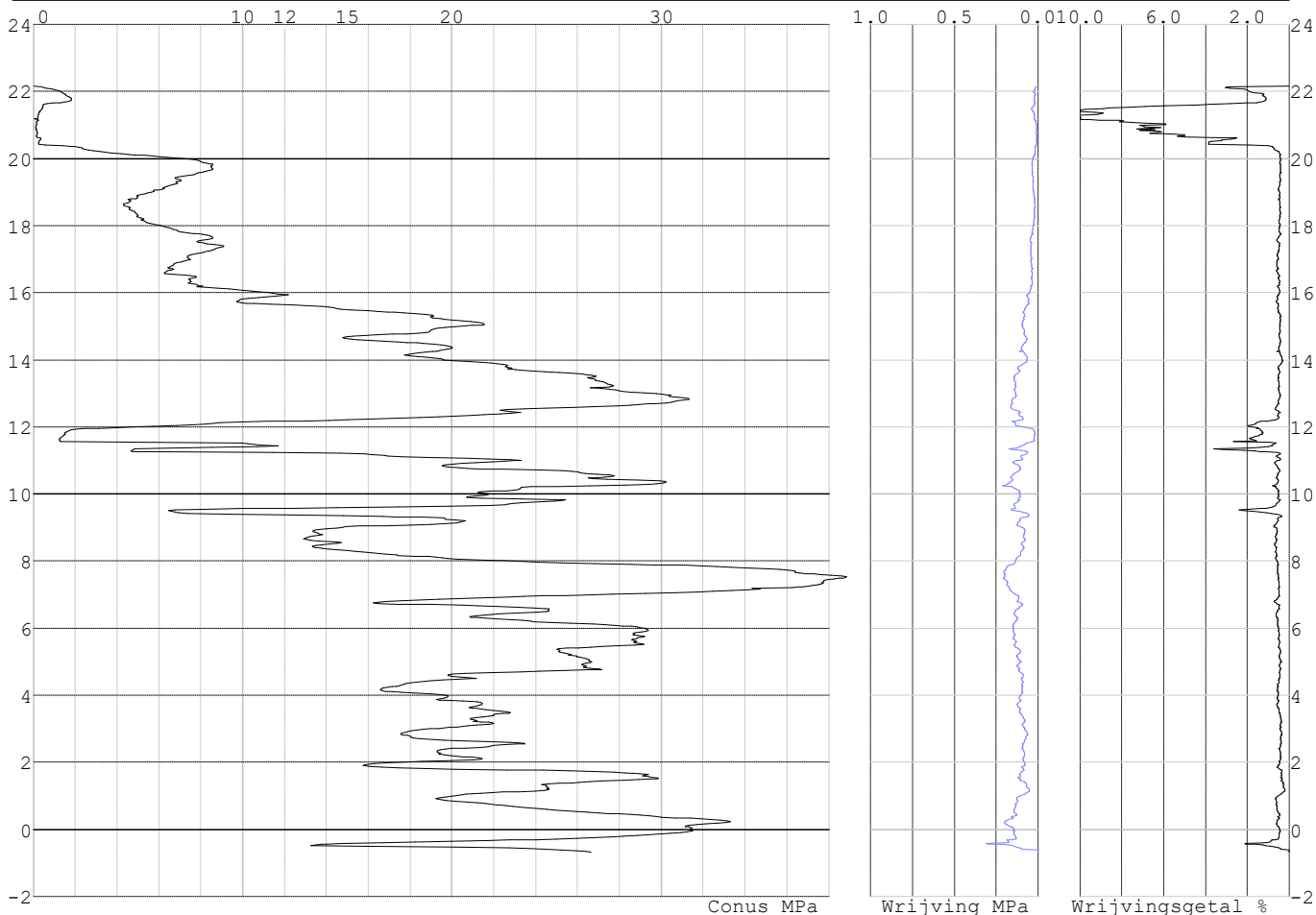


Project :
Onderdeel :

SONDERINGSGEGEVENS ALGEMEEN: S091-2

Alle niveaus/hoogtes/peilmaten zijn t.o.v.: N.A.P.
 Hoogte maaiveld [m] : 22.15 Bodemprofiel: S091-1
 Traject negatieve kleeft : 22.15 tot 20.20 [m]
 Traject positieve kleeft : 20.20 tot -0.67 [m]

SONDERINGSGEGEVENS GRAFIEK: S091-2



REKENGEGEVENS Mast 091

Berekening : Controlerend
 Rekenmethode : Trekpalen volgens NEN-EN 1997-1, art. 7.6.3
 Sondering(en) : S091-1, S091-2
 Let op: trekcapaciteit t.p.v. negatief kleefttraject is meegerekend.

Stijf bouwwerk : NEE
 Paalgroep : NEE
 Aantal sonderingen : 2
 Factor ξ_3 (n=1) : 1.39
 Factor ξ_3 (gem) : 1.32
 Factor ξ_4 (min) : 1.32
 Weerstandsfactor γ_R : 1.35
 $\gamma_{m;var;q_c}$: 1.50
 UGT draagvermogen zonder negatieve kleeft : NEE

Paal : LD1
 Niveau paalkop [m] : N.A.P. 22.35
 Paalpuntniveau : N.A.P. 9.35
 $E_{d,1}$ [kN] : 0.00 $E_{d,2}$ [kN] : 0.00
 Bovenbel. [kN/m²] : 0.00

RESULTATEN Mast 091 (n=1)

Project :
Onderdeel :

Sondering : S091-1

Alle niveaus/hogtes/peilmaten zijn t.o.v.: N.A.P.

Inheinniveau [m]	Effectief inheinniveau [m]	E.G. paal [kN]	$R_{t,cal;k}$ [kN]	$R_{t;d}$ [kN]	$F_{t,tot;1}$ [kN]	U.C.
9.35	9.35	39.6	545.7	545.7	0.0	0.00

Sondering : S091-2

Alle niveaus/hogtes/peilmaten zijn t.o.v.: N.A.P.

Inheinniveau [m]	Effectief inheinniveau [m]	E.G. paal [kN]	$R_{t,cal;k}$ [kN]	$R_{t;d}$ [kN]	$F_{t,tot;1}$ [kN]	U.C.
9.35	9.35	39.6	549.1	549.1	0.0	0.00

Project :
Onderdeel :

SAMENVATTINGSTABEL Mast 091 (n=1)**Uitgangspunten**

- paal : LD1
 - paaltype : Stalen buispaal (gesloten)
 - schachtafmeting : 550 mm
 Paalklassefactor α_p : 1.00
 Factor α_t (tabel 7.c EC 7.1) : 0.0070 (zandlagen; voor kleilagen zie tabel 7.d)
 Correlatiefactor $\xi_{3(n=1)}$: 1.39

Alle niveaus/hogtes/peilmaten zijn t.o.v.: N.A.P.

sondering	maaiveld paalpunt		Bezwijkdraagvermogen $R_{t,cal}$ [kN]	Rekenwaarden		
	niveau	niveau		$R_{t,d}$ [kN]	$R_{t,netto,d}$ [kN]	
S091-1	22.06	9.35	545.7	545.7	545.7	
S091-2	22.15	9.35	549.1	549.1	549.1	

Project :
Onderdeel :

SAMENVATTINGSTABEL Mast 091 (van 2 sonderingen)**Uitgangspunten**

- paal : LD1
 - paaltype : Stalen buispaal (gesloten)
 - schachtafmeting : 550 mm
 Paalklassefactor α_p : 1.00
 Factor α_t (tabel 7.c EC 7.1) : 0.0070 (zandlagen; voor kleilagen zie tabel 7.d)
 Correlatiefactor $\xi_{3gem}(n=2)$: 1.32
 Correlatiefactor $\xi_{4min}(n=2)$: 1.32

Alle niveaus/hogtes/peilmaten zijn t.o.v.: N.A.P.

sondering	maaiveld	paalpunt	Bezuikdraagvermogen
	niveau	niveau	E.G. paal $R_{t,cal}$
			[kN] [kN]

met ξ_3 (gem) = 1.32

S091-1	22.06	9.35	39.6	572.6
--------	-------	------	------	-------

S091-2	22.15	9.35	39.6	576.1
--------	-------	------	------	-------

		9.35	$R_{t,cal,gem}$	574.3
--	--	------	-----------------	-------

met ξ_4 (min) = 1.32

S091-1	22.06	9.35	39.6	572.6
--------	-------	------	------	-------

S091-2	22.15	9.35	39.6	576.1
--------	-------	------	------	-------

		9.35	$R_{t,cal,min}$	572.6
--	--	------	-----------------	-------

Totaal resultaten Mast 091 (van 2 sonderingen)

Uitgangspunten

Correlatiefactor $\xi_{3gem}(n=2)$: 1.32

Correlatiefactor $\xi_{4min}(n=2)$: 1.32

gebaseerd op sonderingen:

S091-1 S091-2

$R_{t,d} = \min. \{ R_{t,cal,gem}; R_{t,cal,min} \} (7.17) *$

Inheinniveau

[m]

9.35	$R_{t,d} = \min. \{ 574.3; 572.6 \} =$	572.6
------	--	-------

* Bij de trekpaalberekening zijn factoren ξ_3 en ξ_4 al bij de berekening van de conusweerstand $q_{c,z;d}$ in rekening gebracht, evenals factor $\gamma_{s;t}$. Dat is conform de opmerkingen in art. 7.6.3.3 (3) en (4).

Alle niveaus/hogtes/peilmaten zijn t.o.v.: N.A.P.

Inheinniveau	$R_{t,k}$	$R_{t,d}$	$F_{t,tot;1}$	$R_{t,netto;d}$	U.C.
[m]	[kN]	[kN]	[kN]	[kN]	
9.35	572.6	572.6	0.0	572.6	0.00

REKENGEGEVENS Mast 092

Berekening : Controlerend

Rekenmethode : Trekpalen volgens NEN-EN 1997-1, art. 7.6.3

Sondering(en) : S092-1, S092-2

Let op: trekcapaciteit t.p.v. negatief kleeftraject is meegerekend.

Stijf bouwwerk : NEE

Paalgroep : NEE

Aantal sonderingen : 2

Factor ξ_3 (n=1) : 1.39

Factor ξ_3 (gem) : 1.32

Factor ξ_4 (min) : 1.32

Weerstandsfactor γ_R : 1.35

$\gamma_{m,var;q_c}$: 1.50

UGT draagvermogen zonder negatieve kleef : NEE

Paal : LD1

Niveau paalkop [m] : N.A.P. 22.87

Paalpuntniveau : N.A.P. 11.87

$E_{d,1}$ [kN] : 0.00

Bovenbel. [kN/m²] : 0.00

$E_{d,2}$ [kN] : 0.00

Project :
Onderdeel :

RESULTATEN Mast 092 (n=1)**Sondering : S092-1**

Alle niveaus/hogtes/peilmaten zijn t.o.v.: N.A.P.

Inheinniveau [m]	Effectief inheinniveau [m]	E.G. paal [kN]	$R_{t,cal;k}$ [kN]	$R_{t;d}$ [kN]	$F_{t,tot;1}$ [kN]	U.C.
11.87	11.87	34.7	455.1	455.1	0.0	0.00

Sondering : S092-2

Alle niveaus/hogtes/peilmaten zijn t.o.v.: N.A.P.

Inheinniveau [m]	Effectief inheinniveau [m]	E.G. paal [kN]	$R_{t,cal;k}$ [kN]	$R_{t;d}$ [kN]	$F_{t,tot;1}$ [kN]	U.C.
11.87	11.87	34.7	457.1	457.1	0.0	0.00

Project :
Onderdeel :

SAMENVATTINGSTABEL Mast 092 (n=1)**Uitgangspunten**

- paal : LD1
 - paaltype : Stalen buispaal (gesloten)
 - schachtafmeting : 550 mm
 Paalklassefactor α_p : 1.00
 Factor α_t (tabel 7.c EC 7.1) : 0.0070 (zandlagen; voor kleilagen zie tabel 7.d)
 Correlatiefactor $\xi_{3(n=1)}$: 1.39

Alle niveaus/hogtes/peilmaten zijn t.o.v.: N.A.P.

sondering	maaiveld paalpunt		Bezwijkdraagvermogen $R_{t,cal}$ [kN]	Rekenwaarden		
	niveau	niveau		$R_{t;d}$ [kN]	$R_{t,netto;d}$ [kN]	
S092-1	22.28	11.87	455.1	455.1	455.1	
S092-2	22.28	11.87	457.1	457.1	457.1	

Project :
Onderdeel :

SAMENVATTINGSTABEL Mast 092 (van 2 sonderingen)**Uitgangspunten**

- paal : LD1
- paaltype : Stalen buispaal (gesloten)
- schachtafmeting : 550 mm
Paalklassefactor α_p : 1.00
Factor α_t (tabel 7.c EC 7.1) : 0.0070 (zandlagen; voor kleilagen zie tabel 7.d)
Correlatiefactor $\xi_{3gem}(n=2)$: 1.32
Correlatiefactor $\xi_{4min}(n=2)$: 1.32

Alle niveaus/hogtes/peilmaten zijn t.o.v.: N.A.P.

sondering	maaiveld	paalpunt	Bezwijkdraagvermogen	
	niveau	niveau	E.G. paal	$R_{t,cal}$
			[kN]	[kN]

met ξ_3 (gem) = 1.32

S092-1	22.28	11.87	34.7	477.4
--------	-------	-------	------	-------

S092-2	22.28	11.87	34.7	479.5
--------	-------	-------	------	-------

		11.87	$R_{t,cal,gem}$	478.4
--	--	-------	-----------------	-------

met ξ_4 (min) = 1.32

S092-1	22.28	11.87	34.7	477.4
--------	-------	-------	------	-------

S092-2	22.28	11.87	34.7	479.5
--------	-------	-------	------	-------

		11.87	$R_{t,cal,min}$	477.4
--	--	-------	-----------------	-------

Totaal resultaten Mast 092 (van 2 sonderingen)

Uitgangspunten

Correlatiefactor $\xi_{3gem}(n=2)$: 1.32

Correlatiefactor $\xi_{4min}(n=2)$: 1.32

gebaseerd op sonderingen:

S092-1 S092-2

$R_{t,d} = \min. \{ R_{t,cal,gem}; R_{t,cal,min} \} (7.17) *$

Inheinniveau

[m]

11.87	$R_{t,d} = \min. \{ 478.4; 477.4 \} =$	477.4
-------	--	-------

*) Bij de trekpaalberekening zijn factoren ξ_3 en ξ_4 al bij de berekening van de conusweerstand $q_{c;z,d}$ in rekening gebracht, evenals factor $\gamma_{s;t}$. Dat is conform de opmerkingen in art. 7.6.3.3 (3) en (4).

Alle niveaus/hogtes/peilmaten zijn t.o.v.: N.A.P.

Inheinniveau	$R_{t,k}$	$R_{t,d}$	$F_{t,tot;1}$	$R_{t,netto;d}$	U.C.
[m]	[kN]	[kN]	[kN]	[kN]	
11.87	477.4	477.4	0.0	477.4	0.00

REKENGEGEVENS Mast 093

Berekening : Controlerend

Rekenmethode : Trekpalen volgens NEN-EN 1997-1, art. 7.6.3

Sondering(en) : S093-1, S093-2

Let op: trekcapaciteit t.p.v. negatief kleeftraject is meegerekend.

Stijf bouwwerk : NEE

Paalgroep : NEE

Aantal sonderingen : 2

Factor ξ_3 (n=1) : 1.39

Factor ξ_3 (gem) : 1.32

Factor ξ_4 (min) : 1.32

Weerstandsfactor γ_R : 1.35

$\gamma_{m,var;q_c}$: 1.50

UGT draagvermogen zonder negatieve kleef : NEE

Paal : LD1

Niveau paalkop [m] : N.A.P. 24.38

Paalpuntniveau : N.A.P. 15.38

$E_{d,1}$ [kN] : 0.00

Bovenbel. [kN/m²] : 0.00

$E_{d,2}$ [kN] : 0.00

Project :
Onderdeel :

RESULTATEN Mast 093 (n=1)**Sondering : S093-1**

Alle niveaus/hogtes/peilmaten zijn t.o.v.: N.A.P.

Inheinniveau [m]	Effectief inheinniveau [m]	E.G. paal [kN]	$R_{t,cal;k}$ [kN]	$R_{t;d}$ [kN]	$F_{t,tot;1}$ [kN]	U.C.
15.38	15.38	28.4	348.2	348.2	0.0	0.00

Sondering : S093-2

Alle niveaus/hogtes/peilmaten zijn t.o.v.: N.A.P.

Inheinniveau [m]	Effectief inheinniveau [m]	E.G. paal [kN]	$R_{t,cal;k}$ [kN]	$R_{t;d}$ [kN]	$F_{t,tot;1}$ [kN]	U.C.
15.38	15.38	28.9	277.2	277.2	0.0	0.00

Project :
Onderdeel :

SAMENVATTINGSTABEL Mast 093 (n=1)**Uitgangspunten**

- paal : LD1
 - paaltype : Stalen buispaal (gesloten)
 - schachtafmeting : 550 mm
 Paalklassefactor α_p : 1.00
 Factor α_t (tabel 7.c EC 7.1) : 0.0070 (zandlagen; voor kleilagen zie tabel 7.d)
 Correlatiefactor $\xi_{3(n=1)}$: 1.39

Alle niveaus/hogtes/peilmaten zijn t.o.v.: N.A.P.

sondering	maaiveld paalpunt		Bezwijkdraagvermogen $R_{t,cal}$ [kN]	Rekenwaarden	
	niveau	niveau		$R_{t,d}$ [kN]	$R_{t,netto,d}$ [kN]
S093-1	24.06	15.38	348.2	348.2	348.2
S093-2	23.87	15.38	277.2	277.2	277.2

Project :
Onderdeel :

SAMENVATTINGSTABEL Mast 093 (van 2 sonderingen)

Uitgangspunten

- paal : LD1
 - paaltype : Stalen buispaal (gesloten)
 - schachtafmeting : 550 mm
 Paalklassefactor α_p : 1.00
 Factor α_t (tabel 7.c EC 7.1) : 0.0070 (zandlagen; voor kleilagen zie tabel 7.d)
 Correlatiefactor $\xi_{3gem}(n=2)$: 1.32
 Correlatiefactor $\xi_{4min}(n=2)$: 1.32

Alle niveaus/hogtes/peilmaten zijn t.o.v.: N.A.P.

sondering	maaiveld paalpunt		Bezuikdraagvermogen	
	niveau	niveau	E.G. paal	$R_{t,cal}$
			[kN]	[kN]

met ξ_3 (gem) = 1.32

S093-1	24.06	15.38	28.4	365.2
S093-2	23.87	15.38	28.4	290.3

	15.38	$R_{t,cal,gem}$	327.7
--	-------	-----------------	-------

met ξ_4 (min) = 1.32

S093-1	24.06	15.38	28.4	365.2
S093-2	23.87	15.38	28.4	290.3

	15.38	$R_{t,cal,min}$	290.3
--	-------	-----------------	-------

Totaal resultaten Mast 093 (van 2 sonderingen)

Uitgangspunten

Correlatiefactor $\xi_{3gem}(n=2)$: 1.32
 Correlatiefactor $\xi_{4min}(n=2)$: 1.32

gebaseerd op sonderingen:
S093-1 S093-2

$$R_{t,d} = \min. \{ R_{t,cal,gem}; R_{t,cal,min} \} (7.17) *$$

Inheinniveau
[m]

15.38	$R_{t,d} = \min. \{ 327.7; 290.3 \} = 290.3$
-------	--

* Bij de trekpaalberekening zijn factoren ξ_3 en ξ_4 al bij de berekening van de conusweerstand $q_{c;z;d}$ in rekening gebracht, evenals factor $\gamma_{s;t}$. Dat is conform de opmerkingen in art. 7.6.3.3 (3) en (4).

Alle niveaus/hogtes/peilmaten zijn t.o.v.: N.A.P.

Inheinniveau	$R_{t,k}$	$R_{t,d}$	$F_{t,tot;1}$	$R_{t,netto;d}$	U.C.
[m]	[kN]	[kN]	[kN]	[kN]	
15.38	290.3	290.3	0.0	290.3	0.00 *

* WAARSCHUWING n.a.v. NEN-NA 1997-1 art. A.3.3.3 1)

Bij toepassing van de waarden van ξ_1 , ξ_2 , ξ_3 en ξ_4 van de tabellen A.9 en A.10 mag de variatiecoëfficiënt van de draagkracht van palen in een groep, bepaald volgens de verschillende voor deze groep geldende sonderingen, niet groter zijn dan 12%. Deze variatiecoëfficiënt van 12% geeft bij een kans van onderschrijding van 5% een minimumdraagkracht groter dan 80% van het gemiddelde.

Inheinniveau	Aantal	$R_{t,cal,gem}$	Var.coëff.
[m]	[-]	[kN]	[%]
15.38	2	327.74	16.1

Project :
Onderdeel :

REKENGEDEVENS Mast 094

Berekening : Controlerend
Rekenmethode : Trekpalen volgens NEN-EN 1997-1, art. 7.6.3
Sondering(en) : S094-1, S094-2
Let op: trekcapaciteit t.p.v. negatief kleeftraject is meegerekend.

Stijf bouwwerk : NEE
Paalgroep : NEE
Aantal sonderingen : 2
Factor ξ_3 (n=1) : 1.39
Factor ξ_3 (gem) : 1.32
Factor ξ_4 (min) : 1.32
Weerstandsfactor γ_R : 1.35
 $\gamma_{m,var;q,c}$: 1.50
UGT draagvermogen zonder negatieve kleeft : NEE

Paal : LD1
Niveau paalkop [m] : N.A.P. 20.93
Paalpuntniveau : N.A.P. 11.43
 $E_{d,1}$ [kN] : 0.00 $E_{d,2}$ [kN] : 0.00
Bovenbel. [kN/m²] : 0.00

RESULTATEN Mast 094 (n=1)**Sondering : S094-1**

Alle niveaus/hogtes/peilmaten zijn t.o.v.: N.A.P.

Inheinniveau [m]	Effectief inheinniveau [m]	E.G. paal [kN]	$R_{t,cal;k}$ [kN]	$R_{t;d}$ [kN]	$F_{t,tot;1}$ [kN]	U.C.
11.43	11.43	30.0	393.2	393.2	0.0	0.00

Sondering : S094-2

Alle niveaus/hogtes/peilmaten zijn t.o.v.: N.A.P.

Inheinniveau [m]	Effectief inheinniveau [m]	E.G. paal [kN]	$R_{t,cal;k}$ [kN]	$R_{t;d}$ [kN]	$F_{t,tot;1}$ [kN]	U.C.
11.43	11.43	30.1	374.8	374.8	0.0	0.00

Project :
Onderdeel :

SAMENVATTINGSTABEL Mast 094 (n=1)**Uitgangspunten**

- paal : LD1
 - paaltype : Stalen buispaal (gesloten)
 - schachtafmeting : 550 mm
 Paalklassefactor α_p : 1.00
 Factor α_t (tabel 7.c EC 7.1) : 0.0070 (zandlagen; voor kleilagen zie tabel 7.d)
 Correlatiefactor $\xi_{3(n=1)}$: 1.39

Alle niveaus/hogtes/peilmaten zijn t.o.v.: N.A.P.

sondering	maaiveld paalpunt		Bezwijkdraagvermogen $R_{t,cal}$ [kN]	Rekenwaarden	
	niveau	niveau		$R_{t,d}$ [kN]	$R_{t,netto,d}$ [kN]
S094-1	20.53	11.43	393.2	393.2	393.2
S094-2	20.50	11.43	374.8	374.8	374.8

Project :
Onderdeel :

SAMENVATTINGSTABEL Mast 094 (van 2 sonderingen)**Uitgangspunten**

- paal : LD1
 - paaltype : Stalen buispaal (gesloten)
 - schachtafmeting : 550 mm
 Paalklassefactor α_p : 1.00
 Factor α_t (tabel 7.c EC 7.1) : 0.0070 (zandlagen; voor kleilagen zie tabel 7.d)
 Correlatiefactor $\xi_{3gem}(n=2)$: 1.32
 Correlatiefactor $\xi_{4min}(n=2)$: 1.32

Alle niveaus/hogtes/peilmaten zijn t.o.v.: N.A.P.

sondering	maaiveld	paalpunt	Bezuikdraagvermogen
	niveau	niveau	E.G. paal $R_{t,cal}$
			[kN] [kN]

met ξ_3 (gem) = 1.32

S094-1	20.53	11.43	30.0	412.5
--------	-------	-------	------	-------

S094-2	20.50	11.43	30.0	393.1
--------	-------	-------	------	-------

		11.43	$R_{t,cal,gem}$	402.8
--	--	-------	-----------------	-------

met ξ_4 (min) = 1.32

S094-1	20.53	11.43	30.0	412.5
--------	-------	-------	------	-------

S094-2	20.50	11.43	30.0	393.1
--------	-------	-------	------	-------

		11.43	$R_{t,cal,min}$	393.1
--	--	-------	-----------------	-------

Totaal resultaten Mast 094 (van 2 sonderingen)

Uitgangspunten

Correlatiefactor $\xi_{3gem}(n=2)$: 1.32

Correlatiefactor $\xi_{4min}(n=2)$: 1.32

gebaseerd op sonderingen:

S094-1 S094-2

$R_{t,d} = \min. \{ R_{t,cal,gem}; R_{t,cal,min} \} (7.17) *$

Inheinniveau

[m]

11.43	$R_{t,d} = \min. \{ 402.8; 393.1 \} =$	393.1
-------	--	-------

*) Bij de trekpaalberekening zijn factoren ξ_3 en ξ_4 al bij de berekening van de conusweerstand $q_{c,z;d}$ in rekening gebracht, evenals factor $\gamma_{s;t}$. Dat is conform de opmerkingen in art. 7.6.3.3 (3) en (4).

Alle niveaus/hogtes/peilmaten zijn t.o.v.: N.A.P.

Inheinniveau	$R_{t,k}$	$R_{t,d}$	$F_{t,tot;1}$	$R_{t,netto;d}$	U.C.
[m]	[kN]	[kN]	[kN]	[kN]	
11.43	393.1	393.1	0.0	393.1	0.00

REKENGEGEVENS Mast 095

Berekening : Controlerend

Rekenmethode : Trekpalen volgens NEN-EN 1997-1, art. 7.6.3

Sondering(en) : S095-1, S095-2

Let op: trekcapaciteit t.p.v. negatief kleeftraject is meegerekend.

Stijf bouwwerk : NEE

Paalgroep : NEE

Aantal sonderingen : 2

Factor ξ_3 (n=1) : 1.39

Factor ξ_3 (gem) : 1.32

Factor ξ_4 (min) : 1.32

Weerstandsfactor γ_R : 1.35

$\gamma_{m,var;q_c}$: 1.50

UGT draagvermogen zonder negatieve kleef : NEE

Paal : LD1

Niveau paalkop [m] : N.A.P. 20.40

Paalpuntniveau : N.A.P. 7.40

$E_{d,1}$ [kN] : 0.00

Bovenbel. [kN/m²] : 0.00

$E_{d,2}$ [kN] : 0.00

Project :
Onderdeel :

RESULTATEN Mast 095 (n=1)**Sondering : S095-1**

Alle niveaus/hogtes/peilmaten zijn t.o.v.: N.A.P.

Inheinniveau [m]	Effectief inheinniveau [m]	E.G. paal [kN]	$R_{t,cal;k}$ [kN]	$R_{t;d}$ [kN]	$F_{t,tot;1}$ [kN]	U.C.
7.40	7.40	40.2	548.5	548.5	0.0	0.00

Sondering : S095-2

Alle niveaus/hogtes/peilmaten zijn t.o.v.: N.A.P.

Inheinniveau [m]	Effectief inheinniveau [m]	E.G. paal [kN]	$R_{t,cal;k}$ [kN]	$R_{t;d}$ [kN]	$F_{t,tot;1}$ [kN]	U.C.
7.40	7.40	40.2	505.3	505.3	0.0	0.00

Project :
Onderdeel :

SAMENVATTINGSTABEL Mast 095 (n=1)**Uitgangspunten**

- paal : LD1
 - paaltype : Stalen buispaal (gesloten)
 - schachtafmeting : 550 mm
 Paalklassefactor α_p : 1.00
 Factor α_t (tabel 7.c EC 7.1) : 0.0070 (zandlagen; voor kleilagen zie tabel 7.d)
 Correlatiefactor $\xi_{3(n=1)}$: 1.39

Alle niveaus/hogtes/peilmaten zijn t.o.v.: N.A.P.

sondering	maaiveld paalpunt		Bezwijkdraagvermogen $R_{t,cal}$ [kN]	Rekenwaarden		
	niveau	niveau		$R_{t,d}$ [kN]	$R_{t,netto,d}$ [kN]	
S095-1	20.09	7.40	548.5	548.5	548.5	
S095-2	19.85	7.40	505.3	505.3	505.3	

Project :
Onderdeel :

SAMENVATTINGSTABEL Mast 095 (van 2 sonderingen)**Uitgangspunten**

- paal : LD1
 - paaltype : Stalen buispaal (gesloten)
 - schachtafmeting : 550 mm
 Paalklassefactor α_p : 1.00
 Factor α_t (tabel 7.c EC 7.1) : 0.0070 (zandlagen; voor kleilagen zie tabel 7.d)
 Correlatiefactor $\xi_{3gem}(n=2)$: 1.32
 Correlatiefactor $\xi_{4min}(n=2)$: 1.32

Alle niveaus/hogtes/peilmaten zijn t.o.v.: N.A.P.

sondering	maaiveld	paalpunt	Bezuikdraagvermogen
	niveau	niveau	E.G. paal $R_{t,cal}$
			[kN] [kN]

met ξ_3 (gem) = 1.32

S095-1	20.09	7.40	40.2	575.4
--------	-------	------	------	-------

S095-2	19.85	7.40	40.2	529.9
--------	-------	------	------	-------

		7.40	$R_{t,cal,gem}$	552.7
--	--	------	-----------------	-------

met ξ_4 (min) = 1.32

S095-1	20.09	7.40	40.2	575.4
--------	-------	------	------	-------

S095-2	19.85	7.40	40.2	529.9
--------	-------	------	------	-------

		7.40	$R_{t,cal,min}$	529.9
--	--	------	-----------------	-------

Totaal resultaten Mast 095 (van 2 sonderingen)**Uitgangspunten**

Correlatiefactor $\xi_{3gem}(n=2)$: 1.32

Correlatiefactor $\xi_{4min}(n=2)$: 1.32

gebaseerd op sonderingen:

S095-1 S095-2

$R_{t,d} = \min. \{ R_{t,cal,gem}; R_{t,cal,min} \} (7.17) *$

Inheinniveau

[m]

7.40	$R_{t,d} = \min. \{ 552.7; 529.9 \} = 529.9$
------	--

* Bij de trekpaalberekening zijn factoren ξ_3 en ξ_4 al bij de berekening van de conusweerstand $q_{c,z;d}$ in rekening gebracht, evenals factor $\gamma_{s;t}$. Dat is conform de opmerkingen in art. 7.6.3.3 (3) en (4).

Alle niveaus/hogtes/peilmaten zijn t.o.v.: N.A.P.

Inheinniveau	$R_{t,k}$	$R_{t,d}$	$F_{t,tot;1}$	$R_{t,netto;d}$	U.C.
[m]	[kN]	[kN]	[kN]	[kN]	
7.40	529.9	529.9	0.0	529.9	0.00

REKENGEGEVENS Mast 096

Berekening : Controlerend

Rekenmethode : Trekpalen volgens NEN-EN 1997-1, art. 7.6.3

Sondering(en) : S096-1, S096-2

Let op: trekcapaciteit t.p.v. negatief kleeftraject is meegerekend.

Stijf bouwwerk : NEE

Paalgroep : NEE

Aantal sonderingen : 2

Factor ξ_3 (n=1) : 1.39

Factor ξ_3 (gem) : 1.32

Factor ξ_4 (min) : 1.32

Weerstandsfactor γ_R : 1.35

$\gamma_{m,var;q_c}$: 1.50

UGT draagvermogen zonder negatieve kleeft : NEE

Paal : LD1

Niveau paalkop [m] : N.A.P. 20.43

Paalpuntniveau : N.A.P. 10.43

$E_{d,1}$ [kN] : 0.00

Bovenbel. [kN/m²] : 0.00

$E_{d,2}$ [kN] : 0.00

Project :
Onderdeel :

RESULTATEN Mast 096 (n=1)**Sondering : S096-1**

Alle niveaus/hogtes/peilmaten zijn t.o.v.: N.A.P.

Inheinniveau [m]	Effectief inheinniveau [m]	E.G. paal [kN]	$R_{t,cal;k}$ [kN]	$R_{t;d}$ [kN]	$F_{t,tot;1}$ [kN]	U.C.
10.43	10.43	31.5	385.4	385.4	0.0	0.00

Sondering : S096-2

Alle niveaus/hogtes/peilmaten zijn t.o.v.: N.A.P.

Inheinniveau [m]	Effectief inheinniveau [m]	E.G. paal [kN]	$R_{t,cal;k}$ [kN]	$R_{t;d}$ [kN]	$F_{t,tot;1}$ [kN]	U.C.
10.43	10.43	32.0	345.8	345.8	0.0	0.00

Project :
Onderdeel :

SAMENVATTINGSTABEL Mast 096 (n=1)

Uitgangspunten

- paal : LD1
 - paaltype : Stalen buispaal (gesloten)
 - schachtafmeting : 550 mm
 Paalklassefactor α_p : 1.00
 Factor α_t (tabel 7.c EC 7.1) : 0.0070 (zandlagen; voor kleilagen zie tabel 7.d)
 Correlatiefactor $\xi_{3(n=1)}$: 1.39

Alle niveaus/hogtes/peilmaten zijn t.o.v.: N.A.P.

sondering	maaiveld paalpunt		Bezwijkdraagvermogen $R_{t,cal}$ [kN]	Rekenwaarden	
	niveau	niveau		$R_{t,d}$ [kN]	$R_{t,netto,d}$ [kN]
S096-1	19.99	10.43	385.4	385.4	385.4
S096-2	19.77	10.43	345.8	345.8	345.8

Project :
Onderdeel :

SAMENVATTINGSTABEL Mast 096 (van 2 sonderingen)**Uitgangspunten**

- paal : LD1
- paaltype : Stalen buispaal (gesloten)
- schachtafmeting : 550 mm
Paalklassefactor α_p : 1.00
Factor α_t (tabel 7.c EC 7.1) : 0.0070 (zandlagen; voor kleilagen zie tabel 7.d)
Correlatiefactor $\xi_{3gem}(n=2)$: 1.32
Correlatiefactor $\xi_{4min}(n=2)$: 1.32

Alle niveaus/hogtes/peilmaten zijn t.o.v.: N.A.P.

sondering	maaiveld paalpunt		Bezwijkdraagvermogen	
	niveau	niveau	E.G. paal	$R_{t,cal}$
			[kN]	[kN]

met ξ_3 (gem) = 1.32

S096-1	19.99	10.43	31.5	404.2
S096-2	19.77	10.43	31.5	362.4

		10.43	$R_{t,cal,gem}$	383.3
--	--	-------	-----------------	-------

met ξ_4 (min) = 1.32

S096-1	19.99	10.43	31.5	404.2
S096-2	19.77	10.43	31.5	362.4

		10.43	$R_{t,cal,min}$	362.4
--	--	-------	-----------------	-------

Totaal resultaten Mast 096 (van 2 sonderingen)

Uitgangspunten

Correlatiefactor $\xi_{3gem}(n=2)$: 1.32
Correlatiefactor $\xi_{4min}(n=2)$: 1.32

gebaseerd op sonderingen:
S096-1 S096-2

$R_{t,d} = \min.\{ R_{t,cal,gem}; R_{t,cal,min} \}$ (7.17) *)

Inheinniveau
[m]

10.43	$R_{t,d} = \min.\{ 383.3; 362.4 \} =$	362.4
-------	---------------------------------------	-------

*) Bij de trekpaalberekening zijn factoren ξ_3 en ξ_4 al bij de berekening van de conusweerstand $q_{c,z;d}$ in rekening gebracht, evenals factor $\gamma_{s;t}$. Dat is conform de opmerkingen in art. 7.6.3.3 (3) en (4).

Alle niveaus/hogtes/peilmaten zijn t.o.v.: N.A.P.

Inheinniveau	$R_{t,k}$	$R_{t,d}$	$F_{t,tot;1}$	$R_{t,netto;d}$	U.C.
[m]	[kN]	[kN]	[kN]	[kN]	
10.43	362.4	362.4	0.0	362.4	0.00

REKENGEGEVENS Mast 097

Berekening : Controlerend
Rekenmethode : Trekpalen volgens NEN-EN 1997-1, art. 7.6.3
Sondering(en) : S097-1, S097-2
Let op: trekcapaciteit t.p.v. negatief kleeftraject is meegerekend.

Stijf bouwwerk : NEE
Paalgroep : NEE
Aantal sonderingen : 2
Factor ξ_3 (n=1) : 1.39
Factor ξ_3 (gem) : 1.32
Factor ξ_4 (min) : 1.32
Weerstandsfactor γ_R : 1.35
 $\gamma_{m,var;q_c}$: 1.50
UGT draagvermogen zonder negatieve kleef : NEE

Paal : LD1
Niveau paalkop [m] : N.A.P. 20.20
Paalpuntniveau : N.A.P. 10.20
 $E_{d,1}$ [kN] : 0.00
Bovenbel. [kN/m²] : 0.00

$E_{d,2}$ [kN] : 0.00

Project :
Onderdeel :

RESULTATEN Mast 097 (n=1)**Sondering : S097-1**

Alle niveaus/hogtes/peilmaten zijn t.o.v.: N.A.P.

Inheinniveau [m]	Effectief inheinniveau [m]	E.G. paal [kN]	$R_{t,cal;k}$ [kN]	$R_{t;d}$ [kN]	$F_{t,tot;1}$ [kN]	U.C.
10.20	10.20	31.6	368.0	368.0	0.0	0.00

Sondering : S097-2

Alle niveaus/hogtes/peilmaten zijn t.o.v.: N.A.P.

Inheinniveau [m]	Effectief inheinniveau [m]	E.G. paal [kN]	$R_{t,cal;k}$ [kN]	$R_{t;d}$ [kN]	$F_{t,tot;1}$ [kN]	U.C.
10.20	10.20	31.6	344.6	344.6	0.0	0.00

Project :
Onderdeel :

SAMENVATTINGSTABEL Mast 097 (n=1)**Uitgangspunten**

- paal : LD1
 - paaltype : Stalen buispaal (gesloten)
 - schachtafmeting : 550 mm
 Paalklassefactor α_p : 1.00
 Factor α_t (tabel 7.c EC 7.1) : 0.0070 (zandlagen; voor kleilagen zie tabel 7.d)
 Correlatiefactor $\xi_{3(n=1)}$: 1.39

Alle niveaus/hogtes/peilmaten zijn t.o.v.: N.A.P.

sondering	maaiveld paalpunt		Bezwijkdraagvermogen $R_{t,cal}$ [kN]	Rekenwaarden		
	niveau	niveau		$R_{t,d}$ [kN]	$R_{t,netto,d}$ [kN]	
S097-1	19.72	10.20	368.0	368.0	368.0	
S097-2	19.93	10.20	344.6	344.6	344.6	

Project :
Onderdeel :

SAMENVATTINGSTABEL Mast 097 (van 2 sonderingen)**Uitgangspunten**

- paal : LD1
 - paaltype : Stalen buispaal (gesloten)
 - schachtafmeting : 550 mm
 Paalklassefactor α_p : 1.00
 Factor α_t (tabel 7.c EC 7.1) : 0.0070 (zandlagen; voor kleilagen zie tabel 7.d)
 Correlatiefactor $\xi_{3gem}(n=2)$: 1.32
 Correlatiefactor $\xi_{4min}(n=2)$: 1.32

Alle niveaus/hogtes/peilmaten zijn t.o.v.: N.A.P.

sondering	maaiveld niveau	paalpunt niveau	Bezwijkdraagvermogen E.G. paal $R_{t,cal}$ [kN]	$R_{t,cal}$ [kN]
-----------	--------------------	--------------------	---	---------------------

met ξ_3 (gem) = 1.32

S097-1	19.72	10.20	31.6	385.8
--------	-------	-------	------	-------

S097-2	19.93	10.20	31.6	361.2
--------	-------	-------	------	-------

		10.20	$R_{t,cal,gem}$	373.5
--	--	-------	-----------------	-------

met ξ_4 (min) = 1.32

S097-1	19.72	10.20	31.6	385.8
--------	-------	-------	------	-------

S097-2	19.93	10.20	31.6	361.2
--------	-------	-------	------	-------

		10.20	$R_{t,cal,min}$	361.2
--	--	-------	-----------------	-------

Totaal resultaten Mast 097 (van 2 sonderingen)

Uitgangspunten

Correlatiefactor $\xi_{3gem}(n=2)$: 1.32

Correlatiefactor $\xi_{4min}(n=2)$: 1.32

gebaseerd op sonderingen:

S097-1 S097-2

$R_{t,d} = \min.\{ R_{t,cal,gem}; R_{t,cal,min} \}$ (7.17) *)

Inheinniveau

[m]

10.20	$R_{t,d} = \min.\{ 373.5; 361.2 \} =$	361.2
-------	---------------------------------------	-------

*) Bij de trekpaalberekening zijn factoren ξ_3 en ξ_4 al bij de berekening van de conusweerstand $q_{c;z,d}$ in rekening gebracht, evenals factor $\gamma_{s;t}$. Dat is conform de opmerkingen in art. 7.6.3.3 (3) en (4).

Alle niveaus/hogtes/peilmaten zijn t.o.v.: N.A.P.

Inheinniveau [m]	$R_{t,k}$ [kN]	$R_{t,d}$ [kN]	$F_{t,tot;1}$ [kN]	$R_{t,netto;d}$ [kN]	U.C.
10.20	361.2	361.2	0.0	361.2	0.00

PAALGEGEVENS LD1

Type : Stalen buispaal (gesloten)
 Wijze van installeren : Heien
 Diameter [m] : 0.550
 Elasticiteitsmodulus [N/mm²] : 20000
 Factor α_s (tabel 7.c EC 7.1) : 0.010 (zandlagen; voor kleilagen zie tabel 7.d)
 Factor α_t (tabel 7.c EC 7.1) : 0.0070 (zandlagen; voor kleilagen zie tabel 7.d)
 Paalklassefactor α_p : 1.00
 Paalvoetvormfactor β : 1.00
 Type lastzakingsdiagram : Grondverdringende paal
 Verm.factor * $\phi'_{j,k}$: 0.75
 Groutomhulling : NEE

Project :
Onderdeel :

OVERZICHT NETTO DRAAGVERMOGEN TREKPALEN (n=1)

Netto paal draagvermogen(s) zijn naar beneden toe afgerond op: 1.0 kN nauwkeurig
Alle niveaus/hoogtes/peilmaten zijn t.o.v.: N.A.P.

sondering	maaiveld paalpunt		$R_{t, netto, d}$ [kN]				
	niveau	niveau	Mast 091	Mast 092	Mast 093	Mast 094	Mast 095
S092-1	22.28	11.87		455			
S092-2	22.28	11.87		457			
S094-1	20.53	11.43				393	
S094-2	20.50	11.43				374	
S093-1	24.06	15.38			348		
S093-2	23.87	15.38			277		
S095-1	20.09	7.40					548
S095-2	19.85	7.40					505
S091-1	22.06	9.35	545				
S091-2	22.15	9.35	549				

Project :
Onderdeel :

Netto paal draagvermogen(s) zijn naar beneden toe afgerond op: 1.0 kN nauwkeurig
Alle niveaus/hogtes/peilmaten zijn t.o.v.: N.A.P.

sondering	maaiveld niveau	paalpunt niveau	$R_{t,netto;d}$ Mast 096	[kN] Mast 097
-----------	--------------------	--------------------	-----------------------------	------------------

S096-1	19.99	10.43	385	
--------	-------	-------	-----	--

S096-2	19.77	10.43	345	
--------	-------	-------	-----	--

S097-1	19.72	10.20		368
--------	-------	-------	--	-----

S097-2	19.93	10.20		344
--------	-------	-------	--	-----

Project :
Onderdeel :

ALGEMENE GEGEVENS

Project :
Onderdeel :
Datum : 23-11-2021
Bestand : P:\EANL_Projects\10166262 - BBB modelleren
funderingen 380 kV\02 Content\03
Calculations\Technosoft
Paalfunderingen\MBT-EHV380\DO\Nieuw
Sonderingen\Mast 100-109.pvw
Berekeningstype : Verticaal belaste paal
Alle niveaus/hogtes/peilmaten zijn t.o.v.: N.A.P.

Toegepaste normen volgens Eurocode met Nederlandse NB

Geotechniek	EN 1997-1:2004	AC:2009	
	NEN-EN 1997-1:2005	C1+A1:2013	NB:2016
	NEN 9997-1:2016	C2:2017	

GRONDSOORTEN

Nr. Omschrijving	$\gamma_{k;1}$ [kN/m ³]	$\gamma_{sat;k;1}$ [kN/m ³]	$\phi'_{k;1}$ [°]	$\gamma_{k;2}$ [kN/m ³]	$\gamma_{sat;k;2}$ [kN/m ³]	$\phi'_{k;2}$ [°]
1 Grind - Sterk siltig - Vast	20.00	22.00	35.00	21.00	22.50	40.00
2 Zand - Schoon - Los	17.00	19.00	30.00	18.00	20.00	32.50
3 Zand - Schoon - Matig	18.00	20.00	32.50	19.00	21.00	35.00
4 Zand - Schoon - Vast	19.00	21.00	35.00	20.00	22.00	40.00
5 Zand - Zwak siltig - Kleiig	18.00	20.00	27.00	19.00	21.00	32.50
6 Zand - Sterk siltig - Kleiig	18.00	20.00	25.00	19.00	21.00	30.00
7 Leem - Zwak zandig - Vast	21.00	21.00	27.50	22.00	22.00	35.00
8 Klei - Schoon - Matig	17.00	17.00	17.50	19.00	19.00	17.50
9 Klei - Schoon - Vast	19.00	19.00	17.50	20.00	20.00	25.00
10 Klei - Zwak zandig - Slap	15.00	15.00	22.50	18.00	18.00	22.50
11 Klei - Zwak zandig - Matig	18.00	18.00	22.50	20.00	20.00	22.50
12 Klei - Zwak zandig - Vast	20.00	20.00	22.50	21.00	21.00	27.50
13 Klei - Sterk zandig	18.00	18.00	27.50	20.00	20.00	32.50
14 Klei - Organisch - Matig	15.00	15.00	15.00	16.00	16.00	15.00
15 Veen - Niet voorbelast - Slap	10.00	10.00	15.00	12.00	12.00	15.00
16 Veen - Matig voorbelast - Matig	12.00	12.00	15.00	13.00	13.00	15.00

BODEMPROFIELGEGEVENS: S102-1

Alle niveaus/hogtes/peilmaten zijn t.o.v.: N.A.P.

d50-reductie is meegenomen overeenkomstig NEN-EN 9997 art. 7.6.2.3 (i)

Laag	Van [m]	Tot [m]	Omschrijving	OCR	Aandeel pos. kleef [%]	α_s	d_{50} [mm]
	: 20.59		Grondwaterstand	[m]	: 19.59		
1	20.59	18.86	Zand - Schoon - Vast	1.0	100.0		
2	18.86	18.60	Zand - Zwak siltig - Kleiig	1.0	100.0		
3	18.60	17.66	Zand - Schoon - Matig	1.0	100.0		
4	17.66	16.96	Zand - Schoon - Los	1.0	100.0		
5	16.96	13.11	Klei - Organisch - Matig	1.0	50.0		
6	13.11	12.97	Zand - Schoon - Los	1.0	100.0		
7	12.97	12.66	Klei - Zwak zandig - Vast	1.0	50.0		
8	12.66	6.90	Zand - Schoon - Vast	1.0	100.0		
9	6.90	6.33	Zand - Schoon - Los	1.0	100.0		
10	6.33	-0.32	Zand - Schoon - Matig	1.0	100.0		

BODEMPROFIELGEGEVENS: S102-2

Alle niveaus/hogtes/peilmaten zijn t.o.v.: N.A.P.

d50-reductie is meegenomen overeenkomstig NEN-EN 9997 art. 7.6.2.3 (i)

Laag	Van [m]	Tot [m]	Omschrijving	OCR	Aandeel pos. kleef [%]	α_s	d_{50} [mm]
	: 20.43		Grondwaterstand	[m]	: 19.43		
1	20.43	16.90	Zand - Zwak siltig - Kleiig	1.0	100.0		
2	16.90	13.30	Klei - Schoon - Matig	1.0	50.0		
3	13.30	13.04	Zand - Schoon - Los	1.0	100.0		
4	13.04	12.50	Klei - Organisch - Matig	1.0	50.0		
5	12.50	10.12	Zand - Schoon - Vast	1.0	100.0		
6	10.12	9.16	Zand - Schoon - Los	1.0	100.0		
7	9.16	6.30	Zand - Schoon - Vast	1.0	100.0		
8	6.30	5.87	Zand - Sterk siltig - Kleiig	1.0	100.0		

Project :
Onderdeel :

Laag	Van [m]	Tot [m]	Omschrijving	OCR	Aandeel pos. kleef [%]	α_s	d_{50} [mm]
9	5.87	5.53	Zand - Schoon - Los	1.0	100.0		
10	5.53	5.15	Klei - Zwak zandig - Matig	1.0	50.0		
11	5.15	4.31	Zand - Sterk siltig - Kleiig	1.0	100.0		
12	4.31	-0.35	Zand - Schoon - Matig	1.0	100.0		
13	-0.35	-0.63	Zand - Schoon - Los	1.0	100.0		

BODEMPROFIELGEGEVENS: S104-1

Alle niveaus/hogtes/peilmaten zijn t.o.v.: N.A.P.

d50-reductie is meegenomen overeenkomstig NEN-EN 9997 art. 7.6.2.3 (i)

Hoogte maaiveld [m] : 20.23 Grondwaterstand [m] : 19.23

Laag	Van [m]	Tot [m]	Omschrijving	OCR	Aandeel pos. kleef [%]	α_s	d_{50} [mm]
1	20.23	19.72	Klei - Schoon - Vast	1.0	50.0		
2	19.72	16.46	Zand - Schoon - Matig	1.0	100.0		
3	16.46	16.22	Zand - Schoon - Los	1.0	100.0		
4	16.22	12.45	Klei - Schoon - Matig	1.0	50.0		
5	12.45	12.17	Veen - Matig voorbelast - Matig	1.0	50.0		
6	12.17	5.08	Zand - Schoon - Vast	1.0	100.0		
7	5.08	3.00	Zand - Schoon - Los	1.0	100.0		
8	3.00	0.62	Zand - Schoon - Vast	1.0	100.0		
9	0.62	0.34	Zand - Schoon - Los	1.0	100.0		
10	0.34	-0.75	Zand - Schoon - Matig	1.0	100.0		

BODEMPROFIELGEGEVENS: S104-2

Alle niveaus/hogtes/peilmaten zijn t.o.v.: N.A.P.

d50-reductie is meegenomen overeenkomstig NEN-EN 9997 art. 7.6.2.3 (i)

Hoogte maaiveld [m] : 20.18 Grondwaterstand [m] : 19.18

Laag	Van [m]	Tot [m]	Omschrijving	OCR	Aandeel pos. kleef [%]	α_s	d_{50} [mm]
1	20.18	19.27	Zand - Sterk siltig - Kleiig	1.0	100.0		
2	19.27	16.63	Zand - Schoon - Matig	1.0	100.0		
3	16.63	16.26	Zand - Schoon - Los	1.0	100.0		
4	16.26	12.55	Klei - Schoon - Matig	1.0	50.0		
5	12.55	11.99	Klei - Schoon - Vast	1.0	50.0		
6	11.99	4.97	Zand - Schoon - Vast	1.0	100.0		
7	4.97	3.86	Zand - Schoon - Los	1.0	100.0		
8	3.86	1.69	Zand - Schoon - Matig	1.0	100.0		
9	1.69	1.30	Klei - Schoon - Vast	1.0	50.0		
10	1.30	-0.72	Zand - Schoon - Matig	1.0	100.0		

BODEMPROFIELGEGEVENS: S106-1

Alle niveaus/hogtes/peilmaten zijn t.o.v.: N.A.P.

d50-reductie is meegenomen overeenkomstig NEN-EN 9997 art. 7.6.2.3 (i)

Hoogte maaiveld [m] : 18.79 Grondwaterstand [m] : 17.79

Laag	Van [m]	Tot [m]	Omschrijving	OCR	Aandeel pos. kleef [%]	α_s	d_{50} [mm]
1	18.79	16.08	Zand - Zwak siltig - Kleiig	1.0	100.0		
2	16.08	15.62	Zand - Schoon - Los	1.0	100.0		
3	15.62	11.72	Klei - Organisch - Matig	1.0	50.0		
4	11.72	11.30	Veen - Matig voorbelast - Matig	1.0	50.0		
5	11.30	10.56	Zand - Schoon - Vast	1.0	100.0		
6	10.56	9.82	Zand - Sterk siltig - Kleiig	1.0	100.0		
7	9.82	9.44	Leem - Zwak zandig - Vast	1.0	50.0		
8	9.44	8.44	Zand - Sterk siltig - Kleiig	1.0	100.0		
9	8.44	6.55	Zand - Schoon - Vast	1.0	100.0		
10	6.55	1.98	Zand - Zwak siltig - Kleiig	1.0	100.0		
11	1.98	1.68	Klei - Schoon - Vast	1.0	50.0		
12	1.68	0.99	Zand - Sterk siltig - Kleiig	1.0	100.0		
13	0.99	0.57	Klei - Schoon - Matig	1.0	50.0		
14	0.57	-1.00	Zand - Schoon - Matig	1.0	100.0		
15	-1.00	-3.29	Zand - Schoon - Vast	1.0	100.0		
16	-3.29	-4.14	Zand - Schoon - Matig	1.0	100.0		

Project :
Onderdeel :

BODEMPROFIELGEGEVENS: S106-2

Alle niveaus/hoogtes/peilmaten zijn t.o.v.: N.A.P.

d50-reductie is meegenomen overeenkomstig NEN-EN 9997 art. 7.6.2.3 (i)

Laag	Van [m]	Tot [m]	Omschrijving	OCR	Aandeel pos. kleef [%]	α_s	d_{50} [mm]
	18.89	17.78	Grondwaterstand	[m]	17.89		
	18.89	17.78	Zand - Zwak siltig - Kleiig	1.0	100.0		
	17.78	16.58	Zand - Schoon - Matig	1.0	100.0		
	16.58	16.14	Zand - Schoon - Los	1.0	100.0		
	16.14	12.24	Klei - Schoon - Matig	1.0	50.0		
	12.24	11.96	Veen - Matig voorbelast - Matig	1.0	50.0		
	11.96	11.56	Klei - Schoon - Matig	1.0	50.0		
	11.56	10.56	Zand - Schoon - Matig	1.0	100.0		
	10.56	9.64	Klei - Zwak zandig - Vast	1.0	50.0		
	9.64	8.62	Zand - Schoon - Los	1.0	100.0		
	8.62	7.52	Leem - Zwak zandig - Vast	1.0	50.0		
	7.52	5.02	Zand - Schoon - Matig	1.0	100.0		
	5.02	3.94	Zand - Sterk siltig - Kleiig	1.0	100.0		
	3.94	3.40	Zand - Schoon - Vast	1.0	100.0		
	3.40	2.35	Zand - Sterk siltig - Kleiig	1.0	100.0		
	2.35	2.11	Grind - Sterk siltig - Vast	1.0	50.0		
	2.11	0.51	Zand - Zwak siltig - Kleiig	1.0	100.0		
	0.51	-0.47	Leem - Zwak zandig - Vast	1.0	50.0		
	-0.47	-1.09	Zand - Schoon - Vast	1.0	100.0		
	-1.09	-2.44	Zand - Schoon - Los	1.0	100.0		
	-2.44	-3.06	Zand - Schoon - Vast	1.0	100.0		
	-3.06	-4.07	Zand - Schoon - Matig	1.0	100.0		

BODEMPROFIELGEGEVENS: S107-1

Alle niveaus/hoogtes/peilmaten zijn t.o.v.: N.A.P.

d50-reductie is meegenomen overeenkomstig NEN-EN 9997 art. 7.6.2.3 (i)

Laag	Van [m]	Tot [m]	Omschrijving	OCR	Aandeel pos. kleef [%]	α_s	d_{50} [mm]
	17.88	16.88	Grondwaterstand	[m]	16.88		
	17.88	17.21	Klei - Schoon - Vast	1.0	50.0		
	17.21	16.01	Zand - Schoon - Los	1.0	100.0		
	16.01	15.71	Zand - Zwak siltig - Kleiig	1.0	100.0		
	15.71	15.31	Leem - Zwak zandig - Vast	1.0	50.0		
	15.31	13.47	Klei - Schoon - Matig	1.0	50.0		
	13.47	12.99	Leem - Zwak zandig - Vast	1.0	50.0		
	12.99	11.91	Klei - Zwak zandig - Matig	1.0	50.0		
	11.91	11.61	Zand - Schoon - Los	1.0	100.0		
	11.61	11.21	Leem - Zwak zandig - Vast	1.0	50.0		
	11.21	10.43	Zand - Schoon - Matig	1.0	100.0		
	10.43	9.97	Zand - Sterk siltig - Kleiig	1.0	100.0		
	9.97	4.35	Zand - Schoon - Matig	1.0	100.0		
	4.35	3.39	Zand - Schoon - Vast	1.0	100.0		
	3.39	2.65	Zand - Schoon - Matig	1.0	100.0		
	2.65	1.23	Zand - Schoon - Los	1.0	100.0		
	1.23	0.62	Klei - Schoon - Matig	1.0	50.0		
	0.62	-0.80	Zand - Schoon - Matig	1.0	100.0		
	-0.80	-2.44	Zand - Schoon - Matig	1.0	100.0		
	-2.44	-4.07	Zand - Schoon - Vast	1.0	100.0		

BODEMPROFIELGEGEVENS: S107-2

Alle niveaus/hoogtes/peilmaten zijn t.o.v.: N.A.P.

d50-reductie is meegenomen overeenkomstig NEN-EN 9997 art. 7.6.2.3 (i)

Laag	Van [m]	Tot [m]	Omschrijving	OCR	Aandeel pos. kleef [%]	α_s	d_{50} [mm]
	17.82	16.82	Grondwaterstand	[m]	16.82		
	17.82	17.33	Klei - Schoon - Vast	1.0	50.0		
	17.33	15.65	Zand - Zwak siltig - Kleiig	1.0	100.0		
	15.65	11.57	Klei - Schoon - Matig	1.0	50.0		
	11.57	9.37	Zand - Schoon - Matig	1.0	100.0		
	9.37	8.63	Zand - Schoon - Los	1.0	100.0		
	8.63	7.29	Zand - Schoon - Matig	1.0	100.0		
	7.29	6.65	Zand - Schoon - Vast	1.0	100.0		
	6.65	6.03	Zand - Schoon - Los	1.0	100.0		

Project :
Onderdeel :

Laag	Van [m]	Tot [m]	Omschrijving	OCR	Aandeel pos. kleef [%]	α_s	d_{50} [mm]
9	6.03	4.89	Zand - Schoon - Vast	1.0	100.0		
10	4.89	4.33	Zand - Schoon - Los	1.0	100.0		
11	4.33	3.67	Zand - Schoon - Matig	1.0	100.0		
12	3.67	3.03	Zand - Schoon - Los	1.0	100.0		
13	3.03	-2.00	Zand - Schoon - Matig	1.0	100.0		
14	-2.00	-2.46	Zand - Schoon - Los	1.0	100.0		
15	-2.46	-3.60	Zand - Schoon - Vast	1.0	100.0		
16	-3.60	-4.14	Zand - Schoon - Matig	1.0	100.0		

BODEMPROFIELGEGEVENS: S108-1

Alle niveaus/hogtes/peilmaten zijn t.o.v.: N.A.P.
d50-reductie is meegenomen overeenkomstig NEN-EN 9997 art. 7.6.2.3 (i)

Laag	Van [m]	Tot [m]	Omschrijving	OCR	Aandeel pos. kleef [%]	α_s	d_{50} [mm]
Hoogte maaiveld [m] : 18.40 Grondwaterstand [m] : 17.40							
1	18.40	17.91	Klei - Schoon - Vast	1.0	50.0		
2	17.91	15.73	Zand - Schoon - Los	1.0	100.0		
3	15.73	15.33	Zand - Zwak siltig - Kleiig	1.0	100.0		
4	15.33	11.99	Klei - Schoon - Vast	1.0	50.0		
5	11.99	10.97	Zand - Sterk siltig - Kleiig	1.0	100.0		
6	10.97	10.31	Zand - Schoon - Matig	1.0	100.0		
7	10.31	9.67	Zand - Schoon - Los	1.0	100.0		
8	9.67	8.63	Leem - Zwak zandig - Vast	1.0	50.0		
9	8.63	6.01	Zand - Schoon - Matig	1.0	100.0		
10	6.01	3.25	Zand - Schoon - Vast	1.0	100.0		
11	3.25	1.21	Zand - Schoon - Matig	1.0	100.0		
12	1.21	0.65	Klei - Schoon - Vast	1.0	50.0		
13	0.65	-5.57	Zand - Schoon - Matig	1.0	100.0		

BODEMPROFIELGEGEVENS: S108-2

Alle niveaus/hogtes/peilmaten zijn t.o.v.: N.A.P.
d50-reductie is meegenomen overeenkomstig NEN-EN 9997 art. 7.6.2.3 (i)

Laag	Van [m]	Tot [m]	Omschrijving	OCR	Aandeel pos. kleef [%]	α_s	d_{50} [mm]
Hoogte maaiveld [m] : 18.40 Grondwaterstand [m] : 17.40							
1	18.40	17.79	Klei - Schoon - Vast	1.0	50.0		
2	17.79	15.97	Zand - Schoon - Matig	1.0	100.0		
3	15.97	15.53	Zand - Schoon - Los	1.0	100.0		
4	15.53	14.21	Klei - Schoon - Vast	1.0	50.0		
5	14.21	13.67	Zand - Schoon - Los	1.0	100.0		
6	13.67	13.11	Leem - Zwak zandig - Vast	1.0	50.0		
7	13.11	12.31	Klei - Schoon - Matig	1.0	50.0		
8	12.31	7.87	Zand - Sterk siltig - Kleiig	1.0	100.0		
9	7.87	7.49	Leem - Zwak zandig - Vast	1.0	50.0		
10	7.49	5.95	Zand - Schoon - Matig	1.0	100.0		
11	5.95	3.82	Zand - Schoon - Vast	1.0	100.0		
12	3.82	-0.81	Zand - Schoon - Matig	1.0	100.0		
13	-0.81	-1.07	Klei - Sterk zandig	1.0	50.0		
14	-1.07	-5.52	Zand - Schoon - Matig	1.0	100.0		

BODEMPROFIELGEGEVENS: S109-1

Alle niveaus/hogtes/peilmaten zijn t.o.v.: N.A.P.
d50-reductie is meegenomen overeenkomstig NEN-EN 9997 art. 7.6.2.3 (i)

Laag	Van [m]	Tot [m]	Omschrijving	OCR	Aandeel pos. kleef [%]	α_s	d_{50} [mm]
Hoogte maaiveld [m] : 19.12 Grondwaterstand [m] : 18.12							
1	19.12	16.21	Zand - Zwak siltig - Kleiig	1.0	100.0		
2	16.21	15.49	Klei - Schoon - Vast	1.0	50.0		
3	15.49	14.75	Zand - Zwak siltig - Kleiig	1.0	100.0		
4	14.75	13.61	Zand - Schoon - Vast	1.0	100.0		
5	13.61	12.03	Zand - Schoon - Los	1.0	100.0		
6	12.03	11.13	Zand - Schoon - Matig	1.0	100.0		
7	11.13	10.33	Zand - Zwak siltig - Kleiig	1.0	100.0		
8	10.33	9.89	Klei - Schoon - Matig	1.0	50.0		
9	9.89	8.04	Zand - Schoon - Matig	1.0	100.0		
10	8.04	5.88	Zand - Schoon - Vast	1.0	100.0		

Project :
Onderdeel :

Laag	Van [m]	Tot [m]	Omschrijving	OCR	Aandeel pos. kleef [%]	α_s	d_{50} [mm]
11	5.88	5.00	Zand - Schoon - Matig	1.0	100.0		
12	5.00	4.23	Zand - Schoon - Vast	1.0	100.0		
13	4.23	2.97	Zand - Sterk siltig - Kleiig	1.0	100.0		
14	2.97	1.90	Klei - Zwak zandig - Vast	1.0	50.0		
15	1.90	0.03	Zand - Schoon - Matig	1.0	100.0		

BODEMPROFIELGEGEVENS: S109-2

Alle niveaus/hogtes/peilmaten zijn t.o.v.: N.A.P.

d50-reductie is meegenomen overeenkomstig NEN-EN 9997 art. 7.6.2.3 (i)

Hoogte maaiveld [m] : 18.86 Grondwaterstand [m] : 17.86

Laag	Van [m]	Tot [m]	Omschrijving	OCR	Aandeel pos. kleef [%]	α_s	d_{50} [mm]
1	18.86	18.57	Klei - Schoon - Vast	1.0	50.0		
2	18.57	17.85	Zand - Schoon - Matig	1.0	100.0		
3	17.85	16.97	Zand - Sterk siltig - Kleiig	1.0	100.0		
4	16.97	16.71	Leem - Zwak zandig - Vast	1.0	50.0		
5	16.71	16.17	Zand - Zwak siltig - Kleiig	1.0	100.0		
6	16.17	15.91	Leem - Zwak zandig - Vast	1.0	50.0		
7	15.91	15.63	Klei - Zwak zandig - Vast	1.0	50.0		
8	15.63	15.31	Zand - Sterk siltig - Kleiig	1.0	100.0		
9	15.31	14.89	Klei - Schoon - Vast	1.0	50.0		
10	14.89	12.21	Zand - Schoon - Matig	1.0	100.0		
11	12.21	11.94	Zand - Schoon - Los	1.0	100.0		
12	11.94	10.36	Zand - Schoon - Vast	1.0	100.0		
13	10.36	9.64	Zand - Sterk siltig - Kleiig	1.0	100.0		
14	9.64	8.74	Klei - Zwak zandig - Matig	1.0	50.0		
15	8.74	7.54	Zand - Schoon - Vast	1.0	100.0		
16	7.54	3.50	Zand - Schoon - Matig	1.0	100.0		
17	3.50	2.75	Klei - Schoon - Vast	1.0	50.0		
18	2.75	1.66	Zand - Schoon - Vast	1.0	100.0		
19	1.66	0.74	Zand - Sterk siltig - Kleiig	1.0	100.0		
20	0.74	-1.08	Zand - Schoon - Vast	1.0	100.0		

BODEMPROFIELGEGEVENS: S101-1

Alle niveaus/hogtes/peilmaten zijn t.o.v.: N.A.P.

d50-reductie is meegenomen overeenkomstig NEN-EN 9997 art. 7.6.2.3 (i)

Hoogte maaiveld [m] : 20.95 Grondwaterstand [m] : 19.95

Laag	Van [m]	Tot [m]	Omschrijving	OCR	Aandeel pos. kleef [%]	α_s	d_{50} [mm]
1	20.95	20.69	Veen - Matig voorbelast - Matig	1.0	50.0		
2	20.69	20.09	Zand - Zwak siltig - Kleiig	1.0	100.0		
3	20.09	17.35	Zand - Schoon - Matig	1.0	100.0		
4	17.35	16.97	Zand - Schoon - Los	1.0	100.0		
5	16.97	12.89	Klei - Zwak zandig - Vast	1.0	50.0		
6	12.89	10.21	Zand - Schoon - Vast	1.0	100.0		
7	10.21	9.93	Leem - Zwak zandig - Vast	1.0	50.0		
8	9.93	6.89	Zand - Zwak siltig - Kleiig	1.0	100.0		
9	6.89	6.51	Leem - Zwak zandig - Vast	1.0	50.0		
10	6.51	-1.02	Zand - Zwak siltig - Kleiig	1.0	100.0		

BODEMPROFIELGEGEVENS: S101-2

Alle niveaus/hogtes/peilmaten zijn t.o.v.: N.A.P.

d50-reductie is meegenomen overeenkomstig NEN-EN 9997 art. 7.6.2.3 (i)

Hoogte maaiveld [m] : 20.99 Grondwaterstand [m] : 19.99

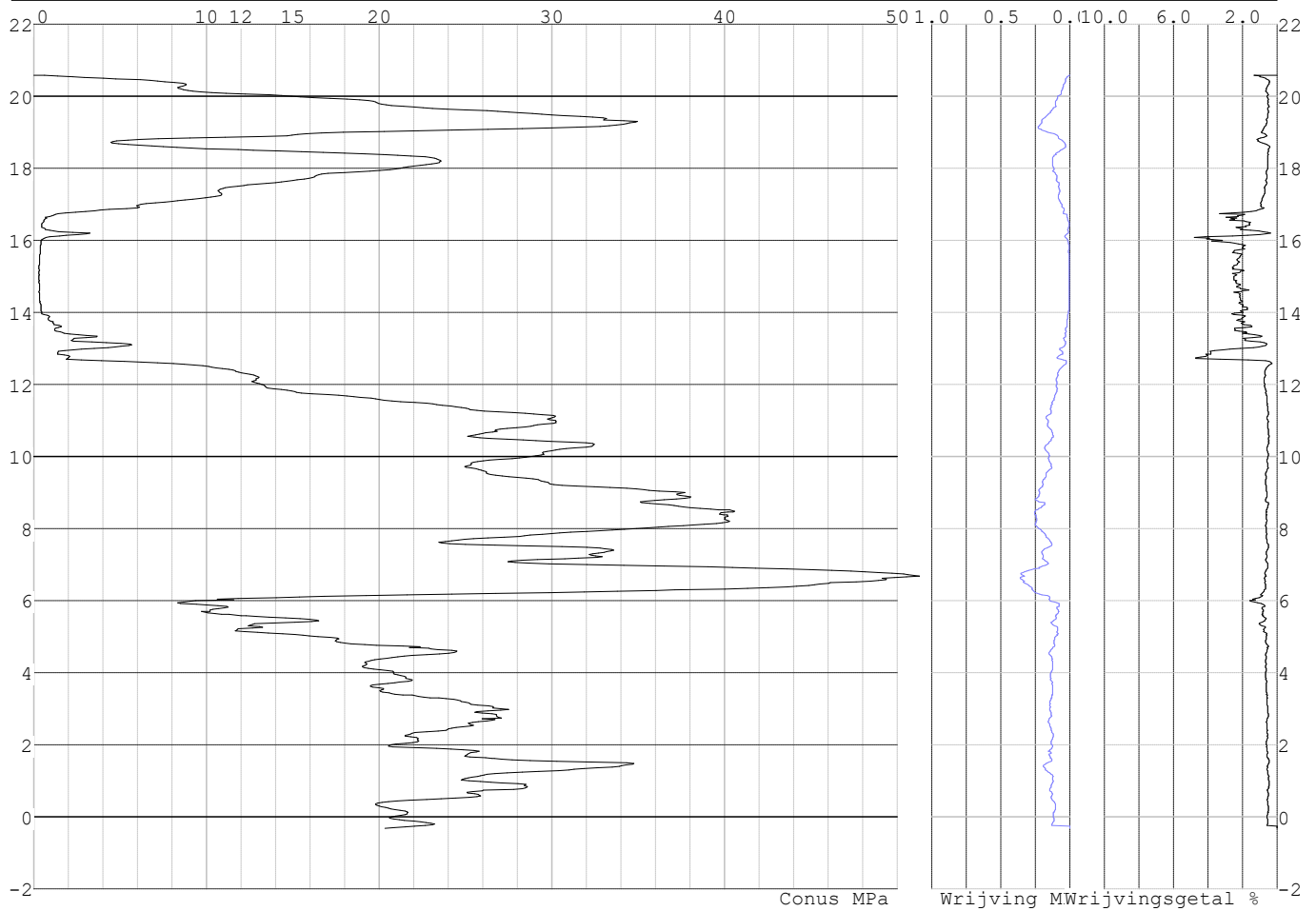
Laag	Van [m]	Tot [m]	Omschrijving	OCR	Aandeel pos. kleef [%]	α_s	d_{50} [mm]
1	20.99	20.85	Veen - Niet voorbelast - Slap	1.0	50.0		
2	20.85	20.17	Zand - Zwak siltig - Kleiig	1.0	100.0		
3	20.17	17.07	Zand - Schoon - Matig	1.0	100.0		
4	17.07	12.89	Klei - Zwak zandig - Matig	1.0	50.0		
5	12.89	10.73	Zand - Schoon - Matig	1.0	100.0		
6	10.73	9.63	Zand - Schoon - Los	1.0	100.0		
7	9.63	4.95	Zand - Schoon - Vast	1.0	100.0		
8	4.95	3.73	Zand - Sterk siltig - Kleiig	1.0	100.0		
9	3.73	2.03	Zand - Schoon - Matig	1.0	100.0		
10	2.03	-0.99	Zand - Schoon - Los	1.0	100.0		

Project :
Onderdeel :

SONDERINGSGEGEVENS ALGEMEEN: S102-1

Alle niveaus/hoogtes/peilmaten zijn t.o.v.: N.A.P.
Hoogte maaiveld [m] : 20.59 Bodemprofiel: S102-1
Traject negatieve kleeft : 20.59 tot 12.60 [m]
Traject positieve kleeft : 12.60 tot -0.33 [m]

SONDERINGSGEGEVENS GRAFIEK: S102-1

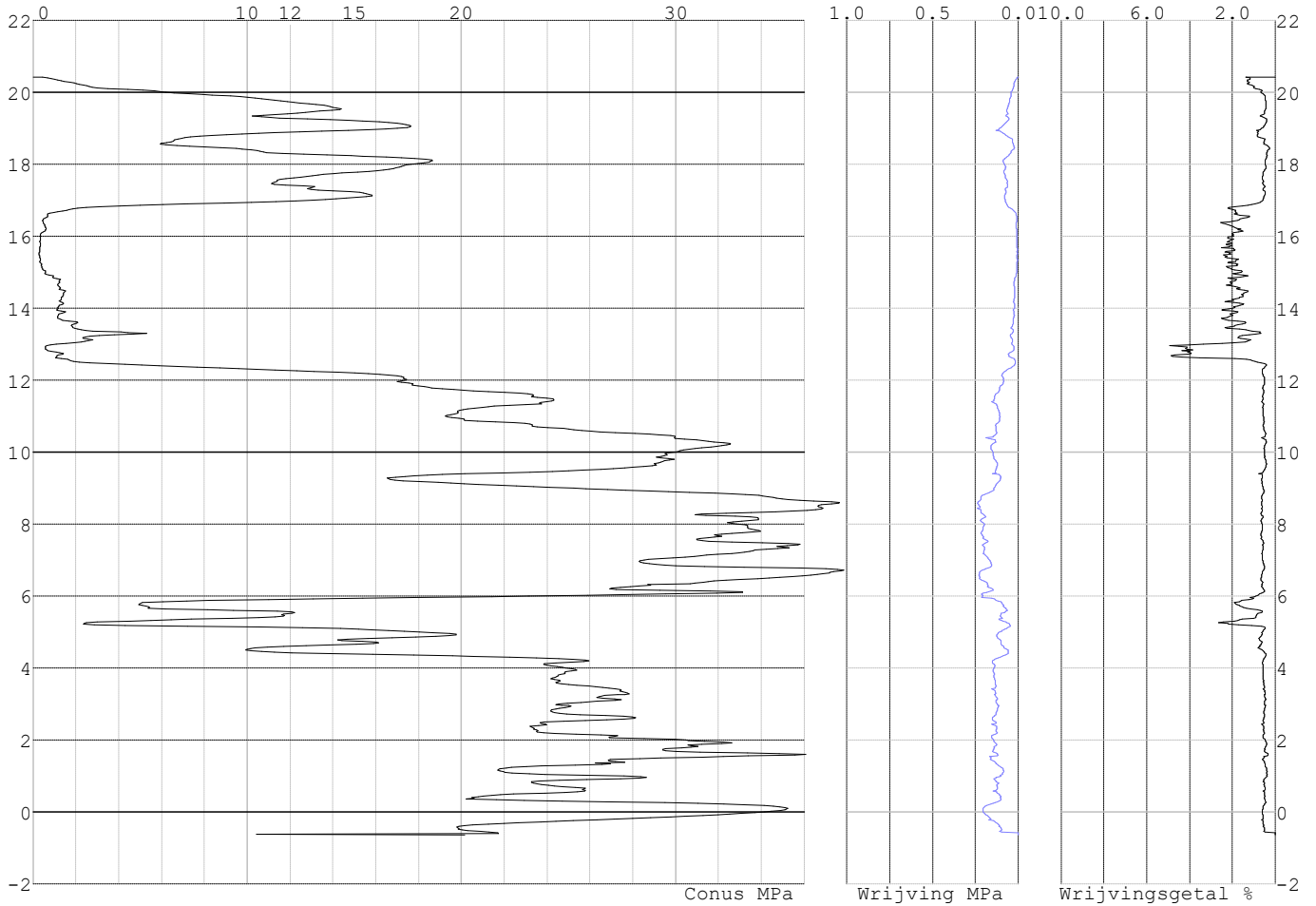


Project :
Onderdeel :

SONDERINGSGEGEVENS ALGEMEEN: S102-2

Alle niveaus/hogtes/peilmaten zijn t.o.v.: N.A.P.
Hoogte maaiveld [m] : 20.43 Bodemprofiel: S102-2
Traject negatieve kleef : 20.43 tot 12.40 [m]
Traject positieve kleef : 12.40 tot -0.64 [m]

SONDERINGSGEGEVENS GRAFIEK: S102-2

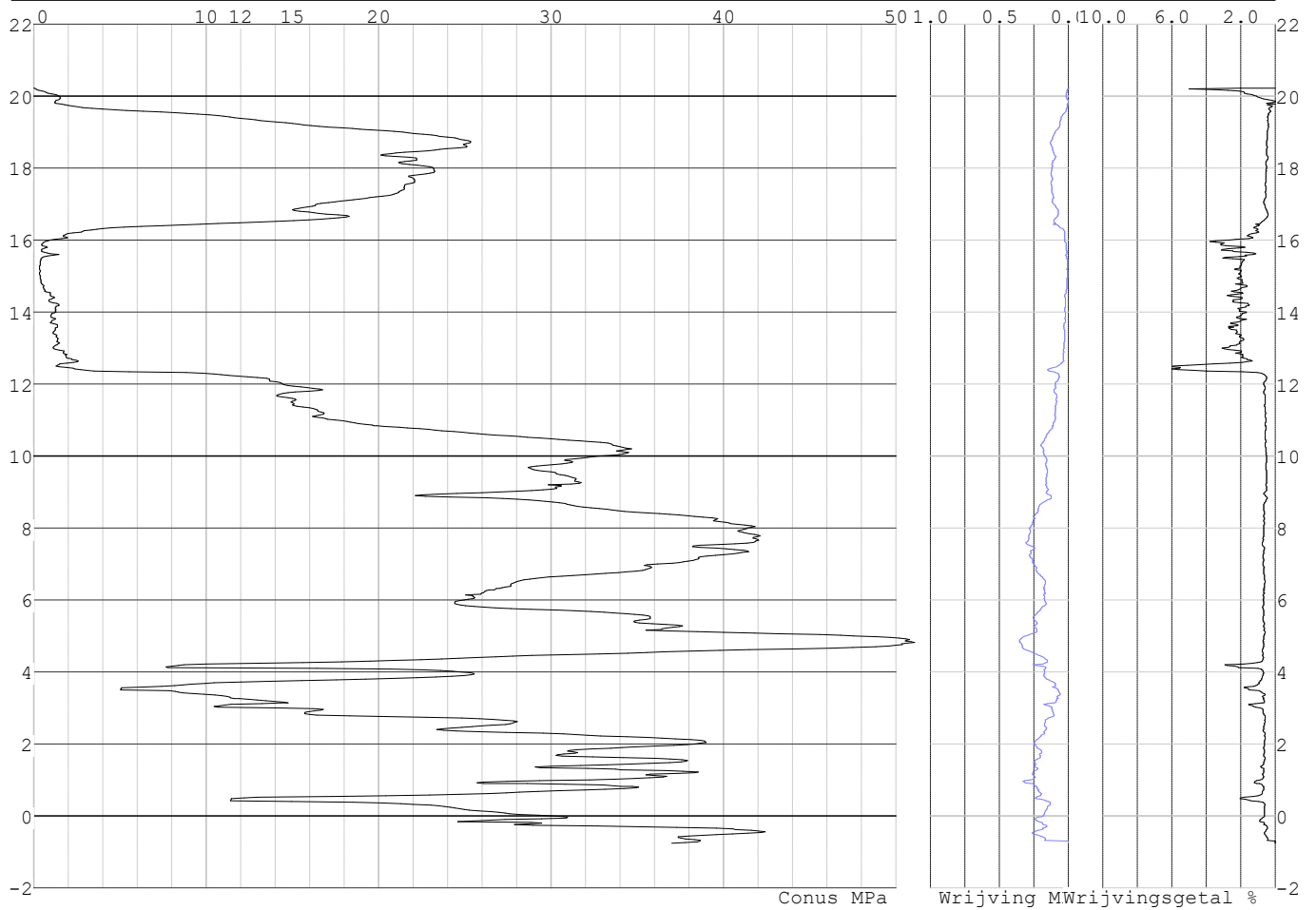


Project :
Onderdeel :

SONDERINGSGEGEVENS ALGEMEEN: S104-1

Alle niveaus/hoogtes/peilmaten zijn t.o.v.: N.A.P.
Hoogte maaiveld [m] : 20.23 Bodemprofiel: S104-1
Traject negatieve kleef : 20.23 tot 12.00 [m]
Traject positieve kleef : 12.00 tot -0.76 [m]

SONDERINGSGEGEVENS GRAFIEK: S104-1

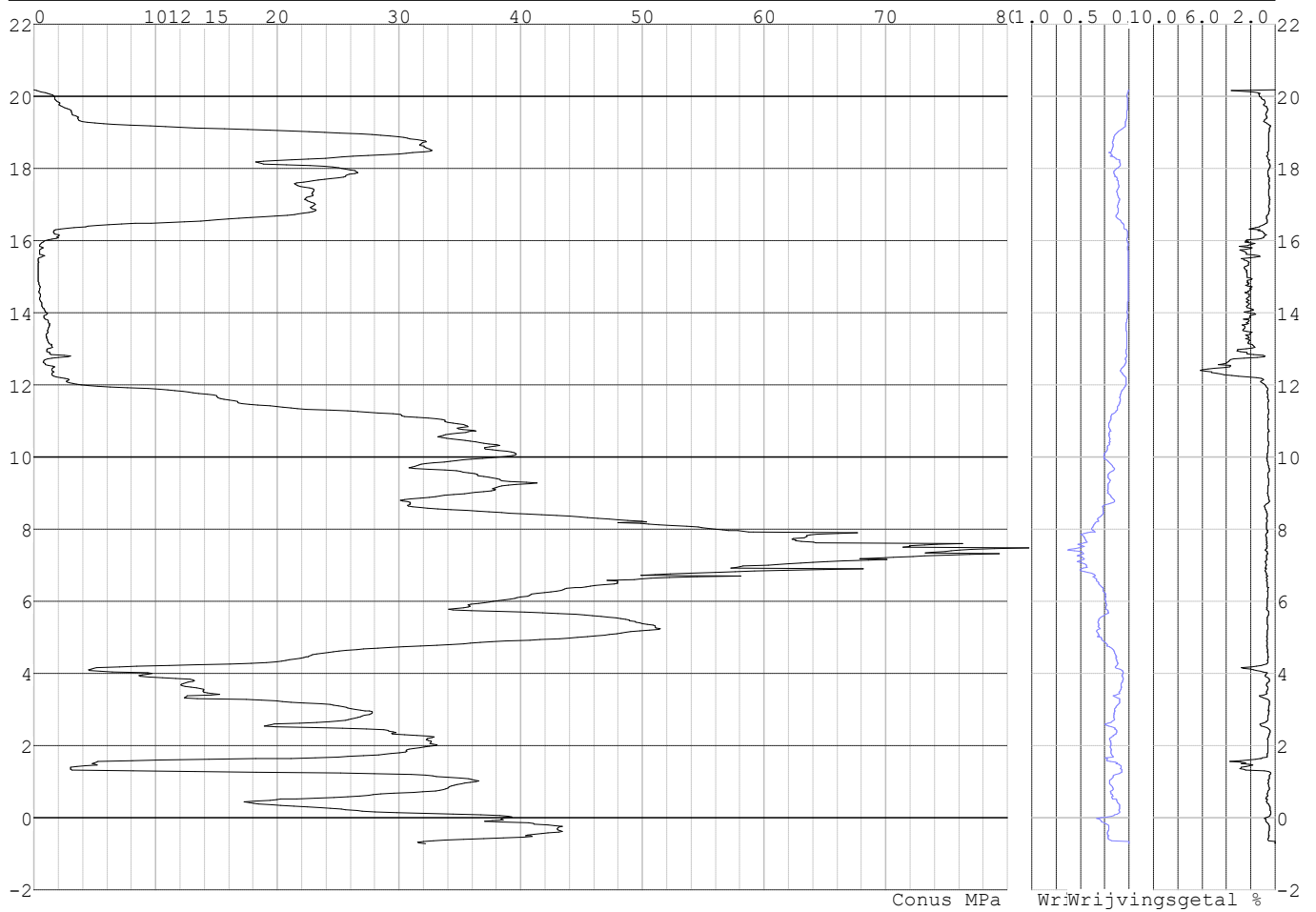


Project :
Onderdeel :

SONDERINGSGEGEVENS ALGEMEEN: S104-2

Alle niveaus/hoogtes/peilmaten zijn t.o.v.: N.A.P.
Hoogte maaiveld [m] : 20.18 Bodemprofiel: S104-2
Traject negatieve kleeft : 20.18 tot 11.90 [m]
Traject positieve kleeft : 11.90 tot -0.73 [m]

SONDERINGSGEGEVENS GRAFIEK: S104-2

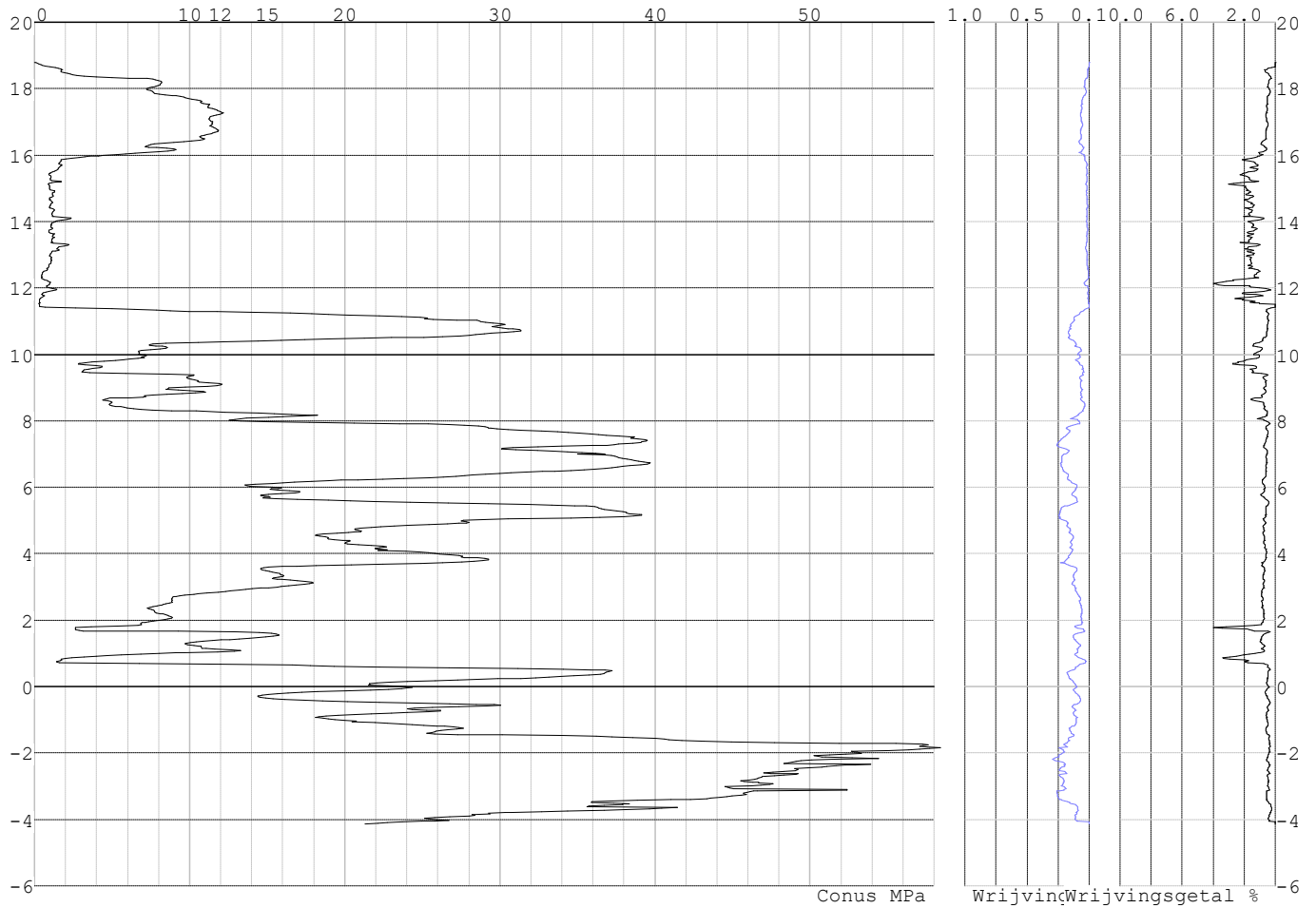


Project :
Onderdeel :

SONDERINGSGEGEVENS ALGEMEEN: S106-1

Alle niveaus/hogtes/peilmaten zijn t.o.v.: N.A.P.
Hoogte maaiveld [m] : 18.79 Bodemprofiel: S106-1
Traject negatieve kleef : 18.79 tot 11.30 [m]
Traject positieve kleef : 11.30 tot -4.15 [m]

SONDERINGSGEGEVENS GRAFIEK: S106-1

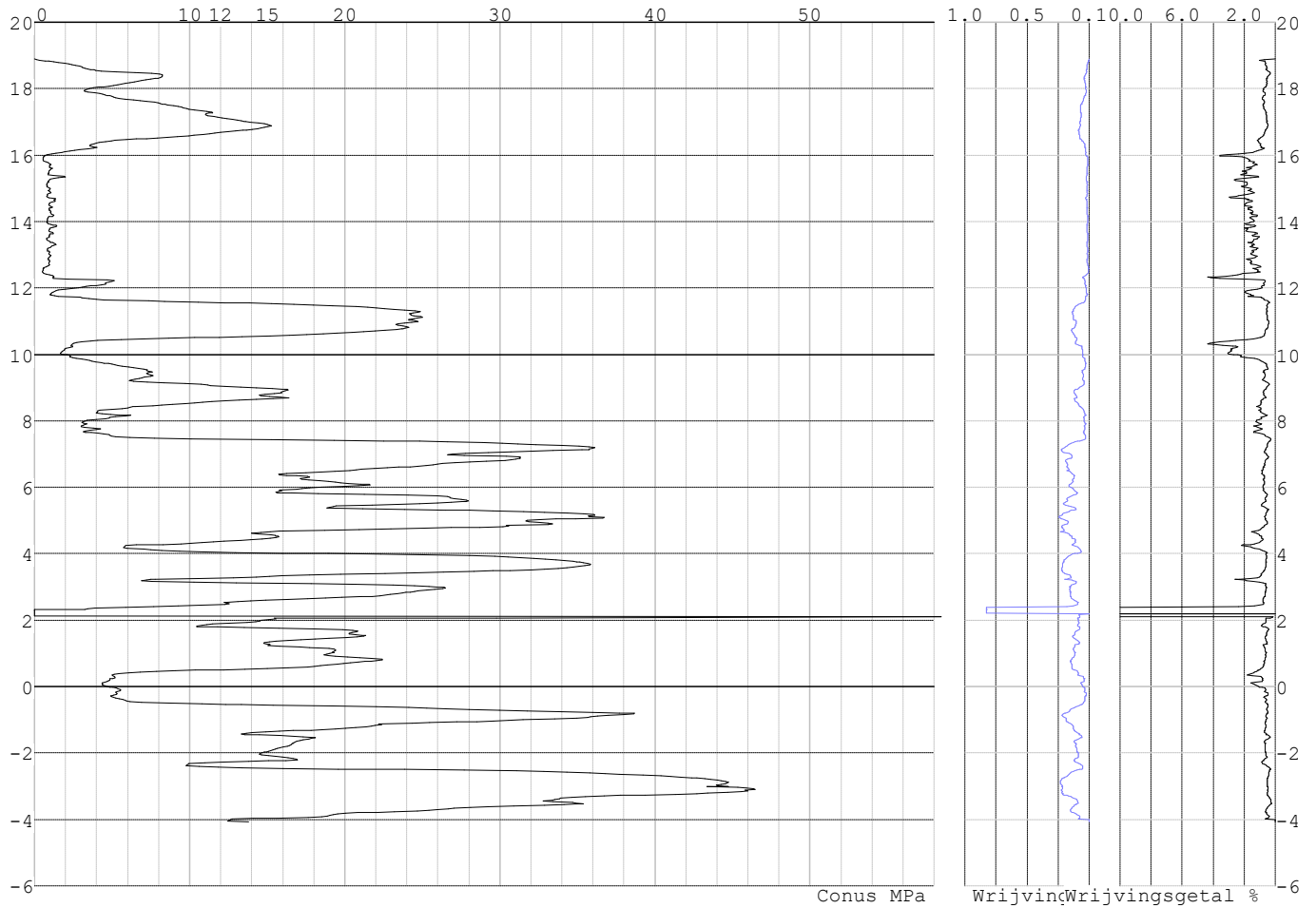


Project :
Onderdeel :

SONDERINGSGEGEVENS ALGEMEEN: S106-2

Alle niveaus/hogtes/peilmaten zijn t.o.v.: N.A.P.
Hoogte maaiveld [m] : 18.89 Bodemprofiel: S106-2
Traject negatieve kleef : 18.89 tot 11.50 [m]
Traject positieve kleef : 11.50 tot -4.09 [m]

SONDERINGSGEGEVENS GRAFIEK: S106-2

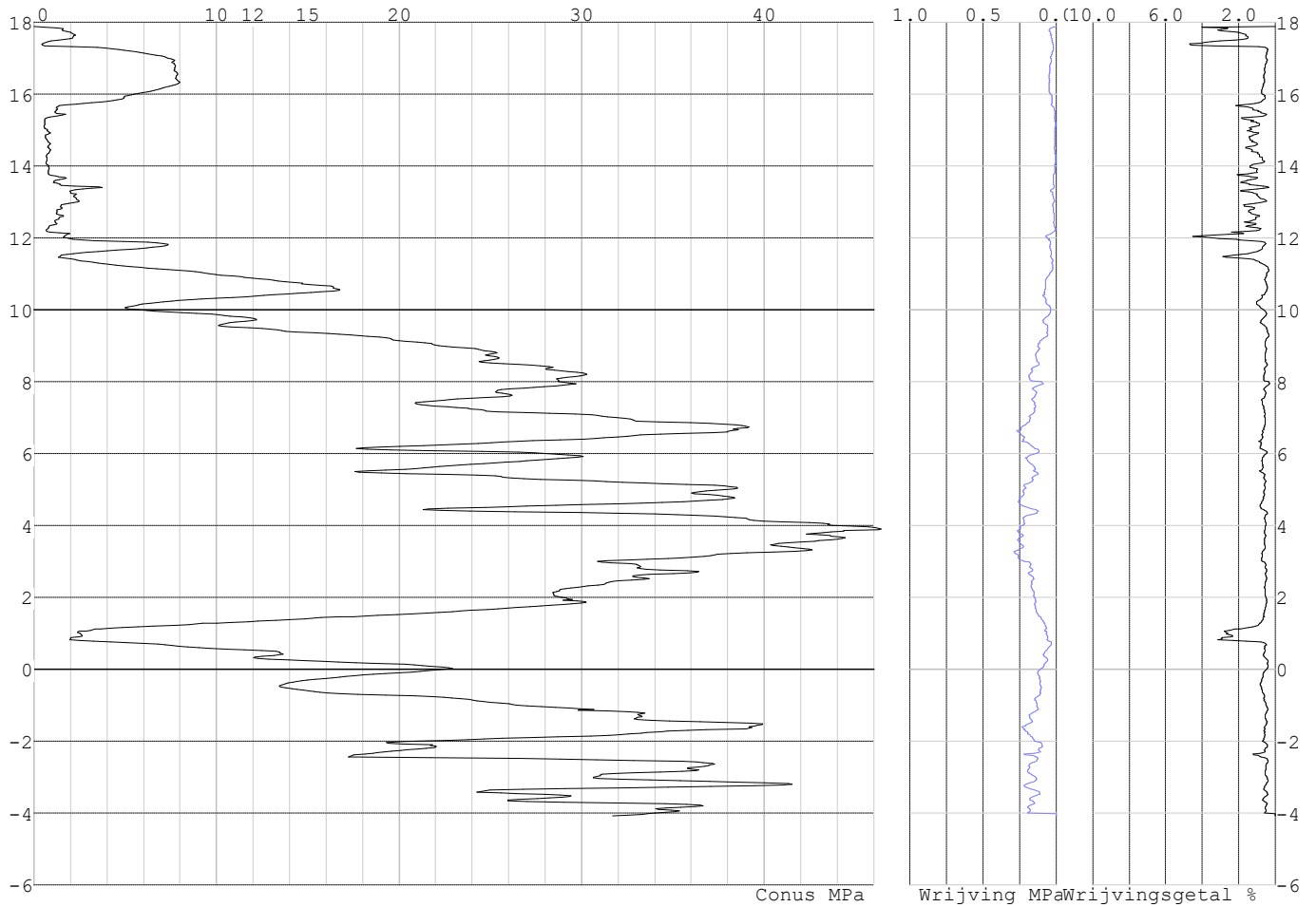


Project :
Onderdeel :

SONDERINGSGEGEVENS ALGEMEEN: S107-1

Alle niveaus/hogtes/peilmaten zijn t.o.v.: N.A.P.
Hoogte maaiveld [m] : 17.88 Bodemprofiel: S107-1
Traject negatieve kleeft : 17.88 tot 11.20 [m]
Traject positieve kleeft : 11.20 tot -4.08 [m]

SONDERINGSGEGEVENS GRAFIEK: S107-1

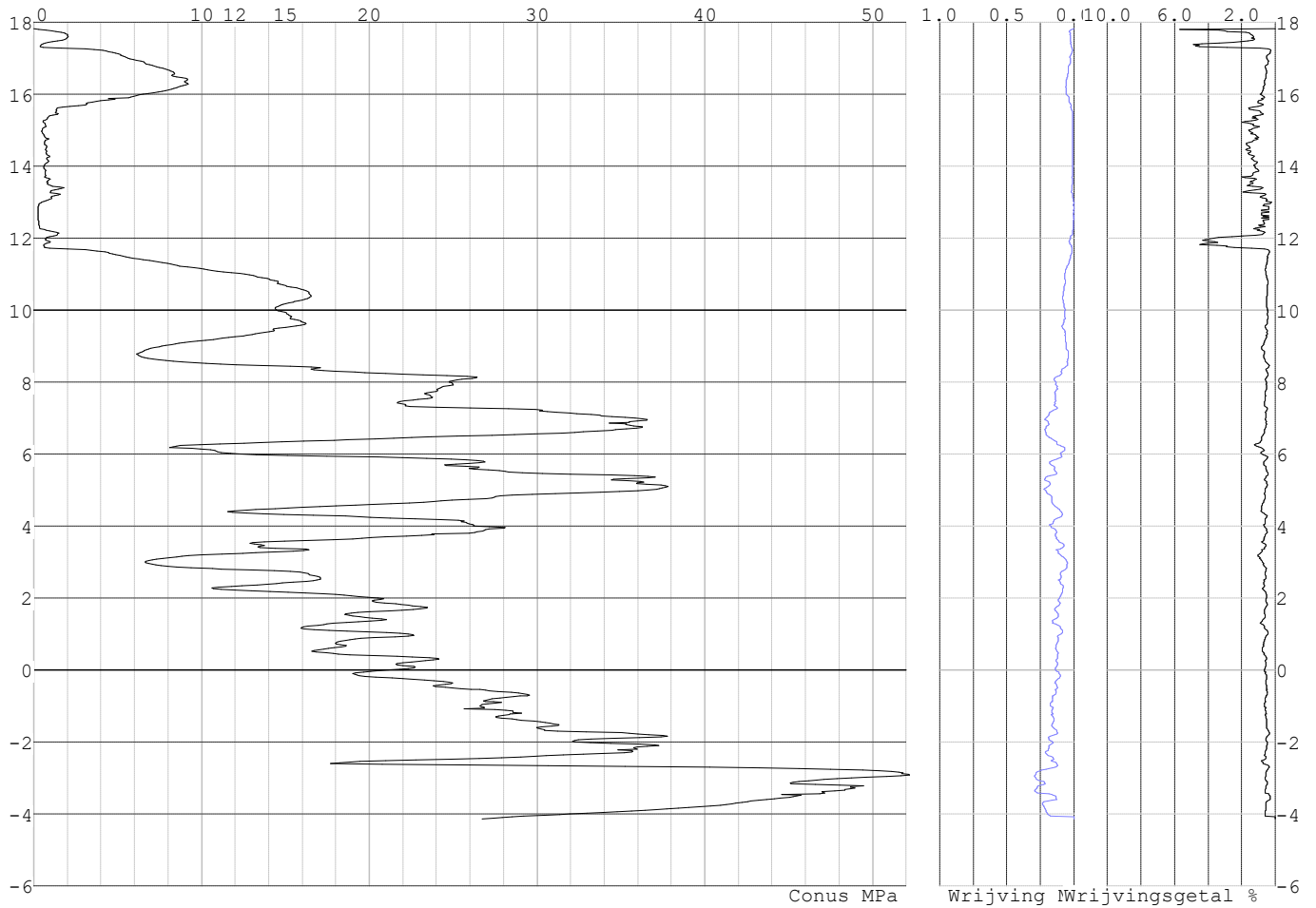


Project :
Onderdeel :

SONDERINGSGEGEVENS ALGEMEEN: S107-2

Alle niveaus/hogtes/peilmaten zijn t.o.v.: N.A.P.
Hoogte maaiveld [m] : 17.82 Bodemprofiel: S107-2
Traject negatieve kleeft : 17.82 tot 11.50 [m]
Traject positieve kleeft : 11.50 tot -4.15 [m]

SONDERINGSGEGEVENS GRAFIEK: S107-2

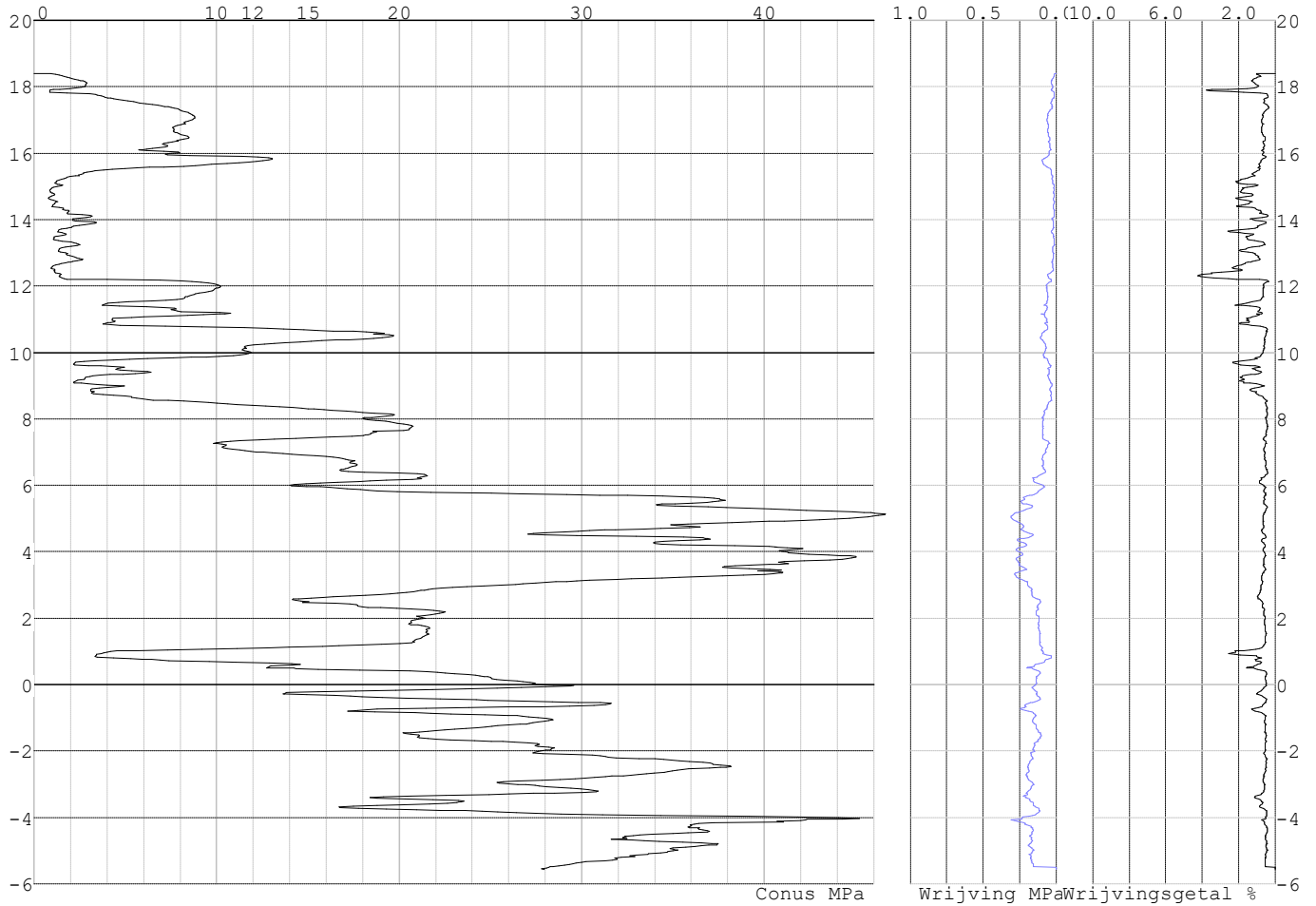


Project :
Onderdeel :

SONDERINGSGEGEVENS ALGEMEEN: S108-1

Alle niveaus/hogtes/peilmaten zijn t.o.v.: N.A.P.
Hoogte maaiveld [m] : 18.40 Bodemprofiel: S108-1
Traject negatieve kleef : 18.40 tot 12.10 [m]
Traject positieve kleef : 12.10 tot -5.58 [m]

SONDERINGSGEGEVENS GRAFIEK: S108-1

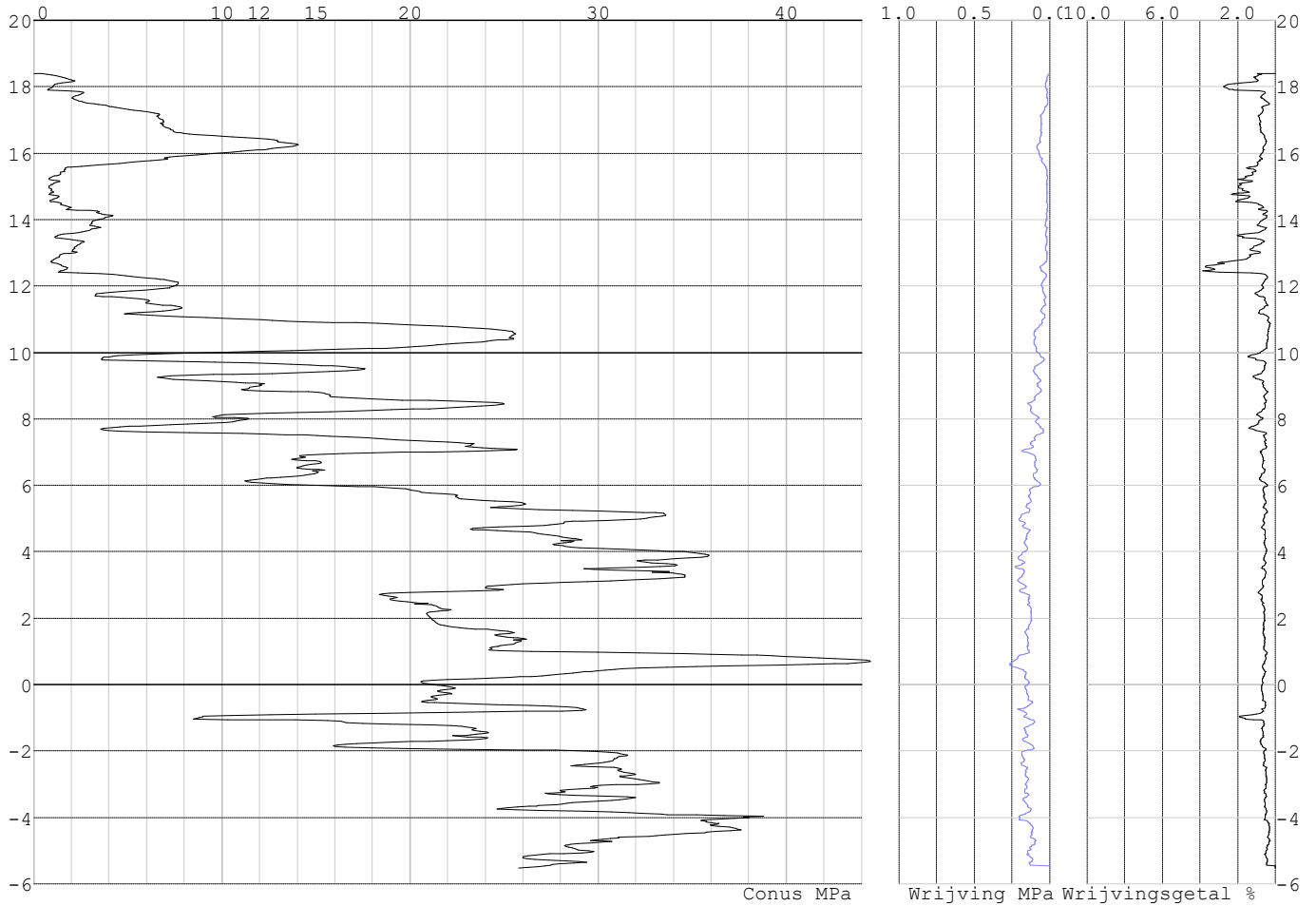


Project :
Onderdeel :

SONDERINGSGEGEVENS ALGEMEEN: S108-2

Alle niveaus/hogtes/peilmaten zijn t.o.v.: N.A.P.
Hoogte maaiveld [m] : 18.40 Bodemprofiel: S108-2
Traject negatieve kleef : 18.40 tot 12.10 [m]
Traject positieve kleef : 12.10 tot -5.53 [m]

SONDERINGSGEGEVENS GRAFIEK: S108-2

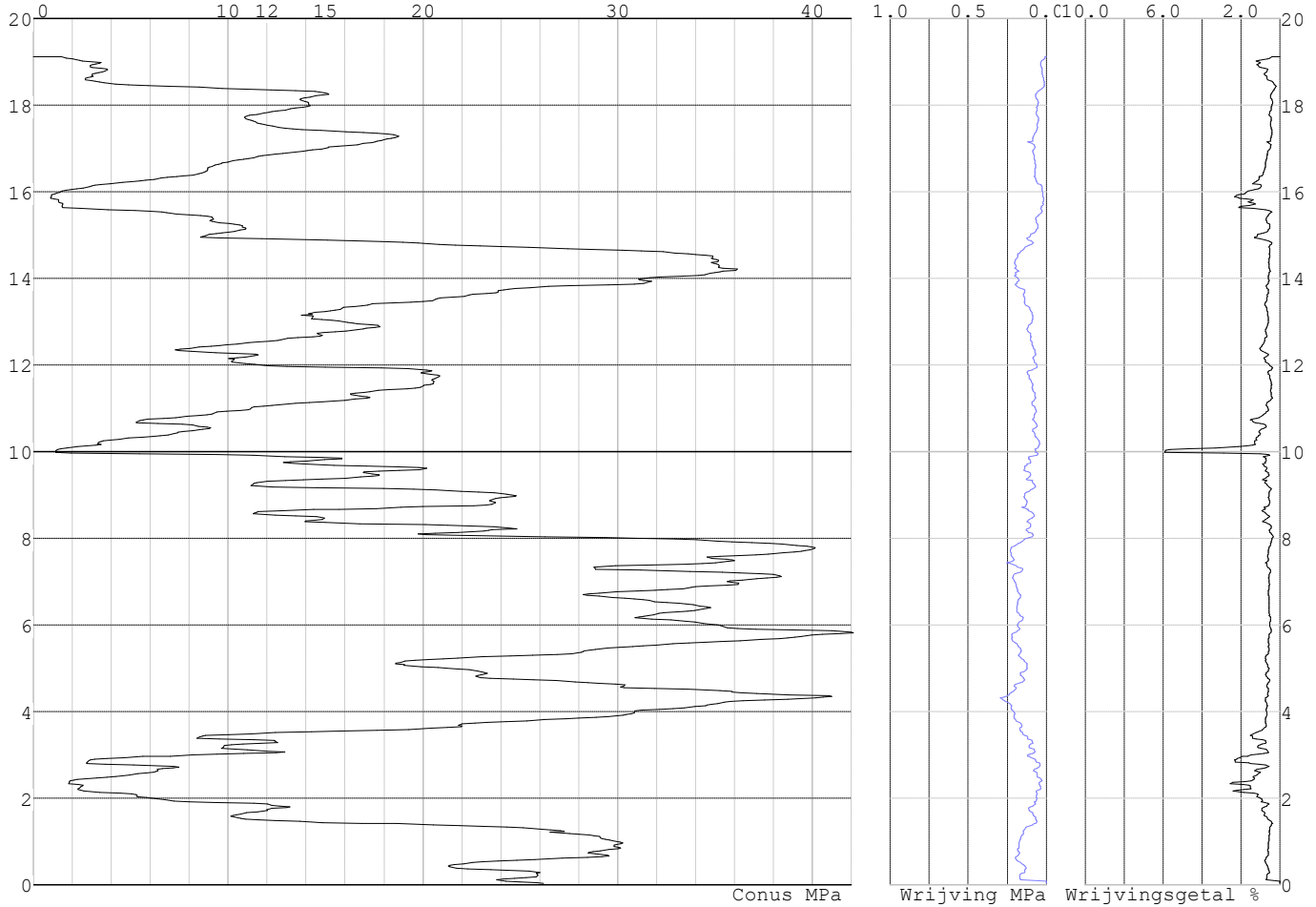


Project :
Onderdeel :

SONDERINGSGEGEVENS ALGEMEEN: S109-1

Alle niveaus/hogtes/peilmaten zijn t.o.v.: N.A.P.
Hoogte maaiveld [m] : 19.12 Bodemprofiel: S109-1
Traject negatieve kleeft : 19.12 tot 15.30 [m]
Traject positieve kleeft : 15.30 tot 0.02 [m]

SONDERINGSGEGEVENS GRAFIEK: S109-1

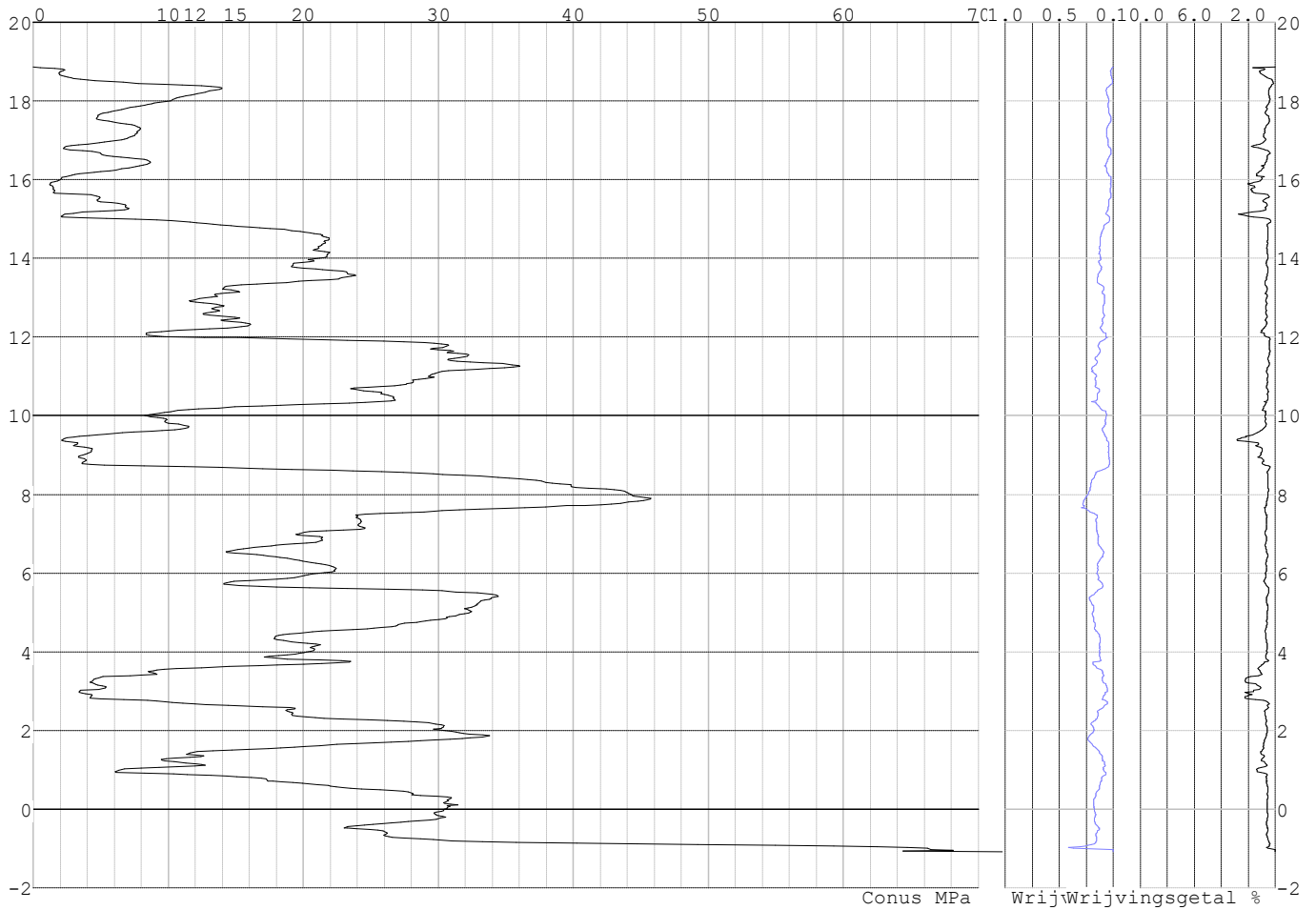


Project :
Onderdeel :

SONDERINGSGEGEVENS ALGEMEEN: S109-2

Alle niveaus/hogtes/peilmaten zijn t.o.v.: N.A.P.
Hoogte maaiveld [m] : 18.86 Bodemprofiel: S109-2
Traject negatieve kleeft : 18.86 tot 14.90 [m]
Traject positieve kleeft : 14.90 tot -1.09 [m]

SONDERINGSGEGEVENS GRAFIEK: S109-2

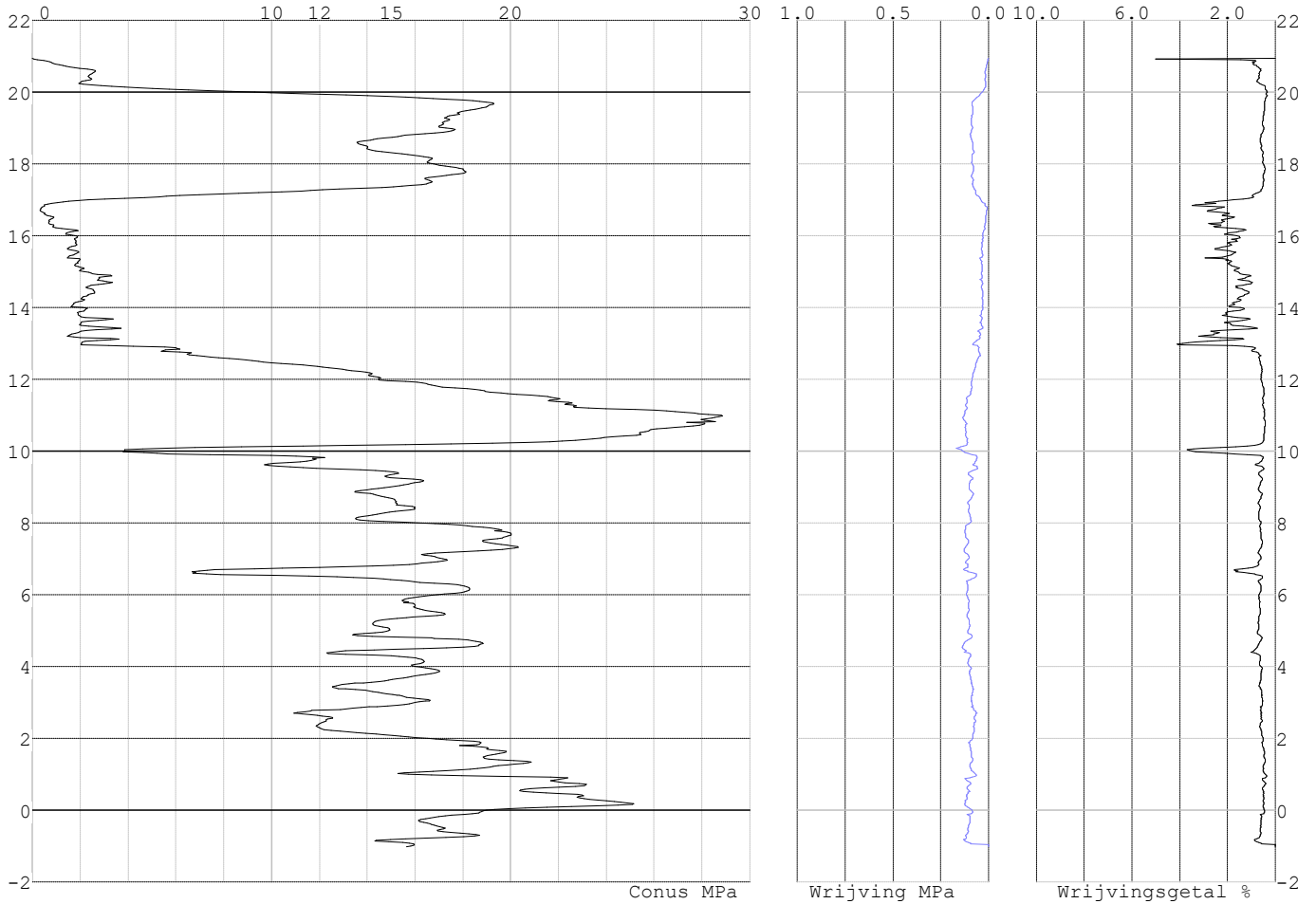


Project :
Onderdeel :

SONDERINGSGEGEVENS ALGEMEEN: S101-1

Alle niveaus/hogtes/peilmaten zijn t.o.v.: N.A.P.
Hoogte maaiveld [m] : 20.95 Bodemprofiel: S101-1
Traject negatieve kleef : 20.95 tot 13.00 [m]
Traject positieve kleef : 13.00 tot -1.02 [m]

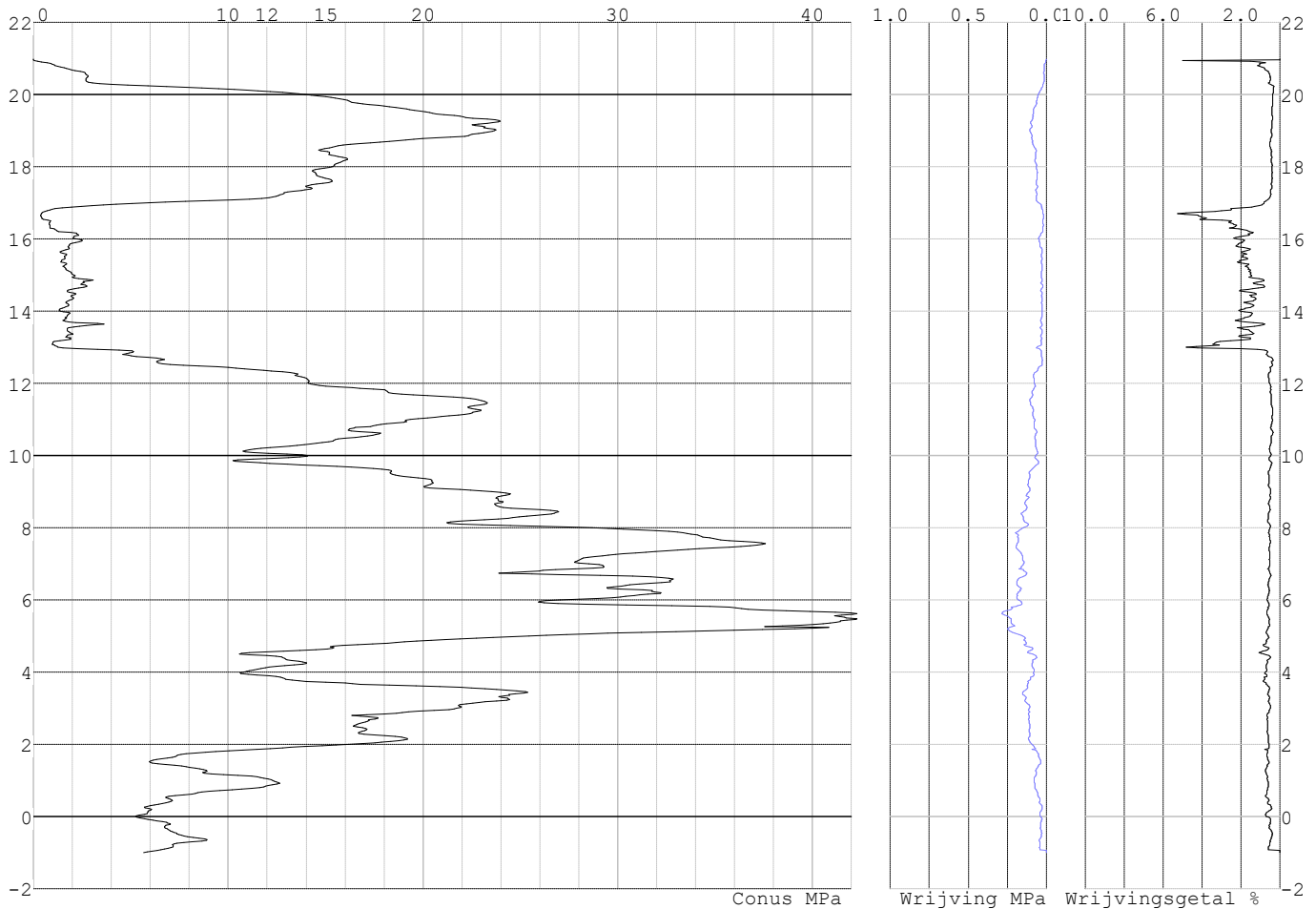
SONDERINGSGEGEVENS GRAFIEK: S101-1



Project :
Onderdeel :

SONDERINGSGEGEVENS ALGEMEEN: S101-2

Alle niveaus/hoogtes/peilmaten zijn t.o.v.: N.A.P.
 Hoogte maaiveld [m] : 20.99 Bodemprofiel: S101-2
 Traject negatieve kleeft : 20.99 tot 13.00 [m]
 Traject positieve kleeft : 13.00 tot -0.99 [m]

SONDERINGSGEGEVENS GRAFIEK: S101-2**REKENGEGEVENS Mast 101**

Berekening : Controlerend
 Rekenmethode : Trekpalen volgens NEN-EN 1997-1, art. 7.6.3
 Sondering(en) : S101-1, S101-2
 Let op: trekcapaciteit t.p.v. negatief kleefttraject is meegerekend.

Stijf bouwwerk : NEE
 Paalgroep : NEE
 Aantal sonderingen : 2
 Factor ξ_3 (n=1) : 1.39
 Factor ξ_3 (gem) : 1.32
 Factor ξ_4 (min) : 1.32
 Weerstandsfactor γ_R : 1.35
 $\gamma_{m;var;q_c}$: 1.50
 UGT draagvermogen zonder negatieve kleeft : NEE

Paal : LD1
 Niveau paalkop [m] : N.A.P. 21.39
 Paalpuntniveau : N.A.P. 9.89
 $E_{d,1}$ [kN] : 0.00 $E_{d,2}$ [kN] : 0.00
 Bovenbel. [kN/m²] : 0.00

RESULTATEN Mast 101 (n=1)

Project :
Onderdeel :

Sondering : S101-1

Alle niveaus/hogtes/peilmaten zijn t.o.v.: N.A.P.

Inheinniveau [m]	Effectief inheinniveau [m]	E.G. paal [kN]	$R_{t,cal;k}$ [kN]	$R_{t;d}$ [kN]	$F_{t,tot;1}$ [kN]	U.C.
9.89	9.89	35.7	441.6	441.6	0.0	0.00

Sondering : S101-2

Alle niveaus/hogtes/peilmaten zijn t.o.v.: N.A.P.

Inheinniveau [m]	Effectief inheinniveau [m]	E.G. paal [kN]	$R_{t,cal;k}$ [kN]	$R_{t;d}$ [kN]	$F_{t,tot;1}$ [kN]	U.C.
9.89	9.89	35.6	441.1	441.1	0.0	0.00

Project :
Onderdeel :

SAMENVATTINGSTABEL Mast 101 (n=1)

Uitgangspunten

- paal : LD1
 - paaltype : Stalen buispaal (gesloten)
 - schachtafmeting : 550 mm
 Paalklassefactor α_p : 1.00
 Factor α_t (tabel 7.c EC 7.1) : 0.0070 (zandlagen; voor kleilagen zie tabel 7.d)
 Correlatiefactor $\xi_{3(n=1)}$: 1.39

Alle niveaus/hogtes/peilmaten zijn t.o.v.: N.A.P.

sondering	maaiveld paalpunt		Bezwijkdraagvermogen $R_{t,cal}$ [kN]	Rekenwaarden	
	niveau	niveau		$R_{t;d}$ [kN]	$R_{t,netto;d}$ [kN]
S101-1	20.95	9.89	441.6	441.6	441.6
S101-2	20.99	9.89	441.1	441.1	441.1

Project :
Onderdeel :

SAMENVATTINGSTABEL Mast 101 (van 2 sonderingen)**Uitgangspunten**

- paal : LD1
 - paaltype : Stalen buispaal (gesloten)
 - schachtafmeting : 550 mm
 Paalklassefactor α_p : 1.00
 Factor α_t (tabel 7.c EC 7.1) : 0.0070 (zandlagen; voor kleilagen zie tabel 7.d)
 Correlatiefactor $\xi_{3gem}(n=2)$: 1.32
 Correlatiefactor $\xi_{4min}(n=2)$: 1.32

Alle niveaus/hogtes/peilmaten zijn t.o.v.: N.A.P.

sondering	maaiveld paalpunt		Bezwijkdraagvermogen	
	niveau	niveau	E.G. paal	$R_{t,cal}$
			[kN]	[kN]

met ξ_3 (gem) = 1.32

S101-1	20.95	9.89	35.7	463.1
S101-2	20.99	9.89	35.7	462.6
		9.89	$R_{t,cal,gem}$	462.8

met ξ_4 (min) = 1.32

S101-1	20.95	9.89	35.7	463.1
S101-2	20.99	9.89	35.7	462.6
		9.89	$R_{t,cal,min}$	462.6

Totaal resultaten Mast 101 (van 2 sonderingen)

Uitgangspunten

Correlatiefactor $\xi_{3gem}(n=2)$: 1.32
 Correlatiefactor $\xi_{4min}(n=2)$: 1.32

gebaseerd op sonderingen:
 S101-1 S101-2

$R_{t,d} = \min.\{ R_{t,cal,gem}; R_{t,cal,min} \}$ (7.17) *)

Inheinniveau
 [m]

9.89 $R_{t,d} = \min.\{ 462.8; 462.6 \} = 462.6$

*) Bij de trekpaalberekening zijn factoren ξ_3 en ξ_4 al bij de berekening van de conusweerstand $q_{c,z;d}$ in rekening gebracht, evenals factor $\gamma_{s;t}$. Dat is conform de opmerkingen in art. 7.6.3.3 (3) en (4).

Alle niveaus/hogtes/peilmaten zijn t.o.v.: N.A.P.

Inheinniveau	$R_{t,k}$	$R_{t,d}$	$F_{t,tot;1}$	$R_{t,netto;d}$	U.C.
[m]	[kN]	[kN]	[kN]	[kN]	
9.89	462.6	462.6	0.0	462.6	0.00

REKENGEGEVENS Mast 102

Berekening : Controlerend
 Rekenmethode : Trekpalen volgens NEN-EN 1997-1, art. 7.6.3
 Sondering(en) : S102-1, S102-2
 Let op: trekcapaciteit t.p.v. negatief kleeftraject is meegerekend.

Stijf bouwwerk : NEE
 Paalgroep : NEE
 Aantal sonderingen : 2
 Factor ξ_3 (n=1) : 1.39
 Factor ξ_3 (gem) : 1.32
 Factor ξ_4 (min) : 1.32
 Weerstandsfactor γ_R : 1.35
 $\gamma_{m,var;q_c}$: 1.50
 UGT draagvermogen zonder negatieve kleef : NEE

Paal : LD1
 Niveau paalkop [m] : N.A.P. 20.80
 Paalpuntniveau : N.A.P. 9.80
 $E_{d,1}$ [kN] : 0.00
 Bovenbel. [kN/m²] : 0.00

$E_{d,2}$ [kN] : 0.00

Project :
Onderdeel :

RESULTATEN Mast 102 (n=1)**Sondering : S102-1**

Alle niveaus/hogtes/peilmaten zijn t.o.v.: N.A.P.

Inheinniveau [m]	Effectief inheinniveau [m]	E.G. paal [kN]	$R_{t,cal;k}$ [kN]	$R_{t;d}$ [kN]	$F_{t,tot;1}$ [kN]	U.C.
9.80	9.80	33.8	374.1	374.1	0.0	0.00

Sondering : S102-2

Alle niveaus/hogtes/peilmaten zijn t.o.v.: N.A.P.

Inheinniveau [m]	Effectief inheinniveau [m]	E.G. paal [kN]	$R_{t,cal;k}$ [kN]	$R_{t;d}$ [kN]	$F_{t,tot;1}$ [kN]	U.C.
9.80	9.80	34.1	352.2	352.2	0.0	0.00

Project :
Onderdeel :

SAMENVATTINGSTABEL Mast 102 (n=1)**Uitgangspunten**

- paal : LD1
 - paaltype : Stalen buispaal (gesloten)
 - schachtafmeting : 550 mm
 Paalklassefactor α_p : 1.00
 Factor α_t (tabel 7.c EC 7.1) : 0.0070 (zandlagen; voor kleilagen zie tabel 7.d)
 Correlatiefactor $\xi_{3(n=1)}$: 1.39

Alle niveaus/hogtes/peilmaten zijn t.o.v.: N.A.P.

sondering	maaiveld paalpunt		Bezwijkdraagvermogen $R_{t,cal}$ [kN]	Rekenwaarden		
	niveau	niveau		$R_{t,d}$ [kN]	$R_{t,netto,d}$ [kN]	
S102-1	20.59	9.80	374.1	374.1	374.1	
S102-2	20.43	9.80	352.2	352.2	352.2	

Project :
Onderdeel :

SAMENVATTINGSTABEL Mast 102 (van 2 sonderingen)**Uitgangspunten**

- paal : LD1
 - paaltype : Stalen buispaal (gesloten)
 - schachtafmeting : 550 mm
 Paalklassefactor α_p : 1.00
 Factor α_t (tabel 7.c EC 7.1) : 0.0070 (zandlagen; voor kleilagen zie tabel 7.d)
 Correlatiefactor $\xi_{3gem}(n=2)$: 1.32
 Correlatiefactor $\xi_{4min}(n=2)$: 1.32

Alle niveaus/hogtes/peilmaten zijn t.o.v.: N.A.P.

sondering	maaiveld paalpunt		Bezwijkdraagvermogen	
	niveau	niveau	E.G. paal	$R_{t,cal}$
			[kN]	[kN]

met ξ_3 (gem) = 1.32

S102-1	20.59	9.80	33.8	392.1
S102-2	20.43	9.80	33.8	369.1

	9.80	$R_{t,cal,gem}$	380.6
--	------	-----------------	-------

met ξ_4 (min) = 1.32

S102-1	20.59	9.80	33.8	392.1
S102-2	20.43	9.80	33.8	369.1

	9.80	$R_{t,cal,min}$	369.1
--	------	-----------------	-------

Totaal resultaten Mast 102 (van 2 sonderingen)

Uitgangspunten

Correlatiefactor $\xi_{3gem}(n=2)$: 1.32
 Correlatiefactor $\xi_{4min}(n=2)$: 1.32

gebaseerd op sonderingen:
 S102-1 S102-2

$R_{t,d} = \min. \{ R_{t,cal,gem}; R_{t,cal,min} \}$ (7.17) *)

Inheinniveau
 [m]

9.80	$R_{t,d} = \min. \{ 380.6; 369.1 \} =$	369.1
------	--	-------

*) Bij de trekpaalberekening zijn factoren ξ_3 en ξ_4 al bij de berekening van de conusweerstand $q_{c,z;d}$ in rekening gebracht, evenals factor $\gamma_{s;t}$. Dat is conform de opmerkingen in art. 7.6.3.3 (3) en (4).

Alle niveaus/hogtes/peilmaten zijn t.o.v.: N.A.P.

Inheinniveau	$R_{t,k}$	$R_{t,d}$	$F_{t,tot;1}$	$R_{t,netto;d}$	U.C.
[m]	[kN]	[kN]	[kN]	[kN]	
9.80	369.1	369.1	0.0	369.1	0.00

REKENGEGEVENS Mast 104

Berekening : Controlerend
 Rekenmethode : Trekpalen volgens NEN-EN 1997-1, art. 7.6.3
 Sondering(en) : S104-1, S104-2
 Let op: trekcapaciteit t.p.v. negatief kleeftraject is meegerekend.

Stijf bouwwerk : NEE
 Paalgroep : NEE
 Aantal sonderingen : 2
 Factor ξ_3 (n=1) : 1.39
 Factor ξ_3 (gem) : 1.32
 Factor ξ_4 (min) : 1.32
 Weerstandsfactor γ_R : 1.35
 $\gamma_{m,var;q_c}$: 1.50
 UGT draagvermogen zonder negatieve kleef : NEE

Paal : LD1
 Niveau paalkop [m] : N.A.P. 20.36
 Paalpuntniveau : N.A.P. 9.86
 $E_{d,1}$ [kN] : 0.00
 Bovenbel. [kN/m²] : 0.00

$E_{d,2}$ [kN] : 0.00

Project :
Onderdeel :

RESULTATEN Mast 104 (n=1)**Sondering : S104-1**

Alle niveaus/hogtes/peilmaten zijn t.o.v.: N.A.P.

Inheinniveau [m]	Effectief inheinniveau [m]	E.G. paal [kN]	$R_{t,cal;k}$ [kN]	$R_{t;d}$ [kN]	$F_{t,tot;1}$ [kN]	U.C.
9.86	9.86	32.2	387.5	387.5	0.0	0.00

Sondering : S104-2

Alle niveaus/hogtes/peilmaten zijn t.o.v.: N.A.P.

Inheinniveau [m]	Effectief inheinniveau [m]	E.G. paal [kN]	$R_{t,cal;k}$ [kN]	$R_{t;d}$ [kN]	$F_{t,tot;1}$ [kN]	U.C.
9.86	9.86	32.3	369.7	369.7	0.0	0.00

Project :
Onderdeel :

SAMENVATTINGSTABEL Mast 104 (n=1)

Uitgangspunten

- paal : LD1
 - paaltype : Stalen buispaal (gesloten)
 - schachtafmeting : 550 mm
 Paalklassefactor α_p : 1.00
 Factor α_t (tabel 7.c EC 7.1) : 0.0070 (zandlagen; voor kleilagen zie tabel 7.d)
 Correlatiefactor $\xi_{3(n=1)}$: 1.39

Alle niveaus/hogtes/peilmaten zijn t.o.v.: N.A.P.

sondering	maaiveld paalpunt		Bezwijkdraagvermogen $R_{t,cal}$ [kN]	Rekenwaarden	
	niveau	niveau		$R_{t,d}$ [kN]	$R_{t,netto,d}$ [kN]
S104-1	20.23	9.86	387.5	387.5	387.5
S104-2	20.18	9.86	369.7	369.7	369.7

Project :
Onderdeel :

SAMENVATTINGSTABEL Mast 104 (van 2 sonderingen)**Uitgangspunten**

- paal : LD1
 - paaltype : Stalen buispaal (gesloten)
 - schachtafmeting : 550 mm
 Paalklassefactor α_p : 1.00
 Factor α_t (tabel 7.c EC 7.1) : 0.0070 (zandlagen; voor kleilagen zie tabel 7.d)
 Correlatiefactor $\xi_{3gem}(n=2)$: 1.32
 Correlatiefactor $\xi_{4min}(n=2)$: 1.32

Alle niveaus/hogtes/peilmaten zijn t.o.v.: N.A.P.

sondering	maaiveld	paalpunt	Bezuikdraagvermogen
	niveau	niveau	E.G. paal $R_{t,cal}$
			[kN] [kN]

met ξ_3 (gem) = 1.32

S104-1	20.23	9.86	32.2	406.3
--------	-------	------	------	-------

S104-2	20.18	9.86	32.2	387.6
--------	-------	------	------	-------

		9.86	$R_{t,cal,gem}$	397.0
--	--	------	-----------------	-------

met ξ_4 (min) = 1.32

S104-1	20.23	9.86	32.2	406.3
--------	-------	------	------	-------

S104-2	20.18	9.86	32.2	387.6
--------	-------	------	------	-------

		9.86	$R_{t,cal,min}$	387.6
--	--	------	-----------------	-------

Totaal resultaten Mast 104 (van 2 sonderingen)

Uitgangspunten

Correlatiefactor $\xi_{3gem}(n=2)$: 1.32

Correlatiefactor $\xi_{4min}(n=2)$: 1.32

gebaseerd op sonderingen:

S104-1 S104-2

$R_{t,d} = \min. \{ R_{t,cal,gem}; R_{t,cal,min} \}$ (7.17) *

Inheinniveau

[m]

9.86	$R_{t,d} = \min. \{ 397.0; 387.6 \} =$	387.6
------	--	-------

* Bij de trekpaalberekening zijn factoren ξ_3 en ξ_4 al bij de berekening van de conusweerstand $q_{c,z;d}$ in rekening gebracht, evenals factor $\gamma_{s;t}$. Dat is conform de opmerkingen in art. 7.6.3.3 (3) en (4).

Alle niveaus/hogtes/peilmaten zijn t.o.v.: N.A.P.

Inheinniveau	$R_{t,k}$	$R_{t,d}$	$F_{t,tot;1}$	$R_{t,netto;d}$	U.C.
[m]	[kN]	[kN]	[kN]	[kN]	
9.86	387.6	387.6	0.0	387.6	0.00

REKENGEDEVENS Mast 106

Berekening : Controlerend

Rekenmethode : Trekpalen volgens NEN-EN 1997-1, art. 7.6.3

Sondering(en) : S106-1, S106-2

Let op: trekcapaciteit t.p.v. negatief kleeftraject is meegerekend.

Stijf bouwwerk : NEE

Paalgroep : NEE

Aantal sonderingen : 2

Factor ξ_3 (n=1) : 1.39

Factor ξ_3 (gem) : 1.32

Factor ξ_4 (min) : 1.32

Weerstandsfactor γ_R : 1.35

$\gamma_{m,var;q_c}$: 1.50

UGT draagvermogen zonder negatieve kleef : NEE

Paal : LD1

Niveau paalkop [m] : N.A.P. 19.37

Paalpuntniveau : N.A.P. 6.37

$E_{d,1}$ [kN] : 0.00

Bovenbel. [kN/m²] : 0.00

$E_{d,2}$ [kN] : 0.00

Project :
Onderdeel :

RESULTATEN Mast 106 (n=1)**Sondering : S106-1**

Alle niveaus/hogtes/peilmaten zijn t.o.v.: N.A.P.

Inheinniveau [m]	Effectief inheinniveau [m]	E.G. paal [kN]	$R_{t,cal;k}$ [kN]	$R_{t;d}$ [kN]	$F_{t,tot;1}$ [kN]	U.C.
6.37	6.37	40.3	386.1	386.1	0.0	0.00

Sondering : S106-2

Alle niveaus/hogtes/peilmaten zijn t.o.v.: N.A.P.

Inheinniveau [m]	Effectief inheinniveau [m]	E.G. paal [kN]	$R_{t,cal;k}$ [kN]	$R_{t;d}$ [kN]	$F_{t,tot;1}$ [kN]	U.C.
6.37	6.37	40.0	386.1	386.1	0.0	0.00

Project :
Onderdeel :

SAMENVATTINGSTABEL Mast 106 (n=1)

Uitgangspunten

- paal : LD1
 - paaltype : Stalen buispaal (gesloten)
 - schachtafmeting : 550 mm
 Paalklassefactor α_p : 1.00
 Factor α_t (tabel 7.c EC 7.1) : 0.0070 (zandlagen; voor kleilagen zie tabel 7.d)
 Correlatiefactor $\xi_{3(n=1)}$: 1.39

Alle niveaus/hogtes/peilmaten zijn t.o.v.: N.A.P.

sondering	maaiveld paalpunt		Bezwijkdraagvermogen $R_{t,cal}$ [kN]	Rekenwaarden	
	niveau	niveau		$R_{t;d}$ [kN]	$R_{t,netto;d}$ [kN]
S106-1	18.79	6.37	386.1	386.1	386.1
S106-2	18.89	6.37	386.1	386.1	386.1

Project :
Onderdeel :

SAMENVATTINGSTABEL Mast 106 (van 2 sonderingen)**Uitgangspunten**

- paal : LD1
 - paaltype : Stalen buispaal (gesloten)
 - schachtafmeting : 550 mm
 Paalklassefactor α_p : 1.00
 Factor α_t (tabel 7.c EC 7.1) : 0.0070 (zandlagen; voor kleilagen zie tabel 7.d)
 Correlatiefactor $\xi_{3gem}(n=2)$: 1.32
 Correlatiefactor $\xi_{4min}(n=2)$: 1.32

Alle niveaus/hogtes/peilmaten zijn t.o.v.: N.A.P.

sondering	maaiveld paalpunt		Bezuikdraagvermogen	
	niveau	niveau	E.G. paal	$R_{t,cal}$
			[kN]	[kN]

met ξ_3 (gem) = 1.32

S106-1	18.79	6.37	40.3	404.4
--------	-------	------	------	-------

S106-2	18.89	6.37	40.3	404.4
--------	-------	------	------	-------

		6.37	$R_{t,cal,gem}$	404.4
--	--	------	-----------------	-------

met ξ_4 (min) = 1.32

S106-1	18.79	6.37	40.3	404.4
--------	-------	------	------	-------

S106-2	18.89	6.37	40.3	404.4
--------	-------	------	------	-------

		6.37	$R_{t,cal,min}$	404.4
--	--	------	-----------------	-------

Totaal resultaten Mast 106 (van 2 sonderingen)**Uitgangspunten**

Correlatiefactor $\xi_{3gem}(n=2)$: 1.32

Correlatiefactor $\xi_{4min}(n=2)$: 1.32

gebaseerd op sonderingen:

S106-1 S106-2

$R_{t,d} = \min. \{ R_{t,cal,gem}; R_{t,cal,min} \} (7.17) *$

Inheinniveau

[m]

6.37	$R_{t,d} = \min. \{ 404.4; 404.4 \} = 404.4$
------	--

*) Bij de trekpaalberekening zijn factoren ξ_3 en ξ_4 al bij de berekening van de conusweerstand $q_{c,z;d}$ in rekening gebracht, evenals factor $\gamma_{s;t}$. Dat is conform de opmerkingen in art. 7.6.3.3 (3) en (4).

Alle niveaus/hogtes/peilmaten zijn t.o.v.: N.A.P.

Inheinniveau	$R_{t,k}$	$R_{t,d}$	$F_{t,tot;1}$	$R_{t,netto;d}$	U.C.
[m]	[kN]	[kN]	[kN]	[kN]	
6.37	404.4	404.4	0.0	404.4	0.00

REKENGEGEVENS Mast 107

Berekening : Controlerend

Rekenmethode : Trekpalen volgens NEN-EN 1997-1, art. 7.6.3

Sondering(en) : S107-1, S107-2

Let op: trekcapaciteit t.p.v. negatief kleeftraject is meegerekend.

Stijf bouwwerk : NEE

Paalgroep : NEE

Aantal sonderingen : 2

Factor ξ_3 (n=1) : 1.39

Factor ξ_3 (gem) : 1.32

Factor ξ_4 (min) : 1.32

Weerstandsfactor γ_R : 1.35

$\gamma_{m,var;q_c}$: 1.50

UGT draagvermogen zonder negatieve kleeft : NEE

Paal : LD1

Niveau paalkop [m] : N.A.P. 18.20

Paalpuntniveau : N.A.P. 6.70

$E_{d,1}$ [kN] : 0.00

Bovenbel. [kN/m²] : 0.00

$E_{d,2}$ [kN] : 0.00

Project :
Onderdeel :

RESULTATEN Mast 107 (n=1)**Sondering : S107-1**

Alle niveaus/hogtes/peilmaten zijn t.o.v.: N.A.P.

Inheinniveau [m]	Effectief inheinniveau [m]	E.G. paal [kN]	$R_{t,cal;k}$ [kN]	$R_{t;d}$ [kN]	$F_{t,tot;1}$ [kN]	U.C.
6.70	6.70	35.4	368.4	368.4	0.0	0.00

Sondering : S107-2

Alle niveaus/hogtes/peilmaten zijn t.o.v.: N.A.P.

Inheinniveau [m]	Effectief inheinniveau [m]	E.G. paal [kN]	$R_{t,cal;k}$ [kN]	$R_{t;d}$ [kN]	$F_{t,tot;1}$ [kN]	U.C.
6.70	6.70	35.6	362.4	362.4	0.0	0.00

Project :
Onderdeel :

SAMENVATTINGSTABEL Mast 107 (n=1)

Uitgangspunten

- paal : LD1
 - paaltype : Stalen buispaal (gesloten)
 - schachtafmeting : 550 mm
 Paalklassefactor α_p : 1.00
 Factor α_t (tabel 7.c EC 7.1) : 0.0070 (zandlagen; voor kleilagen zie tabel 7.d)
 Correlatiefactor $\xi_{3(n=1)}$: 1.39

Alle niveaus/hogtes/peilmaten zijn t.o.v.: N.A.P.

sondering	maaiveld paalpunt		Bezwijkdraagvermogen $R_{t,cal}$ [kN]	Rekenwaarden	
	niveau	niveau		$R_{t,d}$ [kN]	$R_{t,netto,d}$ [kN]
S107-1	17.88	6.70	368.4	368.4	368.4
S107-2	17.82	6.70	362.4	362.4	362.4

Project :
Onderdeel :

SAMENVATTINGSTABEL Mast 107 (van 2 sonderingen)**Uitgangspunten**

- paal : LD1
- paaltype : Stalen buispaal (gesloten)
- schachtafmeting : 550 mm
Paalklassefactor α_p : 1.00
Factor α_t (tabel 7.c EC 7.1) : 0.0070 (zandlagen; voor kleilagen zie tabel 7.d)
Correlatiefactor $\xi_{3gem}(n=2)$: 1.32
Correlatiefactor $\xi_{4min}(n=2)$: 1.32

Alle niveaus/hogtes/peilmaten zijn t.o.v.: N.A.P.

sondering	maaiveld	paalpunt	Bezwijkdraagvermogen	
	niveau	niveau	E.G. paal	$R_{t,cal}$
			[kN]	[kN]

met ξ_3 (gem) = 1.32

S107-1	17.88	6.70	35.4	386.0
--------	-------	------	------	-------

S107-2	17.82	6.70	35.4	379.7
--------	-------	------	------	-------

		6.70	$R_{t,cal,gem}$	382.9
--	--	------	-----------------	-------

met ξ_4 (min) = 1.32

S107-1	17.88	6.70	35.4	386.0
--------	-------	------	------	-------

S107-2	17.82	6.70	35.4	379.7
--------	-------	------	------	-------

		6.70	$R_{t,cal,min}$	379.7
--	--	------	-----------------	-------

Totaal resultaten Mast 107 (van 2 sonderingen)

Uitgangspunten

Correlatiefactor $\xi_{3gem}(n=2)$: 1.32

Correlatiefactor $\xi_{4min}(n=2)$: 1.32

gebaseerd op sonderingen:

S107-1 S107-2

$R_{t,d} = \min.\{ R_{t,cal,gem}; R_{t,cal,min} \}$ (7.17) *)

Inheinniveau

[m]

6.70	$R_{t,d} = \min.\{ 382.9; 379.7 \} = 379.7$
------	---

*) Bij de trekpaalberekening zijn factoren ξ_3 en ξ_4 al bij de berekening van de conusweerstand $q_{c,z;d}$ in rekening gebracht, evenals factor $\gamma_{s;t}$. Dat is conform de opmerkingen in art. 7.6.3.3 (3) en (4).

Alle niveaus/hogtes/peilmaten zijn t.o.v.: N.A.P.

Inheinniveau	$R_{t,k}$	$R_{t,d}$	$F_{t,tot;1}$	$R_{t,netto;d}$	U.C.
[m]	[kN]	[kN]	[kN]	[kN]	
6.70	379.7	379.7	0.0	379.7	0.00

REKENGEGEVENS Mast 108

Berekening : Controlerend

Rekenmethode : Trekpalen volgens NEN-EN 1997-1, art. 7.6.3

Sondering(en) : S108-1, S108-2

Let op: trekcapaciteit t.p.v. negatief kleeftraject is meegerekend.

Stijf bouwwerk : NEE

Paalgroep : NEE

Aantal sonderingen : 2

Factor ξ_3 (n=1) : 1.39

Factor ξ_3 (gem) : 1.32

Factor ξ_4 (min) : 1.32

Weerstandsfactor γ_R : 1.35

$\gamma_{m,var;q_c}$: 1.50

UGT draagvermogen zonder negatieve kleeft : NEE

Paal : LD1

Niveau paalkop [m] : N.A.P. 18.51

Paalpuntniveau : N.A.P. 5.01

$E_{d,1}$ [kN] : 0.00

Bovenbel. [kN/m²] : 0.00

$E_{d,2}$ [kN] : 0.00

Project :
Onderdeel :

RESULTATEN Mast 108 (n=1)**Sondering : S108-1**

Alle niveaus/hogtes/peilmaten zijn t.o.v.: N.A.P.

Inheinniveau [m]	Effectief inheinniveau [m]	E.G. paal [kN]	$R_{t,cal;k}$ [kN]	$R_{t;d}$ [kN]	$F_{t,tot;1}$ [kN]	U.C.
5.01	5.01	40.5	485.7	485.7	0.0	0.00

Sondering : S108-2

Alle niveaus/hogtes/peilmaten zijn t.o.v.: N.A.P.

Inheinniveau [m]	Effectief inheinniveau [m]	E.G. paal [kN]	$R_{t,cal;k}$ [kN]	$R_{t;d}$ [kN]	$F_{t,tot;1}$ [kN]	U.C.
5.01	5.01	40.5	494.9	494.9	0.0	0.00

Project :
Onderdeel :

SAMENVATTINGSTABEL Mast 108 (n=1)

Uitgangspunten

- paal : LD1
 - paaltype : Stalen buispaal (gesloten)
 - schachtafmeting : 550 mm
 Paalklassefactor α_p : 1.00
 Factor α_t (tabel 7.c EC 7.1) : 0.0070 (zandlagen; voor kleilagen zie tabel 7.d)
 Correlatiefactor $\xi_{3(n=1)}$: 1.39

Alle niveaus/hogtes/peilmaten zijn t.o.v.: N.A.P.

sondering	maaiveld paalpunt		Bezwijkdraagvermogen $R_{t,cal}$ [kN]	Rekenwaarden	
	niveau	niveau		$R_{t,d}$ [kN]	$R_{t,netto,d}$ [kN]
S108-1	18.40	5.01	485.7	485.7	485.7
S108-2	18.40	5.01	494.9	494.9	494.9

Project :
Onderdeel :

SAMENVATTINGSTABEL Mast 108 (van 2 sonderingen)**Uitgangspunten**

- paal : LD1
 - paaltype : Stalen buispaal (gesloten)
 - schachtafmeting : 550 mm
 Paalklassefactor α_p : 1.00
 Factor α_t (tabel 7.c EC 7.1) : 0.0070 (zandlagen; voor kleilagen zie tabel 7.d)
 Correlatiefactor $\xi_{3gem}(n=2)$: 1.32
 Correlatiefactor $\xi_{4min}(n=2)$: 1.32

Alle niveaus/hogtes/peilmaten zijn t.o.v.: N.A.P.

sondering	maaiveld	paalpunt	Bezwijkdraagvermogen	
	niveau	niveau	E.G. paal	$R_{t,cal}$
			[kN]	[kN]

met ξ_3 (gem) = 1.32

S108-1	18.40	5.01	40.5	509.3
--------	-------	------	------	-------

S108-2	18.40	5.01	40.5	519.0
--------	-------	------	------	-------

		5.01	$R_{t,cal,gem}$	514.2
--	--	------	-----------------	-------

met ξ_4 (min) = 1.32

S108-1	18.40	5.01	40.5	509.3
--------	-------	------	------	-------

S108-2	18.40	5.01	40.5	519.0
--------	-------	------	------	-------

		5.01	$R_{t,cal,min}$	509.3
--	--	------	-----------------	-------

Totaal resultaten Mast 108 (van 2 sonderingen)**Uitgangspunten**

Correlatiefactor $\xi_{3gem}(n=2)$: 1.32

Correlatiefactor $\xi_{4min}(n=2)$: 1.32

gebaseerd op sonderingen:

S108-1 S108-2

$R_{t,d} = \min. \{ R_{t,cal,gem}; R_{t,cal,min} \}$ (7.17) *)

Inheinniveau

[m]

5.01	$R_{t,d} = \min. \{ 514.2; 509.3 \} =$	509.3
------	--	-------

*) Bij de trekpaalberekening zijn factoren ξ_3 en ξ_4 al bij de berekening van de conusweerstand $q_{c,z;d}$ in rekening gebracht, evenals factor $\gamma_{s;t}$. Dat is conform de opmerkingen in art. 7.6.3.3 (3) en (4).

Alle niveaus/hogtes/peilmaten zijn t.o.v.: N.A.P.

Inheinniveau	$R_{t,k}$	$R_{t,d}$	$F_{t,tot;1}$	$R_{t,netto;d}$	U.C.
[m]	[kN]	[kN]	[kN]	[kN]	
5.01	509.3	509.3	0.0	509.3	0.00

REKENGEDEVENS Mast 109

Berekening : Controlerend

Rekenmethode : Trekpalen volgens NEN-EN 1997-1, art. 7.6.3

Sondering(en) : S109-1, S109-2

Let op: trekcapaciteit t.p.v. negatief kleeftraject is meegerekend.

Stijf bouwwerk : NEE

Paalgroep : NEE

Aantal sonderingen : 2

Factor ξ_3 (n=1) : 1.39

Factor ξ_3 (gem) : 1.32

Factor ξ_4 (min) : 1.32

Weerstandsfactor γ_R : 1.35

$\gamma_{m,var;q_c}$: 1.50

UGT draagvermogen zonder negatieve kleef : NEE

Paal : LD1

Niveau paalkop [m] : N.A.P. 19.23

Paalpuntniveau : N.A.P. 10.23

$E_{d,1}$ [kN] : 0.00

Bovenbel. [kN/m²] : 0.00

$E_{d,2}$ [kN] : 0.00

Project :
Onderdeel :

RESULTATEN Mast 109 (n=1)**Sondering : S109-1**

Alle niveaus/hogtes/peilmaten zijn t.o.v.: N.A.P.

Inheinniveau [m]	Effectief inheinniveau [m]	E.G. paal [kN]	$R_{t,cal;k}$ [kN]	$R_{t;d}$ [kN]	$F_{t,tot;1}$ [kN]	U.C.
10.23	10.23	27.9	404.7	404.7	0.0	0.00

Sondering : S109-2

Alle niveaus/hogtes/peilmaten zijn t.o.v.: N.A.P.

Inheinniveau [m]	Effectief inheinniveau [m]	E.G. paal [kN]	$R_{t,cal;k}$ [kN]	$R_{t;d}$ [kN]	$F_{t,tot;1}$ [kN]	U.C.
10.23	10.23	28.5	396.4	396.4	0.0	0.00

Project :
Onderdeel :

SAMENVATTINGSTABEL Mast 109 (n=1)**Uitgangspunten**

- paal : LD1
 - paaltype : Stalen buispaal (gesloten)
 - schachtafmeting : 550 mm
 Paalklassefactor α_p : 1.00
 Factor α_t (tabel 7.c EC 7.1) : 0.0070 (zandlagen; voor kleilagen zie tabel 7.d)
 Correlatiefactor $\xi_{3(n=1)}$: 1.39

Alle niveaus/hogtes/peilmaten zijn t.o.v.: N.A.P.

sondering	maaiveld paalpunt		Bezwijkdraagvermogen $R_{t,cal}$ [kN]	Rekenwaarden		
	niveau	niveau		$R_{t,d}$ [kN]	$R_{t,netto,d}$ [kN]	
S109-1	19.12	10.23	404.7	404.7	404.7	
S109-2	18.86	10.23	396.4	396.4	396.4	

Project :
Onderdeel :

SAMENVATTINGSTABEL Mast 109 (van 2 sonderingen)**Uitgangspunten**

- paal : LD1
 - paaltype : Stalen buispaal (gesloten)
 - schachtafmeting : 550 mm
 Paalklassefactor α_p : 1.00
 Factor α_t (tabel 7.c EC 7.1) : 0.0070 (zandlagen; voor kleilagen zie tabel 7.d)
 Correlatiefactor $\xi_{3gem}(n=2)$: 1.32
 Correlatiefactor $\xi_{4min}(n=2)$: 1.32

Alle niveaus/hogtes/peilmaten zijn t.o.v.: N.A.P.

sondering	maaiveld	paalpunt	Bezuikdraagvermogen
	niveau	niveau	E.G. paal $R_{t,cal}$
			[kN] [kN]

met ξ_3 (gem) = 1.32

S109-1	19.12	10.23	27.9	424.6
--------	-------	-------	------	-------

S109-2	18.86	10.23	27.9	415.9
--------	-------	-------	------	-------

		10.23	$R_{t,cal,gem}$	420.3
--	--	-------	-----------------	-------

met ξ_4 (min) = 1.32

S109-1	19.12	10.23	27.9	424.6
--------	-------	-------	------	-------

S109-2	18.86	10.23	27.9	415.9
--------	-------	-------	------	-------

		10.23	$R_{t,cal,min}$	415.9
--	--	-------	-----------------	-------

Totaal resultaten Mast 109 (van 2 sonderingen)

Uitgangspunten

Correlatiefactor $\xi_{3gem}(n=2)$: 1.32

Correlatiefactor $\xi_{4min}(n=2)$: 1.32

gebaseerd op sonderingen:

S109-1 S109-2

$R_{t,d} = \min.\{ R_{t,cal,gem}; R_{t,cal,min} \}$ (7.17) *)

Inheinniveau

[m]

10.23	$R_{t,d} = \min.\{ 420.3; 415.9 \} = 415.9$
-------	---

*) Bij de trekpaalberekening zijn factoren ξ_3 en ξ_4 al bij de berekening van de conusweerstand $q_{c;z,d}$ in rekening gebracht, evenals factor $\gamma_{s;t}$. Dat is conform de opmerkingen in art. 7.6.3.3 (3) en (4).

Alle niveaus/hogtes/peilmaten zijn t.o.v.: N.A.P.

Inheinniveau	$R_{t;k}$	$R_{t;d}$	$F_{t,tot;1}$	$R_{t,netto;d}$	U.C.
[m]	[kN]	[kN]	[kN]	[kN]	
10.23	415.9	415.9	0.0	415.9	0.00

PAALGEGEVENS LD1

Type : Stalen buispaal (gesloten)
 Wijze van installeren : Heien
 Diameter [m] : 0.550
 Elasticiteitsmodulus [N/mm²] : 20000
 Factor α_s (tabel 7.c EC 7.1) : 0.010 (zandlagen; voor kleilagen zie tabel 7.d)
 Factor α_t (tabel 7.c EC 7.1) : 0.0070 (zandlagen; voor kleilagen zie tabel 7.d)
 Paalklassefactor α_p : 1.00
 Paalvoetvormfactor β : 1.00
 Type lastzakdiagram : Grondverdringende paal
 Verm.factor * $\phi'_{j;k}$: 0.75
 Groutomhulling : NEE

Project :
Onderdeel :

OVERZICHT NETTO DRAAGVERMOGEN TREKPALEN (n=1)

Netto paal draagvermogen(s) zijn naar beneden toe afgerond op: 1.0 kN nauwkeurig
Alle niveaus/hoogtes/peilmaten zijn t.o.v.: N.A.P.

sondering	maaiveld paalpunt		$R_{t, netto, d}$ [kN]				
	niveau	niveau	Mast 101	Mast 102	Mast 104	Mast 106	Mast 107
S102-1	20.59	9.80		374			
S102-2	20.43	9.80		352			
S104-1	20.23	9.86			387		
S104-2	20.18	9.86			369		
S106-1	18.79	6.37				386	
S106-2	18.89	6.37				386	
S107-1	17.88	6.70					368
S107-2	17.82	6.70					362
S101-1	20.95	9.89	441				
S101-2	20.99	9.89	441				

Project :
Onderdeel :

Netto paal draagvermogen(s) zijn naar beneden toe afgerond op: 1.0 kN nauwkeurig
Alle niveaus/hogtes/peilmaten zijn t.o.v.: N.A.P.

sondering	maaiveld niveau	paalpunt niveau	$R_{t,netto;d}$ Mast 108	[kN] Mast 109
-----------	--------------------	--------------------	-----------------------------	------------------

S108-1	18.40	5.01	485	
S108-2	18.40	5.01	494	
S109-1	19.12	10.23		404
S109-2	18.86	10.23		396

Project :
Onderdeel :

ALGEMENE GEGEVENS

Project :
Onderdeel :
Datum : 23-11-2021
Bestand : P:\EANL_Projects\10166262 - BBB modelleren
funderingen 380 kV\02 Content\03
Calculations\Technosoft
Paalfunderingen\MBT-EHV380\DO\Nieuw
Sonderingen\Mast 110-119.pvw
Berekeningstype : Verticaal belaste paal
Alle niveaus/hogtes/peilmaten zijn t.o.v.: N.A.P.

Toegepaste normen volgens Eurocode met Nederlandse NB

Geotechniek	EN 1997-1:2004	AC:2009	
	NEN-EN 1997-1:2005	C1+A1:2013	NB:2016
	NEN 9997-1:2016	C2:2017	

GRONDSOORTEN

Nr. Omschrijving	$\gamma_{k;1}$ [kN/m ³]	$\gamma_{sat;k;1}$ [kN/m ³]	$\phi'_{k;1}$ [°]	$\gamma_{k;2}$ [kN/m ³]	$\gamma_{sat;k;2}$ [kN/m ³]	$\phi'_{k;2}$ [°]
1 Zand - Schoon - Los	17.00	19.00	30.00	18.00	20.00	32.50
2 Zand - Schoon - Matig	18.00	20.00	32.50	19.00	21.00	35.00
3 Zand - Schoon - Vast	19.00	21.00	35.00	20.00	22.00	40.00
4 Zand - Zwak siltig - Kleiig	18.00	20.00	27.00	19.00	21.00	32.50
5 Zand - Sterk siltig - Kleiig	18.00	20.00	25.00	19.00	21.00	30.00
6 Leem - Zwak zandig - Vast	21.00	21.00	27.50	22.00	22.00	35.00
7 Klei - Schoon - Matig	17.00	17.00	17.50	19.00	19.00	17.50
8 Klei - Schoon - Vast	19.00	19.00	17.50	20.00	20.00	25.00
9 Klei - Zwak zandig - Slap	15.00	15.00	22.50	18.00	18.00	22.50
10 Klei - Zwak zandig - Matig	18.00	18.00	22.50	20.00	20.00	22.50
11 Klei - Zwak zandig - Vast	20.00	20.00	22.50	21.00	21.00	27.50
12 Klei - Sterk zandig	18.00	18.00	27.50	20.00	20.00	32.50
13 Klei - Organisch - Matig	15.00	15.00	15.00	16.00	16.00	15.00
14 Veen - Niet voorbelast - Slap	10.00	10.00	15.00	12.00	12.00	15.00
15 Veen - Matig voorbelast - Matig	12.00	12.00	15.00	13.00	13.00	15.00

BODEMPROFIELGEGEVENS: S111-1

Alle niveaus/hogtes/peilmaten zijn t.o.v.: N.A.P.

d50-reductie is meegenomen overeenkomstig NEN-EN 9997 art. 7.6.2.3 (i)

Hoogte maaiveld [m] : 18.67 Grondwaterstand [m] : 17.67

Laag	Van [m]	Tot [m]	Omschrijving	OCR	Aandeel pos. kleef [%]	α_s	d_{50} [mm]
1	18.67	18.28	Veen - Niet voorbelast - Slap	1.0	50.0		
2	18.28	17.92	Zand - Sterk siltig - Kleiig	1.0	100.0		
3	17.92	16.76	Zand - Schoon - Matig	1.0	100.0		
4	16.76	16.62	Zand - Schoon - Los	1.0	100.0		
5	16.62	15.74	Klei - Zwak zandig - Slap	1.0	50.0		
6	15.74	15.48	Leem - Zwak zandig - Vast	1.0	50.0		
7	15.48	15.22	Klei - Schoon - Matig	1.0	50.0		
8	15.22	14.88	Zand - Sterk siltig - Kleiig	1.0	100.0		
9	14.88	14.74	Klei - Zwak zandig - Vast	1.0	50.0		
10	14.74	14.42	Zand - Sterk siltig - Kleiig	1.0	100.0		
11	14.42	13.22	Leem - Zwak zandig - Vast	1.0	50.0		
12	13.22	12.54	Zand - Schoon - Matig	1.0	100.0		
13	12.54	11.04	Zand - Schoon - Vast	1.0	100.0		
14	11.04	10.26	Zand - Schoon - Matig	1.0	100.0		
15	10.26	9.74	Zand - Schoon - Los	1.0	100.0		
16	9.74	9.30	Zand - Schoon - Matig	1.0	100.0		
17	9.30	8.88	Zand - Sterk siltig - Kleiig	1.0	100.0		
18	8.88	8.48	Klei - Schoon - Vast	1.0	50.0		
19	8.48	6.05	Zand - Schoon - Matig	1.0	100.0		
20	6.05	5.41	Zand - Schoon - Los	1.0	100.0		
21	5.41	3.75	Zand - Schoon - Vast	1.0	100.0		

Project :
Onderdeel :

BODEMPROFIELGEGEVENS: S111-2

Alle niveaus/hogtes/peilmaten zijn t.o.v.: N.A.P.

d50-reductie is meegenomen overeenkomstig NEN-EN 9997 art. 7.6.2.3 (i)

Laag	Van [m]	Tot [m]	Omschrijving	Grondwaterstand [m]	OCR	Aandeel pos. kleef [%]	α_s	d_{50} [mm]
				18.96				17.96
1	18.96	17.33	Zand - Sterk siltig - Kleiig		1.0	100.0		
2	17.33	17.05	Zand - Schoon - Los		1.0	100.0		
3	17.05	15.87	Klei - Organisch - Matig		1.0	50.0		
4	15.87	15.29	Zand - Schoon - Matig		1.0	100.0		
5	15.29	15.01	Zand - Zwak siltig - Kleiig		1.0	100.0		
6	15.01	14.71	Zand - Schoon - Matig		1.0	100.0		
7	14.71	14.45	Zand - Zwak siltig - Kleiig		1.0	100.0		
8	14.45	14.05	Klei - Zwak zandig - Vast		1.0	50.0		
9	14.05	13.71	Zand - Sterk siltig - Kleiig		1.0	100.0		
10	13.71	13.45	Leem - Zwak zandig - Vast		1.0	50.0		
11	13.45	10.35	Zand - Schoon - Vast		1.0	100.0		
12	10.35	9.55	Zand - Schoon - Matig		1.0	100.0		
13	9.55	9.05	Zand - Sterk siltig - Kleiig		1.0	100.0		
14	9.05	8.67	Leem - Zwak zandig - Vast		1.0	50.0		
15	8.67	4.89	Zand - Schoon - Matig		1.0	100.0		
16	4.89	3.87	Zand - Schoon - Vast		1.0	100.0		
17	3.87	2.68	Zand - Sterk siltig - Kleiig		1.0	100.0		
18	2.68	1.06	Zand - Schoon - Matig		1.0	100.0		
19	1.06	0.98	Zand - Zwak siltig - Kleiig		1.0	100.0		

BODEMPROFIELGEGEVENS: S112-1

Alle niveaus/hogtes/peilmaten zijn t.o.v.: N.A.P.

d50-reductie is meegenomen overeenkomstig NEN-EN 9997 art. 7.6.2.3 (i)

Laag	Van [m]	Tot [m]	Omschrijving	Grondwaterstand [m]	OCR	Aandeel pos. kleef [%]	α_s	d_{50} [mm]
				18.76				17.76
1	18.76	18.03	Zand - Sterk siltig - Kleiig		1.0	100.0		
2	18.03	17.67	Leem - Zwak zandig - Vast		1.0	50.0		
3	17.67	17.17	Zand - Schoon - Los		1.0	100.0		
4	17.17	15.93	Klei - Zwak zandig - Slap		1.0	50.0		
5	15.93	15.41	Leem - Zwak zandig - Vast		1.0	50.0		
6	15.41	13.03	Zand - Schoon - Matig		1.0	100.0		
7	13.03	11.55	Zand - Zwak siltig - Kleiig		1.0	100.0		
8	11.55	10.36	Zand - Schoon - Matig		1.0	100.0		
9	10.36	9.28	Zand - Sterk siltig - Kleiig		1.0	100.0		
10	9.28	9.04	Leem - Zwak zandig - Vast		1.0	50.0		
11	9.04	8.62	Klei - Schoon - Vast		1.0	50.0		
12	8.62	8.36	Leem - Zwak zandig - Vast		1.0	50.0		
13	8.36	7.67	Veen - Matig voorbelast - Matig		1.0	50.0		
14	7.67	6.97	Klei - Schoon - Vast		1.0	50.0		
15	6.97	6.15	Zand - Schoon - Vast		1.0	100.0		
16	6.15	5.41	Zand - Schoon - Matig		1.0	100.0		
17	5.41	4.68	Zand - Schoon - Vast		1.0	100.0		
18	4.68	4.02	Zand - Schoon - Los		1.0	100.0		
19	4.02	0.93	Zand - Schoon - Vast		1.0	100.0		
20	0.93	-0.32	Zand - Schoon - Matig		1.0	100.0		
21	-0.32	-1.69	Zand - Zwak siltig - Kleiig		1.0	100.0		
22	-1.69	-2.48	Zand - Schoon - Matig		1.0	100.0		
23	-2.48	-2.72	Zand - Schoon - Los		1.0	100.0		
24	-2.72	-4.04	Zand - Schoon - Vast		1.0	100.0		

BODEMPROFIELGEGEVENS: S112-2

Alle niveaus/hogtes/peilmaten zijn t.o.v.: N.A.P.

d50-reductie is meegenomen overeenkomstig NEN-EN 9997 art. 7.6.2.3 (i)

Laag	Van [m]	Tot [m]	Omschrijving	Grondwaterstand [m]	OCR	Aandeel pos. kleef [%]	α_s	d_{50} [mm]
				18.88				17.88
1	18.88	17.51	Zand - Schoon - Los		1.0	100.0		
2	17.51	15.89	Klei - Zwak zandig - Vast		1.0	50.0		
3	15.89	15.23	Zand - Zwak siltig - Kleiig		1.0	100.0		
4	15.23	9.16	Zand - Schoon - Matig		1.0	100.0		
5	9.16	8.72	Zand - Schoon - Vast		1.0	100.0		

Project :
Onderdeel :

Laag	Van [m]	Tot [m]	Omschrijving	OCR	Aandeel pos. kleef [%]	α_s	d_{50} [mm]
6	8.72	8.26	Zand - Schoon - Matig	1.0	100.0		
7	8.26	7.91	Leem - Zwak zandig - Vast	1.0	50.0		
8	7.91	7.19	Klei - Schoon - Vast	1.0	50.0		
9	7.19	6.49	Zand - Schoon - Vast	1.0	100.0		
10	6.49	5.57	Zand - Schoon - Matig	1.0	100.0		
11	5.57	4.68	Zand - Schoon - Vast	1.0	100.0		
12	4.68	4.12	Zand - Schoon - Matig	1.0	100.0		
13	4.12	-0.97	Zand - Schoon - Vast	1.0	100.0		
14	-0.97	-2.10	Zand - Schoon - Los	1.0	100.0		
15	-2.10	-4.96	Zand - Schoon - Vast	1.0	100.0		

BODEMPROFIELGEGEVENS: S112-3

Alle niveaus/hogtes/peilmaten zijn t.o.v.: N.A.P.

d50-reductie is meegenomen overeenkomstig NEN-EN 9997 art. 7.6.2.3 (i)

Hoogte maaiveld [m] : 18.78 Grondwaterstand [m] : 17.78

Laag	Van [m]	Tot [m]	Omschrijving	OCR	Aandeel pos. kleef [%]	α_s	d_{50} [mm]
1	18.78	17.35	Zand - Zwak siltig - Kleiig	1.0	100.0		
2	17.35	17.09	Leem - Zwak zandig - Vast	1.0	50.0		
3	17.09	15.87	Klei - Zwak zandig - Matig	1.0	50.0		
4	15.87	12.00	Zand - Zwak siltig - Kleiig	1.0	100.0		
5	12.00	10.88	Zand - Sterk siltig - Kleiig	1.0	100.0		
6	10.88	8.11	Zand - Schoon - Matig	1.0	100.0		
7	8.11	7.53	Leem - Zwak zandig - Vast	1.0	50.0		
8	7.53	7.01	Klei - Schoon - Matig	1.0	50.0		
9	7.01	5.56	Zand - Schoon - Matig	1.0	100.0		
10	5.56	4.89	Zand - Schoon - Vast	1.0	100.0		
11	4.89	4.18	Zand - Schoon - Matig	1.0	100.0		
12	4.18	0.97	Zand - Schoon - Vast	1.0	100.0		
13	0.97	-1.09	Zand - Zwak siltig - Kleiig	1.0	100.0		
14	-1.09	-2.92	Zand - Schoon - Matig	1.0	100.0		
15	-2.92	-5.01	Zand - Schoon - Vast	1.0	100.0		

BODEMPROFIELGEGEVENS: S112-4

Alle niveaus/hogtes/peilmaten zijn t.o.v.: N.A.P.

d50-reductie is meegenomen overeenkomstig NEN-EN 9997 art. 7.6.2.3 (i)

Hoogte maaiveld [m] : 18.84 Grondwaterstand [m] : 17.84

Laag	Van [m]	Tot [m]	Omschrijving	OCR	Aandeel pos. kleef [%]	α_s	d_{50} [mm]
1	18.84	17.13	Zand - Zwak siltig - Kleiig	1.0	100.0		
2	17.13	15.97	Klei - Organisch - Matig	1.0	50.0		
3	15.97	15.57	Leem - Zwak zandig - Vast	1.0	50.0		
4	15.57	10.94	Zand - Zwak siltig - Kleiig	1.0	100.0		
5	10.94	9.49	Zand - Schoon - Matig	1.0	100.0		
6	9.49	9.03	Zand - Schoon - Los	1.0	100.0		
7	9.03	8.55	Zand - Schoon - Vast	1.0	100.0		
8	8.55	8.15	Leem - Zwak zandig - Vast	1.0	50.0		
9	8.15	7.44	Klei - Schoon - Matig	1.0	50.0		
10	7.44	7.20	Zand - Sterk siltig - Kleiig	1.0	100.0		
11	7.20	6.94	Klei - Zwak zandig - Matig	1.0	50.0		
12	6.94	4.73	Zand - Schoon - Vast	1.0	100.0		
13	4.73	4.00	Zand - Schoon - Matig	1.0	100.0		
14	4.00	-0.01	Zand - Schoon - Vast	1.0	100.0		
15	-0.01	-3.41	Zand - Schoon - Matig	1.0	100.0		
16	-3.41	-4.90	Zand - Schoon - Vast	1.0	100.0		

BODEMPROFIELGEGEVENS: S113-1

Alle niveaus/hogtes/peilmaten zijn t.o.v.: N.A.P.

d50-reductie is meegenomen overeenkomstig NEN-EN 9997 art. 7.6.2.3 (i)

Hoogte maaiveld [m] : 20.20 Grondwaterstand [m] : 19.20

Laag	Van [m]	Tot [m]	Omschrijving	OCR	Aandeel pos. kleef [%]	α_s	d_{50} [mm]
1	20.20	19.47	Zand - Schoon - Los	1.0	100.0		
2	19.47	18.47	Klei - Zwak zandig - Matig	1.0	50.0		
3	18.47	17.93	Zand - Sterk siltig - Kleiig	1.0	100.0		
4	17.93	17.25	Zand - Schoon - Matig	1.0	100.0		

Project :
Onderdeel :

Laag	Van [m]	Tot [m]	Omschrijving	OCR	Aandeel pos. kleef [%]	α_s	d_{50} [mm]
5	17.25	16.03	Zand - Schoon - Los	1.0	100.0		
6	16.03	15.75	Zand - Sterk siltig - Kleiig	1.0	100.0		
7	15.75	15.49	Klei - Schoon - Matig	1.0	50.0		
8	15.49	14.41	Klei - Zwak zandig - Slap	1.0	50.0		
9	14.41	13.75	Zand - Schoon - Matig	1.0	100.0		
10	13.75	13.45	Zand - Schoon - Los	1.0	100.0		
11	13.45	12.89	Zand - Schoon - Matig	1.0	100.0		
12	12.89	10.97	Zand - Schoon - Vast	1.0	100.0		
13	10.97	10.58	Zand - Schoon - Los	1.0	100.0		
14	10.58	10.46	Klei - Zwak zandig - Matig	1.0	50.0		
15	10.46	9.80	Zand - Schoon - Vast	1.0	100.0		
16	9.80	9.48	Zand - Schoon - Los	1.0	100.0		
17	9.48	9.08	Klei - Zwak zandig - Matig	1.0	50.0		
18	9.08	8.14	Zand - Schoon - Matig	1.0	100.0		
19	8.14	7.88	Zand - Schoon - Los	1.0	100.0		
20	7.88	7.60	Zand - Sterk siltig - Kleiig	1.0	100.0		
21	7.60	7.24	Zand - Schoon - Los	1.0	100.0		
22	7.24	6.33	Klei - Zwak zandig - Matig	1.0	50.0		
23	6.33	6.07	Zand - Sterk siltig - Kleiig	1.0	100.0		
24	6.07	5.21	Zand - Schoon - Matig	1.0	100.0		
25	5.21	2.70	Zand - Schoon - Vast	1.0	100.0		
26	2.70	2.28	Zand - Sterk siltig - Kleiig	1.0	100.0		
27	2.28	2.14	Zand - Zwak siltig - Kleiig	1.0	100.0		
28	2.14	1.89	Klei - Schoon - Vast	1.0	50.0		
29	1.89	0.90	Zand - Schoon - Vast	1.0	100.0		
30	0.90	0.28	Zand - Zwak siltig - Kleiig	1.0	100.0		

BODEMPROFIELGEGEVENS: S113-2

Alle niveaus/hogtes/peilmaten zijn t.o.v.: N.A.P.

d50-reductie is meegenomen overeenkomstig NEN-EN 9997 art. 7.6.2.3 (i)

Hoogte maaiveld [m] : 19.46 Grondwaterstand [m] : 18.46

Laag	Van [m]	Tot [m]	Omschrijving	OCR	Aandeel pos. kleef [%]	α_s	d_{50} [mm]
1	19.46	18.71	Zand - Schoon - Los	1.0	100.0		
2	18.71	17.91	Klei - Schoon - Matig	1.0	50.0		
3	17.91	17.39	Zand - Sterk siltig - Kleiig	1.0	100.0		
4	17.39	16.67	Zand - Schoon - Matig	1.0	100.0		
5	16.67	16.37	Zand - Schoon - Los	1.0	100.0		
6	16.37	15.71	Zand - Sterk siltig - Kleiig	1.0	100.0		
7	15.71	15.13	Zand - Schoon - Matig	1.0	100.0		
8	15.13	13.13	Zand - Schoon - Vast	1.0	100.0		
9	13.13	12.69	Zand - Schoon - Matig	1.0	100.0		
10	12.69	11.25	Zand - Schoon - Vast	1.0	100.0		
11	11.25	10.74	Zand - Schoon - Los	1.0	100.0		
12	10.74	10.08	Klei - Zwak zandig - Vast	1.0	50.0		
13	10.08	9.82	Zand - Schoon - Matig	1.0	100.0		
14	9.82	7.32	Zand - Schoon - Vast	1.0	100.0		
15	7.32	6.72	Zand - Schoon - Los	1.0	100.0		
16	6.72	5.94	Klei - Zwak zandig - Matig	1.0	50.0		
17	5.94	5.69	Zand - Schoon - Matig	1.0	100.0		
18	5.69	4.40	Zand - Schoon - Vast	1.0	100.0		
19	4.40	3.83	Zand - Schoon - Matig	1.0	100.0		
20	3.83	1.82	Zand - Schoon - Vast	1.0	100.0		
21	1.82	1.64	Zand - Schoon - Los	1.0	100.0		
22	1.64	1.06	Klei - Schoon - Vast	1.0	50.0		
23	1.06	0.46	Zand - Zwak siltig - Kleiig	1.0	100.0		
24	0.46	-0.45	Zand - Schoon - Vast	1.0	100.0		

BODEMPROFIELGEGEVENS: S113-3

Alle niveaus/hogtes/peilmaten zijn t.o.v.: N.A.P.

d50-reductie is meegenomen overeenkomstig NEN-EN 9997 art. 7.6.2.3 (i)

Hoogte maaiveld [m] : 19.40 Grondwaterstand [m] : 18.40

Project :
Onderdeel :

Laag	Van [m]	Tot [m]	Omschrijving	OCR	Aandeel pos. kleef [%]	α_s	d_{50} [mm]
1	19.40	18.11	Zand - Sterk siltig - Kleiig	1.0	100.0		
2	18.11	17.71	Klei - Zwak zandig - Vast	1.0	50.0		
3	17.71	17.33	Zand - Schoon - Los	1.0	100.0		
4	17.33	16.50	Zand - Schoon - Matig	1.0	100.0		
5	16.50	15.27	Zand - Zwak siltig - Kleiig	1.0	100.0		
6	15.27	12.96	Zand - Schoon - Matig	1.0	100.0		
7	12.96	12.42	Zand - Zwak siltig - Kleiig	1.0	100.0		
8	12.42	11.50	Zand - Schoon - Vast	1.0	100.0		
9	11.50	10.62	Zand - Schoon - Los	1.0	100.0		
10	10.62	9.70	Klei - Zwak zandig - Matig	1.0	50.0		
11	9.70	7.91	Zand - Schoon - Vast	1.0	100.0		
12	7.91	7.51	Zand - Schoon - Matig	1.0	100.0		
13	7.51	6.87	Klei - Schoon - Vast	1.0	50.0		
14	6.87	6.49	Veen - Matig voorbelast - Matig	1.0	50.0		
15	6.49	5.91	Klei - Zwak zandig - Matig	1.0	50.0		
16	5.91	3.92	Zand - Schoon - Vast	1.0	100.0		
17	3.92	3.46	Zand - Schoon - Matig	1.0	100.0		
18	3.46	1.40	Zand - Schoon - Vast	1.0	100.0		
19	1.40	1.01	Zand - Schoon - Matig	1.0	100.0		
20	1.01	0.13	Zand - Schoon - Vast	1.0	100.0		
21	0.13	-0.31	Zand - Zwak siltig - Kleiig	1.0	100.0		
22	-0.31	-0.48	Zand - Schoon - Vast	1.0	100.0		

BODEMPROFIELGEGEVENS: S113-4

Alle niveaus/hogtes/peilmaten zijn t.o.v.: N.A.P.

d50-reductie is meegenomen overeenkomstig NEN-EN 9997 art. 7.6.2.3 (i)

Hoogte maaiveld [m] : 20.30 Grondwaterstand [m] : 19.30

Laag	Van [m]	Tot [m]	Omschrijving	OCR	Aandeel pos. kleef [%]	α_s	d_{50} [mm]
1	20.30	19.71	Zand - Zwak siltig - Kleiig	1.0	100.0		
2	19.71	19.35	Zand - Schoon - Los	1.0	100.0		
3	19.35	18.35	Klei - Zwak zandig - Vast	1.0	50.0		
4	18.35	18.09	Zand - Schoon - Los	1.0	100.0		
5	18.09	17.51	Zand - Schoon - Matig	1.0	100.0		
6	17.51	16.67	Zand - Schoon - Los	1.0	100.0		
7	16.67	16.29	Zand - Sterk siltig - Kleiig	1.0	100.0		
8	16.29	15.49	Zand - Schoon - Matig	1.0	100.0		
9	15.49	15.37	Zand - Schoon - Los	1.0	100.0		
10	15.37	14.89	Klei - Schoon - Matig	1.0	50.0		
11	14.89	14.23	Zand - Schoon - Matig	1.0	100.0		
12	14.23	13.47	Zand - Zwak siltig - Kleiig	1.0	100.0		
13	13.47	12.50	Zand - Schoon - Vast	1.0	100.0		
14	12.50	11.39	Zand - Schoon - Los	1.0	100.0		
15	11.39	10.73	Klei - Schoon - Matig	1.0	50.0		
16	10.73	10.47	Zand - Schoon - Matig	1.0	100.0		
17	10.47	8.94	Zand - Schoon - Vast	1.0	100.0		
18	8.94	7.07	Zand - Sterk siltig - Kleiig	1.0	100.0		
19	7.07	6.65	Klei - Schoon - Matig	1.0	50.0		
20	6.65	5.27	Zand - Schoon - Vast	1.0	100.0		
21	5.27	5.03	Veen - Niet voorbelast - Slap	1.0	50.0		
22	5.03	4.59	Zand - Schoon - Vast	1.0	100.0		
23	4.59	4.08	Zand - Schoon - Matig	1.0	100.0		
24	4.08	2.20	Zand - Schoon - Vast	1.0	100.0		
25	2.20	1.56	Zand - Schoon - Los	1.0	100.0		
26	1.56	0.35	Zand - Schoon - Vast	1.0	100.0		

BODEMPROFIELGEGEVENS: S110-2

Alle niveaus/hogtes/peilmaten zijn t.o.v.: N.A.P.

d50-reductie is meegenomen overeenkomstig NEN-EN 9997 art. 7.6.2.3 (i)

Hoogte maaiveld [m] : 18.36 Grondwaterstand [m] : 17.36

Laag	Van [m]	Tot [m]	Omschrijving	OCR	Aandeel pos. kleef [%]	α_s	d_{50} [mm]
1	18.36	16.17	Zand - Schoon - Matig	1.0	100.0		
2	16.17	15.73	Zand - Zwak siltig - Kleiig	1.0	100.0		
3	15.73	15.39	Leem - Zwak zandig - Vast	1.0	50.0		
4	15.39	14.99	Zand - Schoon - Los	1.0	100.0		
5	14.99	14.41	Klei - Zwak zandig - Matig	1.0	50.0		

Project :
Onderdeel :

Laag	Van [m]	Tot [m]	Omschrijving	OCR	Aandeel pos. kleef [%]	α_s	d_{50} [mm]
6	14.41	13.53	Zand - Schoon - Los	1.0	100.0		
7	13.53	13.13	Klei - Zwak zandig - Matig	1.0	50.0		
8	13.13	12.87	Zand - Schoon - Los	1.0	100.0		
9	12.87	11.83	Klei - Schoon - Vast	1.0	50.0		
10	11.83	9.04	Zand - Schoon - Vast	1.0	100.0		
11	9.04	5.04	Zand - Schoon - Matig	1.0	100.0		
12	5.04	4.58	Zand - Schoon - Vast	1.0	100.0		
13	4.58	3.69	Zand - Schoon - Matig	1.0	100.0		
14	3.69	3.31	Zand - Schoon - Los	1.0	100.0		
15	3.31	1.89	Zand - Schoon - Matig	1.0	100.0		
16	1.89	1.65	Zand - Sterk siltig - Kleiig	1.0	100.0		
17	1.65	1.16	Klei - Zwak zandig - Vast	1.0	50.0		
18	1.16	0.58	Zand - Schoon - Vast	1.0	100.0		
19	0.58	0.32	Zand - Zwak siltig - Kleiig	1.0	100.0		
20	0.32	-0.52	Klei - Schoon - Matig	1.0	50.0		
21	-0.52	-0.68	Zand - Schoon - Vast	1.0	100.0		

BODEMPROFIELGEGEVENS: S110-1

Alle niveaus/hogtes/peilmaten zijn t.o.v.: N.A.P.

d50-reductie is meegenomen overeenkomstig NEN-EN 9997 art. 7.6.2.3 (i)

Hoogte maaiveld [m] : 18.32 Grondwaterstand [m] : 17.32

Laag	Van [m]	Tot [m]	Omschrijving	OCR	Aandeel pos. kleef [%]	α_s	d_{50} [mm]
1	18.32	18.19	Klei - Organisch - Matig	1.0	50.0		
2	18.19	14.71	Zand - Schoon - Matig	1.0	100.0		
3	14.71	14.45	Zand - Sterk siltig - Kleiig	1.0	100.0		
4	14.45	14.15	Klei - Zwak zandig - Vast	1.0	50.0		
5	14.15	13.17	Zand - Schoon - Vast	1.0	100.0		
6	13.17	12.93	Zand - Sterk siltig - Kleiig	1.0	100.0		
7	12.93	12.81	Klei - Zwak zandig - Vast	1.0	50.0		
8	12.81	12.33	Zand - Schoon - Vast	1.0	100.0		
9	12.33	12.21	Zand - Schoon - Vast	1.0	100.0		
10	12.21	11.95	Zand - Sterk siltig - Kleiig	1.0	100.0		
11	11.95	11.67	Klei - Organisch - Matig	1.0	50.0		
12	11.67	-0.71	Zand - Schoon - Vast	1.0	100.0		

SONDERINGSGEGEVENS ALGEMEEN: S111-1

Alle niveaus/hogtes/peilmaten zijn t.o.v.: N.A.P.

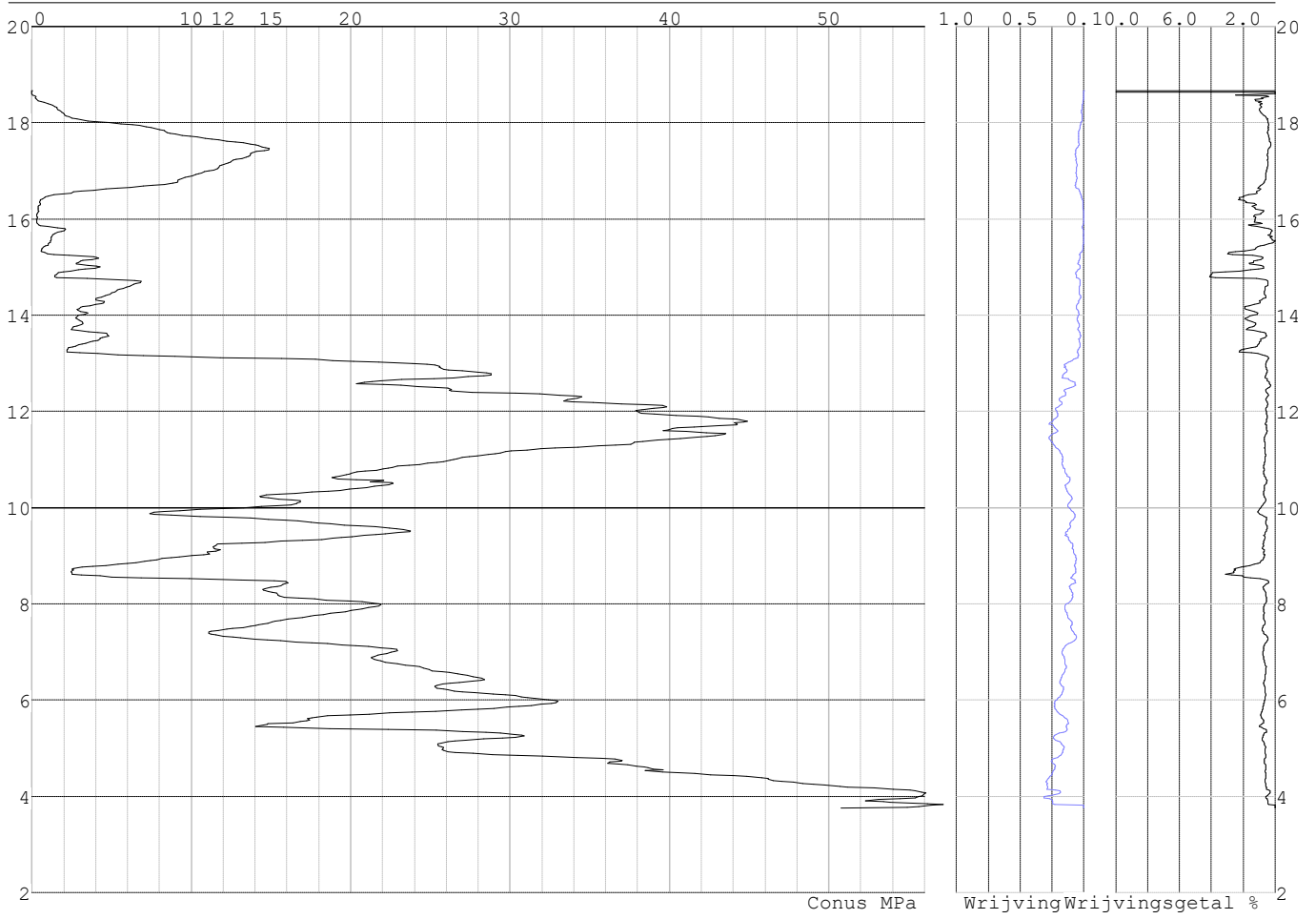
Hoogte maaiveld [m] : 18.67 Bodemprofiel: S111-1

Traject negatieve kleef : 18.67 tot 13.20 [m]

Traject positieve kleef : 13.20 tot 3.74 [m]

Project :
Onderdeel :

SONDERINGSGEGEVENS GRAFIEK: S111-1

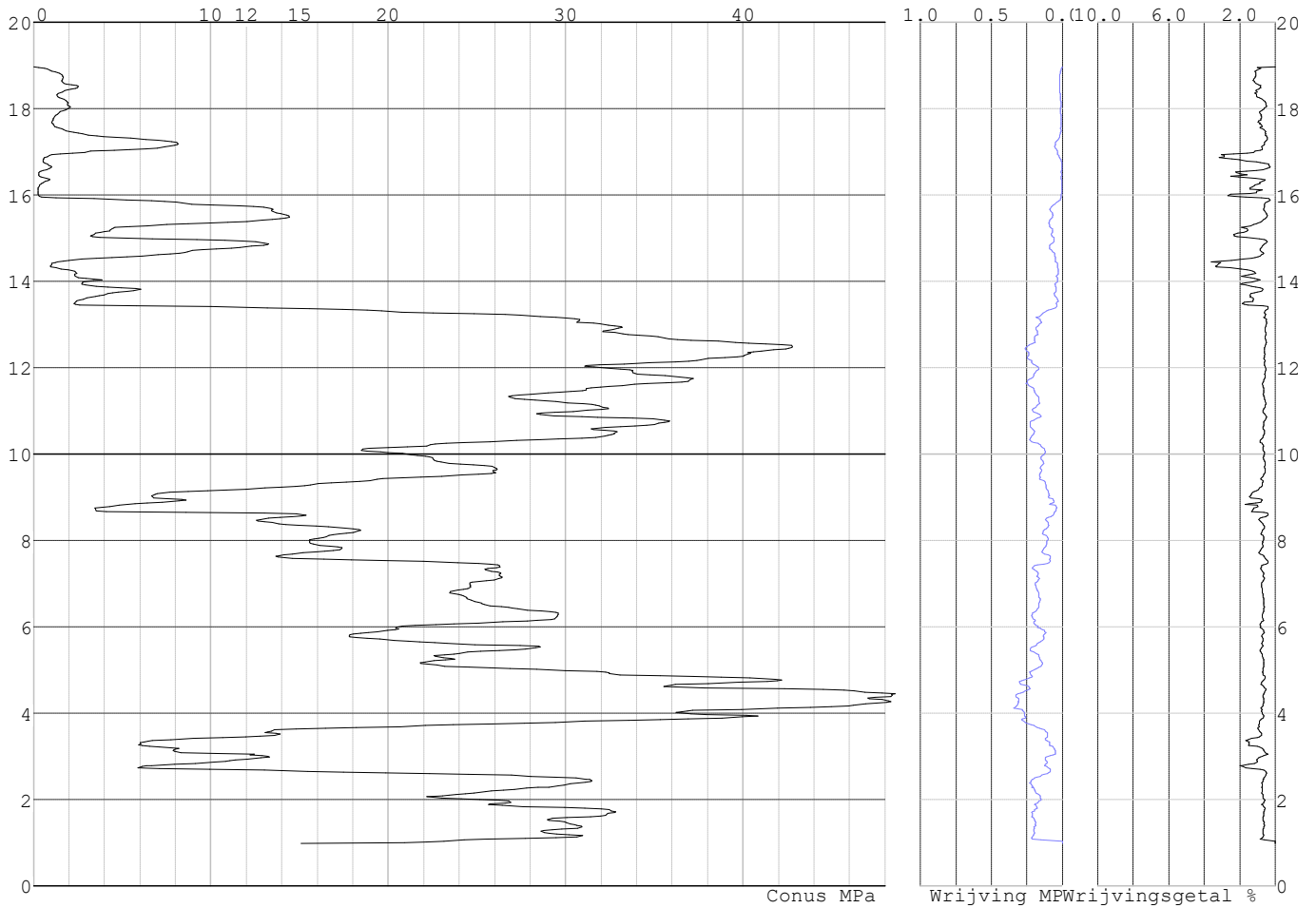


Project :
Onderdeel :

SONDERINGSGEGEVENS ALGEMEEN: S111-2

Alle niveaus/hogtes/peilmaten zijn t.o.v.: N.A.P.
Hoogte maaiveld [m] : 18.96 Bodemprofiel: S111-2
Traject negatieve kleeft : 18.96 tot 13.20 [m]
Traject positieve kleeft : 13.20 tot 0.97 [m]

SONDERINGSGEGEVENS GRAFIEK: S111-2

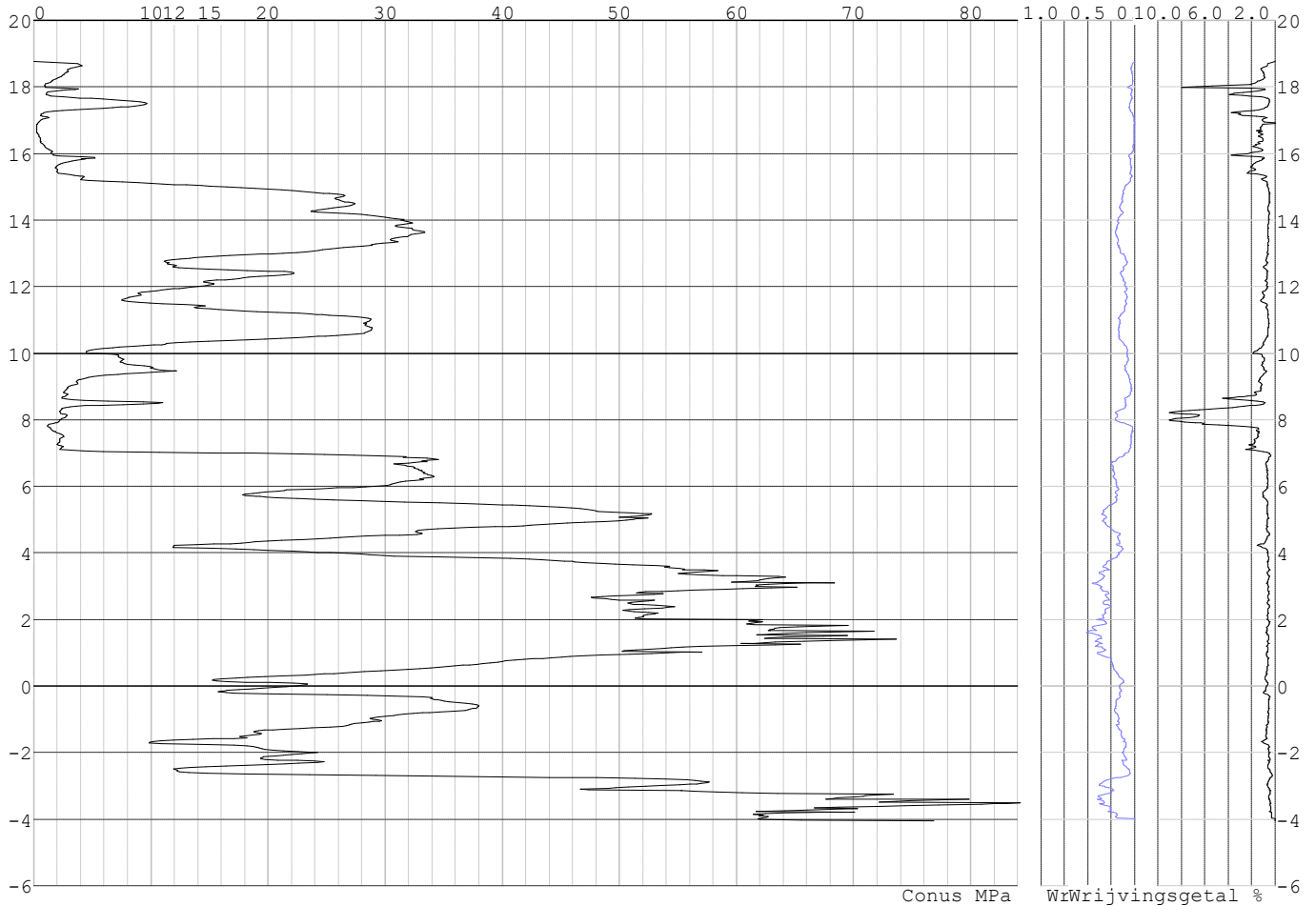


Project :
Onderdeel :

SONDERINGSGEGEVENS ALGEMEEN: S112-1

Alle niveaus/hoogtes/peilmaten zijn t.o.v.: N.A.P.
Hoogte maaiveld [m] : 18.76 Bodemprofiel: S112-1
Traject negatieve kleeft : 18.76 tot 7.10 [m]
Traject positieve kleeft : 7.10 tot -4.05 [m]

SONDERINGSGEGEVENS GRAFIEK: S112-1

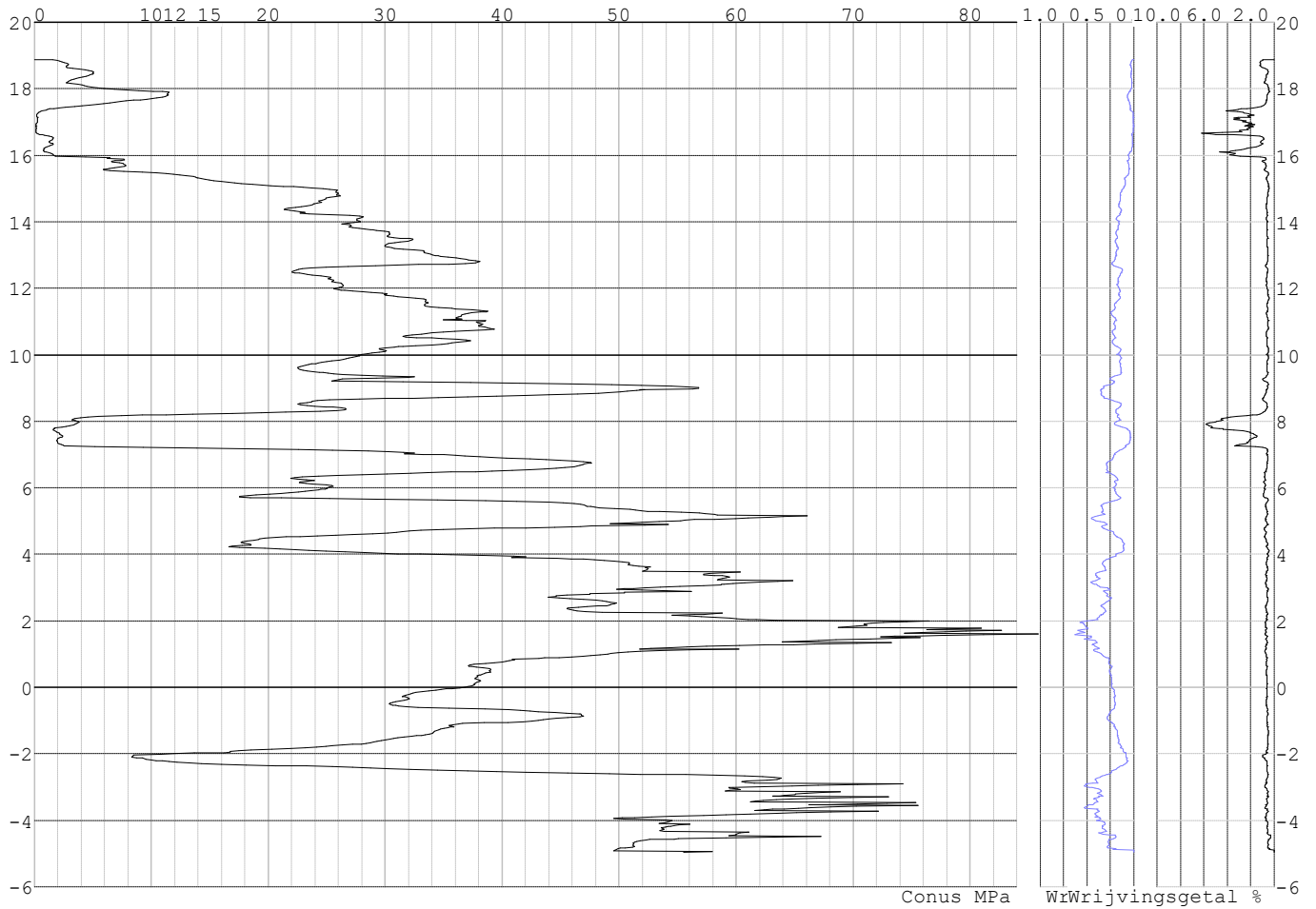


Project :
Onderdeel :

SONDERINGSGEGEVENS ALGEMEEN: S112-2

Alle niveaus/hoogtes/peilmaten zijn t.o.v.: N.A.P.
Hoogte maaiveld [m] : 18.88 Bodemprofiel: S112-2
Traject negatieve kleef : 18.88 tot 7.30 [m]
Traject positieve kleef : 7.30 tot -4.97 [m]

SONDERINGSGEGEVENS GRAFIEK: S112-2

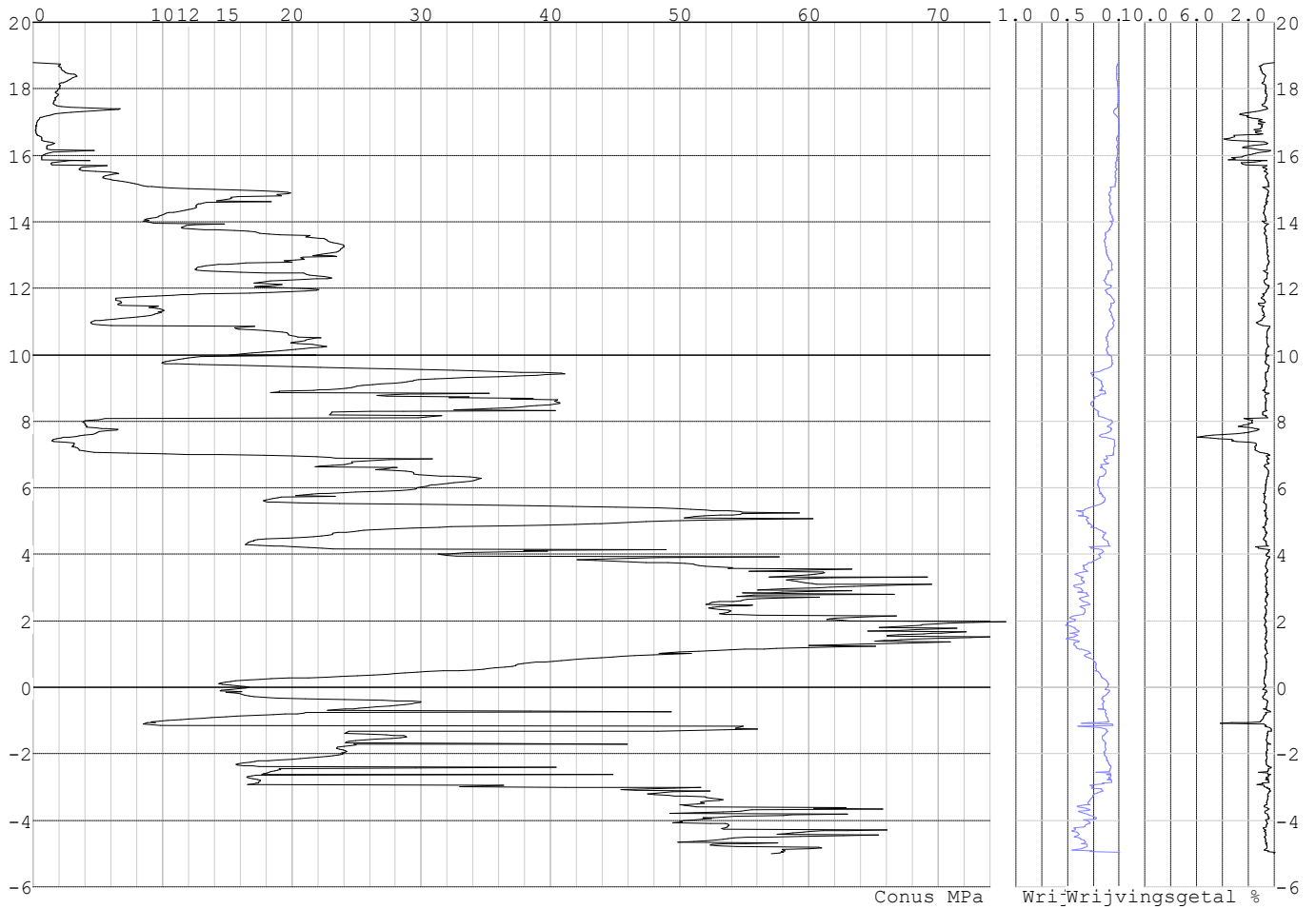


Project :
Onderdeel :

SONDERINGSGEGEVENS ALGEMEEN: S112-3

Alle niveaus/hogtes/peilmaten zijn t.o.v.: N.A.P.
Hoogte maaiveld [m] : 18.78 Bodemprofiel: S112-3
Traject negatieve kleeft : 18.78 tot 7.10 [m]
Traject positieve kleeft : 7.10 tot -5.02 [m]

SONDERINGSGEGEVENS GRAFIEK: S112-3

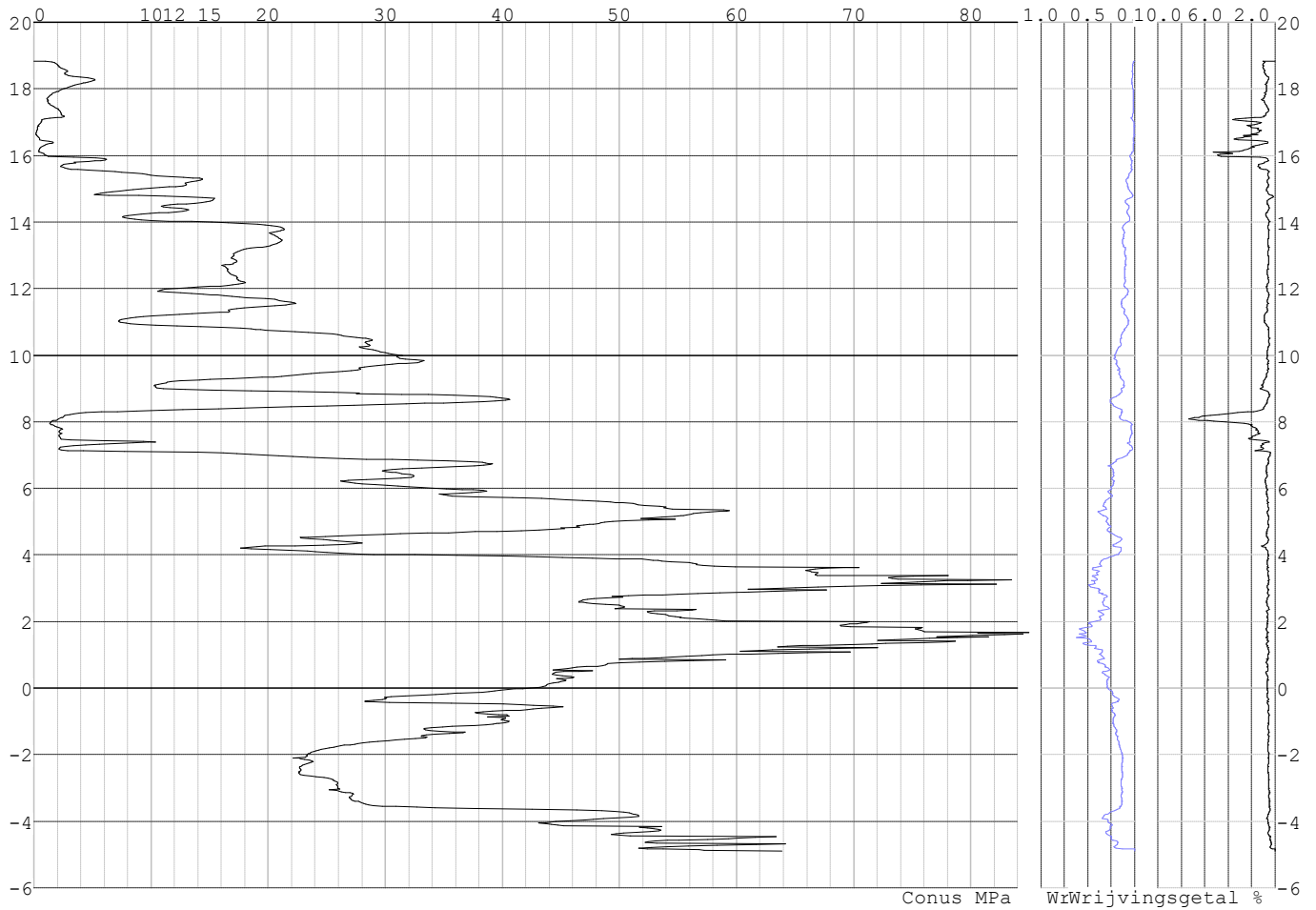


Project :
Onderdeel :

SONDERINGSGEGEVENS ALGEMEEN: S112-4

Alle niveaus/hoogtes/peilmaten zijn t.o.v.: N.A.P.
Hoogte maaiveld [m] : 18.84 Bodemprofiel: S112-4
Traject negatieve kleeft : 18.84 tot 7.00 [m]
Traject positieve kleeft : 7.00 tot -4.91 [m]

SONDERINGSGEGEVENS GRAFIEK: S112-4

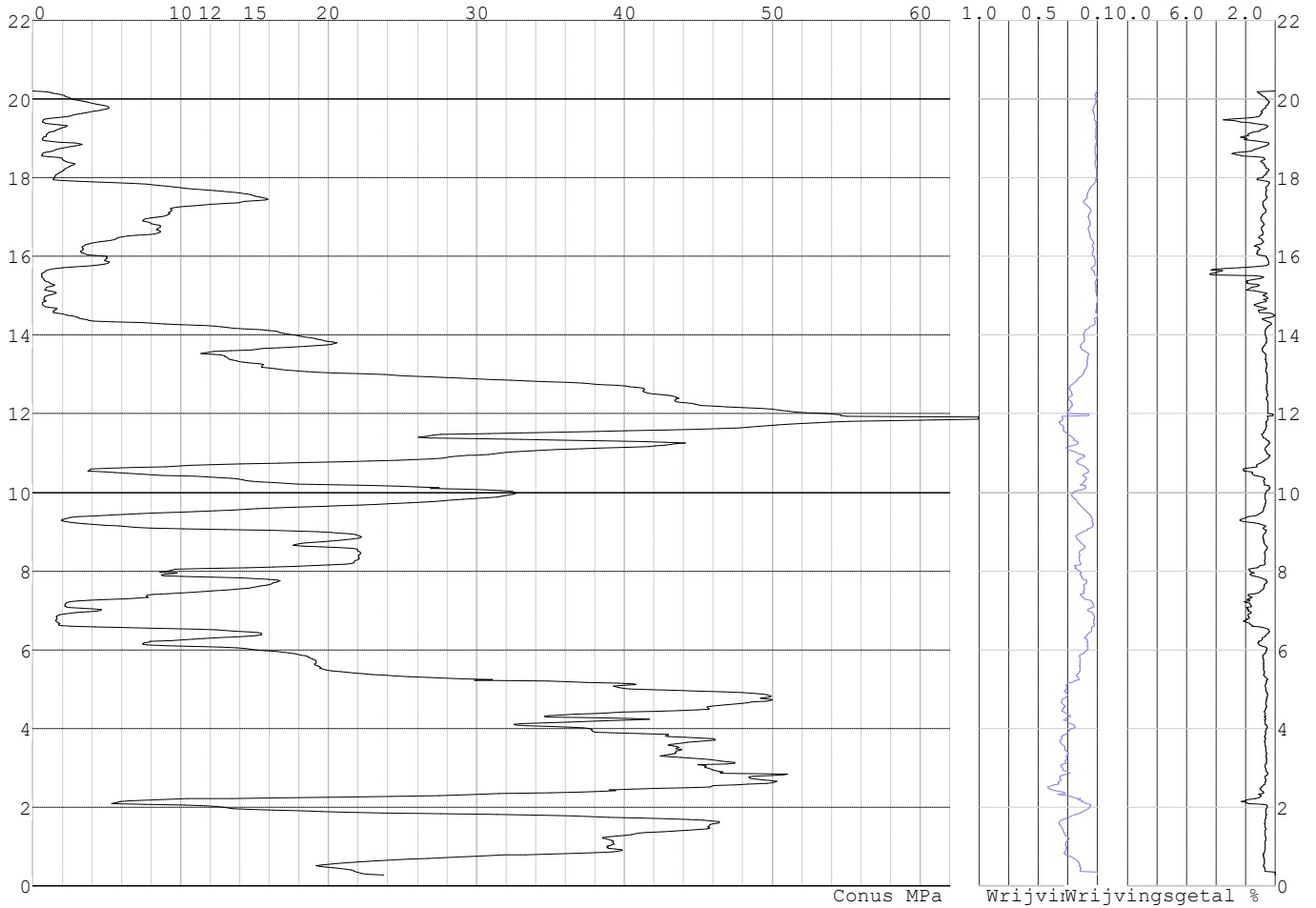


Project :
Onderdeel :

SONDERINGSGEGEVENS ALGEMEEN: S113-1

Alle niveaus/hogtes/peilmaten zijn t.o.v.: N.A.P.
Hoogte maaiveld [m] : 20.20 Bodemprofiel: S113-1
Traject negatieve kleeft : 20.20 tot 14.40 [m]
Traject positieve kleeft : 14.40 tot 0.27 [m]

SONDERINGSGEGEVENS GRAFIEK: S113-1

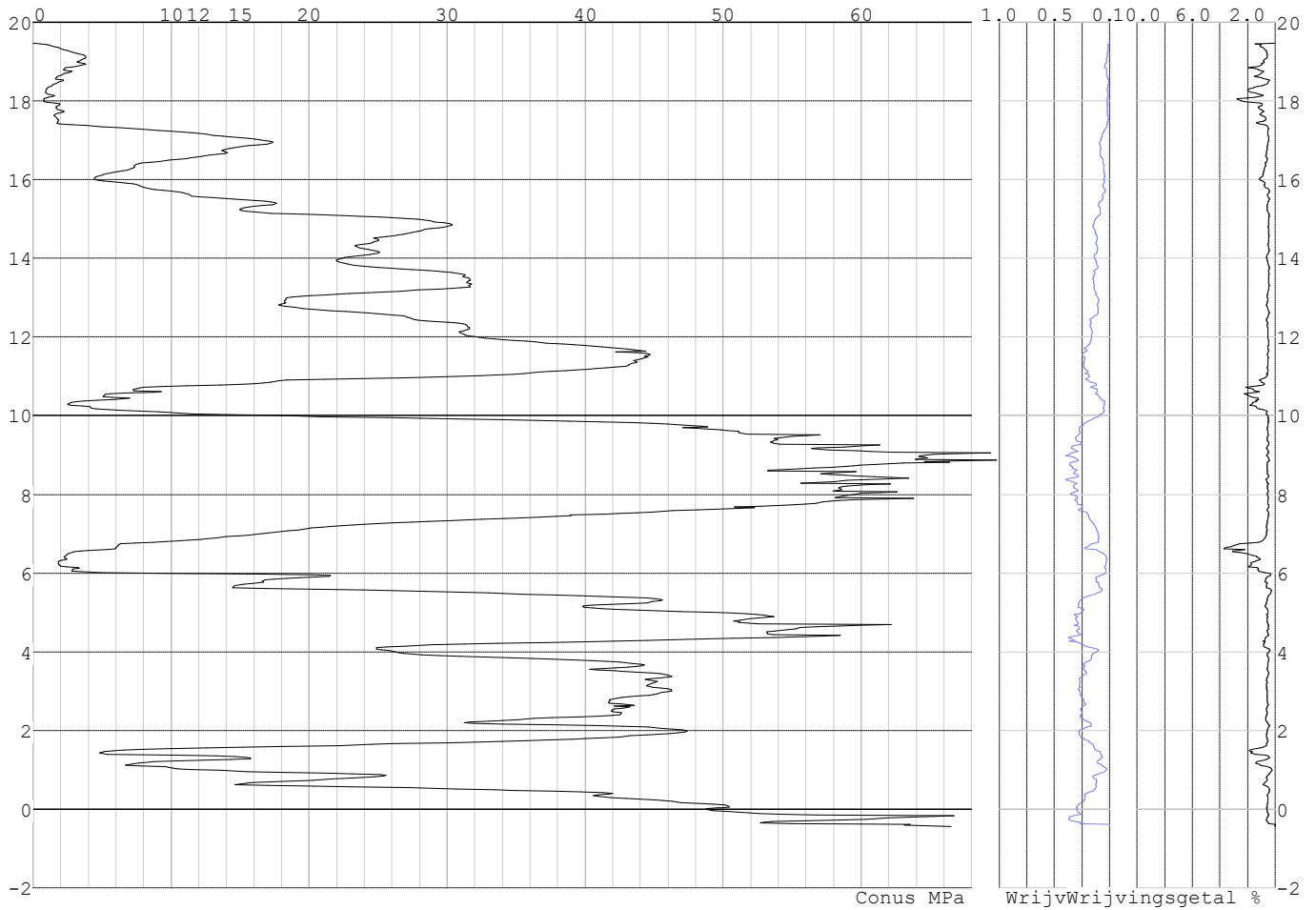


Project :
Onderdeel :

SONDERINGSGEGEVENS ALGEMEEN: S113-2

Alle niveaus/hogtes/peilmaten zijn t.o.v.: N.A.P.
Hoogte maaiveld [m] : 19.46 Bodemprofiel: S113-2
Traject negatieve kleeft : 19.46 tot 16.00 [m]
Traject positieve kleeft : 16.00 tot -0.46 [m]

SONDERINGSGEGEVENS GRAFIEK: S113-2

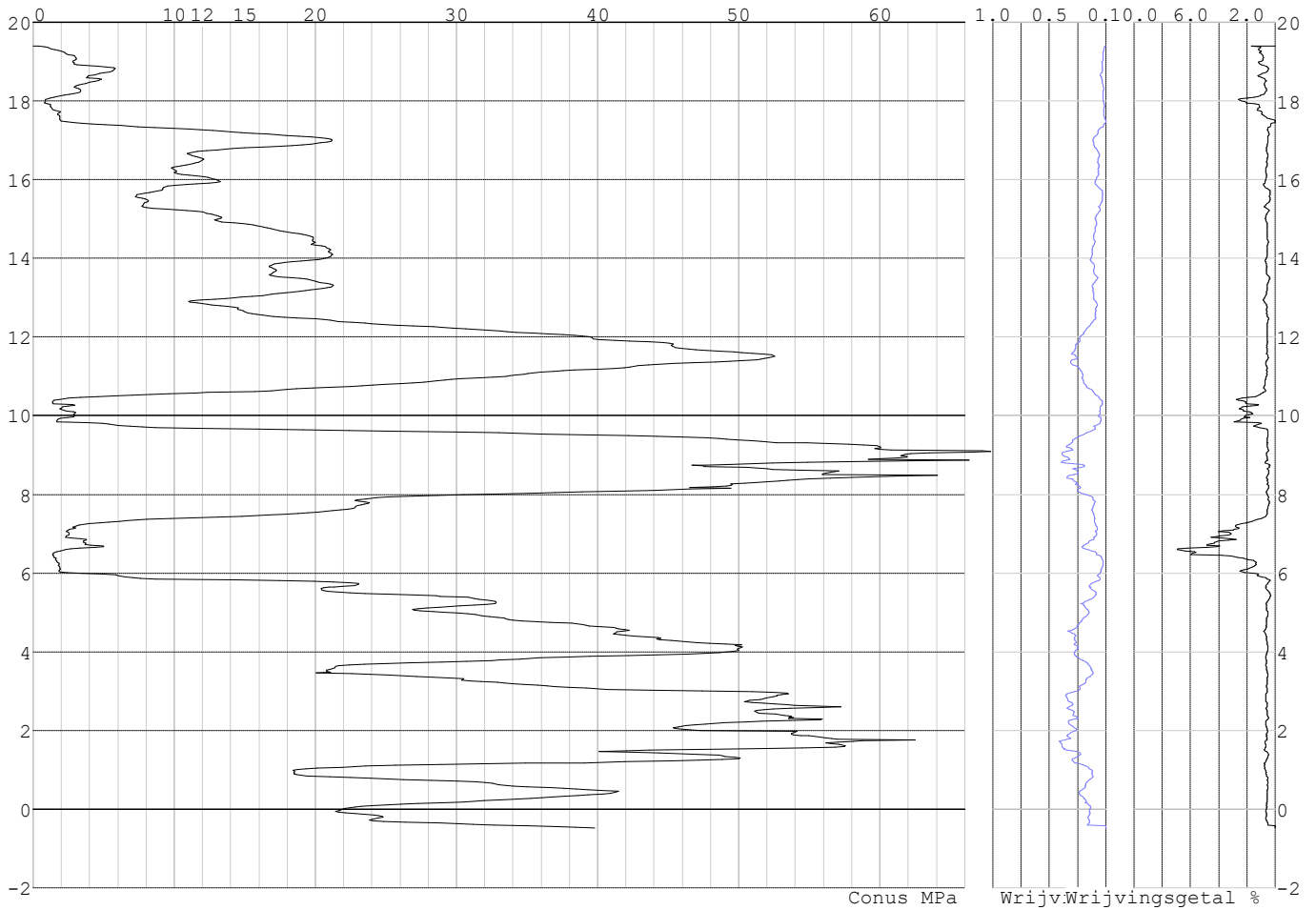


Project :
Onderdeel :

SONDERINGSGEGEVENS ALGEMEEN: S113-3

Alle niveaus/hogtes/peilmaten zijn t.o.v.: N.A.P.
Hoogte maaiveld [m] : 19.40 Bodemprofiel: S113-3
Traject negatieve kleeft : 19.40 tot 17.50 [m]
Traject positieve kleeft : 17.50 tot -0.49 [m]

SONDERINGSGEGEVENS GRAFIEK: S113-3

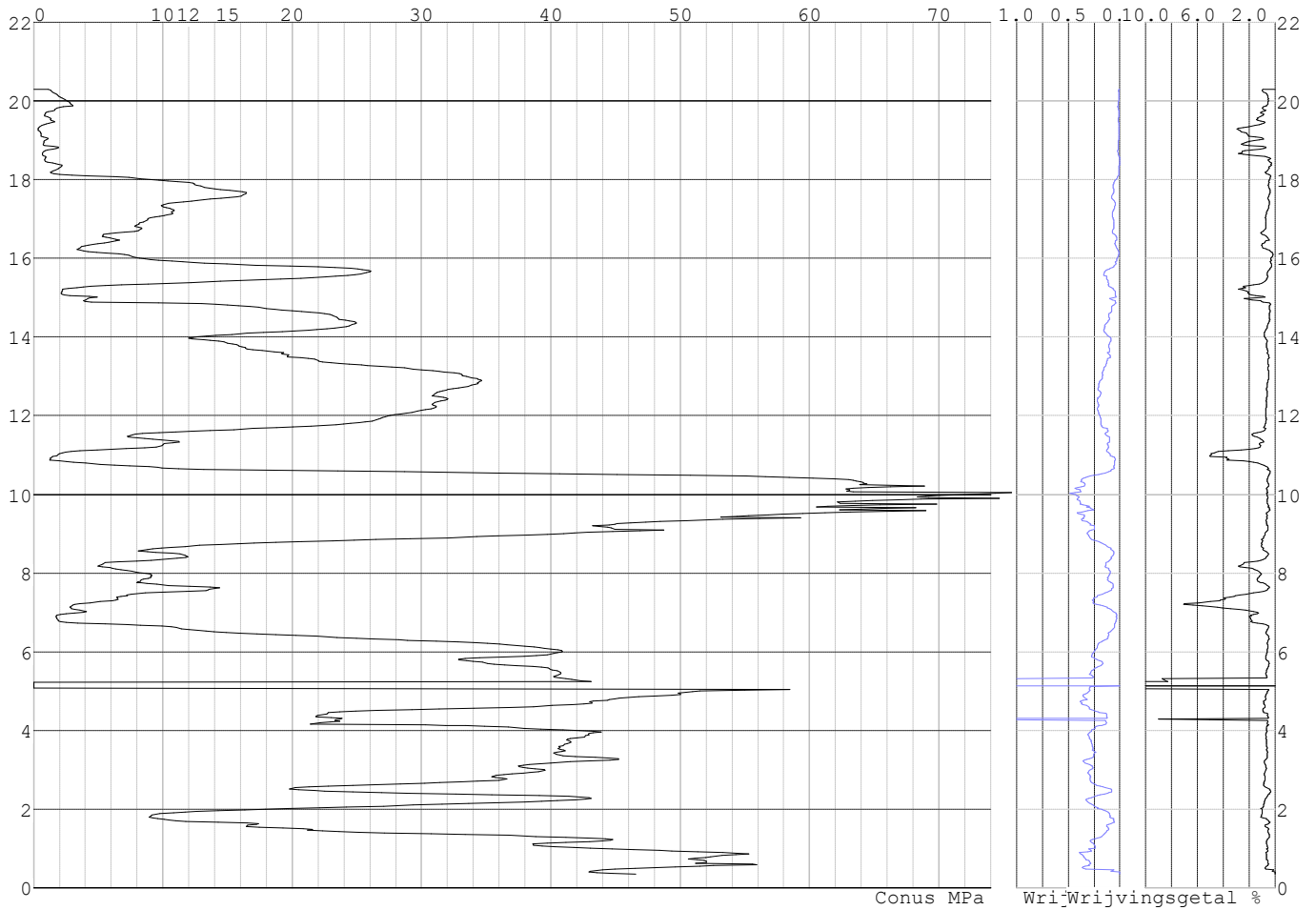


Project :
Onderdeel :

SONDERINGSGEGEVENS ALGEMEEN: S113-4

Alle niveaus/hogtes/peilmaten zijn t.o.v.: N.A.P.
Hoogte maaiveld [m] : 20.30 Bodemprofiel: S113-4
Traject negatieve kleeft : 20.30 tot 18.10 [m]
Traject positieve kleeft : 18.10 tot 0.34 [m]

SONDERINGSGEGEVENS GRAFIEK: S113-4

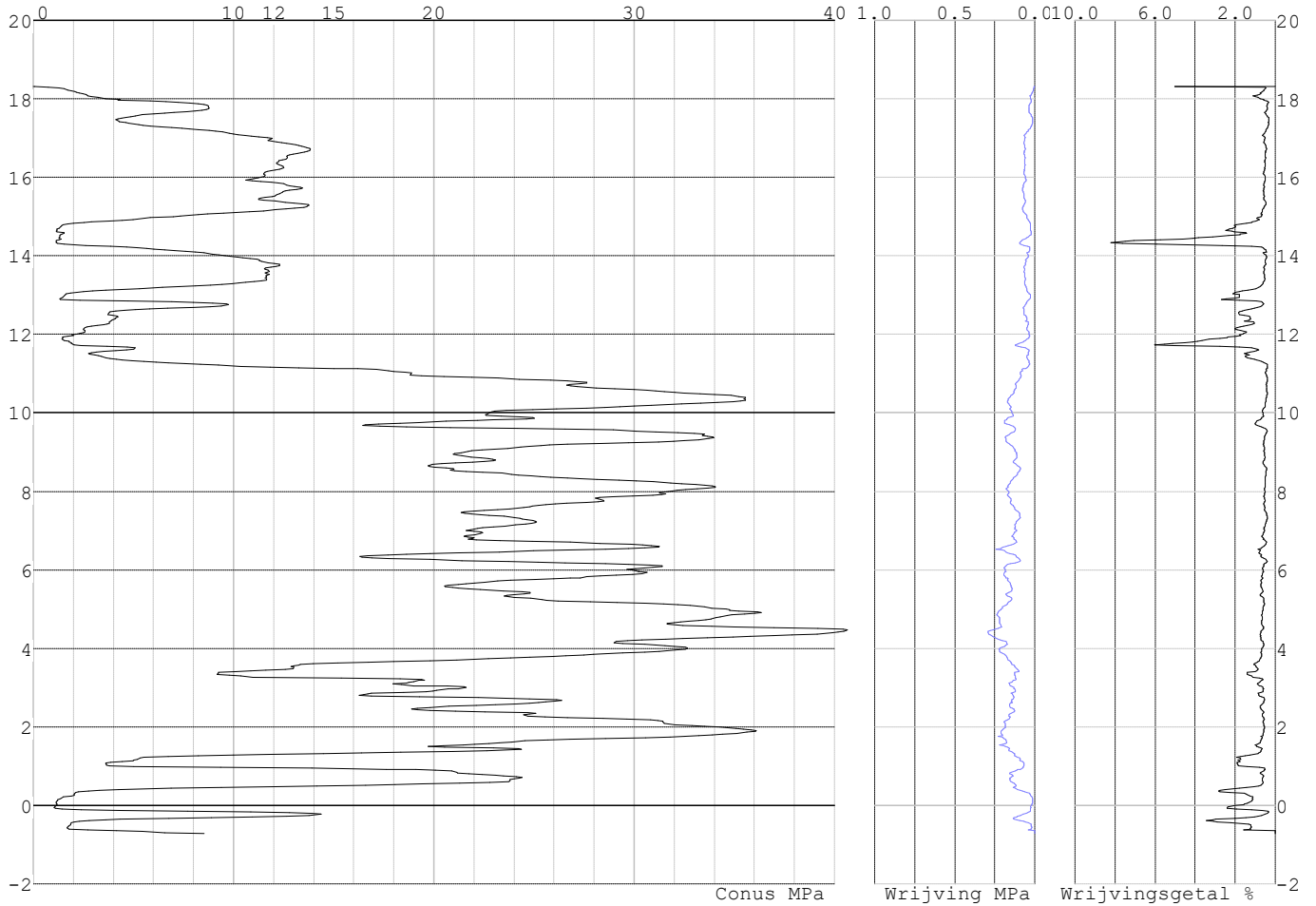


Project :
Onderdeel :

SONDERINGSGEGEVENS ALGEMEEN: S110-1

Alle niveaus/hogtes/peilmaten zijn t.o.v.: N.A.P.
Hoogte maaiveld [m] : 18.32 Bodemprofiel: S110-1
Traject negatieve kleeft : 18.32 tot 11.80 [m]
Traject positieve kleeft : 11.80 tot -0.71 [m]

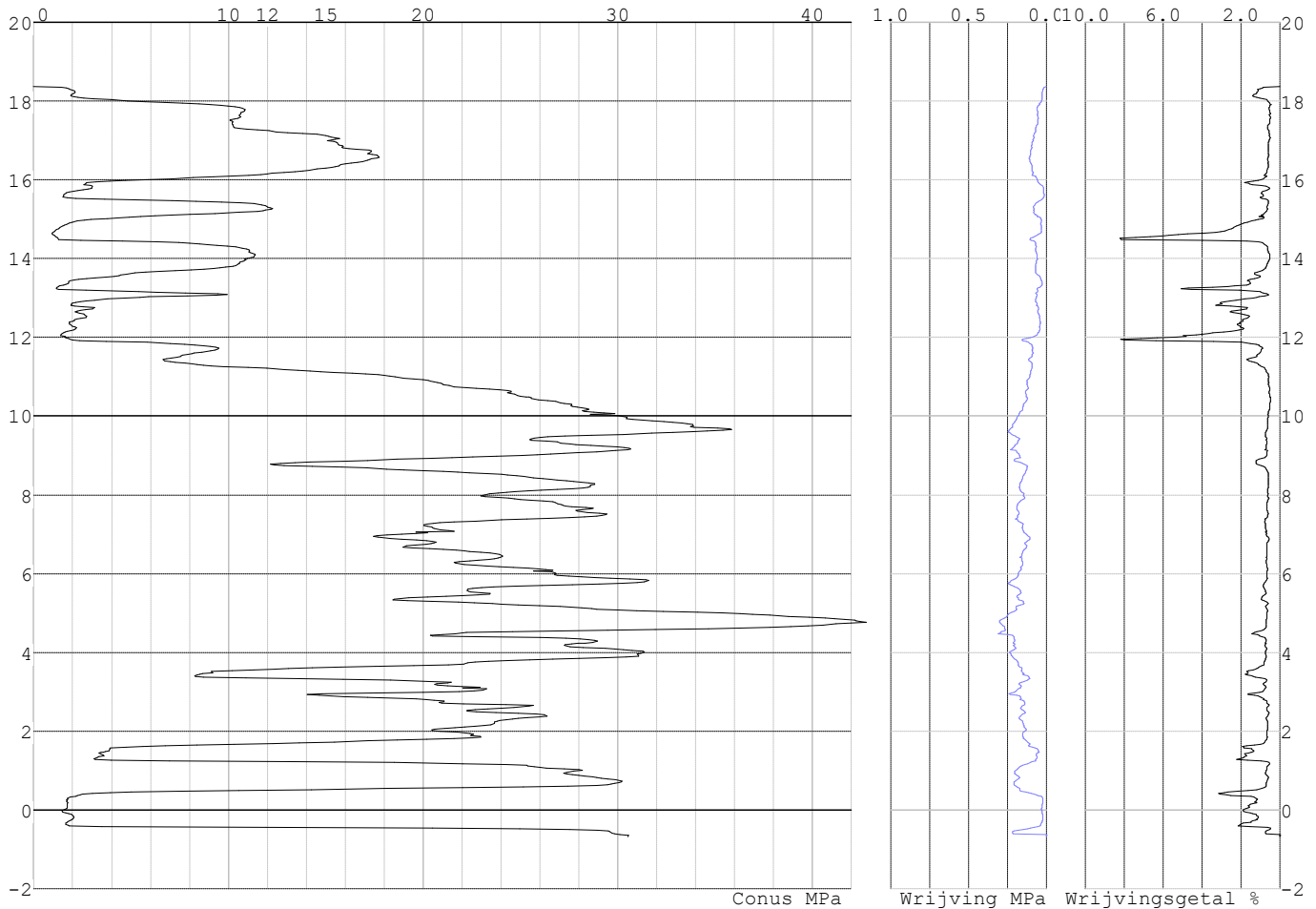
SONDERINGSGEGEVENS GRAFIEK: S110-1



Project :
Onderdeel :

SONDERINGSGEGEVENS ALGEMEEN: S110-2

Alle niveaus/hoogtes/peilmaten zijn t.o.v.: N.A.P.
 Hoogte maaiveld [m] : 18.36 Bodemprofiel: S110-2
 Traject negatieve kleeft : 18.36 tot 12.00 [m]
 Traject positieve kleeft : 12.00 tot -0.69 [m]

SONDERINGSGEGEVENS GRAFIEK: S110-2**REKENGEGEVENS Mast 110**

Berekening : Controlerend
 Rekenmethode : Trekpalen volgens NEN-EN 1997-1, art. 7.6.3
 Sondering(en) : S110-1, S110-2
 Let op: trekcapaciteit t.p.v. negatief kleefttraject is meegerekend.

Stijf bouwwerk : NEE
 Paalgroep : NEE
 Aantal sonderingen : 2
 Factor ξ_3 (n=1) : 1.39
 Factor ξ_3 (gem) : 1.32
 Factor ξ_4 (min) : 1.32
 Weerstandsfactor γ_R : 1.35
 $\gamma_{m;var;q_c}$: 1.50
 UGT draagvermogen zonder negatieve kleeft : NEE

Paal : LD1
 Niveau paalkop [m] : N.A.P. 18.75
 Paalpuntniveau : N.A.P. 9.75
 $E_{d,1}$ [kN] : 0.00 $E_{d,2}$ [kN] : 0.00
 Bovenbel. [kN/m²] : 0.00

RESULTATEN Mast 110 (n=1)

Project :
Onderdeel :

Sondering : S110-1

Alle niveaus/hogtes/peilmaten zijn t.o.v.: N.A.P.

Inheinniveau [m]	Effectief inheinniveau [m]	E.G. paal [kN]	$R_{t,cal;k}$ [kN]	$R_{t;d}$ [kN]	$F_{t,tot;1}$ [kN]	U.C.
9.75	9.75	28.7	326.3	326.3	0.0	0.00

Sondering : S110-2

Alle niveaus/hogtes/peilmaten zijn t.o.v.: N.A.P.

Inheinniveau [m]	Effectief inheinniveau [m]	E.G. paal [kN]	$R_{t,cal;k}$ [kN]	$R_{t;d}$ [kN]	$F_{t,tot;1}$ [kN]	U.C.
9.75	9.75	28.6	322.1	322.1	0.0	0.00

Project :
Onderdeel :

SAMENVATTINGSTABEL Mast 110 (n=1)

Uitgangspunten

- paal : LD1
 - paaltype : Stalen buispaal (gesloten)
 - schachtafmeting : 550 mm
 Paalklassefactor α_p : 1.00
 Factor α_t (tabel 7.c EC 7.1) : 0.0070 (zandlagen; voor kleilagen zie tabel 7.d)
 Correlatiefactor $\xi_{3(n=1)}$: 1.39

Alle niveaus/hogtes/peilmaten zijn t.o.v.: N.A.P.

sondering	maaiveld paalpunt		Bezwijkdraagvermogen $R_{t,cal}$ [kN]	Rekenwaarden	
	niveau	niveau		$R_{t;d}$ [kN]	$R_{t,netto;d}$ [kN]
S110-1	18.32	9.75	326.3	326.3	326.3
S110-2	18.36	9.75	322.1	322.1	322.1

Project :
Onderdeel :

SAMENVATTINGSTABEL Mast 110 (van 2 sonderingen)**Uitgangspunten**

- paal : LD1
 - paaltype : Stalen buispaal (gesloten)
 - schachtafmeting : 550 mm
 Paalklassefactor α_p : 1.00
 Factor α_t (tabel 7.c EC 7.1) : 0.0070 (zandlagen; voor kleilagen zie tabel 7.d)
 Correlatiefactor $\xi_{3gem}(n=2)$: 1.32
 Correlatiefactor $\xi_{4min}(n=2)$: 1.32

Alle niveaus/hogtes/peilmaten zijn t.o.v.: N.A.P.

sondering	maaiveld paalpunt		Bezwijkdraagvermogen	
	niveau	niveau	E.G. paal	$R_{t,cal}$
			[kN]	[kN]

met ξ_3 (gem) = 1.32

S110-1	18.32	9.75	28.7	342.1
S110-2	18.36	9.75	28.7	337.6

	9.75	$R_{t,cal,gem}$	339.9
--	------	-----------------	-------

met ξ_4 (min) = 1.32

S110-1	18.32	9.75	28.7	342.1
S110-2	18.36	9.75	28.7	337.6

	9.75	$R_{t,cal,min}$	337.6
--	------	-----------------	-------

Totaal resultaten Mast 110 (van 2 sonderingen)

Uitgangspunten

Correlatiefactor $\xi_{3gem}(n=2)$: 1.32
 Correlatiefactor $\xi_{4min}(n=2)$: 1.32

gebaseerd op sonderingen:
 S110-1 S110-2

$R_{t,d} = \min. \{ R_{t,cal,gem}; R_{t,cal,min} \}$ (7.17) *

Inheinniveau
 [m]

9.75	$R_{t,d} = \min. \{ 339.9; 337.6 \} =$	337.6
------	--	-------

* Bij de trekpaalberekening zijn factoren ξ_3 en ξ_4 al bij de berekening van de conusweerstand $q_{c,z;d}$ in rekening gebracht, evenals factor $\gamma_{s;t}$. Dat is conform de opmerkingen in art. 7.6.3.3 (3) en (4).

Alle niveaus/hogtes/peilmaten zijn t.o.v.: N.A.P.

Inheinniveau	$R_{t,k}$	$R_{t,d}$	$F_{t,tot;1}$	$R_{t,netto;d}$	U.C.
[m]	[kN]	[kN]	[kN]	[kN]	
9.75	337.6	337.6	0.0	337.6	0.00

REKENGEGEVENS Mast 111

Berekening : Controlerend
 Rekenmethode : Trekpalen volgens NEN-EN 1997-1, art. 7.6.3
 Sondering(en) : S111-1, S111-2
 Let op: trekcapaciteit t.p.v. negatief kleeftraject is meegerekend.

Stijf bouwwerk : NEE
 Paalgroep : NEE
 Aantal sonderingen : 2
 Factor ξ_3 (n=1) : 1.39
 Factor ξ_3 (gem) : 1.32
 Factor ξ_4 (min) : 1.32
 Weerstandsfactor γ_R : 1.35
 $\gamma_{m,var;q_c}$: 1.50
 UGT draagvermogen zonder negatieve kleef : NEE

Paal : LD1
 Niveau paalkop [m] : N.A.P. 19.10
 Paalpuntniveau : N.A.P. 11.10
 $E_{d,1}$ [kN] : 0.00
 Bovenbel. [kN/m²] : 0.00

$E_{d,2}$ [kN] : 0.00

Project :
Onderdeel :

RESULTATEN Mast 111 (n=1)**Sondering : S111-1**

Alle niveaus/hogtes/peilmaten zijn t.o.v.: N.A.P.

Inheinniveau [m]	Effectief inheinniveau [m]	E.G. paal [kN]	$R_{t,cal;k}$ [kN]	$R_{t;d}$ [kN]	$F_{t,tot;1}$ [kN]	U.C.
11.10	11.10	25.9	264.5	264.5	0.0	0.00

Sondering : S111-2

Alle niveaus/hogtes/peilmaten zijn t.o.v.: N.A.P.

Inheinniveau [m]	Effectief inheinniveau [m]	E.G. paal [kN]	$R_{t,cal;k}$ [kN]	$R_{t;d}$ [kN]	$F_{t,tot;1}$ [kN]	U.C.
11.10	11.10	25.2	266.1	266.1	0.0	0.00

Project :
Onderdeel :

SAMENVATTINGSTABEL Mast 111 (n=1)

Uitgangspunten

- paal : LD1
 - paaltype : Stalen buispaal (gesloten)
 - schachtafmeting : 550 mm
 Paalklassefactor α_p : 1.00
 Factor α_t (tabel 7.c EC 7.1) : 0.0070 (zandlagen; voor kleilagen zie tabel 7.d)
 Correlatiefactor $\xi_{3(n=1)}$: 1.39

Alle niveaus/hogtes/peilmaten zijn t.o.v.: N.A.P.

sondering	maaiveld paalpunt		Bezwijkdraagvermogen $R_{t,cal}$ [kN]	Rekenwaarden	
	niveau	niveau		$R_{t,d}$ [kN]	$R_{t,netto,d}$ [kN]
S111-1	18.67	11.10	264.5	264.5	264.5
S111-2	18.96	11.10	266.1	266.1	266.1

Project :
Onderdeel :

SAMENVATTINGSTABEL Mast 111 (van 2 sonderingen)**Uitgangspunten**

- paal : LD1
- paaltype : Stalen buispaal (gesloten)
- schachtafmeting : 550 mm
Paalklassefactor α_p : 1.00
Factor α_t (tabel 7.c EC 7.1) : 0.0070 (zandlagen; voor kleilagen zie tabel 7.d)
Correlatiefactor $\xi_{3gem}(n=2)$: 1.32
Correlatiefactor $\xi_{4min}(n=2)$: 1.32

Alle niveaus/hogtes/peilmaten zijn t.o.v.: N.A.P.

sondering	maaiveld	paalpunt	Bezwijkdraagvermogen	
	niveau	niveau	E.G. paal	$R_{t,cal}$
			[kN]	[kN]

met ξ_3 (gem) = 1.32

S111-1	18.67	11.10	25.9	277.1
--------	-------	-------	------	-------

S111-2	18.96	11.10	25.9	278.9
--------	-------	-------	------	-------

		11.10	$R_{t,cal,gem}$	278.0
--	--	-------	-----------------	-------

met ξ_4 (min) = 1.32

S111-1	18.67	11.10	25.9	277.1
--------	-------	-------	------	-------

S111-2	18.96	11.10	25.9	278.9
--------	-------	-------	------	-------

		11.10	$R_{t,cal,min}$	277.1
--	--	-------	-----------------	-------

Totaal resultaten Mast 111 (van 2 sonderingen)

Uitgangspunten

Correlatiefactor $\xi_{3gem}(n=2)$: 1.32

Correlatiefactor $\xi_{4min}(n=2)$: 1.32

gebaseerd op sonderingen:

S111-1 S111-2

$R_{t,d} = \min.\{ R_{t,cal,gem}; R_{t,cal,min} \}$ (7.17) *)

Inheinniveau
[m]

11.10	$R_{t,d} = \min.\{ 278.0; 277.1 \} = 277.1$
-------	---

*) Bij de trekpaalberekening zijn factoren ξ_3 en ξ_4 al bij de berekening van de conusweerstand $q_{c;z,d}$ in rekening gebracht, evenals factor $\gamma_{s;t}$. Dat is conform de opmerkingen in art. 7.6.3.3 (3) en (4).

Alle niveaus/hogtes/peilmaten zijn t.o.v.: N.A.P.

Inheinniveau	$R_{t,k}$	$R_{t,d}$	$F_{t,tot;1}$	$R_{t,netto;d}$	U.C.
[m]	[kN]	[kN]	[kN]	[kN]	
11.10	277.1	277.1	0.0	277.1	0.00

REKENGEGEVENS Mast 112

Berekening : Controlerend
Rekenmethode : Trekpalen volgens NEN-EN 1997-1, art. 7.6.3
Sondering(en) : S112-1, S112-2, S112-3, S112-4
Let op: trekcapaciteit t.p.v. negatief kleeftraject is meegerekend.

Stijf bouwwerk : NEE
Paalgroep : NEE
Aantal sonderingen : 4
Factor ξ_3 (n=1) : 1.39
Factor ξ_3 (gem) : 1.28
Factor ξ_4 (min) : 1.03
Weerstandsfactor γ_R : 1.35
 $\gamma_{m,var;q_c}$: 1.50
UGT draagvermogen zonder negatieve kleef : NEE

Paal : LD1

Niveau paalkop [m] : N.A.P. 19.31

Paalpuntniveau : N.A.P. 5.71

$E_{d,1}$ [kN] : 0.00

Bovenbel. [kN/m²] : 0.00

$E_{d,2}$ [kN] : 0.00

Project :
Onderdeel :

RESULTATEN Mast 112 (n=1)**Sondering : S112-1**

Alle niveaus/hogtes/peilmaten zijn t.o.v.: N.A.P.

Inheinniveau [m]	Effectief inheinniveau [m]	E.G. paal [kN]	$R_{t,cal;k}$ [kN]	$R_{t;d}$ [kN]	$F_{t,tot;1}$ [kN]	U.C.
5.71	5.71	41.9	525.1	525.1	0.0	0.00

Sondering : S112-2

Alle niveaus/hogtes/peilmaten zijn t.o.v.: N.A.P.

Inheinniveau [m]	Effectief inheinniveau [m]	E.G. paal [kN]	$R_{t,cal;k}$ [kN]	$R_{t;d}$ [kN]	$F_{t,tot;1}$ [kN]	U.C.
5.71	5.71	41.6	672.6	672.6	0.0	0.00

Sondering : S112-3

Alle niveaus/hogtes/peilmaten zijn t.o.v.: N.A.P.

Inheinniveau [m]	Effectief inheinniveau [m]	E.G. paal [kN]	$R_{t,cal;k}$ [kN]	$R_{t;d}$ [kN]	$F_{t,tot;1}$ [kN]	U.C.
5.71	5.71	41.8	567.7	567.7	0.0	0.00

Sondering : S112-4

Alle niveaus/hogtes/peilmaten zijn t.o.v.: N.A.P.

Inheinniveau [m]	Effectief inheinniveau [m]	E.G. paal [kN]	$R_{t,cal;k}$ [kN]	$R_{t;d}$ [kN]	$F_{t,tot;1}$ [kN]	U.C.
5.71	5.71	41.7	599.0	599.0	0.0	0.00

Project :
Onderdeel :

SAMENVATTINGSTABEL Mast 112 (n=1)**Uitgangspunten**

- paal : LD1
 - paaltype : Stalen buispaal (gesloten)
 - schachtafmeting : 550 mm
 Paalklassefactor α_p : 1.00
 Factor α_t (tabel 7.c EC 7.1) : 0.0070 (zandlagen; voor kleilagen zie tabel 7.d)
 Correlatiefactor $\xi_{3(n=1)}$: 1.39

Alle niveaus/hogtes/peilmaten zijn t.o.v.: N.A.P.

sondering	maaiveld paalpunt		Bezwijkdraagvermogen $R_{t,cal}$ [kN]	Rekenwaarden	
	niveau	niveau		$R_{t,d}$ [kN]	$R_{t,netto,d}$ [kN]
S112-1	18.76	5.71	525.1	525.1	525.1
S112-2	18.88	5.71	672.6	672.6	672.6
S112-3	18.78	5.71	567.7	567.7	567.7
S112-4	18.84	5.71	599.0	599.0	599.0

Project :
Onderdeel :

SAMENVATTINGSTABEL Mast 112 (van 4 sonderingen)**Uitgangspunten**

- paal : LD1
 - paaltype : Stalen buispaal (gesloten)
 - schachtafmeting : 550 mm
 Paalklassefactor α_p : 1.00
 Factor α_t (tabel 7.c EC 7.1) : 0.0070 (zandlagen; voor kleilagen zie tabel 7.d)
 Correlatiefactor $\xi_{3gem}(n=4)$: 1.28
 Correlatiefactor $\xi_{4min}(n=4)$: 1.03

Alle niveaus/hogtes/peilmaten zijn t.o.v.: N.A.P.

sondering	maaiveld niveau	paalpunt niveau	Bezwijkdraagvermogen E.G. paal $R_{t,cal}$ [kN]	$R_{t,cal}$ [kN]
-----------	--------------------	--------------------	---	---------------------

met ξ_3 (gem) = 1.28

S112-1	18.76	5.71	41.9	566.6
S112-2	18.88	5.71	41.9	726.8
S112-3	18.78	5.71	41.9	612.9
S112-4	18.84	5.71	41.9	646.9

5.71 $R_{t,cal;gem}$ 638.3

met ξ_4 (min) = 1.03

S112-1	18.76	5.71	41.9	694.0
S112-2	18.88	5.71	41.9	893.1
S112-3	18.78	5.71	41.9	751.5
S112-4	18.84	5.71	41.9	793.7

5.71 $R_{t,cal;min}$ 694.0

Totaal resultaten Mast 112 (van 4 sonderingen)

Uitgangspunten

Correlatiefactor $\xi_{3gem}(n=4)$: 1.28
 Correlatiefactor $\xi_{4min}(n=4)$: 1.03

gebaseerd op sonderingen:

S112-1 S112-2 S112-3 S112-4

$$R_{t,d} = \min.\{ R_{t,cal;gem}; R_{t,cal;min} \} (7.17) *$$

Inheinniveau

[m]

$$5.71 \quad R_{t,d} = \min.\{ 638.3; 694.0 \} = 638.3$$

*) Bij de trekpaalberekening zijn factoren ξ_3 en ξ_4 al bij de berekening van de conusweerstand $q_{c;z;d}$ in rekening gebracht, evenals factor $\gamma_{s;t}$. Dat is conform de opmerkingen in art. 7.6.3.3 (3) en (4).

Alle niveaus/hogtes/peilmaten zijn t.o.v.: N.A.P.

Inheinniveau [m]	$R_{t,k}$ [kN]	$R_{t,d}$ [kN]	$F_{t,tot;1}$ [kN]	$R_{t,netto;d}$ [kN]	U.C.
5.71	638.3	638.3	0.0	638.3	0.00

Project :
Onderdeel :

REKENEGEVENES Mast 113

Berekening : Controlerend
Rekenmethode : Trekpalen volgens NEN-EN 1997-1, art. 7.6.3
Sondering(en) : S113-1, S113-2, S113-3, S113-4
Let op: trekcapaciteit t.p.v. negatief kleefttraject is meegerekend.

Stijf bouwwerk : NEE
Paalgroep : NEE
Aantal sonderingen : 4
Factor ξ_3 (n=1) : 1.39
Factor ξ_3 (gem) : 1.28
Factor ξ_4 (min) : 1.03
Weerstandsfactor γ_R : 1.35
 $\gamma_{m,var;q_c}$: 1.50
UGT draagvermogen zonder negatieve kleeft : NEE

Paal : LD1
Niveau paalkop [m] : N.A.P. 20.58
Paalpuntniveau : N.A.P. 10.58
 $E_{d,1}$ [kN] : 0.00 $E_{d,2}$ [kN] : 0.00
Bovenbel. [kN/m²] : 0.00

RESULTATEN Mast 113 (n=1)**Sondering : S113-1**

Alle niveaus/hogtes/peilmaten zijn t.o.v.: N.A.P.

Inheinniveau [m]	Effectief inheinniveau [m]	E.G. paal [kN]	$R_{t,cal;k}$ [kN]	$R_{t;d}$ [kN]	$F_{t,tot;1}$ [kN]	U.C.
10.58	10.58	31.4	352.4	352.4	0.0	0.00

Sondering : S113-2

Alle niveaus/hogtes/peilmaten zijn t.o.v.: N.A.P.

Inheinniveau [m]	Effectief inheinniveau [m]	E.G. paal [kN]	$R_{t,cal;k}$ [kN]	$R_{t;d}$ [kN]	$F_{t,tot;1}$ [kN]	U.C.
10.58	10.58	33.1	434.5	434.5	0.0	0.00

Sondering : S113-3

Alle niveaus/hogtes/peilmaten zijn t.o.v.: N.A.P.

Inheinniveau [m]	Effectief inheinniveau [m]	E.G. paal [kN]	$R_{t,cal;k}$ [kN]	$R_{t;d}$ [kN]	$F_{t,tot;1}$ [kN]	U.C.
10.58	10.58	33.3	435.5	435.5	0.0	0.00

Sondering : S113-4

Alle niveaus/hogtes/peilmaten zijn t.o.v.: N.A.P.

Inheinniveau [m]	Effectief inheinniveau [m]	E.G. paal [kN]	$R_{t,cal;k}$ [kN]	$R_{t;d}$ [kN]	$F_{t,tot;1}$ [kN]	U.C.
10.58	10.58	31.1	410.0	410.0	0.0	0.00

Project :
Onderdeel :

SAMENVATTINGSTABEL Mast 113 (n=1)**Uitgangspunten**

- paal : LD1
 - paaltype : Stalen buispaal (gesloten)
 - schachtafmeting : 550 mm
 Paalklassefactor α_p : 1.00
 Factor α_t (tabel 7.c EC 7.1) : 0.0070 (zandlagen; voor kleilagen zie tabel 7.d)
 Correlatiefactor $\xi_{3(n=1)}$: 1.39

Alle niveaus/hogtes/peilmaten zijn t.o.v.: N.A.P.

sondering	maaiveld paalpunt		Bezwijkdraagvermogen $R_{t,cal}$ [kN]	Rekenwaarden	
	niveau	niveau		$R_{t,d}$ [kN]	$R_{t,netto,d}$ [kN]
S113-1	20.20	10.58	352.4	352.4	352.4
S113-2	19.46	10.58	434.5	434.5	434.5
S113-3	19.40	10.58	435.5	435.5	435.5
S113-4	20.30	10.58	410.0	410.0	410.0

Project :
Onderdeel :

SAMENVATTINGSTABEL Mast 113 (van 4 sonderingen)**Uitgangspunten**

- paal : LD1
 - paaltype : Stalen buispaal (gesloten)
 - schachtafmeting : 550 mm
 Paalklassefactor α_p : 1.00
 Factor α_t (tabel 7.c EC 7.1) : 0.0070 (zandlagen; voor kleilagen zie tabel 7.d)
 Correlatiefactor $\xi_{3gem}(n=4)$: 1.28
 Correlatiefactor $\xi_{4min}(n=4)$: 1.03

Alle niveaus/hogtes/peilmaten zijn t.o.v.: N.A.P.

sondering	maaiveld paalpunt		Bezwijkdraagvermogen	
	niveau	niveau	E.G. paal	$R_{t,cal}$
			[kN]	[kN]

met ξ_3 (gem) = 1.28

S113-1	20.20	10.58	31.4	380.0
S113-2	19.46	10.58	31.4	469.0
S113-3	19.40	10.58	31.4	470.1
S113-4	20.30	10.58	31.4	442.5

10.58 $R_{t,cal,gem}$ 440.4

met ξ_4 (min) = 1.03

S113-1	20.20	10.58	31.4	464.6
S113-2	19.46	10.58	31.4	574.8
S113-3	19.40	10.58	31.4	576.1
S113-4	20.30	10.58	31.4	542.4

10.58 $R_{t,cal,min}$ 464.6

Totaal resultaten Mast 113 (van 4 sonderingen)**Uitgangspunten**

Correlatiefactor $\xi_{3gem}(n=4)$: 1.28
 Correlatiefactor $\xi_{4min}(n=4)$: 1.03

gebaseerd op sonderingen:

S113-1 S113-2 S113-3 S113-4

$R_{t,d} = \min.\{ R_{t,cal,gem}; R_{t,cal,min} \} (7.17) *$

Inheinniveau

[m]

10.58 $R_{t,d} = \min.\{ 440.4; 464.6 \} = 440.4$

*) Bij de trekpaalberekening zijn factoren ξ_3 en ξ_4 al bij de berekening van de conusweerstand $q_{c;z;d}$ in rekening gebracht, evenals factor $\gamma_{s;t}$. Dat is conform de opmerkingen in art. 7.6.3.3 (3) en (4).

Alle niveaus/hogtes/peilmaten zijn t.o.v.: N.A.P.

Inheinniveau	$R_{t,k}$	$R_{t,d}$	$F_{t,tot,1}$	$R_{t,netto,d}$	U.C.
[m]	[kN]	[kN]	[kN]	[kN]	
10.58	440.4	440.4	0.0	440.4	0.00

PAALGEGEVENS LD1

Type : Stalen buispaal (gesloten)
 Wijze van installeren : Heien
 Diameter [m] : 0.550
 Elasticiteitsmodulus [N/mm²] : 20000
 Factor α_s (tabel 7.c EC 7.1) : 0.010 (zandlagen; voor kleilagen zie tabel 7.d)
 Factor α_t (tabel 7.c EC 7.1) : 0.0070 (zandlagen; voor kleilagen zie tabel 7.d)
 Paalklassefactor α_p : 1.00
 Paalvoetvormfactor β : 1.00
 Type lastzakingsdiagram : Grondverdringende paal
 Verm.factor * $\phi'_{j,k}$: 0.75
 Groutomhulling : NEE

Project :
Onderdeel :

OVERZICHT NETTO DRAAGVERMOGEN TREKPALEN (n=1)

Netto paal draagvermogen(s) zijn naar beneden toe afgerond op: 1.0 kN nauwkeurig
Alle niveaus/hoogtes/peilmaten zijn t.o.v.: N.A.P.

sondering	maaiveld paalpunt		$R_{t, netto; d}$ [kN]			
	niveau	niveau	Mast 110	Mast 111	Mast 112	Mast 113
S111-1	18.67	11.10		264		
S111-2	18.96	11.10		266		
S112-1	18.76	5.71			525	
S112-2	18.88	5.71			672	
S112-3	18.78	5.71			567	
S112-4	18.84	5.71			598	
S113-1	20.20	10.58				352
S113-2	19.46	10.58				434
S113-3	19.40	10.58				435
S113-4	20.30	10.58				409
S110-1	18.32	9.75	326			
S110-2	18.36	9.75	322			

Project :
Onderdeel :

ALGEMENE GEGEVENS

Project :
Onderdeel :
Datum : 10-12-2021
Bestand : P:\EANL_Projects\10166262 - BBB modelleren
funderingen 380 kV\02 Content\03
Calculations\Technosoft
Paalfunderingen\MBT-EHV380\DO\Nieuw
Sonderingen\Mast 120-129.pvw
Berekeningstype : Verticaal belaste paal
Alle niveaus/hogtes/peilmaten zijn t.o.v.: N.A.P.

Toegepaste normen volgens Eurocode met Nederlandse NB

Geotechniek	EN 1997-1:2004	AC:2009	
	NEN-EN 1997-1:2005	C1+A1:2013	NB:2016
	NEN 9997-1:2016	C2:2017	

GRONDSOORTEN

Nr. Omschrijving	$\gamma_{k;1}$ [kN/m ³]	$\gamma_{sat;k;1}$ [kN/m ³]	$\phi'_{k;1}$ [°]	$\gamma_{k;2}$ [kN/m ³]	$\gamma_{sat;k;2}$ [kN/m ³]	$\phi'_{k;2}$ [°]
1 Zand - Schoon - Los	17.00	19.00	30.00	18.00	20.00	32.50
2 Zand - Schoon - Matig	18.00	20.00	32.50	19.00	21.00	35.00
3 Zand - Schoon - Vast	19.00	21.00	35.00	20.00	22.00	40.00
4 Zand - Zwak siltig - Kleiig	18.00	20.00	27.00	19.00	21.00	32.50
5 Zand - Sterk siltig - Kleiig	18.00	20.00	25.00	19.00	21.00	30.00
6 Leem - Zwak zandig - Vast	21.00	21.00	27.50	22.00	22.00	35.00
7 Leem - Sterk zandig	19.00	19.00	27.50	20.00	20.00	35.00
8 Klei - Schoon - Slap	14.00	14.00	17.50	17.00	17.00	17.50
9 Klei - Schoon - Matig	17.00	17.00	17.50	19.00	19.00	17.50
10 Klei - Schoon - Vast	19.00	19.00	17.50	20.00	20.00	25.00
11 Klei - Zwak zandig - Slap	15.00	15.00	22.50	18.00	18.00	22.50
12 Klei - Zwak zandig - Matig	18.00	18.00	22.50	20.00	20.00	22.50
13 Klei - Zwak zandig - Vast	20.00	20.00	22.50	21.00	21.00	27.50
14 Klei - Organisch - Matig	15.00	15.00	15.00	16.00	16.00	15.00
15 Veen - Matig voorbelast - Matig	12.00	12.00	15.00	13.00	13.00	15.00

BODEMPROFIELGEGEVENS: S129-1

Alle niveaus/hogtes/peilmaten zijn t.o.v.: N.A.P.

d50-reductie is meegenomen overeenkomstig NEN-EN 9997 art. 7.6.2.3 (i)

Hoogte maaiveld [m] : 19.48 Grondwaterstand [m] : 18.48

Laag	Van [m]	Tot [m]	Omschrijving	OCR	Aandeel pos. kleef [%]	α_s	d_{50} [mm]
1	19.48	17.21	Zand - Zwak siltig - Kleiig	1.0	100.0		
2	17.21	16.97	Zand - Sterk siltig - Kleiig	1.0	100.0		
3	16.97	16.35	Klei - Zwak zandig - Vast	1.0	50.0		
4	16.35	15.89	Zand - Schoon - Matig	1.0	100.0		
5	15.89	15.49	Zand - Sterk siltig - Kleiig	1.0	100.0		
6	15.49	14.83	Klei - Zwak zandig - Vast	1.0	50.0		
7	14.83	13.41	Zand - Schoon - Matig	1.0	100.0		
8	13.41	12.83	Zand - Schoon - Los	1.0	100.0		
9	12.83	12.45	Klei - Zwak zandig - Matig	1.0	50.0		
10	12.45	11.99	Zand - Schoon - Matig	1.0	100.0		
11	11.99	11.54	Leem - Zwak zandig - Vast	1.0	50.0		
12	11.54	11.00	Zand - Schoon - Vast	1.0	100.0		
13	11.00	9.96	Zand - Sterk siltig - Kleiig	1.0	50.0		
14	9.96	5.54	Zand - Schoon - Vast	1.0	100.0		
15	5.54	5.02	Zand - Schoon - Los	1.0	100.0		
16	5.02	4.54	Klei - Zwak zandig - Vast	1.0	50.0		
17	4.54	2.46	Zand - Sterk siltig - Kleiig	1.0	100.0		
18	2.46	-0.34	Zand - Schoon - Vast	1.0	100.0		
19	-0.34	-0.82	Zand - Zwak siltig - Kleiig	1.0	100.0		
20	-0.82	-1.24	Klei - Schoon - Matig	1.0	50.0		
21	-1.24	-1.64	Zand - Zwak siltig - Kleiig	1.0	100.0		
22	-1.64	-1.66	Klei - Zwak zandig - Vast	1.0	50.0		

Project :
 Onderdeel :

BODEMPROFIELGEGEVENS: S129-2

Alle niveaus/hogtes/peilmaten zijn t.o.v.: N.A.P.

d50-reductie is meegenomen overeenkomstig NEN-EN 9997 art. 7.6.2.3 (i)

Laag	Van [m]	Tot [m]	Omschrijving	OCR	Aandeel pos. kleef [%]	α_s	d_{50} [mm]
	: 19.46		Grondwaterstand	[m]	: 18.46		
1	19.46	16.89	Zand - Schoon - Los	1.0	100.0		
2	16.89	16.45	Klei - Schoon - Vast	1.0	50.0		
3	16.45	15.41	Zand - Schoon - Los	1.0	100.0		
4	15.41	14.75	Klei - Zwak zandig - Matig	1.0	50.0		
5	14.75	12.20	Zand - Schoon - Vast	1.0	100.0		
6	12.20	11.57	Zand - Schoon - Matig	1.0	100.0		
7	11.57	10.90	Zand - Schoon - Vast	1.0	100.0		
8	10.90	10.24	Klei - Schoon - Matig	1.0	50.0		
9	10.24	9.82	Zand - Zwak siltig - Kleiig	1.0	100.0		
10	9.82	9.56	Klei - Zwak zandig - Slap	1.0	50.0		
11	9.56	6.15	Zand - Schoon - Vast	1.0	100.0		
12	6.15	4.95	Zand - Schoon - Matig	1.0	100.0		
13	4.95	3.64	Zand - Schoon - Vast	1.0	100.0		
14	3.64	2.09	Zand - Schoon - Matig	1.0	100.0		
15	2.09	-1.29	Zand - Schoon - Vast	1.0	100.0		
16	-1.29	-1.51	Leem - Zwak zandig - Vast	1.0	50.0		

BODEMPROFIELGEGEVENS: S123-1

Alle niveaus/hogtes/peilmaten zijn t.o.v.: N.A.P.

d50-reductie is meegenomen overeenkomstig NEN-EN 9997 art. 7.6.2.3 (i)

Laag	Van [m]	Tot [m]	Omschrijving	OCR	Aandeel pos. kleef [%]	α_s	d_{50} [mm]
	: 17.37		Grondwaterstand	[m]	: 16.37		
1	17.37	17.13	Veen - Matig voorbelast - Matig	1.0	50.0		
2	17.13	16.51	Zand - Schoon - Los	1.0	100.0		
3	16.51	16.25	Klei - Zwak zandig - Vast	1.0	50.0		
4	16.25	15.17	Zand - Sterk siltig - Kleiig	1.0	100.0		
5	15.17	10.79	Zand - Schoon - Vast	1.0	100.0		
6	10.79	9.81	Zand - Schoon - Matig	1.0	100.0		
7	9.81	9.29	Zand - Schoon - Los	1.0	100.0		
8	9.29	8.55	Klei - Zwak zandig - Vast	1.0	50.0		
9	8.55	6.12	Zand - Zwak siltig - Kleiig	1.0	100.0		
10	6.12	4.82	Zand - Schoon - Vast	1.0	100.0		
11	4.82	3.67	Zand - Sterk siltig - Kleiig	1.0	100.0		
12	3.67	2.64	Zand - Schoon - Vast	1.0	100.0		

BODEMPROFIELGEGEVENS: S123-2

Alle niveaus/hogtes/peilmaten zijn t.o.v.: N.A.P.

d50-reductie is meegenomen overeenkomstig NEN-EN 9997 art. 7.6.2.3 (i)

Laag	Van [m]	Tot [m]	Omschrijving	OCR	Aandeel pos. kleef [%]	α_s	d_{50} [mm]
	: 17.41		Grondwaterstand	[m]	: 16.41		
1	17.41	17.09	Veen - Matig voorbelast - Matig	1.0	50.0		
2	17.09	16.47	Zand - Schoon - Los	1.0	100.0		
3	16.47	16.21	Klei - Zwak zandig - Matig	1.0	50.0		
4	16.21	15.83	Zand - Schoon - Los	1.0	100.0		
5	15.83	15.13	Leem - Zwak zandig - Vast	1.0	50.0		
6	15.13	4.93	Zand - Schoon - Vast	1.0	100.0		
7	4.93	4.52	Zand - Schoon - Los	1.0	100.0		
8	4.52	4.02	Klei - Zwak zandig - Matig	1.0	50.0		
9	4.02	2.96	Zand - Schoon - Vast	1.0	100.0		

BODEMPROFIELGEGEVENS: S124-1

Alle niveaus/hogtes/peilmaten zijn t.o.v.: N.A.P.

d50-reductie is meegenomen overeenkomstig NEN-EN 9997 art. 7.6.2.3 (i)

Laag	Van [m]	Tot [m]	Omschrijving	OCR	Aandeel pos. kleef [%]	α_s	d_{50} [mm]
	: 18.00		Grondwaterstand	[m]	: 17.00		
1	18.00	16.38	Zand - Zwak siltig - Kleiig	1.0	100.0		
2	16.38	16.00	Klei - Zwak zandig - Matig	1.0	50.0		
3	16.00	12.38	Zand - Schoon - Matig	1.0	100.0		

Project :
Onderdeel :

Laag	Van [m]	Tot [m]	Omschrijving	OCR	Aandeel pos. kleef [%]	α_s	d_{50} [mm]
4	12.38	10.33	Zand - Zwak siltig - Kleiig	1.0	100.0		
5	10.33	10.05	Leem - Zwak zandig - Vast	1.0	50.0		
6	10.05	9.57	Zand - Schoon - Vast	1.0	100.0		
7	9.57	9.05	Klei - Zwak zandig - Matig	1.0	50.0		
8	9.05	8.14	Zand - Sterk siltig - Kleiig	1.0	100.0		
9	8.14	5.27	Zand - Schoon - Vast	1.0	100.0		
10	5.27	4.90	Zand - Schoon - Los	1.0	100.0		
11	4.90	4.66	Klei - Zwak zandig - Vast	1.0	50.0		
12	4.66	4.06	Zand - Schoon - Vast	1.0	100.0		
13	4.06	3.73	Zand - Zwak siltig - Kleiig	1.0	100.0		
14	3.73	3.09	Klei - Schoon - Vast	1.0	50.0		
15	3.09	2.70	Zand - Zwak siltig - Kleiig	1.0	100.0		
16	2.70	2.46	Leem - Zwak zandig - Vast	1.0	50.0		
17	2.46	1.81	Zand - Schoon - Vast	1.0	100.0		
18	1.81	1.55	Leem - Zwak zandig - Vast	1.0	50.0		
19	1.55	0.94	Zand - Schoon - Vast	1.0	100.0		
20	0.94	-0.15	Zand - Schoon - Los	1.0	100.0		
21	-0.15	-0.58	Zand - Schoon - Vast	1.0	100.0		
22	-0.58	-1.14	Klei - Organisch - Matig	1.0	50.0		
23	-1.14	-1.39	Zand - Zwak siltig - Kleiig	1.0	100.0		
24	-1.39	-2.23	Klei - Zwak zandig - Matig	1.0	50.0		
25	-2.23	-2.86	Zand - Schoon - Vast	1.0	100.0		

BODEMPROFIELGEGEVENS: S124-2

Alle niveaus/hogtes/peilmaten zijn t.o.v.: N.A.P.

d50-reductie is meegenomen overeenkomstig NEN-EN 9997 art. 7.6.2.3 (i)

Hoogte maaiveld [m] : 18.06 Grondwaterstand [m] : 17.06

Laag	Van [m]	Tot [m]	Omschrijving	OCR	Aandeel pos. kleef [%]	α_s	d_{50} [mm]
1	18.06	16.92	Klei - Schoon - Slap	1.0	50.0		
2	16.92	12.46	Zand - Schoon - Matig	1.0	100.0		
3	12.46	12.14	Zand - Zwak siltig - Kleiig	1.0	100.0		
4	12.14	11.38	Klei - Zwak zandig - Vast	1.0	50.0		
5	11.38	9.46	Zand - Zwak siltig - Kleiig	1.0	100.0		
6	9.46	9.02	Leem - Zwak zandig - Vast	1.0	50.0		
7	9.02	8.42	Zand - Schoon - Vast	1.0	100.0		
8	8.42	4.28	Zand - Sterk siltig - Kleiig	1.0	100.0		
9	4.28	3.75	Zand - Schoon - Los	1.0	100.0		
10	3.75	3.17	Klei - Zwak zandig - Matig	1.0	50.0		
11	3.17	1.93	Zand - Sterk siltig - Kleiig	1.0	100.0		
12	1.93	1.67	Leem - Sterk zandig	1.0	50.0		
13	1.67	1.05	Zand - Schoon - Vast	1.0	100.0		

BODEMPROFIELGEGEVENS: S125-1

Alle niveaus/hogtes/peilmaten zijn t.o.v.: N.A.P.

d50-reductie is meegenomen overeenkomstig NEN-EN 9997 art. 7.6.2.3 (i)

Hoogte maaiveld [m] : 18.40 Grondwaterstand [m] : 17.40

Laag	Van [m]	Tot [m]	Omschrijving	OCR	Aandeel pos. kleef [%]	α_s	d_{50} [mm]
1	18.40	17.88	Zand - Zwak siltig - Kleiig	1.0	100.0		
2	17.88	17.50	Klei - Schoon - Matig	1.0	50.0		
3	17.50	16.88	Zand - Sterk siltig - Kleiig	1.0	100.0		
4	16.88	16.62	Leem - Zwak zandig - Vast	1.0	50.0		
5	16.62	15.06	Zand - Schoon - Los	1.0	100.0		
6	15.06	14.30	Zand - Sterk siltig - Kleiig	1.0	100.0		
7	14.30	11.22	Zand - Schoon - Matig	1.0	100.0		
8	11.22	10.00	Klei - Zwak zandig - Matig	1.0	50.0		
9	10.00	7.84	Zand - Schoon - Vast	1.0	100.0		
10	7.84	7.30	Leem - Zwak zandig - Vast	1.0	50.0		
11	7.30	6.37	Zand - Schoon - Matig	1.0	100.0		
12	6.37	6.11	Zand - Schoon - Los	1.0	100.0		
13	6.11	5.55	Zand - Schoon - Vast	1.0	100.0		
14	5.55	5.31	Zand - Schoon - Los	1.0	100.0		
15	5.31	4.65	Klei - Zwak zandig - Matig	1.0	50.0		
16	4.65	3.31	Zand - Schoon - Matig	1.0	100.0		
17	3.31	1.50	Zand - Schoon - Vast	1.0	100.0		
18	1.50	0.54	Zand - Schoon - Los	1.0	100.0		

Project :
Onderdeel :

Laag	Van [m]	Tot [m]	Omschrijving	OCR	Aandeel pos. kleef [%]	α_s	d_{50} [mm]
19	0.54	0.26	Zand - Schoon - Matig	1.0	100.0		
20	0.26	-0.64	Klei - Zwak zandig - Slap	1.0	50.0		
21	-0.64	-2.63	Zand - Schoon - Vast	1.0	100.0		

BODEMPROFIELGEGEVENS: S126-1

Alle niveaus/hogtes/peilmaten zijn t.o.v.: N.A.P.

d50-reductie is meegenomen overeenkomstig NEN-EN 9997 art. 7.6.2.3 (i)

Hoogte maaiveld [m] : 18.36 Grondwaterstand [m] : 17.36

Laag	Van [m]	Tot [m]	Omschrijving	OCR	Aandeel pos. kleef [%]	α_s	d_{50} [mm]
1	18.36	18.10	Veen - Matig voorbelast - Matig	1.0	50.0		
2	18.10	16.46	Zand - Schoon - Matig	1.0	100.0		
3	16.46	16.22	Zand - Sterk siltig - Kleiig	1.0	100.0		
4	16.22	15.82	Klei - Schoon - Matig	1.0	50.0		
5	15.82	15.42	Zand - Schoon - Los	1.0	100.0		
6	15.42	15.16	Leem - Zwak zandig - Vast	1.0	50.0		
7	15.16	10.98	Zand - Schoon - Matig	1.0	100.0		
8	10.98	9.70	Zand - Schoon - Los	1.0	100.0		
9	9.70	8.62	Zand - Schoon - Vast	1.0	100.0		
10	8.62	8.36	Zand - Schoon - Los	1.0	100.0		
11	8.36	8.22	Leem - Zwak zandig - Vast	1.0	50.0		
12	8.22	7.57	Zand - Sterk siltig - Kleiig	1.0	100.0		
13	7.57	6.79	Klei - Zwak zandig - Slap	1.0	50.0		
14	6.79	6.27	Zand - Schoon - Vast	1.0	100.0		
15	6.27	5.63	Zand - Zwak siltig - Kleiig	1.0	100.0		
16	5.63	5.37	Leem - Zwak zandig - Vast	1.0	50.0		
17	5.37	5.11	Zand - Zwak siltig - Kleiig	1.0	100.0		
18	5.11	4.87	Leem - Zwak zandig - Vast	1.0	50.0		
19	4.87	3.97	Zand - Zwak siltig - Kleiig	1.0	100.0		
20	3.97	3.73	Leem - Zwak zandig - Vast	1.0	50.0		
21	3.73	2.77	Zand - Schoon - Vast	1.0	100.0		
22	2.77	1.61	Zand - Zwak siltig - Kleiig	1.0	100.0		
23	1.61	1.23	Klei - Zwak zandig - Slap	1.0	50.0		
24	1.23	-0.40	Zand - Schoon - Vast	1.0	100.0		
25	-0.40	-0.66	Zand - Schoon - Los	1.0	100.0		
26	-0.66	-0.94	Klei - Zwak zandig - Vast	1.0	50.0		
27	-0.94	-1.32	Zand - Schoon - Vast	1.0	100.0		
28	-1.32	-1.62	Zand - Schoon - Los	1.0	100.0		

BODEMPROFIELGEGEVENS: S126-2

Alle niveaus/hogtes/peilmaten zijn t.o.v.: N.A.P.

d50-reductie is meegenomen overeenkomstig NEN-EN 9997 art. 7.6.2.3 (i)

Hoogte maaiveld [m] : 18.44 Grondwaterstand [m] : 17.44

Laag	Van [m]	Tot [m]	Omschrijving	OCR	Aandeel pos. kleef [%]	α_s	d_{50} [mm]
1	18.44	18.08	Veen - Matig voorbelast - Matig	1.0	50.0		
2	18.08	16.62	Zand - Sterk siltig - Kleiig	1.0	100.0		
3	16.62	16.26	Leem - Zwak zandig - Vast	1.0	50.0		
4	16.26	16.00	Klei - Zwak zandig - Matig	1.0	50.0		
5	16.00	15.48	Zand - Sterk siltig - Kleiig	1.0	100.0		
6	15.48	15.00	Leem - Zwak zandig - Vast	1.0	50.0		
7	15.00	12.50	Zand - Schoon - Vast	1.0	100.0		
8	12.50	11.36	Zand - Schoon - Los	1.0	100.0		
9	11.36	9.54	Zand - Schoon - Matig	1.0	100.0		
10	9.54	8.13	Zand - Schoon - Vast	1.0	100.0		
11	8.13	7.71	Zand - Schoon - Matig	1.0	100.0		
12	7.71	6.47	Klei - Zwak zandig - Matig	1.0	50.0		
13	6.47	5.90	Zand - Schoon - Vast	1.0	100.0		
14	5.90	5.26	Zand - Schoon - Los	1.0	100.0		
15	5.26	4.24	Zand - Schoon - Matig	1.0	100.0		
16	4.24	3.72	Zand - Sterk siltig - Kleiig	1.0	100.0		
17	3.72	2.64	Zand - Schoon - Vast	1.0	100.0		
18	2.64	1.55	Zand - Zwak siltig - Kleiig	1.0	100.0		
19	1.55	1.15	Leem - Zwak zandig - Vast	1.0	50.0		
20	1.15	-0.79	Zand - Schoon - Vast	1.0	100.0		
21	-0.79	-1.52	Zand - Schoon - Los	1.0	100.0		

Project :
Onderdeel :

BODEMPROFIELGEGEVENS: S127-1

Alle niveaus/hoogtes/peilmaten zijn t.o.v.: N.A.P.

d50-reductie is meegenomen overeenkomstig NEN-EN 9997 art. 7.6.2.3 (i)

Laag	Van [m]	Tot [m]	Omschrijving	Grondwaterstand [m]	OCR	Aandeel pos. kleef [%]	α_s	d_{50} [mm]
1	18.83	16.93	Zand - Schoon - Los		1.0	100.0		
2	16.93	15.69	Zand - Zwak siltig - Kleiig		1.0	100.0		
3	15.69	15.41	Leem - Zwak zandig - Vast		1.0	50.0		
4	15.41	14.61	Zand - Sterk siltig - Kleiig		1.0	100.0		
5	14.61	11.87	Zand - Schoon - Vast		1.0	100.0		
6	11.87	11.35	Zand - Schoon - Matig		1.0	100.0		
7	11.35	10.81	Zand - Sterk siltig - Kleiig		1.0	100.0		
8	10.81	9.05	Zand - Schoon - Vast		1.0	100.0		
9	9.05	8.70	Klei - Schoon - Matig		1.0	50.0		
10	8.70	8.07	Zand - Schoon - Matig		1.0	100.0		
11	8.07	7.08	Klei - Organisch - Matig		1.0	50.0		
12	7.08	6.06	Zand - Schoon - Vast		1.0	100.0		
13	6.06	4.84	Zand - Schoon - Matig		1.0	100.0		
14	4.84	4.56	Zand - Schoon - Vast		1.0	100.0		
15	4.56	4.20	Klei - Zwak zandig - Vast		1.0	50.0		
16	4.20	3.68	Zand - Schoon - Los		1.0	100.0		
17	3.68	3.30	Zand - Schoon - Vast		1.0	100.0		
18	3.30	2.92	Leem - Sterk zandig		1.0	50.0		
19	2.92	2.10	Zand - Schoon - Vast		1.0	100.0		
20	2.10	1.72	Zand - Sterk siltig - Kleiig		1.0	100.0		
21	1.72	1.32	Klei - Organisch - Matig		1.0	50.0		
22	1.32	0.12	Zand - Schoon - Vast		1.0	100.0		

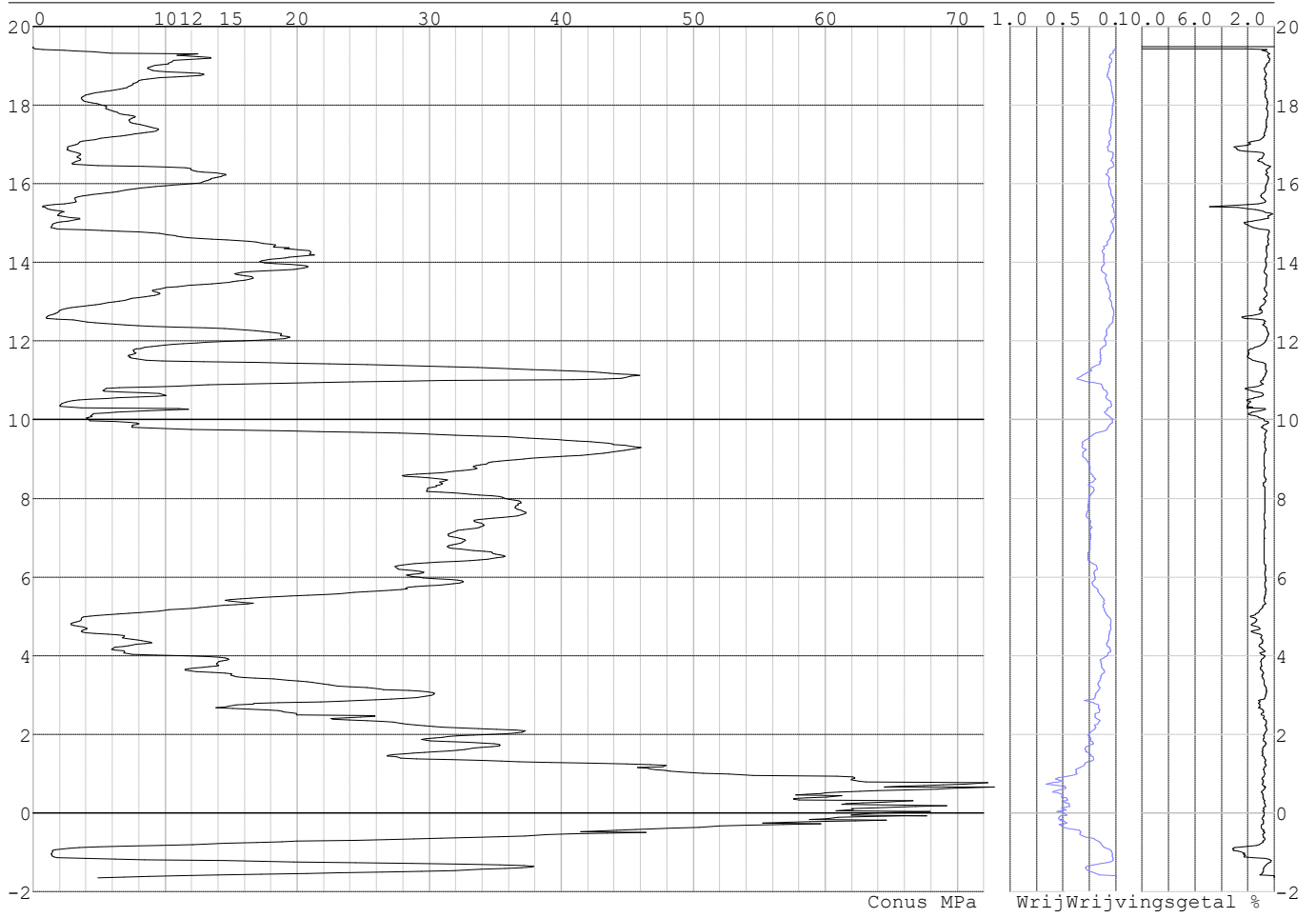
SONDERINGSGEGEVENS ALGEMEEN: S129-1

Alle niveaus/hoogtes/peilmaten zijn t.o.v.: N.A.P.

Hoogte maaiveld [m] : 19.48 Bodemprofiel: S129-1
Traject negatieve kleef : 19.48 tot 10.00 [m]
Traject positieve kleef : 10.00 tot -1.67 [m]

Project :
Onderdeel :

SONDERINGSGEGEVENS GRAFIEK: S129-1

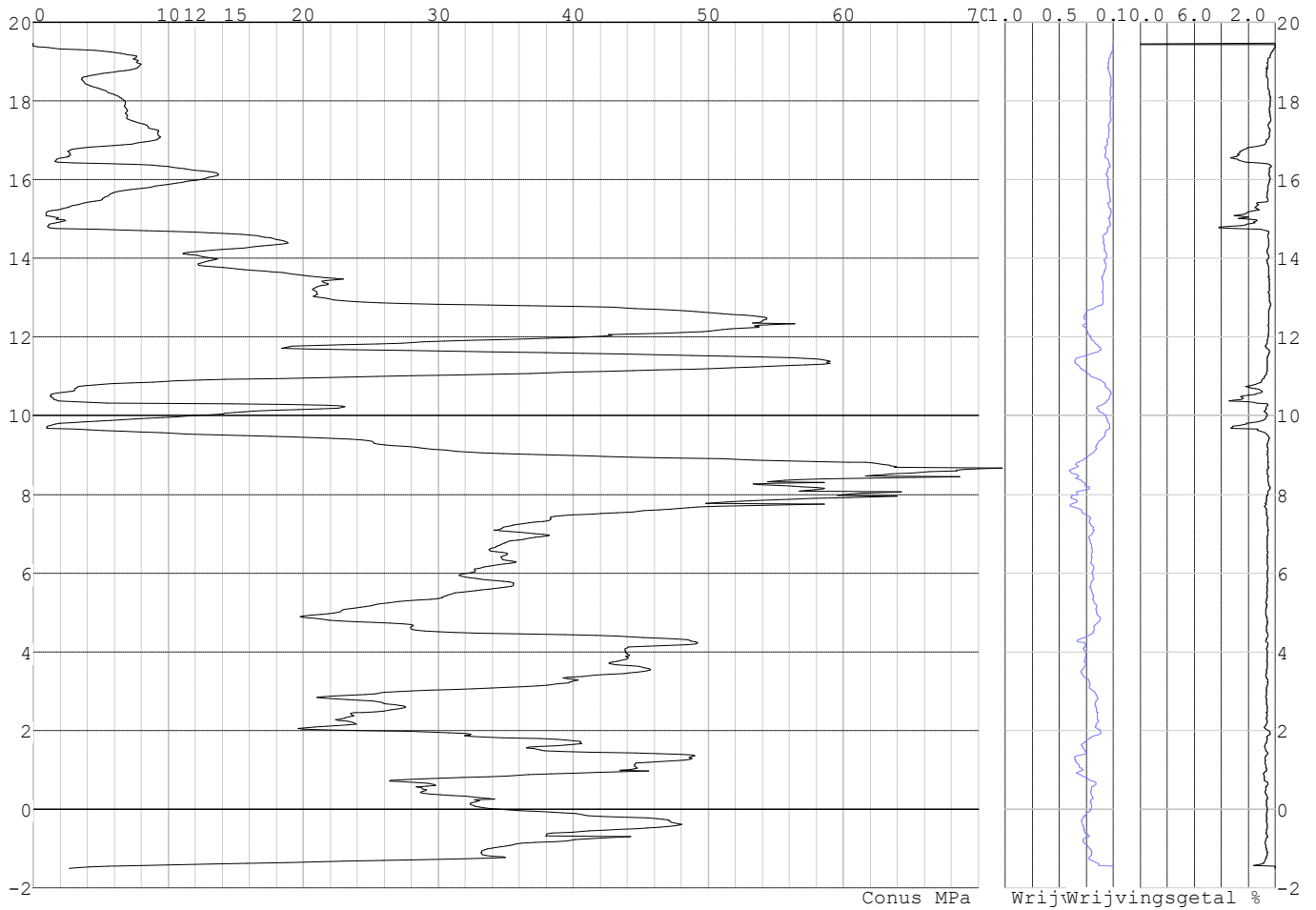


Project :
Onderdeel :

SONDERINGSGEGEVENS ALGEMEEN: S129-2

Alle niveaus/hogtes/peilmaten zijn t.o.v.: N.A.P.
Hoogte maaiveld [m] : 19.46 Bodemprofiel: S129-2
Traject negatieve kleeft : 19.46 tot 9.60 [m]
Traject positieve kleeft : 9.60 tot -1.52 [m]

SONDERINGSGEGEVENS GRAFIEK: S129-2

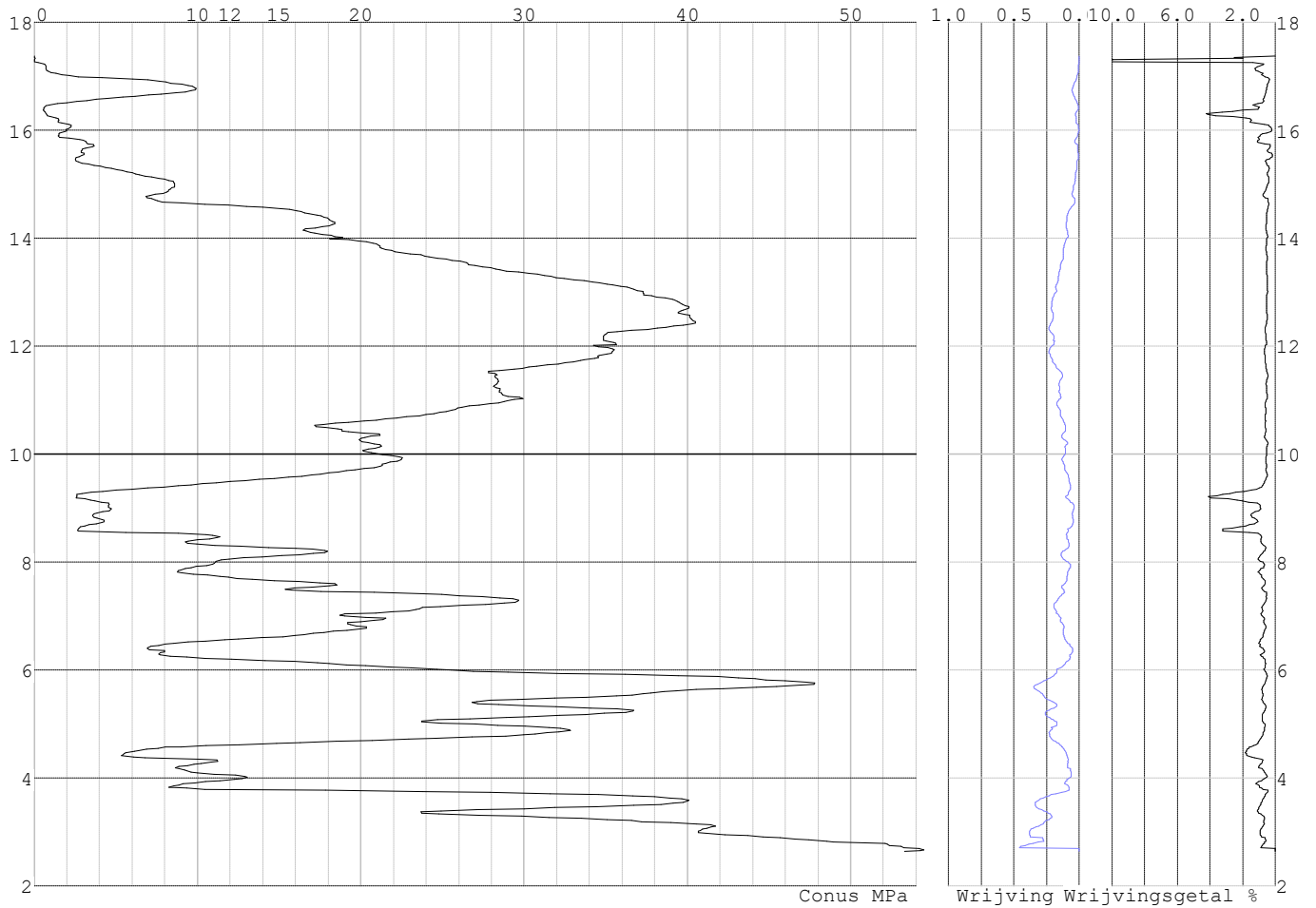


Project :
Onderdeel :

SONDERINGSGEGEVENS ALGEMEEN: S123-1

Alle niveaus/hogtes/peilmaten zijn t.o.v.: N.A.P.
Hoogte maaiveld [m] : 17.37 Bodemprofiel: S123-1
Traject negatieve kleef : 17.37 tot 16.10 [m]
Traject positieve kleef : 16.10 tot 2.63 [m]

SONDERINGSGEGEVENS GRAFIEK: S123-1

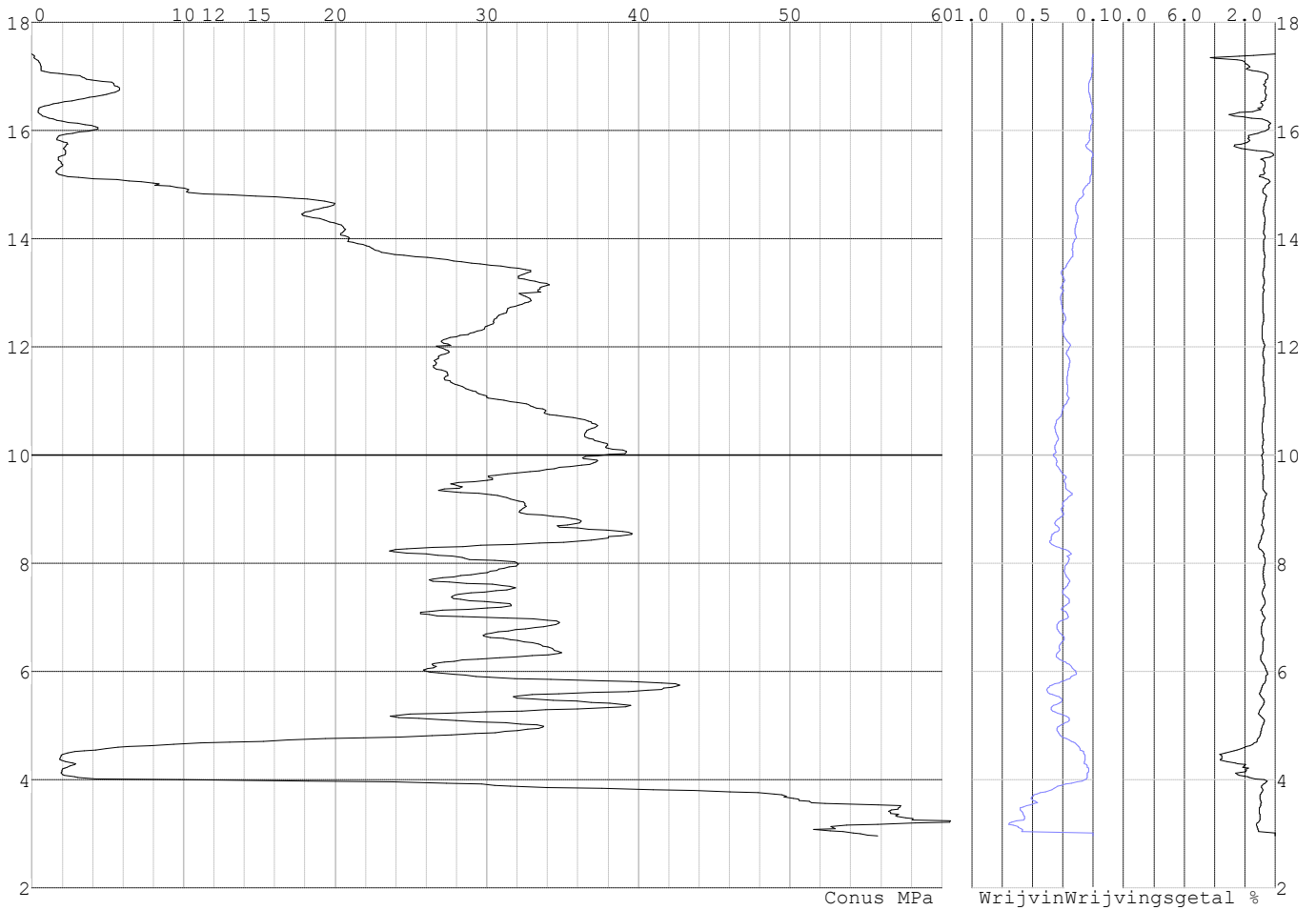


Project :
Onderdeel :

SONDERINGSGEGEVENS ALGEMEEN: S123-2

Alle niveaus/hogtes/peilmaten zijn t.o.v.: N.A.P.
Hoogte maaiveld [m] : 17.41 Bodemprofiel: S123-2
Traject negatieve kleef : 17.41 tot 15.10 [m]
Traject positieve kleef : 15.10 tot 2.96 [m]

SONDERINGSGEGEVENS GRAFIEK: S123-2

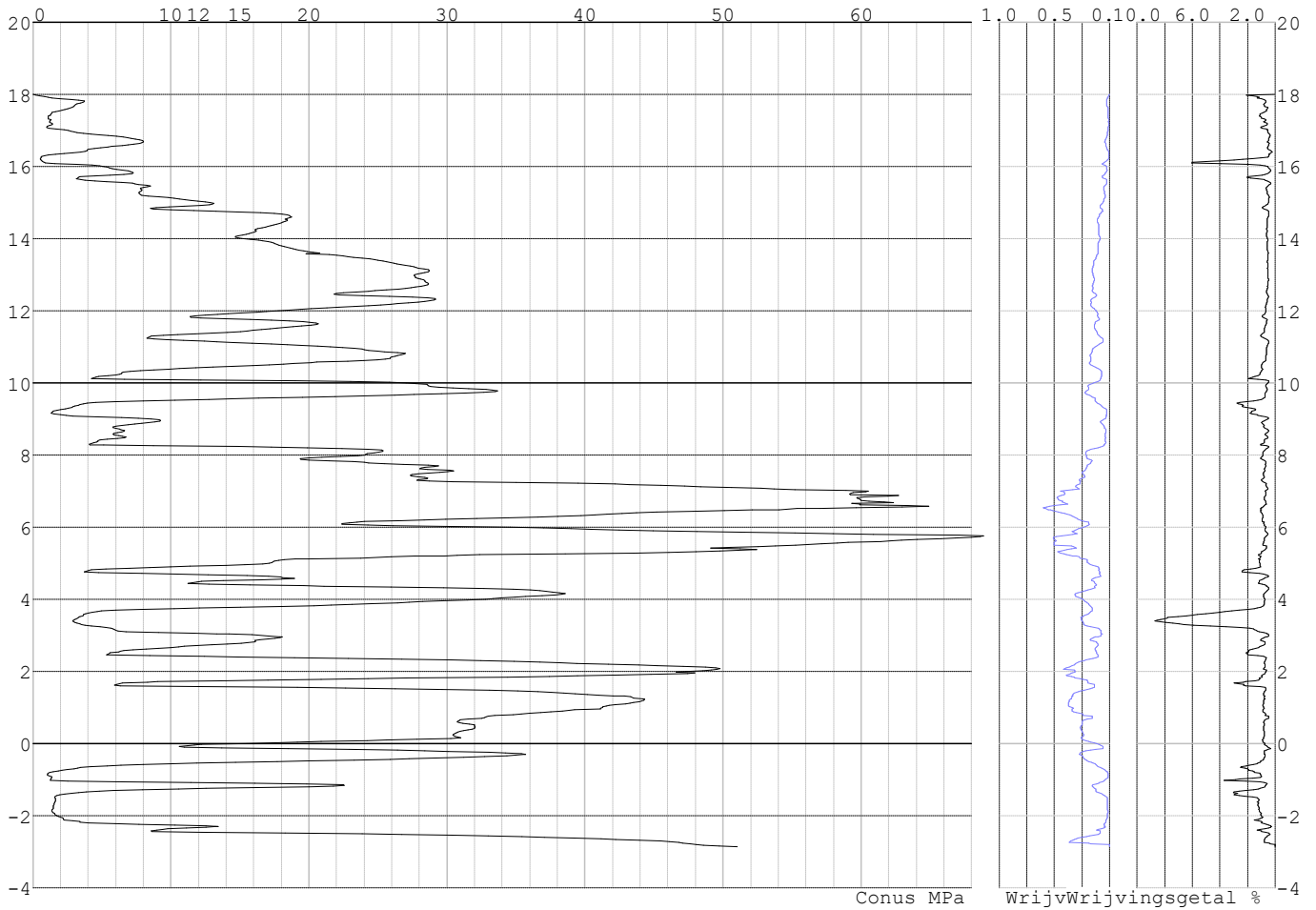


Project :
Onderdeel :

SONDERINGSGEGEVENS ALGEMEEN: S124-1

Alle niveaus/hogtes/peilmaten zijn t.o.v.: N.A.P.
Hoogte maaiveld [m] : 18.00 Bodemprofiel: S124-1
Traject negatieve kleeft : 18.00 tot 15.60 [m]
Traject positieve kleeft : 15.60 tot -2.86 [m]

SONDERINGSGEGEVENS GRAFIEK: S124-1

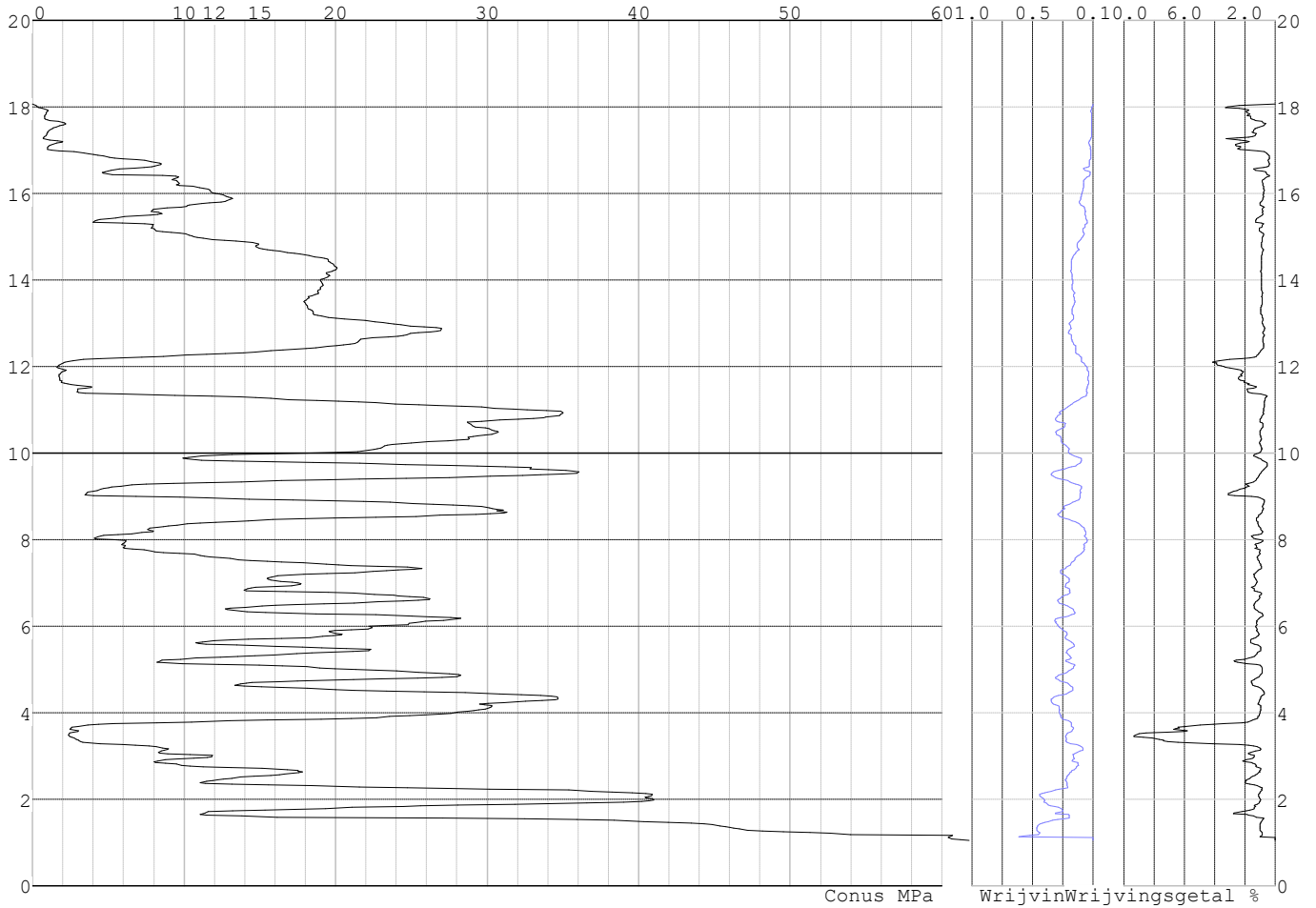


Project :
Onderdeel :

SONDERINGSGEGEVENS ALGEMEEN: S124-2

Alle niveaus/hogtes/peilmaten zijn t.o.v.: N.A.P.
Hoogte maaiveld [m] : 18.06 Bodemprofiel: S124-2
Traject negatieve kleeft : 18.06 tot 16.90 [m]
Traject positieve kleeft : 16.90 tot 1.05 [m]

SONDERINGSGEGEVENS GRAFIEK: S124-2

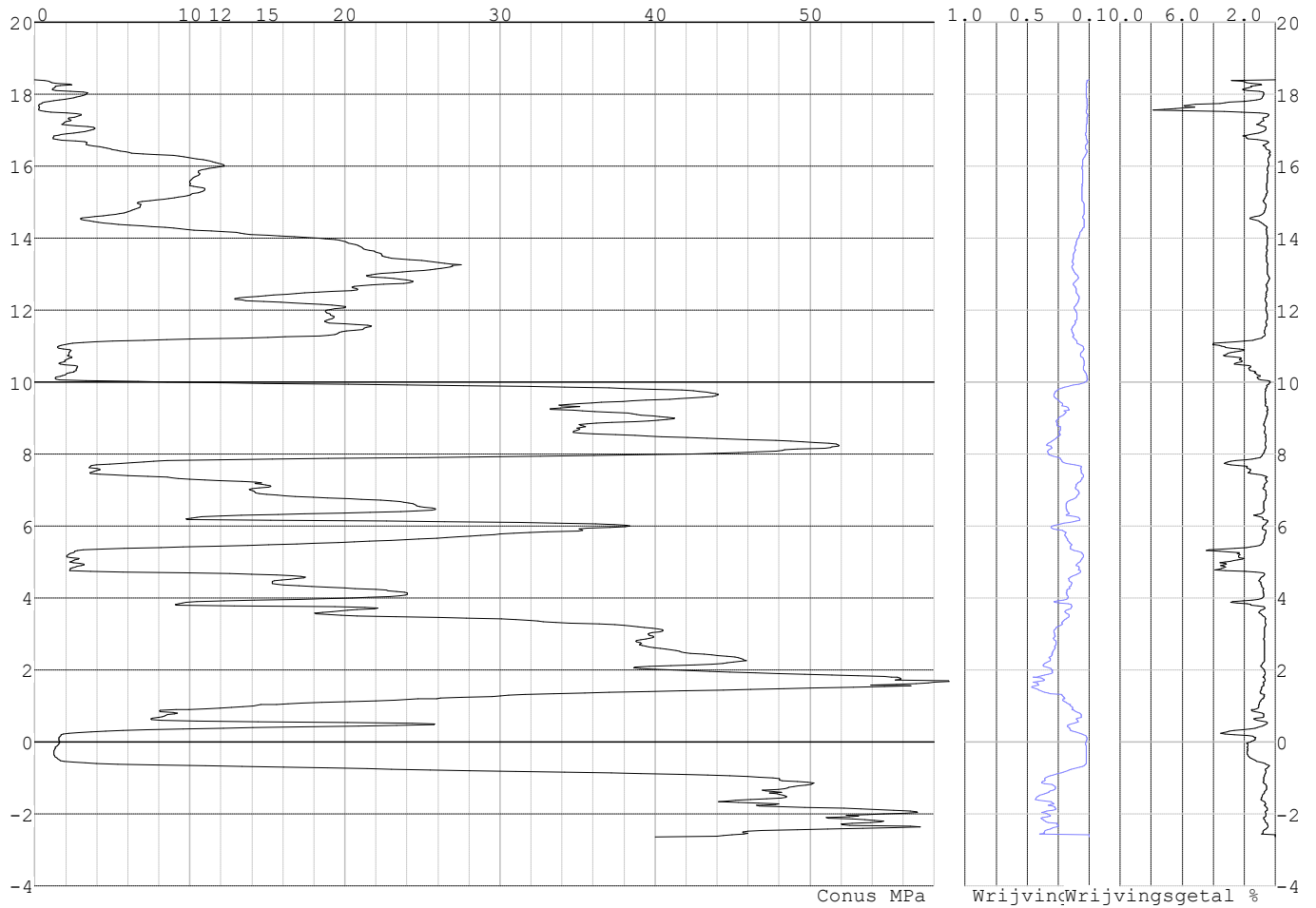


Project :
Onderdeel :

SONDERINGSGEGEVENS ALGEMEEN: S125-1

Alle niveaus/hogtes/peilmaten zijn t.o.v.: N.A.P.
Hoogte maaiveld [m] : 18.40 Bodemprofiel: S125-1
Traject negatieve kleeft : 18.40 tot 10.00 [m]
Traject positieve kleeft : 10.00 tot -2.63 [m]

SONDERINGSGEGEVENS GRAFIEK: S125-1

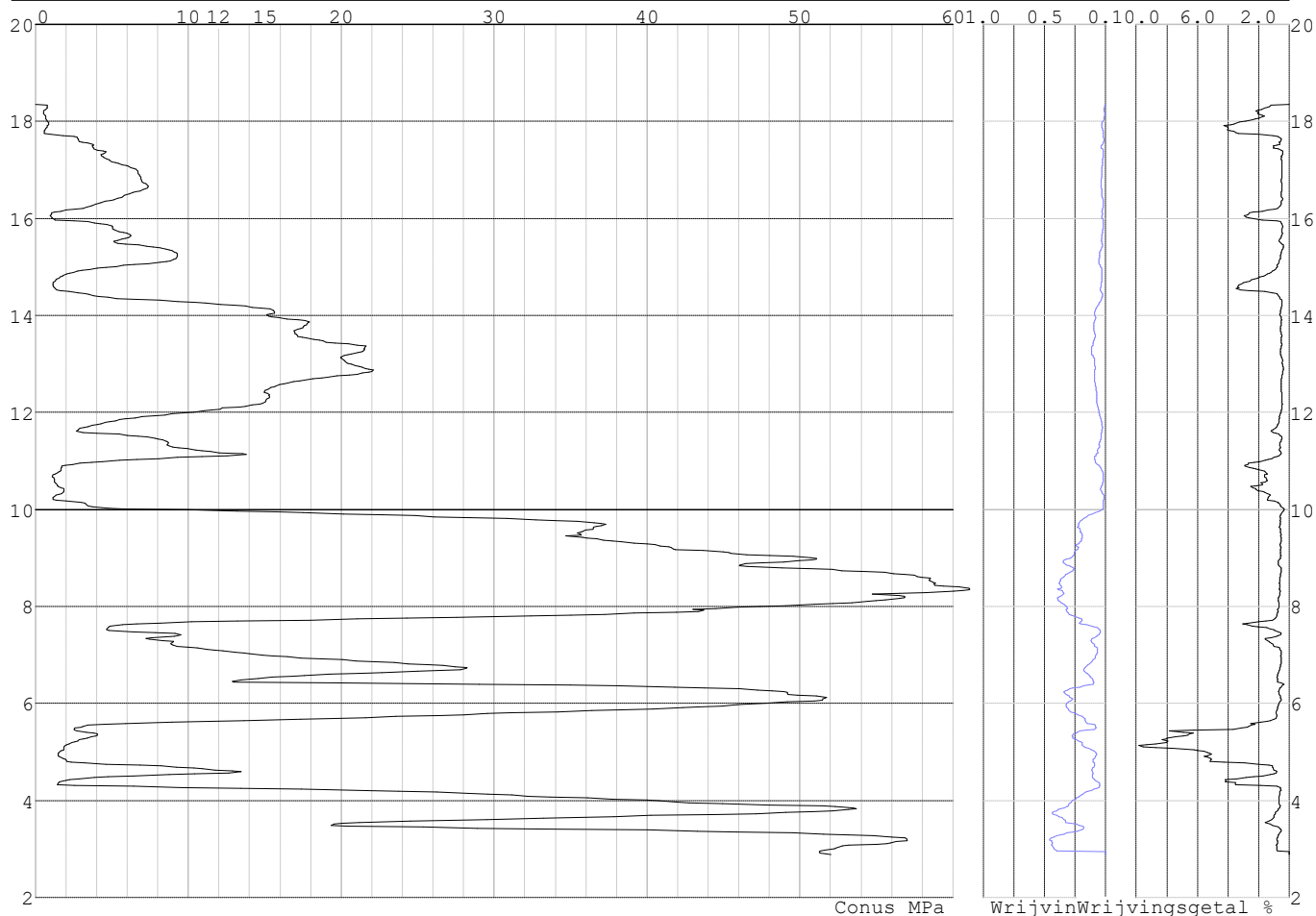


Project :
Onderdeel :

SONDERINGSGEGEVENS ALGEMEEN: S125-2

Alle niveaus/hogtes/peilmaten zijn t.o.v.: N.A.P.
Hoogte maaiveld [m] : 18.35 Bodemprofiel: S125-1
Traject negatieve kleeft : 18.35 tot 10.10 [m]
Traject positieve kleeft : 10.10 tot 2.88 [m]

SONDERINGSGEGEVENS GRAFIEK: S125-2

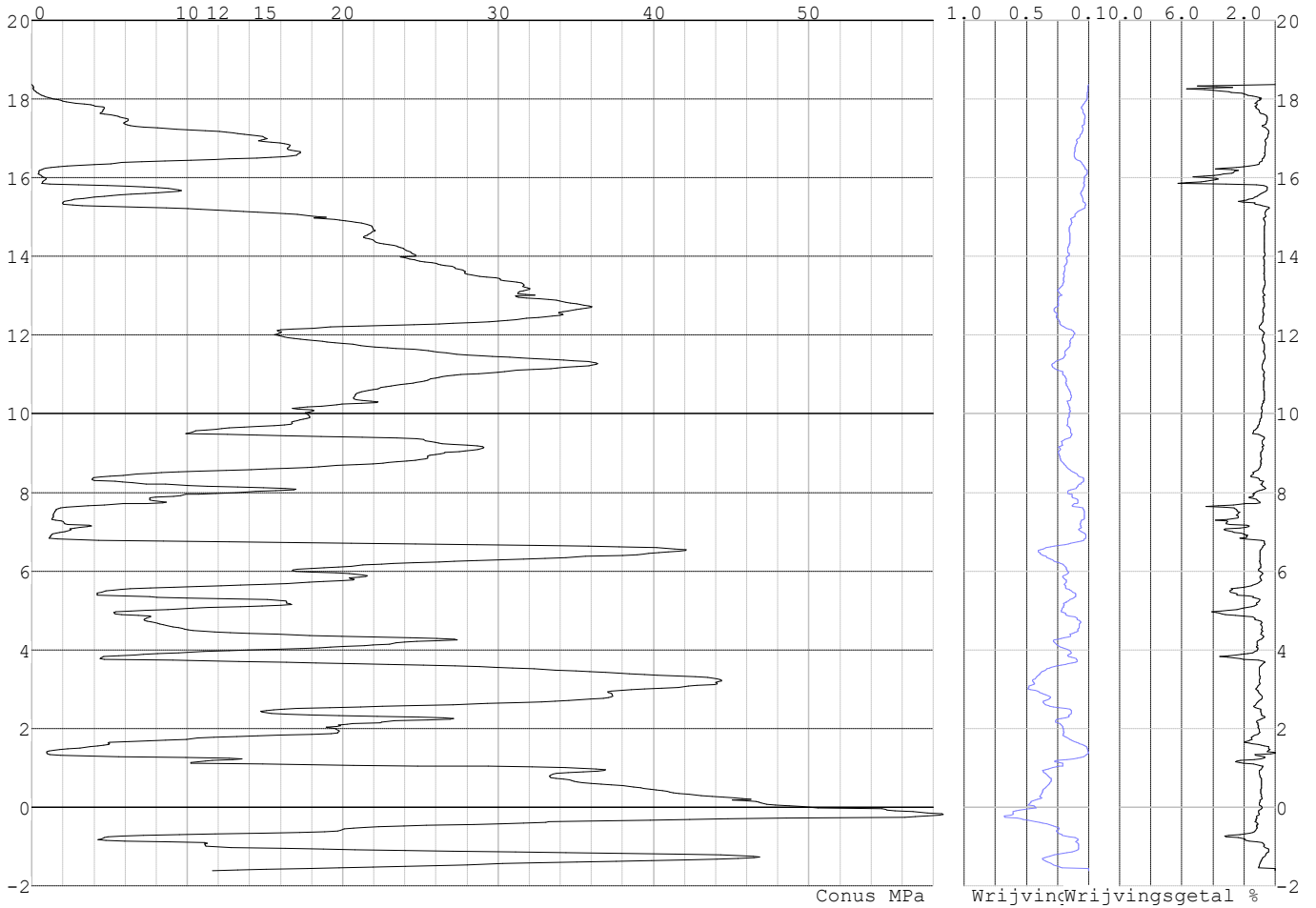


Project :
Onderdeel :

SONDERINGSGEGEVENS ALGEMEEN: S126-1

Alle niveaus/hogtes/peilmaten zijn t.o.v.: N.A.P.
Hoogte maaiveld [m] : 18.36 Bodemprofiel: S126-1
Traject negatieve kleef : 18.36 tot 15.20 [m]
Traject positieve kleef : 15.20 tot -1.62 [m]

SONDERINGSGEGEVENS GRAFIEK: S126-1

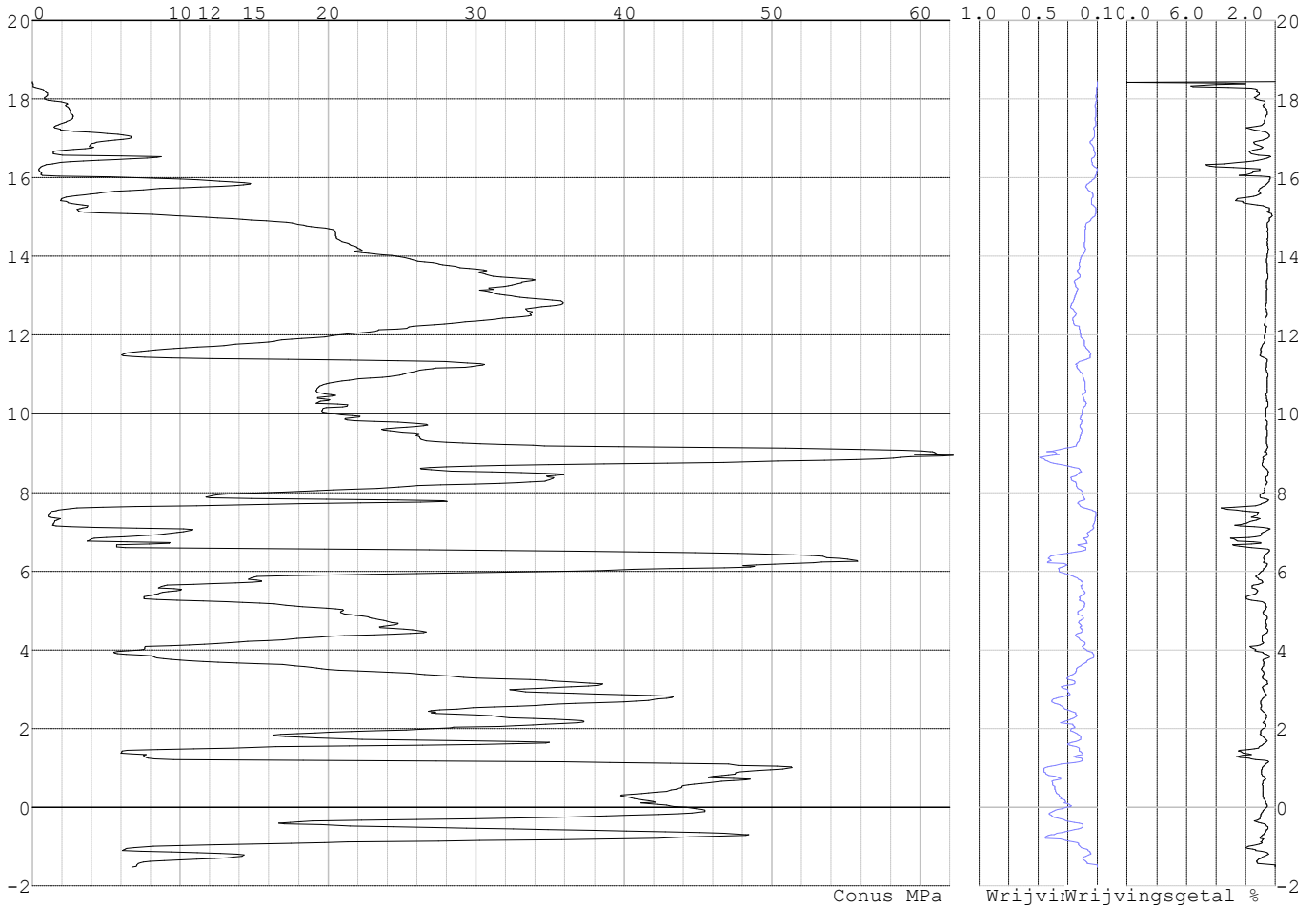


Project :
Onderdeel :

SONDERINGSGEGEVENS ALGEMEEN: S126-2

Alle niveaus/hoogtes/peilmaten zijn t.o.v.: N.A.P.
Hoogte maaiveld [m] : 18.44 Bodemprofiel: S126-2
Traject negatieve kleeft : 18.44 tot 14.90 [m]
Traject positieve kleeft : 14.90 tot -1.52 [m]

SONDERINGSGEGEVENS GRAFIEK: S126-2

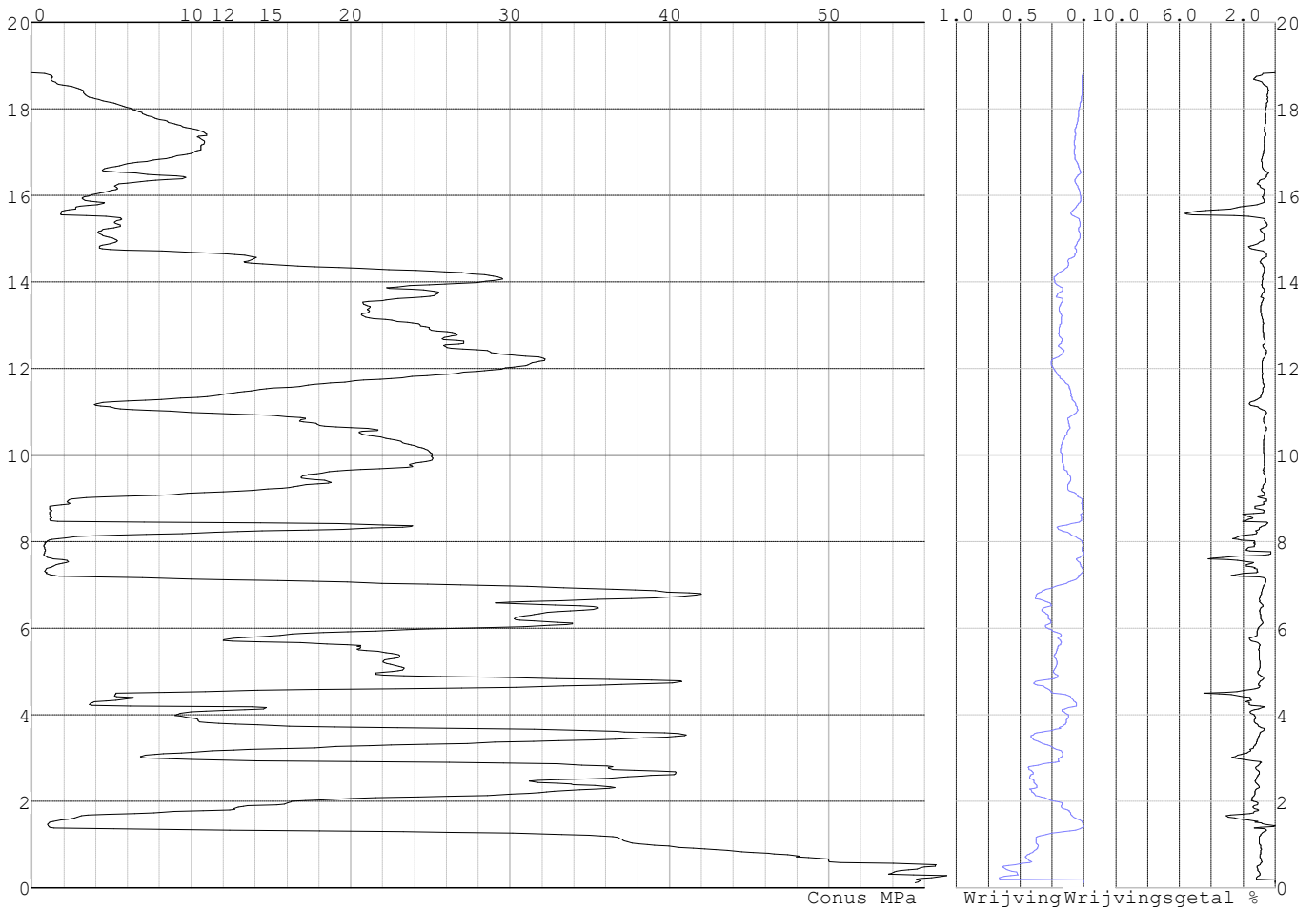


Project :
Onderdeel :

SONDERINGSGEGEVENS ALGEMEEN: S127-1

Alle niveaus/hoogtes/peilmaten zijn t.o.v.: N.A.P.
Hoogte maaiveld [m] : 18.83 Bodemprofiel: S127-1
Traject negatieve kleeft : 18.83 tot 14.70 [m]
Traject positieve kleeft : 14.70 tot 0.12 [m]

SONDERINGSGEGEVENS GRAFIEK: S127-1

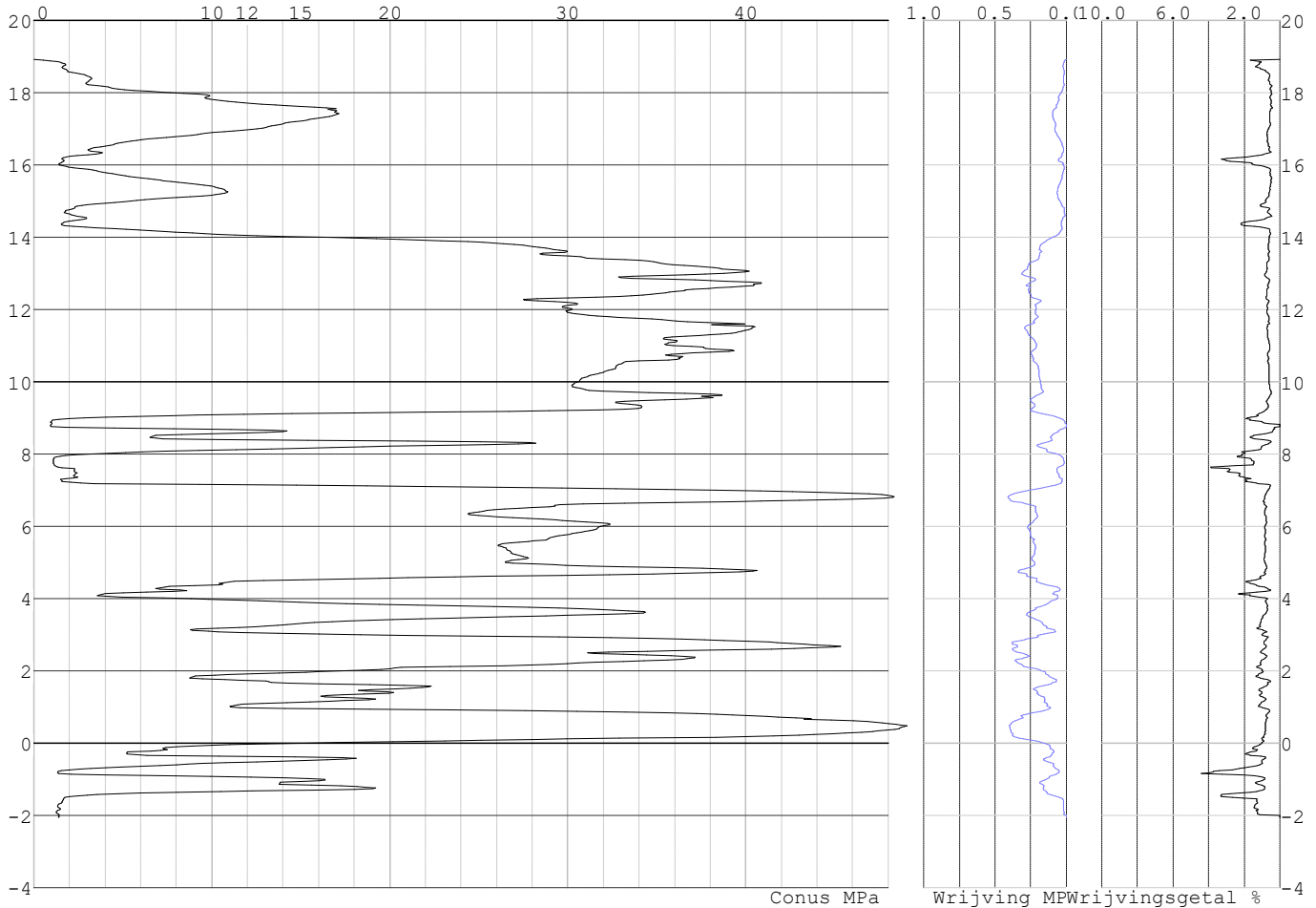


Project :
Onderdeel :

SONDERINGSGEGEVENS ALGEMEEN: S127-2

Alle niveaus/hogtes/peilmaten zijn t.o.v.: N.A.P.
 Hoogte maaiveld [m] : 18.93 Bodemprofiel: S127-1
 Traject negatieve kleef : 18.93 tot 14.30 [m]
 Traject positieve kleef : 14.30 tot -2.05 [m]

SONDERINGSGEGEVENS GRAFIEK: S127-2



REKENGEGEVENS Mast 123

Berekening : Controlerend
 Rekenmethode : Trekpalen volgens NEN-EN 1997-1, art. 7.6.3
 Sondering(en) : S123-1, S123-2
 Let op: trekcapaciteit t.p.v. negatief kleeftraject is meegerekend.

Stijf bouwwerk : NEE
 Paalgroep : NEE
 Aantal sonderingen : 2
 Factor ξ_3 (n=1) : 1.39
 Factor ξ_3 (gem) : 1.32
 Factor ξ_4 (min) : 1.32
 Weerstandsfactor γ_R : 1.35
 $\gamma_{m;var;q_c}$: 1.50
 UGT draagvermogen zonder negatieve kleef : NEE

Paal : LD1
 Niveau paalkop [m] : N.A.P. 17.79
 Paalpuntniveau : N.A.P. 9.79
 $E_{d,1}$ [kN] : 0.00 $E_{d,2}$ [kN] : 0.00
 Bovenbel. [kN/m²] : 0.00

RESULTATEN Mast 123 (n=1)

Project :
Onderdeel :

Sondering : S123-1

Alle niveaus/hogtes/peilmaten zijn t.o.v.: N.A.P.

Inheinniveau [m]	Effectief inheinniveau [m]	E.G. paal [kN]	$R_{t,cal;k}$ [kN]	$R_{t;d}$ [kN]	$F_{t,tot;1}$ [kN]	U.C.
9.79	9.79	25.8	369.5	369.5	0.0	0.00

Sondering : S123-2

Alle niveaus/hogtes/peilmaten zijn t.o.v.: N.A.P.

Inheinniveau [m]	Effectief inheinniveau [m]	E.G. paal [kN]	$R_{t,cal;k}$ [kN]	$R_{t;d}$ [kN]	$F_{t,tot;1}$ [kN]	U.C.
9.79	9.79	25.7	377.0	377.0	0.0	0.00

Project :
Onderdeel :

SAMENVATTINGSTABEL Mast 123 (n=1)

Uitgangspunten

- paal : LD1
 - paaltype : Stalen buispaal (gesloten)
 - schachtafmeting : 550 mm
 Paalklassefactor α_p : 1.00
 Factor α_t (tabel 7.c EC 7.1) : 0.0070 (zandlagen; voor kleilagen zie tabel 7.d)
 Correlatiefactor $\xi_{3(n=1)}$: 1.39

Alle niveaus/hogtes/peilmaten zijn t.o.v.: N.A.P.

sondering	maaiveld paalpunt		Bezwijkdraagvermogen $R_{t,cal}$ [kN]	Rekenwaarden	
	niveau	niveau		$R_{t,d}$ [kN]	$R_{t,netto,d}$ [kN]
S123-1	17.37	9.79	369.5	369.5	369.5
S123-2	17.41	9.79	377.0	377.0	377.0

Project :
Onderdeel :

SAMENVATTINGSTABEL Mast 123 (van 2 sonderingen)**Uitgangspunten**

- paal : LD1
- paaltype : Stalen buispaal (gesloten)
- schachtafmeting : 550 mm
Paalklassefactor α_p : 1.00
Factor α_t (tabel 7.c EC 7.1) : 0.0070 (zandlagen; voor kleilagen zie tabel 7.d)
Correlatiefactor $\xi_{3gem}(n=2)$: 1.32
Correlatiefactor $\xi_{4min}(n=2)$: 1.32

Alle niveaus/hogtes/peilmaten zijn t.o.v.: N.A.P.

sondering	maaiveld niveau	paalpunt niveau	Bezwijkdraagvermogen E.G. paal [kN]	$R_{t,cal}$ [kN]
-----------	--------------------	--------------------	---	---------------------

met $\xi_3(gem) = 1.32$

S123-1	17.37	9.79	25.8	387.7
--------	-------	------	------	-------

S123-2	17.41	9.79	25.8	395.6
--------	-------	------	------	-------

		9.79	$R_{t,cal,gem}$	391.7
--	--	------	-----------------	-------

met $\xi_4(min) = 1.32$

S123-1	17.37	9.79	25.8	387.7
--------	-------	------	------	-------

S123-2	17.41	9.79	25.8	395.6
--------	-------	------	------	-------

		9.79	$R_{t,cal,min}$	387.7
--	--	------	-----------------	-------

Totaal resultaten Mast 123 (van 2 sonderingen)

Uitgangspunten

Correlatiefactor $\xi_{3gem}(n=2)$: 1.32

Correlatiefactor $\xi_{4min}(n=2)$: 1.32

gebaseerd op sonderingen:

S123-1 S123-2

$R_{t,d} = \min.\{ R_{t,cal,gem}; R_{t,cal,min} \} (7.17) *$

Inheinniveau

[m]

9.79	$R_{t,d} = \min.\{ 391.7; 387.7 \} =$	387.7
------	---------------------------------------	-------

*) Bij de trekpaalberekening zijn factoren ξ_3 en ξ_4 al bij de berekening van de conusweerstand $q_{c;z,d}$ in rekening gebracht, evenals factor $\gamma_{s;t}$. Dat is conform de opmerkingen in art. 7.6.3.3 (3) en (4).

Alle niveaus/hogtes/peilmaten zijn t.o.v.: N.A.P.

Inheinniveau [m]	$R_{t,k}$ [kN]	$R_{t,d}$ [kN]	$F_{t,tot;1}$ [kN]	$R_{t,netto;d}$ [kN]	U.C.
9.79	387.7	387.7	0.0	387.7	0.00

REKENGEGEVENS Mast 124

Berekening : Controlerend
Rekenmethode : Trekpalen volgens NEN-EN 1997-1, art. 7.6.3
Sondering(en) : S124-1, S124-2
Let op: trekcapaciteit t.p.v. negatief kleeftraject is meegerekend.

Stijf bouwwerk : NEE
Paalgroep : NEE
Aantal sonderingen : 2
Factor $\xi_3(n=1)$: 1.39
Factor $\xi_3(gem)$: 1.32
Factor $\xi_4(min)$: 1.32
Weerstandsfactor γ_R : 1.35
 $\gamma_{m,var;q_c}$: 1.50
UGT draagvermogen zonder negatieve kleef : NEE

Paal : LD1

Niveau paalkop [m] : N.A.P. 17.89

Paalpuntniveau : N.A.P. 7.39

$E_{d,1}$ [kN] : 0.00

Bovenbel. [kN/m²] : 0.00

$E_{d,2}$ [kN] : 0.00

Project :
Onderdeel :

RESULTATEN Mast 124 (n=1)**Sondering : S124-1**

Alle niveaus/hogtes/peilmaten zijn t.o.v.: N.A.P.

Inheinniveau [m]	Effectief inheinniveau [m]	E.G. paal [kN]	$R_{t,cal;k}$ [kN]	$R_{t;d}$ [kN]	$F_{t,tot;1}$ [kN]	U.C.
7.39	7.39	31.6	487.4	487.4	0.0	0.00

Sondering : S124-2

Alle niveaus/hogtes/peilmaten zijn t.o.v.: N.A.P.

Inheinniveau [m]	Effectief inheinniveau [m]	E.G. paal [kN]	$R_{t,cal;k}$ [kN]	$R_{t;d}$ [kN]	$F_{t,tot;1}$ [kN]	U.C.
7.39	7.39	31.5	499.5	499.5	0.0	0.00

Project :
Onderdeel :

SAMENVATTINGSTABEL Mast 124 (n=1)**Uitgangspunten**

- paal : LD1
 - paaltype : Stalen buispaal (gesloten)
 - schachtafmeting : 550 mm
 Paalklassefactor α_p : 1.00
 Factor α_t (tabel 7.c EC 7.1) : 0.0070 (zandlagen; voor kleilagen zie tabel 7.d)
 Correlatiefactor $\xi_{3(n=1)}$: 1.39

Alle niveaus/hogtes/peilmaten zijn t.o.v.: N.A.P.

sondering	maaiveld paalpunt		Bezwijkdraagvermogen $R_{t,cal}$ [kN]	Rekenwaarden		
	niveau	niveau		$R_{t;d}$ [kN]	$R_{t,netto;d}$ [kN]	
S124-1	18.00	7.39	487.4	487.4	487.4	
S124-2	18.06	7.39	499.5	499.5	499.5	

Project :
Onderdeel :

SAMENVATTINGSTABEL Mast 124 (van 2 sonderingen)**Uitgangspunten**

- paal : LD1
- paaltype : Stalen buispaal (gesloten)
- schachtafmeting : 550 mm
Paalklassefactor α_p : 1.00
Factor α_t (tabel 7.c EC 7.1) : 0.0070 (zandlagen; voor kleilagen zie tabel 7.d)
Correlatiefactor $\xi_{3gem}(n=2)$: 1.32
Correlatiefactor $\xi_{4min}(n=2)$: 1.32

Alle niveaus/hogtes/peilmaten zijn t.o.v.: N.A.P.

sondering	maaiveld	paalpunt	Bezuikdraagvermogen
	niveau	niveau	E.G. paal $R_{t,cal}$
			[kN] [kN]

met ξ_3 (gem) = 1.32

S124-1	18.00	7.39	31.6	511.5
S124-2	18.06	7.39	31.6	524.4

		7.39	$R_{t,cal,gem}$	518.0
--	--	------	-----------------	-------

met ξ_4 (min) = 1.32

S124-1	18.00	7.39	31.6	511.5
S124-2	18.06	7.39	31.6	524.4

		7.39	$R_{t,cal,min}$	511.5
--	--	------	-----------------	-------

Totaal resultaten Mast 124 (van 2 sonderingen)

Uitgangspunten

Correlatiefactor $\xi_{3gem}(n=2)$: 1.32
Correlatiefactor $\xi_{4min}(n=2)$: 1.32

gebaseerd op sonderingen:
S124-1 S124-2

$R_{t,d} = \min.\{ R_{t,cal,gem}; R_{t,cal,min} \}$ (7.17) *

Inheinniveau
[m]

7.39	$R_{t,d} = \min.\{ 518.0; 511.5 \} =$	511.5
------	---------------------------------------	-------

* Bij de trekpaalberekening zijn factoren ξ_3 en ξ_4 al bij de berekening van de conusweerstand $q_{c,z;d}$ in rekening gebracht, evenals factor $\gamma_{s;t}$. Dat is conform de opmerkingen in art. 7.6.3.3 (3) en (4).

Alle niveaus/hogtes/peilmaten zijn t.o.v.: N.A.P.

Inheinniveau	$R_{t,k}$	$R_{t,d}$	$F_{t,tot;1}$	$R_{t,netto;d}$	U.C.
[m]	[kN]	[kN]	[kN]	[kN]	
7.39	511.5	511.5	0.0	511.5	0.00

REKENEGEVEENS Mast 125

Berekening : Controlerend
Rekenmethode : Trekpalen volgens NEN-EN 1997-1, art. 7.6.3
Sondering(en) : S125-1, S125-2
Let op: trekcapaciteit t.p.v. negatief kleeftraject is meegerekend.

Stijf bouwwerk : NEE
Paalgroep : NEE
Aantal sonderingen : 2
Factor ξ_3 (n=1) : 1.39
Factor ξ_3 (gem) : 1.32
Factor ξ_4 (min) : 1.32
Weerstandsfactor γ_R : 1.35
 $\gamma_{m,var;q_c}$: 1.50
UGT draagvermogen zonder negatieve kleeft : NEE

Paal : LD1
Niveau paalkop [m] : N.A.P. 16.78
Paalpuntniveau : N.A.P. 6.28
 $E_{d,1}$ [kN] : 0.00
Bovenbel. [kN/m²] : 0.00

$E_{d,2}$ [kN] : 0.00

Project :
Onderdeel :

RESULTATEN Mast 125 (n=1)**Sondering : S125-1**

Alle niveaus/hogtes/peilmaten zijn t.o.v.: N.A.P.

Inheinniveau [m]	Effectief inheinniveau [m]	E.G. paal [kN]	$R_{t,cal;k}$ [kN]	$R_{t;d}$ [kN]	$F_{t,tot;1}$ [kN]	U.C.
6.28	6.28	29.5	513.6	513.6	0.0	0.00

Sondering : S125-2

Alle niveaus/hogtes/peilmaten zijn t.o.v.: N.A.P.

Inheinniveau [m]	Effectief inheinniveau [m]	E.G. paal [kN]	$R_{t,cal;k}$ [kN]	$R_{t;d}$ [kN]	$F_{t,tot;1}$ [kN]	U.C.
6.28	6.28	29.5	493.6	493.6	0.0	0.00

Project :
Onderdeel :

SAMENVATTINGSTABEL Mast 125 (n=1)**Uitgangspunten**

- paal : LD1
 - paaltype : Stalen buispaal (gesloten)
 - schachtafmeting : 550 mm
 Paalklassefactor α_p : 1.00
 Factor α_t (tabel 7.c EC 7.1) : 0.0070 (zandlagen; voor kleilagen zie tabel 7.d)
 Correlatiefactor $\xi_{3(n=1)}$: 1.39

Alle niveaus/hogtes/peilmaten zijn t.o.v.: N.A.P.

sondering	maaiveld paalpunt		Bezwijkdraagvermogen $R_{t,cal}$ [kN]	Rekenwaarden		
	niveau	niveau		$R_{t,d}$ [kN]	$R_{t,netto,d}$ [kN]	
S125-1	18.40	6.28	513.6	513.6	513.6	
S125-2	18.35	6.28	493.6	493.6	493.6	

Project :
Onderdeel :

SAMENVATTINGSTABEL Mast 125 (van 2 sonderingen)**Uitgangspunten**

- paal : LD1
 - paaltype : Stalen buispaal (gesloten)
 - schachtafmeting : 550 mm
 Paalklassefactor α_p : 1.00
 Factor α_t (tabel 7.c EC 7.1) : 0.0070 (zandlagen; voor kleilagen zie tabel 7.d)
 Correlatiefactor $\xi_{3gem}(n=2)$: 1.32
 Correlatiefactor $\xi_{4min}(n=2)$: 1.32

Alle niveaus/hogtes/peilmaten zijn t.o.v.: N.A.P.

sondering	maaiveld	paalpunt	Bezuikdraagvermogen
	niveau	niveau	E.G. paal $R_{t,cal}$
			[kN] [kN]

met ξ_3 (gem) = 1.32

S125-1	18.40	6.28	29.5	539.2
--------	-------	------	------	-------

S125-2	18.35	6.28	29.5	518.2
--------	-------	------	------	-------

		6.28	$R_{t,cal,gem}$	528.7
--	--	------	-----------------	-------

met ξ_4 (min) = 1.32

S125-1	18.40	6.28	29.5	539.2
--------	-------	------	------	-------

S125-2	18.35	6.28	29.5	518.2
--------	-------	------	------	-------

		6.28	$R_{t,cal,min}$	518.2
--	--	------	-----------------	-------

Totaal resultaten Mast 125 (van 2 sonderingen)**Uitgangspunten**

Correlatiefactor $\xi_{3gem}(n=2)$: 1.32

Correlatiefactor $\xi_{4min}(n=2)$: 1.32

gebaseerd op sonderingen:

S125-1 S125-2

$R_{t,d} = \min. \{ R_{t,cal,gem}; R_{t,cal,min} \} (7.17) *$

Inheinniveau

[m]

6.28	$R_{t,d} = \min. \{ 528.7; 518.2 \} =$	518.2
------	--	-------

* Bij de trekpaalberekening zijn factoren ξ_3 en ξ_4 al bij de berekening van de conusweerstand $q_{c;z,d}$ in rekening gebracht, evenals factor $\gamma_{s;t}$. Dat is conform de opmerkingen in art. 7.6.3.3 (3) en (4).

Alle niveaus/hogtes/peilmaten zijn t.o.v.: N.A.P.

Inheinniveau	$R_{t,k}$	$R_{t,d}$	$F_{t,tot;1}$	$R_{t,netto;d}$	U.C.
[m]	[kN]	[kN]	[kN]	[kN]	
6.28	518.2	518.2	0.0	518.2	0.00

REKENGEGEVENS Mast 126

Berekening : Controlerend

Rekenmethode : Trekpalen volgens NEN-EN 1997-1, art. 7.6.3

Sondering(en) : S126-1, S126-2

Let op: trekcapaciteit t.p.v. negatief kleeftraject is meegerekend.

Stijf bouwwerk : NEE

Paalgroep : NEE

Aantal sonderingen : 2

Factor ξ_3 (n=1) : 1.39

Factor ξ_3 (gem) : 1.32

Factor ξ_4 (min) : 1.32

Weerstandsfactor γ_R : 1.35

$\gamma_{m,var;q_c}$: 1.50

UGT draagvermogen zonder negatieve kleef : NEE

Paal : LD1

Niveau paalkop [m] : N.A.P. 18.26

Paalpuntniveau : N.A.P. 9.26

$E_{d,1}$ [kN] : 0.00

Bovenbel. [kN/m²] : 0.00

$E_{d,2}$ [kN] : 0.00

Project :
Onderdeel :

RESULTATEN Mast 126 (n=1)**Sondering : S126-1**

Alle niveaus/hogtes/peilmaten zijn t.o.v.: N.A.P.

Inheinniveau [m]	Effectief inheinniveau [m]	E.G. paal [kN]	$R_{t,cal;k}$ [kN]	$R_{t;d}$ [kN]	$F_{t,tot;1}$ [kN]	U.C.
9.26	9.26	27.4	470.7	470.7	0.0	0.00

Sondering : S126-2

Alle niveaus/hogtes/peilmaten zijn t.o.v.: N.A.P.

Inheinniveau [m]	Effectief inheinniveau [m]	E.G. paal [kN]	$R_{t,cal;k}$ [kN]	$R_{t;d}$ [kN]	$F_{t,tot;1}$ [kN]	U.C.
9.26	9.26	27.2	443.8	443.8	0.0	0.00

Project :
Onderdeel :

SAMENVATTINGSTABEL Mast 126 (n=1)**Uitgangspunten**

- paal : LD1
 - paaltype : Stalen buispaal (gesloten)
 - schachtafmeting : 550 mm
 Paalklassefactor α_p : 1.00
 Factor α_t (tabel 7.c EC 7.1) : 0.0070 (zandlagen; voor kleilagen zie tabel 7.d)
 Correlatiefactor $\xi_{3(n=1)}$: 1.39

Alle niveaus/hogtes/peilmaten zijn t.o.v.: N.A.P.

sondering	maaiveld paalpunt		Bezwijkdraagvermogen $R_{t,cal}$ [kN]	Rekenwaarden		
	niveau	niveau		$R_{t,d}$ [kN]	$R_{t,netto,d}$ [kN]	
S126-1	18.36	9.26	470.7	470.7	470.7	
S126-2	18.44	9.26	443.8	443.8	443.8	

Project :
Onderdeel :

SAMENVATTINGSTABEL Mast 126 (van 2 sonderingen)**Uitgangspunten**

- paal : LD1
 - paaltype : Stalen buispaal (gesloten)
 - schachtafmeting : 550 mm
 Paalklassefactor α_p : 1.00
 Factor α_t (tabel 7.c EC 7.1) : 0.0070 (zandlagen; voor kleilagen zie tabel 7.d)
 Correlatiefactor $\xi_{3gem}(n=2)$: 1.32
 Correlatiefactor $\xi_{4min}(n=2)$: 1.32

Alle niveaus/hogtes/peilmaten zijn t.o.v.: N.A.P.

sondering	maaiveld	paalpunt	Bezuikdraagvermogen
	niveau	niveau	E.G. paal $R_{t,cal}$
			[kN] [kN]

met ξ_3 (gem) = 1.32

S126-1	18.36	9.26	27.4	494.2
--------	-------	------	------	-------

S126-2	18.44	9.26	27.4	465.9
--------	-------	------	------	-------

		9.26	$R_{t,cal,gem}$	480.0
--	--	------	-----------------	-------

met ξ_4 (min) = 1.32

S126-1	18.36	9.26	27.4	494.2
--------	-------	------	------	-------

S126-2	18.44	9.26	27.4	465.9
--------	-------	------	------	-------

		9.26	$R_{t,cal,min}$	465.9
--	--	------	-----------------	-------

Totaal resultaten Mast 126 (van 2 sonderingen)

Uitgangspunten

Correlatiefactor $\xi_{3gem}(n=2)$: 1.32

Correlatiefactor $\xi_{4min}(n=2)$: 1.32

gebaseerd op sonderingen:

S126-1 S126-2

$R_{t,d} = \min.\{ R_{t,cal,gem}; R_{t,cal,min} \}$ (7.17) *)

Inheinniveau

[m]

9.26	$R_{t,d} = \min.\{ 480.0; 465.9 \} = 465.9$
------	---

*) Bij de trekpaalberekening zijn factoren ξ_3 en ξ_4 al bij de berekening van de conusweerstand $q_{c,z;d}$ in rekening gebracht, evenals factor $\gamma_{s;t}$. Dat is conform de opmerkingen in art. 7.6.3.3 (3) en (4).

Alle niveaus/hogtes/peilmaten zijn t.o.v.: N.A.P.

Inheinniveau	$R_{t,k}$	$R_{t,d}$	$F_{t,tot;1}$	$R_{t,netto;d}$	U.C.
[m]	[kN]	[kN]	[kN]	[kN]	
9.26	465.9	465.9	0.0	465.9	0.00

REKENGEGEVENS Mast 127

Berekening : Controlerend

Rekenmethode : Trekpalen volgens NEN-EN 1997-1, art. 7.6.3

Sondering(en) : S127-1, S127-2

Let op: trekcapaciteit t.p.v. negatief kleeftraject is meegerekend.

Stijf bouwwerk : NEE

Paalgroep : NEE

Aantal sonderingen : 2

Factor ξ_3 (n=1) : 1.39

Factor ξ_3 (gem) : 1.32

Factor ξ_4 (min) : 1.32

Weerstandsfactor γ_R : 1.35

$\gamma_{m,var;q_c}$: 1.50

UGT draagvermogen zonder negatieve kleef : NEE

Paal : LD1

Niveau paalkop [m] : N.A.P. 18.94

Paalpuntniveau : N.A.P. 8.44

$E_{d,1}$ [kN] : 0.00

Bovenbel. [kN/m²] : 0.00

$E_{d,2}$ [kN] : 0.00

Project :
Onderdeel :

RESULTATEN Mast 127 (n=1)**Sondering : S127-1**

Alle niveaus/hogtes/peilmaten zijn t.o.v.: N.A.P.

Inheinniveau [m]	Effectief inheinniveau [m]	E.G. paal [kN]	$R_{t,cal;k}$ [kN]	$R_{t;d}$ [kN]	$F_{t,tot;1}$ [kN]	U.C.
8.44	8.44	32.1	473.6	473.6	0.0	0.00

Sondering : S127-2

Alle niveaus/hogtes/peilmaten zijn t.o.v.: N.A.P.

Inheinniveau [m]	Effectief inheinniveau [m]	E.G. paal [kN]	$R_{t,cal;k}$ [kN]	$R_{t;d}$ [kN]	$F_{t,tot;1}$ [kN]	U.C.
8.44	8.44	32.1	488.5	488.5	0.0	0.00

Project :
Onderdeel :

SAMENVATTINGSTABEL Mast 127 (n=1)

Uitgangspunten

- paal : LD1
 - paaltype : Stalen buispaal (gesloten)
 - schachtafmeting : 550 mm
 Paalklassefactor α_p : 1.00
 Factor α_t (tabel 7.c EC 7.1) : 0.0070 (zandlagen; voor kleilagen zie tabel 7.d)
 Correlatiefactor $\xi_{3(n=1)}$: 1.39

Alle niveaus/hogtes/peilmaten zijn t.o.v.: N.A.P.

sondering	maaiveld paalpunt		Bezwijkdraagvermogen $R_{t;cal}$ [kN]	Rekenwaarden		
	niveau	niveau		$R_{t;d}$ [kN]	$R_{t;netto;d}$ [kN]	
S127-1	18.83	8.44	473.6	473.6	473.6	
S127-2	18.93	8.44	488.5	488.5	488.5	

Project :
Onderdeel :

SAMENVATTINGSTABEL Mast 127 (van 2 sonderingen)**Uitgangspunten**

- paal : LD1
 - paaltype : Stalen buispaal (gesloten)
 - schachtafmeting : 550 mm
 Paalklassefactor α_p : 1.00
 Factor α_t (tabel 7.c EC 7.1) : 0.0070 (zandlagen; voor kleilagen zie tabel 7.d)
 Correlatiefactor $\xi_{3gem}(n=2)$: 1.32
 Correlatiefactor $\xi_{4min}(n=2)$: 1.32

Alle niveaus/hogtes/peilmaten zijn t.o.v.: N.A.P.

sondering	maaiveld niveau	paalpunt niveau	Bezwijkdraagvermogen E.G. paal $R_{t,cal}$ [kN]	$R_{t,cal}$ [kN]
-----------	--------------------	--------------------	---	---------------------

met ξ_3 (gem) = 1.32

S127-1	18.83	8.44	32.1	497.0
S127-2	18.93	8.44	32.1	512.7

		8.44	$R_{t,cal,gem}$	504.9
--	--	------	-----------------	-------

met ξ_4 (min) = 1.32

S127-1	18.83	8.44	32.1	497.0
S127-2	18.93	8.44	32.1	512.7

		8.44	$R_{t,cal,min}$	497.0
--	--	------	-----------------	-------

Totaal resultaten Mast 127 (van 2 sonderingen)

Uitgangspunten

Correlatiefactor $\xi_{3gem}(n=2)$: 1.32
 Correlatiefactor $\xi_{4min}(n=2)$: 1.32

gebaseerd op sonderingen:

S127-1 S127-2

$R_{t,d} = \min. \{ R_{t,cal,gem}; R_{t,cal,min} \} (7.17) *$

Inheinniveau
[m]

8.44	$R_{t,d} = \min. \{ 504.9; 497.0 \} = 497.0$
------	--

*) Bij de trekpaalberekening zijn factoren ξ_3 en ξ_4 al bij de berekening van de conusweerstand $q_{c;z,d}$ in rekening gebracht, evenals factor $\gamma_{s;t}$. Dat is conform de opmerkingen in art. 7.6.3.3 (3) en (4).

Alle niveaus/hogtes/peilmaten zijn t.o.v.: N.A.P.

Inheinniveau [m]	$R_{t,k}$ [kN]	$R_{t,d}$ [kN]	$F_{t,tot;1}$ [kN]	$R_{t,netto;d}$ [kN]	U.C.
8.44	497.0	497.0	0.0	497.0	0.00

REKENEGEVEENS Mast 129

Berekening : Controlerend
 Rekenmethode : Trekpalen volgens NEN-EN 1997-1, art. 7.6.3
 Sondering(en) : S129-1, S129-2
 Let op: trekcapaciteit t.p.v. negatief kleeftraject is meegerekend.

Stijf bouwwerk : NEE
 Paalgroep : NEE
 Aantal sonderingen : 2
 Factor ξ_3 (n=1) : 1.39
 Factor ξ_3 (gem) : 1.32
 Factor ξ_4 (min) : 1.32
 Weerstandsfactor γ_R : 1.35
 $\gamma_{m,var;q_c}$: 1.50
 UGT draagvermogen zonder negatieve kleef : NEE

Paal : LD1
 Niveau paalkop [m] : N.A.P. 19.42
 Paalpuntniveau : N.A.P. 8.42
 $E_{d,1}$ [kN] : 0.00
 Bovenbel. [kN/m²] : 0.00

$E_{d,2}$ [kN] : 0.00

Project :
Onderdeel :

RESULTATEN Mast 129 (n=1)**Sondering : S129-1**

Alle niveaus/hogtes/peilmaten zijn t.o.v.: N.A.P.

Inheinniveau [m]	Effectief inheinniveau [m]	E.G. paal [kN]	$R_{t,cal;k}$ [kN]	$R_{t;d}$ [kN]	$F_{t,tot;1}$ [kN]	U.C.
8.42	8.42	33.1	434.0	434.0	0.0	0.00

Sondering : S129-2

Alle niveaus/hogtes/peilmaten zijn t.o.v.: N.A.P.

Inheinniveau [m]	Effectief inheinniveau [m]	E.G. paal [kN]	$R_{t,cal;k}$ [kN]	$R_{t;d}$ [kN]	$F_{t,tot;1}$ [kN]	U.C.
8.42	8.42	33.2	497.4	497.4	0.0	0.00

Project :
Onderdeel :

SAMENVATTINGSTABEL Mast 129 (n=1)

Uitgangspunten

- paal : LD1
 - paaltype : Stalen buispaal (gesloten)
 - schachtafmeting : 550 mm
 Paalklassefactor α_p : 1.00
 Factor α_t (tabel 7.c EC 7.1) : 0.0070 (zandlagen; voor kleilagen zie tabel 7.d)
 Correlatiefactor $\xi_{3(n=1)}$: 1.39

Alle niveaus/hogtes/peilmaten zijn t.o.v.: N.A.P.

sondering	maaiveld paalpunt		Bezwijkdraagvermogen $R_{t,cal}$ [kN]	Rekenwaarden		
	niveau	niveau		$R_{t;d}$ [kN]	$R_{t,netto;d}$ [kN]	
S129-1	19.48	8.42	434.0	434.0	434.0	
S129-2	19.46	8.42	497.4	497.4	497.4	

Project :
Onderdeel :

SAMENVATTINGSTABEL Mast 129 (van 2 sonderingen)**Uitgangspunten**

- paal : LD1
 - paaltype : Stalen buispaal (gesloten)
 - schachtafmeting : 550 mm
 Paalklassefactor α_p : 1.00
 Factor α_t (tabel 7.c EC 7.1) : 0.0070 (zandlagen; voor kleilagen zie tabel 7.d)
 Correlatiefactor $\xi_{3\text{gem}}(n=2)$: 1.32
 Correlatiefactor $\xi_{4\text{min}}(n=2)$: 1.32

Alle niveaus/hogtes/peilmaten zijn t.o.v.: N.A.P.

sondering	maaiveld	paalpunt	Bezuikdraagvermogen
	niveau	niveau	E.G. paal $R_{t,cal}$
			[kN] [kN]

met $\xi_3(\text{gem}) = 1.32$

S129-1	19.48	8.42	33.1	455.2
--------	-------	------	------	-------

S129-2	19.46	8.42	33.1	522.1
--------	-------	------	------	-------

		8.42	$R_{t,cal,gem}$	488.7
--	--	------	-----------------	-------

met $\xi_4(\text{min}) = 1.32$

S129-1	19.48	8.42	33.1	455.2
--------	-------	------	------	-------

S129-2	19.46	8.42	33.1	522.1
--------	-------	------	------	-------

		8.42	$R_{t,cal,min}$	455.2
--	--	------	-----------------	-------

Totaal resultaten Mast 129 (van 2 sonderingen)

Uitgangspunten

Correlatiefactor $\xi_{3\text{gem}}(n=2)$: 1.32

Correlatiefactor $\xi_{4\text{min}}(n=2)$: 1.32

gebaseerd op sonderingen:

S129-1 S129-2

$R_{t,d} = \min.\{ R_{t,cal,gem}; R_{t,cal,min} \}$ (7.17) *)

Inheinniveau

[m]

8.42	$R_{t,d} = \min.\{ 488.7; 455.2 \} = 455.2$
------	---

*) Bij de trekpaalberekening zijn factoren ξ_3 en ξ_4 al bij de berekening van de conusweerstand $q_{c;z,d}$ in rekening gebracht, evenals factor $\gamma_{s;t}$. Dat is conform de opmerkingen in art. 7.6.3.3 (3) en (4).

Alle niveaus/hogtes/peilmaten zijn t.o.v.: N.A.P.

Inheinniveau	$R_{t;k}$	$R_{t;d}$	$F_{t,tot;1}$	$R_{t,netto;d}$	U.C.
[m]	[kN]	[kN]	[kN]	[kN]	
8.42	455.2	455.2	0.0	455.2	0.00

PAALGEGEVENS LD1

Type : Stalen buispaal (gesloten)
 Wijze van installeren : Heien
 Diameter [m] : 0.550
 Elasticiteitsmodulus [N/mm²] : 20000
 Factor α_s (tabel 7.c EC 7.1) : 0.010 (zandlagen; voor kleilagen zie tabel 7.d)
 Factor α_t (tabel 7.c EC 7.1) : 0.0070 (zandlagen; voor kleilagen zie tabel 7.d)
 Paalklassefactor α_p : 1.00
 Paalvoetvormfactor β : 1.00
 Type lastzakingsdiagram : Grondverdringende paal
 Verm.factor * $\phi'_{j;k}$: 0.75
 Groutomhulling : NEE

Project :
Onderdeel :

OVERZICHT NETTO DRAAGVERMOGEN TREKPALEN (n=1)

Netto paal draagvermogen(s) zijn naar beneden toe afgerond op: 1.0 kN nauwkeurig
Alle niveaus/hoogtes/peilmaten zijn t.o.v.: N.A.P.

sondering	maaiveld paalpunt		$R_{t, netto; d}$ [kN]				
	niveau	niveau	Mast 123	Mast 124	Mast 125	Mast 126	Mast 127
S123-1	17.37	9.79	369				
S123-2	17.41	9.79	376				
S124-1	18.00	7.39		487			
S124-2	18.06	7.39		499			
S125-1	18.40	6.28			513		
S125-2	18.35	6.28			493		
S126-1	18.36	9.26				470	
S126-2	18.44	9.26				443	
S127-1	18.83	8.44					473
S127-2	18.93	8.44					488

Project :
Onderdeel :

Netto paal draagvermogen(s) zijn naar beneden toe afgerond op: 1.0 kN nauwkeurig
Alle niveaus/hogtes/peilmaten zijn t.o.v.: N.A.P.

sondering	maaiveld niveau	paalpunt niveau	$R_{t,netto;d}$ Mast 129	[kN]
S129-1	19.48	8.42	433	
S129-2	19.46	8.42	497	

Project :
Onderdeel :

ALGEMENE GEGEVENS

Project :
Onderdeel :
Datum : 23-11-2021
Bestand : P:\EANL_Projects\10166262 - BBB modelleren
funderingen 380 kV\02 Content\03
Calculations\Technosoft
Paalfunderingen\MBT-EHV380\DO\Nieuw
Sonderingen\Mast 130-133.pvw
Berekeningstype : Verticaal belaste paal
Alle niveaus/hogtes/peilmaten zijn t.o.v.: N.A.P.

Toegepaste normen volgens Eurocode met Nederlandse NB

Geotechniek	EN 1997-1:2004	AC:2009	
	NEN-EN 1997-1:2005	C1+A1:2013	NB:2016
	NEN 9997-1:2016	C2:2017	

GRONDSOORTEN

Nr. Omschrijving	$\gamma_{k;1}$ [kN/m ³]	$\gamma_{sat;k;1}$ [kN/m ³]	$\phi'_{k;1}$ [°]	$\gamma_{k;2}$ [kN/m ³]	$\gamma_{sat;k;2}$ [kN/m ³]	$\phi'_{k;2}$ [°]
1 Zand - Schoon - Los	17.00	19.00	30.00	18.00	20.00	32.50
2 Zand - Schoon - Matig	18.00	20.00	32.50	19.00	21.00	35.00
3 Zand - Schoon - Vast	19.00	21.00	35.00	20.00	22.00	40.00
4 Zand - Zwak siltig - Kleiig	18.00	20.00	27.00	19.00	21.00	32.50
5 Zand - Sterk siltig - Kleiig	18.00	20.00	25.00	19.00	21.00	30.00
6 Leem - Zwak zandig - Matig	20.00	20.00	27.50	21.00	21.00	32.50
7 Leem - Zwak zandig - Vast	21.00	21.00	27.50	22.00	22.00	35.00
8 Klei - Schoon - Matig	17.00	17.00	17.50	19.00	19.00	17.50
9 Klei - Schoon - Vast	19.00	19.00	17.50	20.00	20.00	25.00
10 Klei - Zwak zandig - Slap	15.00	15.00	22.50	18.00	18.00	22.50
11 Klei - Zwak zandig - Matig	18.00	18.00	22.50	20.00	20.00	22.50
12 Klei - Zwak zandig - Vast	20.00	20.00	22.50	21.00	21.00	27.50
13 Klei - Organisch - Matig	15.00	15.00	15.00	16.00	16.00	15.00
14 Veen - Matig voorbelast - Matig	12.00	12.00	15.00	13.00	13.00	15.00

BODEMPROFIELGEGEVENS: S131-1

Alle niveaus/hogtes/peilmaten zijn t.o.v.: N.A.P.

d50-reductie is meegenomen overeenkomstig NEN-EN 9997 art. 7.6.2.3 (i)

Laag	Van [m]	Tot [m]	Omschrijving	OCR	Aandeel pos. kleef [%]	α_s	d_{50} [mm]
1	17.60	17.09	Veen - Matig voorbelast - Matig	1.0	50.0		
2	17.09	14.57	Zand - Sterk siltig - Kleiig	1.0	100.0		
3	14.57	13.99	Klei - Zwak zandig - Matig	1.0	50.0		
4	13.99	13.87	Zand - Schoon - Los	1.0	100.0		
5	13.87	13.11	Klei - Zwak zandig - Matig	1.0	50.0		
6	13.11	12.49	Leem - Zwak zandig - Vast	1.0	50.0		
7	12.49	11.25	Zand - Schoon - Matig	1.0	100.0		
8	11.25	10.07	Zand - Schoon - Vast	1.0	100.0		
9	10.07	9.79	Zand - Schoon - Los	1.0	100.0		
10	9.79	9.47	Veen - Matig voorbelast - Matig	1.0	50.0		
11	9.47	9.07	Zand - Schoon - Matig	1.0	100.0		
12	9.07	8.37	Klei - Zwak zandig - Vast	1.0	50.0		
13	8.37	7.52	Zand - Sterk siltig - Kleiig	1.0	100.0		
14	7.52	6.80	Klei - Zwak zandig - Slap	1.0	50.0		
15	6.80	3.86	Zand - Schoon - Vast	1.0	100.0		
16	3.86	-0.99	Zand - Schoon - Matig	1.0	100.0		
17	-0.99	-2.07	Zand - Schoon - Vast	1.0	100.0		
18	-2.07	-2.33	Zand - Schoon - Matig	1.0	100.0		

Project :
Onderdeel :

BODEMPROFIELGEGEVENS: S131-2

Alle niveaus/hogtes/peilmaten zijn t.o.v.: N.A.P.

d50-reductie is meegenomen overeenkomstig NEN-EN 9997 art. 7.6.2.3 (i)

Hoogte maaiveld [m] : 17.66 Grondwaterstand [m] : 16.66

Laag	Van [m]	Tot [m]	Omschrijving	OCR	Aandeel pos. kleef [%]	α_s	d_{50} [mm]
1	17.66	17.29	Veen - Matig voorbelast - Matig	1.0	50.0		
2	17.29	16.59	Zand - Zwak siltig - Kleiig	1.0	100.0		
3	16.59	15.31	Zand - Schoon - Matig	1.0	100.0		
4	15.31	14.91	Zand - Zwak siltig - Kleiig	1.0	100.0		
5	14.91	13.61	Klei - Zwak zandig - Matig	1.0	50.0		
6	13.61	11.85	Zand - Schoon - Matig	1.0	100.0		
7	11.85	11.11	Zand - Schoon - Los	1.0	100.0		
8	11.11	10.25	Zand - Schoon - Vast	1.0	100.0		
9	10.25	9.99	Zand - Schoon - Los	1.0	100.0		
10	9.99	9.73	Veen - Matig voorbelast - Matig	1.0	50.0		
11	9.73	8.47	Zand - Schoon - Matig	1.0	100.0		
12	8.47	8.21	Zand - Schoon - Los	1.0	100.0		
13	8.21	7.95	Klei - Zwak zandig - Vast	1.0	50.0		
14	7.95	6.65	Zand - Sterk siltig - Kleiig	1.0	100.0		
15	6.65	3.87	Zand - Schoon - Vast	1.0	100.0		
16	3.87	1.85	Zand - Schoon - Los	1.0	100.0		
17	1.85	1.31	Klei - Zwak zandig - Vast	1.0	50.0		
18	1.31	0.03	Zand - Schoon - Matig	1.0	100.0		
19	0.03	-1.01	Zand - Schoon - Vast	1.0	100.0		
20	-1.01	-1.74	Zand - Schoon - Los	1.0	100.0		
21	-1.74	-4.42	Zand - Schoon - Matig	1.0	100.0		

BODEMPROFIELGEGEVENS: S132-1

Alle niveaus/hogtes/peilmaten zijn t.o.v.: N.A.P.

d50-reductie is meegenomen overeenkomstig NEN-EN 9997 art. 7.6.2.3 (i)

Hoogte maaiveld [m] : 15.94 Grondwaterstand [m] : 14.94

Laag	Van [m]	Tot [m]	Omschrijving	OCR	Aandeel pos. kleef [%]	α_s	d_{50} [mm]
1	15.94	14.88	Leem - Zwak zandig - Vast	1.0	50.0		
2	14.88	14.30	Klei - Zwak zandig - Matig	1.0	50.0		
3	14.30	11.22	Zand - Sterk siltig - Kleiig	1.0	100.0		
4	11.22	9.00	Zand - Schoon - Vast	1.0	100.0		
5	9.00	7.74	Zand - Sterk siltig - Kleiig	1.0	100.0		
6	7.74	7.19	Klei - Zwak zandig - Vast	1.0	50.0		
7	7.19	6.95	Zand - Schoon - Los	1.0	100.0		
8	6.95	6.45	Klei - Schoon - Matig	1.0	50.0		
9	6.45	4.49	Zand - Schoon - Vast	1.0	100.0		
10	4.49	0.01	Zand - Schoon - Matig	1.0	100.0		
11	0.01	-6.03	Zand - Schoon - Vast	1.0	100.0		

BODEMPROFIELGEGEVENS: S132-2

Alle niveaus/hogtes/peilmaten zijn t.o.v.: N.A.P.

d50-reductie is meegenomen overeenkomstig NEN-EN 9997 art. 7.6.2.3 (i)

Hoogte maaiveld [m] : 15.69 Grondwaterstand [m] : 14.69

Laag	Van [m]	Tot [m]	Omschrijving	OCR	Aandeel pos. kleef [%]	α_s	d_{50} [mm]
1	15.69	14.49	Zand - Zwak siltig - Kleiig	1.0	100.0		
2	14.49	10.49	Klei - Schoon - Matig	1.0	50.0		
3	10.49	9.07	Zand - Sterk siltig - Kleiig	1.0	100.0		
4	9.07	6.29	Leem - Zwak zandig - Vast	1.0	50.0		
5	6.29	3.00	Zand - Schoon - Matig	1.0	100.0		
6	3.00	2.38	Zand - Schoon - Vast	1.0	100.0		
7	2.38	-0.04	Zand - Zwak siltig - Kleiig	1.0	100.0		
8	-0.04	-3.35	Zand - Schoon - Matig	1.0	100.0		
9	-3.35	-6.37	Zand - Schoon - Vast	1.0	100.0		

SONDERINGSGEGEVENS ALGEMEEN: S131-1

Alle niveaus/hogtes/peilmaten zijn t.o.v.: N.A.P.

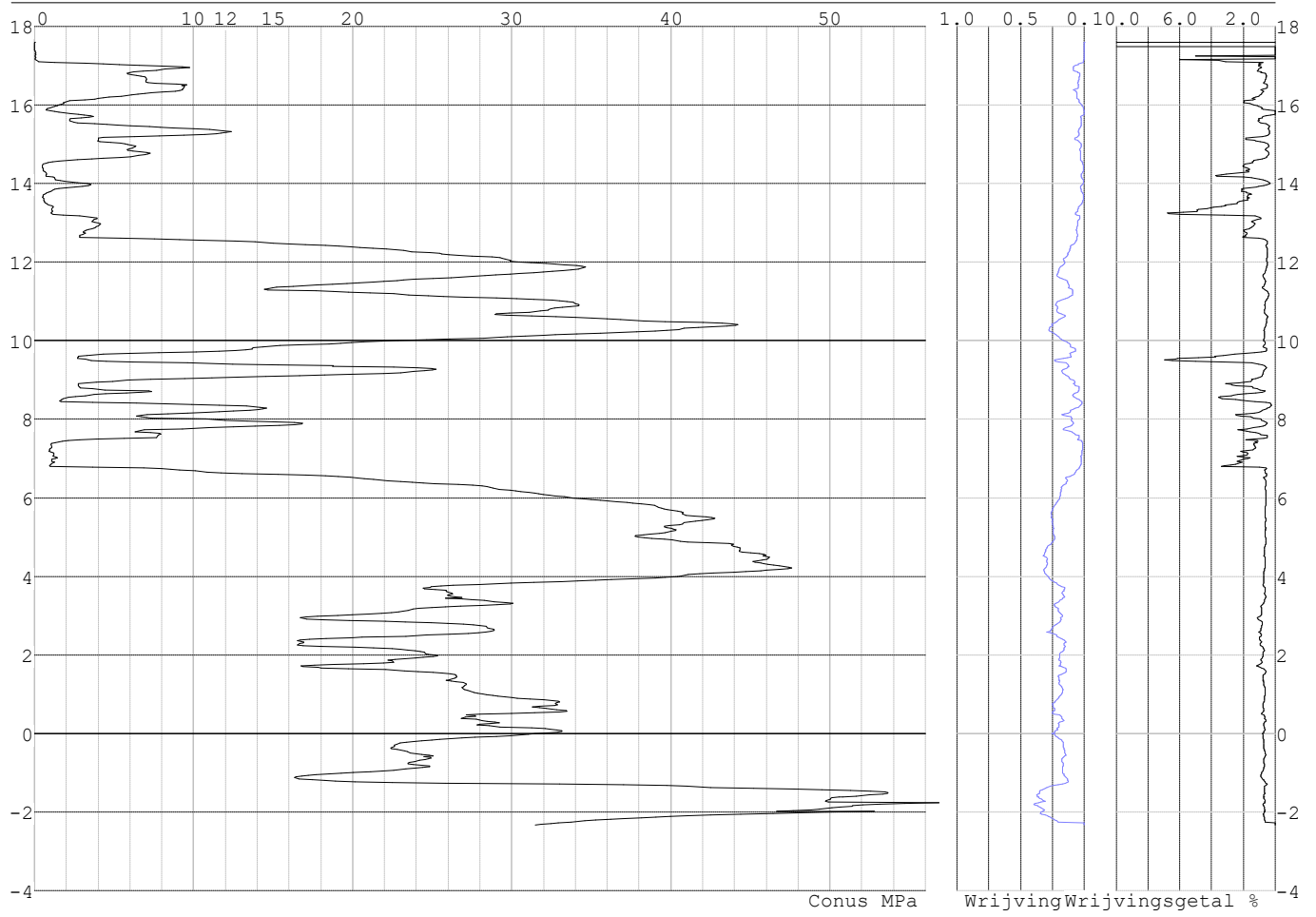
Hoogte maaiveld [m] : 17.60 Bodemprofiel: S131-1

Traject negatieve kleef : 17.60 tot 6.80 [m]

Traject positieve kleef : 6.80 tot -2.34 [m]

Project :
Onderdeel :

SONDERINGSGEGEVENS GRAFIEK: S131-1

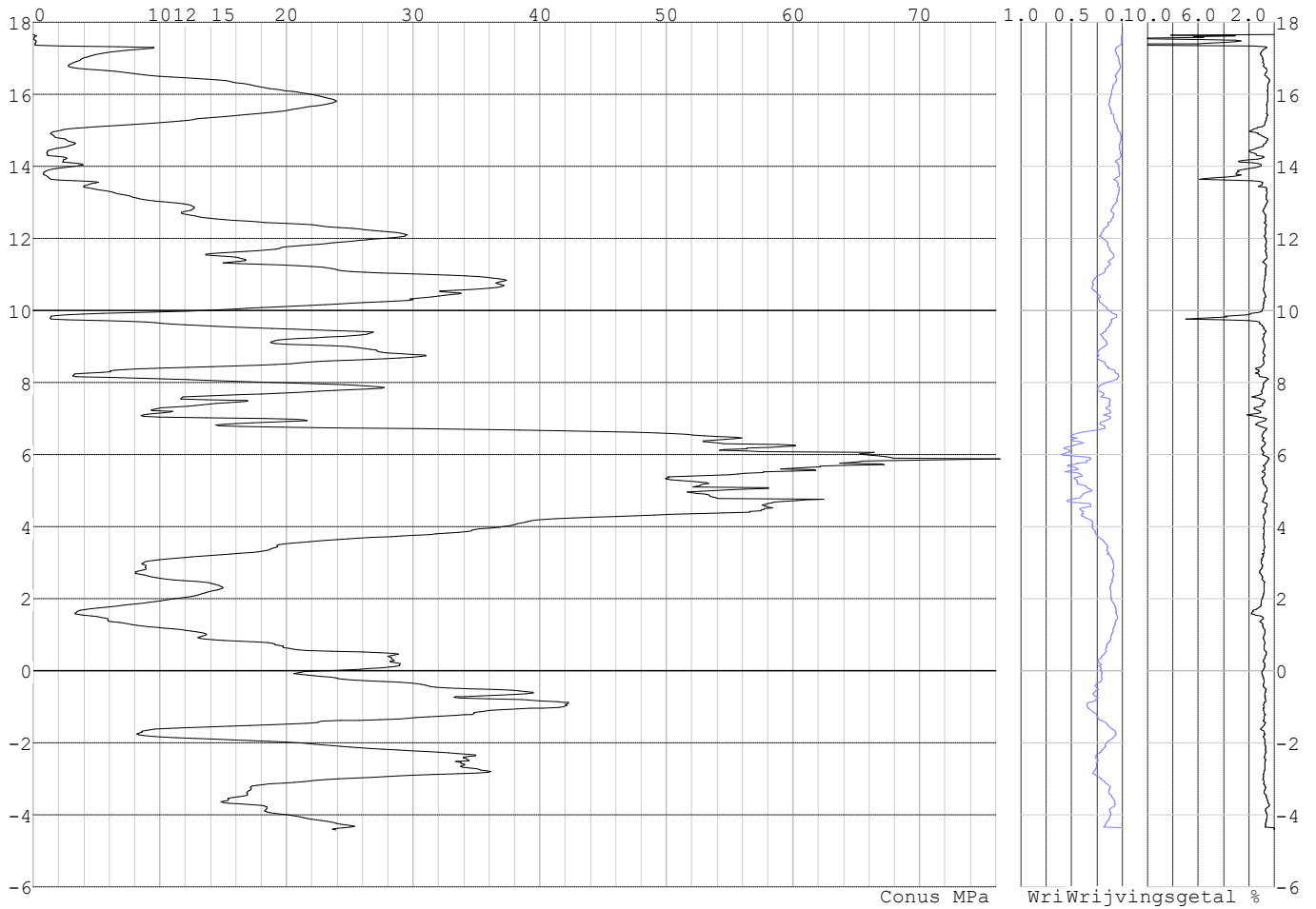


Project :
Onderdeel :

SONDERINGSGEGEVENS ALGEMEEN: S131-2

Alle niveaus/hogtes/peilmaten zijn t.o.v.: N.A.P.
Hoogte maaiveld [m] : 17.66 Bodemprofiel: S131-2
Traject negatieve kleeft : 17.66 tot 6.80 [m]
Traject positieve kleeft : 6.80 tot -4.43 [m]

SONDERINGSGEGEVENS GRAFIEK: S131-2

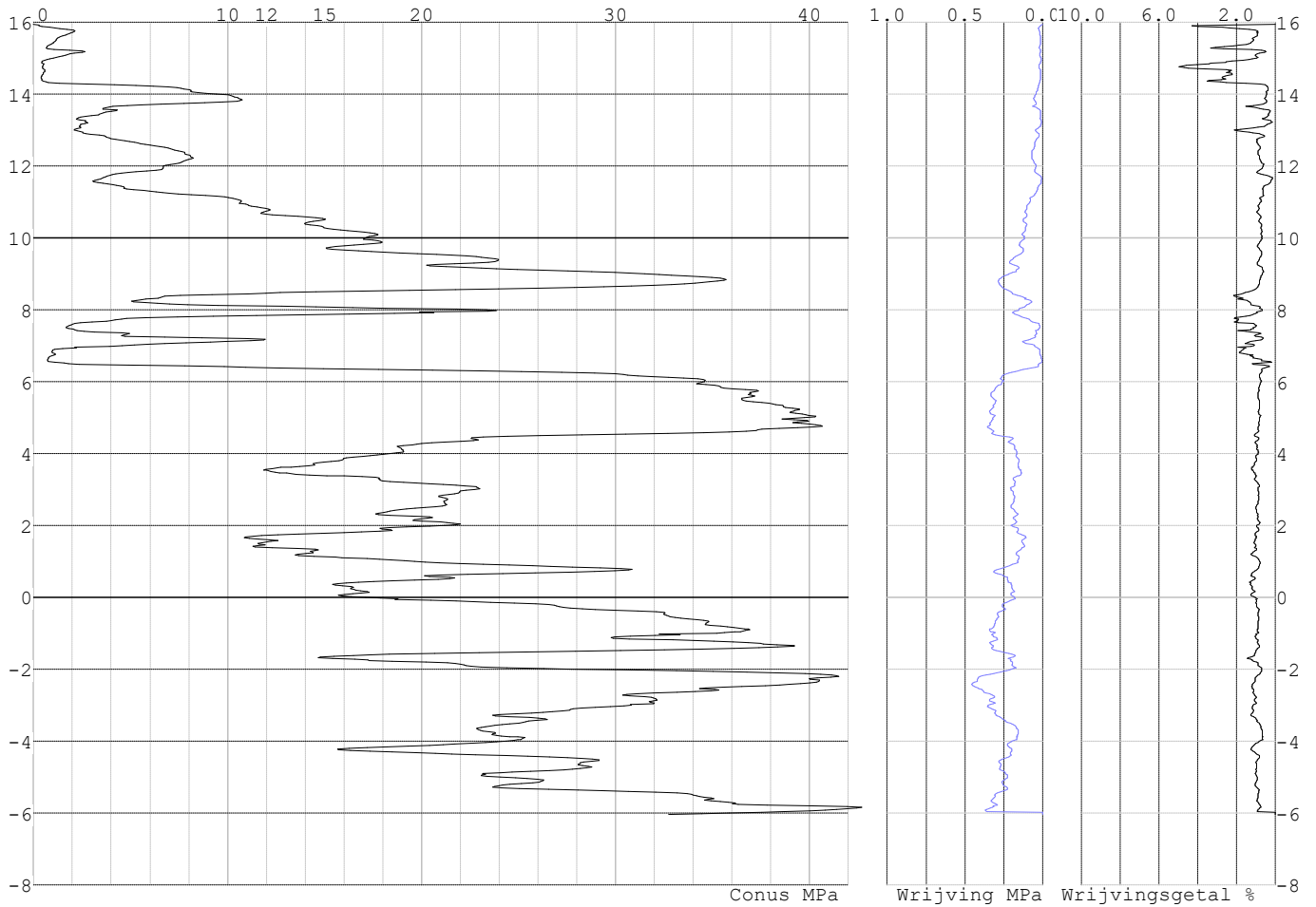


Project :
Onderdeel :

SONDERINGSGEGEVENS ALGEMEEN: S132-1

Alle niveaus/hogtes/peilmaten zijn t.o.v.: N.A.P.
Hoogte maaiveld [m] : 15.94 Bodemprofiel: S132-1
Traject negatieve kleeft : 15.94 tot 6.40 [m]
Traject positieve kleeft : 6.40 tot -6.03 [m]

SONDERINGSGEGEVENS GRAFIEK: S132-1

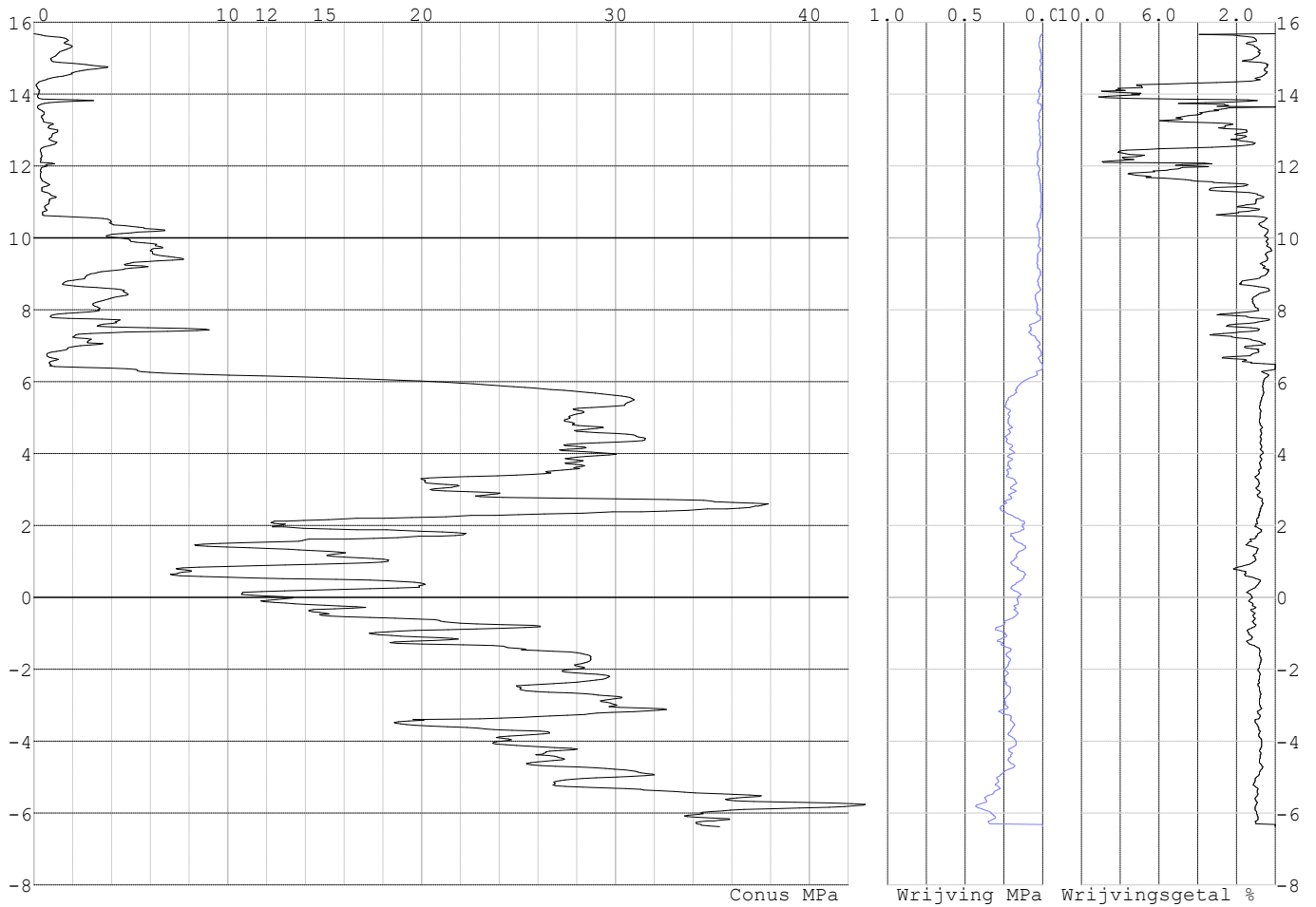


Project :
Onderdeel :

SONDERINGSGEGEVENS ALGEMEEN: S132-2

Alle niveaus/hogtes/peilmaten zijn t.o.v.: N.A.P.
Hoogte maaiveld [m] : 15.69 Bodemprofiel: S132-2
Traject negatieve kleef : 15.69 tot 6.50 [m]
Traject positieve kleef : 6.50 tot -6.36 [m]

SONDERINGSGEGEVENS GRAFIEK: S132-2



Project :
Onderdeel :

REKENEGEVENES Mast 131

Berekening : Controlerend
Rekenmethode : Trekpalen volgens NEN-EN 1997-1, art. 7.6.3
Sondering(en) : S131-1, S131-2
Let op: trekcapaciteit t.p.v. negatief kleeftraject is meegerekend.

Stijf bouwwerk : NEE
Paalgroep : NEE
Aantal sonderingen : 2
Factor ξ_3 (n=1) : 1.39
Factor ξ_3 (gem) : 1.32
Factor ξ_4 (min) : 1.32
Weerstandsfactor γ_R : 1.35
 $\gamma_{m,var;q,c}$: 1.50
UGT draagvermogen zonder negatieve kleef : NEE

Paal : LD1
Niveau paalkop [m] : N.A.P. 17.74
Paalpuntniveau : N.A.P. 6.24
 $E_{d,1}$ [kN] : 0.00 $E_{d,2}$ [kN] : 0.00
Bovenbel. [kN/m²] : 0.00

RESULTATEN Mast 131 (n=1)**Sondering : S131-1**

Alle niveaus/hogtes/peilmaten zijn t.o.v.: N.A.P.

Inheinniveau [m]	Effectief inheinniveau [m]	E.G. paal [kN]	$R_{t,cal;k}$ [kN]	$R_{t;d}$ [kN]	$F_{t,tot;1}$ [kN]	U.C.
6.24	6.24	35.0	412.5	412.5	0.0	0.00

Sondering : S131-2

Alle niveaus/hogtes/peilmaten zijn t.o.v.: N.A.P.

Inheinniveau [m]	Effectief inheinniveau [m]	E.G. paal [kN]	$R_{t,cal;k}$ [kN]	$R_{t;d}$ [kN]	$F_{t,tot;1}$ [kN]	U.C.
6.24	6.24	34.9	550.3	550.3	0.0	0.00

Project :
Onderdeel :

SAMENVATTINGSTABEL Mast 131 (n=1)**Uitgangspunten**

- paal : LD1
 - paaltype : Stalen buispaal (gesloten)
 - schachtafmeting : 550 mm
 Paalklassefactor α_p : 1.00
 Factor α_t (tabel 7.c EC 7.1) : 0.0070 (zandlagen; voor kleilagen zie tabel 7.d)
 Correlatiefactor $\xi_{3(n=1)}$: 1.39

Alle niveaus/hogtes/peilmaten zijn t.o.v.: N.A.P.

sondering	maaiveld paalpunt		Bezwijkdraagvermogen $R_{t,cal}$ [kN]	Rekenwaarden		
	niveau	niveau		$R_{t,d}$ [kN]	$R_{t,netto,d}$ [kN]	
S131-1	17.60	6.24	412.5	412.5	412.5	
S131-2	17.66	6.24	550.3	550.3	550.3	

Project :
Onderdeel :

SAMENVATTINGSTABEL Mast 131 (van 2 sonderingen)**Uitgangspunten**

- paal : LD1
 - paaltype : Stalen buispaal (gesloten)
 - schachtafmeting : 550 mm
 Paalklassefactor α_p : 1.00
 Factor α_t (tabel 7.c EC 7.1) : 0.0070 (zandlagen; voor kleilagen zie tabel 7.d)
 Correlatiefactor $\xi_{3gem}(n=2)$: 1.32
 Correlatiefactor $\xi_{4min}(n=2)$: 1.32

Alle niveaus/hogtes/peilmaten zijn t.o.v.: N.A.P.

sondering	maaiveld paalpunt		Bezwijkdraagvermogen	
	niveau	niveau	E.G. paal	$R_{t,cal}$
			[kN]	[kN]

met ξ_3 (gem) = 1.32

S131-1	17.60	6.24	35.0	432.5
S131-2	17.66	6.24	35.0	577.7

		6.24	$R_{t,cal,gem}$	505.1
--	--	------	-----------------	-------

met ξ_4 (min) = 1.32

S131-1	17.60	6.24	35.0	432.5
S131-2	17.66	6.24	35.0	577.7

		6.24	$R_{t,cal,min}$	432.5
--	--	------	-----------------	-------

Totaal resultaten Mast 131 (van 2 sonderingen)

Uitgangspunten

Correlatiefactor $\xi_{3gem}(n=2)$: 1.32
 Correlatiefactor $\xi_{4min}(n=2)$: 1.32

gebaseerd op sonderingen:

S131-1 S131-2

$R_{t,d} = \min.\{ R_{t,cal,gem}; R_{t,cal,min} \}$ (7.17) *)

Inheinniveau
[m]

6.24	$R_{t,d} = \min.\{ 505.1; 432.5 \} =$	432.5
------	---------------------------------------	-------

*) Bij de trekpaalberekening zijn factoren ξ_3 en ξ_4 al bij de berekening van de conusweerstand $q_{c;z;d}$ in rekening gebracht, evenals factor $\gamma_{s;t}$. Dat is conform de opmerkingen in art. 7.6.3.3 (3) en (4).

Alle niveaus/hogtes/peilmaten zijn t.o.v.: N.A.P.

Inheinniveau	$R_{t;k}$	$R_{t,d}$	$F_{t,tot;1}$	$R_{t,netto;d}$	U.C.
[m]	[kN]	[kN]	[kN]	[kN]	
6.24	432.5	432.5	0.0	432.5	0.00 *

*** WAARSCHUWING n.a.v. NEN-NA 1997-1 art. A.3.3.3 1)**

Bij toepassing van de waarden van ξ_1 , ξ_2 , ξ_3 en ξ_4 van de tabellen A.9 en A.10 mag de variatiecoëfficiënt van de draagkracht van palen in een groep, bepaald volgens de verschillende voor deze groep geldende sonderingen, niet groter zijn dan 12%. Deze variatiecoëfficiënt van 12% geeft bij een kans van onderschrijding van 5% een minimumdraagkracht groter dan 80% van het gemiddelde.

Inheinniveau	Aantal	$R_{t,cal,gem}$	Var.coëff.
[m]	[-]	[kN]	[%]
6.24	2	505.09	20.3

Project :
Onderdeel :

REKENGEDEVENS Mast 132

Berekening : Controlerend
Rekenmethode : Trekpalen volgens NEN-EN 1997-1, art. 7.6.3
Sondering(en) : S132-1, S132-2
Let op: trekcapaciteit t.p.v. negatief kleeftraject is meegerekend.

Stijf bouwwerk : NEE
Paalgroep : NEE
Aantal sonderingen : 2
Factor ξ_3 (n=1) : 1.39
Factor ξ_3 (gem) : 1.32
Factor ξ_4 (min) : 1.32
Weerstandsfactor γ_R : 1.35
 $\gamma_{m,var;q,c}$: 1.50
UGT draagvermogen zonder negatieve kleeft : NEE

Paal : LD1
Niveau paalkop [m] : N.A.P. 16.61
Paalpuntniveau : N.A.P. 5.11
 $E_{d,1}$ [kN] : 0.00 $E_{d,2}$ [kN] : 0.00
Bovenbel. [kN/m²] : 0.00

RESULTATEN Mast 132 (n=1)**Sondering : S132-1**

Alle niveaus/hogtes/peilmaten zijn t.o.v.: N.A.P.

Inheinniveau [m]	Effectief inheinniveau [m]	E.G. paal [kN]	$R_{t,cal;k}$ [kN]	$R_{t;d}$ [kN]	$F_{t,tot;1}$ [kN]	U.C.
5.11	5.11	36.3	419.8	419.8	0.0	0.00

Sondering : S132-2

Alle niveaus/hogtes/peilmaten zijn t.o.v.: N.A.P.

Inheinniveau [m]	Effectief inheinniveau [m]	E.G. paal [kN]	$R_{t,cal;k}$ [kN]	$R_{t;d}$ [kN]	$F_{t,tot;1}$ [kN]	U.C.
5.11	5.11	36.9	224.7	224.7	0.0	0.00

Project :
Onderdeel :

SAMENVATTINGSTABEL Mast 132 (n=1)

Uitgangspunten

- paal : LD1
 - paaltype : Stalen buispaal (gesloten)
 - schachtafmeting : 550 mm
 Paalklassefactor α_p : 1.00
 Factor α_t (tabel 7.c EC 7.1) : 0.0070 (zandlagen; voor kleilagen zie tabel 7.d)
 Correlatiefactor $\xi_{3(n=1)}$: 1.39

Alle niveaus/hogtes/peilmaten zijn t.o.v.: N.A.P.

sondering	maaiveld paalpunt		Bezwijkdraagvermogen $R_{t,cal}$ [kN]	Rekenwaarden		
	niveau	niveau		$R_{t;d}$ [kN]	$R_{t,netto;d}$ [kN]	
S132-1	15.94	5.11	419.8	419.8	419.8	
S132-2	15.69	5.11	224.7	224.7	224.7	

Project :
Onderdeel :

SAMENVATTINGSTABEL Mast 132 (van 2 sonderingen)**Uitgangspunten**

- paal : LD1
 - paaltype : Stalen buispaal (gesloten)
 - schachtafmeting : 550 mm
 Paalklassefactor α_p : 1.00
 Factor α_t (tabel 7.c EC 7.1) : 0.0070 (zandlagen; voor kleilagen zie tabel 7.d)
 Correlatiefactor $\xi_{3gem}(n=2)$: 1.32
 Correlatiefactor $\xi_{4min}(n=2)$: 1.32

Alle niveaus/hogtes/peilmaten zijn t.o.v.: N.A.P.

sondering maaiveld paalpunt Bezwijkdraagvermogen
 niveau niveau E.G. paal $R_{t,cal}$
 [kN] [kN]

met ξ_3 (gem) = 1.32

S132-1 15.94 5.11 36.3 440.1

S132-2 15.69 5.11 36.3 234.7

5.11 $R_{t,cal,gem}$ 337.4

met ξ_4 (min) = 1.32

S132-1 15.94 5.11 36.3 440.1

S132-2 15.69 5.11 36.3 234.7

5.11 $R_{t,cal,min}$ 234.7

Totaal resultaten Mast 132 (van 2 sonderingen)

Uitgangspunten

Correlatiefactor $\xi_{3gem}(n=2)$: 1.32

Correlatiefactor $\xi_{4min}(n=2)$: 1.32

gebaseerd op sonderingen:

S132-1 S132-2

$R_{t,d} = \min.\{ R_{t,cal,gem}; R_{t,cal,min} \}$ (7.17) *

Inheinniveau

[m]

5.11 $R_{t,d} = \min.\{ 337.4; 234.7 \} = 234.7$

* Bij de trekpaalberekening zijn factoren ξ_3 en ξ_4 al bij de berekening van de conusweerstand $q_{c;z,d}$ in rekening gebracht, evenals factor $\gamma_{s;t}$. Dat is conform de opmerkingen in art. 7.6.3.3 (3) en (4).

Alle niveaus/hogtes/peilmaten zijn t.o.v.: N.A.P.

Inheinniveau $R_{t;k}$ $R_{t,d}$ $F_{t,tot;1}$ $R_{t,netto;d}$ U.C.
 [m] [kN] [kN] [kN] [kN]

5.11 234.7 234.7 0.0 234.7 0.00 *

*** WAARSCHUWING n.a.v. NEN-NA 1997-1 art. A.3.3.3 1)**

Bij toepassing van de waarden van ξ_1 , ξ_2 , ξ_3 en ξ_4 van de tabellen A.9 en A.10 mag de variatiecoëfficiënt van de draagkracht van palen in een groep, bepaald volgens de verschillende voor deze groep geldende sonderingen, niet groter zijn dan 12%. Deze variatiecoëfficiënt van 12% geeft bij een kans van onderschrijding van 5% een minimumdraagkracht groter dan 80% van het gemiddelde.

Inheinniveau Aantal $R_{t,cal,gem}$ Var.coëff.
 [m] [-] [kN] [%]

5.11 2 337.39 43.1

Project :
Onderdeel :

PAALGEGEVENS LD1

Type : Stalen buispaal (gesloten)
Wijze van installeren : Heien
Diameter [m] : 0.550
Elasticiteitsmodulus [N/mm²] : 20000
Factor α_s (tabel 7.c EC 7.1) : 0.010 (zandlagen; voor kleilagen zie tabel 7.d)
Factor α_t (tabel 7.c EC 7.1) : 0.0070 (zandlagen; voor kleilagen zie tabel 7.d)
Paalklassefactor α_p : 1.00
Paalvoetvormfactor β : 1.00
Type lastzakkingsdiagram : Grondverdringende paal
Verm.factor * $\phi'_{j,k}$: 0.75
Groutomhulling : NEE

Project :
Onderdeel :

OVERZICHT NETTO DRAAGVERMOGEN TREKPALEN (n=1)

Netto paal draagvermogen(s) zijn naar beneden toe afgerond op: 1.0 kN nauwkeurig
Alle niveaus/hogtes/peilmaten zijn t.o.v.: N.A.P.

sondering	maaiveld paalpunt		$R_{t, netto, d}$ [kN]	
	niveau	niveau	Mast 131	Mast 132
S131-1	17.60	6.24	412	
S131-2	17.66	6.24	550	
S132-1	15.94	5.11		419
S132-2	15.69	5.11		224

Project :
Onderdeel :

ALGEMENE GEGEVENS

Project :
Onderdeel :
Datum : 10-12-2021
Bestand : \\Arh7001.verit.dnv.com\projects\EANL_Projects\
10166262 - BBB modelleren funderingen 380
kV\02 Content\03 Calculations\Technosoft
Paalfunderingen\MBT-EHV380\DO\Nieuw
Sonderingen\Mast 010-019.pvw
Berekeningstype : Verticaal belaste paal
Alle niveaus/hogtes/peilmaten zijn t.o.v.: N.A.P.

Toegepaste normen volgens Eurocode met Nederlandse NB

Geotechniek	EN 1997-1:2004	AC:2009	
	NEN-EN 1997-1:2005	C1+A1:2013	NB:2016
	NEN 9997-1:2016	C2:2017	

REKENGEGEVENS Mast 019

Berekening : Controlerend
Rekenmethode : Drukpalen volgens NEN-EN 1997-1, art. 7.6.2
Sondering(en) : S019-1, S019-2

Stijf bouwwerk : NEE
Paalgroep : NEE
Aantal sonderingen : 2
Factor ξ_3 (n=1) : 1.39
Factor ξ_3 (gem) : 1.32
Factor ξ_4 (min) : 1.32
Weerstandsfactor γ_R : 1.20
 $\gamma_{f,nk}$: 1.0
 $R_{s,cal,max,i}$ begrenzen op $0.75 * R_{b,cal,max,i}$: NEE
UGT draagvermogen zonder negatieve kleef : NEE

Paal	:	LD1			
Niveau paalkop	[m]	N.A.P.	26.86		
Paalpuntniveau	:	N.A.P.	14.36		
$E_{d,1}$	[kN]	:	0.00	$E_{d,2}$	[kN] : 0.00
$s_{req,1}$	[m]	:	0.15	$s_{req,2}$	[m] : 0.05
Bovenbel.	[kN/m ²]	:	0.00		

Project :
Onderdeel :

SAMENVATTINGSTABEL Mast 019 (n=1)**Uitgangspunten**

- paal : LD1
 - paaltype : Stalen buispaal (gesloten)
 - schachtafmeting : 525 mm
 Paalklassefactor α_p : 0.70
 Factor α_s (tabel 7.c EC 7.1) : 0.010 (zandlagen; voor kleilagen zie tabel 7.d)
 Correlatiefactor $\xi_{3(n=1)}$: 1.39

Alle niveaus/hogtes/peilmaten zijn t.o.v.: N.A.P.

sondering	maaiveld paalpunt		Bezwijkdraagvermogen			Rekenwaarden		
	niveau	niveau	$R_{b;cal}$ [kN]	$R_{s;cal}$ [kN]	$R_{c;cal}$ [kN]	$R_{c;d}$ [kN]	$F_{nk;d}$ [kN]	$R_{c;netto;d}$ [kN]
S019-1	26.26	14.36	1558.2	931.1	2489.3	1492.4	-60.4	1432.0
S019-2	26.29	14.36	1595.0	929.4	2524.4	1513.4	-62.3	1451.1

Totaal resultaten Mast 019 (van 2 sonderingen)

Uitgangspunten

Correlatiefactor ξ_{3gem} (n= 2) : 1.32
 Correlatiefactor ξ_{4min} (n= 2) : 1.32

gebaseerd op sonderingen:
S019-1 S019-2

$$R_{c;k} = \min.\{ R_{c;cal;gem}/\xi_3; R_{c;cal;min}/\xi_4 \} \quad (7.8)$$

Inheinniveau
[m]

$$14.36 \quad R_{c;k} = \min.\{ (2506.8 / 1.32); (2489.3 / 1.32) \} = 1885.8$$

Alle niveaus/hogtes/peilmaten zijn t.o.v.: N.A.P.

Inheinniveau [m]	$R_{c;k}$ [kN]	$R_{c;d}$ [kN]	$F_{c;tot;1}$ [kN]	$F_{nk;d}$ [kN]	$R_{c;netto;d}$ [kN]	U.C.	$s_{1;1}$ [mm]	$s_{1;2}$ [mm]
14.36	1885.8	1571.5	-62.3	-62.3	1509.2	0.04	-0.2	-0.2

Project :
Onderdeel :

OVERZICHT NETTO DRAAGVERMOGEN DRUKPALEN

Netto paal draagvermogen(s) zijn naar beneden toe afgerond op: 1.0 kN nauwkeurig
Alle niveaus/hogtes/peilmaten zijn t.o.v.: N.A.P.

sondering	maaiveld paalpunt		$R_{c,netto;d}$ [kN] Mast 019
	niveau	niveau	
S019-1	26.26	14.36	1431
S019-2	26.29	14.36	1451

Project :
Onderdeel :

ALGEMENE GEGEVENS

Project :
Onderdeel :
Datum : 10-12-2021
Bestand : \\Arh7001.verit.dnv.com\projects\EANL_Projects\
10166262 - BBB modelleren funderingen 380
kV\02 Content\03 Calculations\Technosoft
Paalfunderingen\MBT-EHV380\DO\Nieuw
Sonderingen\Mast 010-019.pvw
Berekeningstype : Verticaal belaste paal
Alle niveaus/hogtes/peilmaten zijn t.o.v.: N.A.P.

Toegepaste normen volgens Eurocode met Nederlandse NB

Geotechniek	EN 1997-1:2004	AC:2009	
	NEN-EN 1997-1:2005	C1+A1:2013	NB:2016
	NEN 9997-1:2016	C2:2017	

Project :
Onderdeel :

OVERZICHT NETTO DRAAGVERMOGEN TREKPALEN (n=1)

Netto paal draagvermogen(s) zijn naar beneden toe afgerond op: 1.0 kN nauwkeurig

Alle niveaus/hogtes/peilmaten zijn t.o.v.: N.A.P.

sondering	maaiveld paalpunt		$R_{t, netto; d}$ [kN] Mast 019
	niveau	niveau	
S019-1	26.26	14.36	459
S019-2	26.29	14.36	444

Project :
Onderdeel :

ALGEMENE GEGEVENS

Project :
Onderdeel :
Datum : 10-12-2021
Bestand : P:\EANL_Projects\10166262 - BBB modelleren
funderingen 380 kV\02 Content\03
Calculations\Technosoft
Paalfunderingen\MBT-EHV380\DO\Nieuw
Sonderingen\Mast 020-029.pvw
Berekeningstype : Verticaal belaste paal
Alle niveaus/hogtes/peilmaten zijn t.o.v.: N.A.P.

Toegepaste normen volgens Eurocode met Nederlandse NB

Geotechniek	EN 1997-1:2004	AC:2009	
	NEN-EN 1997-1:2005	C1+A1:2013	NB:2016
	NEN 9997-1:2016	C2:2017	

REKENGEGEVENS Mast 020

Berekening : Controlerend
Rekenmethode : Drukpalen volgens NEN-EN 1997-1, art. 7.6.2
Sondering(en) : S020-1, S020-2

Stijf bouwwerk : NEE
Paalgroep : NEE
Aantal sonderingen : 2
Factor ξ_3 (n=1) : 1.39
Factor ξ_3 (gem) : 1.32
Factor ξ_4 (min) : 1.32
Weerstandsfactor γ_R : 1.20
 $\gamma_{f,nk}$: 1.0
 $R_{s,cal,max,i}$ begrenzen op $0.75 * R_{b,cal,max,i}$: NEE
UGT draagvermogen zonder negatieve kleef : NEE

Paal	:	LD1			
Niveau paalkop	[m]	N.A.P.	25.67		
Paalpuntniveau	:	N.A.P.	13.07		
$E_{d,1}$	[kN]	:	0.00	$E_{d,2}$	[kN] : 0.00
$s_{req,1}$	[m]	:	0.15	$s_{req,2}$	[m] : 0.05
Bovenbel.	[kN/m ²]	:	0.00		

Project :
Onderdeel :

SAMENVATTINGSTABEL Mast 020 (n=1)**Uitgangspunten**

- paal : LD1
- paaltype : Stalen buispaal (gesloten)
- schachtafmeting : 550 mm
Paalklassefactor α_p : 1.00
Factor α_s (tabel 7.c EC 7.1) : 0.010 (zandlagen; voor kleilagen zie tabel 7.d)
Correlatiefactor $\xi_{3(n=1)}$: 1.39

Alle niveaus/hogtes/peilmaten zijn t.o.v.: N.A.P.

sondering	maaiveld paalpunt		Bezwijkdraagvermogen			Rekenwaarden		
	niveau	niveau	$R_{b;cal}$ [kN]	$R_{s;cal}$ [kN]	$R_{c;cal}$ [kN]	$R_{c;d}$ [kN]	$F_{nk;d}$ [kN]	$R_{c;netto;d}$ [kN]
S020-1	25.22	13.07	2728.4	520.3	3248.7	1947.7	-44.5	1903.2
S020-2	25.23	13.07	1591.1	461.1	2052.2	1230.3	-31.1	1199.2

Totaal resultaten Mast 020 (van 2 sonderingen)

Uitgangspunten

Correlatiefactor ξ_{3gem} (n= 2) : 1.32
Correlatiefactor ξ_{4min} (n= 2) : 1.32

gebaseerd op sonderingen:
S020-1 S020-2

$$R_{c;k} = \min.\{ R_{c;cal;gem}/\xi_3; R_{c;cal;min}/\xi_4 \} \quad (7.8)$$

Inheinniveau
[m]

$$13.07 \quad R_{c;k} = \min.\{ (2650.5/1.32); (2052.2/1.32) \} = 1554.7$$

Alle niveaus/hogtes/peilmaten zijn t.o.v.: N.A.P.

Inheinniveau [m]	$R_{c;k}$ [kN]	$R_{c;d}$ [kN]	$F_{c;tot;1}$ [kN]	$F_{nk;d}$ [kN]	$R_{c;netto;d}$ [kN]	U.C.	$S_{1;1}$ [mm]	$S_{1;2}$ [mm]
13.07	1554.7	1295.6	-44.5	-44.5	1251.1	0.03	-0.2	-0.2 *

*** WAARSCHUWING n.a.v. NEN-NA 1997-1 art. A.3.3.3 1)**

Bij toepassing van de waarden van ξ_1 , ξ_2 , ξ_3 en ξ_4 van de tabellen A.9 en A.10 mag de variatiecoëfficiënt van de draagkracht van palen in een groep, bepaald volgens de verschillende voor deze groep geldende sonderingen, niet groter zijn dan 12%. Deze variatiecoëfficiënt van 12% geeft bij een kans van onderschrijding van 5% een minimumdraagkracht groter dan 80% van het gemiddelde.

Inheinniveau [m]	Aantal [-]	$R_{c;cal;gem}$ [kN]	Var.coëff. [%]
13.07	2	2650.46	31.9

REKENGEGEVENS Mast 022

Berekening : Controlerend
Rekenmethode : Drukpalen volgens NEN-EN 1997-1, art. 7.6.2
Sondering(en) : S022-1, S022-2

Stijf bouwwerk : NEE
Paalgroep : NEE
Aantal sonderingen : 2
Factor $\xi_{3(n=1)}$: 1.39
Factor $\xi_{3(gem)}$: 1.32
Factor $\xi_{4(min)}$: 1.32
Weerstandsfactor γ_R : 1.20
 $\gamma_{f,nk}$: 1.0

$R_{s;cal;max;i}$ begrenzen op $0.75 * R_{p;cal;max;i}$: NEE
UGT draagvermogen zonder negatieve kleef : NEE

Paal : LD1
Niveau paalkop [m] : N.A.P. 27.65
Paalpuntniveau : N.A.P. 12.65
 $E_{d;1}$ [kN] : 0.00

$E_{d;2}$ [kN] : 0.00

Project :
Onderdeel :

SAMENVATTINGSTABEL Mast 022 (n=1)**Uitgangspunten**

- paal : LD1
 - paaltype : Stalen buispaal (gesloten)
 - schachtafmeting : 550 mm
 Paalklassefactor α_p : 1.00
 Factor α_s (tabel 7.c EC 7.1) : 0.010 (zandlagen; voor kleilagen zie tabel 7.d)
 Correlatiefactor $\xi_{3(n=1)}$: 1.39

Alle niveaus/hogtes/peilmaten zijn t.o.v.: N.A.P.

sondering	maaiveld paalpunt		Bezwijkdraagvermogen			Rekenwaarden		
	niveau	niveau	$R_{b;cal}$ [kN]	$R_{s;cal}$ [kN]	$R_{c;cal}$ [kN]	$R_{c;d}$ [kN]	$F_{nk;d}$ [kN]	$R_{c;netto;d}$ [kN]
S022-1	27.34	12.65	2690.6	233.8	2924.5	1753.3	-379.0	1374.3
S022-2	27.45	12.65	2707.5	262.0	2969.5	1780.3	-398.5	1381.8

Totaal resultaten Mast 022 (van 2 sonderingen)

Uitgangspunten

Correlatiefactor ξ_{3gem} (n= 2) : 1.32
 Correlatiefactor ξ_{4min} (n= 2) : 1.32

gebaseerd op sonderingen:
 S022-1 S022-2

$$R_{c;k} = \min.\{ R_{c;cal;gem}/\xi_3; R_{c;cal;min}/\xi_4 \} \quad (7.8)$$

Inheinniveau
 [m]

$$12.65 \quad R_{c;k} = \min.\{ (2947.0/1.32); (2924.5/1.32) \} = 2215.5$$

Alle niveaus/hogtes/peilmaten zijn t.o.v.: N.A.P.

Inheinniveau [m]	$R_{c;k}$ [kN]	$R_{c;d}$ [kN]	$F_{c;tot;1}$ [kN]	$F_{nk;d}$ [kN]	$R_{c;netto;d}$ [kN]	U.C.	$s_{1;1}$ [mm]	$s_{1;2}$ [mm]
12.65	2215.5	1846.3	-398.5	-398.5	1447.7	0.22	-2.5	-2.1

REKENGEGEVENS Mast 024

Berekening : Controlerend
 Rekenmethode : Drukpalen volgens NEN-EN 1997-1, art. 7.6.2
 Sondering(en) : S024-1, S024-2

Stijf bouwwerk : NEE
 Paalgroep : NEE
 Aantal sonderingen : 2
 Factor $\xi_{3(n=1)}$: 1.39
 Factor $\xi_{3(gem)}$: 1.32
 Factor $\xi_{4(min)}$: 1.32
 Weerstandsfactor γ_R : 1.20
 $\gamma_{f;nk}$: 1.0
 $R_{s;cal;max;i}$ begrenzen op $0.75 * R_{b;cal;max;i}$: NEE
 UGT draagvermogen zonder negatieve kleef : NEE

Paal : LD1

Niveau paalkop [m] : N.A.P. 26.86

Paalpuntniveau : N.A.P. 10.86

$E_{d;1}$ [kN] : 0.00

$E_{d;2}$ [kN] : 0.00

$s_{req;1}$ [m] : 0.15

$s_{req;2}$ [m] : 0.05

Bovenbel. [kN/m²] : 0.00

Project :
Onderdeel :

SAMENVATTINGSTABEL Mast 024 (n=1)**Uitgangspunten**

- paal : LD1
 - paaltype : Stalen buispaal (gesloten)
 - schachtafmeting : 550 mm
 Paalklassefactor α_p : 1.00
 Factor α_s (tabel 7.c EC 7.1) : 0.010 (zandlagen; voor kleilagen zie tabel 7.d)
 Correlatiefactor $\xi_{3(n=1)}$: 1.39

Alle niveaus/hogtes/peilmaten zijn t.o.v.: N.A.P.

sondering	maaiveld paalpunt		Bezwijkdraagvermogen			Rekenwaarden		
	niveau	niveau	$R_{b;cal}$ [kN]	$R_{s;cal}$ [kN]	$R_{c;cal}$ [kN]	$R_{c;d}$ [kN]	$F_{nk;d}$ [kN]	$R_{c;netto;d}$ [kN]
S024-1	26.45	10.86	2870.8	384.3	3255.1	1951.5	-81.1	1870.3
S024-2	26.46	10.86	3218.9	519.4	3738.3	2241.2	-77.5	2163.7

Totaal resultaten Mast 024 (van 2 sonderingen)

Uitgangspunten

Correlatiefactor ξ_{3gem} (n= 2) : 1.32
 Correlatiefactor ξ_{4min} (n= 2) : 1.32

gebaseerd op sonderingen:
S024-1 S024-2

$$R_{c;k} = \min.\{ R_{c;cal;gem}/\xi_3; R_{c;cal;min}/\xi_4 \} \quad (7.8)$$

Inheinniveau
[m]

$$10.86 \quad R_{c;k} = \min.\{ (3496.7 / 1.32); (3255.1 / 1.32) \} = 2466.0$$

Alle niveaus/hogtes/peilmaten zijn t.o.v.: N.A.P.

Inheinniveau [m]	$R_{c;k}$ [kN]	$R_{c;d}$ [kN]	$F_{c;tot;1}$ [kN]	$F_{nk;d}$ [kN]	$R_{c;netto;d}$ [kN]	U.C.	$s_{1;1}$ [mm]	$s_{1;2}$ [mm]
10.86	2466.0	2055.0	-81.1	-81.1	1973.8	0.04	-0.4	-0.4

Project :
Onderdeel :

OVERZICHT NETTO DRAAGVERMOGEN DRUKPALEN

Netto paal draagvermogen(s) zijn naar beneden toe afgerond op: 1.0 kN nauwkeurig

Alle niveaus/hogtes/peilmaten zijn t.o.v.: N.A.P.

sondering	maaiveld paalpunt		$R_{c, netto; d}$ [kN]		
	niveau	niveau	Mast 020	Mast 022	Mast 024
S022-1	27.34	12.65		1374	
S022-2	27.45	12.65		1381	
S024-1	26.45	10.86			1870
S024-2	26.46	10.86			2163
S020-1	25.22	13.07	1903		
S020-2	25.23	13.07	1199		

Project :
Onderdeel :

ALGEMENE GEGEVENS

Project :
Onderdeel :
Datum : 10-12-2021
Bestand : P:\EANL_Projects\10166262 - BBB modelleren
funderingen 380 kV\02 Content\03
Calculations\Technosoft
Paalfunderingen\MBT-EHV380\DO\Nieuw
Sonderingen\Mast 030-039.pvw
Berekeningstype : Verticaal belaste paal
Alle niveaus/hogtes/peilmaten zijn t.o.v.: N.A.P.

Toegepaste normen volgens Eurocode met Nederlandse NB

Geotechniek	EN 1997-1:2004	AC:2009	
	NEN-EN 1997-1:2005	C1+A1:2013	NB:2016
	NEN 9997-1:2016	C2:2017	

REKENGEGEVENS Mast 031

Berekening : Controlerend
Rekenmethode : Drukpalen volgens NEN-EN 1997-1, art. 7.6.2
Sondering(en) : S031-1, S031-2

Stijf bouwwerk : NEE
Paalgroep : NEE
Aantal sonderingen : 2
Factor ξ_3 (n=1) : 1.39
Factor ξ_3 (gem) : 1.32
Factor ξ_4 (min) : 1.32
Weerstandsfactor γ_R : 1.20
 $\gamma_{f,nk}$: 1.0
 $R_{s,cal,max,i}$ begrenzen op $0.75 * R_{b,cal,max,i}$: NEE
UGT draagvermogen zonder negatieve kleef : NEE

Paal	:	LD1			
Niveau paalkop	[m]	N.A.P.	29.48		
Paalpuntniveau	:	N.A.P.	20.48		
$E_{d,1}$	[kN]	:	0.00	$E_{d,2}$	[kN] : 0.00
$s_{req,1}$	[m]	:	0.15	$s_{req,2}$	[m] : 0.05
Bovenbel.	[kN/m ²]	:	0.00		

Project :
Onderdeel :

SAMENVATTINGSTABEL Mast 031 (n=1)**Uitgangspunten**

- paal : LD1
- paaltype : Stalen buispaal (gesloten)
- schachtafmeting : 550 mm
Paalklassefactor α_p : 1.00
Factor α_s (tabel 7.c EC 7.1) : 0.010 (zandlagen; voor kleilagen zie tabel 7.d)
Correlatiefactor $\xi_{3(n=1)}$: 1.39

Alle niveaus/hogtes/peilmaten zijn t.o.v.: N.A.P.

sondering	maaiveld paalpunt		Bezwijkdraagvermogen			Rekenwaarden		
	niveau	niveau	$R_{b;cal}$ [kN]	$R_{s;cal}$ [kN]	$R_{c;cal}$ [kN]	$R_{c;d}$ [kN]	$F_{nk;d}$ [kN]	$R_{c;netto;d}$ [kN]
S031-1	29.27	20.48	2125.6	1395.4	3521.0	2110.9	0.0	2110.9
S031-2	29.29	20.48	2190.2	1534.1	3724.3	2232.8	0.0	2232.8

Totaal resultaten Mast 031 (van 2 sonderingen)

Uitgangspunten

Correlatiefactor ξ_{3gem} (n= 2) : 1.32
Correlatiefactor ξ_{4min} (n= 2) : 1.32

gebaseerd op sonderingen:

S031-1 S031-2

$$R_{c;k} = \min.\{ R_{c;cal;gem}/\xi_3; R_{c;cal;min}/\xi_4 \} \quad (7.8)$$

Inheinniveau
[m]

$$20.48 \quad R_{c;k} = \min.\{ (3622.7/1.32); (3521.0/1.32) \} = 2667.4$$

Alle niveaus/hogtes/peilmaten zijn t.o.v.: N.A.P.

Inheinniveau [m]	$R_{c;k}$ [kN]	$R_{c;d}$ [kN]	$F_{c;tot;1}$ [kN]	$F_{nk;d}$ [kN]	$R_{c;netto;d}$ [kN]	U.C.	$s_{1;1}$ [mm]	$s_{1;2}$ [mm]
20.48	2667.4	2222.9	0.0	0.0	2222.9	0.00	-0.0	-0.0

REKENEGEVEENS Mast 032

Berekening : Controlerend
Rekenmethode : Drukpalen volgens NEN-EN 1997-1, art. 7.6.2
Sondering(en) : S032-1, S032-2

Stijf bouwwerk : NEE
Paalgroep : NEE
Aantal sonderingen : 2
Factor $\xi_{3(n=1)}$: 1.39
Factor $\xi_{3(gem)}$: 1.32
Factor $\xi_{4(min)}$: 1.32
Weerstandsfactor γ_R : 1.20
 $\gamma_{f;nk}$: 1.0
 $R_{s;cal;max;i}$ begrenzen op $0.75 * R_{b;cal;max;i}$: NEE
UGT draagvermogen zonder negatieve kleeft : NEE

Paal : LD1
Niveau paalkop [m] : N.A.P. 30.26
Paalpuntniveau : N.A.P. 16.76
 $E_{d;1}$ [kN] : 0.00 $E_{d;2}$ [kN] : 0.00
 $s_{req;1}$ [m] : 0.15 $s_{req;2}$ [m] : 0.05
Bovenbel. [kN/m²] : 0.00

Project :
Onderdeel :

SAMENVATTINGSTABEL Mast 032 (n=1)**Uitgangspunten**

- paal : LD1
- paaltype : Stalen buispaal (gesloten)
- schachtafmeting : 550 mm
Paalklassefactor α_p : 1.00
Factor α_s (tabel 7.c EC 7.1) : 0.010 (zandlagen; voor kleilagen zie tabel 7.d)
Correlatiefactor $\xi_{3(n=1)}$: 1.39

Alle niveaus/hogtes/peilmaten zijn t.o.v.: N.A.P.

sondering	maaiveld paalpunt		Beziijkdraagvermogen			Rekenwaarden		
	niveau	niveau	$R_{b;cal}$ [kN]	$R_{s;cal}$ [kN]	$R_{c;cal}$ [kN]	$R_{c;d}$ [kN]	$F_{nk;d}$ [kN]	$R_{c;netto;d}$ [kN]
S032-1	29.80	16.76	1133.0	1673.8	2806.8	1682.7	0.0	1682.7
S032-2	29.41	16.76	692.3	1468.7	2161.0	1295.6	0.0	1295.6

Totaal resultaten Mast 032 (van 2 sonderingen)

Uitgangspunten

Correlatiefactor ξ_{3gem} (n= 2) : 1.32
Correlatiefactor ξ_{4min} (n= 2) : 1.32

gebaseerd op sonderingen:
S032-1 S032-2

$$R_{c;k} = \min.\{ R_{c;cal;gem}/\xi_3; R_{c;cal;min}/\xi_4 \} \quad (7.8)$$

Inheinniveau
[m]

$$16.76 \quad R_{c;k} = \min.\{ (2483.9/1.32); (2161.0/1.32) \} = 1637.1$$

Alle niveaus/hogtes/peilmaten zijn t.o.v.: N.A.P.

Inheinniveau [m]	$R_{c;k}$ [kN]	$R_{c;d}$ [kN]	$F_{c;tot;1}$ [kN]	$F_{nk;d}$ [kN]	$R_{c;netto;d}$ [kN]	U.C.	$S_{1;1}$ [mm]	$S_{1;2}$ [mm]
16.76	1637.1	1364.3	0.0	0.0	1364.3	0.00	-0.0	-0.0 *

*** WAARSCHUWING n.a.v. NEN-NA 1997-1 art. A.3.3.3 1)**

Bij toepassing van de waarden van ξ_1 , ξ_2 , ξ_3 en ξ_4 van de tabellen A.9 en A.10 mag de variatiecoëfficiënt van de draagkracht van palen in een groep, bepaald volgens de verschillende voor deze groep geldende sonderingen, niet groter zijn dan 12%. Deze variatiecoëfficiënt van 12% geeft bij een kans van onderschrijding van 5% een minimumdraagkracht groter dan 80% van het gemiddelde.

Inheinniveau [m]	Aantal [-]	$R_{c;cal;gem}$ [kN]	Var.coëff. [%]
16.76	2	2483.88	18.4

REKENGEGEVENS Mast 033

Berekening : Controlerend
Rekenmethode : Drukpalen volgens NEN-EN 1997-1, art. 7.6.2
Sondering(en) : S033-1, S033-2

Stijf bouwwerk : NEE
Paalgroep : NEE
Aantal sonderingen : 2
Factor $\xi_{3(n=1)}$: 1.39
Factor $\xi_{3(gem)}$: 1.32
Factor $\xi_{4(min)}$: 1.32
Weerstandsfactor γ_R : 1.20
 $\gamma_{f,nk}$: 1.0

$R_{s;cal;max;i}$ begrenzen op $0.75 * R_{p;cal;max;i}$: NEE
UGT draagvermogen zonder negatieve kleef : NEE

Paal : LD1
Niveau paalkop [m] : N.A.P. 28.61
Paalpuntniveau : N.A.P. 18.61
 $E_{d;1}$ [kN] : 0.00

$E_{d;2}$ [kN] : 0.00

Project :
Onderdeel :

SAMENVATTINGSTABEL Mast 033 (n=1)**Uitgangspunten**

- paal : LD1
- paaltype : Stalen buispaal (gesloten)
- schachtafmeting : 550 mm
Paalklassefactor α_p : 1.00
Factor α_s (tabel 7.c EC 7.1) : 0.010 (zandlagen; voor kleilagen zie tabel 7.d)
Correlatiefactor $\xi_{3(n=1)}$: 1.39

Alle niveaus/hogtes/peilmaten zijn t.o.v.: N.A.P.

sondering	maaiveld paalpunt		Bezwijkdraagvermogen			Rekenwaarden		
	niveau	niveau	$R_{b;cal}$ [kN]	$R_{s;cal}$ [kN]	$R_{c;cal}$ [kN]	$R_{c;d}$ [kN]	$F_{nk;d}$ [kN]	$R_{c;netto;d}$ [kN]
S033-1	28.31	18.61	3563.7	1325.0	4888.8	2930.9	-16.8	2914.1
S033-2	28.44	18.61	2674.3	1504.2	4178.5	2505.1	-21.1	2484.0

Totaal resultaten Mast 033 (van 2 sonderingen)

Uitgangspunten

Correlatiefactor ξ_{3gem} (n= 2) : 1.32
Correlatiefactor ξ_{4min} (n= 2) : 1.32

gebaseerd op sonderingen:
S033-1 S033-2

$$R_{c;k} = \min.\{ R_{c;cal;gem}/\xi_3; R_{c;cal;min}/\xi_4 \} \quad (7.8)$$

Inheinniveau
[m]

$$18.61 \quad R_{c;k} = \min.\{ (4533.7/1.32); (4178.5/1.32) \} = 3165.6$$

Alle niveaus/hogtes/peilmaten zijn t.o.v.: N.A.P.

Inheinniveau [m]	$R_{c;k}$ [kN]	$R_{c;d}$ [kN]	$F_{c;tot;1}$ [kN]	$F_{nk;d}$ [kN]	$R_{c;netto;d}$ [kN]	U.C.	$s_{1;1}$ [mm]	$s_{1;2}$ [mm]
18.61	3165.6	2638.0	-21.1	-21.1	2616.8	0.01	-0.1	-0.0

REKENGEGEVENS Mast 035

Berekening : Controlerend
Rekenmethode : Drukpalen volgens NEN-EN 1997-1, art. 7.6.2
Sondering(en) : S035-1, S035-2

Stijf bouwwerk : NEE
Paalgroep : NEE
Aantal sonderingen : 2
Factor $\xi_{3(n=1)}$: 1.39
Factor $\xi_{3(gem)}$: 1.32
Factor $\xi_{4(min)}$: 1.32
Weerstandsfactor γ_R : 1.20
 $\gamma_{f;nk}$: 1.0
 $R_{s;cal;max;i}$ begrenzen op $0.75 * R_{b;cal;max;i}$: NEE
UGT draagvermogen zonder negatieve kleef : NEE

Paal : LD1
Niveau paalkop [m] : N.A.P. 29.31
Paalpuntniveau : N.A.P. 21.81
 $E_{d;1}$ [kN] : 0.00 $E_{d;2}$ [kN] : 0.00
 $s_{req;1}$ [m] : 0.15 $s_{req;2}$ [m] : 0.05
Bovenbel. [kN/m²] : 0.00

Project :
Onderdeel :

SAMENVATTINGSTABEL Mast 035 (n=1)**Uitgangspunten**

- paal : LD1
 - paaltype : Stalen buispaal (gesloten)
 - schachtafmeting : 550 mm
 Paalklassefactor α_p : 1.00
 Factor α_s (tabel 7.c EC 7.1) : 0.010 (zandlagen; voor kleilagen zie tabel 7.d)
 Correlatiefactor $\xi_{3(n=1)}$: 1.39

Alle niveaus/hogtes/peilmaten zijn t.o.v.: N.A.P.

sondering	maaiveld paalpunt		Bezuikdraagvermogen			Rekenwaarden		
	niveau	niveau	$R_{b;cal}$ [kN]	$R_{s;cal}$ [kN]	$R_{c;cal}$ [kN]	$R_{c;d}$ [kN]	$F_{nk;d}$ [kN]	$R_{c;netto;d}$ [kN]
S035-1	28.71	21.81	3481.6	1139.1	4620.7	2770.2	0.0	2770.2
S035-2	29.16	21.81	3563.7	1075.8	4639.5	2781.5	0.0	2781.5

Totaal resultaten Mast 035 (van 2 sonderingen)

Uitgangspunten

Correlatiefactor ξ_{3gem} (n= 2) : 1.32
 Correlatiefactor ξ_{4min} (n= 2) : 1.32

gebaseerd op sonderingen:
 S035-1 S035-2

$$R_{c;k} = \min.\{ R_{c;cal;gem}/\xi_3; R_{c;cal;min}/\xi_4 \} \quad (7.8)$$

Inheinniveau
 [m]

$$21.81 \quad R_{c;k} = \min.\{ (4630.1/1.32); (4620.7/1.32) \} = 3500.5$$

Alle niveaus/hogtes/peilmaten zijn t.o.v.: N.A.P.

Inheinniveau [m]	$R_{c;k}$ [kN]	$R_{c;d}$ [kN]	$F_{c;tot;1}$ [kN]	$F_{nk;d}$ [kN]	$R_{c;netto;d}$ [kN]	U.C.	$s_{1;1}$ [mm]	$s_{1;2}$ [mm]
21.81	3500.5	2917.1	0.0	0.0	2917.1	0.00	-0.0	-0.0

REKENGEGEVENS Mast 036

Berekening : Controlerend
 Rekenmethode : Drukpalen volgens NEN-EN 1997-1, art. 7.6.2
 Sondering(en) : S036-1, S036-2

Stijf bouwwerk : NEE
 Paalgroep : NEE
 Aantal sonderingen : 2
 Factor $\xi_{3(n=1)}$: 1.39
 Factor $\xi_{3(gem)}$: 1.32
 Factor $\xi_{4(min)}$: 1.32
 Weerstandsfactor γ_R : 1.20
 $\gamma_{f;nk}$: 1.0
 $R_{s;cal;max;i}$ begrenzen op $0.75 * R_{b;cal;max;i}$: NEE
 UGT draagvermogen zonder negatieve kleef : NEE

Paal : LD1
 Niveau paalkop [m] : N.A.P. 29.21
 Paalpuntniveau : N.A.P. 21.71
 $E_{d;1}$ [kN] : 0.00 $E_{d;2}$ [kN] : 0.00
 $s_{req;1}$ [m] : 0.15 $s_{req;2}$ [m] : 0.05
 Bovenbel. [kN/m²] : 0.00

Project :
Onderdeel :

SAMENVATTINGSTABEL Mast 036 (n=1)**Uitgangspunten**

- paal : LD1
- paaltype : Stalen buispaal (gesloten)
- schachtafmeting : 550 mm
Paalklassefactor α_p : 1.00
Factor α_s (tabel 7.c EC 7.1) : 0.010 (zandlagen; voor kleilagen zie tabel 7.d)
Correlatiefactor $\xi_{3(n=1)}$: 1.39

Alle niveaus/hogtes/peilmaten zijn t.o.v.: N.A.P.

sondering	maaiveld paalpunt		Bezwijkdraagvermogen			Rekenwaarden		
	niveau	niveau	$R_{b;cal}$ [kN]	$R_{s;cal}$ [kN]	$R_{c;cal}$ [kN]	$R_{c;d}$ [kN]	$F_{nk;d}$ [kN]	$R_{c;netto;d}$ [kN]
S036-1	28.88	21.71	2639.3	843.6	3482.8	2088.0	-22.9	2065.2
S036-2	28.93	21.71	3040.3	761.2	3801.5	2279.1	-26.2	2252.8

Totaal resultaten Mast 036 (van 2 sonderingen)

Uitgangspunten

Correlatiefactor ξ_{3gem} (n= 2) : 1.32
Correlatiefactor ξ_{4min} (n= 2) : 1.32

gebaseerd op sonderingen:
S036-1 S036-2

$$R_{c;k} = \min.\{ R_{c;cal;gem}/\xi_3; R_{c;cal;min}/\xi_4 \} \quad (7.8)$$

Inheinniveau
[m]

$$21.71 \quad R_{c;k} = \min.\{ (3642.2/1.32); (3482.8/1.32) \} = 2638.5$$

Alle niveaus/hogtes/peilmaten zijn t.o.v.: N.A.P.

Inheinniveau [m]	$R_{c;k}$ [kN]	$R_{c;d}$ [kN]	$F_{c;tot;1}$ [kN]	$F_{nk;d}$ [kN]	$R_{c;netto;d}$ [kN]	U.C.	$s_{1;1}$ [mm]	$s_{1;2}$ [mm]
21.71	2638.5	2198.8	-26.2	-26.2	2172.5	0.01	-0.1	-0.1

REKENEGEVEENS Mast 037

Berekening : Controlerend
Rekenmethode : Drukpalen volgens NEN-EN 1997-1, art. 7.6.2
Sondering(en) : S037-1, S037-2

Stijf bouwwerk : NEE
Paalgroep : NEE
Aantal sonderingen : 2
Factor $\xi_{3(n=1)}$: 1.39
Factor $\xi_{3(gem)}$: 1.32
Factor $\xi_{4(min)}$: 1.32
Weerstandsfactor γ_R : 1.20
 $\gamma_{f;nk}$: 1.0
 $R_{s;cal;max;i}$ begrenzen op $0.75 * R_{b;cal;max;i}$: NEE
UGT draagvermogen zonder negatieve kleef : NEE

Paal : LD1
Niveau paalkop [m] : N.A.P. 29.78
Paalpuntniveau : N.A.P. 21.98
 $E_{d;1}$ [kN] : 0.00 $E_{d;2}$ [kN] : 0.00
 $s_{req;1}$ [m] : 0.15 $s_{req;2}$ [m] : 0.05
Bovenbel. [kN/m²] : 0.00

Project :
Onderdeel :

SAMENVATTINGSTABEL Mast 037 (n=1)**Uitgangspunten**

- paal : LD1
- paaltype : Stalen buispaal (gesloten)
- schachtafmeting : 550 mm
Paalklassefactor α_p : 1.00
Factor α_s (tabel 7.c EC 7.1) : 0.010 (zandlagen; voor kleilagen zie tabel 7.d)
Correlatiefactor $\xi_{3(n=1)}$: 1.39

Alle niveaus/hogtes/peilmaten zijn t.o.v.: N.A.P.

sondering	maaiveld paalpunt		Bezwijkdraagvermogen			Rekenwaarden		
	niveau	niveau	$R_{b;cal}$ [kN]	$R_{s;cal}$ [kN]	$R_{c;cal}$ [kN]	$R_{c;d}$ [kN]	$F_{nk;d}$ [kN]	$R_{c;netto;d}$ [kN]
S037-1	29.58	21.98	2223.1	1289.6	3512.7	2105.9	0.0	2105.9
S037-2	29.55	21.98	2354.2	1339.1	3693.3	2214.2	0.0	2214.2

Totaal resultaten Mast 037 (van 2 sonderingen)

Uitgangspunten

Correlatiefactor ξ_{3gem} (n= 2) : 1.32
Correlatiefactor ξ_{4min} (n= 2) : 1.32

gebaseerd op sonderingen:
S037-1 S037-2

$$R_{c;k} = \min.\{ R_{c;cal;gem}/\xi_3; R_{c;cal;min}/\xi_4 \} \quad (7.8)$$

Inheinniveau
[m]

$$21.98 \quad R_{c;k} = \min.\{ (3603.0 / 1.32); (3512.7 / 1.32) \} = 2661.1$$

Alle niveaus/hogtes/peilmaten zijn t.o.v.: N.A.P.

Inheinniveau [m]	$R_{c;k}$ [kN]	$R_{c;d}$ [kN]	$F_{c;tot;1}$ [kN]	$F_{nk;d}$ [kN]	$R_{c;netto;d}$ [kN]	U.C.	$s_{1;1}$ [mm]	$s_{1;2}$ [mm]
21.98	2661.1	2217.6	0.0	0.0	2217.6	0.00	-0.0	-0.0

REKENGEGEVENS Mast 038

Berekening : Controlerend
Rekenmethode : Drukpalen volgens NEN-EN 1997-1, art. 7.6.2
Sondering(en) : S038-1, S038-2

Stijf bouwwerk : NEE
Paalgroep : NEE
Aantal sonderingen : 2
Factor $\xi_{3(n=1)}$: 1.39
Factor $\xi_{3(gem)}$: 1.32
Factor $\xi_{4(min)}$: 1.32
Weerstandsfactor γ_R : 1.20
 $\gamma_{f;nk}$: 1.0
 $R_{s;cal;max;i}$ begrenzen op $0.75 * R_{b;cal;max;i}$: NEE
UGT draagvermogen zonder negatieve kleef : NEE

Paal : LD1
Niveau paalkop [m] : N.A.P. 29.68
Paalpuntniveau : N.A.P. 20.68
 $E_{d;1}$ [kN] : 0.00 $E_{d;2}$ [kN] : 0.00
 $s_{req;1}$ [m] : 0.15 $s_{req;2}$ [m] : 0.05
Bovenbel. [kN/m²] : 0.00

Project :
Onderdeel :

SAMENVATTINGSTABEL Mast 038 (n=1)

Uitgangspunten

- paal : LD1
 - paaltype : Stalen buispaal (gesloten)
 - schachtafmeting : 550 mm
 Paalklassefactor α_p : 1.00
 Factor α_s (tabel 7.c EC 7.1) : 0.010 (zandlagen; voor kleilagen zie tabel 7.d)
 Correlatiefactor $\xi_{3(n=1)}$: 1.39

Alle niveaus/hogtes/peilmaten zijn t.o.v.: N.A.P.

sondering	maaiveld paalpunt		Bezwijkdraagvermogen			Rekenwaarden		
	niveau	niveau	$R_{b;cal}$ [kN]	$R_{s;cal}$ [kN]	$R_{c;cal}$ [kN]	$R_{c;d}$ [kN]	$F_{nk;d}$ [kN]	$R_{c;netto;d}$ [kN]
S038-1	29.31	20.68	2191.8	1065.9	3257.7	1953.1	-25.1	1928.0
S038-2	29.17	20.68	1013.7	854.5	1868.2	1120.0	-30.1	1089.9

Totaal resultaten Mast 038 (van 2 sonderingen)

Uitgangspunten

Correlatiefactor ξ_{3gem} (n= 2) : 1.32
 Correlatiefactor ξ_{4min} (n= 2) : 1.32

gebaseerd op sonderingen:
 S038-1 S038-2

$$R_{c;k} = \min.\{ R_{c;cal;gem}/\xi_3; R_{c;cal;min}/\xi_4 \} \quad (7.8)$$

Inheinniveau
 [m]

$$20.68 \quad R_{c;k} = \min.\{ (2563.0/1.32); (1868.2/1.32) \} = 1415.3$$

Alle niveaus/hogtes/peilmaten zijn t.o.v.: N.A.P.

Inheinniveau [m]	$R_{c;k}$ [kN]	$R_{c;d}$ [kN]	$F_{c;tot;1}$ [kN]	$F_{nk;d}$ [kN]	$R_{c;netto;d}$ [kN]	U.C.	$s_{1;1}$ [mm]	$s_{1;2}$ [mm]
20.68	1415.3	1179.4	-30.1	-30.1	1149.3	0.03	-0.1	-0.1 *

*** WAARSCHUWING n.a.v. NEN-NA 1997-1 art. A.3.3.3 1)**

Bij toepassing van de waarden van ξ_1 , ξ_2 , ξ_3 en ξ_4 van de tabellen A.9 en A.10 mag de variatiecoëfficiënt van de draagkracht van palen in een groep, bepaald volgens de verschillende voor deze groep geldende sonderingen, niet groter zijn dan 12%. Deze variatiecoëfficiënt van 12% geeft bij een kans van onderschrijding van 5% een minimumdraagkracht groter dan 80% van het gemiddelde.

Inheinniveau [m]	Aantal [-]	$R_{c;cal;gem}$ [kN]	Var.coëff. [%]
20.68	2	2562.97	38.3

Project :
Onderdeel :

OVERZICHT NETTO DRAAGVERMOGEN DRUKPALEN

Netto paal draagvermogen(s) zijn naar beneden toe afgerond op: 1.0 kN nauwkeurig
Alle niveaus/hogtes/peilmaten zijn t.o.v.: N.A.P.

sondering	maaiveld paalpunt		$R_{c, netto, d}$ [kN]				
	niveau	niveau	Mast 031	Mast 032	Mast 033	Mast 035	Mast 036
S031-1	29.27	20.48	2110				
S031-2	29.29	20.48	2232				
S033-1	28.31	18.61			2914		
S033-2	28.44	18.61			2483		
S036-1	28.88	21.71					2065
S036-2	28.93	21.71					2252
S035-1	28.71	21.81				2770	
S035-2	29.16	21.81				2781	
S032-1	29.80	16.76		1682			
S032-2	29.41	16.76		1295			

Project :
 Onderdeel :

Netto paaldraagvermogen(s) zijn naar beneden toe afgerond op: 1.0 kN nauwkeurig
 Alle niveaus/hogtes/peilmaten zijn t.o.v.: N.A.P.

sondering	maaiveld	paalpunt	$R_{c,netto;d}$	[kN]
	niveau	niveau	Mast 037	Mast 038

S037-1	29.58	21.98	2105	
S037-2	29.55	21.98	2214	
S038-1	29.31	20.68		1927
S038-2	29.17	20.68		1089

Project :
Onderdeel :

ALGEMENE GEGEVENS

Project :
Onderdeel :
Datum : 04-03-2022
Bestand : P:\EANL_Projects\10166262 - BBB modelleren
funderingen 380 kV\02 Content\03
Calculations\Technosoft
Paalfunderingen\MBT-EHV380\DO\Nieuw
Sonderingen\Mast 040-049.pvw
Berekeningstype : Verticaal belaste paal
Alle niveaus/hogtes/peilmaten zijn t.o.v.: N.A.P.

Toegepaste normen volgens Eurocode met Nederlandse NB

Geotechniek	EN 1997-1:2004	AC:2009	
	NEN-EN 1997-1:2005	C1+A1:2013	NB:2016
	NEN 9997-1:2016	C2:2017	

REKENGEGEVENS Mast 040

Berekening : Controlerend
Rekenmethode : Drukpalen volgens NEN-EN 1997-1, art. 7.6.2
Sondering(en) : S040-1, S040-2

Stijf bouwwerk : NEE
Paalgroep : NEE
Aantal sonderingen : 2
Factor ξ_3 (n=1) : 1.39
Factor ξ_3 (gem) : 1.32
Factor ξ_4 (min) : 1.32
Weerstandsfactor γ_R : 1.20
 $\gamma_{f,nk}$: 1.0
 $R_{s,cal,max,i}$ begrenzen op $0.75 * R_{b,cal,max,i}$: NEE
UGT draagvermogen zonder negatieve kleef : NEE

Paal	:	LD1			
Niveau paalkop	[m]	N.A.P.	29.90		
Paalpuntniveau	:	N.A.P.	22.50		
$E_{d,1}$	[kN]	:	0.00	$E_{d,2}$	[kN] : 0.00
$s_{req,1}$	[m]	:	0.15	$s_{req,2}$	[m] : 0.05
Bovenbel.	[kN/m ²]	:	0.00		

Project :
Onderdeel :

SAMENVATTINGSTABEL Mast 040 (n=1)

Uitgangspunten

- paal : LD1
 - paaltype : Stalen buispaal (gesloten)
 - schachtafmeting : 550 mm
 Paalklassefactor α_p : 1.00
 Factor α_s (tabel 7.c EC 7.1) : 0.010 (zandlagen; voor kleilagen zie tabel 7.d)
 Correlatiefactor $\xi_{3(n=1)}$: 1.39

Alle niveaus/hogtes/peilmaten zijn t.o.v.: N.A.P.

sondering	maaiveld paalpunt		Bezwijkdraagvermogen			Rekenwaarden		
	niveau	niveau	$R_{b;cal}$ [kN]	$R_{s;cal}$ [kN]	$R_{c;cal}$ [kN]	$R_{c;d}$ [kN]	$F_{nk;d}$ [kN]	$R_{c;netto;d}$ [kN]
S040-1	29.25	22.50	3166.4	1330.9	4497.3	2696.2	0.0	2696.2
S040-2	29.27	22.50	1645.2	1168.3	2813.5	1686.7	0.0	1686.7

Totaal resultaten Mast 040 (van 2 sonderingen)

Uitgangspunten

Correlatiefactor ξ_{3gem} (n= 2) : 1.32
 Correlatiefactor ξ_{4min} (n= 2) : 1.32

gebaseerd op sonderingen:
S040-1 S040-2

$$R_{c;k} = \min.\{ R_{c;cal;gem}/\xi_3; R_{c;cal;min}/\xi_4 \} \quad (7.8)$$

Inheinniveau
[m]

$$22.50 \quad R_{c;k} = \min.\{ (3655.4/1.32); (2813.5/1.32) \} = 2131.4$$

Alle niveaus/hogtes/peilmaten zijn t.o.v.: N.A.P.

Inheinniveau [m]	$R_{c;k}$ [kN]	$R_{c;d}$ [kN]	$F_{c;tot;1}$ [kN]	$F_{nk;d}$ [kN]	$R_{c;netto;d}$ [kN]	U.C.	$S_{1;1}$ [mm]	$S_{1;2}$ [mm]
22.50	2131.4	1776.2	0.0	0.0	1776.2	0.00	-0.0	-0.0 *

*** WAARSCHUWING n.a.v. NEN-NA 1997-1 art. A.3.3.3 1)**

Bij toepassing van de waarden van ξ_1, ξ_2, ξ_3 en ξ_4 van de tabellen A.9 en A.10 mag de variatiecoëfficiënt van de draagkracht van palen in een groep, bepaald volgens de verschillende voor deze groep geldende sonderingen, niet groter zijn dan 12%. Deze variatiecoëfficiënt van 12% geeft bij een kans van onderschrijding van 5% een minimumdraagkracht groter dan 80% van het gemiddelde.

Inheinniveau [m]	Aantal [-]	$R_{c;cal;gem}$ [kN]	Var.coëff. [%]
22.50	2	3655.38	32.6

REKENGEGEVENS Mast 041

Berekening : Controlerend
 Rekenmethode : Drukpalen volgens NEN-EN 1997-1, art. 7.6.2
 Sondering(en) : S041-1, S041-2

Stijf bouwwerk : NEE
 Paalgroep : NEE
 Aantal sonderingen : 2
 Factor $\xi_{3(n=1)}$: 1.39
 Factor $\xi_{3(gem)}$: 1.32
 Factor $\xi_{4(min)}$: 1.32
 Weerstandsfactor γ_R : 1.20
 $\gamma_{f,nk}$: 1.0

$R_{s;cal;max;i}$ begrenzen op $0.75 * R_{p;cal;max;i}$: NEE
 UGT draagvermogen zonder negatieve kleef : NEE

Paal : LD1
 Niveau paalkop [m] : N.A.P. 29.89
 Paalpuntniveau : N.A.P. 21.19
 $E_{d;1}$ [kN] : 0.00

$E_{d;2}$ [kN] : 0.00

Project :
Onderdeel :

SAMENVATTINGSTABEL Mast 041 (n=1)**Uitgangspunten**

- paal : LD1
 - paaltype : Stalen buispaal (gesloten)
 - schachtafmeting : 550 mm
 Paalklassefactor α_p : 1.00
 Factor α_s (tabel 7.c EC 7.1) : 0.010 (zandlagen; voor kleilagen zie tabel 7.d)
 Correlatiefactor $\xi_{3(n=1)}$: 1.39

Alle niveaus/hogtes/peilmaten zijn t.o.v.: N.A.P.

sondering	maaiveld paalpunt		Bezwijkdraagvermogen			Rekenwaarden		
	niveau	niveau	$R_{b;cal}$ [kN]	$R_{s;cal}$ [kN]	$R_{c;cal}$ [kN]	$R_{c;d}$ [kN]	$F_{nk;d}$ [kN]	$R_{c;netto;d}$ [kN]
S041-1	29.64	21.19	3254.4	831.3	4085.7	2449.5	-43.1	2406.3
S041-2	29.79	21.19	3563.7	222.7	3786.4	2270.0	-156.5	2113.6

Totaal resultaten Mast 041 (van 2 sonderingen)

Uitgangspunten

Correlatiefactor ξ_{3gem} (n= 2) : 1.32
 Correlatiefactor ξ_{4min} (n= 2) : 1.32

gebaseerd op sonderingen:

S041-1 S041-2

$$R_{c;k} = \min.\{ R_{c;cal;gem}/\xi_3; R_{c;cal;min}/\xi_4 \} \quad (7.8)$$

Inheinniveau
[m]

$$21.19 \quad R_{c;k} = \min.\{ (3936.1/1.32); (3786.4/1.32) \} = 2868.5$$

Alle niveaus/hogtes/peilmaten zijn t.o.v.: N.A.P.

Inheinniveau [m]	$R_{c;k}$ [kN]	$R_{c;d}$ [kN]	$F_{c;tot;1}$ [kN]	$F_{nk;d}$ [kN]	$R_{c;netto;d}$ [kN]	U.C.	$s_{1;1}$ [mm]	$s_{1;2}$ [mm]
21.19	2868.5	2390.4	-156.5	-156.5	2233.9	0.07	-0.5	-0.5

REKENGEGEVENS Mast 042

Berekening : Controlerend
 Rekenmethode : Drukpalen volgens NEN-EN 1997-1, art. 7.6.2
 Sondering(en) : S042-1, S042-2

Stijf bouwwerk : NEE
 Paalgroep : NEE
 Aantal sonderingen : 2
 Factor $\xi_{3(n=1)}$: 1.39
 Factor $\xi_{3(gem)}$: 1.32
 Factor $\xi_{4(min)}$: 1.32
 Weerstandsfactor γ_R : 1.20
 $\gamma_{f;nk}$: 1.0
 $R_{s;cal;max;i}$ begrenzen op $0.75 * R_{b;cal;max;i}$: NEE
 UGT draagvermogen zonder negatieve kleeft : NEE

Paal : LD1
 Niveau paalkop [m] : N.A.P. 30.96
 Paalpuntniveau : N.A.P. 21.46
 $E_{d;1}$ [kN] : 0.00 $E_{d;2}$ [kN] : 0.00
 $s_{req;1}$ [m] : 0.15 $s_{req;2}$ [m] : 0.05
 Bovenbel. [kN/m²] : 0.00

Project :
Onderdeel :

SAMENVATTINGSTABEL Mast 042 (n=1)**Uitgangspunten**

- paal : LD1
- paaltype : Stalen buispaal (gesloten)
- schachtafmeting : 550 mm
Paalklassefactor α_p : 1.00
Factor α_s (tabel 7.c EC 7.1) : 0.010 (zandlagen; voor kleilagen zie tabel 7.d)
Correlatiefactor $\xi_{3(n=1)}$: 1.39

Alle niveaus/hogtes/peilmaten zijn t.o.v.: N.A.P.

sondering	maaiveld paalpunt		Bezwijkdraagvermogen			Rekenwaarden		
	niveau	niveau	$R_{b;cal}$ [kN]	$R_{s;cal}$ [kN]	$R_{c;cal}$ [kN]	$R_{c;d}$ [kN]	$F_{nk;d}$ [kN]	$R_{c;netto;d}$ [kN]
S042-1	30.69	21.46	3563.7	1110.0	4673.7	2802.0	-40.9	2761.1
S042-2	30.69	21.46	3563.7	1177.7	4741.4	2842.6	-38.9	2803.6

Totaal resultaten Mast 042 (van 2 sonderingen)

Uitgangspunten

Correlatiefactor ξ_{3gem} (n= 2) : 1.32
Correlatiefactor ξ_{4min} (n= 2) : 1.32

gebaseerd op sonderingen:
S042-1 S042-2

$$R_{c;k} = \min.\{ R_{c;cal;gem}/\xi_3; R_{c;cal;min}/\xi_4 \} \quad (7.8)$$

Inheinniveau
[m]

$$21.46 \quad R_{c;k} = \min.\{ (4707.6/1.32); (4673.7/1.32) \} = 3540.7$$

Alle niveaus/hogtes/peilmaten zijn t.o.v.: N.A.P.

Inheinniveau [m]	$R_{c;k}$ [kN]	$R_{c;d}$ [kN]	$F_{c;tot;1}$ [kN]	$F_{nk;d}$ [kN]	$R_{c;netto;d}$ [kN]	U.C.	$s_{1;1}$ [mm]	$s_{1;2}$ [mm]
21.46	3540.7	2950.6	-40.9	-40.9	2909.7	0.01	-0.1	-0.1

REKENGEGEVENS Mast 043

Berekening : Controlerend
Rekenmethode : Drukpalen volgens NEN-EN 1997-1, art. 7.6.2
Sondering(en) : S043-1, S043-2

Stijf bouwwerk : NEE
Paalgroep : NEE
Aantal sonderingen : 2
Factor $\xi_{3(n=1)}$: 1.39
Factor $\xi_{3(gem)}$: 1.32
Factor $\xi_{4(min)}$: 1.32
Weerstandsfactor γ_R : 1.20
 $\gamma_{f;nk}$: 1.0
 $R_{s;cal;max;i}$ begrenzen op $0.75 * R_{b;cal;max;i}$: NEE
UGT draagvermogen zonder negatieve kleef : NEE

Paal : LD1
Niveau paalkop [m] : N.A.P. 30.37
Paalpuntniveau : N.A.P. 21.17
 $E_{d;1}$ [kN] : 0.00
 $s_{req;1}$ [m] : 0.15
Bovenbel. [kN/m²] : 0.00

$E_{d;2}$ [kN] : 0.00
 $s_{req;2}$ [m] : 0.05

Project :
Onderdeel :

SAMENVATTINGSTABEL Mast 043 (n=1)**Uitgangspunten**

- paal : LD1
- paaltype : Stalen buispaal (gesloten)
- schachtafmeting : 550 mm
Paalklassefactor α_p : 1.00
Factor α_s (tabel 7.c EC 7.1) : 0.010 (zandlagen; voor kleilagen zie tabel 7.d)
Correlatiefactor $\xi_{3(n=1)}$: 1.39

Alle niveaus/hogtes/peilmaten zijn t.o.v.: N.A.P.

sondering	maaiveld paalpunt		Bewijkdraagvermogen			Rekenwaarden		
	niveau	niveau	$R_{b;cal}$ [kN]	$R_{s;cal}$ [kN]	$R_{c;cal}$ [kN]	$R_{c;d}$ [kN]	$F_{nk;d}$ [kN]	$R_{c;netto;d}$ [kN]
S043-1	30.06	21.17	3563.7	124.5	3688.2	2211.2	-191.1	2020.1
S043-2	29.87	21.17	3563.7	94.3	3658.1	2193.1	-194.9	1998.2

Totaal resultaten Mast 043 (van 2 sonderingen)

Uitgangspunten

Correlatiefactor ξ_{3gem} (n= 2) : 1.32
Correlatiefactor ξ_{4min} (n= 2) : 1.32

gebaseerd op sonderingen:
S043-1 S043-2

$$R_{c;k} = \min.\{ R_{c;cal;gem}/\xi_3; R_{c;cal;min}/\xi_4 \} \quad (7.8)$$

Inheinniveau
[m]

$$21.17 \quad R_{c;k} = \min.\{ (3673.1/1.32); (3658.1/1.32) \} = 2771.3$$

Alle niveaus/hogtes/peilmaten zijn t.o.v.: N.A.P.

Inheinniveau [m]	$R_{c;k}$ [kN]	$R_{c;d}$ [kN]	$F_{c;tot;1}$ [kN]	$F_{nk;d}$ [kN]	$R_{c;netto;d}$ [kN]	U.C.	$s_{1;1}$ [mm]	$s_{1;2}$ [mm]
21.17	2771.3	2309.4	-194.9	-194.9	2114.5	0.08	-0.7	-0.6

REKENEGEGEVENS Mast 044

Berekening : Controlerend
Rekenmethode : Drukpalen volgens NEN-EN 1997-1, art. 7.6.2
Sondering(en) : S044-1, S044-2

Stijf bouwwerk : NEE
Paalgroep : NEE
Aantal sonderingen : 2
Factor $\xi_{3(n=1)}$: 1.39
Factor $\xi_{3(gem)}$: 1.32
Factor $\xi_{4(min)}$: 1.32
Weerstandsfactor γ_R : 1.20
 $\gamma_{f;nk}$: 1.0
 $R_{s;cal;max;i}$ begrenzen op $0.75 * R_{b;cal;max;i}$: NEE
UGT draagvermogen zonder negatieve kleef : NEE

Paal : LD1
Niveau paalkop [m] : N.A.P. 30.61
Paalpuntniveau : N.A.P. 22.21
 $E_{d;1}$ [kN] : 0.00 $E_{d;2}$ [kN] : 0.00
 $s_{req;1}$ [m] : 0.15 $s_{req;2}$ [m] : 0.05
Bovenbel. [kN/m²] : 0.00

Project :
Onderdeel :

SAMENVATTINGSTABEL Mast 044 (n=1)**Uitgangspunten**

- paal : LD1
 - paaltype : Stalen buispaal (gesloten)
 - schachtafmeting : 550 mm
 Paalklassefactor α_p : 1.00
 Factor α_s (tabel 7.c EC 7.1) : 0.010 (zandlagen; voor kleilagen zie tabel 7.d)
 Correlatiefactor $\xi_{3(n=1)}$: 1.39

Alle niveaus/hogtes/peilmaten zijn t.o.v.: N.A.P.

sondering	maaiveld paalpunt		Bezwijkdraagvermogen			Rekenwaarden		
	niveau	niveau	$R_{b;cal}$ [kN]	$R_{s;cal}$ [kN]	$R_{c;cal}$ [kN]	$R_{c;d}$ [kN]	$F_{nk;d}$ [kN]	$R_{c;netto;d}$ [kN]
S044-1	30.26	22.21	274.6	1445.8	1720.4	1031.4	0.0	1031.4
S044-2	30.19	22.21	766.7	1104.3	1871.0	1121.7	0.0	1121.7

Totaal resultaten Mast 044 (van 2 sonderingen)

Uitgangspunten

Correlatiefactor ξ_{3gem} (n= 2) : 1.32
 Correlatiefactor ξ_{4min} (n= 2) : 1.32

gebaseerd op sonderingen:
 S044-1 S044-2

$$R_{c;k} = \min.\{ R_{c;cal;gem}/\xi_3; R_{c;cal;min}/\xi_4 \} \quad (7.8)$$

Inheinniveau
 [m]

$$22.21 \quad R_{c;k} = \min.\{ (1795.7/1.32); (1720.4/1.32) \} = 1303.4$$

Alle niveaus/hogtes/peilmaten zijn t.o.v.: N.A.P.

Inheinniveau [m]	$R_{c;k}$ [kN]	$R_{c;d}$ [kN]	$F_{c;tot;1}$ [kN]	$F_{nk;d}$ [kN]	$R_{c;netto;d}$ [kN]	U.C.	$s_{1;1}$ [mm]	$s_{1;2}$ [mm]
22.21	1303.4	1086.1	0.0	0.0	1086.1	0.00	-0.0	-0.0

REKENGEGEVENS Mast 045

Berekening : Controlerend
 Rekenmethode : Drukpalen volgens NEN-EN 1997-1, art. 7.6.2
 Sondering(en) : S045-1, S045-2

Stijf bouwwerk : NEE
 Paalgroep : NEE
 Aantal sonderingen : 2
 Factor $\xi_{3(n=1)}$: 1.39
 Factor $\xi_{3(gem)}$: 1.32
 Factor $\xi_{4(min)}$: 1.32
 Weerstandsfactor γ_R : 1.20
 $\gamma_{f;nk}$: 1.0
 $R_{s;cal;max;i}$ begrenzen op $0.75 * R_{b;cal;max;i}$: NEE
 UGT draagvermogen zonder negatieve kleef : NEE

Paal : LD1
 Niveau paalkop [m] : N.A.P. 30.68
 Paalpuntniveau : N.A.P. 19.38
 $E_{d;1}$ [kN] : 0.00 $E_{d;2}$ [kN] : 0.00
 $s_{req;1}$ [m] : 0.15 $s_{req;2}$ [m] : 0.05
 Bovenbel. [kN/m²] : 0.00

Project :
Onderdeel :

SAMENVATTINGSTABEL Mast 045 (n=1)**Uitgangspunten**

- paal : LD1
 - paaltype : Stalen buispaal (gesloten)
 - schachtafmeting : 550 mm
 Paalklassefactor α_p : 1.00
 Factor α_s (tabel 7.c EC 7.1) : 0.010 (zandlagen; voor kleilagen zie tabel 7.d)
 Correlatiefactor $\xi_{3(n=1)}$: 1.39

Alle niveaus/hogtes/peilmaten zijn t.o.v.: N.A.P.

sondering	maaiveld paalpunt		Bezwijkdraagvermogen			Rekenwaarden		
	niveau	niveau	$R_{b;cal}$ [kN]	$R_{s;cal}$ [kN]	$R_{c;cal}$ [kN]	$R_{c;d}$ [kN]	$F_{nk;d}$ [kN]	$R_{c;netto;d}$ [kN]
S045-1	30.42	19.38	3563.7	118.4	3682.1	2207.5	-286.6	1920.9
S045-2	30.26	19.38	3563.7	132.6	3696.3	2216.0	-280.2	1935.9

Totaal resultaten Mast 045 (van 2 sonderingen)

Uitgangspunten

Correlatiefactor ξ_{3gem} (n= 2) : 1.32
 Correlatiefactor ξ_{4min} (n= 2) : 1.32

gebaseerd op sonderingen:
 S045-1 S045-2

$$R_{c;k} = \min.\{ R_{c;cal;gem}/\xi_3; R_{c;cal;min}/\xi_4 \} \quad (7.8)$$

Inheinniveau
 [m]

$$19.38 \quad R_{c;k} = \min.\{ (3689.2/1.32); (3682.1/1.32) \} = 2789.5$$

Alle niveaus/hogtes/peilmaten zijn t.o.v.: N.A.P.

Inheinniveau [m]	$R_{c;k}$ [kN]	$R_{c;d}$ [kN]	$F_{c;tot;1}$ [kN]	$F_{nk;d}$ [kN]	$R_{c;netto;d}$ [kN]	U.C.	$s_{1;1}$ [mm]	$s_{1;2}$ [mm]
19.38	2789.5	2324.6	-286.6	-286.6	2037.9	0.12	-1.1	-1.1

REKENGEGEVENS Mast 046

Berekening : Controlerend
 Rekenmethode : Drukpalen volgens NEN-EN 1997-1, art. 7.6.2
 Sondering(en) : S046-1, S046-2

Stijf bouwwerk : NEE
 Paalgroep : NEE
 Aantal sonderingen : 2
 Factor $\xi_{3(n=1)}$: 1.39
 Factor $\xi_{3(gem)}$: 1.32
 Factor $\xi_{4(min)}$: 1.32
 Weerstandsfactor γ_R : 1.20
 $\gamma_{f;nk}$: 1.0
 $R_{s;cal;max;i}$ begrenzen op $0.75 * R_{b;cal;max;i}$: NEE
 UGT draagvermogen zonder negatieve kleeft : NEE

Paal : LD1
 Niveau paalkop [m] : N.A.P. 31.23
 Paalpuntniveau : N.A.P. 22.23
 $E_{d;1}$ [kN] : 0.00 $E_{d;2}$ [kN] : 0.00
 $s_{req;1}$ [m] : 0.15 $s_{req;2}$ [m] : 0.05
 Bovenbel. [kN/m²] : 0.00

Project :
Onderdeel :

SAMENVATTINGSTABEL Mast 046 (n=1)

Uitgangspunten

- paal : LD1
 - paaltype : Stalen buispaal (gesloten)
 - schachtafmeting : 550 mm
 Paalklassefactor α_p : 1.00
 Factor α_s (tabel 7.c EC 7.1) : 0.010 (zandlagen; voor kleilagen zie tabel 7.d)
 Correlatiefactor $\xi_{3(n=1)}$: 1.39

Alle niveaus/hogtes/peilmaten zijn t.o.v.: N.A.P.

sondering	maaiveld paalpunt		Bezwijkdraagvermogen			Rekenwaarden		
	niveau	niveau	$R_{b;cal}$ [kN]	$R_{s;cal}$ [kN]	$R_{c;cal}$ [kN]	$R_{c;d}$ [kN]	$F_{nk;d}$ [kN]	$R_{c;netto;d}$ [kN]
S046-1	31.15	22.23	1414.3	999.0	2413.3	1446.8	-44.5	1402.3
S046-2	30.93	22.23	817.2	1009.4	1826.7	1095.1	-43.2	1051.9

Totaal resultaten Mast 046 (van 2 sonderingen)

Uitgangspunten

Correlatiefactor ξ_{3gem} (n= 2) : 1.32
 Correlatiefactor ξ_{4min} (n= 2) : 1.32

gebaseerd op sonderingen:
 S046-1 S046-2

$$R_{c;k} = \min.\{ R_{c;cal;gem}/\xi_3; R_{c;cal;min}/\xi_4 \} \quad (7.8)$$

Inheinniveau
 [m]

$$22.23 \quad R_{c;k} = \min.\{ (2120.0/1.32); (1826.7/1.32) \} = 1383.8$$

Alle niveaus/hogtes/peilmaten zijn t.o.v.: N.A.P.

Inheinniveau [m]	$R_{c;k}$ [kN]	$R_{c;d}$ [kN]	$F_{c;tot;1}$ [kN]	$F_{nk;d}$ [kN]	$R_{c;netto;d}$ [kN]	U.C.	$S_{1;1}$ [mm]	$S_{1;2}$ [mm]
22.23	1383.8	1153.2	-44.5	-44.5	1108.7	0.04	-0.1	-0.1 *

*** WAARSCHUWING n.a.v. NEN-NA 1997-1 art. A.3.3.3 1)**

Bij toepassing van de waarden van ξ_1, ξ_2, ξ_3 en ξ_4 van de tabellen A.9 en A.10 mag de variatiecoëfficiënt van de draagkracht van palen in een groep, bepaald volgens de verschillende voor deze groep geldende sonderingen, niet groter zijn dan 12%. Deze variatiecoëfficiënt van 12% geeft bij een kans van onderschrijding van 5% een minimumdraagkracht groter dan 80% van het gemiddelde.

Inheinniveau [m]	Aantal [-]	$R_{c;cal;gem}$ [kN]	Var.coëff. [%]
22.23	2	2119.97	19.6

REKENEGEGEVENS Mast 047

Berekening : Controllerend
 Rekenmethode : Drukpalen volgens NEN-EN 1997-1, art. 7.6.2
 Sondering(en) : S047-1, S047-2

Stijf bouwwerk : NEE
 Paalgroep : NEE
 Aantal sonderingen : 2
 Factor $\xi_{3(n=1)}$: 1.39
 Factor $\xi_{3(gem)}$: 1.32
 Factor $\xi_{4(min)}$: 1.32
 Weerstandsfactor γ_R : 1.20
 $\gamma_{f,nk}$: 1.0

$R_{s;cal;max;i}$ begrenzen op $0.75 * R_{p;cal;max;i}$: NEE
 UGT draagvermogen zonder negatieve kleef : NEE

Paal : LD1
 Niveau paalkop [m] : N.A.P. 31.36
 Paalpuntniveau : N.A.P. 22.36
 $E_{d;1}$ [kN] : 0.00

$E_{d;2}$ [kN] : 0.00

Project :
Onderdeel :

SAMENVATTINGSTABEL Mast 047 (n=1)**Uitgangspunten**

- paal : LD1
- paaltype : Stalen buispaal (gesloten)
- schachtafmeting : 550 mm
Paalklassefactor α_p : 1.00
Factor α_s (tabel 7.c EC 7.1) : 0.010 (zandlagen; voor kleilagen zie tabel 7.d)
Correlatiefactor $\xi_{3(n=1)}$: 1.39

Alle niveaus/hogtes/peilmaten zijn t.o.v.: N.A.P.

sondering	maaiveld paalpunt		Bezwijkdraagvermogen			Rekenwaarden		
	niveau	niveau	$R_{b;cal}$ [kN]	$R_{s;cal}$ [kN]	$R_{c;cal}$ [kN]	$R_{c;d}$ [kN]	$F_{nk;d}$ [kN]	$R_{c;netto;d}$ [kN]
S047-1	31.00	22.36	726.1	901.3	1627.4	975.6	-52.4	923.2
S047-2	31.04	22.36	1040.2	1063.0	2103.2	1260.9	-37.9	1223.0

Totaal resultaten Mast 047 (van 2 sonderingen)

Uitgangspunten

Correlatiefactor ξ_{3gem} (n= 2) : 1.32
Correlatiefactor ξ_{4min} (n= 2) : 1.32

gebaseerd op sonderingen:
S047-1 S047-2

$$R_{c;k} = \min.\{ R_{c;cal;gem}/\xi_3; R_{c;cal;min}/\xi_4 \} \quad (7.8)$$

Inheinniveau
[m]

$$22.36 \quad R_{c;k} = \min.\{ (1865.3/1.32); (1627.4/1.32) \} = 1232.8$$

Alle niveaus/hogtes/peilmaten zijn t.o.v.: N.A.P.

Inheinniveau [m]	$R_{c;k}$ [kN]	$R_{c;d}$ [kN]	$F_{c;tot;1}$ [kN]	$F_{nk;d}$ [kN]	$R_{c;netto;d}$ [kN]	U.C.	$S_{1;1}$ [mm]	$S_{1;2}$ [mm]
22.36	1232.8	1027.4	-52.4	-52.4	975.0	0.05	-0.2	-0.2 *

*** WAARSCHUWING n.a.v. NEN-NA 1997-1 art. A.3.3.3 1)**

Bij toepassing van de waarden van ξ_1 , ξ_2 , ξ_3 en ξ_4 van de tabellen A.9 en A.10 mag de variatiecoëfficiënt van de draagkracht van palen in een groep, bepaald volgens de verschillende voor deze groep geldende sonderingen, niet groter zijn dan 12%. Deze variatiecoëfficiënt van 12% geeft bij een kans van onderschrijding van 5% een minimumdraagkracht groter dan 80% van het gemiddelde.

Inheinniveau [m]	Aantal [-]	$R_{c;cal;gem}$ [kN]	Var.coëff. [%]
22.36	2	1865.28	18.0

REKENGEGEVENS Mast 048

Berekening : Controlerend
Rekenmethode : Drukpalen volgens NEN-EN 1997-1, art. 7.6.2
Sondering(en) : S048-1, S048-2

Stijf bouwwerk : NEE
Paalgroep : NEE
Aantal sonderingen : 2
Factor $\xi_{3(n=1)}$: 1.39
Factor $\xi_{3(gem)}$: 1.32
Factor $\xi_{4(min)}$: 1.32
Weerstandsfactor γ_R : 1.20
 $\gamma_{f,nk}$: 1.0

$R_{s;cal;max;i}$ begrenzen op $0.75 * R_{p;cal;max;i}$: NEE
UGT draagvermogen zonder negatieve kleef : NEE

Paal : LD1
Niveau paalkop [m] : N.A.P. 31.88
Paalpuntniveau : N.A.P. 21.18
 $E_{d;1}$ [kN] : 0.00

$E_{d;2}$ [kN] : 0.00

Project :
Onderdeel :

SAMENVATTINGSTABEL Mast 048 (n=1)**Uitgangspunten**

- paal : LD1
 - paaltype : Stalen buispaal (gesloten)
 - schachtafmeting : 550 mm
 Paalklassefactor α_p : 1.00
 Factor α_s (tabel 7.c EC 7.1) : 0.010 (zandlagen; voor kleilagen zie tabel 7.d)
 Correlatiefactor $\xi_{3(n=1)}$: 1.39

Alle niveaus/hogtes/peilmaten zijn t.o.v.: N.A.P.

sondering	maaiveld paalpunt		Bezwijkdraagvermogen			Rekenwaarden		
	niveau	niveau	$R_{b;cal}$ [kN]	$R_{s;cal}$ [kN]	$R_{c;cal}$ [kN]	$R_{c;d}$ [kN]	$F_{nk;d}$ [kN]	$R_{c;netto;d}$ [kN]
S048-1	31.37	21.18	1278.4	1019.1	2297.4	1377.4	0.0	1377.4
S048-2	31.38	21.18	1047.2	1218.4	2265.7	1358.3	0.0	1358.3

Totaal resultaten Mast 048 (van 2 sonderingen)

Uitgangspunten

Correlatiefactor ξ_{3gem} (n= 2) : 1.32
 Correlatiefactor ξ_{4min} (n= 2) : 1.32

gebaseerd op sonderingen:
 S048-1 S048-2

$$R_{c;k} = \min.\{ R_{c;cal;gem}/\xi_3; R_{c;cal;min}/\xi_4 \} \quad (7.8)$$

Inheinniveau
 [m]

$$21.18 \quad R_{c;k} = \min.\{ (2281.6/1.32); (2265.7/1.32) \} = 1716.4$$

Alle niveaus/hogtes/peilmaten zijn t.o.v.: N.A.P.

Inheinniveau [m]	$R_{c;k}$ [kN]	$R_{c;d}$ [kN]	$F_{c;tot;1}$ [kN]	$F_{nk;d}$ [kN]	$R_{c;netto;d}$ [kN]	U.C.	$s_{1;1}$ [mm]	$s_{1;2}$ [mm]
21.18	1716.4	1430.4	0.0	0.0	1430.4	0.00	-0.0	-0.0

REKENGEGEVENS Mast 049

Berekening : Controlerend
 Rekenmethode : Drukpalen volgens NEN-EN 1997-1, art. 7.6.2
 Sondering(en) : S049-1, S049-2

Stijf bouwwerk : NEE
 Paalgroep : NEE
 Aantal sonderingen : 2
 Factor $\xi_{3(n=1)}$: 1.39
 Factor $\xi_{3(gem)}$: 1.32
 Factor $\xi_{4(min)}$: 1.32
 Weerstandsfactor γ_R : 1.20
 $\gamma_{f;nk}$: 1.0
 $R_{s;cal;max;i}$ begrenzen op $0.75 * R_{b;cal;max;i}$: NEE
 UGT draagvermogen zonder negatieve kleef : NEE

Paal : LD1
 Niveau paalkop [m] : N.A.P. 31.41
 Paalpuntniveau : N.A.P. 21.91
 $E_{d;1}$ [kN] : 0.00 $E_{d;2}$ [kN] : 0.00
 $s_{req;1}$ [m] : 0.15 $s_{req;2}$ [m] : 0.05
 Bovenbel. [kN/m²] : 0.00

Project :
Onderdeel :

SAMENVATTINGSTABEL Mast 049 (n=1)**Uitgangspunten**

- paal : LD1
 - paaltype : Stalen buispaal (gesloten)
 - schachtafmeting : 550 mm
 Paalklassefactor α_p : 1.00
 Factor α_s (tabel 7.c EC 7.1) : 0.010 (zandlagen; voor kleilagen zie tabel 7.d)
 Correlatiefactor $\xi_{3(n=1)}$: 1.39

Alle niveaus/hogtes/peilmaten zijn t.o.v.: N.A.P.

sondering	maaiveld paalpunt		Bezwijkdraagvermogen			Rekenwaarden		
	niveau	niveau	$R_{b;cal}$ [kN]	$R_{s;cal}$ [kN]	$R_{c;cal}$ [kN]	$R_{c;d}$ [kN]	$F_{nk;d}$ [kN]	$R_{c;netto;d}$ [kN]
S049-1	30.90	21.91	997.4	1155.5	2153.0	1290.7	-49.4	1241.4
S049-2	31.12	21.91	1307.3	1154.5	2461.9	1475.9	-26.6	1449.3

Totaal resultaten Mast 049 (van 2 sonderingen)

Uitgangspunten

Correlatiefactor ξ_{3gem} (n= 2) : 1.32
 Correlatiefactor ξ_{4min} (n= 2) : 1.32

gebaseerd op sonderingen:
 S049-1 S049-2

$$R_{c;k} = \min.\{ R_{c;cal;gem}/\xi_3; R_{c;cal;min}/\xi_4 \} \quad (7.8)$$

Inheinniveau
 [m]

$$21.91 \quad R_{c;k} = \min.\{ (2307.4/1.32); (2153.0/1.32) \} = 1631.0$$

Alle niveaus/hogtes/peilmaten zijn t.o.v.: N.A.P.

Inheinniveau [m]	$R_{c;k}$ [kN]	$R_{c;d}$ [kN]	$F_{c;tot;1}$ [kN]	$F_{nk;d}$ [kN]	$R_{c;netto;d}$ [kN]	U.C.	$s_{1;1}$ [mm]	$s_{1;2}$ [mm]
21.91	1631.0	1359.2	-49.4	-49.4	1309.8	0.04	-0.2	-0.1

Project :
Onderdeel :

OVERZICHT NETTO DRAAGVERMOGEN DRUKPALEN

Netto paal draagvermogen(s) zijn naar beneden toe afgerond op: 1.0 kN nauwkeurig
Alle niveaus/hogtes/peilmaten zijn t.o.v.: N.A.P.

sondering	maaiveld paalpunt		$R_{c,netto;d}$ [kN]				
	niveau	niveau	Mast 040	Mast 041	Mast 042	Mast 043	Mast 044
S042-1	30.69	21.46			2761		
S042-2	30.69	21.46			2803		
S041-1	29.64	21.19		2406			
S041-2	29.79	21.19		2113			
S043-1	30.06	21.17				2020	
S043-2	29.87	21.17				1998	
S040-1	29.25	22.50	2696				
S040-2	29.27	22.50	1686				
S044-1	30.26	22.21					1031
S044-2	30.19	22.21					1121

Project :
Onderdeel :

Netto paal draagvermogen(s) zijn naar beneden toe afgerond op: 1.0 kN nauwkeurig
Alle niveaus/hogtes/peilmaten zijn t.o.v.: N.A.P.

sondering	maaiveld paalpunt		$R_{c,netto;d}$ [kN]				
	niveau	niveau	Mast 045	Mast 046	Mast 047	Mast 048	Mast 049
S045-1	30.42	19.38	1920				
S045-2	30.26	19.38	1935				
S046-1	31.15	22.23		1402			
S046-2	30.93	22.23		1051			
S047-1	31.00	22.36			923		
S047-2	31.04	22.36			1223		
S048-1	31.37	21.18				1377	
S048-2	31.38	21.18				1358	
S049-1	30.90	21.91					1241
S049-2	31.12	21.91					1449

Project :
Onderdeel :

ALGEMENE GEGEVENS

Project :
Onderdeel :
Datum : 04-03-2022
Bestand : P:\EANL_Projects\10166262 - BBB modelleren
funderingen 380 kV\02 Content\03
Calculations\Technosoft
Paalfunderingen\MBT-EHV380\DO\Nieuw
Sonderingen\Mast 050-059.pvw
Berekeningstype : Verticaal belaste paal
Alle niveaus/hogtes/peilmaten zijn t.o.v.: N.A.P.

Toegepaste normen volgens Eurocode met Nederlandse NB

Geotechniek	EN 1997-1:2004	AC:2009	
	NEN-EN 1997-1:2005	C1+A1:2013	NB:2016
	NEN 9997-1:2016	C2:2017	

REKENGEGEVENS Mast 052

Berekening : Controlerend
Rekenmethode : Drukpalen volgens NEN-EN 1997-1, art. 7.6.2
Sondering(en) : S052-1, S052-2

Stijf bouwwerk : NEE
Paalgroep : NEE
Aantal sonderingen : 2
Factor ξ_3 (n=1) : 1.39
Factor ξ_3 (gem) : 1.32
Factor ξ_4 (min) : 1.32
Weerstandsfactor γ_R : 1.20
 $\gamma_{f,nk}$: 1.0
 $R_{s,cal,max,i}$ begrenzen op $0.75 * R_{b,cal,max,i}$: NEE
UGT draagvermogen zonder negatieve kleef : NEE

Paal	:	LD1			
Niveau paalkop	[m]	N.A.P.	31.65		
Paalpuntniveau	:	N.A.P.	18.15		
$E_{d,1}$	[kN]	:	0.00	$E_{d,2}$	[kN] : 0.00
$s_{req,1}$	[m]	:	0.15	$s_{req,2}$	[m] : 0.05
Bovenbel.	[kN/m ²]	:	0.00		

Project :
Onderdeel :

SAMENVATTINGSTABEL Mast 052 (n=1)**Uitgangspunten**

- paal : LD1
- paaltype : Stalen buispaal (gesloten)
- schachtafmeting : 550 mm
Paalklassefactor α_p : 1.00
Factor α_s (tabel 7.c EC 7.1) : 0.010 (zandlagen; voor kleilagen zie tabel 7.d)
Correlatiefactor $\xi_{3(n=1)}$: 1.39

Alle niveaus/hogtes/peilmaten zijn t.o.v.: N.A.P.

sondering	maaiveld paalpunt		Bezwijkdraagvermogen			Rekenwaarden		
	niveau	niveau	$R_{b;cal}$ [kN]	$R_{s;cal}$ [kN]	$R_{c;cal}$ [kN]	$R_{c;d}$ [kN]	$F_{nk;d}$ [kN]	$R_{c;netto;d}$ [kN]
S052-1	31.31	18.15	174.5	0.0	174.5	104.6	0.0	104.6
S052-2	31.26	18.15	1628.8	0.0	1628.8	976.5	0.0	976.5

Totaal resultaten Mast 052 (van 2 sonderingen)

Uitgangspunten

Correlatiefactor ξ_{3gem} (n= 2) : 1.32
Correlatiefactor ξ_{4min} (n= 2) : 1.32

gebaseerd op sonderingen:
S052-1 S052-2

$$R_{c;k} = \min.\{ R_{c;cal;gem}/\xi_3; R_{c;cal;min}/\xi_4 \} \quad (7.8)$$

Inheinniveau
[m]

$$18.15 \quad R_{c;k} = \min.\{ (901.7/1.32); (174.5/1.32) \} = 132.2$$

Alle niveaus/hogtes/peilmaten zijn t.o.v.: N.A.P.

Inheinniveau [m]	$R_{c;k}$ [kN]	$R_{c;d}$ [kN]	$F_{c;tot;1}$ [kN]	$F_{nk;d}$ [kN]	$R_{c;netto;d}$ [kN]	U.C.	$S_{1;1}$ [mm]	$S_{1;2}$ [mm]
18.15	132.2	110.2	0.0	0.0	110.2	0.00	-0.0	-0.0 *

*** WAARSCHUWING n.a.v. NEN-NA 1997-1 art. A.3.3.3 1)**

Bij toepassing van de waarden van ξ_1 , ξ_2 , ξ_3 en ξ_4 van de tabellen A.9 en A.10 mag de variatiecoëfficiënt van de draagkracht van palen in een groep, bepaald volgens de verschillende voor deze groep geldende sonderingen, niet groter zijn dan 12%. Deze variatiecoëfficiënt van 12% geeft bij een kans van onderschrijding van 5% een minimumdraagkracht groter dan 80% van het gemiddelde.

Inheinniveau [m]	Aantal [-]	$R_{c;cal;gem}$ [kN]	Var.coëff. [%]
18.15	2	901.66	114.0

REKENGEGEVENS Mast 053

Berekening : Controlerend
Rekenmethode : Drukpalen volgens NEN-EN 1997-1, art. 7.6.2
Sondering(en) : S053-1, S053-2

Stijf bouwwerk : NEE
Paalgroep : NEE
Aantal sonderingen : 2
Factor $\xi_{3(n=1)}$: 1.39
Factor $\xi_{3(gem)}$: 1.32
Factor $\xi_{4(min)}$: 1.32
Weerstandsfactor γ_R : 1.20
 $\gamma_{f,nk}$: 1.0

$R_{s;cal;max;i}$ begrenzen op $0.75 * R_{p;cal;max;i}$: NEE
UGT draagvermogen zonder negatieve kleef : NEE

Paal : LD1
Niveau paalkop [m] : N.A.P. 31.14
Paalpuntniveau : N.A.P. 21.94
 $E_{d;1}$ [kN] : 0.00

$E_{d;2}$ [kN] : 0.00

Project :
Onderdeel :

SAMENVATTINGSTABEL Mast 053 (n=1)**Uitgangspunten**

- paal : LD1
 - paaltype : Stalen buispaal (gesloten)
 - schachtafmeting : 550 mm
 Paalklassefactor α_p : 1.00
 Factor α_s (tabel 7.c EC 7.1) : 0.010 (zandlagen; voor kleilagen zie tabel 7.d)
 Correlatiefactor $\xi_{3(n=1)}$: 1.39

Alle niveaus/hogtes/peilmaten zijn t.o.v.: N.A.P.

sondering	maaiveld paalpunt		Bezwijkdraagvermogen			Rekenwaarden		
	niveau	niveau	$R_{b;cal}$ [kN]	$R_{s;cal}$ [kN]	$R_{c;cal}$ [kN]	$R_{c;d}$ [kN]	$F_{nk;d}$ [kN]	$R_{c;netto;d}$ [kN]
S053-1	30.64	21.94	1577.7	784.3	2362.0	1416.1	-44.1	1372.0
S053-2	30.68	21.94	1076.0	1036.0	2112.0	1266.2	-25.4	1240.8

Totaal resultaten Mast 053 (van 2 sonderingen)

Uitgangspunten

Correlatiefactor ξ_{3gem} (n= 2) : 1.32
 Correlatiefactor ξ_{4min} (n= 2) : 1.32

gebaseerd op sonderingen:
 S053-1 S053-2

$$R_{c;k} = \min.\{ R_{c;cal;gem}/\xi_3; R_{c;cal;min}/\xi_4 \} \quad (7.8)$$

Inheinniveau
 [m]

$$21.94 \quad R_{c;k} = \min.\{ (2237.0/1.32); (2112.0/1.32) \} = 1600.0$$

Alle niveaus/hogtes/peilmaten zijn t.o.v.: N.A.P.

Inheinniveau [m]	$R_{c;k}$ [kN]	$R_{c;d}$ [kN]	$F_{c;tot;1}$ [kN]	$F_{nk;d}$ [kN]	$R_{c;netto;d}$ [kN]	U.C.	$s_{1;1}$ [mm]	$s_{1;2}$ [mm]
21.94	1600.0	1333.3	-44.1	-44.1	1289.2	0.03	-0.1	-0.1

REKENGEGEVENS Mast 055

Berekening : Controlerend
 Rekenmethode : Drukpalen volgens NEN-EN 1997-1, art. 7.6.2
 Sondering(en) : S055-1, S055-2

Stijf bouwwerk : NEE
 Paalgroep : NEE
 Aantal sonderingen : 2
 Factor $\xi_{3(n=1)}$: 1.39
 Factor $\xi_{3(gem)}$: 1.32
 Factor $\xi_{4(min)}$: 1.32
 Weerstandsfactor γ_R : 1.20
 $\gamma_{f;nk}$: 1.0
 $R_{s;cal;max;i}$ begrenzen op $0.75 * R_{b;cal;max;i}$: NEE
 UGT draagvermogen zonder negatieve kleef : NEE

Paal : LD1
 Niveau paalkop [m] : N.A.P. 30.87
 Paalpuntniveau : N.A.P. 21.77
 $E_{d;1}$ [kN] : 0.00 $E_{d;2}$ [kN] : 0.00
 $s_{req;1}$ [m] : 0.15 $s_{req;2}$ [m] : 0.05
 Bovenbel. [kN/m²] : 0.00

Project :
Onderdeel :

SAMENVATTINGSTABEL Mast 055 (n=1)**Uitgangspunten**

- paal : LD1
 - paaltype : Stalen buispaal (gesloten)
 - schachtafmeting : 550 mm
 Paalklassefactor α_p : 1.00
 Factor α_s (tabel 7.c EC 7.1) : 0.010 (zandlagen; voor kleilagen zie tabel 7.d)
 Correlatiefactor $\xi_{3(n=1)}$: 1.39

Alle niveaus/hogtes/peilmaten zijn t.o.v.: N.A.P.

sondering	maaiveld paalpunt		Bezwijkdraagvermogen			Rekenwaarden		
	niveau	niveau	$R_{b;cal}$ [kN]	$R_{s;cal}$ [kN]	$R_{c;cal}$ [kN]	$R_{c;d}$ [kN]	$F_{nk;d}$ [kN]	$R_{c;netto;d}$ [kN]
S055-1	30.43	21.77	1030.9	590.0	1620.9	971.8	-95.0	876.7
S055-2	30.44	21.77	1086.3	571.7	1658.0	994.0	-98.2	895.8

Totaal resultaten Mast 055 (van 2 sonderingen)

Uitgangspunten

Correlatiefactor ξ_{3gem} (n= 2) : 1.32
 Correlatiefactor ξ_{4min} (n= 2) : 1.32

gebaseerd op sonderingen:
 S055-1 S055-2

$$R_{c;k} = \min.\{ R_{c;cal;gem}/\xi_3; R_{c;cal;min}/\xi_4 \} \quad (7.8)$$

Inheinniveau
 [m]

$$21.77 \quad R_{c;k} = \min.\{ (1639.4/1.32); (1620.9/1.32) \} = 1227.9$$

Alle niveaus/hogtes/peilmaten zijn t.o.v.: N.A.P.

Inheinniveau [m]	$R_{c;k}$ [kN]	$R_{c;d}$ [kN]	$F_{c;tot;1}$ [kN]	$F_{nk;d}$ [kN]	$R_{c;netto;d}$ [kN]	U.C.	$s_{1;1}$ [mm]	$s_{1;2}$ [mm]
21.77	1227.9	1023.3	-98.2	-98.2	925.1	0.10	-0.4	-0.4

REKENGEGEVENS Mast 056

Berekening : Controlerend
 Rekenmethode : Drukpalen volgens NEN-EN 1997-1, art. 7.6.2
 Sondering(en) : S056-1, S056-2

Stijf bouwwerk : NEE
 Paalgroep : NEE
 Aantal sonderingen : 2
 Factor $\xi_{3(n=1)}$: 1.39
 Factor $\xi_{3(gem)}$: 1.32
 Factor $\xi_{4(min)}$: 1.32
 Weerstandsfactor γ_R : 1.20
 $\gamma_{f;nk}$: 1.0
 $R_{s;cal;max;i}$ begrenzen op $0.75 * R_{b;cal;max;i}$: NEE
 UGT draagvermogen zonder negatieve kleeft : NEE

Paal : LD1
 Niveau paalkop [m] : N.A.P. 30.85
 Paalpuntniveau : N.A.P. 21.85
 $E_{d;1}$ [kN] : 0.00 $E_{d;2}$ [kN] : 0.00
 $s_{req;1}$ [m] : 0.15 $s_{req;2}$ [m] : 0.05
 Bovenbel. [kN/m²] : 0.00

Project :
Onderdeel :

SAMENVATTINGSTABEL Mast 056 (n=1)**Uitgangspunten**

- paal : LD1
- paaltype : Stalen buispaal (gesloten)
- schachtafmeting : 550 mm
Paalklassefactor α_p : 1.00
Factor α_s (tabel 7.c EC 7.1) : 0.010 (zandlagen; voor kleilagen zie tabel 7.d)
Correlatiefactor $\xi_{3(n=1)}$: 1.39

Alle niveaus/hogtes/peilmaten zijn t.o.v.: N.A.P.

sondering	maaiveld paalpunt		Bezwijkdraagvermogen			Rekenwaarden		
	niveau	niveau	$R_{b;cal}$ [kN]	$R_{s;cal}$ [kN]	$R_{c;cal}$ [kN]	$R_{c;d}$ [kN]	$F_{nk;d}$ [kN]	$R_{c;netto;d}$ [kN]
S056-1	30.53	21.85	2241.4	579.7	2821.1	1691.3	-86.6	1604.8
S056-2	30.41	21.85	1687.2	544.7	2231.9	1338.1	-86.5	1251.6

Totaal resultaten Mast 056 (van 2 sonderingen)

Uitgangspunten

Correlatiefactor ξ_{3gem} (n= 2) : 1.32
Correlatiefactor ξ_{4min} (n= 2) : 1.32

gebaseerd op sonderingen:
S056-1 S056-2

$$R_{c;k} = \min.\{ R_{c;cal;gem}/\xi_3; R_{c;cal;min}/\xi_4 \} \quad (7.8)$$

Inheinniveau
[m]

$$21.85 \quad R_{c;k} = \min.\{ (2526.5/1.32); (2231.9/1.32) \} = 1690.8$$

Alle niveaus/hogtes/peilmaten zijn t.o.v.: N.A.P.

Inheinniveau [m]	$R_{c;k}$ [kN]	$R_{c;d}$ [kN]	$F_{c;tot;1}$ [kN]	$F_{nk;d}$ [kN]	$R_{c;netto;d}$ [kN]	U.C.	$S_{1;1}$ [mm]	$S_{1;2}$ [mm]
21.85	1690.8	1409.0	-86.6	-86.6	1322.5	0.06	-0.3	-0.3 *

*** WAARSCHUWING n.a.v. NEN-NA 1997-1 art. A.3.3.3 1)**

Bij toepassing van de waarden van ξ_1 , ξ_2 , ξ_3 en ξ_4 van de tabellen A.9 en A.10 mag de variatiecoëfficiënt van de draagkracht van palen in een groep, bepaald volgens de verschillende voor deze groep geldende sonderingen, niet groter zijn dan 12%. Deze variatiecoëfficiënt van 12% geeft bij een kans van onderschrijding van 5% een minimumdraagkracht groter dan 80% van het gemiddelde.

Inheinniveau [m]	Aantal [-]	$R_{c;cal;gem}$ [kN]	Var.coëff. [%]
21.85	2	2526.52	16.5

REKENGEGEVENS Mast 057

Berekening : Controlerend
Rekenmethode : Drukpalen volgens NEN-EN 1997-1, art. 7.6.2
Sondering(en) : S057-1, S057-2

Stijf bouwwerk : NEE
Paalgroep : NEE
Aantal sonderingen : 2
Factor $\xi_{3(n=1)}$: 1.39
Factor $\xi_{3(gem)}$: 1.32
Factor $\xi_{4(min)}$: 1.32
Weerstandsfactor γ_R : 1.20
 $\gamma_{f,nk}$: 1.0

$R_{s;cal;max;i}$ begrenzen op $0.75 * R_{p;cal;max;i}$: NEE
UGT draagvermogen zonder negatieve kleef : NEE

Paal : LD1
Niveau paalkop [m] : N.A.P. 29.64
Paalpuntniveau : N.A.P. 19.24
 $E_{d;1}$ [kN] : 0.00

$E_{d;2}$ [kN] : 0.00

Project :
Onderdeel :

SAMENVATTINGSTABEL Mast 057 (n=1)**Uitgangspunten**

- paal : LD1
- paaltype : Stalen buispaal (gesloten)
- schachtafmeting : 550 mm
Paalklassefactor α_p : 1.00
Factor α_s (tabel 7.c EC 7.1) : 0.010 (zandlagen; voor kleilagen zie tabel 7.d)
Correlatiefactor $\xi_{3(n=1)}$: 1.39

Alle niveaus/hogtes/peilmaten zijn t.o.v.: N.A.P.

sondering	maaiveld paalpunt		Bezwijkdraagvermogen			Rekenwaarden		
	niveau	niveau	$R_{b;cal}$ [kN]	$R_{s;cal}$ [kN]	$R_{c;cal}$ [kN]	$R_{c;d}$ [kN]	$F_{nk;d}$ [kN]	$R_{c;netto;d}$ [kN]
S057-1	29.29	19.24	834.0	1035.0	1869.1	1120.5	-76.8	1043.8
S057-2	29.43	19.24	342.3	879.7	1222.0	732.6	-77.9	654.8

Totaal resultaten Mast 057 (van 2 sonderingen)

Uitgangspunten

Correlatiefactor ξ_{3gem} (n= 2) : 1.32
Correlatiefactor ξ_{4min} (n= 2) : 1.32

gebaseerd op sonderingen:
S057-1 S057-2

$$R_{c;k} = \min.\{ R_{c;cal;gem}/\xi_3; R_{c;cal;min}/\xi_4 \} \quad (7.8)$$

Inheinniveau
[m]

$$19.24 \quad R_{c;k} = \min.\{ (1545.5/1.32); (1222.0/1.32) \} = 925.8$$

Alle niveaus/hogtes/peilmaten zijn t.o.v.: N.A.P.

Inheinniveau [m]	$R_{c;k}$ [kN]	$R_{c;d}$ [kN]	$F_{c;tot;1}$ [kN]	$F_{nk;d}$ [kN]	$R_{c;netto;d}$ [kN]	U.C.	$S_{1;1}$ [mm]	$S_{1;2}$ [mm]
19.24	925.8	771.5	-77.9	-77.9	693.6	0.10	-0.3	-0.3 *

*** WAARSCHUWING n.a.v. NEN-NA 1997-1 art. A.3.3.3 1)**

Bij toepassing van de waarden van ξ_1 , ξ_2 , ξ_3 en ξ_4 van de tabellen A.9 en A.10 mag de variatiecoëfficiënt van de draagkracht van palen in een groep, bepaald volgens de verschillende voor deze groep geldende sonderingen, niet groter zijn dan 12%. Deze variatiecoëfficiënt van 12% geeft bij een kans van onderschrijding van 5% een minimumdraagkracht groter dan 80% van het gemiddelde.

Inheinniveau [m]	Aantal [-]	$R_{c;cal;gem}$ [kN]	Var.coëff. [%]
19.24	2	1545.55	29.6

REKENGEGEVENS Mast 058

Berekening : Controlerend
Rekenmethode : Drukpalen volgens NEN-EN 1997-1, art. 7.6.2
Sondering(en) : S058-1, S058-2

Stijf bouwwerk : NEE
Paalgroep : NEE
Aantal sonderingen : 2
Factor $\xi_{3(n=1)}$: 1.39
Factor $\xi_{3(gem)}$: 1.32
Factor $\xi_{4(min)}$: 1.32
Weerstandsfactor γ_R : 1.20
 $\gamma_{f,nk}$: 1.0

$R_{s;cal;max;i}$ begrenzen op $0.75 * R_{p;cal;max;i}$: NEE
UGT draagvermogen zonder negatieve kleef : NEE

Paal : LD1
Niveau paalkop [m] : N.A.P. 30.61
Paalpuntniveau : N.A.P. 16.51
 $E_{d;1}$ [kN] : 0.00

$E_{d;2}$ [kN] : 0.00

Project :
Onderdeel :

SAMENVATTINGSTABEL Mast 058 (n=1)**Uitgangspunten**

- paal : LD1
 - paaltype : Stalen buispaal (gesloten)
 - schachtafmeting : 550 mm
 Paalklassefactor α_p : 1.00
 Factor α_s (tabel 7.c EC 7.1) : 0.010 (zandlagen; voor kleilagen zie tabel 7.d)
 Correlatiefactor $\xi_{3(n=1)}$: 1.39

Alle niveaus/hogtes/peilmaten zijn t.o.v.: N.A.P.

sondering	maaiveld paalpunt		Bezwijkdraagvermogen			Rekenwaarden		
	niveau	niveau	$R_{b;cal}$ [kN]	$R_{s;cal}$ [kN]	$R_{c;cal}$ [kN]	$R_{c;d}$ [kN]	$F_{nk;d}$ [kN]	$R_{c;netto;d}$ [kN]
S058-1	30.15	16.51	3467.4	62.1	3529.5	2116.0	-461.9	1654.1
S058-2	30.18	16.51	3563.7	76.9	3640.7	2182.6	-461.9	1720.7

Totaal resultaten Mast 058 (van 2 sonderingen)

Uitgangspunten

Correlatiefactor ξ_{3gem} (n= 2) : 1.32
 Correlatiefactor ξ_{4min} (n= 2) : 1.32

gebaseerd op sonderingen:
 S058-1 S058-2

$$R_{c;k} = \min.\{ R_{c;cal;gem}/\xi_3; R_{c;cal;min}/\xi_4 \} \quad (7.8)$$

Inheinniveau
 [m]

$$16.51 \quad R_{c;k} = \min.\{ (3585.1/1.32); (3529.5/1.32) \} = 2673.8$$

Alle niveaus/hogtes/peilmaten zijn t.o.v.: N.A.P.

Inheinniveau [m]	$R_{c;k}$ [kN]	$R_{c;d}$ [kN]	$F_{c;tot;1}$ [kN]	$F_{nk;d}$ [kN]	$R_{c;netto;d}$ [kN]	U.C.	$s_{1;1}$ [mm]	$s_{1;2}$ [mm]
16.51	2673.8	2228.2	-461.9	-461.9	1766.3	0.21	-2.8	-2.4

REKENGEGEVENS Mast 059

Berekening : Controlerend
 Rekenmethode : Drukpalen volgens NEN-EN 1997-1, art. 7.6.2
 Sondering(en) : S059-1, S059-2

Stijf bouwwerk : NEE
 Paalgroep : NEE
 Aantal sonderingen : 2
 Factor $\xi_{3(n=1)}$: 1.39
 Factor $\xi_{3(gem)}$: 1.32
 Factor $\xi_{4(min)}$: 1.32
 Weerstandsfactor γ_R : 1.20
 $\gamma_{f;nk}$: 1.0
 $R_{s;cal;max;i}$ begrenzen op $0.75 * R_{b;cal;max;i}$: NEE
 UGT draagvermogen zonder negatieve kleef : NEE

Paal : LD1
 Niveau paalkop [m] : N.A.P. 27.82
 Paalpuntniveau : N.A.P. 15.32
 $E_{d;1}$ [kN] : 0.00 $E_{d;2}$ [kN] : 0.00
 $s_{req;1}$ [m] : 0.15 $s_{req;2}$ [m] : 0.05
 Bovenbel. [kN/m²] : 0.00

Project :
Onderdeel :

SAMENVATTINGSTABEL Mast 059 (n=1)**Uitgangspunten**

- paal : LD1
 - paaltype : Stalen buispaal (gesloten)
 - schachtafmeting : 550 mm
 Paalklassefactor α_p : 1.00
 Factor α_s (tabel 7.c EC 7.1) : 0.010 (zandlagen; voor kleilagen zie tabel 7.d)
 Correlatiefactor $\xi_{3(n=1)}$: 1.39

Alle niveaus/hogtes/peilmaten zijn t.o.v.: N.A.P.

sondering	maaiveld paalpunt		Bezwijkdraagvermogen			Rekenwaarden		
	niveau	niveau	$R_{b;cal}$ [kN]	$R_{s;cal}$ [kN]	$R_{c;cal}$ [kN]	$R_{c;d}$ [kN]	$F_{nk;d}$ [kN]	$R_{c;netto;d}$ [kN]
S059-1	27.39	15.32	2908.8	195.7	3104.4	1861.2	-350.3	1510.8
S059-2	27.28	15.32	2991.5	233.5	3224.9	1933.4	-344.7	1588.8

Totaal resultaten Mast 059 (van 2 sonderingen)

Uitgangspunten

Correlatiefactor ξ_{3gem} (n= 2) : 1.32
 Correlatiefactor ξ_{4min} (n= 2) : 1.32

gebaseerd op sonderingen:
S059-1 S059-2

$$R_{c;k} = \min.\{ R_{c;cal;gem}/\xi_3; R_{c;cal;min}/\xi_4 \} \quad (7.8)$$

Inheinniveau
[m]

$$15.32 \quad R_{c;k} = \min.\{ (3164.7/1.32); (3104.4/1.32) \} = 2351.8$$

Alle niveaus/hogtes/peilmaten zijn t.o.v.: N.A.P.

Inheinniveau [m]	$R_{c;k}$ [kN]	$R_{c;d}$ [kN]	$F_{c;tot;1}$ [kN]	$F_{nk;d}$ [kN]	$R_{c;netto;d}$ [kN]	U.C.	$s_{1;1}$ [mm]	$s_{1;2}$ [mm]
15.32	2351.8	1959.9	-350.3	-350.3	1609.5	0.18	-1.9	-1.6

Project :
Onderdeel :

OVERZICHT NETTO DRAAGVERMOGEN DRUKPALEN

Netto paal draagvermogen(s) zijn naar beneden toe afgerond op: 1.0 kN nauwkeurig
Alle niveaus/hoogtes/peilmaten zijn t.o.v.: N.A.P.

sondering	maaiveld paalpunt		$R_{c, netto; d}$ [kN]				
	niveau	niveau	Mast 052	Mast 053	Mast 055	Mast 056	Mast 057
S056-1	30.53	21.85				1604	
S056-2	30.41	21.85				1251	
S057-1	29.29	19.24					1043
S057-2	29.43	19.24					654
S052-1	31.31	18.15	104				
S052-2	31.26	18.15	976				
S053-1	30.64	21.94		1371			
S053-2	30.68	21.94		1240			
S055-1	30.43	21.77			876		
S055-2	30.44	21.77			895		

Project :
Onderdeel :

Netto paal draagvermogen(s) zijn naar beneden toe afgerond op: 1.0 kN nauwkeurig
Alle niveaus/hogtes/peilmaten zijn t.o.v.: N.A.P.

sondering	maaiveld niveau	paalpunt niveau	$R_{c,netto;d}$ Mast 058	[kN] Mast 059
-----------	--------------------	--------------------	-----------------------------	------------------

S058-1	30.15	16.51	1654	
S058-2	30.18	16.51	1720	
S059-1	27.39	15.32		1510
S059-2	27.28	15.32		1588

Project :
Onderdeel :

ALGEMENE GEGEVENS

Project :
Onderdeel :
Datum : 10-12-2021
Bestand : P:\EANL_Projects\10166262 - BBB modelleren
funderingen 380 kV\02 Content\03
Calculations\Technosoft
Paalfunderingen\MBT-EHV380\DO\Nieuw
Sonderingen\Mast 060-069.pvw
Berekeningstype : Verticaal belaste paal
Alle niveaus/hogtes/peilmaten zijn t.o.v.: N.A.P.

Toegepaste normen volgens Eurocode met Nederlandse NB

Geotechniek	EN 1997-1:2004	AC:2009	
	NEN-EN 1997-1:2005	C1+A1:2013	NB:2016
	NEN 9997-1:2016	C2:2017	

REKENGEGEVENS Mast 060

Berekening : Controlerend
Rekenmethode : Drukpalen volgens NEN-EN 1997-1, art. 7.6.2
Sondering(en) : S060-1, S060-2

Stijf bouwwerk : NEE
Paalgroep : NEE
Aantal sonderingen : 2
Factor ξ_3 (n=1) : 1.39
Factor ξ_3 (gem) : 1.32
Factor ξ_4 (min) : 1.32
Weerstandsfactor γ_R : 1.20
 $\gamma_{f,nk}$: 1.0
 $R_{s,cal,max,i}$ begrenzen op $0.75 * R_{b,cal,max,i}$: NEE
UGT draagvermogen zonder negatieve kleef : NEE

Paal	:	LD1			
Niveau paalkop	[m]	N.A.P.	27.52		
Paalpuntniveau	:	N.A.P.	14.92		
$E_{d,1}$	[kN]	:	0.00	$E_{d,2}$	[kN] : 0.00
$s_{req,1}$	[m]	:	0.15	$s_{req,2}$	[m] : 0.05
Bovenbel.	[kN/m ²]	:	0.00		

Project :
Onderdeel :

SAMENVATTINGSTABEL Mast 060 (n=1)**Uitgangspunten**

- paal : LD1
- paaltype : Stalen buispaal (gesloten)
- schachtafmeting : 550 mm
Paalklassefactor α_p : 1.00
Factor α_s (tabel 7.c EC 7.1) : 0.010 (zandlagen; voor kleilagen zie tabel 7.d)
Correlatiefactor $\xi_{3(n=1)}$: 1.39

Alle niveaus/hogtes/peilmaten zijn t.o.v.: N.A.P.

sondering	maaiveld paalpunt		Bezwijkdraagvermogen			Rekenwaarden		
	niveau	niveau	$R_{b;cal}$ [kN]	$R_{s;cal}$ [kN]	$R_{c;cal}$ [kN]	$R_{c;d}$ [kN]	$F_{nk;d}$ [kN]	$R_{c;netto;d}$ [kN]
S060-1	27.04	14.92	1453.5	1342.4	2795.9	1676.2	-33.2	1643.0
S060-2	27.02	14.92	2423.9	1193.2	3617.1	2168.5	-19.6	2149.0

Totaal resultaten Mast 060 (van 2 sonderingen)

Uitgangspunten

Correlatiefactor ξ_{3gem} (n= 2) : 1.32
Correlatiefactor ξ_{4min} (n= 2) : 1.32

gebaseerd op sonderingen:
S060-1 S060-2

$$R_{c;k} = \min.\{ R_{c;cal;gem}/\xi_3; R_{c;cal;min}/\xi_4 \} \quad (7.8)$$

Inheinniveau
[m]

$$14.92 \quad R_{c;k} = \min.\{ (3206.5/1.32); (2795.9/1.32) \} = 2118.1$$

Alle niveaus/hogtes/peilmaten zijn t.o.v.: N.A.P.

Inheinniveau [m]	$R_{c;k}$ [kN]	$R_{c;d}$ [kN]	$F_{c;tot;1}$ [kN]	$F_{nk;d}$ [kN]	$R_{c;netto;d}$ [kN]	U.C.	$S_{1;1}$ [mm]	$S_{1;2}$ [mm]
14.92	2118.1	1765.1	-33.2	-33.2	1731.9	0.02	-0.1	-0.1 *

*** WAARSCHUWING n.a.v. NEN-NA 1997-1 art. A.3.3.3 1)**

Bij toepassing van de waarden van ξ_1 , ξ_2 , ξ_3 en ξ_4 van de tabellen A.9 en A.10 mag de variatiecoëfficiënt van de draagkracht van palen in een groep, bepaald volgens de verschillende voor deze groep geldende sonderingen, niet groter zijn dan 12%. Deze variatiecoëfficiënt van 12% geeft bij een kans van onderschrijding van 5% een minimumdraagkracht groter dan 80% van het gemiddelde.

Inheinniveau [m]	Aantal [-]	$R_{c;cal;gem}$ [kN]	Var.coëff. [%]
14.92	2	3206.50	18.1

REKENGEGEVENS Mast 063

Berekening : Controlerend
Rekenmethode : Drukpalen volgens NEN-EN 1997-1, art. 7.6.2
Sondering(en) : S063-1, S063-2

Stijf bouwwerk : NEE
Paalgroep : NEE
Aantal sonderingen : 2
Factor $\xi_{3(n=1)}$: 1.39
Factor $\xi_{3(gem)}$: 1.32
Factor $\xi_{4(min)}$: 1.32
Weerstandsfactor γ_R : 1.20
 $\gamma_{f,nk}$: 1.0

$R_{s;cal;max;i}$ begrenzen op $0.75 * R_{p;cal;max;i}$: NEE
UGT draagvermogen zonder negatieve kleef : NEE

Paal : LV1
Niveau paalkop [m] : N.A.P. 27.57
Paalpuntniveau : N.A.P. 14.07
 $E_{d;1}$ [kN] : 0.00

$E_{d;2}$ [kN] : 0.00

Project :
Onderdeel :

SAMENVATTINGSTABEL Mast 063 (n=1)**Uitgangspunten**

- paal : LV1
- paaltype : Stalen buispaal (gesloten)
- schachtafmeting : 700 mm
Paalklassefactor α_p : 1.00
Factor α_s (tabel 7.c EC 7.1) : 0.010 (zandlagen; voor kleilagen zie tabel 7.d)
Correlatiefactor $\xi_{3(n=1)}$: 1.39

Alle niveaus/hogtes/peilmaten zijn t.o.v.: N.A.P.

sondering	maaiveld paalpunt		Bezwijkdraagvermogen			Rekenwaarden		
	niveau	niveau	$R_{b;cal}$ [kN]	$R_{s;cal}$ [kN]	$R_{c;cal}$ [kN]	$R_{c;d}$ [kN]	$F_{nk;d}$ [kN]	$R_{c;netto;d}$ [kN]
S063-1	26.59	14.07	3781.1	655.1	4436.3	2659.6	-303.8	2355.8
S063-2	26.53	14.07	4095.5	666.5	4761.9	2854.9	-298.1	2556.7

Totaal resultaten Mast 063 (van 2 sonderingen)

Uitgangspunten

Correlatiefactor ξ_{3gem} (n= 2) : 1.32
Correlatiefactor ξ_{4min} (n= 2) : 1.32

gebaseerd op sonderingen:
S063-1 S063-2

$$R_{c;k} = \min.\{ R_{c;cal;gem}/\xi_3; R_{c;cal;min}/\xi_4 \} \quad (7.8)$$

Inheinniveau
[m]

$$14.07 \quad R_{c;k} = \min.\{ (4599.1/1.32); (4436.3/1.32) \} = 3360.8$$

Alle niveaus/hogtes/peilmaten zijn t.o.v.: N.A.P.

Inheinniveau [m]	$R_{c;k}$ [kN]	$R_{c;d}$ [kN]	$F_{c;tot;1}$ [kN]	$F_{nk;d}$ [kN]	$R_{c;netto;d}$ [kN]	U.C.	$s_{1;1}$ [mm]	$s_{1;2}$ [mm]
14.07	3360.8	2800.7	-303.8	-303.8	2496.8	0.11	-0.9	-0.9

REKENGEGEVENS Mast 064

Berekening : Controlerend
Rekenmethode : Drukpalen volgens NEN-EN 1997-1, art. 7.6.2
Sondering(en) : S064-1, S064-2

Stijf bouwwerk : NEE
Paalgroep : NEE
Aantal sonderingen : 2
Factor $\xi_{3(n=1)}$: 1.39
Factor $\xi_{3(gem)}$: 1.32
Factor $\xi_{4(min)}$: 1.32
Weerstandsfactor γ_R : 1.20
 $\gamma_{f;nk}$: 1.0
 $R_{s;cal;max;i}$ begrenzen op $0.75 * R_{b;cal;max;i}$: NEE
UGT draagvermogen zonder negatieve kleef : NEE

Paal : LD1
Niveau paalkop [m] : N.A.P. 27.56
Paalpuntniveau : N.A.P. 14.56
 $E_{d;1}$ [kN] : 0.00 $E_{d;2}$ [kN] : 0.00
 $s_{req;1}$ [m] : 0.15 $s_{req;2}$ [m] : 0.05
Bovenbel. [kN/m²] : 0.00

Project :
Onderdeel :

SAMENVATTINGSTABEL Mast 064 (n=1)**Uitgangspunten**

- paal : LD1
 - paaltype : Stalen buispaal (gesloten)
 - schachtafmeting : 550 mm
 Paalklassefactor α_p : 1.00
 Factor α_s (tabel 7.c EC 7.1) : 0.010 (zandlagen; voor kleilagen zie tabel 7.d)
 Correlatiefactor $\xi_{3(n=1)}$: 1.39

Alle niveaus/hogtes/peilmaten zijn t.o.v.: N.A.P.

sondering	maaiveld paalpunt		Bezwijkdraagvermogen			Rekenwaarden		
	niveau	niveau	$R_{b;cal}$ [kN]	$R_{s;cal}$ [kN]	$R_{c;cal}$ [kN]	$R_{c;d}$ [kN]	$F_{nk;d}$ [kN]	$R_{c;netto;d}$ [kN]
S064-1	26.83	14.56	1899.7	1305.0	3204.7	1921.3	-35.5	1885.8
S064-2	26.68	14.56	1554.9	1552.6	3107.6	1863.0	-31.9	1831.2

Totaal resultaten Mast 064 (van 2 sonderingen)

Uitgangspunten

Correlatiefactor ξ_{3gem} (n= 2) : 1.32
 Correlatiefactor ξ_{4min} (n= 2) : 1.32

gebaseerd op sonderingen:
 S064-1 S064-2

$$R_{c;k} = \min.\{ R_{c;cal;gem}/\xi_3; R_{c;cal;min}/\xi_4 \} \quad (7.8)$$

Inheinniveau
 [m]

$$14.56 \quad R_{c;k} = \min.\{ (3156.1/1.32); (3107.6/1.32) \} = 2354.2$$

Alle niveaus/hogtes/peilmaten zijn t.o.v.: N.A.P.

Inheinniveau [m]	$R_{c;k}$ [kN]	$R_{c;d}$ [kN]	$F_{c;tot;1}$ [kN]	$F_{nk;d}$ [kN]	$R_{c;netto;d}$ [kN]	U.C.	$s_{1;1}$ [mm]	$s_{1;2}$ [mm]
14.56	2354.2	1961.8	-35.5	-35.5	1926.3	0.02	-0.1	-0.1

REKENGEGEVENS Mast 066

Berekening : Controlerend
 Rekenmethode : Drukpalen volgens NEN-EN 1997-1, art. 7.6.2
 Sondering(en) : S066-1, S066-2

Stijf bouwwerk : NEE
 Paalgroep : NEE
 Aantal sonderingen : 2
 Factor $\xi_{3(n=1)}$: 1.39
 Factor $\xi_{3(gem)}$: 1.32
 Factor $\xi_{4(min)}$: 1.32
 Weerstandsfactor γ_R : 1.20
 $\gamma_{f;nk}$: 1.0
 $R_{s;cal;max;i}$ begrenzen op $0.75 * R_{b;cal;max;i}$: NEE
 UGT draagvermogen zonder negatieve kleef : NEE

Paal : LD1
 Niveau paalkop [m] : N.A.P. 26.84
 Paalpuntniveau : N.A.P. 14.84
 $E_{d;1}$ [kN] : 0.00 $E_{d;2}$ [kN] : 0.00
 $s_{req;1}$ [m] : 0.15 $s_{req;2}$ [m] : 0.05
 Bovenbel. [kN/m²] : 0.00

Project :
Onderdeel :

SAMENVATTINGSTABEL Mast 066 (n=1)**Uitgangspunten**

- paal : LD1
 - paaltype : Stalen buispaal (gesloten)
 - schachtafmeting : 550 mm
 Paalklassefactor α_p : 1.00
 Factor α_s (tabel 7.c EC 7.1) : 0.010 (zandlagen; voor kleilagen zie tabel 7.d)
 Correlatiefactor $\xi_{3(n=1)}$: 1.39

Alle niveaus/hogtes/peilmaten zijn t.o.v.: N.A.P.

sondering	maaiveld paalpunt		Bezwijkdraagvermogen			Rekenwaarden		
	niveau	niveau	$R_{b;cal}$ [kN]	$R_{s;cal}$ [kN]	$R_{c;cal}$ [kN]	$R_{c;d}$ [kN]	$F_{nk;d}$ [kN]	$R_{c;netto;d}$ [kN]
S066-1	26.41	14.84	1414.6	555.1	1969.7	1180.9	-227.2	953.7
S066-2	26.28	14.84	1412.1	607.9	2020.0	1211.0	-205.4	1005.6

Totaal resultaten Mast 066 (van 2 sonderingen)

Uitgangspunten

Correlatiefactor ξ_{3gem} (n= 2) : 1.32
 Correlatiefactor ξ_{4min} (n= 2) : 1.32

gebaseerd op sonderingen:
 S066-1 S066-2

$$R_{c;k} = \min.\{ R_{c;cal;gem}/\xi_3; R_{c;cal;min}/\xi_4 \} \quad (7.8)$$

Inheinniveau
 [m]

$$14.84 \quad R_{c;k} = \min.\{ (1994.8/1.32); (1969.7/1.32) \} = 1492.2$$

Alle niveaus/hogtes/peilmaten zijn t.o.v.: N.A.P.

Inheinniveau [m]	$R_{c;k}$ [kN]	$R_{c;d}$ [kN]	$F_{c;tot;1}$ [kN]	$F_{nk;d}$ [kN]	$R_{c;netto;d}$ [kN]	U.C.	$s_{1;1}$ [mm]	$s_{1;2}$ [mm]
14.84	1492.2	1243.5	-227.2	-227.2	1016.3	0.18	-1.2	-1.0

REKENEGEGEVENS Mast 067

Berekening : Controlerend
 Rekenmethode : Drukpalen volgens NEN-EN 1997-1, art. 7.6.2
 Sondering(en) : S067-1, S067-2

Stijf bouwwerk : NEE
 Paalgroep : NEE
 Aantal sonderingen : 2
 Factor $\xi_{3(n=1)}$: 1.39
 Factor $\xi_{3(gem)}$: 1.32
 Factor $\xi_{4(min)}$: 1.32
 Weerstandsfactor γ_R : 1.20
 $\gamma_{f;nk}$: 1.0
 $R_{s;cal;max;i}$ begrenzen op $0.75 * R_{b;cal;max;i}$: NEE
 UGT draagvermogen zonder negatieve kleef : NEE

Paal : LD1
 Niveau paalkop [m] : N.A.P. 27.20
 Paalpuntniveau : N.A.P. 15.20
 $E_{d;1}$ [kN] : 0.00 $E_{d;2}$ [kN] : 0.00
 $s_{req;1}$ [m] : 0.15 $s_{req;2}$ [m] : 0.05
 Bovenbel. [kN/m²] : 0.00

Project :
Onderdeel :

SAMENVATTINGSTABEL Mast 067 (n=1)**Uitgangspunten**

- paal : LD1
 - paaltype : Stalen buispaal (gesloten)
 - schachtafmeting : 550 mm
 Paalklassefactor α_p : 1.00
 Factor α_s (tabel 7.c EC 7.1) : 0.010 (zandlagen; voor kleilagen zie tabel 7.d)
 Correlatiefactor $\xi_{3(n=1)}$: 1.39

Alle niveaus/hogtes/peilmaten zijn t.o.v.: N.A.P.

sondering	maaiveld paalpunt		Bezwijkdraagvermogen			Rekenwaarden		
	niveau	niveau	$R_{b;cal}$ [kN]	$R_{s;cal}$ [kN]	$R_{c;cal}$ [kN]	$R_{c;d}$ [kN]	$F_{nk;d}$ [kN]	$R_{c;netto;d}$ [kN]
S067-1	27.05	15.20	3563.7	203.6	3767.3	2258.6	-323.1	1935.5
S067-2	27.04	15.20	3361.4	301.2	3662.6	2195.8	-301.4	1894.4

Totaal resultaten Mast 067 (van 2 sonderingen)

Uitgangspunten

Correlatiefactor ξ_{3gem} (n= 2) : 1.32
 Correlatiefactor ξ_{4min} (n= 2) : 1.32

gebaseerd op sonderingen:
 S067-1 S067-2

$$R_{c;k} = \min.\{ R_{c;cal;gem}/\xi_3; R_{c;cal;min}/\xi_4 \} \quad (7.8)$$

Inheinniveau
 [m]

$$15.20 \quad R_{c;k} = \min.\{ (3715.0/1.32); (3662.6/1.32) \} = 2774.7$$

Alle niveaus/hogtes/peilmaten zijn t.o.v.: N.A.P.

Inheinniveau [m]	$R_{c;k}$ [kN]	$R_{c;d}$ [kN]	$F_{c;tot;1}$ [kN]	$F_{nk;d}$ [kN]	$R_{c;netto;d}$ [kN]	U.C.	$s_{1;1}$ [mm]	$s_{1;2}$ [mm]
15.20	2774.7	2312.3	-323.1	-323.1	1989.2	0.14	-1.3	-1.2

REKENGEGEVENS Mast 068

Berekening : Controlerend
 Rekenmethode : Drukpalen volgens NEN-EN 1997-1, art. 7.6.2
 Sondering(en) : S068-1, S068-2

Stijf bouwwerk : NEE
 Paalgroep : NEE
 Aantal sonderingen : 2
 Factor $\xi_{3(n=1)}$: 1.39
 Factor $\xi_{3(gem)}$: 1.32
 Factor $\xi_{4(min)}$: 1.32
 Weerstandsfactor γ_R : 1.20
 $\gamma_{f;nk}$: 1.0
 $R_{s;cal;max;i}$ begrenzen op $0.75 * R_{b;cal;max;i}$: NEE
 UGT draagvermogen zonder negatieve kleef : NEE

Paal : LD1
 Niveau paalkop [m] : N.A.P. 27.46
 Paalpuntniveau : N.A.P. 14.96
 $E_{d;1}$ [kN] : 0.00 $E_{d;2}$ [kN] : 0.00
 $s_{req;1}$ [m] : 0.15 $s_{req;2}$ [m] : 0.05
 Bovenbel. [kN/m²] : 0.00

Project :
Onderdeel :

SAMENVATTINGSTABEL Mast 068 (n=1)**Uitgangspunten**

- paal : LD1
 - paaltype : Stalen buispaal (gesloten)
 - schachtafmeting : 550 mm
 Paalklassefactor α_p : 1.00
 Factor α_s (tabel 7.c EC 7.1) : 0.010 (zandlagen; voor kleilagen zie tabel 7.d)
 Correlatiefactor $\xi_{3(n=1)}$: 1.39

Alle niveaus/hogtes/peilmaten zijn t.o.v.: N.A.P.

sondering	maaiveld paalpunt		Bezwijkdraagvermogen			Rekenwaarden		
	niveau	niveau	$R_{b;cal}$ [kN]	$R_{s;cal}$ [kN]	$R_{c;cal}$ [kN]	$R_{c;d}$ [kN]	$F_{nk;d}$ [kN]	$R_{c;netto;d}$ [kN]
S068-1	27.09	14.96	3563.7	615.5	4179.2	2505.5	-246.5	2259.0
S068-2	27.21	14.96	3563.7	369.4	3933.1	2358.0	-296.3	2061.7

Totaal resultaten Mast 068 (van 2 sonderingen)

Uitgangspunten

Correlatiefactor ξ_{3gem} (n= 2) : 1.32
 Correlatiefactor ξ_{4min} (n= 2) : 1.32

gebaseerd op sonderingen:
S068-1 S068-2

$$R_{c;k} = \min.\{ R_{c;cal;gem}/\xi_3; R_{c;cal;min}/\xi_4 \} \quad (7.8)$$

Inheinniveau
[m]

$$14.96 \quad R_{c;k} = \min.\{ (4056.2/1.32); (3933.1/1.32) \} = 2979.6$$

Alle niveaus/hogtes/peilmaten zijn t.o.v.: N.A.P.

Inheinniveau [m]	$R_{c;k}$ [kN]	$R_{c;d}$ [kN]	$F_{c;tot;1}$ [kN]	$F_{nk;d}$ [kN]	$R_{c;netto;d}$ [kN]	U.C.	$s_{1;1}$ [mm]	$s_{1;2}$ [mm]
14.96	2979.6	2483.0	-296.3	-296.3	2186.7	0.12	-1.2	-1.1

Project :
Onderdeel :

OVERZICHT NETTO DRAAGVERMOGEN DRUKPALEN

Netto paaldraagvermogen(s) zijn naar beneden toe afgerond op: 1.0 kN nauwkeurig
Alle niveaus/hogtes/peilmaten zijn t.o.v.: N.A.P.

sondering	maaiveld paalpunt		$R_{c,netto;d}$ [kN]				
	niveau	niveau	Mast 060	Mast 063	Mast 064	Mast 066	Mast 067
S063-1	26.59	14.07		2355			
S063-2	26.53	14.07		2556			
S064-1	26.83	14.56			1885		
S064-2	26.68	14.56			1831		
S067-1	27.05	15.20					1935
S067-2	27.04	15.20					1894
S066-1	26.41	14.84				953	
S066-2	26.28	14.84				1005	
S060-1	27.04	14.92	1642				
S060-2	27.02	14.92	2148				

Project :
 Onderdeel :

Netto paal draagvermogen(s) zijn naar beneden toe afgerond op: 1.0 kN nauwkeurig
 Alle niveaus/hogtes/peilmaten zijn t.o.v.: N.A.P.

sondering	maaiveld niveau	paalpunt niveau	$R_{c,netto;d}$ Mast 068	[kN]
-----------	--------------------	--------------------	-----------------------------	------

S068-1	27.09	14.96	2258	
S068-2	27.21	14.96	2061	

Project :
Onderdeel :

ALGEMENE GEGEVENS

Project :
Onderdeel :
Datum : 10-12-2021
Bestand : P:\EANL_Projects\10166262 - BBB modelleren
funderingen 380 kV\02 Content\03
Calculations\Technosoft
Paalfunderingen\MBT-EHV380\DO\Nieuw
Sonderingen\Mast 070-079.pvw
Berekeningstype : Verticaal belaste paal
Alle niveaus/hogtes/peilmaten zijn t.o.v.: N.A.P.

Toegepaste normen volgens Eurocode met Nederlandse NB

Geotechniek	EN 1997-1:2004	AC:2009	
	NEN-EN 1997-1:2005	C1+A1:2013	NB:2016
	NEN 9997-1:2016	C2:2017	

REKENGEGEVENS Mast 070

Berekening : Controlerend
Rekenmethode : Drukpalen volgens NEN-EN 1997-1, art. 7.6.2
Sondering(en) : S070-1, S070-2

Stijf bouwwerk : NEE
Paalgroep : NEE
Aantal sonderingen : 2
Factor ξ_3 (n=1) : 1.39
Factor ξ_3 (gem) : 1.32
Factor ξ_4 (min) : 1.32
Weerstandsfactor γ_R : 1.20
 $\gamma_{f,nk}$: 1.0
 $R_{s,cal,max,i}$ begrenzen op $0.75 * R_{b,cal,max,i}$: NEE
UGT draagvermogen zonder negatieve kleef : NEE

Paal	:	LD1		
Niveau paalkop	[m]	N.A.P.	25.07	
Paalpuntniveau	:	N.A.P.	15.57	
$E_{d,1}$	[kN]	:	0.00	$E_{d,2}$ [kN] : 0.00
$s_{req,1}$	[m]	:	0.15	$s_{req,2}$ [m] : 0.05
Bovenbel.	[kN/m ²]	:	0.00	

Project :
Onderdeel :

SAMENVATTINGSTABEL Mast 070 (n=1)**Uitgangspunten**

- paal : LD1
- paaltype : Stalen buispaal (gesloten)
- schachtafmeting : 550 mm
Paalklassefactor α_p : 1.00
Factor α_s (tabel 7.c EC 7.1) : 0.010 (zandlagen; voor kleilagen zie tabel 7.d)
Correlatiefactor $\xi_{3(n=1)}$: 1.39

Alle niveaus/hogtes/peilmaten zijn t.o.v.: N.A.P.

sondering	maaiveld paalpunt		Bezwijkdraagvermogen			Rekenwaarden		
	niveau	niveau	$R_{b;cal}$ [kN]	$R_{s;cal}$ [kN]	$R_{c;cal}$ [kN]	$R_{c;d}$ [kN]	$F_{nk;d}$ [kN]	$R_{c;netto;d}$ [kN]
S070-1	24.67	15.57	3563.7	394.5	3958.2	2373.1	-161.2	2211.9
S070-2	24.63	15.57	3563.7	553.5	4117.2	2468.4	-126.6	2341.7

Totaal resultaten Mast 070 (van 2 sonderingen)

Uitgangspunten

Correlatiefactor ξ_{3gem} (n= 2) : 1.32
Correlatiefactor ξ_{4min} (n= 2) : 1.32

gebaseerd op sonderingen:

S070-1 S070-2

$$R_{c;k} = \min.\{ R_{c;cal;gem}/\xi_3; R_{c;cal;min}/\xi_4 \} \quad (7.8)$$

Inheinniveau
[m]

$$15.57 \quad R_{c;k} = \min.\{ (4037.7/1.32); (3958.2/1.32) \} = 2998.7$$

Alle niveaus/hogtes/peilmaten zijn t.o.v.: N.A.P.

Inheinniveau [m]	$R_{c;k}$ [kN]	$R_{c;d}$ [kN]	$F_{c;tot;1}$ [kN]	$F_{nk;d}$ [kN]	$R_{c;netto;d}$ [kN]	U.C.	$s_{1;1}$ [mm]	$s_{1;2}$ [mm]
15.57	2998.7	2498.9	-161.2	-161.2	2337.7	0.06	-0.5	-0.5

REKENGEGEVENS Mast 071

Berekening : Controlerend
Rekenmethode : Drukpalen volgens NEN-EN 1997-1, art. 7.6.2
Sondering(en) : S071-1, S071-2

Stijf bouwwerk : NEE
Paalgroep : NEE
Aantal sonderingen : 2
Factor $\xi_{3(n=1)}$: 1.39
Factor $\xi_{3(gem)}$: 1.32
Factor $\xi_{4(min)}$: 1.32
Weerstandsfactor γ_R : 1.20
 $\gamma_{f;nk}$: 1.0
 $R_{s;cal;max;i}$ begrenzen op $0.75 * R_{b;cal;max;i}$: NEE
UGT draagvermogen zonder negatieve kleef : NEE

Paal : LD1
Niveau paalkop [m] : N.A.P. 24.65
Paalpuntniveau : N.A.P. 13.65
 $E_{d;1}$ [kN] : 0.00 $E_{d;2}$ [kN] : 0.00
 $s_{req;1}$ [m] : 0.15 $s_{req;2}$ [m] : 0.05
Bovenbel. [kN/m²] : 0.00

Project :
Onderdeel :

SAMENVATTINGSTABEL Mast 071 (n=1)**Uitgangspunten**

- paal : LD1
- paaltype : Stalen buispaal (gesloten)
- schachtafmeting : 550 mm
Paalklassefactor α_p : 1.00
Factor α_s (tabel 7.c EC 7.1) : 0.010 (zandlagen; voor kleilagen zie tabel 7.d)
Correlatiefactor $\xi_{3(n=1)}$: 1.39

Alle niveaus/hogtes/peilmaten zijn t.o.v.: N.A.P.

sondering	maaiveld paalpunt		Bezuikdraagvermogen			Rekenwaarden		
	niveau	niveau	$R_{b;cal}$ [kN]	$R_{s;cal}$ [kN]	$R_{c;cal}$ [kN]	$R_{c;d}$ [kN]	$F_{nk;d}$ [kN]	$R_{c;netto;d}$ [kN]
S071-1	25.04	13.65	1740.9	846.7	2587.6	1551.3	-175.4	1376.0
S071-2	24.39	13.65	2027.2	932.4	2959.6	1774.4	-138.8	1635.5

Totaal resultaten Mast 071 (van 2 sonderingen)

Uitgangspunten

Correlatiefactor ξ_{3gem} (n= 2) : 1.32
Correlatiefactor ξ_{4min} (n= 2) : 1.32

gebaseerd op sonderingen:

S071-1 S071-2

$$R_{c;k} = \min.\{ R_{c;cal;gem}/\xi_3; R_{c;cal;min}/\xi_4 \} \quad (7.8)$$

Inheinniveau
[m]

$$13.65 \quad R_{c;k} = \min.\{ (2773.6/1.32); (2587.6/1.32) \} = 1960.3$$

Alle niveaus/hogtes/peilmaten zijn t.o.v.: N.A.P.

Inheinniveau [m]	$R_{c;k}$ [kN]	$R_{c;d}$ [kN]	$F_{c;tot;1}$ [kN]	$F_{nk;d}$ [kN]	$R_{c;netto;d}$ [kN]	U.C.	$s_{1;1}$ [mm]	$s_{1;2}$ [mm]
13.65	1960.3	1633.6	-175.4	-175.4	1458.2	0.11	-0.6	-0.6

REKENGEGEVENS Mast 072

Berekening : Controlerend
Rekenmethode : Drukpalen volgens NEN-EN 1997-1, art. 7.6.2
Sondering(en) : S074-1, S074-2, S071-1, S071-2, S073-1, S073-2, S070-1
: S070-2

Stijf bouwwerk : NEE
Paalgroep : NEE
Aantal sonderingen : 8
Factor $\xi_{3(n=1)}$: 1.39
Factor $\xi_{3(gem)}$: 1.27
Factor $\xi_{4(min)}$: 1.01
Weerstandsfactor γ_R : 1.20
 $\gamma_{f,nk}$: 1.0
 $R_{s;cal;max;i}$ begrenzen op $0.75 * R_{b;cal;max;i}$: NEE
UGT draagvermogen zonder negatieve kleeft : NEE

Paal : LD1
Niveau paalkop [m] : N.A.P. 24.26
Paalpuntniveau : N.A.P. 13.26
 $E_{d;1}$ [kN] : 0.00 $E_{d;2}$ [kN] : 0.00
 $s_{req;1}$ [m] : 0.15 $s_{req;2}$ [m] : 0.05
Bovenbel. [kN/m²] : 0.00

Project :
Onderdeel :

SAMENVATTINGSTABEL Mast 072 (n=1)**Uitgangspunten**

- paal : LD1
 - paaltype : Stalen buispaal (gesloten)
 - schachtafmeting : 550 mm
 Paalklassefactor α_p : 1.00
 Factor α_s (tabel 7.c EC 7.1) : 0.010 (zandlagen; voor kleilagen zie tabel 7.d)
 Correlatiefactor $\xi_{3(n=1)}$: 1.39

Alle niveaus/hogtes/peilmaten zijn t.o.v.: N.A.P.

sondering	maaiveld paalpunt		Bezwijkdraagvermogen			Rekenwaarden		
	niveau	niveau	$R_{b;cal}$ [kN]	$R_{s;cal}$ [kN]	$R_{c;cal}$ [kN]	$R_{c;d}$ [kN]	$F_{nk;d}$ [kN]	$R_{c;netto;d}$ [kN]
S074-1	24.16	13.26	3563.7	1277.8	4841.5	2902.6	-48.9	2853.7
S074-2	24.17	13.26	3563.7	1401.4	4965.1	2976.7	-49.0	2927.7
S071-1	25.04	13.26	1702.8	947.8	2650.6	1589.1	-173.3	1415.8
S071-2	24.39	13.26	1935.2	1033.5	2968.7	1779.8	-138.7	1641.1
S073-1	25.31	13.26	3563.7	1016.8	4580.5	2746.1	-135.3	2610.8
S073-2	25.51	13.26	3563.7	1011.2	4574.9	2742.7	-135.3	2607.4
S070-1	24.67	13.26	3563.7	982.9	4546.6	2725.8	-160.5	2565.3
S070-2	24.63	13.26	2985.9	1152.2	4138.1	2480.9	-126.2	2354.7

Totaal resultaten Mast 072 (van 8 sonderingen)

Uitgangspunten

Correlatiefactor ξ_{3gem} (n= 8) : 1.27
 Correlatiefactor ξ_{4min} (n= 8) : 1.01

gebaseerd op sonderingen:

S074-1 S074-2 S071-1 S071-2 S073-1 S073-2 S070-1 S070-2

$$R_{c;k} = \min.\{ R_{c;cal;gem}/\xi_3; R_{c;cal;min}/\xi_4 \} \quad (7.8)$$

Inheinniveau
[m]

$$13.26 \quad R_{c;k} = \min.\{ (4158.3/ 1.27); (2650.6/ 1.01) \} = 2624.4$$

Alle niveaus/hogtes/peilmaten zijn t.o.v.: N.A.P.

Inheinniveau [m]	$R_{c;k}$ [kN]	$R_{c;d}$ [kN]	$F_{c;tot;1}$ [kN]	$F_{nk;d}$ [kN]	$R_{c;netto;d}$ [kN]	U.C.	$S_{1;1}$ [mm]	$S_{1;2}$ [mm]
13.26	2624.4	2187.0	-173.3	-173.3	2013.6	0.08	-0.6	-0.6 *

*** WAARSCHUWING n.a.v. NEN-NA 1997-1 art. A.3.3.3 1)**

Bij toepassing van de waarden van ξ_1 , ξ_2 , ξ_3 en ξ_4 van de tabellen A.9 en A.10 mag de variatiecoëfficiënt van de draagkracht van palen in een groep, bepaald volgens de verschillende voor deze groep geldende sonderingen, niet groter zijn dan 12%. Deze variatiecoëfficiënt van 12% geeft bij een kans van onderschrijding van 5% een minimumdraagkracht groter dan 80% van het gemiddelde.

Inheinniveau [m]	Aantal [-]	$R_{c;cal;gem}$ [kN]	Var.coëff. [%]
13.26	8	4158.27	20.9

Project :
Onderdeel :

REKENGEDEVENS Mast 073

Berekening : Controlerend
Rekenmethode : Drukpalen volgens NEN-EN 1997-1, art. 7.6.2
Sondering(en) : S073-1, S073-2

Stijf bouwwerk : NEE
Paalgroep : NEE
Aantal sonderingen : 2
Factor ξ_3 (n=1) : 1.39
Factor ξ_3 (gem) : 1.32
Factor ξ_4 (min) : 1.32
Weerstandsfactor γ_R : 1.20
 $\gamma_{f,nk}$: 1.0
 $R_{s,cal,max;i}$ begrenzen op $0.75 * R_{b,cal,max;i}$: NEE
UGT draagvermogen zonder negatieve kleeft : NEE

Paal : LV1
Niveau paalkop [m] : N.A.P. 24.50
Paalpuntniveau : N.A.P. 13.50
 $E_{d,1}$ [kN] : 0.00 $E_{d,2}$ [kN] : 0.00
 $s_{req,1}$ [m] : 0.15 $s_{req,2}$ [m] : 0.05
Bovenbel. [kN/m²] : 0.00

Project :
Onderdeel :

SAMENVATTINGSTABEL Mast 073 (n=1)**Uitgangspunten**

- paal : LV1
- paaltype : Stalen buispaal (gesloten)
- schachtafmeting : 700 mm
Paalklassefactor α_p : 1.00
Factor α_s (tabel 7.c EC 7.1) : 0.010 (zandlagen; voor kleilagen zie tabel 7.d)
Correlatiefactor $\xi_{3(n=1)}$: 1.39

Alle niveaus/hogtes/peilmaten zijn t.o.v.: N.A.P.

sondering	maaiveld paalpunt		Bezwijkdraagvermogen			Rekenwaarden		
	niveau	niveau	$R_{b;cal}$ [kN]	$R_{s;cal}$ [kN]	$R_{c;cal}$ [kN]	$R_{c;d}$ [kN]	$F_{nk;d}$ [kN]	$R_{c;netto;d}$ [kN]
S073-1	25.31	13.50	5772.7	1214.9	6987.6	4189.2	-174.5	4014.7
S073-2	25.51	13.50	5772.7	1207.8	6980.4	4184.9	-174.5	4010.4

Totaal resultaten Mast 073 (van 2 sonderingen)

Uitgangspunten

Correlatiefactor ξ_{3gem} (n= 2) : 1.32
Correlatiefactor ξ_{4min} (n= 2) : 1.32

gebaseerd op sonderingen:
S073-1 S073-2

$$R_{c;k} = \min.\{ R_{c;cal;gem}/\xi_3; R_{c;cal;min}/\xi_4 \} \quad (7.8)$$

Inheinniveau
[m]

$$13.50 \quad R_{c;k} = \min.\{ (6984.0/1.32); (6980.4/1.32) \} = 5288.2$$

Alle niveaus/hogtes/peilmaten zijn t.o.v.: N.A.P.

Inheinniveau [m]	$R_{c;k}$ [kN]	$R_{c;d}$ [kN]	$F_{c;tot;1}$ [kN]	$F_{nk;d}$ [kN]	$R_{c;netto;d}$ [kN]	U.C.	$s_{1;1}$ [mm]	$s_{1;2}$ [mm]
13.50	5288.2	4406.8	-174.5	-174.5	4232.3	0.04	-0.4	-0.3

REKENGEGEVENS Mast 074

Berekening : Controlerend
Rekenmethode : Drukpalen volgens NEN-EN 1997-1, art. 7.6.2
Sondering(en) : S074-1, S074-2

Stijf bouwwerk : NEE
Paalgroep : NEE
Aantal sonderingen : 2
Factor $\xi_{3(n=1)}$: 1.39
Factor $\xi_{3(gem)}$: 1.32
Factor $\xi_{4(min)}$: 1.32
Weerstandsfactor γ_R : 1.20
 $\gamma_{f;nk}$: 1.0
 $R_{s;cal;max;i}$ begrenzen op $0.75 * R_{b;cal;max;i}$: NEE
UGT draagvermogen zonder negatieve kleef : NEE

Paal : LD1
Niveau paalkop [m] : N.A.P. 24.49
Paalpuntniveau : N.A.P. 14.49
 $E_{d;1}$ [kN] : 0.00 $E_{d;2}$ [kN] : 0.00
 $s_{req;1}$ [m] : 0.15 $s_{req;2}$ [m] : 0.05
Bovenbel. [kN/m²] : 0.00

Project :
Onderdeel :

SAMENVATTINGSTABEL Mast 074 (n=1)**Uitgangspunten**

- paal : LD1
- paaltype : Stalen buispaal (gesloten)
- schachtafmeting : 550 mm
Paalklassefactor α_p : 1.00
Factor α_s (tabel 7.c EC 7.1) : 0.010 (zandlagen; voor kleilagen zie tabel 7.d)
Correlatiefactor $\xi_{3(n=1)}$: 1.39

Alle niveaus/hogtes/peilmaten zijn t.o.v.: N.A.P.

sondering	maaiveld paalpunt		Bezwijkdraagvermogen			Rekenwaarden		
	niveau	niveau	$R_{b;cal}$ [kN]	$R_{s;cal}$ [kN]	$R_{c;cal}$ [kN]	$R_{c;d}$ [kN]	$F_{nk;d}$ [kN]	$R_{c;netto;d}$ [kN]
S074-1	24.16	14.49	3563.7	959.0	4522.8	2711.5	-48.9	2662.5
S074-2	24.17	14.49	2960.0	1090.1	4050.1	2428.1	-49.0	2379.2

Totaal resultaten Mast 074 (van 2 sonderingen)

Uitgangspunten

Correlatiefactor ξ_{3gem} (n= 2) : 1.32
Correlatiefactor ξ_{4min} (n= 2) : 1.32

gebaseerd op sonderingen:

S074-1 S074-2

$$R_{c;k} = \min.\{ R_{c;cal;gem}/\xi_3; R_{c;cal;min}/\xi_4 \} \quad (7.8)$$

Inheinniveau
[m]

$$14.49 \quad R_{c;k} = \min.\{ (4286.4 / 1.32); (4050.1 / 1.32) \} = 3068.3$$

Alle niveaus/hogtes/peilmaten zijn t.o.v.: N.A.P.

Inheinniveau [m]	$R_{c;k}$ [kN]	$R_{c;d}$ [kN]	$F_{c;tot;1}$ [kN]	$F_{nk;d}$ [kN]	$R_{c;netto;d}$ [kN]	U.C.	$s_{1;1}$ [mm]	$s_{1;2}$ [mm]
14.49	3068.3	2556.9	-49.0	-49.0	2507.9	0.02	-0.1	-0.1

REKENGEGEVENS Mast 076

Berekening : Controlerend
Rekenmethode : Drukpalen volgens NEN-EN 1997-1, art. 7.6.2
Sondering(en) : S076-1, S076-2

Stijf bouwwerk : NEE
Paalgroep : NEE
Aantal sonderingen : 2
Factor $\xi_{3(n=1)}$: 1.39
Factor $\xi_{3(gem)}$: 1.32
Factor $\xi_{4(min)}$: 1.32
Weerstandsfactor γ_R : 1.20
 $\gamma_{f;nk}$: 1.0
 $R_{s;cal;max;i}$ begrenzen op $0.75 * R_{b;cal;max;i}$: NEE
UGT draagvermogen zonder negatieve kleef : NEE

Paal : LD1

Niveau paalkop [m] : N.A.P. 24.08

Paalpuntniveau : N.A.P. 12.58

$E_{d;1}$ [kN] : 0.00

$E_{d;2}$ [kN] : 0.00

$s_{req;1}$ [m] : 0.15

$s_{req;2}$ [m] : 0.05

Bovenbel. [kN/m²] : 0.00

Project :
Onderdeel :

SAMENVATTINGSTABEL Mast 076 (n=1)**Uitgangspunten**

- paal : LD1
 - paaltype : Stalen buispaal (gesloten)
 - schachtafmeting : 550 mm
 Paalklassefactor α_p : 1.00
 Factor α_s (tabel 7.c EC 7.1) : 0.010 (zandlagen; voor kleilagen zie tabel 7.d)
 Correlatiefactor $\xi_{3(n=1)}$: 1.39

Alle niveaus/hogtes/peilmaten zijn t.o.v.: N.A.P.

sondering	maaiveld paalpunt		Bezwijkdraagvermogen			Rekenwaarden		
	niveau	niveau	$R_{b;cal}$ [kN]	$R_{s;cal}$ [kN]	$R_{c;cal}$ [kN]	$R_{c;d}$ [kN]	$F_{nk;d}$ [kN]	$R_{c;netto;d}$ [kN]
S076-1	23.70	12.58	3563.7	346.9	3910.6	2344.5	-224.2	2120.3
S076-2	23.50	12.58	3563.7	316.0	3879.7	2326.0	-228.6	2097.4

Totaal resultaten Mast 076 (van 2 sonderingen)

Uitgangspunten

Correlatiefactor ξ_{3gem} (n= 2) : 1.32
 Correlatiefactor ξ_{4min} (n= 2) : 1.32

gebaseerd op sonderingen:

S076-1 S076-2

$$R_{c;k} = \min.\{ R_{c;cal;gem}/\xi_3; R_{c;cal;min}/\xi_4 \} \quad (7.8)$$

Inheinniveau
[m]

$$12.58 \quad R_{c;k} = \min.\{ (3895.1/1.32); (3879.7/1.32) \} = 2939.2$$

Alle niveaus/hogtes/peilmaten zijn t.o.v.: N.A.P.

Inheinniveau [m]	$R_{c;k}$ [kN]	$R_{c;d}$ [kN]	$F_{c;tot;1}$ [kN]	$F_{nk;d}$ [kN]	$R_{c;netto;d}$ [kN]	U.C.	$s_{1;1}$ [mm]	$s_{1;2}$ [mm]
12.58	2939.2	2449.3	-228.6	-228.6	2220.7	0.09	-0.9	-0.8

REKENGEGEVENS Mast 078

Berekening : Controlerend
 Rekenmethode : Drukpalen volgens NEN-EN 1997-1, art. 7.6.2
 Sondering(en) : S078-1, S078-2

Stijf bouwwerk : NEE
 Paalgroep : NEE
 Aantal sonderingen : 2
 Factor $\xi_{3(n=1)}$: 1.39
 Factor $\xi_{3(gem)}$: 1.32
 Factor $\xi_{4(min)}$: 1.32
 Weerstandsfactor γ_R : 1.20
 $\gamma_{f;nk}$: 1.0
 $R_{s;cal;max;i}$ begrenzen op $0.75 * R_{b;cal;max;i}$: NEE
 UGT draagvermogen zonder negatieve kleef : NEE

Paal : LD1

Niveau paalkop [m] : N.A.P. 24.67

Paalpuntniveau : N.A.P. 12.67

$E_{d;1}$ [kN] : 0.00

$E_{d;2}$ [kN] : 0.00

$s_{req;1}$ [m] : 0.15

$s_{req;2}$ [m] : 0.05

Bovenbel. [kN/m²] : 0.00

Project :
Onderdeel :

SAMENVATTINGSTABEL Mast 078 (n=1)**Uitgangspunten**

- paal : LD1
- paaltype : Stalen buispaal (gesloten)
- schachtafmeting : 550 mm
Paalklassefactor α_p : 1.00
Factor α_s (tabel 7.c EC 7.1) : 0.010 (zandlagen; voor kleilagen zie tabel 7.d)
Correlatiefactor $\xi_{3(n=1)}$: 1.39

Alle niveaus/hogtes/peilmaten zijn t.o.v.: N.A.P.

sondering	maaiveld paalpunt		Bezwijkdraagvermogen			Rekenwaarden		
	niveau	niveau	$R_{b;cal}$ [kN]	$R_{s;cal}$ [kN]	$R_{c;cal}$ [kN]	$R_{c;d}$ [kN]	$F_{nk;d}$ [kN]	$R_{c;netto;d}$ [kN]
S078-1	24.07	12.67	2178.4	301.1	2479.5	1486.5	-252.6	1233.9
S078-2	24.09	12.67	3563.7	273.4	3837.1	2300.4	-252.6	2047.9

Totaal resultaten Mast 078 (van 2 sonderingen)

Uitgangspunten

Correlatiefactor ξ_{3gem} (n= 2) : 1.32
Correlatiefactor ξ_{4min} (n= 2) : 1.32

gebaseerd op sonderingen:
S078-1 S078-2

$$R_{c;k} = \min.\{ R_{c;cal;gem}/\xi_3; R_{c;cal;min}/\xi_4 \} \quad (7.8)$$

Inheinniveau
[m]

$$12.67 \quad R_{c;k} = \min.\{ (3158.3/1.32); (2479.5/1.32) \} = 1878.4$$

Alle niveaus/hogtes/peilmaten zijn t.o.v.: N.A.P.

Inheinniveau [m]	$R_{c;k}$ [kN]	$R_{c;d}$ [kN]	$F_{c;tot;1}$ [kN]	$F_{nk;d}$ [kN]	$R_{c;netto;d}$ [kN]	U.C.	$S_{1;1}$ [mm]	$S_{1;2}$ [mm]
12.67	1878.4	1565.3	-252.6	-252.6	1312.7	0.16	-1.3	-1.1 *

*** WAARSCHUWING n.a.v. NEN-NA 1997-1 art. A.3.3.3 1)**

Bij toepassing van de waarden van ξ_1 , ξ_2 , ξ_3 en ξ_4 van de tabellen A.9 en A.10 mag de variatiecoëfficiënt van de draagkracht van palen in een groep, bepaald volgens de verschillende voor deze groep geldende sonderingen, niet groter zijn dan 12%. Deze variatiecoëfficiënt van 12% geeft bij een kans van onderschrijding van 5% een minimumdraagkracht groter dan 80% van het gemiddelde.

Inheinniveau [m]	Aantal [-]	$R_{c;cal;gem}$ [kN]	Var.coëff. [%]
12.67	2	3158.31	30.4

REKENGEGEVENS Mast 079

Berekening : Controlerend
Rekenmethode : Drukpalen volgens NEN-EN 1997-1, art. 7.6.2
Sondering(en) : S079-1, S079-2

Stijf bouwwerk : NEE
Paalgroep : NEE
Aantal sonderingen : 2
Factor $\xi_{3(n=1)}$: 1.39
Factor $\xi_{3(gem)}$: 1.32
Factor $\xi_{4(min)}$: 1.32
Weerstandsfactor γ_R : 1.20
 $\gamma_{f,nk}$: 1.0

$R_{s;cal;max;i}$ begrenzen op $0.75 * R_{p;cal;max;i}$: NEE
UGT draagvermogen zonder negatieve kleef : NEE

Paal : LD1
Niveau paalkop [m] : N.A.P. 23.70
Paalpuntniveau : N.A.P. 10.70
 $E_{d;1}$ [kN] : 0.00

$E_{d;2}$ [kN] : 0.00

Project :
Onderdeel :

SAMENVATTINGSTABEL Mast 079 (n=1)**Uitgangspunten**

- paal : LD1
 - paaltype : Stalen buispaal (gesloten)
 - schachtafmeting : 550 mm
 Paalklassefactor α_p : 1.00
 Factor α_s (tabel 7.c EC 7.1) : 0.010 (zandlagen; voor kleilagen zie tabel 7.d)
 Correlatiefactor $\xi_{3(n=1)}$: 1.39

Alle niveaus/hogtes/peilmaten zijn t.o.v.: N.A.P.

sondering	maaiveld paalpunt		Bezwijkdraagvermogen			Rekenwaarden		
	niveau	niveau	$R_{b;cal}$ [kN]	$R_{s;cal}$ [kN]	$R_{c;cal}$ [kN]	$R_{c;d}$ [kN]	$F_{nk;d}$ [kN]	$R_{c;netto;d}$ [kN]
S079-1	23.22	10.70	1373.5	1059.2	2432.7	1458.5	-42.9	1415.5
S079-2	23.34	10.70	1165.8	781.1	1946.9	1167.2	-116.1	1051.1

Totaal resultaten Mast 079 (van 2 sonderingen)

Uitgangspunten

Correlatiefactor ξ_{3gem} (n= 2) : 1.32
 Correlatiefactor ξ_{4min} (n= 2) : 1.32

gebaseerd op sonderingen:
 S079-1 S079-2

$$R_{c;k} = \min.\{ R_{c;cal;gem}/\xi_3; R_{c;cal;min}/\xi_4 \} \quad (7.8)$$

Inheinniveau
 [m]

$$10.70 \quad R_{c;k} = \min.\{ (2189.8/1.32); (1946.9/1.32) \} = 1474.9$$

Alle niveaus/hogtes/peilmaten zijn t.o.v.: N.A.P.

Inheinniveau [m]	$R_{c;k}$ [kN]	$R_{c;d}$ [kN]	$F_{c;tot;1}$ [kN]	$F_{nk;d}$ [kN]	$R_{c;netto;d}$ [kN]	U.C.	$s_{1;1}$ [mm]	$s_{1;2}$ [mm]
10.70	1474.9	1229.1	-116.1	-116.1	1113.0	0.09	-0.5	-0.4 *

*** WAARSCHUWING n.a.v. NEN-NA 1997-1 art. A.3.3.3 1)**

Bij toepassing van de waarden van ξ_1 , ξ_2 , ξ_3 en ξ_4 van de tabellen A.9 en A.10 mag de variatiecoëfficiënt van de draagkracht van palen in een groep, bepaald volgens de verschillende voor deze groep geldende sonderingen, niet groter zijn dan 12%. Deze variatiecoëfficiënt van 12% geeft bij een kans van onderschrijding van 5% een minimumdraagkracht groter dan 80% van het gemiddelde.

Inheinniveau [m]	Aantal [-]	$R_{c;cal;gem}$ [kN]	Var.coëff. [%]
10.70	2	2189.81	15.7

Project :
Onderdeel :

OVERZICHT NETTO DRAAGVERMOGEN DRUKPALEN

Netto paal draagvermogen(s) zijn naar beneden toe afgerond op: 1.0 kN nauwkeurig
Alle niveaus/hoogtes/peilmaten zijn t.o.v.: N.A.P.

sondering	maaiveld paalpunt		$R_{c, netto; d}$ [kN]				
	niveau	niveau	Mast 070	Mast 071	Mast 072	Mast 073	Mast 074
S074-1	24.16	14.49 13.26			2853		2662
S074-2	24.17	14.49 13.26			2927		2379
S071-1	25.04	13.65 13.26		1375	1415		
S071-2	24.39	13.65 13.26		1635	1641		
S073-1	25.31	13.50 13.26			2610	4014	
S073-2	25.51	13.50 13.26			2607	4010	
S070-1	24.67	15.57 13.26	2211		2565		
S070-2	24.63	15.57 13.26	2341		2354		

Project :
Onderdeel :

Netto paal draagvermogen(s) zijn naar beneden toe afgerond op: 1.0 kN nauwkeurig
Alle niveaus/hogtes/peilmaten zijn t.o.v.: N.A.P.

sondering	maaiveld paalpunt		$R_{c,netto;d}$ [kN]		
	niveau	niveau	Mast 076	Mast 078	Mast 079

S076-1	23.70	12.58	2120		
S076-2	23.50	12.58	2097		
S078-1	24.07	12.67		1233	
S078-2	24.09	12.67		2047	
S079-1	23.22	10.70			1415
S079-2	23.34	10.70			1051

Project :
Onderdeel :

ALGEMENE GEGEVENS

Project :
Onderdeel :
Datum : 10-12-2021
Bestand : P:\EANL_Projects\10166262 - BBB modelleren
funderingen 380 kV\02 Content\03
Calculations\Technosoft
Paalfunderingen\MBT-EHV380\DO\Nieuw
Sonderingen\Mast 080-089.pvw
Berekeningstype : Verticaal belaste paal
Alle niveaus/hogtes/peilmaten zijn t.o.v.: N.A.P.

Toegepaste normen volgens Eurocode met Nederlandse NB

Geotechniek	EN 1997-1:2004	AC:2009	
	NEN-EN 1997-1:2005	C1+A1:2013	NB:2016
	NEN 9997-1:2016	C2:2017	

REKENGEGEVENS Mast 080

Berekening : Controlerend
Rekenmethode : Drukpalen volgens NEN-EN 1997-1, art. 7.6.2
Sondering(en) : S080-1, S080-2

Stijf bouwwerk : NEE
Paalgroep : NEE
Aantal sonderingen : 2
Factor ξ_3 (n=1) : 1.39
Factor ξ_3 (gem) : 1.32
Factor ξ_4 (min) : 1.32
Weerstandsfactor γ_R : 1.20
 $\gamma_{f,nk}$: 1.0
 $R_{s,cal,max,i}$ begrenzen op $0.75 * R_{b,cal,max,i}$: NEE
UGT draagvermogen zonder negatieve kleef : NEE

Paal	:	LD1			
Niveau paalkop	[m]	N.A.P.	23.19		
Paalpuntniveau	:	N.A.P.	11.19		
$E_{d,1}$	[kN]	:	0.00	$E_{d,2}$	[kN] : 0.00
$s_{req,1}$	[m]	:	0.15	$s_{req,2}$	[m] : 0.05
Bovenbel.	[kN/m ²]	:	0.00		

Project :
Onderdeel :

SAMENVATTINGSTABEL Mast 080 (n=1)**Uitgangspunten**

- paal : LD1
- paaltype : Stalen buispaal (gesloten)
- schachtafmeting : 550 mm
Paalklassefactor α_p : 1.00
Factor α_s (tabel 7.c EC 7.1) : 0.010 (zandlagen; voor kleilagen zie tabel 7.d)
Correlatiefactor $\xi_{3(n=1)}$: 1.39

Alle niveaus/hogtes/peilmaten zijn t.o.v.: N.A.P.

sondering	maaiveld paalpunt		Bezwijkdraagvermogen			Rekenwaarden		
	niveau	niveau	$R_{b;cal}$ [kN]	$R_{s;cal}$ [kN]	$R_{c;cal}$ [kN]	$R_{c;d}$ [kN]	$F_{nk;d}$ [kN]	$R_{c;netto;d}$ [kN]
S080-1	22.64	11.19	1770.4	306.8	2077.2	1245.3	-279.6	965.7
S080-2	22.70	11.19	1973.6	219.0	2192.6	1314.5	-295.3	1019.2

Totaal resultaten Mast 080 (van 2 sonderingen)

Uitgangspunten

Correlatiefactor ξ_{3gem} (n= 2) : 1.32
Correlatiefactor ξ_{4min} (n= 2) : 1.32

gebaseerd op sonderingen:
S080-1 S080-2

$$R_{c;k} = \min.\{ R_{c;cal;gem}/\xi_3; R_{c;cal;min}/\xi_4 \} \quad (7.8)$$

Inheinniveau
[m]

$$11.19 \quad R_{c;k} = \min.\{ (2134.9/1.32); (2077.2/1.32) \} = 1573.7$$

Alle niveaus/hogtes/peilmaten zijn t.o.v.: N.A.P.

Inheinniveau [m]	$R_{c;k}$ [kN]	$R_{c;d}$ [kN]	$F_{c;tot;1}$ [kN]	$F_{nk;d}$ [kN]	$R_{c;netto;d}$ [kN]	U.C.	$s_{1;1}$ [mm]	$s_{1;2}$ [mm]
11.19	1573.7	1311.4	-295.3	-295.3	1016.1	0.23	-2.0	-1.6

REKENGEGEVENS Mast 081

Berekening : Controlerend
Rekenmethode : Drukpalen volgens NEN-EN 1997-1, art. 7.6.2
Sondering(en) : S081-1, S081-2

Stijf bouwwerk : NEE
Paalgroep : NEE
Aantal sonderingen : 2
Factor $\xi_{3(n=1)}$: 1.39
Factor $\xi_{3(gem)}$: 1.32
Factor $\xi_{4(min)}$: 1.32
Weerstandsfactor γ_R : 1.20
 $\gamma_{f;nk}$: 1.0
 $R_{s;cal;max;i}$ begrenzen op $0.75 * R_{b;cal;max;i}$: NEE
UGT draagvermogen zonder negatieve kleef : NEE

Paal : LD1
Niveau paalkop [m] : N.A.P. 23.02
Paalpuntniveau : N.A.P. 10.52
 $E_{d;1}$ [kN] : 0.00 $E_{d;2}$ [kN] : 0.00
 $s_{req;1}$ [m] : 0.15 $s_{req;2}$ [m] : 0.05
Bovenbel. [kN/m²] : 0.00

Project :
Onderdeel :

SAMENVATTINGSTABEL Mast 081 (n=1)**Uitgangspunten**

- paal : LD1
 - paaltype : Stalen buispaal (gesloten)
 - schachtafmeting : 550 mm
 Paalklassefactor α_p : 1.00
 Factor α_s (tabel 7.c EC 7.1) : 0.010 (zandlagen; voor kleilagen zie tabel 7.d)
 Correlatiefactor $\xi_{3(n=1)}$: 1.39

Alle niveaus/hogtes/peilmaten zijn t.o.v.: N.A.P.

sondering	maaiveld paalpunt		Bewijkdraagvermogen			Rekenwaarden		
	niveau	niveau	$R_{b;cal}$ [kN]	$R_{s;cal}$ [kN]	$R_{c;cal}$ [kN]	$R_{c;d}$ [kN]	$F_{nk;d}$ [kN]	$R_{c;netto;d}$ [kN]
S081-1	22.46	10.52	308.2	1213.8	1522.0	912.4	-94.0	818.5
S081-2	22.45	10.52	357.7	1165.1	1522.8	913.0	-99.9	813.0

Totaal resultaten Mast 081 (van 2 sonderingen)

Uitgangspunten

Correlatiefactor ξ_{3gem} (n= 2) : 1.32
 Correlatiefactor ξ_{4min} (n= 2) : 1.32

gebaseerd op sonderingen:

S081-1 S081-2

$$R_{c;k} = \min.\{ R_{c;cal;gem}/\xi_3; R_{c;cal;min}/\xi_4 \} \quad (7.8)$$

Inheinniveau
[m]

$$10.52 \quad R_{c;k} = \min.\{ (1522.4/1.32); (1522.0/1.32) \} = 1153.0$$

Alle niveaus/hogtes/peilmaten zijn t.o.v.: N.A.P.

Inheinniveau [m]	$R_{c;k}$ [kN]	$R_{c;d}$ [kN]	$F_{c;tot;1}$ [kN]	$F_{nk;d}$ [kN]	$R_{c;netto;d}$ [kN]	U.C.	$s_{1;1}$ [mm]	$s_{1;2}$ [mm]
10.52	1153.0	960.8	-99.9	-99.9	860.9	0.10	-0.4	-0.3

REKENGEGEVENS Mast 086

Berekening : Controlerend
 Rekenmethode : Drukpalen volgens NEN-EN 1997-1, art. 7.6.2
 Sondering(en) : S086-1, S086-2

Stijf bouwwerk : NEE
 Paalgroep : NEE
 Aantal sonderingen : 2
 Factor $\xi_{3(n=1)}$: 1.39
 Factor $\xi_{3(gem)}$: 1.32
 Factor $\xi_{4(min)}$: 1.32
 Weerstandsfactor γ_R : 1.20
 $\gamma_{f;nk}$: 1.0
 $R_{s;cal;max;i}$ begrenzen op $0.75 * R_{b;cal;max;i}$: NEE
 UGT draagvermogen zonder negatieve kleef : NEE

Paal : LD1

Niveau paalkop [m] : N.A.P. 22.60

Paalpuntniveau : N.A.P. 10.60

$E_{d;1}$ [kN] : 0.00

$E_{d;2}$ [kN] : 0.00

$s_{req;1}$ [m] : 0.15

$s_{req;2}$ [m] : 0.05

Bovenbel. [kN/m²] : 0.00

Project :
Onderdeel :

SAMENVATTINGSTABEL Mast 086 (n=1)**Uitgangspunten**

- paal : LD1
- paaltype : Stalen buispaal (gesloten)
- schachtafmeting : 550 mm
Paalklassefactor α_p : 1.00
Factor α_s (tabel 7.c EC 7.1) : 0.010 (zandlagen; voor kleilagen zie tabel 7.d)
Correlatiefactor $\xi_{3(n=1)}$: 1.39

Alle niveaus/hogtes/peilmaten zijn t.o.v.: N.A.P.

sondering	maaiveld paalpunt		Bezwijkdraagvermogen			Rekenwaarden		
	niveau	niveau	$R_{b;cal}$ [kN]	$R_{s;cal}$ [kN]	$R_{c;cal}$ [kN]	$R_{c;d}$ [kN]	$F_{nk;d}$ [kN]	$R_{c;netto;d}$ [kN]
S086-1	22.18	10.60	1650.1	345.0	1995.1	1196.1	-222.0	974.1
S086-2	22.04	10.60	1937.9	337.3	2275.1	1364.0	-217.3	1146.7

Totaal resultaten Mast 086 (van 2 sonderingen)

Uitgangspunten

Correlatiefactor ξ_{3gem} (n= 2) : 1.32
Correlatiefactor ξ_{4min} (n= 2) : 1.32

gebaseerd op sonderingen:
S086-1 S086-2

$$R_{c;k} = \min.\{ R_{c;cal;gem}/\xi_3; R_{c;cal;min}/\xi_4 \} \quad (7.8)$$

Inheinniveau
[m]

$$10.60 \quad R_{c;k} = \min.\{ (2135.1/1.32); (1995.1/1.32) \} = 1511.4$$

Alle niveaus/hogtes/peilmaten zijn t.o.v.: N.A.P.

Inheinniveau [m]	$R_{c;k}$ [kN]	$R_{c;d}$ [kN]	$F_{c;tot;1}$ [kN]	$F_{nk;d}$ [kN]	$R_{c;netto;d}$ [kN]	U.C.	$s_{1;1}$ [mm]	$s_{1;2}$ [mm]
10.60	1511.4	1259.5	-222.0	-222.0	1037.5	0.18	-1.3	-1.0

REKENEGEGEVENS Mast 088

Berekening : Controlerend
Rekenmethode : Drukpalen volgens NEN-EN 1997-1, art. 7.6.2
Sondering(en) : S088-1, S088-2

Stijf bouwwerk : NEE
Paalgroep : NEE
Aantal sonderingen : 2
Factor $\xi_{3(n=1)}$: 1.39
Factor $\xi_{3(gem)}$: 1.32
Factor $\xi_{4(min)}$: 1.32
Weerstandsfactor γ_R : 1.20
 $\gamma_{f;nk}$: 1.0
 $R_{s;cal;max;i}$ begrenzen op $0.75 * R_{b;cal;max;i}$: NEE
UGT draagvermogen zonder negatieve kleef : NEE

Paal : LD1
Niveau paalkop [m] : N.A.P. 21.64
Paalpuntniveau : N.A.P. 9.14
 $E_{d;1}$ [kN] : 0.00 $E_{d;2}$ [kN] : 0.00
 $s_{req;1}$ [m] : 0.15 $s_{req;2}$ [m] : 0.05
Bovenbel. [kN/m²] : 0.00

Project :
Onderdeel :

SAMENVATTINGSTABEL Mast 088 (n=1)**Uitgangspunten**

- paal : LD1
 - paaltype : Stalen buispaal (gesloten)
 - schachtafmeting : 550 mm
 Paalklassefactor α_p : 1.00
 Factor α_s (tabel 7.c EC 7.1) : 0.010 (zandlagen; voor kleilagen zie tabel 7.d)
 Correlatiefactor $\xi_{3(n=1)}$: 1.39

Alle niveaus/hogtes/peilmaten zijn t.o.v.: N.A.P.

sondering	maaiveld paalpunt		Bezwijkdraagvermogen			Rekenwaarden		
	niveau	niveau	$R_{b;cal}$ [kN]	$R_{s;cal}$ [kN]	$R_{c;cal}$ [kN]	$R_{c;d}$ [kN]	$F_{nk;d}$ [kN]	$R_{c;netto;d}$ [kN]
S088-1	21.47	9.14	3563.7	501.1	4064.8	2437.0	-269.9	2167.1
S088-2	21.40	9.14	3563.7	504.4	4068.1	2438.9	-265.2	2173.7

Totaal resultaten Mast 088 (van 2 sonderingen)

Uitgangspunten

Correlatiefactor ξ_{3gem} (n= 2) : 1.32
 Correlatiefactor ξ_{4min} (n= 2) : 1.32

gebaseerd op sonderingen:
 S088-1 S088-2

$$R_{c;k} = \min.\{ R_{c;cal;gem}/\xi_3; R_{c;cal;min}/\xi_4 \} \quad (7.8)$$

Inheinniveau
 [m]

$$9.14 \quad R_{c;k} = \min.\{ (4066.5/1.32); (4064.8/1.32) \} = 3079.4$$

Alle niveaus/hogtes/peilmaten zijn t.o.v.: N.A.P.

Inheinniveau [m]	$R_{c;k}$ [kN]	$R_{c;d}$ [kN]	$F_{c;tot;1}$ [kN]	$F_{nk;d}$ [kN]	$R_{c;netto;d}$ [kN]	U.C.	$s_{1;1}$ [mm]	$s_{1;2}$ [mm]
9.14	3079.4	2566.2	-269.9	-269.9	2296.3	0.11	-1.1	-1.0

REKENGEGEVENS Mast 089

Berekening : Controlerend
 Rekenmethode : Drukpalen volgens NEN-EN 1997-1, art. 7.6.2
 Sondering(en) : S089-1, S089-2

Stijf bouwwerk : NEE
 Paalgroep : NEE
 Aantal sonderingen : 2
 Factor $\xi_{3(n=1)}$: 1.39
 Factor $\xi_{3(gem)}$: 1.32
 Factor $\xi_{4(min)}$: 1.32
 Weerstandsfactor γ_R : 1.20
 $\gamma_{f;nk}$: 1.0
 $R_{s;cal;max;i}$ begrenzen op $0.75 * R_{b;cal;max;i}$: NEE
 UGT draagvermogen zonder negatieve kleef : NEE

Paal : LD1
 Niveau paalkop [m] : N.A.P. 21.96
 Paalpuntniveau : N.A.P. 9.96
 $E_{d;1}$ [kN] : 0.00 $E_{d;2}$ [kN] : 0.00
 $s_{req;1}$ [m] : 0.15 $s_{req;2}$ [m] : 0.05
 Bovenbel. [kN/m²] : 0.00

Project :
Onderdeel :

SAMENVATTINGSTABEL Mast 089 (n=1)**Uitgangspunten**

- paal : LD1
 - paaltype : Stalen buispaal (gesloten)
 - schachtafmeting : 550 mm
 Paalklassefactor α_p : 1.00
 Factor α_s (tabel 7.c EC 7.1) : 0.010 (zandlagen; voor kleilagen zie tabel 7.d)
 Correlatiefactor $\xi_{3(n=1)}$: 1.39

Alle niveaus/hogtes/peilmaten zijn t.o.v.: N.A.P.

sondering	maaiveld paalpunt		Bezwijkdraagvermogen			Rekenwaarden		
	niveau	niveau	$R_{b;cal}$ [kN]	$R_{s;cal}$ [kN]	$R_{c;cal}$ [kN]	$R_{c;d}$ [kN]	$F_{nk;d}$ [kN]	$R_{c;netto;d}$ [kN]
S089-1	21.35	9.96	3563.7	1395.9	4959.6	2973.4	-12.5	2960.9
S089-2	21.16	9.96	3383.3	1589.9	4973.2	2981.5	-10.8	2970.7

Totaal resultaten Mast 089 (van 2 sonderingen)

Uitgangspunten

Correlatiefactor ξ_{3gem} (n= 2) : 1.32
 Correlatiefactor ξ_{4min} (n= 2) : 1.32

gebaseerd op sonderingen:
S089-1 S089-2

$$R_{c;k} = \min.\{ R_{c;cal;gem}/\xi_3; R_{c;cal;min}/\xi_4 \} \quad (7.8)$$

Inheinniveau
[m]

$$9.96 \quad R_{c;k} = \min.\{ (4966.4/1.32); (4959.6/1.32) \} = 3757.3$$

Alle niveaus/hogtes/peilmaten zijn t.o.v.: N.A.P.

Inheinniveau [m]	$R_{c;k}$ [kN]	$R_{c;d}$ [kN]	$F_{c;tot;1}$ [kN]	$F_{nk;d}$ [kN]	$R_{c;netto;d}$ [kN]	U.C.	$s_{1;1}$ [mm]	$s_{1;2}$ [mm]
9.96	3757.3	3131.1	-12.5	-12.5	3118.6	0.00	-0.0	-0.0

Project :
Onderdeel :

OVERZICHT NETTO DRAAGVERMOGEN DRUKPALEN

Netto paal draagvermogen(s) zijn naar beneden toe afgerond op: 1.0 kN nauwkeurig
Alle niveaus/hogtes/peilmaten zijn t.o.v.: N.A.P.

sondering	maaiveld paalpunt		$R_{c, netto; d}$ [kN]				
	niveau	niveau	Mast 080	Mast 081	Mast 086	Mast 088	Mast 089
S086-1	22.18	10.60			974		
S086-2	22.04	10.60			1146		
S089-1	21.35	9.96					2960
S089-2	21.16	9.96					2970
S080-1	22.64	11.19	965				
S080-2	22.70	11.19	1019				
S088-1	21.47	9.14				2167	
S088-2	21.40	9.14				2173	
S081-1	22.46	10.52		818			
S081-2	22.45	10.52		813			

Project :
Onderdeel :

ALGEMENE GEGEVENS

Project :
Onderdeel :
Datum : 23-11-2021
Bestand : P:\EANL_Projects\10166262 - BBB modelleren
funderingen 380 kV\02 Content\03
Calculations\Technosoft
Paalfunderingen\MBT-EHV380\DO\Nieuw
Sonderingen\Mast 090-099.pvw
Berekeningstype : Verticaal belaste paal
Alle niveaus/hogtes/peilmaten zijn t.o.v.: N.A.P.

Toegepaste normen volgens Eurocode met Nederlandse NB

Geotechniek	EN 1997-1:2004	AC:2009	
	NEN-EN 1997-1:2005	C1+A1:2013	NB:2016
	NEN 9997-1:2016	C2:2017	

REKENGEGEVENS Mast 091

Berekening : Controlerend
Rekenmethode : Drukpalen volgens NEN-EN 1997-1, art. 7.6.2
Sondering(en) : S091-1, S091-2

Stijf bouwwerk : NEE
Paalgroep : NEE
Aantal sonderingen : 2
Factor ξ_3 (n=1) : 1.39
Factor ξ_3 (gem) : 1.32
Factor ξ_4 (min) : 1.32
Weerstandsfactor γ_R : 1.20
 $\gamma_{f,nk}$: 1.0
 $R_{s,cal,max,i}$ begrenzen op $0.75 * R_{b,cal,max,i}$: NEE
UGT draagvermogen zonder negatieve kleef : NEE

Paal	:	LD1		
Niveau paalkop	[m]	N.A.P.	22.35	
Paalpuntniveau	:	N.A.P.	9.35	
$E_{d,1}$	[kN]	:	0.00	$E_{d,2}$ [kN] : 0.00
$s_{req,1}$	[m]	:	0.15	$s_{req,2}$ [m] : 0.05
Bovenbel.	[kN/m ²]	:	0.00	

Project :
Onderdeel :

SAMENVATTINGSTABEL Mast 091 (n=1)**Uitgangspunten**

- paal : LD1
- paaltype : Stalen buispaal (gesloten)
- schachtafmeting : 550 mm
Paalklassefactor α_p : 1.00
Factor α_s (tabel 7.c EC 7.1) : 0.010 (zandlagen; voor kleilagen zie tabel 7.d)
Correlatiefactor $\xi_{3(n=1)}$: 1.39

Alle niveaus/hogtes/peilmaten zijn t.o.v.: N.A.P.

sondering	maaiveld paalpunt		Bezwijkdraagvermogen			Rekenwaarden		
	niveau	niveau	$R_{b;cal}$ [kN]	$R_{s;cal}$ [kN]	$R_{c;cal}$ [kN]	$R_{c;d}$ [kN]	$F_{nk;d}$ [kN]	$R_{c;netto;d}$ [kN]
S091-1	22.06	9.35	3121.5	1911.4	5032.9	3017.3	-10.7	3006.6
S091-2	22.15	9.35	2145.2	1917.5	4062.7	2435.7	-11.9	2423.8

Totaal resultaten Mast 091 (van 2 sonderingen)

Uitgangspunten

Correlatiefactor ξ_{3gem} (n= 2) : 1.32
Correlatiefactor ξ_{4min} (n= 2) : 1.32

gebaseerd op sonderingen:
S091-1 S091-2

$$R_{c;k} = \min.\{ R_{c;cal;gem}/\xi_3; R_{c;cal;min}/\xi_4 \} \quad (7.8)$$

Inheinniveau
[m]

$$9.35 \quad R_{c;k} = \min.\{ (4547.8 / 1.32); (4062.7 / 1.32) \} = 3077.8$$

Alle niveaus/hogtes/peilmaten zijn t.o.v.: N.A.P.

Inheinniveau [m]	$R_{c;k}$ [kN]	$R_{c;d}$ [kN]	$F_{c;tot;1}$ [kN]	$F_{nk;d}$ [kN]	$R_{c;netto;d}$ [kN]	U.C.	$S_{1;1}$ [mm]	$S_{1;2}$ [mm]
9.35	3077.8	2564.9	-11.9	-11.9	2552.9	0.00	-0.0	-0.0 *

*** WAARSCHUWING n.a.v. NEN-NA 1997-1 art. A.3.3.3 1)**

Bij toepassing van de waarden van ξ_1 , ξ_2 , ξ_3 en ξ_4 van de tabellen A.9 en A.10 mag de variatiecoëfficiënt van de draagkracht van palen in een groep, bepaald volgens de verschillende voor deze groep geldende sonderingen, niet groter zijn dan 12%. Deze variatiecoëfficiënt van 12% geeft bij een kans van onderschrijding van 5% een minimumdraagkracht groter dan 80% van het gemiddelde.

Inheinniveau [m]	Aantal [-]	$R_{c;cal;gem}$ [kN]	Var.coëff. [%]
9.35	2	4547.81	15.1

REKENGEGEVENS Mast 092

Berekening : Controlerend
Rekenmethode : Drukpalen volgens NEN-EN 1997-1, art. 7.6.2
Sondering(en) : S092-1, S092-2

Stijf bouwwerk : NEE
Paalgroep : NEE
Aantal sonderingen : 2
Factor $\xi_{3(n=1)}$: 1.39
Factor $\xi_{3(gem)}$: 1.32
Factor $\xi_{4(min)}$: 1.32
Weerstandsfactor γ_R : 1.20
 $\gamma_{f,nk}$: 1.0

$R_{s;cal;max;i}$ begrenzen op $0.75 * R_{p;cal;max;i}$: NEE
UGT draagvermogen zonder negatieve kleef : NEE

Paal : LD1
Niveau paalkop [m] : N.A.P. 22.87
Paalpuntniveau : N.A.P. 11.87
 $E_{d;1}$ [kN] : 0.00

$E_{d;2}$ [kN] : 0.00

Project :
Onderdeel :

SAMENVATTINGSTABEL Mast 092 (n=1)**Uitgangspunten**

- paal : LD1
 - paaltype : Stalen buispaal (gesloten)
 - schachtafmeting : 550 mm
 Paalklassefactor α_p : 1.00
 Factor α_s (tabel 7.c EC 7.1) : 0.010 (zandlagen; voor kleilagen zie tabel 7.d)
 Correlatiefactor $\xi_{3(n=1)}$: 1.39

Alle niveaus/hogtes/peilmaten zijn t.o.v.: N.A.P.

sondering	maaiveld paalpunt		Bezwijkdraagvermogen			Rekenwaarden		
	niveau	niveau	$R_{b;cal}$ [kN]	$R_{s;cal}$ [kN]	$R_{c;cal}$ [kN]	$R_{c;d}$ [kN]	$F_{nk;d}$ [kN]	$R_{c;netto;d}$ [kN]
S092-1	22.28	11.87	1031.3	1401.1	2432.4	1458.3	-31.4	1426.9
S092-2	22.28	11.87	1254.6	1444.5	2699.0	1618.1	-18.1	1600.0

Totaal resultaten Mast 092 (van 2 sonderingen)

Uitgangspunten

Correlatiefactor ξ_{3gem} (n= 2) : 1.32
 Correlatiefactor ξ_{4min} (n= 2) : 1.32

gebaseerd op sonderingen:
 S092-1 S092-2

$$R_{c;k} = \min.\{ R_{c;cal;gem}/\xi_3; R_{c;cal;min}/\xi_4 \} \quad (7.8)$$

Inheinniveau
 [m]

$$11.87 \quad R_{c;k} = \min.\{ (2565.7/1.32); (2432.4/1.32) \} = 1842.7$$

Alle niveaus/hogtes/peilmaten zijn t.o.v.: N.A.P.

Inheinniveau [m]	$R_{c;k}$ [kN]	$R_{c;d}$ [kN]	$F_{c;tot;1}$ [kN]	$F_{nk;d}$ [kN]	$R_{c;netto;d}$ [kN]	U.C.	$s_{1;1}$ [mm]	$s_{1;2}$ [mm]
11.87	1842.7	1535.6	-31.4	-31.4	1504.2	0.02	-0.1	-0.1

REKENGEGEVENS Mast 093

Berekening : Controlerend
 Rekenmethode : Drukpalen volgens NEN-EN 1997-1, art. 7.6.2
 Sondering(en) : S093-1, S093-2

Stijf bouwwerk : NEE
 Paalgroep : NEE
 Aantal sonderingen : 2
 Factor $\xi_{3(n=1)}$: 1.39
 Factor $\xi_{3(gem)}$: 1.32
 Factor $\xi_{4(min)}$: 1.32
 Weerstandsfactor γ_R : 1.20
 $\gamma_{f;nk}$: 1.0
 $R_{s;cal;max;i}$ begrenzen op $0.75 * R_{b;cal;max;i}$: NEE
 UGT draagvermogen zonder negatieve kleef : NEE

Paal : LD1
 Niveau paalkop [m] : N.A.P. 24.38
 Paalpuntniveau : N.A.P. 15.38
 $E_{d;1}$ [kN] : 0.00 $E_{d;2}$ [kN] : 0.00
 $s_{req;1}$ [m] : 0.15 $s_{req;2}$ [m] : 0.05
 Bovenbel. [kN/m²] : 0.00

Project :
Onderdeel :

SAMENVATTINGSTABEL Mast 093 (n=1)**Uitgangspunten**

- paal : LD1
- paaltype : Stalen buispaal (gesloten)
- schachtafmeting : 550 mm
Paalklassefactor α_p : 1.00
Factor α_s (tabel 7.c EC 7.1) : 0.010 (zandlagen; voor kleilagen zie tabel 7.d)
Correlatiefactor $\xi_{3(n=1)}$: 1.39

Alle niveaus/hogtes/peilmaten zijn t.o.v.: N.A.P.

sondering	maaiveld paalpunt		Bezwijkdraagvermogen			Rekenwaarden		
	niveau	niveau	$R_{b;cal}$ [kN]	$R_{s;cal}$ [kN]	$R_{c;cal}$ [kN]	$R_{c;d}$ [kN]	$F_{nk;d}$ [kN]	$R_{c;netto;d}$ [kN]
S093-1	24.06	15.38	3045.3	615.8	3661.0	2194.9	-51.4	2143.5
S093-2	23.87	15.38	2922.4	364.9	3287.3	1970.8	-104.1	1866.7

Totaal resultaten Mast 093 (van 2 sonderingen)

Uitgangspunten

Correlatiefactor ξ_{3gem} (n= 2) : 1.32
Correlatiefactor ξ_{4min} (n= 2) : 1.32

gebaseerd op sonderingen:
S093-1 S093-2

$$R_{c;k} = \min.\{ R_{c;cal;gem}/\xi_3; R_{c;cal;min}/\xi_4 \} \quad (7.8)$$

Inheinniveau
[m]

$$15.38 \quad R_{c;k} = \min.\{ (3474.2/1.32); (3287.3/1.32) \} = 2490.4$$

Alle niveaus/hogtes/peilmaten zijn t.o.v.: N.A.P.

Inheinniveau [m]	$R_{c;k}$ [kN]	$R_{c;d}$ [kN]	$F_{c;tot;1}$ [kN]	$F_{nk;d}$ [kN]	$R_{c;netto;d}$ [kN]	U.C.	$s_{1;1}$ [mm]	$s_{1;2}$ [mm]
15.38	2490.4	2075.3	-104.1	-104.1	1971.2	0.05	-0.3	-0.3

REKENGEGEVENS Mast 094

Berekening : Controlerend
Rekenmethode : Drukpalen volgens NEN-EN 1997-1, art. 7.6.2
Sondering(en) : S094-1, S094-2

Stijf bouwwerk : NEE
Paalgroep : NEE
Aantal sonderingen : 2
Factor $\xi_{3(n=1)}$: 1.39
Factor $\xi_{3(gem)}$: 1.32
Factor $\xi_{4(min)}$: 1.32
Weerstandsfactor γ_R : 1.20
 $\gamma_{f;nk}$: 1.0
 $R_{s;cal;max;i}$ begrenzen op $0.75 * R_{b;cal;max;i}$: NEE
UGT draagvermogen zonder negatieve kleef : NEE

Paal : LD1
Niveau paalkop [m] : N.A.P. 20.93
Paalpuntniveau : N.A.P. 11.43
 $E_{d;1}$ [kN] : 0.00 $E_{d;2}$ [kN] : 0.00
 $s_{req;1}$ [m] : 0.15 $s_{req;2}$ [m] : 0.05
Bovenbel. [kN/m²] : 0.00

Project :
Onderdeel :

SAMENVATTINGSTABEL Mast 094 (n=1)**Uitgangspunten**

- paal : LD1
- paaltype : Stalen buispaal (gesloten)
- schachtafmeting : 550 mm
Paalklassefactor α_p : 1.00
Factor α_s (tabel 7.c EC 7.1) : 0.010 (zandlagen; voor kleilagen zie tabel 7.d)
Correlatiefactor $\xi_{3(n=1)}$: 1.39

Alle niveaus/hogtes/peilmaten zijn t.o.v.: N.A.P.

sondering	maaiveld paalpunt		Bezwijkdraagvermogen			Rekenwaarden		
	niveau	niveau	$R_{b;cal}$ [kN]	$R_{s;cal}$ [kN]	$R_{c;cal}$ [kN]	$R_{c;d}$ [kN]	$F_{nk;d}$ [kN]	$R_{c;netto;d}$ [kN]
S094-1	20.53	11.43	2208.9	1419.5	3628.4	2175.3	-2.3	2173.0
S094-2	20.50	11.43	872.0	1345.9	2217.9	1329.7	-2.9	1326.8

Totaal resultaten Mast 094 (van 2 sonderingen)

Uitgangspunten

Correlatiefactor ξ_{3gem} (n= 2) : 1.32
Correlatiefactor ξ_{4min} (n= 2) : 1.32

gebaseerd op sonderingen:
S094-1 S094-2

$$R_{c;k} = \min.\{ R_{c;cal;gem}/\xi_3; R_{c;cal;min}/\xi_4 \} \quad (7.8)$$

Inheinniveau
[m]

$$11.43 \quad R_{c;k} = \min.\{ (2923.2/1.32); (2217.9/1.32) \} = 1680.2$$

Alle niveaus/hogtes/peilmaten zijn t.o.v.: N.A.P.

Inheinniveau [m]	$R_{c;k}$ [kN]	$R_{c;d}$ [kN]	$F_{c;tot;1}$ [kN]	$F_{nk;d}$ [kN]	$R_{c;netto;d}$ [kN]	U.C.	$S_{1;1}$ [mm]	$S_{1;2}$ [mm]
11.43	1680.2	1400.2	-2.9	-2.9	1397.3	0.00	-0.0	-0.0 *

*** WAARSCHUWING n.a.v. NEN-NA 1997-1 art. A.3.3.3 1)**

Bij toepassing van de waarden van ξ_1 , ξ_2 , ξ_3 en ξ_4 van de tabellen A.9 en A.10 mag de variatiecoëfficiënt van de draagkracht van palen in een groep, bepaald volgens de verschillende voor deze groep geldende sonderingen, niet groter zijn dan 12%. Deze variatiecoëfficiënt van 12% geeft bij een kans van onderschrijding van 5% een minimumdraagkracht groter dan 80% van het gemiddelde.

Inheinniveau [m]	Aantal [-]	$R_{c;cal;gem}$ [kN]	Var.coëff. [%]
11.43	2	2923.15	34.1

REKENGEGEVENS Mast 095

Berekening : Controllerend
Rekenmethode : Drukpalen volgens NEN-EN 1997-1, art. 7.6.2
Sondering(en) : S095-1, S095-2

Stijf bouwwerk : NEE
Paalgroep : NEE
Aantal sonderingen : 2
Factor $\xi_{3(n=1)}$: 1.39
Factor $\xi_{3(gem)}$: 1.32
Factor $\xi_{4(min)}$: 1.32
Weerstandsfactor γ_R : 1.20
 $\gamma_{f,nk}$: 1.0

$R_{s;cal;max;i}$ begrenzen op $0.75 * R_{p;cal;max;i}$: NEE
UGT draagvermogen zonder negatieve kleef : NEE

Paal : LD1
Niveau paalkop [m] : N.A.P. 20.40
Paalpuntniveau : N.A.P. 7.40
 $E_{d;1}$ [kN] : 0.00

$E_{d;2}$ [kN] : 0.00

Project :
Onderdeel :

SAMENVATTINGSTABEL Mast 095 (n=1)**Uitgangspunten**

- paal : LD1
 - paaltype : Stalen buispaal (gesloten)
 - schachtafmeting : 550 mm
 Paalklassefactor α_p : 1.00
 Factor α_s (tabel 7.c EC 7.1) : 0.010 (zandlagen; voor kleilagen zie tabel 7.d)
 Correlatiefactor $\xi_{3(n=1)}$: 1.39

Alle niveaus/hogtes/peilmaten zijn t.o.v.: N.A.P.

sondering	maaiveld paalpunt		Bezwijkdraagvermogen			Rekenwaarden		
	niveau	niveau	$R_{b;cal}$ [kN]	$R_{s;cal}$ [kN]	$R_{c;cal}$ [kN]	$R_{c;d}$ [kN]	$F_{nk;d}$ [kN]	$R_{c;netto;d}$ [kN]
S095-1	20.09	7.40	2008.8	1304.4	3313.3	1986.4	-83.3	1903.1
S095-2	19.85	7.40	1632.3	1422.2	3054.6	1831.3	-82.7	1748.5

Totaal resultaten Mast 095 (van 2 sonderingen)

Uitgangspunten

Correlatiefactor ξ_{3gem} (n= 2) : 1.32
 Correlatiefactor ξ_{4min} (n= 2) : 1.32

gebaseerd op sonderingen:
 S095-1 S095-2

$$R_{c;k} = \min.\{ R_{c;cal;gem}/\xi_3; R_{c;cal;min}/\xi_4 \} \quad (7.8)$$

Inheinniveau
 [m]

$$7.40 \quad R_{c;k} = \min.\{ (3183.9/1.32); (3054.6/1.32) \} = 2314.1$$

Alle niveaus/hogtes/peilmaten zijn t.o.v.: N.A.P.

Inheinniveau [m]	$R_{c;k}$ [kN]	$R_{c;d}$ [kN]	$F_{c;tot;1}$ [kN]	$F_{nk;d}$ [kN]	$R_{c;netto;d}$ [kN]	U.C.	$s_{1;1}$ [mm]	$s_{1;2}$ [mm]
7.40	2314.1	1928.4	-83.3	-83.3	1845.1	0.04	-0.3	-0.3

REKENGEGEVENS Mast 096

Berekening : Controlerend
 Rekenmethode : Drukpalen volgens NEN-EN 1997-1, art. 7.6.2
 Sondering(en) : S096-1, S096-2

Stijf bouwwerk : NEE
 Paalgroep : NEE
 Aantal sonderingen : 2
 Factor $\xi_{3(n=1)}$: 1.39
 Factor $\xi_{3(gem)}$: 1.32
 Factor $\xi_{4(min)}$: 1.32
 Weerstandsfactor γ_R : 1.20
 $\gamma_{f;nk}$: 1.0
 $R_{s;cal;max;i}$ begrenzen op $0.75 * R_{b;cal;max;i}$: NEE
 UGT draagvermogen zonder negatieve kleef : NEE

Paal : LD1
 Niveau paalkop [m] : N.A.P. 20.43
 Paalpuntniveau : N.A.P. 10.43
 $E_{d;1}$ [kN] : 0.00 $E_{d;2}$ [kN] : 0.00
 $s_{req;1}$ [m] : 0.15 $s_{req;2}$ [m] : 0.05
 Bovenbel. [kN/m²] : 0.00

Project :
Onderdeel :

SAMENVATTINGSTABEL Mast 096 (n=1)**Uitgangspunten**

- paal : LD1
- paaltype : Stalen buispaal (gesloten)
- schachtafmeting : 550 mm
Paalklassefactor α_p : 1.00
Factor α_s (tabel 7.c EC 7.1) : 0.010 (zandlagen; voor kleilagen zie tabel 7.d)
Correlatiefactor $\xi_{3(n=1)}$: 1.39

Alle niveaus/hogtes/peilmaten zijn t.o.v.: N.A.P.

sondering	maaiveld paalpunt		Bezwijkdraagvermogen			Rekenwaarden		
	niveau	niveau	$R_{b;cal}$ [kN]	$R_{s;cal}$ [kN]	$R_{c;cal}$ [kN]	$R_{c;d}$ [kN]	$F_{nk;d}$ [kN]	$R_{c;netto;d}$ [kN]
S096-1	19.99	10.43	786.6	1092.8	1879.4	1126.7	-67.7	1059.0
S096-2	19.77	10.43	1493.2	748.6	2241.7	1344.0	-111.7	1232.3

Totaal resultaten Mast 096 (van 2 sonderingen)

Uitgangspunten

Correlatiefactor ξ_{3gem} (n= 2) : 1.32
Correlatiefactor ξ_{4min} (n= 2) : 1.32

gebaseerd op sonderingen:

S096-1 S096-2

$$R_{c;k} = \min.\{ R_{c;cal;gem}/\xi_3; R_{c;cal;min}/\xi_4 \} \quad (7.8)$$

Inheinniveau
[m]

$$10.43 \quad R_{c;k} = \min.\{ (2060.6/1.32); (1879.4/1.32) \} = 1423.8$$

Alle niveaus/hogtes/peilmaten zijn t.o.v.: N.A.P.

Inheinniveau [m]	$R_{c;k}$ [kN]	$R_{c;d}$ [kN]	$F_{c;tot;1}$ [kN]	$F_{nk;d}$ [kN]	$R_{c;netto;d}$ [kN]	U.C.	$S_{1;1}$ [mm]	$S_{1;2}$ [mm]
10.43	1423.8	1186.5	-111.7	-111.7	1074.8	0.09	-0.4	-0.4 *

*** WAARSCHUWING n.a.v. NEN-NA 1997-1 art. A.3.3.3 1)**

Bij toepassing van de waarden van ξ_1 , ξ_2 , ξ_3 en ξ_4 van de tabellen A.9 en A.10 mag de variatiecoëfficiënt van de draagkracht van palen in een groep, bepaald volgens de verschillende voor deze groep geldende sonderingen, niet groter zijn dan 12%. Deze variatiecoëfficiënt van 12% geeft bij een kans van onderschrijding van 5% een minimumdraagkracht groter dan 80% van het gemiddelde.

Inheinniveau [m]	Aantal [-]	$R_{c;cal;gem}$ [kN]	Var.coëff. [%]
10.43	2	2060.56	12.4

REKENGEGEVENS Mast 097

Berekening : Controlerend
Rekenmethode : Drukpalen volgens NEN-EN 1997-1, art. 7.6.2
Sondering(en) : S097-1, S097-2

Stijf bouwwerk : NEE
Paalgroep : NEE
Aantal sonderingen : 2
Factor $\xi_{3(n=1)}$: 1.39
Factor $\xi_{3(gem)}$: 1.32
Factor $\xi_{4(min)}$: 1.32
Weerstandsfactor γ_R : 1.20
 $\gamma_{f,nk}$: 1.0

$R_{s;cal;max;i}$ begrenzen op $0.75 * R_{p;cal;max;i}$: NEE
UGT draagvermogen zonder negatieve kleef : NEE

Paal : LD1
Niveau paalkop [m] : N.A.P. 20.20
Paalpuntniveau : N.A.P. 10.20
 $E_{d;1}$ [kN] : 0.00

$E_{d;2}$ [kN] : 0.00

Project :
Onderdeel :

SAMENVATTINGSTABEL Mast 097 (n=1)**Uitgangspunten**

- paal : LD1
 - paaltype : Stalen buispaal (gesloten)
 - schachtafmeting : 550 mm
 Paalklassefactor α_p : 1.00
 Factor α_s (tabel 7.c EC 7.1) : 0.010 (zandlagen; voor kleilagen zie tabel 7.d)
 Correlatiefactor $\xi_{3(n=1)}$: 1.39

Alle niveaus/hogtes/peilmaten zijn t.o.v.: N.A.P.

sondering	maaiveld paalpunt		Bezwijkdraagvermogen			Rekenwaarden		
	niveau	niveau	$R_{b;cal}$ [kN]	$R_{s;cal}$ [kN]	$R_{c;cal}$ [kN]	$R_{c;d}$ [kN]	$F_{nk;d}$ [kN]	$R_{c;netto;d}$ [kN]
S097-1	19.72	10.20	1211.8	1256.4	2468.2	1479.8	-8.0	1471.7
S097-2	19.93	10.20	652.4	1174.5	1826.9	1095.3	-9.2	1086.1

Totaal resultaten Mast 097 (van 2 sonderingen)

Uitgangspunten

Correlatiefactor ξ_{3gem} (n= 2) : 1.32
 Correlatiefactor ξ_{4min} (n= 2) : 1.32

gebaseerd op sonderingen:
 S097-1 S097-2

$$R_{c;k} = \min.\{ R_{c;cal;gem}/\xi_3; R_{c;cal;min}/\xi_4 \} \quad (7.8)$$

Inheinniveau
 [m]

$$10.20 \quad R_{c;k} = \min.\{ (2147.6/1.32); (1826.9/1.32) \} = 1384.0$$

Alle niveaus/hogtes/peilmaten zijn t.o.v.: N.A.P.

Inheinniveau [m]	$R_{c;k}$ [kN]	$R_{c;d}$ [kN]	$F_{c;tot;1}$ [kN]	$F_{nk;d}$ [kN]	$R_{c;netto;d}$ [kN]	U.C.	$s_{1;1}$ [mm]	$s_{1;2}$ [mm]
10.20	1384.0	1153.3	-9.2	-9.2	1144.1	0.01	-0.0	-0.0 *

*** WAARSCHUWING n.a.v. NEN-NA 1997-1 art. A.3.3.3 1)**

Bij toepassing van de waarden van ξ_1 , ξ_2 , ξ_3 en ξ_4 van de tabellen A.9 en A.10 mag de variatiecoëfficiënt van de draagkracht van palen in een groep, bepaald volgens de verschillende voor deze groep geldende sonderingen, niet groter zijn dan 12%. Deze variatiecoëfficiënt van 12% geeft bij een kans van onderschrijding van 5% een minimumdraagkracht groter dan 80% van het gemiddelde.

Inheinniveau [m]	Aantal [-]	$R_{c;cal;gem}$ [kN]	Var.coëff. [%]
10.20	2	2147.57	21.1

Project :
Onderdeel :

OVERZICHT NETTO DRAAGVERMOGEN DRUKPALEN

Netto paal draagvermogen(s) zijn naar beneden toe afgerond op: 1.0 kN nauwkeurig
Alle niveaus/hogtes/peilmaten zijn t.o.v.: N.A.P.

sondering	maaiveld paalpunt		$R_{c, netto, d}$ [kN]				
	niveau	niveau	Mast 091	Mast 092	Mast 093	Mast 094	Mast 095
S092-1	22.28	11.87		1426			
S092-2	22.28	11.87		1600			
S094-1	20.53	11.43				2173	
S094-2	20.50	11.43				1326	
S093-1	24.06	15.38			2143		
S093-2	23.87	15.38			1866		
S095-1	20.09	7.40					1903
S095-2	19.85	7.40					1748
S091-1	22.06	9.35	3006				
S091-2	22.15	9.35	2423				

Project :
Onderdeel :

Netto paal draagvermogen(s) zijn naar beneden toe afgerond op: 1.0 kN nauwkeurig
Alle niveaus/hogtes/peilmaten zijn t.o.v.: N.A.P.

sondering	maaiveld niveau	paalpunt niveau	$R_{c,netto;d}$ Mast 096	[kN] Mast 097
-----------	--------------------	--------------------	-----------------------------	------------------

S096-1	19.99	10.43	1058	
--------	-------	-------	------	--

S096-2	19.77	10.43	1232	
--------	-------	-------	------	--

S097-1	19.72	10.20		1471
--------	-------	-------	--	------

S097-2	19.93	10.20		1086
--------	-------	-------	--	------

Project :
Onderdeel :

ALGEMENE GEGEVENS

Project :
Onderdeel :
Datum : 23-11-2021
Bestand : P:\EANL_Projects\10166262 - BBB modelleren
funderingen 380 kV\02 Content\03
Calculations\Technosoft
Paalfunderingen\MBT-EHV380\DO\Nieuw
Sonderingen\Mast 100-109.pvw
Berekeningstype : Verticaal belaste paal
Alle niveaus/hogtes/peilmaten zijn t.o.v.: N.A.P.

Toegepaste normen volgens Eurocode met Nederlandse NB

Geotechniek	EN 1997-1:2004	AC:2009	
	NEN-EN 1997-1:2005	C1+A1:2013	NB:2016
	NEN 9997-1:2016	C2:2017	

REKENGEGEVENS Mast 101

Berekening : Controlerend
Rekenmethode : Drukpalen volgens NEN-EN 1997-1, art. 7.6.2
Sondering(en) : S101-1, S101-2

Stijf bouwwerk : NEE
Paalgroep : NEE
Aantal sonderingen : 2
Factor ξ_3 (n=1) : 1.39
Factor ξ_3 (gem) : 1.32
Factor ξ_4 (min) : 1.32
Weerstandsfactor γ_R : 1.20
 $\gamma_{f,nk}$: 1.0
 $R_{s,cal,max,i}$ begrenzen op $0.75 * R_{b,cal,max,i}$: NEE
UGT draagvermogen zonder negatieve kleef : NEE

Paal	:	LD1		
Niveau paalkop	[m]	N.A.P.	21.39	
Paalpuntniveau	:	N.A.P.	9.89	
$E_{d,1}$	[kN]	:	0.00	$E_{d,2}$ [kN] : 0.00
$s_{req,1}$	[m]	:	0.15	$s_{req,2}$ [m] : 0.05
Bovenbel.	[kN/m ²]	:	0.00	

Project :
Onderdeel :

SAMENVATTINGSTABEL Mast 101 (n=1)**Uitgangspunten**

- paal : LD1
- paaltype : Stalen buispaal (gesloten)
- schachtafmeting : 550 mm
Paalklassefactor α_p : 1.00
Factor α_s (tabel 7.c EC 7.1) : 0.010 (zandlagen; voor kleilagen zie tabel 7.d)
Correlatiefactor $\xi_{3(n=1)}$: 1.39

Alle niveaus/hogtes/peilmaten zijn t.o.v.: N.A.P.

sondering	maaiveld paalpunt		Bezwijkdraagvermogen			Rekenwaarden		
	niveau	niveau	$R_{b;cal}$ [kN]	$R_{s;cal}$ [kN]	$R_{c;cal}$ [kN]	$R_{c;d}$ [kN]	$F_{nk;d}$ [kN]	$R_{c;netto;d}$ [kN]
S101-1	20.95	9.89	1637.9	663.0	2301.0	1379.5	-170.0	1209.5
S101-2	20.99	9.89	2625.2	652.7	3278.0	1965.2	-170.6	1794.6

Totaal resultaten Mast 101 (van 2 sonderingen)

Uitgangspunten

Correlatiefactor ξ_{3gem} (n= 2) : 1.32
Correlatiefactor ξ_{4min} (n= 2) : 1.32

gebaseerd op sonderingen:

S101-1 S101-2

$$R_{c;k} = \min.\{ R_{c;cal;gem}/\xi_3; R_{c;cal;min}/\xi_4 \} \quad (7.8)$$

Inheinniveau
[m]

$$9.89 \quad R_{c;k} = \min.\{ (2789.5/1.32); (2301.0/1.32) \} = 1743.2$$

Alle niveaus/hogtes/peilmaten zijn t.o.v.: N.A.P.

Inheinniveau [m]	$R_{c;k}$ [kN]	$R_{c;d}$ [kN]	$F_{c;tot;1}$ [kN]	$F_{nk;d}$ [kN]	$R_{c;netto;d}$ [kN]	U.C.	$S_{1;1}$ [mm]	$S_{1;2}$ [mm]
9.89	1743.2	1452.6	-170.6	-170.6	1282.0	0.12	-0.7	-0.6 *

*** WAARSCHUWING n.a.v. NEN-NA 1997-1 art. A.3.3.3 1)**

Bij toepassing van de waarden van ξ_1 , ξ_2 , ξ_3 en ξ_4 van de tabellen A.9 en A.10 mag de variatiecoëfficiënt van de draagkracht van palen in een groep, bepaald volgens de verschillende voor deze groep geldende sonderingen, niet groter zijn dan 12%. Deze variatiecoëfficiënt van 12% geeft bij een kans van onderschrijding van 5% een minimumdraagkracht groter dan 80% van het gemiddelde.

Inheinniveau [m]	Aantal [-]	$R_{c;cal;gem}$ [kN]	Var.coëff. [%]
9.89	2	2789.47	24.8

REKENGEGEVENS Mast 102

Berekening : Controlerend
Rekenmethode : Drukpalen volgens NEN-EN 1997-1, art. 7.6.2
Sondering(en) : S102-1, S102-2

Stijf bouwwerk : NEE
Paalgroep : NEE
Aantal sonderingen : 2
Factor ξ_3 (n=1) : 1.39
Factor ξ_3 (gem) : 1.32
Factor ξ_4 (min) : 1.32
Weerstandsfactor γ_R : 1.20
 $\gamma_{f,nk}$: 1.0

$R_{s;cal;max;i}$ begrenzen op $0.75 * R_{p;cal;max;i}$: NEE
UGT draagvermogen zonder negatieve kleef : NEE

Paal : LD1
Niveau paalkop [m] : N.A.P. 20.80
Paalpuntniveau : N.A.P. 9.80
 $E_{d;1}$ [kN] : 0.00

$E_{d;2}$ [kN] : 0.00

Project :
Onderdeel :

SAMENVATTINGSTABEL Mast 102 (n=1)**Uitgangspunten**

- paal : LD1
- paaltype : Stalen buispaal (gesloten)
- schachtafmeting : 550 mm
Paalklassefactor α_p : 1.00
Factor α_s (tabel 7.c EC 7.1) : 0.010 (zandlagen; voor kleilagen zie tabel 7.d)
Correlatiefactor $\xi_{3(n=1)}$: 1.39

Alle niveaus/hogtes/peilmaten zijn t.o.v.: N.A.P.

sondering	maaiveld paalpunt		Bezwijkdraagvermogen			Rekenwaarden		
	niveau	niveau	$R_{b;cal}$ [kN]	$R_{s;cal}$ [kN]	$R_{c;cal}$ [kN]	$R_{c;d}$ [kN]	$F_{nk;d}$ [kN]	$R_{c;netto;d}$ [kN]
S102-1	20.59	9.80	3563.7	669.2	4232.9	2537.7	-161.2	2376.6
S102-2	20.43	9.80	3563.7	653.8	4217.6	2528.5	-170.3	2358.2

Totaal resultaten Mast 102 (van 2 sonderingen)

Uitgangspunten

Correlatiefactor ξ_{3gem} (n= 2) : 1.32
Correlatiefactor ξ_{4min} (n= 2) : 1.32

gebaseerd op sonderingen:
S102-1 S102-2

$$R_{c;k} = \min.\{ R_{c;cal;gem}/\xi_3; R_{c;cal;min}/\xi_4 \} \quad (7.8)$$

Inheinniveau
[m]

$$9.80 \quad R_{c;k} = \min.\{ (4225.3/1.32); (4217.6/1.32) \} = 3195.1$$

Alle niveaus/hogtes/peilmaten zijn t.o.v.: N.A.P.

Inheinniveau [m]	$R_{c;k}$ [kN]	$R_{c;d}$ [kN]	$F_{c;tot;1}$ [kN]	$F_{nk;d}$ [kN]	$R_{c;netto;d}$ [kN]	U.C.	$s_{1;1}$ [mm]	$s_{1;2}$ [mm]
9.80	3195.1	2662.6	-170.3	-170.3	2492.3	0.06	-0.6	-0.5

REKENGEGEVENS Mast 104

Berekening : Controlerend
Rekenmethode : Drukpalen volgens NEN-EN 1997-1, art. 7.6.2
Sondering(en) : S104-1, S104-2

Stijf bouwwerk : NEE
Paalgroep : NEE
Aantal sonderingen : 2
Factor $\xi_{3(n=1)}$: 1.39
Factor $\xi_{3(gem)}$: 1.32
Factor $\xi_{4(min)}$: 1.32
Weerstandsfactor γ_R : 1.20
 $\gamma_{f;nk}$: 1.0
 $R_{s;cal;max;i}$ begrenzen op $0.75 * R_{b;cal;max;i}$: NEE
UGT draagvermogen zonder negatieve kleef : NEE

Paal : LD1

Niveau paalkop [m] : N.A.P. 20.36
Paalpuntniveau : N.A.P. 9.86

$E_{d;1}$ [kN] : 0.00 $E_{d;2}$ [kN] : 0.00
 $s_{req;1}$ [m] : 0.15 $s_{req;2}$ [m] : 0.05
Bovenbel. [kN/m²] : 0.00

Project :
Onderdeel :

SAMENVATTINGSTABEL Mast 104 (n=1)**Uitgangspunten**

- paal : LD1
- paaltype : Stalen buispaal (gesloten)
- schachtafmeting : 550 mm
Paalklassefactor α_p : 1.00
Factor α_s (tabel 7.c EC 7.1) : 0.010 (zandlagen; voor kleilagen zie tabel 7.d)
Correlatiefactor $\xi_{3(n=1)}$: 1.39

Alle niveaus/hogtes/peilmaten zijn t.o.v.: N.A.P.

sondering	maaiveld paalpunt		Bezuikdraagvermogen			Rekenwaarden		
	niveau	niveau	$R_{b;cal}$ [kN]	$R_{s;cal}$ [kN]	$R_{c;cal}$ [kN]	$R_{c;d}$ [kN]	$F_{nk;d}$ [kN]	$R_{c;netto;d}$ [kN]
S104-1	20.23	9.86	3563.7	524.9	4088.6	2451.2	-181.0	2270.2
S104-2	20.18	9.86	3563.7	514.3	4078.0	2444.9	-180.9	2263.9

Totaal resultaten Mast 104 (van 2 sonderingen)

Uitgangspunten

Correlatiefactor ξ_{3gem} (n= 2) : 1.32
Correlatiefactor ξ_{4min} (n= 2) : 1.32

gebaseerd op sonderingen:

S104-1 S104-2

$$R_{c;k} = \min.\{ R_{c;cal;gem}/\xi_3; R_{c;cal;min}/\xi_4 \} \quad (7.8)$$

Inheinniveau
[m]

$$9.86 \quad R_{c;k} = \min.\{ (4083.3/1.32); (4078.0/1.32) \} = 3089.4$$

Alle niveaus/hogtes/peilmaten zijn t.o.v.: N.A.P.

Inheinniveau [m]	$R_{c;k}$ [kN]	$R_{c;d}$ [kN]	$F_{c;tot;1}$ [kN]	$F_{nk;d}$ [kN]	$R_{c;netto;d}$ [kN]	U.C.	$s_{1;1}$ [mm]	$s_{1;2}$ [mm]
9.86	3089.4	2574.5	-181.0	-181.0	2393.5	0.07	-0.6	-0.6

REKENGEGEVENS Mast 106

Berekening : Controlerend
Rekenmethode : Drukpalen volgens NEN-EN 1997-1, art. 7.6.2
Sondering(en) : S106-1, S106-2

Stijf bouwwerk : NEE
Paalgroep : NEE
Aantal sonderingen : 2
Factor $\xi_{3(n=1)}$: 1.39
Factor $\xi_{3(gem)}$: 1.32
Factor $\xi_{4(min)}$: 1.32
Weerstandsfactor γ_R : 1.20
 $\gamma_{f;nk}$: 1.0
 $R_{s;cal;max;i}$ begrenzen op $0.75 * R_{b;cal;max;i}$: NEE
UGT draagvermogen zonder negatieve kleef : NEE

Paal : LD1

Niveau paalkop [m] : N.A.P. 19.37

Paalpuntniveau : N.A.P. 6.37

$E_{d;1}$ [kN] : 0.00 $E_{d;2}$ [kN] : 0.00

$s_{req;1}$ [m] : 0.15 $s_{req;2}$ [m] : 0.05

Bovenbel. [kN/m²] : 0.00

Project :
Onderdeel :

SAMENVATTINGSTABEL Mast 106 (n=1)**Uitgangspunten**

- paal : LD1
- paaltype : Stalen buispaal (gesloten)
- schachtafmeting : 550 mm
Paalklassefactor α_p : 1.00
Factor α_s (tabel 7.c EC 7.1) : 0.010 (zandlagen; voor kleilagen zie tabel 7.d)
Correlatiefactor $\xi_{3(n=1)}$: 1.39

Alle niveaus/hogtes/peilmaten zijn t.o.v.: N.A.P.

sondering	maaiveld paalpunt		Bezwijkdraagvermogen			Rekenwaarden		
	niveau	niveau	$R_{b;cal}$ [kN]	$R_{s;cal}$ [kN]	$R_{c;cal}$ [kN]	$R_{c;d}$ [kN]	$F_{nk;d}$ [kN]	$R_{c;netto;d}$ [kN]
S106-1	18.79	6.37	2837.3	909.5	3746.8	2246.3	-136.3	2110.0
S106-2	18.89	6.37	2056.4	864.2	2920.7	1751.0	-142.9	1608.1

Totaal resultaten Mast 106 (van 2 sonderingen)

Uitgangspunten

Correlatiefactor ξ_{3gem} (n= 2) : 1.32
Correlatiefactor ξ_{4min} (n= 2) : 1.32

gebaseerd op sonderingen:

S106-1 S106-2

$$R_{c;k} = \min.\{ R_{c;cal;gem}/\xi_3; R_{c;cal;min}/\xi_4 \} \quad (7.8)$$

Inheinniveau
[m]

$$6.37 \quad R_{c;k} = \min.\{ (3333.7/1.32); (2920.7/1.32) \} = 2212.6$$

Alle niveaus/hogtes/peilmaten zijn t.o.v.: N.A.P.

Inheinniveau [m]	$R_{c;k}$ [kN]	$R_{c;d}$ [kN]	$F_{c;tot;1}$ [kN]	$F_{nk;d}$ [kN]	$R_{c;netto;d}$ [kN]	U.C.	$S_{1;1}$ [mm]	$S_{1;2}$ [mm]
6.37	2212.6	1843.9	-142.9	-142.9	1701.0	0.08	-0.6	-0.5 *

*** WAARSCHUWING n.a.v. NEN-NA 1997-1 art. A.3.3.3 1)**

Bij toepassing van de waarden van ξ_1 , ξ_2 , ξ_3 en ξ_4 van de tabellen A.9 en A.10 mag de variatiecoëfficiënt van de draagkracht van palen in een groep, bepaald volgens de verschillende voor deze groep geldende sonderingen, niet groter zijn dan 12%. Deze variatiecoëfficiënt van 12% geeft bij een kans van onderschrijding van 5% een minimumdraagkracht groter dan 80% van het gemiddelde.

Inheinniveau [m]	Aantal [-]	$R_{c;cal;gem}$ [kN]	Var.coëff. [%]
6.37	2	3333.73	17.5

REKENGEGEVENS Mast 107

Berekening : Controlerend
Rekenmethode : Drukpalen volgens NEN-EN 1997-1, art. 7.6.2
Sondering(en) : S107-1, S107-2

Stijf bouwwerk : NEE
Paalgroep : NEE
Aantal sonderingen : 2
Factor $\xi_{3(n=1)}$: 1.39
Factor $\xi_{3(gem)}$: 1.32
Factor $\xi_{4(min)}$: 1.32
Weerstandsfactor γ_R : 1.20
 $\gamma_{f,nk}$: 1.0

$R_{s;cal;max;i}$ begrenzen op $0.75 * R_{p;cal;max;i}$: NEE
UGT draagvermogen zonder negatieve kleef : NEE

Paal : LD1
Niveau paalkop [m] : N.A.P. 18.20
Paalpuntniveau : N.A.P. 6.70
 $E_{d;1}$ [kN] : 0.00

$E_{d;2}$ [kN] : 0.00

Project :
Onderdeel :

SAMENVATTINGSTABEL Mast 107 (n=1)**Uitgangspunten**

- paal : LD1
- paaltype : Stalen buispaal (gesloten)
- schachtafmeting : 550 mm
Paalklassefactor α_p : 1.00
Factor α_s (tabel 7.c EC 7.1) : 0.010 (zandlagen; voor kleilagen zie tabel 7.d)
Correlatiefactor $\xi_{3(n=1)}$: 1.39

Alle niveaus/hogtes/peilmaten zijn t.o.v.: N.A.P.

sondering	maaiveld paalpunt		Bezwijkdraagvermogen			Rekenwaarden		
	niveau	niveau	$R_{b;cal}$ [kN]	$R_{s;cal}$ [kN]	$R_{c;cal}$ [kN]	$R_{c;d}$ [kN]	$F_{nk;d}$ [kN]	$R_{c;netto;d}$ [kN]
S107-1	17.88	6.70	3563.7	988.6	4552.3	2729.2	-123.7	2605.5
S107-2	17.82	6.70	2460.2	1010.6	3470.8	2080.8	-108.9	1971.9

Totaal resultaten Mast 107 (van 2 sonderingen)

Uitgangspunten

Correlatiefactor ξ_{3gem} (n= 2) : 1.32
Correlatiefactor ξ_{4min} (n= 2) : 1.32

gebaseerd op sonderingen:

S107-1 S107-2

$$R_{c;k} = \min.\{ R_{c;cal;gem}/\xi_3; R_{c;cal;min}/\xi_4 \} \quad (7.8)$$

Inheinniveau
[m]

$$6.70 \quad R_{c;k} = \min.\{ (4011.5/1.32); (3470.8/1.32) \} = 2629.4$$

Alle niveaus/hogtes/peilmaten zijn t.o.v.: N.A.P.

Inheinniveau [m]	$R_{c;k}$ [kN]	$R_{c;d}$ [kN]	$F_{c;tot;1}$ [kN]	$F_{nk;d}$ [kN]	$R_{c;netto;d}$ [kN]	U.C.	$S_{1;1}$ [mm]	$S_{1;2}$ [mm]
6.70	2629.4	2191.1	-123.7	-123.7	2067.4	0.06	-0.4	-0.4 *

*** WAARSCHUWING n.a.v. NEN-NA 1997-1 art. A.3.3.3 1)**

Bij toepassing van de waarden van ξ_1 , ξ_2 , ξ_3 en ξ_4 van de tabellen A.9 en A.10 mag de variatiecoëfficiënt van de draagkracht van palen in een groep, bepaald volgens de verschillende voor deze groep geldende sonderingen, niet groter zijn dan 12%. Deze variatiecoëfficiënt van 12% geeft bij een kans van onderschrijding van 5% een minimumdraagkracht groter dan 80% van het gemiddelde.

Inheinniveau [m]	Aantal [-]	$R_{c;cal;gem}$ [kN]	Var.coëff. [%]
6.70	2	4011.54	19.1

REKENGEGEVENS Mast 108

Berekening : Controlerend
Rekenmethode : Drukpalen volgens NEN-EN 1997-1, art. 7.6.2
Sondering(en) : S108-1, S108-2

Stijf bouwwerk : NEE
Paalgroep : NEE
Aantal sonderingen : 2
Factor $\xi_{3(n=1)}$: 1.39
Factor $\xi_{3(gem)}$: 1.32
Factor $\xi_{4(min)}$: 1.32
Weerstandsfactor γ_R : 1.20
 $\gamma_{f,nk}$: 1.0

$R_{s;cal;max;i}$ begrenzen op $0.75 * R_{p;cal;max;i}$: NEE
UGT draagvermogen zonder negatieve kleef : NEE

Paal : LD1
Niveau paalkop [m] : N.A.P. 18.51
Paalpuntniveau : N.A.P. 5.01
 $E_{d;1}$ [kN] : 0.00

$E_{d;2}$ [kN] : 0.00

Project :
Onderdeel :

SAMENVATTINGSTABEL Mast 108 (n=1)**Uitgangspunten**

- paal : LD1
 - paaltype : Stalen buispaal (gesloten)
 - schachtafmeting : 550 mm
 Paalklassefactor α_p : 1.00
 Factor α_s (tabel 7.c EC 7.1) : 0.010 (zandlagen; voor kleilagen zie tabel 7.d)
 Correlatiefactor $\xi_{3(n=1)}$: 1.39

Alle niveaus/hogtes/peilmaten zijn t.o.v.: N.A.P.

sondering	maaiveld paalpunt		Bezwijkdraagvermogen			Rekenwaarden		
	niveau	niveau	$R_{b;cal}$ [kN]	$R_{s;cal}$ [kN]	$R_{c;cal}$ [kN]	$R_{c;d}$ [kN]	$F_{nk;d}$ [kN]	$R_{c;netto;d}$ [kN]
S108-1	18.40	5.01	3563.7	1214.9	4778.7	2864.9	-108.9	2756.0
S108-2	18.40	5.01	3563.7	1304.7	4868.5	2918.8	-114.0	2804.7

Totaal resultaten Mast 108 (van 2 sonderingen)

Uitgangspunten

Correlatiefactor ξ_{3gem} (n= 2) : 1.32
 Correlatiefactor ξ_{4min} (n= 2) : 1.32

gebaseerd op sonderingen:
 S108-1 S108-2

$$R_{c;k} = \min.\{ R_{c;cal;gem}/\xi_3; R_{c;cal;min}/\xi_4 \} \quad (7.8)$$

Inheinniveau
 [m]

$$5.01 \quad R_{c;k} = \min.\{ (4823.6/1.32); (4778.7/1.32) \} = 3620.2$$

Alle niveaus/hogtes/peilmaten zijn t.o.v.: N.A.P.

Inheinniveau [m]	$R_{c;k}$ [kN]	$R_{c;d}$ [kN]	$F_{c;tot;1}$ [kN]	$F_{nk;d}$ [kN]	$R_{c;netto;d}$ [kN]	U.C.	$s_{1;1}$ [mm]	$s_{1;2}$ [mm]
5.01	3620.2	3016.8	-114.0	-114.0	2902.8	0.04	-0.4	-0.4

REKENGEGEVENS Mast 109

Berekening : Controlerend
 Rekenmethode : Drukpalen volgens NEN-EN 1997-1, art. 7.6.2
 Sondering(en) : S109-1, S109-2

Stijf bouwwerk : NEE
 Paalgroep : NEE
 Aantal sonderingen : 2
 Factor $\xi_{3(n=1)}$: 1.39
 Factor $\xi_{3(gem)}$: 1.32
 Factor $\xi_{4(min)}$: 1.32
 Weerstandsfactor γ_R : 1.20
 $\gamma_{f;nk}$: 1.0
 $R_{s;cal;max;i}$ begrenzen op $0.75 * R_{b;cal;max;i}$: NEE
 UGT draagvermogen zonder negatieve kleef : NEE

Paal : LD1
 Niveau paalkop [m] : N.A.P. 19.23
 Paalpuntniveau : N.A.P. 10.23
 $E_{d;1}$ [kN] : 0.00 $E_{d;2}$ [kN] : 0.00
 $s_{req;1}$ [m] : 0.15 $s_{req;2}$ [m] : 0.05
 Bovenbel. [kN/m²] : 0.00

Project :
Onderdeel :

SAMENVATTINGSTABEL Mast 109 (n=1)**Uitgangspunten**

- paal : LD1
 - paaltype : Stalen buispaal (gesloten)
 - schachtafmeting : 550 mm
 Paalklassefactor α_p : 1.00
 Factor α_s (tabel 7.c EC 7.1) : 0.010 (zandlagen; voor kleilagen zie tabel 7.d)
 Correlatiefactor $\xi_{3(n=1)}$: 1.39

Alle niveaus/hogtes/peilmaten zijn t.o.v.: N.A.P.

sondering	maaiveld paalpunt		Bezwijkdraagvermogen			Rekenwaarden		
	niveau	niveau	$R_{b;cal}$ [kN]	$R_{s;cal}$ [kN]	$R_{c;cal}$ [kN]	$R_{c;d}$ [kN]	$F_{nk;d}$ [kN]	$R_{c;netto;d}$ [kN]
S109-1	19.12	10.23	681.9	1021.2	1703.1	1021.1	-46.0	975.1
S109-2	18.86	10.23	798.7	1124.5	1923.2	1153.0	-50.5	1102.5

Totaal resultaten Mast 109 (van 2 sonderingen)

Uitgangspunten

Correlatiefactor ξ_{3gem} (n= 2) : 1.32
 Correlatiefactor ξ_{4min} (n= 2) : 1.32

gebaseerd op sonderingen:
 S109-1 S109-2

$$R_{c;k} = \min.\{ R_{c;cal;gem}/\xi_3; R_{c;cal;min}/\xi_4 \} \quad (7.8)$$

Inheinniveau
 [m]

$$10.23 \quad R_{c;k} = \min.\{ (1813.1/1.32); (1703.1/1.32) \} = 1290.2$$

Alle niveaus/hogtes/peilmaten zijn t.o.v.: N.A.P.

Inheinniveau [m]	$R_{c;k}$ [kN]	$R_{c;d}$ [kN]	$F_{c;tot;1}$ [kN]	$F_{nk;d}$ [kN]	$R_{c;netto;d}$ [kN]	U.C.	$s_{1;1}$ [mm]	$s_{1;2}$ [mm]
10.23	1290.2	1075.2	-50.5	-50.5	1024.7	0.05	-0.2	-0.1

Project :
Onderdeel :

OVERZICHT NETTO DRAAGVERMOGEN DRUKPALEN

Netto paal draagvermogen(s) zijn naar beneden toe afgerond op: 1.0 kN nauwkeurig
Alle niveaus/hogtes/peilmaten zijn t.o.v.: N.A.P.

sondering	maaiveld paalpunt		$R_{c, netto, d}$ [kN]				
	niveau	niveau	Mast 101	Mast 102	Mast 104	Mast 106	Mast 107
S102-1	20.59	9.80		2376			
S102-2	20.43	9.80		2358			
S104-1	20.23	9.86			2270		
S104-2	20.18	9.86			2263		
S106-1	18.79	6.37				2110	
S106-2	18.89	6.37				1608	
S107-1	17.88	6.70					2605
S107-2	17.82	6.70					1971
S101-1	20.95	9.89	1209				
S101-2	20.99	9.89	1794				

Project :
Onderdeel :

Netto paal draagvermogen(s) zijn naar beneden toe afgerond op: 1.0 kN nauwkeurig
Alle niveaus/hogtes/peilmaten zijn t.o.v.: N.A.P.

sondering	maaiveld niveau	paalpunt niveau	$R_{c,netto;d}$ Mast 108	[kN] Mast 109
-----------	--------------------	--------------------	-----------------------------	------------------

S108-1	18.40	5.01	2755	
S108-2	18.40	5.01	2804	
S109-1	19.12	10.23		975
S109-2	18.86	10.23		1102

Project :
Onderdeel :

ALGEMENE GEGEVENS

Project :
Onderdeel :
Datum : 23-11-2021
Bestand : P:\EANL_Projects\10166262 - BBB modelleren
funderingen 380 kV\02 Content\03
Calculations\Technosoft
Paalfunderingen\MBT-EHV380\DO\Nieuw
Sonderingen\Mast 110-119.pvw
Berekeningstype : Verticaal belaste paal
Alle niveaus/hogtes/peilmaten zijn t.o.v.: N.A.P.

Toegepaste normen volgens Eurocode met Nederlandse NB

Geotechniek	EN 1997-1:2004	AC:2009	
	NEN-EN 1997-1:2005	C1+A1:2013	NB:2016
	NEN 9997-1:2016	C2:2017	

REKENGEGEVENS Mast 110

Berekening : Controlerend
Rekenmethode : Drukpalen volgens NEN-EN 1997-1, art. 7.6.2
Sondering(en) : S110-1, S110-2

Stijf bouwwerk : NEE
Paalgroep : NEE
Aantal sonderingen : 2
Factor ξ_3 (n=1) : 1.39
Factor ξ_3 (gem) : 1.32
Factor ξ_4 (min) : 1.32
Weerstandsfactor γ_R : 1.20
 $\gamma_{f,nk}$: 1.0
 $R_{s,cal,max,i}$ begrenzen op $0.75 * R_{b,cal,max,i}$: NEE
UGT draagvermogen zonder negatieve kleef : NEE

Paal	:	LD1		
Niveau paalkop	[m]	N.A.P.	18.75	
Paalpuntniveau	:	N.A.P.	9.75	
$E_{d,1}$	[kN]	:	0.00	$E_{d,2}$ [kN] : 0.00
$s_{req,1}$	[m]	:	0.15	$s_{req,2}$ [m] : 0.05
Bovenbel.	[kN/m ²]	:	0.00	

Project :
Onderdeel :

SAMENVATTINGSTABEL Mast 110 (n=1)**Uitgangspunten**

- paal : LD1
 - paaltype : Stalen buispaal (gesloten)
 - schachtafmeting : 550 mm
 Paalklassefactor α_p : 1.00
 Factor α_s (tabel 7.c EC 7.1) : 0.010 (zandlagen; voor kleilagen zie tabel 7.d)
 Correlatiefactor $\xi_{3(n=1)}$: 1.39

Alle niveaus/hogtes/peilmaten zijn t.o.v.: N.A.P.

sondering	maaiveld paalpunt		Bezwijkdraagvermogen			Rekenwaarden		
	niveau	niveau	$R_{b;cal}$ [kN]	$R_{s;cal}$ [kN]	$R_{c;cal}$ [kN]	$R_{c;d}$ [kN]	$F_{nk;d}$ [kN]	$R_{c;netto;d}$ [kN]
S110-1	18.32	9.75	3418.4	412.2	3830.7	2296.6	-121.7	2174.9
S110-2	18.36	9.75	3010.6	468.5	3479.1	2085.8	-114.7	1971.0

Totaal resultaten Mast 110 (van 2 sonderingen)

Uitgangspunten

Correlatiefactor ξ_{3gem} (n= 2) : 1.32
 Correlatiefactor ξ_{4min} (n= 2) : 1.32

gebaseerd op sonderingen:

S110-1 S110-2

$$R_{c;k} = \min.\{ R_{c;cal;gem}/\xi_3; R_{c;cal;min}/\xi_4 \} \quad (7.8)$$

Inheinniveau
[m]

$$9.75 \quad R_{c;k} = \min.\{ (3654.9/1.32); (3479.1/1.32) \} = 2635.7$$

Alle niveaus/hogtes/peilmaten zijn t.o.v.: N.A.P.

Inheinniveau [m]	$R_{c;k}$ [kN]	$R_{c;d}$ [kN]	$F_{c;tot;1}$ [kN]	$F_{nk;d}$ [kN]	$R_{c;netto;d}$ [kN]	U.C.	$s_{1;1}$ [mm]	$s_{1;2}$ [mm]
9.75	2635.7	2196.4	-121.7	-121.7	2074.7	0.06	-0.4	-0.4

REKENGEGEVENS Mast 111

Berekening : Controlerend
 Rekenmethode : Drukpalen volgens NEN-EN 1997-1, art. 7.6.2
 Sondering(en) : S111-1, S111-2

Stijf bouwwerk : NEE
 Paalgroep : NEE
 Aantal sonderingen : 2
 Factor $\xi_{3(n=1)}$: 1.39
 Factor $\xi_{3(gem)}$: 1.32
 Factor $\xi_{4(min)}$: 1.32
 Weerstandsfactor γ_R : 1.20
 $\gamma_{f;nk}$: 1.0
 $R_{s;cal;max;i}$ begrenzen op $0.75 * R_{b;cal;max;i}$: NEE
 UGT draagvermogen zonder negatieve kleef : NEE

Paal : LD1
 Niveau paalkop [m] : N.A.P. 19.10
 Paalpuntniveau : N.A.P. 11.10
 $E_{d;1}$ [kN] : 0.00
 $s_{req;1}$ [m] : 0.15
 Bovenbel. [kN/m²] : 0.00

$E_{d;2}$ [kN] : 0.00
 $s_{req;2}$ [m] : 0.05

Project :
Onderdeel :

SAMENVATTINGSTABEL Mast 111 (n=1)**Uitgangspunten**

- paal : LD1
- paaltype : Stalen buispaal (gesloten)
- schachtafmeting : 550 mm
Paalklassefactor α_p : 1.00
Factor α_s (tabel 7.c EC 7.1) : 0.010 (zandlagen; voor kleilagen zie tabel 7.d)
Correlatiefactor $\xi_{3(n=1)}$: 1.39

Alle niveaus/hogtes/peilmaten zijn t.o.v.: N.A.P.

sondering	maaiveld paalpunt		Bezwijkdraagvermogen			Rekenwaarden		
	niveau	niveau	$R_{b;cal}$ [kN]	$R_{s;cal}$ [kN]	$R_{c;cal}$ [kN]	$R_{c;d}$ [kN]	$F_{nk;d}$ [kN]	$R_{c;netto;d}$ [kN]
S111-1	18.67	11.10	2012.8	531.7	2544.5	1525.5	-80.6	1444.9
S111-2	18.96	11.10	2302.9	544.3	2847.1	1706.9	-88.7	1618.2

Totaal resultaten Mast 111 (van 2 sonderingen)

Uitgangspunten

Correlatiefactor ξ_{3gem} (n= 2) : 1.32
Correlatiefactor ξ_{4min} (n= 2) : 1.32

gebaseerd op sonderingen:

S111-1 S111-2

$$R_{c;k} = \min.\{ R_{c;cal;gem}/\xi_3; R_{c;cal;min}/\xi_4 \} \quad (7.8)$$

Inheinniveau
[m]

$$11.10 \quad R_{c;k} = \min.\{ (2695.8/1.32); (2544.5/1.32) \} = 1927.7$$

Alle niveaus/hogtes/peilmaten zijn t.o.v.: N.A.P.

Inheinniveau [m]	$R_{c;k}$ [kN]	$R_{c;d}$ [kN]	$F_{c;tot;1}$ [kN]	$F_{nk;d}$ [kN]	$R_{c;netto;d}$ [kN]	U.C.	$s_{1;1}$ [mm]	$s_{1;2}$ [mm]
11.10	1927.7	1606.4	-88.7	-88.7	1517.7	0.06	-0.3	-0.3

REKENGEGEVENS Mast 112

Berekening : Controlerend
Rekenmethode : Drukpalen volgens NEN-EN 1997-1, art. 7.6.2
Sondering(en) : S112-1, S112-2, S112-3, S112-4

Stijf bouwwerk : NEE
Paalgroep : NEE
Aantal sonderingen : 4
Factor $\xi_{3(n=1)}$: 1.39
Factor $\xi_{3(gem)}$: 1.28
Factor $\xi_{4(min)}$: 1.03
Weerstandsfactor γ_R : 1.20
 $\gamma_{f;nk}$: 1.0
 $R_{s;cal;max;i}$ begrenzen op $0.75 * R_{b;cal;max;i}$: NEE
UGT draagvermogen zonder negatieve kleef : NEE

Paal : LD1
Niveau paalkop [m] : N.A.P. 19.31
Paalpuntniveau : N.A.P. 5.71
 $E_{d;1}$ [kN] : 0.00
 $s_{req;1}$ [m] : 0.15
Bovenbel. [kN/m²] : 0.00

$E_{d;2}$ [kN] : 0.00
 $s_{req;2}$ [m] : 0.05

Project :
Onderdeel :

SAMENVATTINGSTABEL Mast 112 (n=1)**Uitgangspunten**

- paal : LD1
 - paaltype : Stalen buispaal (gesloten)
 - schachtafmeting : 550 mm
 Paalklassefactor α_p : 1.00
 Factor α_s (tabel 7.c EC 7.1) : 0.010 (zandlagen; voor kleilagen zie tabel 7.d)
 Correlatiefactor $\xi_{3(n=1)}$: 1.39

Alle niveaus/hogtes/peilmaten zijn t.o.v.: N.A.P.

sondering	maaiveld paalpunt		Bezwijkdraagvermogen			Rekenwaarden		
	niveau	niveau	$R_{b;cal}$ [kN]	$R_{s;cal}$ [kN]	$R_{c;cal}$ [kN]	$R_{c;d}$ [kN]	$F_{nk;d}$ [kN]	$R_{c;netto;d}$ [kN]
S112-1	18.76	5.71	3350.0	358.5	3708.5	2223.3	-350.3	1873.0
S112-2	18.88	5.71	3563.7	398.1	3961.9	2375.2	-352.0	2023.3
S112-3	18.78	5.71	3563.7	352.2	3915.9	2347.7	-361.2	1986.5
S112-4	18.84	5.71	3563.7	342.1	3905.9	2341.6	-351.1	1990.5

Totaal resultaten Mast 112 (van 4 sonderingen)

Uitgangspunten

Correlatiefactor ξ_{3gem} (n= 4) : 1.28
 Correlatiefactor ξ_{4min} (n= 4) : 1.03

gebaseerd op sonderingen:

S112-1 S112-2 S112-3 S112-4

$$R_{c;k} = \min.\{ R_{c;cal;gem}/\xi_3; R_{c;cal;min}/\xi_4 \} \quad (7.8)$$

Inheinniveau
[m]

$$5.71 \quad R_{c;k} = \min.\{ (3873.0/1.28); (3708.5/1.03) \} = 3025.8$$

Alle niveaus/hogtes/peilmaten zijn t.o.v.: N.A.P.

Inheinniveau [m]	$R_{c;k}$ [kN]	$R_{c;d}$ [kN]	$F_{c;tot;1}$ [kN]	$F_{nk;d}$ [kN]	$R_{c;netto;d}$ [kN]	U.C.	$s_{1;1}$ [mm]	$s_{1;2}$ [mm]
5.71	3025.8	2521.5	-361.2	-361.2	2160.3	0.14	-1.6	-1.4

REKENEGEVEENS Mast 113

Berekening : Controlerend
 Rekenmethode : Drukpalen volgens NEN-EN 1997-1, art. 7.6.2
 Sondering(en) : S113-1, S113-2, S113-3, S113-4

Stijf bouwwerk : NEE
 Paalgroep : NEE
 Aantal sonderingen : 4
 Factor $\xi_{3(n=1)}$: 1.39
 Factor $\xi_{3(gem)}$: 1.28
 Factor $\xi_{4(min)}$: 1.03
 Weerstandsfactor γ_R : 1.20
 $\gamma_{f;nk}$: 1.0
 $R_{s;cal;max;i}$ begrenzen op $0.75 * R_{b;cal;max;i}$: NEE
 UGT draagvermogen zonder negatieve kleef : NEE

Paal : LD1
 Niveau paalkop [m] : N.A.P. 20.58
 Paalpuntniveau : N.A.P. 10.58
 $E_{d;1}$ [kN] : 0.00 $E_{d;2}$ [kN] : 0.00
 $s_{req;1}$ [m] : 0.15 $s_{req;2}$ [m] : 0.05
 Bovenbel. [kN/m²] : 0.00

Project :
Onderdeel :

SAMENVATTINGSTABEL Mast 113 (n=1)**Uitgangspunten**

- paal : LD1
 - paaltype : Stalen buispaal (gesloten)
 - schachtafmeting : 550 mm
 Paalklassefactor α_p : 1.00
 Factor α_s (tabel 7.c EC 7.1) : 0.010 (zandlagen; voor kleilagen zie tabel 7.d)
 Correlatiefactor $\xi_{3(n=1)}$: 1.39

Alle niveaus/hogtes/peilmaten zijn t.o.v.: N.A.P.

sondering	maaiveld paalpunt		Beziijkdraagvermogen			Rekenwaarden		
	niveau	niveau	$R_{b;cal}$ [kN]	$R_{s;cal}$ [kN]	$R_{c;cal}$ [kN]	$R_{c;d}$ [kN]	$F_{nk;d}$ [kN]	$R_{c;netto;d}$ [kN]
S113-1	20.20	10.58	1391.8	892.5	2284.2	1369.4	-93.5	1276.0
S113-2	19.46	10.58	713.3	1325.9	2039.2	1222.5	-36.6	1186.0
S113-3	19.40	10.58	435.4	1531.9	1967.3	1179.5	-13.4	1166.1
S113-4	20.30	10.58	3459.4	1399.0	4858.5	2912.8	-17.2	2895.6

Totaal resultaten Mast 113 (van 4 sonderingen)

Uitgangspunten

Correlatiefactor ξ_{3gem} (n= 4) : 1.28
 Correlatiefactor ξ_{4min} (n= 4) : 1.03

gebaseerd op sonderingen:

S113-1 S113-2 S113-3 S113-4

$$R_{c;k} = \min.\{ R_{c;cal;gem}/\xi_3; R_{c;cal;min}/\xi_4 \} \quad (7.8)$$

Inheinniveau
[m]

$$10.58 \quad R_{c;k} = \min.\{ (2787.3/1.28); (1967.3/1.03) \} = 1910.0$$

Alle niveaus/hogtes/peilmaten zijn t.o.v.: N.A.P.

Inheinniveau [m]	$R_{c;k}$ [kN]	$R_{c;d}$ [kN]	$F_{c;tot;1}$ [kN]	$F_{nk;d}$ [kN]	$R_{c;netto;d}$ [kN]	U.C.	$s_{1;1}$ [mm]	$s_{1;2}$ [mm]
10.58	1910.0	1591.7	-93.5	-93.5	1498.2	0.06	-0.3	-0.3 *

*** WAARSCHUWING n.a.v. NEN-NA 1997-1 art. A.3.3.3 1)**

Bij toepassing van de waarden van ξ_1 , ξ_2 , ξ_3 en ξ_4 van de tabellen A.9 en A.10 mag de variatiecoëfficiënt van de draagkracht van palen in een groep, bepaald volgens de verschillende voor deze groep geldende sonderingen, niet groter zijn dan 12%. Deze variatiecoëfficiënt van 12% geeft bij een kans van onderschrijding van 5% een minimumdraagkracht groter dan 80% van het gemiddelde.

Inheinniveau [m]	Aantal [-]	$R_{c;cal;gem}$ [kN]	Var.coëff. [%]
10.58	4	2787.32	49.8

Project :
Onderdeel :

OVERZICHT NETTO DRAAGVERMOGEN DRUKPALEN

Netto paal draagvermogen(s) zijn naar beneden toe afgerond op: 1.0 kN nauwkeurig
Alle niveaus/hogtes/peilmaten zijn t.o.v.: N.A.P.

sondering	maaiveld paalpunt		$R_{c, netto; d}$ [kN]			
	niveau	niveau	Mast 110	Mast 111	Mast 112	Mast 113
S111-1	18.67	11.10		1444		
S111-2	18.96	11.10		1618		
S112-1	18.76	5.71			1873	
S112-2	18.88	5.71			2023	
S112-3	18.78	5.71			1986	
S112-4	18.84	5.71			1990	
S113-1	20.20	10.58				1275
S113-2	19.46	10.58				1185
S113-3	19.40	10.58				1166
S113-4	20.30	10.58				2895
S110-1	18.32	9.75	2174			
S110-2	18.36	9.75	1971			

Project :
Onderdeel :

ALGEMENE GEGEVENS

Project :
Onderdeel :
Datum : 10-12-2021
Bestand : P:\EANL_Projects\10166262 - BBB modelleren
funderingen 380 kV\02 Content\03
Calculations\Technosoft
Paalfunderingen\MBT-EHV380\DO\Nieuw
Sonderingen\Mast 120-129.pvw
Berekeningstype : Verticaal belaste paal
Alle niveaus/hogtes/peilmaten zijn t.o.v.: N.A.P.

Toegepaste normen volgens Eurocode met Nederlandse NB

Geotechniek	EN 1997-1:2004	AC:2009	
	NEN-EN 1997-1:2005	C1+A1:2013	NB:2016
	NEN 9997-1:2016	C2:2017	

REKENGEGEVENS Mast 123

Berekening : Controlerend
Rekenmethode : Drukpalen volgens NEN-EN 1997-1, art. 7.6.2
Sondering(en) : S123-1, S123-2

Stijf bouwwerk : NEE
Paalgroep : NEE
Aantal sonderingen : 2
Factor ξ_3 (n=1) : 1.39
Factor ξ_3 (gem) : 1.32
Factor ξ_4 (min) : 1.32
Weerstandsfactor γ_R : 1.20
 $\gamma_{f,nk}$: 1.0
 $R_{s,cal,max,i}$ begrenzen op $0.75 * R_{b,cal,max,i}$: NEE
UGT draagvermogen zonder negatieve kleef : NEE

Paal	:	LD1			
Niveau paalkop	[m]	N.A.P.	17.79		
Paalpuntniveau	:	N.A.P.	9.79		
$E_{d,1}$	[kN]	:	0.00	$E_{d,2}$	[kN] : 0.00
$s_{req,1}$	[m]	:	0.15	$s_{req,2}$	[m] : 0.05
Bovenbel.	[kN/m ²]	:	0.00		

Project :
Onderdeel :

SAMENVATTINGSTABEL Mast 123 (n=1)

Uitgangspunten

- paal : LD1
 - paaltype : Stalen buispaal (gesloten)
 - schachtafmeting : 550 mm
 Paalklassefactor α_p : 1.00
 Factor α_s (tabel 7.c EC 7.1) : 0.010 (zandlagen; voor kleilagen zie tabel 7.d)
 Correlatiefactor $\xi_{3(n=1)}$: 1.39

Alle niveaus/hogtes/peilmaten zijn t.o.v.: N.A.P.

sondering	maaiveld paalpunt		Beziijkdraagvermogen			Rekenwaarden		
	niveau	niveau	$R_{b;cal}$ [kN]	$R_{s;cal}$ [kN]	$R_{c;cal}$ [kN]	$R_{c;d}$ [kN]	$F_{nk;d}$ [kN]	$R_{c;netto;d}$ [kN]
S123-1	17.37	9.79	924.8	1359.6	2284.4	1369.6	-5.6	1363.9
S123-2	17.41	9.79	3563.7	1340.6	4904.3	2940.2	-17.1	2923.1

Totaal resultaten Mast 123 (van 2 sonderingen)

Uitgangspunten

Correlatiefactor ξ_{3gem} (n= 2) : 1.32
 Correlatiefactor ξ_{4min} (n= 2) : 1.32

gebaseerd op sonderingen:
 S123-1 S123-2

$R_{c;k} = \min.\{ R_{c;cal;gem}/\xi_3; R_{c;cal;min}/\xi_4 \}$ (7.8)

Inheinniveau
 [m]

9.79 $R_{c;k} = \min.\{ (3594.4/1.32); (2284.4/1.32) \} = 1730.6$

Alle niveaus/hogtes/peilmaten zijn t.o.v.: N.A.P.

Inheinniveau [m]	$R_{c;k}$ [kN]	$R_{c;d}$ [kN]	$F_{c;tot;1}$ [kN]	$F_{nk;d}$ [kN]	$R_{c;netto;d}$ [kN]	U.C.	$S_{1;1}$ [mm]	$S_{1;2}$ [mm]
9.79	1730.6	1442.2	-17.1	-17.1	1425.1	0.01	-0.0	-0.0 *

*** WAARSCHUWING n.a.v. NEN-NA 1997-1 art. A.3.3.3 1)**

Bij toepassing van de waarden van ξ_1, ξ_2, ξ_3 en ξ_4 van de tabellen A.9 en A.10 mag de variatiecoëfficiënt van de draagkracht van palen in een groep, bepaald volgens de verschillende voor deze groep geldende sonderingen, niet groter zijn dan 12%. Deze variatiecoëfficiënt van 12% geeft bij een kans van onderschrijding van 5% een minimumdraagkracht groter dan 80% van het gemiddelde.

Inheinniveau [m]	Aantal [-]	$R_{c;cal;gem}$ [kN]	Var.coëff. [%]
9.79	2	3594.38	51.5

REKENGEGEVENS Mast 124

Berekening : Controlerend
 Rekenmethode : Drukpalen volgens NEN-EN 1997-1, art. 7.6.2
 Sondering(en) : S124-1, S124-2

Stijf bouwwerk : NEE
 Paalgroep : NEE
 Aantal sonderingen : 2
 Factor $\xi_{3(n=1)}$: 1.39
 Factor $\xi_{3(gem)}$: 1.32
 Factor $\xi_{4(min)}$: 1.32
 Weerstandsfactor γ_R : 1.20
 $\gamma_{f,nk}$: 1.0

$R_{s;cal;max;i}$ begrenzen op $0.75 * R_{p;cal;max;i}$: NEE
 UGT draagvermogen zonder negatieve kleef : NEE

Paal : LD1
 Niveau paalkop [m] : N.A.P. 17.89
 Paalpuntniveau : N.A.P. 7.39
 $E_{d;1}$ [kN] : 0.00

$E_{d;2}$ [kN] : 0.00

Project :
Onderdeel :

SAMENVATTINGSTABEL Mast 124 (n=1)**Uitgangspunten**

- paal : LD1
- paaltype : Stalen buispaal (gesloten)
- schachtafmeting : 550 mm
Paalklassefactor α_p : 1.00
Factor α_s (tabel 7.c EC 7.1) : 0.010 (zandlagen; voor kleilagen zie tabel 7.d)
Correlatiefactor $\xi_{3(n=1)}$: 1.39

Alle niveaus/hogtes/peilmaten zijn t.o.v.: N.A.P.

sondering	maaiveld paalpunt		Bezwijkdraagvermogen			Rekenwaarden		
	niveau	niveau	$R_{b;cal}$ [kN]	$R_{s;cal}$ [kN]	$R_{c;cal}$ [kN]	$R_{c;d}$ [kN]	$F_{nk;d}$ [kN]	$R_{c;netto;d}$ [kN]
S124-1	18.00	7.39	3563.7	1633.8	5197.6	3116.0	-20.1	3095.9
S124-2	18.06	7.39	2104.3	1778.1	3882.5	2327.6	-4.8	2322.8

Totaal resultaten Mast 124 (van 2 sonderingen)

Uitgangspunten

Correlatiefactor ξ_{3gem} (n= 2) : 1.32
Correlatiefactor ξ_{4min} (n= 2) : 1.32

gebaseerd op sonderingen:

S124-1 S124-2

$$R_{c;k} = \min.\{ R_{c;cal;gem}/\xi_3; R_{c;cal;min}/\xi_4 \} \quad (7.8)$$

Inheinniveau
[m]

$$7.39 \quad R_{c;k} = \min.\{ (4540.0/1.32); (3882.5/1.32) \} = 2941.3$$

Alle niveaus/hogtes/peilmaten zijn t.o.v.: N.A.P.

Inheinniveau [m]	$R_{c;k}$ [kN]	$R_{c;d}$ [kN]	$F_{c;tot;1}$ [kN]	$F_{nk;d}$ [kN]	$R_{c;netto;d}$ [kN]	U.C.	$S_{1;1}$ [mm]	$S_{1;2}$ [mm]
7.39	2941.3	2451.1	-20.1	-20.1	2430.9	0.01	-0.0	-0.0 *

*** WAARSCHUWING n.a.v. NEN-NA 1997-1 art. A.3.3.3 1)**

Bij toepassing van de waarden van ξ_1 , ξ_2 , ξ_3 en ξ_4 van de tabellen A.9 en A.10 mag de variatiecoëfficiënt van de draagkracht van palen in een groep, bepaald volgens de verschillende voor deze groep geldende sonderingen, niet groter zijn dan 12%. Deze variatiecoëfficiënt van 12% geeft bij een kans van onderschrijding van 5% een minimumdraagkracht groter dan 80% van het gemiddelde.

Inheinniveau [m]	Aantal [-]	$R_{c;cal;gem}$ [kN]	Var.coëff. [%]
7.39	2	4540.02	20.5

REKENGEGEVENS Mast 125

Berekening : Controlerend
Rekenmethode : Drukpalen volgens NEN-EN 1997-1, art. 7.6.2
Sondering(en) : S125-1, S125-2

Stijf bouwwerk : NEE
Paalgroep : NEE
Aantal sonderingen : 2
Factor $\xi_{3(n=1)}$: 1.39
Factor $\xi_{3(gem)}$: 1.32
Factor $\xi_{4(min)}$: 1.32
Weerstandsfactor γ_R : 1.20
 $\gamma_{f,nk}$: 1.0

$R_{s;cal;max;i}$ begrenzen op $0.75 * R_{p;cal;max;i}$: NEE
UGT draagvermogen zonder negatieve kleef : NEE

Paal : LD1
Niveau paalkop [m] : N.A.P. 16.78
Paalpuntniveau : N.A.P. 6.28
 $E_{d;1}$ [kN] : 0.00

$E_{d;2}$ [kN] : 0.00

Project :
Onderdeel :

SAMENVATTINGSTABEL Mast 125 (n=1)**Uitgangspunten**

- paal : LD1
- paaltype : Stalen buispaal (gesloten)
- schachtafmeting : 550 mm
Paalklassefactor α_p : 1.00
Factor α_s (tabel 7.c EC 7.1) : 0.010 (zandlagen; voor kleilagen zie tabel 7.d)
Correlatiefactor $\xi_{3(n=1)}$: 1.39

Alle niveaus/hogtes/peilmaten zijn t.o.v.: N.A.P.

sondering	maaiveld paalpunt		Bezwijkdraagvermogen			Rekenwaarden		
	niveau	niveau	$R_{b;cal}$ [kN]	$R_{s;cal}$ [kN]	$R_{c;cal}$ [kN]	$R_{c;d}$ [kN]	$F_{nk;d}$ [kN]	$R_{c;netto;d}$ [kN]
S125-1	18.40	6.28	1291.5	829.7	2121.2	1271.7	-181.4	1090.3
S125-2	18.35	6.28	1197.4	873.6	2071.0	1241.6	-177.2	1064.4

Totaal resultaten Mast 125 (van 2 sonderingen)

Uitgangspunten

Correlatiefactor ξ_{3gem} (n= 2) : 1.32
Correlatiefactor ξ_{4min} (n= 2) : 1.32

gebaseerd op sonderingen:
S125-1 S125-2

$$R_{c;k} = \min.\{ R_{c;cal;gem}/\xi_3; R_{c;cal;min}/\xi_4 \} \quad (7.8)$$

Inheinniveau
[m]

$$6.28 \quad R_{c;k} = \min.\{ (2096.1/1.32); (2071.0/1.32) \} = 1569.0$$

Alle niveaus/hogtes/peilmaten zijn t.o.v.: N.A.P.

Inheinniveau [m]	$R_{c;k}$ [kN]	$R_{c;d}$ [kN]	$F_{c;tot;1}$ [kN]	$F_{nk;d}$ [kN]	$R_{c;netto;d}$ [kN]	U.C.	$s_{1;1}$ [mm]	$s_{1;2}$ [mm]
6.28	1569.0	1307.5	-181.4	-181.4	1126.0	0.14	-0.7	-0.6

REKENGEGEVENS Mast 126

Berekening : Controlerend
Rekenmethode : Drukpalen volgens NEN-EN 1997-1, art. 7.6.2
Sondering(en) : S126-1, S126-2

Stijf bouwwerk : NEE
Paalgroep : NEE
Aantal sonderingen : 2
Factor $\xi_{3(n=1)}$: 1.39
Factor $\xi_{3(gem)}$: 1.32
Factor $\xi_{4(min)}$: 1.32
Weerstandsfactor γ_R : 1.20
 $\gamma_{f;nk}$: 1.0
 $R_{s;cal;max;i}$ begrenzen op $0.75 * R_{b;cal;max;i}$: NEE
UGT draagvermogen zonder negatieve kleef : NEE

Paal : LD1
Niveau paalkop [m] : N.A.P. 18.26
Paalpuntniveau : N.A.P. 9.26
 $E_{d;1}$ [kN] : 0.00 $E_{d;2}$ [kN] : 0.00
 $s_{req;1}$ [m] : 0.15 $s_{req;2}$ [m] : 0.05
Bovenbel. [kN/m²] : 0.00

Project :
Onderdeel :

SAMENVATTINGSTABEL Mast 126 (n=1)**Uitgangspunten**

- paal : LD1
- paaltype : Stalen buispaal (gesloten)
- schachtafmeting : 550 mm
Paalklassefactor α_p : 1.00
Factor α_s (tabel 7.c EC 7.1) : 0.010 (zandlagen; voor kleilagen zie tabel 7.d)
Correlatiefactor $\xi_{3(n=1)}$: 1.39

Alle niveaus/hogtes/peilmaten zijn t.o.v.: N.A.P.

sondering	maaiveld paalpunt		Bezwijkdraagvermogen			Rekenwaarden		
	niveau	niveau	$R_{b;cal}$ [kN]	$R_{s;cal}$ [kN]	$R_{c;cal}$ [kN]	$R_{c;d}$ [kN]	$F_{nk;d}$ [kN]	$R_{c;netto;d}$ [kN]
S126-1	18.36	9.26	936.9	1505.8	2442.7	1464.4	-30.7	1433.7
S126-2	18.44	9.26	1724.0	1414.7	3138.7	1881.7	-38.0	1843.7

Totaal resultaten Mast 126 (van 2 sonderingen)

Uitgangspunten

Correlatiefactor ξ_{3gem} (n= 2) : 1.32
Correlatiefactor ξ_{4min} (n= 2) : 1.32

gebaseerd op sonderingen:

S126-1 S126-2

$$R_{c;k} = \min.\{ R_{c;cal;gem}/\xi_3; R_{c;cal;min}/\xi_4 \} \quad (7.8)$$

Inheinniveau
[m]

$$9.26 \quad R_{c;k} = \min.\{ (2790.7/1.32); (2442.7/1.32) \} = 1850.5$$

Alle niveaus/hogtes/peilmaten zijn t.o.v.: N.A.P.

Inheinniveau [m]	$R_{c;k}$ [kN]	$R_{c;d}$ [kN]	$F_{c;tot;1}$ [kN]	$F_{nk;d}$ [kN]	$R_{c;netto;d}$ [kN]	U.C.	$S_{1;1}$ [mm]	$S_{1;2}$ [mm]
9.26	1850.5	1542.1	-38.0	-38.0	1504.1	0.02	-0.1	-0.1 *

*** WAARSCHUWING n.a.v. NEN-NA 1997-1 art. A.3.3.3 1)**

Bij toepassing van de waarden van ξ_1 , ξ_2 , ξ_3 en ξ_4 van de tabellen A.9 en A.10 mag de variatiecoëfficiënt van de draagkracht van palen in een groep, bepaald volgens de verschillende voor deze groep geldende sonderingen, niet groter zijn dan 12%. Deze variatiecoëfficiënt van 12% geeft bij een kans van onderschrijding van 5% een minimumdraagkracht groter dan 80% van het gemiddelde.

Inheinniveau [m]	Aantal [-]	$R_{c;cal;gem}$ [kN]	Var.coëff. [%]
9.26	2	2790.70	17.6

REKENGEGEVENS Mast 127

Berekening : Controllerend
Rekenmethode : Drukpalen volgens NEN-EN 1997-1, art. 7.6.2
Sondering(en) : S127-1, S127-2

Stijf bouwwerk : NEE
Paalgroep : NEE
Aantal sonderingen : 2
Factor ξ_3 (n=1) : 1.39
Factor ξ_3 (gem) : 1.32
Factor ξ_4 (min) : 1.32
Weerstandsfactor γ_R : 1.20
 $\gamma_{f,nk}$: 1.0

$R_{s;cal;max;i}$ begrenzen op $0.75 * R_{p;cal;max;i}$: NEE
UGT draagvermogen zonder negatieve kleef : NEE

Paal : LD1
Niveau paalkop [m] : N.A.P. 18.94
Paalpuntniveau : N.A.P. 8.44
 $E_{d;1}$ [kN] : 0.00

$E_{d;2}$ [kN] : 0.00

Project :
Onderdeel :

SAMENVATTINGSTABEL Mast 127 (n=1)**Uitgangspunten**

- paal : LD1
- paaltype : Stalen buispaal (gesloten)
- schachtafmeting : 550 mm
Paalklassefactor α_p : 1.00
Factor α_s (tabel 7.c EC 7.1) : 0.010 (zandlagen; voor kleilagen zie tabel 7.d)
Correlatiefactor $\xi_{3(n=1)}$: 1.39

Alle niveaus/hogtes/peilmaten zijn t.o.v.: N.A.P.

sondering	maaiveld paalpunt		Bezwijkdraagvermogen			Rekenwaarden		
	niveau	niveau	$R_{b;cal}$ [kN]	$R_{s;cal}$ [kN]	$R_{c;cal}$ [kN]	$R_{c;d}$ [kN]	$F_{nk;d}$ [kN]	$R_{c;netto;d}$ [kN]
S127-1	18.83	8.44	428.2	1380.0	1808.2	1084.1	-50.9	1033.2
S127-2	18.93	8.44	584.6	1369.1	1953.8	1171.3	-60.6	1110.7

Totaal resultaten Mast 127 (van 2 sonderingen)

Uitgangspunten

Correlatiefactor ξ_{3gem} (n= 2) : 1.32
Correlatiefactor ξ_{4min} (n= 2) : 1.32

gebaseerd op sonderingen:

S127-1 S127-2

$$R_{c;k} = \min.\{ R_{c;cal;gem}/\xi_3; R_{c;cal;min}/\xi_4 \} \quad (7.8)$$

Inheinniveau
[m]

$$8.44 \quad R_{c;k} = \min.\{ (1881.0/1.32); (1808.2/1.32) \} = 1369.9$$

Alle niveaus/hogtes/peilmaten zijn t.o.v.: N.A.P.

Inheinniveau [m]	$R_{c;k}$ [kN]	$R_{c;d}$ [kN]	$F_{c;tot;1}$ [kN]	$F_{nk;d}$ [kN]	$R_{c;netto;d}$ [kN]	U.C.	$s_{1;1}$ [mm]	$s_{1;2}$ [mm]
8.44	1369.9	1141.6	-60.6	-60.6	1080.9	0.05	-0.2	-0.2

REKENGEGEVENS Mast 129

Berekening : Controlerend
Rekenmethode : Drukpalen volgens NEN-EN 1997-1, art. 7.6.2
Sondering(en) : S129-1, S129-2

Stijf bouwwerk : NEE
Paalgroep : NEE
Aantal sonderingen : 2
Factor $\xi_{3(n=1)}$: 1.39
Factor $\xi_{3(gem)}$: 1.32
Factor $\xi_{4(min)}$: 1.32
Weerstandsfactor γ_R : 1.20
 $\gamma_{f;nk}$: 1.0
 $R_{s;cal;max;i}$ begrenzen op $0.75 * R_{b;cal;max;i}$: NEE
UGT draagvermogen zonder negatieve kleef : NEE

Paal : LD1

Niveau paalkop [m] : N.A.P. 19.42

Paalpuntniveau : N.A.P. 8.42

$E_{d;1}$ [kN] : 0.00

$E_{d;2}$ [kN] : 0.00

$s_{req;1}$ [m] : 0.15

$s_{req;2}$ [m] : 0.05

Bovenbel. [kN/m²] : 0.00

Project :
Onderdeel :

SAMENVATTINGSTABEL Mast 129 (n=1)**Uitgangspunten**

- paal : LD1
 - paaltype : Stalen buispaal (gesloten)
 - schachtafmeting : 550 mm
 Paalklassefactor α_p : 1.00
 Factor α_s (tabel 7.c EC 7.1) : 0.010 (zandlagen; voor kleilagen zie tabel 7.d)
 Correlatiefactor $\xi_{3(n=1)}$: 1.39

Alle niveaus/hogtes/peilmaten zijn t.o.v.: N.A.P.

sondering	maaiveld paalpunt		Bezwijkdraagvermogen			Rekenwaarden		
	niveau	niveau	$R_{b;cal}$ [kN]	$R_{s;cal}$ [kN]	$R_{c;cal}$ [kN]	$R_{c;d}$ [kN]	$F_{nk;d}$ [kN]	$R_{c;netto;d}$ [kN]
S129-1	19.48	8.42	3563.7	372.4	3936.2	2359.8	-245.1	2114.8
S129-2	19.46	8.42	3563.7	299.6	3863.3	2316.1	-252.2	2063.9

Totaal resultaten Mast 129 (van 2 sonderingen)

Uitgangspunten

Correlatiefactor ξ_{3gem} (n= 2) : 1.32
 Correlatiefactor ξ_{4min} (n= 2) : 1.32

gebaseerd op sonderingen:
S129-1 S129-2

$$R_{c;k} = \min.\{ R_{c;cal;gem}/\xi_3; R_{c;cal;min}/\xi_4 \} \quad (7.8)$$

Inheinniveau
[m]

$$8.42 \quad R_{c;k} = \min.\{ (3899.8/1.32); (3863.3/1.32) \} = 2926.8$$

Alle niveaus/hogtes/peilmaten zijn t.o.v.: N.A.P.

Inheinniveau [m]	$R_{c;k}$ [kN]	$R_{c;d}$ [kN]	$F_{c;tot;1}$ [kN]	$F_{nk;d}$ [kN]	$R_{c;netto;d}$ [kN]	U.C.	$s_{1;1}$ [mm]	$s_{1;2}$ [mm]
8.42	2926.8	2439.0	-252.2	-252.2	2186.8	0.10	-1.0	-0.9

Project :
Onderdeel :

OVERZICHT NETTO DRAAGVERMOGEN DRUKPALEN

Netto paal draagvermogen(s) zijn naar beneden toe afgerond op: 1.0 kN nauwkeurig
Alle niveaus/hoogtes/peilmaten zijn t.o.v.: N.A.P.

sondering	maaiveld paalpunt		$R_{c, netto; d}$ [kN]				
	niveau	niveau	Mast 123	Mast 124	Mast 125	Mast 126	Mast 127
S123-1	17.37	9.79	1363				
S123-2	17.41	9.79	2923				
S124-1	18.00	7.39		3095			
S124-2	18.06	7.39		2322			
S125-1	18.40	6.28			1090		
S125-2	18.35	6.28			1064		
S126-1	18.36	9.26				1433	
S126-2	18.44	9.26				1843	
S127-1	18.83	8.44					1033
S127-2	18.93	8.44					1110

Project :
Onderdeel :

Netto paal draagvermogen(s) zijn naar beneden toe afgerond op: 1.0 kN nauwkeurig
Alle niveaus/hogtes/peilmaten zijn t.o.v.: N.A.P.

sondering	maaiveld niveau	paalpunt niveau	$R_{c,netto;d}$ Mast 129	[kN]
S129-1	19.48	8.42	2114	
S129-2	19.46	8.42	2063	

Project :
Onderdeel :

ALGEMENE GEGEVENS

Project :
Onderdeel :
Datum : 23-11-2021
Bestand : P:\EANL_Projects\10166262 - BBB modelleren
funderingen 380 kV\02 Content\03
Calculations\Technosoft
Paalfunderingen\MBT-EHV380\DO\Nieuw
Sonderingen\Mast 130-133.pvw
Berekeningstype : Verticaal belaste paal
Alle niveaus/hogtes/peilmaten zijn t.o.v.: N.A.P.

Toegepaste normen volgens Eurocode met Nederlandse NB

Geotechniek	EN 1997-1:2004	AC:2009	
	NEN-EN 1997-1:2005	C1+A1:2013	NB:2016
	NEN 9997-1:2016	C2:2017	

REKENGEGEVENS Mast 131

Berekening : Controlerend
Rekenmethode : Drukpalen volgens NEN-EN 1997-1, art. 7.6.2
Sondering(en) : S131-1, S131-2

Stijf bouwwerk : NEE
Paalgroep : NEE
Aantal sonderingen : 2
Factor ξ_3 (n=1) : 1.39
Factor ξ_3 (gem) : 1.32
Factor ξ_4 (min) : 1.32
Weerstandsfactor γ_R : 1.20
 $\gamma_{f,nk}$: 1.0
 $R_{s,cal,max,i}$ begrenzen op $0.75 * R_{b,cal,max,i}$: NEE
UGT draagvermogen zonder negatieve kleef : NEE

Paal	:	LD1			
Niveau paalkop	[m]	N.A.P.	17.74		
Paalpuntniveau	:	N.A.P.	6.24		
$E_{d,1}$	[kN]	:	0.00	$E_{d,2}$	[kN] : 0.00
$s_{req,1}$	[m]	:	0.15	$s_{req,2}$	[m] : 0.05
Bovenbel.	[kN/m ²]	:	0.00		

Project :
Onderdeel :

SAMENVATTINGSTABEL Mast 131 (n=1)**Uitgangspunten**

- paal : LD1
- paaltype : Stalen buispaal (gesloten)
- schachtafmeting : 550 mm
Paalklassefactor α_p : 1.00
Factor α_s (tabel 7.c EC 7.1) : 0.010 (zandlagen; voor kleilagen zie tabel 7.d)
Correlatiefactor $\xi_{3(n=1)}$: 1.39

Alle niveaus/hogtes/peilmaten zijn t.o.v.: N.A.P.

sondering	maaiveld paalpunt		Bezwijkdraagvermogen			Rekenwaarden		
	niveau	niveau	$R_{b;cal}$ [kN]	$R_{s;cal}$ [kN]	$R_{c;cal}$ [kN]	$R_{c;d}$ [kN]	$F_{nk;d}$ [kN]	$R_{c;netto;d}$ [kN]
S131-1	17.60	6.24	3563.7	121.2	3684.9	2209.2	-295.0	1914.2
S131-2	17.66	6.24	3563.7	145.0	3708.8	2223.5	-298.2	1925.3

Totaal resultaten Mast 131 (van 2 sonderingen)

Uitgangspunten

Correlatiefactor ξ_{3gem} (n= 2) : 1.32
Correlatiefactor ξ_{4min} (n= 2) : 1.32

gebaseerd op sonderingen:

S131-1 S131-2

$$R_{c;k} = \min.\{ R_{c;cal;gem}/\xi_3; R_{c;cal;min}/\xi_4 \} \quad (7.8)$$

Inheinniveau
[m]

$$6.24 \quad R_{c;k} = \min.\{ (3696.8/1.32); (3684.9/1.32) \} = 2791.6$$

Alle niveaus/hogtes/peilmaten zijn t.o.v.: N.A.P.

Inheinniveau [m]	$R_{c;k}$ [kN]	$R_{c;d}$ [kN]	$F_{c;tot;1}$ [kN]	$F_{nk;d}$ [kN]	$R_{c;netto;d}$ [kN]	U.C.	$s_{1;1}$ [mm]	$s_{1;2}$ [mm]
6.24	2791.6	2326.3	-298.2	-298.2	2028.1	0.13	-1.2	-1.1

REKENGEGEVENS Mast 132

Berekening : Controlerend
Rekenmethode : Drukpalen volgens NEN-EN 1997-1, art. 7.6.2
Sondering(en) : S132-1, S132-2

Stijf bouwwerk : NEE
Paalgroep : NEE
Aantal sonderingen : 2
Factor $\xi_{3(n=1)}$: 1.39
Factor $\xi_{3(gem)}$: 1.32
Factor $\xi_{4(min)}$: 1.32
Weerstandsfactor γ_R : 1.20
 $\gamma_{f;nk}$: 1.0
 $R_{s;cal;max;i}$ begrenzen op $0.75 * R_{b;cal;max;i}$: NEE
UGT draagvermogen zonder negatieve kleeft : NEE

Paal : LD1
Niveau paalkop [m] : N.A.P. 16.61
Paalpuntniveau : N.A.P. 5.11
 $E_{d;1}$ [kN] : 0.00 $E_{d;2}$ [kN] : 0.00
 $s_{req;1}$ [m] : 0.15 $s_{req;2}$ [m] : 0.05
Bovenbel. [kN/m²] : 0.00

Project :
Onderdeel :

SAMENVATTINGSTABEL Mast 132 (n=1)**Uitgangspunten**

- paal : LD1
 - paaltype : Stalen buispaal (gesloten)
 - schachtafmeting : 550 mm
 Paalklassefactor α_p : 1.00
 Factor α_s (tabel 7.c EC 7.1) : 0.010 (zandlagen; voor kleilagen zie tabel 7.d)
 Correlatiefactor $\xi_{3(n=1)}$: 1.39

Alle niveaus/hogtes/peilmaten zijn t.o.v.: N.A.P.

sondering	maaiveld paalpunt		Bezwijkdraagvermogen			Rekenwaarden		
	niveau	niveau	$R_{b;cal}$ [kN]	$R_{s;cal}$ [kN]	$R_{c;cal}$ [kN]	$R_{c;d}$ [kN]	$F_{nk;d}$ [kN]	$R_{c;netto;d}$ [kN]
S132-1	15.94	5.11	2705.0	332.6	3037.6	1821.1	-261.0	1560.0
S132-2	15.69	5.11	3443.1	301.1	3744.2	2244.7	-217.5	2027.3

Totaal resultaten Mast 132 (van 2 sonderingen)

Uitgangspunten

Correlatiefactor ξ_{3gem} (n= 2) : 1.32
 Correlatiefactor ξ_{4min} (n= 2) : 1.32

gebaseerd op sonderingen:
 S132-1 S132-2

$$R_{c;k} = \min.\{ R_{c;cal;gem}/\xi_3; R_{c;cal;min}/\xi_4 \} \quad (7.8)$$

Inheinniveau
 [m]

$$5.11 \quad R_{c;k} = \min.\{ (3390.9/1.32); (3037.6/1.32) \} = 2301.2$$

Alle niveaus/hogtes/peilmaten zijn t.o.v.: N.A.P.

Inheinniveau [m]	$R_{c;k}$ [kN]	$R_{c;d}$ [kN]	$F_{c;tot;1}$ [kN]	$F_{nk;d}$ [kN]	$R_{c;netto;d}$ [kN]	U.C.	$s_{1;1}$ [mm]	$s_{1;2}$ [mm]
5.11	2301.2	1917.7	-261.0	-261.0	1656.6	0.14	-1.1	-1.0 *

*** WAARSCHUWING n.a.v. NEN-NA 1997-1 art. A.3.3.3 1)**

Bij toepassing van de waarden van ξ_1 , ξ_2 , ξ_3 en ξ_4 van de tabellen A.9 en A.10 mag de variatiecoëfficiënt van de draagkracht van palen in een groep, bepaald volgens de verschillende voor deze groep geldende sonderingen, niet groter zijn dan 12%. Deze variatiecoëfficiënt van 12% geeft bij een kans van onderschrijding van 5% een minimumdraagkracht groter dan 80% van het gemiddelde.

Inheinniveau [m]	Aantal [-]	$R_{c;cal;gem}$ [kN]	Var.coëff. [%]
5.11	2	3390.88	14.7

Project :
Onderdeel :

OVERZICHT NETTO DRAAGVERMOGEN DRUKPALEN

Netto paal draagvermogen(s) zijn naar beneden toe afgerond op: 1.0 kN nauwkeurig
Alle niveaus/hoogtes/peilmaten zijn t.o.v.: N.A.P.

sondering	maaiveld paalpunt		$R_{c, netto, d}$ [kN]	
	niveau	niveau	Mast 131	Mast 132
S131-1	17.60	6.24	1914	
S131-2	17.66	6.24	1925	
S132-1	15.94	5.11		1560
S132-2	15.69	5.11		2027

Project :
Onderdeel :

ALGEMENE GEGEVENS

Project :
Onderdeel :
Datum : 10-12-2021
Bestand : \\Arh7001.verit.dnv.com\projects\EANL_Projects\
10166262 - BBB modelleren funderingen 380
kV\02 Content\03 Calculations\Technosoft
Paalfunderingen\MBT-EHV380\DO\Nieuw
Sonderingen\Nieuwe palen\Mast 020-029.pvw
Berekeningstype : Verticaal belaste paal
Alle niveaus/hogtes/peilmaten zijn t.o.v.: N.A.P.

Toegepaste normen volgens Eurocode met Nederlandse NB

Geotechniek	EN 1997-1:2004	AC:2009	
	NEN-EN 1997-1:2005	C1+A1:2013	NB:2016
	NEN 9997-1:2016	C2:2017	

REKENGEGEVENS Mast 020

Berekening : Ontwerpend
Rekenmethode : Trekpalen volgens NEN-EN 1997-1, art. 7.6.3
Sondering(en) : S020-1, S020-2
Let op: trekcapaciteit t.p.v. negatief kleeftraject is meegerekend.

Stijf bouwwerk : NEE
Paalgroep : NEE
Aantal sonderingen : 2
Factor ξ_3 (n=1) : 1.39
Factor ξ_3 (gem) : 1.32
Factor ξ_4 (min) : 1.32
Weerstandsfactor γ_R : 1.35
 $\gamma_{m,var,qc}$: 1.50
UGT draagvermogen zonder negatieve kleef : NEE

Paal : SI-paal 273_400
Niveau paalkop [m] : N.A.P. 25.37
Bovenbel. [kN/m²] : 0.00

PAALPUNTNIVEAUS SI-paal 273_400

Alle niveaus/hogtes/peilmaten zijn t.o.v. : N.A.P.

Nr	Beginniveau [m]	Eindniveau [m]	Stapgrootte [m]
1	14.97	11.47	0.25

Project :
Onderdeel :

SAMENVATTINGSTABEL Mast 020 (n=1)**Uitgangspunten**

- paal : SI-paal 273_400
 - paaltype : In de grond gevormde geschroefde paal; groutinjectie
 - schachtafmeting : 400 mm
 Paalklassefactor α_p : 0.63
 Factor α_t (tabel 7.c EC 7.1) : 0.0090 (zandlagen; voor kleilagen zie tabel 7.d)
 Correlatiefactor $\xi_{3(n=1)}$: 1.39

Alle niveaus/hogtes/peilmaten zijn t.o.v.: N.A.P.

sondering	maaiveld paalpunt		Bezwijkdraagvermogen $R_{t,cal}$ [kN]	Rekenwaarden	
	niveau	niveau		$R_{t,d}$ [kN]	$R_{t,netto,d}$ [kN]
S020-1	25.22	14.97	198.9	198.9	198.9
		14.72	211.4	211.4	211.4
		14.47	223.8	223.8	223.8
		14.22	233.8	233.8	233.8
		13.97	242.2	242.2	242.2
		13.72	255.3	255.3	255.3
		13.47	270.8	270.8	270.8
		13.22	286.2	286.2	286.2
		12.97	301.7	301.7	301.7
		12.72	317.1	317.1	317.1
		12.47	332.5	332.5	332.5
		12.22	346.4	346.4	346.4
		11.97	361.8	361.8	361.8
		11.72	377.3	377.3	377.3
		11.47	392.7	392.7	392.7
S020-2	25.23	14.97	190.2	190.2	190.2
		14.72	201.8	201.8	201.8
		14.47	214.3	214.3	214.3
		14.22	226.7	226.7	226.7
		13.97	236.9	236.9	236.9
		13.72	241.7	241.7	241.7
		13.47	246.5	246.5	246.5
		13.22	258.9	258.9	258.9
		12.97	271.3	271.3	271.3
		12.72	282.4	282.4	282.4
		12.47	296.5	296.5	296.5
		12.22	311.9	311.9	311.9
		11.97	327.4	327.4	327.4
		11.72	342.8	342.8	342.8
		11.47	358.2	358.2	358.2

REKENEGEGEVENS Mast 024

Berekening : Ontwerpend
 Rekenmethode : Trekpalen volgens NEN-EN 1997-1, art. 7.6.3
 Sondering(en) : S024-1, S024-2
 Let op: trekcapaciteit t.p.v. negatief kleeftraject is meegerekend.

Stijf bouwwerk : NEE
 Paalgroep : NEE
 Aantal sonderingen : 2
 Factor $\xi_{3(n=1)}$: 1.39
 Factor $\xi_{3(gem)}$: 1.32
 Factor $\xi_{4(min)}$: 1.32
 Weerstandsfactor γ_R : 1.35
 $\gamma_{m,var;q_c}$: 1.50
 UGT draagvermogen zonder negatieve kleeft : NEE

Paal : SI-paal 273_400
 Niveau paalkop [m] : N.A.P. 26.66
 Bovenbel. [kN/m²] : 0.00

Project :
Onderdeel :

PAALPUNTNIVEAUS SI-paal 273_400

Alle niveaus/hogtes/peilmaten zijn t.o.v. : N.A.P.

Nr	Beginniveau [m]	Eindniveau [m]	Stapgrootte [m]
1	11.96	9.46	0.25

SAMENVATTINGSTABEL Mast 024 (n=1)**Uitgangspunten**

- paal : SI-paal 273_400
 - paaltype : In de grond gevormde geschroefde paal; groutinjectie
 - schachtafmeting : 400 mm
 Paalklassefactor α_p : 0.63
 Factor α_t (tabel 7.c EC 7.1) : 0.0090 (zandlagen; voor kleilagen zie tabel 7.d)
 Correlatiefactor $\xi_{3(n=1)}$: 1.39

Alle niveaus/hogtes/peilmaten zijn t.o.v.: N.A.P.

sondering	maaiveld paalpunt		Bezijsdraagvermogen $R_{t,cal}$ [kN]	Rekenwaarden	
	niveau	niveau		$R_{t,d}$ [kN]	$R_{t,netto,d}$ [kN]
S024-1	26.45	11.96	291.7	291.7	291.7
		11.71	307.1	307.1	307.1
		11.46	322.5	322.5	322.5
		11.21	338.0	338.0	338.0
		10.96	353.4	353.4	353.4
		10.71	368.8	368.8	368.8
		10.46	384.3	384.3	384.3
		10.21	399.7	399.7	399.7
		9.96	415.2	415.2	415.2
		9.71	430.6	430.6	430.6
	9.46	446.0	446.0	446.0	
S024-2	26.46	11.96	398.1	398.1	398.1
		11.71	413.5	413.5	413.5
		11.46	429.0	429.0	429.0
		11.21	444.4	444.4	444.4
		10.96	459.8	459.8	459.8
		10.71	475.3	475.3	475.3
		10.46	490.7	490.7	490.7
		10.21	506.1	506.1	506.1
		9.96	521.6	521.6	521.6
		9.71	537.0	537.0	537.0
	9.46	552.5	552.5	552.5	

PAALGEGEVENS SI-paal 273_400

Type : In de grond gevormde geschroefde paal; groutinjectie
 Wijze van installeren : Boren
 Wijze van terugwinnen : n.v.t.
 Diameter [m] : 0.400
 Elasticiteitsmodulus [N/mm²] : 20000
 Factor α_s (tabel 7.c EC 7.1) : 0.009 (zandlagen; voor kleilagen zie tabel 7.d)
 Factor α_t (tabel 7.c EC 7.1) : 0.0090 (zandlagen; voor kleilagen zie tabel 7.d)
 Paalklassefactor α_p : 0.63
 Paalvoetvormfactor β : 1.00
 Type lastzakkingsdiagram : Grondverdringende paal
 Verm.factor * $\phi'_{j,k}$: 1.00
 Groutomhulling : JA

Project :
Onderdeel :

OVERZICHT NETTO DRAAGVERMOGEN TREKPALEN (n=1)

Netto paal draagvermogen(s) zijn naar beneden toe afgerond op: 1.0 kN nauwkeurig
Alle niveaus/hoogtes/peilmaten zijn t.o.v.: N.A.P.

sondering	maaiveld paalpunt		R _{t, netto; d} [kN]	
	niveau	niveau	Mast 020	Mast 024
S024-1	26.45	11.96		291
		11.71		307
		11.46		322
		11.21		337
		10.96		353
		10.71		368
		10.46		384
		10.21		399
		9.96		415
		9.71		430
		9.46		446
		S024-2	26.46	11.96
11.71				413
11.46				428
11.21				444
10.96				459
10.71				475
10.46				490
10.21				506
9.96				521
9.71				537
9.46				552
S020-1	25.22			14.97
		14.72	211	
		14.47	223	
		14.22	233	
		13.97	242	
		13.72	255	
		13.47	270	
		13.22	286	
		12.97	301	
		12.72	317	
		12.47	332	
		12.22	346	
		11.97	361	
		11.72	377	
11.47	392			
S020-2	25.23	14.97	190	
		14.72	201	
		14.47	214	
		14.22	226	
		13.97	236	
		13.72	241	
		13.47	246	
		13.22	258	
		12.97	271	
		12.72	282	
		12.47	296	
		12.22	311	
		11.97	327	
		11.72	342	
11.47	358			

Project :
Onderdeel :

ALGEMENE GEGEVENS

Project :
Onderdeel :
Datum : 10-12-2021
Bestand : \\Arh7001.verit.dnv.com\projects\EANL_Projects\
10166262 - BBB modelleren funderingen 380
kV\02 Content\03 Calculations\Technosoft
Paalfunderingen\MBT-EHV380\DO\Nieuw
Sonderingen\Nieuwe palen\Mast 030-039.pvw
Berekeningstype : Verticaal belaste paal
Alle niveaus/hogtes/peilmaten zijn t.o.v.: N.A.P.

Toegepaste normen volgens Eurocode met Nederlandse NB

Geotechniek	EN 1997-1:2004	AC:2009	
	NEN-EN 1997-1:2005	C1+A1:2013	NB:2016
	NEN 9997-1:2016	C2:2017	

REKENGEGEVENS Mast 032

Berekening : Ontwerpend
Rekenmethode : Trekpalen volgens NEN-EN 1997-1, art. 7.6.3
Sondering(en) : S032-1, S032-2
Let op: trekcapaciteit t.p.v. negatief kleeftraject is meegerekend.

Stijf bouwwerk : NEE
Paalgroep : NEE
Aantal sonderingen : 2
Factor ξ_3 ($n=1$) : 1.39
Factor ξ_3 (gem) : 1.32
Factor ξ_4 (min) : 1.32
Weerstandsfactor γ_R : 1.35
 $\gamma_{m,var,qc}$: 1.50
UGT draagvermogen zonder negatieve kleef : NEE

Paal : SI-paal 273_400
Niveau paalkop [m] : N.A.P. 30.06
Bovenbel. [kN/m²] : 0.00

PAALPUNTNIVEAUS SI-paal 273_400

Alle niveaus/hogtes/peilmaten zijn t.o.v. : N.A.P.

Nr	Beginniveau [m]	Eindniveau [m]	Stapgrootte [m]
1	17.76	15.26	0.25

Project :
Onderdeel :

SAMENVATTINGSTABEL Mast 032 (n=1)**Uitgangspunten**

- paal : SI-paal 273_400
 - paaltype : In de grond gevormde geschroefde paal; groutinjectie
 - schachtafmeting : 400 mm
 Paalklassefactor α_p : 0.63
 Factor α_t (tabel 7.c EC 7.1) : 0.0090 (zandlagen; voor kleilagen zie tabel 7.d)
 Correlatiefactor $\xi_{3(n=1)}$: 1.39

Alle niveaus/hogtes/peilmaten zijn t.o.v.: N.A.P.

sondering	maaiveld paalpunt		Bezwijkdraagvermogen $R_{t,cal}$ [kN]	Rekenwaarden	
	niveau	niveau		$R_{t,d}$ [kN]	$R_{t,netto,d}$ [kN]
S032-1	29.80	17.76	346.1	346.1	346.1
		17.51	351.7	351.7	351.7
		17.26	367.1	367.1	367.1
		17.01	382.6	382.6	382.6
		16.76	398.0	398.0	398.0
		16.51	413.4	413.4	413.4
		16.26	421.1	421.1	421.1
		16.01	421.4	421.4	421.4
		15.76	431.4	431.4	431.4
		15.51	446.0	446.0	446.0
15.26	460.5	460.5	460.5		
S032-2	29.41	17.76	348.9	348.9	348.9
		17.51	349.3	349.3	349.3
		17.26	349.6	349.6	349.6
		17.01	358.3	358.3	358.3
		16.76	370.8	370.8	370.8
		16.51	379.3	379.3	379.3
		16.26	379.7	379.7	379.7
		16.01	380.1	380.1	380.1
		15.76	380.4	380.4	380.4
		15.51	384.1	384.1	384.1
15.26	395.8	395.8	395.8		

REKENGEGEVENS Mast 033

Berekening : Ontwerpend
 Rekenmethode : Trekpalen volgens NEN-EN 1997-1, art. 7.6.3
 Sondering(en) : S033-1, S033-2
 Let op: trekcapaciteit t.p.v. negatief kleeftraject is meegerekend.

Stijf bouwwerk : NEE
 Paalgroep : NEE
 Aantal sonderingen : 2
 Factor $\xi_{3(n=1)}$: 1.39
 Factor $\xi_{3(gem)}$: 1.32
 Factor $\xi_{4(min)}$: 1.32
 Weerstandsfactor γ_R : 1.35
 $\gamma_{m,var;q_c}$: 1.50
 UGT draagvermogen zonder negatieve kleeft : NEE

Paal : SI-paal 273_400
 Niveau paalkop [m] : N.A.P. 28.41
 Bovenbel. [kN/m²] : 0.00

PAALPUNTNIVEAUS SI-paal 273_400

Alle niveaus/hogtes/peilmaten zijn t.o.v. : N.A.P.

Nr	Beginniveau [m]	Eindniveau [m]	Stapgrootte [m]
1	21.01	17.26	0.25

Project :
Onderdeel :

SAMENVATTINGSTABEL Mast 033 (n=1)**Uitgangspunten**

- paal : SI-paal 273_400
 - paaltype : In de grond gevormde geschroefde paal; groutinjectie
 - schachtafmeting : 400 mm
 Paalklassefactor α_p : 0.63
 Factor α_t (tabel 7.c EC 7.1) : 0.0090 (zandlagen; voor kleilagen zie tabel 7.d)
 Correlatiefactor $\xi_{3(n=1)}$: 1.39

Alle niveaus/hogtes/peilmaten zijn t.o.v.: N.A.P.

sondering	maaiveld paalpunt		Bewijkdraagvermogen $R_{t,cal}$ [kN]	Rekenwaarden	
	niveau	niveau		$R_{t,d}$ [kN]	$R_{t,netto,d}$ [kN]
S033-1	28.31	21.01	223.4	223.4	223.4
		20.76	238.8	238.8	238.8
		20.51	254.3	254.3	254.3
		20.26	269.7	269.7	269.7
		20.01	285.2	285.2	285.2
		19.76	299.1	299.1	299.1
		19.51	311.5	311.5	311.5
		19.26	325.8	325.8	325.8
		19.01	341.3	341.3	341.3
		18.76	356.7	356.7	356.7
		18.51	372.2	372.2	372.2
		18.26	387.6	387.6	387.6
		18.01	403.0	403.0	403.0
		17.76	418.5	418.5	418.5
17.51	433.9	433.9	433.9		
17.26	449.3	449.3	449.3		
S033-2	28.44	21.01	254.7	254.7	254.7
		20.76	270.2	270.2	270.2
		20.51	285.6	285.6	285.6
		20.26	301.0	301.0	301.0
		20.01	316.5	316.5	316.5
		19.76	331.9	331.9	331.9
		19.51	347.3	347.3	347.3
		19.26	362.8	362.8	362.8
		19.01	378.2	378.2	378.2
		18.76	393.1	393.1	393.1
		18.51	407.6	407.6	407.6
		18.26	421.5	421.5	421.5
		18.01	436.9	436.9	436.9
		17.76	452.3	452.3	452.3
17.51	467.8	467.8	467.8		
17.26	483.2	483.2	483.2		

REKENGEGEVENS Mast 035

Berekening : Ontwerpend
 Rekenmethode : Trekpalen volgens NEN-EN 1997-1, art. 7.6.3
 Sondering(en) : S035-1, S035-2
 Let op: trekcapaciteit t.p.v. negatief kleeftraject is meegerekend.

Stijf bouwwerk : NEE
 Paalgroep : NEE
 Aantal sonderingen : 2
 Factor $\xi_{3(n=1)}$: 1.39
 Factor $\xi_{3(gem)}$: 1.32
 Factor $\xi_{4(min)}$: 1.32
 Weerstandsfactor γ_R : 1.35
 $\gamma_{m,var;q_c}$: 1.50
 UGT draagvermogen zonder negatieve kleef : NEE

Paal : SI-paal 273_400
 Niveau paalkop [m] : N.A.P. 29.11
 Bovenbel. [kN/m²] : 0.00

Project :
Onderdeel :

PAALPUNTNIVEAUS SI-paal 273_400

Alle niveaus/hogtes/peilmaten zijn t.o.v. : N.A.P.

Nr	Beginniveau [m]	Eindniveau [m]	Stapgrootte [m]
1	22.71	20.21	0.25

SAMENVATTINGSTABEL Mast 035 (n=1)**Uitgangspunten**

- paal : SI-paal 273_400
 - paaltype : In de grond gevormde geschroefde paal; groutinjectie
 - schachtafmeting : 400 mm
 Paalklassefactor α_p : 0.63
 Factor α_t (tabel 7.c EC 7.1) : 0.0090 (zandlagen; voor kleilagen zie tabel 7.d)
 Correlatiefactor $\xi_{3(n=1)}$: 1.39

Alle niveaus/hogtes/peilmaten zijn t.o.v.: N.A.P.

sondering	maaiveld paalpunt		Bezijsdraagvermogen $R_{t,cal}$ [kN]	Rekenwaarden	
	niveau	niveau		$R_{t,d}$ [kN]	$R_{t,netto,d}$ [kN]
S035-1	28.71	22.71	213.0	213.0	213.0
		22.46	227.8	227.8	227.8
		22.21	243.2	243.2	243.2
		21.96	258.7	258.7	258.7
		21.71	274.1	274.1	274.1
		21.46	289.6	289.6	289.6
		21.21	305.0	305.0	305.0
		20.96	320.4	320.4	320.4
		20.71	335.9	335.9	335.9
		20.46	351.3	351.3	351.3
		20.21	366.7	366.7	366.7
S035-2	29.16	22.71	210.6	210.6	210.6
		22.46	220.4	220.4	220.4
		22.21	233.5	233.5	233.5
		21.96	248.1	248.1	248.1
		21.71	263.6	263.6	263.6
		21.46	279.0	279.0	279.0
		21.21	294.5	294.5	294.5
		20.96	309.9	309.9	309.9
		20.71	325.3	325.3	325.3
		20.46	340.8	340.8	340.8
		20.21	356.2	356.2	356.2

REKENGEDEEVENS Mast 036

Berekening : Ontwerpend
 Rekenmethode : Trekpalen volgens NEN-EN 1997-1, art. 7.6.3
 Sondering(en) : S036-1, S036-2
 Let op: trekcapaciteit t.p.v. negatief kleefttraject is meegerekend.

Stijf bouwwerk : NEE
 Paalgroep : NEE
 Aantal sonderingen : 2
 Factor $\xi_{3(n=1)}$: 1.39
 Factor $\xi_{3(gem)}$: 1.32
 Factor $\xi_{4(min)}$: 1.32
 Weerstandsfactor γ_R : 1.35
 $\gamma_{m,var;q_c}$: 1.50
 UGT draagvermogen zonder negatieve kleeft : NEE

Paal : SI-paal 273_400
 Niveau paalkop [m] : N.A.P. 29.01
 Bovenbel. [kN/m²] : 0.00

Project :
Onderdeel :

PAALPUNTNIVEAUS SI-paal 273_400

Alle niveaus/hogtes/peilmaten zijn t.o.v. : N.A.P.

Nr	Beginniveau [m]	Eindniveau [m]	Stapgrootte [m]
1	22.76	20.25	0.25

SAMENVATTINGSTABEL Mast 036 (n=1)**Uitgangspunten**

- paal : SI-paal 273_400
 - paaltype : In de grond gevormde geschroefde paal; groutinjectie
 - schachtafmeting : 400 mm
 Paalklassefactor α_p : 0.63
 Factor α_t (tabel 7.c EC 7.1) : 0.0090 (zandlagen; voor kleilagen zie tabel 7.d)
 Correlatiefactor $\xi_{3(n=1)}$: 1.39

Alle niveaus/hogtes/peilmaten zijn t.o.v.: N.A.P.

sondering	maaiveld paalpunt		Bezijsdraagvermogen $R_{t,cal}$ [kN]	Rekenwaarden	
	niveau	niveau		$R_{t,d}$ [kN]	$R_{t,netto,d}$ [kN]
S036-1	28.88	22.76	201.1	201.1	201.1
		22.51	216.5	216.5	216.5
		22.26	231.9	231.9	231.9
		22.01	247.4	247.4	247.4
		21.76	262.8	262.8	262.8
		21.51	277.1	277.1	277.1
		21.26	292.5	292.5	292.5
		21.01	307.9	307.9	307.9
		20.76	323.3	323.3	323.3
		20.51	338.8	338.8	338.8
		20.26	354.2	354.2	354.2
		20.25	354.8	354.8	354.8
		S036-2	28.93	22.76	189.6
22.51	201.3			201.3	201.3
22.26	216.4			216.4	216.4
22.01	231.8			231.8	231.8
21.76	247.2			247.2	247.2
21.51	262.7			262.7	262.7
21.26	278.1			278.1	278.1
21.01	293.6			293.6	293.6
20.76	309.0			309.0	309.0
20.51	324.4			324.4	324.4
20.26	339.9	339.9	339.9		
20.25	340.5	340.5	340.5		

REKENGEGEVENS Mast 037

Berekening : Ontwerpend
 Rekenmethode : Trekpalen volgens NEN-EN 1997-1, art. 7.6.3
 Sondering(en) : S037-1, S037-2
 Let op: trekcapaciteit t.p.v. negatief kleeftraject is meegerekend.

Stijf bouwwerk : NEE
 Paalgroep : NEE
 Aantal sonderingen : 2
 Factor $\xi_{3(n=1)}$: 1.39
 Factor $\xi_{3(geom)}$: 1.32
 Factor $\xi_{4(min)}$: 1.32
 Weerstandsfactor γ_R : 1.35
 $\gamma_{m,var;q_c}$: 1.50
 UGT draagvermogen zonder negatieve kleef : NEE

Paal : SI-paal 273_400
 Niveau paalkop [m] : N.A.P. 29.58
 Bovenbel. [kN/m²] : 0.00

Project :
Onderdeel :

PAALPUNTNIVEAUS SI-paal 273_400

Alle niveaus/hogtes/peilmaten zijn t.o.v. : N.A.P.

Nr	Beginniveau [m]	Eindniveau [m]	Stapgrootte [m]
1	23.03	20.53	0.25

SAMENVATTINGSTABEL Mast 037 (n=1)**Uitgangspunten**

- paal : SI-paal 273_400
 - paaltype : In de grond gevormde geschroefde paal; groutinjectie
 - schachtafmeting : 400 mm
 Paalklassefactor α_p : 0.63
 Factor α_t (tabel 7.c EC 7.1) : 0.0090 (zandlagen; voor kleilagen zie tabel 7.d)
 Correlatiefactor $\xi_{3(n=1)}$: 1.39

Alle niveaus/hogtes/peilmaten zijn t.o.v.: N.A.P.

sondering	maaiveld paalpunt		Bezijsdraagvermogen $R_{t,cal}$ [kN]	Rekenwaarden	
	niveau	niveau		$R_{t,d}$ [kN]	$R_{t,netto,d}$ [kN]
S037-1	29.58	23.03	242.4	242.4	242.4
		22.78	257.8	257.8	257.8
		22.53	273.3	273.3	273.3
		22.28	288.7	288.7	288.7
		22.03	304.2	304.2	304.2
		21.78	319.6	319.6	319.6
		21.53	335.0	335.0	335.0
		21.28	350.5	350.5	350.5
		21.03	365.9	365.9	365.9
		20.78	381.4	381.4	381.4
	20.53	396.8	396.8	396.8	
S037-2	29.55	23.03	263.6	263.6	263.6
		22.78	279.0	279.0	279.0
		22.53	294.5	294.5	294.5
		22.28	309.9	309.9	309.9
		22.03	325.3	325.3	325.3
		21.78	340.8	340.8	340.8
		21.53	356.2	356.2	356.2
		21.28	371.7	371.7	371.7
		21.03	387.1	387.1	387.1
		20.78	402.5	402.5	402.5
	20.53	418.0	418.0	418.0	

REKENGEGEVENS Mast 038

Berekening : Ontwerpend
 Rekenmethode : Trekpalen volgens NEN-EN 1997-1, art. 7.6.3
 Sondering(en) : S038-1, S038-2
 Let op: trekcapaciteit t.p.v. negatief kleefttraject is meegerekend.

Stijf bouwwerk : NEE
 Paalgroep : NEE
 Aantal sonderingen : 2
 Factor $\xi_{3(n=1)}$: 1.39
 Factor $\xi_{3(gem)}$: 1.32
 Factor $\xi_{4(min)}$: 1.32
 Weerstandsfactor γ_R : 1.35
 $\gamma_{m,var;q_c}$: 1.50
 UGT draagvermogen zonder negatieve kleeft : NEE

Paal : SI-paal 273_400
 Niveau paalkop [m] : N.A.P. 29.48
 Bovenbel. [kN/m²] : 0.00

Project :
Onderdeel :

PAALPUNTNIVEAUS SI-paal 273_400

Alle niveaus/hogtes/peilmaten zijn t.o.v. : N.A.P.

Nr	Beginniveau [m]	Eindniveau [m]	Stapgrootte [m]
1	21.98	19.98	0.25

SAMENVATTINGSTABEL Mast 038 (n=1)**Uitgangspunten**

- paal : SI-paal 273_400
 - paaltype : In de grond gevormde geschroefde paal; groutinjectie
 - schachtafmeting : 400 mm
 Paalklassefactor α_p : 0.63
 Factor α_t (tabel 7.c EC 7.1) : 0.0090 (zandlagen; voor kleilagen zie tabel 7.d)
 Correlatiefactor $\xi_{3(n=1)}$: 1.39

Alle niveaus/hogtes/peilmaten zijn t.o.v.: N.A.P.

sondering	maaiveld paalpunt		Bezuikdraagvermogen $R_{t,cal}$ [kN]	Rekenwaarden	
	niveau	niveau		$R_{t,d}$ [kN]	$R_{t,netto,d}$ [kN]
S038-1	29.31	21.98	252.3	252.3	252.3
		21.73	265.8	265.8	265.8
		21.48	281.3	281.3	281.3
		21.23	296.7	296.7	296.7
		20.98	312.2	312.2	312.2
		20.73	327.6	327.6	327.6
		20.48	343.0	343.0	343.0
		20.23	358.5	358.5	358.5
		19.98	373.9	373.9	373.9
		S038-2	29.17	21.98	216.0
21.73	228.6			228.6	228.6
21.48	244.1			244.1	244.1
21.23	259.5			259.5	259.5
20.98	275.0			275.0	275.0
20.73	290.4			290.4	290.4
20.48	305.8			305.8	305.8
20.23	321.3			321.3	321.3
19.98	335.2	335.2	335.2		

PAALGEGEVENS SI-paal 273_400

Type : In de grond gevormde geschroefde paal; groutinjectie
 Wijze van installeren : Boren
 Wijze van terugwinnen : n.v.t.
 Diameter [m] : 0.400
 Elasticiteitsmodulus [N/mm²] : 20000
 Factor α_s (tabel 7.c EC 7.1) : 0.009 (zandlagen; voor kleilagen zie tabel 7.d)
 Factor α_t (tabel 7.c EC 7.1) : 0.0090 (zandlagen; voor kleilagen zie tabel 7.d)
 Paalklassefactor α_p : 0.63
 Paalvoetvormfactor β : 1.00
 Type lastzakingsdiagram : Grondverdringende paal
 Verm.factor * $\phi'_{j,k}$: 1.00
 Groutomhulling : JA

Project :
Onderdeel :

OVERZICHT NETTO DRAAGVERMOGEN TREKPALEN (n=1)

Netto paal draagvermogen(s) zijn naar beneden toe afgerond op: 1.0 kN nauwkeurig
Alle niveaus/hogtes/peilmaten zijn t.o.v.: N.A.P.

sondering	maaiveld paalpunt		$R_{t, netto; d}$ [kN]				
	niveau	niveau	Mast 032	Mast 033	Mast 035	Mast 036	Mast 037
S033-1	28.31	21.01		223			
		20.76		238			
		20.51		254			
		20.26		269			
		20.01		285			
		19.76		299			
		19.51		311			
		19.26		325			
		19.01		341			
		18.76		356			
		18.51		372			
		18.26		387			
		18.01		403			
		17.76		418			
		17.51		433			
17.26		449					
S033-2	28.44	21.01		254			
		20.76		270			
		20.51		285			
		20.26		301			
		20.01		316			
		19.76		331			
		19.51		347			
		19.26		362			
		19.01		378			
		18.76		393			
		18.51		407			
		18.26		421			
		18.01		436			
		17.76		452			
		17.51		467			
17.26		483					
S036-1	28.88	22.76			201		
		22.51			216		
		22.26			231		
		22.01			247		
		21.76			262		
		21.51			277		
		21.26			292		
		21.01			307		
		20.76			323		
		20.51			338		
		20.26			354		
20.25			354				
S036-2	28.93	22.76			189		
		22.51			201		
		22.26			216		
		22.01			231		
		21.76			247		
		21.51			262		
		21.26			278		
		21.01			293		
		20.76			309		
		20.51			324		
		20.26			339		
20.25			340				
S037-1	29.58	23.03				242	
		22.78				257	

Project :
Onderdeel :

Netto paal draagvermogen(s) zijn naar beneden toe afgerond op: 1.0 kN nauwkeurig
Alle niveaus/hogtes/peilmaten zijn t.o.v.: N.A.P.

sondering	maaiveld paalpunt		$R_{t,netto;d}$ [kN]				
	niveau	niveau	Mast 032	Mast 033	Mast 035	Mast 036	Mast 037
		22.53					273
		22.28					288
		22.03					304
		21.78					319
		21.53					335
		21.28					350
		21.03					365
		20.78					381
		20.53					396
S037-2	29.55	23.03					263
		22.78					279
		22.53					294
		22.28					309
		22.03					325
		21.78					340
		21.53					356
		21.28					371
		21.03					387
		20.78					402
		20.53					417
S035-1	28.71	22.71			212		
		22.46			227		
		22.21			243		
		21.96			258		
		21.71			274		
		21.46			289		
		21.21			304		
		20.96			320		
		20.71			335		
		20.46			351		
		20.21			366		
S035-2	29.16	22.71			210		
		22.46			220		
		22.21			233		
		21.96			248		
		21.71			263		
		21.46			279		
		21.21			294		
		20.96			309		
		20.71			325		
		20.46			340		
		20.21			356		
S032-1	29.80	17.76	346				
		17.51	351				
		17.26	367				
		17.01	382				
		16.76	398				
		16.51	413				
		16.26	421				
		16.01	421				
		15.76	431				
		15.51	445				
		15.26	460				
S032-2	29.41	17.76	348				
		17.51	349				
		17.26	349				
		17.01	358				
		16.76	370				

Project :
Onderdeel :

Netto paal draagvermogen(s) zijn naar beneden toe afgerond op: 1.0 kN nauwkeurig

Alle niveaus/hogtes/peilmaten zijn t.o.v.: N.A.P.

sondering	maaiveld paalpunt		$R_{t,netto;d}$ [kN]				
	niveau	niveau	Mast 032	Mast 033	Mast 035	Mast 036	Mast 037
		16.51	379				
		16.26	379				
		16.01	380				
		15.76	380				
		15.51	384				
		15.26	395				

Netto paal draagvermogen(s) zijn naar beneden toe afgerond op: 1.0 kN nauwkeurig

Alle niveaus/hogtes/peilmaten zijn t.o.v.: N.A.P.

sondering	maaiveld paalpunt		$R_{t,netto;d}$ [kN]
	niveau	niveau	Mast 038

S038-1	29.31	21.98	252
		21.73	265
		21.48	281
		21.23	296
		20.98	312
		20.73	327
		20.48	343
		20.23	358
	19.98	373	

S038-2	29.17	21.98	215
		21.73	228
		21.48	244
		21.23	259
		20.98	274
		20.73	290
		20.48	305
		20.23	321
	19.98	335	

Project :
Onderdeel :

ALGEMENE GEGEVENS

Project :
Onderdeel :
Datum : 04-03-2022
Bestand : \\Arh7001.verit.dnv.com\projects\EANL_Projects\
10166262 - BBB modelleren funderingen 380
kV\02 Content\03 Calculations\Technosoft
Paalfunderingen\MBT-EHV380\DO\Nieuw
Sonderingen\Nieuwe palen\Mast 040-049.pvw
Berekeningstype : Verticaal belaste paal
Alle niveaus/hogtes/peilmaten zijn t.o.v.: N.A.P.

Toegepaste normen volgens Eurocode met Nederlandse NB

Geotechniek	EN 1997-1:2004	AC:2009	
	NEN-EN 1997-1:2005	C1+A1:2013	NB:2016
	NEN 9997-1:2016	C2:2017	

REKENGEGEVENS Mast 040

Berekening : Ontwerpend
Rekenmethode : Trekpalen volgens NEN-EN 1997-1, art. 7.6.3
Sondering(en) : S040-1, S040-2
Let op: trekcapaciteit t.p.v. negatief kleeftraject is meegerekend.

Stijf bouwwerk : NEE
Paalgroep : NEE
Aantal sonderingen : 2
Factor ξ_3 ($n=1$) : 1.39
Factor ξ_3 (gem) : 1.32
Factor ξ_4 (min) : 1.32
Weerstandsfactor γ_R : 1.35
 $\gamma_{m,var,qc}$: 1.50
UGT draagvermogen zonder negatieve kleef : NEE

Paal : SI-paal 273_400
Niveau paalkop [m] : N.A.P. 29.70
Bovenbel. [kN/m²] : 0.00

PAALPUNTNIVEAUS SI-paal 273_400

Alle niveaus/hogtes/peilmaten zijn t.o.v. : N.A.P.

Nr	Beginniveau [m]	Eindniveau [m]	Stapgrootte [m]
1	21.75	20.75	0.25

Project :
Onderdeel :

SAMENVATTINGSTABEL Mast 040 (n=1)**Uitgangspunten**

- paal : SI-paal 273_400
 - paaltype : In de grond gevormde geschroefde paal; groutinjectie
 - schachtafmeting : 400 mm
 Paalklassefactor α_p : 0.63
 Factor α_t (tabel 7.c EC 7.1) : 0.0090 (zandlagen; voor kleilagen zie tabel 7.d)
 Correlatiefactor $\xi_{3(n=1)}$: 1.39

Alle niveaus/hogtes/peilmaten zijn t.o.v.: N.A.P.

sondering	maaiveld paalpunt		Bezuikdraagvermogen $R_{t,cal}$ [kN]	Rekenwaarden	
	niveau	niveau		$R_{t,d}$ [kN]	$R_{t,netto,d}$ [kN]
S040-1	29.25	21.75	367.5	367.5	367.5
		21.50	367.8	367.8	367.8
		21.25	369.4	369.4	369.4
		21.00	384.9	384.9	384.9
		20.75	400.3	400.3	400.3
S040-2	29.27	21.75	314.0	314.0	314.0
		21.50	314.7	314.7	314.7
		21.25	316.9	316.9	316.9
		21.00	332.3	332.3	332.3
		20.75	347.8	347.8	347.8

REKENEGEVEENS Mast 041

Berekening : Ontwerpend
 Rekenmethode : Trekpalen volgens NEN-EN 1997-1, art. 7.6.3
 Sondering(en) : S041-1, S041-2
 Let op: trekcapaciteit t.p.v. negatief kleefttraject is meegerekend.

Stijf bouwwerk : NEE
 Paalgroep : NEE
 Aantal sonderingen : 2
 Factor $\xi_{3(n=1)}$: 1.39
 Factor $\xi_{3(geom)}$: 1.32
 Factor $\xi_{4(min)}$: 1.32
 Weerstandsfactor γ_R : 1.35
 $\gamma_{m,var;q_c}$: 1.50
 UGT draagvermogen zonder negatieve kleeft : NEE

Paal : SI-paal 273_400
 Niveau paalkop [m] : N.A.P. 29.69
 Bovenbel. [kN/m²] : 0.00

PAALPUNTNIVEAUS SI-paal 273_400

Alle niveaus/hogtes/peilmaten zijn t.o.v. : N.A.P.

Nr	Beginniveau [m]	Eindniveau [m]	Stapgrootte [m]
1	22.19	19.69	0.25

Project :
Onderdeel :

SAMENVATTINGSTABEL Mast 041 (n=1)**Uitgangspunten**

- paal : SI-paal 273_400
 - paaltype : In de grond gevormde geschroefde paal; groutinjectie
 - schachtafmeting : 400 mm
 Paalklassefactor α_p : 0.63
 Factor α_t (tabel 7.c EC 7.1) : 0.0090 (zandlagen; voor kleilagen zie tabel 7.d)
 Correlatiefactor $\xi_{3(n=1)}$: 1.39

Alle niveaus/hogtes/peilmaten zijn t.o.v.: N.A.P.

sondering	maaiveld paalpunt		Bezuikdraagvermogen $R_{t,cal}$ [kN]	Rekenwaarden	
	niveau	niveau		$R_{t,d}$ [kN]	$R_{t,netto,d}$ [kN]
S041-1	29.64	22.19	220.2	220.2	220.2
		21.94	235.6	235.6	235.6
		21.69	251.0	251.0	251.0
		21.44	266.5	266.5	266.5
		21.19	281.9	281.9	281.9
		20.94	297.3	297.3	297.3
		20.69	312.8	312.8	312.8
		20.44	328.2	328.2	328.2
		20.19	343.7	343.7	343.7
		19.94	359.1	359.1	359.1
		19.69	374.5	374.5	374.5
S041-2	29.79	22.19	269.2	269.2	269.2
		21.94	276.4	276.4	276.4
		21.69	291.9	291.9	291.9
		21.44	307.3	307.3	307.3
		21.19	322.7	322.7	322.7
		20.94	338.2	338.2	338.2
		20.69	353.6	353.6	353.6
		20.44	369.0	369.0	369.0
		20.19	384.5	384.5	384.5
		19.94	399.9	399.9	399.9
		19.69	415.4	415.4	415.4

REKENGEGEVENS Mast 043

Berekening : Ontwerpend
 Rekenmethode : Trekpalen volgens NEN-EN 1997-1, art. 7.6.3
 Sondering(en) : S043-1, S043-2
 Let op: trekcapaciteit t.p.v. negatief kleefttraject is meegerekend.

Stijf bouwwerk : NEE
 Paalgroep : NEE
 Aantal sonderingen : 2
 Factor $\xi_{3(n=1)}$: 1.39
 Factor $\xi_{3(gem)}$: 1.32
 Factor $\xi_{4(min)}$: 1.32
 Weerstandsfactor γ_R : 1.35
 $\gamma_{m,var;q_c}$: 1.50
 UGT draagvermogen zonder negatieve kleeft : NEE

Paal : SI-paal 273_400
 Niveau paalkop [m] : N.A.P. 30.17
 Bovenbel. [kN/m²] : 0.00

PAALPUNTNIVEAUS SI-paal 273_400

Alle niveaus/hogtes/peilmaten zijn t.o.v. : N.A.P.

Nr	Beginniveau [m]	Eindniveau [m]	Stapgrootte [m]
1	22.22	19.72	0.25

Project :
Onderdeel :

SAMENVATTINGSTABEL Mast 043 (n=1)**Uitgangspunten**

- paal : SI-paal 273_400
 - paaltype : In de grond gevormde geschroefde paal; groutinjectie
 - schachtafmeting : 400 mm
 Paalklassefactor α_p : 0.63
 Factor α_t (tabel 7.c EC 7.1) : 0.0090 (zandlagen; voor kleilagen zie tabel 7.d)
 Correlatiefactor $\xi_{3(n=1)}$: 1.39

Alle niveaus/hogtes/peilmaten zijn t.o.v.: N.A.P.

sondering	maaiveld paalpunt		Bezwijkdraagvermogen $R_{t,cal}$ [kN]	Rekenwaarden	
	niveau	niveau		$R_{t,d}$ [kN]	$R_{t,netto,d}$ [kN]
S043-1	30.06	22.22	238.5	238.5	238.5
		21.97	240.4	240.4	240.4
		21.72	240.8	240.8	240.8
		21.47	245.4	245.4	245.4
		21.22	260.8	260.8	260.8
		20.97	276.3	276.3	276.3
		20.72	291.7	291.7	291.7
		20.47	307.1	307.1	307.1
		20.22	322.6	322.6	322.6
		19.97	338.0	338.0	338.0
		19.72	353.5	353.5	353.5
S043-2	29.87	22.22	251.6	251.6	251.6
		21.97	260.8	260.8	260.8
		21.72	261.4	261.4	261.4
		21.47	261.8	261.8	261.8
		21.22	274.2	274.2	274.2
		20.97	289.6	289.6	289.6
		20.72	305.1	305.1	305.1
		20.47	320.5	320.5	320.5
		20.22	336.0	336.0	336.0
		19.97	351.4	351.4	351.4
		19.72	366.8	366.8	366.8

REKENGEGEVENS Mast 044

Berekening : Ontwerpend
 Rekenmethode : Trekpalen volgens NEN-EN 1997-1, art. 7.6.3
 Sondering(en) : S044-1, S044-2
 Let op: trekcapaciteit t.p.v. negatief kleefttraject is meegerekend.

Stijf bouwwerk : NEE
 Paalgroep : NEE
 Aantal sonderingen : 2
 Factor $\xi_{3(n=1)}$: 1.39
 Factor $\xi_{3(gem)}$: 1.32
 Factor $\xi_{4(min)}$: 1.32
 Weerstandsfactor γ_R : 1.35
 $\gamma_{m,var;q_c}$: 1.50
 UGT draagvermogen zonder negatieve kleeft : NEE

Paal : SI-paal 273_400
 Niveau paalkop [m] : N.A.P. 30.41
 Bovenbel. [kN/m²] : 0.00

PAALPUNTNIVEAUS SI-paal 273_400

Alle niveaus/hogtes/peilmaten zijn t.o.v. : N.A.P.

Nr	Beginniveau [m]	Eindniveau [m]	Stapgrootte [m]
1	23.21	20.75	0.25

Project :
Onderdeel :

SAMENVATTINGSTABEL Mast 044 (n=1)**Uitgangspunten**

- paal : SI-paal 273_400
 - paaltype : In de grond gevormde geschroefde paal; groutinjectie
 - schachtafmeting : 400 mm
 Paalklassefactor α_p : 0.63
 Factor α_t (tabel 7.c EC 7.1) : 0.0090 (zandlagen; voor kleilagen zie tabel 7.d)
 Correlatiefactor $\xi_{3(n=1)}$: 1.39

Alle niveaus/hogtes/peilmaten zijn t.o.v.: N.A.P.

sondering	maaiveld paalpunt		Bezwijkdraagvermogen $R_{t,cal}$ [kN]	Rekenwaarden	
	niveau	niveau		$R_{t,d}$ [kN]	$R_{t,netto,d}$ [kN]
S044-1	30.26	23.21	259.7	259.7	259.7
		22.96	267.4	267.4	267.4
		22.71	267.8	267.8	267.8
		22.46	274.4	274.4	274.4
		22.21	286.8	286.8	286.8
		21.96	290.7	290.7	290.7
		21.71	291.0	291.0	291.0
		21.46	291.8	291.8	291.8
		21.21	302.7	302.7	302.7
		20.96	318.2	318.2	318.2
		20.75	331.2	331.2	331.2
S044-2	30.19	23.21	244.0	244.0	244.0
		22.96	252.4	252.4	252.4
		22.71	252.8	252.8	252.8
		22.46	259.4	259.4	259.4
		22.21	271.8	271.8	271.8
		21.96	278.5	278.5	278.5
		21.71	278.8	278.8	278.8
		21.46	286.0	286.0	286.0
		21.21	301.4	301.4	301.4
		20.96	316.9	316.9	316.9
		20.75	329.8	329.8	329.8

REKENGEGEVENS Mast 046

Berekening : Ontwerpend
 Rekenmethode : Trekpalen volgens NEN-EN 1997-1, art. 7.6.3
 Sondering(en) : S046-1, S046-2
 Let op: trekcapaciteit t.p.v. negatief kleeftraject is meegerekend.

Stijf bouwwerk : NEE
 Paalgroep : NEE
 Aantal sonderingen : 2
 Factor $\xi_{3(n=1)}$: 1.39
 Factor $\xi_{3(gem)}$: 1.32
 Factor $\xi_{4(min)}$: 1.32
 Weerstandsfactor γ_R : 1.35
 $\gamma_{m,var;q_c}$: 1.50
 UGT draagvermogen zonder negatieve kleeft : NEE

Paal : SI-paal 273_400
 Niveau paalkop [m] : N.A.P. 31.03
 Bovenbel. [kN/m²] : 0.00

PAALPUNTNIVEAUS SI-paal 273_400

Alle niveaus/hogtes/peilmaten zijn t.o.v. : N.A.P.

Nr	Beginniveau [m]	Eindniveau [m]	Stapgrootte [m]
1	23.28	20.03	0.25

Project :
Onderdeel :

SAMENVATTINGSTABEL Mast 046 (n=1)**Uitgangspunten**

- paal : SI-paal 273_400
 - paaltype : In de grond gevormde geschroefde paal; groutinjectie
 - schachtafmeting : 400 mm
 Paalklassefactor α_p : 0.63
 Factor α_t (tabel 7.c EC 7.1) : 0.0090 (zandlagen; voor kleilagen zie tabel 7.d)
 Correlatiefactor $\xi_{3(n=1)}$: 1.39

Alle niveaus/hogtes/peilmaten zijn t.o.v.: N.A.P.

sondering	maaiveld paalpunt		Bezwijkdraagvermogen $R_{t,cal}$ [kN]	Rekenwaarden	
	niveau	niveau		$R_{t,d}$ [kN]	$R_{t,netto,d}$ [kN]
S046-1	31.15	23.28	217.7	217.7	217.7
		23.03	230.4	230.4	230.4
		22.78	243.1	243.1	243.1
		22.53	245.4	245.4	245.4
		22.28	248.1	248.1	248.1
		22.03	260.5	260.5	260.5
		21.78	263.8	263.8	263.8
		21.53	264.2	264.2	264.2
		21.28	267.9	267.9	267.9
		21.03	279.3	279.3	279.3
		20.78	293.5	293.5	293.5
		20.53	309.0	309.0	309.0
		20.28	324.4	324.4	324.4
		20.03	339.9	339.9	339.9
S046-2	30.93	23.28	251.5	251.5	251.5
		23.03	260.8	260.8	260.8
		22.78	261.5	261.5	261.5
		22.53	261.9	261.9	261.9
		22.28	262.3	262.3	262.3
		22.03	266.3	266.3	266.3
		21.78	278.7	278.7	278.7
		21.53	291.2	291.2	291.2
		21.28	295.9	295.9	295.9
		21.03	296.3	296.3	296.3
		20.78	296.6	296.6	296.6
		20.53	305.6	305.6	305.6
		20.28	321.0	321.0	321.0
		20.03	336.5	336.5	336.5

REKENEGEVEENS Mast 047

Berekening : Ontwerpend
 Rekenmethode : Trekpalen volgens NEN-EN 1997-1, art. 7.6.3
 Sondering(en) : S047-1, S047-2
 Let op: trekcapaciteit t.p.v. negatief kleeftraject is meegerekend.

Stijf bouwwerk : NEE
 Paalgroep : NEE
 Aantal sonderingen : 2
 Factor $\xi_{3(n=1)}$: 1.39
 Factor $\xi_{3(gem)}$: 1.32
 Factor $\xi_{4(min)}$: 1.32
 Weerstandsfactor γ_R : 1.35
 $\gamma_{m,var;q_c}$: 1.50
 UGT draagvermogen zonder negatieve kleef : NEE

Paal : SI-paal 273_400
 Niveau paalkop [m] : N.A.P. 31.16
 Bovenbel. [kN/m²] : 0.00

Project :
Onderdeel :

PAALPUNTNIVEAUS SI-paal 273_400

Alle niveaus/hogtes/peilmaten zijn t.o.v. : N.A.P.

Nr	Beginniveau [m]	Eindniveau [m]	Stapgrootte [m]
1	23.21	19.96	0.25

SAMENVATTINGSTABEL Mast 047 (n=1)**Uitgangspunten**

- paal : SI-paal 273_400
 - paaltype : In de grond gevormde geschroefde paal; groutinjectie
 - schachtafmeting : 400 mm
 Paalklassefactor α_p : 0.63
 Factor α_t (tabel 7.c EC 7.1) : 0.0090 (zandlagen; voor kleilagen zie tabel 7.d)
 Correlatiefactor $\xi_{3(n=1)}$: 1.39

Alle niveaus/hogtes/peilmaten zijn t.o.v.: N.A.P.

sondering	maaiveld paalpunt		Bezwijkdraagvermogen $R_{t,cal}$ [kN]	Rekenwaarden	
	niveau	niveau		$R_{t,d}$ [kN]	$R_{t,netto,d}$ [kN]
S047-1	31.00	23.21	195.6	195.6	195.6
		22.96	206.1	206.1	206.1
		22.71	218.5	218.5	218.5
		22.46	231.0	231.0	231.0
		22.21	236.0	236.0	236.0
		21.96	239.3	239.3	239.3
		21.71	244.9	244.9	244.9
		21.46	255.2	255.2	255.2
		21.21	257.4	257.4	257.4
		20.96	270.8	270.8	270.8
		20.71	284.2	284.2	284.2
		20.46	299.4	299.4	299.4
		20.21	314.9	314.9	314.9
		19.96	330.3	330.3	330.3
S047-2	31.04	23.21	249.9	249.9	249.9
		22.96	262.3	262.3	262.3
		22.71	274.7	274.7	274.7
		22.46	286.8	286.8	286.8
		22.21	297.8	297.8	297.8
		21.96	307.9	307.9	307.9
		21.71	313.5	313.5	313.5
		21.46	326.0	326.0	326.0
		21.21	337.0	337.0	337.0
		20.96	344.2	344.2	344.2
		20.71	344.6	344.6	344.6
		20.46	353.4	353.4	353.4
		20.21	368.8	368.8	368.8
		19.96	384.3	384.3	384.3

REKENEGEGEVENS Mast 048

Berekening : Ontwerpend
 Rekenmethode : Trekpalen volgens NEN-EN 1997-1, art. 7.6.3
 Sondering(en) : S048-1, S048-2
 Let op: trekcapaciteit t.p.v. negatief kleeftraject is meegerekend.

Stijf bouwwerk : NEE
 Paalgroep : NEE
 Aantal sonderingen : 2
 Factor $\xi_{3(n=1)}$: 1.39
 Factor $\xi_{3(gem)}$: 1.32
 Factor $\xi_{4(min)}$: 1.32
 Weerstandsfactor γ_R : 1.35
 $\gamma_{m,var;q_c}$: 1.50
 UGT draagvermogen zonder negatieve kleef : NEE

Paal : SI-paal 273_400
 Niveau paalkop [m] : N.A.P. 31.68
 Bovenbel. [kN/m²] : 0.00

Project :
Onderdeel :

PAALPUNTNIVEAUS SI-paal 273_400

Alle niveaus/hogtes/peilmaten zijn t.o.v. : N.A.P.

Nr	Beginniveau [m]	Eindniveau [m]	Stapgrootte [m]
1	22.23	18.98	0.25

SAMENVATTINGSTABEL Mast 048 (n=1)**Uitgangspunten**

- paal : SI-paal 273_400
 - paaltype : In de grond gevormde geschroefde paal; groutinjectie
 - schachtafmeting : 400 mm
 Paalklassefactor α_p : 0.63
 Factor α_t (tabel 7.c EC 7.1) : 0.0090 (zandlagen; voor kleilagen zie tabel 7.d)
 Correlatiefactor $\xi_{3(n=1)}$: 1.39

Alle niveaus/hogtes/peilmaten zijn t.o.v.: N.A.P.

sondering	maaiveld paalpunt		Bezijdraagvermogen $R_{t,cal}$ [kN]	Rekenwaarden	
	niveau	niveau		$R_{t,d}$ [kN]	$R_{t,netto,d}$ [kN]
S048-1	31.37	22.23	258.0	258.0	258.0
		21.98	258.3	258.3	258.3
		21.73	269.7	269.7	269.7
		21.48	276.4	276.4	276.4
		21.23	276.7	276.7	276.7
		20.98	286.7	286.7	286.7
		20.73	299.2	299.2	299.2
		20.48	311.6	311.6	311.6
		20.23	312.4	312.4	312.4
		19.98	312.8	312.8	312.8
		19.73	313.2	313.2	313.2
		19.48	327.4	327.4	327.4
		19.23	342.9	342.9	342.9
		18.98	358.3	358.3	358.3
S048-2	31.38	22.23	243.8	243.8	243.8
		21.98	244.2	244.2	244.2
		21.73	253.8	253.8	253.8
		21.48	257.2	257.2	257.2
		21.23	257.5	257.5	257.5
		20.98	268.5	268.5	268.5
		20.73	280.9	280.9	280.9
		20.48	288.0	288.0	288.0
		20.23	288.6	288.6	288.6
		19.98	288.9	288.9	288.9
		19.73	289.3	289.3	289.3
		19.48	302.9	302.9	302.9
		19.23	318.4	318.4	318.4
		18.98	333.8	333.8	333.8

REKENGEGEVENS Mast 049

Berekening : Ontwerpend
 Rekenmethode : Trekpalen volgens NEN-EN 1997-1, art. 7.6.3
 Sondering(en) : S049-1, S049-2
 Let op: trekcapaciteit t.p.v. negatief kleeftraject is meegerekend.

Stijf bouwwerk : NEE
 Paalgroep : NEE
 Aantal sonderingen : 2
 Factor $\xi_{3(n=1)}$: 1.39
 Factor $\xi_{3(gem)}$: 1.32
 Factor $\xi_{4(min)}$: 1.32
 Weerstandsfactor γ_R : 1.35
 $\gamma_{m,var;q_c}$: 1.50
 UGT draagvermogen zonder negatieve kleeft : NEE

Paal : SI-paal 273_400
 Niveau paalkop [m] : N.A.P. 31.21
 Bovenbel. [kN/m²] : 0.00

Project :
Onderdeel :

PAALPUNTNIVEAUS SI-paal 273_400

Alle niveaus/hogtes/peilmaten zijn t.o.v. : N.A.P.

Nr	Beginniveau [m]	Eindniveau [m]	Stapgrootte [m]
1	23.10	20.60	0.25

SAMENVATTINGSTABEL Mast 049 (n=1)**Uitgangspunten**

- paal : SI-paal 273_400
 - paaltype : In de grond gevormde geschroefde paal; groutinjectie
 - schachtafmeting : 400 mm
 Paalklassefactor α_p : 0.63
 Factor α_t (tabel 7.c EC 7.1) : 0.0090 (zandlagen; voor kleilagen zie tabel 7.d)
 Correlatiefactor $\xi_{3(n=1)}$: 1.39

Alle niveaus/hogtes/peilmaten zijn t.o.v.: N.A.P.

sondering	maaiveld paalpunt		Bewijkdraagvermogen $R_{t,cal}$ [kN]	Rekenwaarden	
	niveau	niveau		$R_{t,d}$ [kN]	$R_{t,netto,d}$ [kN]
S049-1	30.90	23.10	229.9	229.9	229.9
		22.85	245.3	245.3	245.3
		22.60	260.7	260.7	260.7
		22.35	276.2	276.2	276.2
		22.10	291.6	291.6	291.6
		21.85	307.1	307.1	307.1
		21.60	320.3	320.3	320.3
		21.35	321.4	321.4	321.4
		21.10	321.8	321.8	321.8
		20.85	325.5	325.5	325.5
	20.60	336.8	336.8	336.8	
S049-2	31.12	23.10	221.1	221.1	221.1
		22.85	236.5	236.5	236.5
		22.60	251.9	251.9	251.9
		22.35	267.4	267.4	267.4
		22.10	282.8	282.8	282.8
		21.85	297.9	297.9	297.9
		21.60	312.7	312.7	312.7
		21.35	327.4	327.4	327.4
		21.10	339.2	339.2	339.2
		20.85	344.7	344.7	344.7
	20.60	350.3	350.3	350.3	

PAALGEGEVENS SI-paal 273_400

Type : In de grond gevormde geschroefde paal; groutinjectie
 Wijze van installeren : Boren
 Wijze van terugwinnen : n.v.t.
 Diameter [m] : 0.400
 Elasticiteitsmodulus [N/mm²] : 20000
 Factor α_s (tabel 7.c EC 7.1) : 0.009 (zandlagen; voor kleilagen zie tabel 7.d)
 Factor α_t (tabel 7.c EC 7.1) : 0.0090 (zandlagen; voor kleilagen zie tabel 7.d)
 Paalklassefactor α_p : 0.63
 Paalvoetvormfactor β : 1.00
 Type lastzakkingsdiagram : Grondverdringende paal
 Verm.factor * $\phi'_{j,k}$: 1.00
 Groutomhulling : JA

Project :
Onderdeel :

OVERZICHT NETTO DRAAGVERMOGEN TREKPALEN (n=1)

Netto paal draagvermogen(s) zijn naar beneden toe afgerond op: 1.0 kN nauwkeurig
Alle niveaus/hoogtes/peilmaten zijn t.o.v.: N.A.P.

sondering	maaiveld paalpunt		$R_{t, netto; d}$ [kN]					
	niveau	niveau	Mast 040	Mast 041	Mast 043	Mast 044	Mast 046	
S041-1	29.64	22.19		220				
		21.94		235				
		21.69		251				
		21.44		266				
		21.19		281				
		20.94		297				
		20.69		312				
		20.44		328				
		20.19		343				
		19.94		359				
		19.69		374				
S041-2	29.79	22.19		269				
		21.94		276				
		21.69		291				
		21.44		307				
		21.19		322				
		20.94		338				
		20.69		353				
		20.44		369				
		20.19		384				
		19.94		399				
		19.69		415				
S043-1	30.06	22.22			238			
		21.97			240			
		21.72			240			
		21.47			245			
		21.22			260			
		20.97			276			
		20.72			291			
		20.47			307			
		20.22			322			
		19.97			338			
		19.72			353			
S043-2	29.87	22.22			251			
		21.97			260			
		21.72			261			
		21.47			261			
		21.22			274			
		20.97			289			
		20.72			305			
		20.47			320			
		20.22			335			
		19.97			351			
		19.72			366			
S046-1	31.15	23.28					217	
		23.03					230	
		22.78					243	
		22.53					245	
		22.28					248	
		22.03					260	
		21.78					263	
		21.53					264	
		21.28					267	
		21.03					279	
		20.78					293	
		20.53					308	
		20.28					324	
20.03					339			

Project :
Onderdeel :

Netto paal draagvermogen(s) zijn naar beneden toe afgerond op: 1.0 kN nauwkeurig
Alle niveaus/hogtes/peilmaten zijn t.o.v.: N.A.P.

sondering	maaiveld paalpunt		$R_{t,netto;d}$ [kN]				
	niveau	niveau	Mast 040	Mast 041	Mast 043	Mast 044	Mast 046
S046-2	30.93	23.28					251
		23.03					260
		22.78					261
		22.53					261
		22.28					262
		22.03					266
		21.78					278
		21.53					291
		21.28					295
		21.03					296
		20.78					296
		20.53					305
		20.28					321
20.03					336		
S040-1	29.25	21.75	367				
		21.50	367				
		21.25	369				
		21.00	384				
		20.75	400				
S040-2	29.27	21.75	314				
		21.50	314				
		21.25	316				
		21.00	332				
		20.75	347				
S044-1	30.26	23.21				259	
		22.96				267	
		22.71				267	
		22.46				274	
		22.21				286	
		21.96				290	
		21.71				291	
		21.46				291	
		21.21				302	
		20.96				318	
20.75				331			
S044-2	30.19	23.21				243	
		22.96				252	
		22.71				252	
		22.46				259	
		22.21				271	
		21.96				278	
		21.71				278	
		21.46				285	
		21.21				301	
		20.96				316	
20.75				329			

Project :
Onderdeel :

Netto paal draagvermogen(s) zijn naar beneden toe afgerond op: 1.0 kN nauwkeurig
Alle niveaus/hogtes/peilmaten zijn t.o.v.: N.A.P.

sondering	maaiveld paalpunt		R _{t,netto;d} [kN]		
	niveau	niveau	Mast 047	Mast 048	Mast 049

S047-1	31.00	23.21	195	
		22.96	206	
		22.71	218	
		22.46	230	
		22.21	235	
		21.96	239	
		21.71	244	
		21.46	255	
		21.21	257	
		20.96	270	
		20.71	284	
		20.46	299	
		20.21	314	
19.96	330			
S047-2	31.04	23.21	249	
		22.96	262	
		22.71	274	
		22.46	286	
		22.21	297	
		21.96	307	
		21.71	313	
		21.46	326	
		21.21	336	
		20.96	344	
		20.71	344	
		20.46	353	
		20.21	368	
19.96	384			
S048-1	31.37	22.23		257
		21.98		258
		21.73		269
		21.48		276
		21.23		276
		20.98		286
		20.73		299
		20.48		311
		20.23		312
		19.98		312
		19.73		313
		19.48		327
		19.23		342
18.98		358		
S048-2	31.38	22.23		243
		21.98		244
		21.73		253
		21.48		257
		21.23		257
		20.98		268
		20.73		280
		20.48		288
		20.23		288
		19.98		288
		19.73		289
		19.48		302
		19.23		318
18.98		333		

Project :
Onderdeel :

Netto paal draagvermogen(s) zijn naar beneden toe afgerond op: 1.0 kN nauwkeurig
Alle niveaus/hogtes/peilmaten zijn t.o.v.: N.A.P.

sondering	maaiveld paalpunt		$R_{t,netto;d}$ [kN]		
	niveau	niveau	Mast 047	Mast 048	Mast 049
S049-1	30.90	23.10			229
		22.85			245
		22.60			260
		22.35			276
		22.10			291
		21.85			307
		21.60			320
		21.35			321
		21.10			321
		20.85			325
		20.60			336
S049-2	31.12	23.10			221
		22.85			236
		22.60			251
		22.35			267
		22.10			282
		21.85			297
		21.60			312
		21.35			327
		21.10			339
		20.85			344
		20.60			350

Project :
Onderdeel :

ALGEMENE GEGEVENS

Project :
Onderdeel :
Datum : 04-03-2022
Bestand : \\Arh7001.verit.dnv.com\projects\EANL_Projects\
10166262 - BBB modelleren funderingen 380
kV\02 Content\03 Calculations\Technosoft
Paalfunderingen\MBT-EHV380\DO\Nieuw
Sonderingen\Nieuwe palen\Mast 050-059.pvw
Berekeningstype : Verticaal belaste paal
Alle niveaus/hogtes/peilmaten zijn t.o.v.: N.A.P.

Toegepaste normen volgens Eurocode met Nederlandse NB

Geotechniek	EN 1997-1:2004	AC:2009	
	NEN-EN 1997-1:2005	C1+A1:2013	NB:2016
	NEN 9997-1:2016	C2:2017	

REKENGEGEVENS Mast 053

Berekening : Ontwerpend
Rekenmethode : Trekpalen volgens NEN-EN 1997-1, art. 7.6.3
Sondering(en) : S053-1, S053-2
Let op: trekcapaciteit t.p.v. negatief kleeftraject is meegerekend.

Stijf bouwwerk : NEE
Paalgroep : NEE
Aantal sonderingen : 2
Factor ξ_3 (n=1) : 1.39
Factor ξ_3 (gem) : 1.32
Factor ξ_4 (min) : 1.32
Weerstandsfactor γ_R : 1.35
 $\gamma_{m,var,qc}$: 1.50
UGT draagvermogen zonder negatieve kleef : NEE

Paal : SI-paal 273_400
Niveau paalkop [m] : N.A.P. 30.94
Bovenbel. [kN/m²] : 0.00

PAALPUNTNIVEAUS SI-paal 273_400

Alle niveaus/hogtes/peilmaten zijn t.o.v. : N.A.P.

Nr	Beginniveau [m]	Eindniveau [m]	Stapgrootte [m]
1	22.94	20.44	0.25

Project :
Onderdeel :

SAMENVATTINGSTABEL Mast 053 (n=1)**Uitgangspunten**

- paal : SI-paal 273_400
 - paaltype : In de grond gevormde geschroefde paal; groutinjectie
 - schachtafmeting : 400 mm
 Paalklassefactor α_p : 0.63
 Factor α_t (tabel 7.c EC 7.1) : 0.0090 (zandlagen; voor kleilagen zie tabel 7.d)
 Correlatiefactor $\xi_{3(n=1)}$: 1.39

Alle niveaus/hogtes/peilmaten zijn t.o.v.: N.A.P.

sondering	maaiveld paalpunt		Bezuikdraagvermogen $R_{t,cal}$ [kN]	Rekenwaarden	
	niveau	niveau		$R_{t,d}$ [kN]	$R_{t,netto,d}$ [kN]
S053-1	30.64	22.94	229.0	229.0	229.0
		22.69	244.4	244.4	244.4
		22.44	259.9	259.9	259.9
		22.19	275.3	275.3	275.3
		21.94	290.8	290.8	290.8
		21.69	306.2	306.2	306.2
		21.44	321.6	321.6	321.6
		21.19	329.0	329.0	329.0
		20.94	329.4	329.4	329.4
		20.69	332.5	332.5	332.5
		20.44	344.9	344.9	344.9
S053-2	30.68	22.94	226.0	226.0	226.0
		22.69	241.5	241.5	241.5
		22.44	256.9	256.9	256.9
		22.19	272.4	272.4	272.4
		21.94	287.8	287.8	287.8
		21.69	303.2	303.2	303.2
		21.44	316.5	316.5	316.5
		21.19	319.0	319.0	319.0
		20.94	319.3	319.3	319.3
		20.69	322.9	322.9	322.9
		20.44	335.4	335.4	335.4

REKENGEGEVENS Mast 055

Berekening : Ontwerpend
 Rekenmethode : Trekpalen volgens NEN-EN 1997-1, art. 7.6.3
 Sondering(en) : S055-1, S055-2
 Let op: trekcapaciteit t.p.v. negatief kleefttraject is meegerekend.

Stijf bouwwerk : NEE
 Paalgroep : NEE
 Aantal sonderingen : 2
 Factor $\xi_{3(n=1)}$: 1.39
 Factor $\xi_{3(gem)}$: 1.32
 Factor $\xi_{4(min)}$: 1.32
 Weerstandsfactor γ_R : 1.35
 $\gamma_{m,var;q_c}$: 1.50
 UGT draagvermogen zonder negatieve kleeft : NEE

Paal : SI-paal 273_400
 Niveau paalkop [m] : N.A.P. 30.67
 Bovenbel. [kN/m²] : 0.00

PAALPUNTNIVEAUS SI-paal 273_400

Alle niveaus/hogtes/peilmaten zijn t.o.v. : N.A.P.

Nr	Beginniveau [m]	Eindniveau [m]	Stapgrootte [m]
1	22.77	20.25	0.25

Project :
Onderdeel :

SAMENVATTINGSTABEL Mast 055 (n=1)**Uitgangspunten**

- paal : SI-paal 273_400
 - paaltype : In de grond gevormde geschroefde paal; groutinjectie
 - schachtafmeting : 400 mm
 Paalklassefactor α_p : 0.63
 Factor α_t (tabel 7.c EC 7.1) : 0.0090 (zandlagen; voor kleilagen zie tabel 7.d)
 Correlatiefactor $\xi_{3(n=1)}$: 1.39

Alle niveaus/hogtes/peilmaten zijn t.o.v.: N.A.P.

sondering	maaiveld paalpunt		Bezwijkdraagvermogen $R_{t,cal}$ [kN]	Rekenwaarden			
	niveau	niveau		$R_{t,d}$ [kN]	$R_{t,netto,d}$ [kN]		
S055-1	30.43	22.77	232.3	232.3	232.3		
		22.52	247.7	247.7	247.7		
		22.27	263.1	263.1	263.1		
		22.02	278.6	278.6	278.6		
		21.77	294.0	294.0	294.0		
		21.52	309.5	309.5	309.5		
		21.27	324.9	324.9	324.9		
		21.02	340.3	340.3	340.3		
		20.77	354.8	354.8	354.8		
		20.52	355.9	355.9	355.9		
		20.27	356.3	356.3	356.3		
		20.25	356.3	356.3	356.3		
		S055-2	30.44	22.77	176.7	176.7	176.7
				22.52	192.1	192.1	192.1
22.27	207.6			207.6	207.6		
22.02	223.0			223.0	223.0		
21.77	238.5			238.5	238.5		
21.52	253.9			253.9	253.9		
21.27	269.3			269.3	269.3		
21.02	284.8			284.8	284.8		
20.77	294.6			294.6	294.6		
20.52	295.4			295.4	295.4		
20.27	295.7	295.7	295.7				
20.25	295.8	295.8	295.8				

REKENGEGEVENS Mast 056

Berekening : Ontwerpend
 Rekenmethode : Trekpalen volgens NEN-EN 1997-1, art. 7.6.3
 Sondering(en) : S056-1, S056-2
 Let op: trekcapaciteit t.p.v. negatief kleeftraject is meegerekend.

Stijf bouwwerk : NEE
 Paalgroep : NEE
 Aantal sonderingen : 2
 Factor $\xi_{3(n=1)}$: 1.39
 Factor $\xi_{3(gem)}$: 1.32
 Factor $\xi_{4(min)}$: 1.32
 Weerstandsfactor γ_R : 1.35
 $\gamma_{m,var;q_c}$: 1.50
 UGT draagvermogen zonder negatieve kleeft : NEE

Paal : SI-paal 273_400
 Niveau paalkop [m] : N.A.P. 30.65
 Bovenbel. [kN/m²] : 0.00

PAALPUNTNIVEAUS SI-paal 273_400

Alle niveaus/hogtes/peilmaten zijn t.o.v. : N.A.P.

Nr	Beginniveau [m]	Eindniveau [m]	Stapgrootte [m]
1	22.75	20.25	0.25

Project :
Onderdeel :

SAMENVATTINGSTABEL Mast 056 (n=1)**Uitgangspunten**

- paal : SI-paal 273_400
 - paaltype : In de grond gevormde geschroefde paal; groutinjectie
 - schachtafmeting : 400 mm
 Paalklassefactor α_p : 0.63
 Factor α_t (tabel 7.c EC 7.1) : 0.0090 (zandlagen; voor kleilagen zie tabel 7.d)
 Correlatiefactor $\xi_{3(n=1)}$: 1.39

Alle niveaus/hogtes/peilmaten zijn t.o.v.: N.A.P.

sondering	maaiveld paalpunt		Bezuikdraagvermogen $R_{t,cal}$ [kN]	Rekenwaarden	
	niveau	niveau		$R_{t,d}$ [kN]	$R_{t,netto,d}$ [kN]
S056-1	30.53	22.75	210.1	210.1	210.1
		22.50	225.6	225.6	225.6
		22.25	241.0	241.0	241.0
		22.00	256.5	256.5	256.5
		21.75	271.9	271.9	271.9
		21.50	287.3	287.3	287.3
		21.25	302.8	302.8	302.8
		21.00	318.2	318.2	318.2
		20.75	328.8	328.8	328.8
		20.50	341.2	341.2	341.2
		20.25	353.3	353.3	353.3
S056-2	30.41	22.75	181.9	181.9	181.9
		22.50	197.4	197.4	197.4
		22.25	212.8	212.8	212.8
		22.00	228.3	228.3	228.3
		21.75	243.7	243.7	243.7
		21.50	259.1	259.1	259.1
		21.25	274.6	274.6	274.6
		21.00	289.3	289.3	289.3
		20.75	302.4	302.4	302.4
		20.50	315.6	315.6	315.6
		20.25	328.6	328.6	328.6

REKENGEGEVENS Mast 059

Berekening : Ontwerpend
 Rekenmethode : Trekpalen volgens NEN-EN 1997-1, art. 7.6.3
 Sondering(en) : S059-1, S059-2
 Let op: trekcapaciteit t.p.v. negatief kleeftraject is meegerekend.

Stijf bouwwerk : NEE
 Paalgroep : NEE
 Aantal sonderingen : 2
 Factor $\xi_{3(n=1)}$: 1.39
 Factor $\xi_{3(gem)}$: 1.32
 Factor $\xi_{4(min)}$: 1.32
 Weerstandsfactor γ_R : 1.35
 $\gamma_{m,var;q_c}$: 1.50
 UGT draagvermogen zonder negatieve kleeft : NEE

Paal : SI-paal 273_400
 Niveau paalkop [m] : N.A.P. 27.62
 Bovenbel. [kN/m²] : 0.00

PAALPUNTNIVEAUS SI-paal 273_400

Alle niveaus/hogtes/peilmaten zijn t.o.v. : N.A.P.

Nr	Beginniveau [m]	Eindniveau [m]	Stapgrootte [m]
1	16.22	13.72	0.25

Project :
Onderdeel :

SAMENVATTINGSTABEL Mast 059 (n=1)**Uitgangspunten**

- paal : SI-paal 273_400
 - paaltype : In de grond gevormde geschroefde paal; groutinjectie
 - schachtafmeting : 400 mm
 Paalklassefactor α_p : 0.63
 Factor α_t (tabel 7.c EC 7.1) : 0.0090 (zandlagen; voor kleilagen zie tabel 7.d)
 Correlatiefactor $\xi_{3(n=1)}$: 1.39

Alle niveaus/hogtes/peilmaten zijn t.o.v.: N.A.P.

sondering	maaiveld paalpunt		Bewijkdraagvermogen $R_{t,cal}$ [kN]	Rekenwaarden	
	niveau	niveau		$R_{t,d}$ [kN]	$R_{t,netto,d}$ [kN]
S059-1	27.39	16.22	211.2	211.2	211.2
		15.97	218.8	218.8	218.8
		15.72	234.2	234.2	234.2
		15.47	249.7	249.7	249.7
		15.22	265.1	265.1	265.1
		14.97	280.5	280.5	280.5
		14.72	296.0	296.0	296.0
		14.47	311.4	311.4	311.4
		14.22	326.6	326.6	326.6
		13.97	342.0	342.0	342.0
		13.72	357.4	357.4	357.4
S059-2	27.28	16.22	243.8	243.8	243.8
		15.97	253.2	253.2	253.2
		15.72	268.6	268.6	268.6
		15.47	284.1	284.1	284.1
		15.22	299.5	299.5	299.5
		14.97	315.0	315.0	315.0
		14.72	330.4	330.4	330.4
		14.47	345.8	345.8	345.8
		14.22	361.3	361.3	361.3
		13.97	376.7	376.7	376.7
		13.72	392.2	392.2	392.2

PAALGEGEVENS LD1

Type : Stalen buispaal (gesloten)
 Wijze van installeren : Heien
 Diameter [m] : 0.550
 Elasticiteitsmodulus [N/mm²] : 20000
 Factor α_s (tabel 7.c EC 7.1) : 0.010 (zandlagen; voor kleilagen zie tabel 7.d)
 Factor α_t (tabel 7.c EC 7.1) : 0.0070 (zandlagen; voor kleilagen zie tabel 7.d)
 Paalklassefactor α_p : 1.00
 Paalvoetvormfactor β : 1.00
 Type lastzakingsdiagram : Grondverdringende paal
 Verm.factor * $\phi'_{j,k}$: 0.75
 Groutomhulling : NEE

PAALGEGEVENS SI-paal 273_400

Type : In de grond gevormde geschroefde paal; groutinjectie
 Wijze van installeren : Boren
 Wijze van terugwinnen : n.v.t.
 Diameter [m] : 0.400
 Elasticiteitsmodulus [N/mm²] : 20000
 Factor α_s (tabel 7.c EC 7.1) : 0.009 (zandlagen; voor kleilagen zie tabel 7.d)
 Factor α_t (tabel 7.c EC 7.1) : 0.0090 (zandlagen; voor kleilagen zie tabel 7.d)
 Paalklassefactor α_p : 0.63
 Paalvoetvormfactor β : 1.00
 Type lastzakingsdiagram : Grondverdringende paal
 Verm.factor * $\phi'_{j,k}$: 1.00
 Groutomhulling : JA

Project :
Onderdeel :

OVERZICHT NETTO DRAAGVERMOGEN TREKPALEN (n=1)

Netto paal draagvermogen(s) zijn naar beneden toe afgerond op: 1.0 kN nauwkeurig
Alle niveaus/hoogtes/peilmaten zijn t.o.v.: N.A.P.

sondering	maaiveld paalpunt		$R_{t, netto; d}$ [kN]			
	niveau	niveau	Mast 053	Mast 055	Mast 056	Mast 059
S056-1	30.53	22.75			210	
		22.50			225	
		22.25			241	
		22.00			256	
		21.75			271	
		21.50			287	
		21.25			302	
		21.00			318	
		20.75			328	
		20.50			341	
		20.25			353	
		S056-2	30.41	22.75		
22.50					197	
22.25					212	
22.00					228	
21.75					243	
21.50					259	
21.25					274	
21.00					289	
20.75					302	
20.50					315	
20.25					328	
S059-1	27.39			16.22		
		15.97				218
		15.72				234
		15.47				249
		15.22				265
		14.97				280
		14.72				295
		14.47				311
		14.22				326
		13.97				341
		13.72				357
		S059-2	27.28	16.22		
15.97						253
15.72						268
15.47						284
15.22						299
14.97						314
14.72						330
14.47						345
14.22						361
13.97						376
13.72						392
S053-1	30.64			22.94	229	
		22.69				244
		22.44				259
		22.19				275
		21.94				290
		21.69				306
		21.44				321
		21.19				328
		20.94				329
		20.69				332
		20.44				344
		S053-2	30.68	22.94	226	
22.69						241

Project :
Onderdeel :

Netto paal draagvermogen(s) zijn naar beneden toe afgerond op: 1.0 kN nauwkeurig
Alle niveaus/hogtes/peilmaten zijn t.o.v.: N.A.P.

sondering	maaiveld paalpunt		$R_{t,netto;d}$ [kN]			
	niveau	niveau	Mast 053	Mast 055	Mast 056	Mast 059
		22.44	256			
		22.19	272			
		21.94	287			
		21.69	303			
		21.44	316			
		21.19	318			
		20.94	319			
		20.69	322			
		20.44	335			
S055-1	30.43	22.77	232			
		22.52	247			
		22.27	263			
		22.02	278			
		21.77	294			
		21.52	309			
		21.27	324			
		21.02	340			
		20.77	354			
		20.52	355			
		20.27	356			
		20.25	356			
S055-2	30.44	22.77	176			
		22.52	192			
		22.27	207			
		22.02	223			
		21.77	238			
		21.52	253			
		21.27	269			
		21.02	284			
		20.77	294			
		20.52	295			
		20.27	295			
		20.25	295			

Project :
Onderdeel :

ALGEMENE GEGEVENS

Project :
Onderdeel :
Datum : 10-12-2021
Bestand : \\Arh7001.verit.dnv.com\projects\EANL_Projects\
10166262 - BBB modelleren funderingen 380
kV\02 Content\03 Calculations\Technosoft
Paalfunderingen\MBT-EHV380\DO\Nieuw
Sonderingen\Nieuwe palen\Mast 060-069.pvw
Berekeningstype : Verticaal belaste paal
Alle niveaus/hogtes/peilmaten zijn t.o.v.: N.A.P.

Toegepaste normen volgens Eurocode met Nederlandse NB

Geotechniek	EN 1997-1:2004	AC:2009	
	NEN-EN 1997-1:2005	C1+A1:2013	NB:2016
	NEN 9997-1:2016	C2:2017	

REKENGEGEVENS Mast 060

Berekening : Ontwerpend
Rekenmethode : Trekpalen volgens NEN-EN 1997-1, art. 7.6.3
Sondering(en) : S060-1, S060-2
Let op: trekcapaciteit t.p.v. negatief kleeftraject is meegerekend.

Stijf bouwwerk : NEE
Paalgroep : NEE
Aantal sonderingen : 2
Factor ξ_3 ($n=1$) : 1.39
Factor ξ_3 (gem) : 1.32
Factor ξ_4 (min) : 1.32
Weerstandsfactor γ_R : 1.35
 $\gamma_{m,var,qc}$: 1.50
UGT draagvermogen zonder negatieve kleef : NEE

Paal : SI-paal 273_400
Niveau paalkop [m] : N.A.P. 27.32
Bovenbel. [kN/m²] : 0.00

PAALPUNTNIVEAUS SI-paal 273_400

Alle niveaus/hogtes/peilmaten zijn t.o.v. : N.A.P.

Nr	Beginniveau [m]	Eindniveau [m]	Stapgrootte [m]
1	16.02	13.52	0.25

Project :
Onderdeel :

SAMENVATTINGSTABEL Mast 060 (n=1)**Uitgangspunten**

- paal : SI-paal 273_400
 - paaltype : In de grond gevormde geschroefde paal; groutinjectie
 - schachtafmeting : 400 mm
 Paalklassefactor α_p : 0.63
 Factor α_t (tabel 7.c EC 7.1) : 0.0090 (zandlagen; voor kleilagen zie tabel 7.d)
 Correlatiefactor $\xi_{3(n=1)}$: 1.39

Alle niveaus/hogtes/peilmaten zijn t.o.v.: N.A.P.

sondering	maaiveld paalpunt		Bezwijkdraagvermogen $R_{t,cal}$ [kN]	Rekenwaarden	
	niveau	niveau		$R_{t,d}$ [kN]	$R_{t,netto,d}$ [kN]
S060-1	27.04	16.02	271.1	271.1	271.1
		15.77	271.4	271.4	271.4
		15.52	283.9	283.9	283.9
		15.27	297.4	297.4	297.4
		15.02	310.9	310.9	310.9
		14.77	324.3	324.3	324.3
		14.52	334.9	334.9	334.9
		14.27	349.0	349.0	349.0
		14.02	364.4	364.4	364.4
		13.77	379.9	379.9	379.9
		13.52	395.3	395.3	395.3
S060-2	27.02	16.02	219.0	219.0	219.0
		15.77	230.9	230.9	230.9
		15.52	246.4	246.4	246.4
		15.27	261.8	261.8	261.8
		15.02	277.2	277.2	277.2
		14.77	292.7	292.7	292.7
		14.52	308.1	308.1	308.1
		14.27	323.5	323.5	323.5
		14.02	339.0	339.0	339.0
		13.77	354.4	354.4	354.4
		13.52	362.0	362.0	362.0

REKENGEGEVENS Mast 064

Berekening : Ontwerpend
 Rekenmethode : Trekpalen volgens NEN-EN 1997-1, art. 7.6.3
 Sondering(en) : S064-1, S064-2
 Let op: trekcapaciteit t.p.v. negatief kleefttraject is meegerekend.

Stijf bouwwerk : NEE
 Paalgroep : NEE
 Aantal sonderingen : 2
 Factor $\xi_{3(n=1)}$: 1.39
 Factor $\xi_{3(gem)}$: 1.32
 Factor $\xi_{4(min)}$: 1.32
 Weerstandsfactor γ_R : 1.35
 $\gamma_{m,var;q_c}$: 1.50
 UGT draagvermogen zonder negatieve kleeft : NEE

Paal : SI-paal 273_400
 Niveau paalkop [m] : N.A.P. 27.36
 Bovenbel. [kN/m²] : 0.00

PAALPUNTNIVEAUS SI-paal 273_400

Alle niveaus/hogtes/peilmaten zijn t.o.v. : N.A.P.

Nr	Beginniveau [m]	Eindniveau [m]	Stapgrootte [m]
1	15.51	11.51	0.25

Project :
Onderdeel :

SAMENVATTINGSTABEL Mast 064 (n=1)**Uitgangspunten**

- paal : SI-paal 273_400
 - paaltype : In de grond gevormde geschroefde paal; groutinjectie
 - schachtafmeting : 400 mm
 Paalklassefactor α_p : 0.63
 Factor α_t (tabel 7.c EC 7.1) : 0.0090 (zandlagen; voor kleilagen zie tabel 7.d)
 Correlatiefactor $\xi_{3(n=1)}$: 1.39

Alle niveaus/hogtes/peilmaten zijn t.o.v.: N.A.P.

sondering	maaiveld paalpunt		Bezijsdraagvermogen $R_{t,cal}$ [kN]	Rekenwaarden	
	niveau	niveau		$R_{t,d}$ [kN]	$R_{t,netto,d}$ [kN]
S064-1	26.83	15.51	273.5	273.5	273.5
		15.26	289.0	289.0	289.0
		15.01	304.4	304.4	304.4
		14.76	313.1	313.1	313.1
		14.51	317.3	317.3	317.3
		14.26	331.2	331.2	331.2
		14.01	345.2	345.2	345.2
		13.76	359.2	359.2	359.2
		13.51	373.2	373.2	373.2
		13.26	387.2	387.2	387.2
		13.01	394.1	394.1	394.1
		12.76	394.5	394.5	394.5
		12.51	408.7	408.7	408.7
		12.26	424.2	424.2	424.2
		12.01	439.6	439.6	439.6
		11.76	455.0	455.0	455.0
	11.51	470.5	470.5	470.5	
S064-2	26.68	15.51	274.0	274.0	274.0
		15.26	287.3	287.3	287.3
		15.01	300.4	300.4	300.4
		14.76	304.0	304.0	304.0
		14.51	307.8	307.8	307.8
		14.26	320.0	320.0	320.0
		14.01	330.5	330.5	330.5
		13.76	342.9	342.9	342.9
		13.51	355.4	355.4	355.4
		13.26	367.8	367.8	367.8
		13.01	373.9	373.9	373.9
		12.76	374.3	374.3	374.3
		12.51	383.3	383.3	383.3
		12.26	395.7	395.7	395.7
		12.01	408.1	408.1	408.1
			11.76	420.6	420.6

REKENGEGEVENS Mast 066

Berekening : Ontwerpend
 Rekenmethode : Trekpalen volgens NEN-EN 1997-1, art. 7.6.3
 Sondering(en) : S066-1, S066-2
 Let op: trekcapaciteit t.p.v. negatief kleefttraject is meegerekend.

Stijf bouwwerk : NEE
 Paalgroep : NEE
 Aantal sonderingen : 2
 Factor $\xi_{3(n=1)}$: 1.39
 Factor $\xi_{3(geom)}$: 1.32
 Factor $\xi_{4(min)}$: 1.32
 Weerstandsfactor γ_R : 1.35
 $\gamma_{m,var;q_c}$: 1.50
 UGT draagvermogen zonder negatieve kleeft : NEE

Paal : SI-paal 273_400
 Niveau paalkop [m] : N.A.P. 26.64
 Bovenbel. [kN/m²] : 0.00

Project :
Onderdeel :

PAALPUNTNIVEAUS SI-paal 273_400

Alle niveaus/hogtes/peilmaten zijn t.o.v. : N.A.P.

Nr	Beginniveau [m]	Eindniveau [m]	Stapgrootte [m]
1	15.74	13.24	0.25

SAMENVATTINGSTABEL Mast 066 (n=1)**Uitgangspunten**

- paal : SI-paal 273_400
 - paaltype : In de grond gevormde geschroefde paal; groutinjectie
 - schachtafmeting : 400 mm
 Paalklassefactor α_p : 0.63
 Factor α_t (tabel 7.c EC 7.1) : 0.0090 (zandlagen; voor kleilagen zie tabel 7.d)
 Correlatiefactor $\xi_{3(n=1)}$: 1.39

Alle niveaus/hogtes/peilmaten zijn t.o.v.: N.A.P.

sondering	maaiveld paalpunt		Bezijsdraagvermogen $R_{t,cal}$ [kN]	Rekenwaarden	
	niveau	niveau		$R_{t,d}$ [kN]	$R_{t,netto,d}$ [kN]
S066-1	26.41	15.74	210.1	210.1	210.1
		15.49	225.6	225.6	225.6
		15.24	241.0	241.0	241.0
		14.99	256.4	256.4	256.4
		14.74	271.9	271.9	271.9
		14.49	284.5	284.5	284.5
		14.24	291.3	291.3	291.3
		13.99	306.6	306.6	306.6
		13.74	322.1	322.1	322.1
		13.49	337.5	337.5	337.5
	13.24	353.0	353.0	353.0	
S066-2	26.28	15.74	244.1	244.1	244.1
		15.49	259.5	259.5	259.5
		15.24	274.5	274.5	274.5
		14.99	289.4	289.4	289.4
		14.74	304.3	304.3	304.3
		14.49	317.3	317.3	317.3
		14.24	323.9	323.9	323.9
		13.99	337.6	337.6	337.6
		13.74	353.1	353.1	353.1
		13.49	368.5	368.5	368.5
	13.24	384.0	384.0	384.0	

PAALGEGEVENS SI-paal 273_400

Type : In de grond gevormde geschroefde paal; groutinjectie
 Wijze van installeren : Boren
 Wijze van terugwinnen : n.v.t.
 Diameter [m] : 0.400
 Elasticiteitsmodulus [N/mm²] : 20000
 Factor α_s (tabel 7.c EC 7.1) : 0.009 (zandlagen; voor kleilagen zie tabel 7.d)
 Factor α_t (tabel 7.c EC 7.1) : 0.0090 (zandlagen; voor kleilagen zie tabel 7.d)
 Paalklassefactor α_p : 0.63
 Paalvoetvormfactor β : 1.00
 Type lastzakkingsdiagram : Grondverdringende paal
 Verm.factor * $\phi'_{j,k}$: 1.00
 Groutomhulling : JA

Project :
Onderdeel :

OVERZICHT NETTO DRAAGVERMOGEN TREKPALEN (n=1)

Netto paal draagvermogen(s) zijn naar beneden toe afgerond op: 1.0 kN nauwkeurig
Alle niveaus/hogtes/peilmaten zijn t.o.v.: N.A.P.

sondering	maaiveld paalpunt		$R_{t, netto; d}$ [kN]		
	niveau	niveau	Mast 060	Mast 064	Mast 066
S064-1	26.83	15.51		273	
		15.26		288	
		15.01		304	
		14.76		313	
		14.51		317	
		14.26		331	
		14.01		345	
		13.76		359	
		13.51		373	
		13.26		387	
		13.01		394	
		12.76		394	
		12.51		408	
		12.26		424	
		12.01		439	
11.76		455			
11.51		470			
S064-2	26.68	15.51		273	
		15.26		287	
		15.01		300	
		14.76		304	
		14.51		307	
		14.26		320	
		14.01		330	
		13.76		342	
		13.51		355	
		13.26		367	
		13.01		373	
		12.76		374	
		12.51		383	
		12.26		395	
		12.01		408	
11.76		420			
S066-1	26.41	15.74			210
		15.49			225
		15.24			241
		14.99			256
		14.74			271
		14.49			284
		14.24			291
		13.99			306
		13.74			322
		13.49			337
13.24			352		
S066-2	26.28	15.74			244
		15.49			259
		15.24			274
		14.99			289
		14.74			304
		14.49			317
		14.24			323
		13.99			337
		13.74			353
		13.49			368
13.24			383		
S060-1	27.04	16.02	271		
		15.77	271		
		15.52	283		

Project :
Onderdeel :

Netto paal draagvermogen(s) zijn naar beneden toe afgerond op: 1.0 kN nauwkeurig
Alle niveaus/hogtes/peilmaten zijn t.o.v.: N.A.P.

sondering	maaiveld paalpunt		$R_{t,netto;d}$ [kN]		
	niveau	niveau	Mast 060	Mast 064	Mast 066
		15.27	297		
		15.02	310		
		14.77	324		
		14.52	334		
		14.27	348		
		14.02	364		
		13.77	379		
		13.52	395		
S060-2	27.02	16.02	218		
		15.77	230		
		15.52	246		
		15.27	261		
		15.02	277		
		14.77	292		
		14.52	308		
		14.27	323		
		14.02	338		
		13.77	354		
		13.52	362		

Project :
Onderdeel :

ALGEMENE GEGEVENS

Project :
Onderdeel :
Datum : 10-12-2021
Bestand : \\Arh7001.verit.dnv.com\projects\EANL_Projects\
10166262 - BBB modelleren funderingen 380
kV\02 Content\03 Calculations\Technosoft
Paalfunderingen\MBT-EHV380\DO\Nieuw
Sonderingen\Nieuwe palen\Mast 070-079.pvw
Berekeningstype : Verticaal belaste paal
Alle niveaus/hogtes/peilmaten zijn t.o.v.: N.A.P.

Toegepaste normen volgens Eurocode met Nederlandse NB

Geotechniek	EN 1997-1:2004	AC:2009	
	NEN-EN 1997-1:2005	C1+A1:2013	NB:2016
	NEN 9997-1:2016	C2:2017	

REKENGEGEVENS Mast 070

Berekening : Ontwerpend
Rekenmethode : Trekpalen volgens NEN-EN 1997-1, art. 7.6.3
Sondering(en) : S070-1, S070-2
Let op: trekcapaciteit t.p.v. negatief kleeftraject is meegerekend.

Stijf bouwwerk : NEE
Paalgroep : NEE
Aantal sonderingen : 2
Factor ξ_3 (n=1) : 1.39
Factor ξ_3 (gem) : 1.32
Factor ξ_4 (min) : 1.32
Weerstandsfactor γ_R : 1.35
 $\gamma_{m;var;qc}$: 1.50
UGT draagvermogen zonder negatieve kleef : NEE

Paal : SI-paal 323_450
Niveau paalkop [m] : N.A.P. 24.87
Bovenbel. [kN/m²] : 0.00

PAALPUNTNIVEAUS SI-paal 323_450

Alle niveaus/hogtes/peilmaten zijn t.o.v. : N.A.P.

Nr	Beginniveau [m]	Eindniveau [m]	Stapgrootte [m]
1	16.47	13.97	0.25

Project :
Onderdeel :

SAMENVATTINGSTABEL Mast 070 (n=1)**Uitgangspunten**

- paal : SI-paal 323_450
 - paaltype : In de grond gevormde geschroefde paal; groutinjectie
 - schachtafmeting : 450 mm
 Paalklassefactor α_p : 0.63
 Factor α_t (tabel 7.c EC 7.1) : 0.0090 (zandlagen; voor kleilagen zie tabel 7.d)
 Correlatiefactor $\xi_{3(n=1)}$: 1.39

Alle niveaus/hogtes/peilmaten zijn t.o.v.: N.A.P.

sondering	maaiveld paalpunt		Bezwijkdraagvermogen $R_{t,cal}$ [kN]	Rekenwaarden	
	niveau	niveau		$R_{t,d}$ [kN]	$R_{t,netto,d}$ [kN]
S070-1	24.67	16.47	185.0	185.0	185.0
		16.22	202.4	202.4	202.4
		15.97	219.8	219.8	219.8
		15.72	237.2	237.2	237.2
		15.47	254.7	254.7	254.7
		15.22	272.1	272.1	272.1
		14.97	289.5	289.5	289.5
		14.72	306.9	306.9	306.9
		14.47	324.3	324.3	324.3
		14.22	341.8	341.8	341.8
		13.97	359.2	359.2	359.2
S070-2	24.63	16.47	191.3	191.3	191.3
		16.22	208.7	208.7	208.7
		15.97	226.1	226.1	226.1
		15.72	243.5	243.5	243.5
		15.47	260.9	260.9	260.9
		15.22	278.4	278.4	278.4
		14.97	295.8	295.8	295.8
		14.72	313.2	313.2	313.2
		14.47	330.6	330.6	330.6
		14.22	348.0	348.0	348.0
		13.97	365.5	365.5	365.5

REKENGEGEVENS Mast 072

Berekening : Ontwerpend
 Rekenmethode : Trekpalen volgens NEN-EN 1997-1, art. 7.6.3
 Sondering(en) : S074-1, S074-2, S071-1, S071-2, S073-1, S073-2, S070-1
 : S070-2

Let op: trekcapaciteit t.p.v. negatief kleeftraject is meegerekend.

Stijf bouwwerk : NEE
 Paalgroep : NEE
 Aantal sonderingen : 8
 Factor $\xi_{3(n=1)}$: 1.39
 Factor $\xi_{3(gem)}$: 1.27
 Factor $\xi_{4(min)}$: 1.01
 Weerstandsfactor γ_R : 1.35
 $\gamma_{m,var,qc}$: 1.50
 UGT draagvermogen zonder negatieve kleeft : NEE

Paal : SI-paal 323_450
 Niveau paalkop [m] : N.A.P. 24.06
 Bovenbel. [kN/m²] : 0.00

PAALPUNTNIVEAUS SI-paal 323_450

Alle niveaus/hogtes/peilmaten zijn t.o.v. : N.A.P.

Nr	Beginniveau [m]	Eindniveau [m]	Stapgrootte [m]
1	14.96	12.46	0.25

Project :
Onderdeel :

SAMENVATTINGSTABEL Mast 072 (n=1)**Uitgangspunten**

- paal : SI-paal 323_450
 - paaltype : In de grond gevormde geschroefde paal; groutinjectie
 - schachtafmeting : 450 mm
 Paalklassefactor α_p : 0.63
 Factor α_t (tabel 7.c EC 7.1) : 0.0090 (zandlagen; voor kleilagen zie tabel 7.d)
 Correlatiefactor $\xi_{3(n=1)}$: 1.39

Alle niveaus/hogtes/peilmaten zijn t.o.v.: N.A.P.

sondering	maaiveld paalpunt		Bewijkdraagvermogen $R_{t,cal}$ [kN]	Rekenwaarden	
	niveau	niveau		$R_{t,d}$ [kN]	$R_{t,netto,d}$ [kN]
S074-1	24.16	14.96	292.3	292.3	292.3
		14.71	309.7	309.7	309.7
		14.46	327.2	327.2	327.2
		14.21	344.6	344.6	344.6
		13.96	362.0	362.0	362.0
		13.71	379.4	379.4	379.4
		13.46	396.8	396.8	396.8
		13.21	414.3	414.3	414.3
		12.96	431.7	431.7	431.7
		12.71	449.1	449.1	449.1
		12.46	466.5	466.5	466.5
S074-2	24.17	14.96	313.5	313.5	313.5
		14.71	330.9	330.9	330.9
		14.46	348.3	348.3	348.3
		14.21	365.7	365.7	365.7
		13.96	382.6	382.6	382.6
		13.71	400.0	400.0	400.0
		13.46	417.4	417.4	417.4
		13.21	434.8	434.8	434.8
		12.96	452.3	452.3	452.3
		12.71	469.7	469.7	469.7
		12.46	487.1	487.1	487.1
S071-1	25.04	14.96	227.4	227.4	227.4
		14.71	244.8	244.8	244.8
		14.46	262.3	262.3	262.3
		14.21	279.7	279.7	279.7
		13.96	297.1	297.1	297.1
		13.71	314.5	314.5	314.5
		13.46	331.9	331.9	331.9
		13.21	349.4	349.4	349.4
		12.96	366.8	366.8	366.8
		12.71	384.2	384.2	384.2
		12.46	401.6	401.6	401.6
S071-2	24.39	14.96	219.3	219.3	219.3
		14.71	236.7	236.7	236.7
		14.46	254.1	254.1	254.1
		14.21	271.5	271.5	271.5
		13.96	289.0	289.0	289.0
		13.71	306.4	306.4	306.4
		13.46	323.8	323.8	323.8
		13.21	341.2	341.2	341.2
		12.96	358.7	358.7	358.7
		12.71	376.1	376.1	376.1
		12.46	389.7	389.7	389.7
S073-1	25.31	14.96	221.1	221.1	221.1
		14.71	238.5	238.5	238.5
		14.46	256.0	256.0	256.0
		14.21	273.4	273.4	273.4
		13.96	290.8	290.8	290.8
		13.71	308.2	308.2	308.2
		13.46	325.6	325.6	325.6
		13.21	343.1	343.1	343.1
		12.96	360.5	360.5	360.5
		12.71	377.9	377.9	377.9
		12.46	395.3	395.3	395.3

Project :
Onderdeel :

Alle niveaus/hogtes/peilmaten zijn t.o.v.: N.A.P.

sondering	maaiveld paalpunt		Bezwijkdraagvermogen	Rekenwaarden		
	niveau	niveau		$R_{t,cal}$ [kN]	$R_{t,d}$ [kN]	$R_{t,netto,d}$ [kN]
S073-2	25.51	14.96	195.6	195.6	195.6	
		14.71	213.0	213.0	213.0	
		14.46	230.4	230.4	230.4	
		14.21	247.8	247.8	247.8	
		13.96	265.3	265.3	265.3	
		13.71	282.7	282.7	282.7	
		13.46	300.1	300.1	300.1	
		13.21	317.5	317.5	317.5	
		12.96	334.9	334.9	334.9	
		12.71	352.4	352.4	352.4	
	12.46	369.8	369.8	369.8	369.8	
S070-1	24.67	14.96	283.4	283.4	283.4	
		14.71	300.9	300.9	300.9	
		14.46	318.3	318.3	318.3	
		14.21	335.7	335.7	335.7	
		13.96	353.1	353.1	353.1	
		13.71	370.5	370.5	370.5	
		13.46	387.8	387.8	387.8	
		13.21	405.0	405.0	405.0	
		12.96	422.1	422.1	422.1	
		12.71	439.2	439.2	439.2	
	12.46	456.6	456.6	456.6	456.6	
S070-2	24.63	14.96	279.1	279.1	279.1	
		14.71	296.5	296.5	296.5	
		14.46	313.9	313.9	313.9	
		14.21	331.4	331.4	331.4	
		13.96	348.8	348.8	348.8	
		13.71	366.2	366.2	366.2	
		13.46	383.6	383.6	383.6	
		13.21	401.0	401.0	401.0	
		12.96	416.4	416.4	416.4	
		12.71	416.9	416.9	416.9	
	12.46	427.5	427.5	427.5	427.5	

REKENGEGEVENS Mast 074

Berekening : Ontwerpend
 Rekenmethode : Trekpalen volgens NEN-EN 1997-1, art. 7.6.3
 Sondering(en) : S074-1, S074-2
 Let op: trekcapaciteit t.p.v. negatief kleeftraject is meegerekend.

Stijf bouwwerk : NEE
 Paalgroep : NEE
 Aantal sonderingen : 2
 Factor ξ_3 (n=1) : 1.39
 Factor ξ_3 (gem) : 1.32
 Factor ξ_4 (min) : 1.32
 Weerstandsfactor γ_R : 1.35
 $\gamma_{m,var;q_c}$: 1.50
 UGT draagvermogen zonder negatieve kleeft : NEE

Paal : SI-paal 273_400
 Niveau paalkop [m] : N.A.P. 24.29
 Bovenbel. [kN/m²] : 0.00

PAALPUNTNIVEAUS SI-paal 273_400

Alle niveaus/hogtes/peilmaten zijn t.o.v. : N.A.P.

Nr	Beginniveau [m]	Eindniveau [m]	Stapgrootte [m]
1	15.54	13.04	0.25

Project :
Onderdeel :

SAMENVATTINGSTABEL Mast 074 (n=1)**Uitgangspunten**

- paal : SI-paal 273_400
 - paaltype : In de grond gevormde geschroefde paal; groutinjectie
 - schachtafmeting : 400 mm
 Paalklassefactor α_p : 0.63
 Factor α_t (tabel 7.c EC 7.1) : 0.0090 (zandlagen; voor kleilagen zie tabel 7.d)
 Correlatiefactor $\xi_{3(n=1)}$: 1.39

Alle niveaus/hogtes/peilmaten zijn t.o.v.: N.A.P.

sondering	maaiveld paalpunt		Bezwijkdraagvermogen $R_{t,cal}$ [kN]	Rekenwaarden	
	niveau	niveau		$R_{t,d}$ [kN]	$R_{t,netto,d}$ [kN]
S074-1	24.16	15.54	226.8	226.8	226.8
		15.29	241.8	241.8	241.8
		15.04	257.3	257.3	257.3
		14.79	272.7	272.7	272.7
		14.54	288.2	288.2	288.2
		14.29	303.6	303.6	303.6
		14.04	319.0	319.0	319.0
		13.79	334.5	334.5	334.5
		13.54	349.9	349.9	349.9
		13.29	365.4	365.4	365.4
		13.04	380.8	380.8	380.8
S074-2	24.17	15.54	245.4	245.4	245.4
		15.29	260.9	260.9	260.9
		15.04	276.3	276.3	276.3
		14.79	291.7	291.7	291.7
		14.54	307.2	307.2	307.2
		14.29	322.6	322.6	322.6
		14.04	337.8	337.8	337.8
		13.79	353.0	353.0	353.0
		13.54	368.4	368.4	368.4
		13.29	383.9	383.9	383.9
		13.04	399.3	399.3	399.3

REKENGEGEVENS Mast 076

Berekening : Ontwerpend
 Rekenmethode : Trekpalen volgens NEN-EN 1997-1, art. 7.6.3
 Sondering(en) : S076-1, S076-2
 Let op: trekcapaciteit t.p.v. negatief kleefttraject is meegerekend.

Stijf bouwwerk : NEE
 Paalgroep : NEE
 Aantal sonderingen : 2
 Factor $\xi_{3(n=1)}$: 1.39
 Factor $\xi_{3(gem)}$: 1.32
 Factor $\xi_{4(min)}$: 1.32
 Weerstandsfactor γ_R : 1.35
 $\gamma_{m,var;q_c}$: 1.50
 UGT draagvermogen zonder negatieve kleeft : NEE

Paal : SI-paal 273_400
 Niveau paalkop [m] : N.A.P. 23.88
 Bovenbel. [kN/m²] : 0.00

PAALPUNTNIVEAUS SI-paal 273_400

Alle niveaus/hogtes/peilmaten zijn t.o.v. : N.A.P.

Nr	Beginniveau [m]	Eindniveau [m]	Stapgrootte [m]
1	13.48	10.98	0.25

Project :
Onderdeel :

SAMENVATTINGSTABEL Mast 076 (n=1)**Uitgangspunten**

- paal : SI-paal 273_400
 - paaltype : In de grond gevormde geschroefde paal; groutinjectie
 - schachtafmeting : 400 mm
 Paalklassefactor α_p : 0.63
 Factor α_t (tabel 7.c EC 7.1) : 0.0090 (zandlagen; voor kleilagen zie tabel 7.d)
 Correlatiefactor $\xi_{3(n=1)}$: 1.39

Alle niveaus/hogtes/peilmaten zijn t.o.v.: N.A.P.

sondering	maaiveld paalpunt		Beziijkdraagvermogen $R_{t,cal}$ [kN]	Rekenwaarden	
	niveau	niveau		$R_{t,d}$ [kN]	$R_{t,netto,d}$ [kN]
S076-1	23.70	13.48	190.1	190.1	190.1
		13.23	205.5	205.5	205.5
		12.98	221.0	221.0	221.0
		12.73	236.4	236.4	236.4
		12.48	251.8	251.8	251.8
		12.23	267.3	267.3	267.3
		11.98	282.7	282.7	282.7
		11.73	298.2	298.2	298.2
		11.48	313.6	313.6	313.6
		11.23	329.0	329.0	329.0
		10.98	344.5	344.5	344.5
S076-2	23.50	13.48	167.5	167.5	167.5
		13.23	183.0	183.0	183.0
		12.98	198.4	198.4	198.4
		12.73	213.8	213.8	213.8
		12.48	229.3	229.3	229.3
		12.23	244.7	244.7	244.7
		11.98	260.2	260.2	260.2
		11.73	275.6	275.6	275.6
		11.48	291.0	291.0	291.0
		11.23	306.5	306.5	306.5
		10.98	321.9	321.9	321.9

PAALGEGEVENS SI-paal 273_400

Type : In de grond gevormde geschroefde paal; groutinjectie
 Wijze van installeren : Boren
 Wijze van terugwinnen : n.v.t.
 Diameter [m] : 0.400
 Elasticiteitsmodulus [N/mm²] : 20000
 Factor α_s (tabel 7.c EC 7.1) : 0.009 (zandlagen; voor kleilagen zie tabel 7.d)
 Factor α_t (tabel 7.c EC 7.1) : 0.0090 (zandlagen; voor kleilagen zie tabel 7.d)
 Paalklassefactor α_p : 0.63
 Paalvoetvormfactor β : 1.00
 Type lastzakkingsdiagram : Grondverdringende paal
 Verm.factor * $\phi'_{j,k}$: 1.00
 Groutomhulling : JA

PAALGEGEVENS SI-paal 323_450

Type : In de grond gevormde geschroefde paal; groutinjectie
 Wijze van installeren : Boren
 Wijze van terugwinnen : n.v.t.
 Diameter [m] : 0.450
 Elasticiteitsmodulus [N/mm²] : 20000
 Factor α_s (tabel 7.c EC 7.1) : 0.009 (zandlagen; voor kleilagen zie tabel 7.d)
 Factor α_t (tabel 7.c EC 7.1) : 0.0090 (zandlagen; voor kleilagen zie tabel 7.d)
 Paalklassefactor α_p : 0.63
 Paalvoetvormfactor β : 1.00
 Type lastzakkingsdiagram : Grondverdringende paal
 Verm.factor * $\phi'_{j,k}$: 1.00
 Groutomhulling : JA

Project :
Onderdeel :

OVERZICHT NETTO DRAAGVERMOGEN TREKPALEN (n=1)

Netto paal draagvermogen(s) zijn naar beneden toe afgerond op: 1.0 kN nauwkeurig
Alle niveaus/hoogtes/peilmaten zijn t.o.v.: N.A.P.

sondering	maaiveld paalpunt		$R_{t, netto; d}$ [kN]			
	niveau	niveau	Mast 070	Mast 072	Mast 074	Mast 076
S074-1	24.16	15.54				226
		15.29				241
		15.04				257
		14.96			292	
		14.79				272
		14.71			309	
		14.54				288
		14.46			327	
		14.29				303
		14.21			344	
		14.04				319
		13.96			361	
		13.79				334
		13.71			379	
		13.54				349
		13.46			396	
		13.29				365
13.21			414			
13.04				380		
12.96			431			
12.71			449			
12.46			466			
S074-2	24.17	15.54				245
		15.29				260
		15.04				276
		14.96			313	
		14.79				291
		14.71			330	
		14.54				307
		14.46			348	
		14.29				322
		14.21			365	
		14.04				337
		13.96			382	
		13.79				353
		13.71			400	
		13.54				368
		13.46			417	
		13.29				383
13.21			434			
13.04				399		
12.96			452			
12.71			469			
12.46			487			
S076-1	23.70	13.48				190
		13.23				205
		12.98				220
		12.73				236
		12.48				251
		12.23				267
		11.98				282
		11.73				298
		11.48				313
		11.23				329
10.98				344		
S076-2	23.50	13.48				167
		13.23				182
		12.98				198
		12.73				213

Project :
Onderdeel :

Netto paal draagvermogen(s) zijn naar beneden toe afgerond op: 1.0 kN nauwkeurig
Alle niveaus/hogtes/peilmaten zijn t.o.v.: N.A.P.

sondering	maaiveld paalpunt		$R_{t,netto;d}$ [kN]			
	niveau	niveau	Mast 070	Mast 072	Mast 074	Mast 076
		12.48				229
		12.23				244
		11.98				260
		11.73				275
		11.48				291
		11.23				306
		10.98				321
S071-1	25.04	14.96		227		
		14.71		244		
		14.46		262		
		14.21		279		
		13.96		297		
		13.71		314		
		13.46		331		
		13.21		349		
		12.96		366		
		12.71		384		
		12.46		401		
S071-2	24.39	14.96		219		
		14.71		236		
		14.46		254		
		14.21		271		
		13.96		288		
		13.71		306		
		13.46		323		
		13.21		341		
		12.96		358		
		12.71		376		
		12.46		389		
S073-1	25.31	14.96		221		
		14.71		238		
		14.46		255		
		14.21		273		
		13.96		290		
		13.71		308		
		13.46		325		
		13.21		343		
		12.96		360		
		12.71		377		
		12.46		395		
S073-2	25.51	14.96		195		
		14.71		212		
		14.46		230		
		14.21		247		
		13.96		265		
		13.71		282		
		13.46		300		
		13.21		317		
		12.96		334		
		12.71		352		
		12.46		369		
S070-1	24.67	16.47	184			
		16.22	202			
		15.97	219			
		15.72	237			
		15.47	254			
		15.22	272			
		14.97	289			
		14.96	283			
		14.72	306			

Project :
Onderdeel :

Netto paal draagvermogen(s) zijn naar beneden toe afgerond op: 1.0 kN nauwkeurig
Alle niveaus/hogtes/peilmaten zijn t.o.v.: N.A.P.

sondering	maaiveld paalpunt		$R_{t,netto;d}$ [kN]			
	niveau	niveau	Mast 070	Mast 072	Mast 074	Mast 076
		14.71		300		
		14.47	324			
		14.46		318		
		14.22	341			
		14.21		335		
		13.97	359			
		13.96		353		
		13.71		370		
		13.46		387		
		13.21		404		
		12.96		422		
		12.71		439		
		12.46		456		
S070-2	24.63	16.47	191			
		16.22	208			
		15.97	226			
		15.72	243			
		15.47	260			
		15.22	278			
		14.97	295			
		14.96		279		
		14.72	313			
		14.71		296		
		14.47	330			
		14.46		313		
		14.22	348			
		14.21		331		
		13.97	365			
		13.96		348		
		13.71		366		
		13.46		383		
		13.21		401		
		12.96		416		
		12.71		416		
		12.46		427		

Project :
Onderdeel :

ALGEMENE GEGEVENS

Project :
Onderdeel :
Datum : 10-12-2021
Bestand : \\Arh7001.verit.dnv.com\projects\EANL_Projects\
10166262 - BBB modelleren funderingen 380
kV\02 Content\03 Calculations\Technosoft
Paalfunderingen\MBT-EHV380\DO\Nieuw
Sonderingen\Nieuwe palen\Mast 080-089.pvw
Berekeningstype : Verticaal belaste paal
Alle niveaus/hogtes/peilmaten zijn t.o.v.: N.A.P.

Toegepaste normen volgens Eurocode met Nederlandse NB

Geotechniek	EN 1997-1:2004	AC:2009	
	NEN-EN 1997-1:2005	C1+A1:2013	NB:2016
	NEN 9997-1:2016	C2:2017	

REKENGEGEVENS Mast 080

Berekening : Ontwerpend
Rekenmethode : Trekpalen volgens NEN-EN 1997-1, art. 7.6.3
Sondering(en) : S080-1, S080-2
Let op: trekcapaciteit t.p.v. negatief kleeftraject is meegerekend.

Stijf bouwwerk : NEE
Paalgroep : NEE
Aantal sonderingen : 2
Factor ξ_3 (n=1) : 1.39
Factor ξ_3 (gem) : 1.32
Factor ξ_4 (min) : 1.32
Weerstandsfactor γ_R : 1.35
 $\gamma_{m,var,qc}$: 1.50
UGT draagvermogen zonder negatieve kleef : NEE

Paal : SI-paal 273_400
Niveau paalkop [m] : N.A.P. 22.99
Bovenbel. [kN/m²] : 0.00

PAALPUNTNIVEAUS SI-paal 273_400

Alle niveaus/hogtes/peilmaten zijn t.o.v. : N.A.P.

Nr	Beginniveau [m]	Eindniveau [m]	Stapgrootte [m]
1	12.24	9.74	0.25

Project :
Onderdeel :

SAMENVATTINGSTABEL Mast 080 (n=1)**Uitgangspunten**

- paal : SI-paal 273_400
 - paaltype : In de grond gevormde geschroefde paal; groutinjectie
 - schachtafmeting : 400 mm
 Paalklassefactor α_p : 0.63
 Factor α_t (tabel 7.c EC 7.1) : 0.0090 (zandlagen; voor kleilagen zie tabel 7.d)
 Correlatiefactor $\xi_{3(n=1)}$: 1.39

Alle niveaus/hogtes/peilmaten zijn t.o.v.: N.A.P.

sondering	maaiveld paalpunt		Bezuikdraagvermogen $R_{t,cal}$ [kN]	Rekenwaarden	
	niveau	niveau		$R_{t,d}$ [kN]	$R_{t,netto,d}$ [kN]
S080-1	22.64	12.24	240.5	240.5	240.5
		11.99	255.9	255.9	255.9
		11.74	271.4	271.4	271.4
		11.49	286.8	286.8	286.8
		11.24	302.3	302.3	302.3
		10.99	317.7	317.7	317.7
		10.74	333.1	333.1	333.1
		10.49	348.6	348.6	348.6
		10.24	363.9	363.9	363.9
		9.99	379.3	379.3	379.3
		9.74	394.7	394.7	394.7
S080-2	22.70	12.24	278.5	278.5	278.5
		11.99	282.5	282.5	282.5
		11.74	297.9	297.9	297.9
		11.49	313.4	313.4	313.4
		11.24	328.8	328.8	328.8
		10.99	344.2	344.2	344.2
		10.74	359.7	359.7	359.7
		10.49	375.1	375.1	375.1
		10.24	390.5	390.5	390.5
		9.99	406.0	406.0	406.0
		9.74	421.4	421.4	421.4

REKENGEGEVENS Mast 081

Berekening : Ontwerpend
 Rekenmethode : Trekpalen volgens NEN-EN 1997-1, art. 7.6.3
 Sondering(en) : S081-1, S081-2
 Let op: trekcapaciteit t.p.v. negatief kleefttraject is meegerekend.

Stijf bouwwerk : NEE
 Paalgroep : NEE
 Aantal sonderingen : 2
 Factor $\xi_{3(n=1)}$: 1.39
 Factor $\xi_{3(gem)}$: 1.32
 Factor $\xi_{4(min)}$: 1.32
 Weerstandsfactor γ_R : 1.35
 $\gamma_{m,var;q_c}$: 1.50
 UGT draagvermogen zonder negatieve kleeft : NEE

Paal : SI-paal 273_400
 Niveau paalkop [m] : N.A.P. 22.82
 Bovenbel. [kN/m²] : 0.00

PAALPUNTNIVEAUS SI-paal 273_400

Alle niveaus/hogtes/peilmaten zijn t.o.v. : N.A.P.

Nr	Beginniveau [m]	Eindniveau [m]	Stapgrootte [m]
1	11.47	8.50	0.25

Project :
Onderdeel :

SAMENVATTINGSTABEL Mast 081 (n=1)**Uitgangspunten**

- paal : SI-paal 273_400
 - paaltype : In de grond gevormde geschroefde paal; groutinjectie
 - schachtafmeting : 400 mm
 Paalklassefactor α_p : 0.63
 Factor α_t (tabel 7.c EC 7.1) : 0.0090 (zandlagen; voor kleilagen zie tabel 7.d)
 Correlatiefactor $\xi_{3(n=1)}$: 1.39

Alle niveaus/hogtes/peilmaten zijn t.o.v.: N.A.P.

sondering	maaiveld paalpunt		Beziijkdraagvermogen $R_{t,cal}$ [kN]	Rekenwaarden	
	niveau	niveau		$R_{t,d}$ [kN]	$R_{t,netto,d}$ [kN]
S081-1	22.46	11.47	306.7	306.7	306.7
		11.22	317.1	317.1	317.1
		10.97	329.3	329.3	329.3
		10.72	335.7	335.7	335.7
		10.47	341.6	341.6	341.6
		10.22	344.9	344.9	344.9
		9.97	346.6	346.6	346.6
		9.72	350.7	350.7	350.7
		9.47	365.7	365.7	365.7
		9.22	376.9	376.9	376.9
		8.97	392.2	392.2	392.2
		8.72	407.7	407.7	407.7
		8.50	421.3	421.3	421.3
		S081-2	22.45	11.47	318.9
11.22	329.4			329.4	329.4
10.97	340.9			340.9	340.9
10.72	354.3			354.3	354.3
10.47	367.3			367.3	367.3
10.22	370.0			370.0	370.0
9.97	372.6			372.6	372.6
9.72	377.3			377.3	377.3
9.47	396.3			396.3	396.3
9.22	411.8			411.8	411.8
8.97	427.2			427.2	427.2
8.72	442.6			442.6	442.6
8.50	456.2			456.2	456.2

REKENGEDEEVENS Mast 088

Berekening : Ontwerpend
 Rekenmethode : Trekpalen volgens NEN-EN 1997-1, art. 7.6.3
 Sondering(en) : S088-1, S088-2
 Let op: trekcapaciteit t.p.v. negatief kleefttraject is meegerekend.

Stijf bouwwerk : NEE
 Paalgroep : NEE
 Aantal sonderingen : 2
 Factor $\xi_{3(n=1)}$: 1.39
 Factor $\xi_{3(geom)}$: 1.32
 Factor $\xi_{4(min)}$: 1.32
 Weerstandsfactor γ_R : 1.35
 $\gamma_{m,var;q_c}$: 1.50
 UGT draagvermogen zonder negatieve kleeft : NEE

Paal : SI-paal 273_400
 Niveau paalkop [m] : N.A.P. 21.44
 Bovenbel. [kN/m²] : 0.00

PAALPUNTNIVEAUS SI-paal 273_400

Alle niveaus/hogtes/peilmaten zijn t.o.v. : N.A.P.

Nr	Beginniveau [m]	Eindniveau [m]	Stapgrootte [m]
1	10.24	7.74	0.25

Project :
Onderdeel :

SAMENVATTINGSTABEL Mast 088 (n=1)**Uitgangspunten**

- paal : SI-paal 273_400
 - paaltype : In de grond gevormde geschroefde paal; groutinjectie
 - schachtafmeting : 400 mm
 Paalklassefactor α_p : 0.63
 Factor α_t (tabel 7.c EC 7.1) : 0.0090 (zandlagen; voor kleilagen zie tabel 7.d)
 Correlatiefactor $\xi_{3(n=1)}$: 1.39

Alle niveaus/hogtes/peilmaten zijn t.o.v.: N.A.P.

sondering	maaiveld paalpunt		Bezwijkdraagvermogen $R_{t,cal}$ [kN]	Rekenwaarden	
	niveau	niveau		$R_{t,d}$ [kN]	$R_{t,netto,d}$ [kN]
S088-1	21.47	10.24	308.0	308.0	308.0
		9.99	323.5	323.5	323.5
		9.74	338.9	338.9	338.9
		9.49	354.3	354.3	354.3
		9.24	369.8	369.8	369.8
		8.99	385.2	385.2	385.2
		8.74	400.7	400.7	400.7
		8.49	416.1	416.1	416.1
		8.24	431.5	431.5	431.5
		7.99	447.0	447.0	447.0
	7.74	462.4	462.4	462.4	
S088-2	21.40	10.24	335.2	335.2	335.2
		9.99	350.6	350.6	350.6
		9.74	366.0	366.0	366.0
		9.49	381.5	381.5	381.5
		9.24	396.9	396.9	396.9
		8.99	412.4	412.4	412.4
		8.74	427.8	427.8	427.8
		8.49	443.2	443.2	443.2
		8.24	458.7	458.7	458.7
		7.99	474.1	474.1	474.1
	7.74	489.6	489.6	489.6	

REKENGEGEVENS Mast 089

Berekening : Ontwerpend
 Rekenmethode : Trekpalen volgens NEN-EN 1997-1, art. 7.6.3
 Sondering(en) : S089-1, S089-2
 Let op: trekcapaciteit t.p.v. negatief kleeftraject is meegerekend.

Stijf bouwwerk : NEE
 Paalgroep : NEE
 Aantal sonderingen : 2
 Factor $\xi_{3(n=1)}$: 1.39
 Factor $\xi_{3(gem)}$: 1.32
 Factor $\xi_{4(min)}$: 1.32
 Weerstandsfactor γ_R : 1.35
 $\gamma_{m,var;q_c}$: 1.50
 UGT draagvermogen zonder negatieve kleeft : NEE

Paal : SI-paal 273_400
 Niveau paalkop [m] : N.A.P. 21.76
 Bovenbel. [kN/m²] : 0.00

PAALPUNTNIVEAUS SI-paal 273_400

Alle niveaus/hogtes/peilmaten zijn t.o.v. : N.A.P.

Nr	Beginniveau [m]	Eindniveau [m]	Stapgrootte [m]
1	10.96	8.46	0.25

Project :
Onderdeel :

SAMENVATTINGSTABEL Mast 089 (n=1)**Uitgangspunten**

- paal : SI-paal 273_400
 - paaltype : In de grond gevormde geschroefde paal; groutinjectie
 - schachtafmeting : 400 mm
 Paalklassefactor α_p : 0.63
 Factor α_t (tabel 7.c EC 7.1) : 0.0090 (zandlagen; voor kleilagen zie tabel 7.d)
 Correlatiefactor $\xi_{3(n=1)}$: 1.39

Alle niveaus/hogtes/peilmaten zijn t.o.v.: N.A.P.

sondering	maaiveld paalpunt		Bezuikdraagvermogen $R_{t,cal}$ [kN]	Rekenwaarden	
	niveau	niveau		$R_{t,d}$ [kN]	$R_{t,netto,d}$ [kN]
S089-1	21.35	10.96	313.3	313.3	313.3
		10.71	328.8	328.8	328.8
		10.46	344.2	344.2	344.2
		10.21	359.6	359.6	359.6
		9.96	375.1	375.1	375.1
		9.71	390.5	390.5	390.5
		9.46	405.9	405.9	405.9
		9.21	421.4	421.4	421.4
		8.96	436.8	436.8	436.8
		8.71	452.3	452.3	452.3
		8.46	467.7	467.7	467.7
S089-2	21.16	10.96	356.6	356.6	356.6
		10.71	372.1	372.1	372.1
		10.46	387.5	387.5	387.5
		10.21	403.0	403.0	403.0
		9.96	418.4	418.4	418.4
		9.71	433.8	433.8	433.8
		9.46	449.3	449.3	449.3
		9.21	464.7	464.7	464.7
		8.96	480.2	480.2	480.2
		8.71	495.6	495.6	495.6
		8.46	511.0	511.0	511.0

PAALGEGEVENS SI-paal 273_400

Type : In de grond gevormde geschroefde paal; groutinjectie
 Wijze van installeren : Boren
 Wijze van terugwinnen : n.v.t.
 Diameter [m] : 0.400
 Elasticiteitsmodulus [N/mm²] : 20000
 Factor α_s (tabel 7.c EC 7.1) : 0.009 (zandlagen; voor kleilagen zie tabel 7.d)
 Factor α_t (tabel 7.c EC 7.1) : 0.0090 (zandlagen; voor kleilagen zie tabel 7.d)
 Paalklassefactor α_p : 0.63
 Paalvoetvormfactor β : 1.00
 Type lastzakkingsdiagram : Grondverdringende paal
 Verm.factor * $\phi'_{j,k}$: 1.00
 Groutomhulling : JA

Project :
Onderdeel :

OVERZICHT NETTO DRAAGVERMOGEN TREKPALEN (n=1)

Netto paal draagvermogen(s) zijn naar beneden toe afgerond op: 1.0 kN nauwkeurig
Alle niveaus/hogtes/peilmaten zijn t.o.v.: N.A.P.

sondering	maaiveld paalpunt		$R_{t, netto; d}$ [kN]			
	niveau	niveau	Mast 080	Mast 081	Mast 088	Mast 089
S089-1	21.35	10.96				313
		10.71				328
		10.46				344
		10.21				359
		9.96				375
		9.71				390
		9.46				405
		9.21				421
		8.96				436
		8.71				452
		8.46				467
S089-2	21.16	10.96				356
		10.71				372
		10.46				387
		10.21				402
		9.96				418
		9.71				433
		9.46				449
		9.21				464
		8.96				480
		8.71				495
		8.46				511
S080-1	22.64	12.24	240			
		11.99	255			
		11.74	271			
		11.49	286			
		11.24	302			
		10.99	317			
		10.74	333			
		10.49	348			
		10.24	363			
		9.99	379			
9.74	394					
S080-2	22.70	12.24	278			
		11.99	282			
		11.74	297			
		11.49	313			
		11.24	328			
		10.99	344			
		10.74	359			
		10.49	375			
10.24	390					
9.99	405					
9.74	421					
S088-1	21.47	10.24			308	
		9.99			323	
		9.74			338	
		9.49			354	
		9.24			369	
		8.99			385	
		8.74			400	
		8.49			416	
		8.24			431	
		7.99			446	
7.74			462			
S088-2	21.40	10.24			335	
		9.99			350	

Project :
Onderdeel :

Netto paal draagvermogen(s) zijn naar beneden toe afgerond op: 1.0 kN nauwkeurig
Alle niveaus/hogtes/peilmaten zijn t.o.v.: N.A.P.

sondering	maaiveld paalpunt		$R_{t,netto;d}$ [kN]			
	niveau	niveau	Mast 080	Mast 081	Mast 088	Mast 089
		9.74			366	
		9.49			381	
		9.24			396	
		8.99			412	
		8.74			427	
		8.49			443	
		8.24			458	
		7.99			474	
		7.74			489	
S081-1	22.46	11.47		306		
		11.22		317		
		10.97		329		
		10.72		335		
		10.47		341		
		10.22		344		
		9.97		346		
		9.72		350		
		9.47		365		
		9.22		376		
		8.97		392		
		8.72		407		
		8.50		421		
S081-2	22.45	11.47		318		
		11.22		329		
		10.97		340		
		10.72		354		
		10.47		367		
		10.22		369		
		9.97		372		
		9.72		377		
		9.47		396		
		9.22		411		
		8.97		427		
		8.72		442		
		8.50		456		

Project :
Onderdeel :

ALGEMENE GEGEVENS

Project :
Onderdeel :
Datum : 23-11-2021
Bestand : \\Arh7001.verit.dnv.com\projects\EANL_Projects\
10166262 - BBB modelleren funderingen 380
kV\02 Content\03 Calculations\Technosoft
Paalfunderingen\MBT-EHV380\DO\Nieuw
Sonderingen\Nieuwe palen\Mast 090-099.pvw
Berekeningstype : Verticaal belaste paal
Alle niveaus/hogtes/peilmaten zijn t.o.v.: N.A.P.

Toegepaste normen volgens Eurocode met Nederlandse NB

Geotechniek	EN 1997-1:2004	AC:2009	
	NEN-EN 1997-1:2005	C1+A1:2013	NB:2016
	NEN 9997-1:2016	C2:2017	

REKENGEGEVENS Mast 093

Berekening : Ontwerpend
Rekenmethode : Trekpalen volgens NEN-EN 1997-1, art. 7.6.3
Sondering(en) : S093-1, S093-2
Let op: trekcapaciteit t.p.v. negatief kleeftraject is meegerekend.

Stijf bouwwerk : NEE
Paalgroep : NEE
Aantal sonderingen : 2
Factor ξ_3 (n=1) : 1.39
Factor ξ_3 (gem) : 1.32
Factor ξ_4 (min) : 1.32
Weerstandsfactor γ_R : 1.35
 $\gamma_{m,var,qc}$: 1.50
UGT draagvermogen zonder negatieve kleef : NEE

Paal : SI-paal 273_400
Niveau paalkop [m] : N.A.P. 24.18
Bovenbel. [kN/m²] : 0.00

PAALPUNTNIVEAUS SI-paal 273_400

Alle niveaus/hogtes/peilmaten zijn t.o.v. : N.A.P.

Nr	Beginniveau [m]	Eindniveau [m]	Stapgrootte [m]
1	16.53	14.03	0.25

Project :
Onderdeel :

SAMENVATTINGSTABEL Mast 093 (n=1)**Uitgangspunten**

- paal : SI-paal 273_400
 - paaltype : In de grond gevormde geschroefde paal; groutinjectie
 - schachtafmeting : 400 mm
 Paalklassefactor α_p : 0.63
 Factor α_t (tabel 7.c EC 7.1) : 0.0090 (zandlagen; voor kleilagen zie tabel 7.d)
 Correlatiefactor $\xi_{3(n=1)}$: 1.39

Alle niveaus/hogtes/peilmaten zijn t.o.v.: N.A.P.

sondering	maaiveld paalpunt		Bezwijkdraagvermogen $R_{t,cal}$ [kN]	Rekenwaarden	
	niveau	niveau		$R_{t,d}$ [kN]	$R_{t,netto,d}$ [kN]
S093-1	24.06	16.53	242.2	242.2	242.2
		16.28	257.6	257.6	257.6
		16.03	273.0	273.0	273.0
		15.78	288.5	288.5	288.5
		15.53	303.9	303.9	303.9
		15.28	319.4	319.4	319.4
		15.03	334.8	334.8	334.8
		14.78	350.2	350.2	350.2
		14.53	365.7	365.7	365.7
		14.28	381.1	381.1	381.1
	14.03	396.6	396.6	396.6	
S093-2	23.87	16.53	177.6	177.6	177.6
		16.28	189.9	189.9	189.9
		16.03	205.4	205.4	205.4
		15.78	220.8	220.8	220.8
		15.53	236.2	236.2	236.2
		15.28	251.7	251.7	251.7
		15.03	267.1	267.1	267.1
		14.78	282.6	282.6	282.6
		14.53	298.0	298.0	298.0
		14.28	313.4	313.4	313.4
	14.03	328.9	328.9	328.9	

REKENGEGEVENS Mast 094

Berekening : Ontwerpend
 Rekenmethode : Trekpalen volgens NEN-EN 1997-1, art. 7.6.3
 Sondering(en) : S094-1, S094-2
 Let op: trekcapaciteit t.p.v. negatief kleeftraject is meegerekend.

Stijf bouwwerk : NEE
 Paalgroep : NEE
 Aantal sonderingen : 2
 Factor $\xi_{3(n=1)}$: 1.39
 Factor $\xi_{3(gem)}$: 1.32
 Factor $\xi_{4(min)}$: 1.32
 Weerstandsfactor γ_R : 1.35
 $\gamma_{m,var;q_c}$: 1.50
 UGT draagvermogen zonder negatieve kleeft : NEE

Paal : SI-paal 273_400
 Niveau paalkop [m] : N.A.P. 20.73
 Bovenbel. [kN/m²] : 0.00

PAALPUNTNIVEAUS SI-paal 273_400

Alle niveaus/hogtes/peilmaten zijn t.o.v. : N.A.P.

Nr	Beginniveau [m]	Eindniveau [m]	Stapgrootte [m]
1	14.03	10.03	0.25

Project :
Onderdeel :

SAMENVATTINGSTABEL Mast 094 (n=1)**Uitgangspunten**

- paal : SI-paal 273_400
 - paaltype : In de grond gevormde geschroefde paal; groutinjectie
 - schachtafmeting : 400 mm
 Paalklassefactor α_p : 0.63
 Factor α_t (tabel 7.c EC 7.1) : 0.0090 (zandlagen; voor kleilagen zie tabel 7.d)
 Correlatiefactor $\xi_{3(n=1)}$: 1.39

Alle niveaus/hogtes/peilmaten zijn t.o.v.: N.A.P.

sondering	maaiveld paalpunt		Bezuikdraagvermogen $R_{t,cal}$ [kN]	Rekenwaarden	
	niveau	niveau		$R_{t,d}$ [kN]	$R_{t,netto,d}$ [kN]
S094-1	20.53	14.03	194.4	194.4	194.4
		13.78	209.9	209.9	209.9
		13.53	225.3	225.3	225.3
		13.28	240.7	240.7	240.7
		13.03	256.2	256.2	256.2
		12.78	271.6	271.6	271.6
		12.53	287.0	287.0	287.0
		12.28	302.5	302.5	302.5
		12.03	317.9	317.9	317.9
		11.78	333.4	333.4	333.4
		11.53	348.8	348.8	348.8
		11.28	364.2	364.2	364.2
		11.03	379.7	379.7	379.7
		10.78	395.1	395.1	395.1
		10.53	407.9	407.9	407.9
		10.28	423.3	423.3	423.3
10.03	438.8	438.8	438.8		
S094-2	20.50	14.03	179.8	179.8	179.8
		13.78	192.6	192.6	192.6
		13.53	208.0	208.0	208.0
		13.28	223.4	223.4	223.4
		13.03	238.9	238.9	238.9
		12.78	254.3	254.3	254.3
		12.53	269.8	269.8	269.8
		12.28	285.2	285.2	285.2
		12.03	300.6	300.6	300.6
		11.78	316.1	316.1	316.1
		11.53	331.5	331.5	331.5
		11.28	346.9	346.9	346.9
		11.03	361.1	361.1	361.1
		10.78	374.4	374.4	374.4
		10.53	387.8	387.8	387.8
		10.28	400.3	400.3	400.3
10.03	411.4	411.4	411.4		

REKENEGEGEVENS Mast 096

Berekening : Ontwerpend
 Rekenmethode : Trekpalen volgens NEN-EN 1997-1, art. 7.6.3
 Sondering(en) : S096-1, S096-2
 Let op: trekcapaciteit t.p.v. negatief kleeftraject is meegerekend.

Stijf bouwwerk : NEE
 Paalgroep : NEE
 Aantal sonderingen : 2
 Factor $\xi_{3(n=1)}$: 1.39
 Factor $\xi_{3(gem)}$: 1.32
 Factor $\xi_{4(min)}$: 1.32
 Weerstandsfactor γ_R : 1.35
 $\gamma_{m,var;q_c}$: 1.50
 UGT draagvermogen zonder negatieve kleef : NEE

Paal : SI-paal 273_400
 Niveau paalkop [m] : N.A.P. 20.23
 Bovenbel. [kN/m²] : 0.00

Project :
Onderdeel :

PAALPUNTNIVEAUS SI-paal 273_400

Alle niveaus/hogtes/peilmaten zijn t.o.v. : N.A.P.

Nr	Beginniveau [m]	Eindniveau [m]	Stapgrootte [m]
1	13.98	8.98	0.25

SAMENVATTINGSTABEL Mast 096 (n=1)**Uitgangspunten**

- paal : SI-paal 273_400
- paaltype : In de grond gevormde geschroefde paal; groutinjectie
- schachtafmeting : 400 mm
Paalklassefactor α_p : 0.63
Factor α_t (tabel 7.c EC 7.1) : 0.0090 (zandlagen; voor kleilagen zie tabel 7.d)
Correlatiefactor $\xi_{3(n=1)}$: 1.39

Alle niveaus/hogtes/peilmaten zijn t.o.v.: N.A.P.

sondering	maaiveld paalpunt		Bewijkdraagvermogen $R_{t,cal}$ [kN]	Rekenwaarden	
	niveau	niveau		$R_{t,d}$ [kN]	$R_{t,netto,d}$ [kN]
S096-1	19.99	13.98	127.3	127.3	127.3
		13.73	139.9	139.9	139.9
		13.48	154.1	154.1	154.1
		13.23	169.6	169.6	169.6
		12.98	185.0	185.0	185.0
		12.73	200.4	200.4	200.4
		12.48	215.9	215.9	215.9
		12.23	231.3	231.3	231.3
		11.98	246.8	246.8	246.8
		11.73	262.2	262.2	262.2
		11.48	277.6	277.6	277.6
		11.23	293.1	293.1	293.1
		10.98	308.5	308.5	308.5
		10.73	324.0	324.0	324.0
		10.48	339.4	339.4	339.4
		10.23	353.6	353.6	353.6
		9.98	366.5	366.5	366.5
9.73	384.1	384.1	384.1		
9.48	388.6	388.6	388.6		
9.23	390.5	390.5	390.5		
8.98	393.8	393.8	393.8		
S096-2	19.77	13.98	102.1	102.1	102.1
		13.73	111.5	111.5	111.5
		13.48	118.4	118.4	118.4
		13.23	130.6	130.6	130.6
		12.98	143.0	143.0	143.0
		12.73	157.3	157.3	157.3
		12.48	172.8	172.8	172.8
		12.23	188.2	188.2	188.2
		11.98	203.7	203.7	203.7
		11.73	219.1	219.1	219.1
		11.48	234.5	234.5	234.5
		11.23	250.0	250.0	250.0
		10.98	265.4	265.4	265.4
		10.73	280.8	280.8	280.8
		10.48	296.3	296.3	296.3
		10.23	311.7	311.7	311.7
		9.98	327.2	327.2	327.2
9.73	342.6	342.6	342.6		
9.48	358.0	358.0	358.0		
9.23	359.0	359.0	359.0		
8.98	372.6	372.6	372.6		

Project :
Onderdeel :

REKENGEDEVENS Mast 097

Berekening : Ontwerpend
 Rekenmethode : Trekpalen volgens NEN-EN 1997-1, art. 7.6.3
 Sondering(en) : S097-1, S097-2
 Let op: trekcapaciteit t.p.v. negatief kleeftraject is meegerekend.

Stijf bouwwerk : NEE
 Paalgroep : NEE
 Aantal sonderingen : 2
 Factor ξ_3 (n=1) : 1.39
 Factor ξ_3 (gem) : 1.32
 Factor ξ_4 (min) : 1.32
 Weerstandsfactor γ_R : 1.35
 $\gamma_{m,var;q_c}$: 1.50
 UGT draagvermogen zonder negatieve kleeft : NEE

Paal : SI-paal 273_400
 Niveau paalkop [m] : N.A.P. 20.00
 Bovenbel. [kN/m²] : 0.00

PAALPUNTNIVEAUS SI-paal 273_400

Alle niveaus/hogtes/peilmaten zijn t.o.v. : N.A.P.

Nr	Beginniveau [m]	Eindniveau [m]	Stapgrootte [m]
1	12.05	8.80	0.25

Project :
Onderdeel :

SAMENVATTINGSTABEL Mast 097 (n=1)**Uitgangspunten**

- paal : SI-paal 273_400
 - paaltype : In de grond gevormde geschroefde paal; groutinjectie
 - schachtafmeting : 400 mm
 Paalklassefactor α_p : 0.63
 Factor α_t (tabel 7.c EC 7.1) : 0.0090 (zandlagen; voor kleilagen zie tabel 7.d)
 Correlatiefactor $\xi_{3(n=1)}$: 1.39

Alle niveaus/hogtes/peilmaten zijn t.o.v.: N.A.P.

sondering	maaiveld paalpunt		Bezuikdraagvermogen $R_{t,cal}$ [kN]	Rekenwaarden	
	niveau	niveau		$R_{t,d}$ [kN]	$R_{t,netto,d}$ [kN]
S097-1	19.72	12.05	214.2	214.2	214.2
		11.80	229.6	229.6	229.6
		11.55	245.1	245.1	245.1
		11.30	260.5	260.5	260.5
		11.05	275.9	275.9	275.9
		10.80	291.4	291.4	291.4
		10.55	306.8	306.8	306.8
		10.30	322.3	322.3	322.3
		10.05	337.7	337.7	337.7
		9.80	353.1	353.1	353.1
		9.55	368.0	368.0	368.0
		9.30	381.0	381.0	381.0
		9.05	393.9	393.9	393.9
		8.80	396.8	396.8	396.8
S097-2	19.93	12.05	192.6	192.6	192.6
		11.80	208.0	208.0	208.0
		11.55	223.4	223.4	223.4
		11.30	238.9	238.9	238.9
		11.05	254.3	254.3	254.3
		10.80	269.8	269.8	269.8
		10.55	285.2	285.2	285.2
		10.30	300.6	300.6	300.6
		10.05	315.9	315.9	315.9
		9.80	325.3	325.3	325.3
		9.55	336.5	336.5	336.5
		9.30	344.2	344.2	344.2
		9.05	348.5	348.5	348.5
		8.80	352.7	352.7	352.7

PAALGEGEVENS SI-paal 273_400

Type : In de grond gevormde geschroefde paal; groutinjectie
 Wijze van installeren : Boren
 Wijze van terugwinnen : n.v.t.
 Diameter [m] : 0.400
 Elasticiteitsmodulus [N/mm²] : 20000
 Factor α_s (tabel 7.c EC 7.1) : 0.009 (zandlagen; voor kleilagen zie tabel 7.d)
 Factor α_t (tabel 7.c EC 7.1) : 0.0090 (zandlagen; voor kleilagen zie tabel 7.d)
 Paalklassefactor α_p : 0.63
 Paalvoetvormfactor β : 1.00
 Type lastzakkingsdiagram : Grondverdringende paal
 Verm.factor * $\phi'_{j,k}$: 1.00
 Groutomhulling : JA

Project :
Onderdeel :

OVERZICHT NETTO DRAAGVERMOGEN TREKPALEN (n=1)

Netto paal draagvermogen(s) zijn naar beneden toe afgerond op: 1.0 kN nauwkeurig
Alle niveaus/hogtes/peilmaten zijn t.o.v.: N.A.P.

sondering	maaiveld paalpunt		$R_{t, netto; d}$ [kN]			
	niveau	niveau	Mast 093	Mast 094	Mast 096	Mast 097
S094-1	20.53	14.03		194		
		13.78		209		
		13.53		225		
		13.28		240		
		13.03		256		
		12.78		271		
		12.53		287		
		12.28		302		
		12.03		317		
		11.78		333		
		11.53		348		
		11.28		364		
		11.03		379		
		10.78		395		
		10.53		407		
		10.28		423		
10.03		438				
S094-2	20.50	14.03		179		
		13.78		192		
		13.53		207		
		13.28		223		
		13.03		238		
		12.78		254		
		12.53		269		
		12.28		285		
		12.03		300		
		11.78		316		
		11.53		331		
		11.28		346		
		11.03		361		
		10.78		374		
		10.53		387		
		10.28		400		
10.03		411				
S096-1	19.99	13.98			127	
		13.73			139	
		13.48			154	
		13.23			169	
		12.98			185	
		12.73			200	
		12.48			215	
		12.23			231	
		11.98			246	
		11.73			262	
		11.48			277	
		11.23			293	
		10.98			308	
		10.73			323	
		10.48			339	
		10.23			353	
9.98			366			
9.73			384			
9.48			388			
9.23			390			
8.98			393			
S096-2	19.77	13.98			102	
		13.73			111	
		13.48			118	
		13.23			130	

Project :
Onderdeel :

Netto paal draagvermogen(s) zijn naar beneden toe afgerond op: 1.0 kN nauwkeurig
Alle niveaus/hogtes/peilmaten zijn t.o.v.: N.A.P.

sondering	maaiveld paalpunt		R _{t,netto;d} [kN]			
	niveau	niveau	Mast 093	Mast 094	Mast 096	Mast 097
		12.98			142	
		12.73			157	
		12.48			172	
		12.23			188	
		11.98			203	
		11.73			219	
		11.48			234	
		11.23			249	
		10.98			265	
		10.73			280	
		10.48			296	
		10.23			311	
		9.98			327	
		9.73			342	
		9.48			358	
		9.23			359	
		8.98			372	
S093-1	24.06	16.53	242			
		16.28	257			
		16.03	273			
		15.78	288			
		15.53	303			
		15.28	319			
		15.03	334			
		14.78	350			
		14.53	365			
		14.28	381			
		14.03	396			
S093-2	23.87	16.53	177			
		16.28	189			
		16.03	205			
		15.78	220			
		15.53	236			
		15.28	251			
		15.03	267			
		14.78	282			
		14.53	297			
		14.28	313			
		14.03	328			
S097-1	19.72	12.05			214	
		11.80			229	
		11.55			245	
		11.30			260	
		11.05			275	
		10.80			291	
		10.55			306	
		10.30			322	
		10.05			337	
		9.80			353	
		9.55			368	
		9.30			381	
		9.05			393	
		8.80			396	
S097-2	19.93	12.05			192	
		11.80			208	
		11.55			223	
		11.30			238	
		11.05			254	
		10.80			269	
		10.55			285	
		10.30			300	

Project :
 Onderdeel :

Netto paal draagvermogen(s) zijn naar beneden toe afgerond op: 1.0 kN nauwkeurig
 Alle niveaus/hogtes/peilmaten zijn t.o.v.: N.A.P.

sondering	maaiveld paalpunt		$R_{t,netto;d}$ [kN]			
	niveau	niveau	Mast 093	Mast 094	Mast 096	Mast 097
		10.05				315
		9.80				325
		9.55				336
		9.30				344
		9.05				348
		8.80				352

Project :
Onderdeel :

ALGEMENE GEGEVENS

Project :
Onderdeel :
Datum : 23-11-2021
Bestand : \\Arh7001.verit.dnv.com\projects\EANL_Projects\
10166262 - BBB modelleren funderingen 380
kV\02 Content\03 Calculations\Technosoft
Paalfunderingen\MBT-EHV380\DO\Nieuw
Sonderingen\Nieuwe palen\Mast 100-109.pvw
Berekeningstype : Verticaal belaste paal
Alle niveaus/hogtes/peilmaten zijn t.o.v.: N.A.P.

Toegepaste normen volgens Eurocode met Nederlandse NB

Geotechniek	EN 1997-1:2004	AC:2009	
	NEN-EN 1997-1:2005	C1+A1:2013	NB:2016
	NEN 9997-1:2016	C2:2017	

Project :
Onderdeel :

OVERZICHT NETTO DRAAGVERMOGEN TREKPALEN (n=1)

Netto paal draagvermogen(s) zijn naar beneden toe afgerond op: 1.0 kN nauwkeurig
Alle niveaus/hoogtes/peilmaten zijn t.o.v.: N.A.P.

sondering	maaiveld paalpunt		$R_{t, netto, d}$ [kN]					
	niveau	niveau	Mast 102	Mast 104	Mast 106	Mast 107		
S102-1	20.59	11.50	198					
		11.25	214					
		11.00	229					
		10.75	245					
		10.50	260					
		10.25	275					
		10.00	291					
		9.75	306					
		9.50	322					
		9.25	337					
		9.00	353					
		8.75	368					
		8.50	383					
		8.25	399					
S102-2	20.43	11.50	181					
		11.25	197					
		11.00	212					
		10.75	228					
		10.50	243					
		10.25	258					
		10.00	274					
		9.75	289					
		9.50	305					
		9.25	320					
		9.00	336					
		8.75	351					
		8.50	367					
		8.25	382					
S104-1	20.23	10.76		265				
		10.51		280				
		10.26		296				
		10.01		311				
		9.76		327				
		9.51		342				
		9.26		357				
		9.01		373				
		8.76		388				
		8.51		404				
		8.26		419				
		8.25		420				
		S104-2	20.18	10.76		248		
				10.51		263		
10.26				279				
10.01				294				
9.76				309				
9.51				325				
9.26				340				
9.01				356				
8.76				371				
8.51				387				
8.26				402				
8.25				403				
S106-1	18.79			7.27		254		
				7.02		269		
		6.77		285				
		6.52		300				
		6.27		316				
		6.02		331				

Project :
Onderdeel :

Netto paal draagvermogen(s) zijn naar beneden toe afgerond op: 1.0 kN nauwkeurig
Alle niveaus/hogtes/peilmaten zijn t.o.v.: N.A.P.

sondering	maaiveld paalpunt		$R_{t,netto;d}$ [kN]			
	niveau	niveau	Mast 102	Mast 104	Mast 106	Mast 107
		5.77			346	
		5.52			361	
		5.27			377	
		5.02			392	
		4.77			408	
		4.75			409	
S106-2	18.89	7.27			185	
		7.02			201	
		6.77			216	
		6.52			232	
		6.27			247	
		6.02			262	
		5.77			278	
		5.52			293	
		5.27			309	
		5.02			324	
		4.77			340	
		4.75			341	
S107-1	17.88	7.80				224
		7.55				239
		7.30				254
		7.05				270
		6.80				285
		6.55				301
		6.30				316
		6.05				332
		5.80				347
		5.55				363
		5.30				378
S107-2	17.82	7.80				234
		7.55				249
		7.30				265
		7.05				280
		6.80				296
		6.55				311
		6.30				326
		6.05				336
		5.80				351
		5.55				366
		5.30				382

Project :
Onderdeel :

ALGEMENE GEGEVENS

Project :
Onderdeel :
Datum : 23-11-2021
Bestand : \\Arh7001.verit.dnv.com\projects\EANL_Projects\
10166262 - BBB modelleren funderingen 380
kV\02 Content\03 Calculations\Technosoft
Paalfunderingen\MBT-EHV380\DO\Nieuw
Sonderingen\Nieuwe palen\Mast 110-119.pvw
Berekeningstype : Verticaal belaste paal
Alle niveaus/hogtes/peilmaten zijn t.o.v.: N.A.P.

Toegepaste normen volgens Eurocode met Nederlandse NB

Geotechniek	EN 1997-1:2004	AC:2009	
	NEN-EN 1997-1:2005	C1+A1:2013	NB:2016
	NEN 9997-1:2016	C2:2017	

REKENGEGEVENS Mast 110

Berekening : Ontwerpend
Rekenmethode : Trekpalen volgens NEN-EN 1997-1, art. 7.6.3
Sondering(en) : S110-1, S110-2
Let op: trekcapaciteit t.p.v. negatief kleeftraject is meegerekend.

Stijf bouwwerk : NEE
Paalgroep : NEE
Aantal sonderingen : 2
Factor ξ_3 (n=1) : 1.39
Factor ξ_3 (gem) : 1.32
Factor ξ_4 (min) : 1.32
Weerstandsfactor γ_R : 1.35
 $\gamma_{m;var;qc}$: 1.50
UGT draagvermogen zonder negatieve kleef : NEE

Paal : SI-paal 273_400
Niveau paalkop [m] : N.A.P. 18.55
Bovenbel. [kN/m²] : 0.00

PAALPUNTNIVEAUS SI-paal 273_400

Alle niveaus/hogtes/peilmaten zijn t.o.v. : N.A.P.

Nr	Beginniveau [m]	Eindniveau [m]	Stapgrootte [m]
1	10.75	8.25	0.25

Project :
Onderdeel :

SAMENVATTINGSTABEL Mast 110 (n=1)**Uitgangspunten**

- paal : SI-paal 273_400
 - paaltype : In de grond gevormde geschroefde paal; groutinjectie
 - schachtafmeting : 400 mm
 Paalklassefactor α_p : 0.63
 Factor α_t (tabel 7.c EC 7.1) : 0.0090 (zandlagen; voor kleilagen zie tabel 7.d)
 Correlatiefactor $\xi_{3(n=1)}$: 1.39

Alle niveaus/hogtes/peilmaten zijn t.o.v.: N.A.P.

sondering	maaiveld paalpunt		Bezwijkdraagvermogen $R_{t,cal}$ [kN]	Rekenwaarden	
	niveau	niveau		$R_{t,d}$ [kN]	$R_{t,netto,d}$ [kN]
S110-1	18.32	10.75	217.5	217.5	217.5
		10.50	232.9	232.9	232.9
		10.25	248.4	248.4	248.4
		10.00	263.8	263.8	263.8
		9.75	279.2	279.2	279.2
		9.50	294.7	294.7	294.7
		9.25	310.1	310.1	310.1
		9.00	325.6	325.6	325.6
		8.75	341.0	341.0	341.0
		8.50	356.4	356.4	356.4
		8.25	371.9	371.9	371.9
S110-2	18.36	10.75	185.5	185.5	185.5
		10.50	201.0	201.0	201.0
		10.25	216.4	216.4	216.4
		10.00	231.8	231.8	231.8
		9.75	247.3	247.3	247.3
		9.50	262.7	262.7	262.7
		9.25	278.2	278.2	278.2
		9.00	293.6	293.6	293.6
		8.75	308.3	308.3	308.3
		8.50	323.5	323.5	323.5
		8.25	338.9	338.9	338.9

REKENGEGEVENS Mast 111

Berekening : Ontwerpend
 Rekenmethode : Trekpalen volgens NEN-EN 1997-1, art. 7.6.3
 Sondering(en) : S111-1, S111-2
 Let op: trekcapaciteit t.p.v. negatief kleefttraject is meegerekend.

Stijf bouwwerk : NEE
 Paalgroep : NEE
 Aantal sonderingen : 2
 Factor $\xi_{3(n=1)}$: 1.39
 Factor $\xi_{3(gem)}$: 1.32
 Factor $\xi_{4(min)}$: 1.32
 Weerstandsfactor γ_R : 1.35
 $\gamma_{m,var;q_c}$: 1.50
 UGT draagvermogen zonder negatieve kleeft : NEE

Paal : SI-paal 273_400
 Niveau paalkop [m] : N.A.P. 18.90
 Bovenbel. [kN/m²] : 0.00

PAALPUNTNIVEAUS SI-paal 273_400

Alle niveaus/hogtes/peilmaten zijn t.o.v. : N.A.P.

Nr	Beginniveau [m]	Eindniveau [m]	Stapgrootte [m]
1	11.05	6.05	0.25

Project :
Onderdeel :

SAMENVATTINGSTABEL Mast 111 (n=1)**Uitgangspunten**

- paal : SI-paal 273_400
 - paaltype : In de grond gevormde geschroefde paal; groutinjectie
 - schachtafmeting : 400 mm
 Paalklassefactor α_p : 0.63
 Factor α_t (tabel 7.c EC 7.1) : 0.0090 (zandlagen; voor kleilagen zie tabel 7.d)
 Correlatiefactor $\xi_{3(n=1)}$: 1.39

Alle niveaus/hogtes/peilmaten zijn t.o.v.: N.A.P.

sondering	maaiveld paalpunt		Bewijkdraagvermogen $R_{t,cal}$ [kN]	Rekenwaarden	
	niveau	niveau		$R_{t,d}$ [kN]	$R_{t,netto,d}$ [kN]
S111-1	18.67	11.05	198.2	198.2	198.2
		10.80	213.6	213.6	213.6
		10.55	229.0	229.0	229.0
		10.30	244.5	244.5	244.5
		10.05	259.3	259.3	259.3
		9.80	270.2	270.2	270.2
		9.55	282.6	282.6	282.6
		9.30	295.0	295.0	295.0
		9.05	307.0	307.0	307.0
		8.80	313.6	313.6	313.6
		8.55	313.9	313.9	313.9
		8.30	323.7	323.7	323.7
		8.05	337.1	337.1	337.1
		7.80	350.5	350.5	350.5
		7.55	363.9	363.9	363.9
		7.30	376.3	376.3	376.3
		7.05	391.5	391.5	391.5
6.80	406.9	406.9	406.9		
6.55	422.4	422.4	422.4		
6.30	437.8	437.8	437.8		
6.05	453.2	453.2	453.2		
S111-2	18.96	11.05	221.7	221.7	221.7
		10.80	237.2	237.2	237.2
		10.55	252.6	252.6	252.6
		10.30	268.0	268.0	268.0
		10.05	283.5	283.5	283.5
		9.80	298.9	298.9	298.9
		9.55	314.4	314.4	314.4
		9.30	329.8	329.8	329.8
		9.05	341.3	341.3	341.3
		8.80	341.6	341.6	341.6
		8.55	347.4	347.4	347.4
		8.30	361.0	361.0	361.0
		8.05	375.1	375.1	375.1
		7.80	389.2	389.2	389.2
		7.55	403.6	403.6	403.6
		7.30	419.0	419.0	419.0
		7.05	434.5	434.5	434.5
6.80	449.9	449.9	449.9		
6.55	465.3	465.3	465.3		
6.30	480.8	480.8	480.8		
6.05	496.2	496.2	496.2		

Project :
Onderdeel :

REKENGEDEVENS Mast 113

Berekening : Ontwerpend
 Rekenmethode : Trekpalen volgens NEN-EN 1997-1, art. 7.6.3
 Sondering(en) : S113-1, S113-2, S113-3, S113-4
 Let op: trekcapaciteit t.p.v. negatief kleeftraject is meegerekend.

Stijf bouwwerk : NEE
 Paalgroep : NEE
 Aantal sonderingen : 4
 Factor ξ_3 (n=1) : 1.39
 Factor ξ_3 (gem) : 1.28
 Factor ξ_4 (min) : 1.03
 Weerstandsfactor γ_R : 1.35
 $\gamma_{m,var;q_c}$: 1.50
 UGT draagvermogen zonder negatieve kleeft : NEE

Paal : SI-paal 323_450
 Niveau paalkop [m] : N.A.P. 20.38
 Bovenbel. [kN/m²] : 0.00

PAALPUNTNIVEAUS SI-paal 323_450

Alle niveaus/hogtes/peilmaten zijn t.o.v. : N.A.P.

Nr	Beginniveau [m]	Eindniveau [m]	Stapgrootte [m]
1	12.48	8.98	0.25

Project :
Onderdeel :

SAMENVATTINGSTABEL Mast 113 (n=1)**Uitgangspunten**

- paal : SI-paal 323_450
 - paaltype : In de grond gevormde geschroefde paal; groutinjectie
 - schachtafmeting : 450 mm
 Paalklassefactor α_p : 0.63
 Factor α_t (tabel 7.c EC 7.1) : 0.0090 (zandlagen; voor kleilagen zie tabel 7.d)
 Correlatiefactor $\xi_{3(n=1)}$: 1.39

Alle niveaus/hogtes/peilmaten zijn t.o.v.: N.A.P.

sondering	maaiveld paalpunt		Bezwijkdraagvermogen $R_{t,cal}$ [kN]	Rekenwaarden	
	niveau	niveau		$R_{t,d}$ [kN]	$R_{t,netto,d}$ [kN]
S113-1	20.20	12.48	209.8	209.8	209.8
		12.23	227.2	227.2	227.2
		11.98	244.6	244.6	244.6
		11.73	262.1	262.1	262.1
		11.48	279.5	279.5	279.5
		11.23	296.9	296.9	296.9
		10.98	314.3	314.3	314.3
		10.73	331.7	331.7	331.7
		10.48	338.0	338.0	338.0
		10.23	350.3	350.3	350.3
		9.98	364.4	364.4	364.4
		9.73	378.4	378.4	378.4
		9.48	392.0	392.0	392.0
		9.23	392.5	392.5	392.5
8.98	398.4	398.4	398.4		
S113-2	19.46	12.48	306.5	306.5	306.5
		12.23	323.9	323.9	323.9
		11.98	341.3	341.3	341.3
		11.73	358.7	358.7	358.7
		11.48	376.2	376.2	376.2
		11.23	393.6	393.6	393.6
		10.98	411.0	411.0	411.0
		10.73	427.0	427.0	427.0
		10.48	427.5	427.5	427.5
		10.23	427.9	427.9	427.9
		9.98	434.2	434.2	434.2
		9.73	451.6	451.6	451.6
		9.48	469.1	469.1	469.1
		9.23	486.5	486.5	486.5
8.98	503.9	503.9	503.9		
S113-3	19.40	12.48	306.8	306.8	306.8
		12.23	324.2	324.2	324.2
		11.98	341.6	341.6	341.6
		11.73	359.0	359.0	359.0
		11.48	376.5	376.5	376.5
		11.23	393.9	393.9	393.9
		10.98	411.3	411.3	411.3
		10.73	428.7	428.7	428.7
		10.48	436.6	436.6	436.6
		10.23	437.1	437.1	437.1
		9.98	437.6	437.6	437.6
		9.73	438.1	438.1	438.1
		9.48	452.9	452.9	452.9
		9.23	470.3	470.3	470.3
8.98	487.7	487.7	487.7		
S113-4	20.30	12.48	283.3	283.3	283.3
		12.23	300.7	300.7	300.7
		11.98	318.1	318.1	318.1
		11.73	335.5	335.5	335.5
		11.48	349.0	349.0	349.0
		11.23	352.9	352.9	352.9
		10.98	353.4	353.4	353.4
		10.73	353.8	353.8	353.8
		10.48	369.0	369.0	369.0
		10.23	386.4	386.4	386.4

Project :
Onderdeel :

Alle niveaus/hoogtes/peilmaten zijn t.o.v.: N.A.P.

sondering	maaiveld paalpunt		Bezwijkdraagvermogen	Rekenwaarden		
	niveau	niveau		$R_{t,cal}$ [kN]	$R_{t,d}$ [kN]	$R_{t,netto,d}$ [kN]
S113-4	20.30	9.98	403.8	403.8	403.8	
		9.73	421.2	421.2	421.2	
		9.48	438.7	438.7	438.7	
		9.23	456.1	456.1	456.1	
		8.98	473.5	473.5	473.5	

PAALGEGEVENS SI-paal 273_400

Type : In de grond gevormde geschroefde paal; groutinjectie
 Wijze van installeren : Boren
 Wijze van terugwinnen : n.v.t.
 Diameter [m] : 0.400
 Elasticiteitsmodulus [N/mm²] : 20000
 Factor α_s (tabel 7.c EC 7.1) : 0.009 (zandlagen; voor kleilagen zie tabel 7.d)
 Factor α_t (tabel 7.c EC 7.1) : 0.0090 (zandlagen; voor kleilagen zie tabel 7.d)
 Paalklassefactor α_p : 0.63
 Paalvoetvormfactor β : 1.00
 Type lastzakkingsdiagram : Grondverdringende paal
 Verm.factor * $\phi'_{j,k}$: 1.00
 Groutomhulling : JA

PAALGEGEVENS SI-paal 323_450

Type : In de grond gevormde geschroefde paal; groutinjectie
 Wijze van installeren : Boren
 Wijze van terugwinnen : n.v.t.
 Diameter [m] : 0.450
 Elasticiteitsmodulus [N/mm²] : 20000
 Factor α_s (tabel 7.c EC 7.1) : 0.009 (zandlagen; voor kleilagen zie tabel 7.d)
 Factor α_t (tabel 7.c EC 7.1) : 0.0090 (zandlagen; voor kleilagen zie tabel 7.d)
 Paalklassefactor α_p : 0.63
 Paalvoetvormfactor β : 1.00
 Type lastzakkingsdiagram : Grondverdringende paal
 Verm.factor * $\phi'_{j,k}$: 1.00
 Groutomhulling : JA

Project :
Onderdeel :

OVERZICHT NETTO DRAAGVERMOGEN TREKPALEN (n=1)

Netto paal draagvermogen(s) zijn naar beneden toe afgerond op: 1.0 kN nauwkeurig
Alle niveaus/hoogtes/peilmaten zijn t.o.v.: N.A.P.

sondering	maaiveld paalpunt		$R_{t, netto; d}$ [kN]				
	niveau	niveau	Mast 110	Mast 111	Mast 113		
S111-1	18.67	11.05		198			
		10.80		213			
		10.55		229			
		10.30		244			
		10.05		259			
		9.80		270			
		9.55		282			
		9.30		295			
		9.05		307			
		8.80		313			
		8.55		313			
		8.30		323			
		8.05		337			
		7.80		350			
		7.55		363			
		7.30		376			
		S111-2	18.96	11.05		221	
10.80				237			
10.55				252			
10.30				268			
10.05				283			
9.80				298			
9.55				314			
9.30				329			
9.05				341			
8.80				341			
8.55				347			
8.30				360			
8.05				375			
7.80				389			
7.55				403			
7.30				419			
S113-1	20.20			12.48		209	
		12.23		227			
		11.98		244			
		11.73		262			
		11.48		279			
		11.23		296			
		10.98		314			
		10.73		331			
		10.48		337			
		10.23		350			
		9.98		364			
		9.73		378			
		9.48		391			
		9.23		392			
		8.98		398			
		S113-2	19.46	12.48		306	
				12.23		323	

Project :
Onderdeel :

Netto paal draagvermogen(s) zijn naar beneden toe afgerond op: 1.0 kN nauwkeurig
Alle niveaus/hogtes/peilmaten zijn t.o.v.: N.A.P.

sondering	maaiveld paalpunt		R _{t,netto;d} [kN]		
	niveau	niveau	Mast 110	Mast 111	Mast 113
		11.98			341
		11.73			358
		11.48			376
		11.23			393
		10.98			410
		10.73			427
		10.48			427
		10.23			427
		9.98			434
		9.73			451
		9.48			469
		9.23			486
		8.98			503
S113-3	19.40	12.48			306
		12.23			324
		11.98			341
		11.73			359
		11.48			376
		11.23			393
		10.98			411
		10.73			428
		10.48			436
		10.23			437
		9.98			437
		9.73			438
		9.48			452
		9.23			470
		8.98			487
S113-4	20.30	12.48			283
		12.23			300
		11.98			318
		11.73			335
		11.48			349
		11.23			352
		10.98			353
		10.73			353
		10.48			368
		10.23			386
		9.98			403
		9.73			421
		9.48			438
		9.23			456
		8.98			473
S110-1	18.32	10.75	217		
		10.50	232		
		10.25	248		
		10.00	263		
		9.75	279		
		9.50	294		
		9.25	310		
		9.00	325		
		8.75	340		
		8.50	356		
		8.25	371		
S110-2	18.36	10.75	185		
		10.50	200		
		10.25	216		
		10.00	231		
		9.75	247		
		9.50	262		
		9.25	278		

Project :
 Onderdeel :

Netto paal draagvermogen(s) zijn naar beneden toe afgerond op: 1.0 kN nauwkeurig
 Alle niveaus/hogtes/peilmaten zijn t.o.v.: N.A.P.

sondering	maaiveld paalpunt		$R_{t,netto;d}$ [kN]		
	niveau	niveau	Mast 110	Mast 111	Mast 113
		9.00		293	
		8.75		308	
		8.50		323	
		8.25		338	

Project :
Onderdeel :

ALGEMENE GEGEVENS

Project :
Onderdeel :
Datum : 10-12-2021
Bestand : \\Arh7001.verit.dnv.com\projects\EANL_Projects\
10166262 - BBB modelleren funderingen 380
kV\02 Content\03 Calculations\Technosoft
Paalfunderingen\MBT-EHV380\DO\Nieuw
Sonderingen\Nieuwe palen\Mast 120-129.pvw
Berekeningstype : Verticaal belaste paal
Alle niveaus/hogtes/peilmaten zijn t.o.v.: N.A.P.

Toegepaste normen volgens Eurocode met Nederlandse NB

Geotechniek	EN 1997-1:2004	AC:2009	
	NEN-EN 1997-1:2005	C1+A1:2013	NB:2016
	NEN 9997-1:2016	C2:2017	

REKENGEGEVENS Mast 123

Berekening : Ontwerpend
Rekenmethode : Trekpalen volgens NEN-EN 1997-1, art. 7.6.3
Sondering(en) : S123-1, S123-2
Let op: trekcapaciteit t.p.v. negatief kleeftraject is meegerekend.

Stijf bouwwerk : NEE
Paalgroep : NEE
Aantal sonderingen : 2
Factor ξ_3 (n=1) : 1.39
Factor ξ_3 (gem) : 1.32
Factor ξ_4 (min) : 1.32
Weerstandsfactor γ_R : 1.35
 $\gamma_{m,var,qc}$: 1.50
UGT draagvermogen zonder negatieve kleef : NEE

Paal : SI-paal 273_400
Niveau paalkop [m] : N.A.P. 17.59
Bovenbel. [kN/m²] : 0.00

PAALPUNTNIVEAUS SI-paal 273_400

Alle niveaus/hogtes/peilmaten zijn t.o.v. : N.A.P.

Nr	Beginniveau [m]	Eindniveau [m]	Stapgrootte [m]
1	9.79	8.29	0.25

Project :
Onderdeel :

SAMENVATTINGSTABEL Mast 123 (n=1)**Uitgangspunten**

- paal : SI-paal 273_400
 - paaltype : In de grond gevormde geschroefde paal; groutinjectie
 - schachtafmeting : 400 mm
 Paalklassefactor α_p : 0.63
 Factor α_t (tabel 7.c EC 7.1) : 0.0090 (zandlagen; voor kleilagen zie tabel 7.d)
 Correlatiefactor $\xi_{3(n=1)}$: 1.39

Alle niveaus/hogtes/peilmaten zijn t.o.v.: N.A.P.

sondering	maaiveld paalpunt		Bezuikdraagvermogen $R_{t,cal}$ [kN]	Rekenwaarden	
	niveau	niveau		$R_{t,d}$ [kN]	$R_{t,netto,d}$ [kN]
S123-1	17.37	9.79	334.0	334.0	334.0
		9.54	349.4	349.4	349.4
		9.29	358.6	358.6	358.6
		9.04	359.0	359.0	359.0
		8.79	359.4	359.4	359.4
		8.54	360.0	360.0	360.0
		8.29	370.7	370.7	370.7
S123-2	17.41	9.79	330.8	330.8	330.8
		9.54	346.3	346.3	346.3
		9.29	361.7	361.7	361.7
		9.04	377.2	377.2	377.2
		8.79	392.6	392.6	392.6
		8.54	408.0	408.0	408.0
		8.29	423.5	423.5	423.5

PAALGEGEVENS SI-paal 273_400

Type : In de grond gevormde geschroefde paal; groutinjectie
 Wijze van installeren : Boren
 Wijze van terugwinnen : n.v.t.
 Diameter [m] : 0.400
 Elasticiteitsmodulus [N/mm²] : 20000
 Factor α_s (tabel 7.c EC 7.1) : 0.009 (zandlagen; voor kleilagen zie tabel 7.d)
 Factor α_t (tabel 7.c EC 7.1) : 0.0090 (zandlagen; voor kleilagen zie tabel 7.d)
 Paalklassefactor α_p : 0.63
 Paalvoetvormfactor β : 1.00
 Type lastzakingsdiagram : Grondverdringende paal
 Verm.factor * $\phi'_{j,k}$: 1.00
 Groutomhulling : JA

Project :
Onderdeel :

OVERZICHT NETTO DRAAGVERMOGEN TREKPALEN (n=1)

Netto paal draagvermogen(s) zijn naar beneden toe afgerond op: 1.0 kN nauwkeurig

Alle niveaus/hoogtes/peilmaten zijn t.o.v.: N.A.P.

sondering	maaiveld niveau	paalpunt niveau	$R_{t, netto, d}$ Mast 123	[kN]
S123-1	17.37	9.79	333	
		9.54	349	
		9.29	358	
		9.04	358	
		8.79	359	
		8.54	359	
S123-2	17.41	9.79	330	
		9.54	346	
		9.29	361	
		9.04	377	
		8.79	392	
		8.54	408	
		8.29	423	

Project :
Onderdeel :

ALGEMENE GEGEVENS

Project :
Onderdeel :
Datum : 23-11-2021
Bestand : \\Arh7001.verit.dnv.com\projects\EANL_Projects\
10166262 - BBB modelleren funderingen 380
kV\02 Content\03 Calculations\Technosoft
Paalfunderingen\MBT-EHV380\DO\Nieuw
Sonderingen\Nieuwe palen\Mast 130-133.pvw
Berekeningstype : Verticaal belaste paal
Alle niveaus/hogtes/peilmaten zijn t.o.v.: N.A.P.

Toegepaste normen volgens Eurocode met Nederlandse NB

Geotechniek	EN 1997-1:2004	AC:2009	
	NEN-EN 1997-1:2005	C1+A1:2013	NB:2016
	NEN 9997-1:2016	C2:2017	

REKENGEGEVENS Mast 131

Berekening : Ontwerpend
Rekenmethode : Trekpalen volgens NEN-EN 1997-1, art. 7.6.3
Sondering(en) : S131-1, S131-2
Let op: trekcapaciteit t.p.v. negatief kleeftraject is meegerekend.

Stijf bouwwerk : NEE
Paalgroep : NEE
Aantal sonderingen : 2
Factor ξ_3 ($n=1$) : 1.39
Factor ξ_3 (gem) : 1.32
Factor ξ_4 (min) : 1.32
Weerstandsfactor γ_R : 1.35
 $\gamma_{m,var,qc}$: 1.50
UGT draagvermogen zonder negatieve kleeft : NEE

Paal : SI-paal 273_400
Niveau paalkop [m] : N.A.P. 17.54
Bovenbel. [kN/m²] : 0.00

PAALPUNTNIVEAUS SI-paal 273_400

Alle niveaus/hogtes/peilmaten zijn t.o.v. : N.A.P.

Nr	Beginniveau [m]	Eindniveau [m]	Stapgrootte [m]
1	7.29	4.79	0.25

Project :
Onderdeel :

SAMENVATTINGSTABEL Mast 131 (n=1)**Uitgangspunten**

- paal : SI-paal 273_400
 - paaltype : In de grond gevormde geschroefde paal; groutinjectie
 - schachtafmeting : 400 mm
 Paalklassefactor α_p : 0.63
 Factor α_t (tabel 7.c EC 7.1) : 0.0090 (zandlagen; voor kleilagen zie tabel 7.d)
 Correlatiefactor $\xi_{3(n=1)}$: 1.39

Alle niveaus/hogtes/peilmaten zijn t.o.v.: N.A.P.

sondering	maaiveld paalpunt		Bezwijkdraagvermogen $R_{t,cal}$ [kN]	Rekenwaarden	
	niveau	niveau		$R_{t,d}$ [kN]	$R_{t,netto,d}$ [kN]
S131-1	17.60	7.29	322.0	322.0	322.0
		7.04	323.6	323.6	323.6
		6.79	325.2	325.2	325.2
		6.54	336.4	336.4	336.4
		6.29	351.8	351.8	351.8
		6.04	367.2	367.2	367.2
		5.79	382.7	382.7	382.7
		5.54	398.1	398.1	398.1
		5.29	413.6	413.6	413.6
		5.04	429.0	429.0	429.0
		4.79	444.4	444.4	444.4
S131-2	17.66	7.29	428.3	428.3	428.3
		7.04	438.4	438.4	438.4
		6.79	453.2	453.2	453.2
		6.54	468.6	468.6	468.6
		6.29	484.1	484.1	484.1
		6.04	499.5	499.5	499.5
		5.79	515.0	515.0	515.0
		5.54	530.4	530.4	530.4
		5.29	545.8	545.8	545.8
		5.04	561.3	561.3	561.3
		4.79	576.7	576.7	576.7

REKENGEGEVENS Mast 132

Berekening : Ontwerpend
 Rekenmethode : Trekpalen volgens NEN-EN 1997-1, art. 7.6.3
 Sondering(en) : S132-1, S132-2
 Let op: trekcapaciteit t.p.v. negatief kleefttraject is meegerekend.

Stijf bouwwerk : NEE
 Paalgroep : NEE
 Aantal sonderingen : 2
 Factor $\xi_{3(n=1)}$: 1.39
 Factor $\xi_{3(gem)}$: 1.32
 Factor $\xi_{4(min)}$: 1.32
 Weerstandsfactor γ_R : 1.35
 $\gamma_{m,var;q_c}$: 1.50
 UGT draagvermogen zonder negatieve kleeft : NEE

Paal : SI-paal 323_450
 Niveau paalkop [m] : N.A.P. 16.41
 Bovenbel. [kN/m²] : 0.00

PAALPUNTNIVEAUS SI-paal 323_450

Alle niveaus/hogtes/peilmaten zijn t.o.v. : N.A.P.

Nr	Beginniveau [m]	Eindniveau [m]	Stapgrootte [m]
1	6.01	2.01	0.25

Project :
Onderdeel :

SAMENVATTINGSTABEL Mast 132 (n=1)**Uitgangspunten**

- paal : SI-paal 323_450
 - paaltype : In de grond gevormde geschroefde paal; groutinjectie
 - schachtafmeting : 450 mm
 Paalklassefactor α_p : 0.63
 Factor α_t (tabel 7.c EC 7.1) : 0.0090 (zandlagen; voor kleilagen zie tabel 7.d)
 Correlatiefactor $\xi_{3(n=1)}$: 1.39

Alle niveaus/hogtes/peilmaten zijn t.o.v.: N.A.P.

sondering	maaiveld paalpunt		Bewijkdraagvermogen $R_{t,cal}$ [kN]	Rekenwaarden	
	niveau	niveau		$R_{t,d}$ [kN]	$R_{t,netto,d}$ [kN]
S132-1	15.94	6.01	358.4	358.4	358.4
		5.76	375.8	375.8	375.8
		5.51	393.2	393.2	393.2
		5.26	410.7	410.7	410.7
		5.01	428.1	428.1	428.1
		4.76	445.5	445.5	445.5
		4.51	462.9	462.9	462.9
		4.26	480.4	480.4	480.4
		4.01	497.8	497.8	497.8
		3.76	515.2	515.2	515.2
		3.51	530.7	530.7	530.7
		3.26	547.2	547.2	547.2
		3.01	564.6	564.6	564.6
		2.76	582.0	582.0	582.0
		2.51	599.4	599.4	599.4
		2.26	616.9	616.9	616.9
2.01	634.3	634.3	634.3		
S132-2	15.69	6.01	140.0	140.0	140.0
		5.76	157.5	157.5	157.5
		5.51	174.9	174.9	174.9
		5.26	192.3	192.3	192.3
		5.01	209.7	209.7	209.7
		4.76	227.1	227.1	227.1
		4.51	244.6	244.6	244.6
		4.26	262.0	262.0	262.0
		4.01	279.4	279.4	279.4
		3.76	296.8	296.8	296.8
		3.51	314.2	314.2	314.2
		3.26	331.7	331.7	331.7
		3.01	349.1	349.1	349.1
		2.76	366.5	366.5	366.5
		2.51	383.9	383.9	383.9
		2.26	401.4	401.4	401.4
2.01	417.1	417.1	417.1		

PAALGEGEVENS LD1

Type : Stalen buispaal (gesloten)
 Wijze van installeren : Heien
 Diameter [m] : 0.550
 Elasticiteitsmodulus [N/mm²] : 20000
 Factor α_s (tabel 7.c EC 7.1) : 0.010 (zandlagen; voor kleilagen zie tabel 7.d)
 Factor α_t (tabel 7.c EC 7.1) : 0.0070 (zandlagen; voor kleilagen zie tabel 7.d)
 Paalklassefactor α_p : 1.00
 Paalvoetvormfactor β : 1.00
 Type lastzakingsdiagram : Grondverdringende paal
 Verm.factor * $\phi'_{j,k}$: 0.75
 Groutomhulling : NEE

Project :
Onderdeel :

PAALGEGEVENS SI-paal 273_400

Type : In de grond gevormde geschroefde paal; groutinjectie
Wijze van installeren : Boren
Wijze van terugwinnen : n.v.t.
Diameter [m] : 0.400
Elasticiteitsmodulus [N/mm²] : 20000
Factor α_s (tabel 7.c EC 7.1) : 0.009 (zandlagen; voor kleilagen zie tabel 7.d)
Factor α_t (tabel 7.c EC 7.1) : 0.0090 (zandlagen; voor kleilagen zie tabel 7.d)
Paalklassefactor α_p : 0.63
Paalvoetvormfactor β : 1.00
Type lastzakkingsdiagram : Grondverdringende paal
Verm.factor * $\phi'_{j;k}$: 1.00
Grutomhulling : JA

PAALGEGEVENS SI-paal 323_450

Type : In de grond gevormde geschroefde paal; groutinjectie
Wijze van installeren : Boren
Wijze van terugwinnen : n.v.t.
Diameter [m] : 0.450
Elasticiteitsmodulus [N/mm²] : 20000
Factor α_s (tabel 7.c EC 7.1) : 0.009 (zandlagen; voor kleilagen zie tabel 7.d)
Factor α_t (tabel 7.c EC 7.1) : 0.0090 (zandlagen; voor kleilagen zie tabel 7.d)
Paalklassefactor α_p : 0.63
Paalvoetvormfactor β : 1.00
Type lastzakkingsdiagram : Grondverdringende paal
Verm.factor * $\phi'_{j;k}$: 1.00
Grutomhulling : JA

Project :
Onderdeel :

OVERZICHT NETTO DRAAGVERMOGEN TREKPALEN (n=1)

Netto paal draagvermogen(s) zijn naar beneden toe afgerond op: 1.0 kN nauwkeurig
Alle niveaus/hogtes/peilmaten zijn t.o.v.: N.A.P.

sondering	maaiveld paalpunt		R _{t, netto, d} [kN]	
	niveau	niveau	Mast 131	Mast 132
S131-1	17.60	7.29	321	
		7.04	323	
		6.79	325	
		6.54	336	
		6.29	351	
		6.04	367	
		5.79	382	
		5.54	398	
		5.29	413	
		5.04	429	
		4.79	444	
S131-2	17.66	7.29	428	
		7.04	438	
		6.79	453	
		6.54	468	
		6.29	484	
		6.04	499	
		5.79	514	
		5.54	530	
		5.29	545	
		5.04	561	
		4.79	576	
S132-1	15.94	6.01		358
		5.76		375
		5.51		393
		5.26		410
		5.01		428
		4.76		445
		4.51		462
		4.26		480
		4.01		497
		3.76		515
		3.51		530
		3.26		547
		3.01		564
		2.76		582
		2.51		599
2.26		616		
2.01		634		
S132-2	15.69	6.01		140
		5.76		157
		5.51		174
		5.26		192
		5.01		209
		4.76		227
		4.51		244
		4.26		261
		4.01		279
		3.76		296
		3.51		314
		3.26		331
		3.01		349
		2.76		366
		2.51		383
2.26		401		
2.01		417		

Project :
Onderdeel :

ALGEMENE GEGEVENS

Project :
Onderdeel :
Datum : 10-12-2021
Bestand : \\Arh7001.verit.dnv.com\projects\EANL_Projects\
10166262 - BBB modelleren funderingen 380
kV\02 Content\03 Calculations\Technosoft
Paalfunderingen\MBT-EHV380\DO\Nieuw
Sonderingen\Nieuwe palen\Mast 020-029.pvw
Berekeningstype : Verticaal belaste paal
Alle niveaus/hogtes/peilmaten zijn t.o.v.: N.A.P.

Toegepaste normen volgens Eurocode met Nederlandse NB

Geotechniek	EN 1997-1:2004	AC:2009	
	NEN-EN 1997-1:2005	C1+A1:2013	NB:2016
	NEN 9997-1:2016	C2:2017	

REKENGEGEVENS Mast 020

Berekening : Ontwerpend
Rekenmethode : Drukpalen volgens NEN-EN 1997-1, art. 7.6.2
Sondering(en) : S020-1, S020-2

Stijf bouwwerk : NEE
Paalgroep : NEE
Aantal sonderingen : 2
Factor ξ_3 (n=1) : 1.39
Factor ξ_3 (gem) : 1.32
Factor ξ_4 (min) : 1.32
Weerstandsfactor γ_R : 1.20
 $\gamma_{f,nk}$: 1.0
 $R_{s,cal,max,i}$ begrenzen op $0.75 * R_{b,cal,max,i}$: NEE
UGT draagvermogen zonder negatieve kleeft : NEE

Paal : SI-paal 273_400
Niveau paalkop [m] : N.A.P. 25.37
Bovenbel. [kN/m²] : 0.00

PAALPUNTNIVEAUS SI-paal 273_400

Alle niveaus/hogtes/peilmaten zijn t.o.v. : N.A.P.

Nr	Beginniveau [m]	Eindniveau [m]	Stapgrootte [m]
1	14.97	11.47	0.25

Project :
Onderdeel :

SAMENVATTINGSTABEL Mast 020 (n=1)**Uitgangspunten**

- paal : SI-paal 273_400
 - paaltype : In de grond gevormde geschroefde paal; groutinjectie
 - schachtafmeting : 400 mm
 Paalklassefactor α_p : 0.63
 Factor α_s (tabel 7.c EC 7.1) : 0.009 (zandlagen; voor kleilagen zie tabel 7.d)
 Correlatiefactor $\xi_{3(n=1)}$: 1.39

Alle niveaus/hogtes/peilmaten zijn t.o.v.: N.A.P.

sondering	maaiveld paalpunt		Bezwijkdraagvermogen			Rekenwaarden		
	niveau	niveau	$R_{b;cal}$ [kN]	$R_{s;cal}$ [kN]	$R_{c;cal}$ [kN]	$R_{c;d}$ [kN]	$F_{nk;d}$ [kN]	$R_{c;netto;d}$ [kN]
S020-1	25.22	14.97	481.7	93.2	574.9	344.7	-39.6	305.1
		14.72	444.3	127.2	571.5	342.6	-39.6	303.0
		14.47	275.5	161.1	436.6	261.8	-39.6	222.2
		14.22	393.7	188.3	582.0	348.9	-39.6	309.3
		13.97	736.1	210.8	946.9	567.7	-39.6	528.1
		13.72	920.6	246.7	1167.3	699.8	-39.6	660.2
		13.47	928.0	289.1	1217.1	729.7	-39.6	690.1
		13.22	937.9	331.5	1269.4	761.0	-39.6	721.4
		12.97	980.8	373.9	1354.7	812.2	-39.6	772.6
		12.72	902.4	416.3	1318.7	790.6	-39.6	751.0
		12.47	843.4	458.7	1302.1	780.6	-39.6	741.0
		12.22	1356.7	496.7	1853.5	1111.2	-39.6	1071.6
		11.97	1409.7	539.1	1948.8	1168.4	-39.6	1128.8
		11.72	1259.1	581.5	1840.7	1103.5	-39.6	1063.9
11.47	1575.4	623.9	2199.3	1318.5	-39.6	1278.9		
S020-2	25.23	14.97	399.2	108.9	508.1	304.6	-27.0	277.6
		14.72	396.7	140.6	537.3	322.1	-27.0	295.1
		14.47	321.1	174.6	495.6	297.2	-27.0	270.1
		14.22	202.9	208.5	411.4	246.6	-27.0	219.6
		13.97	116.2	236.6	352.7	211.5	-27.0	184.5
		13.72	292.5	248.9	541.4	324.6	-27.0	297.6
		13.47	599.1	261.4	860.5	515.9	-27.0	488.9
		13.22	591.5	295.3	886.8	531.6	-27.0	504.6
		12.97	537.8	329.2	867.0	519.8	-27.0	492.8
		12.72	722.9	359.4	1082.4	648.9	-27.0	621.9
		12.47	1281.3	398.0	1679.3	1006.8	-27.0	979.8
		12.22	1650.3	440.4	2090.7	1253.4	-27.0	1226.4
		11.97	1661.9	482.8	2144.6	1285.8	-27.0	1258.8
		11.72	1726.6	525.2	2251.8	1350.0	-27.0	1323.0
11.47	1800.8	567.6	2368.4	1419.9	-27.0	1392.9		

REKENEGEVEENS Mast 024

Berekening : Ontwerpend
 Rekenmethode : Drukpalen volgens NEN-EN 1997-1, art. 7.6.2
 Sondering(en) : S024-1, S024-2

Stijf bouwwerk : NEE
 Paalgroep : NEE
 Aantal sonderingen : 2
 Factor $\xi_{3(n=1)}$: 1.39
 Factor $\xi_{3(gem)}$: 1.32
 Factor $\xi_{4(min)}$: 1.32
 Weerstandsfactor γ_R : 1.20
 $\gamma_{f,nk}$: 1.0
 $R_{s;cal;max;i}$ begrenzen op $0.75 * R_{b;cal;max;i}$: NEE
 UGT draagvermogen zonder negatieve kleef : NEE

Paal : SI-paal 273_400
 Niveau paalkop [m] : N.A.P. 26.66
 Bovenbel. [kN/m²] : 0.00

Project :
Onderdeel :

PAALPUNTNIVEAUS SI-paal 273_400

Alle niveaus/hogtes/peilmaten zijn t.o.v. : N.A.P.

Nr	Beginniveau [m]	Eindniveau [m]	Stapgrootte [m]
1	11.96	9.46	0.25

SAMENVATTINGSTABEL Mast 024 (n=1)**Uitgangspunten**

- paal : SI-paal 273_400
 - paaltype : In de grond gevormde geschroefde paal; groutinjectie
 - schachtafmeting : 400 mm
 Paalklassefactor α_p : 0.63
 Factor α_s (tabel 7.c EC 7.1) : 0.009 (zandlagen; voor kleilagen zie tabel 7.d)
 Correlatiefactor $\xi_{3(n=1)}$: 1.39

Alle niveaus/hogtes/peilmaten zijn t.o.v.: N.A.P.

sondering	maaiveld paalpunt		Bezwijkdraagvermogen			Rekenwaarden		
	niveau	niveau	$R_{b;cal}$ [kN]	$R_{s;cal}$ [kN]	$R_{c;cal}$ [kN]	$R_{c;d}$ [kN]	$F_{nk;d}$ [kN]	$R_{c;netto;d}$ [kN]
S024-1	26.45	11.96	887.3	261.8	1149.1	688.9	-77.7	611.2
		11.71	929.7	261.8	1191.5	714.3	-77.7	636.6
		11.46	969.7	261.8	1231.4	738.3	-77.7	660.5
		11.21	1008.0	261.8	1269.8	761.3	-77.7	683.5
		10.96	1042.5	261.8	1304.2	781.9	-77.7	704.2
		10.71	1076.7	261.8	1338.5	802.4	-77.7	724.7
		10.46	1110.9	261.8	1372.7	822.9	-77.7	745.2
		10.21	1144.6	261.8	1406.3	843.1	-77.7	765.4
		9.96	1175.5	261.8	1437.2	861.6	-77.7	783.9
		9.71	1187.5	261.8	1449.3	868.9	-77.7	791.1
S024-2	26.46	11.96	1046.7	371.2	1417.9	850.1	-69.8	780.2
		11.71	1087.9	371.2	1459.1	874.8	-69.8	805.0
		11.46	1126.8	371.2	1498.0	898.1	-69.8	828.2
		11.21	1165.3	371.2	1536.5	921.2	-69.8	851.3
		10.96	1187.5	371.2	1558.7	934.5	-69.8	864.7
		10.71	1187.5	371.2	1558.7	934.5	-69.8	864.7
		10.46	1187.5	371.2	1558.7	934.5	-69.8	864.7
		10.21	1187.5	371.2	1558.7	934.5	-69.8	864.7
		9.96	1187.5	371.2	1558.7	934.5	-69.8	864.7
		9.71	1187.5	371.2	1558.7	934.5	-69.8	864.7

Project :
Onderdeel :

OVERZICHT NETTO DRAAGVERMOGEN DRUKPALEN

Netto paal draagvermogen(s) zijn naar beneden toe afgerond op: 1.0 kN nauwkeurig
Alle niveaus/hoogtes/peilmaten zijn t.o.v.: N.A.P.

sondering	maaiveld paalpunt		$R_{c, netto; d}$ [kN]	
	niveau	niveau	Mast 020	Mast 024
S024-1	26.45	11.96		611
		11.71		636
		11.46		660
		11.21		683
		10.96		704
		10.71		724
		10.46		745
		10.21		765
		9.96		783
		9.71		791
		S024-2	26.46	11.96
11.71				804
11.46				828
11.21				851
10.96				864
10.71				864
10.46				864
10.21				864
9.96				864
9.71				864
S020-1	25.22			14.97
		14.72	303	
		14.47	222	
		14.22	309	
		13.97	528	
		13.72	660	
		13.47	690	
		13.22	721	
		12.97	772	
		12.72	750	
		12.47	741	
		12.22	1071	
		11.97	1128	
11.72	1063			
11.47	1278			
S020-2	25.23	14.97	277	
		14.72	295	
		14.47	270	
		14.22	219	
		13.97	184	
		13.72	297	
		13.47	488	
		13.22	504	
		12.97	492	
		12.72	621	
		12.47	979	
		12.22	1226	
		11.97	1258	
11.72	1323			
11.47	1392			

Project :
Onderdeel :

ALGEMENE GEGEVENS

Project :
Onderdeel :
Datum : 10-12-2021
Bestand : \\Arh7001.verit.dnv.com\projects\EANL_Projects\
10166262 - BBB modelleren funderingen 380
kV\02 Content\03 Calculations\Technosoft
Paalfunderingen\MBT-EHV380\DO\Nieuw
Sonderingen\Nieuwe palen\Mast 030-039.pvw
Berekeningstype : Verticaal belaste paal
Alle niveaus/hogtes/peilmaten zijn t.o.v.: N.A.P.

Toegepaste normen volgens Eurocode met Nederlandse NB

Geotechniek	EN 1997-1:2004	AC:2009	
	NEN-EN 1997-1:2005	C1+A1:2013	NB:2016
	NEN 9997-1:2016	C2:2017	

REKENEGEGEVENS Mast 032

Berekening : Ontwerpend
Rekenmethode : Drukpalen volgens NEN-EN 1997-1, art. 7.6.2
Sondering(en) : S032-1, S032-2

Stijf bouwwerk : NEE
Paalgroep : NEE
Aantal sonderingen : 2
Factor ξ_3 (n=1) : 1.39
Factor ξ_3 (gem) : 1.32
Factor ξ_4 (min) : 1.32
Weerstandsfactor γ_R : 1.20
 $\gamma_{f,nk}$: 1.0
 $R_{s,cal,max,i}$ begrenzen op $0.75 * R_{b,cal,max,i}$: NEE
UGT draagvermogen zonder negatieve kleeft : NEE

Paal : SI-paal 273_400
Niveau paalkop [m] : N.A.P. 30.06
Bovenbel. [kN/m²] : 0.00

PAALPUNTNIVEAUS SI-paal 273_400

Alle niveaus/hogtes/peilmaten zijn t.o.v. : N.A.P.

Nr	Beginniveau [m]	Eindniveau [m]	Stapgrootte [m]
1	17.76	15.26	0.25

Project :
Onderdeel :

SAMENVATTINGSTABEL Mast 032 (n=1)**Uitgangspunten**

- paal : SI-paal 273_400
 - paaltype : In de grond gevormde geschroefde paal; groutinjectie
 - schachtafmeting : 400 mm
 Paalklassefactor α_p : 0.63
 Factor α_s (tabel 7.c EC 7.1) : 0.009 (zandlagen; voor kleilagen zie tabel 7.d)
 Correlatiefactor $\xi_{3(n=1)}$: 1.39

Alle niveaus/hogtes/peilmaten zijn t.o.v.: N.A.P.

sondering	maaiveld paalpunt		Bewijkdraagvermogen			Rekenwaarden		
	niveau	niveau	$R_{b;cal}$ [kN]	$R_{s;cal}$ [kN]	$R_{c;cal}$ [kN]	$R_{c;d}$ [kN]	$F_{nk;d}$ [kN]	$R_{c;netto;d}$ [kN]
S032-1	29.80	17.76	509.4	830.6	1340.1	803.4	0.0	803.4
		17.51	624.2	845.4	1469.6	881.1	0.0	881.1
		17.26	630.6	887.8	1518.4	910.3	0.0	910.3
		17.01	511.1	930.2	1441.4	864.1	0.0	864.1
		16.76	385.6	972.6	1358.3	814.3	0.0	814.3
		16.51	267.3	1015.1	1282.4	768.8	0.0	768.8
		16.26	247.4	1035.5	1282.8	769.1	0.0	769.1
		16.01	532.0	1035.5	1567.5	939.7	0.0	939.7
		15.76	466.9	1062.5	1529.4	916.9	0.0	916.9
		15.51	389.0	1102.4	1491.4	894.1	0.0	894.1
		15.26	297.1	1142.2	1439.3	862.9	0.0	862.9
S032-2	29.41	17.76	81.1	888.3	969.4	581.2	0.0	581.2
		17.51	98.8	888.3	987.1	591.8	0.0	591.8
		17.26	332.6	888.3	1220.9	731.9	0.0	731.9
		17.01	332.0	911.7	1243.7	745.6	0.0	745.6
		16.76	232.8	945.6	1178.4	706.5	0.0	706.5
		16.51	166.3	968.7	1135.0	680.5	0.0	680.5
		16.26	155.1	968.7	1123.7	673.7	0.0	673.7
		16.01	152.6	968.7	1121.2	672.2	0.0	672.2
		15.76	261.1	968.7	1229.8	737.3	0.0	737.3
		15.51	232.6	977.8	1210.4	725.7	0.0	725.7
		15.26	209.2	1009.8	1219.0	730.8	0.0	730.8

REKENGEGEVENS Mast 033

Berekening : Ontwerpend
 Rekenmethode : Drukpalen volgens NEN-EN 1997-1, art. 7.6.2
 Sondering(en) : S033-1, S033-2

Stijf bouwwerk : NEE
 Paalgroep : NEE
 Aantal sonderingen : 2
 Factor $\xi_{3(n=1)}$: 1.39
 Factor $\xi_{3(gem)}$: 1.32
 Factor $\xi_{4(min)}$: 1.32
 Weerstandsfactor γ_R : 1.20
 $\gamma_{f,nk}$: 1.0
 $R_{s;cal;max;i}$ begrenzen op $0.75 * R_{b;cal;max;i}$: NEE
 UGT draagvermogen zonder negatieve kleef : NEE

Paal : SI-paal 273_400
 Niveau paalkop [m] : N.A.P. 28.41
 Bovenbel. [kN/m²] : 0.00

PAALPUNTNIVEAUS SI-paal 273_400

Alle niveaus/hogtes/peilmaten zijn t.o.v. : N.A.P.

Nr	Beginniveau [m]	Eindniveau [m]	Stapgrootte [m]
1	21.01	17.26	0.25

Project :
Onderdeel :

SAMENVATTINGSTABEL Mast 033 (n=1)**Uitgangspunten**

- paal : SI-paal 273_400
 - paaltype : In de grond gevormde geschroefde paal; groutinjectie
 - schachtafmeting : 400 mm
 Paalklassefactor α_p : 0.63
 Factor α_s (tabel 7.c EC 7.1) : 0.009 (zandlagen; voor kleilagen zie tabel 7.d)
 Correlatiefactor $\xi_{3(n=1)}$: 1.39

Alle niveaus/hogtes/peilmaten zijn t.o.v.: N.A.P.

sondering	maaiveld paalpunt		Bezwijkdraagvermogen			Rekenwaarden		
	niveau	niveau	$R_{b;cal}$ [kN]	$R_{s;cal}$ [kN]	$R_{c;cal}$ [kN]	$R_{c;d}$ [kN]	$F_{nk;d}$ [kN]	$R_{c;netto;d}$ [kN]
S033-1	28.31	21.01	893.8	466.9	1360.8	815.8	-16.1	799.7
		20.76	893.7	509.3	1403.0	841.1	-16.1	825.0
		20.51	861.8	551.8	1413.6	847.5	-16.1	831.3
		20.26	816.6	594.2	1410.7	845.8	-16.1	829.6
		20.01	744.8	636.6	1381.4	828.2	-16.1	812.0
		19.76	765.9	674.7	1440.6	863.7	-16.1	847.5
		19.51	863.2	708.5	1571.8	942.3	-16.1	926.2
		19.26	1030.2	747.8	1778.0	1065.9	-16.1	1049.8
		19.01	1125.7	790.2	1915.9	1148.6	-16.1	1132.5
		18.76	1399.2	832.6	2231.8	1338.0	-16.1	1321.9
		18.51	1652.7	875.0	2527.7	1515.4	-16.1	1499.3
		18.26	1885.0	917.4	2802.4	1680.1	-16.1	1664.0
		18.01	1885.0	959.8	2844.8	1705.5	-16.1	1689.4
		17.76	1885.0	1002.3	2887.2	1730.9	-16.1	1714.8
		17.51	1296.8	1044.7	2341.4	1403.7	-16.1	1387.6
		17.26	1270.9	1087.1	2357.9	1413.6	-16.1	1397.5
S033-2	28.44	21.01	1373.6	549.8	1923.3	1153.1	-20.5	1132.6
		20.76	1393.6	592.2	1985.8	1190.5	-20.5	1170.1
		20.51	1175.8	634.6	1810.4	1085.4	-20.5	1064.9
		20.26	1134.9	677.0	1811.9	1086.3	-20.5	1065.8
		20.01	898.9	719.4	1618.3	970.2	-20.5	949.8
		19.76	896.7	761.8	1658.6	994.3	-20.5	973.9
		19.51	929.3	804.2	1733.5	1039.3	-20.5	1018.8
		19.26	939.1	846.7	1785.8	1070.6	-20.5	1050.2
		19.01	917.8	889.0	1806.8	1083.2	-20.5	1062.7
		18.76	913.6	929.8	1843.4	1105.2	-20.5	1084.7
		18.51	1027.8	969.7	1997.4	1197.5	-20.5	1177.0
		18.26	1441.0	1007.6	2448.7	1468.0	-20.5	1447.6
		18.01	1885.0	1050.1	2935.0	1759.6	-20.5	1739.1
		17.76	1885.0	1092.5	2977.4	1785.0	-20.5	1764.6
		17.51	1885.0	1134.9	3019.8	1810.4	-20.5	1790.0
		17.26	1885.0	1177.3	3062.2	1835.9	-20.5	1815.4

REKENGEGEVENS Mast 035

Berekening : Ontwerpend
 Rekenmethode : Drukpalen volgens NEN-EN 1997-1, art. 7.6.2
 Sondering(en) : S035-1, S035-2

Stijf bouwwerk : NEE
 Paalgroep : NEE
 Aantal sonderingen : 2
 Factor $\xi_{3(n=1)}$: 1.39
 Factor $\xi_{3(gem)}$: 1.32
 Factor $\xi_{4(min)}$: 1.32
 Weerstandsfactor γ_R : 1.20
 $\gamma_{f,nk}$: 1.0
 $R_{s;cal;max;i}$ begrenzen op $0.75 * R_{b;cal;max;i}$: NEE
 UGT draagvermogen zonder negatieve kleef : NEE

Paal : SI-paal 273_400
 Niveau paalkop [m] : N.A.P. 29.11
 Bovenbel. [kN/m²] : 0.00

Project :
Onderdeel :

PAALPUNTNIVEAUS SI-paal 273_400

Alle niveaus/hogtes/peilmaten zijn t.o.v. : N.A.P.

Nr	Beginniveau [m]	Eindniveau [m]	Stapgrootte [m]
1	22.71	20.21	0.25

SAMENVATTINGSTABEL Mast 035 (n=1)**Uitgangspunten**

- paal : SI-paal 273_400
 - paaltype : In de grond gevormde geschroefde paal; groutinjectie
 - schachtafmeting : 400 mm
 Paalklassefactor α_p : 0.63
 Factor α_s (tabel 7.c EC 7.1) : 0.009 (zandlagen; voor kleilagen zie tabel 7.d)
 Correlatiefactor $\xi_3 (n=1)$: 1.39

Alle niveaus/hogtes/peilmaten zijn t.o.v.: N.A.P.

sondering	maaiveld paalpunt		Bezwijkdraagvermogen			Rekenwaarden		
	niveau	niveau	$R_{b,cal}$ [kN]	$R_{s,cal}$ [kN]	$R_{c,cal}$ [kN]	$R_{c,d}$ [kN]	$F_{nk,d}$ [kN]	$R_{c,netto,d}$ [kN]
S035-1	28.71	22.71	963.2	661.8	1625.0	974.2	0.0	974.2
		22.46	1088.8	702.4	1791.2	1073.9	0.0	1073.9
		22.21	1206.9	744.8	1951.7	1170.1	0.0	1170.1
		21.96	1241.5	787.2	2028.7	1216.3	0.0	1216.3
		21.71	1266.1	829.6	2095.8	1256.5	0.0	1256.5
		21.46	1752.4	872.0	2624.4	1573.4	0.0	1573.4
		21.21	1885.0	914.5	2799.4	1678.3	0.0	1678.3
		20.96	1885.0	956.9	2841.8	1703.7	0.0	1703.7
		20.71	1885.0	999.3	2884.2	1729.2	0.0	1729.2
		20.46	1885.0	1041.7	2926.6	1754.6	0.0	1754.6
20.21	1885.0	1084.1	2969.1	1780.0	0.0	1780.0		
S035-2	29.16	22.71	580.9	623.0	1203.9	721.7	0.0	721.7
		22.46	756.5	649.5	1406.0	842.9	0.0	842.9
		22.21	902.9	685.3	1588.2	952.1	0.0	952.1
		21.96	1198.0	725.5	1923.5	1153.2	0.0	1153.2
		21.71	1369.3	767.9	2137.2	1281.3	0.0	1281.3
		21.46	1644.3	810.3	2454.7	1471.6	0.0	1471.6
		21.21	1885.0	852.7	2737.7	1641.3	0.0	1641.3
		20.96	1885.0	895.1	2780.1	1666.7	0.0	1666.7
		20.71	1885.0	937.6	2822.5	1692.2	0.0	1692.2
		20.46	1885.0	980.0	2864.9	1717.6	0.0	1717.6
20.21	1885.0	1022.4	2907.3	1743.0	0.0	1743.0		

REKENGEGEVENS Mast 036

Berekening : Ontwerpend
 Rekenmethode : Drukpalen volgens NEN-EN 1997-1, art. 7.6.2
 Sondering(en) : S036-1, S036-2

Stijf bouwwerk : NEE
 Paalgroep : NEE
 Aantal sonderingen : 2
 Factor $\xi_3 (n=1)$: 1.39
 Factor $\xi_3 (gem)$: 1.32
 Factor $\xi_4 (min)$: 1.32
 Weerstandsfactor γ_R : 1.20
 $\gamma_{f,nk}$: 1.0
 $R_{s,cal,max,i}$ begrenzen op $0.75 * R_{b,cal,max,i}$: NEE
 UGT draagvermogen zonder negatieve kleef : NEE

Paal : SI-paal 273_400
 Niveau paalkop [m] : N.A.P. 29.01
 Bovenbel. [kN/m²] : 0.00

Project :
Onderdeel :

PAALPUNTNIVEAUS SI-paal 273_400

Alle niveaus/hogtes/peilmaten zijn t.o.v. : N.A.P.

Nr	Beginniveau [m]	Eindniveau [m]	Stapgrootte [m]
1	22.76	20.25	0.25

SAMENVATTINGSTABEL Mast 036 (n=1)**Uitgangspunten**

- paal : SI-paal 273_400
 - paaltype : In de grond gevormde geschroefde paal; groutinjectie
 - schachtafmeting : 400 mm
 Paalklassefactor α_p : 0.63
 Factor α_s (tabel 7.c EC 7.1) : 0.009 (zandlagen; voor kleilagen zie tabel 7.d)
 Correlatiefactor $\xi_{3(n=1)}$: 1.39

Alle niveaus/hogtes/peilmaten zijn t.o.v.: N.A.P.

sondering	maaiveld paalpunt		Bezijsdraagvermogen			Rekenwaarden		
	niveau	niveau	$R_{b;cal}$ [kN]	$R_{s;cal}$ [kN]	$R_{c;cal}$ [kN]	$R_{c;d}$ [kN]	$F_{nk;d}$ [kN]	$R_{c;netto;d}$ [kN]
S036-1	28.88	22.76	827.6	401.6	1229.1	736.9	-21.2	715.7
		22.51	845.3	444.0	1289.3	772.9	-21.2	751.7
		22.26	862.5	486.4	1348.9	808.7	-21.2	787.5
		22.01	863.1	528.8	1391.9	834.5	-21.2	813.3
		21.76	854.7	571.2	1425.9	854.8	-21.2	833.7
		21.51	1055.6	610.3	1665.9	998.8	-21.2	977.6
		21.26	1147.3	652.5	1799.8	1079.0	-21.2	1057.8
		21.01	1362.7	694.9	2057.6	1233.6	-21.2	1212.4
		20.76	1180.1	737.3	1917.4	1149.5	-21.2	1128.3
		20.51	1161.5	779.7	1941.2	1163.8	-21.2	1142.6
		20.26	1184.1	822.1	2006.2	1202.8	-21.2	1181.6
		20.25	1185.3	823.8	2009.2	1204.5	-21.2	1183.3
		S036-2	28.93	22.76	581.7	365.6	947.3	567.9
22.51	754.3			397.5	1151.8	690.5	-24.6	665.9
22.26	1001.7			438.8	1440.5	863.6	-24.6	839.0
22.01	1056.7			481.2	1537.9	922.0	-24.6	897.4
21.76	1061.9			523.6	1585.5	950.5	-24.6	925.9
21.51	1113.9			566.0	1679.9	1007.1	-24.6	982.5
21.26	1653.4			608.4	2261.8	1356.0	-24.6	1331.4
21.01	1885.0			650.8	2535.8	1520.2	-24.6	1495.6
20.76	1500.5			693.2	2193.7	1315.2	-24.6	1290.6
20.51	1421.3			735.6	2157.0	1293.2	-24.6	1268.5
20.26	1386.6			778.0	2164.7	1297.8	-24.6	1273.2
20.25	1384.8			779.7	2164.5	1297.7	-24.6	1273.1

REKENGEGEVENS Mast 037

Berekening : Ontwerpend
 Rekenmethode : Drukpalen volgens NEN-EN 1997-1, art. 7.6.2
 Sondering(en) : S037-1, S037-2

Stijf bouwwerk : NEE
 Paalgroep : NEE
 Aantal sonderingen : 2
 Factor $\xi_{3(n=1)}$: 1.39
 Factor $\xi_{3(gem)}$: 1.32
 Factor $\xi_{4(min)}$: 1.32
 Weerstandsfactor γ_R : 1.20
 $\gamma_{f,nk}$: 1.0
 $R_{s;cal;max;i}$ begrenzen op $0.75 * R_{b;cal;max;i}$: NEE
 UGT draagvermogen zonder negatieve kleef : NEE

Paal : SI-paal 273_400
 Niveau paalkop [m] : N.A.P. 29.58
 Bovenbel. [kN/m²] : 0.00

Project :
Onderdeel :

PAALPUNTNIVEAUS SI-paal 273_400

Alle niveaus/hogtes/peilmaten zijn t.o.v. : N.A.P.

Nr	Beginniveau [m]	Eindniveau [m]	Stapgrootte [m]
1	23.03	20.53	0.25

SAMENVATTINGSTABEL Mast 037 (n=1)**Uitgangspunten**

- paal : SI-paal 273_400
 - paaltype : In de grond gevormde geschroefde paal; groutinjectie
 - schachtafmeting : 400 mm
 Paalklassefactor α_p : 0.63
 Factor α_s (tabel 7.c EC 7.1) : 0.009 (zandlagen; voor kleilagen zie tabel 7.d)
 Correlatiefactor ξ_3 (n=1) : 1.39

Alle niveaus/hogtes/peilmaten zijn t.o.v.: N.A.P.

sondering	maaiveld paalpunt		Bezwijkdraagvermogen			Rekenwaarden		
	niveau	niveau	$R_{b;cal}$ [kN]	$R_{s;cal}$ [kN]	$R_{c;cal}$ [kN]	$R_{c;d}$ [kN]	$F_{nk;d}$ [kN]	$R_{c;netto;d}$ [kN]
S037-1	29.58	23.03	1393.5	688.5	2082.0	1248.2	0.0	1248.2
		22.78	1885.0	730.9	2615.8	1568.3	0.0	1568.3
		22.53	1885.0	773.3	2658.3	1593.7	0.0	1593.7
		22.28	1885.0	815.7	2700.7	1619.1	0.0	1619.1
		22.03	1474.1	858.1	2332.3	1398.2	0.0	1398.2
		21.78	1061.5	900.5	1962.0	1176.3	0.0	1176.3
		21.53	699.5	942.9	1642.4	984.7	0.0	984.7
		21.28	513.1	985.4	1498.5	898.4	0.0	898.4
		21.03	376.4	1027.8	1404.2	841.8	0.0	841.8
		20.78	246.8	1070.2	1317.0	789.6	0.0	789.6
20.53	139.6	1112.6	1252.2	750.7	0.0	750.7		
S037-2	29.55	23.03	1780.8	746.9	2527.7	1515.4	0.0	1515.4
		22.78	1841.7	789.3	2631.0	1577.3	0.0	1577.3
		22.53	1885.0	831.7	2716.7	1628.7	0.0	1628.7
		22.28	1885.0	874.1	2759.1	1654.1	0.0	1654.1
		22.03	1796.5	916.5	2713.0	1626.5	0.0	1626.5
		21.78	868.2	959.0	1827.2	1095.4	0.0	1095.4
		21.53	690.0	1001.4	1691.3	1014.0	0.0	1014.0
		21.28	600.7	1043.8	1644.5	985.9	0.0	985.9
		21.03	490.4	1086.2	1576.6	945.2	0.0	945.2
		20.78	340.0	1128.6	1468.6	880.5	0.0	880.5
20.53	179.9	1171.0	1350.9	809.9	0.0	809.9		

REKENGEGEVENS Mast 038

Berekening : Ontwerpend
 Rekenmethode : Drukpalen volgens NEN-EN 1997-1, art. 7.6.2
 Sondering(en) : S038-1, S038-2

Stijf bouwwerk : NEE
 Paalgroep : NEE
 Aantal sonderingen : 2
 Factor ξ_3 (n=1) : 1.39
 Factor ξ_3 (gem) : 1.32
 Factor ξ_4 (min) : 1.32
 Weerstandsfactor γ_R : 1.20
 $\gamma_{f,nk}$: 1.0
 $R_{s;cal,max;i}$ begrenzen op $0.75 * R_{b;cal,max;i}$: NEE
 UGT draagvermogen zonder negatieve kleef : NEE

Paal : SI-paal 273_400
 Niveau paalkop [m] : N.A.P. 29.48
 Bovenbel. [kN/m²] : 0.00

Project :
Onderdeel :

PAALPUNTNIVEAUS SI-paal 273_400

Alle niveaus/hogtes/peilmaten zijn t.o.v. : N.A.P.

Nr	Beginniveau [m]	Eindniveau [m]	Stapgrootte [m]
1	21.98	19.98	0.25

SAMENVATTINGSTABEL Mast 038 (n=1)**Uitgangspunten**

- paal : SI-paal 273_400
 - paaltype : In de grond gevormde geschroefde paal; groutinjectie
 - schachtafmeting : 400 mm
 Paalklassefactor α_p : 0.63
 Factor α_s (tabel 7.c EC 7.1) : 0.009 (zandlagen; voor kleilagen zie tabel 7.d)
 Correlatiefactor $\xi_{3(n=1)}$: 1.39

Alle niveaus/hogtes/peilmaten zijn t.o.v.: N.A.P.

sondering	maaiveld paalpunt		Bezwijkdraagvermogen			Rekenwaarden		
	niveau	niveau	$R_{b;cal}$ [kN]	$R_{s;cal}$ [kN]	$R_{c;cal}$ [kN]	$R_{c;d}$ [kN]	$F_{nk;d}$ [kN]	$R_{c;netto;d}$ [kN]
S038-1	29.31	21.98	735.6	518.2	1253.9	751.7	-24.0	727.7
		21.73	895.9	555.2	1451.1	870.0	-24.0	846.0
		21.48	960.9	597.6	1558.5	934.4	-24.0	910.4
		21.23	799.2	640.0	1439.3	862.9	-24.0	838.9
		20.98	792.5	682.5	1475.0	884.3	-24.0	860.3
		20.73	773.5	724.9	1498.4	898.3	-24.0	874.3
		20.48	708.8	767.3	1476.1	885.0	-24.0	861.0
		20.23	608.8	809.7	1418.5	850.4	-24.0	826.4
		19.98	528.2	851.9	1380.2	827.4	-24.0	803.4
S038-2	29.17	21.98	709.1	357.0	1066.1	639.2	-28.9	610.3
		21.73	1050.5	391.6	1442.0	864.5	-28.9	835.6
		21.48	797.2	434.0	1231.2	738.1	-28.9	709.2
		21.23	735.0	476.4	1211.4	726.3	-28.9	697.4
		20.98	412.0	518.8	930.8	558.0	-28.9	529.1
		20.73	345.9	561.2	907.1	543.9	-28.9	515.0
		20.48	289.9	603.6	893.6	535.7	-28.9	506.8
		20.23	218.4	646.0	864.4	518.2	-28.9	489.3
19.98	171.0	684.1	855.1	512.6	-28.9	483.7		

Project :
Onderdeel :

OVERZICHT NETTO DRAAGVERMOGEN DRUKPALEN

Netto paal draagvermogen(s) zijn naar beneden toe afgerond op: 1.0 kN nauwkeurig
Alle niveaus/hoogtes/peilmaten zijn t.o.v.: N.A.P.

sondering	maaiveld paalpunt		$R_{c,netto;d}$ [kN]				
	niveau	niveau	Mast 032	Mast 033	Mast 035	Mast 036	Mast 037
S033-1	28.31	21.01		799			
		20.76		825			
		20.51		831			
		20.26		829			
		20.01		812			
		19.76		847			
		19.51		926			
		19.26		1049			
		19.01		1132			
		18.76		1321			
		18.51		1499			
		18.26		1663			
		18.01		1689			
		17.76		1714			
		17.51		1387			
17.26		1397					
S033-2	28.44	21.01		1132			
		20.76		1170			
		20.51		1064			
		20.26		1065			
		20.01		949			
		19.76		973			
		19.51		1018			
		19.26		1050			
		19.01		1062			
		18.76		1084			
		18.51		1177			
		18.26		1447			
		18.01		1739			
		17.76		1764			
		17.51		1789			
17.26		1815					
S036-1	28.88	22.76			715		
		22.51			751		
		22.26			787		
		22.01			813		
		21.76			833		
		21.51			977		
		21.26			1057		
		21.01			1212		
		20.76			1128		
		20.51			1142		
20.26			1181				
20.25			1183				
S036-2	28.93	22.76			543		
		22.51			665		
		22.26			839		
		22.01			897		
		21.76			925		
		21.51			982		
		21.26			1331		
		21.01			1495		
		20.76			1290		
		20.51			1268		
20.26			1273				
20.25			1273				
S037-1	29.58	23.03				1248	
		22.78				1568	

Project :
Onderdeel :

Netto paal draagvermogen(s) zijn naar beneden toe afgerond op: 1.0 kN nauwkeurig

Alle niveaus/hogtes/peilmaten zijn t.o.v.: N.A.P.

sondering	maaiveld paalpunt		$R_{c,netto;d}$ [kN]				
	niveau	niveau	Mast 032	Mast 033	Mast 035	Mast 036	Mast 037
		22.53					1593
		22.28					1619
		22.03					1398
		21.78					1176
		21.53					984
		21.28					898
		21.03					841
		20.78					789
		20.53					750
S037-2	29.55	23.03					1515
		22.78					1577
		22.53					1628
		22.28					1654
		22.03					1626
		21.78					1095
		21.53					1013
		21.28					985
		21.03					945
		20.78					880
		20.53					809
S035-1	28.71	22.71			974		
		22.46			1073		
		22.21			1170		
		21.96			1216		
		21.71			1256		
		21.46			1573		
		21.21			1678		
		20.96			1703		
		20.71			1729		
		20.46			1754		
		20.21			1780		
S035-2	29.16	22.71			721		
		22.46			842		
		22.21			952		
		21.96			1153		
		21.71			1281		
		21.46			1471		
		21.21			1641		
		20.96			1666		
		20.71			1692		
		20.46			1717		
		20.21			1743		
S032-1	29.80	17.76	803				
		17.51	881				
		17.26	910				
		17.01	864				
		16.76	814				
		16.51	768				
		16.26	769				
		16.01	939				
		15.76	916				
		15.51	894				
		15.26	862				
S032-2	29.41	17.76	581				
		17.51	591				
		17.26	731				
		17.01	745				
		16.76	706				

Project :
Onderdeel :

Netto paal draagvermogen(s) zijn naar beneden toe afgerond op: 1.0 kN nauwkeurig

Alle niveaus/hogtes/peilmaten zijn t.o.v.: N.A.P.

sondering	maaiveld paalpunt		$R_{c; netto; d}$ [kN]				
	niveau	niveau	Mast 032	Mast 033	Mast 035	Mast 036	Mast 037
		16.51	680				
		16.26	673				
		16.01	672				
		15.76	737				
		15.51	725				
		15.26	730				

Netto paal draagvermogen(s) zijn naar beneden toe afgerond op: 1.0 kN nauwkeurig

Alle niveaus/hogtes/peilmaten zijn t.o.v.: N.A.P.

sondering	maaiveld paalpunt		$R_{c; netto; d}$ [kN]
	niveau	niveau	Mast 038

S038-1	29.31	21.98	727
		21.73	845
		21.48	910
		21.23	838
		20.98	860
		20.73	874
		20.48	860
		20.23	826
	19.98	803	

S038-2	29.17	21.98	610
		21.73	835
		21.48	709
		21.23	697
		20.98	529
		20.73	514
		20.48	506
		20.23	489
	19.98	483	

Project :
Onderdeel :

ALGEMENE GEGEVENS

Project :
Onderdeel :
Datum : 04-03-2022
Bestand : \\Arh7001.verit.dnv.com\projects\EANL_Projects\
10166262 - BBB modelleren funderingen 380
kV\02 Content\03 Calculations\Technosoft
Paalfunderingen\MBT-EHV380\DO\Nieuw
Sonderingen\Nieuwe palen\Mast 040-049.pvw
Berekeningstype : Verticaal belaste paal
Alle niveaus/hogtes/peilmaten zijn t.o.v.: N.A.P.

Toegepaste normen volgens Eurocode met Nederlandse NB

Geotechniek	EN 1997-1:2004	AC:2009	
	NEN-EN 1997-1:2005	C1+A1:2013	NB:2016
	NEN 9997-1:2016	C2:2017	

REKENGEGEVENS Mast 040

Berekening : Ontwerpend
Rekenmethode : Drukpalen volgens NEN-EN 1997-1, art. 7.6.2
Sondering(en) : S040-1, S040-2

Stijf bouwwerk : NEE
Paalgroep : NEE
Aantal sonderingen : 2
Factor ξ_3 (n=1) : 1.39
Factor ξ_3 (gem) : 1.32
Factor ξ_4 (min) : 1.32
Weerstandsfactor γ_R : 1.20
 $\gamma_{f,nk}$: 1.0
 $R_{s,cal,max,i}$ begrenzen op $0.75 * R_{b,cal,max,i}$: NEE
UGT draagvermogen zonder negatieve kleeft : NEE

Paal : SI-paal 273_400
Niveau paalkop [m] : N.A.P. 29.70
Bovenbel. [kN/m²] : 0.00

PAALPUNTNIVEAUS SI-paal 273_400

Alle niveaus/hogtes/peilmaten zijn t.o.v. : N.A.P.

Nr	Beginniveau [m]	Eindniveau [m]	Stapgrootte [m]
1	21.75	20.75	0.25

Project :
Onderdeel :

SAMENVATTINGSTABEL Mast 040 (n=1)**Uitgangspunten**

- paal : SI-paal 273_400
 - paaltype : In de grond gevormde geschroefde paal; groutinjectie
 - schachtafmeting : 400 mm
 Paalklassefactor α_p : 0.63
 Factor α_s (tabel 7.c EC 7.1) : 0.009 (zandlagen; voor kleilagen zie tabel 7.d)
 Correlatiefactor $\xi_{3(n=1)}$: 1.39

Alle niveaus/hogtes/peilmaten zijn t.o.v.: N.A.P.

sondering	maaiveld paalpunt		Bezwijkdraagvermogen			Rekenwaarden		
	niveau	niveau	$R_{b;cal}$ [kN]	$R_{s;cal}$ [kN]	$R_{c;cal}$ [kN]	$R_{c;d}$ [kN]	$F_{nk;d}$ [kN]	$R_{c;netto;d}$ [kN]
S040-1	29.25	21.75	954.0	1029.3	1983.4	1189.1	0.0	1189.1
		21.50	1075.1	1029.3	2104.5	1261.7	0.0	1261.7
		21.25	1636.5	1034.4	2671.0	1601.3	0.0	1601.3
		21.00	1885.0	1076.8	2961.8	1775.7	0.0	1775.7
		20.75	1885.0	1119.3	3004.2	1801.1	0.0	1801.1
S040-2	29.27	21.75	671.6	868.9	1540.5	923.6	0.0	923.6
		21.50	1005.5	868.9	1874.5	1123.8	0.0	1123.8
		21.25	1584.7	874.0	2458.7	1474.0	0.0	1474.0
		21.00	1813.2	916.4	2729.7	1636.5	0.0	1636.5
		20.75	1885.0	958.8	2843.8	1704.9	0.0	1704.9

REKENGEGEVENS Mast 041

Berekening : Ontwerpend
 Rekenmethode : Drukpalen volgens NEN-EN 1997-1, art. 7.6.2
 Sondering(en) : S041-1, S041-2

Stijf bouwwerk : NEE
 Paalgroep : NEE
 Aantal sonderingen : 2
 Factor $\xi_{3(n=1)}$: 1.39
 Factor $\xi_{3(gem)}$: 1.32
 Factor $\xi_{4(min)}$: 1.32
 Weerstandsfactor γ_R : 1.20
 $\gamma_{f,nk}$: 1.0
 $R_{s;cal;max;i}$ begrenzen op $0.75 * R_{b;cal;max;i}$: NEE
 UGT draagvermogen zonder negatieve kleef : NEE

Paal : SI-paal 273_400
 Niveau paalkop [m] : N.A.P. 29.69
 Bovenbel. [kN/m²] : 0.00

PAALPUNTNIVEAUS SI-paal 273_400

Alle niveaus/hogtes/peilmaten zijn t.o.v. : N.A.P.

Nr	Beginniveau [m]	Eindniveau [m]	Stapgrootte [m]
1	22.19	19.69	0.25

Project :
Onderdeel :

SAMENVATTINGSTABEL Mast 041 (n=1)**Uitgangspunten**

- paal : SI-paal 273_400
 - paaltype : In de grond gevormde geschroefde paal; groutinjectie
 - schachtafmeting : 400 mm
 Paalklassefactor α_p : 0.63
 Factor α_s (tabel 7.c EC 7.1) : 0.009 (zandlagen; voor kleilagen zie tabel 7.d)
 Correlatiefactor $\xi_{3(n=1)}$: 1.39

Alle niveaus/hogtes/peilmaten zijn t.o.v.: N.A.P.

sondering	maaiveld paalpunt		Bezuikdraagvermogen			Rekenwaarden		
	niveau	niveau	$R_{b;cal}$ [kN]	$R_{s;cal}$ [kN]	$R_{c;cal}$ [kN]	$R_{c;d}$ [kN]	$F_{nk;d}$ [kN]	$R_{c;netto;d}$ [kN]
S041-1	29.64	22.19	766.3	387.5	1153.8	691.7	-42.0	649.7
		21.94	909.4	429.8	1339.2	802.9	-42.0	760.8
		21.69	1097.3	472.2	1569.5	940.9	-42.0	898.9
		21.44	1039.3	514.6	1554.0	931.6	-42.0	889.6
		21.19	1124.4	557.0	1681.4	1008.0	-42.0	966.0
		20.94	1254.0	599.5	1853.5	1111.2	-42.0	1069.2
		20.69	1326.6	641.9	1968.4	1180.1	-42.0	1138.1
		20.44	1484.0	684.3	2168.3	1299.9	-42.0	1257.9
		20.19	1885.0	726.7	2611.6	1565.7	-42.0	1523.7
		19.94	1885.0	769.1	2654.1	1591.2	-42.0	1549.1
		19.69	1885.0	811.5	2696.5	1616.6	-42.0	1574.5
S041-2	29.79	22.19	722.6	0.0	722.6	433.2	-142.2	291.0
		21.94	1885.0	18.9	1903.9	1141.4	-144.7	996.7
		21.69	1885.0	61.3	1946.3	1166.8	-144.7	1022.2
		21.44	1885.0	103.7	1988.7	1192.3	-144.7	1047.6
		21.19	1885.0	146.1	2031.1	1217.7	-144.7	1073.0
		20.94	1885.0	188.5	2073.5	1243.1	-144.7	1098.4
		20.69	1885.0	231.0	2115.9	1268.5	-144.7	1123.9
		20.44	1885.0	273.4	2158.3	1294.0	-144.7	1149.3
		20.19	1885.0	315.8	2200.7	1319.4	-144.7	1174.7
		19.94	1885.0	358.2	2243.1	1344.8	-144.7	1200.1
		19.69	1885.0	400.6	2285.6	1370.2	-144.7	1225.6

REKENGEGEVENS Mast 043

Berekening : Ontwerpend
 Rekenmethode : Drukpalen volgens NEN-EN 1997-1, art. 7.6.2
 Sondering(en) : S043-1, S043-2

Stijf bouwwerk : NEE
 Paalgroep : NEE
 Aantal sonderingen : 2
 Factor $\xi_{3(n=1)}$: 1.39
 Factor $\xi_{3(gem)}$: 1.32
 Factor $\xi_{4(min)}$: 1.32
 Weerstandsfactor γ_R : 1.20
 $\gamma_{f,nk}$: 1.0
 $R_{s;cal;max;i}$ begrenzen op $0.75 * R_{b;cal;max;i}$: NEE
 UGT draagvermogen zonder negatieve kleef : NEE

Paal : SI-paal 273_400
 Niveau paalkop [m] : N.A.P. 30.17
 Bovenbel. [kN/m²] : 0.00

PAALPUNTNIVEAUS SI-paal 273_400

Alle niveaus/hogtes/peilmaten zijn t.o.v. : N.A.P.

Nr	Beginniveau [m]	Eindniveau [m]	Stapgrootte [m]
1	22.22	19.72	0.25

Project :
Onderdeel :

SAMENVATTINGSTABEL Mast 043 (n=1)**Uitgangspunten**

- paal : SI-paal 273_400
 - paaltype : In de grond gevormde geschroefde paal; groutinjectie
 - schachtafmeting : 400 mm
 Paalklassefactor α_p : 0.63
 Factor α_s (tabel 7.c EC 7.1) : 0.009 (zandlagen; voor kleilagen zie tabel 7.d)
 Correlatiefactor $\xi_{3(n=1)}$: 1.39

Alle niveaus/hogtes/peilmaten zijn t.o.v.: N.A.P.

sondering	maaiveld paalpunt		Bezwijkdraagvermogen			Rekenwaarden		
	niveau	niveau	$R_{b;cal}$ [kN]	$R_{s;cal}$ [kN]	$R_{c;cal}$ [kN]	$R_{c;d}$ [kN]	$F_{nk;d}$ [kN]	$R_{c;netto;d}$ [kN]
S043-1	30.06	22.22	99.5	0.0	99.5	59.6	-164.8	-105.2
		21.97	83.6	0.0	83.6	50.1	-173.0	-122.8
		21.72	507.7	0.0	507.7	304.4	-180.6	123.7
		21.47	927.1	11.9	938.9	562.9	-181.2	381.7
		21.22	1561.9	54.3	1616.2	968.9	-181.2	787.7
		20.97	1691.7	96.7	1788.4	1072.2	-181.2	890.9
		20.72	1790.2	139.1	1929.3	1156.6	-181.2	975.4
		20.47	1846.3	181.5	2027.8	1215.7	-181.2	1034.5
		20.22	1885.0	223.9	2108.9	1264.3	-181.2	1083.1
		19.97	1885.0	266.3	2151.3	1289.7	-181.2	1108.5
		19.72	1885.0	308.8	2193.7	1315.2	-181.2	1133.9
S043-2	29.87	22.22	231.3	0.0	231.3	138.7	-162.6	-24.0
		21.97	187.4	0.0	187.4	112.4	-172.6	-60.2
		21.72	310.1	0.0	310.1	185.9	-182.6	3.3
		21.47	1160.8	0.0	1160.8	695.9	-191.6	504.3
		21.22	1777.5	33.9	1811.5	1086.0	-191.6	894.4
		20.97	1885.0	76.3	1961.3	1175.8	-191.6	984.2
		20.72	1885.0	118.8	2003.7	1201.3	-191.6	1009.6
		20.47	1885.0	161.2	2046.1	1226.7	-191.6	1035.1
		20.22	1885.0	203.6	2088.5	1252.1	-191.6	1060.5
		19.97	1885.0	246.0	2130.9	1277.5	-191.6	1085.9
		19.72	1885.0	288.4	2173.4	1303.0	-191.6	1111.3

REKENGEGEVENS Mast 044

Berekening : Ontwerpend
 Rekenmethode : Drukpalen volgens NEN-EN 1997-1, art. 7.6.2
 Sondering(en) : S044-1, S044-2

Stijf bouwwerk : NEE
 Paalgroep : NEE
 Aantal sonderingen : 2
 Factor $\xi_{3(n=1)}$: 1.39
 Factor $\xi_{3(gem)}$: 1.32
 Factor $\xi_{4(min)}$: 1.32
 Weerstandsfactor γ_R : 1.20
 $\gamma_{f,nk}$: 1.0
 $R_{s;cal;max;i}$ begrenzen op $0.75 * R_{b;cal;max;i}$: NEE
 UGT draagvermogen zonder negatieve kleef : NEE

Paal : SI-paal 273_400
 Niveau paalkop [m] : N.A.P. 30.41
 Bovenbel. [kN/m²] : 0.00

PAALPUNTNIVEAUS SI-paal 273_400

Alle niveaus/hogtes/peilmaten zijn t.o.v. : N.A.P.

Nr	Beginniveau [m]	Eindniveau [m]	Stapgrootte [m]
1	23.21	20.75	0.25

Project :
Onderdeel :

SAMENVATTINGSTABEL Mast 044 (n=1)**Uitgangspunten**

- paal : SI-paal 273_400
 - paaltype : In de grond gevormde geschroefde paal; groutinjectie
 - schachtafmeting : 400 mm
 Paalklassefactor α_p : 0.63
 Factor α_s (tabel 7.c EC 7.1) : 0.009 (zandlagen; voor kleilagen zie tabel 7.d)
 Correlatiefactor $\xi_{3(n=1)}$: 1.39

Alle niveaus/hogtes/peilmaten zijn t.o.v.: N.A.P.

sondering	maaiveld paalpunt		Bewijkdraagvermogen			Rekenwaarden		
	niveau	niveau	$R_{b;cal}$ [kN]	$R_{s;cal}$ [kN]	$R_{c;cal}$ [kN]	$R_{c;d}$ [kN]	$F_{nk;d}$ [kN]	$R_{c;netto;d}$ [kN]
S044-1	30.26	23.21	284.8	686.6	971.4	582.4	0.0	582.4
		22.96	277.4	707.2	984.6	590.3	0.0	590.3
		22.71	264.4	707.2	971.6	582.5	0.0	582.5
		22.46	218.3	724.9	943.2	565.5	0.0	565.5
		22.21	91.5	758.8	850.3	509.8	0.0	509.8
		21.96	70.0	768.7	838.7	502.8	0.0	502.8
		21.71	68.2	768.7	836.9	501.7	0.0	501.7
		21.46	845.7	769.9	1615.6	968.6	0.0	968.6
		21.21	1344.1	799.6	2143.7	1285.2	0.0	1285.2
		20.96	1472.8	842.0	2314.9	1387.8	0.0	1387.8
		20.75	1627.7	877.7	2505.4	1502.0	0.0	1502.0
S044-2	30.19	23.21	190.2	589.9	780.1	467.7	0.0	467.7
		22.96	136.1	612.6	748.6	448.8	0.0	448.8
		22.71	469.5	612.6	1082.1	648.7	0.0	648.7
		22.46	477.6	630.2	1107.8	664.1	0.0	664.1
		22.21	256.1	664.1	920.2	551.7	0.0	551.7
		21.96	115.3	681.1	796.4	477.5	0.0	477.5
		21.71	561.8	681.1	1242.9	745.1	0.0	745.1
		21.46	1456.5	700.2	2156.7	1293.0	0.0	1293.0
		21.21	1651.5	742.6	2394.1	1435.3	0.0	1435.3
		20.96	1739.8	785.0	2524.8	1513.7	0.0	1513.7
		20.75	1793.1	820.6	2613.7	1567.0	0.0	1567.0

REKENGEGEVENS Mast 046

Berekening : Ontwerpend
 Rekenmethode : Drukpalen volgens NEN-EN 1997-1, art. 7.6.2
 Sondering(en) : S046-1, S046-2

Stijf bouwwerk : NEE
 Paalgroep : NEE
 Aantal sonderingen : 2
 Factor $\xi_{3(n=1)}$: 1.39
 Factor $\xi_{3(gem)}$: 1.32
 Factor $\xi_{4(min)}$: 1.32
 Weerstandsfactor γ_R : 1.20
 $\gamma_{f,nk}$: 1.0
 $R_{s;cal;max;i}$ begrenzen op $0.75 * R_{b;cal;max;i}$: NEE
 UGT draagvermogen zonder negatieve kleef : NEE

Paal : SI-paal 273_400
 Niveau paalkop [m] : N.A.P. 31.03
 Bovenbel. [kN/m²] : 0.00

PAALPUNTNIVEAUS SI-paal 273_400

Alle niveaus/hogtes/peilmaten zijn t.o.v. : N.A.P.

Nr	Beginniveau [m]	Eindniveau [m]	Stapgrootte [m]
1	23.28	20.03	0.25

Project :
Onderdeel :

SAMENVATTINGSTABEL Mast 046 (n=1)**Uitgangspunten**

- paal : SI-paal 273_400
 - paaltype : In de grond gevormde geschroefde paal; groutinjectie
 - schachtafmeting : 400 mm
 Paalklassefactor α_p : 0.63
 Factor α_s (tabel 7.c EC 7.1) : 0.009 (zandlagen; voor kleilagen zie tabel 7.d)
 Correlatiefactor $\xi_{3(n=1)}$: 1.39

Alle niveaus/hogtes/peilmaten zijn t.o.v.: N.A.P.

sondering	maaiveld paalpunt		Bezwijkdraagvermogen			Rekenwaarden		
	niveau	niveau	$R_{b;cal}$ [kN]	$R_{s;cal}$ [kN]	$R_{c;cal}$ [kN]	$R_{c;d}$ [kN]	$F_{nk;d}$ [kN]	$R_{c;netto;d}$ [kN]
S046-1	31.15	23.28	571.0	489.2	1060.2	635.6	-37.3	598.3
		23.03	529.2	524.0	1053.2	631.4	-37.3	594.1
		22.78	481.0	558.7	1039.7	623.3	-37.3	586.0
		22.53	493.4	564.3	1057.7	634.1	-37.3	596.8
		22.28	482.5	570.7	1053.2	631.4	-37.3	594.1
		22.03	307.4	604.7	912.1	546.8	-37.3	509.5
		21.78	123.9	612.8	736.7	441.7	-37.3	404.4
		21.53	399.9	612.8	1012.7	607.1	-37.3	569.8
		21.28	490.2	622.3	1112.5	667.0	-37.3	629.7
		21.03	1052.6	653.4	1706.0	1022.8	-37.3	985.4
		20.78	1675.8	692.3	2368.1	1419.7	-37.3	1382.4
		20.53	1771.0	734.7	2505.7	1502.2	-37.3	1464.9
		20.28	1843.9	777.1	2621.0	1571.4	-37.3	1534.0
		20.03	1885.0	819.6	2704.5	1621.4	-37.3	1584.1
S046-2	30.93	23.28	318.7	564.1	882.8	529.3	-35.2	494.1
		23.03	309.7	589.1	898.8	538.9	-35.2	503.7
		22.78	293.5	590.2	883.7	529.8	-35.2	494.6
		22.53	269.9	590.2	860.1	515.6	-35.2	480.4
		22.28	272.7	590.2	862.9	517.3	-35.2	482.1
		22.03	278.8	600.4	879.2	527.1	-35.2	491.9
		21.78	205.8	634.4	840.2	503.7	-35.2	468.5
		21.53	121.7	668.3	790.0	473.6	-35.2	438.4
		21.28	93.5	680.5	774.0	464.0	-35.2	428.8
		21.03	93.3	680.5	773.8	463.9	-35.2	428.7
		20.78	604.1	680.5	1284.7	770.2	-35.2	735.0
		20.53	1510.8	704.6	2215.4	1328.2	-35.2	1293.0
		20.28	1726.2	747.0	2473.2	1482.7	-35.2	1447.5
		20.03	1848.7	789.4	2638.1	1581.6	-35.2	1546.4

REKENEGEVEENS Mast 047

Berekening : Ontwerpend
 Rekenmethode : Drukpalen volgens NEN-EN 1997-1, art. 7.6.2
 Sondering(en) : S047-1, S047-2

Stijf bouwwerk : NEE
 Paalgroep : NEE
 Aantal sonderingen : 2
 Factor $\xi_{3(n=1)}$: 1.39
 Factor $\xi_{3(gem)}$: 1.32
 Factor $\xi_{4(min)}$: 1.32
 Weerstandsfactor γ_R : 1.20
 $\gamma_{f,nk}$: 1.0
 $R_{s;cal;max;i}$ begrenzen op $0.75 * R_{p;cal;max;i}$: NEE
 UGT draagvermogen zonder negatieve kleef : NEE

Paal : SI-paal 273_400
 Niveau paalkop [m] : N.A.P. 31.16
 Bovenbel. [kN/m²] : 0.00

Project :
Onderdeel :

PAALPUNTNIVEAUS SI-paal 273_400

Alle niveaus/hogtes/peilmaten zijn t.o.v. : N.A.P.

Nr	Beginniveau [m]	Eindniveau [m]	Stapgrootte [m]
1	23.21	19.96	0.25

SAMENVATTINGSTABEL Mast 047 (n=1)**Uitgangspunten**

- paal : SI-paal 273_400
 - paaltype : In de grond gevormde geschroefde paal; groutinjectie
 - schachtafmeting : 400 mm
 Paalklassefactor α_p : 0.63
 Factor α_s (tabel 7.c EC 7.1) : 0.009 (zandlagen; voor kleilagen zie tabel 7.d)
 Correlatiefactor $\xi_{3(n=1)}$: 1.39

Alle niveaus/hogtes/peilmaten zijn t.o.v.: N.A.P.

sondering	maaiveld paalpunt		Bezwijkdraagvermogen			Rekenwaarden		
	niveau	niveau	$R_{b;cal}$ [kN]	$R_{s;cal}$ [kN]	$R_{c;cal}$ [kN]	$R_{c;d}$ [kN]	$F_{nk;d}$ [kN]	$R_{c;netto;d}$ [kN]
S047-1	31.00	23.21	508.9	442.9	951.8	570.6	-43.6	527.0
		22.96	465.2	471.4	936.6	561.5	-43.6	517.9
		22.71	378.2	505.3	883.5	529.7	-43.6	486.1
		22.46	254.6	539.2	793.8	475.9	-43.6	432.3
		22.21	252.4	552.3	804.7	482.4	-43.6	438.8
		21.96	336.4	560.7	897.1	537.8	-43.6	494.2
		21.71	336.9	575.1	912.1	546.8	-43.6	503.2
		21.46	327.8	603.0	930.9	558.1	-43.6	514.5
		21.21	716.8	608.2	1325.1	794.4	-43.6	750.8
		20.96	770.7	644.8	1415.5	848.6	-43.6	805.1
		20.71	990.6	681.4	1672.0	1002.4	-43.6	958.8
		20.46	1137.6	723.2	1860.8	1115.6	-43.6	1072.0
		20.21	1354.1	765.6	2119.8	1270.8	-43.6	1227.2
19.96	1534.9	808.0	2342.9	1404.6	-43.6	1361.0		
S047-2	31.04	23.21	571.5	537.4	1108.9	664.8	-33.4	631.4
		22.96	524.4	571.3	1095.7	656.9	-33.4	623.6
		22.71	433.5	605.2	1038.7	622.7	-33.4	589.4
		22.46	368.9	637.9	1006.7	603.6	-33.4	570.2
		22.21	348.0	667.8	1015.8	609.0	-33.4	575.7
		21.96	351.5	695.4	1046.9	627.6	-33.4	594.3
		21.71	377.4	710.0	1087.4	651.9	-33.4	618.6
		21.46	290.7	743.9	1034.7	620.3	-33.4	586.9
		21.21	228.7	773.7	1002.4	601.0	-33.4	567.6
		20.96	475.6	793.0	1268.6	760.5	-33.4	727.2
		20.71	1504.6	793.0	2297.6	1377.5	-33.4	1344.1
		20.46	1606.8	816.8	2423.5	1452.9	-33.4	1419.6
		20.21	1707.5	859.2	2566.7	1538.8	-33.4	1505.4
19.96	1885.0	901.6	2786.5	1670.6	-33.4	1637.2		

REKENEGEGEVENS Mast 048

Berekening : Ontwerpend
 Rekenmethode : Drukpalen volgens NEN-EN 1997-1, art. 7.6.2
 Sondering(en) : S048-1, S048-2

Stijf bouwwerk : NEE
 Paalgroep : NEE
 Aantal sonderingen : 2
 Factor $\xi_{3(n=1)}$: 1.39
 Factor $\xi_{3(gem)}$: 1.32
 Factor $\xi_{4(min)}$: 1.32
 Weerstandsfactor γ_R : 1.20
 $\gamma_{f,nk}$: 1.0
 $R_{s;cal;max;i}$ begrenzen op $0.75 * R_{b;cal;max;i}$: NEE
 UGT draagvermogen zonder negatieve kleef : NEE

Paal : SI-paal 273_400
 Niveau paalkop [m] : N.A.P. 31.68
 Bovenbel. [kN/m²] : 0.00

Project :
Onderdeel :

PAALPUNTNIVEAUS SI-paal 273_400

Alle niveaus/hogtes/peilmaten zijn t.o.v. : N.A.P.

Nr	Beginniveau [m]	Eindniveau [m]	Stapgrootte [m]
1	22.23	18.98	0.25

SAMENVATTINGSTABEL Mast 048 (n=1)**Uitgangspunten**

- paal : SI-paal 273_400
 - paaltype : In de grond gevormde geschroefde paal; groutinjectie
 - schachtafmeting : 400 mm
 Paalklassefactor α_p : 0.63
 Factor α_s (tabel 7.c EC 7.1) : 0.009 (zandlagen; voor kleilagen zie tabel 7.d)
 Correlatiefactor $\xi_{3(n=1)}$: 1.39

Alle niveaus/hogtes/peilmaten zijn t.o.v.: N.A.P.

sondering	maaiveld paalpunt		Bezwijkdraagvermogen			Rekenwaarden		
	niveau	niveau	$R_{b;cal}$ [kN]	$R_{s;cal}$ [kN]	$R_{c;cal}$ [kN]	$R_{c;d}$ [kN]	$F_{nk;d}$ [kN]	$R_{c;netto;d}$ [kN]
S048-1	31.37	22.23	142.2	504.1	646.2	387.4	0.0	387.4
		21.98	431.2	504.1	935.2	560.7	0.0	560.7
		21.73	288.1	534.9	823.0	493.4	0.0	493.4
		21.48	203.5	552.6	756.0	453.3	0.0	453.3
		21.23	421.2	552.6	973.8	583.8	0.0	583.8
		20.98	427.0	579.6	1006.7	603.5	0.0	603.5
		20.73	415.0	613.5	1028.5	616.6	0.0	616.6
		20.48	303.5	647.5	951.0	570.1	0.0	570.1
		20.23	311.3	648.8	960.1	575.6	0.0	575.6
		19.98	385.1	648.8	1033.9	619.8	0.0	619.8
		19.73	1765.8	648.8	2414.6	1447.6	0.0	1447.6
		19.48	1885.0	687.8	2572.8	1542.4	0.0	1542.4
		19.23	1885.0	730.3	2615.2	1567.9	0.0	1567.9
		18.98	1885.0	772.7	2657.6	1593.3	0.0	1593.3
S048-2	31.38	22.23	572.1	420.6	992.7	595.1	0.0	595.1
		21.98	518.3	420.6	938.9	562.9	0.0	562.9
		21.73	382.2	446.7	828.9	496.9	0.0	496.9
		21.48	399.3	455.1	854.4	512.2	0.0	512.2
		21.23	350.0	455.1	805.1	482.7	0.0	482.7
		20.98	286.8	486.3	773.1	463.5	0.0	463.5
		20.73	151.5	520.3	671.7	402.7	0.0	402.7
		20.48	118.5	539.1	657.6	394.2	0.0	394.2
		20.23	112.0	539.4	651.3	390.5	0.0	390.5
		19.98	390.3	539.4	929.7	557.4	0.0	557.4
		19.73	1468.1	539.4	2007.5	1203.5	0.0	1203.5
		19.48	1806.4	578.4	2384.8	1429.7	0.0	1429.7
		19.23	1885.0	620.8	2505.7	1502.2	0.0	1502.2
		18.98	1885.0	663.2	2548.2	1527.7	0.0	1527.7

REKENEGEGEVENS Mast 049

Berekening : Ontwerpend
 Rekenmethode : Drukpalen volgens NEN-EN 1997-1, art. 7.6.2
 Sondering(en) : S049-1, S049-2

Stijf bouwwerk : NEE
 Paalgroep : NEE
 Aantal sonderingen : 2
 Factor $\xi_{3(n=1)}$: 1.39
 Factor $\xi_{3(gem)}$: 1.32
 Factor $\xi_{4(min)}$: 1.32
 Weerstandsfactor γ_R : 1.20
 $\gamma_{f,nk}$: 1.0
 $R_{s;cal;max;i}$ begrenzen op $0.75 * R_{b;cal;max;i}$: NEE
 UGT draagvermogen zonder negatieve kleef : NEE

Paal : SI-paal 273_400
 Niveau paalkop [m] : N.A.P. 31.21
 Bovenbel. [kN/m²] : 0.00

Project :
Onderdeel :

PAALPUNTNIVEAUS SI-paal 273_400

Alle niveaus/hogtes/peilmaten zijn t.o.v. : N.A.P.

Nr	Beginniveau [m]	Eindniveau [m]	Stapgrootte [m]
1	23.10	20.60	0.25

SAMENVATTINGSTABEL Mast 049 (n=1)**Uitgangspunten**

- paal : SI-paal 273_400
 - paaltype : In de grond gevormde geschroefde paal; groutinjectie
 - schachtafmeting : 400 mm
 Paalklassefactor α_p : 0.63
 Factor α_s (tabel 7.c EC 7.1) : 0.009 (zandlagen; voor kleilagen zie tabel 7.d)
 Correlatiefactor $\xi_{3(n=1)}$: 1.39

Alle niveaus/hogtes/peilmaten zijn t.o.v.: N.A.P.

sondering	maaiveld paalpunt		Bezwijkdraagvermogen			Rekenwaarden		
	niveau	niveau	$R_{b;cal}$ [kN]	$R_{s;cal}$ [kN]	$R_{c;cal}$ [kN]	$R_{c;d}$ [kN]	$F_{nk;d}$ [kN]	$R_{c;netto;d}$ [kN]
S049-1	30.90	23.10	662.3	473.8	1136.0	681.1	-48.3	632.8
		22.85	611.8	516.2	1128.0	676.3	-48.3	628.0
		22.60	553.2	558.6	1111.8	666.6	-48.3	618.3
		22.35	520.1	601.0	1121.1	672.1	-48.3	623.9
		22.10	447.1	643.4	1090.5	653.8	-48.3	605.5
		21.85	331.7	685.8	1017.5	610.0	-48.3	561.7
		21.60	273.9	722.1	996.0	597.1	-48.3	548.9
		21.35	341.1	724.0	1065.1	638.6	-48.3	590.3
		21.10	449.8	724.0	1173.8	703.7	-48.3	655.4
		20.85	464.4	733.5	1197.9	718.2	-48.3	669.9
	20.60	432.5	764.0	1196.5	717.3	-48.3	669.1	
S049-2	31.12	23.10	901.5	499.3	1400.8	839.8	-22.2	817.6
		22.85	833.0	541.7	1374.6	824.1	-22.2	802.0
		22.60	790.1	584.1	1374.2	823.8	-22.2	801.7
		22.35	510.3	626.5	1136.8	681.6	-22.2	659.4
		22.10	466.6	668.9	1135.5	680.8	-22.2	658.6
		21.85	457.4	710.3	1167.7	700.1	-22.2	677.9
		21.60	426.9	750.9	1177.8	706.1	-22.2	683.9
		21.35	388.1	791.2	1179.2	707.0	-22.2	684.8
		21.10	347.6	823.4	1171.0	702.0	-22.2	679.9
		20.85	447.3	837.8	1285.1	770.4	-22.2	748.3
	20.60	448.0	852.4	1300.4	779.6	-22.2	757.5	

Project :
Onderdeel :

OVERZICHT NETTO DRAAGVERMOGEN DRUKPALEN

Netto paal draagvermogen(s) zijn naar beneden toe afgerond op: 1.0 kN nauwkeurig
Alle niveaus/hoogtes/peilmaten zijn t.o.v.: N.A.P.

sondering	maaiveld paalpunt		$R_{c, netto; d}$ [kN]					
	niveau	niveau	Mast 040	Mast 041	Mast 043	Mast 044	Mast 046	
S041-1	29.64	22.19		649				
		21.94		760				
		21.69		898				
		21.44		889				
		21.19		965				
		20.94		1069				
		20.69		1138				
		20.44		1257				
		20.19		1523				
		19.94		1549				
		19.69		1574				
S041-2	29.79	22.19		291				
		21.94		996				
		21.69		1022				
		21.44		1047				
		21.19		1073				
		20.94		1098				
		20.69		1123				
		20.44		1149				
		20.19		1174				
		19.94		1200				
		19.69		1225				
S043-1	30.06	22.22			-106			
		21.97			-123			
		21.72			123			
		21.47			381			
		21.22			787			
		20.97			890			
		20.72			975			
		20.47			1034			
		20.22			1083			
		19.97			1108			
		19.72			1133			
S043-2	29.87	22.22			-24			
		21.97			-61			
		21.72			3			
		21.47			504			
		21.22			894			
		20.97			984			
		20.72			1009			
		20.47			1035			
		20.22			1060			
		19.97			1085			
		19.72			1111			
S046-1	31.15	23.28					598	
		23.03					594	
		22.78					586	
		22.53					596	
		22.28					594	
		22.03					509	
		21.78					404	
		21.53					569	
		21.28					629	
		21.03					985	
		20.78					1382	
		20.53					1464	
		20.28					1534	
20.03					1584			

Project :
Onderdeel :

Netto paal draagvermogen(s) zijn naar beneden toe afgerond op: 1.0 kN nauwkeurig

Alle niveaus/hogtes/peilmaten zijn t.o.v.: N.A.P.

sondering	maaiveld paalpunt		$R_{c,netto;d}$ [kN]				
	niveau	niveau	Mast 040	Mast 041	Mast 043	Mast 044	Mast 046
S046-2	30.93	23.28					494
		23.03					503
		22.78					494
		22.53					480
		22.28					482
		22.03					491
		21.78					468
		21.53					438
		21.28					428
		21.03					428
		20.78					734
		20.53					1293
		20.28					1447
20.03					1546		
S040-1	29.25	21.75	1189				
		21.50	1261				
		21.25	1601				
		21.00	1775				
		20.75	1801				
S040-2	29.27	21.75	923				
		21.50	1123				
		21.25	1474				
		21.00	1636				
		20.75	1704				
S044-1	30.26	23.21				582	
		22.96				590	
		22.71				582	
		22.46				565	
		22.21				509	
		21.96				502	
		21.71				501	
		21.46				968	
		21.21				1285	
		20.96				1387	
20.75				1502			
S044-2	30.19	23.21				467	
		22.96				448	
		22.71				648	
		22.46				664	
		22.21				551	
		21.96				477	
		21.71				745	
		21.46				1292	
		21.21				1435	
		20.96				1513	
20.75				1566			

Project :
Onderdeel :

Netto paal draagvermogen(s) zijn naar beneden toe afgerond op: 1.0 kN nauwkeurig
Alle niveaus/hogtes/peilmaten zijn t.o.v.: N.A.P.

sondering	maaiveld	paalpunt	R _{c,netto;d}	[kN]
	niveau	niveau	Mast 047	Mast 048 Mast 049

S047-1	31.00	23.21	527	
		22.96	517	
		22.71	486	
		22.46	432	
		22.21	438	
		21.96	494	
		21.71	503	
		21.46	514	
		21.21	750	
		20.96	805	
		20.71	958	
		20.46	1072	
		20.21	1227	
19.96	1361			
S047-2	31.04	23.21	631	
		22.96	623	
		22.71	589	
		22.46	570	
		22.21	575	
		21.96	594	
		21.71	618	
		21.46	586	
		21.21	567	
		20.96	727	
		20.71	1344	
		20.46	1419	
		20.21	1505	
19.96	1637			
S048-1	31.37	22.23		387
		21.98		560
		21.73		493
		21.48		453
		21.23		583
		20.98		603
		20.73		616
		20.48		570
		20.23		575
		19.98		619
		19.73		1447
		19.48		1542
		19.23		1567
18.98		1593		
S048-2	31.38	22.23		595
		21.98		562
		21.73		496
		21.48		512
		21.23		482
		20.98		463
		20.73		402
		20.48		394
		20.23		390
		19.98		557
		19.73		1203
		19.48		1429
		19.23		1502
18.98		1527		

Project :
Onderdeel :

Netto paal draagvermogen(s) zijn naar beneden toe afgerond op: 1.0 kN nauwkeurig
Alle niveaus/hogtes/peilmaten zijn t.o.v.: N.A.P.

sondering	maaiveld paalpunt		$R_{c,netto;d}$ [kN]		
	niveau	niveau	Mast 047	Mast 048	Mast 049
S049-1	30.90	23.10			632
		22.85			627
		22.60			618
		22.35			623
		22.10			605
		21.85			561
		21.60			548
		21.35			590
		21.10			655
		20.85			669
		20.60			669
S049-2	31.12	23.10			817
		22.85			801
		22.60			801
		22.35			659
		22.10			658
		21.85			677
		21.60			683
		21.35			684
		21.10			679
		20.85			748
		20.60			757

Project :
Onderdeel :

ALGEMENE GEGEVENS

Project :
Onderdeel :
Datum : 04-03-2022
Bestand : \\Arh7001.verit.dnv.com\projects\EANL_Projects\
10166262 - BBB modelleren funderingen 380
kV\02 Content\03 Calculations\Technosoft
Paalfunderingen\MBT-EHV380\DO\Nieuw
Sonderingen\Nieuwe palen\Mast 050-059.pvw
Berekeningstype : Verticaal belaste paal
Alle niveaus/hogtes/peilmaten zijn t.o.v.: N.A.P.

Toegepaste normen volgens Eurocode met Nederlandse NB

Geotechniek	EN 1997-1:2004	AC:2009	
	NEN-EN 1997-1:2005	C1+A1:2013	NB:2016
	NEN 9997-1:2016	C2:2017	

REKENEGEGEVENS Mast 053

Berekening : Ontwerpend
Rekenmethode : Drukpalen volgens NEN-EN 1997-1, art. 7.6.2
Sondering(en) : S053-1, S053-2

Stijf bouwwerk : NEE
Paalgroep : NEE
Aantal sonderingen : 2
Factor ξ_3 (n=1) : 1.39
Factor ξ_3 (gem) : 1.32
Factor ξ_4 (min) : 1.32
Weerstandsfactor γ_R : 1.20
 $\gamma_{f,nk}$: 1.0
 $R_{s,cal,max,i}$ begrenzen op $0.75 * R_{b,cal,max,i}$: NEE
UGT draagvermogen zonder negatieve kleeft : NEE

Paal : SI-paal 273_400
Niveau paalkop [m] : N.A.P. 30.94
Bovenbel. [kN/m²] : 0.00

PAALPUNTNIVEAUS SI-paal 273_400

Alle niveaus/hogtes/peilmaten zijn t.o.v. : N.A.P.

Nr	Beginniveau [m]	Eindniveau [m]	Stapgrootte [m]
1	22.94	20.44	0.25

Project :
Onderdeel :

SAMENVATTINGSTABEL Mast 053 (n=1)**Uitgangspunten**

- paal : SI-paal 273_400
 - paaltype : In de grond gevormde geschroefde paal; groutinjectie
 - schachtafmeting : 400 mm
 Paalklassefactor α_p : 0.63
 Factor α_s (tabel 7.c EC 7.1) : 0.009 (zandlagen; voor kleilagen zie tabel 7.d)
 Correlatiefactor $\xi_{3(n=1)}$: 1.39

Alle niveaus/hogtes/peilmaten zijn t.o.v.: N.A.P.

sondering	maaiveld paalpunt		Bezwijkdraagvermogen			Rekenwaarden		
	niveau	niveau	$R_{b;cal}$ [kN]	$R_{s;cal}$ [kN]	$R_{c;cal}$ [kN]	$R_{c;d}$ [kN]	$F_{nk;d}$ [kN]	$R_{c;netto;d}$ [kN]
S053-1	30.64	22.94	1057.0	293.8	1350.8	809.8	-42.6	767.2
		22.69	681.2	336.2	1017.4	610.0	-42.6	567.3
		22.44	615.9	378.6	994.5	596.2	-42.6	553.6
		22.19	582.9	421.0	1004.0	601.9	-42.6	559.3
		21.94	537.6	463.5	1001.1	600.2	-42.6	557.6
		21.69	450.6	505.9	956.4	573.4	-42.6	530.8
		21.44	293.5	548.3	841.8	504.6	-42.6	462.0
		21.19	237.6	567.9	805.4	482.9	-42.6	440.3
		20.94	352.6	567.9	920.5	551.9	-42.6	509.2
		20.69	656.0	576.0	1232.0	738.6	-42.6	696.0
20.44	651.2	609.9	1261.1	756.1	-42.6	713.5		
S053-2	30.68	22.94	741.4	421.6	1163.0	697.2	-23.3	673.9
		22.69	544.0	464.0	1007.9	604.3	-23.3	581.0
		22.44	474.3	506.4	980.7	588.0	-23.3	564.7
		22.19	427.1	548.8	975.9	585.1	-23.3	561.8
		21.94	365.7	591.2	956.9	573.7	-23.3	550.4
		21.69	241.7	633.6	875.4	524.8	-23.3	501.5
		21.44	152.3	669.9	822.2	492.9	-23.3	469.7
		21.19	158.8	675.8	834.6	500.3	-23.3	477.1
		20.94	374.3	675.8	1050.1	629.5	-23.3	606.3
		20.69	382.5	684.9	1067.4	639.9	-23.3	616.6
20.44	284.8	718.8	1003.6	601.7	-23.3	578.4		

REKENGEGEVENS Mast 055

Berekening : Ontwerpend
 Rekenmethode : Drukpalen volgens NEN-EN 1997-1, art. 7.6.2
 Sondering(en) : S055-1, S055-2

Stijf bouwwerk : NEE
 Paalgroep : NEE
 Aantal sonderingen : 2
 Factor $\xi_{3(n=1)}$: 1.39
 Factor $\xi_{3(gem)}$: 1.32
 Factor $\xi_{4(min)}$: 1.32
 Weerstandsfactor γ_R : 1.20
 $\gamma_{f,nk}$: 1.0
 $R_{s;cal;max;i}$ begrenzen op $0.75 * R_{b;cal;max;i}$: NEE
 UGT draagvermogen zonder negatieve kleef : NEE

Paal : SI-paal 273_400
 Niveau paalkop [m] : N.A.P. 30.67
 Bovenbel. [kN/m²] : 0.00

PAALPUNTNIVEAUS SI-paal 273_400

Alle niveaus/hogtes/peilmaten zijn t.o.v. : N.A.P.

Nr	Beginniveau [m]	Eindniveau [m]	Stapgrootte [m]
1	22.77	20.25	0.25

Project :
Onderdeel :

SAMENVATTINGSTABEL Mast 055 (n=1)**Uitgangspunten**

- paal : SI-paal 273_400
 - paaltype : In de grond gevormde geschroefde paal; groutinjectie
 - schachtafmeting : 400 mm
 Paalklassefactor α_p : 0.63
 Factor α_s (tabel 7.c EC 7.1) : 0.009 (zandlagen; voor kleilagen zie tabel 7.d)
 Correlatiefactor $\xi_{3(n=1)}$: 1.39

Alle niveaus/hogtes/peilmaten zijn t.o.v.: N.A.P.

sondering	maaiveld paalpunt		Bezwijkdraagvermogen			Rekenwaarden		
	niveau	niveau	$R_{b,cal}$ [kN]	$R_{s,cal}$ [kN]	$R_{c,cal}$ [kN]	$R_{c,d}$ [kN]	$F_{nk,d}$ [kN]	$R_{c,netto,d}$ [kN]
S055-1	30.43	22.77	1118.0	149.6	1267.5	759.9	-92.3	667.6
		22.52	1110.9	192.0	1302.8	781.1	-92.3	688.8
		22.27	705.7	234.4	940.1	563.6	-92.3	471.3
		22.02	484.3	276.8	761.1	456.3	-92.3	364.0
		21.77	429.9	319.2	749.2	449.1	-92.3	356.9
		21.52	360.9	361.6	722.6	433.2	-92.3	340.9
		21.27	270.2	404.0	674.3	404.2	-92.3	312.0
		21.02	187.7	446.4	634.2	380.2	-92.3	287.9
		20.77	132.5	486.2	618.7	370.9	-92.3	278.6
		20.52	126.8	488.2	615.0	368.7	-92.3	276.4
		20.27	125.7	488.2	613.9	368.0	-92.3	275.8
		20.25	125.4	488.2	613.6	367.9	-92.3	275.6
		S055-2	30.44	22.77	1619.7	147.7	1767.4	1059.6
22.52	1119.0			190.1	1309.1	784.9	-95.2	689.6
22.27	767.3			232.5	999.8	599.4	-95.2	504.2
22.02	614.6			274.9	889.5	533.3	-95.2	438.1
21.77	476.5			317.3	793.8	475.9	-95.2	380.7
21.52	358.8			359.7	718.6	430.8	-95.2	335.6
21.27	231.9			402.2	634.1	380.2	-95.2	284.9
21.02	140.1			444.6	584.6	350.5	-95.2	255.3
20.77	116.0			471.2	587.3	352.1	-95.2	256.9
20.52	115.0			471.9	587.0	351.9	-95.2	256.7
20.27	114.7			471.9	586.6	351.7	-95.2	256.5
20.25	114.8			471.9	586.7	351.7	-95.2	256.5

REKENEGEVEENS Mast 056

Berekening : Ontwerpend
 Rekenmethode : Drukpalen volgens NEN-EN 1997-1, art. 7.6.2
 Sondering(en) : S056-1, S056-2

Stijf bouwwerk : NEE
 Paalgroep : NEE
 Aantal sonderingen : 2
 Factor $\xi_{3(n=1)}$: 1.39
 Factor $\xi_{3(gem)}$: 1.32
 Factor $\xi_{4(min)}$: 1.32
 Weerstandsfactor γ_R : 1.20
 $\gamma_{f,nk}$: 1.0
 $R_{s,cal,max;i}$ begrenzen op $0.75 * R_{b,cal,max;i}$: NEE
 UGT draagvermogen zonder negatieve kleef : NEE

Paal : SI-paal 273_400
 Niveau paalkop [m] : N.A.P. 30.65
 Bovenbel. [kN/m²] : 0.00

PAALPUNTNIVEAUS SI-paal 273_400

Alle niveaus/hogtes/peilmaten zijn t.o.v.: N.A.P.

Nr	Beginniveau [m]	Eindniveau [m]	Stapgrootte [m]
1	22.75	20.25	0.25

Project :
Onderdeel :

SAMENVATTINGSTABEL Mast 056 (n=1)**Uitgangspunten**

- paal : SI-paal 273_400
 - paaltype : In de grond gevormde geschroefde paal; groutinjectie
 - schachtafmeting : 400 mm
 Paalklassefactor α_p : 0.63
 Factor α_s (tabel 7.c EC 7.1) : 0.009 (zandlagen; voor kleilagen zie tabel 7.d)
 Correlatiefactor $\xi_{3(n=1)}$: 1.39

Alle niveaus/hogtes/peilmaten zijn t.o.v.: N.A.P.

sondering	maaiveld paalpunt		Bezwijkdraagvermogen			Rekenwaarden		
	niveau	niveau	$R_{b;cal}$ [kN]	$R_{s;cal}$ [kN]	$R_{c;cal}$ [kN]	$R_{c;d}$ [kN]	$F_{nk;d}$ [kN]	$R_{c;netto;d}$ [kN]
S056-1	30.53	22.75	1885.0	201.5	2086.5	1250.9	-86.3	1164.6
		22.50	1292.4	243.9	1536.3	921.0	-86.3	834.7
		22.25	1201.6	286.3	1487.9	892.1	-86.3	805.8
		22.00	1098.9	328.8	1427.6	855.9	-86.3	769.6
		21.75	937.2	371.2	1308.3	784.4	-86.3	698.1
		21.50	721.7	413.6	1135.2	680.6	-86.3	594.3
		21.25	505.9	456.0	961.9	576.7	-86.3	490.4
		21.00	292.3	498.4	790.7	474.1	-86.3	387.8
		20.75	230.1	527.2	757.3	454.0	-86.3	367.7
		20.50	185.4	561.1	746.5	447.6	-86.3	361.3
	20.25	136.5	594.1	730.6	438.0	-86.3	351.7	
S056-2	30.41	22.75	1378.0	138.6	1516.6	909.2	-86.3	823.0
		22.50	1281.5	181.0	1462.5	876.8	-86.3	790.5
		22.25	1304.4	223.4	1527.8	915.9	-86.3	829.7
		22.00	1273.8	265.8	1539.6	923.0	-86.3	836.8
		21.75	817.3	308.2	1125.5	674.8	-86.3	588.5
		21.50	529.6	350.6	880.3	527.7	-86.3	441.5
		21.25	372.6	393.0	765.7	459.0	-86.3	372.8
		21.00	319.2	433.4	752.6	451.2	-86.3	364.9
		20.75	224.7	469.4	694.0	416.1	-86.3	329.8
		20.50	145.4	505.3	650.7	390.1	-86.3	303.8
	20.25	84.3	540.9	625.2	374.8	-86.3	288.6	

REKENGEGEVENS Mast 059

Berekening : Ontwerpend
 Rekenmethode : Drukpalen volgens NEN-EN 1997-1, art. 7.6.2
 Sondering(en) : S059-1, S059-2

Stijf bouwwerk : NEE
 Paalgroep : NEE
 Aantal sonderingen : 2
 Factor $\xi_{3(n=1)}$: 1.39
 Factor $\xi_{3(gem)}$: 1.32
 Factor $\xi_{4(min)}$: 1.32
 Weerstandsfactor γ_R : 1.20
 $\gamma_{f,nk}$: 1.0
 $R_{s;cal;max;i}$ begrenzen op $0.75 * R_{b;cal;max;i}$: NEE
 UGT draagvermogen zonder negatieve kleef : NEE

Paal : SI-paal 273_400
 Niveau paalkop [m] : N.A.P. 27.62
 Bovenbel. [kN/m²] : 0.00

PAALPUNTNIVEAUS SI-paal 273_400

Alle niveaus/hogtes/peilmaten zijn t.o.v. : N.A.P.

Nr	Beginniveau [m]	Eindniveau [m]	Stapgrootte [m]
1	16.22	13.72	0.25

Project :
Onderdeel :

SAMENVATTINGSTABEL Mast 059 (n=1)**Uitgangspunten**

- paal : SI-paal 273_400
 - paaltype : In de grond gevormde geschroefde paal; groutinjectie
 - schachtafmeting : 400 mm
 Paalklassefactor α_p : 0.63
 Factor α_s (tabel 7.c EC 7.1) : 0.009 (zandlagen; voor kleilagen zie tabel 7.d)
 Correlatiefactor $\xi_{3(n=1)}$: 1.39

Alle niveaus/hogtes/peilmaten zijn t.o.v.: N.A.P.

sondering	maaiveld paalpunt		Bezwijkdraagvermogen			Rekenwaarden		
	niveau	niveau	$R_{b,cal}$ [kN]	$R_{s,cal}$ [kN]	$R_{c,cal}$ [kN]	$R_{c;d}$ [kN]	$F_{nk;d}$ [kN]	$R_{c,netto;d}$ [kN]
S059-1	27.39	16.22	525.0	0.0	525.0	314.7	-313.4	1.3
		15.97	1084.5	18.7	1103.2	661.4	-319.9	341.5
		15.72	991.9	61.1	1053.0	631.3	-319.9	311.4
		15.47	1000.7	103.5	1104.2	662.0	-319.9	342.1
		15.22	1015.4	145.9	1161.3	696.2	-319.9	376.3
		14.97	1008.9	188.3	1197.3	717.8	-319.9	397.9
		14.72	1032.8	230.7	1263.6	757.5	-319.9	437.6
		14.47	972.7	273.2	1245.9	746.9	-319.9	427.0
		14.22	1021.7	314.7	1336.4	801.2	-319.9	481.3
		13.97	1600.0	357.1	1957.2	1173.4	-319.9	853.5
		13.72	1822.5	399.6	2222.1	1332.2	-319.9	1012.3
S059-2	27.28	16.22	833.0	0.0	833.0	499.4	-313.3	186.0
		15.97	983.1	25.4	1008.5	604.6	-314.4	290.2
		15.72	1040.2	67.9	1108.0	664.3	-314.4	349.9
		15.47	1072.8	110.3	1183.1	709.3	-314.4	394.9
		15.22	1033.0	152.7	1185.7	710.8	-314.4	396.4
		14.97	1484.6	195.1	1679.7	1007.0	-314.4	692.6
		14.72	1604.0	237.5	1841.5	1104.0	-314.4	789.6
		14.47	1602.7	279.9	1882.6	1128.7	-314.4	814.3
		14.22	1725.8	322.3	2048.2	1227.9	-314.4	913.5
		13.97	1885.0	364.7	2249.7	1348.7	-314.4	1034.3
		13.72	1885.0	407.2	2292.1	1374.2	-314.4	1059.8

Project :
 Onderdeel :

OVERZICHT NETTO DRAAGVERMOGEN DRUKPALEN

Netto paal draagvermogen(s) zijn naar beneden toe afgerond op: 1.0 kN nauwkeurig
 Alle niveaus/hogtes/peilmaten zijn t.o.v.: N.A.P.

sondering	maaiveld paalpunt		$R_{c,netto;d}$ [kN]			
	niveau	niveau	Mast 053	Mast 055	Mast 056	Mast 059
S056-1	30.53	22.75			1164	
		22.50			834	
		22.25			805	
		22.00			769	
		21.75			698	
		21.50			594	
		21.25			490	
		21.00			387	
		20.75			367	
		20.50			361	
		20.25			351	
		S056-2	30.41	22.75		
22.50					790	
22.25					829	
22.00					836	
21.75					588	
21.50					441	
21.25					372	
21.00					364	
20.75					329	
20.50					303	
20.25					288	
S059-1	27.39			16.22		
		15.97				341
		15.72				311
		15.47				342
		15.22				376
		14.97				397
		14.72				437
		14.47				427
		14.22				481
		13.97				853
		13.72				1012
		S059-2	27.28	16.22		
15.97						290
15.72						349
15.47						394
15.22						396
14.97						692
14.72						789
14.47						814
14.22						913
13.97						1034
13.72						1059
S053-1	30.64			22.94	767	
		22.69	567			
		22.44	553			
		22.19	559			
		21.94	557			
		21.69	530			
		21.44	462			
		21.19	440			
		20.94	509			
		20.69	695			
		20.44	713			
		S053-2	30.68	22.94	673	
22.69	581					

Project :
Onderdeel :

Netto paal draagvermogen(s) zijn naar beneden toe afgerond op: 1.0 kN nauwkeurig
Alle niveaus/hogtes/peilmaten zijn t.o.v.: N.A.P.

sondering	maaiveld paalpunt		$R_{c,netto;d}$ [kN]			
	niveau	niveau	Mast 053	Mast 055	Mast 056	Mast 059
		22.44	564			
		22.19	561			
		21.94	550			
		21.69	501			
		21.44	469			
		21.19	477			
		20.94	606			
		20.69	616			
		20.44	578			
S055-1	30.43	22.77	667			
		22.52	688			
		22.27	471			
		22.02	364			
		21.77	356			
		21.52	340			
		21.27	311			
		21.02	287			
		20.77	278			
		20.52	276			
		20.27	275			
		20.25	275			
S055-2	30.44	22.77	964			
		22.52	689			
		22.27	504			
		22.02	438			
		21.77	380			
		21.52	335			
		21.27	284			
		21.02	255			
		20.77	256			
		20.52	256			
		20.27	256			
		20.25	256			

ALGEMENE GEGEVENS

Project :
 Onderdeel :
 Datum : 10-12-2021
 Bestand : \\Arh7001.verit.dnv.com\projects\EANL_Projects\
 10166262 - BBB modelleren funderingen 380
 kV\02 Content\03 Calculations\Technosoft
 Paalfunderingen\MBT-EHV380\DO\Nieuw
 Sonderingen\Nieuwe palen\Mast 060-069.pvw
 Berekeningstype : Verticaal belaste paal
 Alle niveaus/hogtes/peilmaten zijn t.o.v.: N.A.P.

Toegepaste normen volgens Eurocode met Nederlandse NB

Geotechniek	EN 1997-1:2004	AC:2009	
	NEN-EN 1997-1:2005	C1+A1:2013	NB:2016
	NEN 9997-1:2016	C2:2017	

REKENGEGEVENS Mast 060

Berekening : Ontwerpend
 Rekenmethode : Drukpalen volgens NEN-EN 1997-1, art. 7.6.2
 Sondering(en) : S060-1, S060-2

Stijf bouwwerk : NEE
 Paalgroep : NEE
 Aantal sonderingen : 2
 Factor ξ_3 (n=1) : 1.39
 Factor ξ_3 (gem) : 1.32
 Factor ξ_4 (min) : 1.32
 Weerstandsfactor γ_R : 1.20
 $\gamma_{f,nk}$: 1.0
 $R_{s,cal,max,i}$ begrenzen op $0.75 * R_{b,cal,max,i}$: NEE
 UGT draagvermogen zonder negatieve kleeft : NEE

Paal : SI-paal 273_400
 Niveau paalkop [m] : N.A.P. 27.32
 Bovenbel. [kN/m²] : 0.00

PAALPUNTNIVEAUS SI-paal 273_400

Alle niveaus/hogtes/peilmaten zijn t.o.v. : N.A.P.

Nr	Beginniveau [m]	Eindniveau [m]	Stapgrootte [m]
1	16.02	13.52	0.25

Project :
Onderdeel :

SAMENVATTINGSTABEL Mast 060 (n=1)**Uitgangspunten**

- paal : SI-paal 273_400
 - paaltype : In de grond gevormde geschroefde paal; groutinjectie
 - schachtafmeting : 400 mm
 Paalklassefactor α_p : 0.63
 Factor α_s (tabel 7.c EC 7.1) : 0.009 (zandlagen; voor kleilagen zie tabel 7.d)
 Correlatiefactor $\xi_{3(n=1)}$: 1.39

Alle niveaus/hogtes/peilmaten zijn t.o.v.: N.A.P.

sondering	maaiveld paalpunt		Bezwijkdraagvermogen			Rekenwaarden		
	niveau	niveau	$R_{b,cal}$ [kN]	$R_{s,cal}$ [kN]	$R_{c,cal}$ [kN]	$R_{c,d}$ [kN]	$F_{nk,d}$ [kN]	$R_{c,netto,d}$ [kN]
S060-1	27.04	16.02	277.2	659.6	936.7	561.6	-28.1	533.5
		15.77	714.3	659.6	1373.9	823.7	-28.1	795.6
		15.52	736.3	693.5	1429.8	857.2	-28.1	829.2
		15.27	705.0	730.4	1435.4	860.5	-28.1	832.5
		15.02	607.6	767.3	1374.9	824.3	-28.1	796.2
		14.77	558.0	804.3	1362.3	816.7	-28.1	788.7
		14.52	657.2	832.8	1490.0	893.3	-28.1	865.2
		14.27	535.7	871.5	1407.3	843.7	-28.1	815.6
		14.02	505.5	913.9	1419.4	851.0	-28.1	822.9
		13.77	473.5	956.4	1429.9	857.2	-28.1	829.2
		13.52	438.8	998.8	1437.6	861.9	-28.1	833.8
S060-2	27.02	16.02	670.5	526.4	1197.0	717.6	-17.8	699.8
		15.77	1394.6	558.9	1953.5	1171.2	-17.8	1153.4
		15.52	1478.3	601.3	2079.6	1246.8	-17.8	1229.0
		15.27	1410.6	643.7	2054.3	1231.6	-17.8	1213.8
		15.02	888.5	686.2	1574.6	944.0	-17.8	926.3
		14.77	811.0	728.6	1539.6	923.0	-17.8	905.2
		14.52	783.2	771.0	1554.2	931.8	-17.8	914.0
		14.27	776.8	813.4	1590.2	953.3	-17.8	935.6
		14.02	743.9	855.8	1599.7	959.0	-17.8	941.3
		13.77	634.5	898.2	1532.8	918.9	-17.8	901.2
		13.52	558.9	918.6	1477.5	885.8	-17.8	868.0

REKENGEGEVENS Mast 064

Berekening : Ontwerpend
 Rekenmethode : Drukpalen volgens NEN-EN 1997-1, art. 7.6.2
 Sondering(en) : S064-1, S064-2

Stijf bouwwerk : NEE
 Paalgroep : NEE
 Aantal sonderingen : 2
 Factor $\xi_{3(n=1)}$: 1.39
 Factor $\xi_{3(gem)}$: 1.32
 Factor $\xi_{4(min)}$: 1.32
 Weerstandsfactor γ_R : 1.20
 $\gamma_{f,nk}$: 1.0
 $R_{s,cal,max,i}$ begrenzen op $0.75 * R_{b,cal,max,i}$: NEE
 UGT draagvermogen zonder negatieve kleef : NEE

Paal : SI-paal 273_400
 Niveau paalkop [m] : N.A.P. 27.36
 Bovenbel. [kN/m²] : 0.00

PAALPUNTNIVEAUS SI-paal 273_400

Alle niveaus/hogtes/peilmaten zijn t.o.v. : N.A.P.

Nr	Beginniveau [m]	Eindniveau [m]	Stapgrootte [m]
1	15.51	11.51	0.25

Project :
Onderdeel :

SAMENVATTINGSTABEL Mast 064 (n=1)**Uitgangspunten**

- paal : SI-paal 273_400
 - paaltype : In de grond gevormde geschroefde paal; groutinjectie
 - schachtafmeting : 400 mm
 Paalklassefactor α_p : 0.63
 Factor α_s (tabel 7.c EC 7.1) : 0.009 (zandlagen; voor kleilagen zie tabel 7.d)
 Correlatiefactor $\xi_{3(n=1)}$: 1.39

Alle niveaus/hogtes/peilmaten zijn t.o.v.: N.A.P.

sondering	maaiveld paalpunt		Bezwijkdraagvermogen			Rekenwaarden		
	niveau	niveau	$R_{b;cal}$ [kN]	$R_{s;cal}$ [kN]	$R_{c;cal}$ [kN]	$R_{c;d}$ [kN]	$F_{nk;d}$ [kN]	$R_{c;netto;d}$ [kN]
S064-1	26.83	15.51	615.2	587.6	1202.8	721.1	-30.1	691.0
		15.26	551.1	630.0	1181.2	708.1	-30.1	678.0
		15.01	443.1	672.5	1115.5	668.8	-30.1	638.7
		14.76	547.0	695.8	1242.9	745.1	-30.1	715.0
		14.51	667.2	706.5	1373.6	823.5	-30.1	793.4
		14.26	681.9	744.6	1426.6	855.3	-30.1	825.1
		14.01	726.5	782.9	1509.4	904.9	-30.1	874.8
		13.76	793.2	821.3	1614.5	967.9	-30.1	937.8
		13.51	819.6	859.6	1679.2	1006.7	-30.1	976.6
		13.26	724.8	898.0	1622.8	972.9	-30.1	942.8
		13.01	533.8	916.5	1450.3	869.5	-30.1	839.3
		12.76	1607.6	916.5	2524.1	1513.2	-30.1	1483.1
		12.51	1797.4	955.5	2752.9	1650.4	-30.1	1620.3
		12.26	1864.3	997.9	2862.2	1716.0	-30.1	1685.8
		12.01	1885.0	1040.3	2925.3	1753.8	-30.1	1723.6
11.76	1885.0	1082.7	2967.7	1779.2	-30.1	1749.0		
11.51	1857.6	1125.1	2982.7	1788.2	-30.1	1758.1		
S064-2	26.68	15.51	539.2	593.8	1133.1	679.3	-27.4	651.9
		15.26	427.2	630.4	1057.6	634.1	-27.4	606.7
		15.01	264.4	666.3	930.7	558.0	-27.4	530.6
		14.76	506.2	675.4	1181.6	708.4	-27.4	681.0
		14.51	528.8	684.9	1213.6	727.6	-27.4	700.2
		14.26	653.3	718.3	1371.5	822.2	-27.4	794.8
		14.01	707.9	746.7	1454.5	872.0	-27.4	844.6
		13.76	723.8	780.6	1504.4	901.9	-27.4	874.5
		13.51	708.3	814.5	1522.8	913.0	-27.4	885.6
		13.26	657.4	848.5	1505.9	902.8	-27.4	875.4

REKENGEGEVENS Mast 066

Berekening : Ontwerpend
 Rekenmethode : Drukpalen volgens NEN-EN 1997-1, art. 7.6.2
 Sondering(en) : S066-1, S066-2

Stijf bouwwerk : NEE
 Paalgroep : NEE
 Aantal sonderingen : 2
 Factor $\xi_{3(n=1)}$: 1.39
 Factor $\xi_{3(gem)}$: 1.32
 Factor $\xi_{4(min)}$: 1.32
 Weerstandsfactor γ_R : 1.20
 $\gamma_{f,nk}$: 1.0
 $R_{s;cal;max;i}$ begrenzen op $0.75 * R_{b;cal;max;i}$: NEE
 UGT draagvermogen zonder negatieve kleef : NEE

Paal : SI-paal 273_400
 Niveau paalkop [m] : N.A.P. 26.64
 Bovenbel. [kN/m²] : 0.00

Project :
Onderdeel :

PAALPUNTNIVEAUS SI-paal 273_400

Alle niveaus/hogtes/peilmaten zijn t.o.v. : N.A.P.

Nr	Beginniveau [m]	Eindniveau [m]	Stapgrootte [m]
1	15.74	13.24	0.25

SAMENVATTINGSTABEL Mast 066 (n=1)**Uitgangspunten**

- paal : SI-paal 273_400
- paaltype : In de grond gevormde geschroefde paal; groutinjectie
- schachtafmeting : 400 mm
Paalklassefactor α_p : 0.63
Factor α_s (tabel 7.c EC 7.1) : 0.009 (zandlagen; voor kleilagen zie tabel 7.d)
Correlatiefactor $\xi_{3(n=1)}$: 1.39

Alle niveaus/hogtes/peilmaten zijn t.o.v.: N.A.P.

sondering	maaiveld paalpunt		Bezwijkdraagvermogen			Rekenwaarden		
	niveau	niveau	$R_{b;cal}$ [kN]	$R_{s;cal}$ [kN]	$R_{c;cal}$ [kN]	$R_{c;d}$ [kN]	$F_{nk;d}$ [kN]	$R_{c;netto;d}$ [kN]
S066-1	26.41	15.74	707.9	191.7	899.6	539.3	-193.6	345.7
		15.49	695.1	234.1	929.2	557.1	-193.6	363.5
		15.24	631.9	276.5	908.4	544.6	-193.6	351.0
		14.99	561.0	318.9	880.0	527.6	-193.6	333.9
		14.74	427.6	361.3	788.9	473.0	-193.6	279.4
		14.49	423.3	395.8	819.1	491.1	-193.6	297.5
		14.24	1047.5	413.8	1461.3	876.1	-193.6	682.4
		13.99	1491.0	456.0	1947.0	1167.3	-193.6	973.7
		13.74	1435.4	498.4	1933.8	1159.4	-193.6	965.7
		13.49	1272.3	540.8	1813.1	1087.0	-193.6	893.4
		13.24	1262.9	583.2	1846.1	1106.8	-193.6	913.2
S066-2	26.28	15.74	512.4	224.5	736.9	441.8	-192.1	249.7
		15.49	511.7	266.9	778.6	466.8	-192.1	274.7
		15.24	517.9	308.1	826.0	495.2	-192.1	303.1
		14.99	518.5	348.9	867.4	520.0	-192.1	328.0
		14.74	460.6	389.8	850.4	509.8	-192.1	317.8
		14.49	427.3	425.2	852.5	511.1	-192.1	319.0
		14.24	774.6	442.9	1217.5	729.9	-192.1	537.9
		13.99	1402.6	480.5	1883.2	1129.0	-192.1	936.9
		13.74	1602.2	522.9	2125.1	1274.0	-192.1	1082.0
		13.49	1607.7	565.3	2173.1	1302.8	-192.1	1110.7
		13.24	1673.8	607.7	2281.5	1367.8	-192.1	1175.8

Project :
Onderdeel :

OVERZICHT NETTO DRAAGVERMOGEN DRUKPALEN

Netto paal draagvermogen(s) zijn naar beneden toe afgerond op: 1.0 kN nauwkeurig
Alle niveaus/hogtes/peilmaten zijn t.o.v.: N.A.P.

sondering	maaiveld paalpunt		$R_{c,netto;d}$ [kN]		
	niveau	niveau	Mast 060	Mast 064	Mast 066
S064-1	26.83	15.51		690	
		15.26		678	
		15.01		638	
		14.76		714	
		14.51		793	
		14.26		825	
		14.01		874	
		13.76		937	
		13.51		976	
		13.26		942	
		13.01		839	
		12.76		1483	
		12.51		1620	
		12.26		1685	
		12.01		1723	
		11.76		1749	
11.51		1758			
S064-2	26.68	15.51		651	
		15.26		606	
		15.01		530	
		14.76		680	
		14.51		700	
		14.26		794	
		14.01		844	
		13.76		874	
		13.51		885	
		13.26		875	
		13.01			
S066-1	26.41	15.74			345
		15.49			363
		15.24			350
		14.99			333
		14.74			279
		14.49			297
		14.24			682
		13.99			973
		13.74			965
		13.49			893
13.24			913		
S066-2	26.28	15.74			249
		15.49			274
		15.24			303
		14.99			327
		14.74			317
		14.49			319
		14.24			537
		13.99			936
		13.74			1081
		13.49			1110
13.24			1175		
S060-1	27.04	16.02	533		
		15.77	795		
		15.52	829		
		15.27	832		
		15.02	796		
		14.77	788		
		14.52	865		
		14.27	815		
14.02	822				

Project :
Onderdeel :

Netto paal draagvermogen(s) zijn naar beneden toe afgerond op: 1.0 kN nauwkeurig
Alle niveaus/hogtes/peilmaten zijn t.o.v.: N.A.P.

sondering	maaiveld paalpunt		$R_{c,netto;d}$ [kN]		
	niveau	niveau	Mast 060	Mast 064	Mast 066
		13.77	829		
		13.52	833		
S060-2	27.02	16.02	699		
		15.77	1153		
		15.52	1229		
		15.27	1213		
		15.02	926		
		14.77	905		
		14.52	914		
		14.27	935		
		14.02	941		
		13.77	901		
		13.52	868		

Project :
Onderdeel :

ALGEMENE GEGEVENS

Project :
Onderdeel :
Datum : 10-12-2021
Bestand : \\Arh7001.verit.dnv.com\projects\EANL_Projects\
10166262 - BBB modelleren funderingen 380
kV\02 Content\03 Calculations\Technosoft
Paalfunderingen\MBT-EHV380\DO\Nieuw
Sonderingen\Nieuwe palen\Mast 070-079.pvw
Berekeningstype : Verticaal belaste paal
Alle niveaus/hogtes/peilmaten zijn t.o.v.: N.A.P.

Toegepaste normen volgens Eurocode met Nederlandse NB

Geotechniek	EN 1997-1:2004	AC:2009	
	NEN-EN 1997-1:2005	C1+A1:2013	NB:2016
	NEN 9997-1:2016	C2:2017	

REKENEGEGEVENS Mast 070

Berekening : Ontwerpend
Rekenmethode : Drukpalen volgens NEN-EN 1997-1, art. 7.6.2
Sondering(en) : S070-1, S070-2

Stijf bouwwerk : NEE
Paalgroep : NEE
Aantal sonderingen : 2
Factor ξ_3 (n=1) : 1.39
Factor ξ_3 (gem) : 1.32
Factor ξ_4 (min) : 1.32
Weerstandsfactor γ_R : 1.20
 $\gamma_{f,nk}$: 1.0
 $R_{s,cal,max,i}$ begrenzen op $0.75 * R_{b,cal,max,i}$: NEE
UGT draagvermogen zonder negatieve kleeft : NEE

Paal : SI-paal 323_450
Niveau paalkop [m] : N.A.P. 24.87
Bovenbel. [kN/m²] : 0.00

PAALPUNTNIVEAUS SI-paal 323_450

Alle niveaus/hogtes/peilmaten zijn t.o.v. : N.A.P.

Nr	Beginniveau [m]	Eindniveau [m]	Stapgrootte [m]
1	16.47	13.97	0.25

Project :
Onderdeel :

SAMENVATTINGSTABEL Mast 070 (n=1)**Uitgangspunten**

- paal : SI-paal 323_450
 - paaltype : In de grond gevormde geschroefde paal; groutinjectie
 - schachtafmeting : 450 mm
 Paalklassefactor α_p : 0.63
 Factor α_s (tabel 7.c EC 7.1) : 0.009 (zandlagen; voor kleilagen zie tabel 7.d)
 Correlatiefactor $\xi_{3(n=1)}$: 1.39

Alle niveaus/hogtes/peilmaten zijn t.o.v.: N.A.P.

sondering	maaiveld paalpunt		Bezuikdraagvermogen			Rekenwaarden		
	niveau	niveau	$R_{b;cal}$ [kN]	$R_{s;cal}$ [kN]	$R_{c;cal}$ [kN]	$R_{c;d}$ [kN]	$F_{nk;d}$ [kN]	$R_{c;netto;d}$ [kN]
S070-1	24.67	16.47	1317.7	106.6	1424.2	853.8	-175.0	678.8
		16.22	1355.3	154.3	1509.6	905.0	-175.0	730.0
		15.97	1639.4	202.0	1841.4	1104.0	-175.0	928.9
		15.72	1900.9	249.7	2150.6	1289.3	-175.0	1114.3
		15.47	1900.7	297.4	2198.1	1317.8	-175.0	1142.7
		15.22	1641.7	345.1	1986.8	1191.1	-175.0	1016.1
		14.97	1685.9	392.8	2078.7	1246.2	-175.0	1071.2
		14.72	1661.1	440.5	2101.6	1260.0	-175.0	1084.9
		14.47	1607.3	488.3	2095.6	1256.4	-175.0	1081.3
		14.22	1559.1	536.0	2095.0	1256.0	-175.0	1081.0
		13.97	1559.6	583.7	2143.3	1285.0	-175.0	1109.9
S070-2	24.63	16.47	1446.5	239.6	1686.1	1010.8	-132.5	878.3
		16.22	1609.1	287.3	1896.4	1136.9	-132.5	1004.4
		15.97	1880.0	335.0	2215.0	1327.9	-132.5	1195.4
		15.72	2100.3	382.7	2483.1	1488.6	-132.5	1356.1
		15.47	1890.3	430.4	2320.8	1391.3	-132.5	1258.8
		15.22	1944.0	478.1	2422.2	1452.2	-132.5	1319.6
		14.97	1963.9	525.9	2489.8	1492.7	-132.5	1360.1
		14.72	1990.7	573.6	2564.3	1537.3	-132.5	1404.8
		14.47	1319.3	621.3	1940.6	1163.4	-132.5	1030.9
		14.22	1334.3	669.0	2003.3	1201.0	-132.5	1068.5
		13.97	1308.5	716.7	2025.2	1214.2	-132.5	1081.6

REKENGEGEVENS Mast 072

Berekening : Ontwerpend
 Rekenmethode : Drukpalen volgens NEN-EN 1997-1, art. 7.6.2
 Sondering(en) : S074-1, S074-2, S071-1, S071-2, S073-1, S073-2, S070-1
 : S070-2

Stijf bouwwerk : NEE
 Paalgroep : NEE
 Aantal sonderingen : 8
 Factor $\xi_{3(n=1)}$: 1.39
 Factor $\xi_{3(gem)}$: 1.27
 Factor $\xi_{4(min)}$: 1.01
 Weerstandsfactor γ_R : 1.20
 $\gamma_{f,nk}$: 1.0
 $R_{s;cal,max;i}$ begrenzen op $0.75 * R_{b;cal,max;i}$: NEE
 UGT draagvermogen zonder negatieve kleef : NEE

Paal : SI-paal 323_450
 Niveau paalkop [m] : N.A.P. 24.06
 Bovenbel. [kN/m²] : 0.00

PAALPUNTNIVEAUS SI-paal 323_450

Alle niveaus/hogtes/peilmaten zijn t.o.v. : N.A.P.

Nr	Beginniveau [m]	Eindniveau [m]	Stapgrootte [m]
1	14.96	12.46	0.25

Project :
Onderdeel :

SAMENVATTINGSTABEL Mast 072 (n=1)**Uitgangspunten**

- paal : SI-paal 323_450
 - paaltype : In de grond gevormde geschroefde paal; groutinjectie
 - schachtafmeting : 450 mm
 Paalklassefactor α_p : 0.63
 Factor α_s (tabel 7.c EC 7.1) : 0.009 (zandlagen; voor kleilagen zie tabel 7.d)
 Correlatiefactor $\xi_{3(n=1)}$: 1.39

Alle niveaus/hogtes/peilmaten zijn t.o.v.: N.A.P.

sondering	maaiveld paalpunt		Bezwijkdraagvermogen			Rekenwaarden		
	niveau	niveau	$R_{b,cal}$ [kN]	$R_{s,cal}$ [kN]	$R_{c,cal}$ [kN]	$R_{c,d}$ [kN]	$F_{nk,d}$ [kN]	$R_{c,netto,d}$ [kN]
S074-1	24.16	14.96	2385.6	642.7	3028.3	1815.5	-46.3	1769.3
		14.71	2385.6	690.4	3076.0	1844.1	-46.3	1797.9
		14.46	2385.6	738.1	3123.7	1872.7	-46.3	1826.5
		14.21	2385.6	785.8	3171.5	1901.3	-46.3	1855.1
		13.96	2385.6	833.5	3219.2	1930.0	-46.3	1883.7
		13.71	2385.6	881.2	3266.9	1958.6	-46.3	1912.3
		13.46	2385.6	928.9	3314.6	1987.2	-46.3	1940.9
		13.21	2385.6	976.7	3362.3	2015.8	-46.3	1969.5
		12.96	2385.6	1024.4	3410.0	2044.4	-46.3	1998.1
		12.71	2385.6	1072.1	3457.7	2073.0	-46.3	2026.7
		12.46	2385.6	1119.8	3505.4	2101.6	-46.3	2055.3
S074-2	24.17	14.96	1408.2	723.3	2131.4	1277.8	-46.3	1231.5
		14.71	1383.9	771.0	2154.8	1291.9	-46.3	1245.6
		14.46	1327.9	818.7	2146.6	1286.9	-46.3	1240.6
		14.21	1301.1	866.4	2167.5	1299.5	-46.3	1253.2
		13.96	1497.6	912.5	2410.1	1444.9	-46.3	1398.6
		13.71	1543.6	960.2	2503.8	1501.1	-46.3	1454.8
		13.46	1560.7	1008.0	2568.6	1539.9	-46.3	1493.7
		13.21	1726.2	1055.7	2781.8	1667.8	-46.3	1621.5
		12.96	2089.6	1103.4	3193.0	1914.2	-46.3	1868.0
		12.71	2332.0	1151.1	3483.1	2088.2	-46.3	2041.9
		12.46	2108.5	1198.8	3307.3	1982.8	-46.3	1936.5
S071-1	25.04	14.96	1726.5	317.2	2043.7	1225.2	-182.6	1042.6
		14.71	1807.3	364.9	2172.2	1302.3	-182.6	1119.7
		14.46	1698.7	412.6	2111.3	1265.8	-182.6	1083.2
		14.21	1575.2	460.3	2035.6	1220.4	-182.6	1037.8
		13.96	1500.7	508.0	2008.8	1204.3	-182.6	1021.7
		13.71	837.0	555.8	1392.7	835.0	-182.6	652.4
		13.46	725.2	603.5	1328.7	796.6	-182.6	614.0
		13.21	718.5	651.2	1369.6	821.1	-182.6	638.5
		12.96	666.0	698.9	1364.9	818.3	-182.6	635.7
		12.71	569.3	746.6	1315.9	788.9	-182.6	606.3
		12.46	548.2	794.3	1342.5	804.9	-182.6	622.3
S071-2	24.39	14.96	1341.9	419.4	1761.4	1056.0	-124.8	931.1
		14.71	1862.7	467.1	2329.9	1396.8	-124.8	1272.0
		14.46	1737.0	514.8	2251.8	1350.0	-124.8	1225.2
		14.21	1431.3	562.6	1993.9	1195.4	-124.8	1070.5
		13.96	1321.8	610.3	1932.0	1158.3	-124.8	1033.5
		13.71	1263.7	658.0	1921.7	1152.1	-124.8	1027.3
		13.46	1168.3	705.7	1874.0	1123.5	-124.8	998.7
		13.21	832.7	753.4	1586.1	950.9	-124.8	826.1
		12.96	825.6	801.1	1626.7	975.2	-124.8	850.4
		12.71	819.9	848.8	1668.7	1000.4	-124.8	875.6
		12.46	852.9	885.9	1738.8	1042.5	-124.8	917.6
S073-1	25.31	14.96	1401.4	437.8	1839.2	1102.7	-141.4	961.2
		14.71	1772.8	485.6	2258.4	1353.9	-141.4	1212.5
		14.46	2047.3	533.3	2580.6	1547.1	-141.4	1405.7
		14.21	2078.9	581.0	2659.8	1594.6	-141.4	1453.2
		13.96	2115.5	628.7	2744.2	1645.2	-141.4	1503.7
		13.71	2144.0	676.4	2820.4	1690.9	-141.4	1549.4
		13.46	2170.1	724.1	2894.2	1735.2	-141.4	1593.7
		13.21	2189.3	771.8	2961.1	1775.2	-141.4	1633.8
		12.96	2199.8	819.5	3019.4	1810.2	-141.4	1668.7
		12.71	2240.8	867.3	3108.0	1863.3	-141.4	1721.9
		12.46	2319.5	915.0	3234.5	1939.1	-141.4	1797.7

Project :
Onderdeel :

Alle niveaus/hogtes/peilmaten zijn t.o.v.: N.A.P.

sondering	maaiveld paalpunt		Bezwijkdraagvermogen			Rekenwaarden		
	niveau	niveau	$R_{b,cal}$ [kN]	$R_{s,cal}$ [kN]	$R_{c,cal}$ [kN]	$R_{c,d}$ [kN]	$F_{nk,d}$ [kN]	$R_{c,netto;d}$ [kN]
S073-2	25.51	14.96	1590.2	444.6	2034.9	1219.9	-141.4	1078.5
		14.71	1852.9	492.4	2345.2	1406.0	-141.4	1264.6
		14.46	1997.9	540.1	2538.0	1521.6	-141.4	1380.1
		14.21	2140.5	587.8	2728.3	1635.7	-141.4	1494.2
		13.96	2000.8	635.5	2636.3	1580.5	-141.4	1439.1
		13.71	2059.0	683.2	2742.3	1644.0	-141.4	1502.6
		13.46	2106.5	730.9	2837.4	1701.1	-141.4	1559.7
		13.21	2152.8	778.6	2931.5	1757.5	-141.4	1616.0
		12.96	2172.8	826.3	2999.1	1798.0	-141.4	1656.6
		12.71	2211.8	874.1	3085.9	1850.0	-141.4	1708.6
		12.46	2151.6	921.8	3073.4	1842.5	-141.4	1701.1
		S070-1	24.67	14.96	1686.9	394.7	2081.6	1248.0
14.71	1659.9			442.5	2102.4	1260.4	-173.6	1086.8
14.46	1605.4			490.2	2095.5	1256.3	-173.6	1082.7
14.21	1558.5			537.9	2096.4	1256.8	-173.6	1083.2
13.96	1561.9			585.6	2147.5	1287.4	-173.6	1113.8
13.71	1666.6			633.3	2299.9	1378.9	-173.6	1205.2
13.46	1872.1			680.6	2552.7	1530.4	-173.6	1356.8
13.21	1864.1			727.5	2591.6	1553.7	-173.6	1380.1
12.96	1698.9			774.4	2473.3	1482.8	-173.6	1309.2
12.71	1855.0			821.3	2676.3	1604.5	-173.6	1430.8
12.46	1893.0			868.8	2761.8	1655.7	-173.6	1482.1
S070-2	24.63			14.96	1964.7	527.8	2492.4	1494.3
		14.71	1991.8	575.5	2567.3	1539.1	-131.5	1407.6
		14.46	1320.2	623.2	1943.4	1165.1	-131.5	1033.6
		14.21	1334.4	670.9	2005.3	1202.2	-131.5	1070.7
		13.96	1306.9	718.6	2025.5	1214.3	-131.5	1082.8
		13.71	1305.1	766.3	2071.4	1241.9	-131.5	1110.3
		13.46	1310.1	814.0	2124.2	1273.5	-131.5	1142.0
		13.21	1240.2	861.8	2101.9	1260.2	-131.5	1128.6
		12.96	1034.3	903.7	1938.1	1161.9	-131.5	1030.4
		12.71	1594.3	903.7	2498.0	1497.6	-131.5	1366.1
		12.46	1632.7	932.4	2565.0	1537.8	-131.5	1406.3

REKENEGEGEVENS Mast 074

Berekening : Ontwerpend
Rekenmethode : Drukpalen volgens NEN-EN 1997-1, art. 7.6.2
Sondering(en) : S074-1, S074-2

Stijf bouwwerk : NEE
Paalgroep : NEE
Aantal sonderingen : 2
Factor ξ_3 (n=1) : 1.39
Factor ξ_3 (gem) : 1.32
Factor ξ_4 (min) : 1.32
Weerstandsfactor γ_R : 1.20
 $\gamma_{f,nk}$: 1.0
 $R_{s,cal,max;i}$ begrenzen op $0.75 * R_{b,cal,max;i}$: NEE
UGT draagvermogen zonder negatieve kleef : NEE

Paal : SI-paal 273_400
Niveau paalkop [m] : N.A.P. 24.29
Bovenbel. [kN/m²] : 0.00

PAALPUNTNIVEAUS SI-paal 273_400

Alle niveaus/hogtes/peilmaten zijn t.o.v. : N.A.P.

Nr	Beginniveau [m]	Eindniveau [m]	Stapgrootte [m]
1	15.54	13.04	0.25

Project :
Onderdeel :

SAMENVATTINGSTABEL Mast 074 (n=1)**Uitgangspunten**

- paal : SI-paal 273_400
 - paaltype : In de grond gevormde geschroefde paal; groutinjectie
 - schachtafmeting : 400 mm
 Paalklassefactor α_p : 0.63
 Factor α_s (tabel 7.c EC 7.1) : 0.009 (zandlagen; voor kleilagen zie tabel 7.d)
 Correlatiefactor $\xi_{3(n=1)}$: 1.39

Alle niveaus/hogtes/peilmaten zijn t.o.v.: N.A.P.

sondering	maaiveld paalpunt		Bewijkdraagvermogen			Rekenwaarden		
	niveau	niveau	$R_{b;cal}$ [kN]	$R_{s;cal}$ [kN]	$R_{c;cal}$ [kN]	$R_{c;d}$ [kN]	$F_{nk;d}$ [kN]	$R_{c;netto;d}$ [kN]
S074-1	24.16	15.54	894.8	473.9	1368.7	820.6	-41.2	779.4
		15.29	1740.4	515.3	2255.7	1352.3	-41.2	1311.2
		15.04	1885.0	557.7	2442.6	1464.4	-41.2	1423.3
		14.79	1885.0	600.1	2485.1	1489.8	-41.2	1448.7
		14.54	1885.0	642.5	2527.5	1515.3	-41.2	1474.1
		14.29	1885.0	684.9	2569.9	1540.7	-41.2	1499.5
		14.04	1885.0	727.3	2612.3	1566.1	-41.2	1525.0
		13.79	1885.0	769.7	2654.7	1591.5	-41.2	1550.4
		13.54	1885.0	812.2	2697.1	1617.0	-41.2	1575.8
		13.29	1885.0	854.6	2739.5	1642.4	-41.2	1601.2
		13.04	1885.0	897.0	2781.9	1667.8	-41.2	1626.7
S074-2	24.17	15.54	1210.1	544.5	1754.6	1051.9	-41.2	1010.8
		15.29	1212.9	586.9	1799.8	1079.0	-41.2	1037.9
		15.04	1169.7	629.3	1799.1	1078.6	-41.2	1037.4
		14.79	1136.3	671.7	1808.1	1084.0	-41.2	1042.8
		14.54	1081.7	714.1	1795.8	1076.6	-41.2	1035.5
		14.29	1038.4	756.6	1795.0	1076.1	-41.2	1035.0
		14.04	1125.7	798.1	1923.8	1153.3	-41.2	1112.2
		13.79	1230.3	840.0	2070.3	1241.2	-41.2	1200.0
		13.54	1245.3	882.4	2127.7	1275.6	-41.2	1234.4
		13.29	1311.4	924.8	2236.2	1340.6	-41.2	1299.5
		13.04	1558.7	967.2	2525.9	1514.3	-41.2	1473.1

REKENGEGEVENS Mast 076

Berekening : Ontwerpend
 Rekenmethode : Drukpalen volgens NEN-EN 1997-1, art. 7.6.2
 Sondering(en) : S076-1, S076-2

Stijf bouwwerk : NEE
 Paalgroep : NEE
 Aantal sonderingen : 2
 Factor $\xi_{3(n=1)}$: 1.39
 Factor $\xi_{3(gem)}$: 1.32
 Factor $\xi_{4(min)}$: 1.32
 Weerstandsfactor γ_R : 1.20
 $\gamma_{f,nk}$: 1.0
 $R_{s;cal;max;i}$ begrenzen op $0.75 * R_{b;cal;max;i}$: NEE
 UGT draagvermogen zonder negatieve kleef : NEE

Paal : SI-paal 273_400
 Niveau paalkop [m] : N.A.P. 23.88
 Bovenbel. [kN/m²] : 0.00

PAALPUNTNIVEAUS SI-paal 273_400

Alle niveaus/hogtes/peilmaten zijn t.o.v. : N.A.P.

Nr	Beginniveau [m]	Eindniveau [m]	Stapgrootte [m]
1	13.48	10.98	0.25

Project :
Onderdeel :

SAMENVATTINGSTABEL Mast 076 (n=1)**Uitgangspunten**

- paal : SI-paal 273_400
 - paaltype : In de grond gevormde geschroefde paal; groutinjectie
 - schachtafmeting : 400 mm
 Paalklassefactor α_p : 0.63
 Factor α_s (tabel 7.c EC 7.1) : 0.009 (zandlagen; voor kleilagen zie tabel 7.d)
 Correlatiefactor $\xi_{3(n=1)}$: 1.39

Alle niveaus/hogtes/peilmaten zijn t.o.v.: N.A.P.

sondering	maaiveld paalpunt		Bezwijkdraagvermogen			Rekenwaarden		
	niveau	niveau	$R_{b;cal}$ [kN]	$R_{s;cal}$ [kN]	$R_{c;cal}$ [kN]	$R_{c;d}$ [kN]	$F_{nk;d}$ [kN]	$R_{c;netto;d}$ [kN]
S076-1	23.70	13.48	1305.8	39.0	1344.9	806.3	-201.3	605.0
		13.23	1615.4	81.4	1696.8	1017.3	-201.3	816.0
		12.98	1885.0	123.8	2008.8	1204.3	-201.3	1003.0
		12.73	1885.0	166.3	2051.2	1229.7	-201.3	1028.4
		12.48	1885.0	208.7	2093.6	1255.2	-201.3	1053.9
		12.23	1885.0	251.1	2136.0	1280.6	-201.3	1079.3
		11.98	1885.0	293.5	2178.4	1306.0	-201.3	1104.7
		11.73	1885.0	335.9	2220.9	1331.4	-201.3	1130.1
		11.48	1885.0	378.3	2263.3	1356.9	-201.3	1155.6
		11.23	1885.0	420.7	2305.7	1382.3	-201.3	1181.0
		10.98	1885.0	463.1	2348.1	1407.7	-201.3	1206.4
S076-2	23.50	13.48	1291.5	39.0	1330.5	797.6	-204.5	593.1
		13.23	1679.0	81.4	1760.4	1055.4	-204.5	850.9
		12.98	1885.0	123.8	2008.7	1204.3	-204.5	999.8
		12.73	1885.0	166.2	2051.2	1229.7	-204.5	1025.2
		12.48	1711.5	208.6	1920.1	1151.2	-204.5	946.7
		12.23	1417.4	251.0	1668.4	1000.3	-204.5	795.8
		11.98	1455.8	293.4	1749.2	1048.7	-204.5	844.2
		11.73	1458.3	335.8	1794.1	1075.6	-204.5	871.1
		11.48	1454.7	378.3	1833.0	1098.9	-204.5	894.4
		11.23	1410.4	420.7	1831.1	1097.8	-204.5	893.3
		10.98	1333.4	463.1	1796.5	1077.0	-204.5	872.6

Project :
Onderdeel :

OVERZICHT NETTO DRAAGVERMOGEN DRUKPALEN

Netto paal draagvermogen(s) zijn naar beneden toe afgerond op: 1.0 kN nauwkeurig
Alle niveaus/hoogtes/peilmaten zijn t.o.v.: N.A.P.

sondering	maaiveld paalpunt		$R_{c,netto;d}$ [kN]			
	niveau	niveau	Mast 070	Mast 072	Mast 074	Mast 076
S074-1	24.16	15.54				779
		15.29				1311
		15.04				1423
		14.96			1769	
		14.79				1448
		14.71			1797	
		14.54				1474
		14.46			1826	
		14.29				1499
		14.21			1855	
		14.04				1524
		13.96			1883	
		13.79				1550
		13.71			1912	
		13.54				1575
		13.46			1940	
		13.29				1601
13.21			1969			
13.04				1626		
12.96			1998			
12.71			2026			
12.46			2055			
S074-2	24.17	15.54				1010
		15.29				1037
		15.04				1037
		14.96			1231	
		14.79				1042
		14.71			1245	
		14.54				1035
		14.46			1240	
		14.29				1034
		14.21			1253	
		14.04				1112
		13.96			1398	
		13.79				1200
		13.71			1454	
		13.54				1234
		13.46			1493	
		13.29				1299
13.21			1621			
13.04				1473		
12.96			1867			
12.71			2041			
12.46			1936			
S076-1	23.70	13.48				604
		13.23				815
		12.98				1003
		12.73				1028
		12.48				1053
		12.23				1079
		11.98				1104
		11.73				1130
		11.48				1155
11.23				1180		
10.98				1206		
S076-2	23.50	13.48				593
		13.23				850
		12.98				999
		12.73				1025

Project :
Onderdeel :

Netto paal draagvermogen(s) zijn naar beneden toe afgerond op: 1.0 kN nauwkeurig
Alle niveaus/hogtes/peilmaten zijn t.o.v.: N.A.P.

sondering	maaiveld paalpunt		R _{c,netto;d} [kN]			
	niveau	niveau	Mast 070	Mast 072	Mast 074	Mast 076
		12.48				946
		12.23				795
		11.98				844
		11.73				871
		11.48				894
		11.23				893
		10.98				872
S071-1	25.04	14.96		1042		
		14.71		1119		
		14.46		1083		
		14.21		1037		
		13.96		1021		
		13.71		652		
		13.46		613		
		13.21		638		
		12.96		635		
		12.71		606		
		12.46		622		
S071-2	24.39	14.96		931		
		14.71		1271		
		14.46		1225		
		14.21		1070		
		13.96		1033		
		13.71		1027		
		13.46		998		
		13.21		826		
		12.96		850		
		12.71		875		
		12.46		917		
S073-1	25.31	14.96		961		
		14.71		1212		
		14.46		1405		
		14.21		1453		
		13.96		1503		
		13.71		1549		
		13.46		1593		
		13.21		1633		
		12.96		1668		
		12.71		1721		
		12.46		1797		
S073-2	25.51	14.96		1078		
		14.71		1264		
		14.46		1380		
		14.21		1494		
		13.96		1439		
		13.71		1502		
		13.46		1559		
		13.21		1616		
		12.96		1656		
		12.71		1708		
		12.46		1701		
S070-1	24.67	16.47	678			
		16.22	730			
		15.97	928			
		15.72	1114			
		15.47	1142			
		15.22	1016			
		14.97	1071			
		14.96		1074		
		14.72	1084			

Project :
Onderdeel :

Netto paal draagvermogen(s) zijn naar beneden toe afgerond op: 1.0 kN nauwkeurig
Alle niveaus/hoogtes/peilmaten zijn t.o.v.: N.A.P.

sondering	maaiveld paalpunt		$R_{c,netto;d}$ [kN]			
	niveau	niveau	Mast 070	Mast 072	Mast 074	Mast 076
		14.71		1086		
		14.47	1081			
		14.46		1082		
		14.22	1080			
		14.21		1083		
		13.97	1109			
		13.96		1113		
		13.71		1205		
		13.46		1356		
		13.21		1380		
		12.96		1309		
		12.71		1430		
		12.46		1482		
S070-2	24.63	16.47	878			
		16.22	1004			
		15.97	1195			
		15.72	1356			
		15.47	1258			
		15.22	1319			
		14.97	1360			
		14.96		1362		
		14.72	1404			
		14.71		1407		
		14.47	1030			
		14.46		1033		
		14.22	1068			
		14.21		1070		
		13.97	1081			
		13.96		1082		
		13.71		1110		
		13.46		1141		
		13.21		1128		
		12.96		1030		
		12.71		1366		
		12.46		1406		

Project :
Onderdeel :

ALGEMENE GEGEVENS

Project :
Onderdeel :
Datum : 10-12-2021
Bestand : \\Arh7001.verit.dnv.com\projects\EANL_Projects\
10166262 - BBB modelleren funderingen 380
kV\02 Content\03 Calculations\Technosoft
Paalfunderingen\MBT-EHV380\DO\Nieuw
Sonderingen\Nieuwe palen\Mast 080-089.pvw
Berekeningstype : Verticaal belaste paal
Alle niveaus/hogtes/peilmaten zijn t.o.v.: N.A.P.

Toegepaste normen volgens Eurocode met Nederlandse NB

Geotechniek	EN 1997-1:2004	AC:2009	
	NEN-EN 1997-1:2005	C1+A1:2013	NB:2016
	NEN 9997-1:2016	C2:2017	

REKENGEGEVENS Mast 080

Berekening : Ontwerpend
Rekenmethode : Drukpalen volgens NEN-EN 1997-1, art. 7.6.2
Sondering(en) : S080-1, S080-2

Stijf bouwwerk : NEE
Paalgroep : NEE
Aantal sonderingen : 2
Factor ξ_3 (n=1) : 1.39
Factor ξ_3 (gem) : 1.32
Factor ξ_4 (min) : 1.32
Weerstandsfactor γ_R : 1.20
 $\gamma_{f,nk}$: 1.0
 $R_{s,cal,max,i}$ begrenzen op $0.75 * R_{b,cal,max,i}$: NEE
UGT draagvermogen zonder negatieve kleeft : NEE

Paal : SI-paal 273_400
Niveau paalkop [m] : N.A.P. 22.99
Bovenbel. [kN/m²] : 0.00

PAALPUNTNIVEAUS SI-paal 273_400

Alle niveaus/hogtes/peilmaten zijn t.o.v. : N.A.P.

Nr	Beginniveau [m]	Eindniveau [m]	Stapgrootte [m]
1	12.24	9.74	0.25

Project :
Onderdeel :

SAMENVATTINGSTABEL Mast 080 (n=1)**Uitgangspunten**

- paal : SI-paal 273_400
 - paaltype : In de grond gevormde geschroefde paal; groutinjectie
 - schachtafmeting : 400 mm
 Paalklassefactor α_p : 0.63
 Factor α_s (tabel 7.c EC 7.1) : 0.009 (zandlagen; voor kleilagen zie tabel 7.d)
 Correlatiefactor $\xi_{3(n=1)}$: 1.39

Alle niveaus/hogtes/peilmaten zijn t.o.v.: N.A.P.

sondering	maaiveld paalpunt		Bezwijkdraagvermogen			Rekenwaarden		
	niveau	niveau	$R_{b;cal}$ [kN]	$R_{s;cal}$ [kN]	$R_{c;cal}$ [kN]	$R_{c;d}$ [kN]	$F_{nk;d}$ [kN]	$R_{c;netto;d}$ [kN]
S080-1	22.64	12.24	960.6	25.5	986.1	591.2	-261.7	329.5
		11.99	1102.4	67.9	1170.4	701.7	-261.7	440.0
		11.74	1159.2	110.3	1269.5	761.1	-261.7	499.4
		11.49	1201.6	152.7	1354.4	812.0	-261.7	550.3
		11.24	1083.9	195.1	1279.1	766.8	-261.7	505.1
		10.99	855.7	237.6	1093.2	655.4	-261.7	393.7
		10.74	574.0	280.0	853.9	511.9	-261.7	250.3
		10.49	506.1	322.3	828.4	496.6	-261.7	235.0
		10.24	367.2	364.6	731.8	438.7	-261.7	177.0
		9.99	262.4	406.9	669.3	401.3	-261.7	139.6
9.74	165.8	449.2	615.0	368.7	-261.7	107.0		
S080-2	22.70	12.24	229.5	0.0	229.5	137.6	-269.8	-132.2
		11.99	1122.3	8.6	1130.9	678.0	-277.4	400.6
		11.74	1398.6	51.0	1449.6	869.1	-277.4	591.6
		11.49	1488.9	93.4	1582.4	948.7	-277.4	671.2
		11.24	1532.6	135.8	1668.4	1000.2	-277.4	722.8
		10.99	882.0	178.2	1060.2	635.6	-277.4	358.2
		10.74	648.0	220.7	868.7	520.8	-277.4	243.4
		10.49	490.7	263.1	753.8	451.9	-277.4	174.5
		10.24	409.8	305.5	715.3	428.8	-277.4	151.4
		9.99	336.0	347.9	683.9	410.0	-277.4	132.6
9.74	242.1	390.3	632.4	379.1	-277.4	101.7		

REKENGEGEVENS Mast 081

Berekening : Ontwerpend
 Rekenmethode : Drukpalen volgens NEN-EN 1997-1, art. 7.6.2
 Sondering(en) : S081-1, S081-2

Stijf bouwwerk : NEE
 Paalgroep : NEE
 Aantal sonderingen : 2
 Factor $\xi_{3(n=1)}$: 1.39
 Factor $\xi_{3(gem)}$: 1.32
 Factor $\xi_{4(min)}$: 1.32
 Weerstandsfactor γ_R : 1.20
 $\gamma_{f,nk}$: 1.0
 $R_{s;cal;max;i}$ begrenzen op $0.75 * R_{b;cal;max;i}$: NEE
 UGT draagvermogen zonder negatieve kleef : NEE

Paal : SI-paal 273_400
 Niveau paalkop [m] : N.A.P. 22.82
 Bovenbel. [kN/m²] : 0.00

PAALPUNTNIVEAUS SI-paal 273_400

Alle niveaus/hogtes/peilmaten zijn t.o.v. : N.A.P.

Nr	Beginniveau [m]	Eindniveau [m]	Stapgrootte [m]
1	11.47	8.50	0.25

Project :
Onderdeel :

SAMENVATTINGSTABEL Mast 081 (n=1)**Uitgangspunten**

- paal : SI-paal 273_400
 - paaltype : In de grond gevormde geschroefde paal; groutinjectie
 - schachtafmeting : 400 mm
 Paalklassefactor α_p : 0.63
 Factor α_s (tabel 7.c EC 7.1) : 0.009 (zandlagen; voor kleilagen zie tabel 7.d)
 Correlatiefactor $\xi_{3(n=1)}$: 1.39

Alle niveaus/hogtes/peilmaten zijn t.o.v.: N.A.P.

sondering	maaiveld paalpunt		Bezwijkdraagvermogen			Rekenwaarden		
	niveau	niveau	$R_{b;cal}$ [kN]	$R_{s;cal}$ [kN]	$R_{c;cal}$ [kN]	$R_{c;d}$ [kN]	$F_{nk;d}$ [kN]	$R_{c;netto;d}$ [kN]
S081-1	22.46	11.47	167.8	729.8	897.6	538.1	-81.7	456.4
		11.22	158.2	758.1	916.3	549.3	-81.7	467.6
		10.97	127.1	791.3	918.4	550.6	-81.7	468.9
		10.72	110.0	808.3	918.3	550.5	-81.7	468.8
		10.47	98.8	823.8	922.6	553.1	-81.7	471.4
		10.22	93.7	832.1	925.8	555.1	-81.7	473.4
		9.97	173.8	836.0	1009.8	605.4	-81.7	523.7
		9.72	534.8	846.5	1381.3	828.1	-81.7	746.4
		9.47	508.7	887.3	1396.0	836.9	-81.7	755.2
		9.22	838.0	917.8	1755.7	1052.6	-81.7	970.9
		8.97	1094.7	960.0	2054.6	1231.8	-81.7	1150.1
		8.72	1233.1	1002.4	2235.5	1340.2	-81.7	1258.5
		8.50	1516.3	1039.7	2556.0	1532.4	-81.7	1450.7
S081-2	22.45	11.47	220.8	681.7	902.4	541.0	-86.6	454.4
		11.22	212.6	710.1	922.7	553.2	-86.6	466.6
		10.97	194.4	741.5	935.8	561.0	-86.6	474.5
		10.72	149.6	778.1	927.7	556.2	-86.6	469.6
		10.47	114.5	813.7	928.2	556.5	-86.6	469.9
		10.22	122.6	820.2	942.8	565.2	-86.6	478.6
		9.97	224.8	826.4	1051.2	630.2	-86.6	543.6
		9.72	778.1	838.6	1616.7	969.3	-86.6	882.7
		9.47	777.2	891.1	1668.3	1000.2	-86.6	913.6
		9.22	1222.8	933.5	2156.2	1292.7	-86.6	1206.1
		8.97	1310.6	975.9	2286.4	1370.8	-86.6	1284.2
		8.72	1311.0	1018.3	2329.3	1396.5	-86.6	1309.9
		8.50	1413.1	1055.6	2468.7	1480.0	-86.6	1393.4

REKENGEDEGENS Mast 088

Berekening : Ontwerpend
 Rekenmethode : Drukpalen volgens NEN-EN 1997-1, art. 7.6.2
 Sondering(en) : S088-1, S088-2

Stijf bouwwerk : NEE
 Paalgroep : NEE
 Aantal sonderingen : 2
 Factor $\xi_{3(n=1)}$: 1.39
 Factor $\xi_{3(gem)}$: 1.32
 Factor $\xi_{4(min)}$: 1.32
 Weerstandsfactor γ_R : 1.20
 $\gamma_{f,nk}$: 1.0
 $R_{s;cal;max;i}$ begrenzen op $0.75 * R_{b;cal;max;i}$: NEE
 UGT draagvermogen zonder negatieve kleef : NEE

Paal : SI-paal 273_400
 Niveau paalkop [m] : N.A.P. 21.44
 Bovenbel. [kN/m²] : 0.00

PAALPUNTNIVEAUS SI-paal 273_400

Alle niveaus/hogtes/peilmaten zijn t.o.v. : N.A.P.

Nr	Beginniveau [m]	Eindniveau [m]	Stapgrootte [m]
1	10.24	7.74	0.25

Project :
Onderdeel :

SAMENVATTINGSTABEL Mast 088 (n=1)**Uitgangspunten**

- paal : SI-paal 273_400
 - paaltype : In de grond gevormde geschroefde paal; groutinjectie
 - schachtafmeting : 400 mm
 Paalklassefactor α_p : 0.63
 Factor α_s (tabel 7.c EC 7.1) : 0.009 (zandlagen; voor kleilagen zie tabel 7.d)
 Correlatiefactor $\xi_{3(n=1)}$: 1.39

Alle niveaus/hogtes/peilmaten zijn t.o.v.: N.A.P.

sondering	maaiveld paalpunt		Beziijkdraagvermogen			Rekenwaarden		
	niveau	niveau	$R_{b,cal}$ [kN]	$R_{s,cal}$ [kN]	$R_{c,cal}$ [kN]	$R_{c;d}$ [kN]	$F_{nk;d}$ [kN]	$R_{c,netto;d}$ [kN]
S088-1	21.47	10.24	1460.2	143.6	1603.8	961.5	-241.4	720.1
		9.99	1559.8	186.0	1745.7	1046.6	-241.4	805.2
		9.74	1702.4	228.4	1930.8	1157.6	-241.4	916.2
		9.49	1686.3	270.8	1957.1	1173.3	-241.4	931.9
		9.24	1713.3	313.2	2026.5	1214.9	-241.4	973.6
		8.99	1708.4	355.6	2064.0	1237.4	-241.4	996.0
		8.74	1726.4	398.0	2124.4	1273.6	-241.4	1032.3
		8.49	1730.1	440.4	2170.5	1301.3	-241.4	1059.9
		8.24	1691.3	482.9	2174.1	1303.4	-241.4	1062.1
		7.99	1833.9	525.3	2359.2	1414.4	-241.4	1173.0
		7.74	1885.0	567.7	2452.6	1470.4	-241.4	1229.0
S088-2	21.40	10.24	1760.8	145.2	1906.0	1142.7	-241.0	901.7
		9.99	1806.6	187.6	1994.2	1195.6	-241.0	954.6
		9.74	1575.7	230.0	1805.7	1082.6	-241.0	841.6
		9.49	1593.5	272.4	1865.9	1118.7	-241.0	877.7
		9.24	1645.3	314.8	1960.1	1175.1	-241.0	934.1
		8.99	1660.1	357.3	2017.4	1209.5	-241.0	968.4
		8.74	1696.8	399.7	2096.5	1256.9	-241.0	1015.9
		8.49	1736.1	442.1	2178.2	1305.9	-241.0	1064.9
		8.24	1734.8	484.5	2219.3	1330.5	-241.0	1089.5
		7.99	1885.0	526.9	2411.9	1446.0	-241.0	1205.0
		7.74	1826.7	569.3	2396.0	1436.5	-241.0	1195.4

REKENGEGEVENS Mast 089

Berekening : Ontwerpend
 Rekenmethode : Drukpalen volgens NEN-EN 1997-1, art. 7.6.2
 Sondering(en) : S089-1, S089-2

Stijf bouwwerk : NEE
 Paalgroep : NEE
 Aantal sonderingen : 2
 Factor $\xi_{3(n=1)}$: 1.39
 Factor $\xi_{3(gem)}$: 1.32
 Factor $\xi_{4(min)}$: 1.32
 Weerstandsfactor γ_R : 1.20
 $\gamma_{f,nk}$: 1.0
 $R_{s,cal,max;i}$ begrenzen op $0.75 * R_{b,cal,max;i}$: NEE
 UGT draagvermogen zonder negatieve kleef : NEE

Paal : SI-paal 273_400
 Niveau paalkop [m] : N.A.P. 21.76
 Bovenbel. [kN/m²] : 0.00

PAALPUNTNIVEAUS SI-paal 273_400

Alle niveaus/hogtes/peilmaten zijn t.o.v. : N.A.P.

Nr	Beginniveau [m]	Eindniveau [m]	Stapgrootte [m]
1	10.96	8.46	0.25

Project :
Onderdeel :

SAMENVATTINGSTABEL Mast 089 (n=1)**Uitgangspunten**

- paal : SI-paal 273_400
 - paaltype : In de grond gevormde geschroefde paal; groutinjectie
 - schachtafmeting : 400 mm
 Paalklassefactor α_p : 0.63
 Factor α_s (tabel 7.c EC 7.1) : 0.009 (zandlagen; voor kleilagen zie tabel 7.d)
 Correlatiefactor $\xi_{3(n=1)}$: 1.39

Alle niveaus/hogtes/peilmaten zijn t.o.v.: N.A.P.

sondering	maaiveld paalpunt		Bezwijkdraagvermogen			Rekenwaarden		
	niveau	niveau	$R_{b;cal}$ [kN]	$R_{s;cal}$ [kN]	$R_{c;cal}$ [kN]	$R_{c;d}$ [kN]	$F_{nk;d}$ [kN]	$R_{c;netto;d}$ [kN]
S089-1	21.35	10.96	976.2	818.1	1794.3	1075.7	-9.9	1065.8
		10.71	1084.9	860.5	1945.4	1166.3	-9.9	1156.5
		10.46	1105.1	902.9	2008.0	1203.9	-9.9	1194.0
		10.21	1116.6	945.3	2061.9	1236.1	-9.9	1226.3
		9.96	1604.3	987.7	2592.1	1554.0	-9.9	1544.1
		9.71	1754.8	1030.1	2785.0	1669.6	-9.9	1659.8
		9.46	1827.9	1072.5	2900.4	1738.9	-9.9	1729.0
		9.21	1881.5	1115.0	2996.4	1796.4	-9.9	1786.6
		8.96	1722.8	1157.4	2880.2	1726.7	-9.9	1716.9
		8.71	1769.3	1199.8	2969.1	1780.0	-9.9	1770.1
		8.46	1827.1	1242.2	3069.3	1840.1	-9.9	1830.2
S089-2	21.16	10.96	1122.2	947.6	2069.8	1240.9	-8.1	1232.8
		10.71	1077.2	990.0	2067.2	1239.3	-8.1	1231.2
		10.46	1112.8	1032.4	2145.2	1286.1	-8.1	1277.9
		10.21	1146.0	1074.8	2220.8	1331.4	-8.1	1323.3
		9.96	1185.5	1117.2	2302.7	1380.5	-8.1	1372.4
		9.71	1172.8	1159.6	2332.4	1398.3	-8.1	1390.2
		9.46	1100.0	1202.0	2302.1	1380.1	-8.1	1372.0
		9.21	1283.0	1244.4	2527.4	1515.2	-8.1	1507.1
		8.96	1528.7	1286.8	2815.6	1688.0	-8.1	1679.9
		8.71	1600.2	1329.3	2929.4	1756.3	-8.1	1748.1
		8.46	1677.5	1371.7	3049.1	1828.0	-8.1	1819.9

Project :
Onderdeel :

OVERZICHT NETTO DRAAGVERMOGEN DRUKPALEN

Netto paal draagvermogen(s) zijn naar beneden toe afgerond op: 1.0 kN nauwkeurig
Alle niveaus/hogtes/peilmaten zijn t.o.v.: N.A.P.

sondering	maaiveld paalpunt		$R_{c, netto; d}$ [kN]			
	niveau	niveau	Mast 080	Mast 081	Mast 088	Mast 089
S089-1	21.35	10.96				1065
		10.71				1156
		10.46				1193
		10.21				1226
		9.96				1544
		9.71				1659
		9.46				1728
		9.21				1786
		8.96				1716
		8.71				1770
		8.46				1830
S089-2	21.16	10.96				1232
		10.71				1231
		10.46				1277
		10.21				1323
		9.96				1372
		9.71				1390
		9.46				1372
		9.21				1507
		8.96				1679
		8.71				1748
		8.46				1819
S080-1	22.64	12.24	329			
		11.99	439			
		11.74	499			
		11.49	550			
		11.24	505			
		10.99	393			
		10.74	250			
		10.49	234			
		10.24	177			
		9.99	139			
		9.74	107			
S080-2	22.70	12.24	-133			
		11.99	400			
		11.74	591			
		11.49	671			
		11.24	722			
		10.99	358			
		10.74	243			
		10.49	174			
		10.24	151			
		9.99	132			
		9.74	101			
S088-1	21.47	10.24			720	
		9.99			805	
		9.74			916	
		9.49			931	
		9.24			973	
		8.99			996	
		8.74			1032	
		8.49			1059	
		8.24			1062	
		7.99			1172	
		7.74			1229	
S088-2	21.40	10.24			901	
		9.99			954	

Project :
Onderdeel :

Netto paal draagvermogen(s) zijn naar beneden toe afgerond op: 1.0 kN nauwkeurig
Alle niveaus/hogtes/peilmaten zijn t.o.v.: N.A.P.

sondering	maaiveld paalpunt		$R_{c,netto;d}$ [kN]			
	niveau	niveau	Mast 080	Mast 081	Mast 088	Mast 089
		9.74			841	
		9.49			877	
		9.24			934	
		8.99			968	
		8.74			1015	
		8.49			1064	
		8.24			1089	
		7.99			1204	
		7.74			1195	
S081-1	22.46	11.47		456		
		11.22		467		
		10.97		468		
		10.72		468		
		10.47		471		
		10.22		473		
		9.97		523		
		9.72		746		
		9.47		755		
		9.22		970		
		8.97		1150		
		8.72		1258		
		8.50		1450		
S081-2	22.45	11.47		454		
		11.22		466		
		10.97		474		
		10.72		469		
		10.47		469		
		10.22		478		
		9.97		543		
		9.72		882		
		9.47		913		
		9.22		1206		
		8.97		1284		
		8.72		1309		
		8.50		1393		

ALGEMENE GEGEVENS

Project :
 Onderdeel :
 Datum : 23-11-2021
 Bestand : \\Arh7001.verit.dnv.com\projects\EANL_Projects\
 10166262 - BBB modelleren funderingen 380
 kV\02 Content\03 Calculations\Technosoft
 Paalfunderingen\MBT-EHV380\DO\Nieuw
 Sonderingen\Nieuwe palen\Mast 090-099.pvw
 Berekeningstype : Verticaal belaste paal
 Alle niveaus/hogtes/peilmaten zijn t.o.v.: N.A.P.

Toegepaste normen volgens Eurocode met Nederlandse NB

Geotechniek	EN 1997-1:2004	AC:2009	
	NEN-EN 1997-1:2005	C1+A1:2013	NB:2016
	NEN 9997-1:2016	C2:2017	

REKENGEGEVENS Mast 093

Berekening : Ontwerpend
 Rekenmethode : Drukpalen volgens NEN-EN 1997-1, art. 7.6.2
 Sondering(en) : S093-1, S093-2

Stijf bouwwerk : NEE
 Paalgroep : NEE
 Aantal sonderingen : 2
 Factor ξ_3 (n=1) : 1.39
 Factor ξ_3 (gem) : 1.32
 Factor ξ_4 (min) : 1.32
 Weerstandsfactor γ_R : 1.20
 $\gamma_{f,nk}$: 1.0
 $R_{s,cal,max,i}$ begrenzen op $0.75 * R_{b,cal,max,i}$: NEE
 UGT draagvermogen zonder negatieve kleeft : NEE

Paal : SI-paal 273_400
 Niveau paalkop [m] : N.A.P. 24.18
 Bovenbel. [kN/m²] : 0.00

PAALPUNTNIVEAUS SI-paal 273_400

Alle niveaus/hogtes/peilmaten zijn t.o.v. : N.A.P.

Nr	Beginniveau [m]	Eindniveau [m]	Stapgrootte [m]
1	16.53	14.03	0.25

Project :
Onderdeel :

SAMENVATTINGSTABEL Mast 093 (n=1)**Uitgangspunten**

- paal : SI-paal 273_400
 - paaltype : In de grond gevormde geschroefde paal; groutinjectie
 - schachtafmeting : 400 mm
 Paalklassefactor α_p : 0.63
 Factor α_s (tabel 7.c EC 7.1) : 0.009 (zandlagen; voor kleilagen zie tabel 7.d)
 Correlatiefactor $\xi_{3(n=1)}$: 1.39

Alle niveaus/hogtes/peilmaten zijn t.o.v.: N.A.P.

sondering	maaiveld paalpunt		Bewijkdraagvermogen			Rekenwaarden		
	niveau	niveau	$R_{b;cal}$ [kN]	$R_{s;cal}$ [kN]	$R_{c;cal}$ [kN]	$R_{c;d}$ [kN]	$F_{nk;d}$ [kN]	$R_{c;netto;d}$ [kN]
S093-1	24.06	16.53	864.4	229.0	1093.5	655.5	-47.5	608.0
		16.28	940.1	271.4	1211.5	726.3	-47.5	678.8
		16.03	1007.7	313.8	1321.5	792.3	-47.5	744.7
		15.78	1041.9	356.2	1398.1	838.2	-47.5	790.7
		15.53	1086.7	398.6	1485.4	890.5	-47.5	843.0
		15.28	1092.9	441.1	1534.0	919.6	-47.5	872.1
		15.03	1158.5	483.5	1641.9	984.4	-47.5	936.8
		14.78	1191.3	525.9	1717.1	1029.5	-47.5	981.9
		14.53	1202.4	568.3	1770.7	1061.6	-47.5	1014.1
		14.28	1338.9	610.7	1949.6	1168.9	-47.5	1121.3
		14.03	1476.9	653.1	2130.0	1277.0	-47.5	1229.5
S093-2	23.87	16.53	585.8	62.3	648.1	388.6	-99.8	288.8
		16.28	838.3	95.9	934.2	560.1	-99.8	460.3
		16.03	883.7	138.3	1022.0	612.7	-99.8	512.9
		15.78	954.0	180.7	1134.7	680.3	-99.8	580.5
		15.53	1098.5	223.1	1321.6	792.3	-99.8	692.6
		15.28	1062.2	265.5	1327.7	796.0	-99.8	696.2
		15.03	1098.6	307.9	1406.5	843.2	-99.8	743.5
		14.78	1140.5	350.3	1490.8	893.8	-99.8	794.0
		14.53	1159.3	392.7	1552.1	930.5	-99.8	830.7
		14.28	1165.0	435.2	1600.1	959.3	-99.8	859.5
		14.03	1184.0	477.6	1661.6	996.1	-99.8	896.4

REKENGEGEVENS Mast 094

Berekening : Ontwerpend
 Rekenmethode : Drukpalen volgens NEN-EN 1997-1, art. 7.6.2
 Sondering(en) : S094-1, S094-2

Stijf bouwwerk : NEE
 Paalgroep : NEE
 Aantal sonderingen : 2
 Factor $\xi_{3(n=1)}$: 1.39
 Factor $\xi_{3(gem)}$: 1.32
 Factor $\xi_{4(min)}$: 1.32
 Weerstandsfactor γ_R : 1.20
 $\gamma_{f,nk}$: 1.0
 $R_{s;cal;max;i}$ begrenzen op $0.75 * R_{b;cal;max;i}$: NEE
 UGT draagvermogen zonder negatieve kleef : NEE

Paal : SI-paal 273_400
 Niveau paalkop [m] : N.A.P. 20.73
 Bovenbel. [kN/m²] : 0.00

PAALPUNTNIVEAUS SI-paal 273_400

Alle niveaus/hogtes/peilmaten zijn t.o.v. : N.A.P.

Nr	Beginniveau [m]	Eindniveau [m]	Stapgrootte [m]
1	14.03	10.03	0.25

Project :
Onderdeel :

SAMENVATTINGSTABEL Mast 094 (n=1)**Uitgangspunten**

- paal : SI-paal 273_400
 - paaltype : In de grond gevormde geschroefde paal; groutinjectie
 - schachtafmeting : 400 mm
 Paalklassefactor α_p : 0.63
 Factor α_s (tabel 7.c EC 7.1) : 0.009 (zandlagen; voor kleilagen zie tabel 7.d)
 Correlatiefactor $\xi_{3(n=1)}$: 1.39

Alle niveaus/hogtes/peilmaten zijn t.o.v.: N.A.P.

sondering	maaiveld paalpunt		Bezwijkdraagvermogen			Rekenwaarden		
	niveau	niveau	$R_{b,cal}$ [kN]	$R_{s,cal}$ [kN]	$R_{c,cal}$ [kN]	$R_{c;d}$ [kN]	$F_{nk;d}$ [kN]	$R_{c,netto;d}$ [kN]
S094-1	20.53	14.03	949.0	531.6	1480.6	887.7	-1.9	885.7
		13.78	1017.8	574.0	1591.9	954.4	-1.9	952.4
		13.53	1050.9	616.5	1667.3	999.6	-1.9	997.6
		13.28	1085.1	658.9	1744.0	1045.5	-1.9	1043.6
		13.03	1137.8	701.3	1839.1	1102.6	-1.9	1100.6
		12.78	1241.2	743.7	1984.9	1190.0	-1.9	1188.1
		12.53	1290.3	786.1	2076.4	1244.8	-1.9	1242.9
		12.28	1092.1	828.5	1920.6	1151.5	-1.9	1149.5
		12.03	1033.9	870.9	1904.9	1142.0	-1.9	1140.1
		11.78	1059.8	913.3	1973.1	1182.9	-1.9	1181.0
		11.53	1071.5	955.8	2027.3	1215.4	-1.9	1213.4
		11.28	1043.7	998.2	2041.8	1224.1	-1.9	1222.2
		11.03	954.6	1040.6	1995.2	1196.1	-1.9	1194.2
		10.78	606.3	1083.0	1689.3	1012.8	-1.9	1010.8
		10.53	569.1	1117.9	1687.0	1011.4	-1.9	1009.5
		10.28	531.4	1160.3	1691.7	1014.2	-1.9	1012.3
10.03	486.0	1202.8	1688.8	1012.5	-1.9	1010.5		
S094-2	20.50	14.03	682.7	493.0	1175.7	704.9	-2.8	702.1
		13.78	878.5	527.8	1406.3	843.1	-2.8	840.3
		13.53	912.4	570.2	1482.5	888.8	-2.8	886.0
		13.28	944.7	612.6	1557.3	933.6	-2.8	930.8
		13.03	980.9	655.0	1635.9	980.7	-2.8	978.0
		12.78	976.9	697.4	1674.4	1003.8	-2.8	1001.0
		12.53	1012.2	739.8	1752.0	1050.4	-2.8	1047.6
		12.28	998.4	782.2	1780.7	1067.5	-2.8	1064.8
		12.03	744.6	824.7	1569.3	940.8	-2.8	938.0
		11.78	584.2	867.1	1451.3	870.1	-2.8	867.3
		11.53	575.9	909.5	1485.4	890.5	-2.8	887.7
		11.28	465.1	951.9	1417.0	849.5	-2.8	846.7
		11.03	305.5	990.6	1296.1	777.1	-2.8	774.3
		10.78	247.1	1027.1	1274.2	763.9	-2.8	761.1
		10.53	189.2	1063.6	1252.8	751.1	-2.8	748.3
		10.28	173.7	1097.8	1271.6	762.3	-2.8	759.5
10.03	148.5	1127.9	1276.4	765.2	-2.8	762.4		

REKENEGEGEVENS Mast 096

Berekening : Ontwerpend
 Rekenmethode : Drukpalen volgens NEN-EN 1997-1, art. 7.6.2
 Sondering(en) : S096-1, S096-2

Stijf bouwwerk : NEE
 Paalgroep : NEE
 Aantal sonderingen : 2
 Factor $\xi_{3(n=1)}$: 1.39
 Factor $\xi_{3(gem)}$: 1.32
 Factor $\xi_{4(min)}$: 1.32
 Weerstandsfactor γ_R : 1.20
 $\gamma_{f,nk}$: 1.0
 $R_{s,cal,max;i}$ begrenzen op $0.75 * R_{b,cal,max;i}$: NEE
 UGT draagvermogen zonder negatieve kleef : NEE

Paal : SI-paal 273_400
 Niveau paalkop [m] : N.A.P. 20.23
 Bovenbel. [kN/m²] : 0.00

Project :
Onderdeel :

PAALPUNTNIVEAUS SI-paal 273_400

Alle niveaus/hogtes/peilmaten zijn t.o.v. : N.A.P.

Nr	Beginniveau [m]	Eindniveau [m]	Stapgrootte [m]
1	13.98	8.98	0.25

SAMENVATTINGSTABEL Mast 096 (n=1)**Uitgangspunten**

- paal : SI-paal 273_400
 - paaltype : In de grond gevormde geschroefde paal; groutinjectie
 - schachtafmeting : 400 mm
 Paalklassefactor α_p : 0.63
 Factor α_s (tabel 7.c EC 7.1) : 0.009 (zandlagen; voor kleilagen zie tabel 7.d)
 Correlatiefactor $\xi_{3(n=1)}$: 1.39

Alle niveaus/hogtes/peilmaten zijn t.o.v.: N.A.P.

sondering	maaiveld paalpunt		Bezwijkdraagvermogen			Rekenwaarden		
	niveau	niveau	$R_{b;cal}$ [kN]	$R_{s;cal}$ [kN]	$R_{c;cal}$ [kN]	$R_{c;d}$ [kN]	$F_{nk;d}$ [kN]	$R_{c;netto;d}$ [kN]
S096-1	19.99	13.98	639.7	141.2	780.9	468.2	-62.9	405.3
		13.73	726.7	175.6	902.3	540.9	-62.9	478.1
		13.48	848.5	214.7	1063.2	637.4	-62.9	574.6
		13.23	899.9	257.1	1157.0	693.7	-62.9	630.8
		12.98	1164.5	299.5	1464.1	877.7	-62.9	814.9
		12.73	1348.1	341.9	1690.0	1013.2	-62.9	950.3
		12.48	1411.5	384.3	1795.8	1076.6	-62.9	1013.8
		12.23	1506.6	426.8	1933.4	1159.1	-62.9	1096.2
		11.98	1440.6	469.2	1909.8	1144.9	-62.9	1082.1
		11.73	1246.7	511.6	1758.3	1054.1	-62.9	991.3
		11.48	1249.1	554.0	1803.1	1081.0	-62.9	1018.1
		11.23	587.4	596.4	1183.8	709.7	-62.9	646.8
		10.98	428.9	638.8	1067.7	640.1	-62.9	577.3
		10.73	348.2	681.2	1029.4	617.1	-62.9	554.3
		10.48	276.4	723.6	1000.0	599.5	-62.9	536.7
		10.23	242.6	762.7	1005.3	602.7	-62.9	539.8
		9.98	177.6	797.7	975.3	584.7	-62.9	521.9
9.73	113.6	846.3	959.9	575.5	-62.9	512.6		
9.48	101.0	858.0	959.0	574.9	-62.9	512.1		
9.23	150.7	862.3	1013.0	607.3	-62.9	544.5		
8.98	497.8	870.4	1368.2	820.2	-62.9	757.4		
S096-2	19.77	13.98	175.8	0.0	175.8	105.4	-92.4	13.0
		13.73	242.1	0.0	242.1	145.1	-99.7	45.4
		13.48	547.1	2.6	549.7	329.6	-106.7	222.8
		13.23	582.1	35.7	617.7	370.3	-106.7	263.6
		12.98	690.1	69.6	759.6	455.4	-106.7	348.7
		12.73	796.0	109.0	905.0	542.5	-106.7	435.8
		12.48	885.9	151.4	1037.3	621.9	-106.7	515.1
		12.23	1131.1	193.8	1324.9	794.3	-106.7	687.6
		11.98	1358.6	236.2	1594.8	956.1	-106.7	849.4
		11.73	1434.3	278.6	1712.9	1026.9	-106.7	920.2
		11.48	1490.6	321.0	1811.6	1086.1	-106.7	979.4
		11.23	1701.8	363.4	2065.2	1238.2	-106.7	1131.4
		10.98	1218.7	405.8	1624.5	973.9	-106.7	867.2
		10.73	997.0	448.2	1445.2	866.5	-106.7	759.7
		10.48	895.5	490.7	1386.2	831.0	-106.7	724.3
		10.23	551.2	533.1	1084.3	650.0	-106.7	543.3
		9.98	415.8	575.5	991.3	594.3	-106.7	487.6
9.73	285.9	617.9	903.8	541.9	-106.7	435.1		
9.48	208.4	660.3	868.7	520.8	-106.7	414.1		
9.23	189.3	662.0	851.3	510.4	-106.7	403.7		
8.98	162.0	699.2	861.1	516.3	-106.7	409.5		

Project :
Onderdeel :

REKENGEDEVENS Mast 097

Berekening : Ontwerpend
Rekenmethode : Drukpalen volgens NEN-EN 1997-1, art. 7.6.2
Sondering(en) : S097-1, S097-2

Stijf bouwwerk : NEE
Paalgroep : NEE
Aantal sonderingen : 2
Factor ξ_3 (n=1) : 1.39
Factor ξ_3 (gem) : 1.32
Factor ξ_4 (min) : 1.32
Weerstandsfactor γ_R : 1.20
 $\gamma_{f,nk}$: 1.0
 $R_{s,cal,max;i}$ begrenzen op $0.75 * R_{b,cal,max;i}$: NEE
UGT draagvermogen zonder negatieve kleeft : NEE

Paal : SI-paal 273_400
Niveau paalkop [m] : N.A.P. 20.00
Bovenbel. [kN/m²] : 0.00

PAALPUNTNIVEAUS SI-paal 273_400

Alle niveaus/hogtes/peilmaten zijn t.o.v. : N.A.P.

Nr	Beginniveau [m]	Eindniveau [m]	Stapgrootte [m]
1	12.05	8.80	0.25

Project :
Onderdeel :

SAMENVATTINGSTABEL Mast 097 (n=1)**Uitgangspunten**

- paal : SI-paal 273_400
 - paaltype : In de grond gevormde geschroefde paal; groutinjectie
 - schachtafmeting : 400 mm
 Paalklassefactor α_p : 0.63
 Factor α_s (tabel 7.c EC 7.1) : 0.009 (zandlagen; voor kleilagen zie tabel 7.d)
 Correlatiefactor $\xi_{3(n=1)}$: 1.39

Alle niveaus/hogtes/peilmaten zijn t.o.v.: N.A.P.

sondering	maaiveld paalpunt		Bezwijkdraagvermogen			Rekenwaarden		
	niveau	niveau	$R_{b;cal}$ [kN]	$R_{s;cal}$ [kN]	$R_{c;cal}$ [kN]	$R_{c;d}$ [kN]	$F_{nk;d}$ [kN]	$R_{c;netto;d}$ [kN]
S097-1	19.72	12.05	1021.1	553.0	1574.1	943.7	-7.8	935.9
		11.80	1313.2	595.4	1908.6	1144.2	-7.8	1136.5
		11.55	1390.5	637.8	2028.4	1216.0	-7.8	1208.3
		11.30	1434.2	680.2	2114.5	1267.7	-7.8	1259.9
		11.05	1264.9	722.6	1987.6	1191.6	-7.8	1183.8
		10.80	1250.5	765.1	2015.6	1208.4	-7.8	1200.6
		10.55	657.6	807.5	1465.1	878.4	-7.8	870.6
		10.30	517.8	849.9	1367.7	820.0	-7.8	812.2
		10.05	391.6	892.3	1283.9	769.7	-7.8	762.0
		9.80	295.6	934.7	1230.3	737.6	-7.8	729.8
		9.55	256.3	975.5	1231.8	738.5	-7.8	730.7
		9.30	177.9	1011.1	1189.0	712.8	-7.8	705.1
		9.05	127.9	1046.2	1174.1	703.9	-7.8	696.1
		8.80	125.8	1053.3	1179.1	706.9	-7.8	699.2
S097-2	19.93	12.05	1047.2	490.7	1537.9	922.0	-8.9	913.1
		11.80	1145.6	533.1	1678.7	1006.4	-8.9	997.5
		11.55	998.5	575.5	1574.1	943.7	-8.9	934.8
		11.30	696.7	618.0	1314.7	788.2	-8.9	779.3
		11.05	685.7	660.4	1346.1	807.0	-8.9	798.1
		10.80	508.5	702.8	1211.2	726.2	-8.9	717.3
		10.55	419.1	745.2	1164.3	698.0	-8.9	689.1
		10.30	274.2	787.6	1061.8	636.6	-8.9	627.7
		10.05	202.9	829.6	1032.5	619.0	-8.9	610.1
		9.80	192.1	854.9	1047.0	627.7	-8.9	618.8
		9.55	145.7	885.3	1031.0	618.1	-8.9	609.2
		9.30	120.3	906.0	1026.2	615.3	-8.9	606.4
		9.05	116.4	917.0	1033.4	619.6	-8.9	610.7
8.80	106.4	927.9	1034.3	620.1	-8.9	611.2		

Project :
Onderdeel :

OVERZICHT NETTO DRAAGVERMOGEN DRUKPALEN

Netto paal draagvermogen(s) zijn naar beneden toe afgerond op: 1.0 kN nauwkeurig
Alle niveaus/hogtes/peilmaten zijn t.o.v.: N.A.P.

sondering	maaiveld paalpunt		$R_{c,netto;d}$ [kN]			
	niveau	niveau	Mast 093	Mast 094	Mast 096	Mast 097
S094-1	20.53	14.03		885		
		13.78		952		
		13.53		997		
		13.28		1043		
		13.03		1100		
		12.78		1188		
		12.53		1242		
		12.28		1149		
		12.03		1140		
		11.78		1180		
		11.53		1213		
		11.28		1222		
		11.03		1194		
		10.78		1010		
		10.53		1009		
		10.28		1012		
10.03		1010				
S094-2	20.50	14.03		702		
		13.78		840		
		13.53		886		
		13.28		930		
		13.03		977		
		12.78		1001		
		12.53		1047		
		12.28		1064		
		12.03		938		
		11.78		867		
		11.53		887		
		11.28		846		
		11.03		774		
		10.78		761		
		10.53		748		
		10.28		759		
10.03		762				
S096-1	19.99	13.98			405	
		13.73			478	
		13.48			574	
		13.23			630	
		12.98			814	
		12.73			950	
		12.48			1013	
		12.23			1096	
		11.98			1082	
		11.73			991	
		11.48			1018	
		11.23			646	
		10.98			577	
		10.73			554	
		10.48			536	
		10.23			539	
9.98			521			
9.73			512			
9.48			512			
9.23			544			
8.98			757			
S096-2	19.77	13.98			13	
		13.73			45	
		13.48			222	
		13.23			263	

Project :
Onderdeel :

Netto paal draagvermogen(s) zijn naar beneden toe afgerond op: 1.0 kN nauwkeurig
Alle niveaus/hogtes/peilmaten zijn t.o.v.: N.A.P.

sondering	maaiveld paalpunt		$R_{c,netto;d}$ [kN]			
	niveau	niveau	Mast 093	Mast 094	Mast 096	Mast 097
		12.98			348	
		12.73			435	
		12.48			515	
		12.23			687	
		11.98			849	
		11.73			920	
		11.48			979	
		11.23			1131	
		10.98			867	
		10.73			759	
		10.48			724	
		10.23			543	
		9.98			487	
		9.73			435	
		9.48			414	
		9.23			403	
		8.98			409	
S093-1	24.06	16.53	608			
		16.28	678			
		16.03	744			
		15.78	790			
		15.53	842			
		15.28	872			
		15.03	936			
		14.78	981			
		14.53	1014			
		14.28	1121			
		14.03	1229			
S093-2	23.87	16.53	288			
		16.28	460			
		16.03	512			
		15.78	580			
		15.53	692			
		15.28	696			
		15.03	743			
		14.78	794			
		14.53	830			
		14.28	859			
		14.03	896			
S097-1	19.72	12.05				935
		11.80				1136
		11.55				1208
		11.30				1259
		11.05				1183
		10.80				1200
		10.55				870
		10.30				812
		10.05				761
		9.80				729
		9.55				730
		9.30				705
		9.05				696
		8.80				699
S097-2	19.93	12.05				913
		11.80				997
		11.55				934
		11.30				779
		11.05				798
		10.80				717
		10.55				689
		10.30				627

Project :
Onderdeel :

Netto paal draagvermogen(s) zijn naar beneden toe afgerond op: 1.0 kN nauwkeurig
Alle niveaus/hogtes/peilmaten zijn t.o.v.: N.A.P.

sondering	maaiveld paalpunt		$R_{c,netto;d}$ [kN]			
	niveau	niveau	Mast 093	Mast 094	Mast 096	Mast 097
		10.05				610
		9.80				618
		9.55				609
		9.30				606
		9.05				610
		8.80				611

Project :
Onderdeel :

ALGEMENE GEGEVENS

Project :
Onderdeel :
Datum : 23-11-2021
Bestand : \\Arh7001.verit.dnv.com\projects\EANL_Projects\
10166262 - BBB modelleren funderingen 380
kV\02 Content\03 Calculations\Technosoft
Paalfunderingen\MBT-EHV380\DO\Nieuw
Sonderingen\Nieuwe palen\Mast 100-109.pvw
Berekeningstype : Verticaal belaste paal
Alle niveaus/hogtes/peilmaten zijn t.o.v.: N.A.P.

Toegepaste normen volgens Eurocode met Nederlandse NB

Geotechniek	EN 1997-1:2004	AC:2009	
	NEN-EN 1997-1:2005	C1+A1:2013	NB:2016
	NEN 9997-1:2016	C2:2017	

REKENEGEGEVENS Mast 102

Berekening : Ontwerpend
Rekenmethode : Drukpalen volgens NEN-EN 1997-1, art. 7.6.2
Sondering(en) : S102-1, S102-2

Stijf bouwwerk : NEE
Paalgroep : NEE
Aantal sonderingen : 2
Factor ξ_3 (n=1) : 1.39
Factor ξ_3 (gem) : 1.32
Factor ξ_4 (min) : 1.32
Weerstandsfactor γ_R : 1.20
 $\gamma_{f,nk}$: 1.0
 $R_{s,cal,max,i}$ begrenzen op $0.75 * R_{b,cal,max,i}$: NEE
UGT draagvermogen zonder negatieve kleeft : NEE

Paal : SI-paal 273_400
Niveau paalkop [m] : N.A.P. 20.60
Bovenbel. [kN/m²] : 0.00

PAALPUNTNIVEAUS SI-paal 273_400

Alle niveaus/hogtes/peilmaten zijn t.o.v. : N.A.P.

Nr	Beginniveau [m]	Eindniveau [m]	Stapgrootte [m]
1	11.50	8.25	0.25

Project :
Onderdeel :

SAMENVATTINGSTABEL Mast 102 (n=1)**Uitgangspunten**

- paal : SI-paal 273_400
 - paaltype : In de grond gevormde geschroefde paal; groutinjectie
 - schachtafmeting : 400 mm
 Paalklassefactor α_p : 0.63
 Factor α_s (tabel 7.c EC 7.1) : 0.009 (zandlagen; voor kleilagen zie tabel 7.d)
 Correlatiefactor $\xi_{3(n=1)}$: 1.39

Alle niveaus/hogtes/peilmaten zijn t.o.v.: N.A.P.

sondering	maaiveld paalpunt		Bezwijkdraagvermogen			Rekenwaarden		
	niveau	niveau	$R_{b;cal}$ [kN]	$R_{s;cal}$ [kN]	$R_{c;cal}$ [kN]	$R_{c;d}$ [kN]	$F_{nk;d}$ [kN]	$R_{c;netto;d}$ [kN]
S102-1	20.59	11.50	1193.8	161.0	1354.7	812.2	-131.5	680.7
		11.25	1347.7	203.4	1551.1	929.9	-131.5	798.4
		11.00	1412.3	245.8	1658.1	994.1	-131.5	862.6
		10.75	1465.7	288.2	1753.9	1051.5	-131.5	920.0
		10.50	1574.4	330.6	1905.0	1142.1	-131.5	1010.6
		10.25	1631.1	373.0	2004.1	1201.5	-131.5	1070.0
		10.00	1674.9	415.4	2090.3	1253.2	-131.5	1121.7
		9.75	1762.5	457.8	2220.4	1331.2	-131.5	1199.7
		9.50	1885.0	500.3	2385.2	1430.0	-131.5	1298.5
		9.25	1885.0	542.7	2427.6	1455.4	-131.5	1323.9
		9.00	1885.0	585.1	2470.0	1480.8	-131.5	1349.3
		8.75	1885.0	627.5	2512.4	1506.3	-131.5	1374.8
		8.50	1885.0	669.9	2554.9	1531.7	-131.5	1400.2
		8.25	1885.0	712.3	2597.3	1557.1	-131.5	1425.6
S102-2	20.43	11.50	1010.6	142.4	1153.0	691.3	-138.2	553.0
		11.25	1037.3	184.8	1222.1	732.7	-138.2	594.5
		11.00	1163.1	227.2	1390.3	833.5	-138.2	695.3
		10.75	1215.7	269.6	1485.3	890.5	-138.2	752.2
		10.50	1259.9	312.1	1572.0	942.4	-138.2	804.2
		10.25	1294.8	354.5	1649.2	988.8	-138.2	850.5
		10.00	1315.4	396.9	1712.3	1026.6	-138.2	888.3
		9.75	1328.7	439.3	1768.0	1060.0	-138.2	921.7
		9.50	1302.2	481.7	1783.9	1069.5	-138.2	931.3
		9.25	1454.9	524.1	1979.0	1186.4	-138.2	1048.2
		9.00	1885.0	566.5	2451.5	1469.7	-138.2	1331.5
		8.75	1885.0	608.9	2493.9	1495.1	-138.2	1356.9
		8.50	1885.0	651.3	2536.3	1520.6	-138.2	1382.3
		8.25	1885.0	693.8	2578.7	1546.0	-138.2	1407.8

REKENEGEGEVENS Mast 104

Berekening : Ontwerpend
 Rekenmethode : Drukpalen volgens NEN-EN 1997-1, art. 7.6.2
 Sondering(en) : S104-1, S104-2

Stijf bouwwerk : NEE
 Paalgroep : NEE
 Aantal sonderingen : 2
 Factor $\xi_{3(n=1)}$: 1.39
 Factor $\xi_{3(gem)}$: 1.32
 Factor $\xi_{4(min)}$: 1.32
 Weerstandsfactor γ_R : 1.20
 $\gamma_{f,nk}$: 1.0
 $R_{s;cal;max;i}$ begrenzen op $0.75 * R_{p;cal;max;i}$: NEE
 UGT draagvermogen zonder negatieve kleef : NEE

Paal : SI-paal 273_400
 Niveau paalkop [m] : N.A.P. 20.16
 Bovenbel. [kN/m²] : 0.00

Project :
Onderdeel :

PAALPUNTNIVEAUS SI-paal 273_400

Alle niveaus/hogtes/peilmaten zijn t.o.v. : N.A.P.

Nr	Beginniveau [m]	Eindniveau [m]	Stapgrootte [m]
1	10.76	8.25	0.25

SAMENVATTINGSTABEL Mast 104 (n=1)**Uitgangspunten**

- paal : SI-paal 273_400
 - paaltype : In de grond gevormde geschroefde paal; groutinjectie
 - schachtafmeting : 400 mm
 Paalklassefactor α_p : 0.63
 Factor α_s (tabel 7.c EC 7.1) : 0.009 (zandlagen; voor kleilagen zie tabel 7.d)
 Correlatiefactor $\xi_{3(n=1)}$: 1.39

Alle niveaus/hogtes/peilmaten zijn t.o.v.: N.A.P.

sondering	maaiveld paalpunt		Bezwijkdraagvermogen			Rekenwaarden		
	niveau	niveau	$R_{b;cal}$ [kN]	$R_{s;cal}$ [kN]	$R_{c;cal}$ [kN]	$R_{c;d}$ [kN]	$F_{nk;d}$ [kN]	$R_{c;netto;d}$ [kN]
S104-1	20.23	10.76	1351.1	206.5	1557.6	933.8	-144.6	789.2
		10.51	1445.5	248.9	1694.4	1015.8	-144.6	871.2
		10.26	1500.2	291.3	1791.5	1074.0	-144.6	929.4
		10.01	1549.7	333.7	1883.4	1129.1	-144.6	984.5
		9.76	1606.2	376.1	1982.3	1188.4	-144.6	1043.8
		9.51	1670.2	418.5	2088.7	1252.2	-144.6	1107.6
		9.26	1711.6	460.9	2172.6	1302.5	-144.6	1157.9
		9.01	1764.1	503.4	2267.4	1359.4	-144.6	1214.8
		8.76	1885.0	545.8	2430.7	1457.3	-144.6	1312.7
		8.51	1885.0	588.2	2473.1	1482.7	-144.6	1338.1
		8.26	1885.0	630.6	2515.6	1508.1	-144.6	1363.5
8.25	1885.0	632.3	2517.2	1509.1	-144.6	1364.5		
S104-2	20.18	10.76	1676.8	188.5	1865.2	1118.2	-147.7	970.5
		10.51	1777.3	230.9	2008.2	1204.0	-147.7	1056.3
		10.26	1846.2	273.3	2119.5	1270.7	-147.7	1123.0
		10.01	1885.0	315.7	2200.7	1319.3	-147.7	1171.6
		9.76	1885.0	358.1	2243.1	1344.8	-147.7	1197.1
		9.51	1885.0	400.5	2285.5	1370.2	-147.7	1222.5
		9.26	1885.0	442.9	2327.9	1395.6	-147.7	1247.9
		9.01	1885.0	485.4	2370.3	1421.1	-147.7	1273.4
		8.76	1885.0	527.8	2412.7	1446.5	-147.7	1298.8
		8.51	1885.0	570.2	2455.1	1471.9	-147.7	1324.2
		8.26	1885.0	612.6	2497.6	1497.3	-147.7	1349.6
8.25	1885.0	614.3	2499.2	1498.3	-147.7	1350.6		

REKENGEGEVENS Mast 106

Berekening : Ontwerpend
 Rekenmethode : Drukpalen volgens NEN-EN 1997-1, art. 7.6.2
 Sondering(en) : S106-1, S106-2

Stijf bouwwerk : NEE
 Paalgroep : NEE
 Aantal sonderingen : 2
 Factor $\xi_{3(n=1)}$: 1.39
 Factor $\xi_{3(gem)}$: 1.32
 Factor $\xi_{4(min)}$: 1.32
 Weerstandsfactor γ_R : 1.20
 $\gamma_{f,nk}$: 1.0
 $R_{s;cal;max;i}$ begrenzen op $0.75 * R_{b;cal;max;i}$: NEE
 UGT draagvermogen zonder negatieve kleef : NEE

Paal : SI-paal 273_400
 Niveau paalkop [m] : N.A.P. 19.17
 Bovenbel. [kN/m²] : 0.00

Project :
Onderdeel :

PAALPUNTNIVEAUS SI-paal 273_400

Alle niveaus/hogtes/peilmaten zijn t.o.v. : N.A.P.

Nr	Beginniveau [m]	Eindniveau [m]	Stapgrootte [m]
1	7.27	4.75	0.25

SAMENVATTINGSTABEL Mast 106 (n=1)**Uitgangspunten**

- paal : SI-paal 273_400
 - paaltype : In de grond gevormde geschroefde paal; groutinjectie
 - schachtafmeting : 400 mm
 Paalklassefactor α_p : 0.63
 Factor α_s (tabel 7.c EC 7.1) : 0.009 (zandlagen; voor kleilagen zie tabel 7.d)
 Correlatiefactor $\xi_{3(n=1)}$: 1.39

Alle niveaus/hogtes/peilmaten zijn t.o.v.: N.A.P.

sondering	maaiveld paalpunt		Bezijsdraagvermogen			Rekenwaarden		
	niveau	niveau	$R_{b;cal}$ [kN]	$R_{s;cal}$ [kN]	$R_{c;cal}$ [kN]	$R_{c;d}$ [kN]	$F_{nk;d}$ [kN]	$R_{c;netto;d}$ [kN]
S106-1	18.79	7.27	1094.3	442.1	1536.4	921.1	-107.8	813.3
		7.02	1106.8	484.5	1591.3	954.0	-107.8	846.2
		6.77	1093.4	526.9	1620.3	971.4	-107.8	863.6
		6.52	1049.4	569.3	1618.7	970.4	-107.8	862.6
		6.27	1009.0	611.7	1620.8	971.7	-107.8	863.8
		6.02	1031.6	653.2	1684.7	1010.0	-107.8	902.2
		5.77	1231.4	694.4	1925.8	1154.6	-107.8	1046.7
		5.52	1411.8	736.5	2148.3	1287.9	-107.8	1180.1
		5.27	1416.4	778.9	2195.3	1316.1	-107.8	1208.3
		5.02	1286.4	821.3	2107.7	1263.6	-107.8	1155.8
		4.77	1280.6	863.7	2144.3	1285.5	-107.8	1177.7
		4.75	1281.3	867.1	2148.3	1288.0	-107.8	1180.1
S106-2	18.89	7.27	926.1	289.8	1215.9	729.0	-110.1	618.8
		7.02	927.7	332.2	1259.9	755.3	-110.1	645.2
		6.77	929.2	374.6	1303.9	781.7	-110.1	671.6
		6.52	937.3	417.0	1354.4	812.0	-110.1	701.8
		6.27	979.8	459.5	1439.2	862.9	-110.1	752.7
		6.02	1044.9	501.9	1546.8	927.3	-110.1	817.2
		5.77	752.4	544.3	1296.7	777.4	-110.1	667.3
		5.52	734.0	586.7	1320.7	791.8	-110.1	681.7
		5.27	737.5	629.1	1366.6	819.3	-110.1	709.2
		5.02	671.7	671.5	1343.2	805.3	-110.1	695.1
		4.77	586.3	713.9	1300.3	779.5	-110.1	669.4
		4.75	580.3	717.3	1297.7	778.0	-110.1	667.8

REKENGEGEVENS Mast 107

Berekening : Ontwerpend
 Rekenmethode : Drukpalen volgens NEN-EN 1997-1, art. 7.6.2
 Sondering(en) : S107-1, S107-2

Stijf bouwwerk : NEE
 Paalgroep : NEE
 Aantal sonderingen : 2
 Factor $\xi_{3(n=1)}$: 1.39
 Factor $\xi_{3(gem)}$: 1.32
 Factor $\xi_{4(min)}$: 1.32
 Weerstandsfactor γ_R : 1.20
 $\gamma_{f,nk}$: 1.0
 $R_{s;cal;max;i}$ begrenzen op $0.75 * R_{b;cal;max;i}$: NEE
 UGT draagvermogen zonder negatieve kleef : NEE

Paal : SI-paal 273_400
 Niveau paalkop [m] : N.A.P. 18.00
 Bovenbel. [kN/m²] : 0.00

Project :
Onderdeel :

PAALPUNTNIVEAUS SI-paal 273_400

Alle niveaus/hogtes/peilmaten zijn t.o.v. : N.A.P.

Nr	Beginniveau [m]	Eindniveau [m]	Stapgrootte [m]
1	7.80	5.30	0.25

SAMENVATTINGSTABEL Mast 107 (n=1)**Uitgangspunten**

- paal : SI-paal 273_400
 - paaltype : In de grond gevormde geschroefde paal; groutinjectie
 - schachtafmeting : 400 mm
 Paalklassefactor α_p : 0.63
 Factor α_s (tabel 7.c EC 7.1) : 0.009 (zandlagen; voor kleilagen zie tabel 7.d)
 Correlatiefactor $\xi_{3(n=1)}$: 1.39

Alle niveaus/hogtes/peilmaten zijn t.o.v.: N.A.P.

sondering	maaiveld paalpunt		Bezwijkdraagvermogen			Rekenwaarden		
	niveau	niveau	$R_{b;cal}$ [kN]	$R_{s;cal}$ [kN]	$R_{c;cal}$ [kN]	$R_{c;d}$ [kN]	$F_{nk;d}$ [kN]	$R_{c;netto;d}$ [kN]
S107-1	17.88	7.80	1429.5	475.5	1905.1	1142.1	-106.0	1036.2
		7.55	1449.6	517.9	1967.5	1179.6	-106.0	1073.6
		7.30	1519.7	560.3	2080.0	1247.0	-106.0	1141.1
		7.05	1511.8	602.8	2114.6	1267.7	-106.0	1161.8
		6.80	1537.1	645.2	2182.3	1308.3	-106.0	1202.4
		6.55	1512.8	687.6	2200.4	1319.2	-106.0	1213.2
		6.30	1509.2	730.0	2239.2	1342.5	-106.0	1236.5
		6.05	1535.1	772.4	2307.5	1383.4	-106.0	1277.4
		5.80	1481.1	814.8	2295.9	1376.5	-106.0	1270.5
		5.55	1602.4	857.2	2459.6	1474.6	-106.0	1368.6
		5.30	1793.4	899.6	2693.1	1614.5	-106.0	1508.6
S107-2	17.82	7.80	953.6	515.7	1469.3	880.9	-84.5	796.4
		7.55	964.6	558.1	1522.6	912.9	-84.5	828.4
		7.30	956.4	600.5	1556.8	933.4	-84.5	848.9
		7.05	937.2	642.9	1580.1	947.3	-84.5	862.8
		6.80	873.0	685.3	1558.3	934.3	-84.5	849.8
		6.55	765.5	727.7	1493.2	895.2	-84.5	810.7
		6.30	688.4	769.2	1457.6	873.8	-84.5	789.3
		6.05	1105.4	797.0	1902.4	1140.5	-84.5	1056.0
		5.80	1120.0	837.2	1957.2	1173.4	-84.5	1088.9
		5.55	1147.4	879.7	2027.0	1215.2	-84.5	1130.7
5.30	1138.4	922.1	2060.5	1235.3	-84.5	1150.8		

Project :
Onderdeel :

OVERZICHT NETTO DRAAGVERMOGEN DRUKPALEN

Netto paal draagvermogen(s) zijn naar beneden toe afgerond op: 1.0 kN nauwkeurig
Alle niveaus/hoogtes/peilmaten zijn t.o.v.: N.A.P.

sondering	maaiveld paalpunt		$R_{c,netto;d}$ [kN]					
	niveau	niveau	Mast 102	Mast 104	Mast 106	Mast 107		
S102-1	20.59	11.50	680					
		11.25	798					
		11.00	862					
		10.75	919					
		10.50	1010					
		10.25	1069					
		10.00	1121					
		9.75	1199					
		9.50	1298					
		9.25	1323					
		9.00	1349					
		8.75	1374					
		8.50	1400					
		8.25	1425					
S102-2	20.43	11.50	553					
		11.25	594					
		11.00	695					
		10.75	752					
		10.50	804					
		10.25	850					
		10.00	888					
		9.75	921					
		9.50	931					
		9.25	1048					
		9.00	1331					
		8.75	1356					
		8.50	1382					
		8.25	1407					
S104-1	20.23	10.76		789				
		10.51		871				
		10.26		929				
		10.01		984				
		9.76		1043				
		9.51		1107				
		9.26		1157				
		9.01		1214				
		8.76		1312				
		8.51		1338				
		8.26		1363				
		8.25		1364				
		S104-2	20.18	10.76		970		
				10.51		1056		
10.26				1122				
10.01				1171				
9.76				1197				
9.51				1222				
9.26				1247				
9.01				1273				
8.76				1298				
8.51				1324				
8.26				1349				
8.25				1350				
S106-1	18.79			7.27			813	
				7.02			846	
		6.77			863			
		6.52			862			
		6.27			863			
		6.02			902			

Project :
Onderdeel :

Netto paal draagvermogen(s) zijn naar beneden toe afgerond op: 1.0 kN nauwkeurig
Alle niveaus/hogtes/peilmaten zijn t.o.v.: N.A.P.

sondering	maaiveld paalpunt		$R_{c,netto;d}$ [kN]			
	niveau	niveau	Mast 102	Mast 104	Mast 106	Mast 107
		5.77			1046	
		5.52			1180	
		5.27			1208	
		5.02			1155	
		4.77			1177	
		4.75			1180	
S106-2	18.89	7.27			618	
		7.02			645	
		6.77			671	
		6.52			701	
		6.27			752	
		6.02			817	
		5.77			667	
		5.52			681	
		5.27			709	
		5.02			695	
		4.77			669	
		4.75			667	
S107-1	17.88	7.80				1036
		7.55				1073
		7.30				1141
		7.05				1161
		6.80				1202
		6.55				1213
		6.30				1236
		6.05				1277
		5.80				1270
		5.55				1368
		5.30				1508
S107-2	17.82	7.80				796
		7.55				828
		7.30				848
		7.05				862
		6.80				849
		6.55				810
		6.30				789
		6.05				1056
		5.80				1088
		5.55				1130
		5.30				1150

Project :
Onderdeel :

ALGEMENE GEGEVENS

Project :
Onderdeel :
Datum : 23-11-2021
Bestand : \\Arh7001.verit.dnv.com\projects\EANL_Projects\
10166262 - BBB modelleren funderingen 380
kV\02 Content\03 Calculations\Technosoft
Paalfunderingen\MBT-EHV380\DO\Nieuw
Sonderingen\Nieuwe palen\Mast 110-119.pvw
Berekeningstype : Verticaal belaste paal
Alle niveaus/hogtes/peilmaten zijn t.o.v.: N.A.P.

Toegepaste normen volgens Eurocode met Nederlandse NB

Geotechniek	EN 1997-1:2004	AC:2009	
	NEN-EN 1997-1:2005	C1+A1:2013	NB:2016
	NEN 9997-1:2016	C2:2017	

REKENGEGEVENS Mast 110

Berekening : Ontwerpend
Rekenmethode : Drukpalen volgens NEN-EN 1997-1, art. 7.6.2
Sondering(en) : S110-1, S110-2

Stijf bouwwerk : NEE
Paalgroep : NEE
Aantal sonderingen : 2
Factor ξ_3 (n=1) : 1.39
Factor ξ_3 (gem) : 1.32
Factor ξ_4 (min) : 1.32
Weerstandsfactor γ_R : 1.20
 $\gamma_{f,nk}$: 1.0
 $R_{s,cal,max,i}$ begrenzen op $0.75 * R_{b,cal,max,i}$: NEE
UGT draagvermogen zonder negatieve kleeft : NEE

Paal : SI-paal 273_400
Niveau paalkop [m] : N.A.P. 18.55
Bovenbel. [kN/m²] : 0.00

PAALPUNTNIVEAUS SI-paal 273_400

Alle niveaus/hogtes/peilmaten zijn t.o.v. : N.A.P.

Nr	Beginniveau [m]	Eindniveau [m]	Stapgrootte [m]
1	10.75	8.25	0.25

Project :
Onderdeel :

SAMENVATTINGSTABEL Mast 110 (n=1)**Uitgangspunten**

- paal : SI-paal 273_400
 - paaltype : In de grond gevormde geschroefde paal; groutinjectie
 - schachtafmeting : 400 mm
 Paalklassefactor α_p : 0.63
 Factor α_s (tabel 7.c EC 7.1) : 0.009 (zandlagen; voor kleilagen zie tabel 7.d)
 Correlatiefactor $\xi_{3(n=1)}$: 1.39

Alle niveaus/hogtes/peilmaten zijn t.o.v.: N.A.P.

sondering	maaiveld paalpunt		Bezwijkdraagvermogen			Rekenwaarden		
	niveau	niveau	$R_{b,cal}$ [kN]	$R_{s,cal}$ [kN]	$R_{c,cal}$ [kN]	$R_{c,d}$ [kN]	$F_{nk,d}$ [kN]	$R_{c,netto,d}$ [kN]
S110-1	18.32	10.75	1025.2	99.2	1124.4	674.1	-118.4	555.7
		10.50	1063.8	141.7	1205.5	722.7	-118.4	604.3
		10.25	1047.7	184.1	1231.8	738.5	-118.4	620.1
		10.00	1043.5	226.5	1270.0	761.4	-118.4	643.0
		9.75	1223.6	268.9	1492.5	894.8	-118.4	776.4
		9.50	1286.6	311.3	1597.9	958.0	-118.4	839.6
		9.25	1288.8	353.7	1642.5	984.7	-118.4	866.3
		9.00	1322.9	396.1	1719.1	1030.6	-118.4	912.2
		8.75	1380.2	438.5	1818.8	1090.4	-118.4	972.0
		8.50	1599.6	480.9	2080.6	1247.4	-118.4	1129.0
		8.25	1618.7	523.4	2142.1	1284.2	-118.4	1165.9
S110-2	18.36	10.75	1153.0	135.4	1288.4	772.4	-104.2	668.2
		10.50	1188.0	177.8	1365.8	818.8	-104.2	714.6
		10.25	1012.2	220.2	1232.4	738.9	-104.2	634.6
		10.00	1060.7	262.6	1323.3	793.3	-104.2	689.1
		9.75	1071.7	305.0	1376.7	825.4	-104.2	721.1
		9.50	1056.2	347.5	1403.7	841.5	-104.2	737.3
		9.25	1063.2	389.9	1453.1	871.1	-104.2	766.9
		9.00	978.3	432.3	1410.6	845.7	-104.2	741.4
		8.75	1220.8	472.4	1693.2	1015.1	-104.2	910.9
		8.50	1304.1	514.2	1818.4	1090.1	-104.2	985.9
		8.25	1320.2	556.6	1876.8	1125.2	-104.2	1020.9

REKENGEGEVENS Mast 111

Berekening : Ontwerpend
 Rekenmethode : Drukpalen volgens NEN-EN 1997-1, art. 7.6.2
 Sondering(en) : S111-1, S111-2

Stijf bouwwerk : NEE
 Paalgroep : NEE
 Aantal sonderingen : 2
 Factor $\xi_{3(n=1)}$: 1.39
 Factor $\xi_{3(gem)}$: 1.32
 Factor $\xi_{4(min)}$: 1.32
 Weerstandsfactor γ_R : 1.20
 $\gamma_{f,nk}$: 1.0
 $R_{s,cal,max;i}$ begrenzen op $0.75 * R_{b,cal,max;i}$: NEE
 UGT draagvermogen zonder negatieve kleef : NEE

Paal : SI-paal 273_400
 Niveau paalkop [m] : N.A.P. 18.90
 Bovenbel. [kN/m²] : 0.00

PAALPUNTNIVEAUS SI-paal 273_400

Alle niveaus/hogtes/peilmaten zijn t.o.v. : N.A.P.

Nr	Beginniveau [m]	Eindniveau [m]	Stapgrootte [m]
1	11.05	6.05	0.25

Project :
Onderdeel :

SAMENVATTINGSTABEL Mast 111 (n=1)**Uitgangspunten**

- paal : SI-paal 273_400
 - paaltype : In de grond gevormde geschroefde paal; groutinjectie
 - schachtafmeting : 400 mm
 Paalklassefactor α_p : 0.63
 Factor α_s (tabel 7.c EC 7.1) : 0.009 (zandlagen; voor kleilagen zie tabel 7.d)
 Correlatiefactor $\xi_{3(n=1)}$: 1.39

Alle niveaus/hogtes/peilmaten zijn t.o.v.: N.A.P.

sondering	maaiveld paalpunt		Bezwijkdraagvermogen			Rekenwaarden		
	niveau	niveau	$R_{b;cal}$ [kN]	$R_{s;cal}$ [kN]	$R_{c;cal}$ [kN]	$R_{c;d}$ [kN]	$F_{nk;d}$ [kN]	$R_{c;netto;d}$ [kN]
S111-1	18.67	11.05	745.2	357.5	1102.7	661.1	-76.1	585.0
		10.80	728.4	399.9	1128.4	676.5	-76.1	600.4
		10.55	723.0	442.3	1165.3	698.6	-76.1	622.5
		10.30	419.8	484.7	904.5	542.3	-76.1	466.2
		10.05	404.0	525.5	929.5	557.3	-76.1	481.2
		9.80	398.1	554.9	953.1	571.4	-76.1	495.3
		9.55	368.1	588.9	957.0	573.7	-76.1	497.7
		9.30	303.9	622.8	926.7	555.6	-76.1	479.5
		9.05	261.5	655.5	917.0	549.8	-76.1	473.7
		8.80	238.1	672.9	911.0	546.2	-76.1	470.1
		8.55	639.3	672.9	1312.2	786.7	-76.1	710.6
		8.30	671.2	699.3	1370.5	821.6	-76.1	745.5
		8.05	699.8	736.0	1435.7	860.8	-76.1	784.7
		7.80	681.5	772.6	1454.1	871.8	-76.1	795.7
		7.55	676.0	809.3	1485.3	890.5	-76.1	814.4
		7.30	970.6	843.2	1813.8	1087.4	-76.1	1011.3
		7.05	1036.6	884.9	1921.5	1152.0	-76.1	1075.9
6.80	1082.7	927.3	2010.0	1205.1	-76.1	1129.0		
6.55	1121.2	969.7	2091.0	1253.6	-76.1	1177.5		
6.30	1147.8	1012.1	2159.9	1294.9	-76.1	1218.8		
6.05	1159.2	1054.6	2213.7	1327.2	-76.1	1251.1		
S111-2	18.96	11.05	1484.2	364.7	1848.9	1108.5	-82.5	1025.9
		10.80	1166.7	407.2	1573.8	943.5	-82.5	861.0
		10.55	794.9	449.6	1244.4	746.1	-82.5	663.5
		10.30	539.7	492.0	1031.6	618.5	-82.5	536.0
		10.05	534.0	534.4	1068.4	640.5	-82.5	558.0
		9.80	509.2	576.8	1086.0	651.1	-82.5	568.6
		9.55	433.3	619.2	1052.5	631.0	-82.5	548.5
		9.30	362.2	661.6	1023.8	613.8	-82.5	531.3
		9.05	319.7	692.9	1012.6	607.1	-82.5	524.5
		8.80	470.5	692.9	1163.4	697.5	-82.5	614.9
		8.55	712.1	708.1	1420.2	851.5	-82.5	768.9
		8.30	772.7	745.2	1517.9	910.0	-82.5	827.5
		8.05	793.3	783.9	1577.2	945.5	-82.5	863.0
		7.80	844.6	822.6	1667.2	999.5	-82.5	917.0
		7.55	1184.9	862.0	2046.9	1227.2	-82.5	1144.6
		7.30	1158.5	904.4	2062.9	1236.7	-82.5	1154.2
		7.05	1200.4	946.8	2147.2	1287.3	-82.5	1204.8
6.80	1243.3	989.2	2232.5	1338.4	-82.5	1255.9		
6.55	1288.0	1031.6	2319.6	1390.7	-82.5	1308.1		
6.30	1309.1	1074.0	2383.1	1428.7	-82.5	1346.2		
6.05	1280.5	1116.5	2397.0	1437.1	-82.5	1354.5		

Project :
Onderdeel :

REKENGEDEVENS Mast 113

Berekening : Ontwerpend
Rekenmethode : Drukpalen volgens NEN-EN 1997-1, art. 7.6.2
Sondering(en) : S113-1, S113-2, S113-3, S113-4

Stijf bouwwerk : NEE
Paalgroep : NEE
Aantal sonderingen : 4
Factor ξ_3 (n=1) : 1.39
Factor ξ_3 (gem) : 1.28
Factor ξ_4 (min) : 1.03
Weerstandsfactor γ_R : 1.20
 $\gamma_{f,nk}$: 1.0
 $R_{s,cal,max;i}$ begrenzen op $0.75 * R_{b,cal,max;i}$: NEE
UGT draagvermogen zonder negatieve kleeft : NEE

Paal : SI-paal 323_450
Niveau paalkop [m] : N.A.P. 20.38
Bovenbel. [kN/m²] : 0.00

PAALPUNTNIVEAUS SI-paal 323_450

Alle niveaus/hogtes/peilmaten zijn t.o.v. : N.A.P.

Nr	Beginniveau [m]	Eindniveau [m]	Stapgrootte [m]
1	12.48	8.98	0.25

Project :
Onderdeel :

SAMENVATTINGSTABEL Mast 113 (n=1)

Uitgangspunten

- paal : SI-paal 323_450
- paaltype : In de grond gevormde geschroefde paal; groutinjectie
- schachtafmeting : 450 mm
- Paalklassefactor α_p : 0.63
- Factor α_s (tabel 7.c EC 7.1) : 0.009 (zandlagen; voor kleilagen zie tabel 7.d)
- Correlatiefactor $\xi_{3(n=1)}$: 1.39

Alle niveaus/hogtes/peilmaten zijn t.o.v.: N.A.P.

sondering	maaiveld paalpunt		Bezuikdraagvermogen			Rekenwaarden		
	niveau	niveau	$R_{b;cal}$ [kN]	$R_{s;cal}$ [kN]	$R_{c;cal}$ [kN]	$R_{c;d}$ [kN]	$F_{nk;d}$ [kN]	$R_{c;netto;d}$ [kN]
S113-1	20.20	12.48	1576.2	317.2	1893.4	1135.1	-89.2	1046.0
		12.23	1113.2	365.0	1478.1	886.2	-89.2	797.0
		11.98	1042.7	412.7	1455.3	872.5	-89.2	783.3
		11.73	963.7	460.4	1424.1	853.8	-89.2	764.6
		11.48	893.4	508.1	1401.5	840.2	-89.2	751.1
		11.23	846.5	555.8	1402.3	840.7	-89.2	751.5
		10.98	598.5	603.5	1202.1	720.7	-89.2	631.5
		10.73	493.4	651.2	1144.7	686.3	-89.2	597.1
		10.48	619.8	667.5	1287.3	771.8	-89.2	682.6
		10.23	608.0	700.9	1308.9	784.7	-89.2	695.5
		9.98	543.0	739.0	1282.1	768.6	-89.2	679.4
		9.73	395.9	777.2	1173.1	703.3	-89.2	614.1
		9.48	247.5	814.2	1061.6	636.5	-89.2	547.3
		9.23	705.0	814.2	1519.1	910.7	-89.2	821.6
8.98	551.4	829.6	1381.0	827.9	-89.2	738.8		
S113-2	19.46	12.48	1397.2	635.1	2032.3	1218.4	-37.4	1181.0
		12.23	1138.6	682.8	1821.4	1092.0	-37.4	1054.5
		11.98	850.3	730.5	1580.8	947.7	-37.4	910.3
		11.73	789.6	778.3	1567.9	940.0	-37.4	902.5
		11.48	707.2	826.0	1533.1	919.1	-37.4	881.7
		11.23	579.7	873.7	1453.3	871.3	-37.4	833.9
		10.98	423.2	921.4	1344.6	806.1	-37.4	768.7
		10.73	326.5	965.1	1291.7	774.4	-37.4	737.0
		10.48	299.7	965.1	1264.8	758.3	-37.4	720.9
		10.23	771.8	965.1	1736.9	1041.3	-37.4	1003.9
		9.98	2152.6	981.5	3134.1	1878.9	-37.4	1841.5
		9.73	2385.6	1029.2	3414.8	2047.3	-37.4	2009.8
		9.48	2385.6	1076.9	3462.5	2075.9	-37.4	2038.4
		9.23	2385.6	1124.6	3510.3	2104.5	-37.4	2067.0
8.98	2285.6	1172.3	3458.0	2073.1	-37.4	2035.7		
S113-3	19.40	12.48	1798.9	797.1	2596.0	1556.3	-14.3	1542.0
		12.23	1047.5	844.8	1892.3	1134.5	-14.3	1120.1
		11.98	871.3	892.5	1763.8	1057.4	-14.3	1043.1
		11.73	730.7	940.2	1670.9	1001.7	-14.3	987.4
		11.48	584.2	987.9	1572.1	942.5	-14.3	928.2
		11.23	474.1	1035.6	1509.7	905.1	-14.3	890.8
		10.98	360.5	1083.3	1443.9	865.6	-14.3	851.3
		10.73	243.8	1131.0	1374.9	824.3	-14.3	809.9
		10.48	162.2	1152.0	1314.2	787.9	-14.3	773.5
		10.23	169.2	1152.0	1321.3	792.1	-14.3	777.8
		9.98	301.4	1152.0	1453.4	871.4	-14.3	857.0
		9.73	1557.6	1152.0	2709.6	1624.5	-14.3	1610.1
		9.48	1928.8	1192.5	3121.3	1871.3	-14.3	1856.9
		9.23	1592.5	1240.2	2832.7	1698.3	-14.3	1684.0
8.98	1074.9	1287.9	2362.8	1416.5	-14.3	1402.2		
S113-4	20.30	12.48	515.1	744.7	1259.8	755.3	-18.2	737.1
		12.23	461.1	792.4	1253.6	751.5	-18.2	733.4
		11.98	388.3	840.2	1228.5	736.5	-18.2	718.3
		11.73	291.4	887.9	1179.3	707.0	-18.2	688.8
		11.48	243.0	924.5	1167.5	699.9	-18.2	681.8
		11.23	184.3	934.0	1118.3	670.5	-18.2	652.3
		10.98	267.9	934.0	1202.0	720.6	-18.2	702.4
		10.73	1610.4	934.0	2544.5	1525.5	-18.2	1507.3
		10.48	1729.4	975.3	2704.7	1621.5	-18.2	1603.3
		10.23	1476.6	1023.0	2499.6	1498.6	-18.2	1480.4

Project :
Onderdeel :

Alle niveaus/hoogtes/peilmaten zijn t.o.v.: N.A.P.

sondering	maaiveld paalpunt		Bezwijkdraagvermogen			Rekenwaarden		
	niveau	niveau	$R_{b;cal}$ [kN]	$R_{s;cal}$ [kN]	$R_{c;cal}$ [kN]	$R_{c;d}$ [kN]	$F_{nk;d}$ [kN]	$R_{c;netto;d}$ [kN]
S113-4	20.30	9.98	1181.9	1070.7	2252.6	1350.5	-18.2	1332.3
		9.73	994.9	1118.4	2113.3	1267.0	-18.2	1248.8
		9.48	831.0	1166.1	1997.1	1197.3	-18.2	1179.2
		9.23	707.1	1213.9	1920.9	1151.6	-18.2	1133.5
		8.98	464.9	1261.6	1726.5	1035.1	-18.2	1016.9

OVERZICHT NETTO DRAAGVERMOGEN DRUKPALEN

Netto paal draagvermogen(s) zijn naar beneden toe afgerond op: 1.0 kN nauwkeurig

Alle niveaus/hoogtes/peilmaten zijn t.o.v.: N.A.P.

sondering	maaiveld paalpunt		$R_{c;netto;d}$ [kN]		
	niveau	niveau	Mast 110	Mast 111	Mast 113
S111-1	18.67	11.05		585	
		10.80		600	
		10.55		622	
		10.30		466	
		10.05		481	
		9.80		495	
		9.55		497	
		9.30		479	
		9.05		473	
		8.80		470	
		8.55		710	
		8.30		745	
		8.05		784	
		7.80		795	
		7.55		814	
		7.30		1011	
		7.05		1075	
6.80		1128			
6.55		1177			
6.30		1218			
6.05		1251			
S111-2	18.96	11.05		1025	
		10.80		861	
		10.55		663	
		10.30		535	
		10.05		557	
		9.80		568	
		9.55		548	
		9.30		531	
		9.05		524	
		8.80		614	
		8.55		768	
		8.30		827	
		8.05		863	
7.80		916			
7.55		1144			
7.30		1154			
7.05		1204			
6.80		1255			
6.55		1308			
6.30		1346			
6.05		1354			
S113-1	20.20	12.48		1045	
		12.23		796	
		11.98		783	
		11.73		764	
		11.48		751	
		11.23		751	
		10.98		631	
		10.73		597	

Project :
Onderdeel :

Netto paal draagvermogen(s) zijn naar beneden toe afgerond op: 1.0 kN nauwkeurig
Alle niveaus/hogtes/peilmaten zijn t.o.v.: N.A.P.

sondering	maaiveld paalpunt		$R_{c,netto;d}$ [kN]		
	niveau	niveau	Mast 110	Mast 111	Mast 113
		10.48			682
		10.23			695
		9.98			679
		9.73			614
		9.48			547
		9.23			821
		8.98			738
S113-2	19.46	12.48			1180
		12.23			1054
		11.98			910
		11.73			902
		11.48			881
		11.23			833
		10.98			768
		10.73			736
		10.48			720
		10.23			1003
		9.98			1841
		9.73			2009
		9.48			2038
		9.23			2067
		8.98			2035
S113-3	19.40	12.48			1541
		12.23			1120
		11.98			1043
		11.73			987
		11.48			928
		11.23			890
		10.98			851
		10.73			809
		10.48			773
		10.23			777
		9.98			857
		9.73			1610
		9.48			1856
		9.23			1683
		8.98			1402
S113-4	20.30	12.48			737
		12.23			733
		11.98			718
		11.73			688
		11.48			681
		11.23			652
		10.98			702
		10.73			1507
		10.48			1603
		10.23			1480
		9.98			1332
		9.73			1248
		9.48			1179
		9.23			1133
		8.98			1016
S110-1	18.32	10.75	555		
		10.50	604		
		10.25	620		
		10.00	643		
		9.75	776		
		9.50	839		
		9.25	866		
		9.00	912		
		8.75	972		

Project :
Onderdeel :

Netto paal draagvermogen(s) zijn naar beneden toe afgerond op: 1.0 kN nauwkeurig
Alle niveaus/hogtes/peilmaten zijn t.o.v.: N.A.P.

sondering	maaiveld paalpunt		$R_{c,netto;d}$ [kN]		
	niveau	niveau	Mast 110	Mast 111	Mast 113
		8.50	1128		
		8.25	1165		
S110-2	18.36	10.75	668		
		10.50	714		
		10.25	634		
		10.00	689		
		9.75	721		
		9.50	737		
		9.25	766		
		9.00	741		
		8.75	910		
		8.50	985		
		8.25	1020		

Project :
Onderdeel :

ALGEMENE GEGEVENS

Project :
Onderdeel :
Datum : 10-12-2021
Bestand : \\Arh7001.verit.dnv.com\projects\EANL_Projects\
10166262 - BBB modelleren funderingen 380
kV\02 Content\03 Calculations\Technosoft
Paalfunderingen\MBT-EHV380\DO\Nieuw
Sonderingen\Nieuwe palen\Mast 120-129.pvw
Berekeningstype : Verticaal belaste paal
Alle niveaus/hogtes/peilmaten zijn t.o.v.: N.A.P.

Toegepaste normen volgens Eurocode met Nederlandse NB

Geotechniek	EN 1997-1:2004	AC:2009	
	NEN-EN 1997-1:2005	C1+A1:2013	NB:2016
	NEN 9997-1:2016	C2:2017	

REKENEGEGEVENS Mast 123

Berekening : Ontwerpend
Rekenmethode : Drukpalen volgens NEN-EN 1997-1, art. 7.6.2
Sondering(en) : S123-1, S123-2

Stijf bouwwerk : NEE
Paalgroep : NEE
Aantal sonderingen : 2
Factor ξ_3 (n=1) : 1.39
Factor ξ_3 (gem) : 1.32
Factor ξ_4 (min) : 1.32
Weerstandsfactor γ_R : 1.20
 $\gamma_{f,nk}$: 1.0
 $R_{s,cal,max,i}$ begrenzen op $0.75 * R_{b,cal,max,i}$: NEE
UGT draagvermogen zonder negatieve kleef : NEE

Paal : SI-paal 273_400
Niveau paalkop [m] : N.A.P. 17.59
Bovenbel. [kN/m²] : 0.00

PAALPUNTNIVEAUS SI-paal 273_400

Alle niveaus/hogtes/peilmaten zijn t.o.v. : N.A.P.

Nr	Beginniveau [m]	Eindniveau [m]	Stapgrootte [m]
1	9.79	8.29	0.25

Project :
Onderdeel :

SAMENVATTINGSTABEL Mast 123 (n=1)**Uitgangspunten**

- paal : SI-paal 273_400
 - paaltype : In de grond gevormde geschroefde paal; groutinjectie
 - schachtafmeting : 400 mm
 Paalklassefactor α_p : 0.63
 Factor α_s (tabel 7.c EC 7.1) : 0.009 (zandlagen; voor kleilagen zie tabel 7.d)
 Correlatiefactor $\xi_{3(n=1)}$: 1.39

Alle niveaus/hogtes/peilmaten zijn t.o.v.: N.A.P.

sondering	maaiveld paalpunt		Bezwijkdraagvermogen			Rekenwaarden		
	niveau	niveau	$R_{b;cal}$ [kN]	$R_{s;cal}$ [kN]	$R_{c;cal}$ [kN]	$R_{c;d}$ [kN]	$F_{nk;d}$ [kN]	$R_{c;netto;d}$ [kN]
S123-1	17.37	9.79	308.2	900.4	1208.6	724.6	-5.3	719.3
		9.54	253.8	942.8	1196.6	717.4	-5.3	712.1
		9.29	227.9	967.8	1195.7	716.9	-5.3	711.6
		9.04	230.0	967.8	1197.8	718.1	-5.3	712.8
		8.79	256.2	967.8	1224.0	733.8	-5.3	728.6
		8.54	513.2	968.5	1481.7	888.3	-5.3	883.1
		8.29	549.4	997.6	1547.0	927.4	-5.3	922.2
S123-2	17.41	9.79	1885.0	881.0	2766.0	1658.3	-16.4	1641.9
		9.54	1885.0	923.4	2808.4	1683.7	-16.4	1667.3
		9.29	1885.0	965.8	2850.8	1709.1	-16.4	1692.7
		9.04	1885.0	1008.3	2893.2	1734.5	-16.4	1718.2
		8.79	1885.0	1050.7	2935.6	1760.0	-16.4	1743.6
		8.54	1885.0	1093.1	2978.0	1785.4	-16.4	1769.0
		8.29	1885.0	1135.5	3020.4	1810.8	-16.4	1794.4

Project :
Onderdeel :

OVERZICHT NETTO DRAAGVERMOGEN DRUKPALEN

Netto paal draagvermogen(s) zijn naar beneden toe afgerond op: 1.0 kN nauwkeurig

Alle niveaus/hoogtes/peilmaten zijn t.o.v.: N.A.P.

sondering	maaiveld niveau	paalpunt niveau	$R_{c, netto; d}$ Mast 123	[kN]
S123-1	17.37	9.79	719	
		9.54	712	
		9.29	711	
		9.04	712	
		8.79	728	
		8.54	883	
S123-2	17.41	9.79	1641	
		9.54	1667	
		9.29	1692	
		9.04	1718	
		8.79	1743	
		8.54	1769	
		8.29	1794	

Project :
Onderdeel :

ALGEMENE GEGEVENS

Project :
Onderdeel :
Datum : 23-11-2021
Bestand : \\Arh7001.verit.dnv.com\projects\EANL_Projects\
10166262 - BBB modelleren funderingen 380
kV\02 Content\03 Calculations\Technosoft
Paalfunderingen\MBT-EHV380\DO\Nieuw
Sonderingen\Nieuwe palen\Mast 130-133.pvw
Berekeningstype : Verticaal belaste paal
Alle niveaus/hogtes/peilmaten zijn t.o.v.: N.A.P.

Toegepaste normen volgens Eurocode met Nederlandse NB

Geotechniek	EN 1997-1:2004	AC:2009	
	NEN-EN 1997-1:2005	C1+A1:2013	NB:2016
	NEN 9997-1:2016	C2:2017	

REKENGEGEVENS Mast 131

Berekening : Ontwerpend
Rekenmethode : Drukpalen volgens NEN-EN 1997-1, art. 7.6.2
Sondering(en) : S131-1, S131-2

Stijf bouwwerk : NEE
Paalgroep : NEE
Aantal sonderingen : 2
Factor ξ_3 (n=1) : 1.39
Factor ξ_3 (gem) : 1.32
Factor ξ_4 (min) : 1.32
Weerstandsfactor γ_R : 1.20
 $\gamma_{f,nk}$: 1.0
 $R_{s,cal,max,i}$ begrenzen op $0.75 * R_{b,cal,max,i}$: NEE
UGT draagvermogen zonder negatieve kleeft : NEE

Paal : SI-paal 273_400
Niveau paalkop [m] : N.A.P. 17.54
Bovenbel. [kN/m²] : 0.00

PAALPUNTNIVEAUS SI-paal 273_400

Alle niveaus/hogtes/peilmaten zijn t.o.v. : N.A.P.

Nr	Beginniveau [m]	Eindniveau [m]	Stapgrootte [m]
1	7.29	4.79	0.25

Project :
Onderdeel :

SAMENVATTINGSTABEL Mast 131 (n=1)**Uitgangspunten**

- paal : SI-paal 273_400
 - paaltype : In de grond gevormde geschroefde paal; groutinjectie
 - schachtafmeting : 400 mm
 Paalklassefactor α_p : 0.63
 Factor α_s (tabel 7.c EC 7.1) : 0.009 (zandlagen; voor kleilagen zie tabel 7.d)
 Correlatiefactor $\xi_{3(n=1)}$: 1.39

Alle niveaus/hogtes/peilmaten zijn t.o.v.: N.A.P.

sondering	maaiveld paalpunt		Bezwijkdraagvermogen			Rekenwaarden		
	niveau	niveau	$R_{b;cal}$ [kN]	$R_{s;cal}$ [kN]	$R_{c;cal}$ [kN]	$R_{c;d}$ [kN]	$F_{nk;d}$ [kN]	$R_{c;netto;d}$ [kN]
S131-1	17.60	7.29	77.0	0.0	77.0	46.2	-251.2	-205.0
		7.04	93.3	0.0	93.3	55.9	-260.5	-204.5
		6.79	521.1	0.2	521.3	312.5	-269.6	42.9
		6.54	1017.4	30.6	1048.0	628.3	-269.6	358.7
		6.29	1355.5	73.0	1428.4	856.4	-269.6	586.8
		6.04	1673.9	115.4	1789.3	1072.7	-269.6	803.1
		5.79	1883.3	157.8	2041.0	1223.7	-269.6	954.1
		5.54	1885.0	200.2	2085.2	1250.1	-269.6	980.5
		5.29	1721.2	242.6	1963.8	1177.4	-269.6	907.8
		5.04	1753.7	285.0	2038.7	1222.2	-269.6	952.6
		4.79	1784.2	327.4	2111.6	1265.9	-269.6	996.3
S131-2	17.66	7.29	551.3	0.0	551.3	330.5	-254.1	76.5
		7.04	833.3	0.0	833.3	499.6	-266.4	233.2
		6.79	1844.3	1.7	1846.0	1106.7	-278.4	828.3
		6.54	1885.0	44.1	1929.1	1156.5	-278.4	878.1
		6.29	1885.0	86.5	1971.5	1181.9	-278.4	903.5
		6.04	1885.0	128.9	2013.9	1207.4	-278.4	928.9
		5.79	1885.0	171.3	2056.3	1232.8	-278.4	954.4
		5.54	1885.0	213.8	2098.7	1258.2	-278.4	979.8
		5.29	1885.0	256.2	2141.1	1283.6	-278.4	1005.2
		5.04	1808.1	298.6	2106.6	1263.0	-278.4	984.5
		4.79	1468.4	341.0	1809.4	1084.8	-278.4	806.4

REKENGEGEVENS Mast 132

Berekening : Ontwerpend
 Rekenmethode : Drukpalen volgens NEN-EN 1997-1, art. 7.6.2
 Sondering(en) : S132-1, S132-2

Stijf bouwwerk : NEE
 Paalgroep : NEE
 Aantal sonderingen : 2
 Factor $\xi_{3(n=1)}$: 1.39
 Factor $\xi_{3(gem)}$: 1.32
 Factor $\xi_{4(min)}$: 1.32
 Weerstandsfactor γ_R : 1.20
 $\gamma_{f,nk}$: 1.0
 $R_{s;cal;max;i}$ begrenzen op $0.75 * R_{b;cal;max;i}$: NEE
 UGT draagvermogen zonder negatieve kleef : NEE

Paal : SI-paal 323_450
 Niveau paalkop [m] : N.A.P. 16.41
 Bovenbel. [kN/m²] : 0.00

PAALPUNTNIVEAUS SI-paal 323_450

Alle niveaus/hogtes/peilmaten zijn t.o.v. : N.A.P.

Nr	Beginniveau [m]	Eindniveau [m]	Stapgrootte [m]
1	6.01	2.01	0.25

Project :
Onderdeel :

SAMENVATTINGSTABEL Mast 132 (n=1)**Uitgangspunten**

- paal : SI-paal 323_450
 - paaltype : In de grond gevormde geschroefde paal; groutinjectie
 - schachtafmeting : 450 mm
 Paalklassefactor α_p : 0.63
 Factor α_s (tabel 7.c EC 7.1) : 0.009 (zandlagen; voor kleilagen zie tabel 7.d)
 Correlatiefactor $\xi_{3(n=1)}$: 1.39

Alle niveaus/hogtes/peilmaten zijn t.o.v.: N.A.P.

sondering	maaiveld paalpunt		Bezwijkdraagvermogen			Rekenwaarden		
	niveau	niveau	$R_{b;cal}$ [kN]	$R_{s;cal}$ [kN]	$R_{c;cal}$ [kN]	$R_{c;d}$ [kN]	$F_{nk;d}$ [kN]	$R_{c;netto;d}$ [kN]
S132-1	15.94	6.01	1482.9	73.8	1556.6	933.2	-281.3	651.9
		5.76	1447.2	121.5	1568.6	940.4	-281.3	659.1
		5.51	1317.5	169.2	1486.7	891.3	-281.3	610.0
		5.26	1174.4	216.9	1391.3	834.1	-281.3	552.8
		5.01	1149.3	264.6	1413.9	847.7	-281.3	566.4
		4.76	1128.0	312.3	1440.3	863.5	-281.3	582.2
		4.51	1074.5	360.0	1434.5	860.0	-281.3	578.7
		4.26	1077.7	407.8	1485.4	890.6	-281.3	609.2
		4.01	1083.9	455.5	1539.3	922.9	-281.3	641.5
		3.76	1087.2	503.2	1590.4	953.5	-281.3	672.1
		3.51	1253.8	545.4	1799.2	1078.6	-281.3	797.3
		3.26	1232.5	590.5	1823.0	1092.9	-281.3	811.6
		3.01	1247.9	638.3	1886.2	1130.8	-281.3	849.5
		2.76	1255.2	686.0	1941.2	1163.8	-281.3	882.4
		2.51	1237.3	733.7	1971.0	1181.7	-281.3	900.3
		2.26	1224.9	781.4	2006.3	1202.8	-281.3	921.5
2.01	1193.1	829.1	2022.2	1212.4	-281.3	931.0		
S132-2	15.69	6.01	1346.7	53.5	1400.2	839.5	-226.4	613.1
		5.76	1579.1	101.3	1680.3	1007.4	-226.4	781.0
		5.51	1668.3	149.0	1817.2	1089.5	-226.4	863.1
		5.26	1726.0	196.7	1922.7	1152.7	-226.4	926.3
		5.01	1550.7	244.4	1795.1	1076.2	-226.4	849.8
		4.76	1596.5	292.1	1888.6	1132.3	-226.4	905.9
		4.51	1654.8	339.8	1994.6	1195.8	-226.4	969.4
		4.26	1702.9	387.5	2090.5	1253.3	-226.4	1026.9
		4.01	1699.0	435.2	2134.3	1279.5	-226.4	1053.1
		3.76	1392.5	483.0	1875.5	1124.4	-226.4	898.0
		3.51	1423.9	530.7	1954.5	1171.8	-226.4	945.4
		3.26	1129.2	578.4	1707.6	1023.7	-226.4	797.3
		3.01	1141.9	626.1	1768.0	1059.9	-226.4	833.5
		2.76	1171.4	673.8	1845.2	1106.2	-226.4	879.8
		2.51	973.1	721.5	1694.6	1016.0	-226.4	789.6
		2.26	881.3	769.2	1650.6	989.6	-226.4	763.2
2.01	877.9	812.3	1690.3	1013.3	-226.4	786.9		

Project :
Onderdeel :

OVERZICHT NETTO DRAAGVERMOGEN DRUKPALEN

Netto paal draagvermogen(s) zijn naar beneden toe afgerond op: 1.0 kN nauwkeurig
Alle niveaus/hoogtes/peilmaten zijn t.o.v.: N.A.P.

sondering	maaiveld paalpunt		$R_{c,netto,d}$ [kN]	
	niveau	niveau	Mast 131	Mast 132
S131-1	17.60	7.29	-205	
		7.04	-205	
		6.79	42	
		6.54	358	
		6.29	586	
		6.04	803	
		5.79	954	
		5.54	980	
		5.29	907	
		5.04	952	
		4.79	996	
S131-2	17.66	7.29	76	
		7.04	233	
		6.79	828	
		6.54	878	
		6.29	903	
		6.04	928	
		5.79	954	
		5.54	979	
		5.29	1005	
		5.04	984	
		4.79	806	
S132-1	15.94	6.01		651
		5.76		659
		5.51		609
		5.26		552
		5.01		566
		4.76		582
		4.51		578
		4.26		609
		4.01		641
		3.76		672
		3.51		797
		3.26		811
		3.01		849
		2.76		882
		2.51		900
2.26		921		
2.01		931		
S132-2	15.69	6.01		613
		5.76		780
		5.51		863
		5.26		926
		5.01		849
		4.76		905
		4.51		969
		4.26		1026
		4.01		1053
		3.76		898
		3.51		945
		3.26		797
		3.01		833
		2.76		879
		2.51		789
2.26		763		
2.01		786		

APPENDIX F

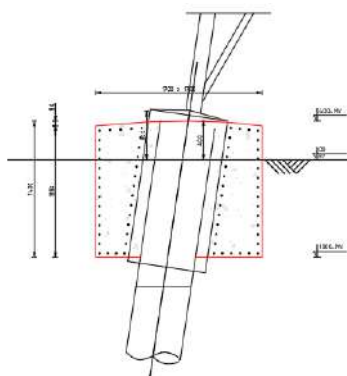
Betonberekeningen

In deze Appendix is de controle van de nieuw aan te brengen poeren opgenomen. De controle bestaat uit:

- Indicatieve wapeningsberekening;
- Indicatieve berekening blokdeuvels.

Indicatieve wapening ballastverzwaring

Door het opnemen van de bestaande poer in een nieuwe betonconstructie wordt de krimp van het nieuwe beton verhinderd. Ter plaatse van de kleinste doorsnede moet voldoende wapening aanwezig zijn om de scheurbelasting op te nemen en een fijnverdeeld scheurpatroon te bereiken. Geadviseerd wordt om de poeren rondom te voorzien van een praktische wapening voor scheurbeheersing. De poeren hebben geen dragende functie behalve voor hun eigen gewicht. Het principe is weergegeven in Figuur 9-1 en de opties voor de wapeningsdoorsnede zijn gegeven in Tabel 9-3.



Figuur 9-1 Principe wapening

Tabel 9-2 Mogelijk wapening t.b.v. scheurbeheersing

Poertype	Mogelijke wapening	
1-paals + poer - type 1	Ø16-150	Ø12-100
1-paals + poer - type 2	Ø16-125	

Ter onderbouwing van de wapening is de berekening van de wapening voor poer "1-paals + poer – type 1" onderstaand opgenomen. De wapening voor de scheurbeheersing wordt berekend met formule 7.1 van NEN 1992-1-1:

$$A_{s,min} \sigma_s = k_c k_{fct,eff} A_{ct}$$

Met:

k = coëfficiënt afhankelijk eigenspanningen, voor dikwandige constructies gelijk aan 1,0. Bij diktes tussen 300 mm en 800 afnemend tot 0,65. De bestaande poer heeft een diameter van 0,8 m en de nieuwe poer een doorsnede van 1,7 m x 1,7 m. De te beschouwen hoogte is dan $((1,7 \text{ m} - 0,8 \text{ m}) / 2 =) 0,45 \text{ m}$. Factor k is gelijk aan 0,9.

k_c = een factor, voor een zuivere trekstaaf voor dit geval: 1,0

$f_{ctm,eff}$, lange duur treksterkte. Voor beton C30/37: 2,9 N/mm².

Met: $\rho_s = \frac{A_s}{A_c}$ wordt de benodigde wapeningsverhouding berekend.

Combineren geeft:

$$\rho_s = \frac{k_c k_{f_{ct,eff}}}{\sigma_s}$$

De toelaatbare staalspanning wordt bepaald op basis van milieuklasse en de maximale scheurwijdte $w_k = 0,3$ mm.

Met uitgangspunt wapening $\varnothing 12$ is volgens tabel 7.2N van NEN 1992-1-1 de toelaatbare staalspanning 280 N/mm².

De wapeningsverhouding is dan:

$$\rho_s = \frac{1,0 \cdot 0,9 \cdot 2,90}{280} = 0,0093$$

De dikte van de randzone wordt bepaald met figuur 7.1. Hierin is $h_{c,eff}$ de kleinste waarde van $2,5(h-d)$, $(h-x)/3$ of $h/2$.

Voor een op trek belaste doorsnede zonder buiging is x gelijk aan nul. Uitgangspunt is een dekking van 40 mm, staafdiameter 12 mm, minimale breedte bij de middendoorsnede gelijk aan 450 mm (nuttige hoogte $d = 450 - 40 - 12/2 = 404$ mm. Effectieve hoogte $h_c = \min(2,5(450-404)=115; (450-0)/3=150; 450/2=225) = 115$ mm.

$$A_s = 0,0093 \cdot 115 \cdot 10^3 = 1070 \text{ mm}^2$$

Dit betekent een wapening $\varnothing 12-100$ (1130 mm²) als indicatie.

Indicatieve berekening wapening

De poer wordt gedimensioneerd op de maximale waarden die zijn met AxisVM, zie Appendix G.

Tabel 9-3 Veerwaarden

Snedekracht	Berekend
$V_{y,Ed}$	54,3
$V_{z,Ed}$	315,4
$M_{y,Ed}$	414,5
$M_{z,Ed}$	85,4

Voor berekening van de scheurwijdte wordt de belasting gedeeld door factor $1,3$.

De poer voldoet met $6\varnothing 20$ boven en onder met beugels $\varnothing 12-200$ (viersnedig). De eisen voor minimumwapening zijn maatgevend. Voor buiging in dwarsrichting kan op basis van de verticale richting uitgegaan worden van praktische wapening $5\varnothing 12$.

Ten behoeve van beheersing van de scheurvorming dient extra wapening bij te worden gelegd, zodanig dat de h.o.h.-afstand maximaal 250 mm bedraagt.

Voor krachtsinleiding van de paalbelasting zal aanvullende wapening moeten worden voorzien. Hierbij moet worden gedacht aan ophangwapening boven en om de palen en splijtwapening in de dwarsrichting van de balk.

Onderwerp	Nieuwe poer	Toetsing	
		Hoofdwapening	Voldoet
		Scheurvorming	Voldoet niet
		Dwarskracht en wringing	Voldoet
Belastingen		Materialen	
Moment	$M_{Ed} =$ 414,5 kNm	Betonsterkteklasse	C30/37
Dwarskracht	$V_{Ed} =$ 315,4 kN	f_{cd}	20,0 N/mm ²
Wringmoment	$T_{Ed} =$ 15,5 kNm	f_{ctd}	1,35 N/mm ²
Duurzaamheid		Wapening	B500
Constructieonderdeel	Plaat, wand	f_{yd}	435 N/mm ²
Milieuklasse	XC4		
Doorsnedegegevens		Scheurvorming	
Breedte	$b =$ 1600 mm	$M_{qp} / M_{Ed} =$	1,30 -
Hoogte	$h =$ 1100 mm	$\sigma_s = A_{s,ben} / A_s \times M_{qp} / M_{Ed} \times f_{yd} =$	205 N/mm ²
Dekking	$c_{nom} =$ 40 mm	$\emptyset_{km} < (\text{tabel 7.2N}) =$	16 mm
Hoofdwap.	$\emptyset_{wap} =$ 20 mm	$\emptyset_{km} =$	20 mm
Beugels	$\emptyset_{bgl} =$ 12 mm	$s < (\text{tabel 7.3N}) =$	250 mm
$d = h - c - \emptyset_{bgl} - \emptyset / 2 =$	1038 mm	$s =$	295 mm Voldoet niet
Controle hoofdwapening		Dwarskracht	
Berekening op basis van	Buiglijger	$V_{Ed} = V_{Ed} / bd =$	0,19 N/mm ²
Basiswapening	6 \emptyset 20	$\rho_1 =$	0,11 %
Bijlegwapening	\emptyset	$k = 1 + \sqrt{(200/d)} =$	1,44 -
Bundels?	Geen bundel	$V_{Rd,c,min} = 0,035k^{3/2} \sqrt{f_{ck}} =$	0,33 N/mm ²
$z =$	1031 mm	$V_{Rd,c} = 0,12k(100\rho_1 f_{ck})^{1/3} bd =$	0,26 N/mm ² Min.wap
$M_d / bd^2 f_b =$	12 -	$V_{Rd,c} = V_{rd,c} bd =$	549,6 kN
$A_{s,req} =$	1155 mm ²	$v_1 = 0,6(1-f_{ck}/250) =$	0,53 -
$A_{s,prov} =$	1885 mm ²	$V_{Rd,max} = z/d v_1 f_{cd} / (\cot\theta + \tan\theta) =$	3,62 N/mm ² Voldoet
$\rho =$	0,11 %	$V_{Rd,max} = V_{rd,max} bd =$	6009 kN
$\rho_{min} =$	0,15 %	$\theta =$ 21,8 < $\theta < 45 =$	21,8 °
$\rho_{max} =$	1,55 %		
Wringing		Beugels	
$t_{ef} = bh / 2(b+h) > 2c+2\emptyset_{sw}+\emptyset_{hw}$	326 mm	Bgls. \emptyset 12 - 200	4 - snedig
$A_k = (b-t_{ef})(h-t_{ef}) =$	986227,7 mm ²	$V_{Rd} = A_{sw} f_{yd} z \cot\theta / bds =$	1,53 N/mm ² Voldoet
$T_{rd,c} = 2f_{ctd} t_{ef} A_k =$	869,9 kNm	$\rho_{w,min} = 0,08 \sqrt{f_{ck}} / f_{yk} =$	0,63 -
Toets $T_{Ed} / T_{rd,c} =$	0,02 -	$A_{sw,min} = 0,5 \rho s \sin\theta b =$	1958 mm ² /m
$T_{rd,max} = 2A_k v_{fd} t_{ef,1} \sin\theta \cos\theta =$	2340,8 kNm	$A_{sw} =$	2262 mm ² /m voldoet
$A_{s,langs} = T_{Ed} \cot\theta u_k / 2f_{yd} A_k =$	222 mm ²		
h-zijde: 45 b-zijde:	66 mm ²		
Beugelwapening (let op: per zijde!)			
$A_{sw}/s = T_{Ed} \tan\theta / 2b_1 h_1 f_{yd} =$	5 mm ² /m		
Wringing + dwarskracht			
$T_{Ed}/T_{rd,c} + V_{Ed}/V_{rd,c} =$	0,59	Voldoet	
$T_{Ed}/T_{rd,max} + V_{Ed}/V_{rd,max} =$	0,06	Voldoet	
Controle beugels			
$A_{sw(V)} = V_{Ed,red}/z f_{yd} \cot\theta =$	281 mm ² /m		
$A_{sw(T)} = T_{Ed} \tan\theta / 2b_1 h_1 f_{yd} =$	5 mm ² /m		
$A_{sv,req} = A_{sw(T)} + A_{sw(V)}/n =$	75 mm ² /m		
$A_{sv,prov} = (\text{per zijde!})$	1131 mm ² /m	Voldoet	

NB: Ten behoeve van beheersing van de scheurvorming dient extra wapening bij te worden gelegd, zodanig dat de h.o.h.-afstand maximaal 250 mm bedraagt. Daarmee is de "voldoet niet" op te lossen.

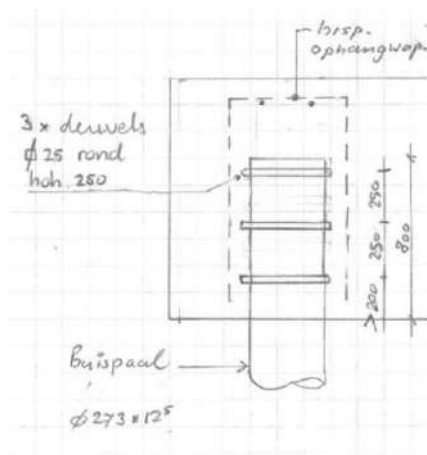
Indicatieve berekening blokdeuvels

De stalen buispaal wordt over 800 mm lengte opgenomen in de betonpoer. Aan de buispaal en aan de bestaande paal worden stalen blokdeuvels gelast om de belasting over te dragen.

Op basis van de maximale drukbelasting is de belasting die overgedragen moet worden circa 375 kN per nieuwe buispaal.

Bij de ronde buispaal wordt uitgegaan van drie cirkels van 25x25 mm met een tussenafstand van 250 mm. De capaciteit is 763 kN op basis van C30/37. De blokdeuvels voldoen met een UC van $(375 \text{ kN} / 763 \text{ kN}) = 0,49$.

In Figuur 9-2 is schematisch de detaillering weergegeven.



Figuur 9-2 Detaillering blokdeuvels

Berekening blokdeuvels

Paal

Benaming	SI-paal
Diameter	273 mm
Wanddikte	12,5 mm
Oppervlak	10230 mm ²
Staalsoort	S355
Doorsnedecapaciteit	3632 kN
Betonkwaliteit	C30/37

Blokdeuvels paal

Toetsing	Druk en trek
Breedte	b = 25 mm
Dikte	h = 25 mm
Lengte	L = 429 mm
Lassen	a = 5 mm
Hoh afstand	s = 150 mm
Aantal gerekend	n = 3 -

Rekenwaarde druksterkte

Materiaalfactor	γ_c	1,5
Extra mat.factor	γ_m	1,25 -
$f_{cd} =$		16,0 N/mm ²

Capaciteit blokdeuvels paal

$A_{t1} =$	10713 mm ²
$A_{t2} =$	23568 mm ²
$C_A = \sqrt{A_{t2}/A_{t1}} =$	1,48 -
$f_{jd} = k_d \times f_{cd} =$	23,7 N/mm ²
$F_{Rd} = n \times A_{t1} \times f_{jd} =$	763 kN

APPENDIX G

Horizontale belastingen

Inleiding

De afdracht van de horizontale belastingen van de fundaties dienen getoetst te worden. Middels een 1D-staven model wordt berekend hoe de kracht wordt afgedragen, welke spanningen daarbij in de buis optreden en wat de paalkopverplaatsing is.

Zowel de bestaande, als de versterkte fundaties worden getoetst.

De onversterkte eenpaalsfunderingen bestaan uit een met zand gevulde stalen koker die 0,5m boven maaiveld uitsteekt. De kop van de paal wordt belast door een trek- of drukkracht in combinatie met een horizontale belasting. Deze horizontale belasting wordt via druk op de buiswand afgedragen aan de bovenste grondlagen. De berekening is uitgevoerd op basis van afkeurniveau NEN8700 met referentieperiode 15 jaar.

De versterkte poeren bestaan uit een betonnen lijnpoer, waarin de bestaande paal en twee nieuwe palen zijn opgenomen. De afdracht van horizontale belasting vindt plaats door horizontale druk van de paal naar de grond. Bij een meerpaalspoer beïnvloedt een horizontale belasting ook de verdeling van de verticale krachten over de palen. Beide aspecten worden getoetst in deze berekening. De berekening is uitgevoerd op basis van verbouwniveau NEN8700 met referentieperiode 50 jaar.

Als toetsingscriteria gelden grenswaarden voor de verticale en horizontale verplaatsingen, het draagvermogen van de palen en de optredende buigspanningen in de palen.

In de komende subhoofdstukken worden de uitgangspunten van de grondsoorten, materialen, geometrie en belasting omschreven.

Modellen

Middels twee AxisVM-modellen worden verschillende situaties getoetst:

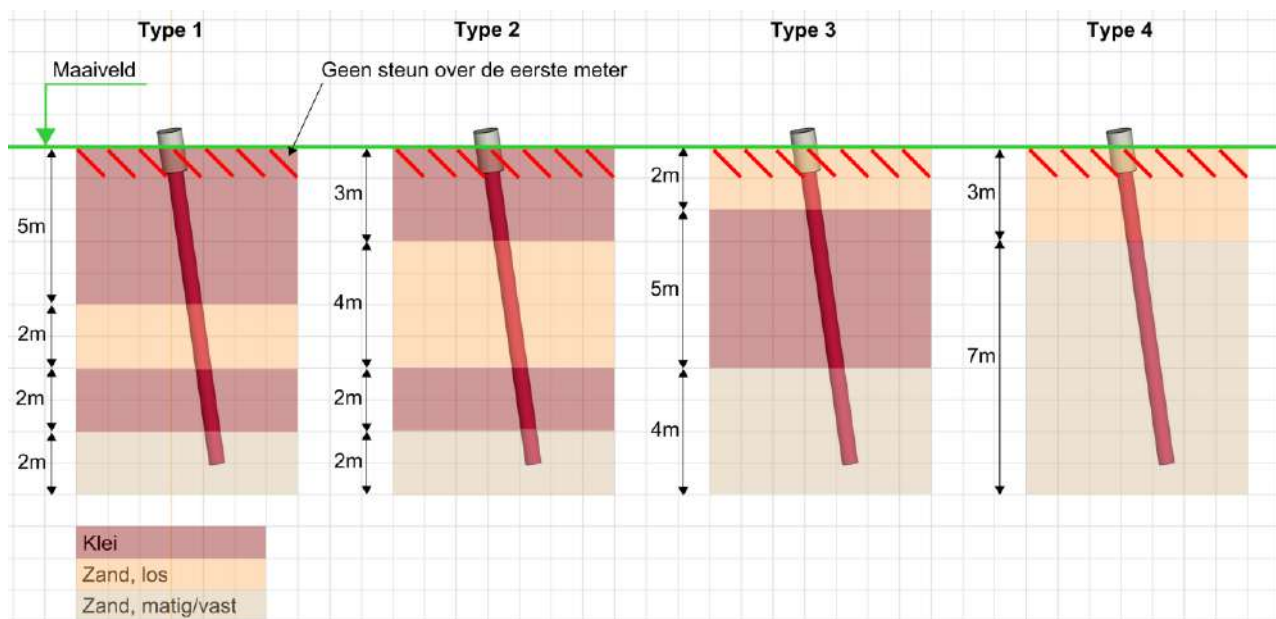
- Model 1: Bestaande eenpaalsfundering;
 - S+0 → Grondopbouw type 1 met lage, gemiddelde en hoge veerwaarden;
 - S+0 & S+9 → Grondopbouw type 2 met gemiddelde veerwaarden;
 - S+0 → Grondopbouw type 3 met gemiddelde veerwaarden;
 - S+0 & S+6 → Grondopbouw type 4 met gemiddelde veerwaarden;
- Model 2: Versterkte eenpaalsfundering.
 - S+0 → Grondopbouw type 1 met lage, gemiddelde en hoge veerwaarden, palen Ø273;
 - S+0 → Grondopbouw type 1 met lage, gemiddelde en hoge veerwaarden, palen Ø323;
 - S+0 → Grondopbouw type 2 met gemiddelde veerwaarden, palen Ø273;
 - S+0 → Grondopbouw type 3 met gemiddelde veerwaarden, palen Ø273;
 - S+0 & S+6 → Grondopbouw type 4 met gemiddelde veerwaarden, palen Ø273;
 - S+9 → Grondopbouw type 2 (aangepast) met gemiddelde veerwaarden, palen Ø323.

Modelvorming

De 1D-staven worden voorzien van een verende lijnoplegging met veercharacteristieken die bij de betreffende grondsoort horen. De veerwaarde van de grondsoort is bepaald aan de hand van CUR166 "Damwandconstructies". Bij de vertaling van deze veerwaarde naar een lijnoplegging wordt rekening gehouden met de schelpfactor volgens CUR228 "Horizontaal belaste palen".

Om de horizontale krachtafdracht te toetsen wordt de grondopbouw met een grove beschouwing verder in vier typen geclusterd. De opbouw van deze typen is conservatief gekozen, zodat alle voorkomende situaties voldoende geborgd zijn. Het gaat op de volgende typen:

- Type 1: slappe grondlagen tot ca. 5 m – MV, dan een los zandpakket van ca. 2 m, vervolgens nog een slappe laag van ca. 2 m en daarna zand (matig/vast);
- Type 2: slappe grondlagen tot ca. 3 m – MV, dan een los zandpakket van ca. 4 m, vervolgens nog een slappe laag van ca. 2 m en daarna zand (matig/vast);
- Type 3: los zandpakket tot ca. 2 m – MV, dan een slappe laag van ca. 5 m en daarna zand (matig/vast);
- Type 4: los zandpakket tot ca. 2 m – MV en daarna zand (matig/vast).



Figuur 9-3 Grondopbouw per type t.b.v. horizontale krachtafdracht

Belastingen

De belastingen die gehanteerd zijn in de modellen zijn opgenomen in Appendix H.

Veerwaarden paalpunt

Voor de verticale veerwaarden zijn de volgende waarden aangehouden:

- LD1 – druk 100000 N/mm (voor paalzakking);
- LD1 – trek Uitgangspunt is dat de paalkopverplaatsing $\approx 2 \cdot$ paalvoetverplaatsing:

$$E \cdot A / L = 210000 \text{ MPa} \cdot 15150 \text{ mm}^2 / 9000 \text{ mm} \approx 355000 \text{ N/mm}$$

- Ø273 – druk 80000 N/mm (voor paalzakking);
- Ø273 – trek Uitgangspunt is dat de paalkopverplaatsing $\approx 2 \cdot$ paalvoetverplaatsing:

$$E \cdot A / L = 210000 \text{ MPa} \cdot \pi \cdot (273 \text{ mm} - 12,5 \text{ mm}) \cdot 12,5 \text{ mm} / 9000 \text{ mm} \approx 240000 \text{ N/mm}$$

Beddingswaarden

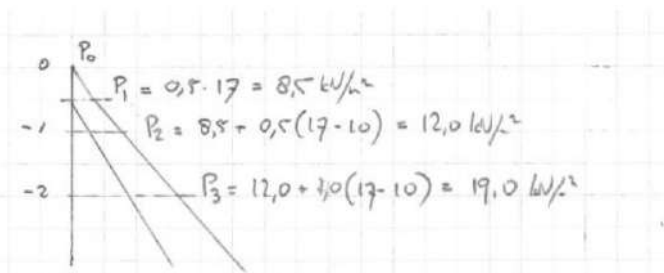
In Tabel 9-4 zijn de veerwaarden van klei en zand opgenomen. Rekening wordt gehouden met lage, gemiddelde en hoge veerwaarden.

Tabel 9-4 Veerwaarden

Paal	Grond	k_h [kN/m ³]	schelp [-]	Diameter [m]	Gem. [kN/m]	Laag [kN/m]	Hoog [kN/m]
LD1	Klei	3000	1,3	0,55	2150	1500	3050
	Zand, los	9000	1,85	0,55	9150	6450	12950
	Zand, matig	15000	2	0,55	16500	11650	23350
LV1	Klei	3000	1,3	0,7	2725	1925	3875
	Zand, los	9000	1,85	0,7	11650	8225	16500
	Zand, matig	15000	2	0,7	21000	14825	29700
Ø273/400	Klei	3000	1,3	0,273	1075	750	1525
	Zand, los	9000	1,85	0,4	6650	4700	9425
	Zand, matig	15000	2	0,4	12000	8475	16975
Ø323/450	Klei	3000	1,3	0,323	1250	875	1775
	Zand, los	9000	1,85	0,45	7500	5300	10625
	Zand, matig	15000	2	0,45	13500	9525	19100

Maximale gronddruk

In de bovenste grondlagen kan er slechts beperkte gronddruk worden opgenomen, gebaseerd op de maximale passieve gronddruk. Door mogelijke de aanwezigheid van watergangen vlak bij de mast, kan er mogelijk geen of beperkte weerstand worden opgebouwd over de eerste meters. Om deze reden wordt er geen passieve weerstand gerekend op de eerste meter onder maaiveld (tegen de omstorting) en slechts 50% over de tweede meter. De GWS wordt aangenomen op 0,5m – maaiveld en de dichtheid van de grond is genomen op 17kN/m³. In het model wordt de maximale oplegdrruk van de lijnoplegging beperkt volgens Tabel 9-5.



Figuur 9-4 Voorbeeld opbouw passieve gronddruk

De passieve gronddrukfactor is voor veen en klei aangenomen op 2 en voor zand op 3. In Tabel 9-5 zijn de maximale gronddrukken per meter grondlaag opgenomen tot 3m onder maaiveld.

Tabel 9-5 Maximale gronddruk

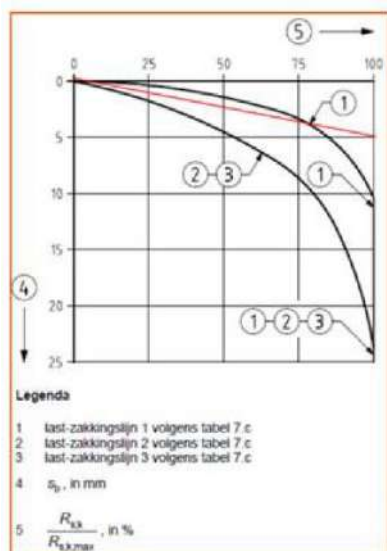
Paal	Grond	Niveau [m]	p [kN/m ³]	k_{pa} [kN/m ³]	schelp [-]	Diameter [m]	Max. druk [kN]	Effectiviteit [%]	Max. druk [kN]
LD1 - type 1		0	0						
	Klei	-1	12	2	1,3	0,55	8,5	0%	0,0
	Klei	-2	19	2	1,3	0,55	22,0	50%	11,0
	Klei	-3	26	2	1,3	0,55	32,0	100%	32,0
LD1 - type 3		0	0						
	Zand, los	-1	12	3	1,85	0,55	18,5	0%	0,0
	Zand, los	-2	19	3	1,85	0,55	47,5	50%	23,8
	Klei	-3	26	2	1,3	0,55	32,0	100%	32,0

Paal	Grond	Niveau [m]	p [kN/m ³]	k _{pa} [kN/m ³]	schelp [-]	Diameter [m]	Max. druk [kN]	Effectiviteit [%]	Max. druk [kN]
Ø273/400 - type 1		0	0						
	Klei	-1	12	2	1,3	0,273	4,5	0%	0,0
	Klei	-2	19	2	1,3	0,273	11,0	50%	5,5
	Klei	-3	26	2	1,3	0,273	16,0	100%	16,0
Ø273/400 - type 3		0	0						
	Zand, los	-1	12	3	1,85	0,4	13,5	0%	0,0
	Zand, los	-2	19	3	1,85	0,4	34,5	50%	17,3
	Klei	-3	26	2	1,3	0,273	16,0	100%	16,0
Ø323/450 - type 1		0	0						
	Klei	-1	12	2	1,3	0,323	5,0	0%	0,0
	Klei	-2	19	2	1,3	0,323	13,0	50%	6,5
	Klei	-3	26	2	1,3	0,323	19,0	100%	19,0
Ø323/450 - type 3		0	0						
	Zand, los	-1	12	3	1,85	0,45	15,0	0%	0,0
	Zand, los	-2	19	3	1,85	0,45	38,5	50%	19,3
	Klei	-3	26	2	1,3	0,323	19,0	100%	19,0

Toetsing

De palen worden op de volgende punten getoetst:

- Maximale spanning in de buis. Voor bestaande palen wordt uitgegaan van een dikteverlies na 51+50 jaar op basis van geroerde bodem. Het dikteverlies is gelijk aan: $101 / 50 \times 1,5 \text{ mm}/50 \text{ jaar} = 3,0 \text{ mm}$. Bij een initiële dikte van 9 mm voor de kokerpaal betekent dat de U.C. beneden de $(9-3,0)/9 = 0,67$ moet blijven;
- verticale opwaartse verplaatsing van de bestaande paal kleiner dan 5 mm. Zie hiervoor ook figuur 7.0 uit NEN-EN 1997-1, hieronder als Figuur 9-5 opgenomen, met ingetekend rode lijn die is aangehouden. Vanwege het tamelijk "brosse" vervormingsgedrag van een trekpaal en de resultaten van proefbelastingen die zijn uitgevoerd, wordt een grotere verplaatsing ongewenst geacht.



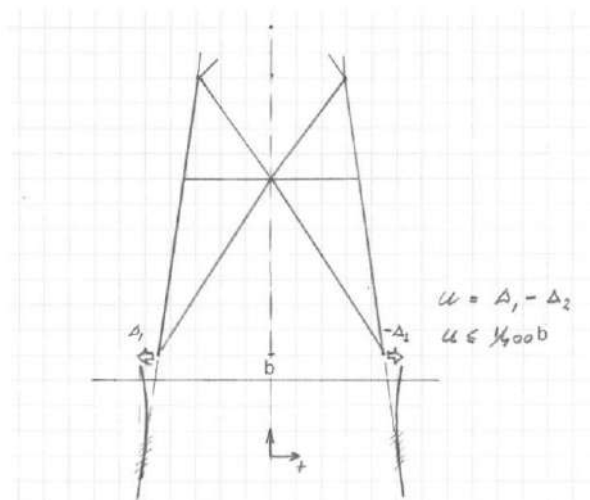
Figuur 7.0 — Relatie tussen de schuifkracht op de paalschacht (R_s), in % van de maximumschuifkracht op de paalschacht ($R_{s,max}$) bij de uiterste grenstoestand of de bruikbaarheidsgrenstoestand en de zakking van de punt (s_p), in mm

Figuur 9-5 Last-zakkingsdiagram schuifspanningen. Traject 1 is van toepassing. De rood ingetekende lijn wordt aangehouden

- Horizontale verplaatsing van maximaal $1/400 \cdot b$. Deze eis is conform TenneT-specificatie “paalfunderingen” en wordt in principe alleen gehanteerd voor nieuwe constructies.

Deze verplaatsingseisen worden gesteld aan karakteristieke belastingen. De gehanteerde belastingen zijn uit ULS of SpLS. De verplaatsingen die gevonden worden moeten dus nog worden gedeeld door de belastingfactor, hier wordt een factor van 1,25 voor aangehouden. Voor steunmasten worden de torsiebelastingen al berekend zonder belastingfactor. Hiervoor wordt de factor van 1,25 dus niet gehanteerd.

Bij belasting door torsie bewegen de palen in principe in dezelfde richting, daardoor wordt er theoretisch altijd aan de eis voldaan. Als beginpunt wordt $1/400 \cdot b$ aangehouden. Bij beoordeling van de bestaande palen wordt een kleine overschrijding als acceptabel gezien.



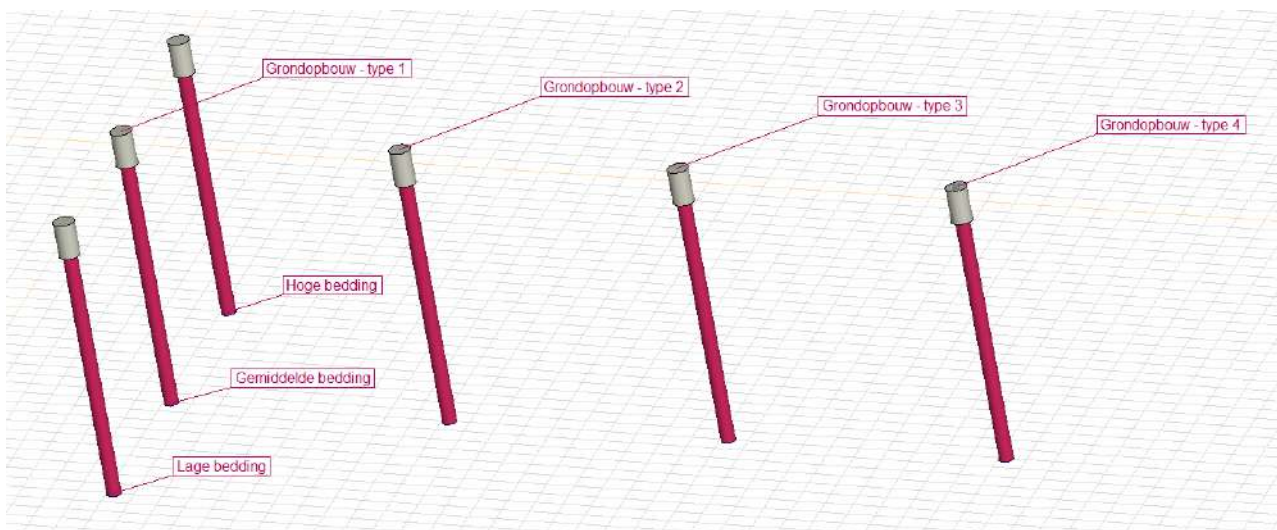
Figuur 9-6 Toelaatbare horizontale verplaatsing

Tabel 9-6 Toelaatbare horizontale verplaatsing per paaltipe

Mast	Pootsprei [m]	basiseis [-]	Max. u [mm]	Factor 1 [-]	Factor 2 [-]	Eis [mm]
S+0 UGT afkeur	9,00	1/400	22,5	1,25	0,50	14,1
S+0 UGT verbouw	9,00	1/400	22,5	1,35	0,50	15,2
S+0 torsie	9,00	1/400	22,5	1,00	1,00	22,5
S+3/S+6 UGT afkeur	9,86	1/400	24,7	1,25	0,5	15,4
S+3/S+6 UGT verbouw	9,86	1/400	24,7	1,35	0,5	16,6
S+3/S+6 torsie	9,86	1/400	24,7	1,00	1,00	24,7
S+9 UGT afkeur	10,65	1/400	26,6	1,25	0,5	16,6
S+9 UGT verbouw	10,65	1/400	26,6	1,35	0,5	18,0
S+9 torsie	10,65	1/400	26,6	1,00	1,00	26,6

Eenpaalsfundering - onversterkt

Een overzicht van het model is weergegeven in Figuur 9-7. Voor grondopbouw type 1 is een staaf gemodelleerd met lage, gemiddelde en hoge beddingwaarden. Uit de resultaten blijkt dat deze beddingwaarden nauwelijks invloed hebben op de optredende spanning in de paal. De passieve druk is begrensd in het model en de vervormingen worden getoetst bij gemiddelde waarden. Om deze redenen is het niet nodig de constructie bij andere typen grondopbouw ook met gevarieerde beddingen te toetsen.



Figuur 9-7 Overzicht model 1 – onversterkte fundatie

De resultaten zijn samengevat in Tabel 9-7 t/m Tabel 9-9. De constructie voldoet op sterkte. Wel blijkt dat de berekende horizontale verplaatsing het uitgangspunt voor het toelaatbare overschrijdt. Deze overschrijding wordt geaccepteerd omdat het om een bestaande constructie gaat.

Voor volledige uitvoer AxisVM, zie einde van deze bijlage.

Tabel 9-7 Resultaten S+0

	Berekend	Toelaatbaar		UC	
Spanning	84,9	235	MPa	0,36	OK
Verplaatsing e_x/e_y , excl. torsie	17,8	14,1	mm		Acceptabel
Verplaatsing e_x/e_y , incl. torsie	19,7	22,5	mm		OK

Tabel 9-8 Resultaten S+6

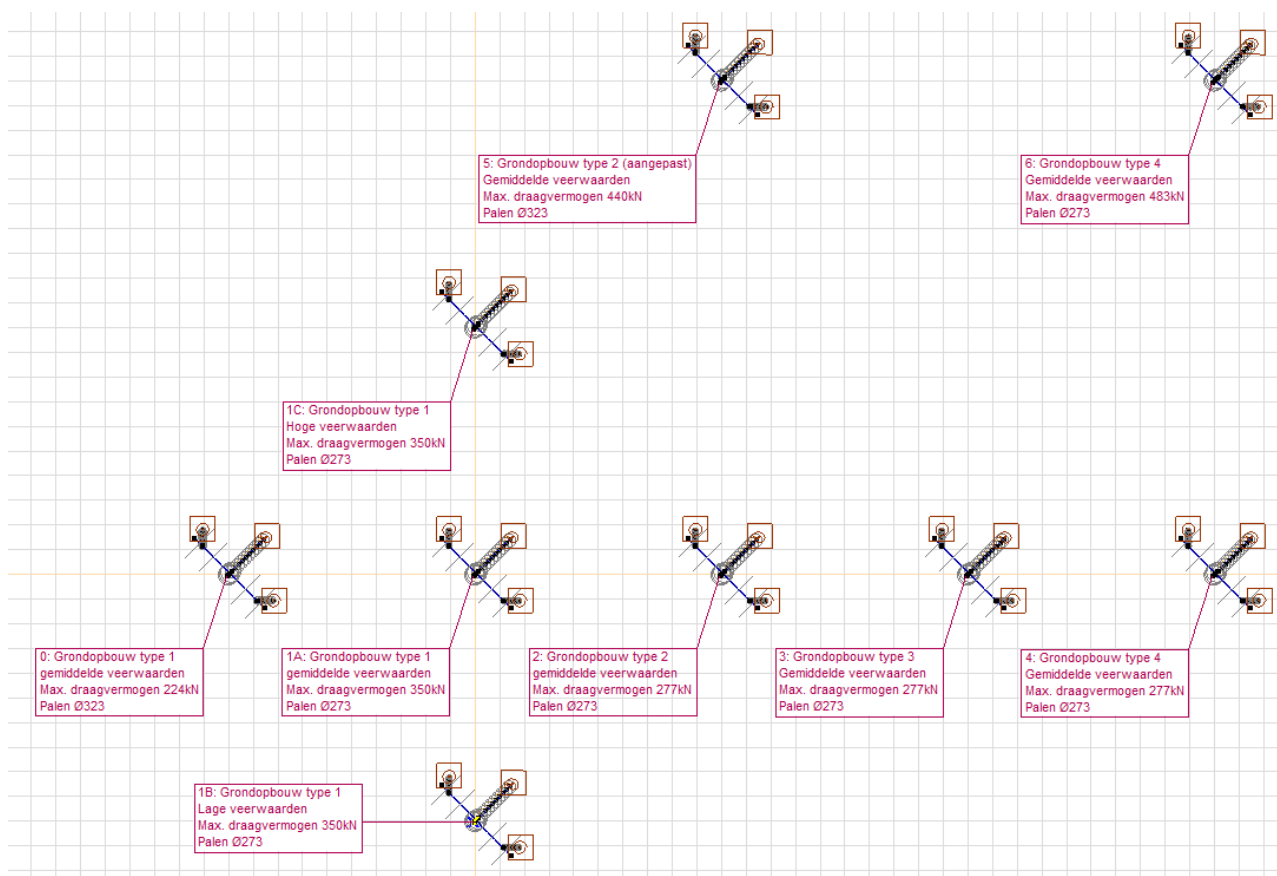
	Berekend	Toelaatbaar		UC	
Spanning	90,2	235	MPa	0,38	OK
Verplaatsing e_x/e_y , excl. torsie	9,6	15,4	mm		OK
Verplaatsing e_x/e_y , incl. torsie	11,9	24,7	mm		OK

Tabel 9-9 Resultaten S+9

	Berekend	Toelaatbaar		UC	
Spanning	125,2	235	MPa	0,53	OK
Verplaatsing e_x/e_y , excl. torsie	20,9	16,6	mm		Acceptabel
Verplaatsing e_x/e_y , incl. torsie	7,9	26,6	mm		OK

Eenpaalsfundering – versterkt – 1P+2P

Een overzicht van het model is weergegeven in Figuur 9-8. Voor grondopbouw type 1 is de constructie gemodelleerd met lage, gemiddelde en hoge beddingwaarden. Uit de resultaten blijkt dat deze beddingwaarden nauwelijks invloed hebben op de optredende spanning in de paal. De passieve druk is begrensd in het model en de vervormingen worden getoetst bij gemiddelde waarden. Om deze redenen is het niet nodig de constructie bij andere typen grondopbouw ook met gevarieerde beddingen te toetsen.

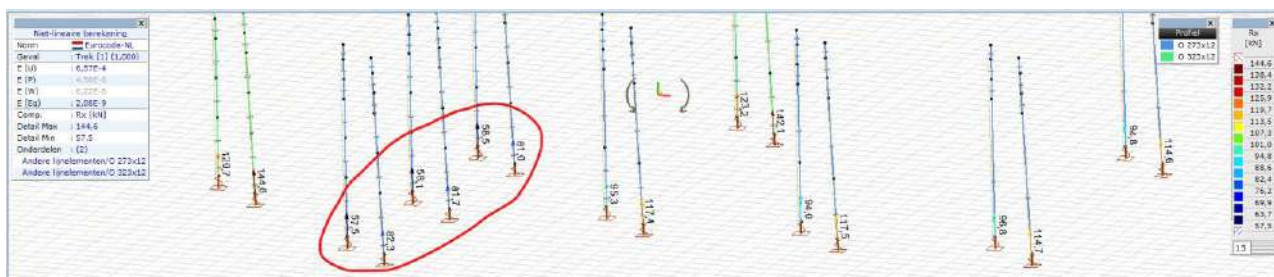


Figuur 9-8 Overzicht model 2 – versterkte fundatie

Korte nadere toelichting per model:

- Model 0: het maximale draagvermogen van de bestaande paal is aangehouden op 224kN (mast 132). De versterkte palen hebben een doorsnede van Ø323;
- Model 2/3/4: het maximale draagvermogen is aangehouden 277 kN, dit is het op één laagste draagvermogen (mast 93 / mast 111). De versterkte palen hebben een doorsnede van Ø273;
- Model 1A/B/C: het maximale draagvermogen van de bestaande paal is aangehouden op 350kN. Deze waarde is gebaseerd op het laagste draagvermogen van de bestaande palen op locaties waar versterkt wordt met palen Ø273 en binnen het gebied dat past bij grondopbouw type 1;
- Model 5: model voor mast S+9, waarbij de slappe laag vanaf maaiveld is aangepast van een laagdikte van 3 m naar een laagdikte van 2 m gebaseerd op de lokale grondopbouw. Het maximale draagvermogen van de bestaande paal is aangehouden op 440kN. De versterkte palen hebben een doorsnede van Ø323;
- Model 6: model voor mast S+6 met grondopbouw type 4. Het maximale draagvermogen van de bestaande paal is aangehouden op 483kN. De versterkte palen hebben een doorsnede van Ø273.

Door de optredende horizontale belasting is de spreiding van de belasting over de nieuwe palen niet gelijk. Dit wordt in de toetsing meegenomen door een factor voor de effectiviteit van de nieuwe palen. Het model bij type 1 is maatgevend hiervoor. De effectiviteit is $(58 \text{ kN} + 82 \text{ kN}) / (2 \cdot 82 \text{ kN}) = 85\%$. Voor reductie van het draagvermogen i.v.m. de paalgroep wordt een factor van 5% meegenomen. Er wordt een totale factor van 80% aangehouden.



Figuur 9-9 Overzicht paalreacties t.b.v. effectiviteit

De resultaten zijn samengevat in Tabel 9-10 t/m Tabel 9-16. De constructie voldoet op sterkte. Wel blijkt, in enkele gevallen, dat de berekende horizontale verplaatsing het uitgangspunt voor het toelaatbare overschrijdt. Aan de eis kan niet in alle gevallen worden voldaan met palen onder een schoorstand van 15:1. De vereiste schoorstand om te voldoen is circa 1:5 en deze schoorstand is niet uitvoerbaar vanwege de aanwezigheid van de mastconstructie. Omdat het om kleine afwijkingen gaat in absolute zin (21 vs. 15mm) wordt de overschrijding geaccepteerd.

Voor volledige uitvoer AxisVM, zie einde van deze bijlage.

Tabel 9-10 Model 0 – S+0 – grondopbouw type 1 – palen Ø323

	Berekend	Toelaatbaar		UC	
Spanning nw. buispaal	46,2	355	MPa	0,13	OK
Verplaatsing e_z paalvoet best. paal	4,2	5	mm		OK
Verplaatsing e_x/e_y , excl. torsie	21,1	15,2	mm		Acceptabel
Verplaatsing e_x/e_y , incl. torsie	4,9	22,5	mm		OK

Tabel 9-11 Model 1 – S+0 – grondopbouw type 1 – palen Ø273

	Berekend	Toelaatbaar		UC	
Spanning nw. buispaal	49,6	355	MPa	0,14	OK
Verplaatsing e_z paalvoet best. paal	2,9	5	mm		OK
Verplaatsing e_x/e_y , excl. torsie	18,7	15,2	mm		Acceptabel
Verplaatsing e_x/e_y , incl. torsie	5,6	22,5	mm		OK

Tabel 9-12 Model 2 – S+0 – grondopbouw type 2 – palen Ø273

	Berekend	Toelaatbaar		UC	
Spanning nw. buispaal	54,4	355	MPa	0,15	OK
Verplaatsing e_z paalvoet best. paal	3,1	5	mm		OK
Verplaatsing e_x/e_y , excl. torsie	17,6	15,2	mm		Acceptabel
Verplaatsing e_x/e_y , incl. torsie	4,8	22,5	mm		OK

Tabel 9-13 Model 3 – S+0 – grondopbouw type 3 – palen Ø273

	Berekend	Toelaatbaar		UC	
Spanning nw. buispaal	46,7	355	MPa	0,13	OK
Verplaatsing e_z paalvoet best. paal	1,9	5	mm		OK
Verplaatsing e_x/e_y , excl. torsie	11,3	15,2	mm		OK
Verplaatsing e_x/e_y , incl. torsie	2,8	22,5	mm		OK

Tabel 9-14 Model 4 – S+0 – grondopbouw type 4 – palen Ø273

	Berekend	Toelaatbaar		UC	
Spanning nw. buispaal	49,3	355	MPa	0,14	OK
Verplaatsing e_z paalvoet best. paal	1,3	5	mm		OK

	Berekend	Toelaatbaar		UC	
Verplaatsing e_x/e_y , excl. torsie	7,5	15,2	mm		OK
Verplaatsing e_x/e_y , incl. torsie	2,4	22,5	mm		OK

Tabel 9-15 Model 5 – S+9 – grondopbouw type 2 (aangepast) – palen Ø323

	Berekend	Toelaatbaar		UC	
Spanning nw. buispaal	72,3	355	MPa	0,20	OK
Verplaatsing e_z paalvoet best. paal	2	5	mm		OK
Verplaatsing e_x/e_y , excl. torsie	13,1	18	mm		OK
Verplaatsing e_x/e_y , incl. torsie	5,3	26,6	mm		OK

Tabel 9-16 Model 6 – S+6 – grondopbouw type 4 – palen Ø273

	Berekend	Toelaatbaar		UC	
Spanning nw. buispaal	62,4	355	MPa	0,18	OK
Verplaatsing e_z paalvoet best. paal	1	5	mm		OK
Verplaatsing e_x/e_y , excl. torsie	10,4	18	mm		OK
Verplaatsing e_x/e_y , incl. torsie	2,1	26,6	mm		OK

Project:

Constructeur:

AxisVM X6 R2c · Geregistreerd aan DNV GL - Energy
MBT-EHV enkelpaals Rev. 1.axs

Rapport

Rapport, Inhoudsopgave

<i>Onderdeel</i>	<i>Pagina</i>	<i>Onderdeel</i>	<i>Pagina</i>
[II], Non-lin., Omhullende (Standaard), Mz, Lijnen (gevuld)	3	Trek S+6/S+9: Knoopbelastingen	17
Maatvoering - zij aanzicht	4	Druk S+6/S+9	17
Maatvoering - bovenaanzicht	5	Druk S+6/S+9: Knoopbelastingen	18
3D - overzicht	6	Torsie S+6/S+9	18
Materialen	7	Torsie S+6/S+9: Knoopbelastingen	19
Profielen	7	[II], Non-lin., Omhullende (Standaard), My, Lijnen (gevuld)	19
Staven en opleggingen - deel 1	8	[II], Non-lin., Omhullende (Standaard), Mz, Lijnen (gevuld)	20
Staven en opleggingen - deel 2	9	Staafrachten [Non-lin., Omhullende (Standaard)]	21
Staven	10	[II], Non-lin., Omhullende (Standaard), Sominmax, Lijnen (gevuld)	22
Knoopopleggingen	11	Staaftspanningen [Non-lin., Omhullende (Standaard), Geselecteerd] - Grondopbouwtype 1	23
Lijnopleggingen	12	Staaftspanningen [Non-lin., Omhullende (Standaard), Geselecteerd] - Grondopbouwtype 2	23
Trek	13	Staaftspanningen [Non-lin., Omhullende (Standaard), Geselecteerd] - Grondopbouwtype 3	24
Trek: Knoopbelastingen	14	Staaftspanningen [Non-lin., Omhullende (Standaard), Geselecteerd] - Grondopbouwtype 4	24
Druk	14	[II], Non-lin., Omhullende (Standaard), Ry (lijnopp.), Lijnen (gevuld)	25
Druk: Knoopbelastingen	15	[II], Non-lin., Omhullende (Standaard), Rz (lijnopp.), Lijnen (gevuld)	26
Torsie	15	[II], > ~2, Non-lin., Omhullende (Standaard), eX, Lijnen	27
Torsie: Knoopbelastingen	16	[II], > ~2, Non-lin., Omhullende (Standaard), eY, Lijnen	28
Trek S+6/S+9	16	Knoopverplaatsingen [Non-lin., Omhullende (Standaard), Geselecteerd]	29

Project:

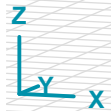
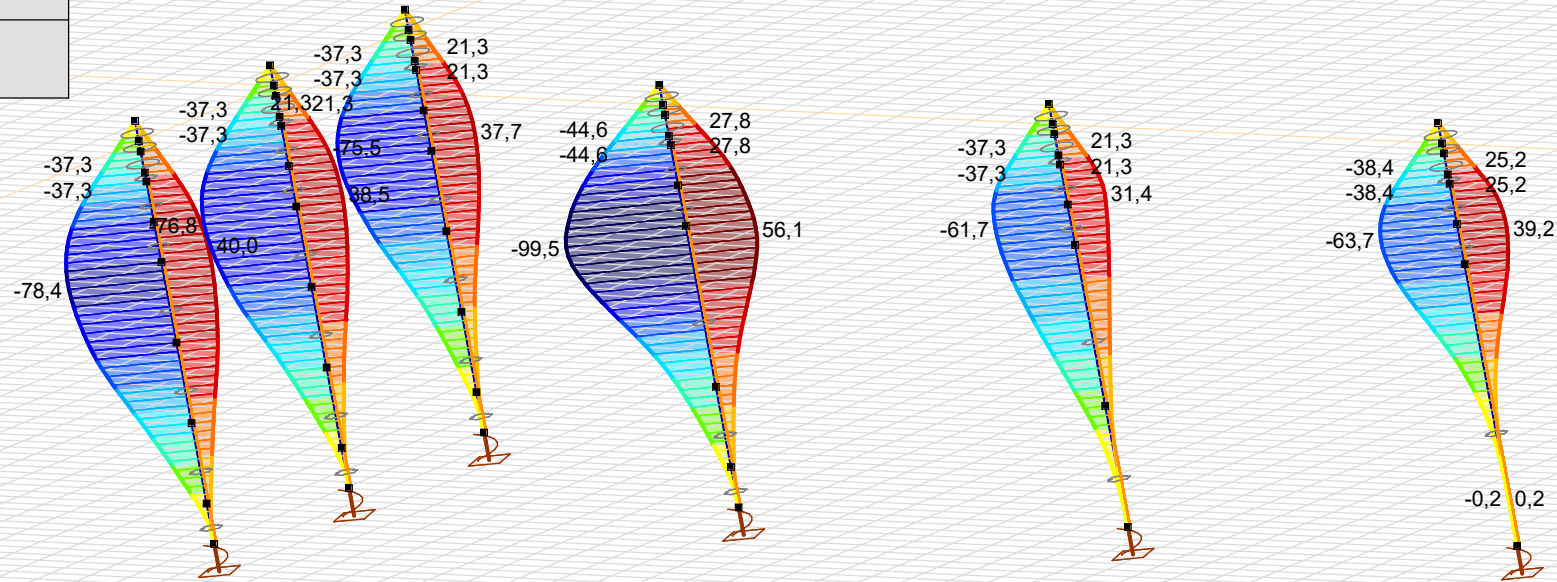
Constructeur:

Model: **MBT-EHV enkelpaals Rev.1.axs**

20-6-2022

Pag. 3

Niet-lineaire berekening	
Norm	Eurocode-NL
Geval	: Omhullende Min,Max
Omhullende	: Standaard
E (U)	: 1,84E-4
E (P)	: 5,25E-8
E (W)	: 9,43E-13
E (Eq)	: 4,33E-10
Comp.	: Mz [kNm]
Max	: 56,1
Min	: -99,5



[II], Non-lin., Omhullende (Standaard), Mz, Lijnen (gevuld)

Project:

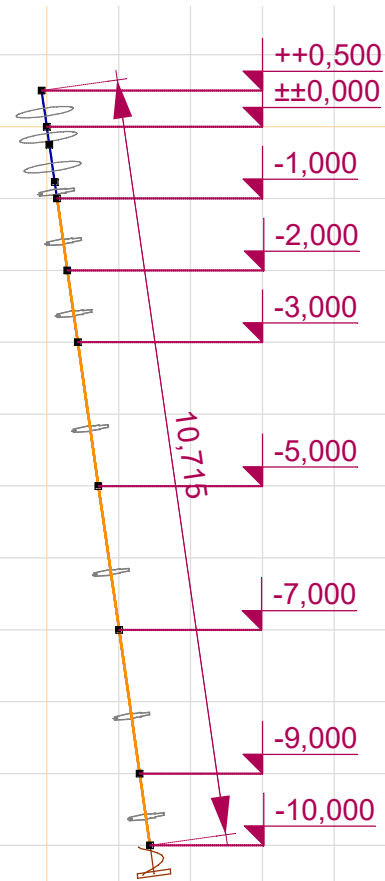
Constructeur:

Model: MBT-EHV enkelpaals Rev.1.axs

20-6-2022

Pag. 4

Norm Eurocode-NL
Geval : Druk S+6/S+9



Maatvoering - zijaanzicht

Project:

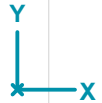
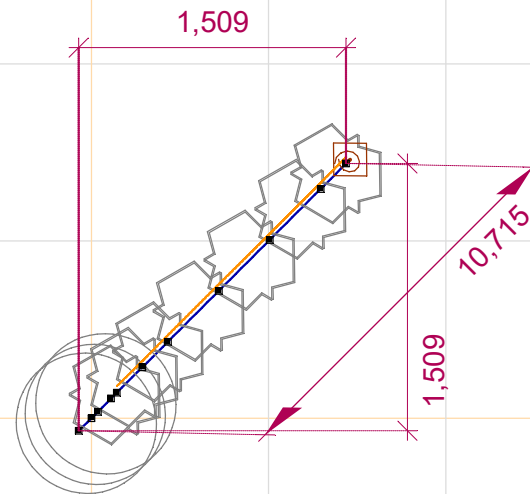
Constructeur:

Model: MBT-EHV enkelpaals Rev.1.axs

20-6-2022

Pag. 5

Norm Eurocode-NL
Geval : Druk S+6/S+9



Maatvoering - bovenaanzicht

Project:

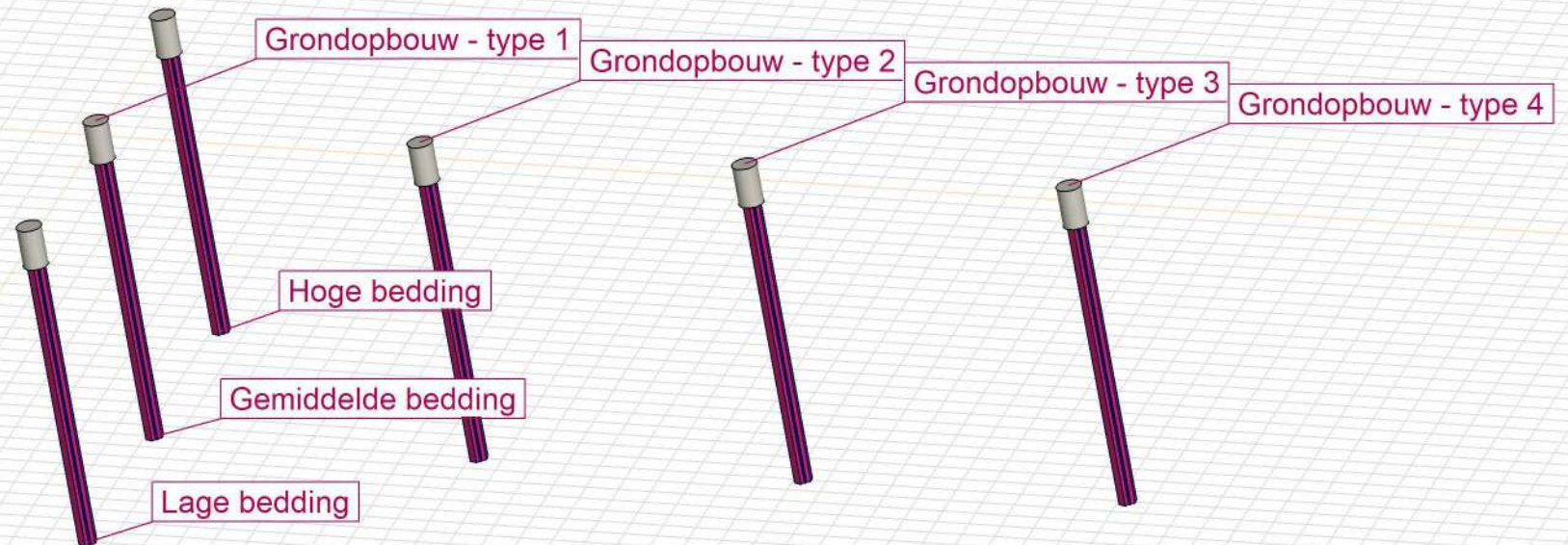
Constructeur:

Model: MBT-EHV enkelpaals Rev.1.axs

20-6-2022

Pag. 6

Norm Eurocode-NL
Geval : Druk S+6/S+9



3D - overzicht

Project:







Constructeur:

Model: **MBT-EHV enkelpaals Rev.1.axs**

20-6-2022

Pag. 7

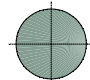
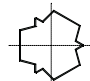
Materialen

	Naam	Type	Nationale norm	Materiaalnorm	Model	E_x [MPa]	E_y [MPa]	ν	α_T [1/°C]	ρ [kg/m ³]	Materiaal kleur	Contour kleur	Structuur	P_1	
1	S 235	Staal	Eurocode-NL	10025-2	Lineair	210000	210000	0,30	1,2E-5	7850				Steel	f_y [MPa] = 235,00
2	C30/37	Beton	Eurocode-NL	EN 206	Lineair	10000	10000	0,20	1E-5	2500				Concrete A	f_{ck} [MPa] = 30,00

	Naam	P_2	P_3	P_4	P_5	P_6	P_7	P_8	P_9	P_{10}	P_{11}	P_{12}	P_{13}	P_{14}
1	S 235	f_u [MPa] = 360,00	f_y^* [MPa] = 215,00	f_u^* [MPa] = 360,00										
2	C30/37	$\gamma_c = 1,500$	$\alpha_{cc} = 1,00$	$\phi_t = 2,00$										

Naam: Materiaalnaam; **Type:** Type materiaal; **Model:** Materiaal model; **E_x :** Elasticiteitsmodulus in lokale x richting; **E_y :** Elasticiteitsmodulus in lokale y richting; **ν :** Poisson's verhouding; **α_T :** Warmteuitzettingscoëfficiënt; **ρ :** Dichtheid; **Materiaal kleur:** Materiaalkleur; **Contour kleur:** Contourkleur; **$P_1, P_2, P_3, P_4, P_5, P_6, P_7, P_8, P_9, P_{10}, P_{11}, P_{12}, P_{13}, P_{14}$:** Ontwerpparameter;

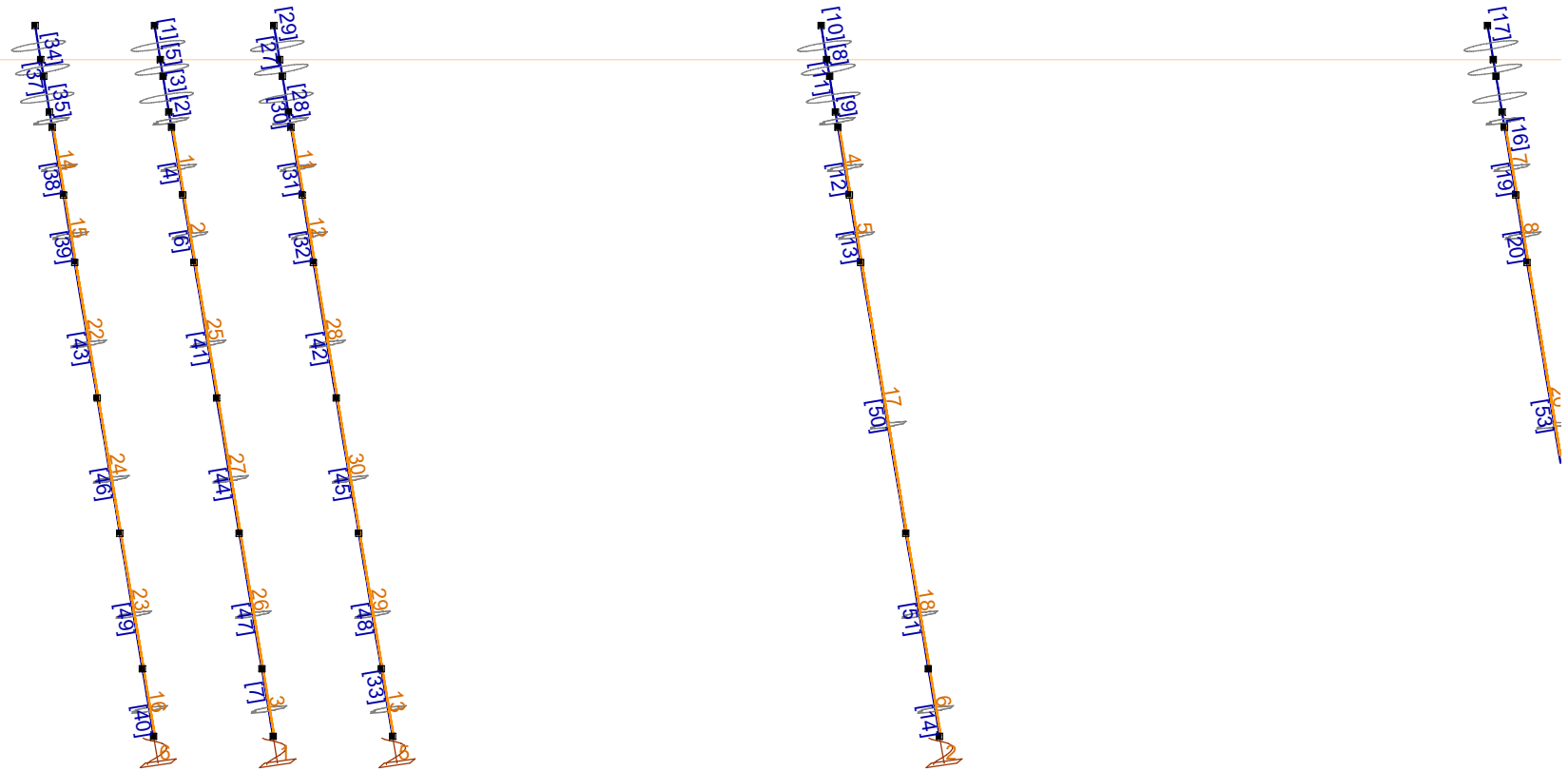
Profielen

	Naam	Tekening	Productie	Vorm	h [mm]	b [mm]	tw [mm]	tf [mm]	A_x [mm ²]	A_y [mm ²]	A_z [mm ²]	I_x [mm ⁴]	I_y [mm ⁴]	I_z [mm ⁴]	α [°]
1	O 800		Ander	Rond	800,0	800,0	0	0	502552,80	430759,50	430759,50	4,0212E+10	2,0098E+10	2,0098E+10	0
2	LD1		Ander	Eigen gedefinieerd	570,1	514,0	0	0	15142,80	5219,72	5219,72	6,2239E+8	4,6025E+8	4,6025E+8	0

	Naam	I_ω [mm ⁶]	$W_{1,el,t}$ [mm ³]	$W_{1,el,b}$ [mm ³]	i_y [mm]	i_z [mm]	H_y [mm]	H_z [mm]	y_G [mm]	z_G [mm]	y_s [mm]	z_s [mm]	S.p.
1	O 800	0	5,0245E+7	5,0245E+7	200,0	200,0	800,0	800,0	400,0	400,0	0	0	5
2	LD1	2,4187E+11	1614516,0	1614516,0	174,3	174,3	514,0	570,1	257,0	285,1	0	0	8

Naam: Doorsnede naam; **Productie:** Productieproces; **Vorm:** Profiel; **h :** Doorsnede hoogte; **b :** Doorsnede breedte; **tw :** Lijfdikte; **tf :** Flensdikte; **A_x, A_y, A_z :** Doorsnede-oppervlak; **A_y, A_z :** Afschuivingsoppervlak; **I_x, I_z :** Torsietraagheidsmoment; **I_y, I_z :** Buigtraagheidsmoment; **α :** Hoofdrichtingen; **I_ω :** Krommingsconstante; **$W_{1,el,t}, W_{1,el,b}$:** Elastisch weerstandsmoment; **i_y, i_z :** Traagheidsstraal; **H_y, H_z :** Afmeting in lokale Y-richting; **H_z :** Afmeting in lokale Z-richting; **y_G, z_G :** Y-coördinaat van het zwaartepunt; **z_G :** Z-coördinaat van het zwaartepunt; **y_s, z_s :** Y-coördinaat van het afschuivingsmiddelpunt (torsie); **z_s :** Z-coördinaat van het afschuivingsmiddelpunt (torsie); **S.p.:** Spanningspunten;

Norm	Eurocode-NL
Geval	: Torsie S+6/S+9



Staven en oplettingen - deel 1

Project:

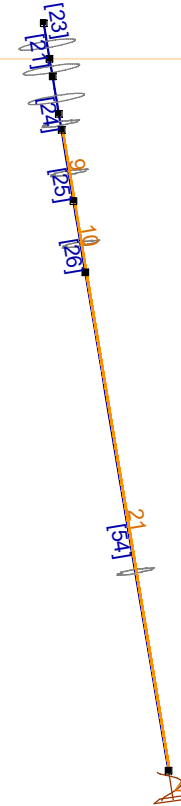
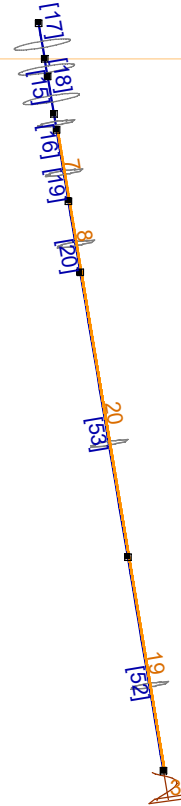
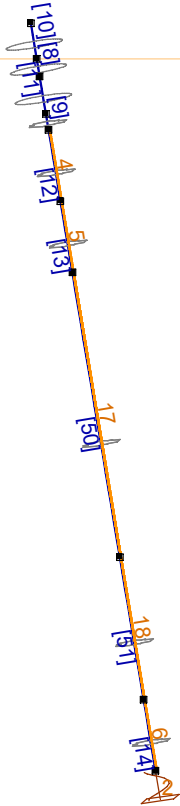
Constructeur:

Model: MBT-EHV enkelpaals Rev.1.axs

20-6-2022

Pag. 9

Norm Eurocode-NL
Geval : Torsie S+6/S+9



Staven en oplettingen - deel 2

Project:

Constructeur:

Model: **MBT-EHV enkelpaals Rev.1.axs**

20-6-2022

Pag. 10

Staven

	Start-punt	Eind-punt	Lengte	Lokaal X	Materiaal	Doorsnede	Ref _z		Start-punt	Eind-punt	Lengte	Lokaal X	Materiaal	Doorsnede	Ref _z
1	3	1	0,511	j - i	C30/37	1	✗ R24	28	42	41	0,231	j - i	S 235	2	✗ R24
2	5	2	0,231	j - i	S 235	2	✗ R24	29	39	43	0,511	i - j	C30/37	1	✗ R24
3	2	4	0,535	i - j	C30/37	1	✗ R24	30	41	40	0,535	j - i	C30/37	1	✗ R24
4	7	5	1,020	j - i	S 235	2	✗ R24	31	44	42	1,020	j - i	S 235	2	✗ R24
5	4	3	0,255	j - i	C30/37	1	✗ R24	32	45	44	1,020	j - i	S 235	2	✗ R24
6	8	7	1,020	j - i	S 235	2	✗ R24	33	49	48	1,020	j - i	S 235	2	✗ R24
7	6	11	1,020	i - j	S 235	2	✗ R24	34	51	50	0,255	j - i	C30/37	1	✗ R24
8	13	12	0,255	j - i	C30/37	1	✗ R24	35	53	52	0,231	j - i	S 235	2	✗ R24
9	15	14	0,231	j - i	S 235	2	✗ R24	36	50	54	0,511	i - j	C30/37	1	✗ R24
10	12	16	0,511	i - j	C30/37	1	✗ R24	37	52	51	0,535	j - i	C30/37	1	✗ R24
11	14	13	0,535	j - i	C30/37	1	✗ R24	38	55	53	1,020	j - i	S 235	2	✗ R24
12	17	15	1,020	j - i	S 235	2	✗ R24	39	56	55	1,020	j - i	S 235	2	✗ R24
13	18	17	1,020	j - i	S 235	2	✗ R24	40	60	59	1,020	j - i	S 235	2	✗ R24
14	21	20	1,020	j - i	S 235	2	✗ R24	41	9	8	2,041	j - i	S 235	2	✗ R24
15	23	22	0,255	j - i	C30/37	1	✗ R24	42	46	45	2,041	j - i	S 235	2	✗ R24
16	25	24	0,231	j - i	S 235	2	✗ R24	43	57	56	2,041	j - i	S 235	2	✗ R24
17	22	26	0,511	i - j	C30/37	1	✗ R24	44	10	9	2,041	j - i	S 235	2	✗ R24
18	24	23	0,535	j - i	C30/37	1	✗ R24	45	47	46	2,041	j - i	S 235	2	✗ R24
19	27	25	1,020	j - i	S 235	2	✗ R24	46	58	57	2,041	j - i	S 235	2	✗ R24
20	28	27	1,020	j - i	S 235	2	✗ R24	47	11	10	2,041	j - i	S 235	2	✗ R24
21	32	31	0,255	j - i	C30/37	1	✗ R24	48	48	47	2,041	j - i	S 235	2	✗ R24
22	34	33	0,231	j - i	S 235	2	✗ R24	49	59	58	2,041	j - i	S 235	2	✗ R24
23	31	35	0,511	i - j	C30/37	1	✗ R24	50	19	18	4,081	j - i	S 235	2	✗ R24
24	33	32	0,535	j - i	C30/37	1	✗ R24	51	20	19	2,041	j - i	S 235	2	✗ R24
25	36	34	1,020	j - i	S 235	2	✗ R24	52	30	29	3,061	j - i	S 235	2	✗ R24
26	37	36	1,020	j - i	S 235	2	✗ R24	53	29	28	4,081	j - i	S 235	2	✗ R24
27	40	39	0,255	j - i	C30/37	1	✗ R24	54	38	37	7,143	j - i	S 235	2	✗ R24

Lengte: Elementlengte; Lokaal X: Lokale X-richting; Ref_z: Referentie voor lokale Z-richting;

Project:

Constructeur:

Model: **MBT-EHV enkelpaals Rev.1.axs**

20-6-2022

Pag. 11

Knooppopleggingen

	<i>Knoop</i>	<i>X [m]</i>	<i>Y [m]</i>	<i>Z [m]</i>	<i>Type</i>	<i>Ref. elem.</i>	<i>Naam_x</i>	<i>Veermodel_x</i>	<i>K_x [MN/m]</i>	<i>Naam_y</i>	<i>Veermodel_y</i>	<i>K_{yV} [MN/m]</i>	<i>Naam_z</i>	<i>Veermodel_z</i>	<i>K_{zV} [MN/m]</i>
1	6	1,437	1,437	-10,000	Staafr.	Staafr. 25	Lineair 1E+5 kN/m_01	NL elastisch	450,0	—	—	—	—	—	—
2	21	11,437	1,437	-10,000	Staafr.	Staafr. 52	Lineair 1E+5 kN/m_01	NL elastisch	450,0	—	—	—	—	—	—
3	30	21,437	1,437	-10,000	Staafr.	Staafr. 254	Lineair 1E+5 kN/m_01	NL elastisch	450,0	—	—	—	—	—	—
4	38	31,437	1,437	-10,000	Staafr.	Staafr. 300	Lineair 1E+5 kN/m_01	NL elastisch	450,0	—	—	—	—	—	—
5	49	1,437	11,437	-10,000	Staafr.	Staafr. 111	Lineair 1E+5 kN/m_01	NL elastisch	450,0	—	—	—	—	—	—
6	60	1,437	-8,563	-10,000	Staafr.	Staafr. 134	Lineair 1E+5 kN/m_01	NL elastisch	450,0	—	—	—	—	—	—

	<i>Knoop</i>	<i>Naam_{xx}</i>	<i>Veermodel_{xx}</i>	<i>K_{xx} [kNm/rad]</i>	<i>K_{xxV} [kNm/rad]</i>	<i>Naam_{yy}</i>	<i>Veermodel_{yy}</i>	<i>K_{yyV} [kNm/rad]</i>	<i>Naam_{zz}</i>	<i>Veermodel_{zz}</i>	<i>K_{zzV} [kNm/rad]</i>
1	6	Vast - rotatie	Lineair	1E+10	1E+10	—	—	—	—	—	—
2	21	Vast - rotatie	Lineair	1E+10	1E+10	—	—	—	—	—	—
3	30	Vast - rotatie	Lineair	1E+10	1E+10	—	—	—	—	—	—
4	38	Vast - rotatie	Lineair	1E+10	1E+10	—	—	—	—	—	—
5	49	Vast - rotatie	Lineair	1E+10	1E+10	—	—	—	—	—	—
6	60	Vast - rotatie	Lineair	1E+10	1E+10	—	—	—	—	—	—

Knoop: Ondersteunde knoop; **Type:** Opleggingstype; **Ref. elem.:** Referentie-element; **Naam_x:** Naam van de veereigenschappen; **Veermodel_x:** Veermodel; **K_x, K_{xx}:** Initiële stijfheid;

Project:

Constructeur:

Model: **MBT-EHV enkelpaals Rev.1.axs**

20-6-2022

Pag. 12

Lijnopleggingen

	<i>Lijn</i>	<i>Type</i>	<i>Ref. elem.</i>	<i>Rx</i> [kN/m/m]	<i>Ry</i> [kN/m/m]	<i>Rz</i> [kN/m/m]	<i>NL(y)</i>	<i>NL(z)</i>	<i>F(y)</i> [kN/m]	<i>F(z)</i> [kN/m]
		StAAF r.								
1	Staaf 4	Staaf r.		0	2150	2150	Symmetrisch	Symmetrisch	11,0	11,0
2	Staaf 6	Staaf r.		0	2150	2150	Symmetrisch	Symmetrisch		
3	Staaf 7	Staaf r.		0	16500	16500	Symmetrisch	Symmetrisch		
4	Staaf 12	Staaf r.		0	2150	2150	Symmetrisch	Symmetrisch	11,0	11,0
5	Staaf 13	Staaf r.		0	2150	2150	Symmetrisch	Symmetrisch		
6	Staaf 14	Staaf r.		0	16500	16500	Symmetrisch	Symmetrisch		
7	Staaf 19	Staaf r.		0	9150	9150	Symmetrisch	Symmetrisch	23,8	23,8
8	Staaf 20	Staaf r.		0	2150	2150	Symmetrisch	Symmetrisch		
9	Staaf 25	Staaf r.		0	9150	9150	Symmetrisch	Symmetrisch	23,8	23,8
10	Staaf 26	Staaf r.		0	9150	9150	Symmetrisch	Symmetrisch		
11	Staaf 31	Staaf r.		0	3050	3050	Symmetrisch	Symmetrisch	11,0	11,0
12	Staaf 32	Staaf r.		0	3050	3050	Symmetrisch	Symmetrisch		
13	Staaf 33	Staaf r.		0	23350	23350	Symmetrisch	Symmetrisch		
14	Staaf 38	Staaf r.		0	1500	1500	Symmetrisch	Symmetrisch	11,0	11,0
15	Staaf 39	Staaf r.		0	1500	1500	Symmetrisch	Symmetrisch		
16	Staaf 40	Staaf r.		0	11650	11650	Symmetrisch	Symmetrisch		
25	Staaf 41	Staaf r.		0	2150	2150	Symmetrisch	Symmetrisch		
28	Staaf 42	Staaf r.		0	3050	3050	Symmetrisch	Symmetrisch		
22	Staaf 43	Staaf r.		0	1500	1500	Symmetrisch	Symmetrisch		
27	Staaf 44	Staaf r.		0	9150	9150	Symmetrisch	Symmetrisch		
30	Staaf 45	Staaf r.		0	12950	12950	Symmetrisch	Symmetrisch		
24	Staaf 46	Staaf r.		0	6450	6450	Symmetrisch	Symmetrisch		
26	Staaf 47	Staaf r.		0	2150	2150	Symmetrisch	Symmetrisch		
29	Staaf 48	Staaf r.		0	3050	3050	Symmetrisch	Symmetrisch		
23	Staaf 49	Staaf r.		0	1500	1500	Symmetrisch	Symmetrisch		
17	Staaf 50	Staaf r.		0	9150	9150	Symmetrisch	Symmetrisch		
18	Staaf 51	Staaf r.		0	2150	2150	Symmetrisch	Symmetrisch		
19	Staaf 52	Staaf r.		0	16500	16500	Symmetrisch	Symmetrisch		
20	Staaf 53	Staaf r.		0	2150	2150	Symmetrisch	Symmetrisch		
21	Staaf 54	Staaf r.		0	16500	16500	Symmetrisch	Symmetrisch		

Lijn: Ondersteund lijnelement; **Type:** Opleggingstype; **Ref. elem.:** Referentie-element; **Rx, Ry, Rz:** Verplaatsingsstijfheid; **NL(y), NL(z):** Niet-lineaire parameters; **F(y):** Weerstand in Y-richting; **F(z):** Weerstand in Z-richting;

Project:

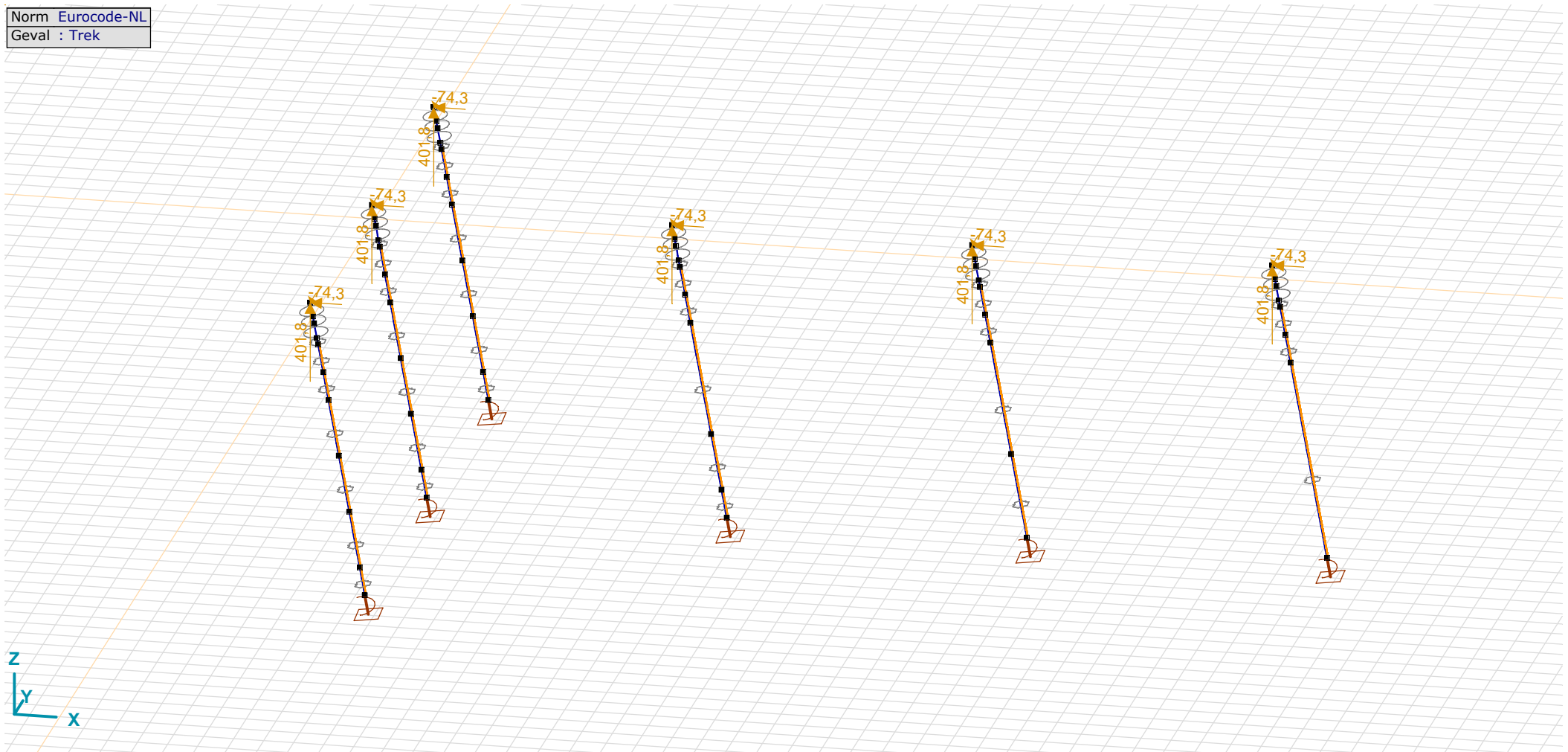
Constructeur:

Model: MBT-EHV enkelpaals Rev.1.axs

20-6-2022

Pag. 13

Norm Eurocode-NL
Geval : Trek



Trek

Project:

Constructeur:

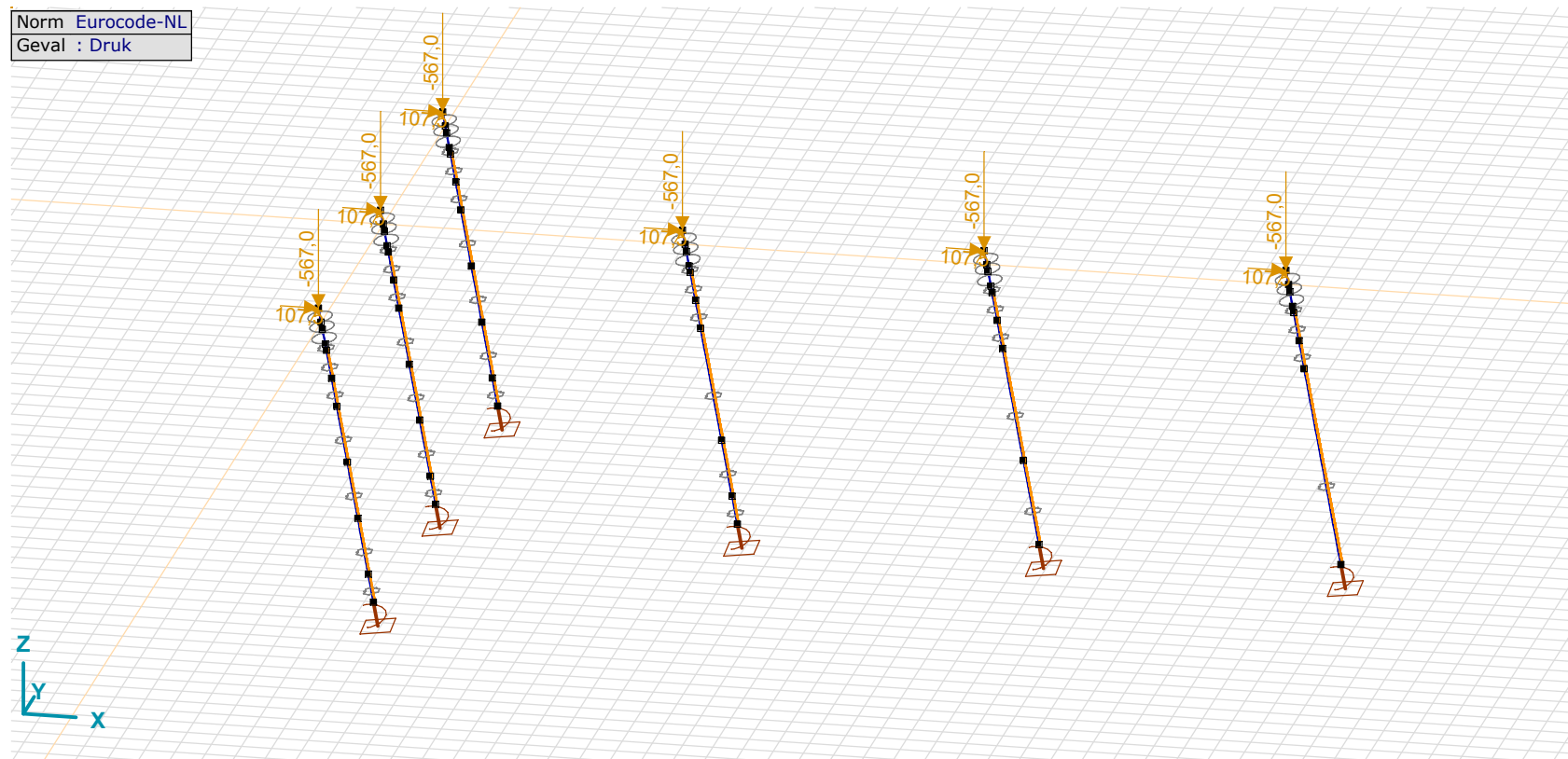
Model: **MBT-EHV enkelpaals Rev.1.axs**

20-6-2022

Pag. 14

Trek: Knoopbelastingen

	<i>Richting</i>	<i>F_x</i> [kN]	<i>F_y</i> [kN]	<i>F_z</i> [kN]	<i>M_x</i> [kNm]	<i>M_y</i> [kNm]	<i>M_z</i> [kNm]
1	Globaal	-74,3	-62,7	401,8	0	0	0
16	Globaal	-74,3	-62,7	401,8	0	0	0
26	Globaal	-74,3	-62,7	401,8	0	0	0
35	Globaal	-74,3	-62,7	401,8	0	0	0
43	Globaal	-74,3	-62,7	401,8	0	0	0
54	Globaal	-74,3	-62,7	401,8	0	0	0

F_x, F_y, F_z: Belastingkracht component; M_x, M_y, M_z: Belastingsmoment component;

Druk

Project:

Constructeur:

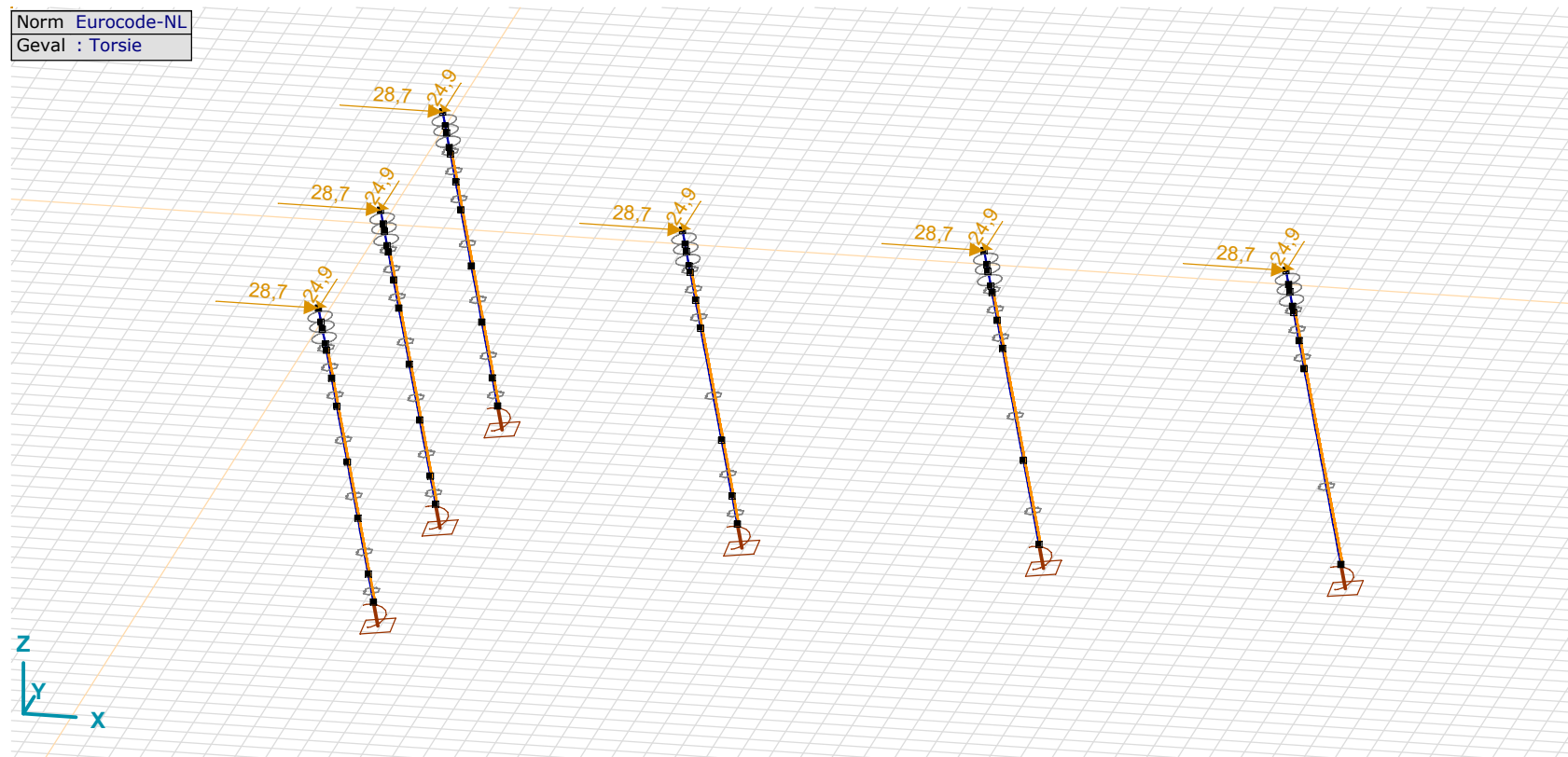
Model: **MBT-EHV enkelpaals Rev.1.axs**

20-6-2022

Pag. 15

Druk: Knoopbelastingen

	<i>Richting</i>	<i>F_x</i> [kN]	<i>F_y</i> [kN]	<i>F_z</i> [kN]	<i>M_x</i> [kNm]	<i>M_y</i> [kNm]	<i>M_z</i> [kNm]
1	Globaal	107,5	95,9	-567,0	0	0	0
16	Globaal	107,5	95,9	-567,0	0	0	0
26	Globaal	107,5	95,9	-567,0	0	0	0
35	Globaal	107,5	95,9	-567,0	0	0	0
43	Globaal	107,5	95,9	-567,0	0	0	0
54	Globaal	107,5	95,9	-567,0	0	0	0

F_x, F_y, F_z: Belastingkracht component; M_x, M_y, M_z: Belastingsmoment component;

Torsie

Project:

Constructeur:

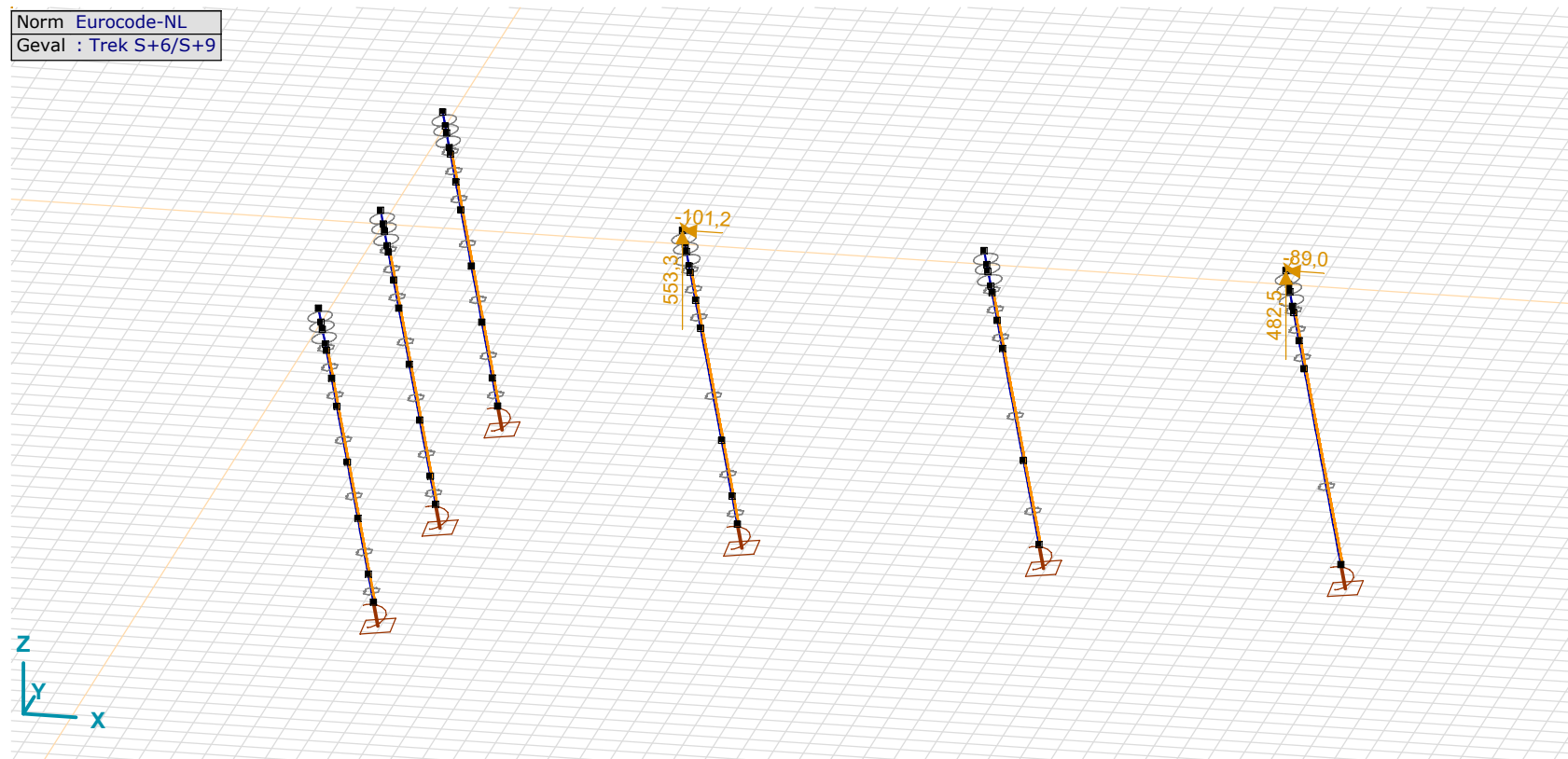
Model: **MBT-EHV enkelpaals Rev.1.axs**

20-6-2022

Pag. 16

Torsie: Knoopbelastingen

	<i>Richting</i>	<i>F_x</i> [kN]	<i>F_y</i> [kN]	<i>F_z</i> [kN]	<i>M_x</i> [kNm]	<i>M_y</i> [kNm]	<i>M_z</i> [kNm]
1	Globaal	28,7	-24,9	0	0	0	0
16	Globaal	28,7	-24,9	0	0	0	0
26	Globaal	28,7	-24,9	0	0	0	0
35	Globaal	28,7	-24,9	0	0	0	0
43	Globaal	28,7	-24,9	0	0	0	0
54	Globaal	28,7	-24,9	0	0	0	0

F_x, F_y, F_z: Belastingkracht component; M_x, M_y, M_z: Belastingsmoment component;

Trek S+6/S+9

Project:

Constructeur:

Model: **MBT-EHV enkelpaals Rev.1.axs**

20-6-2022

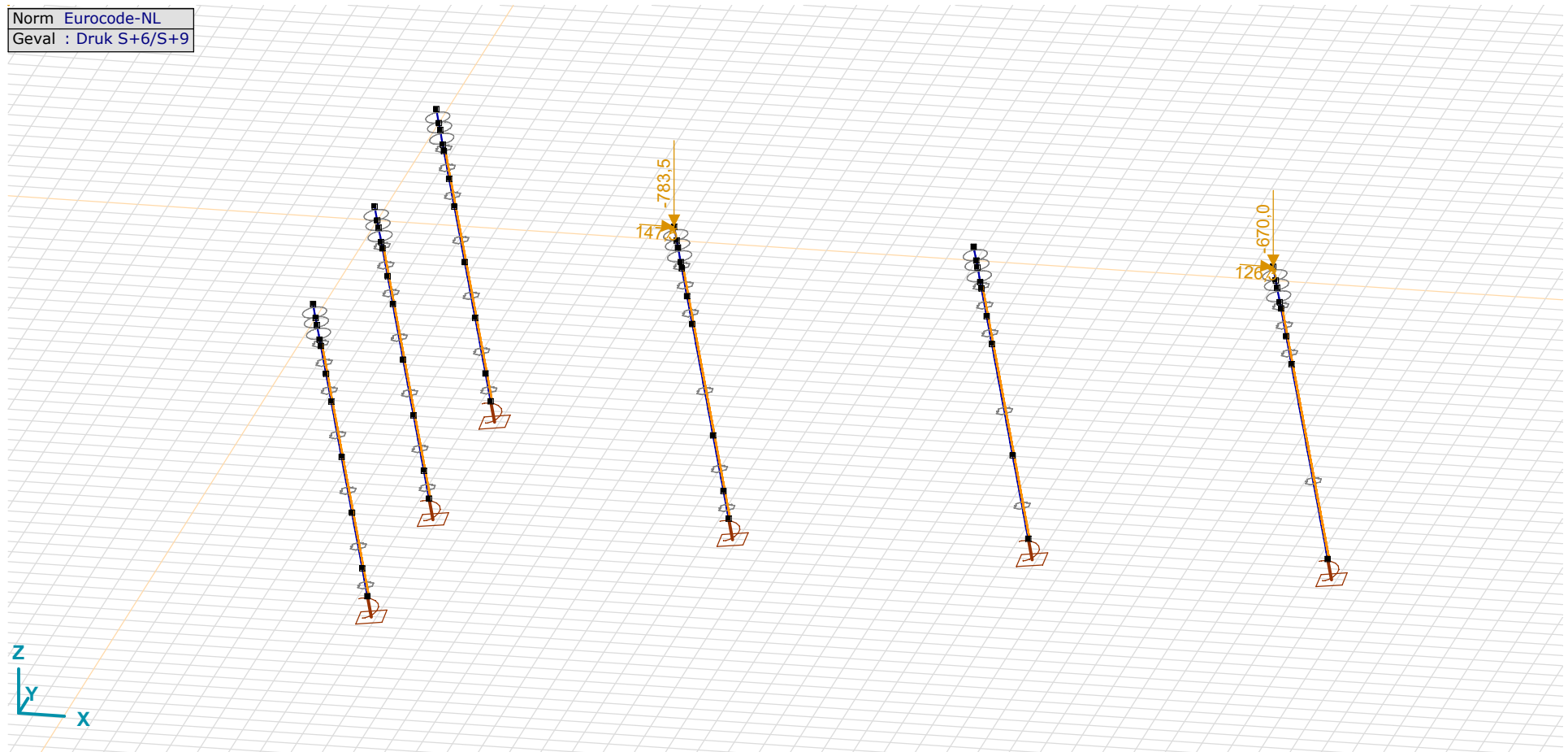
Pag. 17

Trek S+6/S+9: Knoopbelastingen

	Richting	F_x [kN]	F_y [kN]	F_z [kN]	M_x [kNm]	M_y [kNm]	M_z [kNm]
16	Globaal	-101,2	-89,5	553,3	0	0	0
35	Globaal	-89,0	-76,0	482,5	0	0	0

F_x, F_y, F_z: Belastingkracht component; M_x, M_y, M_z: Belastingmoment component;

Norm Eurocode-NL
Geval : Druk S+6/S+9



Druk S+6/S+9

Project:

Constructeur:

Model: **MBT-EHV enkelpaals Rev.1.axs**

20-6-2022

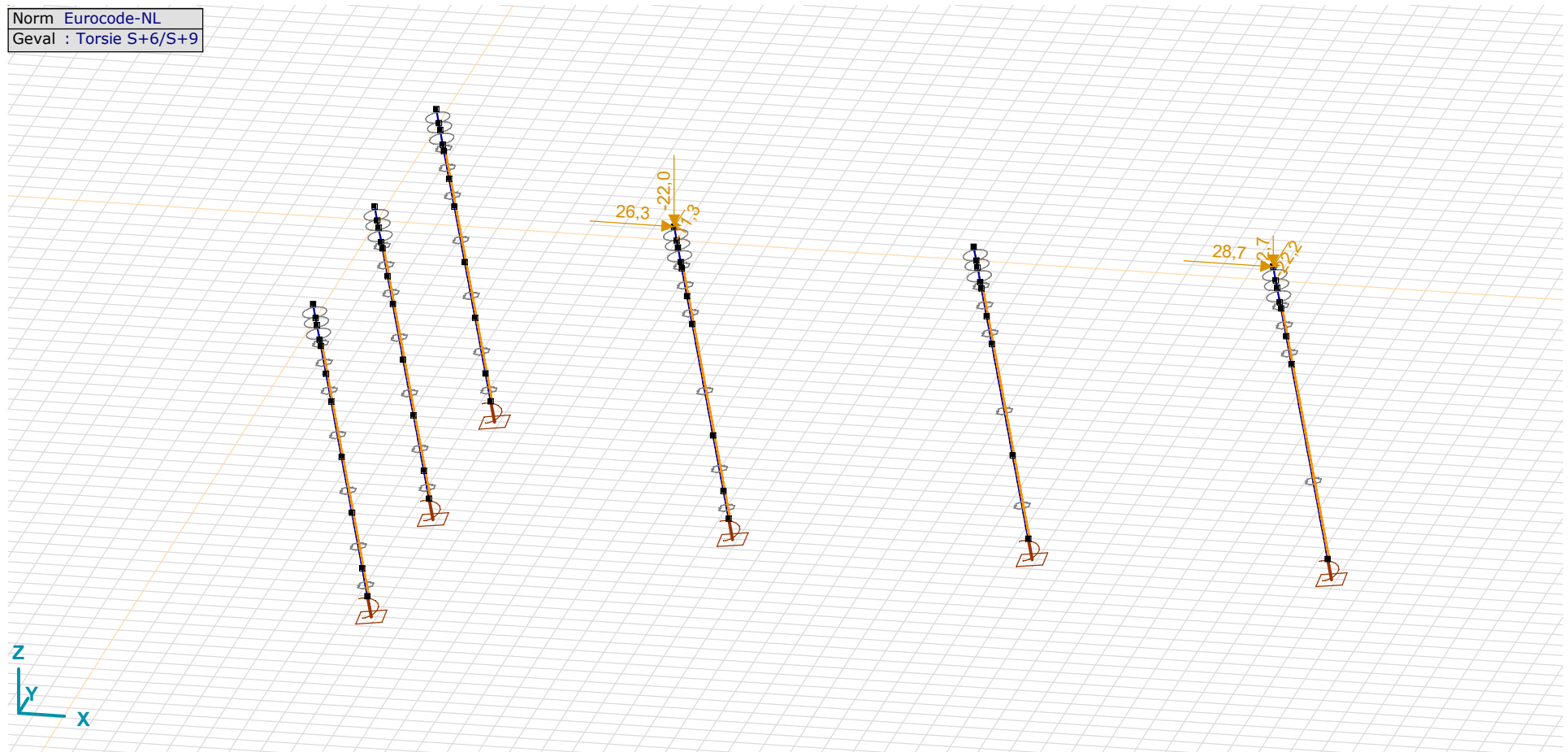
Pag. 18

Druk S+6/S+9: Knoopbelastingen

	Richting	F_x [kN]	F_y [kN]	F_z [kN]	M_x [kNm]	M_y [kNm]	M_z [kNm]
16	Globaal	147,5	135,8	-783,5	0	0	0
35	Globaal	126,3	113,2	-670,0	0	0	0

Fx, Fy, Fz: Belastingkracht component; Mx, My, Mz: Belastingmoment component;

Norm Eurocode-NL
Geval : Torsie S+6/S+9



Torsie S+6/S+9

Project:

Constructeur:

Model: **MBT-EHV enkelpaals Rev.1.axs**

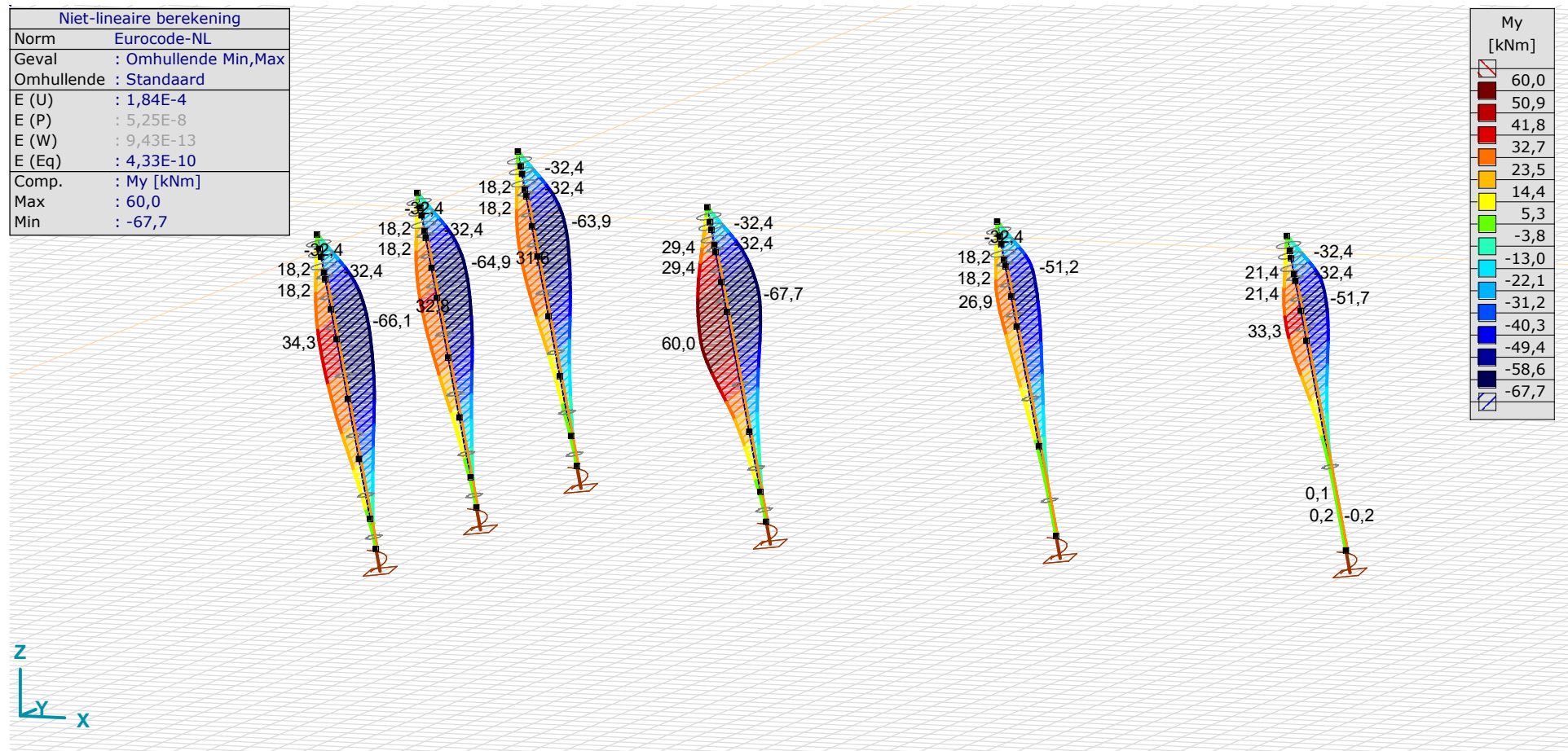
20-6-2022

Pag. 19

Torsie S+6/S+9: Knoopbelastingen

	Richting	F_x [kN]	F_y [kN]	F_z [kN]	M_x [kNm]	M_y [kNm]	M_z [kNm]
16	Globaal	26,3	-11,3	-22,0	0	0	0
35	Globaal	28,7	-22,2	-2,7	0	0	0

F_x, F_y, F_z : Belastingkracht component; M_x, M_y, M_z : Belastingmoment component;



[II], Non-lin., Omhullende (Standaard), M_y , Lijnen (gevuld)

Project:

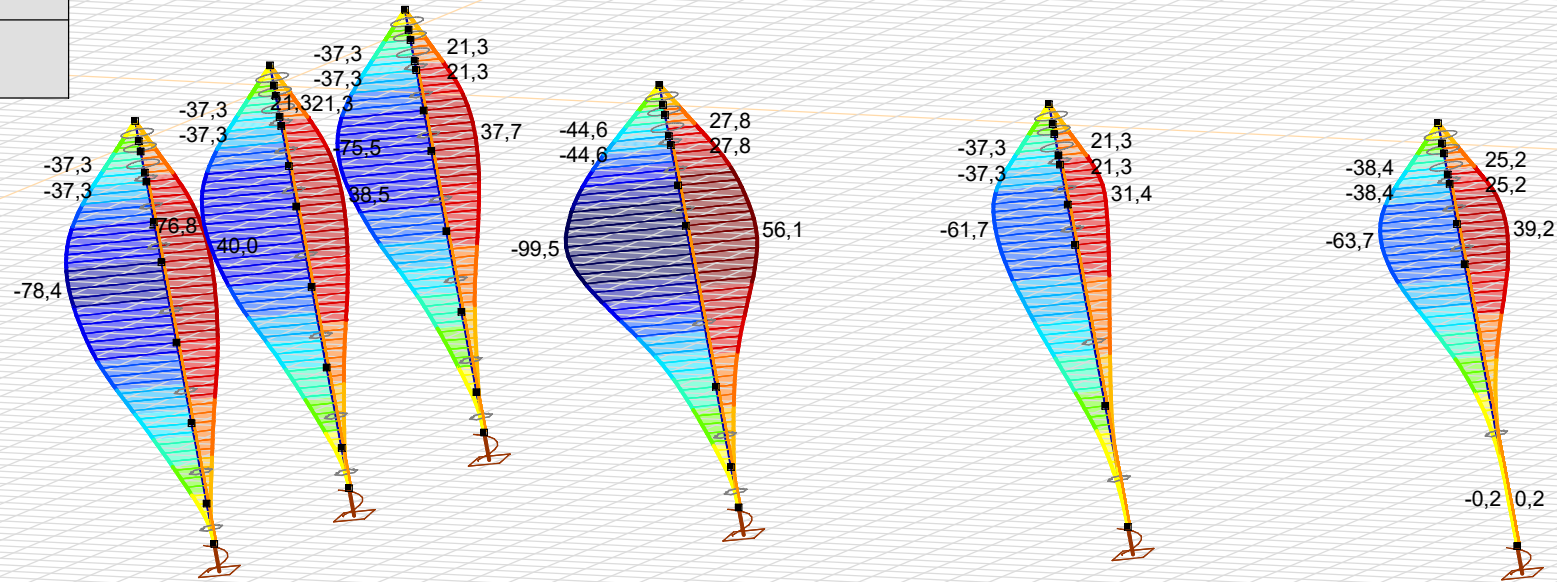
Constructeur:

Model: **MBT-EHV enkelpaals Rev.1.axs**

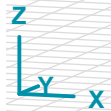
20-6-2022

Pag. 20

Niet-lineaire berekening	
Norm	Eurocode-NL
Geval	: Omhullende Min,Max
Omhullende	: Standaard
E (U)	: 1,84E-4
E (P)	: 5,25E-8
E (W)	: 9,43E-13
E (Eq)	: 4,33E-10
Comp.	: Mz [kNm]
Max	: 56,1
Min	: -99,5



Mz [kNm]	
56,1	
45,0	
33,8	
22,7	
11,6	
0,5	
-10,6	
-21,7	
-32,8	
-43,9	
-55,0	
-66,2	
-77,3	
-88,4	
-99,5	



[II], Non-lin., Omhullende (Standaard), Mz, Lijnen (gevuld)

Project:

Constructeur:

Model: **MBT-EHV enkelpaals Rev.1.axs**

20-6-2022 Pag. 21

Staaftkrachten [Non-lin., Omhullende (Standaard)]

	Prof.	Doorsnede naam	C	min. max.	Geval	Pos. [m]	Knoop	N _x [kN]	V _y [kN]	V _z [kN]	T _x [kNm]	M _y [kNm]	M _z [kNm]	B [kNm ²]
Ext.														
8	1	O 800	Nx	min	Druk S+6/S+9 [1] (1,000)	0	(13)	-807,7	-34,3	-22,6	0	17,3	-26,3	0
9	2	LD1		min	Druk S+6/S+9 [1] (1,000)	0	(15)	-807,7	-34,3	-22,6	0	34,6	-52,6	0
10	1	O 800		min	Druk S+6/S+9 [1] (1,000)	0	(12)	-807,7	-34,3	-22,6	0	11,6	-17,5	0
11	1	O 800		min	Druk S+6/S+9 [1] (1,000)	0	(14)	-807,7	-34,3	-22,6	0	29,4	-44,6	0
12	2	LD1		min	Druk S+6/S+9 [1] (1,000)	0	(17)	-807,7	-24,2	-12,6	0	52,0	-81,8	0
13	2	LD1		min	Druk S+6/S+9 [1] (1,000)	0	(18)	-807,7	-11,1	-4,7	0	59,6	-98,1	0
14	2	LD1		min	Druk S+6/S+9 [1] (1,000)	0	(21)	-807,7	0,8	0,5	0	0	0	0
50	2	LD1		min	Druk S+6/S+9 [1] (1,000)	0	(19)	-807,7	14,7	8,5	0	16,3	-28,5	0
51	2	LD1		min	Druk S+6/S+9 [1] (1,000)	0	(20)	-807,7	10,0	5,7	0	2,6	-4,6	0
8	1	O 800		max	Trek S+6/S+9 [1] (1,000)	0	(13)	569,1	21,4	9,7	0	-7,4	16,4	0
9	2	LD1		max	Trek S+6/S+9 [1] (1,000)	0	(15)	569,1	21,4	9,7	0	-14,8	32,7	0
10	1	O 800		max	Trek S+6/S+9 [1] (1,000)	0	(12)	569,1	21,4	9,7	0	-4,9	10,9	0
11	1	O 800		max	Trek S+6/S+9 [1] (1,000)	0	(14)	569,1	21,4	9,7	0	-12,6	27,8	0
12	2	LD1		max	Trek S+6/S+9 [1] (1,000)	0	(17)	569,1	11,5	4,9	0	-21,8	48,9	0
13	2	LD1		max	Trek S+6/S+9 [1] (1,000)	0	(18)	569,1	4,2	1,7	0	-24,7	55,7	0
14	2	LD1		max	Trek S+6/S+9 [1] (1,000)	0	(21)	569,1	-0,4	-0,2	0	0	0	0
50	2	LD1		max	Trek S+6/S+9 [1] (1,000)	0	(19)	569,1	-7,9	-3,5	0	-6,6	15,2	0
51	2	LD1		max	Trek S+6/S+9 [1] (1,000)	0	(20)	569,1	-5,3	-2,3	0	-1,1	2,5	0
50	2	LD1	My	min	Torsie [1] (1,000)	3,841	(227)	-0,5	2,3	-2,6	0	-67,7	-80,3	0
50	2	LD1		max	Druk S+6/S+9 [1] (1,000)	3,841	(227)	-807,7	-5,9	-1,7	0	60,0	-99,5	0
50	2	LD1	Mz	min	Druk S+6/S+9 [1] (1,000)	3,841	(227)	-807,7	1,9	2,6	0	60,0	-99,5	0
50	2	LD1		max	Trek S+6/S+9 [1] (1,000)	3,841	(227)	569,1	-2,6	-1,3	0	-24,8	56,1	0

Prof.: Profiel; C: Extreme component; min. max.: Extreme type; Geval: Belastinggeval van de extreme; Pos.: Lokale X-positie van de doorsnede op de staaf; Nx: Normalkracht; Vy: Dwarskracht in lokale y-richting; Vz: Dwarskracht in lokale z-richting; Tx: Torsiemoment; My: Buigend moment in lokale y-richting; Mz: Buigend moment in lokale z-richting; B: Bimoment;

Project:

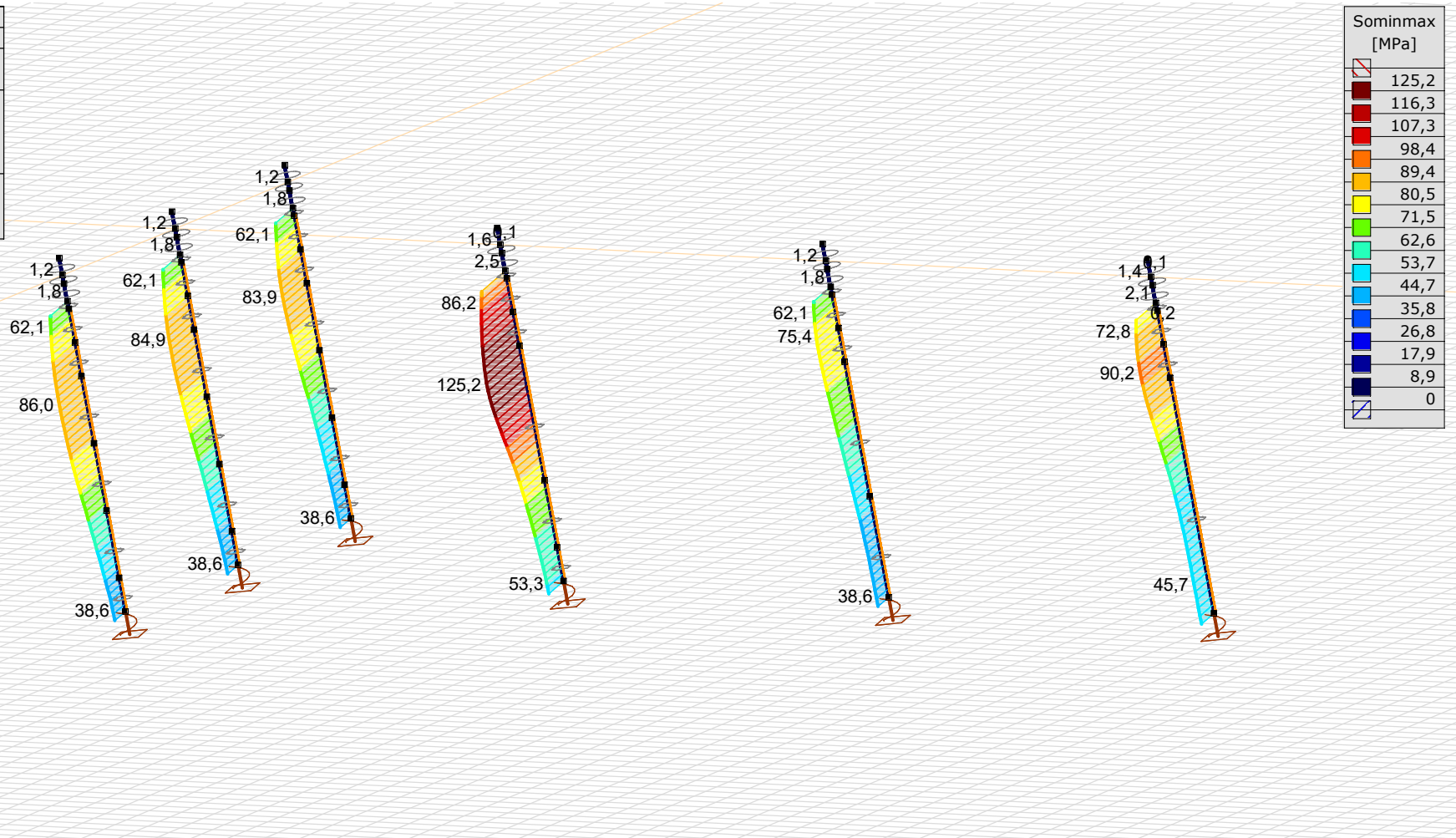
Constructeur:

Model: MBT-EHV enkelpaals Rev.1.axs

20-6-2022

Pag. 22

Niet-lineaire berekening	
Norm	Eurocode-NL
Geval	: Omhullende Min,Max
Omhullende	: Standaard
E (U)	: 1,84E-4
E (P)	: 5,25E-8
E (W)	: 9,43E-13
E (Eq)	: 4,33E-10
Comp.	: Sominmax [MPa]
Max	: 125,2
Min	: 0



[II], Non-lin., Omhullende (Standaard), Sominmax, Lijnen (gevuld)

Project:

Constructeur:

Model: **MBT-EHV enkelpaals Rev.1.axs**

20-6-2022 Pag. 23

Staafspanningen [Non-lin., Omhullende (Standaard), Geselecteerd] - Grondopbouwtype 1

	<i>Prof.</i>	<i>Doorsnede naam</i>	<i>C</i>	<i>min. max.</i>	<i>Geval</i>	<i>Pos. [m]</i>	<i>Knoop</i>	<i>S;x;min [MPa]</i>	<i>S;x;max [MPa]</i>	<i>Vmin [MPa]</i>	<i>Vmax [MPa]</i>	<i>Somin [MPa]</i>	<i>Somax [MPa]</i>	<i>V;y;gem [MPa]</i>	<i>V;z;gem [MPa]</i>
Ext.															
2	2	LD1	Somin	min	Trek S+6/S+9 [1] (1,000)	0	(5)	0	0	0	0	0	0	0	0
7	2	LD1		max	Druk [1] (1,000)	0	(6)	-38,6	-38,6	0	0	38,6	38,6	0,1	0
33	2	LD1		max	Druk [1] (1,000)	0	(49)	-38,6	-38,6	0	0	38,6	38,6	0	0
40	2	LD1		max	Druk [1] (1,000)	0	(60)	-38,6	-38,6	0	0	38,6	38,6	0,1	0
2	2	LD1	Somax	min	Trek S+6/S+9 [1] (1,000)	0	(5)	0	0	0	0	0	0	0	0
43	2	LD1		max	Druk [1] (1,000)	1,814	(171)	-86,0	8,5	0	0	0,1	86,0	0	0,1

Prof.: Profiel; **C:** Extreme component; **min. max.:** Extreme type; **Geval:** Belastinggeval van de extreme; **Pos.:** Lokale X-positie van de doorsnede op de staaf; **S;x;min:** Doorsnede minimum normaalspanning; **S;x;max:** Doorsnede maximum normaalspanning;

Vmin: Doorsnede minimum afschuifspanning; **Vmax:** Doorsnede maximum afschuifspanning; **Somin:** Doorsnede minimum Von Mises spanning; **Somax:** Doorsnede maximum Von Mises spanning; **V;y;gem:** Afschuifspanning in lokale Y-richting; **V;z;gem:** Afschuifspanning in lokale Z-richting;

Staafspanningen [Non-lin., Omhullende (Standaard), Geselecteerd] - Grondopbouwtype 2

	<i>Prof.</i>	<i>Doorsnede naam</i>	<i>C</i>	<i>min. max.</i>	<i>Geval</i>	<i>Pos. [m]</i>	<i>Knoop</i>	<i>S;x;min [MPa]</i>	<i>S;x;max [MPa]</i>	<i>Vmin [MPa]</i>	<i>Vmax [MPa]</i>	<i>Somin [MPa]</i>	<i>Somax [MPa]</i>	<i>V;y;gem [MPa]</i>	<i>V;z;gem [MPa]</i>
Ext.															
9	2	LD1	Somin	min	Torsie [1] (1,000)	0	(15)	-34,9	35,8	0	1,1	0	35,8	-1,9	1,6
12	2	LD1		min	Torsie [1] (1,000)	0	(17)	-53,4	54,8	0	0,7	0	54,8	-1,2	1,0
13	2	LD1		min	Torsie [1] (1,000)	0	(18)	-62,6	64,2	0	0,3	0	64,2	-0,5	0,4
14	2	LD1		min	Torsie [1] (1,000)	0	(21)	0	0	0	0	0	0,1	0	0
50	2	LD1		min	Torsie [1] (1,000)	0	(19)	-17,7	18,1	0	0,4	0	18,1	0,8	-0,6
51	2	LD1		min	Torsie [1] (1,000)	0	(20)	-2,9	2,9	0	0,3	0	2,9	0,5	-0,4
14	2	LD1		max	Druk S+6/S+9 [1] (1,000)	0	(21)	-53,3	-53,3	0	0	53,3	53,3	0,1	0
14	2	LD1	Somax	min	Torsie [1] (1,000)	0	(21)	0	0	0	0	0	0,1	0	0
50	2	LD1		max	Druk S+6/S+9 [1] (1,000)	3,841	(227)	-125,2	18,7	0	0,1	3,1	125,2	0,1	0,2

Prof.: Profiel; **C:** Extreme component; **min. max.:** Extreme type; **Geval:** Belastinggeval van de extreme; **Pos.:** Lokale X-positie van de doorsnede op de staaf; **S;x;min:** Doorsnede minimum normaalspanning; **S;x;max:** Doorsnede maximum normaalspanning;

Vmin: Doorsnede minimum afschuifspanning; **Vmax:** Doorsnede maximum afschuifspanning; **Somin:** Doorsnede minimum Von Mises spanning; **Somax:** Doorsnede maximum Von Mises spanning; **V;y;gem:** Afschuifspanning in lokale Y-richting; **V;z;gem:** Afschuifspanning in lokale Z-richting;

Project:

Constructeur:

Model: **MBT-EHV enkelpaals Rev.1.axs**

20-6-2022 Pag. 24

Staaftenspanningen [Non-lin., Omhullende (Standaard), Geselecteerd] - Grondopbouwtype 3

	<i>Prof.</i>	<i>Doorsnede naam</i>	<i>C</i>	<i>min. max.</i>	<i>Geval</i>	<i>Pos. [m]</i>	<i>Knoop</i>	<i>S;x;min [MPa]</i>	<i>S;x;max [MPa]</i>	<i>Vmin [MPa]</i>	<i>Vmax [MPa]</i>	<i>Somin [MPa]</i>	<i>Somax [MPa]</i>	<i>V;y;gem [MPa]</i>	<i>V;z;gem [MPa]</i>
Ext.															
16	2	LD1	Somin	min	Trek S+6/S+9 [1] (1,000)	0	(25)	0	0	0	0	0	0	0	0
52	2	LD1		max	Druk [1] (1,000)	0	(30)	-38,6	-38,6	0	0	38,6	38,6	0	0
16	2	LD1	Somax	min	Trek S+6/S+9 [1] (1,000)	0	(25)	0	0	0	0	0	0	0	0
19	2	LD1		max	Druk [1] (1,000)	0	(27)	-75,4	-2,0	0	0,1	2,1	75,4	-0,2	0,1
20	2	LD1		max	Druk [1] (1,000)	1,020	(27)	-75,4	-2,0	0	0,1	2,0	75,4	0	0,2

Prof.: Profiel; **C:** Extreme component; **min. max.:** Extreme type; **Geval:** Belastinggeval van de extreme; **Pos.:** Lokale X-positie van de doorsnede op de staaf; **S;x;min:** Doorsnede minimum normaalspanning; **S;x;max:** Doorsnede maximum normaalspanning;

Vmin: Doorsnede minimum afschuifspanning; **Vmax:** Doorsnede maximum afschuifspanning; **Somin:** Doorsnede minimum Von Mises spanning; **Somax:** Doorsnede maximum Von Mises spanning; **V;y;gem:** Afschuifspanning in lokale Y-richting; **V;z;gem:** Afschuifspanning in lokale Z-richting;

Staaftenspanningen [Non-lin., Omhullende (Standaard), Geselecteerd] - Grondopbouwtype 4

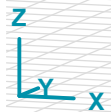
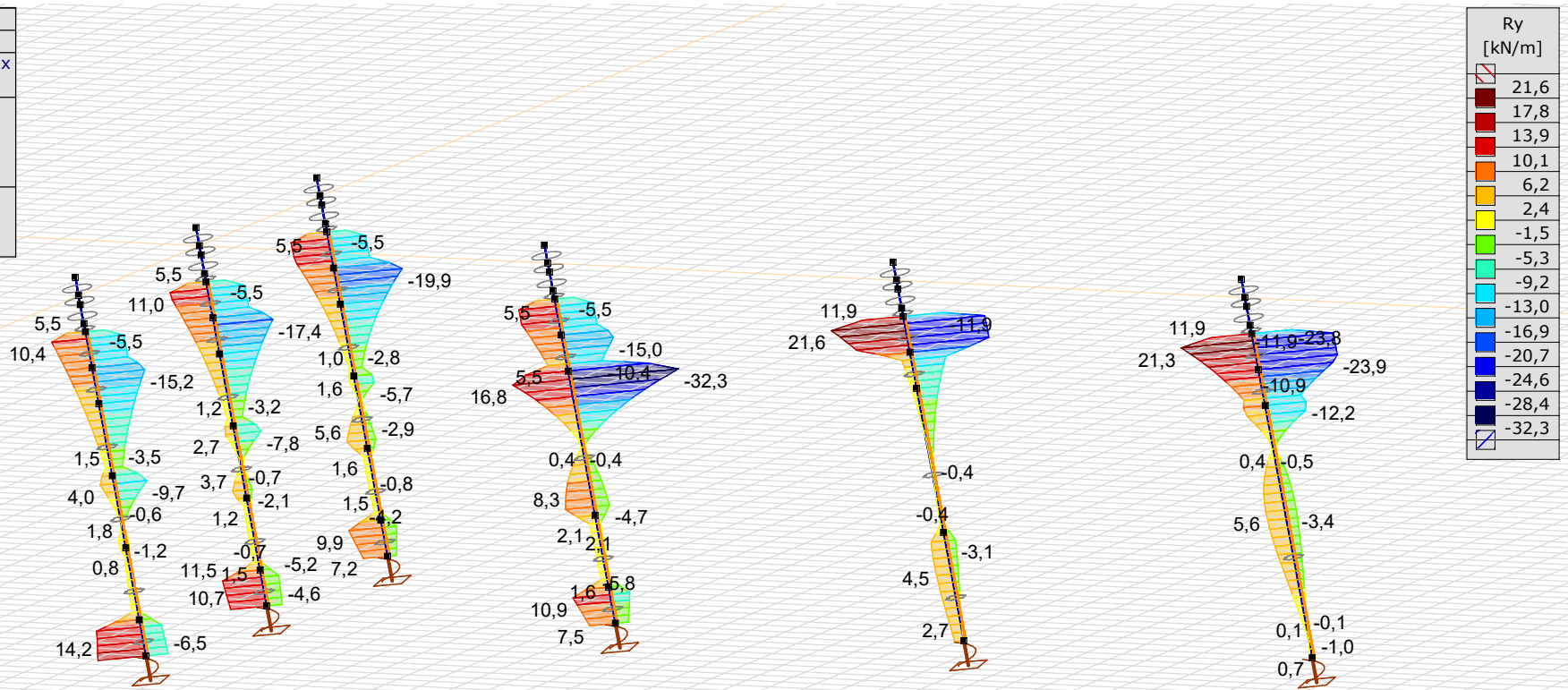
	<i>Prof.</i>	<i>Doorsnede naam</i>	<i>C</i>	<i>min. max.</i>	<i>Geval</i>	<i>Pos. [m]</i>	<i>Knoop</i>	<i>S;x;min [MPa]</i>	<i>S;x;max [MPa]</i>	<i>Vmin [MPa]</i>	<i>Vmax [MPa]</i>	<i>Somin [MPa]</i>	<i>Somax [MPa]</i>	<i>V;y;gem [MPa]</i>	<i>V;z;gem [MPa]</i>
Ext.															
54	2	LD1	Somin	min	Torsie [1] (1,000)	0,246	(306)	-0,1	0	0	0	0	0,1	0	0
54	2	LD1		max	Druk S+6/S+9 [1] (1,000)	0	(38)	-45,6	-45,6	0	0	45,6	45,6	0	0
54	2	LD1	Somax	min	Torsie [1] (1,000)	0	(38)	0	0	0	0	0	0	0	0
26	2	LD1		max	Druk S+6/S+9 [1] (1,000)	0,816	(117)	-90,2	-1,3	0	0,1	1,3	90,2	-0,2	0

Prof.: Profiel; **C:** Extreme component; **min. max.:** Extreme type; **Geval:** Belastinggeval van de extreme; **Pos.:** Lokale X-positie van de doorsnede op de staaf; **S;x;min:** Doorsnede minimum normaalspanning; **S;x;max:** Doorsnede maximum normaalspanning;

Vmin: Doorsnede minimum afschuifspanning; **Vmax:** Doorsnede maximum afschuifspanning; **Somin:** Doorsnede minimum Von Mises spanning; **Somax:** Doorsnede maximum Von Mises spanning; **V;y;gem:** Afschuifspanning in lokale Y-richting; **V;z;gem:** Afschuifspanning in lokale Z-richting;

Project:
 Constructeur:
 Model: **MBT-EHV enkelpaals Rev.1.axs**

Niet-lineaire berekening	
Norm	Eurocode-NL
Geval	: Omhullende Min,Max
Omhullende	: Standaard
E (U)	: 1,84E-4
E (P)	: 5,25E-8
E (W)	: 9,43E-13
E (Eq)	: 4,33E-10
Comp.	: Ry [kN/m]
Max	: 21,6
Min	: -32,3



[I], Non-lin., Omhullende (Standaard), Ry (lijnopp.), Lijnen (gevuld)

Project:

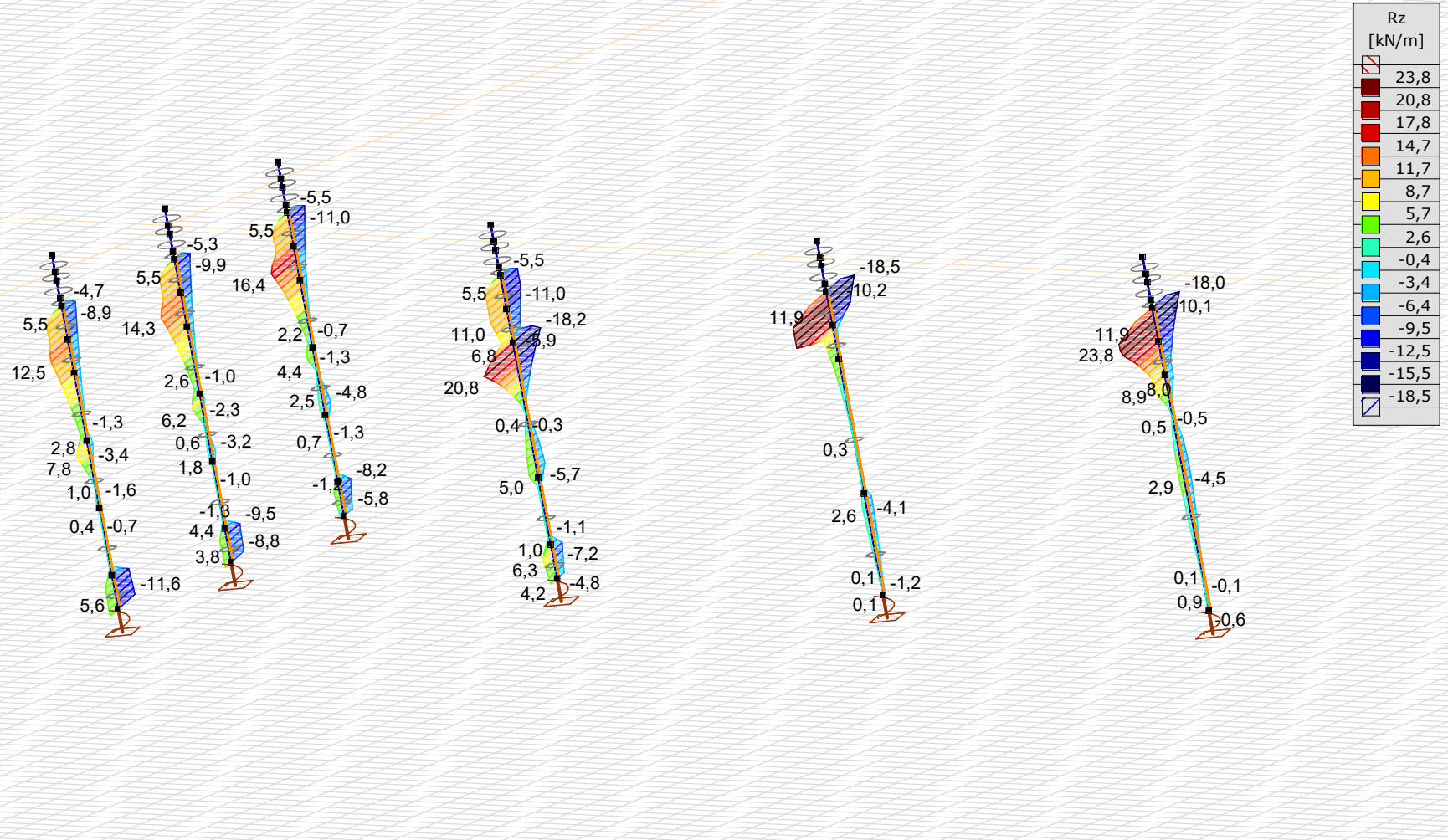
Constructeur:

Model: **MBT-EHV enkelpaals Rev.1.axs**

20-6-2022

Pag. 26

Niet-lineaire berekening	
Norm	Eurocode-NL
Geval	: Omhullende Min,Max
Omhullende	: Standaard
E (U)	: 1,84E-4
E (P)	: 5,25E-8
E (W)	: 9,43E-13
E (Eq)	: 4,33E-10
Comp.	: Rz [kN/m]
Max	: 23,8
Min	: -18,5



[[I]], Non-lin., Omhullende (Standaard), Rz (lijnopp.), Lijnen (gevuld)

Project:

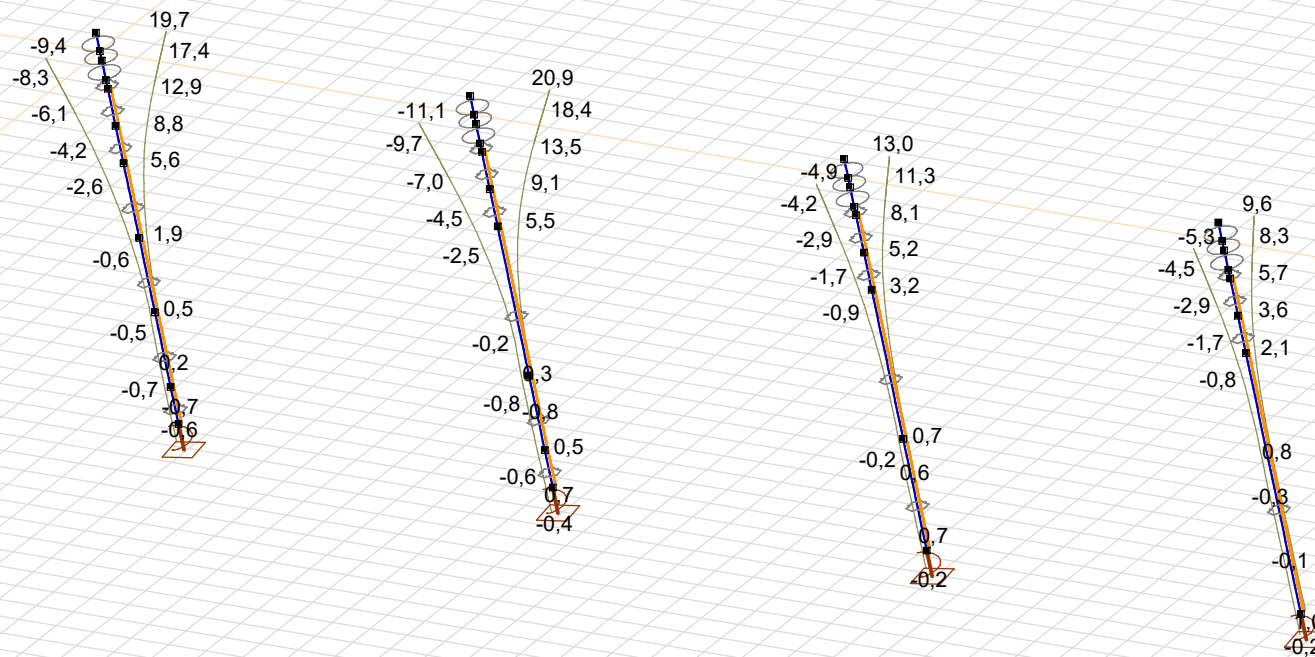
Constructeur:

Model: MBT-EHV enkelpaals Rev.1.axs

20-6-2022

Pag. 27

Niet-lineaire berekening	
Norm	Eurocode-NL
Geval	: Omhullende Min,Max
Omhullende	: Standaard
E (U)	: 1,84E-4
E (P)	: 5,25E-8
E (W)	: 9,43E-13
E (Eq)	: 4,33E-10
Comp.	: eX [mm]
Detail Max	: 20,9
Detail Min	: -11,1



[II], > ~2, Non-lin., Omhullende (Standaard), eX, Lijnen

Project:

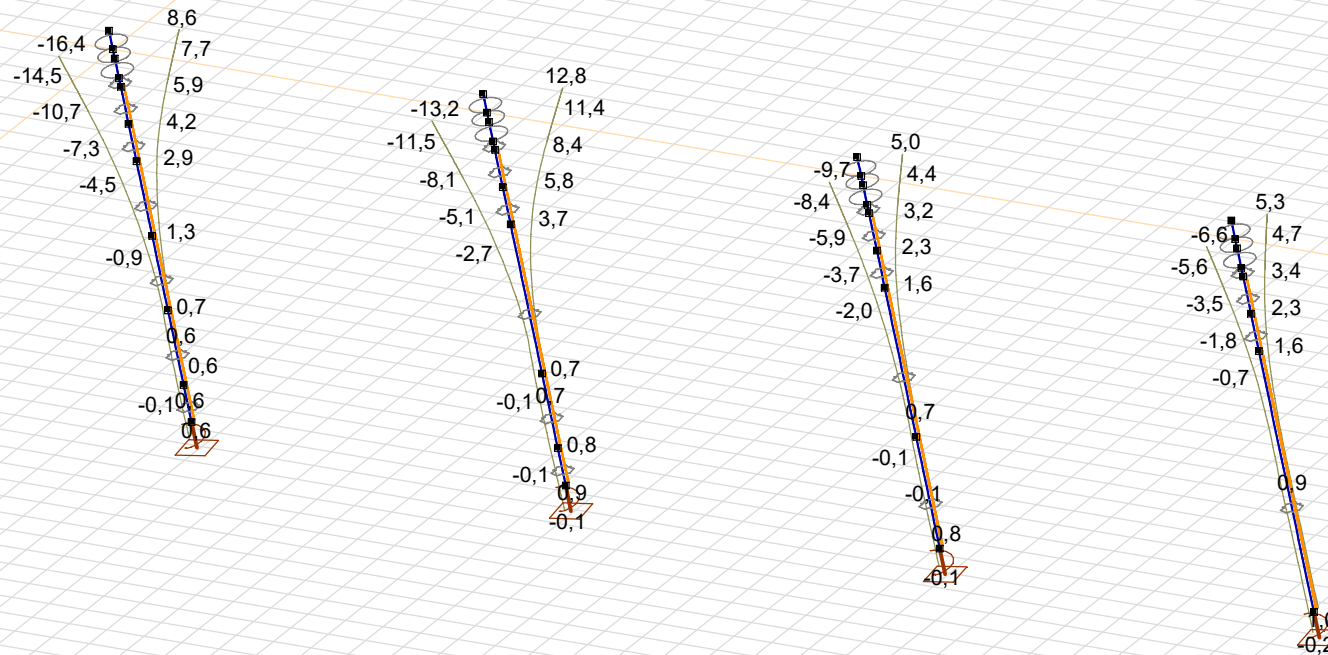
Constructeur:

Model: MBT-EHV enkelpaals Rev.1.axs

20-6-2022

Pag. 28

Niet-lineaire berekening	
Norm	Eurocode-NL
Geval	: Omhullende Min,Max
Omhullende	: Standaard
E (U)	: 1,84E-4
E (P)	: 5,25E-8
E (W)	: 9,43E-13
E (Eq)	: 4,33E-10
Comp.	: eY [mm]
Detail Max	: 12,8
Detail Min	: -16,4



[II], > ~2, Non-lin., Omhullende (Standaard), eY, Lijnen

Project:

Constructeur:

Model: **MBT-EHV enkelpaals Rev.1.axs**

20-6-2022

Pag. 29

Knoopverplaatsingen [Non-lin., Omhullende (Standaard), Geselecteerd]

	C	min. max.	Geval	eX [mm]	eY [mm]	eZ [mm]	eR [mm]	fX [rad]	fY [rad]	fZ [rad]	fR [rad]
1	eX	min	Trek [1] (1,000)	-9,4	-2,8	0,5	9,8	0,001	-0,002	0	0,002
		max	Torsie [1] (1,000)	19,7	-16,4	0,5	25,6	0,004	0,004	0,001	0,006
	eY	min	Torsie [1] (1,000)	19,7	-16,4	0,5	25,6	0,004	0,004	0,001	0,006
		max	Druk [1] (1,000)	17,8	8,6	-4,1	20,2	-0,002	0,004	0	0,004
16	eX	min	Trek S+6/S+9 [1] (1,000)	-11,1	-5,1	0,8	12,3	0,001	-0,003	0	0,003
		max	Druk S+6/S+9 [1] (1,000)	20,9	12,8	-6,0	25,3	-0,003	0,005	0	0,006
	eY	min	Torsie [1] (1,000)	15,8	-13,2	0,4	20,6	0,003	0,004	0,001	0,005
		max	Druk S+6/S+9 [1] (1,000)	20,9	12,8	-6,0	25,3	-0,003	0,005	0	0,006
26	eX	min	Trek [1] (1,000)	-4,9	-1,6	1,4	5,4	0	-0,001	0	0,001
		max	Torsie [1] (1,000)	13,0	-9,7	0,5	16,2	0,003	0,003	0,001	0,004
	eY	min	Torsie [1] (1,000)	13,0	-9,7	0,5	16,2	0,003	0,003	0,001	0,004
		max	Druk [1] (1,000)	11,2	5,0	-5,6	13,5	-0,001	0,003	0	0,003
35	eX	min	Trek S+6/S+9 [1] (1,000)	-5,3	-1,9	1,7	5,9	0,001	-0,002	0	0,002
		max	Druk S+6/S+9 [1] (1,000)	9,6	5,3	-7,2	13,1	-0,001	0,003	0	0,003
	eY	min	Torsie [1] (1,000)	8,0	-6,6	0,2	10,4	0,002	0,002	0,001	0,003
		max	Druk S+6/S+9 [1] (1,000)	9,6	5,3	-7,2	13,1	-0,001	0,003	0	0,003

C: Extreme component; min. max.: Extreme type; Geval: Belastinggeval van de extreme; eX: Verplaatsing in X-richting; eY: Verplaatsing in Y-richting; eZ: Verplaatsing in Z-richting; eR: Resulterende verplaatsing; fX: Rotatie in X-richting; fY: Rotatie in Y-richting; fZ: Rotatie in Z-richting; fR: Resulterende rotatie;

Project:

Constructeur:

AxisVM X6 R1q · Geregistreerd aan DNV GL - Energy
MBT-EHV enkelpaals versterking.axs

Rapport

<i>Onderdeel</i>	<i>Pagina</i>
3D-overzicht	5
Overzicht modellen	6
Maatvoering - bovenaanzicht	7
Maatvoering - vooraanzicht	8
Materialen	9
Profielen	9
Staven en opleggingen - grondopbouw type 1 (links lage bedding, midden gemiddeld en rechts hoog)	11
Knopen [Geselecteerd]	12
Staven [Geselecteerd]	12
Knoopopleggingen [Geselecteerd]	13
Lijnopleggingen [Geselecteerd]	13
Knopen [Geselecteerd]	14
Staven [Geselecteerd]	14
Knoopopleggingen [Geselecteerd]	15
Lijnopleggingen [Geselecteerd]	15
Knopen [Geselecteerd]	16
Staven [Geselecteerd]	16
Knoopopleggingen [Geselecteerd]	17
Lijnopleggingen [Geselecteerd]	17
Staven en opleggingen - grondopbouw type 1 - 224kN (links), type 2 (aangepast) t.b.v. S+9 (midden) en type 4 (rechts) t.b.v. S+6	18
Knopen [Geselecteerd]	19
Staven [Geselecteerd]	19
Knoopopleggingen [Geselecteerd]	20
Lijnopleggingen [Geselecteerd]	20
Knopen [Geselecteerd]	21
Staven [Geselecteerd]	21
Knoopopleggingen [Geselecteerd]	22
Lijnopleggingen [Geselecteerd]	22
Knopen [Geselecteerd]	23
Staven [Geselecteerd]	23
Knoopopleggingen [Geselecteerd]	23
Lijnopleggingen [Geselecteerd]	24
Staven en opleggingen - grondopbouw type 2 (links), type 3 (midden) en type 4 (rechts)	25
Knopen [Geselecteerd]	26
Staven [Geselecteerd]	26
Knoopopleggingen [Geselecteerd]	27
Lijnopleggingen [Geselecteerd]	27
Knopen [Geselecteerd]	28
Staven [Geselecteerd]	28
Knoopopleggingen [Geselecteerd]	29
Lijnopleggingen [Geselecteerd]	29
Knopen [Geselecteerd]	30

<i>Onderdeel</i>	<i>Pagina</i>
Staven [Geselecteerd]	30
Knoopopleggingen [Geselecteerd]	30
Lijnopleggingen [Geselecteerd]	31
EG	32
EG: Staaf eigen gewicht	33
Trek	33
Trek: Knoopbelastingen	34
Druk	34
Druk: Knoopbelastingen	35
Torsie	35
Torsie: Knoopbelastingen	36
Trek+torsie	36
Trek+torsie: Knoopbelastingen	37
Gebruiker gedefinieerde belastingcombinaties uit belastinggevallen	37
[II], > LD1, Non-lin., Omhullende (Alle UGT), Lijnen (gevuld), x 2	38
Staafkrachten [Non-lin., Omhullende (Alle UGT), Andere lijnelementen / LD1]	39
[II], > LD1, Non-lin., Omhullende (Alle UGT), Sominmax, Lijnen (gevuld)	40
Staafspanningen [Non-lin., Omhullende (Alle UGT), Geselecteerd]	41
Staafspanningen [Non-lin., Omhullende (Alle UGT), Geselecteerd]	41
Staafspanningen [Non-lin., Omhullende (Alle UGT), Geselecteerd]	41
Staafspanningen [Non-lin., Omhullende (Alle UGT), Geselecteerd]	42
Staafspanningen [Non-lin., Omhullende (Alle UGT), Geselecteerd]	42
Staafspanningen [Non-lin., Omhullende (Alle UGT), Geselecteerd]	42
Staafspanningen [Non-lin., Omhullende (Alle UGT), Geselecteerd]	42
Staafspanningen [Non-lin., Omhullende (Alle UGT), Geselecteerd]	43
[II], > 2 details, Non-lin., Omhullende (Alle UGT), Lijnen (gevuld), x 2	43
Staafkrachten [Non-lin., Omhullende (Alle UGT), Details]	44
Staafkrachten [Non-lin., Omhullende (Alle UGT), Andere lijnelementen / O 273x12]	45
[II], > 2 details, Non-lin., Omhullende (Alle UGT), Sominmax, Lijnen (gevuld)	46
Staafspanningen [Non-lin., Omhullende (Alle UGT), Geselecteerd]	47
Staafspanningen [Non-lin., Omhullende (Alle UGT), Geselecteerd]	47
Staafspanningen [Non-lin., Omhullende (Alle UGT), Geselecteerd]	47
Staafspanningen [Non-lin., Omhullende (Alle UGT), Geselecteerd]	47
Staafspanningen [Non-lin., Omhullende (Alle UGT), Geselecteerd]	48
Staafspanningen [Non-lin., Omhullende (Alle UGT), Geselecteerd]	48
Staafspanningen [Non-lin., Omhullende (Alle UGT), Geselecteerd]	48
Staafspanningen [Non-lin., Omhullende (Alle UGT), Geselecteerd]	48
Staafspanningen [Non-lin., Omhullende (Alle UGT), Geselecteerd]	49
[II], > 1600x1100, Non-lin., Omhullende (Alle UGT), My, Lijnen (gevuld)	49
Staafkrachten [Non-lin., Omhullende (Alle UGT), Staaf / 1600x1100]	50
[II], > LD1, Non-lin., Omhullende (Alle UGT), Ry (lijnopp.), Lijnen (gevuld)	51
[II], > LD1, Non-lin., Omhullende (Alle UGT), Rz (lijnopp.), Lijnen (gevuld)	52
Interne krachten lijnoplegging [Non-lin., Omhullende (Alle UGT), Andere lijnelementen / LD1]	53
[II], > 2 details, Non-lin., Omhullende (Alle UGT), Rz (lijnopp.), Lijnen (gevuld)	53
[II], > 2 details, Non-lin., Omhullende (Alle UGT), Ry (lijnopp.), Lijnen (gevuld)	54
Interne krachten lijnoplegging [Non-lin., Omhullende (Alle UGT), Details]	55
[II], > LD1, Non-lin., Omhullende (Alle UGT), Rx (knoopopl.), Lijnen	55
Interne krachten knoopoplegging [Non-lin., Omhullende (Alle UGT), Andere lijnelementen / LD1]	56
[II], > 2 details, Non-lin., Omhullende (Alle UGT), Rx (knoopopl.), Lijnen	57
Overzicht knopen tbv paalbelasting nieuwe palen	58

<i>Onderdeel</i>	<i>Pagina</i>
Interne krachten knoopoplegging [Non-lin., Omhullende (Alle UGT), Details]	58
[II], > 2 details, Non-lin., Omhullende (Alle UGT), eX, Lijnen	60
[II], > 2 details, Non-lin., Omhullende (Alle UGT), eY, Lijnen	61
Overzicht knopen paalkop	62
Knoopverplaatsingen [Non-lin., Omhullende (Alle UGT), Geselecteerd]	62
Overzicht knopen t.b.v. paalvoet verplaatsing bestaande palen	64
Knoopverplaatsingen [Non-lin., Omhullende (Alle UGT), Geselecteerd]	64

Project:






Constructeur:

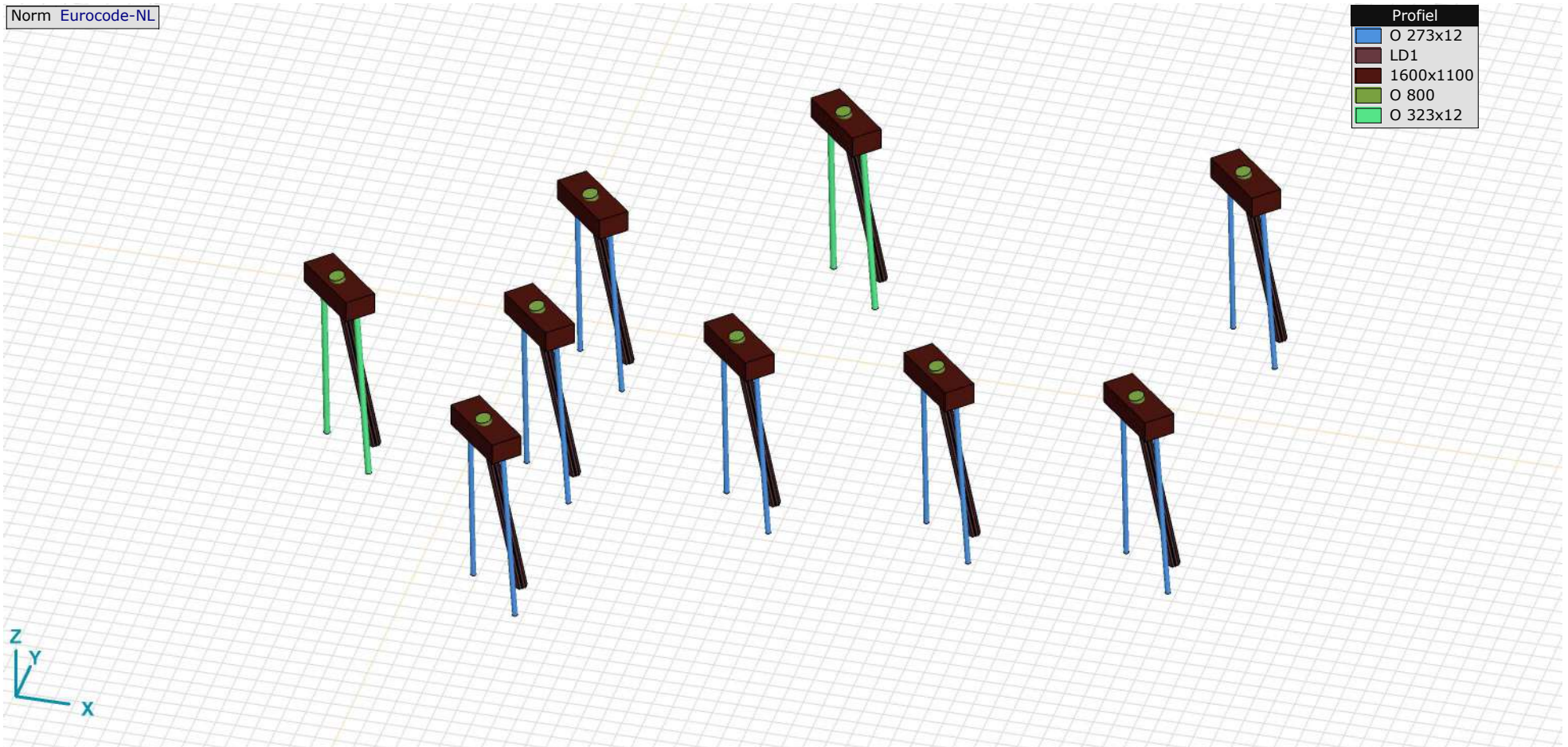
Model: **MBT-EHV enkelpaals versterking.axs**

2-5-2022

Pag. 5

Norm Eurocode-NL

Profiel	
	O 273x12
	LD1
	1600x1100
	O 800
	O 323x12



3D-overzicht

Project:

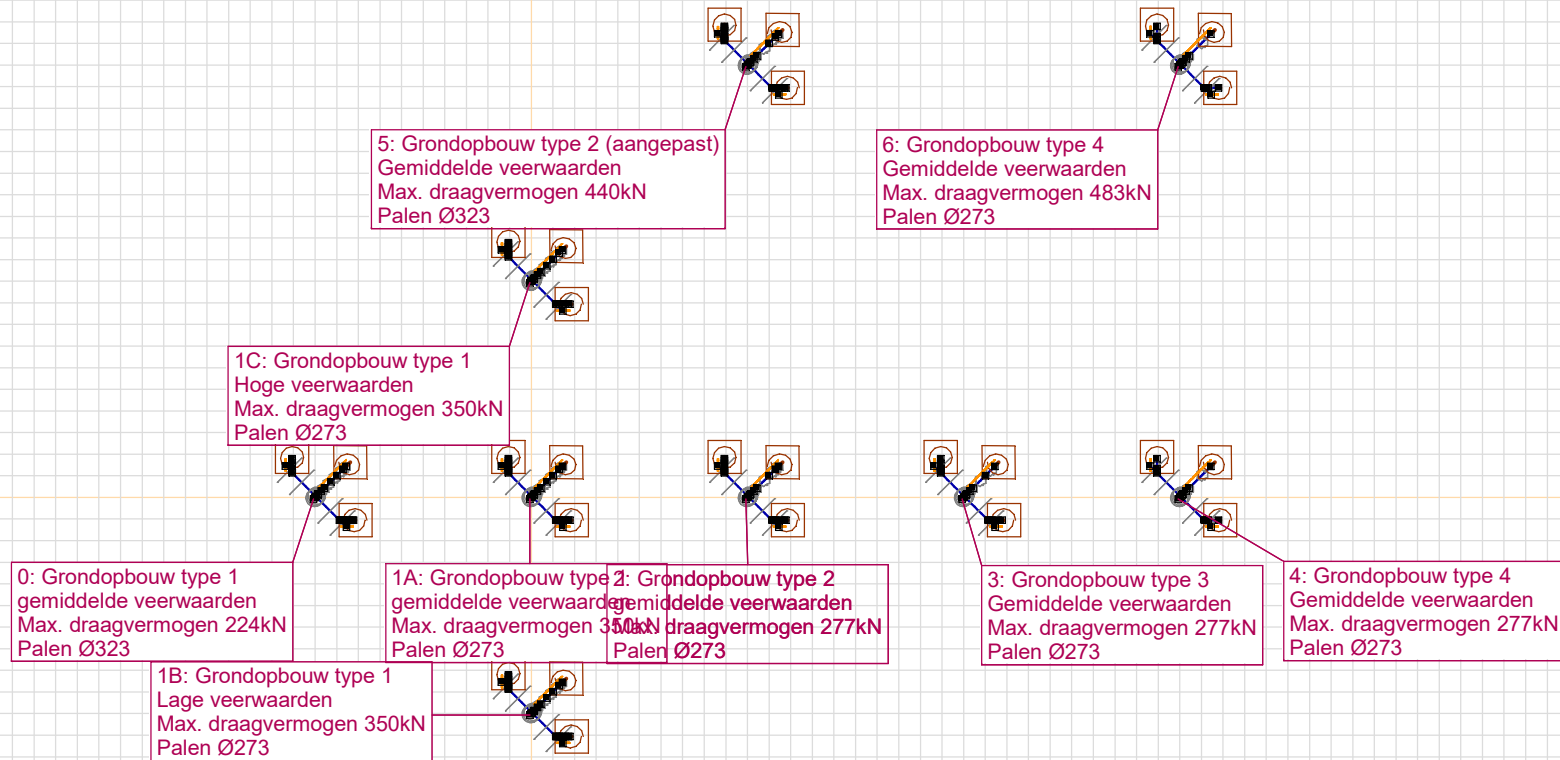
Constructeur:

Model: **MBT-EHV enkelpaals versterking.axs**

2-5-2022

Pag. 6

Norm Eurocode-NL



Overzicht modellen

Project:





Constructeur:

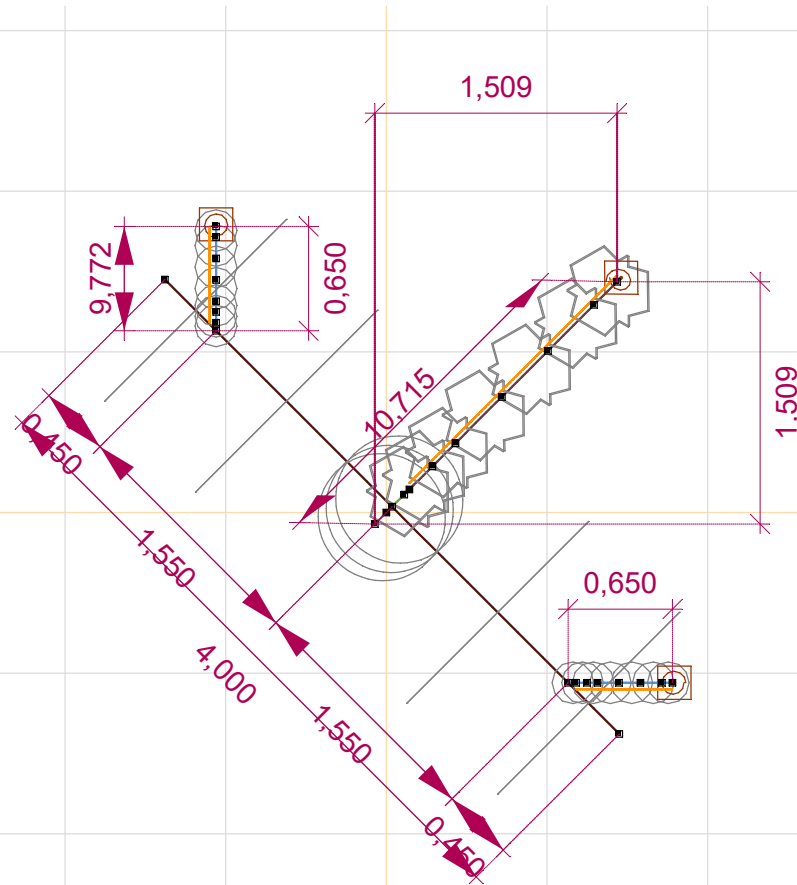
Model: **MBT-EHV enkelpaals versterking.axs**

2-5-2022

Pag. 7

Norm Eurocode-NL
Detail : Geselecteerde elementen

Profiel	
	O 273x12
	LD1
	1600x1100
	O 800



Maatvoering - bovenaanzicht

Project:

Constructeur:

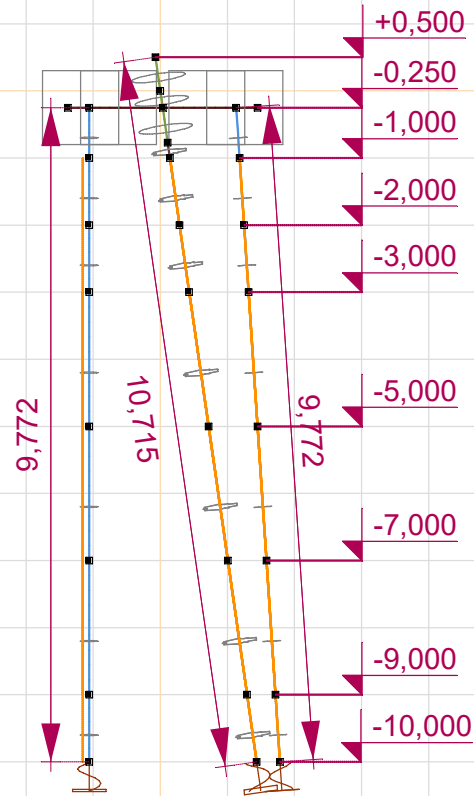
Model: **MBT-EHV enkelpaals versterking.axs**

2-5-2022

Pag. 8

Norm Eurocode-NL
Detail : Geselecteerde elementen

Profiel
O 273x12
LD1
1600x1100
O 800



Maatvoering - vooraanzicht

Project:







Constructeur:

Model: **MBT-EHV enkelpaals versterking.axs**

2-5-2022

Pag. 9

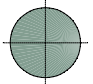
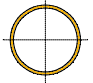
Materialen

	Naam	Type	Nationale norm	Materiaalnorm	Model	E_x [MPa]	E_y [MPa]	ν	α_T [1/°C]	ρ [kg/m ³]	Materiaal kleur	Contour kleur	Structuur
1	S 235	Staal	Eurocode-NL	10025-2	Lineair	210000	210000	0,30	1,2E-5	7850			 Steel
2	C30/37	Beton	Eurocode-NL	EN 206	Lineair	10000	10000	0,20	1E-5	2500			 Concrete A

	Naam	P_1	P_2	P_3	P_4	P_5	P_6	P_7	P_8	P_9	P_{10}	P_{11}	P_{12}	P_{13}	P_{14}
1	S 235	f_y [MPa] = 235,00	f_u [MPa] = 360,00	f_y^* [MPa] = 215,00	f_u^* [MPa] = 360,00										
2	C30/37	f_{ctk} [MPa] = 30,00	$\gamma_c = 1,500$	$\alpha_{cc} = 1,00$	$\phi_t = 2,00$										

Naam: Materiaalnaam; **Type:** Type materiaal; **Model:** Materiaal model; **E_x :** Elasticiteitsmodulus in lokale x richting; **E_y :** Elasticiteitsmodulus in lokale y richting; **ν :** Poisson's verhouding; **α_T :** Warmteuitzettingscoëfficiënt; **ρ :** Dichtheid; **Materiaal kleur:** Materiaalkleur; **Contour kleur:** Contourkleur; **$P_1, P_2, P_3, P_4, P_5, P_6, P_7, P_8, P_9, P_{10}, P_{11}, P_{12}, P_{13}, P_{14}$:** Ontwerpparameter;

Profielen

	Naam	Tekening	Productie	Vorm	h [mm]	b [mm]	tw [mm]	tf [mm]	r_1 [mm]	r_2 [mm]	r_3 [mm]	A_x [mm ²]	A_y [mm ²]	A_z [mm ²]
1	O 800		Ander	Rond	800,0	800,0	0	0	0	0	0	502552,80	430759,50	430759,50
2	O 273x12		Gewalst	Buis	273,0	273,0	12,5	12,5	0	0	0	10227,73	5132,99	5133,51

	Naam	I_x [mm ⁴]	I_y [mm ⁴]	I_z [mm ⁴]	I_{yz} [mm ⁴]	I_1 [mm ⁴]	I_2 [mm ⁴]	α [°]	I_ω [mm ⁶]	$W_{1,el,t}$ [mm ³]	$W_{1,el,b}$ [mm ³]	$W_{2,el,t}$ [mm ³]	$W_{2,el,b}$ [mm ³]	$W_{1,pl}$ [mm ³]	$W_{2,pl}$ [mm ³]
1	O 800	4E+10	2E+10	2E+10	0	2E+10	2E+10	0	0	5E+07	5E+07	5E+07	5E+07	8,5E+07	8,5E+07
2	O 273x12	1,7E+08	8,7E+07	8,7E+07	0	8,7E+07	8,7E+07	0	0	636917,0	636917,0	636917,0	636917,0	848645,6	848651,2

	Naam	i_y [mm]	i_z [mm]	H_y [mm]	H_z [mm]	y_G [mm]	z_G [mm]	y_s [mm]	z_s [mm]	β_y [mm]	β_z [mm]	β_w [°]	S.p.
1	O 800	200,0	200,0	800,0	800,0	400,0	400,0	0	0	0	0	0	5
2	O 273x12	92,2	92,2	273,0	273,0	136,5	136,5	0	0	0	0	0	5

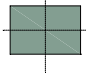
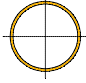
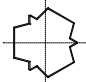
Project:

Constructeur:

Model: **MBT-EHV enkelpaals versterking.axs**

2-5-2022 Pag. 10

Profielen

	Naam	Tekening	Productie	Vorm	h [mm]	b [mm]	tw [mm]	tf [mm]	r_1 [mm]	r_2 [mm]	r_3 [mm]	A_x [mm ²]	A_y [mm ²]	A_z [mm ²]
3	1600x1100		Ander	Recht.	1100,0	1600,0	0	0	0	0	0	1760000,00	1466667,00	1466667,00
4	O 323x12		Gewalst	Buis	323,0	323,0	12,5	12,5	0	0	0	12190,83	6111,36	6111,91
5	LD1		Ander	Eigen gedefinieerd	570,1	514,0	0	0	0	0	0	15142,80	5219,72	5219,72

	Naam	I_x [mm ⁴]	I_y [mm ⁴]	I_z [mm ⁴]	I_{yz} [mm ⁴]	I_1 [mm ⁴]	I_2 [mm ⁴]	α [°]	I_ω [mm ⁶]	$W_{1,el,t}$ [mm ³]	$W_{1,el,b}$ [mm ³]	$W_{2,el,t}$ [mm ³]	$W_{2,el,b}$ [mm ³]	$W_{1,pl}$ [mm ³]	$W_{2,pl}$ [mm ³]
3	1600x1100	4,1E+11	1,8E+11	3,8E+11	0	3,8E+11	1,8E+11	90,00	5,4E+15	4,7E+08	4,7E+08	3,2E+08	3,2E+08	7E+08	4,8E+08
4	O 323x12	2,9E+08	1,5E+08	1,5E+08	0	1,5E+08	1,5E+08	0	0	910980,5	910980,5	910980,5	910980,5	1205412,0	1205420,0
5	LD1	6,2E+08	4,6E+08	4,6E+08	0	4,6E+08	4,6E+08	0	2,4E+11	1614516,0	1614516,0	1790846,0	1790845,0	2369310,0	2357912,0

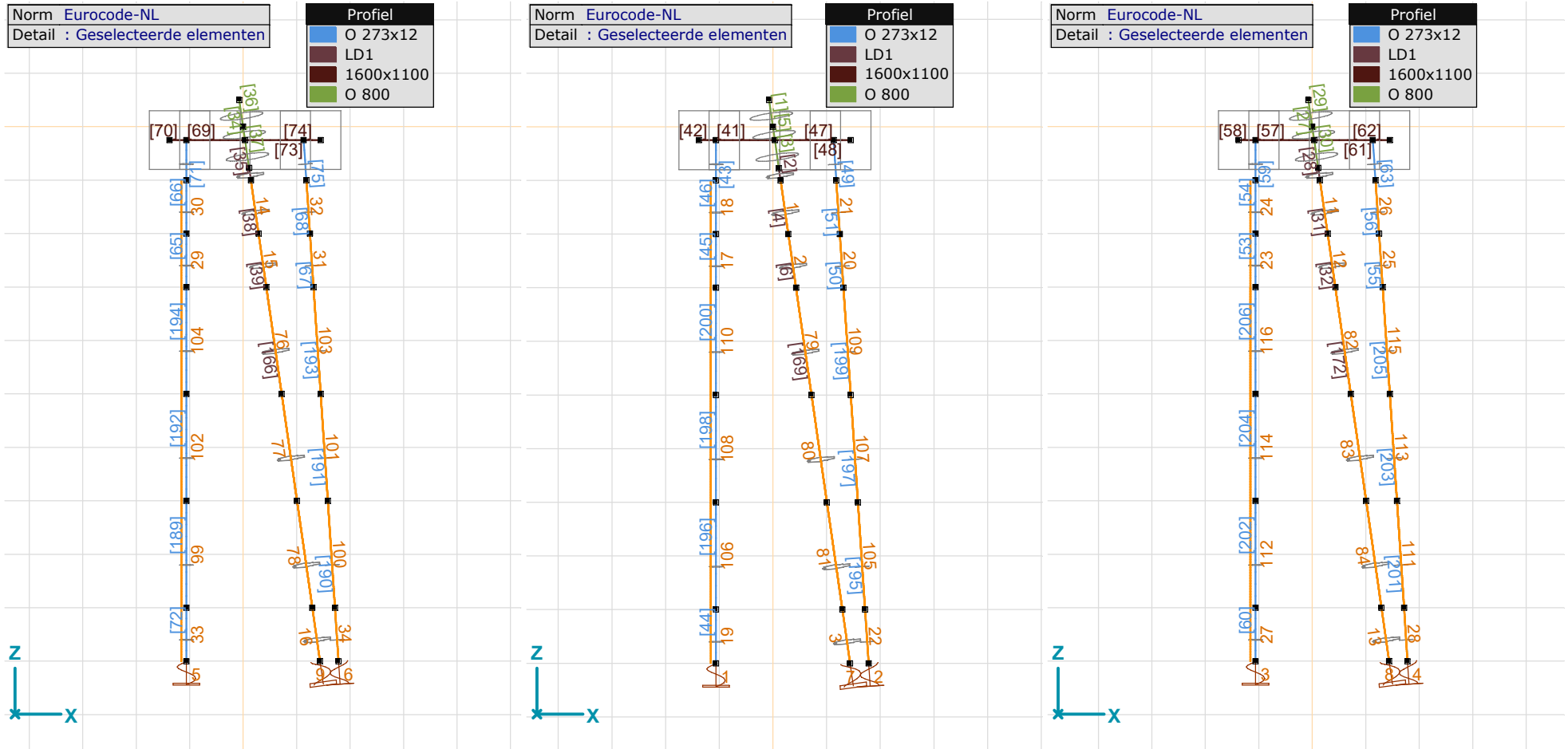
	Naam	i_y [mm]	i_z [mm]	H_y [mm]	H_z [mm]	y_G [mm]	z_G [mm]	y_s [mm]	z_s [mm]	β_y [mm]	β_z [mm]	β_w []	S.p.
3	1600x1100	317,5	461,9	1600,0	1100,0	800,0	550,0	0	0	0	0	0	5
4	O 323x12	109,9	109,9	323,0	323,0	161,5	161,5	0	0	0	0	0	5
5	LD1	174,3	174,3	514,0	570,1	257,0	285,1	0	0	0	0	0	8

Naam: Doorsnede naam; **Productie:** Productieproces; **Vorm:** Profiel; **h:** Doorsnede hoogte; **b:** Doorsnede breedte; **tw:** Lijfdikte; **tf:** Flensdikte; **r₁, r₂, r₃:** Afrondingswaarde; **A_x:** Doorsnede-oppervlak; **A_y, A_z:** Afschuivingsoppervlak; **I_x:** Torsietraagheidsmoment; **I_y, I_z:** Buigtraagheidsmoment; **I_{yz}:** Centrifugaal traagheidsmoment; **I₁, I₂:** Hoofdbuigtraagheidsmoment; **α:** Hoofdrichtingen; **I_ω:** Krommingsconstante; **W_{1,el,t}, W_{1,el,b}, W_{2,el,t}, W_{2,el,b}:** Elastisch weerstandsmoment; **W_{1,pl}, W_{2,pl}:** Plastisch weerstandsmoment; **i_y, i_z:** Traagheidsstraal; **H_y:** Afmeting in lokale Y-richting; **H_z:** Afmeting in lokale Z-richting; **y_G:** Y-coördinaat van het zwaartepunt; **z_G:** Z-coördinaat van het zwaartepunt; **y_s:** Y-coördinaat van het afschuivingsmiddelpunt (torsie); **z_s:** Z-coördinaat van het afschuivingsmiddelpunt (torsie); **β_y, β_z, β_w:** Wagner's coëfficiënt; **S.p.:** Spanningspunten;

Project:

Constructeur:

Model: **MBT-EHV enkelpaals versterking.axs**



Staven en oplettingen - grondopbouw type 1 (links lage bedding, midden gemiddeld en rechts hoog)

Project:

Constructeur:

Model: **MBT-EHV enkelpaals versterking.axs**

2-5-2022 Pag. 12

Knopen [Geselecteerd]

	X [m]	Y [m]	Z [m]		X [m]	Y [m]	Z [m]		X [m]	Y [m]	Z [m]		X [m]	Y [m]	Z [m]
50	0	-10,000	0	58	1,006	-8,994	-7,000	102	-1,060	-8,818	-1,000	110	-1,378	-8,550	-0,250
51	0,036	-9,964	-0,250	59	1,293	-8,707	-9,000	103	1,715	-11,060	-9,000	111	-1,060	-8,218	-10,000
52	0,111	-9,889	-0,774	60	1,437	-8,563	-10,000	104	1,582	-11,060	-7,000	112	1,132	-11,060	-0,250
53	0,144	-9,856	-1,001	97	-1,060	-8,285	-9,000	105	1,449	-11,060	-5,000	113	1,450	-11,378	-0,250
54	-0,072	-10,072	0,500	98	-1,060	-8,418	-7,000	106	1,315	-11,060	-3,000	114	1,782	-11,060	-10,000
55	0,287	-9,713	-2,001	99	-1,060	-8,551	-5,000	107	1,249	-11,060	-2,000				
56	0,431	-9,569	-3,000	100	-1,060	-8,685	-3,000	108	1,182	-11,060	-1,000				
57	0,719	-9,281	-5,000	101	-1,060	-8,751	-2,000	109	-1,060	-8,868	-0,250				

Staven [Geselecteerd]

	Start-punt	Eind-punt	Lengte	Lokaal X	Materiaal	Doorsnede	Ref _z		Start-punt	Eind-punt	Lengte	Lokaal X	Materiaal	Doorsnede	Ref _z
34	51	50	0,255	j - i	C30/37	1	R24	72	111	97	1,002	j - i	S 235	2	Auto
35	53	52	0,231	j - i	S 235	5	R24	73	112	51	1,550	j - i	C30/37	3	Auto
36	50	54	0,511	i - j	C30/37	1	R24	74	112	113	0,450	i - j	C30/37	3	Auto
37	52	51	0,535	j - i	C30/37	1	R24	75	108	112	0,752	i - j	S 235	2	R26
38	55	53	1,020	j - i	S 235	5	R24	76	114	103	1,002	j - i	S 235	2	R26
39	56	55	1,020	j - i	S 235	5	R24	166	57	56	2,041	j - i	S 235	5	R24
40	60	59	1,020	j - i	S 235	5	R24	167	58	57	2,041	j - i	S 235	5	R24
65	100	101	1,002	i - j	S 235	2	Auto	168	59	58	2,041	j - i	S 235	5	R24
66	101	102	1,002	i - j	S 235	2	Auto	189	97	98	2,004	i - j	S 235	2	Auto
67	106	107	1,002	i - j	S 235	2	R26	190	103	104	2,004	i - j	S 235	2	R26
68	107	108	1,002	i - j	S 235	2	R26	191	104	105	2,004	i - j	S 235	2	R26
69	109	51	1,550	j - i	C30/37	3	Auto	192	98	99	2,004	i - j	S 235	2	Auto
70	109	110	0,450	i - j	C30/37	3	Auto	193	105	106	2,004	i - j	S 235	2	R26
71	102	109	0,752	i - j	S 235	2	Auto	194	99	100	2,004	i - j	S 235	2	Auto

Lengte: Elementlengte; Lokaal X: Lokale X-richting; Ref_z: Referentie voor lokale Z-richting;

Project:

Constructeur:

Model: **MBT-EHV enkelpaals versterking.axs**

2-5-2022 Pag. 13

Knoopopleggingen [Geselecteerd]

	Knoop	X [m]	Y [m]	Z [m]	Type	Ref. elem.	Naam _x	Veermodel _x	K _x [MN/m]	Naam _y	Veermodel _y	K _{yV} [MN/m]	Naam _z	Veermodel _z
5	111	-1,060	-8,218	-10,000	Staafr.	Staafr. 287	Lineair 1E+5 kN/m_01	NL elastisch	240,0	—	—	—	—	—
6	114	1,782	-11,060	-10,000	Staafr.	Staafr. 305	Lineair 1E+5 kN/m_01	NL elastisch	240,0	—	—	—	—	—
9	60	1,437	-8,563	-10,000	Staafr.	Staafr. 137	350kN	NL elastisch	355,0	—	—	—	—	—

	Knoop	K _{zV} [MN/m]	Naam _{xx}	Veermodel _{xx}	K _{xx} [kNm/rad]	K _{xxV} [kNm/rad]	Naam _{yy}	Veermodel _{yy}	K _{yyV} [kNm/rad]	Naam _{zz}	Veermodel _{zz}	K _{zzV} [kNm/rad]	Veermodel _w
5	111	—	Vast - rotatie	Lineair	1E+10	1E+10	—	—	—	—	—	—	—
6	114	—	Vast - rotatie	Lineair	1E+10	1E+10	—	—	—	—	—	—	—
9	60	—	Vast - rotatie	Lineair	1E+10	1E+10	—	—	—	—	—	—	—

Knoop: Ondersteunde knoop; **Type:** Opleggingstype; **Ref. elem.:** Referentie-element; **Naam_x:** Naam van de veereigenschappen; **Veermodel_x:** Veermodel; **K_x, K_{xx}:** Initiële stijfheid;

Lijnopleggingen [Geselecteerd]

	Lijn	Type	Ref. elem.	R _x [kN/m/m]	R _y [kN/m/m]	R _z [kN/m/m]	NL(y)	NL(z)	F(y) [kN/m]	F(z) [kN/m]
		Staafr.								
14	Staafr. 38	Staafr.		0	1500	1500	Symmetrisch	Symmetrisch	11,0	11,0
15	Staafr. 39	Staafr.		0	1500	1500	Symmetrisch	Symmetrisch	32,0	32,0
16	Staafr. 40	Staafr.		0	11650	11650	Symmetrisch	Symmetrisch		
29	Staafr. 65	Staafr.		0	750	750	Symmetrisch	Symmetrisch	23,5	23,5
30	Staafr. 66	Staafr.		0	750	750	Symmetrisch	Symmetrisch	5,5	5,5
31	Staafr. 67	Staafr.		0	750	750	Symmetrisch	Symmetrisch	23,5	23,5
32	Staafr. 68	Staafr.		0	750	750	Symmetrisch	Symmetrisch	5,5	5,5
33	Staafr. 72	Staafr.		0	8475	8475	Symmetrisch	Symmetrisch		
34	Staafr. 76	Staafr.		0	8475	8475	Symmetrisch	Symmetrisch		
76	Staafr. 166	Staafr.		0	1500	1500	Symmetrisch	Symmetrisch		
77	Staafr. 167	Staafr.		0	6450	6450	Symmetrisch	Symmetrisch		
78	Staafr. 168	Staafr.		0	1500	1500	Symmetrisch	Symmetrisch		
99	Staafr. 189	Staafr.		0	750	750	Symmetrisch	Symmetrisch		
100	Staafr. 190	Staafr.		0	750	750	Symmetrisch	Symmetrisch		
101	Staafr. 191	Staafr.		0	4700	4700	Symmetrisch	Symmetrisch		
102	Staafr. 192	Staafr.		0	4700	4700	Symmetrisch	Symmetrisch		
103	Staafr. 193	Staafr.		0	750	750	Symmetrisch	Symmetrisch		
104	Staafr. 194	Staafr.		0	750	750	Symmetrisch	Symmetrisch		

Lijn: Ondersteund lijnelement; **Type:** Opleggingstype; **Ref. elem.:** Referentie-element; **R_x, R_y, R_z:** Verplaatsingsstijfheid; **NL(y), NL(z):** Niet-lineaire parameters; **F(y):** Weerstand in Y-richting; **F(z):** Weerstand in Z-richting;

Project:

Constructeur:

Model: **MBT-EHV enkelpaals versterking.axs**

2-5-2022 Pag. 14

Knopen [Geselecteerd]

	X [m]	Y [m]	Z [m]		X [m]	Y [m]	Z [m]		X [m]	Y [m]	Z [m]		X [m]	Y [m]	Z [m]
1	-0,072	-0,072	0,500	9	0,719	0,719	-5,000	66	-1,060	1,582	-7,000	74	1,582	-1,060	-7,000
2	0,111	0,111	-0,774	10	1,006	1,006	-7,000	67	-1,060	1,449	-5,000	75	1,449	-1,060	-5,000
3	0	0	0	11	1,293	1,293	-9,000	68	-1,060	1,315	-3,000	76	1,315	-1,060	-3,000
4	0,036	0,036	-0,250	61	-1,060	1,132	-0,250	69	-1,060	1,249	-2,000	77	1,249	-1,060	-2,000
5	0,144	0,144	-1,000	62	-1,378	1,450	-0,250	70	1,132	-1,060	-0,250	78	1,782	-1,060	-10,000
6	1,437	1,437	-10,000	63	-1,060	1,182	-1,000	71	1,450	-1,378	-0,250				
7	0,287	0,287	-2,000	64	-1,060	1,782	-10,000	72	1,182	-1,060	-1,000				
8	0,431	0,431	-3,000	65	-1,060	1,715	-9,000	73	1,715	-1,060	-9,000				

Staven [Geselecteerd]

	Start-punt	Eind-punt	Lengte	Lokaal X	Materiaal	Doorsnede	Ref _z		Start-punt	Eind-punt	Lengte	Lokaal X	Materiaal	Doorsnede	Ref _z
1	3	1	0,511	j - i	C30/37	1	R24	48	70	71	0,450	i - j	C30/37	3	Auto
2	5	2	0,231	j - i	S 235	5	R24	49	72	70	0,752	j - i	S 235	2	R26
3	2	4	0,535	i - j	C30/37	1	R24	50	76	77	1,002	i - j	S 235	2	R26
4	7	5	1,020	j - i	S 235	5	R24	51	77	72	1,002	j - i	S 235	2	R26
5	4	3	0,255	j - i	C30/37	1	R24	52	78	73	1,002	j - i	S 235	2	R26
6	8	7	1,020	j - i	S 235	5	R24	169	9	8	2,041	j - i	S 235	5	R24
7	6	11	1,020	i - j	S 235	5	R24	170	10	9	2,041	j - i	S 235	5	R24
41	61	4	1,550	j - i	C30/37	3	Auto	171	11	10	2,041	j - i	S 235	5	R24
42	61	62	0,450	i - j	C30/37	3	Auto	195	73	74	2,004	i - j	S 235	2	R26
43	63	61	0,752	j - i	S 235	2	Auto	196	65	66	2,004	i - j	S 235	2	Auto
44	64	65	1,002	i - j	S 235	2	Auto	197	74	75	2,004	i - j	S 235	2	R26
45	68	69	1,002	i - j	S 235	2	Auto	198	66	67	2,004	i - j	S 235	2	Auto
46	69	63	1,002	j - i	S 235	2	Auto	199	75	76	2,004	i - j	S 235	2	R26
47	70	4	1,550	j - i	C30/37	3	Auto	200	67	68	2,004	i - j	S 235	2	Auto

Lengte: Elementlengte; Lokaal X: Lokale X-richting; Ref_z: Referentie voor lokale Z-richting;

Project:

Constructeur:

Model: **MBT-EHV enkelpaals versterking.axs**

2-5-2022 Pag. 15

Knoopopleggingen [Geselecteerd]

	Knoop	X [m]	Y [m]	Z [m]	Type	Ref. elem.	Naam _x	Veermodel _x	K _x [MN/m]	Naam _y	Veermodel _y	K _{yV} [MN/m]	Naam _z	Veermodel _z
1	64	-1,060	1,782	-10,000	StAAF r.	StAAF 151	Lineair 1E+5 kN/m_01	NL elastisch	240,0	—	—	—	—	—
2	78	1,782	-1,060	-10,000	StAAF r.	StAAF 193	Lineair 1E+5 kN/m_01	NL elastisch	240,0	—	—	—	—	—
7	6	1,437	1,437	-10,000	StAAF r.	StAAF 28	350kN	NL elastisch	355,0	—	—	—	—	—

	Knoop	K _{zV} [MN/m]	Naam _{xx}	Veermodel _{xx}	K _{xx} [kNm/rad]	K _{xxV} [kNm/rad]	Naam _{yy}	Veermodel _{yy}	K _{yyV} [kNm/rad]	Naam _{zz}	Veermodel _{zz}	K _{zzV} [kNm/rad]	Veermodel _w
1	64	—	Vast - rotatie	Lineair	1E+10	1E+10	—	—	—	—	—	—	—
2	78	—	Vast - rotatie	Lineair	1E+10	1E+10	—	—	—	—	—	—	—
7	6	—	Vast - rotatie	Lineair	1E+10	1E+10	—	—	—	—	—	—	—

Knoop: Ondersteunde knoop; **Type:** Opleggingstype; **Ref. elem.:** Referentie-element; **Naam_x:** Naam van de veereigenschappen; **Veermodel_x:** Veermodel; **K_x, K_{xx}:** Initiële stijfheid;

Lijnopleggingen [Geselecteerd]

	Lijn	Type	Ref. elem.	R _x [kN/m/m]	R _y [kN/m/m]	R _z [kN/m/m]	NL(y)	NL(z)	F(y) [kN/m]	F(z) [kN/m]
		StAAF r.								
1	StAAF 4	StAAF r.		0	2150	2150	Symmetrisch	Symmetrisch	11,0	11,0
2	StAAF 6	StAAF r.		0	2150	2150	Symmetrisch	Symmetrisch	32,0	32,0
3	StAAF 7	StAAF r.		0	16500	16500	Symmetrisch	Symmetrisch		
19	StAAF 44	StAAF r.		0	12000	12000	Symmetrisch	Symmetrisch		
17	StAAF 45	StAAF r.		0	1075	1075	Symmetrisch	Symmetrisch	23,5	23,5
18	StAAF 46	StAAF r.		0	1075	1075	Symmetrisch	Symmetrisch	5,5	5,5
20	StAAF 50	StAAF r.		0	1075	1075	Symmetrisch	Symmetrisch	23,5	23,5
21	StAAF 51	StAAF r.		0	1075	1075	Symmetrisch	Symmetrisch	5,5	5,5
22	StAAF 52	StAAF r.		0	12000	12000	Symmetrisch	Symmetrisch		
79	StAAF 169	StAAF r.		0	2150	2150	Symmetrisch	Symmetrisch		
80	StAAF 170	StAAF r.		0	9150	9150	Symmetrisch	Symmetrisch		
81	StAAF 171	StAAF r.		0	2150	2150	Symmetrisch	Symmetrisch		
105	StAAF 195	StAAF r.		0	1075	1075	Symmetrisch	Symmetrisch		
106	StAAF 196	StAAF r.		0	1075	1075	Symmetrisch	Symmetrisch		
107	StAAF 197	StAAF r.		0	6650	6650	Symmetrisch	Symmetrisch		
108	StAAF 198	StAAF r.		0	6650	6650	Symmetrisch	Symmetrisch		
109	StAAF 199	StAAF r.		0	1075	1075	Symmetrisch	Symmetrisch		
110	StAAF 200	StAAF r.		0	1075	1075	Symmetrisch	Symmetrisch		

Lijn: Ondersteund lijnelement; **Type:** Opleggingstype; **Ref. elem.:** Referentie-element; **R_x, R_y, R_z:** Verplaatsingsstijfheid; **NL(y), NL(z):** Niet-lineaire parameters; **F(y):** Weerstand in Y-richting; **F(z):** Weerstand in Z-richting;

Project:

Constructeur:

Model: **MBT-EHV enkelpaals versterking.axs**

2-5-2022 Pag. 16

Knopen [Geselecteerd]

	<i>X [m]</i>	<i>Y [m]</i>	<i>Z [m]</i>		<i>X [m]</i>	<i>Y [m]</i>	<i>Z [m]</i>		<i>X [m]</i>	<i>Y [m]</i>	<i>Z [m]</i>		<i>X [m]</i>	<i>Y [m]</i>	<i>Z [m]</i>
39	0	10,000	0	47	1,006	11,006	-7,000	84	-1,060	11,182	-1,000	92	-1,378	11,450	-0,250
40	0,036	10,036	-0,250	48	1,293	11,293	-9,000	85	1,715	8,940	-9,000	93	-1,060	11,782	-10,000
41	0,111	10,111	-0,774	49	1,437	11,437	-10,000	86	1,582	8,940	-7,000	94	1,132	8,940	-0,250
42	0,144	10,144	-1,001	79	-1,060	11,715	-9,000	87	1,449	8,940	-5,000	95	1,450	8,622	-0,250
43	-0,072	9,928	0,500	80	-1,060	11,582	-7,000	88	1,315	8,940	-3,000	96	1,782	8,940	-10,000
44	0,287	10,287	-2,001	81	-1,060	11,449	-5,000	89	1,249	8,940	-2,000				
45	0,431	10,431	-3,000	82	-1,060	11,315	-3,000	90	1,182	8,940	-1,000				
46	0,719	10,719	-5,000	83	-1,060	11,249	-2,000	91	-1,060	11,132	-0,250				

Staven [Geselecteerd]

	<i>Start-punt</i>	<i>Eind-punt</i>	<i>Lengte</i>	<i>Lokaal X</i>	<i>Materiaal</i>	<i>Doorsnede</i>	<i>Ref_z</i>		<i>Start-punt</i>	<i>Eind-punt</i>	<i>Lengte</i>	<i>Lokaal X</i>	<i>Materiaal</i>	<i>Doorsnede</i>	<i>Ref_z</i>
27	40	39	0,255	j - i	C30/37	1	R24	60	93	79	1,002	j - i	S 235	2	Auto
28	42	41	0,231	j - i	S 235	5	R24	61	94	40	1,550	j - i	C30/37	3	Auto
29	39	43	0,511	i - j	C30/37	1	R24	62	94	95	0,450	i - j	C30/37	3	Auto
30	41	40	0,535	j - i	C30/37	1	R24	63	90	94	0,752	i - j	S 235	2	R26
31	44	42	1,020	j - i	S 235	5	R24	64	96	85	1,002	j - i	S 235	2	R26
32	45	44	1,020	j - i	S 235	5	R24	172	46	45	2,041	j - i	S 235	5	R24
33	49	48	1,020	j - i	S 235	5	R24	173	47	46	2,041	j - i	S 235	5	R24
53	82	83	1,002	i - j	S 235	2	Auto	174	48	47	2,041	j - i	S 235	5	R24
54	83	84	1,002	i - j	S 235	2	Auto	201	85	86	2,004	i - j	S 235	2	R26
55	88	89	1,002	i - j	S 235	2	R26	202	79	80	2,004	i - j	S 235	2	Auto
56	89	90	1,002	i - j	S 235	2	R26	203	86	87	2,004	i - j	S 235	2	R26
57	91	40	1,550	j - i	C30/37	3	Auto	204	80	81	2,004	i - j	S 235	2	Auto
58	91	92	0,450	i - j	C30/37	3	Auto	205	87	88	2,004	i - j	S 235	2	R26
59	84	91	0,752	i - j	S 235	2	Auto	206	81	82	2,004	i - j	S 235	2	Auto

Lengte: Elementlengte; Lokaal X: Lokale X-richting; Ref_z: Referentie voor lokale Z-richting;

Project:

Constructeur:

Model: **MBT-EHV enkelpaals versterking.axs**

2-5-2022 Pag. 17

Knoopopleggingen [Geselecteerd]

	Knoop	X [m]	Y [m]	Z [m]	Type	Ref. elem.	Naam _x	Veermodel _x	K _x [MN/m]	Naam _y	Veermodel _y	K _{yV} [MN/m]	Naam _z	Veermodel _z
3	93	-1,060	11,782	-10,000	StAAF r.	StAAF 231	Lineair 1E+5 kN/m_01	NL elastisch	240,0	—	—	—	—	—
4	96	1,782	8,940	-10,000	StAAF r.	StAAF 249	Lineair 1E+5 kN/m_01	NL elastisch	240,0	—	—	—	—	—
8	49	1,437	11,437	-10,000	StAAF r.	StAAF 114	350kN	NL elastisch	355,0	—	—	—	—	—

	Knoop	K _{zV} [MN/m]	Naam _{xx}	Veermodel _{xx}	K _{xx} [kNm/rad]	K _{xxV} [kNm/rad]	Naam _{yy}	Veermodel _{yy}	K _{yyV} [kNm/rad]	Naam _{zz}	Veermodel _{zz}	K _{zzV} [kNm/rad]	Veermodel _w
3	93	—	Vast - rotatie	Lineair	1E+10	1E+10	—	—	—	—	—	—	—
4	96	—	Vast - rotatie	Lineair	1E+10	1E+10	—	—	—	—	—	—	—
8	49	—	Vast - rotatie	Lineair	1E+10	1E+10	—	—	—	—	—	—	—

Knoop: Ondersteunde knoop; **Type:** Opleggingstype; **Ref. elem.:** Referentie-element; **Naam_x:** Naam van de veereigenschappen; **Veermodel_x:** Veermodel; **K_x, K_{xx}:** Initiële stijfheid;

Lijnopleggingen [Geselecteerd]

	Lijn	Type	Ref. elem.	R _x [kN/m/m]	R _y [kN/m/m]	R _z [kN/m/m]	NL(y)	NL(z)	F(y) [kN/m]	F(z) [kN/m]
		StAAF r.								
11	StAAF 31	StAAF r.		0	3050	3050	Symmetrisch	Symmetrisch	11,0	11,0
12	StAAF 32	StAAF r.		0	3050	3050	Symmetrisch	Symmetrisch	32,0	32,0
13	StAAF 33	StAAF r.		0	23350	23350	Symmetrisch	Symmetrisch		
23	StAAF 53	StAAF r.		0	1775	1775	Symmetrisch	Symmetrisch	23,5	23,5
24	StAAF 54	StAAF r.		0	1775	1775	Symmetrisch	Symmetrisch	5,5	5,5
25	StAAF 55	StAAF r.		0	1775	1775	Symmetrisch	Symmetrisch	23,5	23,5
26	StAAF 56	StAAF r.		0	1775	1775	Symmetrisch	Symmetrisch	5,5	5,5
27	StAAF 60	StAAF r.		0	16975	16975	Symmetrisch	Symmetrisch		
28	StAAF 64	StAAF r.		0	16975	16975	Symmetrisch	Symmetrisch		
82	StAAF 172	StAAF r.		0	3050	3050	Symmetrisch	Symmetrisch		
83	StAAF 173	StAAF r.		0	12950	12950	Symmetrisch	Symmetrisch		
84	StAAF 174	StAAF r.		0	3050	3050	Symmetrisch	Symmetrisch		
111	StAAF 201	StAAF r.		0	1775	1775	Symmetrisch	Symmetrisch		
112	StAAF 202	StAAF r.		0	1775	1775	Symmetrisch	Symmetrisch		
113	StAAF 203	StAAF r.		0	9425	9425	Symmetrisch	Symmetrisch		
114	StAAF 204	StAAF r.		0	9425	9425	Symmetrisch	Symmetrisch		
115	StAAF 205	StAAF r.		0	1775	1775	Symmetrisch	Symmetrisch		
116	StAAF 206	StAAF r.		0	1775	1775	Symmetrisch	Symmetrisch		

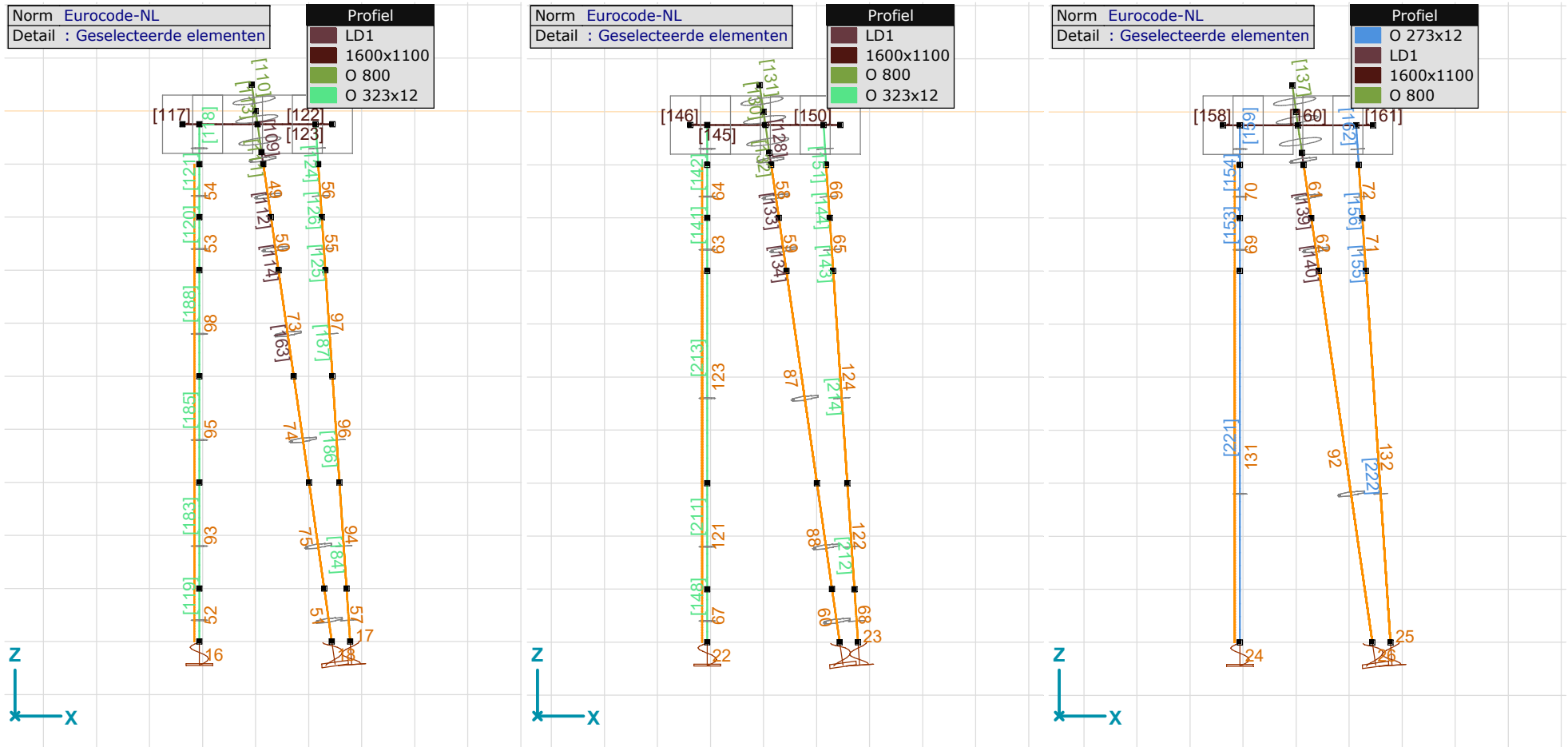
Lijn: Ondersteund lijnelement; **Type:** Opleggingstype; **Ref. elem.:** Referentie-element; **R_x, R_y, R_z:** Verplaatsingsstijfheid; **NL(y), NL(z):** Niet-lineaire parameters; **F(y):** Weerstand in Y-richting; **F(z):** Weerstand in Z-richting;

Project:

Constructeur:

Model: **MBT-EHV enkelpaals versterking.axs**

2-5-2022 Pag. 18



Staven en opleggingen - grondopbouw type 1 - 224kN (links), type 2 (aangepast) t.b.v. S+9 (midden) en type 4 (rechts) t.b.v. S+6

Project:

Constructeur:

Model: **MBT-EHV enkelpaals versterking.axs**

2-5-2022 Pag. 19

Knopen [Geselecteerd]

	X [m]	Y [m]	Z [m]		X [m]	Y [m]	Z [m]		X [m]	Y [m]	Z [m]		X [m]	Y [m]	Z [m]
12	10,000	0	0	19	11,006	1,006	-7,000	119	8,940	1,182	-1,000	126	8,622	1,450	-0,250
13	10,036	0,036	-0,250	20	11,293	1,293	-9,000	120	11,715	-1,060	-9,000	127	8,940	1,782	-10,000
14	10,111	0,111	-0,774	21	11,437	1,437	-10,000	121	11,582	-1,060	-7,000	128	11,132	-1,060	-0,250
15	10,144	0,144	-1,001	115	8,940	1,715	-9,000	122	11,315	-1,060	-3,000	129	11,450	-1,378	-0,250
16	9,928	-0,072	0,500	116	8,940	1,582	-7,000	123	11,249	-1,060	-2,000	130	11,782	-1,060	-10,000
17	10,287	0,287	-2,001	117	8,940	1,315	-3,000	124	11,182	-1,060	-1,000				
18	10,431	0,431	-3,000	118	8,940	1,249	-2,000	125	8,940	1,132	-0,250				

Staven [Geselecteerd]

	Start-punt	Eind-punt	Lengte	Lokaal X	Materiaal	Doorsnede	Ref _z		Start-punt	Eind-punt	Lengte	Lokaal X	Materiaal	Doorsnede	Ref _z
8	13	12	0,255	j - i	C30/37	1	R24	83	119	125	0,752	i - j	S 235	2	Auto
9	15	14	0,231	j - i	S 235	5	R24	84	127	115	1,002	j - i	S 235	2	Auto
10	12	16	0,511	i - j	C30/37	1	R24	85	128	13	1,550	j - i	C30/37	3	Auto
11	14	13	0,535	j - i	C30/37	1	R24	86	128	129	0,450	i - j	C30/37	3	Auto
12	17	15	1,020	j - i	S 235	5	R24	87	124	128	0,752	i - j	S 235	2	R26
13	18	17	1,020	j - i	S 235	5	R24	88	130	120	1,002	j - i	S 235	2	R26
14	21	20	1,020	j - i	S 235	5	R24	175	19	18	4,081	j - i	S 235	5	R24
77	117	118	1,002	i - j	S 235	2	Auto	176	20	19	2,041	j - i	S 235	5	R24
78	118	119	1,002	i - j	S 235	2	Auto	207	115	116	2,004	i - j	S 235	2	Auto
79	122	123	1,002	i - j	S 235	2	R26	208	120	121	2,004	i - j	S 235	2	R26
80	123	124	1,002	i - j	S 235	2	R26	209	116	117	4,009	i - j	S 235	2	Auto
81	125	13	1,550	j - i	C30/37	3	Auto	210	121	122	4,009	i - j	S 235	2	R26
82	125	126	0,450	i - j	C30/37	3	Auto								

Lengte: Elementlengte; Lokaal X: Lokale X-richting; Ref_z: Referentie voor lokale Z-richting;

Project:

Constructeur:

Model: **MBT-EHV enkelpaals versterking.axs**

2-5-2022 Pag. 20

Knoopopleggingen [Geselecteerd]

	<i>Knoop</i>	<i>X [m]</i>	<i>Y [m]</i>	<i>Z [m]</i>	<i>Type</i>	<i>Ref. elem.</i>	<i>Naam_x</i>	<i>Veermodel_x</i>	<i>K_x [MN/m]</i>	<i>Naam_y</i>	<i>Veermodel_y</i>	<i>K_{yV} [MN/m]</i>	<i>Naam_z</i>	<i>Veermodel_z</i>
10	127	8,940	1,782	-10,000	Staafr.	Staafr. 343	Lineair 1E+5 kN/m_01	NL elastisch	240,0	—	—	—	—	—
11	130	11,782	-1,060	-10,000	Staafr.	Staafr. 361	Lineair 1E+5 kN/m_01	NL elastisch	240,0	—	—	—	—	—
19	21	11,437	1,437	-10,000	Staafr.	Staafr. 55	277kN	NL elastisch	355,0	—	—	—	—	—

	<i>Knoop</i>	<i>K_{zV} [MN/m]</i>	<i>Naam_{xx}</i>	<i>Veermodel_{xx}</i>	<i>K_{xx} [kNm/rad]</i>	<i>K_{xxV} [kNm/rad]</i>	<i>Naam_{yy}</i>	<i>Veermodel_{yy}</i>	<i>K_{yyV} [kNm/rad]</i>	<i>Naam_{zz}</i>	<i>Veermodel_{zz}</i>	<i>K_{zzV} [kNm/rad]</i>	<i>Veermodel_w</i>
10	127	—	Vast - rotatie	Lineair	1E+10	1E+10	—	—	—	—	—	—	—
11	130	—	Vast - rotatie	Lineair	1E+10	1E+10	—	—	—	—	—	—	—
19	21	—	Vast - rotatie	Lineair	1E+10	1E+10	—	—	—	—	—	—	—

Knoop: Ondersteunde knoop; **Type:** Opleggingstype; **Ref. elem.:** Referentie-element; **Naam_x:** Naam van de veereigenschappen; **Veermodel_x:** Veermodel; **K_x, K_{xx}:** Initiële stijfheid;

Lijnopleggingen [Geselecteerd]

	<i>Lijn</i>	<i>Type</i>	<i>Ref. elem.</i>	<i>R_x [kN/m/m]</i>	<i>R_y [kN/m/m]</i>	<i>R_z [kN/m/m]</i>	<i>NL(y)</i>	<i>NL(z)</i>	<i>F(y) [kN/m]</i>	<i>F(z) [kN/m]</i>
		Staafr.								
4	Staafr. 12	Staafr.		0	2150	2150	Symmetrisch	Symmetrisch	11,0	11,0
5	Staafr. 13	Staafr.		0	2150	2150	Symmetrisch	Symmetrisch	32,0	32,0
6	Staafr. 14	Staafr.		0	16500	16500	Symmetrisch	Symmetrisch		
35	Staafr. 77	Staafr.		0	1075	1075	Symmetrisch	Symmetrisch	23,5	23,5
36	Staafr. 78	Staafr.		0	1075	1075	Symmetrisch	Symmetrisch	5,5	5,5
37	Staafr. 79	Staafr.		0	1075	1075	Symmetrisch	Symmetrisch	23,5	23,5
38	Staafr. 80	Staafr.		0	1075	1075	Symmetrisch	Symmetrisch	5,5	5,5
39	Staafr. 84	Staafr.		0	12000	12000	Symmetrisch	Symmetrisch		
40	Staafr. 88	Staafr.		0	12000	12000	Symmetrisch	Symmetrisch		
85	Staafr. 175	Staafr.		0	9150	9150	Symmetrisch	Symmetrisch		
86	Staafr. 176	Staafr.		0	2150	2150	Symmetrisch	Symmetrisch		
117	Staafr. 207	Staafr.		0	1075	1075	Symmetrisch	Symmetrisch		
118	Staafr. 208	Staafr.		0	1075	1075	Symmetrisch	Symmetrisch		
119	Staafr. 209	Staafr.		0	6650	6650	Symmetrisch	Symmetrisch		
120	Staafr. 210	Staafr.		0	6650	6650	Symmetrisch	Symmetrisch		

Lijn: Ondersteund lijnelement; **Type:** Opleggingstype; **Ref. elem.:** Referentie-element; **R_x, R_y, R_z:** Verplaatsingsstijfheid; **NL(y), NL(z):** Niet-lineaire parameters; **F(y):** Weerstand in Y-richting; **F(z):** Weerstand in Z-richting;

Project:

Constructeur:

Model: **MBT-EHV enkelpaals versterking.axs**

2-5-2022 Pag. 21

Knopen [Geselecteerd]

	<i>X [m]</i>	<i>Y [m]</i>	<i>Z [m]</i>		<i>X [m]</i>	<i>Y [m]</i>	<i>Z [m]</i>		<i>X [m]</i>	<i>Y [m]</i>	<i>Z [m]</i>		<i>X [m]</i>	<i>Y [m]</i>	<i>Z [m]</i>
22	20,000	0	0	28	20,431	0,431	-3,001	134	18,940	1,182	-1,000	140	18,622	1,450	-0,250
23	20,036	0,036	-0,250	29	21,006	1,006	-7,000	135	21,582	-1,060	-7,000	141	18,940	1,782	-10,000
24	20,111	0,111	-0,774	30	21,437	1,437	-10,000	136	21,315	-1,060	-3,000	142	21,132	-1,060	-0,250
25	20,144	0,144	-1,001	131	18,940	1,582	-7,000	137	21,249	-1,060	-2,000	143	21,450	-1,378	-0,250
26	19,928	-0,072	0,500	132	18,940	1,315	-3,000	138	21,182	-1,060	-1,000	144	21,782	-1,060	-10,000
27	20,287	0,287	-2,001	133	18,940	1,249	-2,000	139	18,940	1,132	-0,250				

Staven [Geselecteerd]

	<i>Start-punt</i>	<i>Eind-punt</i>	<i>Lengte</i>	<i>Lokaal X</i>	<i>Materiaal</i>	<i>Doorsnede</i>	<i>Ref_z</i>		<i>Start-punt</i>	<i>Eind-punt</i>	<i>Lengte</i>	<i>Lokaal X</i>	<i>Materiaal</i>	<i>Doorsnede</i>	<i>Ref_z</i>
15	23	22	0,255	j - i	C30/37	1	R24	94	139	140	0,450	i - j	C30/37	3	Auto
16	25	24	0,231	j - i	S 235	5	R24	95	134	139	0,752	i - j	S 235	2	Auto
17	22	26	0,511	i - j	C30/37	1	R24	96	142	23	1,550	j - i	C30/37	3	Auto
18	24	23	0,535	j - i	C30/37	1	R24	97	142	143	0,450	i - j	C30/37	3	Auto
19	27	25	1,020	j - i	S 235	5	R24	98	138	142	0,752	i - j	S 235	2	R26
20	28	27	1,020	j - i	S 235	5	R24	179	29	28	4,081	j - i	S 235	5	R24
89	132	133	1,002	i - j	S 235	2	Auto	180	30	29	3,061	j - i	S 235	5	R24
90	133	134	1,002	i - j	S 235	2	Auto	215	141	131	3,007	j - i	S 235	2	Auto
91	136	137	1,002	i - j	S 235	2	R26	216	144	135	3,007	j - i	S 235	2	R26
92	137	138	1,002	i - j	S 235	2	R26	217	135	136	4,009	i - j	S 235	2	R26
93	139	23	1,550	j - i	C30/37	3	Auto	218	131	132	4,009	i - j	S 235	2	Auto

Lengte: Elementlengte; Lokaal X: Lokale X-richting; Ref_z: Referentie voor lokale Z-richting;

Project:

Constructeur:

Model: **MBT-EHV enkelpaals versterking.axs**

2-5-2022 Pag. 22

Knoopopleggingen [Geselecteerd]

	<i>Knoop</i>	<i>X [m]</i>	<i>Y [m]</i>	<i>Z [m]</i>	<i>Type</i>	<i>Ref. elem.</i>	<i>Naam_x</i>	<i>Veemodel_x</i>	<i>K_x [MN/m]</i>	<i>Naam_y</i>	<i>Veemodel_y</i>	<i>K_{yyV} [MN/m]</i>	<i>Naam_z</i>	<i>Veemodel_z</i>
12	141	18,940	1,782	-10,000	Staafr.	Staafr. 1256	Lineair 1E+5 kN/m 01	NL elastisch	240,0	—	—	—	—	—
13	144	21,782	-1,060	-10,000	Staafr.	Staafr. 1269	Lineair 1E+5 kN/m 01	NL elastisch	240,0	—	—	—	—	—
20	30	21,437	1,437	-10,000	Staafr.	Staafr. 865	277kN	NL elastisch	355,0	—	—	—	—	—

	<i>Knoop</i>	<i>K_{zV} [MN/m]</i>	<i>Naam_{xx}</i>	<i>Veemodel_{xx}</i>	<i>K_{xx} [kNm/rad]</i>	<i>K_{xxV} [kNm/rad]</i>	<i>Naam_{yy}</i>	<i>Veemodel_{yy}</i>	<i>K_{yyV} [kNm/rad]</i>	<i>Naam_{zz}</i>	<i>Veemodel_{zz}</i>	<i>K_{zzV} [kNm/rad]</i>	<i>Veemodel_w</i>
12	141	—	Vast - rotatie	Lineair	1E+10	1E+10	—	—	—	—	—	—	—
13	144	—	Vast - rotatie	Lineair	1E+10	1E+10	—	—	—	—	—	—	—
20	30	—	Vast - rotatie	Lineair	1E+10	1E+10	—	—	—	—	—	—	—

Knoop: Ondersteunde knoop; **Type:** Opleggingstype; **Ref. elem.:** Referentie-element; **Naam_x:** Naam van de veereigenschappen; **Veemodel_x:** Veemodel; **K_x, K_{xx}:** Initiële stijfheid;

Lijnopleggingen [Geselecteerd]

	<i>Lijn</i>	<i>Type</i>	<i>Ref. elem.</i>	<i>R_x [kN/m/m]</i>	<i>R_y [kN/m/m]</i>	<i>R_z [kN/m/m]</i>	<i>NL(y)</i>	<i>NL(z)</i>	<i>F(y) [kN/m]</i>	<i>F(z) [kN/m]</i>
		Staafr.								
7	Staafr. 19	Staafr.		0	9150	9150	Symmetrisch	Symmetrisch	23,8	23,8
8	Staafr. 20	Staafr.		0	2150	2150	Symmetrisch	Symmetrisch	32,0	32,0
41	Staafr. 89	Staafr.		0	1075	1075	Symmetrisch	Symmetrisch	19,0	19,0
42	Staafr. 90	Staafr.		0	6650	6650	Symmetrisch	Symmetrisch	17,3	17,3
43	Staafr. 91	Staafr.		0	1075	1075	Symmetrisch	Symmetrisch	19,0	19,0
44	Staafr. 92	Staafr.		0	6650	6650	Symmetrisch	Symmetrisch	17,3	17,3
89	Staafr. 179	Staafr.		0	2150	2150	Symmetrisch	Symmetrisch		
90	Staafr. 180	Staafr.		0	16500	16500	Symmetrisch	Symmetrisch		
125	Staafr. 215	Staafr.		0	12000	12000	Symmetrisch	Symmetrisch		
126	Staafr. 216	Staafr.		0	12000	12000	Symmetrisch	Symmetrisch		
127	Staafr. 217	Staafr.		0	1075	1075	Symmetrisch	Symmetrisch		
128	Staafr. 218	Staafr.		0	1075	1075	Symmetrisch	Symmetrisch		

Lijn: Ondersteund lijnelement; **Type:** Opleggingstype; **Ref. elem.:** Referentie-element; **R_x, R_y, R_z:** Verplaatsingsstijfheid; **NL(y), NL(z):** Niet-lineaire parameters; **F(y):** Weerstand in Y-richting; **F(z):** Weerstand in Z-richting;

Project:

Constructeur:

Model: **MBT-EHV enkelpaals versterking.axs**

2-5-2022 Pag. 23

Knopen [Geselecteerd]

	X [m]	Y [m]	Z [m]		X [m]	Y [m]	Z [m]		X [m]	Y [m]	Z [m]		X [m]	Y [m]	Z [m]
31	30,000	0	0	36	30,287	0,287	-2,001	147	28,940	1,182	-1,000	152	28,622	1,450	-0,250
32	30,036	0,036	-0,250	37	30,431	0,431	-3,001	148	31,315	-1,060	-3,000	153	28,940	1,782	-10,000
33	30,111	0,111	-0,774	38	31,437	1,437	-10,000	149	31,249	-1,060	-2,000	154	31,132	-1,060	-0,250
34	30,144	0,144	-1,001	145	28,940	1,315	-3,000	150	31,182	-1,060	-1,000	155	31,450	-1,378	-0,250
35	29,928	-0,072	0,500	146	28,940	1,249	-2,000	151	28,940	1,132	-0,250	156	31,782	-1,060	-10,000

Staven [Geselecteerd]

	Start-punt	Eind-punt	Lengte	Lokaal X	Materiaal	Doorsnede	Ref _z		Start-punt	Eind-punt	Lengte	Lokaal X	Materiaal	Doorsnede	Ref _z
21	32	31	0,255	j - i	C30/37	1	R24	103	151	32	1,550	j - i	C30/37	3	Auto
22	34	33	0,231	j - i	S 235	5	R24	104	151	152	0,450	i - j	C30/37	3	Auto
23	31	35	0,511	i - j	C30/37	1	R24	105	147	151	0,752	i - j	S 235	2	Auto
24	33	32	0,535	j - i	C30/37	1	R24	106	154	32	1,550	j - i	C30/37	3	Auto
25	36	34	1,020	j - i	S 235	5	R24	107	154	155	0,450	i - j	C30/37	3	Auto
26	37	36	1,020	j - i	S 235	5	R24	108	150	154	0,752	i - j	S 235	2	R26
99	145	146	1,002	i - j	S 235	2	Auto	181	38	37	7,143	j - i	S 235	5	R24
100	146	147	1,002	i - j	S 235	2	Auto	219	153	145	7,016	j - i	S 235	2	Auto
101	148	149	1,002	i - j	S 235	2	R26	220	156	148	7,016	j - i	S 235	2	R26
102	149	150	1,002	i - j	S 235	2	R26								

Lengte: Elementlengte; Lokaal X: Lokale X-richting; Ref_z: Referentie voor lokale Z-richting;

Knoopopleggingen [Geselecteerd]

	Knoop	X [m]	Y [m]	Z [m]	Type	Ref. elem.	Naam _x	Veermodel _x	K _x [MN/m]	Naam _y	Veermodel _y	K _{yV} [MN/m]	Naam _z	Veermodel _z
14	153	28,940	1,782	-10,000	Staafr.	Staafr. 1332	Lineair 1E+5 kN/m 01	NL elastisch	240,0	—	—	—	—	—
15	156	31,782	-1,060	-10,000	Staafr.	Staafr. 1361	Lineair 1E+5 kN/m 01	NL elastisch	240,0	—	—	—	—	—
21	38	31,437	1,437	-10,000	Staafr.	Staafr. 894	277kN	NL elastisch	355,0	—	—	—	—	—

	Knoop	K _{zV} [MN/m]	Naam _{xx}	Veermodel _{xx}	K _{xx} [kNm/rad]	K _{xxV} [kNm/rad]	Naam _{yy}	Veermodel _{yy}	K _{yyV} [kNm/rad]	Naam _{zz}	Veermodel _{zz}	K _{zzV} [kNm/rad]	Veermodel _w
14	153	—	Vast - rotatie	Lineair	1E+10	1E+10	—	—	—	—	—	—	—
15	156	—	Vast - rotatie	Lineair	1E+10	1E+10	—	—	—	—	—	—	—
21	38	—	Vast - rotatie	Lineair	1E+10	1E+10	—	—	—	—	—	—	—

Knoop: Ondersteunde knoop; Type: Opleggingstype; Ref. elem.: Referentie-element; Naam_x: Naam van de veereigenschappen; Veermodel_x: Veermodel; K_x, K_{xx}: Initiële stijfheid;

Project:

Constructeur:

Model: **MBT-EHV enkelpaals versterking.axs**

2-5-2022 Pag. 24

Lijnopleggingen [Geselecteerd]

	<i>Lijn</i>	<i>Type</i>	<i>Ref. elem.</i>	<i>R_x</i> [kN/m/m]	<i>R_y</i> [kN/m/m]	<i>R_z</i> [kN/m/m]	<i>NL(y)</i>	<i>NL(z)</i>	<i>F(y)</i> [kN/m]	<i>F(z)</i> [kN/m]
		Staal r.								
9	Staal 25	Staal r.		0	9150	9150	Symmetrisch	Symmetrisch	23,8	23,8
10	Staal 26	Staal r.		0	9150	9150	Symmetrisch	Symmetrisch		
45	Staal 99	Staal r.		0	6650	6650	Symmetrisch	Symmetrisch		
46	Staal 100	Staal r.		0	6650	6650	Symmetrisch	Symmetrisch	17,3	17,3
47	Staal 101	Staal r.		0	6650	6650	Symmetrisch	Symmetrisch		
48	Staal 102	Staal r.		0	6650	6650	Symmetrisch	Symmetrisch	17,3	17,3
91	Staal 181	Staal r.		0	16500	16500	Symmetrisch	Symmetrisch		
129	Staal 219	Staal r.		0	12000	12000	Symmetrisch	Symmetrisch		
130	Staal 220	Staal r.		0	12000	12000	Symmetrisch	Symmetrisch		

Lijn: Ondersteund lijnelement; Type: Opleggingstype; Ref. elem.: Referentie-element; Rx, Ry, Rz: Verplaatsingsstijfheid; NL(y), NL(z): Niet-lineaire parameters; F(y): Weerstand in Y-richting; F(z): Weerstand in Z-richting;

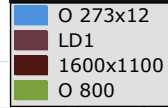
Project:

Constructeur:

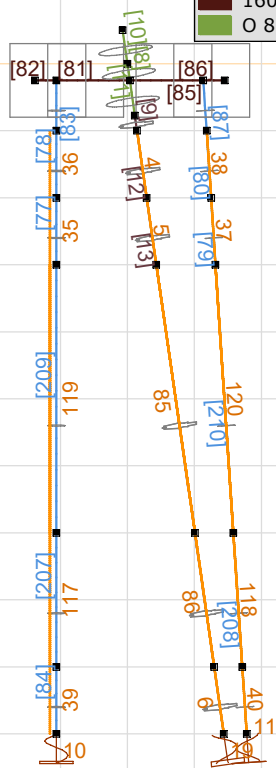
Model: **MBT-EHV enkelpaals versterking.axs**

2-5-2022 Pag. 25

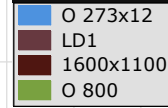
Norm Eurocode-NL
Detail : Geselecteerde elementen

Profiel


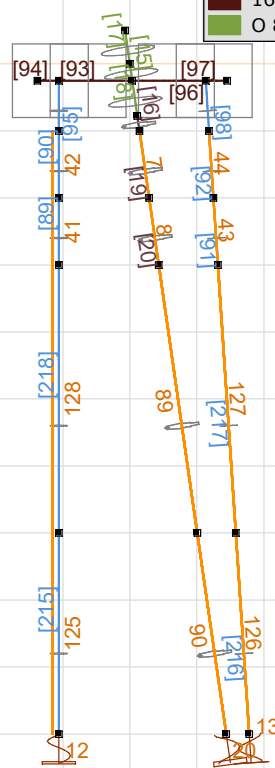
 O 273x12
 LD1
 1600x1100
 O 800



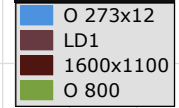
Norm Eurocode-NL
Detail : Geselecteerde elementen

Profiel


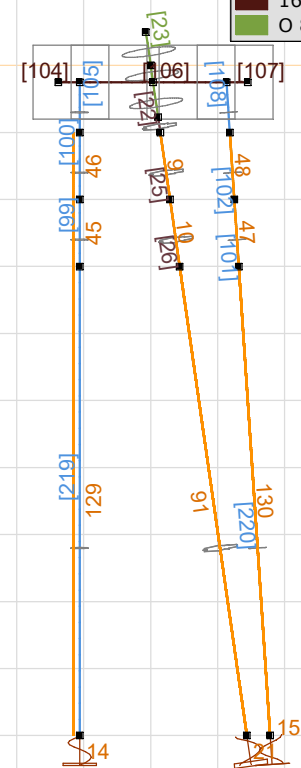
 O 273x12
 LD1
 1600x1100
 O 800



Norm Eurocode-NL
Detail : Geselecteerde elementen

Profiel


 O 273x12
 LD1
 1600x1100
 O 800



Staven en oplettingen - grondopbouw type 2 (links), type 3 (midden) en type 4 (rechts)

Project:

Constructeur:

Model: **MBT-EHV enkelpaals versterking.axs**

2-5-2022 Pag. 26

Knopen [Geselecteerd]

	<i>X [m]</i>	<i>Y [m]</i>	<i>Z [m]</i>		<i>X [m]</i>	<i>Y [m]</i>	<i>Z [m]</i>		<i>X [m]</i>	<i>Y [m]</i>	<i>Z [m]</i>		<i>X [m]</i>	<i>Y [m]</i>	<i>Z [m]</i>
157	-9,889	0,111	-0,774	165	-8,994	1,006	-7,000	173	-11,060	1,582	-7,000	181	-8,418	-1,060	-7,000
158	-9,856	0,144	-1,001	166	-8,707	1,293	-9,000	174	-11,060	1,449	-5,000	182	-8,551	-1,060	-5,000
159	-10,072	-0,072	0,500	167	-8,563	1,437	-10,000	175	-11,060	1,315	-3,000	183	-8,685	-1,060	-3,000
160	-10,000	0	0	168	-11,060	1,132	-0,250	176	-11,060	1,249	-2,000	184	-8,751	-1,060	-2,000
161	-9,964	0,036	-0,250	169	-11,378	1,450	-0,250	177	-8,868	-1,060	-0,250	185	-8,218	-1,060	-10,000
162	-9,713	0,287	-2,001	170	-11,060	1,182	-1,000	178	-8,550	-1,378	-0,250				
163	-9,569	0,431	-3,001	171	-11,060	1,782	-10,000	179	-8,818	-1,060	-1,000				
164	-9,281	0,719	-5,000	172	-11,060	1,715	-9,000	180	-8,285	-1,060	-9,000				

Staven [Geselecteerd]

	<i>Start-punt</i>	<i>Eind-punt</i>	<i>Lengte</i>	<i>Lokaal X</i>	<i>Materiaal</i>	<i>Doorsnede</i>	<i>Ref_z</i>		<i>Start-punt</i>	<i>Eind-punt</i>	<i>Lengte</i>	<i>Lokaal X</i>	<i>Materiaal</i>	<i>Doorsnede</i>	<i>Ref_z</i>
109	158	157	0,231	j - i	S 235	5	✗ R24	123	177	178	0,450	i - j	C30/37	3	Auto
110	160	159	0,511	j - i	C30/37	1	✗ R24	124	179	177	0,752	j - i	S 235	4	✗ R26
111	157	161	0,535	i - j	C30/37	1	✗ R24	125	183	184	1,002	i - j	S 235	4	✗ R26
112	162	158	1,020	j - i	S 235	5	✗ R24	126	184	179	1,002	j - i	S 235	4	✗ R26
113	161	160	0,255	j - i	C30/37	1	✗ R24	127	185	180	1,002	j - i	S 235	4	✗ R26
114	163	162	1,020	j - i	S 235	5	✗ R24	163	164	163	2,041	j - i	S 235	5	✗ R24
115	167	166	1,020	j - i	S 235	5	✗ R24	164	165	164	2,041	j - i	S 235	5	✗ R24
116	168	161	1,550	j - i	C30/37	3	Auto	165	166	165	2,041	j - i	S 235	5	✗ R24
117	168	169	0,450	i - j	C30/37	3	Auto	183	172	173	2,004	i - j	S 235	4	Auto
118	170	168	0,752	j - i	S 235	4	Auto	184	180	181	2,004	i - j	S 235	4	✗ R26
119	171	172	1,002	i - j	S 235	4	Auto	185	173	174	2,004	i - j	S 235	4	Auto
120	175	176	1,002	i - j	S 235	4	Auto	186	181	182	2,004	i - j	S 235	4	✗ R26
121	176	170	1,002	j - i	S 235	4	Auto	187	182	183	2,004	i - j	S 235	4	✗ R26
122	177	161	1,550	j - i	C30/37	3	Auto	188	174	175	2,004	i - j	S 235	4	Auto

Lengte: Elementlengte; Lokaal X: Lokale X-richting; Ref_z: Referentie voor lokale Z-richting;

Project:

Constructeur:

Model: **MBT-EHV enkelpaals versterking.axs**

2-5-2022 Pag. 27

Knoopopleggingen [Geselecteerd]

	<i>Knoop</i>	<i>X [m]</i>	<i>Y [m]</i>	<i>Z [m]</i>	<i>Type</i>	<i>Ref. elem.</i>	<i>Naam_x</i>	<i>Veermodel_x</i>	<i>K_x [MN/m]</i>	<i>Naam_y</i>	<i>Veermodel_y</i>	<i>K_{yV} [MN/m]</i>	<i>Naam_z</i>	<i>Veermodel_z</i>
16	171	-11,060	1,782	-10,000	Staafr.	Staafr. 490	Linear 1E+5 kN/m_01	NL elastisch	240,0	—	—	—	—	—
17	185	-8,218	-1,060	-10,000	Staafr.	Staafr. 532	Linear 1E+5 kN/m_01	NL elastisch	240,0	—	—	—	—	—
18	167	-8,563	1,437	-10,000	Staafr.	Staafr. 476	224kN	NL elastisch	355,0	—	—	—	—	—

	<i>Knoop</i>	<i>K_{zV} [MN/m]</i>	<i>Naam_{xx}</i>	<i>Veermodel_{xx}</i>	<i>K_{xx} [kNm/rad]</i>	<i>K_{xxV} [kNm/rad]</i>	<i>Naam_{yy}</i>	<i>Veermodel_{yy}</i>	<i>K_{yyV} [kNm/rad]</i>	<i>Naam_{zz}</i>	<i>Veermodel_{zz}</i>	<i>K_{zzV} [kNm/rad]</i>	<i>Veermodel_w</i>
16	171	—	Vast - rotatie	Lineair	1E+10	1E+10	—	—	—	—	—	—	—
17	185	—	Vast - rotatie	Lineair	1E+10	1E+10	—	—	—	—	—	—	—
18	167	—	Vast - rotatie	Lineair	1E+10	1E+10	—	—	—	—	—	—	—

Knoop: Ondersteunde knoop; **Type:** Opleggingstype; **Ref. elem.:** Referentie-element; **Naam_x:** Naam van de veereigenschappen; **Veermodel_x:** Veermodel; **K_x, K_{xx}:** Initiële stijfheid;

Lijnopleggingen [Geselecteerd]

	<i>Lijn</i>	<i>Type</i>	<i>Ref. elem.</i>	<i>R_x [kN/m/m]</i>	<i>R_y [kN/m/m]</i>	<i>R_z [kN/m/m]</i>	<i>NL(y)</i>	<i>NL(z)</i>	<i>F(y) [kN/m]</i>	<i>F(z) [kN/m]</i>
		Staafr.								
49	Staafr. 112	Staafr.		0	2150	2150	Symmetrisch	Symmetrisch	11,0	11,0
50	Staafr. 114	Staafr.		0	2150	2150	Symmetrisch	Symmetrisch	32,0	32,0
51	Staafr. 115	Staafr.		0	16500	16500	Symmetrisch	Symmetrisch		
52	Staafr. 119	Staafr.		0	13500	13500	Symmetrisch	Symmetrisch		
53	Staafr. 120	Staafr.		0	1250	1250	Symmetrisch	Symmetrisch	26,5	26,5
54	Staafr. 121	Staafr.		0	1250	1250	Symmetrisch	Symmetrisch	6,5	6,5
55	Staafr. 125	Staafr.		0	1250	1250	Symmetrisch	Symmetrisch	26,5	26,5
56	Staafr. 126	Staafr.		0	1250	1250	Symmetrisch	Symmetrisch	6,5	6,5
57	Staafr. 127	Staafr.		0	13500	13500	Symmetrisch	Symmetrisch		
73	Staafr. 163	Staafr.		0	2150	2150	Symmetrisch	Symmetrisch		
74	Staafr. 164	Staafr.		0	9150	9150	Symmetrisch	Symmetrisch		
75	Staafr. 165	Staafr.		0	2150	2150	Symmetrisch	Symmetrisch		
93	Staafr. 183	Staafr.		0	1250	1250	Symmetrisch	Symmetrisch		
94	Staafr. 184	Staafr.		0	1250	1250	Symmetrisch	Symmetrisch		
95	Staafr. 185	Staafr.		0	7500	7500	Symmetrisch	Symmetrisch		
96	Staafr. 186	Staafr.		0	7500	7500	Symmetrisch	Symmetrisch		
97	Staafr. 187	Staafr.		0	1250	1250	Symmetrisch	Symmetrisch		
98	Staafr. 188	Staafr.		0	1250	1250	Symmetrisch	Symmetrisch		

Lijn: Ondersteund lijnelement; **Type:** Opleggingstype; **Ref. elem.:** Referentie-element; **R_x, R_y, R_z:** Verplaatsingsstijfheid; **NL(y), NL(z):** Niet-lineaire parameters; **F(y):** Weerstand in Y-richting; **F(z):** Weerstand in Z-richting;

Project:

Constructeur:

Model: **MBT-EHV enkelpaals versterking.axs**

2-5-2022 Pag. 28

Knopen [Geselecteerd]

	X [m]	Y [m]	Z [m]		X [m]	Y [m]	Z [m]		X [m]	Y [m]	Z [m]		X [m]	Y [m]	Z [m]
186	10,111	20,111	-0,774	195	11,006	21,006	-7,000	208	8,940	21,182	-1,000	215	8,622	21,450	-0,250
187	10,144	20,144	-1,001	196	11,293	21,293	-9,000	209	11,715	18,940	-9,000	216	8,940	21,782	-10,000
190	10,000	20,000	0	197	11,437	21,437	-10,000	210	11,582	18,940	-7,000	217	11,132	18,940	-0,250
191	10,036	20,036	-0,250	204	8,940	21,715	-9,000	211	11,315	18,940	-3,000	218	11,450	18,622	-0,250
192	9,928	19,928	0,500	205	8,940	21,582	-7,000	212	11,249	18,940	-2,000	219	11,782	18,940	-10,000
193	10,287	20,287	-2,001	206	8,940	21,315	-3,000	213	11,182	18,940	-1,000				
194	10,431	20,431	-3,000	207	8,940	21,249	-2,000	214	8,940	21,132	-0,250				

Staven [Geselecteerd]

	Start-punt	Eind-punt	Lengte	Lokaal X	Materiaal	Doorsnede	Ref _z		Start-punt	Eind-punt	Lengte	Lokaal X	Materiaal	Doorsnede	Ref _z
128	187	186	0,231	j - i	S 235	5	R24	147	208	214	0,752	i - j	S 235	4	Auto
130	191	190	0,255	j - i	C30/37	1	R24	148	216	204	1,002	j - i	S 235	4	Auto
131	190	192	0,511	i - j	C30/37	1	R24	149	217	191	1,550	j - i	C30/37	3	Auto
132	186	191	0,535	i - j	C30/37	1	R24	150	217	218	0,450	i - j	C30/37	3	Auto
133	193	187	1,020	j - i	S 235	5	R24	151	213	217	0,752	i - j	S 235	4	R26
134	194	193	1,020	j - i	S 235	5	R24	152	219	209	1,002	j - i	S 235	4	R26
135	197	196	1,020	j - i	S 235	5	R24	177	195	194	4,081	j - i	S 235	5	R24
141	206	207	1,002	i - j	S 235	4	Auto	178	196	195	2,041	j - i	S 235	5	R24
142	207	208	1,002	i - j	S 235	4	Auto	211	204	205	2,004	i - j	S 235	4	Auto
143	211	212	1,002	i - j	S 235	4	R26	212	209	210	2,004	i - j	S 235	4	R26
144	212	213	1,002	i - j	S 235	4	R26	213	205	206	4,009	i - j	S 235	4	Auto
145	214	191	1,550	j - i	C30/37	3	Auto	214	210	211	4,009	i - j	S 235	4	R26
146	214	215	0,450	i - j	C30/37	3	Auto								

Lengte: Elementlengte; Lokaal X: Lokale X-richting; Ref_z: Referentie voor lokale Z-richting;

Project:

Constructeur:

Model: **MBT-EHV enkelpaals versterking.axs**

2-5-2022 Pag. 29

Knoopopleggingen [Geselecteerd]

	<i>Knoop</i>	<i>X [m]</i>	<i>Y [m]</i>	<i>Z [m]</i>	<i>Type</i>	<i>Ref. elem.</i>	<i>Naam_x</i>	<i>Veermodel_x</i>	<i>K_x [MN/m]</i>	<i>Naam_y</i>	<i>Veermodel_y</i>	<i>K_{yV} [MN/m]</i>	<i>Naam_z</i>	<i>Veermodel_z</i>
22	216	8,940	21,782	-10,000	Staafr.	Staafr. 611	Linear 1E+5 kN/m_01	NL elastisch	240,0	—	—	—	—	—
23	219	11,782	18,940	-10,000	Staafr.	Staafr. 629	Linear 1E+5 kN/m_01	NL elastisch	240,0	—	—	—	—	—
27	197	11,437	21,437	-10,000	Staafr.	Staafr. 555	440kN	NL elastisch	355,0	—	—	—	—	—

	<i>Knoop</i>	<i>K_{zV} [MN/m]</i>	<i>Naam_{xx}</i>	<i>Veermodel_{xx}</i>	<i>K_{xx} [kNm/rad]</i>	<i>K_{xxV} [kNm/rad]</i>	<i>Naam_{yy}</i>	<i>Veermodel_{yy}</i>	<i>K_{yyV} [kNm/rad]</i>	<i>Naam_{zz}</i>	<i>Veermodel_{zz}</i>	<i>K_{zzV} [kNm/rad]</i>	<i>Veermodel_w</i>
22	216	—	Vast - rotatie	Lineair	1E+10	1E+10	—	—	—	—	—	—	—
23	219	—	Vast - rotatie	Lineair	1E+10	1E+10	—	—	—	—	—	—	—
27	197	—	Vast - rotatie	Lineair	1E+10	1E+10	—	—	—	—	—	—	—

Knoop: Ondersteunde knoop; **Type:** Opleggingstype; **Ref. elem.:** Referentie-element; **Naam_x:** Naam van de veereigenschappen; **Veermodel_x:** Veermodel; **K_x, K_{xx}:** Initiële stijfheid;

Lijnopleggingen [Geselecteerd]

	<i>Lijn</i>	<i>Type</i>	<i>Ref. elem.</i>	<i>R_x [kN/m/m]</i>	<i>R_y [kN/m/m]</i>	<i>R_z [kN/m/m]</i>	<i>NL(y)</i>	<i>NL(z)</i>	<i>F(y) [kN/m]</i>	<i>F(z) [kN/m]</i>
		Staafr.								
58	Staafr. 133	Staafr.		0	2150	2150	Symmetrisch	Symmetrisch	11,0	11,0
59	Staafr. 134	Staafr.		0	9150	9150	Symmetrisch	Symmetrisch	68,5	68,5
60	Staafr. 135	Staafr.		0	16500	16500	Symmetrisch	Symmetrisch		
63	Staafr. 141	Staafr.		0	7500	7500	Symmetrisch	Symmetrisch	56,0	56,0
64	Staafr. 142	Staafr.		0	1250	1250	Symmetrisch	Symmetrisch	6,5	6,5
65	Staafr. 143	Staafr.		0	7500	7500	Symmetrisch	Symmetrisch	56,0	56,0
66	Staafr. 144	Staafr.		0	1250	1250	Symmetrisch	Symmetrisch	6,5	6,5
67	Staafr. 148	Staafr.		0	13500	13500	Symmetrisch	Symmetrisch		
68	Staafr. 152	Staafr.		0	13500	13500	Symmetrisch	Symmetrisch		
87	Staafr. 177	Staafr.		0	9150	9150	Symmetrisch	Symmetrisch		
88	Staafr. 178	Staafr.		0	2150	2150	Symmetrisch	Symmetrisch		
121	Staafr. 211	Staafr.		0	1250	1250	Symmetrisch	Symmetrisch		
122	Staafr. 212	Staafr.		0	1250	1250	Symmetrisch	Symmetrisch		
123	Staafr. 213	Staafr.		0	7500	7500	Symmetrisch	Symmetrisch		
124	Staafr. 214	Staafr.		0	7500	7500	Symmetrisch	Symmetrisch		

Lijn: Ondersteund lijnelement; **Type:** Opleggingstype; **Ref. elem.:** Referentie-element; **R_x, R_y, R_z:** Verplaatsingsstijfheid; **NL(y), NL(z):** Niet-lineaire parameters; **F(y):** Weerstand in Y-richting; **F(z):** Weerstand in Z-richting;

Project:

Constructeur:

Model: **MBT-EHV enkelpaals versterking.axs**

2-5-2022 Pag. 30

Knopen [Geselecteerd]

	X [m]	Y [m]	Z [m]		X [m]	Y [m]	Z [m]		X [m]	Y [m]	Z [m]		X [m]	Y [m]	Z [m]
188	30,111	20,111	-0,774	201	30,287	20,287	-2,001	222	28,940	21,182	-1,000	227	28,622	21,450	-0,250
189	30,144	20,144	-1,001	202	30,431	20,431	-3,001	223	31,315	18,940	-3,000	228	28,940	21,782	-10,000
198	30,000	20,000	0	203	31,437	21,437	-10,000	224	31,249	18,940	-2,000	229	31,132	18,940	-0,250
199	30,036	20,036	-0,250	220	28,940	21,315	-3,000	225	31,182	18,940	-1,000	230	31,450	18,622	-0,250
200	29,928	19,928	0,500	221	28,940	21,249	-2,000	226	28,940	21,132	-0,250	231	31,782	18,940	-10,000

Staven [Geselecteerd]

	Start-punt	Eind-punt	Lengte	Lokaal X	Materiaal	Doorsnede	Ref _z		Start-punt	Eind-punt	Lengte	Lokaal X	Materiaal	Doorsnede	Ref _z
129	189	188	0,231	j - i	S 235	5	R24	157	226	199	1,550	j - i	C30/37	3	Auto
136	199	198	0,255	j - i	C30/37	1	R24	158	226	227	0,450	i - j	C30/37	3	Auto
137	198	200	0,511	i - j	C30/37	1	R24	159	222	226	0,752	i - j	S 235	2	Auto
138	188	199	0,535	i - j	C30/37	1	R24	160	229	199	1,550	j - i	C30/37	3	Auto
139	201	189	1,020	j - i	S 235	5	R24	161	229	230	0,450	i - j	C30/37	3	Auto
140	202	201	1,020	j - i	S 235	5	R24	162	225	229	0,752	i - j	S 235	2	R26
153	220	221	1,002	i - j	S 235	2	Auto	182	203	202	7,143	j - i	S 235	5	R24
154	221	222	1,002	i - j	S 235	2	Auto	221	228	220	7,016	j - i	S 235	2	Auto
155	223	224	1,002	i - j	S 235	2	R26	222	231	223	7,016	j - i	S 235	2	R26
156	224	225	1,002	i - j	S 235	2	R26								

Lengte: Elementlengte; Lokaal X: Lokale X-richting; Ref_z: Referentie voor lokale Z-richting;

Knoopopleggingen [Geselecteerd]

	Knoop	X [m]	Y [m]	Z [m]	Type	Ref. elem.	Naam _x	Veermodel _x	K _x [MN/m]	Naam _y	Veermodel _y	K _{yV} [MN/m]	Naam _z	Veermodel _z
24	228	28,940	21,782	-10,000	Staafr.	Staafr. 1390	Lineair 1E+5 kN/m 01	NL elastisch	240,0	—	—	—	—	—
25	231	31,782	18,940	-10,000	Staafr.	Staafr. 1419	Lineair 1E+5 kN/m 01	NL elastisch	240,0	—	—	—	—	—
26	203	31,437	21,437	-10,000	Staafr.	Staafr. 923	483kN	NL elastisch	355,0	—	—	—	—	—

	Knoop	K _{zV} [MN/m]	Naam _{xx}	Veermodel _{xx}	K _{xx} [kNm/rad]	K _{xxV} [kNm/rad]	Naam _{yy}	Veermodel _{yy}	K _{yyV} [kNm/rad]	Naam _{zz}	Veermodel _{zz}	K _{zzV} [kNm/rad]	Veermodel _w
24	228	—	Vast - rotatie	Lineair	1E+10	1E+10	—	—	—	—	—	—	—
25	231	—	Vast - rotatie	Lineair	1E+10	1E+10	—	—	—	—	—	—	—
26	203	—	Vast - rotatie	Lineair	1E+10	1E+10	—	—	—	—	—	—	—

Knoop: Ondersteunde knoop; Type: Opleggingstype; Ref. elem.: Referentie-element; Naam_x: Naam van de veereigenschappen; Veermodel_x: Veermodel; K_x, K_{xx}: Initiële stijfheid;

Project:

Constructeur:

Model: **MBT-EHV enkelpaals versterking.axs**

2-5-2022 Pag. 31

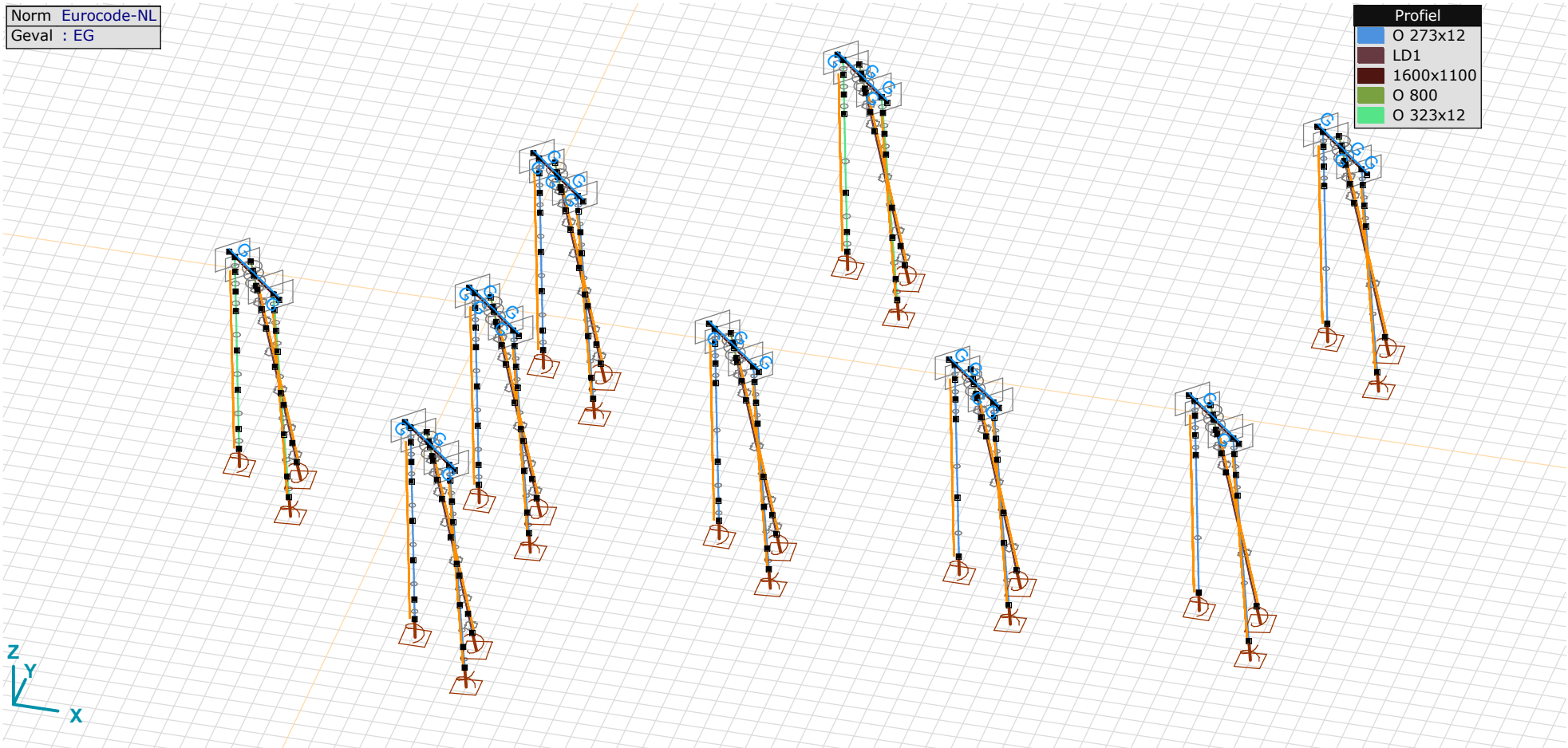
Lijnopleggingen [Geselecteerd]

	<i>Lijn</i>	<i>Type</i>	<i>Ref. elem.</i>	<i>R_x</i> [kN/m/m]	<i>R_y</i> [kN/m/m]	<i>R_z</i> [kN/m/m]	<i>NL(y)</i>	<i>NL(z)</i>	<i>F(y)</i> [kN/m]	<i>F(z)</i> [kN/m]
		Staafr.								
61	Staafr. 139	Staafr.		0	9150	9150	Symmetrisch	Symmetrisch	23,8	23,8
62	Staafr. 140	Staafr.		0	9150	9150	Symmetrisch	Symmetrisch		
69	Staafr. 153	Staafr.		0	6650	6650	Symmetrisch	Symmetrisch		
70	Staafr. 154	Staafr.		0	6650	6650	Symmetrisch	Symmetrisch	17,3	17,3
71	Staafr. 155	Staafr.		0	6650	6650	Symmetrisch	Symmetrisch		
72	Staafr. 156	Staafr.		0	6650	6650	Symmetrisch	Symmetrisch	17,3	17,3
92	Staafr. 182	Staafr.		0	16500	16500	Symmetrisch	Symmetrisch		
131	Staafr. 221	Staafr.		0	12000	12000	Symmetrisch	Symmetrisch		
132	Staafr. 222	Staafr.		0	12000	12000	Symmetrisch	Symmetrisch		

Lijn: Ondersteund lijnelement; Type: Opleggingstype; Ref. elem.: Referentie-element; Rx, Ry, Rz: Verplaatsingsstijfheid; NL(y), NL(z): Niet-lineaire parameters; F(y): Weerstand in Y-richting; F(z): Weerstand in Z-richting;

Norm Eurocode-NL
 Geval : EG

Profiel	
O 273x12	
LD1	
1600x1100	
O 800	
O 323x12	

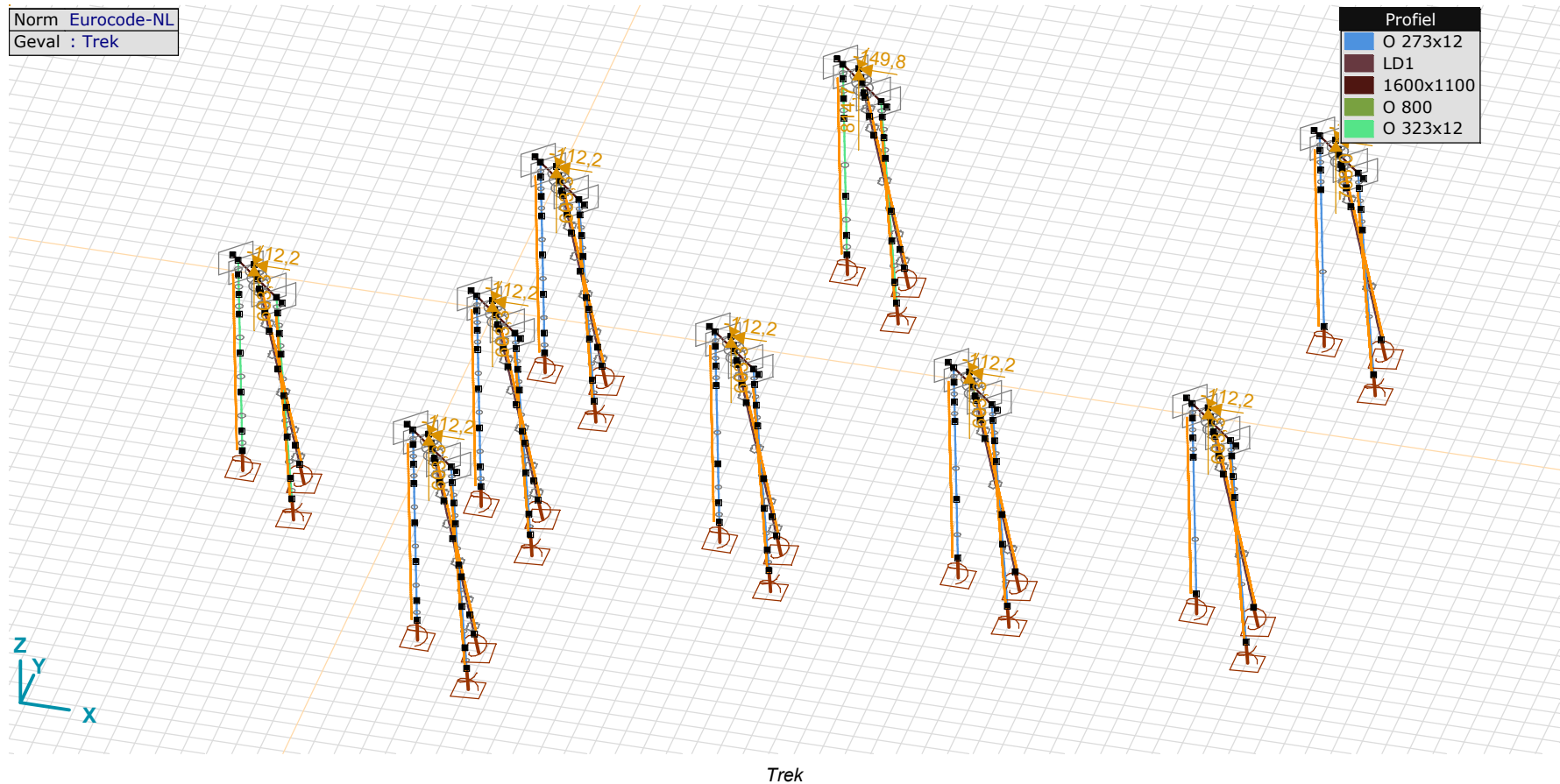


EG

EG: Staaf eigen gewicht

	Σ [kg]		Σ [kg]		Σ [kg]
138-146	8800,00	344-352	8800,00	594-602	8800,00
166-174	8800,00	382-390	8800,00	612-620	8800,00
214-222	8800,00	395-403	8800,00	650-658	8800,00
232-240	8800,00	428-436	8800,00	663-671	8800,00
270-278	8800,00	441-449	8800,00	Totaal	158400,01
288-296	8800,00	477-485	8800,00		
326-334	8800,00	505-513	8800,00		

Σ: Totale massa;



Project:

Constructeur:

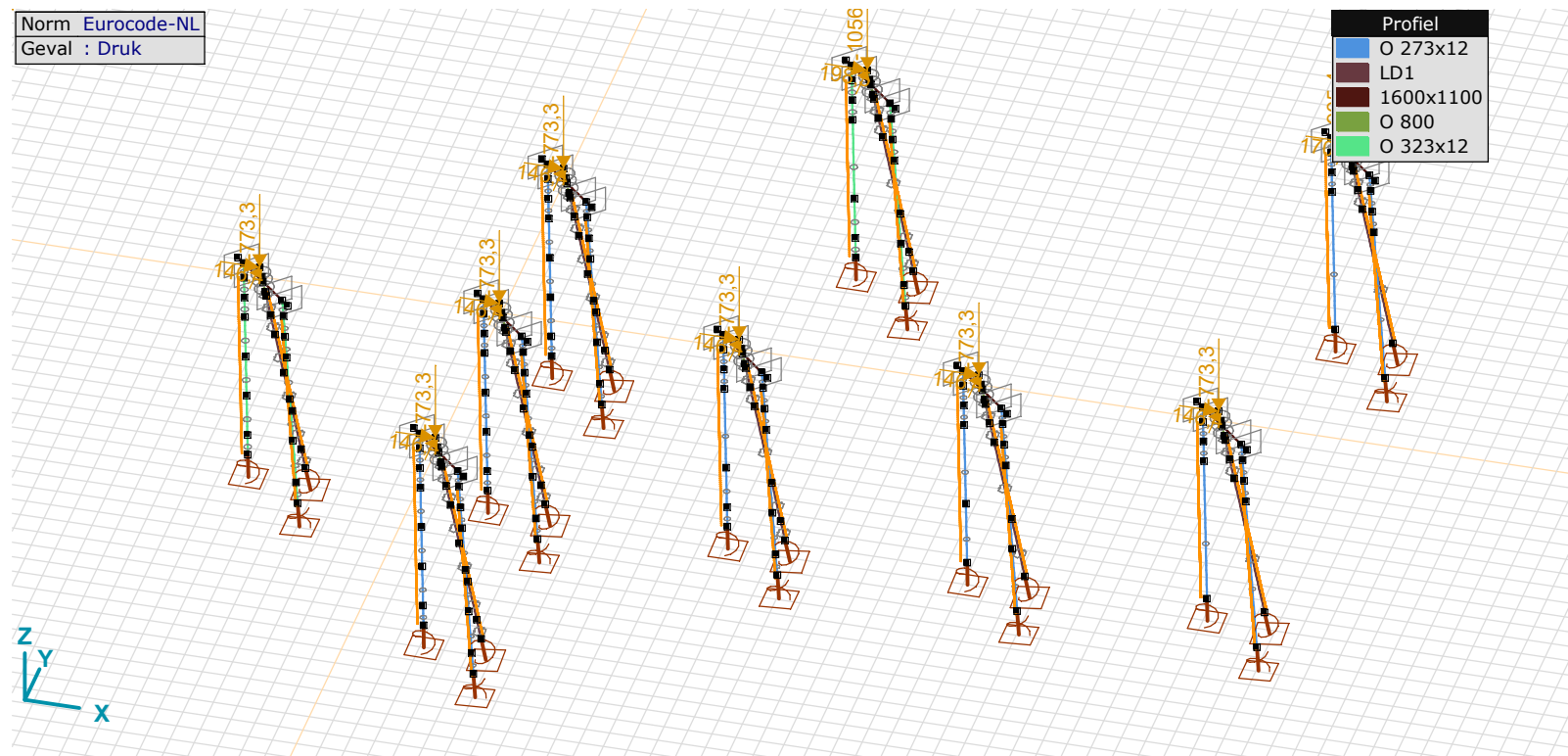
Model: **MBT-EHV enkelpaals versterking.axs**

2-5-2022 Pag. 34

Trek: Knoopbelastingen

	Richting	F_x [kN]	F_y [kN]	F_z [kN]	M_x [kNm]	M_y [kNm]	M_z [kNm]
1	Globaal	-112,2	-95,4	603,3	0	0	0
16	Globaal	-112,2	-95,4	603,3	0	0	0
26	Globaal	-112,2	-95,4	603,3	0	0	0
35	Globaal	-112,2	-95,4	603,3	0	0	0
43	Globaal	-112,2	-95,4	603,3	0	0	0
54	Globaal	-112,2	-95,4	603,3	0	0	0
159	Globaal	-112,2	-95,4	603,3	0	0	0
192	Globaal	-149,8	-133,4	814,7	0	0	0
200	Globaal	-131,1	-112,9	708,0	0	0	0

Fx, Fy, Fz: Belastingkracht component; Mx, My, Mz: Belastingmoment component;



Druk

Project:

Constructeur:

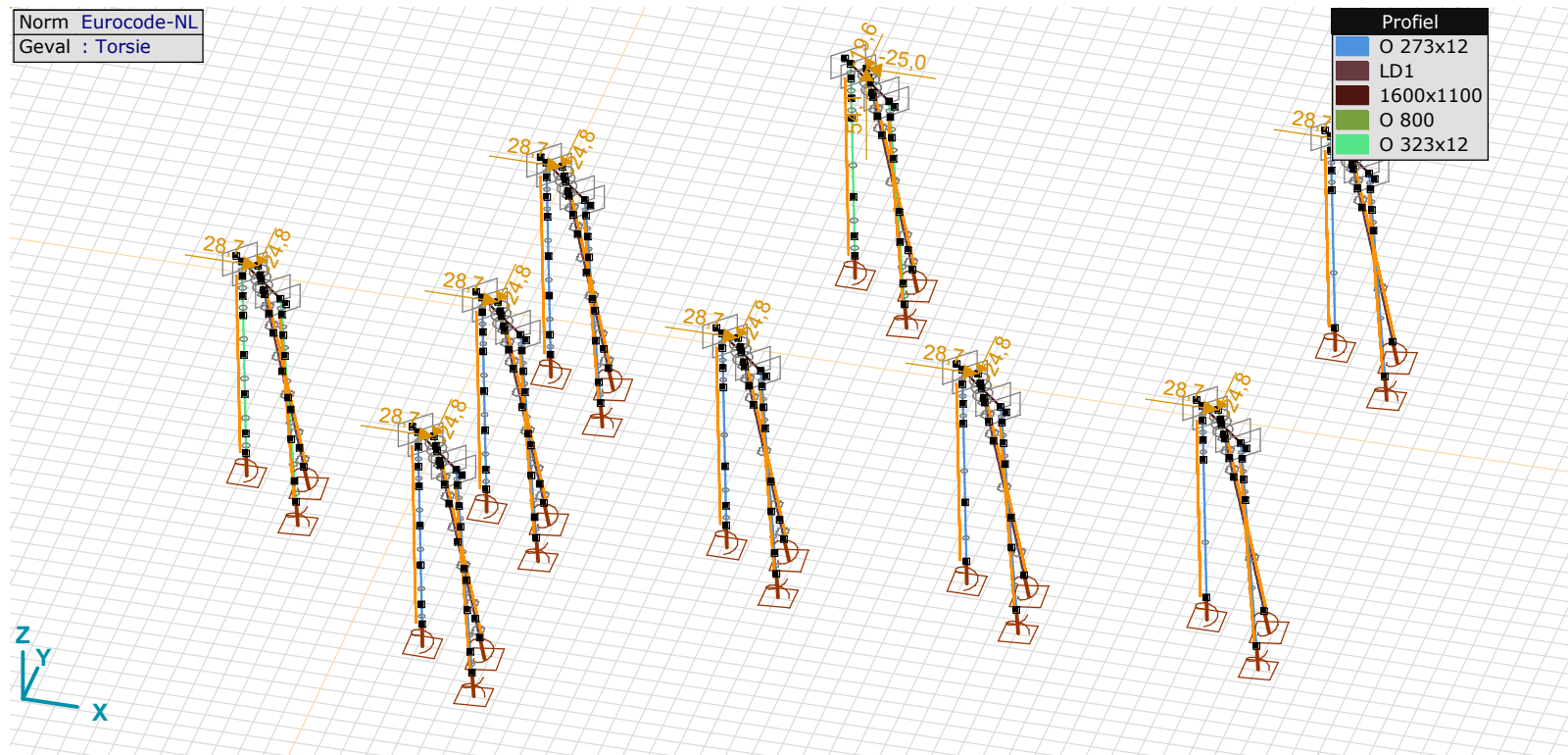
Model: **MBT-EHV enkelpaals versterking.axs**

2-5-2022 Pag. 35

Druk: Knoopbelastingen

	Richting	F_x [kN]	F_y [kN]	F_z [kN]	M_x [kNm]	M_y [kNm]	M_z [kNm]
1	Globaal	146,4	129,6	-773,3	0	0	0
16	Globaal	146,4	129,6	-773,3	0	0	0
26	Globaal	146,4	129,6	-773,3	0	0	0
35	Globaal	146,4	129,6	-773,3	0	0	0
43	Globaal	146,4	129,6	-773,3	0	0	0
54	Globaal	146,4	129,6	-773,3	0	0	0
159	Globaal	146,4	129,6	-773,3	0	0	0
192	Globaal	198,5	182,2	-1056,9	0	0	0
200	Globaal	170,4	152,1	-905,4	0	0	0

Fx, Fy, Fz: Belastingkracht component; Mx, My, Mz: Belastingmoment component;



Project:

Constructeur:

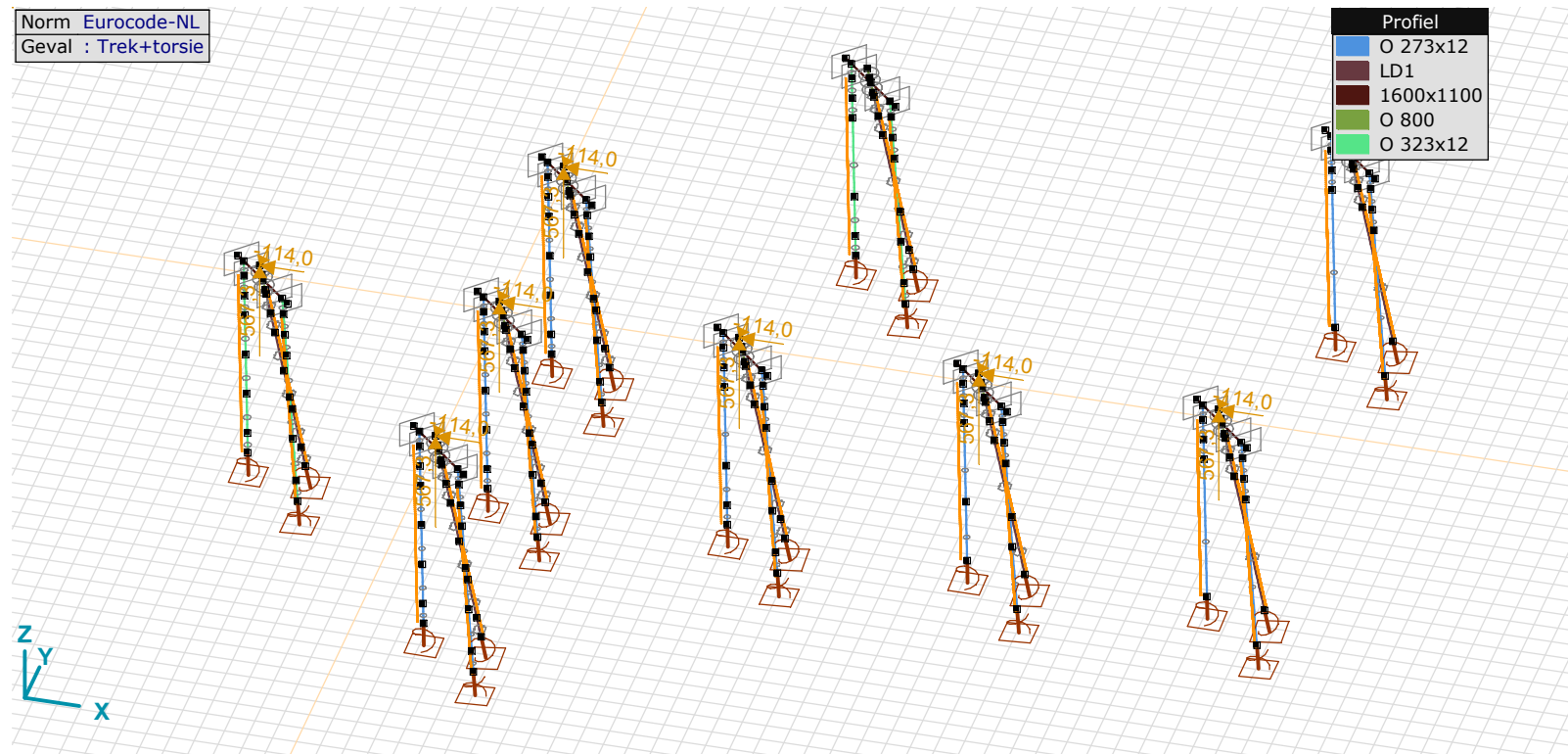
Model: **MBT-EHV enkelpaals versterking.axs**

2-5-2022 Pag. 36

Torsie: Knoopbelastingen

	Richting	F_x [kN]	F_y [kN]	F_z [kN]	M_x [kNm]	M_y [kNm]	M_z [kNm]
1	Globaal	28,7	-24,8	0	0	0	0
16	Globaal	28,7	-24,8	0	0	0	0
26	Globaal	28,7	-24,8	0	0	0	0
35	Globaal	28,7	-24,8	0	0	0	0
43	Globaal	28,7	-24,8	0	0	0	0
54	Globaal	28,7	-24,8	0	0	0	0
159	Globaal	28,7	-24,8	0	0	0	0
192	Globaal	-25,0	-19,6	54,1	0	0	0
200	Globaal	28,7	-22,2	-2,7	0	0	0

Fx, Fy, Fz: Belastingkracht component; Mx, My, Mz: Belastingmoment component;



Project:

Constructeur:

Model: **MBT-EHV enkelpaals versterking.axs**

2-5-2022 Pag. 37

Trek+torsie: Knoopbelastingen

	<i>Richting</i>	<i>F_x</i> [kN]	<i>F_y</i> [kN]	<i>F_z</i> [kN]	<i>M_x</i> [kNm]	<i>M_y</i> [kNm]	<i>M_z</i> [kNm]
1	Globaal	-114,0	-74,4	567,3	0	0	0
16	Globaal	-114,0	-74,4	567,3	0	0	0
26	Globaal	-114,0	-74,4	567,3	0	0	0
35	Globaal	-114,0	-74,4	567,3	0	0	0
43	Globaal	-114,0	-74,4	567,3	0	0	0
54	Globaal	-114,0	-74,4	567,3	0	0	0
159	Globaal	-114,0	-74,4	567,3	0	0	0

F_x, F_y, F_z: Belastingkracht component; M_x, M_y, M_z: Belastingmoment component;

Gebruiker gedefinieerde belastingcombinaties uit belastinggevallen

	<i>Naam</i>	<i>Type</i>	<i>EG</i>	<i>Trek</i>	<i>Druk</i>	<i>Torsie</i>	<i>Trek+torsie</i>	<i>Commentaar</i>
1	Trek	UGT	0,75	1,00	0	0	0	
2	Trek+torsie	UGT	0,75	0	0	0	1,00	
3	Druk	UGT	1,20	0	1,00	0	0	
4	Torsie	UGT	1,20	0	0	1,00	0	

Naam: Naam belastingcombinatie; Type: Type belastingcombinatie; EG, Trek, Druk, Torsie, Trek+torsie: Factor;

Project:

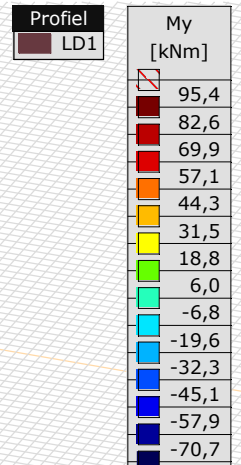
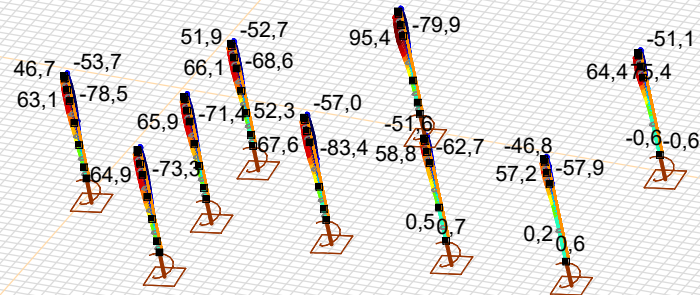
Constructeur:

Model: **MBT-EHV enkelpaals versterking.axs**

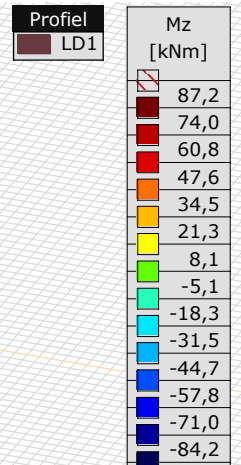
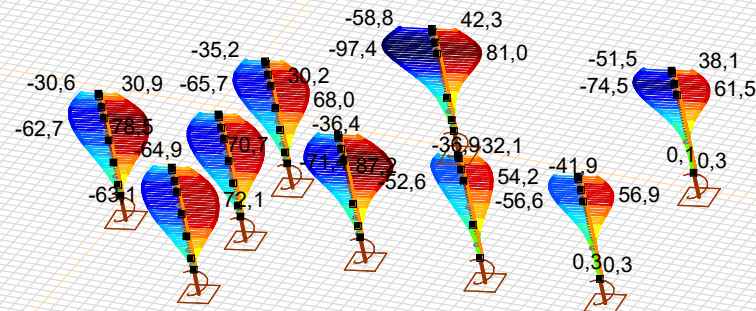
2-5-2022

Pag. 38

Niet-lineaire berekening	
Norm	Eurocode-NL
Geval	: Omhullende Min,Max
Omhullende	: Alle UGT
E (U)	: 6,57E-4
E (P)	: 4,58E-6
E (W)	: 6,22E-8
E (Eq)	: 2,08E-9
Comp.	: My [kNm]
Detail Max	: 95,4
Detail Min	: -83,4
Detail	: Andere lijnelementen/LD1



Niet-lineaire berekening	
Norm	Eurocode-NL
Geval	: Omhullende Min,Max
Omhullende	: Alle UGT
E (U)	: 6,57E-4
E (P)	: 4,58E-6
E (W)	: 6,22E-8
E (Eq)	: 2,08E-9
Comp.	: Mz [kNm]
Detail Max	: 87,2
Detail Min	: -97,4
Detail	: Andere lijnelementen/LD1



[[I]], > LD1, Non-lin., Omhullende (Alle UGT), Lijnen (gevuld), x 2

Project:

Constructeur:

Model: **MBT-EHV enkelpaals versterking.axs**

2-5-2022 Pag. 39

Staafrachten [Non-lin., Omhullende (Alle UGT), Andere lijnelementen / LD1]

Ext.	Prof.	Doorsnede naam	C	min. max.	Geval	Pos. [m]	Knoop	Nx [kN]	Vy [kN]	Vz [kN]	Tx [kNm]	My [kNm]	Mz [kNm]	B [kNm ²]
128	5	LD1	Nx	min	Druk [1] (1,000)	0	(187)	-624,6	-31,4	-23,9	0,3	74,4	-66,0	0
133	5	LD1		min	Druk [1] (1,000)	0	(193)	-624,6	-21,3	-14,0	0,3	93,1	-92,4	0
134	5	LD1		min	Druk [1] (1,000)	0	(194)	-624,6	9,7	12,8	0,3	90,2	-94,4	0
135	5	LD1		min	Druk [1] (1,000)	0	(197)	-624,6	0,4	0,3	0,3	0	0	0
177	5	LD1		min	Druk [1] (1,000)	0	(195)	-624,6	9,7	8,6	0,3	14,5	-16,8	0
178	5	LD1		min	Druk [1] (1,000)	0	(196)	-624,6	5,8	4,9	0,3	2,1	-2,5	0
128	5	LD1		max	Trek [1] (1,000)	0	(187)	440,0	30,9	23,4	-0,4	-59,0	49,4	0
133	5	LD1		max	Trek [1] (1,000)	0	(193)	440,0	21,0	13,8	-0,4	-77,3	75,3	0
134	5	LD1		max	Trek [1] (1,000)	0	(194)	440,0	-6,5	-9,8	-0,4	-76,3	79,3	0
135	5	LD1		max	Trek [1] (1,000)	0	(197)	440,0	-0,3	-0,3	-0,4	0	0	0
177	5	LD1		max	Trek [1] (1,000)	0	(195)	440,0	-8,4	-7,4	-0,4	-12,7	14,9	0
178	5	LD1		max	Trek [1] (1,000)	0	(196)	440,0	-5,1	-4,3	-0,4	-1,8	2,2	0
13	5	LD1	My	min	Trek [1] (1,000)	0	(18)	277,0	10,6	3,1	-0,9	-83,4	85,8	0
175	5	LD1		min	Trek [1] (1,000)	4,081	(18)	277,0	5,9	-0,7	-0,9	-83,4	85,8	0
134	5	LD1		max	Druk [1] (1,000)	0,612	(645)	-624,6	-1,1	3,6	0,3	95,4	-97,2	0
134	5	LD1	Mz	min	Druk [1] (1,000)	0,408	(646)	-624,6	4,8	8,7	0,3	94,7	-97,4	0
175	5	LD1		max	Trek [1] (1,000)	3,841	(841)	277,0	-1,1	-6,2	-0,9	-83,2	87,2	0

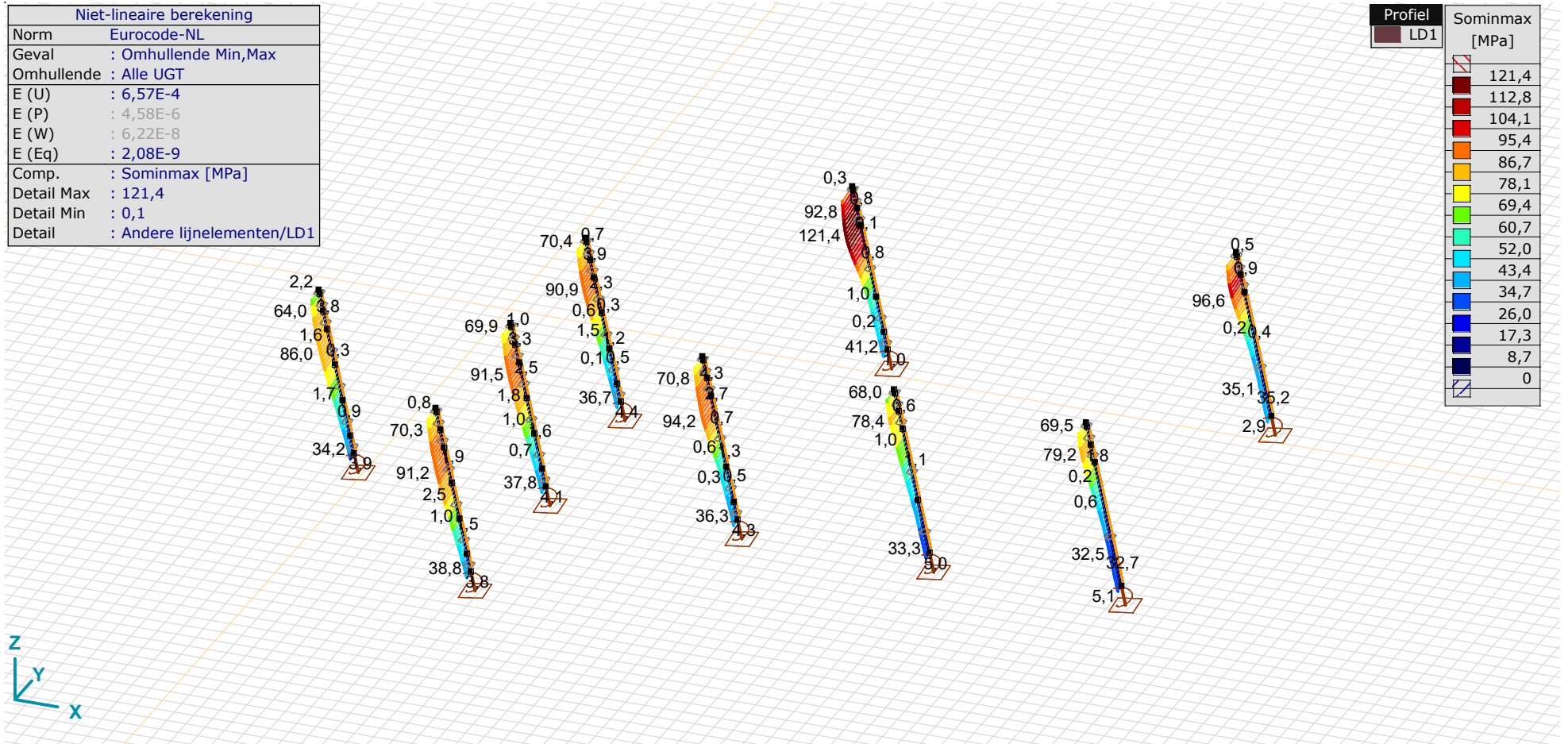
Prof.: Profiel; **C:** Extreme component; **min. max.:** Extreme type; **Geval:** Belastinggeval van de extreme; **Pos.:** Lokale X-positie van de doorsnede op de staaf; **Nx:** Normalkracht; **Vy:** Dwarskracht in lokale y-richting; **Vz:** Dwarskracht in lokale z-richting; **Tx:** Torsiemoment; **My:** Buigend moment in lokale y-richting; **Mz:** Buigend moment in lokale z-richting; **B:** Bimoment;

Project:

Constructeur:

Model: **MBT-EHV enkelpaals versterking.axs**

2-5-2022 Pag. 40



[II], > LD1, Non-lin., Omhullende (Alle UGT), Sominmax, Lijnen (gevuld)

Project:

Constructeur:

Model: **MBT-EHV enkelpaals versterking.axs**

2-5-2022

Pag. 41

Staaftspanningen [Non-lin., Omhullende (Alle UGT), Geselecteerd]

Ext.	Prof.	Doorsnede naam	C	min. max.	Geval	Pos. [m]	Knoop	S;x;min [MPa]	S;x;max [MPa]	Vmin [MPa]	Vmax [MPa]	Somin [MPa]	Somax [MPa]	V;y;gem [MPa]	V;z;gem [MPa]
165	5	LD1	Somin	min	Torsie [1] (1,000)	1,587	(762)	-9,2	1,6	0	0,2	0,1	9,2	0	-0,3
115	5	LD1		max	Druk [1] (1,000)	0	(167)	-34,2	-34,2	0	0,3	34,2	34,2	0,1	0
115	5	LD1	Somax	min	Torsie [1] (1,000)	0,204	(590)	-3,9	-3,8	0	0,3	3,8	3,9	0	-0,1
114	5	LD1		max	Druk [1] (1,000)	0	(163)	-86,0	19,6	0	0,6	1,3	86,0	-0,1	0,2
163	5	LD1		max	Druk [1] (1,000)	2,041	(163)	-86,0	19,6	0	0,8	1,6	86,0	0	0,3

Prof.: Profiel; **C:** Extreme component; **min. max.:** Extreme type; **Geval:** Belastinggeval van de extreme; **Pos.:** Lokale X-positie van de doorsnede op de staaf; **S;x;min:** Doorsnede minimum normaalspanning; **S;x;max:** Doorsnede maximum normaalspanning;

Vmin: Doorsnede minimum afschuifspanning; **Vmax:** Doorsnede maximum afschuifspanning; **Somin:** Doorsnede minimum Von Mises spanning; **Somax:** Doorsnede maximum Von Mises spanning; **V;y;gem:** Afschuifspanning in lokale Y-richting;

V;z;gem: Afschuifspanning in lokale Z-richting;

Staaftspanningen [Non-lin., Omhullende (Alle UGT), Geselecteerd]

Ext.	Prof.	Doorsnede naam	C	min. max.	Geval	Pos. [m]	Knoop	S;x;min [MPa]	S;x;max [MPa]	Vmin [MPa]	Vmax [MPa]	Somin [MPa]	Somax [MPa]	V;y;gem [MPa]	V;z;gem [MPa]
173	5	LD1	Somin	min	Torsie [1] (1,000)	0	(47)	-10,3	1,6	0	0,3	0,1	10,3	0	-0,3
40	5	LD1		max	Druk [1] (1,000)	0	(60)	-38,8	-38,8	0	0,4	38,8	38,8	0,1	0,1
40	5	LD1	Somax	min	Torsie [1] (1,000)	0,204	(325)	-3,8	-3,7	0	0,6	3,7	3,9	0	-0,1
6	5	LD1		max	Druk [1] (1,000)	0,204	(244)	-91,5	18,1	0	0,8	2,2	91,5	-0,1	0,3
169	5	LD1		max	Druk [1] (1,000)	2,041	(8)	-91,4	17,9	0	1,0	2,3	91,4	0	0,4

Prof.: Profiel; **C:** Extreme component; **min. max.:** Extreme type; **Geval:** Belastinggeval van de extreme; **Pos.:** Lokale X-positie van de doorsnede op de staaf; **S;x;min:** Doorsnede minimum normaalspanning; **S;x;max:** Doorsnede maximum normaalspanning;

Vmin: Doorsnede minimum afschuifspanning; **Vmax:** Doorsnede maximum afschuifspanning; **Somin:** Doorsnede minimum Von Mises spanning; **Somax:** Doorsnede maximum Von Mises spanning; **V;y;gem:** Afschuifspanning in lokale Y-richting;

V;z;gem: Afschuifspanning in lokale Z-richting;

Staaftspanningen [Non-lin., Omhullende (Alle UGT), Geselecteerd]

Ext.	Prof.	Doorsnede naam	C	min. max.	Geval	Pos. [m]	Knoop	S;x;min [MPa]	S;x;max [MPa]	Vmin [MPa]	Vmax [MPa]	Somin [MPa]	Somax [MPa]	V;y;gem [MPa]	V;z;gem [MPa]
175	5	LD1	Somin	min	Torsie [1] (1,000)	0,240	(856)	-10,8	2,3	0	0,3	0,2	10,8	0	-0,3
14	5	LD1		max	Druk [1] (1,000)	0	(21)	-36,3	-36,3	0	0,3	36,3	36,3	0	0
14	5	LD1	Somax	min	Torsie [1] (1,000)	0,204	(265)	-4,3	-4,2	0	0,4	4,3	4,3	0	-0,1
13	5	LD1		max	Druk [1] (1,000)	0	(18)	-94,2	23,5	0	0,4	3,3	94,2	-0,4	0,1
175	5	LD1		max	Druk [1] (1,000)	4,081	(18)	-94,2	23,5	0	0,7	3,5	94,2	-0,1	0,3

Prof.: Profiel; **C:** Extreme component; **min. max.:** Extreme type; **Geval:** Belastinggeval van de extreme; **Pos.:** Lokale X-positie van de doorsnede op de staaf; **S;x;min:** Doorsnede minimum normaalspanning; **S;x;max:** Doorsnede maximum normaalspanning;

Vmin: Doorsnede minimum afschuifspanning; **Vmax:** Doorsnede maximum afschuifspanning; **Somin:** Doorsnede minimum Von Mises spanning; **Somax:** Doorsnede maximum Von Mises spanning; **V;y;gem:** Afschuifspanning in lokale Y-richting;

V;z;gem: Afschuifspanning in lokale Z-richting;

Project:

Constructeur:

Model: **MBT-EHV enkelpaals versterking.axs**

2-5-2022

Pag. 42

Staaftspanningen [Non-lin., Omhullende (Alle UGT), Geselecteerd]

Ext.	Prof.	Doorsnede naam	C	min. max.	Geval	Pos. [m]	Knoop	S;x;min [MPa]	S;x;max [MPa]	Vmin [MPa]	Vmax [MPa]	Somin [MPa]	Somax [MPa]	V;y;gem [MPa]	V;z;gem [MPa]
179	5	LD1	Somin	min	Torsie [1] (1,000)	1,441	(899)	-10,0	-0,1	0	0,1	0,1	10,0	-0,1	-0,1
180	5	LD1		max	Druk [1] (1,000)	0	(30)	-33,3	-33,3	0	0,2	33,3	33,3	0	0
180	5	LD1	Somax	min	Torsie [1] (1,000)	0	(30)	-5,0	-5,0	0	0,2	5,0	5,0	0	0
19	5	LD1		max	Druk [1] (1,000)	0,204	(274)	-78,4	14,0	0	1,0	4,3	78,4	0	0,5

Prof.: Profiel; **C:** Extreme component; **min. max.:** Extreme type; **Geval:** Belastinggeval van de extreme; **Pos.:** Lokale X-positie van de doorsnede op de staaf; **S;x;min:** Doorsnede minimum normaalspanning; **S;x;max:** Doorsnede maximum normaalspanning;

Vmin: Doorsnede minimum afschuifspanning; **Vmax:** Doorsnede maximum afschuifspanning; **Somin:** Doorsnede minimum Von Mises spanning; **Somax:** Doorsnede maximum Von Mises spanning; **V;y;gem:** Afschuifspanning in lokale Y-richting;

V;z;gem: Afschuifspanning in lokale Z-richting;

Staaftspanningen [Non-lin., Omhullende (Alle UGT), Geselecteerd]

Ext.	Prof.	Doorsnede naam	C	min. max.	Geval	Pos. [m]	Knoop	S;x;min [MPa]	S;x;max [MPa]	Vmin [MPa]	Vmax [MPa]	Somin [MPa]	Somax [MPa]	V;y;gem [MPa]	V;z;gem [MPa]
181	5	LD1	Somin	min	Torsie [1] (1,000)	4,680	(926)	-10,0	-0,1	0	0,3	0,1	10,0	0	-0,3
181	5	LD1		max	Druk [1] (1,000)	0	(38)	-32,3	-32,3	0	0,1	32,3	32,3	0	0
181	5	LD1	Somax	min	Torsie [1] (1,000)	0,246	(944)	-5,1	-5,1	0	0,2	5,1	5,1	0	0
25	5	LD1		max	Druk [1] (1,000)	0,204	(287)	-79,2	16,5	0	0,7	1,4	79,2	-0,1	0,3

Prof.: Profiel; **C:** Extreme component; **min. max.:** Extreme type; **Geval:** Belastinggeval van de extreme; **Pos.:** Lokale X-positie van de doorsnede op de staaf; **S;x;min:** Doorsnede minimum normaalspanning; **S;x;max:** Doorsnede maximum normaalspanning;

Vmin: Doorsnede minimum afschuifspanning; **Vmax:** Doorsnede maximum afschuifspanning; **Somin:** Doorsnede minimum Von Mises spanning; **Somax:** Doorsnede maximum Von Mises spanning; **V;y;gem:** Afschuifspanning in lokale Y-richting;

V;z;gem: Afschuifspanning in lokale Z-richting;

Staaftspanningen [Non-lin., Omhullende (Alle UGT), Geselecteerd]

Ext.	Prof.	Doorsnede naam	C	min. max.	Geval	Pos. [m]	Knoop	S;x;min [MPa]	S;x;max [MPa]	Vmin [MPa]	Vmax [MPa]	Somin [MPa]	Somax [MPa]	V;y;gem [MPa]	V;z;gem [MPa]
178	5	LD1	Somin	min	Torsie [1] (1,000)	0,227	(888)	-2,2	0,1	0	0,2	0,1	2,2	-0,1	-0,1
135	5	LD1		max	Druk [1] (1,000)	0	(197)	-41,2	-41,2	0	0,1	41,2	41,2	0	0
135	5	LD1	Somax	min	Torsie [1] (1,000)	0	(197)	-1,0	-1,0	0	0	1,0	1,1	0	0
134	5	LD1		max	Druk [1] (1,000)	0,612	(645)	-121,4	41,9	0	0,5	13,1	121,4	-0,1	0,2

Prof.: Profiel; **C:** Extreme component; **min. max.:** Extreme type; **Geval:** Belastinggeval van de extreme; **Pos.:** Lokale X-positie van de doorsnede op de staaf; **S;x;min:** Doorsnede minimum normaalspanning; **S;x;max:** Doorsnede maximum normaalspanning;

Vmin: Doorsnede minimum afschuifspanning; **Vmax:** Doorsnede maximum afschuifspanning; **Somin:** Doorsnede minimum Von Mises spanning; **Somax:** Doorsnede maximum Von Mises spanning; **V;y;gem:** Afschuifspanning in lokale Y-richting;

V;z;gem: Afschuifspanning in lokale Z-richting;

Project:

Constructeur:

Model: **MBT-EHV enkelpaals versterking.axs**

2-5-2022 Pag. 43

Staafspanningen [Non-lin., Omhullende (Alle UGT), Geselecteerd]

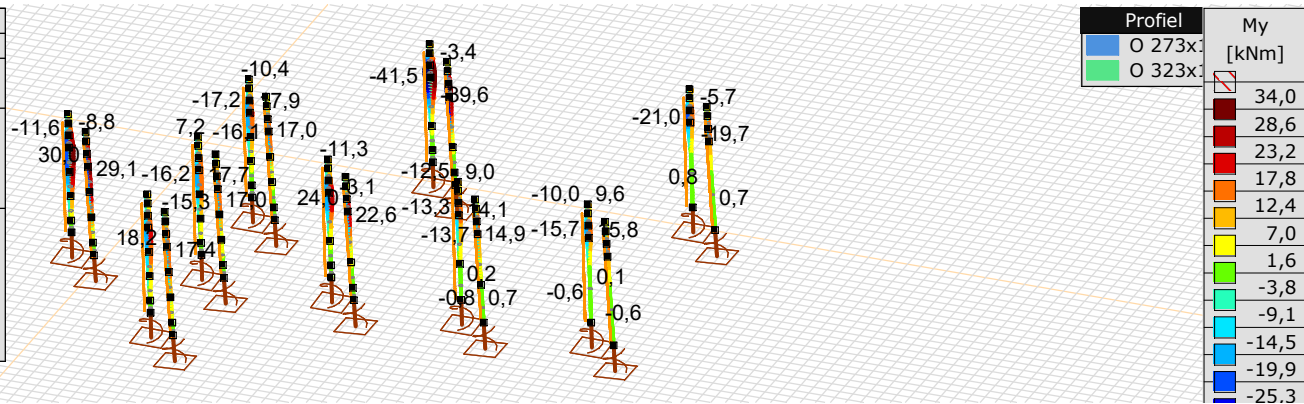
Ext.	Prof.	Doorsnede naam	C	min. max.	Geval	Pos. [m]	Knoop	S;x;min [MPa]	S;x;max [MPa]	Vmin [MPa]	Vmax [MPa]	Somin [MPa]	Somax [MPa]	V;y;gem [MPa]	V;z;gem [MPa]
182	5	LD1	Somin	min	Torsie [1] (1,000)	6,404	(947)	-13,7	3,9	0	0,1	0,1	13,7	-0,2	-0,1
182	5	LD1		max	Druk [1] (1,000)	0	(203)	-34,8	-34,8	0	0,1	34,8	34,8	0	0
182	5	LD1	Somax	min	Trek+torsie [1] (1,000)	0	(203)	-2,9	-2,9	0	0	2,9	2,9	0	0
139	5	LD1		max	Druk [1] (1,000)	0	(201)	-96,6	29,4	0	0,5	6,7	96,6	-0,4	0,2
140	5	LD1		max	Druk [1] (1,000)	1,020	(201)	-96,6	29,4	0	0,9	6,8	96,6	-0,1	0,5

Prof.: Profiel; C: Extreme component; min. max.: Extreme type; Geval: Belastinggeval van de extreme; Pos.: Lokale X-positie van de doorsnede op de staaf; S;x;min: Doorsnede minimum normaalspanning; S;x;max: Doorsnede maximum normaalspanning;

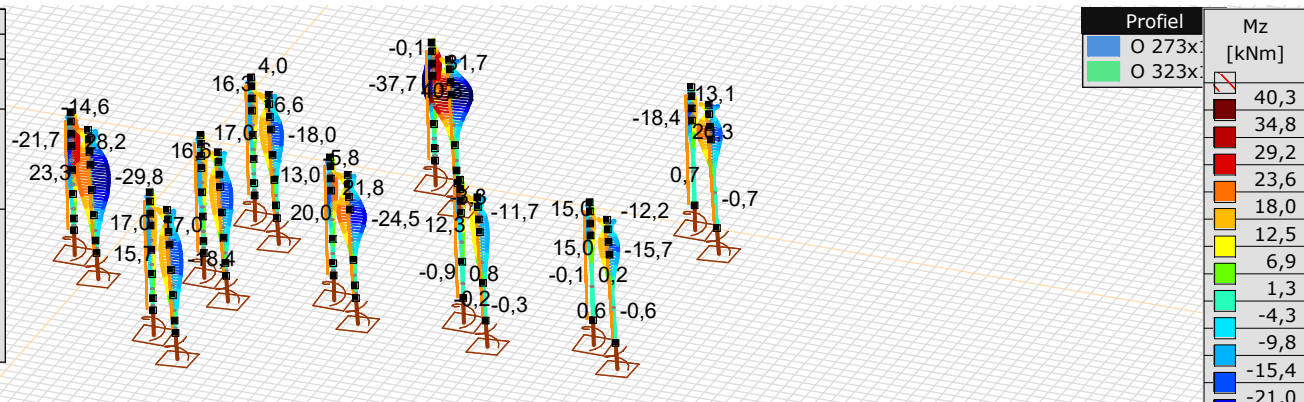
Vmin: Doorsnede minimum afschuifspanning; Vmax: Doorsnede maximum afschuifspanning; Somin: Doorsnede minimum Von Mises spanning; Somax: Doorsnede maximum Von Mises spanning; V;y;gem: Afschuifspanning in lokale Y-richting;

V;z;gem: Afschuifspanning in lokale Z-richting;

Niet-lineaire berekening	
Norm	Eurocode-NL
Geval	: Omhullende Min,Max
Omhullende	: Alle UGT
E (U)	: 6,57E-4
E (P)	: 4,58E-6
E (W)	: 6,22E-8
E (Eq)	: 2,08E-9
Comp.	: My [kNm]
Detail Max	: 34,0
Detail Min	: -41,5
Onderdelen	: (2)
Andere lijnelementen/O 273x12	
Andere lijnelementen/O 323x12	



Niet-lineaire berekening	
Norm	Eurocode-NL
Geval	: Omhullende Min,Max
Omhullende	: Alle UGT
E (U)	: 6,57E-4
E (P)	: 4,58E-6
E (W)	: 6,22E-8
E (Eq)	: 2,08E-9
Comp.	: Mz [kNm]
Detail Max	: 40,3
Detail Min	: -37,7
Onderdelen	: (2)
Andere lijnelementen/O 273x12	
Andere lijnelementen/O 323x12	



[II], > 2 details, Non-lin., Omhullende (Alle UGT), Lijnen (gevuld), x 2

Project:

Constructeur:

Model: **MBT-EHV enkelpaals versterking.axs**

2-5-2022 Pag. 44

Staafrachten [Non-lin., Omhullende (Alle UGT), Details]

Ext.	Prof.	Doorsnede naam	C	min. max.	Geval	Pos. [m]	Knoop	Nx [kN]	Vy [kN]	Vz [kN]	Tx [kNm]	My [kNm]	Mz [kNm]	B [kNm ²]
143	4	O 323x12	Nx	min	Druk [1] (1,000)	0	(211)	-341,5	-2,1	-4,0	0,9	-38,7	39,9	0
144	4	O 323x12		min	Druk [1] (1,000)	0	(212)	-341,5	23,5	19,0	0,9	-34,1	32,3	0
151	4	O 323x12		min	Druk [1] (1,000)	0	(213)	-341,5	29,3	24,8	0,9	-12,5	6,2	0
152	4	O 323x12		min	Druk [1] (1,000)	0	(219)	-341,5	0	0	0,9	0	0	0
212	4	O 323x12		min	Druk [1] (1,000)	0	(209)	-341,5	-1,2	-1,0	0,9	-0,2	0,3	0
214	4	O 323x12		min	Druk [1] (1,000)	0	(210)	-341,5	-2,8	-2,5	0,9	-2,9	3,5	0
124	4	O 323x12		max	Trek [1] (1,000)	0	(179)	144,6	-20,5	-16,1	-1,1	10,9	-2,6	0
125	4	O 323x12		max	Trek [1] (1,000)	0	(183)	144,6	-4,9	-2,0	-1,1	28,9	-28,5	0
126	4	O 323x12		max	Trek [1] (1,000)	0	(184)	144,6	-14,6	-10,3	-1,1	23,8	-19,9	0
127	4	O 323x12		max	Trek [1] (1,000)	0	(185)	144,6	0,3	0,3	-1,1	0	0	0
184	4	O 323x12		max	Trek [1] (1,000)	0	(180)	144,6	4,6	3,7	-1,1	1,6	-2,0	0
186	4	O 323x12		max	Trek [1] (1,000)	0	(181)	144,6	6,2	5,2	-1,1	10,1	-12,4	0
187	4	O 323x12		max	Trek [1] (1,000)	0	(182)	144,6	4,0	5,1	-1,1	23,3	-26,4	0
141	4	O 323x12	My	min	Druk [1] (1,000)	0,200	(665)	-323,4	3,5	-3,3	-0,5	-41,5	-37,7	0
141	4	O 323x12		max	Trek [1] (1,000)	0,200	(665)	123,2	-3,3	3,0	0,4	34,0	31,6	0
141	4	O 323x12	Mz	min	Druk [1] (1,000)	0,401	(666)	-323,4	0,1	0,6	-0,5	-41,4	-37,7	0
143	4	O 323x12		max	Druk [1] (1,000)	0,200	(673)	-341,5	1,9	-0,5	0,9	-39,5	40,3	0

Prof.: Profiel; C: Extreme component; min. max.: Extreme type; Geval: Belastinggeval van de extreme; Pos.: Lokale X-positie van de doorsnede op de staaf; Nx: Normalkracht; Vy: Dwarskracht in lokale y-richting; Vz: Dwarskracht in lokale z-richting; Tx: Torsiemoment; My: Buigend moment in lokale y-richting; Mz: Buigend moment in lokale z-richting; B: Bimoment;

Project:

Constructeur:

Model: **MBT-EHV enkelpaals versterking.axs**

2-5-2022 Pag. 45

Staafrachten [Non-lin., Omhullende (Alle UGT), Andere lijnelementen / O 273x12]

Ext.	Prof.	Doorsnede naam	C	min. max.	Geval	Pos. [m]	Knoop	Nx [kN]	Vy [kN]	Vz [kN]	Tx [kNm]	My [kNm]	Mz [kNm]	B [kNm ²]
155	2	O 273x12	Nx	min	Druk [1] (1,000)	0	(223)	-313,2	-3,5	-4,9	0,4	-17,5	19,1	0
156	2	O 273x12		min	Druk [1] (1,000)	0	(224)	-313,2	8,9	5,3	0,4	-19,3	18,7	0
162	2	O 273x12		min	Druk [1] (1,000)	0	(225)	-313,2	24,5	20,8	0,4	-7,1	2,8	0
222	2	O 273x12		min	Druk [1] (1,000)	0	(231)	-313,2	0,1	0,1	0,4	0	0	0
91	2	O 273x12		max	Trek [1] (1,000)	0	(136)	117,6	0,7	2,7	-0,6	13,0	-13,3	0
92	2	O 273x12		max	Trek [1] (1,000)	0	(137)	117,6	-4,4	-0,9	-0,6	14,9	-12,6	0
98	2	O 273x12		max	Trek [1] (1,000)	0	(138)	117,6	-20,0	-16,5	-0,6	7,1	-1,3	0
216	2	O 273x12		max	Trek [1] (1,000)	0	(144)	117,6	-0,1	-0,1	-0,6	0	0	0
217	2	O 273x12		max	Trek [1] (1,000)	0	(135)	117,6	3,0	2,6	-0,6	0,6	-2,0	0
153	2	O 273x12	My	min	Druk [1] (1,000)	0,601	(711)	-293,4	0,5	1,3	-0,1	-21,0	-18,2	0
209	2	O 273x12		max	Trek [1] (1,000)	3,773	(1196)	95,3	-1,4	0,5	0,1	24,0	21,8	0
210	2	O 273x12	Mz	min	Trek [1] (1,000)	3,537	(1211)	117,4	2,9	3,8	-0,7	22,2	-24,5	0
209	2	O 273x12		max	Trek [1] (1,000)	3,773	(1196)	95,3	-1,4	0,5	0,1	24,0	21,8	0

Prof.: Profiel; **C:** Extreme component; **min. max.:** Extreme type; **Geval:** Belastinggeval van de extreme; **Pos.:** Lokale X-positie van de doorsnede op de staaf; **Nx:** Normaalkracht; **Vy:** Dwarskracht in lokale y-richting; **Vz:** Dwarskracht in lokale z-richting; **Tx:** Torsiemoment; **My:** Buigend moment in lokale y-richting; **Mz:** Buigend moment in lokale z-richting; **B:** Bimoment;

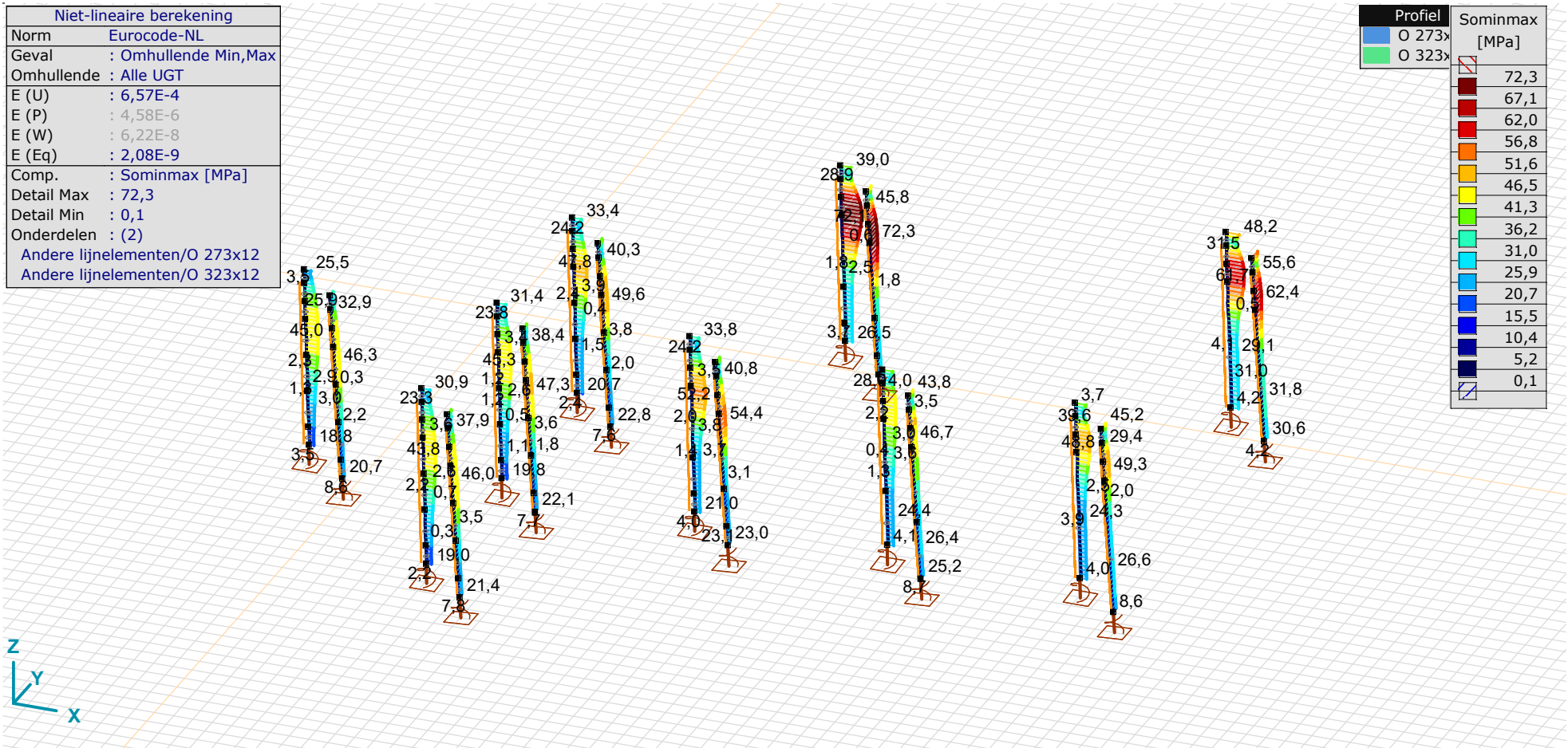
Project:

Constructeur:

Model: **MBT-EHV enkelpaals versterking.axs**

Niet-lineaire berekening	
Norm	Eurocode-NL
Geval	: Omhullende Min,Max
Omhullende	: Alle UGT
E (U)	: 6,57E-4
E (P)	: 4,58E-6
E (W)	: 6,22E-8
E (Eq)	: 2,08E-9
Comp.	: Sominmax [MPa]
Detail Max	: 72,3
Detail Min	: 0,1
Onderdelen	: (2)
	Andere lijnelementen/O 273x12
	Andere lijnelementen/O 323x12

Profiel	Sominmax [MPa]
O 273x	72,3
O 323x	67,1
	62,0
	56,8
	51,6
	46,5
	41,3
	36,2
	31,0
	25,9
	20,7
	15,5
	10,4
	5,2
	0,1



[II], > 2 details, Non-lin., Omhullende (Alle UGT), Sominmax, Lijnen (gevuld)

Project:

Constructeur:

Model: **MBT-EHV enkelpaals versterking.axs**

2-5-2022

Pag. 47

Staaftspanningen [Non-lin., Omhullende (Alle UGT), Geselecteerd]

Ext.	Prof.	Doorsnede naam	C	min. max.	Geval	Pos. [m]	Knoop	S;x;min [MPa]	S;x;max [MPa]	Vmin [MPa]	Vmax [MPa]	Somin [MPa]	Somax [MPa]	V;y;gem [MPa]	V;z;gem [MPa]
187	4	O 323x12	Somin	min	Druk [1] (1,000)	0,445	(1006)	-44,6	3,2	0	1,2	0,3	44,6	-0,2	-0,3
127	4	O 323x12		max	Druk [1] (1,000)	0	(185)	-20,7	-20,7	0	0,6	20,7	20,7	0	0
119	4	O 323x12	Somax	min	Torsie [1] (1,000)	0	(171)	-3,5	-3,5	0	0,6	3,5	3,7	0	0
187	4	O 323x12		max	Druk [1] (1,000)	1,336	(1010)	-46,3	4,9	0	0,8	3,5	46,3	0	-0,1

Prof.: Profiel; **C:** Extreme component; **min. max.:** Extreme type; **Geval:** Belastinggeval van de extreme; **Pos.:** Lokale X-positie van de doorsnede op de staaf; **S;x;min:** Doorsnede minimum normaalspanning; **S;x;max:** Doorsnede maximum normaalspanning;

Vmin: Doorsnede minimum afschuifspanning; **Vmax:** Doorsnede maximum afschuifspanning; **Somin:** Doorsnede minimum Von Mises spanning; **Somax:** Doorsnede maximum Von Mises spanning; **V;y;gem:** Afschuifspanning in lokale Y-richting;

V;z;gem: Afschuifspanning in lokale Z-richting;

Staaftspanningen [Non-lin., Omhullende (Alle UGT), Geselecteerd]

Ext.	Prof.	Doorsnede naam	C	min. max.	Geval	Pos. [m]	Knoop	S;x;min [MPa]	S;x;max [MPa]	Vmin [MPa]	Vmax [MPa]	Somin [MPa]	Somax [MPa]	V;y;gem [MPa]	V;z;gem [MPa]
196	2	O 273x12	Somin	min	Trek+torsie [1] (1,000)	1,782	(1084)	-4,2	8,8	0	0,8	0,2	8,8	-0,1	0,2
64	2	O 273x12		max	Druk [1] (1,000)	0	(96)	-22,8	-22,8	0	0,5	22,8	22,8	0	0
72	2	O 273x12	Somax	min	Trek+torsie [1] (1,000)	0	(111)	2,2	2,2	0	0,5	2,2	2,4	0	0
205	2	O 273x12		max	Druk [1] (1,000)	1,782	(1156)	-49,5	3,9	0	0,7	2,3	49,6	0	-0,1

Prof.: Profiel; **C:** Extreme component; **min. max.:** Extreme type; **Geval:** Belastinggeval van de extreme; **Pos.:** Lokale X-positie van de doorsnede op de staaf; **S;x;min:** Doorsnede minimum normaalspanning; **S;x;max:** Doorsnede maximum normaalspanning;

Vmin: Doorsnede minimum afschuifspanning; **Vmax:** Doorsnede maximum afschuifspanning; **Somin:** Doorsnede minimum Von Mises spanning; **Somax:** Doorsnede maximum Von Mises spanning; **V;y;gem:** Afschuifspanning in lokale Y-richting;

V;z;gem: Afschuifspanning in lokale Z-richting;

Staaftspanningen [Non-lin., Omhullende (Alle UGT), Geselecteerd]

Ext.	Prof.	Doorsnede naam	C	min. max.	Geval	Pos. [m]	Knoop	S;x;min [MPa]	S;x;max [MPa]	Vmin [MPa]	Vmax [MPa]	Somin [MPa]	Somax [MPa]	V;y;gem [MPa]	V;z;gem [MPa]
210	2	O 273x12	Somin	min	Torsie [1] (1,000)	3,537	(1211)	-19,5	-0,2	0	0,8	0,3	19,6	0,2	0
88	2	O 273x12		max	Druk [1] (1,000)	0	(130)	-23,0	-23,0	0	0,5	23,0	23,0	0	0
84	2	O 273x12	Somax	min	Torsie [1] (1,000)	0	(127)	-4,0	-4,0	0	0,6	4,0	4,1	0	0
210	2	O 273x12		max	Druk [1] (1,000)	3,773	(1212)	-54,4	8,4	0	1,1	5,7	54,4	0,3	0,1

Prof.: Profiel; **C:** Extreme component; **min. max.:** Extreme type; **Geval:** Belastinggeval van de extreme; **Pos.:** Lokale X-positie van de doorsnede op de staaf; **S;x;min:** Doorsnede minimum normaalspanning; **S;x;max:** Doorsnede maximum normaalspanning;

Vmin: Doorsnede minimum afschuifspanning; **Vmax:** Doorsnede maximum afschuifspanning; **Somin:** Doorsnede minimum Von Mises spanning; **Somax:** Doorsnede maximum Von Mises spanning; **V;y;gem:** Afschuifspanning in lokale Y-richting;

V;z;gem: Afschuifspanning in lokale Z-richting;

Project:

Constructeur:

Model: **MBT-EHV enkelpaals versterking.axs**

2-5-2022

Pag. 48

Staaftenspanningen [Non-lin., Omhullende (Alle UGT), Geselecteerd]

Ext.	Prof.	Doorsnede naam	C	min. max.	Geval	Pos. [m]	Knoop	S;x;min [MPa]	S;x;max [MPa]	Vmin [MPa]	Vmax [MPa]	Somin [MPa]	Somax [MPa]	V;y;gem [MPa]	V;z;gem [MPa]
90	2	O 273x12	Somin	min	Torsie [1] (1,000)	0,401	(507)	-8,5	0,3	0	1,3	0,3	8,6	0,5	0,1
216	2	O 273x12		max	Druk [1] (1,000)	0	(144)	-25,2	-25,2	0	0,4	25,2	25,2	0	0
215	2	O 273x12	Somax	min	Torsie [1] (1,000)	0	(141)	-4,1	-4,1	0	0,3	4,1	4,1	0	0
91	2	O 273x12		max	Druk [1] (1,000)	1,002	(137)	-46,7	-3,8	0	0,7	3,9	46,7	0,1	-0,2
92	2	O 273x12		max	Druk [1] (1,000)	0	(137)	-46,7	-3,8	0	1,0	4,1	46,7	0,3	0

Prof.: Profiel; **C:** Extreme component; **min. max.:** Extreme type; **Geval:** Belastinggeval van de extreme; **Pos.:** Lokale X-positie van de doorsnede op de staaf; **S;x;min:** Doorsnede minimum normaalspanning; **S;x;max:** Doorsnede maximum normaalspanning;

Vmin: Doorsnede minimum afschuifspanning; **Vmax:** Doorsnede maximum afschuifspanning; **Somin:** Doorsnede minimum Von Mises spanning; **Somax:** Doorsnede maximum Von Mises spanning; **V;y;gem:** Afschuifspanning in lokale Y-richting;

V;z;gem: Afschuifspanning in lokale Z-richting;

Staaftenspanningen [Non-lin., Omhullende (Alle UGT), Geselecteerd]

Ext.	Prof.	Doorsnede naam	C	min. max.	Geval	Pos. [m]	Knoop	S;x;min [MPa]	S;x;max [MPa]	Vmin [MPa]	Vmax [MPa]	Somin [MPa]	Somax [MPa]	V;y;gem [MPa]	V;z;gem [MPa]
99	2	O 273x12	Somin	min	Druk [1] (1,000)	1,002	(146)	-48,2	0	0	0,4	0,3	48,2	-0,1	0,2
220	2	O 273x12		max	Druk [1] (1,000)	0	(156)	-25,7	-25,7	0	0,3	25,7	25,7	0	0
219	2	O 273x12	Somax	min	Torsie [1] (1,000)	0	(153)	-4,0	-4,0	0	0,2	4,0	4,0	0	0
101	2	O 273x12		max	Druk [1] (1,000)	0,601	(548)	-49,3	-2,1	0	0,7	2,5	49,3	-0,1	-0,2

Prof.: Profiel; **C:** Extreme component; **min. max.:** Extreme type; **Geval:** Belastinggeval van de extreme; **Pos.:** Lokale X-positie van de doorsnede op de staaf; **S;x;min:** Doorsnede minimum normaalspanning; **S;x;max:** Doorsnede maximum normaalspanning;

Vmin: Doorsnede minimum afschuifspanning; **Vmax:** Doorsnede maximum afschuifspanning; **Somin:** Doorsnede minimum Von Mises spanning; **Somax:** Doorsnede maximum Von Mises spanning; **V;y;gem:** Afschuifspanning in lokale Y-richting;

V;z;gem: Afschuifspanning in lokale Z-richting;

Staaftenspanningen [Non-lin., Omhullende (Alle UGT), Geselecteerd]

Ext.	Prof.	Doorsnede naam	C	min. max.	Geval	Pos. [m]	Knoop	S;x;min [MPa]	S;x;max [MPa]	Vmin [MPa]	Vmax [MPa]	Somin [MPa]	Somax [MPa]	V;y;gem [MPa]	V;z;gem [MPa]
141	4	O 323x12	Somin	min	Trek+torsie [1] (1,000)	0,401	(666)	-7,6	0,2	0	0,1	0,1	7,6	0	0
143	4	O 323x12		min	Trek+torsie [1] (1,000)	0,401	(674)	-7,6	0,2	0	0,1	0,1	7,6	0	0
152	4	O 323x12		max	Druk [1] (1,000)	0	(219)	-28,0	-28,0	0	0,5	28,0	28,0	0	0
148	4	O 323x12	Somax	min	Trek+torsie [1] (1,000)	0	(216)	-3,7	-3,7	0	0	3,7	3,7	0	0
152	4	O 323x12		min	Trek+torsie [1] (1,000)	0	(219)	-3,7	-3,7	0	0	3,7	3,7	0	0
143	4	O 323x12		max	Druk [1] (1,000)	0,200	(673)	-72,3	16,3	0	0,8	15,4	72,3	0,2	0

Prof.: Profiel; **C:** Extreme component; **min. max.:** Extreme type; **Geval:** Belastinggeval van de extreme; **Pos.:** Lokale X-positie van de doorsnede op de staaf; **S;x;min:** Doorsnede minimum normaalspanning; **S;x;max:** Doorsnede maximum normaalspanning;

Vmin: Doorsnede minimum afschuifspanning; **Vmax:** Doorsnede maximum afschuifspanning; **Somin:** Doorsnede minimum Von Mises spanning; **Somax:** Doorsnede maximum Von Mises spanning; **V;y;gem:** Afschuifspanning in lokale Y-richting;

V;z;gem: Afschuifspanning in lokale Z-richting;

Project:

Constructeur:

Model: **MBT-EHV enkelpaals versterking.axs**

2-5-2022 Pag. 49

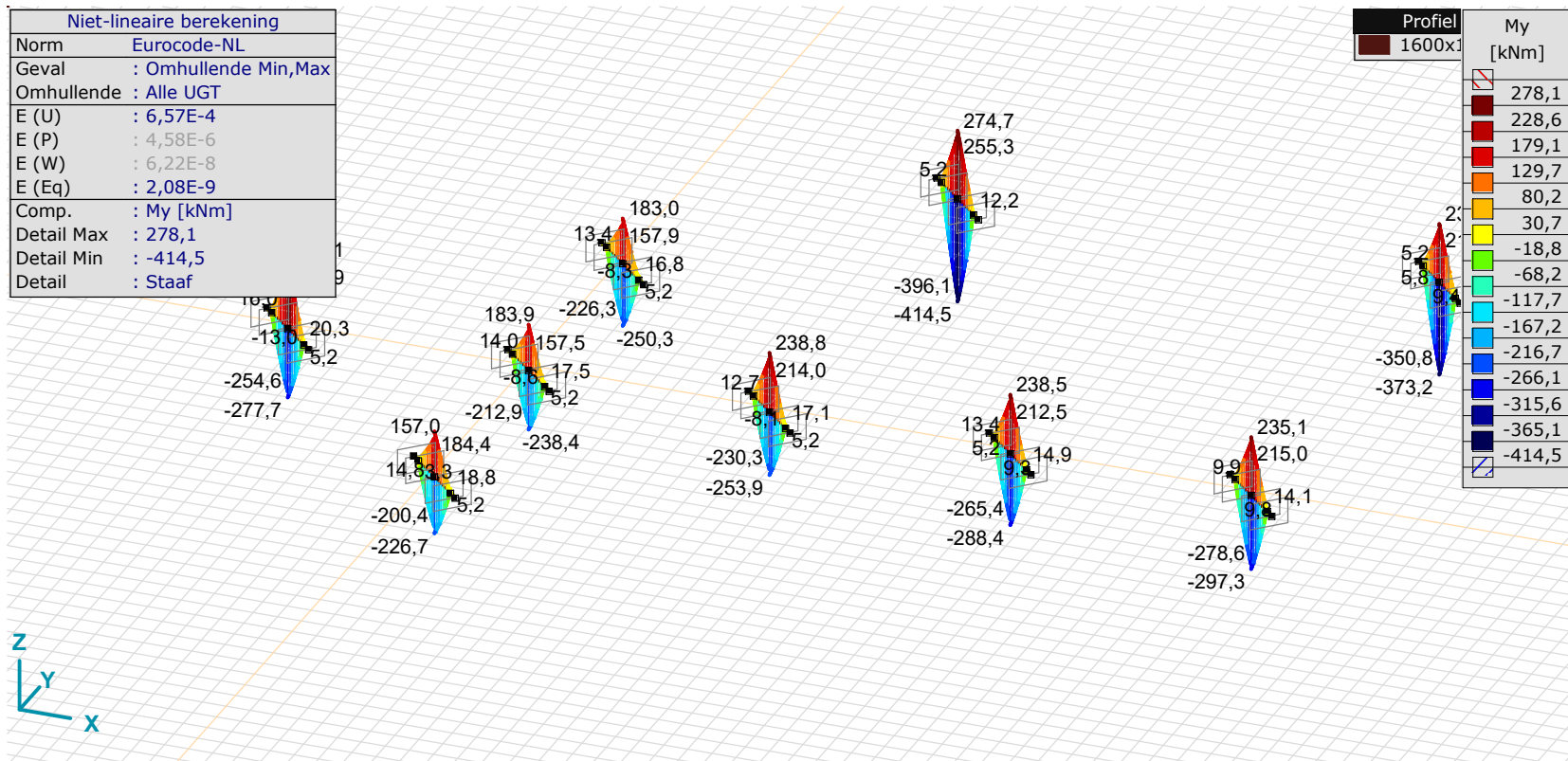
Staafspanningen [Non-lin., Omhullende (Alle UGT), Geselecteerd]

Ext.	Prof.	Doorsnede naam	C	min. max.	Geval	Pos. [m]	Knoop	S;x;min [MPa]	S;x;max [MPa]	Vmin [MPa]	Vmax [MPa]	Somin [MPa]	Somax [MPa]	V;y;gem [MPa]	V;z;gem [MPa]
153	2	O 273x12	Somin	min	Druk [1] (1,000)	0,601	(711)	-61,7	4,3	0	0,3	0,3	61,7	0	0,1
222	2	O 273x12		max	Druk [1] (1,000)	0	(231)	-30,6	-30,6	0	0,4	30,6	30,6	0	0
221	2	O 273x12	Somax	min	Trek+torsie [1] (1,000)	0	(228)	-4,2	-4,2	0	0	4,2	4,2	0	0
222	2	O 273x12		min	Trek+torsie [1] (1,000)	0	(231)	-4,2	-4,2	0	0	4,2	4,2	0	0
155	2	O 273x12		max	Druk [1] (1,000)	0,601	(719)	-62,4	1,2	0	0,8	1,4	62,4	0,2	0

Prof.: Profiel; **C:** Extreme component; **min. max.:** Extreme type; **Geval:** Belastinggeval van de extreme; **Pos.:** Lokale X-positie van de doorsnede op de staaf; **S;x;min:** Doorsnede minimum normaalspanning; **S;x;max:** Doorsnede maximum normaalspanning;

Vmin: Doorsnede minimum afschuifspanning; **Vmax:** Doorsnede maximum afschuifspanning; **Somin:** Doorsnede minimum Von Mises spanning; **Somax:** Doorsnede maximum Von Mises spanning; **V;y;gem:** Afschuifspanning in lokale Y-richting;

V;z;gem: Afschuifspanning in lokale Z-richting;



Project:

Constructeur:

Model: **MBT-EHV enkelpaals versterking.axs**

2-5-2022 Pag. 50

Staaftkrachten [Non-lin., Omhullende (Alle UGT), Staal / 1600x1100]

Ext.	Prof.	Doorsnede naam	C	min. max.	Geval	Pos. [m]	Knoop	Nx [kN]	Vy [kN]	Vz [kN]	Tx [kNm]	My [kNm]	Mz [kNm]	B [kNm ²]
149	3	1600x1100	Vy	min	Druk [1] (1,000)	0	(217)	-19,2	-54,3	-315,4	-15,5	12,2	1,3	0
145	3	1600x1100		max	Druk [1] (1,000)	0,664	(684)	-13,0	52,1	-263,4	13,0	-183,2	-35,8	0
149	3	1600x1100	Vz	min	Druk [1] (1,000)	0	(217)	-19,2	-54,3	-315,4	-15,5	12,2	1,3	0
122	3	1600x1100		max	Trek [1] (1,000)	1,550	(161)	9,8	32,7	207,7	9,8	278,1	-51,8	0
149	3	1600x1100	My	min	Druk [1] (1,000)	1,550	(191)	-19,2	-54,3	-235,2	-15,5	-414,5	85,4	0
122	3	1600x1100		max	Trek [1] (1,000)	1,550	(161)	9,8	32,7	207,7	9,8	278,1	-51,8	0
145	3	1600x1100	Mz	min	Druk [1] (1,000)	1,550	(191)	-13,0	52,1	-217,5	13,0	-396,1	-82,0	0
149	3	1600x1100		max	Druk [1] (1,000)	1,550	(191)	-19,2	-54,3	-235,2	-15,5	-414,5	85,4	0

Prof.: Profiel; C: Extreme component; min. max.: Extreme type; Geval: Belastinggeval van de extreme; Pos.: Lokale X-positie van de doorsnede op de staaf; Nx: Normaalkracht; Vy: Dwarskracht in lokale y-richting; Vz: Dwarskracht in lokale z-richting; Tx: Torsiemoment; My: Buigend moment in lokale y-richting; Mz: Buigend moment in lokale z-richting; B: Bimoment;

Project:

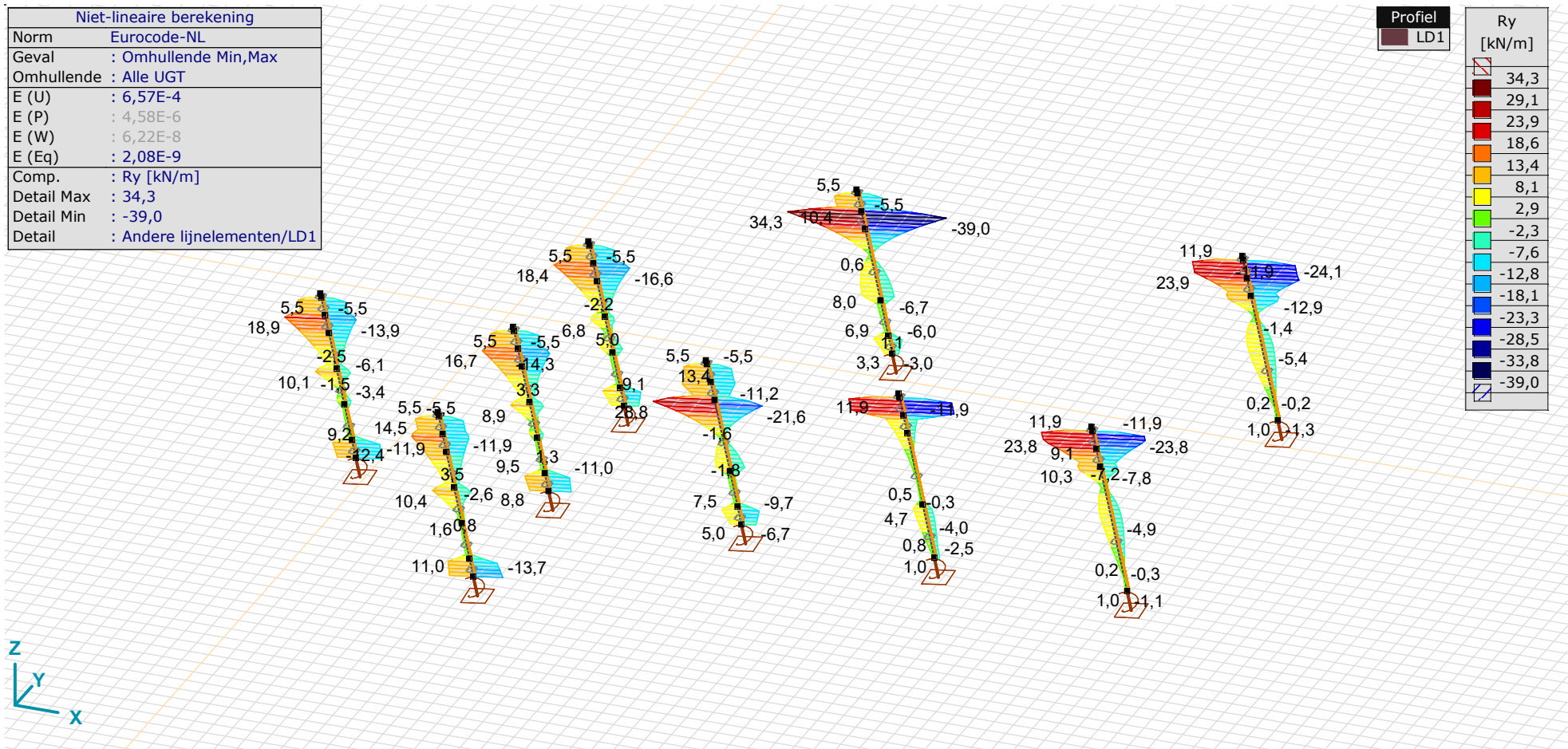
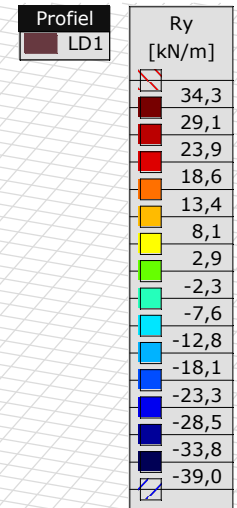
Constructeur:

Model: **MBT-EHV enkelpaals versterking.axs**

2-5-2022

Pag. 51

Niet-lineaire berekening	
Norm	Eurocode-NL
Geval	: Omhullende Min,Max
Omhullende	: Alle UGT
E (U)	: 6,57E-4
E (P)	: 4,58E-6
E (W)	: 6,22E-8
E (Eq)	: 2,08E-9
Comp.	: Ry [kN/m]
Detail Max	: 34,3
Detail Min	: -39,0
Detail	: Andere lijnelementen/LD1



[[]], > LD1, Non-lin., Omhullende (Alle UGT), Ry (lijnopp.), Lijnen (gevuld)

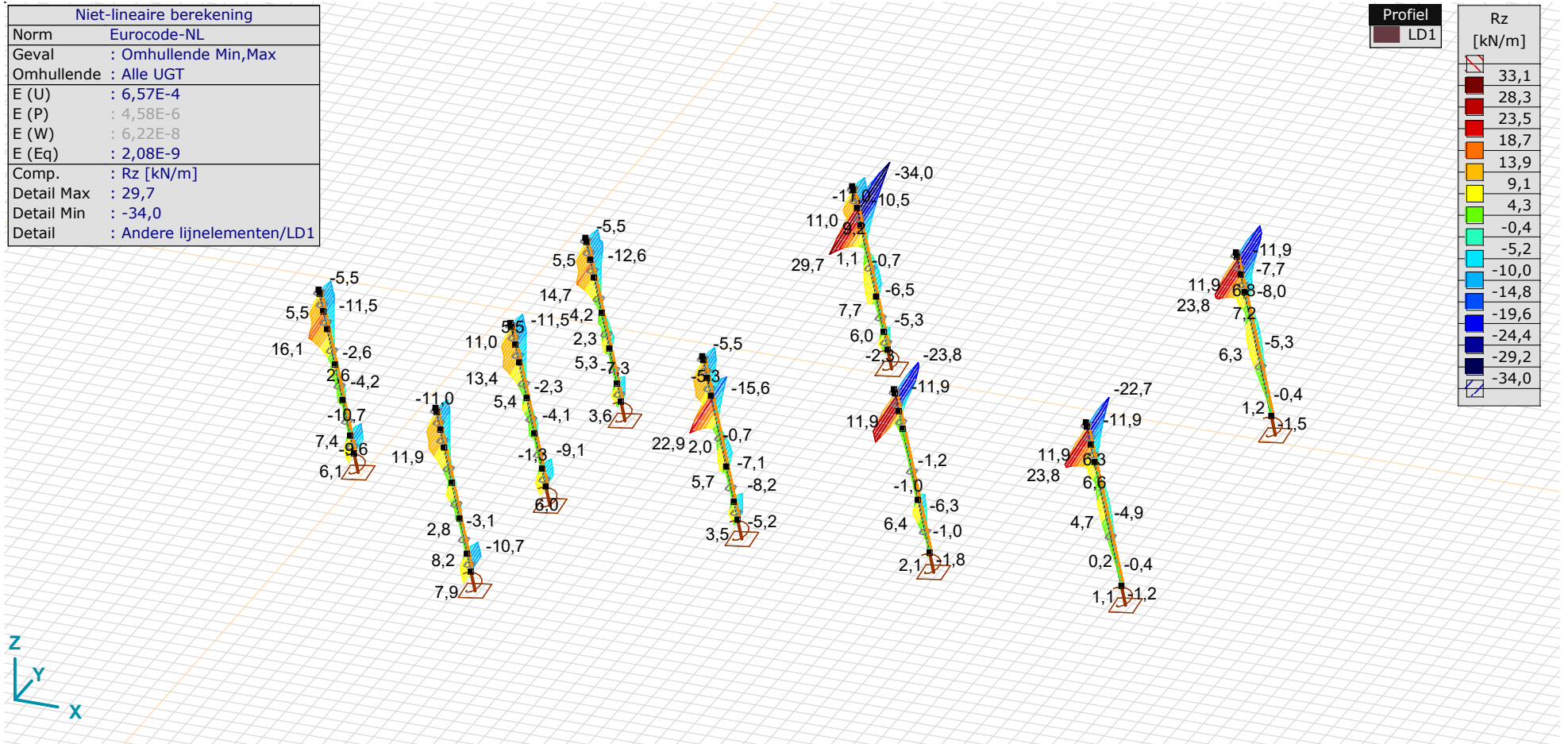
Project:

Constructeur:

Model: **MBT-EHV enkelpaals versterking.axs**

2-5-2022

Pag. 52



[II], > LD1, Non-lin., Omhullende (Alle UGT), Rz (lijnopp.), Lijnen (gevuld)

Project:

Constructeur:

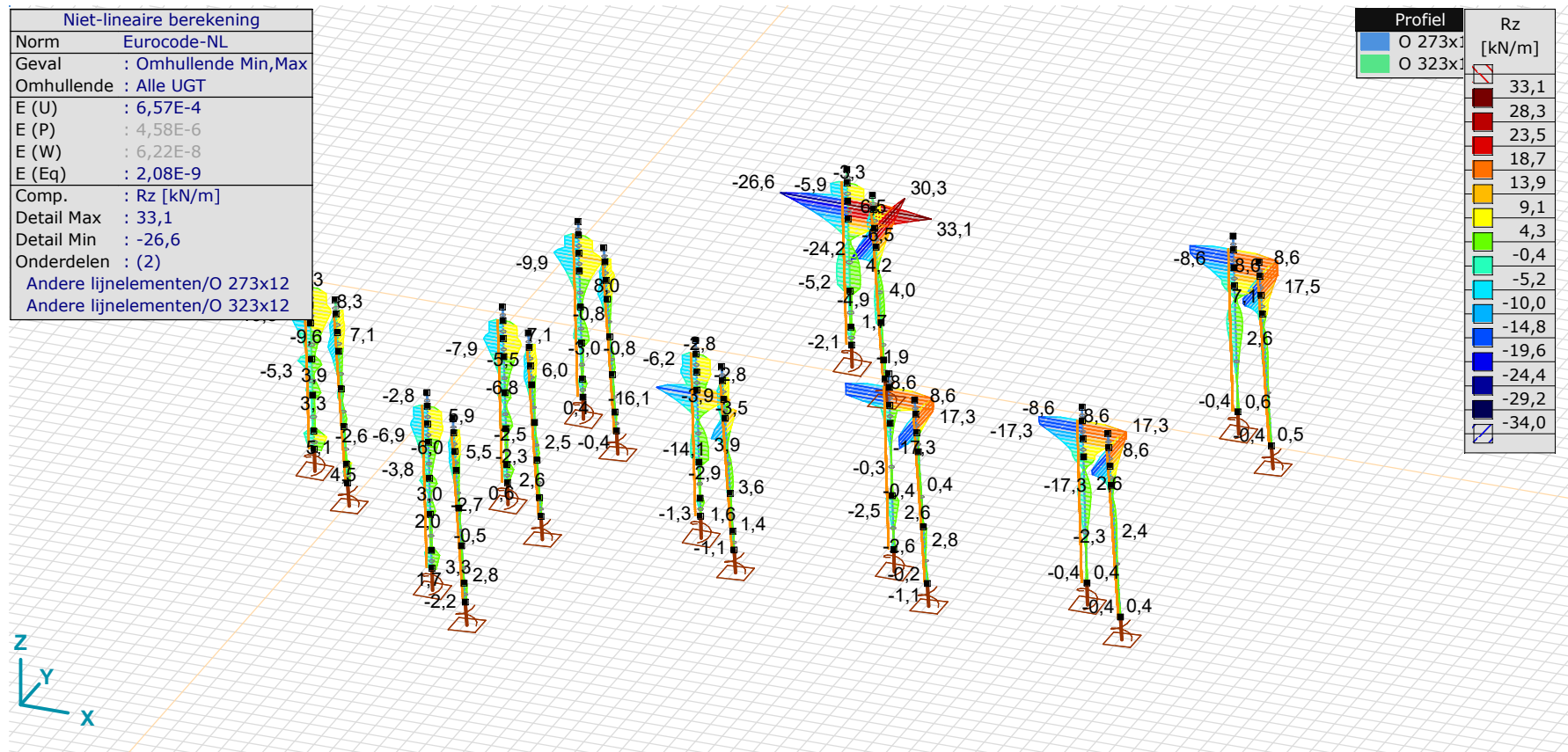
Model: **MBT-EHV enkelpaals versterking.axs**

2-5-2022 Pag. 53

Interne krachten lijnoplegging [Non-lin., Omhullende (Alle UGT), Andere lijnelementen / LD1]

Ext.	Lijn	Type	C	min. max.	Geval	Knoop	Pos. [m]	Ry [kN/m]	Rz [kN/m]
59	StAAF 134	StAAF r.	Ry	min	Druk [1] (1,000)	644	0,816	-39,0	-34,0
59	StAAF 134	StAAF r.		max	Trek [1] (1,000)	644	0,816	34,3	29,7
59	StAAF 134	StAAF r.	Rz	min	Druk [1] (1,000)	644	0,816	-39,0	-34,0
59	StAAF 134	StAAF r.		max	Trek [1] (1,000)	644	0,816	34,3	29,7

Lijn: Ondersteund lijnelement; Type: Opleggingstype; C: Extreme component; min. max.: Extreme type; Geval: Belastinggeval van de extreme; Pos.: Lokale X-positie van de doorsnede op de staaf; Ry: Y-component opleggingsreactiekracht; Rz: Z-component opleggingsreactiekracht;



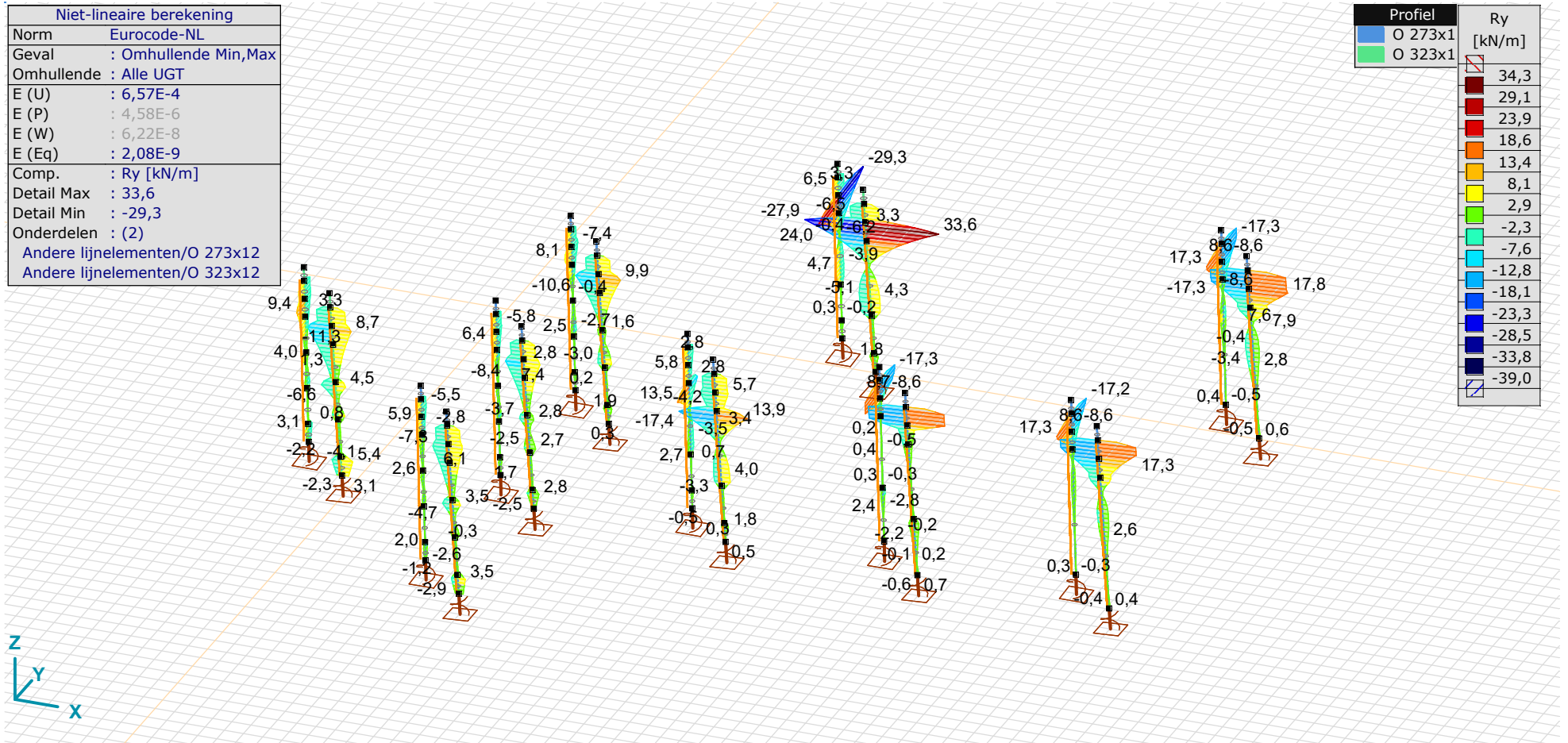
[II], > 2 details, Non-lin., Omhullende (Alle UGT), Rz (lijnopp.), Lijnen (gevuld)

Project:

Constructeur:

Model: **MBT-EHV enkelpaals versterking.axs**

2-5-2022 Pag. 54



[II], > 2 details, Non-lin., Omhullende (Alle UGT), Ry (lijnopp.), Lijnen (gevuld)

Project:

Constructeur:

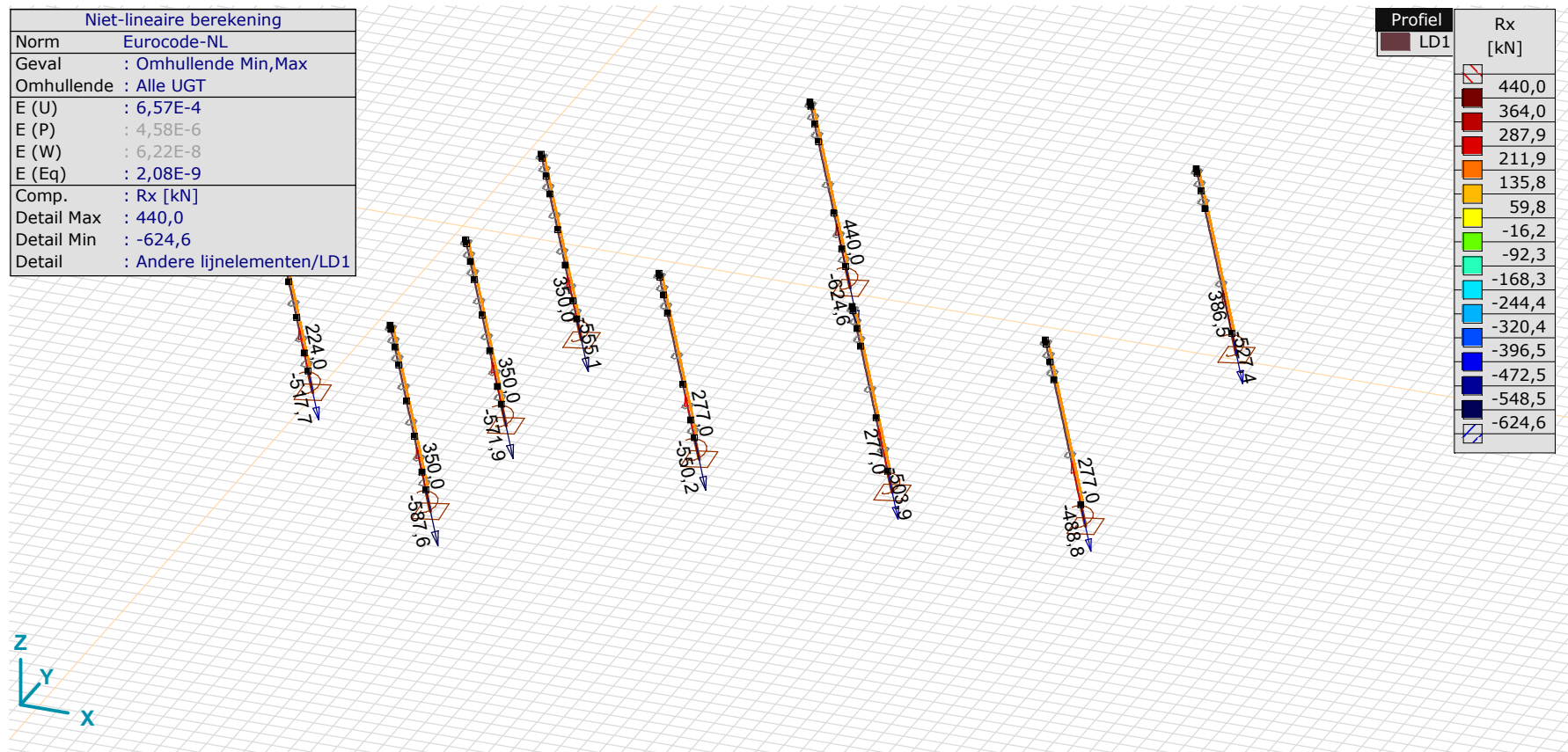
Model: **MBT-EHV enkelpaals versterking.axs**

2-5-2022 Pag. 55

Interne krachten lijnoplegging [Non-lin., Omhullende (Alle UGT), Details]

Ext.	Lijn	Type	C	min. max.	Geval	Knoop	Pos. [m]	Ry [kN/m]	Rz [kN/m]
63	StAAF 141	StAAF r.	Ry	min	Druk [1] (1,000)	668	0,802	-29,3	33,1
65	StAAF 143	StAAF r.		max	Druk [1] (1,000)	676	0,802	33,6	30,3
63	StAAF 141	StAAF r.	Rz	min	Trek [1] (1,000)	668	0,802	24,0	-26,6
63	StAAF 141	StAAF r.		max	Druk [1] (1,000)	668	0,802	-29,3	33,1

Lijn: Ondersteund lijnelement; Type: Opleggingstype; C: Extreme component; min. max.: Extreme type; Geval: Belastinggeval van de extreme; Pos.: Lokale X-positie van de doorsnede op de staaf; Ry: Y-component opleggingsreactiekracht;
Rz: Z-component opleggingsreactiekracht;



[II], > LD1, Non-lin., Omhullende (Alle UGT), Rx (knoopopl.), Lijnen

Project:

Constructeur:

Model: **MBT-EHV enkelpaals versterking.axs**

2-5-2022 Pag. 56

Interne krachten knoopplegging [Non-lin., Omhullende (Alle UGT), Andere lijnelementen / LD1]

	<i>Knoop</i>	<i>X [m]</i>	<i>Y [m]</i>	<i>Z [m]</i>	<i>Type</i>	<i>C</i>	<i>min.</i> <i>max.</i>	<i>Geval</i>	<i>Rx</i> <i>[kN]</i>	<i>Rxx</i> <i>[kNm]</i>
7	6	1,437	1,437	-10,000	Staaf r.	Rx	min	Druk [1] (1,000)	-571,9	1,2
							max	Trek [1] (1,000)	350,0	-1,3
8	49	1,437	11,437	-10,000	Staaf r.	Rx	min	Druk [1] (1,000)	-555,1	1,0
							max	Trek [1] (1,000)	350,0	-1,1
9	60	1,437	-8,563	-10,000	Staaf r.	Rx	min	Druk [1] (1,000)	-587,6	1,3
							max	Trek [1] (1,000)	350,0	-1,4
18	167	-8,563	1,437	-10,000	Staaf r.	Rx	min	Druk [1] (1,000)	-517,7	0,8
							max	Trek [1] (1,000)	224,0	-0,9
19	21	11,437	1,437	-10,000	Staaf r.	Rx	min	Druk [1] (1,000)	-550,2	0,8
							max	Trek [1] (1,000)	277,0	-0,9
20	30	21,437	1,437	-10,000	Staaf r.	Rx	min	Druk [1] (1,000)	-503,9	0,8
							max	Trek [1] (1,000)	277,0	-1,3
21	38	31,437	1,437	-10,000	Staaf r.	Rx	min	Druk [1] (1,000)	-488,8	0,3
							max	Trek [1] (1,000)	277,0	-0,4
26	203	31,437	21,437	-10,000	Staaf r.	Rx	min	Druk [1] (1,000)	-527,4	0,5
							max	Trek [1] (1,000)	386,5	-0,5
27	197	11,437	21,437	-10,000	Staaf r.	Rx	min	Druk [1] (1,000)	-624,6	0,3
							max	Trek [1] (1,000)	440,0	-0,4

Knoop: Ondersteunde knoop; **Type:** Opleggingstype; **C:** Extreme component; **min. max.:** Extreme type; **Geval:** Belastinggeval van de extreme; **Rx:** X-component opleggingsreactiekracht; **Rxx:** X-component opleggingsreactiemoment;

Project:

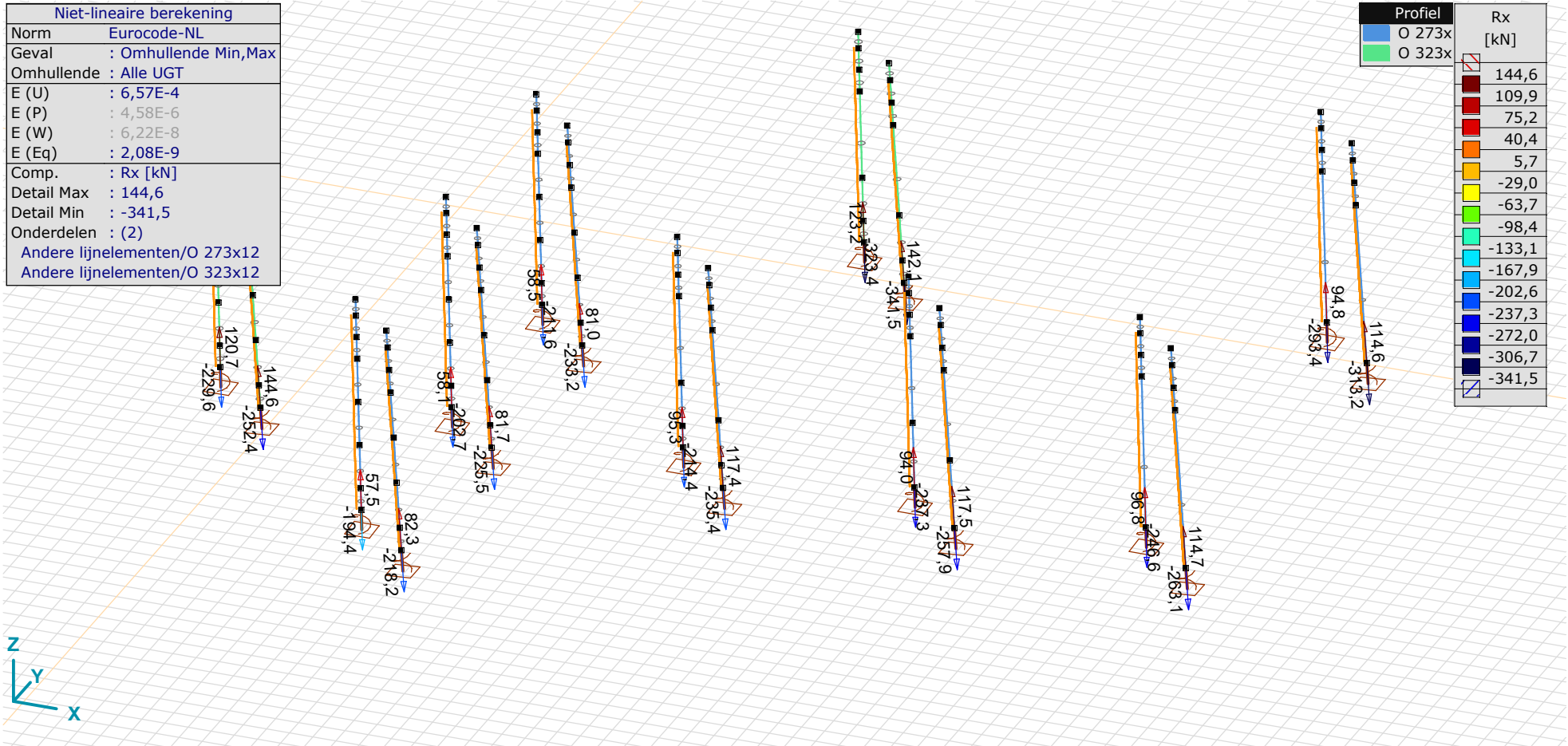
Constructeur:

Model: **MBT-EHV enkelpaals versterking.axs**

2-5-2022

Pag. 57

Niet-lineaire berekening	
Norm	Eurocode-NL
Geval	: Omhullende Min,Max
Omhullende	: Alle UGT
E (U)	: 6,57E-4
E (P)	: 4,58E-6
E (W)	: 6,22E-8
E (Eq)	: 2,08E-9
Comp.	: Rx [kN]
Detail Max	: 144,6
Detail Min	: -341,5
Onderdelen	: (2)
Andere lijnelementen/O 273x12	
Andere lijnelementen/O 323x12	



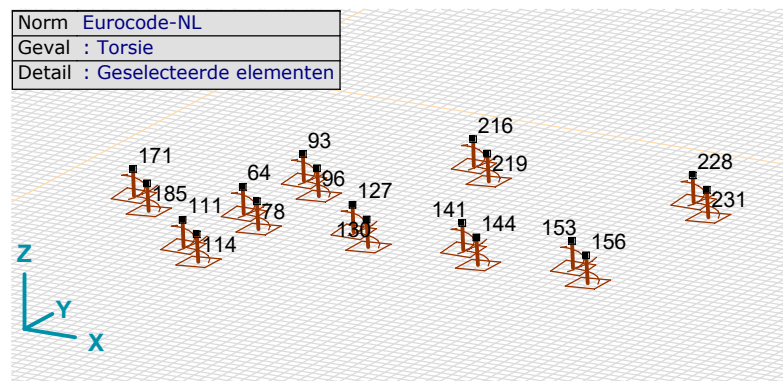
[III], > 2 details, Non-lin., Omhullende (Alle UGT), Rx (knoopopl.), Lijnen

Project:

Constructeur:

Model: **MBT-EHV enkelpaals versterking.axs**

2-5-2022 Pag. 58



Overzicht knopen tbv paalbelasting nieuwe palen

Interne krachten knooppoplegging [Non-lin., Omhullende (Alle UGT), Details]

	Knoop	X [m]	Y [m]	Z [m]	Type	C	min. max.	Geval	Rx [kN]	Rxx [kNm]
1	64	-1,060	1,782	-10,000	Staafr.	Rx	min max	Druk [1] (1,000) Trek [1] (1,000)	-202,7 58,1	0 0
2	78	1,782	-1,060	-10,000	Staafr.	Rx	min max	Druk [1] (1,000) Trek [1] (1,000)	-225,5 81,7	0,7 -0,7
3	93	-1,060	11,782	-10,000	Staafr.	Rx	min max	Druk [1] (1,000) Trek [1] (1,000)	-211,6 58,5	0 0
4	96	1,782	8,940	-10,000	Staafr.	Rx	min max	Druk [1] (1,000) Trek [1] (1,000)	-233,2 81,0	0,6 -0,6
5	111	-1,060	-8,218	-10,000	Staafr.	Rx	min max	Druk [1] (1,000) Trek [1] (1,000)	-194,4 57,5	0 0
6	114	1,782	-11,060	-10,000	Staafr.	Rx	min max	Druk [1] (1,000) Trek [1] (1,000)	-218,2 82,3	0,7 -0,8
10	127	8,940	1,782	-10,000	Staafr.	Rx	min max	Druk [1] (1,000) Trek [1] (1,000)	-214,4 95,3	-0,1 0,1
11	130	11,782	-1,060	-10,000	Staafr.	Rx	min max	Druk [1] (1,000) Trek [1] (1,000)	-235,4 117,4	0,6 -0,7

Project:

Constructeur:

Model: **MBT-EHV enkelpaals versterking.axs**

2-5-2022 Pag. 59

Interne krachten knoopplegging [Non-lin., Omhullende (Alle UGT), Details]

	<i>Knoop</i>	<i>X [m]</i>	<i>Y [m]</i>	<i>Z [m]</i>	<i>Type</i>	<i>C</i>	<i>min. max.</i>	<i>Geval</i>	<i>R_x [kN]</i>	<i>R_{xx} [kNm]</i>
12	141	18,940	1,782	-10,000	Staafr.	Rx	min max	Druk [1] (1,000) Trek [1] (1,000)	-237,3 94,0	0 -0,1
13	144	21,782	-1,060	-10,000	Staafr.	Rx	min max	Druk [1] (1,000) Trek [1] (1,000)	-257,9 117,5	0,5 -0,6
14	153	28,940	1,782	-10,000	Staafr.	Rx	min max	Druk [1] (1,000) Trek [1] (1,000)	-246,6 96,8	-0,1 0,1
15	156	31,782	-1,060	-10,000	Staafr.	Rx	min max	Druk [1] (1,000) Trek [1] (1,000)	-263,1 114,7	0,3 -0,3
16	171	-11,060	1,782	-10,000	Staafr.	Rx	min max	Druk [1] (1,000) Trek [1] (1,000)	-229,6 120,7	-0,2 0,3
17	185	-8,218	-1,060	-10,000	Staafr.	Rx	min max	Druk [1] (1,000) Trek [1] (1,000)	-252,4 144,6	1,0 -1,1
22	216	8,940	21,782	-10,000	Staafr.	Rx	min max	Druk [1] (1,000) Trek [1] (1,000)	-323,4 123,2	-0,5 0,4
23	219	11,782	18,940	-10,000	Staafr.	Rx	min max	Druk [1] (1,000) Trek [1] (1,000)	-341,5 142,1	0,9 -0,7
24	228	28,940	21,782	-10,000	Staafr.	Rx	min max	Druk [1] (1,000) Trek [1] (1,000)	-293,4 94,8	-0,1 0,1
25	231	31,782	18,940	-10,000	Staafr.	Rx	min max	Druk [1] (1,000) Trek [1] (1,000)	-313,2 114,6	0,4 -0,4

Knoop: Ondersteunde knoop; **Type:** Opleggingstype; **C:** Extreme component; **min. max.:** Extreme type; **Geval:** Belastinggeval van de extreme; **Rx:** X-component opleggingsreactiekracht; **Rxx:** X-component opleggingsreactiemoment;



Project:

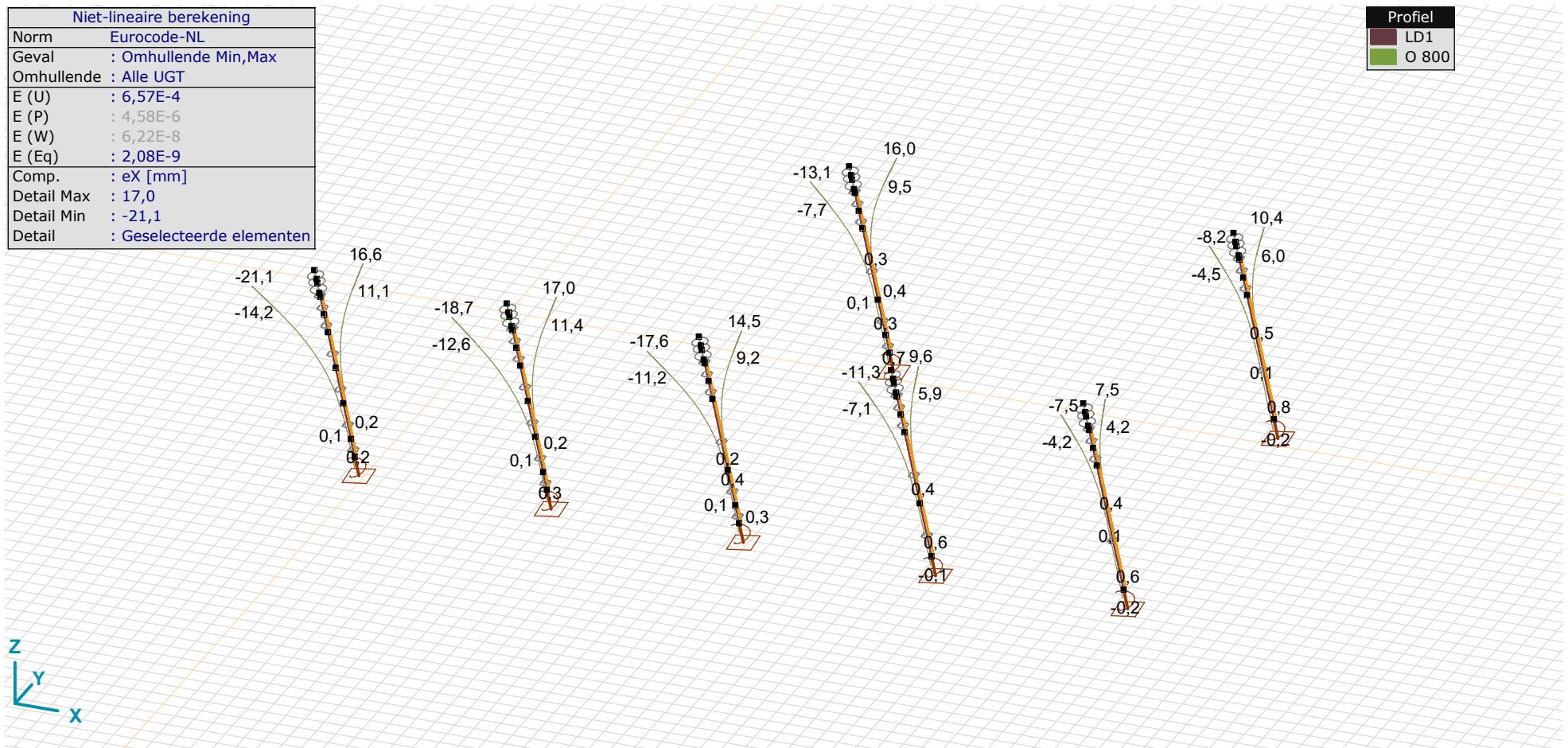
Constructeur:

Model: **MBT-EHV enkelpaals versterking.axs**

2-5-2022 Pag. 60

Niet-lineaire berekening	
Norm	Eurocode-NL
Geval	: Omhullende Min,Max
Omhullende	: Alle UGT
E (U)	: 6,57E-4
E (P)	: 4,58E-6
E (W)	: 6,22E-8
E (Eq)	: 2,08E-9
Comp.	: eX [mm]
Detail Max	: 17,0
Detail Min	: -21,1
Detail	: Geselecteerde elementen

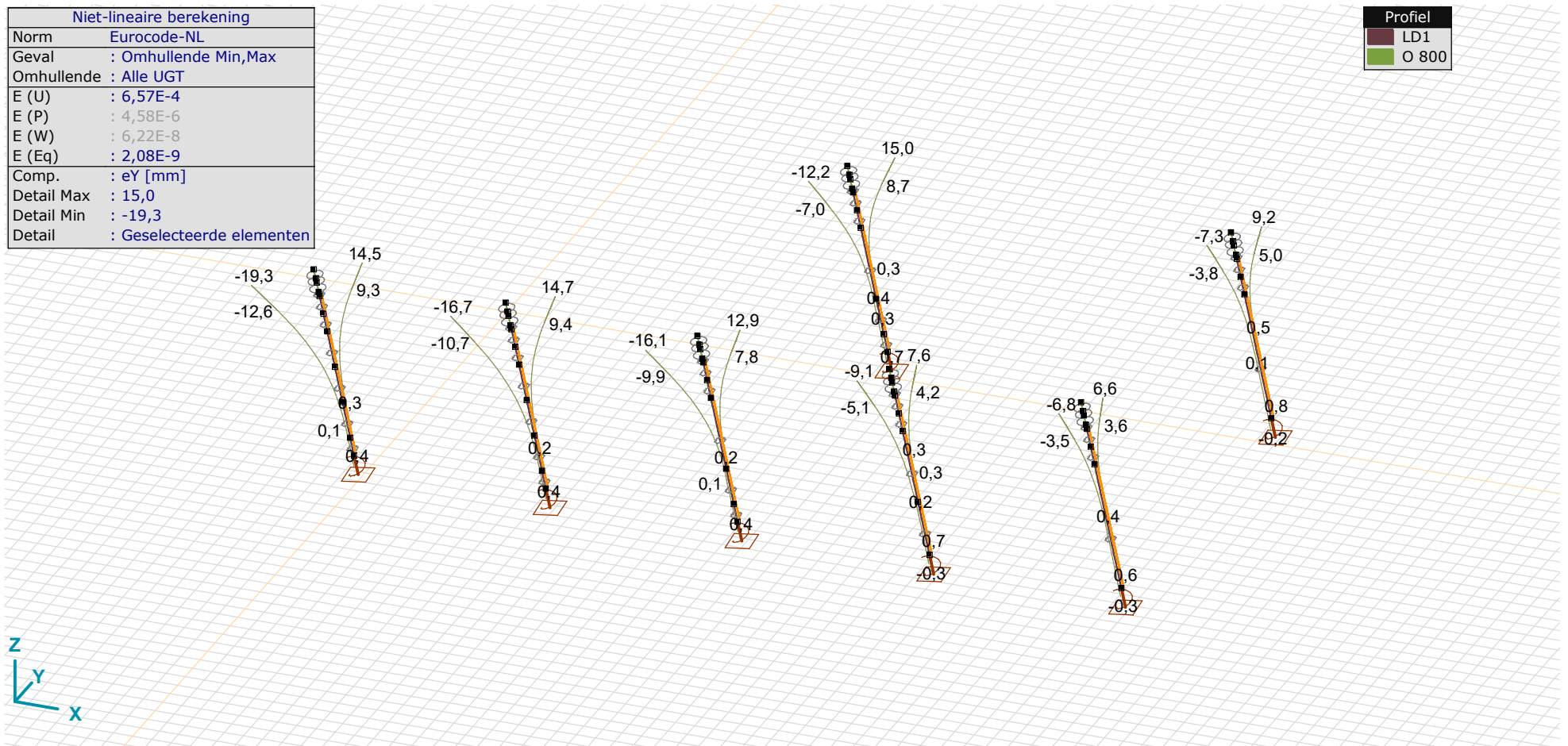
Profiel	
	LD1
	O 800



[I], > 2 details, Non-lin., Omhullende (Alle UGT), eX, Lijnen

Niet-lineaire berekening	
Norm	Eurocode-NL
Geval	: Omhullende Min,Max
Omhullende	: Alle UGT
E (U)	: 6,57E-4
E (P)	: 4,58E-6
E (W)	: 6,22E-8
E (Eq)	: 2,08E-9
Comp.	: eY [mm]
Detail Max	: 15,0
Detail Min	: -19,3
Detail	: Geselecteerde elementen

Profiel	
LD1	
O 800	



[I], > 2 details, Non-lin., Omhullende (Alle UGT), eY, Lijnen

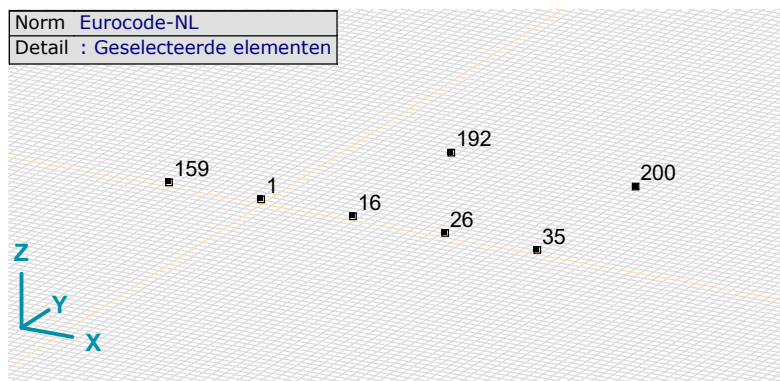
Project:

Constructeur:

Model: **MBT-EHV enkelpaals versterking.axs**

2-5-2022

Pag. 62



Overzicht knopen paalkop

Knoopverplaatsingen [Non-lin., Omhullende (Alle UGT), Geselecteerd]

	C	min. max.	Geval	eX [mm]	eY [mm]	eZ [mm]	eR [mm]	fX [rad]	fY [rad]	fZ [rad]	fR [rad]
1	eX	min	Trek [1] (1,000)	-18,7	-16,7	-1,1	25,1	0,004	-0,004	0	0,006
		max	Druk [1] (1,000)	17,0	14,7	-2,2	22,6	-0,004	0,004	0	0,005
	eY	min	Trek [1] (1,000)	-18,7	-16,7	-1,1	25,1	0,004	-0,004	0	0,006
		max	Druk [1] (1,000)	17,0	14,7	-2,2	22,6	-0,004	0,004	0	0,005
	eZ	min	Druk [1] (1,000)	17,0	14,7	-2,2	22,6	-0,004	0,004	0	0,005
		max	Trek+torsie [1] (1,000)	-16,0	-11,3	-0,8	19,6	0,003	-0,003	-0,001	0,005
16	eX	min	Trek [1] (1,000)	-17,6	-16,1	-0,7	23,8	0,004	-0,004	0	0,006
		max	Druk [1] (1,000)	14,5	12,9	-2,6	19,6	-0,003	0,004	0	0,005
	eY	min	Trek [1] (1,000)	-17,6	-16,1	-0,7	23,8	0,004	-0,004	0	0,006
		max	Druk [1] (1,000)	14,5	12,9	-2,6	19,6	-0,003	0,004	0	0,005
	eZ	min	Druk [1] (1,000)	14,5	12,9	-2,6	19,6	-0,003	0,004	0	0,005
		max	Trek+torsie [1] (1,000)	-15,3	-12,0	-0,5	19,5	0,003	-0,004	0	0,005
26	eX	min	Trek [1] (1,000)	-11,3	-9,1	0	14,5	0,003	-0,003	0	0,004
		max	Druk [1] (1,000)	9,6	7,6	-3,5	12,8	-0,002	0,002	0	0,003
	eY	min	Trek [1] (1,000)	-11,3	-9,1	0	14,5	0,003	-0,003	0	0,004
		max	Druk [1] (1,000)	9,6	7,6	-3,5	12,8	-0,002	0,002	0	0,003
	eZ	min	Druk [1] (1,000)	9,6	7,6	-3,5	12,8	-0,002	0,002	0	0,003
		max	Trek+torsie [1] (1,000)	-9,7	-6,1	0	11,4	0,002	-0,002	0	0,003
35	eX	min	Trek [1] (1,000)	-7,5	-6,8	0,3	10,1	0,002	-0,002	0	0,003
		max	Druk [1] (1,000)	7,5	6,6	-3,8	10,7	-0,002	0,002	0	0,003

Project:

Constructeur:

Model: **MBT-EHV enkelpaals versterking.axs**

2-5-2022 Pag. 63

Knoopverplaatsingen [Non-lin., Omhullende (Alle UGT), Geselecteerd]

	C	min. max.	Geval	eX [mm]	eY [mm]	eZ [mm]	eR [mm]	fX [rad]	fY [rad]	fZ [rad]	fR [rad]
	eY	min	Trek [1] (1,000)	-7,5	-6,8	0,3	10,1	0,002	-0,002	0	0,003
		max	Druk [1] (1,000)	7,5	6,6	-3,8	10,7	-0,002	0,002	0	0,003
	eZ	min	Druk [1] (1,000)	7,5	6,6	-3,8	10,7	-0,002	0,002	0	0,003
		max	Trek [1] (1,000)	-7,5	-6,8	0,3	10,1	0,002	-0,002	0	0,003
159	eX	min	Trek [1] (1,000)	-21,1	-19,3	-0,8	28,6	0,005	-0,005	0	0,006
		max	Druk [1] (1,000)	16,6	14,5	-2,6	22,2	-0,004	0,004	0	0,005
	eY	min	Trek [1] (1,000)	-21,1	-19,3	-0,8	28,6	0,005	-0,005	0	0,006
		max	Druk [1] (1,000)	16,6	14,5	-2,6	22,2	-0,004	0,004	0	0,005
	eZ	min	Druk [1] (1,000)	16,6	14,5	-2,6	22,2	-0,004	0,004	0	0,005
		max	Trek+torsie [1] (1,000)	-18,6	-14,4	-0,6	23,6	0,004	-0,004	0	0,005
192	eX	min	Trek [1] (1,000)	-13,1	-12,2	-0,1	17,9	0,004	-0,004	0	0,005
		max	Druk [1] (1,000)	16,0	15,0	-4,1	22,3	-0,004	0,004	0	0,006
	eY	min	Trek [1] (1,000)	-13,1	-12,2	-0,1	17,9	0,004	-0,004	0	0,005
		max	Druk [1] (1,000)	16,0	15,0	-4,1	22,3	-0,004	0,004	0	0,006
	eZ	min	Druk [1] (1,000)	16,0	15,0	-4,1	22,3	-0,004	0,004	0	0,006
		max	Trek [1] (1,000)	-13,1	-12,2	-0,1	17,9	0,004	-0,004	0	0,005
200	eX	min	Trek [1] (1,000)	-8,2	-7,3	0,2	11,0	0,002	-0,002	0	0,003
		max	Druk [1] (1,000)	10,4	9,2	-4,4	14,6	-0,003	0,003	0	0,004
	eY	min	Trek [1] (1,000)	-8,2	-7,3	0,2	11,0	0,002	-0,002	0	0,003
		max	Druk [1] (1,000)	10,4	9,2	-4,4	14,6	-0,003	0,003	0	0,004
	eZ	min	Druk [1] (1,000)	10,4	9,2	-4,4	14,6	-0,003	0,003	0	0,004
		max	Trek [1] (1,000)	-8,2	-7,3	0,2	11,0	0,002	-0,002	0	0,003

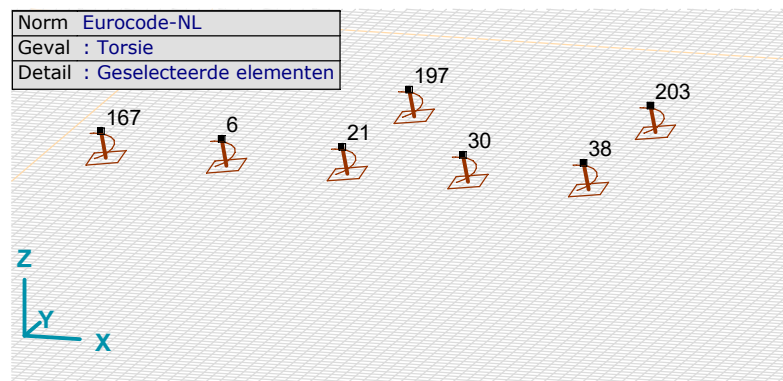
C: Extreme component; min. max.: Extreme type; Geval: Belastinggeval van de extreme; eX: Verplaatsing in X-richting; eY: Verplaatsing in Y-richting; eZ: Verplaatsing in Z-richting; eR: Resulterende verplaatsing; fX: Rotatie in X-richting; fY: Rotatie in Y-richting; fZ: Rotatie in Z-richting; fR: Resulterende rotatie;

Project:

Constructeur:

Model: **MBT-EHV enkelpaals versterking.axs**

2-5-2022 Pag. 64



Overzicht knopen t.b.v. paalvoet verplaatsing bestaande palen

Knoopverplaatsingen [Non-lin., Omhullende (Alle UGT), Geselecteerd]

	C	min. max.	Geval	eX [mm]	eY [mm]	eZ [mm]	eR [mm]	fX [rad]	fY [rad]	fZ [rad]	fR [rad]
6	eZ	min	Druk [1] (1,000)	0,1	0,3	-4,8	4,8	0	0	0	0
		max	Trek [1] (1,000)	0,2	0,1	2,9	2,9	0	0	0	0
21	eZ	min	Druk [1] (1,000)	0,3	0,4	-4,6	4,6	0	0	0	0
		max	Trek [1] (1,000)	0	-0,1	3,1	3,1	0	0	0	0
30	eZ	min	Druk [1] (1,000)	0,6	0,7	-4,1	4,2	0	0	0	0
		max	Trek [1] (1,000)	-0,1	-0,3	1,9	1,9	0	0	0	0
38	eZ	min	Druk [1] (1,000)	0,6	0,6	-4,0	4,1	0	0	0	0
		max	Trek [1] (1,000)	-0,2	-0,3	1,3	1,3	0	0	0	0
167	eZ	min	Druk [1] (1,000)	0,2	0,4	-5,2	5,2	0	0	0	0
		max	Trek [1] (1,000)	0,1	0	4,2	4,2	0	0	0	0
197	eZ	min	Druk [1] (1,000)	0,7	0,7	-6,2	6,3	0	0	0	0
		max	Trek [1] (1,000)	-0,1	-0,1	2,0	2,0	0	0	0	0
203	eZ	min	Druk [1] (1,000)	0,8	0,8	-5,1	5,3	0	0	0	0
		max	Trek [1] (1,000)	-0,2	-0,2	1,0	1,1	0	0	0	0

C: Extreme component; min. max.: Extreme type; Geval: Belastinggeval van de extreme; eX: Verplaatsing in X-richting; eY: Verplaatsing in Y-richting; eZ: Verplaatsing in Z-richting; eR: Resulterende verplaatsing; fX: Rotatie in X-richting; fY: Rotatie in Y-richting; fZ: Rotatie in Z-richting; fR: Resulterende rotatie;



APPENDIX H

Fundatiebelastingen

Project: **MBT-EHV**
 Uitgangspunt: **Initiële situatie**
 Datum: **20-6-2022**

Betreft: **Trekbelasting**
 Richting: **Globale assenstelsel**

Mastnummer	Masttype	Verticaal trek [kN]	x-richting [kN]	y-richting [kN]	Betrouwbaarheidsniveau	Bijbehorende loadcase
74	S+0	-401,8	74,3	62,7	Afkeur CC2-0	ULS 1a_0,9_0,9_45
58	S+0	-412,8	76,5	64,3	Afkeur CC2-0	ULS 1a_0,9_0,9_45
12	S+0 T	-437,5	80,4	70,9	Afkeur CC2-0	ULS 1a_0,9_0,9_45
64	S+0 T	-448,1	83,2	72,0	Afkeur CC2-0	ULS 1a_0,9_0,9_45
70	S+0 T	-445,9	81,9	70,8	Afkeur CC2-0	ULS 1a_0,9_0,9_45
93	S+0 T	-405,3	75,5	65,1	Afkeur CC2-0	ULS 1a_0,9_0,9_45
127	S+0 T	-417,9	77,2	66,3	Afkeur CC2-0	ULS 1a_0,9_0,9_45
59	S+3	-371,6	68,3	65,7	Afkeur CC2-0	ULS 1a_0,9_0,9_45
35	S+3 T3	-371,7	69,8	67,7	Afkeur CC2-0	ULS 1a_0,9_0,9_45
33	S+6	-461,8	83,8	70,7	Afkeur CC2-0	ULS 1a_0,9_0,9_45
32	S+6 T3	-482,5	89,0	76,0	Afkeur CC2-0	ULS 1a_0,9_0,9_45
16	S+9	-492,8	91,9	77,2	Afkeur CC2-0	ULS 1a_0,9_0,9_45
112	S+9	-550,6	100,7	89,3	Afkeur CC2-0	ULS 1a_0,9_0,9_45
113	S+9	-553,3	101,2	89,5	Afkeur CC2-0	ULS 1a_0,9_0,9_45

Project: **MBT-EHV**
 Uitgangspunt: **Initiële situatie**
 Datum: **20-6-2022**

Betreft: **Drukbelasting**
 Richting: **Globale assenstelsel**

Mastnummer	Masttype	Verticaal trek [kN]	x-richting [kN]	y-richting [kN]	Betrouwbaarheidsniveau	Bijbehorende loadcase
74	S+0	567,0	107,5	95,9	Afkeur CC2-0	ULS 1a_45
58	S+0	574,9	109,1	96,9	Afkeur CC2-0	ULS 1a_45
12	S+0 T	589,6	110,9	101,4	Afkeur CC2-0	ULS 1a_45
64	S+0 T	609,2	115,6	104,4	Afkeur CC2-0	ULS 1a_45
70	S+0 T	605,5	114,0	102,9	Afkeur CC2-0	ULS 1a_45
93	S+0 T	565,0	107,6	97,2	Afkeur CC2-0	ULS 1a_45
127	S+0 T	579,3	109,7	98,7	Afkeur CC2-0	ULS 1a_45
59	S+3	545,1	102,6	103,0	Afkeur CC2-0	ULS 1a_45
35	S+3 T3	546,4	104,4	104,9	Afkeur CC2-0	ULS 1a_45
33	S+6	645,3	120,3	107,1	Afkeur CC2-0	ULS 1a_45
32	S+6 T3	670,0	126,3	113,2	Afkeur CC2-0	ULS 1a_45
16	S+9	693,0	132,2	117,5	Afkeur CC2-0	ULS 1a_45
112	S+9	778,3	146,5	135,1	Afkeur CC2-0	ULS 1a_45
113	S+9	783,5	147,5	135,8	Afkeur CC2-0	ULS 1a_45

Project: **MBT-EHV**
 Uitgangspunt: **Initiële situatie**
 Datum: **20-6-2022**

Betreft **Trekbelasting**
 Richting **Lokale assenstelsel**

Mastnummer	Masttype	Lokaal trek [kN]	Xi-richting [kN]	Eta-richting [kN]	Betrouwbaarheidsniveau	Bijbehorende loadcase
74	S+0	-410,0	15,3	-8,2	Afkeur CC2-0	ULS 1a_0,9_0,9_45
58	S+0	-421,2	15,7	-8,6	Afkeur CC2-0	ULS 1a_0,9_0,9_45
12	S+0 T	-446,4	18,1	-6,7	Afkeur CC2-0	ULS 1a_0,9_0,9_45
64	S+0 T	-457,2	18,7	-7,9	Afkeur CC2-0	ULS 1a_0,9_0,9_45
70	S+0 T	-455,0	17,5	-7,8	Afkeur CC2-0	ULS 1a_0,9_0,9_45
93	S+0 T	-413,6	17,1	-7,4	Afkeur CC2-0	ULS 1a_0,9_0,9_45
127	S+0 T	-426,5	16,6	-7,7	Afkeur CC2-0	ULS 1a_0,9_0,9_45
59	S+3	-379,2	19,3	-1,8	Afkeur CC2-0	ULS 1a_0,9_0,9_45
35	S+3 T3	-379,3	21,8	-1,5	Afkeur CC2-0	ULS 1a_0,9_0,9_45
33	S+6	-471,0	16,6	-9,3	Afkeur CC2-0	ULS 1a_0,9_0,9_45
32	S+6 T3	-492,1	19,9	-9,2	Afkeur CC2-0	ULS 1a_0,9_0,9_45
16	S+9	-502,9	19,5	-10,4	Afkeur CC2-0	ULS 1a_0,9_0,9_45
112	S+9	-561,9	22,4	-8,0	Afkeur CC2-0	ULS 1a_0,9_0,9_45
113	S+9	-564,6	22,4	-8,3	Afkeur CC2-0	ULS 1a_0,9_0,9_45

Project: **MBT-EHV**
 Uitgangspunt: **Initiële situatie**
 Datum: **20-6-2022**

Betreft: **Drukbelasting**
 Richting: **Lokale assenstelsel**

Mastnummer	Masttype	Lokaal druk [kN]	Xi-richting [kN]	Eta-richting [kN]	Betrouwbaarheidsniveau	Bijbehorende loadcase
74	S+0	578,6	-28,7	8,2	Afkeur CC2-0	ULS 1a_45
58	S+0	586,6	-28,9	8,6	Afkeur CC2-0	ULS 1a_45
12	S+0 T	601,6	-30,5	6,7	Afkeur CC2-0	ULS 1a_45
64	S+0 T	621,7	-31,8	7,9	Afkeur CC2-0	ULS 1a_45
70	S+0 T	617,9	-30,4	7,8	Afkeur CC2-0	ULS 1a_45
93	S+0 T	576,6	-30,1	7,4	Afkeur CC2-0	ULS 1a_45
127	S+0 T	591,1	-29,7	7,7	Afkeur CC2-0	ULS 1a_45
59	S+3	556,2	-34,8	-0,3	Afkeur CC2-0	ULS 1a_45
35	S+3 T3	557,6	-37,1	-0,4	Afkeur CC2-0	ULS 1a_45
33	S+6	658,2	-31,3	9,3	Afkeur CC2-0	ULS 1a_45
32	S+6 T3	683,4	-34,9	9,2	Afkeur CC2-0	ULS 1a_45
16	S+9	707,2	-35,7	10,4	Afkeur CC2-0	ULS 1a_45
112	S+9	794,2	-40,9	8,0	Afkeur CC2-0	ULS 1a_45
113	S+9	799,5	-41,1	8,3	Afkeur CC2-0	ULS 1a_45

Project: **MBT-EHV**
 Uitgangspunt: **Initiële situatie**
 Datum: **20-6-2022**

Betreft **Torsiebelasting steunmasten**
 Richting **Lokale assenstelsel**

Mastnummer	Masttype	Lokaal trek [kN]	Xi-richting [kN]	Eta-richting [kN]	Betrouwbaarheidsniveau	Bijbehorende loadcase
74	S+0	-205,0	7,6	37,9	Afkeur CC2-0	ULS 5a Ba 21
58	S+0	-210,6	7,9	37,3	Afkeur CC2-0	ULS 5a Ah 10
12	S+0 T	-223,2	9,1	37,8	Afkeur CC2-0	ULS 5a Ba 21
64	S+0 T	-228,6	9,4	37,9	Afkeur CC2-0	ULS 5a Ba 21
70	S+0 T	-227,5	8,7	37,2	Afkeur CC2-0	ULS 5a Ah 10
93	S+0 T	-206,8	8,6	37,8	Afkeur CC2-0	ULS 5a Ah 10
127	S+0 T	-213,2	8,3	37,9	Afkeur CC2-0	ULS 5a Ah 10
59	S+3	-189,6	9,7	40,9	Afkeur CC2-0	ULS 5a Ah 10
35	S+3 T3	-189,7	10,9	40,8	Afkeur CC2-0	ULS 5a Ah 10
33	S+6	-235,5	8,3	35,9	Afkeur CC2-0	ULS 5a Ah 10
32	S+6 T3	-246,1	9,9	36,0	Afkeur CC2-0	ULS 5a Ba 21
16	S+9	-251,4	9,7	33,9	Afkeur CC2-0	ULS 5a Ah 10
112	S+9	-280,9	11,2	26,5	Afkeur CC2-0	ULS 5a Ba 21
113	S+9	-282,3	11,2	26,5	Afkeur CC2-0	ULS 5a Ah 10

Project: **MBT-EHV**
 Uitgangspunt: **Aangepaste situatie (verbouw)**
 Datum: **20-6-2022**

Betreft **Trekbelasting**
 Richting **Globale assenstelsel**

Mastnummer	Masttype	Verticaal trek [kN]	x-richting [kN]	y-richting [kN]	Betrouwbaarheidsniveau	Bijbehorende loadcase
74	S+0	-603,3	112,2	95,4	Verbouw CC2	ULS 1a_0,9_0,9_45
58	S+0	-605,8	112,7	95,7	Verbouw CC2	ULS 1a_0,9_0,9_45
12	S+0 T	-638,8	117,8	104,6	Verbouw CC2	ULS 1a_0,9_0,9_45
64	S+0 T	-655,4	122,1	106,5	Verbouw CC2	ULS 1a_0,9_0,9_45
70	S+0 T	-652,0	120,2	104,8	Verbouw CC2	ULS 1a_0,9_0,9_45
93	S+0 T	-595,3	111,3	96,8	Verbouw CC2	ULS 1a_0,9_0,9_45
127	S+0 T	-613,3	113,8	98,5	Verbouw CC2	ULS 1a_0,9_0,9_45
59	S+3	-571,6	105,9	98,5	Verbouw CC2	ULS 1a_0,9_0,9_45
35	S+3 T3	-571,9	108,2	101,2	Verbouw CC2	ULS 1a_0,9_0,9_45
33	S+6	-678,5	123,8	105,4	Verbouw CC2	ULS 1a_0,9_0,9_45
32	S+6 T3	-708,0	131,1	112,9	Verbouw CC2	ULS 1a_0,9_0,9_45
16	S+9	-724,0	135,6	115,0	Verbouw CC2	ULS 1a_0,9_0,9_45
112	S+9	-810,5	148,9	133,1	Verbouw CC2	ULS 1a_0,9_0,9_45
113	S+9	-814,7	149,8	133,4	Verbouw CC2	ULS 1a_0,9_0,9_45

Project: **MBT-EHV**
 Uitgangspunt: **Aangepaste situatie (verbouw)**
 Datum: **20-6-2022**

Betreft **Drukbelasting**
 Richting **Globale assenstelsel**

Mastnummer	Masttype	Verticaal trek [kN]	x-richting [kN]	y-richting [kN]	Betrouwbaarheidsniveau	Bijbehorende loadcase
74	S+0	773,3	146,4	129,6	Verbouw CC2	ULS 1a_45
58	S+0	776,0	146,9	129,9	Verbouw CC2	ULS 1a_45
12	S+0 T	798,8	150,0	136,7	Verbouw CC2	ULS 1a_45
64	S+0 T	824,6	156,1	140,5	Verbouw CC2	ULS 1a_45
70	S+0 T	819,7	153,9	138,5	Verbouw CC2	ULS 1a_45
93	S+0 T	763,2	145,1	130,5	Verbouw CC2	ULS 1a_45
127	S+0 T	782,8	147,9	132,6	Verbouw CC2	ULS 1a_45
59	S+3	749,0	140,8	137,9	Verbouw CC2	ULS 1a_45
35	S+3 T3	750,7	143,3	140,6	Verbouw CC2	ULS 1a_45
33	S+6	871,5	162,1	143,7	Verbouw CC2	ULS 1a_45
32	S+6 T3	905,4	170,4	152,1	Verbouw CC2	ULS 1a_45
16	S+9	934,6	178,0	157,4	Verbouw CC2	ULS 1a_45
112	S+9	1050,2	197,2	181,3	Verbouw CC2	ULS 1a_45
113	S+9	1056,9	198,5	182,2	Verbouw CC2	ULS 1a_45

Project: **MBT-EHV**
 Uitgangspunt: **Aangepaste situatie (verbouw)**
 Datum: **20-6-2022**

Betreft **Trekbelasting**
 Richting **Lokale assenstelsel**

Mastnummer	Masttype	Lokaal trek [kN]	Xi-richting [kN]	Eta-richting [kN]	Betrouwbaarheidsniveau	Bijbehorende loadcase
74	S+0	-615,6	24,3	-11,9	Verbouw CC2	ULS 1a_0,9_0,9_45
58	S+0	-618,1	24,4	-12,0	Verbouw CC2	ULS 1a_0,9_0,9_45
12	S+0 T	-651,8	27,6	-9,4	Verbouw CC2	ULS 1a_0,9_0,9_45
64	S+0 T	-668,8	28,6	-11,0	Verbouw CC2	ULS 1a_0,9_0,9_45
70	S+0 T	-665,3	26,8	-10,9	Verbouw CC2	ULS 1a_0,9_0,9_45
93	S+0 T	-607,4	26,3	-10,3	Verbouw CC2	ULS 1a_0,9_0,9_45
127	S+0 T	-625,8	25,6	-10,8	Verbouw CC2	ULS 1a_0,9_0,9_45
59	S+3	-583,3	28,5	-5,2	Verbouw CC2	ULS 1a_0,9_0,9_45
35	S+3 T3	-583,6	32,0	-4,9	Verbouw CC2	ULS 1a_0,9_0,9_45
33	S+6	-692,0	25,9	-13,0	Verbouw CC2	ULS 1a_0,9_0,9_45
32	S+6 T3	-722,1	30,5	-12,9	Verbouw CC2	ULS 1a_0,9_0,9_45
16	S+9	-738,8	30,1	-14,6	Verbouw CC2	ULS 1a_0,9_0,9_45
112	S+9	-827,0	34,7	-11,2	Verbouw CC2	ULS 1a_0,9_0,9_45
113	S+9	-831,3	34,7	-11,5	Verbouw CC2	ULS 1a_0,9_0,9_45

Project: **MBT-EHV**
 Uitgangspunt: **Aangepaste situatie (verbouw)**
 Datum: **20-6-2022**

Betreft: **Drukbelasting**
 Richting: **Lokale assenstelsel**

Mastnummer	Masttype	Lokaal druk [kN]	Xi-richting [kN]	Eta-richting [kN]	Betrouwbaarheidsniveau	Bijbehorende loadcase
74	S+0	789,1	-38,1	11,9	Verbouw CC2	ULS 1a_45
58	S+0	791,9	-38,2	12,0	Verbouw CC2	ULS 1a_45
12	S+0 T	815,1	-40,5	9,4	Verbouw CC2	ULS 1a_45
64	S+0 T	841,5	-42,3	11,0	Verbouw CC2	ULS 1a_45
70	S+0 T	836,4	-40,4	10,9	Verbouw CC2	ULS 1a_45
93	S+0 T	778,8	-40,0	10,3	Verbouw CC2	ULS 1a_45
127	S+0 T	798,7	-39,4	10,8	Verbouw CC2	ULS 1a_45
59	S+3	764,3	-45,1	2,0	Verbouw CC2	ULS 1a_45
35	S+3 T3	766,0	-48,4	1,9	Verbouw CC2	ULS 1a_45
33	S+6	888,8	-41,4	13,0	Verbouw CC2	ULS 1a_45
32	S+6 T3	923,4	-46,3	12,9	Verbouw CC2	ULS 1a_45
16	S+9	953,7	-47,2	14,6	Verbouw CC2	ULS 1a_45
112	S+9	1071,6	-54,2	11,2	Verbouw CC2	ULS 1a_45
113	S+9	1078,5	-54,4	11,6	Verbouw CC2	ULS 1a_45

Project: **MBT-EHV**
 Uitgangspunt: **Aangepaste situatie (verbouw)**
 Datum: **20-6-2022**

Betreft: **Torsiebelasting steunmasten**
 Richting: **Lokale assenstelsel**

Mastnummer	Masttype	Verticaal trek [kN]	Xi-richting [kN]	Eta-richting [kN]	Betrouwbaarheidsniveau	Bijbehorende loadcase
74	S+0	-307,8	12,2	37,9	Afkeur CC2-0	ULS 5a Ba 21
58	S+0	-309,1	12,2	37,3	Afkeur CC2-0	ULS 5a Ah 10
12	S+0 T	-325,9	13,8	37,8	Afkeur CC2-0	ULS 5a Ba 21
64	S+0 T	-334,4	14,3	37,9	Afkeur CC2-0	ULS 5a Ba 21
70	S+0 T	-332,6	13,4	37,2	Afkeur CC2-0	ULS 5a Ah 10
93	S+0 T	-303,7	13,2	37,8	Afkeur CC2-0	ULS 5a Ah 10
127	S+0 T	-312,9	12,8	37,9	Afkeur CC2-0	ULS 5a Ah 10
59	S+3	-291,6	14,3	40,9	Afkeur CC2-0	ULS 5a Ah 10
35	S+3 T3	-291,8	16,0	40,8	Afkeur CC2-0	ULS 5a Ah 10
33	S+6	-346,0	12,9	35,9	Afkeur CC2-0	ULS 5a Ah 10
32	S+6 T3	-361,0	15,3	36,0	Afkeur CC2-0	ULS 5a Ba 21
16	S+9	-369,4	15,1	33,9	Afkeur CC2-0	ULS 5a Ah 10
112	S+9	-413,5	17,3	26,5	Afkeur CC2-0	ULS 5a Ba 21
113	S+9	-415,7	17,3	26,5	Afkeur CC2-0	ULS 5a Ah 10



About DNV

DNV is the independent expert in risk management and assurance, operating in more than 100 countries. Through its broad experience and deep expertise DNV advances safety and sustainable performance, sets industry benchmarks, and inspires and invents solutions.

Whether assessing a new ship design, optimizing the performance of a wind farm, analyzing sensor data from a gas pipeline or certifying a food company's supply chain, DNV enables its customers and their stakeholders to make critical decisions with confidence.

Driven by its purpose, to safeguard life, property, and the environment, DNV helps tackle the challenges and global transformations facing its customers and the world today and is a trusted voice for many of the world's most successful and forward-thinking companies.

Bijlage 11 Rapportage fundaties meerpaalsfundaties

“TOETSING EN HERONTWERP MASTEN EN FUNDATIES BBB380”

MBT-EHV380 – Rapportage fundaties: meerpaalsfundaties

TenneT TSO B.V.

Rapport nr.: 22-0948, Rev. 2

Meridian doc.nr.: 002.586.40 0944835

Datum: 29-07-2022



Projectnaam: "Toetsing en herontwerp masten en fundaties BBB380" Energy Systems
 Rapport titel: MBT-EHV380 – Rapportage fundaties: DNV Netherlands B.V.
 meerpaalsfundaties Utrechtseweg 310-B50
 Klant: TenneT TSO B.V., 6812 AR Arnhem
 Contactpersoon klant: [REDACTED]
 Datum uitgave: 29-07-2022
 Project nr.: 10166262 [REDACTED]
 Organisatie unit: TDT Handelsregister Arnhem 09006404
 Meridian doc.nr.: 002.586.40 0944835
 Rapport nr.: 22-0948, Rev. 2

[REDACTED] B [REDACTED] Go [REDACTED]

Copyright © DNV 2021. All rights reserved. Unless otherwise agreed in writing: (i) This publication or parts thereof may not be copied, reproduced or transmitted in any form, or by any means, whether digitally or otherwise; (ii) The content of this publication shall be kept confidential by the customer; (iii) No third party may rely on its contents; and (iv) DNV undertakes no duty of care toward any third party. Reference to part of this publication which may lead to misinterpretation is prohibited.

DNV Distributie:

- Open
- Intern
- Commercieel vertrouwelijk
- Vertrouwelijk
- Geheim

*Specificatie distributie: --

Trefwoorden:

Rev.	Datum	Reden van uitgave	Auteur	Beoordeeld	Goedgekeurd
0	16-06-2022	Eerste uitgave	[REDACTED]	[REDACTED]	[REDACTED]
1	26-07-2022	RFA-commentaar verwerkt	[REDACTED]	[REDACTED]	[REDACTED]
2	29-07-2022	Correctie tekening 405 (Appendix D)	[REDACTED]	[REDACTED]	[REDACTED]

Inhoudsopgave

1	INLEIDING	1
1.1	Introductie	1
1.2	Toetsing fundaties	1
1.3	Doelstelling en scope van dit rapport	3
1.4	Relatie overige documenten	3
2	UITGANGSPUNTEN	5
2.1	Normen	5
2.2	TenneT-specificaties	5
2.3	Gebruikte gegevens	5
2.4	Software	5
2.5	Materialen	5
2.6	Sonderingen	6
2.7	Beschrijving grondopbouw	7
2.8	Uitgangspunten geotechniek	9
2.9	Duurzaamheid	11
2.10	Staaldikte funderingspalen	11
2.11	Vermoeiing	12
2.12	Omgeving	12
2.13	Aarding	12
3	BESTAANDE FUNDATIES	13
3.1	Ontbrekende gegevens	13
3.2	Paaltypes	13
3.3	Geotechnische eigenschappen paaltypes	15
3.4	Poertypes	16
4	AANPAK TOETSING FUNDATIES	29
4.1	Inleiding	29
4.2	Belasting op de paalgroep	29
4.3	Toetsing	30
5	RESULTATEN TOETSING INITIËLE SITUATIE	31
5.1	Toetsing fundaties	31
5.2	Bijzonderheden	32
5.3	Horizontaal draagvermogen	33
5.4	Controle wapening	33
6	VERSTERKINGSVOORSTEL	34
6.1	Ballastverzwaring – blok	34
6.2	Ballastverzwaring – balkrooster (mast 82)	36
6.3	Paalfundatie	37
6.4	Aanpak berekening	39
7	TOETSING VERSTERKTE FUNDATIES	40
7.1	Toetsing palen aan afkeurniveau	40
7.2	Toetsing palen aan verbouwniveau	40
7.3	Controle horizontale krachtsafdracht	40
7.4	Wapening poeren	40



8	CONCLUSIE	41
8.1	Toetsing bestaande fundaties afkeurniveau	41
8.2	Versterkingen	41
8.3	Aanbevelingen	43
9	REFERENTIES	44
Appendix A	Asset-gegevens	
Appendix B	Gegevens funderingen	
Appendix C	Toetsing bestaande constructie	
Appendix D	Toetsing versterkte constructie & tekeningen	
Appendix E	Technosoft uitvoer paalfunderingen	
Appendix F	Betonberekeningen	
Appendix G	Horizontale belastingen	
Appendix H	Fundatiebelastingen	

1 INLEIDING

1.1 Introductie

Om in de toekomst meer elektriciteit te kunnen transporteren is het noodzakelijk om naast de nieuwbouw van verbindingen bestaande hoogspanningsverbindingen aan te passen zodat er een grotere transportcapaciteit mogelijk wordt gemaakt. Om die reden is de opdrachtgever (OG) voornemens de bestaande 380 kV-koppeling op te waarderen. Het opwaarderen van de bestaande verbindingen valt onder het programma “Beter benutten bestaande 380 kV-ring” en omvat de volgende deelprojecten:

1. Opwaardering 380 kV-verbinding Diemen – Lelystad (DIM-LLS380)
2. Opwaardering 380 kV-verbinding Lelystad – Ens (LLS-ENS380)
3. Opwaardering 380 kV-verbinding Rilland – Zandvliet (RLL-ZVL380)
4. Opwaardering 380 kV-verbinding Krimpen aan den IJssel - Geertruidenberg (KIJ-GT380)
5. Opwaardering 380 kV-verbinding Ens - Zwolle (ENS-ZL380)
6. Opwaardering 380 kV-verbinding Maasbracht - Eindhoven (MBT-EHV380)

Om te komen tot een DO waarmee de werkzaamheden kunnen worden gestart is door TenneT aan DNV opdracht verstrekt voor de volgende onderdelen:

1. In eerste fase het opstellen en creëren van:

- 1.1 E-studie deel 1
- 1.2 Uitgangspuntenrapporten ten behoeve van de constructieve analyse van masten en fundaties
- 1.3 Sonderingmodellen
- 1.4 Fundatiemodellen
- 1.5 Mastmodellen

2. In tweede fase de uitvoering van de DO-fase bevattende:

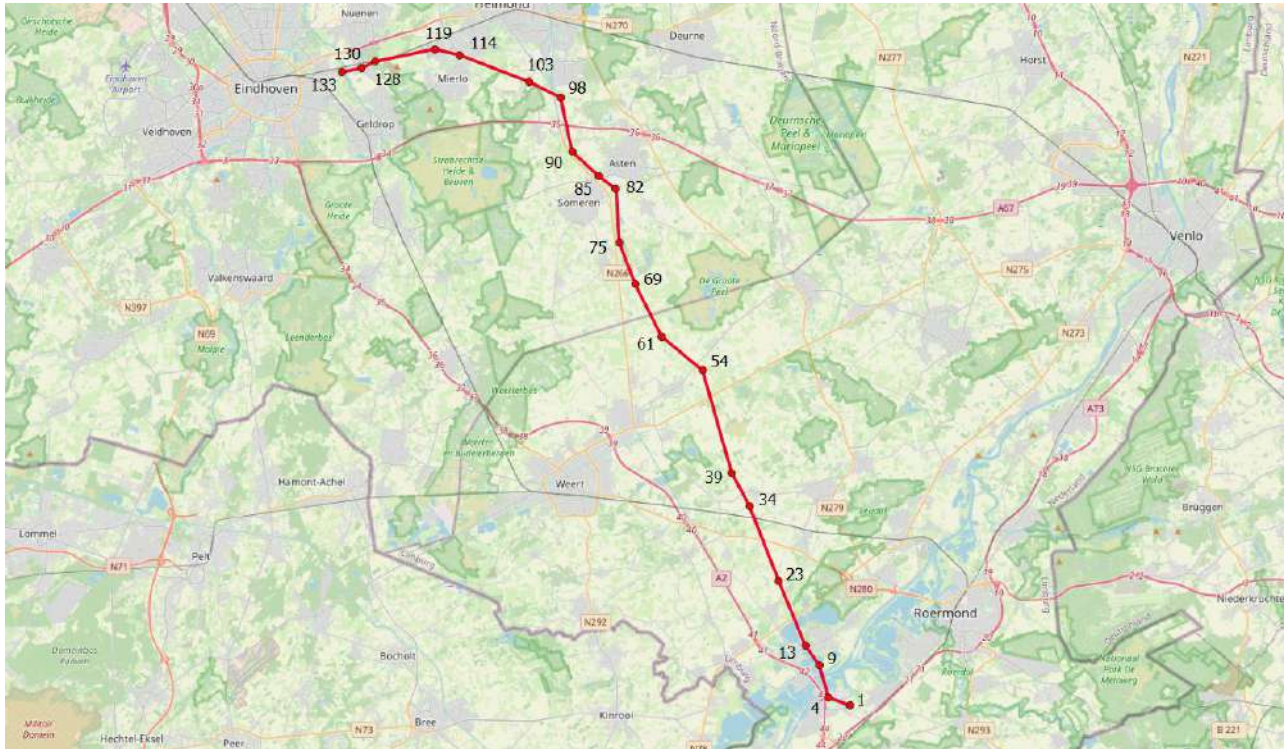
- 2.1 Toetsing conform het uitgangspuntenrapport van de bestaande fundaties
- 2.2 Specificatie van benodigde fundatieversterkingen ten behoeve van aanbesteding
- 2.3 Toetsing conform het uitgangspuntenrapport van de bestaande masten
- 2.4 Specificatie van benodigde mastversterkingen ten behoeve van aanbesteding
- 2.5 E-studie deel 2

1.2 Toetsing fundaties

De toetsing van de bestaande fundaties (fase 2.1) is vanwege de omvang verdeeld over drie rapportages. De onderverdeling is gemaakt op basis van het type fundatie. In het eerste deel zijn de masten opgenomen met een enkelpaalsfundatie, in het tweede deel zijn de masten opgenomen met een meerpaalsfundatie en in het derde deel de fundaties van de portalen.

Dit voorliggende rapport betreft het tweede deel en heeft als inhoud de meerpaalsfundaties.

In Tabel 1-1 is de lijst met mastlocaties die in dit rapport behandeld worden weergegeven, in Figuur 1-1 is het geografische overzicht weergegeven.



Figuur 1-1 Geografische ligging MBT-EHV380 met hoekmastnummers

Tabel 1-1 Mastlocaties

Gemeente	Mastnummer	Masttype	X-coördinaat [m]	Y-coördinaat [m]
Maasgouw	1	EA+0	192054,2	351247,3
Maasgouw	2	S+0	191700,3	351376,6
Maasgouw	3	S+0	191320,7	351515,5
Maasgouw	4	HC+0	190949,8	351651,1
Maasgouw	5	S+0	190862,2	351943,3
Maasgouw	6	S+6	190779,9	352218,0
Maasgouw	7	S+15	190660,8	352615,4
Maasgouw	8	S+15	190557,7	352959,3
Maasgouw	9	HA+0	190441,8	353346,0
Maasgouw	10	S+3	190265,6	353588,7
Maasgouw	11	S+3	190077,5	353847,8
Maasgouw	12	S+0 T1	189880,7	354118,8
Maasgouw	13	HA+0	189721,3	354338,5
Maasgouw	14	S+12	189566,0	354707,5
Maasgouw	15	S+12	189406,4	355086,8
Maasgouw	16	S+9	189246,6	355466,5
Maasgouw	17	S+15 T1	189095,0	355826,9
Maasgouw	18	S+9	188939,8	356195,6
Leudal	21	S+0	188523,9	357184,1
Leudal	23	HA+0	188287,0	357747,2
Leudal	25	S+0	188001,5	358462,8
Leudal	26	S+0	187853,1	358834,7
Leudal	27	S+12	187704,8	359206,3
Leudal	28	S+12	187607,9	359449,2
Leudal	34	HA+0 T1	186738,8	361627,6
Nederweert	39	WA+0	185786,9	363386,9
Nederweert	50	S+12	184652,3	367289,3
Nederweert	51	S+12	184573,6	367560,1
Nederweert	54	HB+0	184239,1	368710,7
Nederweert	61	HB+0	182073,6	370483,4
Someren	69	HA+0	180676,9	373209,0
Someren	75	HA+0	179839,8	375372,1

Gemeente	Mastnummer	Masttype	X-coördinaat [m]	Y-coördinaat [m]
Asten	82	HC+0	179648,0	378161,6
Asten	85	WA+0	178749,9	378835,8
Asten	90	HB+0	177346,6	380092,7
Asten	98	HC+0	176742,0	382913,3
Asten	99	S+15	176437,3	383062,3
Someren	100	S+12	176138,6	383208,4
Someren	103	HA+0	175076,6	383728,0
Helmond	114	HA+0	171474,1	385099,2
Helmond	115	S+0(xc) T1	171281,7	385143,9
Helmond	116	S+9(c)	170928,7	385225,8
Helmond	117	S+9(tc)	170734,2	385270,9
Helmond	118	S+0(tc)	170442,1	385338,7
Helmond	119	HB+0(tc)	170149,9	385406,5
Helmond	120	S+0(tc)	169827,3	385337,9
Geldrop-Mierlo	121	S+0(c)	169500,0	385268,3
Geldrop-Mierlo	122	S+0(xc)	169216,3	385207,9
Nuenen, Gerwen en Nederwetten	128	HA+0 T1	167042,4	384745,4
Nuenen, Gerwen en Nederwetten	130	HA+0	166328,4	384401,3
Eindhoven	133	EA+0	165308,2	384210,9

1.3 Doelstelling en scope van dit rapport

In de verbinding MBT-EHV380 wordt de bestaande driebundel ACCSR-geleider vervangen door een driebundel ACCC-“Warsaw”-geleider. Het doel van het rapport is om aan te tonen dat de in dit rapport beschreven mastfundaties voldoen aan het afkeurniveau met als uitgangspunt de belastingen die ontstaan na toepassing van de nieuwe Warsaw-geleider. De nieuwe geleider is zodanig gekozen dat belastingen in principe niet toenemen in de nieuwe situatie ten opzichte van de bestaande geleider. Indien een fundatie niet voldoet, dan wordt een verzwaring ontworpen van de betreffende fundatie.

Bij de beoordeling van de constructieve veiligheid van bestaande constructies is NEN 8700 aangewezen door het Bouwbesluit 2012. Uitgangspunt is het afkeurniveau met betrouwbaarheidsniveau CC2-0. Indien blijkt dat de fundatie niet voldoet aan het afkeurniveau worden aanpassingen bepaald op basis van het verbouwniveau CC2.

Nadat de wijzigingen zijn toegepast dient aantoonbaar geverifieerd te worden dat het systeem voldoet aan de vigerende eisen.

1.4 Relatie overige documenten

1.4.1 Verificatie & validatie plan

De door TenneT aangeleverde set met eisen is beoordeeld op relevantie en voor de relevantie eisen is aangegeven in welk document wordt aangetoond dat er aan de eis wordt voldaan. De resultaten hiervan zijn opgenomen in het rapport “Verificatie & validatieplan 380kV verbinding Maasbracht - Eindhoven” /3/.

1.4.2 E-studie deel 1

In de rapportage “21-0483 – MBT-EHV380 – E-studie Deel 1” /2/ is bepaald welke aanpassingen benodigd zijn aan het elektrisch ontwerp van de hoogspanningslijn om de ACCC-Warsaw geleider toe te passen binnen MBT-EHV380.

1.4.3 Uitgangspuntenrapport

De uitgangspunten op basis waarvan de berekeningen in deze rapportage zijn uitgevoerd zijn opgenomen in het rapport “21-0138 - Uitgangspuntenrapport 380kV verbinding Maasbracht - Eindhoven” /1/.

1.4.4 Rapportages masten

De belastingen op basis waarvan de fundaties worden doorgerekend komen voort uit de mastrapportages:

1. 22-0912 - MBT-EHV380 - Rapportage masttype EA /4/
2. 22-0913 - MBT-EHV380 - Rapportage masttype EA+0_X /5/
3. 22-0816 - MBT-EHV380 - Rapportage masttype HA+0 & HA+0 T /6/
4. 22-0861 - MBT-EHV380 - Rapportage masttype HB+0 /7/
5. 22-0860 - MBT-EHV380 - Rapportage masttype HB+0_tc /8/
6. 22-0857 - MBT-EHV380 - Rapportage masttype HC+0 /9/
7. 22-0883 - MBT-EHV380 - Rapportage masttype S+0 & S+0 T /10/
8. 22-0806 - MBT-EHV380 - Rapportage masttype S+0_c /11/
9. 22-0775 - MBT-EHV380 - Rapportage masttype S+0_tc /12/
10. 22-0928 - MBT-EHV380 - Rapportage masttype S+0_xc and S+0_xc T /13/
11. 21-1571 - MBT-EHV380 - Rapportage masttype S+3 & S+3 T /14/
12. 21-1574 - MBT-EHV380 - Rapportage masttype S+6 & S+6 T /15/
13. 22-0790 - MBT-EHV380 - Rapportage masttype S+9 /16/
14. 22-0800 - MBT-EHV380 - Rapportage masttype S+9_c /17/
15. 22-0805 - MBT-EHV380 - Rapportage masttype S+9_tc /18/
16. 21-1811 - MBT-EHV380 - Rapportage masttype S+12 /19/
17. 22-0779 - MBT-EHV380 - Rapportage masttype S+15 & S+15 T /20/
18. 22-0797 - MBT-EHV380 - Rapportage masttype WA+0 /21/

2 UITGANGSPUNTEN

2.1 Normen

De volgende normen zijn gehanteerd bij het opstellen van dit rapport:

- NEN 8700:2011, “Grondslagen voor de constructieve beoordeling van bestaande bouw en het constructief ontwerp ten behoeve van verbouw” /23/;
- NEN-EN 1997-1-C1+A1:2016/NB:2016 nl, “Geotechnisch – Algemeen” /24/;
- NEN 8707:2019, “Geotechnisch ontwerp - Beoordeling van de constructieve veiligheid van een bestaand bouwwerk” /25/.
- NEN-EN 50341-1:2013; “Bovengrondse hoogspanningslijnen voor wisselspanning hoger dan 1 kV - Deel 1: Algemene eisen - Gemeenschappelijke specificaties”
- NEN-EN 50341-2-15:2019: “Bovengrondse hoogspanningslijnen voor wisselspanning hoger dan 1 kV - Deel 2-15: Nationale normatieve aspecten (NNA) voor Nederland”
- NEN-EN 1990+A1+A1/C2:2011; “Grondslagen van het ontwerp”
- NEN-EN 1991-1-4+A1+C2:2011; “Deel 1-4: Windbelasting op constructies”
- NEN-EN 1992-1-1+C2:2011/NB:2016+A1:2020; “Eurocode 2: Ontwerp en berekening van betonconstructies, deel 1-1: algemene regels en regels voor gebouwen”
- NEN-EN 1993-1-1+C2+A1:2016 nl; “Eurocode 3: Ontwerp en berekening van staalconstructies, deel 1-1: algemene regels en regels voor gebouwen”
- NEN-EN 1993-1-8+C2:2011/NB:2011 nl; “Ontwerp en berekening van staalconstructies, deel 1-8: ontwerp en berekening van verbindingen”

2.2 TenneT-specificaties

Voor de van toepassing zijnde TenneT-specificaties wordt verwezen naar Appendix A van het uitgangspuntenrapport behorend bij dit project; “21-0138 - Uitgangspuntenrapport 380kV verbinding Maasbracht - Eindhoven” /1/.

2.3 Gebruikte gegevens

Zie Appendix A en de tabel in Appendix G van “21-0138 - Uitgangspuntenrapport 380kV verbinding Maasbracht - Eindhoven” /1/.

2.4 Software

Tabel 2-1 Software

Onderwerp	Software	Versie
Geotechnische berekeningen	Technosoft paalfunderingen	V6.70
Constructieve analyse	AxisVM	X6 1q
Algemene berekeningen	Excel	2016

2.5 Materialen

Voor de controle van de bestaande mastconstructies en fundaties gebouwd in 1967-1968 wordt uitgegaan van de eigenschappen volgens Tabel 2-2.

Tabel 2-2 Materialen bestaande constructie

	Aanduiding '71	Huidig uitgangspunt
Staalsoort	St.37 St.52	S235JR S355J0
Boutkwaliteit	8.8	8.8, gerolde draad
Betonkwaliteit	K225	C30/37 ¹
Wapeningsstaal	FeB220, FeB400, FeB500	B220, B400, B500

Voor de controle van de fundatie in de nieuwe situatie geldt voor aan te brengen versterkingen als minimale kwaliteit:

Tabel 2-3 Materialen nieuwe constructie

	Aanduiding
Staalsoort	S355J0 (t≤16 mm) S355J2 (16<t≤40 mm)
Betonkwaliteit	C30/37
Wapeningstaal	B500

2.6 Sonderingen

In het project is gebruik gemaakt van de oude mechanische sonderingen en nieuw uitgevoerde elektrische sonderingen. Het uitgangspunt is dat voor locaties met een fundatie die verzwaard moet worden, nieuwe sonderingen benodigd zijn. Voor het bepalen van deze locaties is een eerste quick-scan uitgevoerd. Hierin zijn fundaties met bestaande sonderingen gecontroleerd. Als een fundatie niet voldeed of te weinig marge had, is gekozen om op die betreffende locatie nieuwe sonderingen uit te voeren.

2.6.1 Mast 1 t/m mast 17

Mast 1 tot en met 17 staan in een grindwinningsgebied. Hierdoor komen er in de ondergrond zeer vaste lagen voor, welke vroeger niet doordringbaar waren bij het uitvoeren van de mechanische sonderingen en dit ook niet zijn met een nieuwe elektrische sondering. Om deze reden zijn er op sommige locaties slagsonderingen uitgevoerd.

- Geen nieuwe sonderingen: mastnummer 2, 5, 6, 10, 13, 14, 15 en 16;
- Elektrische sonderingen: mastnummer 1, 3, 4, 8, 12 en 17;
- Slagsonderingen: mastnummer 1, 3, 4, 7, 9 en 11

Een aantal sonderingen zijn niet diep genoeg om het draagvermogen tot en met de punt te kunnen berekenen. De sonderingen die beschikbaar zijn van de andere locaties zijn gebruikt om de diepteligging van de zandlagen in te kunnen schatten, zie Appendix E. Op basis van deze gegevens zijn de sonderingen in TS/paalfunderingen tot voldoende diepte verlengd. Uitgangspunt is dat de grondslag zand is, de volgende conuswaarden zijn aangehouden:

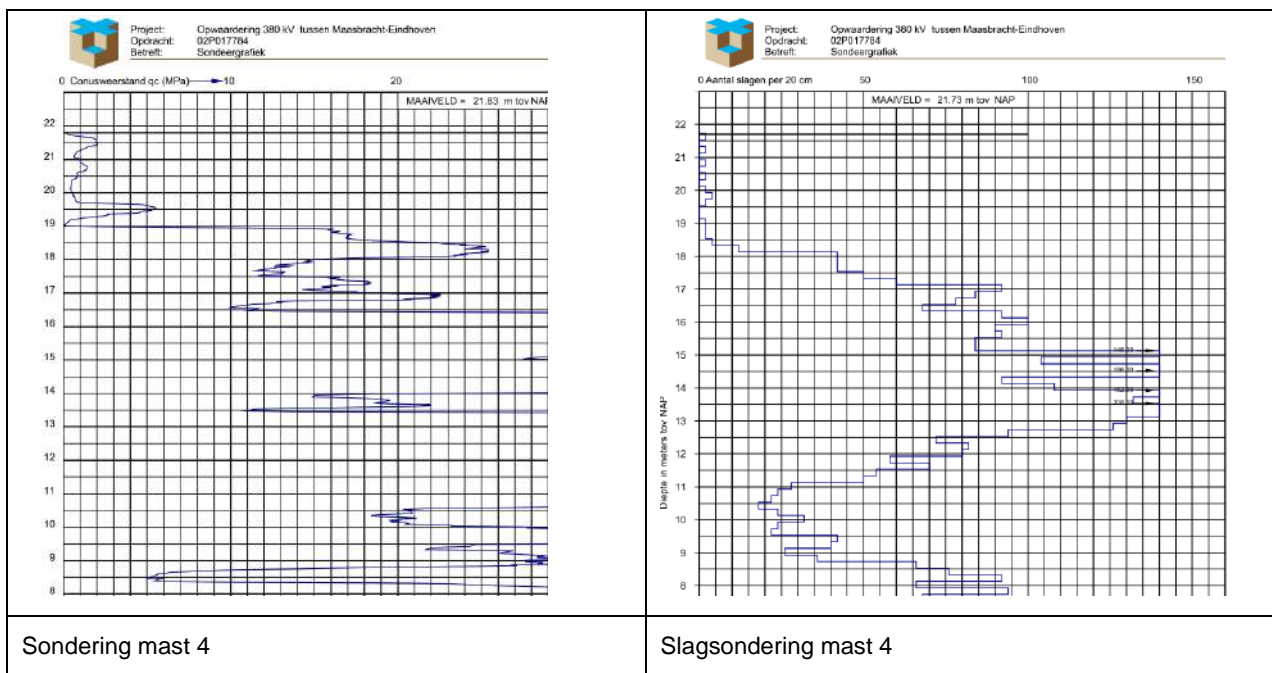
- Tot 6 m – MV 5 MPa
- Tussen 6m – MV en 7 m – MV 10 MPa
- Dieper dan 7 m – MV 15 MPa

Om de slagsondering te vertalen naar een conusweerstand zijn de sonderingen bij mast 4 gebruikt. Op deze locatie zijn zowel nieuwe elektrische sonderingen gemaakt, als nieuwe slagsonderingen. De elektrische sonderingen zijn tot ca. 14 m – MV gekomen en de slagsondering tot ca. 19 m – MV. Om deze reden kan er een vergelijk gemaakt worden, zie Figuur 2-1. Uit dit vergelijk is een verhouding gebleken van:

¹ Het uitgangspunt voor de betondruksterkte is gebaseerd op de resultaten van de veldonderzoek en cilinderproeven. Zie rapport Bejan 200152A-004 Maasbracht - Eindhoven v1.0. Gerapporteerd is een minimale betonsterkteklasse van C35/45. Veiligheidshalve wordt gerekend met C30/37, hetgeen reeds circa tweemaal hoger is dan standaard waarde van C16/20.

- 1 MPa : 2 slagen / 0,2 m

Oftewel voor een conuswaarde van 15MPa, moeten minimaal 30 slagen / 0,2 m te zien zijn op de slagsondering. Voor onderbouwing, zie Appendix E.



Figuur 2-1 Vergelijking sondering en slagsondering mast 4

2.6.2 Mast 18 t/m 133

De berekeningen voor mast 18 tot en met mast 133 zijn deels gebaseerd op de mechanische sonderingen die beschikbaar zijn gekomen vanuit de bouwperiode en deels op nieuw uitgevoerde elektrische sonderingen.

Voor het doel van het toetsen van de bestaande paalfunderingen is het op basis van NEN 8707 mogelijk om bestaande mechanische sonderingen te gebruiken. Voor het basistype masten is één sondering per mast beschikbaar. Er zijn geen nieuwe sonderingen gemaakt bij alle masten waar op basis van verkennende berekeningen geen versterkingen werden verwacht. Voor deze masten is de bestaande sondering als uitgangspunt genomen voor de toetsing. Dit geldt voor de masten met mastnummer 21, 23, 39, 69, 82, 85 en 90. Na uitwerking van de definitieve berekeningen is gebleken dat bij mast 39, 82 en mast 90 verzwaringen nodig zijn. In alle gevallen gaat het om een ballastverzwaring. Volgens de regelgeving zijn er strikt genomen geen sonderingen noodzakelijk bij een dergelijke verzwaring. Ter verificatie zijn bij mast 82 nieuwe sonderingen uitgevoerd.

Voor alle overige masten wordt de draagkracht van de bestaande en nieuwe palen berekend op basis van nieuw uitgevoerde elektrische sonderingen, zoals vereist op basis van het Bouwbesluit 2012. Bestaande sonderingen worden hierbij buiten beschouwing gelaten.

2.7 Beschrijving grondopbouw

De bodemopbouw van van mast 1 tot en met mast 133 laat een gevarieerd beeld zien met zeer slappe kleilagen en wisselend gepakte zandlagen. Het eerste gedeelte van het tracé kenmerkt zich door aanwezigheid van grindlagen in de bodem. In het algemeen bevindt zich op het niveau van de paalpunt (ca. 7 m tot 15 m) een vaste zandlaag of een zandgrindhoudende grondlaag in het geval van mast 1 t/m 17.

In Tabel 2-4 is voor alle fundaties een globale omschrijving van de grondopbouw over de eerste 5 meter onder maaiveld weergegeven. De grondopbouw is gebaseerd op de nieuw uitgevoerde sonderingen en de bestaande sonderingen waar geen nieuwe sondering is uitgevoerd. De bodemopbouw van de bovenste lagen is van belang voor de horizontale krachtsafdracht, zie hiervoor verder Appendix G. Het volledige bodemprofiel dat voor de berekening van het draagvermogen op trek en druk wordt gebruikt is per locatie opgenomen in de uitvoer van TS/Paalfunderingen, zie Appendix E.

Tabel 2-4 Grondopbouw

Mastr.	Masttype	Poertype	Omschrijving bodem
1	EA+0	Ronde poer - 4P-O-2	Zand, los
2	S+0	Ronde poer - 2P-O	Zand, los tot 4 m, vast zand
3	S+0	Ronde poer - 2P-O	Slappe lagen tot -2.5, daarna vast zand
4	HC+0	Ronde poer - 4P-O-2	Zand, los
5	S+0	Blok poer - 2P-O Mast 5 & 6	Slappe lagen tot -4, daarna vast zand
6	S+6	Blok poer - 2P-O Mast 5 & 6	Slappe lagen tot -2.0, daarna vast zand
7	S+15	Ronde poer - 3P-O	Slappe lagen tot -4, daarna vast zand
8	S+15	Ronde poer - 3P-O-2	Slappe lagen tot -2, vast zand
9	HA+0	Ronde poer + Blok - 3P-O Mast 9	Slappe lagen tot -1.5, daarna vast zand
10	S+3	Ronde poer - 2P-O Mast 10 & 11	Slappe lagen tot -2.0, daarna zand
11	S+3	Ronde poer - 2P-O Mast 10 & 11	Slappe lagen tot -2.0, daarna zand
12	S+0 T	Ronde poer - 2P-O	Los zand tot 2 m, Matig zand
13	HA+0	Ronde poer + Blok - 3P-O Mast 13	Zand matig
14	S+12	Blok poer - 2P-O Mast 14	Zand matig
15	S+12	Ronde poer - 2P-O Mast 15 & 16	Zand los
16	S+9	Ronde poer - 2P-O Mast 15 & 16	Zand los
17	S+15 T1	Ronde poer - 2P-O-2	Slappe lagen tot -2, vast zand
18	S+9	Ronde poer - 2P-LD	Zand matig
21	S+0	Ronde poer - 2P-LD	Zand
23	HA+0	Ronde poer - 4P-LD	Los zand to 5 m
25	S+0	Ronde poer - 2P-LD	Zand matig
26	S+0	Ronde poer - 2P-LD	Zand matig
27	S+12	Ronde poer - 2P-LD	Zand los
28	S+12	Ronde poer - 2P-LD	Zand los
34	HA+0 T1	Ronde poer - 3P-LD	Matig zand
39	WA+0	Ronde poer - 3P-LD	Matig zand
50	S+12	Ronde poer - 2P-LD	Zand los
51	S+12	Ronde poer - 2P-LD	Zand los
54	HB+0	Ronde poer - 3P-LD	3 m los zand, matig zand
61	HB+0	Ronde poer - 3P-LD	2,5 m klei, matig zand
69	HA+0	Ronde poer - 3P-LD	Zand matig
75	HA+0	Ronde poer - 3P-LD	2 m los zand, 5 m klei
82	HC+0	Ronde poer - 4P-O	2 m klei, los zand
85	WA+0	Ronde poer - 3P-LD	3 m klei, matig zand
90	HB+0	Ronde poer - 3P-LD	2 m klei, matig zand
98	HC+0	Ronde poer - 4P-LD-2	Los zand to 5 m
99	S+15	Ronde poer - 2P-LD	Zand los
100	S+12	Ronde poer - 2P-LD	3 m zand, 4 m Slappe lagen
103	HA+0	Ronde poer - 3P-LD	4 m vast zand, 3 m klei
114	HA+0	Ronde poer - 3P-LD	3 m klei, vast zand
115	S+0_xc T1	Lijnpoer - 2P Mast 115N, 121N & 122N	Zand
116	S+9(c)	Lijnpoer - 1P+2P Mast 116, & 120	2,5 m los zand
117	S+9(tc)	Lijnpoer - 1P+2P Mast 117 & 118	4 m los zand
118	S+0(tc)	Lijnpoer - 1P+2P Mast 117 & 118	4 m klei/los zand
119	HB+0(tc)	Lijnpoer - 3P+2P Mast 119	Zand
120	S+0(tc)	Lijnpoer - 1P+2P Mast 116, & 120	6 m los zand
121	S+0(c)	Lijnpoer - 2P Mast 115N, 121N & 122N	Zand
122	S+0_xc	Lijnpoer - 2P Mast 115N, 121N & 122N	Zand
128	HA+0 T1	Ronde poer - 3P-LD	Los zand
130	HA+0	Ronde poer - 3P-LD	Matig zand
133	EA+0_133	Ronde poer - 4P-LD	2 m klei, los zand

2.8 Uitgangspunten geotechniek

2.8.1 Paalklassefactoren

Met de 2016-versie van de Nationale Bijlage van de norm voor Geotechniek, de NEN-EN 1997-1 /24/, zijn per 1 januari 2017 de paalklassefactoren volgens tabel 7.c verlaagd. Deze verlaagde factoren gelden echter niet voor bestaande paalfunderingen; via NEN 8700 /23/ wordt nog naar de NEN-EN 1997-1 /24/ van voor 2016 normatief verwezen. Daardoor hoeven de gereduceerde waarden niet te worden toegepast bij de toetsing van de fundaties in de bestaande situatie. Bij de controle van nieuw aan te brengen palen wordt de reductie wel in rekening gebracht.

2.8.2 Uitgangspunt hoogte fundatie

Voor het bepalen van de hoogtes van bovenkant fundatie en van het maaiveld zijn de hoogtes gehanteerd die zijn bepaald aan de hand van PLS-CADD. Deze gegevens zijn geijkt aan de LIDAR-gegevens². Ter verificatie is gebruik gemaakt van door SWECO uitgevoerde hoogtemetingen van de fundaties.

2.8.3 Aanneemkleef cohesieve lagen

In de berekeningen wordt de weerstand van de cohesieve lagen boven de draagkrachtige zandlaag meegenomen. Volgens opmerking (b) van 7.6.3.3 (8) van NEN-EN 1997-1 is de schachtwrijving tot 50% gereduceerd. Negatieve kleef is gerekend over de hoogte van de cohesieve laag en de grondlagen daarboven.

2.8.4 Zand-grindhoudende grond

In de berekeningen wordt de weerstand van de zand-grindhoudende grond meegenomen volgens tabel 7.c van NEN-EN 1997-1. De conuswaarde van de sondering wordt bepaald aan de hand van de slagsonderingen of de bestaande sonderingen, zie omschrijving hoofdstuk 2.6.1.

2.8.5 Sonderingen per locatie

De sonderingen uit de bouwperiode bevatten één sondering per locatie. De precieze positie is niet bekend, aangenomen wordt dat dit in het centrum van de mastpositie was. Met een afmeting van circa 10x10 m voor de pootspreiding wordt op basis van NEN 8707 voldaan aan het benodigde aantal sonderingen.

In het geval van nieuw uit te voeren sonderingen benodigd voor nieuwe fundaties zal het dekkingsgebied van de sonderingen een afmeting bestrijken van 25x25 m onder de voorwaarde dat $\Delta R_{c,cal} \leq 0,3R_{c,cal}$ volgens 3.2.3 opmerking (a) van NEN-EN 1997-1. Met twee sonderingen per locatie bij een mast met pootsprei van circa 10 m, vallen alle hoeken onder het dekkingsgebied van beide sonderingen. Indien variatie groter is, dan valt iedere hoek onder tenminste één sondering.

2.8.6 Ksi-factoren

De factoren ksi3 en ksi4 worden toegepast bij de bepaling van de karakteristieke weerstand van een paal. De waarden zijn afhankelijk van de aard van de constructie en het aantal beschikbare sonderingen. De ksi-factoren zijn ontleend aan NEN-EN 1997-1:2016, bijlage A, tabel 10. Per mastlocatie zijn maximaal vier sonderingen beschikbaar. De drie- en vierpaalsfundaties worden beschouwd als "stijf" bouwwerk. Overige fundaties vallen onder "niet-stijf".

Tabel 2-5 Ksi-factoren stijf bouwwerk

Aantal sonderingen	1	2	3	4	5	7	10
ksi3	1,26	1,20	1,18	1,17	1,17	1,15	1,14
ksi4	1,26	0,96	0,94	0,93	0,93	0,92	0,91

Tabel 2-6 Ksi-factoren niet-stijf bouwwerk

Aantal sonderingen	1	2	3	4	5	7	10
ksi3	1,39	1,32	1,30	1,28	1,28	1,27	1,25
ksi4	1,39	1,32	1,30	1,03	1,03	1,01	1,00

² Gebaseerd op het meest recente Algemene Hoogtebestand Nederland (AHN3).

Indien bij sterk wisselende resultaten uit de verschillende sonderingen per mastlocatie niet voldaan wordt aan de eis van de variatiecoëfficiënt (NEN-EN 1997-1, opmerking in bijlage A), dan wordt de ksi-factor gekozen op basis van één sondering. De capaciteit wordt gebaseerd op de minst gunstige sondering.

2.8.7 Groepseffect

De invloed van het groepseffect wordt in rekening gebracht door de factoren f_1 en f_2 volgens 7.6.3.3 (8), opmerking (c) uit NEN-EN 1997-1. Daarnaast moet het "kluitgewicht" bij paalgroepen worden gereduceerd.

f_1 is een factor voor de verdichting die optreedt. Dit (gunstige) effect is niet meegenomen in de berekeningen aangezien hiervoor vooraf en achteraf controlesonderingen benodigd zijn.

f_2 is de factor voor de vermindering van de korrelspanning die optreedt als gevolg van belasting van palen in een paalgroep. Deze wordt berekend door de software.

Relevant is de invoer van de invloedsooppervlakte. De palen zijn in schoor geheid en de paalpunten bevinden zich daardoor afhankelijk van poertype en paallengte op een afstand van 2,5 à 3,0 meter van elkaar. NEN-EN 1997-1 verwijst naar CUR2001-4 waarin ontwerpregels zijn opgenomen voor palen die in een groep staan. Deze regels worden gevolgd.

Bij de tweepaalspoeren treedt er geen reductie op, omdat er slechts één paal effectief meewerkt. Voor de kritische locaties met drie of meer palen is de reductiefactor berekend, gebaseerd op een effectiviteit van twee palen. Het resultaat is weergegeven in Tabel 2-7. Deze reductiefactoren zijn niet verwerkt in de resultaten uit Technosoft (Appendix E), maar apart meegenomen in de draagvermogens ten behoeve van de toetsing (Appendix C). De gevonden minimale waarde is 0,9 en is gehanteerd voor alle andere locaties (met drie of meer palen) waarvoor de reductiefactor niet specifiek is berekend.

Tabel 2-7 Reductiefactor t.g.v. groepseffect

Mast	Reductiefactor	Mast	Reductiefactor	Mast	Reductiefactor
7	0,94	54-bu ³	0,92	98	0,93
23	0,93	69	0,93	103	0,93
34	0,91	75	0,95	114	0,91
39	0,90	82	0,95	128	0,90
54-bi ⁴	0,98	90	0,92	130	0,93

2.8.8 Materiaalfactor $\gamma_{m,var,qc}$

Een belangrijke parameter die de berekende draagkracht reduceert is de partiele factor $\gamma_{m,var,qc}$ volgens NEN-EN 1997-1 artikel 7.6.3.3 (8) opmerking (d). Voor een paal die een wisselende belasting ondergaat tussen trek- en druk treedt een vermindering op van de schuifweerstand. Afhankelijk van de verhouding tussen uiterste trek- en drukkracht in de SLS is de $\gamma_{m,var,qc}$ tussen de 1,0 en 1,5.

$$\gamma_{m,var,qc} = 1 + 0,25 \cdot \frac{F_{t,max,rep} - F_{t,min,rep}}{F_{t,max,rep}} \text{ en } \gamma_{m,var,qc} \leq 1,5$$

Voor steunmasten met variatie waarbij de maximale drukbelasting minimaal gelijk is aan de trekbelasting levert de formule de waarde van 1,50 op. Voor hoekmasten wordt een waarde van 1,35 aangehouden. Deze waarde is gebaseerd op het feit dat de hoekmasten in staat moeten zijn de eenzijdige belasting bij afwezigheid geleiders op te nemen. In dat geval worden palen uitsluitend op trek belast en is de materiaalfactor $\gamma_{m,var,qc}$ kleiner dan 1,5.

³ bu: "buitenbocht", de berekening is uitgevoerd voor de op trek belaste zijde in de buitenbocht, bij mast 54 is sprake van een groot verschil in draagvermogen tussen binnen- en buitenbocht. Gebruik van de "slechtste" sondering zou leiden tot te conservatieve resultaten voor de op trek belaste palen in de buitenbocht.

⁴ bi: "binnenbocht", door het lage draagvermogen (t.g.v. slappe lagen) is de reductie op de capaciteit in de binnenbocht minder.

2.9 Duurzaamheid

2.9.1 Bestaande betonpoeren

Alle berekeningen zijn opgesteld met het uitgangspunt dat door voldoende onderhoud geen achteruitgang is opgetreden. Dit uitgangspunt wordt ondersteund door het inspectierapport Bejan Bouw & BetonTechniek b.v., rapportnummer 200152A-004 v1.0 /26/. Daarin wordt onderstaande eindconclusie geschreven:

“De betonnen poeren hebben een restlevensduur van minimaal 50 jaar. Om deze restlevensduur te kunnen bereiken dienen de poeren voldoende te worden beschermd tegen indringing van carbonatatie. Om de kans op indringing van carbonatatie en carbonatatie geïnitieerde wapeningscorrosie te verkleinen adviseren wij om de betonconservering periodiek te vervangen.”

De betonsterkteklasse is ook geverifieerd aan de hand van cilinderdrukproeven. De minimaal gevonden karakteristieke druksterkte is 59,0 MPa en is veel hoger dan de aangenomen karakteristieke druksterkte van 30 MPa (C30/37). Dit betreft daarmee een veilige aanname. Voor resultaten, zie inspectierapport Bejan /26/.

2.9.2 Nieuwe betonpoeren

De duurzaamheid van de nieuwe betonpoeren wordt geborgd door het toepassen van voldoende betondekking op het betonstaal. Conform TenneT-specificatie betreft dit een minimale betondekking van 40mm.

2.10 Staaldikte funderingspalen

Voor het dimensioneren van stalen palen dient volgens TenneT-specificatie 04.009 rekening te worden gehouden met afname van staaldikte op basis van NEN 1993-5. Dit komt overeen met de CUR-aanbeveling 166 voor damwanden. Door SWECO is in opdracht van TenneT milieukundig onderzoek uitgevoerd, zie rapportage NL22-648800269-21186 /27/. Hieruit is per locatie de agressiviteit van het grondwater (pH-waarde) af te leiden. Uit de metingen blijkt dat er geen aanleiding is om te veronderstellen dat de palen zich bevinden in verontreinigde bodem of geroerde grond. De invloed van het zoutgehalte in het grondwater is gering⁵.

Voor de nieuwe palen wordt uitgegaan van enkelzijdige afroesting op basis van geroerde grond, hetgeen leidt tot een afname van 1,50 mm na 50 jaar. Bij minimaal 12,5 mm dikte moet de U.C. voor nieuwe palen beneden de $(12,5 - 1,50)/12,5 = 0,88$ blijven.

Het dikteverlies van de bestaande palen wordt gebaseerd op de bouwperiode (1971) vermeerderd met de gewenste restlevensduur (50 jaar). De totale periode komt neer op $(51+50)= 101$ jaar. Het dikteverlies wordt bepaald op basis van geroerde grond en is gelijk aan: $101 / 50 \times 1,50\text{mm}/50 \text{ jaar} = 3,0 \text{ mm}$. Bij een initiële dikte van 9 mm voor de bestaande paal betekent dat, dat de U.C. beneden de $(9-3,0)/9 = 0,67$ moet blijven. De keuze voor enkelzijdig volgt uit het gegeven dat de stalen palen deels gevuld zijn met beton en een gelaste gietstalen punt hebben.

Tabel 9.2. Aantasting (mm) van damwanden in bodem en ophogingen met of zonder grondwater (per blootgestelde zijde *).

Beoogde levensduur (jaar)	5 ***)	25 ***)	50	75	100
Ongeroerde, schone bodem	0,00	0,30	0,60	0,90	1,20
Verontreinigde bodem, geroerde grond	0,15	0,75	1,50	2,25	3,00
Zure bodem (veen, moeras)	0,20	1,00	1,75	2,50	3,25
Onverdichte grond (klei, zand) **)	0,18	0,70	1,20	1,70	2,20
Onverdicht, agressief ophoogmateriaal (bodemas, slakken, sintels)	0,50	2,00	3,25	4,50	5,75

Figuur 2-2 Tabel 9.2 uit CUR 166

⁵ Deltares, rapport 1209030, Corrosie van stalen damwandplanken in de grond;

2.11 Vermoeiing

De fundaties worden belast door vakwerkmasten. Deze zijn vanwege de aard van de constructie niet gevoelig voor vortex shedding of andere opslingeringen door wind. De wisselende belasting van wind is een quasi-statische belasting. Dit is vastgelegd in 7.3.10 van NEN-EN 50341-1:2013. Toetsing op vermoeiing door galloping (lijndansen), voor zover al relevant voor fundaties, is voor bestaande constructies niet vereist op basis NEN 8701.

2.12 Omgeving

De voorgestelde versterkingsoplossingen met betonpoeren vereisen ruimte buiten de huidige mastvoeten. Een gedetailleerde studie naar eventuele obstakels valt buiten de scope van deze rapportage, echter zijn de volgende zaken noemenswaardig:

- Mastlocatie 7 is mogelijk slecht bereikbaar, gelegen op een schiereiland in een plas direct naast de Maas;
- Verschillende mastlocaties in drassig gebied, bijvoorbeeld mast 61 en mast 128;
- Mastlocatie 82 direct naast een rioolzuiveringsinstallatie.

2.13 Aarding

Uitwerking van aardingsvoorzieningen vallen buiten de scope van deze rapportage. In de UO-fase dient de aarding in de betonpoeren te worden ontworpen op basis van de van toepassing zijnde TenneT-specificaties.

3 BESTAANDE FUNDATIES

In deze paragraaf worden de specifieke mechanische en geotechnische uitgangspunten behorend bij de aanwezige palen en fundaties beschreven die onderdeel zijn van deze rapportage.

3.1 Ontbrekende gegevens

De volgende as-built gegevens van de meerpaalsfundaties ontbreken:

- De asset-gegevens bevatten geen as-buittekeningen en ook geen ontwerptekeningen van de verschillende meerpaalspoeren daterend uit de oorspronkelijke bouw. Alleen de tekeningen van latere versterkingen en de lijst met poerafmetingen geven indicatie over de afmetingen van de poeren;
- De asset-gegevens bevatten geen as-buittekeningen van de wapening in de bestaande poeren;
- De asset-gegevens bevatten geen as-built en/ of ontwerptekeningen van de blokpoeren bij mast 5 en mast 6. Uit de veldinspectie van mast 5 en via luchtfoto's is vastgesteld dat de bestaande fundatie versterkt is, maar er zijn hierover verder geen gegevens bekend;
- De asset-gegevens bevatten geen as-built en/ of ontwerptekeningen van de Ort-Betonpalen. Enkel de diameter van de palen is bekend. Van de wapening in de palen en de verankering van de palen in de poeren zijn geen gegevens bekend;
- De asset-gegevens bevatten geen informatie over de fundatie van mast 7. Het aantal palen en de paallengte is hierdoor niet vast te stellen;
- Detaillering van de paalpunt van LD1-palen. De asset-gegevens bevatten geen as-built tekeningen van de palen. De detaillering van de paalpunt is niet met zekerheid bekend.

In 5.4 zal worden ingegaan op de aanpak rondom de missende asset-data.

3.2 Paaltypes

3.2.1 Ort-Betonpalen

Bij mast 1 tot en met mast 17 en mast 82 zijn Ort-Betonpalen toegepast. De diameter van de palen is 0,42 m. Het betreft in de grond gevormde palen die vermoedelijk zijn gerealiseerd met een geheide hulpbuis. Het is niet bekend welke wapening er in de palen is opgenomen en hoe de palen zijn verankerd in de poeren. Afgaande op de heistaten zijn de palen gerealiseerd met de paalkop gelijk aan maaiveld en volledig in de poeren opgenomen.

2.1 Daten des Ortbetonpfahls

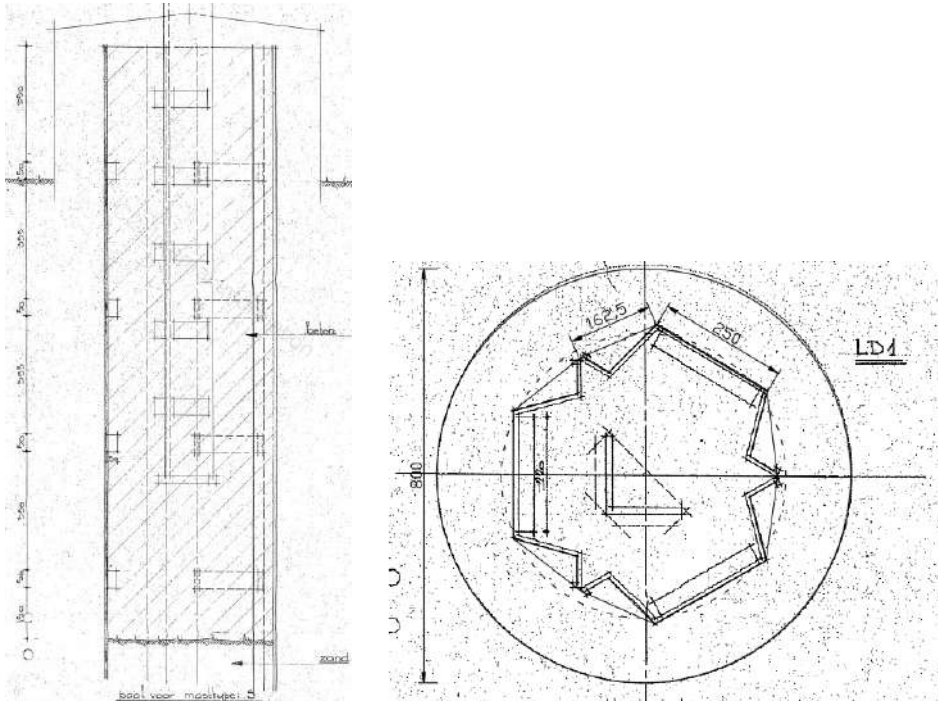
Durchmesser	42 cm
Umfang	132 cm
Querschnitt	1380 cm ²
Trägheitsmoment	153000 cm ⁴
Betonqualität:	
Pfahl und Pfahlkopf	B225
Bewehrungsstahl:	
Pfahlbewehrung	St III b
Bügel	St I
Baustahlgewebematten in Pfahlkopf	St II b

Figuur 3-1 Beschikbare gegevens Ort-Betonpalen

3.2.2 Kokerpalen met punt

Voor meerpaalsfundaties van mast 18 tot en met mast 133 (met uitzondering van mast 82) zijn kokerpalen met punt toegepast. Het type bestaat uit een geheide, stalen kokerpaal met punt. De palen zijn samengesteld uit drie (LD1-paal)

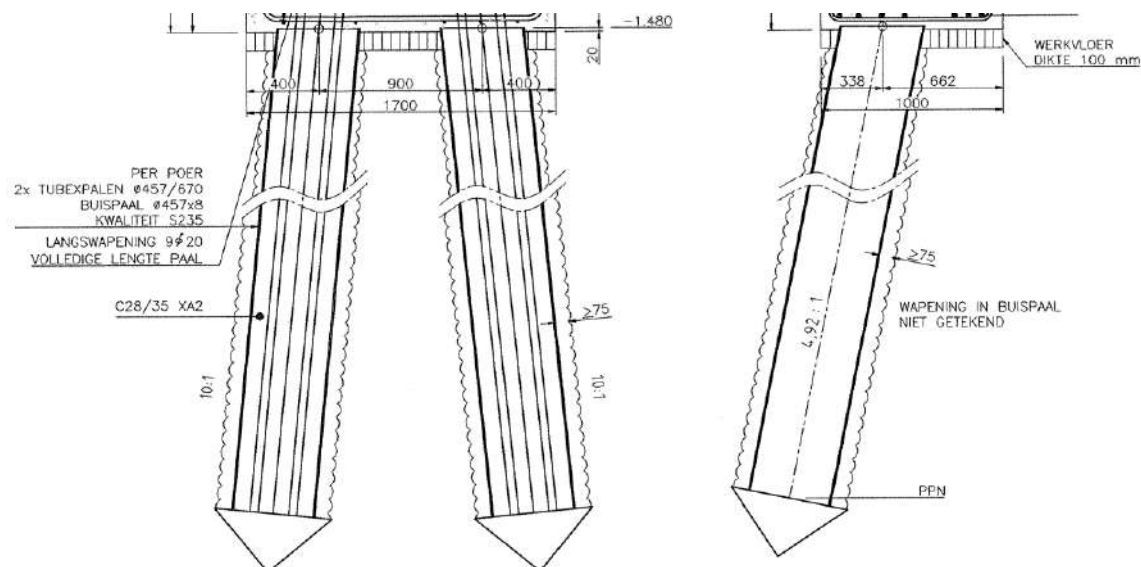
damwandsegmenten. Het is niet bekend hoe de palen zijn verankerd in de poeren. De theoretische positie van de bovenkant van de paal ten opzichte van maaiveld is -0,25 m.



Figuur 3-2 Gesloten stalen kokerpaal met punt

3.2.3 Tubex palen

Voor nieuwbouw en verzwaring van mast 115 t/m 122 in Helmond Brandevoort zijn Tubex-palen gebruikt. De buisdiameter is 457 mm en de wanddikte 8 mm. De diameter van de paal inclusief groutschil is 670 mm. De buis is voor 20 mm opgenomen in de betonpoer en volledig volgestort met beton. Met wapening zijn de palen verankerd in de poeren. Een principedetail van de funderingspaal is weergegeven in Figuur 3-3.



Figuur 3-3 Tubex-palen

3.3 Geotechnische eigenschappen paaltypes

In Tabel 3-1 zijn de geotechnische eigenschappen op basis van NEN-EN 1997-1 samengevat waarmee de berekeningen worden uitgevoerd. De mechanische eigenschappen van de paaltypes zijn gebaseerd op archiefgegevens. Voor gebruik in het programma is een diameter ingevoerd met equivalente paalomtrek als de werkelijke paal. In Appendix E zijn de eigenschappen samengevat.

Tabel 3-1 Geotechnische eigenschappen palen

	Ort-Beton	LD1	Tubex 457/620
Paaltipe	Geheide in de grond gevormde betonpaal	Geheide stalen koker met punt	In de grond gevormde geschroefde paal
Diameter (m)	0,42	0,55	0,67
Factor α_s	0,014	0,010	0,009
Factor α_t	0,012	0,007	0,009
Factor α_p	1,0	1,0	0,63
Factor β	1,0	1,0	1,0

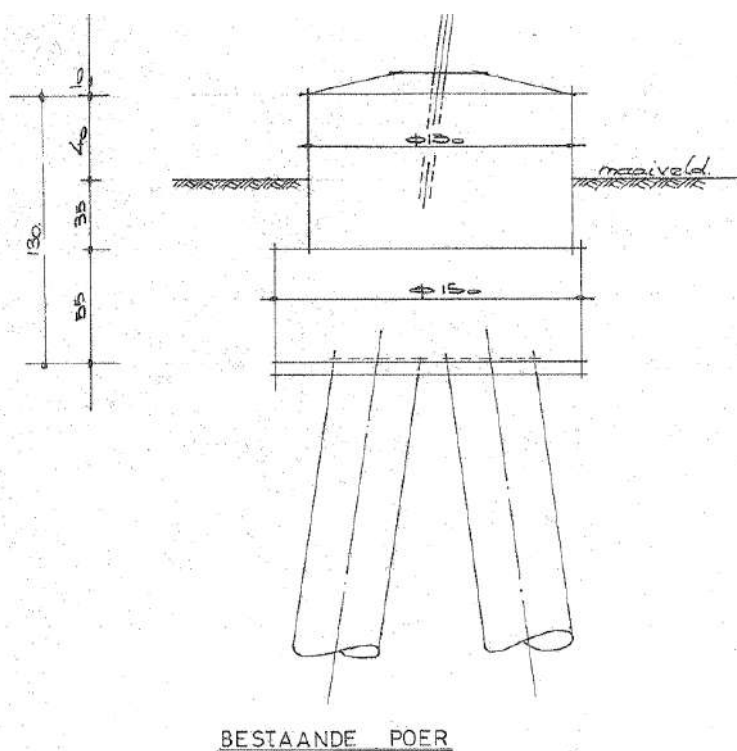
3.4 Poertypes

De meerpaalsfundaties bestaan uit ronde poeren. Deze verschillen in grootte afhankelijk van het aantal palen en paalttype. De poeren zijn opgebouwd uit twee cilinders. Niet van alle poertypes⁶ zijn gedetailleerde gegevens bekend. Per type zal hierop worden ingegaan.

3.4.1 Tweepaalspoeren

2P-Ortbeton

Het type 2P-Ortbeton komt voor bij steunmasten tot mast 17. Op basis van tekening “verzwaring mast 10 en 11” is de afmeting van de poer af te leiden, zie Figuur 3-4. Het onderste gedeelte heeft een hoogte van 0,55 m en een diameter van 1,50 m en het bovenste gedeelte heeft een hoogte van 0,85 m en een diameter van 1,30 m. De totale hoogte is 1,40 m. In de poer zijn twee palen opgenomen, waarvan de verankering in de poer onbekend is. De helling van de palen is 1:7. De theoretische positie van de bovenkant van de fundatie ten opzichte van maaiveld is 0,5m. Het systeempunt van de mast snijdt in het centrum van de bovenste cilinder. Dit is bevestigd in het veldbezoek van 12-05-2022. De onderste cilinder is verschoven ten opzichte van de bovenste cilinder. De verschuiving kon niet bevestigd worden in het veldbezoek, voor de berekening is dit echter niet relevant, omdat de palen zijn uitgezet ten opzichte van de bovenste cilinder.



Figuur 3-4 Ronde poer – 2P-O

Mast 17 (S+15) is volgens de asset-data (palenstaat) een tweepaalspoer. Uit luchtfoto's blijkt dat de afmeting groter is dan de overige poertypes. Dit is bevestigd in het veldonderzoek van 12-05-2022. De bovenste cilinder meet 1,8 m. In de berekeningen zal worden uitgegaan van de afmetingen van type 2P-LD, waarvan de bovenafmeting overeenkomt.

⁶ De naamgeving van de poertypes is door DNV geïntroduceerd omdat vanuit Asset-gegevens geen duidelijke naamgeving is te herleiden.



Figuur 3-5 Mast 17. De mast staat op een geheld terrein. De poerafmeting is bepaald op 1,8 m

2P-LD

In het overige deel van de verbinding zijn LD-palen toegepast in de tweepaalspoeren. Omdat de LD-palen (kokerpalen uit damwanden) een grotere afmeting hebben dan de Ortbeton-palen, is de afmeting groter dan het 2P-O-type. Er zijn geen tekeningen beschikbaar van het poertype 2P-LD. Op basis van luchtfoto's en opmetingen van het veldbezoek van 12-05-2022 is de afmeting van de bovenste cilinder bepaald op 1,8 m. De onderste cilinder is aanwezig, maar afmeting is onbekend. In de berekening wordt uitgegaan van 2,2 m, met dikte 0,5 m (conservatief).



Figuur 3-6 Ronde poer 2P-LD (mast 21)

Driepaalspoer mast 7 en 8

Mast 7 en 8 zijn gefundeerd op driepaalspoeren met Ortbetonpalen. Van beide masten ontbreken tekeningen. Mast 7 is opgemeten tijdens het veldbezoek van 11-11-2021 en heeft een poer waarbij de afmeting 1,8 m bedraagt. Er zal worden uitgegaan in de berekening van gelijke afmetingen als type 2P-LD.

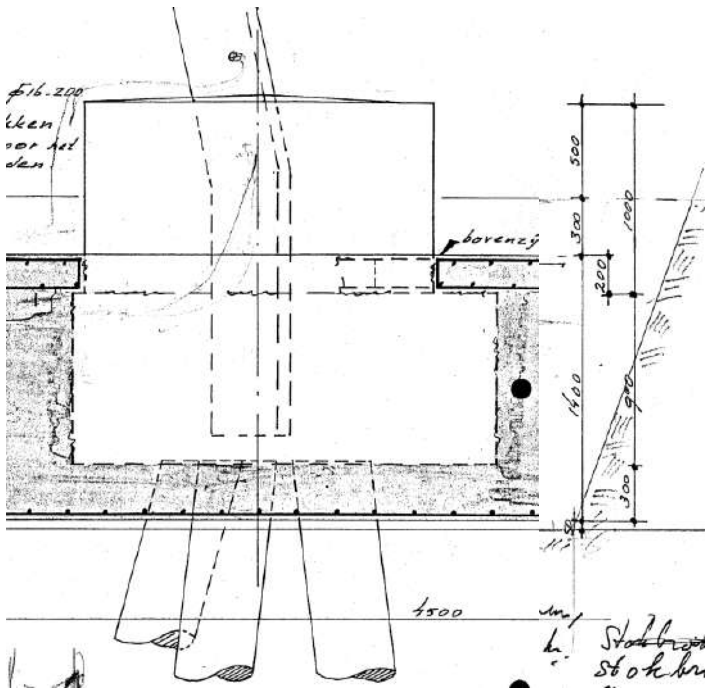
Op basis van opmeting uit foto's is de poer van Mast 8 kleiner uitgevoerd, de afmeting bedraagt zeer waarschijnlijk 1,5 m. Op de foto is te zien dat de onderste cilinder gecentreerd is uitgevoerd ten opzichte van de bovenste cilinder. De onderste cilinder wordt op basis van de foto geschat op 1,8 m. Deze afmetingen worden gehanteerd in de berekeningen voor mast 8.



Figuur 3-7 Mast 7 en mast 8

Driepaalspoeren – Ortbetonpalen (3P-O)

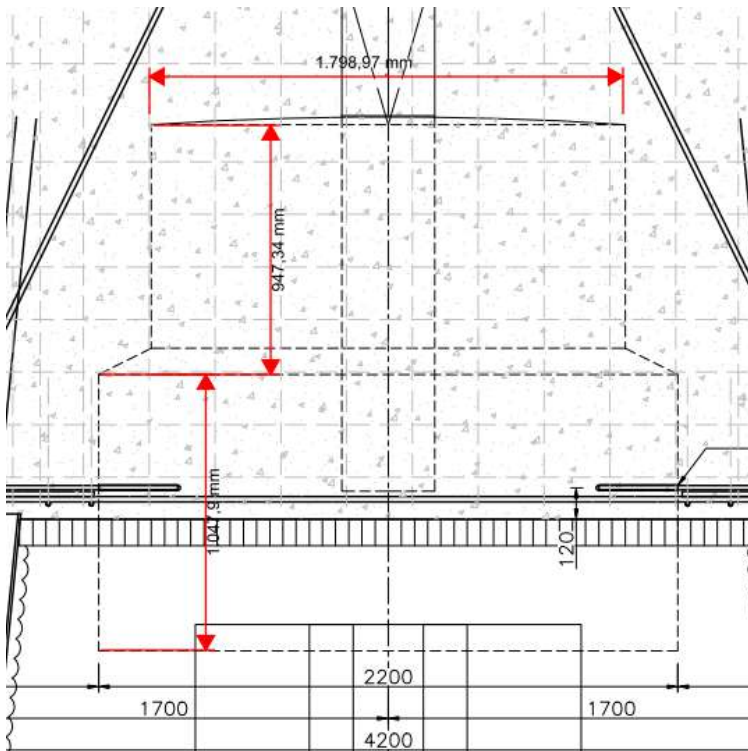
De afmetingen van de driepaalspoeren zijn af te leiden uit de tekeningen van de verzwaarde fundaties bij de Grindwinningsplassen. Het gaat om cilindervormige poeren uit twee delen. Het onderste gedeelte heeft een hoogte van 0,90 m en een diameter van 2,2 m en het bovenste gedeelte heeft een hoogte van 1,0 m en een diameter van 1,8 m. De totale hoogte is 1,9 m. In de poer zijn drie palen opgenomen, waarvan de positie en de verankering in de poer niet met zekerheid bekend is. Afgaande op de tekening is zowel de maststijl als de paalgroep gecentreerd ten opzichte van de bovenste cilinder. De theoretische positie van de bovenkant van de fundatie ten opzichte van maaiveld is 0,5 m.



Figuur 3-8 Ronde poer – 3P-O

Driepaalspoeren (3P-LD)

In de asset-data zijn gegevens opgenomen van de driepaalspoer met 3 LD-palen. Uit luchtfoto's en veldonderzoek blijkt dat de poerdiameter 1,8 m bedraagt. Deze waarde is bevestigd door de as-buittekening van de reconstructie Helmond Brandevoort, waar bij mast 119 de poer is ingetekend met 1,8 m afmeting en opgebouwd uit twee cilindrs.



Figuur 3-9 Afmeting driepaalspoer met LD-palen uit tekening mast 119

Vierpaalspoeren (4P-O en 4P-LD)

Van vierpaalspoeren zijn geen asset-data beschikbaar. Er zijn vierpaalspoeren aanwezig met Ortbetonpalen (mast 1, 4 en 82) of LD-palen (mast 23, 98 en 133). De afmeting van de bovenste cilinder is op basis van luchtfoto's en veldonderzoek 1,8 m of 2,2 m. Poeren met afmeting van 1,8 m wordt aangenomen dat deze identiek zijn met de driepaalspoer en een onderste cilinder van 2,2 m bezitten. Van poeren met een bovenste cilinder van 2,2 m wordt aangenomen dat er een onderste cilinder van 2,5 m aanwezig is, dit is gebaseerd op de bij mast 4 aangegeven diameter op het poerenoverzicht uit de asset-data. De subtypes met 1,8 m diameter worden in berekeningen aangeduid met achtervoegsel "-2".



Figuur 3-10 Vierpaalspoer mast 82 met bovenafmeting 2,2 m

3.4.2 Verzwaarde fundaties grindwinning

Mast 5 & mast 6

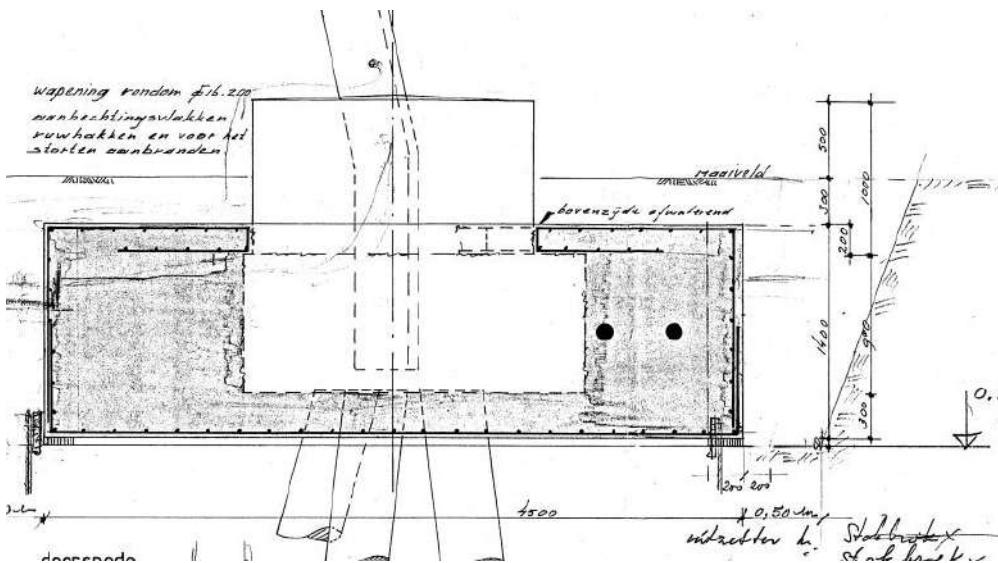
Uit luchtfoto's blijkt dat de fundaties van mast 5 en mast 6 (beide S+0) zijn uitgevoerd als vierkante blokpoeren. Het wijkt af van de asset-data, mogelijk is de fundatie later verzwaard. Tijdens het veldonderzoek van 12 mei is de afmeting van de poer vastgesteld op 2,4 m x 2,4 m. Op basis van verzwaren van mast 10 en 11 wordt in de berekeningen uitgegaan van een hoogte van 2,5 m. De theoretische positie van de bovenkant van de verzwaring ten opzichte van maaiveld is 0,4 m.



Figuur 3-11 Fundatie mast 5, de fundatie van mast 6 is op basis van luchtfoto's gelijk aan mast 5

Mast 9

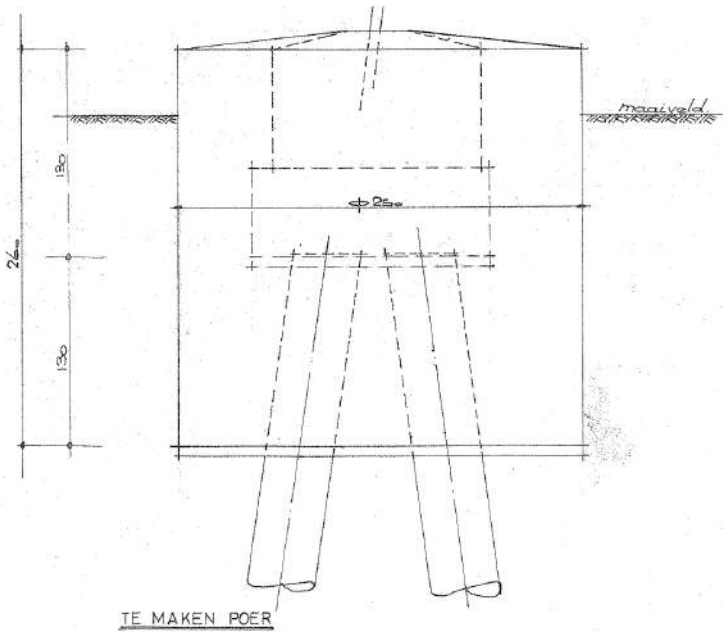
De oorspronkelijke driepaalspoer van mast 9 (HA+0) is volgens tekening "funderingsverzwaring mast 9" in 1980 verzwaard met een vierkant blokpoer onder maaiveld. De blokpoeren zijn 4,5 m x 4,5 m en hebben een hoogte van 1,4 m. De theoretische positie van de bovenkant van de verzwaring ten opzichte van maaiveld is -0,3 m.



Figuur 3-12 Verzwaarde fundatie – mast 9

Mast 10 & mast 11

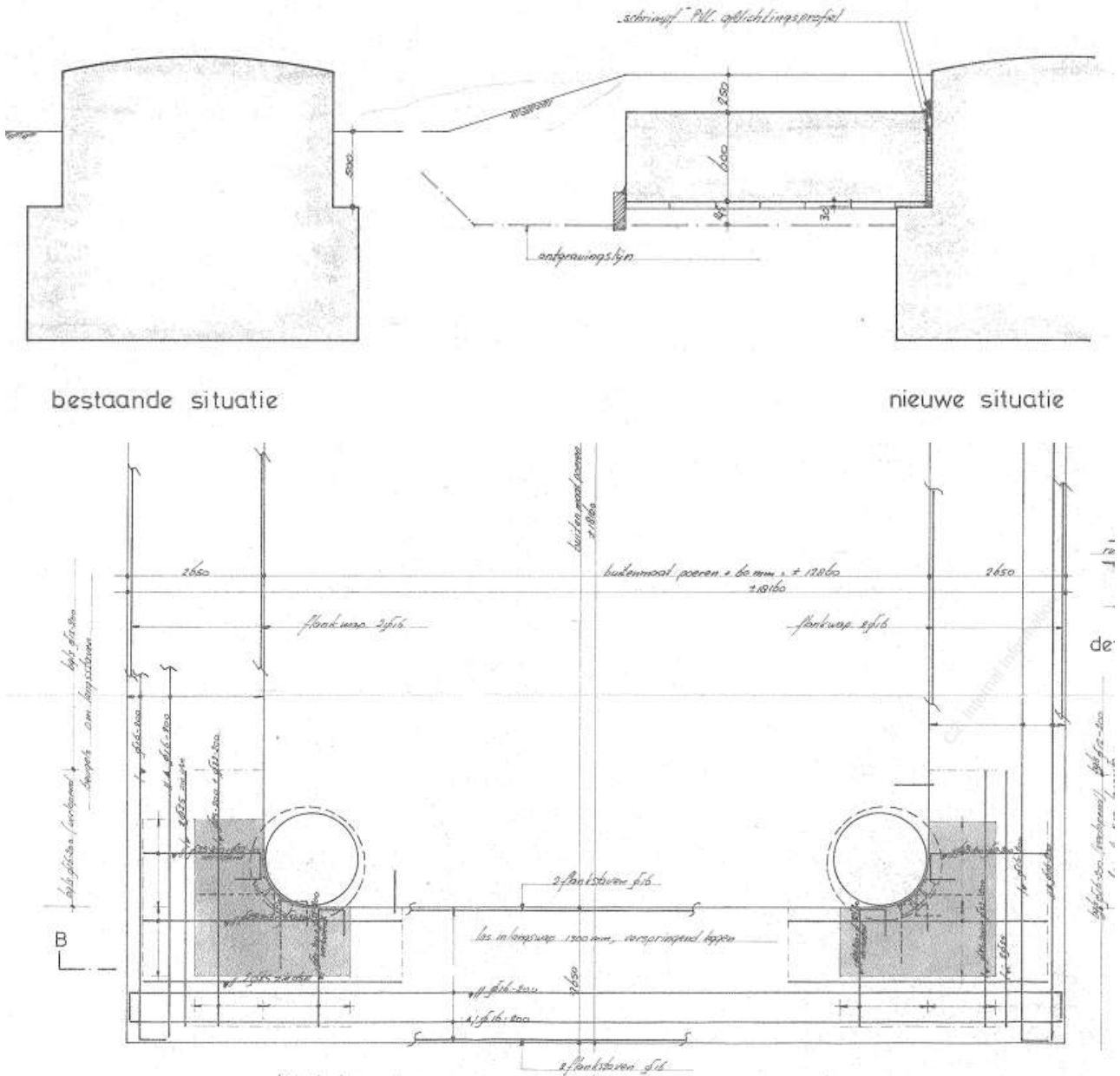
De oorspronkelijke driepaalspoeren van mast 10 en mast 11 zijn verzaard met eencilindervormige blokpoer. De verzwaringen zijn op tekening "verzwaring mastfundatie mast 10 en 11" uit 1974 weergegeven. De bij de verzwaring gerealiseerde cilindervormige poer heeft een diameter van 2,5 m en een hoogte van 2,7 m. De oorspronkelijke poer is volledig in de verzwaring opgenomen. De theoretische positie van de bovenkant van de verzwaring ten opzichte van maaiveld is 0,5 m.



Figuur 3-13 Verzwaarde fundatie – mast 10 & 11

Mast 13

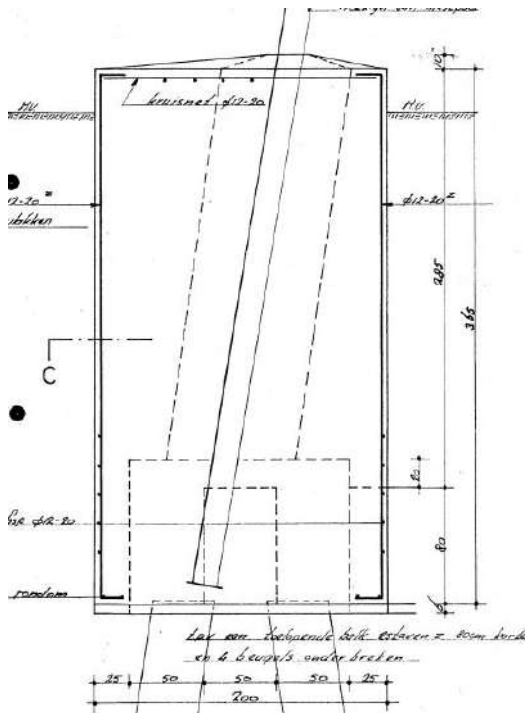
De oorspronkelijke driepaalspoer van mast 13 (HA+0) is in 1975 verzaard met een betonnen balkconstructie onder een verhoogd maaiveld. Er is gebruik gemaakt van tekening "funderingsverzwaring hoekmast 13". De balkconstructie loopt rondom de vier poeren en is opgelegd op de rand van de onderste cilinder van de poer. De doorsnede van de balk is 0,6 m x 2,65 m. De theoretische positie van de bovenkant van de verzwaring ten opzichte van maaiveld is -0,25 m.



Figuur 3-14 Verzaarde fundatie – mast 13

Mast 14 – 2 palen

Afgaande op de verzwareningstekening “verzwaarde poeren mast 10-11-14-15-16” uit 1974 was de fundatie van mast 14 met aanlegniveau 3,25 m onder maaiveld uitgevoerd. De poer bestond uit twee delen. Het onderste gedeelte had een hoogte van 1,0 m en een diameter van 1,5 m en het bovenste gedeelte, dat schuin meeloopt met de randstijl, had een hoogte van 2,75 m en een diameter van ca. 0,8 m. De poeren waren onderling gekoppeld middels een balkrooster. Deze balk had een doorsnede van 0,5 m x 0,8 m. In 1974 is deze fundatie verzwaard tot een enkele blokpoer van 2,0 m x 2,0 m en een totale hoogte van 3,75 m.

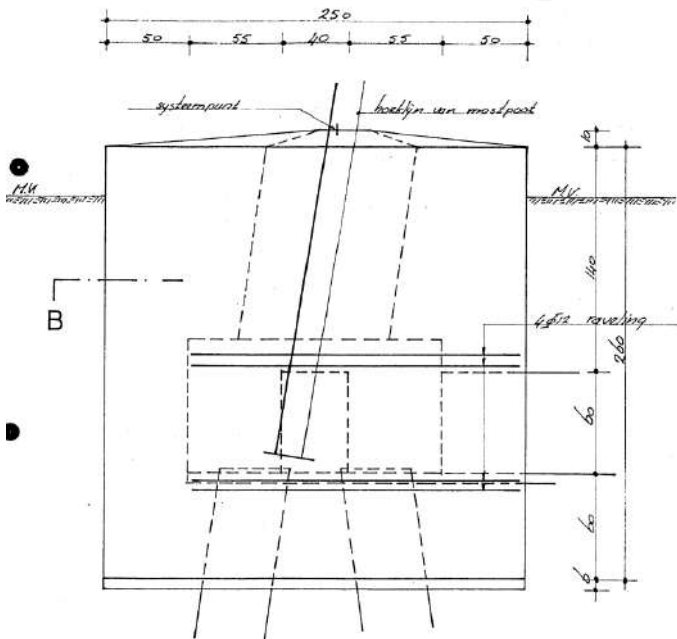


Figuur 3-15 Fundatie mast 14

Mast 15 & mast 16 – 2 palen

Het aanlegniveau van de oorspronkelijke tweepaalspoer van mast 15 en mast 16 is 1,6 m onder maaiveld. Ook deze poer bestond uit twee delen. Het onderste gedeelte had een hoogte van 0,8 m en een diameter van 1,5 m en het bovenste gedeelte, dat schuin meeloopt met de randstijl, had een hoogte van 1,3 m en een diameter van ca. 0,8 m. De poeren waren onderling gekoppeld middels een balkenrooster. Deze balk had een doorsnede van 0,4 m x 0,6 m.

In 1974 is deze fundatie verzaamd tot een enkele cilindervormige blokpoer met een diameter van 2,5 m en een totale hoogte van 2,7 m (onderkant poer op 2,2 m onder maaiveld).

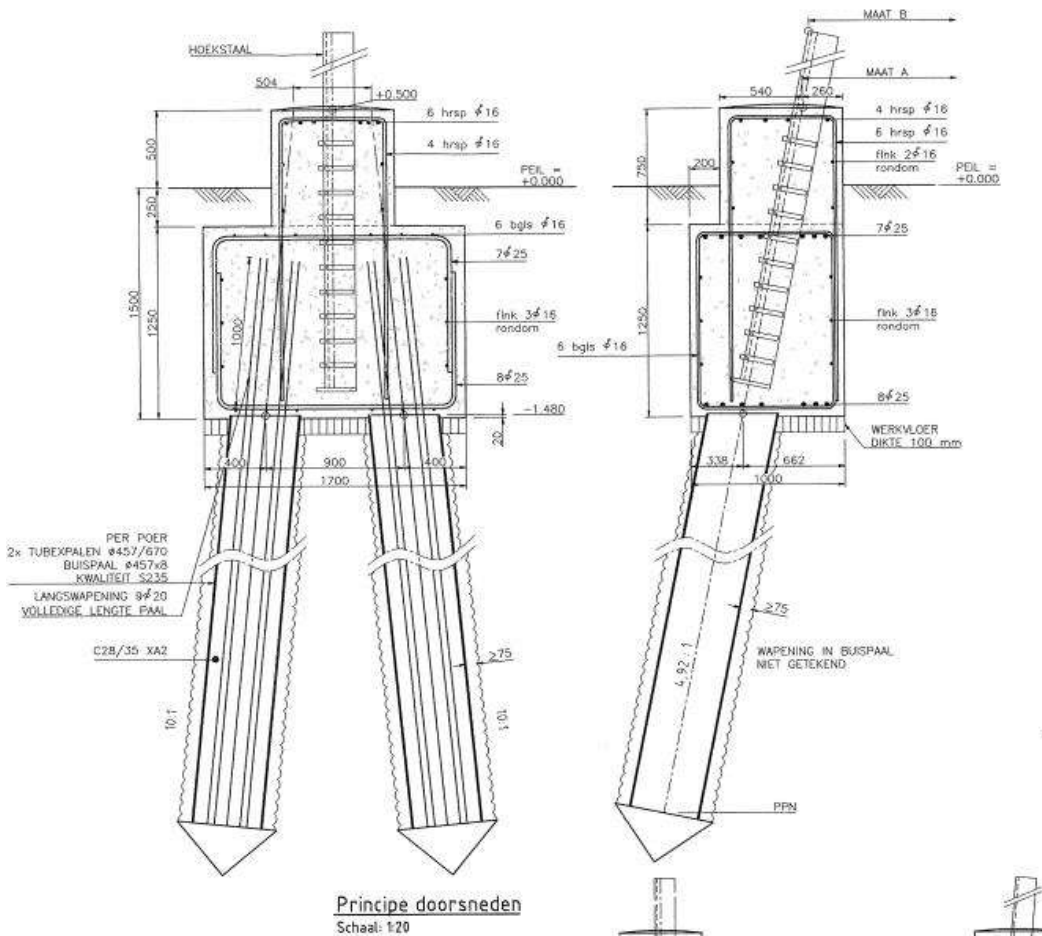


Figuur 3-16 Fundatie mast 15 & 16

3.4.3 Poeren Helmond Brandevoort

Tweepaalspoer mast 115N, mast 121N en mast 122N

Voor de drie in 2012 nieuw gebouwde masten in de reconstructie Helmond Brandevoort zijn tweepaalspoeren toegepast. De blokpoeren bestaan uit twee delen. Het onderste gedeelte heeft een hoogte van 1,25 m, een breedte van 1,7 m en een diepte van 1,0 m en het bovenste gedeelte heeft een hoogte van 0,75 m, een breedte van 0,8 m en een diepte van 0,8 m, zie Figuur 3-17. De totale hoogte is 2,0 m. In de poer zijn twee Tubex-palen opgenomen, die middels $9\text{Ø}20$ zijn verankerd in de poer. De theoretische positie van de bovenkant van de fundatie ten opzichte van maaiveld is 0,5 m.

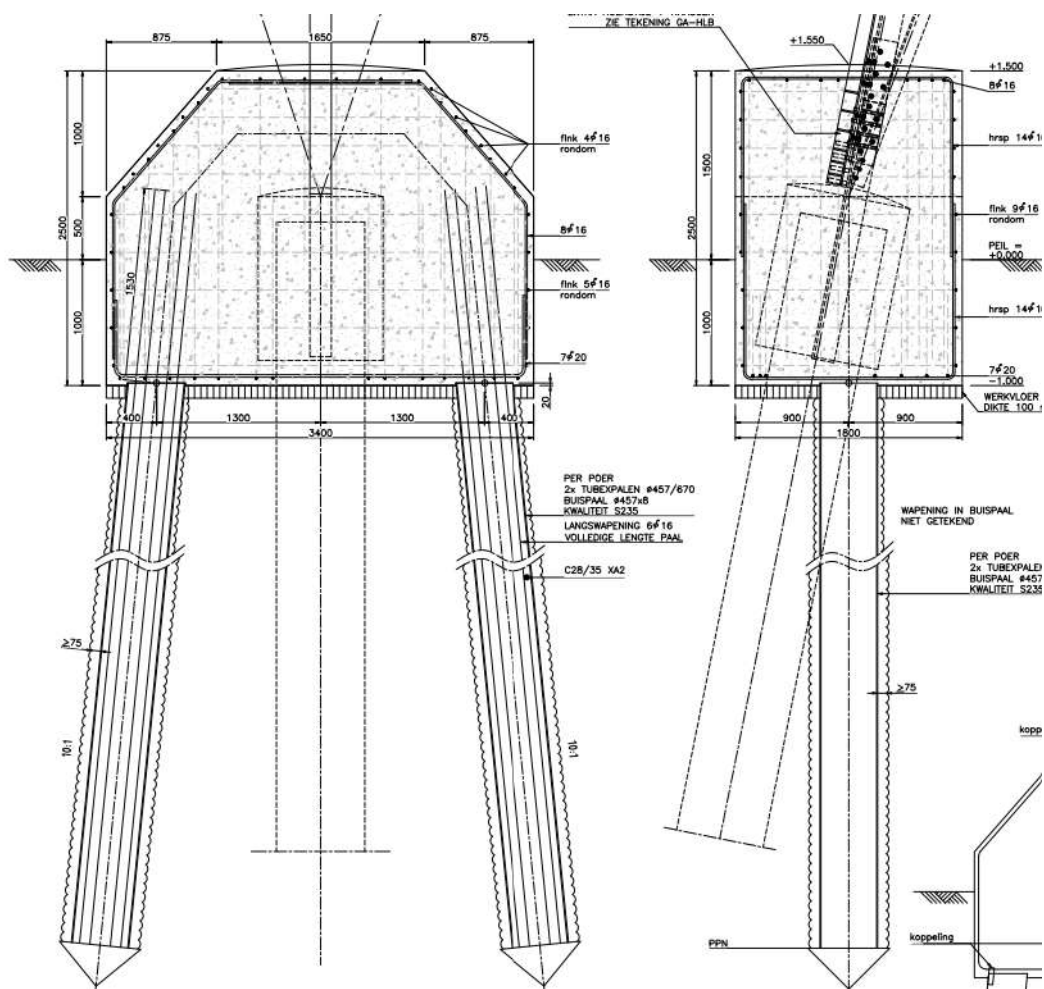


Figuur 3-17 Fundatie mast 115N, 121N & 122N

Mast 116, mast 117, mast 118 en mast 120

In de reconstructie zijn de steunmastfundaties aangepast, de oorspronkelijke eenpaalspoeren zijn verzaard met een blokpoer. De bestaande omstorting van de paal werd geheel of gedeeltelijk in de blokpoer opgenomen. De blokpoer heeft een hoogte van 2,5 m, een breedte van 3,4 m en een diepte van 1,8 m, zie Figuur 3-18. De hoekpunten zijn afgeschuind. In de poer zijn twee Tubex-palen opgenomen, die middels 6Ø16 zijn verankerd in de poer. De theoretische positie van de bovenkant van de fundatie ten opzichte van maaiveld is 1,5 m.

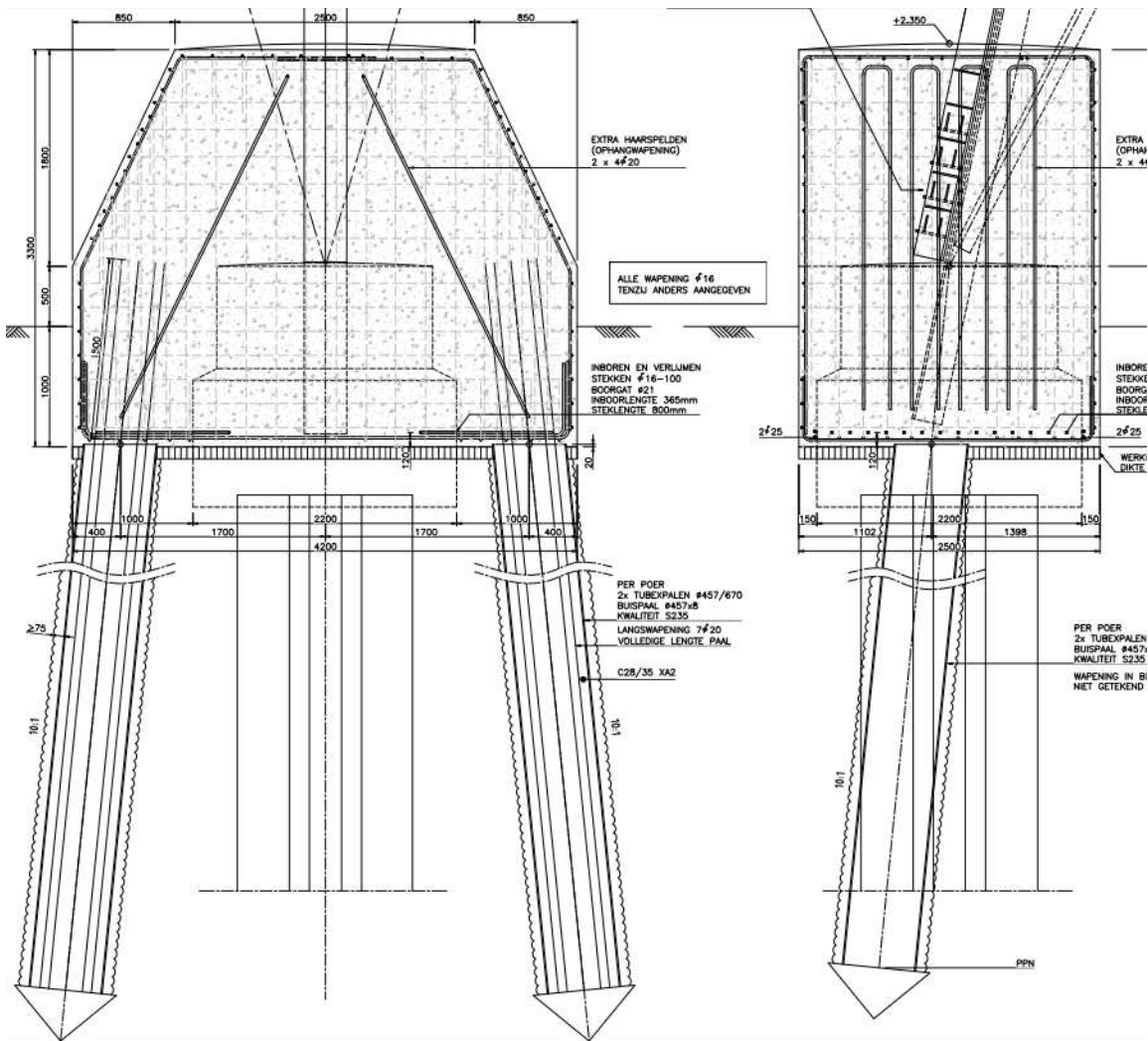
Tussen de fundaties van mast 116 en 120 is een verschil aanwezig met 117 en 118 in de ligging van het niveau van het maaiveld. Hier wordt in de berekeningen rekening mee gehouden. Mast 117 en 118 zijn later rondom omringd met grond tot circa 0,5 m onder bovenzijde nieuwe poer.



Figuur 3-18 Fundatie mast 116 & 120

Mast 119

Er is één hoekmastfundatie onderdeel van de reconstructie, mast 119. De oorspronkelijke driepaalspoer is verzaard met een blokpoer. De bestaande poer is gedeeltelijk in de blokpoer opgenomen. De blokpoer heeft een hoogte van 3,3 m, een breedte van 4,2 m en een diepte van 2,5 m, zie Figuur 3-19. De hoekpunten zijn afgeschuind. In de poer zijn twee Tubex-palen opgenomen, die middels 7Ø20 zijn verankerd in de poer. De theoretische positie van de bovenkant van de fundatie ten opzichte van maaiveld is 2,3 m. Rondom de poeren is later grond aangebracht tot circa 0,5 m onder de bovenzijde van de poer.



Figuur 3-19 Fundatie mast 119

4 AANPAK TOETSING FUNDATIES

4.1 Inleiding

Dit hoofdstuk behandelt de methode waarmee de bestaande paalfundaties zijn getoetst. Bij de meerpaalspoeren wordt de verdeling van de belasting uit de mast beïnvloed door de onderlinge helling en richting van de palen. Alvorens de palen getoetst kunnen worden is met staafwerkmodellen van de fundaties de krachtsverdeling bepaald. Vervolgens zijn de palen getoetst ten aanzien van de capaciteit op trek en druk.

4.2 Belasting op de paalgroep

4.2.1 Belastingen

De fundatiebelastingen van de mastconstructies zijn opgenomen in Appendix H. Deze zijn in de basis ontleend aan de rapporten betreffende de mastconstructies. Een belangrijke wijziging heeft plaatsgevonden: de belasting voor afkeurniveau is gebruikt op basis van 15 jaar referentieperiode in plaats van 30 jaar vanuit de mastrapportages en in overeenstemming met beleid van TenneT. De wijziging naar 15 jaar is het wettelijk vereiste minimum voor de referentieperiode en is in overleg met Asset Management van TenneT tot stand gekomen. De keuze is gemaakt om de omvang en het aantal van de benodigde aanpassingen aan de mastfundaties proportioneel te houden. In Tabel 4-1 zijn de uitgangspunten samengevat.

Tabel 4-1 Betrouwbaarheidsniveau en referentieperiode voor toetsing mastfundaties

Masttypes	Betrouwbaarheidsniveau	Referentieperiode	Toelichting
Steunmasttypes S+0 t/m S+15	Afkeur CC2-0	15 jaar	Verlaagde referentieperiode
Hoekmasttypes HA+0, HB+0, HC+0, WA+0	Afkeur CC2-0	15 jaar	Verlaagde referentieperiode
EA+0	Afkeur CC2-0	30 jaar	Ongewijzigd vanwege verschillende belastingssituatie per circuit en ontbreken nuttig effect van verlaging
HB+0(tc), S+0(tc), S+9(c), S+9(tc), S+0(xc), S+0(c)	Afkeur CC2-0	30 jaar	Ongewijzigd bij "Helmondmasten" vanwege voldoende reserve voor 30 jaar
	Nieuwbouw CC2	50 jaar	Geen wijziging mogelijk

De belastingen van de maatgevende masten uit een groep van gelijke masttypes zijn als uitgangspunt gebruikt. De belastingcombinatie met maximale trek of maximale drukbelasting is aangehouden in de berekeningen. Bij de steunmasten uit deze rapportage is dit in alle gevallen de overhoekse wind. Daarnaast is de belastingcombinatie met maximale torsie gerekend. Bij hoekmasten is ook de combinatie van torsie en trekbelasting gerekend.

Het eigen gewicht van de mastconstructie, isolatoren, geleiders en eventuele telecominstallaties is in de belastingen inbegrepen.

Het gewicht van de paal wordt door het programma automatisch bepaald, waarbij de invloed van het grondwater wordt meegenomen.

4.2.2 Krachtsverdeling

De afdracht van de belasting over de palen is bepaald met 3D-staafwerkmodellen van het programma AxisVM. In deze modellen zijn verschillende niet-lineaire veren toegepast om het materiaal grond en het gedrag van op trek belaste palen zo goed mogelijk te benaderen. De berekeningen zijn opgenomen in Appendix G. Het resultaat van deze berekening is de factor "effectiviteit" waarin is uitgedrukt in welke mate de zwaarst belaste paal in de groep de belasting opneemt.



Figuur 4-1 Voorbeeld van 3D-model uit AxisVM van poerconstructie

4.3 Toetsing

4.3.1 Invoer TS paalfunderingen

De sonderingen zijn in digitaal formaat omgezet voor gebruik in het programma Technosoft Paalfunderingen. Aan de hand van de sonderingen en de beschikbare boringen is een grondprofiel geconstrueerd. De gebieden waarin negatieve en positieve schachtwrijving optreedt worden ingesteld per sondering. Positieve wrijving wordt bij controle van drukbelasting enkel ontleend aan de draagkrachtige zandlaag.

Alle in deze rapportage opgenomen masten uit de hoogspanningslijn zijn in één uitvoer opgenomen, zie Appendix E. Er is een uitvoer voor druk en een uitvoer voor trek gegenereerd, voor bestaande palen en voor nieuwe palen. De sondeergrafieken zijn in de uitvoer van de bestaande palen op trek voor de controleerbaarheid opgenomen.

Het resultaat van de berekeningen van de palen is het draagvermogen op trek en het draagvermogen op druk.

4.3.2 Toetsing

De feitelijke toetsing van de fundaties vindt plaats in tabelvorm door per fundatietype de belasting op de zwaarst belaste paal te berekenen aan de hand van het staafwerkmodel. De belasting wordt getoetst aan het draagvermogen dat met het TS/paalfunderingen is berekend. Dit vindt plaats voor de trek- en de drukbelasting. De tabel met toetsingen (unity-checks) is in zijn geheel in Appendix C opgenomen. De tabel is in samengevatte vorm in het volgende hoofdstuk weergegeven.

5 RESULTATEN TOETSING INITIËLE SITUATIE

In dit hoofdstuk worden de resultaten van de toetsingsberekeningen gepresenteerd. De gehele tabel met toetsingsresultaat op trek- en drukbelasting is terug te vinden in Appendix C. In dit hoofdstuk is de samenvatting per fundatietype opgenomen. Het resultaat wordt gevormd door de getalswaarde van de "unity-check". Indien deze kleiner of gelijk aan 1,00 is, voldoet de constructie ten aanzien van het betreffende betrouwbaarheidsniveau.

De berekeningen zijn gerangschikt naar oplopend mastnummer.

5.1 Toetsing fundaties

Zie Tabel 5-1 voor de resultaten van de toetsing van de masten met meerpaalsfundaties. Op 14 mastlocaties van de 43 mastlocaties hebben de palen onvoldoende capaciteit op trek, maar wel voldoende capaciteit op druk. Op 2 mastlocaties van de 43 mastlocaties hebben de palen onvoldoende capaciteit op trek én druk. Op 27 locaties hebben de palen voldoende capaciteit op trek en druk.

Tabel 5-1 Toetsing fundaties MBT-EHV380

Mast	Masttype	Poertype	Paaltype	U.C. Trek	U.C. Druk
1	EA+0	Ronde poer - 4P-O-2	Ortbeton	0,76	0,48
2	S+0	Ronde poer - 2P-O	Ortbeton	0,98	0,36
3	S+0	Ronde poer - 2P-O	Ortbeton	0,71	0,35
4	HC+0	Ronde poer - 4P-O-2	Ortbeton	0,88	0,34
5	S+0	Blok poer - 2P-O Mast 5 & 6	Ortbeton	0,54	0,60
6	S+6	Blok poer - 2P-O Mast 5 & 6	Ortbeton	0,40	0,49
7	S+15	Ronde poer - 3P-O	Ortbeton	1,25	0,63
8	S+15	Ronde poer - 3P-O-2	Ortbeton	0,69	0,24
9	HA+0	Ronde poer + Blok - 3P-O Mast 9	Ortbeton	0,72	0,84
10	S+3	Ronde poer - 2P-O Mast 10 & 11	Ortbeton	0,50	0,42
11	S+3	Ronde poer - 2P-O Mast 10 & 11	Ortbeton	0,53	0,69
12	S+0 T	Ronde poer - 2P-O	Ortbeton	1,03	0,79
13	HA+0	Ronde poer + Blok - 3P-O Mast 13	Ortbeton	0,60	0,53
14	S+12	Blok poer - 2P-O Mast 14	Ortbeton	0,60	0,49
15	S+12	Ronde poer - 2P-O Mast 15 & 16	Ortbeton	0,62	0,42
16	S+9	Ronde poer - 2P-O Mast 15 & 16	Ortbeton	0,71	0,48
17	S+15 T1	Ronde poer - 2P-O-2	Ortbeton	1,17	0,48
18	S+9	Ronde poer - 2P-LD	LD1	0,78	0,26
21	S+0	Ronde poer - 2P-LD	LD1	0,55	0,34
23	HA+0	Ronde poer - 4P-LD	LD1	0,96	0,52
25	S+0	Ronde poer - 2P-LD	LD1	0,95	0,62
26	S+0	Ronde poer - 2P-LD	LD1	0,96	0,65
27	S+12	Ronde poer - 2P-LD	LD1	1,88 ⁷	1,08
28	S+12	Ronde poer - 2P-LD	LD1	1,04	0,79
34	HA+0 T1	Ronde poer - 3P-LD	LD1	1,09	0,43
39	WA+0	Ronde poer - 3P-LD	LD1	1,04	0,22
50	S+12	Ronde poer - 2P-LD	LD1	0,77	0,53
51	S+12	Ronde poer - 2P-LD	LD1	0,94	0,63
54	HB+0	Ronde poer - 3P-LD	LD1	1,18 ⁸	0,62
61	HB+0	Ronde poer - 3P-LD	LD1	1,28	0,74
69	HA+0	Ronde poer - 3P-LD	LD1	0,91	0,29
75	HA+0	Ronde poer - 3P-LD	LD1	1,32	0,58
82	HC+0	Ronde poer - 4P-O	Ortbeton	1,77	1,16
85	WA+0	Ronde poer - 3P-LD	LD1	0,90	0,47
90	HB+0	Ronde poer - 3P-LD	LD1	1,03	0,30
98	HC+0	Ronde poer - 4P-LD-2	LD1	0,99	0,94
99	S+15	Ronde poer - 2P-LD	LD1	0,97	0,67
100	S+12	Ronde poer - 2P-LD	LD1	1,04	0,86
103	HA+0	Ronde poer - 3P-LD	LD1	1,22	0,45
114	HA+0	Ronde poer - 3P-LD	LD1	1,33	0,46
128	HA+0 T1	Ronde poer - 3P-LD	LD1	1,27	0,61
130	HA+0	Ronde poer - 3P-LD	LD1	0,98	0,28
133	EA+0_133	Ronde poer - 4P-LD	LD1	0,51	0,21

⁷ Er is uitgegaan van één sondering, omdat de variatiecoëfficiënt van de draagkracht van de palen bepaald volgens de voor deze mast geldende sonderingen groter is dan 12%.

⁸ Bij toetsing van mast 54 is de sondering die resulteert in het laagste draagvermogen buiten beschouwing gelaten, omdat deze zich aan de binnenzijde bevindt. Voor nadere onderbouwing, zie hoofdstuk 5.2.4.

Zie Tabel 5-2 en Tabel 5-3 voor de resultaten van de toetsing van de masten met meerpaalsfundaties ter plaatse van Helmond Brandevoort. Alle fundaties voldoen. Voor volledige toetsing, zie Appendix C en Appendix D.

Tabel 5-2 Toetsing fundaties MBT-EHV380 – Helmond Brandevoort – LD-palen

Mast	Masttype	Paaltype	Poertype nieuw	U.C. Trek	U.C. Druk
116	S+9(c)	LD1	Lijnpoer - 1P+2P Mast 116 & 120	0,50	0,47
117	S+9(tc)	LD1	Lijnpoer - 1P+2P Mast 117 & 118	0,72	0,59
118	S+0(tc)	LD1	Lijnpoer - 1P+2P Mast 117 & 118	0,94	0,40
119	HB+0(tc)	LD1	Lijnpoer - 3P+2P Mast 119	0,60	0,52
120	S+0(tc)	LD1	Lijnpoer - 1P+2P Mast 116 & 120	0,81	0,42

Tabel 5-3 Toetsing fundaties MBT-EHV380 – Helmond Brandevoort – Tubex palen

Mast	Masttype	Paaltype versterking	Poertype nieuw	U.C. Trek	U.C. Druk
115	S+0_xc T1	Tubex 457/620	Lijnpoer - 2P Mast 115N, 121N & 122N	0,97	0,49
116	S+9(c)	Tubex 457/620	Lijnpoer - 1P+2P Mast 116 & 120	0,31	0,62
117	S+9(tc)	Tubex 457/620	Lijnpoer - 1P+2P Mast 117 & 118	0,23	0,22
118	S+0(tc)	Tubex 457/620	Lijnpoer - 1P+2P Mast 117 & 118	0,33	0,12
119	HB+0(tc)	Tubex 457/620	Lijnpoer - 3P+2P Mast 119	0,43	0,28
120	S+0(tc)	Tubex 457/620	Lijnpoer - 1P+2P Mast 116 & 120	0,35	0,30
121	S+0(c)	Tubex 457/620	Lijnpoer - 2P Mast 115N, 121N & 122N	0,97	0,41
122	S+0_xc	Tubex 457/620	Lijnpoer - 2P Mast 115N, 121N & 122N	0,96	0,58

5.2 Bijzonderheden

Bij een aantal masttypes wordt ingegaan op bijzonderheden.

5.2.1 Mast 7

Er zijn beperkte gegevens bekend van deze fundatie. De toetsing is uitgevoerd op basis van mast 8, deze mast is hetzelfde type (S+15) en staat net als mast 7 op een locatie direct naast de hoofdgeul van de Maas.

5.2.2 Verzwaarde fundaties grindwinningsplassen

Bij de met betonnen omstortingen verzwaarde fundaties van mast 5, 6, 9 t/m 11 en 13 t/m 16 is uitgegaan van een vaste factor voor de effectiviteit van 0,67; de afmeting van de omstorting is zodanig groot dat de effectiviteit groter is dan bij de niet omstorte fundaties. Alle fundaties voldoen met dit uitgangspunt.

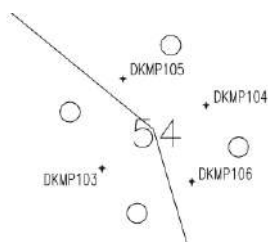
5.2.3 Mast 27

De paalpunt van de fundatie van mastlocatie 27 bevindt zich niet in een draagkrachtige zandlaag. De fundatie voldoet niet op zowel druk als trek.

5.2.4 Mast 54

Bij mast 54 blijkt uit berekening dat het draagvermogen van de palen 333 kN is op basis van sondering DKMP103, terwijl het draagvermogen van de andere drie sonderingen gemiddeld 426 kN is. Het draagvermogen van sondering DKMP103 ligt ca. 22% lager. De sondering DKMP103 is gemaakt ter plaatse van de binnenbocht (bi), zie Figuur 5-1.

De maximale trekbelasting op de fundaties in de binnenbocht is ca. 700 kN en op de fundaties in de buitenbocht ca. 1070 kN. De belasting op de binnenbocht is ca. 35% lager. Gebaseerd op het draagvermogen en de belasting is de buitenbocht maatgevend en is deze getoetst aan de hand van sondering DKMP104, DKMP105 en DKMP106.



Figuur 5-1 Overzicht sonderingen mast 54

5.2.5 Mast 82

Mast 82 is als enige mastlocatie met mastnummer boven de 17 gefundeerd op "Ortbeton" palen. Dit is gebaseerd op de heistaten van deze locatie. Uit de toetsing blijkt dat met dit paaltype de fundatie niet voldoet.

5.2.6 Mast 117 en 118

Twee mastlocatie in Helmond Brandevoort bevinden zich nabij een talud. In de berekening is een conservatief uitgangspunt genomen voor de steun van de grond aan de fundatie. Uit de toetsing blijkt dat de fundaties hiermee nog voldoen.

5.3 Horizontaal draagvermogen

Uit berekening blijkt dat alle palen de horizontale belasting af kunnen dragen naar de ondergrond. Voor berekening, zie Appendix G.

5.4 Controle wapening

Door ontbrekende asset-gegevens is het niet mogelijk de wapening in de poeren en de palen te toetsen. Dit feit wordt als acceptabel beschouwd om de volgende redenen:

- de opwaardering zal plaatsvinden met een geleider die geen grotere belastingen zal uitoefenen op de masten en fundaties. Dat wil zeggen, de nieuwe geleider heeft ten eerste dezelfde diameter en geeft daarmee dezelfde windbelasting. Verder heeft de nieuwe geleider hetzelfde gewicht en zal met dezelfde kettinglijnparameter worden ingetrokken. De gewichtsbelasting en trekbelasting zijn daardoor ook gelijk aan de huidige geleider;
- berekeningen aan de wapening in fundaties van andere hoogspanningslijnen die zijn uitgevoerd in hetzelfde tijdvak hebben in alle gevallen tot de conclusie geleid dat de wapening voldeed aan het afkeurniveau. Dit wordt mede verklaard door de vrij ruime veiligheidsfactor (1,8) die in het verleden voor dimensionering van de hoeveelheid betonstaal werd gebruikt;
- voor het verkrijgen van de benodigde informatie is destructief onderzoek nodig aan de constructies wat niet gewenst is omdat hiermee de kwaliteit wordt aangetast.
- er is uit de onderzoeken (zie rapport Bejan) niet gebleken dat schade in de vorm van scheurvorming of verzwakking aanwezig is. Er is dus geen aanleiding om te twifelen aan de staat van de constructies.

6 VERSTERKINGSVOORSTEL

In dit hoofdstuk is het ontwerp gegeven van de verzwaarde fundaties waarmee wordt bereikt dat de fundaties voldoen aan de eisen.

Voor een versterking met aanvullende palen bij de meerpaalsfundaties is een betonpoer nodig met significante afmetingen. Hierbij is gebleken dat het toevoegen van deze poeren vaak al voldoende is om het tekort aan trekdraagvermogen te compenseren. In deze gevallen is het aanbrengen van palen dus eigenlijk niet meer nodig en leidt deze oplossing tot een buitenproportionele versterking. Om deze reden is er voor de meerpaalsfundaties getracht om zoveel mogelijk locaties te versterken met een ballastverzwaring.

De ballastverzwaring heeft het belangrijke voordeel dat mag worden uitgegaan van belasting op basis van afkeurniveau. Er is één locatie, mast 27, waarbij vanwege overschrijding op zowel trek als druk een verzwaring met palen noodzakelijk is. Het benodigde draagvermogen wordt bepaald met de belasting op basis verbouwniveau.

Alle verschillende verzwaringen zijn opgenomen op de volgende tekeningen en toegevoegd aan Appendix D:

- 002.586.40 1025254 - 10166262-032-403 - Blok poer - 2P-LD + 4P
- 002.586.40 1025255 - 10166262-032-404 - 2P-LD + poer
- 002.586.40 1025256 - 10166262-032-405 - 3P-LD + poer - type 1
- 002.586.40 1025257 - 10166262-032-406 - 3P-LD + poer - type 2
- 002.586.40 1025258 - 10166262-032-407 - Balkrooster - 4P-O
- 002.586.40 1025259 - 10166262-032-408 - 3P-O + poer - mast 7
- 002.586.40 1025260 - 10166262-032-409 - 2P-O + poer - mast 12
- 002.586.40 1025261 - 10166262-032-410 - 2P-O + poer - mast 17

6.1 Ballastverzwaring – blok

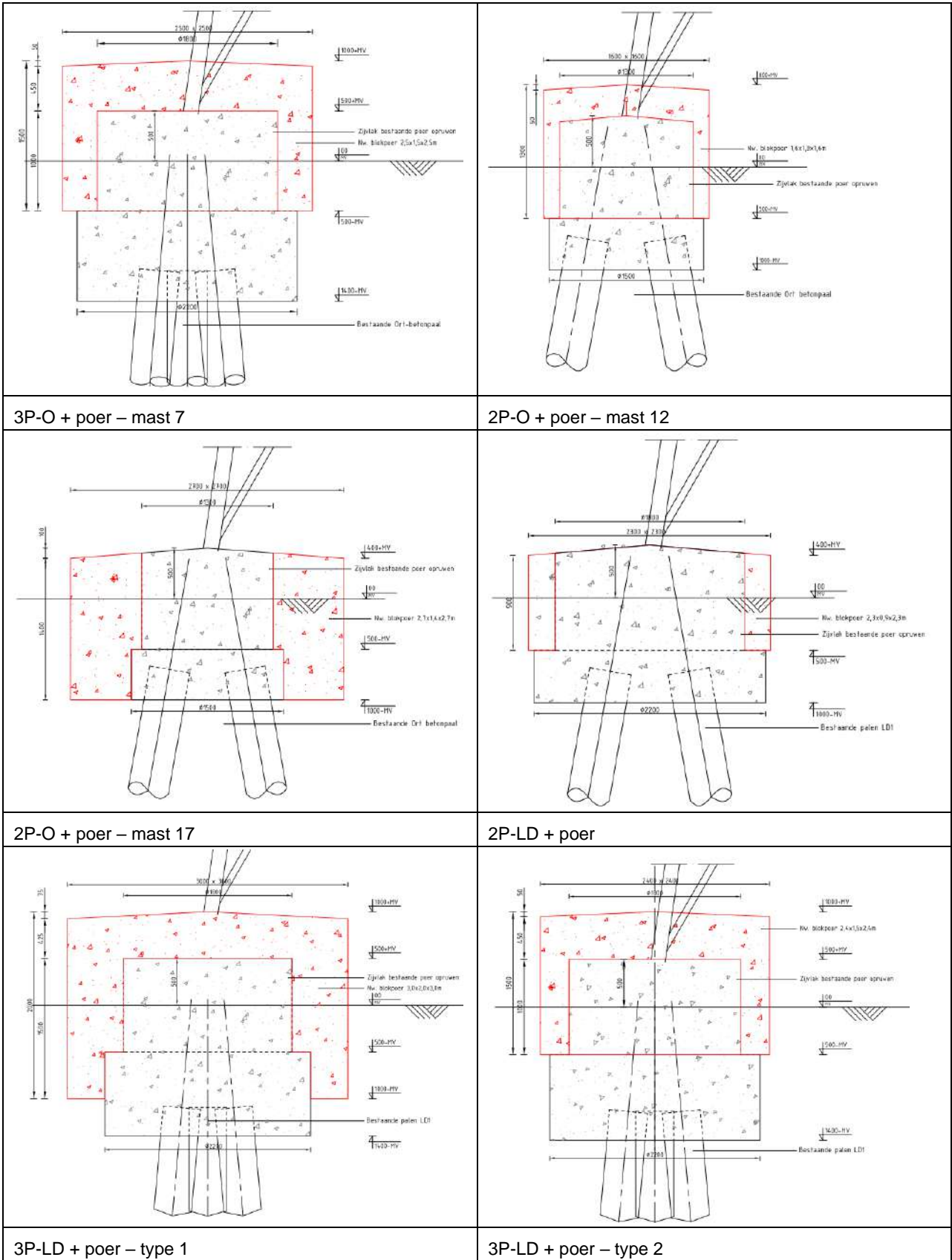
Door de vele verschillende typen poeren zijn er ook zes verschillende typen ballastverzwaringen. Deze verzwaringen zijn afgestemd op de afmetingen van de bestaande poeren. De optredende overschrijding van het trekdraagvermogen is in sommige gevallen beperkt. Als maximum wordt een overschrijding van ca. 130 kN gecompenseerd met een ballastverzwaring. De beschikbare restcapaciteit op het drukdraagvermogen laat deze ballastverzwaring ook toe. Bij het uitwerken van dit voorstel zal er uitgegaan worden van de belastingen op basis van het afkeurniveau van NEN 8700 /23/. Streven is om ca. 5% restcapaciteit over te houden van het trekdraagvermogen na aanbrengen van de poer.

De aanhechting van de nieuwe poer aan de bestaande paal en omstorting kan bestaan uit het opruwen van de bestaande omstorting.

In Figuur 6-1 en Tabel 6-1 zijn de doorsneden, algemene afmetingen en betreffende mastlocaties opgenomen.

Tabel 6-1 Ballastverzwaringen - blok

Poertype	b.k. ballast t.o.v. MV [m]	Lengte [m]	Breedte [m]	Hoogte [m]	Betreft masten
3P-O + poer – mast 7	+ 1,0	2,5	2,5	1,5	7
2P-O + poer – mast 12	+ 0,8	1,6	1,6	1,25	12
2P-O + poer – mast 17	+ 0,4	2,7	2,7	1,4	17
2P-LD + poer	+ 0,4	2,3	2,3	0,9	28 & 100
3P-LD + poer – type 1	+ 1,0	3,0	3,0	2,0	54, 61, 75, 103, 114 & 128
3P-LD + poer – type 2	+ 1,0	2,4	2,4	1,5	34, 39 & 90

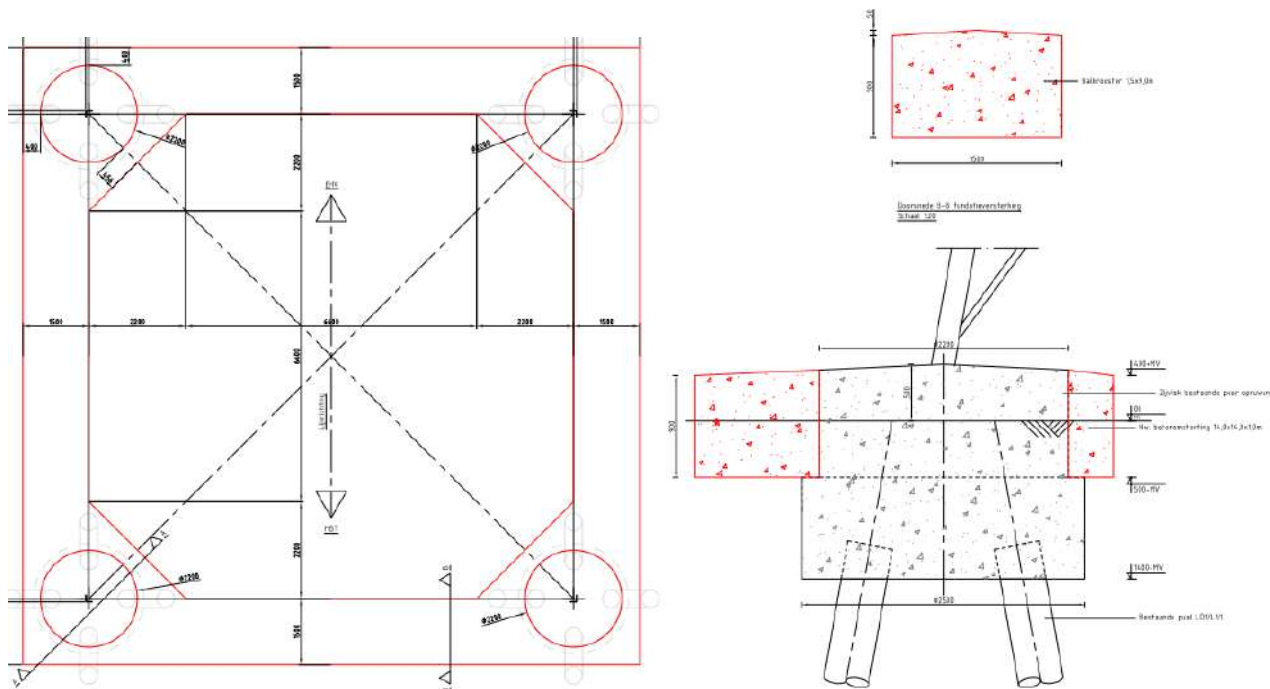


Figuur 6-1 Ballastverzwaringen - blok

6.2 Ballastverzwaring – balkrooster (mast 82)

Er wordt één mast verzaard met een balkrooster, dit betreft mast 82. Hier wordt voor gekozen, omdat deze mast slecht bereikbaar is voor het realiseren van paalfundaties. Bijkomend gunstig effect van het balkrooster is dat de effectiviteit van de vier palen per poer significant wordt verhoogd en de palen (die niet voldeden op trek en druk) als groep daarmee in staat zijn om de belasting op te nemen.

De balk heeft een breedte van 1,5 m en een hoogte van 0,9 m. De balken omsluiten via verbrede hoekpunten de huidige poeren met diameter 2,2 m. Het principe is weergegeven in Figuur 6-2.



Figuur 6-2 Ballastverzwaringen - balkrooster

6.3 Paalfundatie

Eén mastlocatie, nummer 27 zal worden verzwaaard met palen doordat de bestaande palen niet voldoen op zowel trek als druk.

6.3.1 Paaltype

Voor de verzwaaarde fundatie waarbij palen toegepast worden komt het volgende paaltype in aanmerking:

- geschroefde stalen buispaal met groutinjectie (schroefinjectiepaal, "SI-paal"), gekozen is voor Ø323,9 mm.

De achtergrond voor de keuze van deze paalsystemen is gelegen in het stijfheidsgedrag en de belasting die zowel op trek- als druk plaats kan vinden. De stijfheid van de paal dient zodanig te zijn dat zonder grote vervormingen de nieuwe paal belasting gaat overnemen van de bestaande paal. Vanuit die overweging is versterking met bijvoorbeeld een groutankerpaal niet mogelijk.

Vanwege de nabijheid tot de bestaande palen en het daarmee gepaard gaande risico op trillingen is gekozen voor het gebruik van enkel de geschroefde buispalen en geen geheid systeem.

Buiten de technische eisen heeft de uitvoerbaarheid van het aanbrengen van de palen grote invloed gehad op de paalkeuze. Zie daarvoor paragraaf 6.3.2. De palen dienen vanwege het verwachte dikteverlies door corrosie tijdens de restlevensduur een minimale wanddikte te bezitten van 12,5 mm. De paal moet met beton gevuld worden vanwege duurzaamheid en stijfheid ten opzichte met beton gevulde bestaande palen.

De palen worden ingelaten in de nieuwe poer. Via aan te lassen blokdeuvels of "knaggen" wordt de belasting ingeleid. In Tabel 6-2 zijn de geotechnische eigenschappen van de palen weergegeven. Hierin is rekening gehouden met de per januari 2017 gereduceerde puntfactoren volgens NEN-EN 1997-1 /24/.

Tabel 6-2 Geotechnische eigenschappen nieuwe paal

SI-paal Ø323/450	
Paaltype	In de grond gevormde geschroefde paal met groutinjectie
Diameter buis (m)	0,323
Diameter grout (m)	0,450
Factor α_s	0,009
Factor α_t	0,009
Factor α_p	0,63
Factor β	1,0

6.3.2 Uitvoerbaarheid

De palen en nieuwe betonpoeren zullen moeten worden aangebracht bij een in bedrijf zijnde hoogspanningslijn. Dat stelt eisen ten aanzien van de uitvoeringswijze:

- vanwege de veilige werkafstand tot de onder spanning staande geleiders zal de giek of makelaar van de boorstelling een beperkte hoogte kunnen hebben. Hierbij geldt als absoluut minimum een veilige werkafstand van minimaal 5 meter tot de geleider of een afstand $1,6 \text{ m} + 1,1 D_{el}$. Op basis bestaande kettingen met $D_{el} = 4,2 \text{ m}$ is de afstand minimaal 6 m. In combinatie met een kleinste ophanghoogte van 28 m, een verloop door de zeeg van maximaal 2 m is hiermee maximaal $28 - 2 - 6 = 20 \text{ m}$ hoogte mogelijk.
- het manoeuvreren met een omvangrijke boorstelling in de nabijheid van de mastconstructie is risicovol vanwege aanrijd- of stootgevaar. Geadviseerd wordt uit te gaan van maximaal 12 m hoogte, zie Figuur 6-3.

De keuze voor een stalen paal maakt het mogelijk om, indien de lengte van de paal te groot is in relatie tot de toegestane werkhoogte, de paal samen te stellen uit meerdere met een las- of geschroefde verbinding te verbinden

delen. Dit is een gangbare techniek voor het versterken van bestaande fundaties. Zie Figuur 6-3 voor een voorbeeld van een boorstelling.



Figuur 6-3 Voorbeeld van boorstelling voor schroefinjectiepaal

De afstand van de stelling tot de randstijl van de mast is een punt van aandacht. Als uitgangspunt is een werkafstand van 0,8 m gehanteerd met een aantal toeslagen voor misstanden, marge en afmeting klimbouten. Zie Tabel 6-3.

Tabel 6-3 Uitgangspunt afstand nieuwe paal tot schemalijn randstijl mastconstructie

<i>Tolerantie</i>	
Misstand hoekstaal in paal	0,1 m
Werkafstand	0,8 m
Paalmisstand	0,075 m
Veiligheidsmarge	0,1 m
	1,075 m
Toeslag klimbouten	0,20 m
	1,275 m

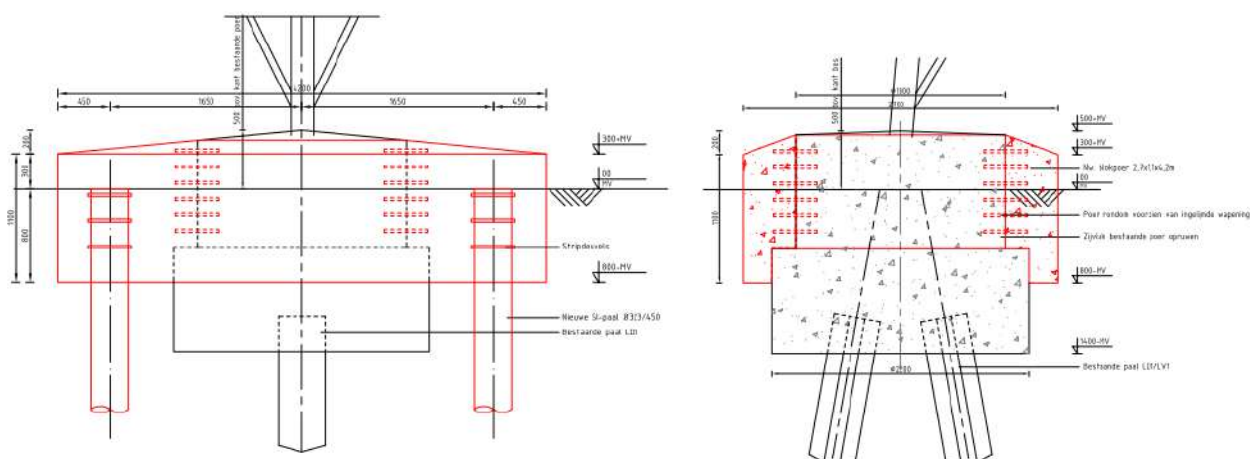
Bij de keuze voor een bepaalde boorstelling of boormotor moet gecontroleerd of aan deze afstanden voldaan kan worden.

6.3.3 Poertype 3P-LD+4P

Het poertype komt eenmaal voor bij mast 27. Gekozen is voor een oplossing met twee paar van nieuwe palen aan weerszijden van de bestaande poer. De palen worden te lood geheid. De verbinding tussen nieuw aan te brengen palen en bestaande palen zal via een nieuwe betonpoer plaatsvinden. Als uitgangspunt voor het ontwerp van deze poeren is gehanteerd dat de hoogteligging van de bovenzijde van de poer gelijk is aan het niveau van de bestaande poer.

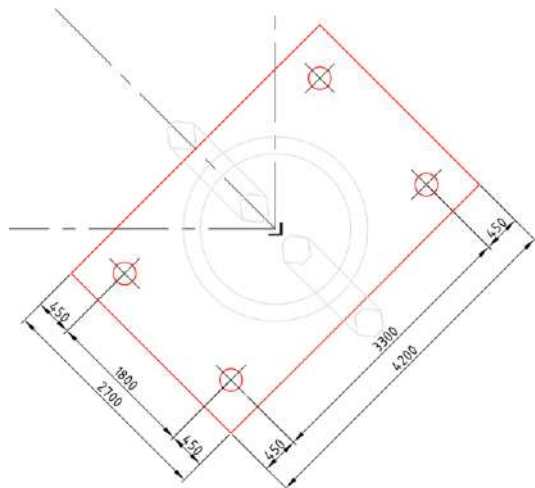
In Figuur 6-4 is het ontwerp van de constructie weergegeven. De hoogteligging van de poer wordt gerelateerd aan het niveau van bovenkant bestaande paal. Vanwege de huidige breedte van 1,8 m van de poer en de minimale afstand tussen nieuwe palen bedraagt de breedte van de nieuwe poer 2,7 m.

De huidige cirkelvormige poer wordt geheel opgenomen in de nieuwe poer. De krachtsoverdracht van bestaand naar nieuw zal plaatsvinden door het inlijmen van wapening in boorgaten in de bestaande poer.



Zijaanzicht I

Zijaanzicht II



Bovenaanzicht

Figuur 6-4 Ontwerp versterking fundatie mast 27

6.4 Aanpak berekening

Het ballastgewicht voor de met ballast te verzwaren poeren is bepaald door in tabelvorm het huidige tekort te bepalen op basis van afkeurniveau. Vervolgens is een betonafmeting gezocht waarmee het tekort wordt gecompenseerd.

In het geval van mast 27 is het benodigde aanvullende draagvermogen vanuit de nieuwe palen uit de belastingtabel voor het verbouwniveau (Appendix H) berekend door de belasting op verbouwniveau te verminderen met het beschikbare draagvermogen van de bestaande palen. Het daarmee berekende tekort moet gecompenseerd worden door het gewicht van de nieuwe poer en de extra capaciteit van nieuwe palen.

- Er wordt rekening mee gehouden dat vanwege de schoorstanden in de palen de palen niet alle in gelijke mate belasting dragen. Dit wordt in de tabel van Appendix D aangeduid als "effectiviteit palen". De waarde is onderbouwd in Appendix G;
- De toetsing van de nieuwe paal is uitgevoerd tegen het benodigde draagvermogen uit het tekort.

Na het in rekening brengen van het aantal nieuwe palen en het gewicht van de nieuwe poer, volgt het benodigde draagvermogen van de nieuwe paal. Met het programma TS paalfunderingen is het draagvermogen van de nieuw aan te brengen palen op trek en op druk berekend, zie Appendix E.

7 TOETSING VERSTERKTE FUNDATIES

7.1 Toetsing palen aan afkeurniveau

In deze paragraaf wordt de toetsing van de bestaande palen met nieuw aangebrachte ballastverzwaringen beschreven. De bestaande palen zijn zowel op trek als op druk gecontroleerd, waarbij de belasting is gehanteerd op basis van het afkeurniveau.

Uit berekening blijkt dat alle paalfunderingen na versterking voldoen.

Tabel 7-1 Toetsing met ballast versterkte fundaties MBT-EHV380

Mast	Masttype	Paaltype bestaand	Poertype nieuw	U.C. trek	U.C. druk
7	S+15	Ortbeton	3P-O + poer - mast 7	0,91	0,76
12	S+0 T	Ortbeton	2P-O + poer - mast 12	0,92	0,87
17	S+15 T1	Ortbeton	2P-O + poer - mast 17	0,94	0,53
28	S+12	LD1	2P-LD + poer	0,94	0,85
34	HA+0 T1	LD1	3P-LD + poer - type 2	0,94	0,48
39	WA+0	LD1	3P-LD + poer - type 2	0,89	0,25
54	HB+0	LD1	3P-LD + poer - type 1	0,86	0,79
61	HB+0	LD1	3P-LD + poer - type 1	0,91	0,94
75	HA+0	LD1	3P-LD + poer - type 1	0,93	0,73
82	HC+0	Ortbeton	Balkrooster - 4P-O	0,69	0,83
90	HB+0	LD1	3P-LD + poer - type 2	0,89	0,33
100	S+12	LD1	2P-LD + poer	0,93	0,93
103	HA+0	LD1	3P-LD + poer - type 1	0,86	0,57
114	HA+0	LD1	3P-LD + poer - type 1	0,94	0,58
128	HA+0 T1	LD1	3P-LD + poer - type 1	0,91	0,77

7.2 Toetsing palen aan verbouwniveau

In deze paragraaf wordt het resultaat van de toetsing van de nieuw aan te brengen palen beschreven. De nieuwe palen zijn zowel ten aanzien van trek- als drukbelasting gecontroleerd, waarbij de belasting is gehanteerd op basis van het verbouwniveau.

Uit de berekening blijkt dat alle paalfunderingen na versterking voldoen⁹.

Tabel 7-2 Toetsing met palen versterkte fundaties MBT-EHV380

Mast	Masttype	Paaltype versterking	Poertype nieuw	U.C. trek	U.C. druk
27	S+12	SI-paal 323/450	Blok poer - 2P-LD + 4P	0,99	0,66

7.3 Controle horizontale krachtsafdracht

In Appendix G is de horizontale krachtsafdracht van de versterkte fundering berekend. Uit de berekeningen blijkt dat de palen voldoende effectief zijn om de belasting over te nemen van de bestaande paal.

7.4 Wapening poeren

In Appendix F is op indicatieve wijze de wapening berekend voor de verzwaringen en zijn blokdeuvels uitgewerkt voor de paalkop en de bestaande paal.

⁹ Het paalpuntniveau van de nieuwe palen wordt bepaald op basis van de aanwezige zandlagen. Om een paal op druk te laten voldoen, moet de paalpunt in een zandlaag worden geplaatst. Hierdoor wordt er soms een dieper gelegen niveau gekozen, dan noodzakelijk voor de benodigde trekcapaciteit. Het gevolg is dat de unity-check voor trek in een aantal gevallen betrekkelijk laag is.

8 CONCLUSIE

Als onderdeel van het opwaarderingsproject van de 380 kV verbinding Maasbracht - Eindhoven zijn de bestaande fundaties getoetst aan het afkeurniveau voor bestaande bouw volgens NEN 8700 /23/. In overleg met Asset Management van TenneT is uitgegaan van het wettelijk vereiste minimum van 15 jaar referentieperiode in plaats van 30 jaar. De palen zijn gecontroleerd ten aanzien van de aanwezige capaciteit op trek-, druk- en horizontale belasting. Voor fundaties die niet voldoen is een versterking uitgewerkt. De toetsing van de fundaties is verdeeld over drie rapporten. In dit tweede deel worden de meerpaalsfundaties getoetst. In het eerste deel worden enkelpaalsfundaties getoetst en in het derde deel de fundaties van de portalen.

De berekeningen zijn deels uitgevoerd op basis van sonderingen die beschikbaar zijn vanuit de bouwperiode van de verbinding en deels op nieuw uitgevoerde sonderingen. Op basis van NEN8707 zijn de sonderingen van uit de bouwperiode bruikbaar voor toetsing van de bestaande fundaties.

Mast 1 tot en mast 17 staan in een gebied met zand-grindhoudende lagen in de bodem. Hierdoor komen er in de ondergrond zeer vaste lagen voor, welke vroeger niet doordringbaar waren bij het uitvoeren van de mechanische sonderingen en dit ook niet zijn met een nieuwe elektrische sondering. Om deze reden zijn er bij mast 1, 3, 4, 7, 9 en 11 slagsonderingen uitgevoerd.

Voor toetsing van mast 2, 5, 6, 10, 13, 14, 15, 16, 21, 23, 39, 69, 82, 85 en 90 zijn bestaande sonderingen gebruikt. Voor alle overige masten wordt de draagkracht van de bestaande palen berekend op basis van nieuw uitgevoerde elektrische sonderingen. Bestaande sonderingen worden hierbij buiten beschouwing gelaten.

8.1 Toetsing bestaande fundaties afkeurniveau

Op 14 mastlocaties van de 43 mastlocaties hebben de palen onvoldoende capaciteit op trek, maar wel voldoende capaciteit op druk. Op 2 mastlocaties van de 43 mastlocaties hebben de palen onvoldoende capaciteit op trek én druk. Op 27 locaties hebben de palen voldoende capaciteit op trek en druk.

De horizontale belasting kan worden afgedragen naar de ondergrond. Het toetsen van de wapening in de betonnen poerconstructie en de betonnen palen is niet mogelijk door het ontbreken van asset-gegevens. Zie hiervoor paragraaf 5.4.

8.2 Versterkingen

Voor de fundaties die niet voldoen zijn versterkingsvoorstellen uitgewerkt. Waar mogelijk is er gekozen voor een ballastverzwaring (15 van de 16 locaties). Voor één locaties is er gekozen voor een verzwaring met palen (mast 27).

8.2.1 Ballastverzwaringen

De ballastverzwaring bestaat uit een vierkante betonnen poer die deels boven maaiveld wordt aangebracht. De bestaande poeren zullen worden opgenomen in de nieuwe verzwaring. Bij mast 82 is gekozen voor een ballastverzwaring met een balkrooster in plaats van vier losse poeren. Voor aanhechting dient het bestaande beton te worden opgeruwd.

Verder dienen er aardingsvoorzieningen te worden aangebracht in de nieuwe poeren (buiten scope van dit rapport).

In Tabel 8-1 zijn alle maatregelen met specificatie samengevat.

Tabel 8-1 Samenvattingstabel maatregelen - ballastverzwaring

Overzicht fundatieversterkingen					
Mastnr.	Masttype	Poertype	Afmeting nieuwe poer [m]	Wapeningshoeveelheid [kg/m ³]	Aantal poeren
7	S+15	3P-O + poer - mast 7	2,5x2,5x1,5	100	4
12	S+0 T	2P-O + poer - mast 12	1,6x1,6x1,25	100	4
17	S+15 T1	2P-O + poer - mast 17	2,7x2,7x1,4	100	4

Overzicht fundatieversterkingen

Mastnr.	Masttype	Poertype	Afmeting nieuwe poer [m]	Wapeningshoeveelheid [kg/m ³]	Aantal poeren
28	S+12	2P-LD + poer	2,3x2,3x0,9	100	4
34	HA+0 T1	3P-LD + poer - type 2	2,4x2,4x1,5	100	4
39	WA+0	3P-LD + poer - type 2	2,4x2,4x1,5	100	4
54	HB+0	3P-LD + poer - type 1	3x3x2,0	100	4
61	HB+0	3P-LD + poer - type 1	3x3x2,0	100	4
75	HA+0	3P-LD + poer - type 1	3x3x2,0	100	4
82	HC+0	Balkrooster - 4P-O	13,82x1,5x0,9	100	4
90	HB+0	3P-LD + poer - type 2	2,4x2,4x1,5	100	4
100	S+12	2P-LD + poer	2,3x2,3x0,9	100	4
103	HA+0	3P-LD + poer - type 1	3x3x2,0	100	4
114	HA+0	3P-LD + poer - type 1	3x3x2,0	100	4
128	HA+0 T1	3P-LD + poer - type 1	3x3x2,0	100	4

8.2.2 Paalfundering

De paalfundering komt voor bij mast 27. Eén paalsysteem is in aanmerking genomen; geschroefde stalen buispalen met gROUTINJECTIE (schroefinjectiepalen). Er is gekozen om een buisdiameter van 323 mm met schroefpunt 450 mm te hanteren in verband met een groot pakket aan slappe lagen in combinatie met een laag draagvermogen van de bestaande paal. De palen worden te lood aangebracht. De nieuwe palen dienen over de in te storten lengte te worden voorzien van opgelaste blokdeuvels.

Door middel van een poer zullen de belastingen vanuit de mast worden overgedragen aan de nieuwe palen. Daarbij wordt de huidige cirkelvormige poer geheel opgenomen in de nieuwe poer. De krachtsoverdracht van bestaand naar nieuw zal plaatsvinden door het inlijmen van wapening in boorgaten in de bestaande poer.

Verder dienen nog aardingsvoorzieningen aanwezig te zijn in de nieuwe poeren en moeten aardingsvoorzieningen in bestaande poer worden gekoppeld aan nieuwe poeren (buiten de scope van dit rapport).

In Tabel 8-2 zijn alle maatregelen met specificatie samengevat.

Tabel 8-2 Samenvattingstabel maatregelen - paalfundering

Overzicht fundatieversterkingen								
Mastnr.	Masttype	Paaltype versterking	Paallengte [m]	Aantal palen	Poertype	Afmeting nieuwe poer [m]	Wapeningshoeveelheid [kg/m ³]	Aantal poeren
27	S+12	SI-paal 323/450	7,20	16	Blok poer - 2P-LD + 4P	4,2x2,7x1,1	150	4

In Tabel 8-3 zijn de uitgangspunten voor de maaiveldhoogte en de aanleghoogte van bovenkant poer en paal weergegeven. De hoogtes zijn afgeleid uit PLS-CADD (geijkt aan LIDAR-gegevens). Voor aanvang van het werk dienen de hoogtes gecontroleerd te worden. Voor uitvoeriger informatie zie Appendix B. De paallengte is berekend op basis van het verschil tussen maaiveld en benodigd paalpuntniveau ten opzichte NAP. Bij eventueel afwijkend niveau van maaiveld, dient het paalpuntniveau gehandhaafd te blijven.

Tabel 8-3 Aanleghoogtes en hoogteverschil met bestaande palen of maaiveld

Overzicht aanleghoogtes								
Mastnr.	Masttype	Maaiveldniveau tov. NAP. (m)	Bovenkant best. poer tov. NAP (m)	Bovenkant nw. poer tov. NAP (m)	Bovenkant nw. poer tov. maaiveld (m)	Bovenkant paal tov. NAP (m)	Paalpuntniveau tov. NAP (m)	Bovenkant paal tov. maaiveld (m)
27	S+12	27,50	27,72	27,72	0,22	27,22	20,02	-0,28

8.3 Aanbevelingen

Voor de vervolfase wordt het volgende aanbevolen:

- Voor alle versterkingen is uitgegaan van de theoretische maatvoering. Door de beperkte beschikbaarheid van gegevens is de kans aanwezig dat de werkelijk afmeting van een bestaande poer afwijkt van de afmetingen die nu voor deze rapportage zijn aangehouden. Aanbevolen wordt deze afmetingen bij aanvang van de werkzaamheden op een mastlocatie eerst in kaart te brengen en te vergelijken met de afmetingen op tekening. Afwijkende maten dienen voorgelegd te worden aan DNV.

9 REFERENTIES

- /1/ 002.586.40 0825942 - 21-0138 - Uitgangspuntenrapport 380kV verbinding Maasbracht - Eindhoven
- /2/ 002.586.40 0825934 - 21-0483 – MBT-EHV380 – E-studie Deel 1
- /3/ Verificatie & validatieplan 380kV verbinding Maasbracht - Eindhoven
- /4/ 002.586.40 0944835 - 22-0912 - MBT-EHV380 - Rapportage masttype EA
- /5/ 002.586.40 0945290 - 22-0913 - MBT-EHV380 - Rapportage masttype EA+0_X
- /6/ 002.586.40 0945279 - 22-0816 - MBT-EHV380 - Rapportage masttype HA+0 & HA+0 T
- /7/ 002.586.40 0945299 - 22-0861 - MBT-EHV380 - Rapportage masttype HB+0
- /8/ 002.586.40 0945307 - 22-0860 - MBT-EHV380 - Rapportage masttype HB+0_tc
- /9/ 002.586.40 0945311 - 22-0857 - MBT-EHV380 - Rapportage masttype HC+0
- /10/ 002.586.40 0945353 - 22-0883 - MBT-EHV380 - Rapportage masttype S+0 & S+0 T
- /11/ 002.586.40 0945354 - 22-0806 - MBT-EHV380 - Rapportage masttype S+0_c
- /12/ 002.586.40 0945355 - 22-0775 - MBT-EHV380 - Rapportage masttype S+0_tc
- /13/ 002.586.40 0945356 - 22-0928 - MBT-EHV380 - Rapportage masttype S+0_xc and S+0_xc T
- /14/ 002.586.40 0945359 - 21-1571 - MBT-EHV380 - Rapportage masttype S+3 & S+3 T
- /15/ 002.586.40 0945360 - 21-1574 - MBT-EHV380 - Rapportage masttype S+6 & S+6 T
- /16/ 002.586.40 0945361 - 22-0790 - MBT-EHV380 - Rapportage masttype S+9
- /17/ 002.586.40 0945363 - 22-0800 - MBT-EHV380 - Rapportage masttype S+9_c
- /18/ 002.586.40 0945365 - 22-0805 - MBT-EHV380 - Rapportage masttype S+9_tc
- /19/ 002.586.40 0945357 - 21-1811 - MBT-EHV380 - Rapportage masttype S+12
- /20/ 002.586.40 0945358 - 22-0779 - MBT-EHV380 - Rapportage masttype S+15 & S+15 T
- /21/ 002.586.40 0945366 - 22-0797 - MBT-EHV380 - Rapportage masttype WA+0
- /22/ 002.589.40 0808656 - 20-0731 – KIJ-GT380 – Rapportage fundaties S+0, S+3, S+6 en S+9
- /23/ NEN 8700:2011 - Belastingen voor bestaande bouw
- /24/ NEN 1997-1: Eurocode 7: Geotechnisch ontwerp - Deel 1: Algemene regels
- /25/ NEN 8707:2019 - Geotechnisch ontwerp - Beoordeling van de constructieve veiligheid van een bestaand bouwwerk
- /26/ Bejan Bouw & BetonTechniek b.v., rapportnummer 200152A-004 v1.0.
- /27/ SWECO, Verkennend (water)bodemonderzoek, rapportnummer NL22-648800299-21186, dd. 12-04-2022

APPENDIX A

Asset-gegevens

Voor een volledig overzicht van de asset-gegevens wordt verwezen naar Appendix G van het uitgangspuntendocument "21-0138 - Uitgangspuntenrapport 380kV verbinding Maasbracht - Eindhoven" /1/.

In Tabel 1 zijn de belangrijkste documenten met betrekking tot de meerpaalsfunderingen nogmaals opgenomen.

Tabel 1 Asset data Maasbracht Eindhoven m.b.t. meerpaalsfunderingen

Omschrijving	File
Fundatie	1967 - Mastenlijst paallengte (uit bundel - Paal voor masttype S+0, S+3 en S+6).pdf 1967 - Paal voor masttype S+0, S+3 en S+6.pdf 1967 - Pootspreiding (uit bundel - Paal voor masttype S+0, S+3 en S+6).pdf 1967 - Principe mastaanzicht (uit bundel - Paal voor masttype S+0, S+3 en S+6).pdf 1967 - Tekening fundatie LD1 (uit bundel - Paal voor masttype S+0, S+3 en S+6).pdf 1973 - Aardingsstaven in poerverzwarende.pdf 1973 - Verzwarende mastfundatie mast 10 en 11.pdf 1974 - Verzwaarde poeren masten 10, 11, 14, 15 en 16.pdf 1980 - Fundatie verzwarende HA+0 mast 9.pdf 2012 - Fundatie mast 115N+121N+122N.pdf 2013 - EHVO-HMZ150-00-31-1001-001_Layout1_MBT-EHV380.pdf 2013 - Fundatie reconstructie mast 115, 121 en 122.pdf 2013 - Fundatie reconstructie mast 116 en 120.pdf 2013 - Fundatie reconstructie mast 117 en 118.pdf 2013 - Fundatie reconstructie mast 119.pdf 2013 - In te storten delen mast 115 n en 122 n.pdf
1967 - Heistaten	Rammprotocoll Mast nr.023.pdf Rammprotokoll Mast nr.034.pdf Rammprotokoll Mast nr.069.pdf Rammprotokoll Mast nr.071.pdf Rammprotokoll Mast nr.072.pdf Rammprotokoll Mast nr.075.pdf Rammprotokoll Mast nr.082.pdf Rammprotokoll Mast nr.098.pdf Rammprotokoll Mast nr.103.pdf Rammprotokoll Mast nr.114.pdf Rammprotokoll Mast nr.128.pdf Rammprotokoll Mast nr.130.pdf Rammprotokoll Mast nr.133.pdf
Fundatie berekening	1967 - DV226 Scan gegevens 380kV palenstaat, paalkop en in te storten poten.pdf 1967 (vermoedelijk) - fundatiekracht per mast TNNT001610-00027.pdf 2011 - MBT-EHV380 115 Ontwerp Petersburg.pdf 2011 - MBT-EHV380 119 Ontwerp Petersburg.pdf 2011 - MBT-EHV380 122 Ontwerp Petersburg.pdf 2011 - Reconstructie Helmond Ontwerp HB+0-tc.pdf 2011 - Reconstructie Helmond Ontwerp S+9-tc.pdf 2012 - 31205-02 rev 2 Fundatie bestaande masten.pdf 2012 - 6933 B02-rev 3.pdf 2012 - MBT-EHV380 120 Ontwerp Petersburg.pdf 2012 - MBT-EHV380 121 Ontwerp Petersburg.pdf 2012 - MBT-EHV380 118 Ontwerp Petersburg.pdf 2016 - Beproeving van beton constructie mast 51.pdf xxxx - Fundatieverzwarende HA+0 mast 13.pdf
1967 - Sonderingen	Sonderingen mast 2, 5, 6, 10, 13, 14, 15, 16, 21, 23, 39, 69, 82, 85 en 90

APPENDIX B

Gegevens funderingen

Paalgegevens, bestaand											
Mastrn.	Masttype	Aantal palen	Paaltype	Paallengte [m]	Paal boven (oud) maaiveld [m]	Paalpuntniveau t.o.v. (oud) MV [m] ⁽¹⁾	Huidig maaiveld t.o.v. NAP [m]	Bovenkant fundatie t.o.v. NAP [m]	Paal tov. bk. fundatie [m]	Paalpuntniveau t.o.v. NAP [m]	
1	EA+0	4	Ortbeton	11,00	-0,25	-11,15	27,37	27,97	0,75	16,22	
2	S+0	2	Ortbeton	8,30	0,00	-8,30	22,89	23,30	0,50	14,50	
3	S+0	2	Ortbeton	8,30	0,00	-8,51	22,35	22,64	0,50	13,84	
4	HC+0	4	Ortbeton	9,00	-0,25	-9,09	21,78	22,45	0,75	12,70	
5	S+0	2	Ortbeton	7,50	0,00	-7,50	21,91	22,23	0,50	14,23	
6	S+6	2	Ortbeton	7,50	0,00	-7,50	22,21	22,45	0,50	14,45	
7	S+15	3	Ortbeton	7,50	0,00	-7,60	22,08	22,48	0,50	14,48	
8	S+15	3	Ortbeton	7,50	0,00	-6,32	21,80	22,99	0,00	15,49	
9	HA+0	3	Ortbeton	9,00	0,00	-9,70	23,39	23,19	0,50	13,69	
10	S+3	2	Ortbeton	7,50	0,00	-7,50	22,80	23,10	0,50	15,10	
11	S+3	2	Ortbeton	7,50	0,00	-7,89	22,88	22,99	0,50	14,99	
12	S+0 T	2	Ortbeton	8,00	0,00	-8,27	28,55	28,78	0,50	20,28	
13	HA+0	3	Ortbeton	10,00	0,00	-10,00	28,92	28,92	0,50	18,42	
14	S+12	2	Ortbeton	10,50	0,00	-10,50	28,11	28,11	0,50	17,11	
15	S+12	2	Ortbeton	10,50	0,00	-10,50	26,34	26,40	0,50	15,40	
16	S+9	2	Ortbeton	9,00	0,00	-9,00	25,68	25,88	0,50	16,38	
17	S+15 T1	2	Ortbeton	9,00	0,00	-9,46	25,62	25,67	0,50	16,17	
18	S+9	2	LD1	10,50	-0,25	-10,75	27,81	28,21	0,75	16,96	
21	S+0	2	LD1	8,50	-0,25	-8,75	29,16	29,39	0,75	20,14	
23	HA+0	4	LD1	7,00	-0,25	-7,25	28,50	29,12	0,75	21,37	
25	S+0	2	LD1	7,50	-0,25	-7,95	28,65	28,95	0,75	20,70	
26	S+0	2	LD1	7,50	-0,25	-7,88	28,43	28,80	0,75	20,55	
27	S+12	2	LD1	7,50	-0,25	-8,03	27,50	27,72	0,75	19,47	
28	S+12	2	LD1	8,00	-0,25	-8,47	27,86	28,14	0,75	19,39	
34	HA+0 T1	3	LD1	8,20	-0,25	-8,04	28,89	29,80	0,75	20,85	
39	WA+0	3	LD1	7,60	-0,25	-7,85	29,83	30,69	0,75	22,34	
50	S+12	2	LD1	9,50	-0,25	-9,86	30,88	31,27	0,75	21,02	
51	S+12	2	LD1	9,00	-0,25	-9,55	30,95	31,15	0,75	21,40	
54	HB+0	3	LD1	8,50	-0,25	-8,58	30,62	31,29	0,75	22,04	
61	HB+0	3	LD1	11,00	-0,25	-10,57	26,29	27,47	0,75	15,72	
69	HA+0	3	LD1	11,00	-0,25	-11,25	26,32	26,92	0,75	15,17	
75	HA+0	3	LD1	10,00	-0,25	-9,84	24,05	24,96	0,75	14,21	
82	HC+0	4	Ortbeton	9,00	0,00	-9,00	23,06	22,82	0,50	13,32	
85	WA+0	3	LD1	13,60	-0,25	-13,85	22,60	23,14	0,75	8,79	
90	HB+0	3	LD1	11,50	-0,25	-11,75	21,09	21,79	0,75	9,54	
98	HC+0	4	LD1	10,00	-0,25	-10,00	19,08	19,83	0,75	9,08	
99	S+15	2	LD1	9,50	-0,25	-9,91	20,01	20,35	0,75	10,10	

Paalgegevens, bestaand

Mastrnr.	Masttype	Aantal palen	Paaltype	Paallengte [m]	Paal boven (oud) maaiveld [m]	Paalpuntniveau t.o.v. (oud) MV [m] ⁽¹⁾	Huidig maaiveld t.o.v. NAP [m]	Bovenkant fundatie t.o.v. NAP [m]	Paal tov. bk. fundatie [m]	Paalpuntniveau t.o.v. NAP [m]
100	S+12	2	LD1	10,00	-0,25	-10,18	19,50	20,07	0,75	9,32
103	HA+0	3	LD1	10,00	-0,25	-10,10	20,50	21,15	0,75	10,40
114	HA+0	3	LD1	7,50	-0,25	-7,81	18,74	19,18	0,75	10,93
128	HA+0 T1	3	LD1	7,00	-0,25	-7,24	18,02	18,53	0,75	10,78
130	HA+0	3	LD1	9,50	-0,25	-9,80	18,51	18,96	0,75	8,71
133	EA+0_133	4	LD1	12,50	-0,25	-12,76	16,70	17,20	0,75	3,95

Paalgegevens, Helmond Brandevoort

Mastrnr.	Masttype	Aantal palen	Paaltype	Paallengte [m]	Paal boven (oud) maaiveld [m]	Paalpuntniveau t.o.v. (oud) MV [m] ⁽¹⁾	Huidig maaiveld t.o.v. NAP [m]	Bovenkant fundatie t.o.v. NAP [m]	Paal tov. bk. fundatie [m]	Paalpuntniveau t.o.v. NAP [m]
115	S+0_xc T1	2	Tubex 457/620	12,00	-1,50	-13,80	18,82	19,02	2,00	5,02
116	S+9(c)	1	LD1	10,00	0,40	-9,80	18,05	19,35	1,10	8,25
		2	Tubex 457/620	6,00	-1,00				2,50	10,85
117	S+9(tc)	1	LD1	11,00	-0,10	-11,40	18,51	19,71	1,60	7,11
		2	Tubex 457/620	7,00	-1,00				2,50	10,21
118	S+0(tc)	1	LD1	11,00	-0,10	-11,13	17,92	19,39	1,60	6,79
		2	Tubex 457/620	9,00	-1,00				2,50	7,89
119	HB+0(tc)	3	LD1	10,50	-0,25	-10,95	18,32	20,42	2,55	7,37
		2	Tubex 457/620	11,00	-1,00				2,50	6,12
120	S+0(tc)	1	LD1	9,50	0,40	-9,10	19,16	20,76	1,10	10,16
		2	Tubex 457/620	8,50	-1,00				2,50	9,66
121	S+0(c)	2	Tubex 457/620	8,00	-1,50	-9,70	18,60	18,90	2,00	8,90
122	S+0_xc	2	Tubex 457/620	12,00	-1,50	-13,35	17,94	18,59	2,00	4,59

Poergegevens, bestand

Mastrnr.	Masttype	Poertype	L [m]	b [m]2	h [m]	Bovenkant poer tov MV [m] ⁽¹⁾	Onderkant poer tov. MV [m]	Volume. onder GWS [m]	Volume poer [m ³]	EG _{poer} [kN]
1	EA+0	Ronde poer - 4P-O-2	2,20	2,20	1,90	0,50	-1,40	3,42	5,97	143
2	S+0	Ronde poer - 2P-O	1,50	1,50	1,40	0,40	-1,00	0,88	2,10	50
3	S+0	Ronde poer - 2P-O	1,50	1,50	1,40	0,40	-1,00	0,88	2,10	50
4	HC+0	Ronde poer - 4P-O-2	2,20	2,20	1,90	0,50	-1,40	3,42	5,97	143
5	S+0	Blok poer - 2P-O Mast 5 & 6	2,50	2,50	2,60	0,40	-2,20	10,63	16,25	390
6	S+6	Blok poer - 2P-O Mast 5 & 6	2,50	2,50	2,60	0,40	-2,20	10,63	16,25	390
7	S+15	Ronde poer - 3P-O	2,20	2,20	1,90	0,50	-1,40	3,42	5,97	143
8	S+15	Ronde poer - 3P-O-2	1,80	1,80	1,90	0,50	-1,40	2,29	4,06	97
9	HA+0	Ronde poer + Blok - 3P-O Mast 9	4,50	4,50	2,20	0,50	-1,70	24,30	30,39	729
10	S+3	Ronde poer - 2P-O Mast 10 & 11	2,50	2,50	2,70	0,40	-2,30	8,84	13,25	318
11	S+3	Ronde poer - 2P-O Mast 10 & 11	2,50	2,50	2,70	0,40	-2,30	8,84	13,25	318
12	S+0 T	Ronde poer - 2P-O	1,50	1,50	1,40	0,40	-1,00	0,88	2,10	50
13	HA+0	Ronde poer + Blok - 3P-O Mast 13	15,50	2,60	2,50	0,50	-2,00	17,53	30,15	724
14	S+12	Blok poer - 2P-O Mast 14	2,00	2,00	3,75	0,40	-3,35	11,40	15,00	360
15	S+12	Ronde poer - 2P-O Mast 15 & 16	2,50	2,50	2,70	0,40	-2,30	8,84	13,25	318
16	S+9	Ronde poer - 2P-O Mast 15 & 16	2,50	2,50	2,70	0,40	-2,30	8,84	13,25	318
17	S+15 T1	Ronde poer - 2P-O-2	2,20	2,20	1,90	0,50	-1,40	3,42	5,97	143
18	S+9	Ronde poer - 2P-LD	2,20	2,20	1,40	0,40	-1,00	1,90	4,25	102
21	S+0	Ronde poer - 2P-LD	2,20	2,20	1,40	0,40	-1,00	1,90	4,25	102
23	HA+0	Ronde poer - 4P-LD	2,50	2,50	1,90	0,50	-1,40	4,42	8,22	197
25	S+0	Ronde poer - 2P-LD	2,20	2,20	1,40	0,40	-1,00	1,90	4,25	102
26	S+0	Ronde poer - 2P-LD	2,20	2,20	1,40	0,40	-1,00	1,90	4,25	102
27	S+12	Ronde poer - 2P-LD	2,20	2,20	1,40	0,40	-1,00	1,90	4,25	102
28	S+12	Ronde poer - 2P-LD	2,20	2,20	1,40	0,40	-1,00	1,90	4,25	102
34	HA+0 T1	Ronde poer - 3P-LD	2,20	2,20	1,90	0,50	-1,40	3,42	5,97	143
39	WA+0	Ronde poer - 3P-LD	2,20	2,20	1,90	0,50	-1,40	3,42	5,97	143
50	S+12	Ronde poer - 2P-LD	2,20	2,20	1,40	0,40	-1,00	1,90	4,25	102
51	S+12	Ronde poer - 2P-LD	2,20	2,20	1,40	0,40	-1,00	1,90	4,25	102
54	HB+0	Ronde poer - 3P-LD	2,20	2,20	1,90	0,50	-1,40	3,42	5,97	143
61	HB+0	Ronde poer - 3P-LD	2,20	2,20	1,90	0,50	-1,40	3,42	5,97	143
69	HA+0	Ronde poer - 3P-LD	2,20	2,20	1,90	0,50	-1,40	3,42	5,97	143
75	HA+0	Ronde poer - 3P-LD	2,20	2,20	1,90	0,50	-1,40	3,42	5,97	143
82	HC+0	Ronde poer - 4P-O	2,50	2,50	1,90	0,50	-1,40	4,42	8,22	197
85	WA+0	Ronde poer - 3P-LD	2,20	2,20	1,90	0,50	-1,40	3,42	5,97	143
90	HB+0	Ronde poer - 3P-LD	2,20	2,20	1,90	0,50	-1,40	3,42	5,97	143
98	HC+0	Ronde poer - 4P-LD-2	2,20	2,20	1,90	0,50	-1,40	3,42	5,97	143
99	S+15	Ronde poer - 2P-LD	2,20	2,20	1,40	0,40	-1,00	1,90	4,25	102
100	S+12	Ronde poer - 2P-LD	2,20	2,20	1,40	0,40	-1,00	1,90	4,25	102
103	HA+0	Ronde poer - 3P-LD	2,20	2,20	1,90	0,50	-1,40	3,42	5,97	143
114	HA+0	Ronde poer - 3P-LD	2,20	2,20	1,90	0,50	-1,40	3,42	5,97	143
128	HA+0 T1	Ronde poer - 3P-LD	2,20	2,20	1,90	0,50	-1,40	3,42	5,97	143
130	HA+0	Ronde poer - 3P-LD - Mast 130	2,20	2,20	1,90	0,50	-1,40	1,52	5,97	143

Poergegevens, bestaand

Mastr.	Masttype	Poertype	L [m]	b [m]2	h [m]	Bovenkant poer tov MV [m] ⁽¹⁾	Onderkant poer tov. MV [m]	Volume. onder GWS [m]	Volume poer [m ³]	EG _{poer} [kN]
133	EA+0_133	Ronde poer - 4P-LD	2,50	2,50	1,90	0,50	-1,40	4,42	8,22	197

Poergegevens, Helmond Brandevoort

Mastr.	Masttype	Poertype	L [m]	b [m]2	h [m]	Bovenkant poer tov MV [m] ⁽¹⁾	Onderkant poer tov. MV [m]	Volume. onder GWS [m]	Volume poer [m ³]	EG _{poer} [kN]
115	S+0_xc T1	Lijnpoer - 2P Mast 115N, 121N & 122N	1,70	1,00	2,15	0,55	-1,60	1,87	2,81	67
116	S+9(c)	Lijnpoer - 1P+2P Mast 116 & 120	3,40	1,80	2,55	1,50	-1,05	3,06	14,71	353
117	S+9(tc)	Lijnpoer - 1P+2P Mast 117 & 118	3,40	1,80	2,55	1,50	-1,05	3,06	14,71	353
118	S+0(tc)	Lijnpoer - 1P+2P Mast 117 & 118	3,40	1,80	2,55	1,50	-1,05	3,06	14,71	353
119	HB+0(tc)	Lijnpoer - 3P+2P Mast 119	4,20	2,50	3,35	2,35	-1,00	5,25	31,29	751
120	S+0(tc)	Lijnpoer - 1P+2P Mast 116 & 120	3,40	1,80	2,55	1,50	-1,05	3,06	14,71	353
121	S+0(c)	Lijnpoer - 2P Mast 115N, 121N & 122N	1,70	1,00	2,15	0,55	-1,60	1,87	2,81	67
122	S+0_xc	Lijnpoer - 2P Mast 115N, 121N & 122N	1,70	1,00	2,15	0,55	-1,60	1,87	2,81	67

Paalgegevens, nieuw

Mastrn.	Masttype	Aantal palen	Paaltype	Paallengte [m]	Bovenkant paal tov. NAP [m]	Maaiveld t.o.v. NAP [m]	Verschil PP niveau t.o.v. bestaand [m] ⁽²⁾	PP niveau t.o.v. NAP [m]
27	S+12	4	SI-paal 323/450	7,20	27,22	27,50	0,55	20,02

Poergegevens, nieuw - paalversterking

Mastrn.	Masttype	Poertype	L [m]	b [m]2	h [m]	Bovenkant poer tov MV [m] ⁽¹⁾	Onderkant poer tov. MV [m]	Volume. onder GWS [m]	Volume poer [m ³]	EG _{poer} [kN]
27	S+12	Blok poer - 2P-LD + 4P	4,20	2,70	1,90	27,72	0,50	-1,40	15,26	366

Poergegevens, nieuw - ballastverzwaringen

Mastrn.	Masttype	Poertype	L [m]	b [m]2	h [m]	Bovenkant poer tov MV [m] ⁽¹⁾	Onderkant poer tov. MV [m]	Volume. onder GWS [m]	Volume poer [m ³]	EG _{poer} [kN]
7	S+15	3P-O + poer - mast 7	2,50	2,50	2,40	1,00	-1,40	3,42	12,80	307
12	S+0 T	2P-O + poer - mast 12	1,60	1,60	1,80	0,80	-1,00	0,88	4,17	100
17	S+15 T1	2P-O + poer - mast 17	2,70	2,70	1,40	0,40	-1,00	0,00	10,21	245
28	S+12	2P-LD + poer	2,30	2,30	1,40	0,40	-1,00	1,90	6,59	158
34	HA+0 T1	3P-LD + poer - type 2	2,40	2,40	2,40	1,00	-1,40	3,42	12,06	289
39	WA+0	3P-LD + poer - type 2	2,40	2,40	2,40	1,00	-1,40	3,42	12,06	289
54	HB+0	3P-LD + poer - type 1	3,00	3,00	2,40	1,00	-1,40	6,02	19,52	468
61	HB+0	3P-LD + poer - type 1	3,00	3,00	2,40	1,00	-1,40	6,02	19,52	468
75	HA+0	3P-LD + poer - type 1	3,00	3,00	2,40	1,00	-1,40	6,02	19,52	468
82	HC+0	Balkrooster - 4P-O	13,82	1,50	1,80	0,40	-1,40	4,42	23,07	554
90	HB+0	3P-LD + poer - type 2	2,40	2,40	2,40	1,00	-1,40	3,42	12,06	289
100	S+12	2P-LD + poer	2,30	2,30	1,40	0,40	-1,00	1,90	6,59	158
103	HA+0	3P-LD + poer - type 1	3,00	3,00	2,40	1,00	-1,40	6,02	19,52	468
114	HA+0	3P-LD + poer - type 1	3,00	3,00	2,40	1,00	-1,40	6,02	19,52	468
128	HA+0 T1	3P-LD + poer - type 1	3,00	3,00	2,40	1,00	-1,40	6,02	19,52	468

APPENDIX C

Toetsing bestaande constructie

Toetsing funderingen op trekbelasting, initiële situatie										
Mast	Masttype	Poertype	Paaltype	F _{Ed,mast} [kN]	Aantal palen per randstijl	Effectiviteit palen	F _{poer,d} [kN]	F _{Ed,paal} [kN]	F _{R,d,trek} [kN]	U.C.
1	EA+0	Ronde poer - 4P-O-2	Ortbeton	-1096	4	50%	95	501	659	0,76
2	S+0	Ronde poer - 2P-O	Ortbeton	-410	2	58%	37	322	327	0,98
3	S+0	Ronde poer - 2P-O	Ortbeton	-410	2	49%	37	381	534	0,71
4	HC+0	Ronde poer - 4P-O-2	Ortbeton	-1143	4	50%	95	524	593	0,88
5	S+0	Blok poer - 2P-O Mast 5 & 6	Ortbeton	-410	2	67%	245	123	228	0,54
6	S+6	Blok poer - 2P-O Mast 5 & 6	Ortbeton	-471	2	67%	245	169	425	0,40
7	S+15	Ronde poer - 3P-O	Ortbeton	-636	3	55%	95	328	261	1,25
8	S+15	Ronde poer - 3P-O-2	Ortbeton	-636	3	59%	65	322	467	0,69
9	HA+0	Ronde poer + Blok - 3P-O Mast 9	Ortbeton	-1057	3	67%	413	320	447	0,72
10	S+3	Ronde poer - 2P-O Mast 10 & 11	Ortbeton	-379	2	67%	198	135	272	0,50
11	S+3	Ronde poer - 2P-O Mast 10 & 11	Ortbeton	-379	2	67%	198	135	257	0,53
12	S+0 T	Ronde poer - 2P-O	Ortbeton	-446	2	51%	37	402	391	1,03
13	HA+0	Ronde poer + Blok - 3P-O Mast 13	Ortbeton	-1001	3	67%	476	261	435	0,60
14	S+12	Blok poer - 2P-O Mast 14	Ortbeton	-566	2	67%	210	265	445	0,60
15	S+12	Ronde poer - 2P-O Mast 15 & 16	Ortbeton	-566	2	67%	198	274	445	0,62
16	S+9	Ronde poer - 2P-O Mast 15 & 16	Ortbeton	-503	2	67%	198	228	320	0,71
17	S+15 T1	Ronde poer - 2P-O-2	Ortbeton	-738	2	58%	95	555	474	1,17
18	S+9	Ronde poer - 2P-LD	LD1	-503	2	65%	73	331	422	0,78
21	S+0	Ronde poer - 2P-LD	LD1	-410	2	70%	73	241	438	0,55
23	HA+0	Ronde poer - 4P-LD	LD1	-913	4	65%	133	300	313	0,96
25	S+0	Ronde poer - 2P-LD	LD1	-410	2	70%	73	241	253	0,95
26	S+0	Ronde poer - 2P-LD	LD1	-421	2	70%	73	249	258	0,96
27	S+12	Ronde poer - 2P-LD	LD1	-566	2	66%	73	373	199	1,88
28	S+12	Ronde poer - 2P-LD	LD1	-566	2	66%	73	373	358	1,04
34	HA+0 T1	Ronde poer - 3P-LD	LD1	-1056	3	69%	95	464	427	1,09
39	WA+0	Ronde poer - 3P-LD	LD1	-989	3	69%	95	432	414	1,04
50	S+12	Ronde poer - 2P-LD	LD1	-566	2	66%	73	373	487	0,77
51	S+12	Ronde poer - 2P-LD	LD1	-566	2	66%	73	373	397	0,94
54	HB+0	Ronde poer - 3P-LD	LD1	-1071	3	66%	95	493	418	1,18
61	HB+0	Ronde poer - 3P-LD	LD1	-1025	3	58%	95	535	419	1,28
69	HA+0	Ronde poer - 3P-LD	LD1	-1001	3	69%	95	438	481	0,91
75	HA+0	Ronde poer - 3P-LD	LD1	-1001	3	58%	95	521	395	1,32
82	HC+0	Ronde poer - 4P-O	Ortbeton	-1132	4	48%	133	520	294	1,77
85	WA+0	Ronde poer - 3P-LD	LD1	-989	3	58%	95	514	569	0,90
90	HB+0	Ronde poer - 3P-LD	LD1	-1085	3	58%	95	569	554	1,03
98	HC+0	Ronde poer - 4P-LD-2	LD1	-1168	4	60%	95	447	453	0,99
99	S+15	Ronde poer - 2P-LD	LD1	-636	2	73%	73	385	396	0,97
100	S+12	Ronde poer - 2P-LD	LD1	-566	2	66%	73	373	360	1,04
103	HA+0	Ronde poer - 3P-LD	LD1	-1001	3	66%	95	458	375	1,22
114	HA+0	Ronde poer - 3P-LD	LD1	-1001	3	58%	95	521	392	1,33
128	HA+0 T1	Ronde poer - 3P-LD	LD1	-1056	3	66%	95	485	383	1,27
130	HA+0	Ronde poer - 3P-LD - Mast 130	LD1	-1001	3	69%	114	429	436	0,98
133	EA+0_133	Ronde poer - 4P-LD	LD1	-980	4	65%	133	326	638	0,51

Toetsing funderingen op trekbelasting – LD-palen, Helmond Brandevoort, afkeurniveau 15 jaar

Mast	Masttype	Poertype	Paaltype	F _{Ed,mast} [kN]	Aantal palen		Effectiviteit palen	F _{poer,d} [kN]	F _{Ed,paal} [kN]	F _{R,d,trek} [kN]	U.C.
					per	randstijl					
116	S+9(c)	Lijnpoer - 1P+2P Mast 116 & 120	LD1	-791	3		67%	287	251	504	0,50
117	S+9(tc)	Lijnpoer - 1P+2P Mast 117 & 118	LD1	-842	3		48%	287	385	535	0,72
118	S+0(tc)	Lijnpoer - 1P+2P Mast 117 & 118	LD1	-926	3		48%	287	443	470	0,94
119	HB+0(tc)	Lijnpoer - 3P+2P Mast 119	LD1	-1667	5		67%	623	312	518	0,60
120	S+0(tc)	Lijnpoer - 1P+2P Mast 116 & 120	LD1	-926	3		67%	287	318	392	0,81

Toetsing funderingen op trekbelasting, Helmond Brandevoort, nieuwbouwniveau 50 jaar

Mast	Masttype	Poertype	Paaltype	F _{Ed,mast} [kN]	Aantal palen		Effectiviteit palen	F _{poer,d} [kN]	F _{Ed,paal} [kN]	F _{R,d,trek} [kN]	U.C.
					per	randstijl					
115	S+0_xc T1	Lijnpoer - 2P Mast 115N, 121N & 122N	Tubex 457/620	-1703	2		80%	42	1038	1071	0,97
121	S+0(c)	Lijnpoer - 2P Mast 115N, 121N & 122N	Tubex 457/620	-1032	2		80%	42	619	639	0,97
122	S+0_xc	Lijnpoer - 2P Mast 115N, 121N & 122N	Tubex 457/620	-1700	2		80%	42	1036	1082	0,96

Toetsing funderingen op drukbelasting, initiële situatie

Mast	Masttype	Poertype	Paaltype	F _{Ed,mast} [kN]	Aantal palen per randstijl	Effectiviteit palen	F _{poer,d} [kN]	F _{Ed,paal} [kN]	F _{R,d,druk} [kN]	U.C.
1	EA+0	Ronde poer - 4P-O-2	Ortbeton	1430	4	50%	172	801	1668	0,48
2	S+0	Ronde poer - 2P-O	Ortbeton	579	2	58%	60	551	1544	0,36
3	S+0	Ronde poer - 2P-O	Ortbeton	579	2	49%	60	652	1879	0,35
4	HC+0	Ronde poer - 4P-O-2	Ortbeton	1419	4	50%	172	795	2321	0,34
5	S+0	Blok poer - 2P-O Mast 5 & 6	Ortbeton	579	2	67%	468	781	1295	0,60
6	S+6	Blok poer - 2P-O Mast 5 & 6	Ortbeton	658	2	67%	468	840	1715	0,49
7	S+15	Ronde poer - 3P-O	Ortbeton	839	3	55%	172	613	969	0,63
8	S+15	Ronde poer - 3P-O-2	Ortbeton	839	3	59%	117	540	2218	0,24
9	HA+0	Ronde poer + Blok - 3P-O Mast 9	Ortbeton	1298	3	67%	875	1081	1280	0,84
10	S+3	Ronde poer - 2P-O Mast 10 & 11	Ortbeton	556	2	67%	382	700	1662	0,42
11	S+3	Ronde poer - 2P-O Mast 10 & 11	Ortbeton	556	2	67%	382	700	1018	0,69
12	S+0 T	Ronde poer - 2P-O	Ortbeton	602	2	51%	60	649	818	0,79
13	HA+0	Ronde poer + Blok - 3P-O Mast 13	Ortbeton	1245	3	67%	868	1052	1971	0,53
14	S+12	Blok poer - 2P-O Mast 14	Ortbeton	779	2	67%	432	904	1863	0,49
15	S+12	Ronde poer - 2P-O Mast 15 & 16	Ortbeton	779	2	67%	382	866	2076	0,42
16	S+9	Ronde poer - 2P-O Mast 15 & 16	Ortbeton	707	2	67%	382	813	1683	0,48
17	S+15 T1	Ronde poer - 2P-O-2	Ortbeton	944	2	58%	172	961	2004	0,48
18	S+9	Ronde poer - 2P-LD	LD1	707	2	65%	123	638	2413	0,26
21	S+0	Ronde poer - 2P-LD	LD1	579	2	70%	123	501	1472	0,34
23	HA+0	Ronde poer - 4P-LD	LD1	1153	4	65%	237	535	1034	0,52
25	S+0	Ronde poer - 2P-LD	LD1	579	2	70%	123	501	802	0,62
26	S+0	Ronde poer - 2P-LD	LD1	587	2	70%	123	507	785	0,65
27	S+12	Ronde poer - 2P-LD	LD1	779	2	66%	123	683	633	1,08
28	S+12	Ronde poer - 2P-LD	LD1	779	2	66%	123	683	864	0,79
34	HA+0 T1	Ronde poer - 3P-LD	LD1	1295	3	69%	172	709	1640	0,43
39	WA+0	Ronde poer - 3P-LD	LD1	1245	3	69%	172	685	3106	0,22
50	S+12	Ronde poer - 2P-LD	LD1	779	2	66%	123	683	1281	0,53
51	S+12	Ronde poer - 2P-LD	LD1	779	2	66%	123	683	1085	0,63
54	HB+0	Ronde poer - 3P-LD	LD1	1330	3	66%	172	759	1215	0,62
61	HB+0	Ronde poer - 3P-LD	LD1	1288	3	58%	172	839	1137	0,74
69	HA+0	Ronde poer - 3P-LD	LD1	1245	3	69%	172	685	2330	0,29
75	HA+0	Ronde poer - 3P-LD	LD1	1245	3	58%	172	814	1415	0,58
82	HC+0	Ronde poer - 4P-O	Ortbeton	1411	4	48%	237	858	740	1,16
85	WA+0	Ronde poer - 3P-LD	LD1	1245	3	58%	172	814	1738	0,47
90	HB+0	Ronde poer - 3P-LD	LD1	1345	3	58%	172	872	2952	0,30
98	HC+0	Ronde poer - 4P-LD-2	LD1	1429	4	60%	172	667	711	0,94
99	S+15	Ronde poer - 2P-LD	LD1	839	2	73%	123	658	983	0,67
100	S+12	Ronde poer - 2P-LD	LD1	779	2	66%	123	683	793	0,86
103	HA+0	Ronde poer - 3P-LD	LD1	1245	3	66%	172	716	1604	0,45
114	HA+0	Ronde poer - 3P-LD	LD1	1245	3	58%	172	814	1786	0,46
128	HA+0 T1	Ronde poer - 3P-LD	LD1	1295	3	66%	172	741	1218	0,61
130	HA+0	Ronde poer - 3P-LD - Mast 130	LD1	1245	3	69%	172	685	2428	0,28
133	EA+0_133	Ronde poer - 4P-LD	LD1	1294	4	65%	237	589	2827	0,21

Toetsing funderingen op drukbelasting – LD-palen, Helmond Brandevoort, afkeurniveau 15 jaar

Mast	Masttype	Poertype	Paaltype	F _{Ed,mast} [kN]	Aantal palen		Effectiviteit palen	F _{poer,d} [kN]	F _{Ed,paal} [kN]	F _{R,d,trek} [kN]	U.C.
					per	randstijl					
116	S+9(c)	Lijnpoer - 1P+2P Mast 116 & 120	LD1	1147	3		67%	424	782	1674	0,47
117	S+9(tc)	Lijnpoer - 1P+2P Mast 117 & 118	LD1	1201	3		48%	424	1128	1899	0,59
118	S+0(tc)	Lijnpoer - 1P+2P Mast 117 & 118	LD1	1271	3		48%	424	1177	2909	0,40
119	HB+0(tc)	Lijnpoer - 3P+2P Mast 119	LD1	2150	5		67%	901	911	1749	0,52
120	S+0(tc)	Lijnpoer - 1P+2P Mast 116 & 120	LD1	1271	3		67%	424	843	2018	0,42

Toetsing funderingen op drukbelasting, Helmond Brandevoort, nieuwbouwniveau 50 jaar

Mast	Masttype	Poertype	Paaltype	F _{Ed,mast} [kN]	Aantal palen		Effectiviteit palen	F _{poer,d} [kN]	F _{Ed,paal} [kN]	F _{R,d,trek} [kN]	U.C.
					per	randstijl					
115	S+0_xc T1	Lijnpoer - 2P Mast 115N, 121N & 122N	Tubex 457/620	2222	2		80%	81	1439	2940	0,49
121	S+0(c)	Lijnpoer - 2P Mast 115N, 121N & 122N	Tubex 457/620	1400	2		80%	81	926	2283	0,41
122	S+0_xc	Lijnpoer - 2P Mast 115N, 121N & 122N	Tubex 457/620	2230	2		80%	81	1444	2489	0,58

APPENDIX D

Toetsing versterkte constructie & tekeningen

Toetsing funderingen op trekbelasting, Helmond Brandevoort, afkeurniveau 30 jaar

Mast	Masttype	Poertype bestaand	Paaltype	F _{Ed,mast} [kN]	Aantal palen per randstijl	Effectiviteit palen	F _{R,d,trek} [kN]	Poertype nieuw	Tekort [kN]	Aantal nieuwe palen	Effectiviteit nw.palen	F _{poer,nw,d} [kN]	F _{rd,benodigd} [kN]	Maximale F _{r,d} [kN]	F _{r,d,nieuw} [kN]	U.C. nieuw
116	S+9(c)	Lijnpoer - 1P+2P Mast 116 & 120	LD1	-791	1	100%	251	Lijnpoer - 1P+2P Mast 116 & 120	253	2	80%	287	158	600	518	0,31
117	S+9(tc)	Lijnpoer - 1P+2P Mast 117 & 118	LD1	-842	1	100%	385	Lijnpoer - 1P+2P Mast 117 & 118	170	2	80%	287	106	600	462	0,23
118	S+0(tc)	Lijnpoer - 1P+2P Mast 117 & 118	LD1	-926	1	100%	443	Lijnpoer - 1P+2P Mast 117 & 118	195	2	80%	287	122	600	369	0,33
119	HB+0(tc)	Lijnpoer - 3P+2P Mast 119	LD1	-1667	3	67%	312	Lijnpoer - 3P+2P Mast 119	418	2	80%	623	261	600	937	0,43
120	S+0(tc)	Lijnpoer - 1P+2P Mast 116 & 120	LD1	-926	1	100%	318	Lijnpoer - 1P+2P Mast 116 & 120	321	2	80%	287	201	600	567	0,35

Toetsing funderingen op trekbelasting, paalverzwaring, verbouwniveau 50 jaar

Mast	Masttype	Poertype bestaand	Paaltype	F _{Ed,mast} [kN]	Aantal palen per randstijl	Effectiviteit palen	F _{R,d,trek} [kN]	Poertype nieuw	Tekort [kN]	Aantal nieuwe palen	Effectiviteit nw.palen	F _{poer,nw,d} [kN]	F _{rd,benodigd} [kN]	Maximale F _{r,d} [kN]	F _{r,d,nieuw} [kN]	U.C. nieuw
27	S+12	Ronde poer - 2P-LD	LD1	-828	2	50%	199	Blok poer - 2P-LD + 4P	357	4	50%	273	178	500	180	0,99

Toetsing funderingen op trekbelasting, ballastverzwaring, afkeurniveau 15 jaar

Mast	Masttype	Poertype bestaand	Paaltype	F _{Ed,mast} [kN]	Aantal palen per randstijl	Effectiviteit palen	F _{R,d,trek} [kN]	Poertype nieuw	Tekort [kN]	Aantal nieuwe palen	Effectiviteit nw.palen	F _{poer,nw,d} [kN]	F _{rd,benodigd} [kN]	Maximale F _{r,d} [kN]	F _{r,d,nieuw} [kN]	U.C. nieuw
7	S+15	Ronde poer - 3P-O	Ortbeton	-636	3	55%	261	3P-O + poer - mast 7	-38	3	55%	242	0	0	261	0,91
12	S+0 T	Ronde poer - 2P-O	Ortbeton	-446	2	51%	391	2P-O + poer - mast 12	-34	2	51%	81	0	0	391	0,92
17	S+15 T1	Ronde poer - 2P-O-2	Ortbeton	-738	2	58%	474	2P-O + poer - mast 17	-32	2	58%	220	0	0	474	0,94
28	S+12	Ronde poer - 2P-LD	LD1	-566	2	66%	358	2P-LD + poer	-26	2	66%	123	0	0	355	0,94
34	HA+0 T1	Ronde poer - 3P-LD	LD1	-1056	3	69%	427	3P-LD + poer - type 2	-50	3	69%	226	0	0	425	0,94
39	WA+0	Ronde poer - 3P-LD	LD1	-989	3	69%	414	3P-LD + poer - type 2	-91	3	69%	226	0	0	412	0,89
54	HB+0	Ronde poer - 3P-LD	LD1	-1071	3	66%	418	3P-LD + poer - type 1	-112	3	66%	361	0	0	415	0,86
61	HB+0	Ronde poer - 3P-LD	LD1	-1025	3	58%	419	3P-LD + poer - type 1	-58	3	58%	361	0	0	415	0,91
75	HA+0	Ronde poer - 3P-LD	LD1	-1001	3	58%	395	3P-LD + poer - type 1	-43	3	58%	361	0	0	392	0,93
82	HC+0	Ronde poer - 4P-O	Ortbeton	-1132	4	48%	294	Balkrooster - 4P-O	114	4	84%	454	34	500	294	0,69
90	HB+0	Ronde poer - 3P-LD	LD1	-1085	3	58%	554	3P-LD + poer - type 2	-100	3	58%	226	0	0	551	0,89
100	S+12	Ronde poer - 2P-LD	LD1	-566	2	66%	360	2P-LD + poer	-29	2	66%	123	0	0	357	0,93
103	HA+0	Ronde poer - 3P-LD	LD1	-1001	3	66%	375	3P-LD + poer - type 1	-95	3	66%	361	0	0	371	0,86
114	HA+0	Ronde poer - 3P-LD	LD1	-1001	3	58%	392	3P-LD + poer - type 1	-38	3	58%	361	0	0	389	0,94
128	HA+0 T1	Ronde poer - 3P-LD	LD1	-1056	3	66%	383	3P-LD + poer - type 1	-61	3	66%	361	0	0	382	0,91

Toetsing funderingen op drukbelasting, Helmond Brandevoort, afkeurniveau 30 jaar

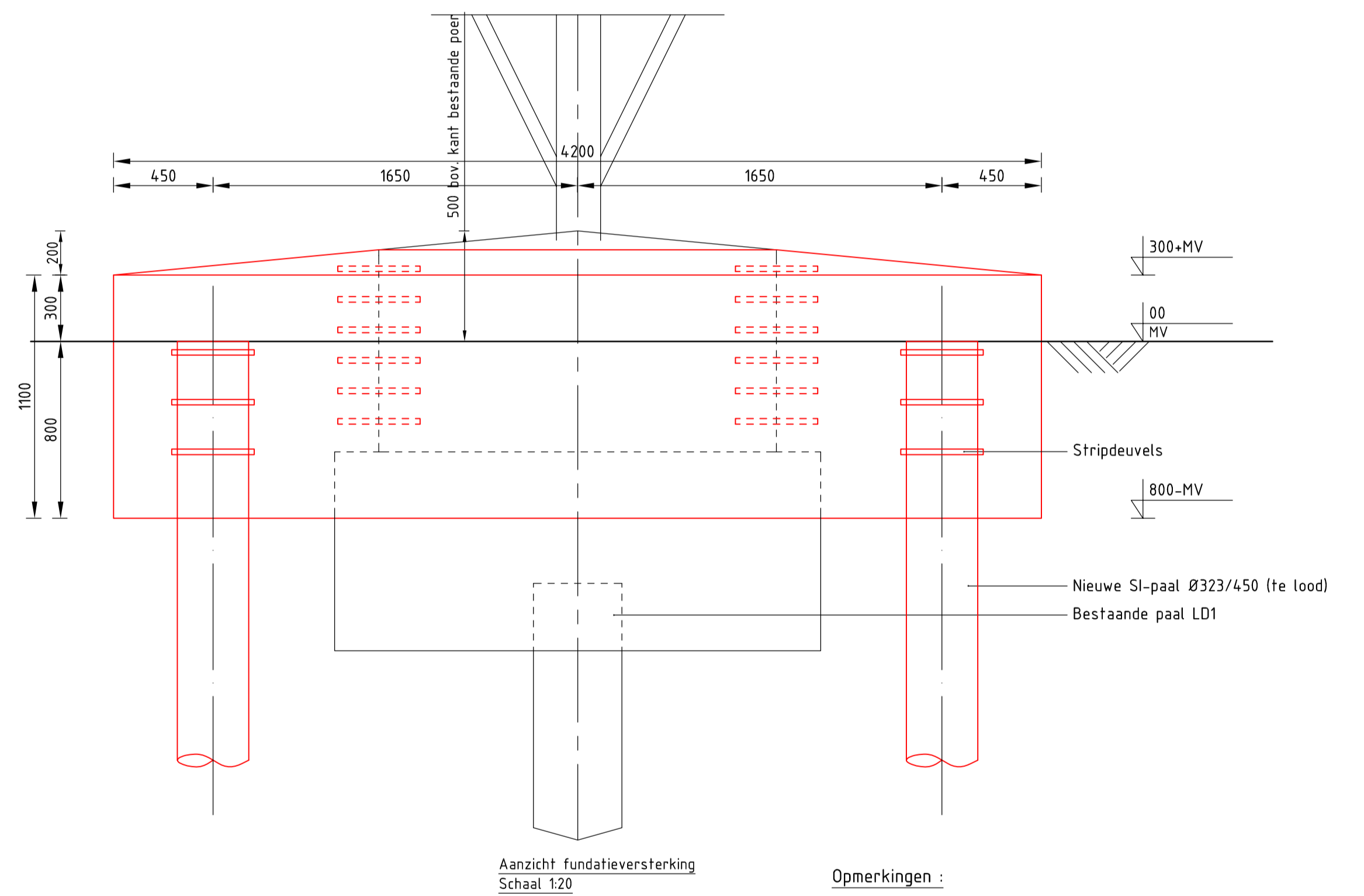
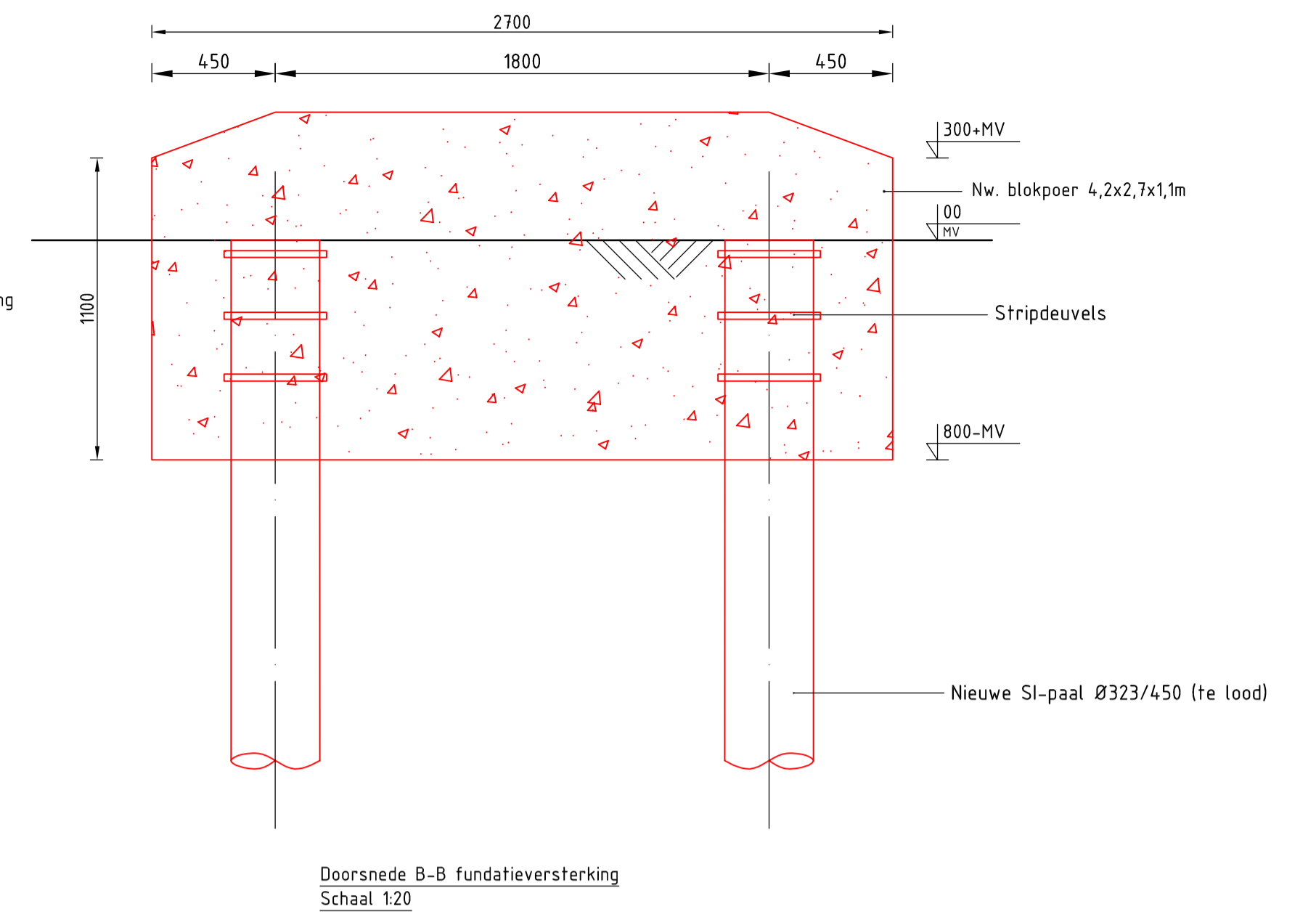
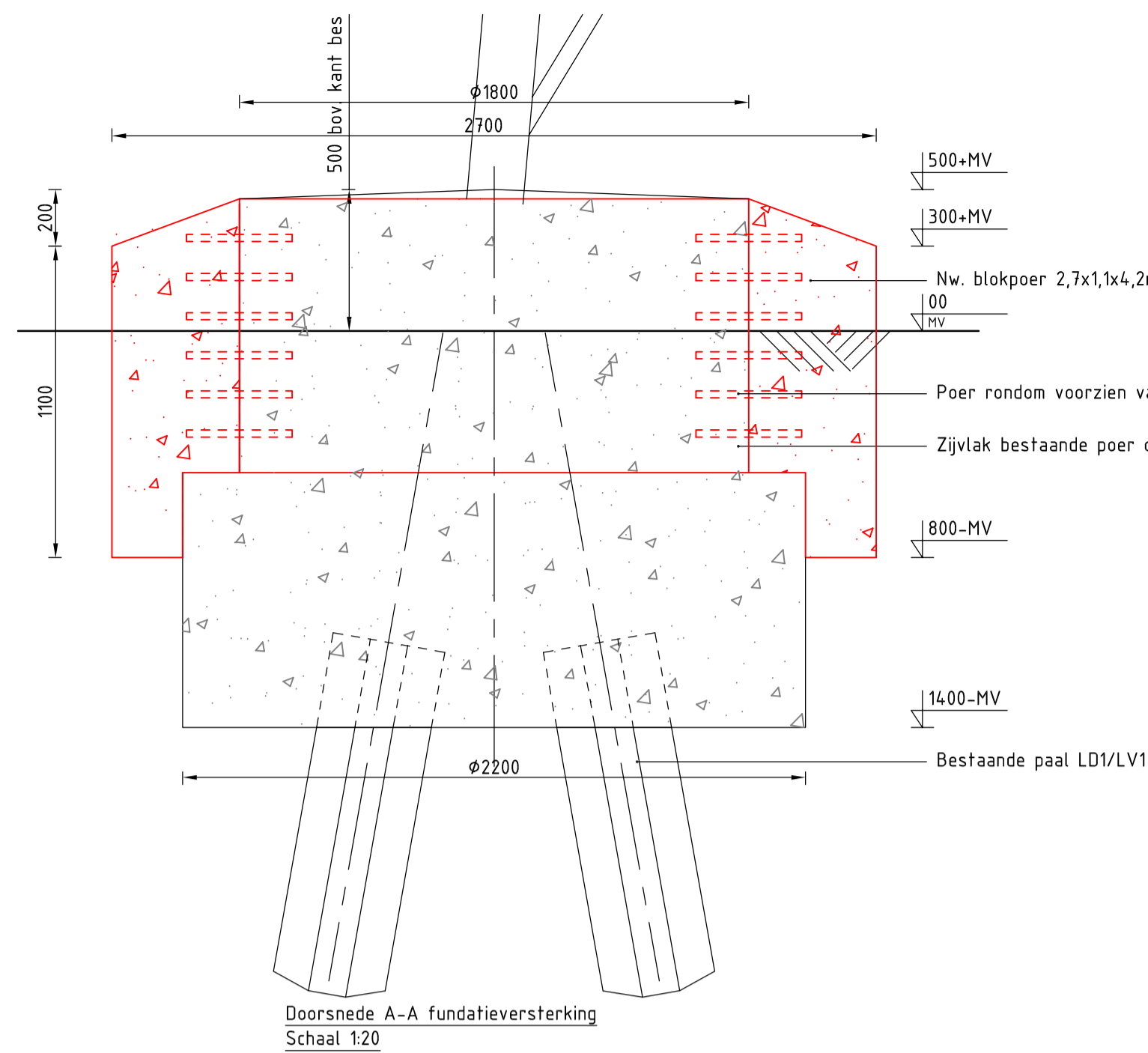
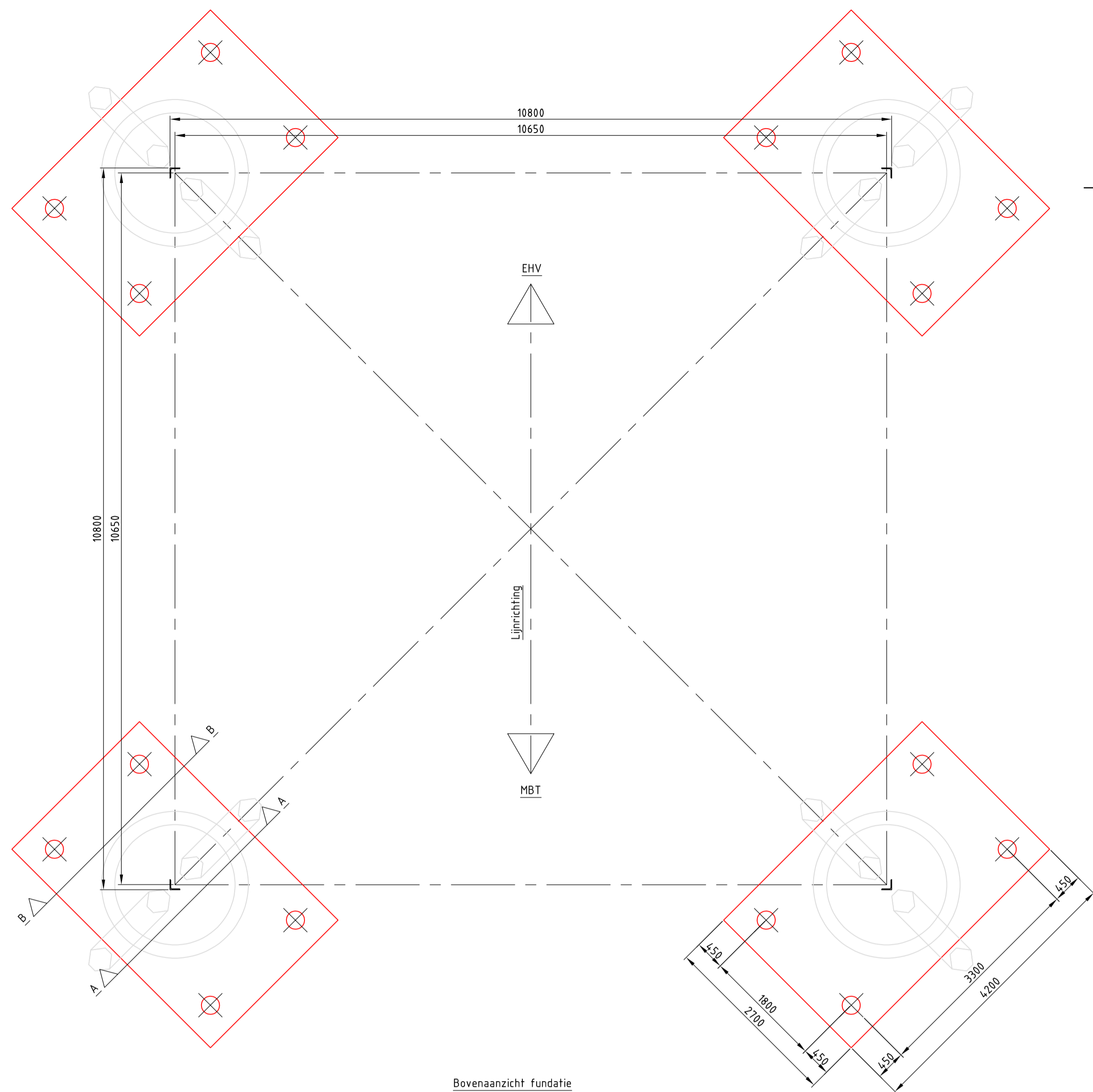
Mast	Masttype	Poertype bestaand	Paaltype	F _{Ed,mast} [kN]	Aantal palen per randstijl	Effectiviteit	F _{R,d,druk} [kN]	Poertype versterking	F _{poer,nw,d} [kN]	Aantal nw. palen	Tekort (kN)	Effectiviteit nw. palen	F _{Rd,be} nodig [kN]	Minimale F _{R,d} [kN]	F _{R,d,nieuw} [kN]	U.C. nieuw
116	S+9(c)	Lijnpoer - 1P+2P Mast 116 & 120	LD1	1147	1	100%	782	Lijnpoer - 1P+2P Mast 116 & 120	424	2	789	80%	493		790	0,62
117	S+9(tc)	Lijnpoer - 1P+2P Mast 117 & 118	LD1	1201	1	100%	1128	Lijnpoer - 1P+2P Mast 117 & 118	424	2	496	80%	310		1421	0,22
118	S+0(tc)	Lijnpoer - 1P+2P Mast 117 & 118	LD1	1271	1	100%	1177	Lijnpoer - 1P+2P Mast 117 & 118	424	2	518	80%	324		2694	0,12
119	HB+0(tc)	Lijnpoer - 3P+2P Mast 119	LD1	2150	3	67%	911	Lijnpoer - 3P+2P Mast 119	901	2	1220	80%	763		2720	0,28
120	S+0(tc)	Lijnpoer - 1P+2P Mast 116 & 120	LD1	1271	1	100%	843	Lijnpoer - 1P+2P Mast 116 & 120	424	2	852	80%	532		1786	0,30

Toetsing funderingen op drukbelasting, paalverzwaring, verbouwniveau 50 jaar

Mast	Masttype	Poertype bestaand	Paaltype	F _{Ed,mast} [kN]	Aantal palen per randstijl	Effectiviteit	F _{R,d,druk} [kN]	Poertype versterking	F _{poer,nw,d} [kN]	Aantal nw. palen	Tekort (kN)	Effectiviteit nw. palen	F _{Rd,benodigd} [kN]	Minimale F _{R,d} [kN]	F _{R,d,nieuw} [kN]	U.C. nieuw
27	S+12	Ronde poer - 2P-LD	LD1	1053	2	58%	633	Blok poer - 2P-LD + 4P	440	4	759	70%	271	0	411	0,66

Toetsing funderingen op drukbelasting, ballastverzwaring, afkeurniveau 15 jaar

Mast	Masttype	Poertype bestaand	Paaltype	F _{Ed,mast} [kN]	Aantal palen per randstijl	Effectiviteit	F _{R,d,druk} [kN]	Poertype versterking	F _{poer,nw,d} [kN]	Aantal nw. palen	Tekort (kN)	Effectiviteit nw. palen	F _{Rd,benodigd} [kN]	Minimale F _{R,d} [kN]	F _{R,d,nieuw} [kN]	U.C. nieuw
7	S+15	Ronde poer - 3P-O	Ortbeton	839	3	55%	969	3P-O + poer - mast 7	369	3	0	55%	0	0	969	0,76
12	S+0 T	Ronde poer - 2P-O	Ortbeton	602	2	51%	818	2P-O + poer - mast 12	120	2	0	51%	0	0	818	0,87
17	S+15 T1	Ronde poer - 2P-O-2	Ortbeton	944	2	58%	2004	2P-O + poer - mast 17	294	2	0	58%	0	0	2004	0,53
28	S+12	Ronde poer - 2P-LD	LD1	779	2	66%	864	2P-LD + poer	190	2	0	66%	0	0	864	0,85
34	HA+0 T1	Ronde poer - 3P-LD	LD1	1295	3	69%	1640	3P-LD + poer - type 2	347	3	0	69%	0	0	1640	0,48
39	WA+0	Ronde poer - 3P-LD	LD1	1245	3	69%	3106	3P-LD + poer - type 2	347	3	0	69%	0	0	3106	0,25
54	HB+0	Ronde poer - 3P-LD	LD1	1330	3	66%	1215	3P-LD + poer - type 1	562	3	0	66%	0	0	1215	0,79
61	HB+0	Ronde poer - 3P-LD	LD1	1288	3	58%	1137	3P-LD + poer - type 1	562	3	0	58%	0	0	1137	0,94
75	HA+0	Ronde poer - 3P-LD	LD1	1245	3	58%	1415	3P-LD + poer - type 1	562	3	0	58%	0	0	1415	0,73
82	HC+0	Ronde poer - 4P-O	Ortbeton	1411	4	48%	740	Balkrooster - 4P-O	665	4	655	84%	195	0	740	0,83
90	HB+0	Ronde poer - 3P-LD	LD1	1345	3	58%	2952	3P-LD + poer - type 2	347	3	0	58%	0	0	2952	0,33
100	S+12	Ronde poer - 2P-LD	LD1	779	2	66%	793	2P-LD + poer	190	2	0	66%	0	0	793	0,93
103	HA+0	Ronde poer - 3P-LD	LD1	1245	3	66%	1604	3P-LD + poer - type 1	562	3	0	66%	0	0	1604	0,57
114	HA+0	Ronde poer - 3P-LD	LD1	1245	3	58%	1786	3P-LD + poer - type 1	562	3	0	58%	0	0	1786	0,58
128	HA+0 T1	Ronde poer - 3P-LD	LD1	1295	3	66%	1218	3P-LD + poer - type 1	562	3	0	66%	0	0	1218	0,77



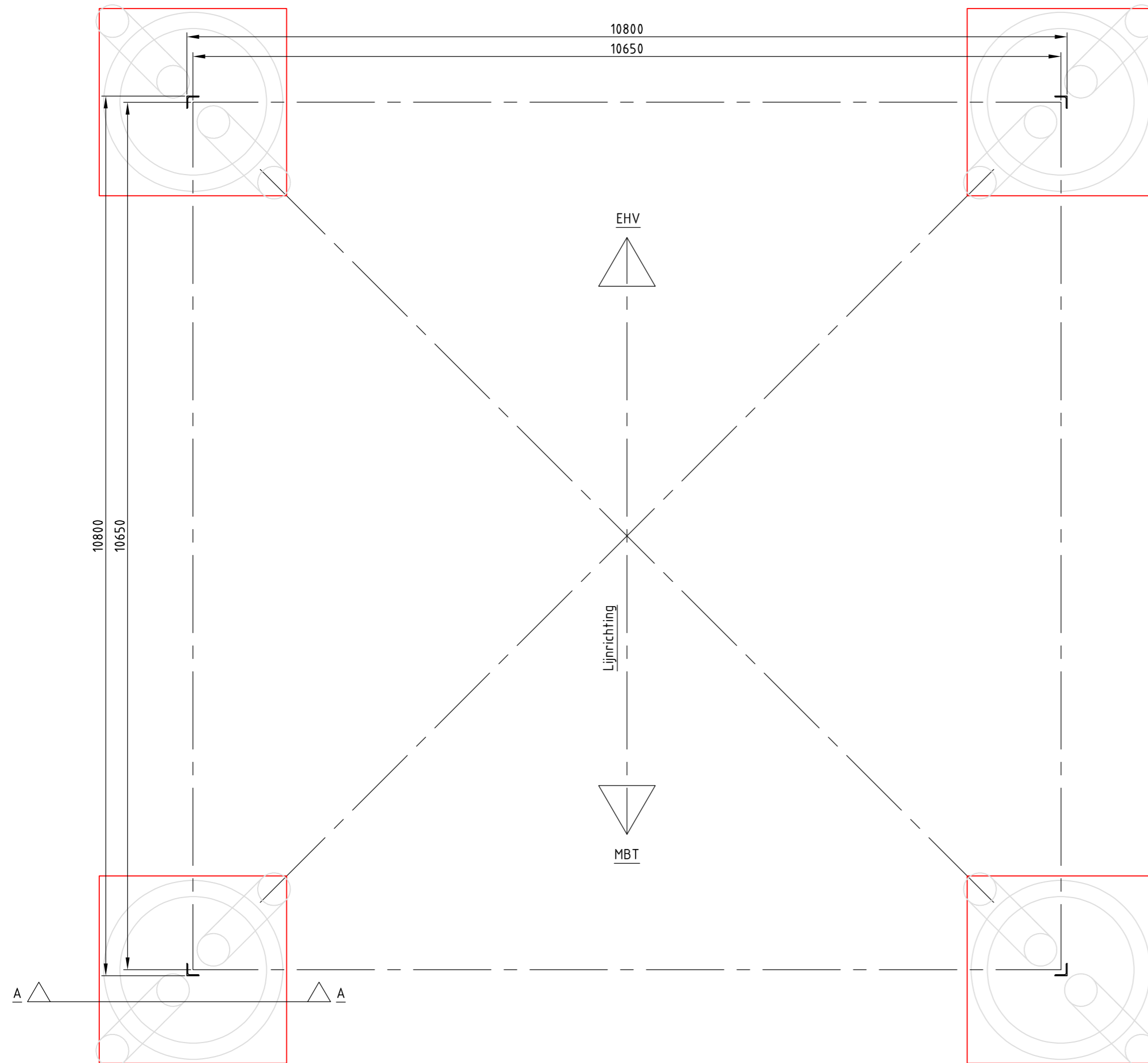
Opmerkingen :

- Alle maatvoering in mm
- Alle hoogtemaatvoering in mm t.o.v. maaiveld (tenzij anders aangegeven)
- Maatvoering en hoogteligging i.h.w. controleren
- **Legenda:**
 - Bestaande fundatie
 - Nieuwe fundatie
- Zijvlakken bestaande poer opruwen t.p.v. aansluitvlak
- Aardingsvoorzieningen zijn niet weergegeven op tekening
- Ontwerp volgens rapportage DNV 22-0755 (Meridian 002.586.40 0825932)
- Betonsterkteklasse C30/37
- Milieuklasse XC4/XF3
- Wapeningstaal B500B, B220
- Staalkwaliteit S355J2H
- Ontwerplevensduur 50 jaar

Mastrnr.	Masttype	Aantal	Paaltype	Paallengte (m)	b.k. paal t.o.v. NAP (m)	PPN t.o.v. NAP (m)	Schoorstand	Staalkwaliteit
27	S412	16	SI-paal 323/450	7,20	27,22	20,02	15:1	S355

Overzichtstabel

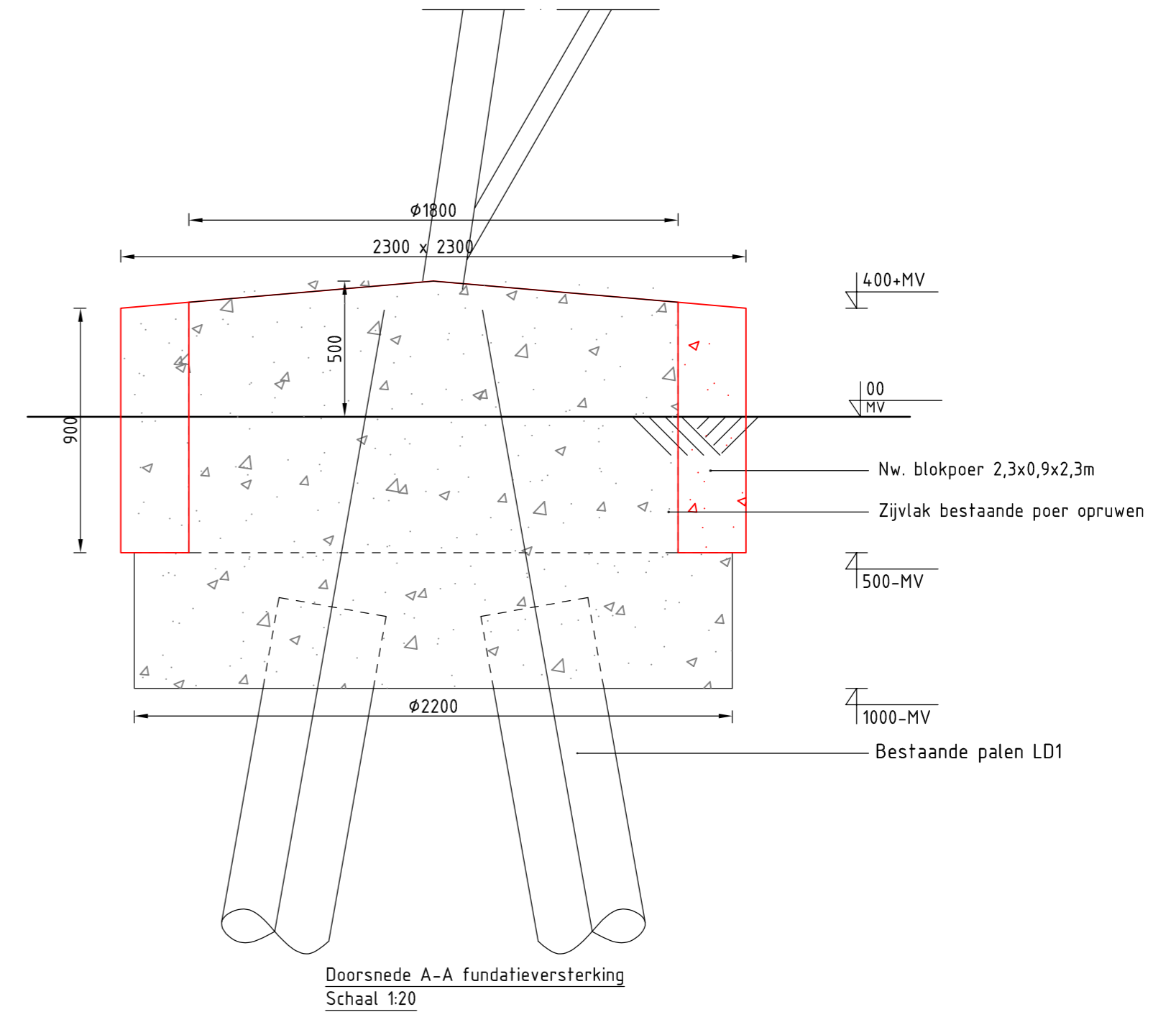
1	25-07-2022	RFA opmerkingen verwerkt												
0	14-06-2022	Eerste uitgave												
Revisie	Datum	Omschrijving												
<table border="1"> <tr> <td colspan="2">Projectnaam</td> <td colspan="2">BBB380 modellen en funderingen</td> </tr> <tr> <td colspan="2">Projectie</td> <td colspan="2">Tekening nummer: 10166262-032-403</td> </tr> <tr> <td colspan="2">Blad: 001</td> <td colspan="2">Van: 001</td> </tr> </table>			Projectnaam		BBB380 modellen en funderingen		Projectie		Tekening nummer: 10166262-032-403		Blad: 001		Van: 001	
Projectnaam		BBB380 modellen en funderingen												
Projectie		Tekening nummer: 10166262-032-403												
Blad: 001		Van: 001												
Status	DRAFT	Schaal	1:50, 1:20											
Datum	14-06-2022	Units	mm											
Getekend	DMR	Ref.nr.	002.586.40 1025254											
Controle	MRE	Klant	TenneT											
Status		Omschrijving	Revisie											
DRAFT		Verbinding MBT-EHV380	1											
		Principetekening fundatieversterking	Formaat											
		Blok poer - 2P-LD + 4P	A1											



Bovenaanzicht fundatie
Schaal 1:50

Mastnr.	Masttype
28	S+12
100	S+12

Overzichtstabel



Doorsnede A-A fundatieversterking
Schaal 1:20

Opmerkingen :

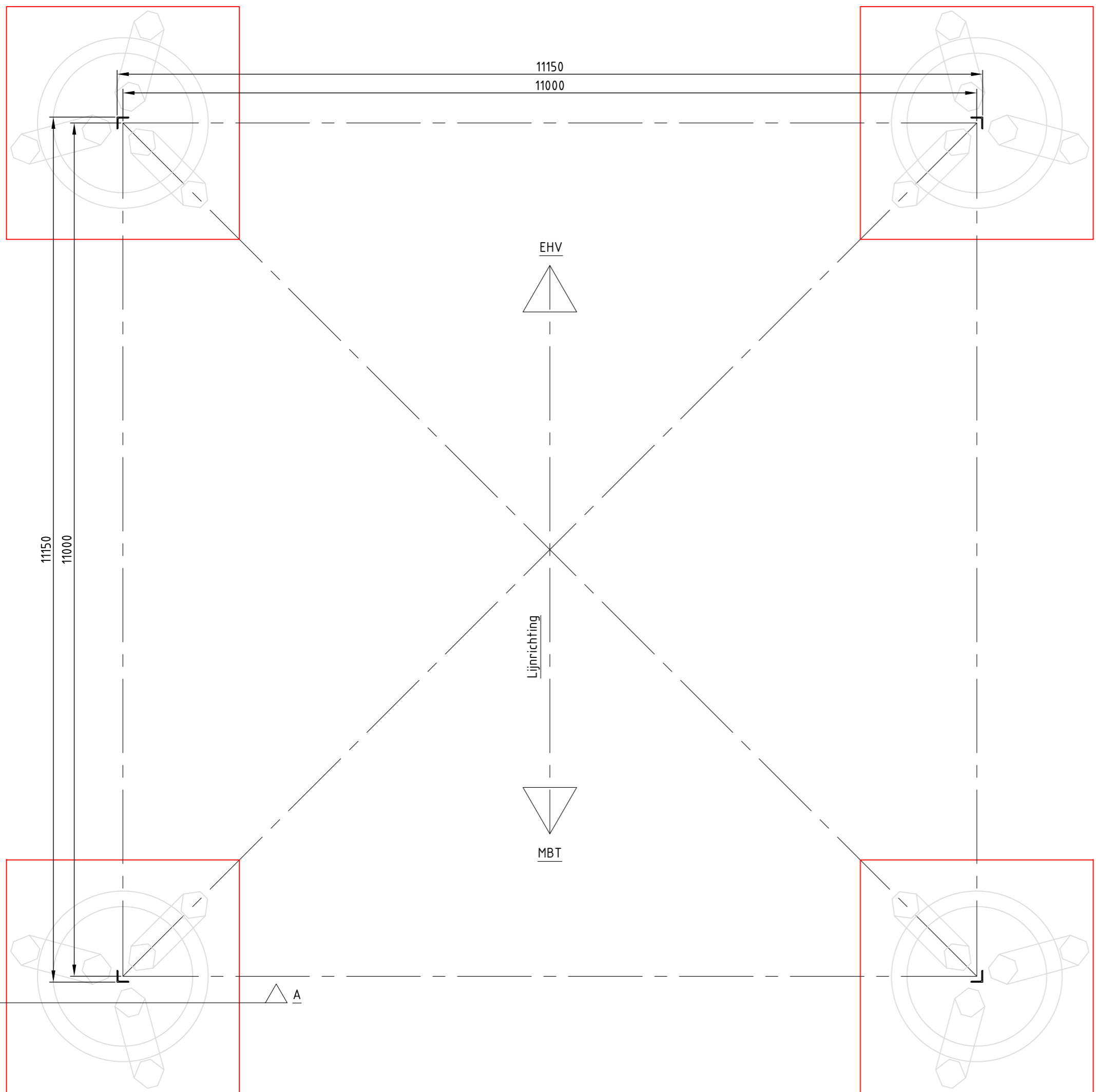
- Alle maatvoering in mm
- Alle hoogtemaatvoering in mm t.o.v. maaiveld (tenzij anders aangegeven)
- Maatvoering en hoogteligging i.h.w. controleren
- Legenda:

	Bestaande fundatie
	Nieuwe fundatie
- Zijvlakken bestaande poer opruwen t.p.v. aansluitvlak
- Aardingsvoorzieningen zijn niet weergegeven op tekening
- Ontwerp volgens rapportage DNV 22-0755 (Meridian 002.586.40 0825932)
- Betonsterkteklasse C30/37
- Milieuklasse XC4/XF3
- Wapeningstaal B500B, B220
- Staalkwaliteit S355J2H
- Ontwerplevensduur 50 jaar

Revisie	Datum	Omschrijving
1	25-07-2022	RFA opmerkingen verwerkt
0	14-06-2022	Eerste uitgave

Projectnaam: BBB380 modelleren funderingen		Tekening nummer: 10166262-032-404	
Projectie: 		Blad: 001 Van: 001	
Status: DRAFT	Schaal: 1:50, 1:20	Omschrijving: Verbinding MBT-EHV380 Principetekening fundatieversterking 2P-LD+ poer	
Datum: 14-06-2022	Units: mm	Revisie: 1	
Getekend: DMR	Ref.nr.: 002.586.40 1025255	Formaat: A2	
Controle: MRE	Klant: TenneT		

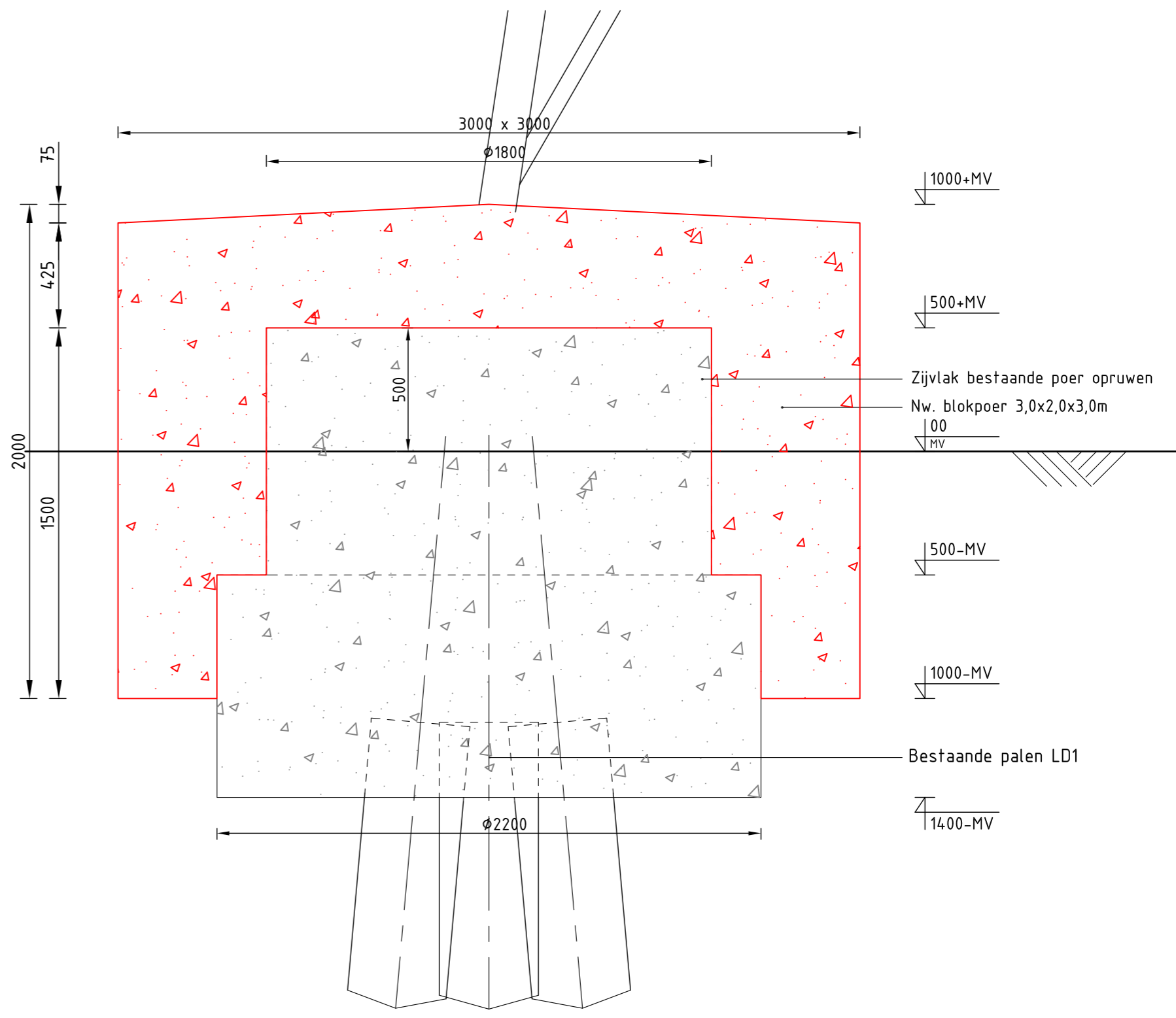
DNV Energy Systems, Utrechtseweg 310, 6812 AR Arnhem, tel: +31 26 3 56 91 11, www.dnv.com



Bovenaanzicht fundatie
Schaal 1:50

Mastnr.	Masttype
54	HB+0
61	HB+0
75	HA+0
103	HA+0
114	HA+0
128	HA+0T1

Overzichtstabel



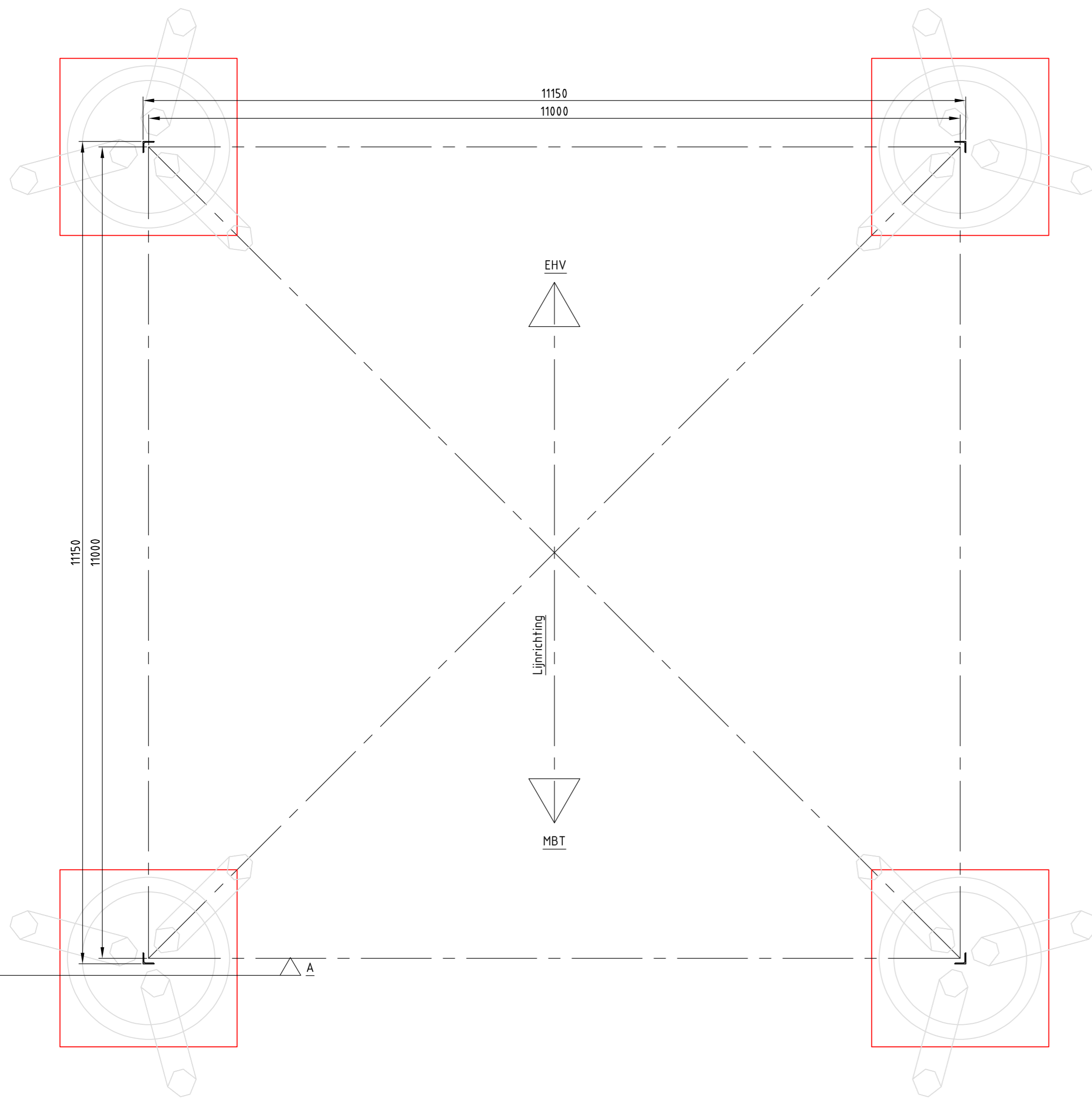
Doorsnede A-A fundatieversterking
Schaal 1:20

Opmerkingen :

- Alle maatvoering in mm
- Alle hoogtmaatvoering in mm t.o.v. maaiveld (tenzij anders aangegeven)
- Maatvoering en hoogteligging i.h.w. controleren
- Legenda:
 - Bestaande fundatie
 - Nieuwe fundatie
- Zijvlakken bestaande poer opruwen t.p.v. aansluitvlak
- Aardingsvoorzieningen zijn niet weergegeven op tekening
- Ontwerp volgens rapportage DNV 22-0755 (Meridian 002.586.40 0825932)
- Betonsterkteklasse C30/37
- Milieuklasse XC4/XF3
- Wapeningstaal B500B, B220
- Staalkwaliteit S355J2H
- Ontwerplevensduur 50 jaar

Revisie	Datum	Omschrijving
2	29-07-2022	Correctie overzichtstabel (mast 128 i.p.v. mast 120)
1	25-07-2022	RFA opmerkingen verwerkt
0	14-06-2022	Eerste uitgave

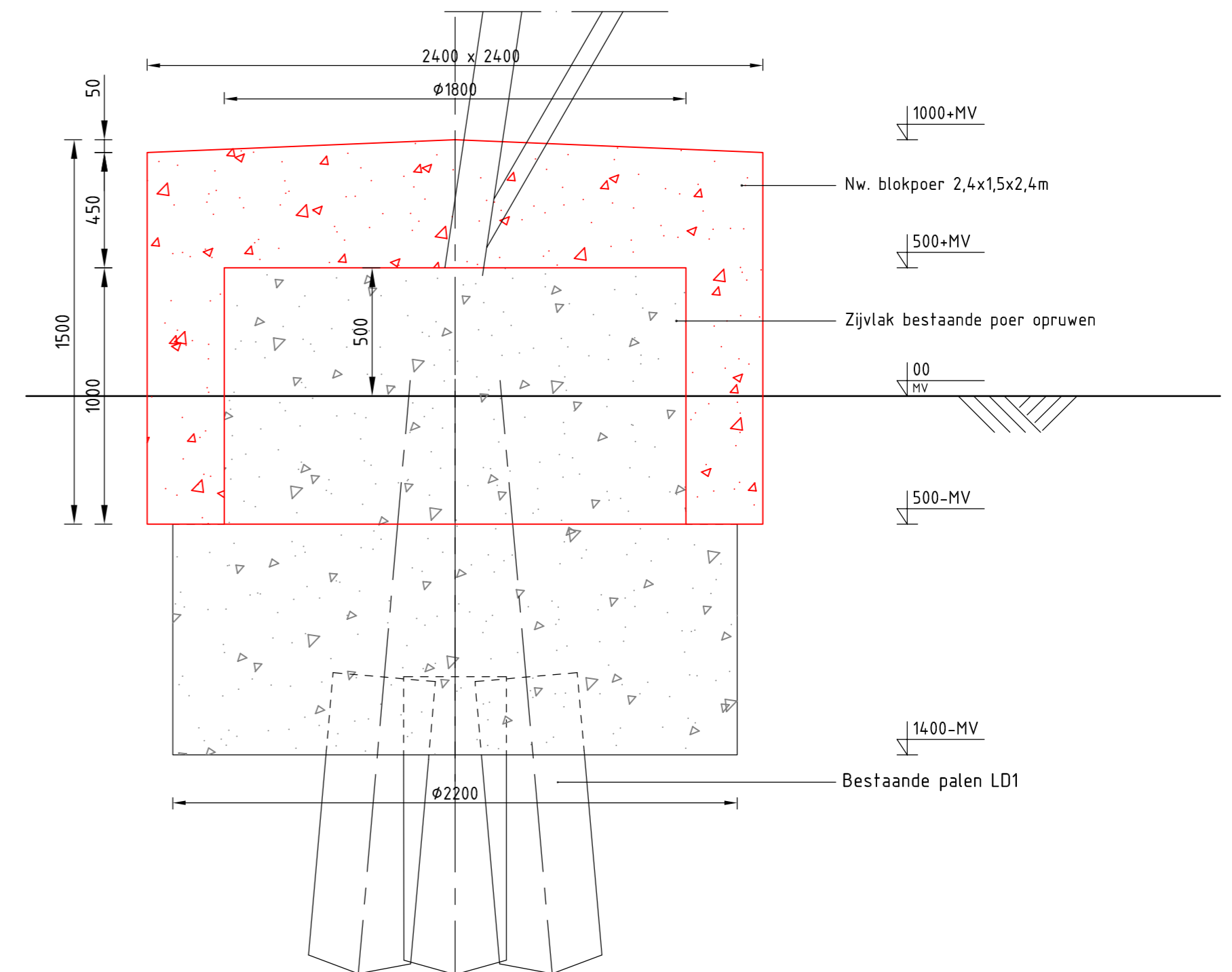
		Projectnaam: BBB380 modelleren funderingen
Projectie: 		Tekening nummer: 10166262-032-405
Status: DRAFT		Blad: 001 Van: 001
Datum: 14-06-2022		Omschrijving: Verbinding MBT-EHV380
Getekend: DMR		Principetekening fundatieversterking
Controle: MRE		3P-LD+poer-type-1
Ref.nr.: 002.586.40 1025256		Revisie: 2
Klant: TenneT		Formaat: A2
DNV Energy Systems, Utrechtseweg 310, 6812 AR Arnhem, tel: +31 26 3 56 91 11, www.dnv.com		



Bovenaanzicht fundatie
Schaal 1:50

Mastnr.	Masttype
34	HA+0 T1
39	WA+0
90	HB+0

Overzichtstabel



Doorsnede A-A fundatieversterking
Schaal 1:20

Opmerkingen :

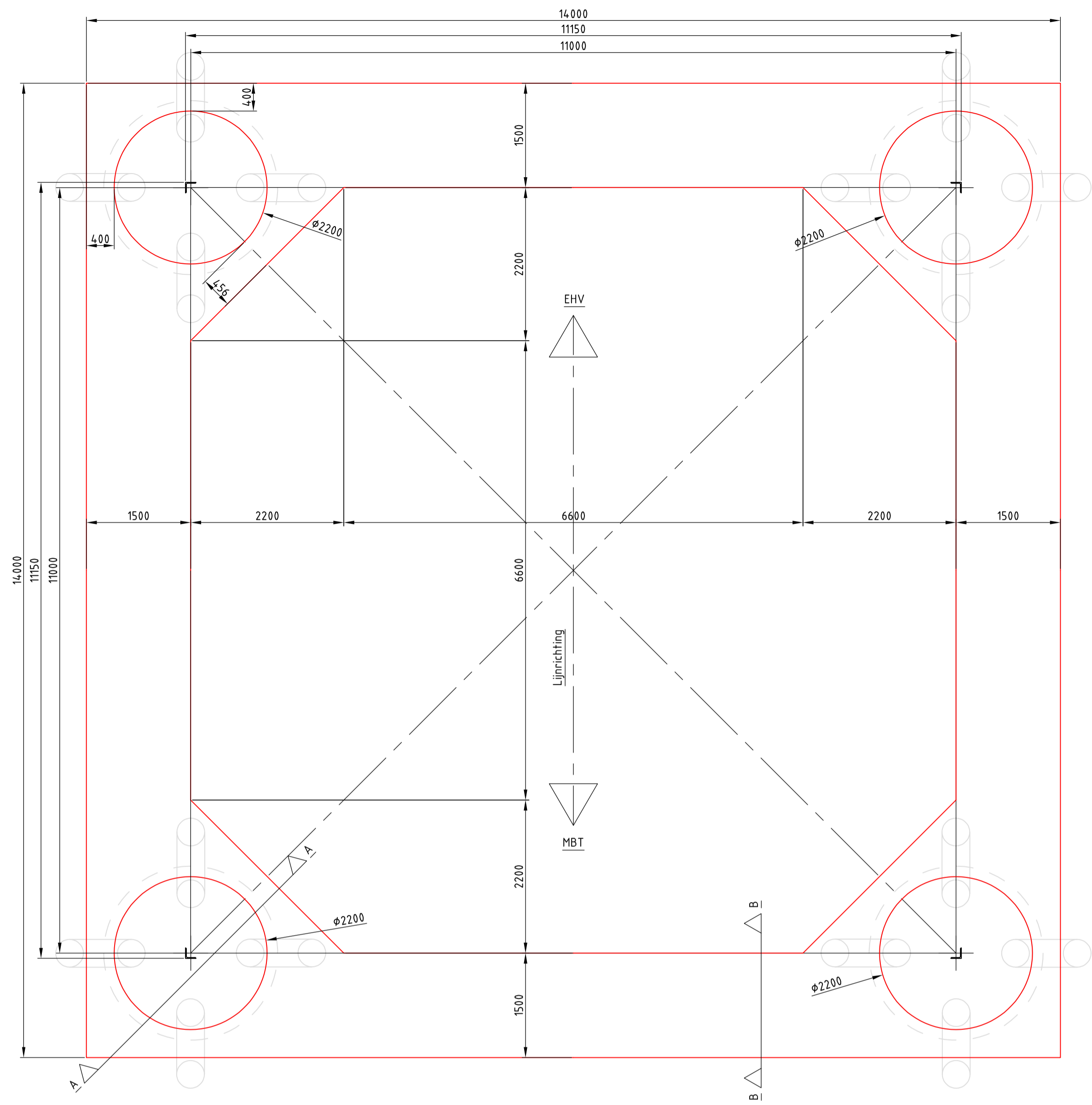
- Alle maatvoering in mm
- Alle hoogtemaatvoering in mm t.o.v. maaiveld (tenzij anders aangegeven)
- Maatvoering en hoogteligging i.h.w. controleren
- Legenda:

— Bestaande fundatie
— Nieuwe fundatie

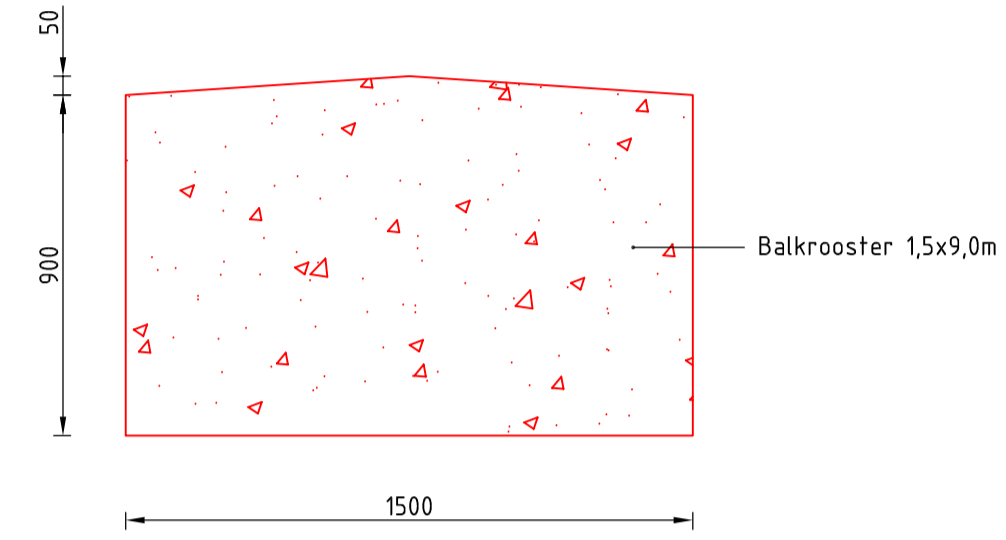
- Zijvlakken bestaande poer opruwen t.p.v. aansluitvlak
- Aardingsvoorzieningen zijn niet weergegeven op tekening
- Ontwerp volgens rapportage DNV 22-0755 (Meridian 002.586.40 0825932)
- Betonsterkteklasse C30/37
- Milieuklasse XC4/XF3
- Wapeningstaal B500B, B220
- Staalkwaliteit S355J2H
- Ontwerplevensduur 50 jaar

Revisie	Datum	Omschrijving
1	25-07-2022	RFA opmerkingen verwerkt
0	14-06-2022	Eerste uitgave

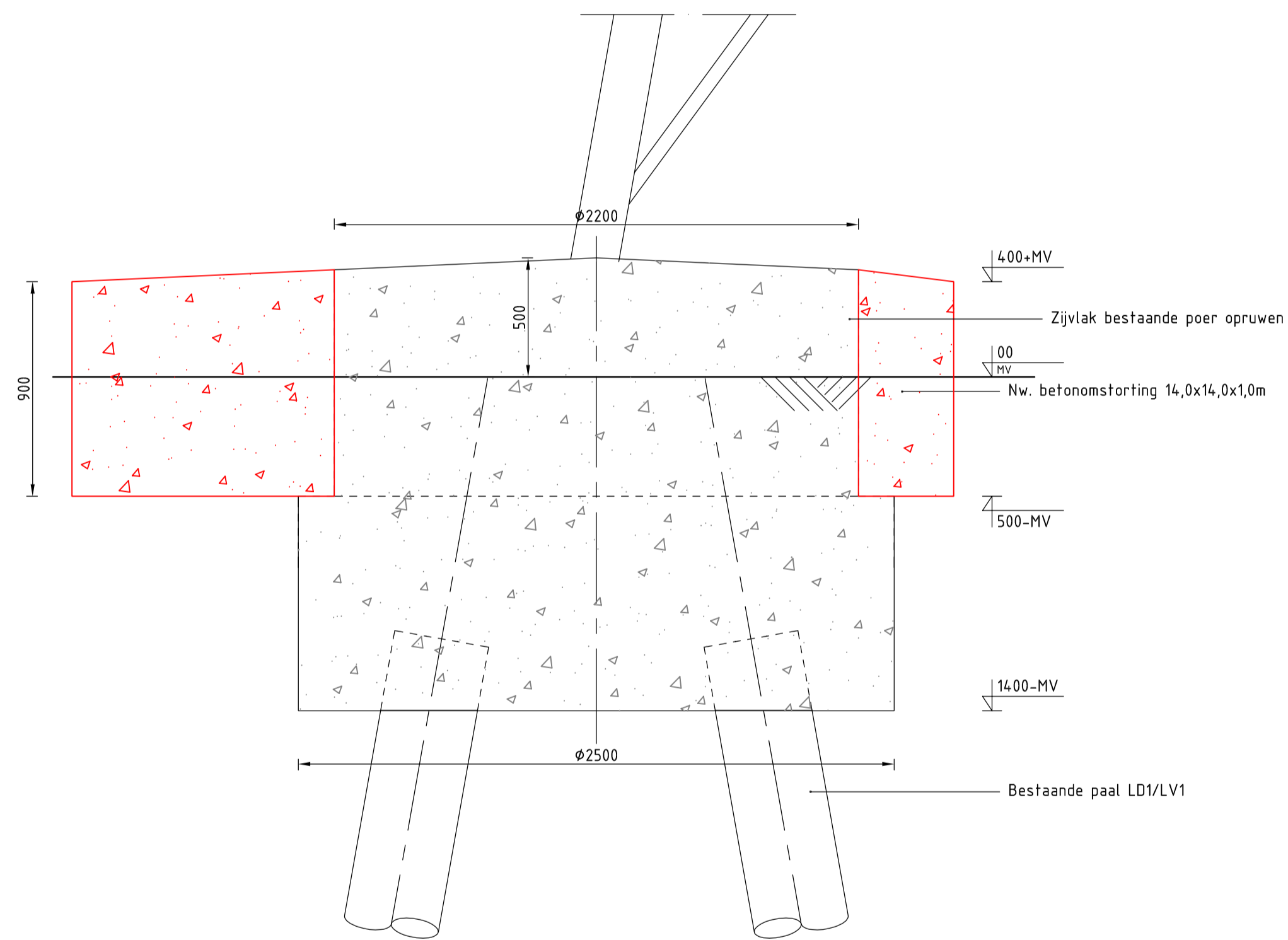
		Projectnaam: BBB380 modelleren funderingen
Projectie: 		Tekening nummer: 10166262-032-406
Status: DRAFT		Blad: 001 Van: 001
Datum: 14-06-2022		Omschrijving: Verbinding MBT-EHV380 Principetekening fundatieversterking 3P-LD+poer-type-2
Getekend: DMR		Ref.nr.: 002.586.40 1025257
Controle: MRE		Schaal: 1:50, 1:20 Units: mm Ref.nr.: 002.586.40 1025257 Klient: TenneT
DNV Energy Systems, Utrechtseweg 310, 6812 AR Arnhem, tel: +31 26 3 56 91 11, www.dnv.com		



Bovenaanzicht fundatie
Schaal 1:50



Doorsnede B-B fundatieversterking
Schaal 1:20



Doorsnede A-A fundatieversterking
Schaal 1:20

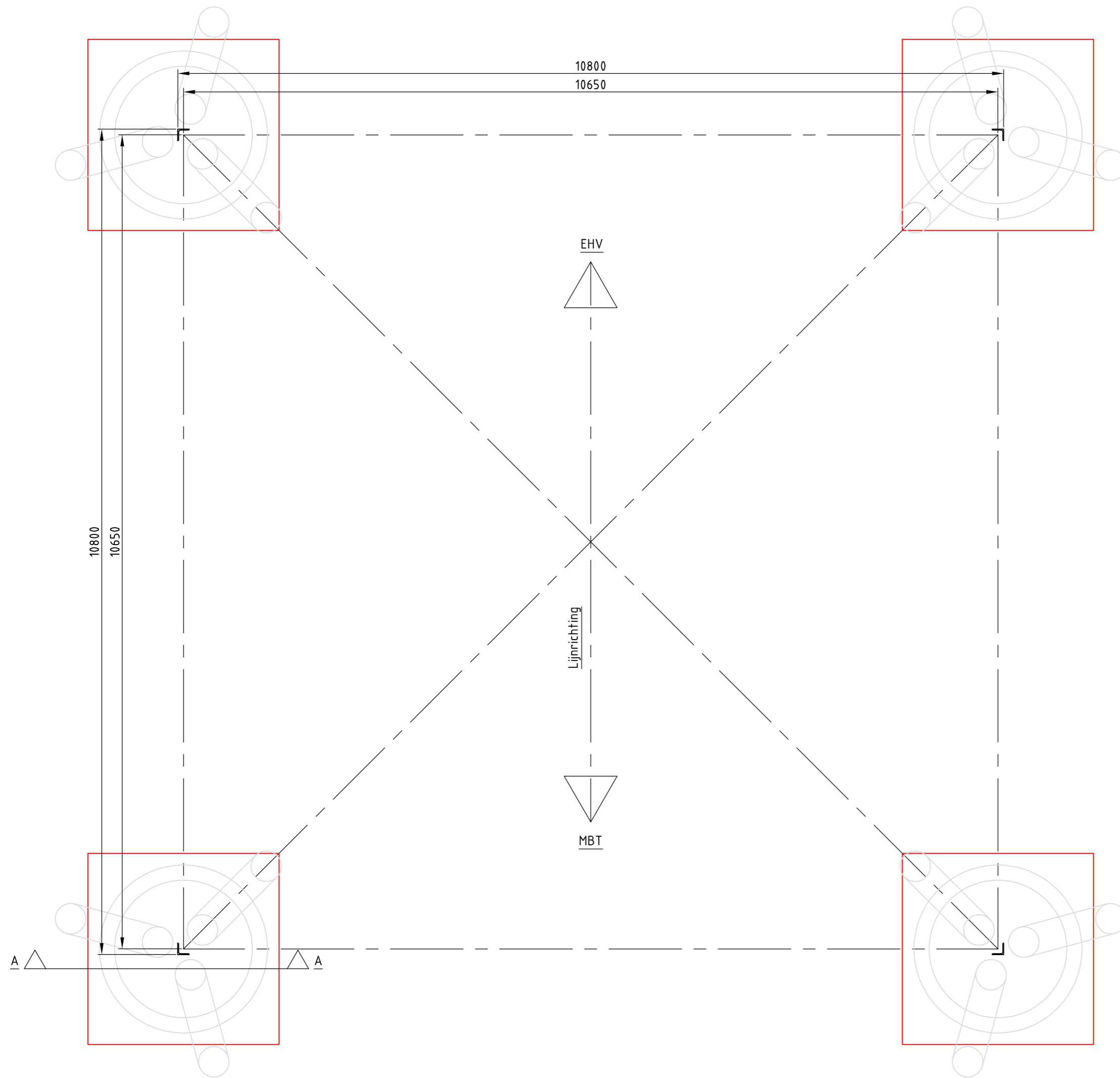
Opmerkingen :

- Alle maatvoering in mm
- Alle hoogtmaatvoering in mm t.o.v. maaiveld (tenzij anders aangegeven)
- Maatvoering en hoogteligging i.h.w. controleren
- **Legenda:**
 - Bestaande fundatie
 - Nieuwe fundatie
- Zijvlakken bestaande poer opruwen t.p.v. aansluitvlak
- Aardingsvoorzieningen zijn niet weergegeven op tekening
- Ontwerp volgens rapportage DNV 22-0755 (Meridian 002.586.40 0825932)
- Betonsterkteklasse C30/37
- Milieuklasse XC4/XF3
- Wapeningstaal B500B, B220
- Staalkwaliteit S355J2H
- Ontwerplevensduur 50 jaar

Mastnr. Masttype
82 HC+0

Overzichtstabel

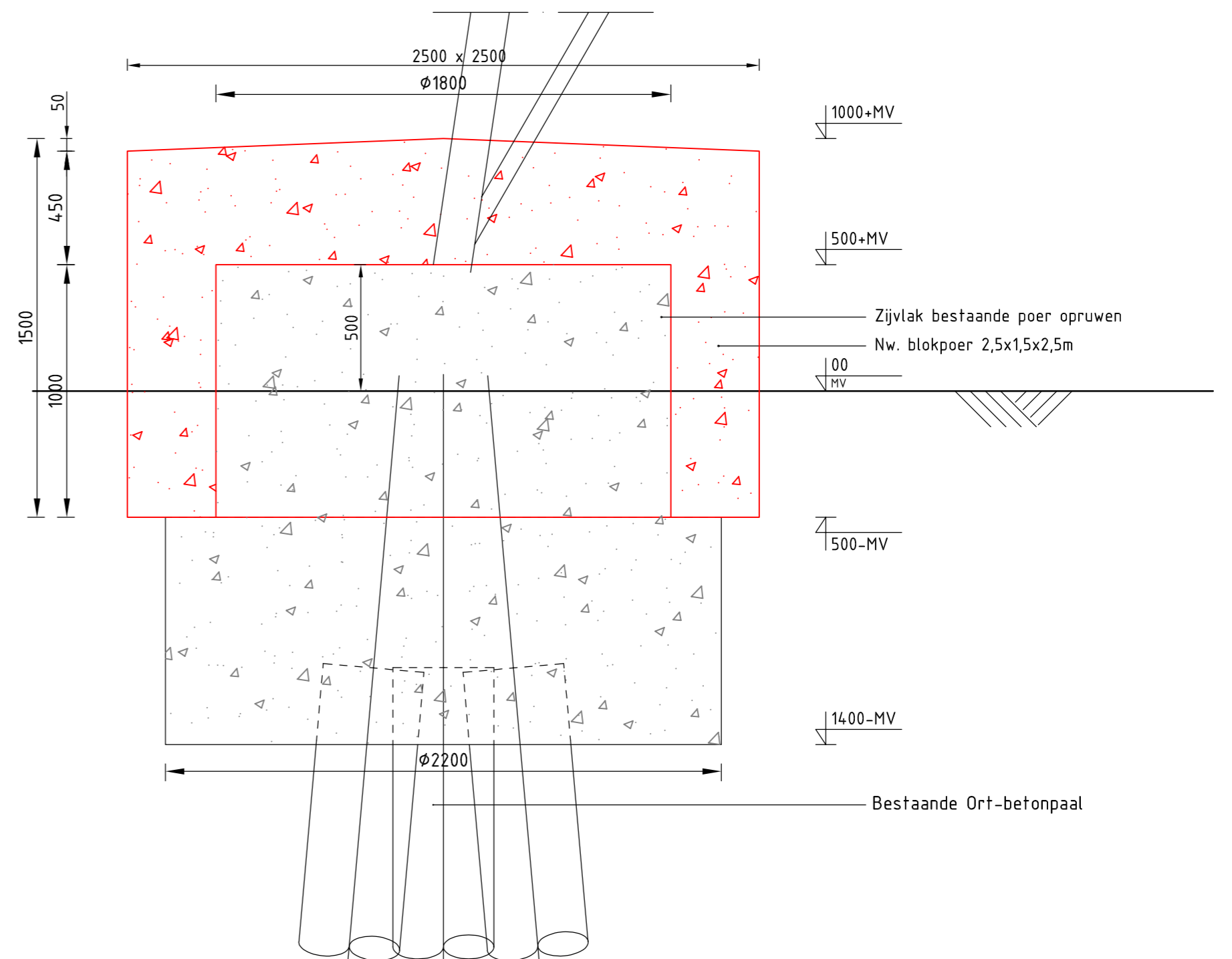
1	25-07-2022	RFA opmerkingen verwerkt												
0	14-06-2022	Eerste uitgave												
Revisie	Datum	Omschrijving												
<table border="1"> <tr> <td colspan="2">Projectnaam</td> <td colspan="2">BBB380 modellen en funderingen</td> </tr> <tr> <td colspan="2">Projectie</td> <td colspan="2">Tekening nummer: 10166262-032-407</td> </tr> <tr> <td colspan="2">Blad: 001</td> <td colspan="2">Van: 001</td> </tr> </table>			Projectnaam		BBB380 modellen en funderingen		Projectie		Tekening nummer: 10166262-032-407		Blad: 001		Van: 001	
Projectnaam		BBB380 modellen en funderingen												
Projectie		Tekening nummer: 10166262-032-407												
Blad: 001		Van: 001												
Status: DRAFT	Schaal: 1:50, 1:20	Omschrijving: Verbinding MBT-EHV380	Revisie: 1											
Datum: 14-06-2022	Units: mm	Principetekening fundatieversterking	Formaat: A1											
Getekend: DMR	Ref.nr.: 002.586.40 1025258	Balkenrooster - 4-PO												
Controle: MRE	Klant: TenneT													



Bovenaanzicht fundatie
Schaal 1:50

Mastnr.	Masttype
7	S+15

Overzichtstabel



Doorsnede A-A fundatieversterking
Schaal 1:20

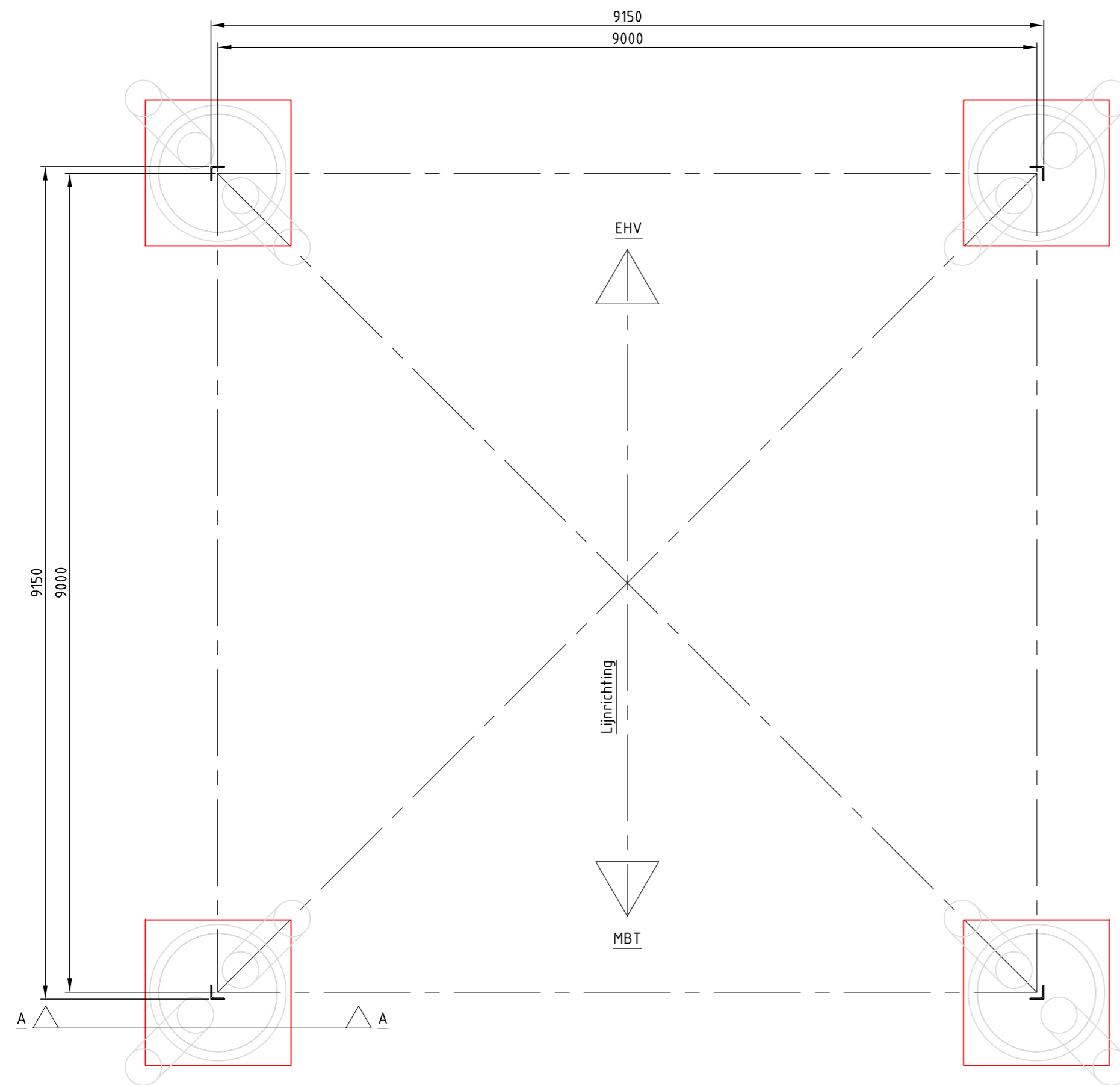
Opmerkingen :

- Alle maatvoering in mm
- Alle hoogtemaatvoering in mm t.o.v. maaiveld (tenzij anders aangegeven)
- Maatvoering en hoogteligging i.h.w. controleren
- Legenda:

	Bestaande fundatie
	Nieuwe fundatie
- Zijvlakken bestaande poer opruwen t.p.v. aansluitvlak
- Aardingsvoorzieningen zijn niet weergegeven op tekening
- Ontwerp volgens rapportage DNV 22-0755 (Meridian 002.586.40 0825932)
- Betonsterkteklasse C30/37
- Milieuklasse XC4/XF3
- Wapeningstaal B500B, B220
- Staalkwaliteit S355J2H
- Ontwerplevensduur 50 jaar

Revisie	Datum	Omschrijving
1	25-07-2022	RFA opmerkingen verwerkt
0	14-06-2022	Eerste uitgave

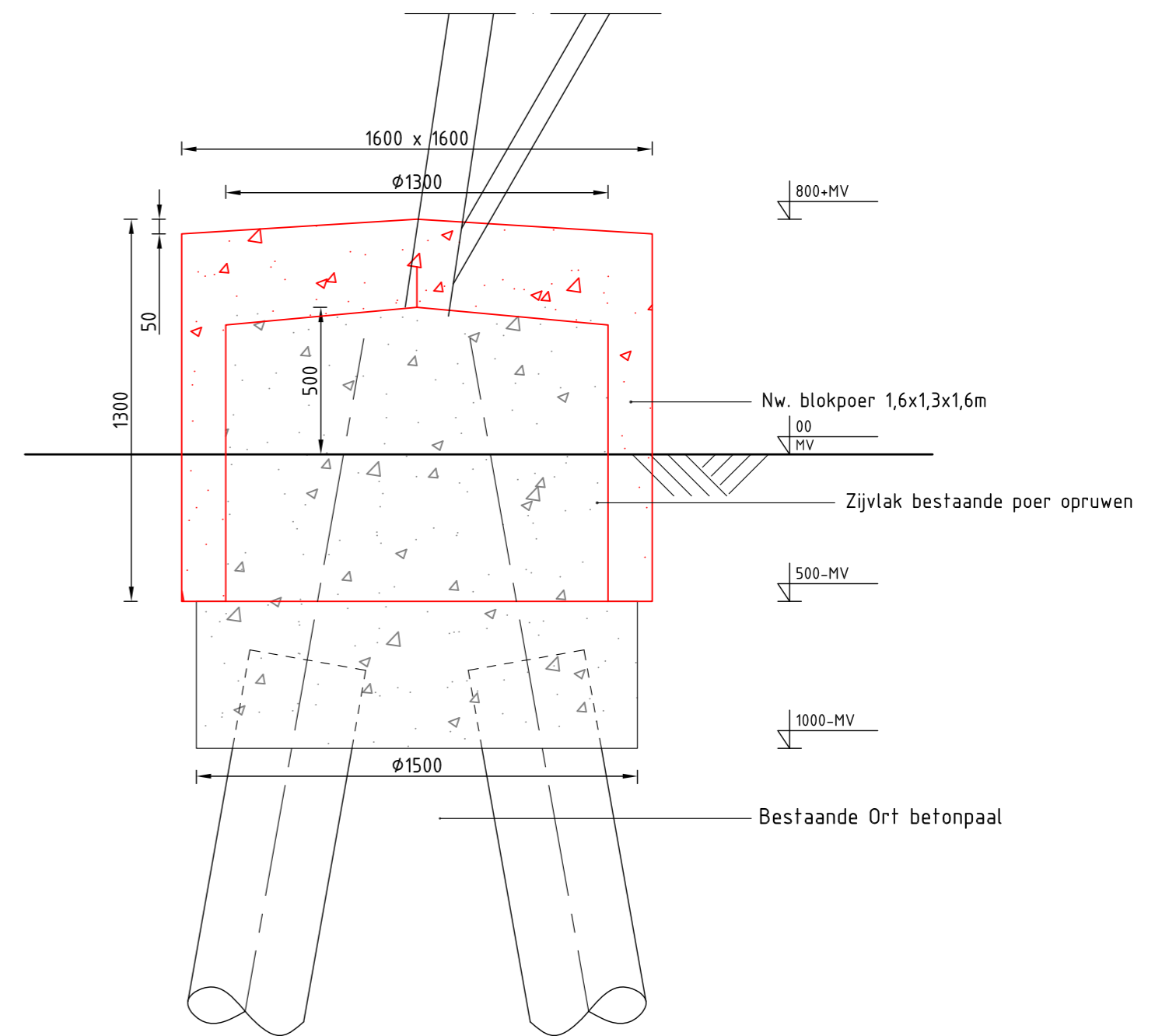
	Projectnaam: BBB380 modelleren funderingen	Tekening nummer: 10166262-032-408
	Projectie: 	Blad: 001 Van: 001
Status: DRAFT	Schaal: 1:50, 1:20	Omschrijving: Verbinding MBT-EHV380
Datum: 14-06-2022	Units: mm	Principetekening fundatieversterking
Getekend: DMR	Ref.nr.: 002.586.40 1025259	3P-0 + poer-mast-7
Controle: MRE	Klant: TenneT	



Bovenaanzicht fundatie
Schaal 1:50

Mastnr.	Masttype
12	S+0T

Overzichtstabel



Doorsnede A-A fundatieversterking
Schaal 1:20

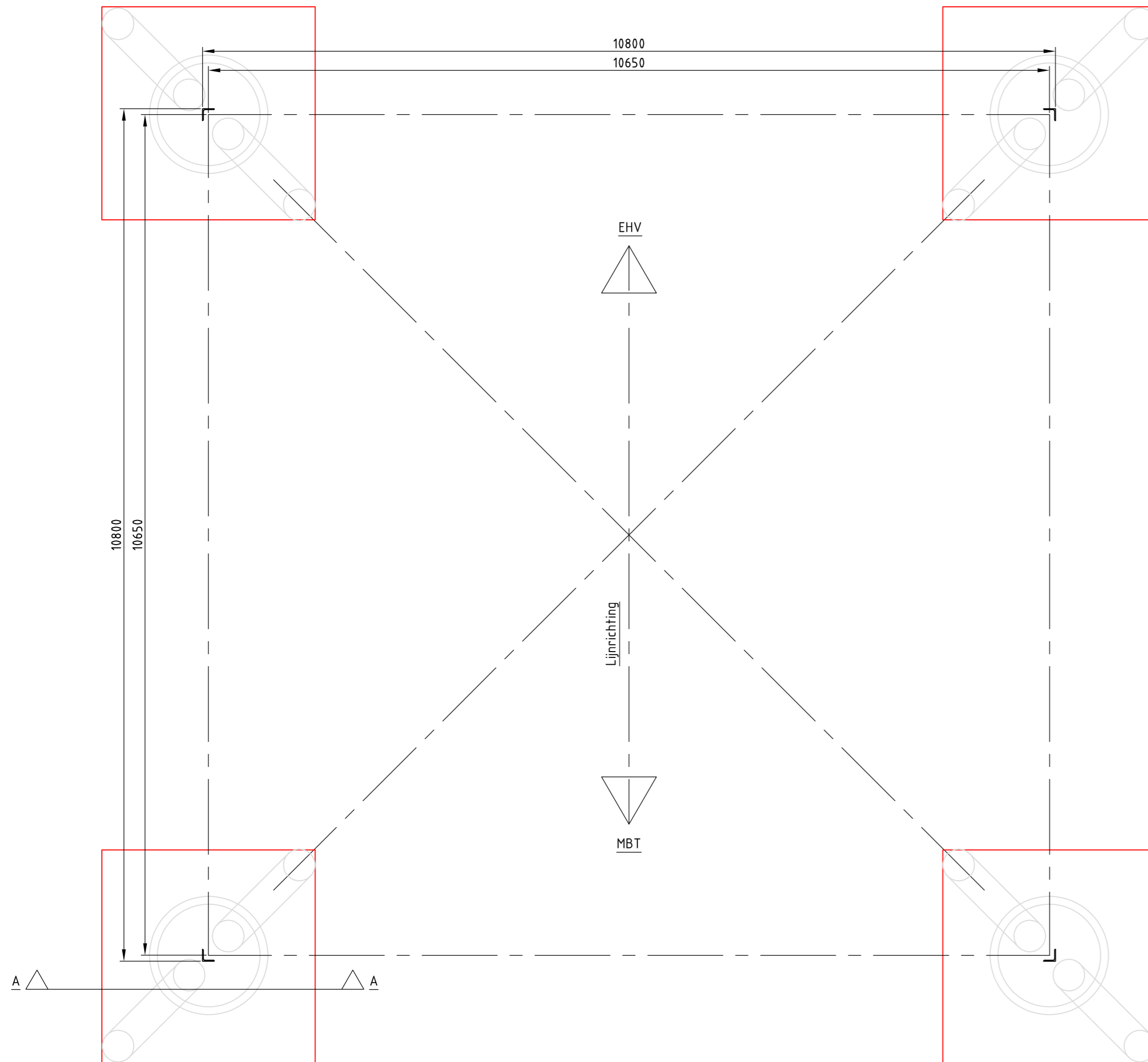
Opmerkingen :

- Alle maatvoering in mm
- Alle hoogtemaatvoering in mm t.o.v. maaiveld (tenzij anders aangegeven)
- Maatvoering en hoogteligging i.h.w. controleren
- Legenda:

—	Bestaande fundatie
—	Nieuwe fundatie
- Zijvlakken bestaande poer opruwen t.p.v. aansluitvlak
- Aardingsvoorzieningen zijn niet weergegeven op tekening
- Ontwerp volgens rapportage DNV 22-0755 (Meridian 002.586.40 0825932)
- Betonsterkteklasse C30/37
- Milieuklasse XC4/XF3
- Wapeningstaal B500B, B220
- Staalkwaliteit S355J2H
- Ontwerplevensduur 50 jaar

Revisie	Datum	Omschrijving
1	25-07-2022	RFA opmerkingen verwerkt
0	14-06-2022	Eerste uitgave

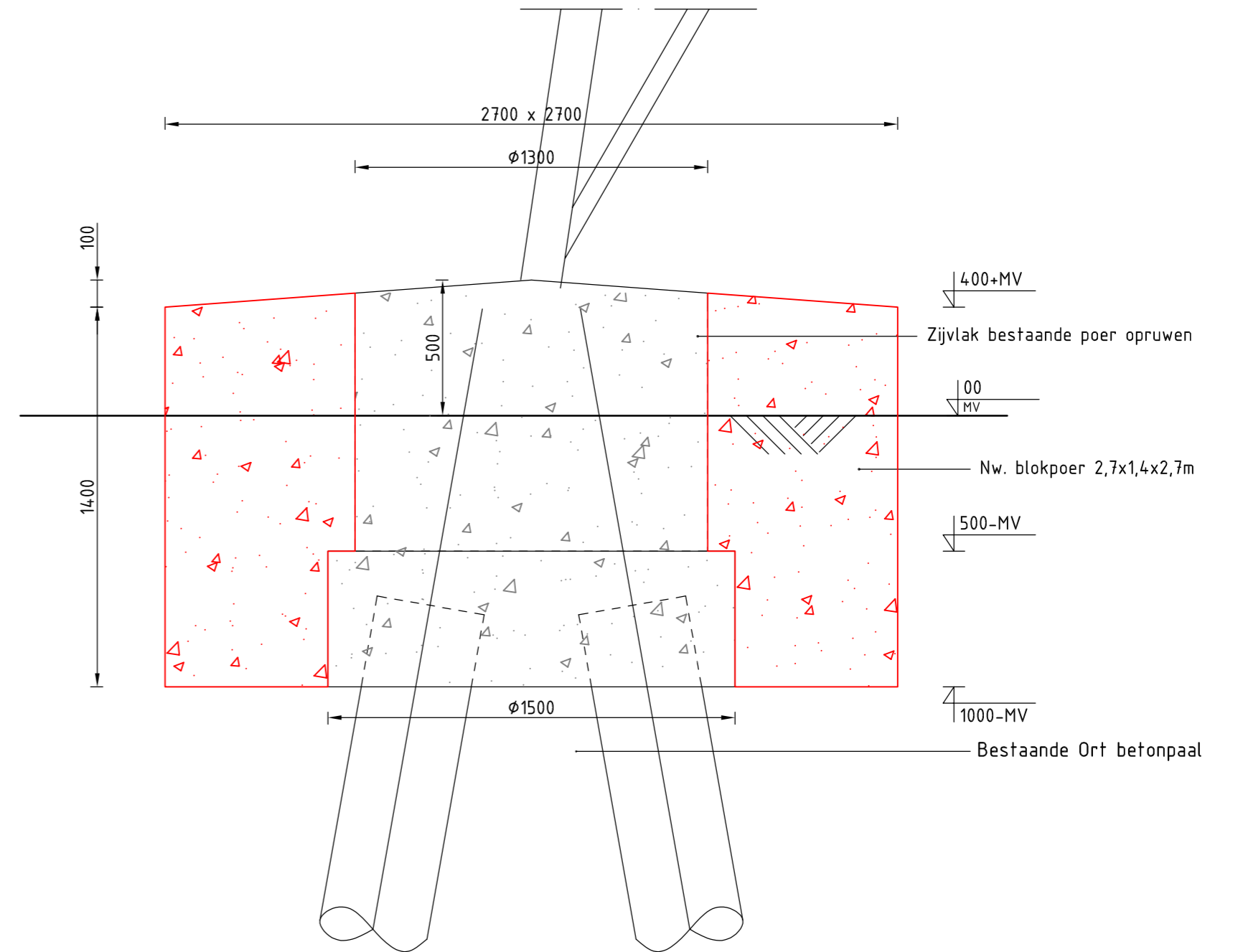
		Projectnaam: BBB380 modelleren funderingen
Projectie: 	Tekening nummer: 10166262-032-409	
Status: DRAFT		Blad: 001 Van: 001
Datum: 14-06-2022		Omschrijving: Verbinding MBT-EHV380 Principetekening fundatieversterking 2P-0+poer-mast-12
Getekend: DMR		Ref.nr.: 002.586.40 1025260
Controle: MRE		Schaal: 1:50, 1:20 Units: mm Ref.nr.: 002.586.40 1025260 Klient: TenneT
DNV Energy Systems, Utrechtseweg 310, 6812 AR Arnhem, tel: +31 26 3 56 91 11, www.dnv.com		



Bovenaanzicht fundatie
Schaal 1:50

Mastnr.	Masttype
17	S+15 T1

Overzichtstabel



Doorsnede A-A fundatieversterking
Schaal 1:20

Opmerkingen :

- Alle maatvoering in mm
- Alle hoogtemaatvoering in mm t.o.v. maaiveld (tenzij anders aangegeven)
- Maatvoering en hoogteligging i.h.w. controleren
- Legenda:

	Bestaande fundatie
	Nieuwe fundatie
- Zijvlakken bestaande poer opruwen t.p.v. aansluitvlak
- Aardingsvoorzieningen zijn niet weergegeven op tekening
- Ontwerp volgens rapportage DNV 22-0755 (Meridian 002.586.40 0825932)
- Betonsterkteklasse C30/37
- Milieuklasse XC4/XF3
- Wapeningstaal B500B, B220
- Staalkwaliteit S355J2H
- Ontwerplevensduur 50 jaar

Revisie	Datum	Omschrijving
1	25-07-2022	RFA opmerkingen verwerkt
0	14-06-2022	Eerste uitgave

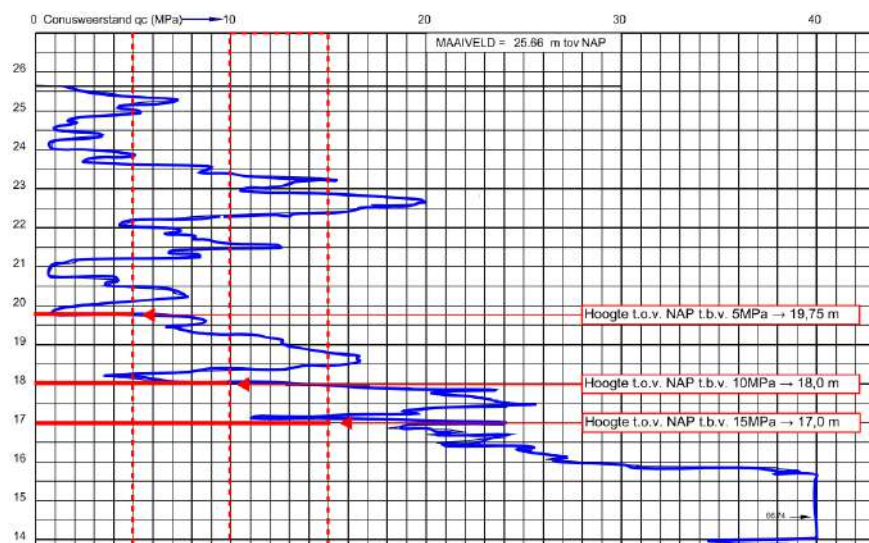
Projectnaam: BBB380 modelleren funderingen		Tekening nummer: 10166262-032-410	
Projectie: 		Blad: 001 Van: 001	
Status: DRAFT	Schaal: 1:50, 1:20	Omschrijving: Verbinding MBT-EHV380	
Datum: 14-06-2022	Units: mm	Principetekening fundatieversterking	
Getekend: DMR	Ref.nr.: 002.586.40 1025261	2P-0+poer-mast-17	
Controle: MRE	Klant: TenneT	Revisie: 0	
© 2021			

APPENDIX E

Technosoft uitvoer paalfunderingen

Diepteligging zandlagen

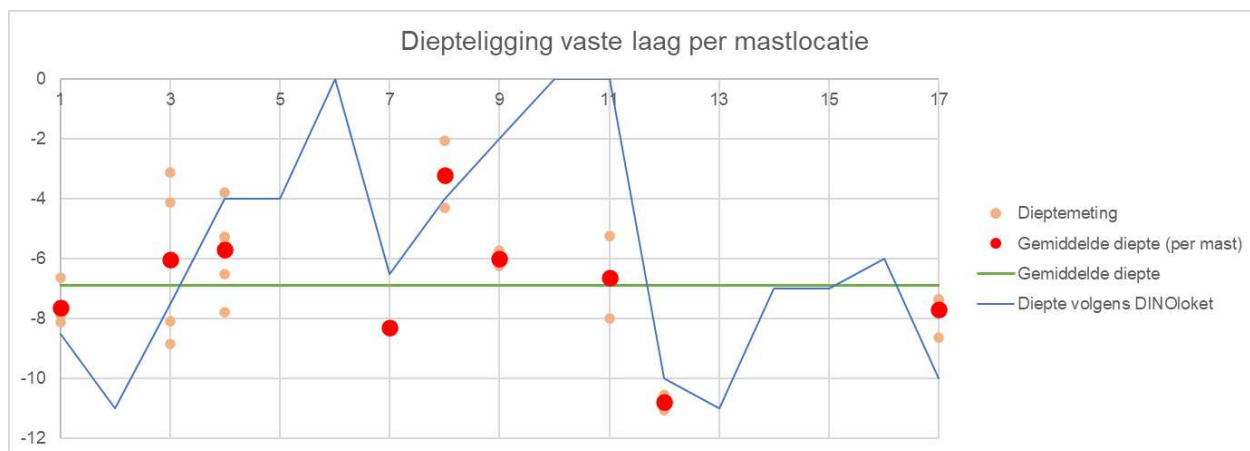
Een aantal sonderingen zijn niet diep genoeg om het draagvermogen tot en met de punt te kunnen berekenen. Aan de hand van de sonderingen die wel beschikbaar zijn van de andere locaties is de gemiddelde diepteligging van de zandlagen ingeschat. Dit is gedaan door elke sondering te bekijken en vast te stellen vanaf welk NAP-niveau de conuswaarde van de sonderingen niet meer onder de 5 MPa, 10 MPa en 15 MPa komt, zie voorbeeld in Figuur 1.



Figuur 1 Voorbeeld sondering mast 17 – DKMP031

Vervolgens is de diepteligging ten opzichte van maaiveld bepaald per sondering, een gemiddelde per locatie en een gemiddelde van alles locaties. Zie Figuur 2 ter illustratie. Hieruit is gebleken dat de volgende conuswaarden kunnen worden aangehouden:

- Tot 6 m – MV 5 MPa
- Tussen 6m – MV en 7 m – MV 10 MPa
- Dieper dan 7 m – MV 15 MPa

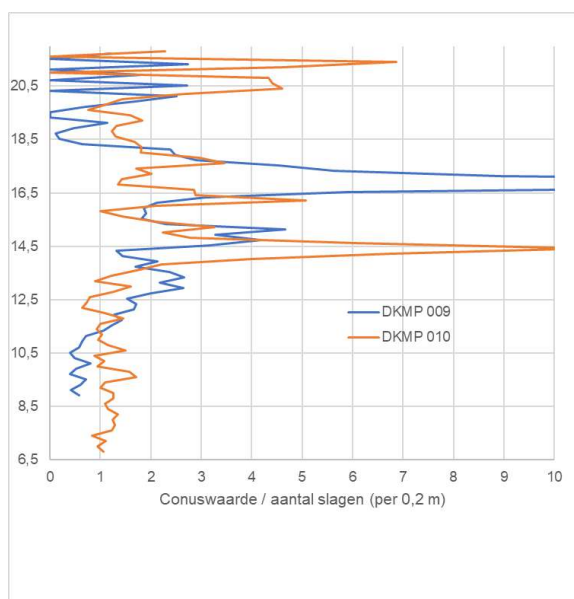


Figuur 2 Gemiddelde diepte vast laag (≥ 15 MPa)

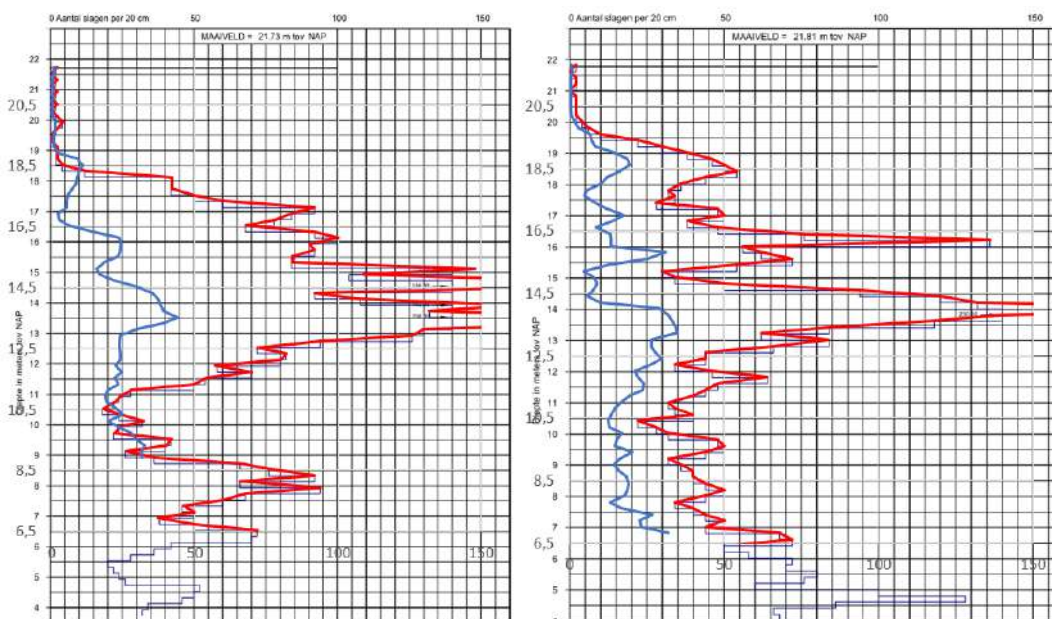
Converteren slagsondering naar conuswaarde

Om de slagsondering te vertalen naar een conusweerstand zijn de elektrisch uitgevoerde sonderingen DKMP009 en DKMP010 bij mast 4 gebruikt in combinatie met de slagsonderingen DSH009 en DSH010 (deze zijn op dezelfde plek genomen als de elektrische sonderingen). De elektrische sonderingen zijn tot ca. 14 m – MV gekomen en de slagsondering tot ca. 19 m – MV. Om deze reden kan er een vergelijk gemaakt worden.

Onderzocht is of er duidelijke correlatie bestaat tussen de het aantal slagen en de conuswaarde. Uit Figuur 3 blijkt dat deze correlatie niet erg constant is. Als de uiterste waarden worden uitgesloten, dan ligt het gemiddelde ongeveer op 1,9 voor beide sonderingen. Uit de figuur blijkt dat dit voor de grondlagen vanaf NAP + 12,5 m te hoog is. Een verhouding van 1 MPa : 2 slagen / 0,2 m (dus factor 0,5) wordt voor veilig aangenomen. Oftewel voor een conuswaarde van 15MPa, moeten minimaal 30 slagen / 0,2 m te zien zijn op de slagsondering. In Figuur 4 is dit in beeld gebracht voor de twee beoordeelde sonderingen.



Figuur 3 Verhouding conuswaarde / aantal slagen (per 0,2m)



Figuur 4 Vergelijk conuswaarde en slagsondering – DKMP009 (links) en DKMP010 (rechts)

Resultaten TS

Ondergebracht in separate bijlagen:

- Uitvoer TS paalfunderingen deel 1 – afkeur trek- en drukpalen – oude sonderingen;
- Uitvoer TS paalfunderingen deel 2 – afkeur trekpalen – nieuwe sonderingen;
- Uitvoer TS paalfunderingen deel 3 – afkeur drukpalen – nieuwe sonderingen;
- Uitvoer TS paalfunderingen deel 4 – verbouw trekpalen – nieuwe sonderingen;
- Uitvoer TS paalfunderingen deel 5 – verbouw drukpalen – nieuwe sonderingen.

Project : BBB
 Onderdeel : MBT-EHV 380

ALGEMENE GEGEVENS

Project : BBB
 Onderdeel : MBT-EHV 380
 Datum : 07-01-2021
 Bestand : \\Arh7001.verit.dnv.com\projects\EANL_Projects\
 10166262 - BBB modelleren funderingen 380
 kV\02 Content\03 Calculations\Technosoft
 Paalfunderingen\MBT-EHV380\DO\Bestaande
 sonderingen\MBT-EHV380 1-9 (2 5 6).pvw
 Berekeningstype : Verticaal belaste paal
 Alle niveaus/hogtes/peilmaten zijn t.o.v.: N.A.P.

Toegepaste normen volgens Eurocode met Nederlandse NB

Geotechniek	EN 1997-1:2004	AC:2009	
	NEN-EN 1997-1:2005	C1+A1:2013	NB:2016
	NEN 9997-1:2016	C2:2017	

GRONDSOORTEN

Nr. Omschrijving	$\gamma_{k;1}$ [kN/m ³]	$\gamma_{sat;k;1}$ [kN/m ³]	$\phi'_{k;1}$ [°]	$\gamma_{k;2}$ [kN/m ³]	$\gamma_{sat;k;2}$ [kN/m ³]	$\phi'_{k;2}$ [°]
1 Zand - Schoon - Los	17.00	19.00	30.00	18.00	20.00	32.50
2 Zand - Schoon - Matig	18.00	20.00	32.50	19.00	21.00	35.00
3 Zand - Schoon - Vast	19.00	21.00	35.00	20.00	22.00	40.00
4 Zand - Zwak siltig - Kleiig	18.00	20.00	27.00	19.00	21.00	32.50
5 Zand - Sterk siltig - Kleiig	18.00	20.00	25.00	19.00	21.00	30.00
6 Leem - Zwak zandig - Matig	20.00	20.00	27.50	21.00	21.00	32.50
7 Leem - Zwak zandig - Vast	21.00	21.00	27.50	22.00	22.00	35.00
8 Klei - Schoon - Vast	19.00	19.00	17.50	20.00	20.00	25.00
9 Klei - Zwak zandig - Matig	18.00	18.00	22.50	20.00	20.00	22.50
10 Klei - Zwak zandig - Vast	20.00	20.00	22.50	21.00	21.00	27.50
11 Klei - Organisch - Matig	15.00	15.00	15.00	16.00	16.00	15.00
12 Veen - Matig voorbelast - Matig	12.00	12.00	15.00	13.00	13.00	15.00

BODEMPROFIELGEGEVENS: 5A

Alle niveaus/hogtes/peilmaten zijn t.o.v.: N.A.P.

d50-reductie is meegenomen overeenkomstig NEN-EN 9997 art. 7.6.2.3 (i)

Hoogte maaiveld [m]	: 0.00		Grondwaterstand [m]	: -1.00			
Laag	Van [m]	Tot [m]	Omschrijving	OCR	Aandeel pos. kleef [%]	α_s	d_{50} [mm]
1	0.00	-1.14	Klei - Organisch - Matig	1.0	50.0		
2	-1.14	-3.15	Klei - Schoon - Vast	1.0	50.0		
3	-3.15	-3.56	Zand - Zwak siltig - Kleiig	1.0	100.0		
4	-3.56	-4.00	Zand - Sterk siltig - Kleiig	1.0	100.0		
5	-4.00	-12.88	Zand - Schoon - Vast	1.0	100.0		

BODEMPROFIELGEGEVENS: 6A

Alle niveaus/hogtes/peilmaten zijn t.o.v.: N.A.P.

d50-reductie is meegenomen overeenkomstig NEN-EN 9997 art. 7.6.2.3 (i)

Hoogte maaiveld [m]	: 0.00		Grondwaterstand [m]	: -1.00			
Laag	Van [m]	Tot [m]	Omschrijving	OCR	Aandeel pos. kleef [%]	α_s	d_{50} [mm]
1	0.00	-1.17	Klei - Organisch - Matig	1.0	50.0		
2	-1.17	-1.77	Leem - Zwak zandig - Vast	1.0	50.0		
3	-1.77	-4.75	Zand - Schoon - Matig	1.0	100.0		
4	-4.75	-10.57	Zand - Schoon - Vast	1.0	100.0		

BODEMPROFIELGEGEVENS: 2

Alle niveaus/hogtes/peilmaten zijn t.o.v.: N.A.P.

d50-reductie is meegenomen overeenkomstig NEN-EN 9997 art. 7.6.2.3 (i)

Hoogte maaiveld [m]	: 0.00		Grondwaterstand [m]	: -1.00			
Laag	Van [m]	Tot [m]	Omschrijving	OCR	Aandeel pos. kleef [%]	α_s	d_{50} [mm]
1	0.00	-0.81	Zand - Sterk siltig - Kleiig	1.0	100.0		
2	-0.81	-1.58	Zand - Zwak siltig - Kleiig	1.0	100.0		
3	-1.58	-2.78	Leem - Zwak zandig - Vast	1.0	50.0		
4	-2.78	-4.17	Zand - Zwak siltig - Kleiig	1.0	100.0		
5	-4.17	-4.31	Zand - Schoon - Vast	1.0	100.0		

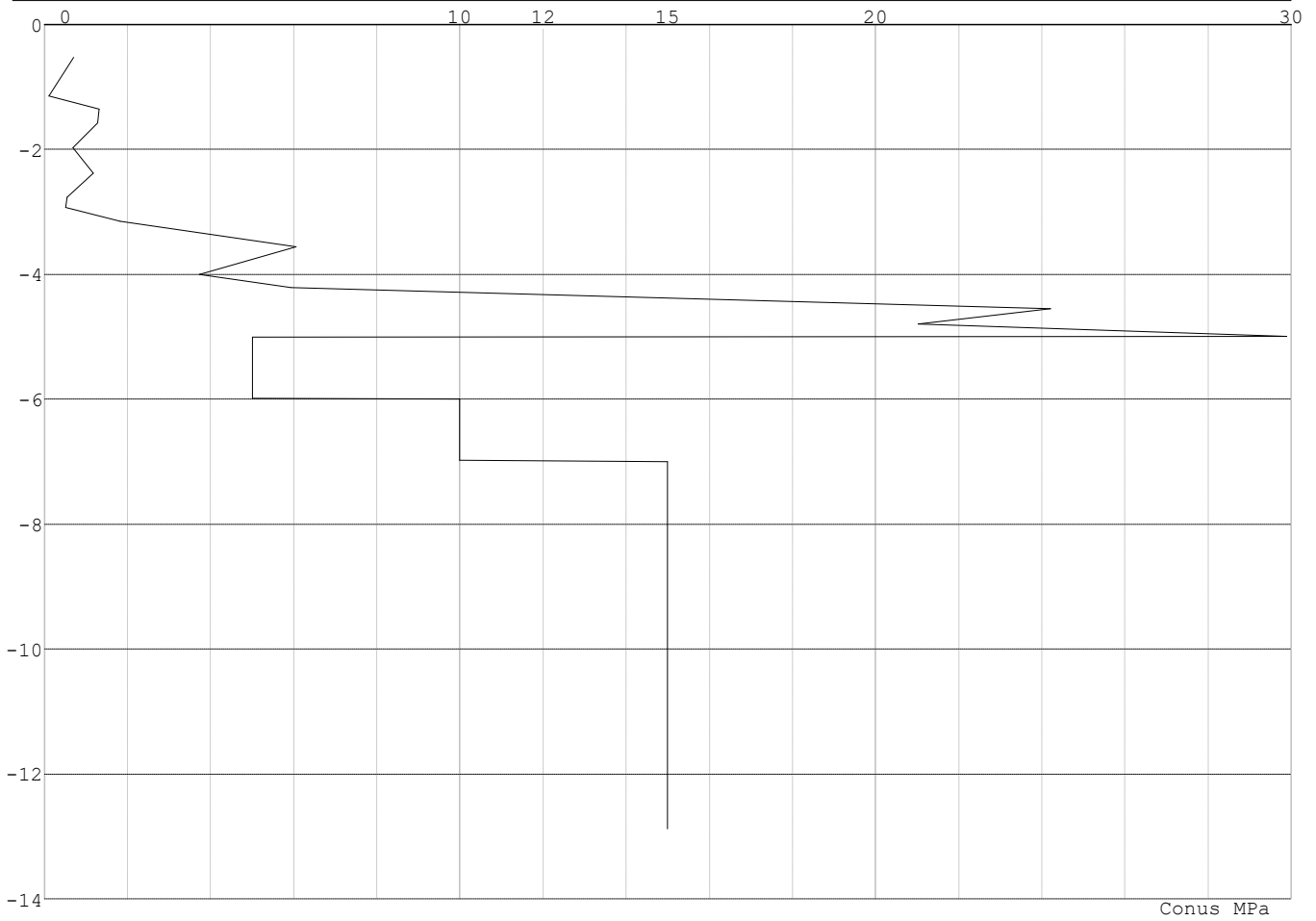
Project : BBB
 Onderdeel : MBT-EHV 380

Laag	Van [m]	Tot [m]	Omschrijving	OCR	Aandeel pos. kleef [%]	α_s	d_{50} [mm]
6	-4.31	-4.55	Zand - Schoon - Los	1.0	100.0		
7	-4.55	-5.82	Zand - Sterk siltig - Kleiig	1.0	100.0		
8	-5.82	-6.34	Zand - Schoon - Los	1.0	100.0		
9	-6.34	-10.28	Zand - Schoon - Vast	1.0	100.0		

SONDERINGSGEGEVENS ALGEMEEN: 5A

Alle niveaus/hoogtes/peilmaten zijn t.o.v.: N.A.P.
 Hoogte maaiveld [m] : 0.00 Bodemprofiel: 5A
 Traject negatieve kleef : 0.00 tot -2.90 [m]
 Traject positieve kleef : -4.00 tot -12.88 [m]

SONDERINGSGEGEVENS GRAFIEK: 5A

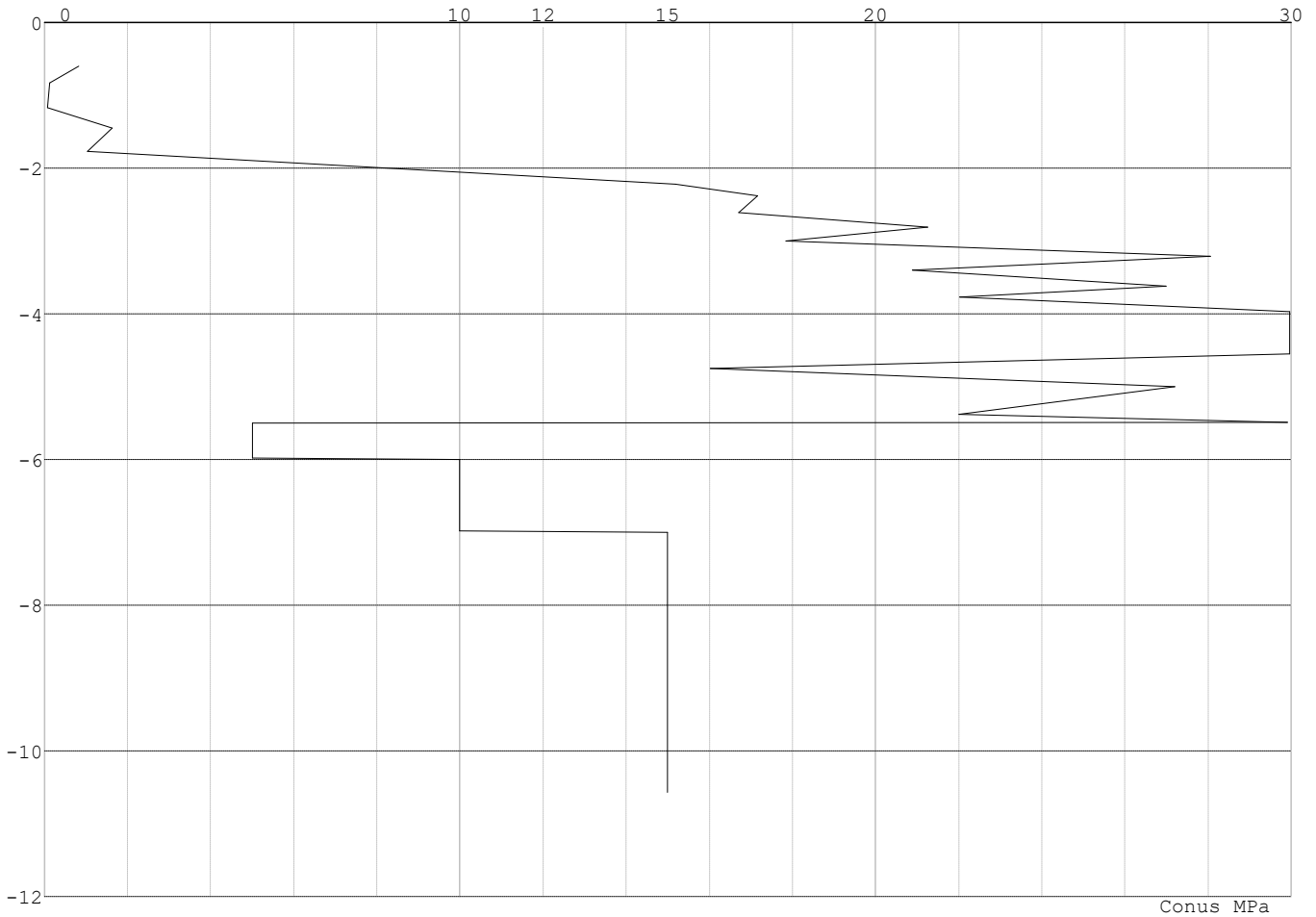


Project : BBB
Onderdeel : MBT-EHV 380

SONDERINGSGEGEVENS ALGEMEEN: 6A

Alle niveaus/hogtes/peilmaten zijn t.o.v.: N.A.P.
Hoogte maaiveld [m] : 0.00 Bodemprofiel: 6A
Traject negatieve kleef : 0.00 tot -1.80 [m]
Traject positieve kleef : -2.20 tot -10.57 [m]

SONDERINGSGEGEVENS GRAFIEK: 6A

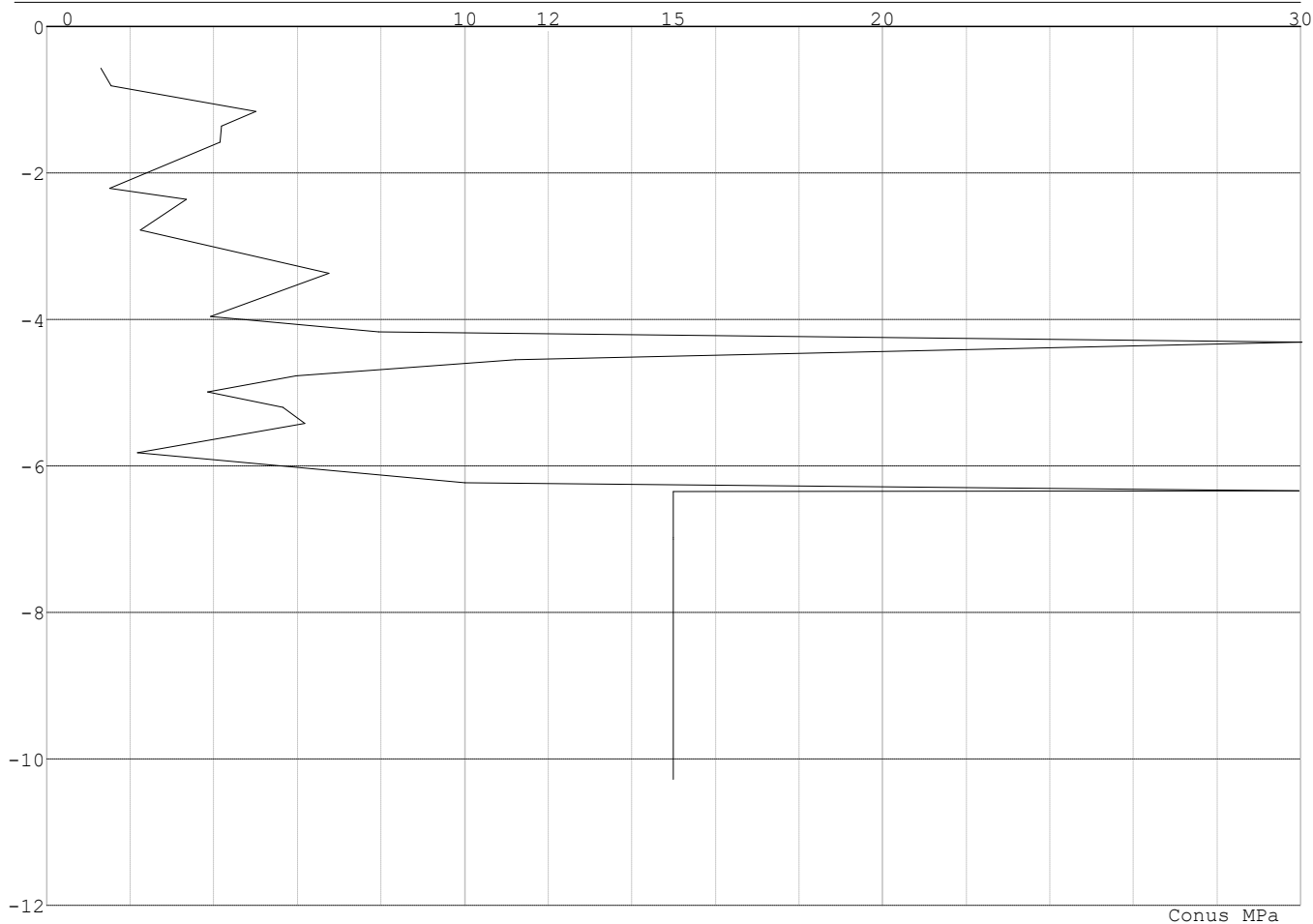


Project : BBB
Onderdeel : MBT-EHV 380

SONDERINGSGEGEVENS ALGEMEEN: 2

Alle niveaus/hogtes/peilmaten zijn t.o.v.: N.A.P.
Hoogte maaiveld [m] : 0.00 Bodemprofiel: 2
Traject negatieve kleeft : 0.00 tot -2.80 [m]
Traject positieve kleeft : -3.90 tot -10.28 [m]

SONDERINGSGEGEVENS GRAFIEK: 2



Project : BBB
 Onderdeel : MBT-EHV 380

REKENGEDEVENS Mast 2 Afk Trk

Berekening : Controlerend
 Rekenmethode : Trekpalen volgens NEN-EN 1997-1, art. 7.6.3
 Sondering(en) : 2
 Let op: trekcapaciteit t.p.v. negatief kleeftraject is meegerekend.

Stijf bouwwerk : NEE
 Paalgroep : NEE
 Aantal sonderingen : 1
 Factor ξ_3 (n=1) : 1.39
 Factor ξ_3 (gem) : 1.39
 Factor ξ_4 (min) : 1.39
 Weerstandsfactor γ_R : 1.35
 $\gamma_{m,var;q_c}$: 1.50
 UGT draagvermogen zonder negatieve kleeft : NEE

Paal : Ortbeton
 Niveau paalkop [m] : N.A.P. 0.00
 Paalpuntniveau : N.A.P. -8.30
 $E_{d,1}$ [kN] : 0.00 $E_{d,2}$ [kN] : 0.00
 Bovenbel. [kN/m²] : 0.00

RESULTATEN Mast 2 Afk Trk (n=1)**Sondering : 2**

Alle niveaus/hogtes/peilmaten zijn t.o.v.: N.A.P.

Inheinniveau [m]	Effectief inheinniveau [m]	E.G. paal [kN]	$R_{t,cal;k}$ [kN]	$R_{t;d}$ [kN]	$F_{t,tot;1}$ [kN]	U.C.
-8.30	-8.30	15.0	327.7	327.7	0.0	0.00

Project : BBB
Onderdeel : MBT-EHV 380

SAMENVATTINGSTABEL Mast 2 Afk Trk (n=1)**Uitgangspunten**

- paal : Ortbeton
- paaltype : Geheide in de grond gevormde betonpaal;terugheidend
- schachtafmeting : 420 mm
Paalklassefactor α_p : 1.00
Factor α_t (tabel 7.c EC 7.1) : 0.0120 (zandlagen; voor kleilagen zie tabel 7.d)
Correlatiefactor $\xi_{3(n=1)}$: 1.39

Alle niveaus/hogtes/peilmaten zijn t.o.v.: N.A.P.

sondering	maaiveld paalpunt		Beziijkdraagvermogen $R_{t,cal}$ [kN]	Rekenwaarden	
	niveau	niveau		$R_{t,d}$ [kN]	$R_{t,netto;d}$ [kN]
2	0.00	-8.30	327.7	327.7	327.7

Totaal resultaten Mast 2 Afk Trk (van 1 sonderingen)

Uitgangspunten

Correlatiefactor ξ_{3gem} (n= 1) : 1.39
Correlatiefactor ξ_{4min} (n= 1) : 1.39

gebaseerd op sonderingen:

2

$$R_{t,d} = \min. \{ R_{t,cal;gem}; R_{t,cal;min} \} (7.17) *$$

Inheinniveau
[m]

$$-8.30 \quad R_{t,d} = \min. \{ 327.7; 327.7 \} = 327.7$$

*) Bij de trekpaalberekening zijn factoren ξ_3 en ξ_4 al bij de berekening van de conusweerstand $q_{c;z;d}$ in rekening gebracht, evenals factor $\gamma_{s;t}$. Dat is conform de opmerkingen in art. 7.6.3.3 (3) en (4).

Alle niveaus/hogtes/peilmaten zijn t.o.v.: N.A.P.

Inheinniveau [m]	$R_{t;k}$ [kN]	$R_{t;d}$ [kN]	$F_{t;tot;1}$ [kN]	$R_{t,netto;d}$ [kN]	U.C.
-8.30	327.7	327.7	0.0	327.7	0.00

REKENGEDEEVENS Mast 5A Afk Trk

Berekening : Controlerend
Rekenmethode : Trekpalen volgens NEN-EN 1997-1, art. 7.6.3
Sondering(en) : 5A
Let op: trekcapaciteit t.p.v. negatief kleefttraject is meegerekend.

Stijf bouwwerk : NEE
Paalgroep : NEE
Aantal sonderingen : 1
Factor ξ_3 (n=1) : 1.39
Factor ξ_3 (gem) : 1.39
Factor ξ_4 (min) : 1.39
Weerstandsfactor γ_R : 1.35
 $\gamma_{m,var;q_c}$: 1.50
UGT draagvermogen zonder negatieve kleeft : NEE

Paal : Ortbeton
Niveau paalkop [m] : N.A.P. 0.00
Paalpuntniveau : N.A.P. -7.50
 $E_{d,1}$ [kN] : 0.00 $E_{d,2}$ [kN] : 0.00
Bovenbel. [kN/m²] : 0.00

RESULTATEN Mast 5A Afk Trk (n=1)

Project : BBB
Onderdeel : MBT-EHV 380

Sondering : 5A

Alle niveaus/hogtes/peilmaten zijn t.o.v.: N.A.P.

Inheinniveau [m]	Effectief inheinniveau [m]	E.G. paal [kN]	$R_{t,cal;k}$ [kN]	$R_{t;d}$ [kN]	$F_{t,tot;1}$ [kN]	U.C.
-7.50	-7.50	13.7	228.1	228.1	0.0	0.00

SAMENVATTINGSTABEL Mast 5A Afk Trk (n=1)**Uitgangspunten**

- paal : Ortbeton
- paaltype : Geheide in de grond gevormde betonpaal;terugheidend
- schachtafmeting : 420 mm
Paalklassefactor α_p : 1.00
Factor α_t (tabel 7.c EC 7.1) : 0.0120 (zandlagen; voor kleilagen zie tabel 7.d)
Correlatiefactor $\xi_{3(n=1)}$: 1.39

Alle niveaus/hogtes/peilmaten zijn t.o.v.: N.A.P.

sondering	maaiveld niveau	paalpunt niveau	Bezijdraagvermogen $R_{t,cal}$ [kN]	Rekenwaarden $R_{t;d}$ [kN]	$R_{t,netto;d}$ [kN]
5A	0.00	-7.50	228.1	228.1	228.1

Totaal resultaten Mast 5A Afk Trk (van 1 sonderingen)**Uitgangspunten**

Correlatiefactor ξ_{3gem} (n= 1) : 1.39
Correlatiefactor ξ_{4min} (n= 1) : 1.39

gebaseerd op sonderingen:
5A

$$R_{t;d} = \min. \{ R_{t,cal;gem}; R_{t,cal;min} \} (7.17) *$$

Inheinniveau
[m]

$$-7.50 \quad R_{t;d} = \min. \{ 228.1; 228.1 \} = 228.1$$

*) Bij de trekpaalberekening zijn factoren ξ_3 en ξ_4 al bij de berekening van de conusweerstand $q_{c;z;d}$ in rekening gebracht, evenals factor $\gamma_{s;t}$. Dat is conform de opmerkingen in art. 7.6.3.3 (3) en (4).

Alle niveaus/hogtes/peilmaten zijn t.o.v.: N.A.P.

Inheinniveau [m]	$R_{t;k}$ [kN]	$R_{t;d}$ [kN]	$F_{t,tot;1}$ [kN]	$R_{t,netto;d}$ [kN]	U.C.
-7.50	228.1	228.1	0.0	228.1	0.00

REKENEGEVEENS Mast 6A Afk Trk

Berekening : Controlerend
Rekenmethode : Trekpalen volgens NEN-EN 1997-1, art. 7.6.3
Sondering(en) : 6A
Let op: trekcapaciteit t.p.v. negatief kleeftraject is meegerekend.

Stijf bouwwerk : NEE
Paalgroep : NEE
Aantal sonderingen : 1
Factor ξ_3 (n=1) : 1.39
Factor ξ_3 (gem) : 1.39
Factor ξ_4 (min) : 1.39
Weerstandsfactor γ_R : 1.35
 $\gamma_{m,var;q_c}$: 1.50
UGT draagvermogen zonder negatieve kleef : NEE

Paal : Ortbeton
Niveau paalkop [m] : N.A.P. 0.00
Paalpuntniveau : N.A.P. -7.50
 $E_{d;1}$ [kN] : 0.00
Bovenbel. [kN/m²] : 0.00

$E_{d;2}$ [kN] : 0.00

Project : BBB
Onderdeel : MBT-EHV 380

RESULTATEN Mast 6A Afk Trk (n=1)**Sondering : 6A**

Alle niveaus/hogtes/peilmaten zijn t.o.v.: N.A.P.

Inheinniveau [m]	Effectief inheinniveau [m]	E.G. paal [kN]	$R_{t,cal;k}$ [kN]	$R_{t;d}$ [kN]	$F_{t,tot;1}$ [kN]	U.C.
-7.50	-7.50	13.7	425.2	425.2	0.0	0.00

SAMENVATTINGSTABEL Mast 6A Afk Trk (n=1)**Uitgangspunten**

- paal : Ortbeton
- paaltype : Geheide in de grond gevormde betonpaal;terugheidend
- schachtafmeting : 420 mm
Paalklassefactor α_p : 1.00
Factor α_t (tabel 7.c EC 7.1) : 0.0120 (zandlagen; voor kleilagen zie tabel 7.d)
Correlatiefactor $\xi_{3(n=1)}$: 1.39

Alle niveaus/hogtes/peilmaten zijn t.o.v.: N.A.P.

sondering	maaiveld niveau	paalpunt niveau	Bezijdraagvermogen $R_{t,cal}$ [kN]	Rekenwaarden $R_{t;d}$ [kN]	$R_{t,netto;d}$ [kN]
6A	0.00	-7.50	425.2	425.2	425.2

Totaal resultaten Mast 6A Afk Trk (van 1 sonderingen)**Uitgangspunten**

Correlatiefactor ξ_{3gem} (n= 1) : 1.39
Correlatiefactor ξ_{4min} (n= 1) : 1.39

gebaseerd op sonderingen:
6A

$$R_{t;d} = \min.\{ R_{t,cal;gem}; R_{t,cal;min} \} (7.17) *$$

Inheinniveau
[m]

$$-7.50 \quad R_{t;d} = \min.\{ 425.2; 425.2 \} = 425.2$$

*) Bij de trekpaalberekening zijn factoren ξ_3 en ξ_4 al bij de berekening van de conusweerstand $q_{c;z;d}$ in rekening gebracht, evenals factor $\gamma_{s;t}$. Dat is conform de opmerkingen in art. 7.6.3.3 (3) en (4).

Alle niveaus/hogtes/peilmaten zijn t.o.v.: N.A.P.

Inheinniveau [m]	$R_{t;k}$ [kN]	$R_{t;d}$ [kN]	$F_{t,tot;1}$ [kN]	$R_{t,netto;d}$ [kN]	U.C.
-7.50	425.2	425.2	0.0	425.2	0.00

PAALGEGEVENS Ortbeton

Type : Geheide in de grond gevormde betonpaal;terugheidend
Wijze van installeren : Heien
Wijze van terugwinnen : Heien
Diameter [m] : 0.420
Elasticiteitsmodulus [N/mm²] : 20000 (Beton)
Soortelijk gewicht [kN/m³] : 24.0 (Beton)
Factor α_s (tabel 7.c EC 7.1) : 0.014 (zandlagen; voor kleilagen zie tabel 7.d)
Factor α_t (tabel 7.c EC 7.1) : 0.0120 (zandlagen; voor kleilagen zie tabel 7.d)
Paalklassefactor α_p : 1.00
Paalvoetvormfactor β : 1.00
Type lastzakingsdiagram : Grondverdringende paal
Verm.factor * $\varphi'_{j;k}$: 1.00

Project : BBB
 Onderdeel : MBT-EHV 380

OVERZICHT NETTO DRAAGVERMOGEN DRUKPALEN

Netto paal draagvermogen(s) zijn naar beneden toe afgerond op: 1.0 kN nauwkeurig
 Alle niveaus/hogtes/peilmaten zijn t.o.v.: N.A.P.

sondering	maaiveld paalpunt		$R_{c,netto;d}$ [kN]			
	niveau	niveau	Mast 2	Af Mast	5A A	Mast 6A A
5A	0.00	-7.50			1295	
6A	0.00	-7.50				1715
2	0.00	-8.30	1544			

Project : BBB
 Onderdeel : MBT-EHV 380

OVERZICHT NETTO DRAAGVERMOGEN TREKPALEN (n=1)

Netto paal draagvermogen(s) zijn naar beneden toe afgerond op: 1.0 kN nauwkeurig
 Alle niveaus/hoogtes/peilmaten zijn t.o.v.: N.A.P.

sondering	maaiveld paalpunt		$R_{t,netto;d}$ [kN]			
	niveau	niveau	Mast 2	Af Mast	5A A	Mast 6A A
5A	0.00	-7.50			228	
6A	0.00	-7.50				425
2	0.00	-8.30	327			

Project : BBB
 Onderdeel : MBT-EHV 380

ALGEMENE GEGEVENS

Project : BBB
 Onderdeel : MBT-EHV 380
 Datum : 07-01-2021
 Bestand : \\Arh7001.verit.dnv.com\projects\EANL_Projects\
 10166262 - BBB modelleren funderingen 380
 kV\02 Content\03 Calculations\Technosoft
 Paalfunderingen\MBT-EHV380\DO\Bestaande
 sonderingen\MBT-EHV380 10-19 (10 13 14 15 16
 18).pvw
 Berekeningstype : Verticaal belaste paal
 Alle niveaus/hogtes/peilmaten zijn t.o.v.: N.A.P.

Toegepaste normen volgens Eurocode met Nederlandse NB

Geotechniek	EN 1997-1:2004	AC:2009	
	NEN-EN 1997-1:2005	C1+A1:2013	NB:2016
	NEN 9997-1:2016	C2:2017	

GRONDSOORTEN

Nr. Omschrijving	$\gamma_{k;1}$ [kN/m ³]	$\gamma_{sat;k;1}$ [kN/m ³]	$\phi'_{k;1}$ [°]	$\gamma_{k;2}$ [kN/m ³]	$\gamma_{sat;k;2}$ [kN/m ³]	$\phi'_{k;2}$ [°]
1 Grind - Zwak siltig - Vast	19.00	21.00	37.50	20.00	22.00	40.00
2 Grind - Sterk siltig - Matig	19.00	21.00	32.50	20.00	22.00	35.00
3 Zand - Schoon - Los	17.00	19.00	30.00	18.00	20.00	32.50
4 Zand - Schoon - Matig	18.00	20.00	32.50	19.00	21.00	35.00
5 Zand - Schoon - Vast	19.00	21.00	35.00	20.00	22.00	40.00
6 Zand - Zwak siltig - Kleiig	18.00	20.00	27.00	19.00	21.00	32.50
7 Zand - Sterk siltig - Kleiig	18.00	20.00	25.00	19.00	21.00	30.00
8 Leem - Zwak zandig - Vast	21.00	21.00	27.50	22.00	22.00	35.00
9 Klei - Schoon - Slap	14.00	14.00	17.50	17.00	17.00	17.50
10 Klei - Schoon - Matig	17.00	17.00	17.50	19.00	19.00	17.50
11 Klei - Zwak zandig - Matig	18.00	18.00	22.50	20.00	20.00	22.50
12 Klei - Zwak zandig - Vast	20.00	20.00	22.50	21.00	21.00	27.50
13 Klei - Organisch - Matig	15.00	15.00	15.00	16.00	16.00	15.00

BODEMPROFIELGEGEVENS: 10

Alle niveaus/hogtes/peilmaten zijn t.o.v.: N.A.P.

d50-reductie is meegenomen overeenkomstig NEN-EN 9997 art. 7.6.2.3 (i)

Laag	Van [m]	Tot [m]	Omschrijving	OCR	Aandeel pos. kleef [%]	α_s	d_{50} [mm]
1	0.00	-1.21	Klei - Schoon - Matig	1.0	50.0		
2	-1.21	-1.50	Zand - Schoon - Matig	1.0	50.0		
3	-1.50	-1.96	Zand - Zwak siltig - Kleiig	1.0	100.0		
4	-1.96	-2.14	Zand - Schoon - Matig	1.0	100.0		
5	-2.14	-2.73	Zand - Schoon - Los	1.0	100.0		
6	-2.73	-3.44	Zand - Sterk siltig - Kleiig	1.0	100.0		
7	-3.44	-3.90	Zand - Sterk siltig - Kleiig	1.0	100.0		
8	-3.90	-4.16	Grind - Sterk siltig - Matig	1.0	50.0		
9	-4.16	-4.40	Zand - Schoon - Vast	1.0	100.0		
10	-4.40	-4.79	Zand - Zwak siltig - Kleiig	1.0	100.0		
11	-4.79	-5.19	Klei - Schoon - Matig	1.0	50.0		
12	-5.19	-5.38	Klei - Schoon - Slap	1.0	50.0		
13	-5.38	-12.00	Zand - Schoon - Vast	1.0	100.0		

BODEMPROFIELGEGEVENS: 13

Alle niveaus/hogtes/peilmaten zijn t.o.v.: N.A.P.

d50-reductie is meegenomen overeenkomstig NEN-EN 9997 art. 7.6.2.3 (i)

Laag	Van [m]	Tot [m]	Omschrijving	OCR	Aandeel pos. kleef [%]	α_s	d_{50} [mm]
1	0.00	-0.89	Klei - Zwak zandig - Matig	1.0	50.0		
2	-0.89	-5.08	Zand - Sterk siltig - Kleiig	1.0	100.0		
3	-5.08	-5.96	Zand - Schoon - Matig	1.0	100.0		
4	-5.96	-8.56	Zand - Sterk siltig - Kleiig	1.0	100.0		
5	-8.56	-14.93	Zand - Schoon - Vast	1.0	100.0		

Project : BBB
Onderdeel : MBT-EHV 380

BODEMPROFIELGEGEVENS: 14

Alle niveaus/hogtes/peilmaten zijn t.o.v.: N.A.P.

d50-reductie is meegenomen overeenkomstig NEN-EN 9997 art. 7.6.2.3 (i)

Hoogte maaiveld [m]		: 0.00		Grondwaterstand [m]		: -1.00			
Laag	Van [m]	Tot [m]	Omschrijving	OCR	Aandeel pos. kleef [%]	α_s	d_{50} [mm]		
1	0.00	-1.03	Zand - Sterk siltig - Kleiig	1.0	100.0				
2	-1.03	-2.16	Grind - Zwak siltig - Vast	1.0	50.0				
3	-2.16	-6.16	Zand - Zwak siltig - Kleiig	1.0	100.0				
4	-6.16	-6.85	Leem - Zwak zandig - Vast	1.0	50.0				
5	-6.85	-7.20	Klei - Organisch - Matig	1.0	50.0				
6	-7.20	-8.95	Zand - Zwak siltig - Kleiig	1.0	100.0				
7	-8.95	-9.28	Zand - Sterk siltig - Kleiig	1.0	100.0				
8	-9.28	-14.75	Zand - Schoon - Vast	1.0	100.0				

BODEMPROFIELGEGEVENS: 15

Alle niveaus/hogtes/peilmaten zijn t.o.v.: N.A.P.

d50-reductie is meegenomen overeenkomstig NEN-EN 9997 art. 7.6.2.3 (i)

Hoogte maaiveld [m]		: 0.00		Grondwaterstand [m]		: -1.00			
Laag	Van [m]	Tot [m]	Omschrijving	OCR	Aandeel pos. kleef [%]	α_s	d_{50} [mm]		
1	0.00	-2.33	Zand - Zwak siltig - Kleiig	1.0	100.0				
2	-2.33	-3.33	Zand - Schoon - Vast	1.0	100.0				
3	-3.33	-4.52	Zand - Zwak siltig - Kleiig	1.0	100.0				
4	-4.52	-4.69	Klei - Schoon - Matig	1.0	50.0				
5	-4.69	-6.71	Zand - Zwak siltig - Kleiig	1.0	100.0				
6	-6.71	-6.83	Zand - Schoon - Vast	1.0	100.0				
7	-6.83	-7.88	Leem - Zwak zandig - Vast	1.0	50.0				
8	-7.88	-13.31	Zand - Schoon - Vast	1.0	100.0				

BODEMPROFIELGEGEVENS: 16

Alle niveaus/hogtes/peilmaten zijn t.o.v.: N.A.P.

d50-reductie is meegenomen overeenkomstig NEN-EN 9997 art. 7.6.2.3 (i)

Hoogte maaiveld [m]		: 0.00		Grondwaterstand [m]		: -1.00			
Laag	Van [m]	Tot [m]	Omschrijving	OCR	Aandeel pos. kleef [%]	α_s	d_{50} [mm]		
1	0.00	-1.18	Grind - Zwak siltig - Vast	1.0	50.0				
2	-1.18	-2.19	Zand - Schoon - Matig	1.0	100.0				
3	-2.19	-2.46	Zand - Schoon - Vast	1.0	100.0				
4	-2.46	-2.87	Zand - Sterk siltig - Kleiig	1.0	100.0				
5	-2.87	-3.20	Zand - Schoon - Los	1.0	100.0				
6	-3.20	-3.92	Zand - Schoon - Matig	1.0	100.0				
7	-3.92	-4.33	Zand - Zwak siltig - Kleiig	1.0	100.0				
8	-4.33	-5.09	Zand - Sterk siltig - Kleiig	1.0	100.0				
9	-5.09	-5.79	Klei - Zwak zandig - Vast	1.0	50.0				
10	-5.79	-6.16	Zand - Schoon - Los	1.0	100.0				
11	-6.16	-6.28	Klei - Zwak zandig - Matig	1.0	50.0				
12	-6.28	-7.00	Zand - Schoon - Los	1.0	100.0				
13	-7.00	-11.28	Zand - Schoon - Vast	1.0	100.0				

BODEMPROFIELGEGEVENS: 18

Alle niveaus/hogtes/peilmaten zijn t.o.v.: N.A.P.

d50-reductie is meegenomen overeenkomstig NEN-EN 9997 art. 7.6.2.3 (i)

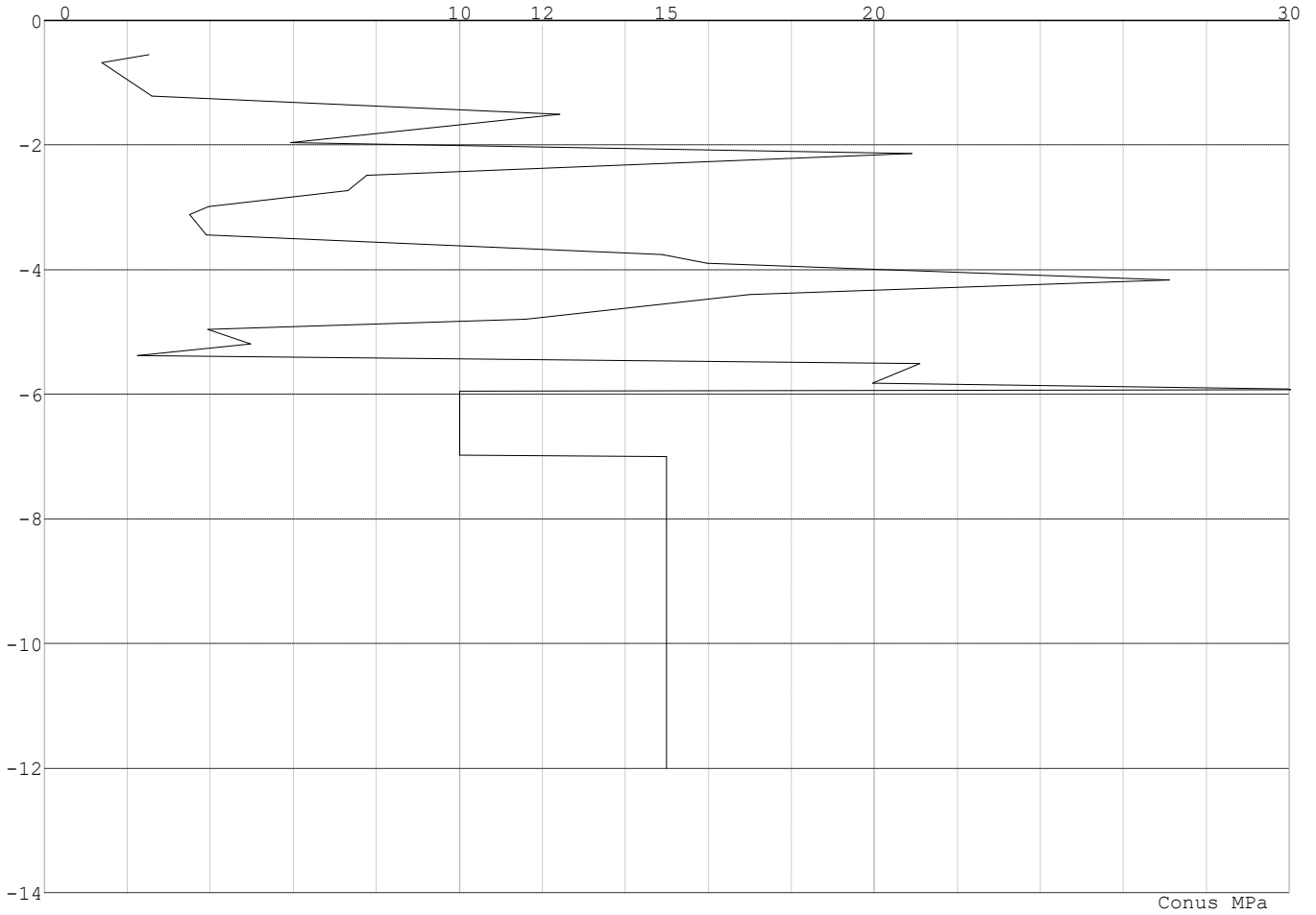
Hoogte maaiveld [m]		: 0.00		Grondwaterstand [m]		: -1.00			
Laag	Van [m]	Tot [m]	Omschrijving	OCR	Aandeel pos. kleef [%]	α_s	d_{50} [mm]		
1	0.00	-1.93	Zand - Schoon - Los	1.0	100.0				
2	-1.93	-3.16	Zand - Zwak siltig - Kleiig	1.0	100.0				
3	-3.16	-4.11	Zand - Schoon - Vast	1.0	100.0				
4	-4.11	-6.61	Zand - Schoon - Matig	1.0	100.0				
5	-6.61	-6.99	Zand - Schoon - Los	1.0	100.0				
6	-6.99	-8.53	Klei - Zwak zandig - Vast	1.0	50.0				
7	-8.53	-9.77	Zand - Schoon - Matig	1.0	100.0				
8	-9.77	-13.86	Zand - Schoon - Vast	1.0	100.0				

Project : BBB
Onderdeel : MBT-EHV 380

SONDERINGSGEGEVENS ALGEMEEN: 10

Alle niveaus/hogtes/peilmaten zijn t.o.v.: N.A.P.
Hoogte maaiveld [m] : 0.00 Bodemprofiel: 10
Traject negatieve kleef : 0.00 tot -1.20 [m]
Traject positieve kleef : -2.00 tot -12.00 [m]

SONDERINGSGEGEVENS GRAFIEK: 10

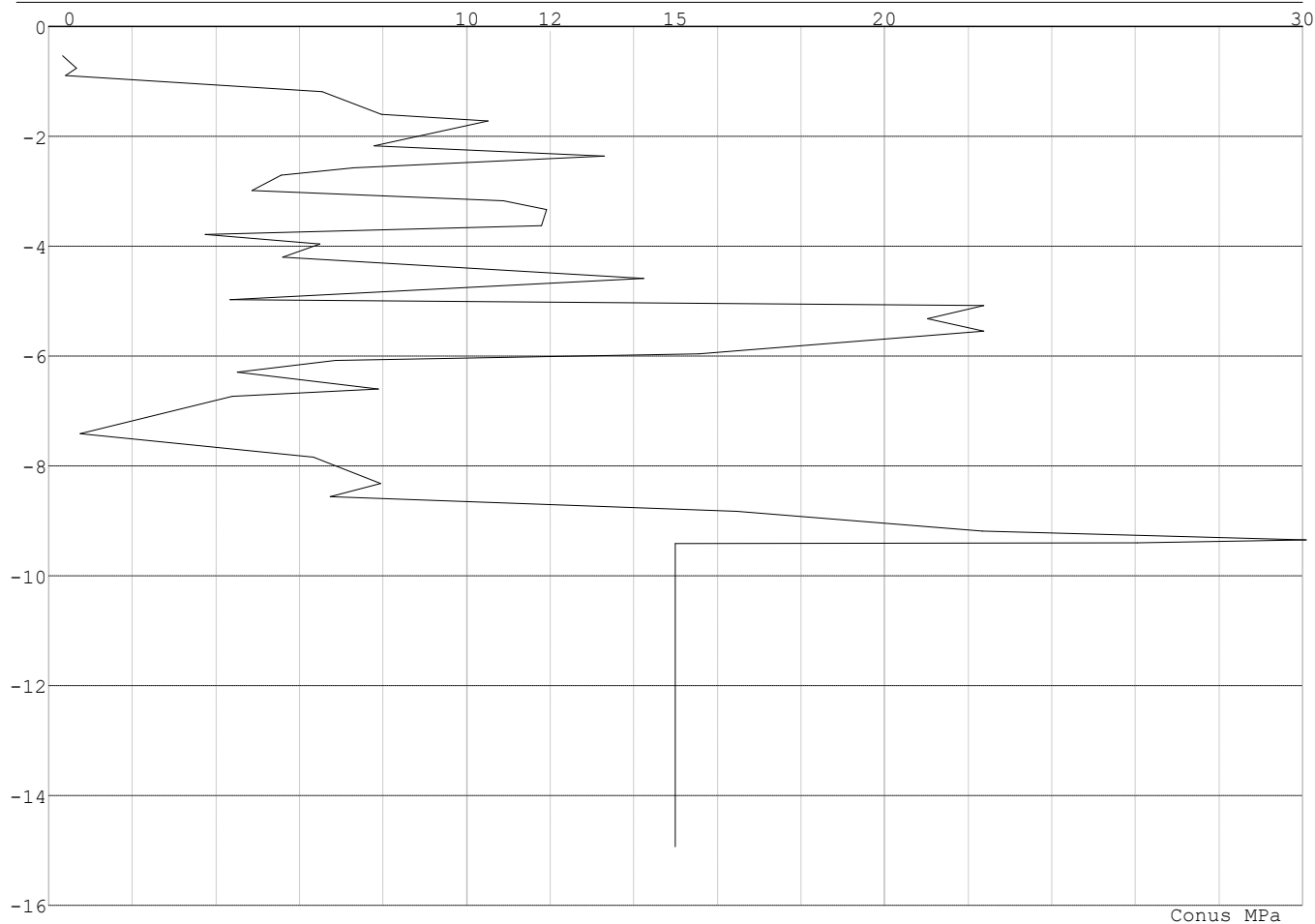


Project : BBB
 Onderdeel : MBT-EHV 380

SONDERINGSGEGEVENS ALGEMEEN: 13

Alle niveaus/hoogtes/peilmaten zijn t.o.v.: N.A.P.
 Hoogte maaiveld [m] : 0.00 Bodemprofiel: 13
 Traject negatieve kleeft : 0.00 tot -1.20 [m]
 Traject positieve kleeft : -1.70 tot -14.93 [m]

SONDERINGSGEGEVENS GRAFIEK: 13

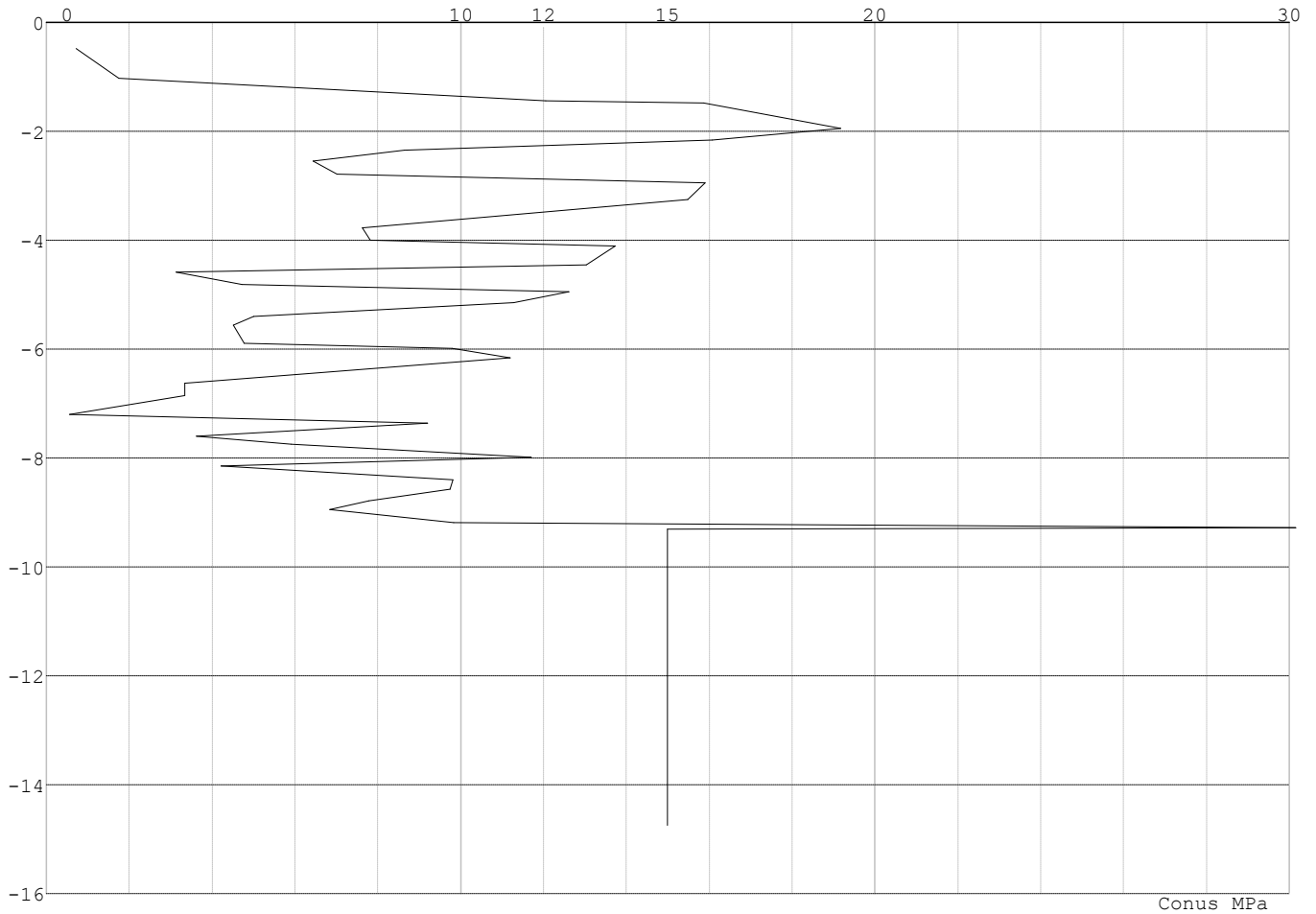


Project : BBB
Onderdeel : MBT-EHV 380

SONDERINGSGEGEVENS ALGEMEEN: 14

Alle niveaus/hogtes/peilmaten zijn t.o.v.: N.A.P.
Hoogte maaiveld [m] : 0.00 Bodemprofiel: 14
Traject negatieve kleef : 0.00 tot -1.00 [m]
Traject positieve kleef : -1.50 tot -14.75 [m]

SONDERINGSGEGEVENS GRAFIEK: 14

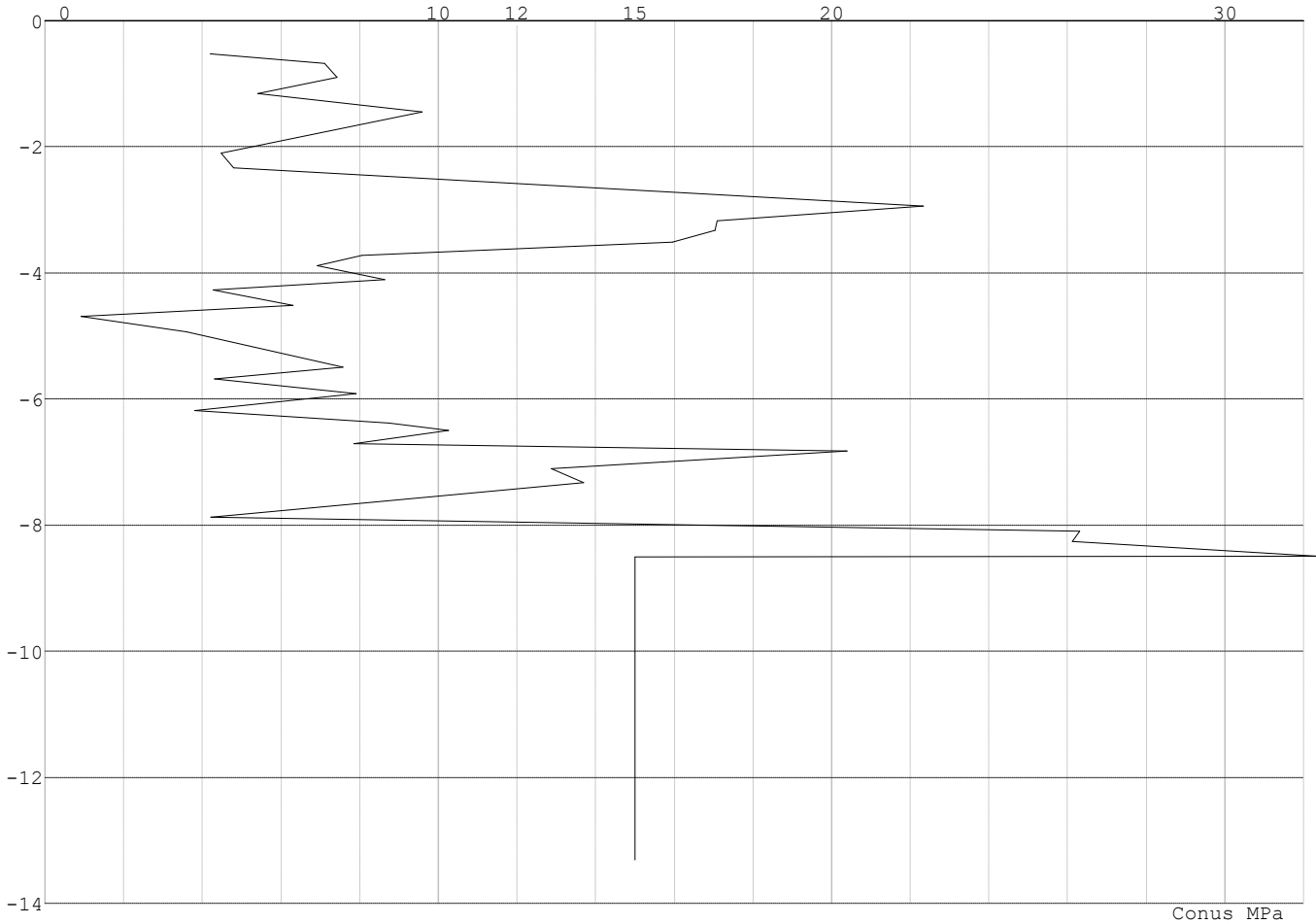


Project : BBB
Onderdeel : MBT-EHV 380

SONDERINGSGEGEVENS ALGEMEEN: 15

Alle niveaus/hogtes/peilmaten zijn t.o.v.: N.A.P.
Hoogte maaiveld [m] : 0.00 Bodemprofiel: 15
Traject negatieve kleeft : 0.00 tot -1.10 [m]
Traject positieve kleeft : -1.10 tot -13.31 [m]

SONDERINGSGEGEVENS GRAFIEK: 15

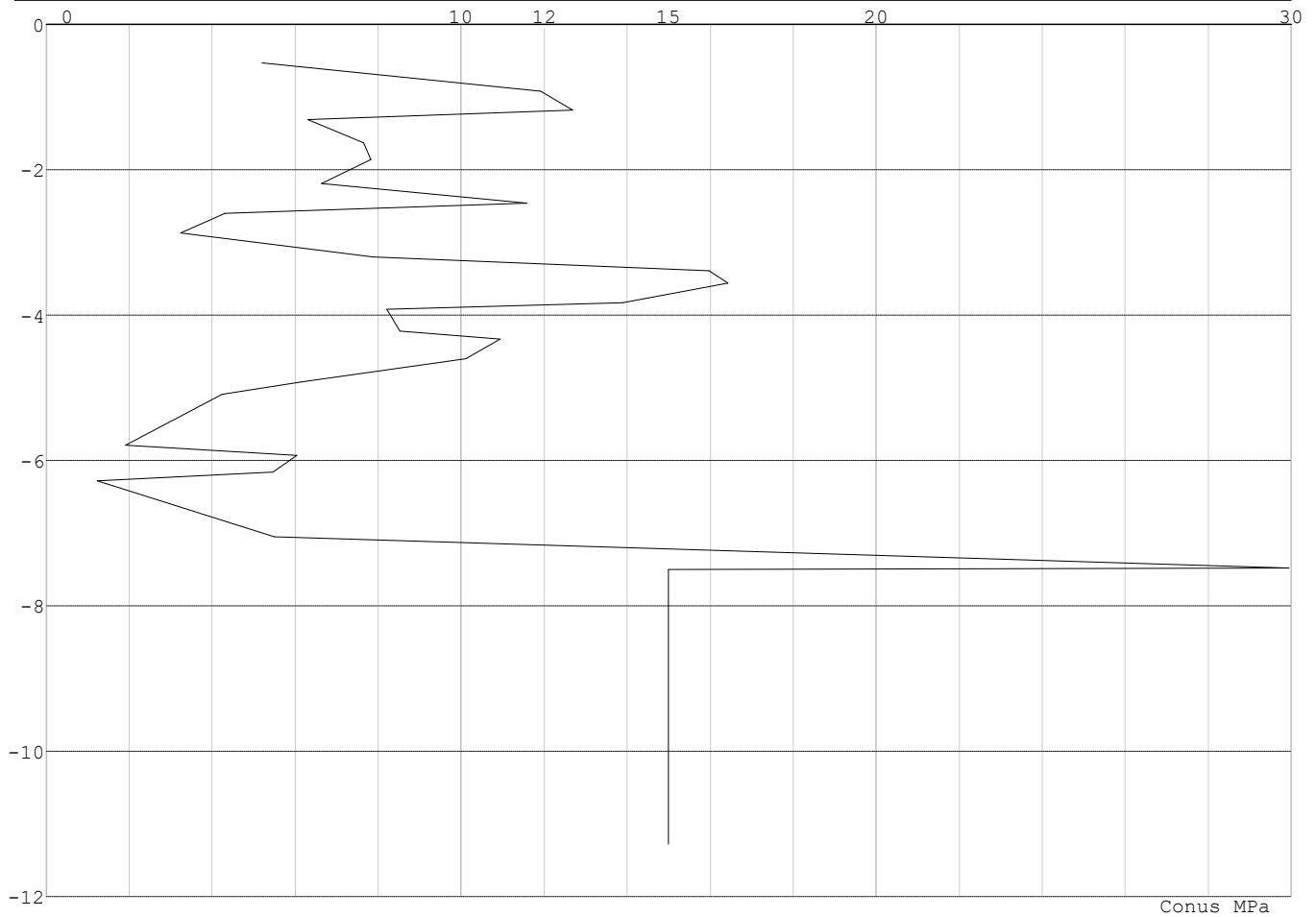


Project : BBB
Onderdeel : MBT-EHV 380

SONDERINGSGEGEVENS ALGEMEEN: 16

Alle niveaus/hogtes/peilmaten zijn t.o.v.: N.A.P.
Hoogte maaiveld [m] : 0.00 Bodemprofiel: 16
Traject negatieve kleef : 0.00 tot -0.90 [m]
Traject positieve kleef : -0.90 tot -11.28 [m]

SONDERINGSGEGEVENS GRAFIEK: 16

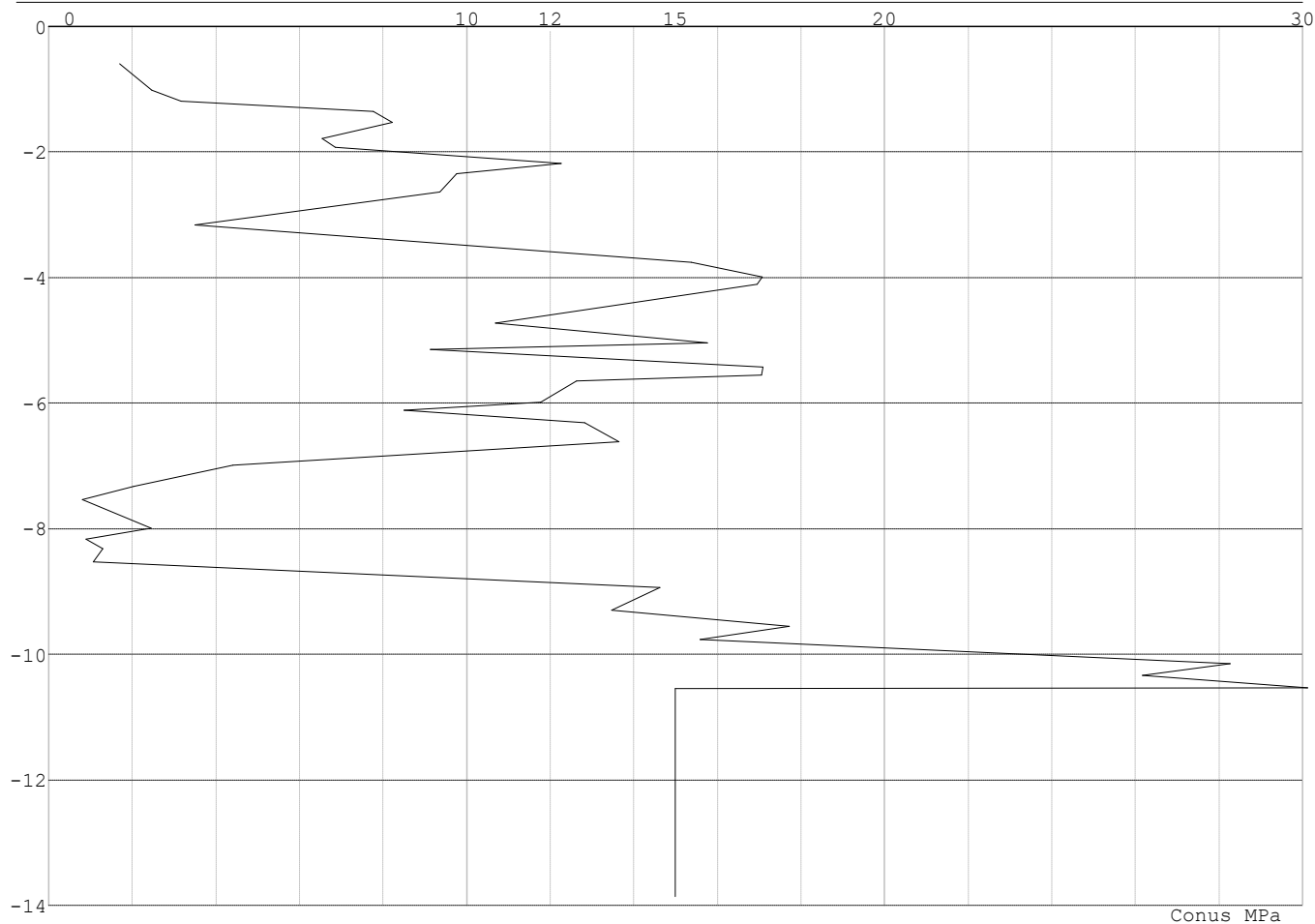


Project : BBB
 Onderdeel : MBT-EHV 380

SONDERINGSGEGEVENS ALGEMEEN: 18

Alle niveaus/hogtes/peilmaten zijn t.o.v.: N.A.P.
 Hoogte maaiveld [m] : 0.00 Bodemprofiel: 18
 Traject negatieve kleef : 0.00 tot -1.30 [m]
 Traject positieve kleef : -1.80 tot -13.86 [m]

SONDERINGSGEGEVENS GRAFIEK: 18



Project : BBB
 Onderdeel : MBT-EHV 380

REKENGEDEVENS Mast 13 Afk-Trk

Berekening : Controlerend
 Rekenmethode : Trekpalen volgens NEN-EN 1997-1, art. 7.6.3
 Sondering(en) : 13
 Let op: trekcapaciteit t.p.v. negatief kleeftraject is meegerekend.

Stijf bouwwerk : JA
 Paalgroep : NEE
 Aantal sonderingen : 1
 Factor ξ_3 (n=1) : 1.26
 Factor ξ_3 (gem) : 1.26
 Factor ξ_4 (min) : 1.26
 Weerstandsfactor γ_R : 1.35
 $\gamma_{m,var,qc}$: 1.35
 UGT draagvermogen zonder negatieve kleeft : NEE

Paal : Ortbeton
 Niveau paalkop [m] : N.A.P. -1.40
 Paalpuntniveau : N.A.P. -10.00
 $E_{d,1}$ [kN] : 0.00 $E_{d,2}$ [kN] : 0.00
 Bovenbel. [kN/m²] : 0.00

RESULTATEN Mast 13 Afk-Trk (n=1)**Sondering : 13**

Alle niveaus/hogtes/peilmaten zijn t.o.v.: N.A.P.

Inheinniveau [m]	Effectief inheinniveau [m]	E.G. paal [kN]	$R_{t,cal;k}$ [kN]	$R_{t;d}$ [kN]	$F_{t,tot;1}$ [kN]	U.C.
-10.00	-10.00	14.1	483.3	483.3	0.0	0.00

Project : BBB
Onderdeel : MBT-EHV 380

SAMENVATTINGSTABEL Mast 13 Afk-Trk (n=1)**Uitgangspunten**

- paal : Ortbeton
- paaltype : Geheide in de grond gevormde betonpaal;terugheidend
- schachtafmeting : 420 mm
Paalklassefactor α_p : 1.00
Factor α_t (tabel 7.c EC 7.1) : 0.0120 (zandlagen; voor kleilagen zie tabel 7.d)
Correlatiefactor $\xi_{3(n=1)}$: 1.26

Alle niveaus/hogtes/peilmaten zijn t.o.v.: N.A.P.

sondering	maaiveld paalpunt		Bezwijkdraagvermogen $R_{t,cal}$ [kN]	Rekenwaarden	
	niveau	niveau		$R_{t,d}$ [kN]	$R_{t,netto,d}$ [kN]
13	0.00	-10.00	483.3	483.3	483.3

Totaal resultaten Mast 13 Afk-Trk (van 1 sonderingen)

Uitgangspunten

Correlatiefactor ξ_{3gem} (n= 1) : 1.26
Correlatiefactor ξ_{4min} (n= 1) : 1.26

gebaseerd op sonderingen:
13

$$R_{t,d} = \min.\{ R_{t,cal,gem}; R_{t,cal,min} \} (7.17) *$$

Inheinniveau
[m]

$$-10.00 \quad R_{t,d} = \min.\{ 483.3; 483.3\} = 483.3$$

*) Bij de trekpaalberekening zijn factoren ξ_3 en ξ_4 al bij de berekening van de conusweerstand $q_{c;z;d}$ in rekening gebracht, evenals factor $\gamma_{s;t}$. Dat is conform de opmerkingen in art. 7.6.3.3 (3) en (4).

Alle niveaus/hogtes/peilmaten zijn t.o.v.: N.A.P.

Inheinniveau [m]	$R_{t,k}$ [kN]	$R_{t,d}$ [kN]	$F_{t,tot;1}$ [kN]	$R_{t,netto,d}$ [kN]	U.C.
-10.00	483.3	483.3	0.0	483.3	0.00

REKENGEDEVENS Mast 14 Afk-Trk

Berekening : Controlerend
Rekenmethode : Trekpalen volgens NEN-EN 1997-1, art. 7.6.3
Sondering(en) : 14
Let op: trekcapaciteit t.p.v. negatief kleefttraject is meegerekend.

Stijf bouwwerk : NEE
Paalgroep : NEE
Aantal sonderingen : 1
Factor ξ_3 (n=1) : 1.39
Factor ξ_3 (gem) : 1.39
Factor ξ_4 (min) : 1.39
Weerstandsfactor γ_R : 1.35
 $\gamma_{m,var;q_c}$: 1.50
UGT draagvermogen zonder negatieve kleeft : NEE

Paal : Ortbeton
Niveau paalkop [m] : N.A.P. 0.00
Paalpuntniveau : N.A.P. -10.50
 $E_{d,1}$ [kN] : 0.00 $E_{d,2}$ [kN] : 0.00
Bovenbel. [kN/m²] : 0.00

RESULTATEN Mast 14 Afk-Trk (n=1)

Project : BBB
Onderdeel : MBT-EHV 380

Sondering : 14

Alle niveaus/hogtes/peilmaten zijn t.o.v.: N.A.P.

Inheinniveau [m]	Effectief inheinniveau [m]	E.G. paal [kN]	$R_{t,cal;k}$ [kN]	$R_{t;d}$ [kN]	$F_{t,tot;1}$ [kN]	U.C.
-10.50	-10.50	18.6	445.0	445.0	0.0	0.00

SAMENVATTINGSTABEL Mast 14 Afk-Trk (n=1)**Uitgangspunten**

- paal : Ortbeton
- paaltype : Geheide in de grond gevormde betonpaal;terugheidend
- schachtafmeting : 420 mm
Paalklassefactor α_p : 1.00
Factor α_t (tabel 7.c EC 7.1) : 0.0120 (zandlagen; voor kleilagen zie tabel 7.d)
Correlatiefactor $\xi_{3(n=1)}$: 1.39

Alle niveaus/hogtes/peilmaten zijn t.o.v.: N.A.P.

sondering	maaiveld niveau	paalpunt niveau	Bezijdraagvermogen $R_{t,cal}$ [kN]	Rekenwaarden $R_{t;d}$ [kN]	$R_{t,netto;d}$ [kN]
14	0.00	-10.50	445.0	445.0	445.0

Totaal resultaten Mast 14 Afk-Trk (van 1 sonderingen)**Uitgangspunten**

Correlatiefactor ξ_{3gem} (n= 1) : 1.39
Correlatiefactor ξ_{4min} (n= 1) : 1.39

gebaseerd op sonderingen:
14

$$R_{t;d} = \min.\{ R_{t,cal;gem}; R_{t,cal;min} \} (7.17) *$$

Inheinniveau
[m]

$$-10.50 \quad R_{t;d} = \min.\{ 445.0; 445.0 \} = 445.0$$

*) Bij de trekpaalberekening zijn factoren ξ_3 en ξ_4 al bij de berekening van de conusweerstand $q_{c;z;d}$ in rekening gebracht, evenals factor $\gamma_{s;t}$. Dat is conform de opmerkingen in art. 7.6.3.3 (3) en (4).

Alle niveaus/hogtes/peilmaten zijn t.o.v.: N.A.P.

Inheinniveau [m]	$R_{t;k}$ [kN]	$R_{t;d}$ [kN]	$F_{t,tot;1}$ [kN]	$R_{t,netto;d}$ [kN]	U.C.
-10.50	445.0	445.0	0.0	445.0	0.00

REKENEGEVEENS Mast 15 Afk-Trk

Berekening : Controlerend
Rekenmethode : Trekpalen volgens NEN-EN 1997-1, art. 7.6.3
Sondering(en) : 15
Let op: trekcapaciteit t.p.v. negatief kleefttraject is meegerekend.

Stijf bouwwerk : NEE
Paalgroep : NEE
Aantal sonderingen : 1
Factor ξ_3 (n=1) : 1.39
Factor ξ_3 (gem) : 1.39
Factor ξ_4 (min) : 1.39
Weerstandsfactor γ_R : 1.35
 $\gamma_{m,var;q_c}$: 1.50
UGT draagvermogen zonder negatieve kleeft : NEE

Paal : Ortbeton
Niveau paalkop [m] : N.A.P. -2.20
Paalpuntniveau : N.A.P. -10.50
 $E_{d;1}$ [kN] : 0.00
Bovenbel. [kN/m²] : 0.00

$E_{d;2}$

[kN] : 0.00

Project : BBB
Onderdeel : MBT-EHV 380

RESULTATEN Mast 15 Afk-Trk (n=1)**Sondering : 15**

Alle niveaus/hogtes/peilmaten zijn t.o.v.: N.A.P.

Inheinniveau [m]	Effectief inheinniveau [m]	E.G. paal [kN]	$R_{t,cal;k}$ [kN]	$R_{t;d}$ [kN]	$F_{t,tot;1}$ [kN]	U.C.
-10.50	-10.50	13.6	445.2	445.2	0.0	0.00

SAMENVATTINGSTABEL Mast 15 Afk-Trk (n=1)**Uitgangspunten**

- paal : Ortbeton
- paaltype : Geheide in de grond gevormde betonpaal;terugheidend
- schachtafmeting : 420 mm
Paalklassefactor α_p : 1.00
Factor α_t (tabel 7.c EC 7.1) : 0.0120 (zandlagen; voor kleilagen zie tabel 7.d)
Correlatiefactor $\xi_{3(n=1)}$: 1.39

Alle niveaus/hogtes/peilmaten zijn t.o.v.: N.A.P.

sondering	maaiveld niveau	paalpunt niveau	Beziijkdraagvermogen $R_{t,cal}$ [kN]	Rekenwaarden $R_{t;d}$ [kN]	$R_{t,netto;d}$ [kN]
15	0.00	-10.50	445.2	445.2	445.2

Totaal resultaten Mast 15 Afk-Trk (van 1 sonderingen)**Uitgangspunten**

Correlatiefactor ξ_{3gem} (n= 1) : 1.39
Correlatiefactor ξ_{4min} (n= 1) : 1.39

gebaseerd op sonderingen:
15

$$R_{t;d} = \min.\{ R_{t,cal;gem}; R_{t,cal;min} \} (7.17) *$$

Inheinniveau
[m]

$$-10.50 \quad R_{t;d} = \min.\{ 445.2; 445.2 \} = 445.2$$

*) Bij de trekpaalberekening zijn factoren ξ_3 en ξ_4 al bij de berekening van de conusweerstand $q_{c;z;d}$ in rekening gebracht, evenals factor $\gamma_{s;t}$. Dat is conform de opmerkingen in art. 7.6.3.3 (3) en (4).

Alle niveaus/hogtes/peilmaten zijn t.o.v.: N.A.P.

Inheinniveau [m]	$R_{t;k}$ [kN]	$R_{t;d}$ [kN]	$F_{t,tot;1}$ [kN]	$R_{t,netto;d}$ [kN]	U.C.
-10.50	445.2	445.2	0.0	445.2	0.00

REKENEGEVENS Mast 16 Afk-Trk

Berekening : Controlerend
Rekenmethode : Trekpalen volgens NEN-EN 1997-1, art. 7.6.3
Sondering(en) : 16
Let op: trekcapaciteit t.p.v. negatief kleefttraject is meegerekend.

Stijf bouwwerk : NEE
Paalgroep : NEE
Aantal sonderingen : 1
Factor ξ_3 (n=1) : 1.39
Factor ξ_3 (gem) : 1.39
Factor ξ_4 (min) : 1.39
Weerstandsfactor γ_R : 1.35
 $\gamma_{m,var;q_c}$: 1.50
UGT draagvermogen zonder negatieve kleeft : NEE

Paal : Ortbeton
Niveau paalkop [m] : N.A.P. -2.20
Paalpuntniveau : N.A.P. -9.00
 $E_{d,1}$ [kN] : 0.00
Bovenbel. [kN/m²] : 0.00

$E_{d,2}$ [kN] : 0.00

Project : BBB
Onderdeel : MBT-EHV 380

RESULTATEN Mast 16 Afk-Trk (n=1)**Sondering : 16**

Alle niveaus/hogtes/peilmaten zijn t.o.v.: N.A.P.

Inheinniveau [m]	Effectief inheinniveau [m]	E.G. paal [kN]	$R_{t,cal;k}$ [kN]	$R_{t;d}$ [kN]	$F_{t,tot;1}$ [kN]	U.C.
-9.00	-9.00	11.1	320.4	320.4	0.0	0.00

SAMENVATTINGSTABEL Mast 16 Afk-Trk (n=1)**Uitgangspunten**

- paal : Ortbeton
- paaltype : Geheide in de grond gevormde betonpaal;terugheidend
- schachtafmeting : 420 mm
Paalklassefactor α_p : 1.00
Factor α_t (tabel 7.c EC 7.1) : 0.0120 (zandlagen; voor kleilagen zie tabel 7.d)
Correlatiefactor $\xi_{3(n=1)}$: 1.39

Alle niveaus/hogtes/peilmaten zijn t.o.v.: N.A.P.

sondering	maaiveld niveau	paalpunt niveau	Bezijsdraagvermogen $R_{t,cal}$ [kN]	Rekenwaarden $R_{t;d}$ [kN]	$R_{t,netto;d}$ [kN]
16	0.00	-9.00	320.4	320.4	320.4

Totaal resultaten Mast 16 Afk-Trk (van 1 sonderingen)**Uitgangspunten**

Correlatiefactor ξ_{3gem} (n= 1) : 1.39
Correlatiefactor ξ_{4min} (n= 1) : 1.39

gebaseerd op sonderingen:
16

$$R_{t;d} = \min.\{ R_{t,cal;gem}; R_{t,cal;min} \} (7.17) *$$

Inheinniveau
[m]

$$-9.00 \quad R_{t;d} = \min.\{ 320.4; 320.4 \} = 320.4$$

*) Bij de trekpaalberekening zijn factoren ξ_3 en ξ_4 al bij de berekening van de conusweerstand $q_{c;z;d}$ in rekening gebracht, evenals factor $\gamma_{s;t}$. Dat is conform de opmerkingen in art. 7.6.3.3 (3) en (4).

Alle niveaus/hogtes/peilmaten zijn t.o.v.: N.A.P.

Inheinniveau [m]	$R_{t;k}$ [kN]	$R_{t;d}$ [kN]	$F_{t,tot;1}$ [kN]	$R_{t,netto;d}$ [kN]	U.C.
-9.00	320.4	320.4	0.0	320.4	0.00

REKENEGEVENS Mast 18 Afk-Trk

Berekening : Controlerend
Rekenmethode : Trekpalen volgens NEN-EN 1997-1, art. 7.6.3
Sondering(en) : 18
Let op: trekcapaciteit t.p.v. negatief kleefttraject is meegerekend.

Stijf bouwwerk : NEE
Paalgroep : NEE
Aantal sonderingen : 1
Factor ξ_3 (n=1) : 1.39
Factor ξ_3 (gem) : 1.39
Factor ξ_4 (min) : 1.39
Weerstandsfactor γ_R : 1.35
 $\gamma_{m,var;q_c}$: 1.50
UGT draagvermogen zonder negatieve kleeft : NEE

Paal : LD1
Niveau paalkop [m] : N.A.P. -0.25
Paalpuntniveau : N.A.P. -10.75
 $E_{d,1}$ [kN] : 0.00
Bovenbel. [kN/m²] : 0.00

$E_{d,2}$ [kN] : 0.00

Project : BBB
Onderdeel : MBT-EHV 380

RESULTATEN Mast 18 Afk-Trk (n=1)**Sondering : 18**

Alle niveaus/hogtes/peilmaten zijn t.o.v.: N.A.P.

Inheinniveau [m]	Effectief inheinniveau [m]	E.G. paal [kN]	$R_{t,cal;k}$ [kN]	$R_{t;d}$ [kN]	$F_{t,tot;1}$ [kN]	U.C.
-10.75	-10.75	34.8	422.6	422.6	0.0	0.00

SAMENVATTINGSTABEL Mast 18 Afk-Trk (n=1)**Uitgangspunten**

- paal : LD1
- paaltype : Stalen buispaal (gesloten)
- schachtafmeting : 550 mm
Paalklassefactor α_p : 1.00
Factor α_t (tabel 7.c EC 7.1) : 0.0070 (zandlagen; voor kleilagen zie tabel 7.d)
Correlatiefactor $\xi_{3(n=1)}$: 1.39

Alle niveaus/hogtes/peilmaten zijn t.o.v.: N.A.P.

sondering	maaiveld paalpunt		Bezuikdraagvermogen $R_{t,cal}$ [kN]	Rekenwaarden	
	niveau	niveau		$R_{t;d}$ [kN]	$R_{t,netto;d}$ [kN]
18	0.00	-10.75	422.6	422.6	422.6

Totaal resultaten Mast 18 Afk-Trk (van 1 sonderingen)

Uitgangspunten

Correlatiefactor ξ_{3gem} (n= 1) : 1.39
Correlatiefactor ξ_{4min} (n= 1) : 1.39

gebaseerd op sonderingen:
18

$$R_{t;d} = \min.\{ R_{t,cal;gem}; R_{t,cal;min} \} (7.17) *$$

Inheinniveau
[m]

$$-10.75 \quad R_{t;d} = \min.\{ 422.6; 422.6 \} = 422.6$$

*) Bij de trekpaalberekening zijn factoren ξ_3 en ξ_4 al bij de berekening van de conusweerstand $q_{c;z;d}$ in rekening gebracht, evenals factor $\gamma_{s;t}$. Dat is conform de opmerkingen in art. 7.6.3.3 (3) en (4).

Alle niveaus/hogtes/peilmaten zijn t.o.v.: N.A.P.

Inheinniveau [m]	$R_{t;k}$ [kN]	$R_{t;d}$ [kN]	$F_{t,tot;1}$ [kN]	$R_{t,netto;d}$ [kN]	U.C.
-10.75	422.6	422.6	0.0	422.6	0.00

Project : BBB
 Onderdeel : MBT-EHV 380

REKENGEDEVENS Mast 10 Afk-Trk

Berekening : Controlerend
 Rekenmethode : Trekpalen volgens NEN-EN 1997-1, art. 7.6.3
 Sondering(en) : 10
 Let op: trekcapaciteit t.p.v. negatief kleeftraject is meegerekend.

Stijf bouwwerk : JA
 Paalgroep : NEE
 Aantal sonderingen : 1
 Factor ξ_3 (n=1) : 1.26
 Factor ξ_3 (gem) : 1.26
 Factor ξ_4 (min) : 1.26
 Weerstandsfactor γ_R : 1.35
 $\gamma_{m,var,qc}$: 1.50
 UGT draagvermogen zonder negatieve kleeft : NEE

Paal : Ortbeton
 Niveau paalkop [m] : N.A.P. -2.20
 Paalpuntniveau : N.A.P. -7.50
 $E_{d,1}$ [kN] : 0.00 $E_{d,2}$ [kN] : 0.00
 Bovenbel. [kN/m²] : 0.00

RESULTATEN Mast 10 Afk-Trk (n=1)**Sondering : 10**

Alle niveaus/hogtes/peilmaten zijn t.o.v.: N.A.P.

Inheinniveau [m]	Effectief inheinniveau [m]	E.G. paal [kN]	$R_{t,cal;k}$ [kN]	$R_{t;d}$ [kN]	$F_{t,tot;1}$ [kN]	U.C.
-7.50	-7.50	8.7	272.0	272.0	0.0	0.00

Project : BBB
Onderdeel : MBT-EHV 380

SAMENVATTINGSTABEL Mast 10 Afk-Trk (n=1)**Uitgangspunten**

- paal : Ortbeton
- paaltype : Geheide in de grond gevormde betonpaal;terugheidend
- schachtafmeting : 420 mm
Paalklassefactor α_p : 1.00
Factor α_t (tabel 7.c EC 7.1) : 0.0120 (zandlagen; voor kleilagen zie tabel 7.d)
Correlatiefactor $\xi_{3(n=1)}$: 1.26

Alle niveaus/hogtes/peilmaten zijn t.o.v.: N.A.P.

sondering	maaiveld paalpunt		Bezwijkdraagvermogen $R_{t,cal}$ [kN]	Rekenwaarden	
	niveau	niveau		$R_{t,d}$ [kN]	$R_{t,netto,d}$ [kN]
10	0.00	-7.50	272.0	272.0	272.0

Totaal resultaten Mast 10 Afk-Trk (van 1 sonderingen)

Uitgangspunten

Correlatiefactor ξ_{3gem} (n= 1) : 1.26
Correlatiefactor ξ_{4min} (n= 1) : 1.26

gebaseerd op sonderingen:
10

$$R_{t,d} = \min. \{ R_{t,cal,gem}; R_{t,cal,min} \} (7.17) *$$

Inheinniveau
[m]

$$-7.50 \quad R_{t,d} = \min. \{ 272.0; 272.0 \} = 272.0$$

*) Bij de trekpaalberekening zijn factoren ξ_3 en ξ_4 al bij de berekening van de conusweerstand $q_{c;z;d}$ in rekening gebracht, evenals factor $\gamma_{s;t}$. Dat is conform de opmerkingen in art. 7.6.3.3 (3) en (4).

Alle niveaus/hogtes/peilmaten zijn t.o.v.: N.A.P.

Inheinniveau [m]	$R_{t,k}$ [kN]	$R_{t,d}$ [kN]	$F_{t,tot;1}$ [kN]	$R_{t,netto,d}$ [kN]	U.C.
-7.50	272.0	272.0	0.0	272.0	0.00

PAALGEGEVENS LD1

Type : Stalen buispaal (gesloten)
Wijze van installeren : Heien
Diameter [m] : 0.550
Wanddikte t [mm] : 4.0
Elasticiteitsmodulus [N/mm²] : 200000 (Staal)
Soortelijk gewicht [kN/m³] : 78.5 (Staal)
Elasticiteitsmodulus [N/mm²] : 20000 (Beton)
Soortelijk gewicht [kN/m³] : 24.0 (Beton)
Factor α_s (tabel 7.c EC 7.1) : 0.010 (zandlagen; voor kleilagen zie tabel 7.d)
Factor α_t (tabel 7.c EC 7.1) : 0.0070 (zandlagen; voor kleilagen zie tabel 7.d)
Paalklassefactor α_p : 1.00
Paalvoetvormfactor β : 1.00
Type lastzakingsdiagram : Grondverdringende paal
Verm.factor * $\phi'_{j,k}$: 0.75
Groutomhulling : NEE

Project : BBB
Onderdeel : MBT-EHV 380

PAALGEGEVENS Ortbeton

Type : Geheide in de grond gevormde betonpaal;terugheidend
Wijze van installeren : Heien
Wijze van terugwinnen : Heien
Diameter [m] : 0.420
Elasticiteitsmodulus [N/mm²] : 20000 (Beton)
Soortelijk gewicht [kN/m³] : 24.0 (Beton)
Factor α_s (tabel 7.c EC 7.1) : 0.014 (zandlagen; voor kleilagen zie tabel 7.d)
Factor α_t (tabel 7.c EC 7.1) : 0.0120 (zandlagen; voor kleilagen zie tabel 7.d)
Paalklassefactor α_p : 1.00
Paalvoetvormfactor β : 1.00
Type lastzakkingsdiagram : Grondverdringende paal
Verm.factor * $\phi'_{j,k}$: 1.00

Project : BBB
 Onderdeel : MBT-EHV 380

OVERZICHT NETTO DRAAGVERMOGEN DRUKPALEN

Netto paal draagvermogen(s) zijn naar beneden toe afgerond op: 1.0 kN nauwkeurig
 Alle niveaus/hoogtes/peilmaten zijn t.o.v.: N.A.P.

sondering	maaiveld niveau	paalpunt niveau	$R_{c,netto;d}$ [kN]	Mast 13 A	Mast 14 A	Mast 15 A	Mast 16 A	Mast 18 A
13	0.00	-10.00	1971					
14	0.00	-10.50			1863			
15	0.00	-10.50				2076		
16	0.00	-9.00					1683	
18	0.00	-10.75						2413

Project : BBB
 Onderdeel : MBT-EHV 380

Netto paal draagvermogen(s) zijn naar beneden toe afgerond op: 1.0 kN nauwkeurig
 Alle niveaus/hogtes/peilmaten zijn t.o.v.: N.A.P.

sondering	maaiveld paalpunt		$R_{t;netto;d}$
	niveau	niveau	[kN]
10	0.00	-7.50	Mast 10 A 1662

OVERZICHT NETTO DRAAGVERMOGEN TREKPALEN (n=1)

Netto paal draagvermogen(s) zijn naar beneden toe afgerond op: 1.0 kN nauwkeurig
 Alle niveaus/hogtes/peilmaten zijn t.o.v.: N.A.P.

sondering	maaiveld paalpunt		$R_{t;netto;d}$				
	niveau	niveau	Mast 13 A	Mast 14 A	Mast 15 A	Mast 16 A	Mast 18 A
13	0.00	-10.00	483				
14	0.00	-10.50		445			
15	0.00	-10.50			445		
16	0.00	-9.00				320	
18	0.00	-10.75					422

Project : BBB
 Onderdeel : MBT-EHV 380

Netto paal draagvermogen(s) zijn naar beneden toe afgerond op: 1.0 kN nauwkeurig
 Alle niveaus/hogtes/peilmaten zijn t.o.v.: N.A.P.

sondering	maaiveld niveau	paalpunt niveau	$R_{t,netto;d}$ Mast 10 A	[kN]
10	0.00	-7.50	272	

Project : BBB
 Onderdeel : MBT-EHV 380

ALGEMENE GEGEVENS

Project : BBB
 Onderdeel : MBT-EHV 380
 Datum : 07-01-2021
 Bestand : \\Arh7001.verit.dnv.com\projects\EANL_Projects\
 10166262 - BBB modelleren funderingen 380
 kV\02 Content\03 Calculations\Technosoft
 Paalfunderingen\MBT-EHV380\DO\Bestaande
 sonderingen\MBT-EHV380 20-29 (21 23 29).pvw
 Berekeningstype : Verticaal belaste paal
 Alle niveaus/hogtes/peilmaten zijn t.o.v.: N.A.P.

Toegepaste normen volgens Eurocode met Nederlandse NB

Geotechniek	EN 1997-1:2004	AC:2009	
	NEN-EN 1997-1:2005	C1+A1:2013	NB:2016
	NEN 9997-1:2016	C2:2017	

GRONDSOORTEN

Nr. Omschrijving	$\gamma_{k;1}$ [kN/m ³]	$\gamma_{sat;k;1}$ [kN/m ³]	$\phi'_{k;1}$ [°]	$\gamma_{k;2}$ [kN/m ³]	$\gamma_{sat;k;2}$ [kN/m ³]	$\phi'_{k;2}$ [°]
1 Zand - Schoon - Los	17.00	19.00	30.00	18.00	20.00	32.50
2 Zand - Schoon - Matig	18.00	20.00	32.50	19.00	21.00	35.00
3 Zand - Schoon - Vast	19.00	21.00	35.00	20.00	22.00	40.00
4 Zand - Zwak siltig - Kleiig	18.00	20.00	27.00	19.00	21.00	32.50
5 Zand - Sterk siltig - Kleiig	18.00	20.00	25.00	19.00	21.00	30.00
6 Leem - Zwak zandig - Vast	21.00	21.00	27.50	22.00	22.00	35.00
7 Klei - Schoon - Matig	17.00	17.00	17.50	19.00	19.00	17.50
8 Klei - Schoon - Vast	19.00	19.00	17.50	20.00	20.00	25.00
9 Klei - Zwak zandig - Slap	15.00	15.00	22.50	18.00	18.00	22.50
10 Klei - Zwak zandig - Matig	18.00	18.00	22.50	20.00	20.00	22.50
11 Klei - Zwak zandig - Vast	20.00	20.00	22.50	21.00	21.00	27.50
12 Klei - Organisch - Matig	15.00	15.00	15.00	16.00	16.00	15.00
13 Veen - Niet voorbelast - Slap	10.00	10.00	15.00	12.00	12.00	15.00
14 Veen - Matig voorbelast - Matig	12.00	12.00	15.00	13.00	13.00	15.00

BODEMPROFIELGEGEVENS: 21

Alle niveaus/hogtes/peilmaten zijn t.o.v.: N.A.P.

d50-reductie is meegenomen overeenkomstig NEN-EN 9997 art. 7.6.2.3 (i)

Laag	Van [m]	Tot [m]	Omschrijving	OCR	Aandeel pos. kleef [%]	α_s	d_{50} [mm]
1	0.00	-0.95	Leem - Zwak zandig - Vast	1.0	50.0		
2	-0.95	-2.50	Zand - Schoon - Matig	1.0	100.0		
3	-2.50	-3.39	Zand - Schoon - Los	1.0	100.0		
4	-3.39	-3.77	Zand - Zwak siltig - Kleiig	1.0	100.0		
5	-3.77	-6.50	Zand - Schoon - Matig	1.0	100.0		
6	-6.50	-7.00	Leem - Zwak zandig - Vast	1.0	50.0		
7	-7.00	-8.81	Zand - Schoon - Matig	1.0	100.0		
8	-8.81	-9.24	Zand - Schoon - Los	1.0	100.0		
9	-9.24	-10.94	Leem - Zwak zandig - Vast	1.0	50.0		
10	-10.94	-11.14	Zand - Schoon - Los	1.0	100.0		
11	-11.14	-14.13	Klei - Zwak zandig - Matig	1.0	50.0		
12	-14.13	-14.81	Leem - Zwak zandig - Vast	1.0	50.0		
13	-14.81	-15.52	Zand - Schoon - Los	1.0	100.0		
14	-15.52	-19.28	Zand - Schoon - Vast	1.0	100.0		

BODEMPROFIELGEGEVENS: 23

Alle niveaus/hogtes/peilmaten zijn t.o.v.: N.A.P.

d50-reductie is meegenomen overeenkomstig NEN-EN 9997 art. 7.6.2.3 (i)

Laag	Van [m]	Tot [m]	Omschrijving	OCR	Aandeel pos. kleef [%]	α_s	d_{50} [mm]
1	0.00	-3.00	Zand - Schoon - Matig	1.0	100.0		
2	-3.00	-3.33	Zand - Schoon - Los	1.0	100.0		
3	-3.33	-4.36	Zand - Zwak siltig - Kleiig	1.0	100.0		
4	-4.36	-5.62	Zand - Schoon - Vast	1.0	100.0		
5	-5.62	-6.41	Zand - Sterk siltig - Kleiig	1.0	100.0		
6	-6.41	-7.04	Zand - Schoon - Vast	1.0	100.0		

Project : BBB
 Onderdeel : MBT-EHV 380

Laag	Van [m]	Tot [m]	Omschrijving	OCR	Aandeel pos. kleef [%]	α_s	d_{50} [mm]
7	-7.04	-7.69	Zand - Schoon - Matig	1.0	100.0		
8	-7.69	-8.10	Leem - Zwak zandig - Vast	1.0	100.0		
9	-8.10	-10.45	Zand - Sterk siltig - Kleiig	1.0	100.0		
10	-10.45	-13.01	Klei - Zwak zandig - Matig	1.0	50.0		
11	-13.01	-14.23	Zand - Sterk siltig - Kleiig	1.0	100.0		
12	-14.23	-14.81	Zand - Schoon - Matig	1.0	100.0		
13	-14.81	-15.19	Zand - Schoon - Los	1.0	100.0		
14	-15.19	-15.73	Zand - Schoon - Vast	1.0	100.0		
15	-15.73	-15.98	Zand - Schoon - Los	1.0	100.0		
16	-15.98	-18.84	Zand - Schoon - Vast	1.0	100.0		

BODEMPROFIELGEGEVENS: 29

Alle niveaus/hogtes/peilmaten zijn t.o.v.: N.A.P.
 d50-reductie is meegenomen overeenkomstig NEN-EN 9997 art. 7.6.2.3 (i)

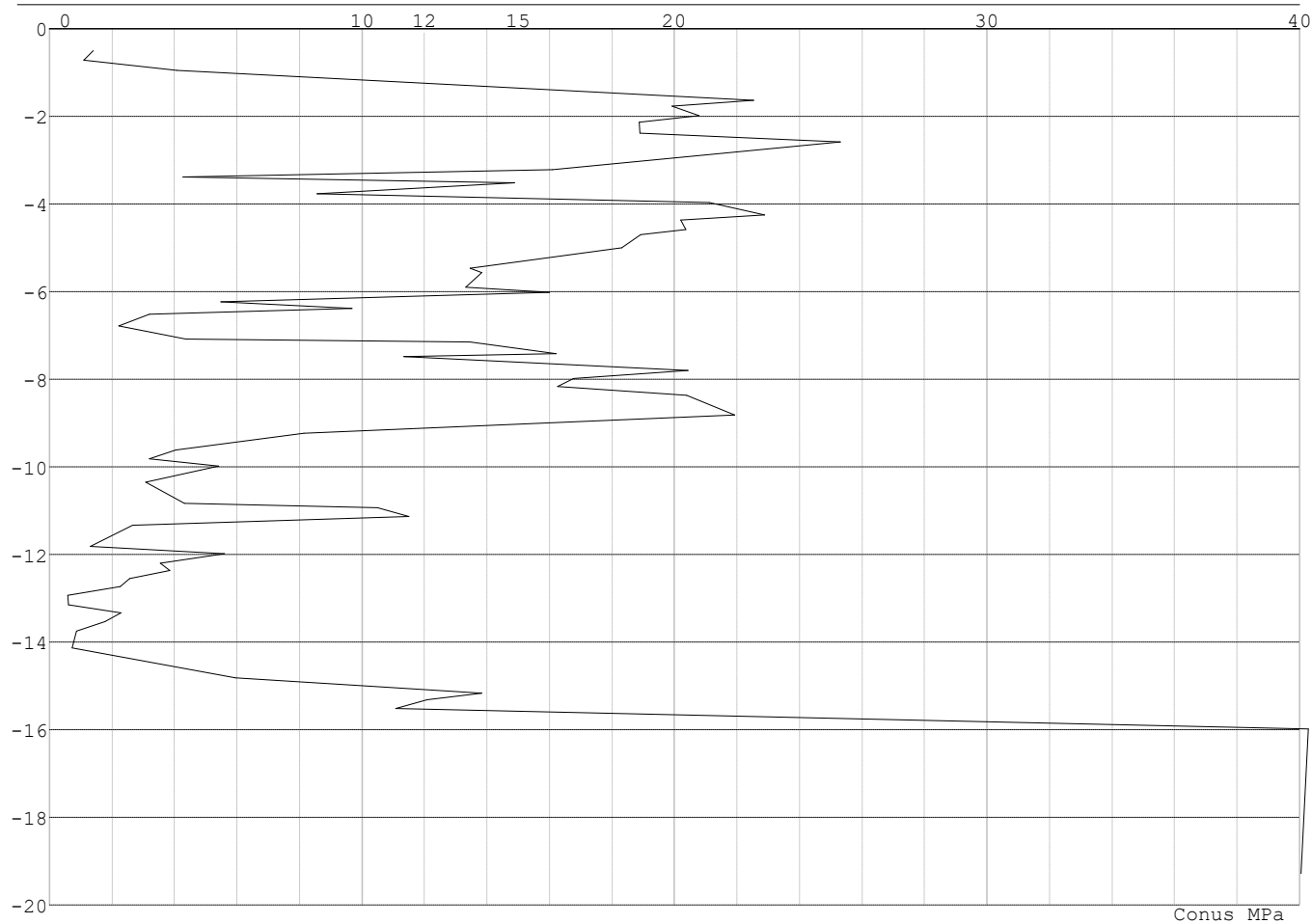
Laag	Van [m]	Tot [m]	Omschrijving	OCR	Aandeel pos. kleef [%]	α_s	d_{50} [mm]
1	0.00	-2.03	Zand - Sterk siltig - Kleiig	1.0	100.0		
2	-2.03	-3.31	Zand - Zwak siltig - Kleiig	1.0	100.0		
3	-3.31	-4.15	Zand - Schoon - Matig	1.0	100.0		
4	-4.15	-4.72	Leem - Zwak zandig - Vast	1.0	50.0		
5	-4.72	-5.51	Zand - Schoon - Matig	1.0	100.0		
6	-5.51	-6.80	Zand - Schoon - Los	1.0	100.0		
7	-6.80	-7.56	Zand - Zwak siltig - Kleiig	1.0	100.0		
8	-7.56	-7.91	Zand - Schoon - Vast	1.0	100.0		
9	-7.91	-9.11	Zand - Schoon - Matig	1.0	100.0		
10	-9.11	-9.52	Zand - Zwak siltig - Kleiig	1.0	100.0		
11	-9.52	-9.80	Leem - Zwak zandig - Vast	1.0	50.0		
12	-9.80	-10.72	Klei - Zwak zandig - Slap	1.0	50.0		
13	-10.72	-11.33	Zand - Sterk siltig - Kleiig	1.0	100.0		
14	-11.33	-13.42	Leem - Zwak zandig - Vast	1.0	50.0		
15	-13.42	-16.91	Klei - Schoon - Matig	1.0	50.0		
16	-16.91	-17.31	Zand - Schoon - Los	1.0	100.0		
17	-17.31	-18.55	Zand - Sterk siltig - Kleiig	1.0	100.0		
18	-18.55	-18.85	Zand - Schoon - Los	1.0	100.0		
19	-18.85	-19.60	Zand - Schoon - Vast	1.0	100.0		
20	-19.60	-19.84	Zand - Schoon - Los	1.0	100.0		
21	-19.84	-19.97	Zand - Schoon - Matig	1.0	100.0		

SONDERINGSGEGEVENS ALGEMEEN: 21

Alle niveaus/hogtes/peilmaten zijn t.o.v.: N.A.P.
 Hoogte maaiveld [m] : 0.00 Bodemprofiel: 21
 Traject negatieve kleef : 0.00 tot -1.00 [m]
 Traject positieve kleef : -1.60 tot -19.28 [m]

Project : BBB
Onderdeel : MBT-EHV 380

SONDERINGSGEGEVENS GRAFIEK: 21

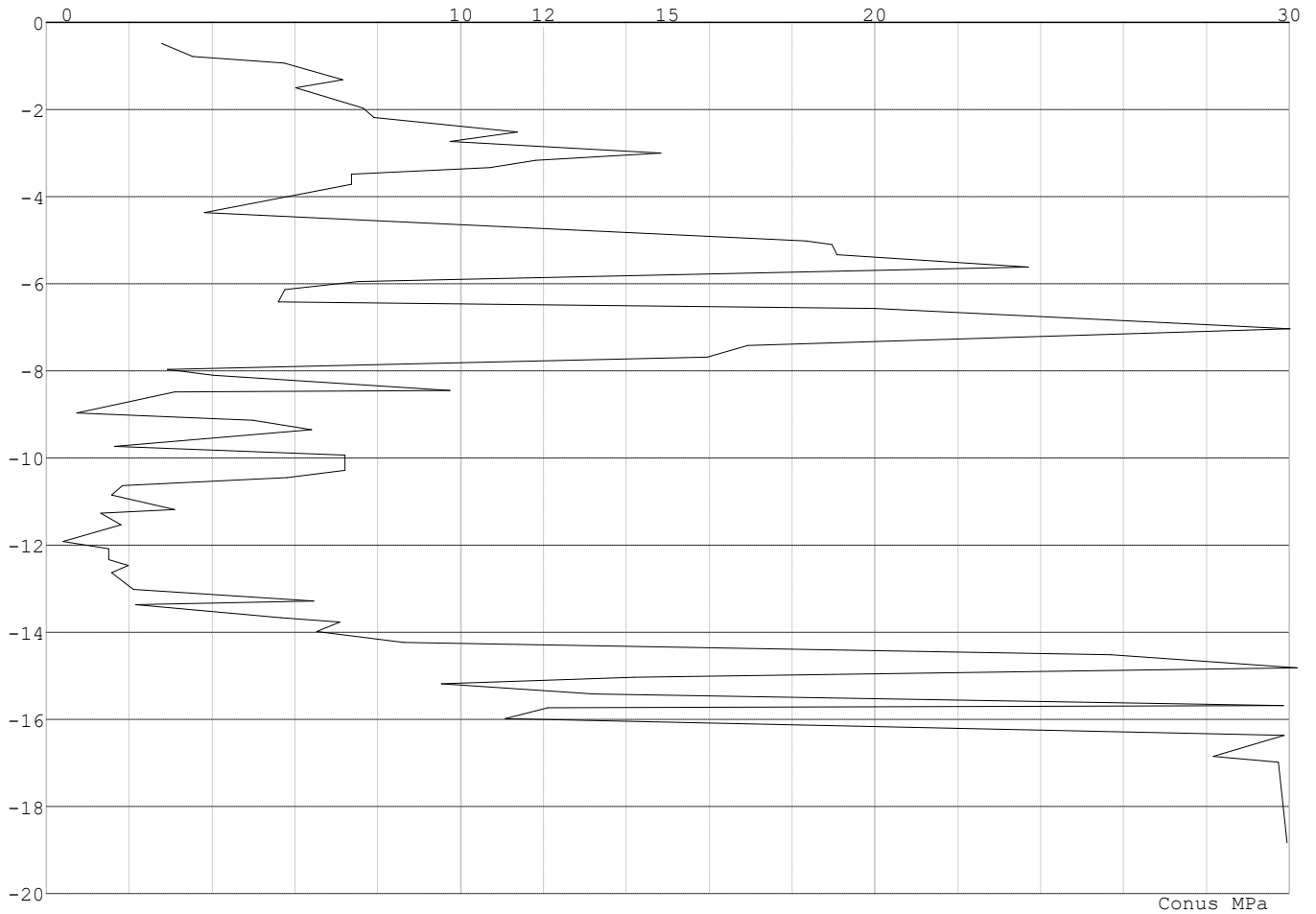


Project : BBB
Onderdeel : MBT-EHV 380

SONDERINGSGEGEVENS ALGEMEEN: 23

Alle niveaus/hogtes/peilmaten zijn t.o.v.: N.A.P.
Hoogte maaiveld [m] : 0.00 Bodemprofiel: 23
Traject negatieve kleeft : 0.00 tot -0.90 [m]
Traject positieve kleeft : -1.40 tot -18.84 [m]

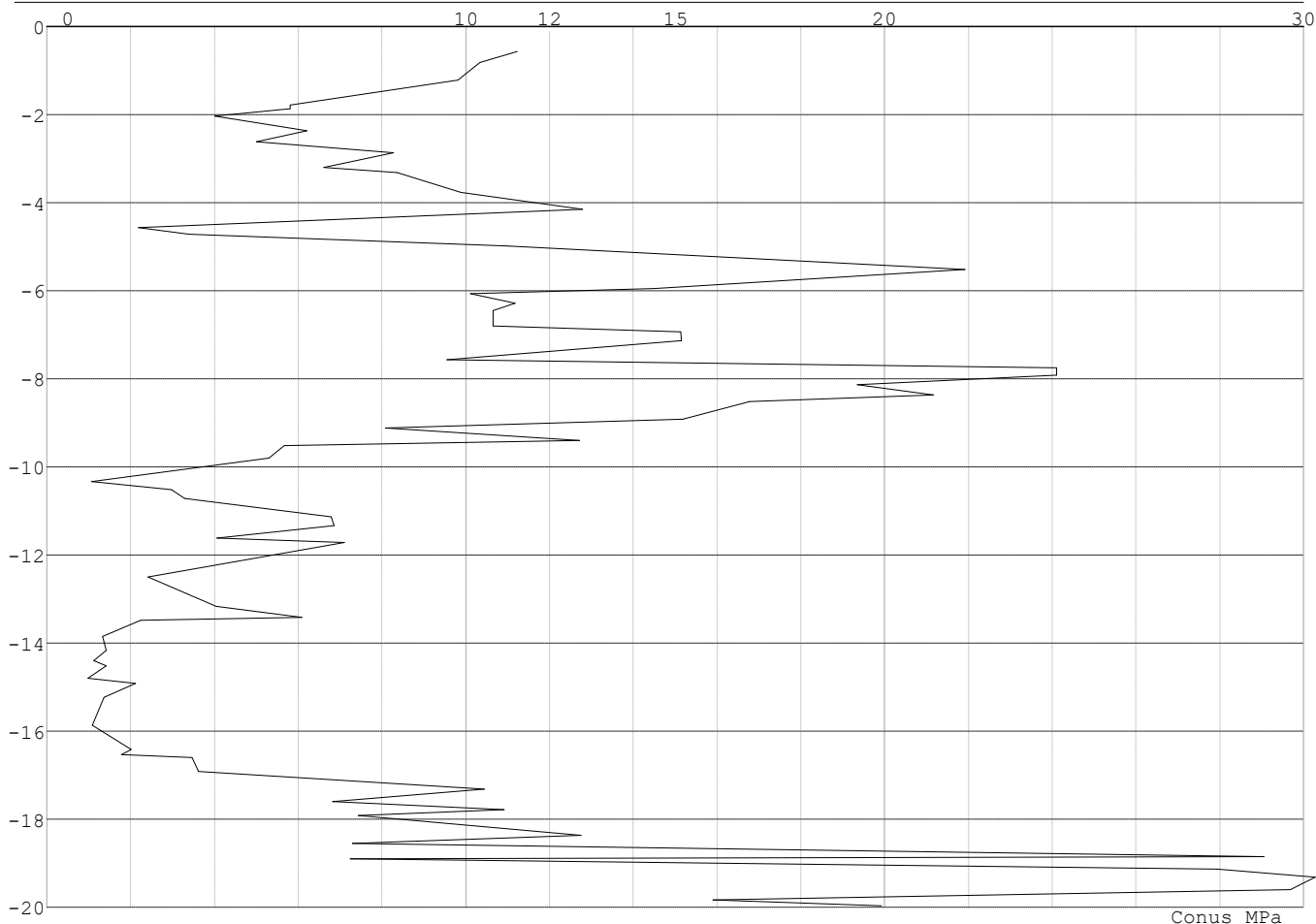
SONDERINGSGEGEVENS GRAFIEK: 23



Project : BBB
Onderdeel : MBT-EHV 380

SONDERINGSGEGEVENS ALGEMEEN: 29

Alle niveaus/hogtes/peilmaten zijn t.o.v.: N.A.P.
 Hoogte maaiveld [m] : 0.00 Bodemprofiel: 29
 Traject negatieve kleeft : 0.00 tot -2.00 [m]
 Traject positieve kleeft : -4.60 tot -19.97 [m]

SONDERINGSGEGEVENS GRAFIEK: 29**REKENGEVENS Mast 21 - Afk Trk**

Berekening : Controlerend
 Rekenmethode : Trekpalen volgens NEN-EN 1997-1, art. 7.6.3
 Sondering(en) : 21
 Let op: trekcapaciteit t.p.v. negatief kleefttraject is meegerekend.

Stijf bouwwerk : NEE
 Paalgroep : NEE
 Aantal sonderingen : 1
 Factor ξ_3 (n=1) : 1.39
 Factor ξ_3 (gem) : 1.39
 Factor ξ_4 (min) : 1.39
 Weerstandsfactor γ_R : 1.35
 $\gamma_{m;var;q_c}$: 1.50
 UGT draagvermogen zonder negatieve kleeft : NEE

Paal : LD1
 Niveau paalkop [m] : N.A.P. -0.25
 Paalpuntniveau : N.A.P. -8.75
 $E_{d,1}$ [kN] : 0.00 $E_{d,2}$ [kN] : 0.00
 Bovenbel. [kN/m²] : 0.00

RESULTATEN Mast 21 - Afk Trk (n=1)

Project : BBB
Onderdeel : MBT-EHV 380

Sondering : 21

Alle niveaus/hogtes/peilmaten zijn t.o.v.: N.A.P.

Inheinniveau [m]	Effectief inheinniveau [m]	E.G. paal [kN]	$R_{t,cal;k}$ [kN]	$R_{t;d}$ [kN]	$F_{t,tot;1}$ [kN]	U.C.
-8.75	-8.75	28.5	439.0	439.0	0.0	0.00

SAMENVATTINGSTABEL Mast 21 - Afk Trk (n=1)**Uitgangspunten**

- paal : LD1
- paaltype : Stalen buispaal (gesloten)
- schachtafmeting : 550 mm
Paalklassefactor α_p : 1.00
Factor α_t (tabel 7.c EC 7.1) : 0.0070 (zandlagen; voor kleilagen zie tabel 7.d)
Correlatiefactor $\xi_{3(n=1)}$: 1.39

Alle niveaus/hogtes/peilmaten zijn t.o.v.: N.A.P.

sondering	maaiveld niveau	paalpunt niveau	Bezijdraagvermogen $R_{t,cal}$ [kN]	Rekenwaarden $R_{t;d}$ [kN]	$R_{t,netto;d}$ [kN]
21	0.00	-8.75	439.0	439.0	439.0

Totaal resultaten Mast 21 - Afk Trk (van 1 sonderingen)**Uitgangspunten**

Correlatiefactor ξ_{3gem} (n= 1) : 1.39
Correlatiefactor ξ_{4min} (n= 1) : 1.39

gebaseerd op sonderingen:
21

$$R_{t;d} = \min.\{ R_{t,cal;gem}; R_{t,cal;min} \} (7.17) *$$

Inheinniveau
[m]

$$-8.75 \quad R_{t;d} = \min.\{ 439.0; 439.0 \} = 439.0$$

*) Bij de trekpaalberekening zijn factoren ξ_3 en ξ_4 al bij de berekening van de conusweerstand $q_{c;z;d}$ in rekening gebracht, evenals factor $\gamma_{s;t}$. Dat is conform de opmerkingen in art. 7.6.3.3 (3) en (4).

Alle niveaus/hogtes/peilmaten zijn t.o.v.: N.A.P.

Inheinniveau [m]	$R_{t;k}$ [kN]	$R_{t;d}$ [kN]	$F_{t,tot;1}$ [kN]	$R_{t,netto;d}$ [kN]	U.C.
-8.75	439.0	439.0	0.0	439.0	0.00

REKENEGEGEVENS Mast 23 - Afk Trk

Berekening : Ontwerpend
Rekenmethode : Trekpalen volgens NEN-EN 1997-1, art. 7.6.3
Sondering(en) : 23
Let op: trekcapaciteit t.p.v. negatief kleeftraject is meegerekend.

Stijf bouwwerk : JA
Paalgroep : NEE
Aantal sonderingen : 1
Factor ξ_3 (n=1) : 1.26
Factor ξ_3 (gem) : 1.26
Factor ξ_4 (min) : 1.26
Weerstandsfactor γ_R : 1.35
 $\gamma_{m,var;q_c}$: 1.35
UGT draagvermogen zonder negatieve kleeft : NEE

Paal : LD1
Niveau paalkop [m] : N.A.P. -0.25
Paalpuntniveau : N.A.P. -7.25
Bovenbel. [kN/m²] : 0.00

Project : BBB
Onderdeel : MBT-EHV 380

RESULTATEN Mast 23 - Afk Trk (n=1)

Alle niveaus/hogtes/peilmaten zijn t.o.v.: N.A.P.

Sondering 23

Niveau [m]	$F_{netto;t}$ [kN]
-7.25	337

SAMENVATTINGSTABEL Mast 23 - Afk Trk (n=1)**Uitgangspunten**

- paal : LD1
- paaltype : Stalen buispaal (gesloten)
- schachtafmeting : 550 mm
Paalklassefactor α_p : 1.00
Factor α_t (tabel 7.c EC 7.1) : 0.0070 (zandlagen; voor kleilagen zie tabel 7.d)
Correlatiefactor $\xi_{3(n=1)}$: 1.26

Alle niveaus/hogtes/peilmaten zijn t.o.v.: N.A.P.

sondering	maaiveld niveau	paalpunt niveau	Bezuikdraagvermogen $R_{t,cal}$ [kN]	Rekenwaarden $R_{t,d}$ [kN]	$R_{t,netto;d}$ [kN]
23	0.00	-7.25	337.2	337.2	337.2

Totaal resultaten Mast 23 - Afk Trk (van 1 sonderingen)**Uitgangspunten**

Correlatiefactor ξ_{3gem} (n= 1) : 1.26
Correlatiefactor ξ_{4min} (n= 1) : 1.26

gebaseerd op sonderingen:
23

$$R_{t,d} = \min.\{ R_{t,cal,gem}; R_{t,cal,min} \} (7.17) *$$

Inheinniveau
[m]

$$-7.25 \quad R_{t,d} = \min.\{ 337.2; 337.2 \} = 337.2$$

*) Bij de trekpaalberekening zijn factoren ξ_3 en ξ_4 al bij de berekening van de conusweerstand $q_{c;z;d}$ in rekening gebracht, evenals factor $\gamma_{s,t}$. Dat is conform de opmerkingen in art. 7.6.3.3 (3) en (4).

Alle niveaus/hogtes/peilmaten zijn t.o.v.: N.A.P.

Niveau	$F_{netto;t}$
-7.25	337.2

PAALGEGEVENS LD1

Type : Stalen buispaal (gesloten)
Wijze van installeren : Heien
Diameter [m] : 0.550
Wanddikte t [mm] : 4.0
Elasticiteitsmodulus [N/mm²] : 200000 (Staal)
Soortelijk gewicht [kN/m3] : 78.5 (Staal)
Elasticiteitsmodulus [N/mm²] : 20000 (Beton)
Soortelijk gewicht [kN/m3] : 24.0 (Beton)
Factor α_s (tabel 7.c EC 7.1) : 0.010 (zandlagen; voor kleilagen zie tabel 7.d)
Factor α_t (tabel 7.c EC 7.1) : 0.0070 (zandlagen; voor kleilagen zie tabel 7.d)
Paalklassefactor α_p : 1.00
Paalvoetvormfactor β : 1.00
Type lastzakkingsdiagram : Grondverdringende paal
Verm.factor * $\phi'_{j,k}$: 0.75
Groutomhulling : NEE

Project : BBB
 Onderdeel : MBT-EHV 380

OVERZICHT NETTO DRAAGVERMOGEN DRUKPALEN

Netto paal draagvermogen(s) zijn naar beneden toe afgerond op: 1.0 kN nauwkeurig
 Alle niveaus/hogtes/peilmaten zijn t.o.v.: N.A.P.

sondering	maaiveld paalpunt		$R_{c,netto;d}$ [kN]	
	niveau	niveau	Mast 21 -	Mast 23 -
21	0.00	-8.75	1472	
23	0.00	-7.25		1034

OVERZICHT NETTO DRAAGVERMOGEN TREKPALEN (n=1)

Netto paal draagvermogen(s) zijn naar beneden toe afgerond op: 1.0 kN nauwkeurig
 Alle niveaus/hogtes/peilmaten zijn t.o.v.: N.A.P.

sondering	maaiveld paalpunt		$R_{t,netto;d}$ [kN]	
	niveau	niveau	Mast 21 -	Mast 23 -
21	0.00	-8.75	438	
23	0.00	-7.25		337

Project : BBB
Onderdeel : MBT-EHV 380

ALGEMENE GEGEVENS

Project : BBB
Onderdeel : MBT-EHV 380
Datum : 07-01-2021
Bestand : \\Arh7001.verit.dnv.com\projects\EANL_Projects\
10166262 - BBB modelleren funderingen 380
kV\02 Content\03 Calculations\Technosoft
Paalfunderingen\MBT-EHV380\DO\Bestaande
sonderingen\MBT-EHV380 30-39 (30 39).pvw
Berekeningstype : Verticaal belaste paal
Alle niveaus/hogtes/peilmaten zijn t.o.v.: N.A.P.

Toegepaste normen volgens Eurocode met Nederlandse NB

Geotechniek	EN 1997-1:2004	AC:2009	
	NEN-EN 1997-1:2005	C1+A1:2013	NB:2016
	NEN 9997-1:2016	C2:2017	

GRONDSOORTEN

Nr. Omschrijving	$\gamma_{k;1}$ [kN/m ³]	$\gamma_{sat;k;1}$ [kN/m ³]	$\phi'_{k;1}$ [°]	$\gamma_{k;2}$ [kN/m ³]	$\gamma_{sat;k;2}$ [kN/m ³]	$\phi'_{k;2}$ [°]
1 Zand - Schoon - Los	17.00	19.00	30.00	18.00	20.00	32.50
2 Zand - Schoon - Matig	18.00	20.00	32.50	19.00	21.00	35.00
3 Zand - Schoon - Vast	19.00	21.00	35.00	20.00	22.00	40.00
4 Zand - Zwak siltig - Kleiig	18.00	20.00	27.00	19.00	21.00	32.50
5 Zand - Sterk siltig - Kleiig	18.00	20.00	25.00	19.00	21.00	30.00
6 Leem - Zwak zandig - Vast	21.00	21.00	27.50	22.00	22.00	35.00
7 Klei - Schoon - Matig	17.00	17.00	17.50	19.00	19.00	17.50
8 Klei - Schoon - Vast	19.00	19.00	17.50	20.00	20.00	25.00
9 Klei - Zwak zandig - Slap	15.00	15.00	22.50	18.00	18.00	22.50
10 Klei - Zwak zandig - Matig	18.00	18.00	22.50	20.00	20.00	22.50
11 Klei - Zwak zandig - Vast	20.00	20.00	22.50	21.00	21.00	27.50

BODEMPROFIELGEGEVENS: 39

Alle niveaus/hogtes/peilmaten zijn t.o.v.: N.A.P.

d50-reductie is meegenomen overeenkomstig NEN-EN 9997 art. 7.6.2.3 (i)

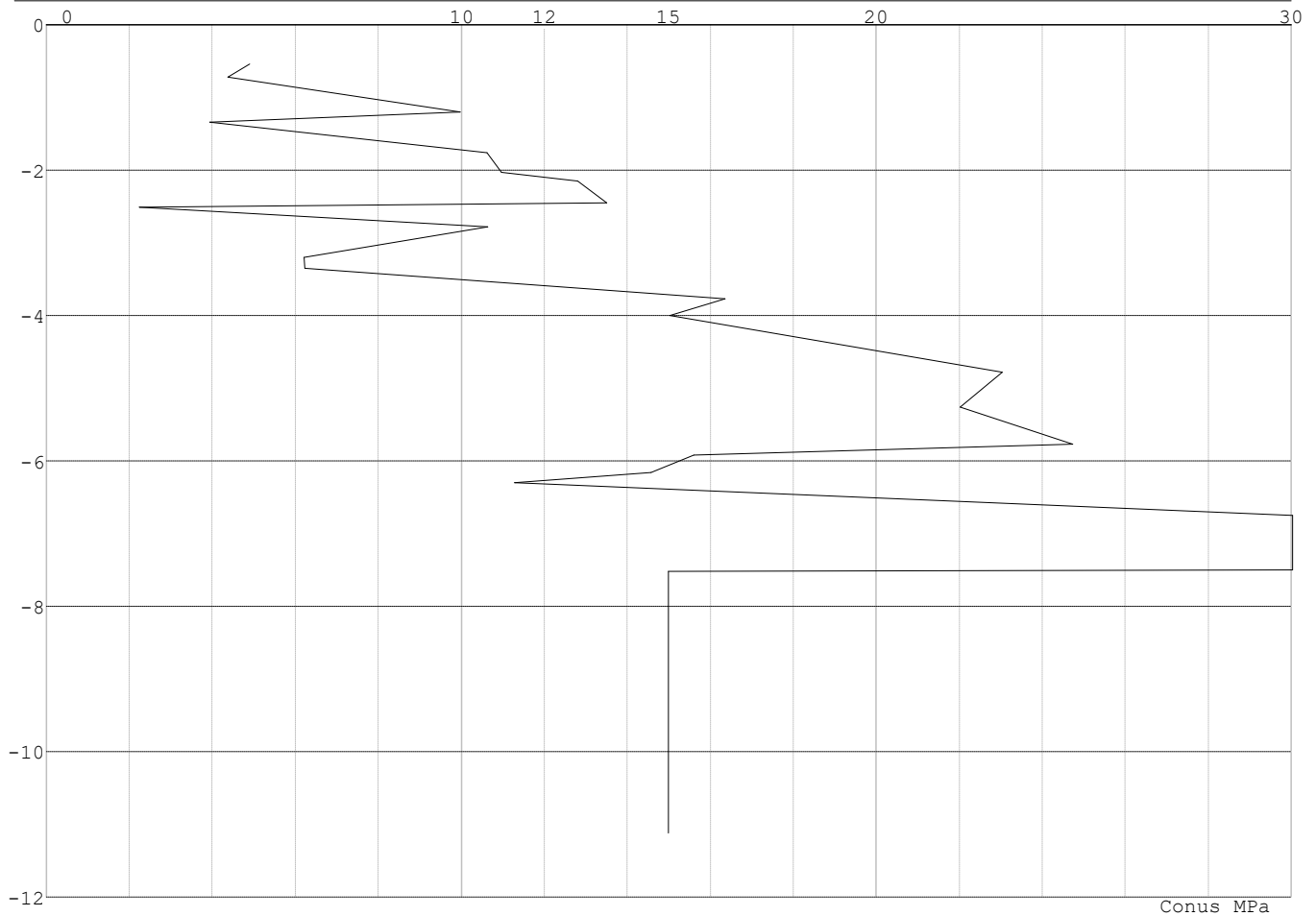
Laag	Van [m]	Tot [m]	Omschrijving	OCR	Aandeel pos. kleef [%]	α_s	d_{50} [mm]
1	0.00	-1.34	Zand - Sterk siltig - Kleiig	1.0	100.0		
2	-1.34	-2.45	Zand - Zwak siltig - Kleiig	1.0	100.0		
3	-2.45	-2.51	Leem - Zwak zandig - Vast	1.0	50.0		
4	-2.51	-2.78	Zand - Schoon - Los	1.0	100.0		
5	-2.78	-3.35	Zand - Zwak siltig - Kleiig	1.0	100.0		
6	-3.35	-3.77	Zand - Schoon - Matig	1.0	100.0		
7	-3.77	-5.77	Zand - Schoon - Vast	1.0	100.0		
8	-5.77	-6.30	Zand - Schoon - Los	1.0	100.0		
9	-6.30	-11.12	Zand - Schoon - Vast	1.0	100.0		

SONDERINGSGEGEVENS ALGEMEEN: 39

Alle niveaus/hogtes/peilmaten zijn t.o.v.: N.A.P.

Hoogte maaiveld [m] : 0.00 Bodemprofiel: 39
Traject negatieve kleef : 0.00 tot -0.90 [m]
Traject positieve kleef : -0.90 tot -11.11 [m]

Project : BBB
 Onderdeel : MBT-EHV 380

SONDERINGSGEGEVENS GRAFIEK: 39**REKENEGEVEENS Mast 39 - Afk Trk**

Berekening : Controlerend
 Rekenmethode : Trekpalen volgens NEN-EN 1997-1, art. 7.6.3
 Sondering(en) : 39
 Let op: trekcapaciteit t.p.v. negatief kleeftraject is meegerekend.

Stijf bouwwerk : JA
 Paalgroep : NEE
 Aantal sonderingen : 1
 Factor ξ_3 (n=1) : 1.26
 Factor ξ_3 (gem) : 1.26
 Factor ξ_4 (min) : 1.26
 Weerstandsfactor γ_R : 1.35
 $\gamma_{m;var;q_c}$: 1.35
 UGT draagvermogen zonder negatieve kleeft : NEE

Paal : LD1
 Niveau paalkop [m] : N.A.P. -0.25
 Paalpuntniveau : N.A.P. -7.85
 $E_{d,1}$ [kN] : 0.00 $E_{d,2}$ [kN] : 0.00
 Bovenbel. [kN/m²] : 0.00

RESULTATEN Mast 39 - Afk Trk (n=1)

Project : BBB
Onderdeel : MBT-EHV 380

Sondering : 39

Alle niveaus/hogtes/peilmaten zijn t.o.v.: N.A.P.

Inheinniveau [m]	Effectief inheinniveau [m]	E.G. paal [kN]	$R_{t,cal;k}$ [kN]	$R_{t;d}$ [kN]	$F_{t,tot;1}$ [kN]	U.C.
-7.85	-7.85	25.7	460.8	460.8	0.0	0.00

SAMENVATTINGSTABEL Mast 39 - Afk Trk (n=1)**Uitgangspunten**

- paal : LD1
- paaltype : Stalen buispaal (gesloten)
- schachtafmeting : 550 mm
Paalklassefactor α_p : 1.00
Factor α_t (tabel 7.c EC 7.1) : 0.0070 (zandlagen; voor kleilagen zie tabel 7.d)
Correlatiefactor $\xi_{3(n=1)}$: 1.26

Alle niveaus/hogtes/peilmaten zijn t.o.v.: N.A.P.

sondering	maaiveld paalpunt		Bezijdraagvermogen $R_{t,cal}$ [kN]	Rekenwaarden	
	niveau	niveau		$R_{t;d}$ [kN]	$R_{t,netto;d}$ [kN]
39	0.00	-7.85	460.8	460.8	460.8

Totaal resultaten Mast 39 - Afk Trk (van 1 sonderingen)**Uitgangspunten**

Correlatiefactor ξ_{3gem} (n= 1) : 1.26
Correlatiefactor ξ_{4min} (n= 1) : 1.26

gebaseerd op sonderingen:
39

$$R_{t;d} = \min.\{ R_{t,cal;gem}; R_{t,cal;min} \} (7.17) *$$

Inheinniveau
[m]

$$-7.85 \quad R_{t;d} = \min.\{ 460.8; 460.8 \} = 460.8$$

*) Bij de trekpaalberekening zijn factoren ξ_3 en ξ_4 al bij de berekening van de conusweerstand $q_{c;z;d}$ in rekening gebracht, evenals factor $\gamma_{s;t}$. Dat is conform de opmerkingen in art. 7.6.3.3 (3) en (4).

Alle niveaus/hogtes/peilmaten zijn t.o.v.: N.A.P.

Inheinniveau [m]	$R_{t;k}$ [kN]	$R_{t;d}$ [kN]	$F_{t,tot;1}$ [kN]	$R_{t,netto;d}$ [kN]	U.C.
-7.85	460.8	460.8	0.0	460.8	0.00

PAALGEGEVENS LD1

Type : Stalen buispaal (gesloten)
Wijze van installeren : Heien
Diameter [m] : 0.550
Wanddikte t [mm] : 4.0
Elasticiteitsmodulus [N/mm²] : 200000 (Staal)
Soortelijk gewicht [kN/m³] : 78.5 (Staal)
Elasticiteitsmodulus [N/mm²] : 20000 (Beton)
Soortelijk gewicht [kN/m³] : 24.0 (Beton)
Factor α_s (tabel 7.c EC 7.1) : 0.010 (zandlagen; voor kleilagen zie tabel 7.d)
Factor α_t (tabel 7.c EC 7.1) : 0.0070 (zandlagen; voor kleilagen zie tabel 7.d)
Paalklassefactor α_p : 1.00
Paalvoetvormfactor β : 1.00
Type lastzakingsdiagram : Grondverdringende paal
Verm.factor * $\phi'_{j;k}$: 0.75
Groutomhulling : NEE

Project : BBB
 Onderdeel : MBT-EHV 380

OVERZICHT NETTO DRAAGVERMOGEN DRUKPALEN

Netto paal draagvermogen(s) zijn naar beneden toe afgerond op: 1.0 kN nauwkeurig
 Alle niveaus/hoogtes/peilmaten zijn t.o.v.: N.A.P.

sondering	maaiveld niveau	paalpunt niveau	$R_{c,netto;d}$ Mast 39 -	[kN]
39	0.00	-7.85	3106	

OVERZICHT NETTO DRAAGVERMOGEN TREKPALEN (n=1)

Netto paal draagvermogen(s) zijn naar beneden toe afgerond op: 1.0 kN nauwkeurig
 Alle niveaus/hoogtes/peilmaten zijn t.o.v.: N.A.P.

sondering	maaiveld niveau	paalpunt niveau	$R_{t,netto;d}$ Mast 39 -	[kN]
39	0.00	-7.85	460	

Project : BBB
Onderdeel : MBT-EHV 380

ALGEMENE GEGEVENS

Project : BBB
Onderdeel : MBT-EHV 380
Datum : 07-01-2021
Bestand : \\Arh7001.verit.dnv.com\projects\EANL_Projects\
10166262 - BBB modelleren funderingen 380
kV\02 Content\03 Calculations\Technosoft
Paalfunderingen\MBT-EHV380\DO\Bestaande
sonderingen\MBT-EHV380 60-69 (62 65 69).pvw
Berekeningstype : Verticaal belaste paal
Alle niveaus/hogtes/peilmaten zijn t.o.v.: N.A.P.

Toegepaste normen volgens Eurocode met Nederlandse NB

Geotechniek	EN 1997-1:2004	AC:2009	
	NEN-EN 1997-1:2005	C1+A1:2013	NB:2016
	NEN 9997-1:2016	C2:2017	

GRONDSOORTEN

Nr. Omschrijving	$\gamma_{k;1}$ [kN/m ³]	$\gamma_{sat;k;1}$ [kN/m ³]	$\phi'_{k;1}$ [°]	$\gamma_{k;2}$ [kN/m ³]	$\gamma_{sat;k;2}$ [kN/m ³]	$\phi'_{k;2}$ [°]
1 Zand - Schoon - Los	17.00	19.00	30.00	18.00	20.00	32.50
2 Zand - Schoon - Matig	18.00	20.00	32.50	19.00	21.00	35.00
3 Zand - Schoon - Vast	19.00	21.00	35.00	20.00	22.00	40.00
4 Zand - Zwak siltig - Kleiig	18.00	20.00	27.00	19.00	21.00	32.50
5 Zand - Sterk siltig - Kleiig	18.00	20.00	25.00	19.00	21.00	30.00
6 Leem - Zwak zandig - Matig	20.00	20.00	27.50	21.00	21.00	32.50
7 Leem - Zwak zandig - Vast	21.00	21.00	27.50	22.00	22.00	35.00
8 Klei - Schoon - Matig	17.00	17.00	17.50	19.00	19.00	17.50
9 Klei - Schoon - Vast	19.00	19.00	17.50	20.00	20.00	25.00
10 Klei - Zwak zandig - Slap	15.00	15.00	22.50	18.00	18.00	22.50
11 Klei - Zwak zandig - Matig	18.00	18.00	22.50	20.00	20.00	22.50
12 Klei - Zwak zandig - Vast	20.00	20.00	22.50	21.00	21.00	27.50
13 Klei - Organisch - Matig	15.00	15.00	15.00	16.00	16.00	15.00

BODEMPROFIELGEGEVENS: 69A

Alle niveaus/hogtes/peilmaten zijn t.o.v.: N.A.P.

d50-reductie is meegenomen overeenkomstig NEN-EN 9997 art. 7.6.2.3 (i)

Hoogte maaiveld [m] : 0.00 Grondwaterstand [m] : -1.00

Laag	Van [m]	Tot [m]	Omschrijving	OCR	Aandeel pos. kleef [%]	α_s	d_{50} [mm]
1	0.00	-2.00	Zand - Sterk siltig - Kleiig	1.0	50.0		
2	-2.00	-3.00	Leem - Zwak zandig - Vast	1.0	50.0		
3	-3.00	-3.86	Zand - Schoon - Matig	1.0	100.0		
4	-3.86	-5.00	Zand - Schoon - Los	1.0	100.0		
5	-5.00	-6.89	Klei - Zwak zandig - Matig	1.0	50.0		
6	-6.89	-7.70	Zand - Sterk siltig - Kleiig	1.0	100.0		
7	-7.70	-8.40	Zand - Schoon - Vast	1.0	100.0		
8	-8.40	-9.00	Klei - Schoon - Vast	1.0	50.0		
9	-9.00	-9.49	Zand - Schoon - Vast	1.0	100.0		
10	-9.49	-10.20	Zand - Schoon - Matig	1.0	100.0		
11	-10.20	-16.26	Zand - Schoon - Vast	1.0	100.0		

SONDERINGSGEGEVENS ALGEMEEN: 69A

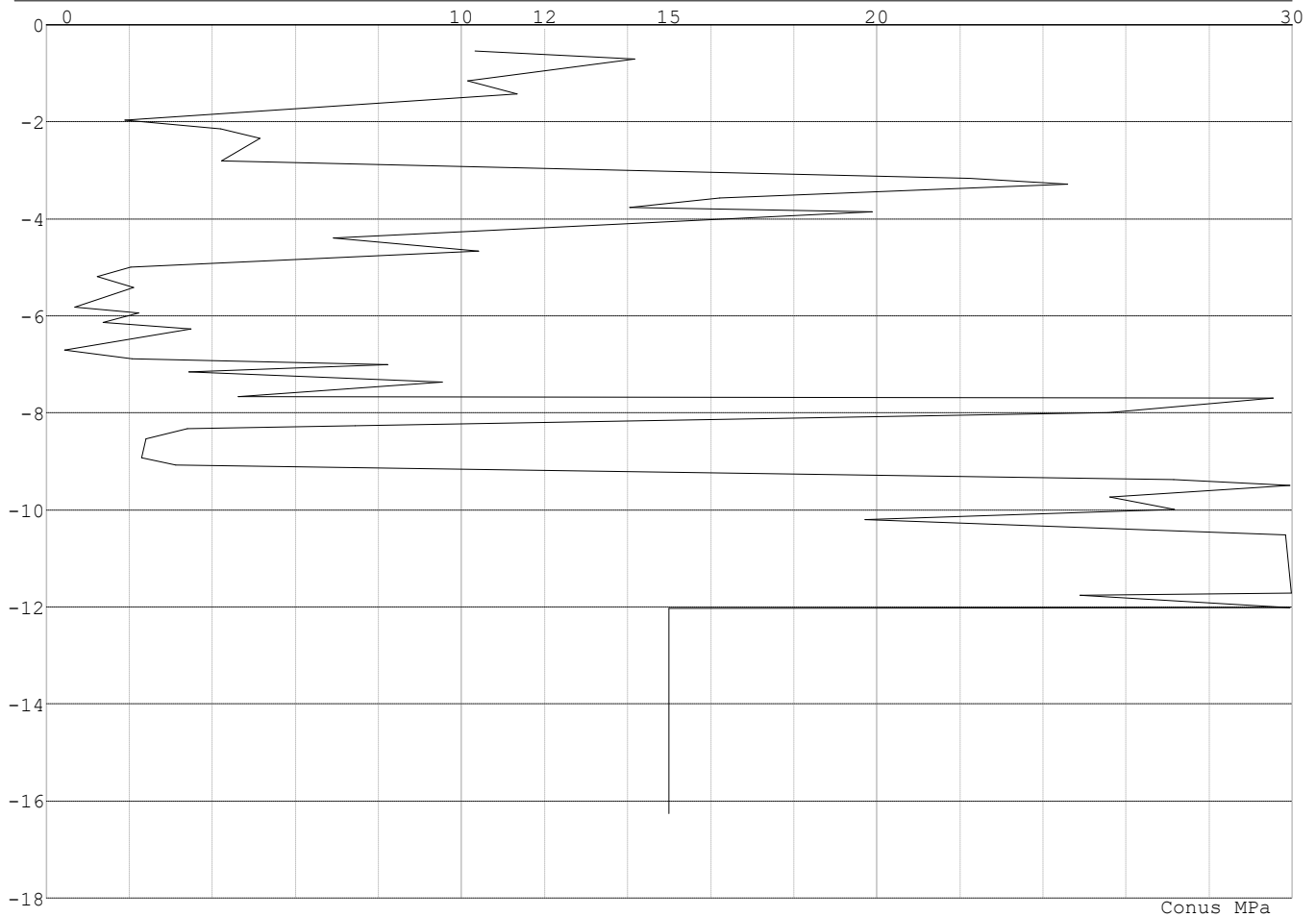
Alle niveaus/hogtes/peilmaten zijn t.o.v.: N.A.P.

Hoogte maaiveld [m] : 0.00 Bodemprofiel: 69A

Traject negatieve kleef : 0.00 tot -7.70 [m]

Traject positieve kleef : -7.70 tot -16.26 [m]

Project : BBB
Onderdeel : MBT-EHV 380

SONDERINGSGEGEVENS GRAFIEK: 69A

Conus MPa

REKENGEGEVENS Mast 69 - Afk Trk

Berekening : Controlerend
Rekenmethode : Trekpalen volgens NEN-EN 1997-1, art. 7.6.3
Sondering(en) : 69A
Let op: trekcapaciteit t.p.v. negatief kleeftraject is meegerekend.

Stijf bouwwerk : JA
Paalgroep : NEE
Aantal sonderingen : 1
Factor ξ_3 (n=1) : 1.26
Factor ξ_3 (gem) : 1.26
Factor ξ_4 (min) : 1.26
Weerstandsfactor γ_R : 1.35
 $\gamma_{m;var;q_c}$: 1.35
UGT draagvermogen zonder negatieve kleeft : NEE

Paal : LD1
Niveau paalkop [m] : N.A.P. -0.25
Paalpuntniveau : N.A.P. -11.25
 $E_{d,1}$ [kN] : 0.00 $E_{d,2}$ [kN] : 0.00
Bovenbel. [kN/m²] : 0.00

RESULTATEN Mast 69 - Afk Trk (n=1)

Project : BBB
Onderdeel : MBT-EHV 380

Sondering : 69A

Alle niveaus/hogtes/peilmaten zijn t.o.v.: N.A.P.

Inheinniveau [m]	Effectief inheinniveau [m]	E.G. paal [kN]	$R_{t,cal;k}$ [kN]	$R_{t;d}$ [kN]	$F_{t,tot;1}$ [kN]	U.C.
-11.25	-11.25	36.4	517.6	517.6	0.0	0.00

SAMENVATTINGSTABEL Mast 69 - Afk Trk (n=1)**Uitgangspunten**

- paal : LD1
- paaltype : Stalen buispaal (gesloten)
- schachtafmeting : 550 mm
Paalklassefactor α_p : 1.00
Factor α_t (tabel 7.c EC 7.1) : 0.0070 (zandlagen; voor kleilagen zie tabel 7.d)
Correlatiefactor $\xi_{3(n=1)}$: 1.26

Alle niveaus/hogtes/peilmaten zijn t.o.v.: N.A.P.

sondering	maaiveld paalpunt		Bezuikdraagvermogen $R_{t,cal}$ [kN]	Rekenwaarden	
	niveau	niveau		$R_{t;d}$ [kN]	$R_{t,netto;d}$ [kN]
69A	0.00	-11.25	517.6	517.6	517.6

Totaal resultaten Mast 69 - Afk Trk (van 1 sonderingen)**Uitgangspunten**

Correlatiefactor ξ_{3gem} (n= 1) : 1.26
Correlatiefactor ξ_{4min} (n= 1) : 1.26

gebaseerd op sonderingen:
69A

$$R_{t;d} = \min.\{ R_{t,cal;gem}; R_{t,cal;min} \} (7.17) *$$

Inheinniveau
[m]

$$-11.25 \quad R_{t;d} = \min.\{ 517.6; 517.6 \} = 517.6$$

*) Bij de trekpaalberekening zijn factoren ξ_3 en ξ_4 al bij de berekening van de conusweerstand $q_{c;z;d}$ in rekening gebracht, evenals factor $\gamma_{s;t}$. Dat is conform de opmerkingen in art. 7.6.3.3 (3) en (4).

Alle niveaus/hogtes/peilmaten zijn t.o.v.: N.A.P.

Inheinniveau [m]	$R_{t;k}$ [kN]	$R_{t;d}$ [kN]	$F_{t,tot;1}$ [kN]	$R_{t,netto;d}$ [kN]	U.C.
-11.25	517.6	517.6	0.0	517.6	0.00

PAALGEGEVENS LD1

Type : Stalen buispaal (gesloten)
Wijze van installeren : Heien
Diameter [m] : 0.550
Wanddikte t [mm] : 4.0
Elasticiteitsmodulus [N/mm²] : 200000 (Staal)
Soortelijk gewicht [kN/m³] : 78.5 (Staal)
Elasticiteitsmodulus [N/mm²] : 20000 (Beton)
Soortelijk gewicht [kN/m³] : 24.0 (Beton)
Factor α_s (tabel 7.c EC 7.1) : 0.010 (zandlagen; voor kleilagen zie tabel 7.d)
Factor α_t (tabel 7.c EC 7.1) : 0.0070 (zandlagen; voor kleilagen zie tabel 7.d)
Paalklassefactor α_p : 1.00
Paalvoetvormfactor β : 1.00
Type lastzakingsdiagram : Grondverdringende paal
Verm.factor * $\phi'_{j;k}$: 0.75
Groutomhulling : NEE

Project : BBB
 Onderdeel : MBT-EHV 380

OVERZICHT NETTO DRAAGVERMOGEN DRUKPALEN

Netto paal draagvermogen(s) zijn naar beneden toe afgerond op: 1.0 kN nauwkeurig
 Alle niveaus/hoogtes/peilmaten zijn t.o.v.: N.A.P.

sondering	maaiveld	paalpunt	$R_{c,netto;d}$	[kN]
niveau	niveau	Mast 69 -		
69A	0.00	-11.25	2330	

OVERZICHT NETTO DRAAGVERMOGEN TREKPALEN (n=1)

Netto paal draagvermogen(s) zijn naar beneden toe afgerond op: 1.0 kN nauwkeurig
 Alle niveaus/hoogtes/peilmaten zijn t.o.v.: N.A.P.

sondering	maaiveld	paalpunt	$R_{t,netto;d}$	[kN]
niveau	niveau	Mast 69 -		
69A	0.00	-11.25	517	

Project : BBB
 Onderdeel : MBT-EHV 380

ALGEMENE GEGEVENS

Project : BBB
 Onderdeel : MBT-EHV 380
 Datum : 07-01-2021
 Bestand : \\Arh7001.verit.dnv.com\projects\EANL_Projects\
 10166262 - BBB modelleren funderingen 380
 kV\02 Content\03 Calculations\Technosoft
 Paalfunderingen\MBT-EHV380\DO\Bestaande
 sonderingen\MBT-EHV380 80-89 (82 83 84 85
 87).pvw
 Berekeningstype : Verticaal belaste paal
 Alle niveaus/hogtes/peilmaten zijn t.o.v.: N.A.P.

Toegepaste normen volgens Eurocode met Nederlandse NB

Geotechniek	EN 1997-1:2004	AC:2009	
	NEN-EN 1997-1:2005	C1+A1:2013	NB:2016
	NEN 9997-1:2016	C2:2017	

GRONDSOORTEN

Nr. Omschrijving	$\gamma_{k;1}$ [kN/m ³]	$\gamma_{sat;k;1}$ [kN/m ³]	$\phi'_{k;1}$ [°]	$\gamma_{k;2}$ [kN/m ³]	$\gamma_{sat;k;2}$ [kN/m ³]	$\phi'_{k;2}$ [°]
1 Zand - Schoon - Los	17.00	19.00	30.00	18.00	20.00	32.50
2 Zand - Schoon - Matig	18.00	20.00	32.50	19.00	21.00	35.00
3 Zand - Schoon - Vast	19.00	21.00	35.00	20.00	22.00	40.00
4 Zand - Zwak siltig - Kleiig	18.00	20.00	27.00	19.00	21.00	32.50
5 Zand - Sterk siltig - Kleiig	18.00	20.00	25.00	19.00	21.00	30.00
6 Leem - Zwak zandig - Matig	20.00	20.00	27.50	21.00	21.00	32.50
7 Leem - Zwak zandig - Vast	21.00	21.00	27.50	22.00	22.00	35.00
8 Klei - Schoon - Matig	17.00	17.00	17.50	19.00	19.00	17.50
9 Klei - Schoon - Vast	19.00	19.00	17.50	20.00	20.00	25.00
10 Klei - Zwak zandig - Slap	15.00	15.00	22.50	18.00	18.00	22.50
11 Klei - Zwak zandig - Matig	18.00	18.00	22.50	20.00	20.00	22.50
12 Klei - Zwak zandig - Vast	20.00	20.00	22.50	21.00	21.00	27.50
13 Klei - Organisch - Matig	15.00	15.00	15.00	16.00	16.00	15.00
14 Veen - Niet voorbelast - Slap	10.00	10.00	15.00	12.00	12.00	15.00

BODEMPROFIELGEGEVENS: 82

Alle niveaus/hogtes/peilmaten zijn t.o.v.: N.A.P.

d50-reductie is meegenomen overeenkomstig NEN-EN 9997 art. 7.6.2.3 (i)

Laag	Van [m]	Tot [m]	Omschrijving	OCR	Aandeel pos. kleef [%]	α_s	d_{50} [mm]
1	0.00	-2.04	Klei - Zwak zandig - Matig	1.0	50.0		
2	-2.04	-3.38	Zand - Zwak siltig - Kleiig	1.0	100.0		
3	-3.38	-3.76	Zand - Schoon - Los	1.0	100.0		
4	-3.76	-4.54	Leem - Zwak zandig - Vast	1.0	50.0		
5	-4.54	-6.64	Zand - Zwak siltig - Kleiig	1.0	100.0		
6	-6.64	-8.53	Klei - Schoon - Matig	1.0	50.0		
7	-8.53	-11.16	Zand - Zwak siltig - Kleiig	1.0	100.0		
8	-11.16	-14.00	Zand - Schoon - Matig	1.0	100.0		
9	-14.00	-16.39	Zand - Schoon - Vast	1.0	100.0		

BODEMPROFIELGEGEVENS: 85

Alle niveaus/hogtes/peilmaten zijn t.o.v.: N.A.P.

d50-reductie is meegenomen overeenkomstig NEN-EN 9997 art. 7.6.2.3 (i)

Laag	Van [m]	Tot [m]	Omschrijving	OCR	Aandeel pos. kleef [%]	α_s	d_{50} [mm]
1	0.00	-2.90	Klei - Organisch - Matig	1.0	50.0		
2	-2.90	-3.91	Zand - Zwak siltig - Kleiig	1.0	100.0		
3	-3.91	-4.34	Leem - Zwak zandig - Vast	1.0	50.0		
4	-4.34	-7.50	Zand - Zwak siltig - Kleiig	1.0	100.0		
5	-7.50	-9.30	Klei - Zwak zandig - Matig	1.0	50.0		
6	-9.30	-10.54	Zand - Schoon - Vast	1.0	100.0		
7	-10.54	-11.16	Zand - Sterk siltig - Kleiig	1.0	100.0		
8	-11.16	-11.56	Klei - Zwak zandig - Vast	1.0	50.0		
9	-11.56	-12.41	Zand - Sterk siltig - Kleiig	1.0	100.0		
10	-12.41	-12.57	Klei - Zwak zandig - Vast	1.0	50.0		

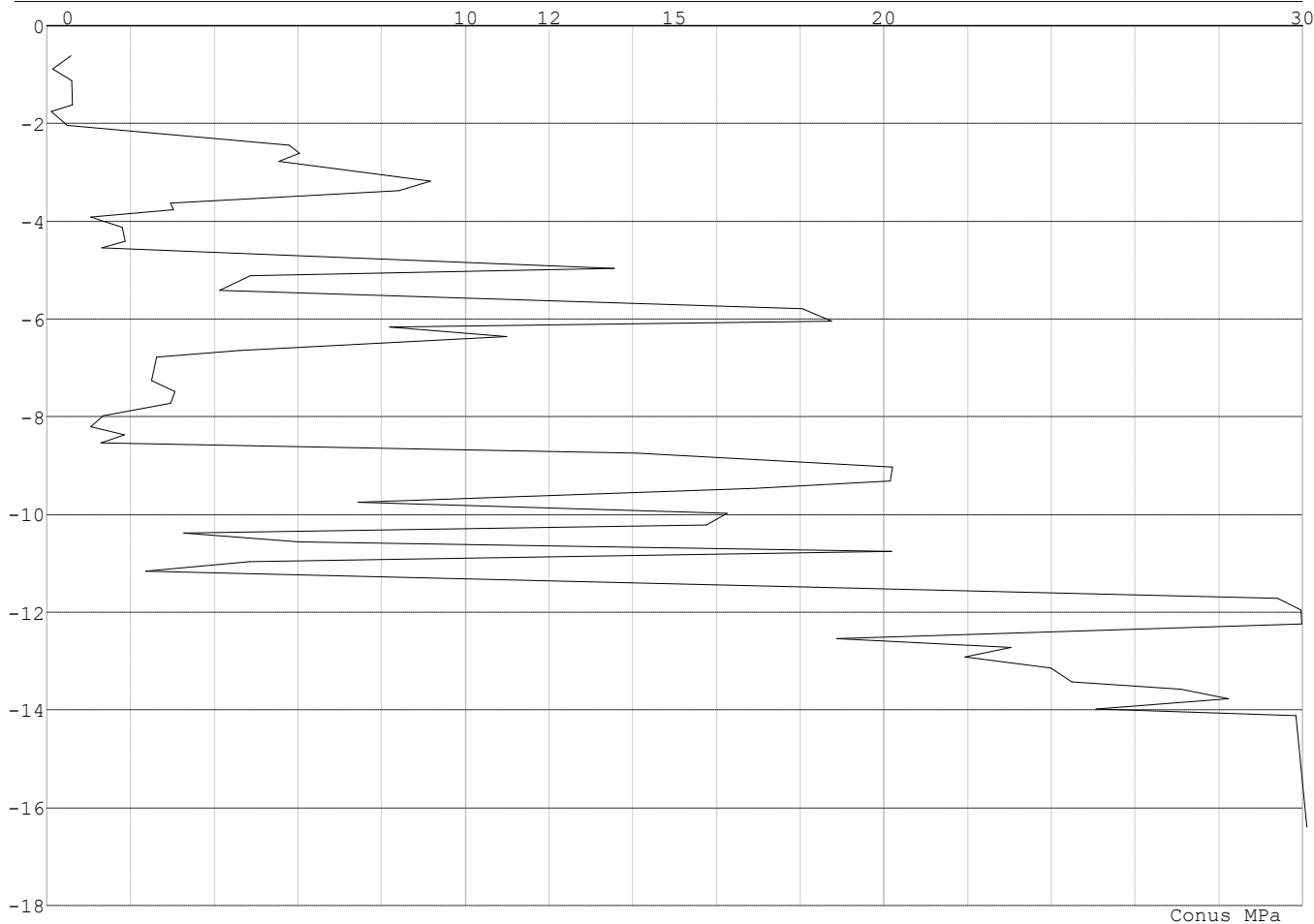
Project : BBB
 Onderdeel : MBT-EHV 380

Laag	Van [m]	Tot [m]	Omschrijving	OCR	Aandeel pos. kleef [%]	α_s	d_{50} [mm]
11	-12.57	-13.28	Zand - Schoon - Matig	1.0	100.0		
12	-13.28	-14.79	Zand - Zwak siltig - Kleiig	1.0	100.0		
13	-14.79	-14.96	Leem - Zwak zandig - Vast	1.0	50.0		
14	-14.96	-17.08	Zand - Schoon - Matig	1.0	100.0		
15	-17.08	-19.62	Zand - Schoon - Vast	1.0	100.0		

SONDERINGSGEGEVENS ALGEMEEN: 82

Alle niveaus/hoogtes/peilmaten zijn t.o.v.: N.A.P.
 Hoogte maaiveld [m] : 0.00 Bodemprofiel: 82
 Traject negatieve kleef : 0.00 tot -4.50 [m]
 Traject positieve kleef : -4.50 tot -16.40 [m]

SONDERINGSGEGEVENS GRAFIEK: 82

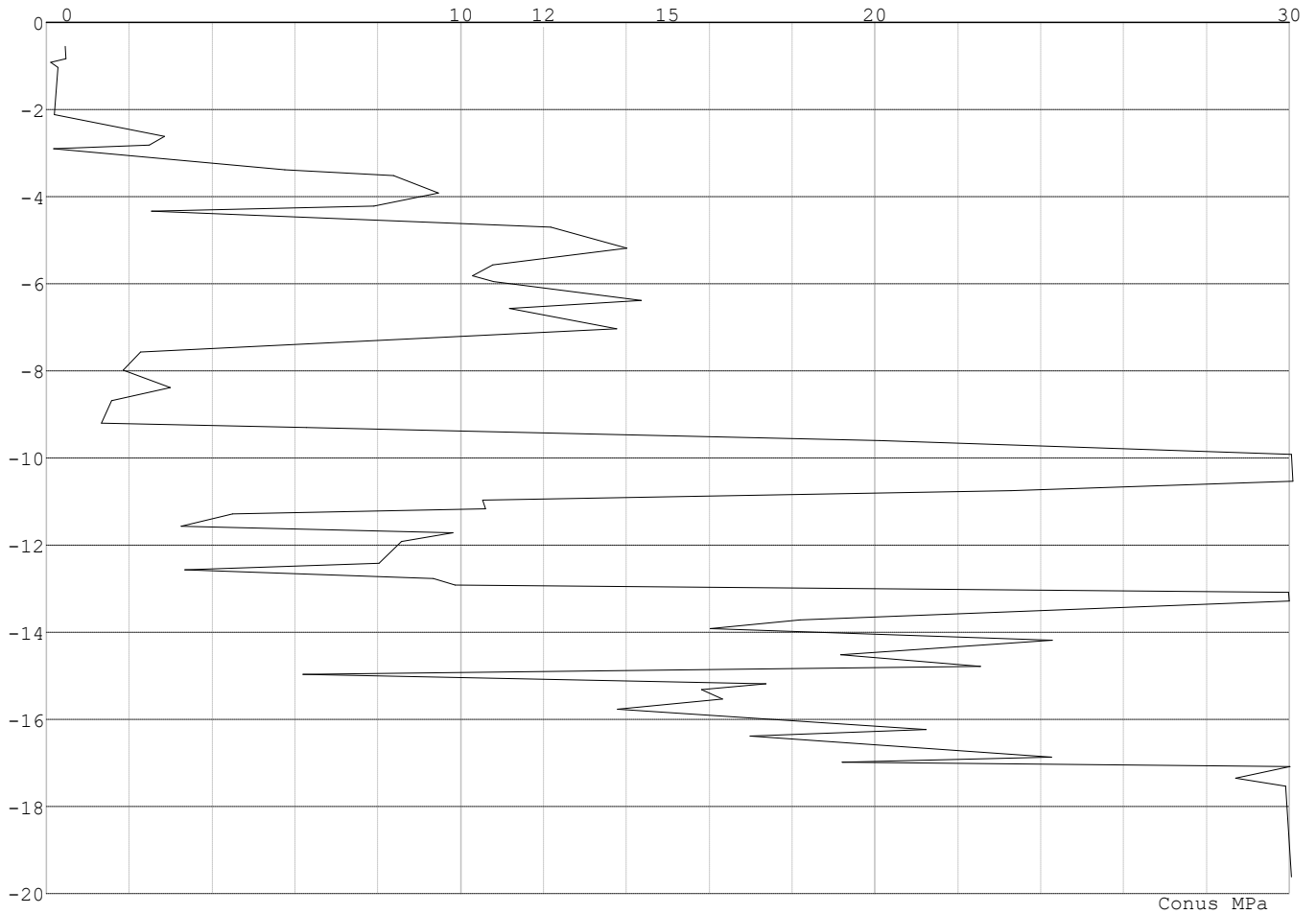


Project : BBB
Onderdeel : MBT-EHV 380

SONDERINGSGEGEVENS ALGEMEEN: 85

Alle niveaus/hogtes/peilmaten zijn t.o.v.: N.A.P.
Hoogte maaiveld [m] : 0.00 Bodemprofiel: 85
Traject negatieve kleef : 0.00 tot -9.30 [m]
Traject positieve kleef : -9.30 tot -19.62 [m]

SONDERINGSGEGEVENS GRAFIEK: 85



Project : BBB
 Onderdeel : MBT-EHV 380

REKENGEDEVENS Mast 82 - Afk Trk

Berekening : Controlerend
 Rekenmethode : Trekpalen volgens NEN-EN 1997-1, art. 7.6.3
 Sondering(en) : 82
 Let op: trekcapaciteit t.p.v. negatief kleeftraject is meegerekend.

Stijf bouwwerk : JA
 Paalgroep : NEE
 Aantal sonderingen : 1
 Factor ξ_3 (n=1) : 1.26
 Factor ξ_3 (gem) : 1.26
 Factor ξ_4 (min) : 1.26
 Weerstandsfactor γ_R : 1.35
 $\gamma_{m;var;qc}$: 1.35
 UGT draagvermogen zonder negatieve kleeft : NEE

Paal : Ortbeton
 Niveau paalkop [m] : N.A.P. -0.25
 Paalpuntniveau : N.A.P. -9.25
 $E_{d;1}$ [kN] : 0.00 $E_{d;2}$ [kN] : 0.00
 Bovenbel. [kN/m²] : 0.00

RESULTATEN Mast 82 - Afk Trk (n=1)**Sondering : 82**

Alle niveaus/hogtes/peilmaten zijn t.o.v.: N.A.P.

Inheinniveau [m]	Effectief inheinniveau [m]	E.G. paal [kN]	$R_{t;cal;k}$ [kN]	$R_{t;d}$ [kN]	$F_{t;tot;1}$ [kN]	U.C.
-9.25	-9.25	15.8	309.6	309.6	0.0	0.00

Project : BBB
Onderdeel : MBT-EHV 380

SAMENVATTINGSTABEL Mast 82 - Afk Trk (n=1)**Uitgangspunten**

- paal : Ortbeton
- paaltype : Geheide in de grond gevormde betonpaal;terugheidend
- schachtafmeting : 420 mm
Paalklassefactor α_p : 1.00
Factor α_t (tabel 7.c EC 7.1) : 0.0120 (zandlagen; voor kleilagen zie tabel 7.d)
Correlatiefactor $\xi_{3(n=1)}$: 1.26

Alle niveaus/hogtes/peilmaten zijn t.o.v.: N.A.P.

sondering	maaiveld paalpunt		Beziijkdraagvermogen $R_{t,cal}$ [kN]	Rekenwaarden	
	niveau	niveau		$R_{t,d}$ [kN]	$R_{t,netto,d}$ [kN]
82	0.00	-9.25	309.6	309.6	309.6

Totaal resultaten Mast 82 - Afk Trk (van 1 sonderingen)

Uitgangspunten

Correlatiefactor ξ_{3gem} (n= 1) : 1.26
Correlatiefactor ξ_{4min} (n= 1) : 1.26

gebaseerd op sonderingen:
82

$$R_{t,d} = \min.\{ R_{t,cal,gem}; R_{t,cal,min} \} (7.17) *$$

Inheinniveau
[m]

$$-9.25 \quad R_{t,d} = \min.\{ 309.6; 309.6 \} = 309.6$$

*) Bij de trekpaalberekening zijn factoren ξ_3 en ξ_4 al bij de berekening van de conusweerstand $q_{c;z;d}$ in rekening gebracht, evenals factor $\gamma_{s;t}$. Dat is conform de opmerkingen in art. 7.6.3.3 (3) en (4).

Alle niveaus/hogtes/peilmaten zijn t.o.v.: N.A.P.

Inheinniveau [m]	$R_{t,k}$ [kN]	$R_{t,d}$ [kN]	$F_{t,tot;1}$ [kN]	$R_{t,netto,d}$ [kN]	U.C.
-9.25	309.6	309.6	0.0	309.6	0.00

REKENEGEGEVENS Mast 85 - Afk Trk

Berekening : Controlerend
Rekenmethode : Trekpalen volgens NEN-EN 1997-1, art. 7.6.3
Sondering(en) : 85
Let op: trekcapaciteit t.p.v. negatief kleefttraject is meegerekend.

Stijf bouwwerk : JA
Paalgroep : NEE
Aantal sonderingen : 1
Factor ξ_3 (n=1) : 1.26
Factor ξ_3 (gem) : 1.26
Factor ξ_4 (min) : 1.26
Weerstandsfactor γ_R : 1.35
 $\gamma_{m,var;q_c}$: 1.35
UGT draagvermogen zonder negatieve kleeft : NEE

Paal : LD1
Niveau paalkop [m] : N.A.P. -0.25
Paalpuntniveau : N.A.P. -13.85
 $E_{d,1}$ [kN] : 0.00 $E_{d,2}$ [kN] : 0.00
Bovenbel. [kN/m²] : 0.00

RESULTATEN Mast 85 - Afk Trk (n=1)

Project : BBB
Onderdeel : MBT-EHV 380

Sondering : 85

Alle niveaus/hogtes/peilmaten zijn t.o.v.: N.A.P.

Inheinniveau [m]	Effectief inheinniveau [m]	E.G. paal [kN]	$R_{t,cal;k}$ [kN]	$R_{t;d}$ [kN]	$F_{t,tot;1}$ [kN]	U.C.
-13.85	-13.85	44.6	632.3	632.3	0.0	0.00

SAMENVATTINGSTABEL Mast 85 - Afk Trk (n=1)**Uitgangspunten**

- paal : LD1
- paaltype : Stalen buispaal (gesloten)
- schachtafmeting : 550 mm
Paalklassefactor α_p : 1.00
Factor α_t (tabel 7.c EC 7.1) : 0.0070 (zandlagen; voor kleilagen zie tabel 7.d)
Correlatiefactor $\xi_{3(n=1)}$: 1.26

Alle niveaus/hogtes/peilmaten zijn t.o.v.: N.A.P.

sondering	maaiveld paalpunt		Bezwijkdraagvermogen $R_{t,cal}$ [kN]	Rekenwaarden	
	niveau	niveau		$R_{t;d}$ [kN]	$R_{t,netto;d}$ [kN]
85	0.00	-13.85	632.3	632.3	632.3

Totaal resultaten Mast 85 - Afk Trk (van 1 sonderingen)**Uitgangspunten**

Correlatiefactor ξ_{3gem} (n= 1) : 1.26
Correlatiefactor ξ_{4min} (n= 1) : 1.26

gebaseerd op sonderingen:
85

$$R_{t;d} = \min.\{ R_{t,cal,gem}; R_{t,cal,min} \} (7.17) *$$

Inheinniveau
[m]

$$-13.85 \quad R_{t;d} = \min.\{ 632.3; 632.3 \} = 632.3$$

*) Bij de trekpaalberekening zijn factoren ξ_3 en ξ_4 al bij de berekening van de conusweerstand $q_{c;z;d}$ in rekening gebracht, evenals factor $\gamma_{s;t}$. Dat is conform de opmerkingen in art. 7.6.3.3 (3) en (4).

Alle niveaus/hogtes/peilmaten zijn t.o.v.: N.A.P.

Inheinniveau [m]	$R_{t;k}$ [kN]	$R_{t;d}$ [kN]	$F_{t,tot;1}$ [kN]	$R_{t,netto;d}$ [kN]	U.C.
-13.85	632.3	632.3	0.0	632.3	0.00

PAALGEGEVENS LD1

Type : Stalen buispaal (gesloten)
Wijze van installeren : Heien
Diameter [m] : 0.550
Wanddikte t [mm] : 4.0
Elasticiteitsmodulus [N/mm²] : 200000 (Staal)
Soortelijk gewicht [kN/m³] : 78.5 (Staal)
Elasticiteitsmodulus [N/mm²] : 20000 (Beton)
Soortelijk gewicht [kN/m³] : 24.0 (Beton)
Factor α_s (tabel 7.c EC 7.1) : 0.010 (zandlagen; voor kleilagen zie tabel 7.d)
Factor α_t (tabel 7.c EC 7.1) : 0.0070 (zandlagen; voor kleilagen zie tabel 7.d)
Paalklassefactor α_p : 1.00
Paalvoetvormfactor β : 1.00
Type lastzakkingsdiagram : Grondverdringende paal
Verm.factor * $\phi'_{j;k}$: 0.75
Groutomhulling : NEE

Project : BBB
Onderdeel : MBT-EHV 380

PAALGEGEVENS Ortbeton

Type : Geheide in de grond gevormde betonpaal;terugheidend
Wijze van installeren : Heien
Wijze van terugwinnen : Heien
Diameter [m] : 0.420
Elasticiteitsmodulus [N/mm²] : 20000 (Beton)
Soortelijk gewicht [kN/m³] : 24.0 (Beton)
Factor α_s (tabel 7.c EC 7.1) : 0.014 (zandlagen; voor kleilagen zie tabel 7.d)
Factor α_t (tabel 7.c EC 7.1) : 0.0120 (zandlagen; voor kleilagen zie tabel 7.d)
Paalklassefactor α_p : 1.00
Paalvoetvormfactor β : 1.00
Type lastzakkingsdiagram : Grondverdringende paal
Verm.factor * $\phi'_{j,k}$: 1.00

Project : BBB
 Onderdeel : MBT-EHV 380

OVERZICHT NETTO DRAAGVERMOGEN DRUKPALEN

Netto paal draagvermogen(s) zijn naar beneden toe afgerond op: 1.0 kN nauwkeurig
 Alle niveaus/hogtes/peilmaten zijn t.o.v.: N.A.P.

sondering	maaiveld paalpunt		$R_{t, netto; d}$ [kN]	
	niveau	niveau	Mast 82 -	Mast 85 -
82	0.00	-9.25	740	
85	0.00	-13.85		1738

OVERZICHT NETTO DRAAGVERMOGEN TREKPALEN (n=1)

Netto paal draagvermogen(s) zijn naar beneden toe afgerond op: 1.0 kN nauwkeurig
 Alle niveaus/hogtes/peilmaten zijn t.o.v.: N.A.P.

sondering	maaiveld paalpunt		$R_{t, netto; d}$ [kN]	
	niveau	niveau	Mast 82 -	Mast 85 -
82	0.00	-9.25	309	
85	0.00	-13.85		632

Project : BBB
Onderdeel : MBT-EHV 380

ALGEMENE GEGEVENS

Project : BBB
Onderdeel : MBT-EHV 380
Datum : 07-01-2021
Bestand : \\Arh7001.verit.dnv.com\projects\EANL_Projects\
10166262 - BBB modelleren funderingen 380
kV\02 Content\03 Calculations\Technosoft
Paalfunderingen\MBT-EHV380\DO\Bestaande
sonderingen\MBT-EHV380 90-99 (90).pvw
Berekeningstype : Verticaal belaste paal
Alle niveaus/hogtes/peilmaten zijn t.o.v.: N.A.P.

Toegepaste normen volgens Eurocode met Nederlandse NB

Geotechniek	EN 1997-1:2004	AC:2009	
	NEN-EN 1997-1:2005	C1+A1:2013	NB:2016
	NEN 9997-1:2016	C2:2017	

GRONDSOORTEN

Nr. Omschrijving	$\gamma_{k;1}$ [kN/m ³]	$\gamma_{sat;k;1}$ [kN/m ³]	$\phi'_{k;1}$ [°]	$\gamma_{k;2}$ [kN/m ³]	$\gamma_{sat;k;2}$ [kN/m ³]	$\phi'_{k;2}$ [°]
1 Zand - Schoon - Los	17.00	19.00	30.00	18.00	20.00	32.50
2 Zand - Schoon - Matig	18.00	20.00	32.50	19.00	21.00	35.00
3 Zand - Schoon - Vast	19.00	21.00	35.00	20.00	22.00	40.00
4 Zand - Zwak siltig - Kleiig	18.00	20.00	27.00	19.00	21.00	32.50
5 Zand - Sterk siltig - Kleiig	18.00	20.00	25.00	19.00	21.00	30.00
6 Leem - Zwak zandig - Vast	21.00	21.00	27.50	22.00	22.00	35.00
7 Klei - Schoon - Matig	17.00	17.00	17.50	19.00	19.00	17.50
8 Klei - Schoon - Vast	19.00	19.00	17.50	20.00	20.00	25.00
9 Klei - Zwak zandig - Slap	15.00	15.00	22.50	18.00	18.00	22.50
10 Klei - Zwak zandig - Matig	18.00	18.00	22.50	20.00	20.00	22.50
11 Klei - Zwak zandig - Vast	20.00	20.00	22.50	21.00	21.00	27.50
12 Klei - Organisch - Matig	15.00	15.00	15.00	16.00	16.00	15.00
13 Veen - Niet voorbelast - Slap	10.00	10.00	15.00	12.00	12.00	15.00
14 Veen - Matig voorbelast - Matig	12.00	12.00	15.00	13.00	13.00	15.00

BODEMPROFIELGEGEVENS: 90

Alle niveaus/hogtes/peilmaten zijn t.o.v.: N.A.P.

d50-reductie is meegenomen overeenkomstig NEN-EN 9997 art. 7.6.2.3 (i)

Hoogte maaiveld [m]	: 0.00		Grondwaterstand [m]	: -1.00			
Laag	Van [m]	Tot [m]	Omschrijving	OCR	Aandeel pos. kleef [%]	α_s	d_{50} [mm]
1	0.00	-2.25	Klei - Organisch - Matig	1.0	50.0		
2	-2.25	-5.92	Zand - Zwak siltig - Kleiig	1.0	100.0		
3	-5.92	-7.74	Zand - Schoon - Matig	1.0	100.0		
4	-7.74	-8.38	Zand - Schoon - Vast	1.0	100.0		
5	-8.38	-9.13	Leem - Zwak zandig - Vast	1.0	50.0		
6	-9.13	-10.09	Klei - Schoon - Matig	1.0	50.0		
7	-10.09	-12.61	Zand - Schoon - Matig	1.0	100.0		
8	-12.61	-15.64	Zand - Schoon - Vast	1.0	100.0		

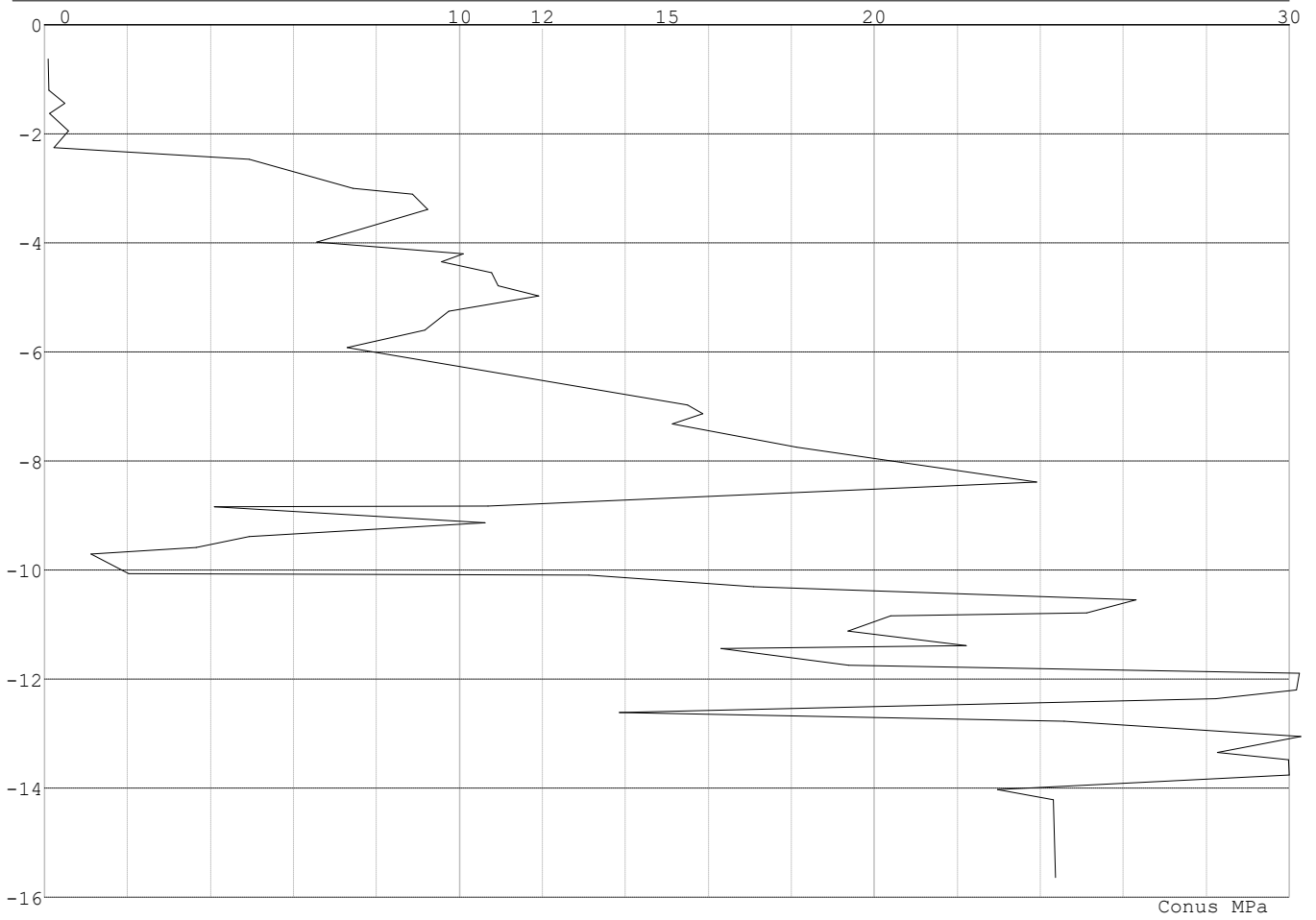
SONDERINGSGEGEVENS ALGEMEEN: 90

Alle niveaus/hogtes/peilmaten zijn t.o.v.: N.A.P.

Hoogte maaiveld [m] : 0.00 Bodemprofiel: 90
Traject negatieve kleef : 0.00 tot -2.40 [m]
Traject positieve kleef : -2.40 tot -15.64 [m]

Project : BBB
Onderdeel : MBT-EHV 380

SONDERINGSGEGEVENS GRAFIEK: 90



Project : BBB
 Onderdeel : MBT-EHV 380

REKENGEDEVENS Mast 90 - Afk Trk

Berekening : Controlerend
 Rekenmethode : Trekpalen volgens NEN-EN 1997-1, art. 7.6.3
 Sondering(en) : 90
 Let op: trekcapaciteit t.p.v. negatief kleeftraject is meegerekend.

Stijf bouwwerk : JA
 Paalgroep : NEE
 Aantal sonderingen : 1
 Factor ξ_3 (n=1) : 1.26
 Factor ξ_3 (gem) : 1.26
 Factor ξ_4 (min) : 1.26
 Weerstandsfactor γ_R : 1.35
 $\gamma_{m,var;q_c}$: 1.35
 UGT draagvermogen zonder negatieve kleeft : NEE

Paal : LD1
 Niveau paalkop [m] : N.A.P. -0.25
 Paalpuntniveau : N.A.P. -11.75
 $E_{d,1}$ [kN] : 0.00 $E_{d,2}$ [kN] : 0.00
 Bovenbel. [kN/m²] : 0.00

RESULTATEN Mast 90 - Afk Trk (n=1)**Sondering : 90**

Alle niveaus/hogtes/peilmaten zijn t.o.v.: N.A.P.

Inheinniveau [m]	Effectief inheinniveau [m]	E.G. paal [kN]	$R_{t,cal;k}$ [kN]	$R_{t;d}$ [kN]	$F_{t,tot;1}$ [kN]	U.C.
-11.75	-11.75	34.8	602.9	602.9	0.0	0.00

Project : BBB
Onderdeel : MBT-EHV 380

SAMENVATTINGSTABEL Mast 90 - Afk Trk (n=1)**Uitgangspunten**

- paal : LD1
- paaltype : Stalen buispaal (gesloten)
- schachtafmeting : 525 mm
Paalklassefactor α_p : 1.00
Factor α_t (tabel 7.c EC 7.1) : 0.0070 (zandlagen; voor kleilagen zie tabel 7.d)
Correlatiefactor $\xi_{3(n=1)}$: 1.26

Alle niveaus/hogtes/peilmaten zijn t.o.v.: N.A.P.

sondering	maaiveld paalpunt		Bezuikdraagvermogen $R_{t,cal}$ [kN]	Rekenwaarden	
	niveau	niveau		$R_{t,d}$ [kN]	$R_{t,netto,d}$ [kN]
90	0.00	-11.75	602.9	602.9	602.9

Totaal resultaten Mast 90 - Afk Trk (van 1 sonderingen)

Uitgangspunten

Correlatiefactor ξ_{3gem} (n= 1) : 1.26
Correlatiefactor ξ_{4min} (n= 1) : 1.26

gebaseerd op sonderingen:
90

$$R_{t,d} = \min.\{ R_{t,cal,gem}; R_{t,cal,min} \} (7.17) *$$

Inheinniveau
[m]

$$-11.75 \quad R_{t,d} = \min.\{ 602.9; 602.9 \} = 602.9$$

*) Bij de trekpaalberekening zijn factoren ξ_3 en ξ_4 al bij de berekening van de conusweerstand $q_{c;z,d}$ in rekening gebracht, evenals factor $\gamma_{s;t}$. Dat is conform de opmerkingen in art. 7.6.3.3 (3) en (4).

Alle niveaus/hogtes/peilmaten zijn t.o.v.: N.A.P.

Inheinniveau [m]	$R_{t,k}$ [kN]	$R_{t,d}$ [kN]	$F_{t,tot;1}$ [kN]	$R_{t,netto,d}$ [kN]	U.C.
-11.75	602.9	602.9	0.0	602.9	0.00

PAALGEGEVENS LD1

Type : Stalen buispaal (gesloten)
Wijze van installeren : Heien
Diameter [m] : 0.525
Wanddikte t [mm] : 4.0
Elasticiteitsmodulus [N/mm²] : 200000 (Staal)
Soortelijk gewicht [kN/m³] : 78.5 (Staal)
Elasticiteitsmodulus [N/mm²] : 20000 (Beton)
Soortelijk gewicht [kN/m³] : 24.0 (Beton)
Factor α_s (tabel 7.c EC 7.1) : 0.010 (zandlagen; voor kleilagen zie tabel 7.d)
Factor α_t (tabel 7.c EC 7.1) : 0.0070 (zandlagen; voor kleilagen zie tabel 7.d)
Paalklassefactor α_p : 1.00
Paalvoetvormfactor β : 1.00
Type lastzakingsdiagram : Grondverdringende paal
Verm.factor * $\phi'_{j,k}$: 0.75
Groutomhulling : NEE

Project : BBB
 Onderdeel : MBT-EHV 380

OVERZICHT NETTO DRAAGVERMOGEN DRUKPALEN

Netto paal draagvermogen(s) zijn naar beneden toe afgerond op: 1.0 kN nauwkeurig
 Alle niveaus/hoogtes/peilmaten zijn t.o.v.: N.A.P.

sondering	maaiveld niveau	paalpunt niveau	$R_{c,netto;d}$ Mast 90 -	[kN]
90	0.00	-11.75	2952	

OVERZICHT NETTO DRAAGVERMOGEN TREKPALEN (n=1)

Netto paal draagvermogen(s) zijn naar beneden toe afgerond op: 1.0 kN nauwkeurig
 Alle niveaus/hoogtes/peilmaten zijn t.o.v.: N.A.P.

sondering	maaiveld niveau	paalpunt niveau	$R_{t,netto;d}$ Mast 90 -	[kN]
90	0.00	-11.75	602	

Project : BBB
Onderdeel : MBT-EHV 380

ALGEMENE GEGEVENS

Project : BBB
Onderdeel : MBT-EHV 380
Datum : 07-01-2021
Bestand : \\Arh7001.verit.dnv.com\projects\EANL_Projects\
10166262 - BBB modelleren funderingen 380
kV\02 Content\03 Calculations\Technosoft
Paalfunderingen\MBT-EHV380\DO\Bestaande
sonderingen\MBT-EHV380 110-119 (115 116 117
118 119).pvw
Berekeningstype : Verticaal belaste paal
Alle niveaus/hogtes/peilmaten zijn t.o.v.: N.A.P.

Toegepaste normen volgens Eurocode met Nederlandse NB

Geotechniek	EN 1997-1:2004	AC:2009	
	NEN-EN 1997-1:2005	C1+A1:2013	NB:2016
	NEN 9997-1:2016	C2:2017	

GRONDSOORTEN

Nr. Omschrijving	$\gamma_{k;1}$ [kN/m ³]	$\gamma_{sat;k;1}$ [kN/m ³]	$\phi'_{k;1}$ [°]	$\gamma_{k;2}$ [kN/m ³]	$\gamma_{sat;k;2}$ [kN/m ³]	$\phi'_{k;2}$ [°]
1 Grind - Zwak siltig - Vast	19.00	21.00	37.50	20.00	22.00	40.00
2 Grind - Sterk siltig - Los	18.00	20.00	30.00	19.00	21.00	32.50
3 Zand - Schoon - Los	17.00	19.00	30.00	18.00	20.00	32.50
4 Zand - Schoon - Matig	18.00	20.00	32.50	19.00	21.00	35.00
5 Zand - Schoon - Vast	19.00	21.00	35.00	20.00	22.00	40.00
6 Zand - Zwak siltig - Kleiig	18.00	20.00	27.00	19.00	21.00	32.50
7 Zand - Sterk siltig - Kleiig	18.00	20.00	25.00	19.00	21.00	30.00
8 Leem - Zwak zandig - Slap	19.00	19.00	27.50	20.00	20.00	30.00
9 Leem - Zwak zandig - Matig	20.00	20.00	27.50	21.00	21.00	32.50
10 Leem - Zwak zandig - Vast	21.00	21.00	27.50	22.00	22.00	35.00
11 Klei - Schoon - Matig	17.00	17.00	17.50	19.00	19.00	17.50
12 Klei - Schoon - Vast	19.00	19.00	17.50	20.00	20.00	25.00
13 Klei - Zwak zandig - Slap	15.00	15.00	22.50	18.00	18.00	22.50
14 Klei - Zwak zandig - Matig	18.00	18.00	22.50	20.00	20.00	22.50
15 Klei - Zwak zandig - Vast	20.00	20.00	22.50	21.00	21.00	27.50
16 Klei - Organisch - Matig	15.00	15.00	15.00	16.00	16.00	15.00
17 Veen - Matig voorbelast - Matig	12.00	12.00	15.00	13.00	13.00	15.00

BODEMPROFIELGEGEVENS: 110

Alle niveaus/hogtes/peilmaten zijn t.o.v.: N.A.P.

d50-reductie is meegenomen overeenkomstig NEN-EN 9997 art. 7.6.2.3 (i)

Hoogte maaiveld [m] : 0.00 Grondwaterstand [m] : -1.00

Laag	Van [m]	Tot [m]	Omschrijving	OCR	Aandeel pos. kleef [%]	α_s	d_{50} [mm]
1	0.00	-1.15	Zand - Sterk siltig - Kleiig	1.0	100.0		
2	-1.15	-2.43	Zand - Schoon - Los	1.0	100.0		
3	-2.43	-2.90	Zand - Sterk siltig - Kleiig	1.0	100.0		
4	-2.90	-3.19	Zand - Schoon - Matig	1.0	100.0		
5	-3.19	-4.04	Leem - Zwak zandig - Vast	1.0	50.0		
6	-4.04	-5.01	Zand - Zwak siltig - Kleiig	1.0	100.0		
7	-5.01	-5.80	Zand - Sterk siltig - Kleiig	1.0	100.0		
8	-5.80	-6.59	Klei - Zwak zandig - Vast	1.0	50.0		
9	-6.59	-7.19	Zand - Schoon - Los	1.0	100.0		
10	-7.19	-8.91	Zand - Schoon - Vast	1.0	100.0		
11	-8.91	-9.45	Zand - Schoon - Matig	1.0	100.0		
12	-9.45	-10.09	Zand - Schoon - Vast	1.0	100.0		
13	-10.09	-11.02	Zand - Schoon - Los	1.0	100.0		
14	-11.02	-17.39	Zand - Schoon - Vast	1.0	100.0		

Project : BBB
Onderdeel : MBT-EHV 380

BODEMPROFIELGEGEVENS: 111

Alle niveaus/hogtes/peilmaten zijn t.o.v.: N.A.P.

d50-reductie is meegenomen overeenkomstig NEN-EN 9997 art. 7.6.2.3 (i)

Laag	Van [m]	Tot [m]	Omschrijving	Grondwaterstand [m]	OCR	Aandeel pos. kleef [%]	α_s	d_{50} [mm]
				0.00				-1.00
1	0.00	-1.22	Zand - Schoon - Los		1.0	100.0		
2	-1.22	-1.97	Klei - Zwak zandig - Matig		1.0	50.0		
3	-1.97	-2.50	Veen - Matig voorbelast - Matig		1.0	50.0		
4	-2.50	-3.01	Klei - Zwak zandig - Slap		1.0	50.0		
5	-3.01	-5.17	Zand - Zwak siltig - Kleiig		1.0	100.0		
6	-5.17	-7.79	Zand - Schoon - Vast		1.0	100.0		
7	-7.79	-8.99	Zand - Schoon - Matig		1.0	100.0		
8	-8.99	-9.20	Zand - Schoon - Vast		1.0	100.0		
9	-9.20	-10.15	Zand - Sterk siltig - Kleiig		1.0	100.0		
10	-10.15	-10.35	Zand - Schoon - Matig		1.0	100.0		
11	-10.35	-11.17	Zand - Zwak siltig - Kleiig		1.0	100.0		
12	-11.17	-12.99	Zand - Schoon - Vast		1.0	100.0		
13	-12.99	-13.41	Zand - Schoon - Matig		1.0	100.0		
14	-13.41	-16.65	Zand - Schoon - Vast		1.0	100.0		

BODEMPROFIELGEGEVENS: 112

Alle niveaus/hogtes/peilmaten zijn t.o.v.: N.A.P.

d50-reductie is meegenomen overeenkomstig NEN-EN 9997 art. 7.6.2.3 (i)

Laag	Van [m]	Tot [m]	Omschrijving	Grondwaterstand [m]	OCR	Aandeel pos. kleef [%]	α_s	d_{50} [mm]
				0.00				-1.00
1	0.00	-1.17	Klei - Zwak zandig - Matig		1.0	50.0		
2	-1.17	-1.53	Zand - Schoon - Matig		1.0	100.0		
3	-1.53	-3.24	Klei - Schoon - Matig		1.0	50.0		
4	-3.24	-4.39	Zand - Zwak siltig - Kleiig		1.0	100.0		
5	-4.39	-7.84	Zand - Schoon - Matig		1.0	100.0		
6	-7.84	-8.81	Zand - Zwak siltig - Kleiig		1.0	100.0		
7	-8.81	-10.33	Zand - Schoon - Matig		1.0	100.0		
8	-10.33	-10.55	Zand - Schoon - Vast		1.0	100.0		
9	-10.55	-11.60	Leem - Zwak zandig - Vast		1.0	50.0		
10	-11.60	-16.11	Zand - Schoon - Vast		1.0	100.0		

BODEMPROFIELGEGEVENS: 113

Alle niveaus/hogtes/peilmaten zijn t.o.v.: N.A.P.

d50-reductie is meegenomen overeenkomstig NEN-EN 9997 art. 7.6.2.3 (i)

Laag	Van [m]	Tot [m]	Omschrijving	Grondwaterstand [m]	OCR	Aandeel pos. kleef [%]	α_s	d_{50} [mm]
				0.00				-1.00
1	0.00	-0.79	Zand - Sterk siltig - Kleiig		1.0	100.0		
2	-0.79	-1.98	Leem - Zwak zandig - Vast		1.0	50.0		
3	-1.98	-2.56	Zand - Schoon - Matig		1.0	100.0		
4	-2.56	-2.98	Zand - Schoon - Los		1.0	100.0		
5	-2.98	-3.98	Zand - Sterk siltig - Kleiig		1.0	100.0		
6	-3.98	-4.33	Leem - Zwak zandig - Vast		1.0	50.0		
7	-4.33	-4.94	Zand - Schoon - Vast		1.0	100.0		
8	-4.94	-5.40	Leem - Zwak zandig - Matig		1.0	50.0		
9	-5.40	-5.76	Zand - Sterk siltig - Kleiig		1.0	100.0		
10	-5.76	-6.04	Zand - Schoon - Vast		1.0	100.0		
11	-6.04	-6.52	Zand - Schoon - Los		1.0	100.0		
12	-6.52	-15.00	Zand - Schoon - Vast		1.0	100.0		

BODEMPROFIELGEGEVENS: 114

Alle niveaus/hogtes/peilmaten zijn t.o.v.: N.A.P.

d50-reductie is meegenomen overeenkomstig NEN-EN 9997 art. 7.6.2.3 (i)

Laag	Van [m]	Tot [m]	Omschrijving	Grondwaterstand [m]	OCR	Aandeel pos. kleef [%]	α_s	d_{50} [mm]
				0.00				-1.00
1	0.00	-1.02	Zand - Sterk siltig - Kleiig		1.0	100.0		
2	-1.02	-1.55	Leem - Zwak zandig - Vast		1.0	50.0		
3	-1.55	-2.10	Zand - Zwak siltig - Kleiig		1.0	100.0		
4	-2.10	-2.73	Klei - Schoon - Matig		1.0	50.0		

Project : BBB
Onderdeel : MBT-EHV 380

Laag	Van [m]	Tot [m]	Omschrijving	OCR	Aandeel pos. kleef [%]	α_s	d_{50} [mm]
5	-2.73	-3.03	Zand - Sterk siltig - Kleiig	1.0	100.0		
6	-3.03	-4.97	Zand - Schoon - Vast	1.0	100.0		
7	-4.97	-5.39	Zand - Sterk siltig - Kleiig	1.0	100.0		
8	-5.39	-6.15	Zand - Schoon - Matig	1.0	100.0		
9	-6.15	-9.90	Zand - Schoon - Vast	1.0	100.0		

BODEMPROFIELGEGEVENS: 115-1

Alle niveaus/hogtes/peilmaten zijn t.o.v.: N.A.P.
d50-reductie is meegenomen overeenkomstig NEN-EN 9997 art. 7.6.2.3 (i)

Hoogte maaiveld [m] : 18.00 Grondwaterstand [m] : 17.00

Laag	Van [m]	Tot [m]	Omschrijving	OCR	Aandeel pos. kleef [%]	α_s	d_{50} [mm]
1	18.00	16.85	Zand - Zwak siltig - Kleiig	1.0	100.0		
2	16.85	16.39	Leem - Zwak zandig - Vast	1.0	50.0		
3	16.39	16.05	Veen - Matig voorbelast - Matig	1.0	50.0		
4	16.05	15.19	Zand - Schoon - Matig	1.0	100.0		
5	15.19	14.68	Zand - Schoon - Los	1.0	100.0		
6	14.68	13.08	Zand - Schoon - Vast	1.0	100.0		
7	13.08	12.38	Zand - Schoon - Matig	1.0	100.0		
8	12.38	11.45	Zand - Schoon - Vast	1.0	100.0		
9	11.45	10.25	Zand - Schoon - Matig	1.0	100.0		
10	10.25	1.00	Zand - Schoon - Vast	1.0	100.0		

BODEMPROFIELGEGEVENS: 115-2

Alle niveaus/hogtes/peilmaten zijn t.o.v.: N.A.P.
d50-reductie is meegenomen overeenkomstig NEN-EN 9997 art. 7.6.2.3 (i)

Hoogte maaiveld [m] : 18.82 Grondwaterstand [m] : 17.82

Laag	Van [m]	Tot [m]	Omschrijving	OCR	Aandeel pos. kleef [%]	α_s	d_{50} [mm]
1	18.82	17.95	Zand - Schoon - Matig	1.0	100.0		
2	17.95	17.49	Zand - Sterk siltig - Kleiig	1.0	100.0		
3	17.49	17.12	Leem - Zwak zandig - Vast	1.0	50.0		
4	17.12	16.12	Zand - Sterk siltig - Kleiig	1.0	100.0		
5	16.12	15.80	Klei - Zwak zandig - Matig	1.0	50.0		
6	15.80	13.82	Zand - Schoon - Vast	1.0	100.0		
7	13.82	13.46	Leem - Zwak zandig - Vast	1.0	50.0		
8	13.46	10.91	Zand - Schoon - Vast	1.0	100.0		
9	10.91	8.96	Zand - Schoon - Matig	1.0	100.0		
10	8.96	6.59	Zand - Schoon - Vast	1.0	100.0		
11	6.59	5.78	Klei - Schoon - Matig	1.0	50.0		
12	5.78	2.18	Zand - Schoon - Matig	1.0	100.0		

BODEMPROFIELGEGEVENS: 115-3

Alle niveaus/hogtes/peilmaten zijn t.o.v.: N.A.P.
d50-reductie is meegenomen overeenkomstig NEN-EN 9997 art. 7.6.2.3 (i)

Hoogte maaiveld [m] : 18.82 Grondwaterstand [m] : 17.82

Laag	Van [m]	Tot [m]	Omschrijving	OCR	Aandeel pos. kleef [%]	α_s	d_{50} [mm]
1	18.82	17.07	Zand - Zwak siltig - Kleiig	1.0	100.0		
2	17.07	16.17	Zand - Sterk siltig - Kleiig	1.0	100.0		
3	16.17	15.70	Klei - Schoon - Matig	1.0	50.0		
4	15.70	13.91	Zand - Schoon - Matig	1.0	100.0		
5	13.91	13.30	Leem - Zwak zandig - Vast	1.0	50.0		
6	13.30	11.96	Zand - Schoon - Vast	1.0	100.0		
7	11.96	10.59	Zand - Schoon - Matig	1.0	100.0		
8	10.59	9.86	Zand - Schoon - Vast	1.0	100.0		
9	9.86	8.71	Zand - Zwak siltig - Kleiig	1.0	100.0		
10	8.71	8.42	Leem - Zwak zandig - Vast	1.0	50.0		
11	8.42	7.84	Zand - Zwak siltig - Kleiig	1.0	100.0		
12	7.84	7.37	Klei - Zwak zandig - Vast	1.0	50.0		
13	7.37	3.92	Zand - Schoon - Vast	1.0	100.0		
14	3.92	1.65	Zand - Sterk siltig - Kleiig	1.0	100.0		
15	1.65	-0.10	Zand - Schoon - Vast	1.0	100.0		
16	-0.10	-1.41	Klei - Schoon - Matig	1.0	50.0		
17	-1.41	-1.98	Zand - Schoon - Los	1.0	100.0		
18	-1.98	-2.78	Zand - Schoon - Vast	1.0	100.0		

Project : BBB
Onderdeel : MBT-EHV 380

Laag	Van [m]	Tot [m]	Omschrijving	OCR	Aandeel pos. kleef [%]	α_s	d_{50} [mm]
6	-3.71	-5.34	Zand - Schoon - Matig	1.0	100.0		
7	-5.34	-5.35	Zand - Zwak siltig - Kleiig	1.0	100.0		
8	-5.35	-5.73	Zand - Schoon - Matig	1.0	100.0		
9	-5.73	-6.01	Leem - Zwak zandig - Vast	1.0	50.0		
10	-6.01	-15.00	Zand - Schoon - Vast	1.0	100.0		

BODEMPROFIELGEGEVENS: 117-2

Alle niveaus/hogtes/peilmaten zijn t.o.v.: N.A.P.
d50-reductie is meegenomen overeenkomstig NEN-EN 9997 art. 7.6.2.3 (i)

Hoogte maaiveld [m] : 18.51		Grondwaterstand [m] : 17.51					
Laag	Van [m]	Tot [m]	Omschrijving	OCR	Aandeel pos. kleef [%]	α_s	d_{50} [mm]
1	18.51	17.28	Zand - Sterk siltig - Kleiig	1.0	100.0		
2	17.28	17.04	Zand - Schoon - Matig	1.0	100.0		
3	17.04	16.59	Zand - Zwak siltig - Kleiig	1.0	100.0		
4	16.59	16.26	Klei - Zwak zandig - Matig	1.0	50.0		
5	16.26	16.00	Zand - Schoon - Matig	1.0	100.0		
6	16.00	15.52	Klei - Schoon - Matig	1.0	50.0		
7	15.52	15.11	Zand - Zwak siltig - Kleiig	1.0	100.0		
8	15.11	13.45	Klei - Zwak zandig - Slap	1.0	50.0		
9	13.45	13.09	Zand - Schoon - Matig	1.0	100.0		
10	13.09	11.23	Zand - Schoon - Vast	1.0	100.0		
11	11.23	10.96	Zand - Schoon - Matig	1.0	100.0		
12	10.96	9.98	Zand - Schoon - Vast	1.0	100.0		
13	9.98	9.43	Zand - Schoon - Los	1.0	50.0		
14	9.43	8.80	Zand - Schoon - Vast	1.0	100.0		
15	8.80	7.90	Zand - Schoon - Los	1.0	50.0		
16	7.90	2.34	Zand - Schoon - Vast	1.0	100.0		
17	2.34	2.02	Zand - Sterk siltig - Kleiig	1.0	100.0		
18	2.02	1.54	Zand - Schoon - Vast	1.0	100.0		

BODEMPROFIELGEGEVENS: 117-3

Alle niveaus/hogtes/peilmaten zijn t.o.v.: N.A.P.
d50-reductie is meegenomen overeenkomstig NEN-EN 9997 art. 7.6.2.3 (i)

Hoogte maaiveld [m] : 18.51		Grondwaterstand [m] : 17.51					
Laag	Van [m]	Tot [m]	Omschrijving	OCR	Aandeel pos. kleef [%]	α_s	d_{50} [mm]
1	18.51	15.41	Klei - Zwak zandig - Vast	1.0	50.0		
2	15.41	15.13	Zand - Schoon - Matig	1.0	100.0		
3	15.13	13.66	Klei - Schoon - Matig	1.0	50.0		
4	13.66	11.65	Zand - Schoon - Matig	1.0	100.0		
5	11.65	11.09	Klei - Zwak zandig - Vast	1.0	50.0		
6	11.09	8.74	Zand - Schoon - Matig	1.0	100.0		
7	8.74	8.02	Zand - Sterk siltig - Kleiig	1.0	100.0		
8	8.02	6.52	Zand - Schoon - Vast	1.0	100.0		
9	6.52	6.30	Zand - Zwak siltig - Kleiig	1.0	100.0		
10	6.30	3.04	Zand - Schoon - Vast	1.0	100.0		
11	3.04	2.44	Zand - Zwak siltig - Kleiig	1.0	100.0		
12	2.44	1.82	Leem - Zwak zandig - Vast	1.0	50.0		
13	1.82	-0.62	Zand - Zwak siltig - Kleiig	1.0	100.0		
14	-0.62	-1.59	Klei - Zwak zandig - Matig	1.0	50.0		
15	-1.59	-1.88	Zand - Zwak siltig - Kleiig	1.0	100.0		
16	-1.88	-2.22	Leem - Zwak zandig - Vast	1.0	50.0		
17	-2.22	-3.22	Zand - Schoon - Vast	1.0	100.0		

BODEMPROFIELGEGEVENS: 118

Alle niveaus/hogtes/peilmaten zijn t.o.v.: N.A.P.
d50-reductie is meegenomen overeenkomstig NEN-EN 9997 art. 7.6.2.3 (i)

Hoogte maaiveld [m] : 0.00		Grondwaterstand [m] : -1.00					
Laag	Van [m]	Tot [m]	Omschrijving	OCR	Aandeel pos. kleef [%]	α_s	d_{50} [mm]
1	0.00	-1.56	Zand - Sterk siltig - Kleiig	1.0	100.0		
2	-1.56	-1.83	Leem - Zwak zandig - Vast	1.0	50.0		
3	-1.83	-2.22	Zand - Sterk siltig - Kleiig	1.0	100.0		
4	-2.22	-2.85	Klei - Zwak zandig - Slap	1.0	50.0		
5	-2.85	-3.06	Klei - Schoon - Vast	1.0	50.0		

Project : BBB
 Onderdeel : MBT-EHV 380

Laag	Van [m]	Tot [m]	Omschrijving	OCR	Aandeel pos. kleef [%]	α_s	d_{50} [mm]
6	-3.06	-3.43	Zand - Sterk siltig - Kleiig	1.0	100.0		
7	-3.43	-4.04	Klei - Schoon - Vast	1.0	50.0		
8	-4.04	-7.12	Zand - Schoon - Vast	1.0	100.0		
9	-7.12	-7.99	Zand - Schoon - Matig	1.0	100.0		
10	-7.99	-8.52	Zand - Schoon - Vast	1.0	100.0		
11	-8.52	-9.34	Zand - Schoon - Los	1.0	100.0		
12	-9.34	-10.45	Zand - Schoon - Matig	1.0	100.0		
13	-10.45	-15.07	Zand - Schoon - Vast	1.0	100.0		

BODEMPROFIELGEGEVENS: 119-1

Alle niveaus/hogtes/peilmaten zijn t.o.v.: N.A.P.
 d50-reductie is meegenomen overeenkomstig NEN-EN 9997 art. 7.6.2.3 (i)

Laag	Van [m]	Tot [m]	Omschrijving	OCR	Aandeel pos. kleef [%]	α_s	d_{50} [mm]
Hoogte maaiveld [m] : 0.00 Grondwaterstand [m] : -1.00							
1	0.00	-1.33	Klei - Schoon - Vast	1.0	50.0		
2	-1.33	-2.82	Zand - Schoon - Los	1.0	100.0		
3	-2.82	-3.35	Klei - Organisch - Matig	1.0	50.0		
4	-3.35	-3.76	Zand - Zwak siltig - Kleiig	1.0	100.0		
5	-3.76	-4.14	Klei - Schoon - Vast	1.0	50.0		
6	-4.14	-4.57	Leem - Zwak zandig - Vast	1.0	50.0		
7	-4.57	-5.01	Zand - Schoon - Matig	1.0	100.0		
8	-5.01	-6.00	Leem - Zwak zandig - Vast	1.0	50.0		
9	-6.00	-7.50	Zand - Schoon - Vast	1.0	100.0		
10	-7.50	-8.56	Zand - Sterk siltig - Kleiig	1.0	100.0		
11	-8.56	-8.97	Leem - Zwak zandig - Vast	1.0	50.0		
12	-8.97	-10.71	Zand - Schoon - Vast	1.0	100.0		
13	-10.71	-12.40	Zand - Schoon - Matig	1.0	100.0		
14	-12.40	-15.18	Zand - Zwak siltig - Kleiig	1.0	100.0		
15	-15.18	-15.71	Zand - Schoon - Matig	1.0	100.0		
16	-15.71	-17.50	Zand - Sterk siltig - Kleiig	1.0	100.0		
17	-17.50	-18.21	Klei - Organisch - Matig	1.0	50.0		
18	-18.21	-18.80	Zand - Schoon - Vast	1.0	100.0		
19	-18.80	-19.14	Zand - Schoon - Los	1.0	100.0		
20	-19.14	-19.93	Klei - Zwak zandig - Slap	1.0	50.0		

BODEMPROFIELGEGEVENS: 119-2

Alle niveaus/hogtes/peilmaten zijn t.o.v.: N.A.P.
 d50-reductie is meegenomen overeenkomstig NEN-EN 9997 art. 7.6.2.3 (i)

Laag	Van [m]	Tot [m]	Omschrijving	OCR	Aandeel pos. kleef [%]	α_s	d_{50} [mm]
Hoogte maaiveld [m] : 18.32 Grondwaterstand [m] : 17.32							
1	18.32	17.75	Zand - Zwak siltig - Kleiig	1.0	100.0		
2	17.75	17.46	Zand - Schoon - Matig	1.0	100.0		
3	17.46	16.91	Zand - Sterk siltig - Kleiig	1.0	100.0		
4	16.91	16.60	Klei - Zwak zandig - Matig	1.0	50.0		
5	16.60	16.33	Zand - Schoon - Matig	1.0	100.0		
6	16.33	15.83	Klei - Zwak zandig - Matig	1.0	50.0		
7	15.83	14.96	Zand - Sterk siltig - Kleiig	1.0	100.0		
8	14.96	14.44	Leem - Zwak zandig - Vast	1.0	50.0		
9	14.44	14.16	Zand - Zwak siltig - Kleiig	1.0	100.0		
10	14.16	13.24	Klei - Zwak zandig - Matig	1.0	50.0		
11	13.24	12.49	Zand - Schoon - Matig	1.0	100.0		
12	12.49	11.84	Klei - Schoon - Matig	1.0	50.0		
13	11.84	10.36	Zand - Schoon - Vast	1.0	100.0		
14	10.36	9.84	Klei - Zwak zandig - Vast	1.0	50.0		
15	9.84	8.64	Zand - Schoon - Los	1.0	100.0		
16	8.64	8.24	Zand - Schoon - Vast	1.0	100.0		
17	8.24	5.58	Zand - Schoon - Matig	1.0	100.0		
18	5.58	5.38	Leem - Zwak zandig - Vast	1.0	50.0		
19	5.38	1.16	Zand - Zwak siltig - Kleiig	1.0	100.0		
20	1.16	-1.19	Zand - Schoon - Vast	1.0	100.0		
21	-1.19	-2.51	Klei - Zwak zandig - Slap	1.0	50.0		
22	-2.51	-3.21	Zand - Schoon - Vast	1.0	100.0		
23	-3.21	-3.69	Klei - Zwak zandig - Vast	1.0	50.0		

Project : BBB
Onderdeel : MBT-EHV 380

BODEMPROFIELGEGEVENS: 119-3

Alle niveaus/hogtes/peilmaten zijn t.o.v.: N.A.P.

d50-reductie is meegenomen overeenkomstig NEN-EN 9997 art. 7.6.2.3 (i)

Laag	Van [m]	Tot [m]	Omschrijving	OCR	Aandeel pos. kleef [%]	α_s	d_{50} [mm]
	18.32	17.62	Zand - Sterk siltig - Kleiig	1.0	100.0		
2	17.62	16.97	Zand - Schoon - Matig	1.0	100.0		
3	16.97	16.48	Klei - Schoon - Vast	1.0	50.0		
4	16.48	16.33	Zand - Schoon - Los	1.0	100.0		
5	16.33	15.75	Leem - Zwak zandig - Vast	1.0	50.0		
6	15.75	14.00	Zand - Zwak siltig - Kleiig	1.0	100.0		
7	14.00	13.29	Klei - Zwak zandig - Matig	1.0	50.0		
8	13.29	12.28	Zand - Schoon - Los	1.0	100.0		
9	12.28	11.73	Klei - Zwak zandig - Vast	1.0	50.0		
10	11.73	10.44	Zand - Schoon - Vast	1.0	100.0		
11	10.44	9.76	Leem - Zwak zandig - Vast	1.0	50.0		
12	9.76	9.27	Zand - Sterk siltig - Kleiig	1.0	100.0		
13	9.27	8.94	Leem - Zwak zandig - Vast	1.0	50.0		
14	8.94	7.53	Zand - Schoon - Vast	1.0	100.0		
15	7.53	6.51	Zand - Schoon - Matig	1.0	100.0		
16	6.51	5.69	Zand - Schoon - Los	1.0	100.0		
17	5.69	5.32	Zand - Schoon - Vast	1.0	100.0		
18	5.32	3.45	Zand - Schoon - Matig	1.0	100.0		
19	3.45	2.46	Zand - Schoon - Vast	1.0	100.0		
20	2.46	2.10	Zand - Schoon - Matig	1.0	100.0		
21	2.10	0.72	Zand - Schoon - Vast	1.0	100.0		
22	0.72	0.32	Zand - Schoon - Matig	1.0	100.0		
23	0.32	-0.48	Zand - Schoon - Vast	1.0	100.0		
24	-0.48	-1.62	Zand - Sterk siltig - Kleiig	1.0	100.0		
25	-1.62	-2.50	Klei - Zwak zandig - Slap	1.0	50.0		
26	-2.50	-2.87	Zand - Sterk siltig - Kleiig	1.0	100.0		
27	-2.87	-3.36	Klei - Schoon - Vast	1.0	50.0		

BODEMPROFIELGEGEVENS: 117

Alle niveaus/hogtes/peilmaten zijn t.o.v.: N.A.P.

d50-reductie is meegenomen overeenkomstig NEN-EN 9997 art. 7.6.2.3 (i)

Laag	Van [m]	Tot [m]	Omschrijving	OCR	Aandeel pos. kleef [%]	α_s	d_{50} [mm]
	18.26	17.61	Grind - Zwak siltig - Vast	1.0	0.0		
2	17.61	17.56	Zand - Schoon - Vast	1.0	100.0		
3	17.56	17.01	Zand - Schoon - Matig	1.0	100.0		
4	17.01	16.82	Zand - Zwak siltig - Kleiig	1.0	100.0		
5	16.82	16.48	Zand - Sterk siltig - Kleiig	1.0	100.0		
6	16.48	16.33	Grind - Sterk siltig - Los	1.0	0.0		
7	16.33	15.95	Zand - Sterk siltig - Kleiig	1.0	100.0		
8	15.95	14.72	Zand - Schoon - Los	1.0	100.0		
9	14.72	14.14	Zand - Schoon - Matig	1.0	100.0		
10	14.14	13.95	Zand - Zwak siltig - Kleiig	1.0	100.0		
11	13.95	13.31	Zand - Schoon - Matig	1.0	100.0		
12	13.31	13.11	Grind - Sterk siltig - Los	1.0	0.0		
13	13.11	12.82	Zand - Schoon - Los	1.0	100.0		
14	12.82	12.21	Zand - Zwak siltig - Kleiig	1.0	100.0		
15	12.21	12.00	Zand - Sterk siltig - Kleiig	1.0	100.0		
16	12.00	11.87	Grind - Sterk siltig - Los	1.0	0.0		
17	11.87	11.63	Zand - Schoon - Los	1.0	100.0		
18	11.63	11.47	Grind - Sterk siltig - Los	1.0	0.0		
19	11.47	8.55	Zand - Zwak siltig - Kleiig	1.0	100.0		
20	8.55	7.94	Zand - Schoon - Los	1.0	100.0		
21	7.94	6.86	Leem - Zwak zandig - Vast	1.0	0.0		
22	6.86	6.70	Zand - Schoon - Los	1.0	100.0		
23	6.70	6.38	Zand - Sterk siltig - Kleiig	1.0	100.0		
24	6.38	6.04	Zand - Schoon - Los	1.0	100.0		
25	6.04	5.87	Zand - Sterk siltig - Kleiig	1.0	100.0		
26	5.87	4.85	Leem - Zwak zandig - Vast	1.0	0.0		
27	4.85	4.49	Klei - Zwak zandig - Vast	1.0	0.0		
28	4.49	4.02	Leem - Zwak zandig - Vast	1.0	0.0		
29	4.02	3.54	Zand - Schoon - Los	1.0	100.0		

Project : BBB
Onderdeel : MBT-EHV 380

Laag	Van [m]	Tot [m]	Omschrijving	OCR	Aandeel pos. kleef [%]	α_s	d_{50} [mm]
30	3.54	3.30	Leem - Zwak zandig - Vast	1.0	0.0		
31	3.30	3.08	Zand - Schoon - Los	1.0	100.0		
32	3.08	2.96	Leem - Zwak zandig - Vast	1.0	0.0		
33	2.96	2.69	Zand - Schoon - Los	1.0	100.0		
34	2.69	2.47	Klei - Zwak zandig - Vast	1.0	0.0		
35	2.47	0.69	Zand - Schoon - Los	1.0	100.0		

BODEMPROFIELGEGEVENS: 118-2012-1

Alle niveaus/hogtes/peilmaten zijn t.o.v.: N.A.P.

d50-reductie is meegenomen overeenkomstig NEN-EN 9997 art. 7.6.2.3 (i)

Hoogte maaiveld [m] : 18.58 Grondwaterstand [m] : 17.58

Laag	Van [m]	Tot [m]	Omschrijving	OCR	Aandeel pos. kleef [%]	α_s	d_{50} [mm]
1	18.58	18.25	Zand - Schoon - Los	1.0	100.0		
2	18.25	18.03	Zand - Schoon - Matig	1.0	100.0		
3	18.03	17.64	Zand - Schoon - Los	1.0	100.0		
4	17.64	16.96	Leem - Zwak zandig - Vast	1.0	50.0		
5	16.96	16.89	Zand - Zwak siltig - Kleiig	1.0	100.0		
6	16.89	16.57	Klei - Zwak zandig - Matig	1.0	50.0		
7	16.57	16.38	Zand - Schoon - Los	1.0	100.0		
8	16.38	16.26	Zand - Zwak siltig - Kleiig	1.0	100.0		
9	16.26	16.04	Leem - Zwak zandig - Vast	1.0	50.0		
10	16.04	15.45	Zand - Schoon - Los	1.0	100.0		
11	15.45	15.21	Zand - Zwak siltig - Kleiig	1.0	100.0		
12	15.21	15.01	Leem - Zwak zandig - Vast	1.0	50.0		
13	15.01	14.84	Klei - Schoon - Matig	1.0	50.0		
14	14.84	14.66	Veen - Matig voorbelast - Matig	1.0	50.0		
15	14.66	14.43	Leem - Zwak zandig - Vast	1.0	50.0		
16	14.43	14.01	Klei - Zwak zandig - Slap	1.0	50.0		
17	14.01	13.91	Zand - Schoon - Los	1.0	100.0		
18	13.91	13.34	Zand - Schoon - Los	1.0	100.0		
19	13.34	12.66	Zand - Schoon - Vast	1.0	100.0		
20	12.66	10.27	Zand - Schoon - Matig	1.0	100.0		
21	10.27	10.12	Zand - Schoon - Los	1.0	100.0		
22	10.12	9.92	Klei - Zwak zandig - Matig	1.0	50.0		
23	9.92	9.78	Klei - Schoon - Vast	1.0	50.0		
24	9.78	9.65	Zand - Zwak siltig - Kleiig	1.0	100.0		
25	9.65	8.99	Zand - Schoon - Matig	1.0	100.0		
26	8.99	8.82	Zand - Schoon - Los	1.0	100.0		
27	8.82	8.57	Leem - Zwak zandig - Matig	1.0	50.0		
28	8.57	4.59	Zand - Schoon - Matig	1.0	100.0		
29	4.59	4.40	Zand - Sterk siltig - Kleiig	1.0	100.0		
30	4.40	-1.34	Zand - Schoon - Vast	1.0	100.0		

BODEMPROFIELGEGEVENS: 118-2012

Alle niveaus/hogtes/peilmaten zijn t.o.v.: N.A.P.

d50-reductie is meegenomen overeenkomstig NEN-EN 9997 art. 7.6.2.3 (i)

Hoogte maaiveld [m] : 18.06 Grondwaterstand [m] : 17.06

Laag	Van [m]	Tot [m]	Omschrijving	OCR	Aandeel pos. kleef [%]	α_s	d_{50} [mm]
1	18.06	15.86	Zand - Schoon - Los	1.0	100.0		
2	15.86	13.21	Leem - Zwak zandig - Slap	1.0	50.0		
3	13.21	9.98	Zand - Schoon - Matig	1.0	100.0		
4	9.98	9.83	Zand - Schoon - Los	1.0	100.0		
5	9.83	9.59	Klei - Zwak zandig - Matig	1.0	50.0		
6	9.59	9.41	Zand - Schoon - Matig	1.0	100.0		
7	9.41	8.70	Zand - Schoon - Matig	1.0	100.0		
8	8.70	8.63	Klei - Zwak zandig - Vast	1.0	50.0		
9	8.63	8.41	Klei - Zwak zandig - Matig	1.0	50.0		
10	8.41	-1.89	Zand - Schoon - Matig	1.0	100.0		

Project : BBB
 Onderdeel : MBT-EHV 380

BODEMPROFIELGEGEVENS: 117-2012

Alle niveaus/hoogtes/peilmaten zijn t.o.v.: N.A.P.

d50-reductie is meegenomen overeenkomstig NEN-EN 9997 art. 7.6.2.3 (i)

Laag	Van [m]	Tot [m]	Omschrijving	OCR	Aandeel pos. kleef [%]	α_s	d_{50} [mm]
	18.28	16.91	Grondwaterstand	[m]	17.28		
1	18.28	16.91	Zand - Schoon - Los	1.0	100.0		
2	16.91	16.33	Leem - Zwak zandig - Matig	1.0	50.0		
3	16.33	13.40	Zand - Schoon - Matig	1.0	100.0		
4	13.40	12.89	Leem - Zwak zandig - Slap	1.0	50.0		
5	12.89	12.77	Zand - Zwak siltig - Kleiig	1.0	100.0		
6	12.77	8.02	Zand - Schoon - Matig	1.0	100.0		
7	8.02	7.76	Klei - Zwak zandig - Vast	1.0	50.0		
8	7.76	6.90	Leem - Zwak zandig - Vast	1.0	50.0		
9	6.90	4.85	Zand - Schoon - Matig	1.0	100.0		
10	4.85	4.66	Klei - Zwak zandig - Matig	1.0	50.0		
11	4.66	4.51	Klei - Schoon - Vast	1.0	50.0		
12	4.51	4.39	Zand - Schoon - Los	1.0	100.0		
13	4.39	4.15	Leem - Zwak zandig - Vast	1.0	0.0		
14	4.15	0.88	Zand - Schoon - Matig	1.0	100.0		

BODEMPROFIELGEGEVENS: 117-2012-1

Alle niveaus/hoogtes/peilmaten zijn t.o.v.: N.A.P.

d50-reductie is meegenomen overeenkomstig NEN-EN 9997 art. 7.6.2.3 (i)

Laag	Van [m]	Tot [m]	Omschrijving	OCR	Aandeel pos. kleef [%]	α_s	d_{50} [mm]
	18.40	17.40	Grondwaterstand	[m]	17.40		
1	18.40	15.40	Zand - Schoon - Los	1.0	100.0		
2	15.40	14.79	Leem - Zwak zandig - Matig	1.0	50.0		
3	14.79	5.28	Zand - Schoon - Matig	1.0	100.0		
4	5.28	4.37	Leem - Zwak zandig - Matig	1.0	50.0		
5	4.37	2.88	Zand - Schoon - Matig	1.0	100.0		
6	2.88	2.46	Leem - Zwak zandig - Matig	1.0	50.0		
7	2.46	-1.36	Zand - Schoon - Matig	1.0	100.0		

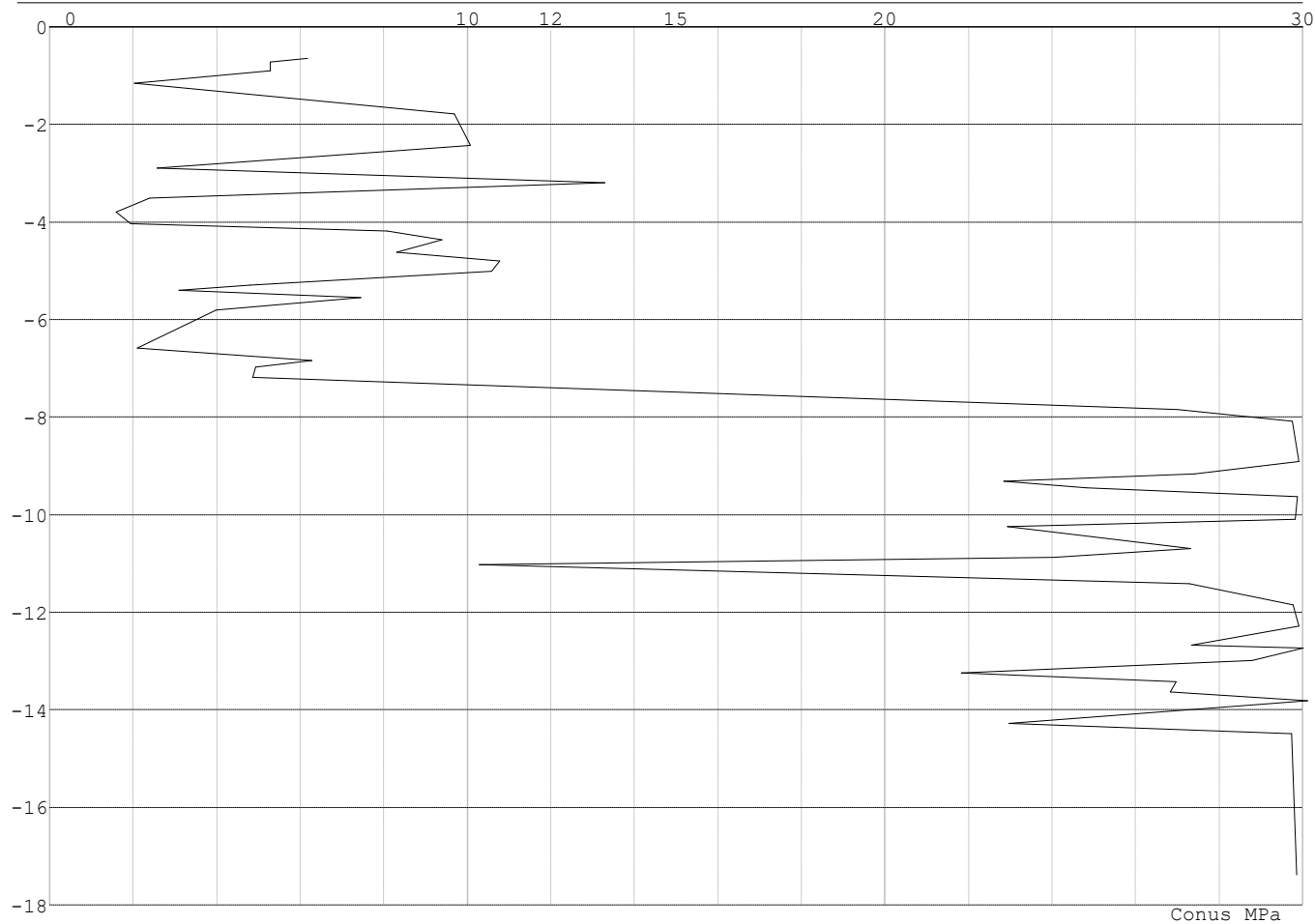
SONDERINGSGEGEVENS ALGEMEEN: 110

Alle niveaus/hoogtes/peilmaten zijn t.o.v.: N.A.P.

Hoogte maaiveld [m] : 0.00 Bodemprofiel: 110
 Traject negatieve kleef : 0.00 tot -4.00 [m]
 Traject positieve kleef : -4.30 tot -17.40 [m]

Project : BBB
Onderdeel : MBT-EHV 380

SONDERINGSGEGEVENS GRAFIEK: 110

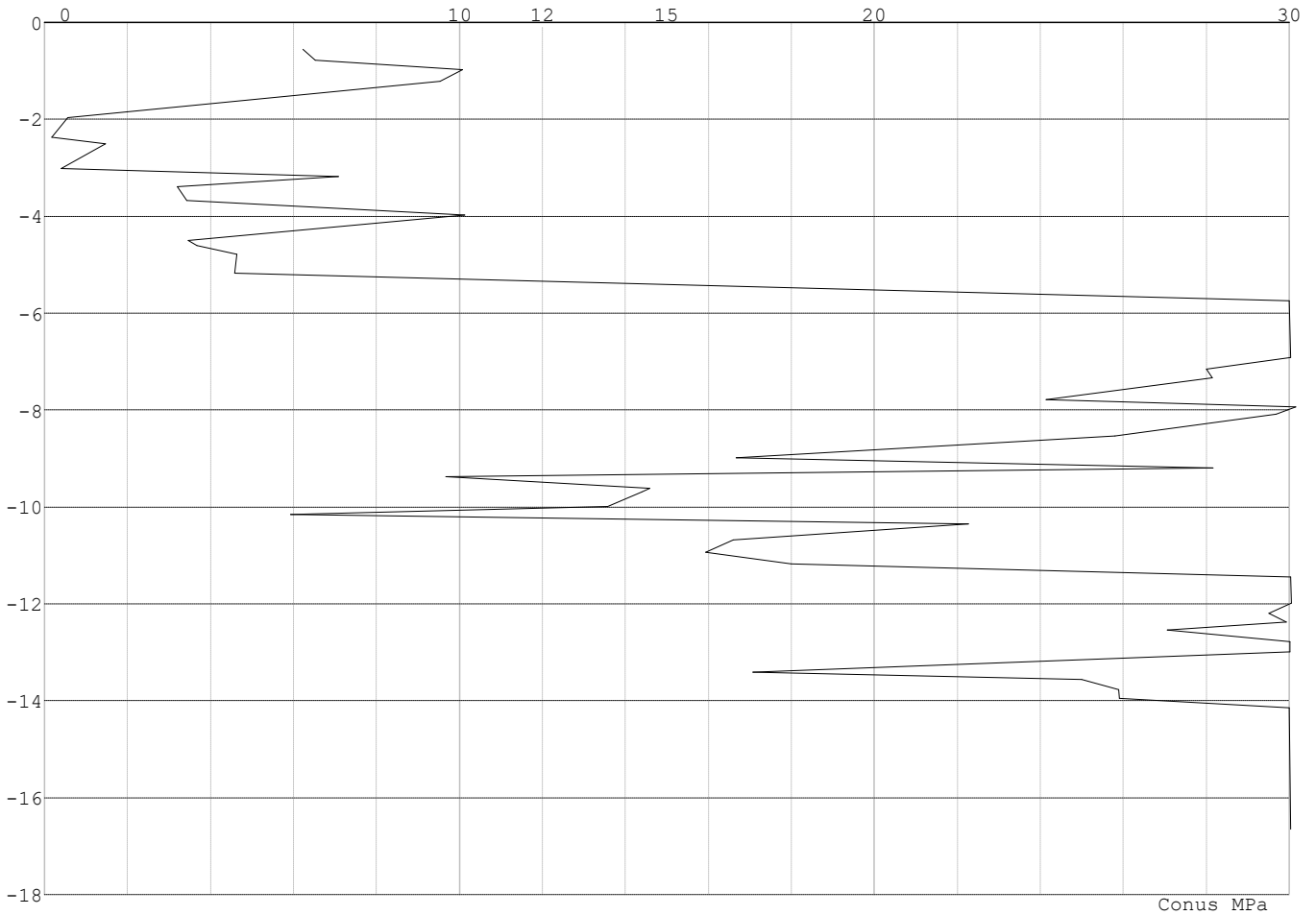


Project : BBB
Onderdeel : MBT-EHV 380

SONDERINGSGEGEVENS ALGEMEEN: 111

Alle niveaus/hoogtes/peilmaten zijn t.o.v.: N.A.P.
Hoogte maaiveld [m] : 0.00 Bodemprofiel: 111
Traject negatieve kleeft : 0.00 tot -3.00 [m]
Traject positieve kleeft : -3.00 tot -16.65 [m]

SONDERINGSGEGEVENS GRAFIEK: 111

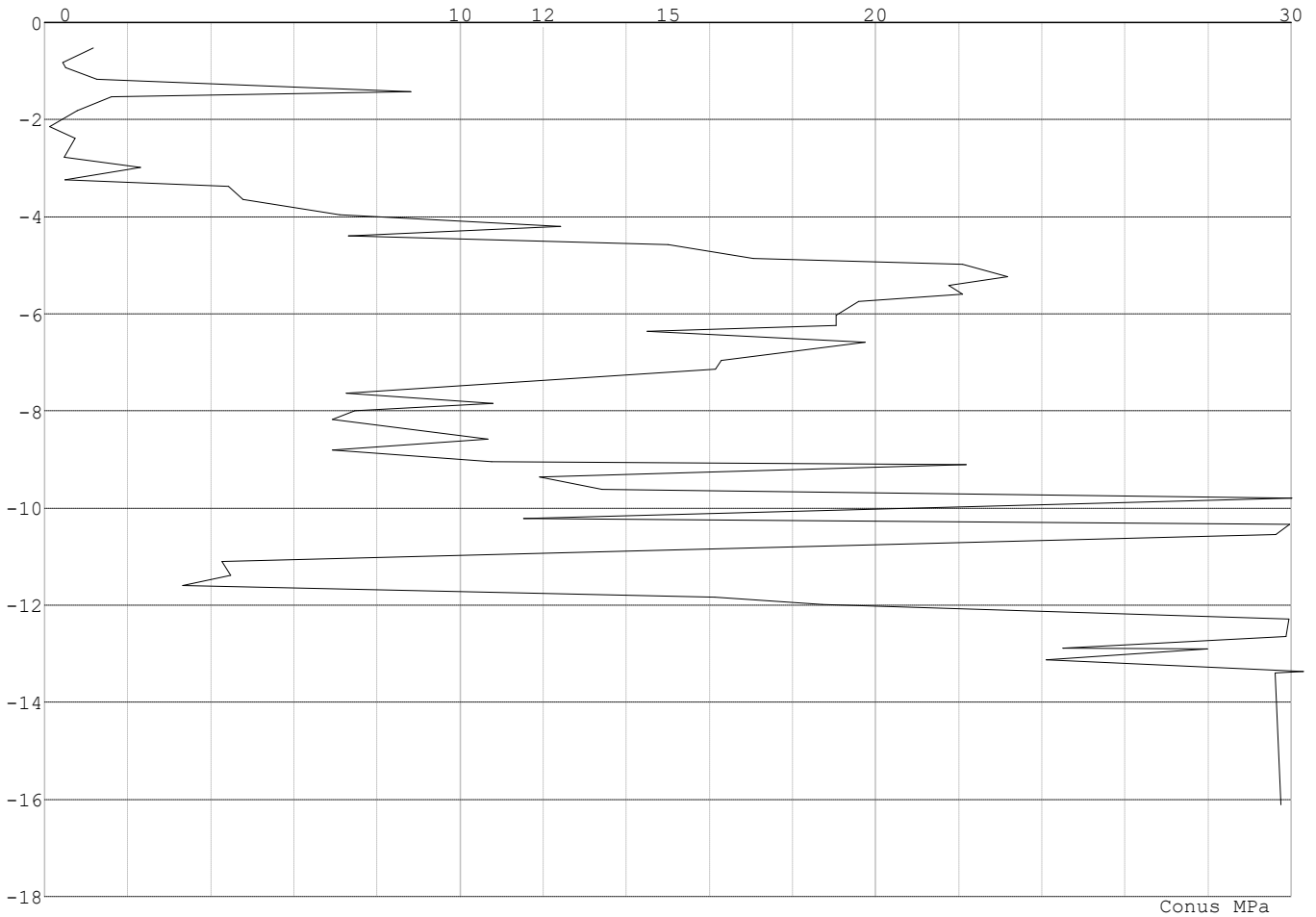


Project : BBB
Onderdeel : MBT-EHV 380

SONDERINGSGEGEVENS ALGEMEEN: 112

Alle niveaus/hogtes/peilmaten zijn t.o.v.: N.A.P.
Hoogte maaiveld [m] : 0.00 Bodemprofiel: 112
Traject negatieve kleef : 0.00 tot -3.30 [m]
Traject positieve kleef : -3.30 tot -16.10 [m]

SONDERINGSGEGEVENS GRAFIEK: 112

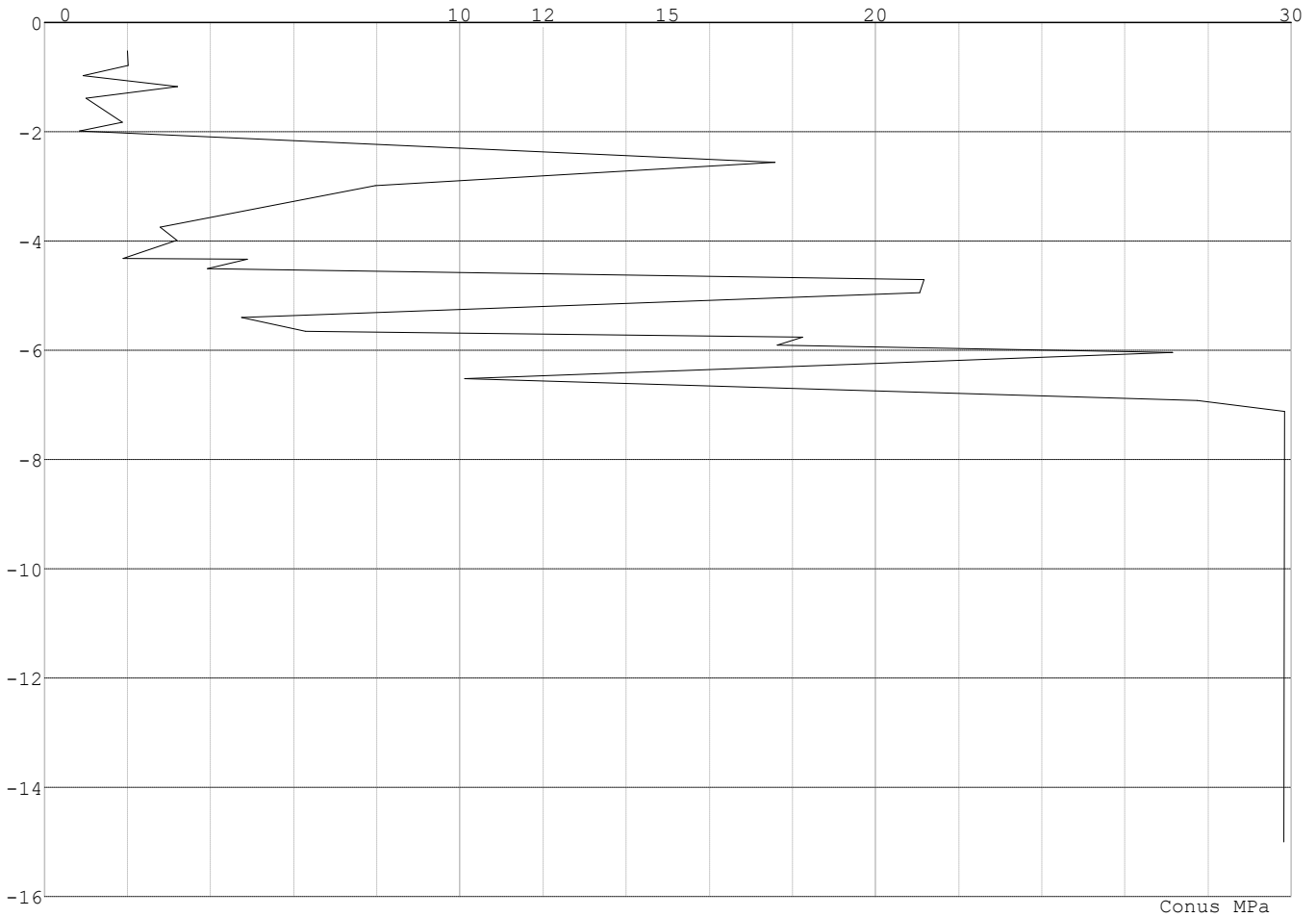


Project : BBB
Onderdeel : MBT-EHV 380

SONDERINGSGEGEVENS ALGEMEEN: 113

Alle niveaus/hogtes/peilmaten zijn t.o.v.: N.A.P.
Hoogte maaiveld [m] : 0.00 Bodemprofiel: 113
Traject negatieve kleef : 0.00 tot -2.00 [m]
Traject positieve kleef : -2.00 tot -15.00 [m]

SONDERINGSGEGEVENS GRAFIEK: 113

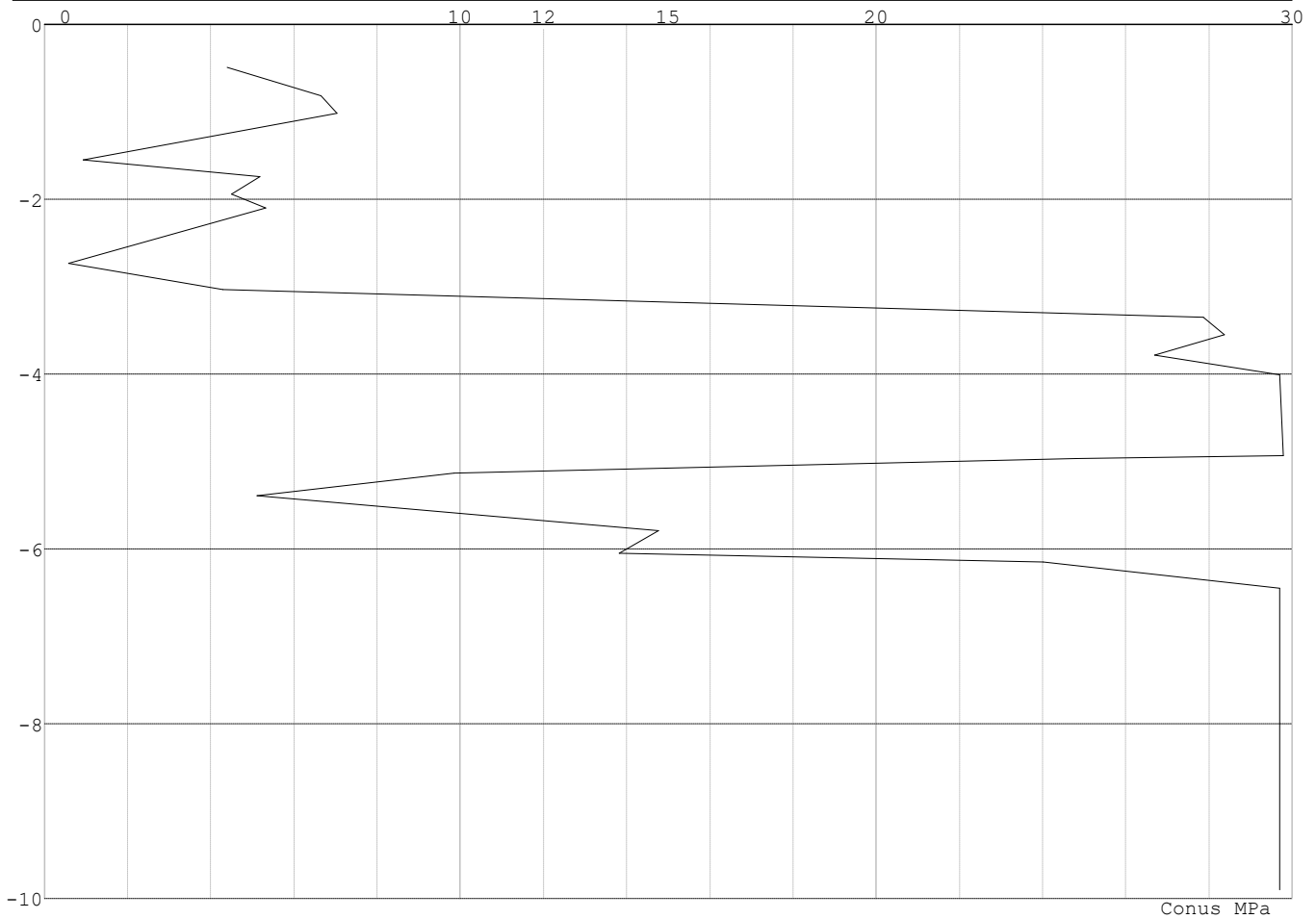


Project : BBB
Onderdeel : MBT-EHV 380

SONDERINGSGEGEVENS ALGEMEEN: 114

Alle niveaus/hoogtes/peilmaten zijn t.o.v.: N.A.P.
Hoogte maaiveld [m] : 0.00 Bodemprofiel: 114
Traject negatieve kleef : 0.00 tot -2.70 [m]
Traject positieve kleef : -2.70 tot -9.90 [m]

SONDERINGSGEGEVENS GRAFIEK: 114

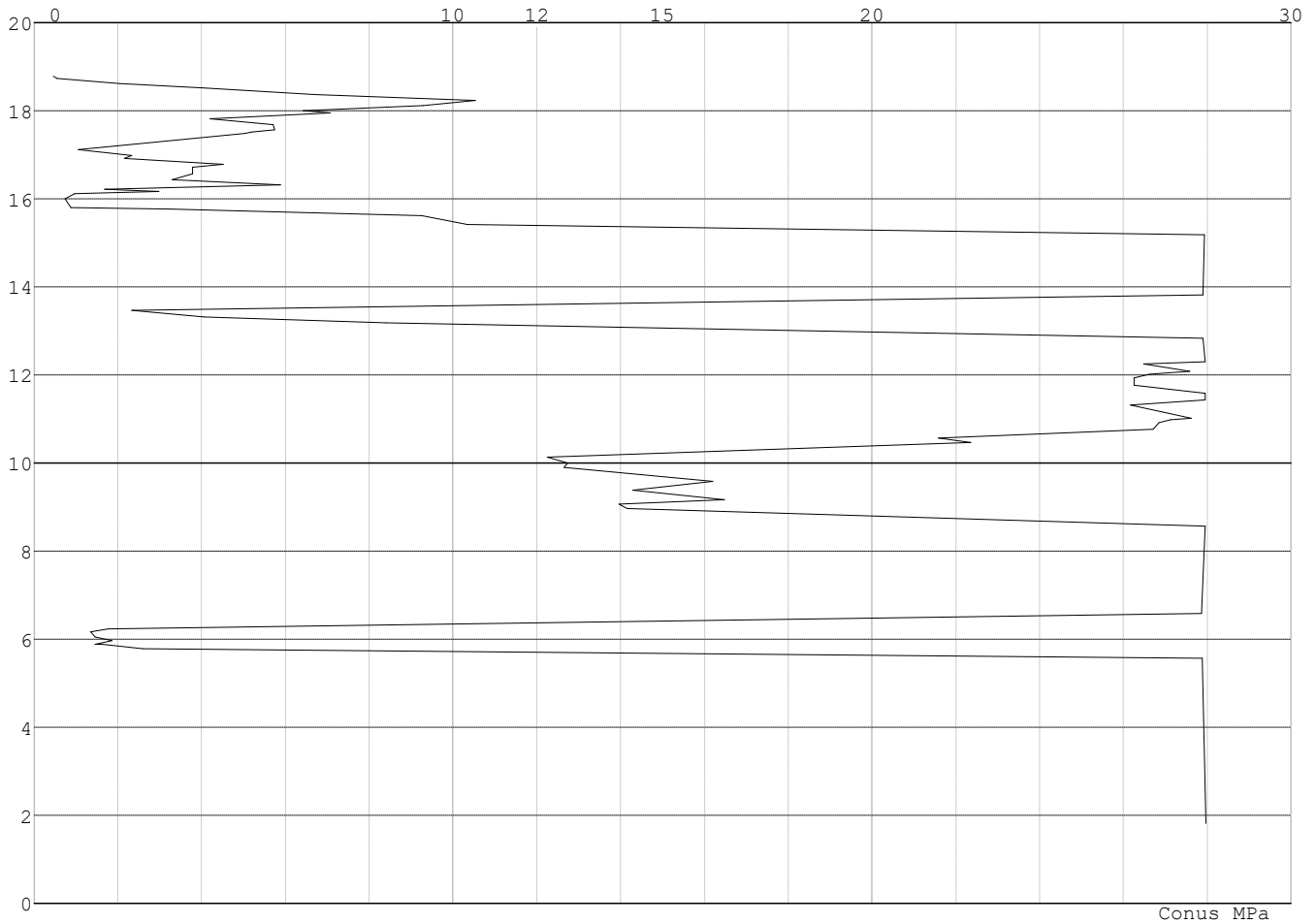


Project : BBB
Onderdeel : MBT-EHV 380

SONDERINGSGEGEVENS ALGEMEEN: 115-15

Alle niveaus/hogtes/peilmaten zijn t.o.v.: N.A.P.
Hoogte maaiveld [m] : 18.82 Bodemprofiel: 115-2
Traject negatieve kleef : 18.82 tot 15.78 [m]
Traject positieve kleef : 15.78 tot 1.18 [m]

SONDERINGSGEGEVENS GRAFIEK: 115-15

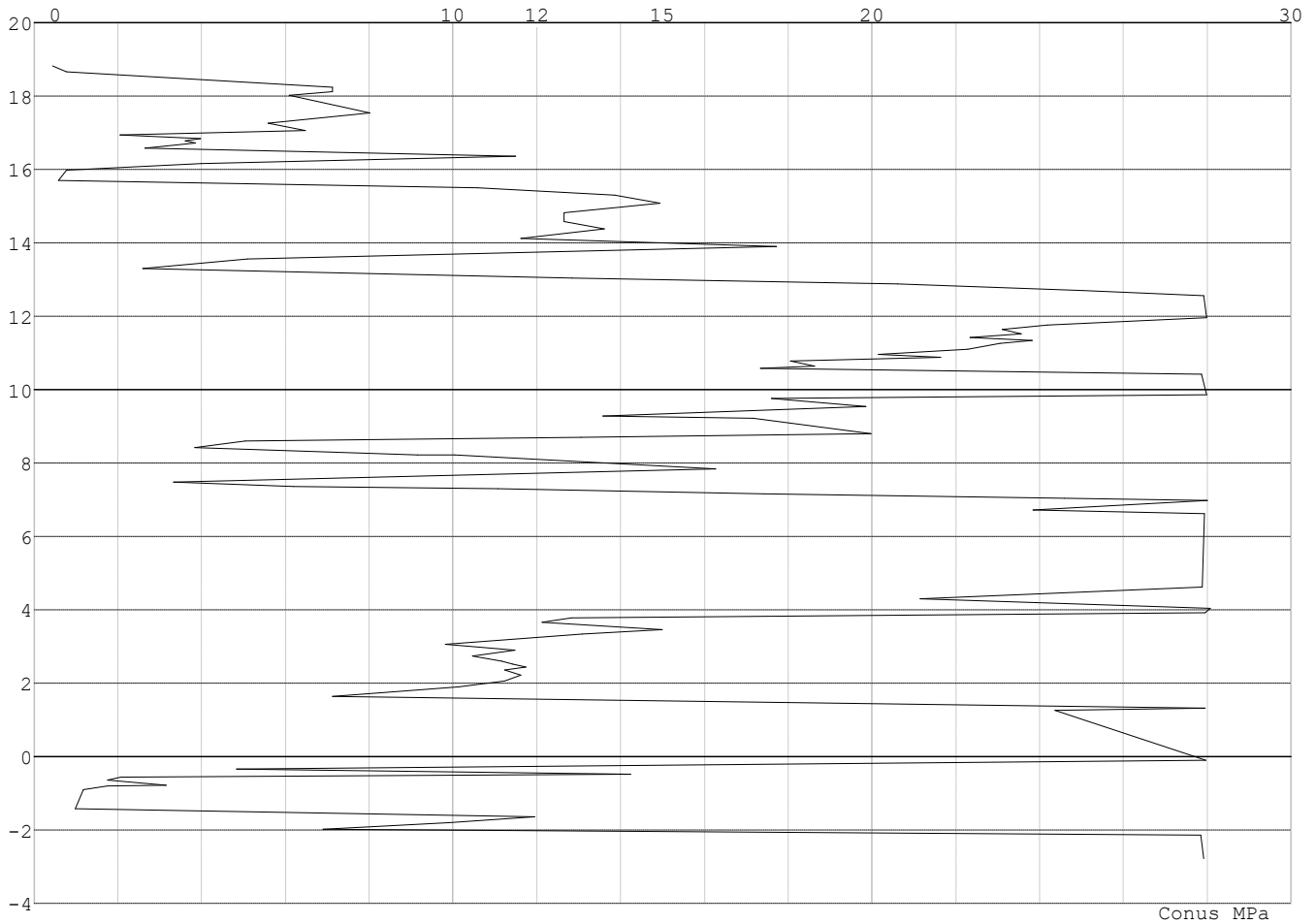


Project : BBB
Onderdeel : MBT-EHV 380

SONDERINGSGEGEVENS ALGEMEEN: 115-16

Alle niveaus/hoogtes/peilmaten zijn t.o.v.: N.A.P.
Hoogte maaiveld [m] : 18.82 Bodemprofiel: 115-3
Traject negatieve kleeft : 18.82 tot 15.73 [m]
Traject positieve kleeft : 15.73 tot -2.78 [m]

SONDERINGSGEGEVENS GRAFIEK: 115-16

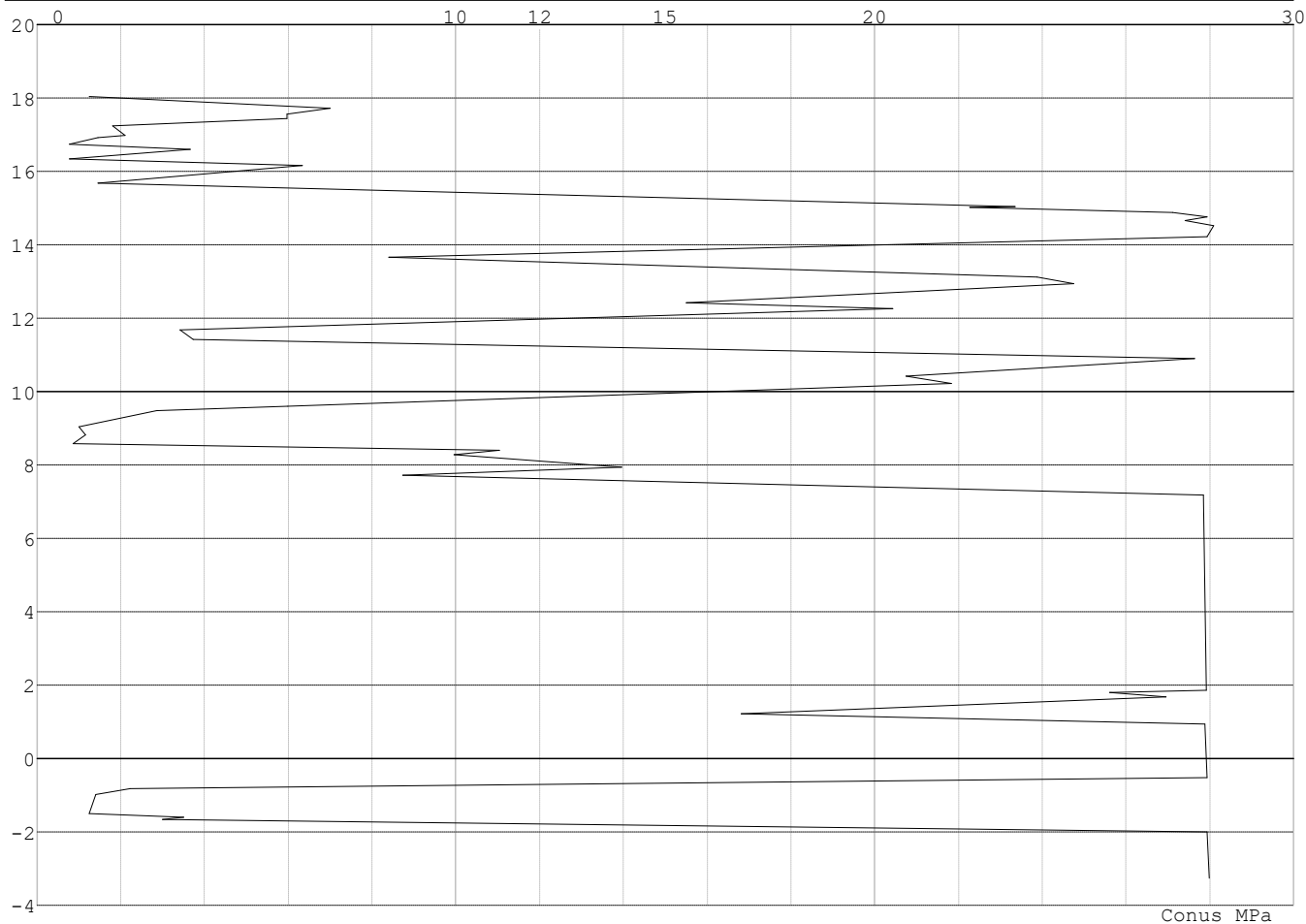


Project : BBB
Onderdeel : MBT-EHV 380

SONDERINGSGEGEVENS ALGEMEEN: 116-13

Alle niveaus/hogtes/peilmaten zijn t.o.v.: N.A.P.
Hoogte maaiveld [m] : 18.05 Bodemprofiel: 116-2
Traject negatieve kleef : 18.05 tot 18.05 [m]
Traject positieve kleef : 15.68 tot -3.25 [m]

SONDERINGSGEGEVENS GRAFIEK: 116-13

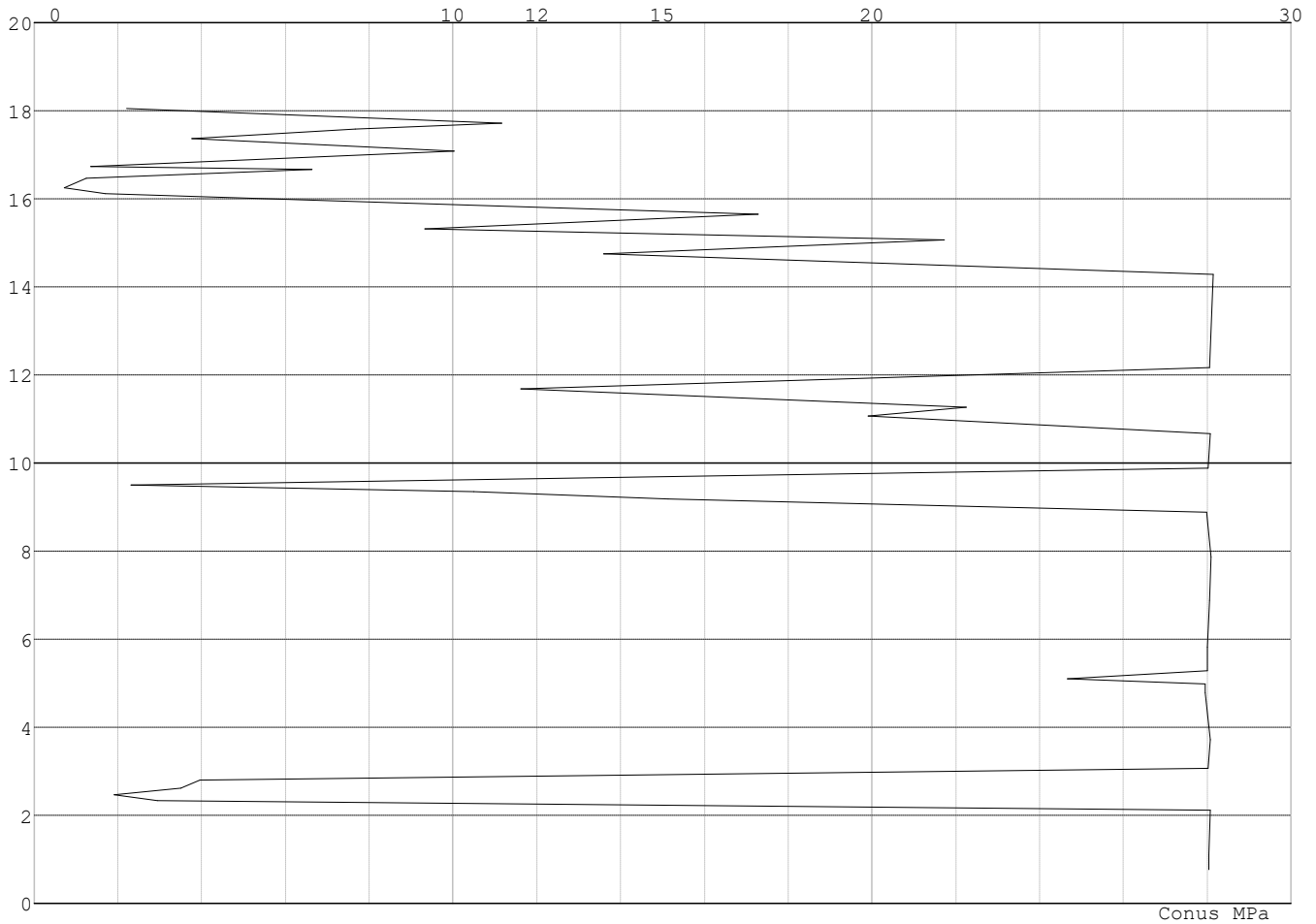


Project : BBB
Onderdeel : MBT-EHV 380

SONDERINGSGEGEVENS ALGEMEEN: 116-14

Alle niveaus/hogtes/peilmaten zijn t.o.v.: N.A.P.
Hoogte maaiveld [m] : 18.05 Bodemprofiel: 116-3
Traject negatieve kleef : 18.05 tot 18.05 [m]
Traject positieve kleef : 16.10 tot 0.77 [m]

SONDERINGSGEGEVENS GRAFIEK: 116-14

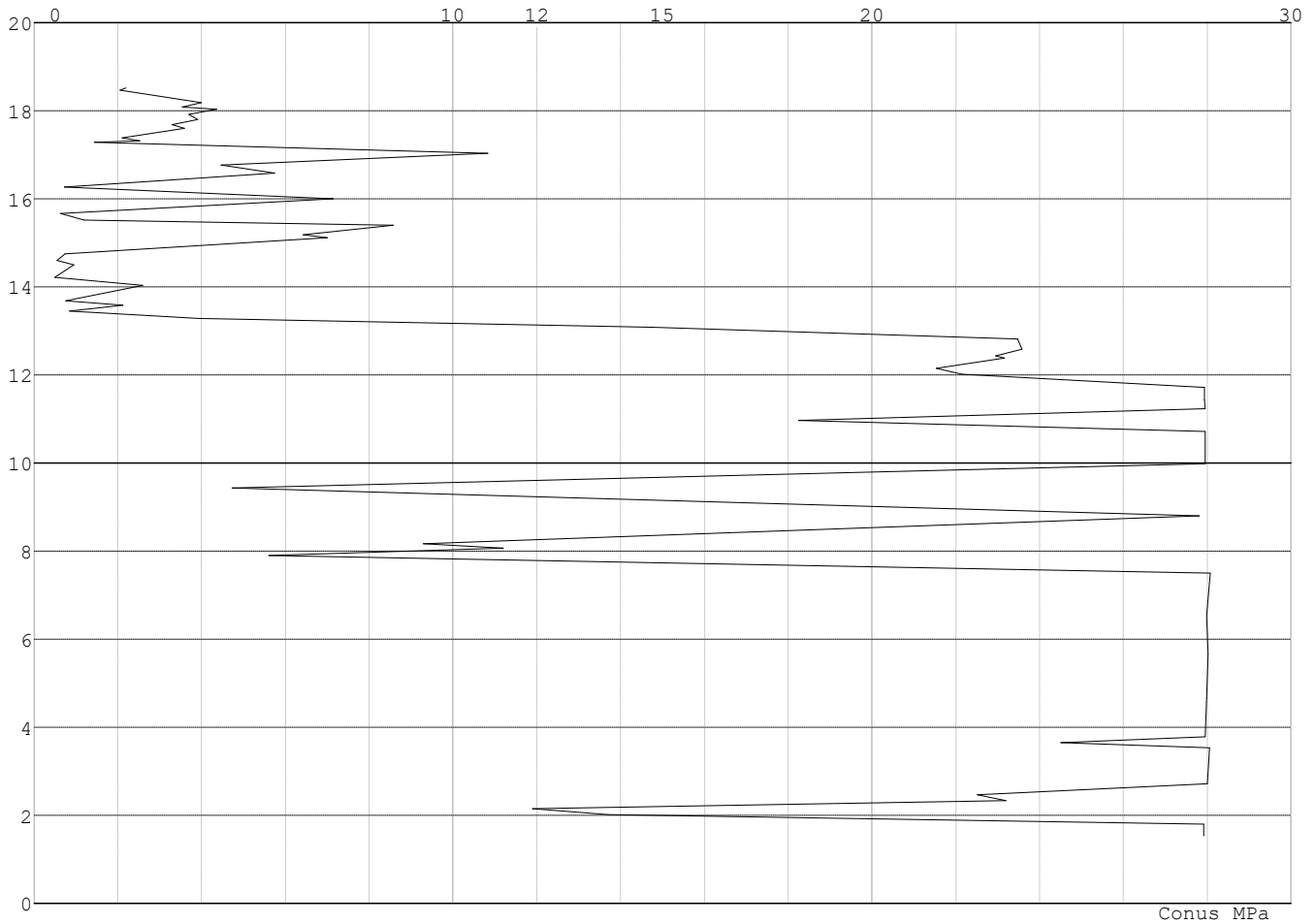


Project : BBB
Onderdeel : MBT-EHV 380

SONDERINGSGEGEVENS ALGEMEEN: 117-11

Alle niveaus/hogtes/peilmaten zijn t.o.v.: N.A.P.
Hoogte maaiveld [m] : 18.51 Bodemprofiel: 117-2
Traject negatieve kleef : 18.51 tot 13.49 [m]
Traject positieve kleef : 13.49 tot 1.19 [m]

SONDERINGSGEGEVENS GRAFIEK: 117-11

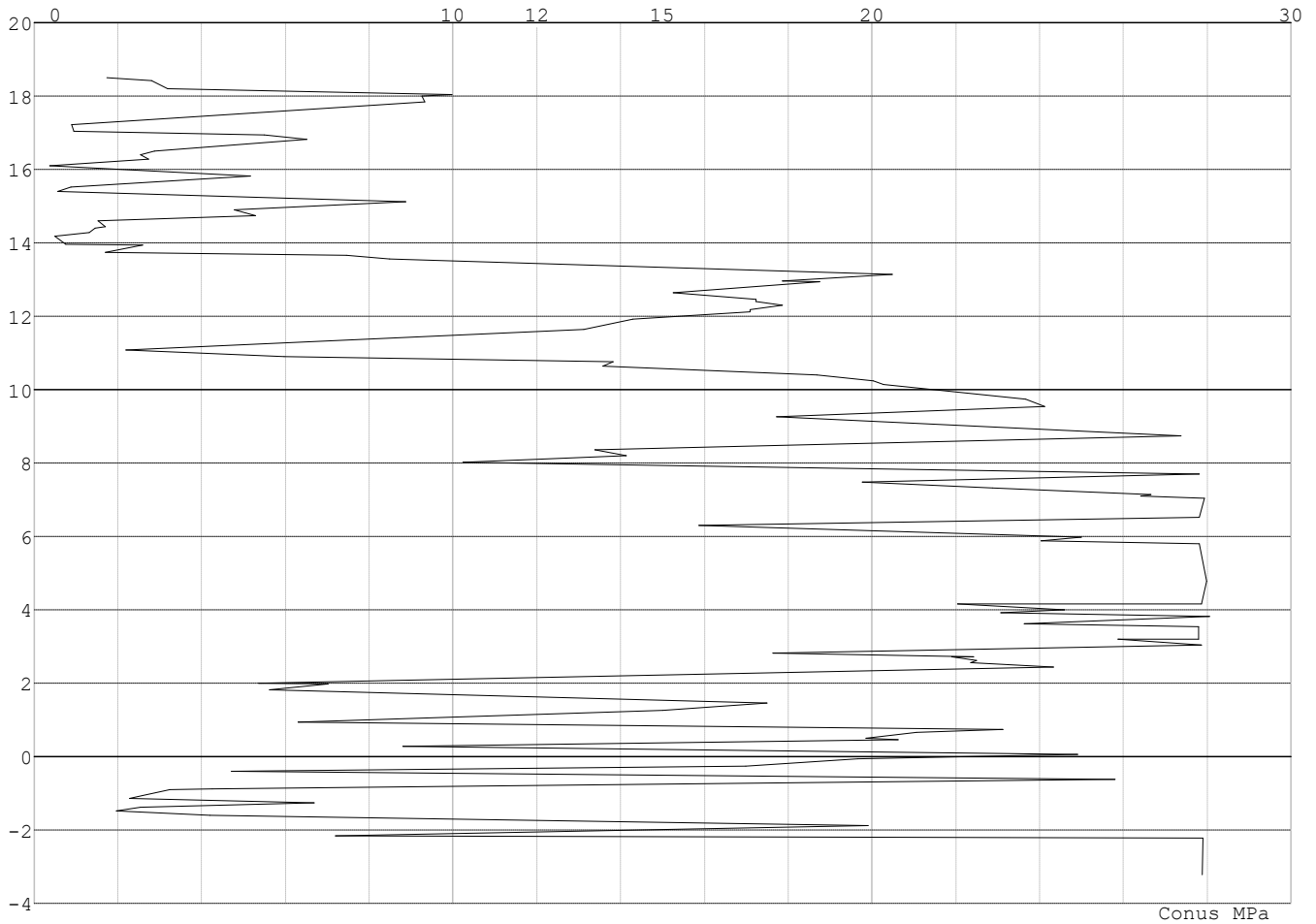


Project : BBB
Onderdeel : MBT-EHV 380

SONDERINGSGEGEVENS ALGEMEEN: 117-12

Alle niveaus/hogtes/peilmaten zijn t.o.v.: N.A.P.
Hoogte maaiveld [m] : 18.51 Bodemprofiel: 117-3
Traject negatieve kleef : 18.51 tot 13.80 [m]
Traject positieve kleef : 13.80 tot -3.22 [m]

SONDERINGSGEGEVENS GRAFIEK: 117-12

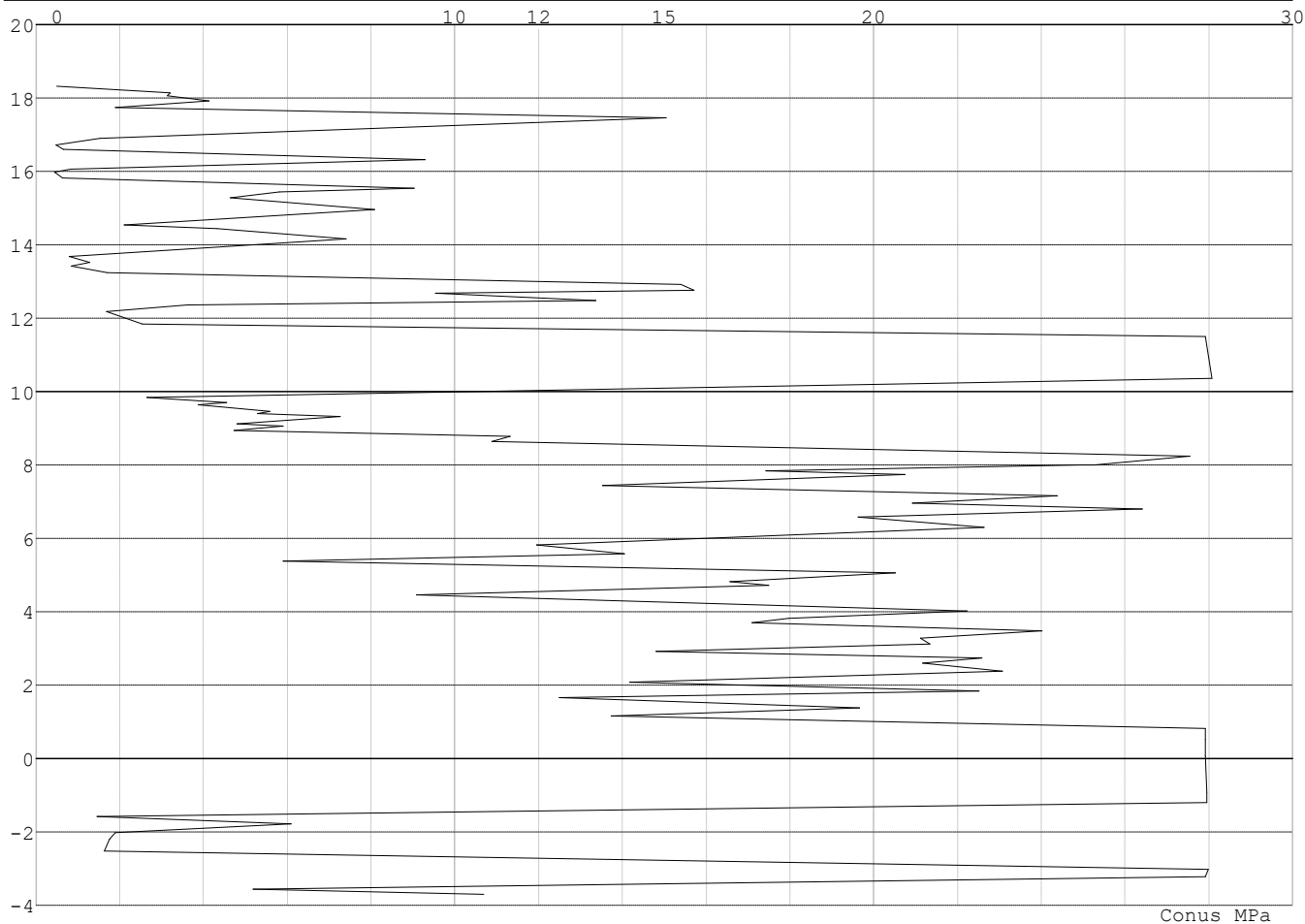


Project : BBB
Onderdeel : MBT-EHV 380

SONDERINGSGEGEVENS ALGEMEEN: 119-2

Alle niveaus/hogtes/peilmaten zijn t.o.v.: N.A.P.
Hoogte maaiveld [m] : 18.32 Bodemprofiel: 119-2
Traject negatieve kleeft : 18.32 tot 12.14 [m]
Traject positieve kleeft : 11.54 tot -3.69 [m]

SONDERINGSGEGEVENS GRAFIEK: 119-2

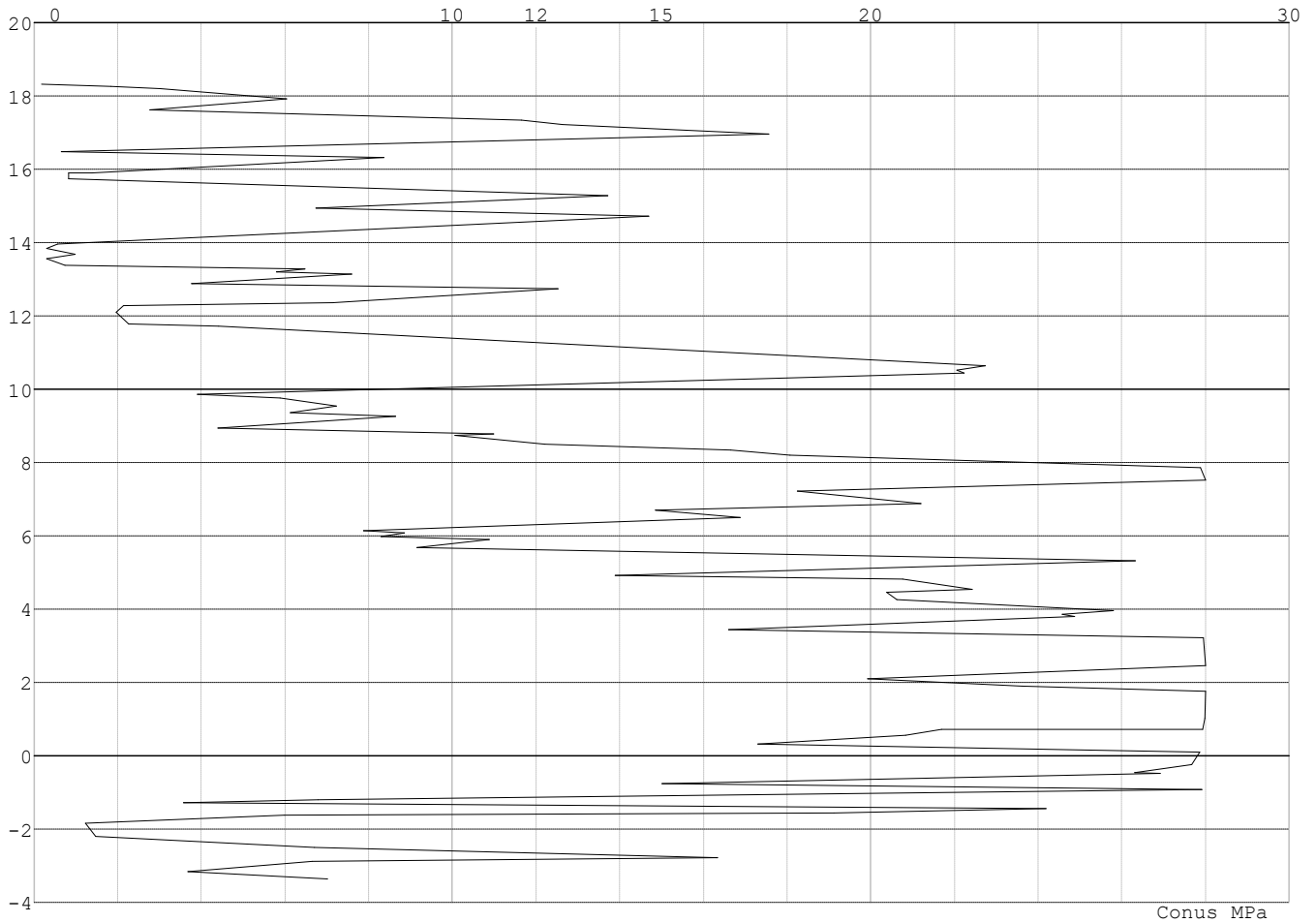


Project : BBB
Onderdeel : MBT-EHV 380

SONDERINGSGEGEVENS ALGEMEEN: 119-3

Alle niveaus/hogtes/peilmaten zijn t.o.v.: N.A.P.
Hoogte maaiveld [m] : 18.32 Bodemprofiel: 119-3
Traject negatieve kleef : 18.32 tot 11.82 [m]
Traject positieve kleef : 11.82 tot -3.36 [m]

SONDERINGSGEGEVENS GRAFIEK: 119-3

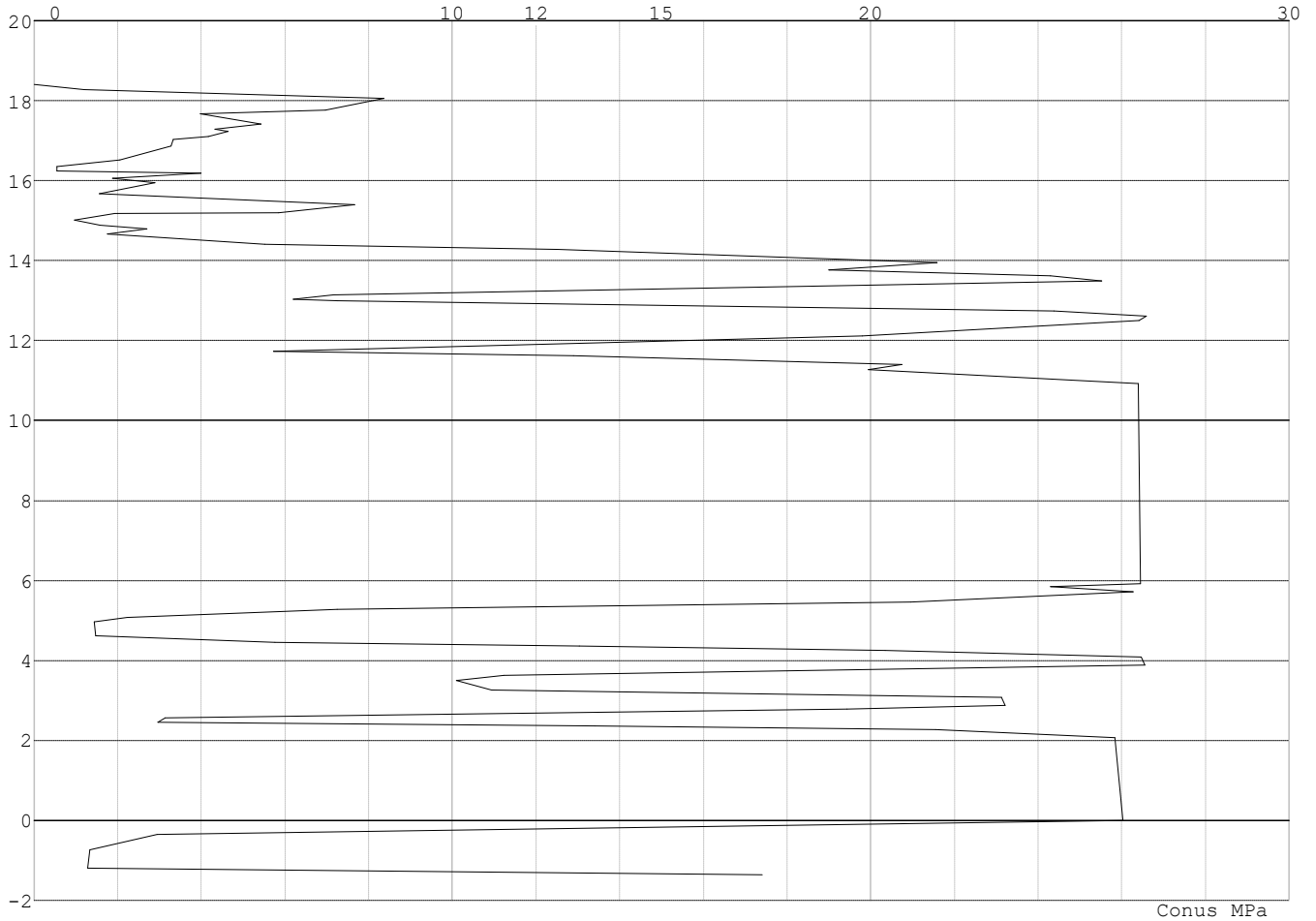


Project : BBB
Onderdeel : MBT-EHV 380

SONDERINGSGEGEVENS ALGEMEEN: 117-2012-1

Alle niveaus/hogtes/peilmaten zijn t.o.v.: N.A.P.
Hoogte maaiveld [m] : 18.40 Bodemprofiel: 117-2012-1
Traject negatieve kleef : 18.40 tot 15.00 [m]
Traject positieve kleef : 15.00 tot -1.36 [m]

SONDERINGSGEGEVENS GRAFIEK: 117-2012-1

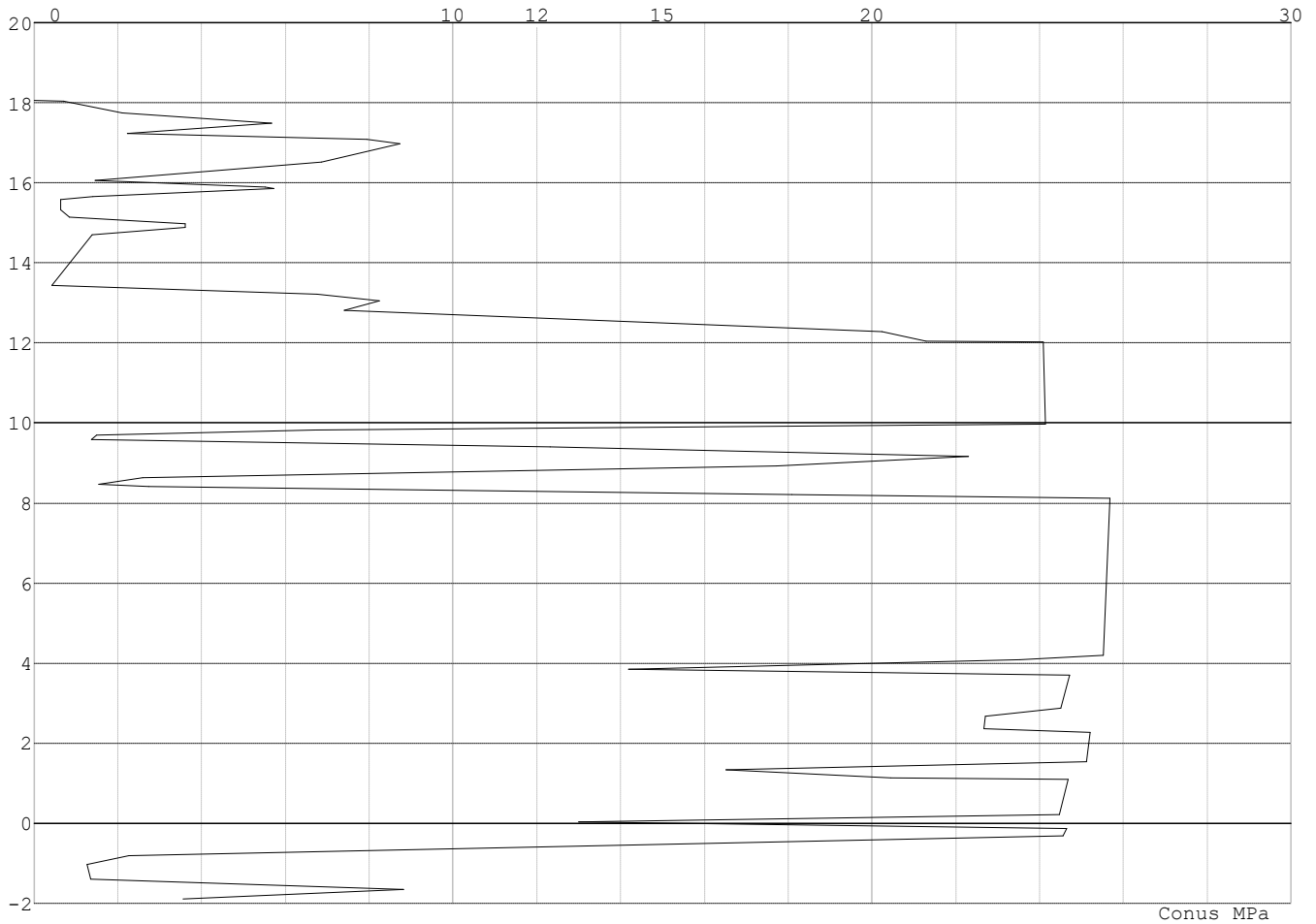


Project : BBB
Onderdeel : MBT-EHV 380

SONDERINGSGEGEVENS ALGEMEEN: 118-2012

Alle niveaus/hogtes/peilmaten zijn t.o.v.: N.A.P.
Hoogte maaiveld [m] : 18.06 Bodemprofiel: 118-2012-1
Traject negatieve kleef : 18.06 tot 13.50 [m]
Traject positieve kleef : 13.50 tot -1.89 [m]

SONDERINGSGEGEVENS GRAFIEK: 118-2012

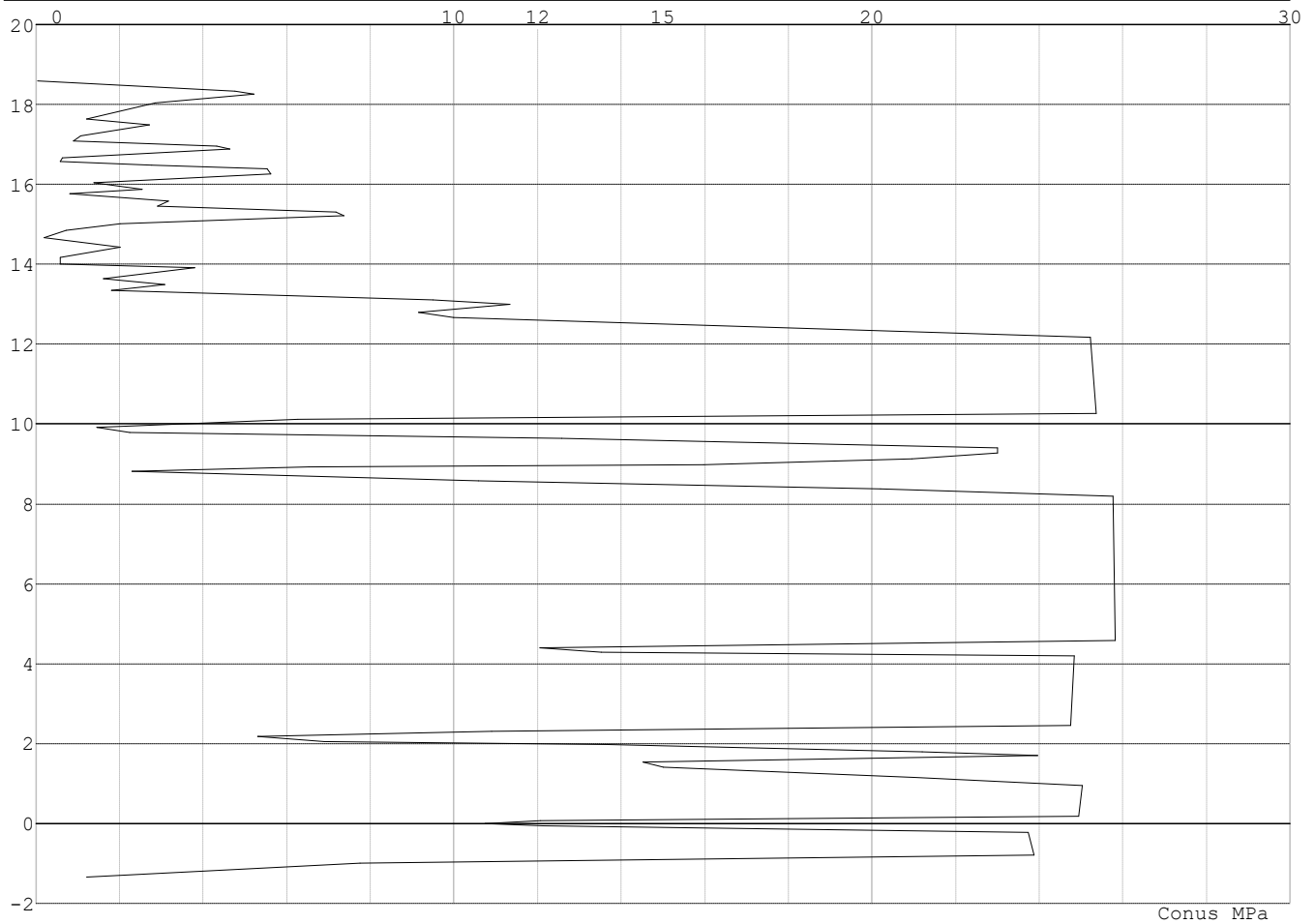


Project : BBB
 Onderdeel : MBT-EHV 380

SONDERINGSGEGEVENS ALGEMEEN: 118-2012-1

Alle niveaus/hogtes/peilmaten zijn t.o.v.: N.A.P.
 Hoogte maaiveld [m] : 18.58 Bodemprofiel: 118-2012-1
 Traject negatieve kleef : 18.58 tot 13.40 [m]
 Traject positieve kleef : 13.40 tot -1.34 [m]

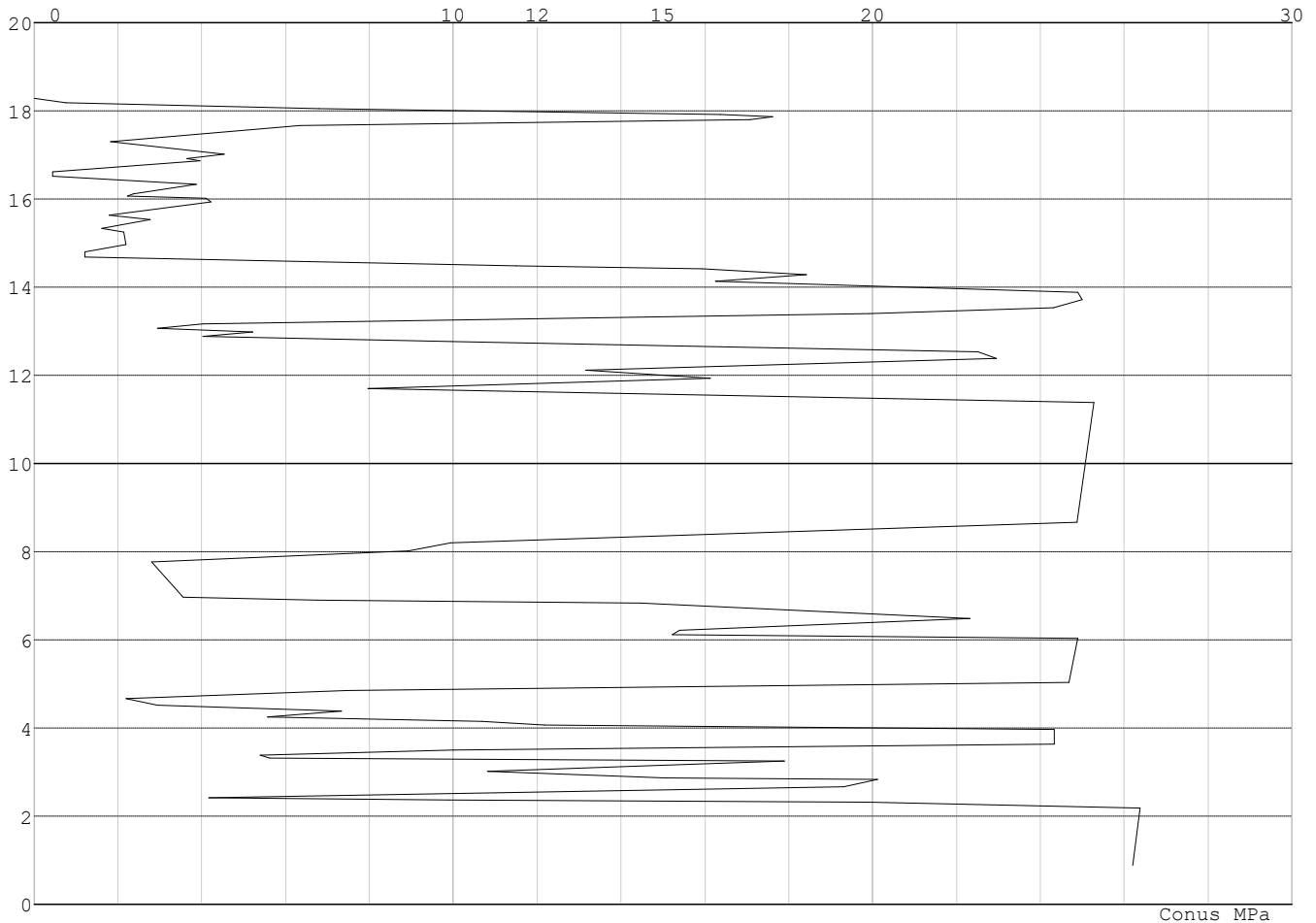
SONDERINGSGEGEVENS GRAFIEK: 118-2012-1



Project : BBB
Onderdeel : MBT-EHV 380

SONDERINGSGEGEVENS ALGEMEEN: 117-2012

Alle niveaus/hogtes/peilmaten zijn t.o.v.: N.A.P.
Hoogte maaiveld [m] : 18.28 Bodemprofiel: 117-2012
Traject negatieve kleef : 18.28 tot 14.80 [m]
Traject positieve kleef : 14.80 tot 0.00 [m]

SONDERINGSGEGEVENS GRAFIEK: 117-2012**REKENGEVENS Mast 115 - Afk Trk**

Berekening : Controlerend
Rekenmethode : Trekpalen volgens NEN-EN 1997-1, art. 7.6.3
Sondering(en) : 115-15, 115-16
Let op: trekcapaciteit t.p.v. negatief kleeftraject is meegerekend.

Stijf bouwwerk : NEE
Paalgroep : NEE
Aantal sonderingen : 2
Factor ξ_3 (n=1) : 1.39
Factor ξ_3 (gem) : 1.32
Factor ξ_4 (min) : 1.32
Weerstandsfactor γ_R : 1.35
 $\gamma_{m;var;q_c}$: 1.50
UGT draagvermogen zonder negatieve kleef : NEE

Paal : Tubex 457_670
Niveau paalkop [m] : N.A.P. 17.02
Paalpuntniveau : N.A.P. 5.02
 $E_{d,1}$ [kN] : 0.00 $E_{d,2}$ [kN] : 0.00
Bovenbel. [kN/m²] : 0.00

RESULTATEN Mast 115 - Afk Trk (n=1)

Project : BBB
 Onderdeel : MBT-EHV 380

Sondering : 115-15

Alle niveaus/hogtes/peilmaten zijn t.o.v.: N.A.P.

Inheinniveau [m]	Effectief inheinniveau [m]	E.G. paal [kN]	$R_{t,cal;k}$ [kN]	$R_{t;d}$ [kN]	$F_{t,tot;1}$ [kN]	U.C.
5.02	5.02	50.0	1089.0	1089.0	0.0	0.00

Sondering : 115-16

Alle niveaus/hogtes/peilmaten zijn t.o.v.: N.A.P.

Inheinniveau [m]	Effectief inheinniveau [m]	E.G. paal [kN]	$R_{t,cal;k}$ [kN]	$R_{t;d}$ [kN]	$F_{t,tot;1}$ [kN]	U.C.
5.02	5.02	50.0	1020.0	1020.0	0.0	0.00

Project : BBB
 Onderdeel : MBT-EHV 380

SAMENVATTINGSTABEL Mast 115 - Afk Trk (n=1)

Uitgangspunten

- paal : Tubex 457_670
 - paaltype : In de grond gevormde geschroefde paal; groutinjectie
 - schachtafmeting : 670 mm
 Paalklassefactor α_p : 0.63
 Factor α_t (tabel 7.c EC 7.1) : 0.0090 (zandlagen; voor kleilagen zie tabel 7.d)
 Correlatiefactor $\xi_{3(n=1)}$: 1.39

Alle niveaus/hogtes/peilmaten zijn t.o.v.: N.A.P.

sondering	maaiveld paalpunt		Bezwijkdraagvermogen $R_{t,cal}$ [kN]	Rekenwaarden		
	niveau	niveau		$R_{t,d}$ [kN]	$R_{t,netto,d}$ [kN]	
115-15	18.82	5.02	1089.0	1089.0	1089.0	
115-16	18.82	5.02	1020.0	1020.0	1020.0	

Project : BBB
Onderdeel : MBT-EHV 380

SAMENVATTINGSTABEL Mast 115 - Afk Trk (van 2 sonderingen)**Uitgangspunten**

- paal : Tubex 457_670
- paaltype : In de grond gevormde geschroefde paal; groutinjectie
- schachtafmeting : 670 mm
Paalklassefactor α_p : 0.63
Factor α_t (tabel 7.c EC 7.1) : 0.0090 (zandlagen; voor kleilagen zie tabel 7.d)
Correlatiefactor $\xi_{3\text{gem}}(n=2)$: 1.32
Correlatiefactor $\xi_{4\text{min}}(n=2)$: 1.32

Alle niveaus/hogtes/peilmaten zijn t.o.v.: N.A.P.

sondering	maaiveld niveau	paalpunt niveau	Bezuikdraagvermogen E.G. paal $R_{t,cal}$ [kN]	$R_{t,cal}$ [kN]
-----------	--------------------	--------------------	--	---------------------

met ξ_3 (gem) = 1.32

115-15	18.82	5.02	50.0	1144.1
--------	-------	------	------	--------

115-16	18.82	5.02	50.0	1071.4
--------	-------	------	------	--------

		5.02	$R_{t,cal,gem}$	1107.8
--	--	------	-----------------	--------

met ξ_4 (min) = 1.32

115-15	18.82	5.02	50.0	1144.1
--------	-------	------	------	--------

115-16	18.82	5.02	50.0	1071.4
--------	-------	------	------	--------

		5.02	$R_{t,cal,min}$	1071.4
--	--	------	-----------------	--------

Totaal resultaten Mast 115 - Afk Trk (van 2 sonderingen)

Uitgangspunten

Correlatiefactor $\xi_{3\text{gem}}(n=2)$: 1.32

Correlatiefactor $\xi_{4\text{min}}(n=2)$: 1.32

gebaseerd op sonderingen:

115-15 115-16

$R_{t,d} = \min.\{ R_{t,cal,gem}; R_{t,cal,min} \}$ (7.17) *)

Inheinniveau

[m]

5.02	$R_{t,d} = \min.\{ 1107.8; 1071.4 \}$	= 1071.4
------	---------------------------------------	----------

*) Bij de trekpaalberekening zijn factoren ξ_3 en ξ_4 al bij de berekening van de conusweerstand $q_{c,z;d}$ in rekening gebracht, evenals factor $\gamma_{s;t}$. Dat is conform de opmerkingen in art. 7.6.3.3 (3) en (4).

Alle niveaus/hogtes/peilmaten zijn t.o.v.: N.A.P.

Inheinniveau [m]	$R_{t,k}$ [kN]	$R_{t,d}$ [kN]	$F_{t,tot;1}$ [kN]	$R_{t,netto;d}$ [kN]	U.C.
5.02	1071.4	1071.4	0.0	1071.4	0.00

REKENGEDEVENS Mast 116 - Afk Trk

Berekening : Controlerend

Rekenmethode : Trekpalen volgens NEN-EN 1997-1, art. 7.6.3

Sondering(en) : 116-13, 116-14

Let op: trekcapaciteit t.p.v. negatief kleeftraject is meegerekend.

Stijf bouwwerk : NEE

Paalgroep : NEE

Aantal sonderingen : 2

Factor ξ_3 (n=1) : 1.39

Factor ξ_3 (gem) : 1.32

Factor ξ_4 (min) : 1.32

Weerstandsfactor γ_R : 1.35

$\gamma_{m,var;q_c}$: 1.50

UGT draagvermogen zonder negatieve kleef : NEE

Paal : LD1

Niveau paalkop [m] : N.A.P. 18.25

Paalpuntniveau : N.A.P. 8.25

$E_{d,1}$ [kN] : 0.00

Bovenbel. [kN/m²] : 0.00

$E_{d,2}$ [kN] : 0.00

Project : BBB
 Onderdeel : MBT-EHV 380

RESULTATEN Mast 116 - Afk Trk (n=1)**Sondering : 116-13**

Alle niveaus/hogtes/peilmaten zijn t.o.v.: N.A.P.

Inheinniveau [m]	Effectief inheinniveau [m]	E.G. paal [kN]	$R_{t,cal;k}$ [kN]	$R_{t;d}$ [kN]	$F_{t,tot;1}$ [kN]	U.C.
8.25	8.25	34.3	480.5	480.5	0.0	0.00

Sondering : 116-14

Alle niveaus/hogtes/peilmaten zijn t.o.v.: N.A.P.

Inheinniveau [m]	Effectief inheinniveau [m]	E.G. paal [kN]	$R_{t,cal;k}$ [kN]	$R_{t;d}$ [kN]	$F_{t,tot;1}$ [kN]	U.C.
8.25	8.25	34.3	566.8	566.8	0.0	0.00

Project : BBB
 Onderdeel : MBT-EHV 380

SAMENVATTINGSTABEL Mast 116 - Afk Trk (n=1)

Uitgangspunten

- paal : LD1
 - paaltype : Stalen buispaal (gesloten)
 - schachtafmeting : 550 mm
 Paalklassefactor α_p : 1.00
 Factor α_t (tabel 7.c EC 7.1) : 0.0070 (zandlagen; voor kleilagen zie tabel 7.d)
 Correlatiefactor $\xi_{3(n=1)}$: 1.39

Alle niveaus/hogtes/peilmaten zijn t.o.v.: N.A.P.

sondering	maaiveld paalpunt		Bezwijkdraagvermogen $R_{t,cal}$ [kN]	Rekenwaarden		
	niveau	niveau		$R_{t,d}$ [kN]	$R_{t,netto,d}$ [kN]	
116-13	18.05	8.25	480.5	480.5	480.5	
116-14	18.05	8.25	566.8	566.8	566.8	

Project : BBB
Onderdeel : MBT-EHV 380

SAMENVATTINGSTABEL Mast 116 - Afk Trk (van 2 sonderingen)**Uitgangspunten**

- paal : LD1
- paaltype : Stalen buispaal (gesloten)
- schachtafmeting : 550 mm
Paalklassefactor α_p : 1.00
Factor α_t (tabel 7.c EC 7.1) : 0.0070 (zandlagen; voor kleilagen zie tabel 7.d)
Correlatiefactor $\xi_{3gem}(n=2)$: 1.32
Correlatiefactor $\xi_{4min}(n=2)$: 1.32

Alle niveaus/hogtes/peilmaten zijn t.o.v.: N.A.P.

sondering	maaiveld niveau	paalpunt niveau	Bezwijkdraagvermogen E.G. paal	$R_{t,cal}$ [kN]
-----------	--------------------	--------------------	-----------------------------------	---------------------

met ξ_3 (gem) = 1.32

116-13	18.05	8.25	34.3	504.2
--------	-------	------	------	-------

116-14	18.05	8.25	34.3	595.0
--------	-------	------	------	-------

		8.25	$R_{t,cal,gem}$	549.6
--	--	------	-----------------	-------

met ξ_4 (min) = 1.32

116-13	18.05	8.25	34.3	504.2
--------	-------	------	------	-------

116-14	18.05	8.25	34.3	595.0
--------	-------	------	------	-------

		8.25	$R_{t,cal,min}$	504.2
--	--	------	-----------------	-------

Totaal resultaten Mast 116 - Afk Trk (van 2 sonderingen)

Uitgangspunten

Correlatiefactor $\xi_{3gem}(n=2)$: 1.32
Correlatiefactor $\xi_{4min}(n=2)$: 1.32

gebaseerd op sonderingen:

116-13 116-14

$R_{t,d} = \min.\{ R_{t,cal,gem}; R_{t,cal,min} \}$ (7.17) *)

Inheinniveau
[m]

8.25	$R_{t,d} = \min.\{ 549.6; 504.2 \} = 504.2$
------	---

*) Bij de trekpaalberekening zijn factoren ξ_3 en ξ_4 al bij de berekening van de conusweerstand $q_{c;z,d}$ in rekening gebracht, evenals factor $\gamma_{s;t}$. Dat is conform de opmerkingen in art. 7.6.3.3 (3) en (4).

Alle niveaus/hogtes/peilmaten zijn t.o.v.: N.A.P.

Inheinniveau [m]	$R_{t;k}$ [kN]	$R_{t,d}$ [kN]	$F_{t,tot;1}$ [kN]	$R_{t,netto;d}$ [kN]	U.C.
8.25	504.2	504.2	0.0	504.2	0.00

REKENGEDEVENS Mast 117 - Afk Trk

Berekening : Controlerend
Rekenmethode : Trekpalen volgens NEN-EN 1997-1, art. 7.6.3
Sondering(en) : 117-11, 117-12, 117-2012-1, 117-2012
Let op: trekcapaciteit t.p.v. negatief kleeftraject is meegerekend.

Stijf bouwwerk : NEE
Paalgroep : NEE
Aantal sonderingen : 4
Factor ξ_3 (n=1) : 1.39
Factor ξ_3 (gem) : 1.28
Factor ξ_4 (min) : 1.03
Weerstandsfactor γ_R : 1.35
 $\gamma_{m,var;q_c}$: 1.50
UGT draagvermogen zonder negatieve kleef : NEE

Paal : LD1
Niveau paalkop [m] : N.A.P. 18.11
Paalpuntniveau : N.A.P. 7.11
 $E_{d;1}$ [kN] : 0.00
Bovenbel. [kN/m²] : 0.00

$E_{d;2}$ [kN] : 0.00

Project : BBB
 Onderdeel : MBT-EHV 380

RESULTATEN Mast 117 - Afk Trk (n=1)**Sondering : 117-11**

Alle niveaus/hogtes/peilmaten zijn t.o.v.: N.A.P.

Inheinniveau [m]	Effectief inheinniveau [m]	E.G. paal [kN]	$R_{t,cal;k}$ [kN]	$R_{t;d}$ [kN]	$F_{t,tot;1}$ [kN]	U.C.
7.11	7.11	36.1	445.4	445.4	0.0	0.00

Sondering : 117-12

Alle niveaus/hogtes/peilmaten zijn t.o.v.: N.A.P.

Inheinniveau [m]	Effectief inheinniveau [m]	E.G. paal [kN]	$R_{t,cal;k}$ [kN]	$R_{t;d}$ [kN]	$F_{t,tot;1}$ [kN]	U.C.
7.11	7.11	36.1	529.6	529.6	0.0	0.00

Sondering : 117-2012-1

Alle niveaus/hogtes/peilmaten zijn t.o.v.: N.A.P.

Inheinniveau [m]	Effectief inheinniveau [m]	E.G. paal [kN]	$R_{t,cal;k}$ [kN]	$R_{t;d}$ [kN]	$F_{t,tot;1}$ [kN]	U.C.
7.11	7.11	36.3	513.6	513.6	0.0	0.00

Sondering : 117-2012

Alle niveaus/hogtes/peilmaten zijn t.o.v.: N.A.P.

Inheinniveau [m]	Effectief inheinniveau [m]	E.G. paal [kN]	$R_{t,cal;k}$ [kN]	$R_{t;d}$ [kN]	$F_{t,tot;1}$ [kN]	U.C.
7.11	7.11	36.6	493.6	493.6	0.0	0.00

Project : BBB
 Onderdeel : MBT-EHV 380

SAMENVATTINGSTABEL Mast 117 - Afk Trk (n=1)

Uitgangspunten

- paal : LD1
 - paaltype : Stalen buispaal (gesloten)
 - schachtafmeting : 550 mm
 Paalklassefactor α_p : 1.00
 Factor α_t (tabel 7.c EC 7.1) : 0.0070 (zandlagen; voor kleilagen zie tabel 7.d)
 Correlatiefactor $\xi_{3(n=1)}$: 1.39

Alle niveaus/hogtes/peilmaten zijn t.o.v.: N.A.P.

sondering	maaiveld paalpunt		Bezwijkdraagvermogen $R_{t,cal}$ [kN]	Rekenwaarden		
	niveau	niveau		$R_{t;d}$ [kN]	$R_{t,netto;d}$ [kN]	
117-11	18.51	7.11	445.4	445.4	445.4	
117-12	18.51	7.11	529.6	529.6	529.6	
117-2012-1	18.40	7.11	513.6	513.6	513.6	
117-2012	18.28	7.11	493.6	493.6	493.6	

Project : BBB
 Onderdeel : MBT-EHV 380

SAMENVATTINGSTABEL Mast 117 - Afk Trk (van 4 sonderingen)
Uitgangspunten

- paal : LD1
 - paaltype : Stalen buispaal (gesloten)
 - schachtafmeting : 550 mm
 Paalklassefactor α_p : 1.00
 Factor α_t (tabel 7.c EC 7.1) : 0.0070 (zandlagen; voor kleilagen zie tabel 7.d)
 Correlatiefactor $\xi_{3gem}(n=4)$: 1.28
 Correlatiefactor $\xi_{4min}(n=4)$: 1.03

Alle niveaus/hogtes/peilmaten zijn t.o.v.: N.A.P.

sondering	maaiveld niveau	paalpunt niveau	E.G. paal [kN]	Bezwijkdraagvermogen $R_{t,cal}$ [kN]
-----------	--------------------	--------------------	-------------------	---

met ξ_3 (gem) = 1.28

117-11	18.51	7.11	36.1	480.5
117-12	18.51	7.11	36.1	572.0
117-2012-1	18.40	7.11	36.1	554.6
117-2012	18.28	7.11	36.1	532.9

7.11 $R_{t,cal,gem}$ 535.0

met ξ_4 (min) = 1.03

117-11	18.51	7.11	36.1	588.4
117-12	18.51	7.11	36.1	702.1
117-2012-1	18.40	7.11	36.1	680.4
117-2012	18.28	7.11	36.1	653.3

7.11 $R_{t,cal,min}$ 588.4

Totaal resultaten Mast 117 - Afk Trk (van 4 sonderingen)
Uitgangspunten

Correlatiefactor $\xi_{3gem}(n=4)$: 1.28
 Correlatiefactor $\xi_{4min}(n=4)$: 1.03

gebaseerd op sonderingen:

117-11 117-12 117-2012-1 117-2012

$$R_{t,d} = \min.\{ R_{t,cal,gem}; R_{t,cal,min} \} (7.17) *$$

Inheinniveau

[m]

$$7.11 \quad R_{t,d} = \min.\{ 535.0; 588.4 \} = 535.0$$

*) Bij de trekpaalberekening zijn factoren ξ_3 en ξ_4 al bij de berekening van de conusweerstand $q_{c;z;d}$ in rekening gebracht, evenals factor $\gamma_{s;t}$. Dat is conform de opmerkingen in art. 7.6.3.3 (3) en (4).

Alle niveaus/hogtes/peilmaten zijn t.o.v.: N.A.P.

Inheinniveau [m]	$R_{t,k}$ [kN]	$R_{t,d}$ [kN]	$F_{t,tot,1}$ [kN]	$R_{t,netto,d}$ [kN]	U.C.
7.11	535.0	535.0	0.0	535.0	0.00

Project : BBB
 Onderdeel : MBT-EHV 380

REKENEGEVENES Mast 118 - Afk Trk

Berekening : Controlerend
 Rekenmethode : Trekpalen volgens NEN-EN 1997-1, art. 7.6.3
 Sondering(en) : 118-2012, 118-2012-1
 Let op: trekcapaciteit t.p.v. negatief kleefttraject is meegerekend.

Stijf bouwwerk : NEE
 Paalgroep : NEE
 Aantal sonderingen : 2
 Factor ξ_3 (n=1) : 1.39
 Factor ξ_3 (gem) : 1.32
 Factor ξ_4 (min) : 1.32
 Weerstandsfactor γ_R : 1.35
 $\gamma_{m,var;q_c}$: 1.50
 UGT draagvermogen zonder negatieve kleeft : NEE

Paal : LD1
 Niveau paalkop [m] : N.A.P. 17.79
 Paalpuntniveau : N.A.P. 6.79
 $E_{d,1}$ [kN] : 0.00 $E_{d,2}$ [kN] : 0.00
 Bovenbel. [kN/m²] : 0.00

RESULTATEN Mast 118 - Afk Trk (n=1)**Sondering : 118-2012**

Alle niveaus/hogtes/peilmaten zijn t.o.v.: N.A.P.

Inheinniveau [m]	Effectief inheinniveau [m]	E.G. paal [kN]	$R_{t,cal;k}$ [kN]	$R_{t;d}$ [kN]	$F_{t,tot;1}$ [kN]	U.C.
6.79	6.79	35.1	458.4	458.4	0.0	0.00

Sondering : 118-2012-1

Alle niveaus/hogtes/peilmaten zijn t.o.v.: N.A.P.

Inheinniveau [m]	Effectief inheinniveau [m]	E.G. paal [kN]	$R_{t,cal;k}$ [kN]	$R_{t;d}$ [kN]	$F_{t,tot;1}$ [kN]	U.C.
6.79	6.79	35.1	448.1	448.1	0.0	0.00

Project : BBB
 Onderdeel : MBT-EHV 380

SAMENVATTINGSTABEL Mast 118 - Afk Trk (n=1)

Uitgangspunten

- paal : LD1
 - paaltype : Stalen buispaal (gesloten)
 - schachtafmeting : 550 mm
 Paalklassefactor α_p : 1.00
 Factor α_t (tabel 7.c EC 7.1) : 0.0070 (zandlagen; voor kleilagen zie tabel 7.d)
 Correlatiefactor $\xi_{3(n=1)}$: 1.39

Alle niveaus/hogtes/peilmaten zijn t.o.v.: N.A.P.

sondering	maaiveld paalpunt		Bezuikdraagvermogen $R_{t,cal}$ [kN]	Rekenwaarden		
	niveau	niveau		$R_{t;d}$ [kN]	$R_{t,netto;d}$ [kN]	
118-2012	18.06	6.79	458.4	458.4	458.4	
118-2012-1	18.58	6.79	448.1	448.1	448.1	

Project : BBB
Onderdeel : MBT-EHV 380

SAMENVATTINGSTABEL Mast 118 - Afk Trk (van 2 sonderingen)**Uitgangspunten**

- paal : LD1
- paaltype : Stalen buispaal (gesloten)
- schachtafmeting : 550 mm
Paalklassefactor α_p : 1.00
Factor α_t (tabel 7.c EC 7.1) : 0.0070 (zandlagen; voor kleilagen zie tabel 7.d)
Correlatiefactor $\xi_{3gem}(n=2)$: 1.32
Correlatiefactor $\xi_{4min}(n=2)$: 1.32

Alle niveaus/hogtes/peilmaten zijn t.o.v.: N.A.P.

sondering	maaiveld	paalpunt	Bezuikdraagvermogen
	niveau	niveau	E.G. paal $R_{t,cal}$
			[kN] [kN]

met ξ_3 (gem) = 1.32

118-2012	18.06	6.79	35.1	480.9
----------	-------	------	------	-------

118-2012-1	18.58	6.79	35.1	470.0
------------	-------	------	------	-------

		6.79	$R_{t,cal,gem}$	475.4
--	--	------	-----------------	-------

met ξ_4 (min) = 1.32

118-2012	18.06	6.79	35.1	480.9
----------	-------	------	------	-------

118-2012-1	18.58	6.79	35.1	470.0
------------	-------	------	------	-------

		6.79	$R_{t,cal,min}$	470.0
--	--	------	-----------------	-------

Totaal resultaten Mast 118 - Afk Trk (van 2 sonderingen)

Uitgangspunten

Correlatiefactor $\xi_{3gem}(n=2)$: 1.32
Correlatiefactor $\xi_{4min}(n=2)$: 1.32

gebaseerd op sonderingen:
118-2012 118-2012-1

$R_{t,d} = \min.\{ R_{t,cal,gem}; R_{t,cal,min} \}$ (7.17) *)

Inheinniveau
[m]

6.79	$R_{t,d} = \min.\{ 475.4; 470.0 \} = 470.0$
------	---

*) Bij de trekpaalberekening zijn factoren ξ_3 en ξ_4 al bij de berekening van de conusweerstand $q_{c;z,d}$ in rekening gebracht, evenals factor $\gamma_{s;t}$. Dat is conform de opmerkingen in art. 7.6.3.3 (3) en (4).

Alle niveaus/hogtes/peilmaten zijn t.o.v.: N.A.P.

Inheinniveau	$R_{t,k}$	$R_{t,d}$	$F_{t,tot;1}$	$R_{t,netto;d}$	U.C.
[m]	[kN]	[kN]	[kN]	[kN]	
6.79	470.0	470.0	0.0	470.0	0.00

REKENGEDEVENS Mast 119 - Afk Trk

Berekening : Controlerend
Rekenmethode : Trekpalen volgens NEN-EN 1997-1, art. 7.6.3
Sondering(en) : 119-2, 119-3
Let op: trekcapaciteit t.p.v. negatief kleeftraject is meegerekend.

Stijf bouwwerk : JA
Paalgroep : NEE
Aantal sonderingen : 2
Factor ξ_3 (n=1) : 1.26
Factor ξ_3 (gem) : 1.20
Factor ξ_4 (min) : 0.96
Weerstandsfactor γ_R : 1.35
 $\gamma_{m,var;q_c}$: 1.35
UGT draagvermogen zonder negatieve kleef : NEE

Paal : LD1
Niveau paalkop [m] : N.A.P. 17.87
Paalpuntniveau : N.A.P. 7.37
 $E_{d,1}$ [kN] : 0.00
Bovenbel. [kN/m²] : 0.00

$E_{d,2}$ [kN] : 0.00

Project : BBB
 Onderdeel : MBT-EHV 380

RESULTATEN Mast 119 - Afk Trk (n=1)**Sondering : 119-2**

Alle niveaus/hogtes/peilmaten zijn t.o.v.: N.A.P.

Inheinniveau [m]	Effectief inheinniveau [m]	E.G. paal [kN]	$R_{t,cal;k}$ [kN]	$R_{t;d}$ [kN]	$F_{t,tot;1}$ [kN]	U.C.
7.37	7.37	34.4	552.5	552.5	0.0	0.00

Sondering : 119-3

Alle niveaus/hogtes/peilmaten zijn t.o.v.: N.A.P.

Inheinniveau [m]	Effectief inheinniveau [m]	E.G. paal [kN]	$R_{t,cal;k}$ [kN]	$R_{t;d}$ [kN]	$F_{t,tot;1}$ [kN]	U.C.
7.37	7.37	34.4	545.3	545.3	0.0	0.00

Project : BBB
 Onderdeel : MBT-EHV 380

SAMENVATTINGSTABEL Mast 119 - Afk Trk (n=1)

Uitgangspunten

- paal : LD1
 - paaltype : Stalen buispaal (gesloten)
 - schachtafmeting : 550 mm
 Paalklassefactor α_p : 1.00
 Factor α_t (tabel 7.c EC 7.1) : 0.0070 (zandlagen; voor kleilagen zie tabel 7.d)
 Correlatiefactor $\xi_{3(n=1)}$: 1.26

Alle niveaus/hogtes/peilmaten zijn t.o.v.: N.A.P.

sondering	maaiveld paalpunt		Bezwijkdraagvermogen $R_{t,cal}$ [kN]	Rekenwaarden	
	niveau	niveau		$R_{t,d}$ [kN]	$R_{t,netto,d}$ [kN]
119-2	18.32	7.37	552.5	552.5	552.5
119-3	18.32	7.37	545.3	545.3	545.3

Project : BBB
Onderdeel : MBT-EHV 380

SAMENVATTINGSTABEL Mast 119 - Afk Trk (van 2 sonderingen)

Uitgangspunten

- paal : LD1
- paaltype : Stalen buispaal (gesloten)
- schachtafmeting : 550 mm
Paalklassefactor α_p : 1.00
Factor α_t (tabel 7.c EC 7.1) : 0.0070 (zandlagen; voor kleilagen zie tabel 7.d)
Correlatiefactor $\xi_{3gem}(n=2)$: 1.20
Correlatiefactor $\xi_{4min}(n=2)$: 0.96

Alle niveaus/hogtes/peilmaten zijn t.o.v.: N.A.P.

sondering	maaiveld paalpunt		Bezuikdraagvermogen	
	niveau	niveau	E.G. paal	$R_{t,cal}$
			[kN]	[kN]

met $\xi_3(gem) = 1.20$

119-2	18.32	7.37	34.4	578.4
-------	-------	------	------	-------

119-3	18.32	7.37	34.4	570.9
-------	-------	------	------	-------

		7.37	$R_{t,cal,gem}$	574.7
--	--	------	-----------------	-------

met $\xi_4(min) = 0.96$

119-2	18.32	7.37	34.4	714.5
-------	-------	------	------	-------

119-3	18.32	7.37	34.4	705.0
-------	-------	------	------	-------

		7.37	$R_{t,cal,min}$	705.0
--	--	------	-----------------	-------

Totaal resultaten Mast 119 - Afk Trk (van 2 sonderingen)

Uitgangspunten

Correlatiefactor $\xi_{3gem}(n=2)$: 1.20
Correlatiefactor $\xi_{4min}(n=2)$: 0.96

gebaseerd op sonderingen:

119-2 119-3

$R_{t,d} = \min.\{ R_{t,cal,gem}; R_{t,cal,min} \} (7.17) *$

Inheinniveau
[m]

7.37	$R_{t,d} = \min.\{ 574.7; 705.0 \} = 574.7$
------	---

*) Bij de trekpaalberekening zijn factoren ξ_3 en ξ_4 al bij de berekening van de conusweerstand $q_{c;z;d}$ in rekening gebracht, evenals factor $\gamma_{s;t}$. Dat is conform de opmerkingen in art. 7.6.3.3 (3) en (4).

Alle niveaus/hogtes/peilmaten zijn t.o.v.: N.A.P.

Inheinniveau	$R_{t,k}$	$R_{t,d}$	$F_{t,tot;1}$	$R_{t,netto;d}$	U.C.
[m]	[kN]	[kN]	[kN]	[kN]	
7.37	574.7	574.7	0.0	574.7	0.00

Project : BBB
Onderdeel : MBT-EHV 380

REKENEGEVENES Mast 116 N - Afk Trk

Berekening : Controlerend
Rekenmethode : Trekpalen volgens NEN-EN 1997-1, art. 7.6.3
Sondering(en) : 116-13, 116-14
Let op: trekcapaciteit t.p.v. negatief kleeftraject is meegerekend.

Stijf bouwwerk : NEE
Paalgroep : NEE
Aantal sonderingen : 2
Factor ξ_3 (n=1) : 1.39
Factor ξ_3 (gem) : 1.32
Factor ξ_4 (min) : 1.32
Weerstandsfactor γ_R : 1.35
 $\gamma_{m,var;q,c}$: 1.50
UGT draagvermogen zonder negatieve kleef : NEE

Paal : Tubex 457_670
Niveau paalkop [m] : N.A.P. 16.85
Paalpuntniveau : N.A.P. 10.85
 $E_{d,1}$ [kN] : 0.00 $E_{d,2}$ [kN] : 0.00
Bovenbel. [kN/m²] : 0.00

RESULTATEN Mast 116 N - Afk Trk (n=1)**Sondering : 116-13**

Alle niveaus/hogtes/peilmaten zijn t.o.v.: N.A.P.

Inheinniveau [m]	Effectief inheinniveau [m]	E.G. paal [kN]	$R_{t,cal;k}$ [kN]	$R_{t;d}$ [kN]	$F_{t,tot;1}$ [kN]	U.C.
10.85	10.85	25.0	493.6	493.6	0.0	0.00

Sondering : 116-14

Alle niveaus/hogtes/peilmaten zijn t.o.v.: N.A.P.

Inheinniveau [m]	Effectief inheinniveau [m]	E.G. paal [kN]	$R_{t,cal;k}$ [kN]	$R_{t;d}$ [kN]	$F_{t,tot;1}$ [kN]	U.C.
10.85	10.85	25.0	512.7	512.7	0.0	0.00

Project : BBB
 Onderdeel : MBT-EHV 380

SAMENVATTINGSTABEL Mast 116 N - Afk Trk (n=1)

Uitgangspunten

- paal : Tubex 457_670
 - paaltype : In de grond gevormde geschroefde paal; groutinjectie
 - schachtafmeting : 670 mm
 Paalklassefactor α_p : 0.63
 Factor α_t (tabel 7.c EC 7.1) : 0.0090 (zandlagen; voor kleilagen zie tabel 7.d)
 Correlatiefactor $\xi_{3(n=1)}$: 1.39

Alle niveaus/hogtes/peilmaten zijn t.o.v.: N.A.P.

sondering	maaiveld paalpunt		Bezuikdraagvermogen $R_{t,cal}$ [kN]	Rekenwaarden		
	niveau	niveau		$R_{t;d}$ [kN]	$R_{t,netto;d}$ [kN]	
116-13	18.05	10.85	493.6	493.6	493.6	
116-14	18.05	10.85	512.7	512.7	512.7	

Project : BBB
Onderdeel : MBT-EHV 380

SAMENVATTINGSTABEL Mast 116 N - Afk Trk (van 2 sonderingen)

Uitgangspunten

- paal : Tubex 457_670
- paaltype : In de grond gevormde geschroefde paal; groutinjectie
- schachtafmeting : 670 mm
Paalklassefactor α_p : 0.63
Factor α_t (tabel 7.c EC 7.1) : 0.0090 (zandlagen; voor kleilagen zie tabel 7.d)
Correlatiefactor $\xi_{3\text{gem}}(n=2)$: 1.32
Correlatiefactor $\xi_{4\text{min}}(n=2)$: 1.32

Alle niveaus/hogtes/peilmaten zijn t.o.v.: N.A.P.

sondering	maaiveld niveau	paalpunt niveau	Bezuikdraagvermogen E.G. paal	$R_{t,cal}$ [kN]
-----------	--------------------	--------------------	----------------------------------	---------------------

met ξ_3 (gem) = 1.32

116-13	18.05	10.85	25.0	518.4
--------	-------	-------	------	-------

116-14	18.05	10.85	25.0	538.6
--------	-------	-------	------	-------

		10.85	$R_{t,cal,gem}$	528.5
--	--	-------	-----------------	-------

met ξ_4 (min) = 1.32

116-13	18.05	10.85	25.0	518.4
--------	-------	-------	------	-------

116-14	18.05	10.85	25.0	538.6
--------	-------	-------	------	-------

		10.85	$R_{t,cal,min}$	518.4
--	--	-------	-----------------	-------

Totaal resultaten Mast 116 N - Afk Trk (van 2 sonderingen)

Uitgangspunten

Correlatiefactor $\xi_{3\text{gem}}(n=2)$: 1.32
Correlatiefactor $\xi_{4\text{min}}(n=2)$: 1.32

gebaseerd op sonderingen:

116-13 116-14

$R_{t,d} = \min.\{ R_{t,cal,gem}; R_{t,cal,min} \}$ (7.17) *

Inheinniveau
[m]

10.85	$R_{t,d} = \min.\{ 528.5; 518.4 \} =$	518.4
-------	---------------------------------------	-------

* Bij de trekpaalberekening zijn factoren ξ_3 en ξ_4 al bij de berekening van de conusweerstand $q_{c,z;d}$ in rekening gebracht, evenals factor $\gamma_{s;t}$. Dat is conform de opmerkingen in art. 7.6.3.3 (3) en (4).

Alle niveaus/hogtes/peilmaten zijn t.o.v.: N.A.P.

Inheinniveau [m]	$R_{t,k}$ [kN]	$R_{t,d}$ [kN]	$F_{t,tot;1}$ [kN]	$R_{t,netto;d}$ [kN]	U.C.
10.85	518.4	518.4	0.0	518.4	0.00

REKENGEGEVENS Mast 117 N - Afk Trk

Berekening : Controlerend
Rekenmethode : Trekpalen volgens NEN-EN 1997-1, art. 7.6.3
Sondering(en) : 117-11, 117-12, 117-2012-1, 117-2012
Let op: trekcapaciteit t.p.v. negatief kleeftraject is meegerekend.

Stijf bouwwerk : NEE
Paalgroep : NEE
Aantal sonderingen : 4
Factor $\xi_3(n=1)$: 1.39
Factor $\xi_3(gem)$: 1.28
Factor $\xi_4(min)$: 1.03
Weerstandsfactor γ_R : 1.35
 $\gamma_{m,var;q_c}$: 1.50
UGT draagvermogen zonder negatieve kleeft : NEE

Paal : Tubex 457_670

Niveau paalkop [m] : N.A.P. 17.21

Paalpuntniveau : N.A.P. 10.21

$E_{d;1}$ [kN] : 0.00

$E_{d;2}$

[kN] : 0.00

Project : BBB
 Onderdeel : MBT-EHV 380

RESULTATEN Mast 117 N - Afk Trk (n=1)**Sondering : 117-11**

Alle niveaus/hogtes/peilmaten zijn t.o.v.: N.A.P.

Inheinniveau [m]	Effectief inheinniveau [m]	E.G. paal [kN]	$R_{t,cal;k}$ [kN]	$R_{t;d}$ [kN]	$F_{t,tot;1}$ [kN]	U.C.
10.21	10.21	29.2	402.1	402.1	0.0	0.00

Sondering : 117-12

Alle niveaus/hogtes/peilmaten zijn t.o.v.: N.A.P.

Inheinniveau [m]	Effectief inheinniveau [m]	E.G. paal [kN]	$R_{t,cal;k}$ [kN]	$R_{t;d}$ [kN]	$F_{t,tot;1}$ [kN]	U.C.
10.21	10.21	29.2	415.2	415.2	0.0	0.00

Sondering : 117-2012-1

Alle niveaus/hogtes/peilmaten zijn t.o.v.: N.A.P.

Inheinniveau [m]	Effectief inheinniveau [m]	E.G. paal [kN]	$R_{t,cal;k}$ [kN]	$R_{t;d}$ [kN]	$F_{t,tot;1}$ [kN]	U.C.
10.21	10.21	29.2	444.0	444.0	0.0	0.00

Sondering : 117-2012

Alle niveaus/hogtes/peilmaten zijn t.o.v.: N.A.P.

Inheinniveau [m]	Effectief inheinniveau [m]	E.G. paal [kN]	$R_{t,cal;k}$ [kN]	$R_{t;d}$ [kN]	$F_{t,tot;1}$ [kN]	U.C.
10.21	10.21	29.2	451.1	451.1	0.0	0.00

Project : BBB
 Onderdeel : MBT-EHV 380

SAMENVATTINGSTABEL Mast 117 N - Afk Trk (n=1)

Uitgangspunten

- paal : Tubex 457_670
 - paaltype : In de grond gevormde geschroefde paal; groutinjectie
 - schachtafmeting : 670 mm
 Paalklassefactor α_p : 0.63
 Factor α_t (tabel 7.c EC 7.1) : 0.0090 (zandlagen; voor kleilagen zie tabel 7.d)
 Correlatiefactor $\xi_{3(n=1)}$: 1.39

Alle niveaus/hogtes/peilmaten zijn t.o.v.: N.A.P.

sondering	maaiveld paalpunt		Bezuikdraagvermogen $R_{t,cal}$ [kN]	Rekenwaarden		
	niveau	niveau		$R_{t;d}$ [kN]	$R_{t,netto;d}$ [kN]	
117-11	18.51	10.21	402.1	402.1	402.1	402.1
117-12	18.51	10.21	415.2	415.2	415.2	415.2
117-2012-1	18.40	10.21	444.0	444.0	444.0	444.0
117-2012	18.28	10.21	451.1	451.1	451.1	451.1

Project : BBB
 Onderdeel : MBT-EHV 380

SAMENVATTINGSTABEL Mast 117 N - Afk Trk (van 4 sonderingen)
Uitgangspunten

- paal : Tubex 457_670
 - paaltype : In de grond gevormde geschroefde paal; groutinjectie
 - schachtafmeting : 670 mm
 Paalklassefactor α_p : 0.63
 Factor α_t (tabel 7.c EC 7.1) : 0.0090 (zandlagen; voor kleilagen zie tabel 7.d)
 Correlatiefactor $\xi_{3gem}(n=4)$: 1.28
 Correlatiefactor $\xi_{4min}(n=4)$: 1.03

Alle niveaus/hogtes/peilmaten zijn t.o.v.: N.A.P.

sondering	maaiveld niveau	paalpunt niveau	Bezwijkdraagvermogen E.G. paal $R_{t,cal}$ [kN]	$R_{t,cal}$ [kN]
-----------	--------------------	--------------------	---	---------------------

met ξ_3 (gem) = 1.28

117-11	18.51	10.21	29.2	434.1
117-12	18.51	10.21	29.2	448.4
117-2012-1	18.40	10.21	29.2	479.7
117-2012	18.28	10.21	29.2	487.4

10.21 $R_{t,cal;gem}$ 462.4

met ξ_4 (min) = 1.03

117-11	18.51	10.21	29.2	532.4
117-12	18.51	10.21	29.2	550.1
117-2012-1	18.40	10.21	29.2	589.0
117-2012	18.28	10.21	29.2	598.6

10.21 $R_{t,cal;min}$ 532.4

Totaal resultaten Mast 117 N - Afk Trk (van 4 sonderingen)
Uitgangspunten

Correlatiefactor $\xi_{3gem}(n=4)$: 1.28
 Correlatiefactor $\xi_{4min}(n=4)$: 1.03

gebaseerd op sonderingen:

117-11 117-12 117-2012-1 117-2012

$$R_{t,d} = \min.\{ R_{t,cal;gem}; R_{t,cal;min} \} (7.17) *$$

Inheinniveau

[m]

$$10.21 \quad R_{t,d} = \min.\{ 462.4; 532.4 \} = 462.4$$

*) Bij de trekpaalbepaling zijn factoren ξ_3 en ξ_4 al bij de berekening van de conusweerstand $q_{c;z;d}$ in rekening gebracht, evenals factor $\gamma_{s;t}$. Dat is conform de opmerkingen in art. 7.6.3.3 (3) en (4).

Alle niveaus/hogtes/peilmaten zijn t.o.v.: N.A.P.

Inheinniveau [m]	$R_{t,k}$ [kN]	$R_{t,d}$ [kN]	$F_{t,tot;1}$ [kN]	$R_{t,netto;d}$ [kN]	U.C.
10.21	462.4	462.4	0.0	462.4	0.00

Project : BBB
Onderdeel : MBT-EHV 380

REKENEGEVENEN Mast 118 N - Afk Trk

Berekening : Controlerend
Rekenmethode : Trekpalen volgens NEN-EN 1997-1, art. 7.6.3
Sondering(en) : 118-2012, 118-2012-1
Let op: trekcapaciteit t.p.v. negatief kleefttraject is meegerekend.

Stijf bouwwerk : NEE
Paalgroep : NEE
Aantal sonderingen : 2
Factor ξ_3 (n=1) : 1.39
Factor ξ_3 (gem) : 1.32
Factor ξ_4 (min) : 1.32
Weerstandsfactor γ_R : 1.35
 $\gamma_{m,var;q_c}$: 1.50
UGT draagvermogen zonder negatieve kleeft : NEE

Paal : LD1
Niveau paalkop [m] : N.A.P. 16.89
Paalpuntniveau : N.A.P. 7.89
 $E_{d,1}$ [kN] : 0.00 $E_{d,2}$ [kN] : 0.00
Bovenbel. [kN/m²] : 0.00

RESULTATEN Mast 118 N - Afk Trk (n=1)**Sondering : 118-2012**

Alle niveaus/hogtes/peilmaten zijn t.o.v.: N.A.P.

Inheinniveau [m]	Effectief inheinniveau [m]	E.G. paal [kN]	$R_{t,cal;k}$ [kN]	$R_{t;d}$ [kN]	$F_{t,tot;1}$ [kN]	U.C.
7.89	7.89	28.3	351.5	351.5	0.0	0.00

Sondering : 118-2012-1

Alle niveaus/hogtes/peilmaten zijn t.o.v.: N.A.P.

Inheinniveau [m]	Effectief inheinniveau [m]	E.G. paal [kN]	$R_{t,cal;k}$ [kN]	$R_{t;d}$ [kN]	$F_{t,tot;1}$ [kN]	U.C.
7.89	7.89	28.3	356.2	356.2	0.0	0.00

Project : BBB
 Onderdeel : MBT-EHV 380

SAMENVATTINGSTABEL Mast 118 N - Afk Trk (n=1)

Uitgangspunten

- paal : LD1
 - paaltype : Stalen buispaal (gesloten)
 - schachtafmeting : 550 mm
 Paalklassefactor α_p : 1.00
 Factor α_t (tabel 7.c EC 7.1) : 0.0070 (zandlagen; voor kleilagen zie tabel 7.d)
 Correlatiefactor $\xi_{3(n=1)}$: 1.39

Alle niveaus/hogtes/peilmaten zijn t.o.v.: N.A.P.

sondering	maaiveld paalpunt		Bezwijkdraagvermogen $R_{t,cal}$ [kN]	Rekenwaarden		
	niveau	niveau		$R_{t,d}$ [kN]	$R_{t,netto,d}$ [kN]	
118-2012	18.06	7.89	351.5	351.5	351.5	
118-2012-1	18.58	7.89	356.2	356.2	356.2	

Project : BBB
Onderdeel : MBT-EHV 380

SAMENVATTINGSTABEL Mast 118 N - Afk Trk (van 2 sonderingen)**Uitgangspunten**

- paal : LD1
- paaltype : Stalen buispaal (gesloten)
- schachtafmeting : 550 mm
Paalklassefactor α_p : 1.00
Factor α_t (tabel 7.c EC 7.1) : 0.0070 (zandlagen; voor kleilagen zie tabel 7.d)
Correlatiefactor $\xi_{3gem}(n=2)$: 1.32
Correlatiefactor $\xi_{4min}(n=2)$: 1.32

Alle niveaus/hogtes/peilmaten zijn t.o.v.: N.A.P.

sondering	maaiveld	paalpunt	Bezuikdraagvermogen
	niveau	niveau	E.G. paal $R_{t,cal}$
			[kN] [kN]

met ξ_3 (gem) = 1.32

118-2012	18.06	7.89	28.3	368.6
----------	-------	------	------	-------

118-2012-1	18.58	7.89	28.3	373.5
------------	-------	------	------	-------

		7.89	$R_{t,cal,gem}$	371.1
--	--	------	-----------------	-------

met ξ_4 (min) = 1.32

118-2012	18.06	7.89	28.3	368.6
----------	-------	------	------	-------

118-2012-1	18.58	7.89	28.3	373.5
------------	-------	------	------	-------

		7.89	$R_{t,cal,min}$	368.6
--	--	------	-----------------	-------

Totaal resultaten Mast 118 N - Afk Trk (van 2 sonderingen)

Uitgangspunten

Correlatiefactor $\xi_{3gem}(n=2)$: 1.32
Correlatiefactor $\xi_{4min}(n=2)$: 1.32

gebaseerd op sonderingen:

118-2012 118-2012-1

$R_{t,d} = \min.\{ R_{t,cal,gem}; R_{t,cal,min} \}$ (7.17) *

Inheinniveau
[m]

7.89	$R_{t,d} = \min.\{ 371.1; 368.6 \} =$	368.6
------	---------------------------------------	-------

* Bij de trekpaalberekening zijn factoren ξ_3 en ξ_4 al bij de berekening van de conusweerstand $q_{c,z;d}$ in rekening gebracht, evenals factor $\gamma_{s;t}$. Dat is conform de opmerkingen in art. 7.6.3.3 (3) en (4).

Alle niveaus/hogtes/peilmaten zijn t.o.v.: N.A.P.

Inheinniveau	$R_{t,k}$	$R_{t,d}$	$F_{t,tot;1}$	$R_{t,netto;d}$	U.C.
[m]	[kN]	[kN]	[kN]	[kN]	
7.89	368.6	368.6	0.0	368.6	0.00

REKENGEGEVENS Mast 119 N - Afk Trk

Berekening : Controlerend
Rekenmethode : Trekpalen volgens NEN-EN 1997-1, art. 7.6.3
Sondering(en) : 119-2, 119-3
Let op: trekcapaciteit t.p.v. negatief kleeftraject is meegerekend.

Stijf bouwwerk : JA
Paalgroep : NEE
Aantal sonderingen : 2
Factor $\xi_3(n=1)$: 1.26
Factor $\xi_3(gem)$: 1.20
Factor $\xi_4(min)$: 0.96
Weerstandsfactor γ_R : 1.35
 $\gamma_{m,var;q_c}$: 1.35
UGT draagvermogen zonder negatieve kleef : NEE

Paal : Tubex 457_670

Niveau paalkop [m] : N.A.P. 17.12

Paalpuntniveau : N.A.P. 6.12

$E_{d;1}$ [kN] : 0.00

$E_{d;2}$

[kN] : 0.00

Project : BBB
 Onderdeel : MBT-EHV 380

RESULTATEN Mast 119 N - Afk Trk (n=1)**Sondering : 119-2**

Alle niveaus/hogtes/peilmaten zijn t.o.v.: N.A.P.

Inheinniveau [m]	Effectief inheinniveau [m]	E.G. paal [kN]	$R_{t,cal;k}$ [kN]	$R_{t;d}$ [kN]	$F_{t,tot;1}$ [kN]	U.C.
6.12	6.12	45.8	919.9	919.9	0.0	0.00

Sondering : 119-3

Alle niveaus/hogtes/peilmaten zijn t.o.v.: N.A.P.

Inheinniveau [m]	Effectief inheinniveau [m]	E.G. paal [kN]	$R_{t,cal;k}$ [kN]	$R_{t;d}$ [kN]	$F_{t,tot;1}$ [kN]	U.C.
6.12	6.12	45.8	872.3	872.3	0.0	0.00

Project : BBB
 Onderdeel : MBT-EHV 380

SAMENVATTINGSTABEL Mast 119 N - Afk Trk (n=1)

Uitgangspunten

- paal : Tubex 457_670
 - paaltype : In de grond gevormde geschroefde paal; groutinjectie
 - schachtafmeting : 670 mm
 Paalklassefactor α_p : 0.63
 Factor α_t (tabel 7.c EC 7.1) : 0.0090 (zandlagen; voor kleilagen zie tabel 7.d)
 Correlatiefactor $\xi_{3(n=1)}$: 1.26

Alle niveaus/hogtes/peilmaten zijn t.o.v.: N.A.P.

sondering	maaiveld paalpunt		Bezwijkdraagvermogen $R_{t,cal}$ [kN]	Rekenwaarden	
	niveau	niveau		$R_{t,d}$ [kN]	$R_{t,netto,d}$ [kN]
119-2	18.32	6.12	919.9	919.9	919.9
119-3	18.32	6.12	872.3	872.3	872.3

Project : BBB
Onderdeel : MBT-EHV 380

SAMENVATTINGSTABEL Mast 119 N - Afk Trk (van 2 sonderingen)

Uitgangspunten

- paal : Tubex 457_670
- paaltype : In de grond gevormde geschroefde paal; groutinjectie
- schachtafmeting : 670 mm
Paalklassefactor α_p : 0.63
Factor α_t (tabel 7.c EC 7.1) : 0.0090 (zandlagen; voor kleilagen zie tabel 7.d)
Correlatiefactor $\xi_{3\text{gem}}(n=2)$: 1.20
Correlatiefactor $\xi_{4\text{min}}(n=2)$: 0.96

Alle niveaus/hogtes/peilmaten zijn t.o.v.: N.A.P.

sondering	maaiveld paalpunt		Bezuikdraagvermogen	
	niveau	niveau	E.G. paal	$R_{t,cal}$
			[kN]	[kN]

met ξ_3 (gem) = 1.20

119-2	18.32	6.12	45.8	963.6
-------	-------	------	------	-------

119-3	18.32	6.12	45.8	913.6
-------	-------	------	------	-------

		6.12	$R_{t,cal,gem}$	938.6
--	--	------	-----------------	-------

met ξ_4 (min) = 0.96

119-2	18.32	6.12	45.8	1193.0
-------	-------	------	------	--------

119-3	18.32	6.12	45.8	1130.6
-------	-------	------	------	--------

		6.12	$R_{t,cal,min}$	1130.6
--	--	------	-----------------	--------

Totaal resultaten Mast 119 N - Afk Trk (van 2 sonderingen)

Uitgangspunten

Correlatiefactor $\xi_{3\text{gem}}(n=2)$: 1.20
Correlatiefactor $\xi_{4\text{min}}(n=2)$: 0.96

gebaseerd op sonderingen:

119-2 119-3

$R_{t,d} = \min.\{ R_{t,cal,gem}; R_{t,cal,min} \}$ (7.17) *)

Inheinniveau
[m]

6.12	$R_{t,d} = \min.\{ 938.6; 1130.6 \} = 938.6$
------	--

*) Bij de trekpaalberekening zijn factoren ξ_3 en ξ_4 al bij de berekening van de conusweerstand $q_{c,z;d}$ in rekening gebracht, evenals factor $\gamma_{s;t}$. Dat is conform de opmerkingen in art. 7.6.3.3 (3) en (4).

Alle niveaus/hogtes/peilmaten zijn t.o.v.: N.A.P.

Inheinniveau	$R_{t,k}$	$R_{t,d}$	$F_{t,tot;1}$	$R_{t,netto;d}$	U.C.
[m]	[kN]	[kN]	[kN]	[kN]	
6.12	938.6	938.6	0.0	938.6	0.00

PAALGEGEVENS LD1

Type : Stalen buispaal (gesloten)
Wijze van installeren : Heien
Diameter [m] : 0.550
Wanddikte t [mm] : 4.0
Elasticiteitsmodulus [N/mm²] : 200000 (Staal)
Soortelijk gewicht [kN/m³] : 78.5 (Staal)
Elasticiteitsmodulus [N/mm²] : 20000 (Beton)
Soortelijk gewicht [kN/m³] : 24.0 (Beton)
Factor α_s (tabel 7.c EC 7.1) : 0.010 (zandlagen; voor kleilagen zie tabel 7.d)
Factor α_t (tabel 7.c EC 7.1) : 0.0070 (zandlagen; voor kleilagen zie tabel 7.d)
Paalklassefactor α_p : 1.00
Paalvoetvormfactor β : 1.00
Type lastzakingsdiagram : Grondverdringende paal
Verm.factor * $\phi'_{j;k}$: 0.75
Groutomhulling : NEE

Project : BBB
Onderdeel : MBT-EHV 380

PAALGEGEVENS Tubex 457_670

Type : In de grond gevormde geschroefde paal; groutinjectie
Wijze van installeren : Boren
Wijze van terugwinnen : n.v.t.
Diameter [m] : 0.670
Elasticiteitsmodulus [N/mm²] : 20000 (Beton)
Soortelijk gewicht [kN/m³] : 24.0 (Beton)
Factor α_s (tabel 7.c EC 7.1) : 0.009 (zandlagen; voor kleilagen zie tabel 7.d)
Factor α_t (tabel 7.c EC 7.1) : 0.0090 (zandlagen; voor kleilagen zie tabel 7.d)
Paalklassefactor α_p : 0.63
Paalvoetvormfactor β : 1.00
Type lastzakingsdiagram : Grondverdringende paal
Verm.factor * $\phi'_{j,k}$: 1.00
Groutomhulling : JA

Project : BBB
 Onderdeel : MBT-EHV 380

OVERZICHT NETTO DRAAGVERMOGEN DRUKPALEN

Netto paal draagvermogen(s) zijn naar beneden toe afgerond op: 1.0 kN nauwkeurig
 Alle niveaus/hogtes/peilmaten zijn t.o.v.: N.A.P.

sondering	maaiveld paalpunt		$R_{c, netto; d}$ [kN]				
	niveau	niveau	Mast 115	Mast 116	Mast 117	Mast 118	Mast 119
115-15	18.82	5.02	3834				
115-16	18.82	5.02	2940				
116-13	18.05	8.25		1674			
116-14	18.05	8.25		3272			
117-11	18.51	7.11			2833		
117-12	18.51	7.11			2973		
119-2	18.32	7.37					1749
119-3	18.32	7.37					1760
117-2012-1	18.40	7.11			1899		
118-2012	18.06	6.79				2918	
118-2012-1	18.58	6.79				2909	
117-2012	18.28	7.11			1719		

Project : BBB
 Onderdeel : MBT-EHV 380

Netto paal draagvermogen(s) zijn naar beneden toe afgerond op: 1.0 kN nauwkeurig
 Alle niveaus/hogtes/peilmaten zijn t.o.v.: N.A.P.

sondering	maaiveld paalpunt		$R_{c,netto;d}$ [kN]			
	niveau	niveau	Mast 116	Mast 117	Mast 118	Mast 119
116-13	18.05	10.85	790			
116-14	18.05	10.85	1735			
117-11	18.51	10.21		1421		
117-12	18.51	10.21		1643		
119-2	18.32	4.32				2720
119-3	18.32	4.32				3147
117-2012-1	18.40	10.21		2981		
118-2012	18.06	7.89			2694	
118-2012-1	18.58	7.89			2747	
117-2012	18.28	10.21		1499		

Project : BBB
 Onderdeel : MBT-EHV 380

OVERZICHT NETTO DRAAGVERMOGEN TREKPALEN (n=1)

Netto paal draagvermogen(s) zijn naar beneden toe afgerond op: 1.0 kN nauwkeurig
 Alle niveaus/hogtes/peilmaten zijn t.o.v.: N.A.P.

sondering	maaiveld paalpunt		$R_{t, netto; d}$ [kN]				
	niveau	niveau	Mast 115	Mast 116	Mast 117	Mast 118	Mast 119
115-15	18.82	5.02	1088				
115-16	18.82	5.02	1019				
116-13	18.05	8.25		480			
116-14	18.05	8.25		566			
117-11	18.51	7.11			445		
117-12	18.51	7.11			529		
119-2	18.32	7.37					552
119-3	18.32	7.37					545
117-2012-1	18.40	7.11			513		
118-2012	18.06	6.79				458	
118-2012-1	18.58	6.79				448	
117-2012	18.28	7.11			493		

Project : BBB
 Onderdeel : MBT-EHV 380

Netto paal draagvermogen(s) zijn naar beneden toe afgerond op: 1.0 kN nauwkeurig
 Alle niveaus/hogtes/peilmaten zijn t.o.v.: N.A.P.

sondering	maaiveld paalpunt		$R_{t,netto;d}$ [kN]			
	niveau	niveau	Mast 116	Mast 117	Mast 118	Mast 119
116-13	18.05	10.85	493			
116-14	18.05	10.85	512			
117-11	18.51	10.21		402		
117-12	18.51	10.21		415		
119-2	18.32	6.12				919
119-3	18.32	6.12				872
117-2012-1	18.40	10.21		444		
118-2012	18.06	7.89			351	
118-2012-1	18.58	7.89			356	
117-2012	18.28	10.21		451		

Project : BBB
 Onderdeel : MBT-EHV 380

ALGEMENE GEGEVENS

Project : BBB
 Onderdeel : MBT-EHV 380
 Datum : 07-01-2021
 Bestand : \\Arh7001.verit.dnv.com\projects\EANL_Projects\
 10166262 - BBB modelleren funderingen 380
 kV\02 Content\03 Calculations\Technosoft
 Paalfunderingen\MBT-EHV380\DO\Bestaande
 sonderingen\MBT-EHV380 120-129 (120 121
 122).pvw
 Berekeningstype : Verticaal belaste paal
 Alle niveaus/hogtes/peilmaten zijn t.o.v.: N.A.P.

Toegepaste normen volgens Eurocode met Nederlandse NB

Geotechniek	EN 1997-1:2004	AC:2009	
	NEN-EN 1997-1:2005	C1+A1:2013	NB:2016
	NEN 9997-1:2016	C2:2017	

GRONDSOORTEN

Nr. Omschrijving	$\gamma_{k;1}$ [kN/m ³]	$\gamma_{sat;k;1}$ [kN/m ³]	$\phi'_{k;1}$ [°]	$\gamma_{k;2}$ [kN/m ³]	$\gamma_{sat;k;2}$ [kN/m ³]	$\phi'_{k;2}$ [°]
1 Zand - Schoon - Los	17.00	19.00	30.00	18.00	20.00	32.50
2 Zand - Schoon - Matig	18.00	20.00	32.50	19.00	21.00	35.00
3 Zand - Schoon - Vast	19.00	21.00	35.00	20.00	22.00	40.00
4 Zand - Zwak siltig - Kleiig	18.00	20.00	27.00	19.00	21.00	32.50
5 Zand - Sterk siltig - Kleiig	18.00	20.00	25.00	19.00	21.00	30.00
6 Leem - Zwak zandig - Vast	21.00	21.00	27.50	22.00	22.00	35.00
7 Klei - Schoon - Matig	17.00	17.00	17.50	19.00	19.00	17.50
8 Klei - Schoon - Vast	19.00	19.00	17.50	20.00	20.00	25.00
9 Klei - Zwak zandig - Slap	15.00	15.00	22.50	18.00	18.00	22.50
10 Klei - Zwak zandig - Matig	18.00	18.00	22.50	20.00	20.00	22.50
11 Klei - Zwak zandig - Vast	20.00	20.00	22.50	21.00	21.00	27.50
12 Klei - Organisch - Matig	15.00	15.00	15.00	16.00	16.00	15.00
13 Veen - Matig voorbelast - Matig	12.00	12.00	15.00	13.00	13.00	15.00

BODEMPROFIELGEGEVENS: 120-1

Alle niveaus/hogtes/peilmaten zijn t.o.v.: N.A.P.

d50-reductie is meegenomen overeenkomstig NEN-EN 9997 art. 7.6.2.3 (i)

Laag	Van [m]	Tot [m]	Omschrijving	OCR	Aandeel pos. kleef [%]	α_s	d_{50} [mm]
1	0.00	-0.86	Leem - Zwak zandig - Vast	1.0	50.0		
2	-0.86	-1.94	Zand - Schoon - Matig	1.0	100.0		
3	-1.94	-2.47	Leem - Zwak zandig - Vast	1.0	50.0		
4	-2.47	-2.76	Klei - Schoon - Matig	1.0	50.0		
5	-2.76	-3.34	Zand - Schoon - Matig	1.0	100.0		
6	-3.34	-5.13	Klei - Zwak zandig - Matig	1.0	50.0		
7	-5.13	-5.57	Zand - Schoon - Matig	1.0	100.0		
8	-5.57	-5.98	Leem - Zwak zandig - Vast	1.0	50.0		
9	-5.98	-7.17	Zand - Schoon - Vast	1.0	100.0		
10	-7.17	-7.38	Zand - Schoon - Matig	1.0	100.0		
11	-7.38	-7.72	Zand - Schoon - Los	1.0	100.0		
12	-7.72	-10.09	Zand - Schoon - Vast	1.0	100.0		
13	-10.09	-10.32	Zand - Schoon - Los	1.0	100.0		
14	-10.32	-10.81	Zand - Schoon - Matig	1.0	100.0		
15	-10.81	-10.98	Zand - Sterk siltig - Kleiig	1.0	100.0		
16	-10.98	-19.05	Zand - Schoon - Vast	1.0	100.0		

BODEMPROFIELGEGEVENS: 120-2

Alle niveaus/hogtes/peilmaten zijn t.o.v.: N.A.P.

d50-reductie is meegenomen overeenkomstig NEN-EN 9997 art. 7.6.2.3 (i)

Laag	Van [m]	Tot [m]	Omschrijving	OCR	Aandeel pos. kleef [%]	α_s	d_{50} [mm]
1	0.00	-1.29	Zand - Zwak siltig - Kleiig	1.0	100.0		
2	-1.29	-1.91	Zand - Sterk siltig - Kleiig	1.0	100.0		
3	-1.91	-2.30	Klei - Zwak zandig - Slap	1.0	50.0		
4	-2.30	-3.16	Zand - Schoon - Matig	1.0	100.0		

Project : BBB
Onderdeel : MBT-EHV 380

Laag	Van [m]	Tot [m]	Omschrijving	OCR	Aandeel pos. kleef [%]	α_s	d_{50} [mm]
5	-3.16	-4.78	Zand - Sterk siltig - Kleiig	1.0	100.0		
6	-4.78	-5.13	Leem - Zwak zandig - Vast	1.0	50.0		
7	-5.13	-5.42	Klei - Zwak zandig - Vast	1.0	50.0		
8	-5.42	-5.99	Zand - Schoon - Los	1.0	100.0		
9	-5.99	-6.73	Zand - Schoon - Vast	1.0	100.0		
10	-6.73	-7.41	Zand - Schoon - Matig	1.0	100.0		
11	-7.41	-9.15	Zand - Schoon - Vast	1.0	100.0		
12	-9.15	-9.89	Zand - Sterk siltig - Kleiig	1.0	100.0		
13	-9.89	-17.85	Zand - Schoon - Vast	1.0	100.0		
14	-17.85	-18.31	Zand - Sterk siltig - Kleiig	1.0	100.0		
15	-18.31	-18.94	Zand - Schoon - Vast	1.0	100.0		
16	-18.94	-19.26	Zand - Sterk siltig - Kleiig	1.0	100.0		
17	-19.26	-20.21	Klei - Schoon - Matig	1.0	50.0		
18	-20.21	-21.10	Zand - Schoon - Vast	1.0	100.0		

BODEMPROFIELGEGEVENS: 120-3

Alle niveaus/hogtes/peilmaten zijn t.o.v.: N.A.P.

d50-reductie is meegenomen overeenkomstig NEN-EN 9997 art. 7.6.2.3 (i)

Hoogte maaiveld [m] : 0.00 Grondwaterstand [m] : -1.00

Laag	Van [m]	Tot [m]	Omschrijving	OCR	Aandeel pos. kleef [%]	α_s	d_{50} [mm]
1	0.00	-0.79	Zand - Sterk siltig - Kleiig	1.0	100.0		
2	-0.79	-1.48	Zand - Schoon - Matig	1.0	100.0		
3	-1.48	-2.45	Veen - Matig voorbelast - Matig	1.0	50.0		
4	-2.45	-3.15	Zand - Schoon - Vast	1.0	100.0		
5	-3.15	-3.86	Klei - Zwak zandig - Slap	1.0	50.0		
6	-3.86	-4.56	Zand - Sterk siltig - Kleiig	1.0	100.0		
7	-4.56	-4.81	Zand - Schoon - Matig	1.0	100.0		
8	-4.81	-5.71	Zand - Sterk siltig - Kleiig	1.0	100.0		
9	-5.71	-5.94	Leem - Zwak zandig - Vast	1.0	50.0		
10	-5.94	-8.78	Zand - Schoon - Vast	1.0	100.0		
11	-8.78	-11.56	Zand - Schoon - Matig	1.0	100.0		
12	-11.56	-12.01	Zand - Schoon - Los	1.0	100.0		
13	-12.01	-14.24	Zand - Schoon - Vast	1.0	100.0		
14	-14.24	-14.94	Zand - Schoon - Matig	1.0	100.0		
15	-14.94	-19.45	Zand - Schoon - Vast	1.0	100.0		
16	-19.45	-20.91	Zand - Schoon - Matig	1.0	100.0		
17	-20.91	-21.06	Zand - Schoon - Los	1.0	100.0		

BODEMPROFIELGEGEVENS: 121-2

Alle niveaus/hogtes/peilmaten zijn t.o.v.: N.A.P.

d50-reductie is meegenomen overeenkomstig NEN-EN 9997 art. 7.6.2.3 (i)

Hoogte maaiveld [m] : 18.60 Grondwaterstand [m] : 17.60

Laag	Van [m]	Tot [m]	Omschrijving	OCR	Aandeel pos. kleef [%]	α_s	d_{50} [mm]
1	18.60	17.73	Zand - Zwak siltig - Kleiig	1.0	100.0		
2	17.73	16.83	Zand - Sterk siltig - Kleiig	1.0	100.0		
3	16.83	16.68	Zand - Schoon - Matig	1.0	100.0		
4	16.68	16.05	Klei - Schoon - Matig	1.0	50.0		
5	16.05	15.62	Zand - Sterk siltig - Kleiig	1.0	100.0		
6	15.62	15.01	Leem - Zwak zandig - Vast	1.0	50.0		
7	15.01	14.34	Zand - Sterk siltig - Kleiig	1.0	100.0		
8	14.34	9.53	Zand - Schoon - Vast	1.0	100.0		
9	9.53	8.86	Zand - Schoon - Los	1.0	100.0		
10	8.86	6.99	Zand - Schoon - Vast	1.0	100.0		
11	6.99	6.05	Zand - Sterk siltig - Kleiig	1.0	100.0		
12	6.05	5.46	Leem - Zwak zandig - Vast	1.0	50.0		
13	5.46	4.96	Zand - Sterk siltig - Kleiig	1.0	100.0		
14	4.96	4.30	Klei - Schoon - Vast	1.0	50.0		
15	4.30	2.95	Zand - Schoon - Vast	1.0	100.0		
16	2.95	1.13	Zand - Zwak siltig - Kleiig	1.0	100.0		
17	1.13	-1.68	Zand - Schoon - Vast	1.0	100.0		
18	-1.68	-1.99	Zand - Sterk siltig - Kleiig	1.0	100.0		
19	-1.99	-2.62	Zand - Schoon - Vast	1.0	100.0		

Project : BBB
Onderdeel : MBT-EHV 380

BODEMPROFIELGEGEVENS: 121-3

Alle niveaus/hogtes/peilmaten zijn t.o.v.: N.A.P.

d50-reductie is meegenomen overeenkomstig NEN-EN 9997 art. 7.6.2.3 (i)

Laag	Van [m]	Tot [m]	Omschrijving	Grondwaterstand [m]	OCR	Aandeel pos. kleef [%]	α_s	d_{50} [mm]
				18.60				17.60
1	18.60	17.02	Zand - Sterk siltig - Kleiig		1.0	100.0		
2	17.02	16.67	Zand - Schoon - Matig		1.0	100.0		
3	16.67	16.21	Leem - Zwak zandig - Vast		1.0	50.0		
4	16.21	15.11	Zand - Sterk siltig - Kleiig		1.0	100.0		
5	15.11	13.39	Zand - Schoon - Vast		1.0	100.0		
6	13.39	11.92	Zand - Schoon - Los		1.0	100.0		
7	11.92	7.45	Zand - Schoon - Vast		1.0	100.0		
8	7.45	3.21	Zand - Sterk siltig - Kleiig		1.0	100.0		
9	3.21	0.00	Zand - Schoon - Vast		1.0	100.0		
10	0.00	-1.39	Zand - Schoon - Los		1.0	100.0		
11	-1.39	-2.85	Zand - Schoon - Vast		1.0	100.0		

BODEMPROFIELGEGEVENS: 122-2

Alle niveaus/hogtes/peilmaten zijn t.o.v.: N.A.P.

d50-reductie is meegenomen overeenkomstig NEN-EN 9997 art. 7.6.2.3 (i)

Laag	Van [m]	Tot [m]	Omschrijving	Grondwaterstand [m]	OCR	Aandeel pos. kleef [%]	α_s	d_{50} [mm]
				17.94				16.94
1	17.94	16.50	Zand - Schoon - Vast		1.0	100.0		
2	16.50	15.81	Leem - Zwak zandig - Vast		1.0	50.0		
3	15.81	15.04	Zand - Sterk siltig - Kleiig		1.0	100.0		
4	15.04	14.37	Zand - Schoon - Vast		1.0	100.0		
5	14.37	13.71	Zand - Schoon - Los		1.0	100.0		
6	13.71	12.04	Zand - Schoon - Vast		1.0	100.0		
7	12.04	11.64	Leem - Zwak zandig - Vast		1.0	50.0		
8	11.64	6.95	Zand - Zwak siltig - Kleiig		1.0	100.0		
9	6.95	6.08	Zand - Schoon - Vast		1.0	100.0		
10	6.08	4.50	Zand - Zwak siltig - Kleiig		1.0	100.0		
11	4.50	3.29	Zand - Schoon - Matig		1.0	100.0		
12	3.29	2.45	Zand - Zwak siltig - Kleiig		1.0	100.0		
13	2.45	1.53	Zand - Sterk siltig - Kleiig		1.0	100.0		
14	1.53	0.84	Zand - Schoon - Matig		1.0	100.0		
15	0.84	0.38	Zand - Schoon - Vast		1.0	100.0		
16	0.38	-0.08	Zand - Schoon - Matig		1.0	100.0		
17	-0.08	-1.14	Zand - Schoon - Los		1.0	100.0		
18	-1.14	-2.21	Klei - Organisch - Matig		1.0	50.0		
19	-2.21	-2.79	Zand - Schoon - Los		1.0	100.0		
20	-2.79	-3.02	Zand - Schoon - Vast		1.0	100.0		

BODEMPROFIELGEGEVENS: 123

Alle niveaus/hogtes/peilmaten zijn t.o.v.: N.A.P.

d50-reductie is meegenomen overeenkomstig NEN-EN 9997 art. 7.6.2.3 (i)

Laag	Van [m]	Tot [m]	Omschrijving	Grondwaterstand [m]	OCR	Aandeel pos. kleef [%]	α_s	d_{50} [mm]
				0.00				-1.00
1	0.00	-0.75	Leem - Zwak zandig - Vast		1.0	50.0		
2	-0.75	-2.97	Zand - Zwak siltig - Kleiig		1.0	100.0		
3	-2.97	-5.04	Zand - Schoon - Matig		1.0	100.0		
4	-5.04	-8.05	Zand - Schoon - Vast		1.0	100.0		
5	-8.05	-8.52	Zand - Schoon - Matig		1.0	100.0		
6	-8.52	-9.23	Zand - Schoon - Los		1.0	100.0		
7	-9.23	-10.15	Zand - Schoon - Matig		1.0	100.0		
8	-10.15	-13.62	Zand - Schoon - Vast		1.0	100.0		

Project : BBB
Onderdeel : MBT-EHV 380

BODEMPROFIELGEGEVENS: 124

Alle niveaus/hogtes/peilmaten zijn t.o.v.: N.A.P.

d50-reductie is meegenomen overeenkomstig NEN-EN 9997 art. 7.6.2.3 (i)

Laag	Van [m]	Tot [m]	Omschrijving	Grondwaterstand [m]	OCR	Aandeel pos. kleef [%]	α_s	d_{50} [mm]
				0.00				-1.00
1	0.00	-1.15	Klei - Zwak zandig - Matig		1.0	50.0		
2	-1.15	-1.51	Zand - Schoon - Los		1.0	100.0		
3	-1.51	-2.23	Leem - Zwak zandig - Vast		1.0	50.0		
4	-2.23	-2.50	Klei - Zwak zandig - Vast		1.0	50.0		
5	-2.50	-2.94	Zand - Zwak siltig - Kleiig		1.0	100.0		
6	-2.94	-3.89	Zand - Schoon - Matig		1.0	100.0		
7	-3.89	-5.43	Zand - Schoon - Vast		1.0	100.0		
8	-5.43	-6.01	Zand - Schoon - Matig		1.0	100.0		
9	-6.01	-7.38	Zand - Sterk siltig - Kleiig		1.0	100.0		
10	-7.38	-7.92	Zand - Schoon - Vast		1.0	100.0		
11	-7.92	-8.16	Klei - Zwak zandig - Matig		1.0	50.0		
12	-8.16	-9.14	Zand - Sterk siltig - Kleiig		1.0	100.0		
13	-9.14	-9.28	Zand - Schoon - Vast		1.0	100.0		
14	-9.28	-10.12	Zand - Schoon - Matig		1.0	100.0		
15	-10.12	-14.32	Zand - Schoon - Vast		1.0	100.0		

BODEMPROFIELGEGEVENS: 125

Alle niveaus/hogtes/peilmaten zijn t.o.v.: N.A.P.

d50-reductie is meegenomen overeenkomstig NEN-EN 9997 art. 7.6.2.3 (i)

Laag	Van [m]	Tot [m]	Omschrijving	Grondwaterstand [m]	OCR	Aandeel pos. kleef [%]	α_s	d_{50} [mm]
				0.00				-1.00
1	0.00	-0.92	Klei - Zwak zandig - Vast		1.0	50.0		
2	-0.92	-2.53	Zand - Schoon - Los		1.0	100.0		
3	-2.53	-3.19	Zand - Zwak siltig - Kleiig		1.0	100.0		
4	-3.19	-3.60	Leem - Zwak zandig - Vast		1.0	50.0		
5	-3.60	-3.79	Klei - Schoon - Vast		1.0	50.0		
6	-3.79	-6.96	Zand - Schoon - Matig		1.0	100.0		
7	-6.96	-7.99	Klei - Organisch - Matig		1.0	50.0		
8	-7.99	-15.00	Zand - Schoon - Vast		1.0	100.0		

BODEMPROFIELGEGEVENS: 126

Alle niveaus/hogtes/peilmaten zijn t.o.v.: N.A.P.

d50-reductie is meegenomen overeenkomstig NEN-EN 9997 art. 7.6.2.3 (i)

Laag	Van [m]	Tot [m]	Omschrijving	Grondwaterstand [m]	OCR	Aandeel pos. kleef [%]	α_s	d_{50} [mm]
				0.00				-1.00
1	0.00	-1.97	Zand - Schoon - Los		1.0	100.0		
2	-1.97	-2.43	Leem - Zwak zandig - Vast		1.0	50.0		
3	-2.43	-2.81	Zand - Schoon - Los		1.0	100.0		
4	-2.81	-4.13	Zand - Schoon - Matig		1.0	100.0		
5	-4.13	-5.86	Zand - Schoon - Vast		1.0	100.0		
6	-5.86	-6.42	Zand - Sterk siltig - Kleiig		1.0	100.0		
7	-6.42	-7.02	Zand - Schoon - Matig		1.0	100.0		
8	-7.02	-7.58	Zand - Sterk siltig - Kleiig		1.0	100.0		
9	-7.58	-9.20	Zand - Schoon - Matig		1.0	100.0		
10	-9.20	-9.63	Klei - Zwak zandig - Vast		1.0	50.0		
11	-9.63	-9.81	Leem - Zwak zandig - Vast		1.0	50.0		
12	-9.81	-10.10	Zand - Zwak siltig - Kleiig		1.0	100.0		
13	-10.10	-10.37	Leem - Zwak zandig - Vast		1.0	50.0		
14	-10.37	-10.54	Zand - Schoon - Los		1.0	100.0		
15	-10.54	-10.99	Leem - Zwak zandig - Vast		1.0	50.0		
16	-10.99	-11.20	Klei - Schoon - Matig		1.0	50.0		
17	-11.20	-12.02	Zand - Schoon - Vast		1.0	100.0		
18	-12.02	-13.21	Zand - Zwak siltig - Kleiig		1.0	100.0		
19	-13.21	-14.01	Zand - Schoon - Vast		1.0	100.0		
20	-14.01	-14.36	Zand - Schoon - Los		1.0	100.0		
21	-14.36	-15.18	Zand - Schoon - Vast		1.0	100.0		
22	-15.18	-16.03	Zand - Schoon - Matig		1.0	100.0		
23	-16.03	-16.56	Zand - Sterk siltig - Kleiig		1.0	100.0		
24	-16.56	-19.14	Zand - Schoon - Vast		1.0	100.0		

Project : BBB
Onderdeel : MBT-EHV 380

BODEMPROFIELGEGEVENS: 127

Alle niveaus/hogtes/peilmaten zijn t.o.v.: N.A.P.

d50-reductie is meegenomen overeenkomstig NEN-EN 9997 art. 7.6.2.3 (i)

Laag	Van [m]	Tot [m]	Omschrijving	OCR	Aandeel pos. kleef [%]	α_s	d_{50} [mm]
1	0.00	-1.22	Zand - Schoon - Matig	1.0	100.0		
2	-1.22	-2.38	Zand - Schoon - Los	1.0	100.0		
3	-2.38	-2.95	Klei - Organisch - Matig	1.0	50.0		
4	-2.95	-3.21	Leem - Zwak zandig - Vast	1.0	50.0		
5	-3.21	-3.80	Klei - Schoon - Vast	1.0	50.0		
6	-3.80	-4.00	Klei - Zwak zandig - Matig	1.0	50.0		
7	-4.00	-4.38	Leem - Zwak zandig - Vast	1.0	50.0		
8	-4.38	-13.62	Zand - Schoon - Vast	1.0	100.0		

BODEMPROFIELGEGEVENS: 128

Alle niveaus/hogtes/peilmaten zijn t.o.v.: N.A.P.

d50-reductie is meegenomen overeenkomstig NEN-EN 9997 art. 7.6.2.3 (i)

Laag	Van [m]	Tot [m]	Omschrijving	OCR	Aandeel pos. kleef [%]	α_s	d_{50} [mm]
1	0.00	-1.36	Klei - Zwak zandig - Vast	1.0	50.0		
2	-1.36	-1.58	Klei - Schoon - Matig	1.0	50.0		
3	-1.58	-1.95	Zand - Zwak siltig - Kleiig	1.0	100.0		
4	-1.95	-2.93	Zand - Schoon - Matig	1.0	100.0		
5	-2.93	-3.56	Zand - Sterk siltig - Kleiig	1.0	100.0		
6	-3.56	-4.01	Veen - Matig voorbelast - Matig	1.0	50.0		
7	-4.01	-9.90	Zand - Schoon - Vast	1.0	100.0		

BODEMPROFIELGEGEVENS: 129

Alle niveaus/hogtes/peilmaten zijn t.o.v.: N.A.P.

d50-reductie is meegenomen overeenkomstig NEN-EN 9997 art. 7.6.2.3 (i)

Laag	Van [m]	Tot [m]	Omschrijving	OCR	Aandeel pos. kleef [%]	α_s	d_{50} [mm]
1	0.00	-1.32	Zand - Schoon - Los	1.0	100.0		
2	-1.32	-2.53	Leem - Zwak zandig - Vast	1.0	50.0		
3	-2.53	-2.92	Zand - Schoon - Los	1.0	100.0		
4	-2.92	-3.55	Klei - Zwak zandig - Vast	1.0	50.0		
5	-3.55	-3.90	Klei - Organisch - Matig	1.0	50.0		
6	-3.90	-4.15	Zand - Schoon - Los	1.0	100.0		
7	-4.15	-4.65	Zand - Schoon - Matig	1.0	100.0		
8	-4.65	-5.49	Zand - Zwak siltig - Kleiig	1.0	100.0		
9	-5.49	-6.22	Leem - Zwak zandig - Vast	1.0	50.0		
10	-6.22	-6.91	Zand - Schoon - Vast	1.0	100.0		
11	-6.91	-7.39	Zand - Schoon - Matig	1.0	100.0		
12	-7.39	-7.99	Zand - Schoon - Vast	1.0	100.0		
13	-7.99	-9.07	Zand - Schoon - Los	1.0	100.0		
14	-9.07	-9.46	Klei - Zwak zandig - Slap	1.0	50.0		
15	-9.46	-13.15	Zand - Schoon - Vast	1.0	100.0		

BODEMPROFIELGEGEVENS: 122-3

Alle niveaus/hogtes/peilmaten zijn t.o.v.: N.A.P.

d50-reductie is meegenomen overeenkomstig NEN-EN 9997 art. 7.6.2.3 (i)

Laag	Van [m]	Tot [m]	Omschrijving	OCR	Aandeel pos. kleef [%]	α_s	d_{50} [mm]
1	17.94	17.15	Zand - Schoon - Vast	1.0	100.0		
2	17.15	15.90	Klei - Zwak zandig - Matig	1.0	50.0		
3	15.90	15.08	Leem - Zwak zandig - Vast	1.0	0.0		
4	15.08	14.79	Zand - Schoon - Matig	1.0	100.0		
5	14.79	13.98	Zand - Schoon - Los	1.0	100.0		
6	13.98	12.02	Zand - Schoon - Vast	1.0	100.0		
7	12.02	11.19	Zand - Schoon - Los	1.0	100.0		
8	11.19	10.92	Leem - Zwak zandig - Vast	1.0	50.0		
9	10.92	8.95	Zand - Schoon - Matig	1.0	100.0		
10	8.95	3.69	Zand - Schoon - Vast	1.0	100.0		

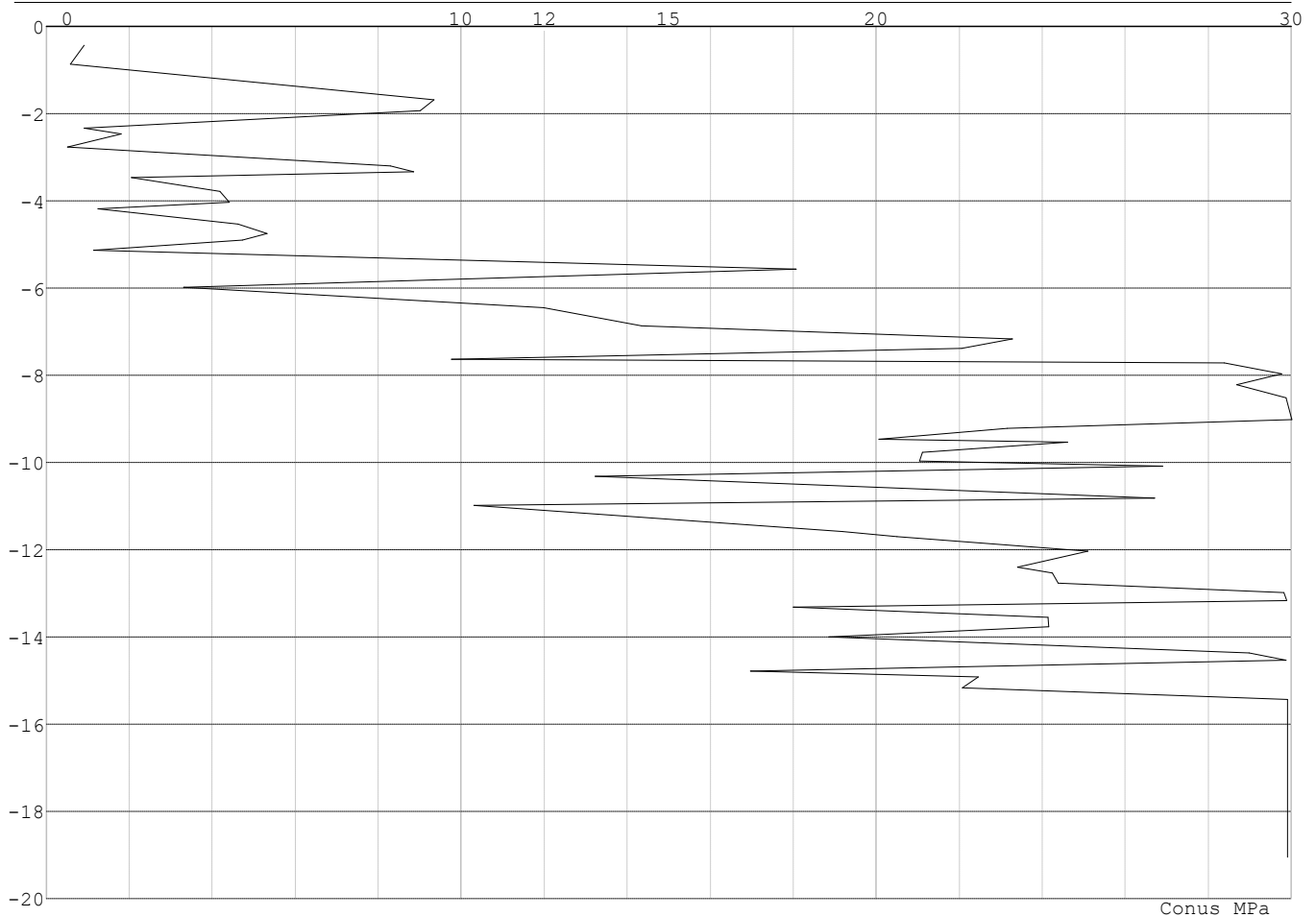
Project : BBB
 Onderdeel : MBT-EHV 380

Laag	Van [m]	Tot [m]	Omschrijving	OCR	Aandeel pos. kleef [%]	α_s	d_{50} [mm]
11	3.69	2.76	Klei - Zwak zandig - Slap	1.0	50.0		
12	2.76	1.79	Zand - Schoon - Matig	1.0	100.0		
13	1.79	1.18	Zand - Schoon - Vast	1.0	100.0		
14	1.18	-0.70	Zand - Zwak siltig - Kleiig	1.0	100.0		
15	-0.70	-1.18	Klei - Schoon - Matig	1.0	50.0		
16	-1.18	-1.76	Klei - Zwak zandig - Slap	1.0	50.0		
17	-1.76	-2.26	Leem - Zwak zandig - Vast	1.0	50.0		
18	-2.26	-3.52	Zand - Schoon - Vast	1.0	100.0		

SONDERINGSGEGEVENS ALGEMEEN: 120-1

Alle niveaus/hogtes/peilmaten zijn t.o.v.: N.A.P.
 Hoogte maaiveld [m] : 0.00 Bodemprofiel: 120-1
 Traject negatieve kleef : 0.00 tot -5.10 [m]
 Traject positieve kleef : -5.10 tot -19.05 [m]

SONDERINGSGEGEVENS GRAFIEK: 120-1

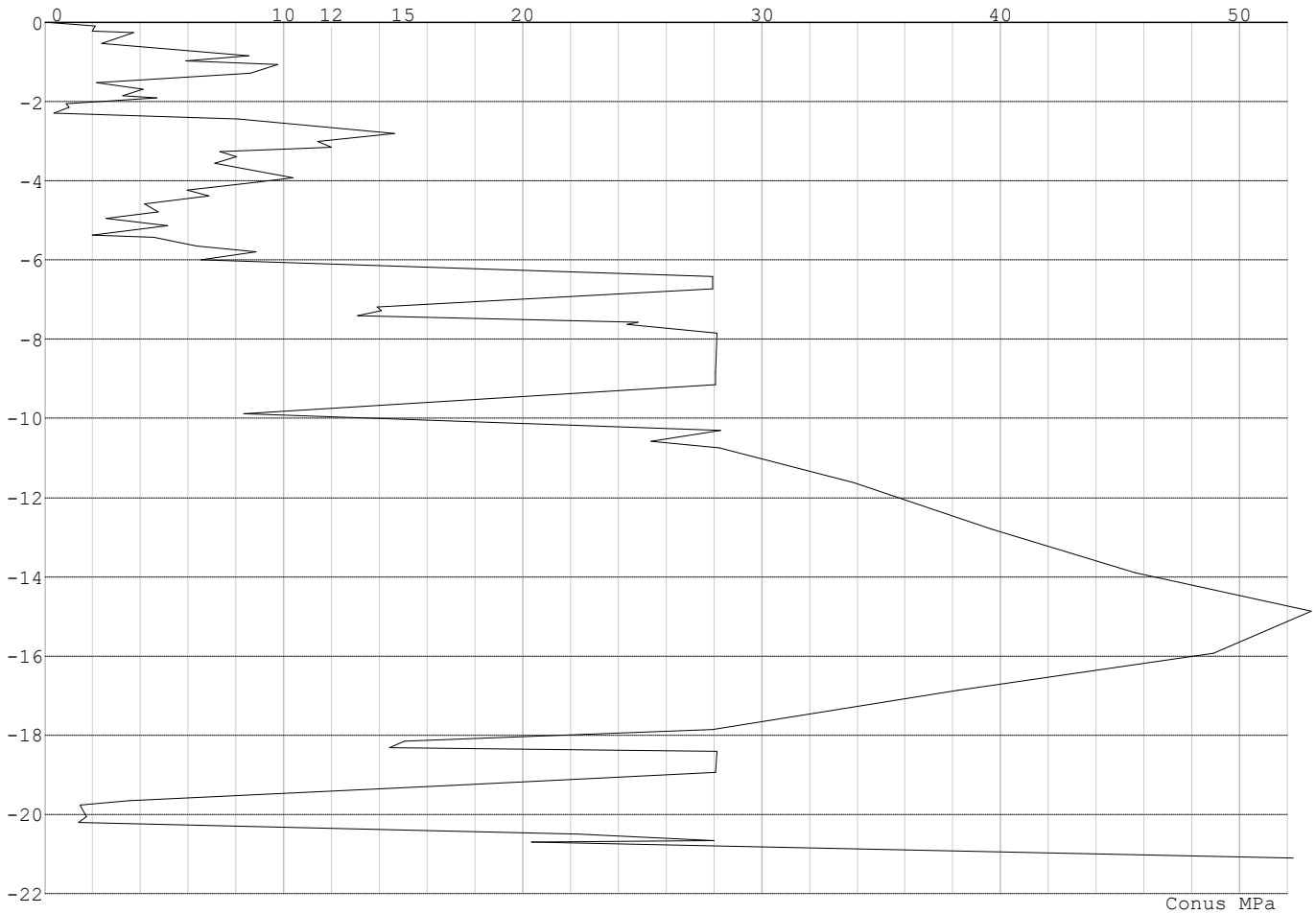


Project : BBB
Onderdeel : MBT-EHV 380

SONDERINGSGEGEVENS ALGEMEEN: 120-2

Alle niveaus/hogtes/peilmaten zijn t.o.v.: N.A.P.
Hoogte maaiveld [m] : 0.00 Bodemprofiel: 120-2
Traject negatieve kleeft : -0.00 tot -2.26 [m]
Traject positieve kleeft : -2.26 tot -21.10 [m]

SONDERINGSGEGEVENS GRAFIEK: 120-2

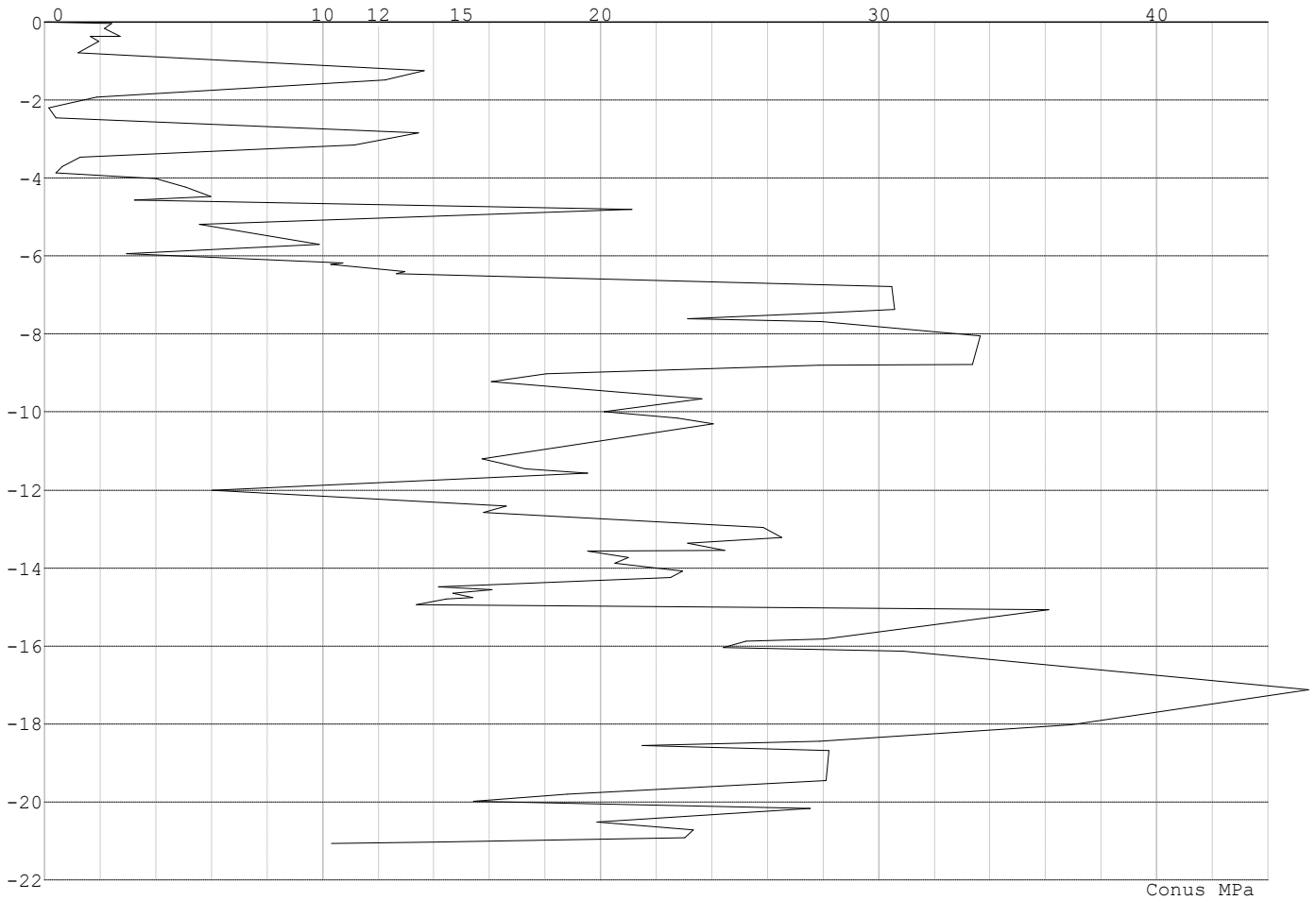


Project : BBB
Onderdeel : MBT-EHV 380

SONDERINGSGEGEVENS ALGEMEEN: 120-3

Alle niveaus/hogtes/peilmaten zijn t.o.v.: N.A.P.
Hoogte maaiveld [m] : 0.00 Bodemprofiel: 120-3
Traject negatieve kleef : 0.00 tot -4.57 [m]
Traject positieve kleef : -4.57 tot -21.06 [m]

SONDERINGSGEGEVENS GRAFIEK: 120-3

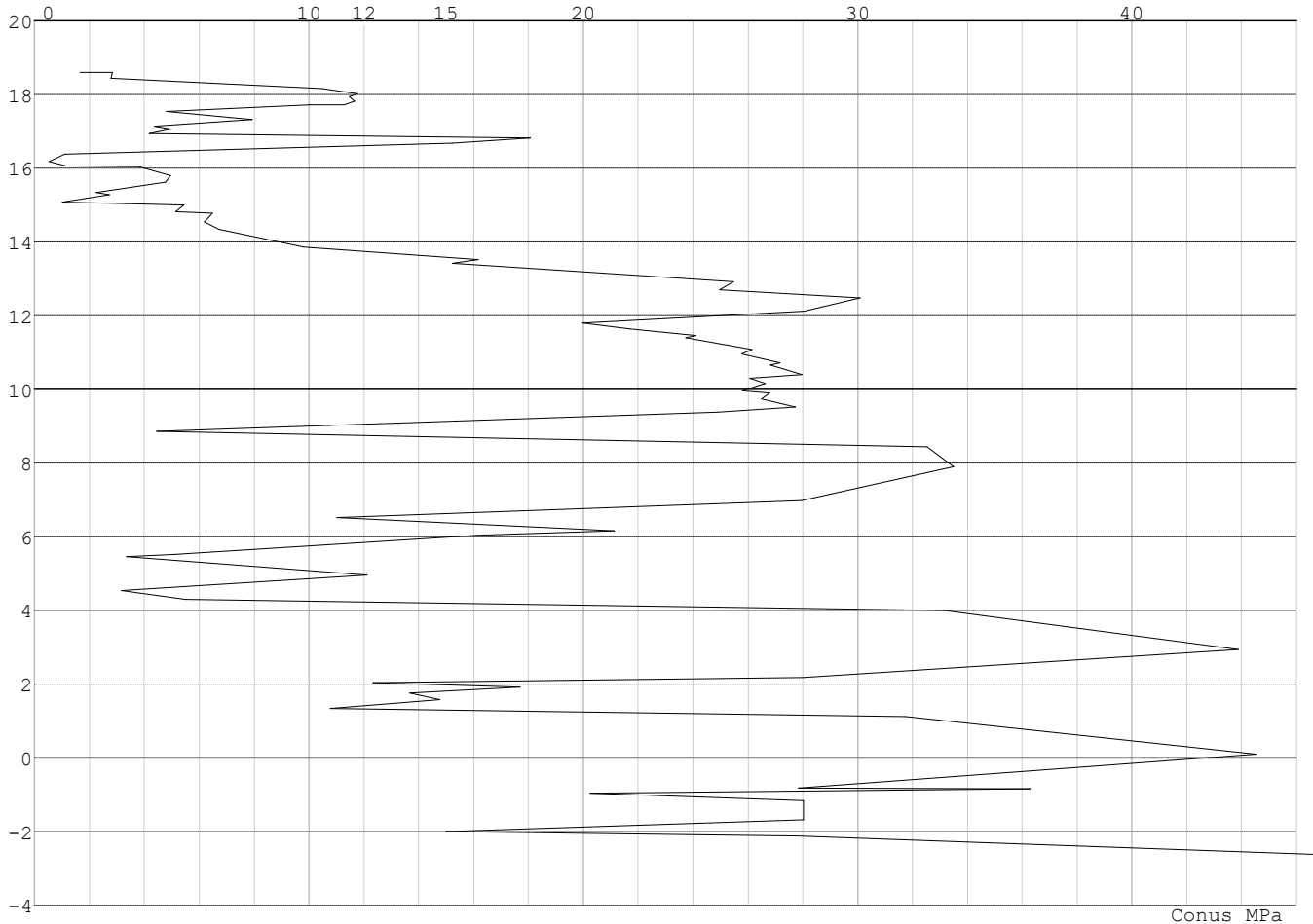


Project : BBB
Onderdeel : MBT-EHV 380

SONDERINGSGEGEVENS ALGEMEEN: 121-5

Alle niveaus/hoogtes/peilmaten zijn t.o.v.: N.A.P.
Hoogte maaiveld [m] : 18.60 Bodemprofiel: 121-2
Traject negatieve kleeft : 18.60 tot 15.11 [m]
Traject positieve kleeft : 15.11 tot -2.62 [m]

SONDERINGSGEGEVENS GRAFIEK: 121-5

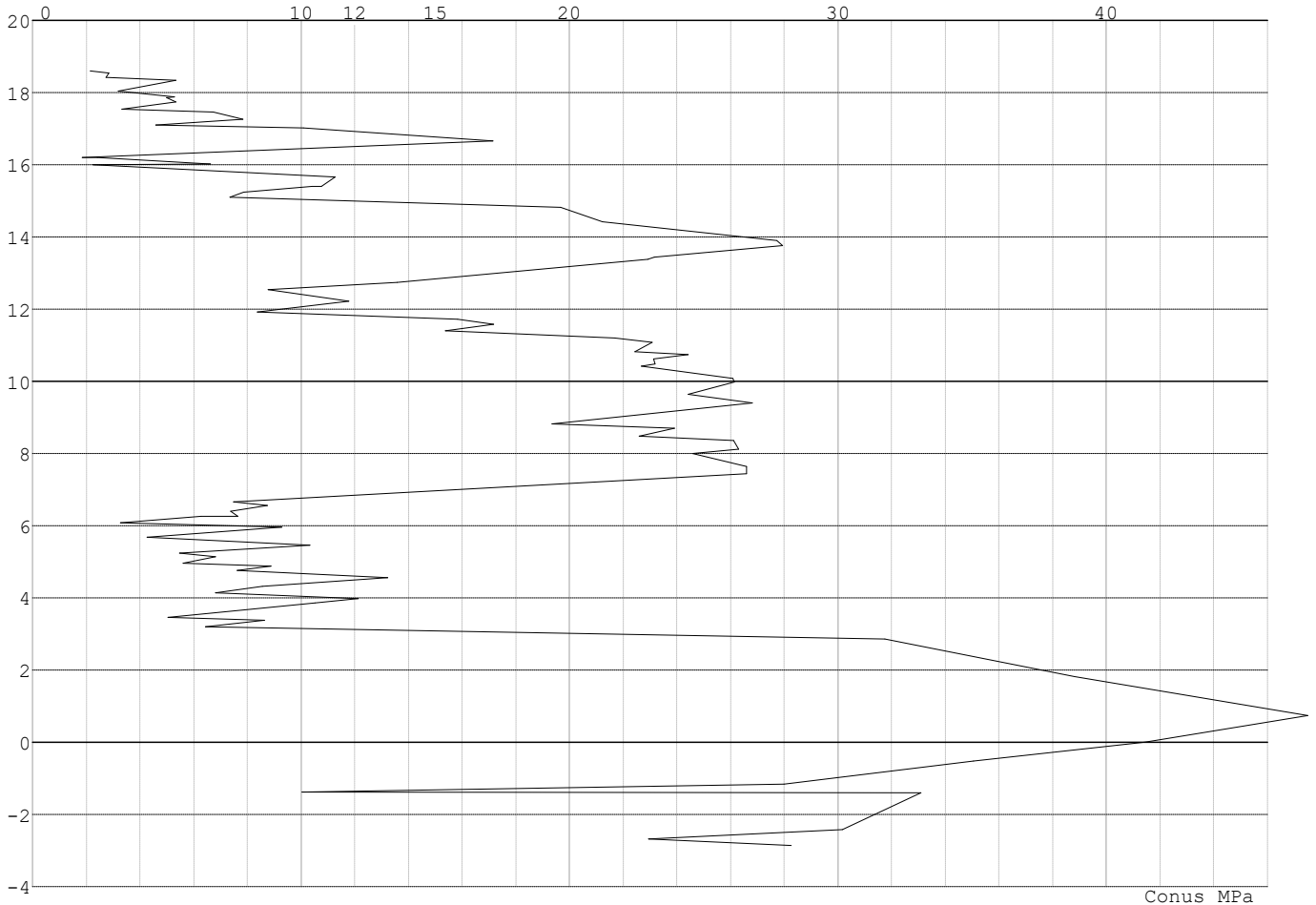


Project : BBB
Onderdeel : MBT-EHV 380

SONDERINGSGEGEVENS ALGEMEEN: 121-6

Alle niveaus/hogtes/peilmaten zijn t.o.v.: N.A.P.
Hoogte maaiveld [m] : 18.60 Bodemprofiel: 121-3
Traject negatieve kleef : 18.60 tot 16.05 [m]
Traject positieve kleef : 16.05 tot -2.85 [m]

SONDERINGSGEGEVENS GRAFIEK: 121-6

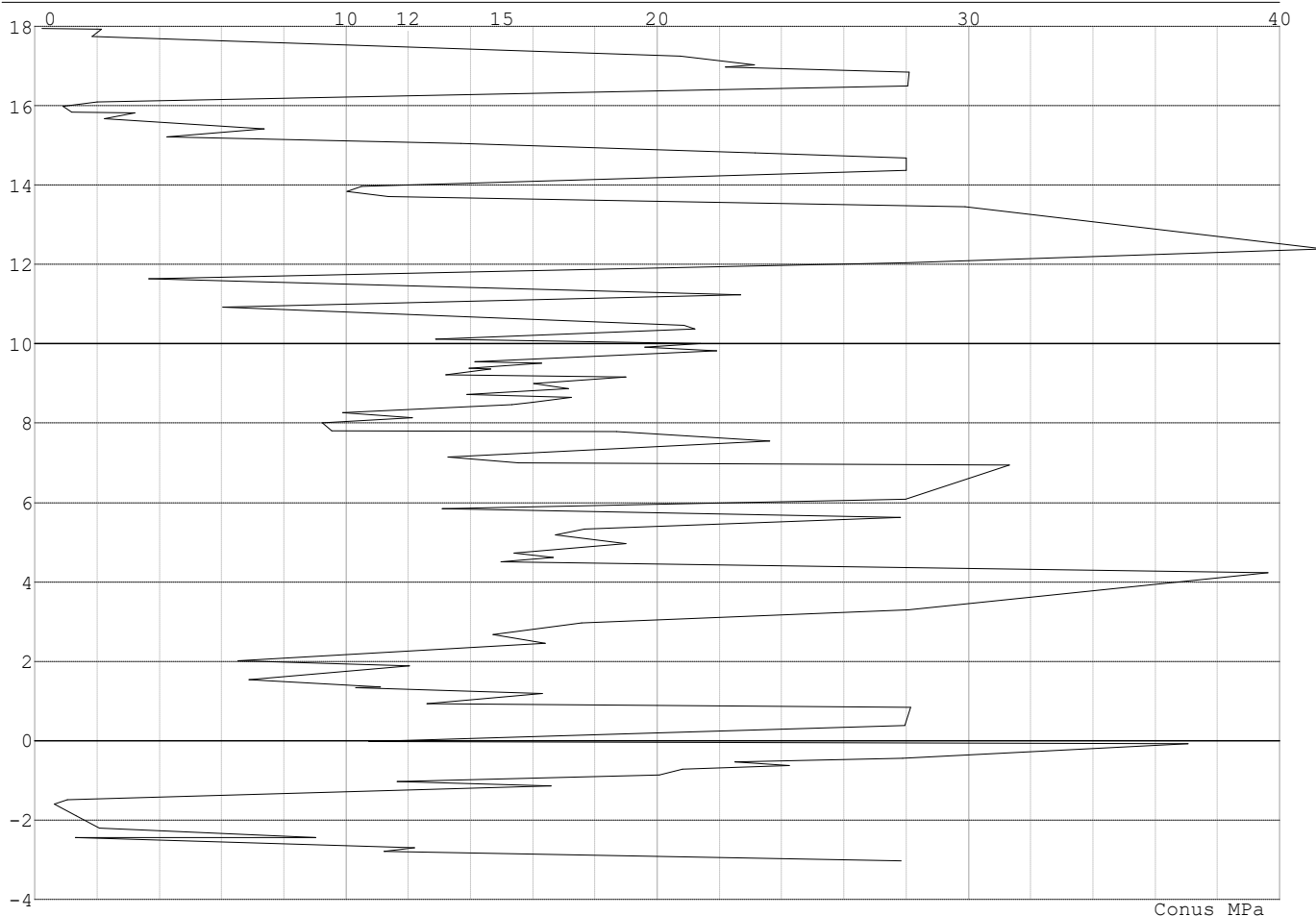


Project : BBB
Onderdeel : MBT-EHV 380

SONDERINGSGEGEVENS ALGEMEEN: 122-3

Alle niveaus/hogtes/peilmaten zijn t.o.v.: N.A.P.
Hoogte maaiveld [m] : 17.94 Bodemprofiel: 122-2
Traject negatieve kleef : 17.94 tot 15.17 [m]
Traject positieve kleef : 15.17 tot -3.01 [m]

SONDERINGSGEGEVENS GRAFIEK: 122-3

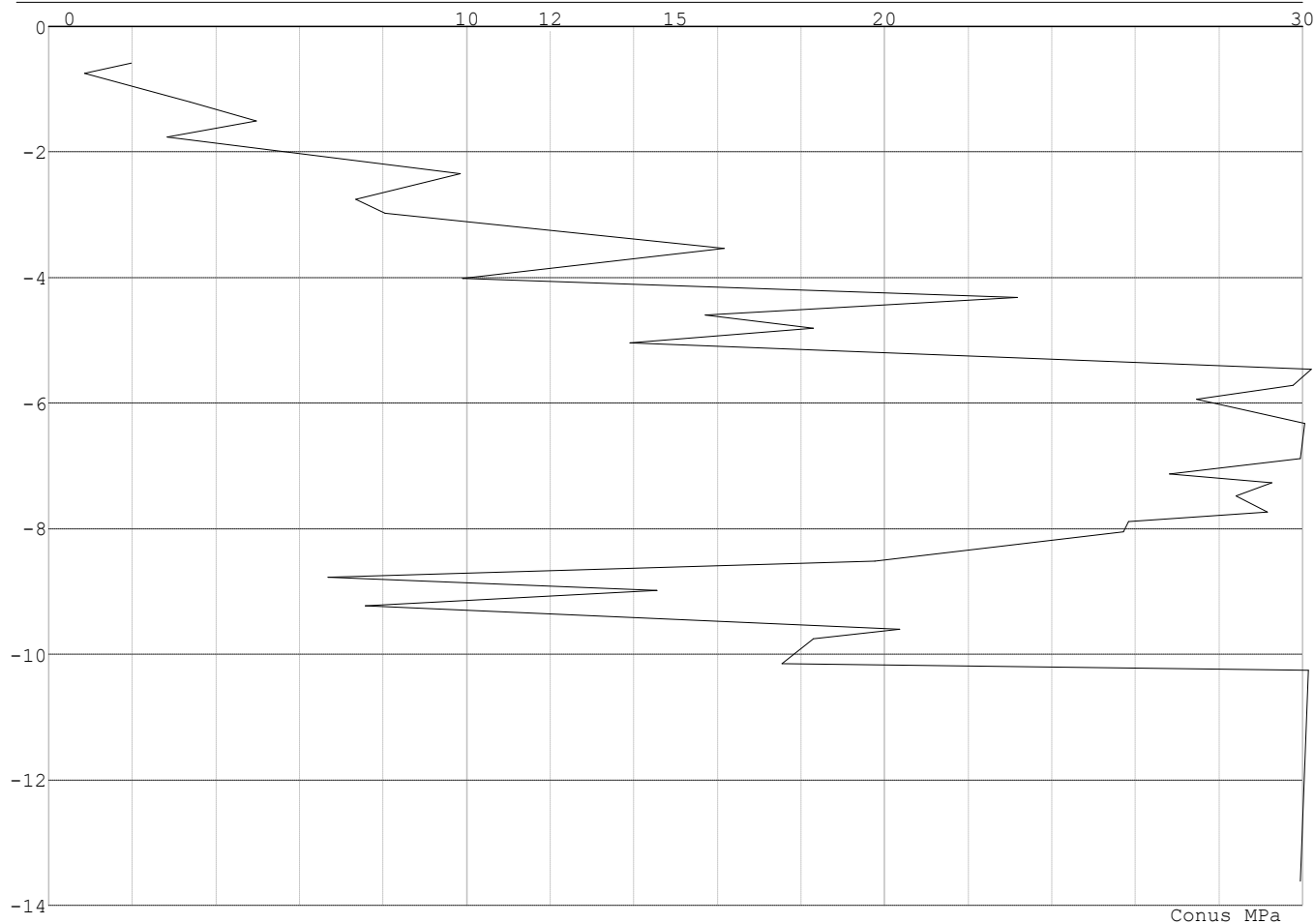


Project : BBB
Onderdeel : MBT-EHV 380

SONDERINGSGEGEVENS ALGEMEEN: 123

Alle niveaus/hogtes/peilmaten zijn t.o.v.: N.A.P.
Hoogte maaiveld [m] : 0.00 Bodemprofiel: 123
Traject negatieve kleef : 0.00 tot -1.50 [m]
Traject positieve kleef : -1.50 tot -13.62 [m]

SONDERINGSGEGEVENS GRAFIEK: 123

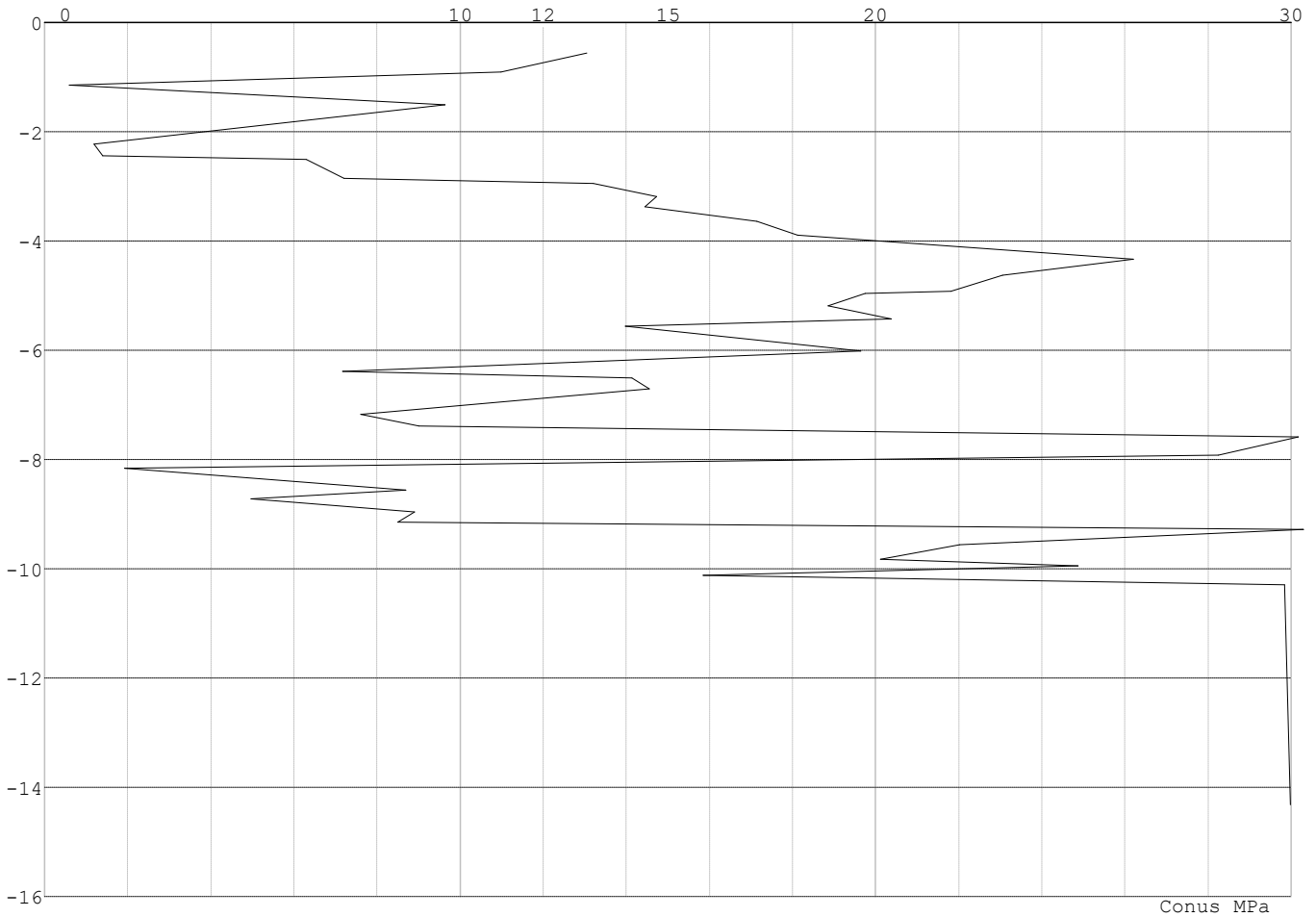


Project : BBB
Onderdeel : MBT-EHV 380

SONDERINGSGEGEVENS ALGEMEEN: 124

Alle niveaus/hoogtes/peilmaten zijn t.o.v.: N.A.P.
Hoogte maaiveld [m] : 0.00 Bodemprofiel: 124
Traject negatieve kleef : 0.00 tot -2.40 [m]
Traject positieve kleef : -2.40 tot -14.32 [m]

SONDERINGSGEGEVENS GRAFIEK: 124

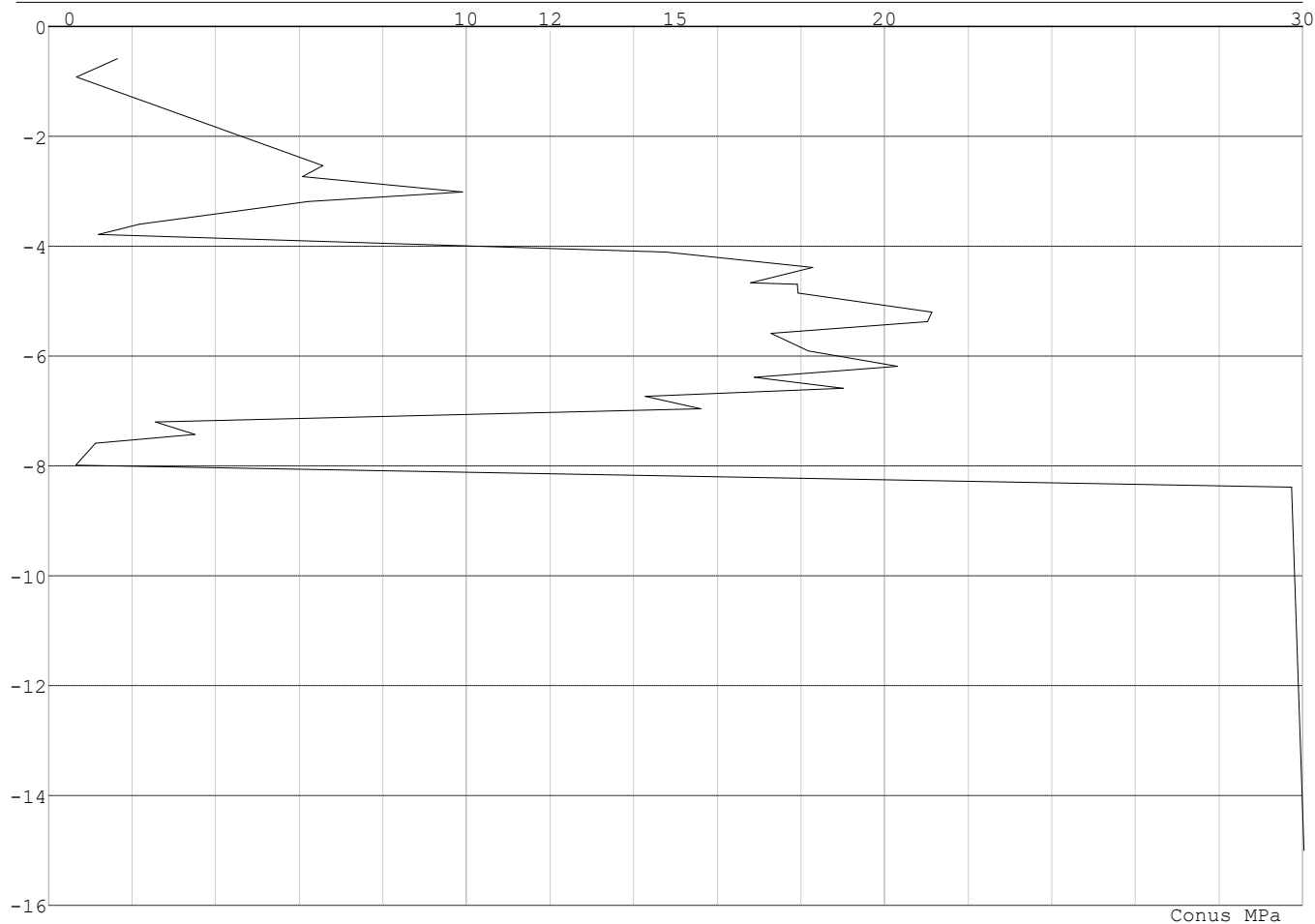


Project : BBB
Onderdeel : MBT-EHV 380

SONDERINGSGEGEVENS ALGEMEEN: 125

Alle niveaus/hoogtes/peilmaten zijn t.o.v.: N.A.P.
Hoogte maaiveld [m] : 0.00 Bodemprofiel: 125
Traject negatieve kleeft : 0.00 tot -3.80 [m]
Traject positieve kleeft : -3.80 tot -15.00 [m]

SONDERINGSGEGEVENS GRAFIEK: 125

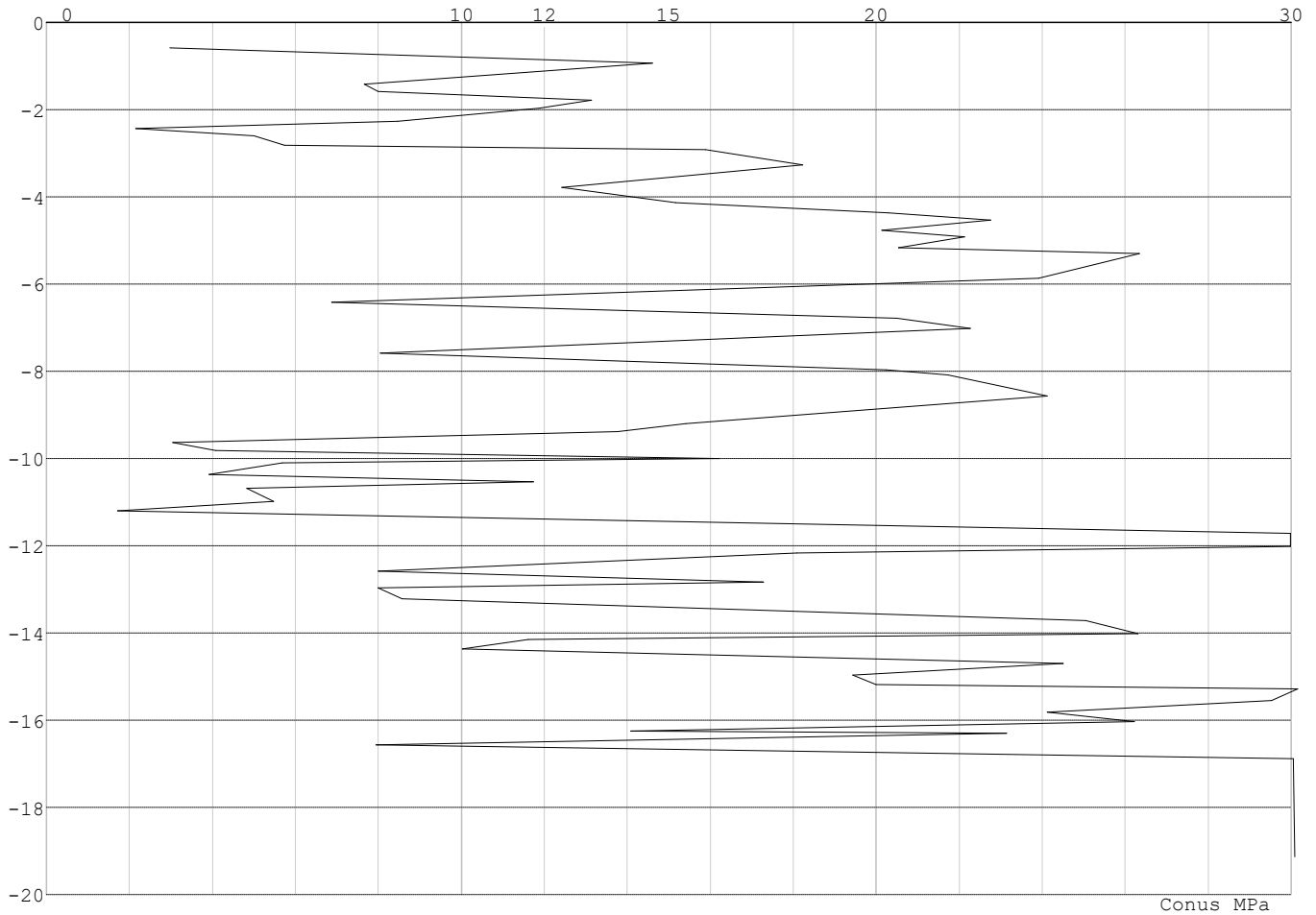


Project : BBB
Onderdeel : MBT-EHV 380

SONDERINGSGEGEVENS ALGEMEEN: 126

Alle niveaus/hoogtes/peilmaten zijn t.o.v.: N.A.P.
Hoogte maaiveld [m] : 0.00 Bodemprofiel: 126
Traject negatieve kleeft : 0.00 tot -2.40 [m]
Traject positieve kleeft : -2.40 tot -19.14 [m]

SONDERINGSGEGEVENS GRAFIEK: 126

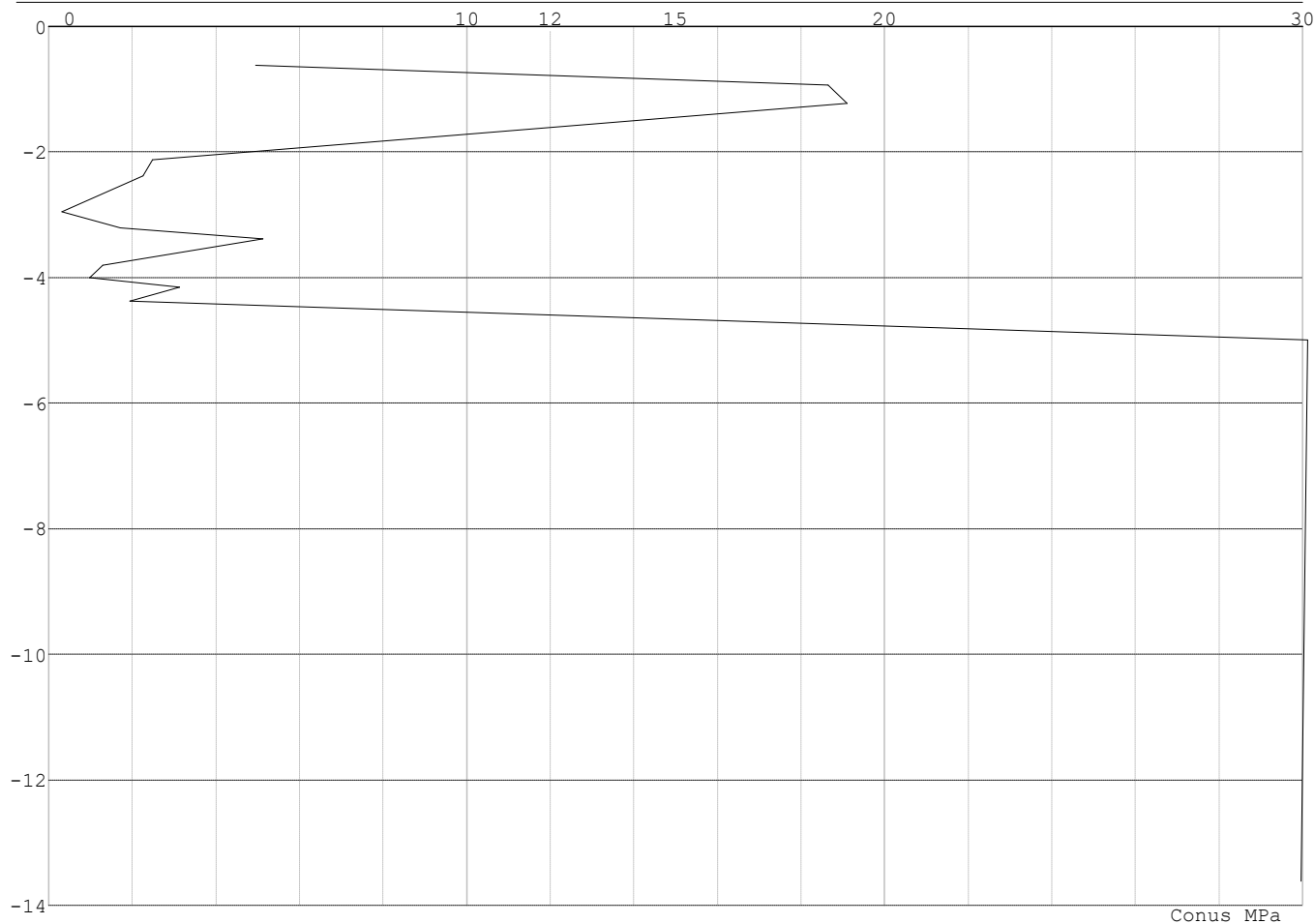


Project : BBB
Onderdeel : MBT-EHV 380

SONDERINGSGEGEVENS ALGEMEEN: 127

Alle niveaus/hoogtes/peilmaten zijn t.o.v.: N.A.P.
Hoogte maaiveld [m] : 0.00 Bodemprofiel: 127
Traject negatieve kleeft : 0.00 tot -4.40 [m]
Traject positieve kleeft : -4.40 tot -13.62 [m]

SONDERINGSGEGEVENS GRAFIEK: 127

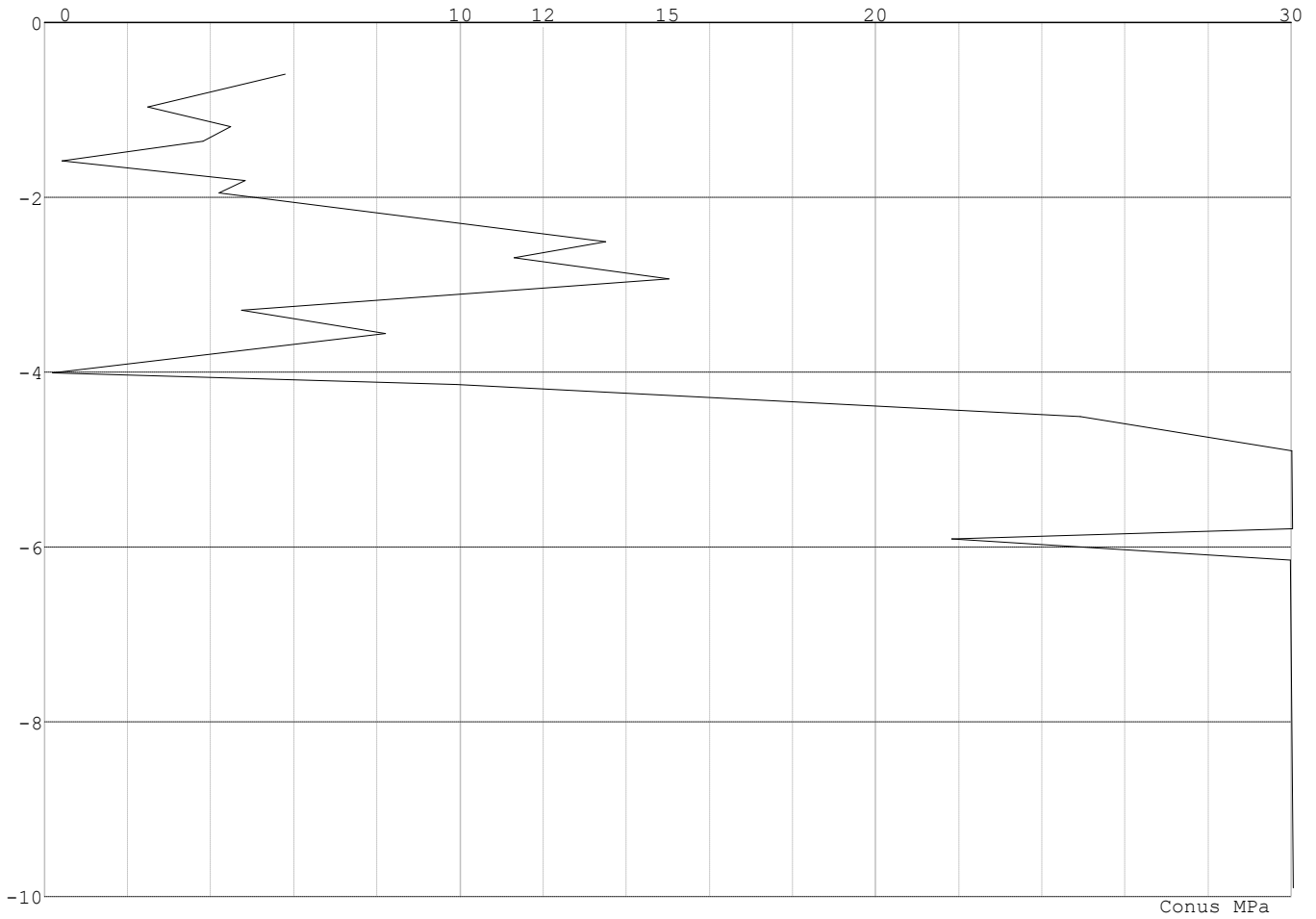


Project : BBB
Onderdeel : MBT-EHV 380

SONDERINGSGEGEVENS ALGEMEEN: 128

Alle niveaus/hogtes/peilmaten zijn t.o.v.: N.A.P.
Hoogte maaiveld [m] : 0.00 Bodemprofiel: 128
Traject negatieve kleef : 0.00 tot -4.00 [m]
Traject positieve kleef : -4.00 tot -9.90 [m]

SONDERINGSGEGEVENS GRAFIEK: 128

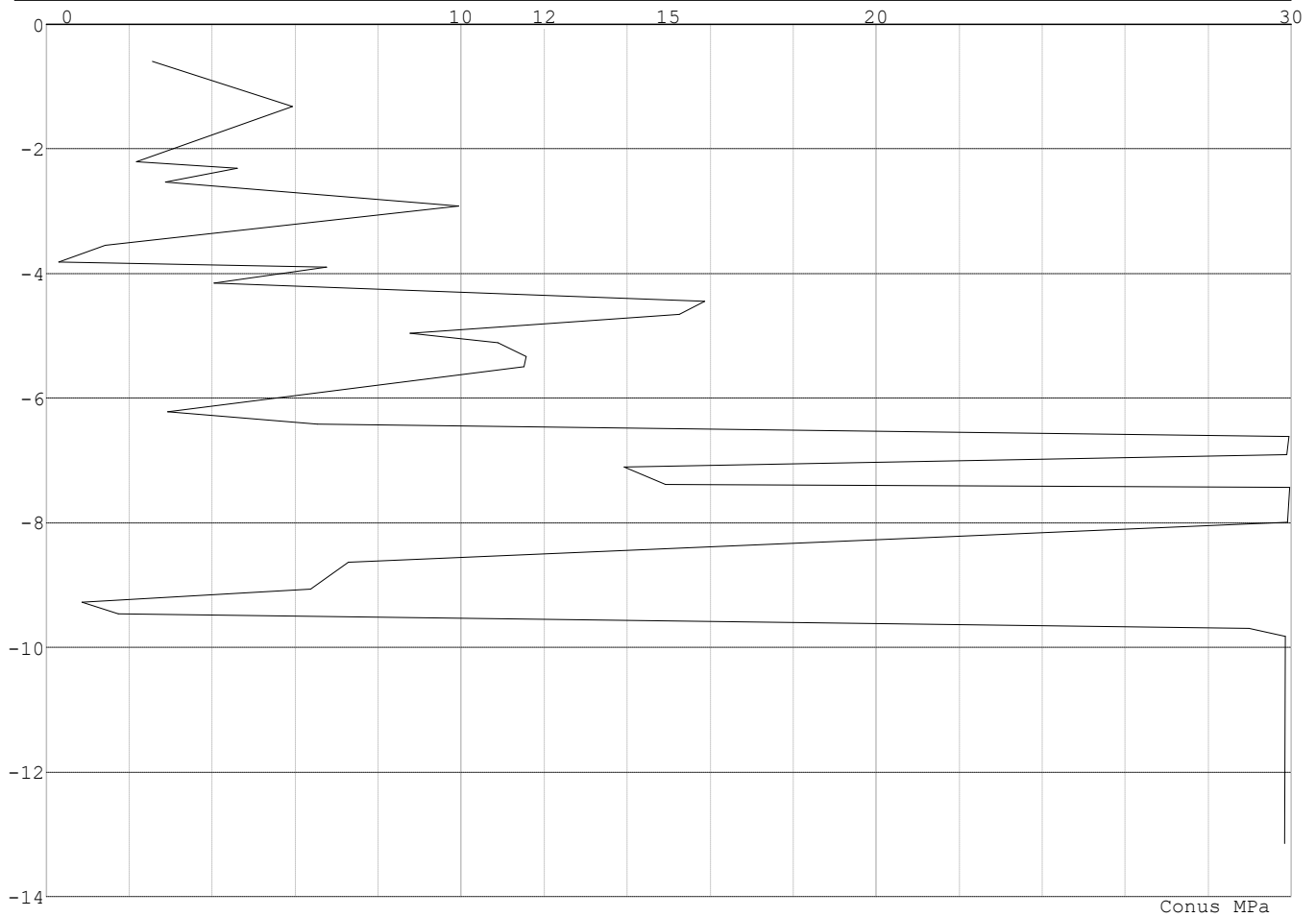


Project : BBB
 Onderdeel : MBT-EHV 380

SONDERINGSGEGEVENS ALGEMEEN: 129

Alle niveaus/hoogtes/peilmaten zijn t.o.v.: N.A.P.
 Hoogte maaiveld [m] : 0.00 Bodemprofiel: 129
 Traject negatieve kleeft : 0.00 tot -3.90 [m]
 Traject positieve kleeft : -3.90 tot -13.15 [m]

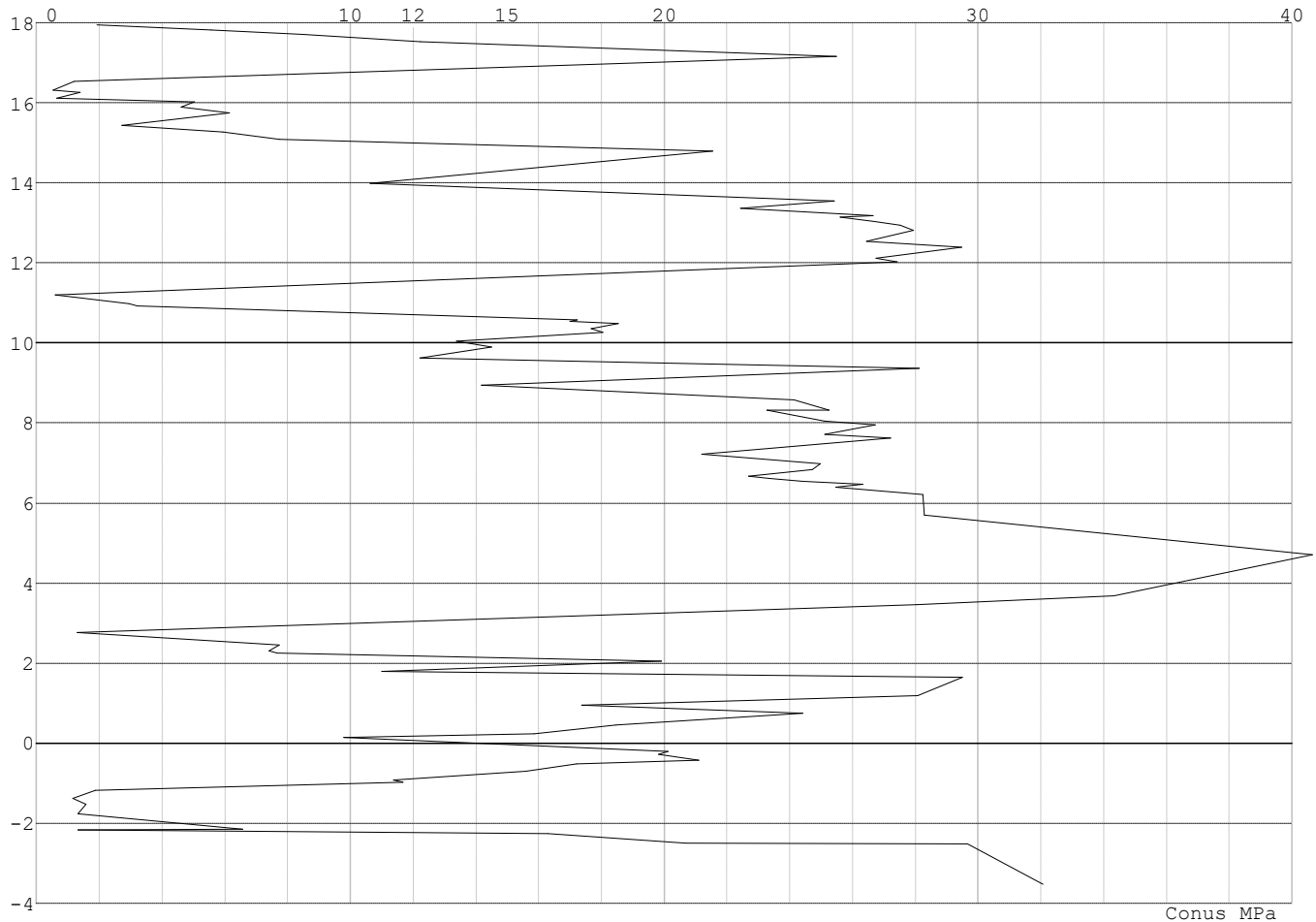
SONDERINGSGEGEVENS GRAFIEK: 129



Project : BBB
Onderdeel : MBT-EHV 380

SONDERINGSGEGEVENS ALGEMEEN: 122-4

Alle niveaus/hoogtes/peilmaten zijn t.o.v.: N.A.P.
Hoogte maaiveld [m] : 17.94 Bodemprofiel: 122-3
Traject negatieve kleef : 17.94 tot 14.86 [m]
Traject positieve kleef : 14.86 tot -3.52 [m]

SONDERINGSGEGEVENS GRAFIEK: 122-4**REKENGEGEVENS Mast 120 - Afk Trk**

Berekening : Controlerend
Rekenmethode : Trekpalen volgens NEN-EN 1997-1, art. 7.6.3
Sondering(en) : 120-1, 120-2, 120-3
Let op: trekcapaciteit t.p.v. negatief kleeftraject is meegerekend.

Stijf bouwwerk : NEE
Paalgroep : NEE
Aantal sonderingen : 3
Factor ξ_3 (n=1) : 1.39
Factor ξ_3 (gem) : 1.30
Factor ξ_4 (min) : 1.30
Weerstandsfactor γ_R : 1.35
 $\gamma_{m;var;q_c}$: 1.50
UGT draagvermogen zonder negatieve kleef : NEE

Paal : LD1
Niveau paalkop [m] : N.A.P. 0.40
Paalpuntniveau : N.A.P. -9.10
 $E_{d,1}$ [kN] : 0.00 $E_{d,2}$ [kN] : 0.00
Bovenbel. [kN/m²] : 0.00

RESULTATEN Mast 120 - Afk Trk (n=1)

Project : BBB
 Onderdeel : MBT-EHV 380

Sondering : 120-1

Alle niveaus/hogtes/peilmaten zijn t.o.v.: N.A.P.

Inheinniveau [m]	Effectief inheinniveau [m]	E.G. paal [kN]	$R_{t,cal;k}$ [kN]	$R_{t;d}$ [kN]	$F_{t,tot;1}$ [kN]	U.C.
-9.10	-9.10	33.2	372.0	372.0	0.0	0.00

Sondering : 120-2

Alle niveaus/hogtes/peilmaten zijn t.o.v.: N.A.P.

Inheinniveau [m]	Effectief inheinniveau [m]	E.G. paal [kN]	$R_{t,cal;k}$ [kN]	$R_{t;d}$ [kN]	$F_{t,tot;1}$ [kN]	U.C.
-9.10	-9.10	33.2	385.5	385.5	0.0	0.00

Sondering : 120-3

Alle niveaus/hogtes/peilmaten zijn t.o.v.: N.A.P.

Inheinniveau [m]	Effectief inheinniveau [m]	E.G. paal [kN]	$R_{t,cal;k}$ [kN]	$R_{t;d}$ [kN]	$F_{t,tot;1}$ [kN]	U.C.
-9.10	-9.10	33.2	368.7	368.7	0.0	0.00

Project : BBB
 Onderdeel : MBT-EHV 380

SAMENVATTINGSTABEL Mast 120 - Afk Trk (n=1)

Uitgangspunten

- paal : LD1
 - paaltype : Stalen buispaal (gesloten)
 - schachtafmeting : 550 mm
 Paalklassefactor α_p : 1.00
 Factor α_t (tabel 7.c EC 7.1) : 0.0070 (zandlagen; voor kleilagen zie tabel 7.d)
 Correlatiefactor $\xi_{3(n=1)}$: 1.39

Alle niveaus/hogtes/peilmaten zijn t.o.v.: N.A.P.

sondering	maaiveld paalpunt		Bezwijkdraagvermogen $R_{t,cal}$ [kN]	Rekenwaarden		
	niveau	niveau		$R_{t,d}$ [kN]	$R_{t,netto,d}$ [kN]	
120-1	0.00	-9.10	372.0	372.0	372.0	
120-2	0.00	-9.10	385.5	385.5	385.5	
120-3	0.00	-9.10	368.7	368.7	368.7	

Project : BBB
Onderdeel : MBT-EHV 380

SAMENVATTINGSTABEL Mast 120 - Afk Trk (van 3 sonderingen)

Uitgangspunten

- paal : LD1
- paaltype : Stalen buispaal (gesloten)
- schachtafmeting : 550 mm
Paalklassefactor α_p : 1.00
Factor α_t (tabel 7.c EC 7.1) : 0.0070 (zandlagen; voor kleilagen zie tabel 7.d)
Correlatiefactor $\xi_{3gem}(n=3)$: 1.30
Correlatiefactor $\xi_{4min}(n=3)$: 1.30

Alle niveaus/hogtes/peilmaten zijn t.o.v.: N.A.P.

sondering	maaiveld niveau	paalpunt niveau	E.G. paal	Bezuikdraagvermogen $R_{t,cal}$ [kN]
-----------	--------------------	--------------------	-----------	--

met ξ_3 (gem) = 1.30

120-1	0.00	-9.10	33.2	395.4
120-2	0.00	-9.10	33.2	409.9
120-3	0.00	-9.10	33.2	391.9

-9.10 $R_{t,cal,gem}$ 399.1

met ξ_4 (min) = 1.30

120-1	0.00	-9.10	33.2	395.4
120-2	0.00	-9.10	33.2	409.9
120-3	0.00	-9.10	33.2	391.9

-9.10 $R_{t,cal,min}$ 391.9

Totaal resultaten Mast 120 - Afk Trk (van 3 sonderingen)

Uitgangspunten

Correlatiefactor $\xi_{3gem}(n=3)$: 1.30
Correlatiefactor $\xi_{4min}(n=3)$: 1.30

gebaseerd op sonderingen:

120-1 120-2 120-3

$$R_{t,d} = \min.\{ R_{t,cal,gem}; R_{t,cal,min} \} (7.17) *$$

Inheinniveau
[m]

$$-9.10 \quad R_{t,d} = \min.\{ 399.1; 391.9 \} = 391.9$$

*) Bij de trekpaalberekening zijn factoren ξ_3 en ξ_4 al bij de berekening van de conusweerstand $q_{c;z;d}$ in rekening gebracht, evenals factor $\gamma_{s;t}$. Dat is conform de opmerkingen in art. 7.6.3.3 (3) en (4).

Alle niveaus/hogtes/peilmaten zijn t.o.v.: N.A.P.

Inheinniveau [m]	$R_{t,k}$ [kN]	$R_{t,d}$ [kN]	$F_{t,tot;1}$ [kN]	$R_{t,netto;d}$ [kN]	U.C.
-9.10	391.9	391.9	0.0	391.9	0.00

Project : BBB
 Onderdeel : MBT-EHV 380

REKENEGEVENES Mast 121 - Afk Trk

Berekening : Controlerend
 Rekenmethode : Trekpalen volgens NEN-EN 1997-1, art. 7.6.3
 Sondering(en) : 121-5, 121-6
 Let op: trekcapaciteit t.p.v. negatief kleeftraject is meegerekend.

Stijf bouwwerk : NEE
 Paalgroep : NEE
 Aantal sonderingen : 2
 Factor ξ_3 (n=1) : 1.39
 Factor ξ_3 (gem) : 1.32
 Factor ξ_4 (min) : 1.32
 Weerstandsfactor γ_R : 1.35
 $\gamma_{m,var;q,c}$: 1.50
 UGT draagvermogen zonder negatieve kleef : NEE

Paal : Tubex 457_670
 Niveau paalkop [m] : N.A.P. 16.90
 Paalpuntniveau : N.A.P. 8.90
 $E_{d,1}$ [kN] : 0.00 $E_{d,2}$ [kN] : 0.00
 Bovenbel. [kN/m²] : 0.00

RESULTATEN Mast 121 - Afk Trk (n=1)**Sondering : 121-5**

Alle niveaus/hogtes/peilmaten zijn t.o.v.: N.A.P.

Inheinniveau [m]	Effectief inheinniveau [m]	E.G. paal [kN]	$R_{t,cal;k}$ [kN]	$R_{t;d}$ [kN]	$F_{t,tot;1}$ [kN]	U.C.
8.90	8.90	33.3	608.9	608.9	0.0	0.00

Sondering : 121-6

Alle niveaus/hogtes/peilmaten zijn t.o.v.: N.A.P.

Inheinniveau [m]	Effectief inheinniveau [m]	E.G. paal [kN]	$R_{t,cal;k}$ [kN]	$R_{t;d}$ [kN]	$F_{t,tot;1}$ [kN]	U.C.
8.90	8.90	33.3	677.1	677.1	0.0	0.00

Project : BBB
 Onderdeel : MBT-EHV 380

SAMENVATTINGSTABEL Mast 121 - Afk Trk (n=1)

Uitgangspunten

- paal : Tubex 457_670
 - paaltype : In de grond gevormde geschroefde paal; groutinjectie
 - schachtafmeting : 670 mm
 Paalklassefactor α_p : 0.63
 Factor α_t (tabel 7.c EC 7.1) : 0.0090 (zandlagen; voor kleilagen zie tabel 7.d)
 Correlatiefactor $\xi_{3(n=1)}$: 1.39

Alle niveaus/hogtes/peilmaten zijn t.o.v.: N.A.P.

sondering	maaiveld paalpunt		Bezwijkdraagvermogen $R_{t,cal}$ [kN]	Rekenwaarden		
	niveau	niveau		$R_{t,d}$ [kN]	$R_{t,netto,d}$ [kN]	
121-5	18.60	8.90	608.9	608.9	608.9	
121-6	18.60	8.90	677.1	677.1	677.1	

Project : BBB
Onderdeel : MBT-EHV 380

SAMENVATTINGSTABEL Mast 121 - Afk Trk (van 2 sonderingen)**Uitgangspunten**

- paal : Tubex 457_670
- paaltype : In de grond gevormde geschroefde paal; groutinjectie
- schachtafmeting : 670 mm
Paalklassefactor α_p : 0.63
Factor α_t (tabel 7.c EC 7.1) : 0.0090 (zandlagen; voor kleilagen zie tabel 7.d)
Correlatiefactor $\xi_{3gem}(n=2)$: 1.32
Correlatiefactor $\xi_{4min}(n=2)$: 1.32

Alle niveaus/hogtes/peilmaten zijn t.o.v.: N.A.P.

sondering	maaiveld	paalpunt	Bezuikdraagvermogen
	niveau	niveau	E.G. paal $R_{t,cal}$
			[kN] [kN]

met ξ_3 (gem) = 1.32

121-5	18.60	8.90	33.3	639.4
-------	-------	------	------	-------

121-6	18.60	8.90	33.3	711.3
-------	-------	------	------	-------

		8.90	$R_{t,cal,gem}$	675.3
--	--	------	-----------------	-------

met ξ_4 (min) = 1.32

121-5	18.60	8.90	33.3	639.4
-------	-------	------	------	-------

121-6	18.60	8.90	33.3	711.3
-------	-------	------	------	-------

		8.90	$R_{t,cal,min}$	639.4
--	--	------	-----------------	-------

Totaal resultaten Mast 121 - Afk Trk (van 2 sonderingen)

Uitgangspunten

Correlatiefactor $\xi_{3gem}(n=2)$: 1.32

Correlatiefactor $\xi_{4min}(n=2)$: 1.32

gebaseerd op sonderingen:

121-5 121-6

$R_{t,d} = \min.\{ R_{t,cal,gem}; R_{t,cal,min} \}$ (7.17) *)

Inheinniveau

[m]

8.90	$R_{t,d} = \min.\{ 675.3; 639.4 \} = 639.4$
------	---

*) Bij de trekpaalberekening zijn factoren ξ_3 en ξ_4 al bij de berekening van de conusweerstand $q_{c,z;d}$ in rekening gebracht, evenals factor $\gamma_{s;t}$. Dat is conform de opmerkingen in art. 7.6.3.3 (3) en (4).

Alle niveaus/hogtes/peilmaten zijn t.o.v.: N.A.P.

Inheinniveau	$R_{t,k}$	$R_{t,d}$	$F_{t,tot;1}$	$R_{t,netto;d}$	U.C.
[m]	[kN]	[kN]	[kN]	[kN]	
8.90	639.4	639.4	0.0	639.4	0.00

REKENGEDEVENS Mast 122 - Afk Trk

Berekening : Controlerend

Rekenmethode : Trekpalen volgens NEN-EN 1997-1, art. 7.6.3

Sondering(en) : 122-3, 122-4

Let op: trekcapaciteit t.p.v. negatief kleeftraject is meegerekend.

Stijf bouwwerk : NEE

Paalgroep : NEE

Aantal sonderingen : 2

Factor ξ_3 (n=1) : 1.39

Factor ξ_3 (gem) : 1.32

Factor ξ_4 (min) : 1.32

Weerstandsfactor γ_R : 1.35

$\gamma_{m,var;q_c}$: 1.50

UGT draagvermogen zonder negatieve kleef : NEE

Paal : Tubex 457_670

Niveau paalkop [m] : N.A.P. 16.59

Paalpuntniveau : N.A.P. 4.59

$E_{d,1}$ [kN] : 0.00

Bovenbel. [kN/m²] : 0.00

$E_{d,2}$ [kN] : 0.00

Project : BBB
 Onderdeel : MBT-EHV 380

RESULTATEN Mast 122 - Afk Trk (n=1)**Sondering : 122-3**

Alle niveaus/hogtes/peilmaten zijn t.o.v.: N.A.P.

Inheinniveau [m]	Effectief inheinniveau [m]	E.G. paal [kN]	$R_{t,cal;k}$ [kN]	$R_{t;d}$ [kN]	$F_{t,tot;1}$ [kN]	U.C.
4.59	4.59	50.0	1055.4	1055.4	0.0	0.00

Sondering : 122-4

Alle niveaus/hogtes/peilmaten zijn t.o.v.: N.A.P.

Inheinniveau [m]	Effectief inheinniveau [m]	E.G. paal [kN]	$R_{t,cal;k}$ [kN]	$R_{t;d}$ [kN]	$F_{t,tot;1}$ [kN]	U.C.
4.59	4.59	50.0	1029.7	1029.7	0.0	0.00

Project : BBB
 Onderdeel : MBT-EHV 380

SAMENVATTINGSTABEL Mast 122 - Afk Trk (n=1)

Uitgangspunten

- paal : Tubex 457_670
 - paaltype : In de grond gevormde geschroefde paal; groutinjectie
 - schachtafmeting : 670 mm
 Paalklassefactor α_p : 0.63
 Factor α_t (tabel 7.c EC 7.1) : 0.0090 (zandlagen; voor kleilagen zie tabel 7.d)
 Correlatiefactor $\xi_{3(n=1)}$: 1.39

Alle niveaus/hogtes/peilmaten zijn t.o.v.: N.A.P.

sondering	maaiveld paalpunt		Bezuikdraagvermogen $R_{t,cal}$ [kN]	Rekenwaarden	
	niveau	niveau		$R_{t,d}$ [kN]	$R_{t,netto,d}$ [kN]
122-3	17.94	4.59	1055.4	1055.4	1055.4
122-4	17.94	4.59	1029.7	1029.7	1029.7

Project : BBB
Onderdeel : MBT-EHV 380

SAMENVATTINGSTABEL Mast 122 - Afk Trk (van 2 sonderingen)

Uitgangspunten

- paal : Tubex 457_670
- paaltype : In de grond gevormde geschroefde paal; groutinjectie
- schachtafmeting : 670 mm
Paalklassefactor α_p : 0.63
Factor α_t (tabel 7.c EC 7.1) : 0.0090 (zandlagen; voor kleilagen zie tabel 7.d)
Correlatiefactor $\xi_{3gem}(n=2)$: 1.32
Correlatiefactor $\xi_{4min}(n=2)$: 1.32

Alle niveaus/hogtes/peilmaten zijn t.o.v.: N.A.P.

sondering	maaiveld niveau	paalpunt niveau	Bezuikdraagvermogen E.G. paal $R_{t,cal}$ [kN]	$R_{t,cal}$ [kN]
-----------	--------------------	--------------------	--	---------------------

met ξ_3 (gem) = 1.32

122-3	17.94	4.59	50.0	1108.7
-------	-------	------	------	--------

122-4	17.94	4.59	50.0	1081.7
-------	-------	------	------	--------

		4.59	$R_{t,cal,gem}$	1095.2
--	--	------	-----------------	--------

met ξ_4 (min) = 1.32

122-3	17.94	4.59	50.0	1108.7
-------	-------	------	------	--------

122-4	17.94	4.59	50.0	1081.7
-------	-------	------	------	--------

		4.59	$R_{t,cal,min}$	1081.7
--	--	------	-----------------	--------

Totaal resultaten Mast 122 - Afk Trk (van 2 sonderingen)

Uitgangspunten

Correlatiefactor $\xi_{3gem}(n=2)$: 1.32

Correlatiefactor $\xi_{4min}(n=2)$: 1.32

gebaseerd op sonderingen:

122-3 122-4

$R_{t,d} = \min.\{ R_{t,cal,gem}; R_{t,cal,min} \} (7.17) *$

Inheinniveau

[m]

4.59	$R_{t,d} = \min.\{ 1095.2; 1081.7 \} = 1081.7$
------	--

*) Bij de trekpaalberekening zijn factoren ξ_3 en ξ_4 al bij de berekening van de conusweerstand $q_{c;z,d}$ in rekening gebracht, evenals factor $\gamma_{s;t}$. Dat is conform de opmerkingen in art. 7.6.3.3 (3) en (4).

Alle niveaus/hogtes/peilmaten zijn t.o.v.: N.A.P.

Inheinniveau [m]	$R_{t,k}$ [kN]	$R_{t,d}$ [kN]	$F_{t,tot;1}$ [kN]	$R_{t,netto;d}$ [kN]	U.C.
4.59	1081.7	1081.7	0.0	1081.7	0.00

Project : BBB
Onderdeel : MBT-EHV 380

REKENGEDEVENS Mast 120 N - Afk Trk

Berekening : Controlerend
Rekenmethode : Trekpalen volgens NEN-EN 1997-1, art. 7.6.3
Sondering(en) : 120-1, 120-2, 120-3
Let op: trekcapaciteit t.p.v. negatief kleeftraject is meegerekend.

Stijf bouwwerk : NEE
Paalgroep : NEE
Aantal sonderingen : 3
Factor ξ_3 (n=1) : 1.39
Factor ξ_3 (gem) : 1.30
Factor ξ_4 (min) : 1.30
Weerstandsfactor γ_R : 1.35
 $\gamma_{m,var;q_c}$: 1.50
UGT draagvermogen zonder negatieve kleeft : NEE

Paal : Tubex 457_670
Niveau paalkop [m] : N.A.P. -1.00
Paalpuntniveau : N.A.P. -9.50
 $E_{d,1}$ [kN] : 0.00 $E_{d,2}$ [kN] : 0.00
Bovenbel. [kN/m²] : 0.00

RESULTATEN Mast 120 N - Afk Trk (n=1)**Sondering : 120-1**

Alle niveaus/hogtes/peilmaten zijn t.o.v.: N.A.P.

Inheinniveau [m]	Effectief inheinniveau [m]	E.G. paal [kN]	$R_{t,cal;k}$ [kN]	$R_{t;d}$ [kN]	$F_{t,tot;1}$ [kN]	U.C.
-9.50	-9.50	35.4	532.6	532.6	0.0	0.00

Sondering : 120-2

Alle niveaus/hogtes/peilmaten zijn t.o.v.: N.A.P.

Inheinniveau [m]	Effectief inheinniveau [m]	E.G. paal [kN]	$R_{t,cal;k}$ [kN]	$R_{t;d}$ [kN]	$F_{t,tot;1}$ [kN]	U.C.
-9.50	-9.50	35.4	580.1	580.1	0.0	0.00

Sondering : 120-3

Alle niveaus/hogtes/peilmaten zijn t.o.v.: N.A.P.

Inheinniveau [m]	Effectief inheinniveau [m]	E.G. paal [kN]	$R_{t,cal;k}$ [kN]	$R_{t;d}$ [kN]	$F_{t,tot;1}$ [kN]	U.C.
-9.50	-9.50	35.4	555.5	555.5	0.0	0.00

Project : BBB
 Onderdeel : MBT-EHV 380

SAMENVATTINGSTABEL Mast 120 N - Afk Trk (n=1)

Uitgangspunten

- paal : Tubex 457_670
 - paaltype : In de grond gevormde geschroefde paal; groutinjectie
 - schachtafmeting : 670 mm
 Paalklassefactor α_p : 0.63
 Factor α_t (tabel 7.c EC 7.1) : 0.0090 (zandlagen; voor kleilagen zie tabel 7.d)
 Correlatiefactor $\xi_{3(n=1)}$: 1.39

Alle niveaus/hogtes/peilmaten zijn t.o.v.: N.A.P.

sondering	maaiveld paalpunt		Bezwijkdraagvermogen $R_{t,cal}$ [kN]	Rekenwaarden	
	niveau	niveau		$R_{t,d}$ [kN]	$R_{t,netto,d}$ [kN]
120-1	0.00	-9.50	532.6	532.6	532.6
120-2	0.00	-9.50	580.1	580.1	580.1
120-3	0.00	-9.50	555.5	555.5	555.5

Project : BBB
Onderdeel : MBT-EHV 380

SAMENVATTINGSTABEL Mast 120 N - Afk Trk (van 3 sonderingen)

Uitgangspunten

- paal : Tubex 457_670
- paaltype : In de grond gevormde geschroefde paal; groutinjectie
- schachtafmeting : 670 mm
Paalklassefactor α_p : 0.63
Factor α_t (tabel 7.c EC 7.1) : 0.0090 (zandlagen; voor kleilagen zie tabel 7.d)
Correlatiefactor $\xi_{3gem}(n=3)$: 1.30
Correlatiefactor $\xi_{4min}(n=3)$: 1.30

Alle niveaus/hogtes/peilmaten zijn t.o.v.: N.A.P.

sondering	maaiveld	paalpunt	Bezuikdraagvermogen
	niveau	niveau	E.G. paal $R_{t,cal}$
			[kN] [kN]

met ξ_3 (gem) = 1.30

120-1	0.00	-9.50	35.4	567.1
120-2	0.00	-9.50	35.4	617.8
120-3	0.00	-9.50	35.4	591.5

-9.50 $R_{t,cal,gem}$ 592.1

met ξ_4 (min) = 1.30

120-1	0.00	-9.50	35.4	567.1
120-2	0.00	-9.50	35.4	617.8
120-3	0.00	-9.50	35.4	591.5

-9.50 $R_{t,cal,min}$ 567.1

Totaal resultaten Mast 120 N - Afk Trk (van 3 sonderingen)

Uitgangspunten

Correlatiefactor $\xi_{3gem}(n=3)$: 1.30
Correlatiefactor $\xi_{4min}(n=3)$: 1.30

gebaseerd op sonderingen:

120-1 120-2 120-3

$R_{t,d} = \min.\{ R_{t,cal,gem}; R_{t,cal,min} \}$ (7.17) *)

Inheinniveau
[m]

-9.50 $R_{t,d} = \min.\{ 592.1; 567.1 \} = 567.1$

*) Bij de trekpaalberekening zijn factoren ξ_3 en ξ_4 al bij de berekening van de conusweerstand $q_{c;z;d}$ in rekening gebracht, evenals factor $\gamma_{s;t}$. Dat is conform de opmerkingen in art. 7.6.3.3 (3) en (4).

Alle niveaus/hogtes/peilmaten zijn t.o.v.: N.A.P.

Inheinniveau	$R_{t,k}$	$R_{t,d}$	$F_{t,tot;1}$	$R_{t,netto;d}$	U.C.
[m]	[kN]	[kN]	[kN]	[kN]	
-9.50	567.1	567.1	0.0	567.1	0.00

PAALGEGEVENS LD1

Type : Stalen buispaal (gesloten)
Wijze van installeren : Heien
Diameter [m] : 0.550
Wanddikte t [mm] : 4.0
Elasticiteitsmodulus [N/mm²] : 200000 (Staal)
Soortelijk gewicht [kN/m³] : 78.5 (Staal)
Elasticiteitsmodulus [N/mm²] : 20000 (Beton)
Soortelijk gewicht [kN/m³] : 24.0 (Beton)
Factor α_s (tabel 7.c EC 7.1) : 0.010 (zandlagen; voor kleilagen zie tabel 7.d)
Factor α_t (tabel 7.c EC 7.1) : 0.0070 (zandlagen; voor kleilagen zie tabel 7.d)
Paalklassefactor α_p : 1.00
Paalvoetvormfactor β : 1.00
Type lastzakingsdiagram : Grondverdringende paal
Verm.factor * $\phi'_{j;k}$: 0.75
Groutomhulling : NEE

Project : BBB
Onderdeel : MBT-EHV 380

PAALGEGEVENS Tubex 457_670

Type : In de grond gevormde geschroefde paal; groutinjectie
Wijze van installeren : Boren
Wijze van terugwinnen : n.v.t.
Diameter [m] : 0.670
Elasticiteitsmodulus [N/mm²] : 20000 (Beton)
Soortelijk gewicht [kN/m³] : 24.0 (Beton)
Factor α_s (tabel 7.c EC 7.1) : 0.009 (zandlagen; voor kleilagen zie tabel 7.d)
Factor α_t (tabel 7.c EC 7.1) : 0.0090 (zandlagen; voor kleilagen zie tabel 7.d)
Paalklassefactor α_p : 0.63
Paalvoetvormfactor β : 1.00
Type lastzakkingsdiagram : Grondverdringende paal
Verm.factor * $\phi'_{j,k}$: 1.00
Groutomhulling : JA

Project : BBB
 Onderdeel : MBT-EHV 380

OVERZICHT NETTO DRAAGVERMOGEN DRUKPALEN

Netto paal draagvermogen(s) zijn naar beneden toe afgerond op: 1.0 kN nauwkeurig
 Alle niveaus/hogtes/peilmaten zijn t.o.v.: N.A.P.

sondering	maaiveld paalpunt		$R_{c, netto; d}$ [kN]				
	niveau	niveau	Mast 120	Mast 121	Mast 122	Mast 129	Mast 120
120-1	0.00	-8.90 -9.50	2018				2016
120-2	0.00	-8.90 -9.50	2178				2042
120-3	0.00	-8.90 -9.50	2494				1786
121-5	18.60	8.90		2364			
121-6	18.60	8.90		2283			
122-3	17.94	4.59			3021		
122-4	17.94	4.59			2489		

Project : BBB
 Onderdeel : MBT-EHV 380

OVERZICHT NETTO DRAAGVERMOGEN TREKPALEN (n=1)

Netto paal draagvermogen(s) zijn naar beneden toe afgerond op: 1.0 kN nauwkeurig
 Alle niveaus/hogtes/peilmaten zijn t.o.v.: N.A.P.

sondering	maaiveld paalpunt		$R_{t, netto; d}$ [kN]			
	niveau	niveau	Mast 120	Mast 121	Mast 122	Mast 120
120-1	0.00	-9.10 -9.50	371			532
120-2	0.00	-9.10 -9.50	385			580
120-3	0.00	-9.10 -9.50	368			555
121-5	18.60	8.90		608		
121-6	18.60	8.90		677		
122-3	17.94	4.59			1055	
122-4	17.94	4.59			1029	

Project :
Onderdeel :

ALGEMENE GEGEVENS

Project :
Onderdeel :
Datum : 04-03-2022
Bestand : \\Arh7001.verit.dnv.com\projects\EANL_Projects\
10166262 - BBB modelleren funderingen 380
kV\02 Content\03 Calculations\Technosoft
Paalfunderingen\MBT-EHV380\DO\Nieuw
Sonderingen\Mast 001-009.pvw
Berekeningstype : Verticaal belaste paal
Alle niveaus/hogtes/peilmaten zijn t.o.v.: N.A.P.

Toegepaste normen volgens Eurocode met Nederlandse NB

Geotechniek	EN 1997-1:2004	AC:2009	
	NEN-EN 1997-1:2005	C1+A1:2013	NB:2016
	NEN 9997-1:2016	C2:2017	

GRONDSOORTEN

Nr. Omschrijving	$\gamma_{k;1}$ [kN/m ³]	$\gamma_{sat;k;1}$ [kN/m ³]	$\phi'_{k;1}$ [°]	$\gamma_{k;2}$ [kN/m ³]	$\gamma_{sat;k;2}$ [kN/m ³]	$\phi'_{k;2}$ [°]
1 Grind - Sterk siltig - Los	18.00	20.00	30.00	19.00	21.00	32.50
2 Zand - Schoon - Los	17.00	19.00	30.00	18.00	20.00	32.50
3 Zand - Schoon - Matig	18.00	20.00	32.50	19.00	21.00	35.00
4 Zand - Schoon - Vast	19.00	21.00	35.00	20.00	22.00	40.00
5 Zand - Zwak siltig - Kleiig	18.00	20.00	27.00	19.00	21.00	32.50
6 Zand - Sterk siltig - Kleiig	18.00	20.00	25.00	19.00	21.00	30.00
7 Leem - Zwak zandig - Vast	21.00	21.00	27.50	22.00	22.00	35.00
8 Klei - Schoon - Matig	17.00	17.00	17.50	19.00	19.00	17.50
9 Klei - Schoon - Vast	19.00	19.00	17.50	20.00	20.00	25.00
10 Klei - Zwak zandig - Matig	18.00	18.00	22.50	20.00	20.00	22.50

BODEMPROFIELGEGEVENS: S001-1

Alle niveaus/hogtes/peilmaten zijn t.o.v.: N.A.P.

d50-reductie is meegenomen overeenkomstig NEN-EN 9997 art. 7.6.2.3 (i)

Laag	Van [m]	Tot [m]	Omschrijving	OCR	Aandeel pos. kleef [%]	α_s	d_{50} [mm]
1	27.41	19.79	Zand - Schoon - Los	1.0	100.0		
2	19.79	19.53	Zand - Schoon - Matig	1.0	100.0		
3	19.53	19.29	Zand - Schoon - Los	1.0	100.0		
4	19.29	13.00	Zand - Schoon - Vast	1.0	100.0		

BODEMPROFIELGEGEVENS: S001-2

Alle niveaus/hogtes/peilmaten zijn t.o.v.: N.A.P.

d50-reductie is meegenomen overeenkomstig NEN-EN 9997 art. 7.6.2.3 (i)

Laag	Van [m]	Tot [m]	Omschrijving	OCR	Aandeel pos. kleef [%]	α_s	d_{50} [mm]
1	27.37	20.85	Zand - Schoon - Los	1.0	100.0		
2	20.85	20.45	Zand - Zwak siltig - Kleiig	1.0	100.0		
3	20.45	20.25	Zand - Schoon - Matig	1.0	100.0		
4	20.25	20.13	Klei - Schoon - Vast	1.0	50.0		
5	20.13	19.51	Zand - Schoon - Los	1.0	100.0		
6	19.51	13.00	Zand - Schoon - Vast	1.0	100.0		

BODEMPROFIELGEGEVENS: S001-3

Alle niveaus/hogtes/peilmaten zijn t.o.v.: N.A.P.

d50-reductie is meegenomen overeenkomstig NEN-EN 9997 art. 7.6.2.3 (i)

Laag	Van [m]	Tot [m]	Omschrijving	OCR	Aandeel pos. kleef [%]	α_s	d_{50} [mm]
1	27.42	27.28	Klei - Schoon - Vast	1.0	50.0		
2	27.28	21.01	Zand - Schoon - Los	1.0	100.0		
3	21.01	20.11	Leem - Zwak zandig - Vast	1.0	50.0		
4	20.11	19.15	Zand - Schoon - Vast	1.0	100.0		
5	19.15	19.01	Zand - Zwak siltig - Kleiig	1.0	100.0		
6	19.01	13.00	Zand - Schoon - Vast	1.0	100.0		

Project :
Onderdeel :

BODEMPROFIELGEGEVENS: S001-4

Alle niveaus/hogtes/peilmaten zijn t.o.v.: N.A.P.

d50-reductie is meegenomen overeenkomstig NEN-EN 9997 art. 7.6.2.3 (i)

Laag	Van [m]	Tot [m]	Omschrijving	OCR	Aandeel pos. kleef [%]	α_s	d_{50} [mm]
1	27.32	21.04	Zand - Schoon - Los	1.0	100.0		
2	21.04	19.83	Leem - Zwak zandig - Vast	1.0	50.0		
3	19.83	19.29	Zand - Schoon - Matig	1.0	100.0		
4	19.29	13.00	Zand - Schoon - Vast	1.0	100.0		

BODEMPROFIELGEGEVENS: S003-1

Alle niveaus/hogtes/peilmaten zijn t.o.v.: N.A.P.

d50-reductie is meegenomen overeenkomstig NEN-EN 9997 art. 7.6.2.3 (i)

Laag	Van [m]	Tot [m]	Omschrijving	OCR	Aandeel pos. kleef [%]	α_s	d_{50} [mm]
1	22.35	19.71	Klei - Zwak zandig - Matig	1.0	50.0		
2	19.71	18.47	Zand - Schoon - Matig	1.0	100.0		
3	18.47	17.95	Zand - Schoon - Los	1.0	100.0		
4	17.95	11.00	Zand - Schoon - Vast	1.0	100.0		

BODEMPROFIELGEGEVENS: S003-2

Alle niveaus/hogtes/peilmaten zijn t.o.v.: N.A.P.

d50-reductie is meegenomen overeenkomstig NEN-EN 9997 art. 7.6.2.3 (i)

Laag	Van [m]	Tot [m]	Omschrijving	OCR	Aandeel pos. kleef [%]	α_s	d_{50} [mm]
1	22.35	19.87	Klei - Schoon - Matig	1.0	50.0		
2	19.87	17.65	Zand - Schoon - Vast	1.0	100.0		
3	17.65	16.81	Zand - Schoon - Matig	1.0	100.0		
4	16.81	15.37	Zand - Schoon - Vast	1.0	100.0		
5	15.37	15.19	Zand - Schoon - Matig	1.0	100.0		
6	15.19	11.00	Zand - Schoon - Vast	1.0	100.0		

BODEMPROFIELGEGEVENS: S004-1

Alle niveaus/hogtes/peilmaten zijn t.o.v.: N.A.P.

d50-reductie is meegenomen overeenkomstig NEN-EN 9997 art. 7.6.2.3 (i)

Laag	Van [m]	Tot [m]	Omschrijving	OCR	Aandeel pos. kleef [%]	α_s	d_{50} [mm]
1	21.66	19.38	Klei - Schoon - Matig	1.0	50.0		
2	19.38	18.50	Zand - Schoon - Matig	1.0	100.0		
3	18.50	16.50	Zand - Schoon - Los	1.0	100.0		
4	16.50	14.88	Zand - Schoon - Vast	1.0	100.0		
5	14.88	14.68	Zand - Schoon - Matig	1.0	100.0		
6	14.68	13.86	Zand - Schoon - Vast	1.0	100.0		
7	13.86	13.46	Zand - Schoon - Los	1.0	100.0		
8	13.46	11.34	Zand - Schoon - Vast	1.0	100.0		
9	11.34	11.00	Zand - Schoon - Matig	1.0	100.0		
10	11.00	9.02	Zand - Schoon - Vast	1.0	100.0		

BODEMPROFIELGEGEVENS: S004-2

Alle niveaus/hogtes/peilmaten zijn t.o.v.: N.A.P.

d50-reductie is meegenomen overeenkomstig NEN-EN 9997 art. 7.6.2.3 (i)

Laag	Van [m]	Tot [m]	Omschrijving	OCR	Aandeel pos. kleef [%]	α_s	d_{50} [mm]
1	21.83	19.65	Klei - Zwak zandig - Matig	1.0	50.0		
2	19.65	19.21	Zand - Schoon - Los	1.0	100.0		
3	19.21	18.97	Klei - Schoon - Matig	1.0	50.0		
4	18.97	18.03	Zand - Schoon - Matig	1.0	100.0		
5	18.03	16.45	Zand - Schoon - Los	1.0	100.0		
6	16.45	14.03	Zand - Schoon - Vast	1.0	100.0		
7	14.03	13.31	Zand - Schoon - Los	1.0	100.0		
8	13.31	10.65	Zand - Schoon - Vast	1.0	100.0		

Project :
Onderdeel :

Laag	Van [m]	Tot [m]	Omschrijving	OCR	Aandeel pos. kleef [%]	α_s	d_{50} [mm]
9	10.65	9.95	Zand - Schoon - Matig	1.0	100.0		
10	9.95	9.67	Zand - Schoon - Vast	1.0	100.0		
11	9.67	8.67	Zand - Schoon - Matig	1.0	100.0		
12	8.67	8.23	Leem - Zwak zandig - Vast	1.0	50.0		
13	8.23	6.67	Zand - Schoon - Vast	1.0	100.0		

BODEMPROFIELGEGEVENS: S004-3

Alle niveaus/hoogtes/peilmaten zijn t.o.v.: N.A.P.

d50-reductie is meegenomen overeenkomstig NEN-EN 9997 art. 7.6.2.3 (i)

Hoogte maaiveld [m] : 21.73 Grondwaterstand [m] : 20.73

Laag	Van [m]	Tot [m]	Omschrijving	OCR	Aandeel pos. kleef [%]	α_s	d_{50} [mm]
1	21.73	18.83	Klei - Schoon - Matig	1.0	0.0		
2	18.83	17.91	Zand - Schoon - Matig	1.0	100.0		
3	17.91	17.03	Zand - Schoon - Los	1.0	100.0		
4	17.03	16.33	Zand - Sterk siltig - Kleiig	1.0	100.0		
5	16.33	10.07	Zand - Schoon - Vast	1.0	100.0		
6	10.07	9.91	Zand - Schoon - Matig	1.0	100.0		
7	9.91	8.55	Zand - Schoon - Vast	1.0	100.0		

BODEMPROFIELGEGEVENS: S004-4

Alle niveaus/hoogtes/peilmaten zijn t.o.v.: N.A.P.

d50-reductie is meegenomen overeenkomstig NEN-EN 9997 art. 7.6.2.3 (i)

Hoogte maaiveld [m] : 21.81 Grondwaterstand [m] : 20.81

Laag	Van [m]	Tot [m]	Omschrijving	OCR	Aandeel pos. kleef [%]	α_s	d_{50} [mm]
1	21.81	20.07	Klei - Zwak zandig - Matig	1.0	50.0		
2	20.07	17.87	Zand - Schoon - Matig	1.0	100.0		
3	17.87	17.45	Zand - Schoon - Los	1.0	100.0		
4	17.45	15.50	Zand - Schoon - Vast	1.0	100.0		
5	15.50	14.03	Zand - Zwak siltig - Kleiig	1.0	100.0		
6	14.03	11.11	Zand - Schoon - Vast	1.0	100.0		
7	11.11	7.87	Zand - Schoon - Matig	1.0	100.0		
8	7.87	6.51	Zand - Schoon - Vast	1.0	100.0		

BODEMPROFIELGEGEVENS: S008-1

Alle niveaus/hoogtes/peilmaten zijn t.o.v.: N.A.P.

d50-reductie is meegenomen overeenkomstig NEN-EN 9997 art. 7.6.2.3 (i)

Hoogte maaiveld [m] : 21.89 Grondwaterstand [m] : 20.89

Laag	Van [m]	Tot [m]	Omschrijving	OCR	Aandeel pos. kleef [%]	α_s	d_{50} [mm]
1	21.89	20.17	Klei - Schoon - Matig	1.0	50.0		
2	20.17	19.75	Zand - Schoon - Los	1.0	100.0		
3	19.75	19.25	Zand - Schoon - Vast	1.0	100.0		
4	19.25	18.01	Zand - Schoon - Matig	1.0	100.0		
5	18.01	17.51	Zand - Zwak siltig - Kleiig	1.0	100.0		
6	17.51	13.67	Zand - Schoon - Vast	1.0	100.0		
7	13.67	12.95	Zand - Schoon - Matig	1.0	100.0		
8	12.95	10.49	Zand - Schoon - Vast	1.0	100.0		
9	10.49	6.77	Zand - Schoon - Matig	1.0	100.0		
10	6.77	6.25	Zand - Schoon - Los	1.0	100.0		
11	6.25	4.77	Zand - Schoon - Vast	1.0	100.0		
12	4.77	4.27	Zand - Schoon - Los	1.0	100.0		
13	4.27	3.41	Zand - Schoon - Vast	1.0	100.0		

BODEMPROFIELGEGEVENS: S008-2

Alle niveaus/hoogtes/peilmaten zijn t.o.v.: N.A.P.

d50-reductie is meegenomen overeenkomstig NEN-EN 9997 art. 7.6.2.3 (i)

Hoogte maaiveld [m] : 21.77 Grondwaterstand [m] : 20.77

Laag	Van [m]	Tot [m]	Omschrijving	OCR	Aandeel pos. kleef [%]	α_s	d_{50} [mm]
1	21.77	20.29	Leem - Zwak zandig - Vast	1.0	50.0		
2	20.29	19.50	Zand - Schoon - Vast	1.0	100.0		
3	19.50	18.59	Zand - Schoon - Los	1.0	100.0		
4	18.59	13.75	Zand - Schoon - Vast	1.0	100.0		

Project :
Onderdeel :

Laag	Van [m]	Tot [m]	Omschrijving	OCR	Aandeel pos. kleef [%]	α_s	d_{50} [mm]
5	13.75	12.99	Zand - Schoon - Matig	1.0	100.0		
6	12.99	11.13	Zand - Schoon - Vast	1.0	100.0		
7	11.13	9.89	Zand - Schoon - Matig	1.0	100.0		
8	9.89	6.67	Zand - Schoon - Vast	1.0	100.0		

BODEMPROFIELGEGEVENS: S008-3

Alle niveaus/hogtes/peilmaten zijn t.o.v.: N.A.P.

d50-reductie is meegenomen overeenkomstig NEN-EN 9997 art. 7.6.2.3 (i)

Hoogte maaiveld [m] : 21.80 Grondwaterstand [m] : 20.80

Laag	Van [m]	Tot [m]	Omschrijving	OCR	Aandeel pos. kleef [%]	α_s	d_{50} [mm]
1	21.80	20.24	Leem - Zwak zandig - Vast	1.0	50.0		
2	20.24	18.10	Zand - Schoon - Vast	1.0	100.0		
3	18.10	13.68	Zand - Schoon - Vast	1.0	100.0		
4	13.68	12.74	Zand - Schoon - Matig	1.0	100.0		
5	12.74	11.90	Zand - Schoon - Los	1.0	100.0		
6	11.90	10.42	Zand - Schoon - Vast	1.0	100.0		
7	10.42	9.36	Zand - Schoon - Matig	1.0	100.0		
8	9.36	8.96	Zand - Sterk siltig - Kleiig	1.0	100.0		
9	8.96	5.82	Zand - Schoon - Vast	1.0	100.0		

BODEMPROFIELGEGEVENS: Slag 007

Alle niveaus/hogtes/peilmaten zijn t.o.v.: N.A.P.

d50-reductie is meegenomen overeenkomstig NEN-EN 9997 art. 7.6.2.3 (i)

Hoogte maaiveld [m] : 22.06 Grondwaterstand [m] : 21.06

Laag	Van [m]	Tot [m]	Omschrijving	OCR	Aandeel pos. kleef [%]	α_s	d_{50} [mm]
1	22.06	19.00	Grind - Sterk siltig - Los	1.0	0.0		
2	19.00	4.00	Zand - Schoon - Los	1.0	100.0		

BODEMPROFIELGEGEVENS: Slag 009

Alle niveaus/hogtes/peilmaten zijn t.o.v.: N.A.P.

d50-reductie is meegenomen overeenkomstig NEN-EN 9997 art. 7.6.2.3 (i)

Hoogte maaiveld [m] : 22.92 Grondwaterstand [m] : 21.92

Laag	Van [m]	Tot [m]	Omschrijving	OCR	Aandeel pos. kleef [%]	α_s	d_{50} [mm]
1	22.92	20.00	Grind - Sterk siltig - Los	1.0	0.0		
2	20.00	19.50	Zand - Zwak siltig - Kleiig	1.0	100.0		
3	19.50	18.00	Zand - Schoon - Los	1.0	100.0		
4	18.00	17.25	Zand - Schoon - Matig	1.0	100.0		
5	17.25	16.75	Zand - Schoon - Los	1.0	100.0		
6	16.75	14.50	Zand - Schoon - Matig	1.0	100.0		
7	14.50	13.50	Zand - Sterk siltig - Kleiig	1.0	100.0		
8	13.50	10.50	Zand - Zwak siltig - Kleiig	1.0	100.0		
9	10.50	4.00	Grind - Sterk siltig - Los	1.0	0.0		

SONDERINGSGEGEVENS ALGEMEEN: S001-1

Alle niveaus/hogtes/peilmaten zijn t.o.v.: N.A.P.

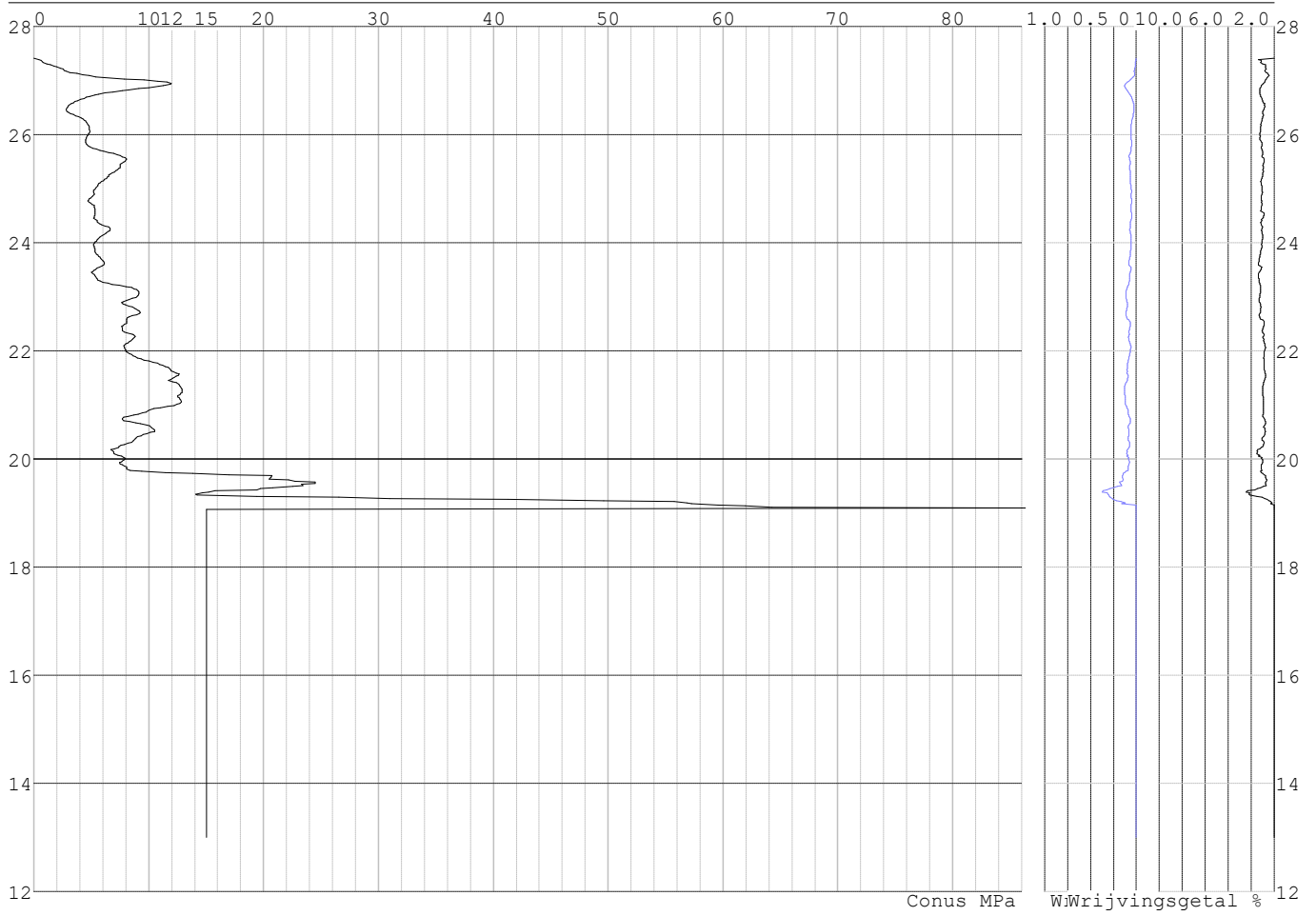
Hoogte maaiveld [m] : 27.41 Bodemprofiel: S001-1

Traject negatieve kleef : 27.41 tot 27.30 [m]

Traject positieve kleef : 27.30 tot 19.09 [m]

Project :
Onderdeel :

SONDERINGSGEGEVENS GRAFIEK: S001-1

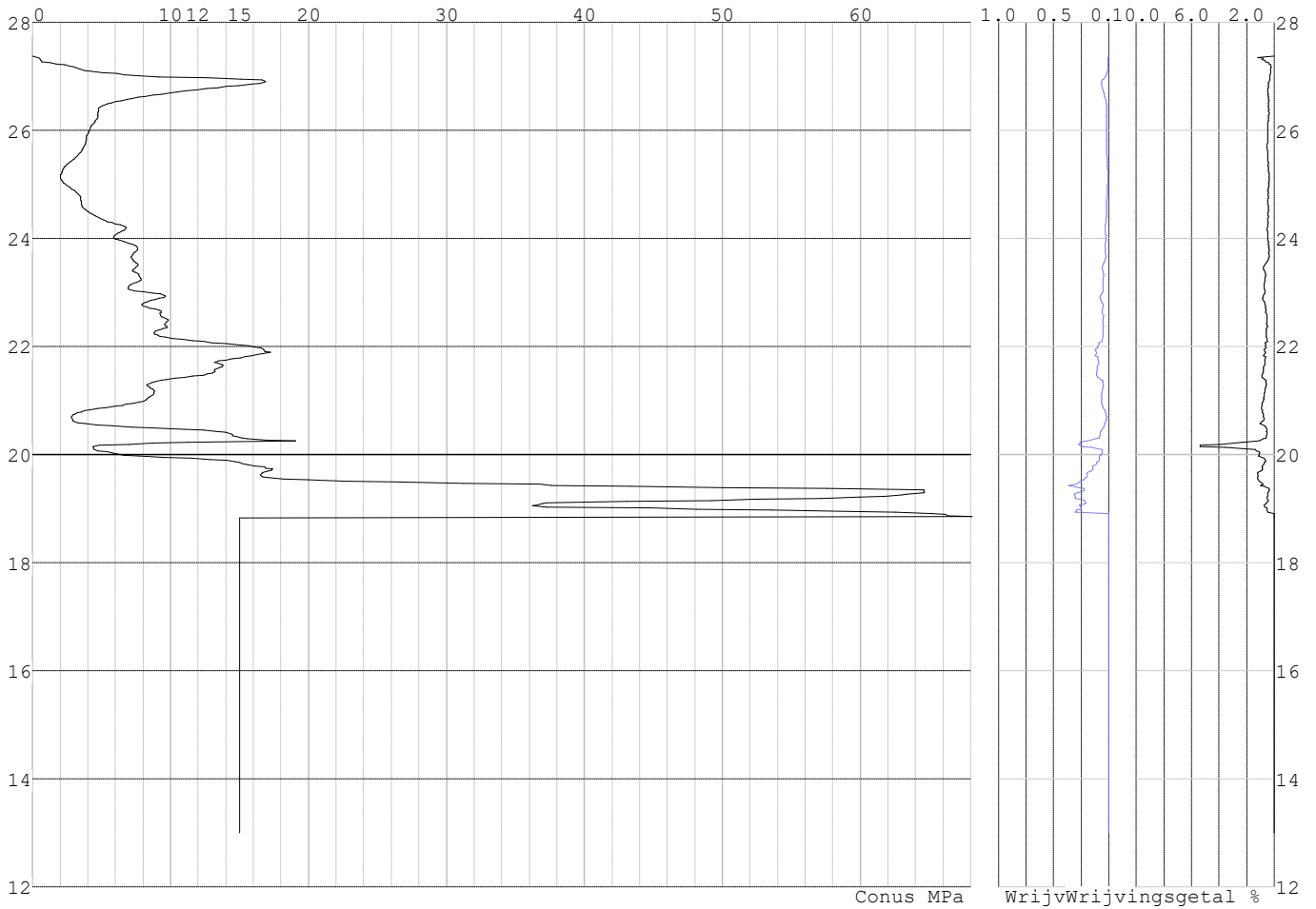


Project :
Onderdeel :

SONDERINGSGEGEVENS ALGEMEEN: S001-2

Alle niveaus/hogtes/peilmaten zijn t.o.v.: N.A.P.
Hoogte maaiveld [m] : 27.37 Bodemprofiel: S001-2
Traject negatieve kleeft : 27.37 tot 27.20 [m]
Traject positieve kleeft : 27.20 tot 18.85 [m]

SONDERINGSGEGEVENS GRAFIEK: S001-2

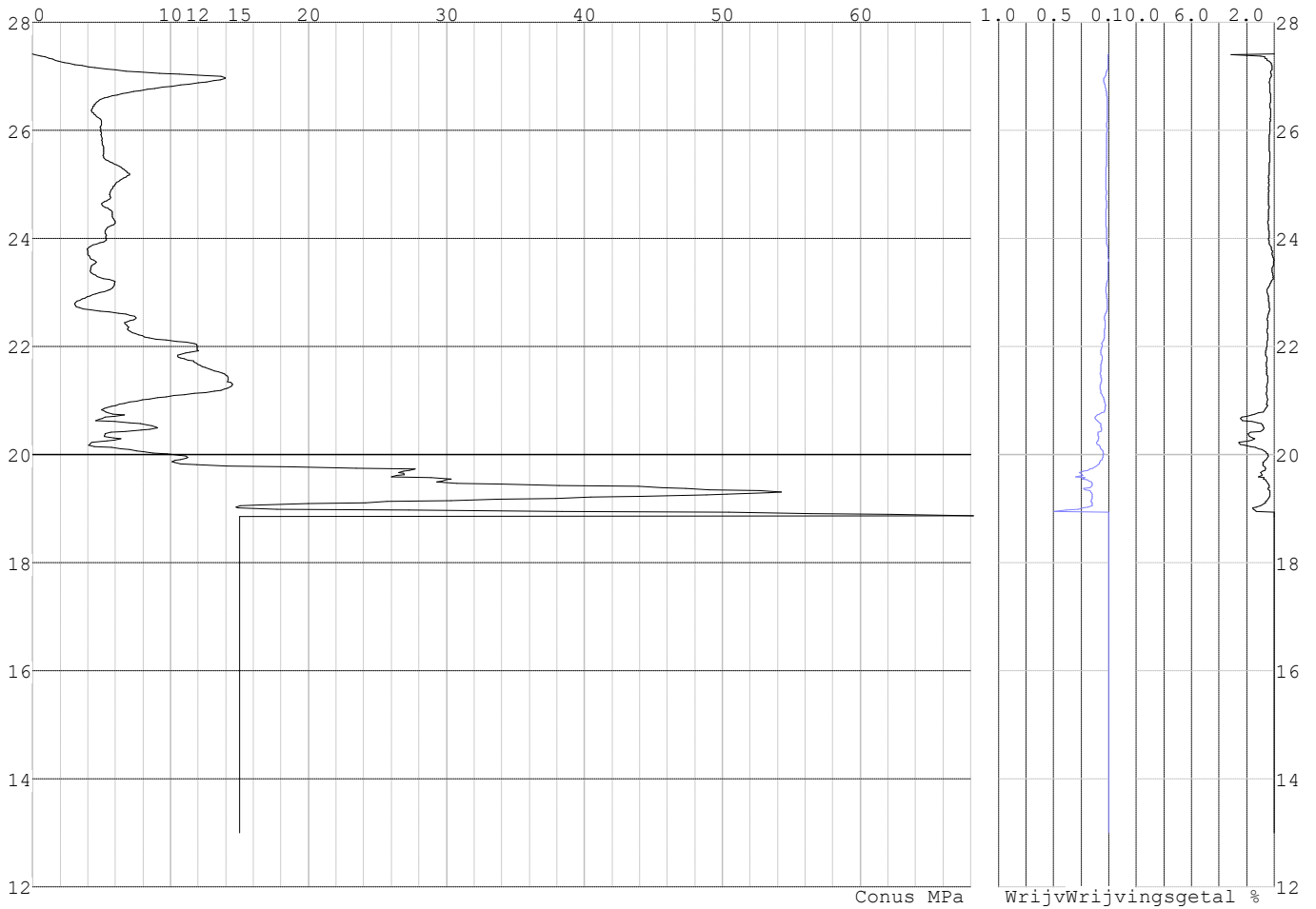


Project :
Onderdeel :

SONDERINGSGEGEVENS ALGEMEEN: S001-3

Alle niveaus/hogtes/peilmaten zijn t.o.v.: N.A.P.
Hoogte maaiveld [m] : 27.42 Bodemprofiel: S001-3
Traject negatieve kleeft : 27.42 tot 27.20 [m]
Traject positieve kleeft : 27.20 tot 18.87 [m]

SONDERINGSGEGEVENS GRAFIEK: S001-3

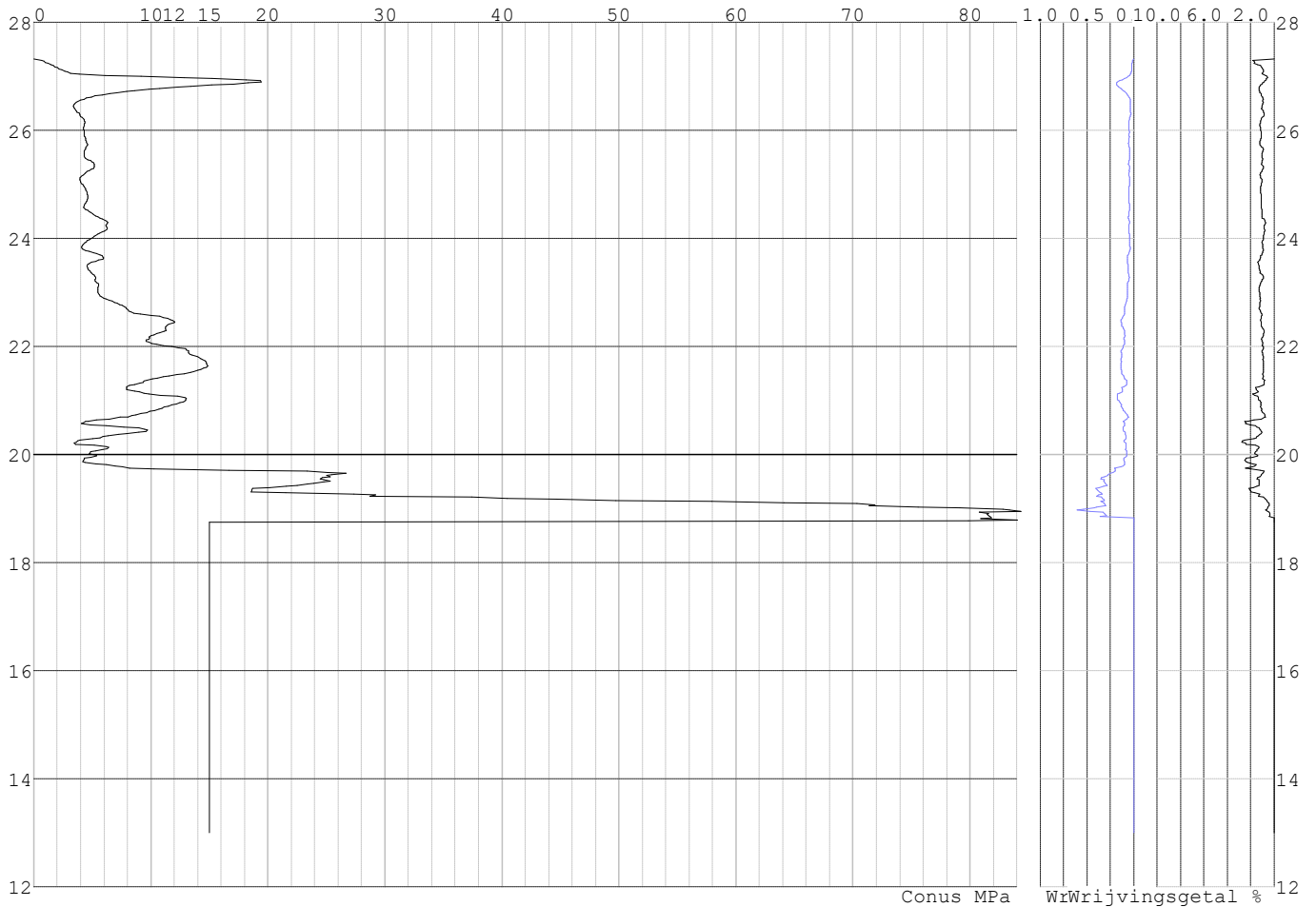


Project :
Onderdeel :

SONDERINGSGEGEVENS ALGEMEEN: S001-4

Alle niveaus/hogtes/peilmaten zijn t.o.v.: N.A.P.
Hoogte maaiveld [m] : 27.32 Bodemprofiel: S001-4
Traject negatieve kleeft : 27.32 tot 27.00 [m]
Traject positieve kleeft : 27.00 tot 18.77 [m]

SONDERINGSGEGEVENS GRAFIEK: S001-4

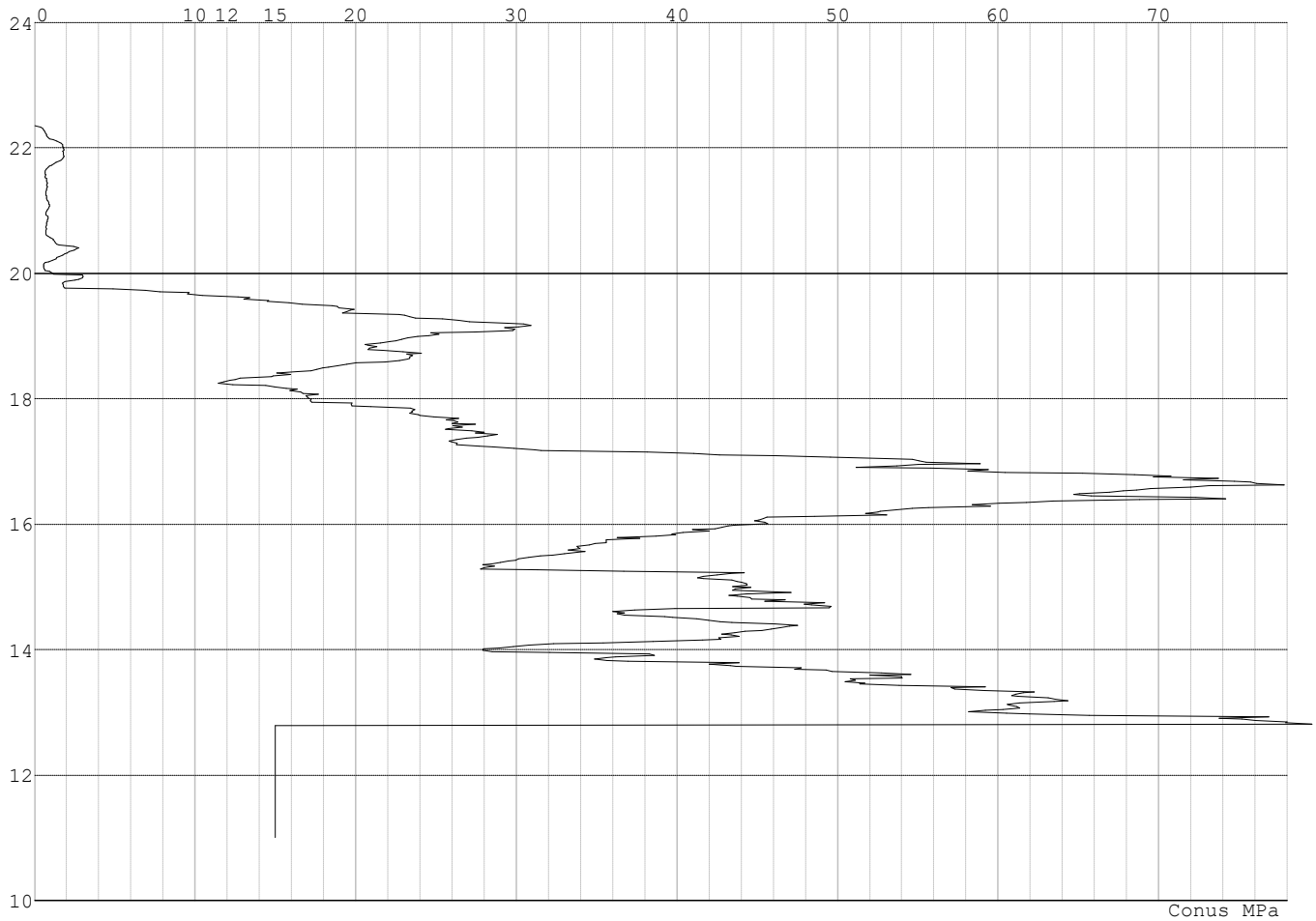


Project :
Onderdeel :

SONDERINGSGEGEVENS ALGEMEEN: S003-1

Alle niveaus/hogtes/peilmaten zijn t.o.v.: N.A.P.
Hoogte maaiveld [m] : 22.35 Bodemprofiel: S003-1
Traject negatieve kleeft : 22.35 tot 19.80 [m]
Traject positieve kleeft : 19.80 tot 12.81 [m]

SONDERINGSGEGEVENS GRAFIEK: S003-1

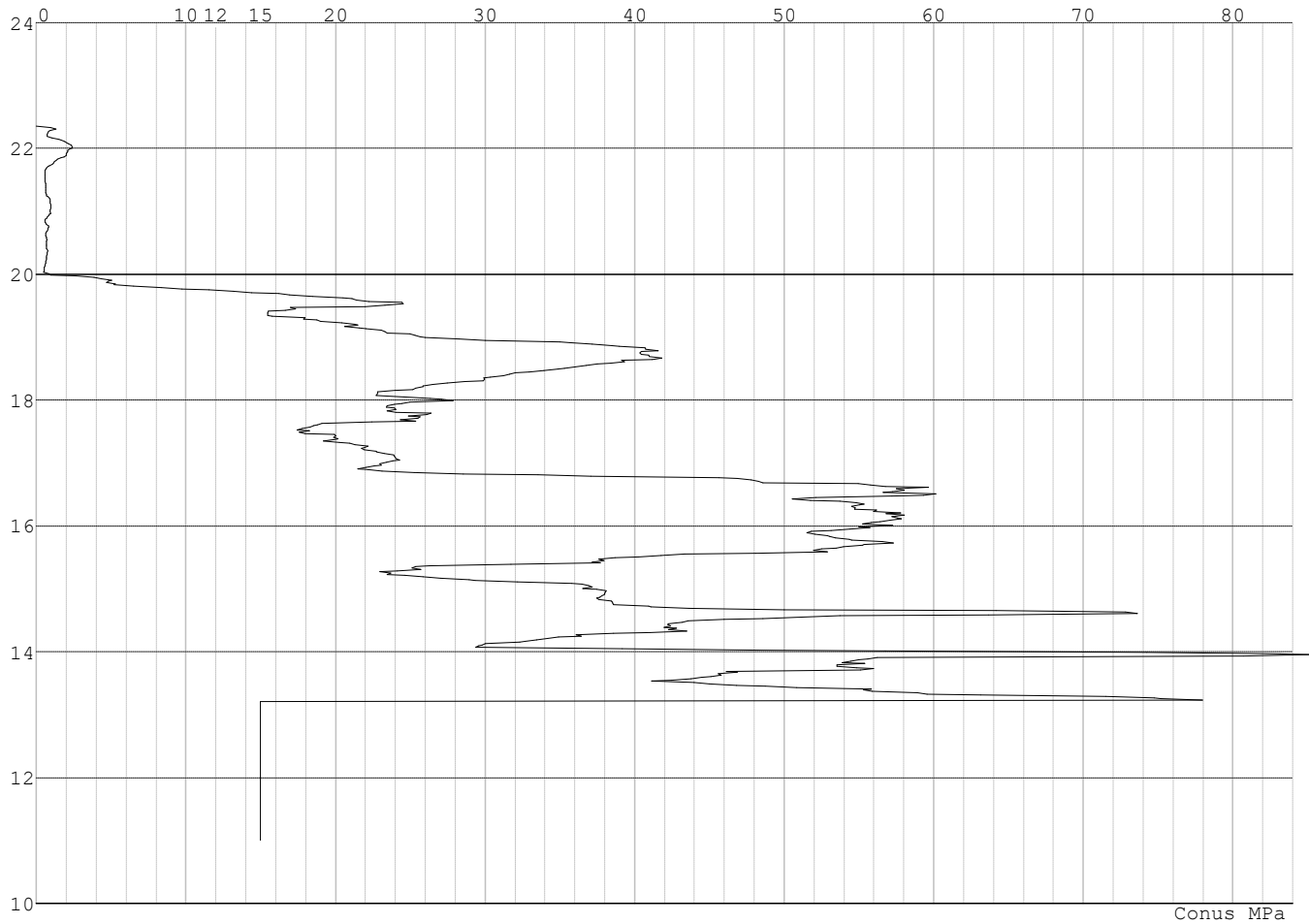


Project :
Onderdeel :

SONDERINGSGEGEVENS ALGEMEEN: S003-2

Alle niveaus/hogtes/peilmaten zijn t.o.v.: N.A.P.
Hoogte maaiveld [m] : 22.35 Bodemprofiel: S003-2
Traject negatieve kleef : 22.35 tot 19.90 [m]
Traject positieve kleef : 19.90 tot 13.23 [m]

SONDERINGSGEGEVENS GRAFIEK: S003-2

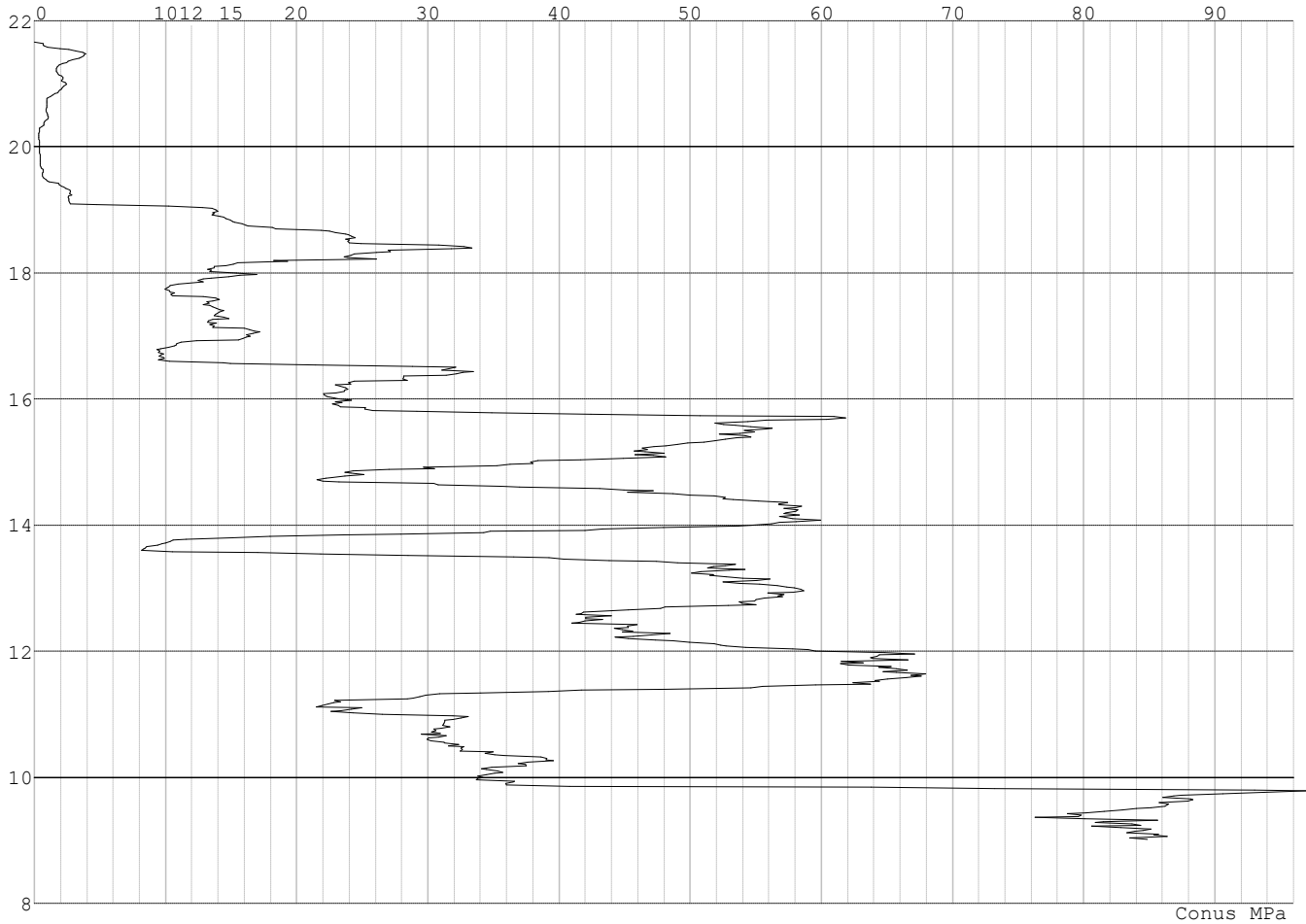


Project :
Onderdeel :

SONDERINGSGEGEVENS ALGEMEEN: S004-1

Alle niveaus/hogtes/peilmaten zijn t.o.v.: N.A.P.
Hoogte maaiveld [m] : 21.66 Bodemprofiel: S004-1
Traject negatieve kleeft : 21.66 tot 19.40 [m]
Traject positieve kleeft : 19.40 tot 9.02 [m]

SONDERINGSGEGEVENS GRAFIEK: S004-1

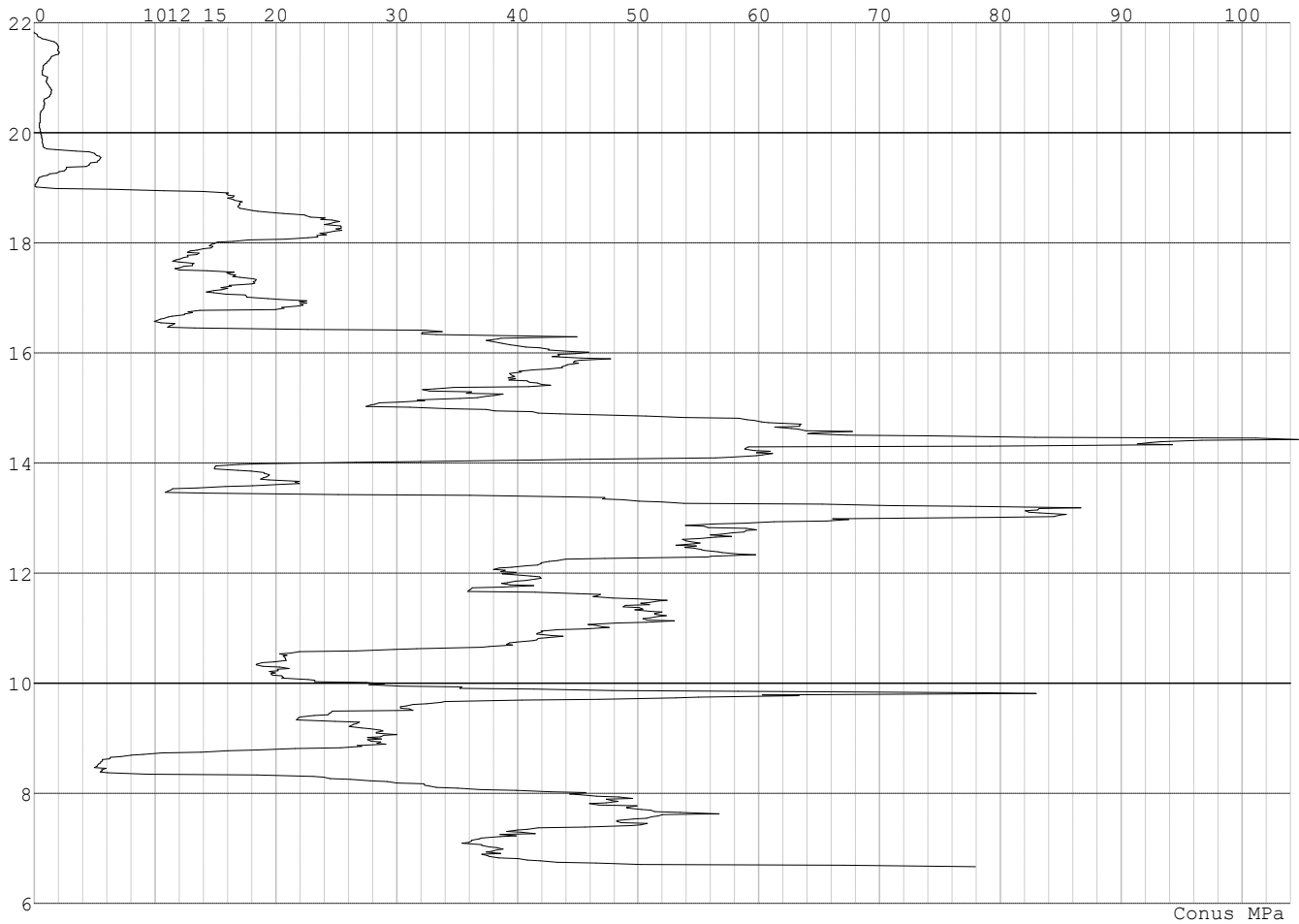


Project :
Onderdeel :

SONDERINGSGEGEVENS ALGEMEEN: S004-2

Alle niveaus/hogtes/peilmaten zijn t.o.v.: N.A.P.
Hoogte maaiveld [m] : 21.83 Bodemprofiel: S004-2
Traject negatieve kleef : 21.83 tot 18.90 [m]
Traject positieve kleef : 18.90 tot 6.67 [m]

SONDERINGSGEGEVENS GRAFIEK: S004-2

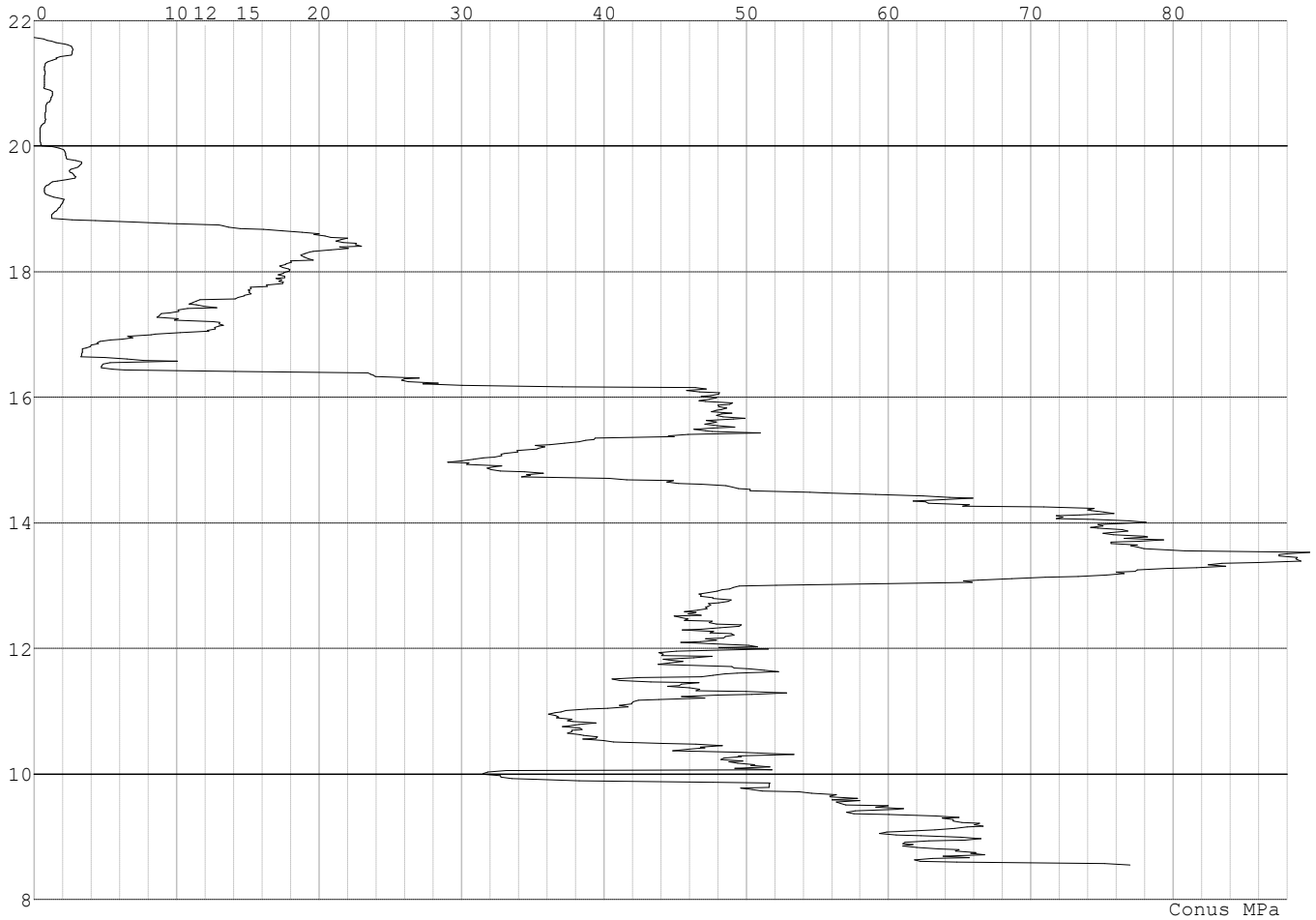


Project :
Onderdeel :

SONDERINGSGEGEVENS ALGEMEEN: S004-3

Alle niveaus/hogtes/peilmaten zijn t.o.v.: N.A.P.
Hoogte maaiveld [m] : 21.73 Bodemprofiel: S004-3
Traject negatieve kleeft : 21.73 tot 18.80 [m]
Traject positieve kleeft : 18.80 tot 8.55 [m]

SONDERINGSGEGEVENS GRAFIEK: S004-3

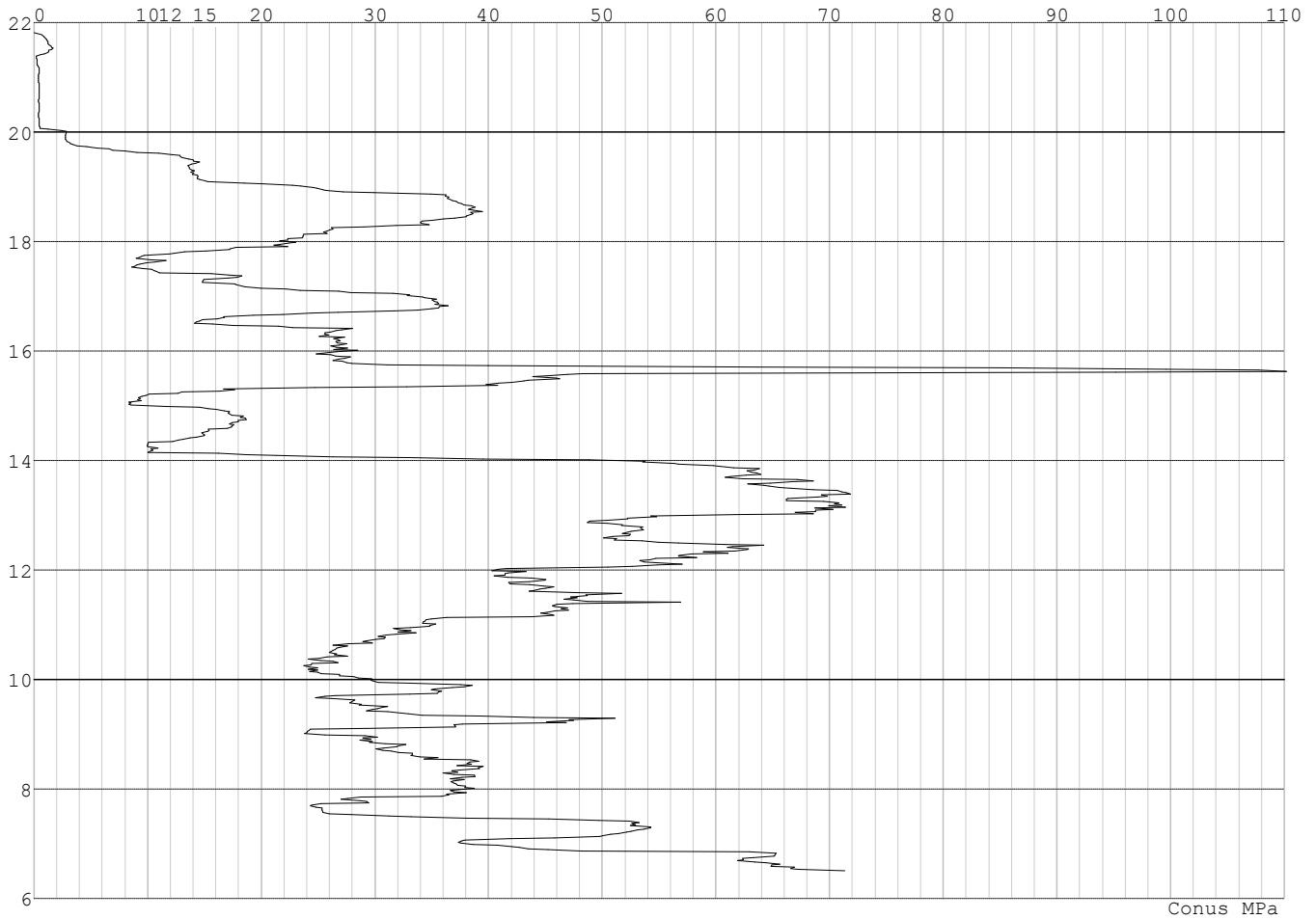


Project :
Onderdeel :

SONDERINGSGEGEVENS ALGEMEEN: S004-4

Alle niveaus/hogtes/peilmaten zijn t.o.v.: N.A.P.
Hoogte maaiveld [m] : 21.81 Bodemprofiel: S004-4
Traject negatieve kleeft : 21.81 tot 20.00 [m]
Traject positieve kleeft : 20.00 tot 6.51 [m]

SONDERINGSGEGEVENS GRAFIEK: S004-4

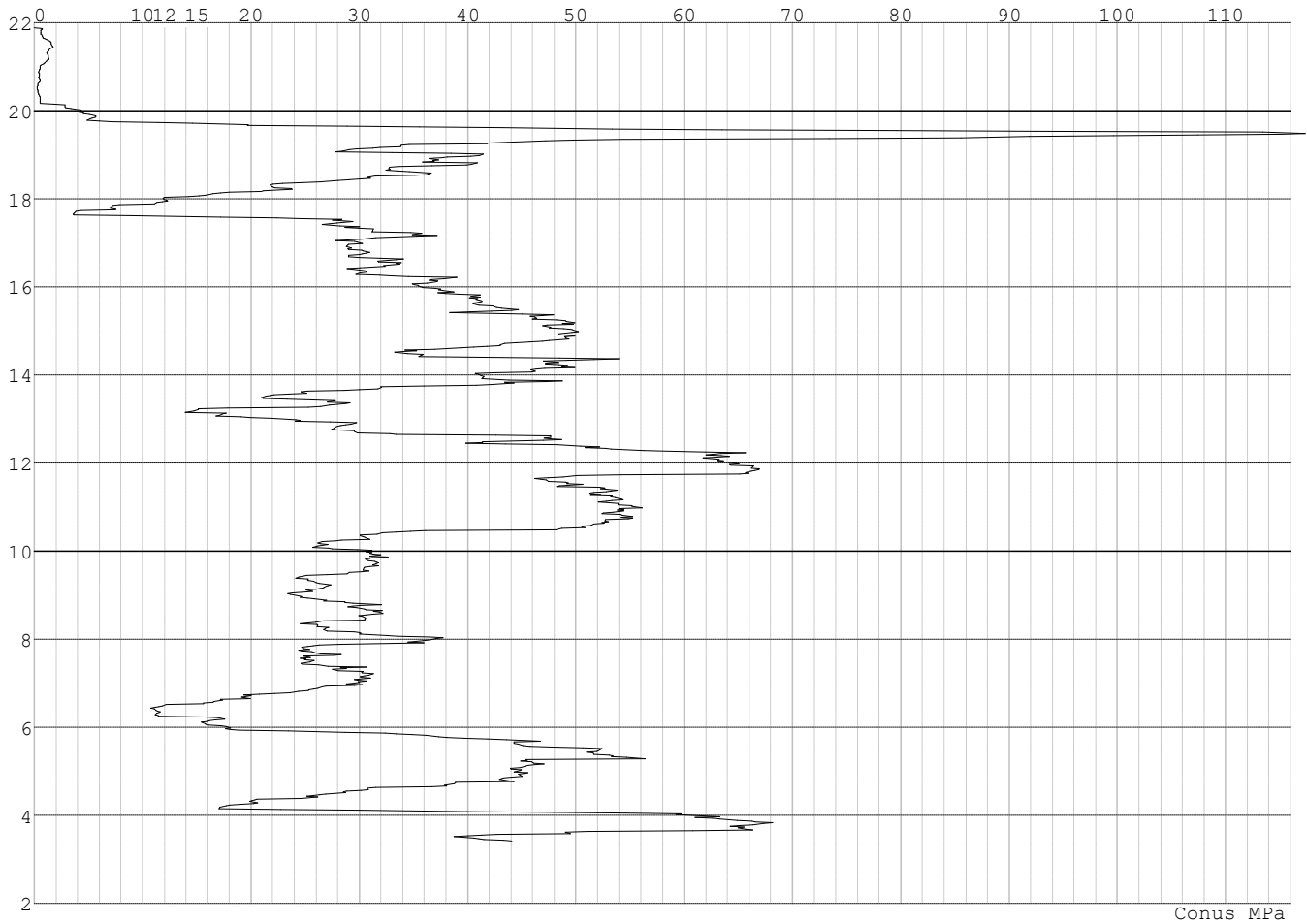


Project :
Onderdeel :

SONDERINGSGEGEVENS ALGEMEEN: S008-1

Alle niveaus/hogtes/peilmaten zijn t.o.v.: N.A.P.
Hoogte maaiveld [m] : 21.89 Bodemprofiel: S008-1
Traject negatieve kleef : 21.89 tot 20.10 [m]
Traject positieve kleef : 20.10 tot 3.41 [m]

SONDERINGSGEGEVENS GRAFIEK: S008-1

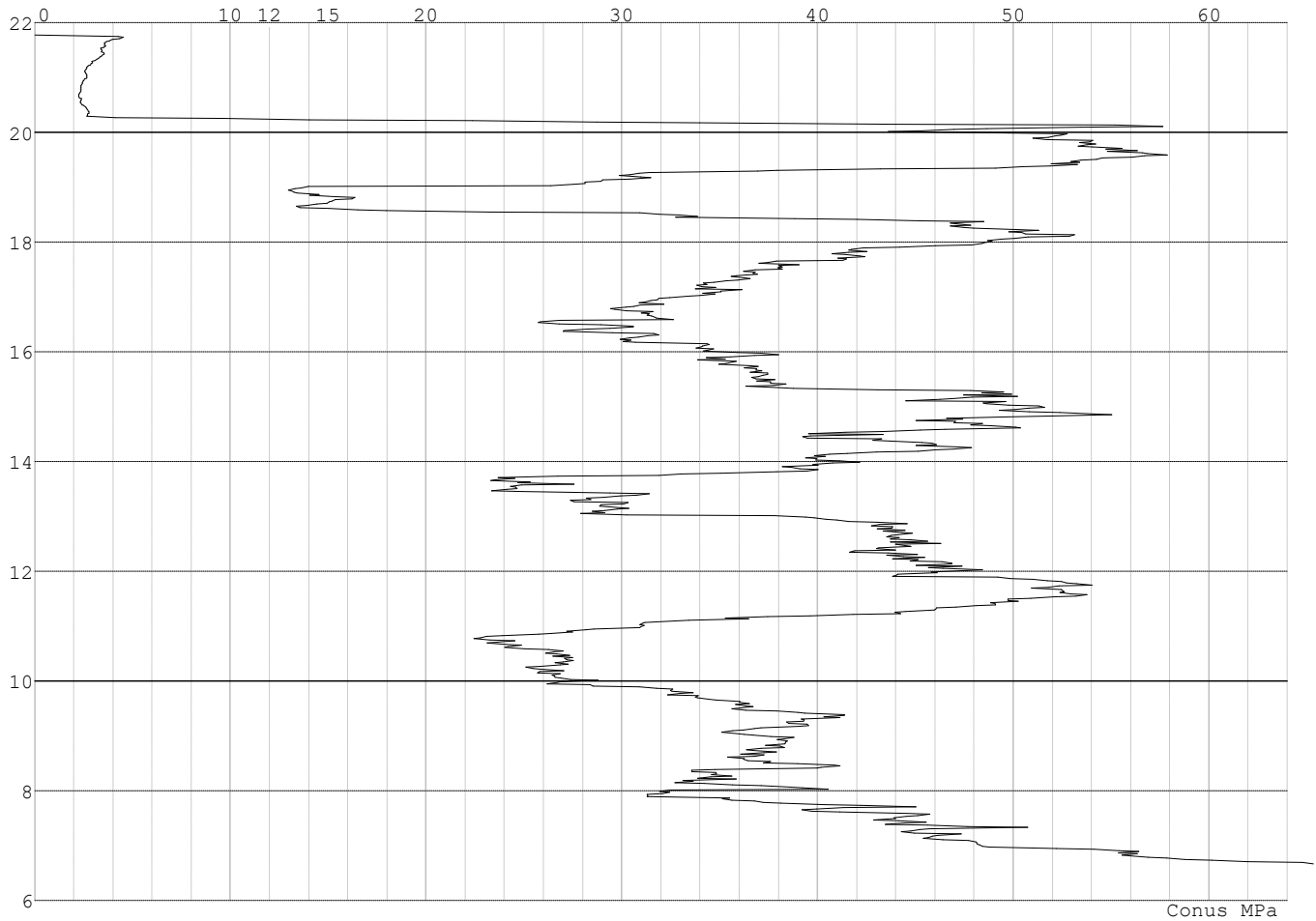


Project :
Onderdeel :

SONDERINGSGEGEVENS ALGEMEEN: S008-2

Alle niveaus/hogtes/peilmaten zijn t.o.v.: N.A.P.
Hoogte maaiveld [m] : 21.77 Bodemprofiel: S008-2
Traject negatieve kleeft : 21.77 tot 20.20 [m]
Traject positieve kleeft : 20.20 tot 6.67 [m]

SONDERINGSGEGEVENS GRAFIEK: S008-2

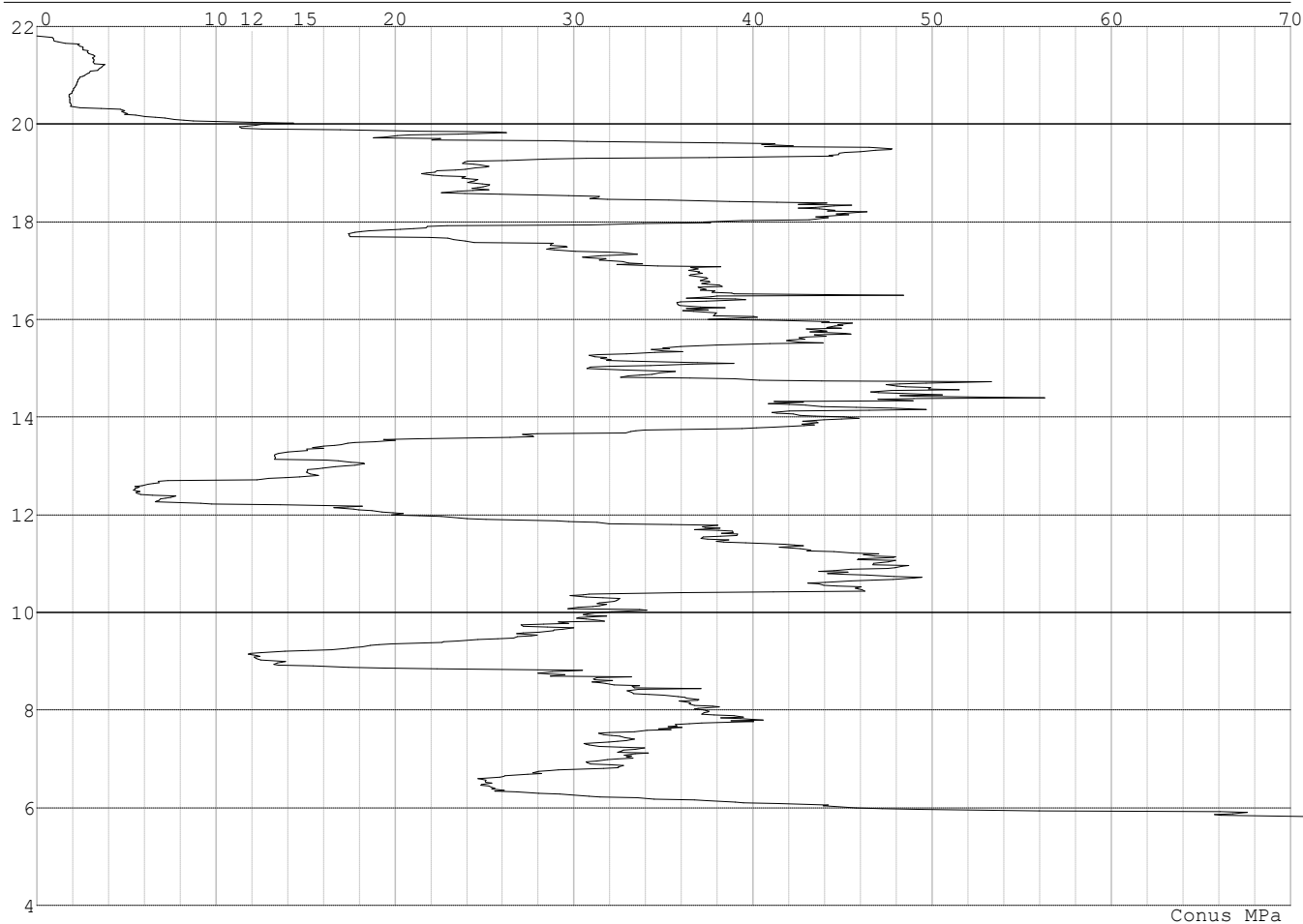


Project :
Onderdeel :

SONDERINGSGEGEVENS ALGEMEEN: S008-3

Alle niveaus/hogtes/peilmaten zijn t.o.v.: N.A.P.
Hoogte maaiveld [m] : 21.80 Bodemprofiel: S008-3
Traject negatieve kleeft : 21.80 tot 20.20 [m]
Traject positieve kleeft : 20.20 tot 5.82 [m]

SONDERINGSGEGEVENS GRAFIEK: S008-3

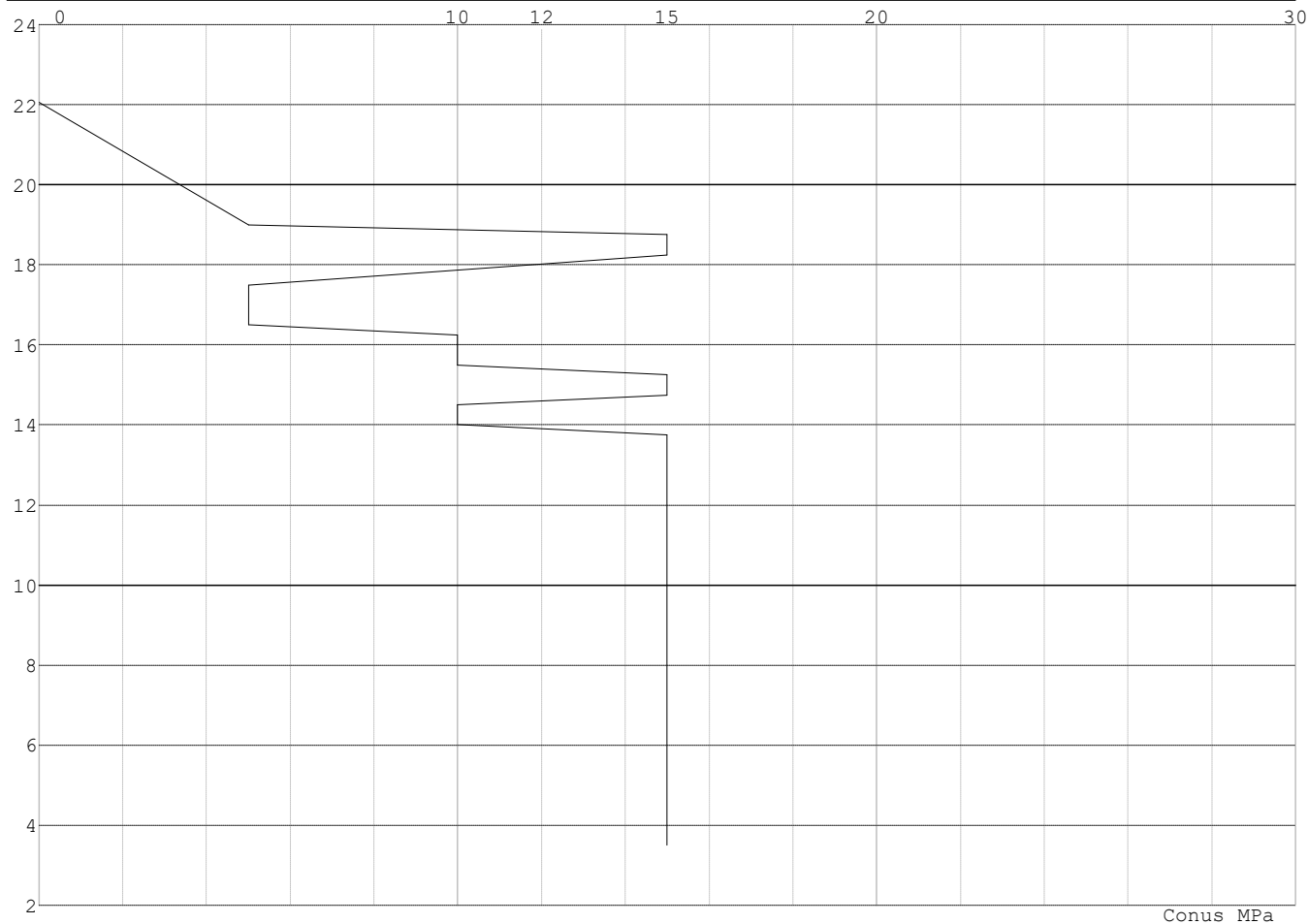


Project :
Onderdeel :

SONDERINGSGEGEVENS ALGEMEEN: Slag 007

Alle niveaus/hogtes/peilmaten zijn t.o.v.: N.A.P.
Hoogte maaiveld [m] : 22.06 Bodemprofiel: Slag 007
Traject negatieve kleef : 22.06 tot 19.00 [m]
Traject positieve kleef : 19.00 tot 3.50 [m]

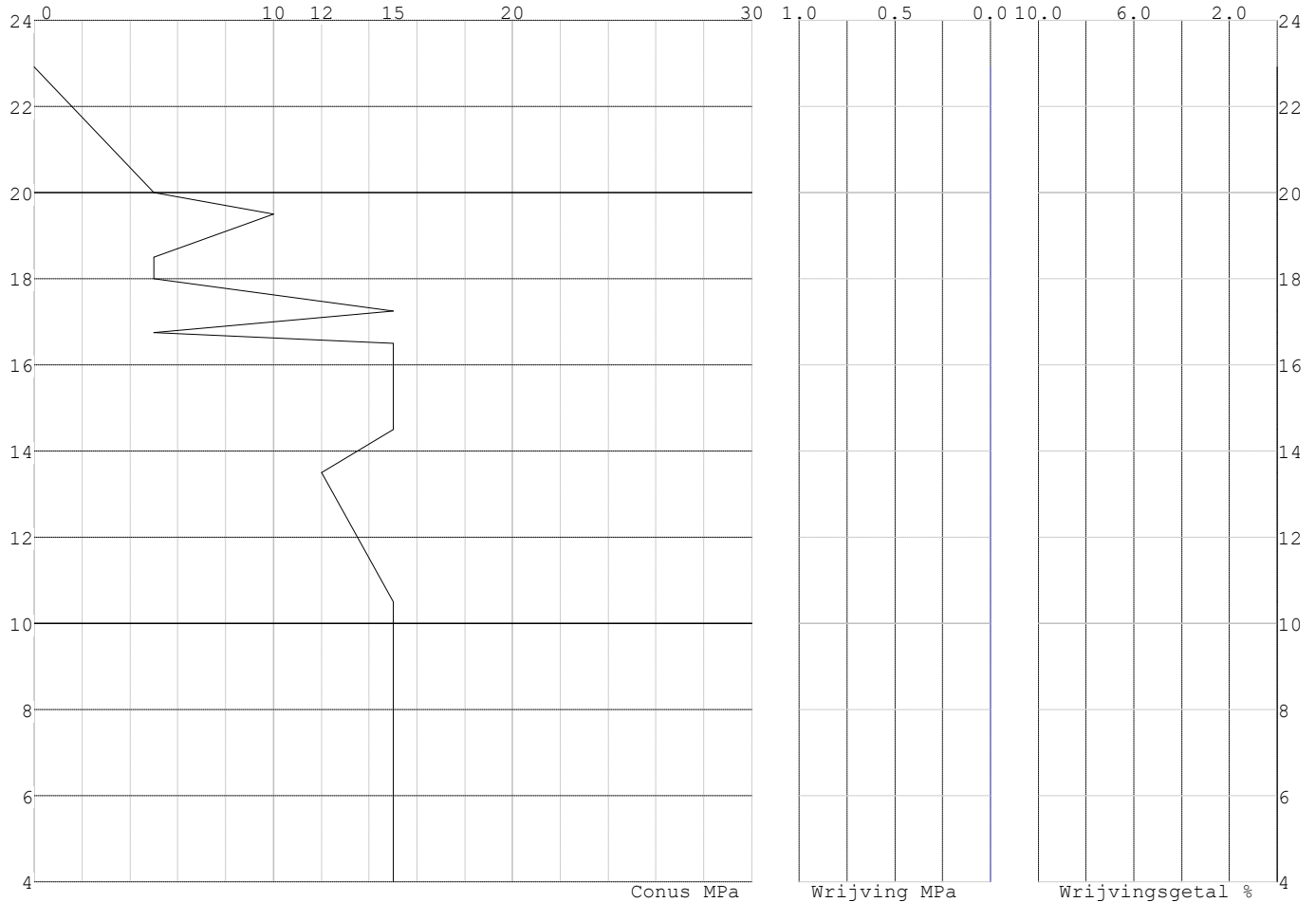
SONDERINGSGEGEVENS GRAFIEK: Slag 007



Project :
Onderdeel :

SONDERINGSGEGEVENS ALGEMEEN: Slag 009

Alle niveaus/hogtes/peilmaten zijn t.o.v.: N.A.P.
 Hoogte maaiveld [m] : 22.92 Bodemprofiel: Slag 009
 Traject negatieve kleef : 22.92 tot 20.00 [m]
 Traject positieve kleef : 20.00 tot 4.00 [m]

SONDERINGSGEGEVENS GRAFIEK: Slag 009**REKENGEGEVENS Mast 001**

Berekening : Controlerend
 Rekenmethode : Trekpalen volgens NEN-EN 1997-1, art. 7.6.3
 Sondering(en) : S001-1, S001-2, S001-3, S001-4
 Let op: trekcapaciteit t.p.v. negatief kleeftraject is meegerekend.

Stijf bouwwerk : JA
 Paalgroep : NEE
 Aantal sonderingen : 4
 Factor ξ_3 (n=1) : 1.26
 Factor ξ_3 (gem) : 1.17
 Factor ξ_4 (min) : 0.93
 Weerstandsfactor γ_R : 1.35
 $\gamma_{m;var;q_c}$: 1.35
 UGT draagvermogen zonder negatieve kleef : NEE

Paal : Ortbeton
 Niveau paalkop [m] : N.A.P. 27.47
 Paalpuntniveau : N.A.P. 16.47
 $E_{d;1}$ [kN] : 0.00 $E_{d;2}$ [kN] : 0.00
 Bovenbel. [kN/m²] : 0.00

RESULTATEN Mast 001 (n=1)

Project :
Onderdeel :

Sondering : S001-1

Alle niveaus/hogtes/peilmaten zijn t.o.v.: N.A.P.

Inheinniveau [m]	Effectief inheinniveau [m]	E.G. paal [kN]	$R_{t,cal;k}$ [kN]	$R_{t;d}$ [kN]	$F_{t,tot;1}$ [kN]	U.C.
16.47	16.47	19.5	701.8	701.8	0.0	0.00

Sondering : S001-2

Alle niveaus/hogtes/peilmaten zijn t.o.v.: N.A.P.

Inheinniveau [m]	Effectief inheinniveau [m]	E.G. paal [kN]	$R_{t,cal;k}$ [kN]	$R_{t;d}$ [kN]	$F_{t,tot;1}$ [kN]	U.C.
16.47	16.47	19.5	681.8	681.8	0.0	0.00

Sondering : S001-3

Alle niveaus/hogtes/peilmaten zijn t.o.v.: N.A.P.

Inheinniveau [m]	Effectief inheinniveau [m]	E.G. paal [kN]	$R_{t,cal;k}$ [kN]	$R_{t;d}$ [kN]	$F_{t,tot;1}$ [kN]	U.C.
16.47	16.47	19.5	669.7	669.7	0.0	0.00

Sondering : S001-4

Alle niveaus/hogtes/peilmaten zijn t.o.v.: N.A.P.

Inheinniveau [m]	Effectief inheinniveau [m]	E.G. paal [kN]	$R_{t,cal;k}$ [kN]	$R_{t;d}$ [kN]	$F_{t,tot;1}$ [kN]	U.C.
16.47	16.47	19.6	669.8	669.8	0.0	0.00

Project :
Onderdeel :

SAMENVATTINGSTABEL Mast 001 (n=1)**Uitgangspunten**

- paal : Ortbeton
 - paaltype : Geheide in de grond gevormde betonpaal;terugheidend
 - schachtafmeting : 420 mm
 Paalklassefactor α_p : 0.70
 Factor α_t (tabel 7.c EC 7.1) : 0.0120 (zandlagen; voor kleilagen zie tabel 7.d)
 Correlatiefactor $\xi_{3(n=1)}$: 1.26

Alle niveaus/hogtes/peilmaten zijn t.o.v.: N.A.P.

sondering	maaiveld paalpunt		Bezwijkdraagvermogen $R_{t,cal}$ [kN]	Rekenwaarden	
	niveau	niveau		$R_{t;d}$ [kN]	$R_{t,netto;d}$ [kN]
S001-1	27.41	16.47	701.8	701.8	701.8
S001-2	27.37	16.47	681.8	681.8	681.8
S001-3	27.42	16.47	669.7	669.7	669.7
S001-4	27.32	16.47	669.8	669.8	669.8

Project :
Onderdeel :

SAMENVATTINGSTABEL Mast 001 (van 4 sonderingen)**Uitgangspunten**

- paal : Ortbeton
 - paaltype : Geheide in de grond gevormde betonpaal; terugheidend
 - schachtafmeting : 420 mm
 Paalklassefactor α_p : 0.70
 Factor α_t (tabel 7.c EC 7.1) : 0.0120 (zandlagen; voor kleilagen zie tabel 7.d)
 Correlatiefactor $\xi_{3gem}(n=4)$: 1.17
 Correlatiefactor $\xi_{4min}(n=4)$: 0.93

Alle niveaus/hogtes/peilmaten zijn t.o.v.: N.A.P.

sondering	maaiveld paalpunt		Bezwijkdraagvermogen	
	niveau	niveau	E.G. paal	$R_{t,cal}$
			[kN]	[kN]

met $\xi_3(gem) = 1.17$

S001-1	27.41	16.47	19.5	754.3
S001-2	27.37	16.47	19.5	732.8
S001-3	27.42	16.47	19.5	719.7
S001-4	27.32	16.47	19.5	719.9

		16.47	$R_{t,cal,gem}$	731.6
--	--	-------	-----------------	-------

met $\xi_4(min) = 0.93$

S001-1	27.41	16.47	19.5	943.9
S001-2	27.37	16.47	19.5	916.8
S001-3	27.42	16.47	19.5	900.4
S001-4	27.32	16.47	19.5	900.6

		16.47	$R_{t,cal,min}$	900.4
--	--	-------	-----------------	-------

Totaal resultaten Mast 001 (van 4 sonderingen)**Uitgangspunten**

Correlatiefactor $\xi_{3gem}(n=4)$: 1.17
 Correlatiefactor $\xi_{4min}(n=4)$: 0.93

gebaseerd op sonderingen:

S001-1 S001-2 S001-3 S001-4

$$R_{t,d} = \min.\{ R_{t,cal,gem}; R_{t,cal,min} \} (7.17) *$$

Inheinniveau

[m]

$$16.47 \quad R_{t,d} = \min.\{ 731.6; 900.4 \} = 731.6$$

*) Bij de trekpaalberekening zijn factoren ξ_3 en ξ_4 al bij de berekening van de conusweerstand $q_{c;z;d}$ in rekening gebracht, evenals factor $\gamma_{s;t}$. Dat is conform de opmerkingen in art. 7.6.3.3 (3) en (4).

Alle niveaus/hogtes/peilmaten zijn t.o.v.: N.A.P.

Inheinniveau	$R_{t,k}$	$R_{t,d}$	$F_{t,tot,1}$	$R_{t,netto,d}$	U.C.
[m]	[kN]	[kN]	[kN]	[kN]	
16.47	731.6	731.6	0.0	731.6	0.00

Project :
Onderdeel :

REKENGEDEVENS Mast 003

Berekening : Controlerend
 Rekenmethode : Trekpalen volgens NEN-EN 1997-1, art. 7.6.3
 Sondering(en) : S003-1, S003-2
 Let op: trekcapaciteit t.p.v. negatief kleeftraject is meegerekend.

Stijf bouwwerk : NEE
 Paalgroep : NEE
 Aantal sonderingen : 2
 Factor ξ_3 (n=1) : 1.39
 Factor ξ_3 (gem) : 1.32
 Factor ξ_4 (min) : 1.32
 Weerstandsfactor γ_R : 1.35
 $\gamma_{m,var;q_c}$: 1.50
 UGT draagvermogen zonder negatieve kleeft : NEE

Paal : Ortbeton
 Niveau paalkop [m] : N.A.P. 21.14
 Paalpuntniveau : N.A.P. 13.84
 $E_{d,1}$ [kN] : 0.00 $E_{d,2}$ [kN] : 0.00
 Bovenbel. [kN/m²] : 0.00

RESULTATEN Mast 003 (n=1)**Sondering : S003-1**

Alle niveaus/hogtes/peilmaten zijn t.o.v.: N.A.P.

Inheinniveau [m]	Effectief inheinniveau [m]	E.G. paal [kN]	$R_{t,cal;k}$ [kN]	$R_{t;d}$ [kN]	$F_{t,tot;1}$ [kN]	U.C.
13.84	13.84	12.0	508.1	508.1	0.0	0.00

Sondering : S003-2

Alle niveaus/hogtes/peilmaten zijn t.o.v.: N.A.P.

Inheinniveau [m]	Effectief inheinniveau [m]	E.G. paal [kN]	$R_{t,cal;k}$ [kN]	$R_{t;d}$ [kN]	$F_{t,tot;1}$ [kN]	U.C.
13.84	13.84	12.0	518.7	518.7	0.0	0.00

Project :
Onderdeel :

SAMENVATTINGSTABEL Mast 003 (n=1)**Uitgangspunten**

- paal : Ortbeton
 - paaltype : Geheide in de grond gevormde betonpaal;terugheind
 - schachtafmeting : 420 mm
 Paalklassefactor α_p : 0.70
 Factor α_t (tabel 7.c EC 7.1) : 0.0120 (zandlagen; voor kleilagen zie tabel 7.d)
 Correlatiefactor $\xi_{3(n=1)}$: 1.39

Alle niveaus/hogtes/peilmaten zijn t.o.v.: N.A.P.

sondering	maaiveld paalpunt		Bezwijkdraagvermogen $R_{t,cal}$ [kN]	Rekenwaarden	
	niveau	niveau		$R_{t,d}$ [kN]	$R_{t,netto,d}$ [kN]
S003-1	22.35	13.84	508.1	508.1	508.1
S003-2	22.35	13.84	518.7	518.7	518.7

Project :
Onderdeel :

SAMENVATTINGSTABEL Mast 003 (van 2 sonderingen)**Uitgangspunten**

- paal : Ortbeton
 - paaltype : Geheide in de grond gevormde betonpaal;terugheidend
 - schachtafmeting : 420 mm
 Paalklassefactor α_p : 0.70
 Factor α_t (tabel 7.c EC 7.1) : 0.0120 (zandlagen; voor kleilagen zie tabel 7.d)
 Correlatiefactor $\xi_{3gem}(n=2)$: 1.32
 Correlatiefactor $\xi_{4min}(n=2)$: 1.32

Alle niveaus/hogtes/peilmaten zijn t.o.v.: N.A.P.

sondering	maaiveld paalpunt		Bezwijkdraagvermogen	
	niveau	niveau	E.G. paal	$R_{t,cal}$
			[kN]	[kN]

met ξ_3 (gem) = 1.32

S003-1	22.35	13.84	12.0	534.4
--------	-------	-------	------	-------

S003-2	22.35	13.84	12.0	545.6
--------	-------	-------	------	-------

		13.84	$R_{t,cal,gem}$	540.0
--	--	-------	-----------------	-------

met ξ_4 (min) = 1.32

S003-1	22.35	13.84	12.0	534.4
--------	-------	-------	------	-------

S003-2	22.35	13.84	12.0	545.6
--------	-------	-------	------	-------

		13.84	$R_{t,cal,min}$	534.4
--	--	-------	-----------------	-------

Totaal resultaten Mast 003 (van 2 sonderingen)**Uitgangspunten**

Correlatiefactor $\xi_{3gem}(n=2)$: 1.32

Correlatiefactor $\xi_{4min}(n=2)$: 1.32

gebaseerd op sonderingen:

S003-1 S003-2

$R_{t,d} = \min. \{ R_{t,cal,gem}; R_{t,cal,min} \}$ (7.17) *)

Inheinniveau
[m]

13.84	$R_{t,d} = \min. \{ 540.0; 534.4 \} =$	534.4
-------	--	-------

*) Bij de trekpaalberekening zijn factoren ξ_3 en ξ_4 al bij de berekening van de conusweerstand $q_{c,z;d}$ in rekening gebracht, evenals factor $\gamma_{s;t}$. Dat is conform de opmerkingen in art. 7.6.3.3 (3) en (4).

Alle niveaus/hogtes/peilmaten zijn t.o.v.: N.A.P.

Inheinniveau	$R_{t,k}$	$R_{t,d}$	$F_{t,tot;1}$	$R_{t,netto;d}$	U.C.
[m]	[kN]	[kN]	[kN]	[kN]	
13.84	534.4	534.4	0.0	534.4	0.00

REKENGEGEVENS Mast 004

Berekening : Controlerend

Rekenmethode : Trekpalen volgens NEN-EN 1997-1, art. 7.6.3

Sondering(en) : S004-1, S004-2, S004-3, S004-4

Let op: trekcapaciteit t.p.v. negatief kleeftraject is meegerekend.

Stijf bouwwerk : JA

Paalgroep : NEE

Aantal sonderingen : 4

Factor ξ_3 (n=1) : 1.26

Factor ξ_3 (gem) : 1.17

Factor ξ_4 (min) : 0.93

Weerstandsfactor γ_R : 1.35

$\gamma_{m,var;q_c}$: 1.35

UGT draagvermogen zonder negatieve kleeft : NEE

Paal : Ortbeton

Niveau paalkop [m] : N.A.P. 21.95

Paalpuntniveau : N.A.P. 12.95

$E_{d,1}$ [kN] : 0.00

Bovenbel. [kN/m²] : 0.00

$E_{d,2}$ [kN] : 0.00

Project :
Onderdeel :

RESULTATEN Mast 004 (n=1)**Sondering : S004-1**

Alle niveaus/hogtes/peilmaten zijn t.o.v.: N.A.P.

Inheinniveau [m]	Effectief inheinniveau [m]	E.G. paal [kN]	$R_{t,cal;k}$ [kN]	$R_{t;d}$ [kN]	$F_{t,tot;1}$ [kN]	U.C.
12.95	12.95	16.5	603.7	603.7	0.0	0.00

Sondering : S004-2

Alle niveaus/hogtes/peilmaten zijn t.o.v.: N.A.P.

Inheinniveau [m]	Effectief inheinniveau [m]	E.G. paal [kN]	$R_{t,cal;k}$ [kN]	$R_{t;d}$ [kN]	$F_{t,tot;1}$ [kN]	U.C.
12.95	12.95	16.3	619.6	619.6	0.0	0.00

Sondering : S004-3

Alle niveaus/hogtes/peilmaten zijn t.o.v.: N.A.P.

Inheinniveau [m]	Effectief inheinniveau [m]	E.G. paal [kN]	$R_{t,cal;k}$ [kN]	$R_{t;d}$ [kN]	$F_{t,tot;1}$ [kN]	U.C.
12.95	12.95	16.4	563.3	563.3	0.0	0.00

Sondering : S004-4

Alle niveaus/hogtes/peilmaten zijn t.o.v.: N.A.P.

Inheinniveau [m]	Effectief inheinniveau [m]	E.G. paal [kN]	$R_{t,cal;k}$ [kN]	$R_{t;d}$ [kN]	$F_{t,tot;1}$ [kN]	U.C.
12.95	12.95	16.3	666.6	666.6	0.0	0.00

Project :
Onderdeel :

SAMENVATTINGSTABEL Mast 004 (n=1)**Uitgangspunten**

- paal : Ortbeton
 - paaltype : Geheide in de grond gevormde betonpaal;terugheind
 - schachtafmeting : 420 mm
 Paalklassefactor α_p : 0.70
 Factor α_t (tabel 7.c EC 7.1) : 0.0120 (zandlagen; voor kleilagen zie tabel 7.d)
 Correlatiefactor $\xi_{3(n=1)}$: 1.26

Alle niveaus/hogtes/peilmaten zijn t.o.v.: N.A.P.

sondering	maaiveld paalpunt		Bezwijkdraagvermogen $R_{t,cal}$ [kN]	Rekenwaarden	
	niveau	niveau		$R_{t;d}$ [kN]	$R_{t,netto;d}$ [kN]
S004-1	21.66	12.95	603.7	603.7	603.7
S004-2	21.83	12.95	619.6	619.6	619.6
S004-3	21.73	12.95	563.3	563.3	563.3
S004-4	21.81	12.95	666.6	666.6	666.6

Project :
Onderdeel :

SAMENVATTINGSTABEL Mast 004 (van 4 sonderingen)**Uitgangspunten**

- paal : Ortbeton
 - paaltype : Geheide in de grond gevormde betonpaal;terugheidend
 - schachtafmeting : 420 mm
 Paalklassefactor α_p : 0.70
 Factor α_t (tabel 7.c EC 7.1) : 0.0120 (zandlagen; voor kleilagen zie tabel 7.d)
 Correlatiefactor $\xi_{3gem}(n=4)$: 1.17
 Correlatiefactor $\xi_{4min}(n=4)$: 0.93

Alle niveaus/hogtes/peilmaten zijn t.o.v.: N.A.P.

sondering	maaiveld niveau	paalpunt niveau	Bezwijkdraagvermogen E.G. paal [kN]	$R_{t,cal}$ [kN]
-----------	--------------------	--------------------	---	---------------------

met $\xi_3(gem) = 1.17$

S004-1	21.66	12.95	16.5	648.8
S004-2	21.83	12.95	16.5	666.1
S004-3	21.73	12.95	16.5	605.4
S004-4	21.81	12.95	16.5	716.6

		12.95	$R_{t,cal,gem}$	659.2
met $\xi_4(min) = 0.93$				
S004-1	21.66	12.95	16.5	812.0
S004-2	21.83	12.95	16.5	833.7
S004-3	21.73	12.95	16.5	757.4
S004-4	21.81	12.95	16.5	897.4
		12.95	$R_{t,cal,min}$	757.4

Totaal resultaten Mast 004 (van 4 sonderingen)

Uitgangspunten

Correlatiefactor $\xi_{3gem}(n=4)$: 1.17
 Correlatiefactor $\xi_{4min}(n=4)$: 0.93

gebaseerd op sonderingen:

S004-1 S004-2 S004-3 S004-4

$$R_{t,d} = \min.\{ R_{t,cal,gem}; R_{t,cal,min} \} (7.17) *$$

Inheinniveau
[m]

$$12.95 \quad R_{t,d} = \min.\{ 659.2; 757.4 \} = 659.2$$

*) Bij de trekpaalberekening zijn factoren ξ_3 en ξ_4 al bij de berekening van de conusweerstand $q_{c;z;d}$ in rekening gebracht, evenals factor $\gamma_{s;t}$. Dat is conform de opmerkingen in art. 7.6.3.3 (3) en (4).

Alle niveaus/hogtes/peilmaten zijn t.o.v.: N.A.P.

Inheinniveau [m]	$R_{t,k}$ [kN]	$R_{t,d}$ [kN]	$F_{t,tot,1}$ [kN]	$R_{t,netto,d}$ [kN]	U.C.
12.95	659.2	659.2	0.0	659.2	0.00

Project :
Onderdeel :

REKENGEDEVENS Mast 007

Berekening : Controlerend
Rekenmethode : Trekpalen volgens NEN-EN 1997-1, art. 7.6.3
Sondering(en) : Slag 007
Let op: trekcapaciteit t.p.v. negatief kleeftraject is meegerekend.

Stijf bouwwerk : JA
Paalgroep : NEE
Aantal sonderingen : 1
Factor ξ_3 (n=1) : 1.26
Factor ξ_3 (gem) : 1.26
Factor ξ_4 (min) : 1.26
Weerstandsfactor γ_R : 1.35
 $\gamma_{m;var;qc}$: 1.50
UGT draagvermogen zonder negatieve kleeft : NEE

Paal : Ortbeton
Niveau paalkop [m] : N.A.P. 21.98
Paalpuntniveau : N.A.P. 14.48
 $E_{d;1}$ [kN] : 0.00 $E_{d;2}$ [kN] : 0.00
Bovenbel. [kN/m²] : 0.00

RESULTATEN Mast 007 (n=1)**Sondering : Slag 007**

Alle niveaus/hogtes/peilmaten zijn t.o.v.: N.A.P.

Inheinniveau [m]	Effectief inheinniveau [m]	E.G. paal [kN]	$R_{t;cal;k}$ [kN]	$R_{t;d}$ [kN]	$F_{t;tot;1}$ [kN]	U.C.
14.48	14.48	13.6	277.8	277.8	0.0	0.00

Project :
Onderdeel :

SAMENVATTINGSTABEL Mast 007 (n=1)**Uitgangspunten**

- paal : Ortbeton
 - paaltype : Geheide in de grond gevormde betonpaal;terugheidend
 - schachtafmeting : 420 mm
 Paalklassefactor α_p : 0.70
 Factor α_t (tabel 7.c EC 7.1) : 0.0120 (zandlagen; voor kleilagen zie tabel 7.d)
 Correlatiefactor $\xi_{3(n=1)}$: 1.26

Alle niveaus/hogtes/peilmaten zijn t.o.v.: N.A.P.

sondering	maaiveld paalpunt		Bezwijkdraagvermogen $R_{t,cal}$ [kN]	Rekenwaarden	
	niveau	niveau		$R_{t,d}$ [kN]	$R_{t,netto,d}$ [kN]
Slag 007	22.06	14.48	277.8	277.8	277.8

Totaal resultaten Mast 007 (van 1 sonderingen)

Uitgangspunten

Correlatiefactor ξ_{3gem} (n= 1) : 1.26
 Correlatiefactor ξ_{4min} (n= 1) : 1.26

gebaseerd op sonderingen:
Slag 007

$$R_{t,d} = \min.\{ R_{t,cal,gem}; R_{t,cal,min} \} (7.17) *$$

Inheinniveau
[m]

$$14.48 \quad R_{t,d} = \min.\{ 277.8; 277.8 \} = 277.8$$

*) Bij de trekpaalberekening zijn factoren ξ_3 en ξ_4 al bij de berekening van de conusweerstand $q_{c;z;d}$ in rekening gebracht, evenals factor $\gamma_{s;t}$. Dat is conform de opmerkingen in art. 7.6.3.3 (3) en (4).

Alle niveaus/hogtes/peilmaten zijn t.o.v.: N.A.P.

Inheinniveau [m]	$R_{t,k}$ [kN]	$R_{t,d}$ [kN]	$F_{t,tot;1}$ [kN]	$R_{t,netto;d}$ [kN]	U.C.
14.48	277.8	277.8	0.0	277.8	0.00

REKENEGEVEENS Mast 008

Berekening : Controlerend
 Rekenmethode : Trekpalen volgens NEN-EN 1997-1, art. 7.6.3
 Sondering(en) : S008-1, S008-2, S008-3
 Let op: trekcapaciteit t.p.v. negatief kleefttraject is meegerekend.

Stijf bouwwerk : JA
 Paalgroep : NEE
 Aantal sonderingen : 3
 Factor ξ_3 (n=1) : 1.26
 Factor ξ_3 (gem) : 1.18
 Factor ξ_4 (min) : 0.94
 Weerstandsfactor γ_R : 1.35
 $\gamma_{m,var;q_c}$: 1.50
 UGT draagvermogen zonder negatieve kleeft : NEE

Paal : Ortbeton
 Niveau paalkop [m] : N.A.P. 22.69
 Paalpuntniveau : N.A.P. 14.99
 $E_{d,1}$ [kN] : 0.00 $E_{d,2}$ [kN] : 0.00
 Bovenbel. [kN/m²] : 0.00

RESULTATEN Mast 008 (n=1)

Project :
Onderdeel :

Sondering : S008-1

Alle niveaus/hogtes/peilmaten zijn t.o.v.: N.A.P.

Inheinniveau [m]	Effectief inheinniveau [m]	E.G. paal [kN]	$R_{t,cal;k}$ [kN]	$R_{t;d}$ [kN]	$F_{t,tot;1}$ [kN]	U.C.
14.99	14.99	15.1	450.9	450.9	0.0	0.00

Sondering : S008-2

Alle niveaus/hogtes/peilmaten zijn t.o.v.: N.A.P.

Inheinniveau [m]	Effectief inheinniveau [m]	E.G. paal [kN]	$R_{t,cal;k}$ [kN]	$R_{t;d}$ [kN]	$F_{t,tot;1}$ [kN]	U.C.
14.99	14.99	15.3	509.6	509.6	0.0	0.00

Sondering : S008-3

Alle niveaus/hogtes/peilmaten zijn t.o.v.: N.A.P.

Inheinniveau [m]	Effectief inheinniveau [m]	E.G. paal [kN]	$R_{t,cal;k}$ [kN]	$R_{t;d}$ [kN]	$F_{t,tot;1}$ [kN]	U.C.
14.99	14.99	15.2	499.6	499.6	0.0	0.00

Project :
Onderdeel :

SAMENVATTINGSTABEL Mast 008 (n=1)**Uitgangspunten**

- paal : Ortbeton
 - paaltype : Geheide in de grond gevormde betonpaal;terugheidend
 - schachtafmeting : 420 mm
 Paalklassefactor α_p : 0.70
 Factor α_t (tabel 7.c EC 7.1) : 0.0120 (zandlagen; voor kleilagen zie tabel 7.d)
 Correlatiefactor $\xi_{3(n=1)}$: 1.26

Alle niveaus/hogtes/peilmaten zijn t.o.v.: N.A.P.

sondering	maaiveld paalpunt		Bezwijkdraagvermogen $R_{t,cal}$ [kN]	Rekenwaarden	
	niveau	niveau		$R_{t;d}$ [kN]	$R_{t,netto;d}$ [kN]
S008-1	21.89	14.99	450.9	450.9	450.9
S008-2	21.77	14.99	509.6	509.6	509.6
S008-3	21.80	14.99	499.6	499.6	499.6

Project :
Onderdeel :

SAMENVATTINGSTABEL Mast 008 (van 3 sonderingen)**Uitgangspunten**

- paal : Ortbeton
 - paaltype : Geheide in de grond gevormde betonpaal;terugheidend
 - schachtafmeting : 420 mm
 Paalklassefactor α_p : 0.70
 Factor α_t (tabel 7.c EC 7.1) : 0.0120 (zandlagen; voor kleilagen zie tabel 7.d)
 Correlatiefactor $\xi_{3gem}(n=3)$: 1.18
 Correlatiefactor $\xi_{4min}(n=3)$: 0.94

Alle niveaus/hogtes/peilmaten zijn t.o.v.: N.A.P.

sondering	maaiveld niveau	paalpunt niveau	E.G. paal	Bezwijkdraagvermogen $R_{t,cal}$ [kN]
-----------	--------------------	--------------------	-----------	---

met $\xi_3(gem) = 1.18$

S008-1	21.89	14.99	15.1	480.5
S008-2	21.77	14.99	15.1	543.1
S008-3	21.80	14.99	15.1	532.4

		14.99	$R_{t,cal,gem}$	518.7
--	--	-------	-----------------	-------

met $\xi_4(min) = 0.94$

S008-1	21.89	14.99	15.1	599.3
S008-2	21.77	14.99	15.1	677.9
S008-3	21.80	14.99	15.1	664.5

		14.99	$R_{t,cal,min}$	599.3
--	--	-------	-----------------	-------

Totaal resultaten Mast 008 (van 3 sonderingen)

Uitgangspunten

Correlatiefactor $\xi_{3gem}(n=3)$: 1.18
 Correlatiefactor $\xi_{4min}(n=3)$: 0.94

gebaseerd op sonderingen:

S008-1 S008-2 S008-3

$$R_{t,d} = \min.\{ R_{t,cal,gem}; R_{t,cal,min} \} (7.17) *$$

Inheinniveau
[m]

14.99	$R_{t,d} = \min.\{ 518.7; 599.3 \} = 518.7$
-------	---

*) Bij de trekpaalberekening zijn factoren ξ_3 en ξ_4 al bij de berekening van de conusweerstand $q_{c;z;d}$ in rekening gebracht, evenals factor $\gamma_{s;t}$. Dat is conform de opmerkingen in art. 7.6.3.3 (3) en (4).

Alle niveaus/hogtes/peilmaten zijn t.o.v.: N.A.P.

Inheinniveau [m]	$R_{t,k}$ [kN]	$R_{t,d}$ [kN]	$F_{t,tot;1}$ [kN]	$R_{t,netto;d}$ [kN]	U.C.
14.99	518.7	518.7	0.0	518.7	0.00

Project :
Onderdeel :

REKENGEDEVENS Mast 009

Berekening : Controlerend
Rekenmethode : Trekpalen volgens NEN-EN 1997-1, art. 7.6.3
Sondering(en) : Slag 009
Let op: trekcapaciteit t.p.v. negatief kleeftraject is meegerekend.

Stijf bouwwerk : JA
Paalgroep : NEE
Aantal sonderingen : 1
Factor ξ_3 (n=1) : 1.26
Factor ξ_3 (gem) : 1.26
Factor ξ_4 (min) : 1.26
Weerstandsfactor γ_R : 1.35
 $\gamma_{m;var;q_c}$: 1.35
UGT draagvermogen zonder negatieve kleeft : NEE

Paal : Ortbeton
Niveau paalkop [m] : N.A.P. 22.69
Paalpuntniveau : N.A.P. 13.69
 $E_{d;1}$ [kN] : 0.00 $E_{d;2}$ [kN] : 0.00
Bovenbel. [kN/m²] : 0.00

RESULTATEN Mast 009 (n=1)**Sondering : Slag 009**

Alle niveaus/hoogtes/peilmaten zijn t.o.v.: N.A.P.

Inheinniveau [m]	Effectief inheinniveau [m]	E.G. paal [kN]	$R_{t;cal;k}$ [kN]	$R_{t;d}$ [kN]	$F_{t;tot;1}$ [kN]	U.C.
13.69	13.69	15.8	497.9	497.9	0.0	0.00

Project :
Onderdeel :

SAMENVATTINGSTABEL Mast 009 (n=1)**Uitgangspunten**

- paal : Ortbeton
 - paaltype : Geheide in de grond gevormde betonpaal;terugheidend
 - schachtafmeting : 420 mm
 Paalklassefactor α_p : 0.70
 Factor α_t (tabel 7.c EC 7.1) : 0.0120 (zandlagen; voor kleilagen zie tabel 7.d)
 Correlatiefactor $\xi_{3(n=1)}$: 1.26

Alle niveaus/hogtes/peilmaten zijn t.o.v.: N.A.P.

sondering	maaiveld paalpunt		Bezwijkdraagvermogen $R_{t,cal}$ [kN]	Rekenwaarden	
	niveau	niveau		$R_{t,d}$ [kN]	$R_{t,netto;d}$ [kN]
Slag 009	22.92	13.69	497.9	497.9	497.9

Totaal resultaten Mast 009 (van 1 sonderingen)

Uitgangspunten

Correlatiefactor ξ_{3gem} (n= 1) : 1.26
 Correlatiefactor ξ_{4min} (n= 1) : 1.26

gebaseerd op sonderingen:
Slag 009

$$R_{t,d} = \min. \{ R_{t,cal;gem}; R_{t,cal;min} \} (7.17) *$$

Inheinniveau
[m]

$$13.69 \quad R_{t,d} = \min. \{ 497.9; 497.9 \} = 497.9$$

*) Bij de trekpaalberekening zijn factoren ξ_3 en ξ_4 al bij de berekening van de conusweerstand $q_{c;z;d}$ in rekening gebracht, evenals factor $\gamma_{s;t}$. Dat is conform de opmerkingen in art. 7.6.3.3 (3) en (4).

Alle niveaus/hogtes/peilmaten zijn t.o.v.: N.A.P.

Inheinniveau [m]	$R_{t;k}$ [kN]	$R_{t;d}$ [kN]	$F_{t;tot;1}$ [kN]	$R_{t,netto;d}$ [kN]	U.C.
13.69	497.9	497.9	0.0	497.9	0.00

PAALGEGEVENS Ortbeton

Type : Geheide in de grond gevormde betonpaal;terugheidend
 Wijze van installeren : Heien
 Wijze van terugwinnen : Heien
 Diameter [m] : 0.420
 Elasticiteitsmodulus [N/mm²] : 20000 (Beton)
 Soortelijk gewicht [kN/m³] : 24.0 (Beton)
 Factor α_s (tabel 7.c EC 7.1) : 0.014 (zandlagen; voor kleilagen zie tabel 7.d)
 Factor α_t (tabel 7.c EC 7.1) : 0.0120 (zandlagen; voor kleilagen zie tabel 7.d)
 Paalklassefactor α_p : 0.70
 Paalvoetvormfactor β : 1.00
 Type lastzakkingsdiagram : Grondverdringende paal
 Verm.factor * $\phi'_{j;k}$: 1.00

Project :
Onderdeel :

OVERZICHT NETTO DRAAGVERMOGEN TREKPALEN (n=1)

Netto paal draagvermogen(s) zijn naar beneden toe afgerond op: 1.0 kN nauwkeurig
Alle niveaus/hoogtes/peilmaten zijn t.o.v.: N.A.P.

sondering	maaiveld paalpunt		$R_{t, netto, d}$ [kN]				
	niveau	niveau	Mast 001	Mast 003	Mast 004	Mast 007	Mast 008
S001-1	27.41	16.47	701				
S001-2	27.37	16.47	681				
S001-3	27.42	16.47	669				
S001-4	27.32	16.47	669				
S003-1	22.35	13.84		508			
S003-2	22.35	13.84		518			
S004-1	21.66	12.95			603		
S004-2	21.83	12.95			619		
S004-3	21.73	12.95			563		
S004-4	21.81	12.95			666		
S008-1	21.89	14.99					450
S008-2	21.77	14.99					509
S008-3	21.80	14.99					499
Slag 007	22.06	14.48				277	

Project :
 Onderdeel :

Netto paal draagvermogen(s) zijn naar beneden toe afgerond op: 1.0 kN nauwkeurig
 Alle niveaus/hogtes/peilmaten zijn t.o.v.: N.A.P.

	maaiveld	paalpunt	$R_{t,netto;d}$	[kN]
sondering	niveau	niveau	Mast 009	

Slag 009	22.92	13.69	497
----------	-------	-------	-----

Project :
Onderdeel :

ALGEMENE GEGEVENS

Project :
Onderdeel :
Datum : 10-12-2021
Bestand : \\Arh7001.verit.dnv.com\projects\EANL_Projects\
10166262 - BBB modelleren funderingen 380
kV\02 Content\03 Calculations\Technosoft
Paalfunderingen\MBT-EHV380\DO\Nieuw
Sonderingen\Mast 010-019.pvw
Berekeningstype : Verticaal belaste paal
Alle niveaus/hogtes/peilmaten zijn t.o.v.: N.A.P.

Toegepaste normen volgens Eurocode met Nederlandse NB

Geotechniek	EN 1997-1:2004	AC:2009	
	NEN-EN 1997-1:2005	C1+A1:2013	NB:2016
	NEN 9997-1:2016	C2:2017	

GRONDSOORTEN

Nr. Omschrijving	$\gamma_{k;1}$ [kN/m ³]	$\gamma_{sat;k;1}$ [kN/m ³]	$\phi'_{k;1}$ [°]	$\gamma_{k;2}$ [kN/m ³]	$\gamma_{sat;k;2}$ [kN/m ³]	$\phi'_{k;2}$ [°]
1 Zand - Schoon - Los	17.00	19.00	30.00	18.00	20.00	32.50
2 Zand - Schoon - Matig	18.00	20.00	32.50	19.00	21.00	35.00
3 Zand - Schoon - Vast	19.00	21.00	35.00	20.00	22.00	40.00
4 Zand - Zwak siltig - Kleiig	18.00	20.00	27.00	19.00	21.00	32.50
5 Zand - Sterk siltig - Kleiig	18.00	20.00	25.00	19.00	21.00	30.00
6 Leem - Zwak zandig - Vast	21.00	21.00	27.50	22.00	22.00	35.00
7 Klei - Schoon - Matig	17.00	17.00	17.50	19.00	19.00	17.50
8 Klei - Zwak zandig - Slap	15.00	15.00	22.50	18.00	18.00	22.50
9 Klei - Zwak zandig - Matig	18.00	18.00	22.50	20.00	20.00	22.50
10 Klei - Zwak zandig - Vast	20.00	20.00	22.50	21.00	21.00	27.50
11 Klei - Organisch - Matig	15.00	15.00	15.00	16.00	16.00	15.00

BODEMPROFIELGEGEVENS: S012-1

Alle niveaus/hogtes/peilmaten zijn t.o.v.: N.A.P.

d50-reductie is meegenomen overeenkomstig NEN-EN 9997 art. 7.6.2.3 (i)

Hoogte maaiveld [m] : 28.61 Grondwaterstand [m] : 27.61

Laag	Van [m]	Tot [m]	Omschrijving	OCR	Aandeel pos. kleef [%]	α_s	d_{50} [mm]
1	28.61	27.85	Leem - Zwak zandig - Vast	1.0	50.0		
2	27.85	26.95	Zand - Schoon - Los	1.0	100.0		
3	26.95	26.53	Leem - Zwak zandig - Vast	1.0	50.0		
4	26.53	25.91	Zand - Schoon - Matig	1.0	100.0		
5	25.91	24.75	Zand - Zwak siltig - Kleiig	1.0	100.0		
6	24.75	24.23	Zand - Schoon - Los	1.0	100.0		
7	24.23	23.79	Zand - Zwak siltig - Kleiig	1.0	100.0		
8	23.79	22.13	Zand - Schoon - Vast	1.0	100.0		
9	22.13	21.87	Zand - Schoon - Matig	1.0	100.0		
10	21.87	21.13	Leem - Zwak zandig - Vast	1.0	50.0		
11	21.13	19.97	Klei - Organisch - Matig	1.0	50.0		
12	19.97	18.35	Zand - Sterk siltig - Kleiig	1.0	100.0		
13	18.35	18.25	Zand - Schoon - Vast	1.0	100.0		

BODEMPROFIELGEGEVENS: S012-2

Alle niveaus/hogtes/peilmaten zijn t.o.v.: N.A.P.

d50-reductie is meegenomen overeenkomstig NEN-EN 9997 art. 7.6.2.3 (i)

Hoogte maaiveld [m] : 28.52 Grondwaterstand [m] : 27.52

Laag	Van [m]	Tot [m]	Omschrijving	OCR	Aandeel pos. kleef [%]	α_s	d_{50} [mm]
1	28.52	28.26	Leem - Zwak zandig - Vast	1.0	0.0		
2	28.26	27.42	Zand - Schoon - Los	1.0	100.0		
3	27.42	23.96	Zand - Sterk siltig - Kleiig	1.0	100.0		
4	23.96	22.02	Zand - Schoon - Vast	1.0	100.0		
5	22.02	21.10	Zand - Schoon - Los	1.0	100.0		
6	21.10	20.56	Leem - Zwak zandig - Vast	1.0	0.0		
7	20.56	18.77	Zand - Sterk siltig - Kleiig	1.0	100.0		
8	18.77	18.37	Zand - Schoon - Vast	1.0	100.0		
9	18.37	17.87	Zand - Zwak siltig - Kleiig	1.0	100.0		
10	17.87	17.21	Zand - Schoon - Vast	1.0	100.0		

Project :
Onderdeel :

BODEMPROFIELGEGEVENS: S017-1

Alle niveaus/hogtes/peilmaten zijn t.o.v.: N.A.P.

d50-reductie is meegenomen overeenkomstig NEN-EN 9997 art. 7.6.2.3 (i)

Laag	Van [m]	Tot [m]	Omschrijving	OCR	Aandeel pos. kleef [%]	α_s	d_{50} [mm]
Hoogte maaiveld [m] : 25.60				Grondwaterstand [m] : 24.60			
1	25.60	23.70	Leem - Zwak zandig - Vast	1.0	50.0		
2	23.70	18.50	Zand - Zwak siltig - Kleiig	1.0	100.0		
3	18.50	16.80	Zand - Schoon - Vast	1.0	100.0		
4	16.80	16.56	Zand - Schoon - Matig	1.0	100.0		
5	16.56	10.18	Zand - Schoon - Vast	1.0	100.0		

BODEMPROFIELGEGEVENS: S017-2

Alle niveaus/hogtes/peilmaten zijn t.o.v.: N.A.P.

d50-reductie is meegenomen overeenkomstig NEN-EN 9997 art. 7.6.2.3 (i)

Laag	Van [m]	Tot [m]	Omschrijving	OCR	Aandeel pos. kleef [%]	α_s	d_{50} [mm]
Hoogte maaiveld [m] : 25.65				Grondwaterstand [m] : 24.65			
1	25.65	24.09	Zand - Schoon - Matig	1.0	100.0		
2	24.09	21.99	Zand - Zwak siltig - Kleiig	1.0	100.0		
3	21.99	21.27	Klei - Schoon - Matig	1.0	50.0		
4	21.27	18.23	Zand - Zwak siltig - Kleiig	1.0	100.0		
5	18.23	14.89	Zand - Schoon - Vast	1.0	100.0		
6	14.89	14.07	Zand - Schoon - Matig	1.0	100.0		
7	14.07	11.93	Zand - Schoon - Matig	1.0	100.0		
8	11.93	10.45	Zand - Schoon - Vast	1.0	100.0		
9	10.45	9.55	Zand - Schoon - Los	1.0	100.0		
10	9.55	8.17	Zand - Schoon - Vast	1.0	100.0		

BODEMPROFIELGEGEVENS: S017-3

Alle niveaus/hogtes/peilmaten zijn t.o.v.: N.A.P.

d50-reductie is meegenomen overeenkomstig NEN-EN 9997 art. 7.6.2.3 (i)

Laag	Van [m]	Tot [m]	Omschrijving	OCR	Aandeel pos. kleef [%]	α_s	d_{50} [mm]
Hoogte maaiveld [m] : 25.66				Grondwaterstand [m] : 24.66			
1	25.66	24.72	Zand - Zwak siltig - Kleiig	1.0	100.0		
2	24.72	23.96	Leem - Zwak zandig - Vast	1.0	50.0		
3	23.96	22.44	Zand - Schoon - Matig	1.0	100.0		
4	22.44	21.12	Zand - Zwak siltig - Kleiig	1.0	100.0		
5	21.12	20.62	Klei - Zwak zandig - Slap	1.0	50.0		
6	20.62	20.08	Zand - Sterk siltig - Kleiig	1.0	100.0		
7	20.08	19.70	Klei - Zwak zandig - Matig	1.0	50.0		
8	19.70	18.40	Zand - Zwak siltig - Kleiig	1.0	100.0		
9	18.40	18.00	Leem - Zwak zandig - Vast	1.0	50.0		
10	18.00	15.88	Zand - Schoon - Matig	1.0	100.0		
11	15.88	10.22	Zand - Schoon - Vast	1.0	100.0		
12	10.22	7.68	Zand - Schoon - Matig	1.0	100.0		

BODEMPROFIELGEGEVENS: S017-4

Alle niveaus/hogtes/peilmaten zijn t.o.v.: N.A.P.

d50-reductie is meegenomen overeenkomstig NEN-EN 9997 art. 7.6.2.3 (i)

Laag	Van [m]	Tot [m]	Omschrijving	OCR	Aandeel pos. kleef [%]	α_s	d_{50} [mm]
Hoogte maaiveld [m] : 25.55				Grondwaterstand [m] : 24.55			
1	25.55	24.67	Zand - Zwak siltig - Kleiig	1.0	100.0		
2	24.67	23.79	Klei - Zwak zandig - Matig	1.0	50.0		
3	23.79	22.59	Zand - Schoon - Matig	1.0	100.0		
4	22.59	22.09	Zand - Zwak siltig - Kleiig	1.0	100.0		
5	22.09	21.39	Zand - Schoon - Los	1.0	100.0		
6	21.39	21.15	Zand - Zwak siltig - Kleiig	1.0	100.0		
7	21.15	20.87	Leem - Zwak zandig - Vast	1.0	50.0		
8	20.87	20.27	Zand - Sterk siltig - Kleiig	1.0	100.0		
9	20.27	19.75	Klei - Zwak zandig - Matig	1.0	50.0		
10	19.75	17.41	Zand - Zwak siltig - Kleiig	1.0	100.0		
11	17.41	13.87	Zand - Schoon - Vast	1.0	100.0		
12	13.87	13.47	Leem - Zwak zandig - Vast	1.0	50.0		
13	13.47	12.17	Zand - Schoon - Vast	1.0	100.0		

Project :
Onderdeel :

BODEMPROFIELGEGEVENS: Slag 011

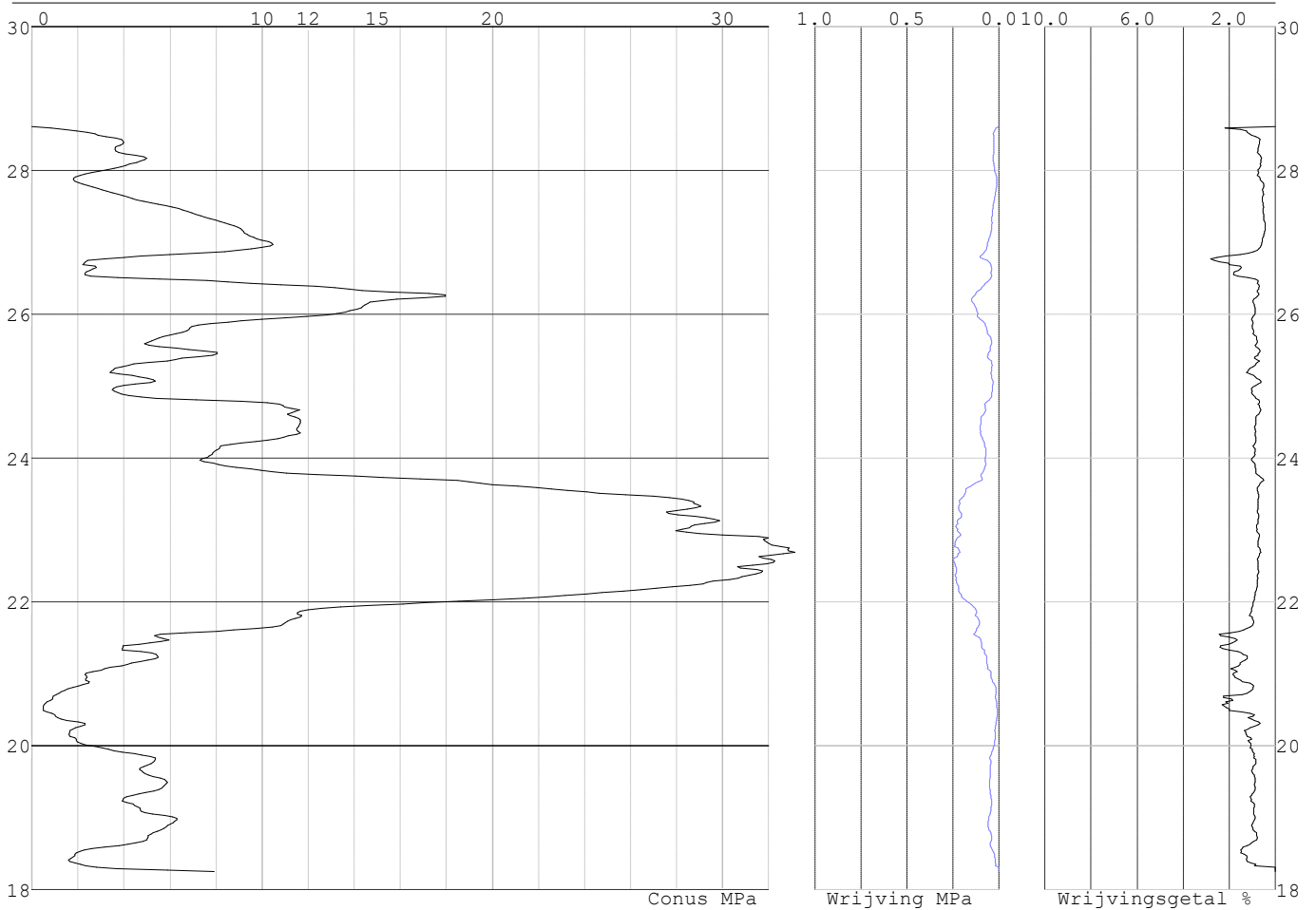
Alle niveaus/hoogtes/peilmaten zijn t.o.v.: N.A.P.
d50-reductie is meegenomen overeenkomstig NEN-EN 9997 art. 7.6.2.3 (i)

Laag	Van [m]	Tot [m]	Omschrijving	OCR	Aandeel pos. kleef [%]	α_s	d_{50} [mm]
1	22.88	18.88	Zand - Sterk siltig - Kleiig	1.0	100.0		
2	18.88	18.13	Zand - Schoon - Los	1.0	100.0		
3	18.13	16.88	Zand - Schoon - Matig	1.0	100.0		
4	16.88	16.63	Zand - Sterk siltig - Kleiig	1.0	100.0		
5	16.63	16.38	Zand - Zwak siltig - Kleiig	1.0	100.0		
6	16.38	15.63	Leem - Zwak zandig - Vast	1.0	0.0		
7	15.63	14.63	Zand - Zwak siltig - Kleiig	1.0	100.0		
8	14.63	4.88	Zand - Sterk siltig - Kleiig	1.0	100.0		

SONDERINGSGEGEVENS ALGEMEEN: S012-1

Alle niveaus/hoogtes/peilmaten zijn t.o.v.: N.A.P.
 Hoogte maaiveld [m] : 28.61 Bodemprofiel: S012-1
 Traject negatieve kleef : 28.61 tot 27.80 [m]
 Traject positieve kleef : 27.80 tot 18.25 [m]

SONDERINGSGEGEVENS GRAFIEK: S012-1

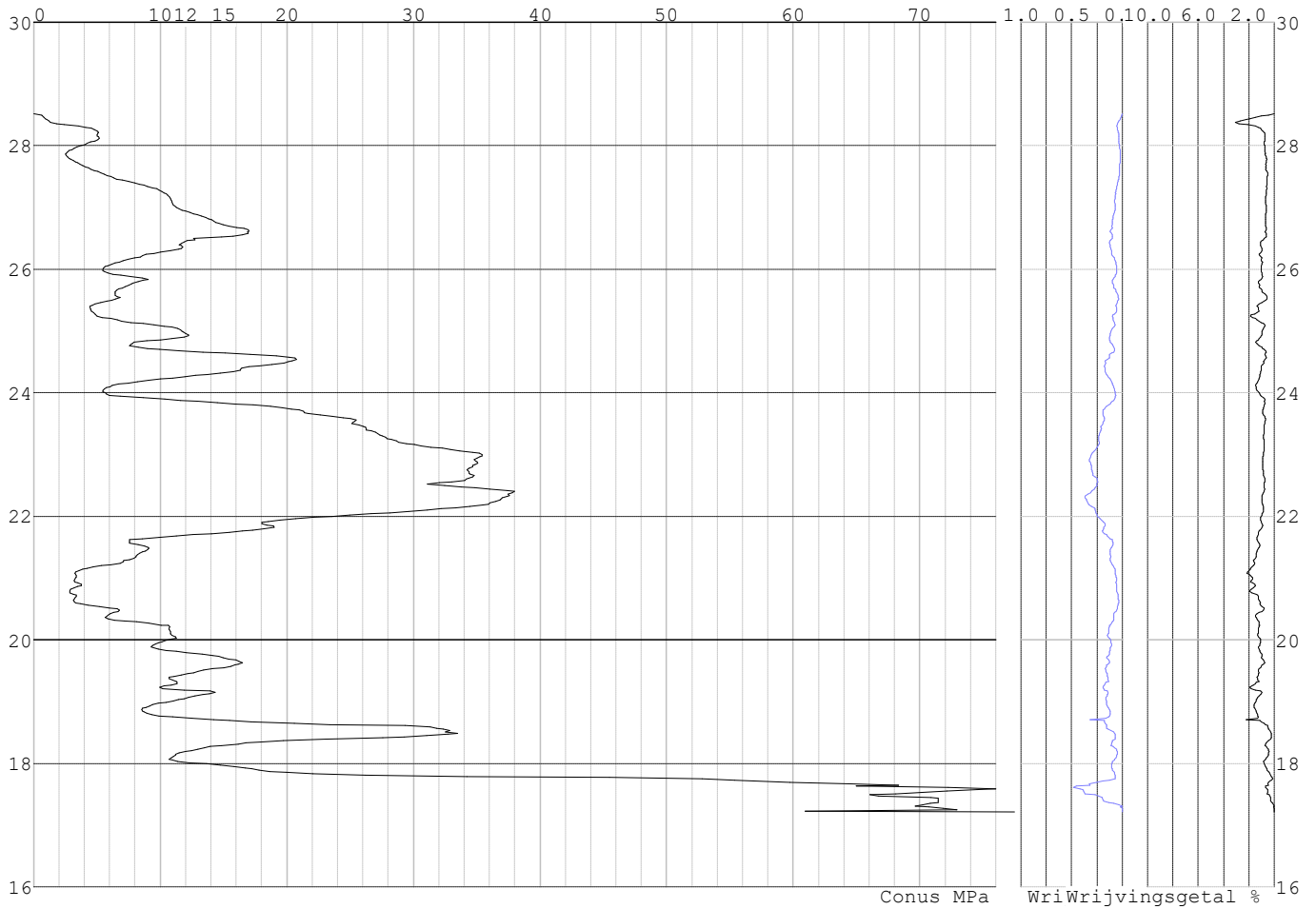


Project :
Onderdeel :

SONDERINGSGEGEVENS ALGEMEEN: S012-2

Alle niveaus/hogtes/peilmaten zijn t.o.v.: N.A.P.
Hoogte maaiveld [m] : 28.52 Bodemprofiel: S012-2
Traject negatieve kleef : 28.52 tot 28.20 [m]
Traject positieve kleef : 28.20 tot 17.21 [m]

SONDERINGSGEGEVENS GRAFIEK: S012-2

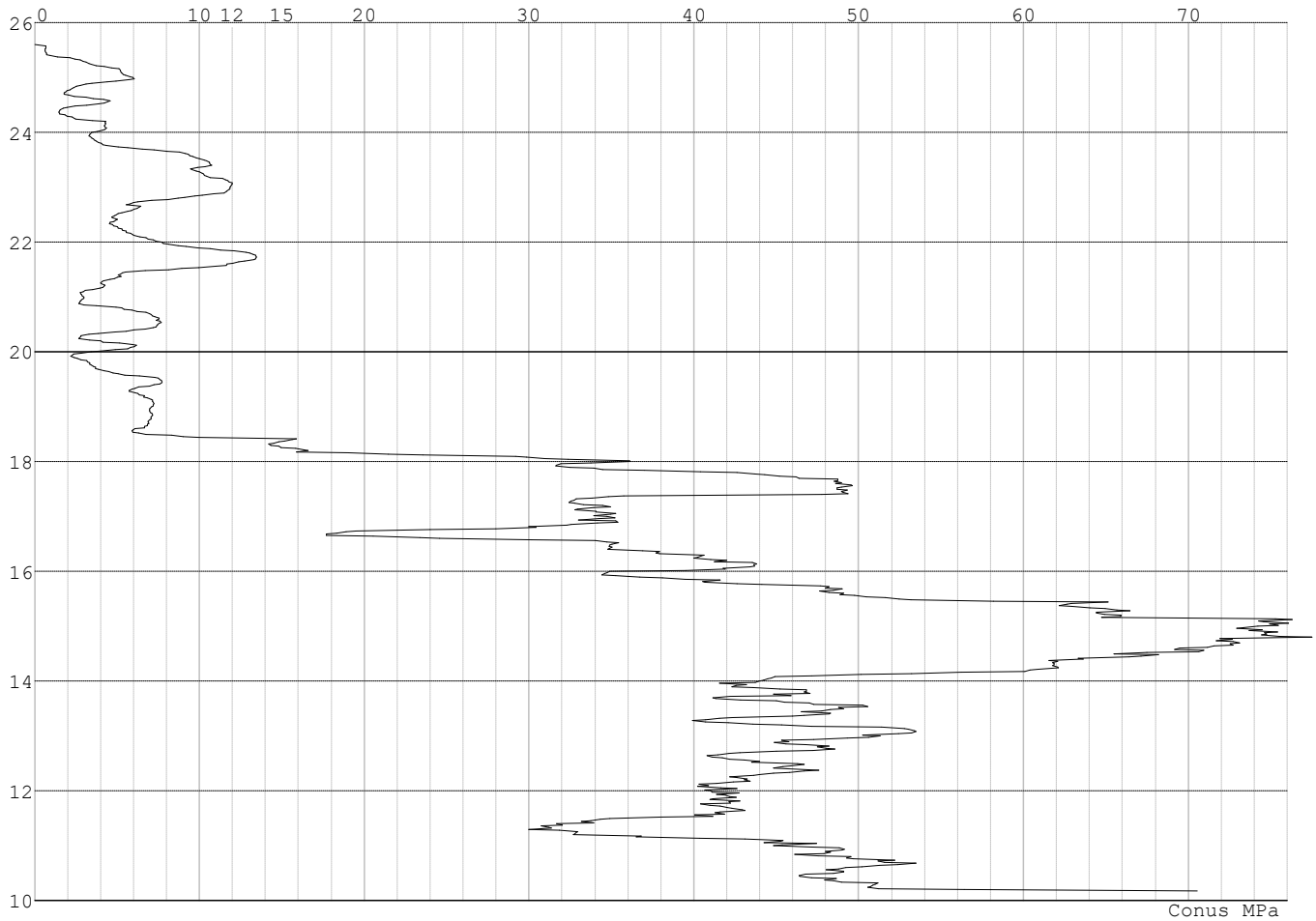


Project :
Onderdeel :

SONDERINGSGEGEVENS ALGEMEEN: S017-1

Alle niveaus/hogtes/peilmaten zijn t.o.v.: N.A.P.
Hoogte maaiveld [m] : 25.60 Bodemprofiel: S017-1
Traject negatieve kleeft : 25.60 tot 23.70 [m]
Traject positieve kleeft : 23.70 tot 10.18 [m]

SONDERINGSGEGEVENS GRAFIEK: S017-1

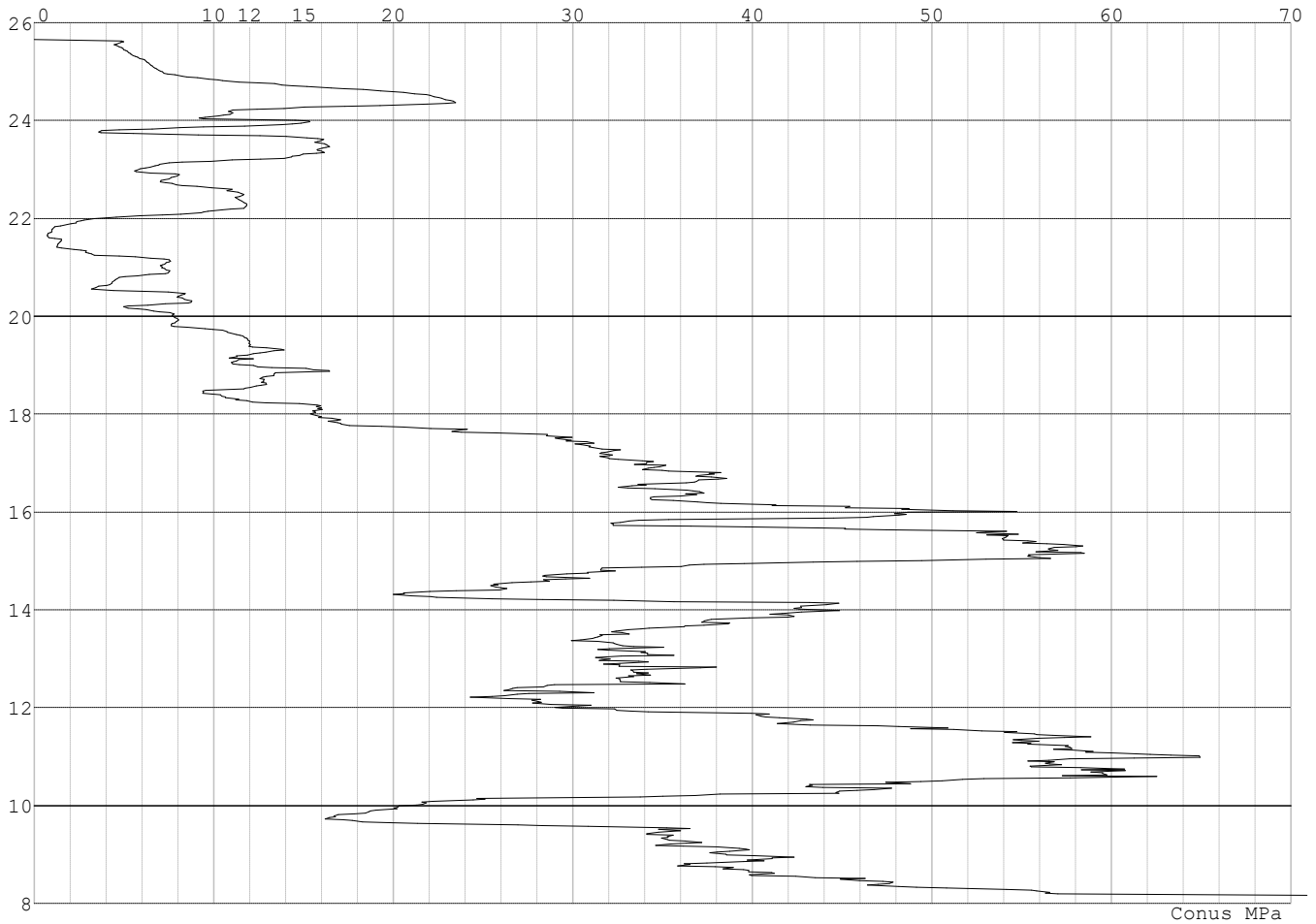


Project :
Onderdeel :

SONDERINGSGEGEVENS ALGEMEEN: S017-2

Alle niveaus/hogtes/peilmaten zijn t.o.v.: N.A.P.
Hoogte maaiveld [m] : 25.65 Bodemprofiel: S017-2
Traject negatieve kleef : 25.65 tot 25.10 [m]
Traject positieve kleef : 25.10 tot 8.17 [m]

SONDERINGSGEGEVENS GRAFIEK: S017-2

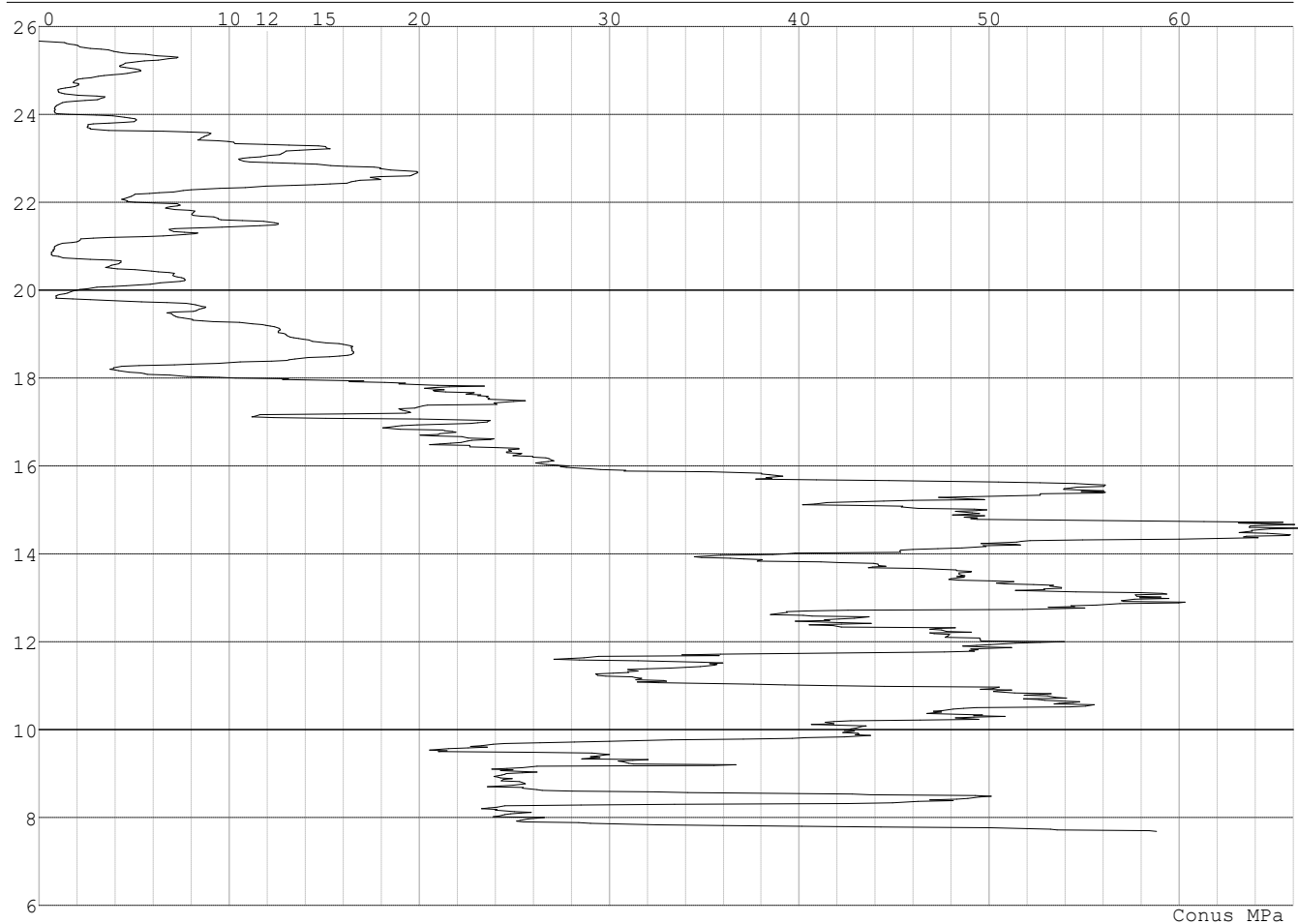


Project :
 Onderdeel :

SONDERINGSGEGEVENS ALGEMEEN: S017-3

Alle niveaus/hogtes/peilmaten zijn t.o.v.: N.A.P.
 Hoogte maaiveld [m] : 25.66 Bodemprofiel: S017-3
 Traject negatieve kleeft : 25.66 tot 23.90 [m]
 Traject positieve kleeft : 23.90 tot 7.68 [m]

SONDERINGSGEGEVENS GRAFIEK: S017-3

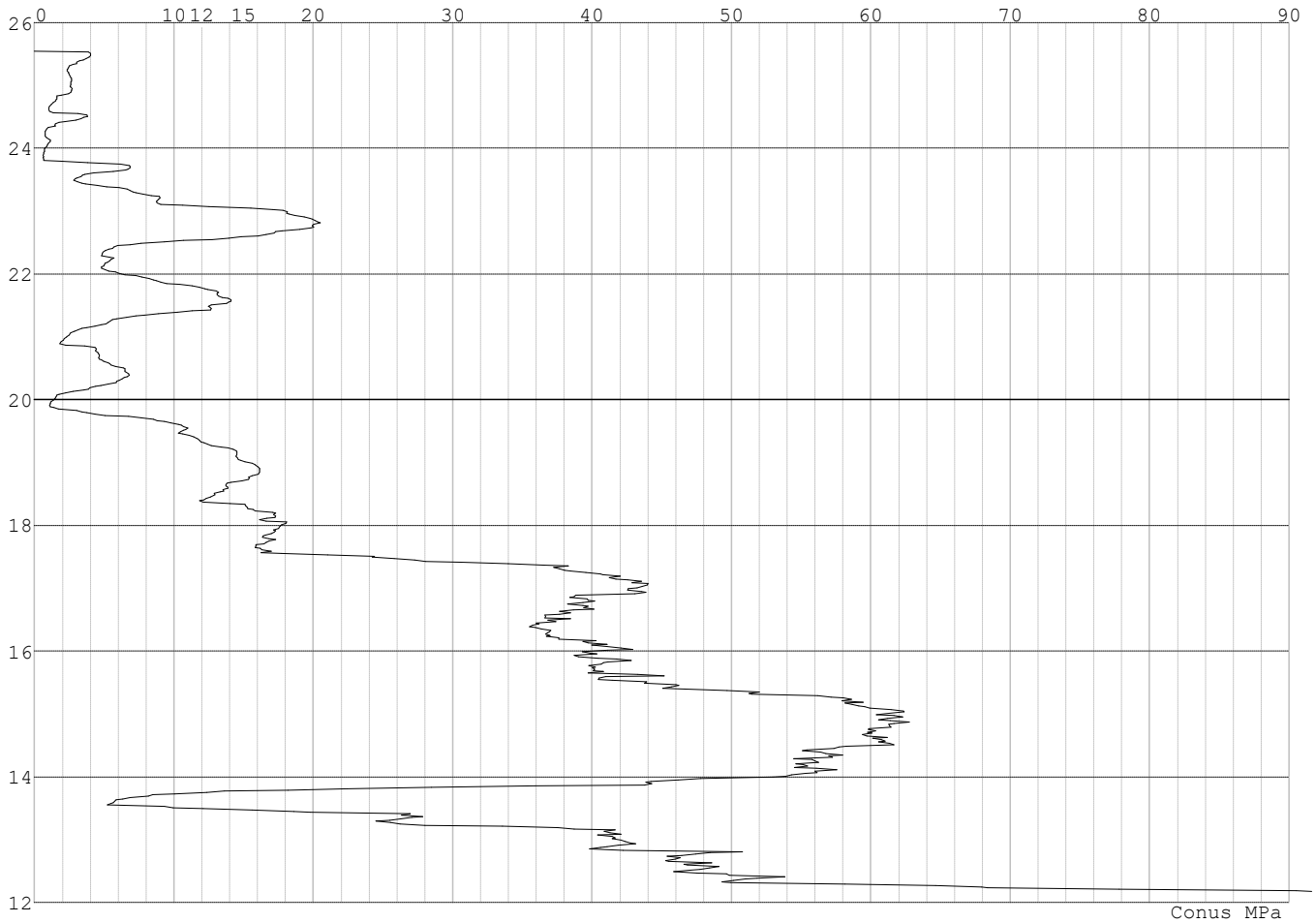


Project :
Onderdeel :

SONDERINGSGEGEVENS ALGEMEEN: S017-4

Alle niveaus/hogtes/peilmaten zijn t.o.v.: N.A.P.
Hoogte maaiveld [m] : 25.55 Bodemprofiel: S017-4
Traject negatieve kleeft : 25.55 tot 23.80 [m]
Traject positieve kleeft : 23.80 tot 12.17 [m]

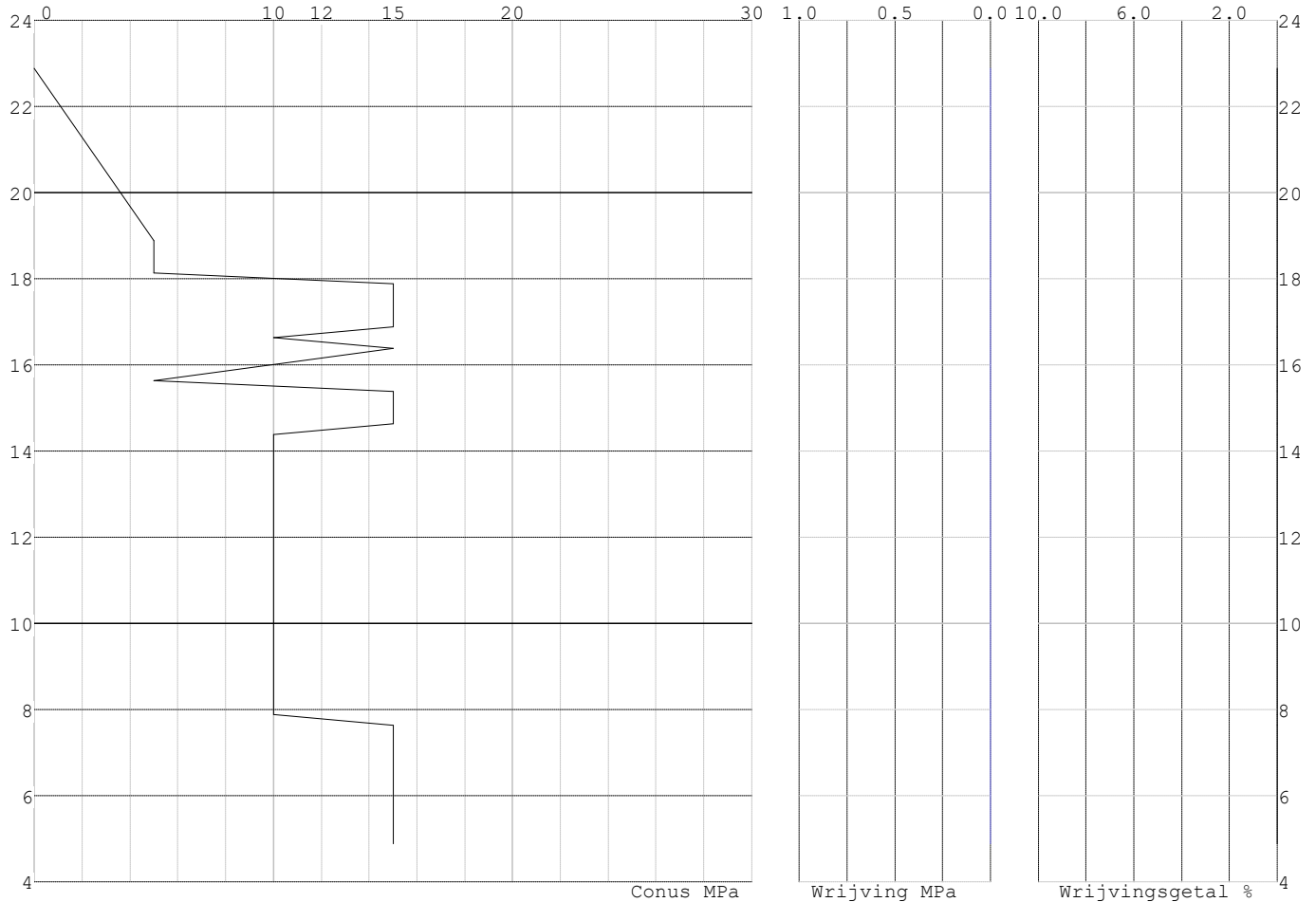
SONDERINGSGEGEVENS GRAFIEK: S017-4



Project :
Onderdeel :

SONDERINGSGEGEVENS ALGEMEEN: Slag 011

Alle niveaus/hoogtes/peilmaten zijn t.o.v.: N.A.P.
 Hoogte maaiveld [m] : 22.88 Bodemprofiel: Slag 011
 Traject negatieve kleeft : 22.88 tot 18.88 [m]
 Traject positieve kleeft : 18.88 tot 4.88 [m]

SONDERINGSGEGEVENS GRAFIEK: Slag 011**REKENGEGEVENS Mast 011**

Berekening : Controlerend
 Rekenmethode : Trekpalen volgens NEN-EN 1997-1, art. 7.6.3
 Sondering(en) : Slag 011
 Let op: trekcapaciteit t.p.v. negatief kleefttraject is meegerekend.

Stijf bouwwerk : NEE
 Paalgroep : NEE
 Aantal sonderingen : 1
 Factor ξ_3 (n=1) : 1.39
 Factor ξ_3 (gem) : 1.39
 Factor ξ_4 (min) : 1.39
 Weerstandsfactor γ_R : 1.35
 $\gamma_{m;var;q_c}$: 1.50
 UGT draagvermogen zonder negatieve kleeft : NEE

Paal : Ortbeton
 Niveau paalkop [m] : N.A.P. 22.49
 Paalpuntniveau : N.A.P. 14.99
 $E_{d;1}$ [kN] : 0.00 $E_{d;2}$ [kN] : 0.00
 Bovenbel. [kN/m²] : 0.00

RESULTATEN Mast 011 (n=1)

Project :
Onderdeel :

Sondering : Slag 011

Alle niveaus/hogtes/peilmaten zijn t.o.v.: N.A.P.

Inheinniveau [m]	Effectief inheinniveau [m]	E.G. paal [kN]	$R_{t,cal;k}$ [kN]	$R_{t;d}$ [kN]	$F_{t,tot;1}$ [kN]	U.C.
14.99	14.99	13.1	257.0	257.0	0.0	0.00

SAMENVATTINGSTABEL Mast 011 (n=1)**Uitgangspunten**

- paal : Ortbeton
 - paaltype : Geheide in de grond gevormde betonpaal;terugheidend
 - schachtafmeting : 420 mm
 Paalklassefactor α_p : 1.00
 Factor α_t (tabel 7.c EC 7.1) : 0.0120 (zandlagen; voor kleilagen zie tabel 7.d)
 Correlatiefactor $\xi_{3(n=1)}$: 1.39

Alle niveaus/hogtes/peilmaten zijn t.o.v.: N.A.P.

sondering	maaiveld niveau	paalpunt niveau	Bezijdraagvermogen $R_{t,cal}$ [kN]	Rekenwaarden $R_{t;d}$ [kN]	$R_{t,netto;d}$ [kN]
Slag 011	22.88	14.99	257.0	257.0	257.0

Totaal resultaten Mast 011 (van 1 sonderingen)**Uitgangspunten**

Correlatiefactor ξ_{3gem} (n= 1) : 1.39
 Correlatiefactor ξ_{4min} (n= 1) : 1.39

gebaseerd op sonderingen:

Slag 011

$$R_{t;d} = \min.\{ R_{t,cal;gem}; R_{t,cal;min} \} (7.17) *$$

Inheinniveau
[m]

$$14.99 \quad R_{t;d} = \min.\{ 257.0; 257.0 \} = 257.0$$

*) Bij de trekpaalberekening zijn factoren ξ_3 en ξ_4 al bij de berekening van de conusweerstand $q_{c;z;d}$ in rekening gebracht, evenals factor $\gamma_{s;t}$. Dat is conform de opmerkingen in art. 7.6.3.3 (3) en (4).

Alle niveaus/hogtes/peilmaten zijn t.o.v.: N.A.P.

Inheinniveau [m]	$R_{t;k}$ [kN]	$R_{t;d}$ [kN]	$F_{t,tot;1}$ [kN]	$R_{t,netto;d}$ [kN]	U.C.
14.99	257.0	257.0	0.0	257.0	0.00

REKENGEGEVENS Mast 012

Berekening : Controlerend
 Rekenmethode : Trekpalen volgens NEN-EN 1997-1, art. 7.6.3
 Sondering(en) : S012-1, S012-2
 Let op: trekcapaciteit t.p.v. negatief kleeftraject is meegerekend.

Stijf bouwwerk : NEE
 Paalgroep : NEE
 Aantal sonderingen : 2
 Factor ξ_3 (n=1) : 1.39
 Factor ξ_3 (gem) : 1.32
 Factor ξ_4 (min) : 1.32
 Weerstandsfactor γ_R : 1.35
 $\gamma_{m,var;q_c}$: 1.50
 UGT draagvermogen zonder negatieve kleef : NEE

Paal : Ortbeton
 Niveau paalkop [m] : N.A.P. 28.28
 Paalpuntniveau : N.A.P. 20.28
 $E_{d;1}$ [kN] : 0.00
 Bovenbel. [kN/m²] : 0.00

$E_{d;2}$ [kN] : 0.00

Project :
Onderdeel :

RESULTATEN Mast 012 (n=1)**Sondering : S012-1**

Alle niveaus/hogtes/peilmaten zijn t.o.v.: N.A.P.

Inheinniveau [m]	Effectief inheinniveau [m]	E.G. paal [kN]	$R_{t,cal;k}$ [kN]	$R_{t;d}$ [kN]	$F_{t,tot;1}$ [kN]	U.C.
20.28	20.28	14.0	371.8	371.8	0.0	0.00

Sondering : S012-2

Alle niveaus/hogtes/peilmaten zijn t.o.v.: N.A.P.

Inheinniveau [m]	Effectief inheinniveau [m]	E.G. paal [kN]	$R_{t,cal;k}$ [kN]	$R_{t;d}$ [kN]	$F_{t,tot;1}$ [kN]	U.C.
20.28	20.28	14.2	409.7	409.7	0.0	0.00

Project :
Onderdeel :

SAMENVATTINGSTABEL Mast 012 (n=1)**Uitgangspunten**

- paal : Ortbeton
 - paaltype : Geheide in de grond gevormde betonpaal;terugheidend
 - schachtafmeting : 420 mm
 Paalklassefactor α_p : 1.00
 Factor α_t (tabel 7.c EC 7.1) : 0.0120 (zandlagen; voor kleilagen zie tabel 7.d)
 Correlatiefactor $\xi_{3(n=1)}$: 1.39

Alle niveaus/hogtes/peilmaten zijn t.o.v.: N.A.P.

sondering	maaiveld paalpunt		Bezwijkdraagvermogen $R_{t,cal}$ [kN]	Rekenwaarden	
	niveau	niveau		$R_{t,d}$ [kN]	$R_{t,netto,d}$ [kN]
S012-1	28.61	20.28	371.8	371.8	371.8
S012-2	28.52	20.28	409.7	409.7	409.7

Project :
Onderdeel :

SAMENVATTINGSTABEL Mast 012 (van 2 sonderingen)**Uitgangspunten**

- paal : Ortbeton
 - paaltype : Geheide in de grond gevormde betonpaal;terugheidend
 - schachtafmeting : 420 mm
 Paalklassefactor α_p : 1.00
 Factor α_t (tabel 7.c EC 7.1) : 0.0120 (zandlagen; voor kleilagen zie tabel 7.d)
 Correlatiefactor $\xi_{3gem}(n=2)$: 1.32
 Correlatiefactor $\xi_{4min}(n=2)$: 1.32

Alle niveaus/hogtes/peilmaten zijn t.o.v.: N.A.P.

sondering	maaiveld paalpunt		Bezwijkdraagvermogen	
	niveau	niveau	E.G. paal	$R_{t,cal}$
			[kN]	[kN]

met ξ_3 (gem) = 1.32

S012-1	28.61	20.28	14.0	390.8
--------	-------	-------	------	-------

S012-2	28.52	20.28	14.0	430.7
--------	-------	-------	------	-------

		20.28	$R_{t,cal,gem}$	410.7
--	--	-------	-----------------	-------

met ξ_4 (min) = 1.32

S012-1	28.61	20.28	14.0	390.8
--------	-------	-------	------	-------

S012-2	28.52	20.28	14.0	430.7
--------	-------	-------	------	-------

		20.28	$R_{t,cal,min}$	390.8
--	--	-------	-----------------	-------

Totaal resultaten Mast 012 (van 2 sonderingen)

Uitgangspunten

Correlatiefactor $\xi_{3gem}(n=2)$: 1.32

Correlatiefactor $\xi_{4min}(n=2)$: 1.32

gebaseerd op sonderingen:

S012-1 S012-2

$R_{t,d} = \min.\{ R_{t,cal,gem}; R_{t,cal,min} \}$ (7.17) *)

Inheinniveau
[m]

20.28	$R_{t,d} = \min.\{ 410.7; 390.8 \} =$	390.8
-------	---------------------------------------	-------

*) Bij de trekpaalberekening zijn factoren ξ_3 en ξ_4 al bij de berekening van de conusweerstand $q_{c,z;d}$ in rekening gebracht, evenals factor $\gamma_{s;t}$. Dat is conform de opmerkingen in art. 7.6.3.3 (3) en (4).

Alle niveaus/hogtes/peilmaten zijn t.o.v.: N.A.P.

Inheinniveau	$R_{t,k}$	$R_{t,d}$	$F_{t,tot;1}$	$R_{t,netto;d}$	U.C.
[m]	[kN]	[kN]	[kN]	[kN]	
20.28	390.8	390.8	0.0	390.8	0.00

REKENGEGEVENS Mast 017

Berekening : Controlerend
 Rekenmethode : Trekpalen volgens NEN-EN 1997-1, art. 7.6.3
 Sondering(en) : S017-1, S017-2, S017-3, S017-4
 Let op: trekcapaciteit t.p.v. negatief kleeftraject is meegerekend.

Stijf bouwwerk : NEE
 Paalgroep : NEE
 Aantal sonderingen : 4
 Factor ξ_3 (n=1) : 1.39
 Factor ξ_3 (gem) : 1.28
 Factor ξ_4 (min) : 1.03
 Weerstandsfactor γ_R : 1.35
 $\gamma_{m,var;q_c}$: 1.50
 UGT draagvermogen zonder negatieve kleef : NEE

Paal : Ortbeton

Niveau paalkop [m] : N.A.P. 25.17

Paalpuntniveau : N.A.P. 16.17

$E_{d,1}$ [kN] : 0.00

Bovenbel. [kN/m²] : 0.00

$E_{d,2}$ [kN] : 0.00

Project :
Onderdeel :

RESULTATEN Mast 017 (n=1)**Sondering : S017-1**

Alle niveaus/hogtes/peilmaten zijn t.o.v.: N.A.P.

Inheinniveau [m]	Effectief inheinniveau [m]	E.G. paal [kN]	$R_{t,cal;k}$ [kN]	$R_{t;d}$ [kN]	$F_{t,tot;1}$ [kN]	U.C.
16.17	16.17	15.5	420.4	420.4	0.0	0.00

Sondering : S017-2

Alle niveaus/hogtes/peilmaten zijn t.o.v.: N.A.P.

Inheinniveau [m]	Effectief inheinniveau [m]	E.G. paal [kN]	$R_{t,cal;k}$ [kN]	$R_{t;d}$ [kN]	$F_{t,tot;1}$ [kN]	U.C.
16.17	16.17	15.5	469.4	469.4	0.0	0.00

Sondering : S017-3

Alle niveaus/hogtes/peilmaten zijn t.o.v.: N.A.P.

Inheinniveau [m]	Effectief inheinniveau [m]	E.G. paal [kN]	$R_{t,cal;k}$ [kN]	$R_{t;d}$ [kN]	$F_{t,tot;1}$ [kN]	U.C.
16.17	16.17	15.4	415.2	415.2	0.0	0.00

Sondering : S017-4

Alle niveaus/hogtes/peilmaten zijn t.o.v.: N.A.P.

Inheinniveau [m]	Effectief inheinniveau [m]	E.G. paal [kN]	$R_{t,cal;k}$ [kN]	$R_{t;d}$ [kN]	$F_{t,tot;1}$ [kN]	U.C.
16.17	16.17	15.6	446.3	446.3	0.0	0.00

Project :
Onderdeel :

SAMENVATTINGSTABEL Mast 017 (n=1)**Uitgangspunten**

- paal : Ortbeton
 - paaltype : Geheide in de grond gevormde betonpaal;terugheidend
 - schachtafmeting : 420 mm
 Paalklassefactor α_p : 1.00
 Factor α_t (tabel 7.c EC 7.1) : 0.0120 (zandlagen; voor kleilagen zie tabel 7.d)
 Correlatiefactor $\xi_{3(n=1)}$: 1.39

Alle niveaus/hogtes/peilmaten zijn t.o.v.: N.A.P.

sondering	maaiveld paalpunt		Bezwijkdraagvermogen $R_{t,cal}$ [kN]	Rekenwaarden	
	niveau	niveau		$R_{t;d}$ [kN]	$R_{t,netto;d}$ [kN]
S017-1	25.60	16.17	420.4	420.4	420.4
S017-2	25.65	16.17	469.4	469.4	469.4
S017-3	25.66	16.17	415.2	415.2	415.2
S017-4	25.55	16.17	446.3	446.3	446.3

Project :
Onderdeel :

SAMENVATTINGSTABEL Mast 017 (van 4 sonderingen)**Uitgangspunten**

- paal : Ortbeton
 - paaltype : Geheide in de grond gevormde betonpaal;terugheidend
 - schachtafmeting : 420 mm
 Paalklassefactor α_p : 1.00
 Factor α_t (tabel 7.c EC 7.1) : 0.0120 (zandlagen; voor kleilagen zie tabel 7.d)
 Correlatiefactor $\xi_{3gem}(n=4)$: 1.28
 Correlatiefactor $\xi_{4min}(n=4)$: 1.03

Alle niveaus/hogtes/peilmaten zijn t.o.v.: N.A.P.

sondering	maaiveld	paalpunt	Bezwijkdraagvermogen	
	niveau	niveau	E.G. paal	$R_{t,cal}$
			[kN]	[kN]

met $\xi_3(gem) = 1.28$

S017-1	25.60	16.17	15.5	455.2
S017-2	25.65	16.17	15.5	508.4
S017-3	25.66	16.17	15.5	449.5
S017-4	25.55	16.17	15.5	483.3

		16.17	$R_{t,cal,gem}$	474.1
--	--	-------	-----------------	-------

met $\xi_4(min) = 1.03$

S017-1	25.60	16.17	15.5	561.9
S017-2	25.65	16.17	15.5	628.0
S017-3	25.66	16.17	15.5	554.9
S017-4	25.55	16.17	15.5	596.8

		16.17	$R_{t,cal,min}$	554.9
--	--	-------	-----------------	-------

Totaal resultaten Mast 017 (van 4 sonderingen)**Uitgangspunten**

Correlatiefactor $\xi_{3gem}(n=4)$: 1.28
 Correlatiefactor $\xi_{4min}(n=4)$: 1.03

gebaseerd op sonderingen:

S017-1 S017-2 S017-3 S017-4

$$R_{t,d} = \min.\{ R_{t,cal,gem}; R_{t,cal,min} \} (7.17) *$$

Inheinniveau

[m]

$$16.17 \quad R_{t,d} = \min.\{ 474.1; 554.9 \} = 474.1$$

*) Bij de trekpaalberekening zijn factoren ξ_3 en ξ_4 al bij de berekening van de conusweerstand $q_{c;z;d}$ in rekening gebracht, evenals factor $\gamma_{s;t}$. Dat is conform de opmerkingen in art. 7.6.3.3 (3) en (4).

Alle niveaus/hogtes/peilmaten zijn t.o.v.: N.A.P.

Inheinniveau	$R_{t,k}$	$R_{t,d}$	$F_{t,tot,1}$	$R_{t,netto,d}$	U.C.
[m]	[kN]	[kN]	[kN]	[kN]	
16.17	474.1	474.1	0.0	474.1	0.00

PAALGEGEVENS Ortbeton

Type : Geheide in de grond gevormde betonpaal;terugheidend
 Wijze van installeren : Heien
 Wijze van terugwinnen : Heien
 Diameter [m] : 0.420

Project :
Onderdeel :

Elasticiteitsmodulus [N/mm²] : 20000 (Beton)
 Soortelijk gewicht [kN/m³] : 24.0 (Beton)
 Factor α_s (tabel 7.c EC 7.1) : 0.014 (zandlagen; voor kleilagen zie tabel 7.d)
 Factor α_t (tabel 7.c EC 7.1) : 0.0120 (zandlagen; voor kleilagen zie tabel 7.d)
 Paalklassefactor α_p : 1.00
 Paalvoetvormfactor β : 1.00
 Type lastzakkingsdiagram : Grondverdringende paal
 Verm.factor * $\phi'_{j,k}$: 1.00

OVERZICHT NETTO DRAAGVERMOGEN TREKPALEN (n=1)

Netto paal draagvermogen(s) zijn naar beneden toe afgerond op: 1.0 kN nauwkeurig
 Alle niveaus/hoogtes/peilmaten zijn t.o.v.: N.A.P.

sondering	maaiveld paalpunt		$R_{t, netto; d}$ [kN]		
	niveau	niveau	Mast 011	Mast 012	Mast 017
S012-1	28.61	20.28		371	
S012-2	28.52	20.28		409	
S017-1	25.60	16.17			420
S017-2	25.65	16.17			469
S017-3	25.66	16.17			415
S017-4	25.55	16.17			446
Slag 011	22.88	14.99	256		

Project :
Onderdeel :

ALGEMENE GEGEVENS

Project :
Onderdeel :
Datum : 10-12-2021
Bestand : \\Arh7001.verit.dnv.com\projects\EANL_Projects\
10166262 - BBB modelleren funderingen 380
kV\02 Content\03 Calculations\Technosoft
Paalfunderingen\MBT-EHV380\DO\Nieuw
Sonderingen\Mast 020-029.pvw
Berekeningstype : Verticaal belaste paal
Alle niveaus/hogtes/peilmaten zijn t.o.v.: N.A.P.

Toegepaste normen volgens Eurocode met Nederlandse NB

Geotechniek	EN 1997-1:2004	AC:2009	
	NEN-EN 1997-1:2005	C1+A1:2013	NB:2016
	NEN 9997-1:2016	C2:2017	

GRONDSOORTEN

Nr. Omschrijving	$\gamma_{k;1}$ [kN/m ³]	$\gamma_{sat;k;1}$ [kN/m ³]	$\phi'_{k;1}$ [°]	$\gamma_{k;2}$ [kN/m ³]	$\gamma_{sat;k;2}$ [kN/m ³]	$\phi'_{k;2}$ [°]
1 Zand - Schoon - Los	17.00	19.00	30.00	18.00	20.00	32.50
2 Zand - Schoon - Matig	18.00	20.00	32.50	19.00	21.00	35.00
3 Zand - Schoon - Vast	19.00	21.00	35.00	20.00	22.00	40.00
4 Zand - Zwak siltig - Kleiig	18.00	20.00	27.00	19.00	21.00	32.50
5 Zand - Sterk siltig - Kleiig	18.00	20.00	25.00	19.00	21.00	30.00
6 Leem - Zwak zandig - Vast	21.00	21.00	27.50	22.00	22.00	35.00
7 Klei - Schoon - Matig	17.00	17.00	17.50	19.00	19.00	17.50
8 Klei - Schoon - Vast	19.00	19.00	17.50	20.00	20.00	25.00
9 Klei - Zwak zandig - Slap	15.00	15.00	22.50	18.00	18.00	22.50
10 Klei - Zwak zandig - Matig	18.00	18.00	22.50	20.00	20.00	22.50
11 Klei - Zwak zandig - Vast	20.00	20.00	22.50	21.00	21.00	27.50
12 Klei - Organisch - Matig	15.00	15.00	15.00	16.00	16.00	15.00
13 Veen - Matig voorbelast - Matig	12.00	12.00	15.00	13.00	13.00	15.00

BODEMPROFIELGEGEVENS: S028-1

Alle niveaus/hogtes/peilmaten zijn t.o.v.: N.A.P.

d50-reductie is meegenomen overeenkomstig NEN-EN 9997 art. 7.6.2.3 (i)

Hoogte maaiveld [m] : 27.85 Grondwaterstand [m] : 26.85

Laag	Van [m]	Tot [m]	Omschrijving	OCR	Aandeel pos. kleef [%]	α_s	d_{50} [mm]
1	27.85	26.66	Zand - Sterk siltig - Kleiig	1.0	100.0		
2	26.66	25.12	Zand - Schoon - Los	1.0	100.0		
3	25.12	24.88	Leem - Zwak zandig - Vast	1.0	50.0		
4	24.88	24.04	Zand - Sterk siltig - Kleiig	1.0	100.0		
5	24.04	23.78	Leem - Zwak zandig - Vast	1.0	50.0		
6	23.78	22.40	Zand - Schoon - Matig	1.0	100.0		
7	22.40	22.06	Zand - Zwak siltig - Kleiig	1.0	100.0		
8	22.06	21.78	Veen - Matig voorbelast - Matig	1.0	50.0		
9	21.78	20.86	Zand - Schoon - Matig	1.0	100.0		
10	20.86	20.46	Klei - Schoon - Matig	1.0	50.0		
11	20.46	19.30	Zand - Schoon - Matig	1.0	100.0		
12	19.30	18.76	Zand - Sterk siltig - Kleiig	1.0	100.0		
13	18.76	18.40	Leem - Zwak zandig - Vast	1.0	50.0		
14	18.40	18.12	Klei - Zwak zandig - Matig	1.0	50.0		
15	18.12	17.46	Leem - Zwak zandig - Vast	1.0	50.0		
16	17.46	17.10	Zand - Schoon - Los	1.0	100.0		
17	17.10	16.96	Zand - Schoon - Los	1.0	100.0		
18	16.96	12.64	Klei - Schoon - Matig	1.0	50.0		
19	12.64	10.65	Klei - Zwak zandig - Vast	1.0	50.0		
20	10.65	9.95	Zand - Schoon - Matig	1.0	100.0		
21	9.95	9.39	Klei - Zwak zandig - Vast	1.0	50.0		

Project :
Onderdeel :

BODEMPROFIELGEGEVENS: S027-1

Alle niveaus/hogtes/peilmaten zijn t.o.v.: N.A.P.

d50-reductie is meegenomen overeenkomstig NEN-EN 9997 art. 7.6.2.3 (i)

Hoogte maaiveld [m] : 27.54 Grondwaterstand [m] : 26.54

Laag	Van [m]	Tot [m]	Omschrijving	OCR	Aandeel pos. kleef [%]	α_s	d_{50} [mm]
1	27.54	26.28	Zand - Zwak siltig - Kleiig	1.0	100.0		
2	26.28	25.72	Zand - Schoon - Los	1.0	100.0		
3	25.72	24.02	Zand - Zwak siltig - Kleiig	1.0	100.0		
4	24.02	23.14	Zand - Schoon - Matig	1.0	100.0		
5	23.14	22.76	Klei - Zwak zandig - Vast	1.0	50.0		
6	22.76	21.86	Zand - Schoon - Matig	1.0	100.0		
7	21.86	21.46	Zand - Schoon - Los	1.0	100.0		
8	21.46	21.09	Leem - Zwak zandig - Vast	1.0	50.0		
9	21.09	20.07	Zand - Schoon - Vast	1.0	100.0		
10	20.07	19.57	Zand - Sterk siltig - Kleiig	1.0	100.0		
11	19.57	18.49	Klei - Zwak zandig - Matig	1.0	50.0		
12	18.49	17.75	Zand - Zwak siltig - Kleiig	1.0	100.0		
13	17.75	14.03	Klei - Schoon - Matig	1.0	50.0		
14	14.03	11.70	Klei - Zwak zandig - Vast	1.0	50.0		
15	11.70	11.42	Zand - Schoon - Matig	1.0	100.0		
16	11.42	11.30	Klei - Schoon - Vast	1.0	50.0		
17	11.30	10.72	Zand - Schoon - Vast	1.0	100.0		

BODEMPROFIELGEGEVENS: S027-2

Alle niveaus/hogtes/peilmaten zijn t.o.v.: N.A.P.

d50-reductie is meegenomen overeenkomstig NEN-EN 9997 art. 7.6.2.3 (i)

Hoogte maaiveld [m] : 27.48 Grondwaterstand [m] : 26.48

Laag	Van [m]	Tot [m]	Omschrijving	OCR	Aandeel pos. kleef [%]	α_s	d_{50} [mm]
1	27.48	24.44	Zand - Schoon - Los	1.0	100.0		
2	24.44	24.08	Klei - Zwak zandig - Vast	1.0	50.0		
3	24.08	23.25	Zand - Schoon - Matig	1.0	100.0		
4	23.25	22.78	Leem - Zwak zandig - Vast	1.0	50.0		
5	22.78	21.96	Zand - Schoon - Los	1.0	100.0		
6	21.96	21.48	Zand - Zwak siltig - Kleiig	1.0	100.0		
7	21.48	21.18	Klei - Zwak zandig - Slap	1.0	50.0		
8	21.18	19.00	Zand - Zwak siltig - Kleiig	1.0	100.0		
9	19.00	14.05	Klei - Schoon - Matig	1.0	50.0		
10	14.05	12.67	Klei - Zwak zandig - Matig	1.0	50.0		
11	12.67	11.45	Zand - Sterk siltig - Kleiig	1.0	100.0		
12	11.45	11.17	Zand - Schoon - Los	1.0	100.0		
13	11.17	10.83	Zand - Schoon - Vast	1.0	100.0		

BODEMPROFIELGEGEVENS: S025-1

Alle niveaus/hogtes/peilmaten zijn t.o.v.: N.A.P.

d50-reductie is meegenomen overeenkomstig NEN-EN 9997 art. 7.6.2.3 (i)

Hoogte maaiveld [m] : 28.65 Grondwaterstand [m] : 27.65

Laag	Van [m]	Tot [m]	Omschrijving	OCR	Aandeel pos. kleef [%]	α_s	d_{50} [mm]
1	28.65	23.77	Zand - Zwak siltig - Kleiig	1.0	100.0		
2	23.77	23.01	Zand - Schoon - Matig	1.0	100.0		
3	23.01	22.63	Zand - Sterk siltig - Kleiig	1.0	100.0		
4	22.63	21.79	Zand - Schoon - Vast	1.0	100.0		
5	21.79	21.54	Zand - Schoon - Matig	1.0	100.0		
6	21.54	21.28	Zand - Sterk siltig - Kleiig	1.0	100.0		
7	21.28	20.10	Zand - Zwak siltig - Kleiig	1.0	100.0		
8	20.10	19.82	Leem - Zwak zandig - Vast	1.0	50.0		
9	19.82	19.18	Klei - Zwak zandig - Matig	1.0	50.0		
10	19.18	17.68	Leem - Zwak zandig - Vast	1.0	50.0		
11	17.68	15.18	Klei - Zwak zandig - Matig	1.0	50.0		
12	15.18	12.89	Leem - Zwak zandig - Vast	1.0	50.0		
13	12.89	12.63	Zand - Schoon - Vast	1.0	100.0		
14	12.63	11.99	Zand - Schoon - Los	1.0	100.0		
15	11.99	11.82	Zand - Schoon - Vast	1.0	100.0		

Project :
Onderdeel :

BODEMPROFIELGEGEVENS: S026-1

Alle niveaus/hogtes/peilmaten zijn t.o.v.: N.A.P.

d50-reductie is meegenomen overeenkomstig NEN-EN 9997 art. 7.6.2.3 (i)

Hoogte maaiveld [m] : 28.45 Grondwaterstand [m] : 27.45

Laag	Van [m]	Tot [m]	Omschrijving	OCR	Aandeel pos. kleef [%]	α_s	d_{50} [mm]
1	28.45	23.41	Zand - Zwak siltig - Kleiig	1.0	100.0		
2	23.41	23.03	Klei - Schoon - Matig	1.0	50.0		
3	23.03	22.47	Zand - Zwak siltig - Kleiig	1.0	100.0		
4	22.47	22.03	Klei - Schoon - Matig	1.0	50.0		
5	22.03	21.79	Zand - Zwak siltig - Kleiig	1.0	100.0		
6	21.79	21.53	Klei - Zwak zandig - Vast	1.0	50.0		
7	21.53	20.39	Zand - Schoon - Matig	1.0	100.0		
8	20.39	19.87	Zand - Zwak siltig - Kleiig	1.0	100.0		
9	19.87	19.37	Klei - Organisch - Matig	1.0	50.0		
10	19.37	19.11	Zand - Schoon - Los	1.0	100.0		
11	19.11	17.67	Klei - Schoon - Vast	1.0	50.0		
12	17.67	14.97	Klei - Zwak zandig - Slap	1.0	50.0		
13	14.97	13.85	Klei - Zwak zandig - Matig	1.0	50.0		
14	13.85	12.99	Zand - Sterk siltig - Kleiig	1.0	100.0		
15	12.99	12.17	Leem - Zwak zandig - Vast	1.0	50.0		
16	12.17	11.45	Zand - Sterk siltig - Kleiig	1.0	100.0		
17	11.45	10.41	Leem - Zwak zandig - Vast	1.0	50.0		

BODEMPROFIELGEGEVENS: S026-2

Alle niveaus/hogtes/peilmaten zijn t.o.v.: N.A.P.

d50-reductie is meegenomen overeenkomstig NEN-EN 9997 art. 7.6.2.3 (i)

Hoogte maaiveld [m] : 28.41 Grondwaterstand [m] : 27.41

Laag	Van [m]	Tot [m]	Omschrijving	OCR	Aandeel pos. kleef [%]	α_s	d_{50} [mm]
1	28.41	23.17	Zand - Schoon - Vast	1.0	100.0		
2	23.17	22.95	Zand - Sterk siltig - Kleiig	1.0	100.0		
3	22.95	22.23	Zand - Schoon - Vast	1.0	100.0		
4	22.23	22.11	Zand - Sterk siltig - Kleiig	1.0	100.0		
5	22.11	21.99	Klei - Zwak zandig - Vast	1.0	0.0		
6	21.99	21.85	Zand - Sterk siltig - Kleiig	1.0	100.0		
7	21.85	21.59	Zand - Schoon - Vast	1.0	100.0		
8	21.59	19.85	Zand - Schoon - Vast	1.0	100.0		
9	19.85	19.51	Klei - Zwak zandig - Vast	1.0	0.0		
10	19.51	10.37	Zand - Schoon - Vast	1.0	100.0		

SONDERINGSGEGEVENS ALGEMEEN: S028-1

Alle niveaus/hogtes/peilmaten zijn t.o.v.: N.A.P.

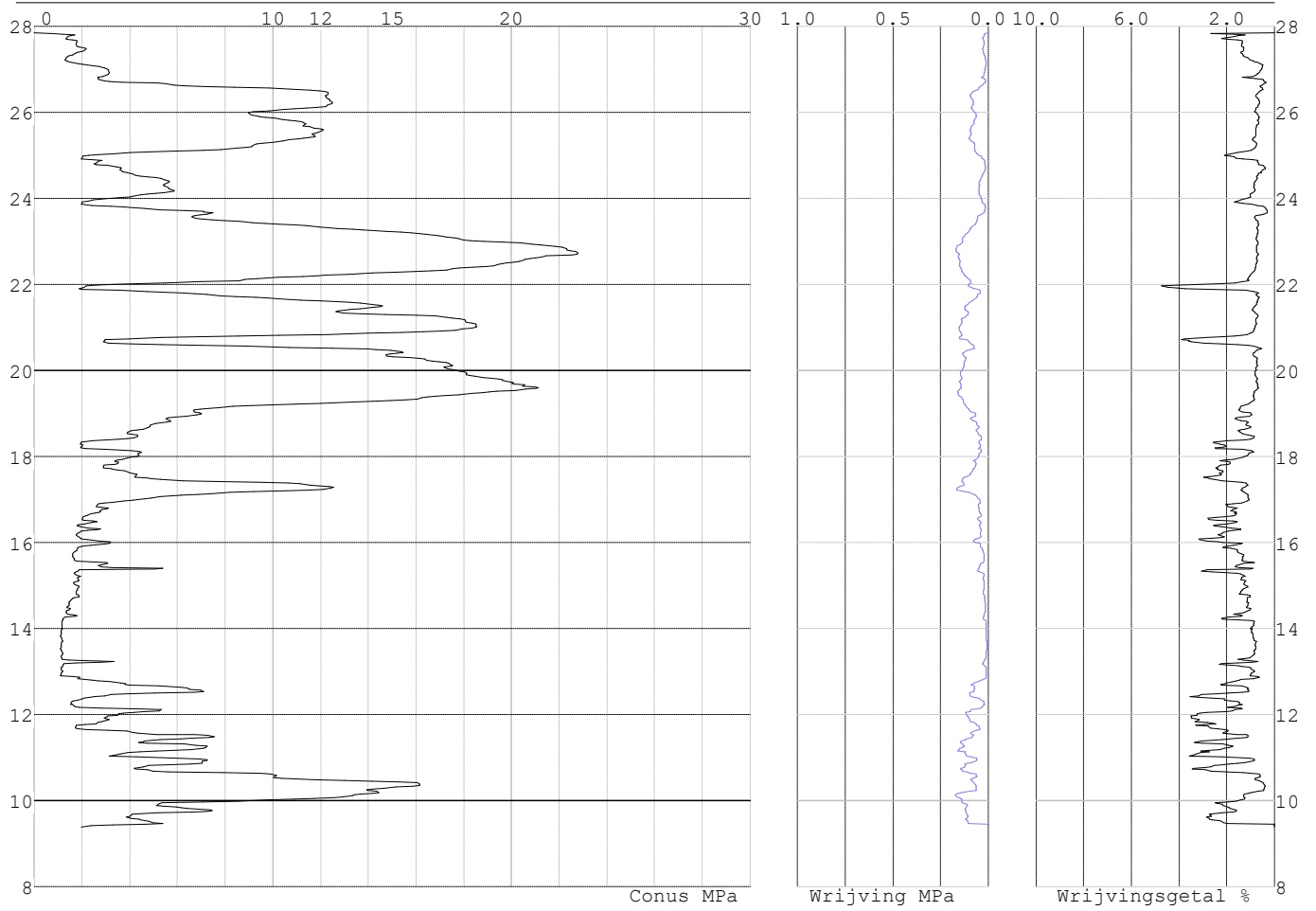
Hoogte maaiveld [m] : 27.85 Bodemprofiel: S028-1

Traject negatieve kleef : 27.85 tot 23.80 [m]

Traject positieve kleef : 23.80 tot 9.38 [m]

Project :
Onderdeel :

SONDERINGSGEGEVENS GRAFIEK: S028-1

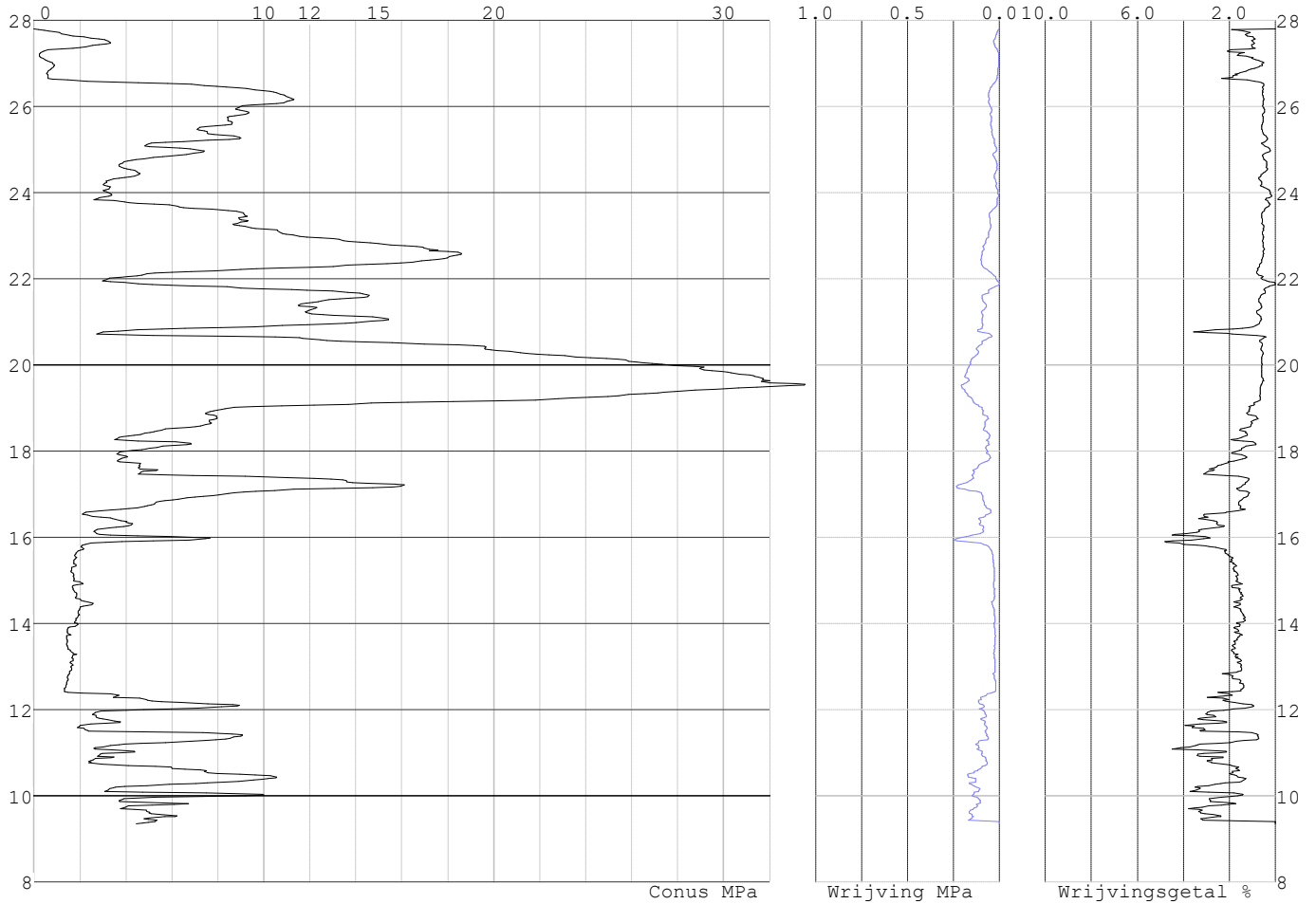


Project :
Onderdeel :

SONDERINGSGEGEVENS ALGEMEEN: S028-2

Alle niveaus/hoogtes/peilmaten zijn t.o.v.: N.A.P.
Hoogte maaiveld [m] : 27.80 Bodemprofiel: S028-1
Traject negatieve kleeft : 27.80 tot 23.70 [m]
Traject positieve kleeft : 23.70 tot 9.34 [m]

SONDERINGSGEGEVENS GRAFIEK: S028-2

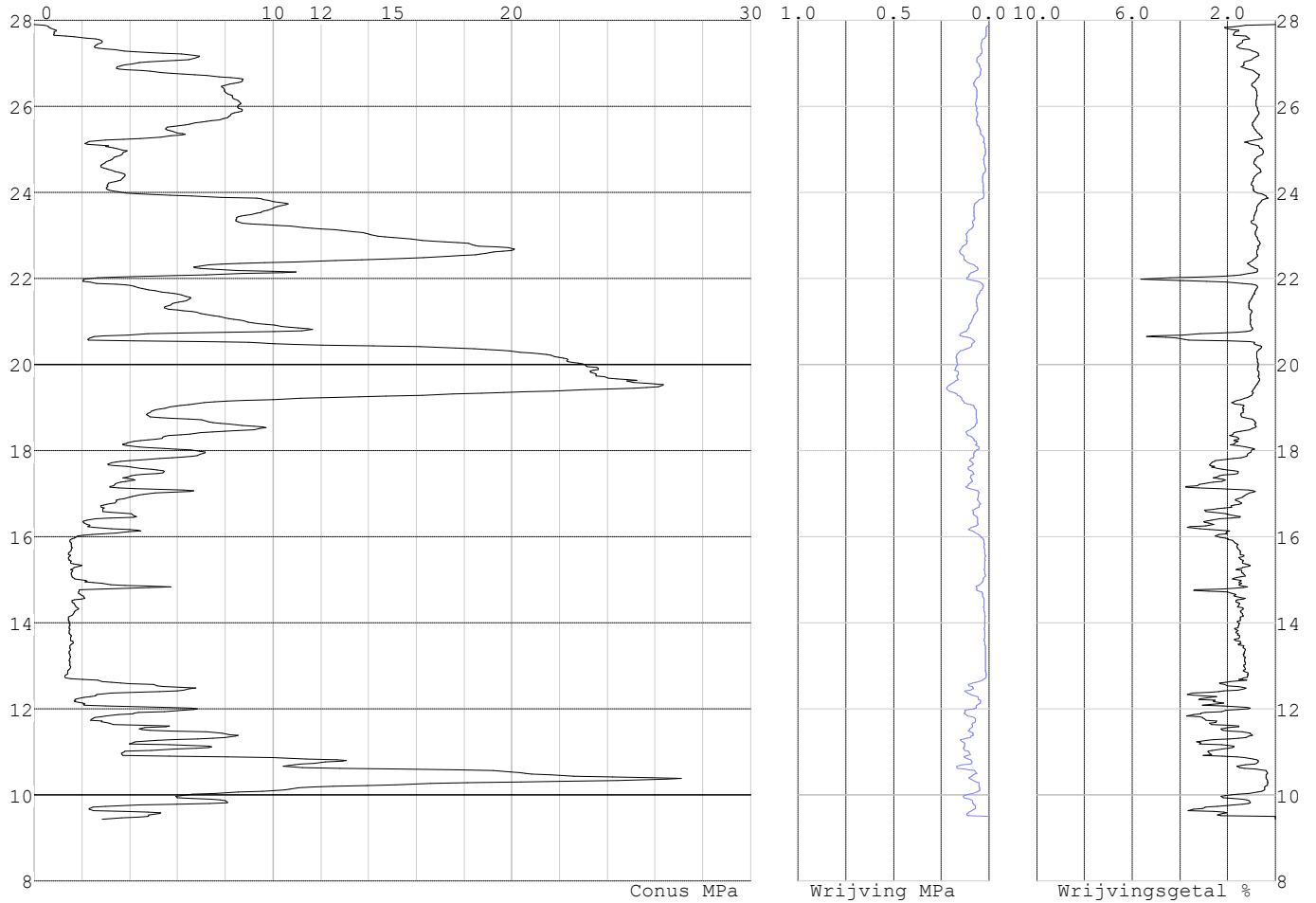


Project :
Onderdeel :

SONDERINGSGEGEVENS ALGEMEEN: S028-3

Alle niveaus/hogtes/peilmaten zijn t.o.v.: N.A.P.
Hoogte maaiveld [m] : 27.90 Bodemprofiel: S028-1
Traject negatieve kleeft : 27.90 tot 23.90 [m]
Traject positieve kleeft : 23.90 tot 9.43 [m]

SONDERINGSGEGEVENS GRAFIEK: S028-3

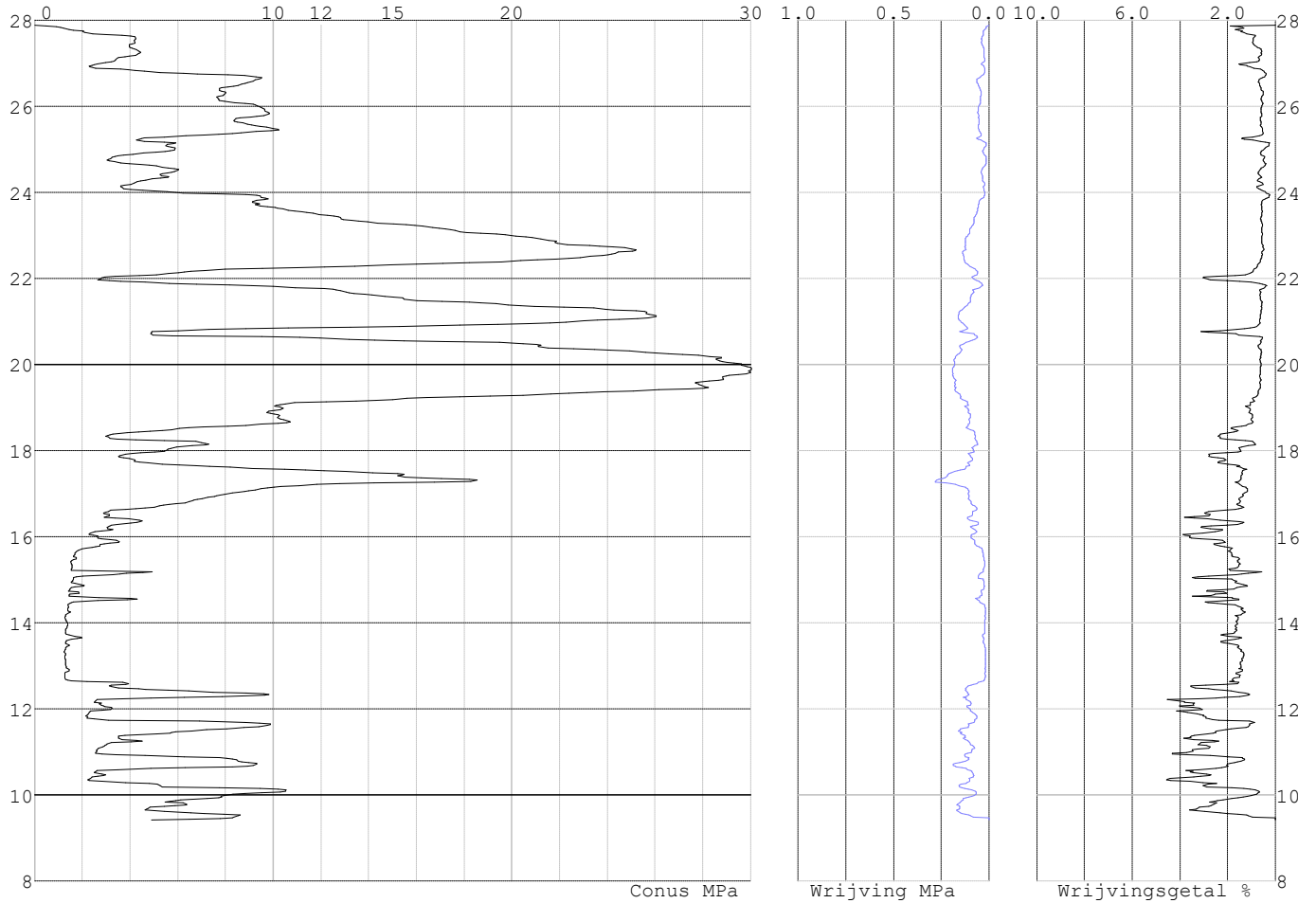


Project :
Onderdeel :

SONDERINGSGEGEVENS ALGEMEEN: S028-4

Alle niveaus/hogtes/peilmaten zijn t.o.v.: N.A.P.
Hoogte maaiveld [m] : 27.88 Bodemprofiel: S028-1
Traject negatieve kleeft : 27.88 tot 23.80 [m]
Traject positieve kleeft : 23.80 tot 9.40 [m]

SONDERINGSGEGEVENS GRAFIEK: S028-4

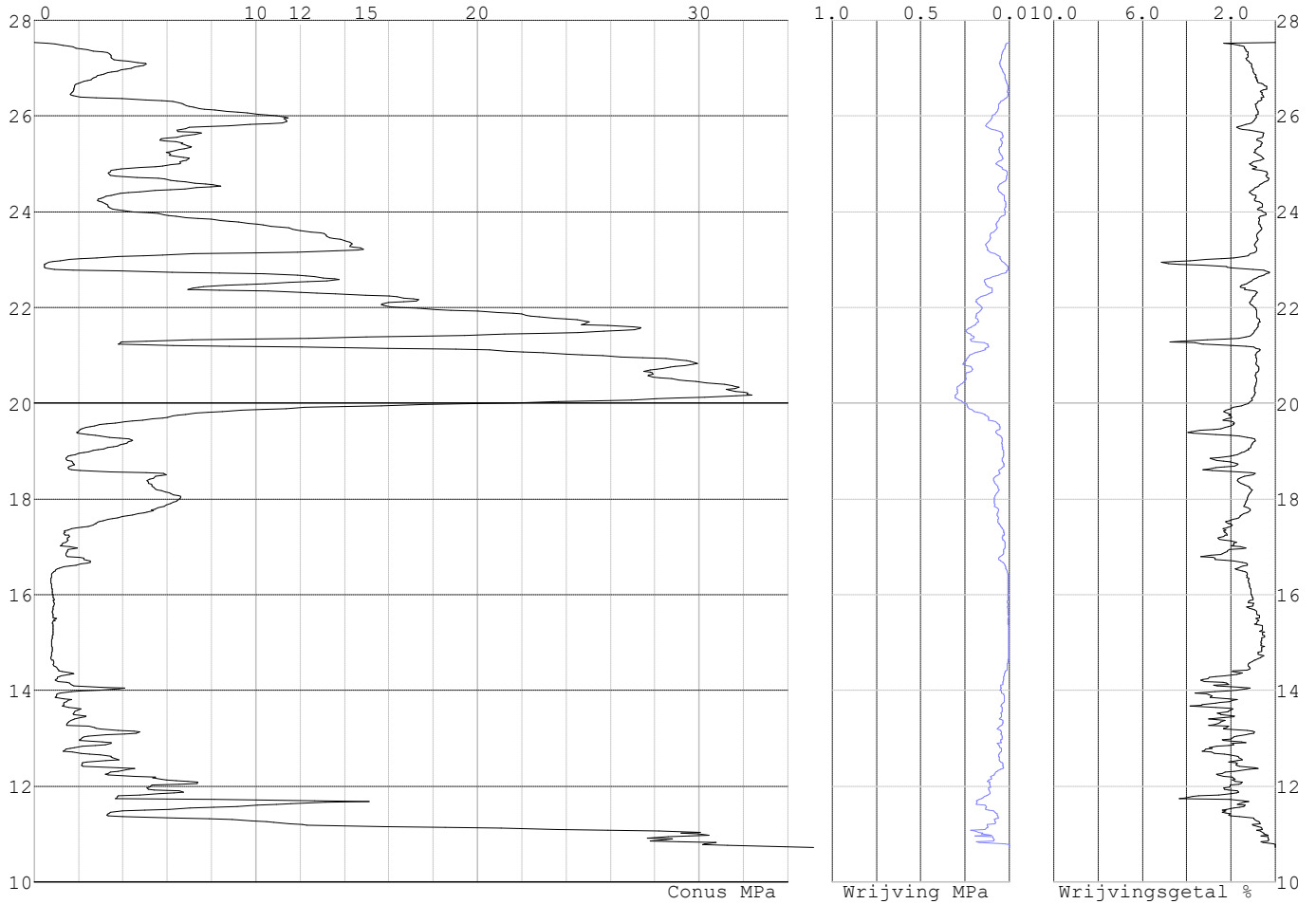


Project :
Onderdeel :

SONDERINGSGEGEVENS ALGEMEEN: S027-1

Alle niveaus/hogtes/peilmaten zijn t.o.v.: N.A.P.
Hoogte maaiveld [m] : 27.54 Bodemprofiel: S027-1
Traject negatieve kleeft : 27.54 tot 26.40 [m]
Traject positieve kleeft : 26.40 tot 10.72 [m]

SONDERINGSGEGEVENS GRAFIEK: S027-1

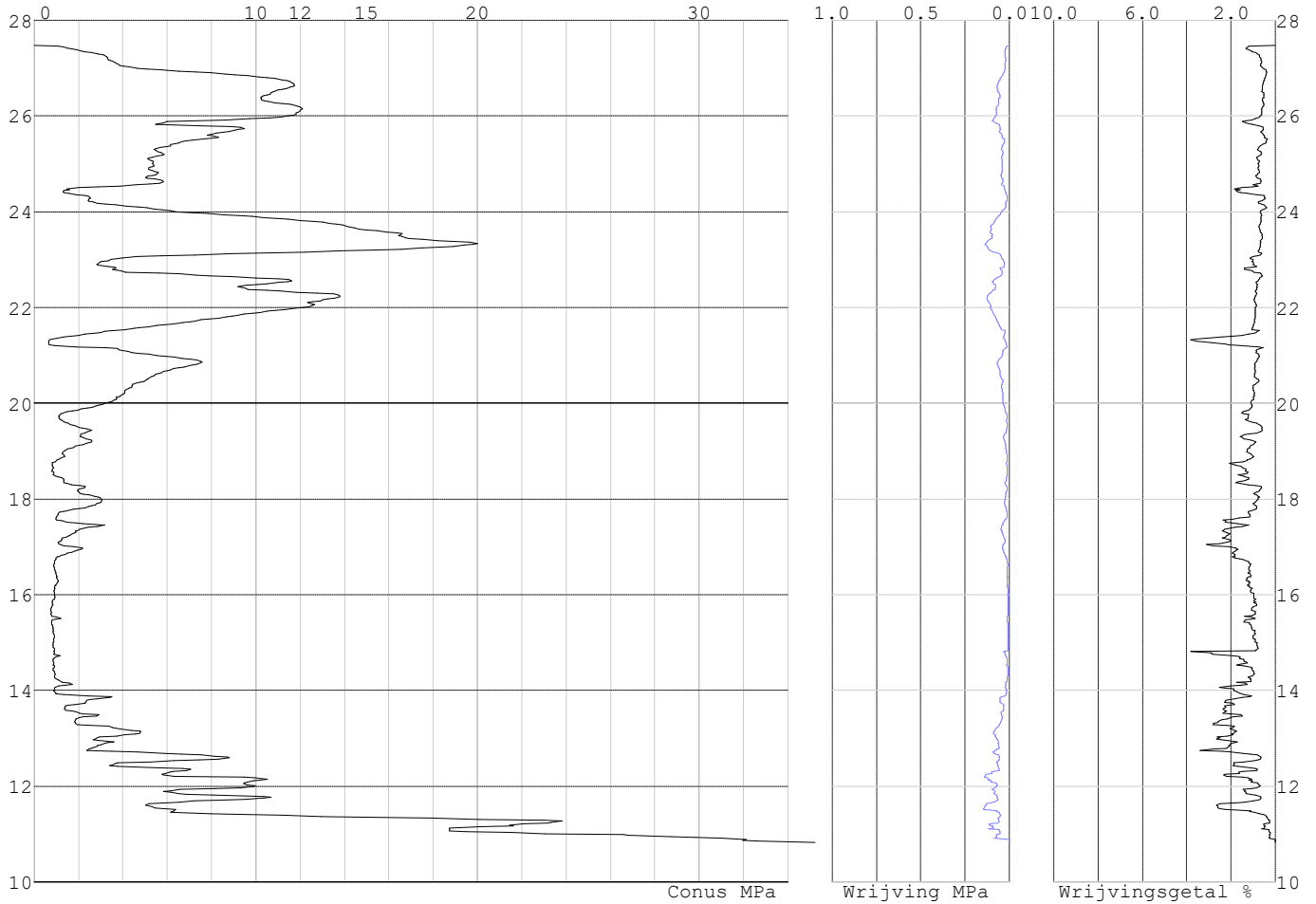


Project :
Onderdeel :

SONDERINGSGEGEVENS ALGEMEEN: S027-2

Alle niveaus/hogtes/peilmaten zijn t.o.v.: N.A.P.
Hoogte maaiveld [m] : 27.48 Bodemprofiel: S027-2
Traject negatieve kleeft : 27.48 tot 27.48 [m]
Traject positieve kleeft : 26.80 tot 10.83 [m]

SONDERINGSGEGEVENS GRAFIEK: S027-2

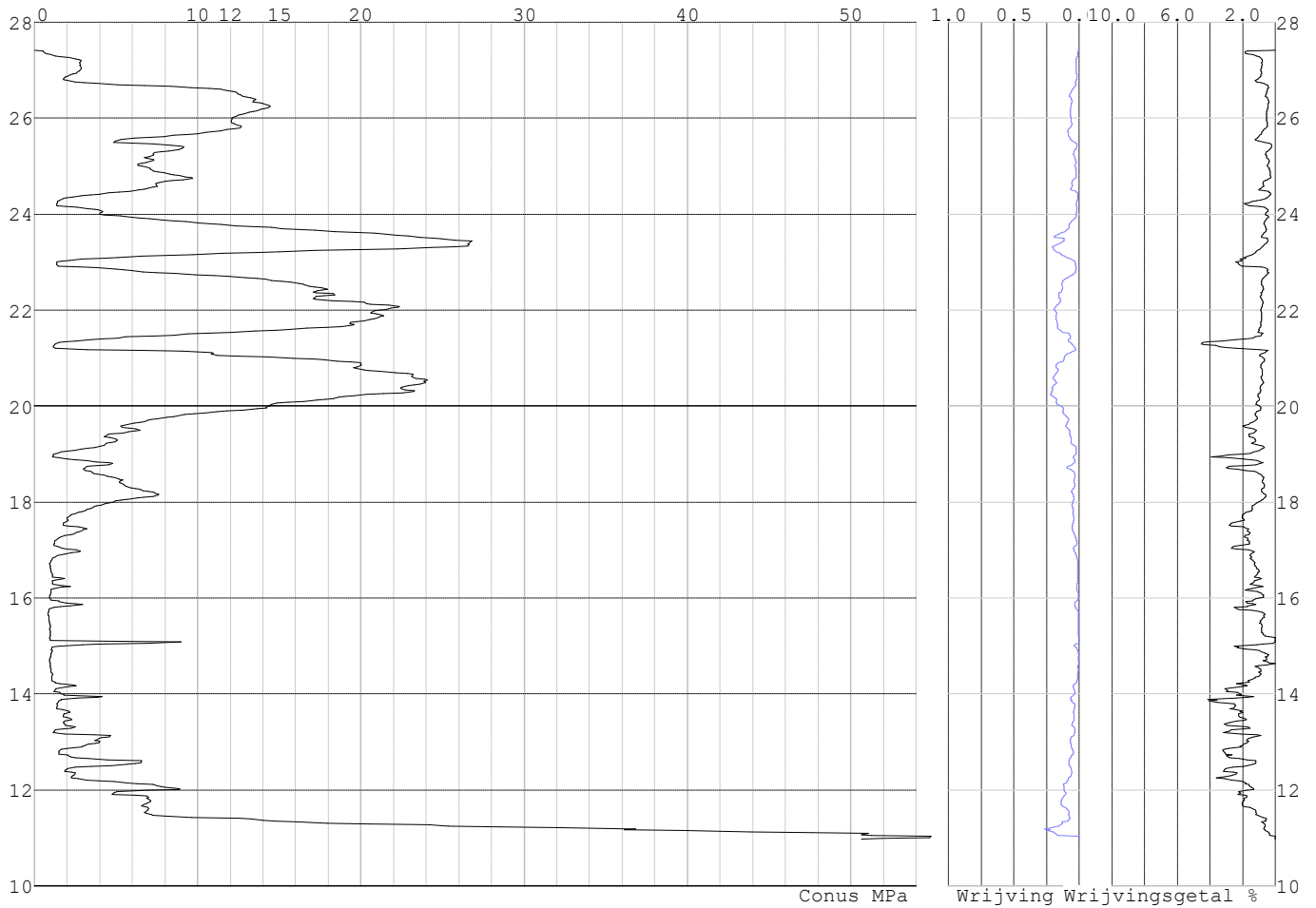


Project :
Onderdeel :

SONDERINGSGEGEVENS ALGEMEEN: S027-3

Alle niveaus/hogtes/peilmaten zijn t.o.v.: N.A.P.
Hoogte maaiveld [m] : 27.42 Bodemprofiel: S027-2
Traject negatieve kleef : 27.42 tot 26.80 [m]
Traject positieve kleef : 26.80 tot 10.97 [m]

SONDERINGSGEGEVENS GRAFIEK: S027-3

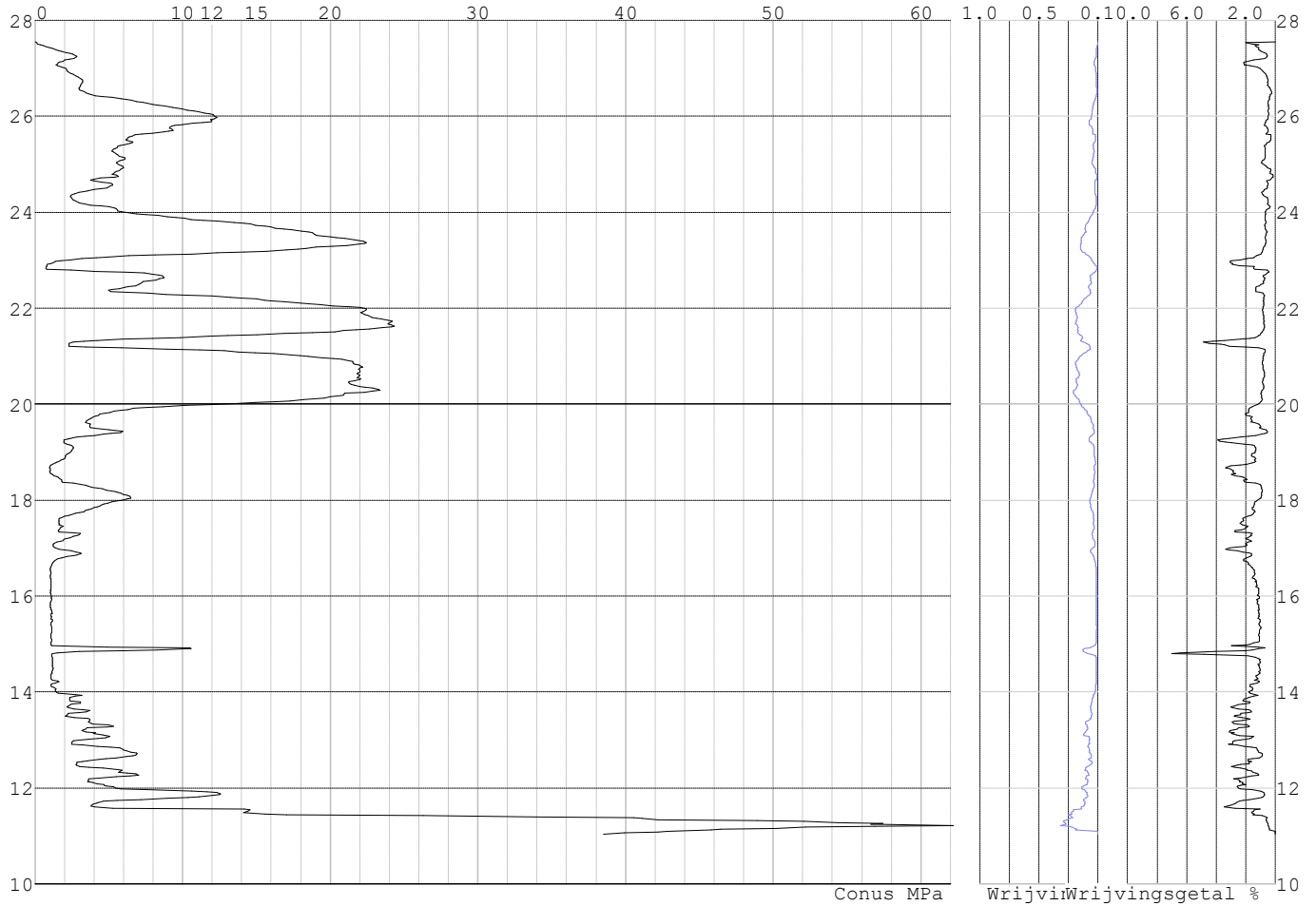


Project :
Onderdeel :

SONDERINGSGEGEVENS ALGEMEEN: S027-4

Alle niveaus/hogtes/peilmaten zijn t.o.v.: N.A.P.
Hoogte maaiveld [m] : 27.55 Bodemprofiel: S027-2
Traject negatieve kleeft : 27.55 tot 26.40 [m]
Traject positieve kleeft : 26.40 tot 11.04 [m]

SONDERINGSGEGEVENS GRAFIEK: S027-4

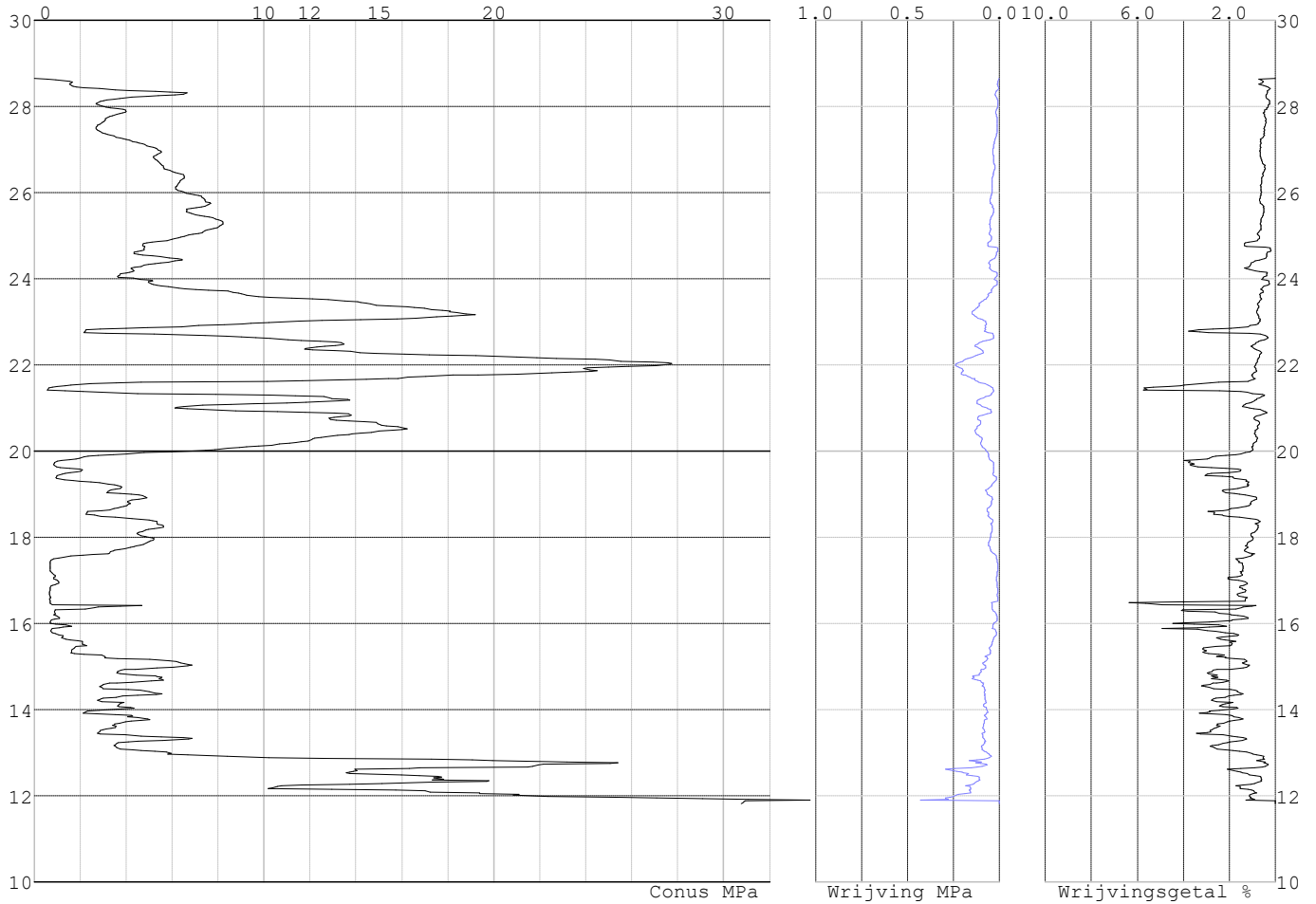


Project :
Onderdeel :

SONDERINGSGEGEVENS ALGEMEEN: S025-1

Alle niveaus/hogtes/peilmaten zijn t.o.v.: N.A.P.
Hoogte maaiveld [m] : 28.65 Bodemprofiel: S025-1
Traject negatieve kleef : 28.65 tot 27.55 [m]
Traject positieve kleef : 27.55 tot 11.82 [m]

SONDERINGSGEGEVENS GRAFIEK: S025-1

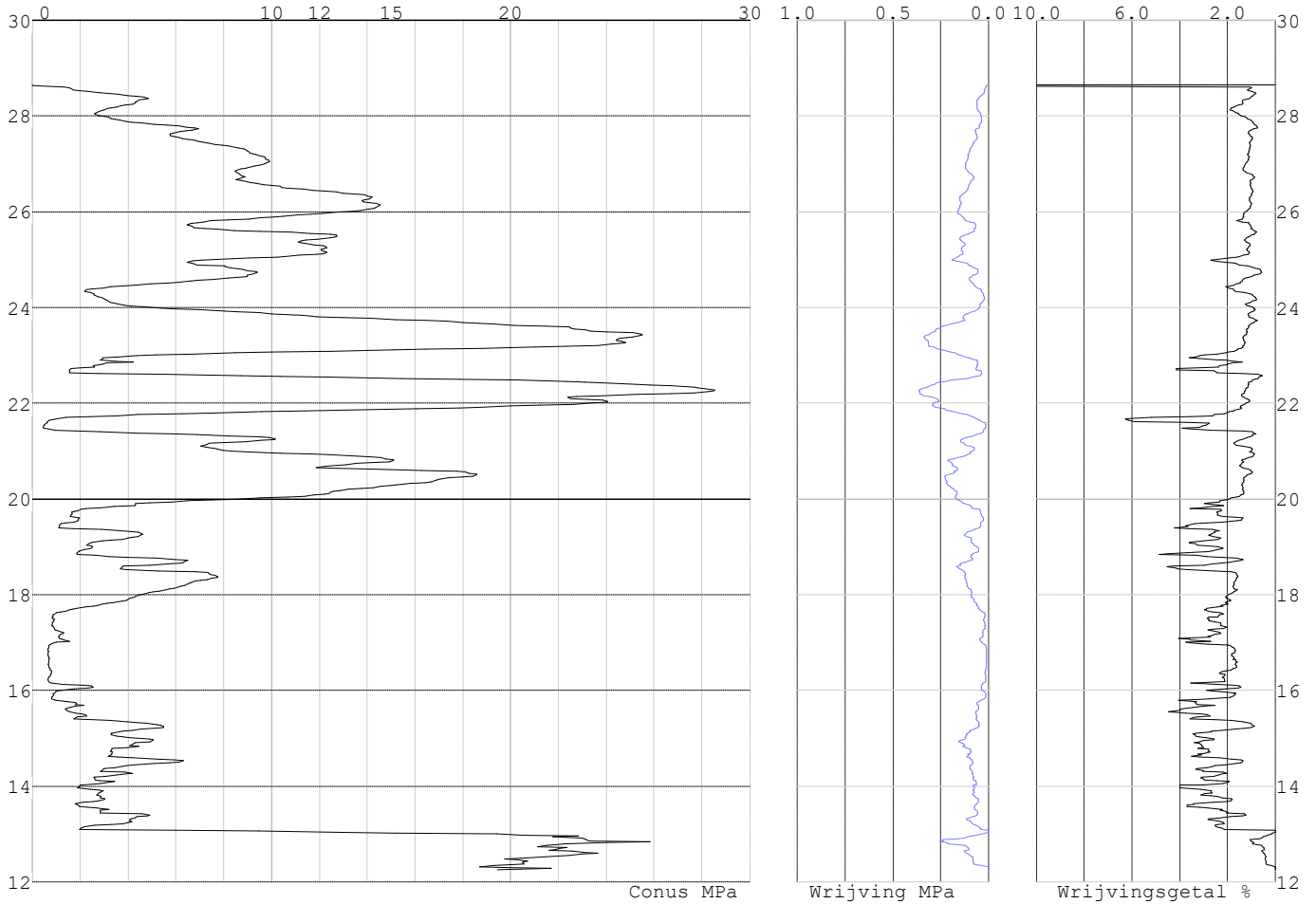


Project :
Onderdeel :

SONDERINGSGEGEVENS ALGEMEEN: S025-2

Alle niveaus/hogtes/peilmaten zijn t.o.v.: N.A.P.
Hoogte maaiveld [m] : 28.65 Bodemprofiel: S025-1
Traject negatieve kleef : 28.65 tot 27.35 [m]
Traject positieve kleef : 27.35 tot 12.26 [m]

SONDERINGSGEGEVENS GRAFIEK: S025-2

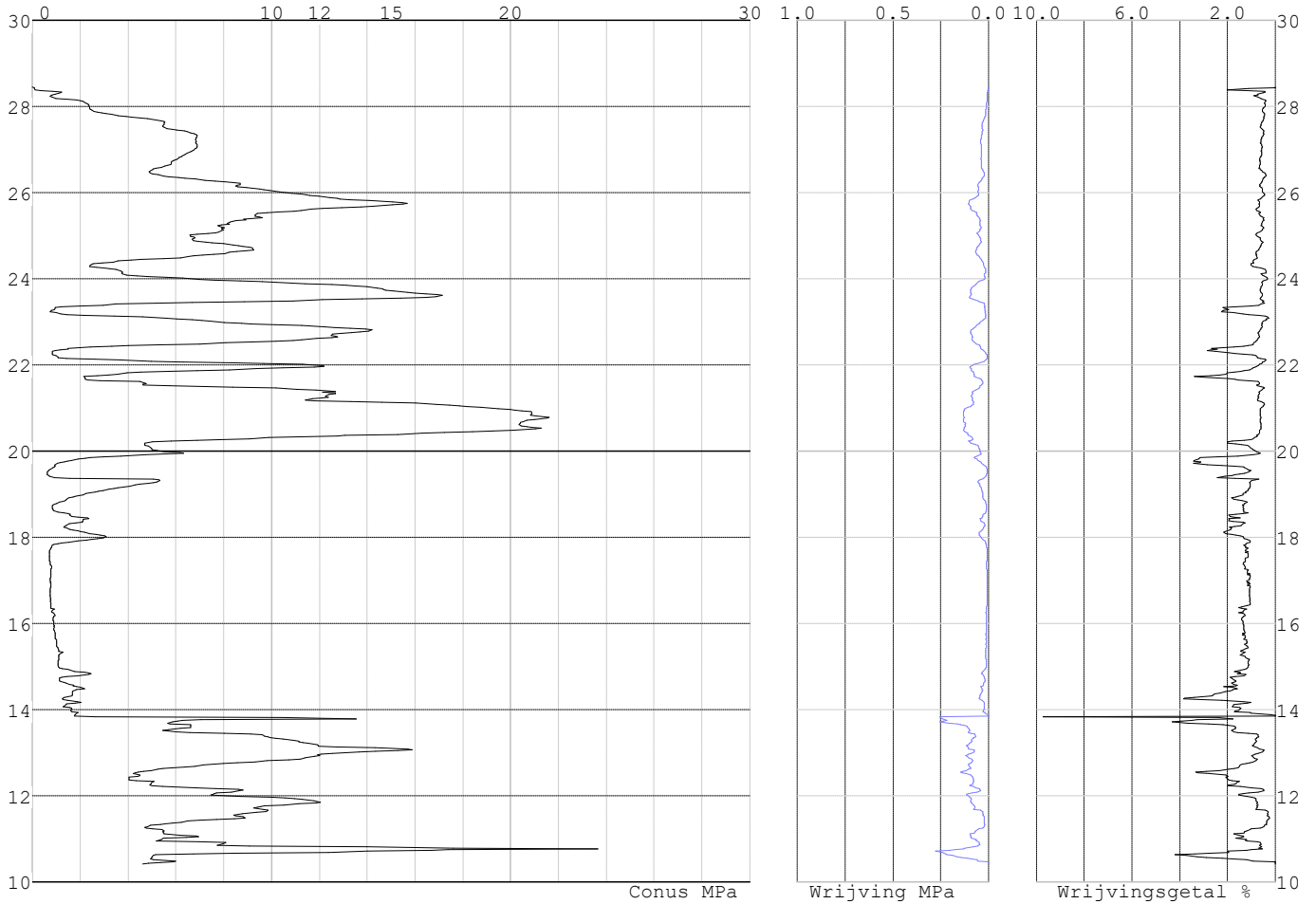


Project :
Onderdeel :

SONDERINGSGEGEVENS ALGEMEEN: S026-1

Alle niveaus/hogtes/peilmaten zijn t.o.v.: N.A.P.
Hoogte maaiveld [m] : 28.45 Bodemprofiel: S026-1
Traject negatieve kleef : 28.45 tot 28.10 [m]
Traject positieve kleef : 28.10 tot 10.41 [m]

SONDERINGSGEGEVENS GRAFIEK: S026-1

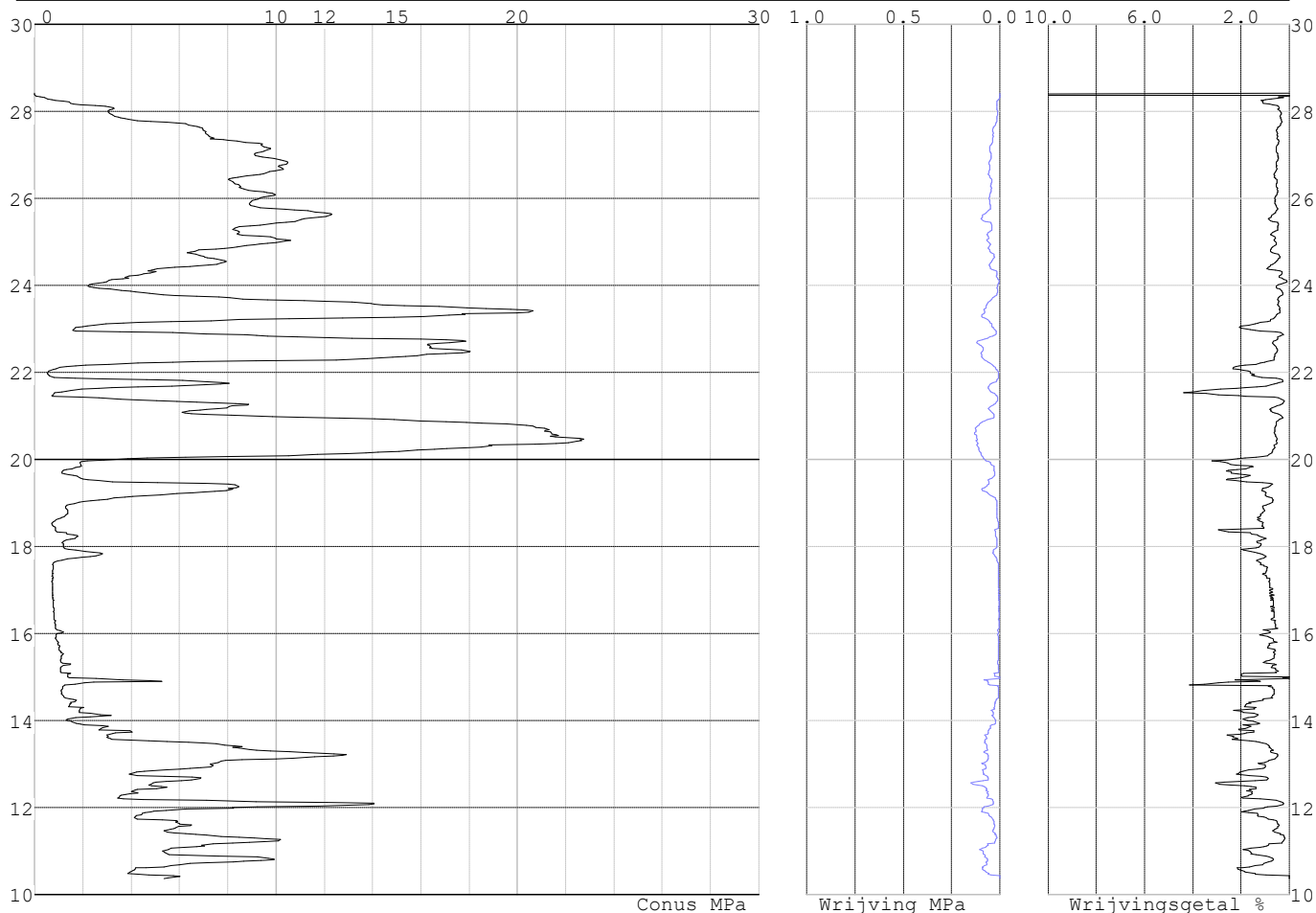


Project :
 Onderdeel :

SONDERINGSGEGEVENS ALGEMEEN: S026-2

Alle niveaus/hogtes/peilmaten zijn t.o.v.: N.A.P.
 Hoogte maaiveld [m] : 28.41 Bodemprofiel: S026-2
 Traject negatieve kleeft : 28.41 tot 27.90 [m]
 Traject positieve kleeft : 27.90 tot 10.37 [m]

SONDERINGSGEGEVENS GRAFIEK: S026-2



REKENEGEVENS Mast 025

Berekening : Controlerend
 Rekenmethode : Trekpalen volgens NEN-EN 1997-1, art. 7.6.3
 Sondering(en) : S025-1, S025-2
 Let op: trekcapaciteit t.p.v. negatief kleefttraject is meegerekend.

Stijf bouwwerk : NEE
 Paalgroep : NEE
 Aantal sonderingen : 2
 Factor ξ_3 (n=1) : 1.39
 Factor ξ_3 (gem) : 1.32
 Factor ξ_4 (min) : 1.32
 Weerstandsfactor γ_R : 1.35
 $\gamma_{m;var;q_c}$: 1.50
 UGT draagvermogen zonder negatieve kleeft : NEE

Paal : LD1
 Niveau paalkop [m] : N.A.P. 28.20
 Paalpuntniveau : N.A.P. 20.70
 $E_{d;1}$ [kN] : 0.00 $E_{d;2}$ [kN] : 0.00
 Bovenbel. [kN/m²] : 0.00

RESULTATEN Mast 025 (n=1)

Project :
Onderdeel :

Sondering : S025-1

Alle niveaus/hogtes/peilmaten zijn t.o.v.: N.A.P.

Inheinniveau [m]	Effectief inheinniveau [m]	E.G. paal [kN]	$R_{t,cal;k}$ [kN]	$R_{t;d}$ [kN]	$F_{t,tot;1}$ [kN]	U.C.
20.70	20.70	24.9	241.6	241.6	0.0	0.00

Sondering : S025-2

Alle niveaus/hogtes/peilmaten zijn t.o.v.: N.A.P.

Inheinniveau [m]	Effectief inheinniveau [m]	E.G. paal [kN]	$R_{t,cal;k}$ [kN]	$R_{t;d}$ [kN]	$F_{t,tot;1}$ [kN]	U.C.
20.70	20.70	24.9	269.6	269.6	0.0	0.00

Project :
Onderdeel :

SAMENVATTINGSTABEL Mast 025 (n=1)**Uitgangspunten**

- paal : LD1
 - paaltype : Stalen buispaal (gesloten)
 - schachtafmeting : 550 mm
 Paalklassefactor α_p : 1.00
 Factor α_t (tabel 7.c EC 7.1) : 0.0070 (zandlagen; voor kleilagen zie tabel 7.d)
 Correlatiefactor $\xi_{3(n=1)}$: 1.39

Alle niveaus/hogtes/peilmaten zijn t.o.v.: N.A.P.

sondering	maaiveld paalpunt		Bezwijkdraagvermogen $R_{t,cal}$ [kN]	Rekenwaarden		
	niveau	niveau		$R_{t,d}$ [kN]	$R_{t,netto,d}$ [kN]	
S025-1	28.65	20.70	241.6	241.6	241.6	
S025-2	28.65	20.70	269.6	269.6	269.6	

Project :
Onderdeel :

SAMENVATTINGSTABEL Mast 025 (van 2 sonderingen)**Uitgangspunten**

- paal : LD1
 - paaltype : Stalen buispaal (gesloten)
 - schachtafmeting : 550 mm
 Paalklassefactor α_p : 1.00
 Factor α_t (tabel 7.c EC 7.1) : 0.0070 (zandlagen; voor kleilagen zie tabel 7.d)
 Correlatiefactor $\xi_{3gem}(n=2)$: 1.32
 Correlatiefactor $\xi_{4min}(n=2)$: 1.32

Alle niveaus/hogtes/peilmaten zijn t.o.v.: N.A.P.

sondering	maaiveld	paalpunt	Bezuikdraagvermogen
	niveau	niveau	E.G. paal $R_{t,cal}$
			[kN] [kN]

met ξ_3 (gem) = 1.32

S025-1	28.65	20.70	24.9	253.0
--------	-------	-------	------	-------

S025-2	28.65	20.70	24.9	282.6
--------	-------	-------	------	-------

		20.70	$R_{t,cal,gem}$	267.8
--	--	-------	-----------------	-------

met ξ_4 (min) = 1.32

S025-1	28.65	20.70	24.9	253.0
--------	-------	-------	------	-------

S025-2	28.65	20.70	24.9	282.6
--------	-------	-------	------	-------

		20.70	$R_{t,cal,min}$	253.0
--	--	-------	-----------------	-------

Totaal resultaten Mast 025 (van 2 sonderingen)

Uitgangspunten

Correlatiefactor $\xi_{3gem}(n=2)$: 1.32

Correlatiefactor $\xi_{4min}(n=2)$: 1.32

gebaseerd op sonderingen:

S025-1 S025-2

$R_{t,d} = \min.\{ R_{t,cal,gem}; R_{t,cal,min} \}$ (7.17) *)

Inheinniveau

[m]

20.70	$R_{t,d} = \min.\{ 267.8; 253.0 \} = 253.0$
-------	---

*) Bij de trekpaalberekening zijn factoren ξ_3 en ξ_4 al bij de berekening van de conusweerstand $q_{c;z,d}$ in rekening gebracht, evenals factor $\gamma_{s;t}$. Dat is conform de opmerkingen in art. 7.6.3.3 (3) en (4).

Alle niveaus/hogtes/peilmaten zijn t.o.v.: N.A.P.

Inheinniveau	$R_{t,k}$	$R_{t,d}$	$F_{t,tot;1}$	$R_{t,netto;d}$	U.C.
[m]	[kN]	[kN]	[kN]	[kN]	
20.70	253.0	253.0	0.0	253.0	0.00

REKENGEGEVENS Mast 026

Berekening : Controlerend

Rekenmethode : Trekpalen volgens NEN-EN 1997-1, art. 7.6.3

Sondering(en) : S026-1, S026-2

Let op: trekcapaciteit t.p.v. negatief kleeftraject is meegerekend.

Stijf bouwwerk : NEE

Paalgroep : NEE

Aantal sonderingen : 2

Factor ξ_3 (n=1) : 1.39

Factor ξ_3 (gem) : 1.32

Factor ξ_4 (min) : 1.32

Weerstandsfactor γ_R : 1.35

$\gamma_{m,var;q_c}$: 1.50

UGT draagvermogen zonder negatieve kleef : NEE

Paal : LD1

Niveau paalkop [m] : N.A.P. 28.05

Paalpuntniveau : N.A.P. 20.55

$E_{d,1}$ [kN] : 0.00

Bovenbel. [kN/m²] : 0.00

$E_{d,2}$ [kN] : 0.00

Project :
Onderdeel :

RESULTATEN Mast 026 (n=1)**Sondering : S026-1**

Alle niveaus/hogtes/peilmaten zijn t.o.v.: N.A.P.

Inheinniveau [m]	Effectief inheinniveau [m]	E.G. paal [kN]	$R_{t,cal;k}$ [kN]	$R_{t;d}$ [kN]	$F_{t,tot;1}$ [kN]	U.C.
20.55	20.55	25.0	258.5	258.5	0.0	0.00

Sondering : S026-2

Alle niveaus/hogtes/peilmaten zijn t.o.v.: N.A.P.

Inheinniveau [m]	Effectief inheinniveau [m]	E.G. paal [kN]	$R_{t,cal;k}$ [kN]	$R_{t;d}$ [kN]	$F_{t,tot;1}$ [kN]	U.C.
20.55	20.55	25.1	246.3	246.3	0.0	0.00

Project :
Onderdeel :

SAMENVATTINGSTABEL Mast 026 (n=1)**Uitgangspunten**

- paal : LD1
 - paaltype : Stalen buispaal (gesloten)
 - schachtafmeting : 550 mm
 Paalklassefactor α_p : 1.00
 Factor α_t (tabel 7.c EC 7.1) : 0.0070 (zandlagen; voor kleilagen zie tabel 7.d)
 Correlatiefactor $\xi_{3(n=1)}$: 1.39

Alle niveaus/hogtes/peilmaten zijn t.o.v.: N.A.P.

sondering	maaiveld paalpunt		Bezwijkdraagvermogen $R_{t,cal}$ [kN]	Rekenwaarden	
	niveau	niveau		$R_{t,d}$ [kN]	$R_{t,netto,d}$ [kN]
S026-1	28.45	20.55	258.5	258.5	258.5
S026-2	28.41	20.55	246.3	246.3	246.3

Project :
Onderdeel :

SAMENVATTINGSTABEL Mast 026 (van 2 sonderingen)**Uitgangspunten**

- paal : LD1
- paaltype : Stalen buispaal (gesloten)
- schachtafmeting : 550 mm
Paalklassefactor α_p : 1.00
Factor α_t (tabel 7.c EC 7.1) : 0.0070 (zandlagen; voor kleilagen zie tabel 7.d)
Correlatiefactor $\xi_{3gem}(n=2)$: 1.32
Correlatiefactor $\xi_{4min}(n=2)$: 1.32

Alle niveaus/hogtes/peilmaten zijn t.o.v.: N.A.P.

sondering	maaiveld niveau	paalpunt niveau	Bezwijkdraagvermogen E.G. paal [kN]	$R_{t,cal}$ [kN]
-----------	--------------------	--------------------	---	---------------------

met ξ_3 (gem) = 1.32

S026-1	28.45	20.55	25.0	270.9
S026-2	28.41	20.55	25.0	258.1

		20.55	$R_{t,cal,gem}$	264.5
--	--	-------	-----------------	-------

met ξ_4 (min) = 1.32

S026-1	28.45	20.55	25.0	270.9
S026-2	28.41	20.55	25.0	258.1

		20.55	$R_{t,cal,min}$	258.1
--	--	-------	-----------------	-------

Totaal resultaten Mast 026 (van 2 sonderingen)

Uitgangspunten

Correlatiefactor $\xi_{3gem}(n=2)$: 1.32
Correlatiefactor $\xi_{4min}(n=2)$: 1.32

gebaseerd op sonderingen:
S026-1 S026-2

$R_{t,d} = \min. \{ R_{t,cal,gem}; R_{t,cal,min} \}$ (7.17) *

Inheinniveau
[m]

20.55	$R_{t,d} = \min. \{ 264.5; 258.1 \} = 258.1$
-------	--

* Bij de trekpaalberekening zijn factoren ξ_3 en ξ_4 al bij de berekening van de conusweerstand $q_{c,z;d}$ in rekening gebracht, evenals factor $\gamma_{s;t}$. Dat is conform de opmerkingen in art. 7.6.3.3 (3) en (4).

Alle niveaus/hogtes/peilmaten zijn t.o.v.: N.A.P.

Inheinniveau [m]	$R_{t,k}$ [kN]	$R_{t,d}$ [kN]	$F_{t,tot;1}$ [kN]	$R_{t,netto;d}$ [kN]	U.C.
20.55	258.1	258.1	0.0	258.1	0.00

REKENGEGEVENS Mast 027

Berekening : Controlerend
Rekenmethode : Trekpalen volgens NEN-EN 1997-1, art. 7.6.3
Sondering(en) : S027-1, S027-2, S027-3, S027-4
Let op: trekcapaciteit t.p.v. negatief kleeftraject is meegerekend.

Stijf bouwwerk : NEE
Paalgroep : NEE
Aantal sonderingen : 4
Factor ξ_3 (n=1) : 1.39
Factor ξ_3 (gem) : 1.28
Factor ξ_4 (min) : 1.03
Weerstandsfactor γ_R : 1.35
 $\gamma_{m,var;q_c}$: 1.50
UGT draagvermogen zonder negatieve kleef : NEE

Paal : LD1
Niveau paalkop [m] : N.A.P. 26.97
Paalpuntniveau : N.A.P. 19.47
 $E_{d,1}$ [kN] : 0.00
Bovenbel. [kN/m²] : 0.00

$E_{d,2}$ [kN] : 0.00

Project :
Onderdeel :

RESULTATEN Mast 027 (n=1)**Sondering : S027-1**

Alle niveaus/hogtes/peilmaten zijn t.o.v.: N.A.P.

Inheinniveau [m]	Effectief inheinniveau [m]	E.G. paal [kN]	$R_{t,cal;k}$ [kN]	$R_{t;d}$ [kN]	$F_{t,tot;1}$ [kN]	U.C.
19.47	19.47	24.6	300.4	300.4	0.0	0.00

Sondering : S027-2

Alle niveaus/hogtes/peilmaten zijn t.o.v.: N.A.P.

Inheinniveau [m]	Effectief inheinniveau [m]	E.G. paal [kN]	$R_{t,cal;k}$ [kN]	$R_{t;d}$ [kN]	$F_{t,tot;1}$ [kN]	U.C.
19.47	19.47	24.8	216.9	216.9	0.0	0.00

Sondering : S027-3

Alle niveaus/hogtes/peilmaten zijn t.o.v.: N.A.P.

Inheinniveau [m]	Effectief inheinniveau [m]	E.G. paal [kN]	$R_{t,cal;k}$ [kN]	$R_{t;d}$ [kN]	$F_{t,tot;1}$ [kN]	U.C.
19.47	19.47	24.8	318.2	318.2	0.0	0.00

Sondering : S027-4

Alle niveaus/hogtes/peilmaten zijn t.o.v.: N.A.P.

Inheinniveau [m]	Effectief inheinniveau [m]	E.G. paal [kN]	$R_{t,cal;k}$ [kN]	$R_{t;d}$ [kN]	$F_{t,tot;1}$ [kN]	U.C.
19.47	19.47	24.8	293.7	293.7	0.0	0.00

Project :
Onderdeel :

SAMENVATTINGSTABEL Mast 027 (n=1)**Uitgangspunten**

- paal : LD1
 - paaltype : Stalen buispaal (gesloten)
 - schachtafmeting : 550 mm
 Paalklassefactor α_p : 1.00
 Factor α_t (tabel 7.c EC 7.1) : 0.0070 (zandlagen; voor kleilagen zie tabel 7.d)
 Correlatiefactor $\xi_{3(n=1)}$: 1.39

Alle niveaus/hogtes/peilmaten zijn t.o.v.: N.A.P.

sondering	maaiveld paalpunt		Bezuikdraagvermogen $R_{t,cal}$ [kN]	Rekenwaarden	
	niveau	niveau		$R_{t,d}$ [kN]	$R_{t,netto,d}$ [kN]
S027-1	27.54	19.47	300.4	300.4	300.4
S027-2	27.48	19.47	216.9	216.9	216.9
S027-3	27.42	19.47	318.2	318.2	318.2
S027-4	27.55	19.47	293.7	293.7	293.7

Project :
Onderdeel :

SAMENVATTINGSTABEL Mast 027 (van 4 sonderingen)**Uitgangspunten**

- paal : LD1
 - paaltype : Stalen buispaal (gesloten)
 - schachtafmeting : 550 mm
 Paalklassefactor α_p : 1.00
 Factor α_t (tabel 7.c EC 7.1) : 0.0070 (zandlagen; voor kleilagen zie tabel 7.d)
 Correlatiefactor $\xi_{3gem}(n=4)$: 1.28
 Correlatiefactor $\xi_{4min}(n=4)$: 1.03

Alle niveaus/hogtes/peilmaten zijn t.o.v.: N.A.P.

sondering	maaiveld niveau	paalpunt niveau	Bezwijkdraagvermogen E.G. paal [kN]	$R_{t,cal}$ [kN]
-----------	--------------------	--------------------	---	---------------------

met ξ_3 (gem) = 1.28

S027-1	27.54	19.47	24.6	324.1
S027-2	27.48	19.47	24.6	233.4
S027-3	27.42	19.47	24.6	343.4
S027-4	27.55	19.47	24.6	316.8

19.47 $R_{t,cal;gem}$ 304.4

met ξ_4 (min) = 1.03

S027-1	27.54	19.47	24.6	396.8
S027-2	27.48	19.47	24.6	284.1
S027-3	27.42	19.47	24.6	420.8
S027-4	27.55	19.47	24.6	387.7

19.47 $R_{t,cal;min}$ 284.1

Totaal resultaten Mast 027 (van 4 sonderingen)**Uitgangspunten**

Correlatiefactor $\xi_{3gem}(n=4)$: 1.28
 Correlatiefactor $\xi_{4min}(n=4)$: 1.03

gebaseerd op sonderingen:

S027-1 S027-2 S027-3 S027-4

$$R_{t;d} = \min.\{ R_{t,cal;gem}; R_{t,cal;min} \} (7.17) *$$

Inheinniveau

[m]

$$19.47 \quad R_{t;d} = \min.\{ 304.4; 284.1 \} = 284.1$$

*) Bij de trekpaalberekening zijn factoren ξ_3 en ξ_4 al bij de berekening van de conusweerstand $q_{c;z;d}$ in rekening gebracht, evenals factor $\gamma_{s;t}$. Dat is conform de opmerkingen in art. 7.6.3.3 (3) en (4).

Alle niveaus/hogtes/peilmaten zijn t.o.v.: N.A.P.

Inheinniveau [m]	$R_{t;k}$ [kN]	$R_{t;d}$ [kN]	$F_{t,tot;1}$ [kN]	$R_{t,netto;d}$ [kN]	U.C.
19.47	284.1	284.1	0.0	284.1	0.00 *

*** WAARSCHUWING n.a.v. NEN-NA 1997-1 art. A.3.3.3 1)**

Bij toepassing van de waarden van ξ_1 , ξ_2 , ξ_3 en ξ_4 van de tabellen A.9 en A.10 mag de variatiecoëfficiënt van de draagkracht van palen in een groep, bepaald volgens de verschillende voor deze groep geldende sonderingen, niet groter zijn dan 12%. Deze variatiecoëfficiënt van 12% geeft bij een kans van onderschrijding van 5% een minimumdraagkracht groter dan 80% van het gemiddelde.

Inheinniveau [m]	Aantal [-]	$R_{t,cal;gem}$ [kN]	Var.coëff. [%]
19.47	4	304.44	16.0

Project :
Onderdeel :

REKENGEDEVENS Mast 028

Berekening : Controlerend
Rekenmethode : Trekpalen volgens NEN-EN 1997-1, art. 7.6.3
Sondering(en) : S028-1, S028-2, S028-3, S028-4
Let op: trekcapaciteit t.p.v. negatief kleeftraject is meegerekend.

Stijf bouwwerk : NEE
Paalgroep : NEE
Aantal sonderingen : 4
Factor ξ_3 (n=1) : 1.39
Factor ξ_3 (gem) : 1.28
Factor ξ_4 (min) : 1.03
Weerstandsfactor γ_R : 1.35
 $\gamma_{m,var;q_c}$: 1.50
UGT draagvermogen zonder negatieve kleeft : NEE

Paal : LD1
Niveau paalkop [m] : N.A.P. 27.39
Paalpuntniveau : N.A.P. 19.39
 $E_{d,1}$ [kN] : 0.00 $E_{d,2}$ [kN] : 0.00
Bovenbel. [kN/m²] : 0.00

RESULTATEN Mast 028 (n=1)**Sondering : S028-1**

Alle niveaus/hogtes/peilmaten zijn t.o.v.: N.A.P.

Inheinniveau [m]	Effectief inheinniveau [m]	E.G. paal [kN]	$R_{t,cal;k}$ [kN]	$R_{t;d}$ [kN]	$F_{t,tot;1}$ [kN]	U.C.
19.39	19.39	26.5	343.3	343.3	0.0	0.00

Sondering : S028-2

Alle niveaus/hogtes/peilmaten zijn t.o.v.: N.A.P.

Inheinniveau [m]	Effectief inheinniveau [m]	E.G. paal [kN]	$R_{t,cal;k}$ [kN]	$R_{t;d}$ [kN]	$F_{t,tot;1}$ [kN]	U.C.
19.39	19.39	26.5	328.7	328.7	0.0	0.00

Sondering : S028-3

Alle niveaus/hogtes/peilmaten zijn t.o.v.: N.A.P.

Inheinniveau [m]	Effectief inheinniveau [m]	E.G. paal [kN]	$R_{t,cal;k}$ [kN]	$R_{t;d}$ [kN]	$F_{t,tot;1}$ [kN]	U.C.
19.39	19.39	26.5	293.8	293.8	0.0	0.00

Sondering : S028-4

Alle niveaus/hogtes/peilmaten zijn t.o.v.: N.A.P.

Inheinniveau [m]	Effectief inheinniveau [m]	E.G. paal [kN]	$R_{t,cal;k}$ [kN]	$R_{t;d}$ [kN]	$F_{t,tot;1}$ [kN]	U.C.
19.39	19.39	26.5	359.5	359.5	0.0	0.00

Project :
Onderdeel :

SAMENVATTINGSTABEL Mast 028 (n=1)**Uitgangspunten**

- paal : LD1
 - paaltype : Stalen buispaal (gesloten)
 - schachtafmeting : 550 mm
 Paalklassefactor α_p : 1.00
 Factor α_t (tabel 7.c EC 7.1) : 0.0070 (zandlagen; voor kleilagen zie tabel 7.d)
 Correlatiefactor $\xi_{3(n=1)}$: 1.39

Alle niveaus/hogtes/peilmaten zijn t.o.v.: N.A.P.

sondering	maaiveld paalpunt		Bezwijkdraagvermogen $R_{t,cal}$ [kN]	Rekenwaarden	
	niveau	niveau		$R_{t;d}$ [kN]	$R_{t,netto;d}$ [kN]
S028-1	27.85	19.39	343.3	343.3	343.3
S028-2	27.80	19.39	328.7	328.7	328.7
S028-3	27.90	19.39	293.8	293.8	293.8
S028-4	27.88	19.39	359.5	359.5	359.5

Project :
Onderdeel :

SAMENVATTINGSTABEL Mast 028 (van 4 sonderingen)**Uitgangspunten**

- paal : LD1
 - paaltype : Stalen buispaal (gesloten)
 - schachtafmeting : 550 mm
 Paalklassefactor α_p : 1.00
 Factor α_t (tabel 7.c EC 7.1) : 0.0070 (zandlagen; voor kleilagen zie tabel 7.d)
 Correlatiefactor $\xi_{3gem}(n=4)$: 1.28
 Correlatiefactor $\xi_{4min}(n=4)$: 1.03

Alle niveaus/hogtes/peilmaten zijn t.o.v.: N.A.P.

sondering	maaiveld paalpunt		Bezwijkdraagvermogen	
	niveau	niveau	E.G. paal	$R_{t,cal}$
			[kN]	[kN]

met ξ_3 (gem) = 1.28

S028-1	27.85	19.39	26.5	370.6
S028-2	27.80	19.39	26.5	354.7
S028-3	27.90	19.39	26.5	316.8
S028-4	27.88	19.39	26.5	388.2

		19.39	$R_{t,cal,gem}$	357.6
--	--	-------	-----------------	-------

met ξ_4 (min) = 1.03

S028-1	27.85	19.39	26.5	454.1
S028-2	27.80	19.39	26.5	434.4
S028-3	27.90	19.39	26.5	387.2
S028-4	27.88	19.39	26.5	476.0

		19.39	$R_{t,cal,min}$	387.2
--	--	-------	-----------------	-------

Totaal resultaten Mast 028 (van 4 sonderingen)**Uitgangspunten**

Correlatiefactor $\xi_{3gem}(n=4)$: 1.28
 Correlatiefactor $\xi_{4min}(n=4)$: 1.03

gebaseerd op sonderingen:

S028-1 S028-2 S028-3 S028-4

$$R_{t,d} = \min.\{ R_{t,cal,gem}; R_{t,cal,min} \} (7.17) *$$

Inheinniveau

[m]

$$19.39 \quad R_{t,d} = \min.\{ 357.6; 387.2 \} = 357.6$$

*) Bij de trekpaalberekening zijn factoren ξ_3 en ξ_4 al bij de berekening van de conusweerstand $q_{c;z;d}$ in rekening gebracht, evenals factor $\gamma_{s;t}$. Dat is conform de opmerkingen in art. 7.6.3.3 (3) en (4).

Alle niveaus/hogtes/peilmaten zijn t.o.v.: N.A.P.

Inheinniveau	$R_{t,k}$	$R_{t,d}$	$F_{t,tot,1}$	$R_{t,netto,d}$	U.C.
[m]	[kN]	[kN]	[kN]	[kN]	
19.39	357.6	357.6	0.0	357.6	0.00

PAALGEGEVENS LD1

Type : Stalen buispaal (gesloten)
 Wijze van installeren : Heien
 Diameter [m] : 0.550
 Wanddikte t [mm] : 4.0

Project :
 Onderdeel :
 Elasticiteitsmodulus [N/mm²] : 200000 (Staal)
 Soortelijk gewicht [kN/m³] : 78.5 (Staal)
 Elasticiteitsmodulus [N/mm²] : 20000 (Beton)
 Soortelijk gewicht [kN/m³] : 24.0 (Beton)
 Factor α_s (tabel 7.c EC 7.1) : 0.010 (zandlagen; voor kleilagen zie tabel 7.d)
 Factor α_t (tabel 7.c EC 7.1) : 0.0070 (zandlagen; voor kleilagen zie tabel 7.d)
 Paalklassefactor α_p : 1.00
 Paalvoetvormfactor β : 1.00
 Type lastzakkingsdiagram : Grondverdringende paal
 Verm.factor * $\phi'_{j,k}$: 0.75
 Groutomhulling : NEE

OVERZICHT NETTO DRAAGVERMOGEN TREKPALEN (n=1)

Netto paal draagvermogen(s) zijn naar beneden toe afgerond op: 1.0 kN nauwkeurig
 Alle niveaus/hogtes/peilmaten zijn t.o.v.: N.A.P.

sondering	maaiveld paalpunt		$R_{t,netto;d}$ [kN]			
	niveau	niveau	Mast 025	Mast 026	Mast 027	Mast 028
S028-1	27.85	19.39				343
S028-2	27.80	19.39				328
S028-3	27.90	19.39				293
S028-4	27.88	19.39				359
S027-1	27.54	19.47			300	
S027-2	27.48	19.47			216	
S027-3	27.42	19.47			318	
S027-4	27.55	19.47			293	
S025-1	28.65	20.70	241			
S025-2	28.65	20.70	269			
S026-1	28.45	20.55		258		
S026-2	28.41	20.55		246		

Project :
Onderdeel :

ALGEMENE GEGEVENS

Project :
Onderdeel :
Datum : 10-12-2021
Bestand : \\Arh7001.verit.dnv.com\projects\EANL_Projects\
10166262 - BBB modelleren funderingen 380
kV\02 Content\03 Calculations\Technosoft
Paalfunderingen\MBT-EHV380\DO\Nieuw
Sonderingen\Mast 030-039.pvw
Berekeningstype : Verticaal belaste paal
Alle niveaus/hogtes/peilmaten zijn t.o.v.: N.A.P.

Toegepaste normen volgens Eurocode met Nederlandse NB

Geotechniek	EN 1997-1:2004	AC:2009	
	NEN-EN 1997-1:2005	C1+A1:2013	NB:2016
	NEN 9997-1:2016	C2:2017	

GRONDSOORTEN

Nr. Omschrijving	$\gamma_{k;1}$ [kN/m ³]	$\gamma_{sat;k;1}$ [kN/m ³]	$\phi'_{k;1}$ [°]	$\gamma_{k;2}$ [kN/m ³]	$\gamma_{sat;k;2}$ [kN/m ³]	$\phi'_{k;2}$ [°]
1 Grind - Zwak siltig - Vast	19.00	21.00	37.50	20.00	22.00	40.00
2 Zand - Schoon - Los	17.00	19.00	30.00	18.00	20.00	32.50
3 Zand - Schoon - Matig	18.00	20.00	32.50	19.00	21.00	35.00
4 Zand - Schoon - Vast	19.00	21.00	35.00	20.00	22.00	40.00
5 Zand - Zwak siltig - Kleiig	18.00	20.00	27.00	19.00	21.00	32.50
6 Zand - Sterk siltig - Kleiig	18.00	20.00	25.00	19.00	21.00	30.00
7 Leem - Zwak zandig - Vast	21.00	21.00	27.50	22.00	22.00	35.00
8 Klei - Schoon - Matig	17.00	17.00	17.50	19.00	19.00	17.50
9 Klei - Schoon - Vast	19.00	19.00	17.50	20.00	20.00	25.00
10 Klei - Zwak zandig - Slap	15.00	15.00	22.50	18.00	18.00	22.50
11 Klei - Zwak zandig - Matig	18.00	18.00	22.50	20.00	20.00	22.50
12 Klei - Zwak zandig - Vast	20.00	20.00	22.50	21.00	21.00	27.50
13 Klei - Sterk zandig	18.00	18.00	27.50	20.00	20.00	32.50
14 Klei - Organisch - Matig	15.00	15.00	15.00	16.00	16.00	15.00
15 Veen - Niet voorbelast - Slap	10.00	10.00	15.00	12.00	12.00	15.00
16 Veen - Matig voorbelast - Matig	12.00	12.00	15.00	13.00	13.00	15.00

BODEMPROFIELGEGEVENS: S034-1

Alle niveaus/hogtes/peilmaten zijn t.o.v.: N.A.P.

d50-reductie is meegenomen overeenkomstig NEN-EN 9997 art. 7.6.2.3 (i)

Laag	Van [m]	Tot [m]	Omschrijving	OCR	Aandeel pos. kleef [%]	α_s	d_{50} [mm]
1	28.98	23.69	Zand - Zwak siltig - Kleiig	1.0	100.0		
2	23.69	23.33	Zand - Schoon - Los	1.0	100.0		
3	23.33	22.75	Zand - Schoon - Vast	1.0	100.0		
4	22.75	21.57	Zand - Sterk siltig - Kleiig	1.0	100.0		
5	21.57	19.27	Zand - Schoon - Vast	1.0	100.0		
6	19.27	19.02	Zand - Schoon - Los	1.0	100.0		
7	19.02	18.50	Klei - Organisch - Matig	1.0	50.0		
8	18.50	18.20	Zand - Schoon - Vast	1.0	100.0		
9	18.20	17.92	Zand - Zwak siltig - Kleiig	1.0	100.0		
10	17.92	14.83	Zand - Schoon - Vast	1.0	100.0		
11	14.83	14.25	Veen - Matig voorbelast - Matig	1.0	50.0		
12	14.25	13.87	Grind - Zwak siltig - Vast	1.0	100.0		
13	13.87	12.99	Zand - Schoon - Matig	1.0	100.0		
14	12.99	10.93	Zand - Schoon - Vast	1.0	100.0		

BODEMPROFIELGEGEVENS: S034-2

Alle niveaus/hogtes/peilmaten zijn t.o.v.: N.A.P.

d50-reductie is meegenomen overeenkomstig NEN-EN 9997 art. 7.6.2.3 (i)

Laag	Van [m]	Tot [m]	Omschrijving	OCR	Aandeel pos. kleef [%]	α_s	d_{50} [mm]
1	28.79	23.72	Zand - Zwak siltig - Kleiig	1.0	100.0		
2	23.72	21.80	Zand - Sterk siltig - Kleiig	1.0	100.0		
3	21.80	21.56	Leem - Zwak zandig - Vast	1.0	50.0		
4	21.56	19.56	Zand - Schoon - Vast	1.0	100.0		

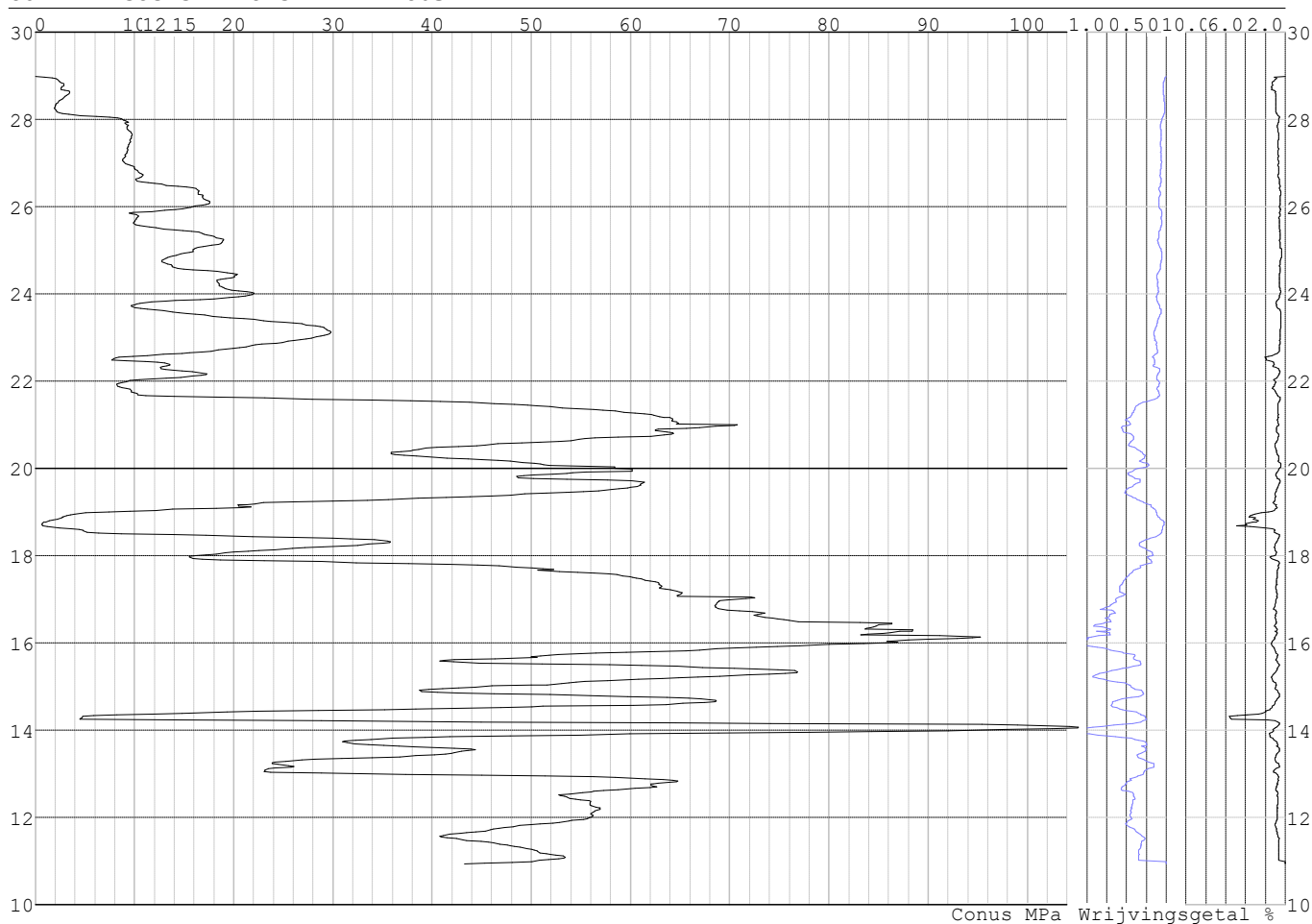
Project :
 Onderdeel :

Laag	Van [m]	Tot [m]	Omschrijving	OCR	Aandeel pos. kleef [%]	α_s	d_{50} [mm]
5	19.56	19.13	Zand - Sterk siltig - Kleiig	1.0	100.0		
6	19.13	18.59	Klei - Zwak zandig - Slap	1.0	50.0		
7	18.59	15.66	Zand - Schoon - Vast	1.0	100.0		
8	15.66	15.28	Klei - Sterk zandig	1.0	50.0		
9	15.28	14.55	Zand - Schoon - Vast	1.0	100.0		
10	14.55	14.16	Klei - Zwak zandig - Vast	1.0	50.0		
11	14.16	13.80	Zand - Schoon - Vast	1.0	100.0		
12	13.80	13.24	Zand - Zwak siltig - Kleiig	1.0	100.0		
13	13.24	11.98	Zand - Schoon - Matig	1.0	100.0		
14	11.98	10.72	Zand - Schoon - Vast	1.0	100.0		

SONDERINGSGEGEVENS ALGEMEEN: S034-1

Alle niveaus/hoogtes/peilmaten zijn t.o.v.: N.A.P.
 Hoogte maaiveld [m] : 28.98 Bodemprofiel: S034-1
 Traject negatieve kleef : 28.98 tot 23.70 [m]
 Traject positieve kleef : 23.70 tot 10.92 [m]

SONDERINGSGEGEVENS GRAFIEK: S034-1

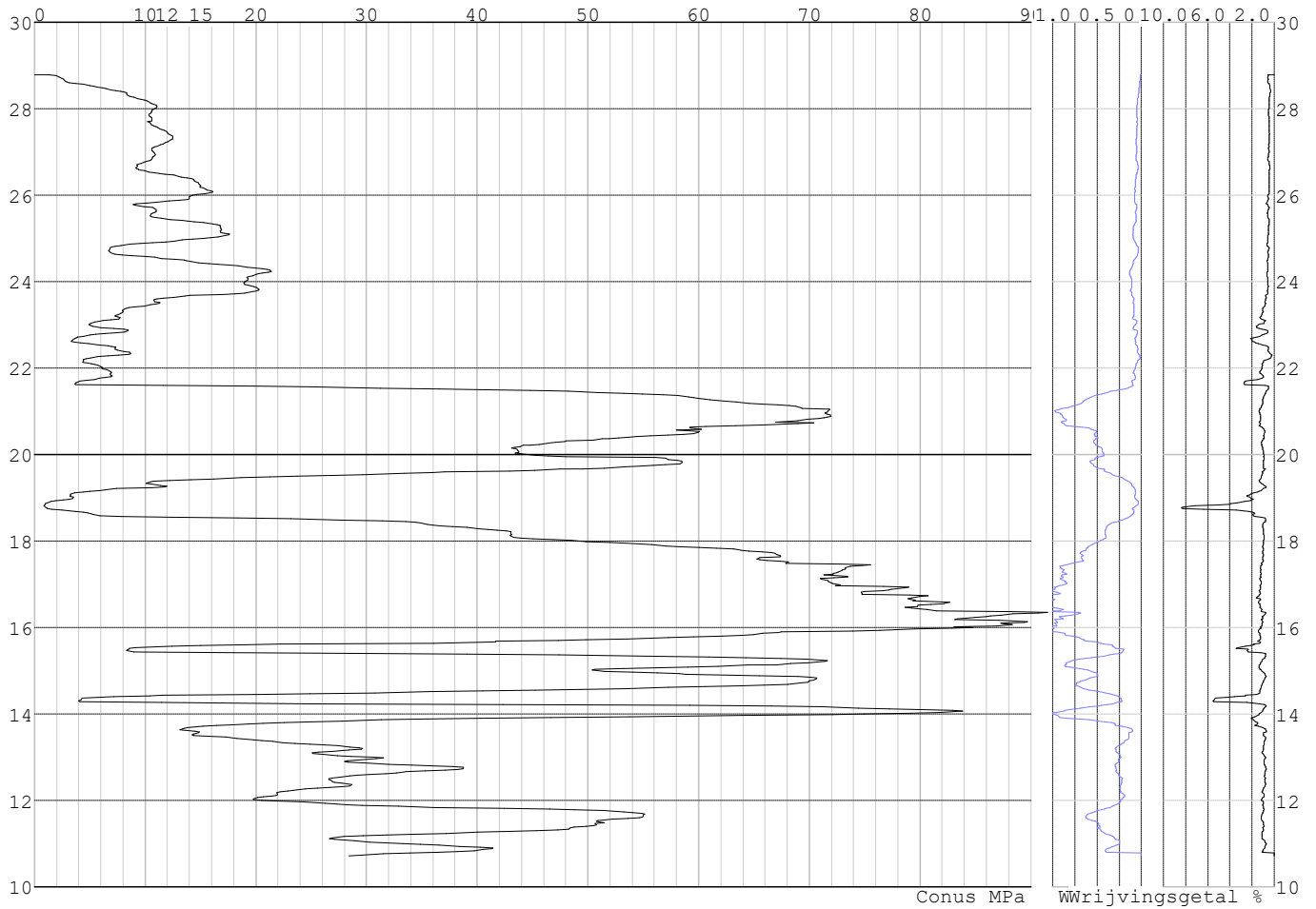


Project :
Onderdeel :

SONDERINGSGEGEVENS ALGEMEEN: S034-2

Alle niveaus/hogtes/peilmaten zijn t.o.v.: N.A.P.
Hoogte maaiveld [m] : 28.79 Bodemprofiel: S034-2
Traject negatieve kleef : 28.79 tot 23.80 [m]
Traject positieve kleef : 23.80 tot 10.71 [m]

SONDERINGSGEGEVENS GRAFIEK: S034-2

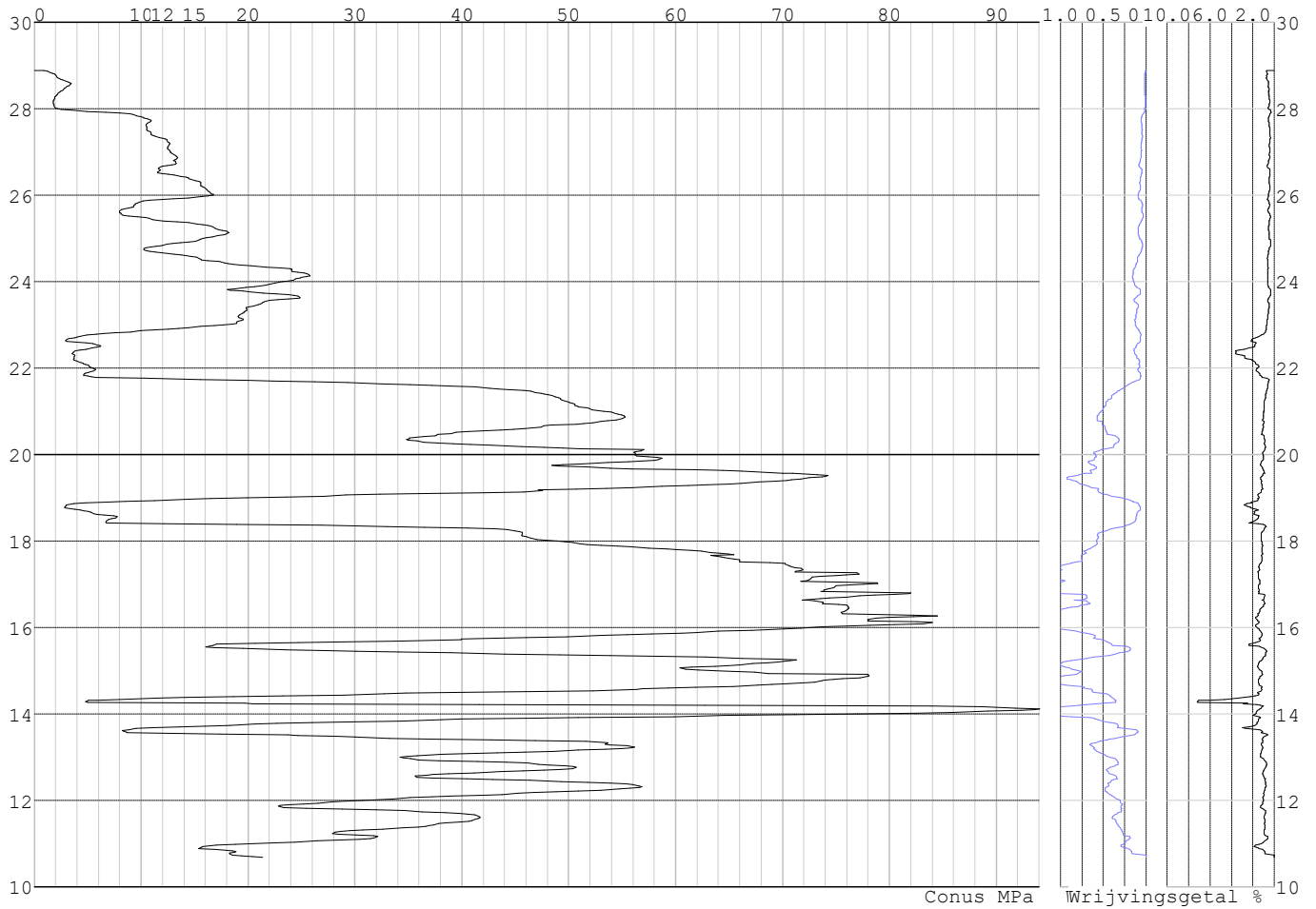


Project :
Onderdeel :

SONDERINGSGEGEVENS ALGEMEEN: S034-3

Alle niveaus/hogtes/peilmaten zijn t.o.v.: N.A.P.
Hoogte maaiveld [m] : 28.89 Bodemprofiel: S034-2
Traject negatieve kleef : 28.89 tot 23.70 [m]
Traject positieve kleef : 23.70 tot 10.67 [m]

SONDERINGSGEGEVENS GRAFIEK: S034-3

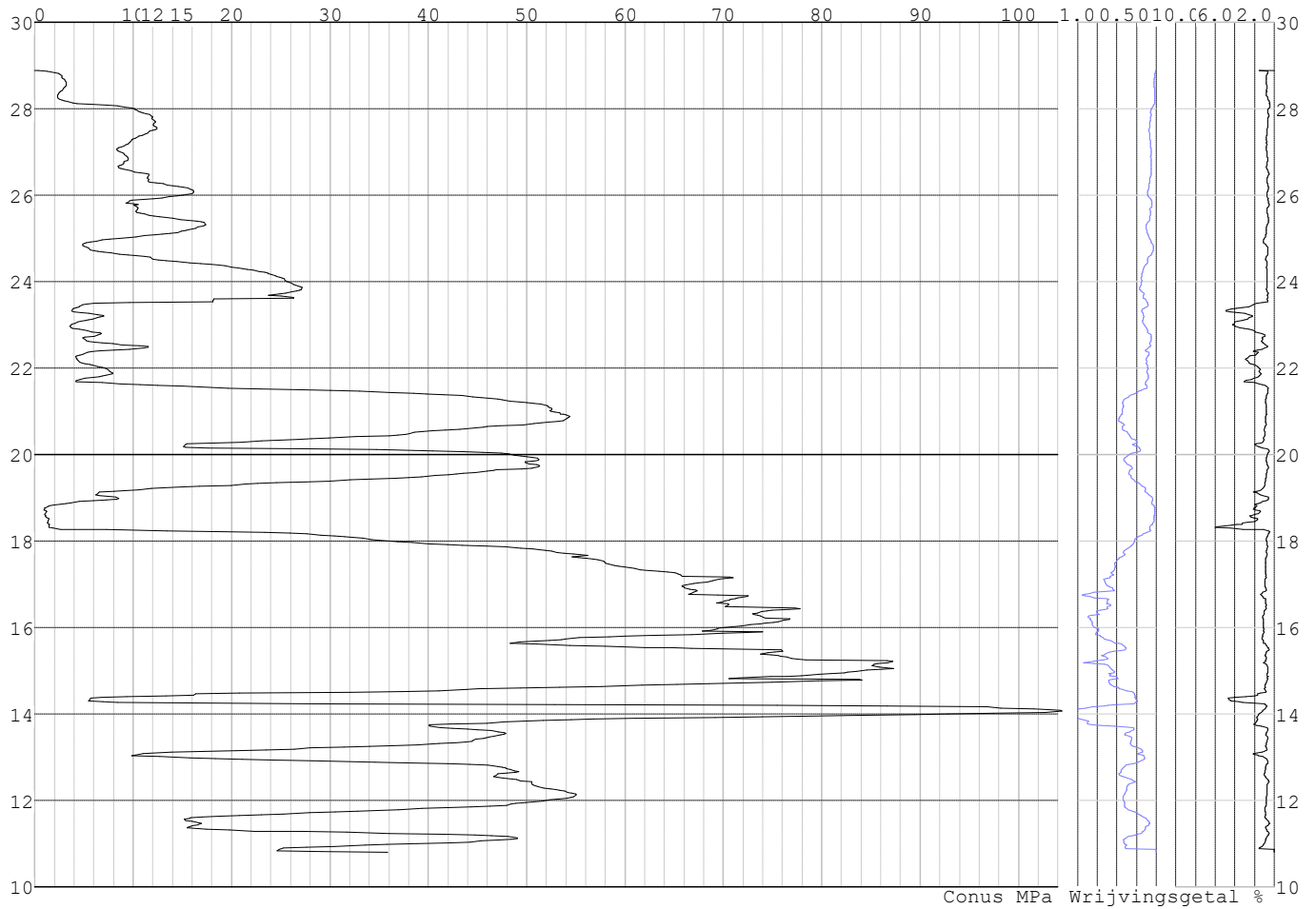


Project :
Onderdeel :

SONDERINGSGEGEVENS ALGEMEEN: S034-4

Alle niveaus/hogtes/peilmaten zijn t.o.v.: N.A.P.
Hoogte maaiveld [m] : 28.89 Bodemprofiel: S034-1
Traject negatieve kleeft : 28.89 tot 24.80 [m]
Traject positieve kleeft : 24.80 tot 10.79 [m]

SONDERINGSGEGEVENS GRAFIEK: S034-4



Project :
Onderdeel :

REKENEGEVENEN Mast 034

Berekening : Controlerend
Rekenmethode : Trekpalen volgens NEN-EN 1997-1, art. 7.6.3
Sondering(en) : S034-1, S034-2, S034-3, S034-4
Let op: trekcapaciteit t.p.v. negatief kleefttraject is meegerekend.

Stijf bouwwerk : JA
Paalgroep : NEE
Aantal sonderingen : 4
Factor ξ_3 (n=1) : 1.26
Factor ξ_3 (gem) : 1.17
Factor ξ_4 (min) : 0.93
Weerstandsfactor γ_R : 1.35
 $\gamma_{m,var;q_c}$: 1.35
UGT draagvermogen zonder negatieve kleeft : NEE

Paal : LD1
Niveau paalkop [m] : N.A.P. 29.05
Paalpuntniveau : N.A.P. 20.85
 $E_{d,1}$ [kN] : 0.00 $E_{d,2}$ [kN] : 0.00
Bovenbel. [kN/m²] : 0.00

RESULTATEN Mast 034 (n=1)**Sondering : S034-1**

Alle niveaus/hogtes/peilmaten zijn t.o.v.: N.A.P.

Inheinniveau [m]	Effectief inheinniveau [m]	E.G. paal [kN]	$R_{t,cal;k}$ [kN]	$R_{t;d}$ [kN]	$F_{t,tot;1}$ [kN]	U.C.
20.85	20.85	28.4	472.8	472.8	0.0	0.00

Sondering : S034-2

Alle niveaus/hogtes/peilmaten zijn t.o.v.: N.A.P.

Inheinniveau [m]	Effectief inheinniveau [m]	E.G. paal [kN]	$R_{t,cal;k}$ [kN]	$R_{t;d}$ [kN]	$F_{t,tot;1}$ [kN]	U.C.
20.85	20.85	28.8	410.4	410.4	0.0	0.00

Sondering : S034-3

Alle niveaus/hogtes/peilmaten zijn t.o.v.: N.A.P.

Inheinniveau [m]	Effectief inheinniveau [m]	E.G. paal [kN]	$R_{t,cal;k}$ [kN]	$R_{t;d}$ [kN]	$F_{t,tot;1}$ [kN]	U.C.
20.85	20.85	28.8	474.1	474.1	0.0	0.00

Sondering : S034-4

Alle niveaus/hogtes/peilmaten zijn t.o.v.: N.A.P.

Inheinniveau [m]	Effectief inheinniveau [m]	E.G. paal [kN]	$R_{t,cal;k}$ [kN]	$R_{t;d}$ [kN]	$F_{t,tot;1}$ [kN]	U.C.
20.85	20.85	28.4	394.1	394.1	0.0	0.00

Project :
Onderdeel :

SAMENVATTINGSTABEL Mast 034 (n=1)**Uitgangspunten**

- paal : LD1
 - paaltype : Stalen buispaal (gesloten)
 - schachtafmeting : 550 mm
 Paalklassefactor α_p : 1.00
 Factor α_t (tabel 7.c EC 7.1) : 0.0070 (zandlagen; voor kleilagen zie tabel 7.d)
 Correlatiefactor $\xi_{3(n=1)}$: 1.26

Alle niveaus/hogtes/peilmaten zijn t.o.v.: N.A.P.

sondering	maaiveld paalpunt		Bezwijkdraagvermogen $R_{t,cal}$ [kN]	Rekenwaarden		
	niveau	niveau		$R_{t;d}$ [kN]	$R_{t,netto;d}$ [kN]	
S034-1	28.98	20.85	472.8	472.8	472.8	472.8
S034-2	28.79	20.85	410.4	410.4	410.4	410.4
S034-3	28.89	20.85	474.1	474.1	474.1	474.1
S034-4	28.89	20.85	394.1	394.1	394.1	394.1

Project :
Onderdeel :

SAMENVATTINGSTABEL Mast 034 (van 4 sonderingen)**Uitgangspunten**

- paal : LD1
 - paaltype : Stalen buispaal (gesloten)
 - schachtafmeting : 550 mm
 Paalklassefactor α_p : 1.00
 Factor α_t (tabel 7.c EC 7.1) : 0.0070 (zandlagen; voor kleilagen zie tabel 7.d)
 Correlatiefactor $\xi_{3gem}(n=4)$: 1.17
 Correlatiefactor $\xi_{4min}(n=4)$: 0.93

Alle niveaus/hogtes/peilmaten zijn t.o.v.: N.A.P.

sondering	maaiveld	paalpunt	Bezwijkdraagvermogen
	niveau	niveau	E.G. paal $R_{t,cal}$
			[kN] [kN]

met $\xi_3(gem) = 1.17$

S034-1	28.98	20.85	28.4	507.0
S034-2	28.79	20.85	28.4	439.8
S034-3	28.89	20.85	28.4	508.3
S034-4	28.89	20.85	28.4	422.3

		20.85	$R_{t,cal;gem}$	469.4
met $\xi_4(min) = 0.93$				
S034-1	28.98	20.85	28.4	630.5
S034-2	28.79	20.85	28.4	545.9
S034-3	28.89	20.85	28.4	632.1
S034-4	28.89	20.85	28.4	523.9
		20.85	$R_{t,cal;min}$	523.9

Totaal resultaten Mast 034 (van 4 sonderingen)

Uitgangspunten

Correlatiefactor $\xi_{3gem}(n=4)$: 1.17
 Correlatiefactor $\xi_{4min}(n=4)$: 0.93

gebaseerd op sonderingen:

S034-1 S034-2 S034-3 S034-4

$$R_{t;d} = \min.\{ R_{t,cal;gem}; R_{t,cal;min} \} (7.17) *$$

Inheinniveau
[m]

$$20.85 \quad R_{t;d} = \min.\{ 469.4; 523.9 \} = 469.4$$

*) Bij de trekpaalberekening zijn factoren ξ_3 en ξ_4 al bij de berekening van de conusweerstand $q_{c;z;d}$ in rekening gebracht, evenals factor $\gamma_{s;t}$. Dat is conform de opmerkingen in art. 7.6.3.3 (3) en (4).

Alle niveaus/hogtes/peilmaten zijn t.o.v.: N.A.P.

Inheinniveau	$R_{t;k}$	$R_{t;d}$	$F_{t,tot;1}$	$R_{t,netto;d}$	U.C.
[m]	[kN]	[kN]	[kN]	[kN]	
20.85	469.4	469.4	0.0	469.4	0.00

PAALGEGEVENS LD1

Type : Stalen buispaal (gesloten)
 Wijze van installeren : Heien
 Diameter [m] : 0.550
 Wanddikte t [mm] : 4.0

Project :
 Onderdeel :
 Elasticiteitsmodulus [N/mm²] : 200000 (Staal)
 Soortelijk gewicht [kN/m³] : 78.5 (Staal)
 Elasticiteitsmodulus [N/mm²] : 20000 (Beton)
 Soortelijk gewicht [kN/m³] : 24.0 (Beton)
 Factor α_s (tabel 7.c EC 7.1) : 0.010 (zandlagen; voor kleilagen zie tabel 7.d)
 Factor α_t (tabel 7.c EC 7.1) : 0.0070 (zandlagen; voor kleilagen zie tabel 7.d)
 Paalklassefactor α_p : 1.00
 Paalvoetvormfactor β : 1.00
 Type lastzakingsdiagram : Grondverdringende paal
 Verm.factor * $\phi'_{j,k}$: 0.75
 Groutomhulling : NEE

OVERZICHT NETTO DRAAGVERMOGEN TREKPALEN (n=1)

Netto paal draagvermogen(s) zijn naar beneden toe afgerond op: 1.0 kN nauwkeurig
 Alle niveaus/hogtes/peilmaten zijn t.o.v.: N.A.P.

sondering	maaiveld paalpunt		$R_{t,netto;d}$ [kN]
	niveau	niveau	
S034-1	28.98	20.85	472
S034-2	28.79	20.85	410
S034-3	28.89	20.85	474
S034-4	28.89	20.85	394

Project :
Onderdeel :

ALGEMENE GEGEVENS

Project :
Onderdeel :
Datum : 04-03-2022
Bestand : \\Arh7001.verit.dnv.com\projects\EANL_Projects\
10166262 - BBB modelleren funderingen 380
kV\02 Content\03 Calculations\Technosoft
Paalfunderingen\MBT-EHV380\DO\Nieuw
Sonderingen\Mast 050-059.pvw
Berekeningstype : Verticaal belaste paal
Alle niveaus/hogtes/peilmaten zijn t.o.v.: N.A.P.

Toegepaste normen volgens Eurocode met Nederlandse NB

Geotechniek	EN 1997-1:2004	AC:2009	
	NEN-EN 1997-1:2005	C1+A1:2013	NB:2016
	NEN 9997-1:2016	C2:2017	

GRONDSOORTEN

Nr. Omschrijving	$\gamma_{k;1}$ [kN/m ³]	$\gamma_{sat;k;1}$ [kN/m ³]	$\phi'_{k;1}$ [°]	$\gamma_{k;2}$ [kN/m ³]	$\gamma_{sat;k;2}$ [kN/m ³]	$\phi'_{k;2}$ [°]
1 Zand - Schoon - Los	17.00	19.00	30.00	18.00	20.00	32.50
2 Zand - Schoon - Matig	18.00	20.00	32.50	19.00	21.00	35.00
3 Zand - Schoon - Vast	19.00	21.00	35.00	20.00	22.00	40.00
4 Zand - Zwak siltig - Kleiig	18.00	20.00	27.00	19.00	21.00	32.50
5 Zand - Sterk siltig - Kleiig	18.00	20.00	25.00	19.00	21.00	30.00
6 Leem - Zwak zandig - Vast	21.00	21.00	27.50	22.00	22.00	35.00
7 Leem - Sterk zandig	19.00	19.00	27.50	20.00	20.00	35.00
8 Klei - Schoon - Matig	17.00	17.00	17.50	19.00	19.00	17.50
9 Klei - Schoon - Vast	19.00	19.00	17.50	20.00	20.00	25.00
10 Klei - Zwak zandig - Slap	15.00	15.00	22.50	18.00	18.00	22.50
11 Klei - Zwak zandig - Matig	18.00	18.00	22.50	20.00	20.00	22.50
12 Klei - Zwak zandig - Vast	20.00	20.00	22.50	21.00	21.00	27.50
13 Klei - Organisch - Matig	15.00	15.00	15.00	16.00	16.00	15.00
14 Veen - Niet voorbelast - Slap	10.00	10.00	15.00	12.00	12.00	15.00
15 Veen - Matig voorbelast - Matig	12.00	12.00	15.00	13.00	13.00	15.00

BODEMPROFIELGEGEVENS: S050-1

Alle niveaus/hogtes/peilmaten zijn t.o.v.: N.A.P.

d50-reductie is meegenomen overeenkomstig NEN-EN 9997 art. 7.6.2.3 (i)

Hoogte maaiveld [m] : 30.79 Grondwaterstand [m] : 29.79

Laag	Van [m]	Tot [m]	Omschrijving	OCR	Aandeel pos. kleef [%]	α_s	d_{50} [mm]
1	30.79	30.37	Veen - Matig voorbelast - Matig	1.0	50.0		
2	30.37	29.69	Zand - Schoon - Los	1.0	100.0		
3	29.69	28.51	Leem - Zwak zandig - Vast	1.0	50.0		
4	28.51	27.01	Zand - Schoon - Los	1.0	100.0		
5	27.01	24.99	Zand - Schoon - Matig	1.0	100.0		
6	24.99	24.47	Leem - Zwak zandig - Vast	1.0	50.0		
7	24.47	23.53	Klei - Schoon - Matig	1.0	50.0		
8	23.53	22.33	Zand - Schoon - Vast	1.0	100.0		
9	22.33	21.91	Zand - Sterk siltig - Kleiig	1.0	100.0		
10	21.91	20.71	Zand - Schoon - Vast	1.0	100.0		
11	20.71	19.99	Zand - Zwak siltig - Kleiig	1.0	100.0		
12	19.99	19.71	Leem - Zwak zandig - Vast	1.0	50.0		
13	19.71	19.47	Zand - Zwak siltig - Kleiig	1.0	100.0		
14	19.47	19.19	Leem - Zwak zandig - Vast	1.0	50.0		
15	19.19	18.67	Zand - Schoon - Matig	1.0	100.0		
16	18.67	17.99	Klei - Schoon - Matig	1.0	50.0		
17	17.99	12.22	Zand - Schoon - Vast	1.0	100.0		
18	12.22	11.82	Klei - Zwak zandig - Vast	1.0	50.0		
19	11.82	10.78	Zand - Schoon - Vast	1.0	100.0		

Project :
Onderdeel :

Laag	Van [m]	Tot [m]	Omschrijving	OCR	Aandeel pos. kleef [%]	α_s	d_{50} [mm]
13	21.11	20.71	Zand - Schoon - Los	1.0	100.0		
14	20.71	20.07	Klei - Zwak zandig - Matig	1.0	50.0		
15	20.07	19.51	Zand - Schoon - Matig	1.0	100.0		
16	19.51	18.49	Klei - Organisch - Matig	1.0	50.0		
17	18.49	17.99	Zand - Schoon - Vast	1.0	100.0		
18	17.99	17.59	Klei - Schoon - Vast	1.0	50.0		
19	17.59	17.21	Zand - Schoon - Matig	1.0	100.0		
20	17.21	16.41	Klei - Organisch - Matig	1.0	50.0		
21	16.41	13.76	Zand - Schoon - Vast	1.0	100.0		

BODEMPROFIELGEGEVENS: S054-4

Alle niveaus/hogtes/peilmaten zijn t.o.v.: N.A.P.

d50-reductie is meegenomen overeenkomstig NEN-EN 9997 art. 7.6.2.3 (i)

Hoogte maaiveld [m] : 30.52 Grondwaterstand [m] : 29.52

Laag	Van [m]	Tot [m]	Omschrijving	OCR	Aandeel pos. kleef [%]	α_s	d_{50} [mm]
1	30.52	27.88	Leem - Zwak zandig - Vast	1.0	50.0		
2	27.88	25.74	Zand - Zwak siltig - Kleiig	1.0	100.0		
3	25.74	25.38	Leem - Zwak zandig - Vast	1.0	50.0		
4	25.38	24.48	Zand - Schoon - Matig	1.0	100.0		
5	24.48	24.10	Klei - Zwak zandig - Vast	1.0	50.0		
6	24.10	23.12	Zand - Zwak siltig - Kleiig	1.0	100.0		
7	23.12	22.31	Zand - Schoon - Vast	1.0	100.0		
8	22.31	21.91	Zand - Sterk siltig - Kleiig	1.0	100.0		
9	21.91	21.17	Zand - Schoon - Matig	1.0	100.0		
10	21.17	19.63	Klei - Zwak zandig - Slap	1.0	50.0		
11	19.63	19.35	Zand - Sterk siltig - Kleiig	1.0	100.0		
12	19.35	19.21	Klei - Zwak zandig - Matig	1.0	50.0		
13	19.21	18.45	Zand - Sterk siltig - Kleiig	1.0	100.0		
14	18.45	18.13	Zand - Schoon - Vast	1.0	100.0		
15	18.13	16.75	Klei - Zwak zandig - Matig	1.0	50.0		
16	16.75	13.19	Zand - Schoon - Vast	1.0	100.0		
17	13.19	12.65	Zand - Schoon - Matig	1.0	100.0		
18	12.65	11.47	Zand - Schoon - Vast	1.0	100.0		

BODEMPROFIELGEGEVENS: S051-1

Alle niveaus/hogtes/peilmaten zijn t.o.v.: N.A.P.

d50-reductie is meegenomen overeenkomstig NEN-EN 9997 art. 7.6.2.3 (i)

Hoogte maaiveld [m] : 30.79 Grondwaterstand [m] : 29.79

Laag	Van [m]	Tot [m]	Omschrijving	OCR	Aandeel pos. kleef [%]	α_s	d_{50} [mm]
1	30.79	29.71	Zand - Schoon - Los	1.0	100.0		
2	29.71	29.21	Zand - Sterk siltig - Kleiig	1.0	100.0		
3	29.21	28.59	Klei - Zwak zandig - Slap	1.0	50.0		
4	28.59	26.53	Zand - Schoon - Los	1.0	100.0		
5	26.53	24.77	Zand - Schoon - Matig	1.0	100.0		
6	24.77	24.51	Zand - Sterk siltig - Kleiig	1.0	100.0		
7	24.51	23.45	Klei - Schoon - Matig	1.0	50.0		
8	23.45	22.86	Zand - Schoon - Vast	1.0	100.0		
9	22.86	22.46	Zand - Zwak siltig - Kleiig	1.0	100.0		
10	22.46	21.50	Zand - Schoon - Vast	1.0	100.0		
11	21.50	20.41	Zand - Schoon - Matig	1.0	100.0		
12	20.41	19.69	Zand - Schoon - Vast	1.0	100.0		
13	19.69	19.45	Zand - Sterk siltig - Kleiig	1.0	100.0		
14	19.45	19.21	Leem - Zwak zandig - Vast	1.0	50.0		
15	19.21	18.85	Zand - Schoon - Vast	1.0	100.0		
16	18.85	17.96	Klei - Organisch - Matig	1.0	50.0		
17	17.96	12.43	Zand - Schoon - Vast	1.0	100.0		
18	12.43	12.18	Zand - Schoon - Los	1.0	100.0		
19	12.18	11.86	Zand - Schoon - Vast	1.0	100.0		

Project :
Onderdeel :

BODEMPROFIELGEGEVENS: S051-3

Alle niveaus/hoogtes/peilmaten zijn t.o.v.: N.A.P.

d50-reductie is meegenomen overeenkomstig NEN-EN 9997 art. 7.6.2.3 (i)

Laag	Van [m]	Tot [m]	Omschrijving	OCR	Aandeel pos. kleef [%]	α_s	d_{50} [mm]
1	30.85	29.71	Zand - Schoon - Los	1.0	100.0		
2	29.71	29.31	Zand - Sterk siltig - Kleiig	1.0	100.0		
3	29.31	28.41	Klei - Zwak zandig - Matig	1.0	50.0		
4	28.41	26.15	Zand - Schoon - Los	1.0	100.0		
5	26.15	25.35	Zand - Schoon - Vast	1.0	100.0		
6	25.35	24.83	Leem - Zwak zandig - Vast	1.0	50.0		
7	24.83	23.83	Zand - Schoon - Los	1.0	100.0		
8	23.83	23.45	Klei - Schoon - Matig	1.0	50.0		
9	23.45	22.92	Zand - Schoon - Vast	1.0	100.0		
10	22.92	22.75	Zand - Schoon - Los	1.0	100.0		
11	22.75	22.54	Leem - Zwak zandig - Vast	1.0	50.0		
12	22.54	21.51	Zand - Schoon - Vast	1.0	100.0		
13	21.51	21.13	Zand - Schoon - Los	1.0	100.0		
14	21.13	20.69	Zand - Schoon - Vast	1.0	100.0		
15	20.69	20.19	Zand - Sterk siltig - Kleiig	1.0	100.0		
16	20.19	19.75	Zand - Schoon - Vast	1.0	100.0		
17	19.75	19.15	Klei - Zwak zandig - Vast	1.0	50.0		
18	19.15	18.76	Zand - Schoon - Vast	1.0	100.0		
19	18.76	18.06	Klei - Schoon - Matig	1.0	50.0		
20	18.06	13.10	Zand - Schoon - Vast	1.0	100.0		
21	13.10	12.05	Zand - Sterk siltig - Kleiig	1.0	100.0		
22	12.05	11.91	Zand - Schoon - Vast	1.0	100.0		

SONDERINGSGEGEVENS ALGEMEEN: S050-1

Alle niveaus/hoogtes/peilmaten zijn t.o.v.: N.A.P.

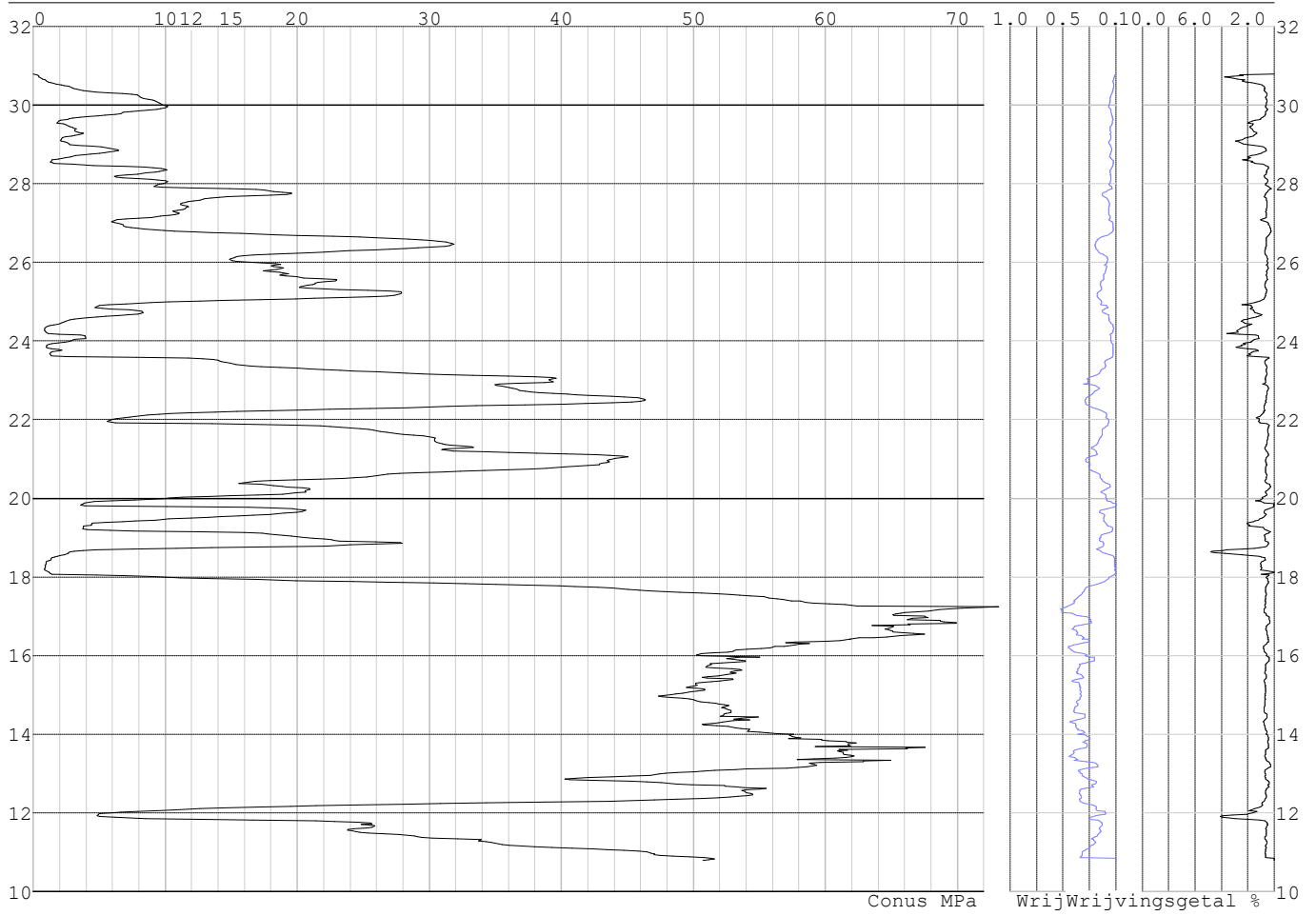
Hoogte maaiveld [m] : 30.79 Bodemprofiel: S050-1

Traject negatieve kleef : 30.79 tot 28.30 [m]

Traject positieve kleef : 28.30 tot 10.78 [m]

Project :
Onderdeel :

SONDERINGSGEGEVENS GRAFIEK: S050-1

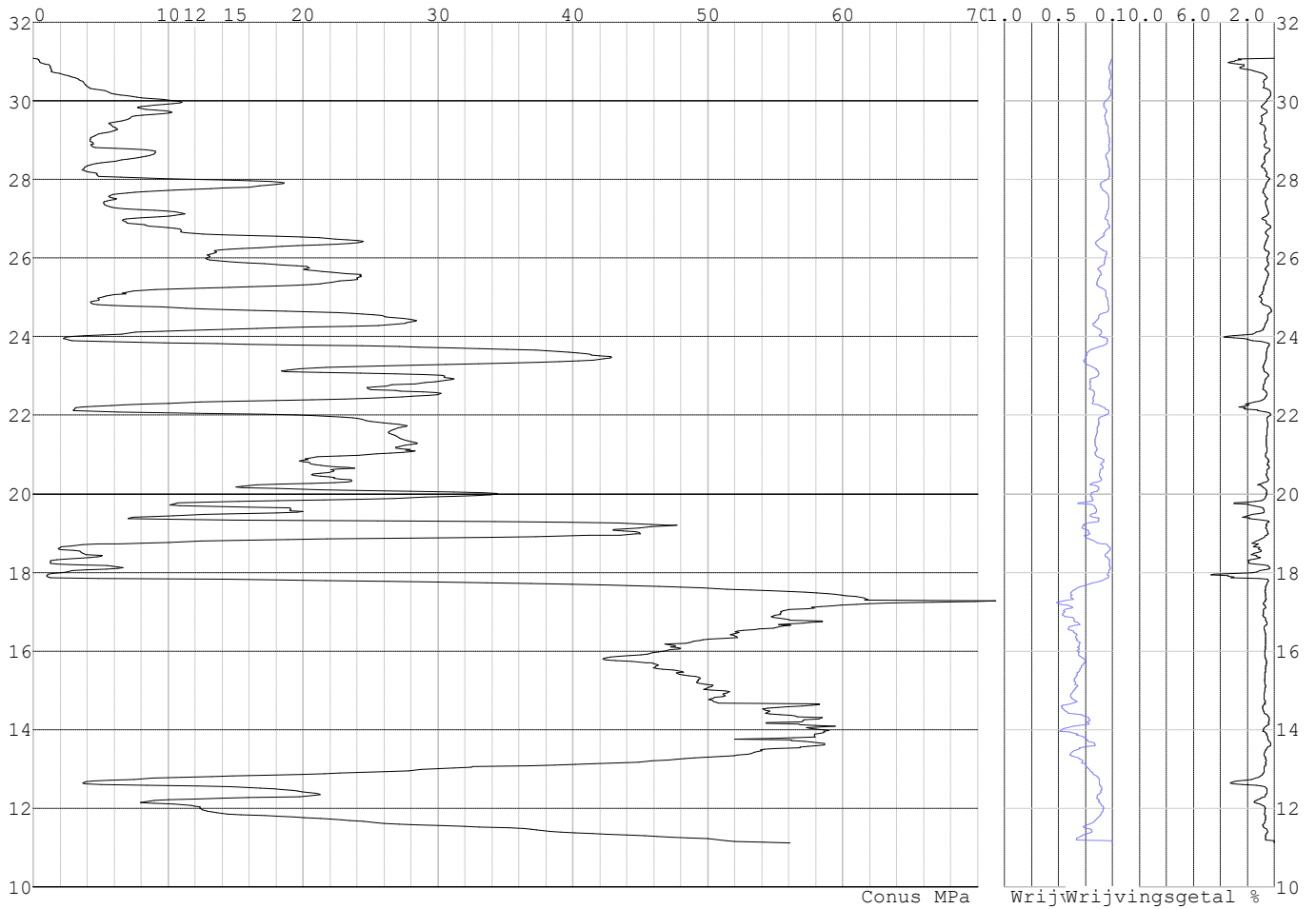


Project :
Onderdeel :

SONDERINGSGEGEVENS ALGEMEEN: S050-2

Alle niveaus/hogtes/peilmaten zijn t.o.v.: N.A.P.
Hoogte maaiveld [m] : 31.09 Bodemprofiel: S050-2
Traject negatieve kleeft : 31.09 tot 29.60 [m]
Traject positieve kleeft : 29.60 tot 11.12 [m]

SONDERINGSGEGEVENS GRAFIEK: S050-2

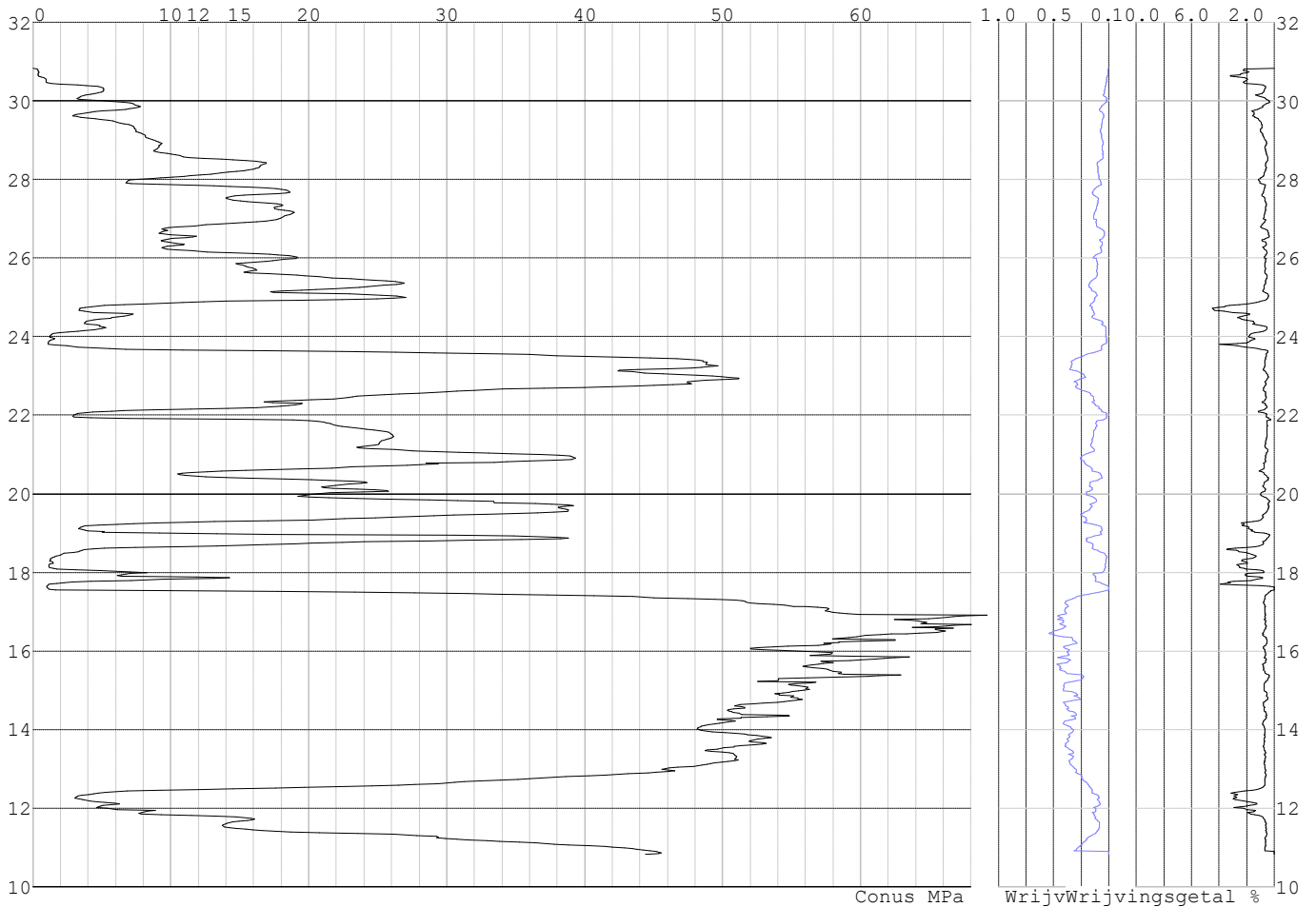


Project :
Onderdeel :

SONDERINGSGEGEVENS ALGEMEEN: S050-3

Alle niveaus/hogtes/peilmaten zijn t.o.v.: N.A.P.
Hoogte maaiveld [m] : 30.82 Bodemprofiel: S050-1
Traject negatieve kleeft : 30.82 tot 28.40 [m]
Traject positieve kleeft : 28.40 tot 10.83 [m]

SONDERINGSGEGEVENS GRAFIEK: S050-3

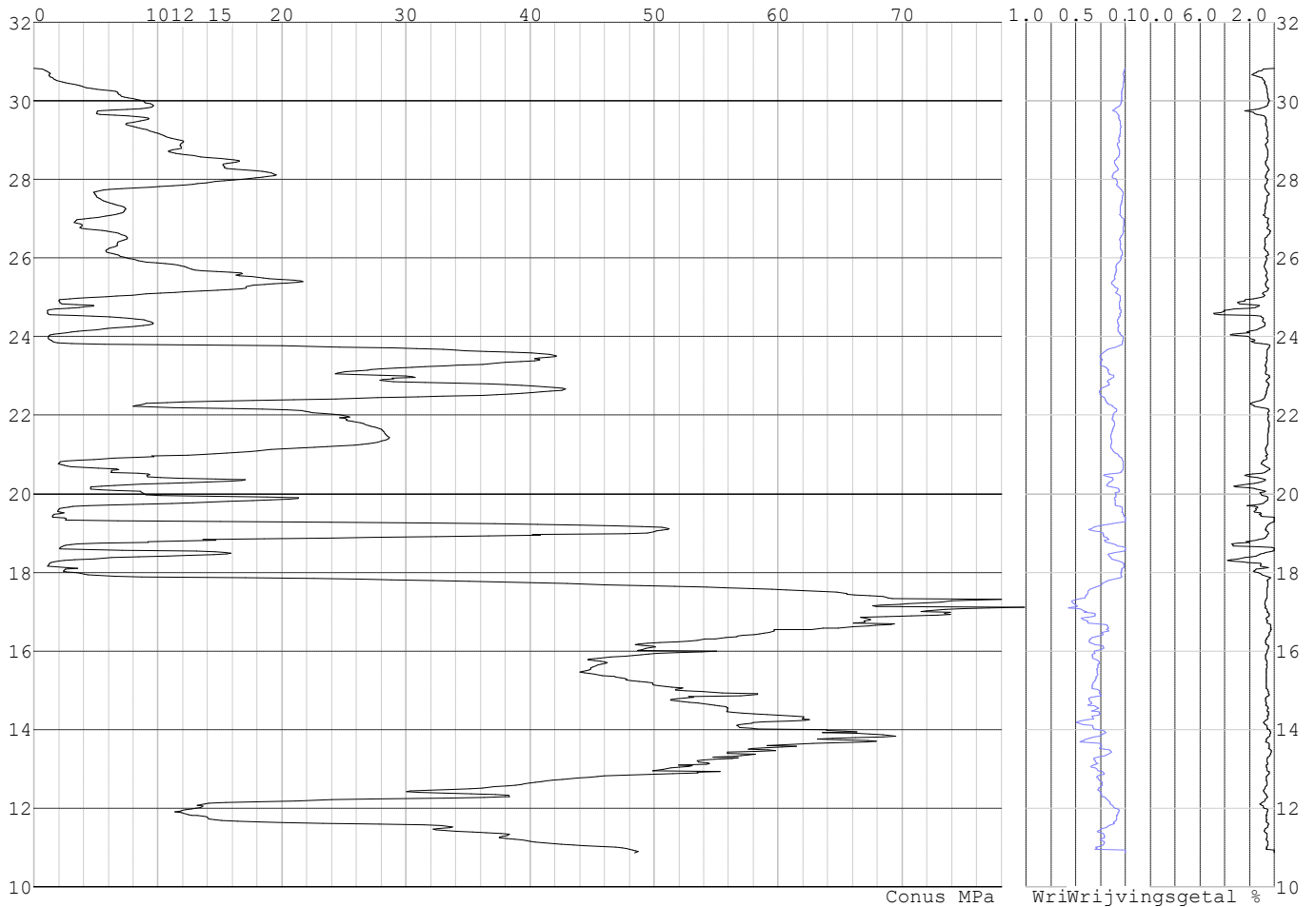


Project :
Onderdeel :

SONDERINGSGEGEVENS ALGEMEEN: S050-4

Alle niveaus/hogtes/peilmaten zijn t.o.v.: N.A.P.
Hoogte maaiveld [m] : 30.82 Bodemprofiel: S050-2
Traject negatieve kleeft : 30.82 tot 29.60 [m]
Traject positieve kleeft : 29.60 tot 10.87 [m]

SONDERINGSGEGEVENS GRAFIEK: S050-4

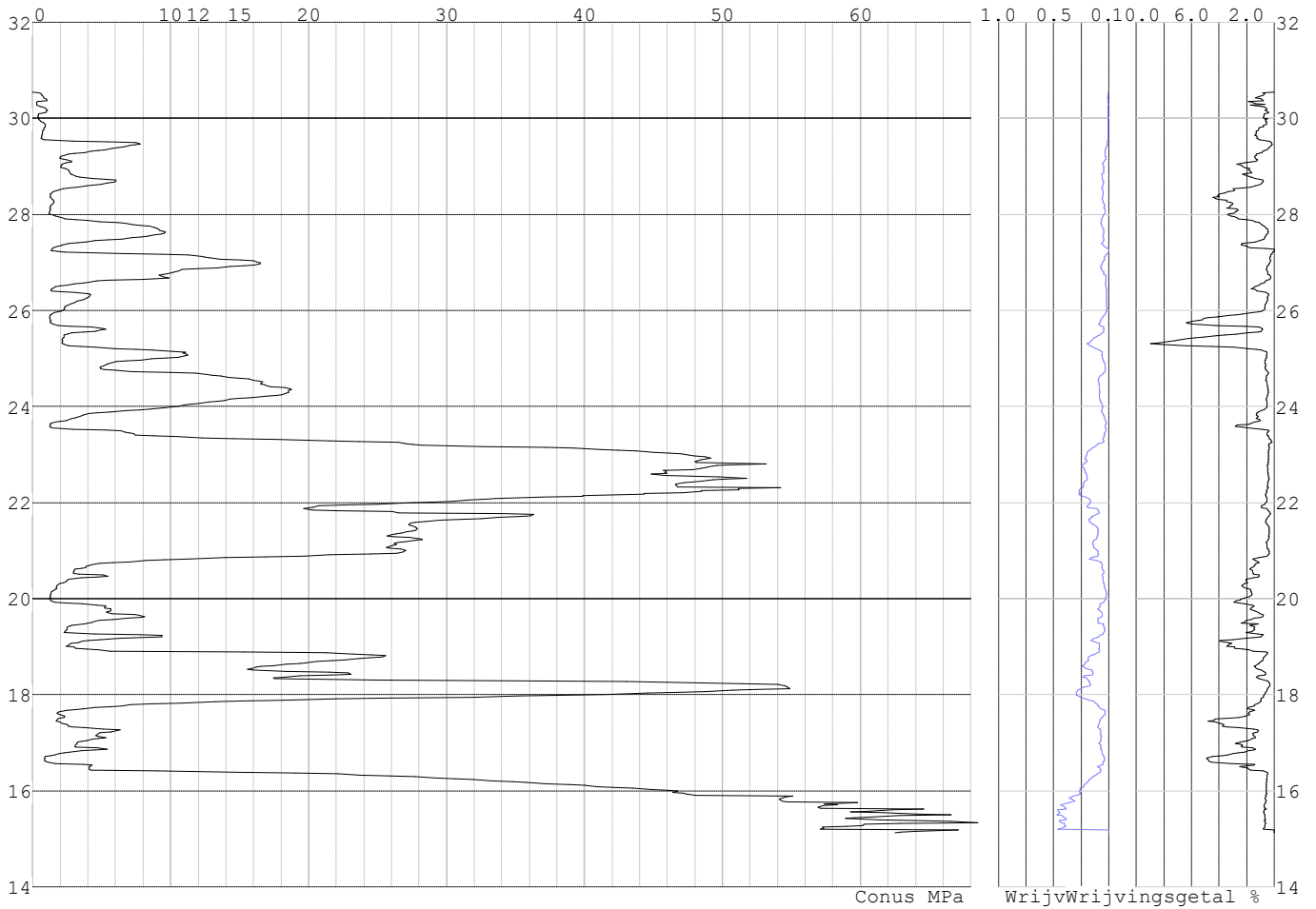


Project :
Onderdeel :

SONDERINGSGEGEVENS ALGEMEEN: S054-1

Alle niveaus/hogtes/peilmaten zijn t.o.v.: N.A.P.
Hoogte maaiveld [m] : 30.55 Bodemprofiel: S054-1
Traject negatieve kleef : 30.55 tot 27.20 [m]
Traject positieve kleef : 27.20 tot 15.12 [m]

SONDERINGSGEGEVENS GRAFIEK: S054-1

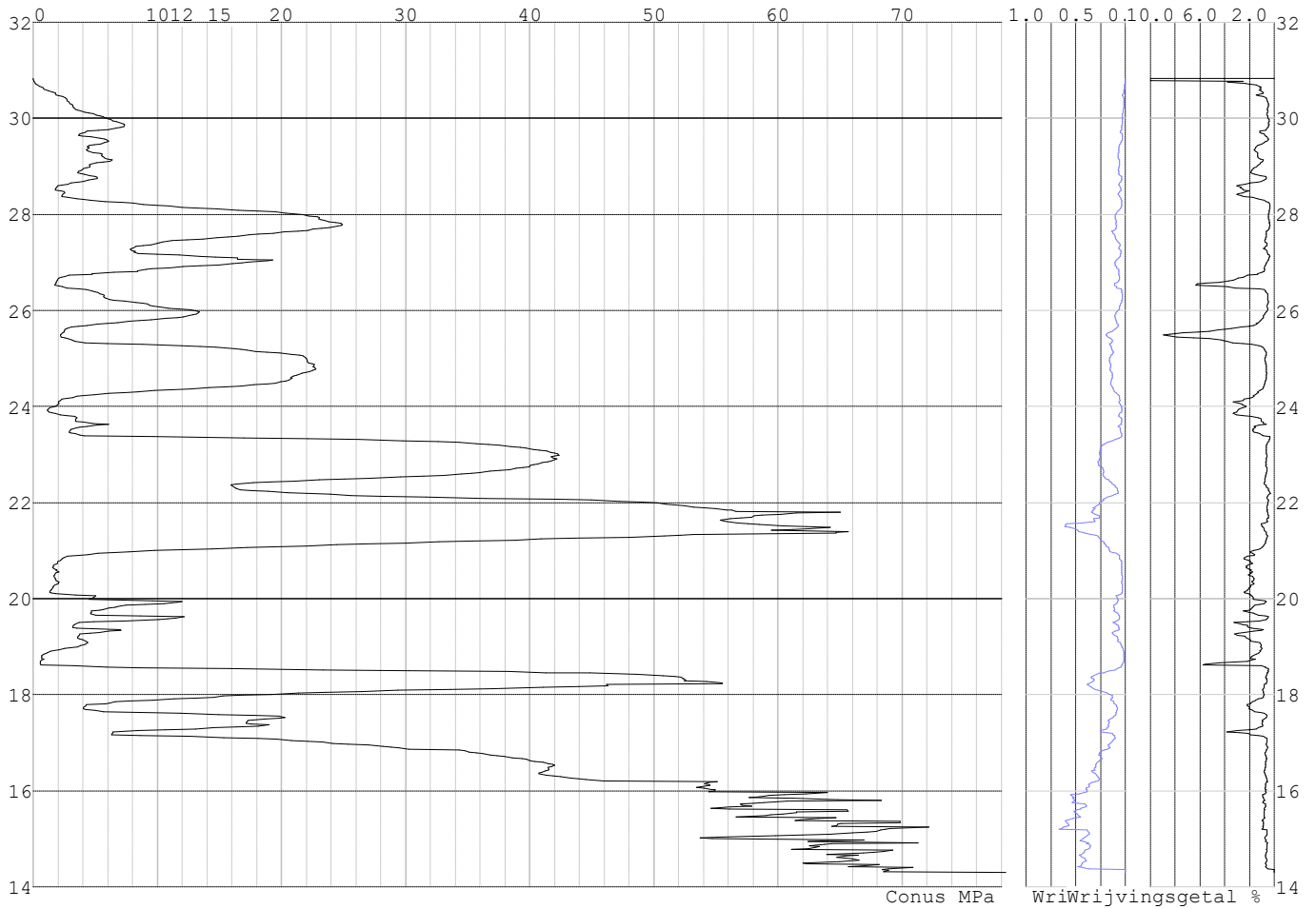


Project :
Onderdeel :

SONDERINGSGEGEVENS ALGEMEEN: S054-2

Alle niveaus/hogtes/peilmaten zijn t.o.v.: N.A.P.
Hoogte maaiveld [m] : 30.83 Bodemprofiel: S054-3
Traject negatieve kleeft : 30.83 tot 28.20 [m]
Traject positieve kleeft : 28.20 tot 14.31 [m]

SONDERINGSGEGEVENS GRAFIEK: S054-2

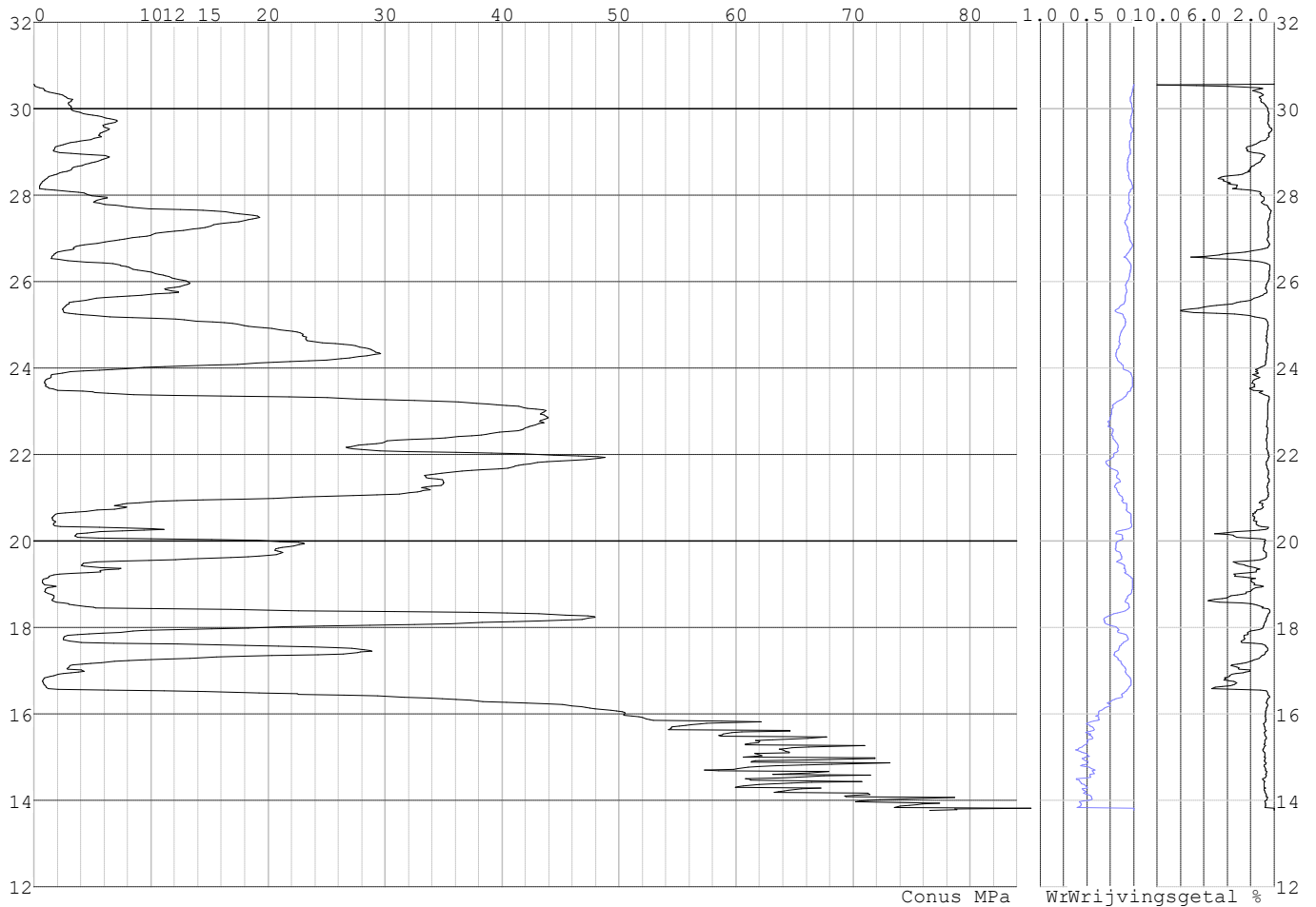


Project :
Onderdeel :

SONDERINGSGEGEVENS ALGEMEEN: S054-3

Alle niveaus/hoogtes/peilmaten zijn t.o.v.: N.A.P.
Hoogte maaiveld [m] : 30.57 Bodemprofiel: S054-3
Traject negatieve kleeft : 30.57 tot 27.90 [m]
Traject positieve kleeft : 27.90 tot 13.76 [m]

SONDERINGSGEGEVENS GRAFIEK: S054-3

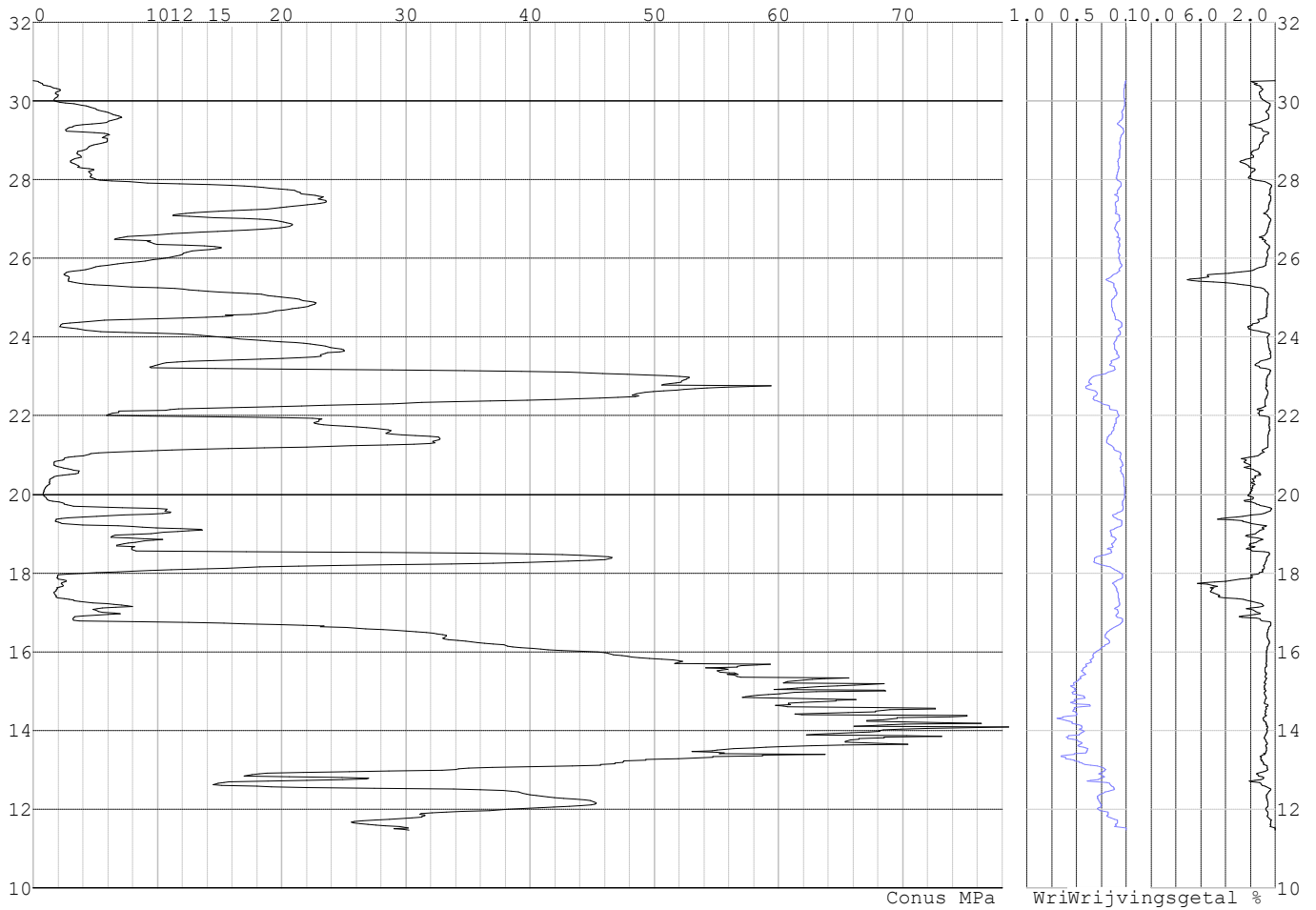


Project :
Onderdeel :

SONDERINGSGEGEVENS ALGEMEEN: S054-4

Alle niveaus/hogtes/peilmaten zijn t.o.v.: N.A.P.
Hoogte maaiveld [m] : 30.52 Bodemprofiel: S054-4
Traject negatieve kleef : 30.52 tot 27.80 [m]
Traject positieve kleef : 27.80 tot 11.47 [m]

SONDERINGSGEGEVENS GRAFIEK: S054-4

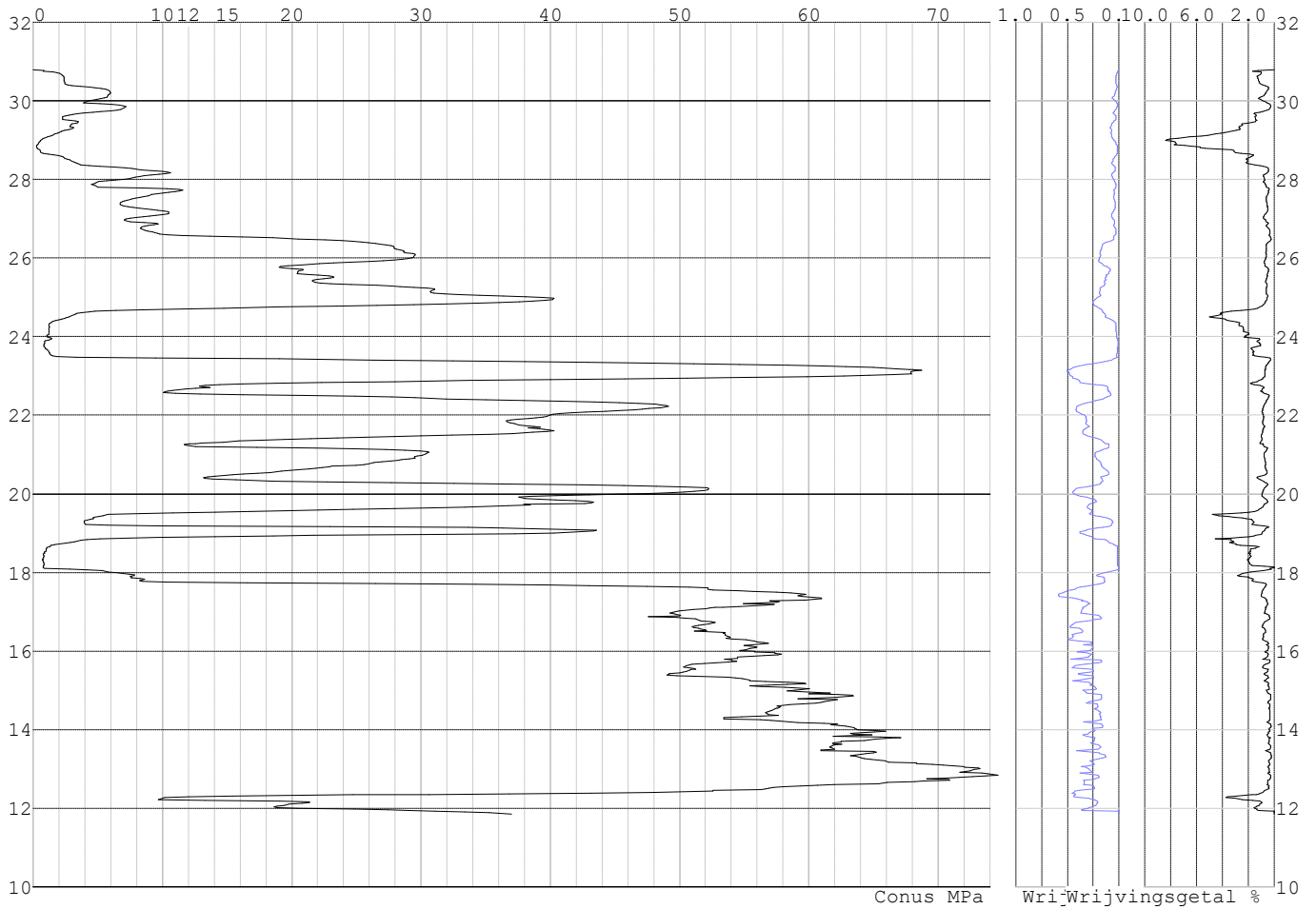


Project :
Onderdeel :

SONDERINGSGEGEVENS ALGEMEEN: S051-1

Alle niveaus/hogtes/peilmaten zijn t.o.v.: N.A.P.
Hoogte maaiveld [m] : 30.79 Bodemprofiel: S051-1
Traject negatieve kleeft : 30.79 tot 23.50 [m]
Traject positieve kleeft : 23.50 tot 11.86 [m]

SONDERINGSGEGEVENS GRAFIEK: S051-1

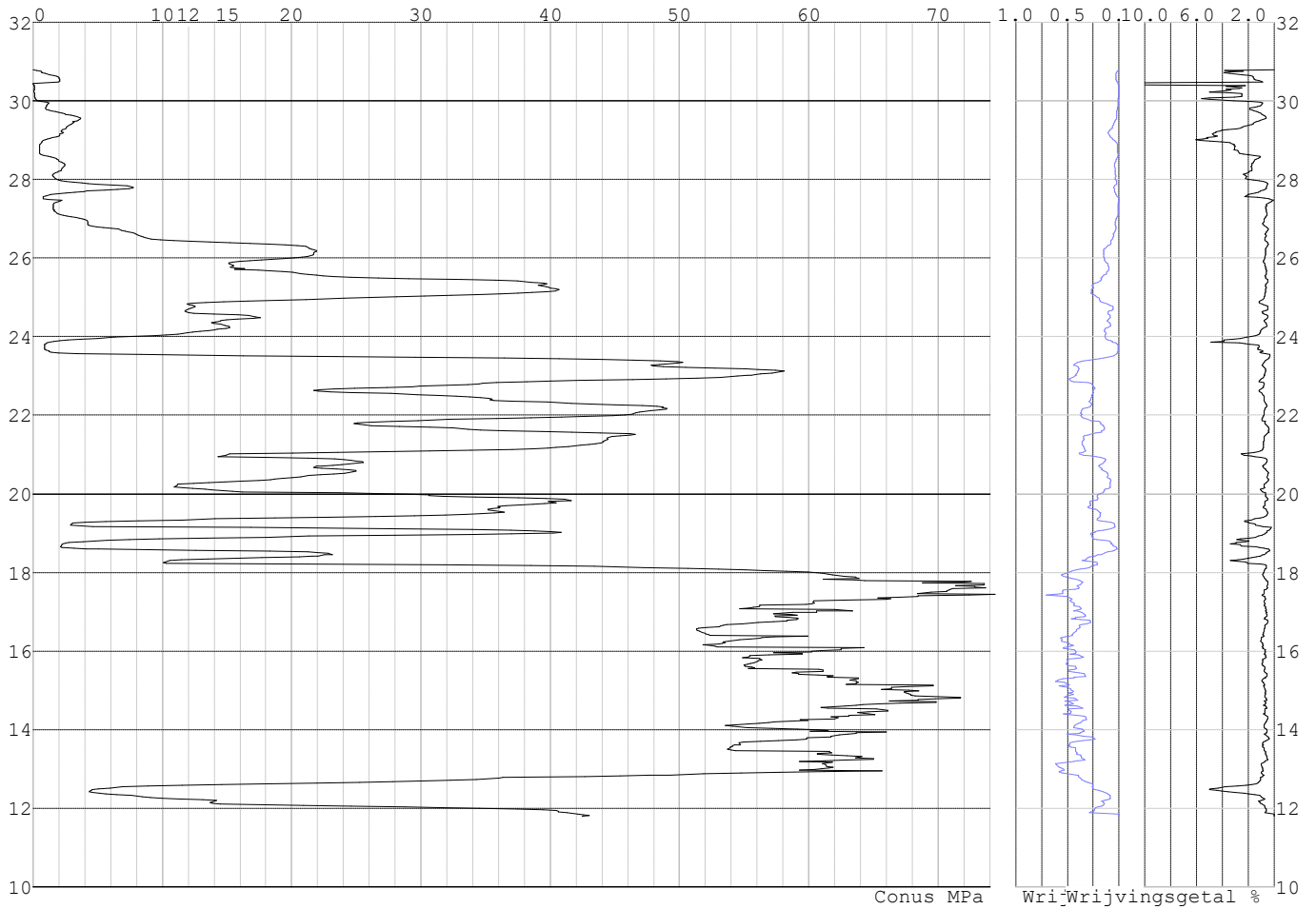


Project :
Onderdeel :

SONDERINGSGEGEVENS ALGEMEEN: S051-2

Alle niveaus/hogtes/peilmaten zijn t.o.v.: N.A.P.
Hoogte maaiveld [m] : 30.79 Bodemprofiel: S051-3
Traject negatieve kleeft : 30.79 tot 23.60 [m]
Traject positieve kleeft : 23.60 tot 11.81 [m]

SONDERINGSGEGEVENS GRAFIEK: S051-2

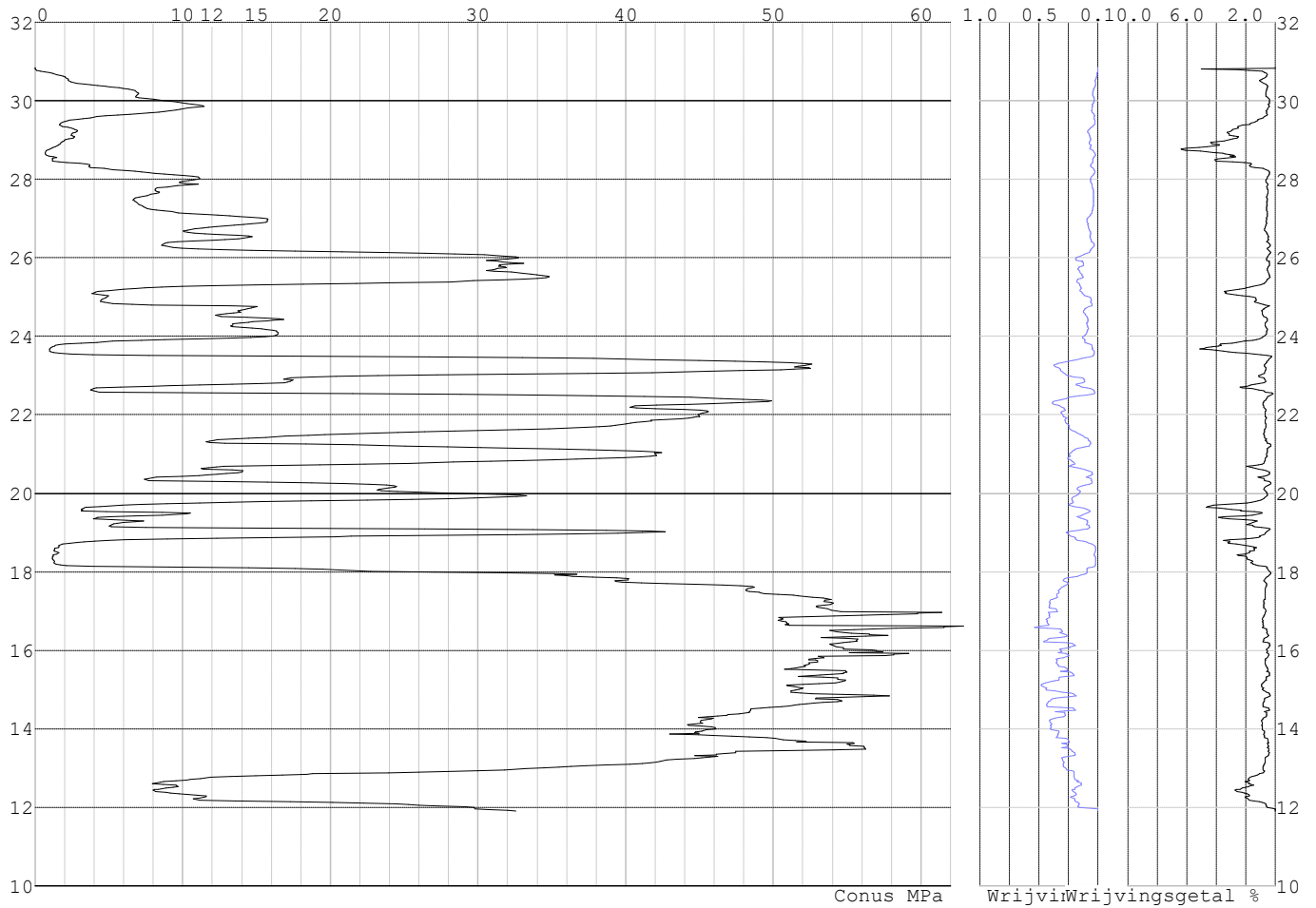


Project :
Onderdeel :

SONDERINGSGEGEVENS ALGEMEEN: S051-3

Alle niveaus/hogtes/peilmaten zijn t.o.v.: N.A.P.
Hoogte maaiveld [m] : 30.85 Bodemprofiel: S051-3
Traject negatieve kleef : 30.85 tot 23.60 [m]
Traject positieve kleef : 23.60 tot 11.91 [m]

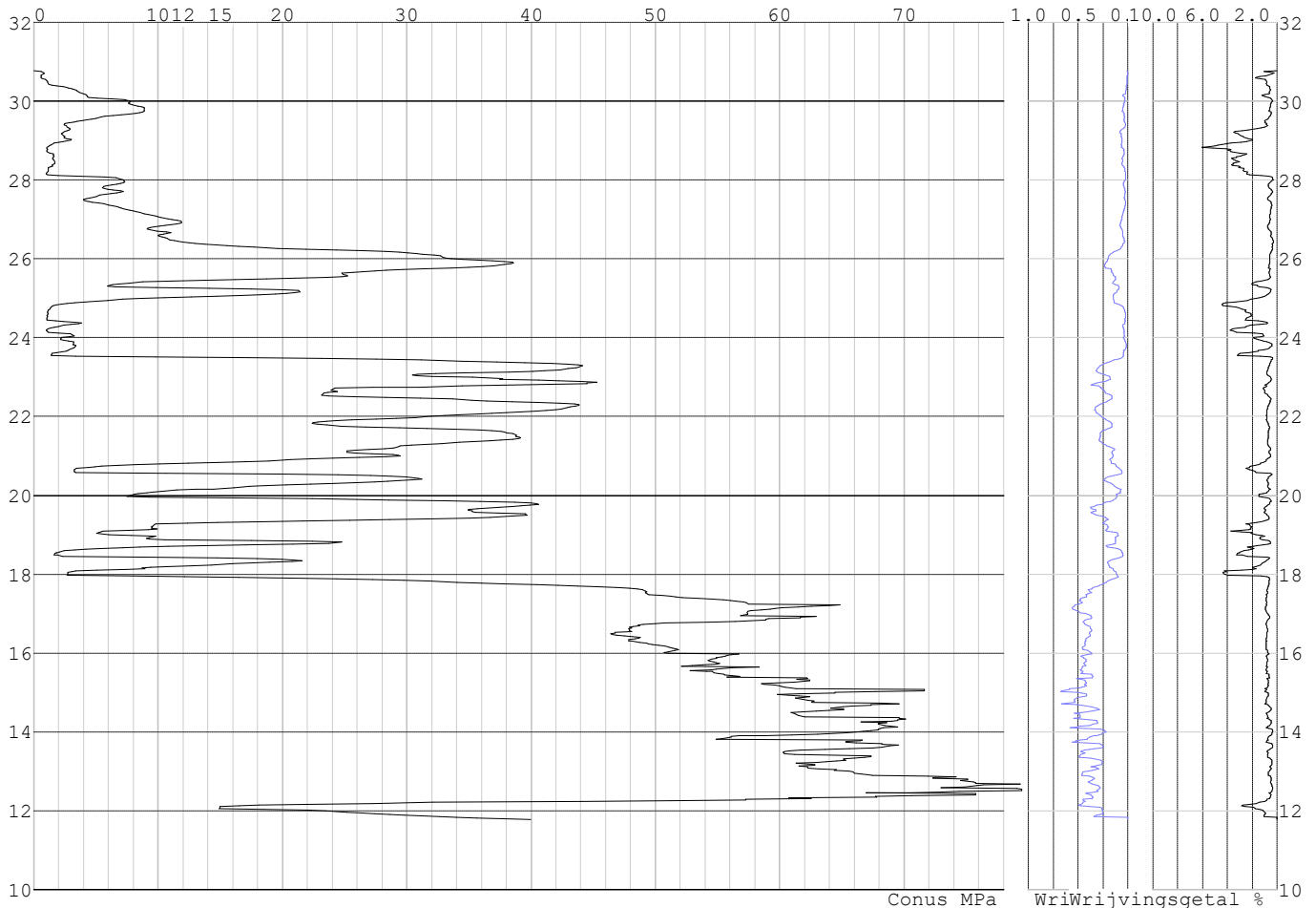
SONDERINGSGEGEVENS GRAFIEK: S051-3



Project :
Onderdeel :

SONDERINGSGEGEVENS ALGEMEEN: S051-4

Alle niveaus/hogtes/peilmaten zijn t.o.v.: N.A.P.
 Hoogte maaiveld [m] : 30.77 Bodemprofiel: S051-1
 Traject negatieve kleef : 30.77 tot 23.60 [m]
 Traject positieve kleef : 23.60 tot 11.77 [m]

SONDERINGSGEGEVENS GRAFIEK: S051-4**REKENGEVENS Mast 050**

Berekening : Controlerend
 Rekenmethode : Trekpalen volgens NEN-EN 1997-1, art. 7.6.3
 Sondering(en) : S050-1, S050-2, S050-3, S050-4
 Let op: trekcapaciteit t.p.v. negatief kleeftraject is meegerekend.

Stijf bouwwerk : NEE
 Paalgroep : NEE
 Aantal sonderingen : 4
 Factor ξ_3 (n=1) : 1.39
 Factor ξ_3 (gem) : 1.28
 Factor ξ_4 (min) : 1.03
 Weerstandsfactor γ_R : 1.35
 $\gamma_{m;var;q_c}$: 1.50
 UGT draagvermogen zonder negatieve kleef : NEE

Paal : LD1
 Niveau paalkop [m] : N.A.P. 30.52
 Paalpuntniveau : N.A.P. 21.02
 $E_{d;1}$ [kN] : 0.00 $E_{d;2}$ [kN] : 0.00
 Bovenbel. [kN/m²] : 0.00

RESULTATEN Mast 050 (n=1)

Project :
Onderdeel :

Sondering : S050-1

Alle niveaus/hogtes/peilmaten zijn t.o.v.: N.A.P.

Inheinniveau [m]	Effectief inheinniveau [m]	E.G. paal [kN]	$R_{t,cal;k}$ [kN]	$R_{t;d}$ [kN]	$F_{t,tot;1}$ [kN]	U.C.
21.02	21.02	31.6	435.8	435.8	0.0	0.00

Sondering : S050-2

Alle niveaus/hogtes/peilmaten zijn t.o.v.: N.A.P.

Inheinniveau [m]	Effectief inheinniveau [m]	E.G. paal [kN]	$R_{t,cal;k}$ [kN]	$R_{t;d}$ [kN]	$F_{t,tot;1}$ [kN]	U.C.
21.02	21.02	30.9	437.5	437.5	0.0	0.00

Sondering : S050-3

Alle niveaus/hogtes/peilmaten zijn t.o.v.: N.A.P.

Inheinniveau [m]	Effectief inheinniveau [m]	E.G. paal [kN]	$R_{t,cal;k}$ [kN]	$R_{t;d}$ [kN]	$F_{t,tot;1}$ [kN]	U.C.
21.02	21.02	31.6	508.0	508.0	0.0	0.00

Sondering : S050-4

Alle niveaus/hogtes/peilmaten zijn t.o.v.: N.A.P.

Inheinniveau [m]	Effectief inheinniveau [m]	E.G. paal [kN]	$R_{t,cal;k}$ [kN]	$R_{t;d}$ [kN]	$F_{t,tot;1}$ [kN]	U.C.
21.02	21.02	30.9	422.0	422.0	0.0	0.00

Project :
Onderdeel :

SAMENVATTINGSTABEL Mast 050 (n=1)**Uitgangspunten**

- paal : LD1
 - paaltype : Stalen buispaal (gesloten)
 - schachtafmeting : 550 mm
 Paalklassefactor α_p : 1.00
 Factor α_t (tabel 7.c EC 7.1) : 0.0070 (zandlagen; voor kleilagen zie tabel 7.d)
 Correlatiefactor $\xi_{3(n=1)}$: 1.39

Alle niveaus/hogtes/peilmaten zijn t.o.v.: N.A.P.

sondering	maaiveld paalpunt		Bezwijkdraagvermogen $R_{t,cal}$ [kN]	Rekenwaarden		
	niveau	niveau		$R_{t;d}$ [kN]	$R_{t,netto;d}$ [kN]	
S050-1	30.79	21.02	435.8	435.8	435.8	
S050-2	31.09	21.02	437.5	437.5	437.5	
S050-3	30.82	21.02	508.0	508.0	508.0	
S050-4	30.82	21.02	422.0	422.0	422.0	

Project :
Onderdeel :

SAMENVATTINGSTABEL Mast 050 (van 4 sonderingen)**Uitgangspunten**

- paal : LD1
 - paaltype : Stalen buispaal (gesloten)
 - schachtafmeting : 550 mm
 Paalklassefactor α_p : 1.00
 Factor α_t (tabel 7.c EC 7.1) : 0.0070 (zandlagen; voor kleilagen zie tabel 7.d)
 Correlatiefactor $\xi_{3gem}(n=4)$: 1.28
 Correlatiefactor $\xi_{4min}(n=4)$: 1.03

Alle niveaus/hogtes/peilmaten zijn t.o.v.: N.A.P.

sondering	maaiveld niveau	paalpunt niveau	Bezwijkdraagvermogen E.G. paal $R_{t,cal}$ [kN]	$R_{t,cal}$ [kN]
-----------	--------------------	--------------------	---	---------------------

met $\xi_3(gem) = 1.28$

S050-1	30.79	21.02	31.6	470.6
S050-2	31.09	21.02	31.6	472.4
S050-3	30.82	21.02	31.6	548.9
S050-4	30.82	21.02	31.6	455.6

$R_{t,cal,gem}$ 486.9

met $\xi_4(min) = 1.03$

S050-1	30.79	21.02	31.6	577.1
S050-2	31.09	21.02	31.6	579.6
S050-3	30.82	21.02	31.6	674.4
S050-4	30.82	21.02	31.6	558.7

$R_{t,cal,min}$ 558.7

Totaal resultaten Mast 050 (van 4 sonderingen)

Uitgangspunten

Correlatiefactor $\xi_{3gem}(n=4)$: 1.28
 Correlatiefactor $\xi_{4min}(n=4)$: 1.03

gebaseerd op sonderingen:

S050-1 S050-2 S050-3 S050-4

$$R_{t,d} = \min.\{ R_{t,cal,gem}; R_{t,cal,min} \} (7.17) *$$

Inheinniveau

[m]

$$21.02 \quad R_{t,d} = \min.\{ 486.9; 558.7 \} = 486.9$$

*) Bij de trekpaalbepaling zijn factoren ξ_3 en ξ_4 al bij de berekening van de conusweerstand $q_{c;z;d}$ in rekening gebracht, evenals factor $\gamma_{s;t}$. Dat is conform de opmerkingen in art. 7.6.3.3 (3) en (4).

Alle niveaus/hogtes/peilmaten zijn t.o.v.: N.A.P.

Inheinniveau [m]	$R_{t,k}$ [kN]	$R_{t,d}$ [kN]	$F_{t,tot,1}$ [kN]	$R_{t,netto,d}$ [kN]	U.C.
21.02	486.9	486.9	0.0	486.9	0.00

Project :
Onderdeel :

REKENGEDEVENS Mast 051

Berekening : Controlerend
Rekenmethode : Trekpalen volgens NEN-EN 1997-1, art. 7.6.3
Sondering(en) : S051-1, S051-2, S051-3, S051-4
Let op: trekcapaciteit t.p.v. negatief kleefttraject is meegerekend.

Stijf bouwwerk : NEE
Paalgroep : NEE
Aantal sonderingen : 4
Factor ξ_3 (n=1) : 1.39
Factor ξ_3 (gem) : 1.28
Factor ξ_4 (min) : 1.03
Weerstandsfactor γ_R : 1.35
 $\gamma_{m,var;q_c}$: 1.50
UGT draagvermogen zonder negatieve kleeft : NEE

Paal : LD1
Niveau paalkop [m] : N.A.P. 30.40
Paalpuntniveau : N.A.P. 21.40
 $E_{d,1}$ [kN] : 0.00 $E_{d,2}$ [kN] : 0.00
Bovenbel. [kN/m²] : 0.00

RESULTATEN Mast 051 (n=1)**Sondering : S051-1**

Alle niveaus/hogtes/peilmaten zijn t.o.v.: N.A.P.

Inheinniveau [m]	Effectief inheinniveau [m]	E.G. paal [kN]	$R_{t,cal;k}$ [kN]	$R_{t;d}$ [kN]	$F_{t,tot;1}$ [kN]	U.C.
21.40	21.40	29.8	355.2	355.2	0.0	0.00

Sondering : S051-2

Alle niveaus/hogtes/peilmaten zijn t.o.v.: N.A.P.

Inheinniveau [m]	Effectief inheinniveau [m]	E.G. paal [kN]	$R_{t,cal;k}$ [kN]	$R_{t;d}$ [kN]	$F_{t,tot;1}$ [kN]	U.C.
21.40	21.40	29.6	402.3	402.3	0.0	0.00

Sondering : S051-3

Alle niveaus/hogtes/peilmaten zijn t.o.v.: N.A.P.

Inheinniveau [m]	Effectief inheinniveau [m]	E.G. paal [kN]	$R_{t,cal;k}$ [kN]	$R_{t;d}$ [kN]	$F_{t,tot;1}$ [kN]	U.C.
21.40	21.40	29.6	376.9	376.9	0.0	0.00

Sondering : S051-4

Alle niveaus/hogtes/peilmaten zijn t.o.v.: N.A.P.

Inheinniveau [m]	Effectief inheinniveau [m]	E.G. paal [kN]	$R_{t,cal;k}$ [kN]	$R_{t;d}$ [kN]	$F_{t,tot;1}$ [kN]	U.C.
21.40	21.40	29.8	336.9	336.9	0.0	0.00

Project :
Onderdeel :

SAMENVATTINGSTABEL Mast 051 (n=1)**Uitgangspunten**

- paal : LD1
 - paaltype : Stalen buispaal (gesloten)
 - schachtafmeting : 550 mm
 Paalklassefactor α_p : 1.00
 Factor α_t (tabel 7.c EC 7.1) : 0.0070 (zandlagen; voor kleilagen zie tabel 7.d)
 Correlatiefactor $\xi_{3(n=1)}$: 1.39

Alle niveaus/hogtes/peilmaten zijn t.o.v.: N.A.P.

sondering	maaiveld paalpunt		Bezwijkdraagvermogen $R_{t,cal}$ [kN]	Rekenwaarden	
	niveau	niveau		$R_{t;d}$ [kN]	$R_{t,netto;d}$ [kN]
S051-1	30.79	21.40	355.2	355.2	355.2
S051-2	30.79	21.40	402.3	402.3	402.3
S051-3	30.85	21.40	376.9	376.9	376.9
S051-4	30.77	21.40	336.9	336.9	336.9

Project :
Onderdeel :

SAMENVATTINGSTABEL Mast 051 (van 4 sonderingen)**Uitgangspunten**

- paal : LD1
 - paaltype : Stalen buispaal (gesloten)
 - schachtafmeting : 550 mm
 Paalklassefactor α_p : 1.00
 Factor α_t (tabel 7.c EC 7.1) : 0.0070 (zandlagen; voor kleilagen zie tabel 7.d)
 Correlatiefactor $\xi_{3gem}(n=4)$: 1.28
 Correlatiefactor $\xi_{4min}(n=4)$: 1.03

Alle niveaus/hogtes/peilmaten zijn t.o.v.: N.A.P.

sondering	maaiveld niveau	paalpunt niveau	Bezwijkdraagvermogen E.G. paal $R_{t,cal}$ [kN]	$R_{t,cal}$ [kN]
-----------	--------------------	--------------------	---	---------------------

met $\xi_3(gem) = 1.28$

S051-1	30.79	21.40	29.8	383.2
S051-2	30.79	21.40	29.8	434.4
S051-3	30.85	21.40	29.8	406.8
S051-4	30.77	21.40	29.8	363.2

21.40 $R_{t,cal,gem}$ 396.9

met $\xi_4(min) = 1.03$

S051-1	30.79	21.40	29.8	469.0
S051-2	30.79	21.40	29.8	532.6
S051-3	30.85	21.40	29.8	498.3
S051-4	30.77	21.40	29.8	444.2

21.40 $R_{t,cal,min}$ 444.2

Totaal resultaten Mast 051 (van 4 sonderingen)**Uitgangspunten**

Correlatiefactor $\xi_{3gem}(n=4)$: 1.28
 Correlatiefactor $\xi_{4min}(n=4)$: 1.03

gebaseerd op sonderingen:

S051-1 S051-2 S051-3 S051-4

$$R_{t,d} = \min.\{ R_{t,cal,gem}; R_{t,cal,min} \} (7.17) *$$

Inheinniveau

[m]

$$21.40 \quad R_{t,d} = \min.\{ 396.9; 444.2 \} = 396.9$$

* Bij de trekpaalberekening zijn factoren ξ_3 en ξ_4 al bij de berekening van de conusweerstand $q_{c;z;d}$ in rekening gebracht, evenals factor $\gamma_{s;t}$. Dat is conform de opmerkingen in art. 7.6.3.3 (3) en (4).

Alle niveaus/hogtes/peilmaten zijn t.o.v.: N.A.P.

Inheinniveau [m]	$R_{t,k}$ [kN]	$R_{t,d}$ [kN]	$F_{t,tot,1}$ [kN]	$R_{t,netto,d}$ [kN]	U.C.
21.40	396.9	396.9	0.0	396.9	0.00

Project :
Onderdeel :

REKENGEDEVENS Mast 054

Berekening : Controlerend
Rekenmethode : Trekpalen volgens NEN-EN 1997-1, art. 7.6.3
Sondering(en) : S054-2, S054-3, S054-4
Let op: trekcapaciteit t.p.v. negatief kleeftraject is meegerekend.

Stijf bouwwerk : JA
Paalgroep : NEE
Aantal sonderingen : 3
Factor ξ_3 (n=1) : 1.26
Factor ξ_3 (gem) : 1.18
Factor ξ_4 (min) : 0.94
Weerstandsfactor γ_R : 1.35
 $\gamma_{m,var;q_c}$: 1.35
UGT draagvermogen zonder negatieve kleeft : NEE

Paal : LD1
Niveau paalkop [m] : N.A.P. 30.54
Paalpuntniveau : N.A.P. 22.04
 $E_{d,1}$ [kN] : 0.00 $E_{d,2}$ [kN] : 0.00
Bovenbel. [kN/m²] : 0.00

RESULTATEN Mast 054 (n=1)**Sondering : S054-2**

Alle niveaus/hogtes/peilmaten zijn t.o.v.: N.A.P.

Inheinniveau [m]	Effectief inheinniveau [m]	E.G. paal [kN]	$R_{t,cal;k}$ [kN]	$R_{t;d}$ [kN]	$F_{t,tot;1}$ [kN]	U.C.
22.04	22.04	29.1	426.2	426.2	0.0	0.00

Sondering : S054-3

Alle niveaus/hogtes/peilmaten zijn t.o.v.: N.A.P.

Inheinniveau [m]	Effectief inheinniveau [m]	E.G. paal [kN]	$R_{t,cal;k}$ [kN]	$R_{t;d}$ [kN]	$F_{t,tot;1}$ [kN]	U.C.
22.04	22.04	29.1	404.8	404.8	0.0	0.00

Sondering : S054-4

Alle niveaus/hogtes/peilmaten zijn t.o.v.: N.A.P.

Inheinniveau [m]	Effectief inheinniveau [m]	E.G. paal [kN]	$R_{t,cal;k}$ [kN]	$R_{t;d}$ [kN]	$F_{t,tot;1}$ [kN]	U.C.
22.04	22.04	29.2	448.5	448.5	0.0	0.00

Project :
Onderdeel :

SAMENVATTINGSTABEL Mast 054 (n=1)**Uitgangspunten**

- paal : LD1
 - paaltype : Stalen buispaal (gesloten)
 - schachtafmeting : 550 mm
 Paalklassefactor α_p : 1.00
 Factor α_t (tabel 7.c EC 7.1) : 0.0070 (zandlagen; voor kleilagen zie tabel 7.d)
 Correlatiefactor $\xi_{3(n=1)}$: 1.26

Alle niveaus/hogtes/peilmaten zijn t.o.v.: N.A.P.

sondering	maaiveld paalpunt		Bezwijkdraagvermogen $R_{t,cal}$ [kN]	Rekenwaarden	
	niveau	niveau		$R_{t,d}$ [kN]	$R_{t,netto,d}$ [kN]
S054-2	30.83	22.04	426.2	426.2	426.2
S054-3	30.57	22.04	404.8	404.8	404.8
S054-4	30.52	22.04	448.5	448.5	448.5

Project :
Onderdeel :

SAMENVATTINGSTABEL Mast 054 (van 3 sonderingen)**Uitgangspunten**

- paal : LD1
 - paaltype : Stalen buispaal (gesloten)
 - schachtafmeting : 550 mm
 Paalklassefactor α_p : 1.00
 Factor α_t (tabel 7.c EC 7.1) : 0.0070 (zandlagen; voor kleilagen zie tabel 7.d)
 Correlatiefactor $\xi_{3gem}(n=3)$: 1.18
 Correlatiefactor $\xi_{4min}(n=3)$: 0.94

Alle niveaus/hogtes/peilmaten zijn t.o.v.: N.A.P.

sondering	maaiveld niveau	paalpunt niveau	E.G. paal	Bezwijkdraagvermogen $R_{t,cal}$ [kN]
-----------	--------------------	--------------------	-----------	---

met $\xi_3(gem) = 1.18$

S054-2	30.83	22.04	29.1	453.2
S054-3	30.57	22.04	29.1	430.3
S054-4	30.52	22.04	29.1	477.0

		22.04	$R_{t,cal,gem}$	453.5
--	--	-------	-----------------	-------

met $\xi_4(min) = 0.94$

S054-2	30.83	22.04	29.1	561.5
S054-3	30.57	22.04	29.1	532.7
S054-4	30.52	22.04	29.1	591.3

		22.04	$R_{t,cal,min}$	532.7
--	--	-------	-----------------	-------

Totaal resultaten Mast 054 (van 3 sonderingen)

Uitgangspunten

Correlatiefactor $\xi_{3gem}(n=3)$: 1.18
 Correlatiefactor $\xi_{4min}(n=3)$: 0.94

gebaseerd op sonderingen:

S054-2 S054-3 S054-4

$R_{t,d} = \min.\{ R_{t,cal,gem}; R_{t,cal,min} \} (7.17) *$

Inheinniveau
[m]

22.04	$R_{t,d} = \min.\{ 453.5; 532.7 \} = 453.5$
-------	---

*) Bij de trekpaalberekening zijn factoren ξ_3 en ξ_4 al bij de berekening van de conusweerstand $q_{c;z;d}$ in rekening gebracht, evenals factor $\gamma_{s;t}$. Dat is conform de opmerkingen in art. 7.6.3.3 (3) en (4).

Alle niveaus/hogtes/peilmaten zijn t.o.v.: N.A.P.

Inheinniveau [m]	$R_{t,k}$ [kN]	$R_{t,d}$ [kN]	$F_{t,tot;1}$ [kN]	$R_{t,netto;d}$ [kN]	U.C.
22.04	453.5	453.5	0.0	453.5	0.00

Project :
Onderdeel :

REKENGEDEVENS Mast 054 - bi

Berekening : Controlerend
Rekenmethode : Trekpalen volgens NEN-EN 1997-1, art. 7.6.3
Sondering(en) : S054-1, S054-3, S054-4
Let op: trekcapaciteit t.p.v. negatief kleeftraject is meegerekend.

Stijf bouwwerk : JA
Paalgroep : NEE
Aantal sonderingen : 3
Factor ξ_3 (n=1) : 1.26
Factor ξ_3 (gem) : 1.18
Factor ξ_4 (min) : 0.94
Weerstandsfactor γ_R : 1.35
 $\gamma_{m,var;q_c}$: 1.35
UGT draagvermogen zonder negatieve kleeft : NEE

Paal : LD1
Niveau paalkop [m] : N.A.P. 30.54
Paalpuntniveau : N.A.P. 22.04
 $E_{d,1}$ [kN] : 0.00 $E_{d,2}$ [kN] : 0.00
Bovenbel. [kN/m²] : 0.00

RESULTATEN Mast 054 - bi (n=1)**Sondering : S054-1**

Alle niveaus/hogtes/peilmaten zijn t.o.v.: N.A.P.

Inheinniveau [m]	Effectief inheinniveau [m]	E.G. paal [kN]	$R_{t,cal;k}$ [kN]	$R_{t;d}$ [kN]	$F_{t,tot;1}$ [kN]	U.C.
22.04	22.04	29.1	333.9	333.9	0.0	0.00

Sondering : S054-3

Alle niveaus/hogtes/peilmaten zijn t.o.v.: N.A.P.

Inheinniveau [m]	Effectief inheinniveau [m]	E.G. paal [kN]	$R_{t,cal;k}$ [kN]	$R_{t;d}$ [kN]	$F_{t,tot;1}$ [kN]	U.C.
22.04	22.04	29.1	404.8	404.8	0.0	0.00

Sondering : S054-4

Alle niveaus/hogtes/peilmaten zijn t.o.v.: N.A.P.

Inheinniveau [m]	Effectief inheinniveau [m]	E.G. paal [kN]	$R_{t,cal;k}$ [kN]	$R_{t;d}$ [kN]	$F_{t,tot;1}$ [kN]	U.C.
22.04	22.04	29.2	448.5	448.5	0.0	0.00

Project :
Onderdeel :

SAMENVATTINGSTABEL Mast 054 - bi (n=1)

Uitgangspunten

- paal : LD1
 - paaltype : Stalen buispaal (gesloten)
 - schachtafmeting : 550 mm
 Paalklassefactor α_p : 1.00
 Factor α_t (tabel 7.c EC 7.1) : 0.0070 (zandlagen; voor kleilagen zie tabel 7.d)
 Correlatiefactor $\xi_{3(n=1)}$: 1.26

Alle niveaus/hogtes/peilmaten zijn t.o.v.: N.A.P.

sondering	maaiveld paalpunt		Bezwijkdraagvermogen $R_{t,cal}$ [kN]	Rekenwaarden	
	niveau	niveau		$R_{t,d}$ [kN]	$R_{t,netto,d}$ [kN]
S054-1	30.55	22.04	333.9	333.9	333.9
S054-3	30.57	22.04	404.8	404.8	404.8
S054-4	30.52	22.04	448.5	448.5	448.5

Project :
Onderdeel :

SAMENVATTINGSTABEL Mast 054 - bi (van 3 sonderingen)**Uitgangspunten**

- paal : LD1
 - paaltype : Stalen buispaal (gesloten)
 - schachtafmeting : 550 mm
 Paalklassefactor α_p : 1.00
 Factor α_t (tabel 7.c EC 7.1) : 0.0070 (zandlagen; voor kleilagen zie tabel 7.d)
 Correlatiefactor $\xi_{3gem(n=3)}$: 1.18
 Correlatiefactor $\xi_{4min(n=3)}$: 0.94

Alle niveaus/hogtes/peilmaten zijn t.o.v.: N.A.P.

sondering	maaiveld	paalpunt	Bezwijkdraagvermogen
niveau	niveau	E.G. paal	$R_{t,cal}$
			[kN]

met ξ_3 (gem) = 1.18

S054-1	30.55	22.04	29.1	354.6
S054-3	30.57	22.04	29.1	430.3
S054-4	30.52	22.04	29.1	477.0

22.04 $R_{t,cal,gem}$ 420.6

met ξ_4 (min) = 0.94

S054-1	30.55	22.04	29.1	437.7
S054-3	30.57	22.04	29.1	532.7
S054-4	30.52	22.04	29.1	591.3

22.04 $R_{t,cal,min}$ 437.7

Totaal resultaten Mast 054 - bi (van 3 sonderingen)

Uitgangspunten

Correlatiefactor ξ_{3gem} (n= 3) : 1.18
 Correlatiefactor ξ_{4min} (n= 3) : 0.94

gebaseerd op sonderingen:

S054-1 S054-3 S054-4

$R_{t,d} = \min.\{ R_{t,cal,gem}; R_{t,cal,min} \}$ (7.17) *

Inheinniveau
[m]

22.04 $R_{t,d} = \min.\{ 420.6; 437.7 \} = 420.6$

* Bij de trekpaalbepaling zijn factoren ξ_3 en ξ_4 al bij de berekening van de conusweerstand $q_{c;z;d}$ in rekening gebracht, evenals factor $\gamma_{s;t}$. Dat is conform de opmerkingen in art. 7.6.3.3 (3) en (4).

Alle niveaus/hogtes/peilmaten zijn t.o.v.: N.A.P.

Inheinniveau	$R_{t,k}$	$R_{t,d}$	$F_{t,tot;1}$	$R_{t,netto;d}$	U.C.
[m]	[kN]	[kN]	[kN]	[kN]	
22.04	420.6	420.6	0.0	420.6	0.00 *

*** WAARSCHUWING n.a.v. NEN-NA 1997-1 art. A.3.3.3 1)**

Bij toepassing van de waarden van ξ_1 , ξ_2 , ξ_3 en ξ_4 van de tabellen A.9 en A.10 mag de variatiecoëfficiënt van de draagkracht van palen in een groep, bepaald volgens de verschillende voor deze groep geldende sonderingen, niet groter zijn dan 12%. Deze variatiecoëfficiënt van 12% geeft bij een kans van onderschrijding van 5% een minimumdraagkracht groter dan 80% van het gemiddelde.

Inheinniveau	Aantal	$R_{t,cal,gem}$	Var.coëff.
[m]	[-]	[kN]	[%]
22.04	3	420.62	14.7

Project :
Onderdeel :

PAALGEGEVENS LD1

Type : Stalen buispaal (gesloten)
Wijze van installeren : Heien
Diameter [m] : 0.550
Wanddikte t [mm] : 4.0
Elasticiteitsmodulus [N/mm²] : 200000 (Staal)
Soortelijk gewicht [kN/m³] : 78.5 (Staal)
Elasticiteitsmodulus [N/mm²] : 20000 (Beton)
Soortelijk gewicht [kN/m³] : 24.0 (Beton)
Factor α_s (tabel 7.c EC 7.1) : 0.010 (zandlagen; voor kleilagen zie tabel 7.d)
Factor α_t (tabel 7.c EC 7.1) : 0.0070 (zandlagen; voor kleilagen zie tabel 7.d)
Paalklassefactor α_p : 1.00
Paalvoetvormfactor β : 1.00
Type lastzakkingsdiagram : Grondverdringende paal
Verm.factor * $\phi'_{j,k}$: 0.75
Groutomhulling : NEE

Project :
Onderdeel :

OVERZICHT NETTO DRAAGVERMOGEN TREKPALEN (n=1)

Netto paal draagvermogen(s) zijn naar beneden toe afgerond op: 1.0 kN nauwkeurig
Alle niveaus/hoogtes/peilmaten zijn t.o.v.: N.A.P.

sondering	maaiveld paalpunt		$R_{t, netto; d}$ [kN]			
	niveau	niveau	Mast 050	Mast 051	Mast 054	Mast 054
S050-1	30.79	21.02	435			
S050-2	31.09	21.02	437			
S050-3	30.82	21.02	507			
S050-4	30.82	21.02	421			
S054-1	30.55	22.04				333
S054-2	30.83	22.04			426	
S054-3	30.57	22.04			404	404
S054-4	30.52	22.04			448	448
S051-1	30.79	21.40		355		
S051-2	30.79	21.40		402		
S051-3	30.85	21.40		376		
S051-4	30.77	21.40		336		

Project :
Onderdeel :

ALGEMENE GEGEVENS

Project :
Onderdeel :
Datum : 10-12-2021
Bestand : \\Arh7001.verit.dnv.com\projects\EANL_Projects\
10166262 - BBB modelleren funderingen 380
kV\02 Content\03 Calculations\Technosoft
Paalfunderingen\MBT-EHV380\DO\Nieuw
Sonderingen\Mast 060-069.pvw
Berekeningstype : Verticaal belaste paal
Alle niveaus/hogtes/peilmaten zijn t.o.v.: N.A.P.

Toegepaste normen volgens Eurocode met Nederlandse NB

Geotechniek	EN 1997-1:2004	AC:2009	
	NEN-EN 1997-1:2005	C1+A1:2013	NB:2016
	NEN 9997-1:2016	C2:2017	

GRONDSOORTEN

Nr. Omschrijving	$\gamma_{k;1}$ [kN/m ³]	$\gamma_{sat;k;1}$ [kN/m ³]	$\phi'_{k;1}$ [°]	$\gamma_{k;2}$ [kN/m ³]	$\gamma_{sat;k;2}$ [kN/m ³]	$\phi'_{k;2}$ [°]
1 Zand - Schoon - Los	17.00	19.00	30.00	18.00	20.00	32.50
2 Zand - Schoon - Matig	18.00	20.00	32.50	19.00	21.00	35.00
3 Zand - Schoon - Vast	19.00	21.00	35.00	20.00	22.00	40.00
4 Zand - Zwak siltig - Kleiig	18.00	20.00	27.00	19.00	21.00	32.50
5 Zand - Sterk siltig - Kleiig	18.00	20.00	25.00	19.00	21.00	30.00
6 Leem - Zwak zandig - Vast	21.00	21.00	27.50	22.00	22.00	35.00
7 Leem - Sterk zandig	19.00	19.00	27.50	20.00	20.00	35.00
8 Klei - Schoon - Matig	17.00	17.00	17.50	19.00	19.00	17.50
9 Klei - Schoon - Vast	19.00	19.00	17.50	20.00	20.00	25.00
10 Klei - Zwak zandig - Slap	15.00	15.00	22.50	18.00	18.00	22.50
11 Klei - Zwak zandig - Matig	18.00	18.00	22.50	20.00	20.00	22.50
12 Klei - Zwak zandig - Vast	20.00	20.00	22.50	21.00	21.00	27.50
13 Klei - Organisch - Matig	15.00	15.00	15.00	16.00	16.00	15.00
14 Veen - Matig voorbelast - Matig	12.00	12.00	15.00	13.00	13.00	15.00

BODEMPROFIELGEGEVENS: S061-2

Alle niveaus/hogtes/peilmaten zijn t.o.v.: N.A.P.

d50-reductie is meegenomen overeenkomstig NEN-EN 9997 art. 7.6.2.3 (i)

Laag	Van [m]	Tot [m]	Omschrijving	OCR	Aandeel kleef [%]	pos.	α_s	d_{50} [mm]
1	26.35	24.53	Klei - Organisch - Matig	1.0	50.0			
2	24.53	22.77	Zand - Schoon - Matig	1.0	100.0			
3	22.77	22.03	Zand - Schoon - Los	1.0	100.0			
4	22.03	20.83	Zand - Schoon - Vast	1.0	100.0			
5	20.83	19.69	Zand - Schoon - Matig	1.0	100.0			
6	19.69	19.45	Zand - Zwak siltig - Kleiig	1.0	100.0			
7	19.45	17.51	Klei - Zwak zandig - Matig	1.0	50.0			
8	17.51	16.91	Zand - Sterk siltig - Kleiig	1.0	100.0			
9	16.91	16.13	Klei - Zwak zandig - Matig	1.0	50.0			
10	16.13	15.87	Zand - Zwak siltig - Kleiig	1.0	100.0			
11	15.87	15.61	Leem - Zwak zandig - Vast	1.0	50.0			
12	15.61	14.77	Zand - Schoon - Vast	1.0	100.0			
13	14.77	13.25	Zand - Schoon - Matig	1.0	100.0			
14	13.25	12.79	Zand - Schoon - Los	1.0	100.0			
15	12.79	5.22	Zand - Schoon - Vast	1.0	100.0			

BODEMPROFIELGEGEVENS: S061-3

Alle niveaus/hogtes/peilmaten zijn t.o.v.: N.A.P.

d50-reductie is meegenomen overeenkomstig NEN-EN 9997 art. 7.6.2.3 (i)

Laag	Van [m]	Tot [m]	Omschrijving	OCR	Aandeel kleef [%]	pos.	α_s	d_{50} [mm]
1	26.25	24.51	Klei - Zwak zandig - Matig	1.0	50.0			
2	24.51	21.87	Zand - Schoon - Los	1.0	100.0			
3	21.87	21.19	Zand - Schoon - Vast	1.0	100.0			
4	21.19	20.81	Zand - Zwak siltig - Kleiig	1.0	100.0			
5	20.81	20.17	Zand - Schoon - Vast	1.0	100.0			

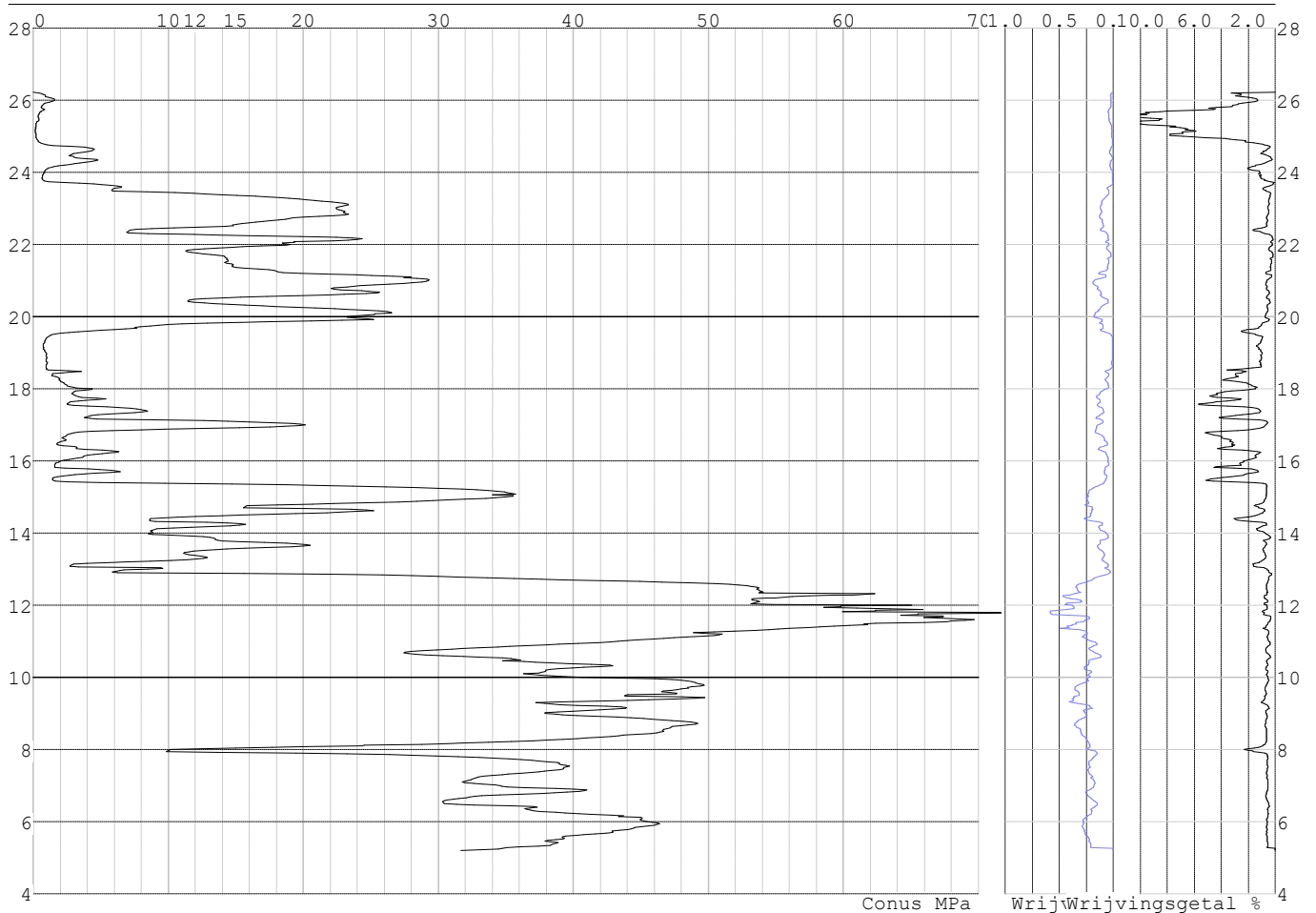
Project :
Onderdeel :

Laag	Van [m]	Tot [m]	Omschrijving	OCR	Aandeel pos. kleef [%]	α_s	d_{50} [mm]
6	20.17	19.49	Zand - Zwak siltig - Kleiig	1.0	100.0		
7	19.49	17.41	Klei - Zwak zandig - Matig	1.0	50.0		
8	17.41	16.77	Zand - Schoon - Matig	1.0	100.0		
9	16.77	16.03	Klei - Zwak zandig - Matig	1.0	50.0		
10	16.03	15.71	Zand - Schoon - Los	1.0	100.0		
11	15.71	15.45	Klei - Schoon - Vast	1.0	50.0		
12	15.45	14.73	Zand - Schoon - Vast	1.0	100.0		
13	14.73	13.07	Zand - Zwak siltig - Kleiig	1.0	100.0		
14	13.07	12.74	Klei - Zwak zandig - Vast	1.0	50.0		
15	12.74	5.28	Zand - Schoon - Vast	1.0	100.0		

SONDERINGSGEGEVENS ALGEMEEN: S061-1

Alle niveaus/hogtes/peilmaten zijn t.o.v.: N.A.P.
 Hoogte maaiveld [m] : 26.23 Bodemprofiel: S061-3
 Traject negatieve kleef : 26.23 tot 24.30 [m]
 Traject positieve kleef : 24.30 tot 5.21 [m]

SONDERINGSGEGEVENS GRAFIEK: S061-1

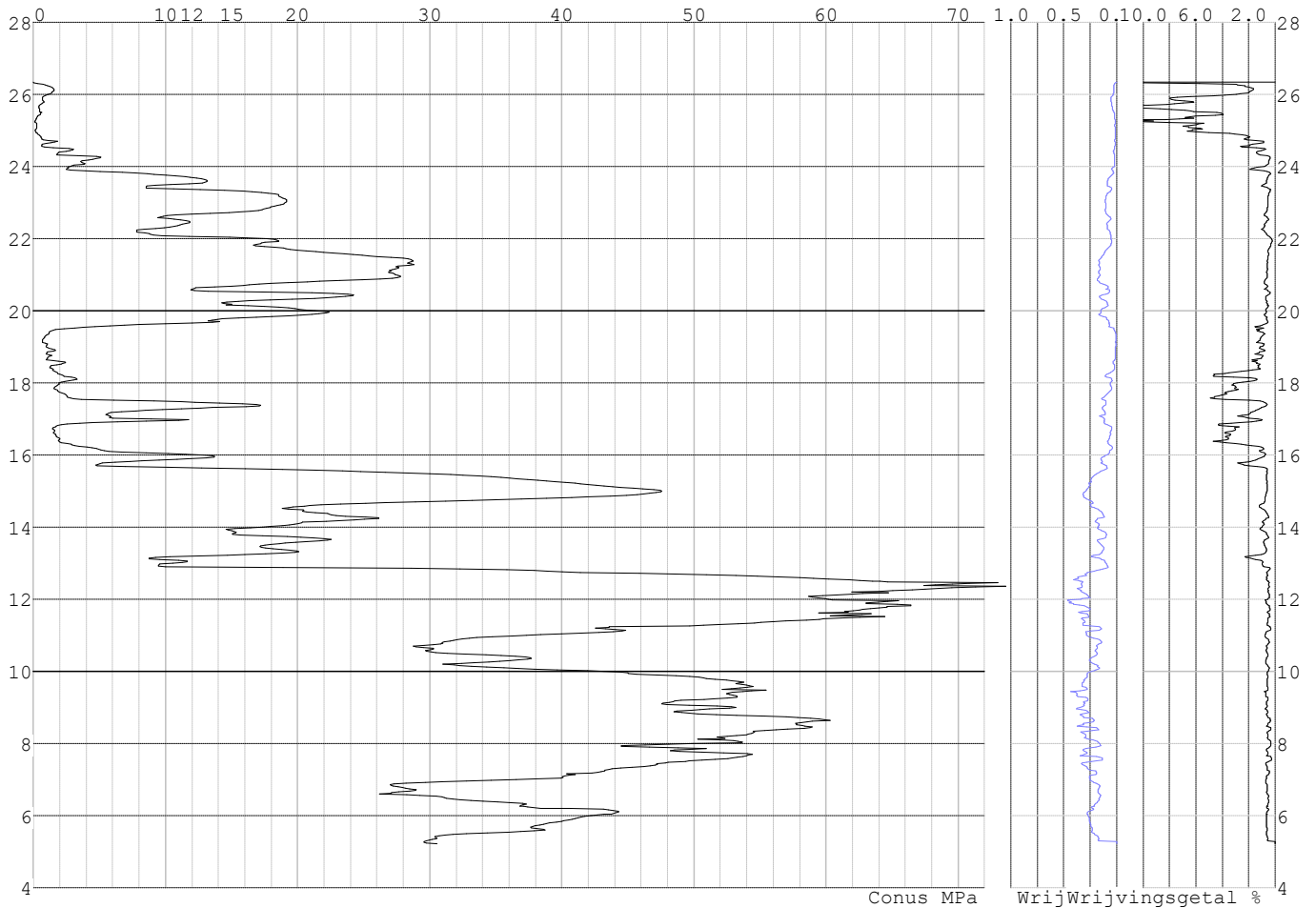


Project :
Onderdeel :

SONDERINGSGEGEVENS ALGEMEEN: S061-2

Alle niveaus/hogtes/peilmaten zijn t.o.v.: N.A.P.
Hoogte maaiveld [m] : 26.35 Bodemprofiel: S061-2
Traject negatieve kleef : 26.35 tot 24.50 [m]
Traject positieve kleef : 24.50 tot 5.22 [m]

SONDERINGSGEGEVENS GRAFIEK: S061-2

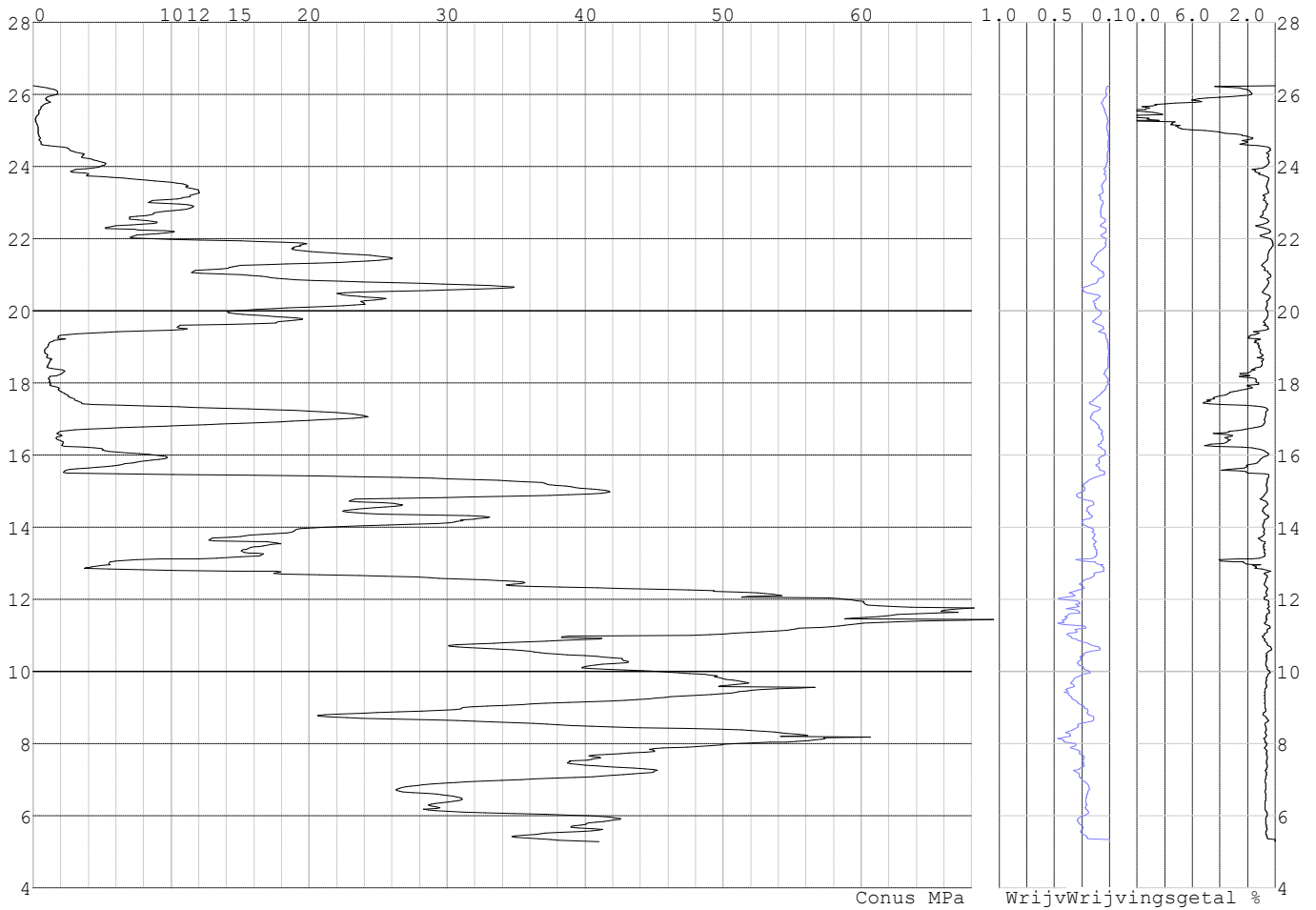


Project :
Onderdeel :

SONDERINGSGEGEVENS ALGEMEEN: S061-3

Alle niveaus/hogtes/peilmaten zijn t.o.v.: N.A.P.
Hoogte maaiveld [m] : 26.25 Bodemprofiel: S061-3
Traject negatieve kleeft : 26.25 tot 24.30 [m]
Traject positieve kleeft : 24.30 tot 5.28 [m]

SONDERINGSGEGEVENS GRAFIEK: S061-3

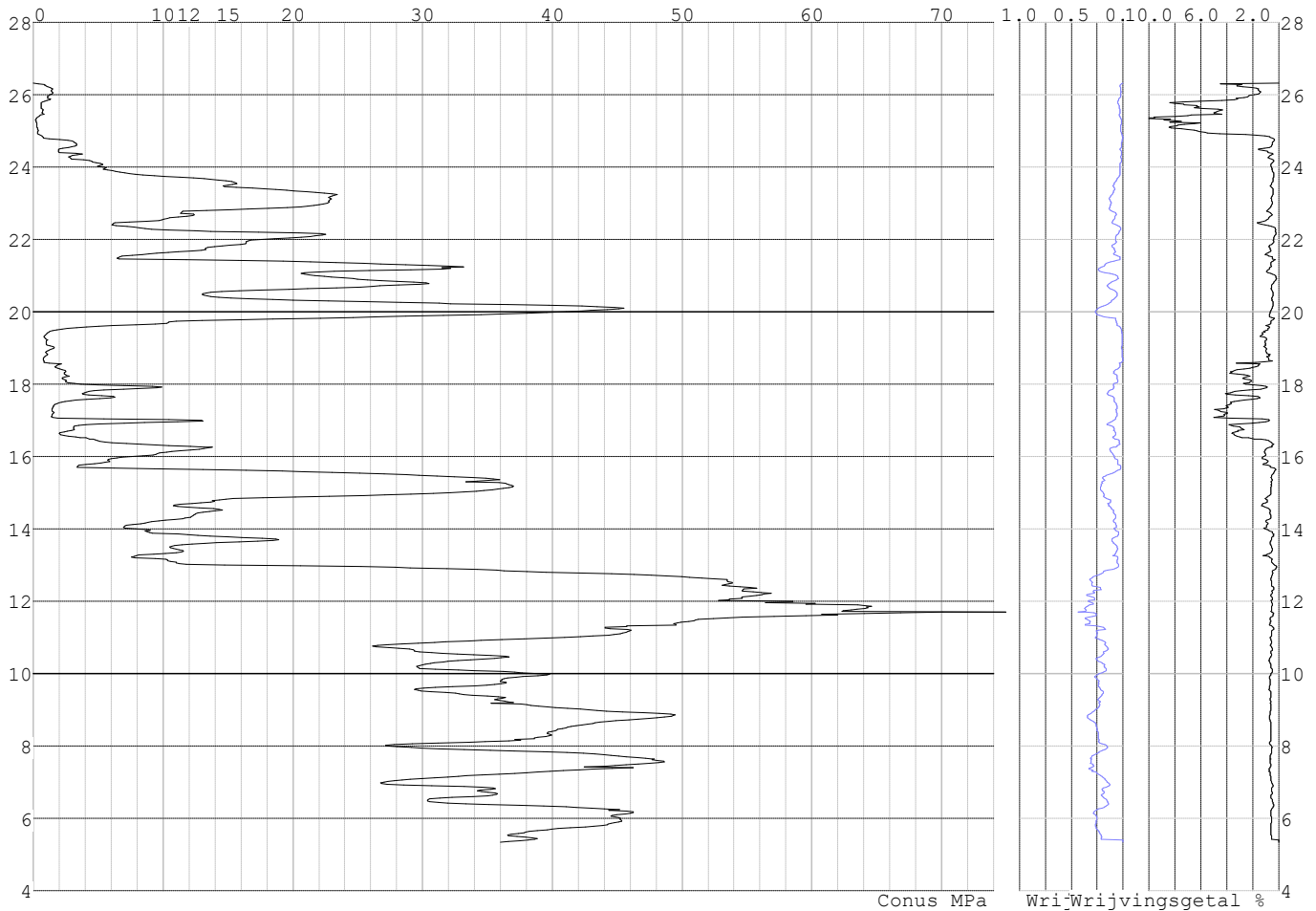


Project :
Onderdeel :

SONDERINGSGEGEVENS ALGEMEEN: S061-4

Alle niveaus/hoogtes/peilmaten zijn t.o.v.: N.A.P.
 Hoogte maaiveld [m] : 26.33 Bodemprofiel: S061-2
 Traject negatieve kleef : 26.33 tot 24.60 [m]
 Traject positieve kleef : 24.60 tot 5.35 [m]

SONDERINGSGEGEVENS GRAFIEK: S061-4



REKENGEVENS Mast 061

Berekening : Controlerend
 Rekenmethode : Trekpalen volgens NEN-EN 1997-1, art. 7.6.3
 Sondering(en) : S061-1, S061-2, S061-3, S061-4
 Let op: trekcapaciteit t.p.v. negatief kleeftraject is meegerekend.

Stijf bouwwerk : JA
 Paalgroep : NEE
 Aantal sonderingen : 4
 Factor ξ_3 (n=1) : 1.26
 Factor ξ_3 (gem) : 1.17
 Factor ξ_4 (min) : 0.93
 Weerstandsfactor γ_R : 1.35
 $\gamma_{m;var;q_c}$: 1.35
 UGT draagvermogen zonder negatieve kleef : NEE

Paal : LD1
 Niveau paalkop [m] : N.A.P. 26.72
 Paalpuntniveau : N.A.P. 15.72
 $E_{d;1}$ [kN] : 0.00 $E_{d;2}$ [kN] : 0.00
 Bovenbel. [kN/m²] : 0.00

RESULTATEN Mast 061 (n=1)

Project :
Onderdeel :

Sondering : S061-1

Alle niveaus/hogtes/peilmaten zijn t.o.v.: N.A.P.

Inheinniveau [m]	Effectief inheinniveau [m]	E.G. paal [kN]	$R_{t,cal;k}$ [kN]	$R_{t;d}$ [kN]	$F_{t,tot;1}$ [kN]	U.C.
15.72	15.72	38.1	417.2	417.2	0.0	0.00

Sondering : S061-2

Alle niveaus/hogtes/peilmaten zijn t.o.v.: N.A.P.

Inheinniveau [m]	Effectief inheinniveau [m]	E.G. paal [kN]	$R_{t,cal;k}$ [kN]	$R_{t;d}$ [kN]	$F_{t,tot;1}$ [kN]	U.C.
15.72	15.72	37.9	433.6	433.6	0.0	0.00

Sondering : S061-3

Alle niveaus/hogtes/peilmaten zijn t.o.v.: N.A.P.

Inheinniveau [m]	Effectief inheinniveau [m]	E.G. paal [kN]	$R_{t,cal;k}$ [kN]	$R_{t;d}$ [kN]	$F_{t,tot;1}$ [kN]	U.C.
15.72	15.72	38.1	432.3	432.3	0.0	0.00

Sondering : S061-4

Alle niveaus/hogtes/peilmaten zijn t.o.v.: N.A.P.

Inheinniveau [m]	Effectief inheinniveau [m]	E.G. paal [kN]	$R_{t,cal;k}$ [kN]	$R_{t;d}$ [kN]	$F_{t,tot;1}$ [kN]	U.C.
15.72	15.72	37.9	453.9	453.9	0.0	0.00

Project :
Onderdeel :

SAMENVATTINGSTABEL Mast 061 (n=1)

Uitgangspunten

- paal : LD1
 - paaltype : Stalen buispaal (gesloten)
 - schachtafmeting : 550 mm
 Paalklassefactor α_p : 1.00
 Factor α_t (tabel 7.c EC 7.1) : 0.0070 (zandlagen; voor kleilagen zie tabel 7.d)
 Correlatiefactor $\xi_{3(n=1)}$: 1.26

Alle niveaus/hogtes/peilmaten zijn t.o.v.: N.A.P.

sondering	maaiveld paalpunt		Bezwijkdraagvermogen $R_{t,cal}$ [kN]	Rekenwaarden	
	niveau	niveau		$R_{t;d}$ [kN]	$R_{t,netto;d}$ [kN]
S061-1	26.23	15.72	417.2	417.2	417.2
S061-2	26.35	15.72	433.6	433.6	433.6
S061-3	26.25	15.72	432.3	432.3	432.3
S061-4	26.33	15.72	453.9	453.9	453.9

Project :
Onderdeel :

SAMENVATTINGSTABEL Mast 061 (van 4 sonderingen)**Uitgangspunten**

- paal : LD1
 - paaltype : Stalen buispaal (gesloten)
 - schachtafmeting : 550 mm
 Paalklassefactor α_p : 1.00
 Factor α_t (tabel 7.c EC 7.1) : 0.0070 (zandlagen; voor kleilagen zie tabel 7.d)
 Correlatiefactor $\xi_{3gem}(n=4)$: 1.17
 Correlatiefactor $\xi_{4min}(n=4)$: 0.93

Alle niveaus/hogtes/peilmaten zijn t.o.v.: N.A.P.

sondering	maaiveld niveau	paalpunt niveau	E.G. paal [kN]	Bezwijkdraagvermogen $R_{t,cal}$ [kN]
-----------	--------------------	--------------------	-------------------	---

met $\xi_3(gem) = 1.17$

S061-1	26.23	15.72	38.1	446.4
S061-2	26.35	15.72	38.1	464.0
S061-3	26.25	15.72	38.1	462.7
S061-4	26.33	15.72	38.1	485.9

		15.72	$R_{t,cal,gem}$	464.7
--	--	-------	-----------------	-------

met $\xi_4(min) = 0.93$

S061-1	26.23	15.72	38.1	551.8
S061-2	26.35	15.72	38.1	574.0
S061-3	26.25	15.72	38.1	572.2
S061-4	26.33	15.72	38.1	601.5

		15.72	$R_{t,cal,min}$	551.8
--	--	-------	-----------------	-------

Totaal resultaten Mast 061 (van 4 sonderingen)**Uitgangspunten**

Correlatiefactor $\xi_{3gem}(n=4)$: 1.17
 Correlatiefactor $\xi_{4min}(n=4)$: 0.93

gebaseerd op sonderingen:

S061-1 S061-2 S061-3 S061-4

$$R_{t,d} = \min.\{ R_{t,cal,gem}; R_{t,cal,min} \} (7.17) *$$

Inheinniveau

[m]

$$15.72 \quad R_{t,d} = \min.\{ 464.7; 551.8 \} = 464.7$$

*) Bij de trekpaalberekening zijn factoren ξ_3 en ξ_4 al bij de berekening van de conusweerstand $q_{c;z;d}$ in rekening gebracht, evenals factor $\gamma_{s;t}$. Dat is conform de opmerkingen in art. 7.6.3.3 (3) en (4).

Alle niveaus/hogtes/peilmaten zijn t.o.v.: N.A.P.

Inheinniveau [m]	$R_{t,k}$ [kN]	$R_{t,d}$ [kN]	$F_{t,tot,1}$ [kN]	$R_{t,netto,d}$ [kN]	U.C.
15.72	464.7	464.7	0.0	464.7	0.00

PAALGEGEVENS LD1

Type : Stalen buispaal (gesloten)
 Wijze van installeren : Heien
 Diameter [m] : 0.550
 Wanddikte t [mm] : 4.0

Project :
 Onderdeel :
 Elasticiteitsmodulus [N/mm²] : 200000 (Staal)
 Soortelijk gewicht [kN/m³] : 78.5 (Staal)
 Elasticiteitsmodulus [N/mm²] : 20000 (Beton)
 Soortelijk gewicht [kN/m³] : 24.0 (Beton)
 Factor α_s (tabel 7.c EC 7.1) : 0.010 (zandlagen; voor kleilagen zie tabel 7.d)
 Factor α_t (tabel 7.c EC 7.1) : 0.0070 (zandlagen; voor kleilagen zie tabel 7.d)
 Paalklassefactor α_p : 1.00
 Paalvoetvormfactor β : 1.00
 Type lastzakkingsdiagram : Grondverdringende paal
 Verm.factor * $\phi'_{j,k}$: 0.75
 Groutomhulling : NEE

OVERZICHT NETTO DRAAGVERMOGEN TREKPALEN (n=1)

Netto paal draagvermogen(s) zijn naar beneden toe afgerond op: 1.0 kN nauwkeurig
 Alle niveaus/hogtes/peilmaten zijn t.o.v.: N.A.P.

sondering	maaiveld paalpunt		$R_{t,netto;d}$ [kN] Mast 061
	niveau	niveau	
S061-1	26.23	15.72	417
S061-2	26.35	15.72	433
S061-3	26.25	15.72	432
S061-4	26.33	15.72	453

Project :
Onderdeel :

ALGEMENE GEGEVENS

Project :
Onderdeel :
Datum : 10-12-2021
Bestand : \\Arh7001.verit.dnv.com\projects\EANL_Projects\
10166262 - BBB modelleren funderingen 380
kV\02 Content\03 Calculations\Technosoft
Paalfunderingen\MBT-EHV380\DO\Nieuw
Sonderingen\Mast 070-079.pvw
Berekeningstype : Verticaal belaste paal
Alle niveaus/hogtes/peilmaten zijn t.o.v.: N.A.P.

Toegepaste normen volgens Eurocode met Nederlandse NB

Geotechniek	EN 1997-1:2004	AC:2009	
	NEN-EN 1997-1:2005	C1+A1:2013	NB:2016
	NEN 9997-1:2016	C2:2017	

GRONDSOORTEN

Nr. Omschrijving	$\gamma_{k;1}$ [kN/m ³]	$\gamma_{sat;k;1}$ [kN/m ³]	$\phi'_{k;1}$ [°]	$\gamma_{k;2}$ [kN/m ³]	$\gamma_{sat;k;2}$ [kN/m ³]	$\phi'_{k;2}$ [°]
1 Zand - Schoon - Los	17.00	19.00	30.00	18.00	20.00	32.50
2 Zand - Schoon - Matig	18.00	20.00	32.50	19.00	21.00	35.00
3 Zand - Schoon - Vast	19.00	21.00	35.00	20.00	22.00	40.00
4 Zand - Zwak siltig - Kleiig	18.00	20.00	27.00	19.00	21.00	32.50
5 Zand - Sterk siltig - Kleiig	18.00	20.00	25.00	19.00	21.00	30.00
6 Leem - Zwak zandig - Vast	21.00	21.00	27.50	22.00	22.00	35.00
7 Leem - Sterk zandig	19.00	19.00	27.50	20.00	20.00	35.00
8 Klei - Schoon - Matig	17.00	17.00	17.50	19.00	19.00	17.50
9 Klei - Schoon - Vast	19.00	19.00	17.50	20.00	20.00	25.00
10 Klei - Zwak zandig - Matig	18.00	18.00	22.50	20.00	20.00	22.50
11 Klei - Zwak zandig - Vast	20.00	20.00	22.50	21.00	21.00	27.50
12 Klei - Organisch - Matig	15.00	15.00	15.00	16.00	16.00	15.00
13 Veen - Niet voorbelast - Slap	10.00	10.00	15.00	12.00	12.00	15.00
14 Veen - Matig voorbelast - Matig	12.00	12.00	15.00	13.00	13.00	15.00

BODEMPROFIELGEGEVENS: S075-2

Alle niveaus/hogtes/peilmaten zijn t.o.v.: N.A.P.

d50-reductie is meegenomen overeenkomstig NEN-EN 9997 art. 7.6.2.3 (i)

Hoogte maaiveld [m] : 24.05 Grondwaterstand [m] : 23.05

Laag	Van [m]	Tot [m]	Omschrijving	OCR	Aandeel pos. kleef [%]	α_s	d_{50} [mm]
1	24.05	23.38	Zand - Sterk siltig - Kleiig	1.0	100.0		
2	23.38	21.66	Zand - Schoon - Los	1.0	100.0		
3	21.66	20.46	Klei - Schoon - Matig	1.0	50.0		
4	20.46	20.10	Zand - Schoon - Los	1.0	100.0		
5	20.10	19.58	Klei - Schoon - Vast	1.0	50.0		
6	19.58	19.04	Leem - Zwak zandig - Vast	1.0	50.0		
7	19.04	18.66	Zand - Schoon - Matig	1.0	100.0		
8	18.66	18.24	Zand - Schoon - Los	1.0	100.0		
9	18.24	17.66	Klei - Schoon - Matig	1.0	50.0		
10	17.66	17.28	Zand - Sterk siltig - Kleiig	1.0	100.0		
11	17.28	17.04	Leem - Zwak zandig - Vast	1.0	50.0		
12	17.04	16.42	Zand - Schoon - Vast	1.0	100.0		
13	16.42	15.12	Zand - Sterk siltig - Kleiig	1.0	100.0		
14	15.12	14.72	Klei - Zwak zandig - Vast	1.0	50.0		
15	14.72	14.46	Zand - Schoon - Los	1.0	100.0		
16	14.46	14.20	Klei - Zwak zandig - Matig	1.0	50.0		
17	14.20	8.05	Zand - Schoon - Matig	1.0	100.0		
18	8.05	6.75	Zand - Schoon - Vast	1.0	100.0		
19	6.75	4.00	Zand - Schoon - Matig	1.0	100.0		

SONDERINGSGEGEVENS ALGEMEEN: S075-1

Alle niveaus/hogtes/peilmaten zijn t.o.v.: N.A.P.

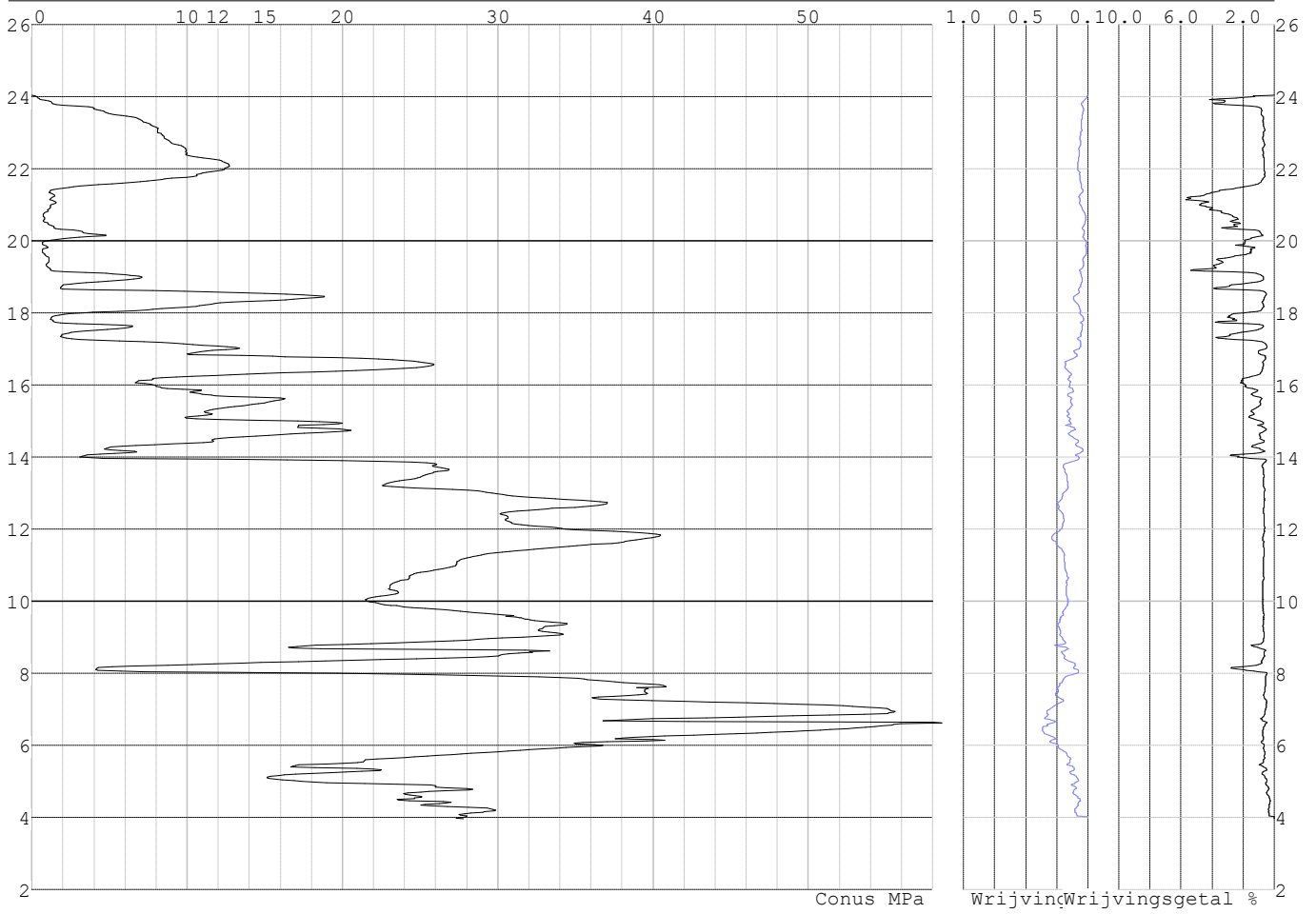
Hoogte maaiveld [m] : 24.04 Bodemprofiel: S075-2

Traject negatieve kleef : 24.04 tot 18.70 [m]

Traject positieve kleef : 18.70 tot 3.96 [m]

Project :
Onderdeel :

SONDERINGSGEGEVENS GRAFIEK: S075-1

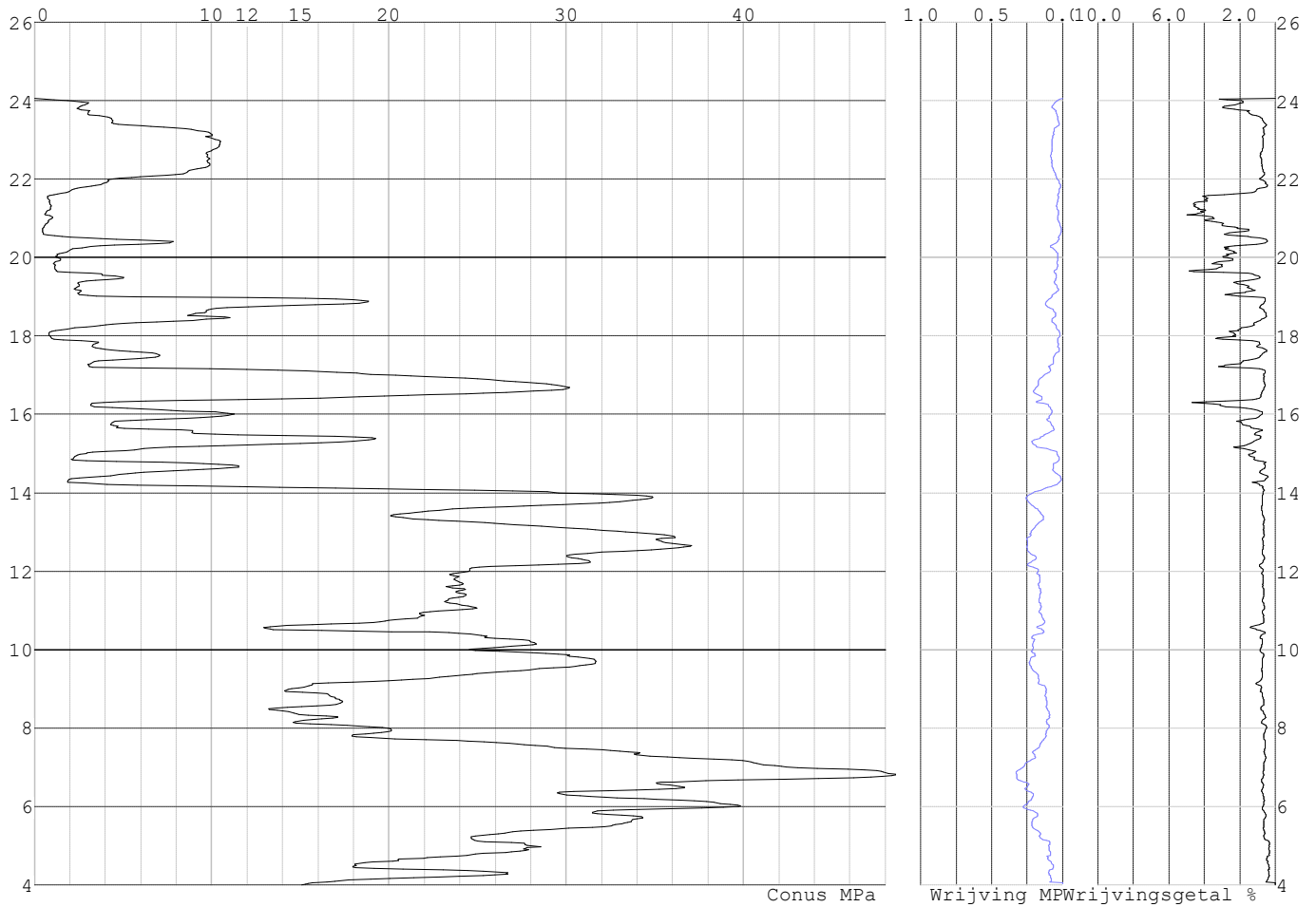


Project :
Onderdeel :

SONDERINGSGEGEVENS ALGEMEEN: S075-2

Alle niveaus/hoogtes/peilmaten zijn t.o.v.: N.A.P.
Hoogte maaiveld [m] : 24.05 Bodemprofiel: S075-2
Traject negatieve kleeft : 24.05 tot 19.00 [m]
Traject positieve kleeft : 19.00 tot 3.99 [m]

SONDERINGSGEGEVENS GRAFIEK: S075-2

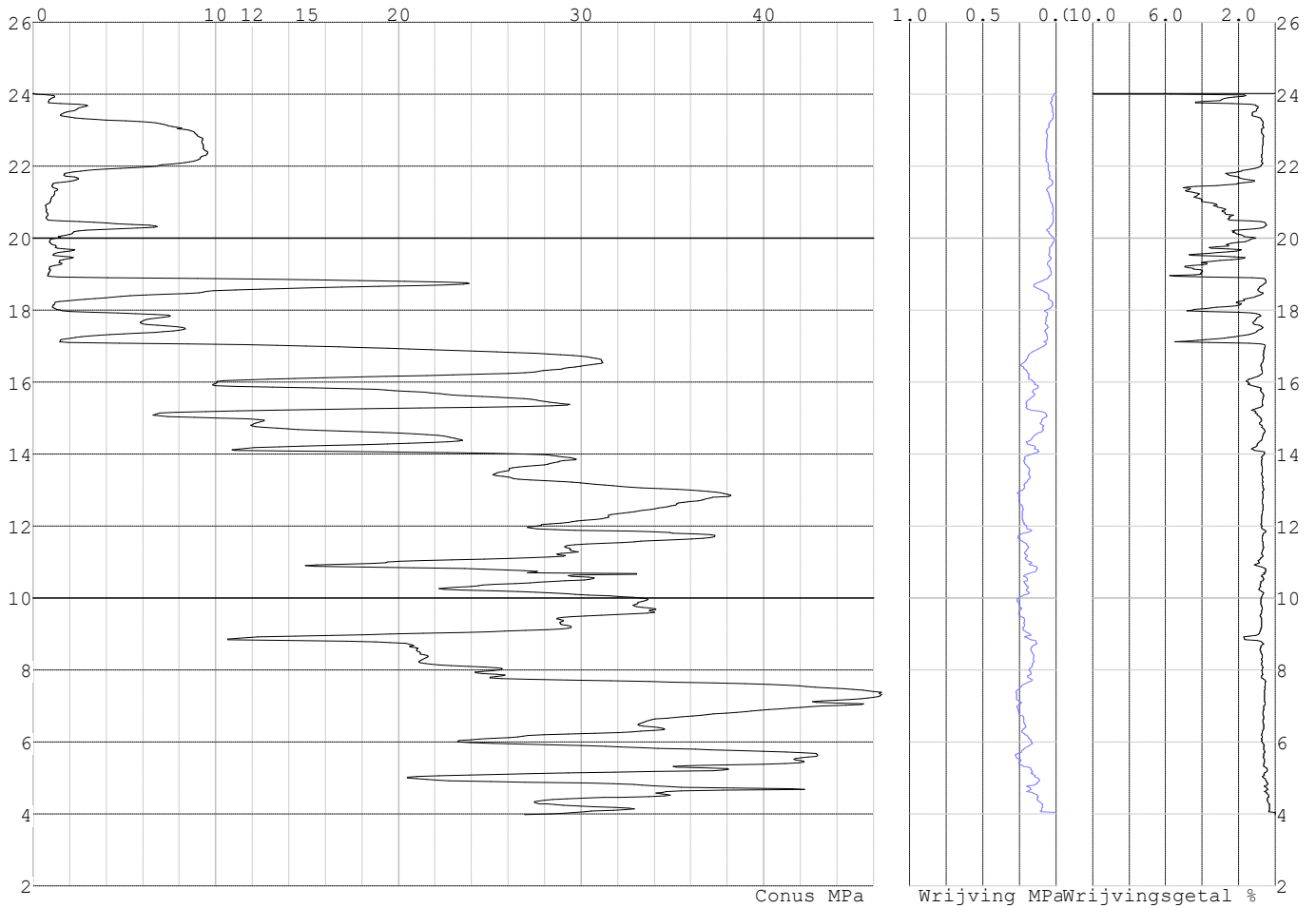


Project :
Onderdeel :

SONDERINGSGEGEVENS ALGEMEEN: S075-3

Alle niveaus/hogtes/peilmaten zijn t.o.v.: N.A.P.
Hoogte maaiveld [m] : 24.03 Bodemprofiel: S075-2
Traject negatieve kleef : 24.03 tot 18.80 [m]
Traject positieve kleef : 18.80 tot 3.97 [m]

SONDERINGSGEGEVENS GRAFIEK: S075-3

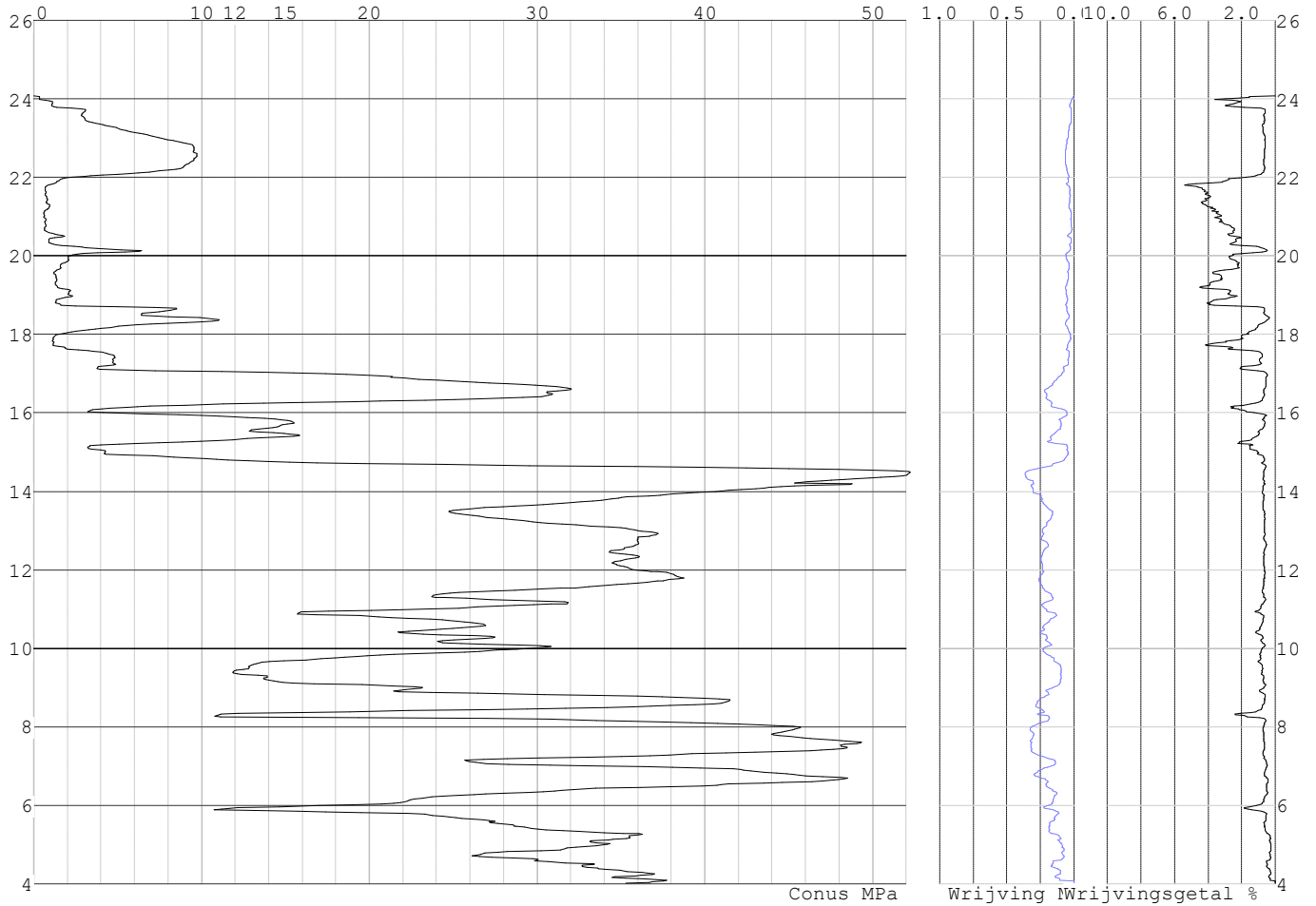


Project :
Onderdeel :

SONDERINGSGEGEVENS ALGEMEEN: S075-4

Alle niveaus/hogtes/peilmaten zijn t.o.v.: N.A.P.
Hoogte maaiveld [m] : 24.07 Bodemprofiel: S075-2
Traject negatieve kleef : 24.07 tot 18.60 [m]
Traject positieve kleef : 18.60 tot 4.01 [m]

SONDERINGSGEGEVENS GRAFIEK: S075-4



Project :
Onderdeel :

REKENEGEVENES Mast 075

Berekening : Controlerend
Rekenmethode : Trekpalen volgens NEN-EN 1997-1, art. 7.6.3
Sondering(en) : S075-1, S075-2, S075-3, S075-4
Let op: trekcapaciteit t.p.v. negatief kleefttraject is meegerekend.

Stijf bouwwerk : JA
Paalgroep : NEE
Aantal sonderingen : 4
Factor ξ_3 (n=1) : 1.26
Factor ξ_3 (gem) : 1.17
Factor ξ_4 (min) : 0.93
Weerstandsfactor γ_R : 1.35
 $\gamma_{m,var;q_c}$: 1.35
UGT draagvermogen zonder negatieve kleeft : NEE

Paal : LD1
Niveau paalkop [m] : N.A.P. 24.21
Paalpuntniveau : N.A.P. 14.21
 $E_{d,1}$ [kN] : 0.00 $E_{d,2}$ [kN] : 0.00
Bovenbel. [kN/m²] : 0.00

RESULTATEN Mast 075 (n=1)**Sondering : S075-1**

Alle niveaus/hogtes/peilmaten zijn t.o.v.: N.A.P.

Inheinniveau [m]	Effectief inheinniveau [m]	E.G. paal [kN]	$R_{t,cal;k}$ [kN]	$R_{t;d}$ [kN]	$F_{t,tot;1}$ [kN]	U.C.
14.21	14.21	34.2	432.8	432.8	0.0	0.00

Sondering : S075-2

Alle niveaus/hogtes/peilmaten zijn t.o.v.: N.A.P.

Inheinniveau [m]	Effectief inheinniveau [m]	E.G. paal [kN]	$R_{t,cal;k}$ [kN]	$R_{t;d}$ [kN]	$F_{t,tot;1}$ [kN]	U.C.
14.21	14.21	34.2	343.3	343.3	0.0	0.00

Sondering : S075-3

Alle niveaus/hogtes/peilmaten zijn t.o.v.: N.A.P.

Inheinniveau [m]	Effectief inheinniveau [m]	E.G. paal [kN]	$R_{t,cal;k}$ [kN]	$R_{t;d}$ [kN]	$F_{t,tot;1}$ [kN]	U.C.
14.21	14.21	34.2	409.7	409.7	0.0	0.00

Sondering : S075-4

Alle niveaus/hogtes/peilmaten zijn t.o.v.: N.A.P.

Inheinniveau [m]	Effectief inheinniveau [m]	E.G. paal [kN]	$R_{t,cal;k}$ [kN]	$R_{t;d}$ [kN]	$F_{t,tot;1}$ [kN]	U.C.
14.21	14.21	34.2	370.8	370.8	0.0	0.00

Project :
Onderdeel :

SAMENVATTINGSTABEL Mast 075 (n=1)**Uitgangspunten**

- paal : LD1
 - paaltype : Stalen buispaal (gesloten)
 - schachtafmeting : 550 mm
 Paalklassefactor α_p : 1.00
 Factor α_t (tabel 7.c EC 7.1) : 0.0070 (zandlagen; voor kleilagen zie tabel 7.d)
 Correlatiefactor $\xi_{3(n=1)}$: 1.26

Alle niveaus/hogtes/peilmaten zijn t.o.v.: N.A.P.

sondering	maaiveld paalpunt		Bezwijkdraagvermogen $R_{t,cal}$ [kN]	Rekenwaarden		
	niveau	niveau		$R_{t;d}$ [kN]	$R_{t,netto;d}$ [kN]	
S075-1	24.04	14.21	432.8	432.8	432.8	
S075-2	24.05	14.21	343.3	343.3	343.3	
S075-3	24.03	14.21	409.7	409.7	409.7	
S075-4	24.07	14.21	370.8	370.8	370.8	

Project :
Onderdeel :

SAMENVATTINGSTABEL Mast 075 (van 4 sonderingen)**Uitgangspunten**

- paal : LD1
 - paaltype : Stalen buispaal (gesloten)
 - schachtafmeting : 550 mm
 Paalklassefactor α_p : 1.00
 Factor α_t (tabel 7.c EC 7.1) : 0.0070 (zandlagen; voor kleilagen zie tabel 7.d)
 Correlatiefactor $\xi_{3gem}(n=4)$: 1.17
 Correlatiefactor $\xi_{4min}(n=4)$: 0.93

Alle niveaus/hogtes/peilmaten zijn t.o.v.: N.A.P.

sondering	maaiveld	paalpunt	Bezwijkdraagvermogen
	niveau	niveau	E.G. paal $R_{t,cal}$
			[kN] [kN]

met $\xi_3(gem) = 1.17$

S075-1	24.04	14.21	34.2	463.4
S075-2	24.05	14.21	34.2	367.1
S075-3	24.03	14.21	34.2	438.6
S075-4	24.07	14.21	34.2	396.7

		14.21	$R_{t,cal,gem}$	416.4
--	--	-------	-----------------	-------

met $\xi_4(min) = 0.93$

S075-1	24.04	14.21	34.2	574.2
S075-2	24.05	14.21	34.2	453.0
S075-3	24.03	14.21	34.2	543.0
S075-4	24.07	14.21	34.2	490.2

		14.21	$R_{t,cal,min}$	453.0
--	--	-------	-----------------	-------

Totaal resultaten Mast 075 (van 4 sonderingen)**Uitgangspunten**

Correlatiefactor $\xi_{3gem}(n=4)$: 1.17
 Correlatiefactor $\xi_{4min}(n=4)$: 0.93

gebaseerd op sonderingen:

S075-1 S075-2 S075-3 S075-4

$$R_{t,d} = \min.\{ R_{t,cal,gem}; R_{t,cal,min} \} (7.17) *$$

Inheinniveau

[m]

$$14.21 \quad R_{t,d} = \min.\{ 416.4; 453.0 \} = 416.4$$

*) Bij de trekpaalberekening zijn factoren ξ_3 en ξ_4 al bij de berekening van de conusweerstand $q_{c;z;d}$ in rekening gebracht, evenals factor $\gamma_{s;t}$. Dat is conform de opmerkingen in art. 7.6.3.3 (3) en (4).

Alle niveaus/hogtes/peilmaten zijn t.o.v.: N.A.P.

Inheinniveau	$R_{t,k}$	$R_{t,d}$	$F_{t,tot,1}$	$R_{t,netto,d}$	U.C.
[m]	[kN]	[kN]	[kN]	[kN]	
14.21	416.4	416.4	0.0	416.4	0.00

PAALGEGEVENS LD1

Type : Stalen buispaal (gesloten)
 Wijze van installeren : Heien
 Diameter [m] : 0.550
 Wanddikte t [mm] : 4.0

Project :
 Onderdeel :
 Elasticiteitsmodulus [N/mm²] : 200000 (Staal)
 Soortelijk gewicht [kN/m³] : 78.5 (Staal)
 Elasticiteitsmodulus [N/mm²] : 20000 (Beton)
 Soortelijk gewicht [kN/m³] : 24.0 (Beton)
 Factor α_s (tabel 7.c EC 7.1) : 0.010 (zandlagen; voor kleilagen zie tabel 7.d)
 Factor α_t (tabel 7.c EC 7.1) : 0.0070 (zandlagen; voor kleilagen zie tabel 7.d)
 Paalklassefactor α_p : 1.00
 Paalvoetvormfactor β : 1.00
 Type lastzakkingsdiagram : Grondverdringende paal
 Verm.factor * $\phi'_{j,k}$: 0.75
 Groutomhulling : NEE

OVERZICHT NETTO DRAAGVERMOGEN TREKPALEN (n=1)

Netto paal draagvermogen(s) zijn naar beneden toe afgerond op: 1.0 kN nauwkeurig
 Alle niveaus/hogtes/peilmaten zijn t.o.v.: N.A.P.

sondering	maaiveld paalpunt		$R_{t,netto;d}$ Mast 075 [kN]
	niveau	niveau	
S075-1	24.04	14.21	432
S075-2	24.05	14.21	343
S075-3	24.03	14.21	409
S075-4	24.07	14.21	370

Project :
Onderdeel :

ALGEMENE GEGEVENS

Project :
Onderdeel :
Datum : 23-11-2021
Bestand : \\Arh7001.verit.dnv.com\projects\EANL_Projects\
10166262 - BBB modelleren funderingen 380
kV\02 Content\03 Calculations\Technosoft
Paalfunderingen\MBT-EHV380\DO\Nieuw
Sonderingen\Mast 090-099.pvw
Berekeningstype : Verticaal belaste paal
Alle niveaus/hogtes/peilmaten zijn t.o.v.: N.A.P.

Toegepaste normen volgens Eurocode met Nederlandse NB

Geotechniek	EN 1997-1:2004	AC:2009	
	NEN-EN 1997-1:2005	C1+A1:2013	NB:2016
	NEN 9997-1:2016	C2:2017	

GRONDSOORTEN

Nr. Omschrijving	$\gamma_{k;1}$ [kN/m ³]	$\gamma_{sat;k;1}$ [kN/m ³]	$\phi'_{k;1}$ [°]	$\gamma_{k;2}$ [kN/m ³]	$\gamma_{sat;k;2}$ [kN/m ³]	$\phi'_{k;2}$ [°]
1 Zand - Schoon - Los	17.00	19.00	30.00	18.00	20.00	32.50
2 Zand - Schoon - Matig	18.00	20.00	32.50	19.00	21.00	35.00
3 Zand - Schoon - Vast	19.00	21.00	35.00	20.00	22.00	40.00
4 Zand - Zwak siltig - Kleiig	18.00	20.00	27.00	19.00	21.00	32.50
5 Zand - Sterk siltig - Kleiig	18.00	20.00	25.00	19.00	21.00	30.00
6 Leem - Zwak zandig - Vast	21.00	21.00	27.50	22.00	22.00	35.00
7 Klei - Schoon - Matig	17.00	17.00	17.50	19.00	19.00	17.50
8 Klei - Schoon - Vast	19.00	19.00	17.50	20.00	20.00	25.00
9 Klei - Zwak zandig - Slap	15.00	15.00	22.50	18.00	18.00	22.50
10 Klei - Zwak zandig - Matig	18.00	18.00	22.50	20.00	20.00	22.50
11 Klei - Zwak zandig - Vast	20.00	20.00	22.50	21.00	21.00	27.50
12 Klei - Sterk zandig	18.00	18.00	27.50	20.00	20.00	32.50
13 Klei - Organisch - Matig	15.00	15.00	15.00	16.00	16.00	15.00
14 Veen - Niet voorbelast - Slap	10.00	10.00	15.00	12.00	12.00	15.00
15 Veen - Matig voorbelast - Matig	12.00	12.00	15.00	13.00	13.00	15.00

BODEMPROFIELGEGEVENS: S098-1

Alle niveaus/hogtes/peilmaten zijn t.o.v.: N.A.P.

d50-reductie is meegenomen overeenkomstig NEN-EN 9997 art. 7.6.2.3 (i)

Hoogte maaiveld [m]	: 19.01		Grondwaterstand [m]	: 18.01			
Laag	Van [m]	Tot [m]	Omschrijving	OCR	Aandeel pos. kleef [%]	α_s	d_{50} [mm]
1	19.01	18.02	Klei - Schoon - Matig	1.0	50.0		
2	18.02	17.90	Veen - Matig voorbelast - Matig	1.0	50.0		
3	17.90	15.22	Zand - Zwak siltig - Kleiig	1.0	100.0		
4	15.22	14.74	Klei - Zwak zandig - Matig	1.0	50.0		
5	14.74	14.04	Zand - Zwak siltig - Kleiig	1.0	100.0		
6	14.04	13.64	Zand - Schoon - Los	1.0	100.0		
7	13.64	12.75	Klei - Organisch - Matig	1.0	50.0		
8	12.75	11.91	Zand - Schoon - Matig	1.0	100.0		
9	11.91	9.73	Zand - Schoon - Vast	1.0	100.0		
10	9.73	9.47	Zand - Schoon - Los	1.0	100.0		
11	9.47	8.02	Klei - Zwak zandig - Matig	1.0	50.0		
12	8.02	7.66	Zand - Schoon - Los	1.0	100.0		
13	7.66	7.18	Klei - Zwak zandig - Vast	1.0	50.0		
14	7.18	-0.92	Zand - Schoon - Matig	1.0	100.0		

BODEMPROFIELGEGEVENS: S098-2

Alle niveaus/hogtes/peilmaten zijn t.o.v.: N.A.P.

d50-reductie is meegenomen overeenkomstig NEN-EN 9997 art. 7.6.2.3 (i)

Hoogte maaiveld [m]	: 19.12		Grondwaterstand [m]	: 18.12			
Laag	Van [m]	Tot [m]	Omschrijving	OCR	Aandeel pos. kleef [%]	α_s	d_{50} [mm]
1	19.12	18.63	Klei - Schoon - Vast	1.0	50.0		
2	18.63	18.33	Veen - Matig voorbelast - Matig	1.0	50.0		
3	18.33	16.33	Zand - Schoon - Los	1.0	100.0		
4	16.33	15.41	Zand - Zwak siltig - Kleiig	1.0	100.0		
5	15.41	15.03	Klei - Zwak zandig - Matig	1.0	50.0		

Project :
Onderdeel :

Laag	Van [m]	Tot [m]	Omschrijving	OCR	Aandeel pos. kleef [%]	α_s	d_{50} [mm]
6	15.03	14.21	Zand - Schoon - Los	1.0	100.0		
7	14.21	13.67	Zand - Sterk siltig - Kleiig	1.0	100.0		
8	13.67	12.66	Klei - Organisch - Matig	1.0	50.0		
9	12.66	11.04	Zand - Schoon - Matig	1.0	100.0		
10	11.04	10.66	Zand - Schoon - Los	1.0	100.0		
11	10.66	10.24	Klei - Schoon - Vast	1.0	50.0		
12	10.24	9.40	Zand - Schoon - Vast	1.0	100.0		
13	9.40	8.05	Zand - Schoon - Matig	1.0	100.0		
14	8.05	6.73	Klei - Schoon - Matig	1.0	50.0		
15	6.73	5.88	Zand - Schoon - Matig	1.0	100.0		
16	5.88	4.78	Zand - Sterk siltig - Kleiig	1.0	100.0		
17	4.78	4.20	Klei - Zwak zandig - Vast	1.0	50.0		
18	4.20	3.37	Zand - Schoon - Los	1.0	100.0		
19	3.37	2.47	Zand - Schoon - Matig	1.0	100.0		
20	2.47	2.11	Zand - Schoon - Los	1.0	100.0		
21	2.11	-0.79	Zand - Schoon - Matig	1.0	100.0		

BODEMPROFIELGEGEVENS: S098-3

Alle niveaus/hogtes/peilmaten zijn t.o.v.: N.A.P.

d50-reductie is meegenomen overeenkomstig NEN-EN 9997 art. 7.6.2.3 (i)

Hoogte maaiveld [m] : 19.16 Grondwaterstand [m] : 18.16

Laag	Van [m]	Tot [m]	Omschrijving	OCR	Aandeel pos. kleef [%]	α_s	d_{50} [mm]
1	19.16	18.65	Klei - Schoon - Vast	1.0	50.0		
2	18.65	18.13	Zand - Sterk siltig - Kleiig	1.0	100.0		
3	18.13	17.45	Klei - Zwak zandig - Vast	1.0	50.0		
4	17.45	16.61	Zand - Sterk siltig - Kleiig	1.0	100.0		
5	16.61	16.21	Klei - Schoon - Matig	1.0	50.0		
6	16.21	13.63	Zand - Schoon - Los	1.0	100.0		
7	13.63	12.79	Klei - Organisch - Matig	1.0	50.0		
8	12.79	10.69	Zand - Schoon - Matig	1.0	100.0		
9	10.69	9.11	Zand - Schoon - Vast	1.0	100.0		
10	9.11	8.83	Klei - Zwak zandig - Vast	1.0	50.0		
11	8.83	8.45	Zand - Zwak siltig - Kleiig	1.0	100.0		
12	8.45	7.19	Klei - Zwak zandig - Matig	1.0	50.0		
13	7.19	7.07	Zand - Schoon - Los	1.0	100.0		
14	7.07	6.69	Klei - Zwak zandig - Vast	1.0	50.0		
15	6.69	5.25	Zand - Schoon - Matig	1.0	100.0		
16	5.25	3.47	Zand - Schoon - Vast	1.0	100.0		
17	3.47	2.55	Zand - Schoon - Matig	1.0	100.0		
18	2.55	1.95	Zand - Sterk siltig - Kleiig	1.0	100.0		
19	1.95	-0.80	Zand - Schoon - Matig	1.0	100.0		

BODEMPROFIELGEGEVENS: S098-4

Alle niveaus/hogtes/peilmaten zijn t.o.v.: N.A.P.

d50-reductie is meegenomen overeenkomstig NEN-EN 9997 art. 7.6.2.3 (i)

Hoogte maaiveld [m] : 19.03 Grondwaterstand [m] : 18.03

Laag	Van [m]	Tot [m]	Omschrijving	OCR	Aandeel pos. kleef [%]	α_s	d_{50} [mm]
1	19.03	18.54	Veen - Matig voorbelast - Matig	1.0	50.0		
2	18.54	17.24	Leem - Zwak zandig - Vast	1.0	50.0		
3	17.24	15.66	Zand - Schoon - Los	1.0	100.0		
4	15.66	15.20	Zand - Sterk siltig - Kleiig	1.0	100.0		
5	15.20	14.24	Zand - Zwak siltig - Kleiig	1.0	100.0		
6	14.24	13.82	Zand - Zwak siltig - Kleiig	1.0	100.0		
7	13.82	12.65	Klei - Organisch - Matig	1.0	50.0		
8	12.65	11.81	Zand - Schoon - Los	1.0	100.0		
9	11.81	9.87	Zand - Schoon - Vast	1.0	100.0		
10	9.87	8.79	Zand - Zwak siltig - Kleiig	1.0	100.0		
11	8.79	8.39	Klei - Schoon - Vast	1.0	50.0		
12	8.39	7.43	Klei - Schoon - Matig	1.0	50.0		
13	7.43	6.87	Zand - Sterk siltig - Kleiig	1.0	100.0		
14	6.87	4.12	Zand - Schoon - Vast	1.0	100.0		
15	4.12	3.40	Zand - Schoon - Matig	1.0	100.0		
16	3.40	1.70	Zand - Schoon - Vast	1.0	100.0		
17	1.70	1.28	Zand - Schoon - Matig	1.0	100.0		
18	1.28	0.29	Zand - Schoon - Vast	1.0	100.0		

Project :
Onderdeel :

Laag	Van [m]	Tot [m]	Omschrijving	OCR	Aandeel pos. kleef [%]	α_s	d_{50} [mm]
19	0.29	-0.91	Zand - Schoon - Matig	1.0	100.0		

BODEMPROFIELGEGEVENS: S099-1

Alle niveaus/hogtes/peilmaten zijn t.o.v.: N.A.P.

d50-reductie is meegenomen overeenkomstig NEN-EN 9997 art. 7.6.2.3 (i)

Hoogte maaiveld [m] : 20.08 Grondwaterstand [m] : 19.08

Laag	Van [m]	Tot [m]	Omschrijving	OCR	Aandeel pos. kleef [%]	α_s	d_{50} [mm]
1	20.08	19.45	Zand - Sterk siltig - Kleiig	1.0	100.0		
2	19.45	18.59	Veen - Niet voorbelast - Slap	1.0	50.0		
3	18.59	17.05	Zand - Schoon - Los	1.0	100.0		
4	17.05	16.81	Zand - Sterk siltig - Kleiig	1.0	100.0		
5	16.81	15.75	Klei - Schoon - Vast	1.0	50.0		
6	15.75	14.03	Zand - Schoon - Matig	1.0	100.0		
7	14.03	13.49	Zand - Schoon - Los	1.0	100.0		
8	13.49	12.47	Klei - Zwak zandig - Vast	1.0	50.0		
9	12.47	9.79	Zand - Schoon - Vast	1.0	100.0		
10	9.79	9.25	Zand - Sterk siltig - Kleiig	1.0	100.0		
11	9.25	8.99	Klei - Schoon - Vast	1.0	50.0		
12	8.99	8.73	Zand - Schoon - Los	1.0	100.0		
13	8.73	8.47	Klei - Zwak zandig - Vast	1.0	50.0		
14	8.47	8.33	Zand - Schoon - Los	1.0	100.0		
15	8.33	7.91	Klei - Schoon - Matig	1.0	50.0		
16	7.91	3.93	Zand - Schoon - Vast	1.0	100.0		
17	3.93	-0.13	Zand - Schoon - Matig	1.0	100.0		

BODEMPROFIELGEGEVENS: S099-2

Alle niveaus/hogtes/peilmaten zijn t.o.v.: N.A.P.

d50-reductie is meegenomen overeenkomstig NEN-EN 9997 art. 7.6.2.3 (i)

Hoogte maaiveld [m] : 19.93 Grondwaterstand [m] : 18.93

Laag	Van [m]	Tot [m]	Omschrijving	OCR	Aandeel pos. kleef [%]	α_s	d_{50} [mm]
1	19.93	19.44	Zand - Zwak siltig - Kleiig	1.0	100.0		
2	19.44	19.20	Veen - Matig voorbelast - Matig	1.0	50.0		
3	19.20	16.20	Zand - Schoon - Los	1.0	100.0		
4	16.20	14.78	Leem - Zwak zandig - Vast	1.0	50.0		
5	14.78	13.56	Klei - Zwak zandig - Vast	1.0	50.0		
6	13.56	13.16	Zand - Schoon - Los	1.0	100.0		
7	13.16	12.38	Klei - Schoon - Matig	1.0	50.0		
8	12.38	9.44	Zand - Schoon - Vast	1.0	100.0		
9	9.44	8.90	Zand - Sterk siltig - Kleiig	1.0	100.0		
10	8.90	8.50	Klei - Schoon - Vast	1.0	50.0		
11	8.50	8.22	Zand - Schoon - Los	1.0	100.0		
12	8.22	7.68	Klei - Zwak zandig - Vast	1.0	50.0		
13	7.68	4.07	Zand - Schoon - Vast	1.0	100.0		
14	4.07	-0.13	Zand - Schoon - Matig	1.0	100.0		

SONDERINGSGEGEVENS ALGEMEEN: S098-1

Alle niveaus/hogtes/peilmaten zijn t.o.v.: N.A.P.

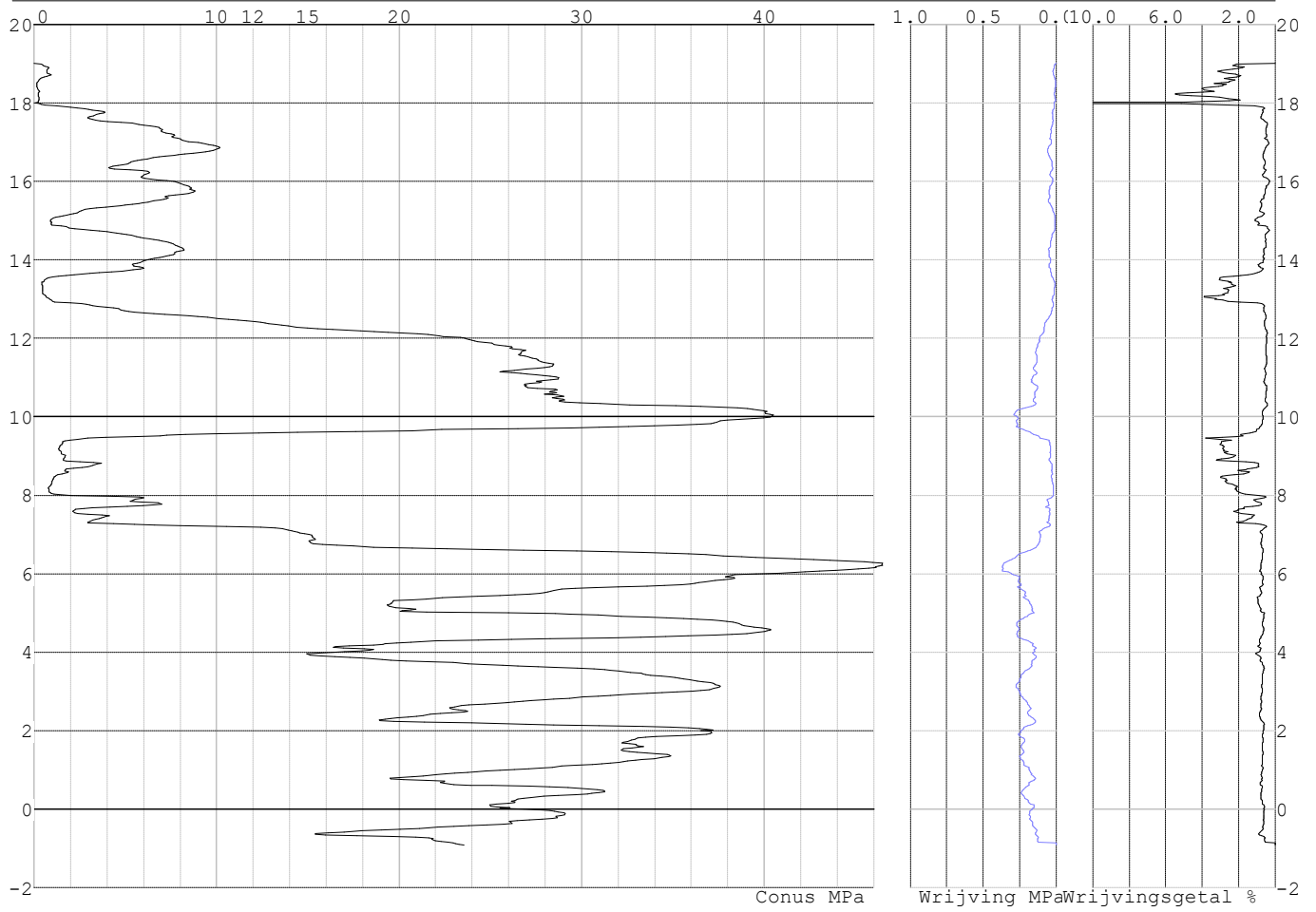
Hoogte maaiveld [m] : 19.01 Bodemprofiel: S098-1

Traject negatieve kleef : 19.01 tot 14.80 [m]

Traject positieve kleef : 14.80 tot -0.93 [m]

Project :
Onderdeel :

SONDERINGSGEGEVENS GRAFIEK: S098-1

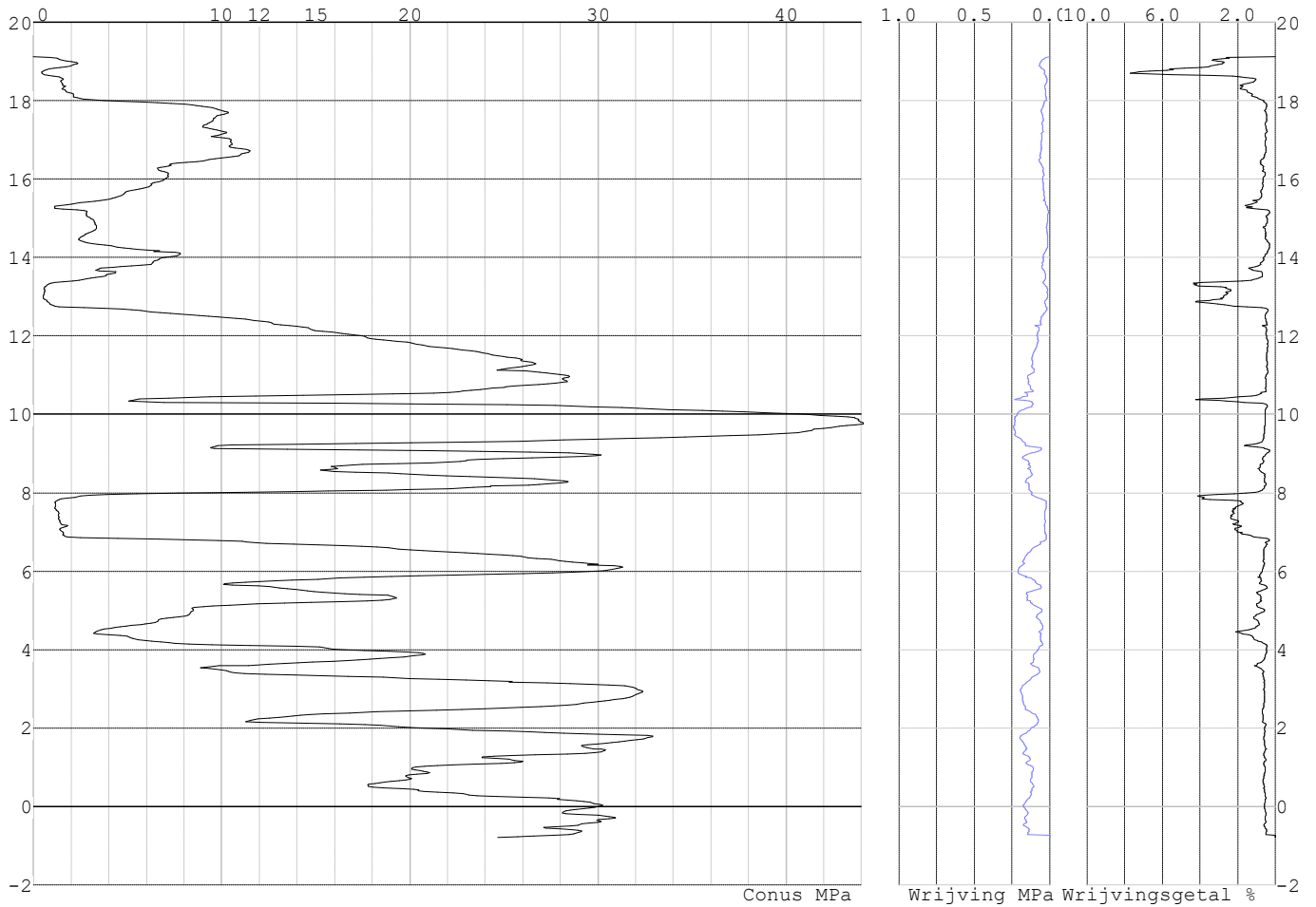


Project :
Onderdeel :

SONDERINGSGEGEVENS ALGEMEEN: S098-2

Alle niveaus/hoogtes/peilmaten zijn t.o.v.: N.A.P.
Hoogte maaiveld [m] : 19.12 Bodemprofiel: S098-2
Traject negatieve kleef : 19.12 tot 17.90 [m]
Traject positieve kleef : 17.90 tot -0.80 [m]

SONDERINGSGEGEVENS GRAFIEK: S098-2

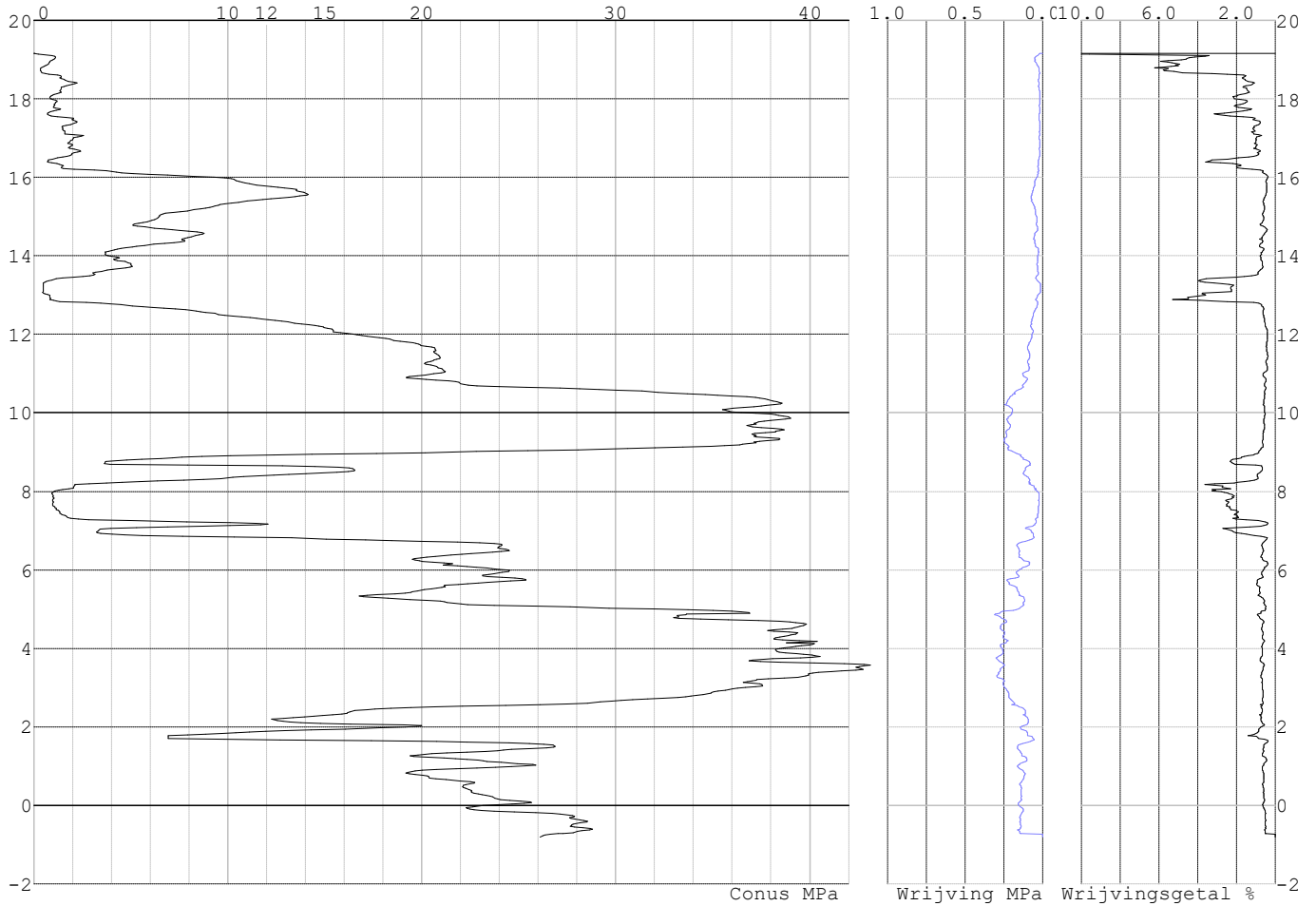


Project :
Onderdeel :

SONDERINGSGEGEVENS ALGEMEEN: S098-3

Alle niveaus/hogtes/peilmaten zijn t.o.v.: N.A.P.
Hoogte maaiveld [m] : 19.16 Bodemprofiel: S098-3
Traject negatieve kleeft : 19.16 tot 16.00 [m]
Traject positieve kleeft : 16.00 tot -0.81 [m]

SONDERINGSGEGEVENS GRAFIEK: S098-3

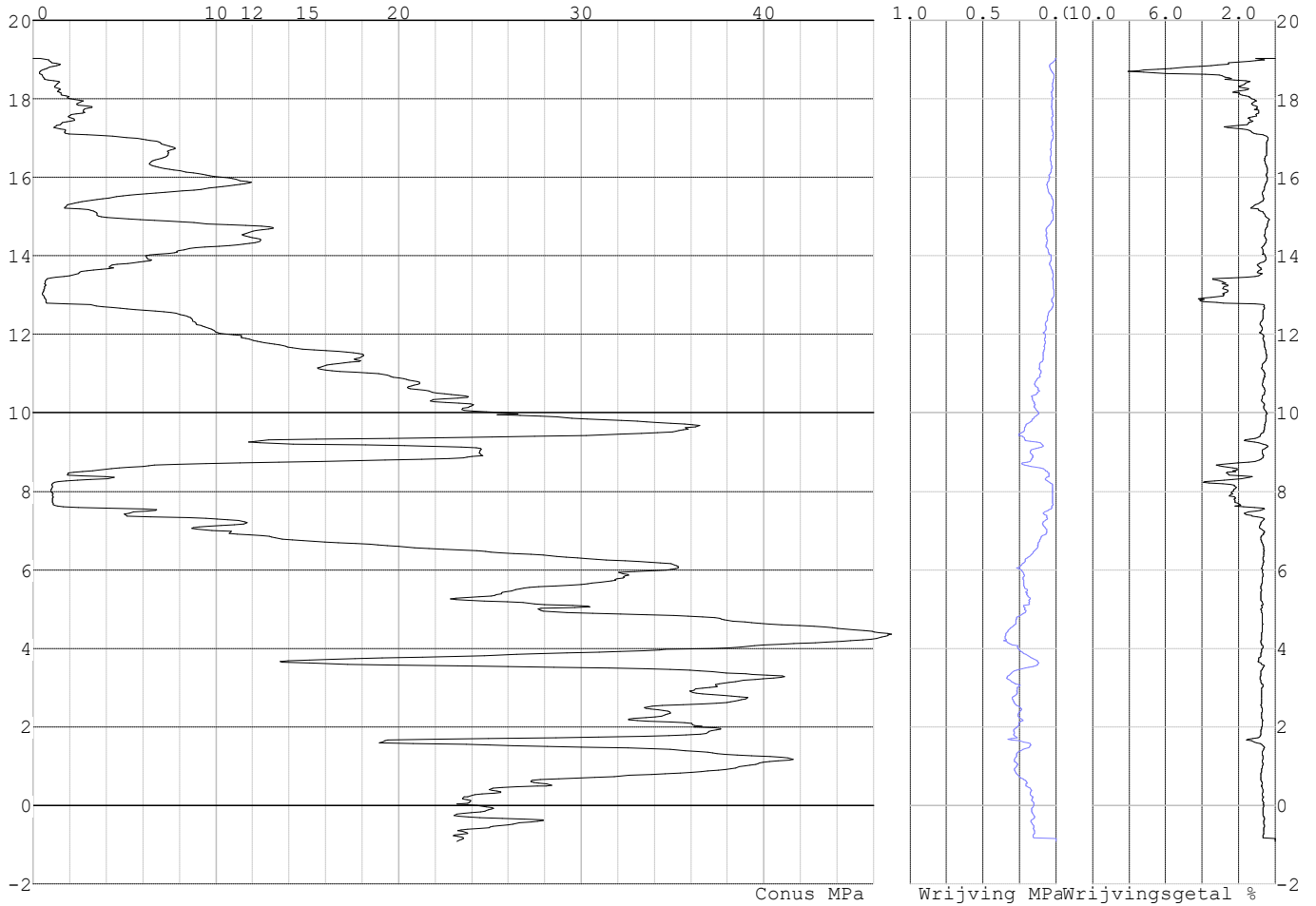


Project :
Onderdeel :

SONDERINGSGEGEVENS ALGEMEEN: S098-4

Alle niveaus/hogtes/peilmaten zijn t.o.v.: N.A.P.
Hoogte maaiveld [m] : 19.03 Bodemprofiel: S098-4
Traject negatieve kleef : 19.03 tot 17.00 [m]
Traject positieve kleef : 17.00 tot -0.92 [m]

SONDERINGSGEGEVENS GRAFIEK: S098-4

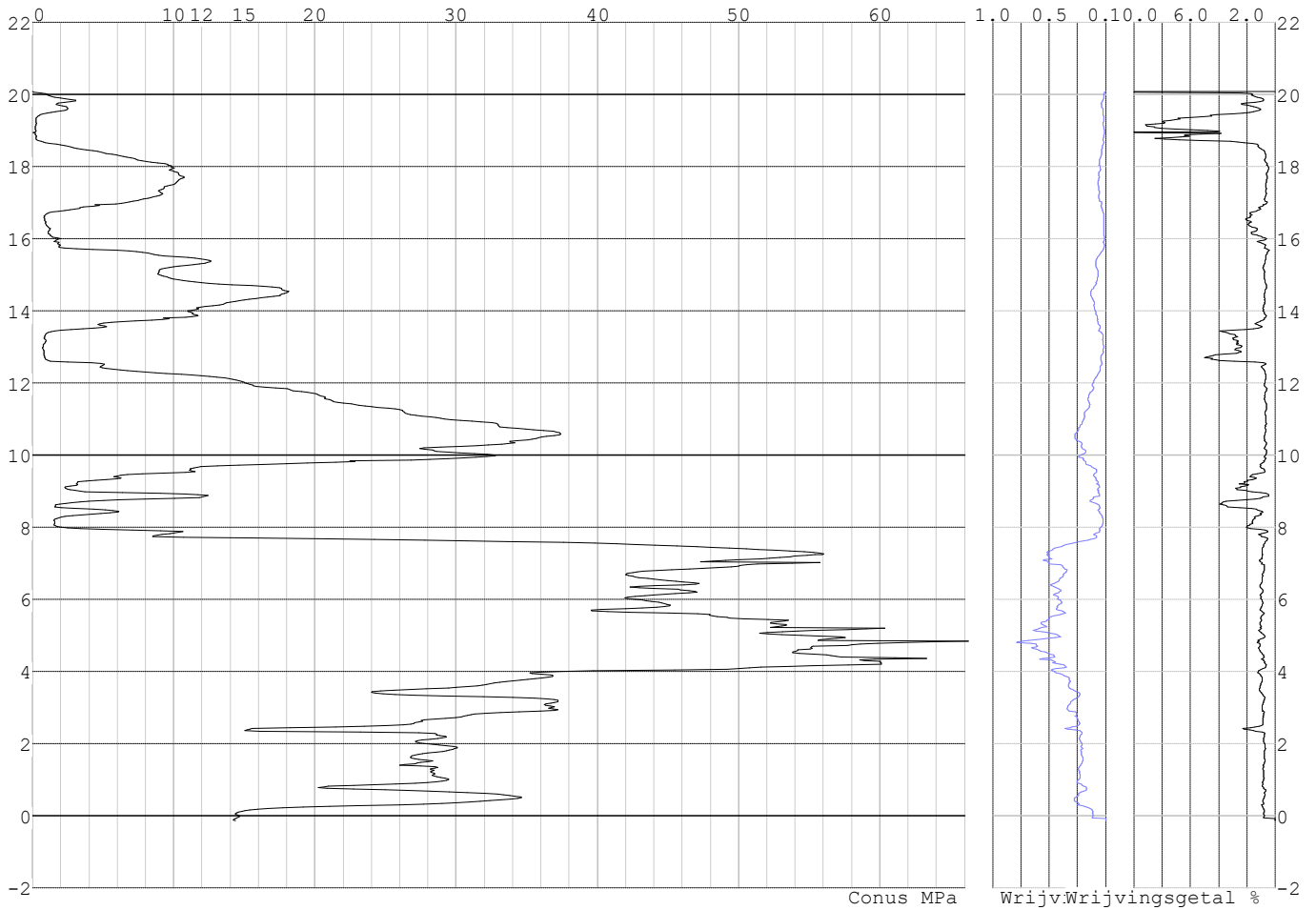


Project :
Onderdeel :

SONDERINGSGEGEVENS ALGEMEEN: S099-1

Alle niveaus/hogtes/peilmaten zijn t.o.v.: N.A.P.
Hoogte maaiveld [m] : 20.08 Bodemprofiel: S099-1
Traject negatieve kleeft : 20.08 tot 15.60 [m]
Traject positieve kleeft : 15.60 tot -0.14 [m]

SONDERINGSGEGEVENS GRAFIEK: S099-1

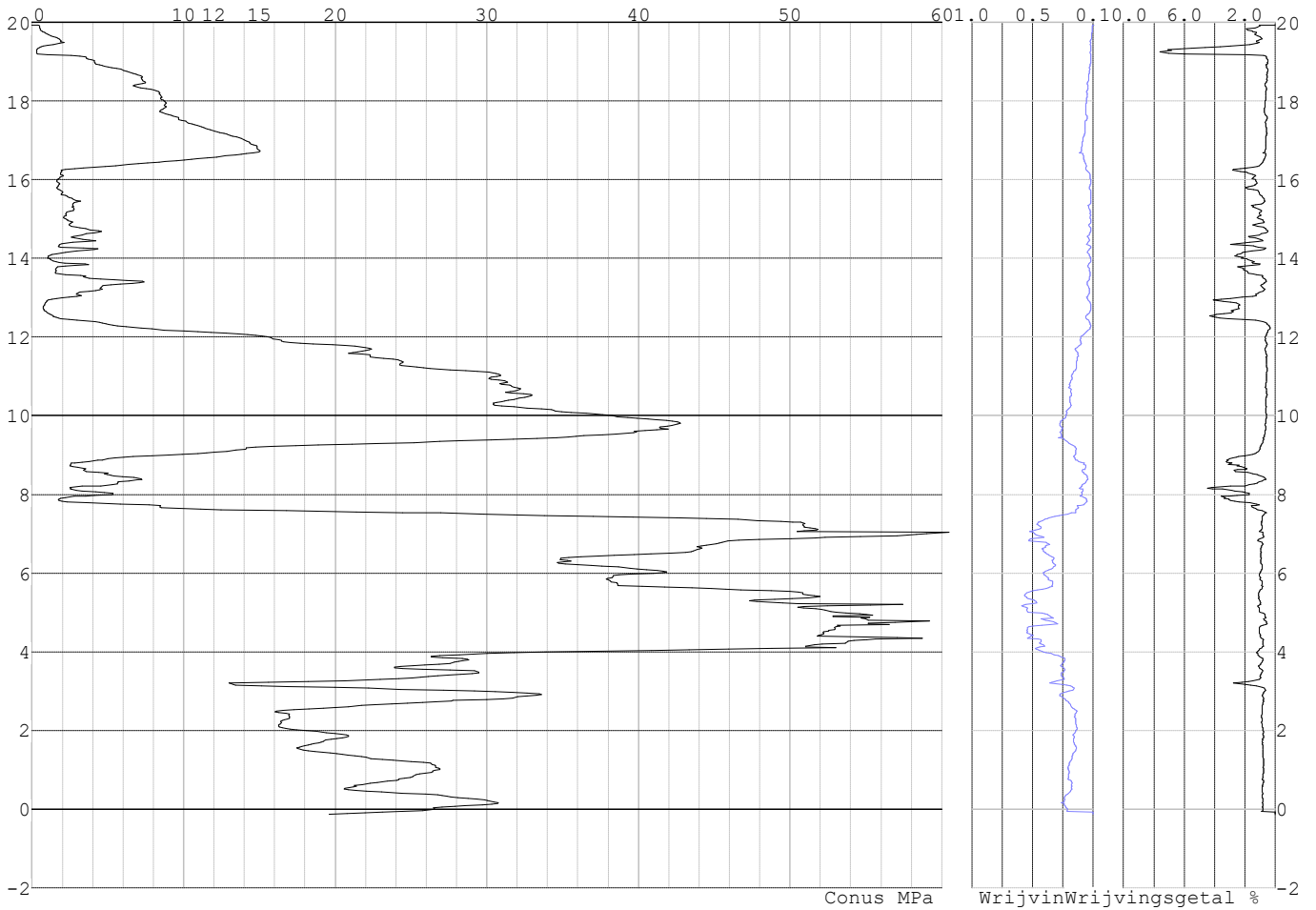


Project :
Onderdeel :

SONDERINGSGEGEVENS ALGEMEEN: S099-2

Alle niveaus/hogtes/peilmaten zijn t.o.v.: N.A.P.
Hoogte maaiveld [m] : 19.93 Bodemprofiel: S099-2
Traject negatieve kleeft : 19.93 tot 12.20 [m]
Traject positieve kleeft : 12.20 tot -0.14 [m]

SONDERINGSGEGEVENS GRAFIEK: S099-2

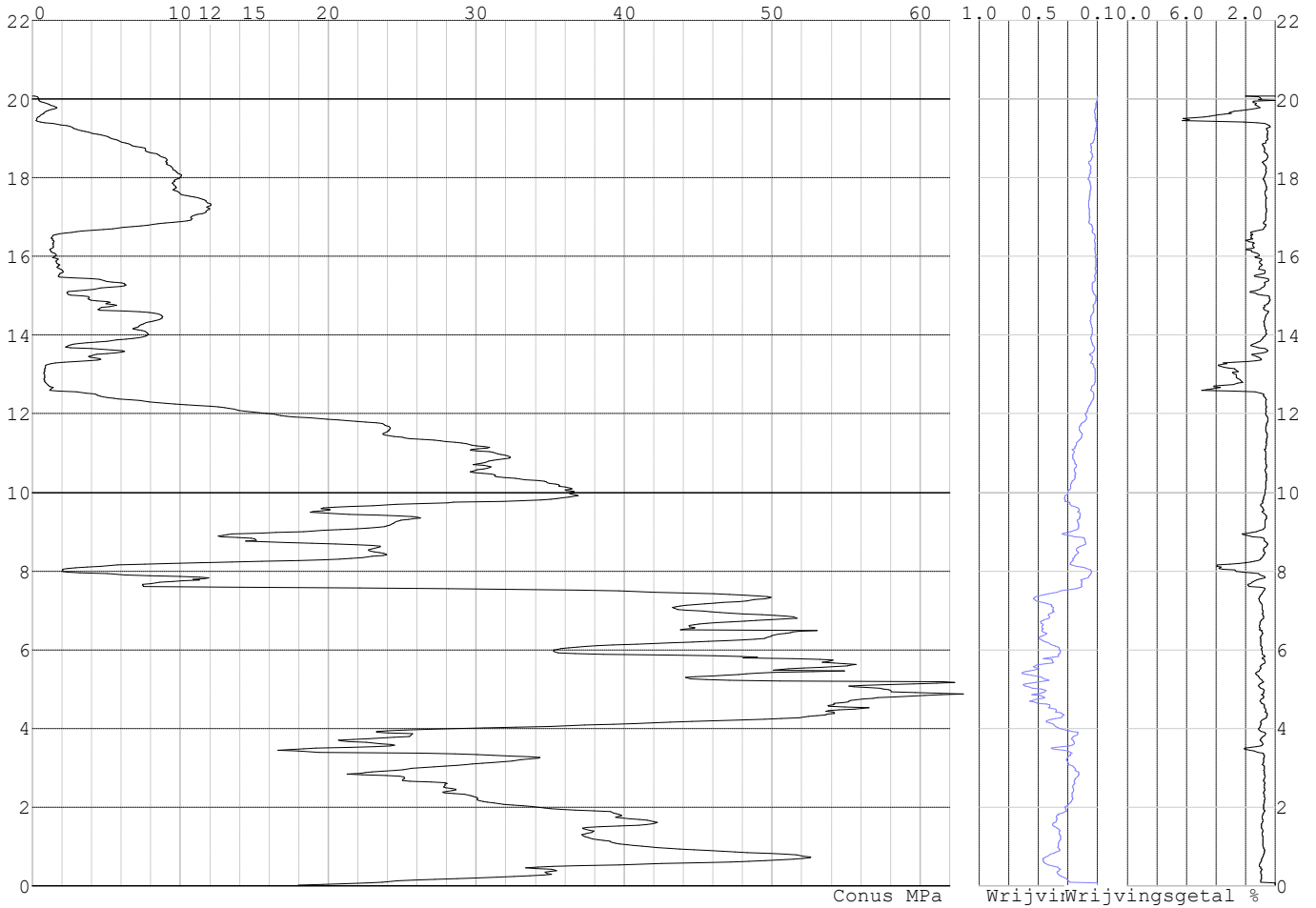


Project :
Onderdeel :

SONDERINGSGEGEVENS ALGEMEEN: S099-3

Alle niveaus/hogtes/peilmaten zijn t.o.v.: N.A.P.
Hoogte maaiveld [m] : 20.08 Bodemprofiel: S099-1
Traject negatieve kleeft : 20.08 tot 15.40 [m]
Traject positieve kleeft : 15.40 tot 0.01 [m]

SONDERINGSGEGEVENS GRAFIEK: S099-3

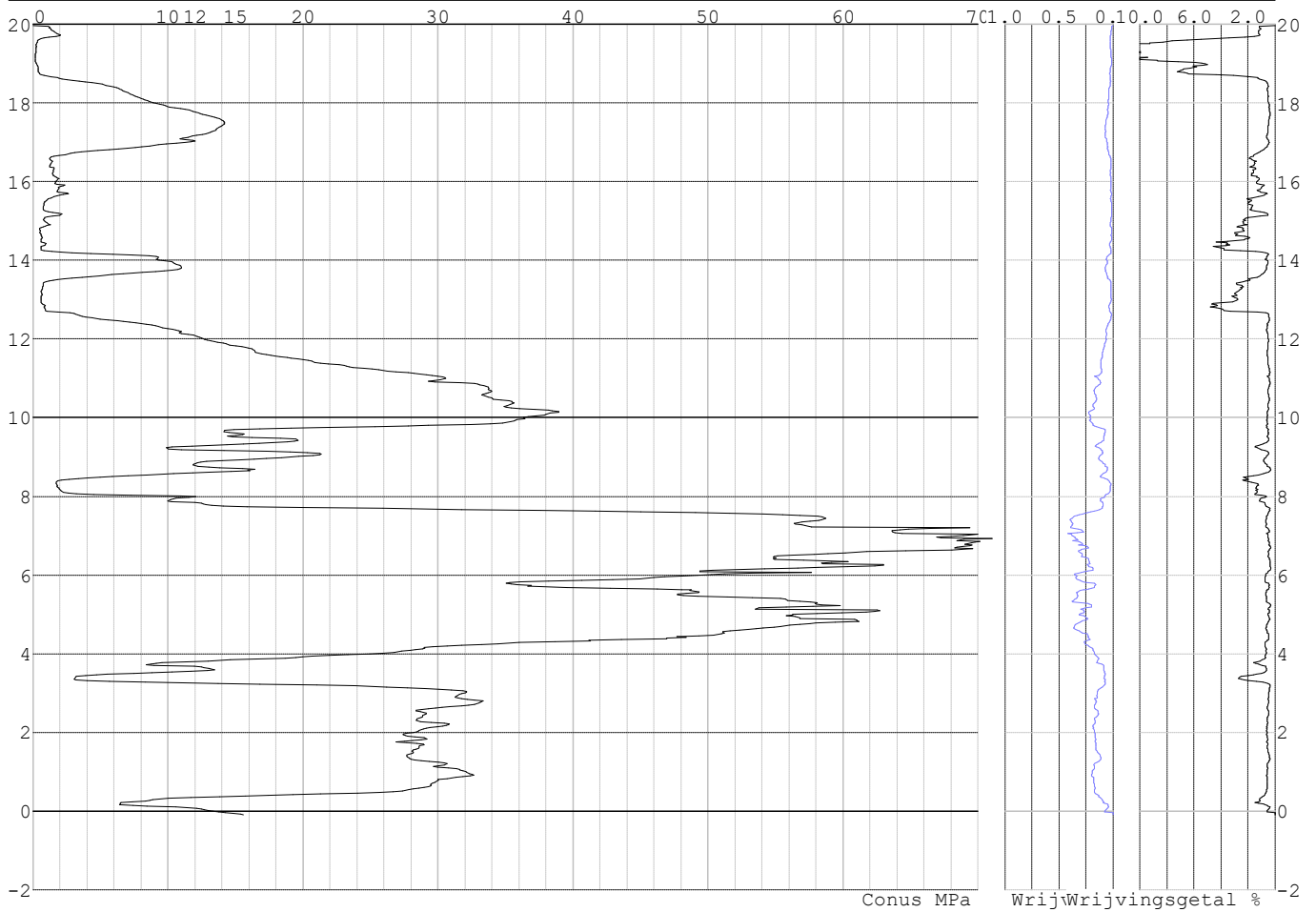


Project :
Onderdeel :

SONDERINGSGEGEVENS ALGEMEEN: S099-4

Alle niveaus/hoogtes/peilmaten zijn t.o.v.: N.A.P.
Hoogte maaiveld [m] : 19.96 Bodemprofiel: S099-2
Traject negatieve kleeft : 19.96 tot 12.30 [m]
Traject positieve kleeft : 12.30 tot -0.11 [m]

SONDERINGSGEGEVENS GRAFIEK: S099-4



Project :
Onderdeel :

REKENEGEVENES Mast 098

Berekening : Controlerend
Rekenmethode : Trekpalen volgens NEN-EN 1997-1, art. 7.6.3
Sondering(en) : S098-1, S098-2, S098-3, S098-4
Let op: trekcapaciteit t.p.v. negatief kleefttraject is meegerekend.

Stijf bouwwerk : JA
Paalgroep : NEE
Aantal sonderingen : 4
Factor ξ_3 (n=1) : 1.26
Factor ξ_3 (gem) : 1.17
Factor ξ_4 (min) : 0.93
Weerstandsfactor γ_R : 1.35
 $\gamma_{m,var;q_c}$: 1.35
UGT draagvermogen zonder negatieve kleeft : NEE

Paal : LD1
Niveau paalkop [m] : N.A.P. 19.08
Paalpuntniveau : N.A.P. 9.08
 $E_{d,1}$ [kN] : 0.00 $E_{d,2}$ [kN] : 0.00
Bovenbel. [kN/m²] : 0.00

RESULTATEN Mast 098 (n=1)**Sondering : S098-1**

Alle niveaus/hogtes/peilmaten zijn t.o.v.: N.A.P.

Inheinniveau [m]	Effectief inheinniveau [m]	E.G. paal [kN]	$R_{t,cal;k}$ [kN]	$R_{t;d}$ [kN]	$F_{t,tot;1}$ [kN]	U.C.
9.08	9.08	34.0	424.1	424.1	0.0	0.00

Sondering : S098-2

Alle niveaus/hogtes/peilmaten zijn t.o.v.: N.A.P.

Inheinniveau [m]	Effectief inheinniveau [m]	E.G. paal [kN]	$R_{t,cal;k}$ [kN]	$R_{t;d}$ [kN]	$F_{t,tot;1}$ [kN]	U.C.
9.08	9.08	33.8	495.3	495.3	0.0	0.00

Sondering : S098-3

Alle niveaus/hogtes/peilmaten zijn t.o.v.: N.A.P.

Inheinniveau [m]	Effectief inheinniveau [m]	E.G. paal [kN]	$R_{t,cal;k}$ [kN]	$R_{t;d}$ [kN]	$F_{t,tot;1}$ [kN]	U.C.
9.08	9.08	33.7	443.5	443.5	0.0	0.00

Sondering : S098-4

Alle niveaus/hogtes/peilmaten zijn t.o.v.: N.A.P.

Inheinniveau [m]	Effectief inheinniveau [m]	E.G. paal [kN]	$R_{t,cal;k}$ [kN]	$R_{t;d}$ [kN]	$F_{t,tot;1}$ [kN]	U.C.
9.08	9.08	34.0	456.0	456.0	0.0	0.00

Project :
Onderdeel :

SAMENVATTINGSTABEL Mast 098 (n=1)**Uitgangspunten**

- paal : LD1
 - paaltype : Stalen buispaal (gesloten)
 - schachtafmeting : 550 mm
 Paalklassefactor α_p : 1.00
 Factor α_t (tabel 7.c EC 7.1) : 0.0070 (zandlagen; voor kleilagen zie tabel 7.d)
 Correlatiefactor $\xi_{3(n=1)}$: 1.26

Alle niveaus/hogtes/peilmaten zijn t.o.v.: N.A.P.

sondering	maaiveld paalpunt		Bezwijkdraagvermogen $R_{t,cal}$ [kN]	Rekenwaarden	
	niveau	niveau		$R_{t,d}$ [kN]	$R_{t,netto,d}$ [kN]
S098-1	19.01	9.08	424.1	424.1	424.1
S098-2	19.12	9.08	495.3	495.3	495.3
S098-3	19.16	9.08	443.5	443.5	443.5
S098-4	19.03	9.08	456.0	456.0	456.0

Project :
Onderdeel :

SAMENVATTINGSTABEL Mast 098 (van 4 sonderingen)**Uitgangspunten**

- paal : LD1
 - paaltype : Stalen buispaal (gesloten)
 - schachtafmeting : 550 mm
 Paalklassefactor α_p : 1.00
 Factor α_t (tabel 7.c EC 7.1) : 0.0070 (zandlagen; voor kleilagen zie tabel 7.d)
 Correlatiefactor $\xi_{3gem}(n=4)$: 1.17
 Correlatiefactor $\xi_{4min}(n=4)$: 0.93

Alle niveaus/hogtes/peilmaten zijn t.o.v.: N.A.P.

sondering	maaiveld niveau	paalpunt niveau	Bezwijkdraagvermogen E.G. paal $R_{t,cal}$ [kN]	$R_{t,cal}$ [kN]
-----------	--------------------	--------------------	---	---------------------

met $\xi_3(gem) = 1.17$

S098-1	19.01	9.08	34.0	454.1
S098-2	19.12	9.08	34.0	530.8
S098-3	19.16	9.08	34.0	475.1
S098-4	19.03	9.08	34.0	488.5

9.08 $R_{t,cal,gem}$ 487.1

met $\xi_4(min) = 0.93$

S098-1	19.01	9.08	34.0	562.5
S098-2	19.12	9.08	34.0	659.1
S098-3	19.16	9.08	34.0	589.0
S098-4	19.03	9.08	34.0	605.7

9.08 $R_{t,cal,min}$ 562.5

Totaal resultaten Mast 098 (van 4 sonderingen)

Uitgangspunten

Correlatiefactor $\xi_{3gem}(n=4)$: 1.17
 Correlatiefactor $\xi_{4min}(n=4)$: 0.93

gebaseerd op sonderingen:

S098-1 S098-2 S098-3 S098-4

$$R_{t,d} = \min.\{ R_{t,cal,gem}; R_{t,cal,min} \} (7.17) *$$

Inheinniveau

[m]

$$9.08 \quad R_{t,d} = \min.\{ 487.1; 562.5 \} = 487.1$$

*) Bij de trekpaalberekening zijn factoren ξ_3 en ξ_4 al bij de berekening van de conusweerstand $q_{c;z;d}$ in rekening gebracht, evenals factor $\gamma_{s;t}$. Dat is conform de opmerkingen in art. 7.6.3.3 (3) en (4).

Alle niveaus/hogtes/peilmaten zijn t.o.v.: N.A.P.

Inheinniveau [m]	$R_{t,k}$ [kN]	$R_{t,d}$ [kN]	$F_{t,tot,1}$ [kN]	$R_{t,netto,d}$ [kN]	U.C.
9.08	487.1	487.1	0.0	487.1	0.00

Project :
Onderdeel :

REKENEGEVENES Mast 099

Berekening : Controlerend
 Rekenmethode : Trekpalen volgens NEN-EN 1997-1, art. 7.6.3
 Sondering(en) : S099-1, S099-2, S099-3, S099-4
 Let op: trekcapaciteit t.p.v. negatief kleefttraject is meegerekend.

Stijf bouwwerk : JA
 Paalgroep : NEE
 Aantal sonderingen : 4
 Factor ξ_3 (n=1) : 1.26
 Factor ξ_3 (gem) : 1.17
 Factor ξ_4 (min) : 0.93
 Weerstandsfactor γ_R : 1.35
 $\gamma_{m,var;q_c}$: 1.50
 UGT draagvermogen zonder negatieve kleeft : NEE

Paal : LD1
 Niveau paalkop [m] : N.A.P. 19.60
 Paalpuntniveau : N.A.P. 10.10
 $E_{d,1}$ [kN] : 0.00 $E_{d,2}$ [kN] : 0.00
 Bovenbel. [kN/m²] : 0.00

RESULTATEN Mast 099 (n=1)**Sondering : S099-1**

Alle niveaus/hoogtes/peilmaten zijn t.o.v.: N.A.P.

Inheinniveau [m]	Effectief inheinniveau [m]	E.G. paal [kN]	$R_{t,cal;k}$ [kN]	$R_{t;d}$ [kN]	$F_{t,tot;1}$ [kN]	U.C.
10.10	10.10	31.1	384.0	384.0	0.0	0.00

Sondering : S099-2

Alle niveaus/hoogtes/peilmaten zijn t.o.v.: N.A.P.

Inheinniveau [m]	Effectief inheinniveau [m]	E.G. paal [kN]	$R_{t,cal;k}$ [kN]	$R_{t;d}$ [kN]	$F_{t,tot;1}$ [kN]	U.C.
10.10	10.10	31.5	365.0	365.0	0.0	0.00

Sondering : S099-3

Alle niveaus/hoogtes/peilmaten zijn t.o.v.: N.A.P.

Inheinniveau [m]	Effectief inheinniveau [m]	E.G. paal [kN]	$R_{t,cal;k}$ [kN]	$R_{t;d}$ [kN]	$F_{t,tot;1}$ [kN]	U.C.
10.10	10.10	31.1	365.2	365.2	0.0	0.00

Sondering : S099-4

Alle niveaus/hoogtes/peilmaten zijn t.o.v.: N.A.P.

Inheinniveau [m]	Effectief inheinniveau [m]	E.G. paal [kN]	$R_{t,cal;k}$ [kN]	$R_{t;d}$ [kN]	$F_{t,tot;1}$ [kN]	U.C.
10.10	10.10	31.5	365.5	365.5	0.0	0.00

Project :
Onderdeel :

SAMENVATTINGSTABEL Mast 099 (n=1)**Uitgangspunten**

- paal : LD1
 - paaltype : Stalen buispaal (gesloten)
 - schachtafmeting : 550 mm
 Paalklassefactor α_p : 1.00
 Factor α_t (tabel 7.c EC 7.1) : 0.0070 (zandlagen; voor kleilagen zie tabel 7.d)
 Correlatiefactor $\xi_{3(n=1)}$: 1.26

Alle niveaus/hogtes/peilmaten zijn t.o.v.: N.A.P.

sondering	maaiveld paalpunt		Bezwijkdraagvermogen $R_{t,cal}$ [kN]	Rekenwaarden	
	niveau	niveau		$R_{t,d}$ [kN]	$R_{t,netto,d}$ [kN]
S099-1	20.08	10.10	384.0	384.0	384.0
S099-2	19.93	10.10	365.0	365.0	365.0
S099-3	20.08	10.10	365.2	365.2	365.2
S099-4	19.96	10.10	365.5	365.5	365.5

Project :
Onderdeel :

SAMENVATTINGSTABEL Mast 099 (van 4 sonderingen)**Uitgangspunten**

- paal : LD1
 - paaltype : Stalen buispaal (gesloten)
 - schachtafmeting : 550 mm
 Paalklassefactor α_p : 1.00
 Factor α_t (tabel 7.c EC 7.1) : 0.0070 (zandlagen; voor kleilagen zie tabel 7.d)
 Correlatiefactor $\xi_{3gem}(n=4)$: 1.17
 Correlatiefactor $\xi_{4min}(n=4)$: 0.93

Alle niveaus/hogtes/peilmaten zijn t.o.v.: N.A.P.

sondering	maaiveld niveau	paalpunt niveau	Bezwijkdraagvermogen E.G. paal [kN]	$R_{t,cal}$ [kN]
-----------	--------------------	--------------------	---	---------------------

met $\xi_3(gem) = 1.17$

S099-1	20.08	10.10	31.1	411.2
S099-2	19.93	10.10	31.1	390.6
S099-3	20.08	10.10	31.1	390.9
S099-4	19.96	10.10	31.1	391.2

		10.10	$R_{t,cal,gem}$	396.0
--	--	-------	-----------------	-------

met $\xi_4(min) = 0.93$

S099-1	20.08	10.10	31.1	509.3
S099-2	19.93	10.10	31.1	483.3
S099-3	20.08	10.10	31.1	483.8
S099-4	19.96	10.10	31.1	484.0

		10.10	$R_{t,cal,min}$	483.3
--	--	-------	-----------------	-------

Totaal resultaten Mast 099 (van 4 sonderingen)**Uitgangspunten**

Correlatiefactor $\xi_{3gem}(n=4)$: 1.17
 Correlatiefactor $\xi_{4min}(n=4)$: 0.93

gebaseerd op sonderingen:

S099-1 S099-2 S099-3 S099-4

$$R_{t,d} = \min.\{ R_{t,cal,gem}; R_{t,cal,min} \} (7.17) *$$

Inheinniveau

[m]

$$10.10 \quad R_{t,d} = \min.\{ 396.0; 483.3 \} = 396.0$$

*) Bij de trekpaalberekening zijn factoren ξ_3 en ξ_4 al bij de berekening van de conusweerstand $q_{c;z;d}$ in rekening gebracht, evenals factor $\gamma_{s;t}$. Dat is conform de opmerkingen in art. 7.6.3.3 (3) en (4).

Alle niveaus/hogtes/peilmaten zijn t.o.v.: N.A.P.

Inheinniveau [m]	$R_{t,k}$ [kN]	$R_{t,d}$ [kN]	$F_{t,tot,1}$ [kN]	$R_{t,netto,d}$ [kN]	U.C.
10.10	396.0	396.0	0.0	396.0	0.00

PAALGEGEVENS LD1

Type : Stalen buispaal (gesloten)
 Wijze van installeren : Heien
 Diameter [m] : 0.550
 Wanddikte t [mm] : 4.0

Project :
 Onderdeel :
 Elasticiteitsmodulus [N/mm²] : 200000 (Staal)
 Soortelijk gewicht [kN/m³] : 78.5 (Staal)
 Elasticiteitsmodulus [N/mm²] : 20000 (Beton)
 Soortelijk gewicht [kN/m³] : 24.0 (Beton)
 Factor α_s (tabel 7.c EC 7.1) : 0.010 (zandlagen; voor kleilagen zie tabel 7.d)
 Factor α_t (tabel 7.c EC 7.1) : 0.0070 (zandlagen; voor kleilagen zie tabel 7.d)
 Paalklassefactor α_p : 1.00
 Paalvoetvormfactor β : 1.00
 Type lastzakkingsdiagram : Grondverdringende paal
 Verm.factor * $\phi'_{j;k}$: 0.75
 Groutomhulling : NEE

OVERZICHT NETTO DRAAGVERMOGEN TREKPALEN (n=1)

Netto paal draagvermogen(s) zijn naar beneden toe afgerond op: 1.0 kN nauwkeurig
 Alle niveaus/hoogtes/peilmaten zijn t.o.v.: N.A.P.

sondering	maaiveld paalpunt		$R_{t,netto;d}$ [kN]	
	niveau	niveau	Mast 098	Mast 099
S098-1	19.01	9.08	424	
S098-2	19.12	9.08	495	
S098-3	19.16	9.08	443	
S098-4	19.03	9.08	455	
S099-1	20.08	10.10		384
S099-2	19.93	10.10		364
S099-3	20.08	10.10		365
S099-4	19.96	10.10		365

Project :
Onderdeel :

ALGEMENE GEGEVENS

Project :
Onderdeel :
Datum : 23-11-2021
Bestand : \\Arh7001.verit.dnv.com\projects\EANL_Projects\
10166262 - BBB modelleren funderingen 380
kV\02 Content\03 Calculations\Technosoft
Paalfunderingen\MBT-EHV380\DO\Nieuw
Sonderingen\Mast 100-109.pvw
Berekeningstype : Verticaal belaste paal
Alle niveaus/hogtes/peilmaten zijn t.o.v.: N.A.P.

Toegepaste normen volgens Eurocode met Nederlandse NB

Geotechniek	EN 1997-1:2004	AC:2009	
	NEN-EN 1997-1:2005	C1+A1:2013	NB:2016
	NEN 9997-1:2016	C2:2017	

GRONDSOORTEN

Nr. Omschrijving	$\gamma_{k;1}$ [kN/m ³]	$\gamma_{sat;k;1}$ [kN/m ³]	$\phi'_{k;1}$ [°]	$\gamma_{k;2}$ [kN/m ³]	$\gamma_{sat;k;2}$ [kN/m ³]	$\phi'_{k;2}$ [°]
1 Grind - Sterk siltig - Vast	20.00	22.00	35.00	21.00	22.50	40.00
2 Zand - Schoon - Los	17.00	19.00	30.00	18.00	20.00	32.50
3 Zand - Schoon - Matig	18.00	20.00	32.50	19.00	21.00	35.00
4 Zand - Schoon - Vast	19.00	21.00	35.00	20.00	22.00	40.00
5 Zand - Zwak siltig - Kleiig	18.00	20.00	27.00	19.00	21.00	32.50
6 Zand - Sterk siltig - Kleiig	18.00	20.00	25.00	19.00	21.00	30.00
7 Leem - Zwak zandig - Vast	21.00	21.00	27.50	22.00	22.00	35.00
8 Klei - Schoon - Matig	17.00	17.00	17.50	19.00	19.00	17.50
9 Klei - Schoon - Vast	19.00	19.00	17.50	20.00	20.00	25.00
10 Klei - Zwak zandig - Slap	15.00	15.00	22.50	18.00	18.00	22.50
11 Klei - Zwak zandig - Matig	18.00	18.00	22.50	20.00	20.00	22.50
12 Klei - Zwak zandig - Vast	20.00	20.00	22.50	21.00	21.00	27.50
13 Klei - Sterk zandig	18.00	18.00	27.50	20.00	20.00	32.50
14 Klei - Organisch - Matig	15.00	15.00	15.00	16.00	16.00	15.00
15 Veen - Niet voorbelast - Slap	10.00	10.00	15.00	12.00	12.00	15.00
16 Veen - Matig voorbelast - Matig	12.00	12.00	15.00	13.00	13.00	15.00

BODEMPROFIELGEGEVENS: S100-1

Alle niveaus/hogtes/peilmaten zijn t.o.v.: N.A.P.

d50-reductie is meegenomen overeenkomstig NEN-EN 9997 art. 7.6.2.3 (i)

Laag	Van [m]	Tot [m]	Omschrijving	OCR	Aandeel pos. kleef [%]	α_s	d_{50} [mm]
1	19.48	19.05	Klei - Schoon - Matig	1.0	50.0		
2	19.05	16.89	Zand - Schoon - Matig	1.0	100.0		
3	16.89	16.51	Zand - Sterk siltig - Kleiig	1.0	100.0		
4	16.51	14.65	Klei - Schoon - Vast	1.0	50.0		
5	14.65	14.39	Klei - Zwak zandig - Matig	1.0	50.0		
6	14.39	13.55	Klei - Schoon - Matig	1.0	50.0		
7	13.55	13.29	Zand - Schoon - Los	1.0	100.0		
8	13.29	12.41	Klei - Organisch - Matig	1.0	50.0		
9	12.41	11.57	Zand - Schoon - Los	1.0	100.0		
10	11.57	9.70	Zand - Schoon - Matig	1.0	100.0		
11	9.70	8.88	Zand - Zwak siltig - Kleiig	1.0	100.0		
12	8.88	8.48	Klei - Schoon - Vast	1.0	50.0		
13	8.48	2.19	Zand - Schoon - Vast	1.0	100.0		
14	2.19	-0.50	Zand - Schoon - Matig	1.0	100.0		

BODEMPROFIELGEGEVENS: S100-2

Alle niveaus/hogtes/peilmaten zijn t.o.v.: N.A.P.

d50-reductie is meegenomen overeenkomstig NEN-EN 9997 art. 7.6.2.3 (i)

Laag	Van [m]	Tot [m]	Omschrijving	OCR	Aandeel pos. kleef [%]	α_s	d_{50} [mm]
1	19.53	19.24	Klei - Schoon - Matig	1.0	50.0		
2	19.24	17.06	Zand - Schoon - Los	1.0	100.0		
3	17.06	16.54	Zand - Sterk siltig - Kleiig	1.0	100.0		
4	16.54	14.41	Klei - Zwak zandig - Matig	1.0	50.0		

Project :
Onderdeel :

Laag	Van [m]	Tot [m]	Omschrijving	OCR	Aandeel pos. kleef [%]	α_s	d_{50} [mm]
5	14.41	14.29	Zand - Schoon - Los	1.0	100.0		
6	14.29	12.39	Klei - Zwak zandig - Slap	1.0	50.0		
7	12.39	9.84	Zand - Schoon - Matig	1.0	100.0		
8	9.84	8.96	Zand - Schoon - Los	1.0	100.0		
9	8.96	8.41	Zand - Sterk siltig - Kleiig	1.0	100.0		
10	8.41	5.04	Zand - Schoon - Matig	1.0	100.0		
11	5.04	2.11	Zand - Schoon - Vast	1.0	100.0		
12	2.11	1.71	Zand - Schoon - Los	1.0	100.0		
13	1.71	0.91	Zand - Schoon - Matig	1.0	100.0		
14	0.91	-0.40	Zand - Schoon - Los	1.0	100.0		

BODEMPROFIELGEGEVENS: S100-3

Alle niveaus/hogtes/peilmaten zijn t.o.v.: N.A.P.

d50-reductie is meegenomen overeenkomstig NEN-EN 9997 art. 7.6.2.3 (i)

Hoogte maaiveld [m] : 19.56 Grondwaterstand [m] : 18.56

Laag	Van [m]	Tot [m]	Omschrijving	OCR	Aandeel pos. kleef [%]	α_s	d_{50} [mm]
1	19.56	19.33	Veen - Matig voorbelast - Matig	1.0	50.0		
2	19.33	18.83	Klei - Zwak zandig - Vast	1.0	50.0		
3	18.83	17.03	Zand - Schoon - Matig	1.0	100.0		
4	17.03	16.67	Zand - Schoon - Los	1.0	100.0		
5	16.67	14.47	Klei - Schoon - Matig	1.0	50.0		
6	14.47	14.33	Zand - Schoon - Los	1.0	100.0		
7	14.33	12.30	Klei - Organisch - Matig	1.0	50.0		
8	12.30	9.76	Zand - Schoon - Matig	1.0	100.0		
9	9.76	8.38	Zand - Zwak siltig - Kleiig	1.0	100.0		
10	8.38	2.69	Zand - Schoon - Vast	1.0	100.0		
11	2.69	-0.42	Zand - Schoon - Matig	1.0	100.0		

BODEMPROFIELGEGEVENS: S100-4

Alle niveaus/hogtes/peilmaten zijn t.o.v.: N.A.P.

d50-reductie is meegenomen overeenkomstig NEN-EN 9997 art. 7.6.2.3 (i)

Hoogte maaiveld [m] : 19.43 Grondwaterstand [m] : 18.43

Laag	Van [m]	Tot [m]	Omschrijving	OCR	Aandeel pos. kleef [%]	α_s	d_{50} [mm]
1	19.43	19.08	Klei - Schoon - Vast	1.0	50.0		
2	19.08	16.82	Zand - Schoon - Matig	1.0	100.0		
3	16.82	16.66	Zand - Schoon - Los	1.0	100.0		
4	16.66	14.36	Klei - Zwak zandig - Matig	1.0	50.0		
5	14.36	14.22	Zand - Schoon - Los	1.0	100.0		
6	14.22	13.50	Klei - Zwak zandig - Slap	1.0	50.0		
7	13.50	13.24	Zand - Schoon - Los	1.0	100.0		
8	13.24	12.13	Klei - Organisch - Matig	1.0	50.0		
9	12.13	10.47	Zand - Schoon - Matig	1.0	100.0		
10	10.47	9.01	Zand - Zwak siltig - Kleiig	1.0	100.0		
11	9.01	8.49	Klei - Schoon - Vast	1.0	50.0		
12	8.49	3.80	Zand - Schoon - Vast	1.0	100.0		
13	3.80	3.39	Zand - Sterk siltig - Kleiig	1.0	100.0		
14	3.39	1.87	Zand - Schoon - Vast	1.0	100.0		
15	1.87	1.50	Zand - Schoon - Los	1.0	100.0		
16	1.50	-0.59	Zand - Schoon - Vast	1.0	100.0		

BODEMPROFIELGEGEVENS: S103-1

Alle niveaus/hogtes/peilmaten zijn t.o.v.: N.A.P.

d50-reductie is meegenomen overeenkomstig NEN-EN 9997 art. 7.6.2.3 (i)

Hoogte maaiveld [m] : 20.54 Grondwaterstand [m] : 19.54

Laag	Van [m]	Tot [m]	Omschrijving	OCR	Aandeel pos. kleef [%]	α_s	d_{50} [mm]
1	20.54	16.97	Zand - Schoon - Matig	1.0	100.0		
2	16.97	16.57	Zand - Zwak siltig - Kleiig	1.0	100.0		
3	16.57	13.41	Klei - Organisch - Matig	1.0	50.0		
4	13.41	12.92	Klei - Schoon - Vast	1.0	50.0		
5	12.92	12.40	Klei - Zwak zandig - Matig	1.0	50.0		
6	12.40	6.57	Zand - Schoon - Matig	1.0	100.0		
7	6.57	4.96	Zand - Schoon - Vast	1.0	100.0		
8	4.96	0.53	Zand - Schoon - Matig	1.0	100.0		

Project :
Onderdeel :

BODEMPROFIELGEGEVENS: S103-2

Alle niveaus/hogtes/peilmaten zijn t.o.v.: N.A.P.

d50-reductie is meegenomen overeenkomstig NEN-EN 9997 art. 7.6.2.3 (i)

Laag	Van [m]	Tot [m]	Omschrijving	OCR	Aandeel pos. kleef [%]	α_s	d_{50} [mm]
	Hoogte maaiveld [m] : 20.49			Grondwaterstand [m] : 19.49			
1	20.49	18.88	Zand - Schoon - Vast	1.0	100.0		
2	18.88	18.28	Zand - Zwak siltig - Kleiig	1.0	100.0		
3	18.28	17.00	Zand - Schoon - Vast	1.0	100.0		
4	17.00	16.60	Zand - Zwak siltig - Kleiig	1.0	100.0		
5	16.60	16.28	Leem - Zwak zandig - Vast	1.0	50.0		
6	16.28	13.47	Klei - Organisch - Matig	1.0	50.0		
7	13.47	12.81	Leem - Zwak zandig - Vast	1.0	50.0		
8	12.81	4.05	Zand - Schoon - Vast	1.0	100.0		
9	4.05	2.96	Zand - Zwak siltig - Kleiig	1.0	100.0		
10	2.96	0.53	Zand - Schoon - Matig	1.0	100.0		

BODEMPROFIELGEGEVENS: S103-3

Alle niveaus/hogtes/peilmaten zijn t.o.v.: N.A.P.

d50-reductie is meegenomen overeenkomstig NEN-EN 9997 art. 7.6.2.3 (i)

Laag	Van [m]	Tot [m]	Omschrijving	OCR	Aandeel pos. kleef [%]	α_s	d_{50} [mm]
	Hoogte maaiveld [m] : 20.55			Grondwaterstand [m] : 19.55			
1	20.55	18.94	Zand - Schoon - Matig	1.0	100.0		
2	18.94	18.42	Zand - Zwak siltig - Kleiig	1.0	100.0		
3	18.42	17.04	Zand - Schoon - Matig	1.0	100.0		
4	17.04	16.74	Zand - Schoon - Los	1.0	100.0		
5	16.74	13.47	Klei - Organisch - Matig	1.0	50.0		
6	13.47	13.07	Leem - Zwak zandig - Vast	1.0	50.0		
7	13.07	12.81	Klei - Zwak zandig - Matig	1.0	50.0		
8	12.81	11.25	Zand - Schoon - Matig	1.0	100.0		
9	11.25	9.12	Zand - Schoon - Vast	1.0	100.0		
10	9.12	6.65	Zand - Schoon - Matig	1.0	100.0		
11	6.65	4.71	Zand - Schoon - Vast	1.0	100.0		
12	4.71	0.57	Zand - Schoon - Matig	1.0	100.0		

BODEMPROFIELGEGEVENS: S103-4

Alle niveaus/hogtes/peilmaten zijn t.o.v.: N.A.P.

d50-reductie is meegenomen overeenkomstig NEN-EN 9997 art. 7.6.2.3 (i)

Laag	Van [m]	Tot [m]	Omschrijving	OCR	Aandeel pos. kleef [%]	α_s	d_{50} [mm]
	Hoogte maaiveld [m] : 20.41			Grondwaterstand [m] : 19.41			
1	20.41	18.92	Zand - Schoon - Matig	1.0	100.0		
2	18.92	16.96	Zand - Schoon - Los	1.0	100.0		
3	16.96	16.60	Zand - Sterk siltig - Kleiig	1.0	100.0		
4	16.60	16.34	Klei - Zwak zandig - Matig	1.0	50.0		
5	16.34	16.22	Zand - Schoon - Los	1.0	100.0		
6	16.22	12.81	Klei - Organisch - Matig	1.0	50.0		
7	12.81	12.55	Veen - Matig voorbelast - Matig	1.0	50.0		
8	12.55	9.22	Zand - Schoon - Vast	1.0	100.0		
9	9.22	8.14	Zand - Schoon - Los	1.0	100.0		
10	8.14	6.03	Zand - Schoon - Matig	1.0	100.0		
11	6.03	2.80	Zand - Schoon - Vast	1.0	100.0		
12	2.80	0.42	Zand - Zwak siltig - Kleiig	1.0	100.0		

BODEMPROFIELGEGEVENS: S104-1

Alle niveaus/hogtes/peilmaten zijn t.o.v.: N.A.P.

d50-reductie is meegenomen overeenkomstig NEN-EN 9997 art. 7.6.2.3 (i)

Laag	Van [m]	Tot [m]	Omschrijving	OCR	Aandeel pos. kleef [%]	α_s	d_{50} [mm]
	Hoogte maaiveld [m] : 20.23			Grondwaterstand [m] : 19.23			
1	20.23	19.72	Klei - Schoon - Vast	1.0	50.0		
2	19.72	16.46	Zand - Schoon - Matig	1.0	100.0		
3	16.46	16.22	Zand - Schoon - Los	1.0	100.0		
4	16.22	12.45	Klei - Schoon - Matig	1.0	50.0		
5	12.45	12.17	Veen - Matig voorbelast - Matig	1.0	50.0		
6	12.17	5.08	Zand - Schoon - Vast	1.0	100.0		

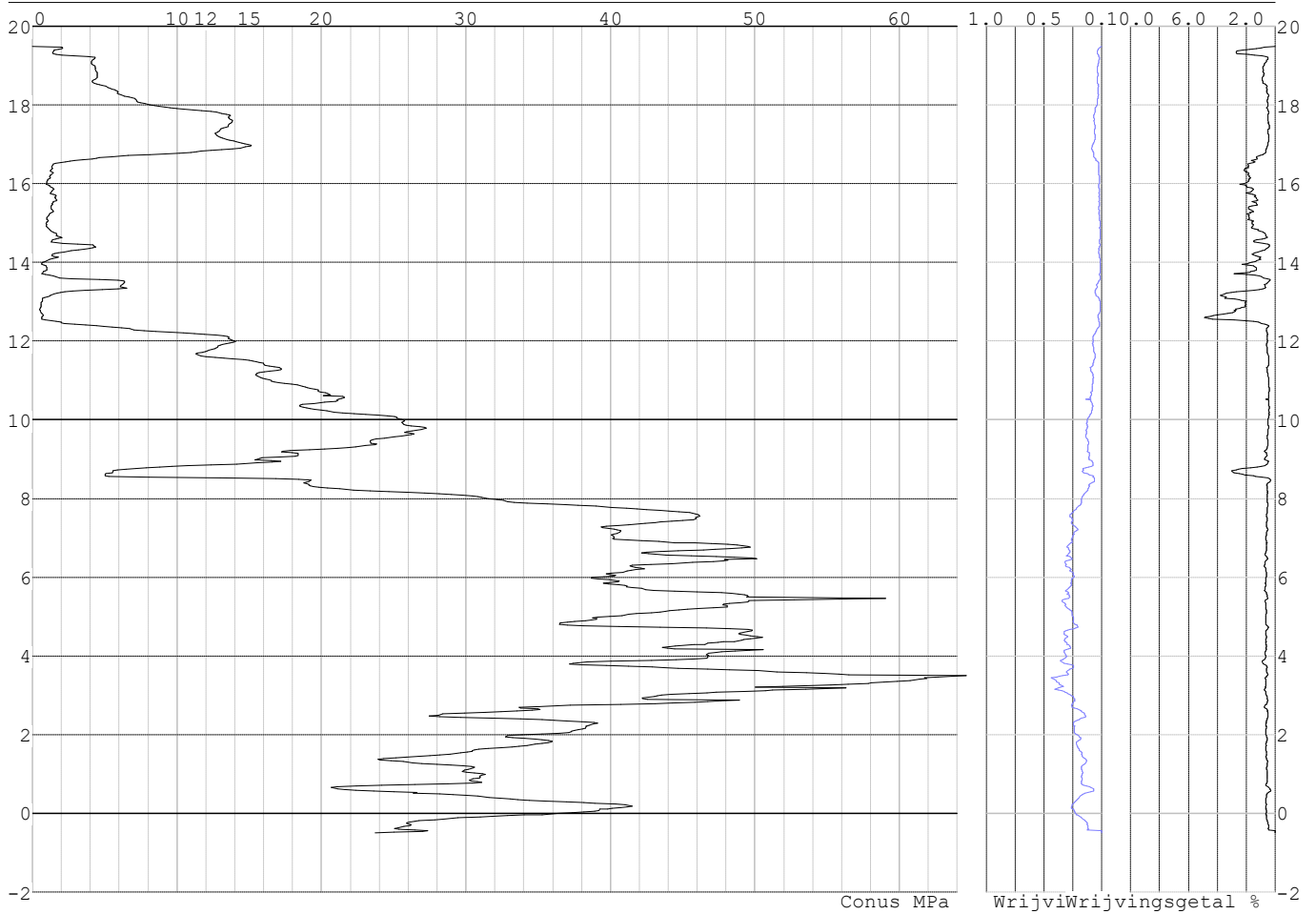
Project :
 Onderdeel :

Laag	Van [m]	Tot [m]	Omschrijving	OCR	Aandeel pos. kleef [%]	α_s	d_{50} [mm]
7	5.08	3.00	Zand - Schoon - Los	1.0	100.0		
8	3.00	0.62	Zand - Schoon - Vast	1.0	100.0		
9	0.62	0.34	Zand - Schoon - Los	1.0	100.0		
10	0.34	-0.75	Zand - Schoon - Matig	1.0	100.0		

SONDERINGSGEGEVENS ALGEMEEN: S100-1

Alle niveaus/hoogtes/peilmaten zijn t.o.v.: N.A.P.
 Hoogte maaiveld [m] : 19.48 Bodemprofiel: S100-1
 Traject negatieve kleef : 19.48 tot 12.40 [m]
 Traject positieve kleef : 12.40 tot -0.51 [m]

SONDERINGSGEGEVENS GRAFIEK: S100-1

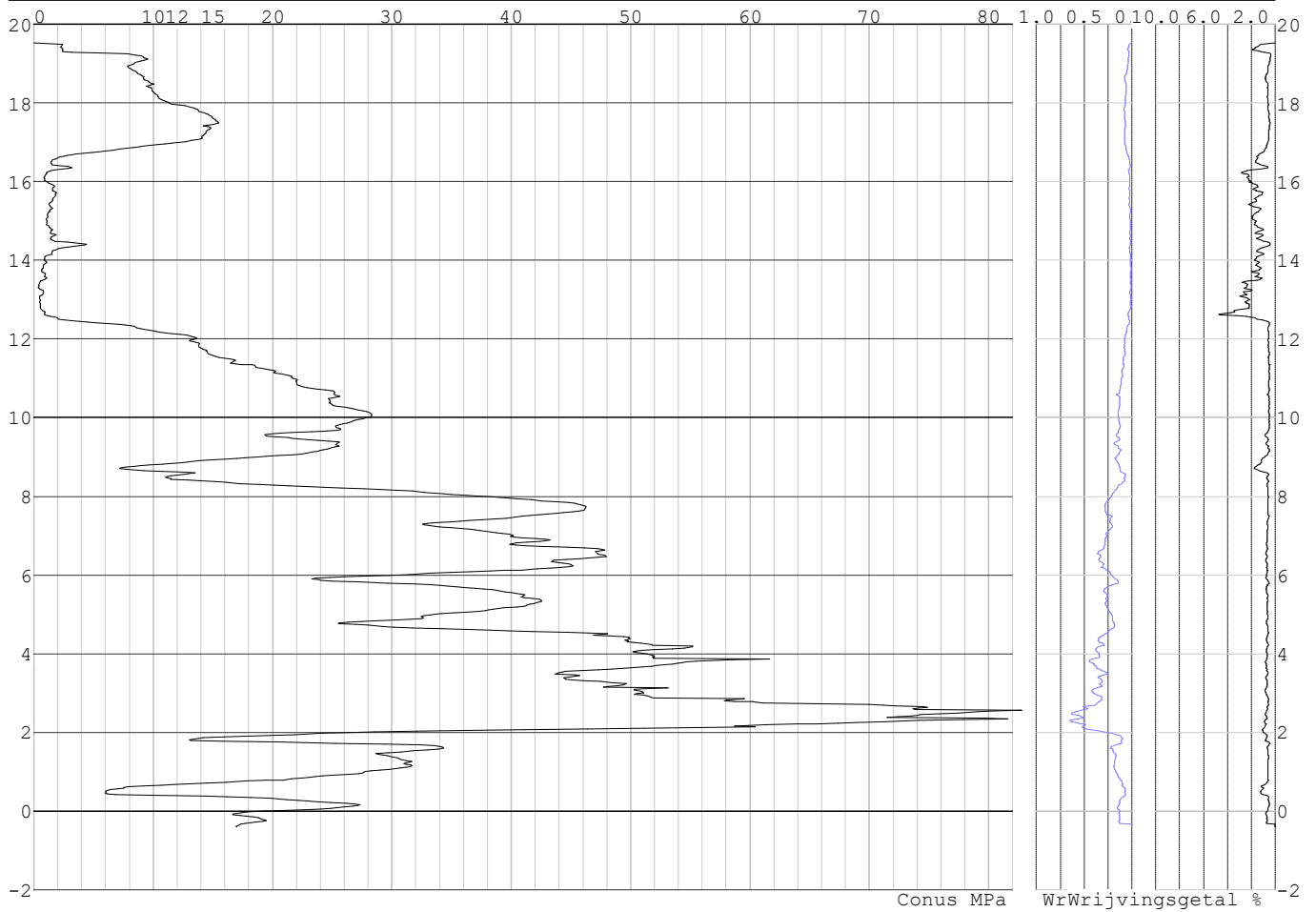


Project :
Onderdeel :

SONDERINGSGEGEVENS ALGEMEEN: S100-2

Alle niveaus/hogtes/peilmaten zijn t.o.v.: N.A.P.
Hoogte maaiveld [m] : 19.53 Bodemprofiel: S100-2
Traject negatieve kleeft : 19.53 tot 12.40 [m]
Traject positieve kleeft : 12.40 tot -0.41 [m]

SONDERINGSGEGEVENS GRAFIEK: S100-2

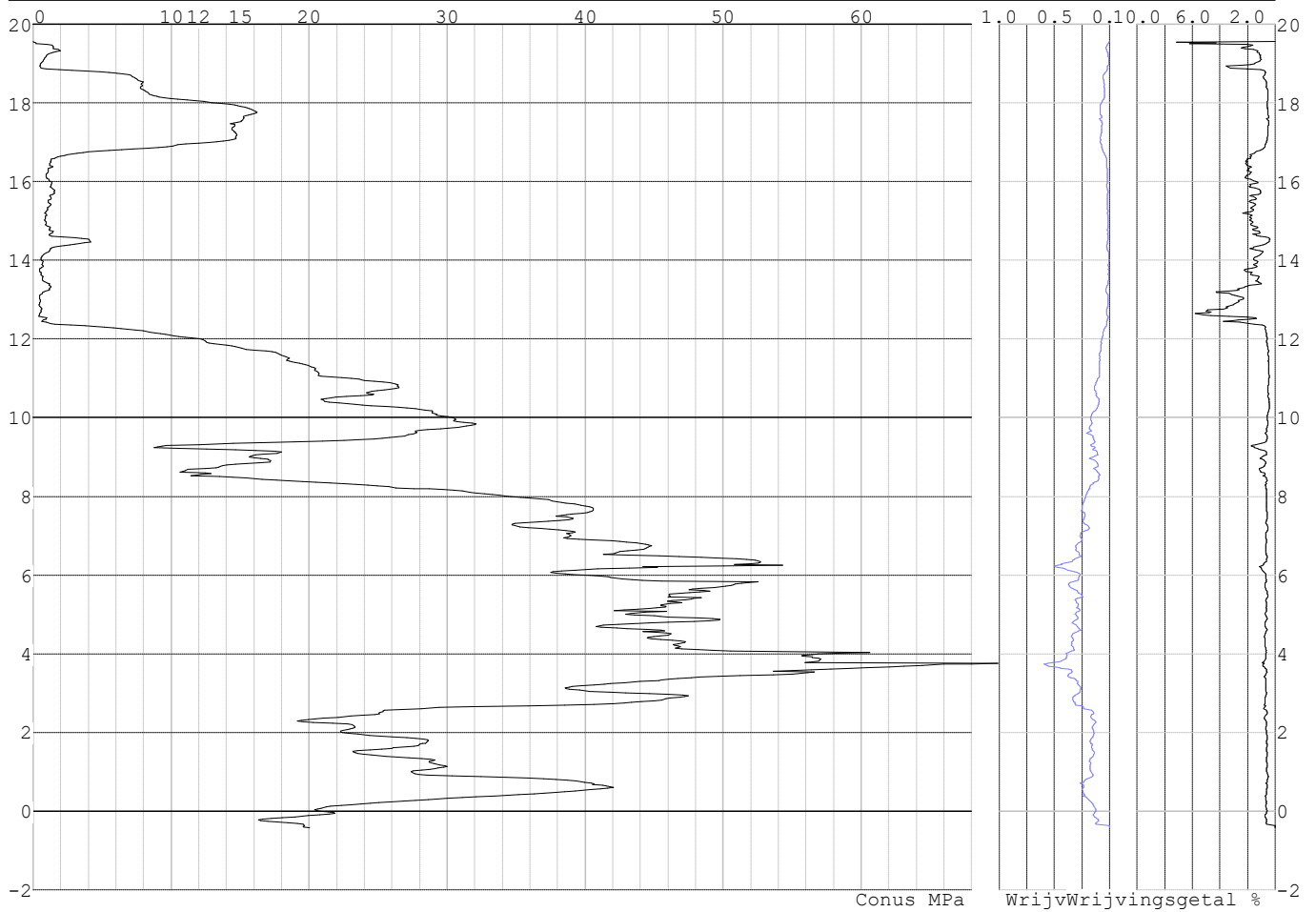


Project :
Onderdeel :

SONDERINGSGEGEVENS ALGEMEEN: S100-3

Alle niveaus/hogtes/peilmaten zijn t.o.v.: N.A.P.
Hoogte maaiveld [m] : 19.56 Bodemprofiel: S100-3
Traject negatieve kleeft : 19.56 tot 12.30 [m]
Traject positieve kleeft : 12.30 tot -0.43 [m]

SONDERINGSGEGEVENS GRAFIEK: S100-3

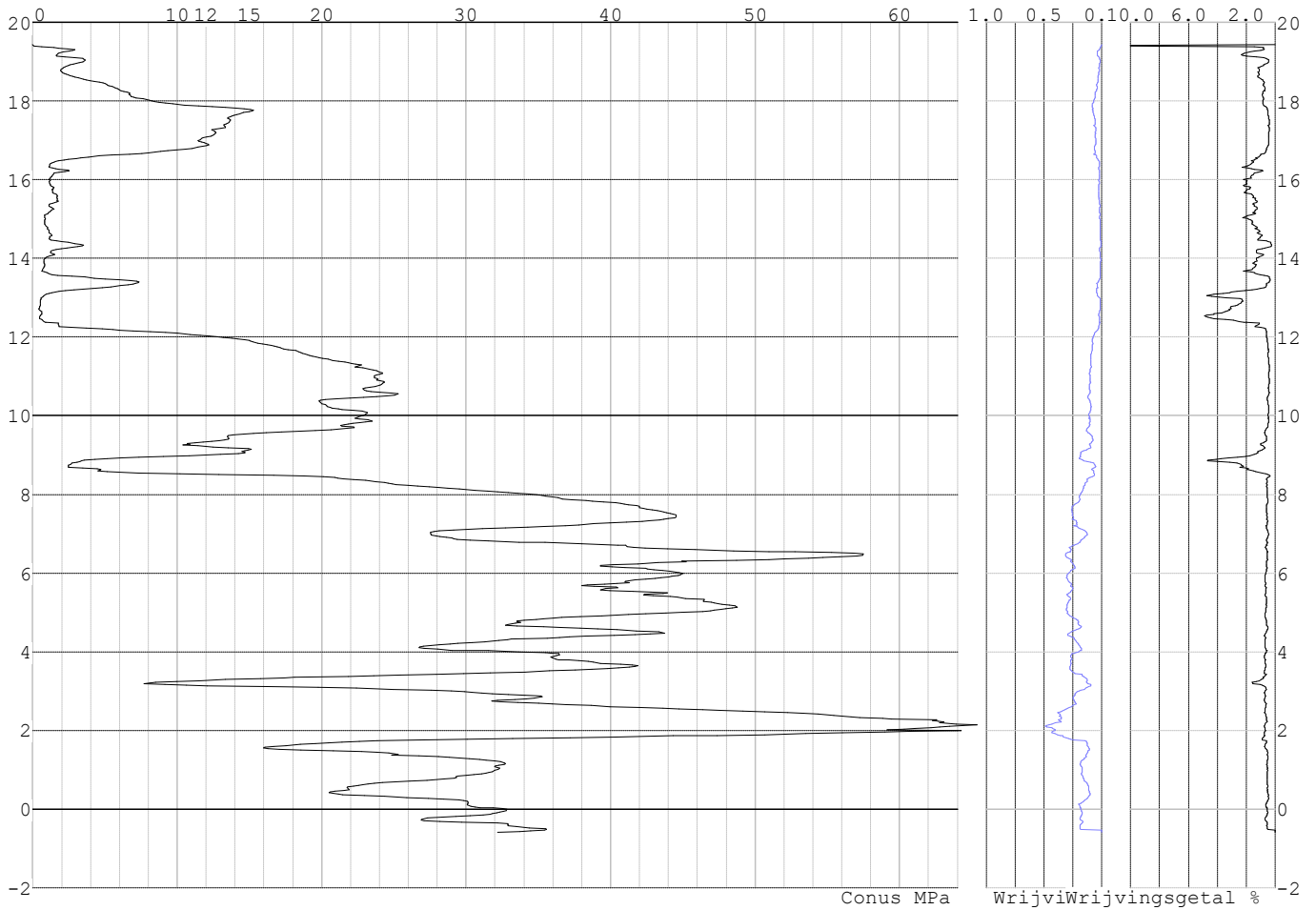


Project :
Onderdeel :

SONDERINGSGEGEVENS ALGEMEEN: S100-4

Alle niveaus/hogtes/peilmaten zijn t.o.v.: N.A.P.
Hoogte maaiveld [m] : 19.43 Bodemprofiel: S100-4
Traject negatieve kleeft : 19.43 tot 12.10 [m]
Traject positieve kleeft : 12.10 tot -0.60 [m]

SONDERINGSGEGEVENS GRAFIEK: S100-4

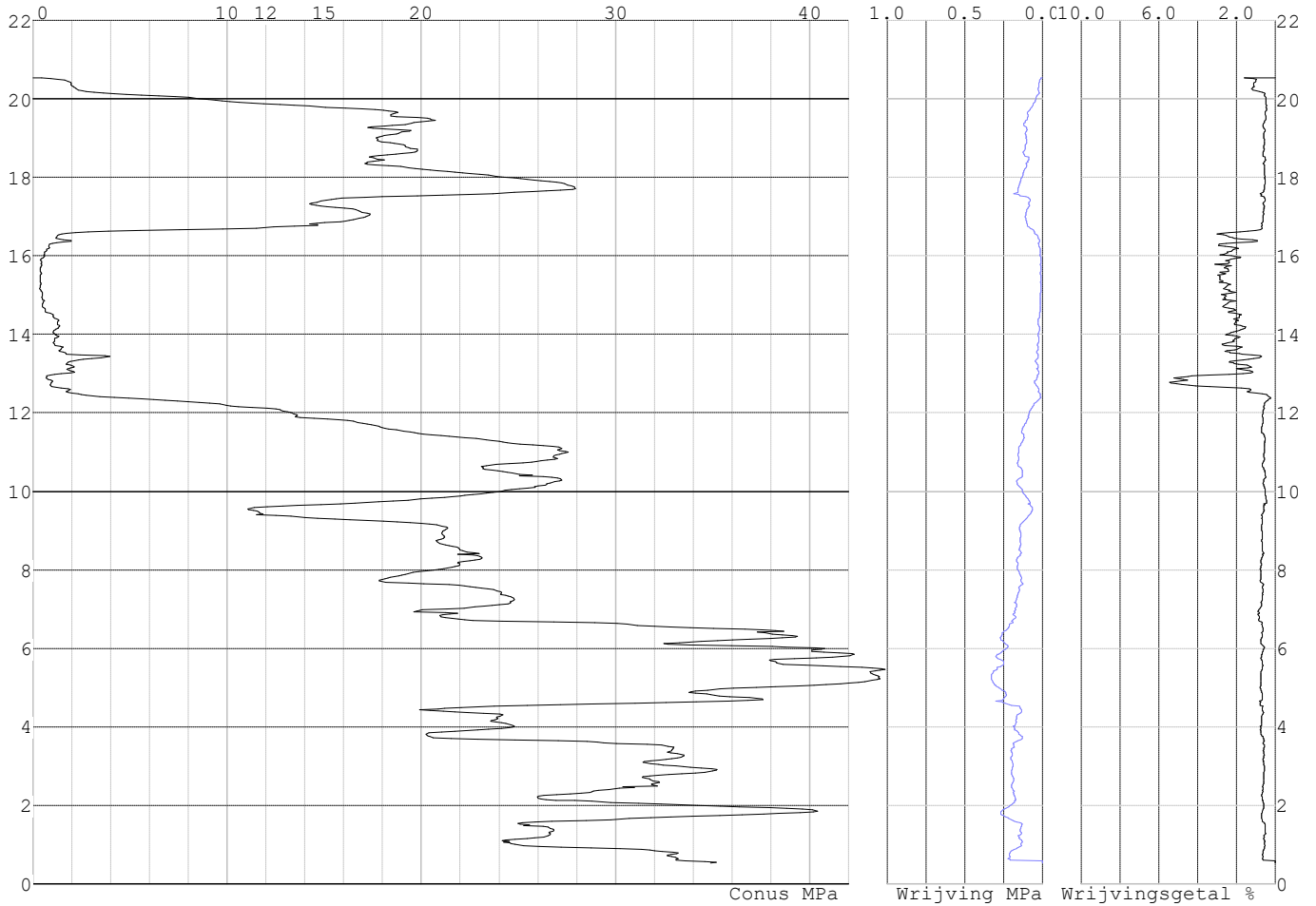


Project :
Onderdeel :

SONDERINGSGEGEVENS ALGEMEEN: S103-1

Alle niveaus/hoogtes/peilmaten zijn t.o.v.: N.A.P.
Hoogte maaiveld [m] : 20.54 Bodemprofiel: S103-1
Traject negatieve kleeft : 20.54 tot 12.30 [m]
Traject positieve kleeft : 12.30 tot 0.52 [m]

SONDERINGSGEGEVENS GRAFIEK: S103-1

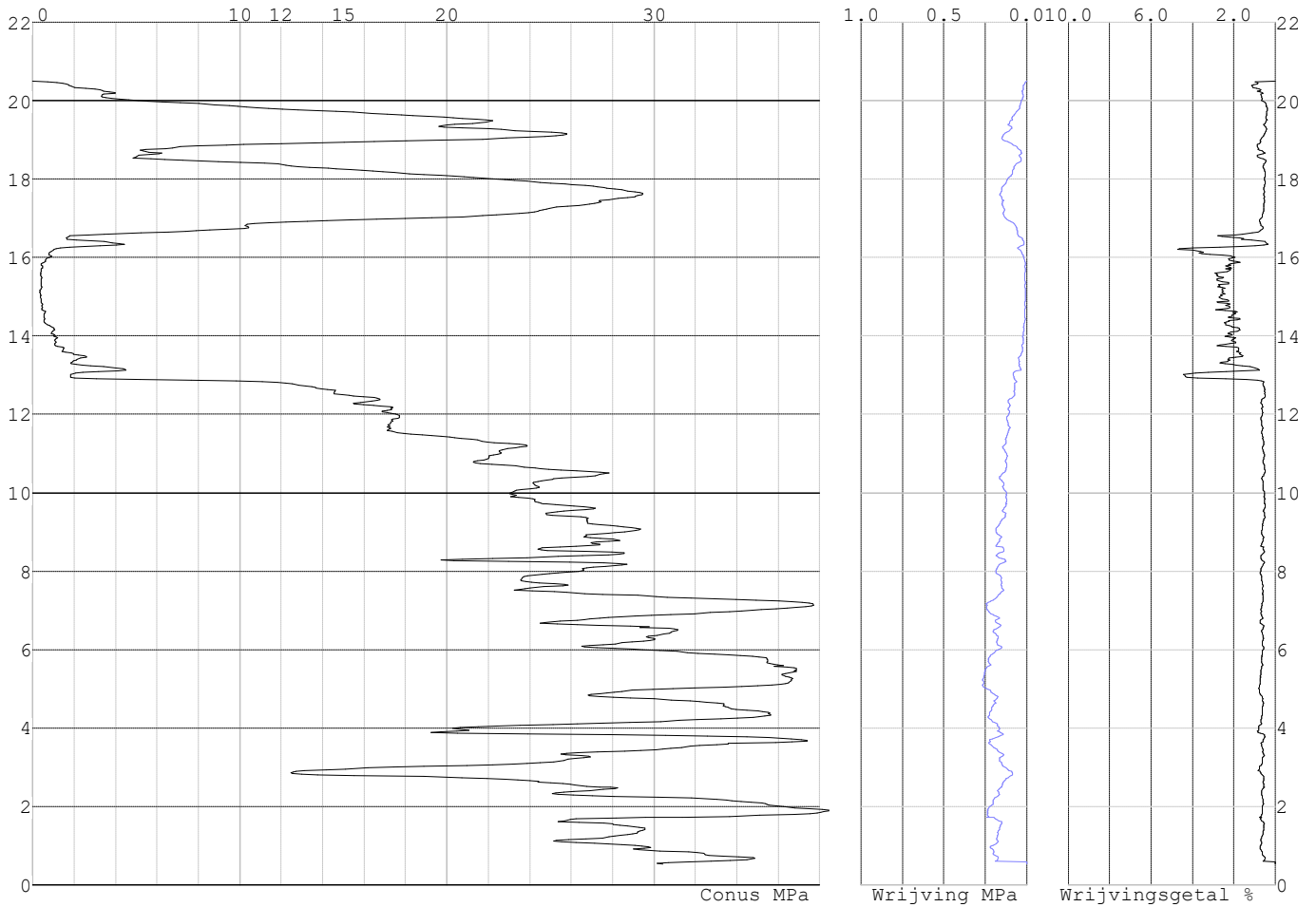


Project :
Onderdeel :

SONDERINGSGEGEVENS ALGEMEEN: S103-2

Alle niveaus/hogtes/peilmaten zijn t.o.v.: N.A.P.
Hoogte maaiveld [m] : 20.49 Bodemprofiel: S103-2
Traject negatieve kleef : 20.49 tot 12.80 [m]
Traject positieve kleef : 12.80 tot 0.52 [m]

SONDERINGSGEGEVENS GRAFIEK: S103-2

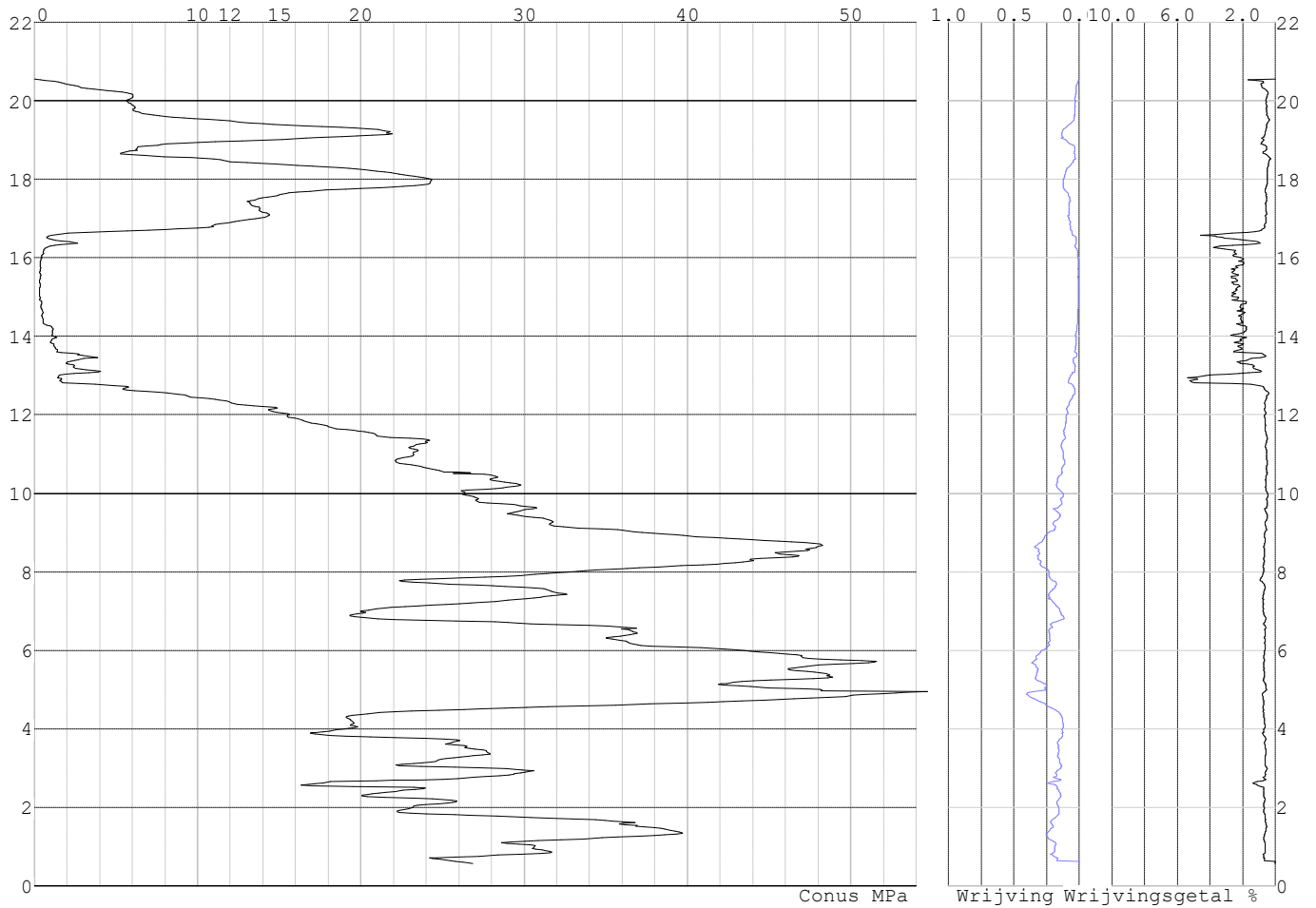


Project :
Onderdeel :

SONDERINGSGEGEVENS ALGEMEEN: S103-3

Alle niveaus/hogtes/peilmaten zijn t.o.v.: N.A.P.
Hoogte maaiveld [m] : 20.55 Bodemprofiel: S103-3
Traject negatieve kleeft : 20.55 tot 12.50 [m]
Traject positieve kleeft : 12.50 tot 0.56 [m]

SONDERINGSGEGEVENS GRAFIEK: S103-3

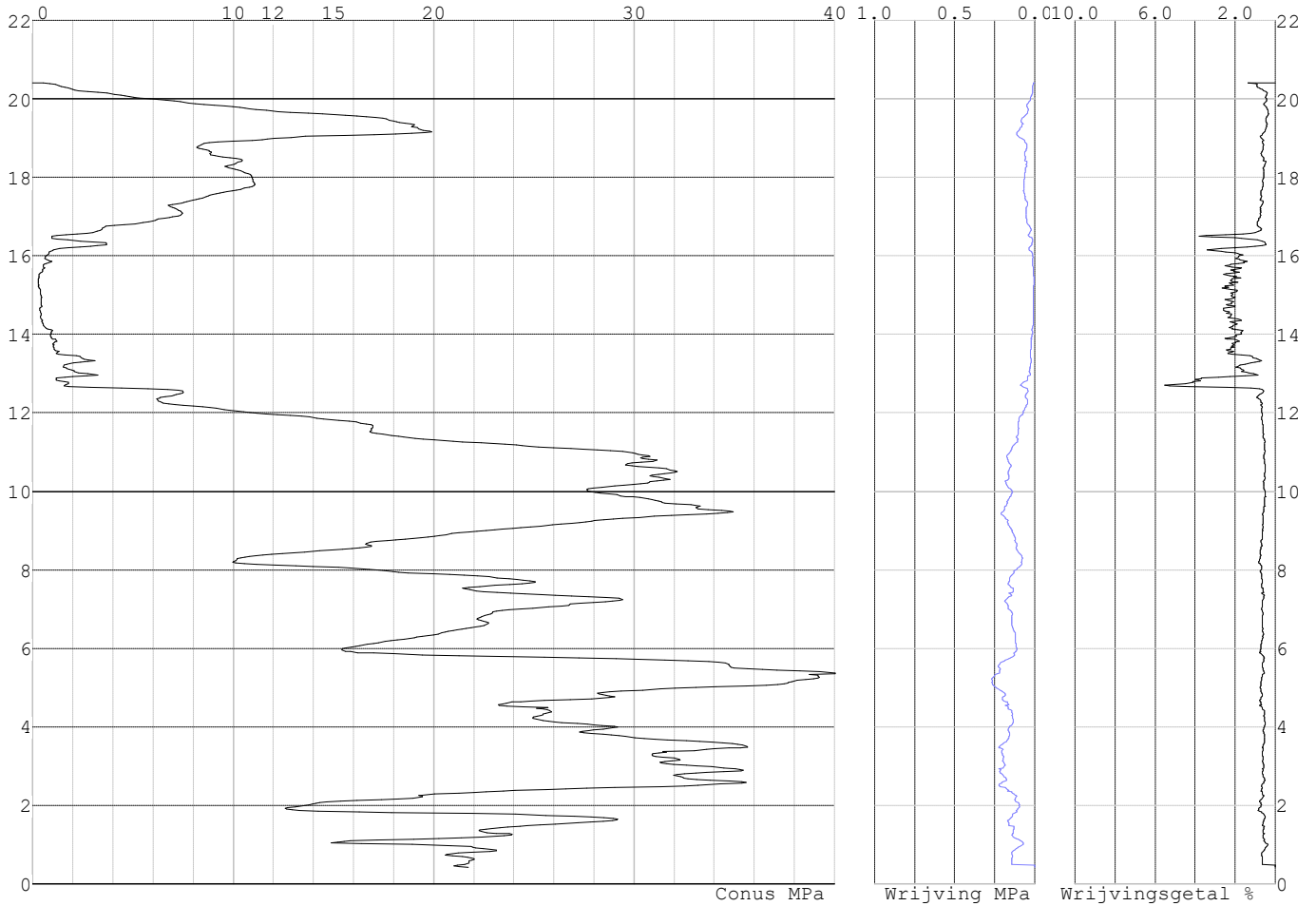


Project :
Onderdeel :

SONDERINGSGEGEVENS ALGEMEEN: S103-4

Alle niveaus/hogtes/peilmaten zijn t.o.v.: N.A.P.
Hoogte maaiveld [m] : 20.41 Bodemprofiel: S103-4
Traject negatieve kleeft : 20.41 tot 12.40 [m]
Traject positieve kleeft : 12.40 tot 0.41 [m]

SONDERINGSGEGEVENS GRAFIEK: S103-4



Project :
Onderdeel :

REKENGEDEVENS Mast 100

Berekening : Controlerend
Rekenmethode : Trekpalen volgens NEN-EN 1997-1, art. 7.6.3
Sondering(en) : S100-1, S100-2, S100-3, S100-4
Let op: trekcapaciteit t.p.v. negatief kleefttraject is meegerekend.

Stijf bouwwerk : NEE
Paalgroep : NEE
Aantal sonderingen : 4
Factor ξ_3 (n=1) : 1.39
Factor ξ_3 (gem) : 1.28
Factor ξ_4 (min) : 1.03
Weerstandsfactor γ_R : 1.35
 $\gamma_{m,var;q_c}$: 1.50
UGT draagvermogen zonder negatieve kleeft : NEE

Paal : LD1
Niveau paalkop [m] : N.A.P. 19.32
Paalpuntniveau : N.A.P. 9.32
 $E_{d,1}$ [kN] : 0.00 $E_{d,2}$ [kN] : 0.00
Bovenbel. [kN/m²] : 0.00

RESULTATEN Mast 100 (n=1)**Sondering : S100-1**

Alle niveaus/hogtes/peilmaten zijn t.o.v.: N.A.P.

Inheinniveau [m]	Effectief inheinniveau [m]	E.G. paal [kN]	$R_{t,cal;k}$ [kN]	$R_{t;d}$ [kN]	$F_{t,tot;1}$ [kN]	U.C.
9.32	9.32	33.5	336.9	336.9	0.0	0.00

Sondering : S100-2

Alle niveaus/hogtes/peilmaten zijn t.o.v.: N.A.P.

Inheinniveau [m]	Effectief inheinniveau [m]	E.G. paal [kN]	$R_{t,cal;k}$ [kN]	$R_{t;d}$ [kN]	$F_{t,tot;1}$ [kN]	U.C.
9.32	9.32	33.4	335.5	335.5	0.0	0.00

Sondering : S100-3

Alle niveaus/hogtes/peilmaten zijn t.o.v.: N.A.P.

Inheinniveau [m]	Effectief inheinniveau [m]	E.G. paal [kN]	$R_{t,cal;k}$ [kN]	$R_{t;d}$ [kN]	$F_{t,tot;1}$ [kN]	U.C.
9.32	9.32	33.3	327.9	327.9	0.0	0.00

Sondering : S100-4

Alle niveaus/hogtes/peilmaten zijn t.o.v.: N.A.P.

Inheinniveau [m]	Effectief inheinniveau [m]	E.G. paal [kN]	$R_{t,cal;k}$ [kN]	$R_{t;d}$ [kN]	$F_{t,tot;1}$ [kN]	U.C.
9.32	9.32	33.6	337.1	337.1	0.0	0.00

Project :
Onderdeel :

SAMENVATTINGSTABEL Mast 100 (n=1)**Uitgangspunten**

- paal : LD1
 - paaltype : Stalen buispaal (gesloten)
 - schachtafmeting : 550 mm
 Paalklassefactor α_p : 1.00
 Factor α_t (tabel 7.c EC 7.1) : 0.0070 (zandlagen; voor kleilagen zie tabel 7.d)
 Correlatiefactor $\xi_{3(n=1)}$: 1.39

Alle niveaus/hogtes/peilmaten zijn t.o.v.: N.A.P.

sondering	maaiveld paalpunt		Bezwijkdraagvermogen $R_{t,cal}$ [kN]	Rekenwaarden	
	niveau	niveau		$R_{t;d}$ [kN]	$R_{t,netto;d}$ [kN]
S100-1	19.48	9.32	336.9	336.9	336.9
S100-2	19.53	9.32	335.5	335.5	335.5
S100-3	19.56	9.32	327.9	327.9	327.9
S100-4	19.43	9.32	337.1	337.1	337.1

Project :
Onderdeel :

SAMENVATTINGSTABEL Mast 100 (van 4 sonderingen)**Uitgangspunten**

- paal : LD1
 - paaltype : Stalen buispaal (gesloten)
 - schachtafmeting : 550 mm
 Paalklassefactor α_p : 1.00
 Factor α_t (tabel 7.c EC 7.1) : 0.0070 (zandlagen; voor kleilagen zie tabel 7.d)
 Correlatiefactor $\xi_{3gem}(n=4)$: 1.28
 Correlatiefactor $\xi_{4min}(n=4)$: 1.03

Alle niveaus/hogtes/peilmaten zijn t.o.v.: N.A.P.

sondering	maaiveld paalpunt		Bezuikdraagvermogen	
	niveau	niveau	E.G. paal	$R_{t,cal}$
			[kN]	[kN]

met ξ_3 (gem) = 1.28

S100-1	19.48	9.32	33.5	363.0
S100-2	19.53	9.32	33.5	361.5
S100-3	19.56	9.32	33.5	353.2
S100-4	19.43	9.32	33.5	363.1

9.32 $R_{t,cal;gem}$ 360.2

met ξ_4 (min) = 1.03

S100-1	19.48	9.32	33.5	443.0
S100-2	19.53	9.32	33.5	441.1
S100-3	19.56	9.32	33.5	430.9
S100-4	19.43	9.32	33.5	443.1

9.32 $R_{t,cal;min}$ 430.9

Totaal resultaten Mast 100 (van 4 sonderingen)

Uitgangspunten

Correlatiefactor $\xi_{3gem}(n=4)$: 1.28
 Correlatiefactor $\xi_{4min}(n=4)$: 1.03

gebaseerd op sonderingen:

S100-1 S100-2 S100-3 S100-4

$$R_{t,d} = \min.\{ R_{t,cal;gem}; R_{t,cal;min} \} (7.17) *$$

Inheinniveau

[m]

$$9.32 \quad R_{t,d} = \min.\{ 360.2; 430.9 \} = 360.2$$

*) Bij de trekpaalberekening zijn factoren ξ_3 en ξ_4 al bij de berekening van de conusweerstand $q_{c;z;d}$ in rekening gebracht, evenals factor $\gamma_{s;t}$. Dat is conform de opmerkingen in art. 7.6.3.3 (3) en (4).

Alle niveaus/hogtes/peilmaten zijn t.o.v.: N.A.P.

Inheinniveau	$R_{t;k}$	$R_{t,d}$	$F_{t,tot;1}$	$R_{t,netto;d}$	U.C.
[m]	[kN]	[kN]	[kN]	[kN]	
9.32	360.2	360.2	0.0	360.2	0.00

Project :
Onderdeel :

REKENEGEVENES Mast 103

Berekening : Controlerend
Rekenmethode : Trekpalen volgens NEN-EN 1997-1, art. 7.6.3
Sondering(en) : S103-1, S103-2, S103-3, S103-4
Let op: trekcapaciteit t.p.v. negatief kleefttraject is meegerekend.

Stijf bouwwerk : NEE
Paalgroep : NEE
Aantal sonderingen : 4
Factor ξ_3 (n=1) : 1.39
Factor ξ_3 (gem) : 1.28
Factor ξ_4 (min) : 1.03
Weerstandsfactor γ_R : 1.35
 $\gamma_{m,var;q_c}$: 1.35
UGT draagvermogen zonder negatieve kleeft : NEE

Paal : LD1
Niveau paalkop [m] : N.A.P. 20.40
Paalpuntniveau : N.A.P. 10.40
 $E_{d,1}$ [kN] : 0.00 $E_{d,2}$ [kN] : 0.00
Bovenbel. [kN/m²] : 0.00

RESULTATEN Mast 103 (n=1)**Sondering : S103-1**

Alle niveaus/hogtes/peilmaten zijn t.o.v.: N.A.P.

Inheinniveau [m]	Effectief inheinniveau [m]	E.G. paal [kN]	$R_{t,cal;k}$ [kN]	$R_{t;d}$ [kN]	$F_{t,tot;1}$ [kN]	U.C.
10.40	10.40	33.5	392.0	392.0	0.0	0.00

Sondering : S103-2

Alle niveaus/hogtes/peilmaten zijn t.o.v.: N.A.P.

Inheinniveau [m]	Effectief inheinniveau [m]	E.G. paal [kN]	$R_{t,cal;k}$ [kN]	$R_{t;d}$ [kN]	$F_{t,tot;1}$ [kN]	U.C.
10.40	10.40	33.6	409.7	409.7	0.0	0.00

Sondering : S103-3

Alle niveaus/hogtes/peilmaten zijn t.o.v.: N.A.P.

Inheinniveau [m]	Effectief inheinniveau [m]	E.G. paal [kN]	$R_{t,cal;k}$ [kN]	$R_{t;d}$ [kN]	$F_{t,tot;1}$ [kN]	U.C.
10.40	10.40	33.5	374.2	374.2	0.0	0.00

Sondering : S103-4

Alle niveaus/hogtes/peilmaten zijn t.o.v.: N.A.P.

Inheinniveau [m]	Effectief inheinniveau [m]	E.G. paal [kN]	$R_{t,cal;k}$ [kN]	$R_{t;d}$ [kN]	$F_{t,tot;1}$ [kN]	U.C.
10.40	10.40	33.8	317.1	317.1	0.0	0.00

Project :
Onderdeel :

SAMENVATTINGSTABEL Mast 103 (n=1)**Uitgangspunten**

- paal : LD1
 - paaltype : Stalen buispaal (gesloten)
 - schachtafmeting : 550 mm
 Paalklassefactor α_p : 1.00
 Factor α_t (tabel 7.c EC 7.1) : 0.0070 (zandlagen; voor kleilagen zie tabel 7.d)
 Correlatiefactor $\xi_{3(n=1)}$: 1.39

Alle niveaus/hogtes/peilmaten zijn t.o.v.: N.A.P.

sondering	maaiveld paalpunt		Bezwijkdraagvermogen $R_{t,cal}$ [kN]	Rekenwaarden	
	niveau	niveau		$R_{t,d}$ [kN]	$R_{t,netto,d}$ [kN]
S103-1	20.54	10.40	392.0	392.0	392.0
S103-2	20.49	10.40	409.7	409.7	409.7
S103-3	20.55	10.40	374.2	374.2	374.2
S103-4	20.41	10.40	317.1	317.1	317.1

Project :
Onderdeel :

SAMENVATTINGSTABEL Mast 103 (van 4 sonderingen)**Uitgangspunten**

- paal : LD1
 - paaltype : Stalen buispaal (gesloten)
 - schachtafmeting : 550 mm
 Paalklassefactor α_p : 1.00
 Factor α_t (tabel 7.c EC 7.1) : 0.0070 (zandlagen; voor kleilagen zie tabel 7.d)
 Correlatiefactor $\xi_{3gem}(n=4)$: 1.28
 Correlatiefactor $\xi_{4min}(n=4)$: 1.03

Alle niveaus/hogtes/peilmaten zijn t.o.v.: N.A.P.

sondering	maaiveld niveau	paalpunt niveau	Bezwijkdraagvermogen E.G. paal [kN]	$R_{t,cal}$ [kN]
-----------	--------------------	--------------------	---	---------------------

met ξ_3 (gem) = 1.28

S103-1	20.54	10.40	33.5	422.8
S103-2	20.49	10.40	33.5	442.1
S103-3	20.55	10.40	33.5	403.5
S103-4	20.41	10.40	33.5	341.5

		10.40	$R_{t,cal;gem}$	402.5
--	--	-------	-----------------	-------

met ξ_4 (min) = 1.03

S103-1	20.54	10.40	33.5	517.3
S103-2	20.49	10.40	33.5	541.2
S103-3	20.55	10.40	33.5	493.3
S103-4	20.41	10.40	33.5	416.2

		10.40	$R_{t,cal;min}$	416.2
--	--	-------	-----------------	-------

Totaal resultaten Mast 103 (van 4 sonderingen)**Uitgangspunten**

Correlatiefactor ξ_{3gem} (n= 4) : 1.28
 Correlatiefactor ξ_{4min} (n= 4) : 1.03

gebaseerd op sonderingen:

S103-1 S103-2 S103-3 S103-4

$$R_{t;d} = \min.\{ R_{t,cal;gem}; R_{t,cal;min} \} (7.17) *$$

Inheinniveau
[m]

$$10.40 \quad R_{t;d} = \min.\{ 402.5; 416.2 \} = 402.5$$

*) Bij de trekpaalberekening zijn factoren ξ_3 en ξ_4 al bij de berekening van de conusweerstand $q_{c;z;d}$ in rekening gebracht, evenals factor $\gamma_{s;t}$. Dat is conform de opmerkingen in art. 7.6.3.3 (3) en (4).

Alle niveaus/hogtes/peilmaten zijn t.o.v.: N.A.P.

Inheinniveau [m]	$R_{t;k}$ [kN]	$R_{t;d}$ [kN]	$F_{t,tot;1}$ [kN]	$R_{t,netto;d}$ [kN]	U.C.
10.40	402.5	402.5	0.0	402.5	0.00

PAALGEGEVENS LD1

Type : Stalen buispaal (gesloten)
 Wijze van installeren : Heien
 Diameter [m] : 0.550
 Wanddikte t [mm] : 4.0

Project :
 Onderdeel :
 Elasticiteitsmodulus [N/mm²] : 200000 (Staal)
 Soortelijk gewicht [kN/m³] : 78.5 (Staal)
 Elasticiteitsmodulus [N/mm²] : 20000 (Beton)
 Soortelijk gewicht [kN/m³] : 24.0 (Beton)
 Factor α_s (tabel 7.c EC 7.1) : 0.010 (zandlagen; voor kleilagen zie tabel 7.d)
 Factor α_t (tabel 7.c EC 7.1) : 0.0070 (zandlagen; voor kleilagen zie tabel 7.d)
 Paalklassefactor α_p : 1.00
 Paalvoetvormfactor β : 1.00
 Type lastzakkingsdiagram : Grondverdringende paal
 Verm.factor * $\phi'_{j;k}$: 0.75
 Groutomhulling : NEE

OVERZICHT NETTO DRAAGVERMOGEN TREKPALEN (n=1)

Netto paal draagvermogen(s) zijn naar beneden toe afgerond op: 1.0 kN nauwkeurig
 Alle niveaus/hogtes/peilmaten zijn t.o.v.: N.A.P.

sondering	maaiveld paalpunt		$R_{t,netto;d}$ [kN]	
	niveau	niveau	Mast 100	Mast 103
S100-1	19.48	9.32	336	
S100-2	19.53	9.32	335	
S100-3	19.56	9.32	327	
S100-4	19.43	9.32	337	
S103-1	20.54	10.40		392
S103-2	20.49	10.40		409
S103-3	20.55	10.40		374
S103-4	20.41	10.40		317

Project :
Onderdeel :

ALGEMENE GEGEVENS

Project :
Onderdeel :
Datum : 23-11-2021
Bestand : \\Arh7001.verit.dnv.com\projects\EANL_Projects\
10166262 - BBB modelleren funderingen 380
kV\02 Content\03 Calculations\Technosoft
Paalfunderingen\MBT-EHV380\DO\Nieuw
Sonderingen\Mast 110-119.pvw
Berekeningstype : Verticaal belaste paal
Alle niveaus/hogtes/peilmaten zijn t.o.v.: N.A.P.

Toegepaste normen volgens Eurocode met Nederlandse NB

Geotechniek	EN 1997-1:2004	AC:2009	
	NEN-EN 1997-1:2005	C1+A1:2013	NB:2016
	NEN 9997-1:2016	C2:2017	

GRONDSOORTEN

Nr. Omschrijving	$\gamma_{k;1}$ [kN/m ³]	$\gamma_{sat;k;1}$ [kN/m ³]	$\phi'_{k;1}$ [°]	$\gamma_{k;2}$ [kN/m ³]	$\gamma_{sat;k;2}$ [kN/m ³]	$\phi'_{k;2}$ [°]
1 Zand - Schoon - Los	17.00	19.00	30.00	18.00	20.00	32.50
2 Zand - Schoon - Matig	18.00	20.00	32.50	19.00	21.00	35.00
3 Zand - Schoon - Vast	19.00	21.00	35.00	20.00	22.00	40.00
4 Zand - Zwak siltig - Kleiig	18.00	20.00	27.00	19.00	21.00	32.50
5 Zand - Sterk siltig - Kleiig	18.00	20.00	25.00	19.00	21.00	30.00
6 Leem - Zwak zandig - Vast	21.00	21.00	27.50	22.00	22.00	35.00
7 Klei - Schoon - Matig	17.00	17.00	17.50	19.00	19.00	17.50
8 Klei - Schoon - Vast	19.00	19.00	17.50	20.00	20.00	25.00
9 Klei - Zwak zandig - Slap	15.00	15.00	22.50	18.00	18.00	22.50
10 Klei - Zwak zandig - Matig	18.00	18.00	22.50	20.00	20.00	22.50
11 Klei - Zwak zandig - Vast	20.00	20.00	22.50	21.00	21.00	27.50
12 Klei - Sterk zandig	18.00	18.00	27.50	20.00	20.00	32.50
13 Klei - Organisch - Matig	15.00	15.00	15.00	16.00	16.00	15.00
14 Veen - Niet voorbelast - Slap	10.00	10.00	15.00	12.00	12.00	15.00
15 Veen - Matig voorbelast - Matig	12.00	12.00	15.00	13.00	13.00	15.00

BODEMPROFIELGEGEVENS: S114-1

Alle niveaus/hogtes/peilmaten zijn t.o.v.: N.A.P.

d50-reductie is meegenomen overeenkomstig NEN-EN 9997 art. 7.6.2.3 (i)

Hoogte maaiveld [m] : 18.86 Grondwaterstand [m] : 17.86

Laag	Van [m]	Tot [m]	Omschrijving	OCR	Aandeel kleef [%]	pos. α_s	d_{50} [mm]
1	18.86	18.25	Zand - Schoon - Los	1.0	100.0		
2	18.25	17.77	Zand - Schoon - Matig	1.0	100.0		
3	17.77	17.19	Klei - Schoon - Matig	1.0	50.0		
4	17.19	15.99	Zand - Sterk siltig - Kleiig	1.0	100.0		
5	15.99	15.73	Klei - Sterk zandig	1.0	50.0		
6	15.73	14.21	Zand - Schoon - Vast	1.0	100.0		
7	14.21	13.63	Zand - Schoon - Los	1.0	100.0		
8	13.63	13.13	Klei - Zwak zandig - Matig	1.0	50.0		
9	13.13	12.33	Zand - Schoon - Matig	1.0	100.0		
10	12.33	10.92	Zand - Schoon - Vast	1.0	100.0		
11	10.92	10.36	Zand - Schoon - Los	1.0	100.0		
12	10.36	9.06	Zand - Schoon - Vast	1.0	100.0		
13	9.06	8.54	Zand - Schoon - Los	1.0	100.0		
14	8.54	8.28	Klei - Schoon - Vast	1.0	50.0		
15	8.28	7.70	Zand - Schoon - Vast	1.0	100.0		
16	7.70	6.65	Zand - Schoon - Los	1.0	100.0		
17	6.65	5.23	Klei - Schoon - Matig	1.0	50.0		
18	5.23	2.90	Zand - Schoon - Vast	1.0	100.0		
19	2.90	2.46	Zand - Schoon - Matig	1.0	100.0		
20	2.46	1.48	Zand - Schoon - Vast	1.0	100.0		
21	1.48	1.11	Zand - Schoon - Matig	1.0	100.0		
22	1.11	0.95	Zand - Schoon - Matig	1.0	100.0		

Project :
 Onderdeel :

BODEMPROFIELGEGEVENS: S114-2

Alle niveaus/hogtes/peilmaten zijn t.o.v.: N.A.P.
 d50-reductie is meegenomen overeenkomstig NEN-EN 9997 art. 7.6.2.3 (i)

Hoogte maaiveld [m] : 18.43 Grondwaterstand [m] : 17.43

Laag	Van [m]	Tot [m]	Omschrijving	OCR	Aandeel pos. kleef [%]	α_s	d_{50} [mm]
1	18.43	17.34	Zand - Schoon - Los	1.0	100.0		
2	17.34	17.02	Zand - Zwak siltig - Kleiig	1.0	100.0		
3	17.02	16.58	Klei - Schoon - Matig	1.0	50.0		
4	16.58	15.38	Zand - Sterk siltig - Kleiig	1.0	100.0		
5	15.38	15.24	Veen - Matig voorbelast - Matig	1.0	50.0		
6	15.24	14.00	Zand - Schoon - Vast	1.0	100.0		
7	14.00	13.32	Zand - Schoon - Los	1.0	100.0		
8	13.32	13.07	Zand - Sterk siltig - Kleiig	1.0	100.0		
9	13.07	12.81	Klei - Schoon - Vast	1.0	50.0		
10	12.81	12.39	Zand - Zwak siltig - Kleiig	1.0	100.0		
11	12.39	10.80	Zand - Schoon - Vast	1.0	100.0		
12	10.80	9.79	Zand - Schoon - Matig	1.0	100.0		
13	9.79	7.85	Zand - Schoon - Vast	1.0	100.0		
14	7.85	7.61	Zand - Schoon - Los	1.0	100.0		
15	7.61	6.70	Klei - Zwak zandig - Vast	1.0	50.0		
16	6.70	6.30	Veen - Matig voorbelast - Matig	1.0	50.0		
17	6.30	5.43	Klei - Schoon - Matig	1.0	50.0		
18	5.43	4.59	Zand - Schoon - Matig	1.0	100.0		
19	4.59	1.70	Zand - Schoon - Vast	1.0	100.0		
20	1.70	1.45	Klei - Sterk zandig	1.0	50.0		
21	1.45	0.90	Zand - Schoon - Vast	1.0	100.0		
22	0.90	0.55	Zand - Schoon - Los	1.0	100.0		

BODEMPROFIELGEGEVENS: S114-3

Alle niveaus/hogtes/peilmaten zijn t.o.v.: N.A.P.
 d50-reductie is meegenomen overeenkomstig NEN-EN 9997 art. 7.6.2.3 (i)

Hoogte maaiveld [m] : 18.73 Grondwaterstand [m] : 17.73

Laag	Van [m]	Tot [m]	Omschrijving	OCR	Aandeel pos. kleef [%]	α_s	d_{50} [mm]
1	18.73	17.12	Zand - Zwak siltig - Kleiig	1.0	100.0		
2	17.12	16.74	Klei - Schoon - Matig	1.0	50.0		
3	16.74	16.02	Zand - Zwak siltig - Kleiig	1.0	100.0		
4	16.02	15.48	Klei - Zwak zandig - Matig	1.0	50.0		
5	15.48	14.25	Zand - Schoon - Vast	1.0	100.0		
6	14.25	13.78	Zand - Schoon - Los	1.0	100.0		
7	13.78	13.14	Klei - Schoon - Matig	1.0	50.0		
8	13.14	11.95	Zand - Schoon - Matig	1.0	100.0		
9	11.95	10.81	Zand - Schoon - Vast	1.0	100.0		
10	10.81	9.83	Zand - Schoon - Matig	1.0	100.0		
11	9.83	9.19	Zand - Sterk siltig - Kleiig	1.0	100.0		
12	9.19	8.63	Zand - Schoon - Vast	1.0	100.0		
13	8.63	7.79	Zand - Schoon - Los	1.0	100.0		
14	7.79	5.62	Klei - Schoon - Matig	1.0	50.0		
15	5.62	2.14	Zand - Schoon - Vast	1.0	100.0		
16	2.14	1.33	Zand - Sterk siltig - Kleiig	1.0	100.0		
17	1.33	0.74	Zand - Schoon - Vast	1.0	100.0		

BODEMPROFIELGEGEVENS: S114-4

Alle niveaus/hogtes/peilmaten zijn t.o.v.: N.A.P.
 d50-reductie is meegenomen overeenkomstig NEN-EN 9997 art. 7.6.2.3 (i)

Hoogte maaiveld [m] : 18.92 Grondwaterstand [m] : 17.92

Laag	Van [m]	Tot [m]	Omschrijving	OCR	Aandeel pos. kleef [%]	α_s	d_{50} [mm]
1	18.92	18.81	Veen - Matig voorbelast - Matig	1.0	50.0		
2	18.81	17.87	Zand - Schoon - Los	1.0	100.0		
3	17.87	16.83	Klei - Zwak zandig - Matig	1.0	50.0		
4	16.83	16.43	Zand - Zwak siltig - Kleiig	1.0	100.0		
5	16.43	16.07	Klei - Schoon - Matig	1.0	50.0		
6	16.07	14.13	Zand - Schoon - Matig	1.0	100.0		
7	14.13	13.87	Zand - Schoon - Los	1.0	100.0		
8	13.87	12.99	Zand - Sterk siltig - Kleiig	1.0	100.0		
9	12.99	12.61	Zand - Schoon - Matig	1.0	100.0		

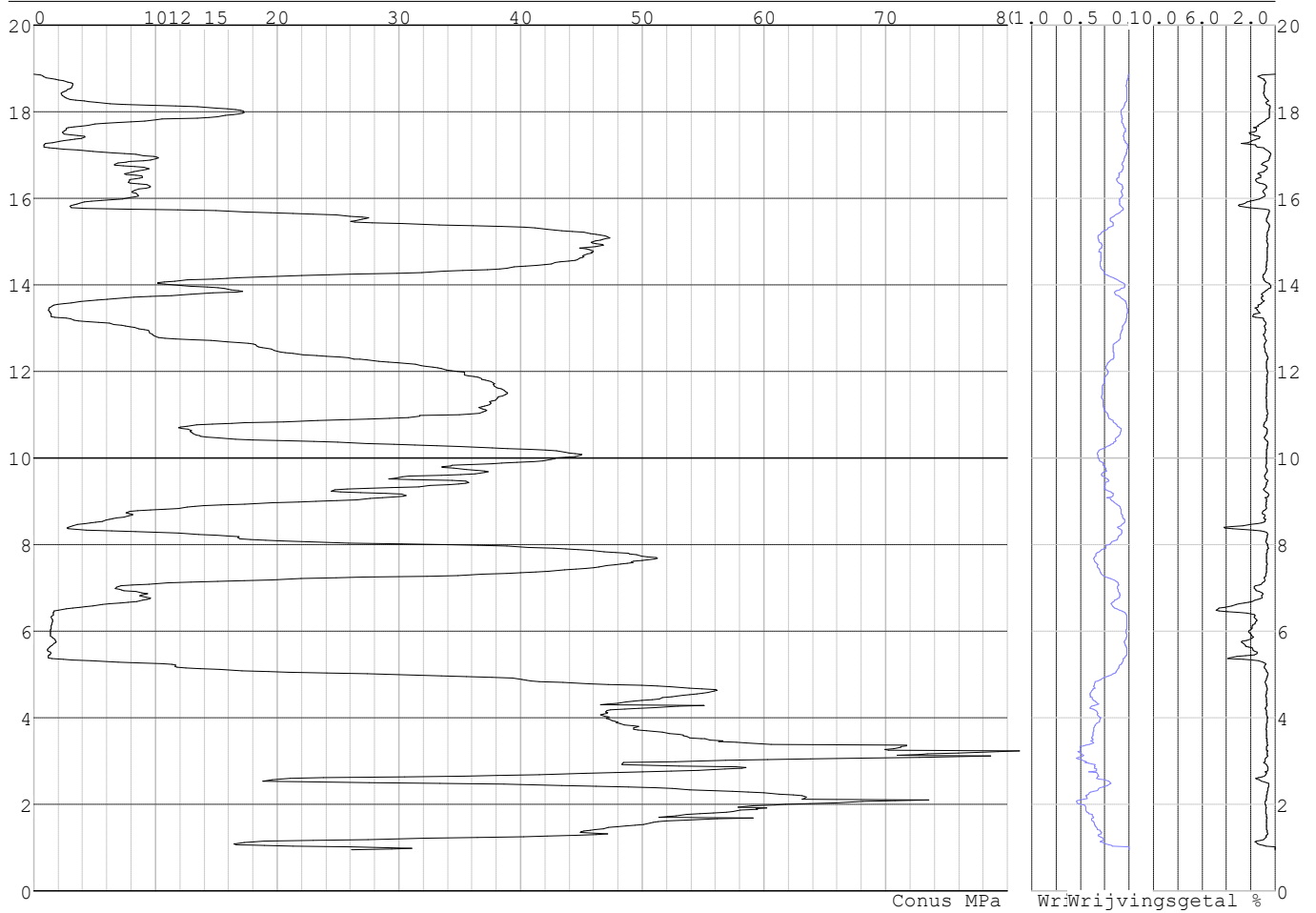
Project :
 Onderdeel :

Laag	Van [m]	Tot [m]	Omschrijving	OCR	Aandeel pos. kleef [%]	α_s	d_{50} [mm]
10	12.61	11.00	Zand - Schoon - Vast	1.0	100.0		
11	11.00	10.71	Zand - Schoon - Matig	1.0	100.0		
12	10.71	9.33	Zand - Schoon - Vast	1.0	100.0		
13	9.33	8.80	Zand - Schoon - Los	1.0	100.0		
14	8.80	8.54	Zand - Sterk siltig - Kleiig	1.0	100.0		
15	8.54	8.28	Klei - Schoon - Vast	1.0	50.0		
16	8.28	7.62	Zand - Schoon - Matig	1.0	100.0		
17	7.62	7.36	Zand - Sterk siltig - Kleiig	1.0	100.0		
18	7.36	6.86	Klei - Zwak zandig - Matig	1.0	50.0		
19	6.86	6.58	Veen - Matig voorbelast - Matig	1.0	50.0		
20	6.58	5.48	Klei - Zwak zandig - Vast	1.0	50.0		
21	5.48	1.00	Zand - Schoon - Vast	1.0	100.0		

SONDERINGSGEGEVENS ALGEMEEN: S114-1

Alle niveaus/hoogtes/peilmaten zijn t.o.v.: N.A.P.
 Hoogte maaiveld [m] : 18.86 Bodemprofiel: S114-1
 Traject negatieve kleef : 18.86 tot 17.00 [m]
 Traject positieve kleef : 17.00 tot 0.94 [m]

SONDERINGSGEGEVENS GRAFIEK: S114-1

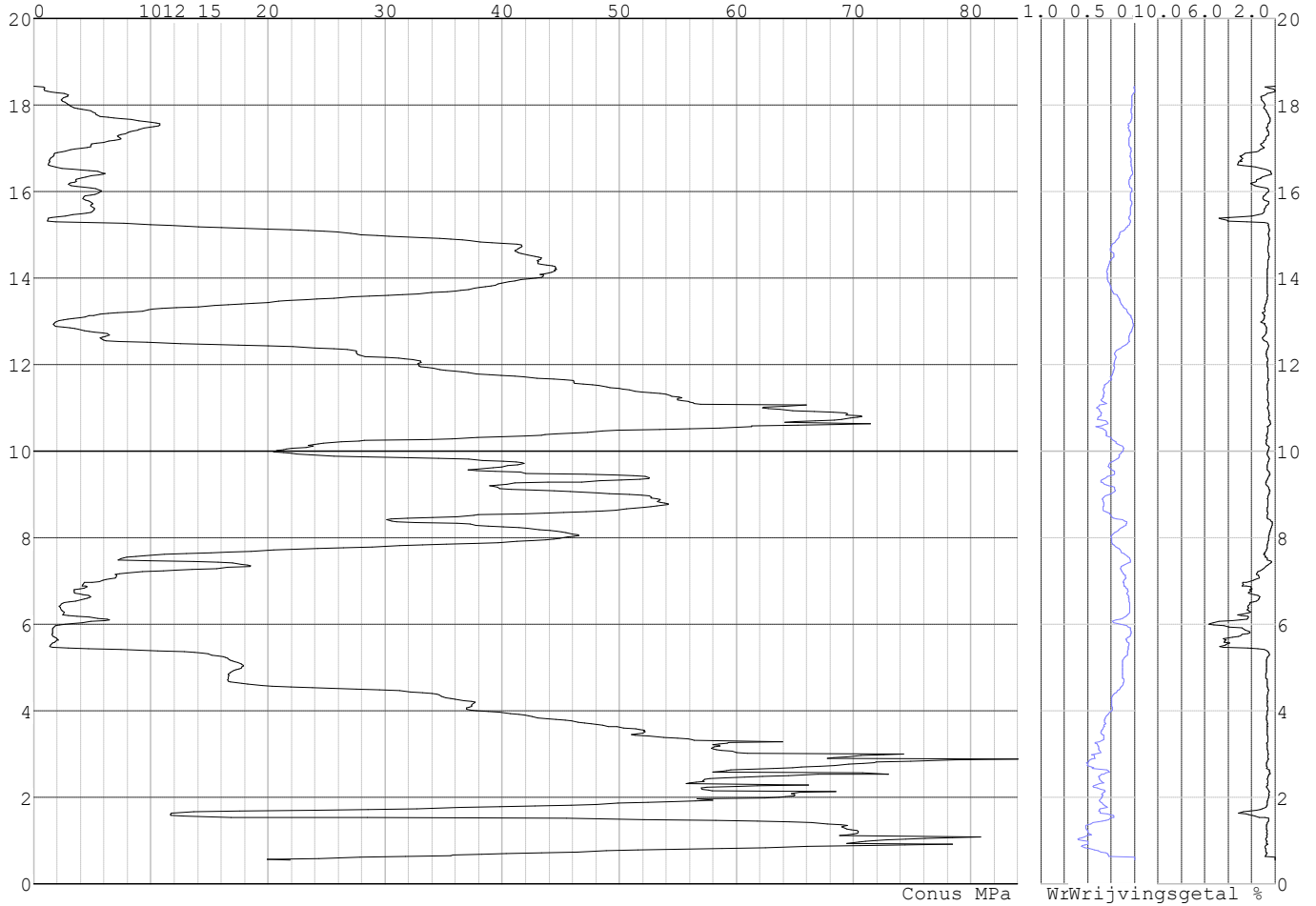


Project :
Onderdeel :

SONDERINGSGEGEVENS ALGEMEEN: S114-2

Alle niveaus/hoogtes/peilmaten zijn t.o.v.: N.A.P.
Hoogte maaiveld [m] : 18.43 Bodemprofiel: S114-2
Traject negatieve kleeft : 18.43 tot 15.20 [m]
Traject positieve kleeft : 15.20 tot 0.54 [m]

SONDERINGSGEGEVENS GRAFIEK: S114-2

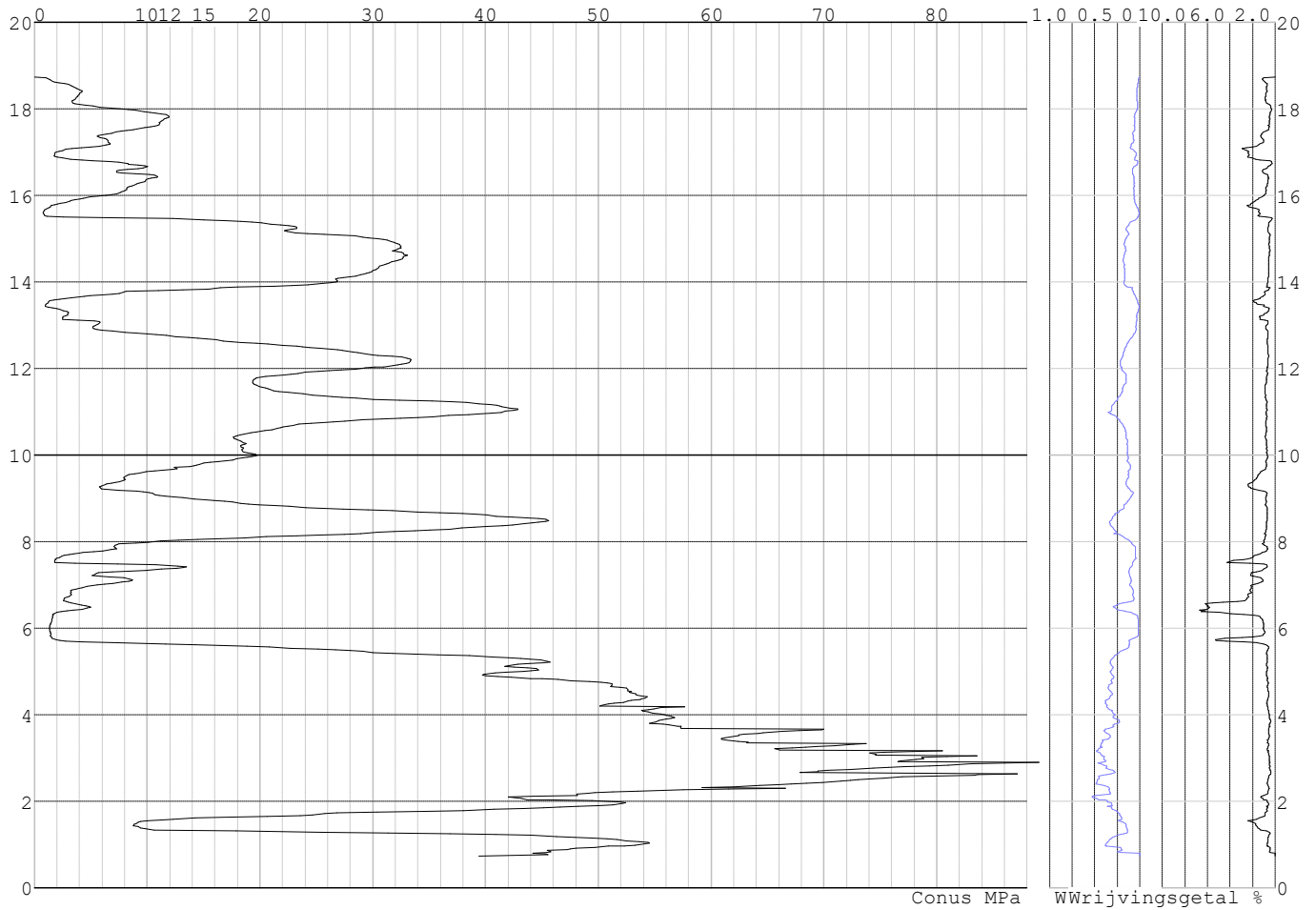


Project :
Onderdeel :

SONDERINGSGEGEVENS ALGEMEEN: S114-3

Alle niveaus/hogtes/peilmaten zijn t.o.v.: N.A.P.
Hoogte maaiveld [m] : 18.73 Bodemprofiel: S114-3
Traject negatieve kleeft : 18.73 tot 15.50 [m]
Traject positieve kleeft : 15.50 tot 0.73 [m]

SONDERINGSGEGEVENS GRAFIEK: S114-3

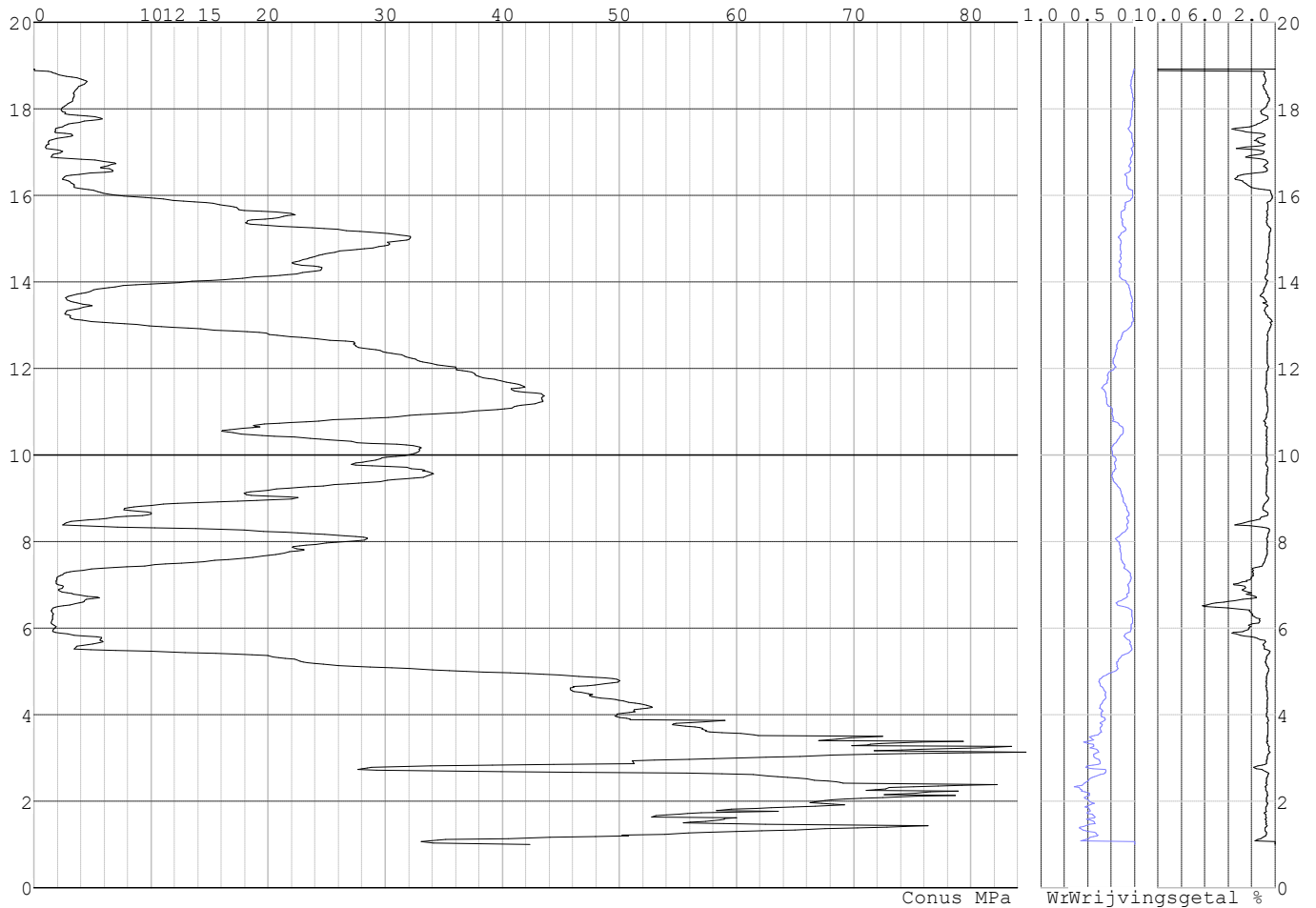


Project :
Onderdeel :

SONDERINGSGEGEVENS ALGEMEEN: S114-4

Alle niveaus/hogtes/peilmaten zijn t.o.v.: N.A.P.
Hoogte maaiveld [m] : 18.92 Bodemprofiel: S114-4
Traject negatieve kleef : 18.92 tot 16.00 [m]
Traject positieve kleef : 16.00 tot 1.00 [m]

SONDERINGSGEGEVENS GRAFIEK: S114-4



Project :
Onderdeel :

REKENEGEVENES Mast 114

Berekening : Controlerend
Rekenmethode : Trekpalen volgens NEN-EN 1997-1, art. 7.6.3
Sondering(en) : S114-1, S114-2, S114-3, S114-4
Let op: trekcapaciteit t.p.v. negatief kleefttraject is meegerekend.

Stijf bouwwerk : JA
Paalgroep : NEE
Aantal sonderingen : 4
Factor ξ_3 (n=1) : 1.26
Factor ξ_3 (gem) : 1.17
Factor ξ_4 (min) : 0.93
Weerstandsfactor γ_R : 1.35
 $\gamma_{m,var;q_c}$: 1.35
UGT draagvermogen zonder negatieve kleeft : NEE

Paal : LD1
Niveau paalkop [m] : N.A.P. 18.43
Paalpuntniveau : N.A.P. 10.93
 $E_{d,1}$ [kN] : 0.00 $E_{d,2}$ [kN] : 0.00
Bovenbel. [kN/m²] : 0.00

RESULTATEN Mast 114 (n=1)**Sondering : S114-1**

Alle niveaus/hogtes/peilmaten zijn t.o.v.: N.A.P.

Inheinniveau [m]	Effectief inheinniveau [m]	E.G. paal [kN]	$R_{t,cal;k}$ [kN]	$R_{t;d}$ [kN]	$F_{t,tot;1}$ [kN]	U.C.
10.93	10.93	25.0	420.0	420.0	0.0	0.00

Sondering : S114-2

Alle niveaus/hogtes/peilmaten zijn t.o.v.: N.A.P.

Inheinniveau [m]	Effectief inheinniveau [m]	E.G. paal [kN]	$R_{t,cal;k}$ [kN]	$R_{t;d}$ [kN]	$F_{t,tot;1}$ [kN]	U.C.
10.93	10.93	26.0	375.9	375.9	0.0	0.00

Sondering : S114-3

Alle niveaus/hogtes/peilmaten zijn t.o.v.: N.A.P.

Inheinniveau [m]	Effectief inheinniveau [m]	E.G. paal [kN]	$R_{t,cal;k}$ [kN]	$R_{t;d}$ [kN]	$F_{t,tot;1}$ [kN]	U.C.
10.93	10.93	25.3	406.4	406.4	0.0	0.00

Sondering : S114-4

Alle niveaus/hogtes/peilmaten zijn t.o.v.: N.A.P.

Inheinniveau [m]	Effectief inheinniveau [m]	E.G. paal [kN]	$R_{t,cal;k}$ [kN]	$R_{t;d}$ [kN]	$F_{t,tot;1}$ [kN]	U.C.
10.93	10.93	24.8	405.0	405.0	0.0	0.00

Project :
Onderdeel :

SAMENVATTINGSTABEL Mast 114 (n=1)**Uitgangspunten**

- paal : LD1
 - paaltype : Stalen buispaal (gesloten)
 - schachtafmeting : 550 mm
 Paalklassefactor α_p : 1.00
 Factor α_t (tabel 7.c EC 7.1) : 0.0070 (zandlagen; voor kleilagen zie tabel 7.d)
 Correlatiefactor $\xi_{3(n=1)}$: 1.26

Alle niveaus/hogtes/peilmaten zijn t.o.v.: N.A.P.

sondering	maaiveld paalpunt		Bezwijkdraagvermogen $R_{t,cal}$ [kN]	Rekenwaarden	
	niveau	niveau		$R_{t,d}$ [kN]	$R_{t,netto,d}$ [kN]
S114-1	18.86	10.93	420.0	420.0	420.0
S114-2	18.43	10.93	375.9	375.9	375.9
S114-3	18.73	10.93	406.4	406.4	406.4
S114-4	18.92	10.93	405.0	405.0	405.0

Project :
Onderdeel :

SAMENVATTINGSTABEL Mast 114 (van 4 sonderingen)**Uitgangspunten**

- paal : LD1
 - paaltype : Stalen buispaal (gesloten)
 - schachtafmeting : 550 mm
 Paalklassefactor α_p : 1.00
 Factor α_t (tabel 7.c EC 7.1) : 0.0070 (zandlagen; voor kleilagen zie tabel 7.d)
 Correlatiefactor $\xi_{3gem}(n=4)$: 1.17
 Correlatiefactor $\xi_{4min}(n=4)$: 0.93

Alle niveaus/hogtes/peilmaten zijn t.o.v.: N.A.P.

sondering	maaiveld	paalpunt	Bezwijkdraagvermogen	
	niveau	niveau	E.G. paal	$R_{t,cal}$
			[kN]	[kN]

met $\xi_3(gem) = 1.17$

S114-1	18.86	10.93	25.0	450.3
S114-2	18.43	10.93	25.0	402.8
S114-3	18.73	10.93	25.0	435.7
S114-4	18.92	10.93	25.0	434.2

10.93 $R_{t,cal,gem}$ 430.8

met $\xi_4(min) = 0.93$

S114-1	18.86	10.93	25.0	560.1
S114-2	18.43	10.93	25.0	500.0
S114-3	18.73	10.93	25.0	541.6
S114-4	18.92	10.93	25.0	539.9

10.93 $R_{t,cal,min}$ 500.0

Totaal resultaten Mast 114 (van 4 sonderingen)**Uitgangspunten**

Correlatiefactor $\xi_{3gem}(n=4)$: 1.17
 Correlatiefactor $\xi_{4min}(n=4)$: 0.93

gebaseerd op sonderingen:

S114-1 S114-2 S114-3 S114-4

$R_{t,d} = \min.\{ R_{t,cal,gem}; R_{t,cal,min} \} (7.17) *$

Inheinniveau

[m]

10.93 $R_{t,d} = \min.\{ 430.8; 500.0 \} = 430.8$

*) Bij de trekpaalberekening zijn factoren ξ_3 en ξ_4 al bij de berekening van de conusweerstand $q_{c;z;d}$ in rekening gebracht, evenals factor $\gamma_{s;t}$. Dat is conform de opmerkingen in art. 7.6.3.3 (3) en (4).

Alle niveaus/hogtes/peilmaten zijn t.o.v.: N.A.P.

Inheinniveau	$R_{t,k}$	$R_{t,d}$	$F_{t,tot,1}$	$R_{t,netto,d}$	U.C.
[m]	[kN]	[kN]	[kN]	[kN]	
10.93	430.8	430.8	0.0	430.8	0.00

PAALGEGEVENS LD1

Type : Stalen buispaal (gesloten)
 Wijze van installeren : Heien
 Diameter [m] : 0.550
 Wanddikte t [mm] : 4.0

Project :
 Onderdeel :
 Elasticiteitsmodulus [N/mm²] : 200000 (Staal)
 Soortelijk gewicht [kN/m³] : 78.5 (Staal)
 Elasticiteitsmodulus [N/mm²] : 20000 (Beton)
 Soortelijk gewicht [kN/m³] : 24.0 (Beton)
 Factor α_s (tabel 7.c EC 7.1) : 0.010 (zandlagen; voor kleilagen zie tabel 7.d)
 Factor α_t (tabel 7.c EC 7.1) : 0.0070 (zandlagen; voor kleilagen zie tabel 7.d)
 Paalklassefactor α_p : 1.00
 Paalvoetvormfactor β : 1.00
 Type lastzakkingsdiagram : Grondverdringende paal
 Verm.factor * $\phi'_{j,k}$: 0.75
 Groutomhulling : NEE

OVERZICHT NETTO DRAAGVERMOGEN TREKPALEN (n=1)

Netto paal draagvermogen(s) zijn naar beneden toe afgerond op: 1.0 kN nauwkeurig
 Alle niveaus/hogtes/peilmaten zijn t.o.v.: N.A.P.

sondering	maaiveld paalpunt		$R_{t,netto;d}$ [kN] Mast 114
	niveau	niveau	
S114-1	18.86	10.93	419
S114-2	18.43	10.93	375
S114-3	18.73	10.93	406
S114-4	18.92	10.93	404

Project :
Onderdeel :

ALGEMENE GEGEVENS

Project :
Onderdeel :
Datum : 10-12-2021
Bestand : \\Arh7001.verit.dnv.com\projects\EANL_Projects\
10166262 - BBB modelleren funderingen 380
kV\02 Content\03 Calculations\Technosoft
Paalfunderingen\MBT-EHV380\DO\Nieuw
Sonderingen\Mast 120-129.pvw
Berekeningstype : Verticaal belaste paal
Alle niveaus/hogtes/peilmaten zijn t.o.v.: N.A.P.

Toegepaste normen volgens Eurocode met Nederlandse NB

Geotechniek	EN 1997-1:2004	AC:2009	
	NEN-EN 1997-1:2005	C1+A1:2013	NB:2016
	NEN 9997-1:2016	C2:2017	

GRONDSOORTEN

Nr. Omschrijving	$\gamma_{k;1}$ [kN/m ³]	$\gamma_{sat;k;1}$ [kN/m ³]	$\phi'_{k;1}$ [°]	$\gamma_{k;2}$ [kN/m ³]	$\gamma_{sat;k;2}$ [kN/m ³]	$\phi'_{k;2}$ [°]
1 Zand - Schoon - Los	17.00	19.00	30.00	18.00	20.00	32.50
2 Zand - Schoon - Matig	18.00	20.00	32.50	19.00	21.00	35.00
3 Zand - Schoon - Vast	19.00	21.00	35.00	20.00	22.00	40.00
4 Zand - Zwak siltig - Kleiig	18.00	20.00	27.00	19.00	21.00	32.50
5 Zand - Sterk siltig - Kleiig	18.00	20.00	25.00	19.00	21.00	30.00
6 Leem - Zwak zandig - Vast	21.00	21.00	27.50	22.00	22.00	35.00
7 Leem - Sterk zandig	19.00	19.00	27.50	20.00	20.00	35.00
8 Klei - Schoon - Slap	14.00	14.00	17.50	17.00	17.00	17.50
9 Klei - Schoon - Matig	17.00	17.00	17.50	19.00	19.00	17.50
10 Klei - Schoon - Vast	19.00	19.00	17.50	20.00	20.00	25.00
11 Klei - Zwak zandig - Slap	15.00	15.00	22.50	18.00	18.00	22.50
12 Klei - Zwak zandig - Matig	18.00	18.00	22.50	20.00	20.00	22.50
13 Klei - Zwak zandig - Vast	20.00	20.00	22.50	21.00	21.00	27.50
14 Klei - Organisch - Matig	15.00	15.00	15.00	16.00	16.00	15.00
15 Veen - Matig voorbelast - Matig	12.00	12.00	15.00	13.00	13.00	15.00

BODEMPROFIELGEGEVENS: S128-1

Alle niveaus/hogtes/peilmaten zijn t.o.v.: N.A.P.

d50-reductie is meegenomen overeenkomstig NEN-EN 9997 art. 7.6.2.3 (i)

Hoogte maaiveld [m] : 18.03 Grondwaterstand [m] : 17.03

Laag	Van [m]	Tot [m]	Omschrijving	OCR	Aandeel pos. kleef [%]	α_s	d_{50} [mm]
1	18.03	17.79	Veen - Matig voorbelast - Matig	1.0	50.0		
2	17.79	16.99	Zand - Zwak siltig - Kleiig	1.0	100.0		
3	16.99	16.71	Leem - Zwak zandig - Vast	1.0	50.0		
4	16.71	16.35	Zand - Zwak siltig - Kleiig	1.0	100.0		
5	16.35	16.09	Klei - Zwak zandig - Slap	1.0	50.0		
6	16.09	14.73	Zand - Schoon - Matig	1.0	100.0		
7	14.73	14.25	Zand - Schoon - Los	1.0	100.0		
8	14.25	13.99	Leem - Zwak zandig - Vast	1.0	50.0		
9	13.99	13.39	Zand - Sterk siltig - Kleiig	1.0	100.0		
10	13.39	10.22	Zand - Schoon - Vast	1.0	100.0		
11	10.22	9.82	Zand - Schoon - Los	1.0	100.0		
12	9.82	9.42	Klei - Zwak zandig - Slap	1.0	50.0		
13	9.42	5.47	Zand - Schoon - Vast	1.0	100.0		
14	5.47	2.88	Zand - Schoon - Matig	1.0	100.0		
15	2.88	2.12	Zand - Schoon - Los	1.0	100.0		
16	2.12	1.26	Klei - Schoon - Matig	1.0	50.0		
17	1.26	1.04	Zand - Zwak siltig - Kleiig	1.0	100.0		

Project :
Onderdeel :

BODEMPROFIELGEGEVENS: S128-2

Alle niveaus/hogtes/peilmaten zijn t.o.v.: N.A.P.

d50-reductie is meegenomen overeenkomstig NEN-EN 9997 art. 7.6.2.3 (i)

Laag	Van [m]	Tot [m]	Omschrijving	OCR	Aandeel pos. kleef [%]	α_s	d_{50} [mm]
1	18.04	17.36	Zand - Schoon - Los	1.0	100.0		
2	17.36	16.02	Leem - Zwak zandig - Vast	1.0	50.0		
3	16.02	14.88	Zand - Zwak siltig - Kleiig	1.0	100.0		
4	14.88	14.38	Zand - Schoon - Los	1.0	100.0		
5	14.38	13.98	Leem - Zwak zandig - Vast	1.0	50.0		
6	13.98	10.12	Zand - Schoon - Vast	1.0	100.0		
7	10.12	9.06	Zand - Sterk siltig - Kleiig	1.0	100.0		
8	9.06	6.49	Zand - Schoon - Vast	1.0	100.0		
9	6.49	5.83	Zand - Schoon - Los	1.0	100.0		
10	5.83	4.06	Zand - Schoon - Vast	1.0	100.0		
11	4.06	3.22	Zand - Zwak siltig - Kleiig	1.0	100.0		
12	3.22	2.98	Leem - Zwak zandig - Vast	1.0	50.0		
13	2.98	1.87	Zand - Schoon - Matig	1.0	100.0		
14	1.87	1.61	Zand - Zwak siltig - Kleiig	1.0	100.0		
15	1.61	1.23	Klei - Zwak zandig - Matig	1.0	50.0		
16	1.23	0.97	Zand - Schoon - Matig	1.0	100.0		

BODEMPROFIELGEGEVENS: S128-4

Alle niveaus/hogtes/peilmaten zijn t.o.v.: N.A.P.

d50-reductie is meegenomen overeenkomstig NEN-EN 9997 art. 7.6.2.3 (i)

Laag	Van [m]	Tot [m]	Omschrijving	OCR	Aandeel pos. kleef [%]	α_s	d_{50} [mm]
1	18.01	17.73	Veen - Matig voorbelast - Matig	1.0	50.0		
2	17.73	16.35	Zand - Zwak siltig - Kleiig	1.0	100.0		
3	16.35	15.83	Klei - Schoon - Vast	1.0	50.0		
4	15.83	14.33	Zand - Schoon - Los	1.0	100.0		
5	14.33	14.03	Leem - Zwak zandig - Vast	1.0	50.0		
6	14.03	12.07	Zand - Schoon - Matig	1.0	100.0		
7	12.07	11.67	Leem - Zwak zandig - Vast	1.0	50.0		
8	11.67	10.03	Zand - Schoon - Matig	1.0	100.0		
9	10.03	9.35	Zand - Zwak siltig - Kleiig	1.0	100.0		
10	9.35	8.95	Klei - Zwak zandig - Vast	1.0	50.0		
11	8.95	6.31	Zand - Schoon - Vast	1.0	100.0		
12	6.31	5.57	Zand - Schoon - Los	1.0	100.0		
13	5.57	4.27	Zand - Schoon - Vast	1.0	100.0		
14	4.27	3.77	Zand - Schoon - Matig	1.0	100.0		
15	3.77	2.89	Zand - Schoon - Vast	1.0	100.0		
16	2.89	1.43	Zand - Schoon - Los	1.0	100.0		
17	1.43	1.07	Zand - Sterk siltig - Kleiig	1.0	100.0		

SONDERINGSGEGEVENS ALGEMEEN: S128-1

Alle niveaus/hogtes/peilmaten zijn t.o.v.: N.A.P.

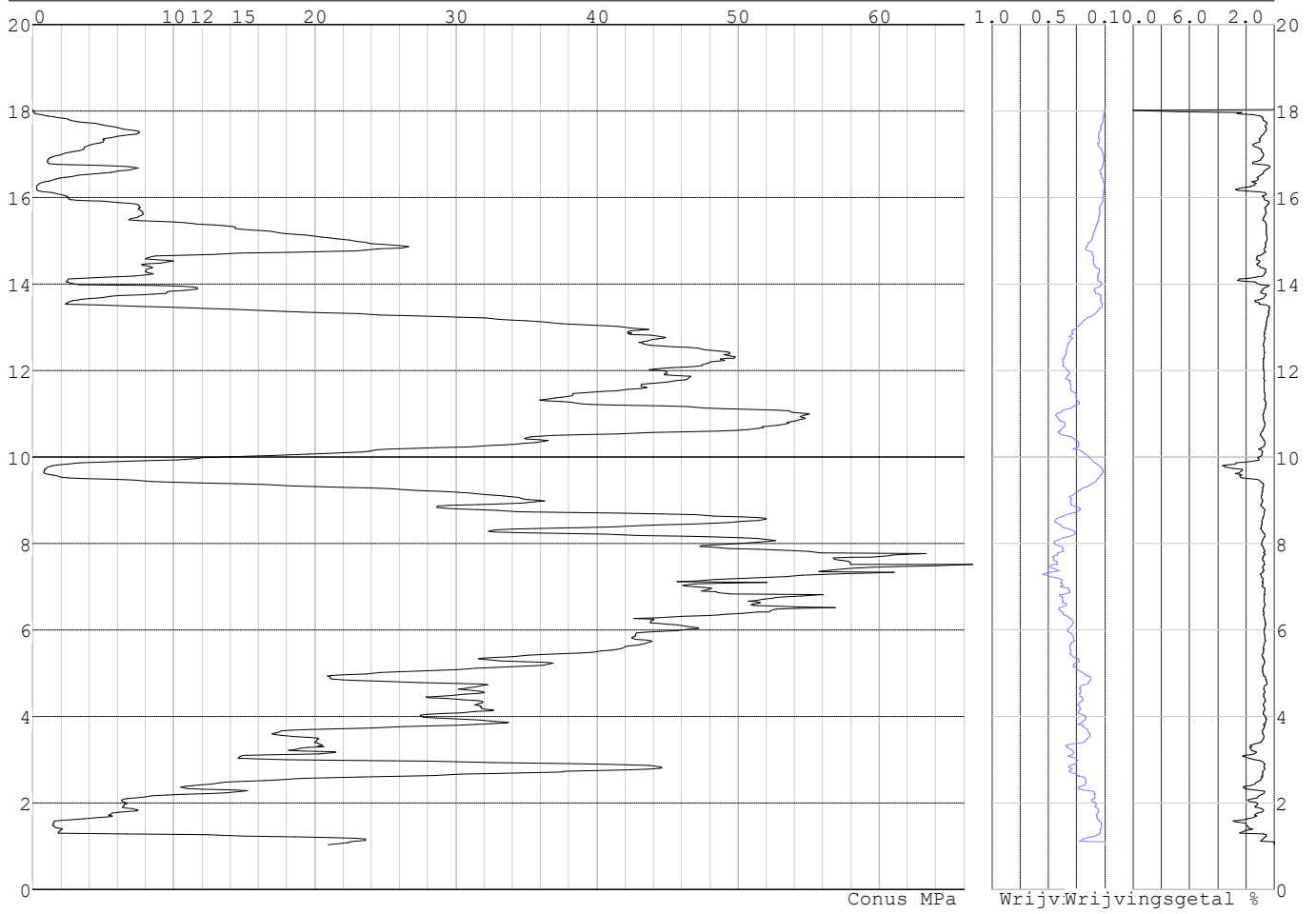
Hoogte maaiveld [m] : 18.03 Bodemprofiel: S128-1

Traject negatieve kleef : 18.03 tot 16.00 [m]

Traject positieve kleef : 16.00 tot 1.04 [m]

Project :
Onderdeel :

SONDERINGSGEGEVENS GRAFIEK: S128-1

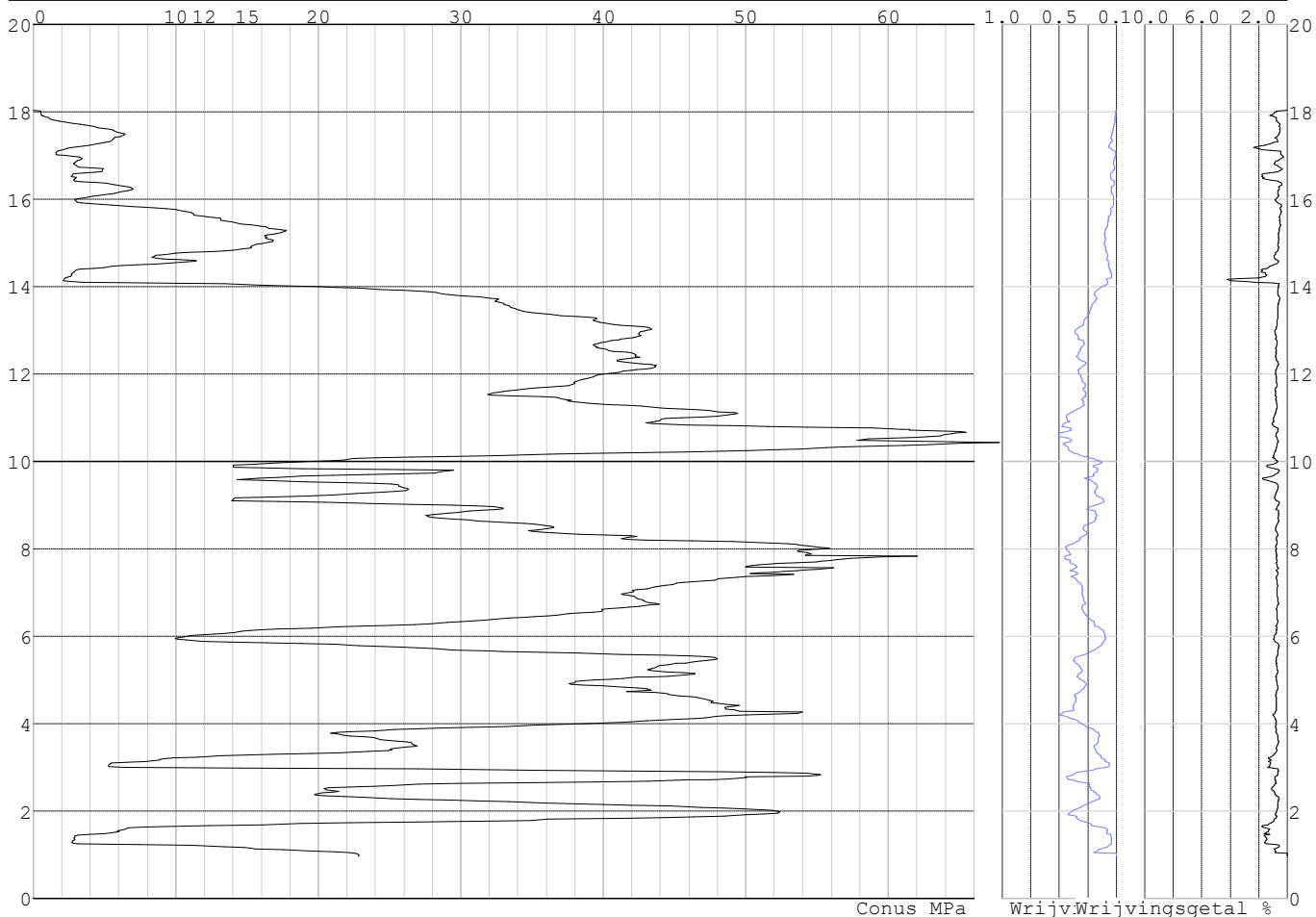


Project :
Onderdeel :

SONDERINGSGEGEVENS ALGEMEEN: S128-2

Alle niveaus/hogtes/peilmaten zijn t.o.v.: N.A.P.
Hoogte maaiveld [m] : 18.04 Bodemprofiel: S128-2
Traject negatieve kleeft : 18.04 tot 14.10 [m]
Traject positieve kleeft : 14.10 tot 0.97 [m]

SONDERINGSGEGEVENS GRAFIEK: S128-2

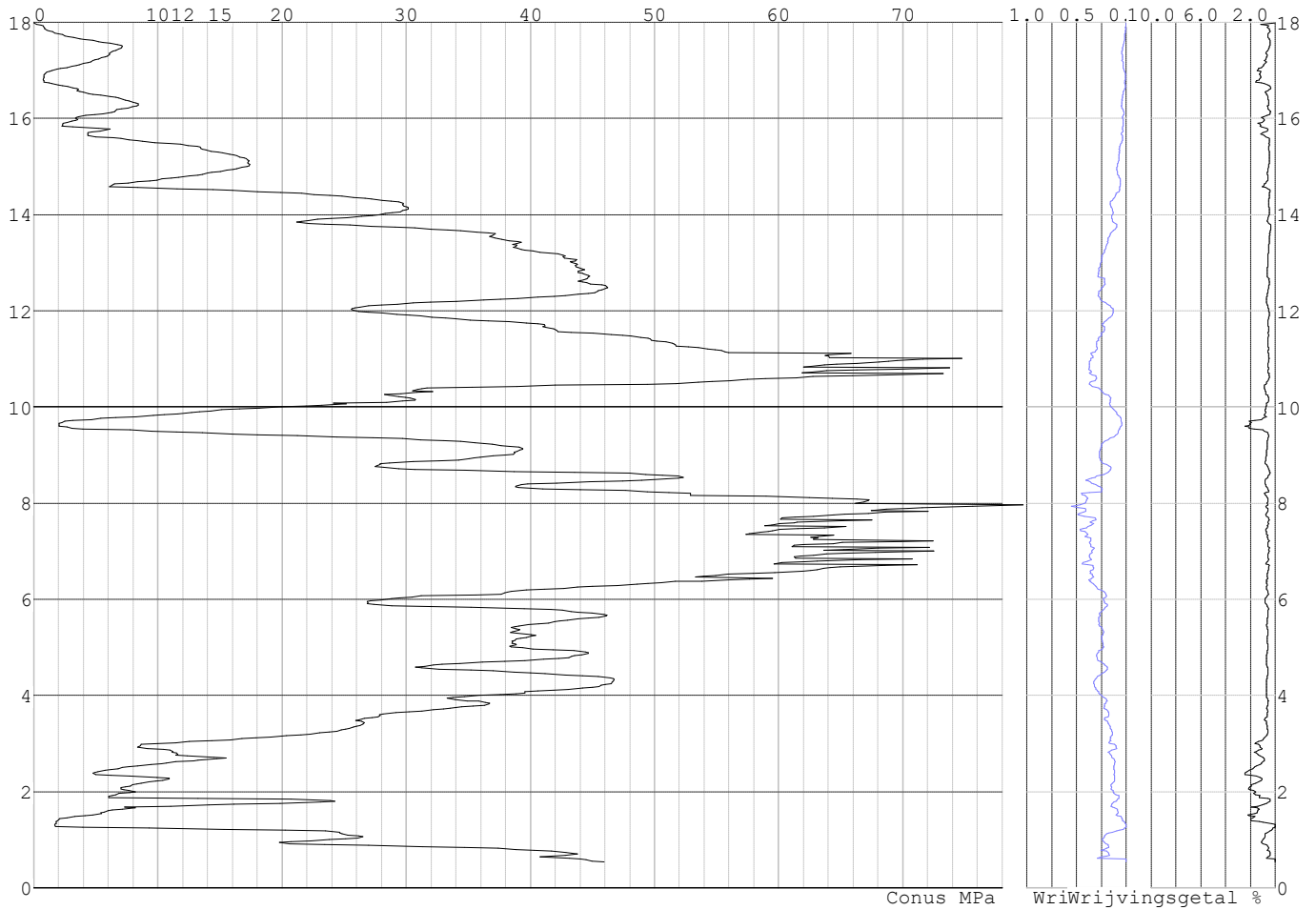


Project :
Onderdeel :

SONDERINGSGEGEVENS ALGEMEEN: S128-3

Alle niveaus/hoogtes/peilmaten zijn t.o.v.: N.A.P.
Hoogte maaiveld [m] : 17.98 Bodemprofiel: S128-1
Traject negatieve kleeft : 17.98 tot 15.90 [m]
Traject positieve kleeft : 15.90 tot 0.54 [m]

SONDERINGSGEGEVENS GRAFIEK: S128-3

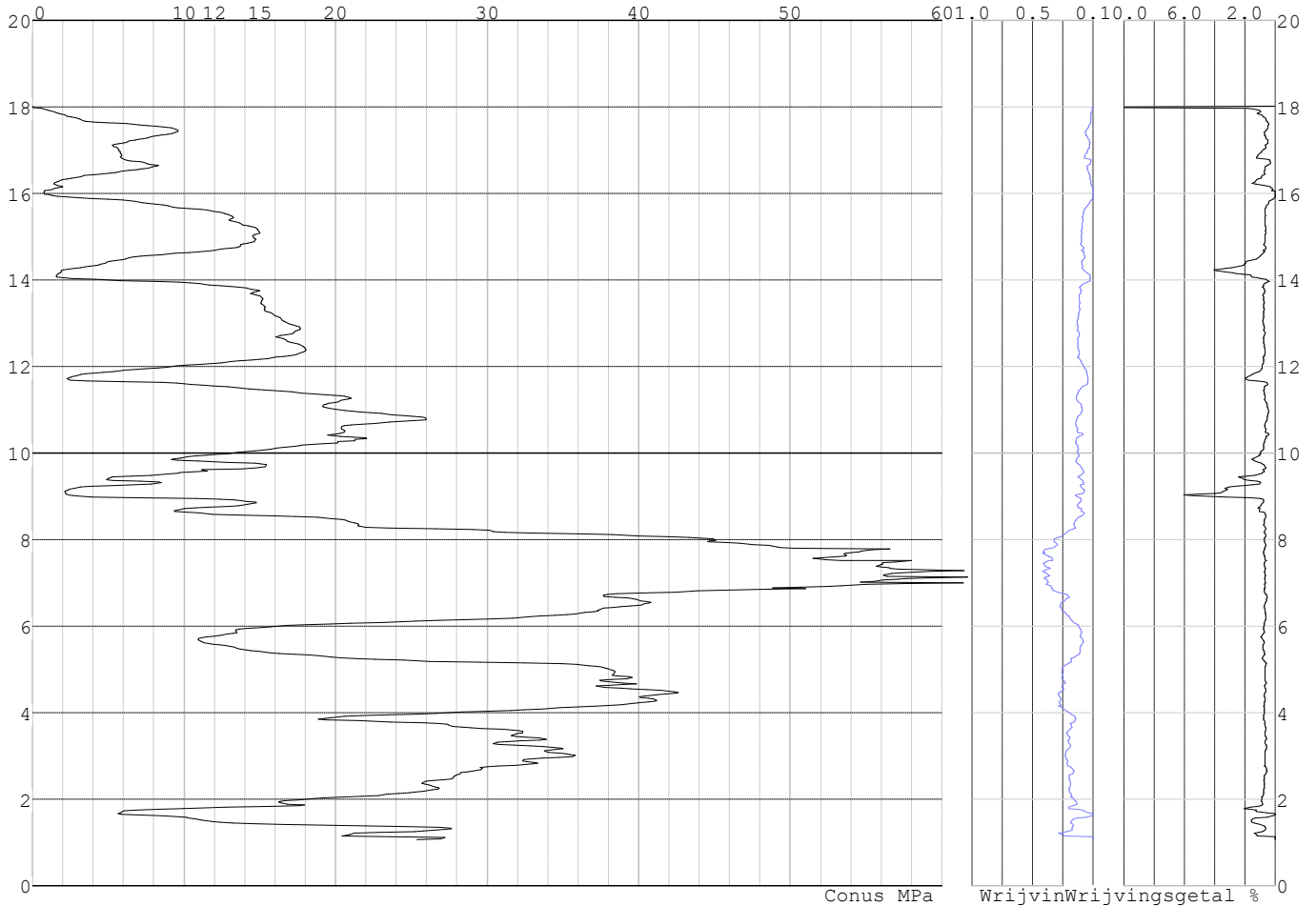


Project :
Onderdeel :

SONDERINGSGEGEVENS ALGEMEEN: S128-4

Alle niveaus/hoogtes/peilmaten zijn t.o.v.: N.A.P.
Hoogte maaiveld [m] : 18.01 Bodemprofiel: S128-4
Traject negatieve kleeft : 18.01 tot 14.00 [m]
Traject positieve kleeft : 14.00 tot 1.07 [m]

SONDERINGSGEGEVENS GRAFIEK: S128-4



Project :
Onderdeel :

REKENEGEVENES Mast 128

Berekening : Controlerend
Rekenmethode : Trekpalen volgens NEN-EN 1997-1, art. 7.6.3
Sondering(en) : S128-1, S128-2, S128-3, S128-4
Let op: trekcapaciteit t.p.v. negatief kleefttraject is meegerekend.

Stijf bouwwerk : JA
Paalgroep : NEE
Aantal sonderingen : 4
Factor ξ_3 (n=1) : 1.26
Factor ξ_3 (gem) : 1.17
Factor ξ_4 (min) : 0.93
Weerstandsfactor γ_R : 1.35
 $\gamma_{m,var;q_c}$: 1.35
UGT draagvermogen zonder negatieve kleeft : NEE

Paal : LD1
Niveau paalkop [m] : N.A.P. 17.78
Paalpuntniveau : N.A.P. 10.78
 $E_{d,1}$ [kN] : 0.00 $E_{d,2}$ [kN] : 0.00
Bovenbel. [kN/m²] : 0.00

RESULTATEN Mast 128 (n=1)**Sondering : S128-1**

Alle niveaus/hogtes/peilmaten zijn t.o.v.: N.A.P.

Inheinniveau [m]	Effectief inheinniveau [m]	E.G. paal [kN]	$R_{t,cal;k}$ [kN]	$R_{t;d}$ [kN]	$F_{t,tot;1}$ [kN]	U.C.
10.78	10.78	23.8	364.8	364.8	0.0	0.00

Sondering : S128-2

Alle niveaus/hogtes/peilmaten zijn t.o.v.: N.A.P.

Inheinniveau [m]	Effectief inheinniveau [m]	E.G. paal [kN]	$R_{t,cal;k}$ [kN]	$R_{t;d}$ [kN]	$F_{t,tot;1}$ [kN]	U.C.
10.78	10.78	23.8	415.6	415.6	0.0	0.00

Sondering : S128-3

Alle niveaus/hogtes/peilmaten zijn t.o.v.: N.A.P.

Inheinniveau [m]	Effectief inheinniveau [m]	E.G. paal [kN]	$R_{t,cal;k}$ [kN]	$R_{t;d}$ [kN]	$F_{t,tot;1}$ [kN]	U.C.
10.78	10.78	23.8	438.4	438.4	0.0	0.00

Sondering : S128-4

Alle niveaus/hogtes/peilmaten zijn t.o.v.: N.A.P.

Inheinniveau [m]	Effectief inheinniveau [m]	E.G. paal [kN]	$R_{t,cal;k}$ [kN]	$R_{t;d}$ [kN]	$F_{t,tot;1}$ [kN]	U.C.
10.78	10.78	23.9	369.7	369.7	0.0	0.00

Project :
Onderdeel :

SAMENVATTINGSTABEL Mast 128 (n=1)**Uitgangspunten**

- paal : LD1
 - paaltype : Stalen buispaal (gesloten)
 - schachtafmeting : 550 mm
 Paalklassefactor α_p : 1.00
 Factor α_t (tabel 7.c EC 7.1) : 0.0070 (zandlagen; voor kleilagen zie tabel 7.d)
 Correlatiefactor $\xi_{3(n=1)}$: 1.26

Alle niveaus/hogtes/peilmaten zijn t.o.v.: N.A.P.

sondering	maaiveld paalpunt		Bezwijkdraagvermogen $R_{t,cal}$ [kN]	Rekenwaarden		
	niveau	niveau		$R_{t,d}$ [kN]	$R_{t,netto,d}$ [kN]	
S128-1	18.03	10.78	364.8	364.8	364.8	
S128-2	18.04	10.78	415.6	415.6	415.6	
S128-3	17.98	10.78	438.4	438.4	438.4	
S128-4	18.01	10.78	369.7	369.7	369.7	

Project :
Onderdeel :

SAMENVATTINGSTABEL Mast 128 (van 4 sonderingen)**Uitgangspunten**

- paal : LD1
 - paaltype : Stalen buispaal (gesloten)
 - schachtafmeting : 550 mm
 Paalklassefactor α_p : 1.00
 Factor α_t (tabel 7.c EC 7.1) : 0.0070 (zandlagen; voor kleilagen zie tabel 7.d)
 Correlatiefactor $\xi_{3gem}(n=4)$: 1.17
 Correlatiefactor $\xi_{4min}(n=4)$: 0.93

Alle niveaus/hogtes/peilmaten zijn t.o.v.: N.A.P.

sondering	maaiveld niveau	paalpunt niveau	E.G. paal [kN]	Bezwijkdraagvermogen $R_{t,cal}$ [kN]
-----------	--------------------	--------------------	-------------------	---

met $\xi_3(gem) = 1.17$

S128-1	18.03	10.78	23.8	391.1
S128-2	18.04	10.78	23.8	445.7
S128-3	17.98	10.78	23.8	470.3
S128-4	18.01	10.78	23.8	396.3

		10.78	$R_{t,cal,gem}$	425.8
--	--	-------	-----------------	-------

met $\xi_4(min) = 0.93$

S128-1	18.03	10.78	23.8	485.8
S128-2	18.04	10.78	23.8	554.6
S128-3	17.98	10.78	23.8	585.5
S128-4	18.01	10.78	23.8	492.5

		10.78	$R_{t,cal,min}$	485.8
--	--	-------	-----------------	-------

Totaal resultaten Mast 128 (van 4 sonderingen)**Uitgangspunten**

Correlatiefactor $\xi_{3gem}(n=4)$: 1.17
 Correlatiefactor $\xi_{4min}(n=4)$: 0.93

gebaseerd op sonderingen:

S128-1 S128-2 S128-3 S128-4

$R_{t,d} = \min.\{ R_{t,cal,gem}; R_{t,cal,min} \} (7.17) *$

Inheinniveau

[m]

10.78 $R_{t,d} = \min.\{ 425.8; 485.8 \} = 425.8$

*) Bij de trekpaalberekening zijn factoren ξ_3 en ξ_4 al bij de berekening van de conusweerstand $q_{c;z;d}$ in rekening gebracht, evenals factor $\gamma_{s;t}$. Dat is conform de opmerkingen in art. 7.6.3.3 (3) en (4).

Alle niveaus/hogtes/peilmaten zijn t.o.v.: N.A.P.

Inheinniveau [m]	$R_{t,k}$ [kN]	$R_{t,d}$ [kN]	$F_{t,tot,1}$ [kN]	$R_{t,netto,d}$ [kN]	U.C.
10.78	425.8	425.8	0.0	425.8	0.00

PAALGEGEVENS LD1

Type : Stalen buispaal (gesloten)
 Wijze van installeren : Heien
 Diameter [m] : 0.550
 Wanddikte t [mm] : 4.0

Project :
 Onderdeel :
 Elasticiteitsmodulus [N/mm²] : 200000 (Staal)
 Soortelijk gewicht [kN/m³] : 78.5 (Staal)
 Elasticiteitsmodulus [N/mm²] : 20000 (Beton)
 Soortelijk gewicht [kN/m³] : 24.0 (Beton)
 Factor α_s (tabel 7.c EC 7.1) : 0.010 (zandlagen; voor kleilagen zie tabel 7.d)
 Factor α_t (tabel 7.c EC 7.1) : 0.0070 (zandlagen; voor kleilagen zie tabel 7.d)
 Paalklassefactor α_p : 1.00
 Paalvoetvormfactor β : 1.00
 Type lastzakkingsdiagram : Grondverdringende paal
 Verm.factor * $\phi'_{j,k}$: 0.75
 Groutomhulling : NEE

OVERZICHT NETTO DRAAGVERMOGEN TREKPALEN (n=1)

Netto paal draagvermogen(s) zijn naar beneden toe afgerond op: 1.0 kN nauwkeurig
 Alle niveaus/hogtes/peilmaten zijn t.o.v.: N.A.P.

sondering	maaiveld paalpunt		$R_{t,netto;d}$ Mast 128	[kN]
	niveau	niveau		
S128-1	18.03	10.78	364	
S128-2	18.04	10.78	415	
S128-3	17.98	10.78	438	
S128-4	18.01	10.78	369	

Project :
Onderdeel :

ALGEMENE GEGEVENS

Project :
Onderdeel :
Datum : 23-11-2021
Bestand : \\Arh7001.verit.dnv.com\projects\EANL_Projects\
10166262 - BBB modelleren funderingen 380
kV\02 Content\03 Calculations\Technosoft
Paalfunderingen\MBT-EHV380\DO\Nieuw
Sonderingen\Mast 130-133.pvw
Berekeningstype : Verticaal belaste paal
Alle niveaus/hogtes/peilmaten zijn t.o.v.: N.A.P.

Toegepaste normen volgens Eurocode met Nederlandse NB

Geotechniek	EN 1997-1:2004	AC:2009	
	NEN-EN 1997-1:2005	C1+A1:2013	NB:2016
	NEN 9997-1:2016	C2:2017	

GRONDSOORTEN

Nr. Omschrijving	$\gamma_{k;1}$ [kN/m ³]	$\gamma_{sat;k;1}$ [kN/m ³]	$\phi'_{k;1}$ [°]	$\gamma_{k;2}$ [kN/m ³]	$\gamma_{sat;k;2}$ [kN/m ³]	$\phi'_{k;2}$ [°]
1 Zand - Schoon - Los	17.00	19.00	30.00	18.00	20.00	32.50
2 Zand - Schoon - Matig	18.00	20.00	32.50	19.00	21.00	35.00
3 Zand - Schoon - Vast	19.00	21.00	35.00	20.00	22.00	40.00
4 Zand - Zwak siltig - Kleiig	18.00	20.00	27.00	19.00	21.00	32.50
5 Zand - Sterk siltig - Kleiig	18.00	20.00	25.00	19.00	21.00	30.00
6 Leem - Zwak zandig - Matig	20.00	20.00	27.50	21.00	21.00	32.50
7 Leem - Zwak zandig - Vast	21.00	21.00	27.50	22.00	22.00	35.00
8 Klei - Schoon - Matig	17.00	17.00	17.50	19.00	19.00	17.50
9 Klei - Schoon - Vast	19.00	19.00	17.50	20.00	20.00	25.00
10 Klei - Zwak zandig - Slap	15.00	15.00	22.50	18.00	18.00	22.50
11 Klei - Zwak zandig - Matig	18.00	18.00	22.50	20.00	20.00	22.50
12 Klei - Zwak zandig - Vast	20.00	20.00	22.50	21.00	21.00	27.50
13 Klei - Organisch - Matig	15.00	15.00	15.00	16.00	16.00	15.00
14 Veen - Matig voorbelast - Matig	12.00	12.00	15.00	13.00	13.00	15.00

BODEMPROFIELGEGEVENS: S133-1

Alle niveaus/hogtes/peilmaten zijn t.o.v.: N.A.P.

d50-reductie is meegenomen overeenkomstig NEN-EN 9997 art. 7.6.2.3 (i)

Laag	Van [m]	Tot [m]	Omschrijving	OCR	Aandeel pos. kleef [%]	α_s	d_{50} [mm]
1	16.75	14.38	Zand - Schoon - Los	1.0	100.0		
2	14.38	13.20	Zand - Sterk siltig - Kleiig	1.0	100.0		
3	13.20	12.30	Zand - Schoon - Matig	1.0	100.0		
4	12.30	11.78	Klei - Zwak zandig - Matig	1.0	50.0		
5	11.78	10.96	Zand - Schoon - Matig	1.0	100.0		
6	10.96	10.70	Zand - Schoon - Los	1.0	100.0		
7	10.70	9.23	Zand - Schoon - Vast	1.0	100.0		
8	9.23	8.97	Zand - Schoon - Matig	1.0	100.0		
9	8.97	8.23	Zand - Schoon - Vast	1.0	100.0		
10	8.23	7.99	Zand - Zwak siltig - Kleiig	1.0	100.0		
11	7.99	7.47	Klei - Schoon - Matig	1.0	50.0		
12	7.47	7.23	Zand - Schoon - Vast	1.0	100.0		
13	7.23	6.99	Zand - Schoon - Los	1.0	100.0		
14	6.99	6.73	Klei - Schoon - Matig	1.0	50.0		
15	6.73	0.11	Zand - Schoon - Vast	1.0	100.0		
16	0.11	-0.43	Zand - Sterk siltig - Kleiig	1.0	100.0		
17	-0.43	-5.16	Zand - Schoon - Vast	1.0	100.0		
18	-5.16	-5.68	Zand - Zwak siltig - Kleiig	1.0	100.0		
19	-5.68	-8.11	Zand - Schoon - Vast	1.0	100.0		

Project :
Onderdeel :

BODEMPROFIELGEGEVENS: S133-2

Alle niveaus/hogtes/peilmaten zijn t.o.v.: N.A.P.

d50-reductie is meegenomen overeenkomstig NEN-EN 9997 art. 7.6.2.3 (i)

Laag	Van [m]	Tot [m]	Omschrijving	Grondwaterstand [m]	OCR	Aandeel pos. kleef [%]	α_s	d_{50} [mm]
				16.64				15.64
1	16.64	14.17	Zand - Schoon - Matig		1.0	100.0		
2	14.17	13.43	Zand - Zwak siltig - Kleiig		1.0	100.0		
3	13.43	12.15	Zand - Schoon - Matig		1.0	100.0		
4	12.15	11.25	Zand - Sterk siltig - Kleiig		1.0	100.0		
5	11.25	10.71	Klei - Zwak zandig - Vast		1.0	50.0		
6	10.71	8.40	Zand - Schoon - Matig		1.0	100.0		
7	8.40	8.14	Zand - Sterk siltig - Kleiig		1.0	100.0		
8	8.14	7.70	Klei - Schoon - Matig		1.0	50.0		
9	7.70	7.44	Zand - Schoon - Vast		1.0	100.0		
10	7.44	7.20	Zand - Schoon - Los		1.0	100.0		
11	7.20	6.94	Klei - Zwak zandig - Vast		1.0	50.0		
12	6.94	6.82	Zand - Schoon - Matig		1.0	100.0		
13	6.82	6.14	Klei - Organisch - Matig		1.0	50.0		
14	6.14	5.66	Zand - Schoon - Los		1.0	100.0		
15	5.66	2.77	Zand - Schoon - Vast		1.0	100.0		
16	2.77	2.06	Zand - Schoon - Matig		1.0	100.0		
17	2.06	0.26	Zand - Schoon - Vast		1.0	100.0		
18	0.26	-0.08	Zand - Schoon - Matig		1.0	100.0		
19	-0.08	-1.03	Zand - Schoon - Vast		1.0	100.0		
20	-1.03	-1.85	Zand - Schoon - Matig		1.0	100.0		
21	-1.85	-2.26	Zand - Schoon - Los		1.0	100.0		
22	-2.26	-3.28	Zand - Schoon - Vast		1.0	100.0		
23	-3.28	-5.63	Zand - Schoon - Matig		1.0	100.0		
24	-5.63	-8.32	Zand - Schoon - Vast		1.0	100.0		

BODEMPROFIELGEGEVENS: S133-3

Alle niveaus/hogtes/peilmaten zijn t.o.v.: N.A.P.

d50-reductie is meegenomen overeenkomstig NEN-EN 9997 art. 7.6.2.3 (i)

Laag	Van [m]	Tot [m]	Omschrijving	Grondwaterstand [m]	OCR	Aandeel pos. kleef [%]	α_s	d_{50} [mm]
				16.74				15.74
1	16.74	14.95	Zand - Schoon - Los		1.0	100.0		
2	14.95	14.33	Zand - Zwak siltig - Kleiig		1.0	100.0		
3	14.33	13.91	Leem - Zwak zandig - Vast		1.0	50.0		
4	13.91	12.51	Zand - Zwak siltig - Kleiig		1.0	100.0		
5	12.51	12.23	Zand - Zwak siltig - Kleiig		1.0	100.0		
6	12.23	11.45	Klei - Schoon - Matig		1.0	50.0		
7	11.45	10.45	Zand - Schoon - Matig		1.0	100.0		
8	10.45	8.80	Zand - Schoon - Vast		1.0	100.0		
9	8.80	7.78	Zand - Sterk siltig - Kleiig		1.0	100.0		
10	7.78	7.54	Klei - Zwak zandig - Vast		1.0	50.0		
11	7.54	7.12	Zand - Sterk siltig - Kleiig		1.0	100.0		
12	7.12	6.68	Klei - Schoon - Matig		1.0	50.0		
13	6.68	0.99	Zand - Schoon - Vast		1.0	100.0		
14	0.99	0.51	Zand - Sterk siltig - Kleiig		1.0	100.0		
15	0.51	-0.06	Zand - Schoon - Vast		1.0	100.0		
16	-0.06	-1.02	Zand - Sterk siltig - Kleiig		1.0	100.0		
17	-1.02	-3.20	Zand - Schoon - Vast		1.0	100.0		
18	-3.20	-3.96	Zand - Zwak siltig - Kleiig		1.0	100.0		
19	-3.96	-5.78	Zand - Schoon - Vast		1.0	100.0		
20	-5.78	-6.25	Zand - Schoon - Los		1.0	100.0		
21	-6.25	-8.13	Zand - Schoon - Vast		1.0	100.0		

BODEMPROFIELGEGEVENS: S133-4

Alle niveaus/hogtes/peilmaten zijn t.o.v.: N.A.P.

d50-reductie is meegenomen overeenkomstig NEN-EN 9997 art. 7.6.2.3 (i)

Laag	Van [m]	Tot [m]	Omschrijving	Grondwaterstand [m]	OCR	Aandeel pos. kleef [%]	α_s	d_{50} [mm]
				16.65				15.65
1	16.65	14.40	Zand - Schoon - Los		1.0	100.0		
2	14.40	13.58	Zand - Zwak siltig - Kleiig		1.0	100.0		
3	13.58	12.60	Zand - Schoon - Vast		1.0	100.0		

Project :
Onderdeel :

Laag	Van [m]	Tot [m]	Omschrijving	OCR	Aandeel pos. kleef [%]	α_s	d_{50} [mm]
4	12.60	12.20	Zand - Schoon - Los	1.0	100.0		
5	12.20	11.12	Leem - Zwak zandig - Vast	1.0	50.0		
6	11.12	10.87	Zand - Schoon - Matig	1.0	100.0		
7	10.87	10.61	Zand - Schoon - Los	1.0	100.0		
8	10.61	8.80	Zand - Schoon - Matig	1.0	100.0		
9	8.80	8.30	Zand - Schoon - Vast	1.0	100.0		
10	8.30	7.80	Zand - Zwak siltig - Kleiig	1.0	100.0		
11	7.80	7.56	Klei - Zwak zandig - Matig	1.0	50.0		
12	7.56	7.30	Zand - Schoon - Vast	1.0	100.0		
13	7.30	6.12	Leem - Zwak zandig - Vast	1.0	50.0		
14	6.12	5.11	Klei - Organisch - Matig	1.0	50.0		
15	5.11	-1.42	Zand - Schoon - Matig	1.0	100.0		
16	-1.42	-2.53	Zand - Sterk siltig - Kleiig	1.0	100.0		
17	-2.53	-3.21	Zand - Schoon - Vast	1.0	100.0		
18	-3.21	-4.55	Zand - Schoon - Matig	1.0	100.0		
19	-4.55	-4.80	Zand - Schoon - Vast	1.0	100.0		
20	-4.80	-8.26	Zand - Schoon - Matig	1.0	100.0		

BODEMPROFIELGEGEVENS: S130-2

Alle niveaus/hogtes/peilmaten zijn t.o.v.: N.A.P.

d50-reductie is meegenomen overeenkomstig NEN-EN 9997 art. 7.6.2.3 (i)

Hoogte maaiveld [m] : 18.46 Grondwaterstand [m] : 17.46

Laag	Van [m]	Tot [m]	Omschrijving	OCR	Aandeel pos. kleef [%]	α_s	d_{50} [mm]
1	18.46	16.88	Zand - Schoon - Los	1.0	100.0		
2	16.88	16.44	Leem - Zwak zandig - Vast	1.0	50.0		
3	16.44	16.10	Zand - Schoon - Los	1.0	100.0		
4	16.10	15.64	Klei - Zwak zandig - Slap	1.0	50.0		
5	15.64	14.46	Zand - Schoon - Los	1.0	100.0		
6	14.46	13.84	Zand - Schoon - Matig	1.0	100.0		
7	13.84	13.58	Zand - Sterk siltig - Kleiig	1.0	100.0		
8	13.58	12.82	Leem - Zwak zandig - Vast	1.0	50.0		
9	12.82	12.30	Klei - Schoon - Vast	1.0	50.0		
10	12.30	10.97	Zand - Schoon - Matig	1.0	100.0		
11	10.97	10.57	Klei - Zwak zandig - Vast	1.0	50.0		
12	10.57	10.13	Zand - Sterk siltig - Kleiig	1.0	100.0		
13	10.13	4.50	Zand - Schoon - Vast	1.0	100.0		
14	4.50	3.92	Leem - Zwak zandig - Matig	1.0	50.0		
15	3.92	3.03	Zand - Schoon - Matig	1.0	100.0		
16	3.03	2.18	Zand - Schoon - Vast	1.0	100.0		
17	2.18	1.54	Zand - Schoon - Los	1.0	100.0		
18	1.54	-1.39	Zand - Schoon - Vast	1.0	100.0		

SONDERINGSGEGEVENS ALGEMEEN: S133-1

Alle niveaus/hogtes/peilmaten zijn t.o.v.: N.A.P.

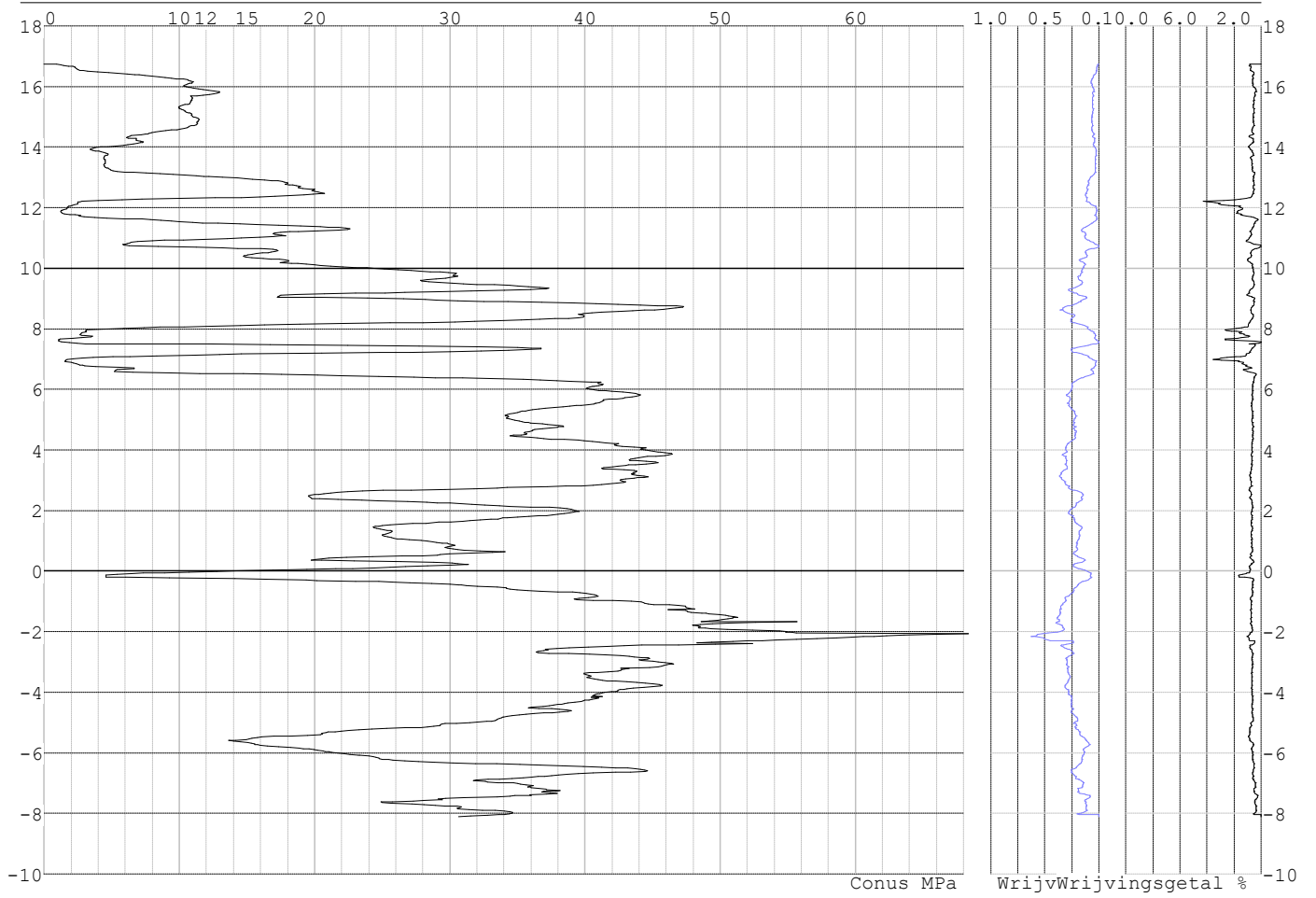
Hoogte maaiveld [m] : 16.75 Bodemprofiel: S133-1

Traject negatieve kleef : 16.75 tot 11.60 [m]

Traject positieve kleef : 11.60 tot -8.12 [m]

Project :
Onderdeel :

SONDERINGSGEGEVENS GRAFIEK: S133-1

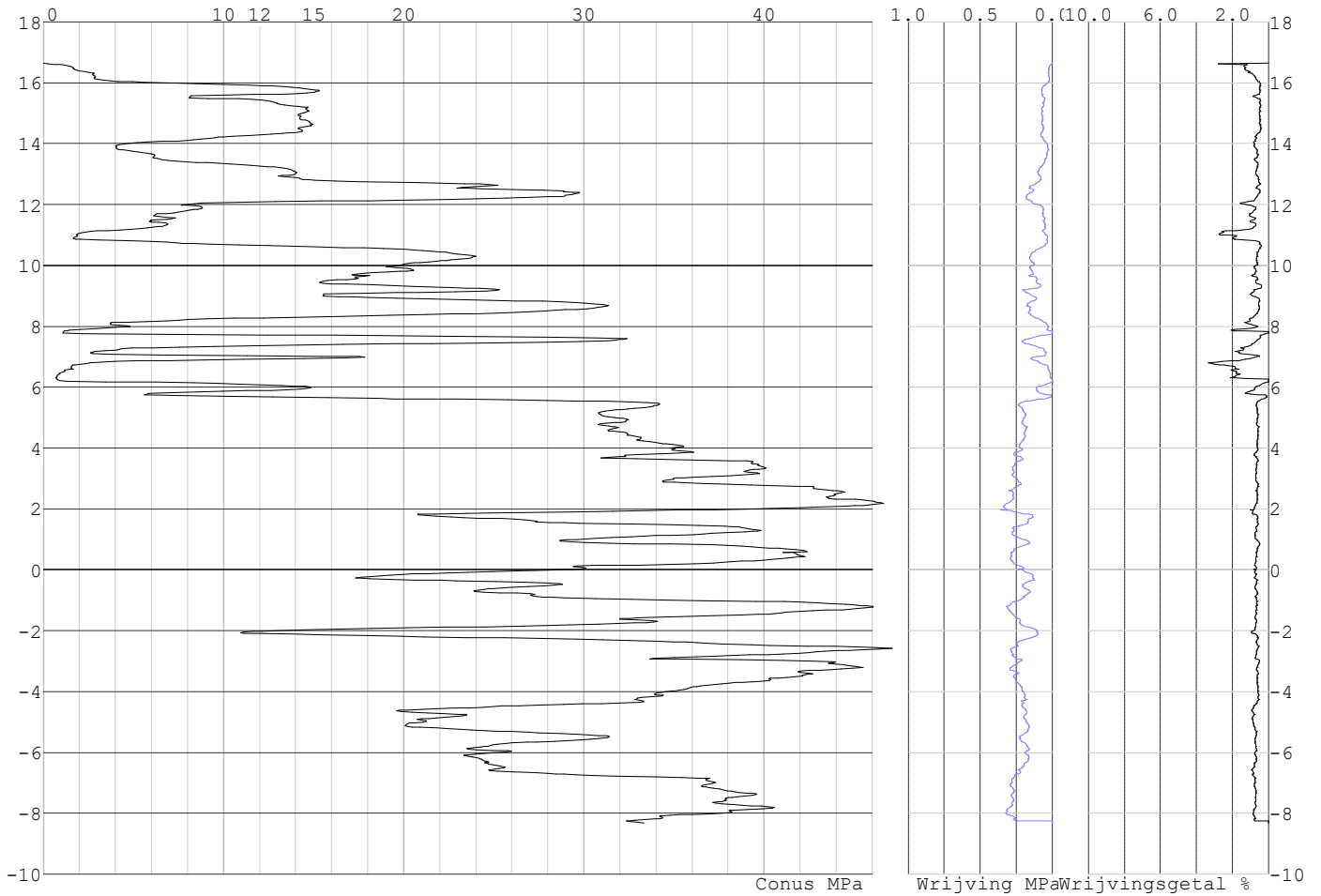


Project :
Onderdeel :

SONDERINGSGEGEVENS ALGEMEEN: S133-2

Alle niveaus/hogtes/peilmaten zijn t.o.v.: N.A.P.
Hoogte maaiveld [m] : 16.64 Bodemprofiel: S133-2
Traject negatieve kleef : 16.64 tot 10.60 [m]
Traject positieve kleef : 10.60 tot -8.33 [m]

SONDERINGSGEGEVENS GRAFIEK: S133-2

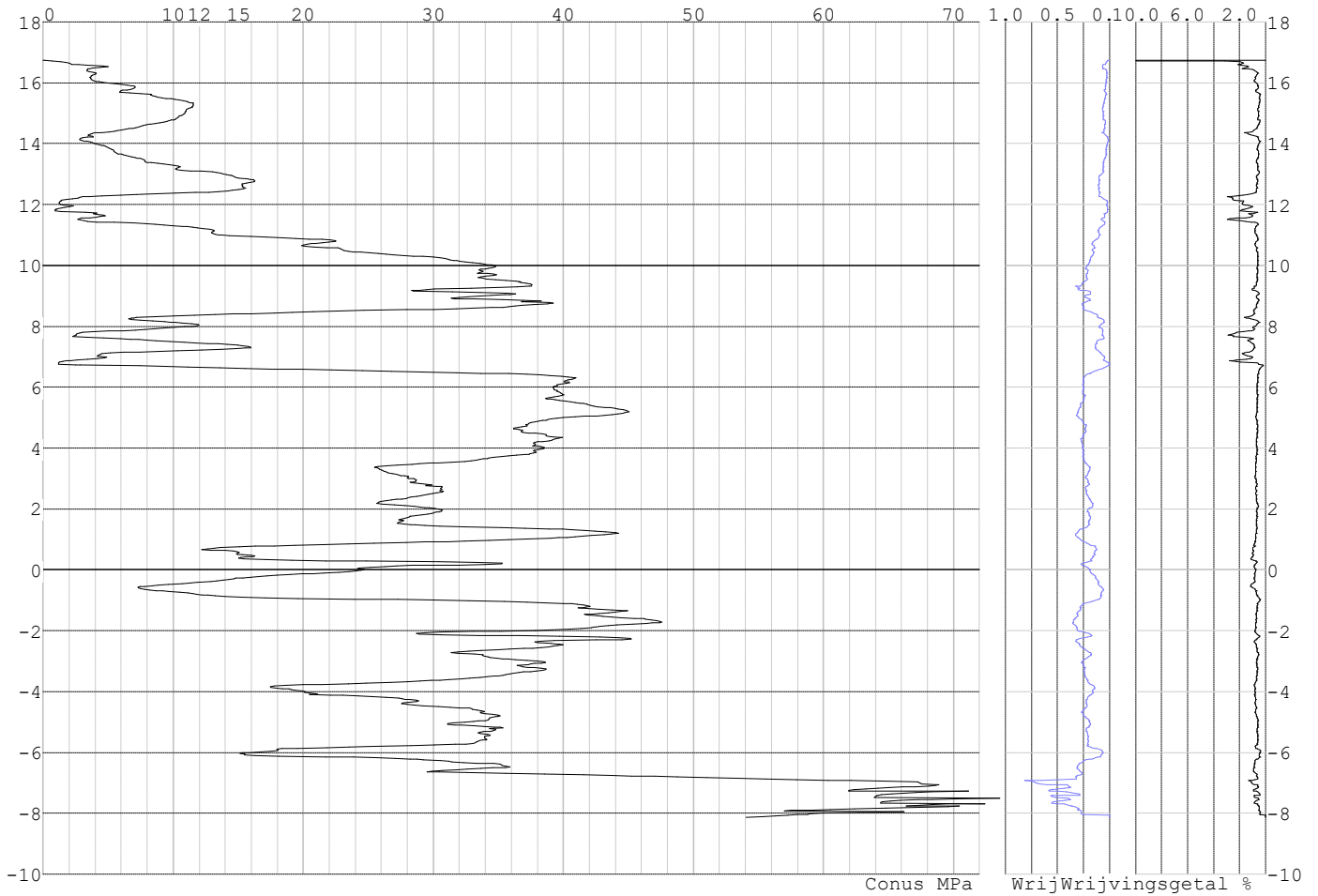


Project :
Onderdeel :

SONDERINGSGEGEVENS ALGEMEEN: S133-3

Alle niveaus/hogtes/peilmaten zijn t.o.v.: N.A.P.
Hoogte maaiveld [m] : 16.74 Bodemprofiel: S133-3
Traject negatieve kleeft : 16.74 tot 11.30 [m]
Traject positieve kleeft : 11.30 tot -8.14 [m]

SONDERINGSGEGEVENS GRAFIEK: S133-3

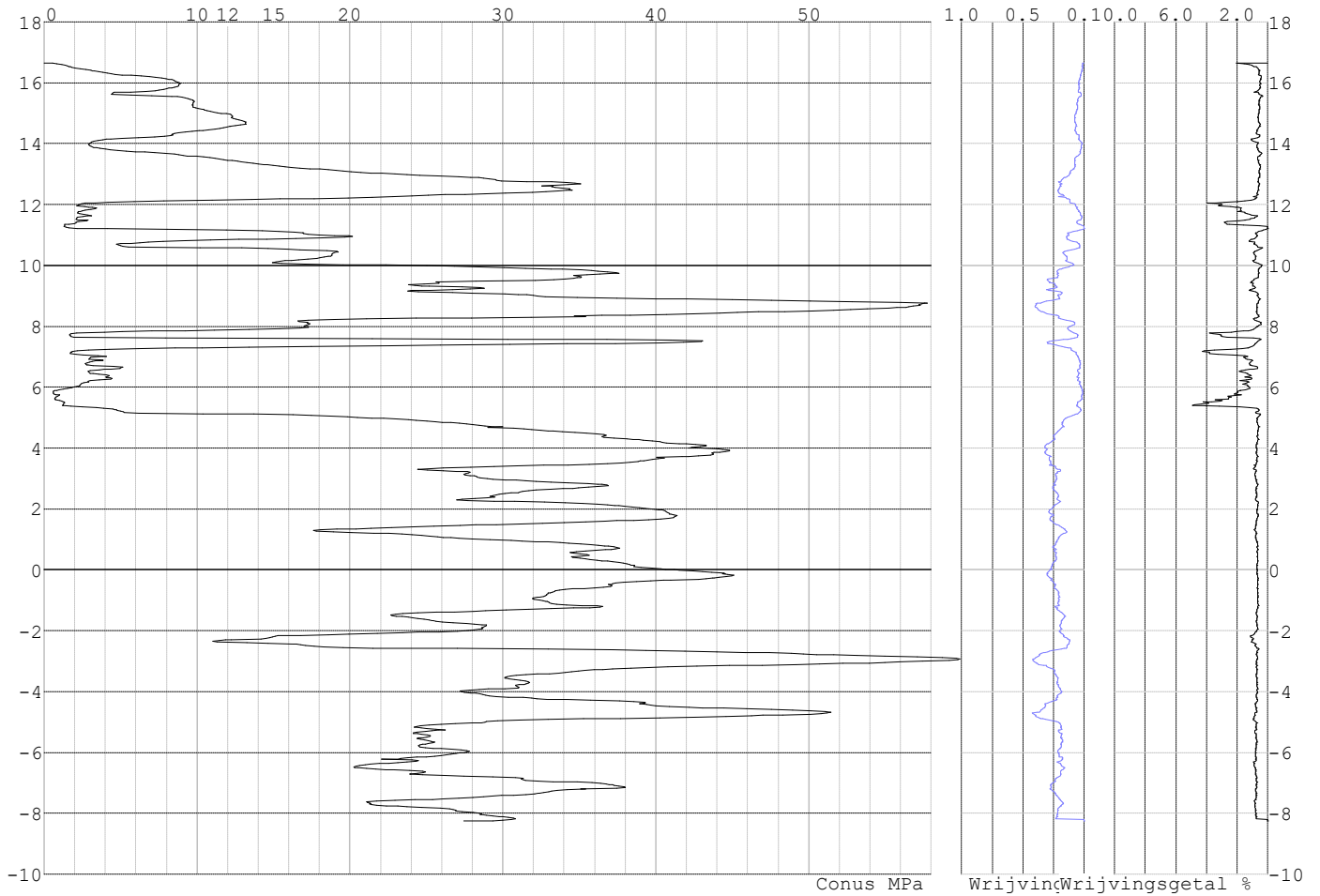


Project :
Onderdeel :

SONDERINGSGEGEVENS ALGEMEEN: S133-4

Alle niveaus/hogtes/peilmaten zijn t.o.v.: N.A.P.
Hoogte maaiveld [m] : 16.65 Bodemprofiel: S133-4
Traject negatieve kleeft : 16.65 tot 11.20 [m]
Traject positieve kleeft : 11.20 tot -8.27 [m]

SONDERINGSGEGEVENS GRAFIEK: S133-4

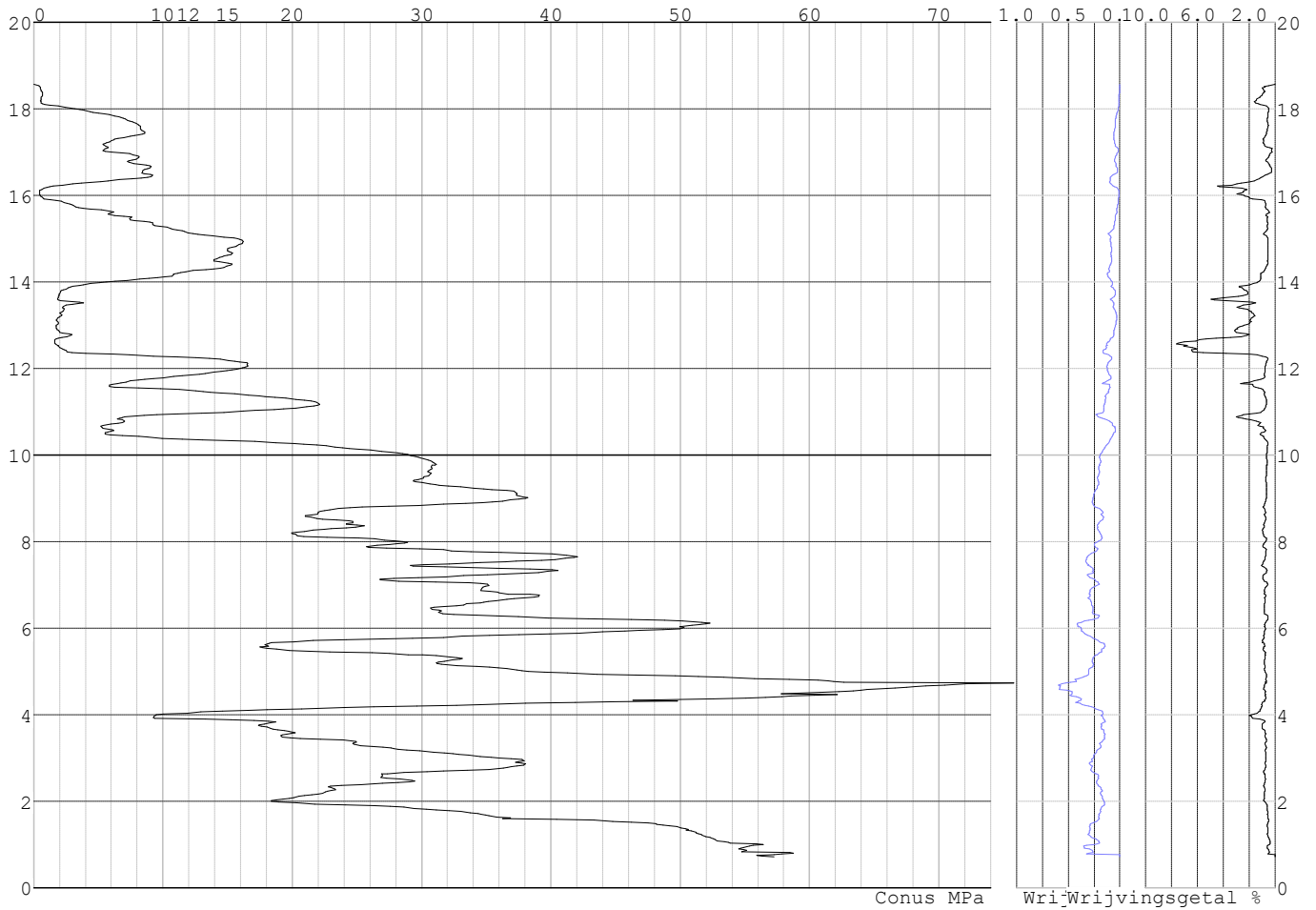


Project :
Onderdeel :

SONDERINGSGEGEVENS ALGEMEEN: S130-1

Alle niveaus/hogtes/peilmaten zijn t.o.v.: N.A.P.
Hoogte maaiveld [m] : 18.56 Bodemprofiel: S130-2
Traject negatieve kleeft : 18.56 tot 12.40 [m]
Traject positieve kleeft : 12.40 tot 0.71 [m]

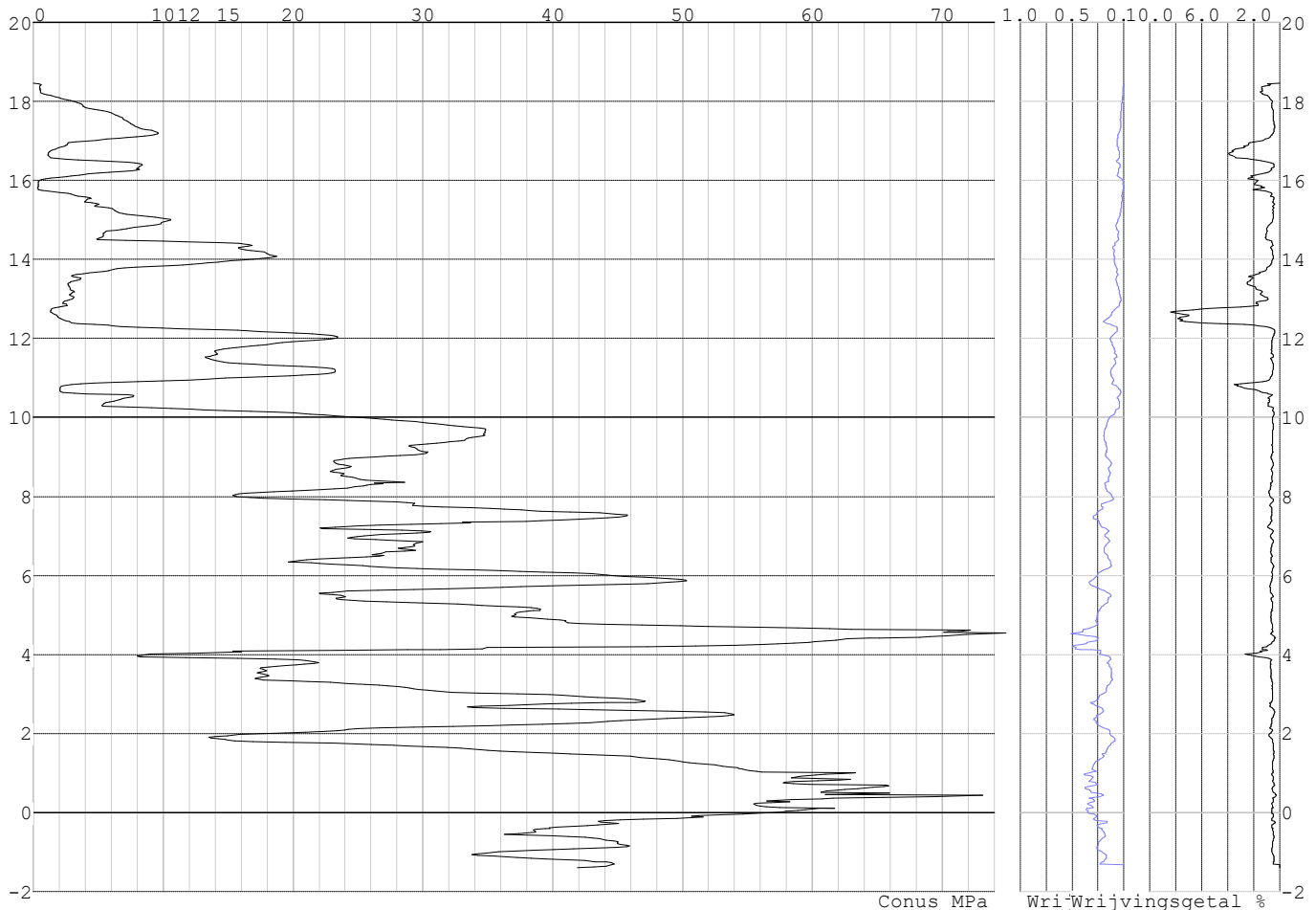
SONDERINGSGEGEVENS GRAFIEK: S130-1



Project :
Onderdeel :

SONDERINGSGEGEVENS ALGEMEEN: S130-2

Alle niveaus/hogtes/peilmaten zijn t.o.v.: N.A.P.
 Hoogte maaiveld [m] : 18.46 Bodemprofiel: S130-2
 Traject negatieve kleeft : 18.46 tot 12.40 [m]
 Traject positieve kleeft : 12.40 tot -1.39 [m]

SONDERINGSGEGEVENS GRAFIEK: S130-2**REKENGEVENS Mast 130**

Berekening : Controlerend
 Rekenmethode : Trekpalen volgens NEN-EN 1997-1, art. 7.6.3
 Sondering(en) : S130-1, S130-2
 Let op: trekcapaciteit t.p.v. negatief kleefttraject is meegerekend.

Stijf bouwwerk : JA
 Paalgroep : NEE
 Aantal sonderingen : 2
 Factor ξ_3 (n=1) : 1.26
 Factor ξ_3 (gem) : 1.20
 Factor ξ_4 (min) : 0.96
 Weerstandsfactor γ_R : 1.35
 $\gamma_{m;var;q_c}$: 1.35
 UGT draagvermogen zonder negatieve kleeft : NEE

Paal : LD1
 Niveau paalkop [m] : N.A.P. 18.21
 Paalpuntniveau : N.A.P. 8.71
 $E_{d;1}$ [kN] : 0.00 $E_{d;2}$ [kN] : 0.00
 Bovenbel. [kN/m²] : 0.00

RESULTATEN Mast 130 (n=1)

Project :
Onderdeel :

Sondering : S130-1

Alle niveaus/hogtes/peilmaten zijn t.o.v.: N.A.P.

Inheinniveau [m]	Effectief inheinniveau [m]	E.G. paal [kN]	$R_{t,cal;k}$ [kN]	$R_{t;d}$ [kN]	$F_{t,tot;1}$ [kN]	U.C.
8.71	8.71	31.7	467.3	467.3	0.0	0.00

Sondering : S130-2

Alle niveaus/hogtes/peilmaten zijn t.o.v.: N.A.P.

Inheinniveau [m]	Effectief inheinniveau [m]	E.G. paal [kN]	$R_{t,cal;k}$ [kN]	$R_{t;d}$ [kN]	$F_{t,tot;1}$ [kN]	U.C.
8.71	8.71	31.7	428.6	428.6	0.0	0.00

Project :
Onderdeel :

SAMENVATTINGSTABEL Mast 130 (n=1)**Uitgangspunten**

- paal : LD1
 - paaltype : Stalen buispaal (gesloten)
 - schachtafmeting : 550 mm
 Paalklassefactor α_p : 1.00
 Factor α_t (tabel 7.c EC 7.1) : 0.0070 (zandlagen; voor kleilagen zie tabel 7.d)
 Correlatiefactor $\xi_{3(n=1)}$: 1.26

Alle niveaus/hogtes/peilmaten zijn t.o.v.: N.A.P.

sondering	maaiveld paalpunt		Bezwijkdraagvermogen $R_{t,cal}$ [kN]	Rekenwaarden	
	niveau	niveau		$R_{t,d}$ [kN]	$R_{t,netto,d}$ [kN]
S130-1	18.56	8.71	467.3	467.3	467.3
S130-2	18.46	8.71	428.6	428.6	428.6

Project :
Onderdeel :

SAMENVATTINGSTABEL Mast 130 (van 2 sonderingen)**Uitgangspunten**

- paal : LD1
- paaltype : Stalen buispaal (gesloten)
- schachtafmeting : 550 mm
Paalklassefactor α_p : 1.00
Factor α_t (tabel 7.c EC 7.1) : 0.0070 (zandlagen; voor kleilagen zie tabel 7.d)
Correlatiefactor $\xi_{3\text{gem}}(n=2)$: 1.20
Correlatiefactor $\xi_{4\text{min}}(n=2)$: 0.96

Alle niveaus/hogtes/peilmaten zijn t.o.v.: N.A.P.

sondering	maaiveld	paalpunt	Bezwijkdraagvermogen
	niveau	niveau	E.G. paal $R_{t,cal}$
			[kN] [kN]

met ξ_3 (gem) = 1.20

S130-1	18.56	8.71	31.7	489.0
--------	-------	------	------	-------

S130-2	18.46	8.71	31.7	448.5
--------	-------	------	------	-------

		8.71	$R_{t,cal,gem}$	468.7
--	--	------	-----------------	-------

met ξ_4 (min) = 0.96

S130-1	18.56	8.71	31.7	603.4
--------	-------	------	------	-------

S130-2	18.46	8.71	31.7	552.7
--------	-------	------	------	-------

		8.71	$R_{t,cal,min}$	552.7
--	--	------	-----------------	-------

Totaal resultaten Mast 130 (van 2 sonderingen)**Uitgangspunten**

Correlatiefactor $\xi_{3\text{gem}}(n=2)$: 1.20
Correlatiefactor $\xi_{4\text{min}}(n=2)$: 0.96

gebaseerd op sonderingen:

S130-1 S130-2

$R_{t,d} = \min.\{ R_{t,cal,gem}; R_{t,cal,min} \}$ (7.17) *)

Inheinniveau
[m]

8.71	$R_{t,d} = \min.\{ 468.7; 552.7 \} = 468.7$
------	---

*) Bij de trekpaalberekening zijn factoren ξ_3 en ξ_4 al bij de berekening van de conusweerstand $q_{c,z;d}$ in rekening gebracht, evenals factor $\gamma_{s;t}$. Dat is conform de opmerkingen in art. 7.6.3.3 (3) en (4).

Alle niveaus/hogtes/peilmaten zijn t.o.v.: N.A.P.

Inheinniveau	$R_{t,k}$	$R_{t,d}$	$F_{t,tot;1}$	$R_{t,netto;d}$	U.C.
[m]	[kN]	[kN]	[kN]	[kN]	
8.71	468.7	468.7	0.0	468.7	0.00

REKENGEGEVENS Mast 133

Berekening : Controlerend
Rekenmethode : Trekpalen volgens NEN-EN 1997-1, art. 7.6.3
Sondering(en) : S133-1, S133-2, S133-3, S133-4
Let op: trekcapaciteit t.p.v. negatief kleeftraject is meegerekend.

Stijf bouwwerk : NEE
Paalgroep : NEE
Aantal sonderingen : 4
Factor ξ_3 (n=1) : 1.39
Factor ξ_3 (gem) : 1.28
Factor ξ_4 (min) : 1.03
Weerstandsfactor γ_R : 1.35
 $\gamma_{m,var;q_c}$: 1.35
UGT draagvermogen zonder negatieve kleeft : NEE

Paal : LD1
Niveau paalkop [m] : N.A.P. 16.45
Paalpuntniveau : N.A.P. 3.95
 $E_{d,1}$ [kN] : 0.00
Bovenbel. [kN/m²] : 0.00

$E_{d,2}$ [kN] : 0.00

Project :
Onderdeel :

RESULTATEN Mast 133 (n=1)**Sondering : S133-1**

Alle niveaus/hogtes/peilmaten zijn t.o.v.: N.A.P.

Inheinniveau [m]	Effectief inheinniveau [m]	E.G. paal [kN]	$R_{t,cal;k}$ [kN]	$R_{t;d}$ [kN]	$F_{t,tot;1}$ [kN]	U.C.
3.95	3.95	41.0	654.9	654.9	0.0	0.00

Sondering : S133-2

Alle niveaus/hogtes/peilmaten zijn t.o.v.: N.A.P.

Inheinniveau [m]	Effectief inheinniveau [m]	E.G. paal [kN]	$R_{t,cal;k}$ [kN]	$R_{t;d}$ [kN]	$F_{t,tot;1}$ [kN]	U.C.
3.95	3.95	41.3	663.0	663.0	0.0	0.00

Sondering : S133-3

Alle niveaus/hogtes/peilmaten zijn t.o.v.: N.A.P.

Inheinniveau [m]	Effectief inheinniveau [m]	E.G. paal [kN]	$R_{t,cal;k}$ [kN]	$R_{t;d}$ [kN]	$F_{t,tot;1}$ [kN]	U.C.
3.95	3.95	41.0	672.3	672.3	0.0	0.00

Sondering : S133-4

Alle niveaus/hogtes/peilmaten zijn t.o.v.: N.A.P.

Inheinniveau [m]	Effectief inheinniveau [m]	E.G. paal [kN]	$R_{t,cal;k}$ [kN]	$R_{t;d}$ [kN]	$F_{t,tot;1}$ [kN]	U.C.
3.95	3.95	41.2	634.3	634.3	0.0	0.00

Project :
Onderdeel :

SAMENVATTINGSTABEL Mast 133 (n=1)**Uitgangspunten**

- paal : LD1
 - paaltype : Stalen buispaal (gesloten)
 - schachtafmeting : 550 mm
 Paalklassefactor α_p : 1.00
 Factor α_t (tabel 7.c EC 7.1) : 0.0070 (zandlagen; voor kleilagen zie tabel 7.d)
 Correlatiefactor $\xi_{3(n=1)}$: 1.39

Alle niveaus/hogtes/peilmaten zijn t.o.v.: N.A.P.

sondering	maaiveld paalpunt		Bezwijkdraagvermogen $R_{t,cal}$ [kN]	Rekenwaarden	
	niveau	niveau		$R_{t,d}$ [kN]	$R_{t,netto,d}$ [kN]
S133-1	16.75	3.95	654.9	654.9	654.9
S133-2	16.64	3.95	663.0	663.0	663.0
S133-3	16.74	3.95	672.3	672.3	672.3
S133-4	16.65	3.95	634.3	634.3	634.3

Project :
Onderdeel :

SAMENVATTINGSTABEL Mast 133 (van 4 sonderingen)**Uitgangspunten**

- paal : LD1
 - paaltype : Stalen buispaal (gesloten)
 - schachtafmeting : 550 mm
 Paalklassefactor α_p : 1.00
 Factor α_t (tabel 7.c EC 7.1) : 0.0070 (zandlagen; voor kleilagen zie tabel 7.d)
 Correlatiefactor $\xi_{3gem}(n=4)$: 1.28
 Correlatiefactor $\xi_{4min}(n=4)$: 1.03

Alle niveaus/hogtes/peilmaten zijn t.o.v.: N.A.P.

sondering	maaiveld niveau	paalpunt niveau	Bezwijkdraagvermogen E.G. paal [kN]	$R_{t,cal}$ [kN]
-----------	--------------------	--------------------	---	---------------------

met ξ_3 (gem) = 1.28

S133-1	16.75	3.95	41.0	707.6
S133-2	16.64	3.95	41.0	716.4
S133-3	16.74	3.95	41.0	726.5
S133-4	16.65	3.95	41.0	685.3

3.95 $R_{t,cal;gem}$ 709.0

met ξ_4 (min) = 1.03

S133-1	16.75	3.95	41.0	869.4
S133-2	16.64	3.95	41.0	880.3
S133-3	16.74	3.95	41.0	892.9
S133-4	16.65	3.95	41.0	841.6

3.95 $R_{t,cal;min}$ 841.6

Totaal resultaten Mast 133 (van 4 sonderingen)**Uitgangspunten**

Correlatiefactor $\xi_{3gem}(n=4)$: 1.28
 Correlatiefactor $\xi_{4min}(n=4)$: 1.03

gebaseerd op sonderingen:

S133-1 S133-2 S133-3 S133-4

$R_{t,d} = \min.\{ R_{t,cal;gem}; R_{t,cal;min} \} (7.17) *$

Inheinniveau

[m]

3.95 $R_{t,d} = \min.\{ 709.0; 841.6 \} = 709.0$

* Bij de trekpaalbepaling zijn factoren ξ_3 en ξ_4 al bij de berekening van de conusweerstand $q_{c;z;d}$ in rekening gebracht, evenals factor $\gamma_{s;t}$. Dat is conform de opmerkingen in art. 7.6.3.3 (3) en (4).

Alle niveaus/hogtes/peilmaten zijn t.o.v.: N.A.P.

Inheinniveau [m]	$R_{t,k}$ [kN]	$R_{t,d}$ [kN]	$F_{t,tot;1}$ [kN]	$R_{t,netto;d}$ [kN]	U.C.
3.95	709.0	709.0	0.0	709.0	0.00

PAALGEGEVENS LD1

Type : Stalen buispaal (gesloten)
 Wijze van installeren : Heien
 Diameter [m] : 0.550
 Wanddikte t [mm] : 4.0

Project :
 Onderdeel :
 Elasticiteitsmodulus [N/mm²] : 200000 (Staal)
 Soortelijk gewicht [kN/m³] : 78.5 (Staal)
 Elasticiteitsmodulus [N/mm²] : 20000 (Beton)
 Soortelijk gewicht [kN/m³] : 24.0 (Beton)
 Factor α_s (tabel 7.c EC 7.1) : 0.010 (zandlagen; voor kleilagen zie tabel 7.d)
 Factor α_t (tabel 7.c EC 7.1) : 0.0070 (zandlagen; voor kleilagen zie tabel 7.d)
 Paalklassefactor α_p : 1.00
 Paalvoetvormfactor β : 1.00
 Type lastzakkingsdiagram : Grondverdringende paal
 Verm.factor * $\phi'_{j;k}$: 0.75
 Groutomhulling : NEE

OVERZICHT NETTO DRAAGVERMOGEN TREKPALEN (n=1)

Netto paal draagvermogen(s) zijn naar beneden toe afgerond op: 1.0 kN nauwkeurig
 Alle niveaus/hogtes/peilmaten zijn t.o.v.: N.A.P.

sondering	maaiveld paalpunt		$R_{t,netto;d}$ [kN]	
	niveau	niveau	Mast 130	Mast 133
S133-1	16.75	3.95		654
S133-2	16.64	3.95		663
S133-3	16.74	3.95		672
S133-4	16.65	3.95		634
S130-1	18.56	8.71	467	
S130-2	18.46	8.71	428	

Project :
Onderdeel :

ALGEMENE GEGEVENS

Project :
Onderdeel :
Datum : 04-03-2022
Bestand : \\Arh7001.verit.dnv.com\projects\EANL_Projects\
10166262 - BBB modelleren funderingen 380
kV\02 Content\03 Calculations\Technosoft
Paalfunderingen\MBT-EHV380\DO\Nieuw
Sonderingen\Mast 001-009.pvw
Berekeningstype : Verticaal belaste paal
Alle niveaus/hogtes/peilmaten zijn t.o.v.: N.A.P.

Toegepaste normen volgens Eurocode met Nederlandse NB

Geotechniek	EN 1997-1:2004	AC:2009	
	NEN-EN 1997-1:2005	C1+A1:2013	NB:2016
	NEN 9997-1:2016	C2:2017	

REKENGEGEVENS Mast 001

Berekening : Controlerend
Rekenmethode : Drukpalen volgens NEN-EN 1997-1, art. 7.6.2
Sondering(en) : S001-1, S001-2, S001-3, S001-4

Stijf bouwwerk : JA
Paalgroep : NEE
Aantal sonderingen : 4
Factor ξ_3 (n=1) : 1.26
Factor ξ_3 (gem) : 1.17
Factor ξ_4 (min) : 0.93
Weerstandsfactor γ_R : 1.20
 $\gamma_{f,nk}$: 1.0
 $R_{s,cal,max,i}$ begrenzen op $0.75 * R_{b,cal,max,i}$: JA
UGT draagvermogen zonder negatieve kleef : NEE

Paal : Ortbeton
Niveau paalkop [m] : N.A.P. 27.47
Paalpuntniveau : N.A.P. 16.47
 $E_{d,1}$ [kN] : 0.00 $E_{d,2}$ [kN] : 0.00
 $s_{req,1}$ [m] : 0.15 $s_{req,2}$ [m] : 0.05
Bovenbel. [kN/m²] : 0.00

Project :
Onderdeel :

SAMENVATTINGSTABEL Mast 001 (n=1)**Uitgangspunten**

- paal : Ortbeton
 - paaltype : Geheide in de grond gevormde betonpaal;terugheidend
 - schachtafmeting : 420 mm
 Paalklassefactor α_p : 0.70
 Factor α_s (tabel 7.c EC 7.1) : 0.014 (zandlagen; voor kleilagen zie tabel 7.d)
 Correlatiefactor $\xi_{3(n=1)}$: 1.26

Alle niveaus/hogtes/peilmaten zijn t.o.v.: N.A.P.

sondering	maaiveld paalpunt		Bezwijkdraagvermogen			Rekenwaarden		
	niveau	niveau	$R_{b;cal}$ [kN]	$R_{s;cal}$ [kN]	$R_{c;cal}$ [kN]	$R_{c;d}$ [kN]	$F_{nk;d}$ [kN]	$R_{c;netto;d}$ [kN]
S001-1	27.41	16.47	1441.6	1081.2	2522.9	1668.6	-0.0	1668.5
S001-2	27.37	16.47	1454.7	1091.0	2545.8	1683.7	-0.1	1683.6
S001-3	27.42	16.47	1450.3	1087.7	2538.0	1678.6	-0.2	1678.3
S001-4	27.32	16.47	1443.2	1082.4	2525.5	1670.3	-0.4	1669.9

Totaal resultaten Mast 001 (van 4 sonderingen)

Uitgangspunten

Correlatiefactor ξ_{3gem} (n= 4) : 1.17
 Correlatiefactor ξ_{4min} (n= 4) : 0.93

gebaseerd op sonderingen:

S001-1 S001-2 S001-3 S001-4

$$R_{c;k} = \min.\{ R_{c;cal;gem}/\xi_3; R_{c;cal;min}/\xi_4 \} \quad (7.8)$$

Inheinniveau
[m]

$$16.47 \quad R_{c;k} = \min.\{ (2533.0/1.17); (2522.9/0.93) \} = 2165.0$$

Alle niveaus/hogtes/peilmaten zijn t.o.v.: N.A.P.

Inheinniveau [m]	$R_{c;k}$ [kN]	$R_{c;d}$ [kN]	$F_{c;tot;1}$ [kN]	$F_{nk;d}$ [kN]	$R_{c;netto;d}$ [kN]	U.C.	$S_{1;1}$ [mm]	$S_{1;2}$ [mm]
16.47	2165.0	1804.2	-0.4	-0.4	1803.8	0.00	-0.0	-0.0

REKENEGEVEENS Mast 003

Berekening : Controlerend
 Rekenmethode : Drukpalen volgens NEN-EN 1997-1, art. 7.6.2
 Sondering(en) : S003-1, S003-2

Stijf bouwwerk : NEE
 Paalgroep : NEE
 Aantal sonderingen : 2
 Factor $\xi_{3(n=1)}$: 1.39
 Factor $\xi_{3(gem)}$: 1.32
 Factor $\xi_{4(min)}$: 1.32
 Weerstandsfactor γ_R : 1.20
 $\gamma_{f;nk}$: 1.0
 $R_{s;cal;max;i}$ begrenzen op $0.75 * R_{b;cal;max;i}$: JA
 UGT draagvermogen zonder negatieve kleef : NEE

Paal : Ortbeton
 Niveau paalkop [m] : N.A.P. 21.14
 Paalpuntniveau : N.A.P. 13.84
 $E_{d;1}$ [kN] : 0.00
 $S_{req;1}$ [m] : 0.15
 Bovenbel. [kN/m²] : 0.00

$E_{d;2}$ [kN] : 0.00
 $S_{req;2}$ [m] : 0.05

Project :
Onderdeel :

SAMENVATTINGSTABEL Mast 003 (n=1)**Uitgangspunten**

- paal : Ortbeton
 - paaltype : Geheide in de grond gevormde betonpaal;terugheidend
 - schachtafmeting : 420 mm
 Paalklassefactor α_p : 0.70
 Factor α_s (tabel 7.c EC 7.1) : 0.014 (zandlagen; voor kleilagen zie tabel 7.d)
 Correlatiefactor $\xi_{3(n=1)}$: 1.39

Alle niveaus/hogtes/peilmaten zijn t.o.v.: N.A.P.

sondering	maaiveld paalpunt		Bezwijkdraagvermogen			Rekenwaarden		
	niveau	niveau	$R_{b;cal}$ [kN]	$R_{s;cal}$ [kN]	$R_{c;cal}$ [kN]	$R_{c;d}$ [kN]	$F_{nk;d}$ [kN]	$R_{c;netto;d}$ [kN]
S003-1	22.35	13.84	2078.2	1558.6	3636.8	2180.3	-13.0	2167.3
S003-2	22.35	13.84	1801.7	1351.3	3153.0	1890.3	-10.8	1879.4

Totaal resultaten Mast 003 (van 2 sonderingen)

Uitgangspunten

Correlatiefactor ξ_{3gem} (n= 2) : 1.32
 Correlatiefactor ξ_{4min} (n= 2) : 1.32

gebaseerd op sonderingen:
 S003-1 S003-2

$$R_{c;k} = \min.\{ R_{c;cal;gem}/\xi_3; R_{c;cal;min}/\xi_4 \} \quad (7.8)$$

Inheinniveau
 [m]

$$13.84 \quad R_{c;k} = \min.\{ (3394.9/1.32); (3153.0/1.32) \} = 2388.6$$

Alle niveaus/hogtes/peilmaten zijn t.o.v.: N.A.P.

Inheinniveau [m]	$R_{c;k}$ [kN]	$R_{c;d}$ [kN]	$F_{c;tot;1}$ [kN]	$F_{nk;d}$ [kN]	$R_{c;netto;d}$ [kN]	U.C.	$s_{1;1}$ [mm]	$s_{1;2}$ [mm]
13.84	2388.6	1990.5	-13.0	-13.0	1977.5	0.01	-0.0	-0.0

REKENGEGEVENS Mast 004

Berekening : Controlerend
 Rekenmethode : Drukpalen volgens NEN-EN 1997-1, art. 7.6.2
 Sondering(en) : S004-1, S004-2, S004-3, S004-4

Stijf bouwwerk : JA
 Paalgroep : NEE
 Aantal sonderingen : 4
 Factor $\xi_{3(n=1)}$: 1.26
 Factor $\xi_{3(gem)}$: 1.17
 Factor $\xi_{4(min)}$: 0.93
 Weerstandsfactor γ_R : 1.20
 $\gamma_{f;nk}$: 1.0
 $R_{s;cal;max;i}$ begrenzen op $0.75 * R_{b;cal;max;i}$: JA
 UGT draagvermogen zonder negatieve kleeft : NEE

Paal : Ortbeton
 Niveau paalkop [m] : N.A.P. 21.95
 Paalpuntniveau : N.A.P. 12.95
 $E_{d;1}$ [kN] : 0.00
 $s_{req;1}$ [m] : 0.15
 Bovenbel. [kN/m²] : 0.00

$E_{d;2}$ [kN] : 0.00
 $s_{req;2}$ [m] : 0.05

Project :
Onderdeel :

SAMENVATTINGSTABEL Mast 004 (n=1)**Uitgangspunten**

- paal : Ortbeton
 - paaltype : Geheide in de grond gevormde betonpaal;terugheidend
 - schachtafmeting : 420 mm
 Paalklassefactor α_p : 0.70
 Factor α_s (tabel 7.c EC 7.1) : 0.014 (zandlagen; voor kleilagen zie tabel 7.d)
 Correlatiefactor $\xi_{3(n=1)}$: 1.26

Alle niveaus/hogtes/peilmaten zijn t.o.v.: N.A.P.

sondering	maaiveld paalpunt		Bezwijkdraagvermogen			Rekenwaarden		
	niveau	niveau	$R_{b,cal}$ [kN]	$R_{s,cal}$ [kN]	$R_{c,cal}$ [kN]	$R_{c,d}$ [kN]	$F_{nk,d}$ [kN]	$R_{c,netto,d}$ [kN]
S004-1	21.66	12.95	2078.2	1558.6	3636.8	2405.3	-13.4	2391.9
S004-2	21.83	12.95	2078.2	1549.8	3628.0	2399.4	-24.1	2375.4
S004-3	21.73	12.95	2078.2	1462.9	3541.0	2341.9	-20.9	2321.1
S004-4	21.81	12.95	2078.2	1558.6	3636.8	2405.3	-10.1	2395.2

Totaal resultaten Mast 004 (van 4 sonderingen)

Uitgangspunten

Correlatiefactor ξ_{3gem} (n= 4) : 1.17
 Correlatiefactor ξ_{4min} (n= 4) : 0.93

gebaseerd op sonderingen:

S004-1 S004-2 S004-3 S004-4

$$R_{c,k} = \min.\{ R_{c,cal,gem}/\xi_3; R_{c,cal,min}/\xi_4 \} \quad (7.8)$$

Inheinniveau
[m]

$$12.95 \quad R_{c,k} = \min.\{ (3610.6/1.17); (3541.0/0.93) \} = 3086.0$$

Alle niveaus/hogtes/peilmaten zijn t.o.v.: N.A.P.

Inheinniveau [m]	$R_{c,k}$ [kN]	$R_{c,d}$ [kN]	$F_{c,tot;1}$ [kN]	$F_{nk,d}$ [kN]	$R_{c,netto,d}$ [kN]	U.C.	$s_{1;1}$ [mm]	$s_{1;2}$ [mm]
12.95	3086.0	2571.7	-24.1	-24.1	2547.6	0.01	-0.1	-0.1

REKENEGEVEENS Mast 007

Berekening : Controlerend
 Rekenmethode : Drukpalen volgens NEN-EN 1997-1, art. 7.6.2
 Sondering(en) : Slag 007

Stijf bouwwerk : JA
 Paalgroep : NEE
 Aantal sonderingen : 1
 Factor $\xi_{3(n=1)}$: 1.26
 Factor $\xi_{3(gem)}$: 1.26
 Factor $\xi_{4(min)}$: 1.26
 Weerstandsfactor γ_R : 1.20
 $\gamma_{f,nk}$: 1.0
 $R_{s,cal,max;i}$ begrenzen op $0.75 * R_{b,cal,max;i}$: JA
 UGT draagvermogen zonder negatieve kleeft : NEE

Paal : Ortbeton
 Niveau paalkop [m] : N.A.P. 21.98
 Paalpuntniveau : N.A.P. 14.48
 $E_{d;1}$ [kN] : 0.00
 $s_{req;1}$ [m] : 0.15
 Bovenbel. [kN/m²] : 0.00

$E_{d;2}$ [kN] : 0.00
 $s_{req;2}$ [m] : 0.05

Project :
Onderdeel :

SAMENVATTINGSTABEL Mast 007 (n=1)**Uitgangspunten**

- paal : Ortbeton
 - paaltype : Geheide in de grond gevormde betonpaal;terugheidend
 - schachtafmeting : 420 mm
 Paalklassefactor α_p : 0.70
 Factor α_s (tabel 7.c EC 7.1) : 0.014 (zandlagen; voor kleilagen zie tabel 7.d)
 Correlatiefactor $\xi_{3(n=1)}$: 1.26

Alle niveaus/hogtes/peilmaten zijn t.o.v.: N.A.P.

sondering	maaiveld paalpunt		Bezwijkdraagvermogen			Rekenwaarden		
	niveau	niveau	$R_{b;cal}$ [kN]	$R_{s;cal}$ [kN]	$R_{c;cal}$ [kN]	$R_{c;d}$ [kN]	$F_{nk;d}$ [kN]	$R_{c;netto;d}$ [kN]
Slag 007	22.06	14.48	864.1	648.1	1512.2	1000.1	-30.2	969.9

Totaal resultaten Mast 007 (van 1 sonderingen)

Uitgangspunten

Correlatiefactor ξ_{3gem} (n= 1) : 1.26
 Correlatiefactor ξ_{4min} (n= 1) : 1.26

gebaseerd op sonderingen:
Slag 007

$$R_{c;k} = \min.\{ R_{c;cal;gem}/\xi_3; R_{c;cal;min}/\xi_4 \} \quad (7.8)$$

Inheinniveau
[m]

$$14.48 \quad R_{c;k} = \min.\{ (1512.2/1.26); (1512.2/1.26)\} = 1200.1$$

Alle niveaus/hogtes/peilmaten zijn t.o.v.: N.A.P.

Inheinniveau [m]	$R_{c;k}$ [kN]	$R_{c;d}$ [kN]	$F_{c;tot;1}$ [kN]	$F_{nk;d}$ [kN]	$R_{c;netto;d}$ [kN]	U.C.	$s_{1;1}$ [mm]	$s_{1;2}$ [mm]
14.48	1200.1	1000.1	-30.2	-30.2	969.9	0.03	-0.1	-0.1

REKENGEGEVENS Mast 008

Berekening : Controlerend
 Rekenmethode : Drukpalen volgens NEN-EN 1997-1, art. 7.6.2
 Sondering(en) : S008-1, S008-2, S008-3

Stijf bouwwerk : JA
 Paalgroep : NEE
 Aantal sonderingen : 3
 Factor $\xi_{3(n=1)}$: 1.26
 Factor $\xi_{3(gem)}$: 1.18
 Factor $\xi_{4(min)}$: 0.94
 Weerstandsfactor γ_R : 1.20
 $\gamma_{f;nk}$: 1.0
 $R_{s;cal;max;i}$ begrenzen op $0.75 * R_{b;cal;max;i}$: JA
 UGT draagvermogen zonder negatieve kleef : NEE

Paal : Ortbeton
 Niveau paalkop [m] : N.A.P. 22.69
 Paalpuntniveau : N.A.P. 14.99
 $E_{d;1}$ [kN] : 0.00 $E_{d;2}$ [kN] : 0.00
 $s_{req;1}$ [m] : 0.15 $s_{req;2}$ [m] : 0.05
 Bovenbel. [kN/m²] : 0.00

Project :
Onderdeel :

SAMENVATTINGSTABEL Mast 008 (n=1)**Uitgangspunten**

- paal : Ortbeton
 - paaltype : Geheide in de grond gevormde betonpaal;terugheidend
 - schachtafmeting : 420 mm
 Paalklassefactor α_p : 0.70
 Factor α_s (tabel 7.c EC 7.1) : 0.014 (zandlagen; voor kleilagen zie tabel 7.d)
 Correlatiefactor $\xi_{3(n=1)}$: 1.26

Alle niveaus/hoogtes/peilmaten zijn t.o.v.: N.A.P.

sondering	maaiveld paalpunt		Bezwijkdraagvermogen			Rekenwaarden		
	niveau	niveau	$R_{b;cal}$ [kN]	$R_{s;cal}$ [kN]	$R_{c;cal}$ [kN]	$R_{c;d}$ [kN]	$F_{nk;d}$ [kN]	$R_{c;netto;d}$ [kN]
S008-1	21.89	14.99	2078.2	1289.7	3367.9	2227.4	-9.2	2218.3
S008-2	21.77	14.99	2078.2	1432.0	3510.2	2321.5	-12.6	2308.9
S008-3	21.80	14.99	2002.1	1412.5	3414.6	2258.4	-13.1	2245.3

Totaal resultaten Mast 008 (van 3 sonderingen)

Uitgangspunten

Correlatiefactor ξ_{3gem} (n= 3) : 1.18
 Correlatiefactor ξ_{4min} (n= 3) : 0.94

gebaseerd op sonderingen:

S008-1 S008-2 S008-3

$$R_{c;k} = \min.\{ R_{c;cal;gem}/\xi_3; R_{c;cal;min}/\xi_4 \} \quad (7.8)$$

Inheinniveau
[m]

$$14.99 \quad R_{c;k} = \min.\{ (3430.9/1.18); (3367.9/0.94) \} = 2907.5$$

Alle niveaus/hoogtes/peilmaten zijn t.o.v.: N.A.P.

Inheinniveau [m]	$R_{c;k}$ [kN]	$R_{c;d}$ [kN]	$F_{c;tot;1}$ [kN]	$F_{nk;d}$ [kN]	$R_{c;netto;d}$ [kN]	U.C.	$S_{1;1}$ [mm]	$S_{1;2}$ [mm]
14.99	2907.5	2422.9	-13.1	-13.1	2409.9	0.01	-0.0	-0.0

REKENEGEVEENS Mast 009

Berekening : Controlerend
 Rekenmethode : Drukpalen volgens NEN-EN 1997-1, art. 7.6.2
 Sondering(en) : Slag 009

Stijf bouwwerk : JA
 Paalgroep : NEE
 Aantal sonderingen : 1
 Factor $\xi_{3(n=1)}$: 1.26
 Factor $\xi_{3(gem)}$: 1.26
 Factor $\xi_{4(min)}$: 1.26
 Weerstandsfactor γ_R : 1.20
 $\gamma_{f,nk}$: 1.0
 $R_{s;cal;max;i}$ begrenzen op $0.75 * R_{b;cal;max;i}$: JA
 UGT draagvermogen zonder negatieve kleeft : NEE

Paal : Ortbeton
 Niveau paalkop [m] : N.A.P. 22.69
 Paalpuntniveau : N.A.P. 13.69
 $E_{d;1}$ [kN] : 0.00
 $S_{req;1}$ [m] : 0.15
 Bovenbel. [kN/m²] : 0.00

$E_{d;2}$ [kN] : 0.00
 $S_{req;2}$ [m] : 0.05

Project :
Onderdeel :

SAMENVATTINGSTABEL Mast 009 (n=1)**Uitgangspunten**

- paal : Ortbeton
 - paaltype : Geheide in de grond gevormde betonpaal;terugheidend
 - schachtafmeting : 420 mm
 Paalklassefactor α_p : 0.70
 Factor α_s (tabel 7.c EC 7.1) : 0.014 (zandlagen; voor kleilagen zie tabel 7.d)
 Correlatiefactor $\xi_{3(n=1)}$: 1.26

Alle niveaus/hogtes/peilmaten zijn t.o.v.: N.A.P.

sondering	maaiveld paalpunt		Bezwijkdraagvermogen			Rekenwaarden		
	niveau	niveau	$R_{b;cal}$ [kN]	$R_{s;cal}$ [kN]	$R_{c;cal}$ [kN]	$R_{c;d}$ [kN]	$F_{nk;d}$ [kN]	$R_{c;netto;d}$ [kN]
Slag 009	22.92	13.69	1130.0	847.5	1977.5	1307.9	-27.6	1280.2

Totaal resultaten Mast 009 (van 1 sonderingen)

Uitgangspunten

Correlatiefactor ξ_{3gem} (n= 1) : 1.26
 Correlatiefactor ξ_{4min} (n= 1) : 1.26

gebaseerd op sonderingen:
Slag 009

$$R_{c;k} = \min.\{ R_{c;cal;gem}/\xi_3; R_{c;cal;min}/\xi_4 \} \quad (7.8)$$

Inheinniveau
[m]

$$13.69 \quad R_{c;k} = \min.\{ (1977.5/1.26); (1977.5/1.26) \} = 1569.4$$

Alle niveaus/hogtes/peilmaten zijn t.o.v.: N.A.P.

Inheinniveau [m]	$R_{c;k}$ [kN]	$R_{c;d}$ [kN]	$F_{c;tot;1}$ [kN]	$F_{nk;d}$ [kN]	$R_{c;netto;d}$ [kN]	U.C.	$s_{1;1}$ [mm]	$s_{1;2}$ [mm]
13.69	1569.4	1307.9	-27.6	-27.6	1280.2	0.02	-0.1	-0.1

Project :
Onderdeel :

OVERZICHT NETTO DRAAGVERMOGEN DRUKPALEN

Netto paal draagvermogen(s) zijn naar beneden toe afgerond op: 1.0 kN nauwkeurig
Alle niveaus/hogtes/peilmaten zijn t.o.v.: N.A.P.

sondering	maaiveld paalpunt		$R_{c, netto, d}$ [kN]				
	niveau	niveau	Mast 001	Mast 003	Mast 004	Mast 007	Mast 008
S001-1	27.41	16.47	1668				
S001-2	27.37	16.47	1683				
S001-3	27.42	16.47	1678				
S001-4	27.32	16.47	1669				
S003-1	22.35	13.84		2167			
S003-2	22.35	13.84		1879			
S004-1	21.66	12.95			2391		
S004-2	21.83	12.95			2375		
S004-3	21.73	12.95			2321		
S004-4	21.81	12.95			2395		
S008-1	21.89	14.99					2218
S008-2	21.77	14.99					2308
S008-3	21.80	14.99					2245
Slag 007	22.06	14.48				969	

Project :
 Onderdeel :

Netto paal draagvermogen(s) zijn naar beneden toe afgerond op: 1.0 kN nauwkeurig
 Alle niveaus/hogtes/peilmaten zijn t.o.v.: N.A.P.

	maaiveld	paalpunt	$R_{c,netto;d}$	[kN]
sondering	niveau	niveau	Mast 009	

Slag 009	22.92	13.69	1280
----------	-------	-------	------

Project :
Onderdeel :

ALGEMENE GEGEVENS

Project :
Onderdeel :
Datum : 10-12-2021
Bestand : \\Arh7001.verit.dnv.com\projects\EANL_Projects\
10166262 - BBB modelleren funderingen 380
kV\02 Content\03 Calculations\Technosoft
Paalfunderingen\MBT-EHV380\DO\Nieuw
Sonderingen\Mast 010-019.pvw
Berekeningstype : Verticaal belaste paal
Alle niveaus/hogtes/peilmaten zijn t.o.v.: N.A.P.

Toegepaste normen volgens Eurocode met Nederlandse NB

Geotechniek	EN 1997-1:2004	AC:2009	
	NEN-EN 1997-1:2005	C1+A1:2013	NB:2016
	NEN 9997-1:2016	C2:2017	

REKENGEGEVENS Mast 011

Berekening : Controlerend
Rekenmethode : Drukpalen volgens NEN-EN 1997-1, art. 7.6.2
Sondering(en) : Slag 011

Stijf bouwwerk : NEE
Paalgroep : NEE
Aantal sonderingen : 1
Factor ξ_3 (n=1) : 1.39
Factor ξ_3 (gem) : 1.39
Factor ξ_4 (min) : 1.39
Weerstandsfactor γ_R : 1.20
 $\gamma_{f,nk}$: 1.0
 $R_{s,cal,max,i}$ begrenzen op $0.75 * R_{b,cal,max,i}$: NEE
UGT draagvermogen zonder negatieve kleeft : NEE

Paal : Ortbeton
Niveau paalkop [m] : N.A.P. 22.49
Paalpuntniveau : N.A.P. 14.99
 $E_{d,1}$ [kN] : 0.00 $E_{d,2}$ [kN] : 0.00
 $s_{req,1}$ [m] : 0.15 $s_{req,2}$ [m] : 0.05
Bovenbel. [kN/m²] : 0.00

Project :
Onderdeel :

SAMENVATTINGSTABEL Mast 011 (n=1)**Uitgangspunten**

- paal : Ortbeton
 - paaltype : Geheide in de grond gevormde betonpaal;terugheidend
 - schachtafmeting : 420 mm
 Paalklassefactor α_p : 1.00
 Factor α_s (tabel 7.c EC 7.1) : 0.014 (zandlagen; voor kleilagen zie tabel 7.d)
 Correlatiefactor $\xi_{3(n=1)}$: 1.39

Alle niveaus/hogtes/peilmaten zijn t.o.v.: N.A.P.

sondering	maaiveld paalpunt		Bezwijkdraagvermogen			Rekenwaarden		
	niveau	niveau	$R_{b;cal}$ [kN]	$R_{s;cal}$ [kN]	$R_{c;cal}$ [kN]	$R_{c;d}$ [kN]	$F_{nk;d}$ [kN]	$R_{c;netto;d}$ [kN]
Slag 011	22.88	14.99	1148.6	634.4	1783.0	1068.9	-50.4	1018.6

Totaal resultaten Mast 011 (van 1 sonderingen)

Uitgangspunten

Correlatiefactor ξ_{3gem} (n= 1) : 1.39
 Correlatiefactor ξ_{4min} (n= 1) : 1.39

gebaseerd op sonderingen:

Slag 011

$$R_{c;k} = \min.\{ R_{c;cal;gem}/\xi_3; R_{c;cal;min}/\xi_4 \} \quad (7.8)$$

Inheinniveau
[m]

$$14.99 \quad R_{c;k} = \min.\{ (1783.0/1.39); (1783.0/1.39)\} = 1282.7$$

Alle niveaus/hogtes/peilmaten zijn t.o.v.: N.A.P.

Inheinniveau [m]	$R_{c;k}$ [kN]	$R_{c;d}$ [kN]	$F_{c;tot;1}$ [kN]	$F_{nk;d}$ [kN]	$R_{c;netto;d}$ [kN]	U.C.	$s_{1;1}$ [mm]	$s_{1;2}$ [mm]
14.99	1282.7	1068.9	-50.4	-50.4	1018.6	0.05	-0.2	-0.2

REKENGEGEVENS Mast 012

Berekening : Controlerend
 Rekenmethode : Drukpalen volgens NEN-EN 1997-1, art. 7.6.2
 Sondering(en) : S012-1, S012-2

Stijf bouwwerk : NEE
 Paalgroep : NEE
 Aantal sonderingen : 2
 Factor $\xi_{3(n=1)}$: 1.39
 Factor $\xi_{3(gem)}$: 1.32
 Factor $\xi_{4(min)}$: 1.32
 Weerstandsfactor γ_R : 1.20
 $\gamma_{f;nk}$: 1.0
 $R_{s;cal;max;i}$ begrenzen op $0.75 * R_{b;cal;max;i}$: NEE
 UGT draagvermogen zonder negatieve kleef : NEE

Paal : Ortbeton
 Niveau paalkop [m] : N.A.P. 28.28
 Paalpuntniveau : N.A.P. 20.28
 $E_{d;1}$ [kN] : 0.00 $E_{d;2}$ [kN] : 0.00
 $s_{req;1}$ [m] : 0.15 $s_{req;2}$ [m] : 0.05
 Bovenbel. [kN/m²] : 0.00

Project :
Onderdeel :

SAMENVATTINGSTABEL Mast 012 (n=1)**Uitgangspunten**

- paal : Ortbeton
- paaltype : Geheide in de grond gevormde betonpaal;terugheidend
- schachtafmeting : 420 mm
Paalklassefactor α_p : 1.00
Factor α_s (tabel 7.c EC 7.1) : 0.014 (zandlagen; voor kleilagen zie tabel 7.d)
Correlatiefactor $\xi_{3(n=1)}$: 1.39

Alle niveaus/hogtes/peilmaten zijn t.o.v.: N.A.P.

sondering	maaiveld paalpunt		Bezwijkdraagvermogen			Rekenwaarden		
	niveau	niveau	$R_{b;cal}$ [kN]	$R_{s;cal}$ [kN]	$R_{c;cal}$ [kN]	$R_{c;d}$ [kN]	$F_{nk;d}$ [kN]	$R_{c;netto;d}$ [kN]
S012-1	28.61	20.28	167.4	1202.0	1369.4	821.0	-2.9	818.1
S012-2	28.52	20.28	896.9	1383.5	2280.4	1367.1	-0.2	1366.9

Totaal resultaten Mast 012 (van 2 sonderingen)

Uitgangspunten

Correlatiefactor ξ_{3gem} (n= 2) : 1.32
Correlatiefactor ξ_{4min} (n= 2) : 1.32

gebaseerd op sonderingen:
S012-1 S012-2

$$R_{c;k} = \min.\{ R_{c;cal;gem}/\xi_3; R_{c;cal;min}/\xi_4 \} \quad (7.8)$$

Inheinniveau
[m]

$$20.28 \quad R_{c;k} = \min.\{ (1824.9/1.32); (1369.4/1.32) \} = 1037.5$$

Alle niveaus/hogtes/peilmaten zijn t.o.v.: N.A.P.

Inheinniveau [m]	$R_{c;k}$ [kN]	$R_{c;d}$ [kN]	$F_{c;tot;1}$ [kN]	$F_{nk;d}$ [kN]	$R_{c;netto;d}$ [kN]	U.C.	$S_{1;1}$ [mm]	$S_{1;2}$ [mm]
20.28	1037.5	864.5	-2.9	-2.9	861.6	0.00	-0.0	-0.0 *

*** WAARSCHUWING n.a.v. NEN-NA 1997-1 art. A.3.3.3 1)**

Bij toepassing van de waarden van ξ_1 , ξ_2 , ξ_3 en ξ_4 van de tabellen A.9 en A.10 mag de variatiecoëfficiënt van de draagkracht van palen in een groep, bepaald volgens de verschillende voor deze groep geldende sonderingen, niet groter zijn dan 12%. Deze variatiecoëfficiënt van 12% geeft bij een kans van onderschrijding van 5% een minimumdraagkracht groter dan 80% van het gemiddelde.

Inheinniveau [m]	Aantal [-]	$R_{c;cal;gem}$ [kN]	Var.coëff. [%]
20.28	2	1824.90	35.3

REKENGEGEVENS Mast 017

Berekening : Controlerend
Rekenmethode : Drukpalen volgens NEN-EN 1997-1, art. 7.6.2
Sondering(en) : S017-1, S017-2, S017-3, S017-4

Stijf bouwwerk : NEE
Paalgroep : NEE
Aantal sonderingen : 4
Factor $\xi_{3(n=1)}$: 1.39
Factor $\xi_{3(gem)}$: 1.28
Factor $\xi_{4(min)}$: 1.03
Weerstandsfactor γ_R : 1.20
 $\gamma_{f,nk}$: 1.0

$R_{s;cal;max;i}$ begrenzen op $0.75 * R_{p;cal;max;i}$: NEE
UGT draagvermogen zonder negatieve kleef : NEE

Paal : Ortbeton
Niveau paalkop [m] : N.A.P. 25.17
Paalpuntniveau : N.A.P. 16.17
 $E_{d;1}$ [kN] : 0.00

$E_{d;2}$ [kN] : 0.00

Project :
Onderdeel :

SAMENVATTINGSTABEL Mast 017 (n=1)**Uitgangspunten**

- paal : Ortbeton
 - paaltype : Geheide in de grond gevormde betonpaal;terugheidend
 - schachtafmeting : 420 mm
 Paalklassefactor α_p : 1.00
 Factor α_s (tabel 7.c EC 7.1) : 0.014 (zandlagen; voor kleilagen zie tabel 7.d)
 Correlatiefactor $\xi_{3(n=1)}$: 1.39

Alle niveaus/hogtes/peilmaten zijn t.o.v.: N.A.P.

sondering	maaiveld paalpunt		Bezwijkdraagvermogen			Rekenwaarden		
	niveau	niveau	$R_{b;cal}$ [kN]	$R_{s;cal}$ [kN]	$R_{c;cal}$ [kN]	$R_{c;d}$ [kN]	$F_{nk;d}$ [kN]	$R_{c;netto;d}$ [kN]
S017-1	25.60	16.17	2078.2	1292.7	3370.9	2020.9	-16.7	2004.2
S017-2	25.65	16.17	2078.2	1670.1	3748.2	2247.1	-0.3	2246.8
S017-3	25.66	16.17	2078.2	1290.3	3368.5	2019.5	-12.2	2007.3
S017-4	25.55	16.17	2078.2	1403.5	3481.6	2087.3	-9.3	2078.1

Totaal resultaten Mast 017 (van 4 sonderingen)

Uitgangspunten

Correlatiefactor ξ_{3gem} (n= 4) : 1.28
 Correlatiefactor ξ_{4min} (n= 4) : 1.03

gebaseerd op sonderingen:

S017-1 S017-2 S017-3 S017-4

$$R_{c;k} = \min.\{ R_{c;cal;gem}/\xi_3; R_{c;cal;min}/\xi_4 \} \quad (7.8)$$

Inheinniveau
[m]

$$16.17 \quad R_{c;k} = \min.\{ (3492.3/1.28); (3368.5/1.03) \} = 2728.4$$

Alle niveaus/hogtes/peilmaten zijn t.o.v.: N.A.P.

Inheinniveau [m]	$R_{c;k}$ [kN]	$R_{c;d}$ [kN]	$F_{c;tot;1}$ [kN]	$F_{nk;d}$ [kN]	$R_{c;netto;d}$ [kN]	U.C.	$s_{1;1}$ [mm]	$s_{1;2}$ [mm]
16.17	2728.4	2273.6	-16.7	-16.7	2256.9	0.01	-0.1	-0.1

Project :
Onderdeel :

OVERZICHT NETTO DRAAGVERMOGEN DRUKPALEN

Netto paal draagvermogen(s) zijn naar beneden toe afgerond op: 1.0 kN nauwkeurig
Alle niveaus/hoogtes/peilmaten zijn t.o.v.: N.A.P.

sondering	maaiveld paalpunt		$R_{c,netto;d}$ [kN]		
	niveau	niveau	Mast 011	Mast 012	Mast 017
S012-1	28.61	20.28		818	
S012-2	28.52	20.28		1366	
S017-1	25.60	16.17			2004
S017-2	25.65	16.17			2246
S017-3	25.66	16.17			2007
S017-4	25.55	16.17			2078
Slag 011	22.88	14.99	1018		

Project :
Onderdeel :

ALGEMENE GEGEVENS

Project :
Onderdeel :
Datum : 10-12-2021
Bestand : \\Arh7001.verit.dnv.com\projects\EANL_Projects\
10166262 - BBB modelleren funderingen 380
kV\02 Content\03 Calculations\Technosoft
Paalfunderingen\MBT-EHV380\DO\Nieuw
Sonderingen\Mast 020-029.pvw
Berekeningstype : Verticaal belaste paal
Alle niveaus/hogtes/peilmaten zijn t.o.v.: N.A.P.

Toegepaste normen volgens Eurocode met Nederlandse NB

Geotechniek	EN 1997-1:2004	AC:2009	
	NEN-EN 1997-1:2005	C1+A1:2013	NB:2016
	NEN 9997-1:2016	C2:2017	

REKENGEGEVENS Mast 025

Berekening : Controlerend
Rekenmethode : Drukpalen volgens NEN-EN 1997-1, art. 7.6.2
Sondering(en) : S025-1, S025-2

Stijf bouwwerk : NEE
Paalgroep : NEE
Aantal sonderingen : 2
Factor ξ_3 (n=1) : 1.39
Factor ξ_3 (gem) : 1.32
Factor ξ_4 (min) : 1.32
Weerstandsfactor γ_R : 1.20
 $\gamma_{f,nk}$: 1.0
 $R_{s,cal,max,i}$ begrenzen op $0.75 * R_{b,cal,max,i}$: NEE
UGT draagvermogen zonder negatieve kleef : NEE

Paal	:	LD1			
Niveau paalkop	[m]	N.A.P.	28.20		
Paalpuntniveau	:	N.A.P.	20.70		
$E_{d,1}$	[kN]	:	0.00	$E_{d,2}$	[kN] : 0.00
$s_{req,1}$	[m]	:	0.15	$s_{req,2}$	[m] : 0.05
Bovenbel.	[kN/m ²]	:	0.00		

Project :
Onderdeel :

SAMENVATTINGSTABEL Mast 025 (n=1)**Uitgangspunten**

- paal : LD1
 - paaltype : Stalen buispaal (gesloten)
 - schachtafmeting : 550 mm
 Paalklassefactor α_p : 1.00
 Factor α_s (tabel 7.c EC 7.1) : 0.010 (zandlagen; voor kleilagen zie tabel 7.d)
 Correlatiefactor $\xi_{3(n=1)}$: 1.39

Alle niveaus/hogtes/peilmaten zijn t.o.v.: N.A.P.

sondering	maaiveld paalpunt		Bezwijkdraagvermogen			Rekenwaarden		
	niveau	niveau	$R_{b;cal}$ [kN]	$R_{s;cal}$ [kN]	$R_{c;cal}$ [kN]	$R_{c;d}$ [kN]	$F_{nk;d}$ [kN]	$R_{c;netto;d}$ [kN]
S025-1	28.65	20.70	511.9	833.4	1345.2	806.5	-4.1	802.4
S025-2	28.65	20.70	575.9	949.4	1525.3	914.5	-5.9	908.5

Totaal resultaten Mast 025 (van 2 sonderingen)

Uitgangspunten

Correlatiefactor ξ_{3gem} (n= 2) : 1.32
 Correlatiefactor ξ_{4min} (n= 2) : 1.32

gebaseerd op sonderingen:
 S025-1 S025-2

$$R_{c;k} = \min.\{ R_{c;cal;gem}/\xi_3; R_{c;cal;min}/\xi_4 \} \quad (7.8)$$

Inheinniveau
 [m]

$$20.70 \quad R_{c;k} = \min.\{ (1435.3/1.32); (1345.2/1.32) \} = 1019.1$$

Alle niveaus/hogtes/peilmaten zijn t.o.v.: N.A.P.

Inheinniveau [m]	$R_{c;k}$ [kN]	$R_{c;d}$ [kN]	$F_{c;tot;1}$ [kN]	$F_{nk;d}$ [kN]	$R_{c;netto;d}$ [kN]	U.C.	$s_{1;1}$ [mm]	$s_{1;2}$ [mm]
20.70	1019.1	849.2	-5.9	-5.9	843.3	0.01	-0.0	-0.0

REKENGEGEVENS Mast 026

Berekening : Controlerend
 Rekenmethode : Drukpalen volgens NEN-EN 1997-1, art. 7.6.2
 Sondering(en) : S026-1, S026-2

Stijf bouwwerk : NEE
 Paalgroep : NEE
 Aantal sonderingen : 2
 Factor $\xi_{3(n=1)}$: 1.39
 Factor $\xi_{3(gem)}$: 1.32
 Factor $\xi_{4(min)}$: 1.32
 Weerstandsfactor γ_R : 1.20
 $\gamma_{f;nk}$: 1.0
 $R_{s;cal;max;i}$ begrenzen op $0.75 * R_{b;cal;max;i}$: NEE
 UGT draagvermogen zonder negatieve kleeft : NEE

Paal : LD1
 Niveau paalkop [m] : N.A.P. 28.05
 Paalpuntniveau : N.A.P. 20.55
 $E_{d;1}$ [kN] : 0.00
 $s_{req;1}$ [m] : 0.15
 Bovenbel. [kN/m²] : 0.00

$E_{d;2}$ [kN] : 0.00
 $s_{req;2}$ [m] : 0.05

Project :
Onderdeel :

SAMENVATTINGSTABEL Mast 026 (n=1)**Uitgangspunten**

- paal : LD1
 - paaltype : Stalen buispaal (gesloten)
 - schachtafmeting : 550 mm
 Paalklassefactor α_p : 1.00
 Factor α_s (tabel 7.c EC 7.1) : 0.010 (zandlagen; voor kleilagen zie tabel 7.d)
 Correlatiefactor $\xi_{3(n=1)}$: 1.39

Alle niveaus/hogtes/peilmaten zijn t.o.v.: N.A.P.

sondering	maaiveld paalpunt		Bezwijkdraagvermogen			Rekenwaarden		
	niveau	niveau	$R_{b;cal}$ [kN]	$R_{s;cal}$ [kN]	$R_{c;cal}$ [kN]	$R_{c;d}$ [kN]	$F_{nk;d}$ [kN]	$R_{c;netto;d}$ [kN]
S026-1	28.45	20.55	376.1	934.2	1310.3	785.5	0.0	785.5
S026-2	28.41	20.55	479.3	922.1	1401.5	840.2	-0.6	839.6

Totaal resultaten Mast 026 (van 2 sonderingen)

Uitgangspunten

Correlatiefactor ξ_{3gem} (n= 2) : 1.32
 Correlatiefactor ξ_{4min} (n= 2) : 1.32

gebaseerd op sonderingen:
 S026-1 S026-2

$$R_{c;k} = \min.\{ R_{c;cal;gem}/\xi_3; R_{c;cal;min}/\xi_4 \} \quad (7.8)$$

Inheinniveau
 [m]

$$20.55 \quad R_{c;k} = \min.\{ (1355.9/1.32); (1310.3/1.32) \} = 992.6$$

Alle niveaus/hogtes/peilmaten zijn t.o.v.: N.A.P.

Inheinniveau [m]	$R_{c;k}$ [kN]	$R_{c;d}$ [kN]	$F_{c;tot;1}$ [kN]	$F_{nk;d}$ [kN]	$R_{c;netto;d}$ [kN]	U.C.	$s_{1;1}$ [mm]	$s_{1;2}$ [mm]
20.55	992.6	827.2	-0.6	-0.6	826.6	0.00	-0.0	-0.0

REKENEGEVEENS Mast 027

Berekening : Controlerend
 Rekenmethode : Drukpalen volgens NEN-EN 1997-1, art. 7.6.2
 Sondering(en) : S027-1, S027-2, S027-3, S027-4

Stijf bouwwerk : NEE
 Paalgroep : NEE
 Aantal sonderingen : 4
 Factor $\xi_{3(n=1)}$: 1.39
 Factor $\xi_{3(gem)}$: 1.28
 Factor $\xi_{4(min)}$: 1.03
 Weerstandsfactor γ_R : 1.20
 $\gamma_{f;nk}$: 1.0
 $R_{s;cal;max;i}$ begrenzen op $0.75 * R_{b;cal;max;i}$: NEE
 UGT draagvermogen zonder negatieve kleef : NEE

Paal : LD1

Niveau paalkop [m] : N.A.P. 26.97

Paalpuntniveau : N.A.P. 19.47

$E_{d;1}$ [kN] : 0.00

$E_{d;2}$ [kN] : 0.00

$s_{req;1}$ [m] : 0.15

$s_{req;2}$ [m] : 0.05

Bovenbel. [kN/m²] : 0.00

Project :
Onderdeel :

SAMENVATTINGSTABEL Mast 027 (n=1)**Uitgangspunten**

- paal : LD1
 - paaltype : Stalen buispaal (gesloten)
 - schachtafmeting : 550 mm
 Paalklassefactor α_p : 1.00
 Factor α_s (tabel 7.c EC 7.1) : 0.010 (zandlagen; voor kleilagen zie tabel 7.d)
 Correlatiefactor $\xi_{3(n=1)}$: 1.39

Alle niveaus/hogtes/peilmaten zijn t.o.v.: N.A.P.

sondering	maaiveld paalpunt		Bezwijkdraagvermogen			Rekenwaarden		
	niveau	niveau	$R_{b;cal}$ [kN]	$R_{s;cal}$ [kN]	$R_{c;cal}$ [kN]	$R_{c;d}$ [kN]	$F_{nk;d}$ [kN]	$R_{c;netto;d}$ [kN]
S027-1	27.54	19.47	376.8	1074.4	1451.2	870.0	-4.0	866.0
S027-2	27.48	19.47	226.1	831.0	1057.0	633.7	0.0	633.7
S027-3	27.42	19.47	411.4	1196.3	1607.7	963.8	-0.8	963.1
S027-4	27.55	19.47	310.2	1044.8	1355.0	812.4	-3.5	808.8

Totaal resultaten Mast 027 (van 4 sonderingen)

Uitgangspunten

Correlatiefactor ξ_{3gem} (n= 4) : 1.28
 Correlatiefactor ξ_{4min} (n= 4) : 1.03

gebaseerd op sonderingen:

S027-1 S027-2 S027-3 S027-4

$$R_{c;k} = \min.\{ R_{c;cal;gem}/\xi_3; R_{c;cal;min}/\xi_4 \} \quad (7.8)$$

Inheinniveau
[m]

$$19.47 \quad R_{c;k} = \min.\{ (1367.7/1.28); (1057.0/1.03) \} = 1026.3$$

Alle niveaus/hogtes/peilmaten zijn t.o.v.: N.A.P.

Inheinniveau [m]	$R_{c;k}$ [kN]	$R_{c;d}$ [kN]	$F_{c;tot;1}$ [kN]	$F_{nk;d}$ [kN]	$R_{c;netto;d}$ [kN]	U.C.	$s_{1;1}$ [mm]	$s_{1;2}$ [mm]
19.47	1026.3	855.2	-4.0	-4.0	851.3	0.00	-0.0	-0.0 *

*** WAARSCHUWING n.a.v. NEN-NA 1997-1 art. A.3.3.3 1)**

Bij toepassing van de waarden van ξ_1 , ξ_2 , ξ_3 en ξ_4 van de tabellen A.9 en A.10 mag de variatiecoëfficiënt van de draagkracht van palen in een groep, bepaald volgens de verschillende voor deze groep geldende sonderingen, niet groter zijn dan 12%. Deze variatiecoëfficiënt van 12% geeft bij een kans van onderschrijding van 5% een minimumdraagkracht groter dan 80% van het gemiddelde.

Inheinniveau [m]	Aantal [-]	$R_{c;cal;gem}$ [kN]	Var.coëff. [%]
19.47	4	1367.73	16.9

Project :
Onderdeel :

REKENGEDEVENS Mast 028

Berekening : Controlerend
Rekenmethode : Drukpalen volgens NEN-EN 1997-1, art. 7.6.2
Sondering(en) : S028-1, S028-2, S028-3, S028-4

Stijf bouwwerk : NEE
Paalgroep : NEE
Aantal sonderingen : 4
Factor ξ_3 (n=1) : 1.39
Factor ξ_3 (gem) : 1.28
Factor ξ_4 (min) : 1.03
Weerstandsfactor γ_R : 1.20
 $\gamma_{f,nk}$: 1.0
 $R_{s,cal,max;i}$ begrenzen op $0.75 * R_{b,cal,max;i}$: NEE
UGT draagvermogen zonder negatieve kleeft : NEE

Paal : LD1
Niveau paalkop [m] : N.A.P. 27.39
Paalpuntniveau : N.A.P. 19.39
 $E_{d,1}$ [kN] : 0.00 $E_{d,2}$ [kN] : 0.00
 $s_{req,1}$ [m] : 0.15 $s_{req,2}$ [m] : 0.05
Bovenbel. [kN/m²] : 0.00

Project :
Onderdeel :

SAMENVATTINGSTABEL Mast 028 (n=1)**Uitgangspunten**

- paal : LD1
 - paaltype : Stalen buispaal (gesloten)
 - schachtafmeting : 550 mm
 Paalklassefactor α_p : 1.00
 Factor α_s (tabel 7.c EC 7.1) : 0.010 (zandlagen; voor kleilagen zie tabel 7.d)
 Correlatiefactor $\xi_{3(n=1)}$: 1.39

Alle niveaus/hogtes/peilmaten zijn t.o.v.: N.A.P.

sondering	maaiveld paalpunt		Bezwijkdraagvermogen			Rekenwaarden		
	niveau	niveau	$R_{b,cal}$ [kN]	$R_{s,cal}$ [kN]	$R_{c,cal}$ [kN]	$R_{c,d}$ [kN]	$F_{nk,d}$ [kN]	$R_{c,netto,d}$ [kN]
S028-1	27.85	19.39	693.6	830.6	1524.2	913.8	-49.7	864.1
S028-2	27.80	19.39	1075.3	818.6	1893.9	1135.4	-52.0	1083.5
S028-3	27.90	19.39	858.2	759.5	1617.7	969.8	-47.3	922.5
S028-4	27.88	19.39	1052.0	908.2	1960.2	1175.2	-49.7	1125.5

Totaal resultaten Mast 028 (van 4 sonderingen)

Uitgangspunten

Correlatiefactor ξ_{3gem} (n= 4) : 1.28
 Correlatiefactor ξ_{4min} (n= 4) : 1.03

gebaseerd op sonderingen:

S028-1 S028-2 S028-3 S028-4

$$R_{c,k} = \min.\{ R_{c,cal,gem}/\xi_3; R_{c,cal,min}/\xi_4 \} \quad (7.8)$$

Inheinniveau
[m]

$$19.39 \quad R_{c,k} = \min.\{ (1749.0/1.28); (1524.2/1.03) \} = 1366.4$$

Alle niveaus/hogtes/peilmaten zijn t.o.v.: N.A.P.

Inheinniveau [m]	$R_{c,k}$ [kN]	$R_{c,d}$ [kN]	$F_{c,tot;1}$ [kN]	$F_{nk,d}$ [kN]	$R_{c,netto,d}$ [kN]	U.C.	$s_{1;1}$ [mm]	$s_{1;2}$ [mm]
19.39	1366.4	1138.7	-52.0	-52.0	1086.7	0.05	-0.1	-0.1 *

*** WAARSCHUWING n.a.v. NEN-NA 1997-1 art. A.3.3.3 1)**

Bij toepassing van de waarden van ξ_1 , ξ_2 , ξ_3 en ξ_4 van de tabellen A.9 en A.10 mag de variatiecoëfficiënt van de draagkracht van palen in een groep, bepaald volgens de verschillende voor deze groep geldende sonderingen, niet groter zijn dan 12%. Deze variatiecoëfficiënt van 12% geeft bij een kans van onderschrijding van 5% een minimumdraagkracht groter dan 80% van het gemiddelde.

Inheinniveau [m]	Aantal [-]	$R_{c,cal,gem}$ [kN]	Var.coëff. [%]
19.39	4	1749.00	12.1

Project :
Onderdeel :

OVERZICHT NETTO DRAAGVERMOGEN DRUKPALEN

Netto paal draagvermogen(s) zijn naar beneden toe afgerond op: 1.0 kN nauwkeurig
Alle niveaus/hogtes/peilmaten zijn t.o.v.: N.A.P.

sondering	maaiveld paalpunt		$R_{c, netto; d}$ [kN]			
	niveau	niveau	Mast 025	Mast 026	Mast 027	Mast 028
S028-1	27.85	19.39				864
S028-2	27.80	19.39				1083
S028-3	27.90	19.39				922
S028-4	27.88	19.39				1125
S027-1	27.54	19.47			866	
S027-2	27.48	19.47			633	
S027-3	27.42	19.47			963	
S027-4	27.55	19.47			808	
S025-1	28.65	20.70	802			
S025-2	28.65	20.70	908			
S026-1	28.45	20.55		785		
S026-2	28.41	20.55		839		

Project :
Onderdeel :

ALGEMENE GEGEVENS

Project :
Onderdeel :
Datum : 10-12-2021
Bestand : \\Arh7001.verit.dnv.com\projects\EANL_Projects\
10166262 - BBB modelleren funderingen 380
kV\02 Content\03 Calculations\Technosoft
Paalfunderingen\MBT-EHV380\DO\Nieuw
Sonderingen\Mast 030-039.pvw
Berekeningstype : Verticaal belaste paal
Alle niveaus/hogtes/peilmaten zijn t.o.v.: N.A.P.

Toegepaste normen volgens Eurocode met Nederlandse NB

Geotechniek	EN 1997-1:2004	AC:2009	
	NEN-EN 1997-1:2005	C1+A1:2013	NB:2016
	NEN 9997-1:2016	C2:2017	

REKENGEGEVENS Mast 034

Berekening : Controlerend
Rekenmethode : Drukpalen volgens NEN-EN 1997-1, art. 7.6.2
Sondering(en) : S034-1, S034-2, S034-3, S034-4

Stijf bouwwerk : JA
Paalgroep : NEE
Aantal sonderingen : 4
Factor ξ_3 (n=1) : 1.26
Factor ξ_3 (gem) : 1.17
Factor ξ_4 (min) : 0.93
Weerstandsfactor γ_R : 1.20
 $\gamma_{f,nk}$: 1.0
 $R_{s,cal,max,i}$ begrenzen op $0.75 * R_{b,cal,max,i}$: NEE
UGT draagvermogen zonder negatieve kleef : NEE

Paal : LD1
Niveau paalkop [m] : N.A.P. 29.05
Paalpuntniveau : N.A.P. 20.85
 $E_{d,1}$ [kN] : 0.00 $E_{d,2}$ [kN] : 0.00
 $s_{req,1}$ [m] : 0.15 $s_{req,2}$ [m] : 0.05
Bovenbel. [kN/m²] : 0.00

Project :
Onderdeel :

SAMENVATTINGSTABEL Mast 034 (n=1)**Uitgangspunten**

- paal : LD1
 - paaltype : Stalen buispaal (gesloten)
 - schachtafmeting : 550 mm
 Paalklassefactor α_p : 1.00
 Factor α_s (tabel 7.c EC 7.1) : 0.010 (zandlagen; voor kleilagen zie tabel 7.d)
 Correlatiefactor $\xi_{3(n=1)}$: 1.26

Alle niveaus/hogtes/peilmaten zijn t.o.v.: N.A.P.

sondering	maaiveld paalpunt		Bezwijkdraagvermogen			Rekenwaarden		
	niveau	niveau	$R_{b,cal}$ [kN]	$R_{s,cal}$ [kN]	$R_{c,cal}$ [kN]	$R_{c,d}$ [kN]	$F_{nk,d}$ [kN]	$R_{c,netto;d}$ [kN]
S034-1	28.98	20.85	2462.0	593.9	3056.0	2021.1	-82.8	1938.4
S034-2	28.79	20.85	2220.8	449.4	2670.2	1766.0	-74.7	1691.4
S034-3	28.89	20.85	3300.0	544.2	3844.1	2542.4	-77.8	2464.6
S034-4	28.89	20.85	1949.8	612.8	2562.6	1694.8	-54.2	1640.6

Totaal resultaten Mast 034 (van 4 sonderingen)

Uitgangspunten

Correlatiefactor ξ_{3gem} (n= 4) : 1.17
 Correlatiefactor ξ_{4min} (n= 4) : 0.93

gebaseerd op sonderingen:

S034-1 S034-2 S034-3 S034-4

$$R_{c,k} = \min.\{ R_{c,cal,gem}/\xi_3; R_{c,cal,min}/\xi_4 \} \quad (7.8)$$

Inheinniveau
[m]

$$20.85 \quad R_{c,k} = \min.\{ (3033.2/1.17); (2562.6/0.93) \} = 2592.5$$

Alle niveaus/hogtes/peilmaten zijn t.o.v.: N.A.P.

Inheinniveau [m]	$R_{c,k}$ [kN]	$R_{c,d}$ [kN]	$F_{c,tot;1}$ [kN]	$F_{nk;d}$ [kN]	$R_{c,netto;d}$ [kN]	U.C.	$s_{1;1}$ [mm]	$s_{1;2}$ [mm]
20.85	2592.5	2160.4	-82.8	-82.8	2077.7	0.04	-0.2	-0.2 *

*** WAARSCHUWING n.a.v. NEN-NA 1997-1 art. A.3.3.3 1)**

Bij toepassing van de waarden van ξ_1 , ξ_2 , ξ_3 en ξ_4 van de tabellen A.9 en A.10 mag de variatiecoëfficiënt van de draagkracht van palen in een groep, bepaald volgens de verschillende voor deze groep geldende sonderingen, niet groter zijn dan 12%. Deze variatiecoëfficiënt van 12% geeft bij een kans van onderschrijding van 5% een minimumdraagkracht groter dan 80% van het gemiddelde.

Inheinniveau [m]	Aantal [-]	$R_{c,cal,gem}$ [kN]	Var.coëff. [%]
20.85	4	3033.22	19.1

Project :
Onderdeel :

OVERZICHT NETTO DRAAGVERMOGEN DRUKPALEN

Netto paal draagvermogen(s) zijn naar beneden toe afgerond op: 1.0 kN nauwkeurig
Alle niveaus/hoogtes/peilmaten zijn t.o.v.: N.A.P.

sondering	maaiveld niveau	paalpunt niveau	$R_{c, netto; d}$ Mast 034	[kN]
S034-1	28.98	20.85	1938	
S034-2	28.79	20.85	1691	
S034-3	28.89	20.85	2464	
S034-4	28.89	20.85	1640	

Project :
Onderdeel :

ALGEMENE GEGEVENS

Project :
Onderdeel :
Datum : 04-03-2022
Bestand : \\Arh7001.verit.dnv.com\projects\EANL_Projects\
10166262 - BBB modelleren funderingen 380
kV\02 Content\03 Calculations\Technosoft
Paalfunderingen\MBT-EHV380\DO\Nieuw
Sonderingen\Mast 050-059.pvw
Berekeningstype : Verticaal belaste paal
Alle niveaus/hogtes/peilmaten zijn t.o.v.: N.A.P.

Toegepaste normen volgens Eurocode met Nederlandse NB

Geotechniek	EN 1997-1:2004	AC:2009	
	NEN-EN 1997-1:2005	C1+A1:2013	NB:2016
	NEN 9997-1:2016	C2:2017	

REKENGEGEVENS Mast 050

Berekening : Controlerend
Rekenmethode : Drukpalen volgens NEN-EN 1997-1, art. 7.6.2
Sondering(en) : S050-1, S050-2, S050-3, S050-4

Stijf bouwwerk : NEE
Paalgroep : NEE
Aantal sonderingen : 4
Factor ξ_3 (n=1) : 1.39
Factor ξ_3 (gem) : 1.28
Factor ξ_4 (min) : 1.03
Weerstandsfactor γ_R : 1.20
 $\gamma_{f,nk}$: 1.0
 $R_{s,cal,max,i}$ begrenzen op $0.75 * R_{b,cal,max,i}$: NEE
UGT draagvermogen zonder negatieve kleef : NEE

Paal : LD1
Niveau paalkop [m] : N.A.P. 30.52
Paalpuntniveau : N.A.P. 21.02
 $E_{d,1}$ [kN] : 0.00 $E_{d,2}$ [kN] : 0.00
 $s_{req,1}$ [m] : 0.15 $s_{req,2}$ [m] : 0.05
Bovenbel. [kN/m²] : 0.00

Project :
Onderdeel :

SAMENVATTINGSTABEL Mast 050 (n=1)**Uitgangspunten**

- paal : LD1
 - paaltype : Stalen buispaal (gesloten)
 - schachtafmeting : 550 mm
 Paalklassefactor α_p : 1.00
 Factor α_s (tabel 7.c EC 7.1) : 0.010 (zandlagen; voor kleilagen zie tabel 7.d)
 Correlatiefactor $\xi_{3(n=1)}$: 1.39

Alle niveaus/hogtes/peilmaten zijn t.o.v.: N.A.P.

sondering	maaiveld paalpunt		Bezwijkdraagvermogen			Rekenwaarden		
	niveau	niveau	$R_{b,cal}$ [kN]	$R_{s,cal}$ [kN]	$R_{c,cal}$ [kN]	$R_{c,d}$ [kN]	$F_{nk,d}$ [kN]	$R_{c,netto,d}$ [kN]
S050-1	30.79	21.02	1700.6	1375.7	3076.3	1844.3	-19.6	1824.8
S050-2	31.09	21.02	2061.5	1530.9	3592.4	2153.7	-6.5	2147.3
S050-3	30.82	21.02	1866.3	1475.9	3342.2	2003.7	-18.2	1985.6
S050-4	30.82	21.02	673.4	1475.4	2148.8	1288.3	-6.5	1281.8

Totaal resultaten Mast 050 (van 4 sonderingen)

Uitgangspunten

Correlatiefactor ξ_{3gem} (n= 4) : 1.28
 Correlatiefactor ξ_{4min} (n= 4) : 1.03

gebaseerd op sonderingen:

S050-1 S050-2 S050-3 S050-4

$$R_{c,k} = \min.\{ R_{c,cal,gem}/\xi_3; R_{c,cal,min}/\xi_4 \} \quad (7.8)$$

Inheinniveau
[m]

$$21.02 \quad R_{c,k} = \min.\{ (3039.9/1.28); (2148.8/1.03) \} = 2086.2$$

Alle niveaus/hogtes/peilmaten zijn t.o.v.: N.A.P.

Inheinniveau [m]	$R_{c,k}$ [kN]	$R_{c,d}$ [kN]	$F_{c,tot;1}$ [kN]	$F_{nk,d}$ [kN]	$R_{c,netto,d}$ [kN]	U.C.	$s_{1;1}$ [mm]	$s_{1;2}$ [mm]
21.02	2086.2	1738.5	-19.6	-19.6	1719.0	0.01	-0.0	-0.0 *

*** WAARSCHUWING n.a.v. NEN-NA 1997-1 art. A.3.3.3 1)**

Bij toepassing van de waarden van ξ_1 , ξ_2 , ξ_3 en ξ_4 van de tabellen A.9 en A.10 mag de variatiecoëfficiënt van de draagkracht van palen in een groep, bepaald volgens de verschillende voor deze groep geldende sonderingen, niet groter zijn dan 12%. Deze variatiecoëfficiënt van 12% geeft bij een kans van onderschrijding van 5% een minimumdraagkracht groter dan 80% van het gemiddelde.

Inheinniveau [m]	Aantal [-]	$R_{c,cal,gem}$ [kN]	Var.coëff. [%]
21.02	4	3039.95	20.7

Project :
Onderdeel :

REKENGEDEVENS Mast 051

Berekening : Controlerend
Rekenmethode : Drukpalen volgens NEN-EN 1997-1, art. 7.6.2
Sondering(en) : S051-1, S051-2, S051-3, S051-4

Stijf bouwwerk : NEE
Paalgroep : NEE
Aantal sonderingen : 4
Factor ξ_3 (n=1) : 1.39
Factor ξ_3 (gem) : 1.28
Factor ξ_4 (min) : 1.03
Weerstandsfactor γ_R : 1.20
 $\gamma_{f,nk}$: 1.0
 $R_{s,cal,max;i}$ begrenzen op $0.75 * R_{b,cal,max;i}$: NEE
UGT draagvermogen zonder negatieve kleeft : NEE

Paal : LD1
Niveau paalkop [m] : N.A.P. 30.40
Paalpuntniveau : N.A.P. 21.40
 $E_{d,1}$ [kN] : 0.00 $E_{d,2}$ [kN] : 0.00
 $s_{req,1}$ [m] : 0.15 $s_{req,2}$ [m] : 0.05
Bovenbel. [kN/m²] : 0.00

Project :
Onderdeel :

SAMENVATTINGSTABEL Mast 051 (n=1)**Uitgangspunten**

- paal : LD1
- paaltype : Stalen buispaal (gesloten)
- schachtafmeting : 550 mm
Paalklassefactor α_p : 1.00
Factor α_s (tabel 7.c EC 7.1) : 0.010 (zandlagen; voor kleilagen zie tabel 7.d)
Correlatiefactor $\xi_{3(n=1)}$: 1.39

Alle niveaus/hogtes/peilmaten zijn t.o.v.: N.A.P.

sondering	maaiveld paalpunt		Bezwijkdraagvermogen			Rekenwaarden		
	niveau	niveau	$R_{b;cal}$ [kN]	$R_{s;cal}$ [kN]	$R_{c;cal}$ [kN]	$R_{c;d}$ [kN]	$F_{nk;d}$ [kN]	$R_{c;netto;d}$ [kN]
S051-1	30.79	21.40	2052.3	482.6	2534.9	1519.7	-137.6	1382.1
S051-2	30.79	21.40	1936.9	583.5	2520.3	1511.0	-140.2	1370.8
S051-3	30.85	21.40	1551.9	492.2	2044.2	1225.5	-140.2	1085.3
S051-4	30.77	21.40	1743.6	559.5	2303.1	1380.7	-134.1	1246.6

Totaal resultaten Mast 051 (van 4 sonderingen)

Uitgangspunten

Correlatiefactor ξ_{3gem} (n= 4) : 1.28
Correlatiefactor ξ_{4min} (n= 4) : 1.03

gebaseerd op sonderingen:

S051-1 S051-2 S051-3 S051-4

$$R_{c;k} = \min.\{ R_{c;cal;gem}/\xi_3; R_{c;cal;min}/\xi_4 \} \quad (7.8)$$

Inheinniveau
[m]

$$21.40 \quad R_{c;k} = \min.\{ (2350.6/1.28); (2044.2/1.03) \} = 1836.4$$

Alle niveaus/hogtes/peilmaten zijn t.o.v.: N.A.P.

Inheinniveau [m]	$R_{c;k}$ [kN]	$R_{c;d}$ [kN]	$F_{c;tot;1}$ [kN]	$F_{nk;d}$ [kN]	$R_{c;netto;d}$ [kN]	U.C.	$s_{1;1}$ [mm]	$s_{1;2}$ [mm]
21.40	1836.4	1530.3	-140.2	-140.2	1390.2	0.09	-0.5	-0.4

REKENEGEVEENS Mast 054

Berekening : Controlerend
Rekenmethode : Drukpalen volgens NEN-EN 1997-1, art. 7.6.2
Sondering(en) : S054-2, S054-3, S054-4

Stijf bouwwerk : JA
Paalgroep : NEE
Aantal sonderingen : 3
Factor $\xi_{3(n=1)}$: 1.26
Factor $\xi_{3(gem)}$: 1.18
Factor $\xi_{4(min)}$: 0.94
Weerstandsfactor γ_R : 1.20
 $\gamma_{f;nk}$: 1.0
 $R_{s;cal;max;i}$ begrenzen op $0.75 * R_{b;cal;max;i}$: NEE
UGT draagvermogen zonder negatieve kleef : NEE

Paal : LD1
Niveau paalkop [m] : N.A.P. 30.54
Paalpuntniveau : N.A.P. 22.04
 $E_{d;1}$ [kN] : 0.00 $E_{d;2}$ [kN] : 0.00
 $s_{req;1}$ [m] : 0.15 $s_{req;2}$ [m] : 0.05
Bovenbel. [kN/m²] : 0.00

Project :
Onderdeel :

SAMENVATTINGSTABEL Mast 054 (n=1)**Uitgangspunten**

- paal : LD1
 - paaltype : Stalen buispaal (gesloten)
 - schachtafmeting : 550 mm
 Paalklassefactor α_p : 1.00
 Factor α_s (tabel 7.c EC 7.1) : 0.010 (zandlagen; voor kleilagen zie tabel 7.d)
 Correlatiefactor $\xi_{3(n=1)}$: 1.26

Alle niveaus/hogtes/peilmaten zijn t.o.v.: N.A.P.

sondering	maaiveld paalpunt		Bezwijkdraagvermogen			Rekenwaarden		
	niveau	niveau	$R_{b;cal}$ [kN]	$R_{s;cal}$ [kN]	$R_{c;cal}$ [kN]	$R_{c;d}$ [kN]	$F_{nk;d}$ [kN]	$R_{c;netto;d}$ [kN]
S054-2	30.83	22.04	1735.2	1035.3	2770.5	1832.4	-20.3	1812.1
S054-3	30.57	22.04	1586.0	1013.4	2599.4	1719.2	-24.9	1694.3
S054-4	30.52	22.04	834.3	1049.1	1883.4	1245.6	-30.4	1215.2

Totaal resultaten Mast 054 (van 3 sonderingen)

Uitgangspunten

Correlatiefactor ξ_{3gem} (n= 3) : 1.18
 Correlatiefactor ξ_{4min} (n= 3) : 0.94

gebaseerd op sonderingen:

S054-2 S054-3 S054-4

$$R_{c;k} = \min.\{ R_{c;cal;gem}/\xi_3; R_{c;cal;min}/\xi_4 \} \quad (7.8)$$

Inheinniveau
[m]

$$22.04 \quad R_{c;k} = \min.\{ (2417.8/ 1.18); (1883.4/ 0.94)\} = 2003.6$$

Alle niveaus/hogtes/peilmaten zijn t.o.v.: N.A.P.

Inheinniveau [m]	$R_{c;k}$ [kN]	$R_{c;d}$ [kN]	$F_{c;tot;1}$ [kN]	$F_{nk;d}$ [kN]	$R_{c;netto;d}$ [kN]	U.C.	$s_{1;1}$ [mm]	$s_{1;2}$ [mm]
22.04	2003.6	1669.7	-30.4	-30.4	1639.2	0.02	-0.1	-0.1 *

*** WAARSCHUWING n.a.v. NEN-NA 1997-1 art. A.3.3.3 1)**

Bij toepassing van de waarden van ξ_1 , ξ_2 , ξ_3 en ξ_4 van de tabellen A.9 en A.10 mag de variatiecoëfficiënt van de draagkracht van palen in een groep, bepaald volgens de verschillende voor deze groep geldende sonderingen, niet groter zijn dan 12%. Deze variatiecoëfficiënt van 12% geeft bij een kans van onderschrijding van 5% een minimumdraagkracht groter dan 80% van het gemiddelde.

Inheinniveau [m]	Aantal [-]	$R_{c;cal;gem}$ [kN]	Var.coëff. [%]
22.04	3	2417.77	19.5

Project :
Onderdeel :

REKENGEDEVENS Mast 054 - bi

Berekening : Controlerend
Rekenmethode : Drukpalen volgens NEN-EN 1997-1, art. 7.6.2
Sondering(en) : S054-1, S054-3, S054-4

Stijf bouwwerk : JA
Paalgroep : NEE
Aantal sonderingen : 3
Factor ξ_3 (n=1) : 1.26
Factor ξ_3 (gem) : 1.18
Factor ξ_4 (min) : 0.94
Weerstandsfactor γ_R : 1.20
 $\gamma_{f,nk}$: 1.0
 $R_{s,cal,max;i}$ begrenzen op $0.75 * R_{b,cal,max;i}$: NEE
UGT draagvermogen zonder negatieve kleeft : NEE

Paal : LD1
Niveau paalkop [m] : N.A.P. 30.54
Paalpuntniveau : N.A.P. 22.04
 $E_{d,1}$ [kN] : 0.00 $E_{d,2}$ [kN] : 0.00
 $s_{req,1}$ [m] : 0.15 $s_{req,2}$ [m] : 0.05
Bovenbel. [kN/m²] : 0.00

Project :
Onderdeel :

SAMENVATTINGSTABEL Mast 054 - bi (n=1)**Uitgangspunten**

- paal : LD1
 - paaltype : Stalen buispaal (gesloten)
 - schachtafmeting : 550 mm
 Paalklassefactor α_p : 1.00
 Factor α_s (tabel 7.c EC 7.1) : 0.010 (zandlagen; voor kleilagen zie tabel 7.d)
 Correlatiefactor $\xi_{3(n=1)}$: 1.26

Alle niveaus/hogtes/peilmaten zijn t.o.v.: N.A.P.

sondering	maaiveld paalpunt		Bezwijkdraagvermogen			Rekenwaarden		
	niveau	niveau	$R_{b;cal}$ [kN]	$R_{s;cal}$ [kN]	$R_{c;cal}$ [kN]	$R_{c;d}$ [kN]	$F_{nk;d}$ [kN]	$R_{c;netto;d}$ [kN]
S054-1	30.55	22.04	1172.2	775.7	1947.9	1288.3	-38.9	1249.4
S054-3	30.57	22.04	1586.0	1013.4	2599.4	1719.2	-24.9	1694.3
S054-4	30.52	22.04	834.3	1049.1	1883.4	1245.6	-30.4	1215.2

Totaal resultaten Mast 054 - bi (van 3 sonderingen)

Uitgangspunten

Correlatiefactor ξ_{3gem} (n= 3) : 1.18
 Correlatiefactor ξ_{4min} (n= 3) : 0.94

gebaseerd op sonderingen:

S054-1 S054-3 S054-4

$$R_{c;k} = \min.\{ R_{c;cal;gem}/\xi_3; R_{c;cal;min}/\xi_4 \} \quad (7.8)$$

Inheinniveau
[m]

$$22.04 \quad R_{c;k} = \min.\{ (2143.6/1.18); (1883.4/0.94) \} = 1816.6$$

Alle niveaus/hogtes/peilmaten zijn t.o.v.: N.A.P.

Inheinniveau [m]	$R_{c;k}$ [kN]	$R_{c;d}$ [kN]	$F_{c;tot;1}$ [kN]	$F_{nk;d}$ [kN]	$R_{c;netto;d}$ [kN]	U.C.	$s_{1;1}$ [mm]	$s_{1;2}$ [mm]
22.04	1816.6	1513.8	-38.9	-38.9	1474.9	0.03	-0.1	-0.1 *

*** WAARSCHUWING n.a.v. NEN-NA 1997-1 art. A.3.3.3 1)**

Bij toepassing van de waarden van ξ_1 , ξ_2 , ξ_3 en ξ_4 van de tabellen A.9 en A.10 mag de variatiecoëfficiënt van de draagkracht van palen in een groep, bepaald volgens de verschillende voor deze groep geldende sonderingen, niet groter zijn dan 12%. Deze variatiecoëfficiënt van 12% geeft bij een kans van onderschrijding van 5% een minimumdraagkracht groter dan 80% van het gemiddelde.

Inheinniveau [m]	Aantal [-]	$R_{c;cal;gem}$ [kN]	Var.coëff. [%]
22.04	3	2143.56	18.5

Project :
Onderdeel :

OVERZICHT NETTO DRAAGVERMOGEN DRUKPALEN

Netto paaldraagvermogen(s) zijn naar beneden toe afgerond op: 1.0 kN nauwkeurig
Alle niveaus/hoogtes/peilmaten zijn t.o.v.: N.A.P.

sondering	maaiveld paalpunt		$R_{c,netto;d}$ [kN]			
	niveau	niveau	Mast 050	Mast 051	Mast 054	Mast 054
S050-1	30.79	21.02	1824			
S050-2	31.09	21.02	2147			
S050-3	30.82	21.02	1985			
S050-4	30.82	21.02	1281			
S054-1	30.55	22.04				1249
S054-2	30.83	22.04			1812	
S054-3	30.57	22.04			1694	1694
S054-4	30.52	22.04			1215	1215
S051-1	30.79	21.40		1382		
S051-2	30.79	21.40		1370		
S051-3	30.85	21.40		1085		
S051-4	30.77	21.40		1246		

Project :
Onderdeel :

ALGEMENE GEGEVENS

Project :
Onderdeel :
Datum : 10-12-2021
Bestand : \\Arh7001.verit.dnv.com\projects\EANL_Projects\
10166262 - BBB modelleren funderingen 380
kV\02 Content\03 Calculations\Technosoft
Paalfunderingen\MBT-EHV380\DO\Nieuw
Sonderingen\Mast 060-069.pvw
Berekeningstype : Verticaal belaste paal
Alle niveaus/hogtes/peilmaten zijn t.o.v.: N.A.P.

Toegepaste normen volgens Eurocode met Nederlandse NB

Geotechniek	EN 1997-1:2004	AC:2009	
	NEN-EN 1997-1:2005	C1+A1:2013	NB:2016
	NEN 9997-1:2016	C2:2017	

REKENGEGEVENS Mast 061

Berekening : Controlerend
Rekenmethode : Drukpalen volgens NEN-EN 1997-1, art. 7.6.2
Sondering(en) : S061-1, S061-2, S061-3, S061-4

Stijf bouwwerk : JA
Paalgroep : NEE
Aantal sonderingen : 4
Factor ξ_3 (n=1) : 1.26
Factor ξ_3 (gem) : 1.17
Factor ξ_4 (min) : 0.93
Weerstandsfactor γ_R : 1.20
 $\gamma_{f,nk}$: 1.0
 $R_{s,cal,max,i}$ begrenzen op $0.75 * R_{b,cal,max,i}$: NEE
UGT draagvermogen zonder negatieve kleef : NEE

Paal : LD1
Niveau paalkop [m] : N.A.P. 26.72
Paalpuntniveau : N.A.P. 15.72
 $E_{d,1}$ [kN] : 0.00 $E_{d,2}$ [kN] : 0.00
 $s_{req,1}$ [m] : 0.15 $s_{req,2}$ [m] : 0.05
Bovenbel. [kN/m²] : 0.00

Project :
Onderdeel :

SAMENVATTINGSTABEL Mast 061 (n=1)**Uitgangspunten**

- paal : LD1
 - paaltype : Stalen buispaal (gesloten)
 - schachtafmeting : 550 mm
 Paalklassefactor α_p : 1.00
 Factor α_s (tabel 7.c EC 7.1) : 0.010 (zandlagen; voor kleilagen zie tabel 7.d)
 Correlatiefactor $\xi_{3(n=1)}$: 1.26

Alle niveaus/hogtes/peilmaten zijn t.o.v.: N.A.P.

sondering	maaiveld paalpunt		Bezwijkdraagvermogen			Rekenwaarden		
	niveau	niveau	$R_{b,cal}$ [kN]	$R_{s,cal}$ [kN]	$R_{c,cal}$ [kN]	$R_{c,d}$ [kN]	$F_{nk,d}$ [kN]	$R_{c,netto;d}$ [kN]
S061-1	26.23	15.72	670.6	1071.1	1741.7	1151.9	-14.5	1137.4
S061-2	26.35	15.72	2790.8	1194.3	3985.1	2635.7	-10.3	2625.4
S061-3	26.25	15.72	1403.0	1128.8	2531.8	1674.5	-14.5	1660.0
S061-4	26.33	15.72	1742.3	1171.3	2913.6	1927.0	-9.4	1917.6

Totaal resultaten Mast 061 (van 4 sonderingen)

Uitgangspunten

Correlatiefactor ξ_{3gem} (n= 4) : 1.17
 Correlatiefactor ξ_{4min} (n= 4) : 0.93

gebaseerd op sonderingen:

S061-1 S061-2 S061-3 S061-4

$$R_{c,k} = \min.\{ R_{c,cal,gem}/\xi_3; R_{c,cal,min}/\xi_4 \} \quad (7.8)$$

Inheinniveau
[m]

$$15.72 \quad R_{c,k} = \min.\{ (2793.1/1.17); (1741.7/0.93) \} = 1872.8$$

Alle niveaus/hogtes/peilmaten zijn t.o.v.: N.A.P.

Inheinniveau [m]	$R_{c,k}$ [kN]	$R_{c,d}$ [kN]	$F_{c,tot;1}$ [kN]	$F_{nk;d}$ [kN]	$R_{c,netto;d}$ [kN]	U.C.	$s_{1;1}$ [mm]	$s_{1;2}$ [mm]
15.72	1872.8	1560.6	-14.5	-14.5	1546.2	0.01	-0.0	-0.0 *

*** WAARSCHUWING n.a.v. NEN-NA 1997-1 art. A.3.3.3 1)**

Bij toepassing van de waarden van ξ_1 , ξ_2 , ξ_3 en ξ_4 van de tabellen A.9 en A.10 mag de variatiecoëfficiënt van de draagkracht van palen in een groep, bepaald volgens de verschillende voor deze groep geldende sonderingen, niet groter zijn dan 12%. Deze variatiecoëfficiënt van 12% geeft bij een kans van onderschrijding van 5% een minimumdraagkracht groter dan 80% van het gemiddelde.

Inheinniveau [m]	Aantal [-]	$R_{c,cal,gem}$ [kN]	Var.coëff. [%]
15.72	4	2793.05	33.4

Project :
Onderdeel :

OVERZICHT NETTO DRAAGVERMOGEN DRUKPALEN

Netto paal draagvermogen(s) zijn naar beneden toe afgerond op: 1.0 kN nauwkeurig
Alle niveaus/hoogtes/peilmaten zijn t.o.v.: N.A.P.

sondering	maaiveld niveau	paalpunt niveau	$R_{c,netto;d}$ Mast 061	[kN]
S061-1	26.23	15.72	1137	
S061-2	26.35	15.72	2625	
S061-3	26.25	15.72	1660	
S061-4	26.33	15.72	1917	

Project :
Onderdeel :

ALGEMENE GEGEVENS

Project :
Onderdeel :
Datum : 10-12-2021
Bestand : \\Arh7001.verit.dnv.com\projects\EANL_Projects\
10166262 - BBB modelleren funderingen 380
kV\02 Content\03 Calculations\Technosoft
Paalfunderingen\MBT-EHV380\DO\Nieuw
Sonderingen\Mast 070-079.pvw
Berekeningstype : Verticaal belaste paal
Alle niveaus/hogtes/peilmaten zijn t.o.v.: N.A.P.

Toegepaste normen volgens Eurocode met Nederlandse NB

Geotechniek	EN 1997-1:2004	AC:2009	
	NEN-EN 1997-1:2005	C1+A1:2013	NB:2016
	NEN 9997-1:2016	C2:2017	

REKENGEGEVENS Mast 075

Berekening : Controlerend
Rekenmethode : Drukpalen volgens NEN-EN 1997-1, art. 7.6.2
Sondering(en) : S075-1, S075-2, S075-3, S075-4

Stijf bouwwerk : JA
Paalgroep : NEE
Aantal sonderingen : 4
Factor ξ_3 (n=1) : 1.26
Factor ξ_3 (gem) : 1.17
Factor ξ_4 (min) : 0.93
Weerstandsfactor γ_R : 1.20
 $\gamma_{f,nk}$: 1.0
 $R_{s,cal,max,i}$ begrenzen op $0.75 * R_{b,cal,max,i}$: NEE
UGT draagvermogen zonder negatieve kleef : NEE

Paal : LD1
Niveau paalkop [m] : N.A.P. 24.21
Paalpuntniveau : N.A.P. 14.21
 $E_{d,1}$ [kN] : 0.00 $E_{d,2}$ [kN] : 0.00
 $s_{req,1}$ [m] : 0.15 $s_{req,2}$ [m] : 0.05
Bovenbel. [kN/m²] : 0.00

Project :
Onderdeel :

SAMENVATTINGSTABEL Mast 075 (n=1)**Uitgangspunten**

- paal : LD1
 - paaltype : Stalen buispaal (gesloten)
 - schachtafmeting : 550 mm
 Paalklassefactor α_p : 1.00
 Factor α_s (tabel 7.c EC 7.1) : 0.010 (zandlagen; voor kleilagen zie tabel 7.d)
 Correlatiefactor $\xi_{3(n=1)}$: 1.26

Alle niveaus/hogtes/peilmaten zijn t.o.v.: N.A.P.

sondering	maaiveld paalpunt		Bezwijkdraagvermogen			Rekenwaarden		
	niveau	niveau	$R_{b,cal}$ [kN]	$R_{s,cal}$ [kN]	$R_{c,cal}$ [kN]	$R_{c,d}$ [kN]	$F_{nk,d}$ [kN]	$R_{c,netto,d}$ [kN]
S075-1	24.04	14.21	1483.3	778.2	2261.5	1495.7	-79.9	1415.8
S075-2	24.05	14.21	2862.4	612.9	3475.3	2298.5	-72.0	2226.4
S075-3	24.03	14.21	3226.8	809.9	4036.7	2669.8	-77.2	2592.5
S075-4	24.07	14.21	3563.7	710.5	4274.2	2826.9	-82.7	2744.2

Totaal resultaten Mast 075 (van 4 sonderingen)

Uitgangspunten

Correlatiefactor ξ_{3gem} (n= 4) : 1.17
 Correlatiefactor ξ_{4min} (n= 4) : 0.93

gebaseerd op sonderingen:

S075-1 S075-2 S075-3 S075-4

$$R_{c,k} = \min.\{ R_{c,cal,gem}/\xi_3; R_{c,cal,min}/\xi_4 \} \quad (7.8)$$

Inheinniveau
[m]

$$14.21 \quad R_{c,k} = \min.\{ (3511.9/ 1.17); (2261.5/ 0.93)\} = 2431.8$$

Alle niveaus/hogtes/peilmaten zijn t.o.v.: N.A.P.

Inheinniveau [m]	$R_{c,k}$ [kN]	$R_{c,d}$ [kN]	$F_{c,tot;1}$ [kN]	$F_{nk,d}$ [kN]	$R_{c,netto,d}$ [kN]	U.C.	$s_{1;1}$ [mm]	$s_{1;2}$ [mm]
14.21	2431.8	2026.5	-82.7	-82.7	1943.8	0.04	-0.2	-0.2 *

*** WAARSCHUWING n.a.v. NEN-NA 1997-1 art. A.3.3.3 1)**

Bij toepassing van de waarden van ξ_1 , ξ_2 , ξ_3 en ξ_4 van de tabellen A.9 en A.10 mag de variatiecoëfficiënt van de draagkracht van palen in een groep, bepaald volgens de verschillende voor deze groep geldende sonderingen, niet groter zijn dan 12%. Deze variatiecoëfficiënt van 12% geeft bij een kans van onderschrijding van 5% een minimumdraagkracht groter dan 80% van het gemiddelde.

Inheinniveau [m]	Aantal [-]	$R_{c,cal,gem}$ [kN]	Var.coëff. [%]
14.21	4	3511.94	25.6

Project :
Onderdeel :

OVERZICHT NETTO DRAAGVERMOGEN DRUKPALEN

Netto paal draagvermogen(s) zijn naar beneden toe afgerond op: 1.0 kN nauwkeurig
Alle niveaus/hogtes/peilmaten zijn t.o.v.: N.A.P.

sondering	maaiveld niveau	paalpunt niveau	$R_{c, netto; d}$ Mast 075 [kN]
S075-1	24.04	14.21	1415
S075-2	24.05	14.21	2226
S075-3	24.03	14.21	2592
S075-4	24.07	14.21	2744

Project :
Onderdeel :

ALGEMENE GEGEVENS

Project :
Onderdeel :
Datum : 23-11-2021
Bestand : \\Arh7001.verit.dnv.com\projects\EANL_Projects\
10166262 - BBB modelleren funderingen 380
kV\02 Content\03 Calculations\Technosoft
Paalfunderingen\MBT-EHV380\DO\Nieuw
Sonderingen\Mast 090-099.pvw
Berekeningstype : Verticaal belaste paal
Alle niveaus/hogtes/peilmaten zijn t.o.v.: N.A.P.

Toegepaste normen volgens Eurocode met Nederlandse NB

Geotechniek	EN 1997-1:2004	AC:2009	
	NEN-EN 1997-1:2005	C1+A1:2013	NB:2016
	NEN 9997-1:2016	C2:2017	

REKENGEGEVENS Mast 098

Berekening : Controlerend
Rekenmethode : Drukpalen volgens NEN-EN 1997-1, art. 7.6.2
Sondering(en) : S098-1, S098-2, S098-3, S098-4

Stijf bouwwerk : JA
Paalgroep : NEE
Aantal sonderingen : 4
Factor ξ_3 (n=1) : 1.26
Factor ξ_3 (gem) : 1.17
Factor ξ_4 (min) : 0.93
Weerstandsfactor γ_R : 1.20
 $\gamma_{f,nk}$: 1.0
 $R_{s,cal,max,i}$ begrenzen op $0.75 * R_{b,cal,max,i}$: NEE
UGT draagvermogen zonder negatieve kleef : NEE

Paal : LD1
Niveau paalkop [m] : N.A.P. 19.08
Paalpuntniveau : N.A.P. 9.08
 $E_{d,1}$ [kN] : 0.00 $E_{d,2}$ [kN] : 0.00
 $s_{req,1}$ [m] : 0.15 $s_{req,2}$ [m] : 0.05
Bovenbel. [kN/m²] : 0.00

Project :
Onderdeel :

SAMENVATTINGSTABEL Mast 098 (n=1)**Uitgangspunten**

- paal : LD1
 - paaltype : Stalen buispaal (gesloten)
 - schachtafmeting : 550 mm
 Paalklassefactor α_p : 1.00
 Factor α_s (tabel 7.c EC 7.1) : 0.010 (zandlagen; voor kleilagen zie tabel 7.d)
 Correlatiefactor $\xi_{3(n=1)}$: 1.26

Alle niveaus/hogtes/peilmaten zijn t.o.v.: N.A.P.

sondering	maaiveld paalpunt		Bezwijkdraagvermogen			Rekenwaarden		
	niveau	niveau	$R_{b;cal}$ [kN]	$R_{s;cal}$ [kN]	$R_{c;cal}$ [kN]	$R_{c;d}$ [kN]	$F_{nk;d}$ [kN]	$R_{c;netto;d}$ [kN]
S098-1	19.01	9.08	229.6	927.8	1157.4	765.5	-53.6	711.9
S098-2	19.12	9.08	897.0	1359.0	2256.0	1492.1	-5.7	1486.3
S098-3	19.16	9.08	556.8	1211.4	1768.2	1169.5	-33.4	1136.1
S098-4	19.03	9.08	603.0	1228.6	1831.6	1211.4	-14.5	1196.9

Totaal resultaten Mast 098 (van 4 sonderingen)

Uitgangspunten

Correlatiefactor ξ_{3gem} (n= 4) : 1.17
 Correlatiefactor ξ_{4min} (n= 4) : 0.93

gebaseerd op sonderingen:

S098-1 S098-2 S098-3 S098-4

$$R_{c;k} = \min.\{ R_{c;cal;gem}/\xi_3; R_{c;cal;min}/\xi_4 \} \quad (7.8)$$

Inheinniveau
[m]

$$9.08 \quad R_{c;k} = \min.\{ (1753.3/ 1.17); (1157.4/ 0.93)\} = 1244.6$$

Alle niveaus/hogtes/peilmaten zijn t.o.v.: N.A.P.

Inheinniveau [m]	$R_{c;k}$ [kN]	$R_{c;d}$ [kN]	$F_{c;tot;1}$ [kN]	$F_{nk;d}$ [kN]	$R_{c;netto;d}$ [kN]	U.C.	$s_{1;1}$ [mm]	$s_{1;2}$ [mm]
9.08	1244.6	1037.1	-53.6	-53.6	983.5	0.05	-0.2	-0.2 *

*** WAARSCHUWING n.a.v. NEN-NA 1997-1 art. A.3.3.3 1)**

Bij toepassing van de waarden van ξ_1 , ξ_2 , ξ_3 en ξ_4 van de tabellen A.9 en A.10 mag de variatiecoëfficiënt van de draagkracht van palen in een groep, bepaald volgens de verschillende voor deze groep geldende sonderingen, niet groter zijn dan 12%. Deze variatiecoëfficiënt van 12% geeft bij een kans van onderschrijding van 5% een minimumdraagkracht groter dan 80% van het gemiddelde.

Inheinniveau [m]	Aantal [-]	$R_{c;cal;gem}$ [kN]	Var.coëff. [%]
9.08	4	1753.32	25.8

Project :
Onderdeel :

REKENGEDEVENS Mast 099

Berekening : Controlerend
Rekenmethode : Drukpalen volgens NEN-EN 1997-1, art. 7.6.2
Sondering(en) : S099-1, S099-2, S099-3, S099-4

Stijf bouwwerk : JA
Paalgroep : NEE
Aantal sonderingen : 4
Factor ξ_3 (n=1) : 1.26
Factor ξ_3 (gem) : 1.17
Factor ξ_4 (min) : 0.93
Weerstandsfactor γ_R : 1.20
 $\gamma_{f,nk}$: 1.0
 $R_{s,cal,max;i}$ begrenzen op $0.75 * R_{b,cal,max;i}$: NEE
UGT draagvermogen zonder negatieve kleeft : NEE

Paal : LD1
Niveau paalkop [m] : N.A.P. 19.60
Paalpuntniveau : N.A.P. 10.10
 $E_{d,1}$ [kN] : 0.00 $E_{d,2}$ [kN] : 0.00
 $s_{req,1}$ [m] : 0.15 $s_{req,2}$ [m] : 0.05
Bovenbel. [kN/m²] : 0.00

Project :
Onderdeel :

SAMENVATTINGSTABEL Mast 099 (n=1)

Uitgangspunten

- paal : LD1
 - paaltype : Stalen buispaal (gesloten)
 - schachtafmeting : 550 mm
 Paalklassefactor α_p : 1.00
 Factor α_s (tabel 7.c EC 7.1) : 0.010 (zandlagen; voor kleilagen zie tabel 7.d)
 Correlatiefactor $\xi_{3(n=1)}$: 1.26

Alle niveaus/hogtes/peilmaten zijn t.o.v.: N.A.P.

sondering	maaiveld paalpunt		Bezwijkdraagvermogen			Rekenwaarden		
	niveau	niveau	$R_{b;cal}$ [kN]	$R_{s;cal}$ [kN]	$R_{c;cal}$ [kN]	$R_{c;d}$ [kN]	$F_{nk;d}$ [kN]	$R_{c;netto;d}$ [kN]
S099-1	20.08	10.10	768.3	947.8	1716.1	1135.0	-48.4	1086.5
S099-2	19.93	10.10	1340.4	530.0	1870.3	1237.0	-158.4	1078.6
S099-3	20.08	10.10	1542.4	774.5	2316.8	1532.3	-52.7	1479.6
S099-4	19.96	10.10	1186.0	535.1	1721.0	1138.3	-154.6	983.6

Totaal resultaten Mast 099 (van 4 sonderingen)

Uitgangspunten

Correlatiefactor ξ_{3gem} (n= 4) : 1.17
 Correlatiefactor ξ_{4min} (n= 4) : 0.93

gebaseerd op sonderingen:

S099-1 S099-2 S099-3 S099-4

$$R_{c;k} = \min.\{ R_{c;cal;gem}/\xi_3; R_{c;cal;min}/\xi_4 \} \quad (7.8)$$

Inheinniveau
[m]

$$10.10 \quad R_{c;k} = \min.\{ (1906.1/ 1.17); (1716.1/ 0.93)\} = 1629.1$$

Alle niveaus/hogtes/peilmaten zijn t.o.v.: N.A.P.

Inheinniveau [m]	$R_{c;k}$ [kN]	$R_{c;d}$ [kN]	$F_{c;tot;1}$ [kN]	$F_{nk;d}$ [kN]	$R_{c;netto;d}$ [kN]	U.C.	$s_{1;1}$ [mm]	$s_{1;2}$ [mm]
10.10	1629.1	1357.6	-158.4	-158.4	1199.2	0.12	-0.6	-0.5 *

*** WAARSCHUWING n.a.v. NEN-NA 1997-1 art. A.3.3.3 1)**

Bij toepassing van de waarden van ξ_1 , ξ_2 , ξ_3 en ξ_4 van de tabellen A.9 en A.10 mag de variatiecoëfficiënt van de draagkracht van palen in een groep, bepaald volgens de verschillende voor deze groep geldende sonderingen, niet groter zijn dan 12%. Deze variatiecoëfficiënt van 12% geeft bij een kans van onderschrijding van 5% een minimumdraagkracht groter dan 80% van het gemiddelde.

Inheinniveau [m]	Aantal [-]	$R_{c;cal;gem}$ [kN]	Var.coëff. [%]
10.10	4	1906.07	14.8

Project :
Onderdeel :

OVERZICHT NETTO DRAAGVERMOGEN DRUKPALEN

Netto paal draagvermogen(s) zijn naar beneden toe afgerond op: 1.0 kN nauwkeurig
Alle niveaus/hoogtes/peilmaten zijn t.o.v.: N.A.P.

sondering	maaiveld paalpunt		$R_{c,netto;d}$ [kN]	
	niveau	niveau	Mast 098	Mast 099
S098-1	19.01	9.08	711	
S098-2	19.12	9.08	1486	
S098-3	19.16	9.08	1136	
S098-4	19.03	9.08	1196	
S099-1	20.08	10.10		1086
S099-2	19.93	10.10		1078
S099-3	20.08	10.10		1479
S099-4	19.96	10.10		983

Project :
Onderdeel :

ALGEMENE GEGEVENS

Project :
Onderdeel :
Datum : 23-11-2021
Bestand : \\Arh7001.verit.dnv.com\projects\EANL_Projects\
10166262 - BBB modelleren funderingen 380
kV\02 Content\03 Calculations\Technosoft
Paalfunderingen\MBT-EHV380\DO\Nieuw
Sonderingen\Mast 100-109.pvw
Berekeningstype : Verticaal belaste paal
Alle niveaus/hogtes/peilmaten zijn t.o.v.: N.A.P.

Toegepaste normen volgens Eurocode met Nederlandse NB

Geotechniek	EN 1997-1:2004	AC:2009	
	NEN-EN 1997-1:2005	C1+A1:2013	NB:2016
	NEN 9997-1:2016	C2:2017	

REKENGEGEVENS Mast 100

Berekening : Controlerend
Rekenmethode : Drukpalen volgens NEN-EN 1997-1, art. 7.6.2
Sondering(en) : S100-1, S100-2, S100-3, S100-4

Stijf bouwwerk : NEE
Paalgroep : NEE
Aantal sonderingen : 4
Factor ξ_3 (n=1) : 1.39
Factor ξ_3 (gem) : 1.28
Factor ξ_4 (min) : 1.03
Weerstandsfactor γ_R : 1.20
 $\gamma_{f,nk}$: 1.0
 $R_{s,cal,max,i}$ begrenzen op $0.75 * R_{b,cal,max,i}$: NEE
UGT draagvermogen zonder negatieve kleef : NEE

Paal : LD1
Niveau paalkop [m] : N.A.P. 19.32
Paalpuntniveau : N.A.P. 9.32
 $E_{d,1}$ [kN] : 0.00 $E_{d,2}$ [kN] : 0.00
 $s_{req,1}$ [m] : 0.15 $s_{req,2}$ [m] : 0.05
Bovenbel. [kN/m²] : 0.00

Project :
Onderdeel :

SAMENVATTINGSTABEL Mast 100 (n=1)**Uitgangspunten**

- paal : LD1
 - paaltype : Stalen buispaal (gesloten)
 - schachtafmeting : 550 mm
 Paalklassefactor α_p : 1.00
 Factor α_s (tabel 7.c EC 7.1) : 0.010 (zandlagen; voor kleilagen zie tabel 7.d)
 Correlatiefactor $\xi_{3(n=1)}$: 1.39

Alle niveaus/hogtes/peilmaten zijn t.o.v.: N.A.P.

sondering	maaiveld paalpunt		Bezwijkdraagvermogen			Rekenwaarden		
	niveau	niveau	$R_{b,cal}$ [kN]	$R_{s,cal}$ [kN]	$R_{c,cal}$ [kN]	$R_{c,d}$ [kN]	$F_{nk,d}$ [kN]	$R_{c,netto,d}$ [kN]
S100-1	19.48	9.32	1526.1	717.7	2243.8	1345.2	-136.8	1208.4
S100-2	19.53	9.32	2078.9	739.7	2818.5	1689.8	-132.9	1556.9
S100-3	19.56	9.32	2173.2	721.3	2894.5	1735.3	-135.6	1599.7
S100-4	19.43	9.32	870.5	694.8	1565.3	938.4	-145.3	793.2

Totaal resultaten Mast 100 (van 4 sonderingen)

Uitgangspunten

Correlatiefactor ξ_{3gem} (n= 4) : 1.28
 Correlatiefactor ξ_{4min} (n= 4) : 1.03

gebaseerd op sonderingen:

S100-1 S100-2 S100-3 S100-4

$$R_{c,k} = \min.\{ R_{c,cal,gem}/\xi_3; R_{c,cal,min}/\xi_4 \} \quad (7.8)$$

Inheinniveau
[m]

$$9.32 \quad R_{c,k} = \min.\{ (2380.5/1.28); (1565.3/1.03) \} = 1519.7$$

Alle niveaus/hogtes/peilmaten zijn t.o.v.: N.A.P.

Inheinniveau [m]	$R_{c,k}$ [kN]	$R_{c,d}$ [kN]	$F_{c,tot;1}$ [kN]	$F_{nk,d}$ [kN]	$R_{c,netto,d}$ [kN]	U.C.	$s_{1;1}$ [mm]	$s_{1;2}$ [mm]
9.32	1519.7	1266.5	-145.3	-145.3	1121.2	0.11	-0.6	-0.5 *

*** WAARSCHUWING n.a.v. NEN-NA 1997-1 art. A.3.3.3 1)**

Bij toepassing van de waarden van ξ_1 , ξ_2 , ξ_3 en ξ_4 van de tabellen A.9 en A.10 mag de variatiecoëfficiënt van de draagkracht van palen in een groep, bepaald volgens de verschillende voor deze groep geldende sonderingen, niet groter zijn dan 12%. Deze variatiecoëfficiënt van 12% geeft bij een kans van onderschrijding van 5% een minimumdraagkracht groter dan 80% van het gemiddelde.

Inheinniveau [m]	Aantal [-]	$R_{c,cal,gem}$ [kN]	Var.coëff. [%]
9.32	4	2380.55	25.9

Project :
Onderdeel :

REKENGEDEVENS Mast 103

Berekening : Controlerend
Rekenmethode : Drukpalen volgens NEN-EN 1997-1, art. 7.6.2
Sondering(en) : S103-1, S103-2, S103-3, S103-4

Stijf bouwwerk : NEE
Paalgroep : NEE
Aantal sonderingen : 4
Factor ξ_3 (n=1) : 1.39
Factor ξ_3 (gem) : 1.28
Factor ξ_4 (min) : 1.03
Weerstandsfactor γ_R : 1.20
 $\gamma_{f,nk}$: 1.0
 $R_{s,cal,max;i}$ begrenzen op $0.75 * R_{b,cal,max;i}$: NEE
UGT draagvermogen zonder negatieve kleeft : NEE

Paal : LD1
Niveau paalkop [m] : N.A.P. 20.40
Paalpuntniveau : N.A.P. 10.40
 $E_{d,1}$ [kN] : 0.00 $E_{d,2}$ [kN] : 0.00
 $s_{req,1}$ [m] : 0.15 $s_{req,2}$ [m] : 0.05
Bovenbel. [kN/m²] : 0.00

Project :
Onderdeel :

SAMENVATTINGSTABEL Mast 103 (n=1)**Uitgangspunten**

- paal : LD1
 - paaltype : Stalen buispaal (gesloten)
 - schachtafmeting : 550 mm
 Paalklassefactor α_p : 1.00
 Factor α_s (tabel 7.c EC 7.1) : 0.010 (zandlagen; voor kleilagen zie tabel 7.d)
 Correlatiefactor $\xi_{3(n=1)}$: 1.39

Alle niveaus/hogtes/peilmaten zijn t.o.v.: N.A.P.

sondering	maaiveld paalpunt		Bezwijkdraagvermogen			Rekenwaarden		
	niveau	niveau	$R_{b;cal}$ [kN]	$R_{s;cal}$ [kN]	$R_{c;cal}$ [kN]	$R_{c;d}$ [kN]	$F_{nk;d}$ [kN]	$R_{c;netto;d}$ [kN]
S103-1	20.54	10.40	2500.7	457.6	2958.3	1773.5	-169.4	1604.2
S103-2	20.49	10.40	3563.7	604.1	4167.8	2498.7	-162.6	2336.1
S103-3	20.55	10.40	3563.7	511.1	4074.9	2443.0	-161.8	2281.1
S103-4	20.41	10.40	2672.9	452.8	3125.7	1873.9	-157.2	1716.7

Totaal resultaten Mast 103 (van 4 sonderingen)

Uitgangspunten

Correlatiefactor ξ_{3gem} (n= 4) : 1.28
 Correlatiefactor ξ_{4min} (n= 4) : 1.03

gebaseerd op sonderingen:

S103-1 S103-2 S103-3 S103-4

$$R_{c;k} = \min.\{ R_{c;cal;gem}/\xi_3; R_{c;cal;min}/\xi_4 \} \quad (7.8)$$

Inheinniveau
[m]

$$10.40 \quad R_{c;k} = \min.\{ (3581.7/ 1.28); (2958.3/ 1.03)\} = 2798.2$$

Alle niveaus/hogtes/peilmaten zijn t.o.v.: N.A.P.

Inheinniveau [m]	$R_{c;k}$ [kN]	$R_{c;d}$ [kN]	$F_{c;tot;1}$ [kN]	$F_{nk;d}$ [kN]	$R_{c;netto;d}$ [kN]	U.C.	$s_{1;1}$ [mm]	$s_{1;2}$ [mm]
10.40	2798.2	2331.8	-169.4	-169.4	2162.5	0.07	-0.6	-0.5 *

*** WAARSCHUWING n.a.v. NEN-NA 1997-1 art. A.3.3.3 1)**

Bij toepassing van de waarden van ξ_1 , ξ_2 , ξ_3 en ξ_4 van de tabellen A.9 en A.10 mag de variatiecoëfficiënt van de draagkracht van palen in een groep, bepaald volgens de verschillende voor deze groep geldende sonderingen, niet groter zijn dan 12%. Deze variatiecoëfficiënt van 12% geeft bij een kans van onderschrijding van 5% een minimumdraagkracht groter dan 80% van het gemiddelde.

Inheinniveau [m]	Aantal [-]	$R_{c;cal;gem}$ [kN]	Var.coëff. [%]
10.40	4	3581.66	17.5

Project :
Onderdeel :

OVERZICHT NETTO DRAAGVERMOGEN DRUKPALEN

Netto paal draagvermogen(s) zijn naar beneden toe afgerond op: 1.0 kN nauwkeurig
Alle niveaus/hoogtes/peilmaten zijn t.o.v.: N.A.P.

sondering	maaiveld paalpunt		$R_{c, netto; d}$ [kN]	
	niveau	niveau	Mast 100	Mast 103
S100-1	19.48	9.32	1208	
S100-2	19.53	9.32	1556	
S100-3	19.56	9.32	1599	
S100-4	19.43	9.32	793	
S103-1	20.54	10.40		1604
S103-2	20.49	10.40		2336
S103-3	20.55	10.40		2281
S103-4	20.41	10.40		1716

Project :
Onderdeel :

ALGEMENE GEGEVENS

Project :
Onderdeel :
Datum : 23-11-2021
Bestand : \\Arh7001.verit.dnv.com\projects\EANL_Projects\
10166262 - BBB modelleren funderingen 380
kV\02 Content\03 Calculations\Technosoft
Paalfunderingen\MBT-EHV380\DO\Nieuw
Sonderingen\Mast 110-119.pvw
Berekeningstype : Verticaal belaste paal
Alle niveaus/hogtes/peilmaten zijn t.o.v.: N.A.P.

Toegepaste normen volgens Eurocode met Nederlandse NB

Geotechniek	EN 1997-1:2004	AC:2009	
	NEN-EN 1997-1:2005	C1+A1:2013	NB:2016
	NEN 9997-1:2016	C2:2017	

REKENGEGEVENS Mast 114

Berekening : Controlerend
Rekenmethode : Drukpalen volgens NEN-EN 1997-1, art. 7.6.2
Sondering(en) : S114-1, S114-2, S114-3, S114-4

Stijf bouwwerk : JA
Paalgroep : NEE
Aantal sonderingen : 4
Factor ξ_3 (n=1) : 1.26
Factor ξ_3 (gem) : 1.17
Factor ξ_4 (min) : 0.93
Weerstandsfactor γ_R : 1.20
 $\gamma_{f,nk}$: 1.0
 $R_{s,cal,max,i}$ begrenzen op $0.75 * R_{b,cal,max,i}$: NEE
UGT draagvermogen zonder negatieve kleef : NEE

Paal : LD1
Niveau paalkop [m] : N.A.P. 18.43
Paalpuntniveau : N.A.P. 10.93
 $E_{d,1}$ [kN] : 0.00 $E_{d,2}$ [kN] : 0.00
 $s_{req,1}$ [m] : 0.15 $s_{req,2}$ [m] : 0.05
Bovenbel. [kN/m²] : 0.00

Project :
Onderdeel :

SAMENVATTINGSTABEL Mast 114 (n=1)**Uitgangspunten**

- paal : LD1
 - paaltype : Stalen buispaal (gesloten)
 - schachtafmeting : 550 mm
 Paalklassefactor α_p : 1.00
 Factor α_s (tabel 7.c EC 7.1) : 0.010 (zandlagen; voor kleilagen zie tabel 7.d)
 Correlatiefactor $\xi_{3(n=1)}$: 1.26

Alle niveaus/hogtes/peilmaten zijn t.o.v.: N.A.P.

sondering	maaiveld paalpunt		Bezwijkdraagvermogen			Rekenwaarden		
	niveau	niveau	$R_{b;cal}$ [kN]	$R_{s;cal}$ [kN]	$R_{c;cal}$ [kN]	$R_{c;d}$ [kN]	$F_{nk;d}$ [kN]	$R_{c;netto;d}$ [kN]
S114-1	18.86	10.93	2461.0	1210.4	3671.5	2428.2	-11.6	2416.7
S114-2	18.43	10.93	3563.7	960.6	4524.3	2992.3	-32.3	2960.0
S114-3	18.73	10.93	1761.7	990.0	2751.6	1819.8	-33.3	1786.5
S114-4	18.92	10.93	2548.7	1102.7	3651.4	2415.0	-25.3	2389.6

Totaal resultaten Mast 114 (van 4 sonderingen)

Uitgangspunten

Correlatiefactor ξ_{3gem} (n= 4) : 1.17
 Correlatiefactor ξ_{4min} (n= 4) : 0.93

gebaseerd op sonderingen:

S114-1 S114-2 S114-3 S114-4

$$R_{c;k} = \min.\{ R_{c;cal;gem}/\xi_3; R_{c;cal;min}/\xi_4 \} \quad (7.8)$$

Inheinniveau
[m]

$$10.93 \quad R_{c;k} = \min.\{ (3649.7/ 1.17); (2751.6/ 0.93)\} = 2958.7$$

Alle niveaus/hogtes/peilmaten zijn t.o.v.: N.A.P.

Inheinniveau [m]	$R_{c;k}$ [kN]	$R_{c;d}$ [kN]	$F_{c;tot;1}$ [kN]	$F_{nk;d}$ [kN]	$R_{c;netto;d}$ [kN]	U.C.	$s_{1;1}$ [mm]	$s_{1;2}$ [mm]
10.93	2958.7	2465.6	-33.3	-33.3	2432.3	0.01	-0.1	-0.1 *

*** WAARSCHUWING n.a.v. NEN-NA 1997-1 art. A.3.3.3 1)**

Bij toepassing van de waarden van ξ_1 , ξ_2 , ξ_3 en ξ_4 van de tabellen A.9 en A.10 mag de variatiecoëfficiënt van de draagkracht van palen in een groep, bepaald volgens de verschillende voor deze groep geldende sonderingen, niet groter zijn dan 12%. Deze variatiecoëfficiënt van 12% geeft bij een kans van onderschrijding van 5% een minimumdraagkracht groter dan 80% van het gemiddelde.

Inheinniveau [m]	Aantal [-]	$R_{c;cal;gem}$ [kN]	Var.coëff. [%]
10.93	4	3649.70	19.8

Project :
Onderdeel :

OVERZICHT NETTO DRAAGVERMOGEN DRUKPALEN

Netto paal draagvermogen(s) zijn naar beneden toe afgerond op: 1.0 kN nauwkeurig
Alle niveaus/hoogtes/peilmaten zijn t.o.v.: N.A.P.

sondering	maaiveld niveau	paalpunt niveau	$R_{c, netto; d}$ Mast 114 [kN]
S114-1	18.86	10.93	2416
S114-2	18.43	10.93	2959
S114-3	18.73	10.93	1786
S114-4	18.92	10.93	2389

Project :
Onderdeel :

ALGEMENE GEGEVENS

Project :
Onderdeel :
Datum : 10-12-2021
Bestand : \\Arh7001.verit.dnv.com\projects\EANL_Projects\
10166262 - BBB modelleren funderingen 380
kV\02 Content\03 Calculations\Technosoft
Paalfunderingen\MBT-EHV380\DO\Nieuw
Sonderingen\Mast 120-129.pvw
Berekeningstype : Verticaal belaste paal
Alle niveaus/hogtes/peilmaten zijn t.o.v.: N.A.P.

Toegepaste normen volgens Eurocode met Nederlandse NB

Geotechniek	EN 1997-1:2004	AC:2009	
	NEN-EN 1997-1:2005	C1+A1:2013	NB:2016
	NEN 9997-1:2016	C2:2017	

REKENGEGEVENS Mast 128

Berekening : Controlerend
Rekenmethode : Drukpalen volgens NEN-EN 1997-1, art. 7.6.2
Sondering(en) : S128-1, S128-2, S128-3, S128-4

Stijf bouwwerk : JA
Paalgroep : NEE
Aantal sonderingen : 4
Factor ξ_3 (n=1) : 1.26
Factor ξ_3 (gem) : 1.17
Factor ξ_4 (min) : 0.93
Weerstandsfactor γ_R : 1.20
 $\gamma_{f,nk}$: 1.0
 $R_{s,cal,max,i}$ begrenzen op $0.75 * R_{b,cal,max,i}$: NEE
UGT draagvermogen zonder negatieve kleef : NEE

Paal : LD1
Niveau paalkop [m] : N.A.P. 17.78
Paalpuntniveau : N.A.P. 10.78
 $E_{d,1}$ [kN] : 0.00 $E_{d,2}$ [kN] : 0.00
 $s_{req,1}$ [m] : 0.15 $s_{req,2}$ [m] : 0.05
Bovenbel. [kN/m²] : 0.00

Project :
Onderdeel :

SAMENVATTINGSTABEL Mast 128 (n=1)**Uitgangspunten**

- paal : LD1
 - paaltype : Stalen buispaal (gesloten)
 - schachtafmeting : 550 mm
 Paalklassefactor α_p : 1.00
 Factor α_s (tabel 7.c EC 7.1) : 0.010 (zandlagen; voor kleilagen zie tabel 7.d)
 Correlatiefactor $\xi_{3(n=1)}$: 1.26

Alle niveaus/hogtes/peilmaten zijn t.o.v.: N.A.P.

sondering	maaiveld paalpunt		Bezwijkdraagvermogen			Rekenwaarden		
	niveau	niveau	$R_{b;cal}$ [kN]	$R_{s;cal}$ [kN]	$R_{c;cal}$ [kN]	$R_{c;d}$ [kN]	$F_{nk;d}$ [kN]	$R_{c;netto;d}$ [kN]
S128-1	18.03	10.78	1538.8	1044.5	2583.3	1708.5	-13.9	1694.6
S128-2	18.04	10.78	3563.7	862.2	4426.0	2927.2	-50.9	2876.3
S128-3	17.98	10.78	2115.5	1200.3	3315.8	2193.0	-15.1	2177.9
S128-4	18.01	10.78	1202.8	709.4	1912.2	1264.7	-46.6	1218.1

Totaal resultaten Mast 128 (van 4 sonderingen)

Uitgangspunten

Correlatiefactor ξ_{3gem} (n= 4) : 1.17
 Correlatiefactor ξ_{4min} (n= 4) : 0.93

gebaseerd op sonderingen:

S128-1 S128-2 S128-3 S128-4

$$R_{c;k} = \min.\{ R_{c;cal;gem}/\xi_3; R_{c;cal;min}/\xi_4 \} \quad (7.8)$$

Inheinniveau
[m]

$$10.78 \quad R_{c;k} = \min.\{ (3059.3/1.17); (1912.2/0.93) \} = 2056.1$$

Alle niveaus/hogtes/peilmaten zijn t.o.v.: N.A.P.

Inheinniveau [m]	$R_{c;k}$ [kN]	$R_{c;d}$ [kN]	$F_{c;tot;1}$ [kN]	$F_{nk;d}$ [kN]	$R_{c;netto;d}$ [kN]	U.C.	$s_{1;1}$ [mm]	$s_{1;2}$ [mm]
10.78	2056.1	1713.4	-50.9	-50.9	1662.5	0.03	-0.1	-0.1 *

*** WAARSCHUWING n.a.v. NEN-NA 1997-1 art. A.3.3.3 1)**

Bij toepassing van de waarden van ξ_1 , ξ_2 , ξ_3 en ξ_4 van de tabellen A.9 en A.10 mag de variatiecoëfficiënt van de draagkracht van palen in een groep, bepaald volgens de verschillende voor deze groep geldende sonderingen, niet groter zijn dan 12%. Deze variatiecoëfficiënt van 12% geeft bij een kans van onderschrijding van 5% een minimumdraagkracht groter dan 80% van het gemiddelde.

Inheinniveau [m]	Aantal [-]	$R_{c;cal;gem}$ [kN]	Var.coëff. [%]
10.78	4	3059.31	35.2

Project :
Onderdeel :

OVERZICHT NETTO DRAAGVERMOGEN DRUKPALEN

Netto paal draagvermogen(s) zijn naar beneden toe afgerond op: 1.0 kN nauwkeurig
Alle niveaus/hoogtes/peilmaten zijn t.o.v.: N.A.P.

sondering	maaiveld niveau	paalpunt niveau	$R_{c,netto;d}$ Mast 128	[kN]
S128-1	18.03	10.78	1694	
S128-2	18.04	10.78	2876	
S128-3	17.98	10.78	2177	
S128-4	18.01	10.78	1218	

Project :
Onderdeel :

ALGEMENE GEGEVENS

Project :
Onderdeel :
Datum : 23-11-2021
Bestand : \\Arh7001.verit.dnv.com\projects\EANL_Projects\
10166262 - BBB modelleren funderingen 380
kV\02 Content\03 Calculations\Technosoft
Paalfunderingen\MBT-EHV380\DO\Nieuw
Sonderingen\Mast 130-133.pvw
Berekeningstype : Verticaal belaste paal
Alle niveaus/hogtes/peilmaten zijn t.o.v.: N.A.P.

Toegepaste normen volgens Eurocode met Nederlandse NB

Geotechniek	EN 1997-1:2004	AC:2009	
	NEN-EN 1997-1:2005	C1+A1:2013	NB:2016
	NEN 9997-1:2016	C2:2017	

REKENGEGEVENS Mast 130

Berekening : Controlerend
Rekenmethode : Drukpalen volgens NEN-EN 1997-1, art. 7.6.2
Sondering(en) : S130-1, S130-2

Stijf bouwwerk : JA
Paalgroep : NEE
Aantal sonderingen : 2
Factor ξ_3 (n=1) : 1.26
Factor ξ_3 (gem) : 1.20
Factor ξ_4 (min) : 0.96
Weerstandsfactor γ_R : 1.20
 $\gamma_{f,nk}$: 1.0
 $R_{s,cal,max,i}$ begrenzen op $0.75 * R_{b,cal,max,i}$: NEE
UGT draagvermogen zonder negatieve kleef : NEE

Paal : LD1
Niveau paalkop [m] : N.A.P. 18.21
Paalpuntniveau : N.A.P. 8.71
 $E_{d,1}$ [kN] : 0.00 $E_{d,2}$ [kN] : 0.00
 $s_{req,1}$ [m] : 0.15 $s_{req,2}$ [m] : 0.05
Bovenbel. [kN/m²] : 0.00

Project :
Onderdeel :

SAMENVATTINGSTABEL Mast 130 (n=1)**Uitgangspunten**

- paal : LD1
 - paaltype : Stalen buispaal (gesloten)
 - schachtafmeting : 550 mm
 Paalklassefactor α_p : 1.00
 Factor α_s (tabel 7.c EC 7.1) : 0.010 (zandlagen; voor kleilagen zie tabel 7.d)
 Correlatiefactor $\xi_{3(n=1)}$: 1.26

Alle niveaus/hogtes/peilmaten zijn t.o.v.: N.A.P.

sondering	maaiveld paalpunt		Bezwijkdraagvermogen			Rekenwaarden		
	niveau	niveau	$R_{b;cal}$ [kN]	$R_{s;cal}$ [kN]	$R_{c;cal}$ [kN]	$R_{c;d}$ [kN]	$F_{nk;d}$ [kN]	$R_{c;netto;d}$ [kN]
S130-1	18.56	8.71	3563.7	779.3	4343.1	2872.4	-101.2	2771.2
S130-2	18.46	8.71	3073.2	751.0	3824.3	2529.3	-101.2	2428.0

Totaal resultaten Mast 130 (van 2 sonderingen)

Uitgangspunten

Correlatiefactor ξ_{3gem} (n= 2) : 1.20
 Correlatiefactor ξ_{4min} (n= 2) : 0.96

gebaseerd op sonderingen:

S130-1 S130-2

$$R_{c;k} = \min.\{ R_{c;cal;gem}/\xi_3; R_{c;cal;min}/\xi_4 \} \quad (7.8)$$

Inheinniveau
[m]

$$8.71 \quad R_{c;k} = \min.\{ (4083.7/1.20); (3824.3/0.96) \} = 3403.1$$

Alle niveaus/hogtes/peilmaten zijn t.o.v.: N.A.P.

Inheinniveau [m]	$R_{c;k}$ [kN]	$R_{c;d}$ [kN]	$F_{c;tot;1}$ [kN]	$F_{nk;d}$ [kN]	$R_{c;netto;d}$ [kN]	U.C.	$s_{1;1}$ [mm]	$s_{1;2}$ [mm]
8.71	3403.1	2835.9	-101.2	-101.2	2734.6	0.04	-0.3	-0.2

REKENEGEGEVENS Mast 133

Berekening : Controlerend
 Rekenmethode : Drukpalen volgens NEN-EN 1997-1, art. 7.6.2
 Sondering(en) : S133-1, S133-2, S133-3, S133-4

Stijf bouwwerk : NEE
 Paalgroep : NEE
 Aantal sonderingen : 4
 Factor $\xi_{3(n=1)}$: 1.39
 Factor $\xi_{3(gem)}$: 1.28
 Factor $\xi_{4(min)}$: 1.03
 Weerstandsfactor γ_R : 1.20
 $\gamma_{f;nk}$: 1.0
 $R_{s;cal;max;i}$ begrenzen op $0.75 * R_{b;cal;max;i}$: NEE
 UGT draagvermogen zonder negatieve kleef : NEE

Paal : LD1

Niveau paalkop [m] : N.A.P. 16.45

Paalpuntniveau : N.A.P. 3.95

$E_{d;1}$ [kN] : 0.00

$E_{d;2}$ [kN] : 0.00

$s_{req;1}$ [m] : 0.15

$s_{req;2}$ [m] : 0.05

Bovenbel. [kN/m²] : 0.00

Project :
Onderdeel :

SAMENVATTINGSTABEL Mast 133 (n=1)**Uitgangspunten**

- paal : LD1
 - paaltype : Stalen buispaal (gesloten)
 - schachtafmeting : 550 mm
 Paalklassefactor α_p : 1.00
 Factor α_s (tabel 7.c EC 7.1) : 0.010 (zandlagen; voor kleilagen zie tabel 7.d)
 Correlatiefactor $\xi_{3(n=1)}$: 1.39

Alle niveaus/hogtes/peilmaten zijn t.o.v.: N.A.P.

sondering	maaiveld paalpunt		Bezwijkdraagvermogen			Rekenwaarden		
	niveau	niveau	$R_{b;cal}$ [kN]	$R_{s;cal}$ [kN]	$R_{c;cal}$ [kN]	$R_{c;d}$ [kN]	$F_{nk;d}$ [kN]	$R_{c;netto;d}$ [kN]
S133-1	16.75	3.95	3563.7	1654.2	5217.9	3128.2	-74.6	3053.7
S133-2	16.64	3.95	3563.7	1328.1	4891.9	2932.8	-105.7	2827.1
S133-3	16.74	3.95	3563.7	1654.7	5218.4	3128.5	-84.1	3044.5
S133-4	16.65	3.95	3563.7	1316.0	4879.7	2925.5	-85.8	2839.7

Totaal resultaten Mast 133 (van 4 sonderingen)

Uitgangspunten

Correlatiefactor ξ_{3gem} (n= 4) : 1.28
 Correlatiefactor ξ_{4min} (n= 4) : 1.03

gebaseerd op sonderingen:

S133-1 S133-2 S133-3 S133-4

$$R_{c;k} = \min.\{ R_{c;cal;gem}/\xi_3; R_{c;cal;min}/\xi_4 \} \quad (7.8)$$

Inheinniveau
[m]

$$3.95 \quad R_{c;k} = \min.\{ (5052.0/1.28); (4879.7/1.03) \} = 3946.9$$

Alle niveaus/hogtes/peilmaten zijn t.o.v.: N.A.P.

Inheinniveau [m]	$R_{c;k}$ [kN]	$R_{c;d}$ [kN]	$F_{c;tot;1}$ [kN]	$F_{nk;d}$ [kN]	$R_{c;netto;d}$ [kN]	U.C.	$s_{1;1}$ [mm]	$s_{1;2}$ [mm]
3.95	3946.9	3289.0	-105.7	-105.7	3183.4	0.03	-0.3	-0.3

Project :
Onderdeel :

OVERZICHT NETTO DRAAGVERMOGEN DRUKPALEN

Netto paal draagvermogen(s) zijn naar beneden toe afgerond op: 1.0 kN nauwkeurig
Alle niveaus/hogtes/peilmaten zijn t.o.v.: N.A.P.

sondering	maaiveld paalpunt		$R_{c, netto; d}$ [kN]	
	niveau	niveau	Mast 130	Mast 133
S133-1	16.75	3.95		3053
S133-2	16.64	3.95		2827
S133-3	16.74	3.95		3044
S133-4	16.65	3.95		2839
S130-1	18.56	8.71	2771	
S130-2	18.46	8.71	2428	

Project :
Onderdeel :

ALGEMENE GEGEVENS

Project :
Onderdeel :
Datum : 10-12-2021
Bestand : \\Arh7001.verit.dnv.com\projects\EANL_Projects\
10166262 - BBB modelleren funderingen 380
kV\02 Content\03 Calculations\Technosoft
Paalfunderingen\MBT-EHV380\DO\Nieuw
Sonderingen\Nieuwe palen\Meerpaals\Mast
020-029.pvw
Berekeningstype : Verticaal belaste paal
Alle niveaus/hogtes/peilmaten zijn t.o.v.: N.A.P.

Toegepaste normen volgens Eurocode met Nederlandse NB

Geotechniek	EN 1997-1:2004	AC:2009	
	NEN-EN 1997-1:2005	C1+A1:2013	NB:2016
	NEN 9997-1:2016	C2:2017	

REKENEGEVENS Mast 027

Berekening : Ontwerpend
Rekenmethode : Trekpalen volgens NEN-EN 1997-1, art. 7.6.3
Sondering(en) : S027-1, S027-2, S027-3, S027-4
Let op: trekcapaciteit t.p.v. negatief kleeftraject is meegerekend.

Stijf bouwwerk : JA
Paalgroep : NEE
Aantal sonderingen : 4
Factor ξ_3 (n=1) : 1.26
Factor ξ_3 (gem) : 1.17
Factor ξ_4 (min) : 0.93
Weerstandsfactor γ_R : 1.35
 $\gamma_{m;var;q_c}$: 1.50
UGT draagvermogen zonder negatieve kleeft : NEE

Paal : SI-paal 323_450
Niveau paalkop [m] : N.A.P. 26.97
Bovenbel. [kN/m²] : 0.00

PAALPUNTNIVEAUS SI-paal 323_450

Alle niveaus/hogtes/peilmaten zijn t.o.v. : N.A.P.

Nr	Beginniveau [m]	Eindniveau [m]	Stapgrootte [m]
1	22.02	19.02	0.25

Project :
Onderdeel :

SAMENVATTINGSTABEL Mast 027 (n=1)**Uitgangspunten**

- paal : SI-paal 323_450
 - paaltype : In de grond gevormde geschroefde paal; groutinjectie
 - schachtafmeting : 450 mm
 Paalklassefactor α_p : 0.63
 Factor α_t (tabel 7.c EC 7.1) : 0.0090 (zandlagen; voor kleilagen zie tabel 7.d)
 Correlatiefactor $\xi_{3(n=1)}$: 1.26

Alle niveaus/hogtes/peilmaten zijn t.o.v.: N.A.P.

sondering	maaiveld paalpunt		Bezwijkdraagvermogen $R_{t,cal}$ [kN]	Rekenwaarden	
	niveau	niveau		$R_{t,d}$ [kN]	$R_{t,netto,d}$ [kN]
S027-1	27.54	22.02	153.2	153.2	153.2
		21.77	168.7	168.7	168.7
		21.52	184.1	184.1	184.1
		21.27	188.2	188.2	188.2
		21.02	193.9	193.9	193.9
		20.77	213.0	213.0	213.0
		20.52	232.2	232.2	232.2
		20.27	251.4	251.4	251.4
		20.02	270.5	270.5	270.5
		19.77	285.4	285.4	285.4
		19.52	291.1	291.1	291.1
		19.27	291.6	291.6	291.6
		19.02	292.0	292.0	292.0
		S027-2	27.48	22.02	140.8
21.77	154.0			154.0	154.0
21.52	161.8			161.8	161.8
21.27	163.0			163.0	163.0
21.02	166.6			166.6	166.6
20.77	175.6			175.6	175.6
20.52	183.3			183.3	183.3
20.27	189.5			189.5	189.5
20.02	194.8			194.8	194.8
19.77	198.1			198.1	198.1
19.52	200.2			200.2	200.2
19.27	203.5			203.5	203.5
19.02	206.6			206.6	206.6
S027-3	27.42			22.02	169.3
		21.77	188.5	188.5	188.5
		21.52	207.0	207.0	207.0
		21.27	209.3	209.3	209.3
		21.02	217.9	217.9	217.9
		20.77	236.3	236.3	236.3
		20.52	254.8	254.8	254.8
		20.27	273.3	273.3	273.3
		20.02	291.8	291.8	291.8
		19.77	306.8	306.8	306.8
		19.52	315.2	315.2	315.2
		19.27	322.1	322.1	322.1
		19.02	326.9	326.9	326.9
		S027-4	27.55	22.02	136.9
21.77	152.4			152.4	152.4
21.52	167.8			167.8	167.8
21.27	171.3			171.3	171.3
21.02	181.2			181.2	181.2
20.77	200.3			200.3	200.3
20.52	219.5			219.5	219.5
20.27	238.7			238.7	238.7
20.02	257.8			257.8	257.8
19.77	267.5			267.5	267.5
19.52	272.6			272.6	272.6
19.27	278.4			278.4	278.4
19.02	281.8			281.8	281.8

Project :
Onderdeel :

PAALGEGEVENS SI-paal 323_450

Type : In de grond gevormde geschroefde paal; groutinjectie
Wijze van installeren : Boren
Wijze van terugwinnen : n.v.t.
Diameter [m] : 0.450
Elasticiteitsmodulus [N/mm²] : 20000 (Beton)
Soortelijk gewicht [kN/m³] : 24.0 (Beton)
Factor α_s (tabel 7.c EC 7.1) : 0.009 (zandlagen; voor kleilagen zie tabel 7.d)
Factor α_t (tabel 7.c EC 7.1) : 0.0090 (zandlagen; voor kleilagen zie tabel 7.d)
Paalklassefactor α_p : 0.63
Paalvoetvormfactor β : 1.00
Type lastzakkingsdiagram : Grondverdringende paal
Verm.factor * $\phi'_{j,k}$: 1.00
Groutomhulling : JA

Project :
Onderdeel :

OVERZICHT NETTO DRAAGVERMOGEN TREKPALEN (n=1)

Netto paal draagvermogen(s) zijn naar beneden toe afgerond op: 1.0 kN nauwkeurig
Alle niveaus/hogtes/peilmaten zijn t.o.v.: N.A.P.

sondering	maaiveld niveau	paalpunt niveau	$R_{t, netto; d}$ Mast 027 [kN]
S027-1	27.54	22.02	153
		21.77	168
		21.52	184
		21.27	188
		21.02	193
		20.77	213
		20.52	232
		20.27	251
		20.02	270
		19.77	285
		19.52	291
		19.27	291
		19.02	292
		S027-2	27.48
21.77	153		
21.52	161		
21.27	162		
21.02	166		
20.77	175		
20.52	183		
20.27	189		
20.02	194		
19.77	198		
19.52	200		
19.27	203		
19.02	206		
S027-3	27.42		
		21.77	188
		21.52	206
		21.27	209
		21.02	217
		20.77	236
		20.52	254
		20.27	273
		20.02	291
		19.77	306
		19.52	315
		19.27	322
		19.02	326
		S027-4	27.55
21.77	152		
21.52	167		
21.27	171		
21.02	181		
20.77	200		
20.52	219		
20.27	238		
20.02	257		
19.77	267		
19.52	272		
19.27	278		
19.02	281		

Project :
Onderdeel :

ALGEMENE GEGEVENS

Project :
Onderdeel :
Datum : 10-12-2021
Bestand : \\Arh7001.verit.dnv.com\projects\EANL_Projects\
10166262 - BBB modelleren funderingen 380
kV\02 Content\03 Calculations\Technosoft
Paalfunderingen\MBT-EHV380\DO\Nieuw
Sonderingen\Nieuwe palen\Meerpaals\Mast
020-029.pvw
Berekeningstype : Verticaal belaste paal
Alle niveaus/hogtes/peilmaten zijn t.o.v.: N.A.P.

Toegepaste normen volgens Eurocode met Nederlandse NB

Geotechniek	EN 1997-1:2004	AC:2009	
	NEN-EN 1997-1:2005	C1+A1:2013	NB:2016
	NEN 9997-1:2016	C2:2017	

REKENGEGEVENS Mast 027

Berekening : Ontwerpend
Rekenmethode : Drukpalen volgens NEN-EN 1997-1, art. 7.6.2
Sondering(en) : S027-1, S027-2, S027-3, S027-4

Stijf bouwwerk : JA
Paalgroep : NEE
Aantal sonderingen : 4
Factor ξ_3 (n=1) : 1.26
Factor ξ_3 (gem) : 1.17
Factor ξ_4 (min) : 0.93
Weerstandsfactor γ_R : 1.20
 $\gamma_{f,nk}$: 1.0
 $R_{s,cal,max;i}$ begrenzen op $0.75 * R_{b,cal,max;i}$: NEE
UGT draagvermogen zonder negatieve kleeft : NEE

Paal : SI-paal 323_450
Niveau paalkop [m] : N.A.P. 26.97
Bovenbel. [kN/m²] : 0.00

PAALPUNTNIVEAUS SI-paal 323_450

Alle niveaus/hogtes/peilmaten zijn t.o.v. : N.A.P.

Nr	Beginniveau [m]	Eindniveau [m]	Stapgrootte [m]
1	22.02	19.02	0.25

Project :
Onderdeel :

SAMENVATTINGSTABEL Mast 027 (n=1)**Uitgangspunten**

- paal : SI-paal 323_450
 - paaltype : In de grond gevormde geschroefde paal; groutinjectie
 - schachtafmeting : 450 mm
 Paalklassefactor α_p : 0.63
 Factor α_s (tabel 7.c EC 7.1) : 0.009 (zandlagen; voor kleilagen zie tabel 7.d)
 Correlatiefactor $\xi_{3(n=1)}$: 1.26

Alle niveaus/hogtes/peilmaten zijn t.o.v.: N.A.P.

sondering	maaiveld paalpunt		Bezwijkdraagvermogen			Rekenwaarden		
	niveau	niveau	$R_{b;cal}$ [kN]	$R_{s;cal}$ [kN]	$R_{c;cal}$ [kN]	$R_{c;d}$ [kN]	$F_{nk;d}$ [kN]	$R_{c;netto;d}$ [kN]
S027-1	27.54	22.02	643.2	406.1	1049.3	694.0	-4.5	689.4
		21.77	647.2	444.2	1091.5	721.9	-4.5	717.4
		21.52	520.1	482.4	1002.5	663.1	-4.5	658.5
		21.27	631.5	491.6	1123.1	742.8	-4.5	738.2
		21.02	588.5	504.9	1093.5	723.2	-4.5	718.7
		20.77	506.0	552.6	1058.7	700.2	-4.5	695.7
		20.52	389.2	600.4	989.6	654.5	-4.5	650.0
		20.27	303.2	648.1	951.2	629.1	-4.5	624.6
		20.02	214.2	695.8	910.0	601.8	-4.5	597.3
		19.77	175.0	732.5	907.5	600.2	-4.5	595.7
		19.52	166.2	745.8	911.9	603.1	-4.5	598.6
		19.27	170.5	745.8	916.3	606.0	-4.5	601.5
		19.02	152.5	745.8	898.2	594.1	-4.5	589.6
S027-2	27.48	22.02	192.3	450.7	643.0	425.3	-0.8	424.5
		21.77	135.3	483.1	618.4	409.0	-0.8	408.2
		21.52	87.1	502.0	589.1	389.6	-0.8	388.8
		21.27	167.9	503.7	671.6	444.2	-0.8	443.4
		21.02	162.1	511.8	673.9	445.7	-0.8	444.9
		20.77	143.3	533.5	676.8	447.6	-0.8	446.8
		20.52	116.3	552.1	668.4	442.1	-0.8	441.2
		20.27	103.5	566.7	670.2	443.3	-0.8	442.4
		20.02	97.0	578.9	675.9	447.0	-0.8	446.2
		19.77	95.3	586.2	681.5	450.7	-0.8	449.9
		19.52	96.4	590.4	686.8	454.2	-0.8	453.4
		19.27	92.5	597.5	690.0	456.4	-0.8	455.5
		19.02	83.0	604.3	687.3	454.6	-0.8	453.7
S027-3	27.42	22.02	427.6	511.9	939.5	621.3	-1.4	619.9
		21.77	326.6	559.6	886.2	586.1	-1.4	584.7
		21.52	183.4	605.6	789.0	521.8	-1.4	520.4
		21.27	505.7	610.4	1116.1	738.2	-1.4	736.7
		21.02	542.6	631.0	1173.6	776.2	-1.4	774.8
		20.77	401.5	676.9	1078.4	713.2	-1.4	711.8
		20.52	335.4	722.8	1058.2	699.9	-1.4	698.5
		20.27	278.1	768.8	1046.9	692.4	-1.4	691.0
		20.02	241.3	814.7	1056.0	698.4	-1.4	697.0
		19.77	200.3	851.9	1052.2	695.9	-1.4	694.5
		19.52	180.2	872.2	1052.4	696.0	-1.4	694.6
		19.27	155.4	888.6	1044.0	690.5	-1.4	689.1
		19.02	183.1	899.7	1082.8	716.1	-1.4	714.7
S027-4	27.55	22.02	552.6	379.5	932.1	616.5	-2.8	613.6
		21.77	498.5	417.7	916.1	605.9	-2.8	603.1
		21.52	340.1	455.8	795.9	526.4	-2.8	523.6
		21.27	543.8	462.0	1005.8	665.2	-2.8	662.4
		21.02	464.2	486.7	950.9	628.9	-2.8	626.0
		20.77	405.0	534.4	939.4	621.3	-2.8	618.5
		20.52	287.5	582.1	869.6	575.1	-2.8	572.3
		20.27	212.4	629.8	842.2	557.0	-2.8	554.2
		20.02	156.9	677.5	834.4	551.8	-2.8	549.0
		19.77	139.7	700.9	840.6	556.0	-2.8	553.1
		19.52	134.8	712.8	847.6	560.6	-2.8	557.7
		19.27	120.6	726.5	847.1	560.3	-2.8	557.4
		19.02	114.6	733.8	848.4	561.1	-2.8	558.2

Project :
Onderdeel :

OVERZICHT NETTO DRAAGVERMOGEN DRUKPALEN

Netto paal draagvermogen(s) zijn naar beneden toe afgerond op: 1.0 kN nauwkeurig
Alle niveaus/hogtes/peilmaten zijn t.o.v.: N.A.P.

sondering	maaiveld niveau	paalpunt niveau	$R_{c, netto, d}$ Mast 027 [kN]
S027-1	27.54	22.02	689
		21.77	717
		21.52	658
		21.27	738
		21.02	718
		20.77	695
		20.52	649
		20.27	624
		20.02	597
		19.77	595
		19.52	598
		19.27	601
		19.02	589
		S027-2	27.48
21.77	408		
21.52	388		
21.27	443		
21.02	444		
20.77	446		
20.52	441		
20.27	442		
20.02	446		
19.77	449		
19.52	453		
19.27	455		
19.02	453		
S027-3	27.42		
		21.77	584
		21.52	520
		21.27	736
		21.02	774
		20.77	711
		20.52	698
		20.27	690
		20.02	696
		19.77	694
		19.52	694
		19.27	689
		19.02	714
		S027-4	27.55
21.77	603		
21.52	523		
21.27	662		
21.02	626		
20.77	618		
20.52	572		
20.27	554		
20.02	548		
19.77	553		
19.52	557		
19.27	557		
19.02	558		

APPENDIX F

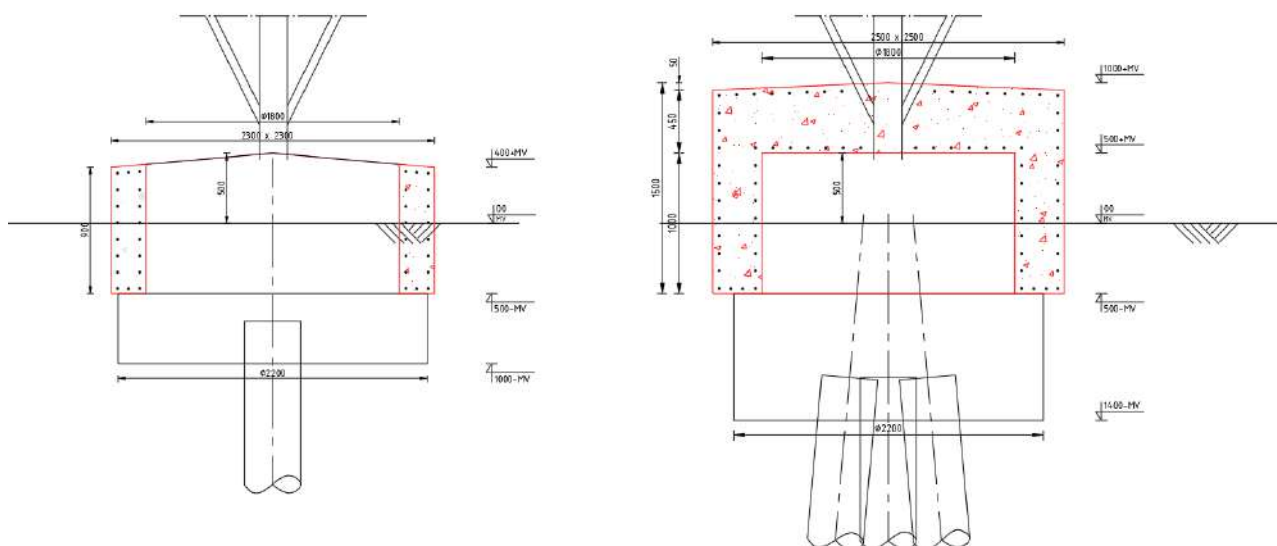
Betonberekeningen

In deze Appendix is de controle van de nieuw aan te brengen poeren opgenomen. De controle bestaat uit:

- Indicatieve wapeningsberekening;
- Indicatieve berekening blokdeuvels.

Indicatieve wapening ballastverzwaring

Door het opnemen van de bestaande poer in een nieuwe betonconstructie wordt de krimp van het nieuwe beton verhinderd. Ter plaatse van de kleinste doorsnede moet voldoende wapening aanwezig zijn om de scheurbelasting op te nemen en een fijnverdeeld scheurpatroon te bereiken. Geadviseerd wordt om de poeren rondom te voorzien van een praktische wapening voor scheurbeheersing. De poeren hebben geen dragende functie behalve voor hun eigen gewicht. Het principe is weergegeven in Figuur 5 en de opties voor de wapeningsdoorsnede zijn gegeven in Tabel 2.



Figuur 5 Principe wapening

Tabel 2 Mogelijk wapening t.b.v. scheurbeheersing

Poertype	Mogelijke wapening			
2P-LD + poer	Ø16-175	Ø12-125	Ø10-100	
3P-LD + poer - type 1	Ø16-175	Ø12-100		
3P-LD + poer - type 2	Ø16-150	Ø12-100		
3P-O + poer - mast 7	Ø16-125			
2P-O - mast 12	Ø16-325	Ø12-200	Ø10-150	Ø8-100
2P-O - mast 17	Ø16-175	Ø12-125	Ø10-100	

Ter onderbouwing van de wapening is de berekening van de wapening voor poer 2P-LD + poer onderstaand opgenomen. De wapening voor de scheurbeheersing wordt berekend met formule 7.1 van NEN 1992-1-1:

$$A_{s,min}\sigma_s = k_c k_{fct,eff} A_{ct}$$

Met:

k = coëfficiënt afhankelijk eigenspanningen, voor dikwandige constructies gelijk aan 1,0. Bij diktes tussen 300 mm en 800 afnemend tot 0,65. De bestaande poer heeft een diameter van 1,8 m en de nieuwe poer een doorsnede van 2,3 m x 2,3 m. De te beschouwen hoogte is dan $((2,3 \text{ m} - 1,8 \text{ m}) / 2 =) 0,25 \text{ m}$. Factor k is gelijk aan 1,0.

k_c = een factor, voor een zuivere trekstaaf voor dit geval: 1,0

$f_{ctm,eff}$, lange duur treksterkte. Voor beton C30/37: 2,9 N/mm².

Met: $\rho_s = \frac{A_s}{A_c}$ wordt de benodigde wapeningsverhouding berekend.

Combineren geeft:

$$\rho_s = \frac{k_c k f_{ct,eff}}{\sigma_s}$$

De toelaatbare staalspanning wordt bepaald op basis van milieuklasse en de maximale scheurwijdte $w_k = 0,3 \text{ mm}$.

Met uitgangspunt wapening $\varnothing 12$ is volgens tabel 7.2N van NEN 1992-1-1 de toelaatbare staalspanning 280 N/mm².

De wapeningsverhouding is dan:

$$\rho_s = \frac{1,0 \cdot 1,0 \cdot 2,90}{280} = 0,0104$$

De dikte van de randzone wordt bepaald met figuur 7.1. Hierin is $h_{c,eff}$ de kleinste waarde van $2,5(h-d)$, $(h-x)/3$ of $h/2$.

Voor een op trek belaste doorsnede zonder buiging is x gelijk aan nul. Uitgangspunt is een dekking van 40 mm, staafdiameter 12 mm, minimale breedte bij de middendoorsnede gelijk aan 250 mm (nuttige hoogte $d = 250 - 40 - 12/2 = 204 \text{ mm}$. Effectieve hoogte $h_c = \min(2,5(250-204)=115; (250-0)/3=83; 250/2=125) = 83 \text{ mm}$.

$$A_s = 0,0104 \cdot 83 \cdot 10^3 = 862 \text{ mm}^2$$

Dit betekent een wapening $\varnothing 12-125$ (905 mm²) als indicatie.

Indicatieve berekening wapening lijnpoer 2P+4P

De poer wordt gedimensioneerd op de maximale waarden die berekend zijn met AxisVM, zie Appendix G.

Tabel 3 Snedekrachten nieuwe poer (halve breedte)

Snedekracht	Berekend
$V_{z,Ed}$	277
$M_{y,Ed}$	445

Voor berekening van de scheurwijdte wordt de belasting gedeeld door factor 1,3.

De poer voldoet met 8 $\varnothing 20$ boven en onder met beugels $\varnothing 12-200$ (viersnedig). De eisen voor minimumwapening zijn maatgevend. Voor buiging in dwarsrichting kan op basis van de verticale richting uitgegaan worden van praktische wapening 5 $\varnothing 12$.

Ten behoeve van beheersing van de scheurvorming dient extra wapening bij te worden gelegd, zodanig dat de h.o.h.-afstand maximaal 250 mm bedraagt.

Voor krachtsinleiding van de paalbelasting zal aanvullende wapening moeten worden voorzien. Hierbij moet worden gedacht aan ophangwapening boven en om de palen en slijtwapening in de dwarsrichting van de balk.

Onderwerp	Nieuwe poer	Toetsing	
		Hoofdwapening	Voldoet
		Scheurvorming	Voldoet
		Dwarskracht en wringing	Voldoet
Belastingen		Materialen	
Moment	$M_{Ed} = 445,0$ kNm	Betonsterkteklasse	C30/37
Dwarskracht	$V_{Ed} = 277,0$ kN	f_{cd}	20,0 N/mm ²
Wringmoment	$T_{Ed} = 30,0$ kNm	f_{ctd}	1,35 N/mm ²
Duurzaamheid		Wapening	B500
Constructieonderdeel	Plaat, wand	f_{yd}	435 N/mm ²
Milieuklasse	XC4		
Doorsnedegegevens		Scheurvorming	
Breedte	$b = 450$ mm	$M_{qp} / M_{Ed} =$	1,30 -
Hoogte	$h = 1100$ mm	$\sigma_s = A_{s,ben} / A_s \times M_{qp} / M_{Ed} \times f_{yd} =$	269 N/mm ²
Dekking	$c_{nom} = 40$ mm	$\phi_{km} < (\text{tabel 7.2N}) =$	12 mm
Hoofdwap.	$\phi_{wap} = 20$ mm	$\phi_{km} =$	20 mm
Beugels	$\phi_{bgl} = 12$ mm	$s < (\text{tabel 7.3N}) =$	200 mm
$d = h - c - \phi_{bgl} - \phi / 2 =$	1038 mm	$s =$	109 mm Voldoet
Controle hoofdwapening		Dwarskracht	
Berekening op basis van	Buiglijger	$V_{Ed} = V_{Ed} / bd =$	0,59 N/mm ²
Basiswapening	4 Ø 20	$\rho_1 =$	0,27 %
Bijlegwapening	Ø	$k = 1 + \sqrt{(200/d)} =$	1,44 -
Bundels?	Geen bundel	$V_{Rd,c,min} = 0,035k^{3/2} \sqrt{f_{ck}} =$	0,33 N/mm ²
$z =$	1013 mm	$V_{Rd,c} = 0,12k(100\rho_1 f_{ck})^{1/3} bd =$	0,35 N/mm ² Afschuifwap
$M_d / bd^2 f_b =$	46 -	$V_{Rd,c} = V_{rd,c} bd =$	161,7 kN
$A_{sreq} =$	1011 mm ²	$v_1 = 0,6(1 - f_{ck}/250) =$	0,53 -
$A_{sprov} =$	1257 mm ²	$V_{Rd,max} = z/d v_1 f_{cd} / (\cot\theta + \tan\theta) =$	3,55 N/mm ² Voldoet
$\rho =$	0,27 %	$V_{Rd,max} = V_{rd,max} bd =$	1659 kN
$\rho_{min} =$	0,15 %	$\theta = 21,8 < \theta < 45 =$	21,8 °
$\rho_{max} =$	1,55 %		
Wringing		Beugels	
$t_{ef} = bh / 2(b+h) > 2c + 2\phi_{sw} + \phi_{hw} =$	160 mm	Bgls. Ø 12 - 200	2 - snedig
$A_k = (b - t_{ef})(h - t_{ef}) =$	272996,9 mm ²	$V_{Rd} = A_{sw} f_{yd} z \cot\theta / bds =$	2,67 N/mm ² Voldoet
$T_{rd,c} = 2f_{ctd} t_{ef} A_k =$	118,0 kNm	$\rho_{w,min} = 0,08 \sqrt{f_{ck}} / f_{yk} =$	0,63 -
Toets $T_{Ed} / T_{Rd,c} =$	0,25 -	$A_{sw,min} = 0,5 \rho_s \sin\theta b =$	551 mm ² /m
$T_{rd,max} = 2A_k v f_{cd} t_{ef} \rho_s \sin\theta \cos\theta =$	317,4 kNm	$A_{sw} =$	1131 mm ² /m voldoet
$A_{s,langs} = T_{Ed} \cot\theta u_k / 2f_{yd} A_k =$	828 mm ²		
h-zijde: 294 b-zijde: 120 mm ²			
Beugelwapening (let op: per zijde!)			
$A_{sw}/s = T_{Ed} \tan\theta / 2b_1 h_1 f_{yd} =$	38 mm ² /m		
Wringing + dwarskracht			
$T_{Ed}/T_{Rd,c} + V_{Ed}/V_{Rd,c} =$	1,97	Wapenen	
$T_{Ed}/T_{Rd,max} + V_{Ed}/V_{Rd,max} =$	0,26	Voldoet	
Controle beugels			
$A_{sw(V)} = V_{Ed,red} / z f_{yd} \cot\theta =$	252 mm ² /m		
$A_{sw(T)} = T_{Ed} \tan\theta / 2b_1 h_1 f_{yd} =$	38 mm ² /m		
$A_{sv,req} = A_{sw(T)} + A_{sw(V)} / n =$	164 mm ² /m		
$A_{sv,prov} = (\text{per zijde!}) =$	565 mm ² /m	Voldoet	

NB: Ten behoeve van beheersing van de scheurvorming dient de wapening zodanig te worden geplaatst dat de h.o.h.-afstand maximaal 250 mm bedraagt.

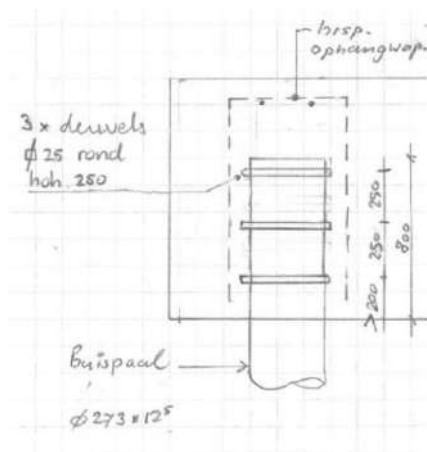
Indicatieve berekening blokdeuvels

De stalen buispaal wordt over 800 mm lengte opgenomen in de betonpoer. Aan de buispaal worden stalen blokdeuvels gelast om de belasting over te dragen.

Op basis van de maximale drukbelasting is de belasting die overgedragen moet worden circa 300 kN per nieuwe buispaal.

Bij de ronde buispaal wordt uitgegaan van drie cirkels van 25x25 mm met een tussenafstand van 250 mm. De capaciteit is 763 kN op basis van C30/37. De blokdeuvels voldoen met een UC van $(300 \text{ kN} / 763 \text{ kN} =) 0,39$.

In Figuur 6 is schematisch de detaillering weergegeven.



Figuur 6 Detaillering blokdeuvels

Berekening blokdeuvels

Paal

Benaming	SI-paal
Diameter	273 mm
Wanddikte	12,5 mm
Oppervlak	10230 mm ²
Staalsoort	S355
Doorsnedecapaciteit	3632 kN
Betonkwaliteit	C30/37

Blokdeuvels paal

Toetsing	Druk en trek	
Breedte	b	25 mm
Dikte	h	25 mm
Lengte	L	429 mm
Lassen	a	5 mm
Hoh afstand	s	150 mm
Aantal gerekend	n	3 -

Rekenwaarde druksterkte

Materiaalfactor	γ_c	1,5
Extra mat.factor	γ_m	1,25 -
$f_{cd} =$		16,0 N/mm ²

Capaciteit blokdeuvels paal

$A_{t1} =$	10713 mm ²
$A_{t2} =$	23568 mm ²
$C_A = \sqrt{A_{t2}/A_{t1}} =$	1,48 -
$f_{jd} = k_d \times f_{cd} =$	23,7 N/mm ²
$F_{Rd} = n \times A_{t1} \times f_{jd} =$	763 kN

APPENDIX G

Horizontale belastingen

SCHEMATISERING

Inleiding

De meerpaalsfunderingen bestaan uit betonpoeren met daarin opgenomen stalen buispalen of in het werk gestorte betonpalen (ortbetonpaal). De poer wordt belast door een trek- of drukkracht in combinatie met een horizontale belasting. Deze horizontale belasting wordt via druk vanuit de paal en de betonpoer afgedragen aan de bovenste grondlagen.

Vanwege de aard van de constructie spreidt de belasting vanuit de mast zich niet gelijkmatig over de aanwezige palen. Bij de toetsing van de palen moet hiermee rekening worden gehouden. Hiervoor wordt van elk poertype de "effectiviteitsfactor" bepaald:

De effectiviteit "k" is gelijk aan: $F_{\text{totaal}} / (F_{\text{max,paal}} \times \text{aantal palen})$

Het bepalen van de effectiviteit is de belangrijkste doelstelling in de analyse van de bestaande fundaties. Bij de nieuwe fundaties worden de analyses uitgevoerd met als tweede doel om de interne krachten in de poer te bepalen voor de dimensionering van de wapening in de UO-fase.


Alle modellen zijn opgebouwd uit 1D-staafelementen waarmee wordt berekend hoe de kracht op de grond wordt afgedragen en hoe de krachten zich verdelen over de palen en wat de paalpuntverplaatsing is. In de komende subhoofdstukken zijn de uitgangspunten van de grondsoorten, materialen, geometrie en belasting omschreven.


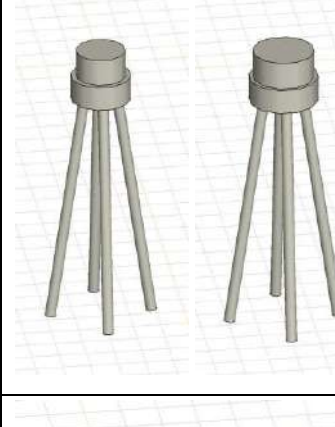
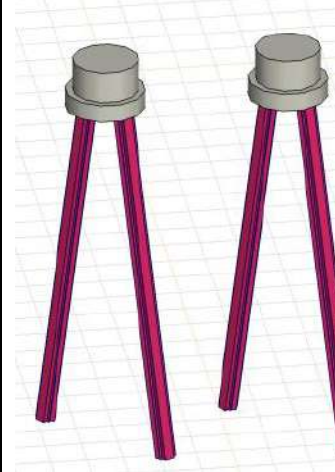
Modellen

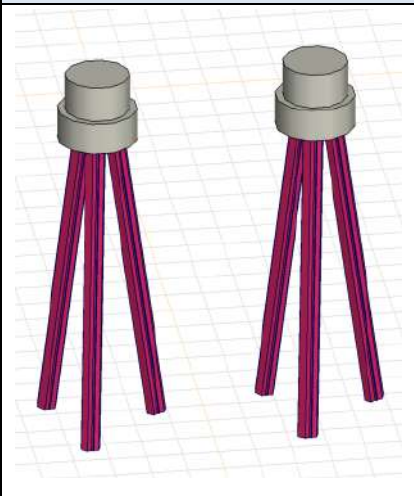

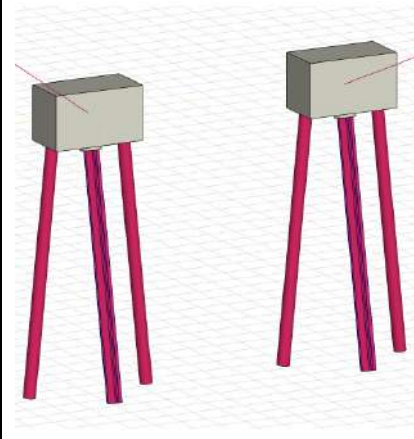
In Tabel 4 zijn de poertypes opgesomd die voorkomen in de lijn MBT-EHV. Erachter is toegelicht of voor het betreffende type een rekenmodel is ontwikkeld om de afdracht te onderzoeken.

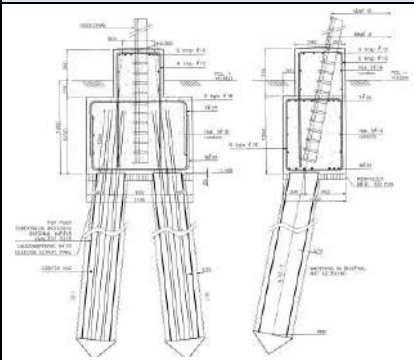
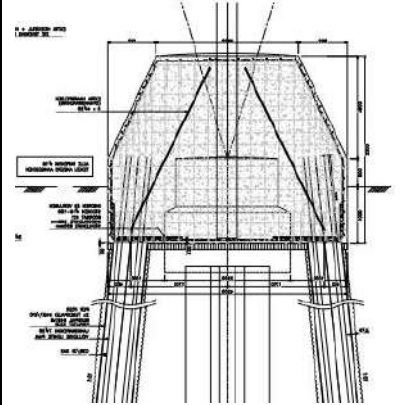
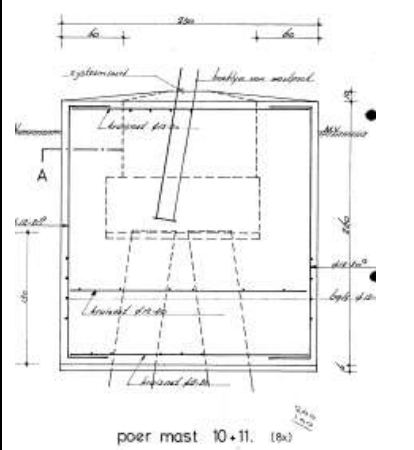
Voor de benaming van de modellen is de volgende benaming gekozen: xP-y-Xz, met "x" het aantal palen, "y" het paaltje (O van ortbeton, LD voor stalen kokerpaal), "X" de indicatie voor het bodemprofiel, naar gelang stijfheid aangeduid als L (laag), M, H (hoog). De "z" is voor de belasting vanuit het masttype.

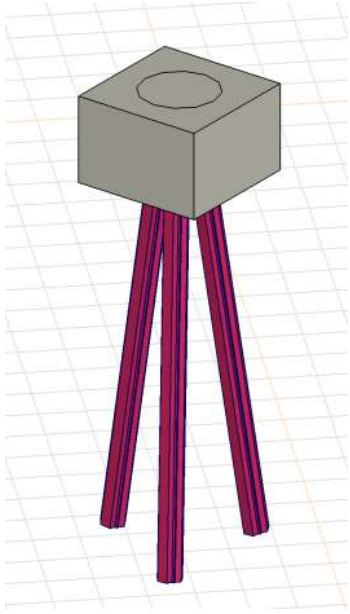
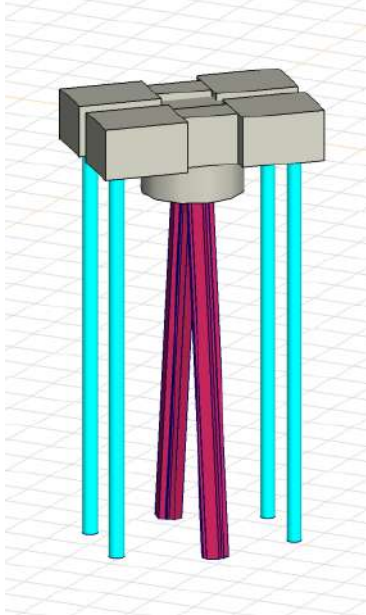
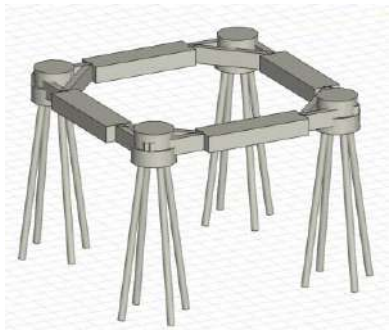
Tabel 4 Poertypes en modellen fundaties

Poertype	Figuur	Model	Toelichting
Ronde poer - 2P-O		2P-O-H1 & 2P-O-L1 2P-O-H2 & 2P-O-L3 S+0 met fundering (mast 2)	De poer komt in twee varianten voor met verschillende diameters (1,3/1,5 m en 1,8/2,2 m) en bij verschillende masttypes en grondgesteldheid. Een onderverdeling is gemaakt voor grondgesteldheid (H of L) en belasting (cijfercode). In twee modellen zijn de types berekend Mast 2 is apart geanalyseerd vanwege

Poertype	Figuur	Model	Toelichting
			speciale terreinomstandigheden.
Ronde poer - 3P-O		3P-O	Poertype komt voor bij mast 7 en 8. Er zijn twee verschillende diameters toegepast (mast 7: 1,8/2,2, mast 8: 1,5/1,8 m). In het model zijn beide types opgenomen.
Ronde poer - 4P-O		4P-O	Poertype komt voor bij mast 1,4 en mast 82. Twee varianten bestaan (mast 1 en 4: 1,8/2,2 m, mast 82: 2,2/2,5 m). In het model zijn beide types geanalyseerd.
2P-LD		2P-LD-H1 & 2P-LD-H2 2P-LD-H3 & 2P-LD-L3	Het poertype is wat betreft afmeting overal gelijk (1,8/2,2 m), maar meerdere masttypes komen voor en verschillende grondgesteldheid. Een onderverdeling is gemaakt voor grondgesteldheid (H of L) en belasting (cijfercode). In twee modellen zijn de types berekend.

Poertype	Figuur	Model	Toelichting
3P-LD		3P-LD-L1 & 3P-LD-H1 3P-LD-M1	Het poertype is wat betreft afmeting overal gelijk (1,8/2,2 m), en is bij hoekmasten toegepast. Een onderverdeling is gemaakt voor grondgesteldheid (L, H en M). In twee modellen zijn de drie types berekend
4P-LD		4P-LD	Poertype komt driemaal voor bij hoekmasten. Twee varianten bestaan (mast 98: 1,8/2,2 m, mast 23 en 133: 2,2/2,5 m). In het model zijn beide types geanalyseerd.
Lijnpoer - 1P+2P Mast 116, & 120 Lijnpoer - 1P+2P Mast 117 & 118		1P+2P Brandevoort	De bestaande fundaties die bij de reconstructie Helmond Brandevoort zijn verzwakt zijn in dit model herberekend vanwege het feit dat de verzwaringen met loodpalen zijn uitgevoerd.

Poertype	Figuur	Model	Toelichting
Nieuwbouwfundaties Helmond Brandevoort		-	De tweepaalspoeren zijn met schoorpalen uitgevoerd in de richting van de mastrand. Voor de spreiding is gerekend met een effectiviteit van 80% en dit voldoet. Er is geen nader onderzoek naar de krachtafdracht nodig.
Mast 119 Brandevoort		-	De bestaande fundatie is met een conservatieve aanname voor de effectiviteit beoordeeld. Dit voldoet, er is geen nader onderzoek naar de krachtafdracht nodig.
Mastfundaties bij Grindwinningsplassen (mast 5,6, 9 t/m 16)		-	De verzwaarde mastfundaties bij de grindwinningsplassen zijn niet geanalyseerd in AxisVM. Voor de effectiviteitsfactor is gerekend met 67% en dit voldoet. Er is geen nader onderzoek naar de krachtafdracht nodig.

Poertype	Figuur	Model	Toelichting
Verzwaarde fundatie mast 61		3P-LD+poer type 1	De fundatie heeft van de fundaties met ballastverzwaring de hoogste uitnutting.
Verzwaarde fundatie 2P+4P		2P-LD+4P	De fundatie van mast 27 wordt verzwaaarde met een blokpoer gefundeerd op vier nieuwe schroefinjectiepalen
Verzwaarde fundatie mast 82		Balkrooster mast 82	De fundatie van mast 82 wordt met een balkrooster verzwaaard

Modelvorming

De 1D-staven van de palen worden voorzien van een verende lijnoplegging met veercharacteristieken die bij de betreffende grondsoort horen. De veerwaarde van de grondsoort is bepaald aan de hand van CUR166 "Damwandconstructies". Bij de vertaling van deze veerwaarde naar een lijnoplegging wordt rekening gehouden met de schelpfactor volgens CUR228 "Horizontaal belaste palen".

Per locatie is een karakteristiek van de bodemopbouw bepaald en deze wordt samen met de diepte en de afmeting van het constructieonderdeel gebruikt om de veerwaarde af te leiden.

Belastingen

De belastingen worden per model omschreven. Deze zijn gebaseerd op Appendix H.

Veerwaarden

In Tabel 5 zijn de uit Cur226 afgeleide veerwaarden van klei en zand opgenomen. Volgens NEN-EN 50341-2-15:2019 dient rekening te worden gehouden met lage, gemiddelde en hoge veerwaarden.

Tabel 5 Veerwaarden

Grond	k_h [kN/m ³]	schelp [-]	Gem. [kN/m]	Laag [kN/m]	Hoog [kN/m]
Klei	1500	1,3	3900	2750	5525
Zand, los	3000	1,85	16650	11750	23550
Zand, matig	15000	2,0	30000	21200	42450

Uit de analyse bij de enkelpaalsfundaties is gebleken dat de hoge veerwaarde tot de hoogste waarden voor de spanningen in de palen leiden. De verschillen zijn echter klein en vallen ruim binnen de gehanteerde marges. Omdat voor de belastingspreiding en de vervorming de lage waarden altijd maatgevend zijn, wordt uitsluitend met de lage waarden uit de tabel gerekend, in Tabel 6 is de uitwerking gegeven voor alle paal- en poertypes.

Tabel 6 Gehanteerde beddingwaarden

Paal	Grond	k_h [kN/m ³]	schelp [-]	Diameter [m]	Bedding (laag) [kN/m]
O400	Klei	3000	1,3	0,4	1075
	Zand, los	9000	1,85	0,4	4700
	Zand, matig	15000	2	0,4	8475
LD1	Klei	3000	1,3	0,55	1500
	Zand, los	9000	1,85	0,55	6450
	Zand, matig	15000	2	0,55	11650
Ø273/400	Klei	3000	1,3	0,273	750
	Zand, los	9000	1,85	0,4	4700
	Zand, matig	15000	2	0,4	8475
Ø323/450	Klei	3000	1,3	0,324	900
	Zand, los	9000	1,85	0,45	5300
	Zand, matig	15000	2	0,45	9525
Ø457/620	Klei	3000	1,3	0,457	1250
	Zand, los	9000	1,85	0,62	7300
	Zand, matig	15000	2	0,62	13150
O1300	Klei	3000	1	1,3	2750
	Zand, los	9000	1	1,3	8250
	Zand, matig	15000	1	1,3	13775
O1500	Klei	3000	1	1,5	3175
	Zand, los	9000	1	1,5	9525
	Zand, matig	15000	1	1,5	15900

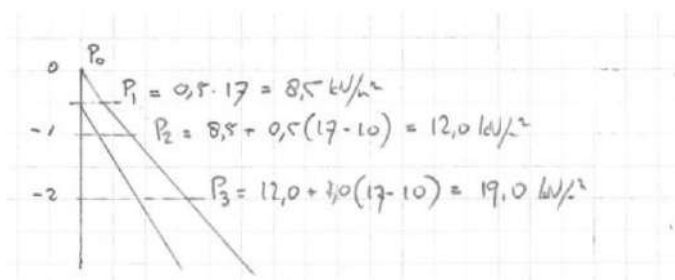
O1800	Klei	3000	1	1,8	3800
	Zand, los	9000	1	1,8	11450
	Zand, matig	15000	1	1,8	19075
O2200	Klei	3000	1	2,2	4650
	Zand, los	9000	1	2,2	14000
	Zand, matig	15000	1	2,2	23325
O2500	Klei	3000	1	2,5	5300
	Zand, los	9000	1	2,5	15900
	Zand, matig	15000	1	2,5	26500
Balk	Klei	3000	1	1	2100
	Zand, los	9000	1	1	6350
	Zand, matig	15000	1	1	10600

Maximale gronddruk

In de bovenste grondlagen kan er slechts beperkte gronddruk worden opgenomen, gebaseerd op de maximale passieve gronddruk.

Een aantal uitgangspunten reduceert de maximale in rekening te brengen druk:

- de maximale druk kan pas optreden bij grote vervormingen (centimeters). Om deze reden wordt de druk gemaximeerd op 50% van de maximale waarde. Voor dieper gelegen constructiedelen wordt 100% toegestaan omdat daar vervormingen klein blijven.
- bij paalgroepen wordt 50% reductie toegepast omdat palen elkaar beïnvloeden
- grondgewicht wordt gereduceerd op basis van een fictieve waterstand van 0,5m- maaiveld.
- er wordt gerekend met grondgewicht 17 kN/m³ (klei).
- De passieve gronddrukfactor is voor veen en klei aangenomen op 2 en voor zand op 3.
- De weerstand biedende breedte per paal is bepaald met de schelpfactor volgens Tabel 6. Bij poeren is geen spreiding gerekend.



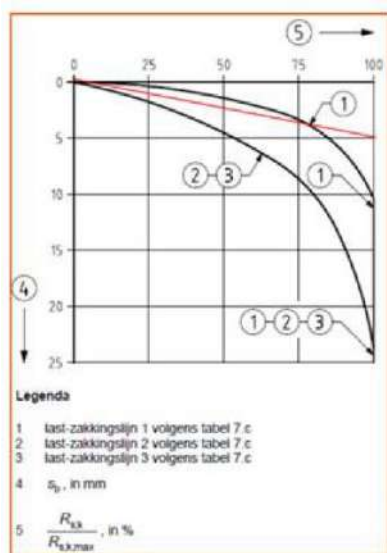
Figuur 7 Verticale gronddruk voor berekening maximale passieve gronddruk

Toetsing

De fundaties worden op de volgende punten getoetst:

- Maximale spanning in de stalen paal. Voor bestaande palen wordt uitgegaan van een dikteverlies na 35+50 jaar op basis van ongeroerde schone bodem. Het dikteverlies is gelijk aan: $85 / 50 \times 0,6 \text{ mm/50 jaar} = 1,0 \text{ mm}$. Bij een initiële dikte van 10 mm voor de kokerpaal betekent dat de U.C. beneden de $(10-1,0)/10 = 0,90$ moet blijven;
- Ortbetonpalen kunnen niet worden getoetst, er zijn geen wapeningsgegevens bekend. Dit is verantwoord omdat belastingen vanuit de mast na de opwaardering niet toenemen.
- Krachten in bestaande betonpoeren kunnen niet worden getoetst, er zijn geen wapeningsgegevens bekend. Dit is verantwoord omdat belastingen vanuit de mast na de opwaardering niet toenemen.
- De opwaartse verplaatsing van de paalpunt mag de grenswaarde van 5 mm niet overschrijden. De achtergrond is als volgt: door de ongelijke verdeling van belasting over de palen zal bij een van de palen als eerste het grensdragvermogen bereikt worden. De paal is over de onderste meter in het model van een veer voorzien die boven het draagvermogen geen stijfheid heeft. De paal zal dan belasting gaan herverdelen naar andere palen. De herverdeling is mogelijk tot 5 mm verplaatsing. Het draagvermogen waarbij onder de uitwendige belasting juist aan de 5 mm eis wordt voldaan, geldt als het minimale draagvermogen dat benodigd is, hiermee wordt de effectiviteitsfactor berekend.

Zie hiervoor ook figuur 7.0 uit NEN-EN 1997-1, hieronder als Figuur 8 opgenomen, met ingetekend rode lijn die is aangehouden. Vanwege het tamelijk “brosse” vervormingsgedrag van een trekpaal en de resultaten van proefbelastingen die zijn uitgevoerd, wordt een grotere verplaatsing ongewenst geacht.



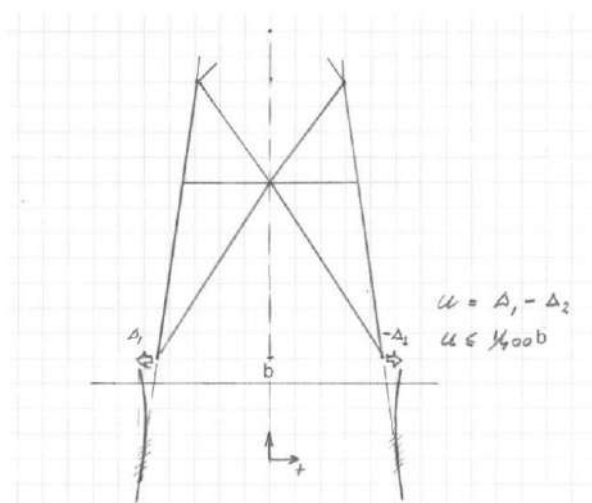
Figuur 7.0 — Relatie tussen de schuifkracht op de paalschicht (R_s), in % van de maximumschuifkracht op de paalschicht ($R_{s,max}$) bij de uiterste grenstoestand of de bruikbaarheidsgrenstoestand en de zakking van de punt (s_b), in mm

Figuur 8 Last-zakkingsdiagram schuifspanningen. Traject 1 is van toepassing. De rood ingetekende lijn wordt aangehouden

- Horizontale verplaatsing van maximaal 1/400-b. Deze eis is conform TenneT-specificatie “paalfunderingen” en wordt in principe alleen gehanteerd voor nieuwe constructies.

Deze verplaatsingseisen worden gesteld aan karakteristieke belastingen. De gehanteerde belastingen zijn uit ULS of SpLS. De verplaatsingen die gevonden worden moeten dus nog worden gedeeld door de belastingfactor, hier wordt een factor van 1,25 voor aangehouden. Voor steunmasten worden de torsiebelastingen al berekend zonder belastingfactor. Hiervoor wordt de factor van 1,25 dus niet gehanteerd. Bij hoekmasten is de factor bij torsie voor SPLS gelijk aan 1,10.

Bij belasting door torsie bewegen de palen in principe in dezelfde richting, daardoor wordt er theoretisch altijd aan de eis voldaan. Als beginpunt wordt $1/400 \cdot b$ aangehouden. Bij beoordeling van de bestaande palen wordt een kleine overschrijding als acceptabel gezien.



Figuur 9 Toelaatbare horizontale verplaatsing

Tabel 7 Toelaatbare horizontale verplaatsing per paalttype

Mast	Pootsprei [m]	basiseis [-]	Max. u [mm]	Factor 1 [-]	Factor 2 [-]	Eis [mm]
S+0 UGT afkeur	9,00	1/400	22,5	1,25	0,50	14,1
S+0 UGT verbouw	9,00	1/400	22,5	1,35	0,50	15,2
S+0 torsie	9,00	1/400	22,5	1,00	1,00	22,5
S+3/S+6 UGT afkeur	9,86	1/400	24,7	1,25	0,5	15,4
S+3/S+6 UGT verbouw	9,86	1/400	24,7	1,35	0,5	16,6
S+3/S+6 torsie	9,86	1/400	24,7	1,00	1,00	24,7
S+9/12/15 UGT afkeur	10,65	1/400	26,6	1,25	0,5	16,6
S+9/12/15 UGT verbouw	10,65	1/400	26,6	1,35	0,5	18,0
S+9/12/15 torsie	10,65	1/400	26,6	1,00	1,00	26,6
H+0 UGT afkeur	11,00	1/400	27,5	1,25	0,5	17,2
H+0 UGT verbouw	11,00	1/400	27,5	1,35	0,5	18,6
H+0 UGT torsie	11,00	1/400	27,5	1,1	1,00	25,0

BEREKENINGEN BESTAANDE FUNDATIES

Inleiding

In dit hoofdstuk is de analyse van de bestaande poertypes opgenomen. Voor volledige berekening en resultaten, zie de uitvoerrapporten van AxisVM aan het einde van deze appendix.

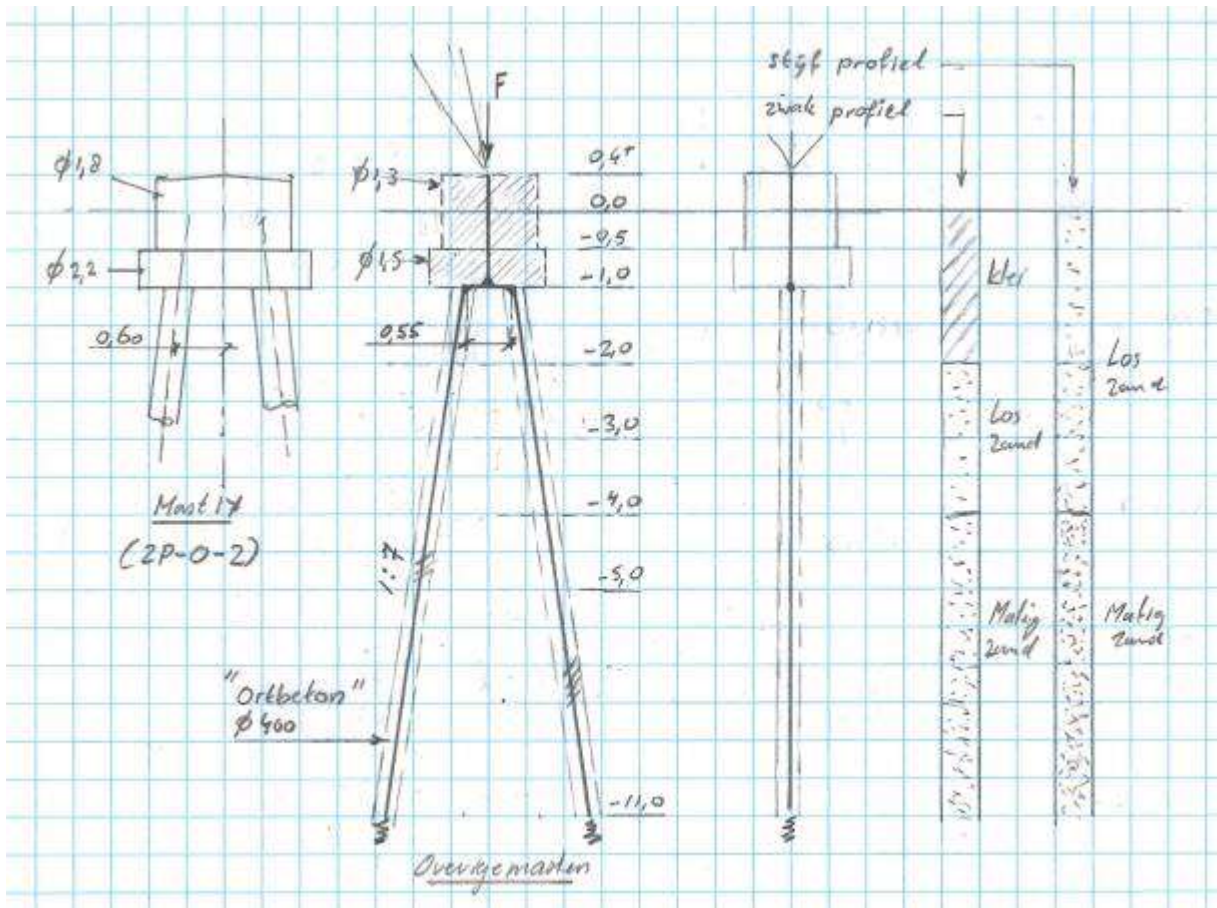
Poertype 2P-O

Poertype 2P-O komt voor in twee varianten bij 4 locaties, zie Tabel 8.

Tabel 8 Modellen 2P-O

Poertype	Masttype	Mastr.	Omschrijving bodem	Axis-file
Ronde poer - 2P-O	S+0	2	Zand, los tot 4 m, vast zand	2P-O-H1 & 2P-O-L1
		3	Klei tot -2.5, daarna vast zand	2P-O-H1 & 2P-O-L1
Ronde poer - 2P-O-2	S+15 T1	12	Los zand tot 2 m, Matig zand	2P-O-H2 & 2P-O-2-L3
		17	Klei tot -2, vast zand	2P-O-H2 & 2P-O-2-L3

Het schema is in **Figuur 10** weergegeven



Figuur 10 Schema 2-paals poer met Ortbetonpalen

De maximale passieve gronddruk is in Tabel 9 opgenomen.

Tabel 9 Maximale gronddruk 2P-O

Model	Grond	Niveau	p	k _{pa}	schelp	Diameter	Factor	Max. druk
		[m]	[kN/m ³]	[kN/m ³]	[-]	[m]	[-]	[kN]
2P-O-1	Klei	0	0					
	Klei	-0,5	8,5	2	1	1,8	50%	3,8
	Klei	-1	12	2	1	2,2	50%	11,3
	Klei	-2	19	2	1,3	0,4	50%	8,1
	Zand, los	-3	26	3	1,85	0,4	50%	25,0
	Zand, los	-4	33	3	1,85	0,4	100%	65,5
2P-O-2	Zand, los	0	0					
	Zand, los	-0,5	8,5	3	1	1,3	50%	4,1
	Zand, los	-1	12	3	1	1,5	50%	11,5
	Zand, los	-2	19	3	1,85	0,4	50%	17,2
	Zand, los	-3	26	3	1,85	0,4	50%	25,0
	Zand, matig	-4	33	3	2	0,4	100%	70,8

De belastingen zijn in Tabel 10 opgenomen.

Tabel 10 Belastingen 2P-O modellen
S+0 mast 74

Omschrijving	Load case	R _x (kN)	R _y (kN)	R _z (kN)
Max. druk	ULS 1a_45	107	96	567
Max. trek	ULS 1a_0,9_0,9_45	74	63	-402
Max. pos. torsie	ULS 5a Ba 21	-29	25	-1
Max. neg. torsie	ULS 5a Ah 21	29	25	-1
Comb. trek+torsie	ULS 1a_0,9_0,9_90	-74	47	-369
EDS (blijvende bel.)	SLS 7	17	17	85

S+0 T Mast 12

Omschrijving	Load case	R _x (kN)	R _y (kN)	R _z (kN)
Max. druk	ULS 1a_45	111	101	590
Max. trek	ULS 1a_0,9_0,9_45	80	71	-437
Max. pos. torsie	ULS 5a Ba 21	-27	26	-8
Max. neg. torsie	ULS 5a Ba 10	-27	-26	-8
Comb. trek+torsie	ULS 1a_0,9_0,9_45	80	71	-437
EDS (blijvende bel.)	SLS 7	16	16	78

S+15 mast 17

Omschrijving	Load case	R _x (kN)	R _y (kN)	R _z (kN)
Max. druk	ULS 1a_45	146	134	931
Max. trek	ULS 1a_0,9_0,9_45	113	102	-729
Max. pos. torsie	ULS 5a Ah 10	24	-21	-5
Max. neg. torsie	ULS 5a Ba 10	-24	-21	-5
Comb. trek+torsie	ULS 1a_0,9_0,9_45	113	102	-729
1	SLS 7	17	17	104

S+15 mast 7

Omschrijving	Load case	R _x (kN)	R _y (kN)	R _z (kN)
Max. druk	ULS 1a_45	130	119	828
Max. trek	ULS 1a_0,9_0,9_45	98	87	-627
Max. pos. torsie	ULS 5a Ba 21	-24	21	-6
Max. neg. torsie	ULS 5a Ba 10	-24	-21	-6
Comb. trek+torsie	ULS 1a_0,9_0,9_45	98	87	-627
EDS (blijvende bel.)	SLS 7	16	16	103

Overige belastingen:

- EG automatisch door programma
- Opwaartse belasting grondwater: $\pi/4 \times 1,5^2 \times 0,5 \times 10 = 8,8 \text{ kN}$
- Opwaartse belasting grondwater: $\pi/4 \times 2,2^2 \times 0,5 \times 10 = 19 \text{ kN}$

In Tabel 11 zijn de resultaten voor de effectiviteit samengevat van de poeren. De fundaties zijn getoetst met deze waarden in Appendix D.

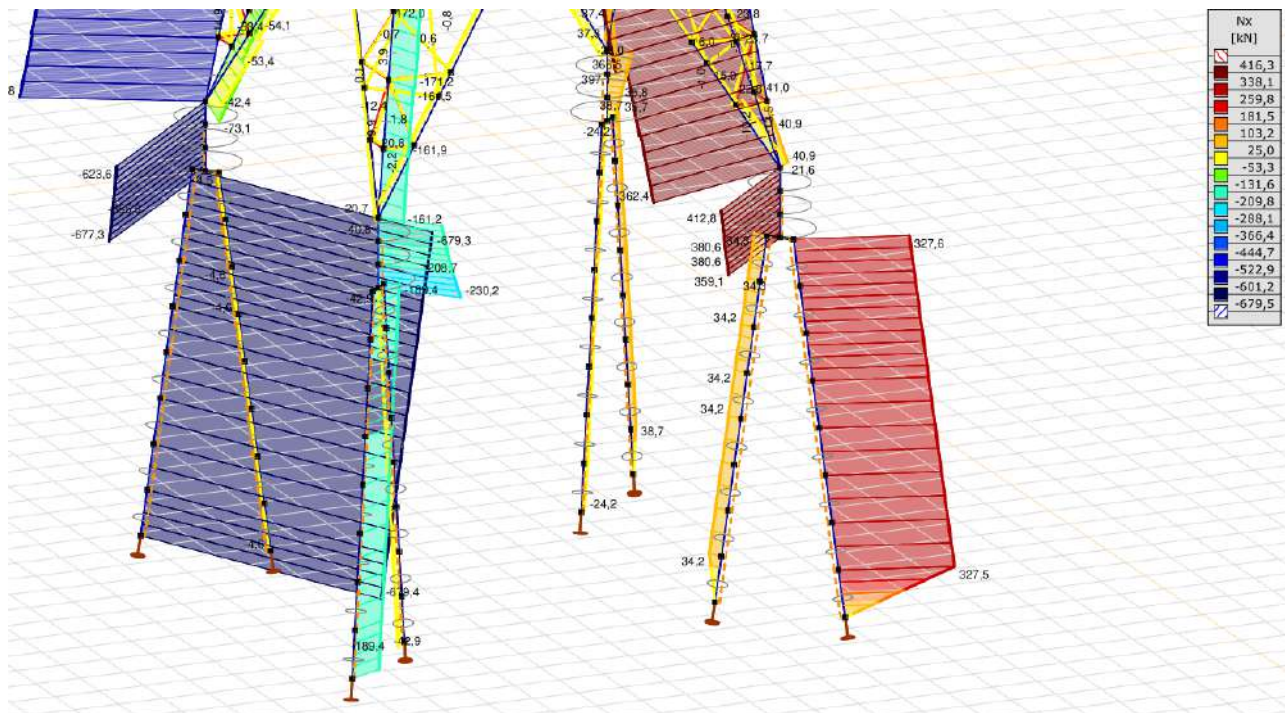
Tabel 11 Resultaten palen

Axis-file	Totaal trek (kN)	Capaciteit (kN)	Effectiviteit
2P-O-H1 & 2P-O-L1	367	340	0,54
2P-O-H1 & 2P-O-L1	367	374	0,49
2P-O-H2 & 2P-O-2-L3	402	394	0,51
2P-O-H2 & 2P-O-2-L3	661	566	0,58

Mast 2

Mast 2 bevindt zich in een archeologisch beschermde bodem en aanpassingen aan de fundatie zijn daarmee niet uitvoerbaar. Mast 2 is aanvullend beschouwd in een model waarbij de mastconstructie is geïntegreerd. Als gevolg van de horizontale verplaatsing van de fundatie zal de mastconstructie krachten herverdelen en dit effect is gunstig voor de belasting op de fundatie. Van dit effect wordt gebruik gemaakt.

De uitgangspunten voor de bodemgesteldheid zijn volgens de berekening van poertype 2P-O.



Figuur 11 Krachtsverdeling mast 2

De verdeling van de belasting over de hoekpunten is in Figuur 11 gegeven. Hieruit blijkt een effectiviteit van:

$$k = (34 + 327) / (2 \times 327) = 0,55.$$

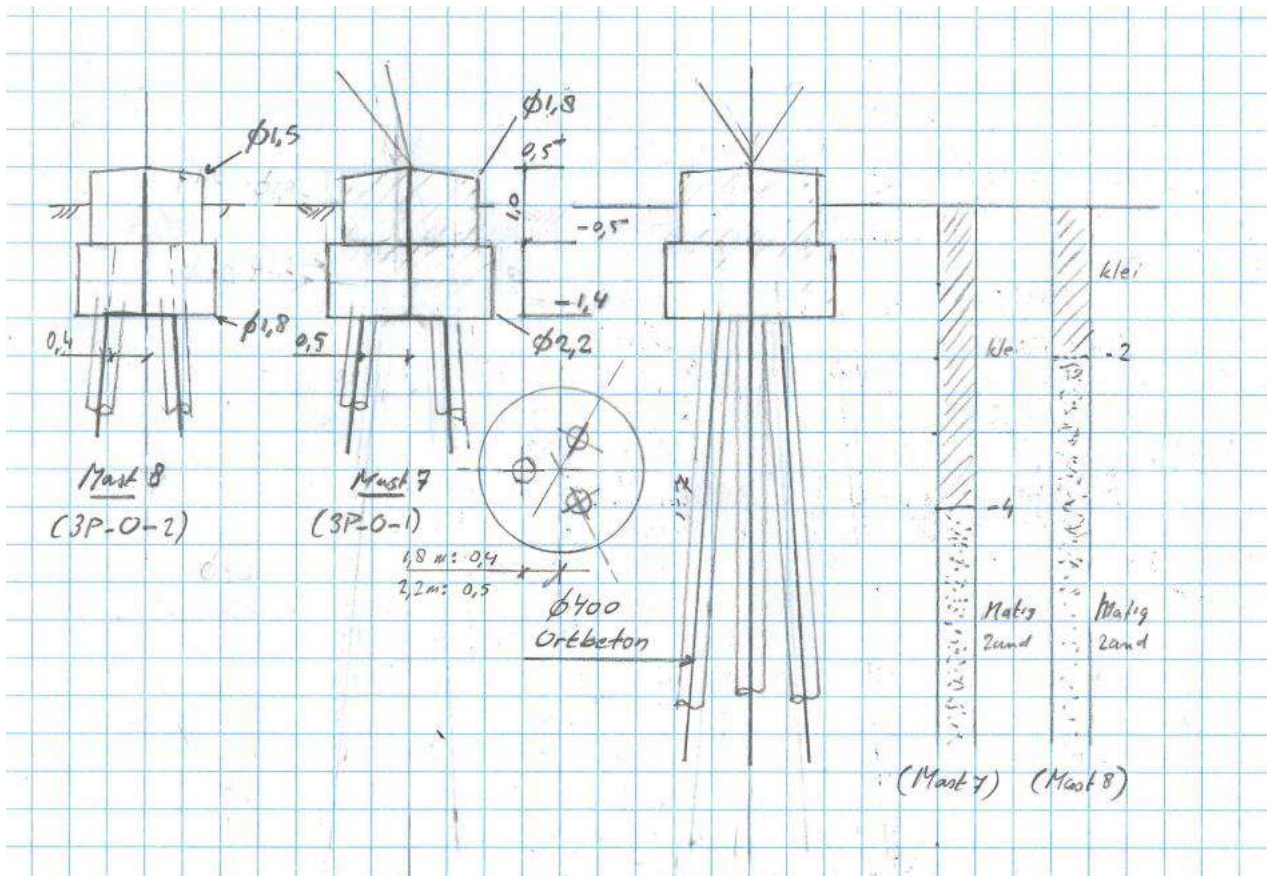
3P-O

Poertype 3P-O komt tweemaal voor in twee verschillende varianten, bij mast 7 en 8 aan weerszijden van de Maas. Zie Tabel 12.

Tabel 12 Modellen 3P-O

Poertype	Masttype	Mastr.	Omschrijving bodem	Axis-file
Ronde poer - 3P-O	S+15	7	Slappe lagen tot -4, daarna vast zand	3P-O
Ronde poer - 3P-O-2	S+15	8	Slappe lagen tot -2, vast zand	3P-O

Het schema is in Figuur 12 weergegeven.



Figuur 12 Schema 3-paals poer met Ortbetonpalen

De maximale passieve gronddruk is in Tabel 13 opgenomen.

Tabel 13 Beddingen 3P-O

Model	Grond	Niveau [m]	p [kN/m ³]	k _{pa} [kN/m ³]	schelp [-]	Diameter [m]	Factor [-]	Max. druk [kN]
3P-O-1 (mast 7)	Klei	0	0					
	Klei	-0,5	8,5	2	1	1,8	50%	3,8
	Klei	-1,4	14,8	2	1	2,2	50%	23,1
	Klei	-2	19	2	1,3	0,4	50%	5,3
	Klei	-3	26	2	1,3	0,4	50%	11,7
	Klei	-4	33	2	1,3	0,4	100%	30,7
3P-O-2 (mast 8)	Klei	0	0					
	Klei	-0,5	8,5	2	1	1,5	50%	3,2
	Klei	-1,4	14,8	2	1	1,8	50%	18,9
	Klei	-2	19	2	1,3	0,4	50%	5,3
	Zand, matig	-3	26	3	2	0,4	50%	27,0
	Zand, matig	-4	33	3	2	0,4	100%	70,8

De belasting is in Tabel 14 opgenomen. Voor beide locaties geldt de belasting van masttype S+15.

Tabel 14 Belastingen 3P-O

Omschrijving	Load case	R _x (kN)	R _y (kN)	R _z (kN)
Max. druk	ULS 1a_45	130	119	828
Max. trek	ULS 1a_0,9_0,9_45	98	87	-627
Max. pos. torsie	ULS 5a Ba 21	-24	21	-6
Max. neg. torsie	ULS 5a Ba 10	-24	-21	-6
Comb. trek+torsie	ULS 1a_0,9_0,9_45	98	87	-627
EDS (blijvende bel.)	SLS 7	16	16	103

In Tabel 15 zijn de resultaten voor de effectiviteit samengevat van de poeren. De fundaties zijn getoetst met deze waarden in Appendix D.

Tabel 15 Resultaten 3P-O

Axis-file	Totaal trek (kN)	Capaciteit (kN)	Effectiviteit
3P-O	534	323	0,55
3P-O	565	318	0,59

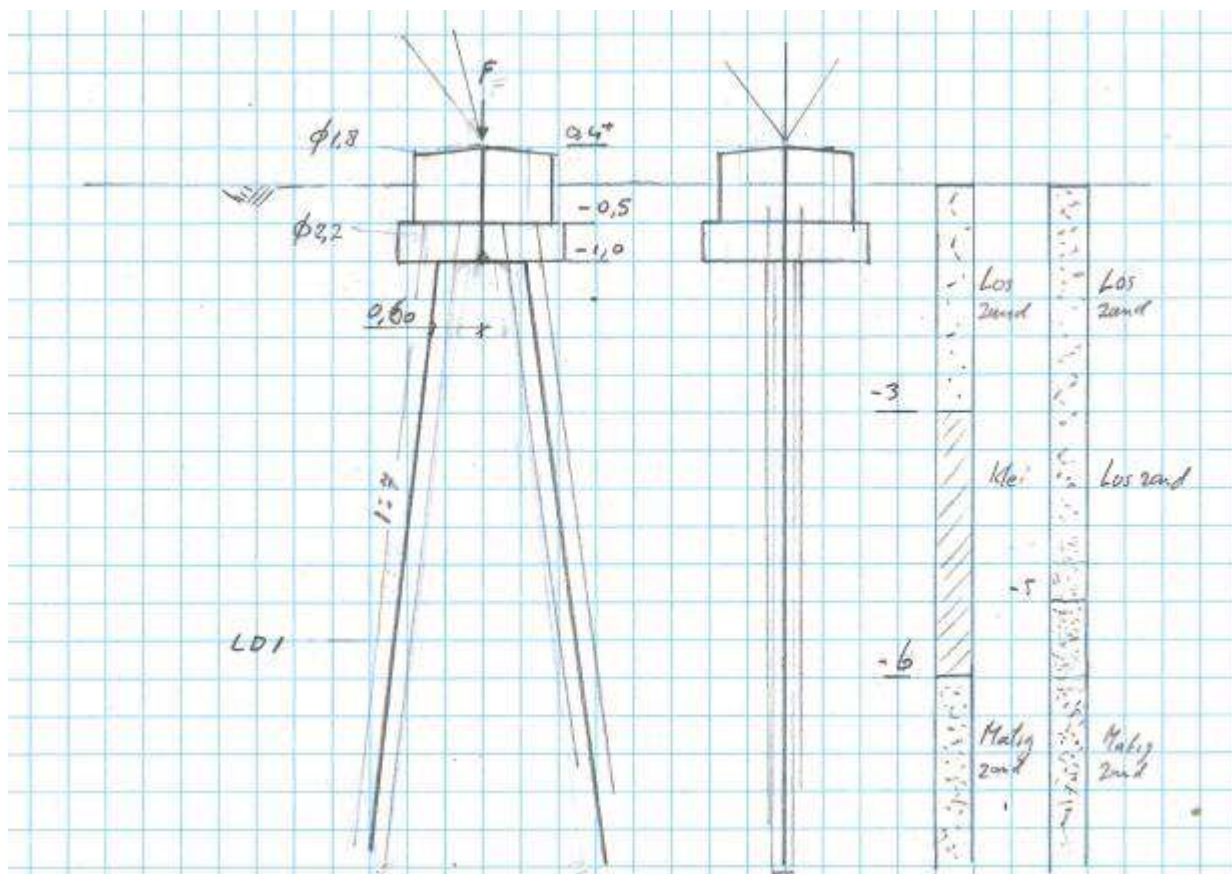
2P-LD

Poertype 2P-LD komt voor op meerdere locaties met steunmasten van verschillende types zie Tabel 16. Er zijn in totaal 4 modellen verdeeld over 2 AxisVM-files geanalyseerd.

Tabel 16 Modellen 2P-LD

Poertype	Masttype	Mastnr.	Omschrijving bodem	Axis-file
Ronde poer - 2P-LD	S+0	21	Zand	2P-LD-H1 & 2P-LD-H2
		25	Zand matig	2P-LD-H1 & 2P-LD-H2
		26	Zand matig	2P-LD-H1 & 2P-LD-H2
	S+12	27	Zand los	2P-LD-H3 & 2P-LD-L3
		28	Zand los	2P-LD-H3 & 2P-LD-L3
		50	Zand los	2P-LD-H3 & 2P-LD-L3
		51	Zand los	2P-LD-H3 & 2P-LD-L3
	S+15	100	3 m zand, 4 m slappe lagen	2P-LD-H3 & 2P-LD-L3
		99	Zand los	2P-LD-H3 & 2P-LD-L3
	S+9	18	Zand matig	2P-LD-H1 & 2P-LD-H2

Het schema is in Figuur 13 weergegeven.



Figuur 13 Schema 2P-LD

De maximale passieve gronddruk is in Tabel 17 opgenomen.

Tabel 17 Maximale gronddruk 2P-LD

Model	Grond	Niveau [m]	p [kN/m ³]	k _{pa} [kN/m ³]	schelp [-]	Diameter [m]	Factor [-]	Max. druk [kN]
2P-LD1-1	Zand, los	0	0					
	Zand, los	-0,5	8,5	3	1	1,8	50%	5,7
	Zand, los	-1	12	3	1	2,2	50%	16,9
	Zand, los	-2	19	3	1,85	0,55	50%	23,7
	Zand, los	-3	26	3	1,85	0,55	50%	34,3
	Klei	-4	33	2	1,3	0,55	100%	42,2
2P-LD1-2	Zand, los	0	0					
	Zand, los	-0,5	8,5	3	1	1,8	50%	5,7
	Zand, los	-1	12	3	1	2,2	50%	16,9
	Zand, los	-2	19	3	1,85	0,55	50%	23,7
	Zand, los	-3	26	3	1,85	0,55	50%	34,3
	Zand, los	-4	33	3	1,85	0,55	100%	90,0

De belastingen zijn in Tabel 18 opgenomen.

Tabel 18 Belastingen 2P-LD
S+0 mast 74

Omschrijving	Load case	R _x (kN)	R _y (kN)	R _z (kN)
Max. druk	ULS 1a_45	107	96	567
Max. trek	ULS 1a_0,9_0,9_45	74	63	-402
Max. pos. torsie	ULS 5a Ba 21	-29	25	-1
Max. neg. torsie	ULS 5a Ah 21	29	25	-1
Comb. trek+torsie	ULS 1a_0,9_0,9_90	-74	47	-369
1	SLS 7	17	17	85

S+9 mast 16

Omschrijving	Load case	R _x (kN)	R _y (kN)	R _z (kN)
Max. druk	ULS 1a_45	132	117	693
Max. trek	ULS 1a_0,9_0,9_45	92	77	-493
Max. pos. torsie	ULS 5a Ah 10	29	-19	12
Max. neg. torsie	ULS 5a Ah 21	29	19	11
Comb. trek+torsie	ULS 1a_0,9_0,9_90	-91	57	-453
EDS (blijvende bel.)	SLS 7	21	21	105

S+12 mast 15

Omschrijving	Load case	R _x (kN)	R _y (kN)	R _z (kN)
Max. druk	ULS 1a_45	144	126	764
Max. trek	ULS 1a_0,9_0,9_45	102	84	-554
Max. pos. torsie	ULS 5a Ba 21	-29	19	7
Max. neg. torsie	ULS 5a Ba 10	-30	-19	8
Comb. trek+torsie	ULS 1a_0,9_0,9_90	-101	59	-503
EDS (blijvende bel.)	SLS 7	22	22	109

S+15 mast 7

Omschrijving	Load case	R _x (kN)	R _y (kN)	R _z (kN)
Max. druk	ULS 1a_45	130	119	828
Max. trek	ULS 1a_0,9_0,9_45	98	87	-627
Max. pos. torsie	ULS 5a Ba 21	-24	21	-6
Max. neg. torsie	ULS 5a Ba 10	-24	-21	-6
Comb. trek+torsie	ULS 1a_0,9_0,9_45	98	87	-627
EDS (blijvende bel.)	SLS 7	16	16	103

In Tabel 19 zijn de resultaten voor de effectiviteit samengevat van de poeren. De fundaties zijn getoetst met deze waarden in Appendix D.

Tabel 19 Resultaten 2P-LD

Axis-file	Totaal trek (kN)	Capaciteit (kN)	Effectiviteit (-)
2P-LD-H1 & 2P-LD-H2	330	237	0,70
2P-LD-H1 & 2P-LD-H2	330	237	0,70
2P-LD-H1 & 2P-LD-H2	330	237	0,70
2P-LD-H3 & 2P-LD-L3	485	369	0,66
2P-LD-H3 & 2P-LD-L3	485	369	0,66
2P-LD-H3 & 2P-LD-L3	485	369	0,66
2P-LD-H3 & 2P-LD-L3	485	369	0,66
2P-LD-H3 & 2P-LD-L3	485	369	0,66
2P-LD-H4	557	404	0,73
2P-LD-H1 & 2P-LD-H2	422	323	0,65

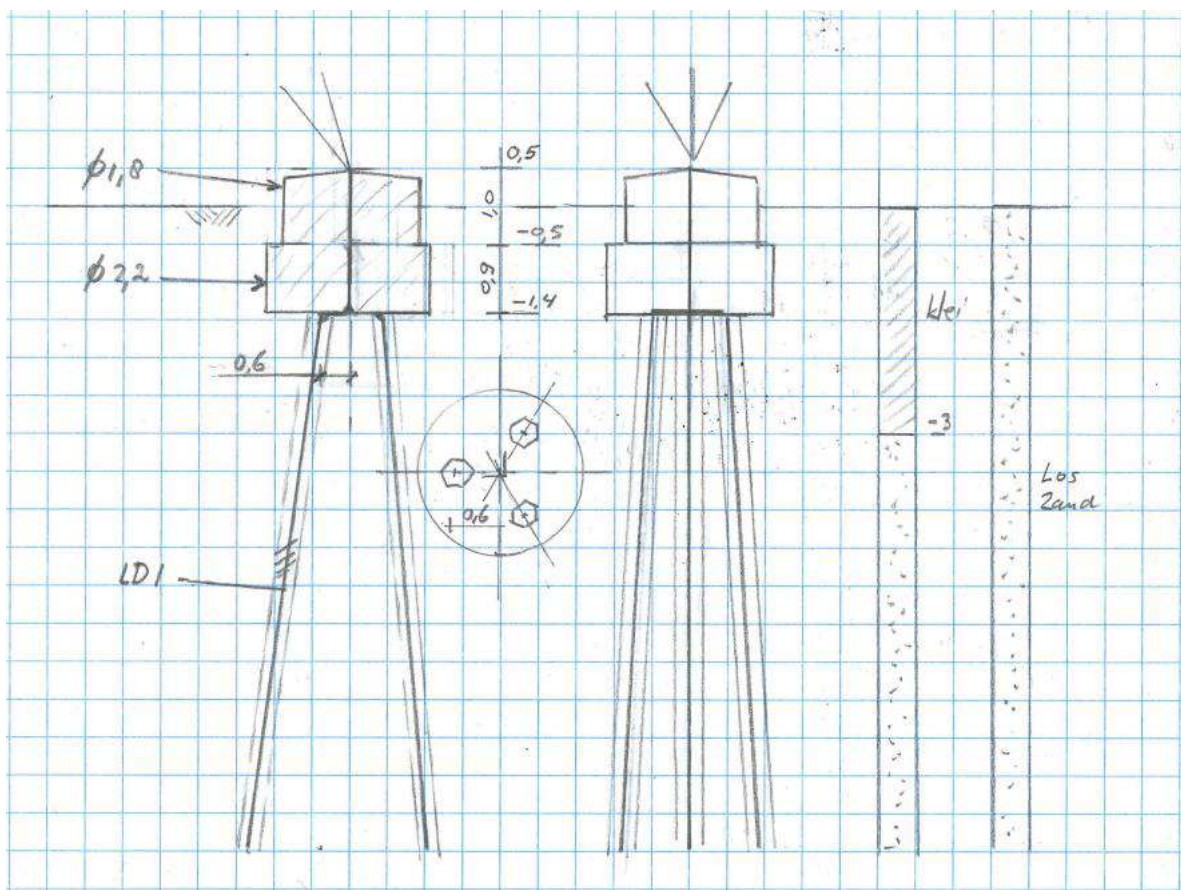
3P-LD

Poertype 3P-LD komt voor bij hoekmasten. Zie Tabel 16. Alle poeren hebben dezelfde afmeting. Drie submodellen verdeeld over twee AxisVM-files worden berekend, met verschillende grondgesteldheid.

Tabel 20 Modellen 3P-LD

Poertype	Masttype	Mastnr.	Omschrijving bodem	Axis-file
Ronde poer - 3P-LD	HA+0	69	Zand matig	3P-LD-M1
		75	2 m los zand, 5 m klei	3P-LD-L1 & 3P-LD-H1
		103	4 m vast zand, 3 m klei	3P-LD-L1 & 3P-LD-H1
		114	3 m klei, vast zand	3P-LD-L1 & 3P-LD-H1
		130	Matig zand	3P-LD-M1
	HA+0 T1	34	Matig zand	3P-LD-M1
		128	Los zand	3P-LD-L1 & 3P-LD-H1
	HB+0	54	3 m los zand, matig zand	3P-LD-L1 & 3P-LD-H1
		61	2,5 m klei, matig zand	3P-LD-L1 & 3P-LD-H1
		90	2 m klei, matig zand	3P-LD-L1 & 3P-LD-H1
	WA+0	39	Matig zand	3P-LD-M1
		85	3 m klei, matig zand	3P-LD-L1 & 3P-LD-H1

Het schema is in Figuur 14 weergegeven.



Figuur 14 Schema 3P-LD

De maximale passieve gronddruk is in Tabel 21 opgenomen.

Tabel 21 Maximale gronddruk 3P-LD

Model	Grond	Niveau [m]	p [kN/m ³]	k _{pa} [kN/m ³]	schelp [-]	Diameter [m]	Factor [-]	Max. druk [kN]
3P-LD-1	Klei	0	0					
	Klei	-0,5	8,5	2	1	1,8	50%	3,8
	Klei	-1,4	14,8	2	1	2,2	50%	23,1
	Klei	-2	19	2	1,3	0,55	50%	7,3
	Klei	-3	26	2	1,3	0,55	50%	16,1
	Zand, los	-4	33	3	1,85	0,55	100%	90,0
3P-LD-2	Zand, los	0	0					
	Zand, los	-0,5	8,5	3	1	1,8	50%	5,7
	Zand, los	-1,4	14,8	3	1	2,2	50%	34,6
	Zand, los	-2	19	3	1,85	0,55	50%	15,5
	Zand, los	-3	26	3	1,85	0,55	50%	34,3
	Zand, los	-4	33	3	1,85	0,55	100%	90,0
3P-LD-M	Zand, matig	0	0					
	Zand, matig	-0,5	8,5	3	1	1,8	50%	5,7
	Zand, matig	-1,4	14,8	3	1	2,2	50%	34,6
	Zand, matig	-2	19	3	2	0,55	50%	16,7
	Zand, matig	-3	26	3	2	0,55	50%	37,1
	Zand, matig	-4	33	3	2	0,55	100%	97,4

De belasting is in Tabel 22 opgenomen. Er is uitgegaan van masttype HB+0.

Tabel 22 Belasting 3P-LD

Omschrijving	Load case	R _x (kN)	R _y (kN)	R _z (kN)
Max. druk	SPLS 3_107,5 Ba All Cts	220	226	1299
Max. trek	SPLS 3_0,9_107,5 Ba All Cts	176	182	-1046
Max. pos. torsie	SPLS 3_72,5 Ba Ct1	27	107	219
Max. neg. torsie	SPLS 3_107,5 Ah Ct1	-26	108	225
Comb. trek+torsie	SPLS 3_90 Ba Ct2	199	72	-794
EDS (blijvende bel., drukzijde)	SLS 7	87	87	509
EDS (blijvende bel., trekzijde)	SLS 7	-40	39	-230

In Tabel 23 zijn de resultaten voor de effectiviteit samengevat van de poeren. De fundaties zijn getoetst met deze waarden in Appendix D.

Tabel 23 Resultaten poertype 3P-LD

Axis-file	Totaal trek (kN)	Capaciteit (kN)	Effectiviteit (-)
3P-LD-M1	963	465	0,69
3P-LD-L1 & 3P-LD-H1	963	551	0,58
3P-LD-L1 & 3P-LD-H1	963	490	0,66
3P-LD-L1 & 3P-LD-H1	963	551	0,58
3P-LD-M1	963	465	0,69
3P-LD-M1	963	465	0,69
3P-LD-L1 & 3P-LD-H1	963	490	0,66
3P-LD-L1 & 3P-LD-H1	963	490	0,66
3P-LD-L1 & 3P-LD-H1	963	551	0,58
3P-LD-L1 & 3P-LD-H1	963	551	0,58
3P-LD-M1	963	465	0,69
3P-LD-L1 & 3P-LD-H1	963	551	0,58

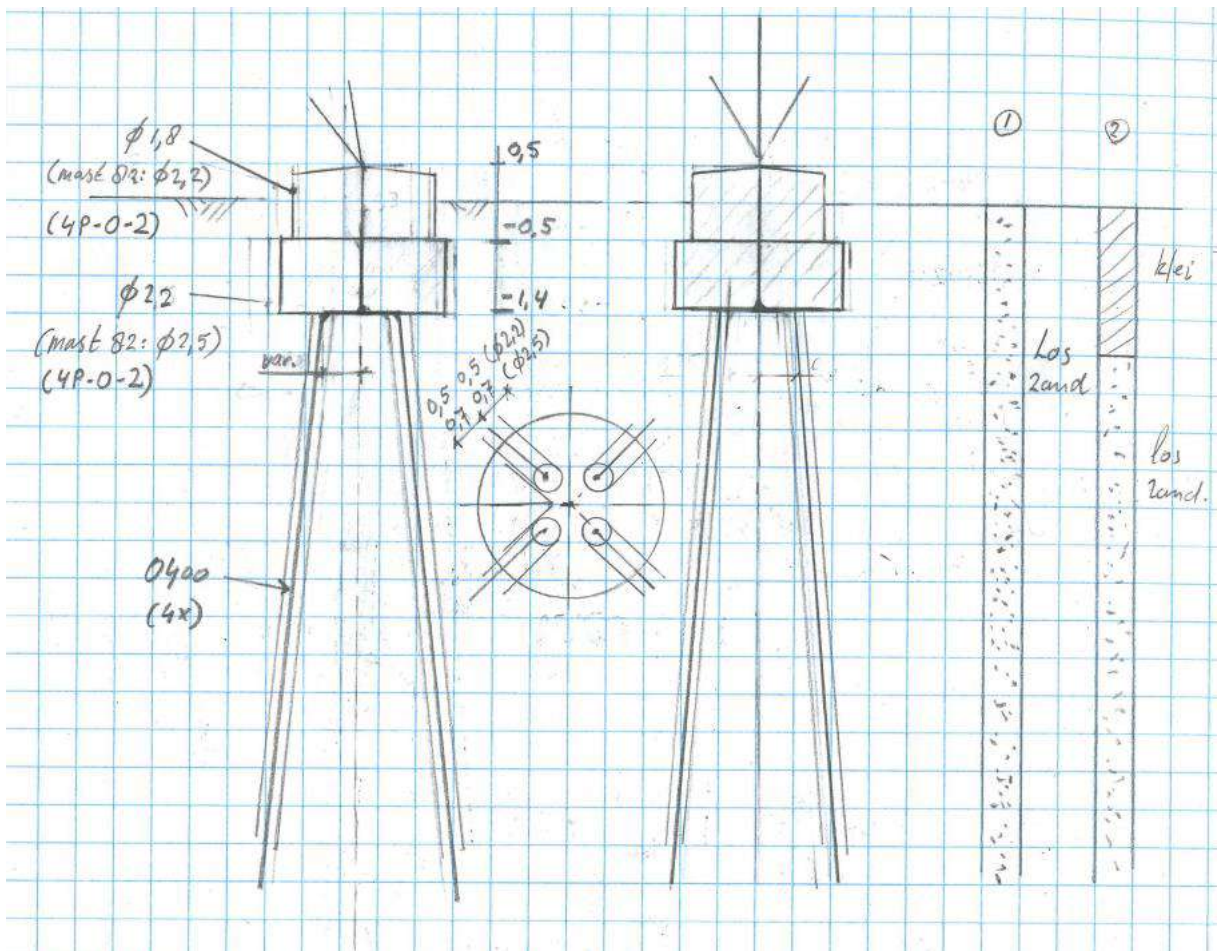
4P-O

Poertype 4P-O komt driemaal voor, bij eindmast 1 (EA+0), hoekmast 4 (HC+0) en hoekmast 82 (HC+0). Zie Tabel 24, er zijn twee varianten.

Tabel 24 Modellen 4P-O

Poertype	Masttype	Mastr.	Omschrijving bodem	Axis-file
Ronde poer - 4P-O	HC+0	82	2 m klei, los zand	4P-O
Ronde poer - 4P-O-2	EA+0	1	Zand, los	4P-O
	HC+0	4	Zand, los	4P-O

Het schema is in Figuur 15 weergegeven.



Figuur 15 Schema 4P-O

De maximale passieve gronddruk is in Tabel 25 opgenomen.

Tabel 25 Maximale gronddruk poertype 4P-O

Model	Grond	Niveau [m]	p [kN/m ³]	k _{pa} [kN/m ³]	schelp [-]	Diameter [m]	Factor [-]	Max. druk [kN]
4P-O-1	klei	0	0					
	klei	-0,5	8,5	2	1	2,2	50%	4,7
	klei	-1,4	14,8	2	1	2,5	50%	26,2
	klei	-2	19	2	1,3	0,4	50%	5,3
	Zand, los	-3	26	3	1,85	0,4	50%	25,0
	Zand, los	-4	33	3	1,85	0,4	100%	65,5
4P-O-2	Zand, los	0	0					
	Zand, los	-0,5	8,5	3	1	1,8	50%	5,7
	Zand, los	-1,4	14,8	3	1	2,2	50%	34,6
	Zand, los	-2	19	3	1,85	0,4	50%	11,3
	Zand, los	-3	26	3	1,85	0,4	50%	25,0
	Zand, los	-4	33	3	1,85	0,4	100%	65,5

De belasting is in Tabel 26 opgenomen. Er is bij de variant met diameter 2,2 m uitgegaan van masttype HC+0, de andere variant wordt met de belasting van masttype EA+0 berekend.

Tabel 26 Belastingen poertype 4P-O
HC+0 mast 82

Omschrijving	Load case	R _x (kN)	R _y (kN)	R _z (kN)
Max. druk	SPLS 3_115 Ba All Cts	234	240	1378
Max. trek	SPLS 3_0,9_115 Ba All Cts	186	193	-1105
Max. pos. torsie	SPLS 3_65 Ba Ct1	0	138	388
Max. neg. torsie	SPLS 3_115 Ah Ct1	2	142	403
Comb. trek+torsie	SPLS 3_0,9_115 Ba Ct2	219	97	-931
EDS (blijvende bel.)	SLS 7	114	114	663
EDS (blijvende bel.)	SLS 7	-62	63	-363

EA+0 mast 1

Belasting	Combinatie	R _x (kN)	R _y (kN)	R _z (kN)
Max. druk	ULS 1a_90	-237	-237	-1391
Max. trek	ULS 1a_0,9_90	-173	-193	1065
Max. pos. torsie	SPLS 3_90 Ah Ct1	-45	-161	-348
Max. neg. torsie	SPLS 3_90 Ah Ct2	-96	-90	-43
Comb. trek+torsie	SPLS 3_0,9_90 Ah Ct1	43	-162	356
EDS (blijvende bel.)	SLS 7	-127	-113	-718
EDS (blijvende bel.)	SLS 7	-70	76	-438
EDS (blijvende bel.)	SLS 7	-61	-72	395
EDS (blijvende bel.)	SLS 7	-25	10	110

In Tabel 27 zijn de resultaten voor de effectiviteit samengevat van de poeren. De fundaties zijn getoetst met deze waarden in Appendix D.

Tabel 27 Resultaten poertype 4P-O

Axis-file	Totaal trek (kN)	Capaciteit (kN)	Effectiviteit (-)
4P-O	985	515	0,48
4P-O	985	505	0,49
4P-O	985	505	0,49

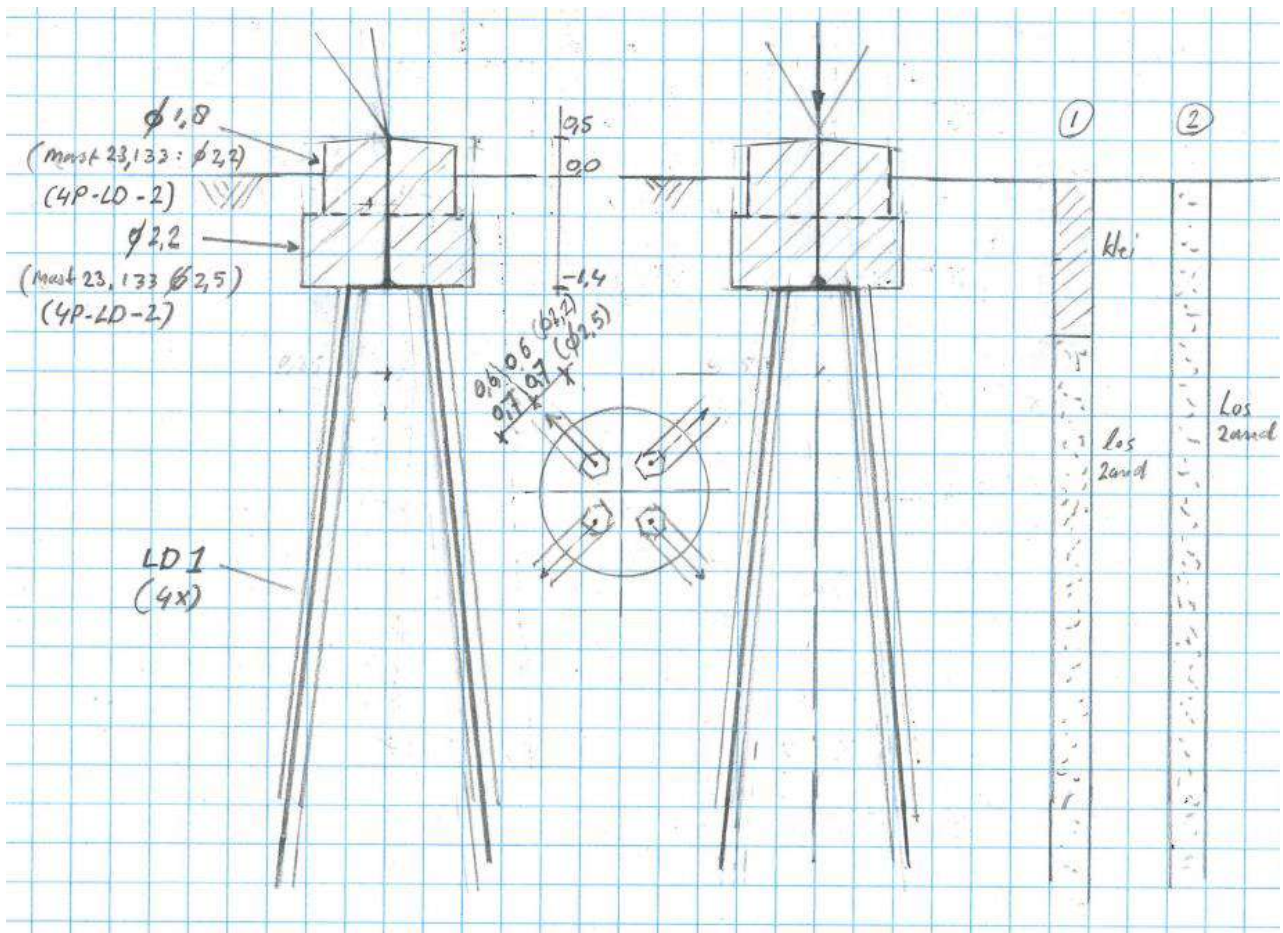
4P-LD

Poertype 4P-LD komt driemaal voor, bij eindmast 133 (EA+0), hoekmast 23 (HA+0) en hoekmast 98 (HC+0). Zie Tabel 28, er zijn twee varianten.

Tabel 28 Modellen 4P-LD

Poertype	Masttype	Mastr.	Omschrijving bodem	Axis-file
Ronde poer - 4P-LD	HA+0	23	Los zand to 5 m	4P-LD
	EA+0_133	133	2 m klei, los zand	4P-LD
Ronde poer - 4P-LD-2	HC+0	98	Los zand to 5 m	4P-LD

Het schema is in Figuur 16 weergegeven.



Figuur 16 Schema poertype 4P-LD

De maximale passieve gronddruk is in Tabel 29 opgenomen.

Tabel 29 Maximale gronddruk 4P-LD

Model	Grond	Niveau [m]	p [kN/m ³]	k _{pa} [kN/m ³]	schelp [-]	Diameter [m]	Factor [-]	Max. druk [kN]
4P-LD-1	Klei	0	0					
	Klei	-0,5	8,5	2	1	1,8	50%	3,8
	Klei	-1,4	14,8	2	1	2,2	50%	23,1
	Klei	-2	19	2	1,3	0,55	50%	7,3
	Zand, los	-3	26	3	1,85	0,55	50%	34,3
	Zand, los	-4	33	3	1,85	0,55	100%	90,0
4P-LD-2	Zand, los	0	0					
	Zand, los	-0,5	8,5	3	1	2,2	50%	7,0
	Zand, los	-1,4	14,8	3	1	2,2	50%	34,6
	Zand, los	-2	19	3	1,85	0,55	50%	15,5
	Zand, los	-3	26	3	1,85	0,55	50%	34,3
	Zand, los	-4	33	3	1,85	0,55	100%	90,0

De belasting is in Tabel 30 opgenomen. Er is bij de variant met diameter 2,2 m uitgegaan van masttype HC+0, de andere variant wordt met de belasting van masttype EA+0 berekend.

Tabel 30 Belastingen 4P-LD

EA+0 mast 133				
Belasting	Combinatie	R _x (kN)	R _y (kN)	R _z (kN)
Max. druk	SPLS 1a_77,5 Ba All Cts	-212	-212	-1259
Max. trek	SPLS 1a_0,9_77,5 Ba All Cts	-161	-162	953
Max. pos. torsie	SPLS 3_77,5 Ah Ct1	-179	22	-470
Max. neg. torsie	SPLS 3_0,9_90,5 Ah Ct2	-100	-97	-18
Comb. trek+torsie	SPLS 1a_0,9_77,5 Ah Ct1	34	-141	304
EDS (blijvende bel.)	SLS 7	-107	-97	-618
EDS (blijvende bel.)	SLS 7	-80	81	-470
EDS (blijvende bel.)	SLS 7	-49	-46	290
EDS (blijvende bel.)	SLS 7	-26	24	140

HC+0 mast 98				
Omschrijving	Load case	R _x (kN)	R _y (kN)	R _z (kN)
Max. druk	SPLS 3_116 Ba All Cts	237	243	1395
Max. trek	SPLS 3_0,9_116 Ba All Cts	192	200	-1141
Max. pos. torsie	SPLS 3_116 Ah Ct2	-42	95	-155
Max. neg. torsie	SPLS 3_116 Ah Ct1	7	147	438
Comb. trek+torsie	SPLS 3_0,9_116 Ba Ct2	226	106	-975
EDS (blijvende bel.)	SLS 7	116	116	676
EDS (blijvende bel.)	SLS 7	-67	67	-389

In Tabel 31 zijn de resultaten voor de effectiviteit samengevat van de poeren. De fundaties zijn getoetst met deze waarden in Appendix D.

Tabel 31 Resultaten poertype 4P-LD

Axis-file	Totaal trek (kN)	Capaciteit (kN)	Effectiviteit (-)
4P-LD	1059	440	0,60
4P-LD	1059	440	0,60
4P-LD	820	313	0,65

1P+2P Brandevoort

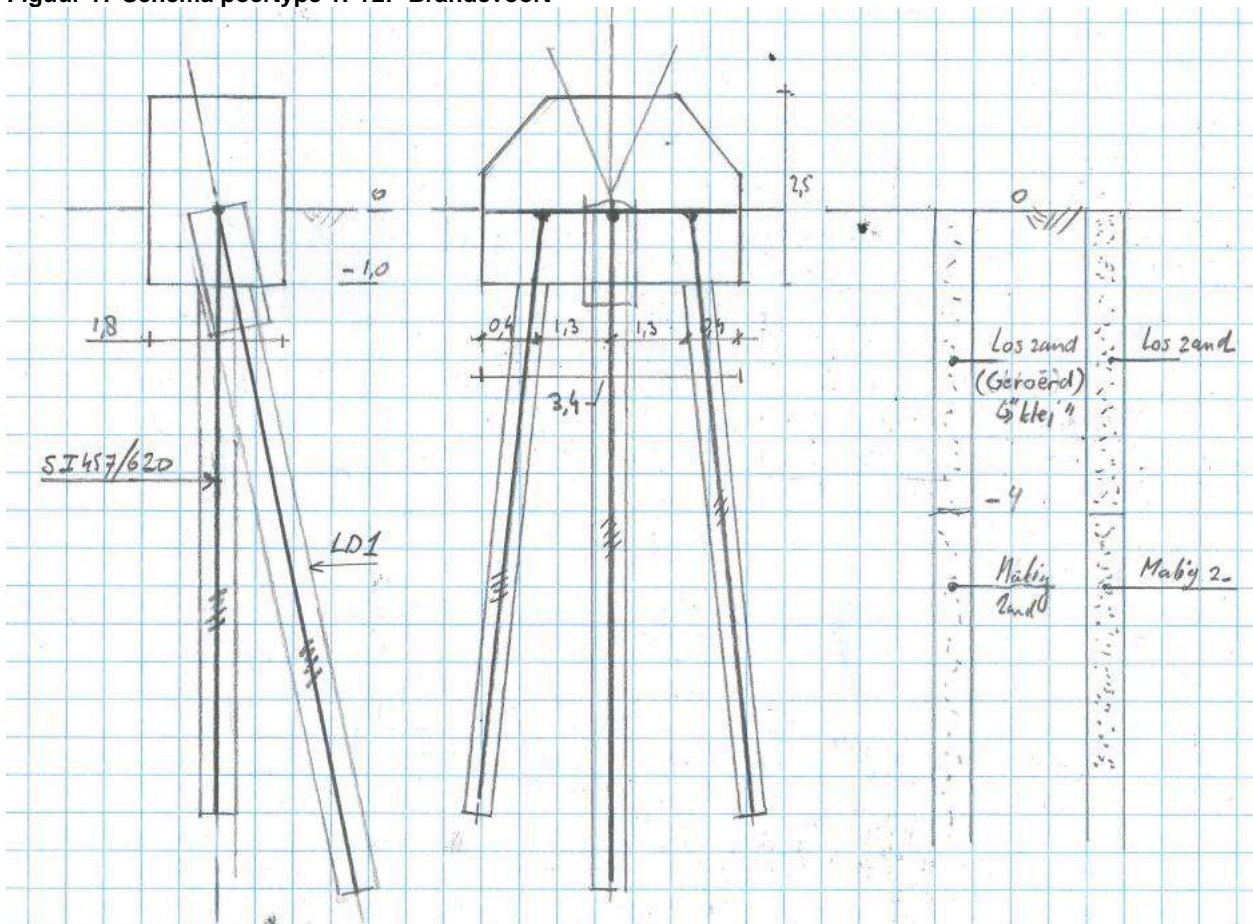
Poertype 1P+2P komt viermaal voor in de reconstructie Helmond Brandevoort. De nieuwe palen zijn te lood aangebracht, de bestaande paal staat in de richting van de randstijl. Twee submodellen worden geanalyseerd, het eerste model is voor mast 116 en 120, deze staan in regulier terrein, het tweede model is voor mast 117 en 118, hier is het terrein aangepast en is sprake van geroerde grond, zodat de mate van steun is gereduceerd.

Tabel 32 Modellen 1P+2P Brandevoort

Poertype	Masttype	Mastr.	Omschrijving bodem	Axis-file
Lijnpoer - 1P+2P Mast 116, & 120	S+9(c)	116	2,5 m los zand	1P+2P Brandevoort
	S+0(tc)	120	6 m los zand	1P+2P Brandevoort
Lijnpoer - 1P+2P Mast 117 & 118	S+9(tc)	117	4 m los zand	1P+2P Brandevoort
	S+0(tc)	118	4 m klei/los zand	1P+2P Brandevoort

Het schema is in Figuur 17 weergegeven.

Figuur 17 Schema poertype 1P+2P Brandevoort



De maximale passieve gronddruk is in Tabel 33 opgenomen. Bij het model voor mast 117 en 118 is uitgegaan van "klei" om de mogelijke geroerde grond op die locaties in rekening te brengen.

Tabel 33 Maximale passieve gronddruk 1P+2P Brandevoort

Model	Grond	Niveau [m]	p [kN/m ³]	k _{pa} [kN/m ³]	schelp [-]	Diameter [m]	Factor [-]	Max. druk [kN]
1P+2P Brandev (B457)	Klei	0	0					
	Klei	-1	12	2	1	1	50%	6,0
	Klei	-2	19	2	1,3	0,62	50%	12,5
	Klei	-3	26	2	1,3	0,62	50%	18,1
	Klei	-4	33	2	1,3	0,62	50%	23,8
	Zand, los	-5	40	3	1,85	0,62	100%	125,6
1P+2P Brandev (LD1)	Klei	0	0					
	Klei	-1	12	2	1	1	50%	6,0
	Klei	-2	19	2	1,3	0,55	50%	11,1
	Klei	-3	26	2	1,3	0,55	50%	16,1
	Klei	-4	33	2	1,3	0,55	50%	21,1
	Zand, los	-5	40	3	1,85	0,55	100%	111,4
1P+2P Brandev (B457)	Zand, los	0	0					
	Zand, los	-1	12	3	1	1	50%	9,0
	Zand, los	-2	19	3	1,85	0,62	50%	26,7
	Zand, los	-3	26	3	1,85	0,62	50%	38,7
	Zand, los	-4	33	3	1,85	0,62	50%	50,8
	Zand, los	-5	40	3	1,85	0,62	100%	125,6
1P+2P Brandev (LD1)	Zand, los	0	0					
	Zand, los	-1	12	3	1	1	50%	9,0
	Zand, los	-2	19	3	1,85	0,55	50%	23,7
	Zand, los	-3	26	3	1,85	0,55	50%	34,3
	Zand, los	-4	33	3	1,85	0,55	50%	45,0
	Zand, los	-5	40	3	1,85	0,55	100%	111,4

De belasting is in Tabel 34 opgenomen. In alle gevallen is uitgegaan van de hoogste belasting van masttype S+0 (tc).

Tabel 34 Belastingen S+0 (tc) mast 120

Omschrijving	Load case	R _x (kN)	R _y (kN)	R _z (kN)
Max. druk	ULS 1a_45	213	196	1247
Max. trek	ULS 1a_0,9_0,9_45	150	134	-908
Max. pos. torsie	ULS 1a_45	-26	-24	-50
Max. neg. torsie	ULS 1a_135	26	-24	-50
Comb. trek+torsie	ULS 1a_0,9_0,9_45	150	134	-908
EDS (blijvende bel.)	SLS 7	32	32	175

In Tabel 35 zijn de resultaten voor de effectiviteit samengevat van de poeren. De fundaties zijn getoetst met deze waarden in Appendix D. De poeren van mast 116 en 120 kenmerken zich door een hogere effectiviteit als gevolg van de vastere grondslag.

Tabel 35 Resultaten poertype 1P+2P Brandevoort

Axis-file	Totaal trek (kN)	Capaciteit (kN)	Effectiviteit (-)
1P+2P Brandevoort	633	314	0,67
1P+2P Brandevoort	633	314	0,67
1P+2P Brandevoort	633	436	0,48
1P+2P Brandevoort	633	436	0,48

BEREKENINGEN VERZWAARDE FUNDATIES

De meerderheid van de locaties zal worden verzwaid door het aanbrengen van een ballastblok om de bestaande poer. Om de effectiviteit van deze verzwaring aan te tonen is de meest kritische locatie gecontroleerd. Dit is de fundatie van mast 61. Bij mast 82 zal de ballastverzwaring met een balkrooster worden uitgevoerd, dit is het tweede geanalyseerde model. Mast 27 zal met een poer met palen worden verzwaid, hier is een model voor gemaakt.

Ballastverzwaring mast 61

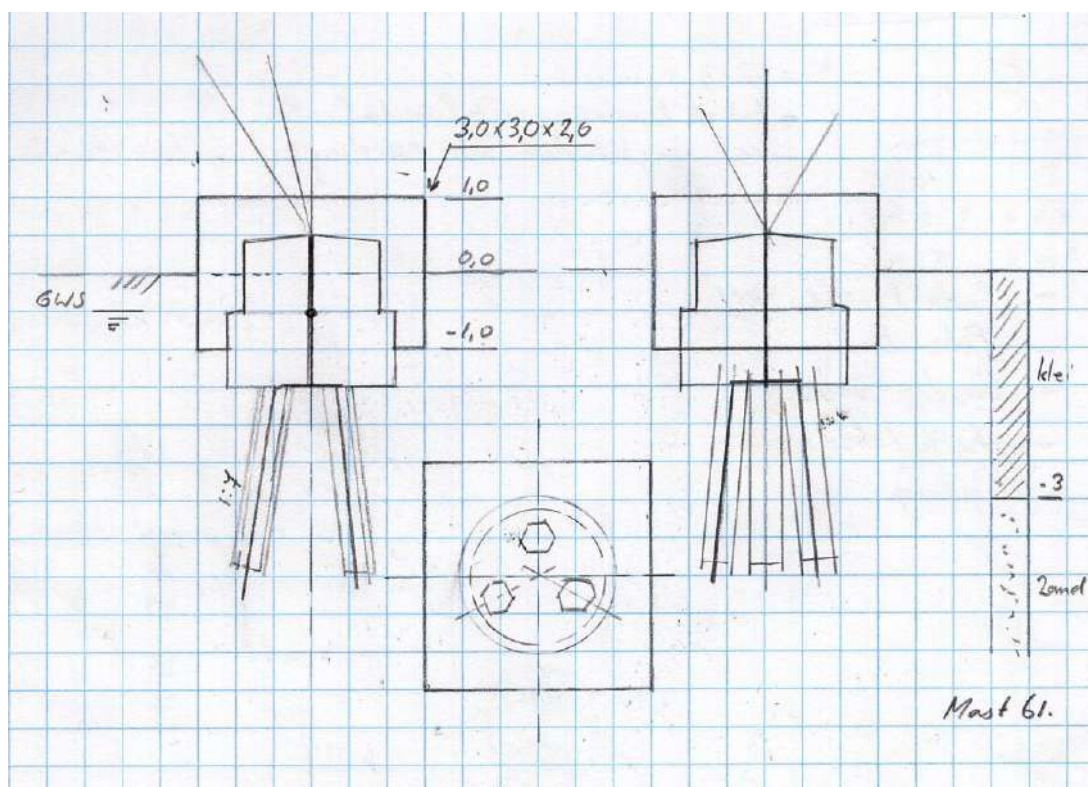
De maatgevende locatie voor de poeren met ballastverzwaring is mast 61.

Tabel 36 Model mast 61

Poertype	Masttype	Mastnr.	Omschrijving bodem	Axis-file
3P-LD + poer - type 1	HB+0	61	2,5 m klei, matig zand	Ronde poer - 3P-LD-L1 + Ballast

Het schema is in Figuur 18 weergegeven. De bestaande poer wordt opgenomen in een vierkant blok van 3,0x3,0x2,0 m.

Figuur 18 Schema 3P-LD+ballast



De grondparameters zijn in opgenomen. Vanwege de vierkante vorm is de bedding tegen de poer met de schelpfactor 1,3 gemodelleerd in plaats van 1,0 voor de ronde poeren.

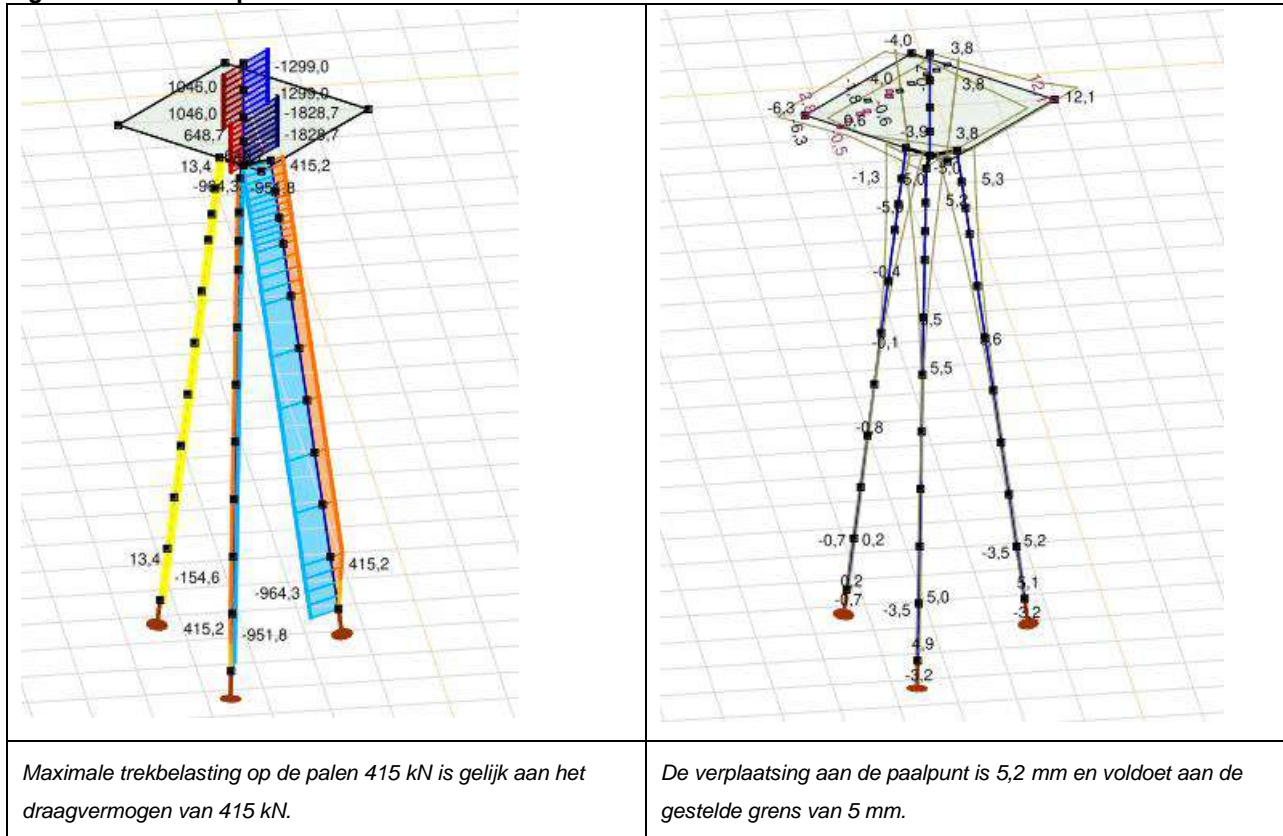
Tabel 37 Grondparameters mast 3P-LD+ballast

Model	Grond	Niveau [m]	p [kN/m ³]	k_{pa} [kN/m ³]	schelp [-]	Diameter [m]	Factor [-]	Max. druk [kN]
3P-LD+ballast	Klei	0	0					
	Klei	-1	12	2	1,3	1	50%	7,8
	Klei	-1,5	15,5	2	1	2,2	100%	30,3
	Klei	-2,5	22,5	2	1,3	0,55	50%	13,6
	Zand, los	-3	26	3	1,85	0,55	50%	37,0
	Zand, los	-4	33	3	1,85	0,55	100%	90,0

De belastingen zijn identiek aan het model zonder ballast.

Uit de berekening blijkt dat de constructie voldoet.

Figuur 19 Resultaat poer 3P-LD+ballast



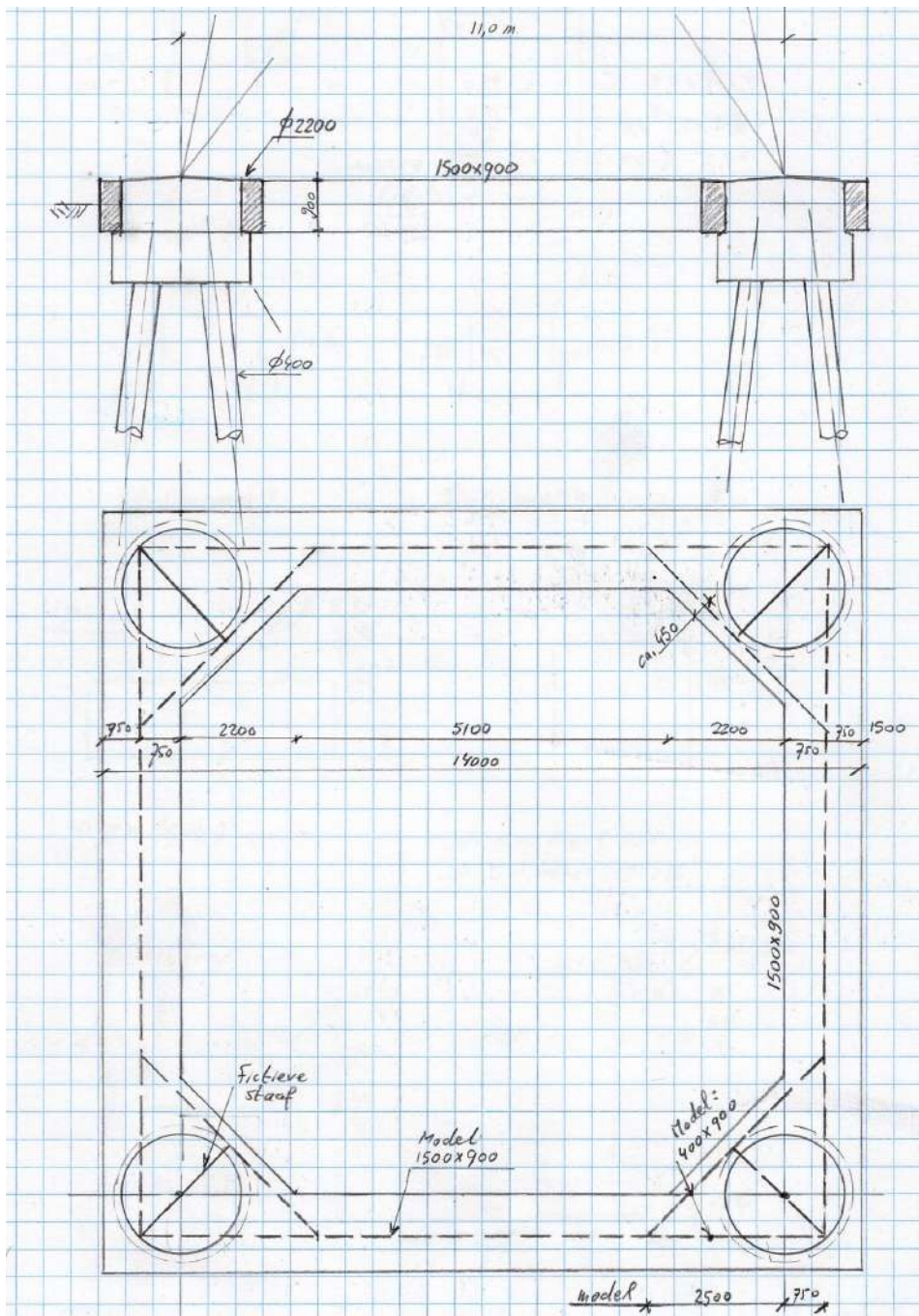
Het model van AxisVM bevestigt dat de berekeningsmethode met de effectiviteit op basis van de modellen zonder ballast kan worden toegepast op de constructies met ballast.

Ballastverzwaring mast 82

Mast 82 wordt verzward met een balkrooster bestaande uit betonbalken. De betonbalken bevinden zich op het niveau van de bovenste cilinder van de bestaande poer.

Schema

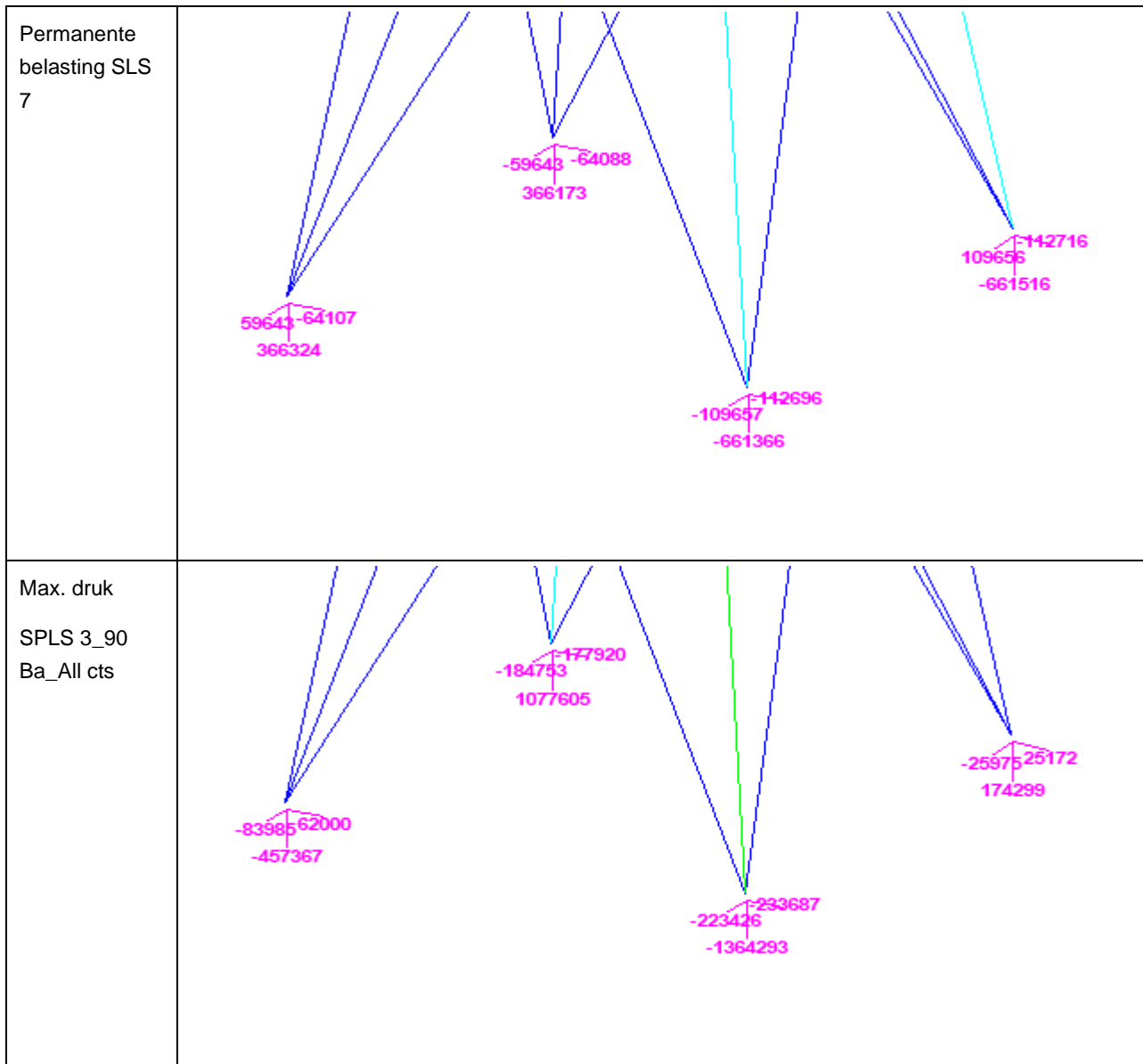
De nieuwe betonbalken bevinden zich op het niveau van de bovenste cilinder van de bestaande poer. De balken omvatten de cilinder. In het model is op de hoekpunten de constructie gesplitst in twee balken; een diagonale balk aan de binnenzijde en een doorlopende balk aan de buitenzijde. Voor de schematisering van de palen wordt verwezen naar het model van de bestaande constructie.



Figuur 20 Schema mast 82

Belastingen

De belastingen zijn gebaseerd op afkeurniveau voor 30 jaar. Voor de dimensionering van de nieuwe betonbalken geldt verbouwniveau. Dit is via toeslagfactoren in de belastingcombinaties (zie hierna) meegenomen.





Eigen gewicht van de poer

Het eigen gewicht is automatisch door het programma meegenomen. Vanwege de fictieve staven is een correctie in de vorm van een puntlast aangebracht om op het werkelijke gewicht uit te komen.

Gewicht: $7 \times 7 - 5,5 \times 5,5 + 1/2 \times 2,2^2 \times 0,9 \times 25 + \pi/4 \times 2,5^2 \times 0,9 \times 25 = 476 + 110 = 586 \text{ kN}$ (per hoekpunt)

Uit berekening programma: 488 kN, puntlast van 98 kN ingevoerd.

Belasting door voertuig

Verticale puntlast 100 kN in midden overspanning

Grondwater

Niet van toepassing op betonbalk vanwege ondiepe ligging

Onderzijde poer Ø2,5x0,9 m hoog onderwater: 44,2 kN

Belastingcombinaties

Voor dimensionering balken geldt verbouwniveau. Evenwicht van de constructie en trekbelasting op de palen is met afkeurniveau. Voor de belasting van verbouwniveau wordt 115% van de belasting door afkeurniveau gehanteerd.

Combinaties verbouwniveau

- LC1: 1,15 x EG + 1,15 x SPLS 3_90
- LC2: 0,90 x EG + 1,15 x SPLS 3_0,9_90
- LC3: 1,15 x EG + 1,15 x SPLS 3_115 Ba_ct1
- LC4: 1,15 x EG + 1,15 x SLS 7 +1,4 x Puntlast

Combinaties afkeurniveau

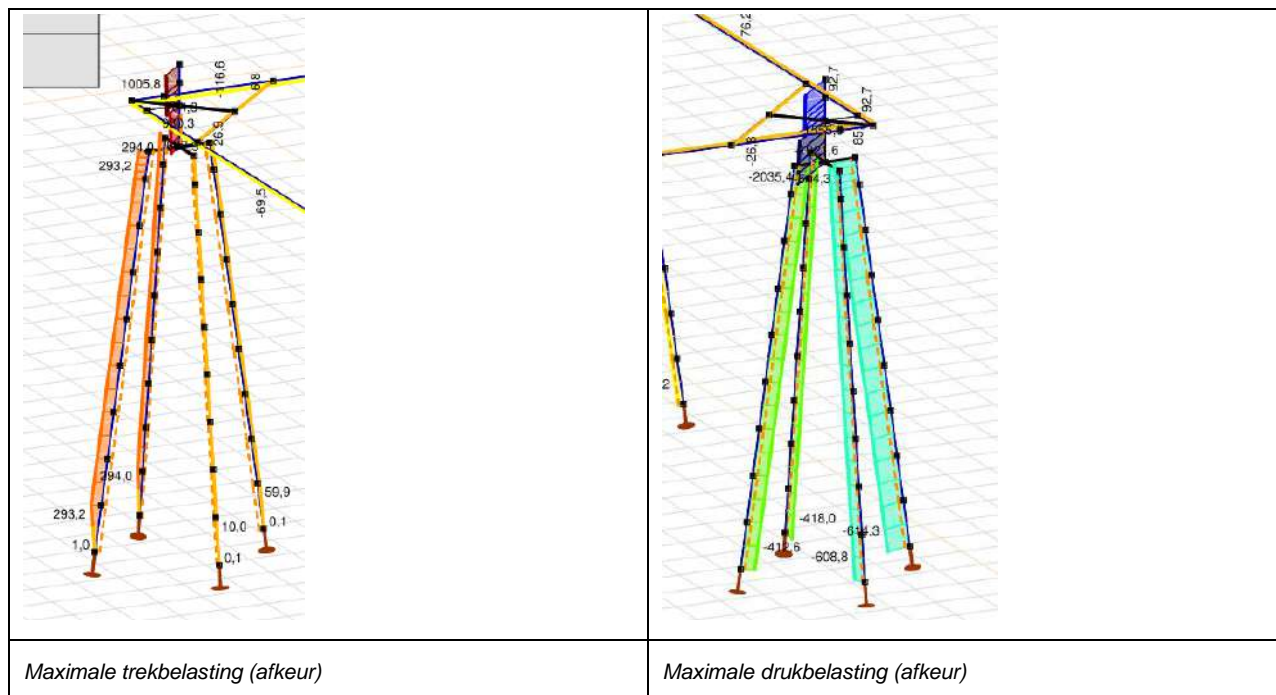
- LC5: 1,05 x EG + 1,00 x SPLS 3_90
- LC6: 0,90 x EG + 1,00 x SPLS 3_0,9_90
- LC7: 1,05 x EG + 1,00 x SPLS 3_115 Ba_ct1

Permanente belasting

- LC5: 1,00 x EG + 1,00 x SLS7

Resultaat berekening

Uit de berekening blijkt dat de onder de belastingcombinatie met maximale trekbelasting (afkeurniveau) één paal tot het grensdragvermogen van 294 kN wordt belast. Bij de combinatie met druk wordt de maximale drukbelasting van 740 kN niet bereikt, de maximale drukkracht is 614 kN.



Conclusie

Uit de berekeningen blijkt dat de met een balkrooster verzwaarde fundatie van mast 82 voldoet.

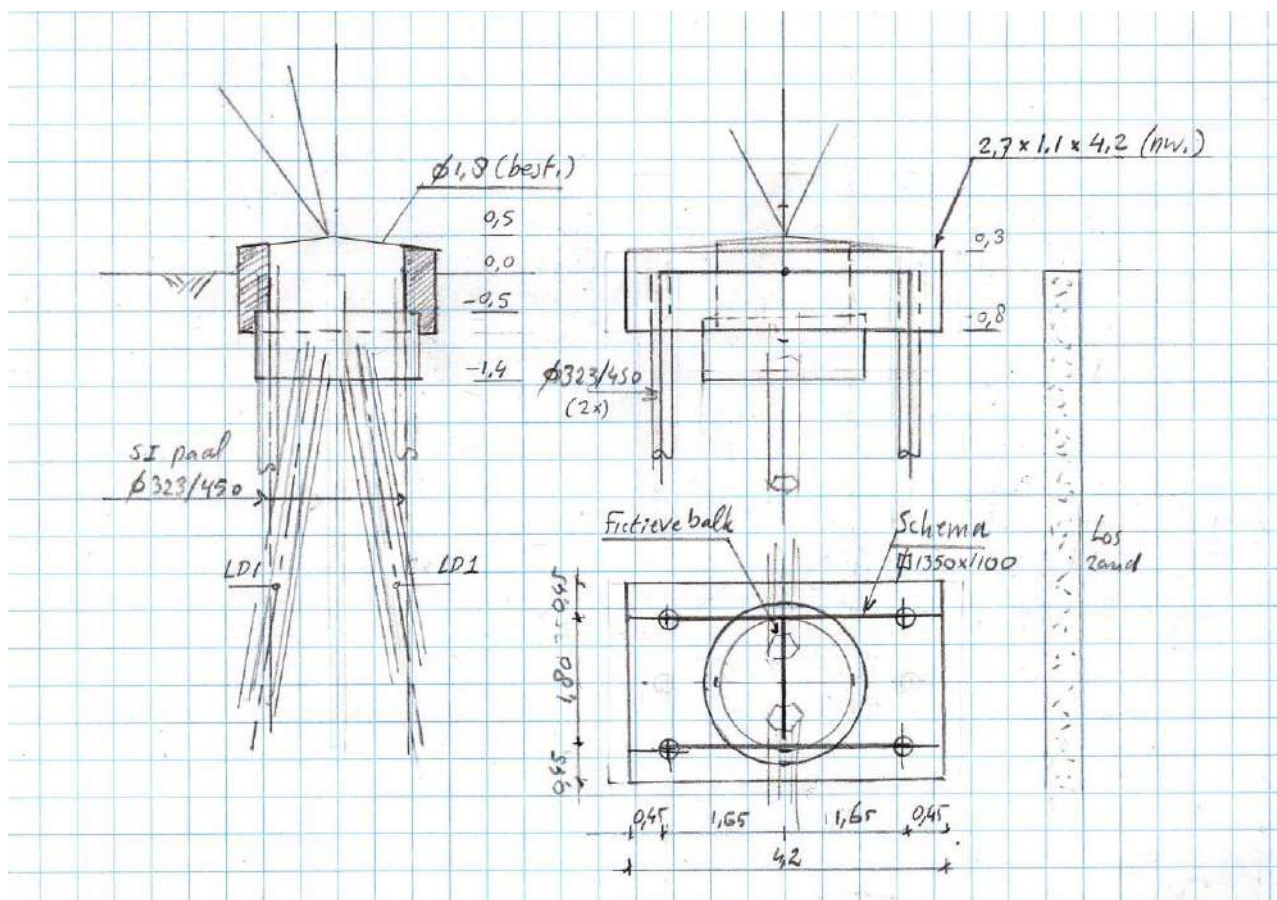
Verzwaarde poer mast 27

Mast 27 is een unieke fundatie doordat deze zowel op trek als druk niet voldoet en met nieuwe palen moet worden versterkt. De bodemopbouw direct onder maaiveld is zand, het is vooral de aanwezigheid van slappe lagen bij de paalpunt waardoor de fundatie niet voldoet.

Tabel 38 Model mast 61

Poertype	Masttype	Mastnr.	Omschrijving bodem	Axis-file
Blok poer - 2P-LD + 4P	S+12	27	los zand	2P-LD-verzwaard mast 27

Het schema is in Figuur 21 weergegeven. De bestaande poer wordt opgenomen in een blokpoer van 2,7x1,1x4,2 m. Vier nieuwe schroefinjectiepalen met afmeting 323/450 mm zijn noodzakelijk om voldoende draagvermogen te brengen.



Figuur 21 Schema 2P-LD+4P

De grondparameters zijn in Tabel 39 opgenomen. Overige parameters zijn gelijk aan model 2P-LD-H3.

Tabel 39 Grondparameters mast 3P-LD+ballast

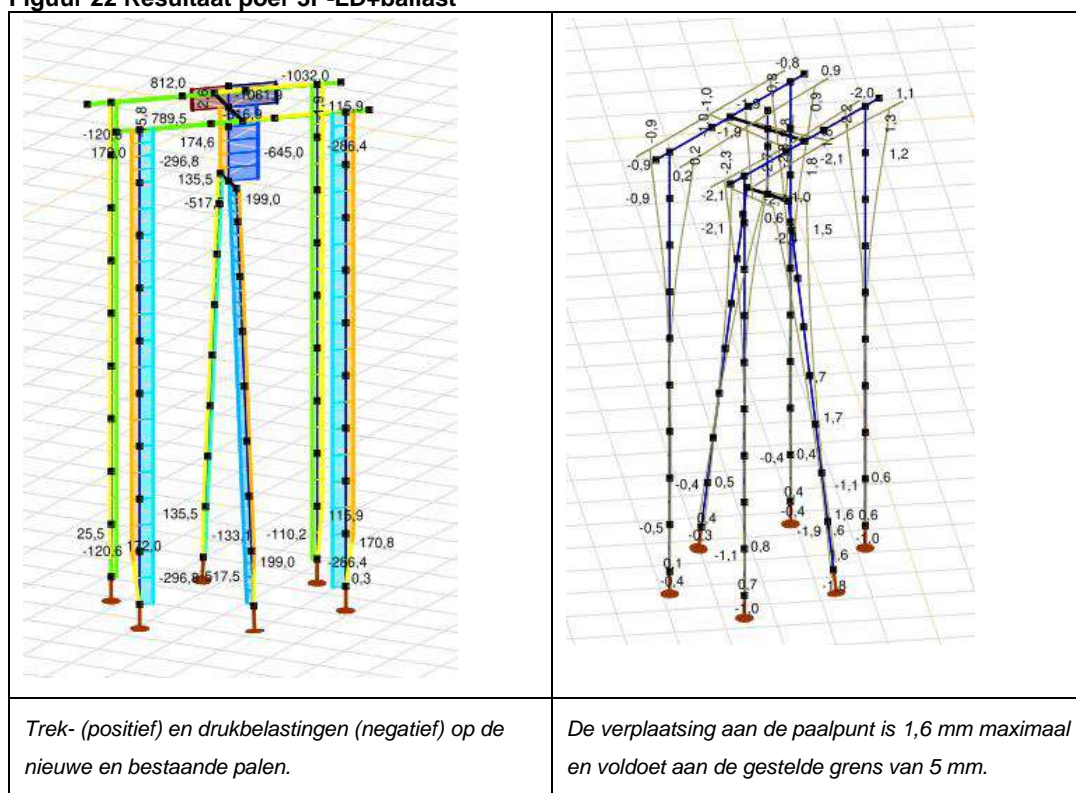
Model	Grond	Niveau [m]	p [kN/m ³]	k_{pa} [kN/m ³]	schelp [-]	Diameter [m]	Factor [-]	Max. druk [kN]
2P-LD+2P	Zand, los	0	0					
	Zand, los	-1	12	3	1	1	50%	9,0
	Zand, los	-2	19	3	1,85	0,45	100%	38,7
	Zand, los	-3	26	3	1,85	0,45	100%	56,2
	Zand, los	-4	33	3	1,85	0,45	100%	73,7
	Zand, los	-5	40	3	1,85	0,45	100%	91,2

De belastingen van masttype S+12 zijn ingevoerd op basis van verbouwniveau.

Tabel 40 Belastingen masttype S+12 (verbouwniveau)

Omschrijving	Load case	R _x (kN)	R _y (kN)	R _z (kN)	R _η	R _ξ	R _{ξ,lok}	R _{z,lok}
Max. pressure	ULS 1a_45	194	170	1032	17	-257	-47	1053
Max. tension	ULS 1a_0,9_0,9_45	149	125	-812	-17	194	29	-828
Max. pos. torsie	ULS 1a_90	194	135	963	41	-233	-37	982
Max. neg. torsie	ULS 1a_90	143	84	-709	-41	160	16	-724
Comb. tension+torsie	ULS 1a_0,9_0,9_90	-149	91	-741	41	169	19	-756
EDS (blijvende bel.)	SLS 7	22	22	109	0	-31	-9	111

Uit de berekening blijkt dat de constructie voldoet. De paalbelasting bereikt bij twee van de vier nieuwe palen het grensdragvermogen van 172 kN. Dit geldt ook voor de bestaande paal, hier is het grensdragvermogen van 199 kN eveneens bereikt. De opwaartse verplaatsingen bij de paalpunt blijven ruim onder de 5 mm zodat dit aspect voldoet. Op druk wordt bij geen van de palen het maximale draagvermogen (350 kN nieuw, 633 kN bestaand) bereikt.

Figuur 22 Resultaat poer 3P-LD+ballast


Conclusie: de verzwaring met een vierpaalpoer voldoet. De belangrijkste resultaten zijn in Tabel 41 samengevat.

Tabel 41 Resultaten mast 27

Mast 27 (2P-LD+4P)	Berekend	Toelaatbaar	Unity-check
Spanningsniveau LD-paal	38	235 N/mm ²	0,16 OK
Spanningsniveau Ø323/450	68	355 N/mm ²	0,19 OK
ULS-deformation ex/ey	4,6	18,0 mm	0,26 OK
ULS 5a-deformation ex/ey	3,0	26,6 mm	0,11 OK
Max. compr. Ø323/450	297	350 kN	0,85 OK
Max. tension Ø323/450	172	172 kN	1,00 OK
Max. compr. LD1	518	633 kN	0,82 OK
Max. tension LD1	199	199 kN	1,00 OK
Deformation ez pile tip LD1	1,6	5,0 mm	0,32 OK

Project

Analysis by

AxisVM X6 R1q · Geregistreerd aan DNV GL - Energy
2P-O-H2 & 2P-O-2-L3.axs

Report

Report, Inhoudsopgave

<i>Onderdeel</i>	<i>Pagina</i>	<i>Onderdeel</i>	<i>Pagina</i>
Tekening render	3	ULS 5a: Knoopbelastingen	20
Materialen	4	Gebruiker gedefinieerde belastingcombinaties uit belastinggevallen	20
Profielen	4	[II], Non-lin., Co #4 Perm [1] (1,000), Nx, Lijnen (gevuld)(gevuld)	21
Tekening	6	[II], Non-lin., Omhullende (Alle UGT), Nx, Lijnen (gevuld)	22
Knopen	7	[II], Non-lin., Omhullende (Alle UGT), My, Lijnen (gevuld)	23
Staven	8	[II], Non-lin., Omhullende (Alle UGT), Mz, Lijnen (gevuld)	24
Knoopopleggingen	9	[II], Non-lin., Omhullende (Alle UGT), Vy, Lijnen (gevuld)	25
Tekening met beddingen	10	[II], Non-lin., Omhullende (Alle UGT), Vz, Lijnen (gevuld)	26
Lijnopleggingen	11	Staafrachten [Non-lin., Omhullende (Alle UGT), Palen]	27
EG poer	14	[II], Non-lin., Co #1 max druk [1] (1,000), eX, Lijnen	28
EG poer: Staaf eigen gewicht	15	[II], Non-lin., Co #3 max torsie [1] (1,000), eX, Lijnen	29
GWS	15	[II], Non-lin., Omhullende (Alle UGT), eX, Lijnen	30
GWS: Knoopbelastingen	16	[II], Non-lin., Omhullende (Alle UGT), eY, Lijnen	31
SLS 7	16	[II], Non-lin., Omhullende (Alle UGT), eZ, Lijnen	32
SLS 7: Knoopbelastingen	17	Knoopverplaatsingen [Non-lin., Omhullende (Alle UGT)]	33
ULS 1a_45	17	[II], Non-lin., Omhullende (Alle UGT), Rx (knoopopl.), Lijnen	34
ULS 1a_45: Knoopbelastingen	18	[II], Non-lin., Omhullende (Alle UGT), Rx (lijnopp.), Lijnen (gevuld)	35
ULS 1a_45_0,9_0,9	18	[II], Non-lin., Omhullende (Alle UGT), Ry (lijnopp.), Lijnen (gevuld)	36
ULS 1a_45_0,9_0,9: Knoopbelastingen	19	[II], Non-lin., Omhullende (Alle UGT), Rz (lijnopp.), Lijnen (gevuld)	37
ULS 5a	19	Interne krachten knoopoplegging [Non-lin., Omhullende (Alle UGT)]	38

Project

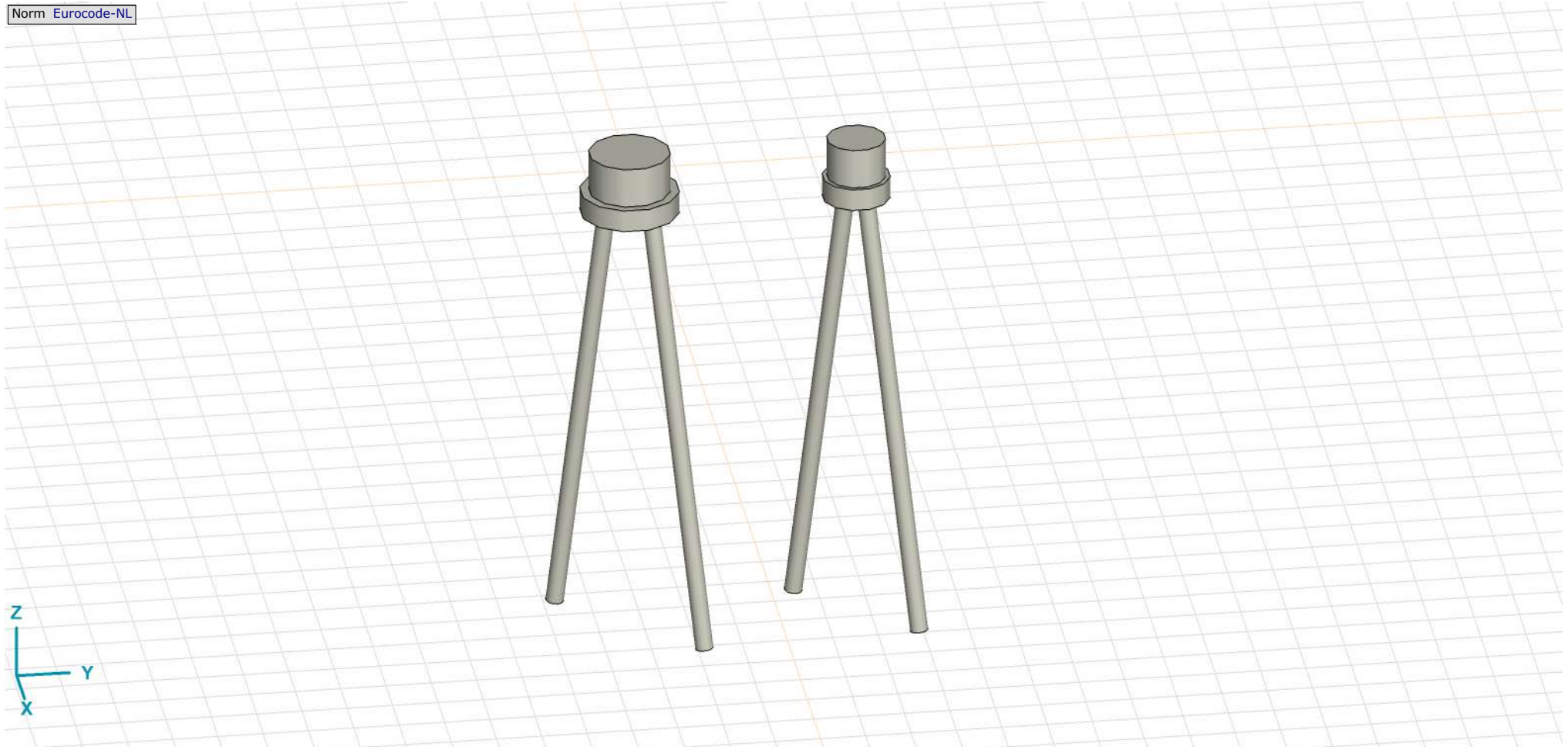
Analysis by

Model: **2P-O-H2 & 2P-O-2-L3.axs**

21-5-2022

Pag. 3

Norm Eurocode-NL



Tekening render

Project



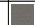
Analysis by

Model: **2P-O-H2 & 2P-O-2-L3.axs**

21-5-2022

Pag. 4

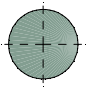
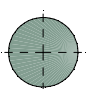
Materialen

	Naam	Type	Nationale norm	Materiaalnorm	Model	E_x [N/mm ²]	E_y [N/mm ²]	ν	α_T [1/°C]	ρ [kg/m ³]	Materiaal kleur	Contour kleur	Structuur	P_1
1	C30/37	Beton	Eurocode-NL	EN 206	Lineair	11000	11000	0,20	1E-5	2500			 Concrete A	f_{ck} [N/mm ²] = 30,00

	Naam	P_2	P_3	P_4	P_5	P_6	P_7	P_8	P_9	P_{10}	P_{11}	P_{12}	P_{13}	P_{14}
1	C30/37	$\gamma_c = 1,500$	$\alpha_{cc} = 1,00$	$\phi_t = 2,00$										

Naam: Materiaalnaam; **Type:** Type materiaal; **Model:** Materiaal model; **E_x :** Elasticiteitsmodulus in lokale x richting; **E_y :** Elasticiteitsmodulus in lokale y richting; **ν :** Poisson's verhouding; **α_T :** Warmteuitzettingscoëfficiënt; **ρ :** Dichtheid; **Materiaal kleur:** Materiaalkleur; **Contour kleur:** Contourkleur; **$P_1, P_2, P_3, P_4, P_5, P_6, P_7, P_8, P_9, P_{10}, P_{11}, P_{12}, P_{13}, P_{14}$:** Ontwerpparameter;

Profielen

	Naam	Tekening	Productie	Vorm	h [mm]	b [mm]	tw [mm]	tf [mm]	r_1 [mm]	r_2 [mm]	r_3 [mm]	A_x [mm ²]	A_y [mm ²]	A_z [mm ²]	I_x [mm ⁴]	I_y [mm ⁴]	I_z [mm ⁴]
1	O 400		Ander	Rond	400,0	400,0	0	0	0	0	0	125638,20	107689,90	107689,90	2,51E+09	1,26E+09	1,26E+09
2	O 1500		Ander	Rond	1500,0	1500,0	0	0	0	0	0	1766787,00	1514389,00	1514389,00	4,97E+11	2,48E+11	2,48E+11

	Naam	I_{yz} [mm ⁴]	I_1 [mm ⁴]	I_2 [mm ⁴]	α [°]	I_w [mm ⁶]	$W_{1,el,t}$ [mm ³]	$W_{1,el,b}$ [mm ³]	$W_{2,el,t}$ [mm ³]	$W_{2,el,b}$ [mm ³]	$W_{1,pl}$ [mm ³]	$W_{2,pl}$ [mm ³]	i_y [mm]	i_z [mm]	H_y [mm]	H_z [mm]
1	O 400	0	1,26E+09	1,26E+09	0	0	6280634,00	6280634,00	6280634,00	6280634,00	1,07E+07	1,07E+07	100,0	100,0	400,0	400,0
2	O 1500	0	2,48E+11	2,48E+11	0	0	3,31E+08	3,31E+08	3,31E+08	3,31E+08	5,62E+08	5,62E+08	375,0	375,0	1500,0	1500,0

	Naam	y_G [mm]	z_G [mm]	y_s [mm]	z_s [mm]	β_y [mm]	β_z [mm]	β_w [°]	S.p.
1	O 400	200,0	200,0	0	0	0	0	0	5
2	O 1500	750,0	750,0	0	0	0	0	0	5

Project

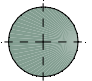
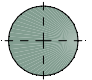
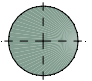
Analysis by

Model: **2P-O-H2 & 2P-O-2-L3.axs**

21-5-2022

Pag. 5

Profielen

	Naam	Tekening	Productie	Vorm	h [mm]	b [mm]	tw [mm]	tf [mm]	r ₁ [mm]	r ₂ [mm]	r ₃ [mm]	A _x [mm ²]	A _y [mm ²]	A _z [mm ²]	I _x [mm ⁴]	I _y [mm ⁴]	I _z [mm ⁴]
3	O 1300		Ander	Rond	1300,0	1300,0	0	0	0	0	0	1327053,00	1137474,00	1137474,00	2,8E+11	1,4E+11	1,4E+11
4	O 2200		Ander	Rond	2200,0	2200,0	0	0	0	0	0	3800555,00	3257619,00	3257619,00	2,3E+12	1,15E+12	1,15E+12
5	O 1800		Ander	Rond	1800,0	1800,0	0	0	0	0	0	2544173,00	2180720,00	2180720,00	1,03E+12	5,15E+11	5,15E+11

	Naam	I _{yz} [mm ⁴]	I ₁ [mm ⁴]	I ₂ [mm ⁴]	α [°]	Iω [mm ⁶]	W _{1,el,t} [mm ³]	W _{1,el,b} [mm ³]	W _{2,el,t} [mm ³]	W _{2,el,b} [mm ³]	W _{1,pl} [mm ³]	W _{2,pl} [mm ³]	i _y [mm]	i _z [mm]	H _y [mm]	H _z [mm]
3	O 1300	0	1,4E+11	1,4E+11	0	0	2,16E+08	2,16E+08	2,16E+08	2,16E+08	3,66E+08	3,66E+08	325,0	325,0	1300,0	1300,0
4	O 2200	0	1,15E+12	1,15E+12	0	0	1,04E+09	1,04E+09	1,04E+09	1,04E+09	1,77E+09	1,77E+09	549,9	549,9	2200,0	2200,0
5	O 1800	0	5,15E+11	5,15E+11	0	0	5,72E+08	5,72E+08	5,72E+08	5,72E+08	9,72E+08	9,72E+08	450,0	450,0	1800,0	1800,0

	Naam	y _G [mm]	z _G [mm]	y _s [mm]	z _s [mm]	β _y [mm]	β _z [mm]	β _w []	S.p.
3	O 1300	650,0	650,0	0	0	0	0	0	5
4	O 2200	1100,0	1100,0	0	0	0	0	0	5
5	O 1800	900,0	900,0	0	0	0	0	0	5

Naam: Doorsnede naam; **Productie:** Productieproces; **Vorm:** Profiel; **h:** Doorsnede hoogte; **b:** Doorsnede breedte; **tw:** Lijfdikte; **tf:** Flensdikte; **r₁, r₂, r₃:** Afrondingswaarde; **A_x:** Doorsnede-oppervlak; **A_y, A_z:** Afschuivingsoppervlak; **I_x:** Torsietraagheidsmoment; **I_y, I_z:** Buigtraagheidsmoment; **I_{yz}:** Centrifugaal traagheidsmoment; **I₁, I₂:** Hoofdbuigtraagheidsmoment; **α:** Hoofdrichtingen; **Iω:** Krommingsconstante; **W_{1,el,t}, W_{1,el,b}, W_{2,el,t}, W_{2,el,b}:** Elastisch weerstandsmoment; **W_{1,pl}, W_{2,pl}:** Plastisch weerstandsmoment; **i_y, i_z:** Traagheidsstraal; **H_y:** Afmeting in lokale Y-richting; **H_z:** Afmeting in lokale Z-richting; **y_G:** Y-coördinaat van het zwaartepunt; **z_G:** Z-coördinaat van het zwaartepunt; **y_s:** Y-coördinaat van het afschuivingsmiddelpunt (torsie); **z_s:** Z-coördinaat van het afschuivingsmiddelpunt (torsie); **β_y, β_z, β_w:** Wagner's coëfficiënt; **S.p.:** Spanningspunten;

Project

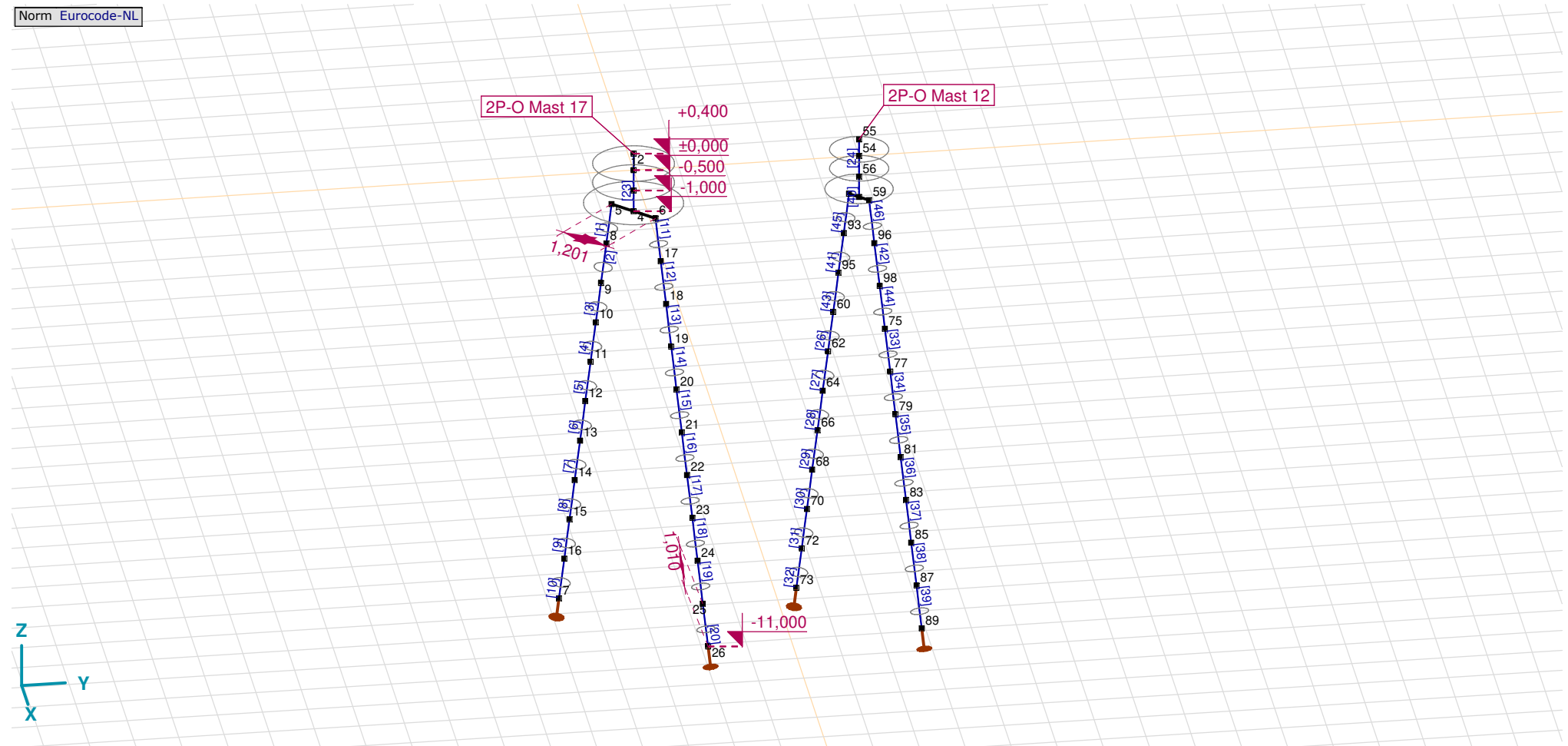
Analysis by

Model: 2P-O-H2 & 2P-O-2-L3.axs

21-5-2022

Pag. 6

Norm Eurocode-NL



Tekening

Project

Analysis by

Model: **2P-O-H2 & 2P-O-2-L3.axs**

21-5-2022

Pag. 7

Knopen

	X [m]	Y [m]	Z [m]		X [m]	Y [m]	Z [m]		X [m]	Y [m]	Z [m]		X [m]	Y [m]	Z [m]		X [m]	Y [m]	Z [m]
1	0	0	0	12	-0,934	-0,934	-6,000	23	1,137	1,137	-8,000	62	-0,602	4,398	-5,000	83	0,907	5,907	-8,000
2	0	0	0,400	13	-1,035	-1,035	-7,000	24	1,239	1,239	-9,000	64	-0,704	4,296	-6,000	85	1,009	6,009	-9,000
3	0	0	-0,500	14	-1,137	-1,137	-8,000	25	1,341	1,341	-10,000	66	-0,805	4,195	-7,000	87	1,111	6,111	-10,000
4	0	0	-1,000	15	-1,239	-1,239	-9,000	26	1,443	1,443	-11,000	68	-0,907	4,093	-8,000	89	1,213	6,213	-11,000
5	-0,424	-0,424	-1,000	16	-1,341	-1,341	-10,000	54	0	5,000	0	70	-1,009	3,991	-9,000	93	-0,296	4,704	-2,000
6	0,424	0,424	-1,000	17	0,526	0,526	-2,000	55	0	5,000	0,400	72	-1,111	3,889	-10,000	95	-0,398	4,602	-3,000
7	-1,443	-1,443	-11,000	18	0,628	0,628	-3,000	56	0	5,000	-0,500	73	-1,213	3,787	-11,000	96	0,296	5,296	-2,000
8	-0,526	-0,526	-2,000	19	0,730	0,730	-4,000	57	0	5,000	-1,000	75	0,500	5,500	-4,000	98	0,398	5,398	-3,000
9	-0,628	-0,628	-3,000	20	0,832	0,832	-5,000	58	-0,194	4,806	-1,000	77	0,602	5,602	-5,000				
10	-0,730	-0,730	-4,000	21	0,934	0,934	-6,000	59	0,194	5,194	-1,000	79	0,704	5,704	-6,000				
11	-0,832	-0,832	-5,000	22	1,035	1,035	-7,000	60	-0,500	4,500	-4,000	81	0,805	5,805	-7,000				

Project

Analysis by

Model: **2P-O-H2 & 2P-O-2-L3.axs**

21-5-2022

Pag. 8

Staven

	Start-punt	Eind-punt	Lengte	Lokaal X	Materiaal	Doorsnede	Ref _Z		Start-punt	Eind-punt	Lengte	Lokaal X	Materiaal	Doorsnede	Ref _Z
1	8	5	1,010	j - i	C30/37	1	↗ R2	24	54	55	0,400	i - j	C30/37	3	↗ R1
2	9	8	1,010	j - i	C30/37	1	↗ R2	25	56	54	0,500	j - i	C30/37	3	↗ R1
3	10	9	1,010	j - i	C30/37	1	↗ R2	26	62	60	1,010	j - i	C30/37	1	↗ R2
4	11	10	1,010	j - i	C30/37	1	↗ R2	27	64	62	1,010	j - i	C30/37	1	↗ R2
5	12	11	1,010	j - i	C30/37	1	↗ R2	28	66	64	1,010	j - i	C30/37	1	↗ R2
6	13	12	1,010	j - i	C30/37	1	↗ R2	29	68	66	1,010	j - i	C30/37	1	↗ R2
7	14	13	1,010	j - i	C30/37	1	↗ R2	30	70	68	1,010	j - i	C30/37	1	↗ R2
8	15	14	1,010	j - i	C30/37	1	↗ R2	31	72	70	1,010	j - i	C30/37	1	↗ R2
9	16	15	1,010	j - i	C30/37	1	↗ R2	32	73	72	1,010	j - i	C30/37	1	↗ R2
10	7	16	1,010	i - j	C30/37	1	↗ R2	33	77	75	1,010	j - i	C30/37	1	↗ R3
11	17	6	1,010	j - i	C30/37	1	↗ R3	34	79	77	1,010	j - i	C30/37	1	↗ R3
12	18	17	1,010	j - i	C30/37	1	↗ R3	35	81	79	1,010	j - i	C30/37	1	↗ R3
13	19	18	1,010	j - i	C30/37	1	↗ R3	36	83	81	1,010	j - i	C30/37	1	↗ R3
14	20	19	1,010	j - i	C30/37	1	↗ R3	37	85	83	1,010	j - i	C30/37	1	↗ R3
15	21	20	1,010	j - i	C30/37	1	↗ R3	38	87	85	1,010	j - i	C30/37	1	↗ R3
16	22	21	1,010	j - i	C30/37	1	↗ R3	39	89	87	1,010	j - i	C30/37	1	↗ R3
17	23	22	1,010	j - i	C30/37	1	↗ R3	40	57	56	0,500	j - i	C30/37	2	↗ R1
18	24	23	1,010	j - i	C30/37	1	↗ R3	41	95	93	1,010	j - i	C30/37	1	↗ R2
19	25	24	1,010	j - i	C30/37	1	↗ R3	42	98	96	1,010	j - i	C30/37	1	↗ R3
20	26	25	1,010	j - i	C30/37	1	↗ R3	43	60	95	1,010	i - j	C30/37	1	↗ R2
21	4	3	0,500	j - i	C30/37	4	↗ R1	44	75	98	1,010	i - j	C30/37	1	↗ R3
22	1	2	0,400	i - j	C30/37	5	↗ R1	45	93	58	1,010	j - i	C30/37	1	↗ R2
23	3	1	0,500	j - i	C30/37	5	↗ R1	46	96	59	1,010	j - i	C30/37	1	↗ R3

Lengte: Elementlengte; Lokaal X: Lokale X-richting; Ref_Z: Referentie voor lokale Z-richting;

Project

Analysis by

Model: **2P-O-H2 & 2P-O-2-L3.axs**

21-5-2022

Pag. 9

Knooppopleggingen

	Knoop	X [m]	Y [m]	Z [m]	Type	Ref. elem.	Naam _x	Veermodel _x	K _x [kN/m]	K _{xv} [kN/m]	NL _x	Grenswaarde _x [kN]	Naam _y	Veermodel _y	K _y [kN/m]
1	7	-1,443	-1,443	-11,000	Staafr.	Staafr. 13	Lineair 1E+5 kN/m	NL elastisch	3E+5	3E+5	Druk Alleen druk	-	—	-	-
2	26	1,443	1,443	-11,000	Staafr.	Staafr. 28	Lineair 1E+5 kN/m	NL elastisch	3E+5	3E+5	Druk Alleen druk	-	—	-	-
3	73	-1,213	3,787	-11,000	Staafr.	Staafr. 61	Lineair 1E+5 kN/m	NL elastisch	3E+5	3E+5	Druk Alleen druk	-	—	-	-
4	89	1,213	6,213	-11,000	Staafr.	Staafr. 76	Lineair 1E+5 kN/m	NL elastisch	3E+5	3E+5	Druk Alleen druk	-	—	-	-

	Knoop	K _{yv} [kN/m]	Naam _z	Veermodel _z	K _z [kN/m]	K _{zv} [kN/m]	Naam _{xx}	Veermodel _{xx}	K _{xx} [kNm/rad]	K _{xxv} [kNm/rad]	Naam _{yy}	Veermodel _{yy}	K _{yy} [kNm/rad]	K _{yyv} [kNm/rad]	Naam _{zz}
1	7	-	—	-	-	-	—	-	-	-	—	-	-	-	—
2	26	-	—	-	-	-	—	-	-	-	—	-	-	-	—
3	73	-	—	-	-	-	—	-	-	-	—	-	-	-	—
4	89	-	—	-	-	-	—	-	-	-	—	-	-	-	—

	Knoop	Veermodel _{zz}	K _{zz} [kNm/rad]	K _{zzv} [kNm/rad]	Veermodel _w
1	7	-	-	-	-
2	26	-	-	-	-
3	73	-	-	-	-
4	89	-	-	-	-

Knoop: Ondersteunde knoop; **Type:** Opleggingstype; **Ref. elem.:** Referentie-element; **Naam_x:** Naam van de veereigenschappen; **Veermodel_x:** Veermodel; **K_x:** Initiële stijfheid; **K_{xv}:** Trillingsstijfheid; **NL_x:** Niet-lineaire parameters; **Grenswaarde_x:** Grenswaarde; **K_y, K_z, K_{xx}, K_{yy}, K_{zz}:** Initiële stijfheid;

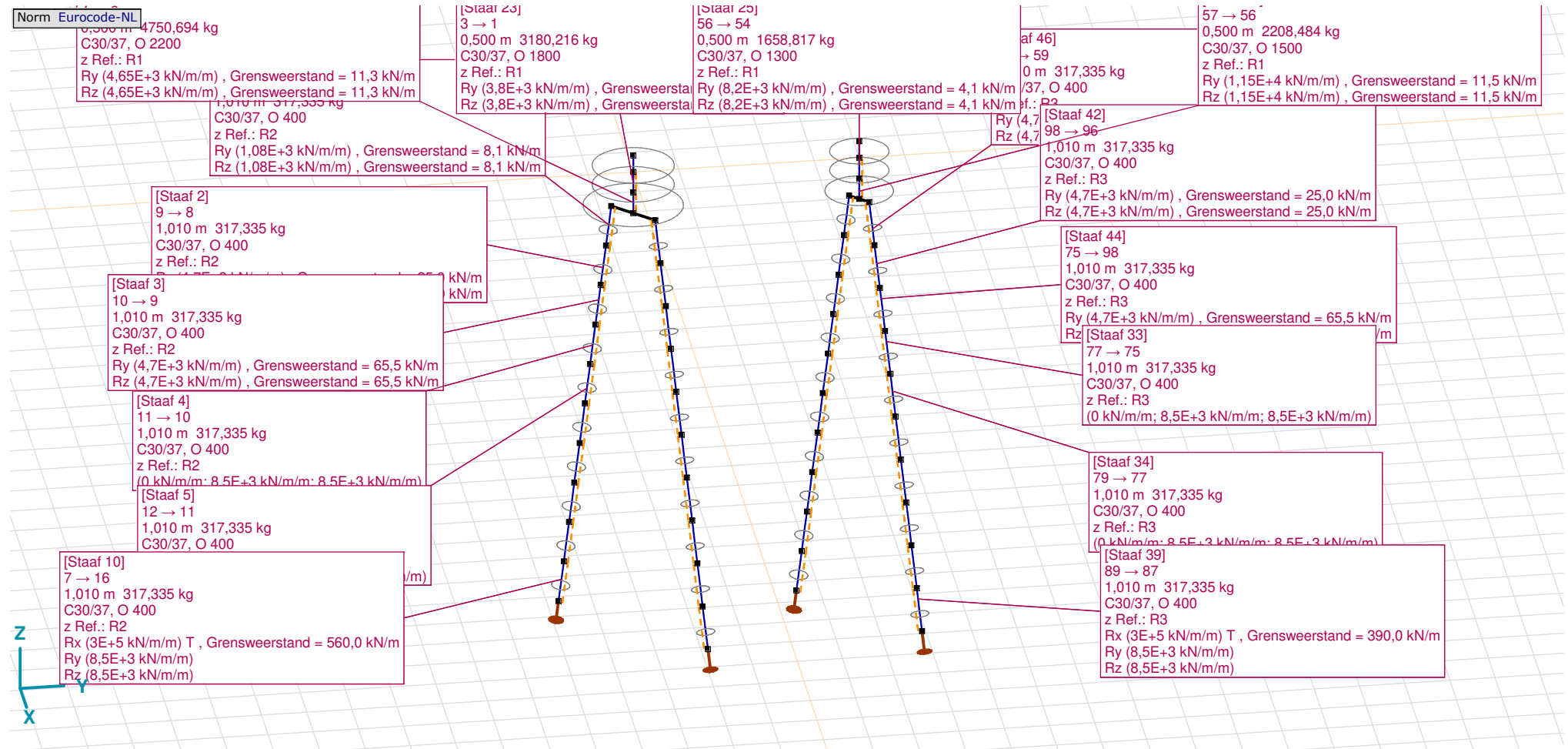
Project

Analysis by

Model: 2P-O-H2 & 2P-O-2-L3.axs

21-5-2022

Pag. 10



Tekening met beddingen

Project

Analysis by

Model: **2P-O-H2 & 2P-O-2-L3.axs**

21-5-2022

Pag. 11

Lijnopleggingen

	Lijn	Type	Ref. elem.	R _x [kN/m/m]	R _y [kN/m/m]	R _z [kN/m/m]	R _{xx} [kNm/rad/m]	R _{yy} [kNm/rad/m]	R _{zz} [kNm/rad/m]	NL(x)	NL(y)	NL(z)	NL(xx)	NL(yy)	NL(zz)
		Staafr.													
1	Staafr. 1	Staafr. r.		0	1,08E+3	1,08E+3					Symmetrisch	Symmetrisch			
2	Staafr. 2	Staafr. r.		0	4,7E+3	4,7E+3					Symmetrisch	Symmetrisch			
3	Staafr. 3	Staafr. r.		0	4,7E+3	4,7E+3					Symmetrisch	Symmetrisch			
7	Staafr. 4	Staafr. r.		0	8,5E+3	8,5E+3					Symmetrisch	Symmetrisch			
8	Staafr. 5	Staafr. r.		0	8,5E+3	8,5E+3					Symmetrisch	Symmetrisch			
9	Staafr. 6	Staafr. r.		0	8,5E+3	8,5E+3					Symmetrisch	Symmetrisch			
10	Staafr. 7	Staafr. r.		0	8,5E+3	8,5E+3					Symmetrisch	Symmetrisch			
11	Staafr. 8	Staafr. r.		0	8,5E+3	8,5E+3					Symmetrisch	Symmetrisch			
12	Staafr. 9	Staafr. r.		0	8,5E+3	8,5E+3					Symmetrisch	Symmetrisch			
13	Staafr. 10	Staafr. r.		3E+5	8,5E+3	8,5E+3				Trek	Symmetrisch	Symmetrisch			
4	Staafr. 11	Staafr. r.		0	1,08E+3	1,08E+3					Symmetrisch	Symmetrisch			
5	Staafr. 12	Staafr. r.		0	4,7E+3	4,7E+3					Symmetrisch	Symmetrisch			
6	Staafr. 13	Staafr. r.		0	4,7E+3	4,7E+3					Symmetrisch	Symmetrisch			
14	Staafr. 14	Staafr. r.		0	8,5E+3	8,5E+3					Symmetrisch	Symmetrisch			
15	Staafr. 15	Staafr. r.		0	8,5E+3	8,5E+3					Symmetrisch	Symmetrisch			
16	Staafr. 16	Staafr. r.		0	8,5E+3	8,5E+3					Symmetrisch	Symmetrisch			

	Lijn	F(x) [kN/m]	F(y) [kN/m]	F(z) [kN/m]	M(x) [kNm/m]	M(y) [kNm/m]	M(z) [kNm/m]
1	Staafr. 1		8,1	8,1			
2	Staafr. 2		25,0	25,0			
3	Staafr. 3		65,5	65,5			
7	Staafr. 4						
8	Staafr. 5						
9	Staafr. 6						
10	Staafr. 7						
11	Staafr. 8						
12	Staafr. 9						
13	Staafr. 10	560,0					
4	Staafr. 11		8,1	8,1			
5	Staafr. 12		25,0	25,0			
6	Staafr. 13		65,5	65,5			
14	Staafr. 14						
15	Staafr. 15						
16	Staafr. 16						

Project

Analysis by

Model: **2P-O-H2 & 2P-O-2-L3.axs**

21-5-2022

Pag. 12

Lijnopleggingen

	Lijn	Type	Ref. elem.	Rx [kN/m/m]	Ry [kN/m/m]	Rz [kN/m/m]	Rxx [kNm/rad/m]	Ryy [kNm/rad/m]	Rzz [kNm/rad/m]	NL(x)	NL(y)	NL(z)	NL(xx)	NL(yy)	NL(zz)
17	StAAF 17	StAAF r.		0	8,5E+3	8,5E+3					Symmetrisch	Symmetrisch			
18	StAAF 18	StAAF r.		0	8,5E+3	8,5E+3					Symmetrisch	Symmetrisch			
19	StAAF 19	StAAF r.		0	8,5E+3	8,5E+3					Symmetrisch	Symmetrisch			
20	StAAF 20	StAAF r.		3E+5	8,5E+3	8,5E+3				Trek	Symmetrisch	Symmetrisch			
41	StAAF 21	StAAF r.		0	4,65E+3	4,65E+3					Symmetrisch	Symmetrisch			
42	StAAF 23	StAAF r.		0	3,8E+3	3,8E+3					Symmetrisch	Symmetrisch			
43	StAAF 25	StAAF r.		0	8,2E+3	8,2E+3					Symmetrisch	Symmetrisch			
21	StAAF 26	StAAF r.		0	8,5E+3	8,5E+3					Symmetrisch	Symmetrisch			
22	StAAF 27	StAAF r.		0	8,5E+3	8,5E+3					Symmetrisch	Symmetrisch			
23	StAAF 28	StAAF r.		0	8,5E+3	8,5E+3					Symmetrisch	Symmetrisch			
24	StAAF 29	StAAF r.		0	8,5E+3	8,5E+3					Symmetrisch	Symmetrisch			
25	StAAF 30	StAAF r.		0	8,5E+3	8,5E+3					Symmetrisch	Symmetrisch			
26	StAAF 31	StAAF r.		0	8,5E+3	8,5E+3					Symmetrisch	Symmetrisch			
27	StAAF 32	StAAF r.		3E+5	8,5E+3	8,5E+3				Trek	Symmetrisch	Symmetrisch			
28	StAAF 33	StAAF r.		0	8,5E+3	8,5E+3					Symmetrisch	Symmetrisch			
29	StAAF 34	StAAF r.		0	8,5E+3	8,5E+3					Symmetrisch	Symmetrisch			
30	StAAF 35	StAAF r.		0	8,5E+3	8,5E+3					Symmetrisch	Symmetrisch			

	Lijn	F(x) [kN/m]	F(y) [kN/m]	F(z) [kN/m]	M(x) [kNm/m]	M(y) [kNm/m]	M(z) [kNm/m]
17	StAAF 17						
18	StAAF 18						
19	StAAF 19						
20	StAAF 20	560,0					
41	StAAF 21		11,3	11,3			
42	StAAF 23		3,8	3,8			
43	StAAF 25		4,1	4,1			
21	StAAF 26						
22	StAAF 27						
23	StAAF 28						
24	StAAF 29						
25	StAAF 30						
26	StAAF 31						
27	StAAF 32	390,0					
28	StAAF 33						
29	StAAF 34						
30	StAAF 35						

Project

Analysis by

Model: **2P-O-H2 & 2P-O-2-L3.axs**

21-5-2022

Pag. 13

Lijnopleggingen

	Lijn	Type	Ref. elem.	R _x [kN/m/m]	R _y [kN/m/m]	R _z [kN/m/m]	R _{xx} [kNm/rad/m]	R _{yy} [kNm/rad/m]	R _{zz} [kNm/rad/m]	NL(x)	NL(y)	NL(z)	NL(xx)	NL(yy)	NL(zz)
31	Staafl 36	Staafl r.		0	8,5E+3	8,5E+3					Symmetrisch	Symmetrisch			
32	Staafl 37	Staafl r.		0	8,5E+3	8,5E+3					Symmetrisch	Symmetrisch			
33	Staafl 38	Staafl r.		0	8,5E+3	8,5E+3					Symmetrisch	Symmetrisch			
34	Staafl 39	Staafl r.		3E+5	8,5E+3	8,5E+3				Trek	Symmetrisch	Symmetrisch			
44	Staafl 40	Staafl r.		0	1,15E+4	1,15E+4					Symmetrisch	Symmetrisch			
35	Staafl 41	Staafl r.		0	4,7E+3	4,7E+3					Symmetrisch	Symmetrisch			
36	Staafl 42	Staafl r.		0	4,7E+3	4,7E+3					Symmetrisch	Symmetrisch			
37	Staafl 43	Staafl r.		0	4,7E+3	4,7E+3					Symmetrisch	Symmetrisch			
38	Staafl 44	Staafl r.		0	4,7E+3	4,7E+3					Symmetrisch	Symmetrisch			
39	Staafl 45	Staafl r.		0	4,7E+3	4,7E+3					Symmetrisch	Symmetrisch			
40	Staafl 46	Staafl r.		0	4,7E+3	4,7E+3					Symmetrisch	Symmetrisch			

	Lijn	F(x) [kN/m]	F(y) [kN/m]	F(z) [kN/m]	M(x) [kNm/m]	M(y) [kNm/m]	M(z) [kNm/m]
31	Staafl 36						
32	Staafl 37						
33	Staafl 38						
34	Staafl 39	390,0					
44	Staafl 40		11,5	11,5			
35	Staafl 41		25,0	25,0			
36	Staafl 42		25,0	25,0			
37	Staafl 43		65,5	65,5			
38	Staafl 44		65,5	65,5			
39	Staafl 45		17,2	17,2			
40	Staafl 46		17,2	17,2			

Lijn: Ondersteund lijnelement; **Type:** Opleggingstype; **Ref. elem.:** Referentie-element; **R_x, R_y, R_z:** Verplaatsingsstijfheid; **R_{xx}, R_{yy}, R_{zz}:** Rotatiestijfheid; **NL(x), NL(y), NL(z), NL(xx), NL(yy), NL(zz):** Niet-lineaire parameters; **F(x):** Weerstand in X-richting; **F(y):** Weerstand in Y-richting; **F(z):** Weerstand in Z-richting; **M(x):** Weerstandsmoment in X-richting; **M(y):** Weerstandsmoment in Y-richting; **M(z):** Weerstandsmoment in Z-richting;

Project

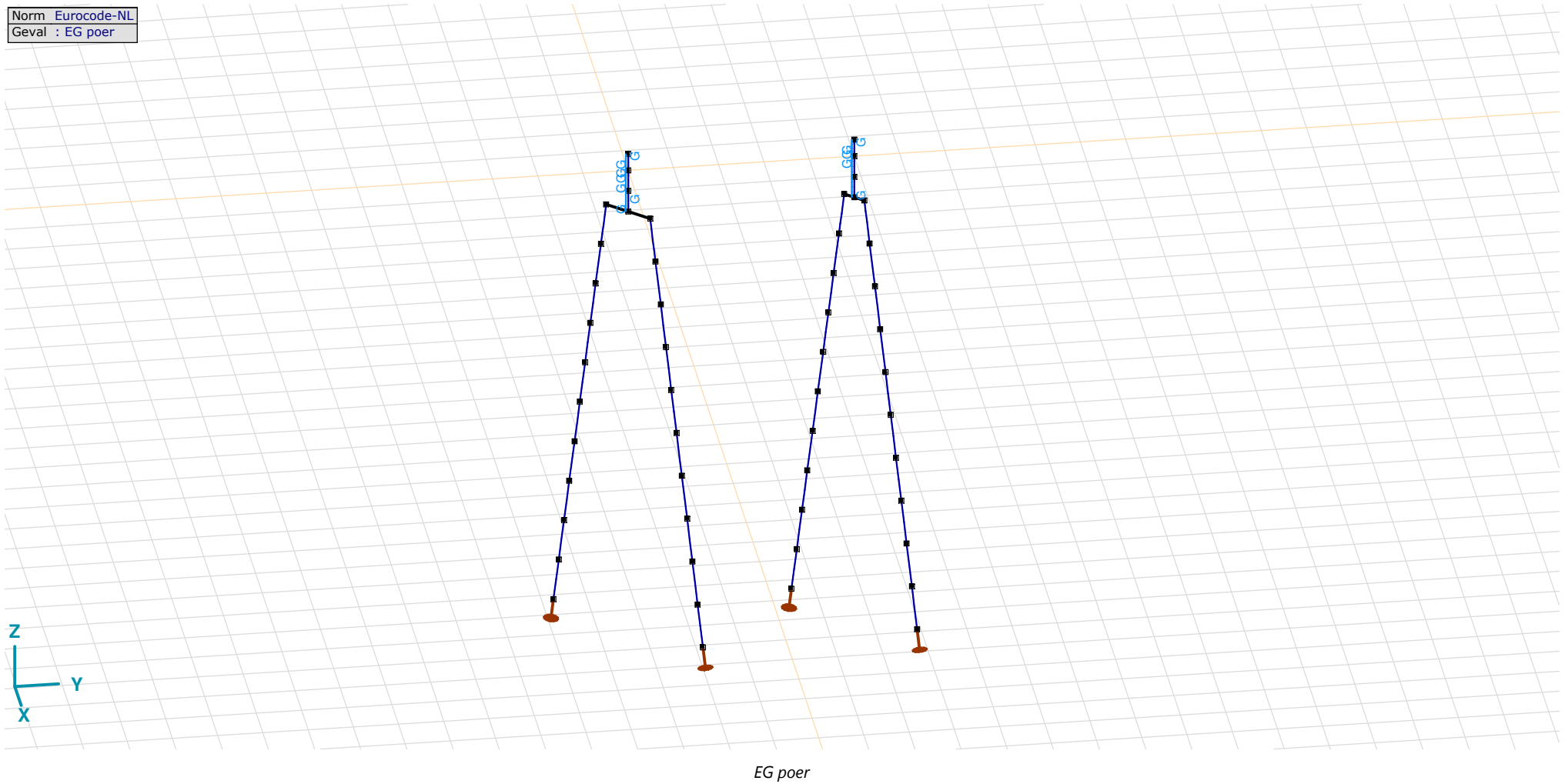
Analysis by

Model: 2P-O-H2 & 2P-O-2-L3.axs

21-5-2022

Pag. 14

Norm Eurocode-NL
Geval : EG poer



Project

Analysis by

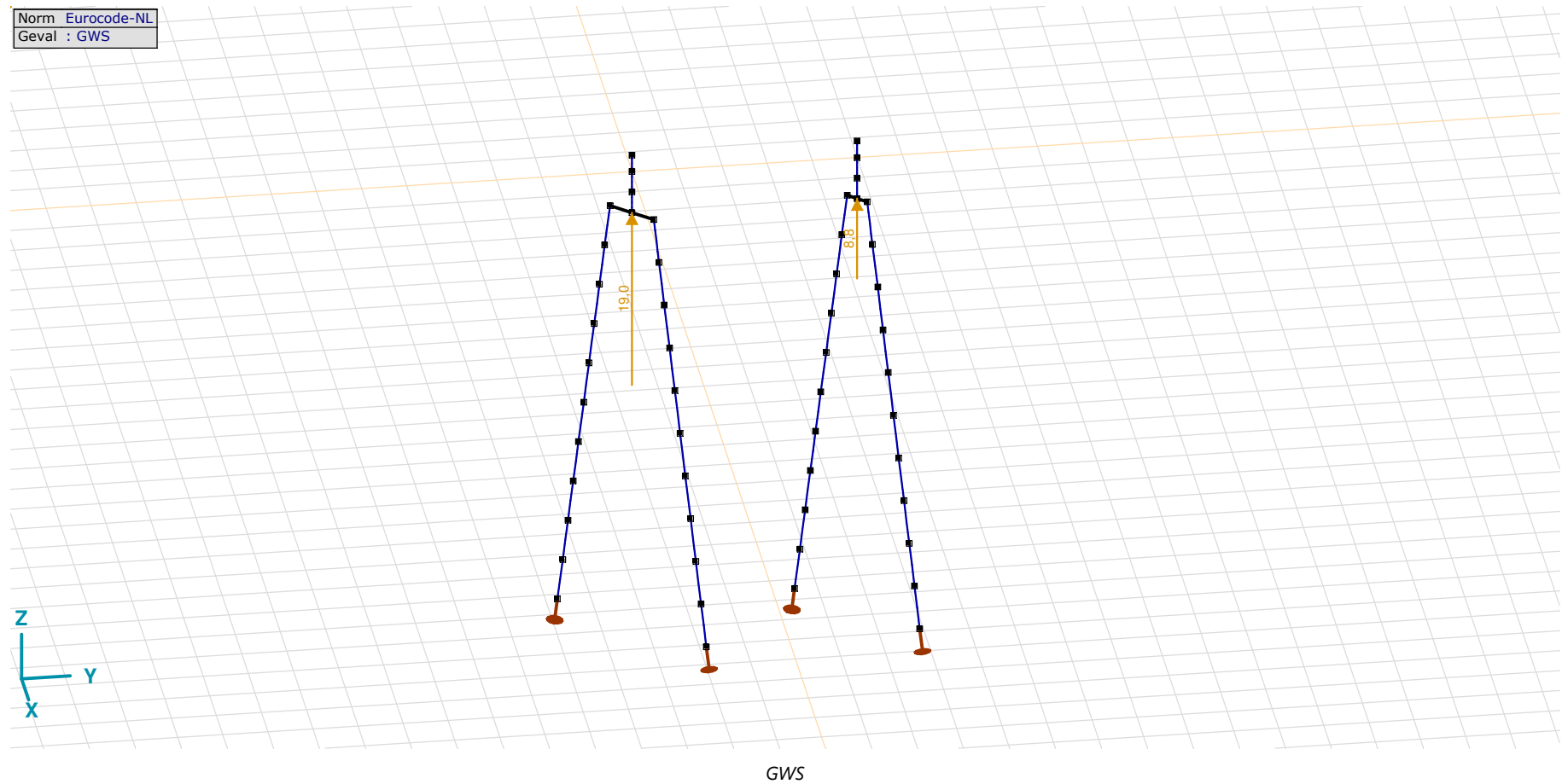
Model: **2P-O-H2 & 2P-O-2-L3.axs**

21-5-2022

Pag. 15

EG poer: Staaf eigen gewicht

	Σ [kg]
29-32	4750,694
77-80	2208,484
97-112	8710,259
Totaal	15669,437

 Σ : Totale massa;

Project

Analysis by

Model: **2P-O-H2 & 2P-O-2-L3.axs**

21-5-2022

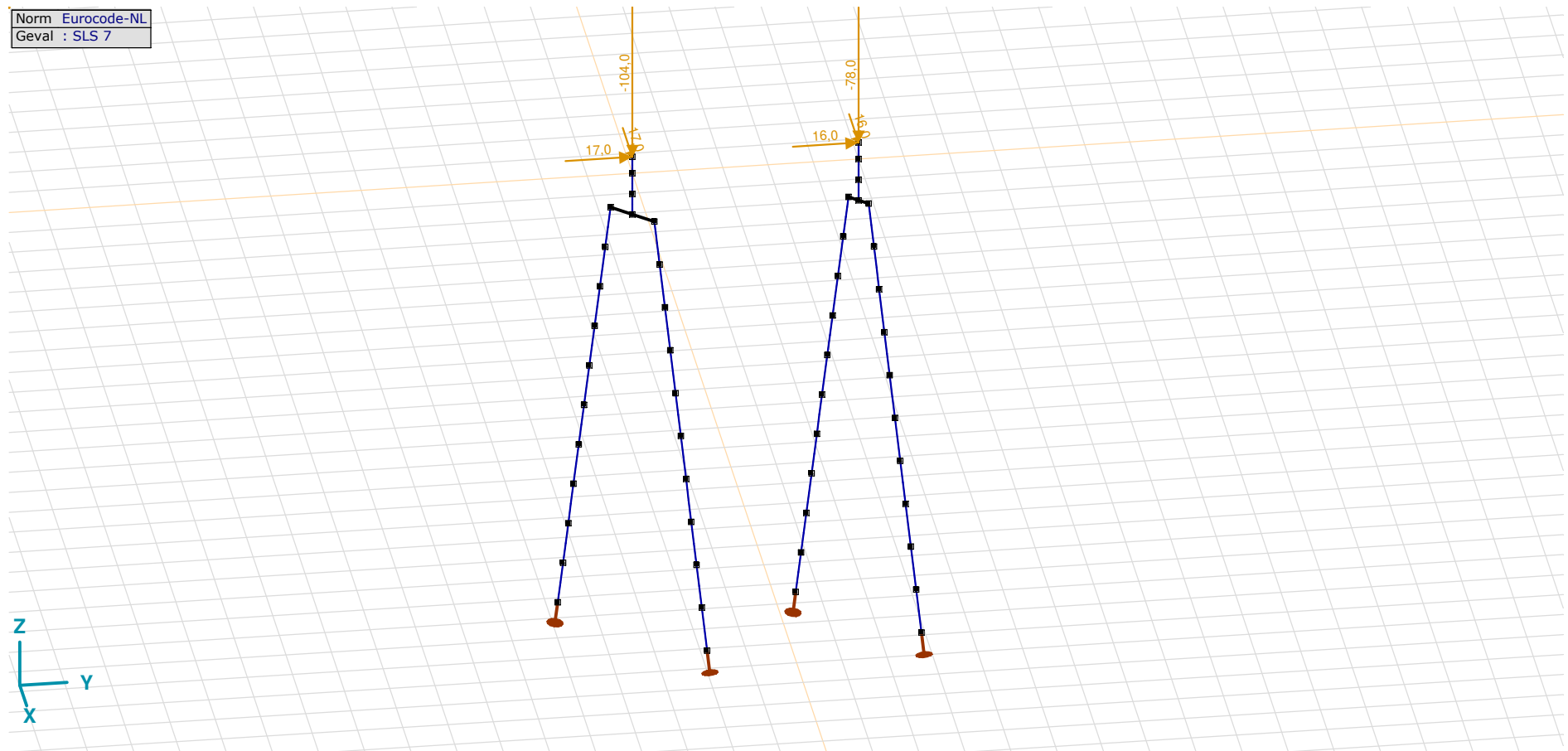
Pag. 16

GWS: Knoopbelastingen

	Richting	F_x [kN]	F_y [kN]	F_z [kN]	M_x [kNm]	M_y [kNm]	M_z [kNm]
4	Globaal	0	0	19,0	0	0	0
57	Globaal	0	0	8,8	0	0	0

F_x, F_y, F_z: Belastingkracht component; **M_x, M_y, M_z**: Belastingsmoment component;

Norm	Eurocode-NL
Geval	SLS 7



SLS 7

Project

Analysis by

Model: **2P-O-H2 & 2P-O-2-L3.axs**

21-5-2022

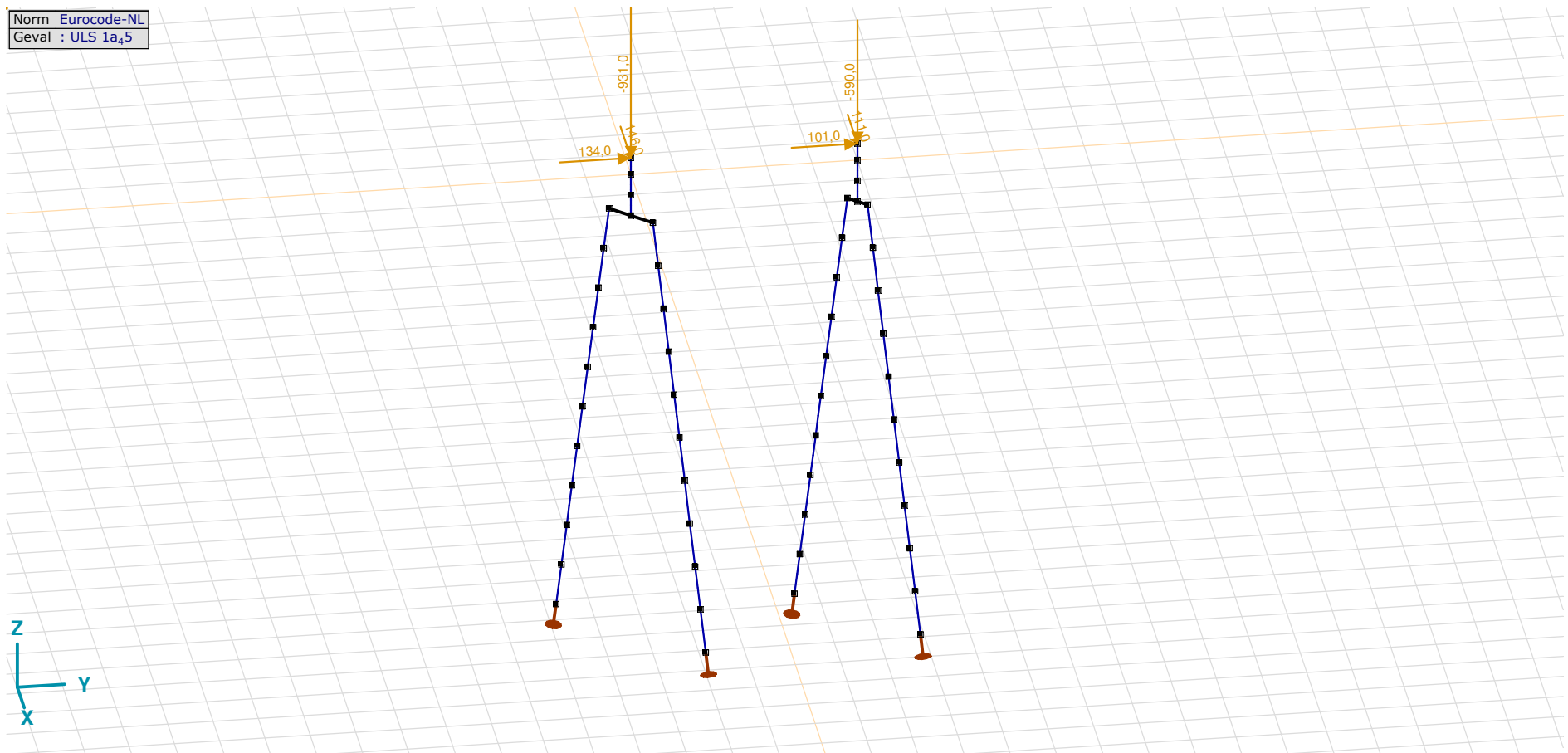
Pag. 17

SLS 7: Knoopbelastingen

	Richting	F_x [kN]	F_y [kN]	F_z [kN]	M_x [kNm]	M_y [kNm]	M_z [kNm]
2	Globaal	17,0	17,0	-104,0	0	0	0
55	Globaal	16,0	16,0	-78,0	0	0	0

F_x , F_y , F_z : Belastingkracht component; M_x , M_y , M_z : Belastingsmoment component;

Norm Eurocode-NL
Geval : ULS 1a₅

ULS 1a₅

Project

Analysis by

Model: **2P-O-H2 & 2P-O-2-L3.axs**

21-5-2022

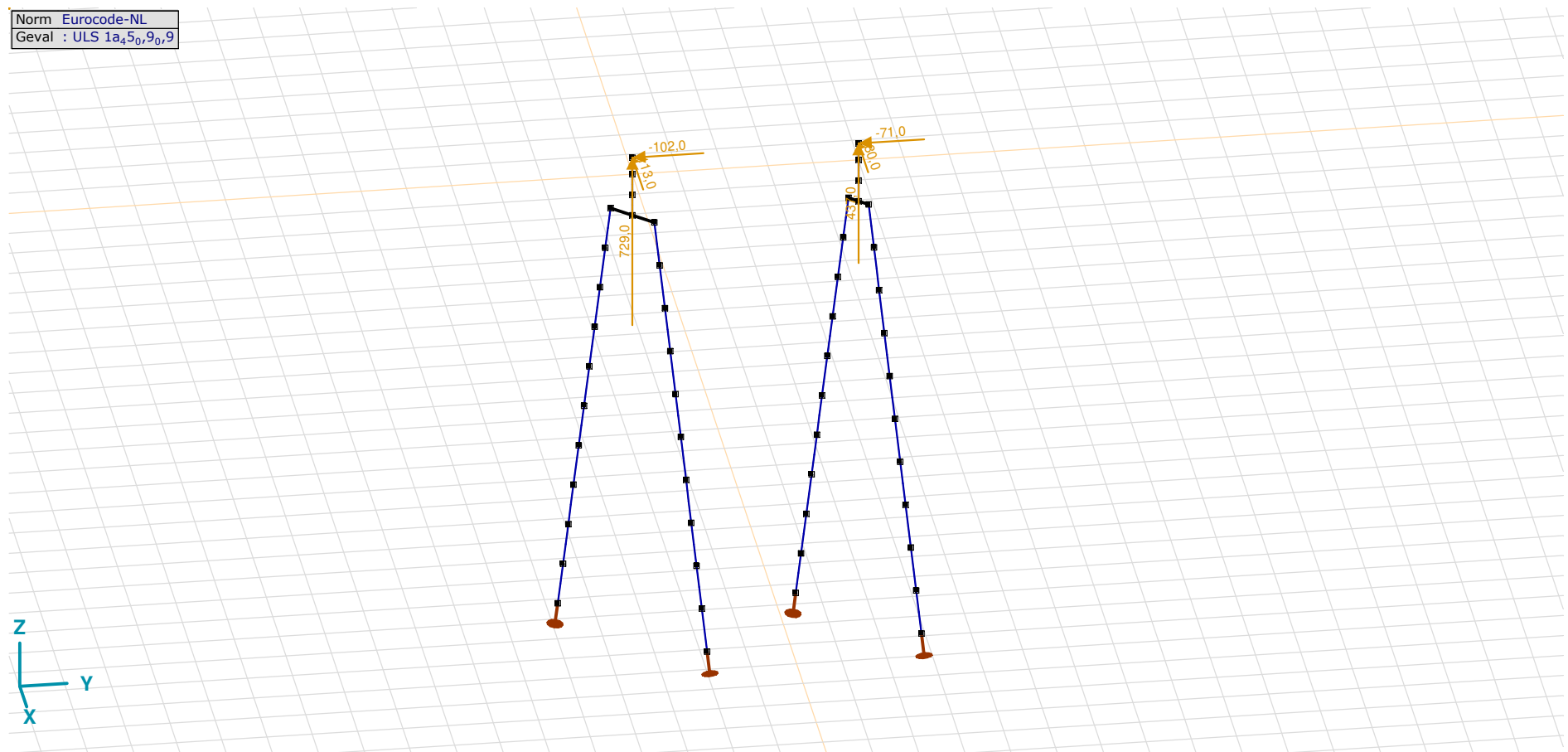
Pag. 18

ULS 1a_45: Knoopbelastingen

	Richting	F_x [kN]	F_y [kN]	F_z [kN]	M_x [kNm]	M_y [kNm]	M_z [kNm]
2	Globaal	146,0	134,0	-931,0	0	0	0
55	Globaal	111,0	101,0	-590,0	0	0	0

F_x , F_y , F_z : Belastingkracht component; M_x , M_y , M_z : Belastingmoment component;

Norm Eurocode-NL
Geval : ULS 1a_{45,0,9,9}



ULS 1a_45_0,9_0,9

Project

Analysis by

Model: **2P-O-H2 & 2P-O-2-L3.axs**

21-5-2022

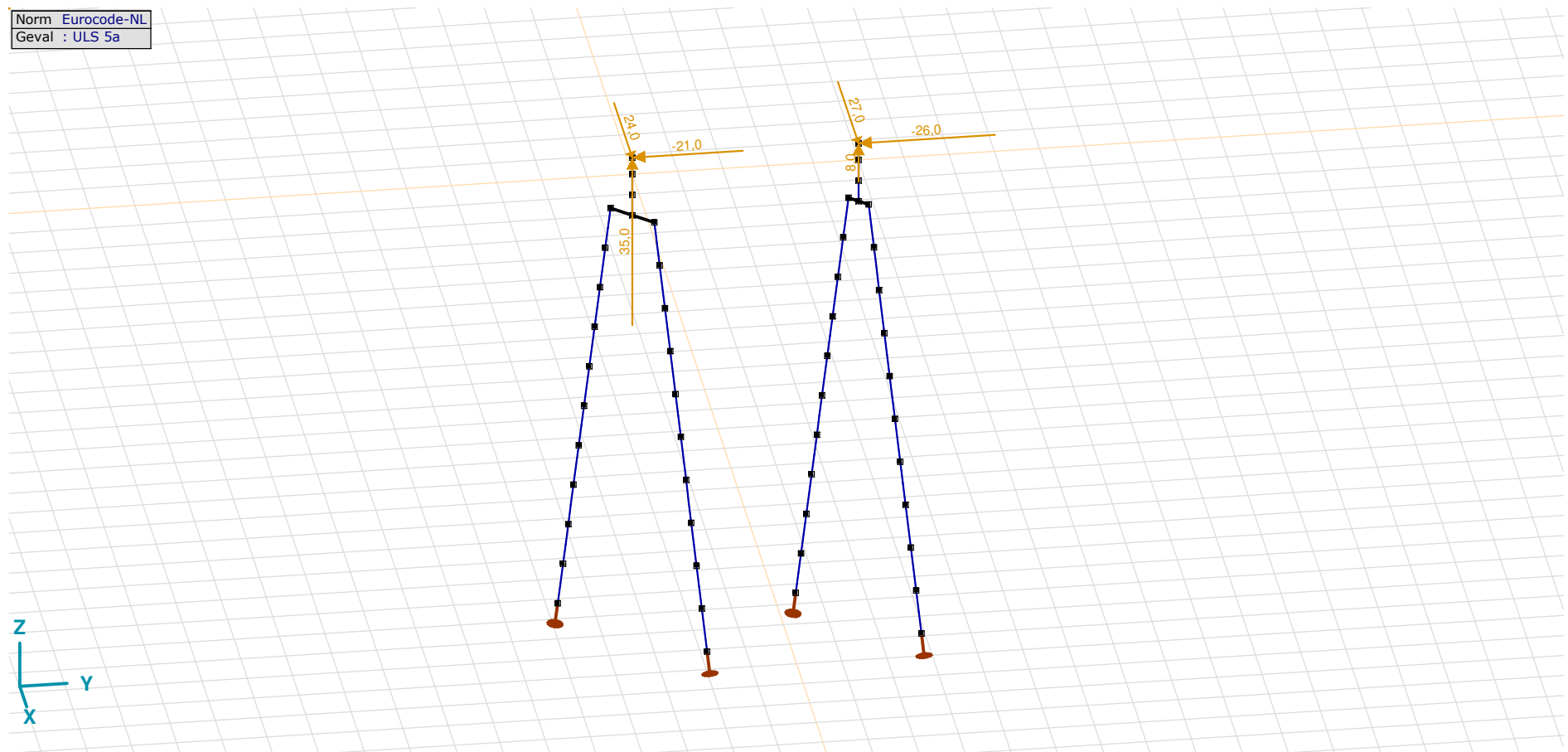
Pag. 19

ULS 1a_45_0,9_0,9: Knoopbelastingen

	Richting	F_x [kN]	F_y [kN]	F_z [kN]	M_x [kNm]	M_y [kNm]	M_z [kNm]
2	Globaal	-113,0	-102,0	729,0	0	0	0
55	Globaal	-80,0	-71,0	437,0	0	0	0

F_x , F_y , F_z : Belastingkracht component; M_x , M_y , M_z : Belastingmoment component;

Norm Eurocode-NL
Geval : ULS 5a



ULS 5a

Project

Analysis by

Model: **2P-O-H2 & 2P-O-2-L3.axs**

21-5-2022

Pag. 20

ULS 5a: Knoopbelastingen

	Richting	F_x [kN]	F_y [kN]	F_z [kN]	M_x [kNm]	M_y [kNm]	M_z [kNm]
2	Globaal	24,0	-21,0	35,0	0	0	0
55	Globaal	27,0	-26,0	8,0	0	0	0

F_x, F_y, F_z: Belastingkracht component; **M_x, M_y, M_z**: Belastingsmoment component;

Gebruiker gedefinieerde belastingcombinaties uit belastinggevallen

	Naam	Type	ST1	EG poer (PERM1)	GWS (PERM1)	SLS 7 (PERM1)	ULS 1a_45 (VER1)	ULS 1a_45_0,9_0,9 (VER1)	ULS 5a (VER1)	Commentaar
1	Co #1 max druk	UGT	0	1,20	0	0	1,00	0	0	
2	Co #2 max trek	UGT	0	0,90	1,00	0	0	1,00	0	
3	Co #3 max torsie	UGT	0	1,20	1,00	0	0	0	1,00	
4	Co #4 Perm	BGT Quasi-blijvend	0	1,00	0	1,00	0	0	0	

Naam: Naam belastingcombinatie; **Type**: Type belastingcombinatie; **ST1, EG poer (PERM1), GWS (PERM1), SLS 7 (PERM1), ULS 1a_45 (VER1), ULS 1a_45_0,9_0,9 (VER1), ULS 5a (VER1)**: Factor;

Project

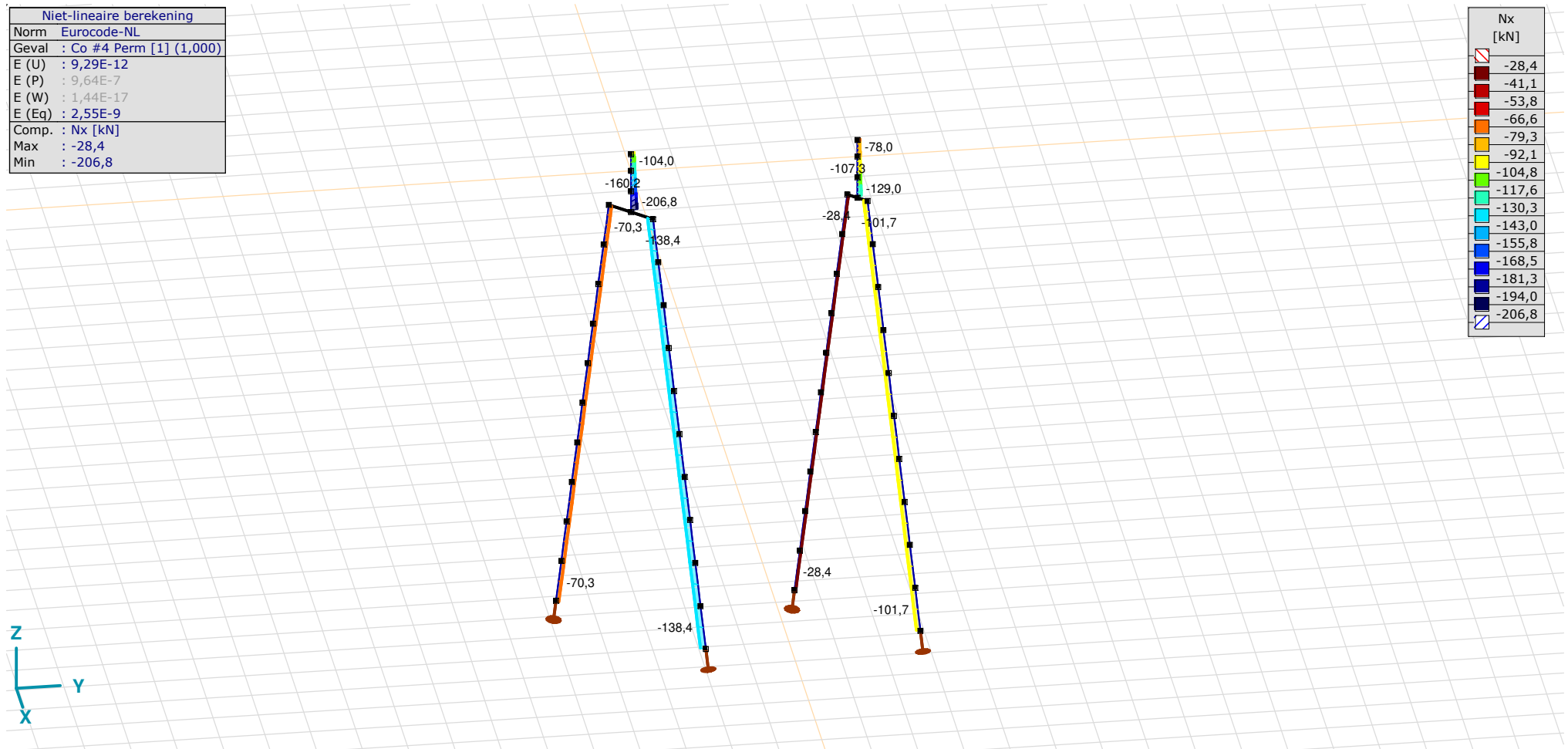
Analysis by

Model: **2P-O-H2 & 2P-O-2-L3.axs**

21-5-2022

Pag. 21

Niet-lineaire berekening	
Norm	Eurocode-NL
Geval	Co #4 Perm [1] (1,000)
E (U)	: 9,29E-12
E (P)	: 9,64E-7
E (W)	: 1,44E-17
E (Eq)	: 2,55E-9
Comp.	Nx [kN]
Max	: -28,4
Min	: -206,8



[II], Non-lin., Co #4 Perm [1] (1,000), Nx, Lijnen (gevuld)(gevuld)

Project

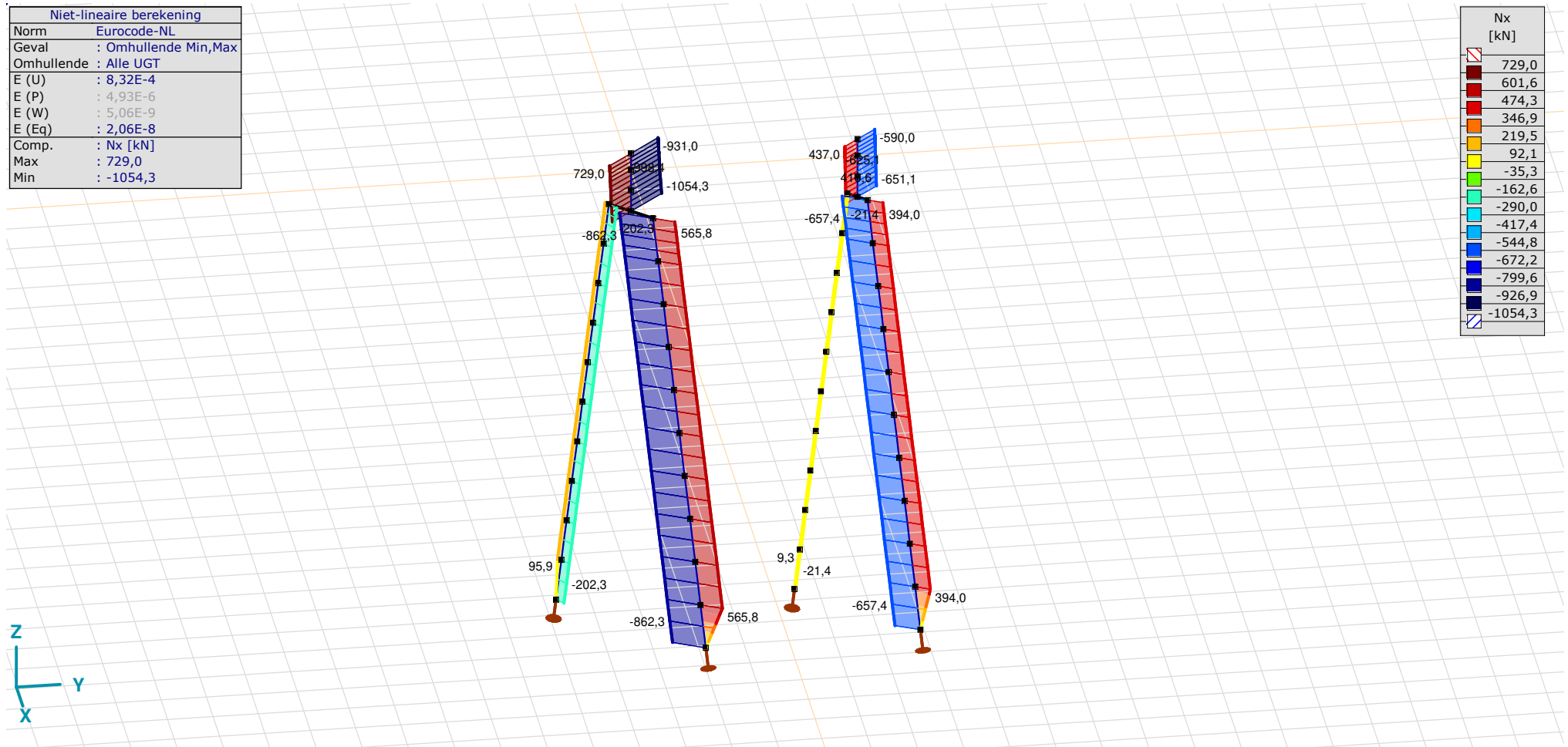
Analysis by

Model: **2P-O-H2 & 2P-O-2-L3.axs**

21-5-2022

Pag. 22

Niet-lineaire berekening	
Norm	Eurocode-NL
Geval	: Omhullende Min,Max
Omhullende	: Alle UGT
E (U)	: 8,32E-4
E (P)	: 4,93E-6
E (W)	: 5,06E-9
E (Eq)	: 2,06E-8
Comp.	: Nx [kN]
Max	: 729,0
Min	: -1054,3



[II], Non-lin., Omhullende (Alle UGT), Nx, Lijnen (gevuld)

Project

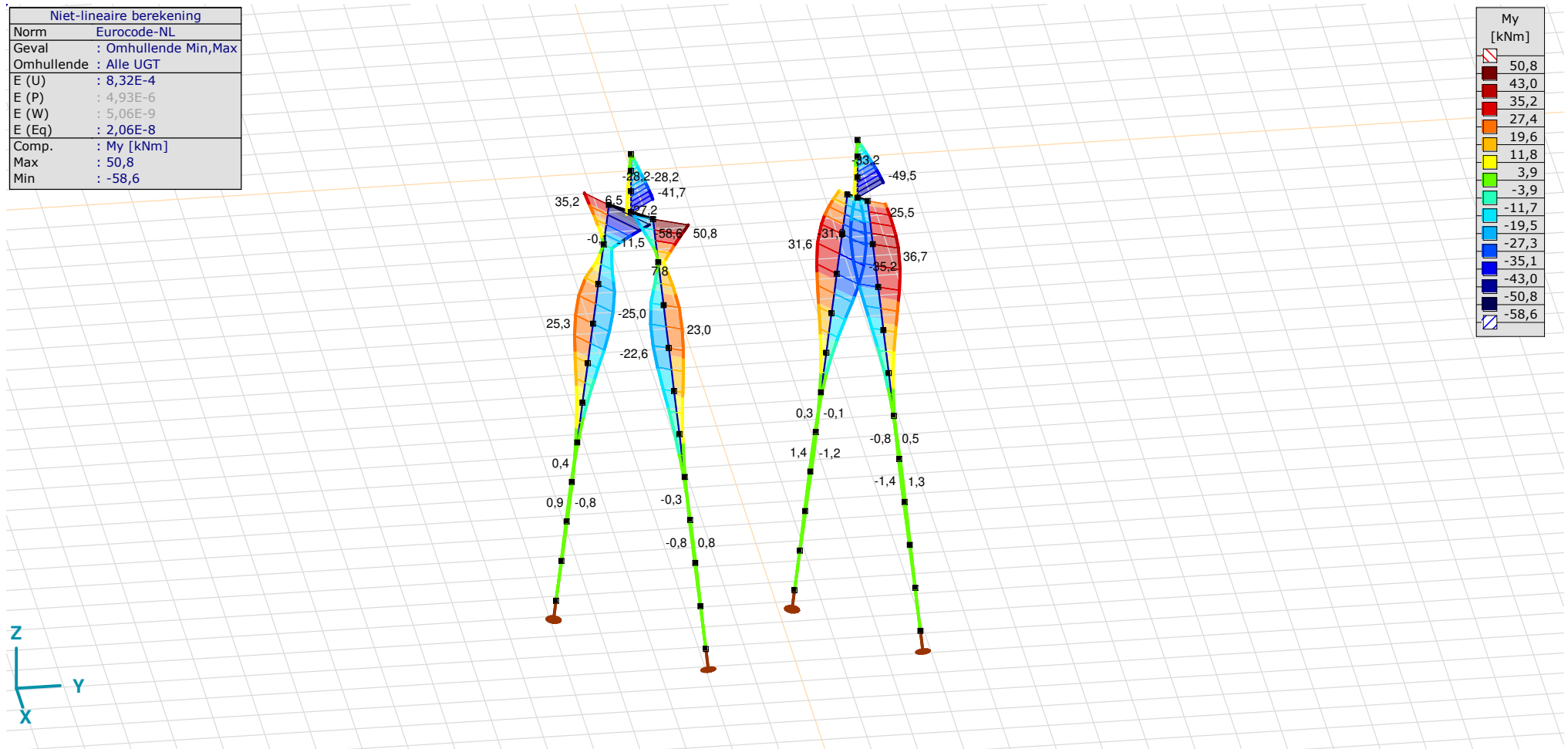
Analysis by

Model: **2P-O-H2 & 2P-O-2-L3.axs**

21-5-2022

Pag. 23

Niet-lineaire berekening	
Norm	Eurocode-NL
Geval	: Omhullende Min,Max
Omhullende	: Alle UGT
E (U)	: 8,32E-4
E (P)	: 4,93E-6
E (W)	: 5,06E-9
E (Eq)	: 2,06E-8
Comp.	: My [kNm]
Max	: 50,8
Min	: -58,6



[II], Non-lin., Omhullende (Alle UGT), My, Lijnen (gevuld)

Project

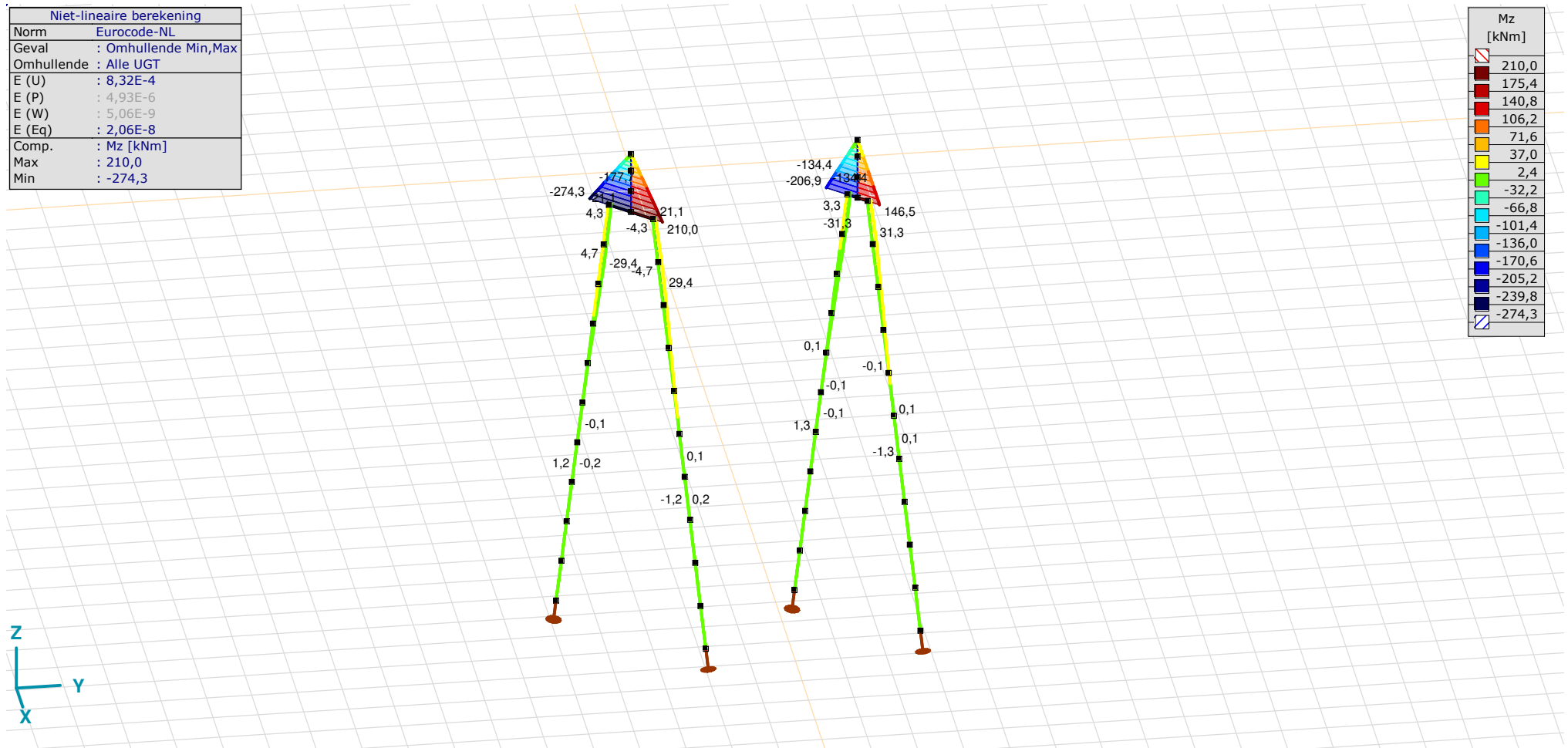
Analysis by

Model: **2P-O-H2 & 2P-O-2-L3.axs**

21-5-2022

Pag. 24

Niet-lineaire berekening	
Norm	Eurocode-NL
Geval	: Omhullende Min,Max
Omhullende	: Alle UGT
E (U)	: 8,32E-4
E (P)	: 4,93E-6
E (W)	: 5,06E-9
E (Eq)	: 2,06E-8
Comp.	: Mz [kNm]
Max	: 210,0
Min	: -274,3



[III], Non-lin., Omhullende (Alle UGT), Mz, Lijnen (gevuld)

Project

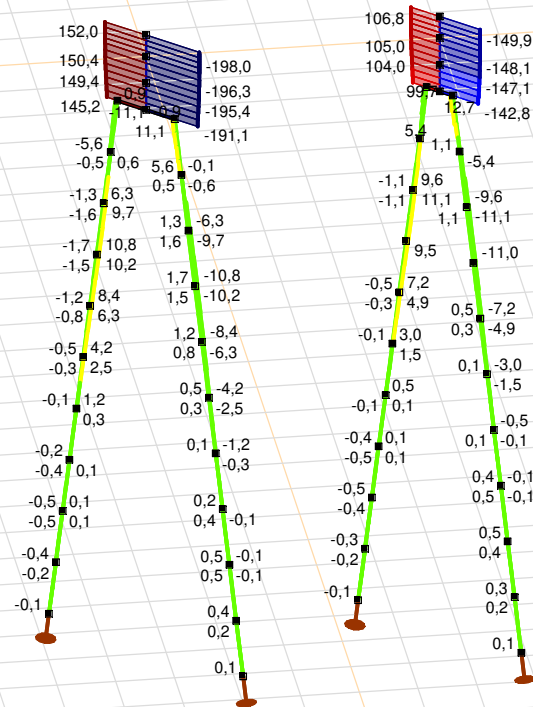
Analysis by

Model: **2P-O-H2 & 2P-O-2-L3.axs**

21-5-2022

Pag. 25

Niet-lineaire berekening	
Norm	Eurocode-NL
Geval	: Omhullende Min,Max
Omhullende	: Alle UGT
E (U)	: 8,32E-4
E (P)	: 4,93E-6
E (W)	: 5,06E-9
E (Eq)	: 2,06E-8
Comp.	: Vy [kN]
Max	: 152,0
Min	: -198,0



[II], Non-lin., Omhullende (Alle UGT), Vy, Lijnen (gevuld)

Project

Analysis by

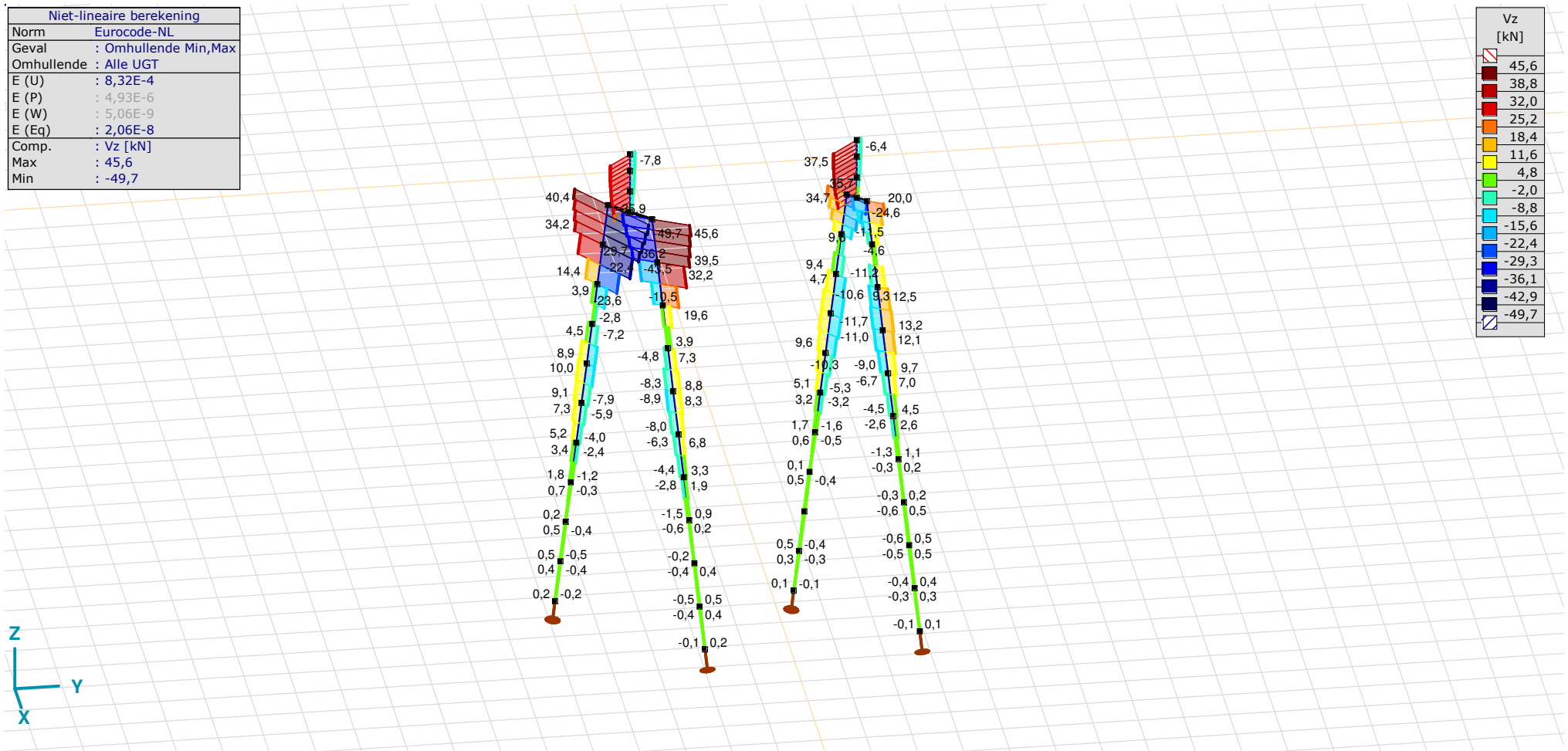
Model: 2P-O-H2 & 2P-O-2-L3.axs

21-5-2022

Pag. 26

Niet-lineaire berekening	
Norm	Eurocode-NL
Geval	: Omhullende Min,Max
Omhullende	: Alle UGT
E (U)	: 8,32E-4
E (P)	: 4,93E-6
E (W)	: 5,06E-9
E (Eq)	: 2,06E-8
Comp.	: Vz [kN]
Max	: 45,6
Min	: -49,7

Vz [kN]	
	45,6
	38,8
	32,0
	25,2
	18,4
	11,6
	4,8
	-2,0
	-8,8
	-15,6
	-22,4
	-29,3
	-36,1
	-42,9
	-49,7



[II], Non-lin., Omhullende (Alle UGT), Vz, Lijnen (gevuld)

Project

Analysis by

Model: **2P-O-H2 & 2P-O-2-L3.axs**

21-5-2022

Pag. 27

Staafkrachten [Non-lin., Omhullende (Alle UGT), Palen]

	Prof.	Doorsnede naam	C	min. max.	Geval	Pos. [m]	Knoop	Nx [kN]	Vy [kN]	Vz [kN]	Tx [kNm]	My [kNm]	Mz [kNm]	B [kNm ²]
Ext.														
11	1	O 400	Nx	min	Co #1 max druk [1] (1,000)	0	(17)	-862,3	0,1	39,5	0	7,8	5,3	0
12	1	O 400		min	Co #1 max druk [1] (1,000)	0	(18)	-862,3	-1,4	19,6	0	-18,3	4,2	0
13	1	O 400		min	Co #1 max druk [1] (1,000)	0	(19)	-862,3	-1,9	0,7	0	-22,6	2,3	0
14	1	O 400		min	Co #1 max druk [1] (1,000)	0	(20)	-862,3	-1,3	-8,3	0	-15,7	0,8	0
15	1	O 400		min	Co #1 max druk [1] (1,000)	0	(21)	-862,3	-0,6	-8,0	0	-7,0	0	0
16	1	O 400		min	Co #1 max druk [1] (1,000)	0	(22)	-862,3	-0,1	-4,4	0	-1,6	-0,2	0
17	1	O 400		min	Co #1 max druk [1] (1,000)	0	(23)	-862,3	0,1	-1,5	0	0,5	-0,2	0
18	1	O 400		min	Co #1 max druk [1] (1,000)	0	(24)	-862,3	0,1	0	0	0,7	-0,1	0
19	1	O 400		min	Co #1 max druk [1] (1,000)	0	(25)	-862,3	0,1	0,5	0	0,3	0	0
20	1	O 400		min	Co #1 max druk [1] (1,000)	0	(26)	-862,3	0	0,2	0	0	0	0
11	1	O 400		max	Co #2 max trek [1] (1,000)	0	(17)	565,8	-0,1	-29,7	0	5,9	-4,7	0
12	1	O 400		max	Co #2 max trek [1] (1,000)	0	(18)	565,8	1,3	-10,5	0	22,4	-3,8	0
13	1	O 400		max	Co #2 max trek [1] (1,000)	0	(19)	565,8	1,7	3,9	0	20,9	-2,1	0
14	1	O 400		max	Co #2 max trek [1] (1,000)	0	(20)	565,8	1,2	8,8	0	12,5	-0,7	0
15	1	O 400		max	Co #2 max trek [1] (1,000)	0	(21)	565,8	0,5	6,8	0	4,9	0	0
16	1	O 400		max	Co #2 max trek [1] (1,000)	0	(22)	565,8	0,1	3,3	0	0,6	0,2	0
17	1	O 400		max	Co #2 max trek [1] (1,000)	0	(23)	565,8	0	0,9	0	-0,8	0,2	0
18	1	O 400		max	Co #2 max trek [1] (1,000)	0	(24)	565,8	-0,1	-0,2	0	-0,7	0,1	0
19	1	O 400		max	Co #2 max trek [1] (1,000)	0	(25)	565,8	0	-0,5	0	-0,3	0	0
20	1	O 400		max	Co #2 max trek [1] (1,000)	1,010	(25)	565,8	0	-0,4	0	-0,3	0	0
45	1	O 400	Vy	min	Co #3 max torsie [1] (1,000)	0,758	(101)	-21,4	-12,7	-0,3	0	-0,1	-28,2	0
46	1	O 400		max	Co #3 max torsie [1] (1,000)	0,758	(104)	-23,3	12,7	-0,3	0	-0,4	28,2	0
1	1	O 400	Vz	min	Co #1 max druk [1] (1,000)	0,758	(48)	-202,3	-1,0	-49,7	0	-46,1	-5,0	0
11	1	O 400		max	Co #1 max druk [1] (1,000)	0,758	(51)	-862,3	1,0	45,6	0	39,3	5,0	0
1	1	O 400	My	min	Co #1 max druk [1] (1,000)	1,010	(5)	-202,3	-1,0	-49,7	0	-58,6	-4,7	0
11	1	O 400		max	Co #1 max druk [1] (1,000)	1,010	(6)	-862,3	1,0	45,6	0	50,8	4,7	0
45	1	O 400	Mz	min	Co #3 max torsie [1] (1,000)	0,253	(103)	-21,4	0,3	-0,1	0	0	-31,3	0
46	1	O 400		max	Co #3 max torsie [1] (1,000)	0,253	(106)	-23,3	-0,3	-0,2	0	-0,2	31,3	0

Prof.: Profiel; **C:** Extreme component; **min. max.:** Extreme type; **Geval:** Belastinggeval van de extreme; **Pos.:** Lokale X-positie van de doorsnede op de staaf; **Nx:** Normalkracht; **Vy:** Dwarskracht in lokale y-richting; **Vz:** Dwarskracht in lokale z-richting; **Tx:** Torsiemoment; **My:** Buigend moment in lokale y-richting; **Mz:** Buigend moment in lokale z-richting; **B:** Bimoment;

Project

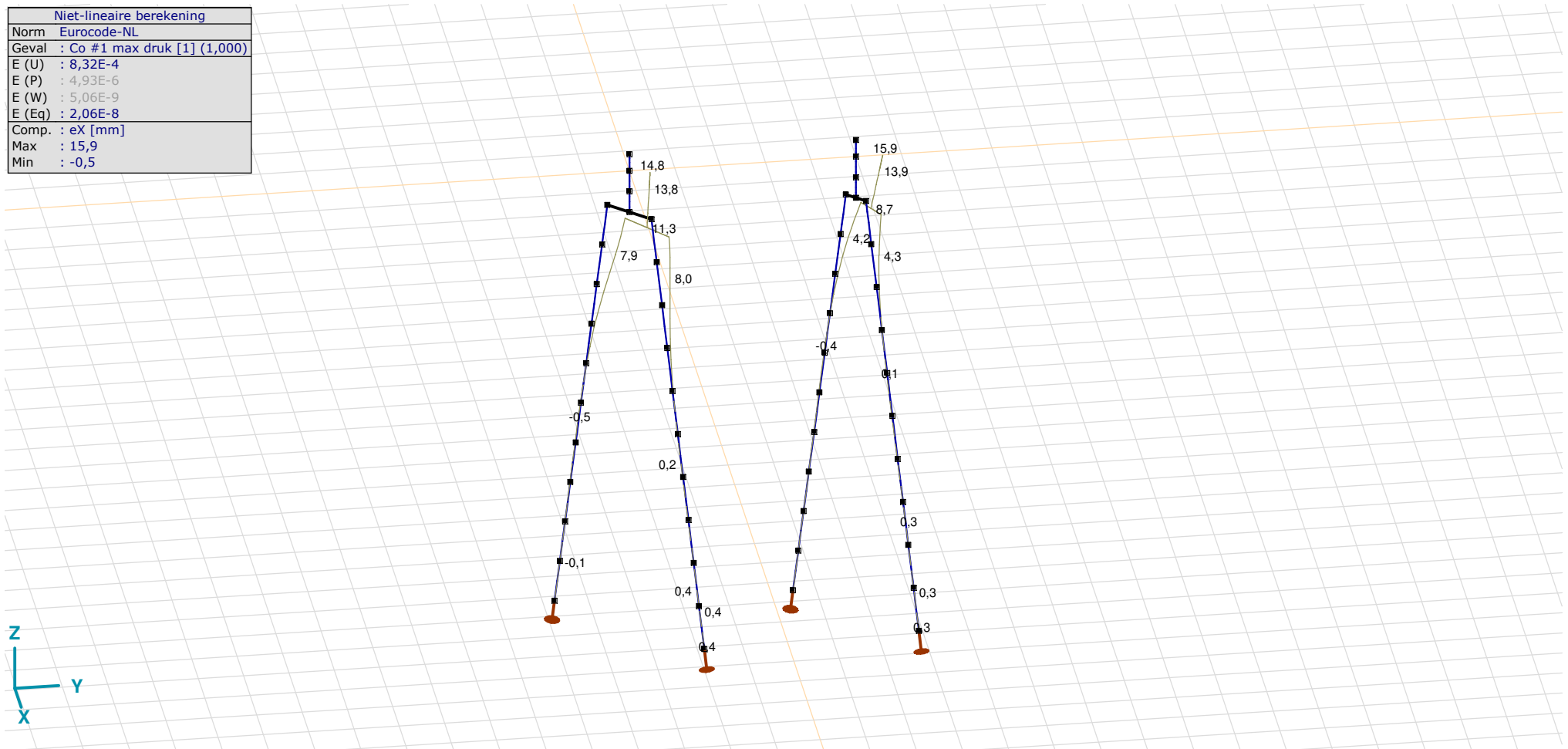
Analysis by

Model: **2P-O-H2 & 2P-O-2-L3.axs**

21-5-2022

Pag. 28

Niet-lineaire berekening	
Norm	Eurocode-NL
Geval	Co #1 max druk [1] (1,000)
E (U)	: 8,32E-4
E (P)	: 4,93E-6
E (W)	: 5,06E-9
E (Eq)	: 2,06E-8
Comp.	: eX [mm]
Max	: 15,9
Min	: -0,5



[III], Non-lin., Co #1 max druk [1] (1,000), eX, Lijnen

Project

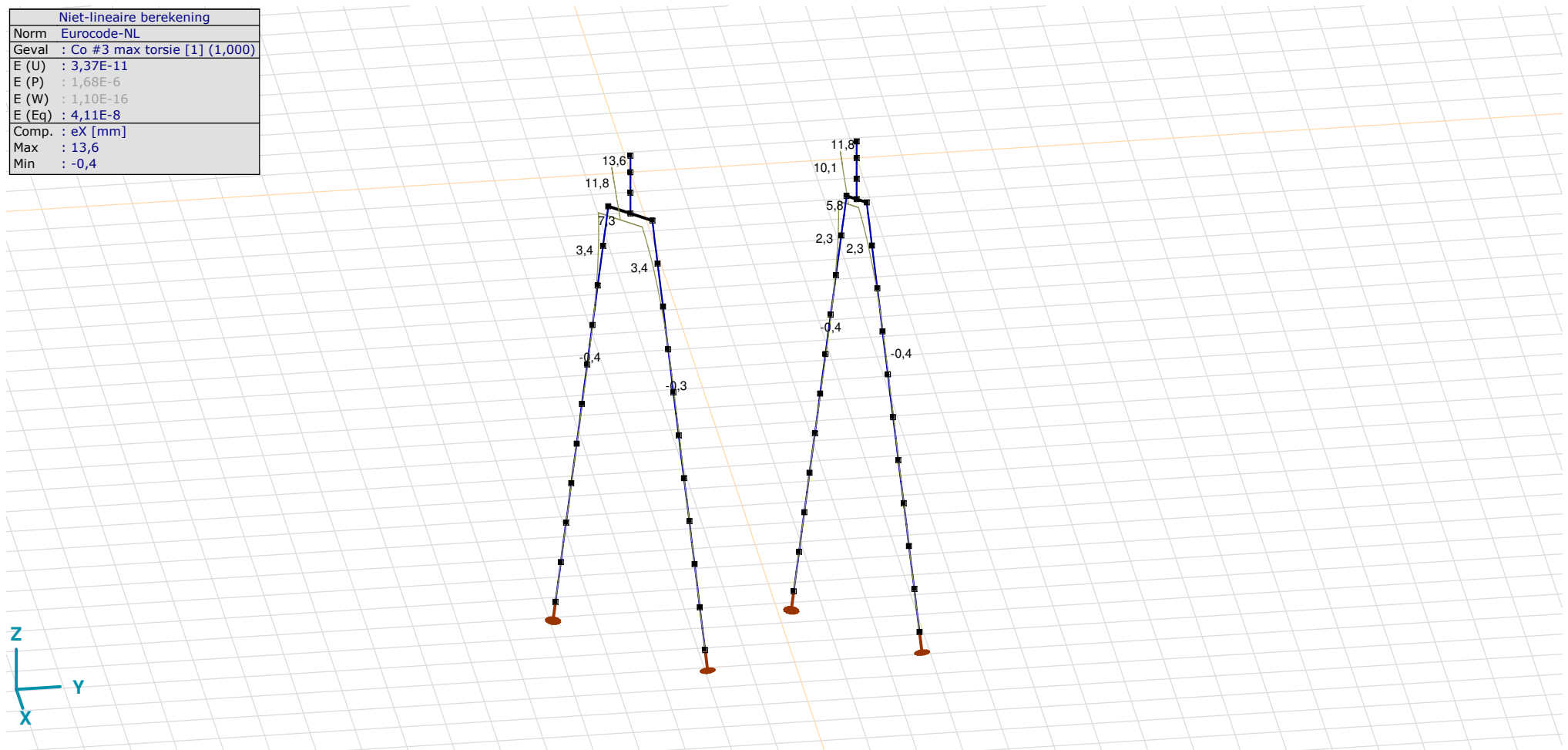
Analysis by

Model: **2P-O-H2 & 2P-O-2-L3.axs**

21-5-2022

Pag. 29

Niet-lineaire berekening	
Norm	Eurocode-NL
Geval	Co #3 max torsie [1] (1,000)
E (U)	: 3,37E-11
E (P)	: 1,68E-6
E (W)	: 1,10E-16
E (Eq)	: 4,11E-8
Comp.	: eX [mm]
Max	: 13,6
Min	: -0,4



[[I]], Non-lin., Co #3 max torsie [1] (1,000), eX, Lijnen

Project

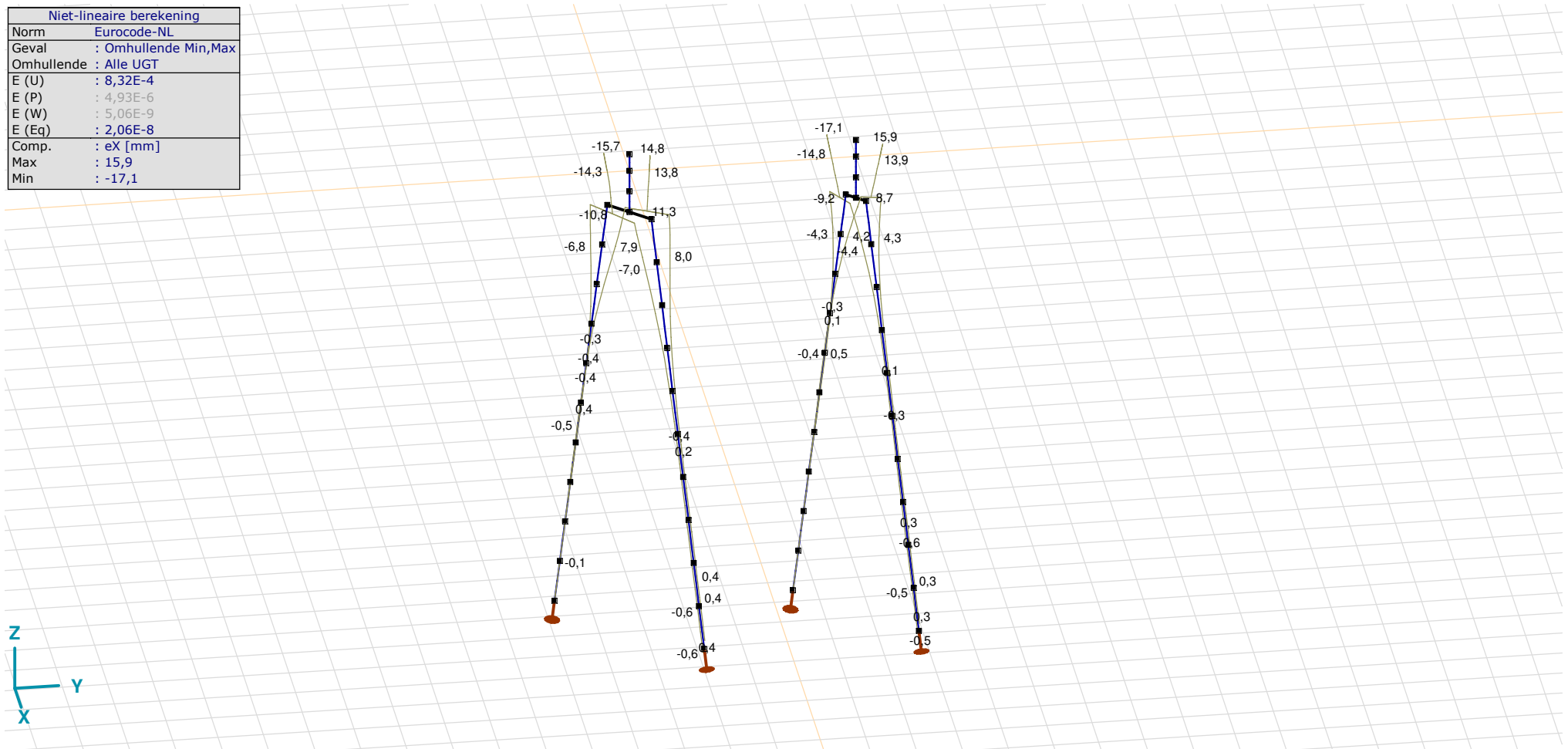
Analysis by

Model: **2P-O-H2 & 2P-O-2-L3.axs**

21-5-2022

Pag. 30

Niet-lineaire berekening	
Norm	Eurocode-NL
Geval	: Omhullende Min,Max
Omhullende	: Alle UGT
E (U)	: 8,32E-4
E (P)	: 4,93E-6
E (W)	: 5,06E-9
E (Eq)	: 2,06E-8
Comp.	: eX [mm]
Max	: 15,9
Min	: -17,1



[II], Non-lin., Omhullende (Alle UGT), eX, Lijnen

Project

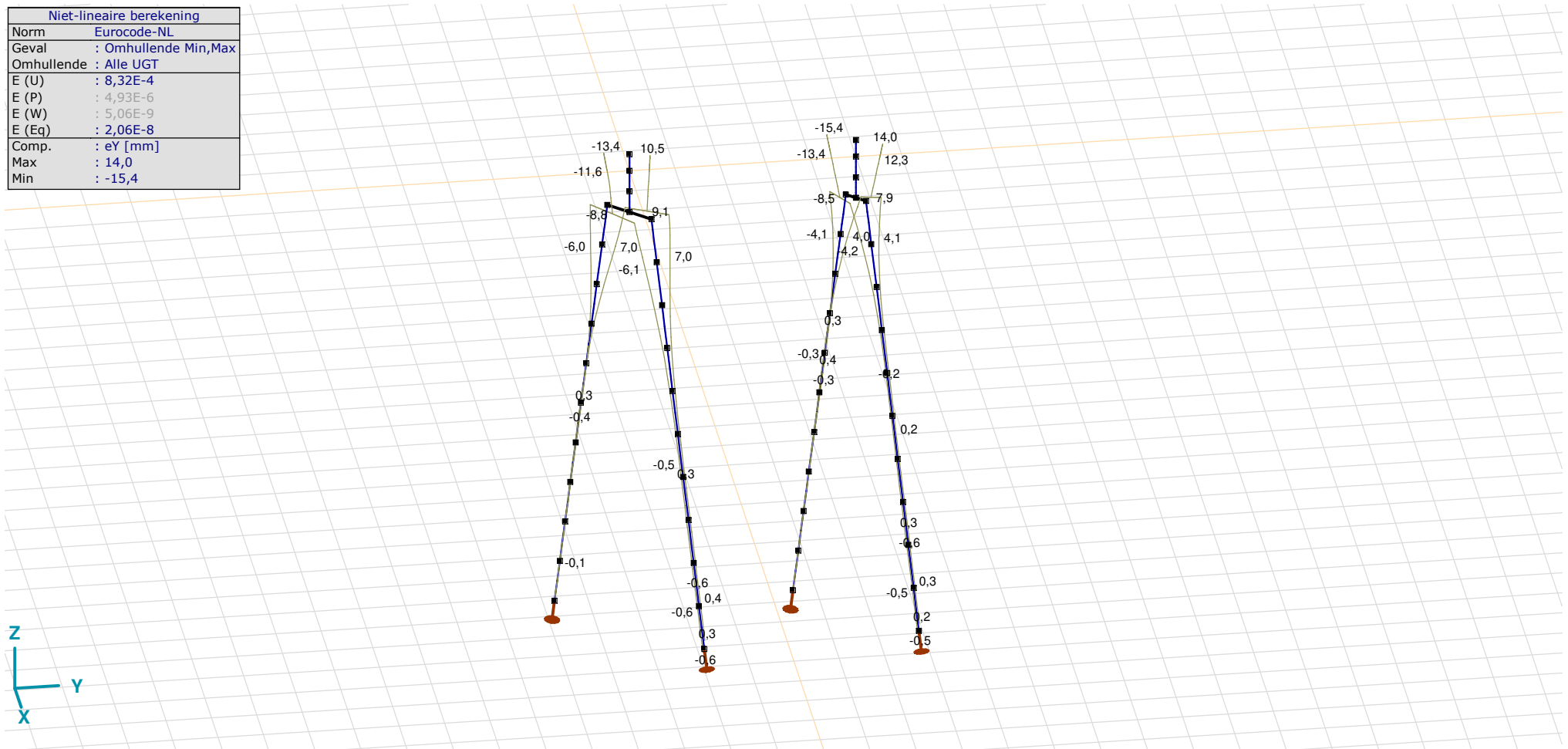
Analysis by

Model: **2P-O-H2 & 2P-O-2-L3.axs**

21-5-2022

Pag. 31

Niet-lineaire berekening	
Norm	Eurocode-NL
Geval	: Omhullende Min,Max
Omhullende	: Alle UGT
E (U)	: 8,32E-4
E (P)	: 4,93E-6
E (W)	: 5,06E-9
E (Eq)	: 2,06E-8
Comp.	: eY [mm]
Max	: 14,0
Min	: -15,4



[II], Non-lin., Omhullende (Alle UGT), eY, Lijnen

Project

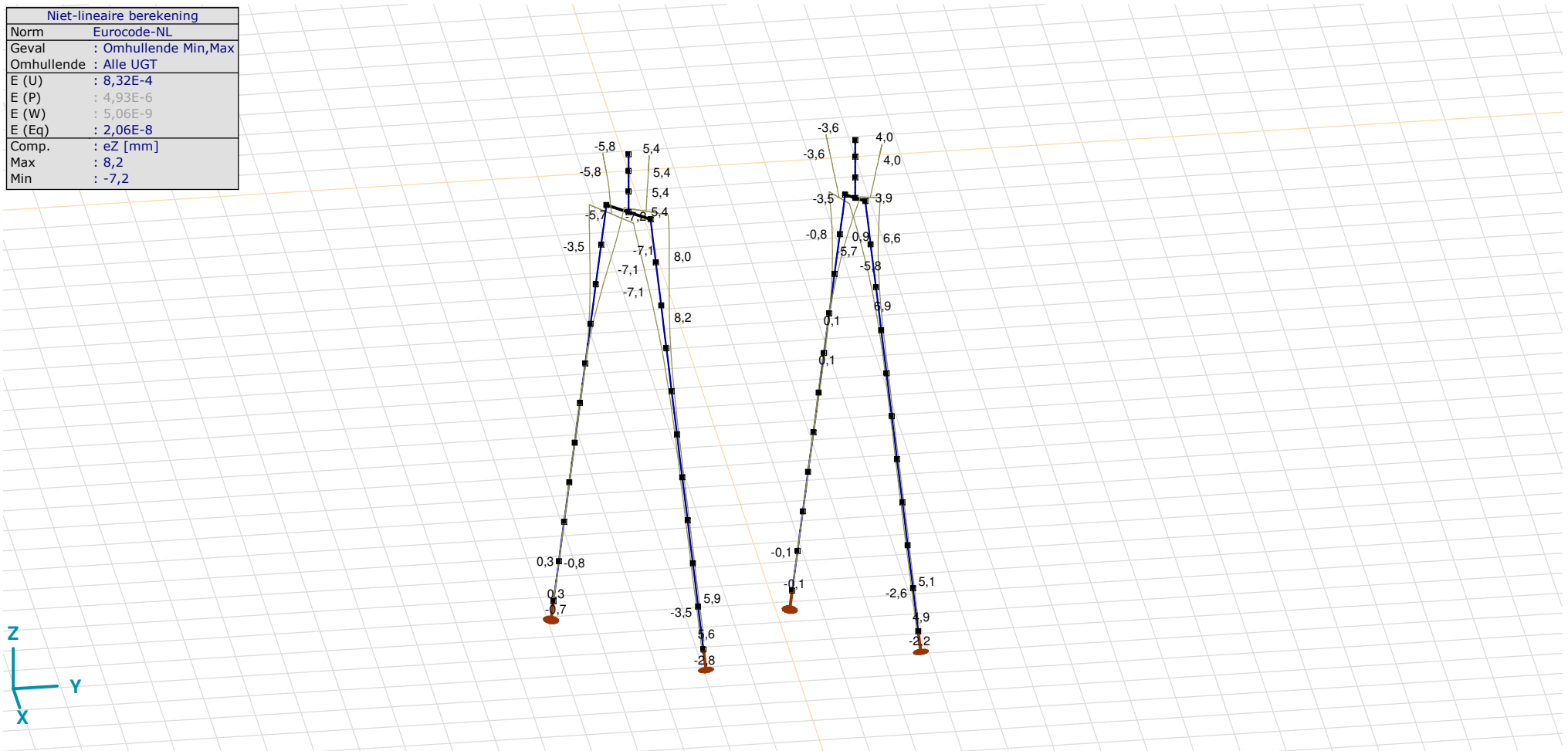
Analysis by

Model: 2P-O-H2 & 2P-O-2-L3.axs

21-5-2022

Pag. 32

Niet-lineaire berekening	
Norm	Eurocode-NL
Geval	: Omhullende Min,Max
Omhullende	: Alle UGT
E (U)	: 8,32E-4
E (P)	: 4,93E-6
E (W)	: 5,06E-9
E (Eq)	: 2,06E-8
Comp.	: eZ [mm]
Max	: 8,2
Min	: -7,2



[[I]], Non-lin., Omhullende (Alle UGT), eZ, Lijnen

Project

Analysis by

Model: **2P-O-H2 & 2P-O-2-L3.axs**

21-5-2022

Pag. 33

Knoopverplaatsingen [Non-lin., Omhullende (Alle UGT)]

	C	min. max.	Geval	eX [mm]	eY [mm]	eZ [mm]	eR [mm]	fX [rad]	fY [rad]	fZ [rad]	fR [rad]
Ext.											
55	eX	min	Co #2 max trek [1] (1,000)	-17,1	-15,4	4,0	23,3	0,0050	-0,0057	0	0,0075
55		max	Co #1 max druk [1] (1,000)	15,9	14,0	-3,6	21,5	-0,0044	0,0052	0	0,0068
55	eY	min	Co #2 max trek [1] (1,000)	-17,1	-15,4	4,0	23,3	0,0050	-0,0057	0	0,0075
55		max	Co #1 max druk [1] (1,000)	15,9	14,0	-3,6	21,5	-0,0044	0,0052	0	0,0068
6	eZ	min	Co #1 max druk [1] (1,000)	11,3	9,1	-7,2	16,2	-0,0010	0,0025	0	0,0027
47		max	Co #2 max trek [1] (1,000)	-2,4	-2,4	8,2	8,9	0,0018	-0,0020	0,0001	0,0027
70	eR	min	Co #1 max druk [1] (1,000)	0	0	0	0	0	0	0,0001	0,0001
55		max	Co #2 max trek [1] (1,000)	-17,1	-15,4	4,0	23,3	0,0050	-0,0057	0	0,0075

C: Extreme component; **min. max.:** Extreme type; **Geval:** Belastinggeval van de extreme; **eX:** Verplaatsing in X-richting; **eY:** Verplaatsing in Y-richting; **eZ:** Verplaatsing in Z-richting; **eR:** Resulterende verplaatsing; **fX:** Rotatie in X-richting; **fY:** Rotatie in Y-richting; **fZ:** Rotatie in Z-richting; **fR:** Resulterende rotatie;

Project

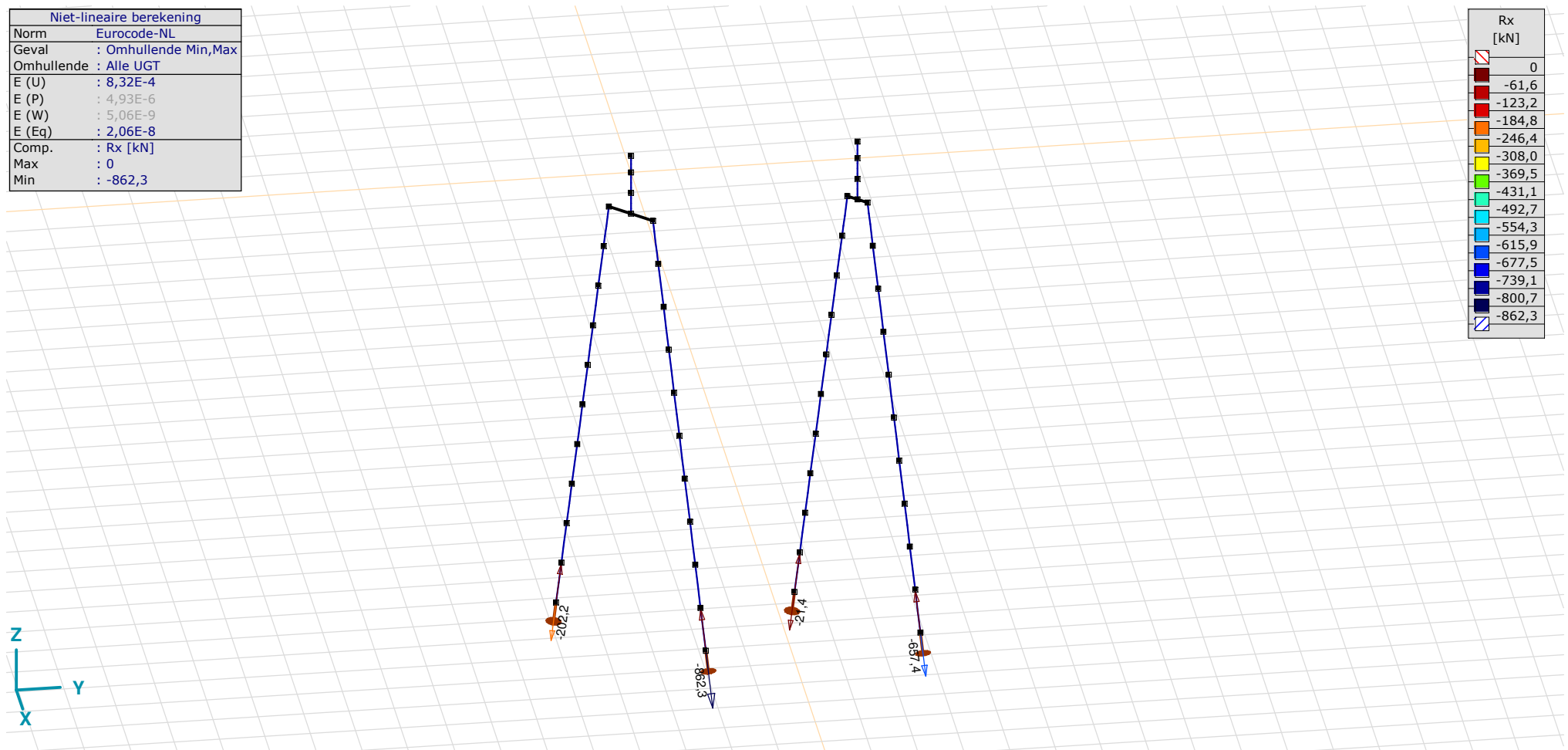
Analysis by

Model: **2P-O-H2 & 2P-O-2-L3.axs**

21-5-2022

Pag. 34

Niet-lineaire berekening	
Norm	Eurocode-NL
Geval	: Omhullende Min,Max
Omhullende	: Alle UGT
E (U)	: 8,32E-4
E (P)	: 4,93E-6
E (W)	: 5,06E-9
E (Eq)	: 2,06E-8
Comp.	: Rx [kN]
Max	: 0
Min	: -862,3



[II], Non-lin., Omhullende (Alle UGT), Rx (knoopopl.), Lijnen

Project

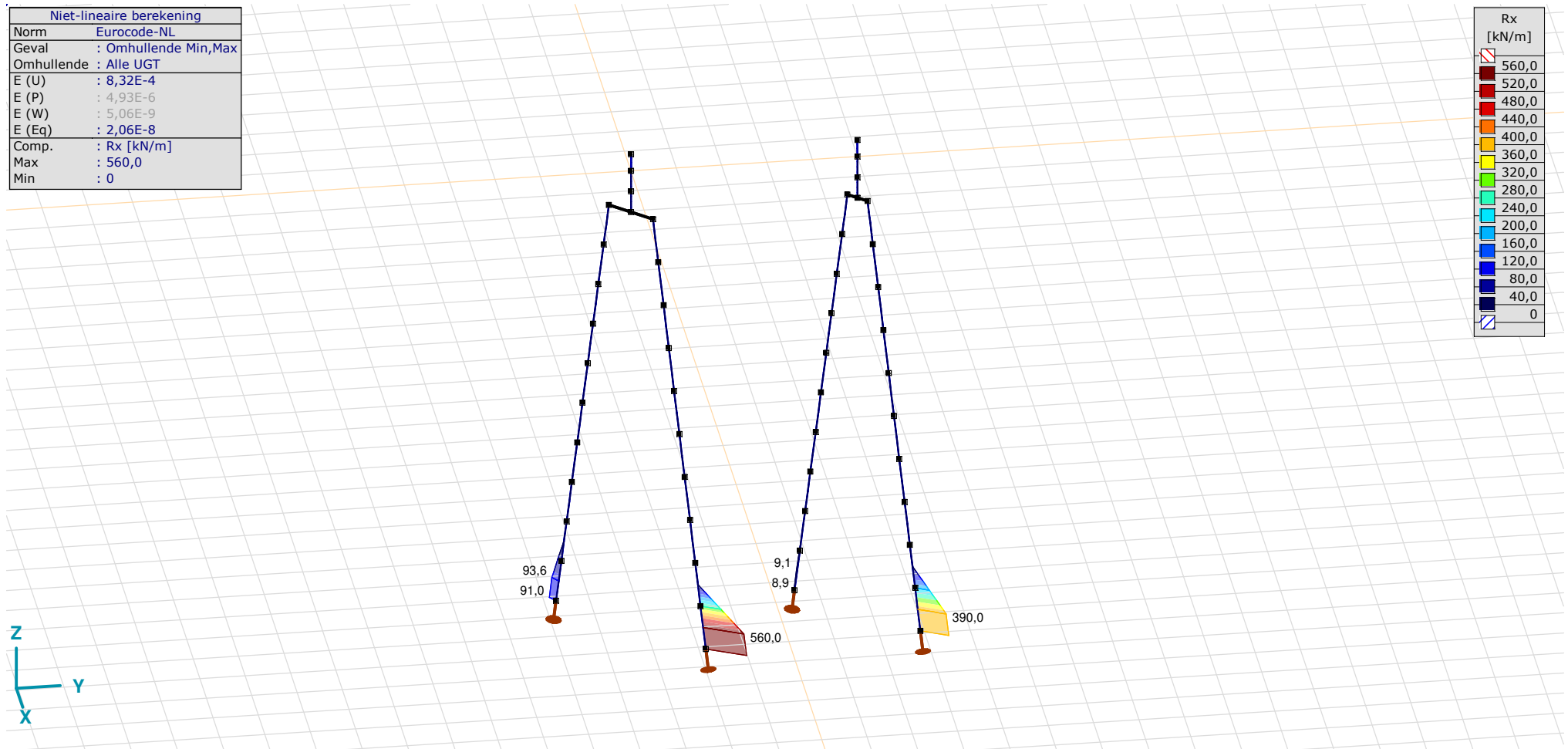
Analysis by

Model: **2P-O-H2 & 2P-O-2-L3.axs**

21-5-2022

Pag. 35

Niet-lineaire berekening	
Norm	Eurocode-NL
Geval	: Omhullende Min,Max
Omhullende	: Alle UGT
E (U)	: 8,32E-4
E (P)	: 4,93E-6
E (W)	: 5,06E-9
E (Eq)	: 2,06E-8
Comp.	: Rx [kN/m]
Max	: 560,0
Min	: 0



[[I]], Non-lin., Omhullende (Alle UGT), Rx (lijnopp.), Lijnen (gevuld)

Project

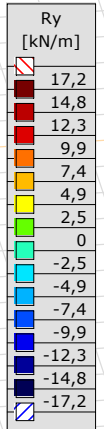
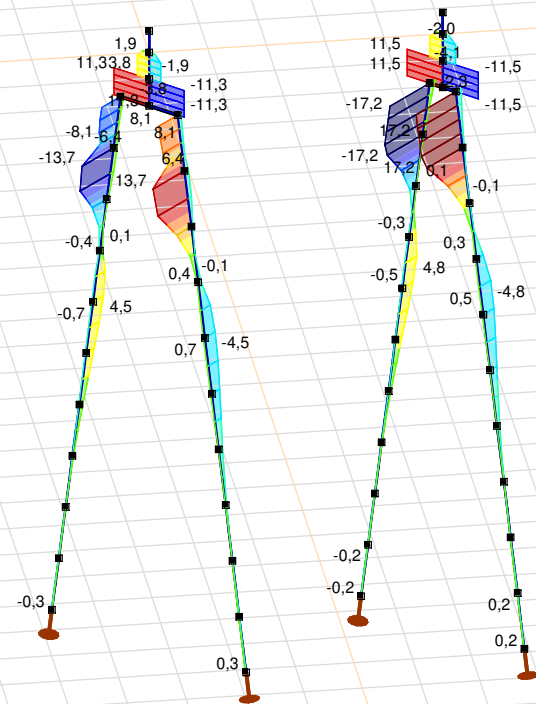
Analysis by

Model: **2P-O-H2 & 2P-O-2-L3.axs**

21-5-2022

Pag. 36

Niet-lineaire berekening	
Norm	Eurocode-NL
Geval	: Omhullende Min,Max
Omhullende	: Alle UGT
E (U)	: 8,32E-4
E (P)	: 4,93E-6
E (W)	: 5,06E-9
E (Eq)	: 2,06E-8
Comp.	: Ry [kN/m]
Max	: 17,2
Min	: -17,2



[II], Non-lin., Omhullende (Alle UGT), Ry (lijnopp.), Lijnen (gevuld)

Project

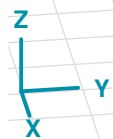
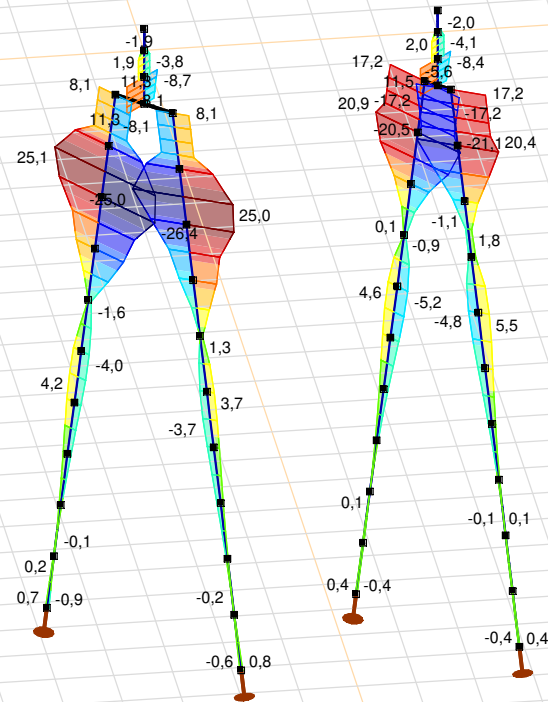
Analysis by

Model: **2P-O-H2 & 2P-O-2-L3.axs**

21-5-2022

Pag. 37

Niet-lineaire berekening	
Norm	Eurocode-NL
Geval	: Omhullende Min,Max
Omhullende	: Alle UGT
E (U)	: 8,32E-4
E (P)	: 4,93E-6
E (W)	: 5,06E-9
E (Eq)	: 2,06E-8
Comp.	: Rz [kN/m]
Max	: 25,1
Min	: -26,4



[III], Non-lin., Omhullende (Alle UGT), Rz (lijnopp.), Lijnen (gevuld)

Project

Analysis by

Model: **2P-O-H2 & 2P-O-2-L3.axs**

21-5-2022

Pag. 38

Interne krachten knooppoplegging [Non-lin., Omhullende (Alle UGT)]

	<i>Knoop</i>	<i>X [m]</i>	<i>Y [m]</i>	<i>Z [m]</i>	<i>Type</i>	<i>C</i>	<i>min. max.</i>	<i>Geval</i>	<i>R_x [kN]</i>
1	7	-1,443	-1,443	-11,000	Staaft r.	Rx	min	Co #1 max druk [1] (1,000)	-202,2
							max	Co #2 max trek [1] (1,000)	
2	26	1,443	1,443	-11,000	Staaft r.	Rx	min	Co #1 max druk [1] (1,000)	-862,3
							max	Co #2 max trek [1] (1,000)	
3	73	-1,213	3,787	-11,000	Staaft r.	Rx	min	Co #3 max torsie [1] (1,000)	-21,4
							max	Co #2 max trek [1] (1,000)	
4	89	1,213	6,213	-11,000	Staaft r.	Rx	min	Co #1 max druk [1] (1,000)	-657,4
							max	Co #2 max trek [1] (1,000)	
Ext.									
2	26	1,443	1,443	-11,000	Staaft r.	Rx	min	Co #1 max druk [1] (1,000)	-862,3
							max	Co #2 max trek [1] (1,000)	

Knoop: Ondersteunde knoop; **Type:** Opleggingstype; **C:** Extreme component; **min. max.:** Extreme type; **Geval:** Belastinggeval van de extreme; **Rx:** X-component opleggingsreactiekracht;

Project

Analysis by

AxisVM X6 R1q · Geregistreerd aan DNV GL - Energy
2P-O-H1 & 2P-O-L1.axs

Report

Report, Inhoudsopgave

<i>Onderdeel</i>	<i>Pagina</i>	<i>Onderdeel</i>	<i>Pagina</i>
Tekening render	3	ULS 5a: Knoopbelastingen	20
Materialen	4	Gebruiker gedefinieerde belastingcombinaties uit belastinggevallen	20
Profielen	5	[II], Non-lin., Co #4 Perm [1] (1,000), Nx, Lijnen (gevuld)(gevuld)	21
Tekening	6	[II], Non-lin., Omhullende (Alle UGT), Nx, Lijnen (gevuld)	22
Knopen	7	[II], Non-lin., Omhullende (Alle UGT), My, Lijnen (gevuld)	23
Staven	8	[II], Non-lin., Omhullende (Alle UGT), Mz, Lijnen (gevuld)	24
Knoopopleggingen	9	[II], Non-lin., Omhullende (Alle UGT), Vy, Lijnen (gevuld)	25
Tekening met beddingen	10	[II], Non-lin., Omhullende (Alle UGT), Vz, Lijnen (gevuld)	26
Lijnopleggingen	11	Staafrachten [Non-lin., Omhullende (Alle UGT), Palen]	27
EG poer	14	[II], Non-lin., Co #1 max druk [1] (1,000), eX, Lijnen	28
EG poer: Staaf eigen gewicht	15	[II], Non-lin., Co #3 max torsie [1] (1,000), eX, Lijnen	29
GWS	15	[II], Non-lin., Omhullende (Alle UGT), eX, Lijnen	30
GWS: Knoopbelastingen	16	[II], Non-lin., Omhullende (Alle UGT), eY, Lijnen	31
SLS 7	16	[II], Non-lin., Omhullende (Alle UGT), eZ, Lijnen	32
SLS 7: Knoopbelastingen	17	Knoopverplaatsingen [Non-lin., Omhullende (Alle UGT)]	33
ULS 1a_45	17	[II], Non-lin., Omhullende (Alle UGT), Rx (knoopopl.), Lijnen	34
ULS 1a_45: Knoopbelastingen	18	[II], Non-lin., Omhullende (Alle UGT), Rx (lijnopp.), Lijnen (gevuld)	35
ULS 1a_45_0,9_0,9	18	[II], Non-lin., Omhullende (Alle UGT), Ry (lijnopp.), Lijnen (gevuld)	36
ULS 1a_45_0,9_0,9: Knoopbelastingen	19	[II], Non-lin., Omhullende (Alle UGT), Rz (lijnopp.), Lijnen (gevuld)	37
ULS 5a	19	Interne krachten knoopoplegging [Non-lin., Omhullende (Alle UGT)]	38

Project

Analysis by

Model: **2P-O-H1 & 2P-O-L1.axs**

21-5-2022

Pag. 3

Norm Eurocode-NL



Tekening render

Project



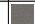
Analysis by

Model: **2P-O-H1 & 2P-O-L1.axs**

21-5-2022

Pag. 4

Materialen

	<i>Naam</i>	<i>Type</i>	<i>Nationale norm</i>	<i>Materiaalnorm</i>	<i>Model</i>	E_x [N/mm ²]	E_y [N/mm ²]	ν	α_T [1/°C]	ρ [kg/m ³]	<i>Materiaal kleur</i>	<i>Contour kleur</i>	<i>Structuur</i>	P_1
1	C30/37	Beton	Eurocode-NL	EN 206	Lineair	11000	11000	0,20	1E-5	2500			 Concrete A	f_{ck} [N/mm ²] = 30,00

	<i>Naam</i>	P_2	P_3	P_4	P_5	P_6	P_7	P_8	P_9	P_{10}	P_{11}	P_{12}	P_{13}	P_{14}
1	C30/37	$\gamma_c = 1,500$	$\alpha_{cc} = 1,00$	$\phi_t = 2,00$										

Naam: Materiaalnaam; **Type:** Type materiaal; **Model:** Materiaal model; **E_x :** Elasticiteitsmodulus in lokale x richting; **E_y :** Elasticiteitsmodulus in lokale y richting; **ν :** Poisson's verhouding; **α_T :** Warmteuitzettingscoëfficiënt; **ρ :** Dichtheid; **Materiaal kleur:** Materiaalkleur;

Contour kleur: Contourkleur; **$P_1, P_2, P_3, P_4, P_5, P_6, P_7, P_8, P_9, P_{10}, P_{11}, P_{12}, P_{13}, P_{14}$:** Ontwerpparameter;

Project

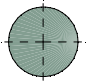
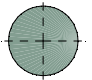
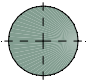
Analysis by

Model: **2P-O-H1 & 2P-O-L1.axs**

21-5-2022

Pag. 5

Profielen

	Naam	Tekening	Productie	Vorm	h [mm]	b [mm]	tw [mm]	tf [mm]	r ₁ [mm]	r ₂ [mm]	r ₃ [mm]	A _x [mm ²]	A _y [mm ²]	A _z [mm ²]	I _x [mm ⁴]	I _y [mm ⁴]	I _z [mm ⁴]
1	O 400		Ander	Rond	400,0	400,0	0	0	0	0	0	125638,20	107689,90	107689,90	2,51E+09	1,26E+09	1,26E+09
2	O 1500		Ander	Rond	1500,0	1500,0	0	0	0	0	0	1766787,00	1514389,00	1514389,00	4,97E+11	2,48E+11	2,48E+11
3	O 1300		Ander	Rond	1300,0	1300,0	0	0	0	0	0	1327053,00	1137474,00	1137474,00	2,8E+11	1,4E+11	1,4E+11

	Naam	I _{yz} [mm ⁴]	I ₁ [mm ⁴]	I ₂ [mm ⁴]	α [°]	Iω [mm ⁶]	W _{1,el,t} [mm ³]	W _{1,el,b} [mm ³]	W _{2,el,t} [mm ³]	W _{2,el,b} [mm ³]	W _{1,pl} [mm ³]	W _{2,pl} [mm ³]	i _y [mm]	i _z [mm]	H _y [mm]	H _z [mm]
1	O 400	0	1,26E+09	1,26E+09	0	0	6280634,00	6280634,00	6280634,00	6280634,00	1,07E+07	1,07E+07	100,0	100,0	400,0	400,0
2	O 1500	0	2,48E+11	2,48E+11	0	0	3,31E+08	3,31E+08	3,31E+08	3,31E+08	5,62E+08	5,62E+08	375,0	375,0	1500,0	1500,0
3	O 1300	0	1,4E+11	1,4E+11	0	0	2,16E+08	2,16E+08	2,16E+08	2,16E+08	3,66E+08	3,66E+08	325,0	325,0	1300,0	1300,0

	Naam	y _G [mm]	z _G [mm]	y _s [mm]	z _s [mm]	β _y [mm]	β _z [mm]	β _w [°]	S.p.
1	O 400	200,0	200,0	0	0	0	0	0	5
2	O 1500	750,0	750,0	0	0	0	0	0	5
3	O 1300	650,0	650,0	0	0	0	0	0	5

Naam: Doorsnede naam; **Productie:** Productieproces; **Vorm:** Profiel; **h:** Doorsnede hoogte; **b:** Doorsnede breedte; **tw:** Lijfdikte; **tf:** Flensdikte; **r₁, r₂, r₃:** Afrondingswaarde; **A_x:** Doorsnede-oppervlak; **A_y, A_z:** Afschuivingsoppervlak; **I_x:** Torsietraagheidsmoment; **I_y, I_z:** Buigtraagheidsmoment; **I_{yz}:** Centrifugaal traagheidsmoment; **I₁, I₂:** Hoofdbuigtraagheidsmoment; **α:** Hoofdrichtingen; **Iω:** Krommingsconstante; **W_{1,el,t}, W_{1,el,b}, W_{2,el,t}, W_{2,el,b}:** Elastisch weerstandsmoment; **W_{1,pl}, W_{2,pl}:** Plastisch weerstandsmoment; **i_y, i_z:** Traagheidsstraal; **H_y:** Afmeting in lokale Y-richting; **H_z:** Afmeting in lokale Z-richting; **y_G:** Y-coördinaat van het zwaartepunt; **z_G:** Z-coördinaat van het zwaartepunt; **y_s:** Y-coördinaat van het afschuivingsmiddelpunt (torsie); **z_s:** Z-coördinaat van het afschuivingsmiddelpunt (torsie); **β_y, β_z, β_w:** Wagner's coëfficiënt; **S.p.:** Spanningspunten;

Project

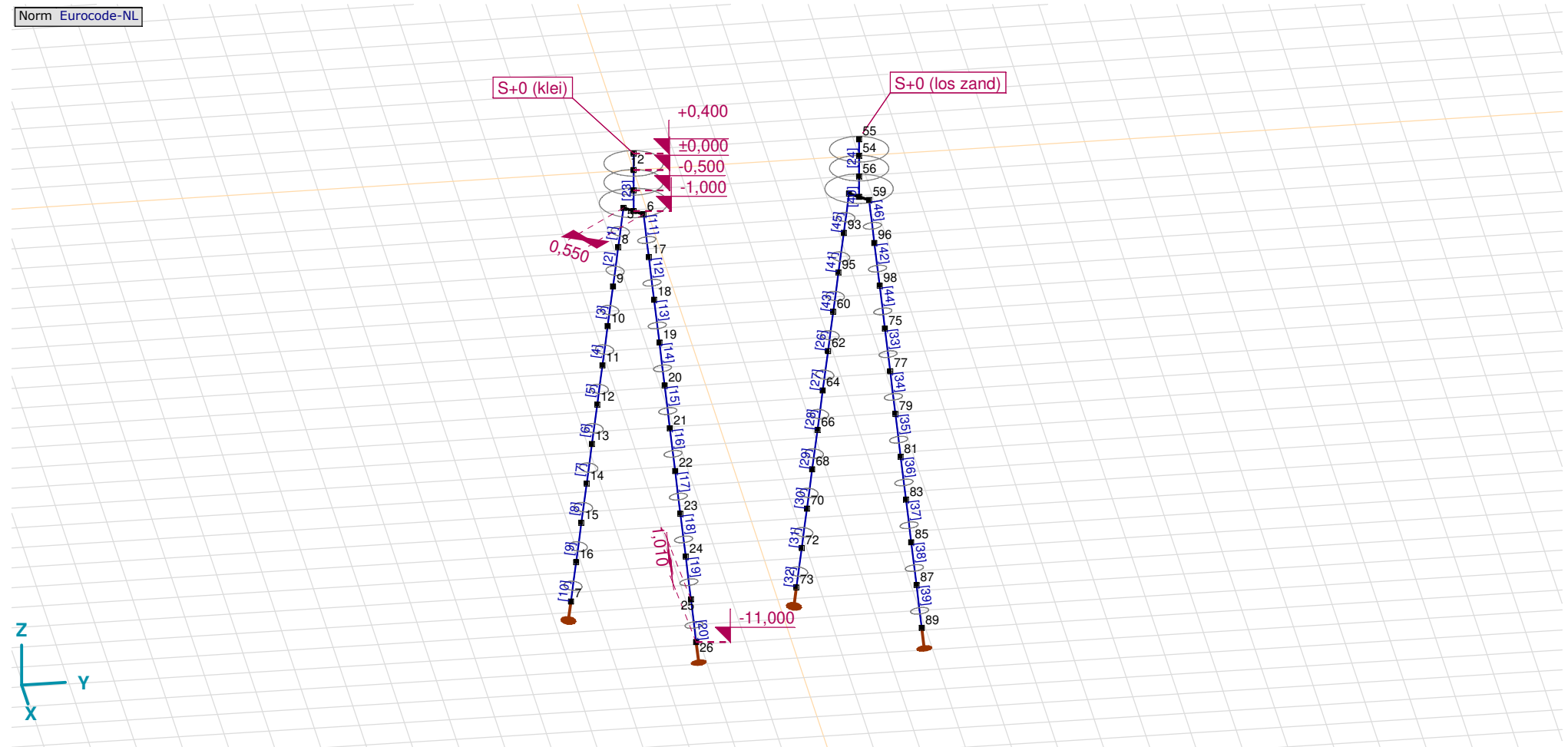
Analysis by

Model: 2P-O-H1 & 2P-O-L1.axs

21-5-2022

Pag. 6

Norm Eurocode-NL



Tekening

Project

Analysis by

Model: **2P-O-H1 & 2P-O-L1.axs**

21-5-2022

Pag. 7

Knopen

	X [m]	Y [m]	Z [m]		X [m]	Y [m]	Z [m]		X [m]	Y [m]	Z [m]		X [m]	Y [m]	Z [m]		X [m]	Y [m]	Z [m]
1	0	0	0	12	-0,704	-0,704	-6,000	23	0,907	0,907	-8,000	62	-0,602	4,398	-5,000	83	0,907	5,907	-8,000
2	0	0	0,400	13	-0,805	-0,805	-7,000	24	1,009	1,009	-9,000	64	-0,704	4,296	-6,000	85	1,009	6,009	-9,000
3	0	0	-0,500	14	-0,907	-0,907	-8,000	25	1,111	1,111	-10,000	66	-0,805	4,195	-7,000	87	1,111	6,111	-10,000
4	0	0	-1,000	15	-1,009	-1,009	-9,000	26	1,213	1,213	-11,000	68	-0,907	4,093	-8,000	89	1,213	6,213	-11,000
5	-0,194	-0,194	-1,000	16	-1,111	-1,111	-10,000	54	0	5,000	0	70	-1,009	3,991	-9,000	93	-0,296	4,704	-2,000
6	0,194	0,194	-1,000	17	0,296	0,296	-2,000	55	0	5,000	0,400	72	-1,111	3,889	-10,000	95	-0,398	4,602	-3,000
7	-1,213	-1,213	-11,000	18	0,398	0,398	-3,000	56	0	5,000	-0,500	73	-1,213	3,787	-11,000	96	0,296	5,296	-2,000
8	-0,296	-0,296	-2,000	19	0,500	0,500	-4,000	57	0	5,000	-1,000	75	0,500	5,500	-4,000	98	0,398	5,398	-3,000
9	-0,398	-0,398	-3,000	20	0,602	0,602	-5,000	58	-0,194	4,806	-1,000	77	0,602	5,602	-5,000				
10	-0,500	-0,500	-4,000	21	0,704	0,704	-6,000	59	0,194	5,194	-1,000	79	0,704	5,704	-6,000				
11	-0,602	-0,602	-5,000	22	0,805	0,805	-7,000	60	-0,500	4,500	-4,000	81	0,805	5,805	-7,000				

Project

Analysis by

Model: **2P-O-H1 & 2P-O-L1.axs**

21-5-2022

Pag. 8

Staven

	Start-punt	Eind-punt	Lengte	Lokaal X	Materiaal	Doorsnede	Ref _Z		Start-punt	Eind-punt	Lengte	Lokaal X	Materiaal	Doorsnede	Ref _Z
1	8	5	1,010	j - i	C30/37	1	↗ R2	24	54	55	0,400	i - j	C30/37	3	↗ R1
2	9	8	1,010	j - i	C30/37	1	↗ R2	25	56	54	0,500	j - i	C30/37	3	↗ R1
3	10	9	1,010	j - i	C30/37	1	↗ R2	26	62	60	1,010	j - i	C30/37	1	↗ R2
4	11	10	1,010	j - i	C30/37	1	↗ R2	27	64	62	1,010	j - i	C30/37	1	↗ R2
5	12	11	1,010	j - i	C30/37	1	↗ R2	28	66	64	1,010	j - i	C30/37	1	↗ R2
6	13	12	1,010	j - i	C30/37	1	↗ R2	29	68	66	1,010	j - i	C30/37	1	↗ R2
7	14	13	1,010	j - i	C30/37	1	↗ R2	30	70	68	1,010	j - i	C30/37	1	↗ R2
8	15	14	1,010	j - i	C30/37	1	↗ R2	31	72	70	1,010	j - i	C30/37	1	↗ R2
9	16	15	1,010	j - i	C30/37	1	↗ R2	32	73	72	1,010	j - i	C30/37	1	↗ R2
10	7	16	1,010	i - j	C30/37	1	↗ R2	33	77	75	1,010	j - i	C30/37	1	↗ R3
11	17	6	1,010	j - i	C30/37	1	↗ R3	34	79	77	1,010	j - i	C30/37	1	↗ R3
12	18	17	1,010	j - i	C30/37	1	↗ R3	35	81	79	1,010	j - i	C30/37	1	↗ R3
13	19	18	1,010	j - i	C30/37	1	↗ R3	36	83	81	1,010	j - i	C30/37	1	↗ R3
14	20	19	1,010	j - i	C30/37	1	↗ R3	37	85	83	1,010	j - i	C30/37	1	↗ R3
15	21	20	1,010	j - i	C30/37	1	↗ R3	38	87	85	1,010	j - i	C30/37	1	↗ R3
16	22	21	1,010	j - i	C30/37	1	↗ R3	39	89	87	1,010	j - i	C30/37	1	↗ R3
17	23	22	1,010	j - i	C30/37	1	↗ R3	40	57	56	0,500	j - i	C30/37	2	↗ R1
18	24	23	1,010	j - i	C30/37	1	↗ R3	41	95	93	1,010	j - i	C30/37	1	↗ R2
19	25	24	1,010	j - i	C30/37	1	↗ R3	42	98	96	1,010	j - i	C30/37	1	↗ R3
20	26	25	1,010	j - i	C30/37	1	↗ R3	43	60	95	1,010	i - j	C30/37	1	↗ R2
21	4	3	0,500	j - i	C30/37	2	↗ R1	44	75	98	1,010	i - j	C30/37	1	↗ R3
22	1	2	0,400	i - j	C30/37	3	↗ R1	45	93	58	1,010	j - i	C30/37	1	↗ R2
23	3	1	0,500	j - i	C30/37	3	↗ R1	46	96	59	1,010	j - i	C30/37	1	↗ R3

Lengte: Elementlengte; Lokaal X: Lokale X-richting; Ref_Z: Referentie voor lokale Z-richting;

Project

Analysis by

Model: **2P-O-H1 & 2P-O-L1.axs**

21-5-2022

Pag. 9

Knoopopleggingen

	Knoop	X [m]	Y [m]	Z [m]	Type	Ref. elem.	Naam _x	Veermodel _x	K _x [kN/m]	K _{xv} [kN/m]	NL _x	Grenswaarde _x [kN]	Naam _y	Veermodel _y	K _y [kN/m]
1	7	-1,213	-1,213	-11,000	Staafr.	Staafr. 13	Lineair 1E+5 kN/m	NL elastisch	3E+5	3E+5	Druk Alleen druk	-	—	-	-
2	26	1,213	1,213	-11,000	Staafr.	Staafr. 28	Lineair 1E+5 kN/m	NL elastisch	3E+5	3E+5	Druk Alleen druk	-	—	-	-
3	73	-1,213	3,787	-11,000	Staafr.	Staafr. 61	Lineair 1E+5 kN/m	NL elastisch	3E+5	3E+5	Druk Alleen druk	-	—	-	-
4	89	1,213	6,213	-11,000	Staafr.	Staafr. 76	Lineair 1E+5 kN/m	NL elastisch	3E+5	3E+5	Druk Alleen druk	-	—	-	-

	Knoop	K _{yv} [kN/m]	Naam _z	Veermodel _z	K _z [kN/m]	K _{zv} [kN/m]	Naam _{xx}	Veermodel _{xx}	K _{xx} [kNm/rad]	K _{xxv} [kNm/rad]	Naam _{yy}	Veermodel _{yy}	K _{yy} [kNm/rad]	K _{yyv} [kNm/rad]	Naam _{zz}
1	7	-	—	-	-	-	—	-	-	-	—	-	-	-	—
2	26	-	—	-	-	-	—	-	-	-	—	-	-	-	—
3	73	-	—	-	-	-	—	-	-	-	—	-	-	-	—
4	89	-	—	-	-	-	—	-	-	-	—	-	-	-	—

	Knoop	Veermodel _{zz}	K _{zz} [kNm/rad]	K _{zzv} [kNm/rad]	Veermodel _w
1	7	-	-	-	-
2	26	-	-	-	-
3	73	-	-	-	-
4	89	-	-	-	-

Knoop: Ondersteunde knoop; **Type:** Opleggingstype; **Ref. elem.:** Referentie-element; **Naam_x:** Naam van de veereigenschappen; **Veermodel_x:** Veermodel; **K_x:** Initiële stijfheid; **K_{xv}:** Trillingsstijfheid; **NL_x:** Niet-lineaire parameters; **Grenswaarde_x:** Grenswaarde; **K_y, K_z, K_{xx}, K_{yy}, K_{zz}:** Initiële stijfheid;

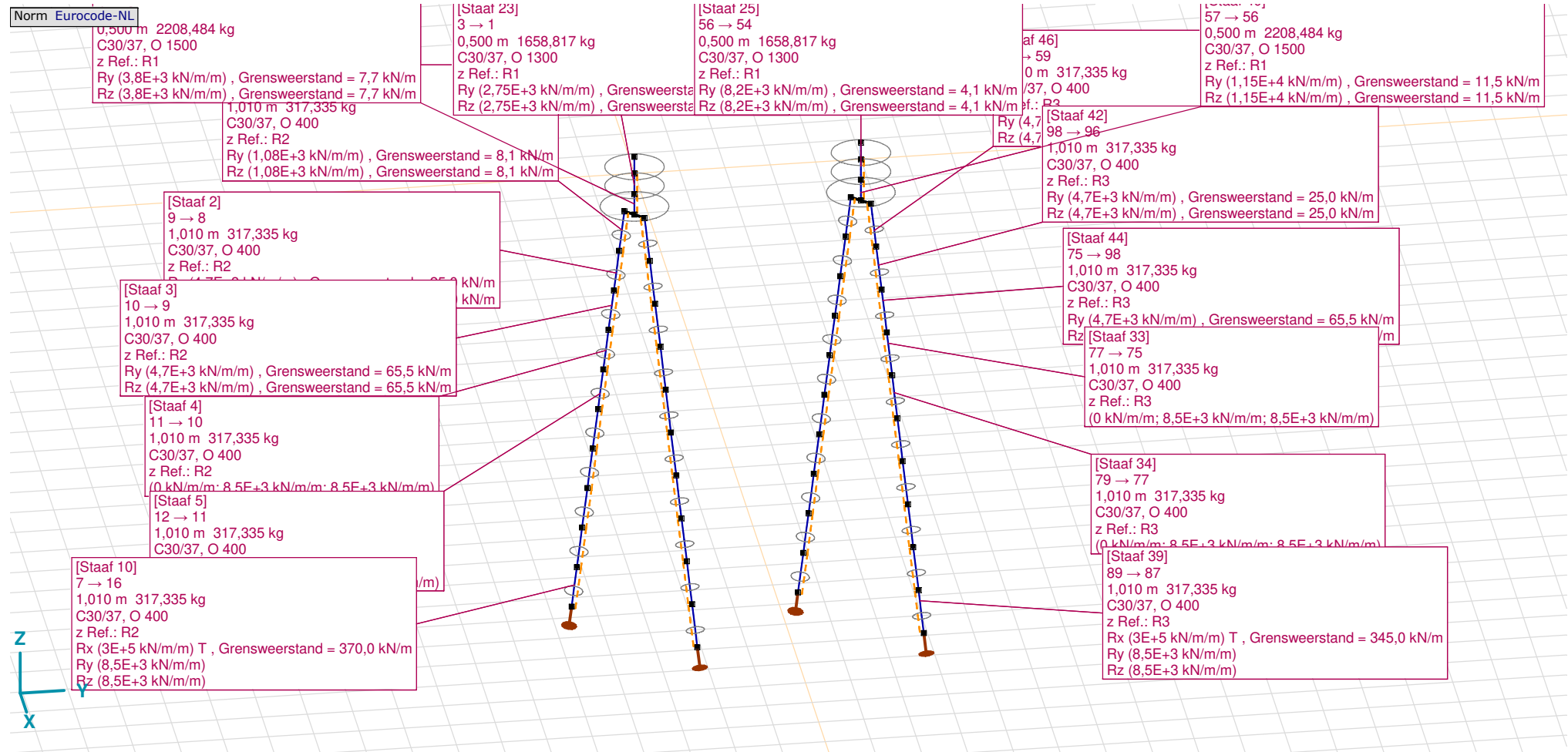
Project

Analysis by

Model: **2P-O-H1 & 2P-O-L1.axs**

21-5-2022

Pag. 10



Tekening met beddingen

Project

Analysis by

Model: **2P-O-H1 & 2P-O-L1.axs**

21-5-2022

Pag. 11

Lijnopleggingen

	Lijn	Type	Ref. elem.	Rx [kN/m/m]	Ry [kN/m/m]	Rz [kN/m/m]	Rxx [kNm/rad/m]	Ryy [kNm/rad/m]	Rzz [kNm/rad/m]	NL(x)	NL(y)	NL(z)	NL(xx)	NL(yy)	NL(zz)
		Staafr.													
1	Staafr. 1	Staafr. r.		0	1,08E+3	1,08E+3					Symmetrisch	Symmetrisch			
2	Staafr. 2	Staafr. r.		0	4,7E+3	4,7E+3					Symmetrisch	Symmetrisch			
3	Staafr. 3	Staafr. r.		0	4,7E+3	4,7E+3					Symmetrisch	Symmetrisch			
7	Staafr. 4	Staafr. r.		0	8,5E+3	8,5E+3					Symmetrisch	Symmetrisch			
8	Staafr. 5	Staafr. r.		0	8,5E+3	8,5E+3					Symmetrisch	Symmetrisch			
9	Staafr. 6	Staafr. r.		0	8,5E+3	8,5E+3					Symmetrisch	Symmetrisch			
10	Staafr. 7	Staafr. r.		0	8,5E+3	8,5E+3					Symmetrisch	Symmetrisch			
11	Staafr. 8	Staafr. r.		0	8,5E+3	8,5E+3					Symmetrisch	Symmetrisch			
12	Staafr. 9	Staafr. r.		0	8,5E+3	8,5E+3					Symmetrisch	Symmetrisch			
13	Staafr. 10	Staafr. r.		3E+5	8,5E+3	8,5E+3				Trek	Symmetrisch	Symmetrisch			
4	Staafr. 11	Staafr. r.		0	1,08E+3	1,08E+3					Symmetrisch	Symmetrisch			
5	Staafr. 12	Staafr. r.		0	4,7E+3	4,7E+3					Symmetrisch	Symmetrisch			
6	Staafr. 13	Staafr. r.		0	4,7E+3	4,7E+3					Symmetrisch	Symmetrisch			
14	Staafr. 14	Staafr. r.		0	8,5E+3	8,5E+3					Symmetrisch	Symmetrisch			
15	Staafr. 15	Staafr. r.		0	8,5E+3	8,5E+3					Symmetrisch	Symmetrisch			
16	Staafr. 16	Staafr. r.		0	8,5E+3	8,5E+3					Symmetrisch	Symmetrisch			

	Lijn	F(x) [kN/m]	F(y) [kN/m]	F(z) [kN/m]	M(x) [kNm/m]	M(y) [kNm/m]	M(z) [kNm/m]
1	Staafr. 1		8,1	8,1			
2	Staafr. 2		25,0	25,0			
3	Staafr. 3		65,5	65,5			
7	Staafr. 4						
8	Staafr. 5						
9	Staafr. 6						
10	Staafr. 7						
11	Staafr. 8						
12	Staafr. 9						
13	Staafr. 10	370,0					
4	Staafr. 11		8,1	8,1			
5	Staafr. 12		25,0	25,0			
6	Staafr. 13		65,5	65,5			
14	Staafr. 14						
15	Staafr. 15						
16	Staafr. 16						

Project

Analysis by

Model: **2P-O-H1 & 2P-O-L1.axs**

21-5-2022

Pag. 12

Lijnopleggingen

	Lijn	Type	Ref. elem.	Rx [kN/m/m]	Ry [kN/m/m]	Rz [kN/m/m]	Rxx [kNm/rad/m]	Ryy [kNm/rad/m]	Rzz [kNm/rad/m]	NL(x)	NL(y)	NL(z)	NL(xx)	NL(yy)	NL(zz)
17	StAAF 17	StAAF r.		0	8,5E+3	8,5E+3					Symmetrisch	Symmetrisch			
18	StAAF 18	StAAF r.		0	8,5E+3	8,5E+3					Symmetrisch	Symmetrisch			
19	StAAF 19	StAAF r.		0	8,5E+3	8,5E+3					Symmetrisch	Symmetrisch			
20	StAAF 20	StAAF r.		3E+5	8,5E+3	8,5E+3				Trek	Symmetrisch	Symmetrisch			
41	StAAF 21	StAAF r.		0	3,8E+3	3,8E+3					Symmetrisch	Symmetrisch			
42	StAAF 23	StAAF r.		0	2,75E+3	2,75E+3					Symmetrisch	Symmetrisch			
43	StAAF 25	StAAF r.		0	8,2E+3	8,2E+3					Symmetrisch	Symmetrisch			
21	StAAF 26	StAAF r.		0	8,5E+3	8,5E+3					Symmetrisch	Symmetrisch			
22	StAAF 27	StAAF r.		0	8,5E+3	8,5E+3					Symmetrisch	Symmetrisch			
23	StAAF 28	StAAF r.		0	8,5E+3	8,5E+3					Symmetrisch	Symmetrisch			
24	StAAF 29	StAAF r.		0	8,5E+3	8,5E+3					Symmetrisch	Symmetrisch			
25	StAAF 30	StAAF r.		0	8,5E+3	8,5E+3					Symmetrisch	Symmetrisch			
26	StAAF 31	StAAF r.		0	8,5E+3	8,5E+3					Symmetrisch	Symmetrisch			
27	StAAF 32	StAAF r.		3E+5	8,5E+3	8,5E+3				Trek	Symmetrisch	Symmetrisch			
28	StAAF 33	StAAF r.		0	8,5E+3	8,5E+3					Symmetrisch	Symmetrisch			
29	StAAF 34	StAAF r.		0	8,5E+3	8,5E+3					Symmetrisch	Symmetrisch			
30	StAAF 35	StAAF r.		0	8,5E+3	8,5E+3					Symmetrisch	Symmetrisch			

	Lijn	F(x) [kN/m]	F(y) [kN/m]	F(z) [kN/m]	M(x) [kNm/m]	M(y) [kNm/m]	M(z) [kNm/m]
17	StAAF 17						
18	StAAF 18						
19	StAAF 19						
20	StAAF 20	370,0					
41	StAAF 21		7,7	7,7			
42	StAAF 23		2,8	2,8			
43	StAAF 25		4,1	4,1			
21	StAAF 26						
22	StAAF 27						
23	StAAF 28						
24	StAAF 29						
25	StAAF 30						
26	StAAF 31						
27	StAAF 32	345,0					
28	StAAF 33						
29	StAAF 34						
30	StAAF 35						

Project

Analysis by

Model: **2P-O-H1 & 2P-O-L1.axs**

21-5-2022

Pag. 13

Lijnopleggingen

	Lijn	Type	Ref. elem.	R _x [kN/m/m]	R _y [kN/m/m]	R _z [kN/m/m]	R _{xx} [kNm/rad/m]	R _{yy} [kNm/rad/m]	R _{zz} [kNm/rad/m]	NL(x)	NL(y)	NL(z)	NL(xx)	NL(yy)	NL(zz)
31	Staafl 36	Staafl r.		0	8,5E+3	8,5E+3					Symmetrisch	Symmetrisch			
32	Staafl 37	Staafl r.		0	8,5E+3	8,5E+3					Symmetrisch	Symmetrisch			
33	Staafl 38	Staafl r.		0	8,5E+3	8,5E+3					Symmetrisch	Symmetrisch			
34	Staafl 39	Staafl r.		3E+5	8,5E+3	8,5E+3				Trek	Symmetrisch	Symmetrisch			
44	Staafl 40	Staafl r.		0	1,15E+4	1,15E+4					Symmetrisch	Symmetrisch			
35	Staafl 41	Staafl r.		0	4,7E+3	4,7E+3					Symmetrisch	Symmetrisch			
36	Staafl 42	Staafl r.		0	4,7E+3	4,7E+3					Symmetrisch	Symmetrisch			
37	Staafl 43	Staafl r.		0	4,7E+3	4,7E+3					Symmetrisch	Symmetrisch			
38	Staafl 44	Staafl r.		0	4,7E+3	4,7E+3					Symmetrisch	Symmetrisch			
39	Staafl 45	Staafl r.		0	4,7E+3	4,7E+3					Symmetrisch	Symmetrisch			
40	Staafl 46	Staafl r.		0	4,7E+3	4,7E+3					Symmetrisch	Symmetrisch			

	Lijn	F(x) [kN/m]	F(y) [kN/m]	F(z) [kN/m]	M(x) [kNm/m]	M(y) [kNm/m]	M(z) [kNm/m]
31	Staafl 36						
32	Staafl 37						
33	Staafl 38						
34	Staafl 39	345,0					
44	Staafl 40		11,5	11,5			
35	Staafl 41		25,0	25,0			
36	Staafl 42		25,0	25,0			
37	Staafl 43		65,5	65,5			
38	Staafl 44		65,5	65,5			
39	Staafl 45		17,2	17,2			
40	Staafl 46		17,2	17,2			

Lijn: Ondersteund lijnelement; **Type:** Opleggingstype; **Ref. elem.:** Referentie-element; **R_x, R_y, R_z:** Verplaatsingsstijfheid; **R_{xx}, R_{yy}, R_{zz}:** Rotatiestijfheid; **NL(x), NL(y), NL(z), NL(xx), NL(yy), NL(zz):** Niet-lineaire parameters; **F(x):** Weerstand in X-richting; **F(y):** Weerstand in Y-richting; **F(z):** Weerstand in Z-richting; **M(x):** Weerstandsmoment in X-richting; **M(y):** Weerstandsmoment in Y-richting; **M(z):** Weerstandsmoment in Z-richting;

Project

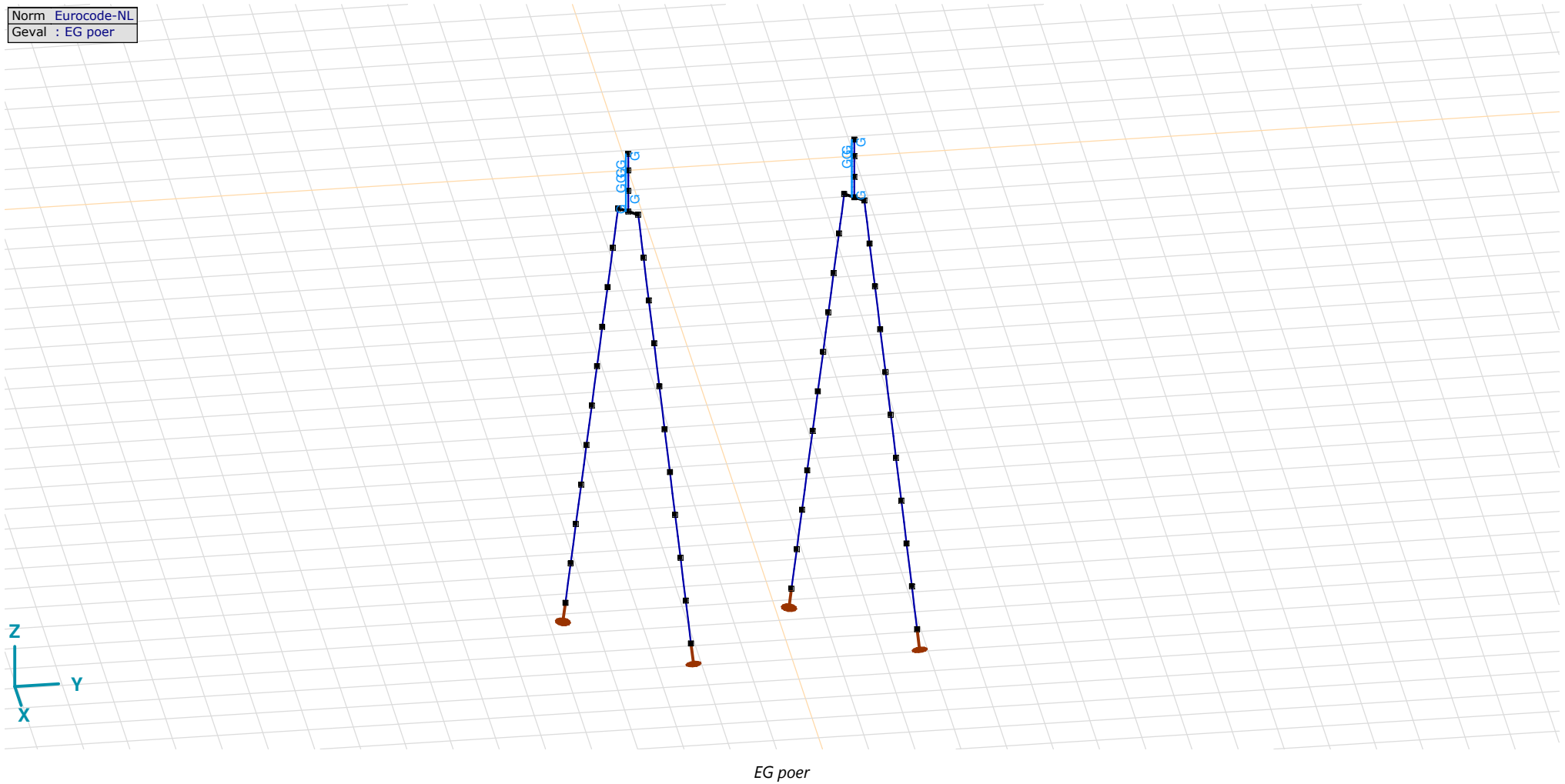
Analysis by

Model: 2P-O-H1 & 2P-O-L1.axs

21-5-2022

Pag. 14

Norm Eurocode-NL
Geval : EG poer



Project

Analysis by

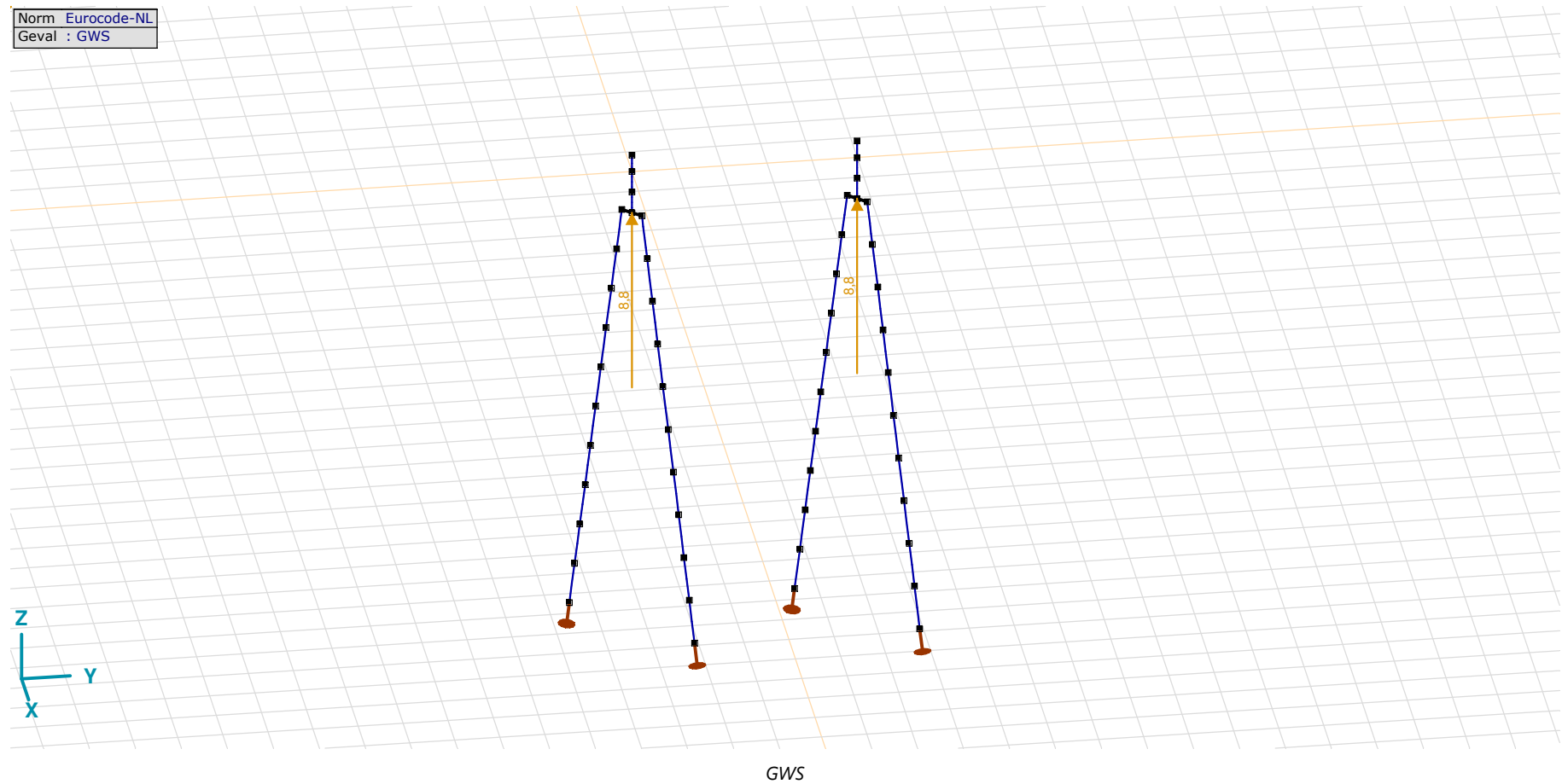
Model: **2P-O-H1 & 2P-O-L1.axs**

21-5-2022

Pag. 15

EG poer: Staaf eigen gewicht

	Σ [kg]
29-32	2208,484
77-80	2208,484
97-112	5971,740
Totaal	10388,707

 Σ : Totale massa;

Project

Analysis by

Model: **2P-O-H1 & 2P-O-L1.ans**

21-5-2022

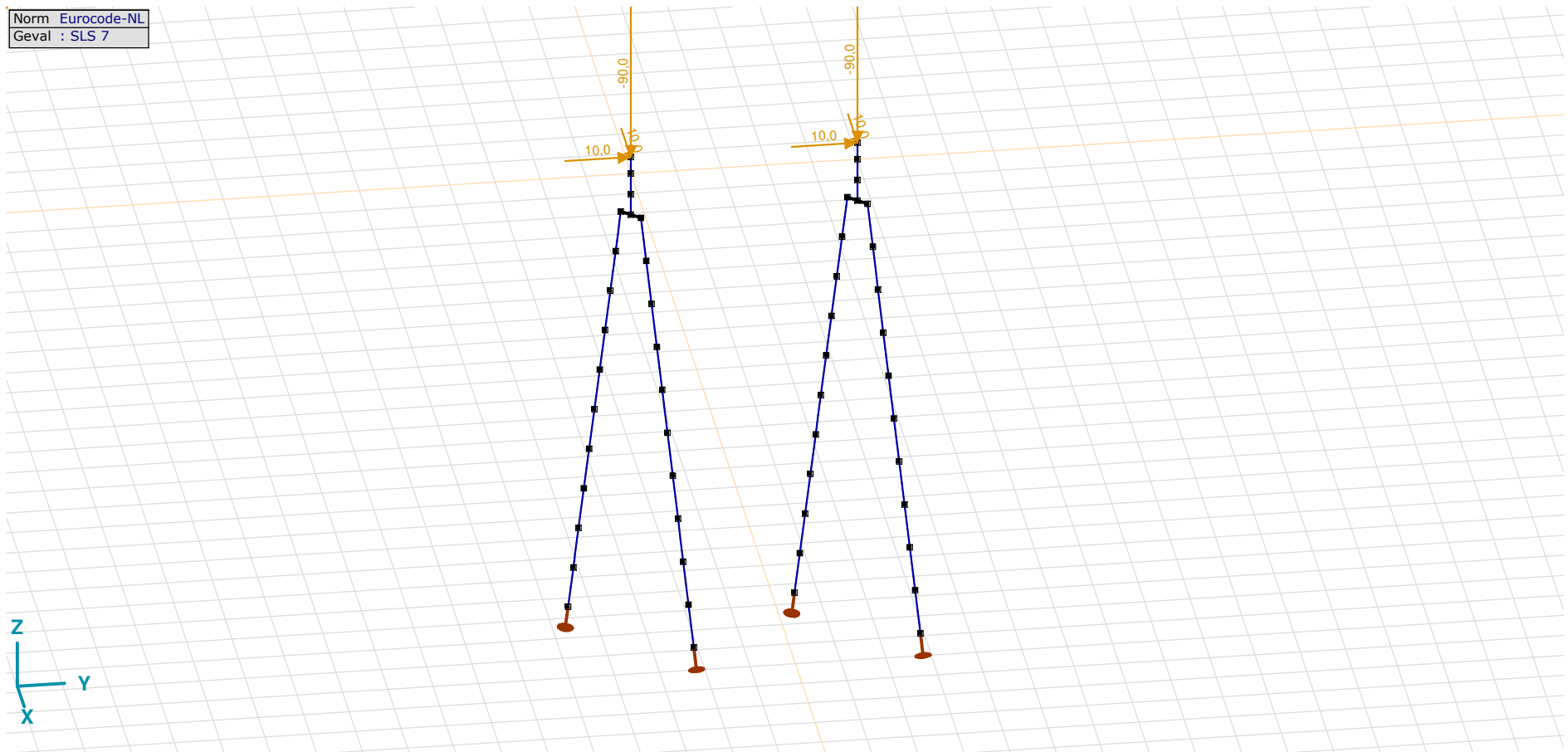
Pag. 16

GWS: Knoopbelastingen

	Richting	F_x [kN]	F_y [kN]	F_z [kN]	M_x [kNm]	M_y [kNm]	M_z [kNm]
4	Globaal	0	0	8,8	0	0	0
57	Globaal	0	0	8,8	0	0	0

F_x , F_y , F_z : Belastingkracht component; M_x , M_y , M_z : Belastingsmoment component;

Norm Eurocode-NL
Geval : SLS 7



SLS 7

Project

Analysis by

Model: **2P-O-H1 & 2P-O-L1.axs**

21-5-2022

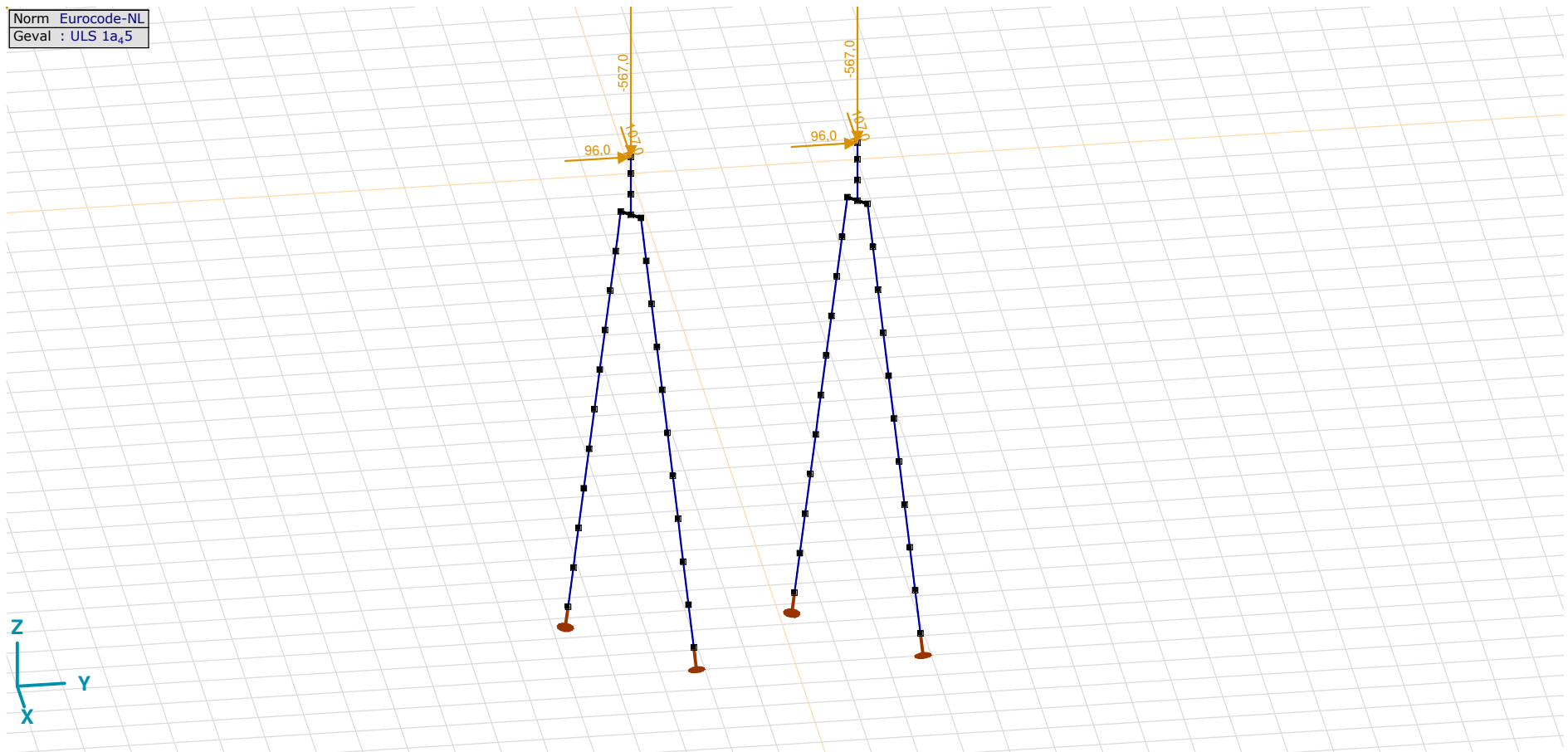
Pag. 17

SLS 7: Knoopbelastingen

	Richting	F_x [kN]	F_y [kN]	F_z [kN]	M_x [kNm]	M_y [kNm]	M_z [kNm]
2	Globaal	10,0	10,0	-90,0	0	0	0
55	Globaal	10,0	10,0	-90,0	0	0	0

F_x , F_y , F_z : Belastingkracht component; M_x , M_y , M_z : Belastingsmoment component;

Norm Eurocode-NL
Geval : ULS 1a₄₅

ULS 1a₄₅

Project

Analysis by

Model: **2P-O-H1 & 2P-O-L1.axs**

21-5-2022

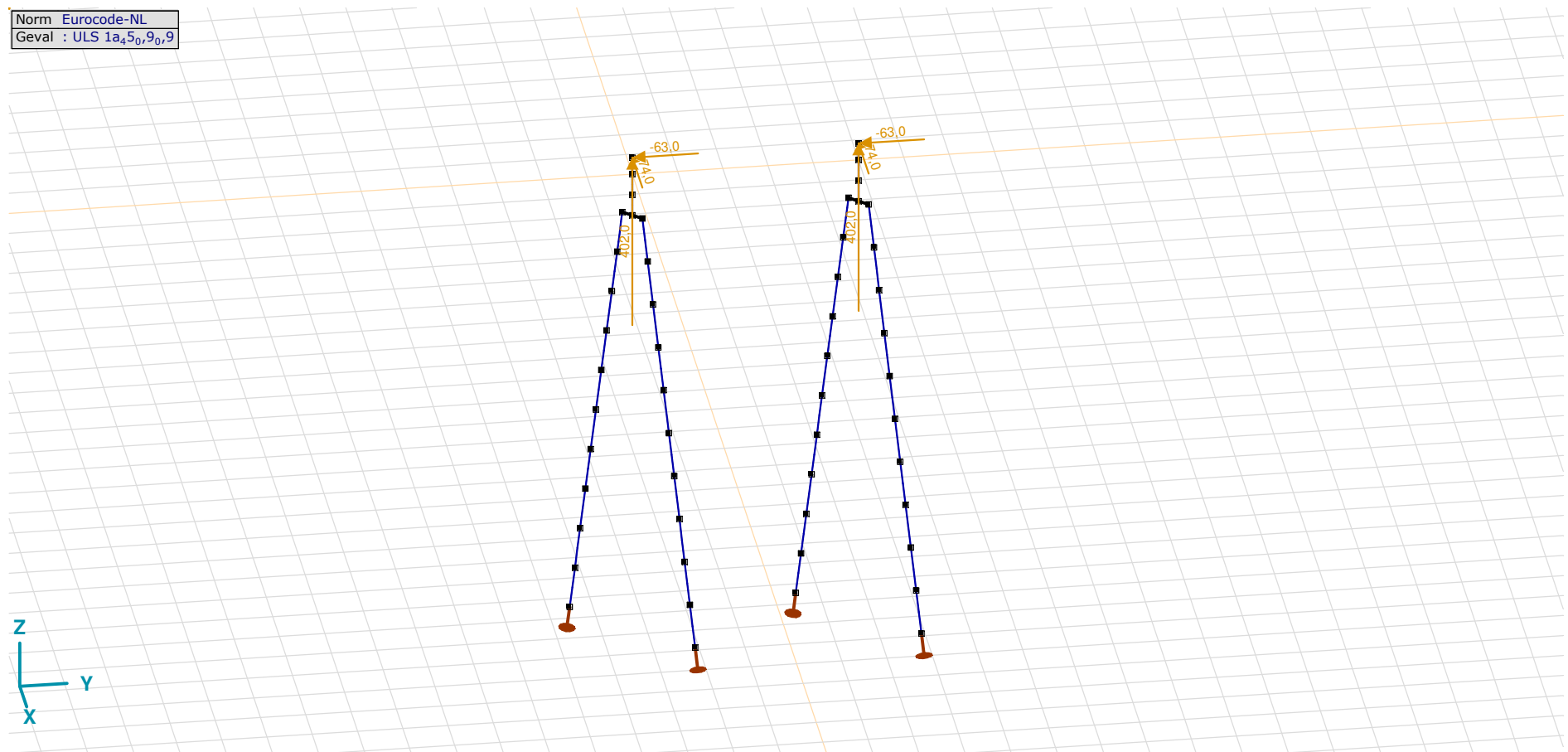
Pag. 18

ULS 1a_45: Knoopbelastingen

	Richting	F_x [kN]	F_y [kN]	F_z [kN]	M_x [kNm]	M_y [kNm]	M_z [kNm]
2	Globaal	107,0	96,0	-567,0	0	0	0
55	Globaal	107,0	96,0	-567,0	0	0	0

F_x , F_y , F_z : Belastingkracht component; M_x , M_y , M_z : Belastingsmoment component;

Norm Eurocode-NL
Geval : ULS 1a_45_0,9_0,9



ULS 1a_45_0,9_0,9

Project

Analysis by

Model: **2P-O-H1 & 2P-O-L1.axs**

21-5-2022

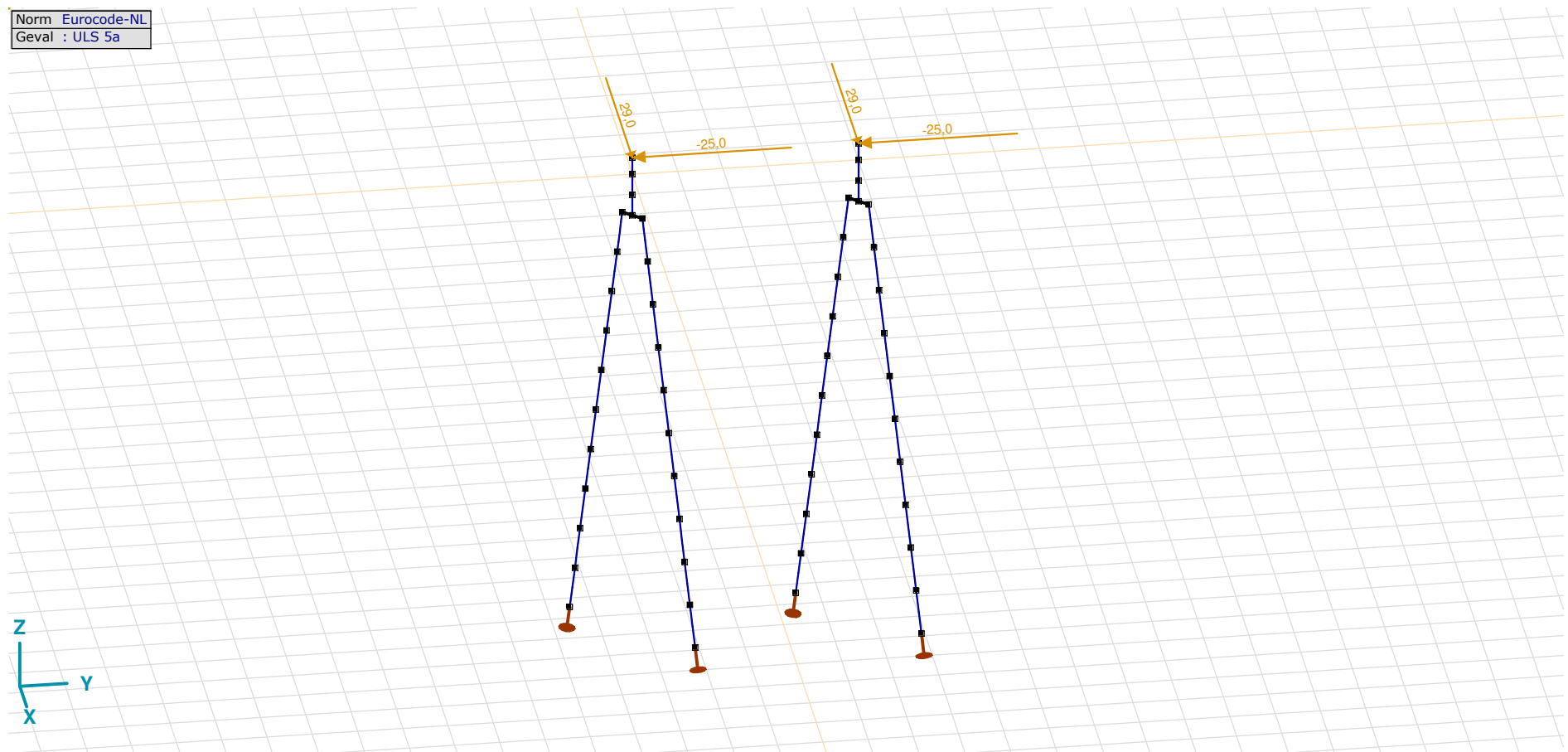
Pag. 19

ULS 1a_45_0,9_0,9: Knoopbelastingen

	Richting	F_x [kN]	F_y [kN]	F_z [kN]	M_x [kNm]	M_y [kNm]	M_z [kNm]
2	Globaal	-74,0	-63,0	402,0	0	0	0
55	Globaal	-74,0	-63,0	402,0	0	0	0

F_x, F_y, F_z: Belastingkracht component; **M_x, M_y, M_z**: Belastingsmoment component;

Norm Eurocode-NL
Geval : ULS 5a



ULS 5a

Project

Analysis by

Model: **2P-O-H1 & 2P-O-L1.axs**

21-5-2022

Pag. 20

ULS 5a: Knoopbelastingen

	<i>Richting</i>	<i>F_x</i> [kN]	<i>F_y</i> [kN]	<i>F_z</i> [kN]	<i>M_x</i> [kNm]	<i>M_y</i> [kNm]	<i>M_z</i> [kNm]
2	Globaal	29,0	-25,0	0	0	0	0
55	Globaal	29,0	-25,0	0	0	0	0

F_x, F_y, F_z: Belastingkracht component; **M_x, M_y, M_z**: Belastingsmoment component;

Gebruiker gedefinieerde belastingcombinaties uit belastinggevallen

	<i>Naam</i>	<i>Type</i>	<i>ST1</i>	<i>EG poer</i> (PERM1)	<i>GWS</i> (PERM1)	<i>SLS 7</i> (PERM1)	<i>ULS 1a_45</i> (VER1)	<i>ULS 1a_45_0,9_0,9</i> (VER1)	<i>ULS 5a</i> (VER1)	<i>Commentaar</i>
1	Co #1 max druk	UGT	0	1,20	0	0	1,00	0	0	
2	Co #2 max trek	UGT	0	0,90	1,00	0	0	1,00	0	
3	Co #3 max torsie	UGT	0	1,20	1,00	0	0	0	1,00	
4	Co #4 Perm	BGT Quasi-blijvend	0	1,00	0	1,00	0	0	0	

Naam: Naam belastingcombinatie; **Type**: Type belastingcombinatie; **ST1, EG poer (PERM1), GWS (PERM1), SLS 7 (PERM1), ULS 1a_45 (VER1), ULS 1a_45_0,9_0,9 (VER1), ULS 5a (VER1)**: Factor;

Project

Analysis by

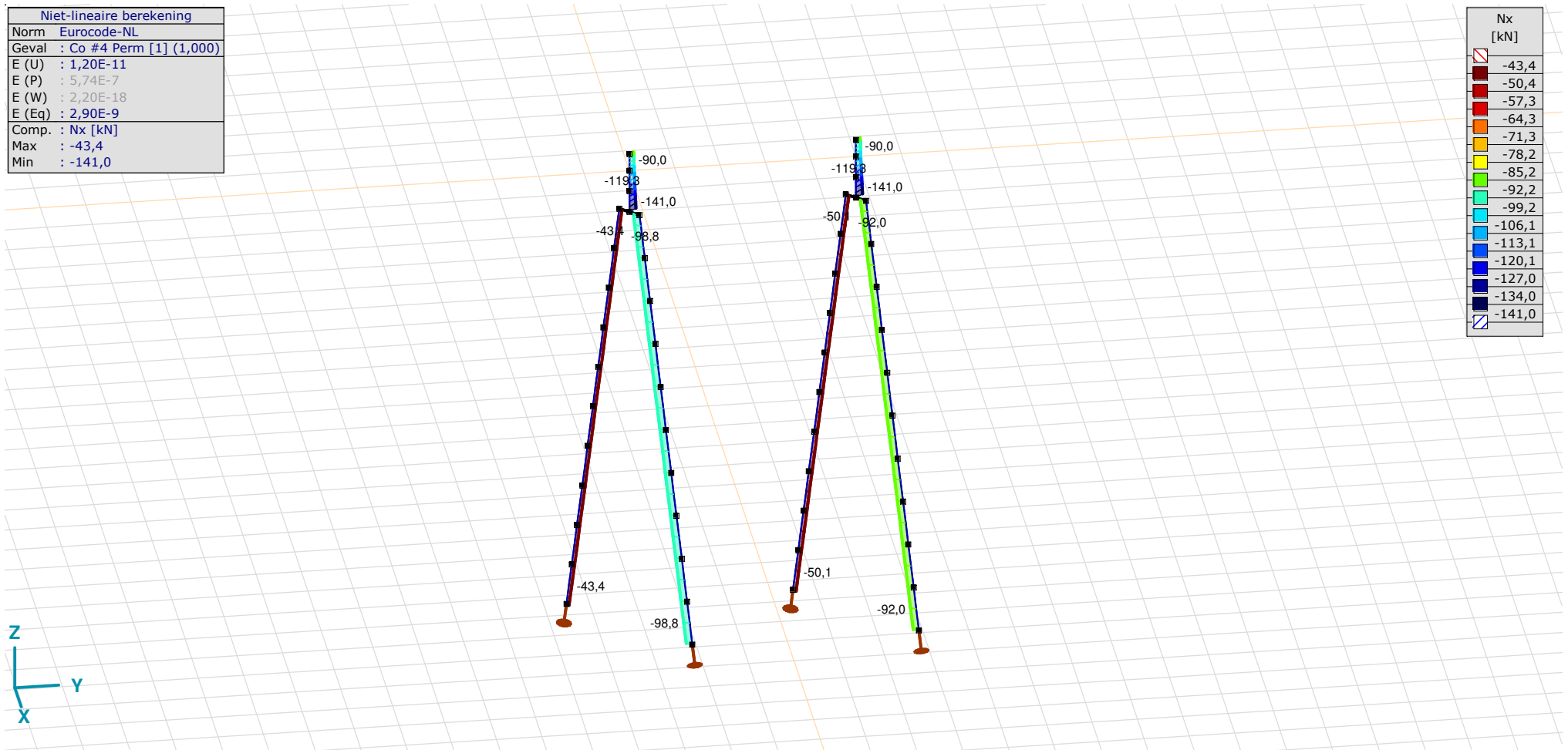
Model: **2P-O-H1 & 2P-O-L1.axs**

21-5-2022

Pag. 21

Niet-lineaire berekening	
Norm	Eurocode-NL
Geval	Co #4 Perm [1] (1,000)
E (U)	: 1,20E-11
E (P)	: 5,74E-7
E (W)	: 2,20E-18
E (Eq)	: 2,90E-9
Comp.	Nx [kN]
Max	: -43,4
Min	: -141,0

Nx [kN]	
[-43,4]	
[-50,4]	
[-57,3]	
[-64,3]	
[-71,3]	
[-78,2]	
[-85,2]	
[-92,2]	
[-99,2]	
[-106,1]	
[-113,1]	
[-120,1]	
[-127,0]	
[-134,0]	
[-141,0]	



[II], Non-lin., Co #4 Perm [1] (1,000), Nx, Lijnen (gevuld)(gevuld)

Project

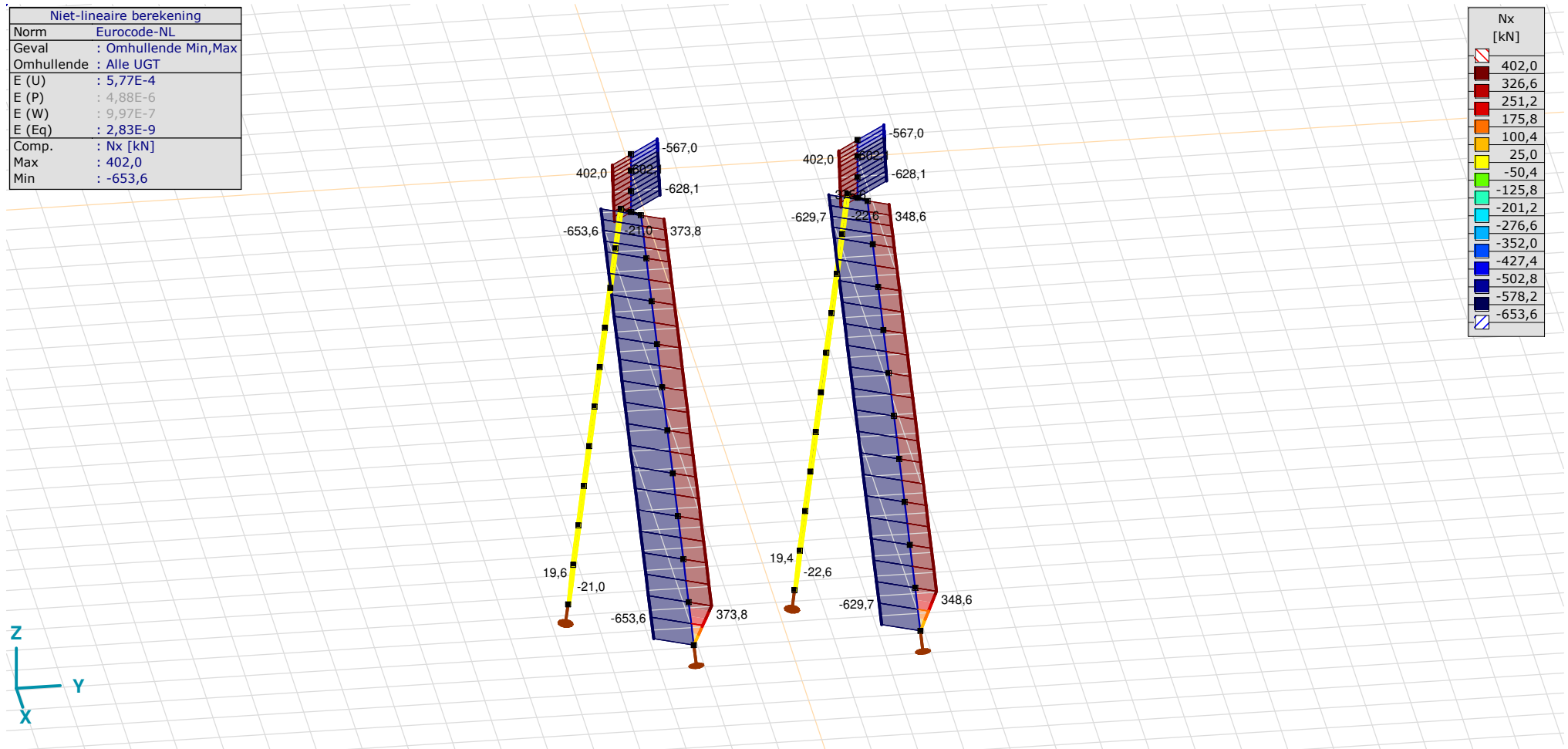
Analysis by

Model: **2P-O-H1 & 2P-O-L1.axs**

21-5-2022

Pag. 22

Niet-lineaire berekening	
Norm	Eurocode-NL
Geval	: Omhullende Min,Max
Omhullende	: Alle UGT
E (U)	: 5,77E-4
E (P)	: 4,88E-6
E (W)	: 9,97E-7
E (Eq)	: 2,83E-9
Comp.	: Nx [kN]
Max	: 402,0
Min	: -653,6



[II], Non-lin., Omhullende (Alle UGT), Nx, Lijnen (gevuld)

Project

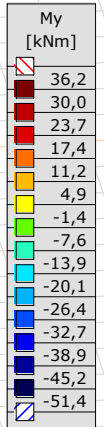
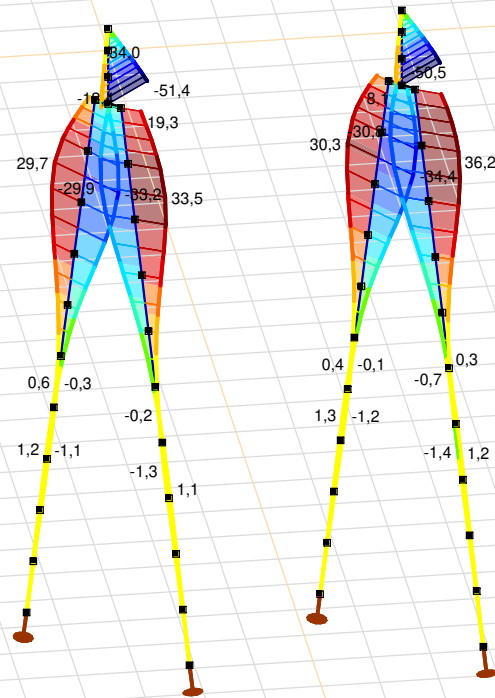
Analysis by

Model: **2P-O-H1 & 2P-O-L1.axs**

21-5-2022

Pag. 23

Niet-lineaire berekening	
Norm	Eurocode-NL
Geval	: Omhullende Min,Max
Omhullende	: Alle UGT
E (U)	: 5,77E-4
E (P)	: 4,88E-6
E (W)	: 9,97E-7
E (Eq)	: 2,83E-9
Comp.	: My [kNm]
Max	: 36,2
Min	: -51,4



[II], Non-lin., Omhullende (Alle UGT), My, Lijnen (gevuld)

Project

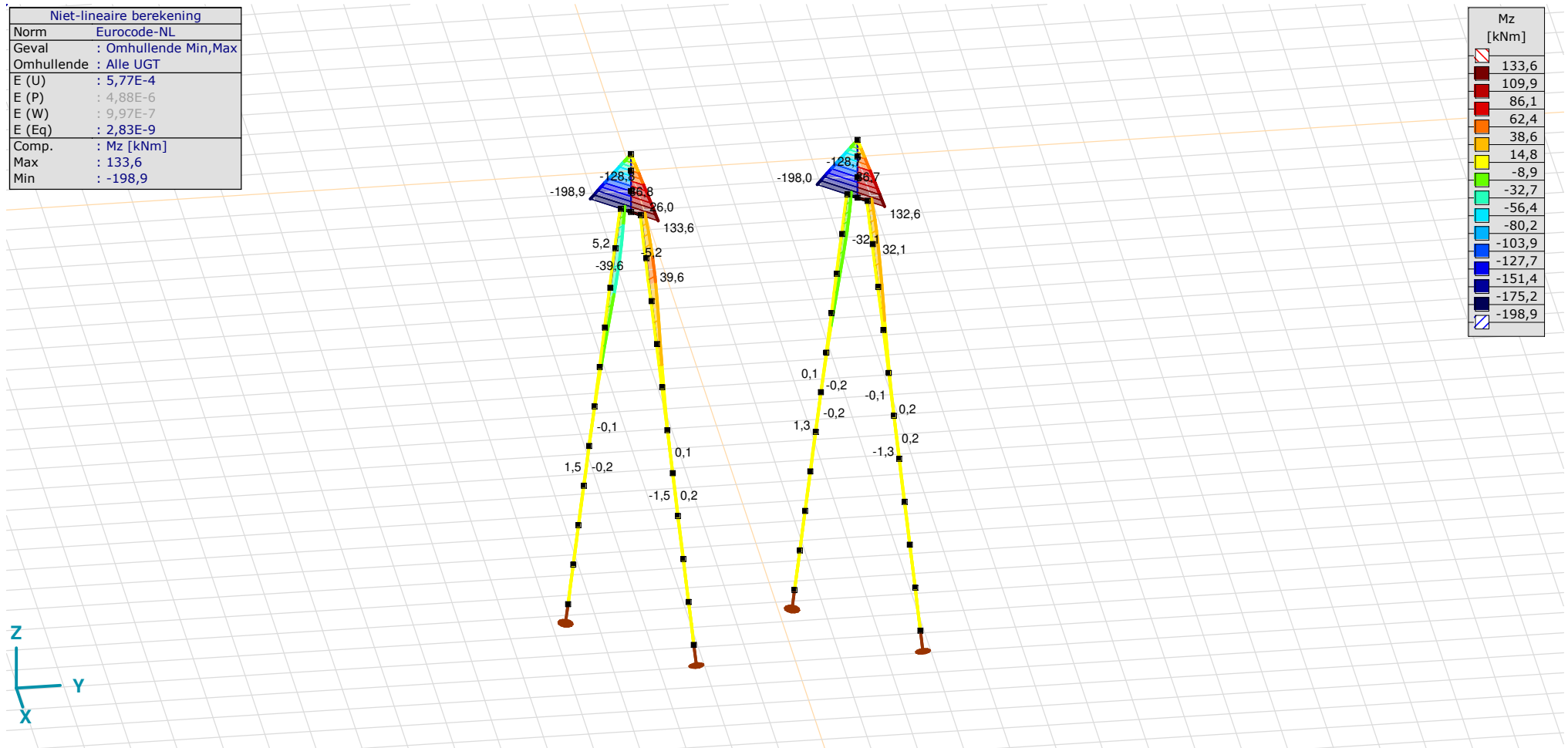
Analysis by

Model: **2P-O-H1 & 2P-O-L1.axs**

21-5-2022

Pag. 24

Niet-lineaire berekening	
Norm	Eurocode-NL
Geval	: Omhullende Min,Max
Omhullende	: Alle UGT
E (U)	: 5,77E-4
E (P)	: 4,88E-6
E (W)	: 9,97E-7
E (Eq)	: 2,83E-9
Comp.	: Mz [kNm]
Max	: 133,6
Min	: -198,9



[III], Non-lin., Omhullende (Alle UGT), Mz, Lijnen (gevuld)

Project

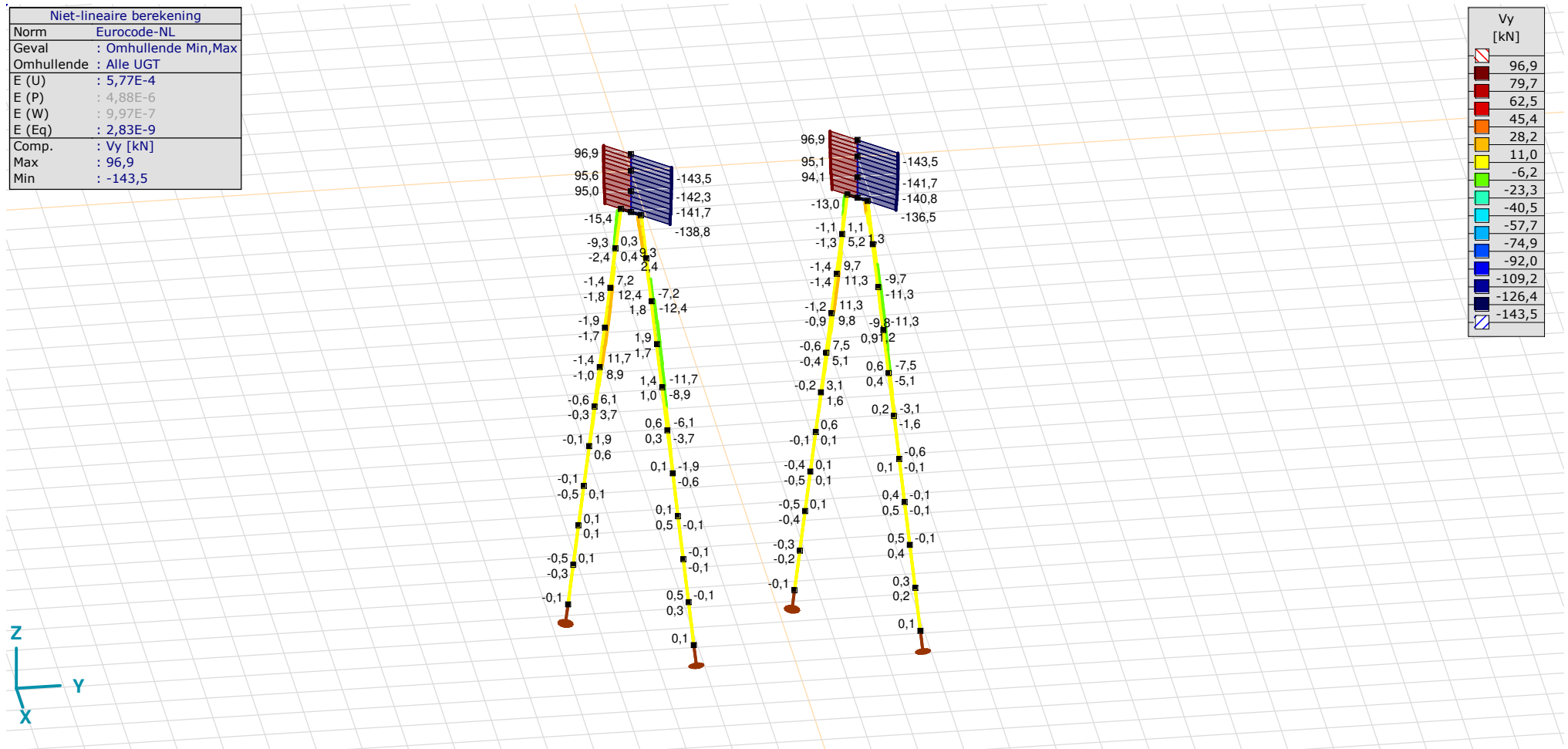
Analysis by

Model: 2P-O-H1 & 2P-O-L1.axs

21-5-2022

Pag. 25

Niet-lineaire berekening	
Norm	Eurocode-NL
Geval	: Omhullende Min,Max
Omhullende	: Alle UGT
E (U)	: 5,77E-4
E (P)	: 4,88E-6
E (W)	: 9,97E-7
E (Eq)	: 2,83E-9
Comp.	: Vy [kN]
Max	: 96,9
Min	: -143,5



[II], Non-lin., Omhullende (Alle UGT), Vy, Lijnen (gevuld)

Project

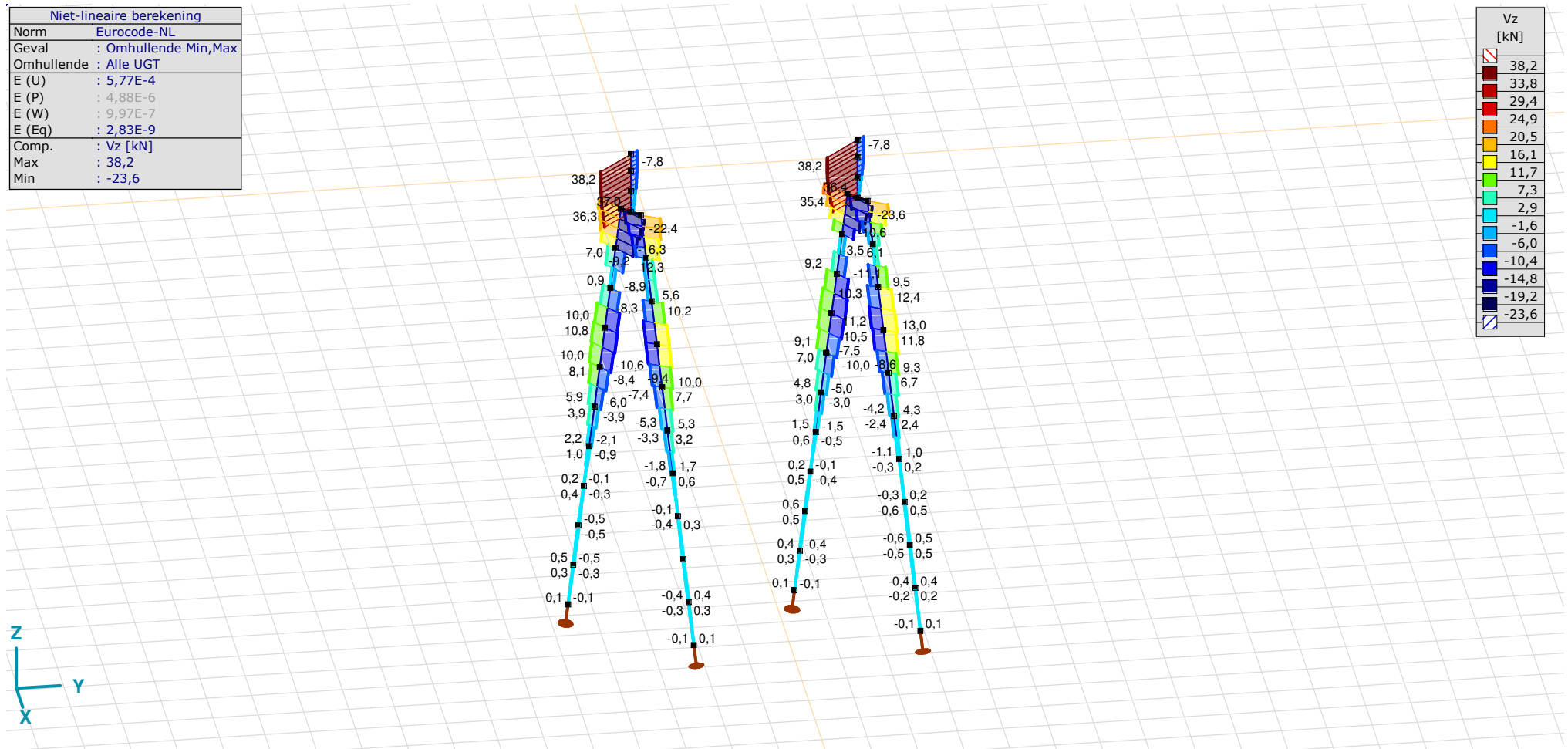
Analysis by

Model: **2P-O-H1 & 2P-O-L1.axs**

21-5-2022

Pag. 26

Niet-lineaire berekening	
Norm	Eurocode-NL
Geval	: Omhullende Min,Max
Omhullende	: Alle UGT
E (U)	: 5,77E-4
E (P)	: 4,88E-6
E (W)	: 9,97E-7
E (Eq)	: 2,83E-9
Comp.	: Vz [kN]
Max	: 38,2
Min	: -23,6



[II], Non-lin., Omhullende (Alle UGT), Vz, Lijnen (gevuld)

Project

Analysis by

Model: **2P-O-H1 & 2P-O-L1.axs**

21-5-2022

Pag. 27

Staafkrachten [Non-lin., Omhullende (Alle UGT), Palen]

	Prof.	Doorsnede naam	C	min. max.	Geval	Pos. [m]	Knoop	Nx [kN]	Vy [kN]	Vz [kN]	Tx [kNm]	My [kNm]	Mz [kNm]	B [kNm ²]
Ext.														
11	1	O 400	Nx	min	Co #1 max druk [1] (1,000)	0	(17)	-653,6	0,3	12,3	0	-27,2	5,2	0
12	1	O 400		min	Co #1 max druk [1] (1,000)	0	(18)	-653,6	-1,4	-3,2	0	-28,1	4,3	0
13	1	O 400		min	Co #1 max druk [1] (1,000)	0	(19)	-653,6	-1,9	-10,5	0	-18,5	2,4	0
14	1	O 400		min	Co #1 max druk [1] (1,000)	0	(20)	-653,6	-1,4	-9,4	0	-8,2	0,8	0
15	1	O 400		min	Co #1 max druk [1] (1,000)	0	(21)	-653,6	-0,6	-5,3	0	-1,8	0	0
16	1	O 400		min	Co #1 max druk [1] (1,000)	0	(22)	-653,6	-0,1	-1,8	0	0,7	-0,2	0
17	1	O 400		min	Co #1 max druk [1] (1,000)	0	(23)	-653,6	0	-0,1	0	1,1	-0,2	0
18	1	O 400		min	Co #1 max druk [1] (1,000)	0	(24)	-653,6	0,1	0,5	0	0,7	-0,1	0
19	1	O 400		min	Co #1 max druk [1] (1,000)	0	(25)	-653,6	0,1	0,4	0	0,2	0	0
20	1	O 400		min	Co #1 max druk [1] (1,000)	0	(26)	-653,6	0	0,1	0	0	0	0
11	1	O 400		max	Co #2 max trek [1] (1,000)	0	(17)	373,8	-0,3	-9,6	0	32,1	-5,2	0
12	1	O 400		max	Co #2 max trek [1] (1,000)	0	(18)	373,8	1,4	5,6	0	30,5	-4,3	0
13	1	O 400		max	Co #2 max trek [1] (1,000)	0	(19)	373,8	1,9	12,0	0	19,0	-2,4	0
14	1	O 400		max	Co #2 max trek [1] (1,000)	0	(20)	373,8	1,4	10,0	0	8,0	-0,8	0
15	1	O 400		max	Co #2 max trek [1] (1,000)	0	(21)	373,8	0,6	5,3	0	1,4	0	0
16	1	O 400		max	Co #2 max trek [1] (1,000)	0	(22)	373,8	0,1	1,7	0	-1,0	0,2	0
17	1	O 400		max	Co #2 max trek [1] (1,000)	0	(23)	373,8	0	-0,1	0	-1,2	0,2	0
18	1	O 400		max	Co #2 max trek [1] (1,000)	0	(24)	373,8	-0,1	-0,6	0	-0,7	0,1	0
19	1	O 400		max	Co #2 max trek [1] (1,000)	0	(25)	373,8	-0,1	-0,4	0	-0,2	0	0
20	1	O 400		max	Co #2 max trek [1] (1,000)	1,010	(25)	373,8	0	-0,3	0	-0,2	0	0
1	1	O 400	Vy	min	Co #3 max torsie [1] (1,000)	0,758	(48)	-21,0	-15,4	-0,5	0	0,2	-29,9	0
11	1	O 400		max	Co #3 max torsie [1] (1,000)	0,758	(51)	-31,8	15,4	0	0	-0,6	29,9	0
45	1	O 400	Vz	min	Co #1 max druk [1] (1,000)	0,758	(101)	-4,3	-0,3	-23,6	0	17,5	-4,2	0
45	1	O 400		max	Co #2 max trek [1] (1,000)	0,758	(101)	19,4	0,3	21,7	0	-24,1	4,2	0
41	1	O 400	My	min	Co #2 max trek [1] (1,000)	0,505	(94)	19,4	-1,3	1,2	0	-34,4	2,9	0
42	1	O 400		max	Co #2 max trek [1] (1,000)	1,010	(96)	348,6	1,3	3,0	0	36,2	-3,6	0
46	1	O 400		max	Co #2 max trek [1] (1,000)	0	(96)	348,6	1,1	-3,5	0	36,2	-3,6	0
2	1	O 400	Mz	min	Co #3 max torsie [1] (1,000)	0,505	(44)	-21,0	7,2	0	0	0,5	-39,6	0
12	1	O 400		max	Co #3 max torsie [1] (1,000)	0,505	(45)	-31,8	-7,2	-0,2	0	-0,5	39,6	0

Prof.: Profiel; **C:** Extreme component; **min. max.:** Extreme type; **Geval:** Belastinggeval van de extreme; **Pos.:** Lokale X-positie van de doorsnede op de staaf; **Nx:** Normalkracht; **Vy:** Dwarskracht in lokale y-richting; **Vz:** Dwarskracht in lokale z-richting; **Tx:** Torsiemoment; **My:** Buigend moment in lokale y-richting; **Mz:** Buigend moment in lokale z-richting; **B:** Bimoment;

Project

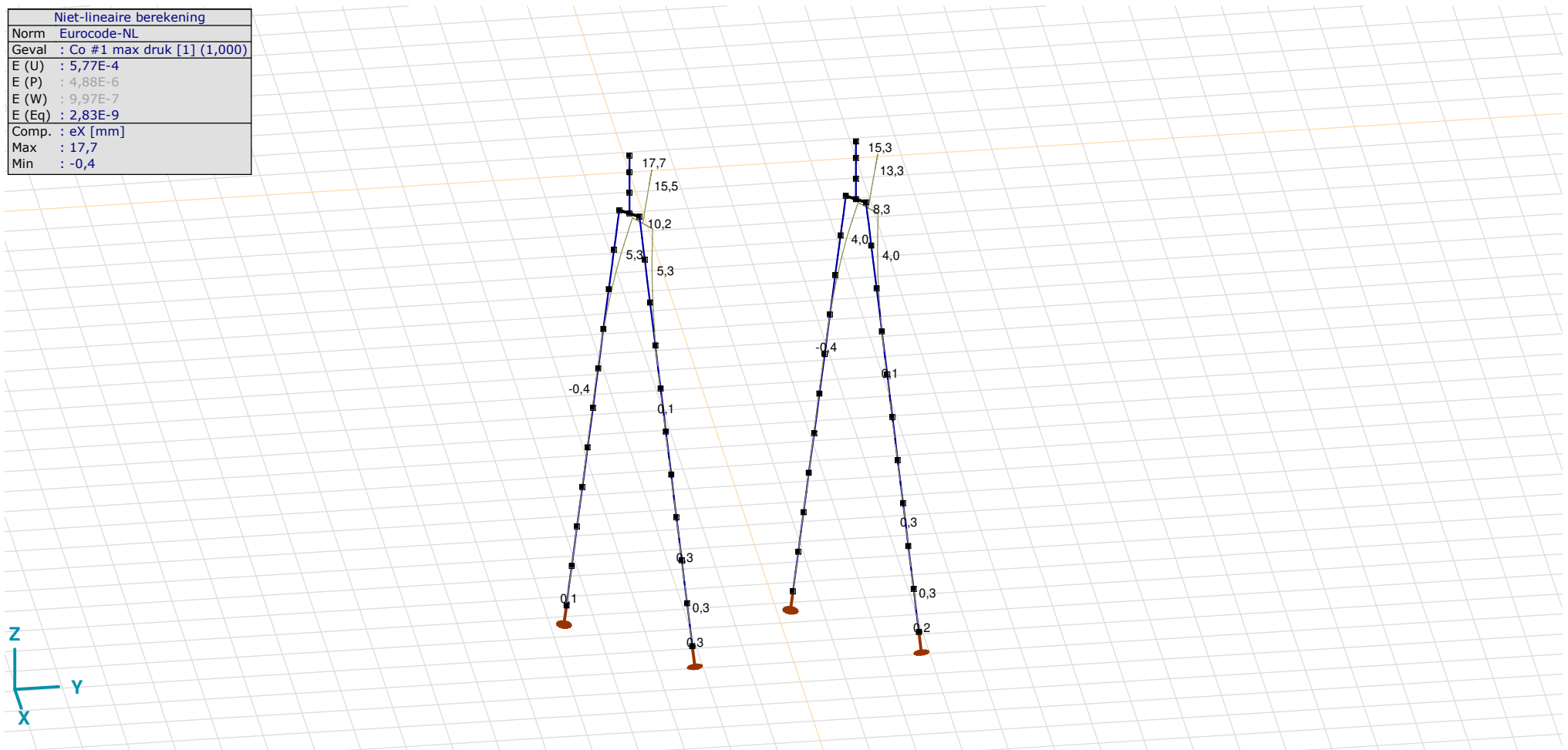
Analysis by

Model: **2P-O-H1 & 2P-O-L1.axs**

21-5-2022

Pag. 28

Niet-lineaire berekening	
Norm	Eurocode-NL
Geval	Co #1 max druk [1] (1,000)
E (U)	: 5,77E-4
E (P)	: 4,88E-6
E (W)	: 9,97E-7
E (Eq)	: 2,83E-9
Comp.	: eX [mm]
Max	: 17,7
Min	: -0,4



[III], Non-lin., Co #1 max druk [1] (1,000), eX, Lijnen

Project

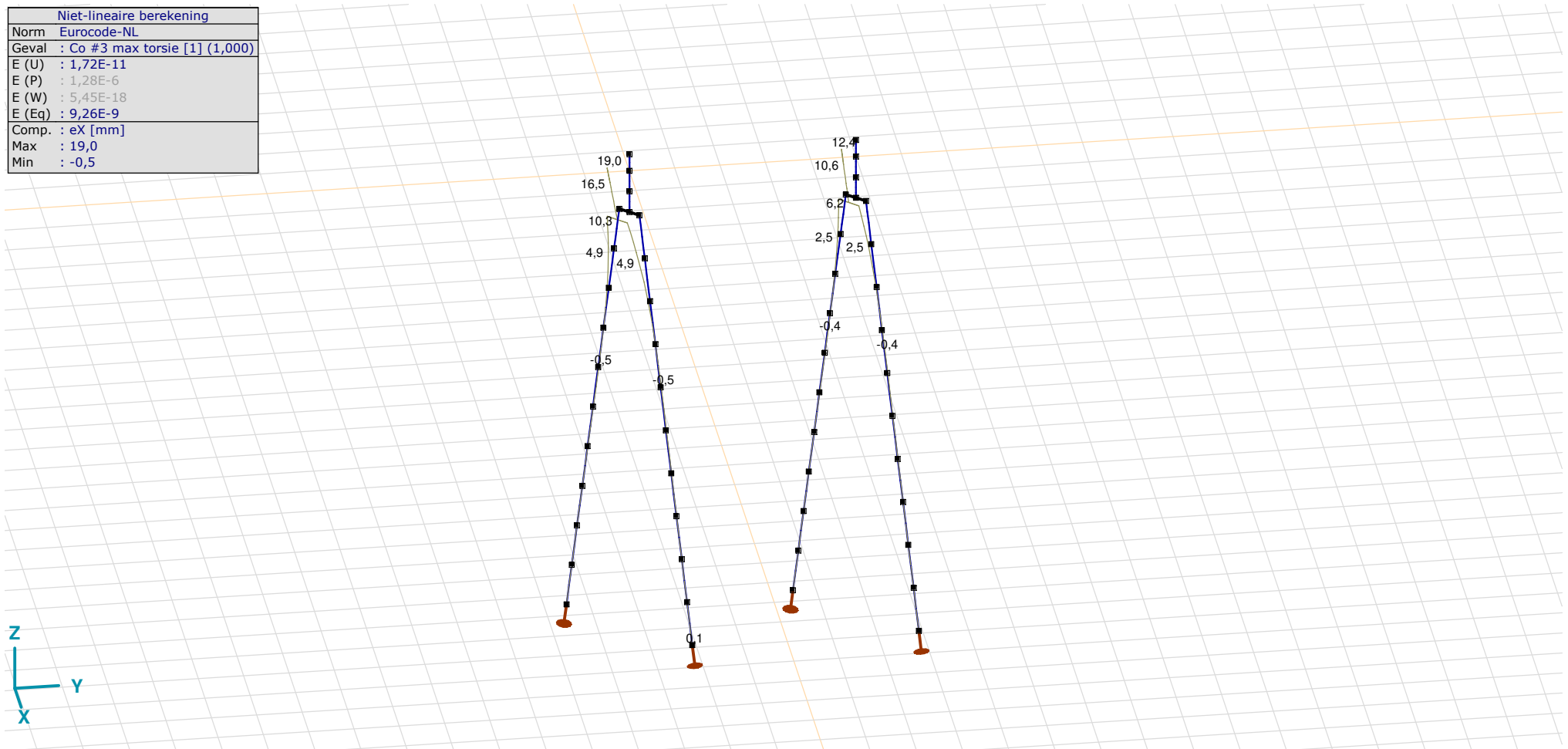
Analysis by

Model: **2P-O-H1 & 2P-O-L1.axs**

21-5-2022

Pag. 29

Niet-lineaire berekening	
Norm	Eurocode-NL
Geval	Co #3 max torsie [1] (1,000)
E (U)	: 1,72E-11
E (P)	: 1,28E-6
E (W)	: 5,45E-18
E (Eq)	: 9,26E-9
Comp.	: eX [mm]
Max	: 19,0
Min	: -0,5



[II], Non-lin., Co #3 max torsie [1] (1,000), eX, Lijnen

Project

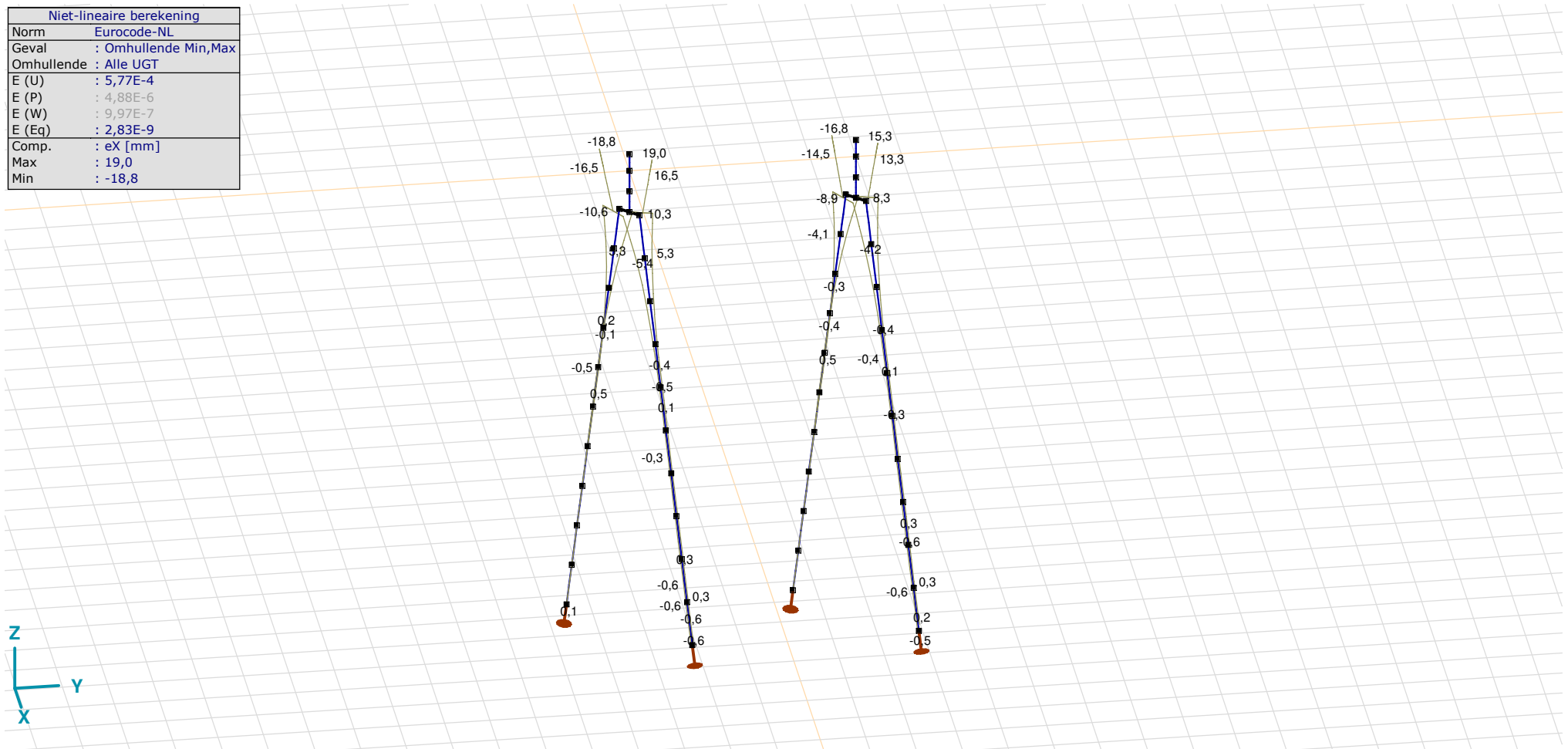
Analysis by

Model: **2P-O-H1 & 2P-O-L1.axs**

21-5-2022

Pag. 30

Niet-lineaire berekening	
Norm	Eurocode-NL
Geval	: Omhullende Min,Max
Omhullende	: Alle UGT
E (U)	: 5,77E-4
E (P)	: 4,88E-6
E (W)	: 9,97E-7
E (Eq)	: 2,83E-9
Comp.	: eX [mm]
Max	: 19,0
Min	: -18,8



[II], Non-lin., Omhullende (Alle UGT), eX, Lijnen

Project

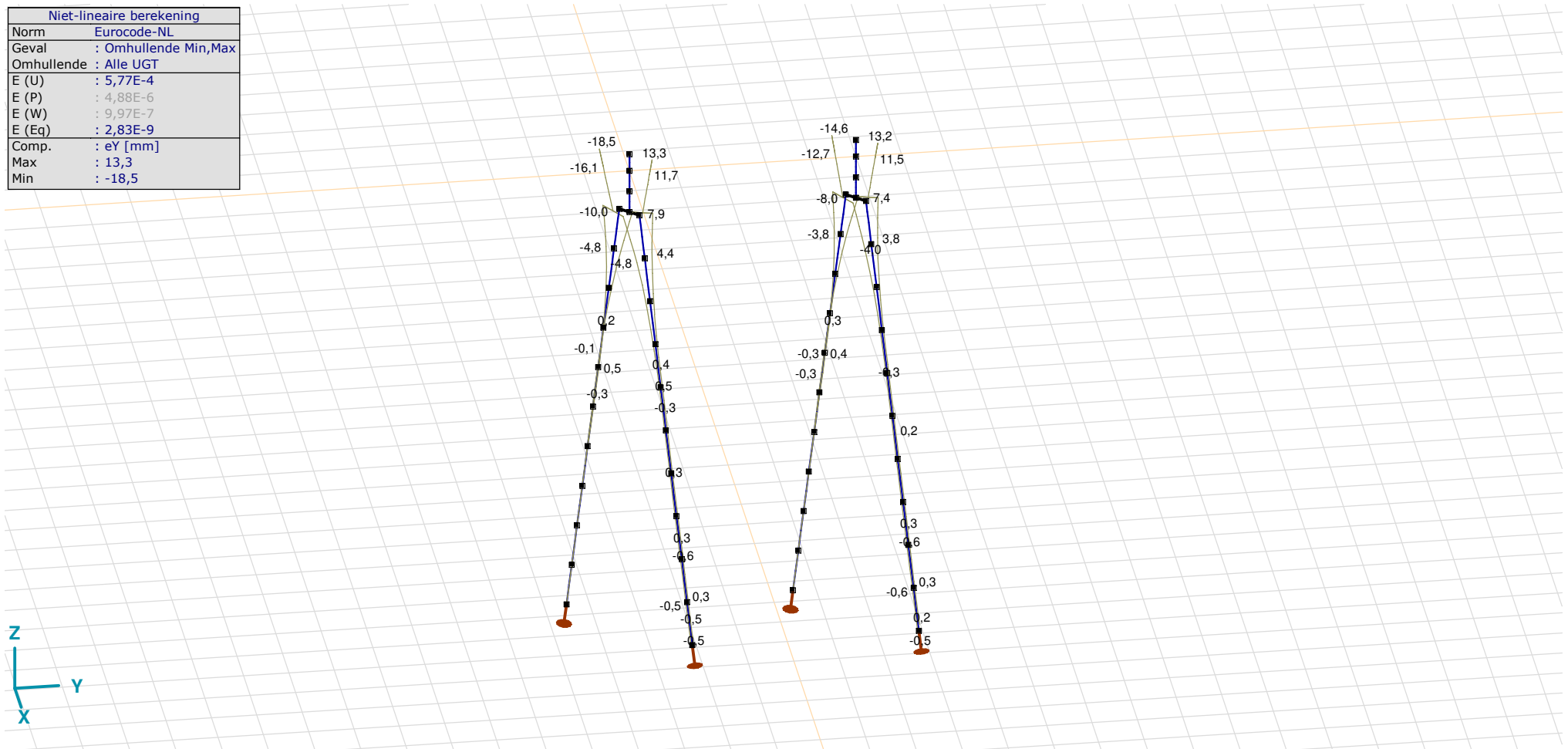
Analysis by

Model: **2P-O-H1 & 2P-O-L1.axs**

21-5-2022

Pag. 31

Niet-lineaire berekening	
Norm	Eurocode-NL
Geval	: Omhullende Min,Max
Omhullende	: Alle UGT
E (U)	: 5,77E-4
E (P)	: 4,88E-6
E (W)	: 9,97E-7
E (Eq)	: 2,83E-9
Comp.	: eY [mm]
Max	: 13,3
Min	: -18,5



[II], Non-lin., Omhullende (Alle UGT), eY, Lijnen

Project

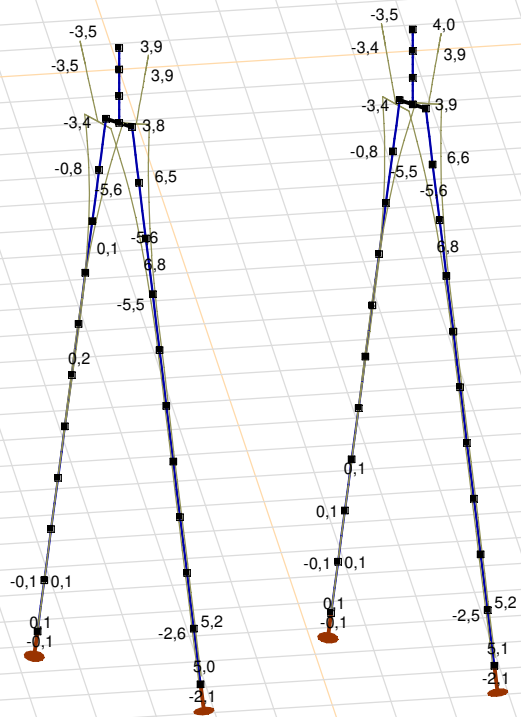
Analysis by

Model: **2P-O-H1 & 2P-O-L1.axs**

21-5-2022

Pag. 32

Niet-lineaire berekening	
Norm	Eurocode-NL
Geval	: Omhullende Min,Max
Omhullende	: Alle UGT
E (U)	: 5,77E-4
E (P)	: 4,88E-6
E (W)	: 9,97E-7
E (Eq)	: 2,83E-9
Comp.	: eZ [mm]
Max	: 6,8
Min	: -5,6



[II], Non-lin., Omhullende (Alle UGT), eZ, Lijnen

Project

Analysis by

Model: **2P-O-H1 & 2P-O-L1.axs**

21-5-2022

Pag. 33

Knoopverplaatsingen [Non-lin., Omhullende (Alle UGT)]

	C	min. max.	Geval	eX [mm]	eY [mm]	eZ [mm]	eR [mm]	fX [rad]	fY [rad]	fZ [rad]	fR [rad]
Ext.											
2	eX	min	Co #2 max trek [1] (1,000)	-18,8	-14,4	3,9	24,0	0,0044	-0,0059	0	0,0073
2		max	Co #3 max torsie [1] (1,000)	19,0	-18,5	-0,3	26,5	0,0061	0,0062	0	0,0087
2	eY	min	Co #3 max torsie [1] (1,000)	19,0	-18,5	-0,3	26,5	0,0061	0,0062	0	0,0087
2		max	Co #1 max druk [1] (1,000)	17,7	13,3	-3,5	22,4	-0,0038	0,0054	0	0,0066
18	eZ	min	Co #1 max druk [1] (1,000)	2,1	1,9	-5,6	6,3	-0,0018	0,0023	-0,0001	0,0029
100		max	Co #2 max trek [1] (1,000)	-0,8	-0,9	6,8	6,9	0,0010	-0,0011	0,0001	0,0015
15	eR	min	Co #2 max trek [1] (1,000)	0	0	0	0	-0,0001	0	-0,0002	0,0002
2		max	Co #3 max torsie [1] (1,000)	19,0	-18,5	-0,3	26,5	0,0061	0,0062	0	0,0087

C: Extreme component; **min. max.:** Extreme type; **Geval:** Belastinggeval van de extreme; **eX:** Verplaatsing in X-richting; **eY:** Verplaatsing in Y-richting; **eZ:** Verplaatsing in Z-richting; **eR:** Resulterende verplaatsing; **fX:** Rotatie in X-richting; **fY:** Rotatie in Y-richting; **fZ:** Rotatie in Z-richting; **fR:** Resulterende rotatie;

Project

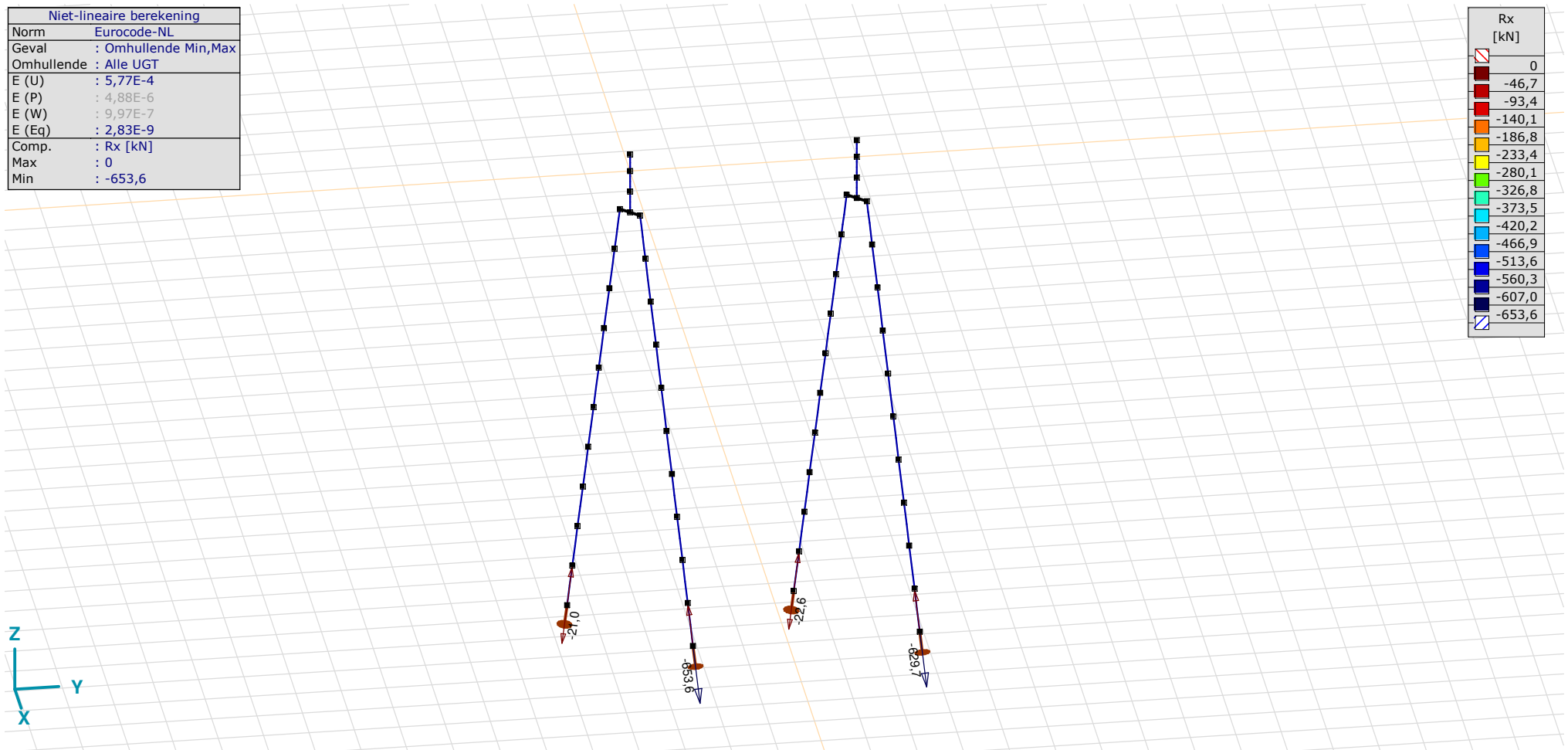
Analysis by

Model: **2P-O-H1 & 2P-O-L1.aks**

21-5-2022

Pag. 34

Niet-lineaire berekening	
Norm	Eurocode-NL
Geval	: Omhullende Min,Max
Omhullende	: Alle UGT
E (U)	: 5,77E-4
E (P)	: 4,88E-6
E (W)	: 9,97E-7
E (Eq)	: 2,83E-9
Comp.	: Rx [kN]
Max	: 0
Min	: -653,6



[II], Non-lin., Omhullende (Alle UGT), Rx (knoopopl.), Lijnen

Project

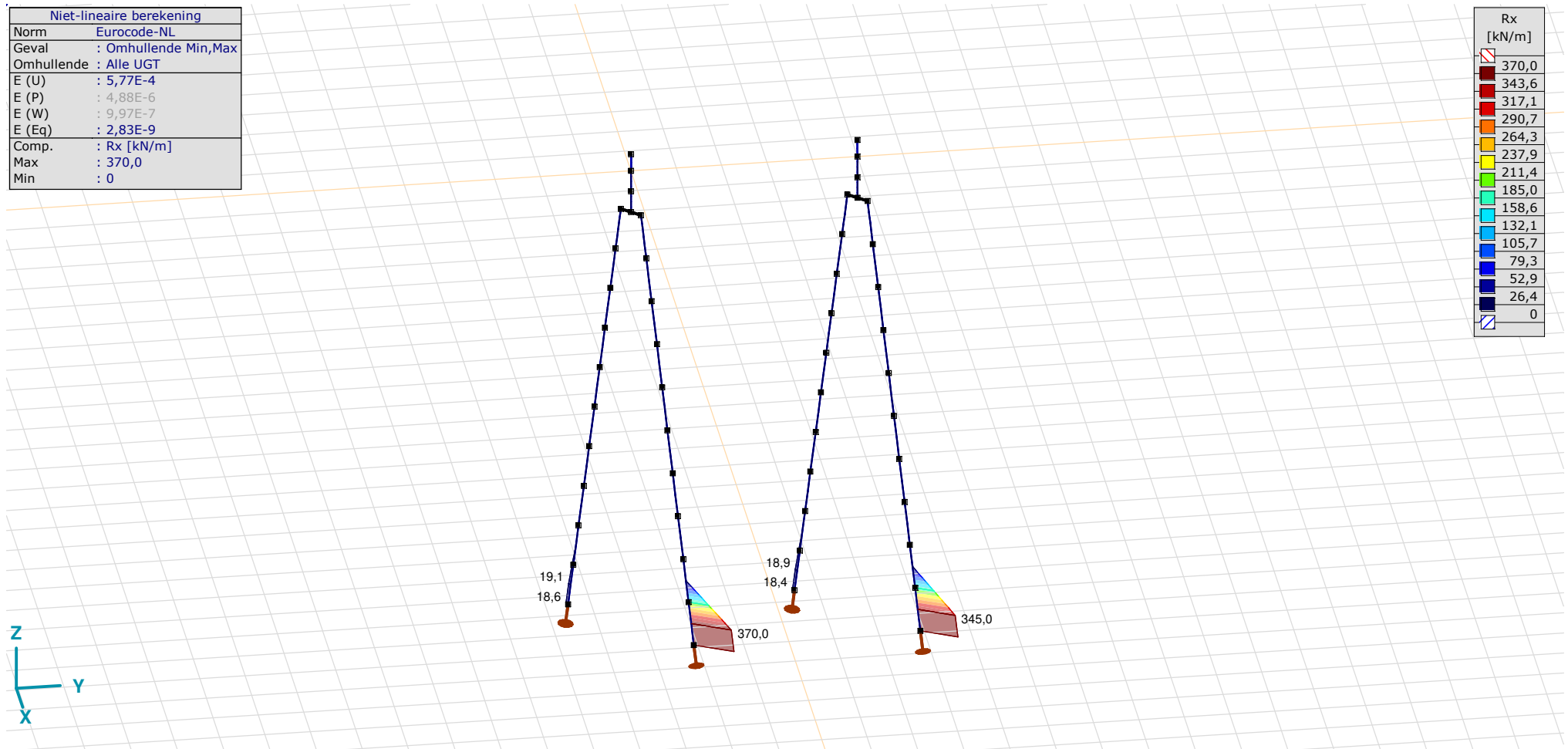
Analysis by

Model: **2P-O-H1 & 2P-O-L1.ajs**

21-5-2022

Pag. 35

Niet-lineaire berekening	
Norm	Eurocode-NL
Geval	: Omhullende Min,Max
Omhullende	: Alle UGT
E (U)	: 5,77E-4
E (P)	: 4,88E-6
E (W)	: 9,97E-7
E (Eq)	: 2,83E-9
Comp.	: Rx [kN/m]
Max	: 370,0
Min	: 0



[[I]], Non-lin., Omhullende (Alle UGT), Rx (lijnopp.), Lijnen (gevuld)

Project

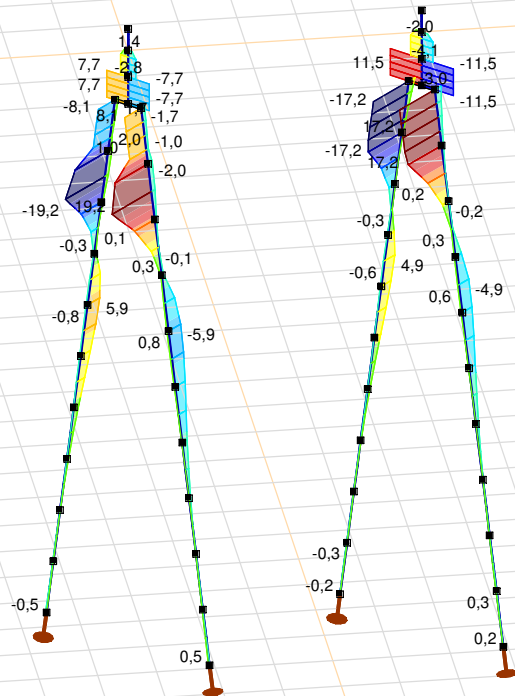
Analysis by

Model: **2P-O-H1 & 2P-O-L1.axs**

21-5-2022

Pag. 36

Niet-lineaire berekening	
Norm	Eurocode-NL
Geval	: Omhullende Min,Max
Omhullende	: Alle UGT
E (U)	: 5,77E-4
E (P)	: 4,88E-6
E (W)	: 9,97E-7
E (Eq)	: 2,83E-9
Comp.	: Ry [kN/m]
Max	: 19,2
Min	: -19,2



[II], Non-lin., Omhullende (Alle UGT), Ry (lijnopp.), Lijnen (gevuld)

Project

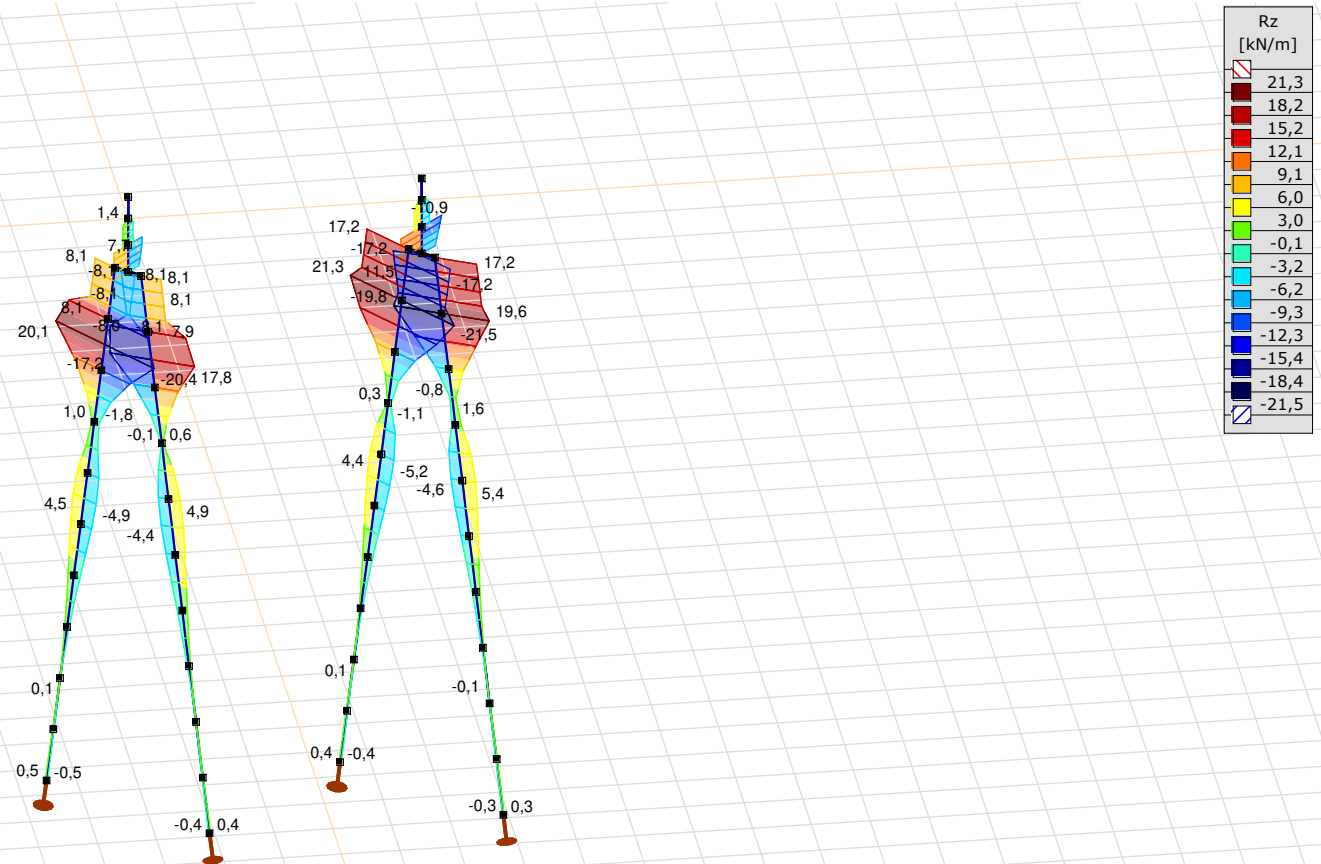
Analysis by

Model: **2P-O-H1 & 2P-O-L1.axs**

21-5-2022

Pag. 37

Niet-lineaire berekening	
Norm	Eurocode-NL
Geval	: Omhullende Min,Max
Omhullende	: Alle UGT
E (U)	: 5,77E-4
E (P)	: 4,88E-6
E (W)	: 9,97E-7
E (Eq)	: 2,83E-9
Comp.	: Rz [kN/m]
Max	: 21,3
Min	: -21,5



[III], Non-lin., Omhullende (Alle UGT), Rz (lijnopp.), Lijnen (gevuld)

Project

Analysis by

Model: **2P-O-H1 & 2P-O-L1.axs**

21-5-2022

Pag. 38

Interne krachten knoopplegging [Non-lin., Omhullende (Alle UGT)]

	<i>Knoop</i>	<i>X [m]</i>	<i>Y [m]</i>	<i>Z [m]</i>	<i>Type</i>	<i>C</i>	<i>min. max.</i>	<i>Geval</i>	<i>R_x [kN]</i>
1	7	-1,213	-1,213	-11,000	Staaft r.	Rx	min	Co #3 max torsie [1] (1,000)	-21,0
							max	Co #1 max druk [1] (1,000)	0
2	26	1,213	1,213	-11,000	Staaft r.	Rx	min	Co #1 max druk [1] (1,000)	-653,6
							max	Co #2 max trek [1] (1,000)	0
3	73	-1,213	3,787	-11,000	Staaft r.	Rx	min	Co #3 max torsie [1] (1,000)	-22,6
							max	Co #2 max trek [1] (1,000)	0
4	89	1,213	6,213	-11,000	Staaft r.	Rx	min	Co #1 max druk [1] (1,000)	-629,7
							max	Co #2 max trek [1] (1,000)	0
Ext.									
2	26	1,213	1,213	-11,000	Staaft r.	Rx	min	Co #1 max druk [1] (1,000)	-653,6
4	89	1,213	6,213	-11,000	Staaft r.	Rx	max	Co #2 max trek [1] (1,000)	0

Knoop: Ondersteunde knoop; **Type:** Opleggingstype; **C:** Extreme component; **min. max.:** Extreme type; **Geval:** Belastinggeval van de extreme; **Rx:** X-component opleggingsreactiekracht;

Project

Analysis by

AxisVM X6 R1q · Geregistreerd aan DNV GL - Energy
2P-LD-H1 % 2P-LD-H2.axs

Report

Report, Inhoudsopgave

<i>Onderdeel</i>	<i>Pagina</i>	<i>Onderdeel</i>	<i>Pagina</i>
Tekening render	3	ULS 5a: Knoopbelastingen	21
Materialen	4	Gebruiker gedefinieerde belastingcombinaties uit belastinggevallen	21
Profielen	4	[II], Non-lin., Co #4 Perm [1] (1,000), Nx, Lijnen (gevuld)(gevuld)	22
Tekening	7	[II], Non-lin., Omhullende (Alle UGT), Nx, Lijnen (gevuld)	23
Knopen	8	[II], Non-lin., Omhullende (Alle UGT), My, Lijnen (gevuld)	24
Staven	9	[II], Non-lin., Omhullende (Alle UGT), Mz, Lijnen (gevuld)	25
Knoopopleggingen	10	[II], Non-lin., Omhullende (Alle UGT), Vy, Lijnen (gevuld)	26
Tekening met beddingen	11	[II], Non-lin., Omhullende (Alle UGT), Vz, Lijnen (gevuld)	27
Lijnopleggingen	12	Staafrachten [Non-lin., Omhullende (Alle UGT), Palen]	28
EG poer	15	[II], Non-lin., Co #1 max druk [1] (1,000), eX, Lijnen	29
EG poer: Staaf eigen gewicht	16	[II], Non-lin., Co #3 max torsie [1] (1,000), eX, Lijnen	30
GWS	16	[II], Non-lin., Omhullende (Alle UGT), eX, Lijnen	31
GWS: Knoopbelastingen	17	[II], Non-lin., Omhullende (Alle UGT), eY, Lijnen	32
SLS 7	17	[II], Non-lin., Omhullende (Alle UGT), eZ, Lijnen	33
SLS 7: Knoopbelastingen	18	Knoopverplaatsingen [Non-lin., Omhullende (Alle UGT)]	34
ULS 1a_45	18	[II], Non-lin., Omhullende (Alle UGT), Rx (knoopopl.), Lijnen	35
ULS 1a_45: Knoopbelastingen	19	[II], Non-lin., Omhullende (Alle UGT), Rx (lijnopp.), Lijnen (gevuld)	36
ULS 1a_45_0,9_0,9	19	[II], Non-lin., Omhullende (Alle UGT), Ry (lijnopp.), Lijnen (gevuld)	37
ULS 1a_45_0,9_0,9: Knoopbelastingen	20	[II], Non-lin., Omhullende (Alle UGT), Rz (lijnopp.), Lijnen (gevuld)	38
ULS 5a	20	Interne krachten knoopoplegging [Non-lin., Omhullende (Alle UGT)]	39

Project

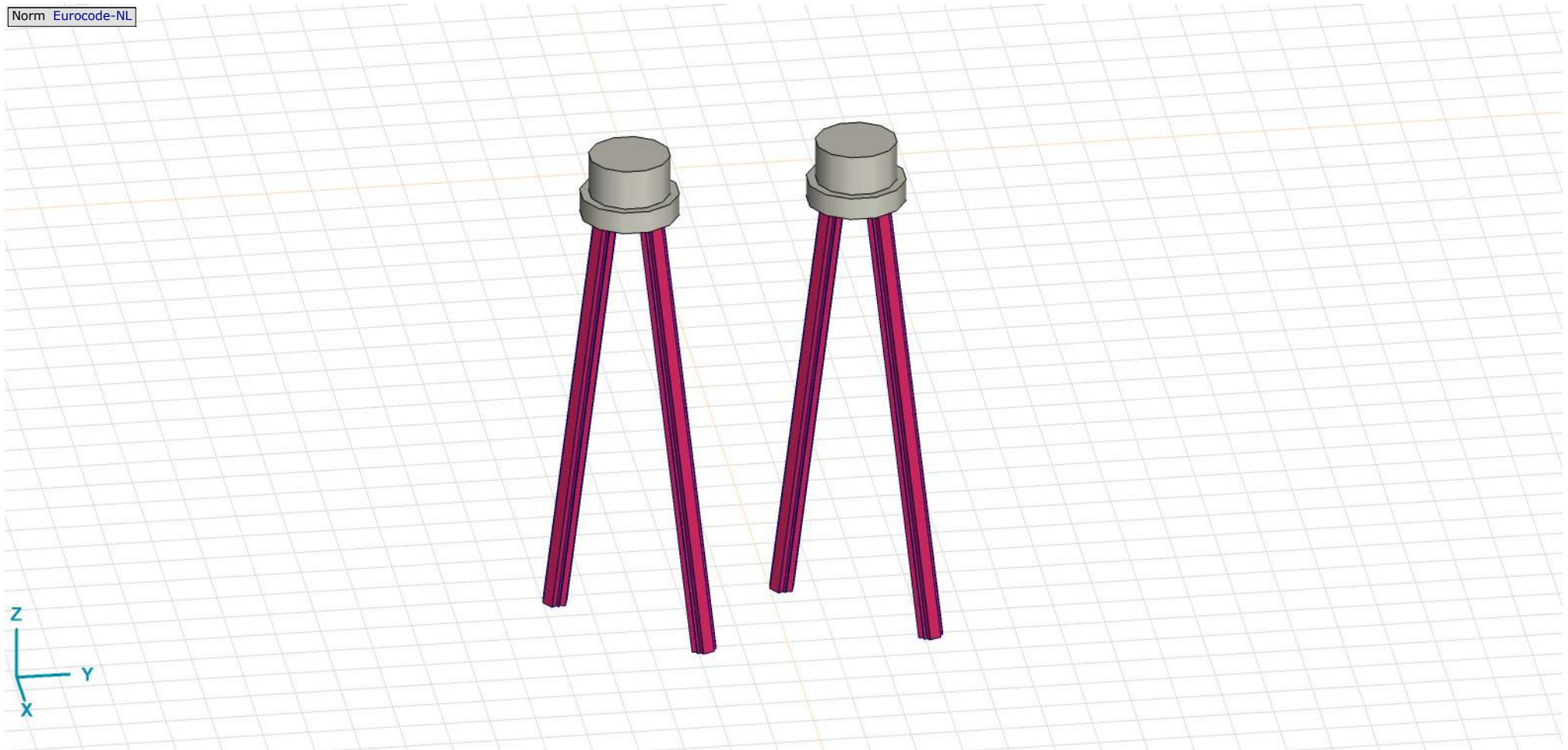
Analysis by

Model: **2P-LD-H1 % 2P-LD-H2.axs**

21-5-2022

Pag. 3

Norm Eurocode-NL



Tekening render

Project





Analysis by

Model: **2P-LD-H1 % 2P-LD-H2.axs**

21-5-2022

Pag. 4

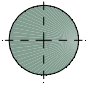
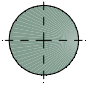
Materialen

	Naam	Type	Nationale norm	Materiaalnorm	Model	E_x [N/mm ²]	E_y [N/mm ²]	ν	α_T [1/°C]	ρ [kg/m ³]	Materiaal kleur	Contour kleur	Structuur	P_1
1	C30/37	Beton	Eurocode-NL	EN 206	Lineair	11000	11000	0,20	1E-5	2500			Concrete A	f_{ck} [N/mm ²] = 30,00
2	S 235	Staal	Eurocode-NL	10025-2	Lineair	210000	210000	0,30	1,2E-5	7850			Steel	f_y [N/mm ²] = 235,00

	Naam	P_2	P_3	P_4	P_5	P_6	P_7	P_8	P_9	P_{10}	P_{11}	P_{12}	P_{13}	P_{14}
1	C30/37	$\gamma_c = 1,500$	$\alpha_{cc} = 1,00$	$\phi_t = 2,00$										
2	S 235	f_u [N/mm ²] = 360,00	f_y [N/mm ²] = 215,00	f_u [N/mm ²] = 360,00										

Naam: Materiaalnaam; **Type:** Type materiaal; **Model:** Materiaal model; **E_x :** Elasticiteitsmodulus in lokale x richting; **E_y :** Elasticiteitsmodulus in lokale y richting; **ν :** Poisson's verhouding; **α_T :** Warmteuitzettingscoëfficiënt; **ρ :** Dichtheid; **Materiaal kleur:** Materiaalkleur; **Contour kleur:** Contourkleur; **$P_1, P_2, P_3, P_4, P_5, P_6, P_7, P_8, P_9, P_{10}, P_{11}, P_{12}, P_{13}, P_{14}$:** Ontwerpparameter;

Profielen

	Naam	Tekening	Productie	Vorm	h [mm]	b [mm]	tw [mm]	tf [mm]	r_1 [mm]	r_2 [mm]	r_3 [mm]	A_x [mm ²]	A_y [mm ²]	A_z [mm ²]
1	O 400		Ander	Rond	400,0	400,0	0	0	0	0	0	125638,20	107689,90	107689,90
2	O 1500		Ander	Rond	1500,0	1500,0	0	0	0	0	0	1766787,00	1514389,00	1514389,00

	Naam	I_x [mm ⁴]	I_y [mm ⁴]	I_z [mm ⁴]	I_{yz} [mm ⁴]	I_1 [mm ⁴]	I_2 [mm ⁴]	α [°]	I_w [mm ⁶]	$W_{1,el,t}$ [mm ³]	$W_{1,el,b}$ [mm ³]	$W_{2,el,t}$ [mm ³]	$W_{2,el,b}$ [mm ³]
1	O 400	2,51E+09	1,26E+09	1,26E+09	0	1,26E+09	1,26E+09	0	0	6280634,00	6280634,00	6280634,00	6280634,00
2	O 1500	4,97E+11	2,48E+11	2,48E+11	0	2,48E+11	2,48E+11	0	0	3,31E+08	3,31E+08	3,31E+08	3,31E+08

	Naam	$W_{1,pl}$ [mm ³]	$W_{2,pl}$ [mm ³]	i_y [mm]	i_z [mm]	H_y [mm]	H_z [mm]	y_G [mm]	z_G [mm]	y_s [mm]	z_s [mm]	β_y [mm]	β_z [mm]	β_w [mm]	$S.p.$
1	O 400	1,07E+07	1,07E+07	100,0	100,0	400,0	400,0	200,0	200,0	0	0	0	0	0	5
2	O 1500	5,62E+08	5,62E+08	375,0	375,0	1500,0	1500,0	750,0	750,0	0	0	0	0	0	5

Project

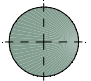
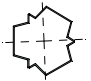
Analysis by

Model: **2P-LD-H1 % 2P-LD-H2.axs**

21-5-2022

Pag. 5

Profielen

	Naam	Tekening	Productie	Vorm	h [mm]	b [mm]	tw [mm]	tf [mm]	r ₁ [mm]	r ₂ [mm]	r ₃ [mm]	A _x [mm ²]	A _y [mm ²]	A _z [mm ²]
3	O 1300		Ander	Rond	1300,0	1300,0	0	0	0	0	0	1327053,00	1137474,00	1137474,00
4	O 550x8 (LD20)		Gewalst	Buis	550,0	550,0	8,0	8,0	0	0	0	13619,18	6811,96	6812,06
5	LD20 510,3x578		Ander	Eigen gedefinieerd	578,0	510,3	0	0	0	0	0	16974,97	5778,59	6004,45
6	514x570,1 (LD1)		Ander	Eigen gedefinieerd	570,1	514,0	0	0	0	0	0	15142,80	5219,72	5219,72
7	660x660 (LV1)		Ander	Eigen gedefinieerd	660,0	660,0	0	0	0	0	0	18762,72	6717,71	6717,71

	Naam	I _x [mm ⁴]	I _y [mm ⁴]	I _z [mm ⁴]	I _{yz} [mm ⁴]	I ₁ [mm ⁴]	I ₂ [mm ⁴]	α [°]	Iω [mm ⁶]	W _{1,el,t} [mm ³]	W _{1,el,b} [mm ³]	W _{2,el,t} [mm ³]	W _{2,el,b} [mm ³]
3	O 1300	2,8E+11	1,4E+11	1,4E+11	0	1,4E+11	1,4E+11	0	0	2,16E+08	2,16E+08	2,16E+08	2,16E+08
4	O 550x8 (LD20)	1E+09	5E+08	5E+08	0	5E+08	5E+08	0	0	1818583,00	1818583,00	1818583,00	1818583,00
5	LD20 510,3x578	7E+08	5,25E+08	5,04E+08	-826205,80	5,25E+08	5,04E+08	2,32	2,7E+11	1819914,00	1814915,00	1981607,00	1935533,00
6	514x570,1 (LD1)	6,22E+08	4,6E+08	4,6E+08	0	4,6E+08	4,6E+08	0	2,4E+11	1614516,00	1614516,00	1790846,00	1790845,00
7	660x660 (LV1)	1,28E+09	9,11E+08	9,11E+08	0	9,11E+08	9,11E+08	0	3,6E+11	2760437,00	2760437,00	2760437,00	2760437,00

	Naam	W _{1,pl} [mm ³]	W _{2,pl} [mm ³]	i _y [mm]	i _z [mm]	H _y [mm]	H _z [mm]	y _G [mm]	z _G [mm]	y _s [mm]	z _s [mm]	β _y [mm]	β _z [mm]	β _w [°]	S.p.
3	O 1300	3,66E+08	3,66E+08	325,0	325,0	1300,0	1300,0	650,0	650,0	0	0	0	0	0	5
4	O 550x8 (LD20)	2349567,00	2349582,00	191,6	191,6	550,0	550,0	275,0	275,0	0	0	0	0	0	5
5	LD20 510,3x578	2674507,00	2615278,00	175,8	172,4	510,3	578,0	255,7	288,6	0,2	-2,2	3,2	0,2	-49,8	1
6	514x570,1 (LD1)	2369310,00	2357912,00	174,3	174,3	514,0	570,1	257,0	285,1	0	0	0	0	0	7
7	660x660 (LV1)	3701802,00	3701802,00	220,3	220,3	660,0	660,0	330,0	330,0	0	0	0	0	2,3	9

Project

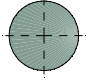
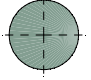
Analysis by

Model: **2P-LD-H1 % 2P-LD-H2.axs**

21-5-2022

Pag. 6

Profielen

	Naam	Tekening	Productie	Vorm	h [mm]	b [mm]	tw [mm]	tf [mm]	r_1 [mm]	r_2 [mm]	r_3 [mm]	A_x [mm ²]	A_y [mm ²]	A_z [mm ²]
8	O 2200		Ander	Rond	2200,0	2200,0	0	0	0	0	0	3800555,00	3257619,00	3257619,00
9	O 1800		Ander	Rond	1800,0	1800,0	0	0	0	0	0	2544173,00	2180720,00	2180720,00

	Naam	I_x [mm ⁴]	I_y [mm ⁴]	I_z [mm ⁴]	I_{yz} [mm ⁴]	I_1 [mm ⁴]	I_2 [mm ⁴]	α [°]	I_ω [mm ⁶]	$W_{1,el,t}$ [mm ³]	$W_{1,el,b}$ [mm ³]	$W_{2,el,t}$ [mm ³]	$W_{2,el,b}$ [mm ³]
8	O 2200	2,3E+12	1,15E+12	1,15E+12	0	1,15E+12	1,15E+12	0	0	1,04E+09	1,04E+09	1,04E+09	1,04E+09
9	O 1800	1,03E+12	5,15E+11	5,15E+11	0	5,15E+11	5,15E+11	0	0	5,72E+08	5,72E+08	5,72E+08	5,72E+08

	Naam	$W_{1,pl}$ [mm ³]	$W_{2,pl}$ [mm ³]	i_y [mm]	i_z [mm]	H_y [mm]	H_z [mm]	y_G [mm]	z_G [mm]	y_s [mm]	z_s [mm]	β_y [mm]	β_z [mm]	β_w []	S.p.
8	O 2200	1,77E+09	1,77E+09	549,9	549,9	2200,0	2200,0	1100,0	1100,0	0	0	0	0	0	5
9	O 1800	9,72E+08	9,72E+08	450,0	450,0	1800,0	1800,0	900,0	900,0	0	0	0	0	0	5

Naam: Doorsnede naam; **Productie:** Productieproces; **Vorm:** Profiel; **h:** Doorsnede hoogte; **b:** Doorsnede breedte; **tw:** Lijfdikte; **tf:** Flensdikte; **r₁, r₂, r₃:** Afrondingswaarde; **A_x:** Doorsnede-oppervlak; **A_y, A_z:** Afschuivingsoppervlak; **I_x:** Torsietraagheidsmoment; **I_y, I_z:** Buigtraagheidsmoment; **I_{yz}:** Centrifugaal traagheidsmoment; **I₁, I₂:** Hoofdbuigtraagheidsmoment; **α:** Hoofdrichtingen; **I_ω:** Krommingsconstante; **W_{1,el,t}, W_{1,el,b}, W_{2,el,t}, W_{2,el,b}:** Elastisch weerstandsmoment; **W_{1,pl}, W_{2,pl}:** Plastisch weerstandsmoment; **i_y, i_z:** Traagheidsstraal; **H_y:** Afmeting in lokale Y-richting; **H_z:** Afmeting in lokale Z-richting; **y_G:** Y-coördinaat van het zwaartepunt; **z_G:** Z-coördinaat van het zwaartepunt; **y_s:** Y-coördinaat van het afschuivingsmiddelpunt (torsie); **z_s:** Z-coördinaat van het afschuivingsmiddelpunt (torsie); **β_y, β_z, β_w:** Wagner's coëfficiënt; **S.p.:** Spanningspunten;

Project

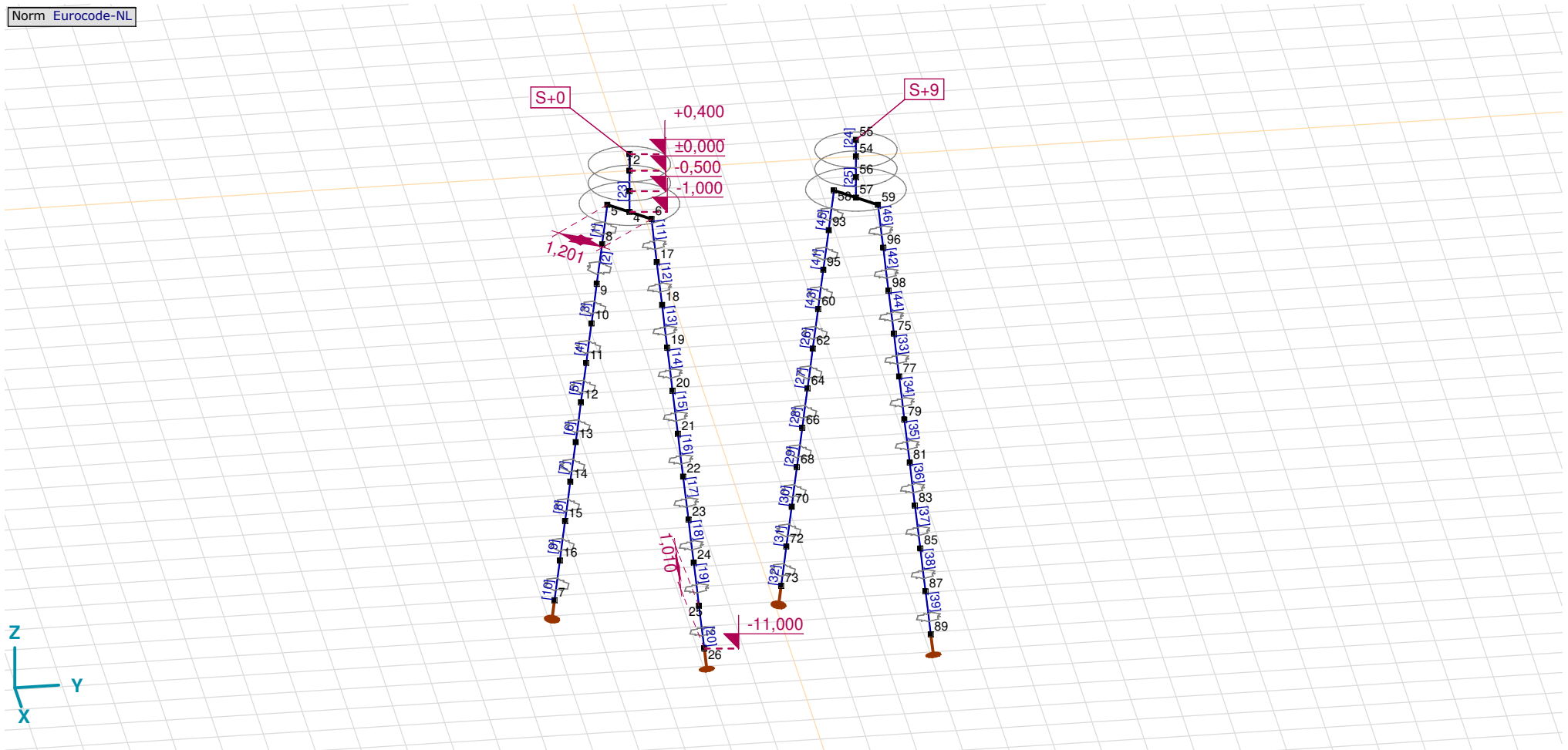
Analysis by

Model: 2P-LD-H1 % 2P-LD-H2.axs

21-5-2022

Pag. 7

Norm Eurocode-NL



Tekening

Project

Analysis by

Model: **2P-LD-H1 % 2P-LD-H2.axs**

21-5-2022

Pag. 8

Knopen

	X [m]	Y [m]	Z [m]		X [m]	Y [m]	Z [m]		X [m]	Y [m]	Z [m]		X [m]	Y [m]	Z [m]		X [m]	Y [m]	Z [m]
1	0	0	0	12	-0,934	-0,934	-6,000	23	1,137	1,137	-8,000	62	-0,832	4,168	-5,000	83	1,137	6,137	-8,000
2	0	0	0,400	13	-1,035	-1,035	-7,000	24	1,239	1,239	-9,000	64	-0,934	4,066	-6,000	85	1,239	6,239	-9,000
3	0	0	-0,500	14	-1,137	-1,137	-8,000	25	1,341	1,341	-10,000	66	-1,035	3,965	-7,000	87	1,341	6,341	-10,000
4	0	0	-1,000	15	-1,239	-1,239	-9,000	26	1,443	1,443	-11,000	68	-1,137	3,863	-8,000	89	1,443	6,443	-11,000
5	-0,424	-0,424	-1,000	16	-1,341	-1,341	-10,000	54	0	5,000	0	70	-1,239	3,761	-9,000	93	-0,526	4,474	-2,000
6	0,424	0,424	-1,000	17	0,526	0,526	-2,000	55	0	5,000	0,400	72	-1,341	3,659	-10,000	95	-0,628	4,372	-3,000
7	-1,443	-1,443	-11,000	18	0,628	0,628	-3,000	56	0	5,000	-0,500	73	-1,443	3,557	-11,000	96	0,526	5,526	-2,000
8	-0,526	-0,526	-2,000	19	0,730	0,730	-4,000	57	0	5,000	-1,000	75	0,730	5,730	-4,000	98	0,628	5,628	-3,000
9	-0,628	-0,628	-3,000	20	0,832	0,832	-5,000	58	-0,424	4,576	-1,000	77	0,832	5,832	-5,000				
10	-0,730	-0,730	-4,000	21	0,934	0,934	-6,000	59	0,424	5,424	-1,000	79	0,934	5,934	-6,000				
11	-0,832	-0,832	-5,000	22	1,035	1,035	-7,000	60	-0,730	4,270	-4,000	81	1,035	6,035	-7,000				

Project

Analysis by

Model: **2P-LD-H1 % 2P-LD-H2.axs**

21-5-2022

Pag. 9

Staven

	Start-punt	Eind-punt	Lengte	Lokaal X	Materiaal	Doorsnede	Ref _Z		Start-punt	Eind-punt	Lengte	Lokaal X	Materiaal	Doorsnede	Ref _Z
1	8	5	1,010	j - i	S 235	6	↗ R2	24	54	55	0,400	i - j	C30/37	9	↗ R1
2	9	8	1,010	j - i	S 235	6	↗ R2	25	56	54	0,500	j - i	C30/37	9	↗ R1
3	10	9	1,010	j - i	S 235	6	↗ R2	26	62	60	1,010	j - i	S 235	6	↗ R2
4	11	10	1,010	j - i	S 235	6	↗ R2	27	64	62	1,010	j - i	S 235	6	↗ R2
5	12	11	1,010	j - i	S 235	6	↗ R2	28	66	64	1,010	j - i	S 235	6	↗ R2
6	13	12	1,010	j - i	S 235	6	↗ R2	29	68	66	1,010	j - i	S 235	6	↗ R2
7	14	13	1,010	j - i	S 235	6	↗ R2	30	70	68	1,010	j - i	S 235	6	↗ R2
8	15	14	1,010	j - i	S 235	6	↗ R2	31	72	70	1,010	j - i	S 235	6	↗ R2
9	16	15	1,010	j - i	S 235	6	↗ R2	32	73	72	1,010	j - i	S 235	6	↗ R2
10	7	16	1,010	i - j	S 235	6	↗ R2	33	77	75	1,010	j - i	S 235	6	↗ R3
11	17	6	1,010	j - i	S 235	6	↗ R3	34	79	77	1,010	j - i	S 235	6	↗ R3
12	18	17	1,010	j - i	S 235	6	↗ R3	35	81	79	1,010	j - i	S 235	6	↗ R3
13	19	18	1,010	j - i	S 235	6	↗ R3	36	83	81	1,010	j - i	S 235	6	↗ R3
14	20	19	1,010	j - i	S 235	6	↗ R3	37	85	83	1,010	j - i	S 235	6	↗ R3
15	21	20	1,010	j - i	S 235	6	↗ R3	38	87	85	1,010	j - i	S 235	6	↗ R3
16	22	21	1,010	j - i	S 235	6	↗ R3	39	89	87	1,010	j - i	S 235	6	↗ R3
17	23	22	1,010	j - i	S 235	6	↗ R3	40	57	56	0,500	j - i	C30/37	8	↗ R1
18	24	23	1,010	j - i	S 235	6	↗ R3	41	95	93	1,010	j - i	S 235	6	↗ R2
19	25	24	1,010	j - i	S 235	6	↗ R3	42	98	96	1,010	j - i	S 235	6	↗ R3
20	26	25	1,010	j - i	S 235	6	↗ R3	43	60	95	1,010	i - j	S 235	6	↗ R2
21	4	3	0,500	j - i	C30/37	8	↗ R1	44	75	98	1,010	i - j	S 235	6	↗ R3
22	1	2	0,400	i - j	C30/37	9	↗ R1	45	93	58	1,010	j - i	S 235	6	↗ R2
23	3	1	0,500	j - i	C30/37	9	↗ R1	46	96	59	1,010	j - i	S 235	6	↗ R3

Lengte: Elementlengte; Lokaal X: Lokale X-richting; Ref_Z: Referentie voor lokale Z-richting;

Project

Analysis by

Model: **2P-LD-H1 % 2P-LD-H2.axs**

21-5-2022

Pag. 10

Knooppopleggingen

	Knoop	X [m]	Y [m]	Z [m]	Type	Ref. elem.	Naam _x	Veermodel _x	K _x [kN/m]	K _{xv} [kN/m]	NL _x	Grenswaarde _x [kN]	Naam _y	Veermodel _y	K _y [kN/m]
1	7	-1,443	-1,443	-11,000	StAAF r.	StAAF 13	Verend - translatie	NL elastisch	3E+5	3E+5	Druk Alleen druk	-	—	-	-
2	26	1,443	1,443	-11,000	StAAF r.	StAAF 28	Verend - translatie	NL elastisch	3E+5	3E+5	Druk Alleen druk	-	—	-	-
3	73	-1,443	3,557	-11,000	StAAF r.	StAAF 61	Vast - translatie	NL elastisch	3E+5	3E+5	Druk Alleen druk	-	—	-	-
4	89	1,443	6,443	-11,000	StAAF r.	StAAF 76	Vast - translatie	NL elastisch	3E+5	3E+5	Druk Alleen druk	-	—	-	-

	Knoop	K _{yv} [kN/m]	Naam _z	Veermodel _z	K _z [kN/m]	K _{zv} [kN/m]	Naam _{xx}	Veermodel _{xx}	K _{xx} [kNm/rad]	K _{xxv} [kNm/rad]	Naam _{yy}	Veermodel _{yy}	K _{yy} [kNm/rad]	K _{yyv} [kNm/rad]	Naam _{zz}
1	7	-	—	-	-	-	—	-	-	-	—	-	-	-	—
2	26	-	—	-	-	-	—	-	-	-	—	-	-	-	—
3	73	-	—	-	-	-	—	-	-	-	—	-	-	-	—
4	89	-	—	-	-	-	—	-	-	-	—	-	-	-	—

	Knoop	Veermodel _{zz}	K _{zz} [kNm/rad]	K _{zzv} [kNm/rad]	Veermodel _w
1	7	-	-	-	-
2	26	-	-	-	-
3	73	-	-	-	-
4	89	-	-	-	-

Knoop: Ondersteunde knoop; **Type:** Opleggingstype; **Ref. elem.:** Referentie-element; **Naam_x:** Naam van de veereigenschappen; **Veermodel_x:** Veermodel; **K_x:** Initiële stijfheid; **K_{xv}:** Trillingsstijfheid; **NL_x:** Niet-lineaire parameters; **Grenswaarde_x:** Grenswaarde; **K_y, K_z, K_{xx}, K_{yy}, K_{zz}:** Initiële stijfheid;

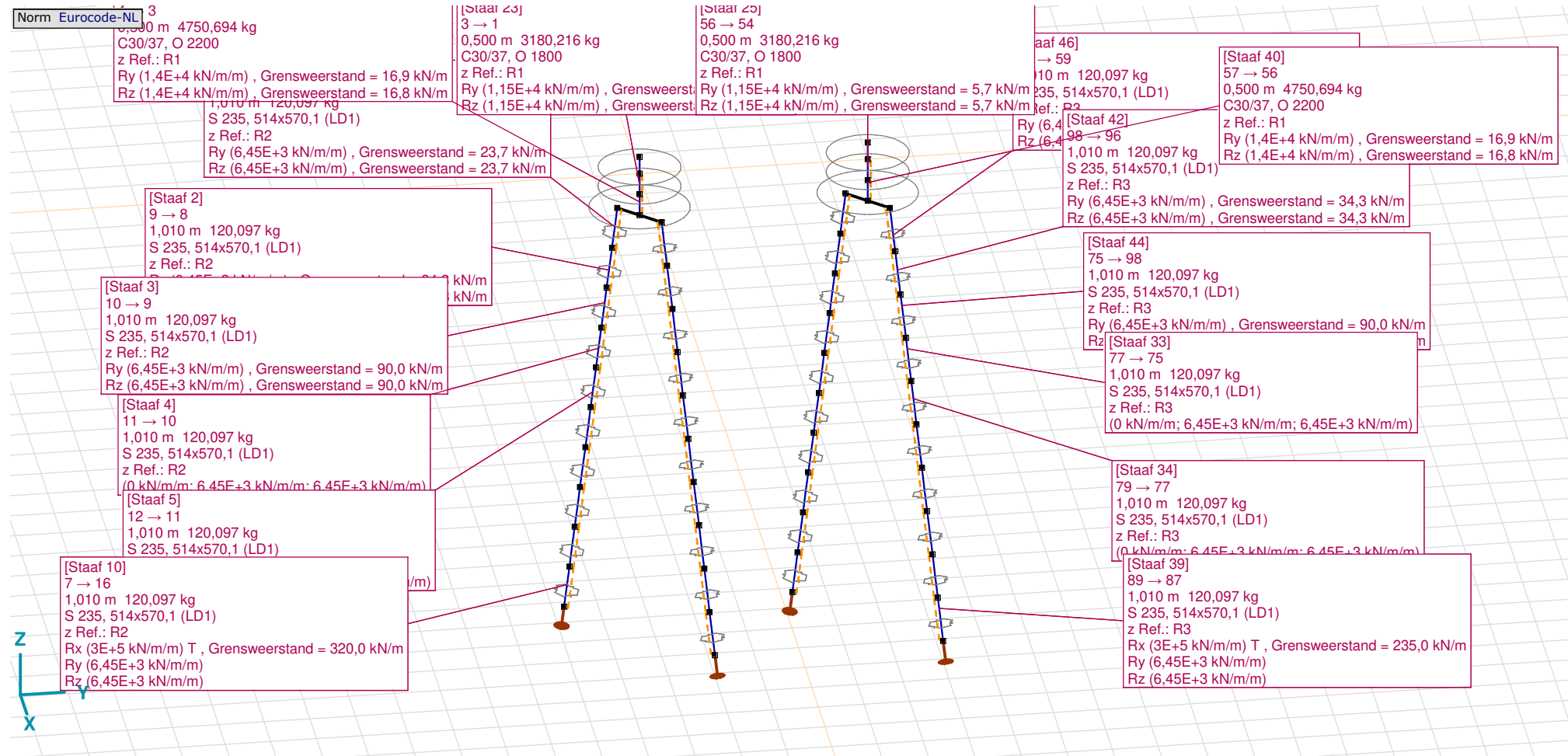
Project

Analysis by

Model: 2P-LD-H1 % 2P-LD-H2.axs

21-5-2022

Pag. 11



Tekening met beddingen

Project

Analysis by

Model: **2P-LD-H1 % 2P-LD-H2.axs**

21-5-2022

Pag. 12

Lijnopleggingen

	Lijn	Type	Ref. elem.	Rx [kN/m/m]	Ry [kN/m/m]	Rz [kN/m/m]	Rxx [kNm/rad/m]	Ryy [kNm/rad/m]	Rzz [kNm/rad/m]	NL(x)	NL(y)	NL(z)	NL(xx)	NL(yy)	NL(zz)
		StAAF r.													
1	StAAF 1	StAAF r.		0	6,45E+3	6,45E+3					Symmetrisch	Symmetrisch			
2	StAAF 2	StAAF r.		0	6,45E+3	6,45E+3					Symmetrisch	Symmetrisch			
3	StAAF 3	StAAF r.		0	6,45E+3	6,45E+3					Symmetrisch	Symmetrisch			
7	StAAF 4	StAAF r.		0	6,45E+3	6,45E+3					Symmetrisch	Symmetrisch			
8	StAAF 5	StAAF r.		0	6,45E+3	6,45E+3					Symmetrisch	Symmetrisch			
9	StAAF 6	StAAF r.		0	6,45E+3	6,45E+3					Symmetrisch	Symmetrisch			
10	StAAF 7	StAAF r.		0	6,45E+3	6,45E+3					Symmetrisch	Symmetrisch			
11	StAAF 8	StAAF r.		0	6,45E+3	6,45E+3					Symmetrisch	Symmetrisch			
12	StAAF 9	StAAF r.		0	6,45E+3	6,45E+3					Symmetrisch	Symmetrisch			
13	StAAF 10	StAAF r.		3E+5	6,45E+3	6,45E+3				Trek	Symmetrisch	Symmetrisch			
4	StAAF 11	StAAF r.		0	6,45E+3	6,45E+3					Symmetrisch	Symmetrisch			
5	StAAF 12	StAAF r.		0	6,45E+3	6,45E+3					Symmetrisch	Symmetrisch			
6	StAAF 13	StAAF r.		0	6,45E+3	6,45E+3					Symmetrisch	Symmetrisch			
14	StAAF 14	StAAF r.		0	6,45E+3	6,45E+3					Symmetrisch	Symmetrisch			
15	StAAF 15	StAAF r.		0	6,45E+3	6,45E+3					Symmetrisch	Symmetrisch			
16	StAAF 16	StAAF r.		0	6,45E+3	6,45E+3					Symmetrisch	Symmetrisch			

	Lijn	F(x) [kN/m]	F(y) [kN/m]	F(z) [kN/m]	M(x) [kNm/m]	M(y) [kNm/m]	M(z) [kNm/m]
1	StAAF 1		23,7	23,7			
2	StAAF 2		34,3	34,3			
3	StAAF 3		90,0	90,0			
7	StAAF 4						
8	StAAF 5						
9	StAAF 6						
10	StAAF 7						
11	StAAF 8						
12	StAAF 9						
13	StAAF 10	320,0					
4	StAAF 11		23,7	23,7			
5	StAAF 12		34,3	34,3			
6	StAAF 13		90,0	90,0			
14	StAAF 14						
15	StAAF 15						
16	StAAF 16						

Project

Analysis by

Model: **2P-LD-H1 % 2P-LD-H2.axs**

21-5-2022

Pag. 13

Lijnopleggingen

	Lijn	Type	Ref. elem.	Rx [kN/m/m]	Ry [kN/m/m]	Rz [kN/m/m]	Rxx [kNm/rad/m]	Ryy [kNm/rad/m]	Rzz [kNm/rad/m]	NL(x)	NL(y)	NL(z)	NL(xx)	NL(yy)	NL(zz)
17	StAAF 17	StAAF r.		0	6,45E+3	6,45E+3					Symmetrisch	Symmetrisch			
18	StAAF 18	StAAF r.		0	6,45E+3	6,45E+3					Symmetrisch	Symmetrisch			
19	StAAF 19	StAAF r.		0	6,45E+3	6,45E+3					Symmetrisch	Symmetrisch			
20	StAAF 20	StAAF r.		3E+5	6,45E+3	6,45E+3				Trek	Symmetrisch	Symmetrisch			
41	StAAF 21	StAAF r.		0	1,4E+4	1,4E+4					Symmetrisch	Symmetrisch			
42	StAAF 23	StAAF r.		0	1,15E+4	1,15E+4					Symmetrisch	Symmetrisch			
43	StAAF 25	StAAF r.		0	1,15E+4	1,15E+4					Symmetrisch	Symmetrisch			
21	StAAF 26	StAAF r.		0	6,45E+3	6,45E+3					Symmetrisch	Symmetrisch			
22	StAAF 27	StAAF r.		0	6,45E+3	6,45E+3					Symmetrisch	Symmetrisch			
23	StAAF 28	StAAF r.		0	6,45E+3	6,45E+3					Symmetrisch	Symmetrisch			
24	StAAF 29	StAAF r.		0	6,45E+3	6,45E+3					Symmetrisch	Symmetrisch			
25	StAAF 30	StAAF r.		0	6,45E+3	6,45E+3					Symmetrisch	Symmetrisch			
26	StAAF 31	StAAF r.		0	6,45E+3	6,45E+3					Symmetrisch	Symmetrisch			
27	StAAF 32	StAAF r.		3E+5	6,45E+3	6,45E+3				Trek	Symmetrisch	Symmetrisch			
28	StAAF 33	StAAF r.		0	6,45E+3	6,45E+3					Symmetrisch	Symmetrisch			
29	StAAF 34	StAAF r.		0	6,45E+3	6,45E+3					Symmetrisch	Symmetrisch			
30	StAAF 35	StAAF r.		0	6,45E+3	6,45E+3					Symmetrisch	Symmetrisch			

	Lijn	F(x) [kN/m]	F(y) [kN/m]	F(z) [kN/m]	M(x) [kNm/m]	M(y) [kNm/m]	M(z) [kNm/m]
17	StAAF 17						
18	StAAF 18						
19	StAAF 19						
20	StAAF 20	320,0					
41	StAAF 21		16,9	16,8			
42	StAAF 23		5,7	5,7			
43	StAAF 25		5,7	5,7			
21	StAAF 26						
22	StAAF 27						
23	StAAF 28						
24	StAAF 29						
25	StAAF 30						
26	StAAF 31						
27	StAAF 32	235,0					
28	StAAF 33						
29	StAAF 34						
30	StAAF 35						

Project

Analysis by

Model: **2P-LD-H1 % 2P-LD-H2.axs**

21-5-2022

Pag. 14

Lijnopleggingen

	Lijn	Type	Ref. elem.	R _x [kN/m/m]	R _y [kN/m/m]	R _z [kN/m/m]	R _{xx} [kNm/rad/m]	R _{yy} [kNm/rad/m]	R _{zz} [kNm/rad/m]	NL(x)	NL(y)	NL(z)	NL(xx)	NL(yy)	NL(zz)
31	Staaf 36	Staaf r.		0	6,45E+3	6,45E+3					Symmetrisch	Symmetrisch			
32	Staaf 37	Staaf r.		0	6,45E+3	6,45E+3					Symmetrisch	Symmetrisch			
33	Staaf 38	Staaf r.		0	6,45E+3	6,45E+3					Symmetrisch	Symmetrisch			
34	Staaf 39	Staaf r.		3E+5	6,45E+3	6,45E+3				Trek	Symmetrisch	Symmetrisch			
44	Staaf 40	Staaf r.		0	1,4E+4	1,4E+4					Symmetrisch	Symmetrisch			
35	Staaf 41	Staaf r.		0	6,45E+3	6,45E+3					Symmetrisch	Symmetrisch			
36	Staaf 42	Staaf r.		0	6,45E+3	6,45E+3					Symmetrisch	Symmetrisch			
37	Staaf 43	Staaf r.		0	6,45E+3	6,45E+3					Symmetrisch	Symmetrisch			
38	Staaf 44	Staaf r.		0	6,45E+3	6,45E+3					Symmetrisch	Symmetrisch			
39	Staaf 45	Staaf r.		0	6,45E+3	6,45E+3					Symmetrisch	Symmetrisch			
40	Staaf 46	Staaf r.		0	6,45E+3	6,45E+3					Symmetrisch	Symmetrisch			

	Lijn	F(x) [kN/m]	F(y) [kN/m]	F(z) [kN/m]	M(x) [kNm/m]	M(y) [kNm/m]	M(z) [kNm/m]
31	Staaf 36						
32	Staaf 37						
33	Staaf 38						
34	Staaf 39	235,0					
44	Staaf 40		16,9	16,8			
35	Staaf 41		34,3	34,3			
36	Staaf 42		34,3	34,3			
37	Staaf 43		90,0	90,0			
38	Staaf 44		90,0	90,0			
39	Staaf 45		23,7	23,7			
40	Staaf 46		23,7	23,7			

Lijn: Ondersteund lijnelement; **Type:** Opleggingstype; **Ref. elem.:** Referentie-element; **R_x, R_y, R_z:** Verplaatsingsstijfheid; **R_{xx}, R_{yy}, R_{zz}:** Rotatiestijfheid; **NL(x), NL(y), NL(z), NL(xx), NL(yy), NL(zz):** Niet-lineaire parameters; **F(x):** Weerstand in X-richting; **F(y):** Weerstand in Y-richting; **F(z):** Weerstand in Z-richting; **M(x):** Weerstandsmoment in X-richting; **M(y):** Weerstandsmoment in Y-richting; **M(z):** Weerstandsmoment in Z-richting;

Project

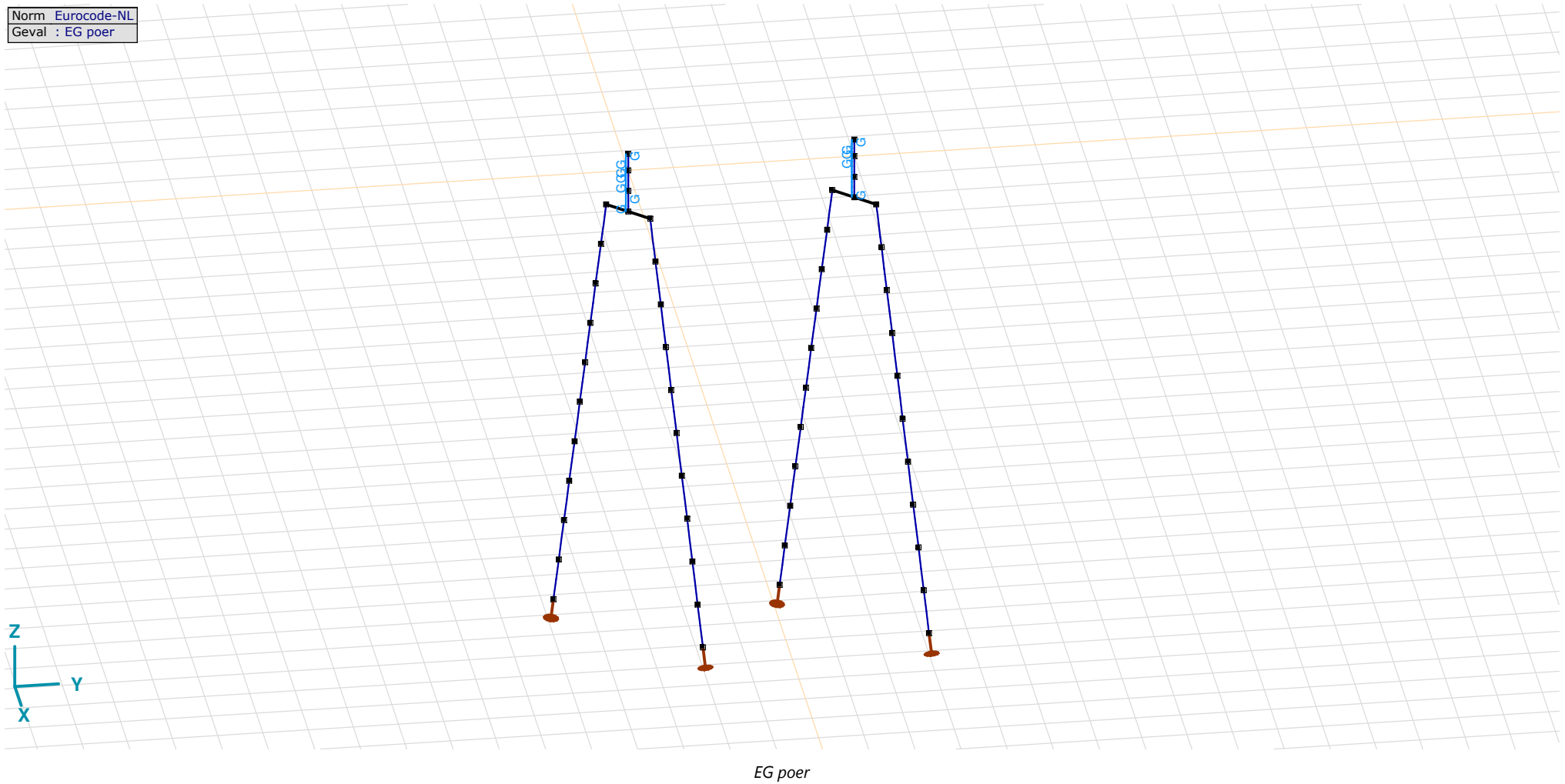
Analysis by

Model: 2P-LD-H1 % 2P-LD-H2.axs

21-5-2022

Pag. 15

Norm Eurocode-NL
Geval : EG poer



Project

Analysis by

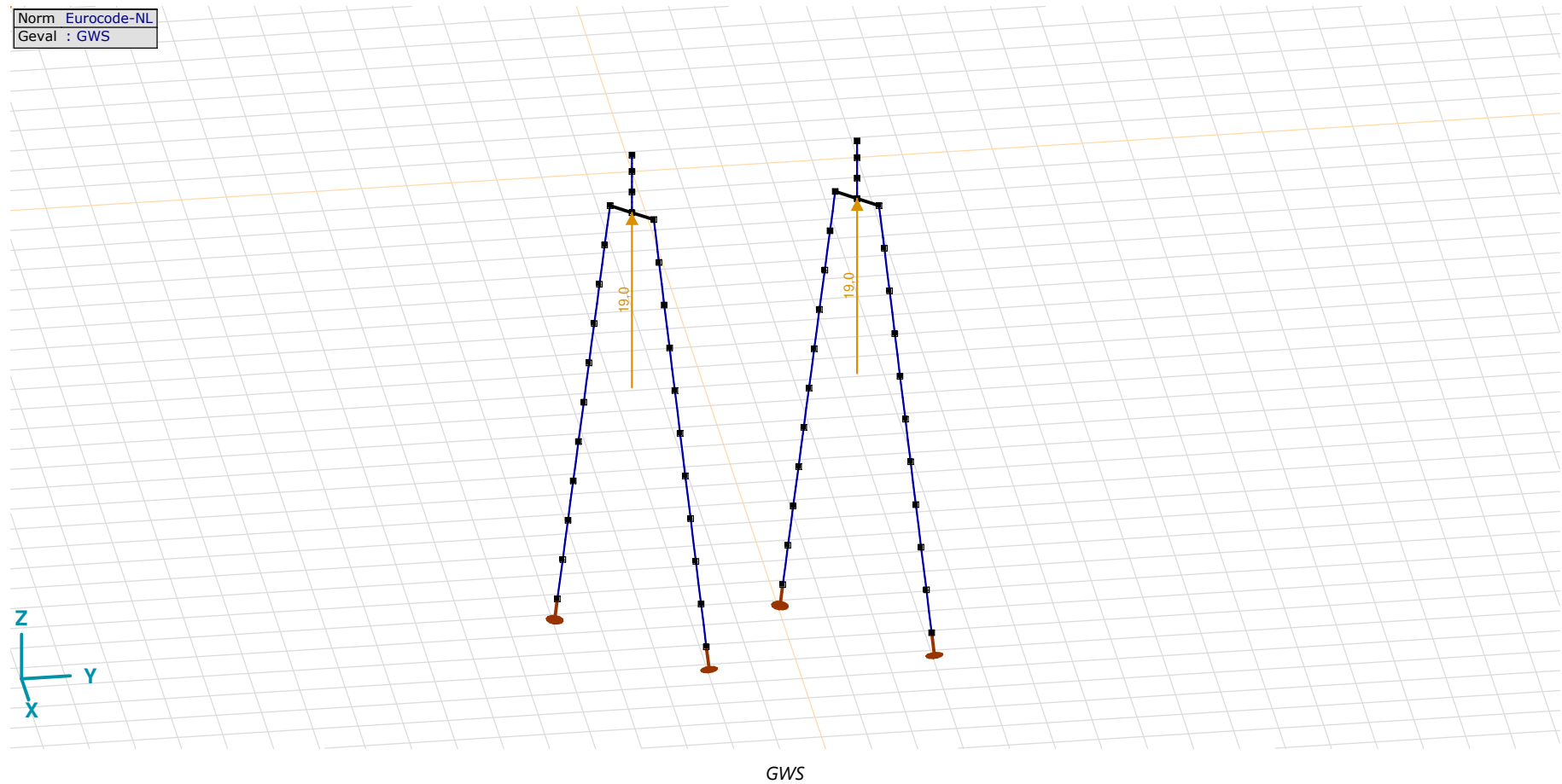
Model: **2P-LD-H1 % 2P-LD-H2.axs**

21-5-2022

Pag. 16

EG poer: Staaf eigen gewicht

	Σ [kg]
29-32	4750,694
77-80	4750,694
97-112	11448,779
Totaal	20950,168

 Σ : Totale massa;

Project

Analysis by

Model: **2P-LD-H1 % 2P-LD-H2.axs**

21-5-2022

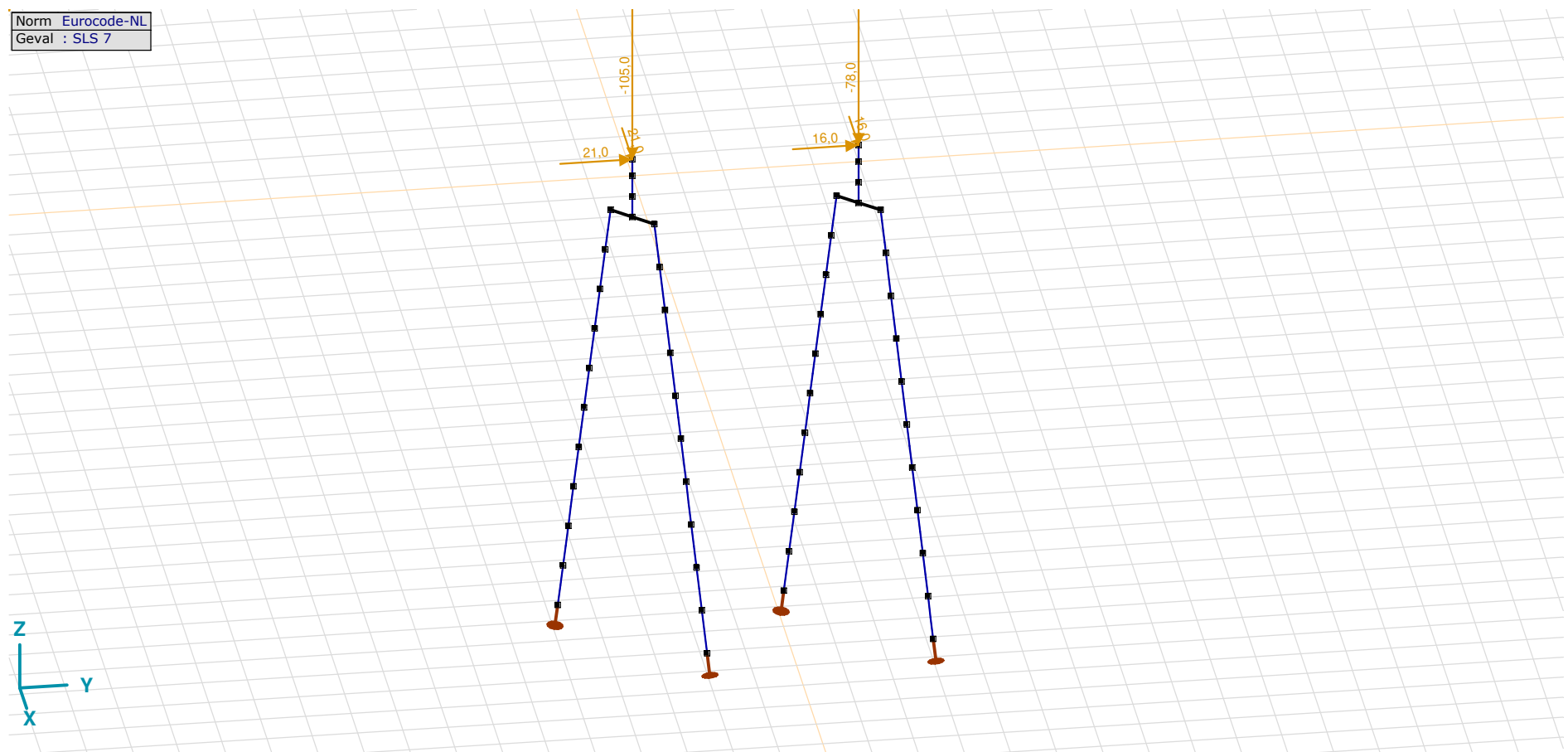
Pag. 17

GWS: Knoopbelastingen

	Richting	F_x [kN]	F_y [kN]	F_z [kN]	M_x [kNm]	M_y [kNm]	M_z [kNm]
4	Globaal	0	0	19,0	0	0	0
57	Globaal	0	0	19,0	0	0	0

 F_x , F_y , F_z : Belastingkracht component; **M_x , M_y , M_z :** Belastingsmoment component;

Norm	Eurocode-NL
Geval	SLS 7



SLS 7

Project

Analysis by

Model: **2P-LD-H1 % 2P-LD-H2.axs**

21-5-2022

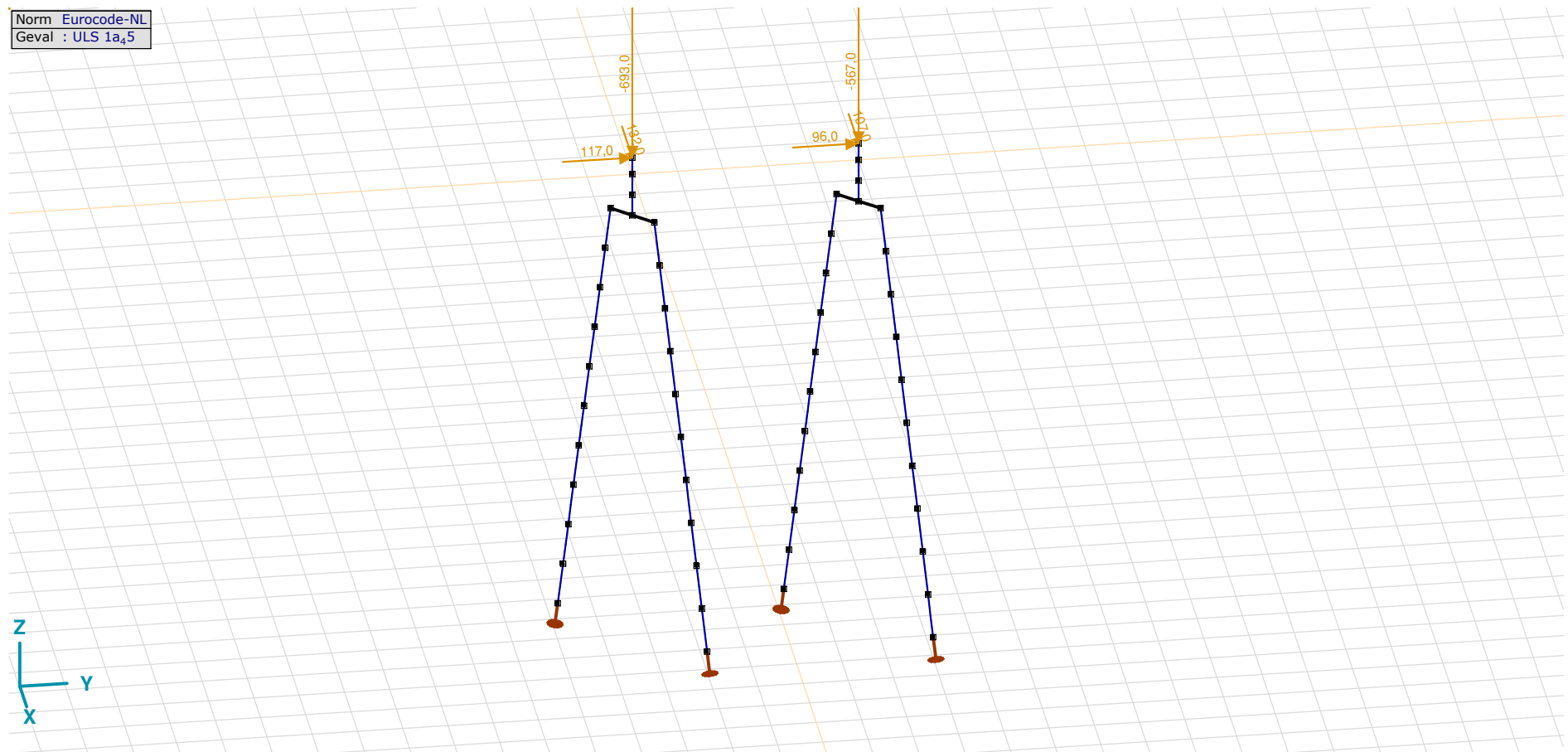
Pag. 18

SLS 7: Knoopbelastingen

	Richting	F_x [kN]	F_y [kN]	F_z [kN]	M_x [kNm]	M_y [kNm]	M_z [kNm]
2	Globaal	21,0	21,0	-105,0	0	0	0
55	Globaal	16,0	16,0	-78,0	0	0	0

F_x , F_y , F_z : Belastingkracht component; M_x , M_y , M_z : Belastingsmoment component;

Norm Eurocode-NL
Geval : ULS 1a₄₅

ULS 1a₄₅

Project

Analysis by

Model: **2P-LD-H1 % 2P-LD-H2.axs**

21-5-2022

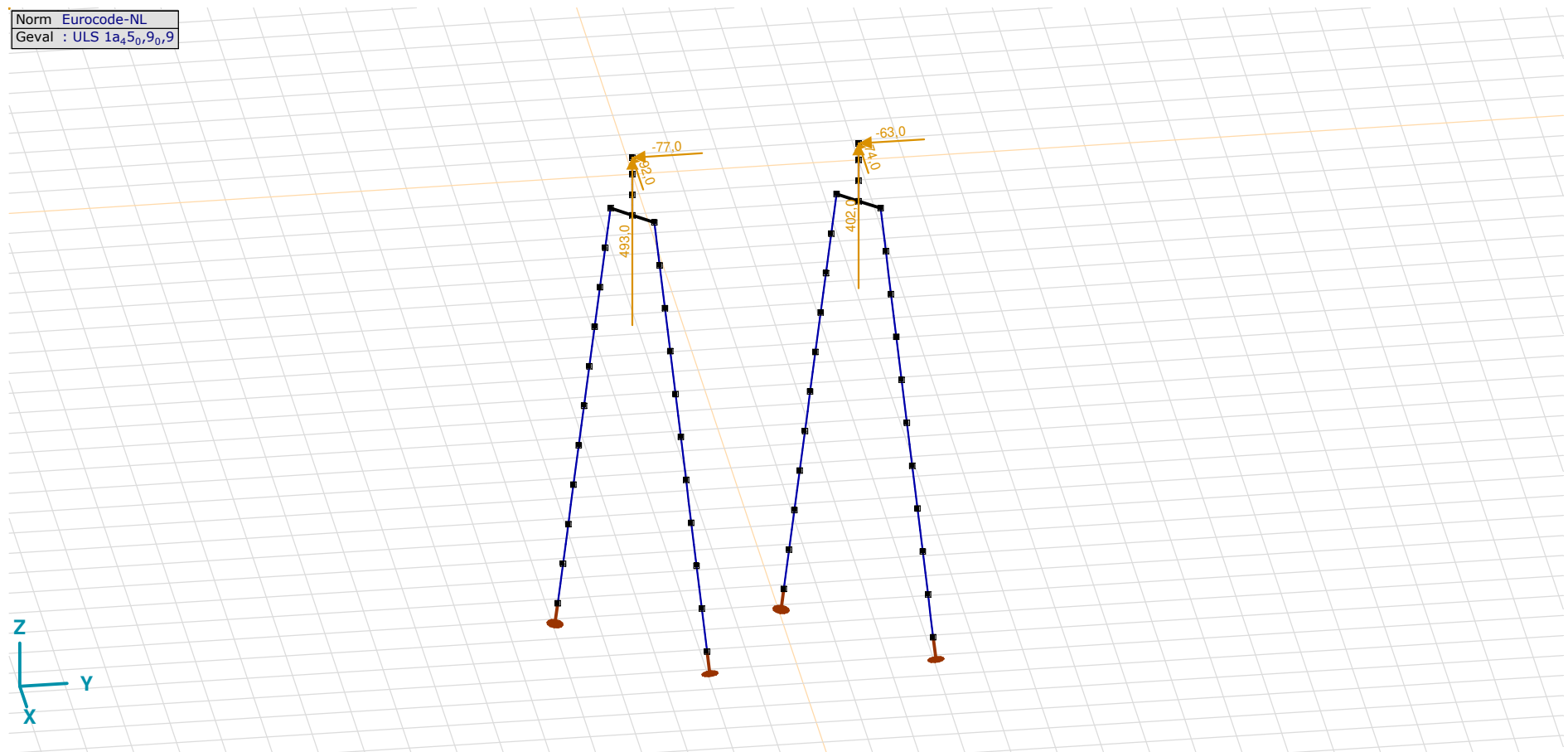
Pag. 19

ULS 1a_45: Knoopbelastingen

	Richting	F_x [kN]	F_y [kN]	F_z [kN]	M_x [kNm]	M_y [kNm]	M_z [kNm]
2	Globaal	132,0	117,0	-693,0	0	0	0
55	Globaal	107,0	96,0	-567,0	0	0	0

F_x, **F_y**, **F_z**: Belastingkracht component; **M_x**, **M_y**, **M_z**: Belastingsmoment component;

Norm Eurocode-NL
Geval : ULS 1a_{45,0,9,0,9}



ULS 1a_45_0,9_0,9

Project

Analysis by

Model: **2P-LD-H1 % 2P-LD-H2.axs**

21-5-2022

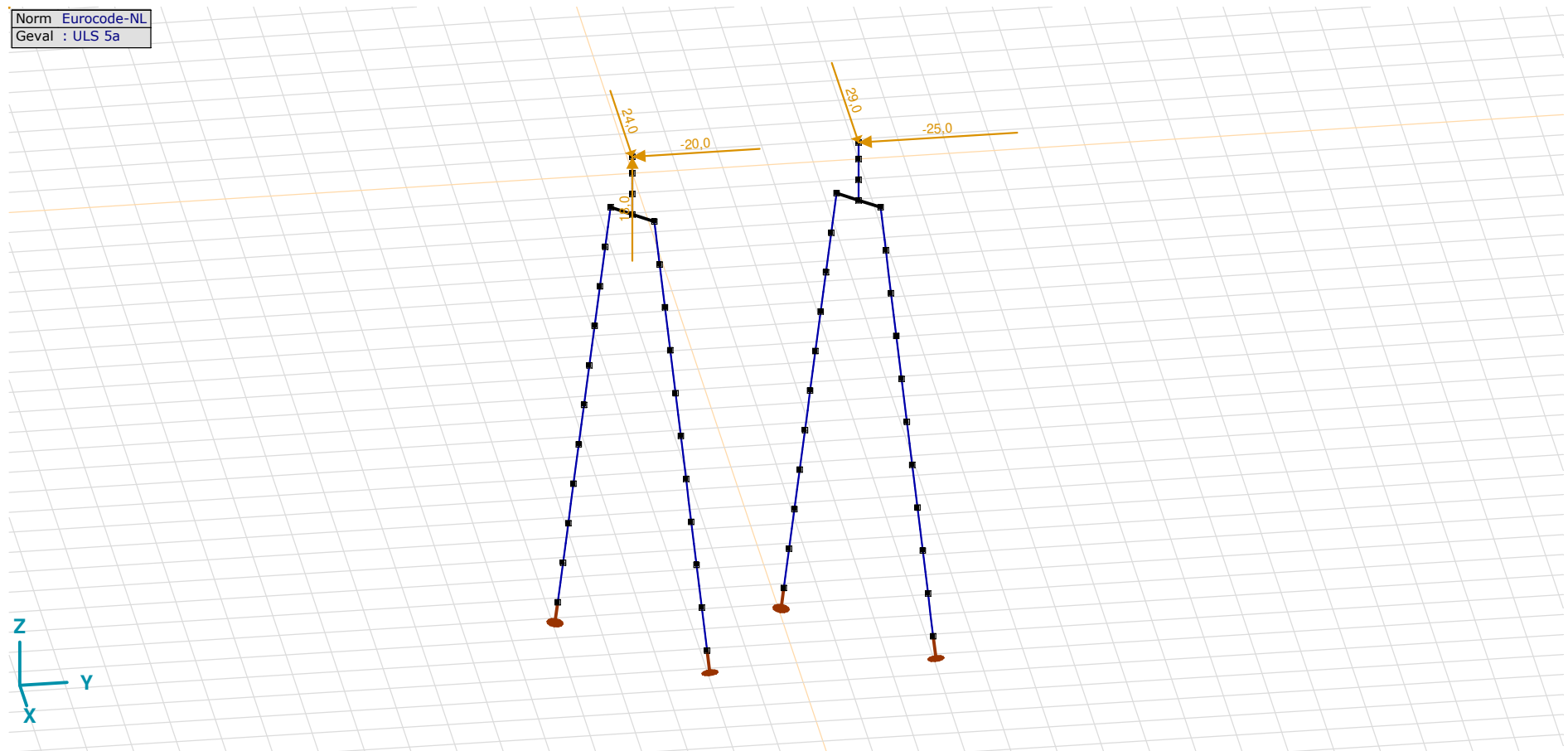
Pag. 20

ULS 1a_45_0,9_0,9: Knoopbelastingen

	Richting	F_x [kN]	F_y [kN]	F_z [kN]	M_x [kNm]	M_y [kNm]	M_z [kNm]
2	Globaal	-92,0	-77,0	493,0	0	0	0
55	Globaal	-74,0	-63,0	402,0	0	0	0

F_x, F_y, F_z: Belastingkracht component; **M_x, M_y, M_z**: Belastingsmoment component;

Norm Eurocode-NL
Geval : ULS 5a



ULS 5a

Project

Analysis by

Model: **2P-LD-H1 % 2P-LD-H2.axs**

21-5-2022

Pag. 21

ULS 5a: Knoopbelastingen

	<i>Richting</i>	<i>F_x</i> [kN]	<i>F_y</i> [kN]	<i>F_z</i> [kN]	<i>M_x</i> [kNm]	<i>M_y</i> [kNm]	<i>M_z</i> [kNm]
2	Globaal	24,0	-20,0	18,0	0	0	0
55	Globaal	29,0	-25,0	0	0	0	0

F_x, F_y, F_z: Belastingkracht component; **M_x, M_y, M_z**: Belastingsmoment component;

Gebruiker gedefinieerde belastingcombinaties uit belastinggevallen

	<i>Naam</i>	<i>Type</i>	<i>ST1</i>	<i>EG poer</i> (PERM1)	<i>GWS</i> (PERM1)	<i>SLS 7</i> (PERM1)	<i>ULS 1a_45</i> (VER1)	<i>ULS 1a_45_0,9_0,9</i> (VER1)	<i>ULS 5a</i> (VER1)	<i>Commentaar</i>
1	Co #1 max druk	UGT	0	1,20	0	0	1,00	0	0	
2	Co #2 max trek	UGT	0	0,90	1,00	0	0	1,00	0	
3	Co #3 max torsie	UGT	0	1,20	1,00	0	0	0	1,00	
4	Co #4 Perm	BGT Quasi-blijvend	0	1,00	0	1,00	0	0	0	

Naam: Naam belastingcombinatie; **Type**: Type belastingcombinatie; **ST1, EG poer (PERM1), GWS (PERM1), SLS 7 (PERM1), ULS 1a_45 (VER1), ULS 1a_45_0,9_0,9 (VER1), ULS 5a (VER1)**: Factor;

Project

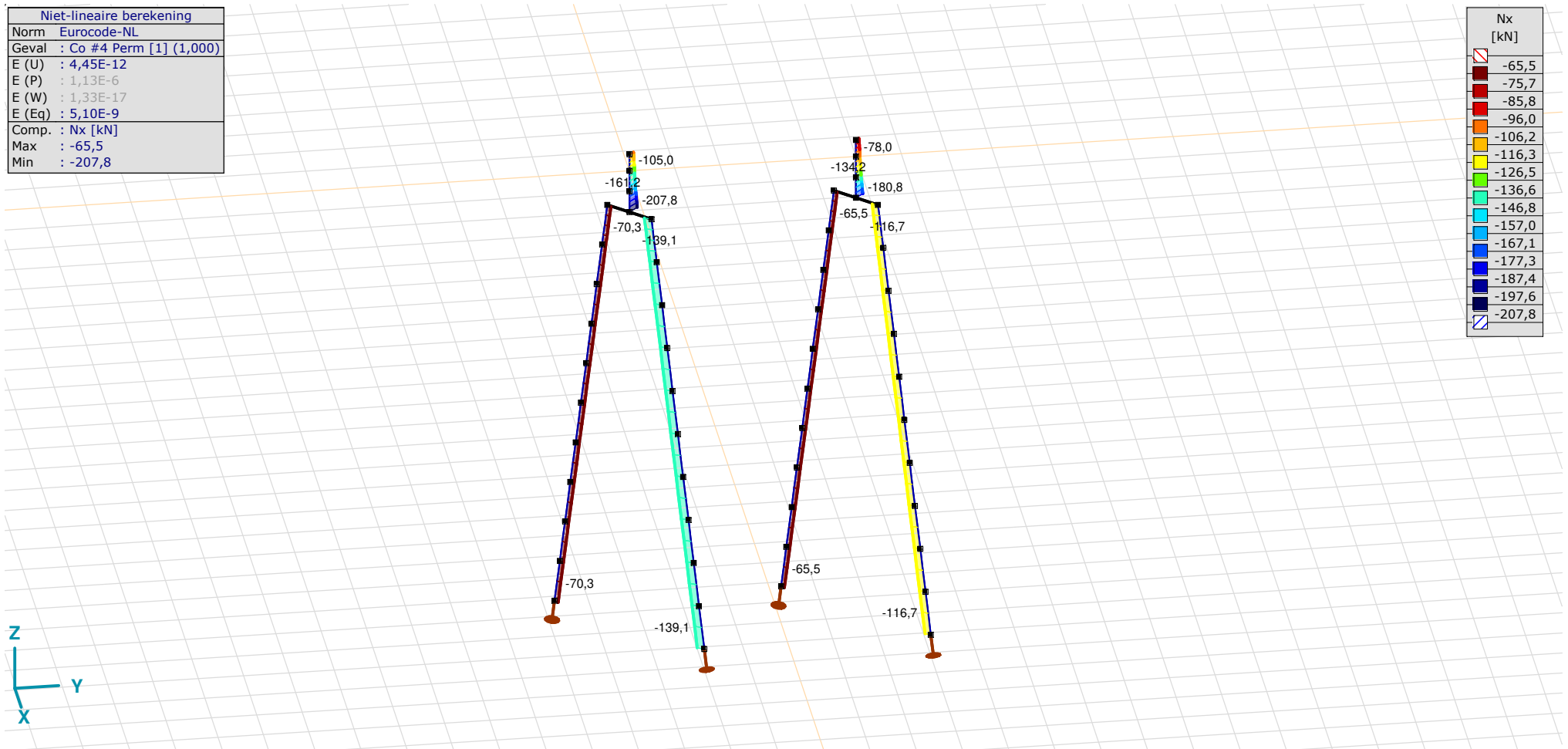
Analysis by

Model: 2P-LD-H1 % 2P-LD-H2.axs

21-5-2022

Pag. 22

Niet-lineaire berekening	
Norm	Eurocode-NL
Geval	Co #4 Perm [1] (1,000)
E (U)	: 4,45E-12
E (P)	: 1,13E-6
E (W)	: 1,33E-17
E (Eq)	: 5,10E-9
Comp.	Nx [kN]
Max	: -65,5
Min	: -207,8



[II], Non-lin., Co #4 Perm [1] (1,000), Nx, Lijnen (gevuld)(gevuld)

Project

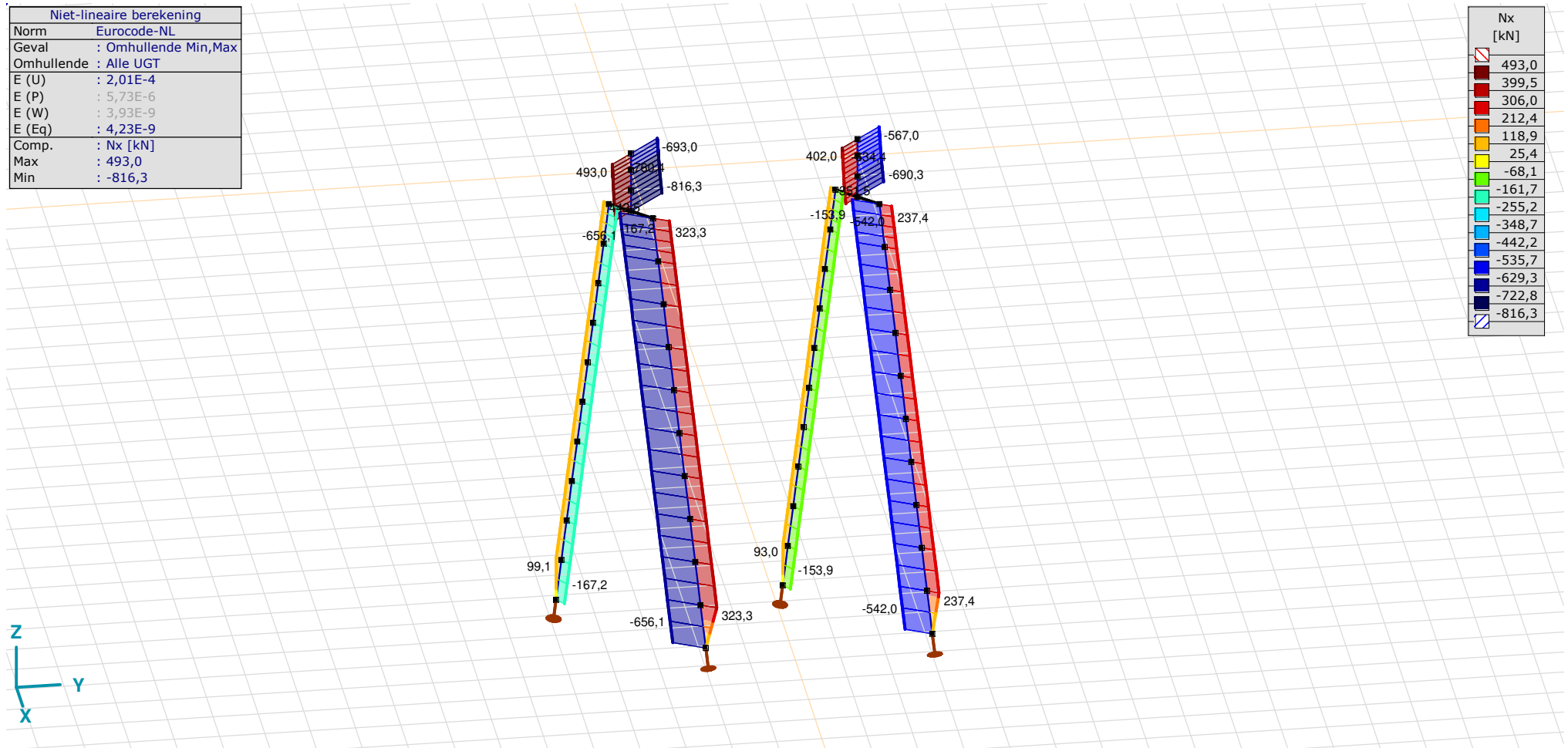
Analysis by

Model: **2P-LD-H1 % 2P-LD-H2.axs**

21-5-2022

Pag. 23

Niet-lineaire berekening	
Norm	Eurocode-NL
Geval	: Omhullende Min,Max
Omhullende	: Alle UGT
E (U)	: 2,01E-4
E (P)	: 5,73E-6
E (W)	: 3,93E-9
E (Eq)	: 4,23E-9
Comp.	: Nx [kN]
Max	: 493,0
Min	: -816,3



[II], Non-lin., Omhullende (Alle UGT), Nx, Lijnen (gevuld)

Project

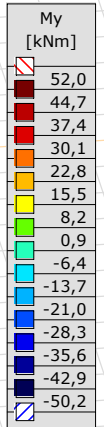
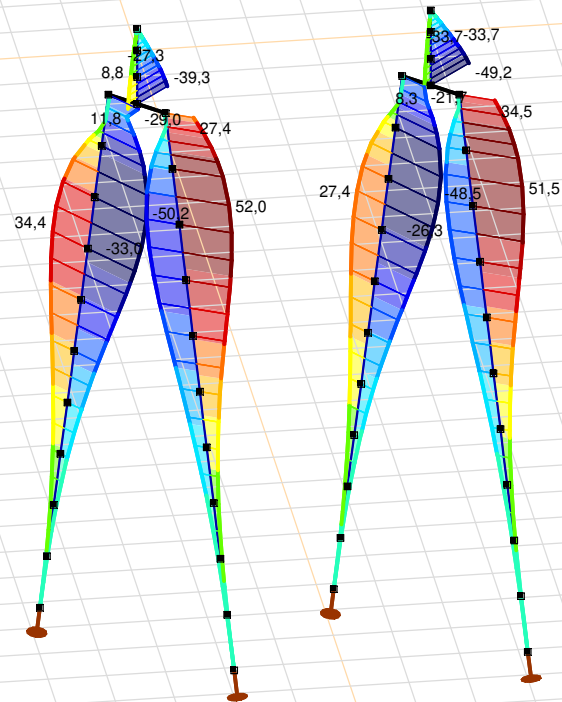
Analysis by

Model: **2P-LD-H1 % 2P-LD-H2.axs**

21-5-2022

Pag. 24

Niet-lineaire berekening	
Norm	Eurocode-NL
Geval	: Omhullende Min,Max
Omhullende	: Alle UGT
E (U)	: 2,01E-4
E (P)	: 5,73E-6
E (W)	: 3,93E-9
E (Eq)	: 4,23E-9
Comp.	: My [kNm]
Max	: 52,0
Min	: -50,2



[II], Non-lin., Omhullende (Alle UGT), My, Lijnen (gevuld)

Project

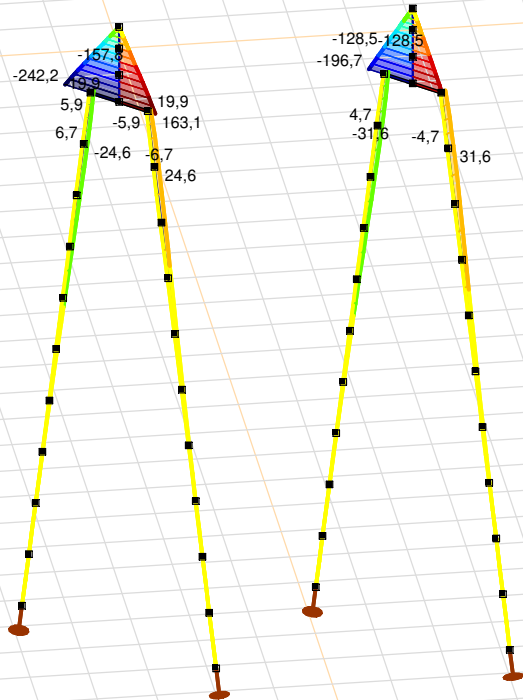
Analysis by

Model: **2P-LD-H1 % 2P-LD-H2.axs**

21-5-2022

Pag. 25

Niet-lineaire berekening	
Norm	Eurocode-NL
Geval	: Omhullende Min,Max
Omhullende	: Alle UGT
E (U)	: 2,01E-4
E (P)	: 5,73E-6
E (W)	: 3,93E-9
E (Eq)	: 4,23E-9
Comp.	: Mz [kNm]
Max	: 163,1
Min	: -242,2



Mz [kNm]	
163,1	
134,1	
105,2	
76,2	
47,3	
18,3	
-10,6	
-39,6	
-68,5	
-97,5	
-126,4	
-155,4	
-184,3	
-213,3	
-242,2	



[III], Non-lin., Omhullende (Alle UGT), Mz, Lijnen (gevuld)

Project

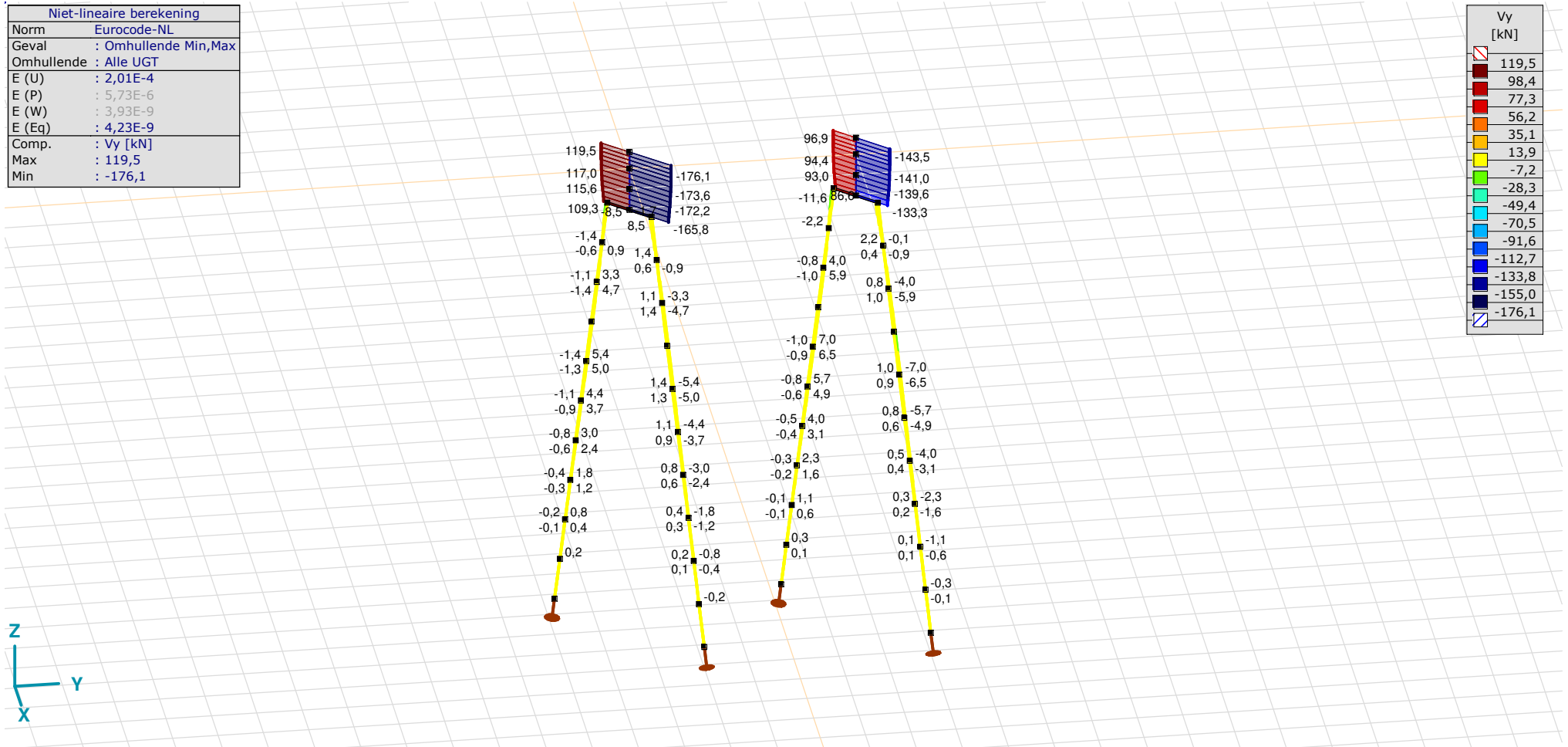
Analysis by

Model: 2P-LD-H1 % 2P-LD-H2.axs

21-5-2022

Pag. 26

Niet-lineaire berekening	
Norm	Eurocode-NL
Geval	: Omhullende Min,Max
Omhullende	: Alle UGT
E (U)	: 2,01E-4
E (P)	: 5,73E-6
E (W)	: 3,93E-9
E (Eq)	: 4,23E-9
Comp.	: Vy [kN]
Max	: 119,5
Min	: -176,1



[[I]], Non-lin., Omhullende (Alle UGT), Vy, Lijnen (gevuld)

Project

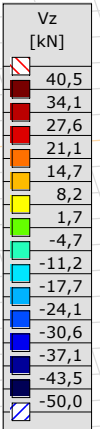
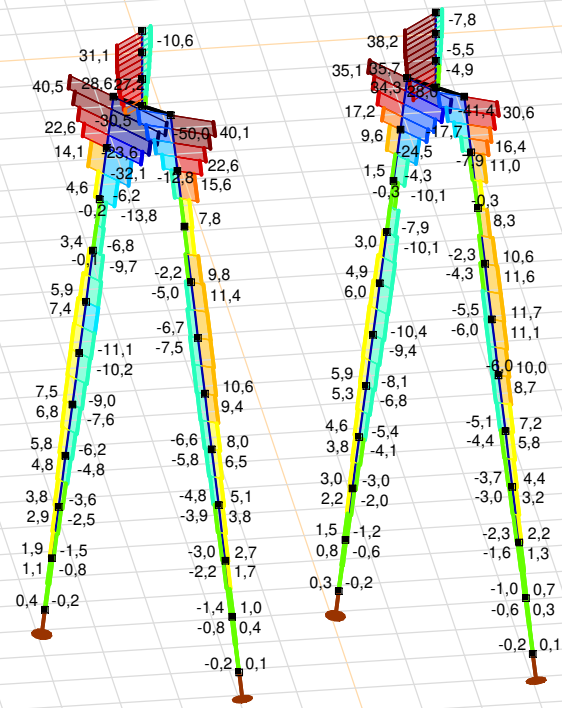
Analysis by

Model: 2P-LD-H1 % 2P-LD-H2.axs

21-5-2022

Pag. 27

Niet-lineaire berekening	
Norm	Eurocode-NL
Geval	: Omhullende Min,Max
Omhullende	: Alle UGT
E (U)	: 2,01E-4
E (P)	: 5,73E-6
E (W)	: 3,93E-9
E (Eq)	: 4,23E-9
Comp.	: Vz [kN]
Max	: 40,5
Min	: -50,0



[II], Non-lin., Omhullende (Alle UGT), Vz, Lijnen (gevuld)

Project

Analysis by

Model: **2P-LD-H1 % 2P-LD-H2.axs**

21-5-2022

Pag. 28

Staafkrachten [Non-lin., Omhullende (Alle UGT), Palen]

	Prof.	Doorsnede naam	C	min. max.	Geval	Pos. [m]	Knoop	Nx [kN]	Vy [kN]	Vz [kN]	Tx [kNm]	My [kNm]	Mz [kNm]	B [kNm ²]
Ext.														
11	6	514x570,1 (LD1)	Nx	min	Co #1 max druk [1] (1,000)	0	(17)	-656,1	0	22,6	0	-20,4	6,7	0
12	6	514x570,1 (LD1)		min	Co #1 max druk [1] (1,000)	0	(18)	-656,1	-1,1	7,8	0	-32,1	5,9	0
13	6	514x570,1 (LD1)		min	Co #1 max druk [1] (1,000)	0	(19)	-656,1	-1,5	-2,2	0	-31,8	4,4	0
14	6	514x570,1 (LD1)		min	Co #1 max druk [1] (1,000)	0	(20)	-656,1	-1,4	-6,7	0	-25,8	2,9	0
15	6	514x570,1 (LD1)		min	Co #1 max druk [1] (1,000)	0	(21)	-656,1	-1,1	-7,6	0	-18,1	1,6	0
16	6	514x570,1 (LD1)		min	Co #1 max druk [1] (1,000)	0	(22)	-656,1	-0,8	-6,6	0	-11,1	0,8	0
17	6	514x570,1 (LD1)		min	Co #1 max druk [1] (1,000)	0	(23)	-656,1	-0,4	-4,8	0	-5,8	0,3	0
18	6	514x570,1 (LD1)		min	Co #1 max druk [1] (1,000)	0	(24)	-656,1	-0,2	-3,0	0	-2,3	0,1	0
19	6	514x570,1 (LD1)		min	Co #1 max druk [1] (1,000)	0	(25)	-656,1	0	-1,4	0	-0,5	0	0
20	6	514x570,1 (LD1)		min	Co #1 max druk [1] (1,000)	0	(26)	-656,1	0	-0,2	0	0	0	0
11	6	514x570,1 (LD1)		max	Co #2 max trek [1] (1,000)	0	(17)	323,3	0	-12,8	0	49,2	-6,7	0
12	6	514x570,1 (LD1)		max	Co #2 max trek [1] (1,000)	0	(18)	323,3	1,1	1,6	0	51,1	-5,9	0
13	6	514x570,1 (LD1)		max	Co #2 max trek [1] (1,000)	0	(19)	323,3	1,5	9,8	0	42,7	-4,4	0
14	6	514x570,1 (LD1)		max	Co #2 max trek [1] (1,000)	0	(20)	323,3	1,4	11,9	0	30,8	-2,9	0
15	6	514x570,1 (LD1)		max	Co #2 max trek [1] (1,000)	0	(21)	323,3	1,1	10,6	0	19,6	-1,6	0
16	6	514x570,1 (LD1)		max	Co #2 max trek [1] (1,000)	0	(22)	323,3	0,8	8,0	0	10,8	-0,8	0
17	6	514x570,1 (LD1)		max	Co #2 max trek [1] (1,000)	0	(23)	323,3	0,4	5,1	0	4,9	-0,3	0
18	6	514x570,1 (LD1)		max	Co #2 max trek [1] (1,000)	0	(24)	323,3	0,2	2,7	0	1,6	-0,1	0
19	6	514x570,1 (LD1)		max	Co #2 max trek [1] (1,000)	0	(25)	323,3	0	1,0	0	0,3	0	0
20	6	514x570,1 (LD1)		max	Co #2 max trek [1] (1,000)	1,010	(25)	323,3	0	0,4	0	0,3	0	0
45	6	514x570,1 (LD1)	Vy	min	Co #3 max torsie [1] (1,000)	0,758	(101)	-49,4	-11,6	-1,3	0	-0,9	-27,8	0
46	6	514x570,1 (LD1)		max	Co #3 max torsie [1] (1,000)	0,758	(104)	-55,7	11,6	-0,4	0	-1,1	27,8	0
1	6	514x570,1 (LD1)	Vz	min	Co #1 max druk [1] (1,000)	0,758	(48)	-167,2	-1,7	-50,0	0	-16,3	-6,4	0
1	6	514x570,1 (LD1)		max	Co #2 max trek [1] (1,000)	0,758	(48)	99,1	1,7	40,5	0	-19,3	6,4	0
2	6	514x570,1 (LD1)	My	min	Co #2 max trek [1] (1,000)	0	(9)	99,1	-1,1	4,6	0	-50,2	5,9	0
3	6	514x570,1 (LD1)		min	Co #2 max trek [1] (1,000)	1,010	(9)	99,1	-1,4	-2,2	0	-50,2	5,9	0
12	6	514x570,1 (LD1)		max	Co #2 max trek [1] (1,000)	0,505	(45)	323,3	1,1	1,6	0	52,0	-6,4	0
41	6	514x570,1 (LD1)	Mz	min	Co #3 max torsie [1] (1,000)	1,010	(93)	-49,4	0,9	-0,7	0	-0,2	-31,6	0
45	6	514x570,1 (LD1)		min	Co #3 max torsie [1] (1,000)	0	(93)	-49,4	-2,2	-0,9	0	-0,2	-31,6	0
42	6	514x570,1 (LD1)		max	Co #3 max torsie [1] (1,000)	1,010	(96)	-55,7	-0,9	-0,3	0	-0,8	31,6	0
46	6	514x570,1 (LD1)		max	Co #3 max torsie [1] (1,000)	0	(96)	-55,7	2,2	-0,4	0	-0,8	31,6	0

Prof.: Profiel; **C:** Extreme component; **min. max.:** Extreme type; **Geval:** Belastinggeval van de extreme; **Pos.:** Lokale X-positie van de doorsnede op de staaf; **Nx:** Normalkracht; **Vy:** Dwarskracht in lokale y-richting; **Vz:** Dwarskracht in lokale z-richting; **Tx:** Torsiemoment; **My:** Buigend moment in lokale y-richting; **Mz:** Buigend moment in lokale z-richting; **B:** Bimoment;

Project

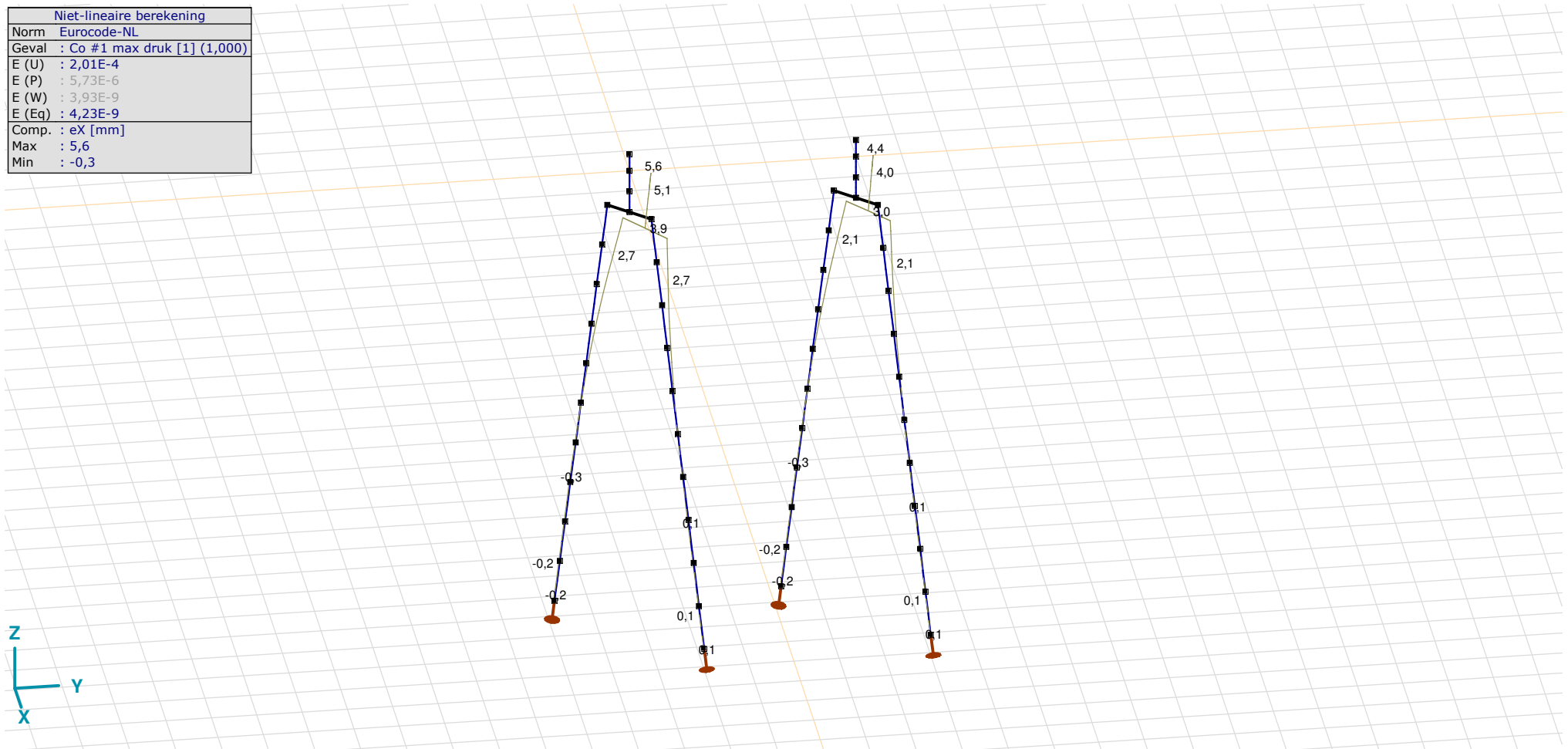
Analysis by

Model: **2P-LD-H1 % 2P-LD-H2.axs**

21-5-2022

Pag. 29

Niet-lineaire berekening	
Norm	Eurocode-NL
Geval	Co #1 max druk [1] (1,000)
E (U)	: 2,01E-4
E (P)	: 5,73E-6
E (W)	: 3,93E-9
E (Eq)	: 4,23E-9
Comp.	: eX [mm]
Max	: 5,6
Min	: -0,3



[III], Non-lin., Co #1 max druk [1] (1,000), eX, Lijnen

Project

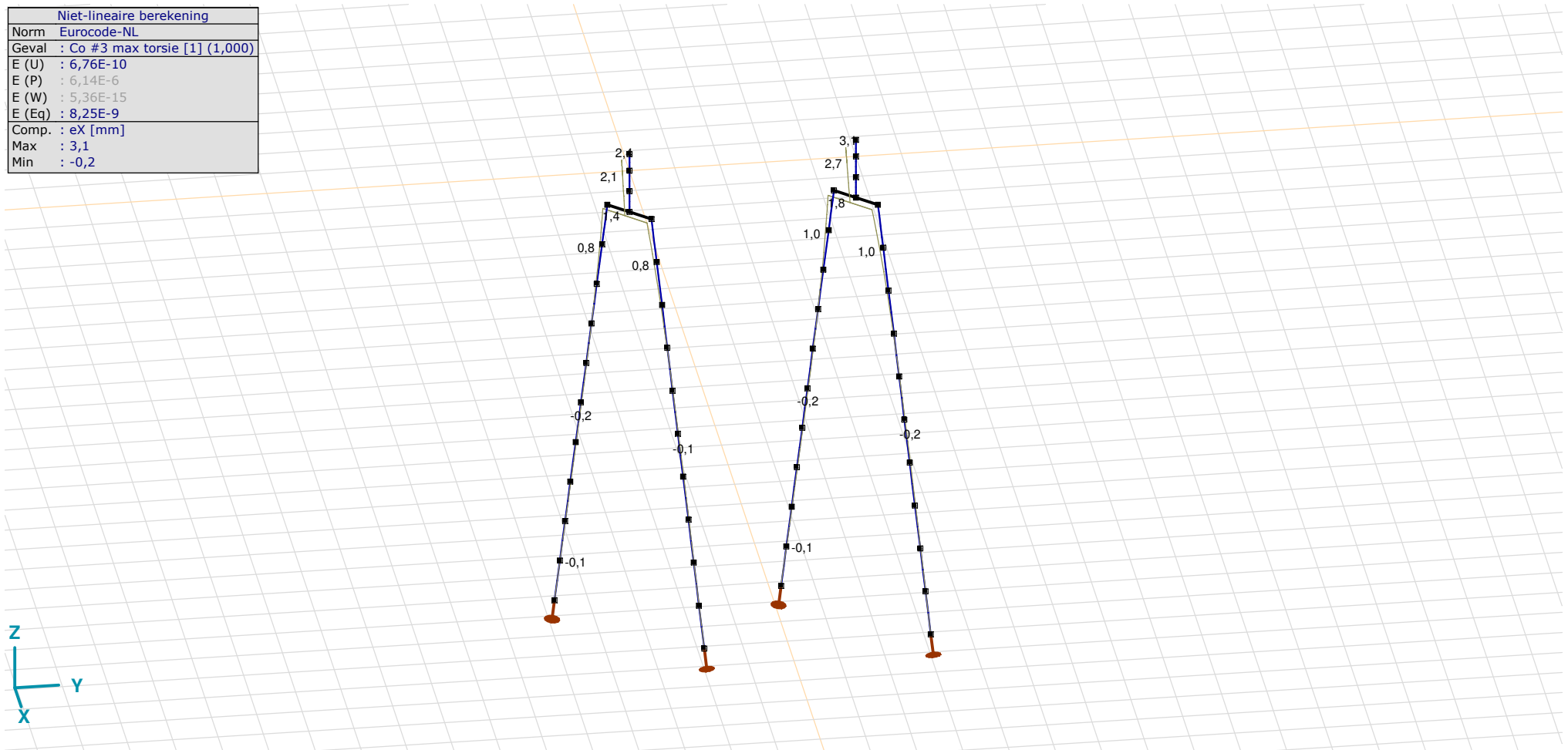
Analysis by

Model: **2P-LD-H1 % 2P-LD-H2.axs**

21-5-2022

Pag. 30

Niet-lineaire berekening	
Norm	Eurocode-NL
Geval	Co #3 max torsie [1] (1,000)
E (U)	: 6,76E-10
E (P)	: 6,14E-6
E (W)	: 5,36E-15
E (Eq)	: 8,25E-9
Comp.	: eX [mm]
Max	: 3,1
Min	: -0,2



[III], Non-lin., Co #3 max torsie [1] (1,000), eX, Lijnen

Project

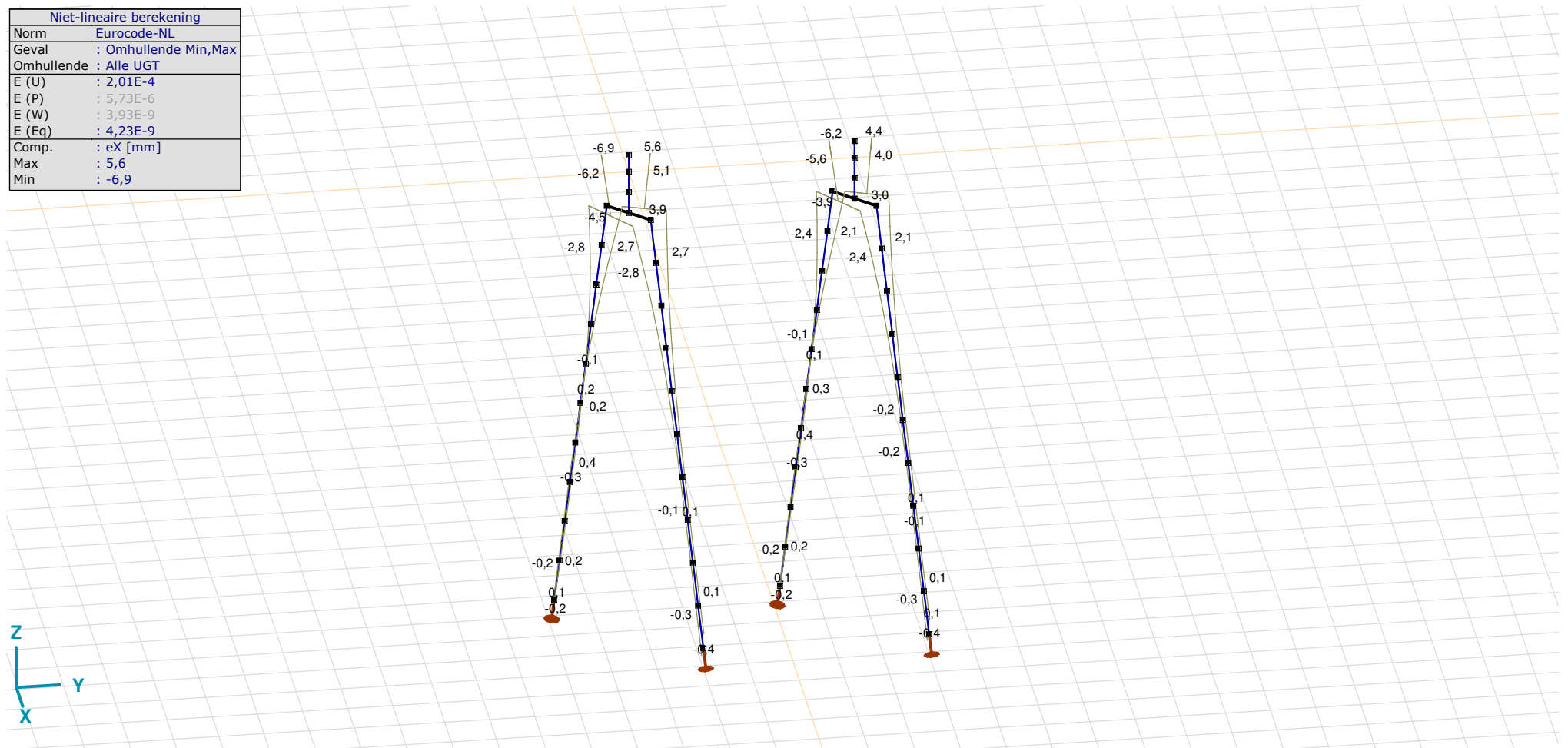
Analysis by

Model: 2P-LD-H1 % 2P-LD-H2.axs

21-5-2022

Pag. 31

Niet-lineaire berekening	
Norm	Eurocode-NL
Geval	: Omhullende Min,Max
Omhullende	: Alle UGT
E (U)	: 2,01E-4
E (P)	: 5,73E-6
E (W)	: 3,93E-9
E (Eq)	: 4,23E-9
Comp.	: eX [mm]
Max	: 5,6
Min	: -6,9



[II], Non-lin., Omhullende (Alle UGT), eX, Lijnen

Project

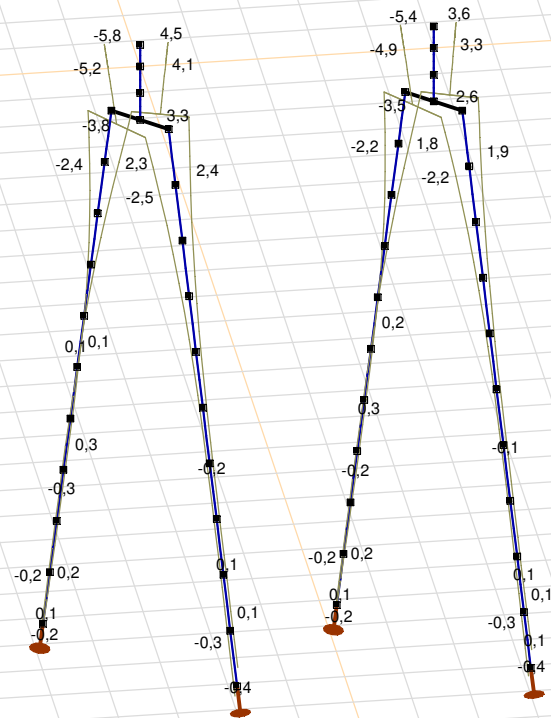
Analysis by

Model: 2P-LD-H1 % 2P-LD-H2.axs

21-5-2022

Pag. 32

Niet-lineaire berekening	
Norm	Eurocode-NL
Geval	: Omhullende Min,Max
Omhullende	: Alle UGT
E (U)	: 2,01E-4
E (P)	: 5,73E-6
E (W)	: 3,93E-9
E (Eq)	: 4,23E-9
Comp.	: eY [mm]
Max	: 4,5
Min	: -5,8



[II], Non-lin., Omhullende (Alle UGT), eY, Lijnen

Project

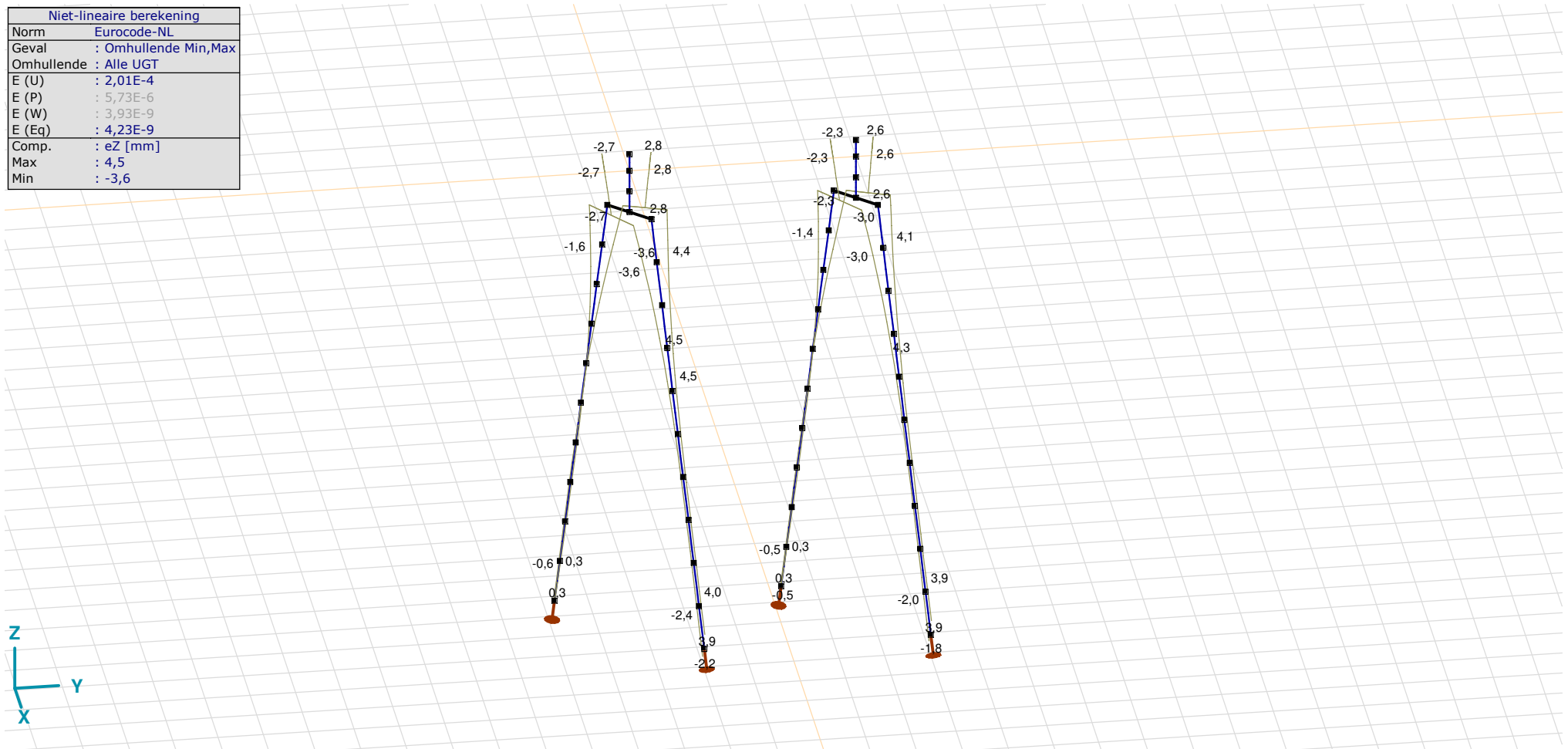
Analysis by

Model: 2P-LD-H1 % 2P-LD-H2.axs

21-5-2022

Pag. 33

Niet-lineaire berekening	
Norm	Eurocode-NL
Geval	: Omhullende Min,Max
Omhullende	: Alle UGT
E (U)	: 2,01E-4
E (P)	: 5,73E-6
E (W)	: 3,93E-9
E (Eq)	: 4,23E-9
Comp.	: eZ [mm]
Max	: 4,5
Min	: -3,6



[II], Non-lin., Omhullende (Alle UGT), eZ, Lijnen

Project

Analysis by

Model: **2P-LD-H1 % 2P-LD-H2.axs**

21-5-2022

Pag. 34

Knoopverplaatsingen [Non-lin., Omhullende (Alle UGT)]

	C	min. max.	Geval	eX [mm]	eY [mm]	eZ [mm]	eR [mm]	fX [rad]	fY [rad]	fZ [rad]	fR [rad]
Ext.											
2	eX	min	Co #2 max trek [1] (1,000)	-6,9	-5,8	2,8	9,5	0,0014	-0,0018	0	0,0023
2		max	Co #1 max druk [1] (1,000)	5,6	4,5	-2,7	7,7	-0,0009	0,0012	0	0,0015
2	eY	min	Co #2 max trek [1] (1,000)	-6,9	-5,8	2,8	9,5	0,0014	-0,0018	0	0,0023
2		max	Co #1 max druk [1] (1,000)	5,6	4,5	-2,7	7,7	-0,0009	0,0012	0	0,0015
6	eZ	min	Co #1 max druk [1] (1,000)	3,9	3,3	-3,6	6,2	-0,0009	0,0012	0	0,0015
17		min	Co #1 max druk [1] (1,000)	2,7	2,4	-3,6	5,1	-0,0009	0,0011	0	0,0014
51		min	Co #1 max druk [1] (1,000)	3,6	3,0	-3,6	5,9	-0,0009	0,0012	0	0,0015
52		min	Co #1 max druk [1] (1,000)	3,3	2,8	-3,6	5,6	-0,0009	0,0012	0	0,0015
53		min	Co #1 max druk [1] (1,000)	3,0	2,6	-3,6	5,4	-0,0009	0,0012	0	0,0015
19		max	Co #2 max trek [1] (1,000)	-0,8	-0,8	4,5	4,7	0,0005	-0,0006	0	0,0008
34		max	Co #2 max trek [1] (1,000)	-0,5	-0,6	4,5	4,6	0,0004	-0,0004	0	0,0006
38	eR	min	Co #3 max torsie [1] (1,000)	-0,1	0,1	-0,2	0,2	0	0	-0,0001	0,0002
2		max	Co #2 max trek [1] (1,000)	-6,9	-5,8	2,8	9,5	0,0014	-0,0018	0	0,0023

C: Extreme component; **min. max.:** Extreme type; **Geval:** Belastinggeval van de extreme; **eX:** Verplaatsing in X-richting; **eY:** Verplaatsing in Y-richting; **eZ:** Verplaatsing in Z-richting; **eR:** Resulterende verplaatsing; **fX:** Rotatie in X-richting; **fY:** Rotatie in Y-richting; **fZ:** Rotatie in Z-richting; **fR:** Resulterende rotatie;

Project

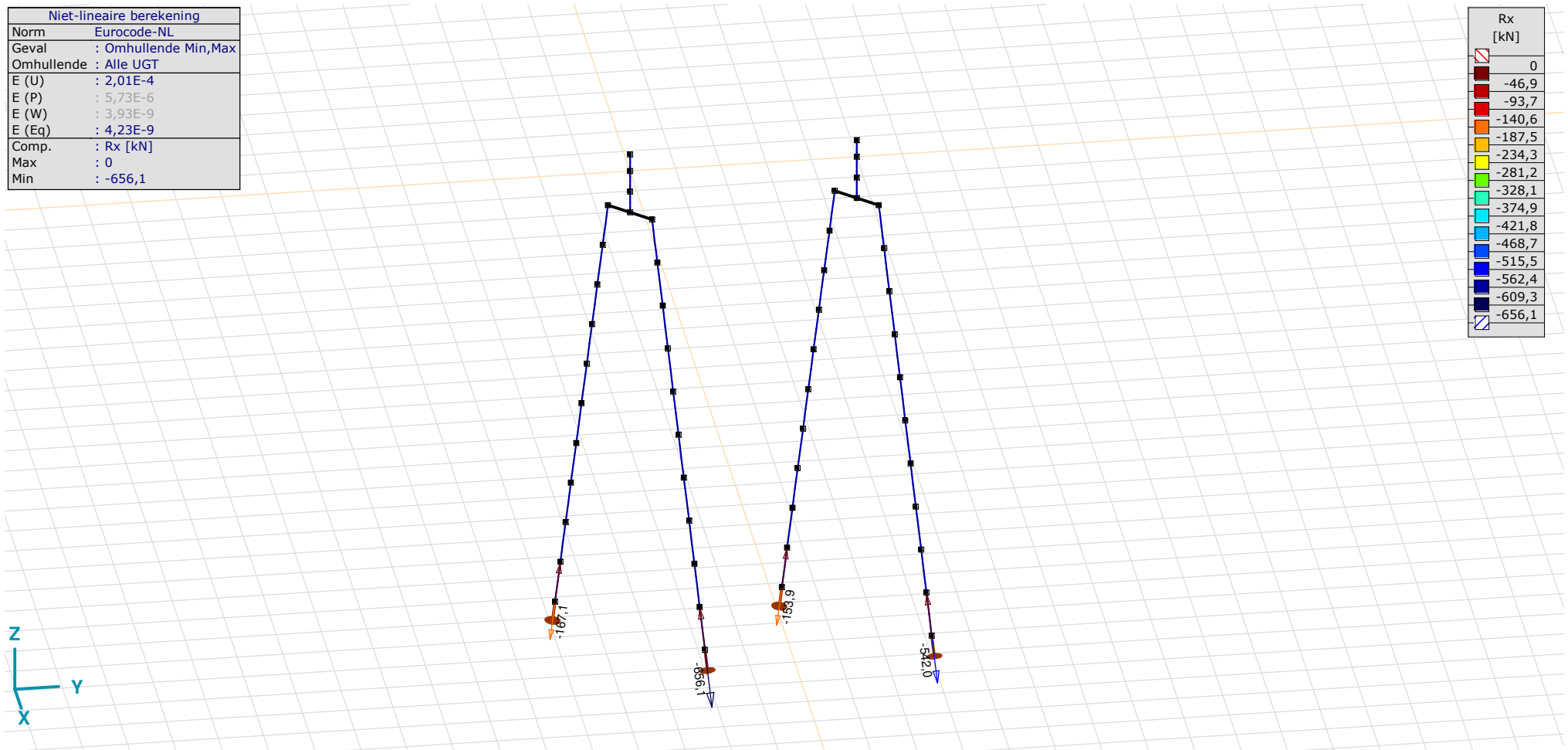
Analysis by

Model: 2P-LD-H1 % 2P-LD-H2.axs

21-5-2022

Pag. 35

Niet-lineaire berekening	
Norm	Eurocode-NL
Geval	: Omhullende Min,Max
Omhullende	: Alle UGT
E (U)	: 2,01E-4
E (P)	: 5,73E-6
E (W)	: 3,93E-9
E (Eq)	: 4,23E-9
Comp.	: Rx [kN]
Max	: 0
Min	: -656,1



[II], Non-lin., Omhullende (Alle UGT), Rx (knooppl.), Lijnen

Project

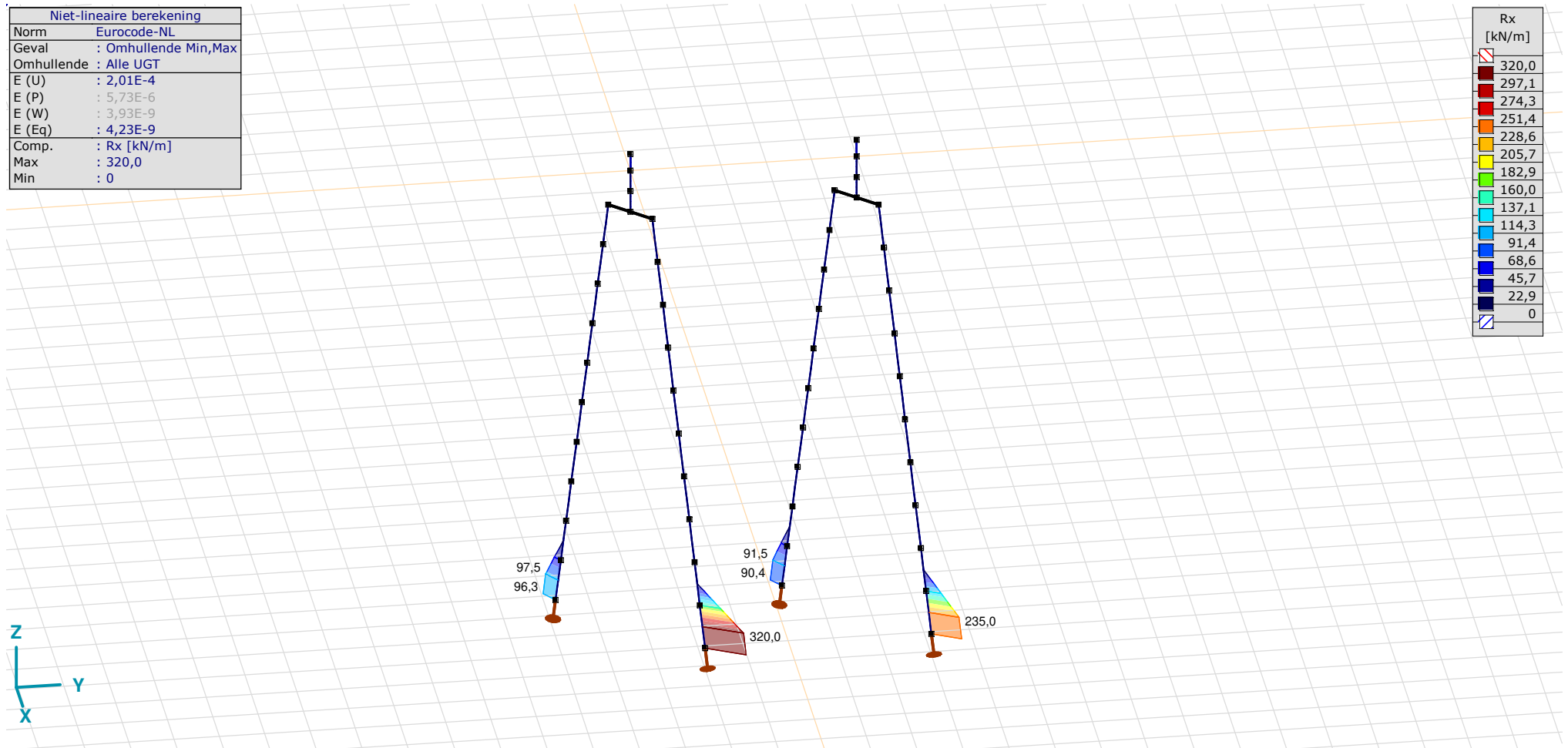
Analysis by

Model: **2P-LD-H1 % 2P-LD-H2.axs**

21-5-2022

Pag. 36

Niet-lineaire berekening	
Norm	Eurocode-NL
Geval	: Omhullende Min,Max
Omhullende	: Alle UGT
E (U)	: 2,01E-4
E (P)	: 5,73E-6
E (W)	: 3,93E-9
E (Eq)	: 4,23E-9
Comp.	: Rx [kN/m]
Max	: 320,0
Min	: 0



[II], Non-lin., Omhullende (Alle UGT), Rx (lijnopp.), Lijnen (gevuld)

Project

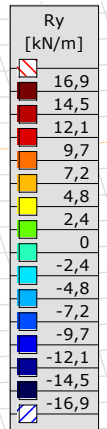
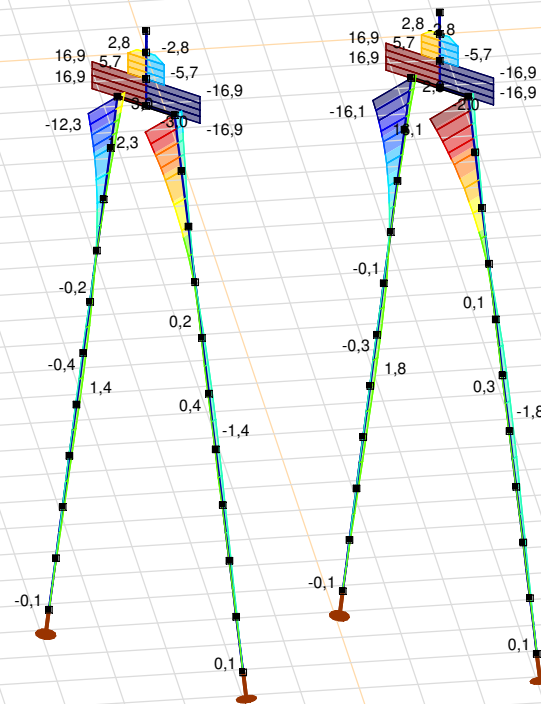
Analysis by

Model: **2P-LD-H1 % 2P-LD-H2.axs**

21-5-2022

Pag. 37

Niet-lineaire berekening	
Norm	Eurocode-NL
Geval	: Omhullende Min,Max
Omhullende	: Alle UGT
E (U)	: 2,01E-4
E (P)	: 5,73E-6
E (W)	: 3,93E-9
E (Eq)	: 4,23E-9
Comp.	: Ry [kN/m]
Max	: 16,9
Min	: -16,9



[II], Non-lin., Omhullende (Alle UGT), Ry (lijnopp.), Lijnen (gevuld)

Project

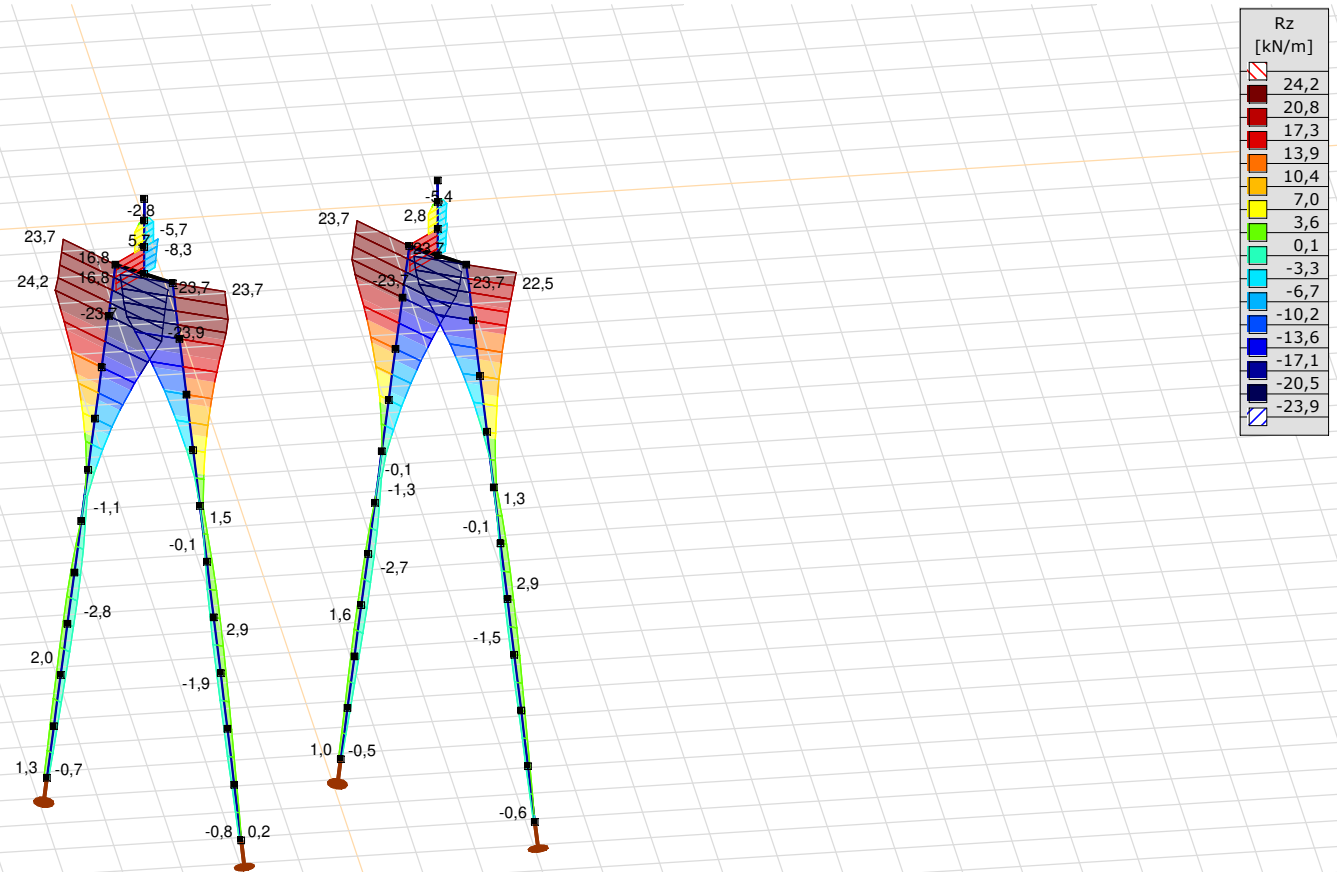
Analysis by

Model: 2P-LD-H1 % 2P-LD-H2.axs

21-5-2022

Pag. 38

Niet-lineaire berekening	
Norm	Eurocode-NL
Geval	: Omhullende Min,Max
Omhullende	: Alle UGT
E (U)	: 2,01E-4
E (P)	: 5,73E-6
E (W)	: 3,93E-9
E (Eq)	: 4,23E-9
Comp.	: Rz [kN/m]
Max	: 24,2
Min	: -23,9



III], Non-lin., Omhullende (Alle UGT), Rz (lijnopp.), Lijnen (gevuld)

Project

Analysis by

Model: **2P-LD-H1 % 2P-LD-H2.axs**

21-5-2022

Pag. 39

Interne krachten knoopplegging [Non-lin., Omhullende (Alle UGT)]

	<i>Knoop</i>	<i>X [m]</i>	<i>Y [m]</i>	<i>Z [m]</i>	<i>Type</i>	<i>C</i>	<i>min. max.</i>	<i>Geval</i>	<i>R_x [kN]</i>
1	7	-1,443	-1,443	-11,000	Staa f r.	Rx	min max	Co #1 max druk [1] (1,000) Co #2 max trek [1] (1,000)	-167,1 0
2	26	1,443	1,443	-11,000	Staa f r.	Rx	min max	Co #1 max druk [1] (1,000) Co #2 max trek [1] (1,000)	-656,1 0
3	73	-1,443	3,557	-11,000	Staa f r.	Rx	min max	Co #1 max druk [1] (1,000) Co #2 max trek [1] (1,000)	-153,9 0
4	89	1,443	6,443	-11,000	Staa f r.	Rx	min max	Co #1 max druk [1] (1,000) Co #2 max trek [1] (1,000)	-542,0 0
Ext.									
2	26	1,443	1,443	-11,000	Staa f r.	Rx	min	Co #1 max druk [1] (1,000)	-656,1
2	26	1,443	1,443	-11,000	Staa f r.	Rx	max	Co #2 max trek [1] (1,000)	0

Knoop: Ondersteunde knoop; **Type:** Opleggingstype; **C:** Extreme component; **min. max.:** Extreme type; **Geval:** Belastinggeval van de extreme; **Rx:** X-component opleggingsreactiekracht;

Project

Analysis by

AxisVM X6 R1q · Geregistreerd aan DNV GL - Energy
2P-LD-H3 % 2P-LD-L3.axs

Report

Report, Inhoudsopgave

<i>Onderdeel</i>	<i>Pagina</i>	<i>Onderdeel</i>	<i>Pagina</i>
Tekening render	3	ULS 5a: Knoopbelastingen	21
Materialen	4	Gebruiker gedefinieerde belastingcombinaties uit belastinggevallen	21
Profielen	4	[II], Non-lin., Co #4 Perm [1] (1,000), Nx, Lijnen (gevuld)(gevuld)	22
Tekening	7	[II], Non-lin., Omhullende (Alle UGT), Nx, Lijnen (gevuld)	23
Knopen	8	[II], Non-lin., Omhullende (Alle UGT), My, Lijnen (gevuld)	24
Staven	9	[II], Non-lin., Omhullende (Alle UGT), Mz, Lijnen (gevuld)	25
Knoopopleggingen	10	[II], Non-lin., Omhullende (Alle UGT), Vy, Lijnen (gevuld)	26
Tekening met beddingen	11	[II], Non-lin., Omhullende (Alle UGT), Vz, Lijnen (gevuld)	27
Lijnopleggingen	12	Staafrachten [Non-lin., Omhullende (Alle UGT), Palen]	28
EG poer	15	[II], Non-lin., Co #1 max druk [1] (1,000), eX, Lijnen	29
EG poer: Staaf eigen gewicht	16	[II], Non-lin., Co #3 max torsie [1] (1,000), eX, Lijnen	30
GWS	16	[II], Non-lin., Omhullende (Alle UGT), eX, Lijnen	31
GWS: Knoopbelastingen	17	[II], Non-lin., Omhullende (Alle UGT), eY, Lijnen	32
SLS 7	17	[II], Non-lin., Omhullende (Alle UGT), eZ, Lijnen	33
SLS 7: Knoopbelastingen	18	Knoopverplaatsingen [Non-lin., Omhullende (Alle UGT)]	34
ULS 1a_45	18	[II], Non-lin., Omhullende (Alle UGT), Rx (knoopopl.), Lijnen	35
ULS 1a_45: Knoopbelastingen	19	[II], Non-lin., Omhullende (Alle UGT), Rx (lijnopp.), Lijnen (gevuld)	36
ULS 1a_45_0,9_0,9	19	[II], Non-lin., Omhullende (Alle UGT), Ry (lijnopp.), Lijnen (gevuld)	37
ULS 1a_45_0,9_0,9: Knoopbelastingen	20	[II], Non-lin., Omhullende (Alle UGT), Rz (lijnopp.), Lijnen (gevuld)	38
ULS 5a	20	Interne krachten knoopoplegging [Non-lin., Omhullende (Alle UGT)]	39

Project

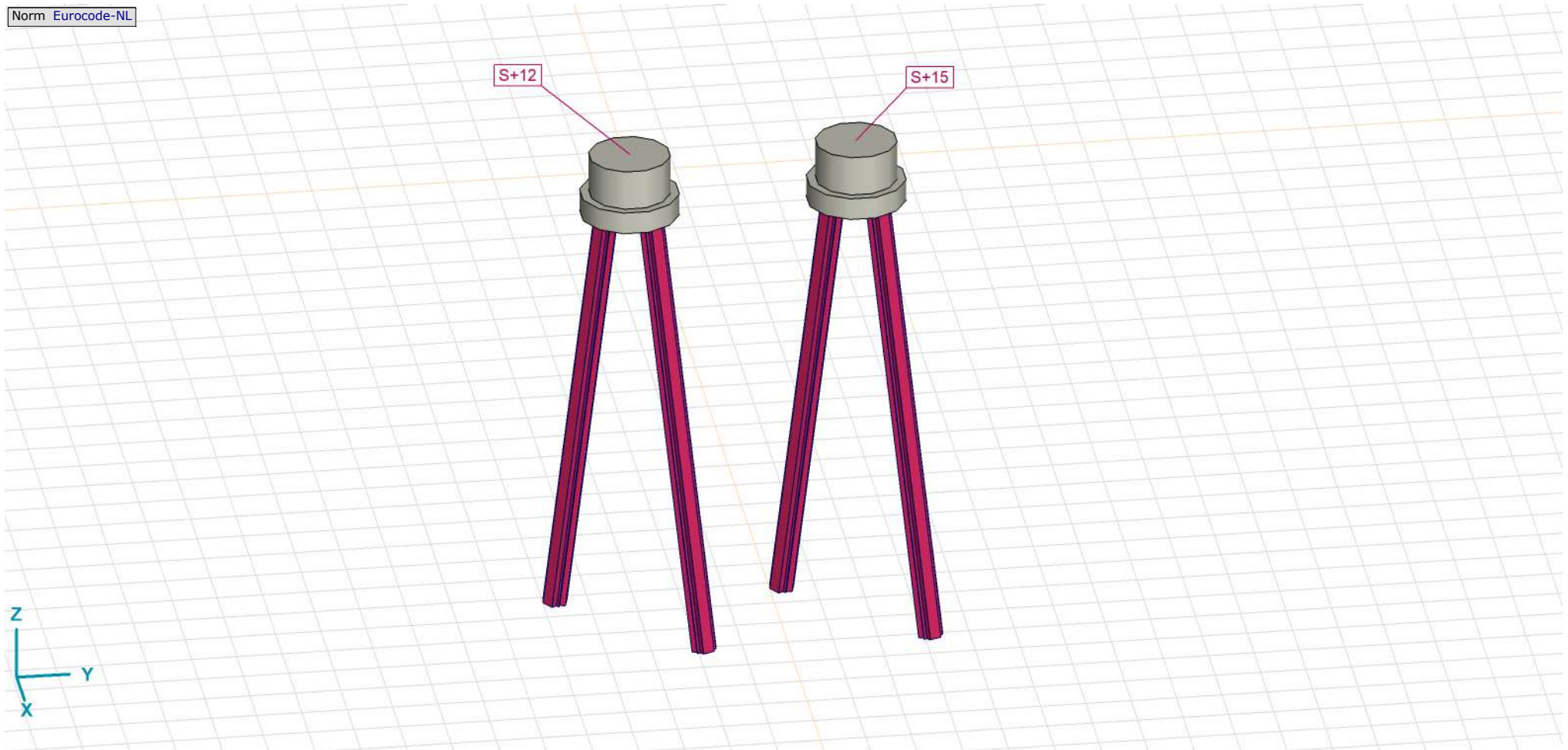
Analysis by

Model: 2P-LD-H3 % 2P-LD-L3.axs

21-5-2022

Pag. 3

Norm Eurocode-NL



Tekening render

Project





Analysis by

Model: **2P-LD-H3 % 2P-LD-L3.axs**

21-5-2022

Pag. 4

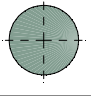
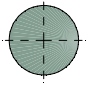
Materialen

	Naam	Type	Nationale norm	Materiaalnorm	Model	E_x [N/mm ²]	E_y [N/mm ²]	ν	α_T [1/°C]	ρ [kg/m ³]	Materiaal kleur	Contour kleur	Structuur	P_1
1	C30/37	Beton	Eurocode-NL	EN 206	Lineair	11000	11000	0,20	1E-5	2500			Concrete A	f_{ck} [N/mm ²] = 30,00
2	S 235	Staal	Eurocode-NL	10025-2	Lineair	210000	210000	0,30	1,2E-5	7850			Steel	f_y [N/mm ²] = 235,00

	Naam	P_2	P_3	P_4	P_5	P_6	P_7	P_8	P_9	P_{10}	P_{11}	P_{12}	P_{13}	P_{14}
1	C30/37	$\gamma_c = 1,500$	$\alpha_{cc} = 1,00$	$\phi_t = 2,00$										
2	S 235	f_u [N/mm ²] = 360,00	f_y [N/mm ²] = 215,00	f_u [N/mm ²] = 360,00										

Naam: Materiaalnaam; **Type:** Type materiaal; **Model:** Materiaal model; **E_x :** Elasticiteitsmodulus in lokale x richting; **E_y :** Elasticiteitsmodulus in lokale y richting; **ν :** Poisson's verhouding; **α_T :** Warmteuitzettingscoëfficiënt; **ρ :** Dichtheid; **Materiaal kleur:** Materiaalkleur; **Contour kleur:** Contourkleur; **$P_1, P_2, P_3, P_4, P_5, P_6, P_7, P_8, P_9, P_{10}, P_{11}, P_{12}, P_{13}, P_{14}$:** Ontwerpparameter;

Profielen

	Naam	Tekening	Productie	Vorm	h [mm]	b [mm]	tw [mm]	tf [mm]	r_1 [mm]	r_2 [mm]	r_3 [mm]	A_x [mm ²]	A_y [mm ²]	A_z [mm ²]
1	O 400		Ander	Rond	400,0	400,0	0	0	0	0	0	125638,20	107689,90	107689,90
2	O 1500		Ander	Rond	1500,0	1500,0	0	0	0	0	0	1766787,00	1514389,00	1514389,00

	Naam	I_x [mm ⁴]	I_y [mm ⁴]	I_z [mm ⁴]	I_{yz} [mm ⁴]	I_1 [mm ⁴]	I_2 [mm ⁴]	α [°]	I_w [mm ⁶]	$W_{1,el,t}$ [mm ³]	$W_{1,el,b}$ [mm ³]	$W_{2,el,t}$ [mm ³]	$W_{2,el,b}$ [mm ³]
1	O 400	2,51E+09	1,26E+09	1,26E+09	0	1,26E+09	1,26E+09	0	0	6280634,00	6280634,00	6280634,00	6280634,00
2	O 1500	4,97E+11	2,48E+11	2,48E+11	0	2,48E+11	2,48E+11	0	0	3,31E+08	3,31E+08	3,31E+08	3,31E+08

	Naam	$W_{1,pl}$ [mm ³]	$W_{2,pl}$ [mm ³]	i_y [mm]	i_z [mm]	H_y [mm]	H_z [mm]	y_G [mm]	z_G [mm]	y_s [mm]	z_s [mm]	β_y [mm]	β_z [mm]	β_w [°]	$S.p.$
1	O 400	1,07E+07	1,07E+07	100,0	100,0	400,0	400,0	200,0	200,0	0	0	0	0	0	5
2	O 1500	5,62E+08	5,62E+08	375,0	375,0	1500,0	1500,0	750,0	750,0	0	0	0	0	0	5

Project

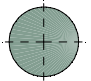
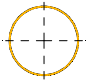
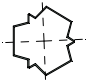
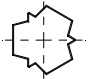
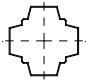
Analysis by

Model: **2P-LD-H3 % 2P-LD-L3.axs**

21-5-2022

Pag. 5

Profielen

	Naam	Tekening	Productie	Vorm	h [mm]	b [mm]	tw [mm]	tf [mm]	r_1 [mm]	r_2 [mm]	r_3 [mm]	A_x [mm ²]	A_y [mm ²]	A_z [mm ²]
3	O 1300		Ander	Rond	1300,0	1300,0	0	0	0	0	0	1327053,00	1137474,00	1137474,00
4	O 550x8 (LD20)		Gewalst	Buis	550,0	550,0	8,0	8,0	0	0	0	13619,18	6811,96	6812,06
5	LD20 510,3x578		Ander	Eigen gedefinieerd	578,0	510,3	0	0	0	0	0	16974,97	5778,59	6004,45
6	514x570,1 (LD1)		Ander	Eigen gedefinieerd	570,1	514,0	0	0	0	0	0	15142,80	5219,72	5219,72
7	660x660 (LV1)		Ander	Eigen gedefinieerd	660,0	660,0	0	0	0	0	0	18762,72	6717,71	6717,71

	Naam	I_x [mm ⁴]	I_y [mm ⁴]	I_z [mm ⁴]	I_{yz} [mm ⁴]	I_1 [mm ⁴]	I_2 [mm ⁴]	α [°]	$I\omega$ [mm ⁶]	$W_{1,el,t}$ [mm ³]	$W_{1,el,b}$ [mm ³]	$W_{2,el,t}$ [mm ³]	$W_{2,el,b}$ [mm ³]
3	O 1300	2,8E+11	1,4E+11	1,4E+11	0	1,4E+11	1,4E+11	0	0	2,16E+08	2,16E+08	2,16E+08	2,16E+08
4	O 550x8 (LD20)	1E+09	5E+08	5E+08	0	5E+08	5E+08	0	0	1818583,00	1818583,00	1818583,00	1818583,00
5	LD20 510,3x578	7E+08	5,25E+08	5,04E+08	-826205,80	5,25E+08	5,04E+08	2,32	2,7E+11	1819914,00	1814915,00	1981607,00	1935533,00
6	514x570,1 (LD1)	6,22E+08	4,6E+08	4,6E+08	0	4,6E+08	4,6E+08	0	2,4E+11	1614516,00	1614516,00	1790846,00	1790845,00
7	660x660 (LV1)	1,28E+09	9,11E+08	9,11E+08	0	9,11E+08	9,11E+08	0	3,6E+11	2760437,00	2760437,00	2760437,00	2760437,00

	Naam	$W_{1,pl}$ [mm ³]	$W_{2,pl}$ [mm ³]	i_y [mm]	i_z [mm]	H_y [mm]	H_z [mm]	y_G [mm]	z_G [mm]	y_s [mm]	z_s [mm]	β_y [mm]	β_z [mm]	β_w [°]	$S.p.$
3	O 1300	3,66E+08	3,66E+08	325,0	325,0	1300,0	1300,0	650,0	650,0	0	0	0	0	0	5
4	O 550x8 (LD20)	2349567,00	2349582,00	191,6	191,6	550,0	550,0	275,0	275,0	0	0	0	0	0	5
5	LD20 510,3x578	2674507,00	2615278,00	175,8	172,4	510,3	578,0	255,7	288,6	0,2	-2,2	3,2	0,2	-49,8	1
6	514x570,1 (LD1)	2369310,00	2357912,00	174,3	174,3	514,0	570,1	257,0	285,1	0	0	0	0	0	7
7	660x660 (LV1)	3701802,00	3701802,00	220,3	220,3	660,0	660,0	330,0	330,0	0	0	0	0	2,3	9

Project

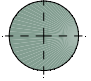
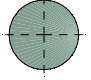
Analysis by

Model: 2P-LD-H3 % 2P-LD-L3.axs

21-5-2022

Pag. 6

Profielen

	Naam	Tekening	Productie	Vorm	h [mm]	b [mm]	tw [mm]	tf [mm]	r_1 [mm]	r_2 [mm]	r_3 [mm]	A_x [mm ²]	A_y [mm ²]	A_z [mm ²]
8	O 1800		Ander	Rond	1800,0	1800,0	0	0	0	0	0	2544173,00	2180720,00	2180720,00
9	O 2200		Ander	Rond	2200,0	2200,0	0	0	0	0	0	3800555,00	3257619,00	3257619,00

	Naam	I_x [mm ⁴]	I_y [mm ⁴]	I_z [mm ⁴]	I_{yz} [mm ⁴]	I_1 [mm ⁴]	I_2 [mm ⁴]	α [°]	I_ω [mm ⁶]	$W_{1,el,t}$ [mm ³]	$W_{1,el,b}$ [mm ³]	$W_{2,el,t}$ [mm ³]	$W_{2,el,b}$ [mm ³]
8	O 1800	1,03E+12	5,15E+11	5,15E+11	0	5,15E+11	5,15E+11	0	0	5,72E+08	5,72E+08	5,72E+08	5,72E+08
9	O 2200	2,3E+12	1,15E+12	1,15E+12	0	1,15E+12	1,15E+12	0	0	1,04E+09	1,04E+09	1,04E+09	1,04E+09

	Naam	$W_{1,pl}$ [mm ³]	$W_{2,pl}$ [mm ³]	i_y [mm]	i_z [mm]	H_y [mm]	H_z [mm]	y_G [mm]	z_G [mm]	y_s [mm]	z_s [mm]	β_y [mm]	β_z [mm]	β_w []	S.p.
8	O 1800	9,72E+08	9,72E+08	450,0	450,0	1800,0	1800,0	900,0	900,0	0	0	0	0	0	5
9	O 2200	1,77E+09	1,77E+09	549,9	549,9	2200,0	2200,0	1100,0	1100,0	0	0	0	0	0	5

Naam: Doorsnede naam; **Productie:** Productieproces; **Vorm:** Profiel; **h:** Doorsnede hoogte; **b:** Doorsnede breedte; **tw:** Lijfdikte; **tf:** Flensdikte; **r₁, r₂, r₃:** Afrondingswaarde; **A_x:** Doorsnede-oppervlak; **A_y, A_z:** Afschuivingsoppervlak; **I_x:** Torsietraagheidsmoment; **I_y, I_z:** Buigtraagheidsmoment; **I_{yz}:** Centrifugaal traagheidsmoment; **I₁, I₂:** Hoofdbuigtraagheidsmoment; **α:** Hoofdrichtingen; **I_ω:** Krommingsconstante; **W_{1,el,t}, W_{1,el,b}, W_{2,el,t}, W_{2,el,b}:** Elastisch weerstandsmoment; **W_{1,pl}, W_{2,pl}:** Plastisch weerstandsmoment; **i_y, i_z:** Traagheidsstraal; **H_y:** Afmeting in lokale Y-richting; **H_z:** Afmeting in lokale Z-richting; **y_G:** Y-coördinaat van het zwaartepunt; **z_G:** Z-coördinaat van het zwaartepunt; **y_s:** Y-coördinaat van het afschuivingsmiddelpunt (torsie); **z_s:** Z-coördinaat van het afschuivingsmiddelpunt (torsie); **β_y, β_z, β_w:** Wagner's coëfficiënt; **S.p.:** Spanningspunten;

Project

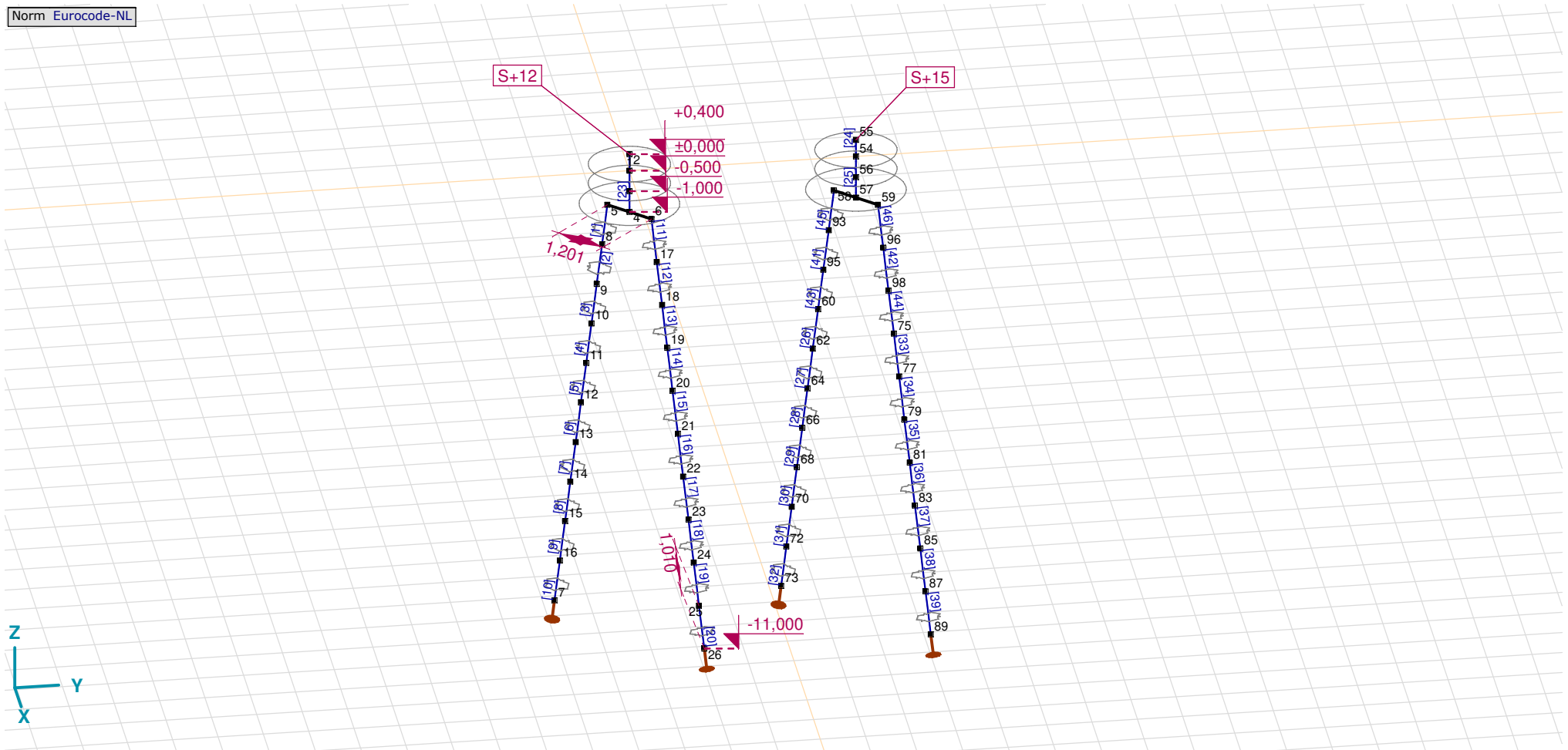
Analysis by

Model: 2P-LD-H3 % 2P-LD-L3.axs

21-5-2022

Pag. 7

Norm Eurocode-NL



Tekening

Project

Analysis by

Model: **2P-LD-H3 % 2P-LD-L3.axs**

21-5-2022

Pag. 8

Knopen

	X [m]	Y [m]	Z [m]		X [m]	Y [m]	Z [m]		X [m]	Y [m]	Z [m]		X [m]	Y [m]	Z [m]		X [m]	Y [m]	Z [m]
1	0	0	0	12	-0,934	-0,934	-6,000	23	1,137	1,137	-8,000	62	-0,832	4,168	-5,000	83	1,137	6,137	-8,000
2	0	0	0,400	13	-1,035	-1,035	-7,000	24	1,239	1,239	-9,000	64	-0,934	4,066	-6,000	85	1,239	6,239	-9,000
3	0	0	-0,500	14	-1,137	-1,137	-8,000	25	1,341	1,341	-10,000	66	-1,035	3,965	-7,000	87	1,341	6,341	-10,000
4	0	0	-1,000	15	-1,239	-1,239	-9,000	26	1,443	1,443	-11,000	68	-1,137	3,863	-8,000	89	1,443	6,443	-11,000
5	-0,424	-0,424	-1,000	16	-1,341	-1,341	-10,000	54	0	5,000	0	70	-1,239	3,761	-9,000	93	-0,526	4,474	-2,000
6	0,424	0,424	-1,000	17	0,526	0,526	-2,000	55	0	5,000	0,400	72	-1,341	3,659	-10,000	95	-0,628	4,372	-3,000
7	-1,443	-1,443	-11,000	18	0,628	0,628	-3,000	56	0	5,000	-0,500	73	-1,443	3,557	-11,000	96	0,526	5,526	-2,000
8	-0,526	-0,526	-2,000	19	0,730	0,730	-4,000	57	0	5,000	-1,000	75	0,730	5,730	-4,000	98	0,628	5,628	-3,000
9	-0,628	-0,628	-3,000	20	0,832	0,832	-5,000	58	-0,424	4,576	-1,000	77	0,832	5,832	-5,000				
10	-0,730	-0,730	-4,000	21	0,934	0,934	-6,000	59	0,424	5,424	-1,000	79	0,934	5,934	-6,000				
11	-0,832	-0,832	-5,000	22	1,035	1,035	-7,000	60	-0,730	4,270	-4,000	81	1,035	6,035	-7,000				

Project

Analysis by

Model: **2P-LD-H3 % 2P-LD-L3.axs**

21-5-2022

Pag. 9

Staven

	Start-punt	Eind-punt	Lengte	Lokaal X	Materiaal	Doorsnede	Ref _Z		Start-punt	Eind-punt	Lengte	Lokaal X	Materiaal	Doorsnede	Ref _Z
1	8	5	1,010	j - i	S 235	6	↗ R2	24	54	55	0,400	i - j	C30/37	8	↗ R1
2	9	8	1,010	j - i	S 235	6	↗ R2	25	56	54	0,500	j - i	C30/37	8	↗ R1
3	10	9	1,010	j - i	S 235	6	↗ R2	26	62	60	1,010	j - i	S 235	6	↗ R2
4	11	10	1,010	j - i	S 235	6	↗ R2	27	64	62	1,010	j - i	S 235	6	↗ R2
5	12	11	1,010	j - i	S 235	6	↗ R2	28	66	64	1,010	j - i	S 235	6	↗ R2
6	13	12	1,010	j - i	S 235	6	↗ R2	29	68	66	1,010	j - i	S 235	6	↗ R2
7	14	13	1,010	j - i	S 235	6	↗ R2	30	70	68	1,010	j - i	S 235	6	↗ R2
8	15	14	1,010	j - i	S 235	6	↗ R2	31	72	70	1,010	j - i	S 235	6	↗ R2
9	16	15	1,010	j - i	S 235	6	↗ R2	32	73	72	1,010	j - i	S 235	6	↗ R2
10	7	16	1,010	i - j	S 235	6	↗ R2	33	77	75	1,010	j - i	S 235	6	↗ R3
11	17	6	1,010	j - i	S 235	6	↗ R3	34	79	77	1,010	j - i	S 235	6	↗ R3
12	18	17	1,010	j - i	S 235	6	↗ R3	35	81	79	1,010	j - i	S 235	6	↗ R3
13	19	18	1,010	j - i	S 235	6	↗ R3	36	83	81	1,010	j - i	S 235	6	↗ R3
14	20	19	1,010	j - i	S 235	6	↗ R3	37	85	83	1,010	j - i	S 235	6	↗ R3
15	21	20	1,010	j - i	S 235	6	↗ R3	38	87	85	1,010	j - i	S 235	6	↗ R3
16	22	21	1,010	j - i	S 235	6	↗ R3	39	89	87	1,010	j - i	S 235	6	↗ R3
17	23	22	1,010	j - i	S 235	6	↗ R3	40	57	56	0,500	j - i	C30/37	9	↗ R1
18	24	23	1,010	j - i	S 235	6	↗ R3	41	95	93	1,010	j - i	S 235	6	↗ R2
19	25	24	1,010	j - i	S 235	6	↗ R3	42	98	96	1,010	j - i	S 235	6	↗ R3
20	26	25	1,010	j - i	S 235	6	↗ R3	43	60	95	1,010	i - j	S 235	6	↗ R2
21	4	3	0,500	j - i	C30/37	9	↗ R1	44	75	98	1,010	i - j	S 235	6	↗ R3
22	1	2	0,400	i - j	C30/37	8	↗ R1	45	93	58	1,010	j - i	S 235	6	↗ R2
23	3	1	0,500	j - i	C30/37	8	↗ R1	46	96	59	1,010	j - i	S 235	6	↗ R3

Lengte: Elementlengte; Lokaal X: Lokale X-richting; Ref_Z: Referentie voor lokale Z-richting;

Project

Analysis by

Model: **2P-LD-H3 % 2P-LD-L3.axs**

21-5-2022

Pag. 10

Knooppopleggingen

	Knoop	X [m]	Y [m]	Z [m]	Type	Ref. elem.	Naam _x	Veermodel _x	K _x [kN/m]	K _{xv} [kN/m]	NL _x	Grenswaarde _x [kN]	Naam _y	Veermodel _y	K _y [kN/m]
1	7	-1,443	-1,443	-11,000	StAAF r.	StAAF 13	Verend - translatie	NL elastisch	3E+5	3E+5	Druk Alleen druk	-	—	-	-
2	26	1,443	1,443	-11,000	StAAF r.	StAAF 28	Verend - translatie	NL elastisch	3E+5	3E+5	Druk Alleen druk	-	—	-	-
3	73	-1,443	3,557	-11,000	StAAF r.	StAAF 61	Vast - translatie	NL elastisch	3E+5	3E+5	Druk Alleen druk	-	—	-	-
4	89	1,443	6,443	-11,000	StAAF r.	StAAF 76	Vast - translatie	NL elastisch	3E+5	3E+5	Druk Alleen druk	-	—	-	-

	Knoop	K _{yv} [kN/m]	Naam _z	Veermodel _z	K _z [kN/m]	K _{zv} [kN/m]	Naam _{xx}	Veermodel _{xx}	K _{xx} [kNm/rad]	K _{xxv} [kNm/rad]	Naam _{yy}	Veermodel _{yy}	K _{yy} [kNm/rad]	K _{yyv} [kNm/rad]	Naam _{zz}
1	7	-	—	-	-	-	—	-	-	-	—	-	-	-	—
2	26	-	—	-	-	-	—	-	-	-	—	-	-	-	—
3	73	-	—	-	-	-	—	-	-	-	—	-	-	-	—
4	89	-	—	-	-	-	—	-	-	-	—	-	-	-	—

	Knoop	Veermodel _{zz}	K _{zz} [kNm/rad]	K _{zzv} [kNm/rad]	Veermodel _w
1	7	-	-	-	-
2	26	-	-	-	-
3	73	-	-	-	-
4	89	-	-	-	-

Knoop: Ondersteunde knoop; **Type:** Opleggingstype; **Ref. elem.:** Referentie-element; **Naam_x:** Naam van de veereigenschappen; **Veermodel_x:** Veermodel; **K_x:** Initiële stijfheid; **K_{xv}:** Trillingsstijfheid; **NL_x:** Niet-lineaire parameters; **Grenswaarde_x:** Grenswaarde; **K_y, K_z, K_{xx}, K_{yy}, K_{zz}:** Initiële stijfheid;

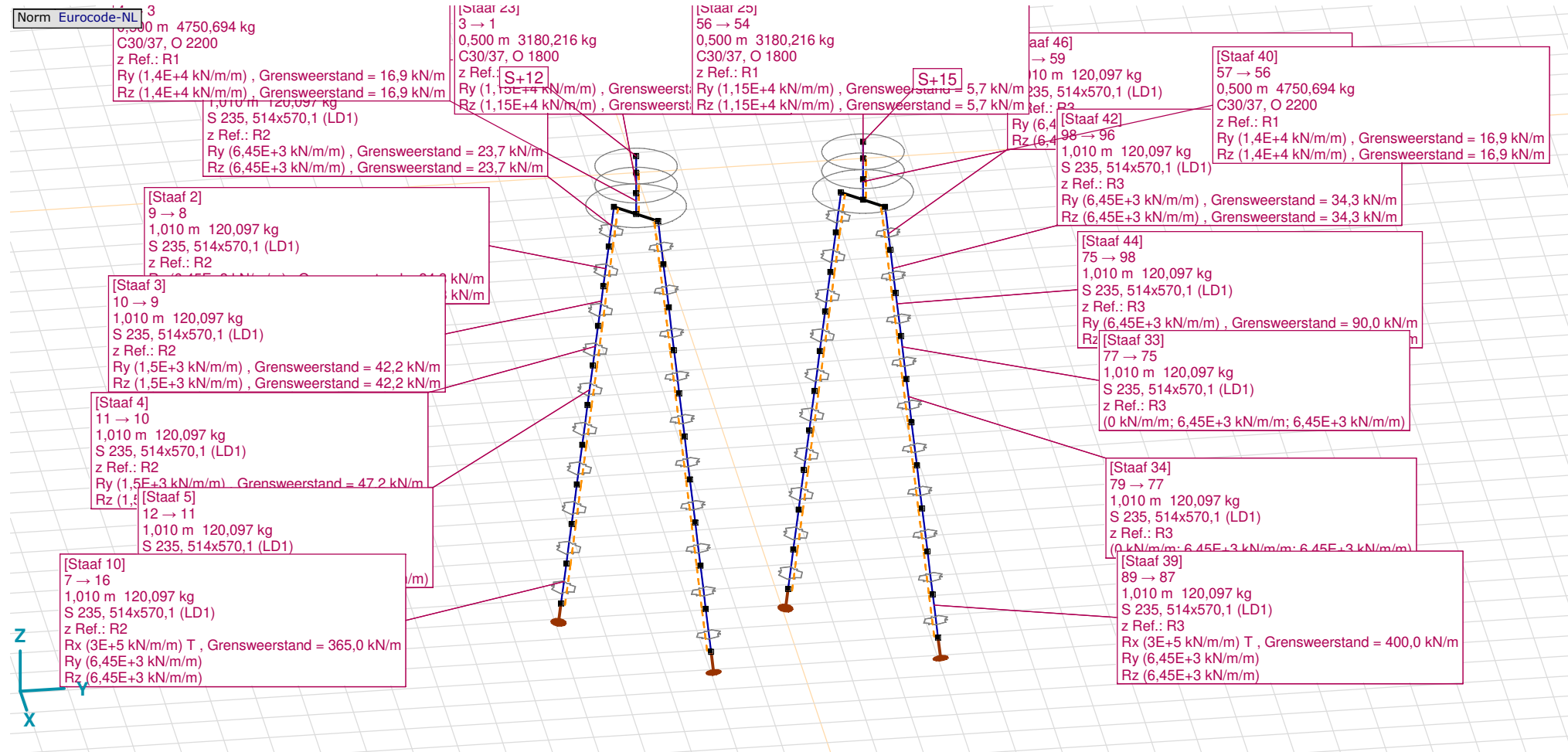
Project

Analysis by

Model: 2P-LD-H3 % 2P-LD-L3.axs

21-5-2022

Pag. 11



Tekening met beddingen

Project

Analysis by

Model: **2P-LD-H3 % 2P-LD-L3.axs**

21-5-2022

Pag. 12

Lijnopleggingen

	Lijn	Type	Ref. elem.	R _x [kN/m/m]	R _y [kN/m/m]	R _z [kN/m/m]	R _{xx} [kNm/rad/m]	R _{yy} [kNm/rad/m]	R _{zz} [kNm/rad/m]	NL(x)	NL(y)	NL(z)	NL(xx)	NL(yy)	NL(zz)
		StAAF r.													
1	StAAF 1	StAAF r.		0	6,45E+3	6,45E+3					Symmetrisch	Symmetrisch			
2	StAAF 2	StAAF r.		0	6,45E+3	6,45E+3					Symmetrisch	Symmetrisch			
3	StAAF 3	StAAF r.		0	1,5E+3	1,5E+3					Symmetrisch	Symmetrisch			
7	StAAF 4	StAAF r.		0	1,5E+3	1,5E+3					Symmetrisch	Symmetrisch			
8	StAAF 5	StAAF r.		0	1,5E+3	1,5E+3					Symmetrisch	Symmetrisch			
9	StAAF 6	StAAF r.		0	6,45E+3	6,45E+3					Symmetrisch	Symmetrisch			
10	StAAF 7	StAAF r.		0	6,45E+3	6,45E+3					Symmetrisch	Symmetrisch			
11	StAAF 8	StAAF r.		0	6,45E+3	6,45E+3					Symmetrisch	Symmetrisch			
12	StAAF 9	StAAF r.		0	6,45E+3	6,45E+3					Symmetrisch	Symmetrisch			
13	StAAF 10	StAAF r.		3E+5	6,45E+3	6,45E+3				Trek	Symmetrisch	Symmetrisch			
4	StAAF 11	StAAF r.		0	6,45E+3	6,45E+3					Symmetrisch	Symmetrisch			
5	StAAF 12	StAAF r.		0	6,45E+3	6,45E+3					Symmetrisch	Symmetrisch			
6	StAAF 13	StAAF r.		0	1,5E+3	1,5E+3					Symmetrisch	Symmetrisch			
14	StAAF 14	StAAF r.		0	1,5E+3	1,5E+3					Symmetrisch	Symmetrisch			
15	StAAF 15	StAAF r.		0	1,5E+3	1,5E+3					Symmetrisch	Symmetrisch			
16	StAAF 16	StAAF r.		0	6,45E+3	6,45E+3					Symmetrisch	Symmetrisch			

	Lijn	F(x) [kN/m]	F(y) [kN/m]	F(z) [kN/m]	M(x) [kNm/m]	M(y) [kNm/m]	M(z) [kNm/m]
1	StAAF 1		23,7	23,7			
2	StAAF 2		34,3	34,3			
3	StAAF 3		42,2	42,2			
7	StAAF 4		47,2	47,2			
8	StAAF 5						
9	StAAF 6						
10	StAAF 7						
11	StAAF 8						
12	StAAF 9						
13	StAAF 10	365,0					
4	StAAF 11		23,7	23,7			
5	StAAF 12		34,3	34,3			
6	StAAF 13		42,2	42,2			
14	StAAF 14		47,2	47,2			
15	StAAF 15						
16	StAAF 16						

Project

Analysis by

Model: **2P-LD-H3 % 2P-LD-L3.axs**

21-5-2022

Pag. 13

Lijnopleggingen

	Lijn	Type	Ref. elem.	Rx [kN/m/m]	Ry [kN/m/m]	Rz [kN/m/m]	Rxx [kNm/rad/m]	Ryy [kNm/rad/m]	Rzz [kNm/rad/m]	NL(x)	NL(y)	NL(z)	NL(xx)	NL(yy)	NL(zz)
17	StAAF 17	StAAF r.		0	6,45E+3	6,45E+3					Symmetrisch	Symmetrisch			
18	StAAF 18	StAAF r.		0	6,45E+3	6,45E+3					Symmetrisch	Symmetrisch			
19	StAAF 19	StAAF r.		0	6,45E+3	6,45E+3					Symmetrisch	Symmetrisch			
20	StAAF 20	StAAF r.		3E+5	6,45E+3	6,45E+3				Trek	Symmetrisch	Symmetrisch			
41	StAAF 21	StAAF r.		0	1,4E+4	1,4E+4					Symmetrisch	Symmetrisch			
42	StAAF 23	StAAF r.		0	1,15E+4	1,15E+4					Symmetrisch	Symmetrisch			
43	StAAF 25	StAAF r.		0	1,15E+4	1,15E+4					Symmetrisch	Symmetrisch			
21	StAAF 26	StAAF r.		0	6,45E+3	6,45E+3					Symmetrisch	Symmetrisch			
22	StAAF 27	StAAF r.		0	6,45E+3	6,45E+3					Symmetrisch	Symmetrisch			
23	StAAF 28	StAAF r.		0	6,45E+3	6,45E+3					Symmetrisch	Symmetrisch			
24	StAAF 29	StAAF r.		0	6,45E+3	6,45E+3					Symmetrisch	Symmetrisch			
25	StAAF 30	StAAF r.		0	6,45E+3	6,45E+3					Symmetrisch	Symmetrisch			
26	StAAF 31	StAAF r.		0	6,45E+3	6,45E+3					Symmetrisch	Symmetrisch			
27	StAAF 32	StAAF r.		3E+5	6,45E+3	6,45E+3				Trek	Symmetrisch	Symmetrisch			
28	StAAF 33	StAAF r.		0	6,45E+3	6,45E+3					Symmetrisch	Symmetrisch			
29	StAAF 34	StAAF r.		0	6,45E+3	6,45E+3					Symmetrisch	Symmetrisch			
30	StAAF 35	StAAF r.		0	6,45E+3	6,45E+3					Symmetrisch	Symmetrisch			

	Lijn	F(x) [kN/m]	F(y) [kN/m]	F(z) [kN/m]	M(x) [kNm/m]	M(y) [kNm/m]	M(z) [kNm/m]
17	StAAF 17						
18	StAAF 18						
19	StAAF 19						
20	StAAF 20	365,0					
41	StAAF 21		16,9	16,9			
42	StAAF 23		5,7	5,7			
43	StAAF 25		5,7	5,7			
21	StAAF 26						
22	StAAF 27						
23	StAAF 28						
24	StAAF 29						
25	StAAF 30						
26	StAAF 31						
27	StAAF 32	400,0					
28	StAAF 33						
29	StAAF 34						
30	StAAF 35						

Project

Analysis by

Model: **2P-LD-H3 % 2P-LD-L3.axs**

21-5-2022

Pag. 14

Lijnopleggingen

	Lijn	Type	Ref. elem.	Rx [kN/m/m]	Ry [kN/m/m]	Rz [kN/m/m]	Rxx [kNm/rad/m]	Ryy [kNm/rad/m]	Rzz [kNm/rad/m]	NL(x)	NL(y)	NL(z)	NL(xx)	NL(yy)	NL(zz)
31	Staafl 36	Staafl r.		0	6,45E+3	6,45E+3					Symmetrisch	Symmetrisch			
32	Staafl 37	Staafl r.		0	6,45E+3	6,45E+3					Symmetrisch	Symmetrisch			
33	Staafl 38	Staafl r.		0	6,45E+3	6,45E+3					Symmetrisch	Symmetrisch			
34	Staafl 39	Staafl r.		3E+5	6,45E+3	6,45E+3				Trek	Symmetrisch	Symmetrisch			
44	Staafl 40	Staafl r.		0	1,4E+4	1,4E+4					Symmetrisch	Symmetrisch			
35	Staafl 41	Staafl r.		0	6,45E+3	6,45E+3					Symmetrisch	Symmetrisch			
36	Staafl 42	Staafl r.		0	6,45E+3	6,45E+3					Symmetrisch	Symmetrisch			
37	Staafl 43	Staafl r.		0	6,45E+3	6,45E+3					Symmetrisch	Symmetrisch			
38	Staafl 44	Staafl r.		0	6,45E+3	6,45E+3					Symmetrisch	Symmetrisch			
39	Staafl 45	Staafl r.		0	6,45E+3	6,45E+3					Symmetrisch	Symmetrisch			
40	Staafl 46	Staafl r.		0	6,45E+3	6,45E+3					Symmetrisch	Symmetrisch			

	Lijn	F(x) [kN/m]	F(y) [kN/m]	F(z) [kN/m]	M(x) [kNm/m]	M(y) [kNm/m]	M(z) [kNm/m]
31	Staafl 36						
32	Staafl 37						
33	Staafl 38						
34	Staafl 39	400,0					
44	Staafl 40		16,9	16,9			
35	Staafl 41		34,3	34,3			
36	Staafl 42		34,3	34,3			
37	Staafl 43		90,0	90,0			
38	Staafl 44		90,0	90,0			
39	Staafl 45		23,7	23,7			
40	Staafl 46		23,7	23,7			

Lijn: Ondersteund lijnelement; **Type:** Opleggingstype; **Ref. elem.:** Referentie-element; **Rx, Ry, Rz:** Verplaatsingsstijfheid; **Rxx, Ryy, Rzz:** Rotatiestijfheid; **NL(x), NL(y), NL(z), NL(xx), NL(yy), NL(zz):** Niet-lineaire parameters; **F(x):** Weerstand in X-richting; **F(y):** Weerstand in Y-richting; **F(z):** Weerstand in Z-richting; **M(x):** Weerstandsmoment in X-richting; **M(y):** Weerstandsmoment in Y-richting; **M(z):** Weerstandsmoment in Z-richting;

Project

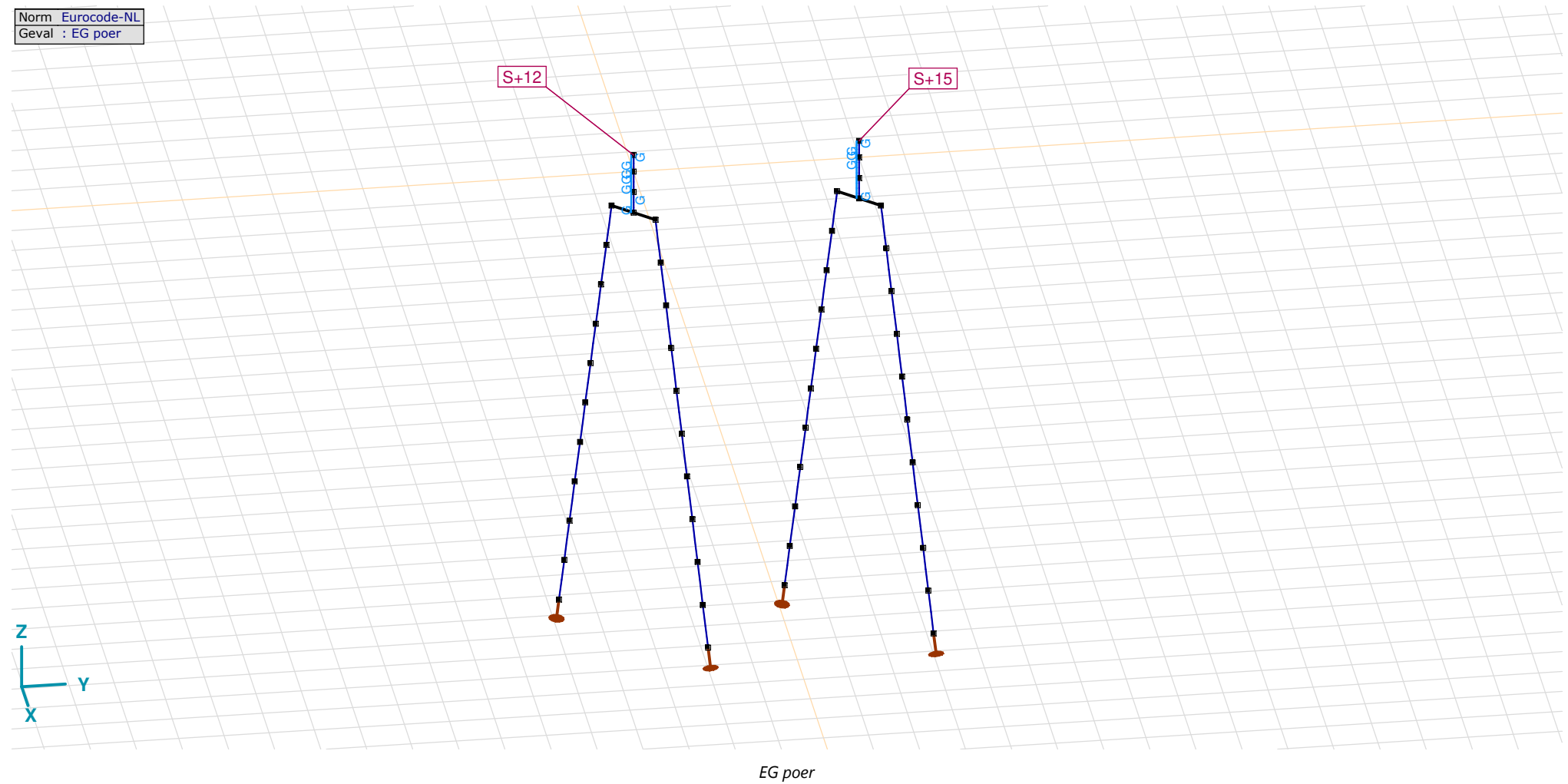
Analysis by

Model: 2P-LD-H3 % 2P-LD-L3.axs

21-5-2022

Pag. 15

Norm Eurocode-NL
Geval : EG poer



Project

Analysis by

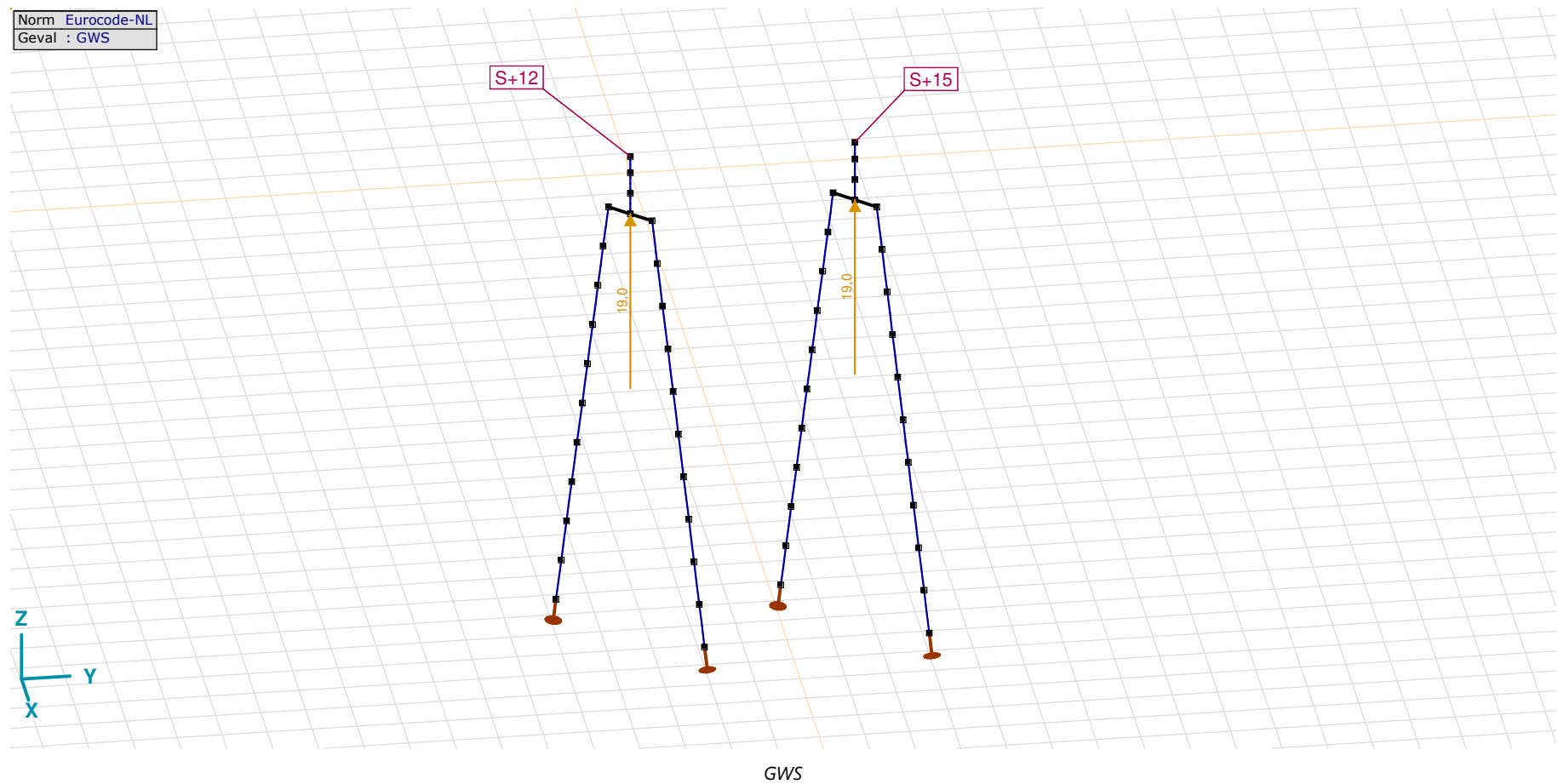
Model: **2P-LD-H3 % 2P-LD-L3.axs**

21-5-2022

Pag. 16

EG poer: Staaf eigen gewicht

	Σ [kg]
29-32	4750,694
77-80	4750,694
97-112	11448,779
Totaal	20950,168

 Σ : Totale massa;

Project

Analysis by

Model: **2P-LD-H3 % 2P-LD-L3.axs**

21-5-2022

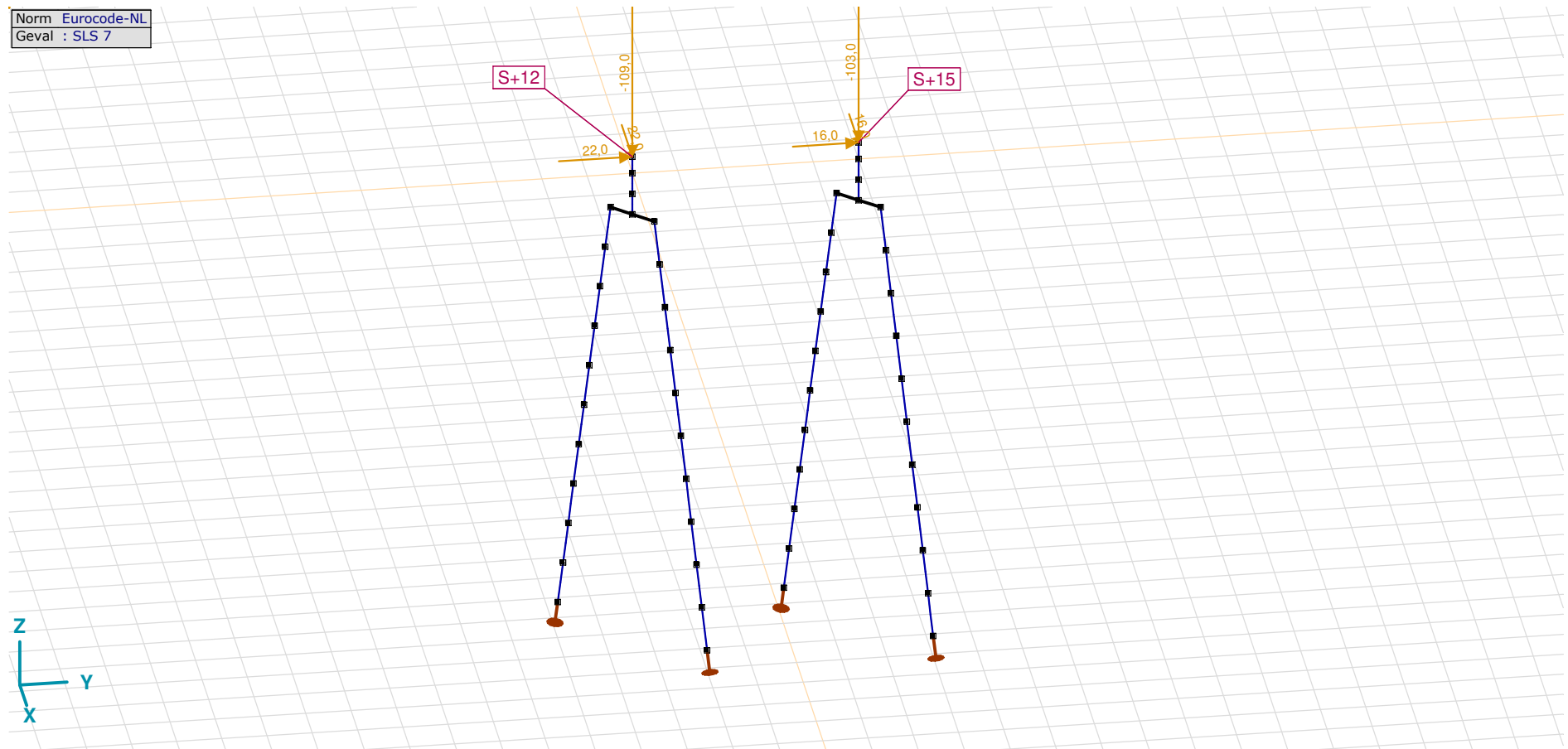
Pag. 17

GWS: Knoopbelastingen

	Richting	F_x [kN]	F_y [kN]	F_z [kN]	M_x [kNm]	M_y [kNm]	M_z [kNm]
4	Globaal	0	0	19,0	0	0	0
57	Globaal	0	0	19,0	0	0	0

F_x, F_y, F_z: Belastingkracht component; **M_x, M_y, M_z**: Belastingsmoment component;

Norm	Eurocode-NL
Geval	SLS 7



SLS 7

Project

Analysis by

Model: **2P-LD-H3 % 2P-LD-L3.axs**

21-5-2022

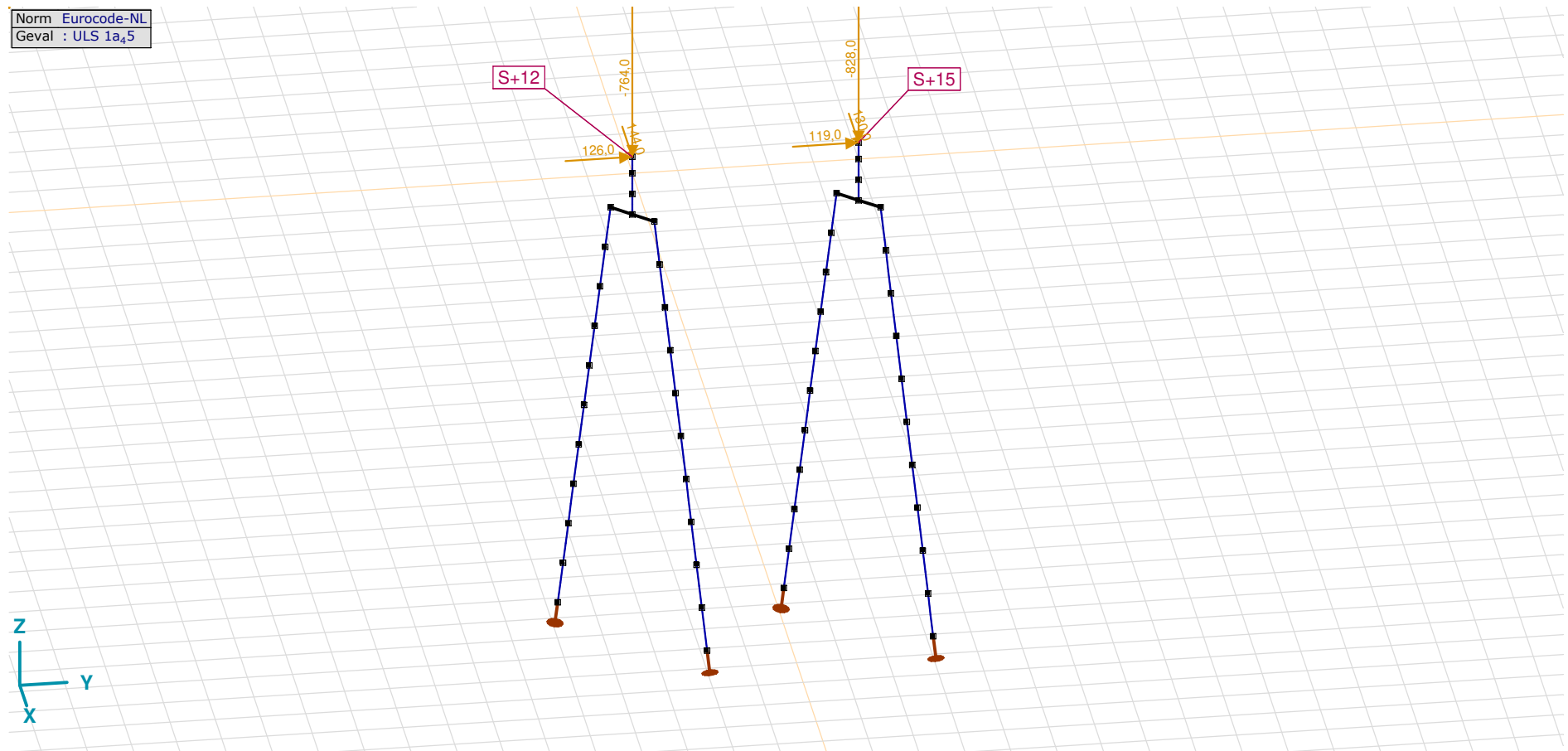
Pag. 18

SLS 7: Knoopbelastingen

	Richting	F_x [kN]	F_y [kN]	F_z [kN]	M_x [kNm]	M_y [kNm]	M_z [kNm]
2	Globaal	22,0	22,0	-109,0	0	0	0
55	Globaal	16,0	16,0	-103,0	0	0	0

F_x , F_y , F_z : Belastingkracht component; M_x , M_y , M_z : Belastingsmoment component;

Norm Eurocode-NL
Geval : ULS 1a₅

ULS 1a₅

Project

Analysis by

Model: **2P-LD-H3 % 2P-LD-L3.axs**

21-5-2022

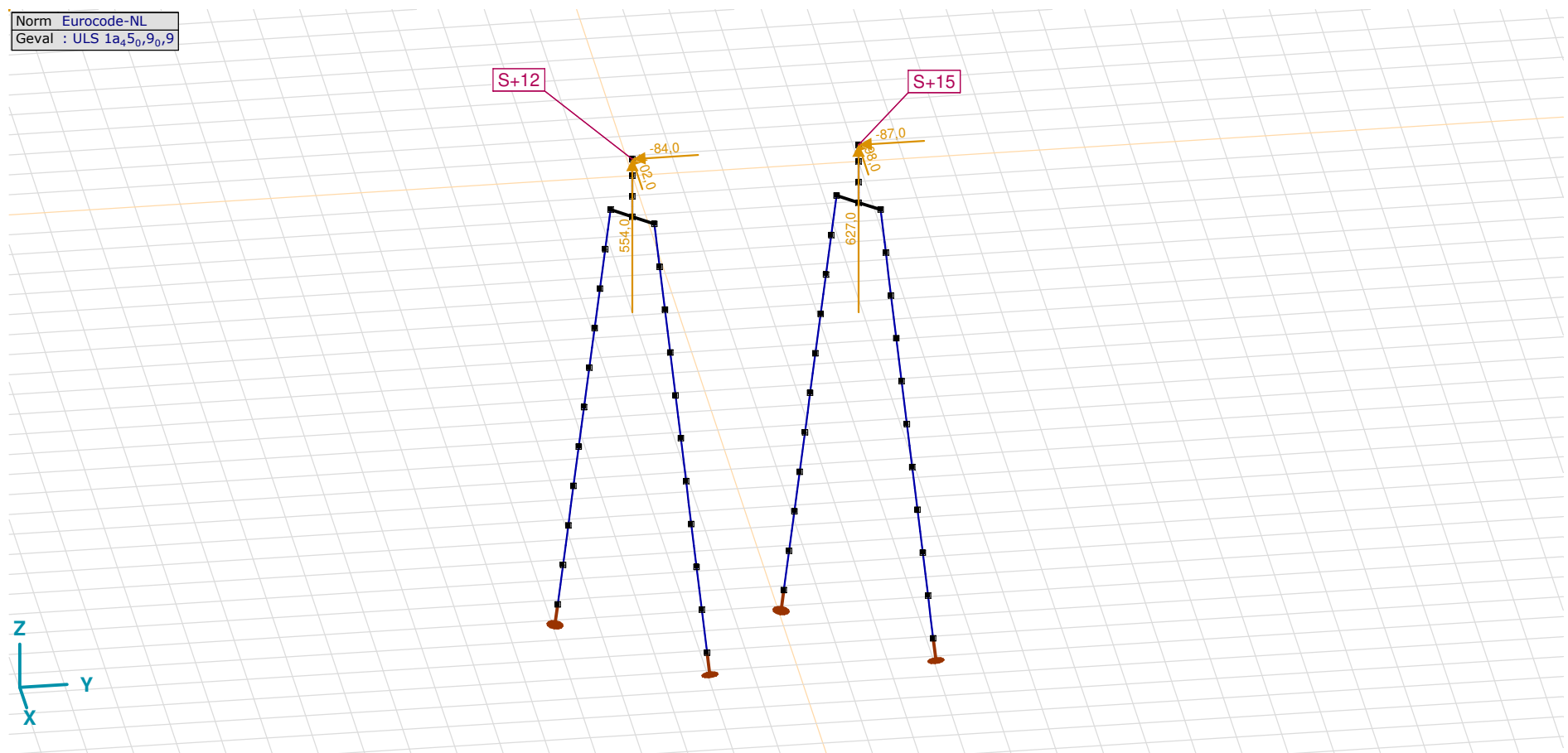
Pag. 19

ULS 1a_45: Knoopbelastingen

	Richting	F_x [kN]	F_y [kN]	F_z [kN]	M_x [kNm]	M_y [kNm]	M_z [kNm]
2	Globaal	144,0	126,0	-764,0	0	0	0
55	Globaal	130,0	119,0	-828,0	0	0	0

F_x, F_y, F_z: Belastingkracht component; **M_x, M_y, M_z**: Belastingmoment component;

Norm Eurocode-NL
Geval : ULS 1a_{45,0,9,0,9}



ULS 1a_45_0,9_0,9

Project

Analysis by

Model: **2P-LD-H3 % 2P-LD-L3.axs**

21-5-2022

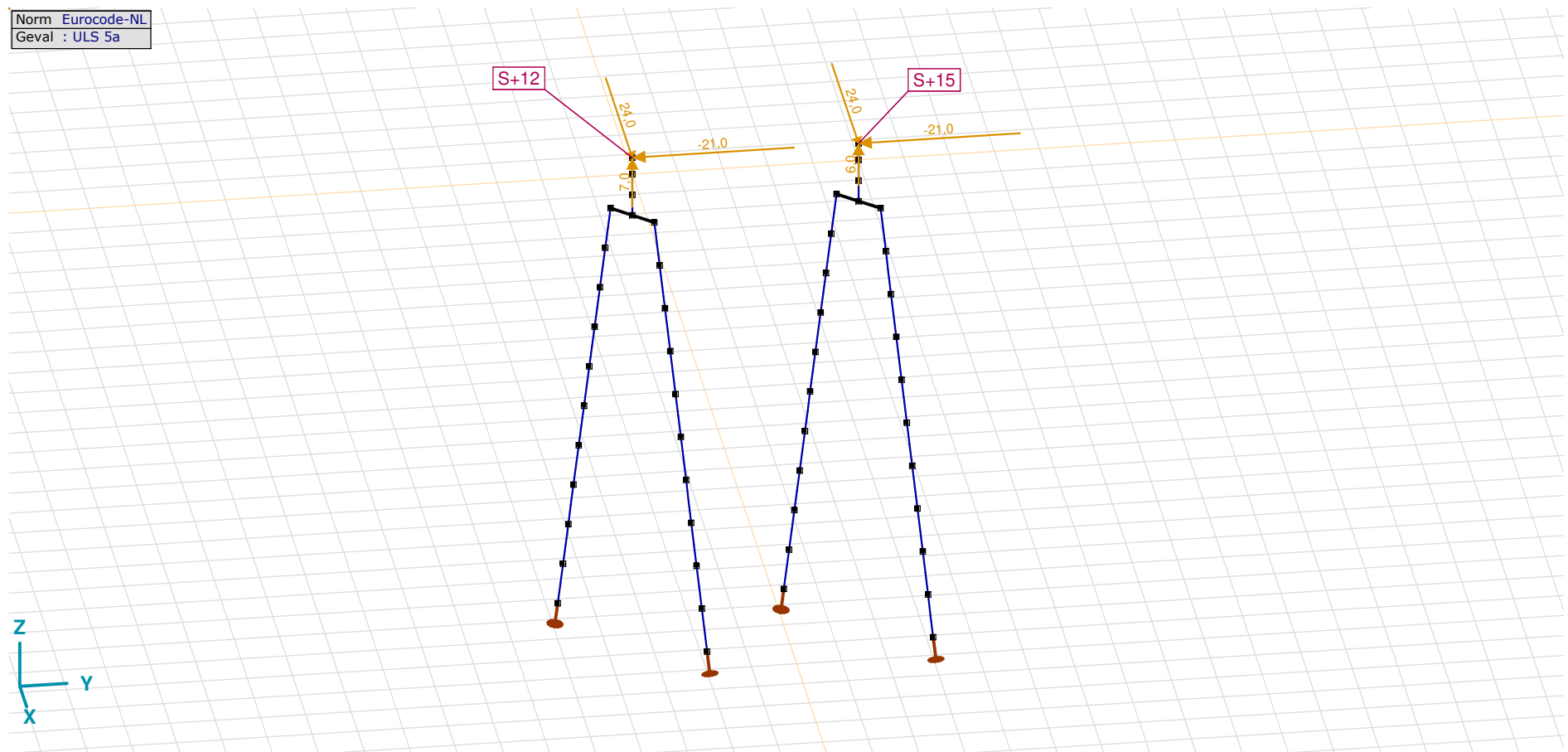
Pag. 20

ULS 1a_45_0,9_0,9: Knoopbelastingen

	Richting	F_x [kN]	F_y [kN]	F_z [kN]	M_x [kNm]	M_y [kNm]	M_z [kNm]
2	Globaal	-102,0	-84,0	554,0	0	0	0
55	Globaal	-98,0	-87,0	627,0	0	0	0

F_x, **F_y**, **F_z**: Belastingkracht component; **M_x**, **M_y**, **M_z**: Belastingsmoment component;

Norm Eurocode-NL
Geval : ULS 5a



ULS 5a

Project

Analysis by

Model: **2P-LD-H3 % 2P-LD-L3.axs**

21-5-2022

Pag. 21

ULS 5a: Knoopbelastingen

	<i>Richting</i>	<i>F_x</i> [kN]	<i>F_y</i> [kN]	<i>F_z</i> [kN]	<i>M_x</i> [kNm]	<i>M_y</i> [kNm]	<i>M_z</i> [kNm]
2	Globaal	24,0	-21,0	7,0	0	0	0
55	Globaal	24,0	-21,0	6,0	0	0	0

F_x, F_y, F_z: Belastingkracht component; **M_x, M_y, M_z**: Belastingsmoment component;

Gebruiker gedefinieerde belastingcombinaties uit belastinggevallen

	<i>Naam</i>	<i>Type</i>	<i>ST1</i>	<i>EG poer</i> (PERM1)	<i>GWS</i> (PERM1)	<i>SLS 7</i> (PERM1)	<i>ULS 1a_45</i> (VER1)	<i>ULS 1a_45_0,9_0,9</i> (VER1)	<i>ULS 5a</i> (VER1)	<i>Commentaar</i>
1	Co #1 max druk	UGT	0	1,20	0	0	1,00	0	0	
2	Co #2 max trek	UGT	0	0,90	1,00	0	0	1,00	0	
3	Co #3 max torsie	UGT	0	1,20	1,00	0	0	0	1,00	
4	Co #4 Perm	BGT Quasi-blijvend	0	1,00	0	1,00	0	0	0	

Naam: Naam belastingcombinatie; **Type**: Type belastingcombinatie; **ST1, EG poer (PERM1), GWS (PERM1), SLS 7 (PERM1), ULS 1a_45 (VER1), ULS 1a_45_0,9_0,9 (VER1), ULS 5a (VER1)**: Factor;

Project

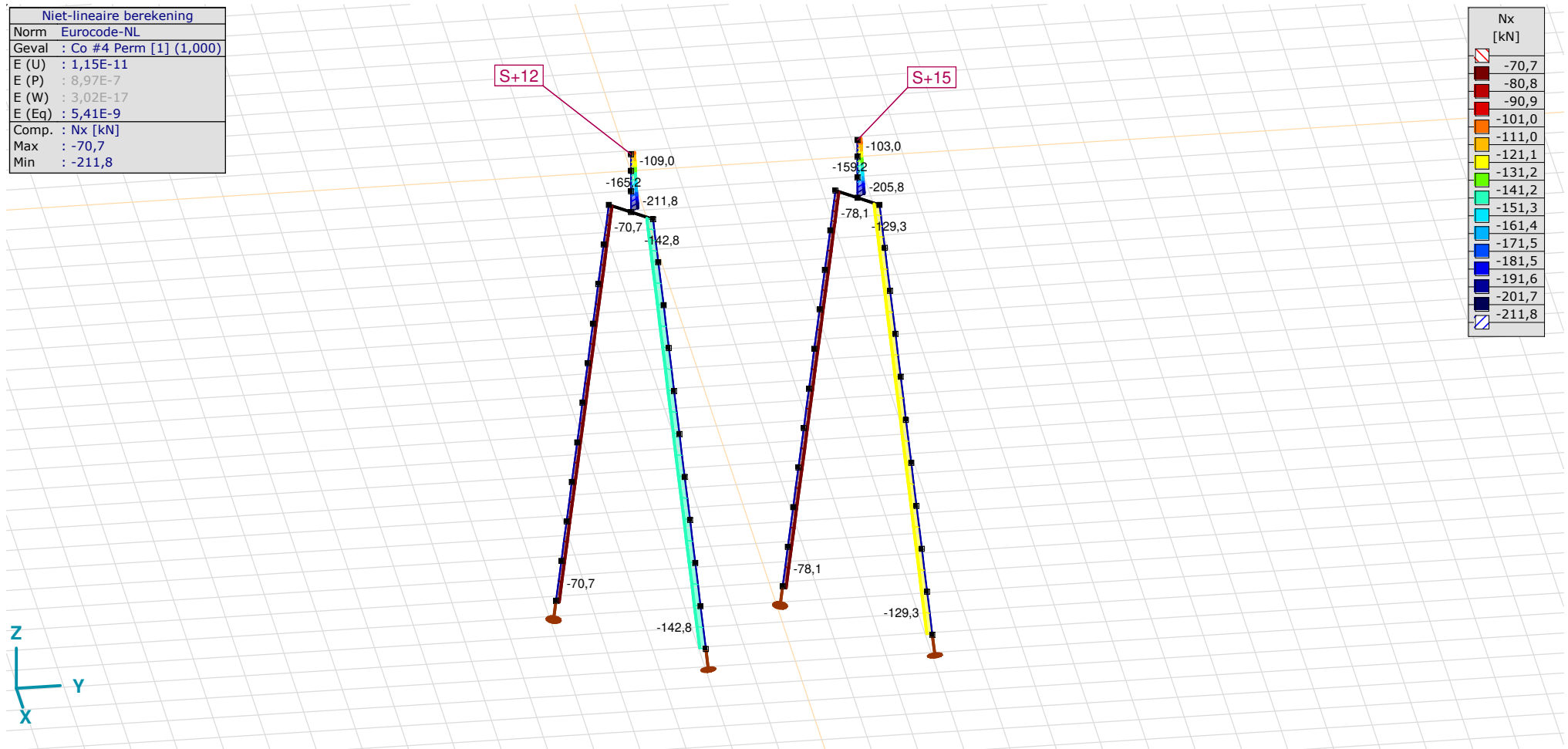
Analysis by

Model: **2P-LD-H3 % 2P-LD-L3.axs**

21-5-2022

Pag. 22

Niet-lineaire berekening	
Norm	Eurocode-NL
Geval	Co #4 Perm [1] (1,000)
E (U)	: 1,15E-11
E (P)	: 8,97E-7
E (W)	: 3,02E-17
E (Eq)	: 5,41E-9
Comp.	: Nx [kN]
Max	: -70,7
Min	: -211,8



[II], Non-lin., Co #4 Perm [1] (1,000), Nx, Lijnen (gevuld)(gevuld)

Project

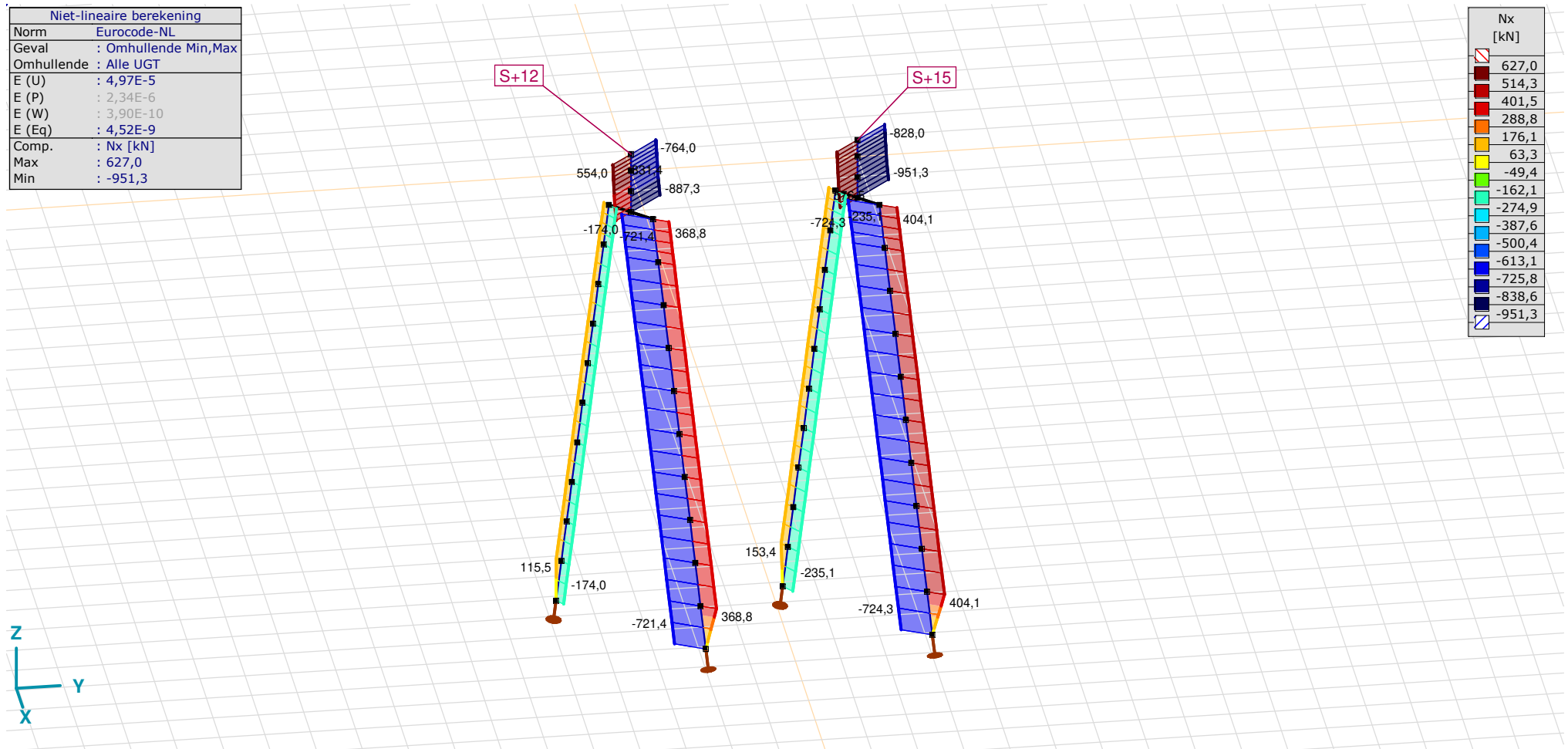
Analysis by

Model: 2P-LD-H3 % 2P-LD-L3.axs

21-5-2022

Pag. 23

Niet-lineaire berekening	
Norm	Eurocode-NL
Geval	: Omhullende Min,Max
Omhullende	: Alle UGT
E (U)	: 4,97E-5
E (P)	: 2,34E-6
E (W)	: 3,90E-10
E (Eq)	: 4,52E-9
Comp.	: Nx [kN]
Max	: 627,0
Min	: -951,3



[II], Non-lin., Omhullende (Alle UGT), Nx, Lijnen (gevuld)

Project

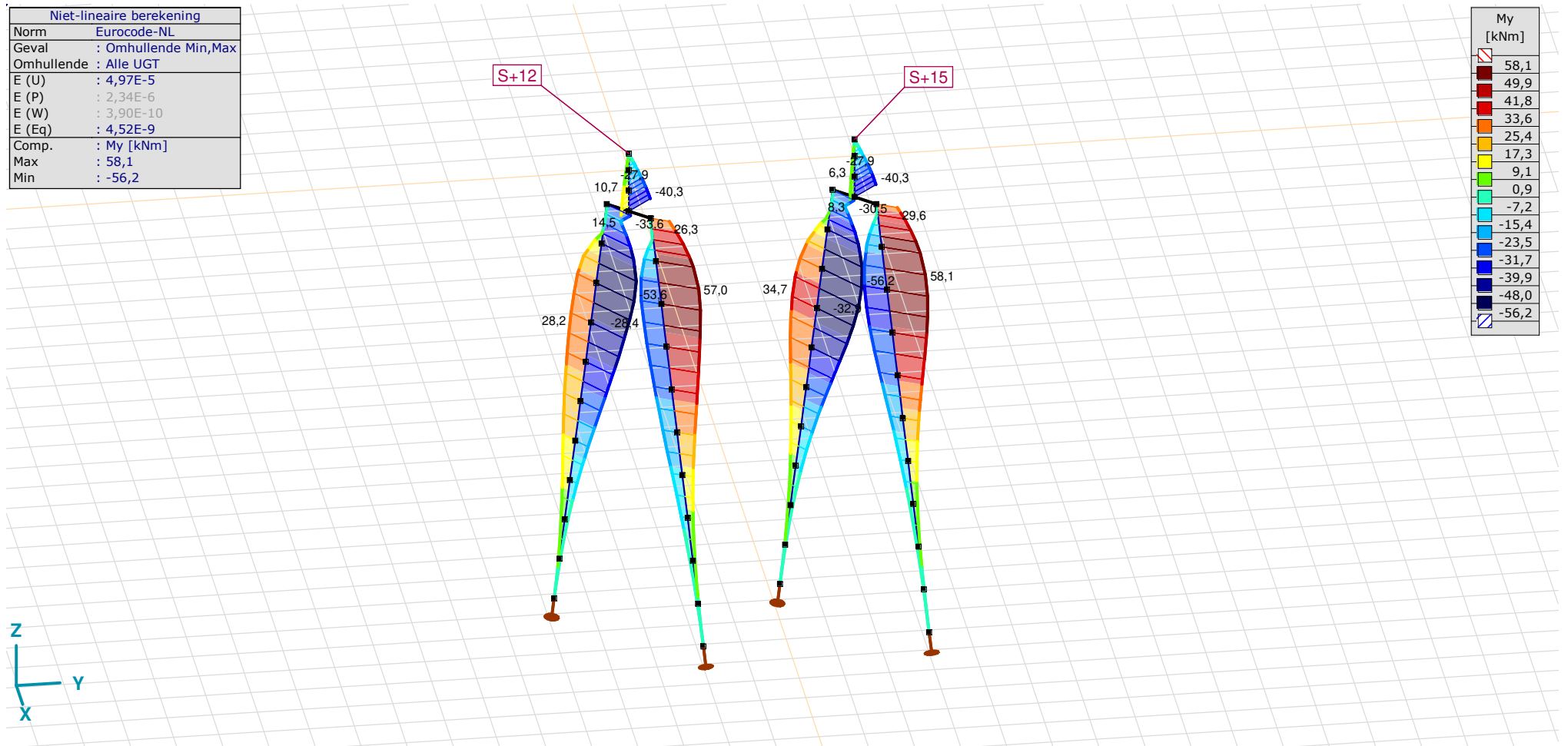
Analysis by

Model: 2P-LD-H3 % 2P-LD-L3.axs

21-5-2022

Pag. 24

Niet-lineaire berekening	
Norm	Eurocode-NL
Geval	: Omhullende Min,Max
Omhullende	: Alle UGT
E (U)	: 4,97E-5
E (P)	: 2,34E-6
E (W)	: 3,90E-10
E (Eq)	: 4,52E-9
Comp.	: My [kNm]
Max	: 58,1
Min	: -56,2



[II], Non-lin., Omhullende (Alle UGT), My, Lijnen (gevuld)

Project

Analysis by

Model: **2P-LD-H3 % 2P-LD-L3.axs**

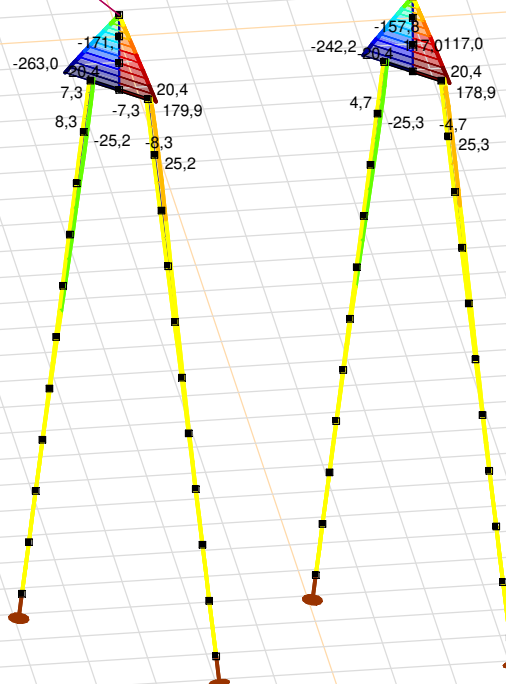
21-5-2022

Pag. 25

Niet-lineaire berekening	
Norm	Eurocode-NL
Geval	: Omhullende Min,Max
Omhullende	: Alle UGT
E (U)	: 4,97E-5
E (P)	: 2,34E-6
E (W)	: 3,90E-10
E (Eq)	: 4,52E-9
Comp.	: Mz [kNm]
Max	: 179,9
Min	: -263,0

S+12

S+15



Mz [kNm]	
179,9	
148,2	
116,6	
85,0	
53,3	
21,7	
-9,9	
-41,6	
-73,2	
-104,9	
-136,5	
-168,1	
-199,8	
-231,4	
-263,0	



[III], Non-lin., Omhullende (Alle UGT), Mz, Lijnen (gevuld)

Project

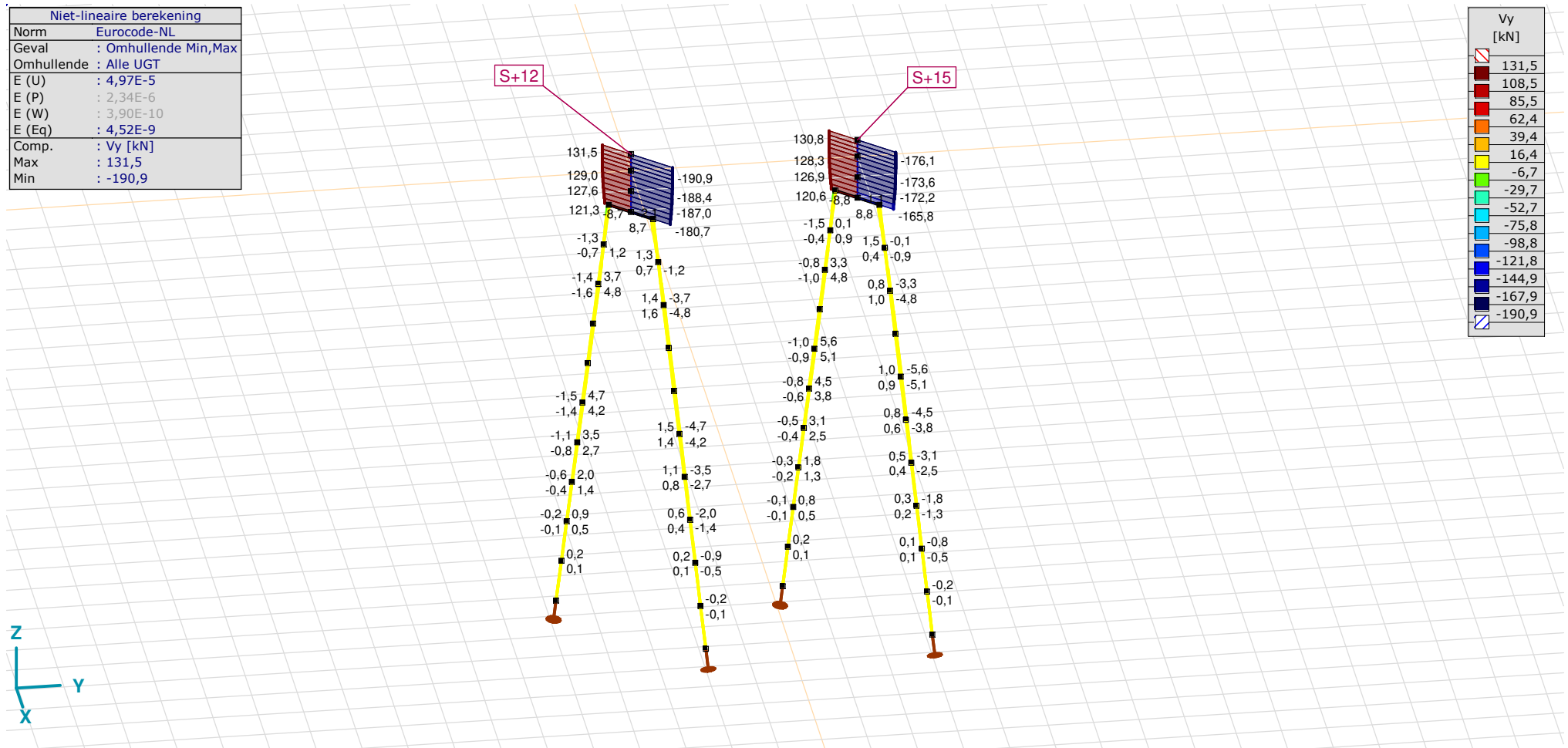
Analysis by

Model: 2P-LD-H3 % 2P-LD-L3.axs

21-5-2022

Pag. 26

Niet-lineaire berekening	
Norm	Eurocode-NL
Geval	: Omhullende Min,Max
Omhullende	: Alle UGT
E (U)	: 4,97E-5
E (P)	: 2,34E-6
E (W)	: 3,90E-10
E (Eq)	: 4,52E-9
Comp.	: Vy [kN]
Max	: 131,5
Min	: -190,9



[II], Non-lin., Omhullende (Alle UGT), Vy, Lijnen (gevuld)

Project

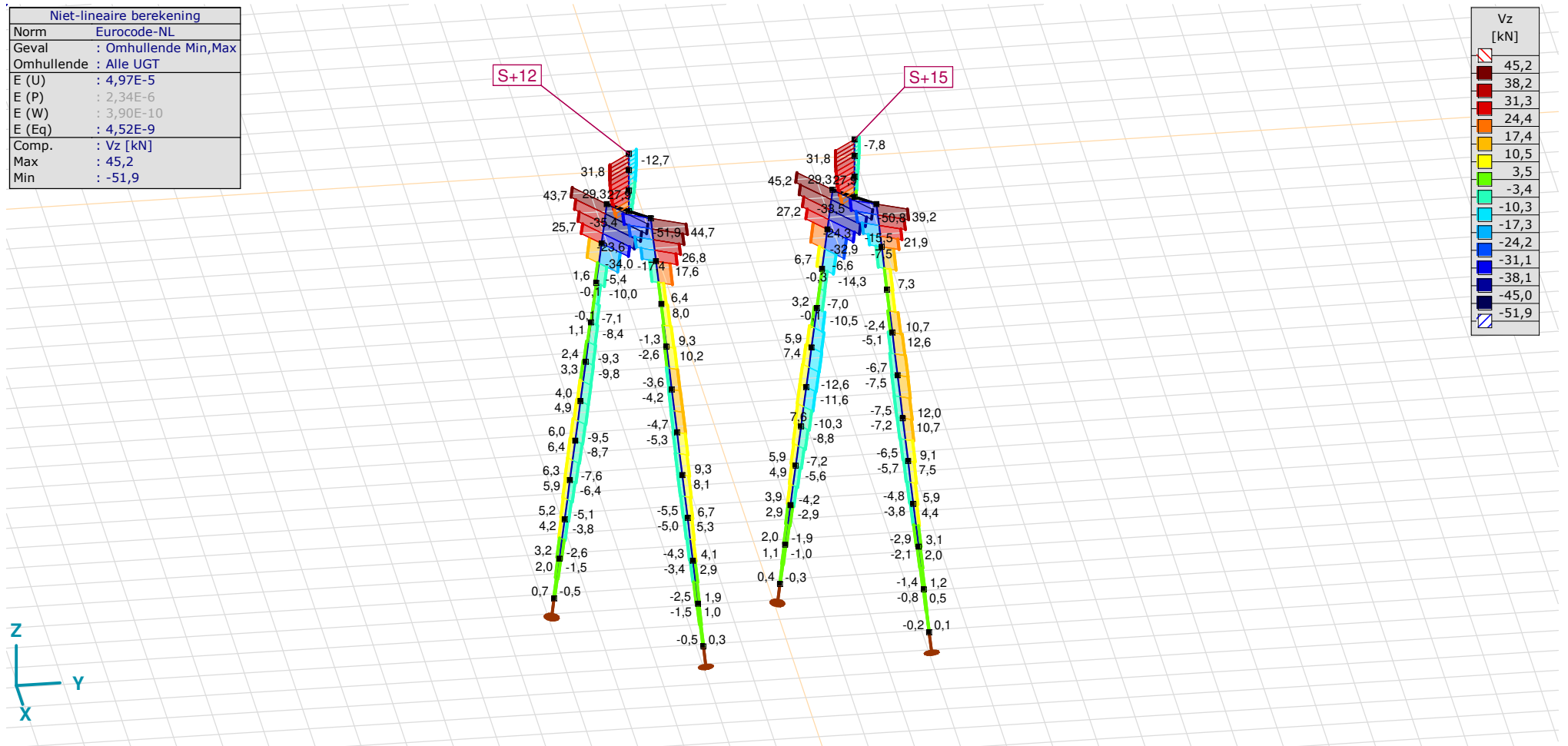
Analysis by

Model: 2P-LD-H3 % 2P-LD-L3.axs

21-5-2022

Pag. 27

Niet-lineaire berekening	
Norm	Eurocode-NL
Geval	: Omhullende Min,Max
Omhullende	: Alle UGT
E (U)	: 4,97E-5
E (P)	: 2,34E-6
E (W)	: 3,90E-10
E (Eq)	: 4,52E-9
Comp.	: Vz [kN]
Max	: 45,2
Min	: -51,9



[II], Non-lin., Omhullende (Alle UGT), Vz, Lijnen (gevuld)

Project

Analysis by

Model: **2P-LD-H3 % 2P-LD-L3.axs**

21-5-2022

Pag. 28

Staafkrachten [Non-lin., Omhullende (Alle UGT), Palen]

	Prof.	Doorsnede naam	C	min. max.	Geval	Pos. [m]	Knoop	Nx [kN]	Vy [kN]	Vz [kN]	Tx [kNm]	My [kNm]	Mz [kNm]	B [kNm ²]
Ext.														
33	6	514x570,1 (LD1)	Nx	min	Co #1 max druk [1] (1,000)	0	(77)	-724,3	-1,0	-6,7	0	-25,5	2,0	0
34	6	514x570,1 (LD1)		min	Co #1 max druk [1] (1,000)	0	(79)	-724,3	-0,8	-7,5	0	-17,9	1,1	0
35	6	514x570,1 (LD1)		min	Co #1 max druk [1] (1,000)	0	(81)	-724,3	-0,5	-6,5	0	-10,9	0,5	0
36	6	514x570,1 (LD1)		min	Co #1 max druk [1] (1,000)	0	(83)	-724,3	-0,3	-4,8	0	-5,6	0,2	0
37	6	514x570,1 (LD1)		min	Co #1 max druk [1] (1,000)	0	(85)	-724,3	-0,1	-2,9	0	-2,2	0	0
38	6	514x570,1 (LD1)		min	Co #1 max druk [1] (1,000)	0	(87)	-724,3	0	-1,4	0	-0,5	0	0
39	6	514x570,1 (LD1)		min	Co #1 max druk [1] (1,000)	0	(89)	-724,3	0	-0,2	0	0	0	0
42	6	514x570,1 (LD1)		min	Co #1 max druk [1] (1,000)	0	(98)	-724,3	-0,8	7,3	0	-32,1	4,1	0
44	6	514x570,1 (LD1)		min	Co #1 max druk [1] (1,000)	0	(75)	-724,3	-1,1	-2,4	0	-31,6	3,0	0
46	6	514x570,1 (LD1)		min	Co #1 max druk [1] (1,000)	0	(96)	-724,3	-0,1	21,9	0	-21,0	4,7	0
33	6	514x570,1 (LD1)		max	Co #2 max trek [1] (1,000)	0	(77)	404,1	1,0	13,3	0	35,2	-2,0	0
34	6	514x570,1 (LD1)		max	Co #2 max trek [1] (1,000)	0	(79)	404,1	0,8	12,0	0	22,5	-1,1	0
35	6	514x570,1 (LD1)		max	Co #2 max trek [1] (1,000)	0	(81)	404,1	0,5	9,1	0	12,5	-0,5	0
36	6	514x570,1 (LD1)		max	Co #2 max trek [1] (1,000)	0	(83)	404,1	0,3	5,9	0	5,7	-0,2	0
37	6	514x570,1 (LD1)		max	Co #2 max trek [1] (1,000)	0	(85)	404,1	0,1	3,1	0	1,9	0	0
38	6	514x570,1 (LD1)		max	Co #2 max trek [1] (1,000)	0	(87)	404,1	0	1,2	0	0,3	0	0
39	6	514x570,1 (LD1)		max	Co #2 max trek [1] (1,000)	1,010	(87)	404,1	0	0,5	0	0,3	0	0
42	6	514x570,1 (LD1)		max	Co #2 max trek [1] (1,000)	0	(98)	404,1	0,8	1,0	0	57,4	-4,1	0
44	6	514x570,1 (LD1)		max	Co #2 max trek [1] (1,000)	0	(75)	404,1	1,1	10,7	0	48,4	-3,0	0
46	6	514x570,1 (LD1)		max	Co #2 max trek [1] (1,000)	0	(96)	404,1	0,1	-15,5	0	54,4	-4,7	0
45	6	514x570,1 (LD1)	Vy	min	Co #3 max torsie [1] (1,000)	0,758	(101)	-47,2	-8,8	-1,2	0	-0,9	-22,6	0
46	6	514x570,1 (LD1)		max	Co #3 max torsie [1] (1,000)	0,758	(104)	-51,9	8,8	-0,4	0	-1,0	22,6	0
1	6	514x570,1 (LD1)	Vz	min	Co #1 max druk [1] (1,000)	0,758	(48)	-174,0	-2,1	-51,9	0	-20,5	-7,8	0
45	6	514x570,1 (LD1)		max	Co #2 max trek [1] (1,000)	0,758	(101)	153,4	1,1	45,2	0	-18,9	4,5	0
41	6	514x570,1 (LD1)	My	min	Co #2 max trek [1] (1,000)	0	(95)	153,4	-0,8	6,7	0	-56,2	4,1	0
43	6	514x570,1 (LD1)		min	Co #2 max trek [1] (1,000)	1,010	(95)	153,4	-1,0	-1,5	0	-56,2	4,1	0
42	6	514x570,1 (LD1)		max	Co #2 max trek [1] (1,000)	0,505	(97)	404,1	0,8	1,0	0	58,1	-4,5	0
41	6	514x570,1 (LD1)	Mz	min	Co #3 max torsie [1] (1,000)	1,010	(93)	-47,2	0,9	-0,6	0	-0,2	-25,3	0
45	6	514x570,1 (LD1)		min	Co #3 max torsie [1] (1,000)	0	(93)	-47,2	-1,5	-0,8	0	-0,2	-25,3	0
42	6	514x570,1 (LD1)		max	Co #3 max torsie [1] (1,000)	1,010	(96)	-51,9	-0,9	-0,3	0	-0,7	25,3	0
46	6	514x570,1 (LD1)		max	Co #3 max torsie [1] (1,000)	0	(96)	-51,9	1,5	-0,4	0	-0,7	25,3	0

Prof.: Profiel; C: Extreme component; min. max.: Extreme type; Geval: Belastinggeval van de extreme; Pos.: Lokale X-positie van de doorsnede op de staaf; Nx: Normaalkracht; Vy: Dwarskracht in lokale y-richting; Vz: Dwarskracht in lokale z-richting; Tx: Torsiemoment; My: Buigend moment in lokale y-richting; Mz: Buigend moment in lokale z-richting; B: Bimoment;

Project

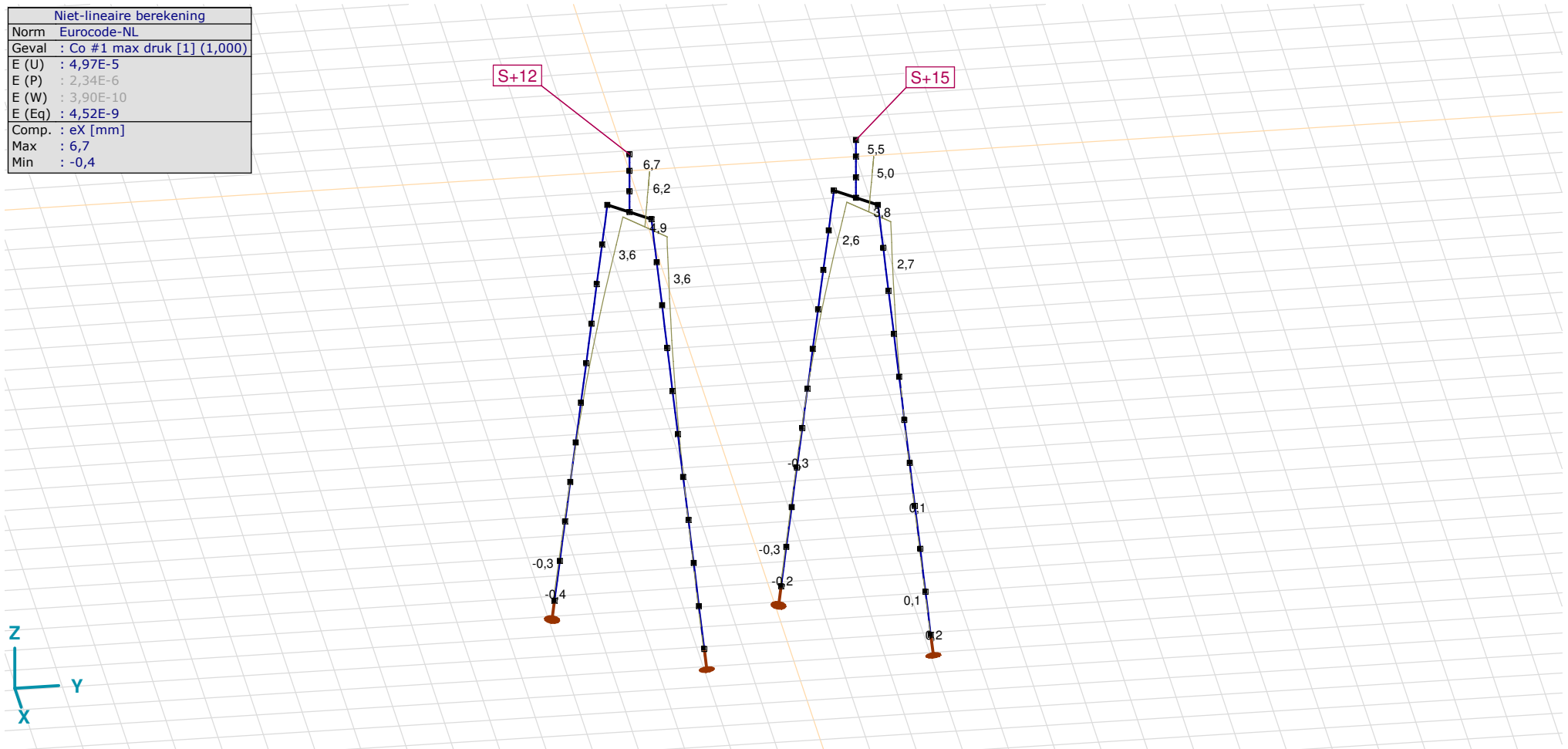
Analysis by

Model: **2P-LD-H3 % 2P-LD-L3.axs**

21-5-2022

Pag. 29

Niet-lineaire berekening	
Norm	Eurocode-NL
Geval	Co #1 max druk [1] (1,000)
E (U)	: 4,97E-5
E (P)	: 2,34E-6
E (W)	: 3,90E-10
E (Eq)	: 4,52E-9
Comp.	: eX [mm]
Max	: 6,7
Min	: -0,4



[III], Non-lin., Co #1 max druk [1] (1,000), eX, Lijnen

Project

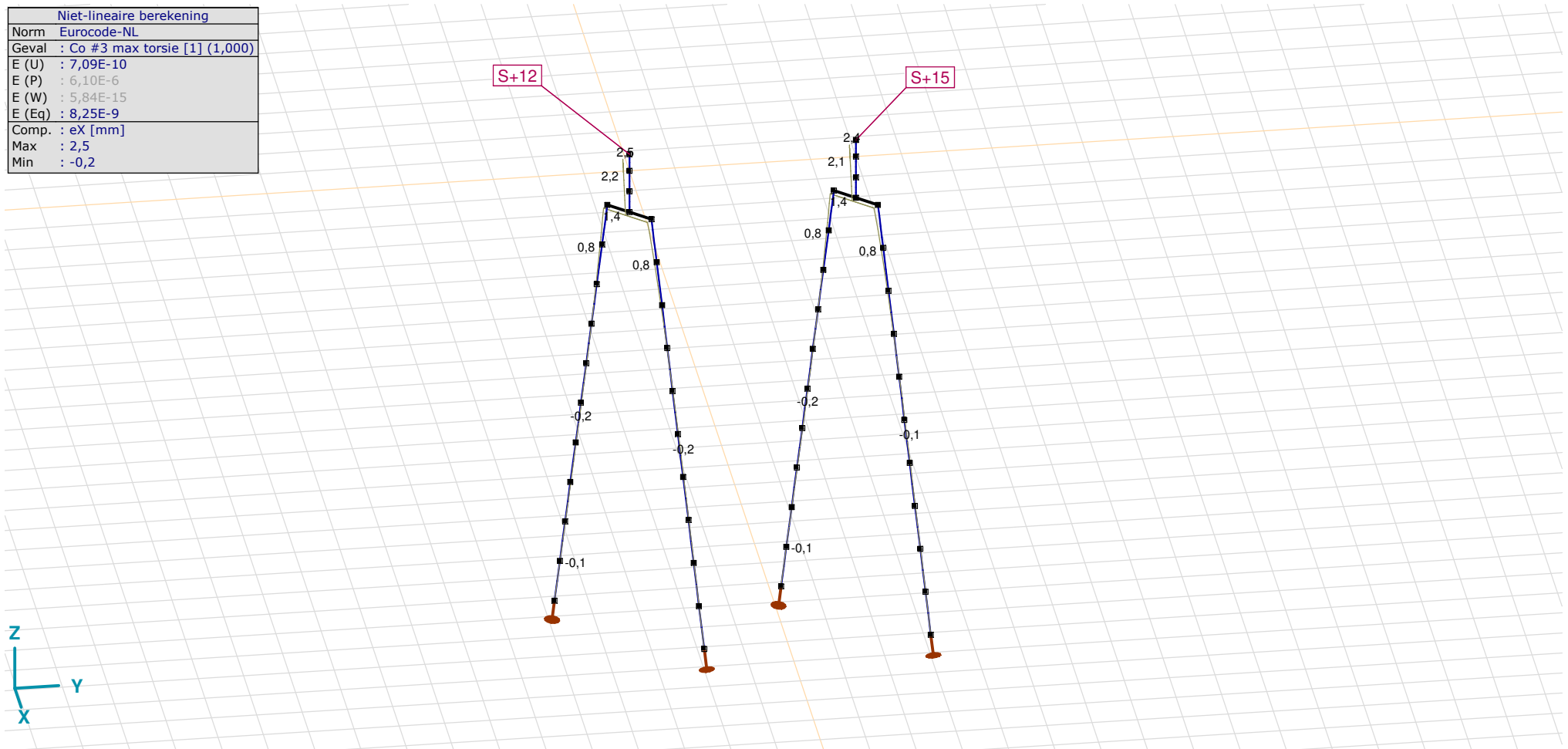
Analysis by

Model: **2P-LD-H3 % 2P-LD-L3.axs**

21-5-2022

Pag. 30

Niet-lineaire berekening	
Norm	Eurocode-NL
Geval	Co #3 max torsie [1] (1,000)
E (U)	: 7,09E-10
E (P)	: 6,10E-6
E (W)	: 5,84E-15
E (Eq)	: 8,25E-9
Comp.	: eX [mm]
Max	: 2,5
Min	: -0,2



[II], Non-lin., Co #3 max torsie [1] (1,000), eX, Lijnen

Project

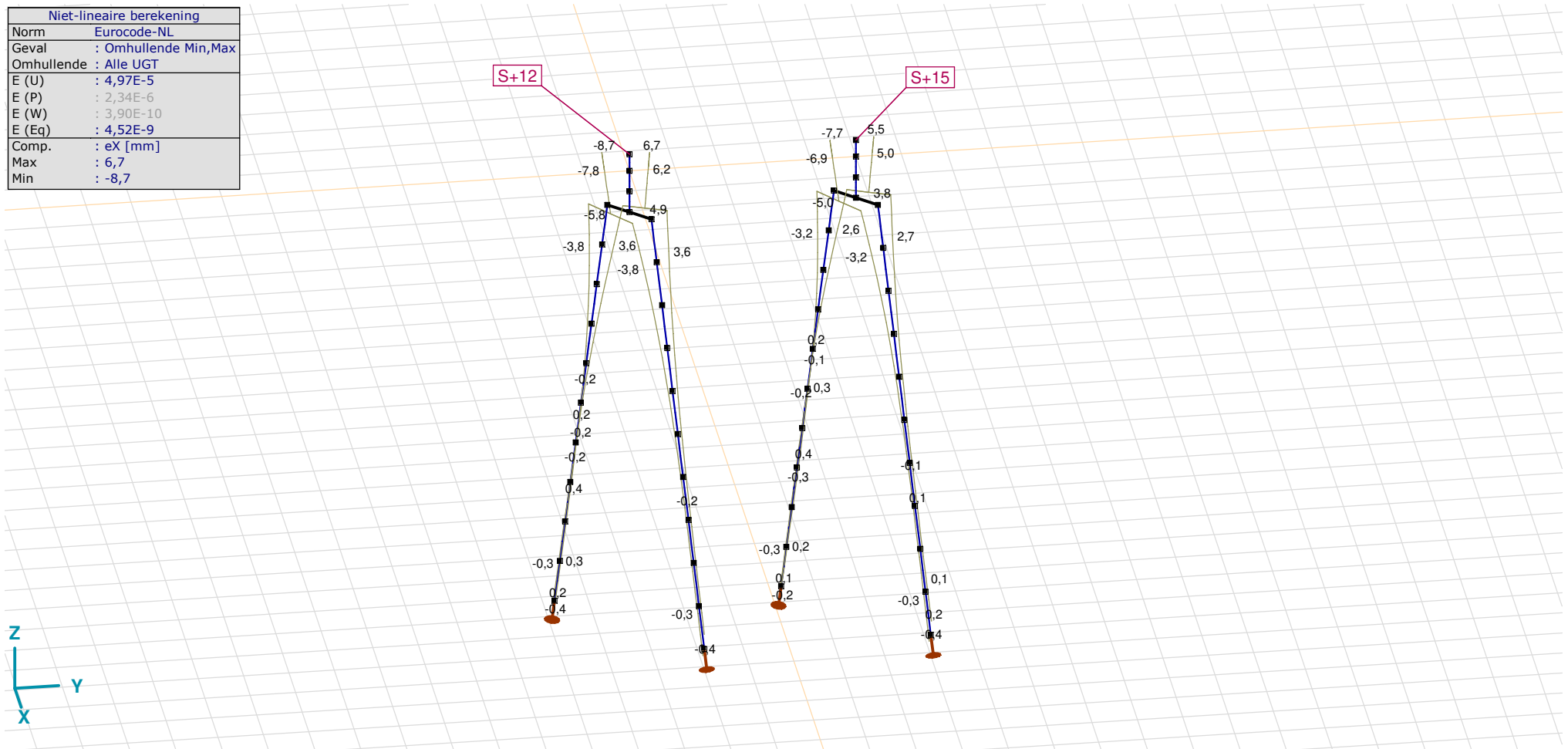
Analysis by

Model: 2P-LD-H3 % 2P-LD-L3.axs

21-5-2022

Pag. 31

Niet-lineaire berekening	
Norm	Eurocode-NL
Geval	: Omhullende Min,Max
Omhullende	: Alle UGT
E (U)	: 4,97E-5
E (P)	: 2,34E-6
E (W)	: 3,90E-10
E (Eq)	: 4,52E-9
Comp.	: eX [mm]
Max	: 6,7
Min	: -8,7



[II], Non-lin., Omhullende (Alle UGT), eX, Lijnen

Project

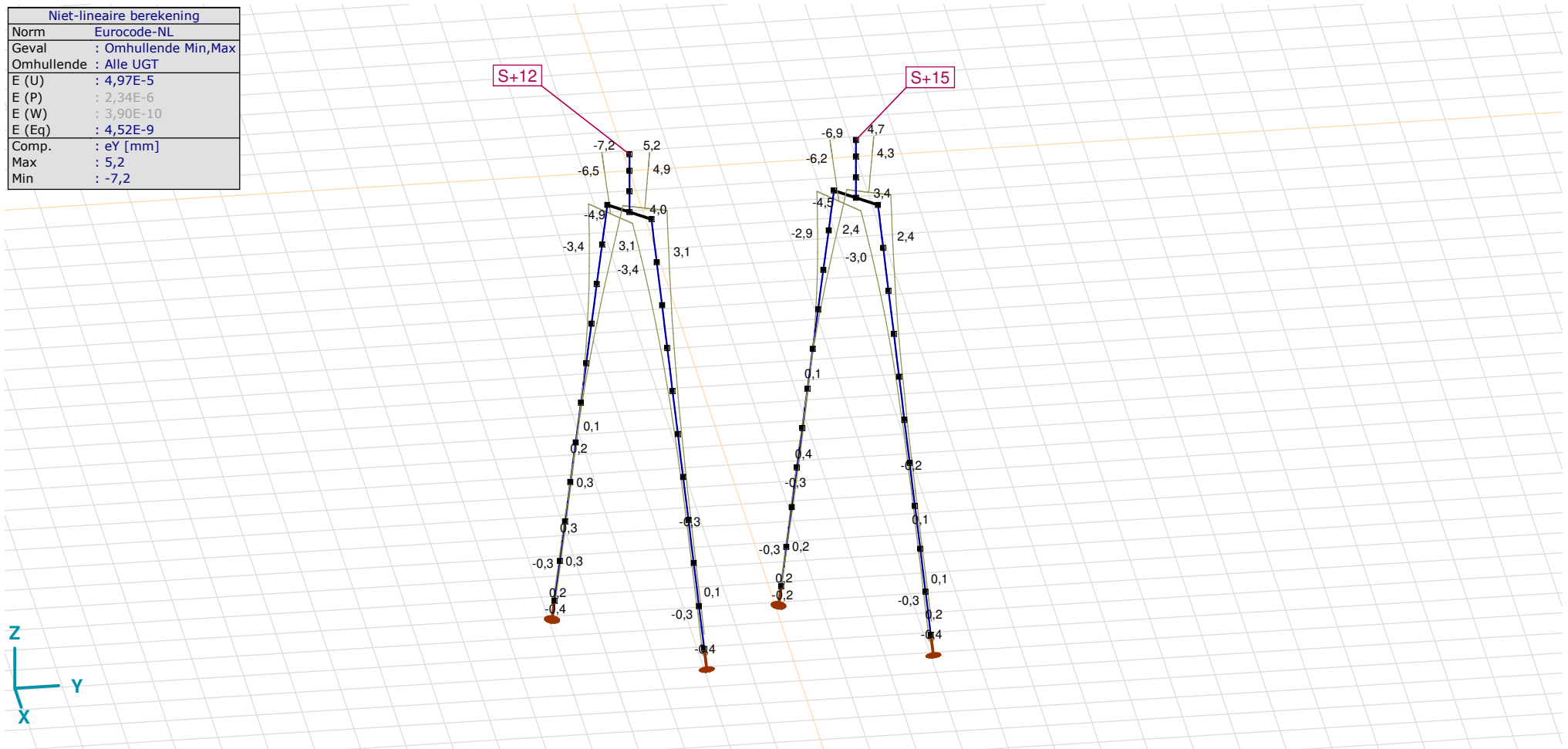
Analysis by

Model: 2P-LD-H3 % 2P-LD-L3.axs

21-5-2022

Pag. 32

Niet-lineaire berekening	
Norm	Eurocode-NL
Geval	: Omhullende Min,Max
Omhullende	: Alle UGT
E (U)	: 4,97E-5
E (P)	: 2,34E-6
E (W)	: 3,90E-10
E (Eq)	: 4,52E-9
Comp.	: eY [mm]
Max	: 5,2
Min	: -7,2



[II], Non-lin., Omhullende (Alle UGT), eY, Lijnen

Project

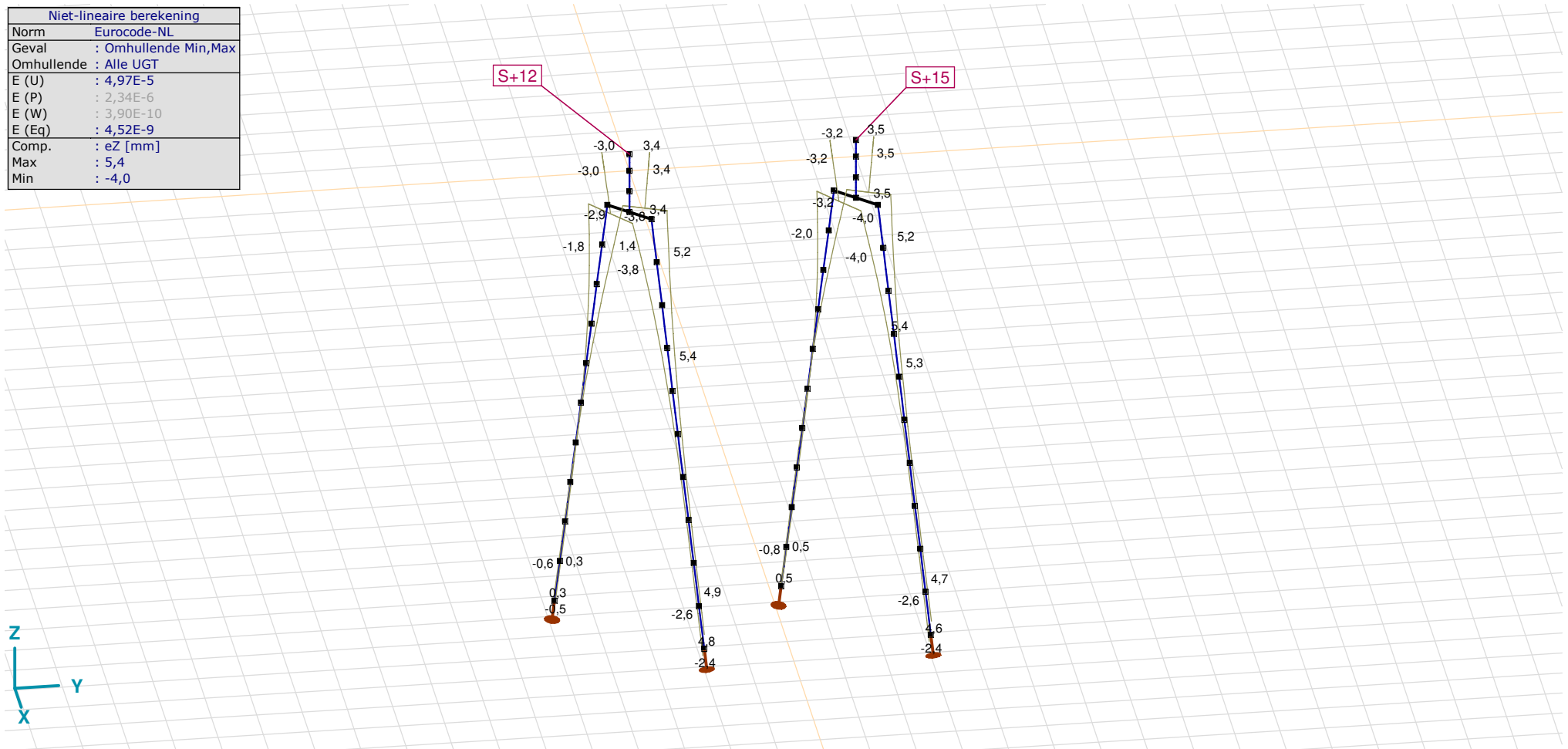
Analysis by

Model: 2P-LD-H3 % 2P-LD-L3.axs

21-5-2022

Pag. 33

Niet-lineaire berekening	
Norm	Eurocode-NL
Geval	: Omhullende Min,Max
Omhullende	: Alle UGT
E (U)	: 4,97E-5
E (P)	: 2,34E-6
E (W)	: 3,90E-10
E (Eq)	: 4,52E-9
Comp.	: eZ [mm]
Max	: 5,4
Min	: -4,0



[II], Non-lin., Omhullende (Alle UGT), eZ, Lijnen

Project

Analysis by

Model: **2P-LD-H3 % 2P-LD-L3.axs**

21-5-2022

Pag. 34

Knoopverplaatsingen [Non-lin., Omhullende (Alle UGT)]

	C	min. max.	Geval	eX [mm]	eY [mm]	eZ [mm]	eR [mm]	fX [rad]	fY [rad]	fZ [rad]	fR [rad]
Ext.											
2	eX	min	Co #2 max trek [1] (1,000)	-8,7	-7,2	3,4	11,8	0,0016	-0,0021	0	0,0026
2		max	Co #1 max druk [1] (1,000)	6,7	5,2	-3,0	9,0	-0,0008	0,0013	0	0,0015
2	eY	min	Co #2 max trek [1] (1,000)	-8,7	-7,2	3,4	11,8	0,0016	-0,0021	0	0,0026
2		max	Co #1 max druk [1] (1,000)	6,7	5,2	-3,0	9,0	-0,0008	0,0013	0	0,0015
59	eZ	min	Co #1 max druk [1] (1,000)	3,8	3,4	-4,0	6,5	-0,0009	0,0012	0	0,0015
34		max	Co #2 max trek [1] (1,000)	-1,0	-1,0	5,4	5,6	0,0005	-0,0006	0	0,0008
26	eR	min	Co #3 max torsie [1] (1,000)	0	0	-0,2	0,2	0	0	-0,0002	0,0002
2		max	Co #2 max trek [1] (1,000)	-8,7	-7,2	3,4	11,8	0,0016	-0,0021	0	0,0026

C: Extreme component; **min. max.:** Extreme type; **Geval:** Belastinggeval van de extreme; **eX:** Verplaatsing in X-richting; **eY:** Verplaatsing in Y-richting; **eZ:** Verplaatsing in Z-richting; **eR:** Resulterende verplaatsing; **fX:** Rotatie in X-richting; **fY:** Rotatie in Y-richting; **fZ:** Rotatie in Z-richting; **fR:** Resulterende rotatie;

Project

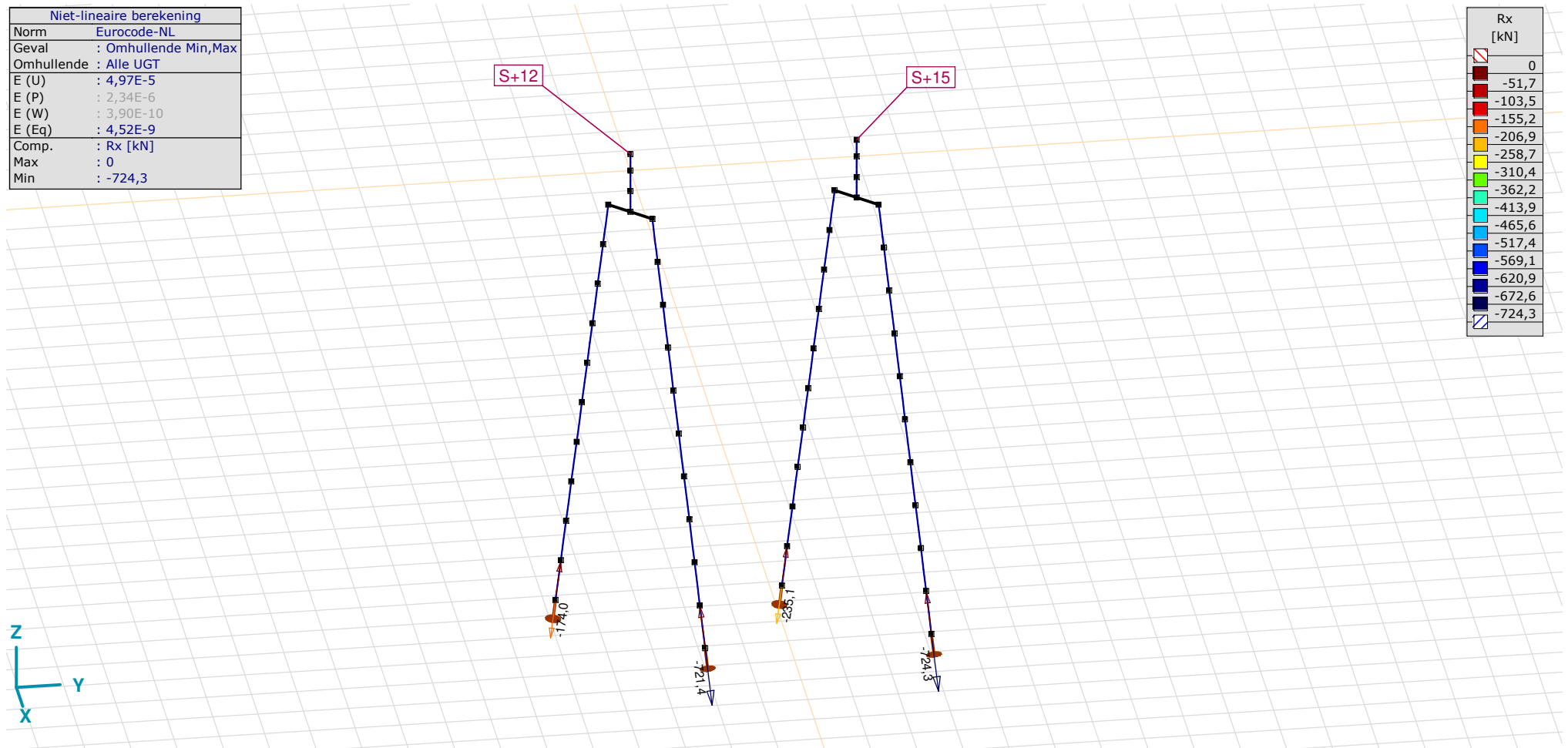
Analysis by

Model: 2P-LD-H3 % 2P-LD-L3.axs

21-5-2022

Pag. 35

Niet-lineaire berekening	
Norm	Eurocode-NL
Geval	: Omhullende Min,Max
Omhullende	: Alle UGT
E (U)	: 4,97E-5
E (P)	: 2,34E-6
E (W)	: 3,90E-10
E (Eq)	: 4,52E-9
Comp.	: Rx [kN]
Max	: 0
Min	: -724,3



[II], Non-lin., Omhullende (Alle UGT), Rx (knoopopl.), Lijnen

Project

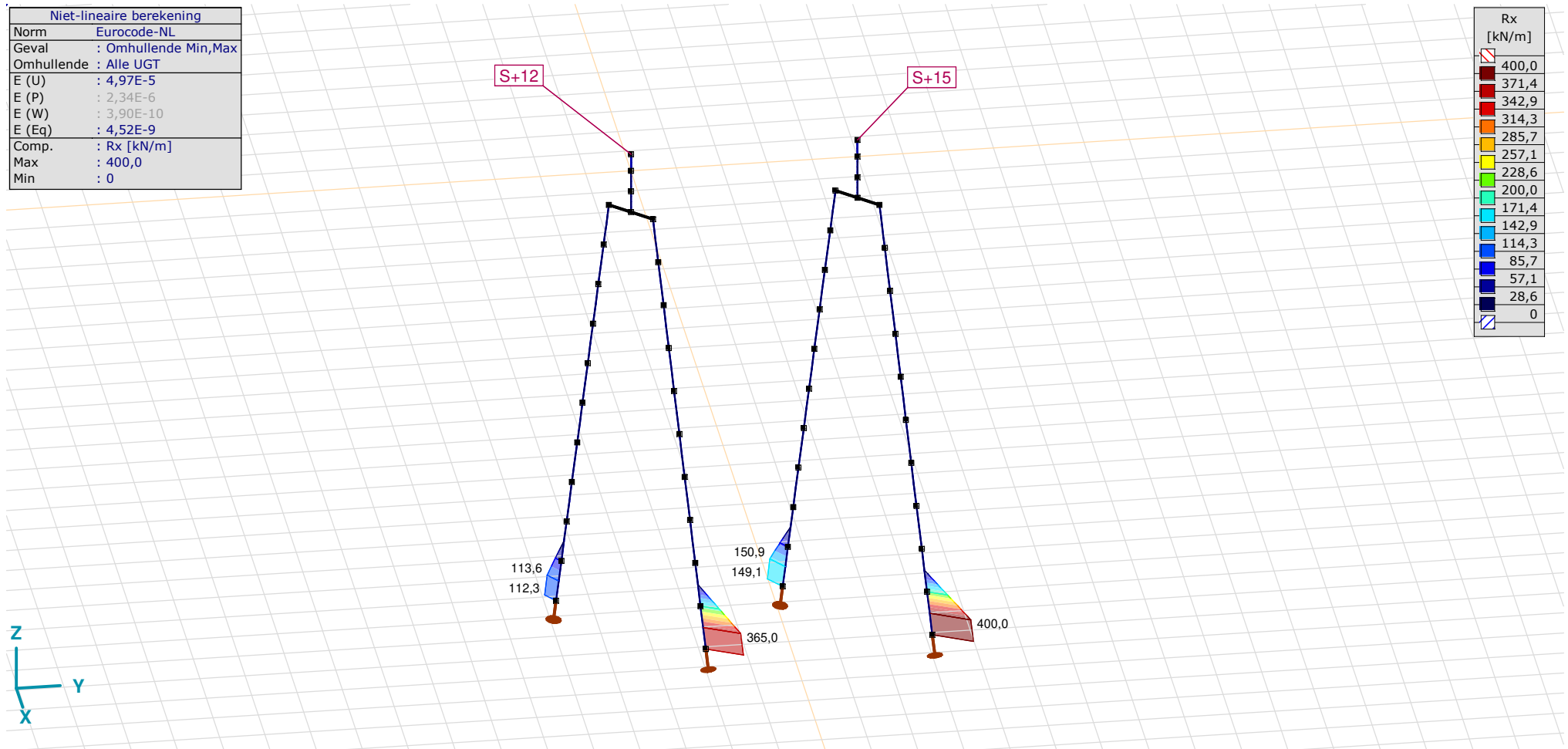
Analysis by

Model: 2P-LD-H3 % 2P-LD-L3.axs

21-5-2022

Pag. 36

Niet-lineaire berekening	
Norm	Eurocode-NL
Geval	: Omhullende Min,Max
Omhullende	: Alle UGT
E (U)	: 4,97E-5
E (P)	: 2,34E-6
E (W)	: 3,90E-10
E (Eq)	: 4,52E-9
Comp.	: Rx [kN/m]
Max	: 400,0
Min	: 0



[II], Non-lin., Omhullende (Alle UGT), Rx (lijnopp.), Lijnen (gevuld)

Project

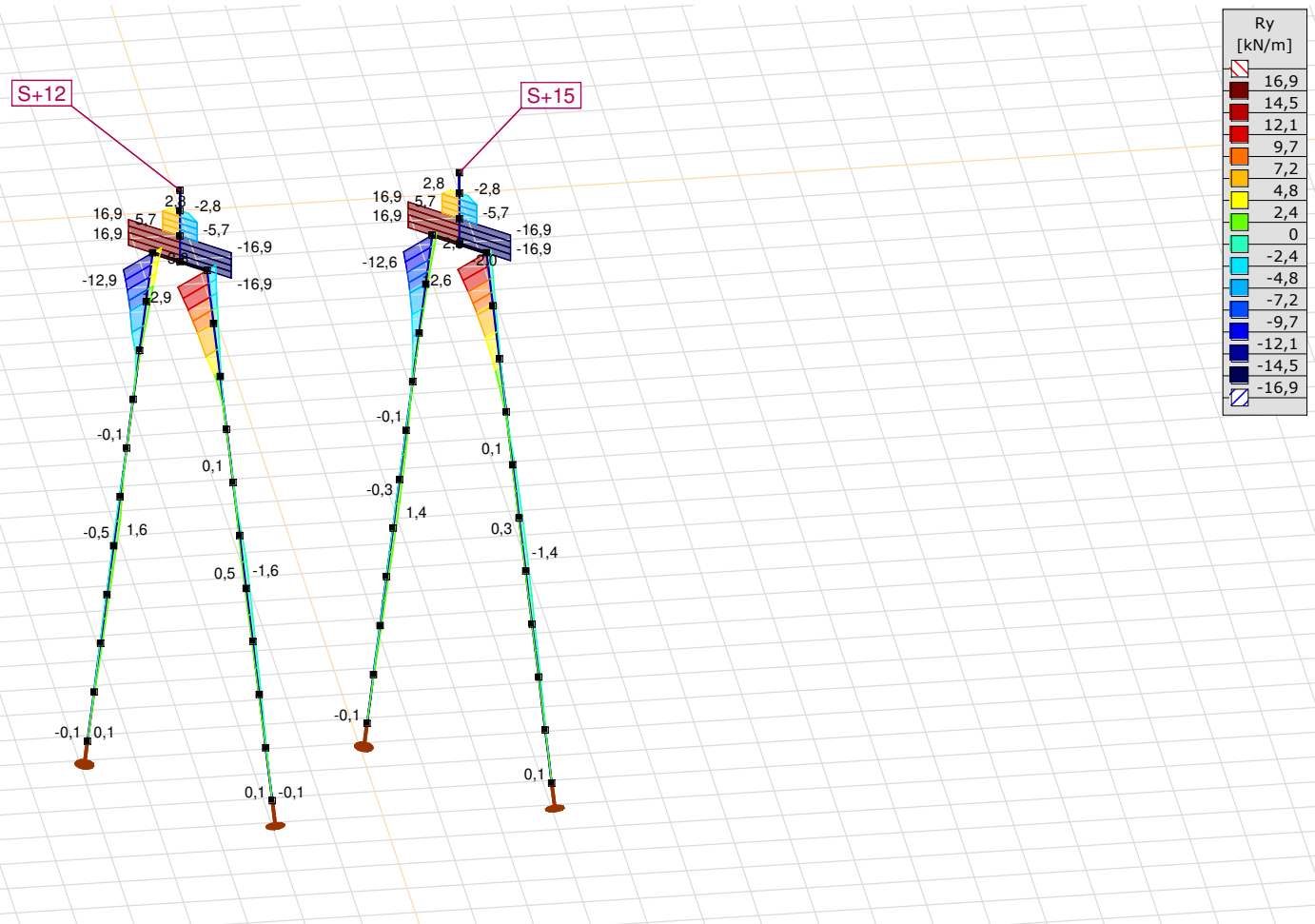
Analysis by

Model: 2P-LD-H3 % 2P-LD-L3.axs

21-5-2022

Pag. 37

Niet-lineaire berekening	
Norm	Eurocode-NL
Geval	: Omhullende Min,Max
Omhullende	: Alle UGT
E (U)	: 4,97E-5
E (P)	: 2,34E-6
E (W)	: 3,90E-10
E (Eq)	: 4,52E-9
Comp.	: Ry [kN/m]
Max	: 16,9
Min	: -16,9



[II], Non-lin., Omhullende (Alle UGT), Ry (lijnopp.), Lijnen (gevuld)

Project

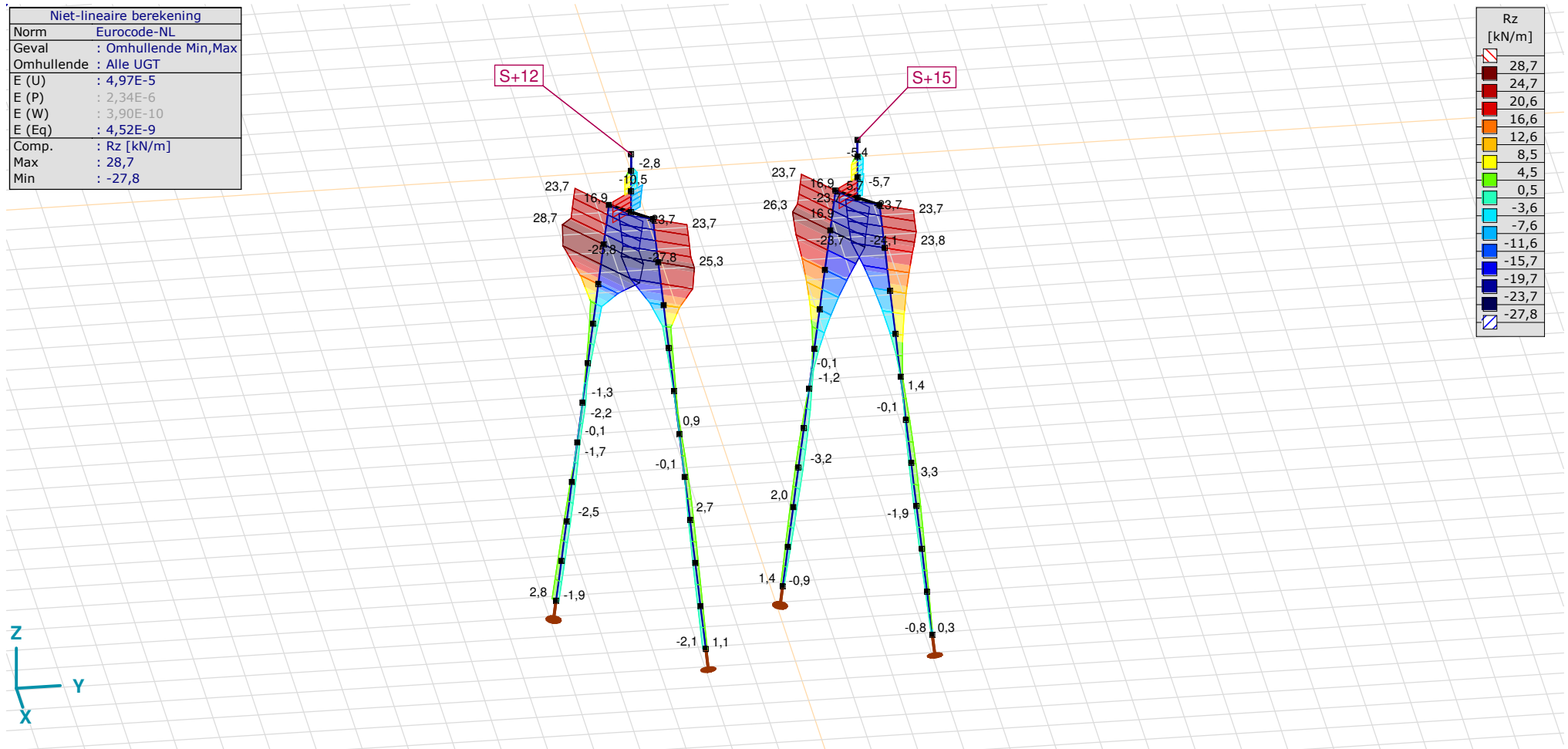
Analysis by

Model: 2P-LD-H3 % 2P-LD-L3.axs

21-5-2022

Pag. 38

Niet-lineaire berekening	
Norm	Eurocode-NL
Geval	: Omhullende Min,Max
Omhullende	: Alle UGT
E (U)	: 4,97E-5
E (P)	: 2,34E-6
E (W)	: 3,90E-10
E (Eq)	: 4,52E-9
Comp.	: Rz [kN/m]
Max	: 28,7
Min	: -27,8



[II], Non-lin., Omhullende (Alle UGT), Rz (lijnopp.), Lijnen (gevuld)

Project

Analysis by

Model: **2P-LD-H3 % 2P-LD-L3.axs**

21-5-2022

Pag. 39

Interne krachten knoopplegging [Non-lin., Omhullende (Alle UGT)]

	<i>Knoop</i>	<i>X [m]</i>	<i>Y [m]</i>	<i>Z [m]</i>	<i>Type</i>	<i>C</i>	<i>min. max.</i>	<i>Geval</i>	<i>R_x [kN]</i>
1	7	-1,443	-1,443	-11,000	Staaft r.	Rx	min	Co #1 max druk [1] (1,000)	-174,0
							max	Co #2 max trek [1] (1,000)	0
2	26	1,443	1,443	-11,000	Staaft r.	Rx	min	Co #1 max druk [1] (1,000)	-721,4
							max	Co #2 max trek [1] (1,000)	0
3	73	-1,443	3,557	-11,000	Staaft r.	Rx	min	Co #1 max druk [1] (1,000)	-235,1
							max	Co #2 max trek [1] (1,000)	0
4	89	1,443	6,443	-11,000	Staaft r.	Rx	min	Co #1 max druk [1] (1,000)	-724,3
							max	Co #2 max trek [1] (1,000)	0
Ext.									
4	89	1,443	6,443	-11,000	Staaft r.	Rx	min	Co #1 max druk [1] (1,000)	-724,3
2	26	1,443	1,443	-11,000	Staaft r.		max	Co #2 max trek [1] (1,000)	0

Knoop: Ondersteunde knoop; **Type:** Opleggingstype; **C:** Extreme component; **min. max.:** Extreme type; **Geval:** Belastinggeval van de extreme; **Rx:** X-component opleggingsreactiekracht;

Project

Analysis by

AxisVM X6 R1q · Geregistreerd aan DNV GL - Energy
3P-O.axs

Report

Report, Inhoudsopgave

<i>Onderdeel</i>	<i>Pagina</i>	<i>Onderdeel</i>	<i>Pagina</i>
Tekening render	3	ULS 5a: Knoopbelastingen	21
Materialen	4	Gebruiker gedefinieerde belastingcombinaties uit belastinggevallen	21
Profielen	4	[II], Non-lin., Co #4 Perm [1] (1,000), Nx, Lijnen (gevuld)(gevuld)	22
Tekening	6	[II], Non-lin., Omhullende (Alle UGT), Nx, Lijnen (gevuld)	23
Knopen	7	[II], Non-lin., Omhullende (Alle UGT), My, Lijnen (gevuld)	24
Staven	8	[II], Non-lin., Omhullende (Alle UGT), Mz, Lijnen (gevuld)	25
Knoopopleggingen	9	[II], Non-lin., Omhullende (Alle UGT), Vy, Lijnen (gevuld)	26
Tekening met beddingen	10	[II], Non-lin., Omhullende (Alle UGT), Vz, Lijnen (gevuld)	27
Lijnopleggingen	11	Staafrachten [Non-lin., Omhullende (Alle UGT), Palen]	28
EG poer	15	[II], Non-lin., Co #1 max druk [1] (1,000), eX, Lijnen	29
EG poer: Staaf eigen gewicht	16	[II], Non-lin., Co #3 max torsie [1] (1,000), eX, Lijnen	30
GWS	16	[II], Non-lin., Omhullende (Alle UGT), eX, Lijnen	31
GWS: Knoopbelastingen	17	[II], Non-lin., Omhullende (Alle UGT), eY, Lijnen	32
SLS 7	17	[II], Non-lin., Omhullende (Alle UGT), eZ, Lijnen	33
SLS 7: Knoopbelastingen	18	Knoopverplaatsingen [Non-lin., Omhullende (Alle UGT)]	34
ULS 1a_45	18	[II], Non-lin., Omhullende (Alle UGT), Rx (knoopopl.), Lijnen	35
ULS 1a_45: Knoopbelastingen	19	[II], Non-lin., Omhullende (Alle UGT), Rx (lijnopp.), Lijnen (gevuld)	36
ULS 1a_45_0,9_0,9	19	[II], Non-lin., Omhullende (Alle UGT), Ry (lijnopp.), Lijnen (gevuld)	37
ULS 1a_45_0,9_0,9: Knoopbelastingen	20	[II], Non-lin., Omhullende (Alle UGT), Rz (lijnopp.), Lijnen (gevuld)	38
ULS 5a	20	Interne krachten knoopoplegging [Non-lin., Omhullende (Alle UGT)]	39

Project

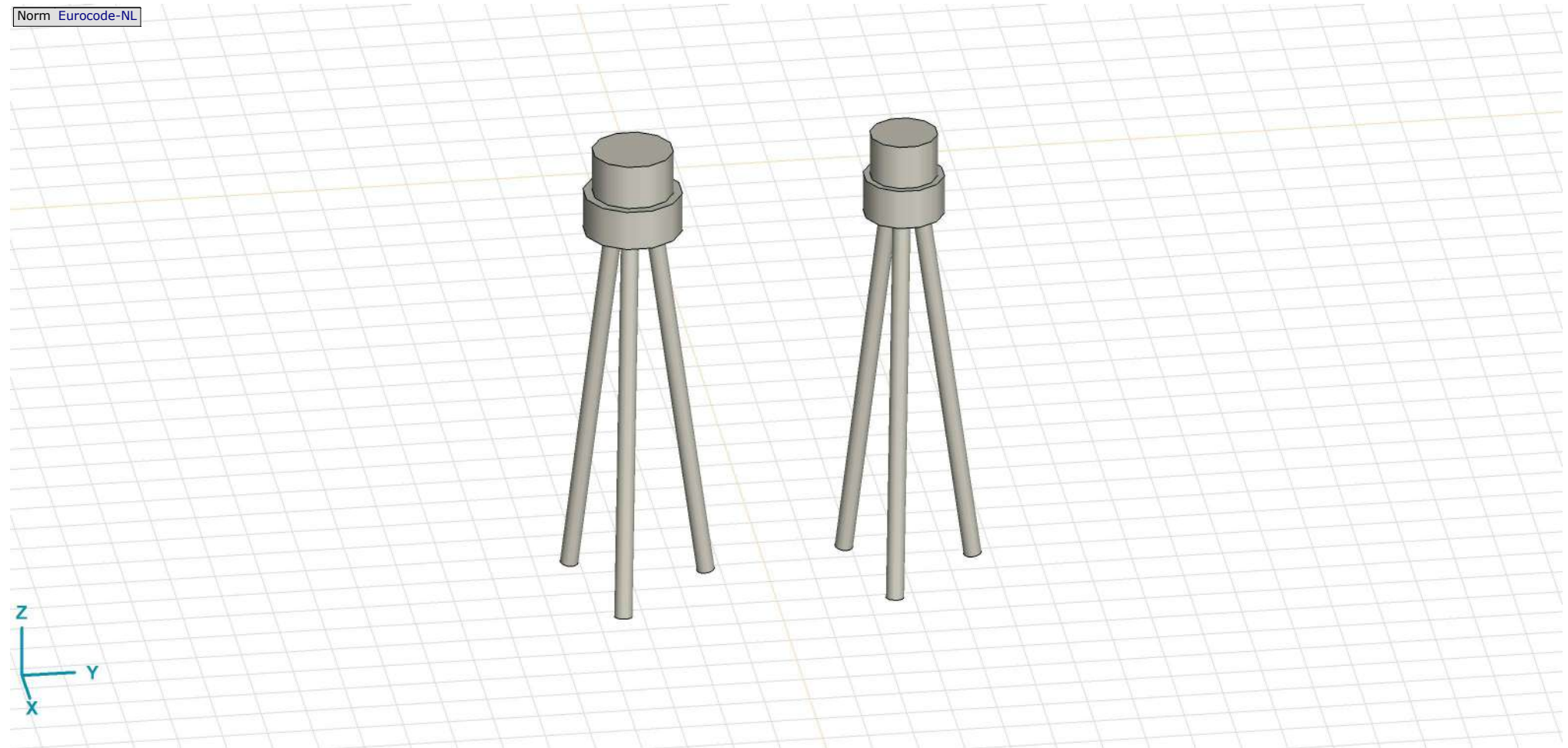
Analysis by

Model: **3P-O.axs**

23-5-2022

Pag. 3

Norm Eurocode-NL



Tekening render

Project




Analysis by

Model: **3P-O.axs**

23-5-2022

Pag. 4

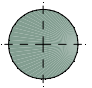
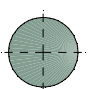
Materialen

	Naam	Type	Nationale norm	Materiaalnorm	Model	E_x [N/mm ²]	E_y [N/mm ²]	ν	α_T [1/°C]	ρ [kg/m ³]	Materiaal kleur	Contour kleur	Structuur	P_1
1	C30/37	Beton	Eurocode-NL	EN 206	Lineair	11000	11000	0,20	1E-5	2500			 Concrete A	f_{ck} [N/mm ²] = 30,00

	Naam	P_2	P_3	P_4	P_5	P_6	P_7	P_8	P_9	P_{10}	P_{11}	P_{12}	P_{13}	P_{14}
1	C30/37	$\gamma_c = 1,500$	$\alpha_{cc} = 1,00$	$\phi_t = 2,00$										

Naam: Materiaalnaam; **Type:** Type materiaal; **Model:** Materiaal model; **E_x :** Elasticiteitsmodulus in lokale x richting; **E_y :** Elasticiteitsmodulus in lokale y richting; **ν :** Poisson's verhouding; **α_T :** Warmteuitzettingscoëfficiënt; **ρ :** Dichtheid; **Materiaal kleur:** Materiaalkleur; **Contour kleur:** Contourkleur; **$P_1, P_2, P_3, P_4, P_5, P_6, P_7, P_8, P_9, P_{10}, P_{11}, P_{12}, P_{13}, P_{14}$:** Ontwerpparameter;

Profielen

	Naam	Tekening	Productie	Vorm	h [mm]	b [mm]	tw [mm]	tf [mm]	r_1 [mm]	r_2 [mm]	r_3 [mm]	A_x [mm ²]	A_y [mm ²]	A_z [mm ²]	I_x [mm ⁴]	I_y [mm ⁴]	I_z [mm ⁴]
1	O 400		Ander	Rond	400,0	400,0	0	0	0	0	0	125638,20	107689,90	107689,90	2,51E+09	1,26E+09	1,26E+09
2	O 1500		Ander	Rond	1500,0	1500,0	0	0	0	0	0	1766787,00	1514389,00	1514389,00	4,97E+11	2,48E+11	2,48E+11

	Naam	I_{yz} [mm ⁴]	I_1 [mm ⁴]	I_2 [mm ⁴]	α [°]	I_w [mm ⁶]	$W_{1,el,t}$ [mm ³]	$W_{1,el,b}$ [mm ³]	$W_{2,el,t}$ [mm ³]	$W_{2,el,b}$ [mm ³]	$W_{1,pl}$ [mm ³]	$W_{2,pl}$ [mm ³]	i_y [mm]	i_z [mm]	H_y [mm]	H_z [mm]
1	O 400	0	1,26E+09	1,26E+09	0	0	6280634,00	6280634,00	6280634,00	6280634,00	1,07E+07	1,07E+07	100,0	100,0	400,0	400,0
2	O 1500	0	2,48E+11	2,48E+11	0	0	3,31E+08	3,31E+08	3,31E+08	3,31E+08	5,62E+08	5,62E+08	375,0	375,0	1500,0	1500,0

	Naam	y_G [mm]	z_G [mm]	y_s [mm]	z_s [mm]	β_y [mm]	β_z [mm]	β_w [°]	S.p.
1	O 400	200,0	200,0	0	0	0	0	0	5
2	O 1500	750,0	750,0	0	0	0	0	0	5

Project

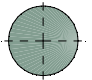
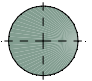
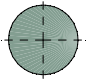
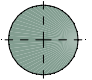
Analysis by

Model: **3P-O.axs**

23-5-2022

Pag. 5

Profielen

	Naam	Tekening	Productie	Vorm	h [mm]	b [mm]	tw [mm]	tf [mm]	r ₁ [mm]	r ₂ [mm]	r ₃ [mm]	A _x [mm ²]	A _y [mm ²]	A _z [mm ²]	I _x [mm ⁴]	I _y [mm ⁴]	I _z [mm ⁴]
3	O 1300		Ander	Rond	1300,0	1300,0	0	0	0	0	0	1327053,00	1137474,00	1137474,00	2,8E+11	1,4E+11	1,4E+11
4	O 2500		Ander	Rond	2500,0	2500,0	0	0	0	0	0	4907742,00	4206636,00	4206636,00	3,83E+12	1,92E+12	1,92E+12
5	O 1800		Ander	Rond	1800,0	1800,0	0	0	0	0	0	2544173,00	2180720,00	2180720,00	1,03E+12	5,15E+11	5,15E+11
6	O 2200		Ander	Rond	2200,0	2200,0	0	0	0	0	0	3800555,00	3257619,00	3257619,00	2,3E+12	1,15E+12	1,15E+12

	Naam	I _{yz} [mm ⁴]	I ₁ [mm ⁴]	I ₂ [mm ⁴]	α [°]	I _w [mm ⁶]	W _{1,el,t} [mm ³]	W _{1,el,b} [mm ³]	W _{2,el,t} [mm ³]	W _{2,el,b} [mm ³]	W _{1,pl} [mm ³]	W _{2,pl} [mm ³]	i _y [mm]	i _z [mm]	H _y [mm]	H _z [mm]
3	O 1300	0	1,4E+11	1,4E+11	0	0	2,16E+08	2,16E+08	2,16E+08	2,16E+08	3,66E+08	3,66E+08	325,0	325,0	1300,0	1300,0
4	O 2500	0	1,92E+12	1,92E+12	0	0	1,53E+09	1,53E+09	1,53E+09	1,53E+09	2,6E+09	2,6E+09	624,9	624,9	2500,0	2500,0
5	O 1800	0	5,15E+11	5,15E+11	0	0	5,72E+08	5,72E+08	5,72E+08	5,72E+08	9,72E+08	9,72E+08	450,0	450,0	1800,0	1800,0
6	O 2200	0	1,15E+12	1,15E+12	0	0	1,04E+09	1,04E+09	1,04E+09	1,04E+09	1,77E+09	1,77E+09	549,9	549,9	2200,0	2200,0

	Naam	y _G [mm]	z _G [mm]	y _s [mm]	z _s [mm]	β _y [mm]	β _z [mm]	β _w []	S.p.
3	O 1300	650,0	650,0	0	0	0	0	0	5
4	O 2500	1250,0	1250,0	0	0	0	0	0	5
5	O 1800	900,0	900,0	0	0	0	0	0	5
6	O 2200	1100,0	1100,0	0	0	0	0	0	5

Naam: Doorsnede naam; **Productie:** Productieproces; **Vorm:** Profiel; **h:** Doorsnede hoogte; **b:** Doorsnede breedte; **tw:** Lijfdikte; **tf:** Flensdikte; **r₁, r₂, r₃:** Afrondingswaarde; **A_x:** Doorsnede-oppervlak; **A_y, A_z:** Afschuivingsoppervlak; **I_x:** Torsietraagheidsmoment; **I_y, I_z:** Buigtraagheidsmoment; **I_{yz}:** Centrifugaal traagheidsmoment; **I₁, I₂:** Hoofdbuigtraagheidsmoment; **α:** Hoofdrichtingen; **I_w:** Krommingsconstante; **W_{1,el,t}, W_{1,el,b}, W_{2,el,t}, W_{2,el,b}:** Elastisch weerstandsmoment; **W_{1,pl}, W_{2,pl}:** Plastisch weerstandsmoment; **i_y, i_z:** Traagheidsstraal; **H_y:** Afmeting in lokale Y-richting; **H_z:** Afmeting in lokale Z-richting; **y_G:** Y-coördinaat van het zwaartepunt; **z_G:** Z-coördinaat van het zwaartepunt; **y_s:** Y-coördinaat van het afschuivingsmiddelpunt (torsie); **z_s:** Z-coördinaat van het afschuivingsmiddelpunt (torsie); **β_y, β_z, β_w:** Wagner's coëfficiënt; **S.p.:** Spanningspunten;

Project

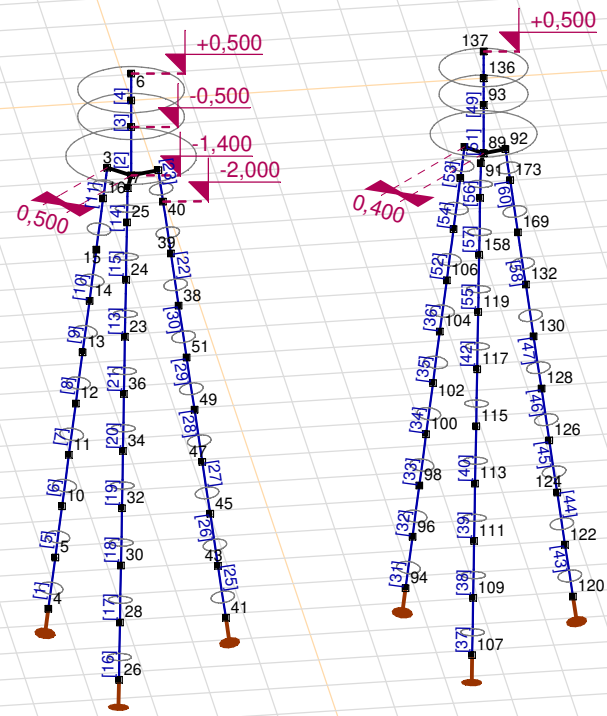
Analysis by

Model: **3P-O.axs**

23-5-2022

Pag. 6

Norm Eurocode-NL



Tekening

Project

Analysis by

Model: **3P-O.axs**

23-5-2022

Pag. 7

Knopen

	X [m]	Y [m]	Z [m]		X [m]	Y [m]	Z [m]		X [m]	Y [m]	Z [m]		X [m]	Y [m]	Z [m]	
1	0	0	-0,500	15	-0,516	-0,516	-3,000	41	-0,450	1,679	-10,000	100	-0,853	5,147	-7,000	
2	0	0	-1,400	16	-0,415	-0,415	-2,000	43	-0,413	1,540	-9,000	102	-0,751	5,249	-6,000	
3	-0,354	-0,354	-1,400	23	0,845	-0,226	-4,000	45	-0,375	1,401	-8,000	104	-0,649	5,351	-5,000	
4	-1,229	-1,229	-10,000	24	0,706	-0,189	-3,000	47	-0,338	1,262	-7,000	106	-0,548	5,452	-4,000	
5	-1,127	-1,127	-9,000	25	0,566	-0,152	-2,000	49	-0,301	1,123	-6,000	107	1,583	5,576	-10,000	
6	0	0	0,500	26	1,679	-0,450	-10,000	51	-0,264	0,984	-5,000	109	1,443	5,613	-9,000	
7	0,483	-0,129	-1,400	28	1,540	-0,413	-9,000	89	0	6,000	-1,400	111	1,304	5,650	-8,000	
8	-0,129	0,483	-1,400	30	1,401	-0,375	-8,000	90	-0,283	5,717	-1,400	113	1,165	5,688	-7,000	
9	0	0	0	32	1,262	-0,338	-7,000	91	0,386	5,896	-1,400	115	1,026	5,725	-6,000	
10	-1,026	-1,026	-8,000	34	1,123	-0,301	-6,000	92	-0,104	6,386	-1,400	117	0,887	5,762	-5,000	
11	-0,924	-0,924	-7,000	36	0,984	-0,264	-5,000	93	0	6,000	-0,500	119	0,748	5,800	-4,000	
12	-0,822	-0,822	-6,000	38	-0,226	0,845	-4,000	94	-1,159	4,841	-10,000	120	-0,424	7,583	-10,000	
13	-0,720	-0,720	-5,000	39	-0,189	0,706	-3,000	96	-1,057	4,943	-9,000	122	-0,387	7,443	-9,000	
14	-0,618	-0,618	-4,000	40	-0,152	0,566	-2,000	98	-0,955	5,045	-8,000	124	-0,350	7,304	-8,000	
													126	-0,312	7,165	-7,000
													128	-0,275	7,026	-6,000
													130	-0,238	6,887	-5,000
													132	-0,200	6,748	-4,000
													136	0	6,000	0
													137	0	6,000	0,500
													147	-0,446	5,554	-3,000
													151	-0,344	5,656	-2,000
													158	0,609	5,837	-3,000
													162	0,470	5,874	-2,000
													169	-0,163	6,609	-3,000
													173	-0,126	6,470	-2,000

Project

Analysis by

Model: **3P-O.axs**

23-5-2022

Pag. 8

Staven

	Start-punt	Eind-punt	Lengte	Lokaal X	Materiaal	Doorsnede	Ref _Z		Start-punt	Eind-punt	Lengte	Lokaal X	Materiaal	Doorsnede	Ref _Z
1	4	5	1,010	i - j	C30/37	1	↗ R2	31	94	96	1,010	i - j	C30/37	1	↗ R2
2	2	1	0,900	j - i	C30/37	6	↗ R1	32	96	98	1,010	i - j	C30/37	1	↗ R2
3	1	9	0,500	i - j	C30/37	5	↗ R1	33	98	100	1,010	i - j	C30/37	1	↗ R2
4	9	6	0,500	j - i	C30/37	5	↗ R1	34	100	102	1,010	i - j	C30/37	1	↗ R2
5	5	10	1,010	i - j	C30/37	1	↗ R2	35	102	104	1,010	i - j	C30/37	1	↗ R2
6	10	11	1,010	i - j	C30/37	1	↗ R2	36	104	106	1,010	i - j	C30/37	1	↗ R2
7	11	12	1,010	i - j	C30/37	1	↗ R2	37	107	109	1,010	i - j	C30/37	1	↗ R7
8	12	13	1,010	i - j	C30/37	1	↗ R2	38	109	111	1,010	i - j	C30/37	1	↗ R7
9	13	14	1,010	i - j	C30/37	1	↗ R2	39	111	113	1,010	i - j	C30/37	1	↗ R7
10	14	15	1,010	i - j	C30/37	1	↗ R2	40	113	115	1,010	i - j	C30/37	1	↗ R7
11	16	3	0,606	j - i	C30/37	1	↗ R2	41	115	117	1,010	i - j	C30/37	1	↗ R7
12	15	16	1,010	i - j	C30/37	1	↗ R2	42	117	119	1,010	i - j	C30/37	1	↗ R7
13	23	24	1,010	i - j	C30/37	1	↗ R7	43	120	122	1,010	i - j	C30/37	1	↗ R8
14	25	7	0,606	j - i	C30/37	1	↗ R7	44	122	124	1,010	i - j	C30/37	1	↗ R8
15	24	25	1,010	i - j	C30/37	1	↗ R7	45	124	126	1,010	i - j	C30/37	1	↗ R8
16	26	28	1,010	i - j	C30/37	1	↗ R7	46	126	128	1,010	i - j	C30/37	1	↗ R8
17	28	30	1,010	i - j	C30/37	1	↗ R7	47	128	130	1,010	i - j	C30/37	1	↗ R8
18	30	32	1,010	i - j	C30/37	1	↗ R7	48	130	132	1,010	i - j	C30/37	1	↗ R8
19	32	34	1,010	i - j	C30/37	1	↗ R7	49	93	136	0,500	i - j	C30/37	2	↗ R1
20	34	36	1,010	i - j	C30/37	1	↗ R7	50	136	137	0,500	i - j	C30/37	2	↗ R1
21	36	23	1,010	j - i	C30/37	1	↗ R7	51	89	93	0,900	i - j	C30/37	5	↗ R1
22	38	39	1,010	i - j	C30/37	1	↗ R8	52	106	147	1,010	i - j	C30/37	1	↗ R2
23	40	8	0,606	j - i	C30/37	1	↗ R8	53	151	90	0,606	j - i	C30/37	1	↗ R2
24	39	40	1,010	i - j	C30/37	1	↗ R8	54	147	151	1,010	i - j	C30/37	1	↗ R2
25	41	43	1,010	i - j	C30/37	1	↗ R8	55	119	158	1,010	i - j	C30/37	1	↗ R7
26	43	45	1,010	i - j	C30/37	1	↗ R8	56	162	91	0,606	j - i	C30/37	1	↗ R7
27	45	47	1,010	i - j	C30/37	1	↗ R8	57	158	162	1,010	i - j	C30/37	1	↗ R7
28	47	49	1,010	i - j	C30/37	1	↗ R8	58	132	169	1,010	i - j	C30/37	1	↗ R8
29	49	51	1,010	i - j	C30/37	1	↗ R8	59	173	92	0,606	j - i	C30/37	1	↗ R8
30	51	38	1,010	j - i	C30/37	1	↗ R8	60	169	173	1,010	i - j	C30/37	1	↗ R8

Lengte: Elementlengte; Lokaal X: Lokale X-richting; Ref_Z: Referentie voor lokale Z-richting;

Project

Analysis by

Model: **3P-O.axs**

23-5-2022

Pag. 9

Knooppopleggingen

	Knoop	X [m]	Y [m]	Z [m]	Type	Ref. elem.	Naam _x	Veermodel _x	K _x [kN/m]	K _{xv} [kN/m]	NL _x	Grenswaarde _x [kN]	Naam _y	Veermodel _y	K _y [kN/m]
1	4	-1,229	-1,229	-10,000	StAAF r.	StAAF 1	Lineair 1E+5 kN/m	NL elastisch	3E+5	3E+5	Druk Alleen druk	-	—	-	-
2	26	1,679	-0,450	-10,000	StAAF r.	StAAF 13	Lineair 1E+5 kN/m	NL elastisch	3E+5	3E+5	Druk Alleen druk	-	—	-	-
3	41	-0,450	1,679	-10,000	StAAF r.	StAAF 25	Lineair 1E+5 kN/m	NL elastisch	3E+5	3E+5	Druk Alleen druk	-	—	-	-
4	94	-1,159	4,841	-10,000	StAAF r.	StAAF 85	Lineair 1E+5 kN/m	NL elastisch	3E+5	3E+5	Druk Alleen druk	-	—	-	-
5	107	1,583	5,576	-10,000	StAAF r.	StAAF 97	Lineair 1E+5 kN/m	NL elastisch	3E+5	3E+5	Druk Alleen druk	-	—	-	-
6	120	-0,424	7,583	-10,000	StAAF r.	StAAF 109	Lineair 1E+5 kN/m	NL elastisch	3E+5	3E+5	Druk Alleen druk	-	—	-	-

	Knoop	K _{yv} [kN/m]	Naam _z	Veermodel _z	K _z [kN/m]	K _{zv} [kN/m]	Naam _{xx}	Veermodel _{xx}	K _{xx} [kNm/rad]	K _{xxv} [kNm/rad]	Naam _{yy}	Veermodel _{yy}	K _{yy} [kNm/rad]	K _{yyv} [kNm/rad]	Naam _{zz}
1	4	-	—	-	-	-	—	-	-	-	—	-	-	-	—
2	26	-	—	-	-	-	—	-	-	-	—	-	-	-	—
3	41	-	—	-	-	-	—	-	-	-	—	-	-	-	—
4	94	-	—	-	-	-	—	-	-	-	—	-	-	-	—
5	107	-	—	-	-	-	—	-	-	-	—	-	-	-	—
6	120	-	—	-	-	-	—	-	-	-	—	-	-	-	—

	Knoop	Veermodel _{zz}	K _{zz} [kNm/rad]	K _{zzv} [kNm/rad]	Veermodel _w
1	4	-	-	-	-
2	26	-	-	-	-
3	41	-	-	-	-
4	94	-	-	-	-
5	107	-	-	-	-
6	120	-	-	-	-

Knoop: Ondersteunde knoop; **Type:** Opleggingstype; **Ref. elem.:** Referentie-element; **Naam_x:** Naam van de veereigenschappen; **Veermodel_x:** Veermodel; **K_x:** Initiële stijfheid; **K_{xv}:** Trillingsstijfheid; **NL_x:** Niet-lineaire parameters; **Grenswaarde_x:** Grenswaarde; **K_y, K_z, K_{xx}, K_{yy}, K_{zz}:** Initiële stijfheid;

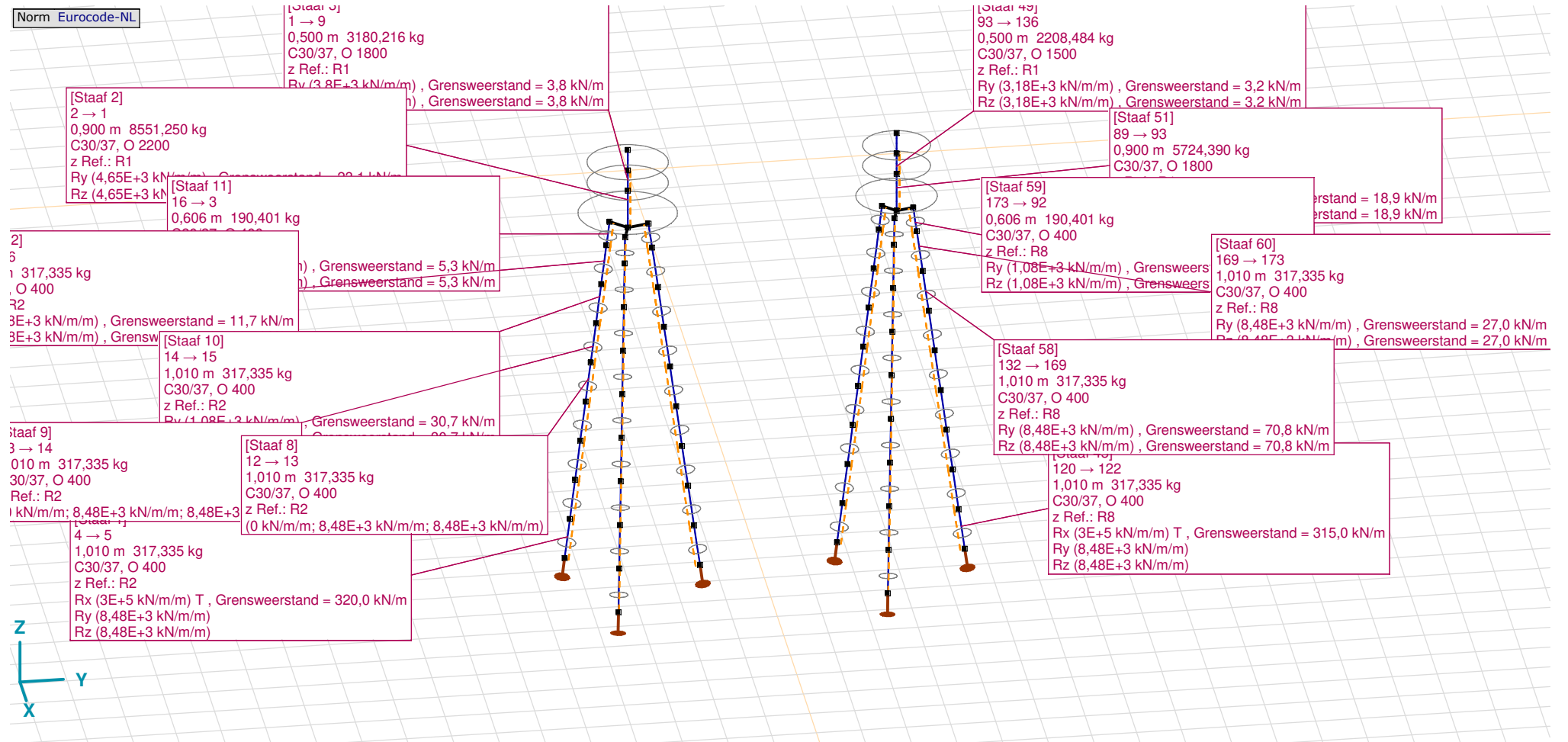
Project

Analysis by

Model: **3P-O.axs**

23-5-2022

Pag. 10



Tekening met beddingen

Project

Analysis by

Model: **3P-O.axs**

23-5-2022

Pag. 11

Lijnopleggingen

	Lijn	Type	Ref. elem.	Rx [kN/m/m]	Ry [kN/m/m]	Rz [kN/m/m]	Rxx [kNm/rad/m]	Ryy [kNm/rad/m]	Rzz [kNm/rad/m]	NL(x)	NL(y)	NL(z)	NL(xx)	NL(yy)	NL(zz)
		StAAF r.													
1	StAAF 1	StAAF r.		3E+5	8,48E+3	8,48E+3				Trek	Symmetrisch	Symmetrisch			
2	StAAF 2	StAAF r.		0	4,65E+3	4,65E+3					Symmetrisch	Symmetrisch			
3	StAAF 3	StAAF r.		0	3,8E+3	3,8E+3					Symmetrisch	Symmetrisch			
7	StAAF 5	StAAF r.		0	8,48E+3	8,48E+3					Symmetrisch	Symmetrisch			
8	StAAF 6	StAAF r.		0	8,48E+3	8,48E+3					Symmetrisch	Symmetrisch			
9	StAAF 7	StAAF r.		0	8,48E+3	8,48E+3					Symmetrisch	Symmetrisch			
10	StAAF 8	StAAF r.		0	8,48E+3	8,48E+3					Symmetrisch	Symmetrisch			
11	StAAF 9	StAAF r.		0	8,48E+3	8,48E+3					Symmetrisch	Symmetrisch			
6	StAAF 10	StAAF r.		0	1,08E+3	1,08E+3					Symmetrisch	Symmetrisch			
4	StAAF 11	StAAF r.		0	1,08E+3	1,08E+3					Symmetrisch	Symmetrisch			
5	StAAF 12	StAAF r.		0	1,08E+3	1,08E+3					Symmetrisch	Symmetrisch			
12	StAAF 13	StAAF r.		0	1,08E+3	1,08E+3					Symmetrisch	Symmetrisch			
13	StAAF 14	StAAF r.		0	1,08E+3	1,08E+3					Symmetrisch	Symmetrisch			
14	StAAF 15	StAAF r.		0	1,08E+3	1,08E+3					Symmetrisch	Symmetrisch			
15	StAAF 16	StAAF r.		3E+5	8,48E+3	8,48E+3				Trek	Symmetrisch	Symmetrisch			
16	StAAF 17	StAAF r.		0	8,48E+3	8,48E+3					Symmetrisch	Symmetrisch			

	Lijn	F(x) [kN/m]	F(y) [kN/m]	F(z) [kN/m]	M(x) [kNm/m]	M(y) [kNm/m]	M(z) [kNm/m]
1	StAAF 1	320,0					
2	StAAF 2		23,1	23,1			
3	StAAF 3		3,8	3,8			
7	StAAF 5						
8	StAAF 6						
9	StAAF 7						
10	StAAF 8						
11	StAAF 9						
6	StAAF 10		30,7	30,7			
4	StAAF 11		5,3	5,3			
5	StAAF 12		11,7	11,7			
12	StAAF 13		30,7	30,7			
13	StAAF 14		5,3	5,3			
14	StAAF 15		11,7	11,7			
15	StAAF 16	320,0					
16	StAAF 17						

Project

Analysis by

Model: **3P-O.axs**

23-5-2022

Pag. 12

Lijnopleggingen

	Lijn	Type	Ref. elem.	Rx [kN/m/m]	Ry [kN/m/m]	Rz [kN/m/m]	Rxx [kNm/rad/m]	Ryy [kNm/rad/m]	Rzz [kNm/rad/m]	NL(x)	NL(y)	NL(z)	NL(xx)	NL(yy)	NL(zz)
17	Staafl 18	Staafl r.		0	8,48E+3	8,48E+3					Symmetrisch	Symmetrisch			
18	Staafl 19	Staafl r.		0	8,48E+3	8,48E+3					Symmetrisch	Symmetrisch			
19	Staafl 20	Staafl r.		0	8,48E+3	8,48E+3					Symmetrisch	Symmetrisch			
20	Staafl 21	Staafl r.		0	8,48E+3	8,48E+3					Symmetrisch	Symmetrisch			
21	Staafl 22	Staafl r.		0	1,08E+3	1,08E+3					Symmetrisch	Symmetrisch			
22	Staafl 23	Staafl r.		0	1,08E+3	1,08E+3					Symmetrisch	Symmetrisch			
23	Staafl 24	Staafl r.		0	1,08E+3	1,08E+3					Symmetrisch	Symmetrisch			
24	Staafl 25	Staafl r.		3E+5	8,48E+3	8,48E+3				Trek	Symmetrisch	Symmetrisch			
25	Staafl 26	Staafl r.		0	8,48E+3	8,48E+3					Symmetrisch	Symmetrisch			
26	Staafl 27	Staafl r.		0	8,48E+3	8,48E+3					Symmetrisch	Symmetrisch			
27	Staafl 28	Staafl r.		0	8,48E+3	8,48E+3					Symmetrisch	Symmetrisch			
28	Staafl 29	Staafl r.		0	8,48E+3	8,48E+3					Symmetrisch	Symmetrisch			
29	Staafl 30	Staafl r.		0	8,48E+3	8,48E+3					Symmetrisch	Symmetrisch			
30	Staafl 31	Staafl r.		3E+5	8,48E+3	8,48E+3				Trek	Symmetrisch	Symmetrisch			
31	Staafl 32	Staafl r.		0	8,48E+3	8,48E+3					Symmetrisch	Symmetrisch			
32	Staafl 33	Staafl r.		0	8,48E+3	8,48E+3					Symmetrisch	Symmetrisch			
33	Staafl 34	Staafl r.		0	8,48E+3	8,48E+3					Symmetrisch	Symmetrisch			

	Lijn	F(x) [kN/m]	F(y) [kN/m]	F(z) [kN/m]	M(x) [kNm/m]	M(y) [kNm/m]	M(z) [kNm/m]
17	Staafl 18						
18	Staafl 19						
19	Staafl 20						
20	Staafl 21						
21	Staafl 22		30,7	30,7			
22	Staafl 23		5,3	5,3			
23	Staafl 24		11,7	11,7			
24	Staafl 25	320,0					
25	Staafl 26						
26	Staafl 27						
27	Staafl 28						
28	Staafl 29						
29	Staafl 30						
30	Staafl 31	315,0					
31	Staafl 32						
32	Staafl 33						
33	Staafl 34						

Project

Analysis by

Model: **3P-O.axs**

23-5-2022

Pag. 13

Lijnopleggingen

	Lijn	Type	Ref. elem.	Rx [kN/m/m]	Ry [kN/m/m]	Rz [kN/m/m]	Rxx [kNm/rad/m]	Ryy [kNm/rad/m]	Rzz [kNm/rad/m]	NL(x)	NL(y)	NL(z)	NL(xx)	NL(yy)	NL(zz)
34	StAAF 35	StAAF r.		0	8,48E+3	8,48E+3					Symmetrisch	Symmetrisch			
35	StAAF 36	StAAF r.		0	8,48E+3	8,48E+3					Symmetrisch	Symmetrisch			
36	StAAF 37	StAAF r.		3E+5	8,48E+3	8,48E+3				Trek	Symmetrisch	Symmetrisch			
37	StAAF 38	StAAF r.		0	8,48E+3	8,48E+3					Symmetrisch	Symmetrisch			
38	StAAF 39	StAAF r.		0	8,48E+3	8,48E+3					Symmetrisch	Symmetrisch			
39	StAAF 40	StAAF r.		0	8,48E+3	8,48E+3					Symmetrisch	Symmetrisch			
40	StAAF 41	StAAF r.		0	8,48E+3	8,48E+3					Symmetrisch	Symmetrisch			
41	StAAF 42	StAAF r.		0	8,48E+3	8,48E+3					Symmetrisch	Symmetrisch			
42	StAAF 43	StAAF r.		3E+5	8,48E+3	8,48E+3				Trek	Symmetrisch	Symmetrisch			
43	StAAF 44	StAAF r.		0	8,48E+3	8,48E+3					Symmetrisch	Symmetrisch			
44	StAAF 45	StAAF r.		0	8,48E+3	8,48E+3					Symmetrisch	Symmetrisch			
45	StAAF 46	StAAF r.		0	8,48E+3	8,48E+3					Symmetrisch	Symmetrisch			
46	StAAF 47	StAAF r.		0	8,48E+3	8,48E+3					Symmetrisch	Symmetrisch			
47	StAAF 48	StAAF r.		0	8,48E+3	8,48E+3					Symmetrisch	Symmetrisch			
48	StAAF 49	StAAF r.		0	3,18E+3	3,18E+3					Symmetrisch	Symmetrisch			
49	StAAF 51	StAAF r.		0	3,8E+3	3,8E+3					Symmetrisch	Symmetrisch			
50	StAAF 52	StAAF r.		0	8,48E+3	8,48E+3					Symmetrisch	Symmetrisch			

	Lijn	F(x) [kN/m]	F(y) [kN/m]	F(z) [kN/m]	M(x) [kNm/m]	M(y) [kNm/m]	M(z) [kNm/m]
34	StAAF 35						
35	StAAF 36						
36	StAAF 37	315,0					
37	StAAF 38						
38	StAAF 39						
39	StAAF 40						
40	StAAF 41						
41	StAAF 42						
42	StAAF 43	315,0					
43	StAAF 44						
44	StAAF 45						
45	StAAF 46						
46	StAAF 47						
47	StAAF 48						
48	StAAF 49		3,2	3,2			
49	StAAF 51		18,9	18,9			
50	StAAF 52		70,8	70,8			

Project

Analysis by

Model: **3P-O.axs**

23-5-2022

Pag. 14

Lijnopleggingen

	Lijn	Type	Ref. elem.	R _x [kN/m/m]	R _y [kN/m/m]	R _z [kN/m/m]	R _{xx} [kNm/rad/m]	R _{yy} [kNm/rad/m]	R _{zz} [kNm/rad/m]	NL(x)	NL(y)	NL(z)	NL(xx)	NL(yy)	NL(zz)
51	Staafl 53	Staafl r.		0	1,08E+3	1,08E+3					Symmetrisch	Symmetrisch			
52	Staafl 54	Staafl r.		0	8,48E+3	8,48E+3					Symmetrisch	Symmetrisch			
53	Staafl 55	Staafl r.		0	8,48E+3	8,48E+3					Symmetrisch	Symmetrisch			
54	Staafl 56	Staafl r.		0	1,08E+3	1,08E+3					Symmetrisch	Symmetrisch			
55	Staafl 57	Staafl r.		0	8,48E+3	8,48E+3					Symmetrisch	Symmetrisch			
56	Staafl 58	Staafl r.		0	8,48E+3	8,48E+3					Symmetrisch	Symmetrisch			
57	Staafl 59	Staafl r.		0	1,08E+3	1,08E+3					Symmetrisch	Symmetrisch			
58	Staafl 60	Staafl r.		0	8,48E+3	8,48E+3					Symmetrisch	Symmetrisch			

	Lijn	F(x) [kN/m]	F(y) [kN/m]	F(z) [kN/m]	M(x) [kNm/m]	M(y) [kNm/m]	M(z) [kNm/m]
51	Staafl 53		5,3	5,3			
52	Staafl 54		27,0	27,0			
53	Staafl 55		70,8	70,8			
54	Staafl 56		5,3	5,3			
55	Staafl 57		27,0	27,0			
56	Staafl 58		70,8	70,8			
57	Staafl 59		5,3	5,3			
58	Staafl 60		27,0	27,0			

Lijn: Ondersteund lijnelement; **Type:** Opleggingstype; **Ref. elem.:** Referentie-element; **R_x, R_y, R_z:** Verplaatsingsstijfheid; **R_{xx}, R_{yy}, R_{zz}:** Rotatiestijfheid; **NL(x), NL(y), NL(z), NL(xx), NL(yy), NL(zz):** Niet-lineaire parameters; **F(x):** Weerstand in X-richting; **F(y):** Weerstand in Y-richting; **F(z):** Weerstand in Z-richting; **M(x):** Weerstandsmoment in X-richting; **M(y):** Weerstandsmoment in Y-richting; **M(z):** Weerstandsmoment in Z-richting;

Project

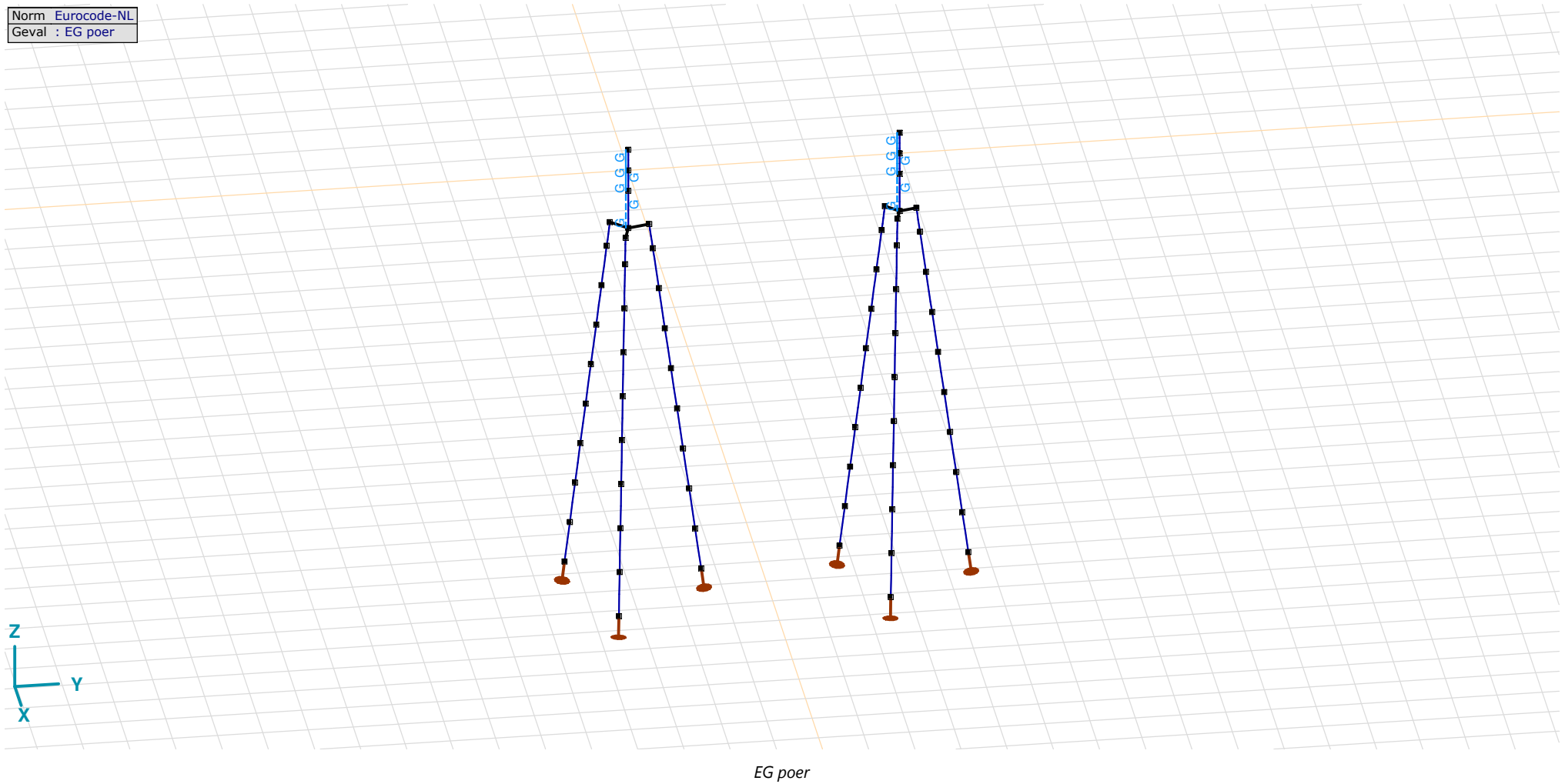
Analysis by

Model: **3P-O.axs**

23-5-2022

Pag. 15

Norm Eurocode-NL
Geval : EG poer



Project

Analysis by

Model: **3P-O.axs**

23-5-2022

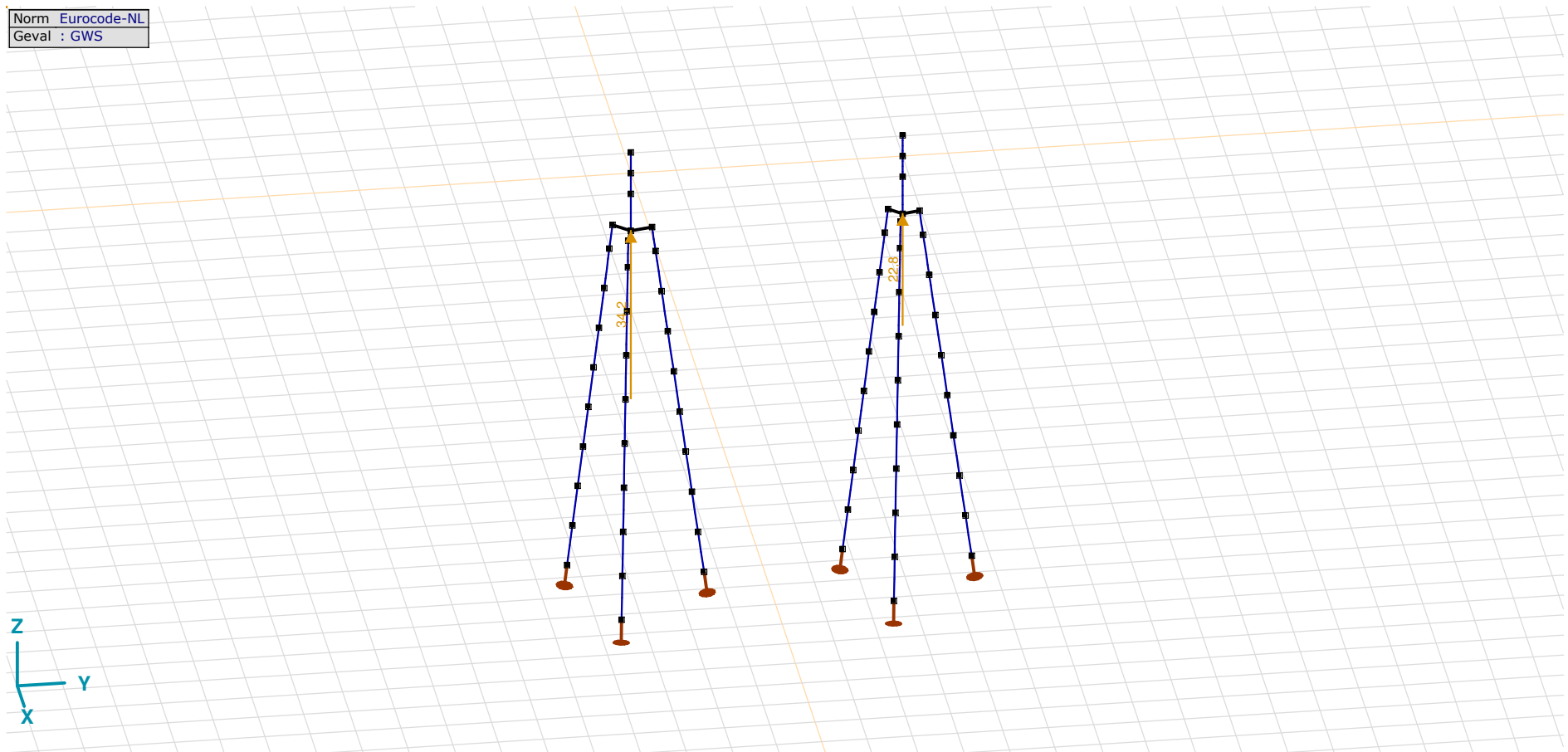
Pag. 16

EG poer: Staaf eigen gewicht

	Σ [kg]
37-48	14911,682
121-132	10141,357
Totaal	25053,040

 Σ : Totale massa;

Norm Eurocode-NL
Geval : GWS



GWS

Project

Analysis by

Model: **3P-O.axs**

23-5-2022

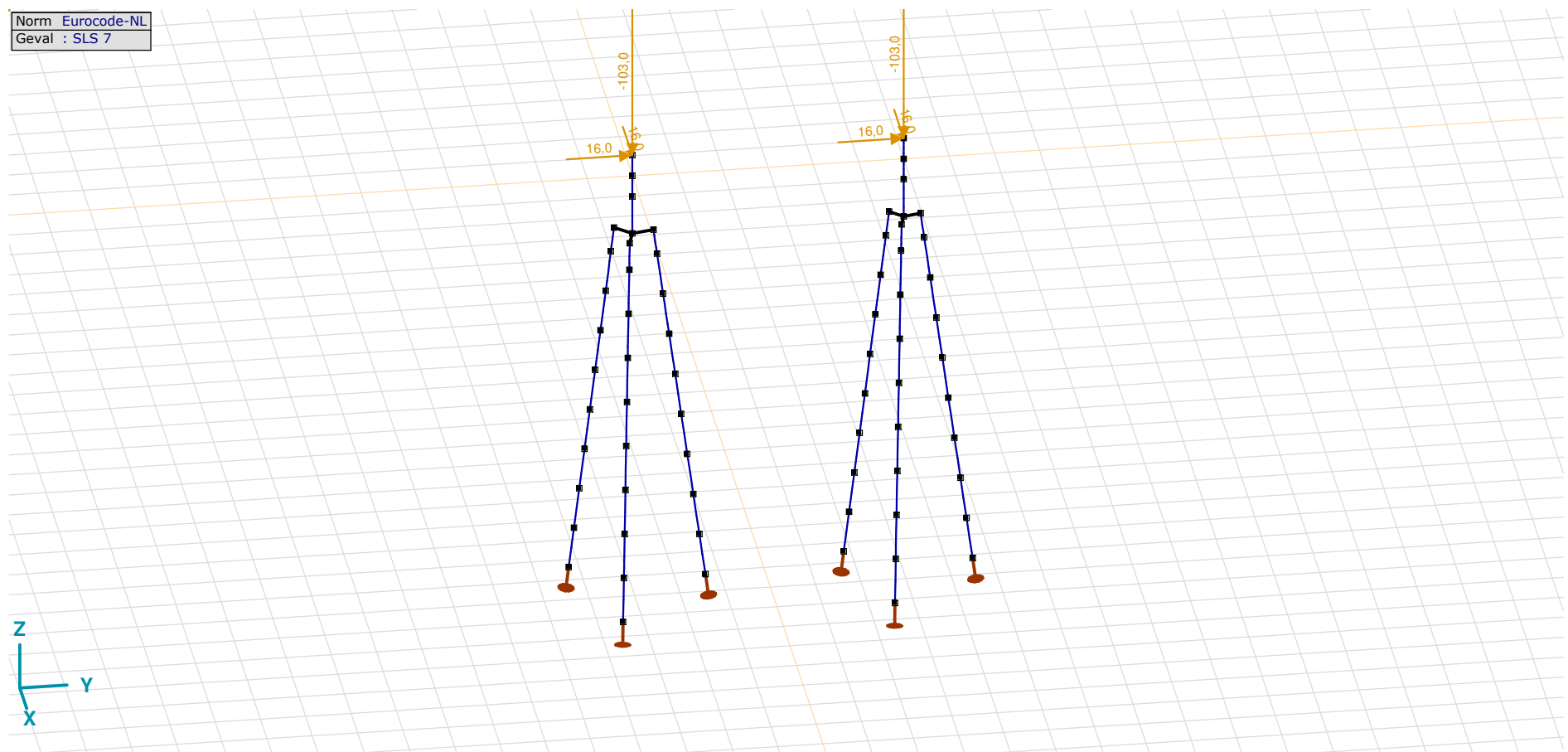
Pag. 17

GWS: Knoopbelastingen

	Richting	F_x [kN]	F_y [kN]	F_z [kN]	M_x [kNm]	M_y [kNm]	M_z [kNm]
2	Globaal	0	0	34,2	0	0	0
89	Globaal	0	0	22,8	0	0	0

F_x , F_y , F_z : Belastingkracht component; M_x , M_y , M_z : Belastingsmoment component;

Norm Eurocode-NL
Geval : SLS 7



SLS 7

Project

Analysis by

Model: **3P-O.axs**

23-5-2022

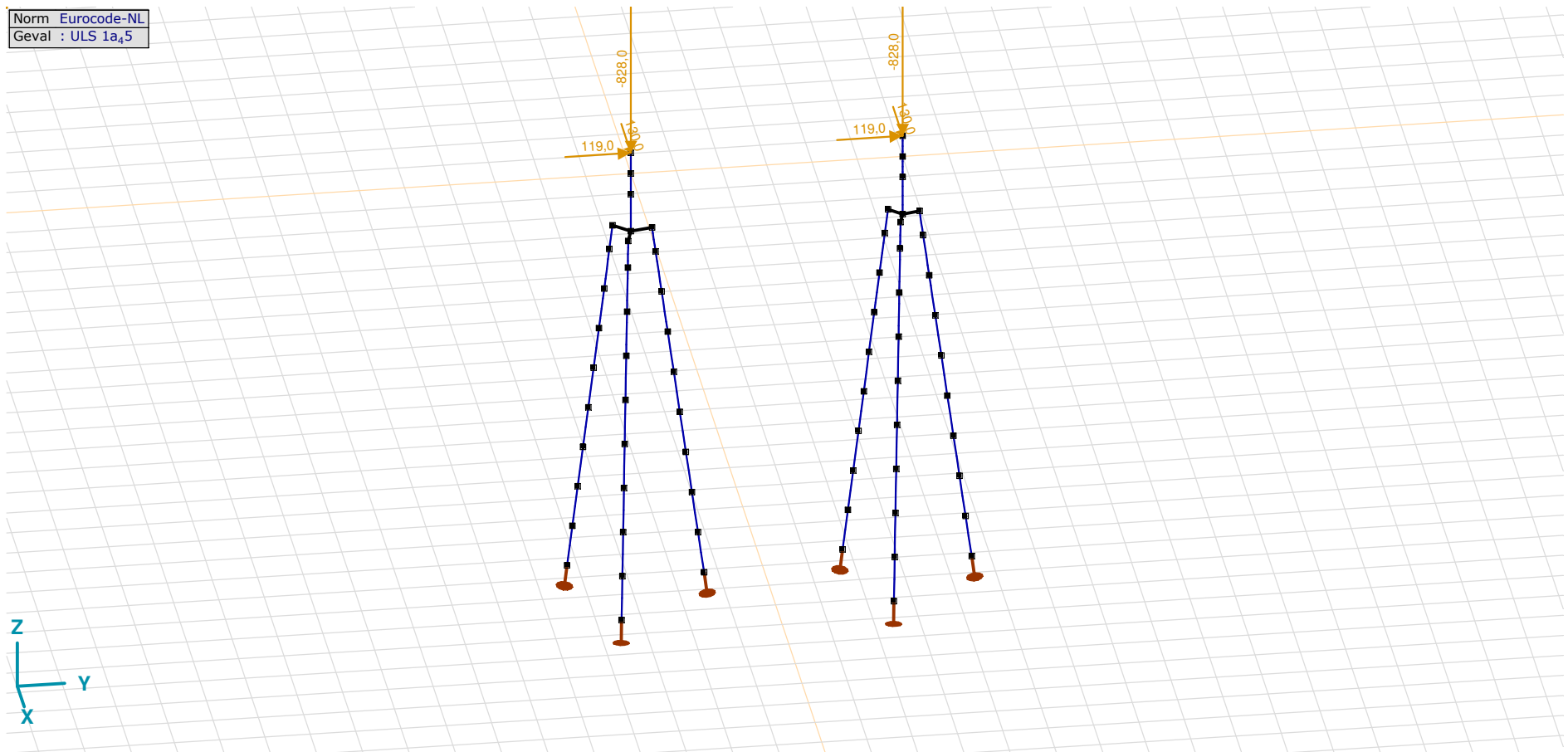
Pag. 18

SLS 7: Knoopbelastingen

	Richting	F_x [kN]	F_y [kN]	F_z [kN]	M_x [kNm]	M_y [kNm]	M_z [kNm]
6	Globaal	16,0	16,0	-103,0	0	0	0
137	Globaal	16,0	16,0	-103,0	0	0	0

F_x , F_y , F_z : Belastingkracht component; M_x , M_y , M_z : Belastingmoment component;

Norm Eurocode-NL
Geval : ULS 1a₄₅

ULS 1a₄₅

Project

Analysis by

Model: **3P-O.axs**

23-5-2022

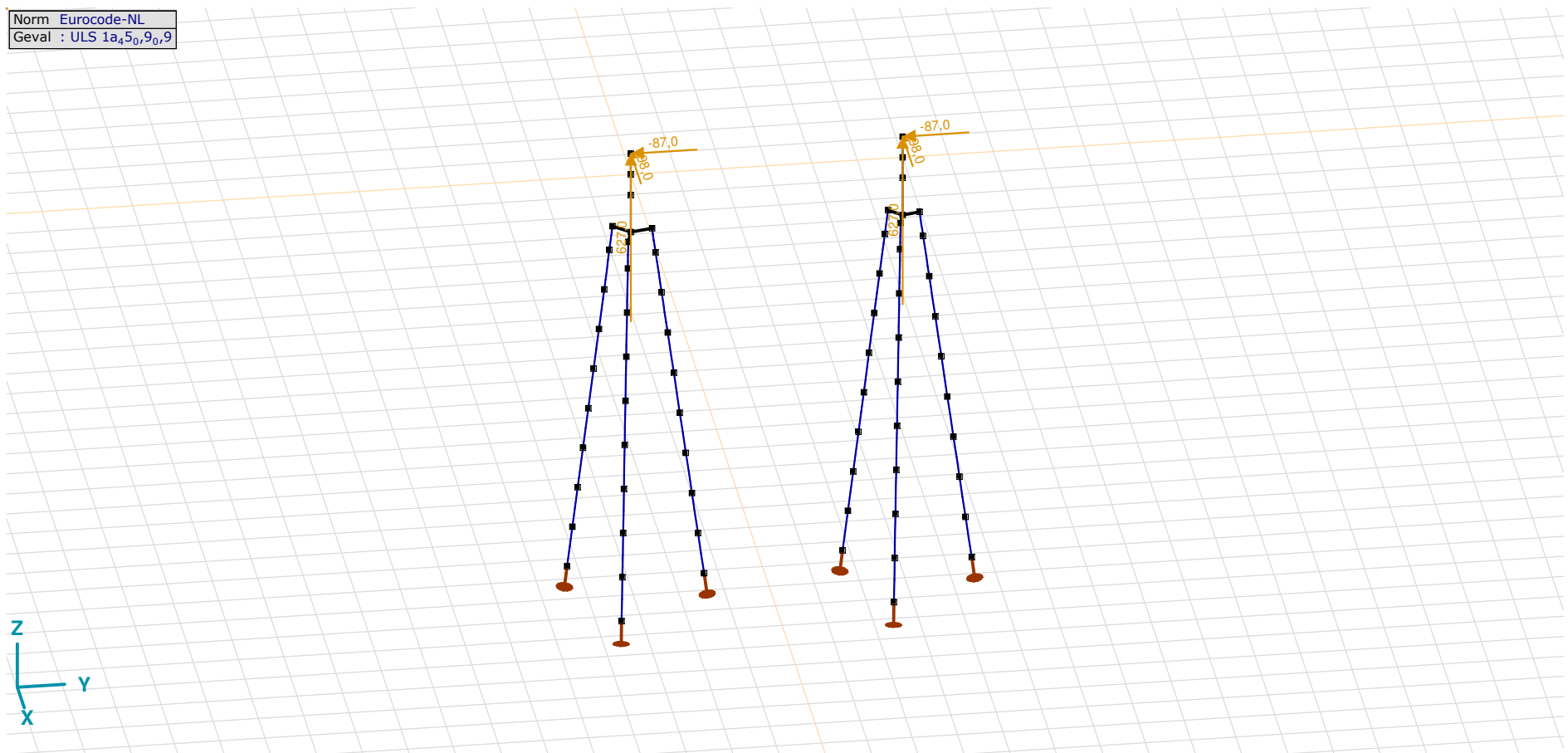
Pag. 19

ULS 1a_45: Knoopbelastingen

	Richting	F_x [kN]	F_y [kN]	F_z [kN]	M_x [kNm]	M_y [kNm]	M_z [kNm]
6	Globaal	130,0	119,0	-828,0	0	0	0
137	Globaal	130,0	119,0	-828,0	0	0	0

F_x , F_y , F_z : Belastingkracht component; M_x , M_y , M_z : Belastingmoment component;

Norm Eurocode-NL
Geval : ULS 1a_{45,0,9,0,9}



ULS 1a_45_0,9_0,9

Project

Analysis by

Model: **3P-O.axs**

23-5-2022

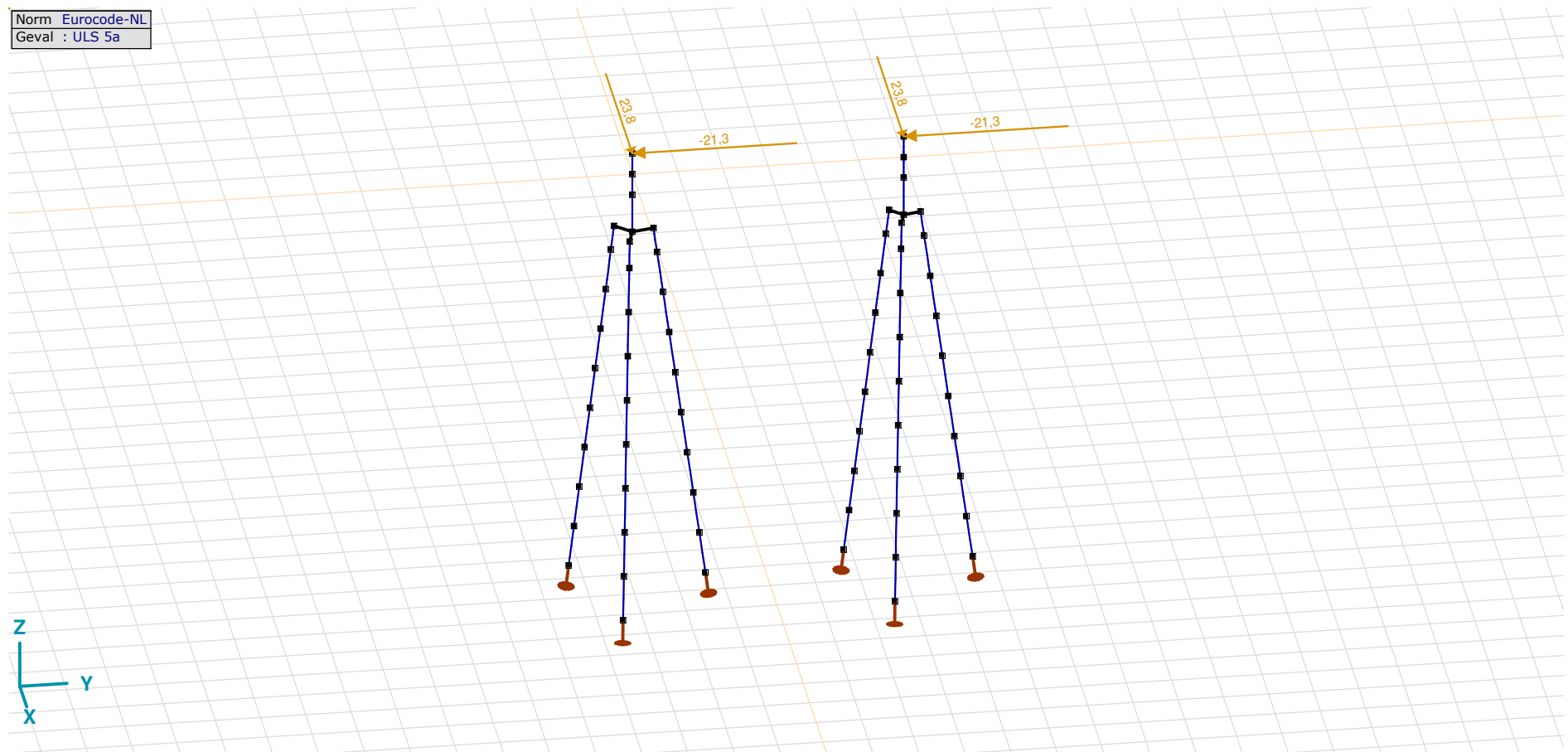
Pag. 20

ULS 1a_45_0,9_0,9: Knoopbelastingen

	Richting	F_x [kN]	F_y [kN]	F_z [kN]	M_x [kNm]	M_y [kNm]	M_z [kNm]
6	Globaal	-98,0	-87,0	627,0	0	0	0
137	Globaal	-98,0	-87,0	627,0	0	0	0

F_x, F_y, F_z: Belastingkracht component; **M_x, M_y, M_z**: Belastingsmoment component;

Norm Eurocode-NL
Geval : ULS 5a



ULS 5a

Project

Analysis by

Model: **3P-O.axs**

23-5-2022

Pag. 21

ULS 5a: Knoopbelastingen

	<i>Richting</i>	<i>F_x</i> [kN]	<i>F_y</i> [kN]	<i>F_z</i> [kN]	<i>M_x</i> [kNm]	<i>M_y</i> [kNm]	<i>M_z</i> [kNm]
6	Globaal	23,8	-21,3	0	0	0	0
137	Globaal	23,8	-21,3	0	0	0	0

F_x, F_y, F_z: Belastingkracht component; **M_x, M_y, M_z**: Belastingsmoment component;

Gebruiker gedefinieerde belastingcombinaties uit belastinggevallen

	<i>Naam</i>	<i>Type</i>	<i>ST1</i>	<i>EG poer</i> (PERM1)	<i>GWS</i> (PERM1)	<i>SLS 7</i> (PERM1)	<i>ULS 1a_45</i> (VER1)	<i>ULS 1a_45_0,9_0,9</i> (VER1)	<i>ULS 5a</i> (VER1)	<i>Commentaar</i>
1	Co #1 max druk	UGT	0	1,20	0	0	1,00	0	0	
2	Co #2 max trek	UGT	0	0,90	1,00	0	0	1,00	0	
3	Co #3 max torsie	UGT	0	1,20	1,00	0	0	0	1,00	
4	Co #4 Perm	BGT Quasi-blijvend	0	1,00	0	1,00	0	0	0	

Naam: Naam belastingcombinatie; **Type**: Type belastingcombinatie; **ST1, EG poer (PERM1), GWS (PERM1), SLS 7 (PERM1), ULS 1a_45 (VER1), ULS 1a_45_0,9_0,9 (VER1), ULS 5a (VER1)**: Factor;

Project

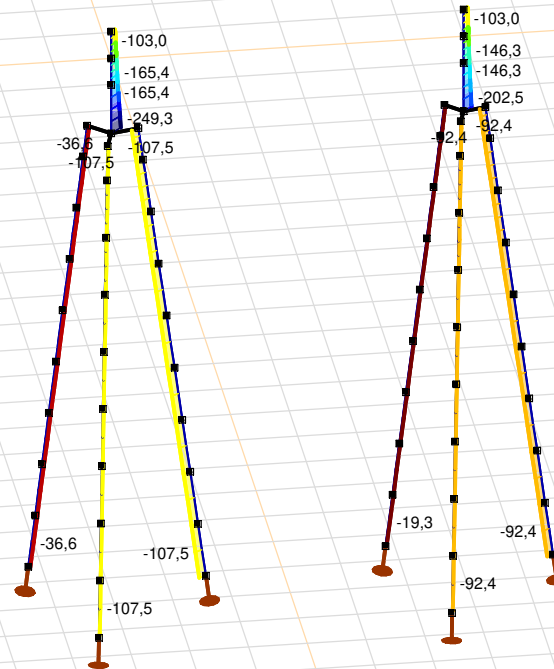
Analysis by

Model: **3P-O.axs**

23-5-2022

Pag. 22

Niet-lineaire berekening	
Norm	Eurocode-NL
Geval	Co #4 Perm [1] (1,000)
E (U)	: 7,27E-10
E (P)	: 1,35E-6
E (W)	: 1,39E-16
E (Eq)	: 3,73E-9
Comp.	Nx [kN]
Max	: -19,3
Min	: -249,3



Nx [kN]
-19,3
-35,7
-52,2
-68,6
-85,0
-101,4
-117,9
-134,3
-150,7
-167,1
-183,6
-200,0
-216,4
-232,9
-249,3



[II], Non-lin., Co #4 Perm [1] (1,000), Nx, Lijnen (gevuld)(gevuld)

Project

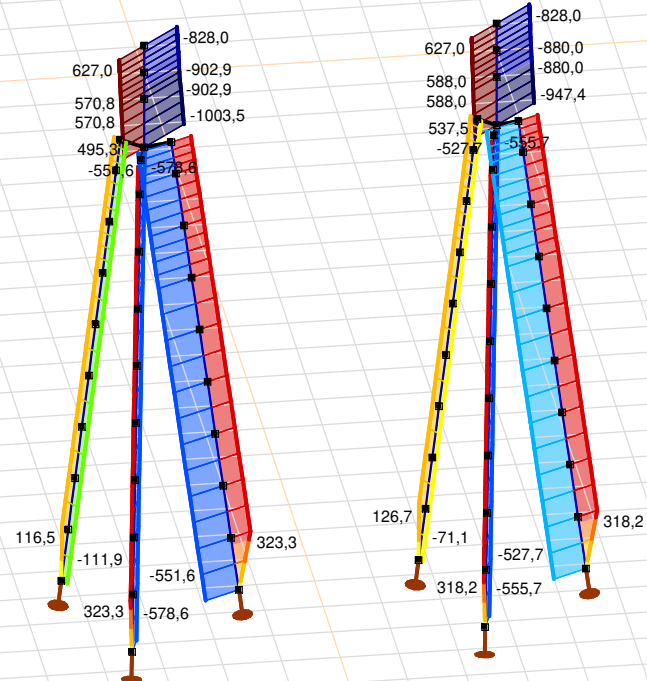
Analysis by

Model: **3P-O.axs**

23-5-2022

Pag. 23

Niet-lineaire berekening	
Norm	Eurocode-NL
Geval	: Omhullende Min,Max
Omhullende	: Alle UGT
E (U)	: 6,21E-5
E (P)	: 3,52E-7
E (W)	: 1,07E-11
E (Eq)	: 3,49E-9
Comp.	: Nx [kN]
Max	: 627,0
Min	: -1003,5



Nx [kN]	
627,0	510,5
394,1	277,6
161,1	44,7
-71,8	-188,3
-304,7	-421,2
-537,7	-654,1
-770,6	-887,1
-1003,5	



[[I], Non-lin., Omhullende (Alle UGT), Nx, Lijnen (gevuld)

Project

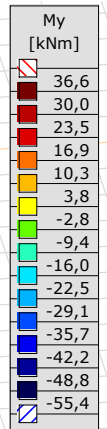
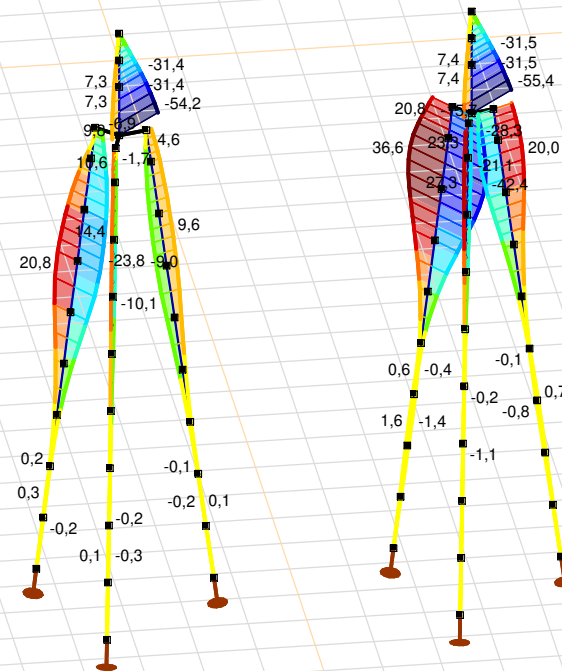
Analysis by

Model: **3P-O.axs**

23-5-2022

Pag. 24

Niet-lineaire berekening	
Norm	Eurocode-NL
Geval	: Omhullende Min,Max
Omhullende	: Alle UGT
E (U)	: 6,21E-5
E (P)	: 3,52E-7
E (W)	: 1,07E-11
E (Eq)	: 3,49E-9
Comp.	: My [kNm]
Max	: 36,6
Min	: -55,4



[II], Non-lin., Omhullende (Alle UGT), My, Lijnen (gevuld)

Project

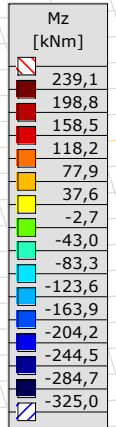
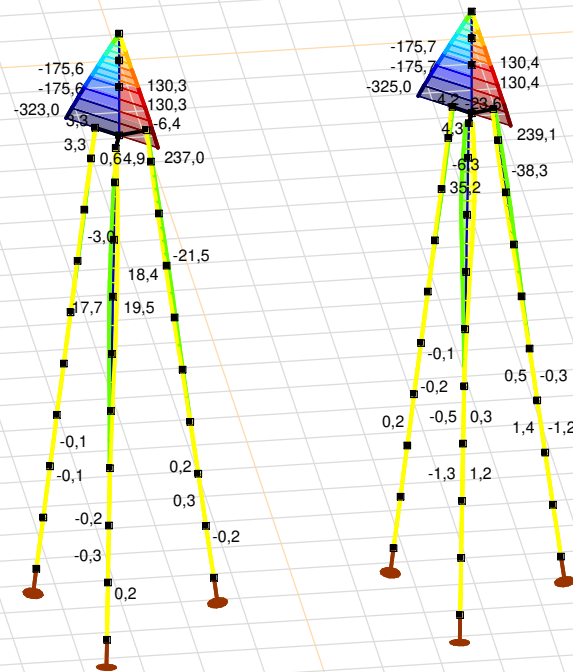
Analysis by

Model: **3P-O.axs**

23-5-2022

Pag. 25

Niet-lineaire berekening	
Norm	Eurocode-NL
Geval	: Omhullende Min,Max
Omhullende	: Alle UGT
E (U)	: 6,21E-5
E (P)	: 3,52E-7
E (W)	: 1,07E-11
E (Eq)	: 3,49E-9
Comp.	: Mz [kNm]
Max	: 239,1
Min	: -325,0



[III], Non-lin., Omhullende (Alle UGT), Mz, Lijnen (gevuld)

Project

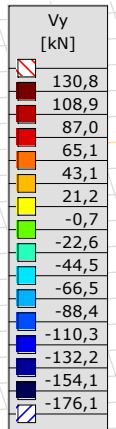
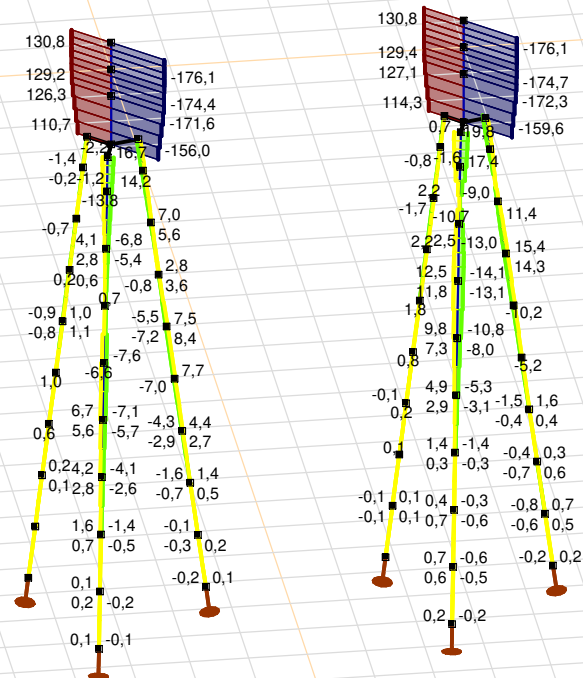
Analysis by

Model: **3P-O.axs**

23-5-2022

Pag. 26

Niet-lineaire berekening	
Norm	Eurocode-NL
Geval	: Omhullende Min,Max
Omhullende	: Alle UGT
E (U)	: 6,21E-5
E (P)	: 3,52E-7
E (W)	: 1,07E-11
E (Eq)	: 3,49E-9
Comp.	: Vy [kN]
Max	: 130,8
Min	: -176,1



[II], Non-lin., Omhullende (Alle UGT), Vy, Lijnen (gevuld)

Project

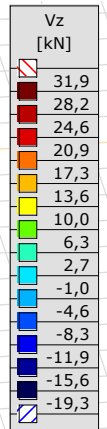
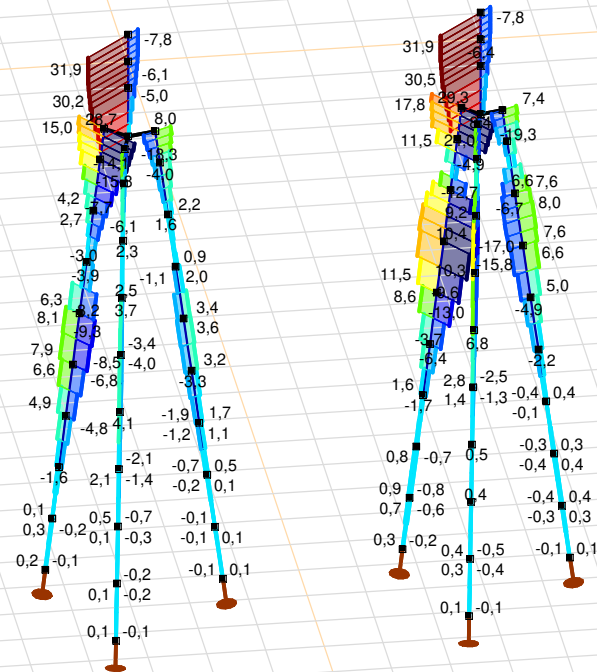
Analysis by

Model: **3P-O.axs**

23-5-2022

Pag. 27

Niet-lineaire berekening	
Norm	Eurocode-NL
Geval	: Omhullende Min,Max
Omhullende	: Alle UGT
E (U)	: 6,21E-5
E (P)	: 3,52E-7
E (W)	: 1,07E-11
E (Eq)	: 3,49E-9
Comp.	: Vz [kN]
Max	: 31,9
Min	: -19,3



[II], Non-lin., Omhullende (Alle UGT), Vz, Lijnen (gevuld)

Project

Analysis by

Model: **3P-O.axs**

23-5-2022

Pag. 28

Staafkrachten [Non-lin., Omhullende (Alle UGT), Palen]

	Prof.	Doorsnede naam	C	min. max.	Geval	Pos. [m]	Knoop	Nx [kN]	Vy [kN]	Vz [kN]	Tx [kNm]	My [kNm]	Mz [kNm]	B [kNm ²]
Ext.														
1	1	O 400	Nx	min	Co #2 max trek [1] (1,000)	0	(4)	-111,9	0	0,2	0	0	0	0
1	1	O 400		max	Co #1 max druk [1] (1,000)	1,010	(5)	116,5	0	-0,2	0	-0,2	0	0
1	1	O 400	Vy	min	Co #3 max torsie [1] (1,000)	0,505	(17)	-44,1	0	0	0	0	0	0
1	1	O 400		max	Co #2 max trek [1] (1,000)	0,505	(17)	-111,9	0	0,3	0	0,1	0	0
1	1	O 400	Vz	min	Co #1 max druk [1] (1,000)	0,505	(17)	56,7	0	-0,2	0	-0,1	0	0
1	1	O 400		max	Co #2 max trek [1] (1,000)	0,505	(17)	-111,9	0	0,3	0	0,1	0	0
1	1	O 400	My	min	Co #1 max druk [1] (1,000)	1,010	(5)	116,5	0	-0,2	0	-0,2	0	0
1	1	O 400		max	Co #2 max trek [1] (1,000)	1,010	(5)	-111,9	0	0,3	0	0,3	0	0
1	1	O 400	Mz	min	Co #2 max trek [1] (1,000)	1,010	(5)	-111,9	0	0,3	0	0,3	0	0
1	1	O 400		max	Co #3 max torsie [1] (1,000)	1,010	(5)	-44,1	0	0	0	0	0	0

Prof.: Profiel; **C:** Extreme component; **min. max.:** Extreme type; **Geval:** Belastinggeval van de extreme; **Pos.:** Lokale X-positie van de doorsnede op de staaf; **Nx:** Normaalkracht; **Vy:** Dwarskracht in lokale y-richting; **Vz:** Dwarskracht in lokale z-richting; **Tx:** Torsiemoment; **My:** Buigend moment in lokale y-richting; **Mz:** Buigend moment in lokale z-richting; **B:** Bimoment;

Project

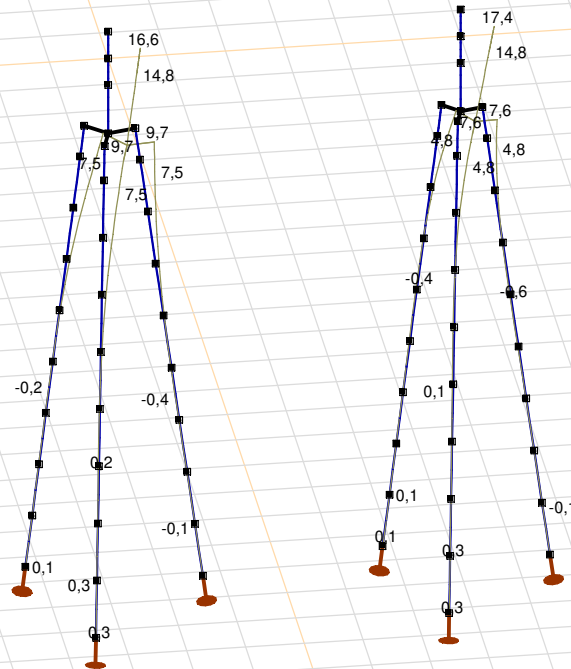
Analysis by

Model: **3P-O.axs**

23-5-2022

Pag. 29

Niet-lineaire berekening	
Norm	Eurocode-NL
Geval	Co #1 max druk [1] (1,000)
E (U)	: 6,21E-5
E (P)	: 3,52E-7
E (W)	: 1,07E-11
E (Eq)	: 3,49E-9
Comp.	: eX [mm]
Max	: 17,4
Min	: -0,6



[III], Non-lin., Co #1 max druk [1] (1,000), eX, Lijnen

Project

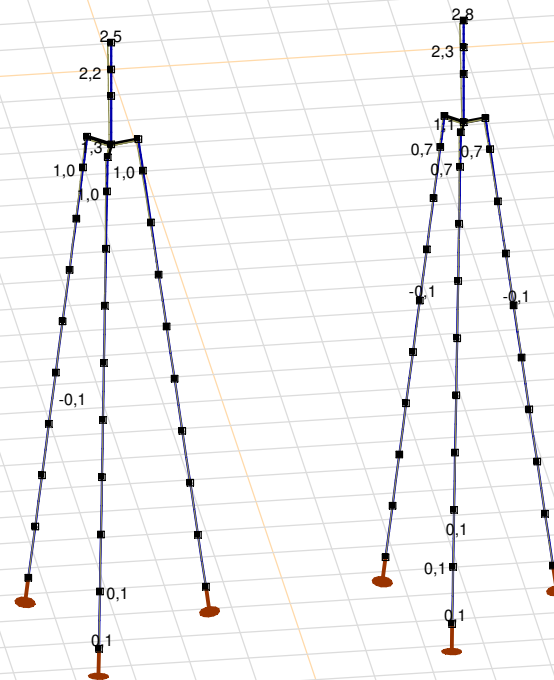
Analysis by

Model: **3P-O.axs**

23-5-2022

Pag. 30

Niet-lineaire berekening	
Norm	Eurocode-NL
Geval	Co #3 max torsie [1] (1,000)
E (U)	: 8,60E-10
E (P)	: 3,16E-6
E (W)	: 2,89E-16
E (Eq)	: 6,93E-9
Comp.	: eX [mm]
Max	: 2,8
Min	: -0,1



[III], Non-lin., Co #3 max torsie [1] (1,000), eX, Lijnen

Project

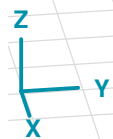
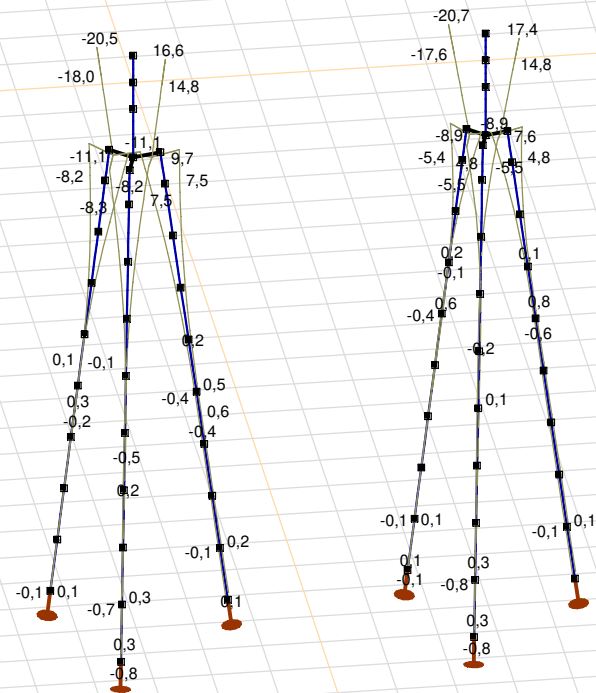
Analysis by

Model: **3P-O.axs**

23-5-2022

Pag. 31

Niet-lineaire berekening	
Norm	Eurocode-NL
Geval	: Omhullende Min,Max
Omhullende	: Alle UGT
E (U)	: 6,21E-5
E (P)	: 3,52E-7
E (W)	: 1,07E-11
E (Eq)	: 3,49E-9
Comp.	: eX [mm]
Max	: 17,4
Min	: -20,7



[[I]], Non-lin., Omhullende (Alle UGT), eX, Lijnen

Project

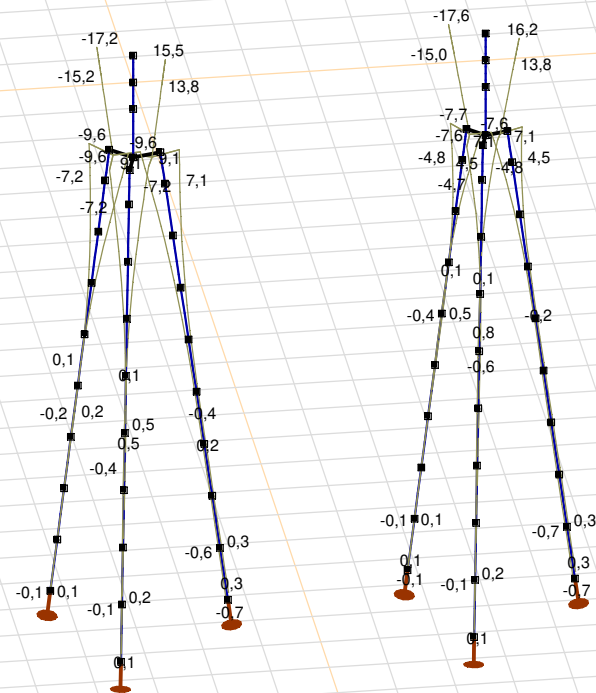
Analysis by

Model: **3P-O.axs**

23-5-2022

Pag. 32

Niet-lineaire berekening	
Norm	Eurocode-NL
Geval	: Omhullende Min,Max
Omhullende	: Alle UGT
E (U)	: 6,21E-5
E (P)	: 3,52E-7
E (W)	: 1,07E-11
E (Eq)	: 3,49E-9
Comp.	: eY [mm]
Max	: 16,2
Min	: -17,6



[II], Non-lin., Omhullende (Alle UGT), eY, Lijnen

Project

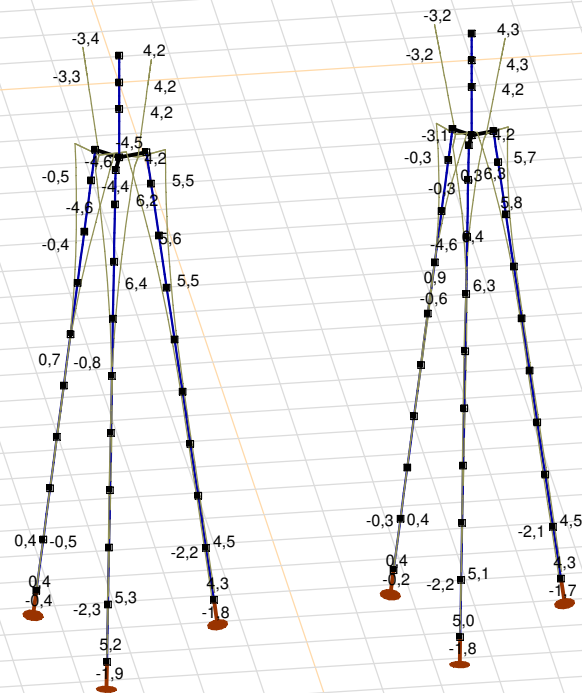
Analysis by

Model: **3P-O.axs**

23-5-2022

Pag. 33

Niet-lineaire berekening	
Norm	Eurocode-NL
Geval	: Omhullende Min,Max
Omhullende	: Alle UGT
E (U)	: 6,21E-5
E (P)	: 3,52E-7
E (W)	: 1,07E-11
E (Eq)	: 3,49E-9
Comp.	: eZ [mm]
Max	: 6,4
Min	: -4,7



[[I], Non-lin., Omhullende (Alle UGT), eZ, Lijnen

Project

Analysis by

Model: **3P-O.axs**

23-5-2022

Pag. 34

Knoopverplaatsingen [Non-lin., Omhullende (Alle UGT)]

	C	min. max.	Geval	eX [mm]	eY [mm]	eZ [mm]	eR [mm]	fX [rad]	fY [rad]	fZ [rad]	fR [rad]
Ext.											
137	eX	min	Co #2 max trek [1] (1,000)	-20,7	-17,6	4,3	27,5	0,0053	-0,0062	0,0001	0,0082
137		max	Co #1 max druk [1] (1,000)	17,4	16,2	-3,2	24,0	-0,0048	0,0052	-0,0001	0,0070
137	eY	min	Co #2 max trek [1] (1,000)	-20,7	-17,6	4,3	27,5	0,0053	-0,0062	0,0001	0,0082
137		max	Co #1 max druk [1] (1,000)	17,4	16,2	-3,2	24,0	-0,0048	0,0052	-0,0001	0,0070
162	eZ	min	Co #1 max druk [1] (1,000)	4,8	4,4	-4,7	8,0	-0,0041	0,0041	0,0001	0,0058
165		min	Co #1 max druk [1] (1,000)	3,8	3,5	-4,6	7,0	-0,0037	0,0036	0,0001	0,0052
157		max	Co #2 max trek [1] (1,000)	-1,4	-0,7	6,4	6,6	0,0021	-0,0019	-0,0005	0,0028
158		max	Co #2 max trek [1] (1,000)	-1,9	-1,2	6,4	6,8	0,0025	-0,0024	-0,0004	0,0035
163		max	Co #2 max trek [1] (1,000)	-2,6	-1,9	6,4	7,2	0,0030	-0,0030	-0,0003	0,0042
51	eR	min	Co #3 max torsie [1] (1,000)	0	0	0,1	0,1	0,0001	0,0001	-0,0001	0,0001
137		max	Co #2 max trek [1] (1,000)	-20,7	-17,6	4,3	27,5	0,0053	-0,0062	0,0001	0,0082

C: Extreme component; **min. max.:** Extreme type; **Geval:** Belastinggeval van de extreme; **eX:** Verplaatsing in X-richting; **eY:** Verplaatsing in Y-richting; **eZ:** Verplaatsing in Z-richting; **eR:** Resulterende verplaatsing; **fX:** Rotatie in X-richting; **fY:** Rotatie in Y-richting; **fZ:** Rotatie in Z-richting; **fR:** Resulterende rotatie;

Project

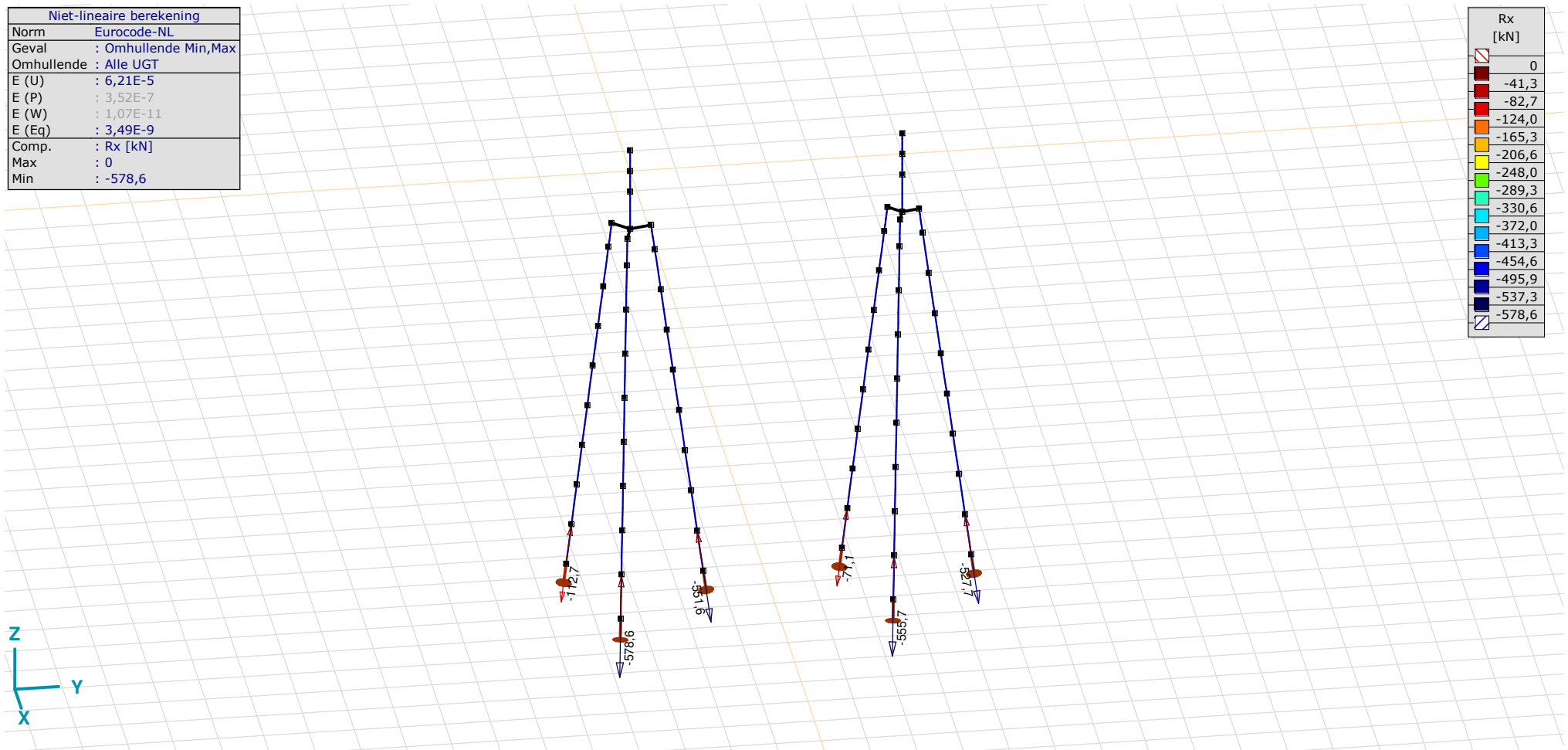
Analysis by

Model: **3P-O.axs**

23-5-2022

Pag. 35

Niet-lineaire berekening	
Norm	Eurocode-NL
Geval	: Omhullende Min,Max
Omhullende	: Alle UGT
E (U)	: 6,21E-5
E (P)	: 3,52E-7
E (W)	: 1,07E-11
E (Eq)	: 3,49E-9
Comp.	: Rx [kN]
Max	: 0
Min	: -578,6



[II], Non-lin., Omhullende (Alle UGT), Rx (knoopopl.), Lijnen

Project

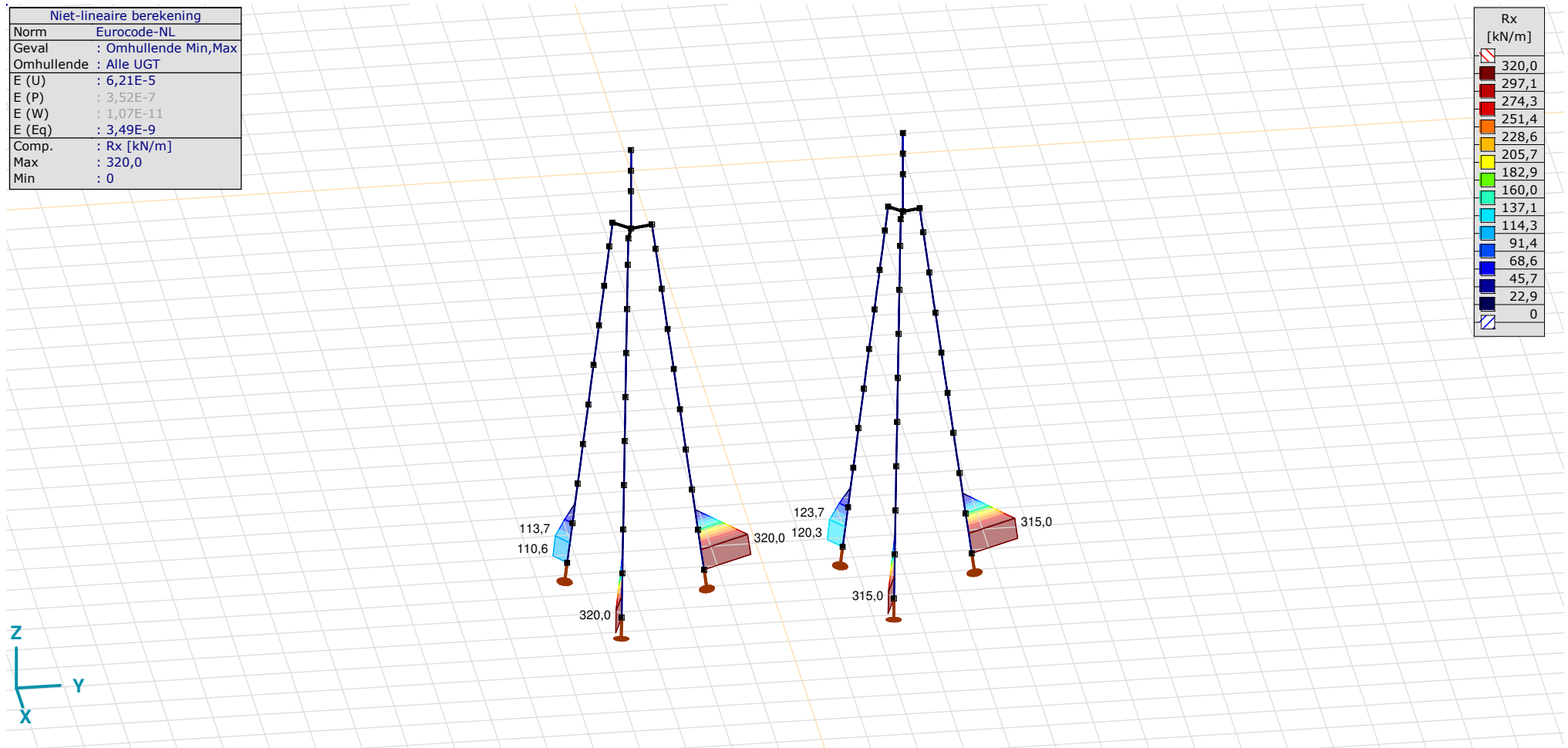
Analysis by

Model: **3P-O.axs**

23-5-2022

Pag. 36

Niet-lineaire berekening	
Norm	Eurocode-NL
Geval	: Omhullende Min,Max
Omhullende	: Alle UGT
E (U)	: 6,21E-5
E (P)	: 3,52E-7
E (W)	: 1,07E-11
E (Eq)	: 3,49E-9
Comp.	: Rx [kN/m]
Max	: 320,0
Min	: 0



III, Non-lin., Omhullende (Alle UGT), Rx (lijnopp.), Lijnen (gevuld)

Project

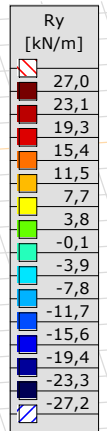
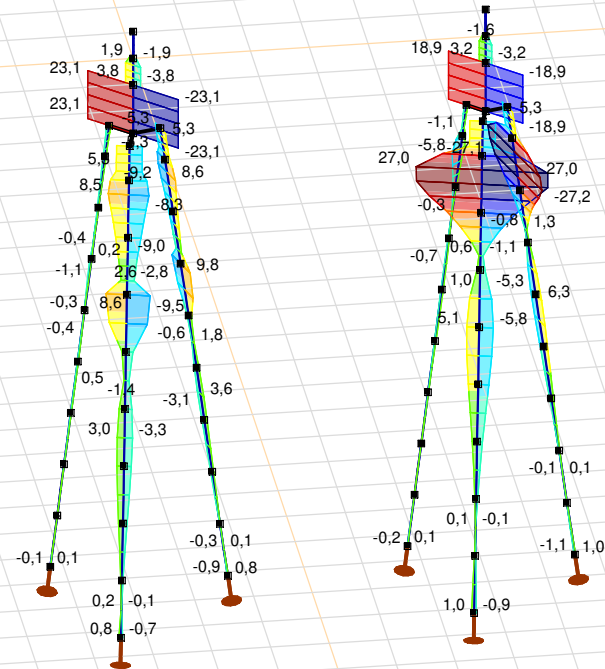
Analysis by

Model: **3P-O.axs**

23-5-2022

Pag. 37

Niet-lineaire berekening	
Norm	Eurocode-NL
Geval	: Omhullende Min,Max
Omhullende	: Alle UGT
E (U)	: 6,21E-5
E (P)	: 3,52E-7
E (W)	: 1,07E-11
E (Eq)	: 3,49E-9
Comp.	: Ry [kN/m]
Max	: 27,0
Min	: -27,2



[III], Non-lin., Omhullende (Alle UGT), Ry (lijnopp.), Lijnen (gevuld)

Project

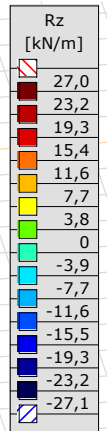
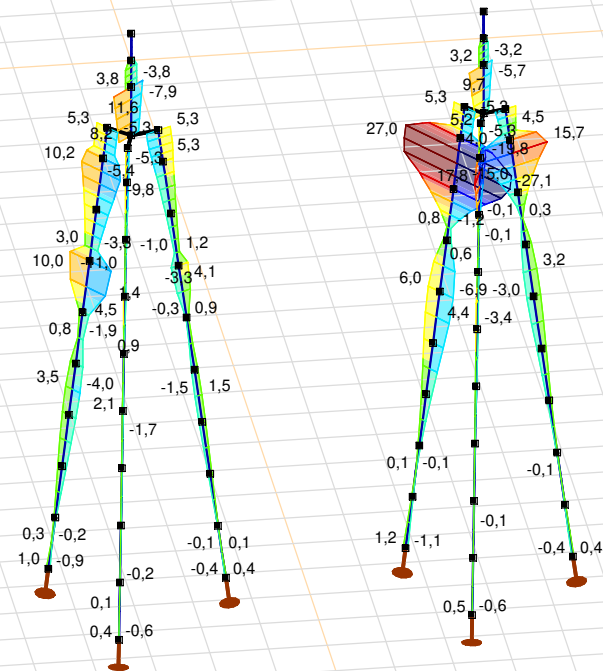
Analysis by

Model: **3P-O.axs**

23-5-2022

Pag. 38

Niet-lineaire berekening	
Norm	Eurocode-NL
Geval	: Omhullende Min,Max
Omhullende	: Alle UGT
E (U)	: 6,21E-5
E (P)	: 3,52E-7
E (W)	: 1,07E-11
E (Eq)	: 3,49E-9
Comp.	: Rz [kN/m]
Max	: 27,0
Min	: -27,1



[III], Non-lin., Omhullende (Alle UGT), Rz (lijnopp.), Lijnen (gevuld)

Project

Analysis by

Model: **3P-O.axs**

23-5-2022

Pag. 39

Interne krachten knooppogging [Non-lin., Omhullende (Alle UGT)]

	<i>Knoop</i>	<i>X [m]</i>	<i>Y [m]</i>	<i>Z [m]</i>	<i>Type</i>	<i>C</i>	<i>min. max.</i>	<i>Geval</i>	<i>Rx [kN]</i>
1	4	-1,229	-1,229	-10,000	Staaft r.	Rx	min	Co #2 max trek [1] (1,000)	-112,7
							max	Co #1 max druk [1] (1,000)	0
2	26	1,679	-0,450	-10,000	Staaft r.	Rx	min	Co #1 max druk [1] (1,000)	-578,6
							max	Co #2 max trek [1] (1,000)	0
3	41	-0,450	1,679	-10,000	Staaft r.	Rx	min	Co #1 max druk [1] (1,000)	-551,6
							max	Co #2 max trek [1] (1,000)	0
4	94	-1,159	4,841	-10,000	Staaft r.	Rx	min	Co #2 max trek [1] (1,000)	-71,1
							max	Co #1 max druk [1] (1,000)	0
5	107	1,583	5,576	-10,000	Staaft r.	Rx	min	Co #1 max druk [1] (1,000)	-555,7
							max	Co #2 max trek [1] (1,000)	0
6	120	-0,424	7,583	-10,000	Staaft r.	Rx	min	Co #1 max druk [1] (1,000)	-527,7
							max	Co #2 max trek [1] (1,000)	0
Ext.									
2	26	1,679	-0,450	-10,000	Staaft r.	Rx	min	Co #1 max druk [1] (1,000)	-578,6
							max	Co #2 max trek [1] (1,000)	0

Knoop: Ondersteunde knoop; **Type:** Opleggingstype; **C:** Extreme component; **min. max.:** Extreme type; **Geval:** Belastinggeval van de extreme; **Rx:** X-component opleggingsreactiekracht;

Project

Analysis by

AxisVM X6 R1q · Geregistreerd aan DNV GL - Energy
3P-LD-L1 & 3P-LD-H1.axs

Report

Report, Inhoudsopgave

<i>Onderdeel</i>	<i>Pagina</i>	<i>Onderdeel</i>	<i>Pagina</i>
Tekening render	3	SPLS 3_torsie: Knoopbelastingen	22
Materialen	4	Gebruiker gedefinieerde belastingcombinaties uit belastinggevallen	22
Profielen	4	[II], Non-lin., Co #4 Perm [1] (1,000), Nx, Lijnen (gevuld)(gevuld)	23
Tekening	7	[II], Non-lin., Omhullende (Alle UGT), Nx, Lijnen (gevuld)	24
Knopen	8	[II], Non-lin., Omhullende (Alle UGT), My, Lijnen (gevuld)	25
Staven	9	[II], Non-lin., Omhullende (Alle UGT), Mz, Lijnen (gevuld)	26
Knoopopleggingen	10	[II], Non-lin., Omhullende (Alle UGT), Vy, Lijnen (gevuld)	27
Tekening met beddingen	11	[II], Non-lin., Omhullende (Alle UGT), Vz, Lijnen (gevuld)	28
Lijnopleggingen	12	Staafrachten [Non-lin., Omhullende (Alle UGT), Palen]	29
EG poer	16	[II], Non-lin., Co #1 max druk [1] (1,000), eX, Lijnen	30
EG poer: Staaf eigen gewicht	17	[II], Non-lin., Co #3 max torsie [1] (1,000), eX, Lijnen	31
GWS	17	[II], Non-lin., Omhullende (Alle UGT), eX, Lijnen	32
GWS: Knoopbelastingen	18	[II], Non-lin., Omhullende (Alle UGT), eY, Lijnen	33
SLS 7	18	[II], Non-lin., Omhullende (Alle UGT), eZ, Lijnen	34
SLS 7: Knoopbelastingen	19	Knoopverplaatsingen [Non-lin., Omhullende (Alle UGT)]	35
SPLS 3_druk	19	[II], Non-lin., Omhullende (Alle UGT), Rx (knoopopl.), Lijnen	36
SPLS 3_druk: Knoopbelastingen	20	[II], Non-lin., Omhullende (Alle UGT), Rx (lijnopp.), Lijnen (gevuld)	37
SPLS 3_trek	20	[II], Non-lin., Omhullende (Alle UGT), Ry (lijnopp.), Lijnen (gevuld)	38
SPLS 3_trek: Knoopbelastingen	21	[II], Non-lin., Omhullende (Alle UGT), Rz (lijnopp.), Lijnen (gevuld)	39
SPLS 3_torsie	21	Interne krachten knoopoplegging [Non-lin., Omhullende (Alle UGT)]	40

Project

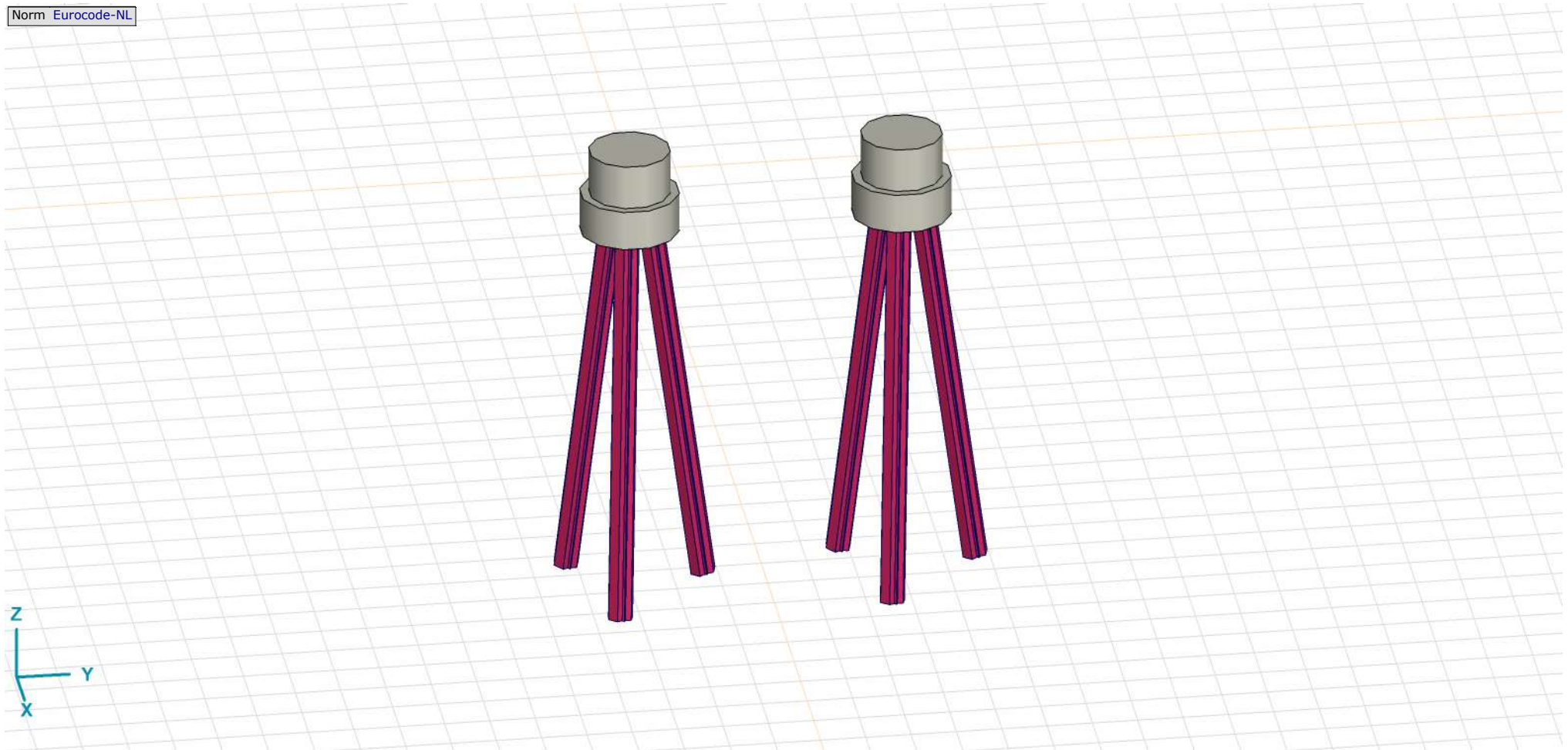
Analysis by

Model: **3P-LD-L1 & 3P-LD-H1.axs**

23-5-2022

Pag. 3

Norm Eurocode-NL



Tekening render

Project

Analysis by

Model: **3P-LD-L1 & 3P-LD-H1.axs**

23-5-2022

Pag. 4

Materialen

	Naam	Type	Nationale norm	Materiaalnorm	Model	E_x [N/mm ²]	E_y [N/mm ²]	ν	α_T [1/°C]	ρ [kg/m ³]	Materiaal kleur	Contour kleur	Structuur	P_1
1	C30/37	Beton	Eurocode-NL	EN 206	Lineair	11000	11000	0,20	1E-5	2500			Concrete A	f_{ck} [N/mm ²] = 30,00
2	S 235	Staal	Eurocode-NL	10025-2	Lineair	210000	210000	0,30	1,2E-5	7850			Steel	f_y [N/mm ²] = 235,00

	Naam	P_2	P_3	P_4	P_5	P_6	P_7	P_8	P_9	P_{10}	P_{11}	P_{12}	P_{13}	P_{14}
1	C30/37	$\gamma_c = 1,500$	$\alpha_{cc} = 1,00$	$\phi_t = 2,00$										
2	S 235	f_u [N/mm ²] = 360,00	f_y [N/mm ²] = 215,00	f_u [N/mm ²] = 360,00										

Naam: Materiaalnaam; **Type:** Type materiaal; **Model:** Materiaal model; **E_x :** Elasticiteitsmodulus in lokale x richting; **E_y :** Elasticiteitsmodulus in lokale y richting; **ν :** Poisson's verhouding; **α_T :** Warmteuitzettingscoëfficiënt; **ρ :** Dichtheid; **Materiaal kleur:** Materiaalkleur; **Contour kleur:** Contourkleur; **$P_1, P_2, P_3, P_4, P_5, P_6, P_7, P_8, P_9, P_{10}, P_{11}, P_{12}, P_{13}, P_{14}$:** Ontwerpparameter;

Profielen

	Naam	Tekening	Productie	Vorm	h [mm]	b [mm]	tw [mm]	tf [mm]	r_1 [mm]	r_2 [mm]	r_3 [mm]	A_x [mm ²]	A_y [mm ²]	A_z [mm ²]
1	O 400		Ander	Rond	400,0	400,0	0	0	0	0	0	125638,20	107689,90	107689,90
2	O 1500		Ander	Rond	1500,0	1500,0	0	0	0	0	0	1766787,00	1514389,00	1514389,00

	Naam	I_x [mm ⁴]	I_y [mm ⁴]	I_z [mm ⁴]	I_{yz} [mm ⁴]	I_1 [mm ⁴]	I_2 [mm ⁴]	α [°]	I_w [mm ⁶]	$W_{1,el,t}$ [mm ³]	$W_{1,el,b}$ [mm ³]	$W_{2,el,t}$ [mm ³]	$W_{2,el,b}$ [mm ³]	$W_{1,pl}$ [mm ³]	$W_{2,pl}$ [mm ³]
1	O 400	2,51E+09	1,26E+09	1,26E+09	0	1,26E+09	1,26E+09	0	0	6280634,00	6280634,00	6280634,00	6280634,00	1,07E+07	1,07E+07
2	O 1500	4,97E+11	2,48E+11	2,48E+11	0	2,48E+11	2,48E+11	0	0	3,31E+08	3,31E+08	3,31E+08	3,31E+08	5,62E+08	5,62E+08

	Naam	i_y [mm]	i_z [mm]	H_y [mm]	H_z [mm]	y_G [mm]	z_G [mm]	y_s [mm]	z_s [mm]	β_y [mm]	β_z [mm]	β_w [mm]	S.p.
1	O 400	100,0	100,0	400,0	400,0	200,0	200,0	0	0	0	0	0	5
2	O 1500	375,0	375,0	1500,0	1500,0	750,0	750,0	0	0	0	0	0	5

Project

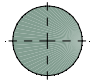
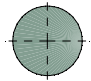
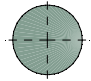
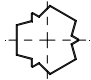
Analysis by

Model: **3P-LD-L1 & 3P-LD-H1.axs**

23-5-2022

Pag. 5

Profielen

	Naam	Tekening	Productie	Vorm	h [mm]	b [mm]	tw [mm]	tf [mm]	r_1 [mm]	r_2 [mm]	r_3 [mm]	A_x [mm ²]	A_y [mm ²]	A_z [mm ²]
3	O 1300		Ander	Rond	1300,0	1300,0	0	0	0	0	0	1327053,00	1137474,00	1137474,00
4	O 2500		Ander	Rond	2500,0	2500,0	0	0	0	0	0	4907742,00	4206636,00	4206636,00
5	O 1800		Ander	Rond	1800,0	1800,0	0	0	0	0	0	2544173,00	2180720,00	2180720,00
6	514x570,1		Ander	Eigen gedefinieerd	570,1	514,0	0	0	0	0	0	15142,80	5219,72	5219,72

	Naam	I_x [mm ⁴]	I_y [mm ⁴]	I_z [mm ⁴]	I_{yz} [mm ⁴]	I_1 [mm ⁴]	I_2 [mm ⁴]	α [°]	$I\omega$ [mm ⁶]	$W_{1,e,t}$ [mm ³]	$W_{1,e,b}$ [mm ³]	$W_{2,e,t}$ [mm ³]	$W_{2,e,b}$ [mm ³]	$W_{1,p,l}$ [mm ³]	$W_{2,p,l}$ [mm ³]
3	O 1300	2,8E+11	1,4E+11	1,4E+11	0	1,4E+11	1,4E+11	0	0	2,16E+08	2,16E+08	2,16E+08	2,16E+08	3,66E+08	3,66E+08
4	O 2500	3,83E+12	1,92E+12	1,92E+12	0	1,92E+12	1,92E+12	0	0	1,53E+09	1,53E+09	1,53E+09	1,53E+09	2,6E+09	2,6E+09
5	O 1800	1,03E+12	5,15E+11	5,15E+11	0	5,15E+11	5,15E+11	0	0	5,72E+08	5,72E+08	5,72E+08	5,72E+08	9,72E+08	9,72E+08
6	514x570,1	6,22E+08	4,6E+08	4,6E+08	0	4,6E+08	4,6E+08	0	2,4E+11	1614516,00	1614516,00	1790846,00	1790845,00	2369310,00	2357912,00

	Naam	i_y [mm]	i_z [mm]	H_y [mm]	H_z [mm]	y_G [mm]	z_G [mm]	y_s [mm]	z_s [mm]	β_y [mm]	β_z [mm]	β_w [mm]	$S.p.$
3	O 1300	325,0	325,0	1300,0	1300,0	650,0	650,0	0	0	0	0	0	5
4	O 2500	624,9	624,9	2500,0	2500,0	1250,0	1250,0	0	0	0	0	0	5
5	O 1800	450,0	450,0	1800,0	1800,0	900,0	900,0	0	0	0	0	0	5
6	514x570,1	174,3	174,3	514,0	570,1	257,0	285,1	0	0	0	0	0	9

Project

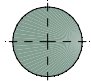
Analysis by

Model: **3P-LD-L1 & 3P-LD-H1.axs**

23-5-2022

Pag. 6

Profielen

	Naam	Tekening	Productie	Vorm	h [mm]	b [mm]	tw [mm]	tf [mm]	r_1 [mm]	r_2 [mm]	r_3 [mm]	A_x [mm ²]	A_y [mm ²]	A_z [mm ²]
7	O 2200		Ander	Rond	2200,0	2200,0	0	0	0	0	0	3800555,00	3257619,00	3257619,00

	Naam	I_x [mm ⁴]	I_y [mm ⁴]	I_z [mm ⁴]	I_{yz} [mm ⁴]	I_1 [mm ⁴]	I_2 [mm ⁴]	α [°]	$I\omega$ [mm ⁶]	$W_{1,el,t}$ [mm ³]	$W_{1,el,b}$ [mm ³]	$W_{2,el,t}$ [mm ³]	$W_{2,el,b}$ [mm ³]	$W_{1,pl}$ [mm ³]	$W_{2,pl}$ [mm ³]
7	O 2200	2,3E+12	1,15E+12	1,15E+12	0	1,15E+12	1,15E+12	0	0	1,04E+09	1,04E+09	1,04E+09	1,04E+09	1,77E+09	1,77E+09

	Naam	i_y [mm]	i_z [mm]	H_y [mm]	H_z [mm]	y_G [mm]	z_G [mm]	y_s [mm]	z_s [mm]	β_y [mm]	β_z [mm]	β_w []	S.p.
7	O 2200	549,9	549,9	2200,0	2200,0	1100,0	1100,0	0	0	0	0	0	5

Naam: Doorsnede naam; **Productie:** Productieproces; **Vorm:** Profiel; **h:** Doorsnede hoogte; **b:** Doorsnede breedte; **tw:** Lijfdikte; **tf:** Flensdikte; **r₁, r₂, r₃:** Afrondingswaarde; **A_x:** Doorsnede-oppervlak; **A_y, A_z:** Afschuivingsoppervlak; **I_x:** Torsietraagheidsmoment; **I_y, I_z:** Buigtraagheidsmoment; **I_{yz}:** Centrifugaal traagheidsmoment; **I₁, I₂:** Hoofdbuigtraagheidsmoment; **α:** Hoofdrichtingen; **Iω:** Krommingsconstante; **W_{1,el,t}, W_{1,el,b}, W_{2,el,t}, W_{2,el,b}:** Elastisch weerstandsmoment; **W_{1,pl}, W_{2,pl}:** Plastisch weerstandsmoment; **i_y, i_z:** Traagheidsstraal; **H_y:** Afmeting in lokale Y-richting; **H_z:** Afmeting in lokale Z-richting; **y_G:** Y-coördinaat van het zwaartepunt; **z_G:** Z-coördinaat van het zwaartepunt; **y_s:** Y-coördinaat van het afschuivingsmiddelpunt (torsie); **z_s:** Z-coördinaat van het afschuivingsmiddelpunt (torsie); **β_y, β_z, β_w:** Wagner's coëfficiënt; **S.p.:** Spanningspunten;

Project

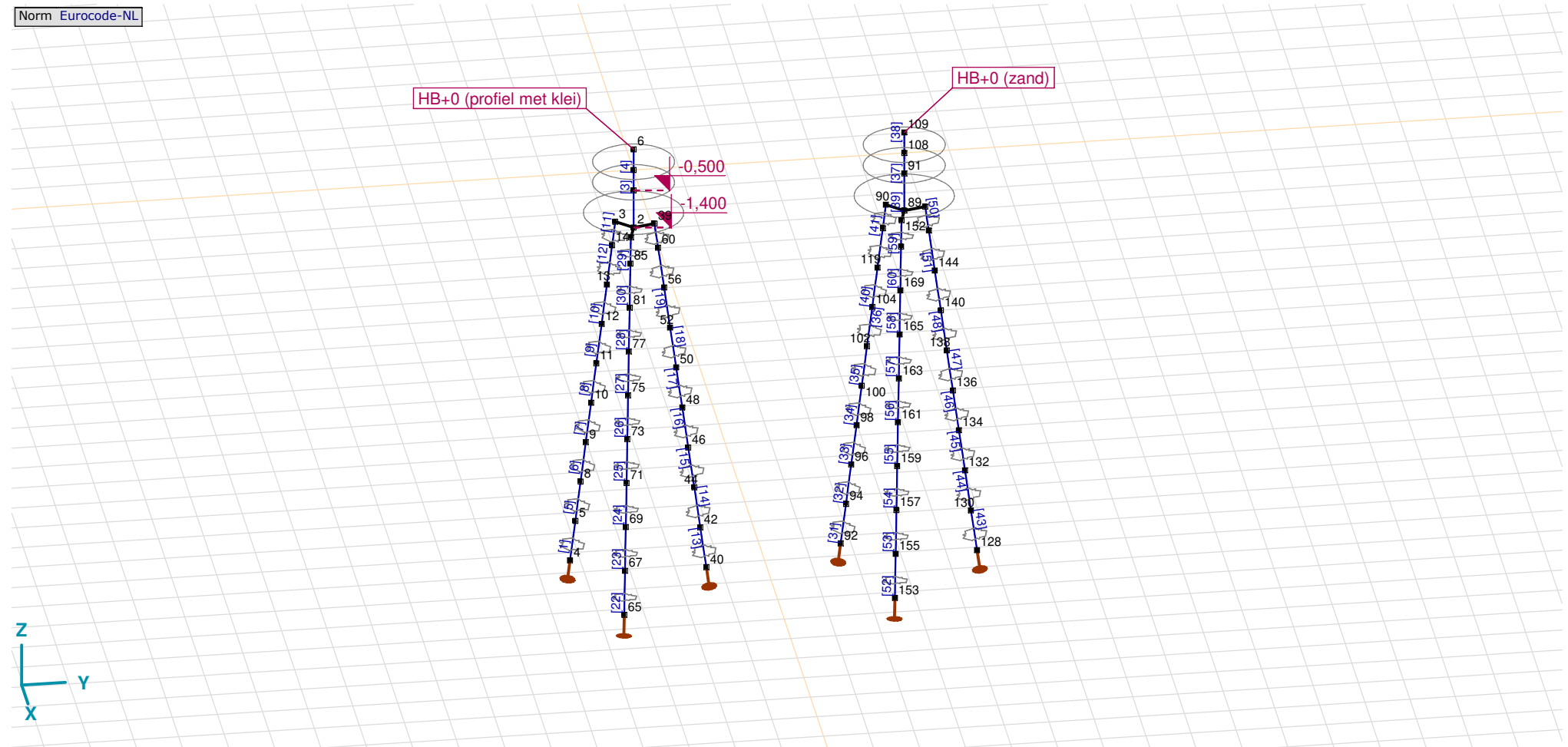
Analysis by

Model: 3P-LD-L1 & 3P-LD-H1.axs

23-5-2022

Pag. 7

Norm Eurocode-NL



Tekening

Project

Analysis by

Model: **3P-LD-L1 & 3P-LD-H1.axs**

23-5-2022

Pag. 8

Knopen

	X [m]	Y [m]	Z [m]		X [m]	Y [m]	Z [m]		X [m]	Y [m]	Z [m]		X [m]	Y [m]	Z [m]	
1	0	0	-0,500	39	-0,129	0,483	-1,400	71	1,262	-0,338	-7,000	102	-0,720	5,280	-5,000	
2	0	0	-1,400	40	-0,450	1,679	-10,000	73	1,123	-0,301	-6,000	104	-0,618	5,382	-4,000	
3	-0,354	-0,354	-1,400	42	-0,413	1,540	-9,000	75	0,984	-0,264	-5,000	108	0	6,000	0	
4	-1,229	-1,229	-10,000	44	-0,375	1,401	-8,000	77	0,845	-0,226	-4,000	109	0	6,000	0,500	
5	-1,127	-1,127	-9,000	46	-0,338	1,262	-7,000	81	0,706	-0,189	-3,000	119	-0,516	5,484	-3,000	
6	0	0	0,500	48	-0,301	1,123	-6,000	85	0,566	-0,152	-2,000	123	-0,415	5,585	-2,000	
7	0	0	0	50	-0,264	0,984	-5,000	89	0	6,000	-1,400	127	-0,129	6,483	-1,400	
8	-1,026	-1,026	-8,000	52	-0,226	0,845	-4,000	90	-0,354	5,646	-1,400	128	-0,450	7,679	-10,000	
9	-0,924	-0,924	-7,000	56	-0,189	0,706	-3,000	91	0	6,000	-0,500	130	-0,413	7,540	-9,000	
10	-0,822	-0,822	-6,000	60	-0,152	0,566	-2,000	92	-1,229	4,771	-10,000	132	-0,375	7,401	-8,000	
11	-0,720	-0,720	-5,000	64	0,483	-0,129	-1,400	94	-1,127	4,873	-9,000	134	-0,338	7,262	-7,000	
12	-0,618	-0,618	-4,000	65	1,679	-0,450	-10,000	96	-1,026	4,974	-8,000	136	-0,301	7,123	-6,000	
13	-0,516	-0,516	-3,000	67	1,540	-0,413	-9,000	98	-0,924	5,076	-7,000	138	-0,264	6,984	-5,000	
14	-0,415	-0,415	-2,000	69	1,401	-0,375	-8,000	100	-0,822	5,178	-6,000	140	-0,226	6,845	-4,000	
													144	-0,189	6,706	-3,000
													148	-0,152	6,566	-2,000
													152	0,483	5,871	-1,400
													153	1,679	5,550	-10,000
													155	1,540	5,587	-9,000
													157	1,401	5,625	-8,000
													159	1,262	5,662	-7,000
													161	1,123	5,699	-6,000
													163	0,984	5,736	-5,000
													165	0,845	5,774	-4,000
													169	0,706	5,811	-3,000
													173	0,566	5,848	-2,000

Project

Analysis by

Model: **3P-LD-L1 & 3P-LD-H1.axs**

23-5-2022

Pag. 9

Staven

	Start-punt	Eind-punt	Lengte	Lokaal X	Materiaal	Doorsnede	Ref _Z		Start-punt	Eind-punt	Lengte	Lokaal X	Materiaal	Doorsnede	Ref _Z
1	4	5	1,010	i - j	S 235	6	↗ R2	31	92	94	1,010	i - j	S 235	6	↗ R2
2	2	1	0,900	j - i	C30/37	7	↗ R1	32	94	96	1,010	i - j	S 235	6	↗ R2
3	1	7	0,500	i - j	C30/37	5	↗ R1	33	96	98	1,010	i - j	S 235	6	↗ R2
4	7	6	0,500	j - i	C30/37	5	↗ R1	34	98	100	1,010	i - j	S 235	6	↗ R2
5	5	8	1,010	i - j	S 235	6	↗ R2	35	100	102	1,010	i - j	S 235	6	↗ R2
6	8	9	1,010	i - j	S 235	6	↗ R2	36	102	104	1,010	i - j	S 235	6	↗ R2
7	9	10	1,010	i - j	S 235	6	↗ R2	37	91	108	0,500	i - j	C30/37	5	↗ R1
8	10	11	1,010	i - j	S 235	6	↗ R2	38	108	109	0,500	i - j	C30/37	5	↗ R1
9	11	12	1,010	i - j	S 235	6	↗ R2	39	89	91	0,900	i - j	C30/37	7	↗ R1
10	12	13	1,010	i - j	S 235	6	↗ R2	40	104	119	1,010	i - j	S 235	6	↗ R2
11	14	3	0,606	j - i	S 235	6	↗ R2	41	123	90	0,606	j - i	S 235	6	↗ R2
12	13	14	1,010	i - j	S 235	6	↗ R2	42	119	123	1,010	i - j	S 235	6	↗ R2
13	40	42	1,010	i - j	S 235	6	↗ R8	43	128	130	1,010	i - j	S 235	6	↗ R8
14	42	44	1,010	i - j	S 235	6	↗ R8	44	130	132	1,010	i - j	S 235	6	↗ R8
15	44	46	1,010	i - j	S 235	6	↗ R8	45	132	134	1,010	i - j	S 235	6	↗ R8
16	46	48	1,010	i - j	S 235	6	↗ R8	46	134	136	1,010	i - j	S 235	6	↗ R8
17	48	50	1,010	i - j	S 235	6	↗ R8	47	136	138	1,010	i - j	S 235	6	↗ R8
18	50	52	1,010	i - j	S 235	6	↗ R8	48	138	140	1,010	i - j	S 235	6	↗ R8
19	52	56	1,010	i - j	S 235	6	↗ R8	49	140	144	1,010	i - j	S 235	6	↗ R8
20	60	39	0,606	j - i	S 235	6	↗ R8	50	148	127	0,606	j - i	S 235	6	↗ R8
21	56	60	1,010	i - j	S 235	6	↗ R8	51	144	148	1,010	i - j	S 235	6	↗ R8
22	65	67	1,010	i - j	S 235	6	↗ R7	52	153	155	1,010	i - j	S 235	6	↗ R7
23	67	69	1,010	i - j	S 235	6	↗ R7	53	155	157	1,010	i - j	S 235	6	↗ R7
24	69	71	1,010	i - j	S 235	6	↗ R7	54	157	159	1,010	i - j	S 235	6	↗ R7
25	71	73	1,010	i - j	S 235	6	↗ R7	55	159	161	1,010	i - j	S 235	6	↗ R7
26	73	75	1,010	i - j	S 235	6	↗ R7	56	161	163	1,010	i - j	S 235	6	↗ R7
27	75	77	1,010	i - j	S 235	6	↗ R7	57	163	165	1,010	i - j	S 235	6	↗ R7
28	77	81	1,010	i - j	S 235	6	↗ R7	58	165	169	1,010	i - j	S 235	6	↗ R7
29	85	64	0,606	j - i	S 235	6	↗ R7	59	173	152	0,606	j - i	S 235	6	↗ R7
30	81	85	1,010	i - j	S 235	6	↗ R7	60	169	173	1,010	i - j	S 235	6	↗ R7

Lengte: Elementlengte; Lokaal X: Lokale X-richting; Ref_Z: Referentie voor lokale Z-richting;

Project

Analysis by

Model: **3P-LD-L1 & 3P-LD-H1.axs**

23-5-2022

Pag. 10

Knooppopleggingen

	Knoop	X [m]	Y [m]	Z [m]	Type	Ref. elem.	Naam _x	Veermodel _x	K _x [kN/m]	K _{xv} [kN/m]	NL _x	Grenswaarde _x [kN]	Naam _y	Veermodel _y	K _y [kN/m]
1	4	-1,229	-1,229	-10,000	StAAF r.	StAAF 1	Lineair 1E+5 kN/m	NL elastisch	3E+5	3E+5	Druk Alleen druk	-	—	-	-
2	40	-0,450	1,679	-10,000	StAAF r.	StAAF 37	Lineair 1E+5 kN/m	NL elastisch	3E+5	3E+5	Druk Alleen druk	-	—	-	-
3	65	1,679	-0,450	-10,000	StAAF r.	StAAF 61	Lineair 1E+5 kN/m	NL elastisch	3E+5	3E+5	Druk Alleen druk	-	—	-	-
4	92	-1,229	4,771	-10,000	StAAF r.	StAAF 85	Lineair 1E+5 kN/m	NL elastisch	3E+5	3E+5	Druk Alleen druk	-	—	-	-
5	128	-0,450	7,679	-10,000	StAAF r.	StAAF 121	Lineair 1E+5 kN/m	NL elastisch	3E+5	3E+5	Druk Alleen druk	-	—	-	-
6	153	1,679	5,550	-10,000	StAAF r.	StAAF 145	Lineair 1E+5 kN/m	NL elastisch	3E+5	3E+5	Druk Alleen druk	-	—	-	-

	Knoop	K _{yv} [kN/m]	Naam _z	Veermodel _z	K _z [kN/m]	K _{zv} [kN/m]	Naam _{xx}	Veermodel _{xx}	K _{xx} [kNm/rad]	K _{xxv} [kNm/rad]	Naam _{yy}	Veermodel _{yy}	K _{yy} [kNm/rad]	K _{yyv} [kNm/rad]	Naam _{zz}
1	4	-	—	-	-	-	—	-	-	-	—	-	-	-	—
2	40	-	—	-	-	-	—	-	-	-	—	-	-	-	—
3	65	-	—	-	-	-	—	-	-	-	—	-	-	-	—
4	92	-	—	-	-	-	—	-	-	-	—	-	-	-	—
5	128	-	—	-	-	-	—	-	-	-	—	-	-	-	—
6	153	-	—	-	-	-	—	-	-	-	—	-	-	-	—

	Knoop	Veermodel _{zz}	K _{zz} [kNm/rad]	K _{zzv} [kNm/rad]	Veermodel _w
1	4	-	-	-	-
2	40	-	-	-	-
3	65	-	-	-	-
4	92	-	-	-	-
5	128	-	-	-	-
6	153	-	-	-	-

Knoop: Ondersteunde knoop; **Type:** Opleggingstype; **Ref. elem.:** Referentie-element; **Naam_x:** Naam van de veereigenschappen; **Veermodel_x:** Veermodel; **K_x:** Initiële stijfheid; **K_{xv}:** Trillingsstijfheid; **NL_x:** Niet-lineaire parameters; **Grenswaarde_x:** Grenswaarde; **K_y, K_z, K_{xx}, K_{yy}, K_{zz}:** Initiële stijfheid;

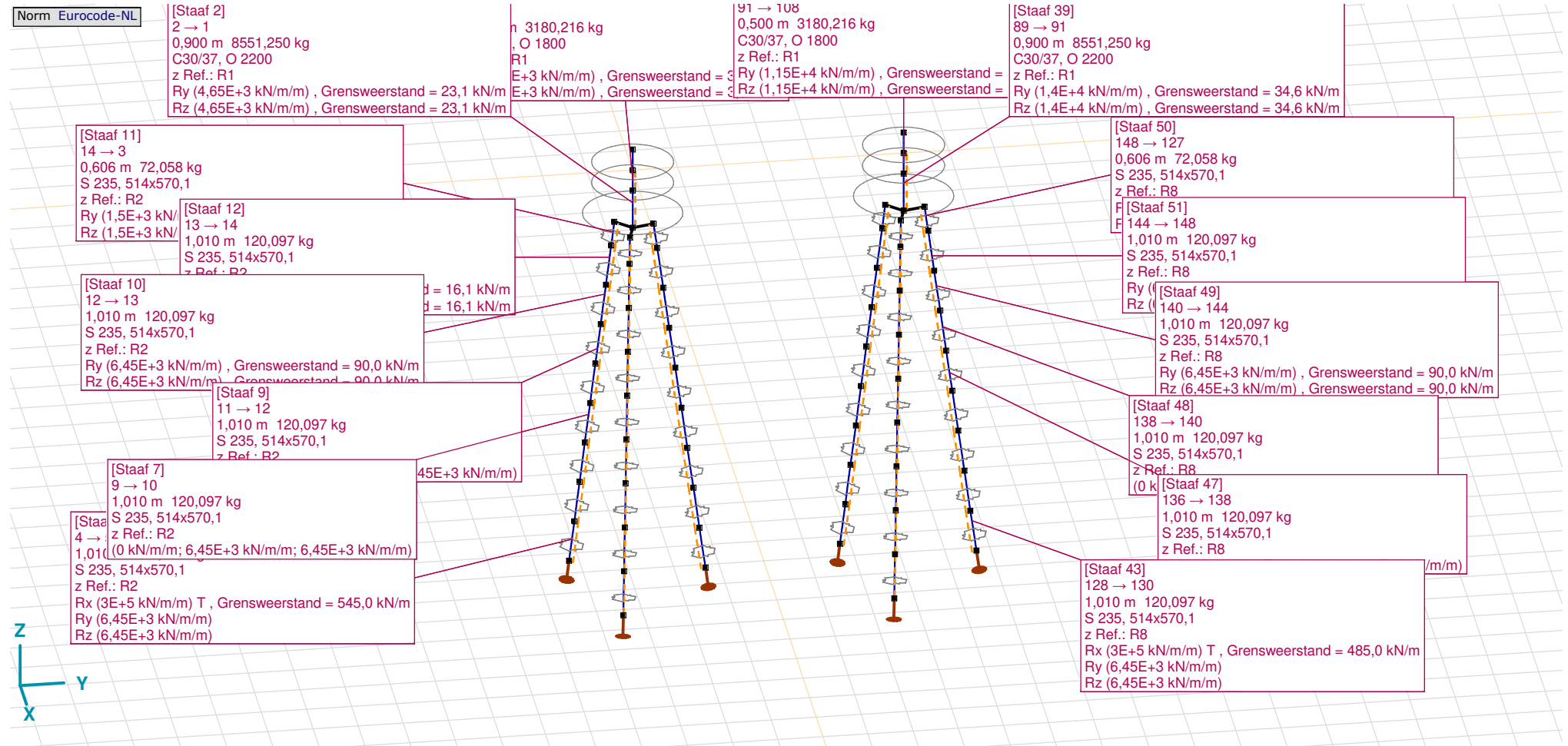
Project

Analysis by

Model: **3P-LD-L1 & 3P-LD-H1.axs**

23-5-2022

Pag. 11



Tekening met beddingen

Project

Analysis by

Model: **3P-LD-L1 & 3P-LD-H1.axs**

23-5-2022

Pag. 12

Lijnopleggingen

	Lijn	Type	Ref. elem.	Rx [kN/m/m]	Ry [kN/m/m]	Rz [kN/m/m]	Rxx [kNm/rad/m]	Ryy [kNm/rad/m]	Rzz [kNm/rad/m]	NL(x)	NL(y)	NL(z)	NL(xx)	NL(yy)	NL(zz)
		StAAF r.													
1	StAAF 1	StAAF r.		3E+5	6,45E+3	6,45E+3				Trek	Symmetrisch	Symmetrisch			
2	StAAF 2	StAAF r.		0	4,65E+3	4,65E+3					Symmetrisch	Symmetrisch			
3	StAAF 3	StAAF r.		0	3,8E+3	3,8E+3					Symmetrisch	Symmetrisch			
7	StAAF 5	StAAF r.		0	6,45E+3	6,45E+3					Symmetrisch	Symmetrisch			
8	StAAF 6	StAAF r.		0	6,45E+3	6,45E+3					Symmetrisch	Symmetrisch			
9	StAAF 7	StAAF r.		0	6,45E+3	6,45E+3					Symmetrisch	Symmetrisch			
10	StAAF 8	StAAF r.		0	6,45E+3	6,45E+3					Symmetrisch	Symmetrisch			
11	StAAF 9	StAAF r.		0	6,45E+3	6,45E+3					Symmetrisch	Symmetrisch			
6	StAAF 10	StAAF r.		0	6,45E+3	6,45E+3					Symmetrisch	Symmetrisch			
4	StAAF 11	StAAF r.		0	1,5E+3	1,5E+3					Symmetrisch	Symmetrisch			
5	StAAF 12	StAAF r.		0	1,5E+3	1,5E+3					Symmetrisch	Symmetrisch			
12	StAAF 13	StAAF r.		3E+5	6,45E+3	6,45E+3				Trek	Symmetrisch	Symmetrisch			
13	StAAF 14	StAAF r.		0	6,45E+3	6,45E+3					Symmetrisch	Symmetrisch			
14	StAAF 15	StAAF r.		0	6,45E+3	6,45E+3					Symmetrisch	Symmetrisch			
15	StAAF 16	StAAF r.		0	6,45E+3	6,45E+3					Symmetrisch	Symmetrisch			
16	StAAF 17	StAAF r.		0	6,45E+3	6,45E+3					Symmetrisch	Symmetrisch			

	Lijn	F(x) [kN/m]	F(y) [kN/m]	F(z) [kN/m]	M(x) [kNm/m]	M(y) [kNm/m]	M(z) [kNm/m]
1	StAAF 1	545,0					
2	StAAF 2		23,1	23,1			
3	StAAF 3		3,8	3,8			
7	StAAF 5						
8	StAAF 6						
9	StAAF 7						
10	StAAF 8						
11	StAAF 9						
6	StAAF 10		90,0	90,0			
4	StAAF 11		7,3	7,3			
5	StAAF 12		16,1	16,1			
12	StAAF 13	545,0					
13	StAAF 14						
14	StAAF 15						
15	StAAF 16						
16	StAAF 17						

Project

Analysis by

Model: **3P-LD-L1 & 3P-LD-H1.axs**

23-5-2022

Pag. 13

Lijnopleggingen

	Lijn	Type	Ref. elem.	Rx [kN/m/m]	Ry [kN/m/m]	Rz [kN/m/m]	Rxx [kNm/rad/m]	Ryy [kNm/rad/m]	Rzz [kNm/rad/m]	NL(x)	NL(y)	NL(z)	NL(xx)	NL(yy)	NL(zz)
17	StAAF 18	StAAF r.		0	6,45E+3	6,45E+3					Symmetrisch	Symmetrisch			
18	StAAF 19	StAAF r.		0	6,45E+3	6,45E+3					Symmetrisch	Symmetrisch			
19	StAAF 20	StAAF r.		0	1,5E+3	1,5E+3					Symmetrisch	Symmetrisch			
20	StAAF 21	StAAF r.		0	1,5E+3	1,5E+3					Symmetrisch	Symmetrisch			
21	StAAF 22	StAAF r.		3E+5	6,45E+3	6,45E+3				Trek	Symmetrisch	Symmetrisch			
22	StAAF 23	StAAF r.		0	6,45E+3	6,45E+3					Symmetrisch	Symmetrisch			
23	StAAF 24	StAAF r.		0	6,45E+3	6,45E+3					Symmetrisch	Symmetrisch			
24	StAAF 25	StAAF r.		0	6,45E+3	6,45E+3					Symmetrisch	Symmetrisch			
25	StAAF 26	StAAF r.		0	6,45E+3	6,45E+3					Symmetrisch	Symmetrisch			
26	StAAF 27	StAAF r.		0	6,45E+3	6,45E+3					Symmetrisch	Symmetrisch			
27	StAAF 28	StAAF r.		0	6,45E+3	6,45E+3					Symmetrisch	Symmetrisch			
28	StAAF 29	StAAF r.		0	1,5E+3	1,5E+3					Symmetrisch	Symmetrisch			
29	StAAF 30	StAAF r.		0	1,5E+3	1,5E+3					Symmetrisch	Symmetrisch			
30	StAAF 31	StAAF r.		3E+5	6,45E+3	6,45E+3				Trek	Symmetrisch	Symmetrisch			
31	StAAF 32	StAAF r.		0	6,45E+3	6,45E+3					Symmetrisch	Symmetrisch			
32	StAAF 33	StAAF r.		0	6,45E+3	6,45E+3					Symmetrisch	Symmetrisch			
33	StAAF 34	StAAF r.		0	6,45E+3	6,45E+3					Symmetrisch	Symmetrisch			

	Lijn	F(x) [kN/m]	F(y) [kN/m]	F(z) [kN/m]	M(x) [kNm/m]	M(y) [kNm/m]	M(z) [kNm/m]
17	StAAF 18						
18	StAAF 19		90,0	90,0			
19	StAAF 20		7,3	7,3			
20	StAAF 21		16,1	16,1			
21	StAAF 22	545,0					
22	StAAF 23						
23	StAAF 24						
24	StAAF 25						
25	StAAF 26						
26	StAAF 27						
27	StAAF 28		90,0	90,0			
28	StAAF 29		7,3	7,3			
29	StAAF 30		16,1	16,1			
30	StAAF 31	485,0					
31	StAAF 32						
32	StAAF 33						
33	StAAF 34						

Project

Analysis by

Model: **3P-LD-L1 & 3P-LD-H1.axs**

23-5-2022

Pag. 14

Lijnopleggingen

	Lijn	Type	Ref. elem.	R _x [kN/m/m]	R _y [kN/m/m]	R _z [kN/m/m]	R _{xx} [kNm/rad/m]	R _{yy} [kNm/rad/m]	R _{zz} [kNm/rad/m]	NL(x)	NL(y)	NL(z)	NL(xx)	NL(yy)	NL(zz)
34	StAAF 35	StAAF r.		0	6,45E+3	6,45E+3					Symmetrisch	Symmetrisch			
35	StAAF 36	StAAF r.		0	6,45E+3	6,45E+3					Symmetrisch	Symmetrisch			
36	StAAF 37	StAAF r.		0	1,15E+4	1,15E+4					Symmetrisch	Symmetrisch			
37	StAAF 39	StAAF r.		0	1,4E+4	1,4E+4					Symmetrisch	Symmetrisch			
38	StAAF 40	StAAF r.		0	6,45E+3	6,45E+3					Symmetrisch	Symmetrisch			
39	StAAF 41	StAAF r.		0	6,45E+3	6,45E+3					Symmetrisch	Symmetrisch			
40	StAAF 42	StAAF r.		0	6,45E+3	6,45E+3					Symmetrisch	Symmetrisch			
41	StAAF 43	StAAF r.		3E+5	6,45E+3	6,45E+3				Trek	Symmetrisch	Symmetrisch			
42	StAAF 44	StAAF r.		0	6,45E+3	6,45E+3					Symmetrisch	Symmetrisch			
43	StAAF 45	StAAF r.		0	6,45E+3	6,45E+3					Symmetrisch	Symmetrisch			
44	StAAF 46	StAAF r.		0	6,45E+3	6,45E+3					Symmetrisch	Symmetrisch			
45	StAAF 47	StAAF r.		0	6,45E+3	6,45E+3					Symmetrisch	Symmetrisch			
46	StAAF 48	StAAF r.		0	6,45E+3	6,45E+3					Symmetrisch	Symmetrisch			
47	StAAF 49	StAAF r.		0	6,45E+3	6,45E+3					Symmetrisch	Symmetrisch			
48	StAAF 50	StAAF r.		0	6,45E+3	6,45E+3					Symmetrisch	Symmetrisch			
49	StAAF 51	StAAF r.		0	6,45E+3	6,45E+3					Symmetrisch	Symmetrisch			
50	StAAF 52	StAAF r.		3E+5	6,45E+3	6,45E+3				Trek	Symmetrisch	Symmetrisch			

	Lijn	F(x) [kN/m]	F(y) [kN/m]	F(z) [kN/m]	M(x) [kNm/m]	M(y) [kNm/m]	M(z) [kNm/m]
34	StAAF 35						
35	StAAF 36						
36	StAAF 37		5,7	5,7			
37	StAAF 39		34,6	34,6			
38	StAAF 40		90,0	90,0			
39	StAAF 41		15,5	15,5			
40	StAAF 42		34,3	34,3			
41	StAAF 43	485,0					
42	StAAF 44						
43	StAAF 45						
44	StAAF 46						
45	StAAF 47						
46	StAAF 48						
47	StAAF 49		90,0	90,0			
48	StAAF 50		15,5	15,5			
49	StAAF 51		34,3	34,3			
50	StAAF 52	485,0					

Project

Analysis by

Model: **3P-LD-L1 & 3P-LD-H1.axs**

23-5-2022

Pag. 15

Lijnopleggingen

	Lijn	Type	Ref. elem.	Rx [kN/m/m]	Ry [kN/m/m]	Rz [kN/m/m]	Rxx [kNm/rad/m]	Ryy [kNm/rad/m]	Rzz [kNm/rad/m]	NL(x)	NL(y)	NL(z)	NL(xx)	NL(yy)	NL(zz)
51	StAAF 53	StAAF r.		0	6,45E+3	6,45E+3					Symmetrisch	Symmetrisch			
52	StAAF 54	StAAF r.		0	6,45E+3	6,45E+3					Symmetrisch	Symmetrisch			
53	StAAF 55	StAAF r.		0	6,45E+3	6,45E+3					Symmetrisch	Symmetrisch			
54	StAAF 56	StAAF r.		0	6,45E+3	6,45E+3					Symmetrisch	Symmetrisch			
55	StAAF 57	StAAF r.		0	6,45E+3	6,45E+3					Symmetrisch	Symmetrisch			
56	StAAF 58	StAAF r.		0	6,45E+3	6,45E+3					Symmetrisch	Symmetrisch			
57	StAAF 59	StAAF r.		0	6,45E+3	6,45E+3					Symmetrisch	Symmetrisch			
58	StAAF 60	StAAF r.		0	6,45E+3	6,45E+3					Symmetrisch	Symmetrisch			

	Lijn	F(x) [kN/m]	F(y) [kN/m]	F(z) [kN/m]	M(x) [kNm/m]	M(y) [kNm/m]	M(z) [kNm/m]
51	StAAF 53						
52	StAAF 54						
53	StAAF 55						
54	StAAF 56						
55	StAAF 57						
56	StAAF 58		90,0	90,0			
57	StAAF 59		15,5	15,5			
58	StAAF 60		34,3	34,3			

Lijn: Ondersteund lijnelement; **Type:** Opleggingstype; **Ref. elem.:** Referentie-element; **Rx, Ry, Rz:** Verplaatsingsstijfheid; **Rxx, Ryy, Rzz:** Rotatiestijfheid; **NL(x), NL(y), NL(z), NL(xx), NL(yy), NL(zz):** Niet-lineaire parameters; **F(x):** Weerstand in X-richting; **F(y):** Weerstand in Y-richting; **F(z):** Weerstand in Z-richting; **M(x):** Weerstandsmoment in X-richting; **M(y):** Weerstandsmoment in Y-richting; **M(z):** Weerstandsmoment in Z-richting;

Project

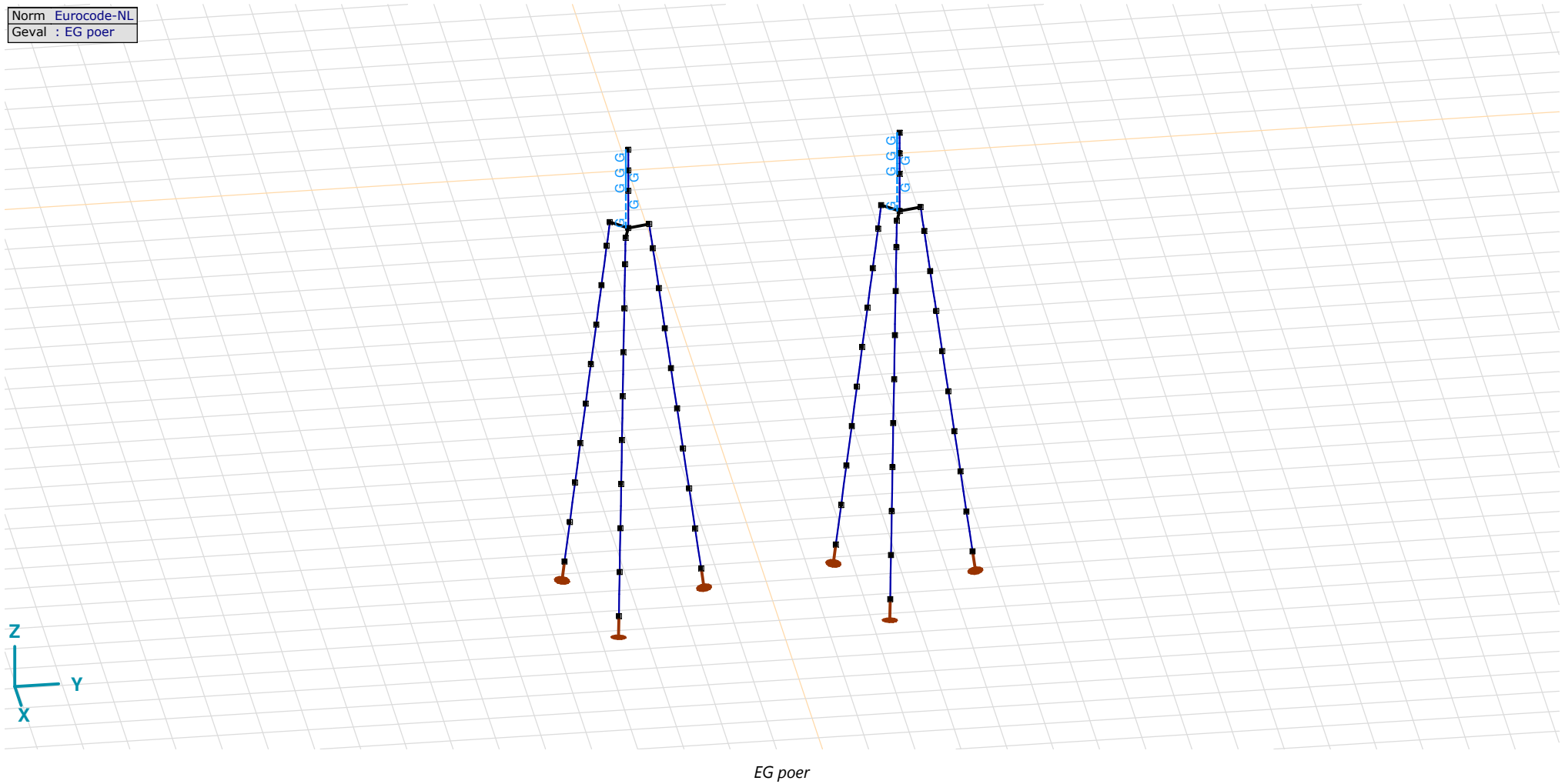
Analysis by

Model: 3P-LD-L1 & 3P-LD-H1.axs

23-5-2022

Pag. 16

Norm Eurocode-NL
Geval : EG poer



Project

Analysis by

Model: **3P-LD-L1 & 3P-LD-H1.axs**

23-5-2022

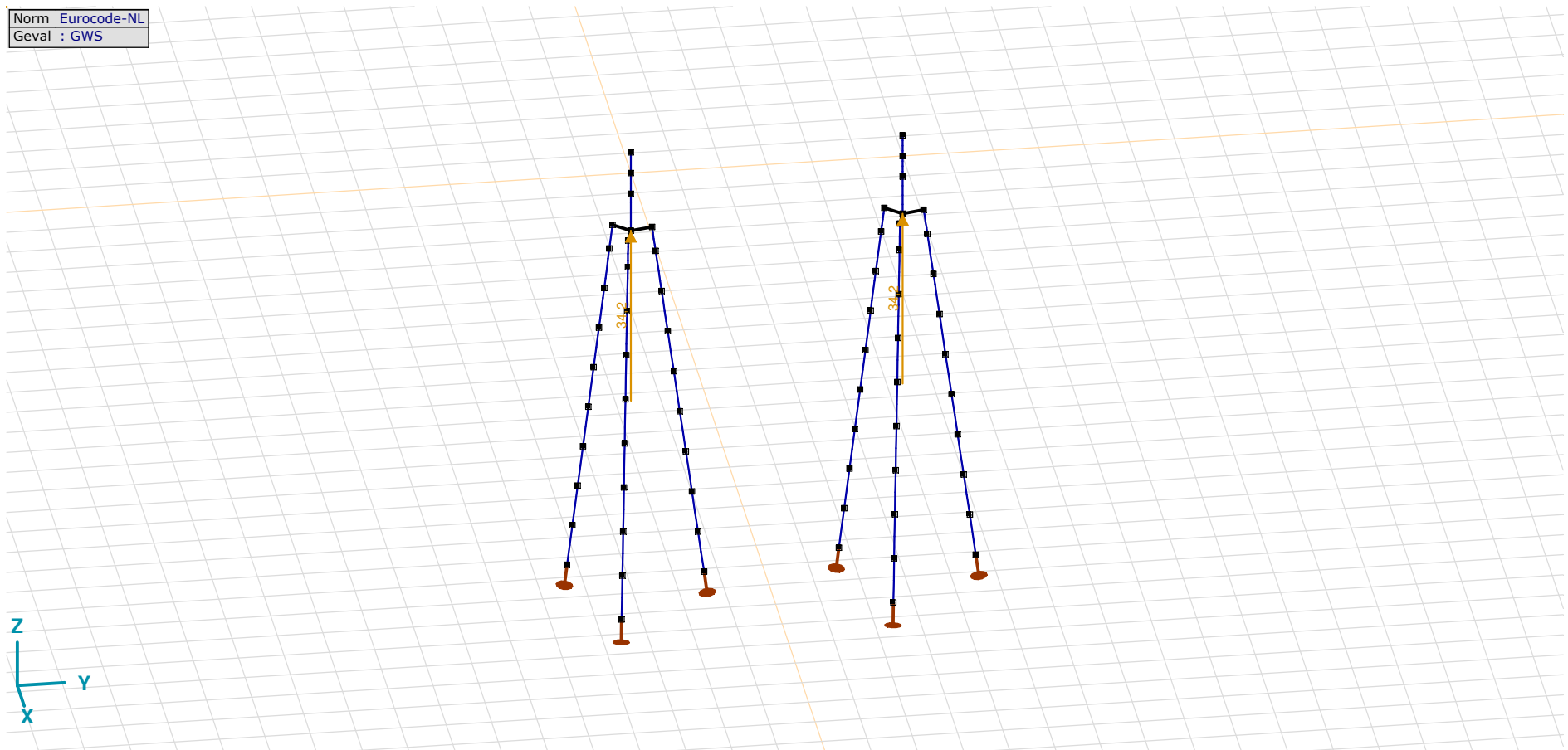
Pag. 17

EG poer: Staaf eigen gewicht

	Σ [kg]
13-24	14911,682
97-108	14911,682
Totaal	29823,365

 Σ : Totale massa;

Norm Eurocode-NL
Geval : GWS



GWS

Project

Analysis by

Model: **3P-LD-L1 & 3P-LD-H1.axs**

23-5-2022

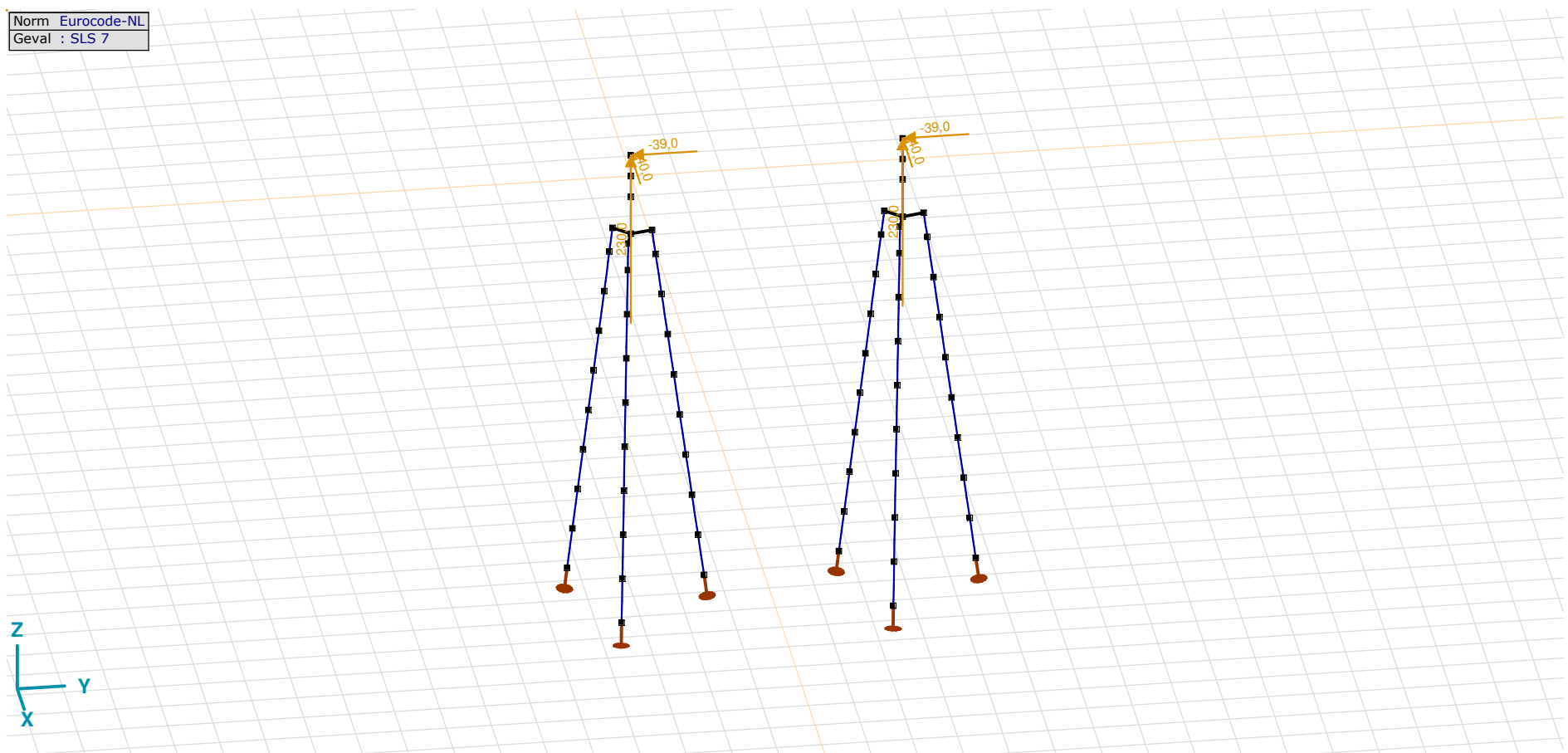
Pag. 18

GWS: Knoopbelastingen

	Richting	F_x [kN]	F_y [kN]	F_z [kN]	M_x [kNm]	M_y [kNm]	M_z [kNm]
2	Globaal	0	0	34,2	0	0	0
89	Globaal	0	0	34,2	0	0	0

F_x, **F_y**, **F_z**: Belastingkracht component; **M_x**, **M_y**, **M_z**: Belastingsmoment component;

Norm Eurocode-NL
Geval : SLS 7



SLS 7

Project

Analysis by

Model: **3P-LD-L1 & 3P-LD-H1.axs**

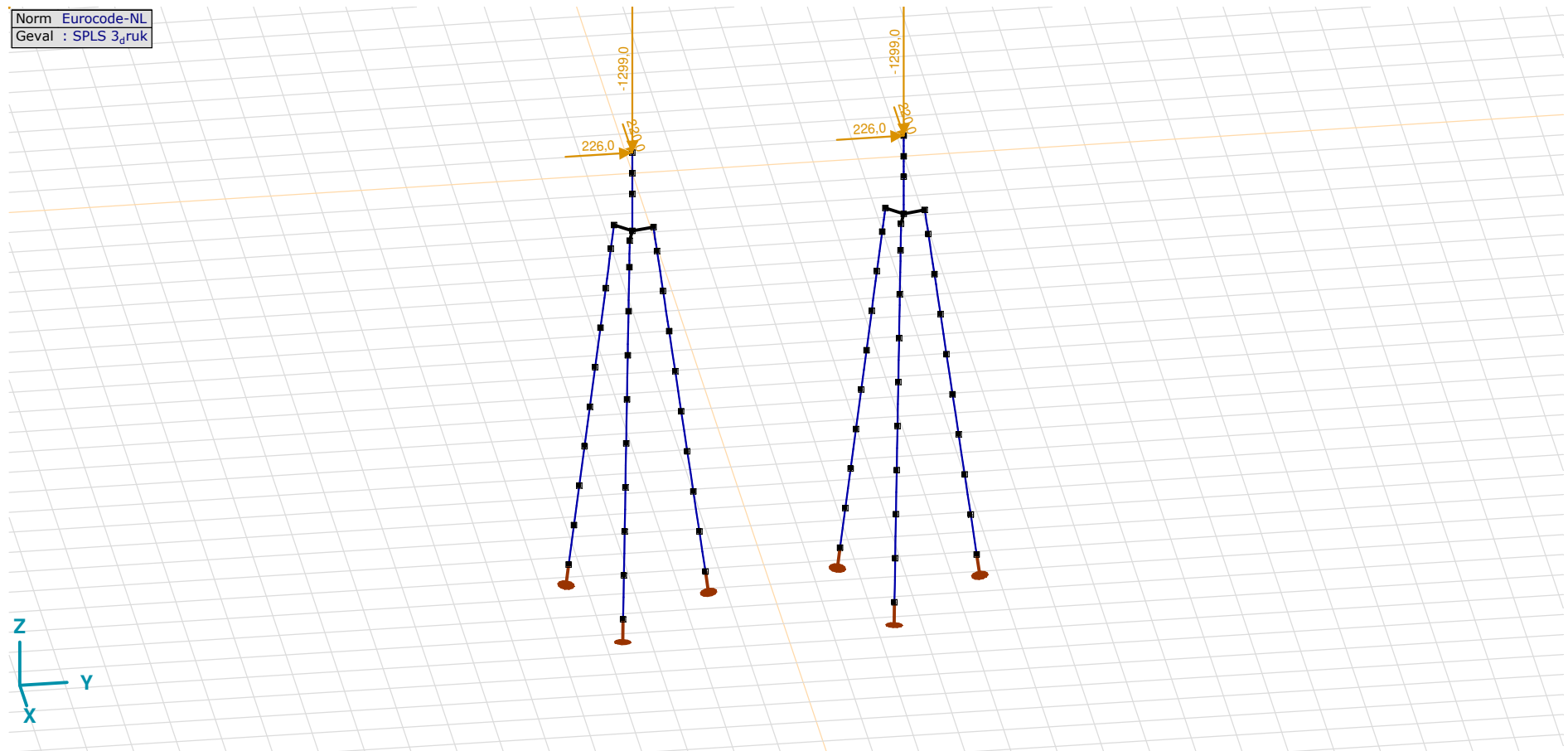
23-5-2022

Pag. 19

SLS 7: Knoopbelastingen

	Richting	F_x [kN]	F_y [kN]	F_z [kN]	M_x [kNm]	M_y [kNm]	M_z [kNm]
6	Globaal	-40,0	-39,0	230,0	0	0	0
109	Globaal	-40,0	-39,0	230,0	0	0	0

F_x , F_y , F_z : Belastingkracht component; M_x , M_y , M_z : Belastingmoment component;

SPLS 3_druk

Project

Analysis by

Model: **3P-LD-L1 & 3P-LD-H1.axs**

23-5-2022

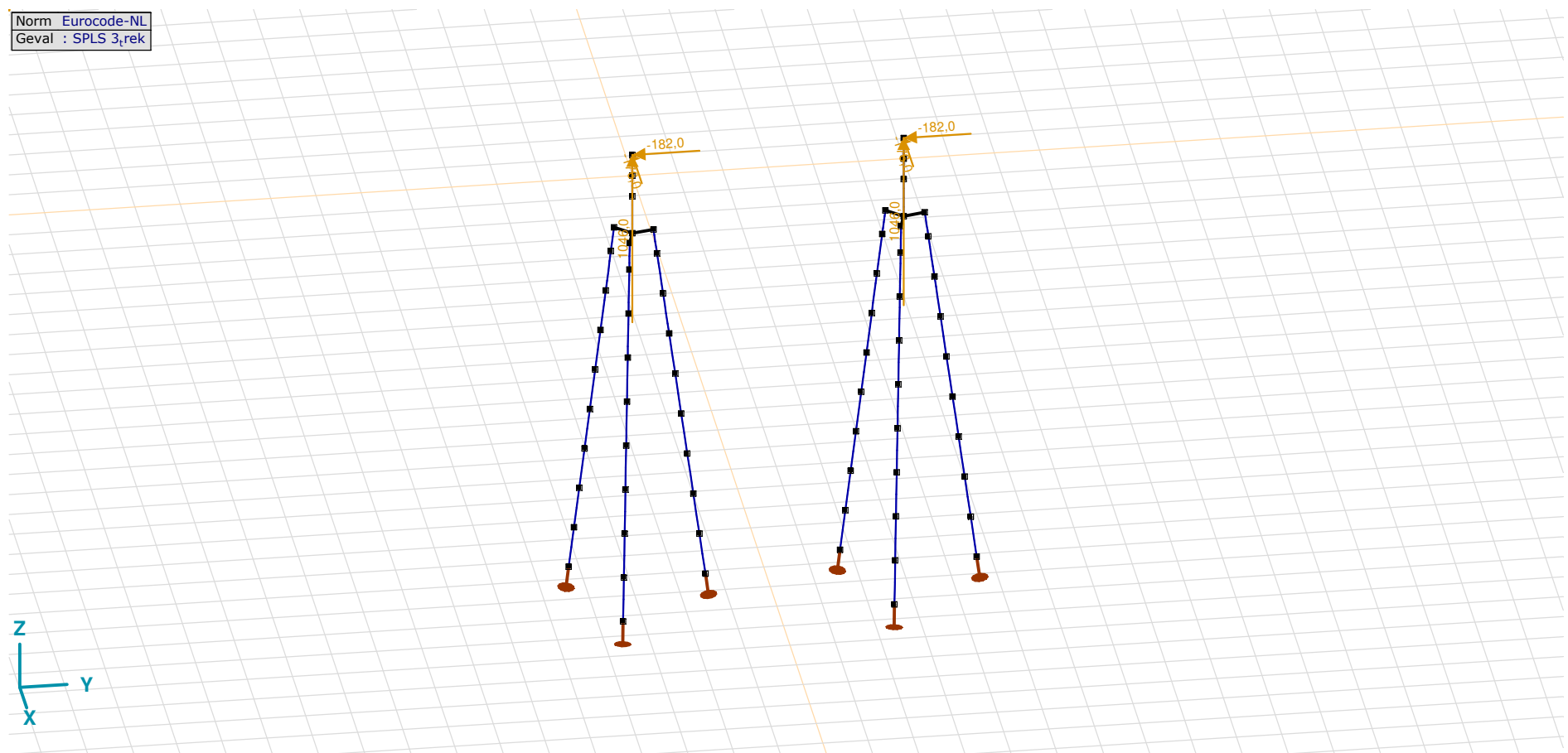
Pag. 20

SPLS 3_druk: Knoopbelastingen

	Richting	F_x [kN]	F_y [kN]	F_z [kN]	M_x [kNm]	M_y [kNm]	M_z [kNm]
6	Globaal	220,0	226,0	-1299,0	0	0	0
109	Globaal	220,0	226,0	-1299,0	0	0	0

F_x , F_y , F_z : Belastingkracht component; M_x , M_y , M_z : Belastingsmoment component;

Norm Eurocode-NL
Geval : SPLS 3_{rek}



SPLS 3_trek

Project

Analysis by

Model: **3P-LD-L1 & 3P-LD-H1.axs**

23-5-2022

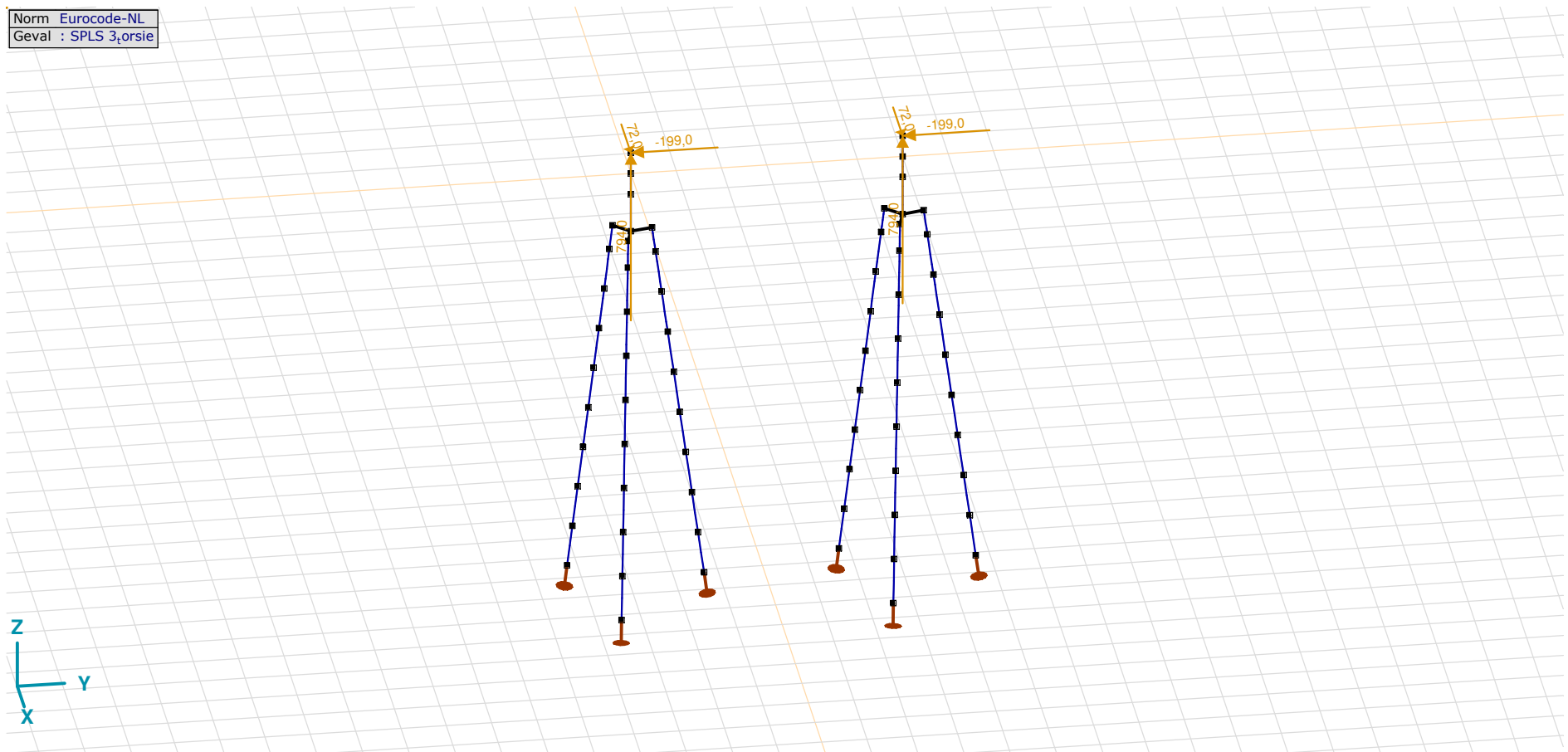
Pag. 21

SPLS 3_trek: Knoopbelastingen

	Richting	F_x [kN]	F_y [kN]	F_z [kN]	M_x [kNm]	M_y [kNm]	M_z [kNm]
6	Globaal	-176,0	-182,0	1046,0	0	0	0
109	Globaal	-176,0	-182,0	1046,0	0	0	0

F_x , F_y , F_z : Belastingkracht component; M_x , M_y , M_z : Belastingmoment component;

Norm Eurocode-NL
Geval : SPLS 3_torsie



SPLS 3_torsie

Project

Analysis by

Model: **3P-LD-L1 & 3P-LD-H1.axs**

23-5-2022

Pag. 22

SPLS 3_torsie: Knoopbelastingen

	<i>Richting</i>	<i>F_x</i> [kN]	<i>F_y</i> [kN]	<i>F_z</i> [kN]	<i>M_x</i> [kNm]	<i>M_y</i> [kNm]	<i>M_z</i> [kNm]
6	Globaal	72,0	-199,0	794,0	0	0	0
109	Globaal	72,0	-199,0	794,0	0	0	0

F_x, F_y, F_z: Belastingkracht component; **M_x, M_y, M_z**: Belastingmoment component;

Gebruiker gedefinieerde belastingcombinaties uit belastinggevallen

	<i>Naam</i>	<i>Type</i>	<i>ST1</i>	<i>EG poer</i> (PERM1)	<i>GWS</i> (PERM1)	<i>SLS 7</i> (PERM1)	<i>SPLS 3_druk</i> (VER1)	<i>SPLS 3_trek</i> (VER1)	<i>SPLS 3_torsie</i> (VER1)	<i>Commentaar</i>
1	Co #1 max druk	UGT	0	1,20	0	0	1,00	0	0	
2	Co #2 max trek	UGT	0	0,90	1,00	0	0	1,00	0	
3	Co #3 max torsie	UGT	0	1,20	1,00	0	0	0	1,00	
4	Co #4 Perm	BGT Quasi-blijvend	0	1,00	0	1,00	0	0	0	

Naam: Naam belastingcombinatie; **Type**: Type belastingcombinatie; **ST1, EG poer (PERM1), GWS (PERM1), SLS 7 (PERM1), SPLS 3_druk (VER1), SPLS 3_trek (VER1), SPLS 3_torsie (VER1)**: Factor;

Project

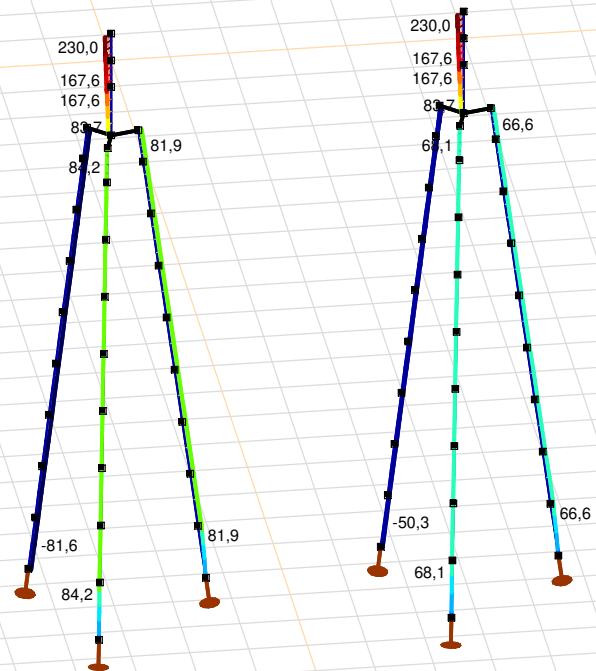
Analysis by

Model: **3P-LD-L1 & 3P-LD-H1.axs**

23-5-2022

Pag. 23

Niet-lineaire berekening	
Norm	Eurocode-NL
Geval	Co #4 Perm [1] (1,000)
E (U)	: 5,98E-10
E (P)	: 3,06E-6
E (W)	: 1,21E-16
E (Eq)	: 2,23E-9
Comp.	Nx [kN]
Max	: 230,0
Min	: -81,6



Nx [kN]	
230,0	
207,7	
185,5	
163,2	
141,0	
118,7	
96,5	
74,2	
52,0	
29,7	
7,4	
-14,8	
-37,1	
-59,3	
-81,6	



[II], Non-lin., Co #4 Perm [1] (1,000), Nx, Lijnen (gevuld)(gevuld)

Project

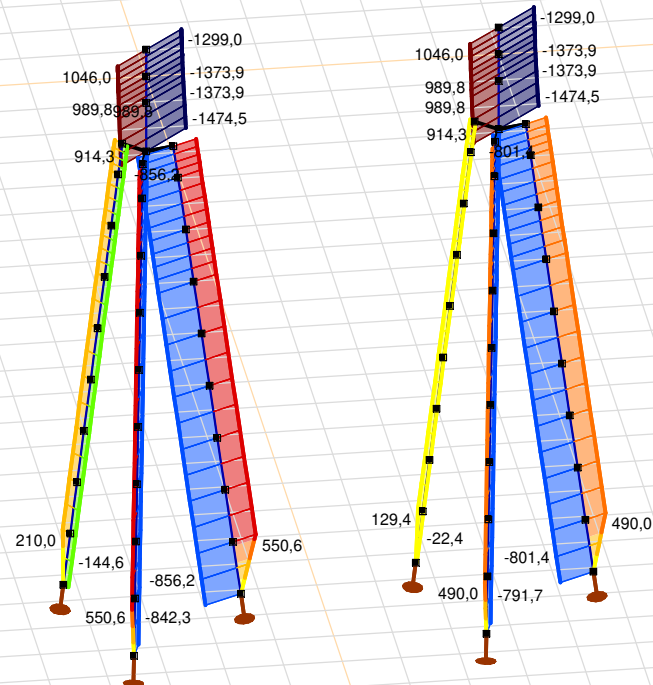
Analysis by

Model: **3P-LD-L1 & 3P-LD-H1.axs**

23-5-2022

Pag. 24

Niet-lineaire berekening	
Norm	Eurocode-NL
Geval	: Omhullende Min,Max
Omhullende	: Alle UGT
E (U)	: 7,93E-5
E (P)	: 4,16E-7
E (W)	: 5,00E-11
E (Eq)	: 1,96E-9
Comp.	: Nx [kN]
Max	: 1046,0
Min	: -1474,5



[II], Non-lin., Omhullende (Alle UGT), Nx, Lijnen (gevuld)

Project

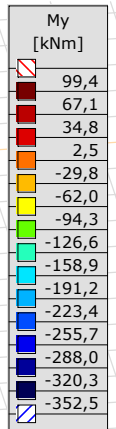
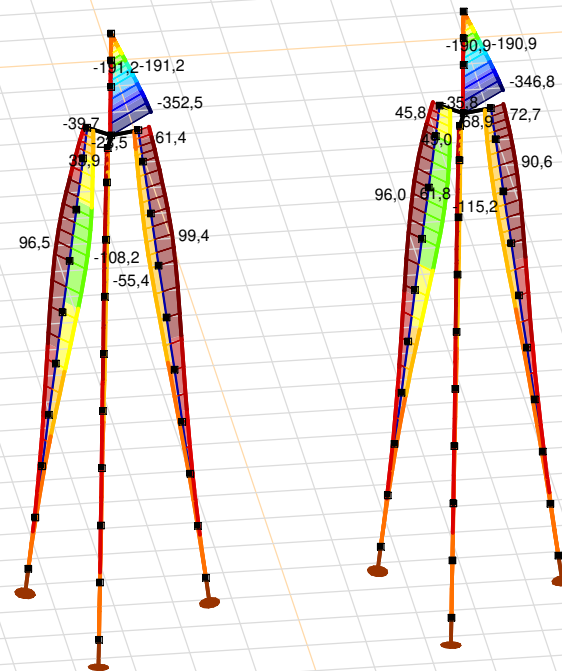
Analysis by

Model: **3P-LD-L1 & 3P-LD-H1.axs**

23-5-2022

Pag. 25

Niet-lineaire berekening	
Norm	Eurocode-NL
Geval	: Omhullende Min,Max
Omhullende	: Alle UGT
E (U)	: 7,93E-5
E (P)	: 4,16E-7
E (W)	: 5,00E-11
E (Eq)	: 1,96E-9
Comp.	: My [kNm]
Max	: 99,4
Min	: -352,5



[III], Non-lin., Omhullende (Alle UGT), My, Lijnen (gevuld)

Project

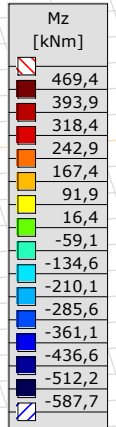
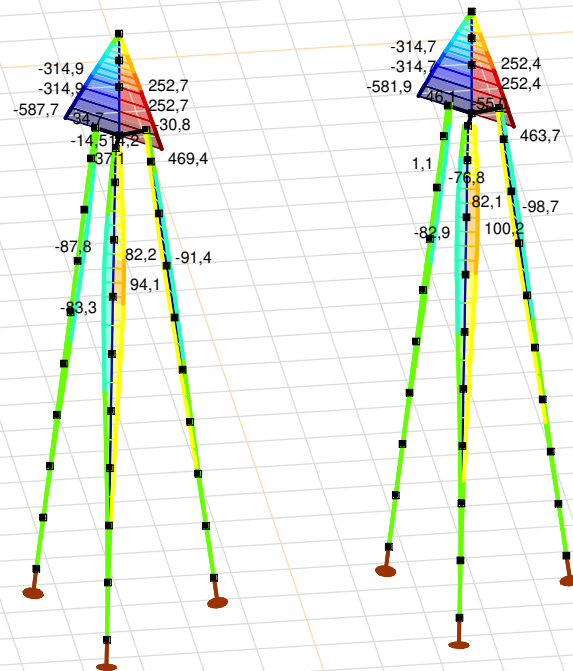
Analysis by

Model: **3P-LD-L1 & 3P-LD-H1.axs**

23-5-2022

Pag. 26

Niet-lineaire berekening	
Norm	Eurocode-NL
Geval	: Omhullende Min,Max
Omhullende	: Alle UGT
E (U)	: 7,93E-5
E (P)	: 4,16E-7
E (W)	: 5,00E-11
E (Eq)	: 1,96E-9
Comp.	: Mz [kNm]
Max	: 469,4
Min	: -587,7



[III], Non-lin., Omhullende (Alle UGT), Mz, Lijnen (gevuld)

Project

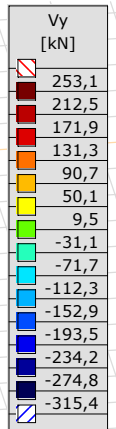
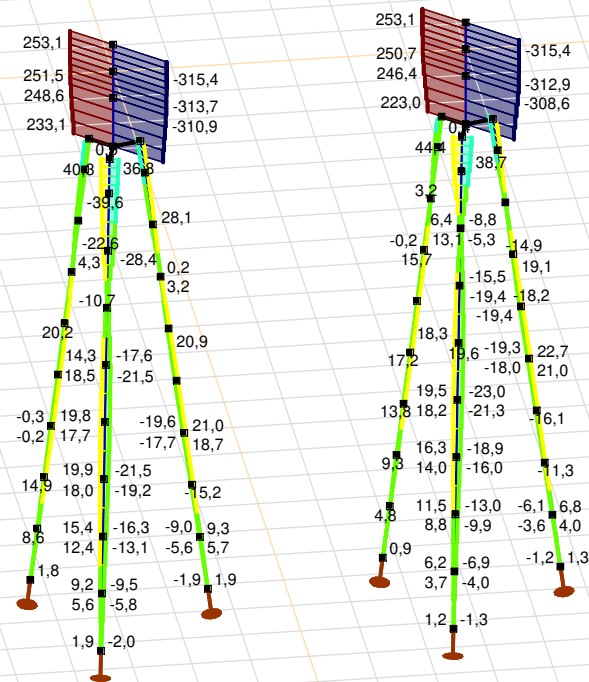
Analysis by

Model: **3P-LD-L1 & 3P-LD-H1.axs**

23-5-2022

Pag. 27

Niet-lineaire berekening	
Norm	Eurocode-NL
Geval	: Omhullende Min,Max
Omhullende	: Alle UGT
E (U)	: 7,93E-5
E (P)	: 4,16E-7
E (W)	: 5,00E-11
E (Eq)	: 1,96E-9
Comp.	: Vy [kN]
Max	: 253,1
Min	: -315,4



[II], Non-lin., Omhullende (Alle UGT), Vy, Lijnen (gevuld)

Project

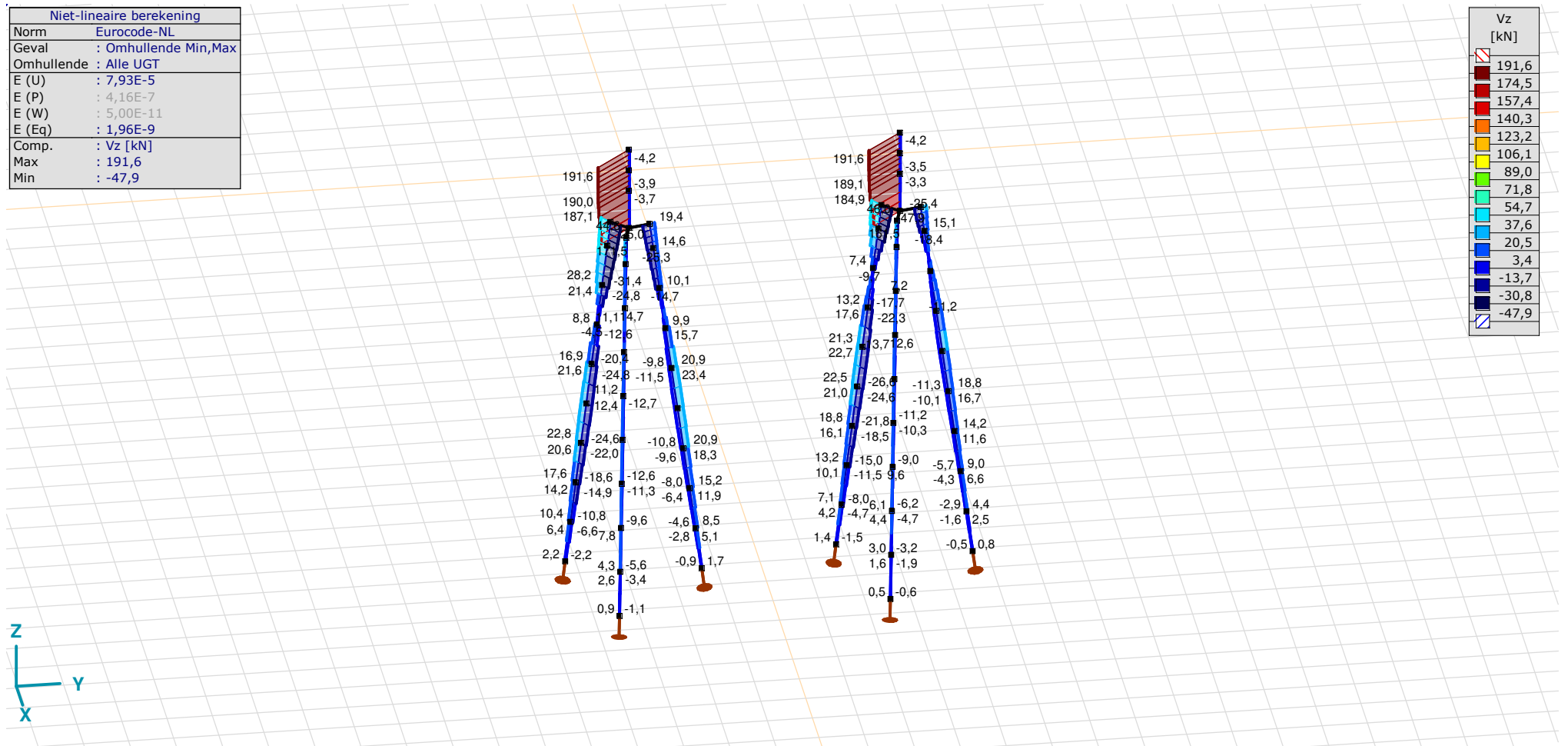
Analysis by

Model: 3P-LD-L1 & 3P-LD-H1.axs

23-5-2022

Pag. 28

Niet-lineaire berekening	
Norm	Eurocode-NL
Geval	: Omhullende Min,Max
Omhullende	: Alle UGT
E (U)	: 7,93E-5
E (P)	: 4,16E-7
E (W)	: 5,00E-11
E (Eq)	: 1,96E-9
Comp.	: Vz [kN]
Max	: 191,6
Min	: -47,9



[II], Non-lin., Omhullende (Alle UGT), Vz, Lijnen (gevuld)

Project

Analysis by

Model: **3P-LD-L1 & 3P-LD-H1.axs**

23-5-2022

Pag. 29

Staafkrachten [Non-lin., Omhullende (Alle UGT), Palen]

	Prof.	Doorsnede naam	C	min. max.	Geval	Pos. [m]	Knoop	Nx [kN]	Vy [kN]	Vz [kN]	Tx [kNm]	My [kNm]	Mz [kNm]	B [kNm ²]
Ext.														
1	6	514x570,1	Nx	min	Co #2 max trek [1] (1,000)	0	(4)	-144,6	0	-2,2	0	0	0	0
1	6	514x570,1		max	Co #1 max druk [1] (1,000)	1,010	(5)	210,0	-0,1	6,4	0	4,3	0	0
1	6	514x570,1	Vy	min	Co #1 max druk [1] (1,000)	0,505	(15)	103,8	-0,1	6,4	0	1,1	0	0
1	6	514x570,1		max	Co #3 max torsie [1] (1,000)	0,505	(15)	50,6	5,3	-2,5	0	-0,4	-0,9	0
1	6	514x570,1	Vz	min	Co #2 max trek [1] (1,000)	0,505	(15)	-144,6	0,1	-6,6	0	-1,1	0	0
1	6	514x570,1		max	Co #1 max druk [1] (1,000)	0,505	(15)	103,8	-0,1	6,4	0	1,1	0	0
1	6	514x570,1	My	min	Co #2 max trek [1] (1,000)	1,010	(5)	-144,6	0,1	-6,6	0	-4,5	-0,1	0
1	6	514x570,1		max	Co #1 max druk [1] (1,000)	1,010	(5)	210,0	-0,1	6,4	0	4,3	0	0
1	6	514x570,1	Mz	min	Co #3 max torsie [1] (1,000)	1,010	(5)	102,5	5,3	-2,5	0	-1,7	-3,6	0
1	6	514x570,1		max	Co #1 max druk [1] (1,000)	1,010	(5)	210,0	-0,1	6,4	0	4,3	0	0

Prof.: Profiel; **C:** Extreme component; **min. max.:** Extreme type; **Geval:** Belastinggeval van de extreme; **Pos.:** Lokale X-positie van de doorsnede op de staaf; **Nx:** Normalkracht; **Vy:** Dwarskracht in lokale y-richting; **Vz:** Dwarskracht in lokale z-richting; **Tx:** Torsiemoment; **My:** Buigend moment in lokale y-richting; **Mz:** Buigend moment in lokale z-richting; **B:** Bimoment;

Project

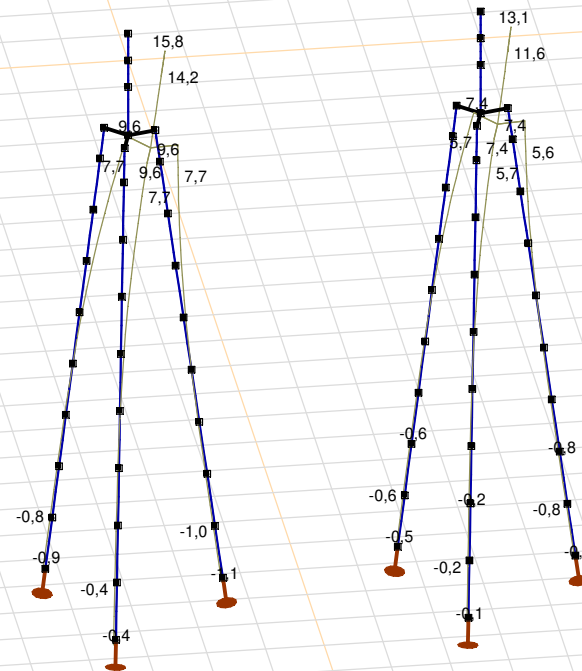
Analysis by

Model: **3P-LD-L1 & 3P-LD-H1.axs**

23-5-2022

Pag. 30

Niet-lineaire berekening	
Norm	Eurocode-NL
Geval	Co #1 max druk [1] (1,000)
E (U)	: 7,93E-5
E (P)	: 4,16E-7
E (W)	: 5,00E-11
E (Eq)	: 1,96E-9
Comp.	: eX [mm]
Max	: 15,8
Min	: -1,1



[II], Non-lin., Co #1 max druk [1] (1,000), eX, Lijnen

Project

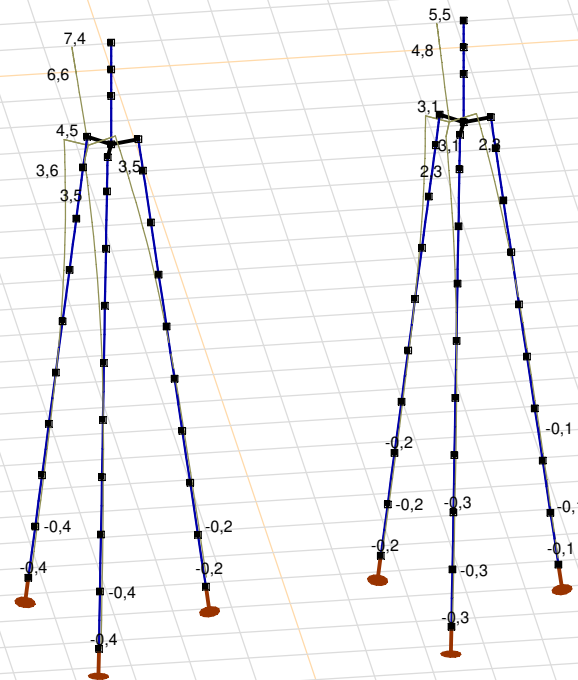
Analysis by

Model: **3P-LD-L1 & 3P-LD-H1.axs**

23-5-2022

Pag. 31

Niet-lineaire berekening	
Norm	Eurocode-NL
Geval	Co #3 max torsie [1] (1,000)
E (U)	: 2,36E-5
E (P)	: 4,03E-6
E (W)	: 1,10E-9
E (Eq)	: 3,91E-9
Comp.	: eX [mm]
Max	: 7,4
Min	: -0,4



[II], Non-lin., Co #3 max torsie [1] (1,000), eX, Lijnen

Project

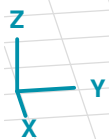
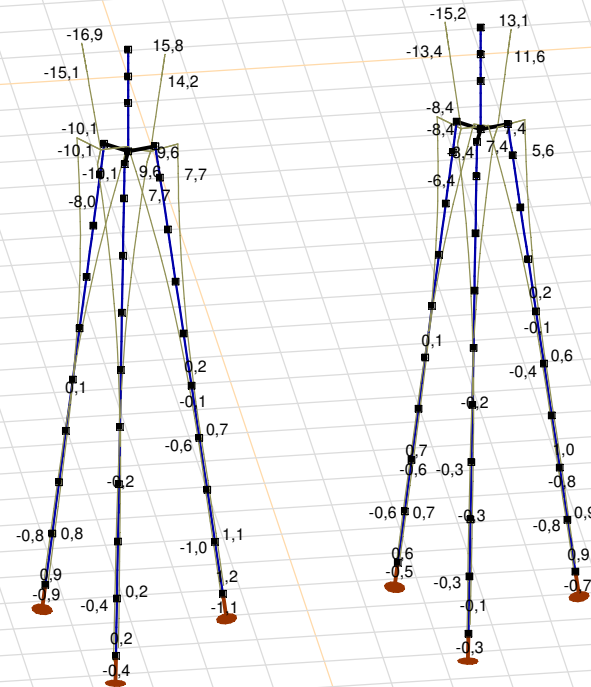
Analysis by

Model: 3P-LD-L1 & 3P-LD-H1.axs

23-5-2022

Pag. 32

Niet-lineaire berekening	
Norm	Eurocode-NL
Geval	: Omhullende Min,Max
Omhullende	: Alle UGT
E (U)	: 7,93E-5
E (P)	: 4,16E-7
E (W)	: 5,00E-11
E (Eq)	: 1,96E-9
Comp.	: eX [mm]
Max	: 15,8
Min	: -16,9



[[I]], Non-lin., Omhullende (Alle UGT), eX, Lijnen

Project

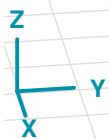
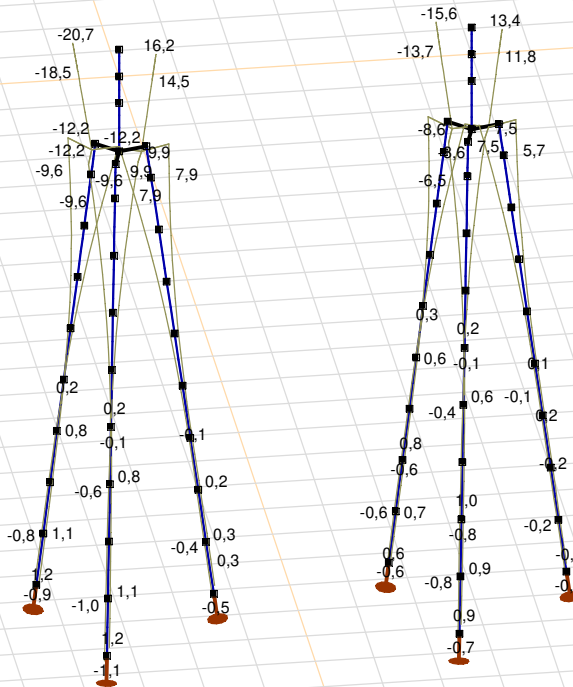
Analysis by

Model: 3P-LD-L1 & 3P-LD-H1.axs

23-5-2022

Pag. 33

Niet-lineaire berekening	
Norm	Eurocode-NL
Geval	: Omhullende Min,Max
Omhullende	: Alle UGT
E (U)	: 7,93E-5
E (P)	: 4,16E-7
E (W)	: 5,00E-11
E (Eq)	: 1,96E-9
Comp.	: eY [mm]
Max	: 16,2
Min	: -20,7



[[I]], Non-lin., Omhullende (Alle UGT), eY, Lijnen

Project

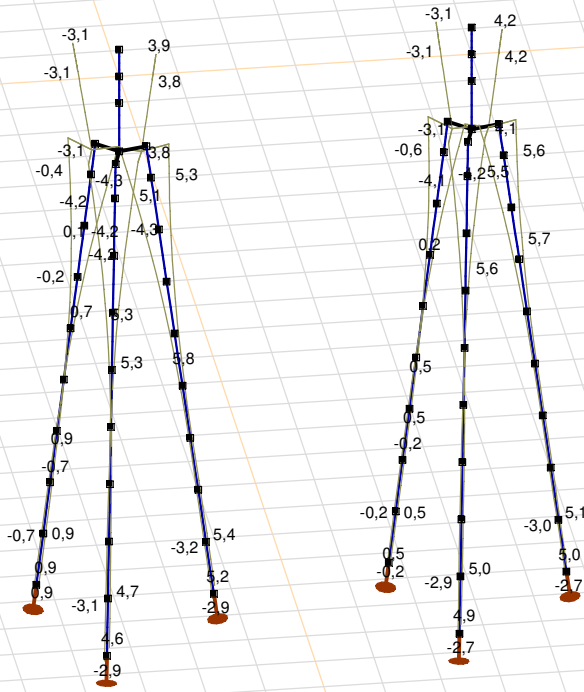
Analysis by

Model: 3P-LD-L1 & 3P-LD-H1.axs

23-5-2022

Pag. 34

Niet-lineaire berekening	
Norm	Eurocode-NL
Geval	: Omhullende Min,Max
Omhullende	: Alle UGT
E (U)	: 7,93E-5
E (P)	: 4,16E-7
E (W)	: 5,00E-11
E (Eq)	: 1,96E-9
Comp.	: eZ [mm]
Max	: 5,8
Min	: -4,3



[[I]], Non-lin., Omhullende (Alle UGT), eZ, Lijnen

Project

Analysis by

Model: **3P-LD-L1 & 3P-LD-H1.axs**

23-5-2022

Pag. 35

Knoopverplaatsingen [Non-lin., Omhullende (Alle UGT)]

	C	min. max.	Geval	eX [mm]	eY [mm]	eZ [mm]	eR [mm]	fX [rad]	fY [rad]	fZ [rad]	fR [rad]
Ext.											
6	eX	min	Co #2 max trek [1] (1,000)	-16,9	-17,8	3,9	24,8	0,0038	-0,0036	0	0,0052
6		max	Co #1 max druk [1] (1,000)	15,8	16,2	-3,1	22,8	-0,0033	0,0033	0	0,0047
6	eY	min	Co #3 max torsie [1] (1,000)	7,4	-20,7	2,5	22,1	0,0045	0,0016	0	0,0048
6		max	Co #1 max druk [1] (1,000)	15,8	16,2	-3,1	22,8	-0,0033	0,0033	0	0,0047
56	eZ	min	Co #1 max druk [1] (1,000)	4,9	5,1	-4,3	8,2	-0,0025	0,0027	-0,0001	0,0037
61		min	Co #1 max druk [1] (1,000)	5,5	5,7	-4,3	9,0	-0,0027	0,0028	-0,0001	0,0039
62		min	Co #1 max druk [1] (1,000)	6,2	6,4	-4,3	9,9	-0,0028	0,0029	-0,0001	0,0041
49		max	Co #3 max torsie [1] (1,000)	0,3	-0,9	5,8	5,9	0,0010	0,0004	0	0,0011
50		max	Co #3 max torsie [1] (1,000)	0,6	-1,5	5,8	6,0	0,0013	0,0005	0	0,0014
101	eR	min	Co #2 max trek [1] (1,000)	0,1	0,2	-0,1	0,3	0,0007	-0,0007	0	0,0009
6		max	Co #2 max trek [1] (1,000)	-16,9	-17,8	3,9	24,8	0,0038	-0,0036	0	0,0052

C: Extreme component; **min. max.:** Extreme type; **Geval:** Belastinggeval van de extreme; **eX:** Verplaatsing in X-richting; **eY:** Verplaatsing in Y-richting; **eZ:** Verplaatsing in Z-richting; **eR:** Resulterende verplaatsing; **fX:** Rotatie in X-richting; **fY:** Rotatie in Y-richting; **fZ:** Rotatie in Z-richting; **fR:** Resulterende rotatie;

Project

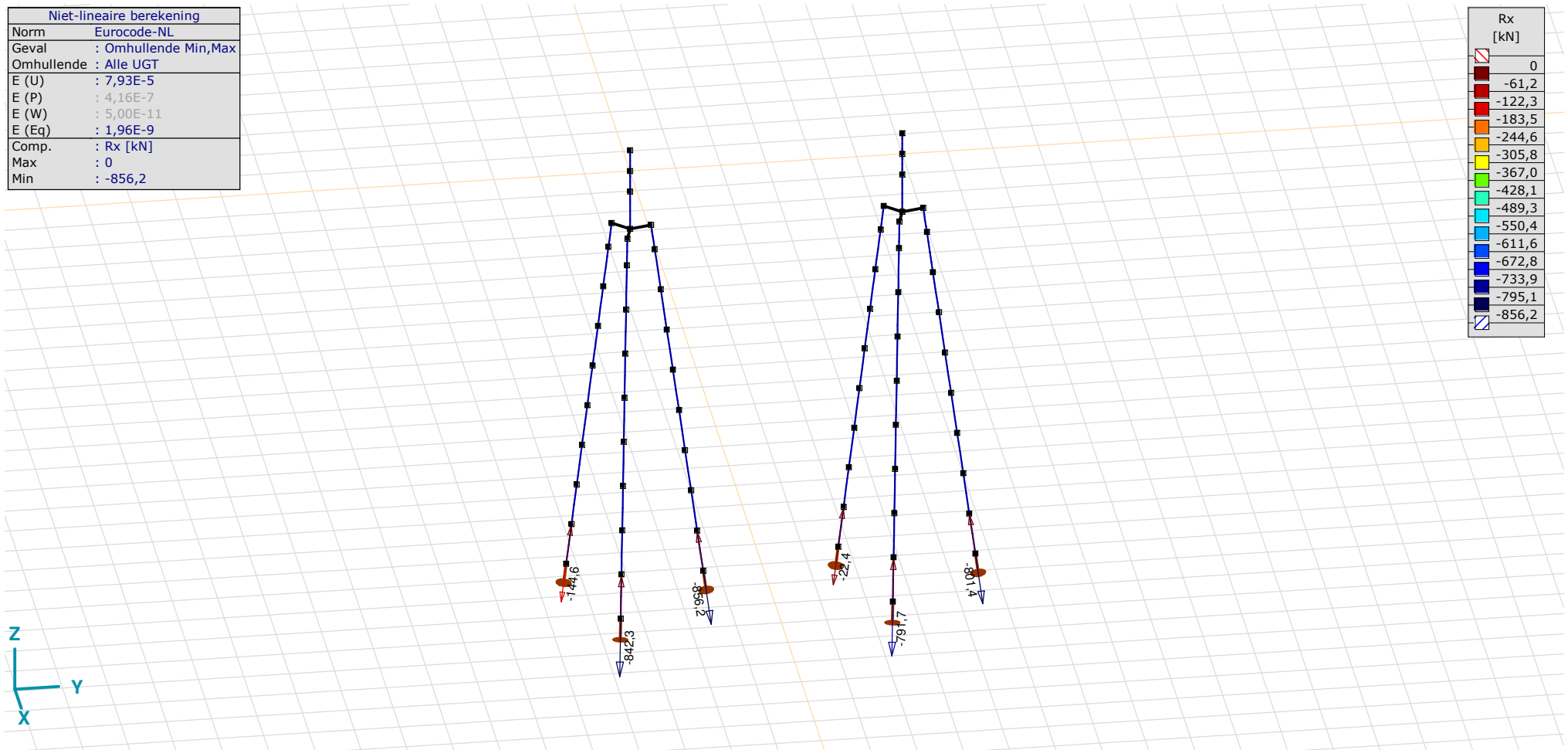
Analysis by

Model: **3P-LD-L1 & 3P-LD-H1.axs**

23-5-2022

Pag. 36

Niet-lineaire berekening	
Norm	Eurocode-NL
Geval	: Omhullende Min,Max
Omhullende	: Alle UGT
E (U)	: 7,93E-5
E (P)	: 4,16E-7
E (W)	: 5,00E-11
E (Eq)	: 1,96E-9
Comp.	: Rx [kN]
Max	: 0
Min	: -856,2



[II], Non-lin., Omhullende (Alle UGT), Rx (knoopopl.), Lijnen

Project

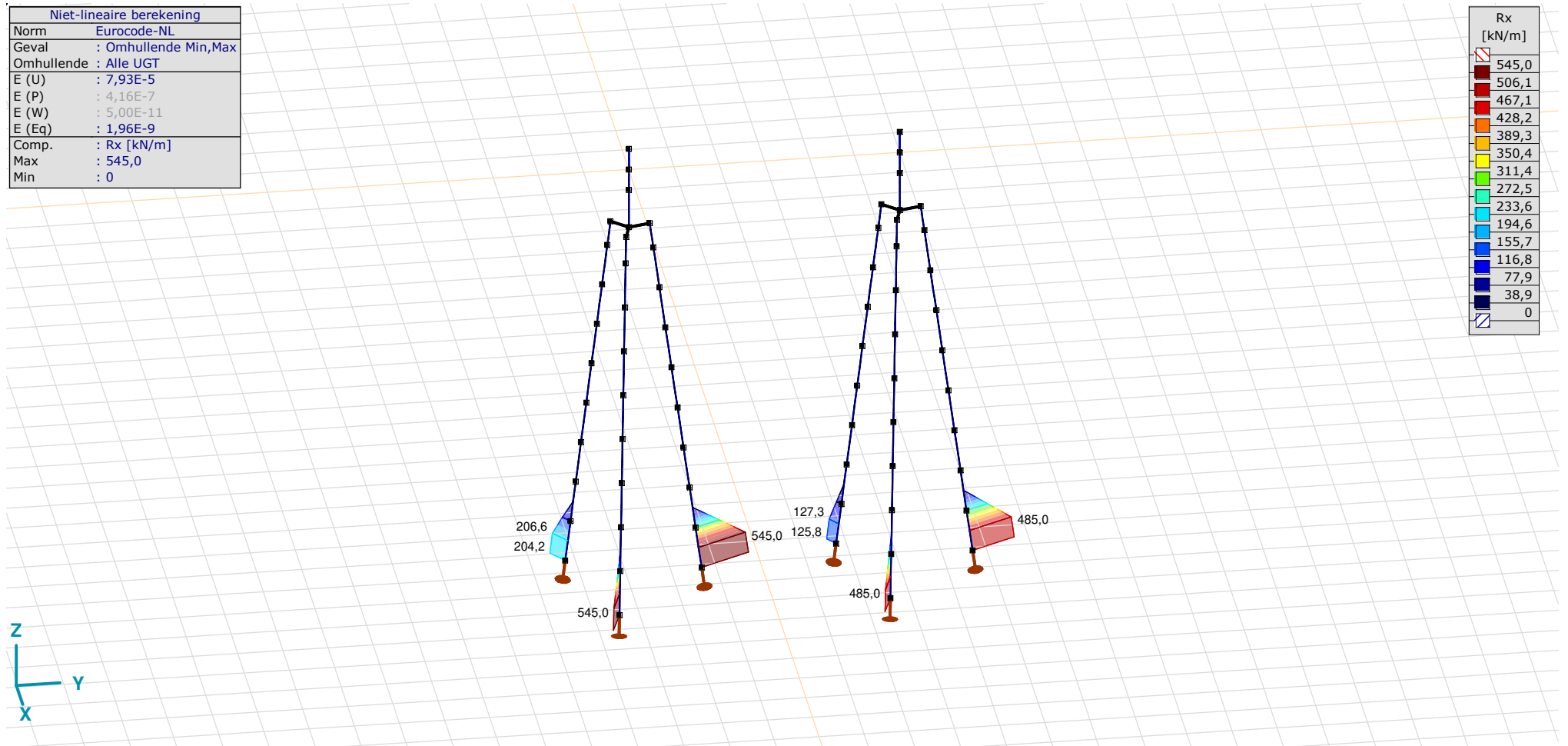
Analysis by

Model: **3P-LD-L1 & 3P-LD-H1.axs**

23-5-2022

Pag. 37

Niet-lineaire berekening	
Norm	Eurocode-NL
Geval	: Omhullende Min,Max
Omhullende	: Alle UGT
E (U)	: 7,93E-5
E (P)	: 4,16E-7
E (W)	: 5,00E-11
E (Eq)	: 1,96E-9
Comp.	: Rx [kN/m]
Max	: 545,0
Min	: 0



[II], Non-lin., Omhullende (Alle UGT), Rx (lijnopp.), Lijnen (gevuld)

Project

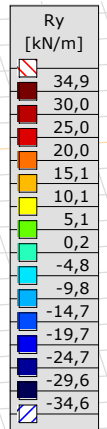
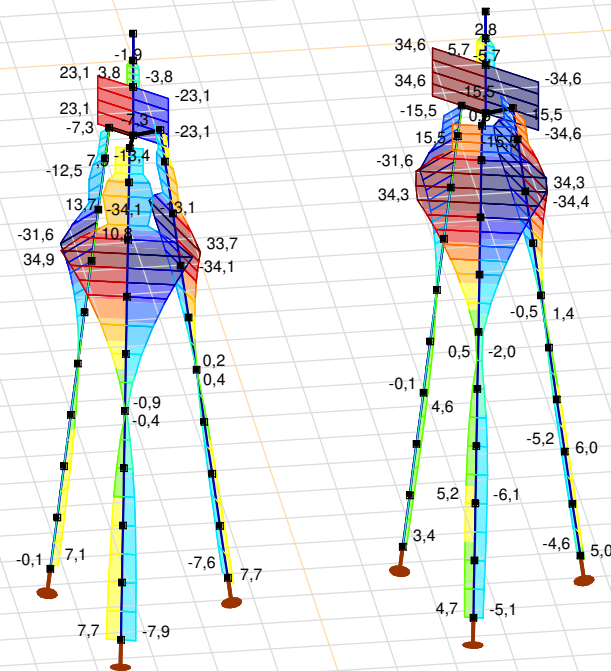
Analysis by

Model: 3P-LD-L1 & 3P-LD-H1.axs

23-5-2022

Pag. 38

Niet-lineaire berekening	
Norm	Eurocode-NL
Geval	: Omhullende Min,Max
Omhullende	: Alle UGT
E (U)	: 7,93E-5
E (P)	: 4,16E-7
E (W)	: 5,00E-11
E (Eq)	: 1,96E-9
Comp.	: Ry [kN/m]
Max	: 34,9
Min	: -34,6



[III], Non-lin., Omhullende (Alle UGT), Ry (lijnopp.), Lijnen (gevuld)

Project

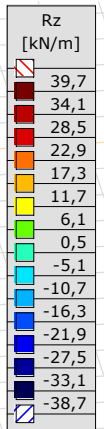
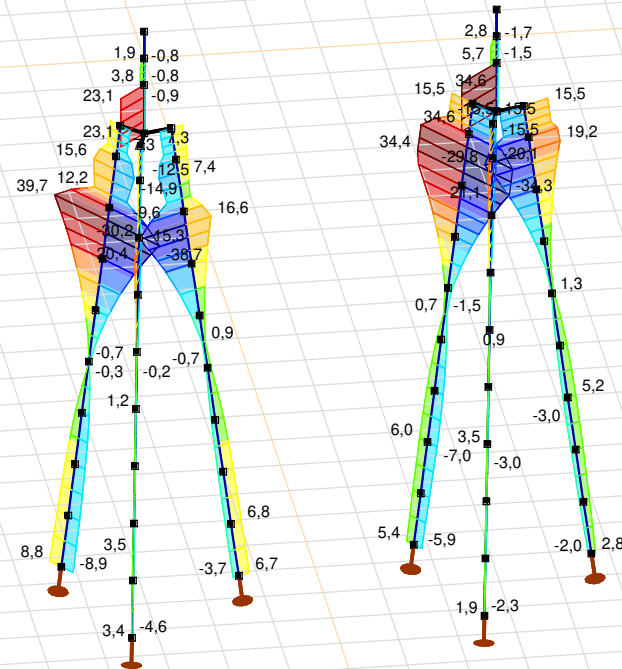
Analysis by

Model: **3P-LD-L1 & 3P-LD-H1.axs**

23-5-2022

Pag. 39

Niet-lineaire berekening	
Norm	Eurocode-NL
Geval	: Omhullende Min,Max
Omhullende	: Alle UGT
E (U)	: 7,93E-5
E (P)	: 4,16E-7
E (W)	: 5,00E-11
E (Eq)	: 1,96E-9
Comp.	: Rz [kN/m]
Max	: 39,7
Min	: -38,7



[III], Non-lin., Omhullende (Alle UGT), Rz (lijnopp.), Lijnen (gevuld)

Project

Analysis by

Model: **3P-LD-L1 & 3P-LD-H1.axs**

23-5-2022

Pag. 40

Interne krachten knooppoplegging [Non-lin., Omhullende (Alle UGT)]

	<i>Knoop</i>	<i>X [m]</i>	<i>Y [m]</i>	<i>Z [m]</i>	<i>Type</i>	<i>C</i>	<i>min. max.</i>	<i>Geval</i>	<i>Rx [kN]</i>
1	4	-1,229	-1,229	-10,000	Staaft r.	Rx	min	Co #2 max trek [1] (1,000)	-144,6
							max	Co #1 max druk [1] (1,000)	0
2	40	-0,450	1,679	-10,000	Staaft r.	Rx	min	Co #1 max druk [1] (1,000)	-856,2
							max	Co #3 max torsie [1] (1,000)	0
3	65	1,679	-0,450	-10,000	Staaft r.	Rx	min	Co #1 max druk [1] (1,000)	-842,3
							max	Co #2 max trek [1] (1,000)	0
4	92	-1,229	4,771	-10,000	Staaft r.	Rx	min	Co #2 max trek [1] (1,000)	-22,4
							max	Co #3 max torsie [1] (1,000)	0
5	128	-0,450	7,679	-10,000	Staaft r.	Rx	min	Co #1 max druk [1] (1,000)	-801,4
							max	Co #2 max trek [1] (1,000)	0
6	153	1,679	5,550	-10,000	Staaft r.	Rx	min	Co #1 max druk [1] (1,000)	-791,7
							max	Co #2 max trek [1] (1,000)	0
Ext.									
2	40	-0,450	1,679	-10,000	Staaft r.	Rx	min	Co #1 max druk [1] (1,000)	-856,2
							max	Co #3 max torsie [1] (1,000)	0

Knoop: Ondersteunde knoop; **Type:** Opleggingstype; **C:** Extreme component; **min. max.:** Extreme type; **Geval:** Belastinggeval van de extreme; **Rx:** X-component opleggingsreactiekracht;

Project

Analysis by

AxisVM X6 R1q · Geregistreerd aan DNV GL - Energy
3P-LD-M1.axs

Report

Report, Inhoudsopgave

<i>Onderdeel</i>	<i>Pagina</i>	<i>Onderdeel</i>	<i>Pagina</i>
Tekening render	3	SPLS 3_torsie: Knoopbelastingen	19
Materialen	4	Gebruiker gedefinieerde belastingcombinaties uit belastinggevallen	19
Profielen	4	[II], Non-lin., Co #4 Perm [1] (1,000), Nx, Lijnen (gevuld)(gevuld)	20
Tekening	7	[II], Non-lin., Omhullende (Alle UGT), Nx, Lijnen (gevuld)	21
Knopen	8	[II], Non-lin., Omhullende (Alle UGT), My, Lijnen (gevuld)	22
Staven	8	[II], Non-lin., Omhullende (Alle UGT), Mz, Lijnen (gevuld)	23
Knoopopleggingen	9	[II], Non-lin., Omhullende (Alle UGT), Vy, Lijnen (gevuld)	24
Tekening met beddingen	10	[II], Non-lin., Omhullende (Alle UGT), Vz, Lijnen (gevuld)	25
Lijnopleggingen	11	Staafrachten [Non-lin., Omhullende (Alle UGT), Palen]	26
EG poer	13	[II], Non-lin., Co #1 max druk [1] (1,000), eX, Lijnen	27
EG poer: Staaf eigen gewicht	14	[II], Non-lin., Co #3 max torsie [1] (1,000), eX, Lijnen	28
GWS	14	[II], Non-lin., Omhullende (Alle UGT), eX, Lijnen	29
GWS: Knoopbelastingen	15	[II], Non-lin., Omhullende (Alle UGT), eY, Lijnen	30
SLS 7	15	[II], Non-lin., Omhullende (Alle UGT), eZ, Lijnen	31
SLS 7: Knoopbelastingen	16	Knoopverplaatsingen [Non-lin., Omhullende (Alle UGT)]	32
SPLS 3_druk	16	[II], Non-lin., Omhullende (Alle UGT), Rx (knoopopl.), Lijnen	33
SPLS 3_druk: Knoopbelastingen	17	[II], Non-lin., Omhullende (Alle UGT), Rx (lijnopp.), Lijnen (gevuld)	34
SPLS 3_0,9 trek	17	[II], Non-lin., Omhullende (Alle UGT), Ry (lijnopp.), Lijnen (gevuld)	35
SPLS 3_0,9 trek: Knoopbelastingen	18	[II], Non-lin., Omhullende (Alle UGT), Rz (lijnopp.), Lijnen (gevuld)	36
SPLS 3_torsie	18	Interne krachten knoopoplegging [Non-lin., Omhullende (Alle UGT)]	37

Project

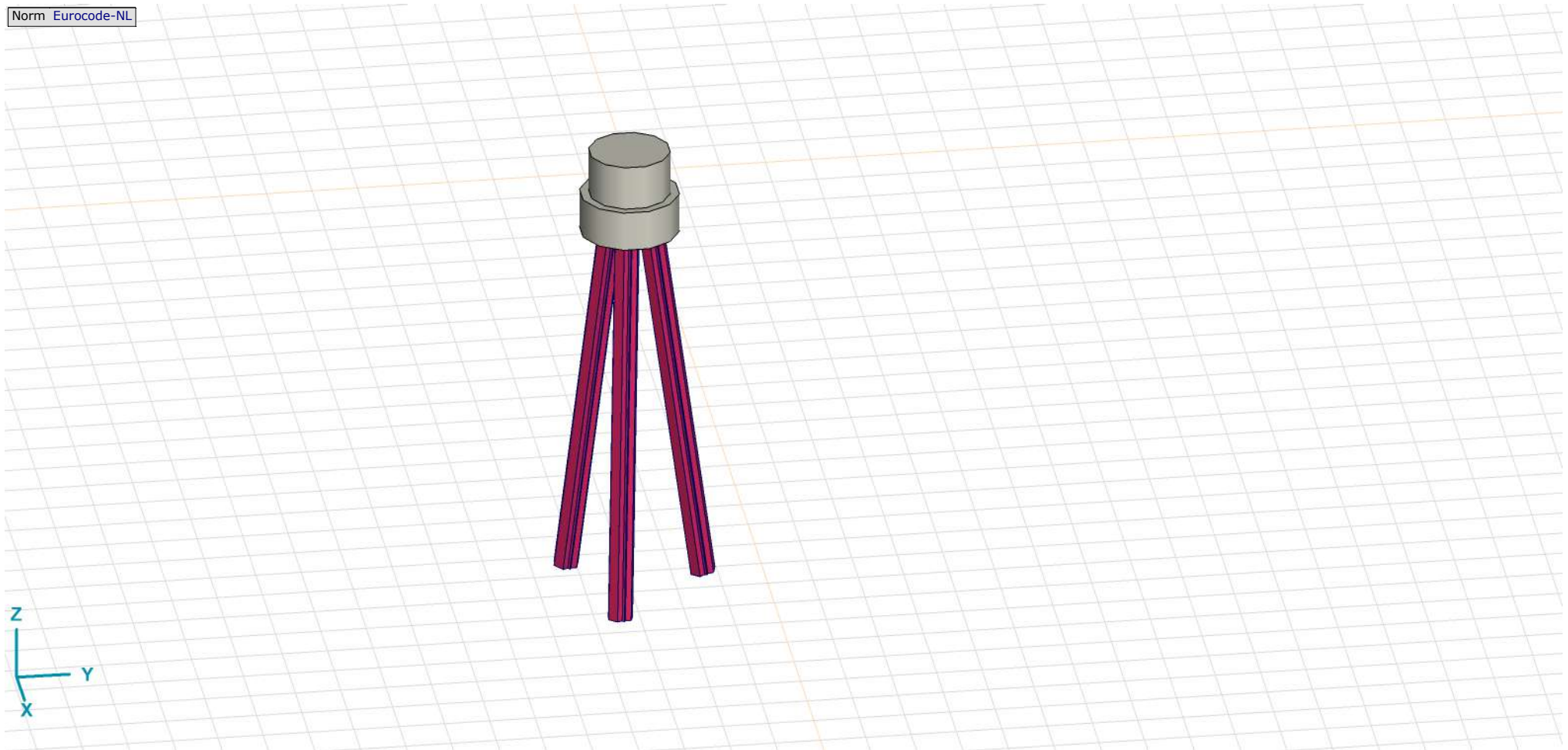
Analysis by

Model: **3P-LD-M1.axs**

23-5-2022

Pag. 3

Norm Eurocode-NL



Tekening render

Project





Analysis by

Model: **3P-LD-M1.axs**

23-5-2022

Pag. 4

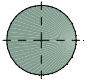
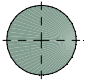
Materialen

	Naam	Type	Nationale norm	Materiaalnorm	Model	E_x [N/mm ²]	E_y [N/mm ²]	ν	α_T [1/°C]	ρ [kg/m ³]	Materiaal kleur	Contour kleur	Structuur	P_1
1	C30/37	Beton	Eurocode-NL	EN 206	Lineair	11000	11000	0,20	1E-5	2500			Concrete A	f_{ck} [N/mm ²] = 30,00
2	S 235	Staal	Eurocode-NL	10025-2	Lineair	210000	210000	0,30	1,2E-5	7850			Steel	f_y [N/mm ²] = 235,00

	Naam	P_2	P_3	P_4	P_5	P_6	P_7	P_8	P_9	P_{10}	P_{11}	P_{12}	P_{13}	P_{14}
1	C30/37	$\gamma_c = 1,500$	$\alpha_{cc} = 1,00$	$\phi_t = 2,00$										
2	S 235	f_u [N/mm ²] = 360,00	f_y [N/mm ²] = 215,00	f_u [N/mm ²] = 360,00										

Naam: Materiaalnaam; **Type:** Type materiaal; **Model:** Materiaal model; **E_x :** Elasticiteitsmodulus in lokale x richting; **E_y :** Elasticiteitsmodulus in lokale y richting; **ν :** Poisson's verhouding; **α_T :** Warmteuitzettingscoëfficiënt; **ρ :** Dichtheid; **Materiaal kleur:** Materiaalkleur; **Contour kleur:** Contourkleur; **$P_1, P_2, P_3, P_4, P_5, P_6, P_7, P_8, P_9, P_{10}, P_{11}, P_{12}, P_{13}, P_{14}$:** Ontwerpparameter;

Profielen

	Naam	Tekening	Productie	Vorm	h [mm]	b [mm]	tw [mm]	tf [mm]	r_1 [mm]	r_2 [mm]	r_3 [mm]	A_x [mm ²]	A_y [mm ²]	A_z [mm ²]
1	O 400		Ander	Rond	400,0	400,0	0	0	0	0	0	125638,20	107689,90	107689,90
2	O 1500		Ander	Rond	1500,0	1500,0	0	0	0	0	0	1766787,00	1514389,00	1514389,00

	Naam	I_x [mm ⁴]	I_y [mm ⁴]	I_z [mm ⁴]	I_{yz} [mm ⁴]	I_1 [mm ⁴]	I_2 [mm ⁴]	α [°]	I_w [mm ⁶]	$W_{1,el,t}$ [mm ³]	$W_{1,el,b}$ [mm ³]	$W_{2,el,t}$ [mm ³]	$W_{2,el,b}$ [mm ³]	$W_{1,pl}$ [mm ³]	$W_{2,pl}$ [mm ³]
1	O 400	2,51E+09	1,26E+09	1,26E+09	0	1,26E+09	1,26E+09	0	0	6280634,00	6280634,00	6280634,00	6280634,00	1,07E+07	1,07E+07
2	O 1500	4,97E+11	2,48E+11	2,48E+11	0	2,48E+11	2,48E+11	0	0	3,31E+08	3,31E+08	3,31E+08	3,31E+08	5,62E+08	5,62E+08

	Naam	i_y [mm]	i_z [mm]	H_y [mm]	H_z [mm]	y_G [mm]	z_G [mm]	y_s [mm]	z_s [mm]	β_y [mm]	β_z [mm]	β_w [mm]	S.p.
1	O 400	100,0	100,0	400,0	400,0	200,0	200,0	0	0	0	0	0	5
2	O 1500	375,0	375,0	1500,0	1500,0	750,0	750,0	0	0	0	0	0	5

Project

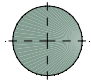
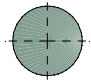
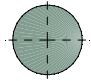
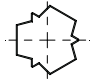
Analysis by

Model: **3P-LD-M1.axs**

23-5-2022

Pag. 5

Profielen

	Naam	Tekening	Productie	Vorm	h [mm]	b [mm]	tw [mm]	tf [mm]	r_1 [mm]	r_2 [mm]	r_3 [mm]	A_x [mm ²]	A_y [mm ²]	A_z [mm ²]
3	O 1300		Ander	Rond	1300,0	1300,0	0	0	0	0	0	1327053,00	1137474,00	1137474,00
4	O 2500		Ander	Rond	2500,0	2500,0	0	0	0	0	0	4907742,00	4206636,00	4206636,00
5	O 1800		Ander	Rond	1800,0	1800,0	0	0	0	0	0	2544173,00	2180720,00	2180720,00
6	514x570,1		Ander	Eigen gedefinieerd	570,1	514,0	0	0	0	0	0	15142,80	5219,72	5219,72

	Naam	I_x [mm ⁴]	I_y [mm ⁴]	I_z [mm ⁴]	I_{yz} [mm ⁴]	I_1 [mm ⁴]	I_2 [mm ⁴]	α [°]	$I\omega$ [mm ⁶]	$W_{1,e,t}$ [mm ³]	$W_{1,e,b}$ [mm ³]	$W_{2,e,t}$ [mm ³]	$W_{2,e,b}$ [mm ³]	$W_{1,p,l}$ [mm ³]	$W_{2,p,l}$ [mm ³]
3	O 1300	2,8E+11	1,4E+11	1,4E+11	0	1,4E+11	1,4E+11	0	0	2,16E+08	2,16E+08	2,16E+08	2,16E+08	3,66E+08	3,66E+08
4	O 2500	3,83E+12	1,92E+12	1,92E+12	0	1,92E+12	1,92E+12	0	0	1,53E+09	1,53E+09	1,53E+09	1,53E+09	2,6E+09	2,6E+09
5	O 1800	1,03E+12	5,15E+11	5,15E+11	0	5,15E+11	5,15E+11	0	0	5,72E+08	5,72E+08	5,72E+08	5,72E+08	9,72E+08	9,72E+08
6	514x570,1	6,22E+08	4,6E+08	4,6E+08	0	4,6E+08	4,6E+08	0	2,4E+11	1614516,00	1614516,00	1790846,00	1790845,00	2369310,00	2357912,00

	Naam	i_y [mm]	i_z [mm]	H_y [mm]	H_z [mm]	y_G [mm]	z_G [mm]	y_s [mm]	z_s [mm]	β_y [mm]	β_z [mm]	β_w [mm]	S.p.
3	O 1300	325,0	325,0	1300,0	1300,0	650,0	650,0	0	0	0	0	0	5
4	O 2500	624,9	624,9	2500,0	2500,0	1250,0	1250,0	0	0	0	0	0	5
5	O 1800	450,0	450,0	1800,0	1800,0	900,0	900,0	0	0	0	0	0	5
6	514x570,1	174,3	174,3	514,0	570,1	257,0	285,1	0	0	0	0	0	9

Project

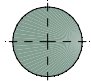
Analysis by

Model: **3P-LD-M1.axs**

23-5-2022

Pag. 6

Profielen

	Naam	Tekening	Productie	Vorm	h [mm]	b [mm]	tw [mm]	tf [mm]	r_1 [mm]	r_2 [mm]	r_3 [mm]	A_x [mm ²]	A_y [mm ²]	A_z [mm ²]
7	O 2200		Ander	Rond	2200,0	2200,0	0	0	0	0	0	3800555,00	3257619,00	3257619,00

	Naam	I_x [mm ⁴]	I_y [mm ⁴]	I_z [mm ⁴]	I_{yz} [mm ⁴]	I_1 [mm ⁴]	I_2 [mm ⁴]	α [°]	$I\omega$ [mm ⁶]	$W_{1,el,t}$ [mm ³]	$W_{1,el,b}$ [mm ³]	$W_{2,el,t}$ [mm ³]	$W_{2,el,b}$ [mm ³]	$W_{1,pl}$ [mm ³]	$W_{2,pl}$ [mm ³]
7	O 2200	2,3E+12	1,15E+12	1,15E+12	0	1,15E+12	1,15E+12	0	0	1,04E+09	1,04E+09	1,04E+09	1,04E+09	1,77E+09	1,77E+09

	Naam	i_y [mm]	i_z [mm]	H_y [mm]	H_z [mm]	y_G [mm]	z_G [mm]	y_s [mm]	z_s [mm]	β_y [mm]	β_z [mm]	β_w []	S.p.
7	O 2200	549,9	549,9	2200,0	2200,0	1100,0	1100,0	0	0	0	0	0	5

Naam: Doorsnede naam; **Productie:** Productieproces; **Vorm:** Profiel; **h:** Doorsnede hoogte; **b:** Doorsnede breedte; **tw:** Lijfdikte; **tf:** Flensdikte; **r₁, r₂, r₃:** Afrondingswaarde; **A_x:** Doorsnede-oppervlak; **A_y, A_z:** Afschuivingsoppervlak; **I_x:** Torsietraagheidsmoment; **I_y, I_z:** Buigtraagheidsmoment; **I_{yz}:** Centrifugaal traagheidsmoment; **I₁, I₂:** Hoofdbuigtraagheidsmoment; **α:** Hoofdrichtingen; **Iω:** Krommingsconstante; **W_{1,el,t}, W_{1,el,b}, W_{2,el,t}, W_{2,el,b}:** Elastisch weerstandsmoment; **W_{1,pl}, W_{2,pl}:** Plastisch weerstandsmoment; **i_y, i_z:** Traagheidsstraal; **H_y:** Afmeting in lokale Y-richting; **H_z:** Afmeting in lokale Z-richting; **y_G:** Y-coördinaat van het zwaartepunt; **z_G:** Z-coördinaat van het zwaartepunt; **y_s:** Y-coördinaat van het afschuivingsmiddelpunt (torsie); **z_s:** Z-coördinaat van het afschuivingsmiddelpunt (torsie); **β_y, β_z, β_w:** Wagner's coëfficiënt; **S.p.:** Spanningspunten;

Project

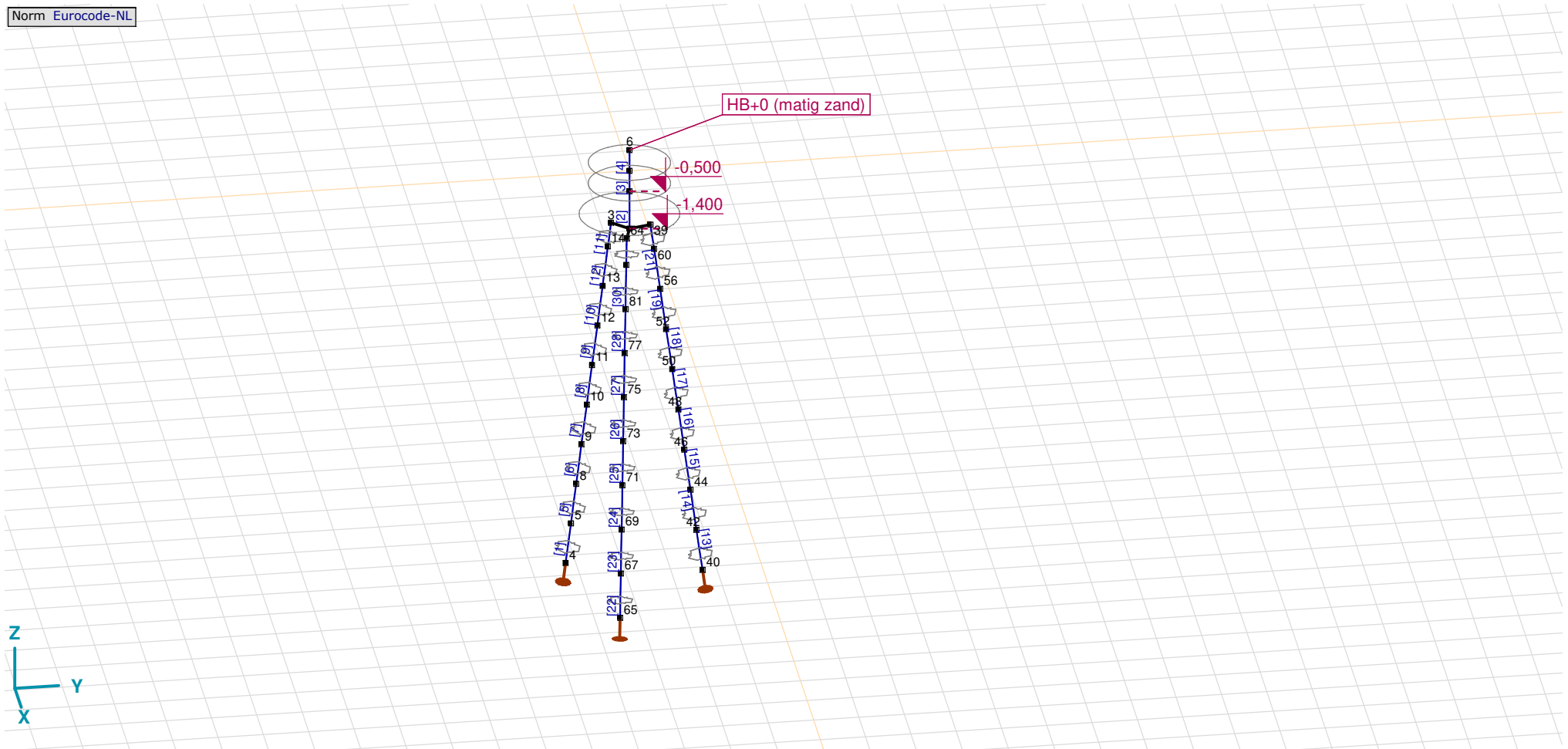
Analysis by

Model: **3P-LD-M1.axs**

23-5-2022

Pag. 7

Norm Eurocode-NL



Tekening

Project

Analysis by

Model: **3P-LD-M1.axs**

23-5-2022

Pag. 8

Knopen

	X [m]	Y [m]	Z [m]		X [m]	Y [m]	Z [m]		X [m]	Y [m]	Z [m]		X [m]	Y [m]	Z [m]		X [m]	Y [m]	Z [m]
1	0	0	-0,500	8	-1,026	-1,026	-8,000	39	-0,129	0,483	-1,400	52	-0,226	0,845	-4,000	71	1,262	-0,338	-7,000
2	0	0	-1,400	9	-0,924	-0,924	-7,000	40	-0,450	1,679	-10,000	56	-0,189	0,706	-3,000	73	1,123	-0,301	-6,000
3	-0,354	-0,354	-1,400	10	-0,822	-0,822	-6,000	42	-0,413	1,540	-9,000	60	-0,152	0,566	-2,000	75	0,984	-0,264	-5,000
4	-1,229	-1,229	-10,000	11	-0,720	-0,720	-5,000	44	-0,375	1,401	-8,000	64	0,483	-0,129	-1,400	77	0,845	-0,226	-4,000
5	-1,127	-1,127	-9,000	12	-0,618	-0,618	-4,000	46	-0,338	1,262	-7,000	65	1,679	-0,450	-10,000	81	0,706	-0,189	-3,000
6	0	0	0,500	13	-0,516	-0,516	-3,000	48	-0,301	1,123	-6,000	67	1,540	-0,413	-9,000	85	0,566	-0,152	-2,000
7	0	0	0	14	-0,415	-0,415	-2,000	50	-0,264	0,984	-5,000	69	1,401	-0,375	-8,000				

Staven

	Start-punt	Eind-punt	Lengte	Lokaal X	Materiaal	Doorsnede	Ref _z		Start-punt	Eind-punt	Lengte	Lokaal X	Materiaal	Doorsnede	Ref _z
1	4	5	1,010	i - j	S 235	6	↗ R2	16	46	48	1,010	i - j	S 235	6	↗ R8
2	2	1	0,900	j - i	C30/37	7	↗ R1	17	48	50	1,010	i - j	S 235	6	↗ R8
3	1	7	0,500	i - j	C30/37	5	↗ R1	18	50	52	1,010	i - j	S 235	6	↗ R8
4	7	6	0,500	j - i	C30/37	5	↗ R1	19	52	56	1,010	i - j	S 235	6	↗ R8
5	5	8	1,010	i - j	S 235	6	↗ R2	20	60	39	0,606	j - i	S 235	6	↗ R8
6	8	9	1,010	i - j	S 235	6	↗ R2	21	56	60	1,010	i - j	S 235	6	↗ R8
7	9	10	1,010	i - j	S 235	6	↗ R2	22	65	67	1,010	i - j	S 235	6	↗ R7
8	10	11	1,010	i - j	S 235	6	↗ R2	23	67	69	1,010	i - j	S 235	6	↗ R7
9	11	12	1,010	i - j	S 235	6	↗ R2	24	69	71	1,010	i - j	S 235	6	↗ R7
10	12	13	1,010	i - j	S 235	6	↗ R2	25	71	73	1,010	i - j	S 235	6	↗ R7
11	14	3	0,606	j - i	S 235	6	↗ R2	26	73	75	1,010	i - j	S 235	6	↗ R7
12	13	14	1,010	i - j	S 235	6	↗ R2	27	75	77	1,010	i - j	S 235	6	↗ R7
13	40	42	1,010	i - j	S 235	6	↗ R8	28	77	81	1,010	i - j	S 235	6	↗ R7
14	42	44	1,010	i - j	S 235	6	↗ R8	29	85	64	0,606	j - i	S 235	6	↗ R7
15	44	46	1,010	i - j	S 235	6	↗ R8	30	81	85	1,010	i - j	S 235	6	↗ R7

Lengte: Elementlengte; Lokaal X: Lokale X-richting; Ref_z: Referentie voor lokale Z-richting;

Project

Analysis by

Model: **3P-LD-M1.axs**

23-5-2022

Pag. 9

Knooppoleggingen

	Knoop	X [m]	Y [m]	Z [m]	Type	Ref. elem.	Naam _x	Veermodel _x	K _x [kN/m]	K _{xV} [kN/m]	NL _x	Grenswaarde _x [kN]	Naam _y	Veermodel _y	K _y [kN/m]
1	4	-1,229	-1,229	-10,000	Staaf r.	Staaf 1	Lineair 1E+5 kN/m	NL elastisch	3E+5	3E+5	Druk Alleen druk	-	—	-	-
2	40	-0,450	1,679	-10,000	Staaf r.	Staaf 37	Lineair 1E+5 kN/m	NL elastisch	3E+5	3E+5	Druk Alleen druk	-	—	-	-
3	65	1,679	-0,450	-10,000	Staaf r.	Staaf 61	Lineair 1E+5 kN/m	NL elastisch	3E+5	3E+5	Druk Alleen druk	-	—	-	-

	Knoop	K _{yV} [kN/m]	Naam _z	Veermodel _z	K _z [kN/m]	K _{zV} [kN/m]	Naam _{xx}	Veermodel _{xx}	K _{xx} [kNm/rad]	K _{xxV} [kNm/rad]	Naam _{yy}	Veermodel _{yy}	K _{yy} [kNm/rad]	K _{yyV} [kNm/rad]	Naam _{zz}
1	4	-	—	-	-	-	—	-	-	-	—	-	-	-	—
2	40	-	—	-	-	-	—	-	-	-	—	-	-	-	—
3	65	-	—	-	-	-	—	-	-	-	—	-	-	-	—

	Knoop	Veermodel _{zz}	K _{zz} [kNm/rad]	K _{zzV} [kNm/rad]	Veermodel _w
1	4	-	-	-	-
2	40	-	-	-	-
3	65	-	-	-	-

Knoop: Ondersteunde knoop; **Type:** Opleggingstype; **Ref. elem.:** Referentie-element; **Naam_x:** Naam van de veereigenschappen; **Veermodel_x:** Veermodel; **K_x:** Initiële stijfheid; **K_{xV}:** Trillingsstijfheid; **NL_x:** Niet-lineaire parameters; **Grenswaarde_x:** Grenswaarde; **K_y, K_z, K_{xx}, K_{yy}, K_{zz}:** Initiële stijfheid;

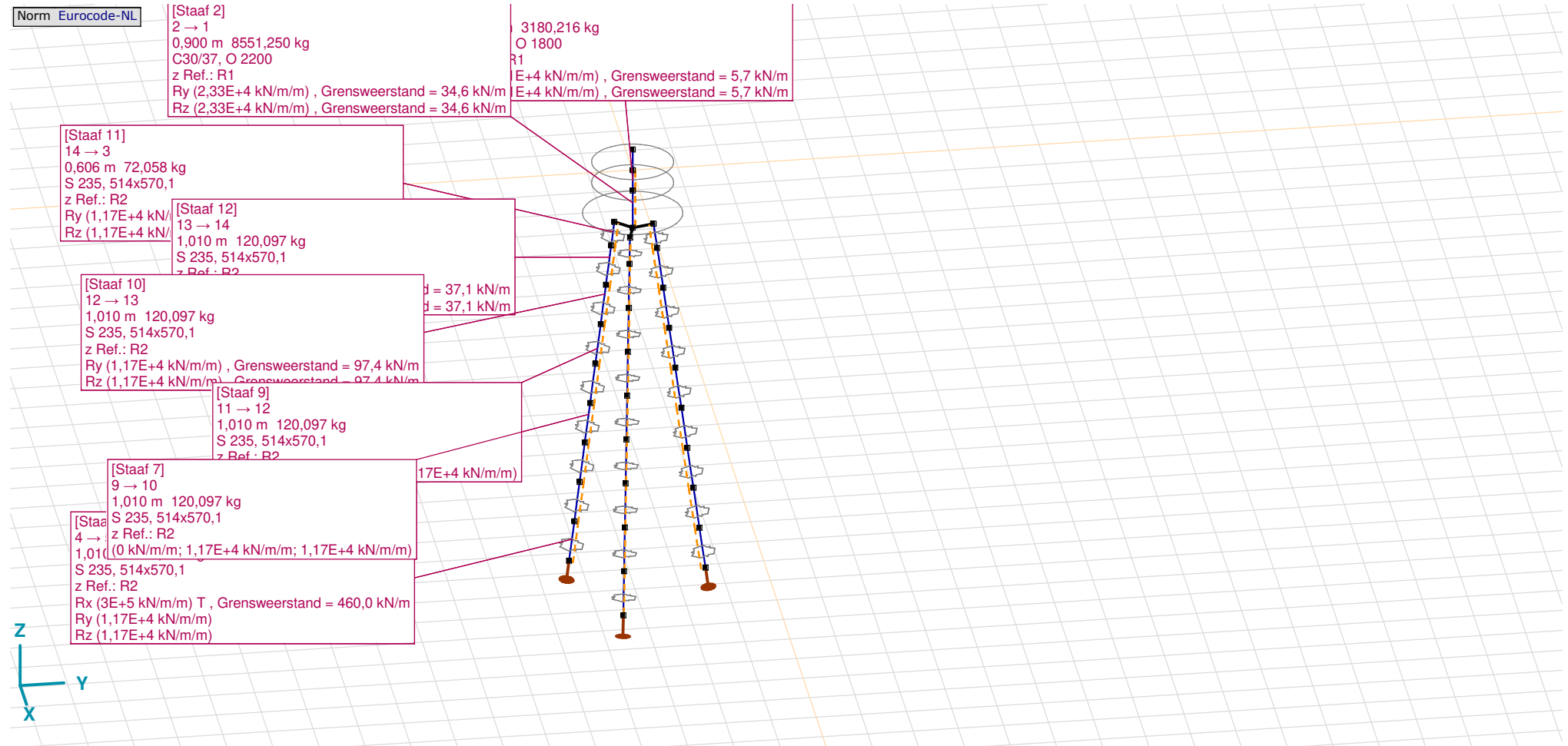
Project

Analysis by

Model: **3P-LD-M1.axs**

23-5-2022

Pag. 10



Tekening met beddingen

Project

Analysis by

Model: **3P-LD-M1.axs**

23-5-2022

Pag. 11

Lijnopleggingen

	Lijn	Type	Ref. elem.	Rx [kN/m/m]	Ry [kN/m/m]	Rz [kN/m/m]	Rxx [kNm/rad/m]	Ryy [kNm/rad/m]	Rzz [kNm/rad/m]	NL(x)	NL(y)	NL(z)	NL(xx)	NL(yy)	NL(zz)
		StAAF r.													
1	StAAF 1	StAAF r.		3E+5	1,17E+4	1,17E+4				Trek	Symmetrisch	Symmetrisch			
2	StAAF 2	StAAF r.		0	2,33E+4	2,33E+4					Symmetrisch	Symmetrisch			
3	StAAF 3	StAAF r.		0	1,91E+4	1,91E+4					Symmetrisch	Symmetrisch			
7	StAAF 5	StAAF r.		0	1,17E+4	1,17E+4					Symmetrisch	Symmetrisch			
8	StAAF 6	StAAF r.		0	1,17E+4	1,17E+4					Symmetrisch	Symmetrisch			
9	StAAF 7	StAAF r.		0	1,17E+4	1,17E+4					Symmetrisch	Symmetrisch			
10	StAAF 8	StAAF r.		0	6,45E+3	6,45E+3					Symmetrisch	Symmetrisch			
11	StAAF 9	StAAF r.		0	1,17E+4	1,17E+4					Symmetrisch	Symmetrisch			
6	StAAF 10	StAAF r.		0	1,17E+4	1,17E+4					Symmetrisch	Symmetrisch			
4	StAAF 11	StAAF r.		0	1,17E+4	1,17E+4					Symmetrisch	Symmetrisch			
5	StAAF 12	StAAF r.		0	1,17E+4	1,17E+4					Symmetrisch	Symmetrisch			
12	StAAF 13	StAAF r.		3E+5	1,17E+4	1,17E+4				Trek	Symmetrisch	Symmetrisch			
13	StAAF 14	StAAF r.		0	1,17E+4	1,17E+4					Symmetrisch	Symmetrisch			
14	StAAF 15	StAAF r.		0	1,17E+4	1,17E+4					Symmetrisch	Symmetrisch			
15	StAAF 16	StAAF r.		0	1,17E+4	1,17E+4					Symmetrisch	Symmetrisch			
16	StAAF 17	StAAF r.		0	6,45E+3	6,45E+3					Symmetrisch	Symmetrisch			

	Lijn	F(x) [kN/m]	F(y) [kN/m]	F(z) [kN/m]	M(x) [kNm/m]	M(y) [kNm/m]	M(z) [kNm/m]
1	StAAF 1	460,0					
2	StAAF 2		34,6	34,6			
3	StAAF 3		5,7	5,7			
7	StAAF 5						
8	StAAF 6						
9	StAAF 7						
10	StAAF 8						
11	StAAF 9						
6	StAAF 10		97,4	97,4			
4	StAAF 11		16,7	16,7			
5	StAAF 12		37,1	37,1			
12	StAAF 13	460,0					
13	StAAF 14						
14	StAAF 15						
15	StAAF 16						
16	StAAF 17						

Project

Analysis by

Model: **3P-LD-M1.axs**

23-5-2022

Pag. 12

Lijnopleggingen

	Lijn	Type	Ref. elem.	R _x [kN/m/m]	R _y [kN/m/m]	R _z [kN/m/m]	R _{xx} [kNm/rad/m]	R _{yy} [kNm/rad/m]	R _{zz} [kNm/rad/m]	NL(x)	NL(y)	NL(z)	NL(xx)	NL(yy)	NL(zz)
17	StAAF 18	StAAF r.		0	1,17E+4	1,17E+4					Symmetrisch	Symmetrisch			
18	StAAF 19	StAAF r.		0	1,17E+4	1,17E+4					Symmetrisch	Symmetrisch			
19	StAAF 20	StAAF r.		0	1,17E+4	1,17E+4					Symmetrisch	Symmetrisch			
20	StAAF 21	StAAF r.		0	1,17E+4	1,17E+4					Symmetrisch	Symmetrisch			
21	StAAF 22	StAAF r.		3E+5	1,17E+4	1,17E+4				Trek	Symmetrisch	Symmetrisch			
22	StAAF 23	StAAF r.		0	1,17E+4	1,17E+4					Symmetrisch	Symmetrisch			
23	StAAF 24	StAAF r.		0	1,17E+4	1,17E+4					Symmetrisch	Symmetrisch			
24	StAAF 25	StAAF r.		0	1,17E+4	1,17E+4					Symmetrisch	Symmetrisch			
25	StAAF 26	StAAF r.		0	6,45E+3	6,45E+3					Symmetrisch	Symmetrisch			
26	StAAF 27	StAAF r.		0	1,17E+4	1,17E+4					Symmetrisch	Symmetrisch			
27	StAAF 28	StAAF r.		0	1,17E+4	1,17E+4					Symmetrisch	Symmetrisch			
28	StAAF 29	StAAF r.		0	1,17E+4	1,17E+4					Symmetrisch	Symmetrisch			
29	StAAF 30	StAAF r.		0	1,17E+4	1,17E+4					Symmetrisch	Symmetrisch			

	Lijn	F(x) [kN/m]	F(y) [kN/m]	F(z) [kN/m]	M(x) [kNm/m]	M(y) [kNm/m]	M(z) [kNm/m]
17	StAAF 18						
18	StAAF 19		97,4	97,4			
19	StAAF 20		16,7	16,7			
20	StAAF 21		37,1	37,1			
21	StAAF 22	460,0					
22	StAAF 23						
23	StAAF 24						
24	StAAF 25						
25	StAAF 26						
26	StAAF 27						
27	StAAF 28		97,4	97,4			
28	StAAF 29		16,7	16,7			
29	StAAF 30		37,1	37,1			

Lijn: Ondersteund lijnelement; **Type:** Opleggingstype; **Ref. elem.:** Referentie-element; **R_x, R_y, R_z:** Verplaatsingsstijfheid; **R_{xx}, R_{yy}, R_{zz}:** Rotatiestijfheid; **NL(x), NL(y), NL(z), NL(xx), NL(yy), NL(zz):** Niet-lineaire parameters; **F(x):** Weerstand in X-richting; **F(y):** Weerstand in Y-richting; **F(z):** Weerstand in Z-richting; **M(x):** Weerstandsmoment in X-richting; **M(y):** Weerstandsmoment in Y-richting; **M(z):** Weerstandsmoment in Z-richting;

Project

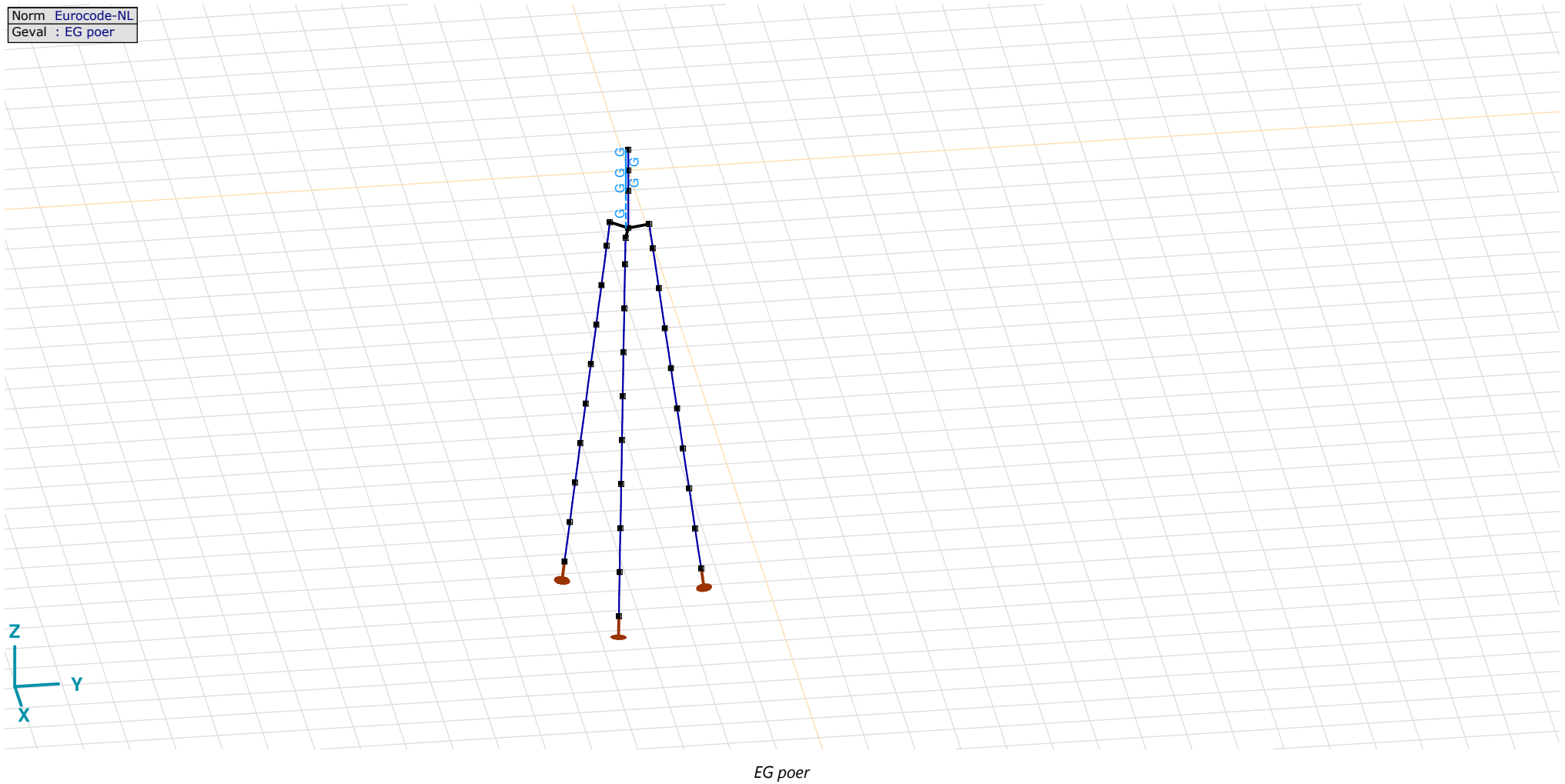
Analysis by

Model: **3P-LD-M1.axs**

23-5-2022

Pag. 13

Norm Eurocode-NL
Geval : EG poer



Project

Analysis by

Model: **3P-LD-M1.axs**

23-5-2022

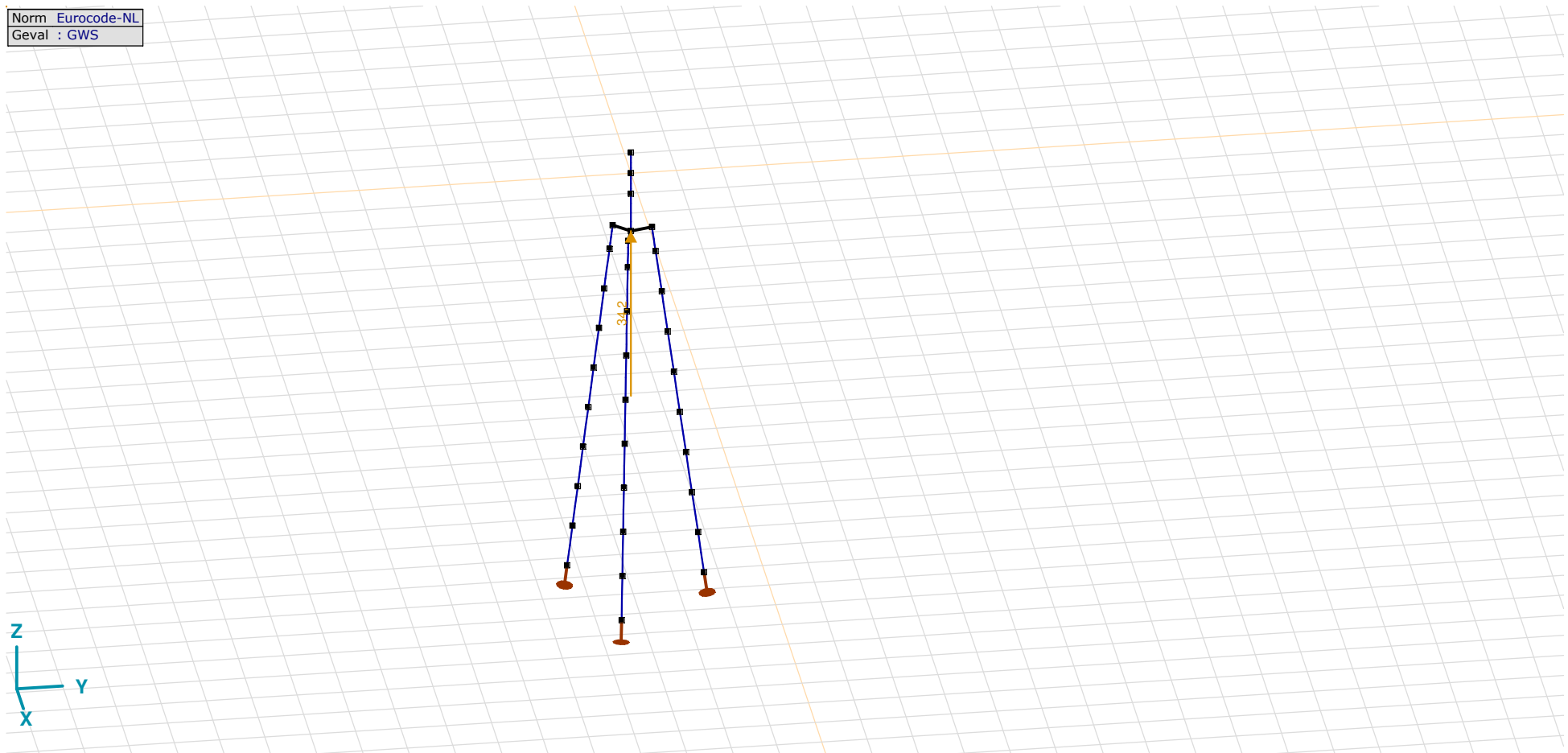
Pag. 14

EG poer: Staaf eigen gewicht

	Σ [kg]
13-24	14911,682
Totaal	14911,682

 Σ : Totale massa;

Norm Eurocode-NL
Geval : GWS



GWS

Project

Analysis by

Model: **3P-LD-M1.axs**

23-5-2022

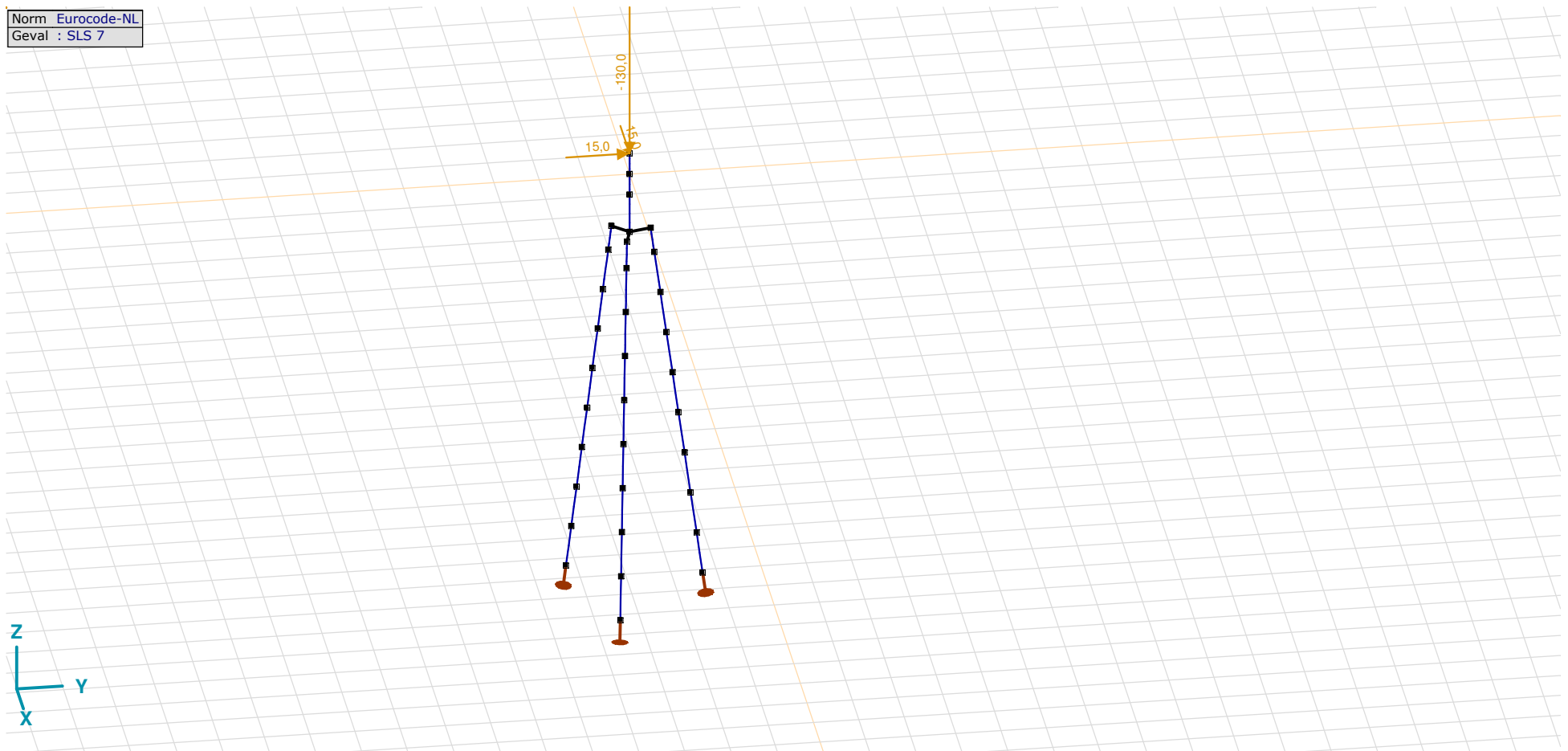
Pag. 15

GWS: Knoopbelastingen

	Richting	F_x [kN]	F_y [kN]	F_z [kN]	M_x [kNm]	M_y [kNm]	M_z [kNm]
2	Globaal	0	0	34,2	0	0	0

F_x , F_y , F_z : Belastingkracht component; M_x , M_y , M_z : Belastingsmoment component;

Norm Eurocode-NL
Geval : SLS 7



SLS 7

Project

Analysis by

Model: **3P-LD-M1.axs**

23-5-2022

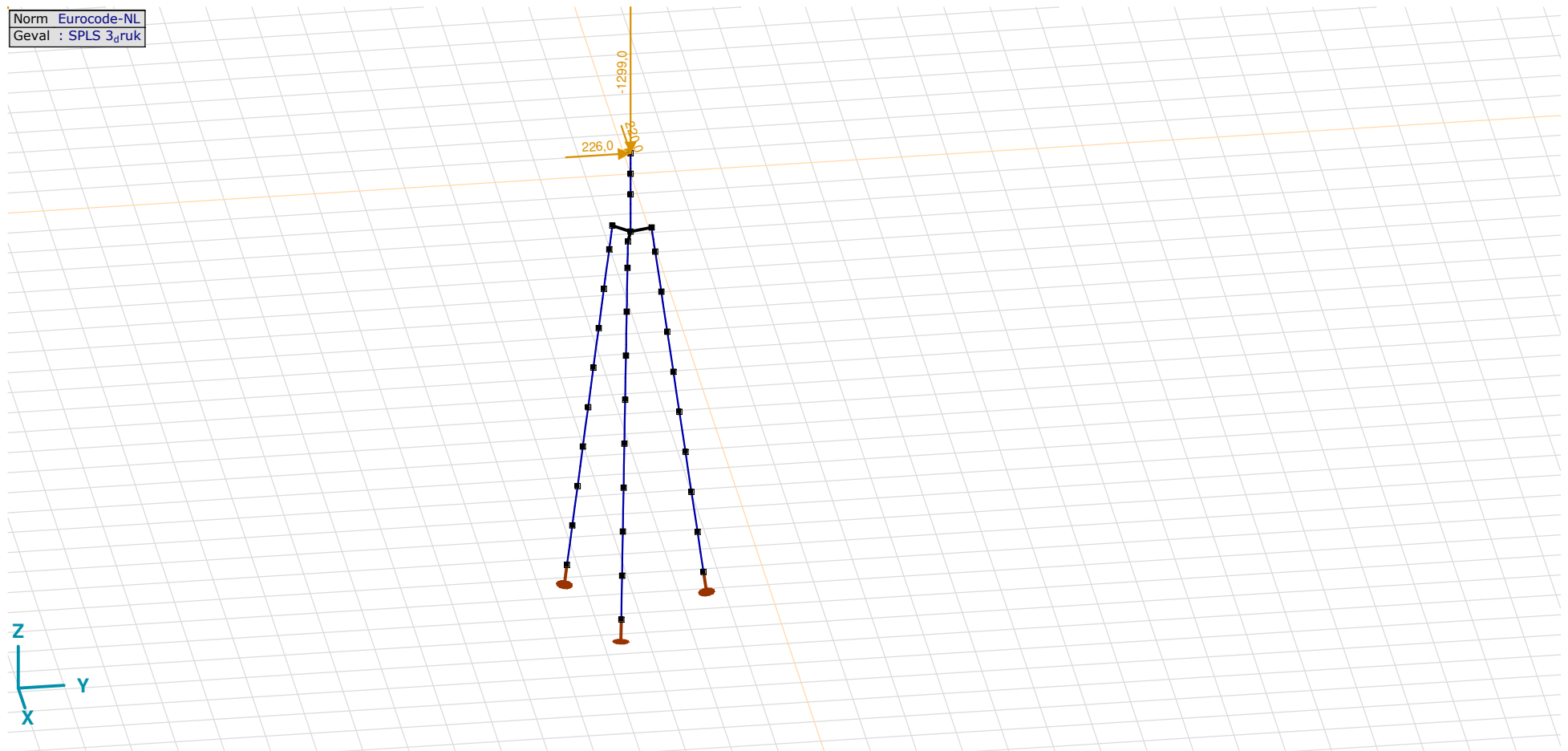
Pag. 16

SLS 7: Knoopbelastingen

	Richting	F_x [kN]	F_y [kN]	F_z [kN]	M_x [kNm]	M_y [kNm]	M_z [kNm]
6	Globaal	15,0	15,0	-130,0	0	0	0

F_x , F_y , F_z : Belastingkracht component; M_x , M_y , M_z : Belastingsmoment component;

Norm Eurocode-NL
Geval : SPLS 3_{druk}



SPLS 3_{druk}

Project

Analysis by

Model: **3P-LD-M1.axs**

23-5-2022

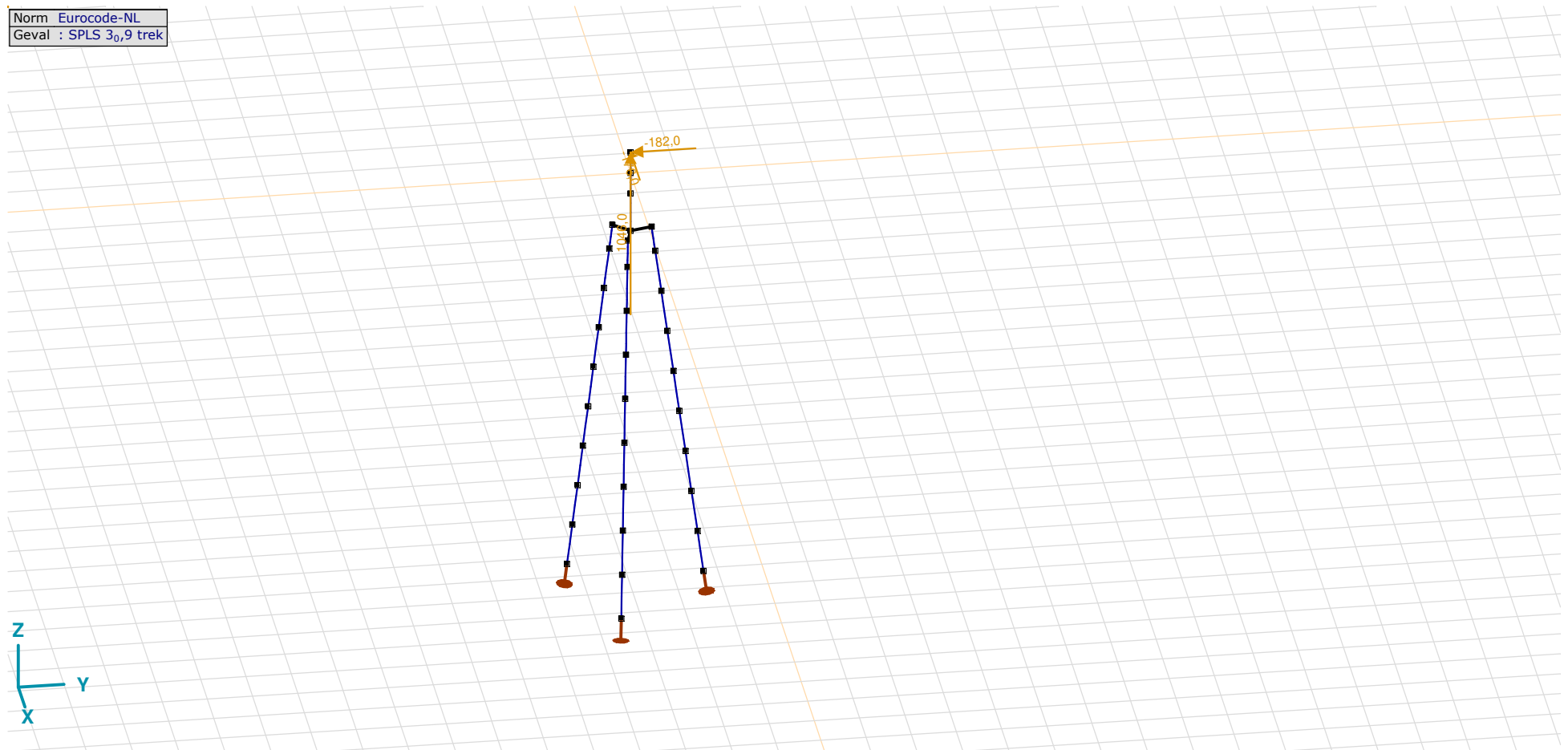
Pag. 17

SPLS 3_druk: Knoopbelastingen

	Richting	F_x [kN]	F_y [kN]	F_z [kN]	M_x [kNm]	M_y [kNm]	M_z [kNm]
6	Globaal	220,0	226,0	-1299,0	0	0	0

F_x , F_y , F_z : Belastingkracht component; M_x , M_y , M_z : Belastingsmoment component;

Norm Eurocode-NL
Geval : SPLS 3_{0,9} trek



SPLS 3_{0,9} trek

Project

Analysis by

Model: **3P-LD-M1.axs**

23-5-2022

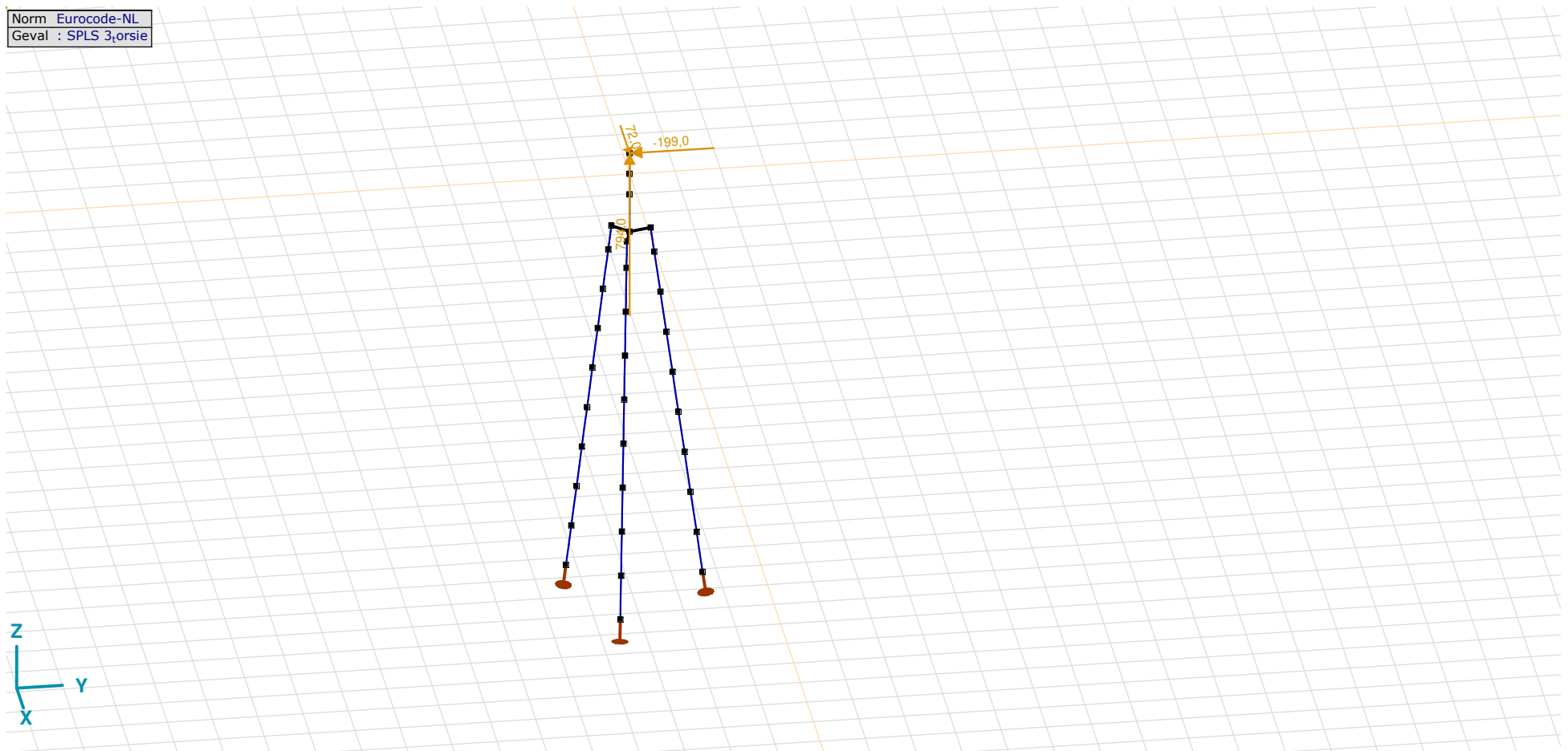
Pag. 18

SPLS 3_0,9 trek: Knoopbelastingen

	Richting	F_x [kN]	F_y [kN]	F_z [kN]	M_x [kNm]	M_y [kNm]	M_z [kNm]
6	Globaal	-176,0	-182,0	1046,0	0	0	0

F_x, F_y, F_z: Belastingkracht component; **M_x, M_y, M_z**: Belastingmoment component;

Norm Eurocode-NL
Geval : SPLS 3,orsie



SPLS 3_torsie

Project

Analysis by

Model: **3P-LD-M1.axs**

23-5-2022

Pag. 19

SPLS 3_torsie: Knoopbelastingen

	<i>Richting</i>	<i>F_x</i> [kN]	<i>F_y</i> [kN]	<i>F_z</i> [kN]	<i>M_x</i> [kNm]	<i>M_y</i> [kNm]	<i>M_z</i> [kNm]
6	Globaal	72,0	-199,0	794,0	0	0	0

F_x, F_y, F_z: Belastingkracht component; **M_x, M_y, M_z**: Belastingsmoment component;

Gebruiker gedefinieerde belastingcombinaties uit belastinggevallen

	<i>Naam</i>	<i>Type</i>	<i>ST1</i>	<i>EG poer</i> (PERM1)	<i>GWS</i> (PERM1)	<i>SLS 7</i> (PERM1)	<i>SPLS 3_druk</i> (VER1)	<i>SPLS 3_0,9 trek</i> (VER1)	<i>SPLS 3_torsie</i> (VER1)	<i>Commentaar</i>
1	Co #1 max druk	UGT	0	1,20	0	0	1,00	0	0	
2	Co #2 max trek	UGT	0	0,90	1,00	0	0	1,00	0	
3	Co #3 max torsie	UGT	0	1,20	1,00	0	0	0	1,00	
4	Co #4 Perm	BGT Quasi-blijvend	0	1,00	0	1,00	0	0	0	

Naam: Naam belastingcombinatie; **Type**: Type belastingcombinatie; **ST1, EG poer (PERM1), GWS (PERM1), SLS 7 (PERM1), SPLS 3_druk (VER1), SPLS 3_0,9 trek (VER1), SPLS 3_torsie (VER1)**: Factor;

Project

Analysis by

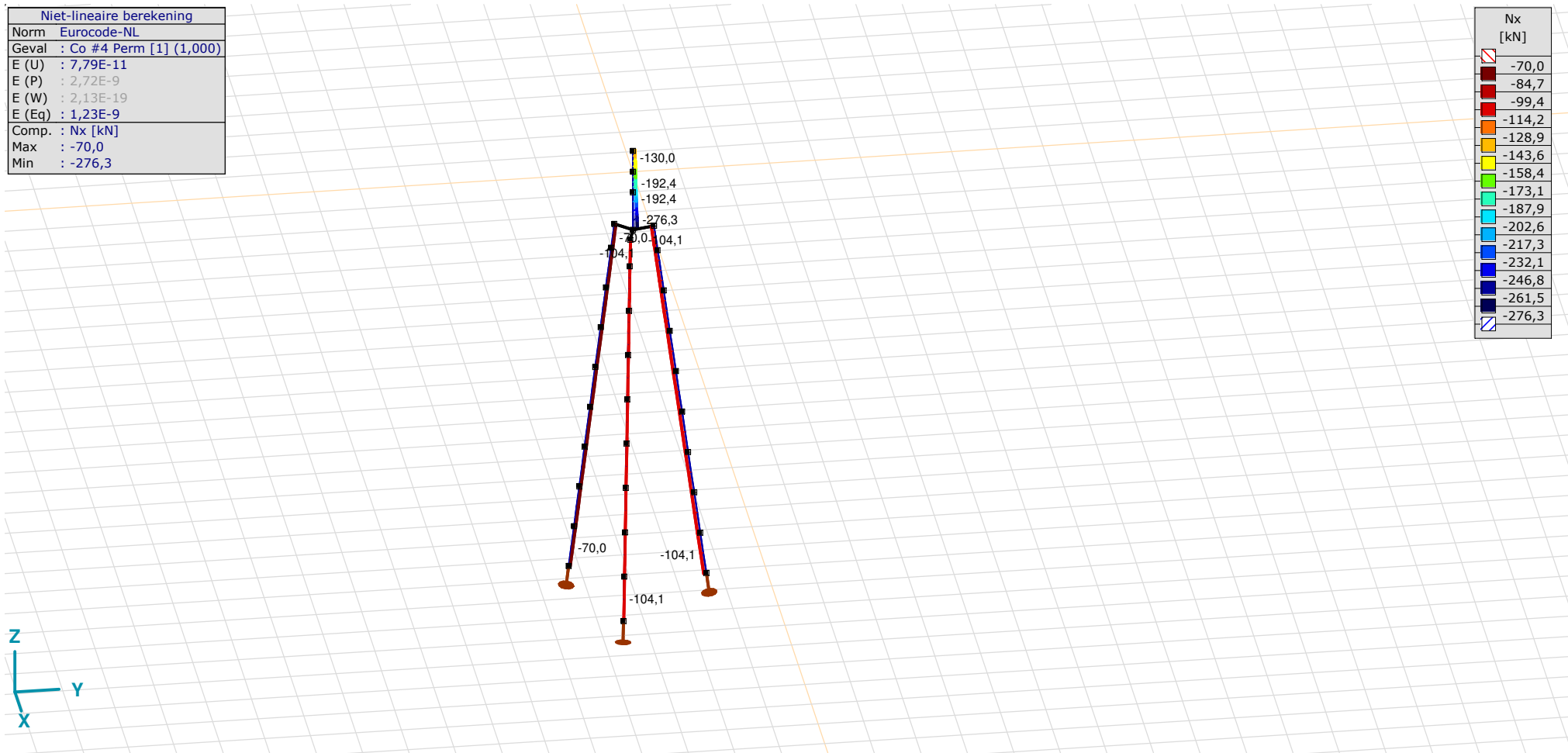
Model: **3P-LD-M1.axs**

23-5-2022

Pag. 20

Niet-lineaire berekening	
Norm	Eurocode-NL
Geval	Co #4 Perm [1] (1,000)
E (U)	: 7,79E-11
E (P)	: 2,72E-9
E (W)	: 2,13E-19
E (Eq)	: 1,23E-9
Comp.	Nx [kN]
Max	: -70,0
Min	: -276,3

Nx [kN]	
[-70,0]	
[-84,7]	
[-99,4]	
[-114,2]	
[-128,9]	
[-143,6]	
[-158,4]	
[-173,1]	
[-187,9]	
[-202,6]	
[-217,3]	
[-232,1]	
[-246,8]	
[-261,5]	
[-276,3]	



[1], Non-lin., Co #4 Perm [1] (1,000), Nx, Lijnen (gevuld)(gevuld)

Project

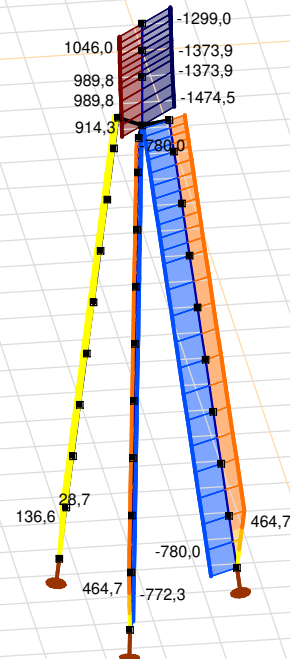
Analysis by

Model: **3P-LD-M1.axs**

23-5-2022

Pag. 21

Niet-lineaire berekening	
Norm	Eurocode-NL
Geval	: Omhullende Min,Max
Omhullende	: Alle UGT
E (U)	: 3,83E-4
E (P)	: 2,48E-9
E (W)	: 7,55E-13
E (Eq)	: 2,37E-9
Comp.	: Nx [kN]
Max	: 1046,0
Min	: -1474,5



Nx [kN]	
1046,0	866,0
685,9	505,9
325,9	145,8
-34,2	-214,3
-394,3	-574,3
-754,4	-934,4
-1114,5	-1294,5
-1474,5	

[II], Non-lin., Omhullende (Alle UGT), Nx, Lijnen (gevuld)

Project

Analysis by

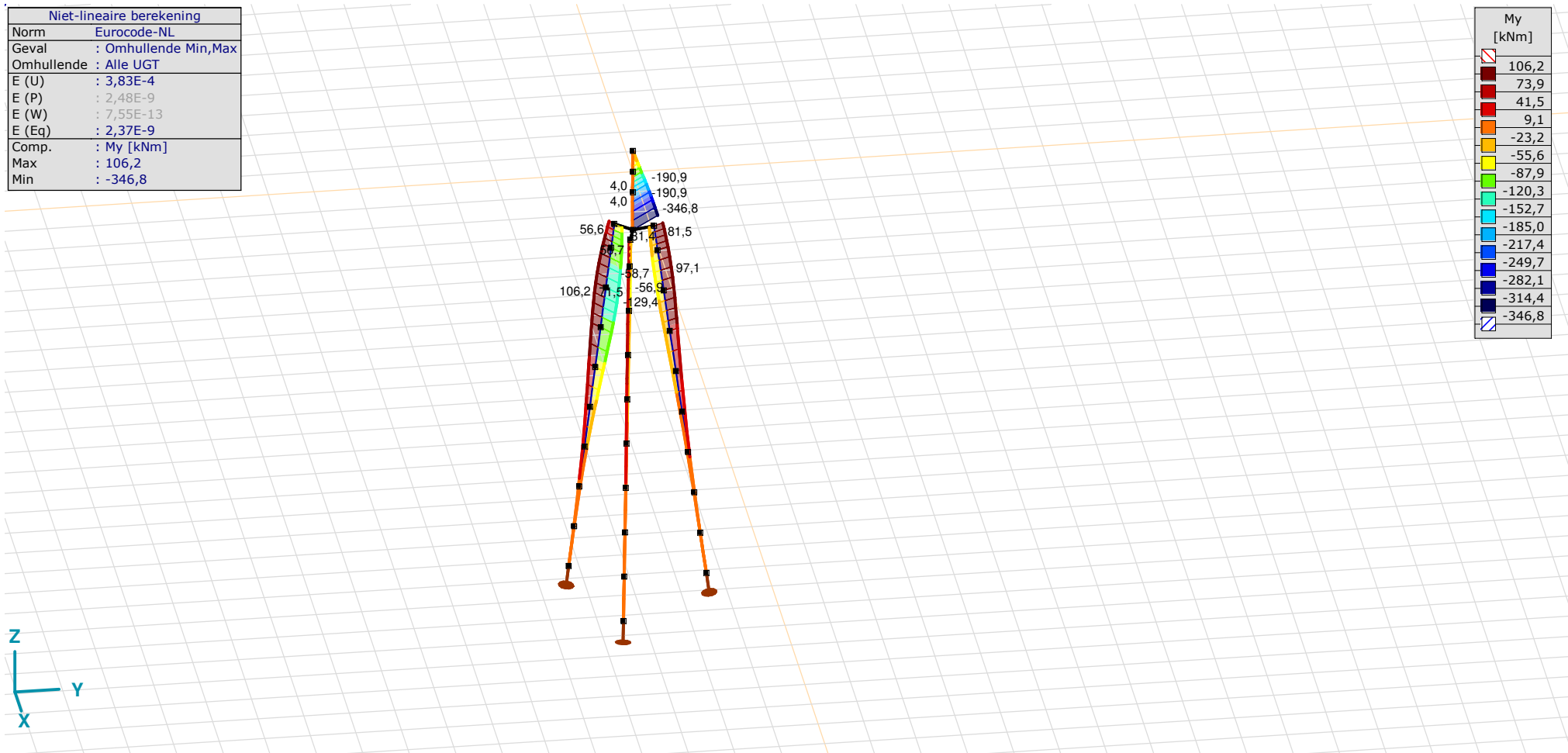
Model: **3P-LD-M1.axs**

23-5-2022

Pag. 22

Niet-lineaire berekening	
Norm	Eurocode-NL
Geval	: Omhullende Min,Max
Omhullende	: Alle UGT
E (U)	: 3,83E-4
E (P)	: 2,48E-9
E (W)	: 7,55E-13
E (Eq)	: 2,37E-9
Comp.	: My [kNm]
Max	: 106,2
Min	: -346,8

My [kNm]	
	106,2
	73,9
	41,5
	9,1
	-23,2
	-55,6
	-87,9
	-120,3
	-152,7
	-185,0
	-217,4
	-249,7
	-282,1
	-314,4
	-346,8



[III], Non-lin., Omhullende (Alle UGT), My, Lijnen (gevuld)

Project

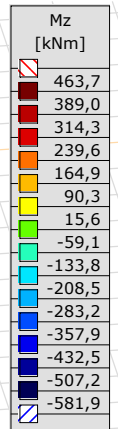
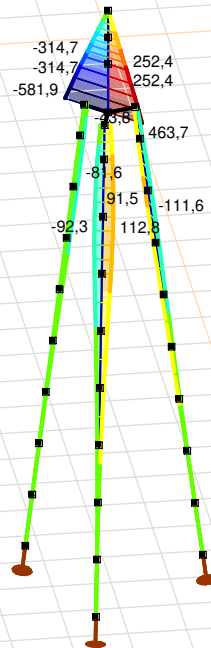
Analysis by

Model: **3P-LD-M1.axs**

23-5-2022

Pag. 23

Niet-lineaire berekening	
Norm	Eurocode-NL
Geval	: Omhullende Min,Max
Omhullende	: Alle UGT
E (U)	: 3,83E-4
E (P)	: 2,48E-9
E (W)	: 7,55E-13
E (Eq)	: 2,37E-9
Comp.	: Mz [kNm]
Max	: 463,7
Min	: -581,9



[III], Non-lin., Omhullende (Alle UGT), Mz, Lijnen (gevuld)

Project

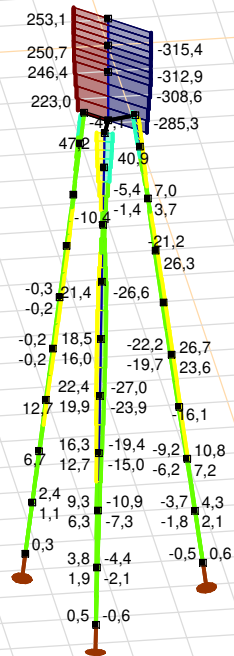
Analysis by

Model: **3P-LD-M1.axs**

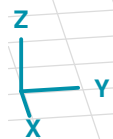
23-5-2022

Pag. 24

Niet-lineaire berekening	
Norm	Eurocode-NL
Geval	: Omhullende Min,Max
Omhullende	: Alle UGT
E (U)	: 3,83E-4
E (P)	: 2,48E-9
E (W)	: 7,55E-13
E (Eq)	: 2,37E-9
Comp.	: Vy [kN]
Max	: 253,1
Min	: -315,4



Vy [kN]	
253,1	
212,5	
171,9	
131,3	
90,7	
50,1	
9,5	
-31,1	
-71,7	
-112,3	
-152,9	
-193,5	
-234,2	
-274,8	
-315,4	



[II], Non-lin., Omhullende (Alle UGT), Vy, Lijnen (gevuld)

Project

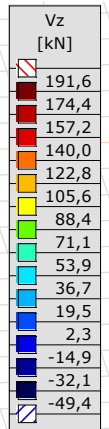
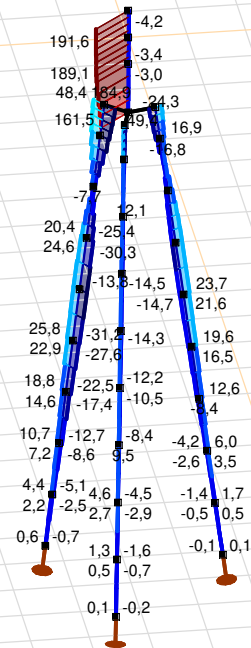
Analysis by

Model: **3P-LD-M1.axs**

23-5-2022

Pag. 25

Niet-lineaire berekening	
Norm	Eurocode-NL
Geval	: Omhullende Min,Max
Omhullende	: Alle UGT
E (U)	: 3,83E-4
E (P)	: 2,48E-9
E (W)	: 7,55E-13
E (Eq)	: 2,37E-9
Comp.	: Vz [kN]
Max	: 191,6
Min	: -49,4



[II], Non-lin., Omhullende (Alle UGT), Vz, Lijnen (gevuld)

Project

Analysis by

Model: **3P-LD-M1.axs**

23-5-2022

Pag. 26

Staafkrachten [Non-lin., Omhullende (Alle UGT), Palen]

	Prof.	Doorsnede naam	C	min. max.	Geval	Pos. [m]	Knoop	Nx [kN]	Vy [kN]	Vz [kN]	Tx [kNm]	My [kNm]	Mz [kNm]	B [kNm ²]
Ext.														
1	6	514x570,1	Nx	min	Co #2 max trek [1] (1,000)	0	(4)	0	0	-0,7	0	0	0	0
1	6	514x570,1		max	Co #3 max torsie [1] (1,000)	1,010	(5)	136,6	1,1	-0,4	0	-0,2	-0,6	0
1	6	514x570,1	Vy	min	Co #2 max trek [1] (1,000)	0,505	(15)	14,2	0	-2,5	0	-0,3	0	0
1	6	514x570,1		max	Co #3 max torsie [1] (1,000)	0,505	(15)	67,5	1,1	-0,4	0	0	-0,1	0
1	6	514x570,1	Vz	min	Co #2 max trek [1] (1,000)	0,505	(15)	14,2	0	-2,5	0	-0,3	0	0
1	6	514x570,1		max	Co #1 max druk [1] (1,000)	0,505	(15)	30,9	0	2,2	0	0,3	0	0
1	6	514x570,1	My	min	Co #2 max trek [1] (1,000)	1,010	(5)	28,7	0	-2,5	0	-1,5	0	0
1	6	514x570,1		max	Co #1 max druk [1] (1,000)	1,010	(5)	62,4	0	2,2	0	1,3	0	0
1	6	514x570,1	Mz	min	Co #3 max torsie [1] (1,000)	1,010	(5)	136,6	1,1	-0,4	0	-0,2	-0,6	0
1	6	514x570,1		max	Co #2 max trek [1] (1,000)	1,010	(5)	28,7	0	-2,5	0	-1,5	0	0

Prof.: Profiel; **C:** Extreme component; **min. max.:** Extreme type; **Geval:** Belastinggeval van de extreme; **Pos.:** Lokale X-positie van de doorsnede op de staaf; **Nx:** Normalkracht; **Vy:** Dwarskracht in lokale y-richting; **Vz:** Dwarskracht in lokale z-richting; **Tx:** Torsiemoment; **My:** Buigend moment in lokale y-richting; **Mz:** Buigend moment in lokale z-richting; **B:** Bimoment;

Project

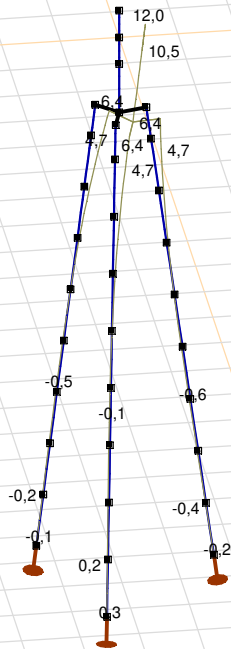
Analysis by

Model: **3P-LD-M1.axs**

23-5-2022

Pag. 27

Niet-lineaire berekening	
Norm	Eurocode-NL
Geval	Co #1 max druk [1] (1,000)
E (U)	: 3,83E-4
E (P)	: 2,48E-9
E (W)	: 7,55E-13
E (Eq)	: 2,37E-9
Comp.	: eX [mm]
Max	: 12,0
Min	: -0,6



[III], Non-lin., Co #1 max druk [1] (1,000), eX, Lijnen

Project

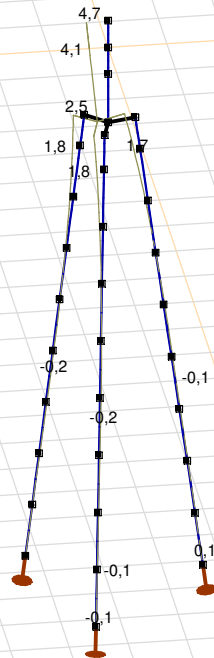
Analysis by

Model: **3P-LD-M1.axs**

23-5-2022

Pag. 28

Niet-lineaire berekening	
Norm	Eurocode-NL
Geval	Co #3 max torsie [1] (1,000)
E (U)	: 5,03E-4
E (P)	: 2,78E-9
E (W)	: 1,21E-12
E (Eq)	: 3,48E-9
Comp.	: eX [mm]
Max	: 4,7
Min	: -0,2



III, Non-lin., Co #3 max torsie [1] (1,000), eX, Lijnen

Project

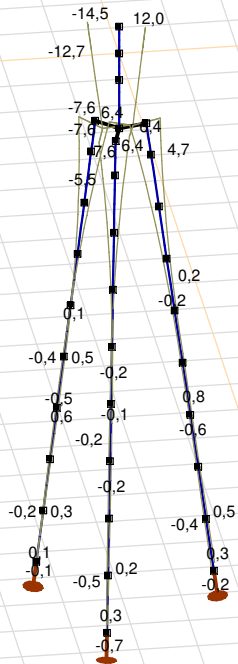
Analysis by

Model: **3P-LD-M1.axs**

23-5-2022

Pag. 29

Niet-lineaire berekening	
Norm	Eurocode-NL
Geval	: Omhullende Min,Max
Omhullende	: Alle UGT
E (U)	: 3,83E-4
E (P)	: 2,48E-9
E (W)	: 7,55E-13
E (Eq)	: 2,37E-9
Comp.	: eX [mm]
Max	: 12,0
Min	: -14,5



Project

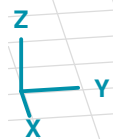
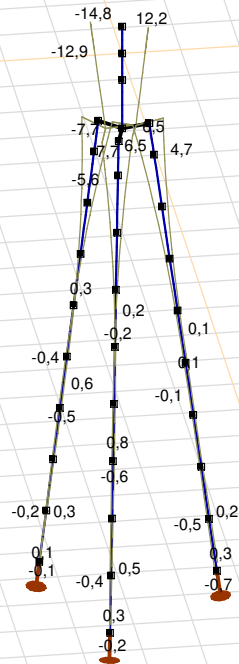
Analysis by

Model: **3P-LD-M1.axs**

23-5-2022

Pag. 30

Niet-lineaire berekening	
Norm	Eurocode-NL
Geval	: Omhullende Min,Max
Omhullende	: Alle UGT
E (U)	: 3,83E-4
E (P)	: 2,48E-9
E (W)	: 7,55E-13
E (Eq)	: 2,37E-9
Comp.	: eY [mm]
Max	: 12,2
Min	: -14,8



[II], Non-lin., Omhullende (Alle UGT), eY, Lijnen

Project

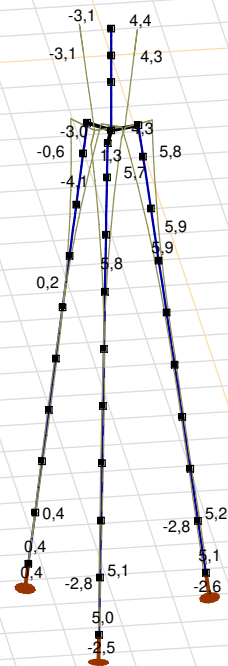
Analysis by

Model: **3P-LD-M1.axs**

23-5-2022

Pag. 31

Niet-lineaire berekening	
Norm	Eurocode-NL
Geval	: Omhullende Min,Max
Omhullende	: Alle UGT
E (U)	: 3,83E-4
E (P)	: 2,48E-9
E (W)	: 7,55E-13
E (Eq)	: 2,37E-9
Comp.	: eZ [mm]
Max	: 5,9
Min	: -4,1



[II], Non-lin., Omhullende (Alle UGT), eZ, Lijnen

Project

Analysis by

Model: **3P-LD-M1.axs**

23-5-2022

Pag. 32

Knoopverplaatsingen [Non-lin., Omhullende (Alle UGT)]

	C	min. max.	Geval	eX [mm]	eY [mm]	eZ [mm]	eR [mm]	fX [rad]	fY [rad]	fZ [rad]	fR [rad]
Ext.											
6	eX	min	Co #2 max trek [1] (1,000)	-14,5	-14,8	4,4	21,1	0,0037	-0,0037	0	0,0052
6		max	Co #1 max druk [1] (1,000)	12,0	12,2	-3,1	17,4	-0,0031	0,0030	0	0,0043
6	eY	min	Co #2 max trek [1] (1,000)	-14,5	-14,8	4,4	21,1	0,0037	-0,0037	0	0,0052
6		max	Co #1 max druk [1] (1,000)	12,0	12,2	-3,1	17,4	-0,0031	0,0030	0	0,0043
60	eZ	min	Co #1 max druk [1] (1,000)	4,7	4,7	-4,1	7,8	-0,0026	0,0027	0	0,0038
62		min	Co #1 max druk [1] (1,000)	3,4	3,5	-4,1	6,4	-0,0022	0,0024	-0,0001	0,0033
63		min	Co #1 max druk [1] (1,000)	4,0	4,1	-4,1	7,1	-0,0024	0,0025	-0,0001	0,0035
52		max	Co #2 max trek [1] (1,000)	-0,8	-1,3	5,9	6,1	0,0012	-0,0015	0,0004	0,0020
53		max	Co #2 max trek [1] (1,000)	-1,2	-1,6	5,9	6,2	0,0014	-0,0017	0,0003	0,0023
54		max	Co #2 max trek [1] (1,000)	-1,6	-2,0	5,9	6,4	0,0017	-0,0019	0,0003	0,0026
55		max	Co #2 max trek [1] (1,000)	-2,1	-2,4	5,9	6,7	0,0019	-0,0022	0,0003	0,0029
4	eR	min	Co #2 max trek [1] (1,000)	0,1	0,1	0,1	0,2	-0,0002	0,0002	0	0,0003
6		max	Co #2 max trek [1] (1,000)	-14,5	-14,8	4,4	21,1	0,0037	-0,0037	0	0,0052

C: Extreme component; **min. max.:** Extreme type; **Geval:** Belastinggeval van de extreme; **eX:** Verplaatsing in X-richting; **eY:** Verplaatsing in Y-richting; **eZ:** Verplaatsing in Z-richting; **eR:** Resulterende verplaatsing; **fX:** Rotatie in X-richting; **fY:** Rotatie in Y-richting; **fZ:** Rotatie in Z-richting; **fR:** Resulterende rotatie;

Project

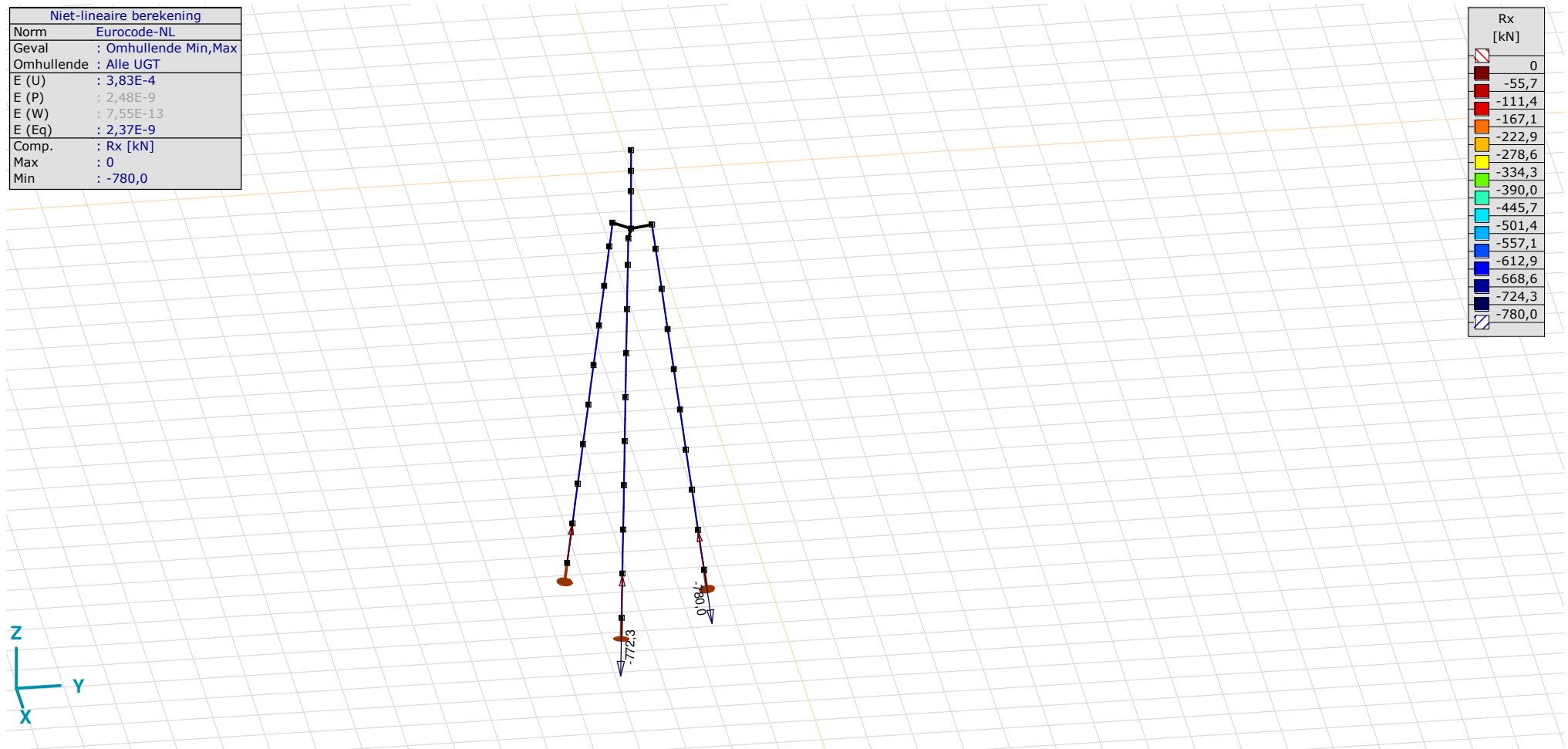
Analysis by

Model: **3P-LD-M1.axs**

23-5-2022

Pag. 33

Niet-lineaire berekening	
Norm	Eurocode-NL
Geval	: Omhullende Min,Max
Omhullende	: Alle UGT
E (U)	: 3,83E-4
E (P)	: 2,48E-9
E (W)	: 7,55E-13
E (Eq)	: 2,37E-9
Comp.	: Rx [kN]
Max	: 0
Min	: -780,0



[II], Non-lin., Omhullende (Alle UGT), Rx (knoopopl.), Lijnen

Project

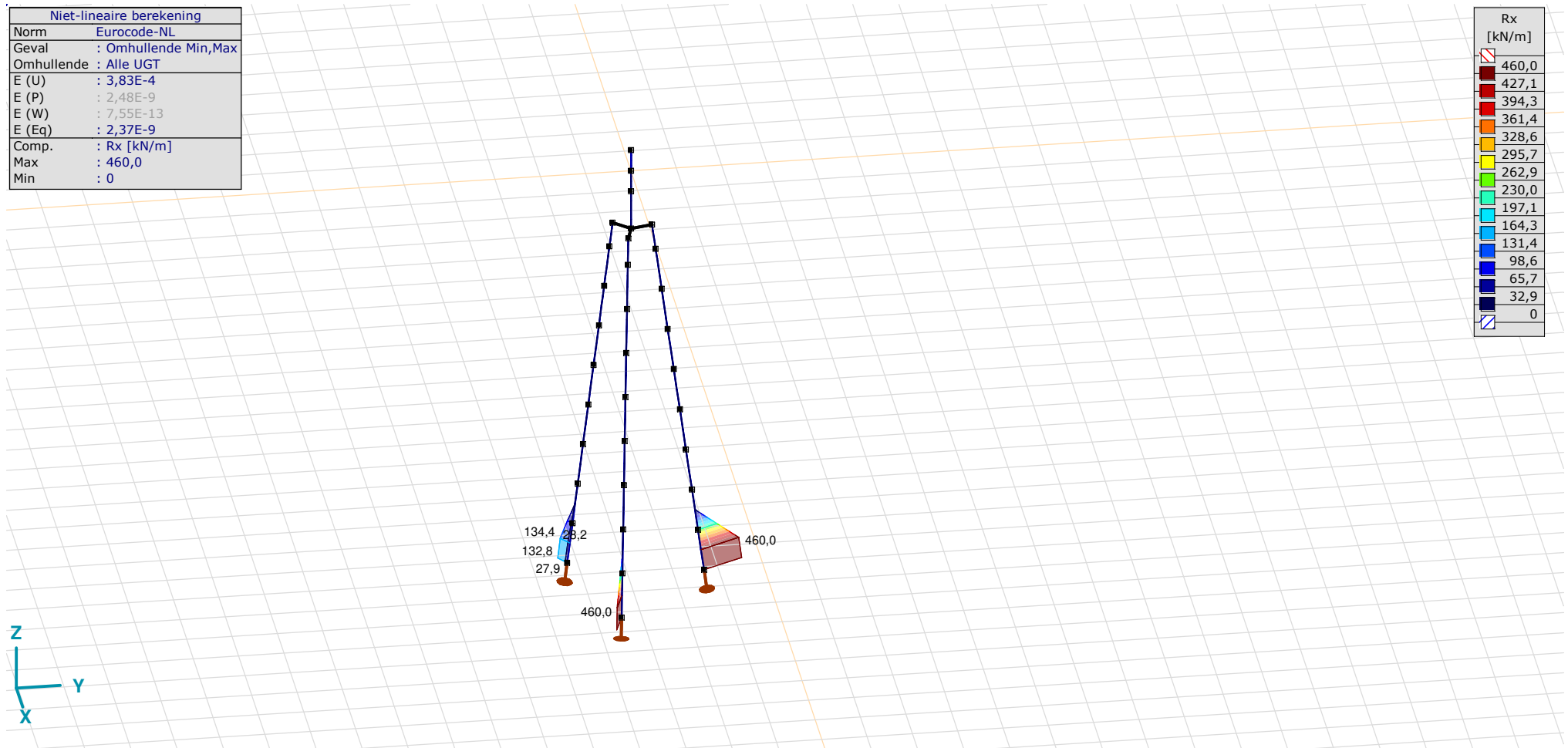
Analysis by

Model: **3P-LD-M1.axs**

23-5-2022

Pag. 34

Niet-lineaire berekening	
Norm	Eurocode-NL
Geval	: Omhullende Min,Max
Omhullende	: Alle UGT
E (U)	: 3,83E-4
E (P)	: 2,48E-9
E (W)	: 7,55E-13
E (Eq)	: 2,37E-9
Comp.	: Rx [kN/m]
Max	: 460,0
Min	: 0



III, Non-lin., Omhullende (Alle UGT), Rx (lijnopp.), Lijnen (gevuld)

Project

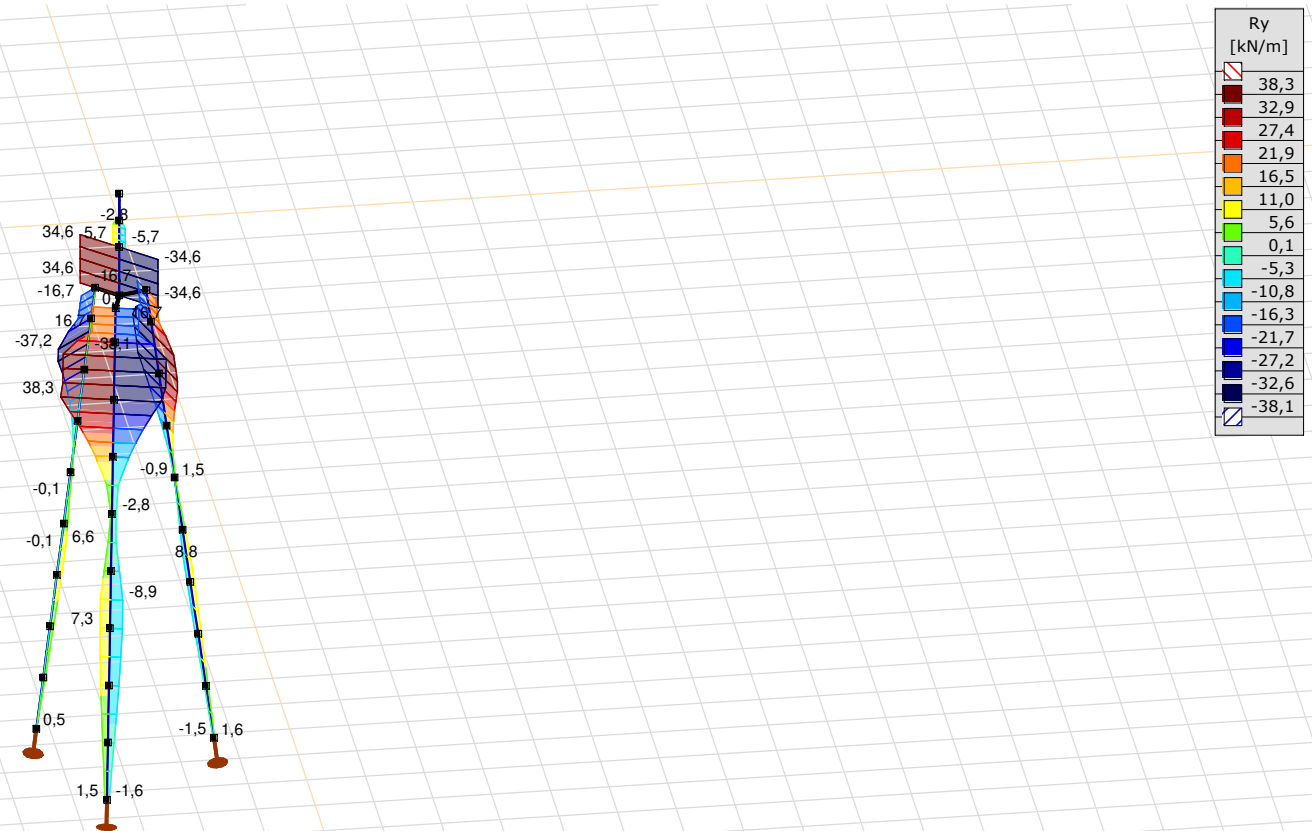
Analysis by

Model: **3P-LD-M1.axs**

23-5-2022

Pag. 35

Niet-lineaire berekening	
Norm	Eurocode-NL
Geval	: Omhullende Min,Max
Omhullende	: Alle UGT
E (U)	: 3,83E-4
E (P)	: 2,48E-9
E (W)	: 7,55E-13
E (Eq)	: 2,37E-9
Comp.	: Ry [kN/m]
Max	: 38,3
Min	: -38,1



[II], Non-lin., Omhullende (Alle UGT), Ry (lijnopp.), Lijnen (gevuld)

Project

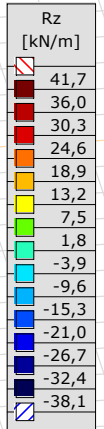
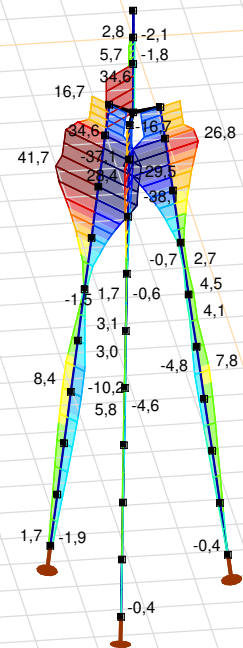
Analysis by

Model: **3P-LD-M1.axs**

23-5-2022

Pag. 36

Niet-lineaire berekening	
Norm	Eurocode-NL
Geval	: Omhullende Min,Max
Omhullende	: Alle UGT
E (U)	: 3,83E-4
E (P)	: 2,48E-9
E (W)	: 7,55E-13
E (Eq)	: 2,37E-9
Comp.	: Rz [kN/m]
Max	: 41,7
Min	: -38,1



[II], Non-lin., Omhullende (Alle UGT), Rz (lijnopp.), Lijnen (gevuld)

Project

Analysis by

Model: **3P-LD-M1.axs**

23-5-2022

Pag. 37

Interne krachten knooppogging [Non-lin., Omhullende (Alle UGT)]

	<i>Knoop</i>	<i>X [m]</i>	<i>Y [m]</i>	<i>Z [m]</i>	<i>Type</i>	<i>C</i>	<i>min. max.</i>	<i>Geval</i>	<i>Rx [kN]</i>
1	4	-1,229	-1,229	-10,000	Staaft r.	Rx	min	Co #2 max trek [1] (1,000)	0
							max	Co #3 max torsie [1] (1,000)	0
2	40	-0,450	1,679	-10,000	Staaft r.	Rx	min	Co #1 max druk [1] (1,000)	-780,0
							max	Co #2 max trek [1] (1,000)	0
3	65	1,679	-0,450	-10,000	Staaft r.	Rx	min	Co #1 max druk [1] (1,000)	-772,3
							max	Co #2 max trek [1] (1,000)	0
Ext.									
2	40	-0,450	1,679	-10,000	Staaft r.	Rx	min	Co #1 max druk [1] (1,000)	-780,0
2	40	-0,450	1,679	-10,000	Staaft r.		max	Co #2 max trek [1] (1,000)	0

Knoop: Ondersteunde knoop; **Type:** Opleggingstype; **C:** Extreme component; **min. max.:** Extreme type; **Geval:** Belastinggeval van de extreme; **Rx:** X-component opleggingsreactiekracht;

Project

Analysis by

AxisVM X6 R1q · Geregistreerd aan DNV GL - Energy
4P-O.axs

Report

Report, Inhoudsopgave

<i>Onderdeel</i>	<i>Pagina</i>	<i>Onderdeel</i>	<i>Pagina</i>
Tekening render	3	SPLS 3_torsie: Knoopbelastingen	23
Materialen	4	Gebruiker gedefinieerde belastingcombinaties uit belastinggevallen	23
Profielen	4	[II], Non-lin., Co #4 Perm [1] (1,000), Nx, Lijnen (gevuld)(gevuld)	24
Tekening	7	[II], Non-lin., Omhullende (Alle UGT), Nx, Lijnen (gevuld)	25
Knopen	8	[II], Non-lin., Omhullende (Alle UGT), My, Lijnen (gevuld)	26
Staven	8	[II], Non-lin., Omhullende (Alle UGT), Mz, Lijnen (gevuld)	27
Knoopopleggingen	10	[II], Non-lin., Omhullende (Alle UGT), Vy, Lijnen (gevuld)	28
Tekening met beddingen	11	[II], Non-lin., Omhullende (Alle UGT), Vz, Lijnen (gevuld)	29
Lijnopleggingen	12	Staafrachten [Non-lin., Omhullende (Alle UGT), Palen]	30
EG poer	17	[II], Non-lin., Co #1 max druk [1] (1,000), eX, Lijnen	31
EG poer: Staaf eigen gewicht	18	[II], Non-lin., Co #3 max torsie [1] (1,000), eX, Lijnen	32
GWS	18	[II], Non-lin., Omhullende (Alle UGT), eX, Lijnen	33
GWS: Knoopbelastingen	19	[II], Non-lin., Omhullende (Alle UGT), eY, Lijnen	34
SLS 7	19	[II], Non-lin., Omhullende (Alle UGT), eZ, Lijnen	35
SLS 7: Knoopbelastingen	20	Knoopverplaatsingen [Non-lin., Omhullende (Alle UGT)]	36
SPLS 3_druk	20	[II], Non-lin., Omhullende (Alle UGT), Rx (knoopopl.), Lijnen	37
SPLS 3_druk: Knoopbelastingen	21	[II], Non-lin., Omhullende (Alle UGT), Rx (lijnopp.), Lijnen (gevuld)	38
SPLS 3_0,9 trek	21	[II], Non-lin., Omhullende (Alle UGT), Ry (lijnopp.), Lijnen (gevuld)	39
SPLS 3_0,9 trek: Knoopbelastingen	22	[II], Non-lin., Omhullende (Alle UGT), Rz (lijnopp.), Lijnen (gevuld)	40
SPLS 3_torsie	22	Interne krachten knoopoplegging [Non-lin., Omhullende (Alle UGT)]	41

Project

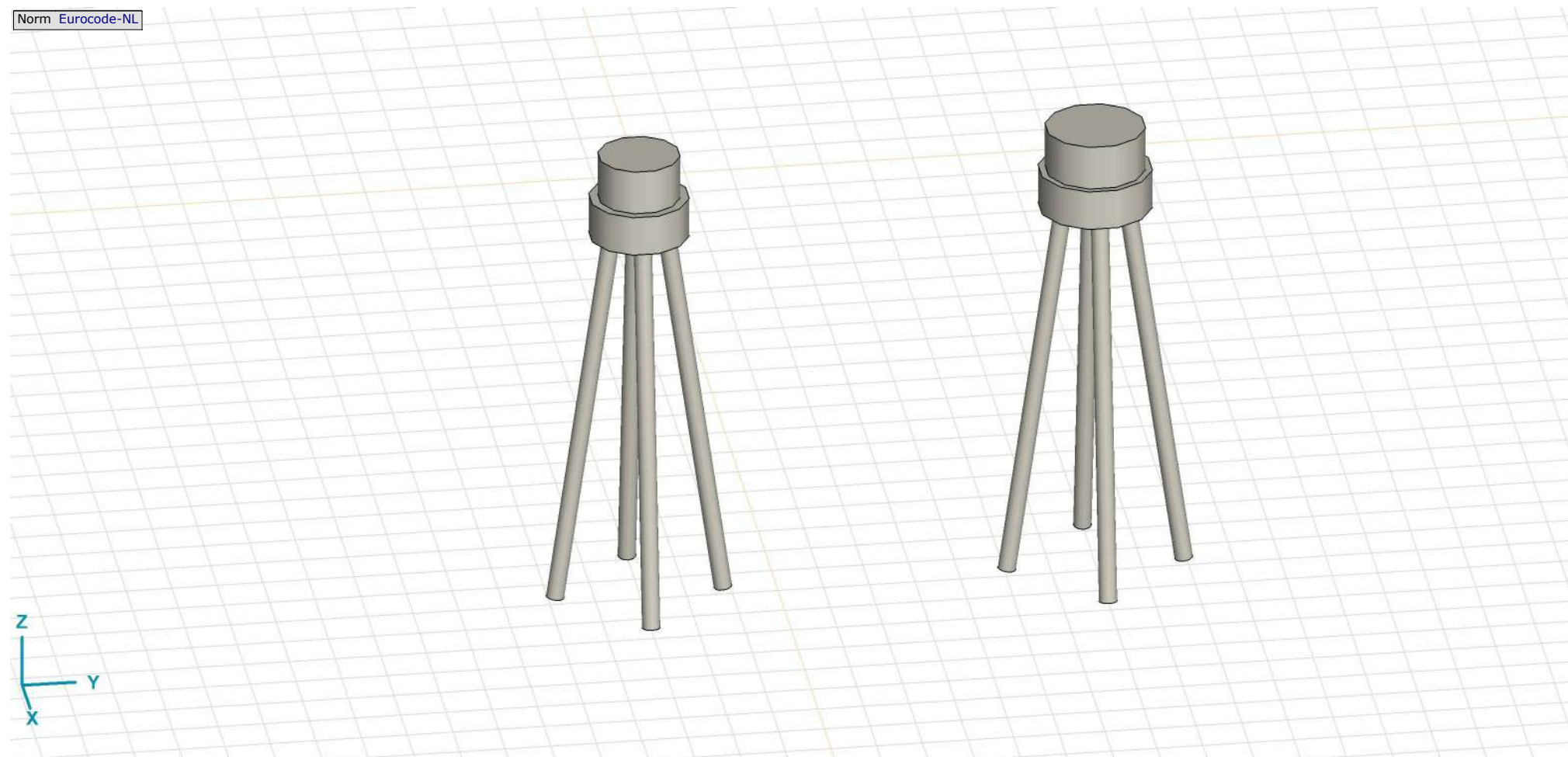
Analysis by

Model: **4P-O.axs**

23-5-2022

Pag. 3

Norm Eurocode-NL



Tekening render

Project





Analysis by

Model: **4P-O.axs**

23-5-2022

Pag. 4

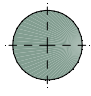
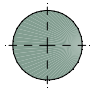
Materialen

	Naam	Type	Nationale norm	Materiaalnorm	Model	E_x [N/mm ²]	E_y [N/mm ²]	ν	α_T [1/°C]	ρ [kg/m ³]	Materiaal kleur	Contour kleur	Structuur	P_1
1	C30/37	Beton	Eurocode-NL	EN 206	Lineair	11000	11000	0,20	1E-5	2500			Concrete A	f_{ck} [N/mm ²] = 30,00
2	S 235	Staal	Eurocode-NL	10025-2	Lineair	210000	210000	0,30	1,2E-5	7850			Steel	f_y [N/mm ²] = 235,00

	Naam	P_2	P_3	P_4	P_5	P_6	P_7	P_8	P_9	P_{10}	P_{11}	P_{12}	P_{13}	P_{14}
1	C30/37	$\gamma_c = 1,500$	$\alpha_{cc} = 1,00$	$\phi_t = 2,00$										
2	S 235	f_u [N/mm ²] = 360,00	f_y [N/mm ²] = 215,00	f_u [N/mm ²] = 360,00										

Naam: Materiaalnaam; **Type:** Type materiaal; **Model:** Materiaal model; **E_x :** Elasticiteitsmodulus in lokale x richting; **E_y :** Elasticiteitsmodulus in lokale y richting; **ν :** Poisson's verhouding; **α_T :** Warmteuitzettingscoëfficiënt; **ρ :** Dichtheid; **Materiaal kleur:** Materiaalkleur; **Contour kleur:** Contourkleur; **$P_1, P_2, P_3, P_4, P_5, P_6, P_7, P_8, P_9, P_{10}, P_{11}, P_{12}, P_{13}, P_{14}$:** Ontwerpparameter;

Profielen

	Naam	Tekening	Productie	Vorm	h [mm]	b [mm]	tw [mm]	tf [mm]	r_1 [mm]	r_2 [mm]	r_3 [mm]	A_x [mm ²]	A_y [mm ²]	A_z [mm ²]
1	O 400		Ander	Rond	400,0	400,0	0	0	0	0	0	125638,20	107689,90	107689,90
2	O 1500		Ander	Rond	1500,0	1500,0	0	0	0	0	0	1766787,00	1514389,00	1514389,00

	Naam	I_x [mm ⁴]	I_y [mm ⁴]	I_z [mm ⁴]	I_{yz} [mm ⁴]	I_1 [mm ⁴]	I_2 [mm ⁴]	α [°]	I_w [mm ⁶]	$W_{1,el,t}$ [mm ³]	$W_{1,el,b}$ [mm ³]	$W_{2,el,t}$ [mm ³]	$W_{2,el,b}$ [mm ³]	$W_{1,pl}$ [mm ³]	$W_{2,pl}$ [mm ³]
1	O 400	2,51E+09	1,26E+09	1,26E+09	0	1,26E+09	1,26E+09	0	0	6280634,00	6280634,00	6280634,00	6280634,00	1,07E+07	1,07E+07
2	O 1500	4,97E+11	2,48E+11	2,48E+11	0	2,48E+11	2,48E+11	0	0	3,31E+08	3,31E+08	3,31E+08	3,31E+08	5,62E+08	5,62E+08

	Naam	i_y [mm]	i_z [mm]	H_y [mm]	H_z [mm]	y_G [mm]	z_G [mm]	y_s [mm]	z_s [mm]	β_y [mm]	β_z [mm]	β_w [mm]	S.p.
1	O 400	100,0	100,0	400,0	400,0	200,0	200,0	0	0	0	0	0	5
2	O 1500	375,0	375,0	1500,0	1500,0	750,0	750,0	0	0	0	0	0	5

Project

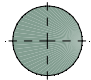
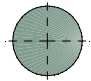
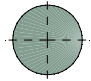
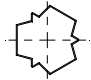
Analysis by

Model: **4P-O.axs**

23-5-2022

Pag. 5

Profielen

	Naam	Tekening	Productie	Vorm	h [mm]	b [mm]	tw [mm]	tf [mm]	r_1 [mm]	r_2 [mm]	r_3 [mm]	A_x [mm ²]	A_y [mm ²]	A_z [mm ²]
3	O 1300		Ander	Rond	1300,0	1300,0	0	0	0	0	0	1327053,00	1137474,00	1137474,00
4	O 2500		Ander	Rond	2500,0	2500,0	0	0	0	0	0	4907742,00	4206636,00	4206636,00
5	O 1800		Ander	Rond	1800,0	1800,0	0	0	0	0	0	2544173,00	2180720,00	2180720,00
6	514x570,1		Ander	Eigen gedefinieerd	570,1	514,0	0	0	0	0	0	15142,80	5219,72	5219,72

	Naam	I_x [mm ⁴]	I_y [mm ⁴]	I_z [mm ⁴]	I_{yz} [mm ⁴]	I_1 [mm ⁴]	I_2 [mm ⁴]	α [°]	$I\omega$ [mm ⁶]	$W_{1,e,t}$ [mm ³]	$W_{1,e,b}$ [mm ³]	$W_{2,e,t}$ [mm ³]	$W_{2,e,b}$ [mm ³]	$W_{1,pl}$ [mm ³]	$W_{2,pl}$ [mm ³]
3	O 1300	2,8E+11	1,4E+11	1,4E+11	0	1,4E+11	1,4E+11	0	0	2,16E+08	2,16E+08	2,16E+08	2,16E+08	3,66E+08	3,66E+08
4	O 2500	3,83E+12	1,92E+12	1,92E+12	0	1,92E+12	1,92E+12	0	0	1,53E+09	1,53E+09	1,53E+09	1,53E+09	2,6E+09	2,6E+09
5	O 1800	1,03E+12	5,15E+11	5,15E+11	0	5,15E+11	5,15E+11	0	0	5,72E+08	5,72E+08	5,72E+08	5,72E+08	9,72E+08	9,72E+08
6	514x570,1	6,22E+08	4,6E+08	4,6E+08	0	4,6E+08	4,6E+08	0	2,4E+11	1614516,00	1614516,00	1790846,00	1790845,00	2369310,00	2357912,00

	Naam	i_y [mm]	i_z [mm]	H_y [mm]	H_z [mm]	y_G [mm]	z_G [mm]	y_s [mm]	z_s [mm]	β_y [mm]	β_z [mm]	β_w [mm]	S.p.
3	O 1300	325,0	325,0	1300,0	1300,0	650,0	650,0	0	0	0	0	0	5
4	O 2500	624,9	624,9	2500,0	2500,0	1250,0	1250,0	0	0	0	0	0	5
5	O 1800	450,0	450,0	1800,0	1800,0	900,0	900,0	0	0	0	0	0	5
6	514x570,1	174,3	174,3	514,0	570,1	257,0	285,1	0	0	0	0	0	9

Project

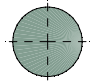
Analysis by

Model: **4P-O.axs**

23-5-2022

Pag. 6

Profielen

	Naam	Tekening	Productie	Vorm	h [mm]	b [mm]	tw [mm]	tf [mm]	r_1 [mm]	r_2 [mm]	r_3 [mm]	A_x [mm ²]	A_y [mm ²]	A_z [mm ²]
7	O 2200		Ander	Rond	2200,0	2200,0	0	0	0	0	0	3800555,00	3257619,00	3257619,00

	Naam	I_x [mm ⁴]	I_y [mm ⁴]	I_z [mm ⁴]	I_{yz} [mm ⁴]	I_1 [mm ⁴]	I_2 [mm ⁴]	α [°]	$I\omega$ [mm ⁶]	$W_{1,el,t}$ [mm ³]	$W_{1,el,b}$ [mm ³]	$W_{2,el,t}$ [mm ³]	$W_{2,el,b}$ [mm ³]	$W_{1,pl}$ [mm ³]	$W_{2,pl}$ [mm ³]
7	O 2200	2,3E+12	1,15E+12	1,15E+12	0	1,15E+12	1,15E+12	0	0	1,04E+09	1,04E+09	1,04E+09	1,04E+09	1,77E+09	1,77E+09

	Naam	i_y [mm]	i_z [mm]	H_y [mm]	H_z [mm]	y_G [mm]	z_G [mm]	y_s [mm]	z_s [mm]	β_y [mm]	β_z [mm]	β_w []	S.p.
7	O 2200	549,9	549,9	2200,0	2200,0	1100,0	1100,0	0	0	0	0	0	5

Naam: Doorsnede naam; **Productie:** Productieproces; **Vorm:** Profiel; **h:** Doorsnede hoogte; **b:** Doorsnede breedte; **tw:** Lijfdikte; **tf:** Flensdikte; **r₁, r₂, r₃:** Afrondingswaarde; **A_x:** Doorsnede-oppervlak; **A_y, A_z:** Afschuivingsoppervlak; **I_x:** Torsietraagheidsmoment; **I_y, I_z:** Buigtraagheidsmoment; **I_{yz}:** Centrifugaal traagheidsmoment; **I₁, I₂:** Hoofdbuigtraagheidsmoment; **α:** Hoofdrichtingen; **Iω:** Krommingsconstante; **W_{1,el,t}, W_{1,el,b}, W_{2,el,t}, W_{2,el,b}:** Elastisch weerstandsmoment; **W_{1,pl}, W_{2,pl}:** Plastisch weerstandsmoment; **i_y, i_z:** Traagheidsstraal; **H_y:** Afmeting in lokale Y-richting; **H_z:** Afmeting in lokale Z-richting; **y_G:** Y-coördinaat van het zwaartepunt; **z_G:** Z-coördinaat van het zwaartepunt; **y_s:** Y-coördinaat van het afschuivingsmiddelpunt (torsie); **z_s:** Z-coördinaat van het afschuivingsmiddelpunt (torsie); **β_y, β_z, β_w:** Wagner's coëfficiënt; **S.p.:** Spanningspunten;

Project

Analysis by

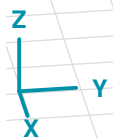
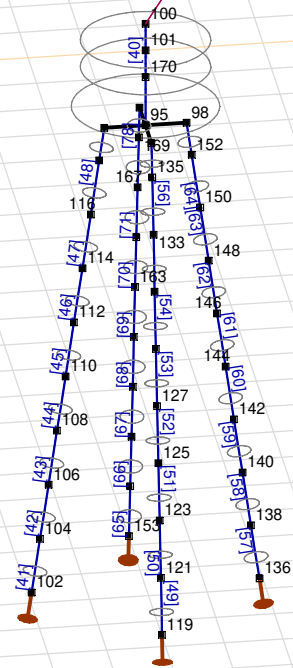
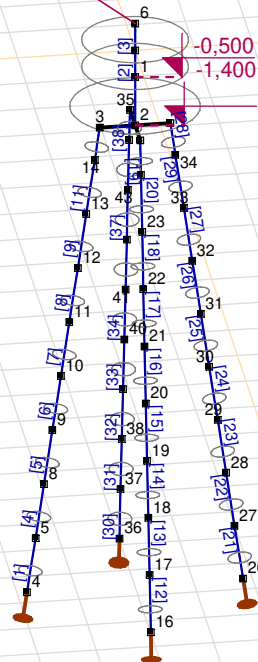
Model: 4P-O.axs

23-5-2022

Pag. 7

Norm Eurocode-NL

4P-O-2 (1,8 m, mast 1 en 4)



Tekening

Project

Analysis by

Model: **4P-O.axs**

23-5-2022

Pag. 8

Knopen

	X [m]	Y [m]	Z [m]		X [m]	Y [m]	Z [m]		X [m]	Y [m]	Z [m]		X [m]	Y [m]	Z [m]		X [m]	Y [m]	Z [m]
1	0	0	-0,500	19	1,406	0	-7,000	37	-1,694	0	-9,000	108	0	8,494	-7,000	142	0	11,506	-7,000
2	0	0	-1,400	20	1,262	0	-6,000	38	-1,550	0	-8,000	110	0	8,638	-6,000	144	0	11,362	-6,000
3	0	-0,600	-1,400	21	1,118	0	-5,000	39	-1,406	0	-7,000	112	0	8,782	-5,000	146	0	11,218	-5,000
4	0	-1,838	-10,000	22	0,974	0	-4,000	40	-1,262	0	-6,000	114	0	8,926	-4,000	148	0	11,074	-4,000
5	0	-1,694	-9,000	23	0,830	0	-3,000	41	-1,118	0	-5,000	116	0	9,070	-3,000	150	0	10,930	-3,000
6	0	0	0,500	24	0,686	0	-2,000	42	-0,974	0	-4,000	118	0	9,214	-2,000	152	0	10,786	-2,000
7	0	0	0	25	0	0,600	-1,400	43	-0,830	0	-3,000	119	1,938	10,000	-10,000	153	-1,938	10,000	-10,000
8	0	-1,550	-8,000	26	0	1,838	-10,000	44	-0,686	0	-2,000	121	1,794	10,000	-9,000	155	-1,794	10,000	-9,000
9	0	-1,406	-7,000	27	0	1,694	-9,000	95	0	10,000	-1,400	123	1,650	10,000	-8,000	157	-1,650	10,000	-8,000
10	0	-1,262	-6,000	28	0	1,550	-8,000	96	0	9,300	-1,400	125	1,506	10,000	-7,000	159	-1,506	10,000	-7,000
11	0	-1,118	-5,000	29	0	1,406	-7,000	97	0,700	10,000	-1,400	127	1,362	10,000	-6,000	161	-1,362	10,000	-6,000
12	0	-0,974	-4,000	30	0	1,262	-6,000	98	0	10,700	-1,400	129	1,218	10,000	-5,000	163	-1,218	10,000	-5,000
13	0	-0,830	-3,000	31	0	1,118	-5,000	99	-0,700	10,000	-1,400	131	1,074	10,000	-4,000	165	-1,074	10,000	-4,000
14	0	-0,686	-2,000	32	0	0,974	-4,000	100	0	10,000	0,500	133	0,930	10,000	-3,000	167	-0,930	10,000	-3,000
15	0,600	0	-1,400	33	0	0,830	-3,000	101	0	10,000	0	135	0,786	10,000	-2,000	169	-0,786	10,000	-2,000
16	1,838	0	-10,000	34	0	0,686	-2,000	102	0	8,062	-10,000	136	0	11,938	-10,000	170	0	10,000	-0,500
17	1,694	0	-9,000	35	-0,600	0	-1,400	104	0	8,206	-9,000	138	0	11,794	-9,000				
18	1,550	0	-8,000	36	-1,838	0	-10,000	106	0	8,350	-8,000	140	0	11,650	-8,000				

Staven

	Start-punt	Eind-punt	Lengte	Lokaal X	Materiaal	Doorsnede	Ref _z		Start-punt	Eind-punt	Lengte	Lokaal X	Materiaal	Doorsnede	Ref _z
1	4	5	1,010	i - j	C30/37	1	↗ R4	14	18	19	1,010	i - j	C30/37	1	↗ R9
2	1	7	0,500	i - j	C30/37	5	↗ R1	15	19	20	1,010	i - j	C30/37	1	↗ R9
3	7	6	0,500	j - i	C30/37	5	↗ R1	16	20	21	1,010	i - j	C30/37	1	↗ R9
4	5	8	1,010	i - j	C30/37	1	↗ R4	17	21	22	1,010	i - j	C30/37	1	↗ R9
5	8	9	1,010	i - j	C30/37	1	↗ R4	18	22	23	1,010	i - j	C30/37	1	↗ R9
6	9	10	1,010	i - j	C30/37	1	↗ R4	19	24	15	0,606	j - i	C30/37	1	↗ R9
7	10	11	1,010	i - j	C30/37	1	↗ R4	20	23	24	1,010	i - j	C30/37	1	↗ R9
8	11	12	1,010	i - j	C30/37	1	↗ R4	21	26	27	1,010	i - j	C30/37	1	↗ R5
9	12	13	1,010	i - j	C30/37	1	↗ R4	22	27	28	1,010	i - j	C30/37	1	↗ R5
10	14	3	0,606	j - i	C30/37	1	↗ R4	23	28	29	1,010	i - j	C30/37	1	↗ R5
11	13	14	1,010	i - j	C30/37	1	↗ R4	24	29	30	1,010	i - j	C30/37	1	↗ R5
12	16	17	1,010	i - j	C30/37	1	↗ R9	25	30	31	1,010	i - j	C30/37	1	↗ R5
13	17	18	1,010	i - j	C30/37	1	↗ R9	26	31	32	1,010	i - j	C30/37	1	↗ R5

Project

Analysis by

Model: **4P-O.axs**

23-5-2022

Pag. 9

Staven

	Start-punt	Eind-punt	Lengte	Lokaal X	Materiaal	Doorsnede	Ref _Z		Start-punt	Eind-punt	Lengte	Lokaal X	Materiaal	Doorsnede	Ref _Z
27	32	33	1,010	i - j	C30/37	1	↗ R5	53	127	129	1,010	i - j	C30/37	1	↗ R9
28	34	25	0,606	j - i	C30/37	1	↗ R5	54	129	131	1,010	i - j	C30/37	1	↗ R9
29	33	34	1,010	i - j	C30/37	1	↗ R5	55	131	133	1,010	i - j	C30/37	1	↗ R9
30	36	37	1,010	i - j	C30/37	1	↗ R13	56	133	135	1,010	i - j	C30/37	1	↗ R9
31	37	38	1,010	i - j	C30/37	1	↗ R13	57	136	138	1,010	i - j	C30/37	1	↗ R5
32	38	39	1,010	i - j	C30/37	1	↗ R13	58	138	140	1,010	i - j	C30/37	1	↗ R5
33	39	40	1,010	i - j	C30/37	1	↗ R13	59	140	142	1,010	i - j	C30/37	1	↗ R5
34	40	41	1,010	i - j	C30/37	1	↗ R13	60	142	144	1,010	i - j	C30/37	1	↗ R5
35	41	42	1,010	i - j	C30/37	1	↗ R13	61	144	146	1,010	i - j	C30/37	1	↗ R5
36	2	1	0,900	j - i	C30/37	7	↗ R1	62	146	148	1,010	i - j	C30/37	1	↗ R5
37	42	43	1,010	i - j	C30/37	1	↗ R13	63	148	150	1,010	i - j	C30/37	1	↗ R5
38	44	35	0,606	j - i	C30/37	1	↗ R13	64	150	152	1,010	i - j	C30/37	1	↗ R5
39	43	44	1,010	i - j	C30/37	1	↗ R13	65	153	155	1,010	i - j	C30/37	1	↗ R13
40	101	100	0,500	j - i	C30/37	7	↗ R1	66	155	157	1,010	i - j	C30/37	1	↗ R13
41	102	104	1,010	i - j	C30/37	1	↗ R4	67	157	159	1,010	i - j	C30/37	1	↗ R13
42	104	106	1,010	i - j	C30/37	1	↗ R4	68	159	161	1,010	i - j	C30/37	1	↗ R13
43	106	108	1,010	i - j	C30/37	1	↗ R4	69	161	163	1,010	i - j	C30/37	1	↗ R13
44	108	110	1,010	i - j	C30/37	1	↗ R4	70	163	165	1,010	i - j	C30/37	1	↗ R13
45	110	112	1,010	i - j	C30/37	1	↗ R4	71	165	167	1,010	i - j	C30/37	1	↗ R13
46	112	114	1,010	i - j	C30/37	1	↗ R4	72	167	169	1,010	i - j	C30/37	1	↗ R13
47	114	116	1,010	i - j	C30/37	1	↗ R4	73	170	101	0,500	j - i	C30/37	7	↗ R1
48	116	118	1,010	i - j	C30/37	1	↗ R4	74	118	96	0,606	j - i	C30/37	1	↗ R4
49	119	121	1,010	i - j	C30/37	1	↗ R9	75	135	97	0,606	j - i	C30/37	1	↗ R9
50	121	123	1,010	i - j	C30/37	1	↗ R9	76	152	98	0,606	j - i	C30/37	1	↗ R5
51	123	125	1,010	i - j	C30/37	1	↗ R9	77	95	170	0,900	i - j	C30/37	4	↗ R1
52	125	127	1,010	i - j	C30/37	1	↗ R9	78	169	99	0,606	j - i	C30/37	1	↗ R13

Lengte: Elementlengte; Lokaal X: Lokale X-richting; Ref_Z: Referentie voor lokale Z-richting;

Project

Analysis by

Model: **4P-O.axs**

23-5-2022

Pag. 10

Knooppopleggingen

	Knoop	X [m]	Y [m]	Z [m]	Type	Ref. elem.	Naam _x	Veermodel _x	K _x [kN/m]	K _{xV} [kN/m]	NL _x	Grenswaarde _x [kN]	Naam _y	Veermodel _y	K _y [kN/m]
1	4	0	-1,838	-10,000	StAAF r.	StAAF 1	Lineair 1E+5 kN/m	NL elastisch	3E+5	3E+5	Druk Alleen druk	-	—	-	-
2	16	1,838	0	-10,000	StAAF r.	StAAF 17	Lineair 1E+5 kN/m	NL elastisch	3E+5	3E+5	Druk Alleen druk	-	—	-	-
3	26	0	1,838	-10,000	StAAF r.	StAAF 33	Lineair 1E+5 kN/m	NL elastisch	3E+5	3E+5	Druk Alleen druk	-	—	-	-
4	36	-1,838	0	-10,000	StAAF r.	StAAF 49	Lineair 1E+5 kN/m	NL elastisch	3E+5	3E+5	Druk Alleen druk	-	—	-	-
5	102	0	8,062	-10,000	StAAF r.	StAAF 89	Lineair 1E+5 kN/m	NL elastisch	3E+5	3E+5	Druk Alleen druk	-	—	-	-
6	119	1,938	10,000	-10,000	StAAF r.	StAAF 105	Lineair 1E+5 kN/m	NL elastisch	3E+5	3E+5	Druk Alleen druk	-	—	-	-
7	136	0	11,938	-10,000	StAAF r.	StAAF 121	Lineair 1E+5 kN/m	NL elastisch	3E+5	3E+5	Druk Alleen druk	-	—	-	-
8	153	-1,938	10,000	-10,000	StAAF r.	StAAF 137	Lineair 1E+5 kN/m	NL elastisch	3E+5	3E+5	Druk Alleen druk	-	—	-	-

	Knoop	K _{yV} [kN/m]	Naam _z	Veermodel _z	K _z [kN/m]	K _{zV} [kN/m]	Naam _{xx}	Veermodel _{xx}	K _{xx} [kNm/rad]	K _{xxV} [kNm/rad]	Naam _{yy}	Veermodel _{yy}	K _{yy} [kNm/rad]	K _{yyV} [kNm/rad]	Naam _{zz}
1	4	-	—	-	-	-	—	-	-	-	—	-	-	-	—
2	16	-	—	-	-	-	—	-	-	-	—	-	-	-	—
3	26	-	—	-	-	-	—	-	-	-	—	-	-	-	—
4	36	-	—	-	-	-	—	-	-	-	—	-	-	-	—
5	102	-	—	-	-	-	—	-	-	-	—	-	-	-	—
6	119	-	—	-	-	-	—	-	-	-	—	-	-	-	—
7	136	-	—	-	-	-	—	-	-	-	—	-	-	-	—
8	153	-	—	-	-	-	—	-	-	-	—	-	-	-	—

	Knoop	Veermodel _{zz}	K _{zz} [kNm/rad]	K _{zzV} [kNm/rad]	Veermodel _w
1	4	-	-	-	-
2	16	-	-	-	-
3	26	-	-	-	-
4	36	-	-	-	-
5	102	-	-	-	-
6	119	-	-	-	-
7	136	-	-	-	-
8	153	-	-	-	-

Knoop: Ondersteunde knoop; **Type:** Opleggingstype; **Ref. elem.:** Referentie-element; **Naam_x:** Naam van de veereigenschappen; **Veermodel_x:** Veermodel; **K_x:** Initiële stijfheid; **K_{xV}:** Trillingsstijfheid; **NL_x:** Niet-lineaire parameters; **Grenswaarde_x:** Grenswaarde; **K_y, K_z, K_{xx}, K_{yy}, K_{zz}:** Initiële stijfheid;

Project

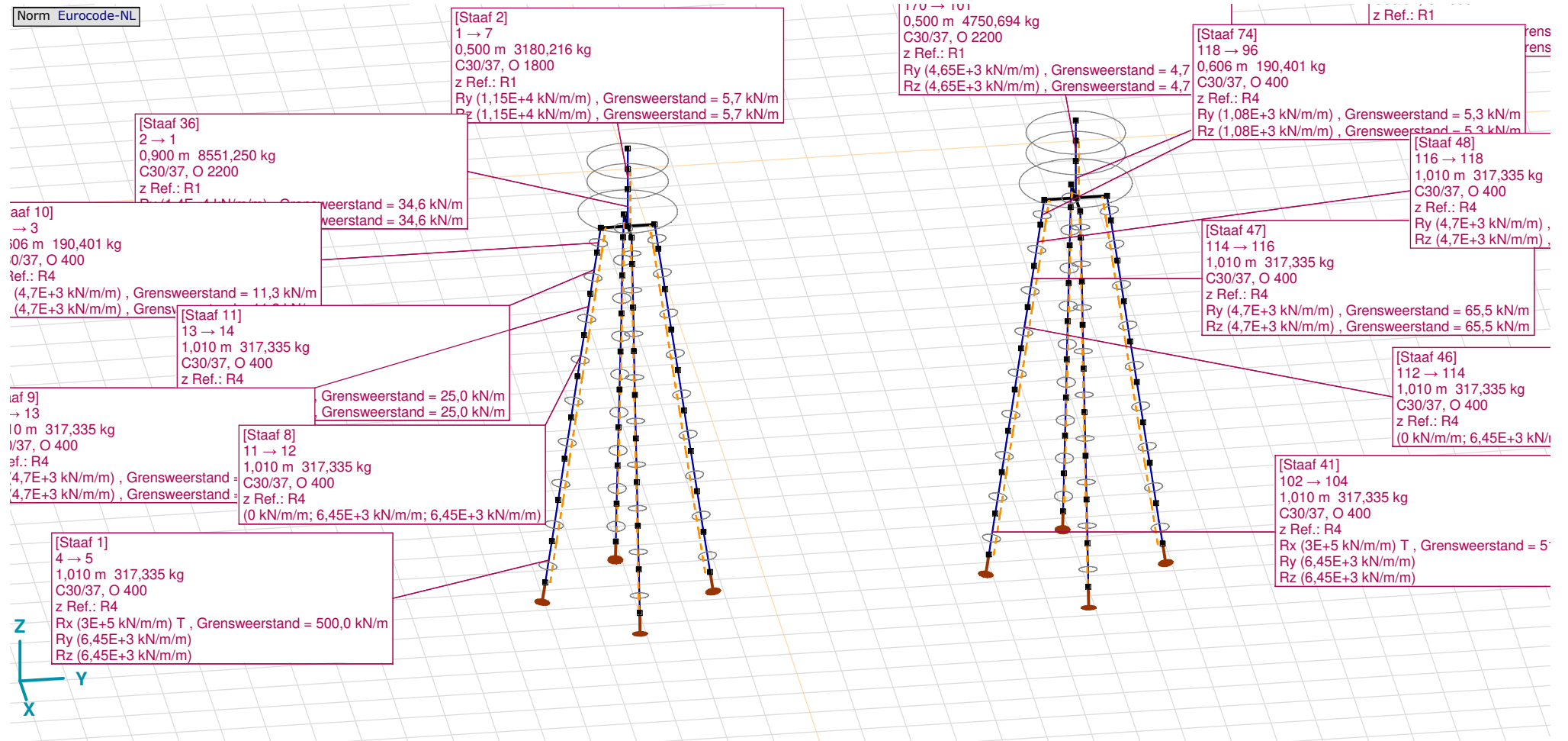
Analysis by

Model: **4P-O.axs**

23-5-2022

Pag. 11

Norm Eurocode-NL



Tekening met beddingen

Project

Analysis by

Model: **4P-O.axs**

23-5-2022

Pag. 12

Lijnopleggingen

	Lijn	Type	Ref. elem.	R _x [kN/m/m]	R _y [kN/m/m]	R _z [kN/m/m]	R _{xx} [kNm/rad/m]	R _{yy} [kNm/rad/m]	R _{zz} [kNm/rad/m]	NL(x)	NL(y)	NL(z)	NL(xx)	NL(yy)	NL(zz)
		StAAF r.													
1	StAAF 1	StAAF r.		3E+5	6,45E+3	6,45E+3				Trek	Symmetrisch	Symmetrisch			
2	StAAF 2	StAAF r.		0	1,15E+4	1,15E+4					Symmetrisch	Symmetrisch			
3	StAAF 4	StAAF r.		0	6,45E+3	6,45E+3					Symmetrisch	Symmetrisch			
4	StAAF 5	StAAF r.		0	6,45E+3	6,45E+3					Symmetrisch	Symmetrisch			
5	StAAF 6	StAAF r.		0	6,45E+3	6,45E+3					Symmetrisch	Symmetrisch			
6	StAAF 7	StAAF r.		0	6,45E+3	6,45E+3					Symmetrisch	Symmetrisch			
7	StAAF 8	StAAF r.		0	6,45E+3	6,45E+3					Symmetrisch	Symmetrisch			
8	StAAF 9	StAAF r.		0	4,7E+3	4,7E+3					Symmetrisch	Symmetrisch			
9	StAAF 10	StAAF r.		0	4,7E+3	4,7E+3					Symmetrisch	Symmetrisch			
10	StAAF 11	StAAF r.		0	4,7E+3	4,7E+3					Symmetrisch	Symmetrisch			
11	StAAF 12	StAAF r.		3E+5	6,45E+3	6,45E+3				Trek	Symmetrisch	Symmetrisch			
12	StAAF 13	StAAF r.		0	6,45E+3	6,45E+3					Symmetrisch	Symmetrisch			
13	StAAF 14	StAAF r.		0	6,45E+3	6,45E+3					Symmetrisch	Symmetrisch			
14	StAAF 15	StAAF r.		0	6,45E+3	6,45E+3					Symmetrisch	Symmetrisch			
15	StAAF 16	StAAF r.		0	6,45E+3	6,45E+3					Symmetrisch	Symmetrisch			
16	StAAF 17	StAAF r.		0	6,45E+3	6,45E+3					Symmetrisch	Symmetrisch			

	Lijn	F(x) [kN/m]	F(y) [kN/m]	F(z) [kN/m]	M(x) [kNm/m]	M(y) [kNm/m]	M(z) [kNm/m]
1	StAAF 1	500,0					
2	StAAF 2		5,7	5,7			
3	StAAF 4						
4	StAAF 5						
5	StAAF 6						
6	StAAF 7						
7	StAAF 8						
8	StAAF 9		65,5	65,5			
9	StAAF 10		11,3	11,3			
10	StAAF 11		25,0	25,0			
11	StAAF 12	500,0					
12	StAAF 13						
13	StAAF 14						
14	StAAF 15						
15	StAAF 16						
16	StAAF 17						

Project

Analysis by

Model: **4P-O.axs**

23-5-2022

Pag. 13

Lijnopleggingen

	Lijn	Type	Ref. elem.	Rx [kN/m/m]	Ry [kN/m/m]	Rz [kN/m/m]	Rxx [kNm/rad/m]	Ryy [kNm/rad/m]	Rzz [kNm/rad/m]	NL(x)	NL(y)	NL(z)	NL(xx)	NL(yy)	NL(zz)
17	StAAF 18	StAAF r.		0	4,7E+3	4,7E+3					Symmetrisch	Symmetrisch			
18	StAAF 19	StAAF r.		0	4,7E+3	4,7E+3					Symmetrisch	Symmetrisch			
19	StAAF 20	StAAF r.		0	4,7E+3	4,7E+3					Symmetrisch	Symmetrisch			
20	StAAF 21	StAAF r.		3E+5	6,45E+3	6,45E+3				Trek	Symmetrisch	Symmetrisch			
21	StAAF 22	StAAF r.		0	6,45E+3	6,45E+3					Symmetrisch	Symmetrisch			
22	StAAF 23	StAAF r.		0	6,45E+3	6,45E+3					Symmetrisch	Symmetrisch			
23	StAAF 24	StAAF r.		0	6,45E+3	6,45E+3					Symmetrisch	Symmetrisch			
24	StAAF 25	StAAF r.		0	6,45E+3	6,45E+3					Symmetrisch	Symmetrisch			
25	StAAF 26	StAAF r.		0	6,45E+3	6,45E+3					Symmetrisch	Symmetrisch			
26	StAAF 27	StAAF r.		0	4,7E+3	4,7E+3					Symmetrisch	Symmetrisch			
27	StAAF 28	StAAF r.		0	4,7E+3	4,7E+3					Symmetrisch	Symmetrisch			
28	StAAF 29	StAAF r.		0	4,7E+3	4,7E+3					Symmetrisch	Symmetrisch			
29	StAAF 30	StAAF r.		3E+5	6,45E+3	6,45E+3				Trek	Symmetrisch	Symmetrisch			
30	StAAF 31	StAAF r.		0	6,45E+3	6,45E+3					Symmetrisch	Symmetrisch			
31	StAAF 32	StAAF r.		0	6,45E+3	6,45E+3					Symmetrisch	Symmetrisch			
32	StAAF 33	StAAF r.		0	6,45E+3	6,45E+3					Symmetrisch	Symmetrisch			
33	StAAF 34	StAAF r.		0	6,45E+3	6,45E+3					Symmetrisch	Symmetrisch			

	Lijn	F(x) [kN/m]	F(y) [kN/m]	F(z) [kN/m]	M(x) [kNm/m]	M(y) [kNm/m]	M(z) [kNm/m]
17	StAAF 18		65,5	65,5			
18	StAAF 19		11,3	11,3			
19	StAAF 20		25,0	25,0			
20	StAAF 21	500,0					
21	StAAF 22						
22	StAAF 23						
23	StAAF 24						
24	StAAF 25						
25	StAAF 26						
26	StAAF 27		65,5	65,5			
27	StAAF 28		11,3	11,3			
28	StAAF 29		25,0	25,0			
29	StAAF 30	500,0					
30	StAAF 31						
31	StAAF 32						
32	StAAF 33						
33	StAAF 34						

Project

Analysis by

Model: **4P-O.axs**

23-5-2022

Pag. 14

Lijnopleggingen

	Lijn	Type	Ref. elem.	Rx [kN/m/m]	Ry [kN/m/m]	Rz [kN/m/m]	Rxx [kNm/rad/m]	Ryy [kNm/rad/m]	Rzz [kNm/rad/m]	NL(x)	NL(y)	NL(z)	NL(xx)	NL(yy)	NL(zz)
34	StAAF 35	StAAF r.		0	6,45E+3	6,45E+3					Symmetrisch	Symmetrisch			
35	StAAF 36	StAAF r.		0	1,4E+4	1,4E+4					Symmetrisch	Symmetrisch			
36	StAAF 37	StAAF r.		0	4,7E+3	4,7E+3					Symmetrisch	Symmetrisch			
37	StAAF 38	StAAF r.		0	4,7E+3	4,7E+3					Symmetrisch	Symmetrisch			
38	StAAF 39	StAAF r.		0	4,7E+3	4,7E+3					Symmetrisch	Symmetrisch			
39	StAAF 41	StAAF r.		3E+5	6,45E+3	6,45E+3				Trek	Symmetrisch	Symmetrisch			
40	StAAF 42	StAAF r.		0	6,45E+3	6,45E+3					Symmetrisch	Symmetrisch			
41	StAAF 43	StAAF r.		0	6,45E+3	6,45E+3					Symmetrisch	Symmetrisch			
42	StAAF 44	StAAF r.		0	6,45E+3	6,45E+3					Symmetrisch	Symmetrisch			
43	StAAF 45	StAAF r.		0	6,45E+3	6,45E+3					Symmetrisch	Symmetrisch			
44	StAAF 46	StAAF r.		0	6,45E+3	6,45E+3					Symmetrisch	Symmetrisch			
45	StAAF 47	StAAF r.		0	4,7E+3	4,7E+3					Symmetrisch	Symmetrisch			
46	StAAF 48	StAAF r.		0	4,7E+3	4,7E+3					Symmetrisch	Symmetrisch			
47	StAAF 49	StAAF r.		3E+5	6,45E+3	6,45E+3				Trek	Symmetrisch	Symmetrisch			
48	StAAF 50	StAAF r.		0	6,45E+3	6,45E+3					Symmetrisch	Symmetrisch			
49	StAAF 51	StAAF r.		0	6,45E+3	6,45E+3					Symmetrisch	Symmetrisch			
50	StAAF 52	StAAF r.		0	6,45E+3	6,45E+3					Symmetrisch	Symmetrisch			

	Lijn	F(x) [kN/m]	F(y) [kN/m]	F(z) [kN/m]	M(x) [kNm/m]	M(y) [kNm/m]	M(z) [kNm/m]
34	StAAF 35						
35	StAAF 36		34,6	34,6			
36	StAAF 37		65,5	65,5			
37	StAAF 38		11,3	11,3			
38	StAAF 39		25,0	25,0			
39	StAAF 41	510,0					
40	StAAF 42						
41	StAAF 43						
42	StAAF 44						
43	StAAF 45						
44	StAAF 46						
45	StAAF 47		65,5	65,5			
46	StAAF 48		25,0	25,0			
47	StAAF 49	510,0					
48	StAAF 50						
49	StAAF 51						
50	StAAF 52						

Project

Analysis by

Model: **4P-O.axs**

23-5-2022

Pag. 15

Lijnopleggingen

	Lijn	Type	Ref. elem.	Rx [kN/m/m]	Ry [kN/m/m]	Rz [kN/m/m]	Rxx [kNm/rad/m]	Ryy [kNm/rad/m]	Rzz [kNm/rad/m]	NL(x)	NL(y)	NL(z)	NL(xx)	NL(yy)	NL(zz)
51	StAAF 53	StAAF r.		0	6,45E+3	6,45E+3					Symmetrisch	Symmetrisch			
52	StAAF 54	StAAF r.		0	6,45E+3	6,45E+3					Symmetrisch	Symmetrisch			
53	StAAF 55	StAAF r.		0	4,7E+3	4,7E+3					Symmetrisch	Symmetrisch			
54	StAAF 56	StAAF r.		0	4,7E+3	4,7E+3					Symmetrisch	Symmetrisch			
55	StAAF 57	StAAF r.		3E+5	6,45E+3	6,45E+3				Trek	Symmetrisch	Symmetrisch			
56	StAAF 58	StAAF r.		0	6,45E+3	6,45E+3					Symmetrisch	Symmetrisch			
57	StAAF 59	StAAF r.		0	6,45E+3	6,45E+3					Symmetrisch	Symmetrisch			
58	StAAF 60	StAAF r.		0	6,45E+3	6,45E+3					Symmetrisch	Symmetrisch			
59	StAAF 61	StAAF r.		0	6,45E+3	6,45E+3					Symmetrisch	Symmetrisch			
60	StAAF 62	StAAF r.		0	6,45E+3	6,45E+3					Symmetrisch	Symmetrisch			
61	StAAF 63	StAAF r.		0	4,7E+3	4,7E+3					Symmetrisch	Symmetrisch			
62	StAAF 64	StAAF r.		0	4,7E+3	4,7E+3					Symmetrisch	Symmetrisch			
63	StAAF 65	StAAF r.		3E+5	6,45E+3	6,45E+3				Trek	Symmetrisch	Symmetrisch			
64	StAAF 66	StAAF r.		0	6,45E+3	6,45E+3					Symmetrisch	Symmetrisch			
65	StAAF 67	StAAF r.		0	6,45E+3	6,45E+3					Symmetrisch	Symmetrisch			
66	StAAF 68	StAAF r.		0	6,45E+3	6,45E+3					Symmetrisch	Symmetrisch			
67	StAAF 69	StAAF r.		0	6,45E+3	6,45E+3					Symmetrisch	Symmetrisch			

	Lijn	F(x) [kN/m]	F(y) [kN/m]	F(z) [kN/m]	M(x) [kNm/m]	M(y) [kNm/m]	M(z) [kNm/m]
51	StAAF 53						
52	StAAF 54						
53	StAAF 55		65,5	65,5			
54	StAAF 56		25,0	25,0			
55	StAAF 57	510,0					
56	StAAF 58						
57	StAAF 59						
58	StAAF 60						
59	StAAF 61						
60	StAAF 62						
61	StAAF 63		65,5	65,5			
62	StAAF 64		25,0	25,0			
63	StAAF 65	510,0					
64	StAAF 66						
65	StAAF 67						
66	StAAF 68						
67	StAAF 69						

Project

Analysis by

Model: **4P-O.axs**

23-5-2022

Pag. 16

Lijnopleggingen

	Lijn	Type	Ref. elem.	R _x [kN/m/m]	R _y [kN/m/m]	R _z [kN/m/m]	R _{xx} [kNm/rad/m]	R _{yy} [kNm/rad/m]	R _{zz} [kNm/rad/m]	NL(x)	NL(y)	NL(z)	NL(xx)	NL(yy)	NL(zz)
68	StAAF 70	StAAF r.		0	6,45E+3	6,45E+3					Symmetrisch	Symmetrisch			
69	StAAF 71	StAAF r.		0	4,7E+3	4,7E+3					Symmetrisch	Symmetrisch			
70	StAAF 72	StAAF r.		0	4,7E+3	4,7E+3					Symmetrisch	Symmetrisch			
71	StAAF 73	StAAF r.		0	4,65E+3	4,65E+3					Symmetrisch	Symmetrisch			
72	StAAF 74	StAAF r.		0	1,08E+3	1,08E+3					Symmetrisch	Symmetrisch			
73	StAAF 75	StAAF r.		0	1,08E+3	1,08E+3					Symmetrisch	Symmetrisch			
74	StAAF 76	StAAF r.		0	1,08E+3	1,08E+3					Symmetrisch	Symmetrisch			
75	StAAF 77	StAAF r.		0	5,3E+3	5,3E+3					Symmetrisch	Symmetrisch			
76	StAAF 78	StAAF r.		0	1,08E+3	1,08E+3					Symmetrisch	Symmetrisch			

	Lijn	F(x) [kN/m]	F(y) [kN/m]	F(z) [kN/m]	M(x) [kNm/m]	M(y) [kNm/m]	M(z) [kNm/m]
68	StAAF 70						
69	StAAF 71		65,5	65,5			
70	StAAF 72		25,0	25,0			
71	StAAF 73		4,7	4,7			
72	StAAF 74		5,3	5,3			
73	StAAF 75		5,3	5,3			
74	StAAF 76		5,3	5,3			
75	StAAF 77		26,2	26,2			
76	StAAF 78		5,3	5,3			

Lijn: Ondersteund lijnelement; **Type:** Opleggingstype; **Ref. elem.:** Referentie-element; **R_x, R_y, R_z:** Verplaatsingsstijfheid; **R_{xx}, R_{yy}, R_{zz}:** Rotatiestijfheid; **NL(x), NL(y), NL(z), NL(xx), NL(yy), NL(zz):** Niet-lineaire parameters; **F(x):** Weerstand in X-richting; **F(y):** Weerstand in Y-richting; **F(z):** Weerstand in Z-richting; **M(x):** Weerstandsmoment in X-richting; **M(y):** Weerstandsmoment in Y-richting; **M(z):** Weerstandsmoment in Z-richting;

Project

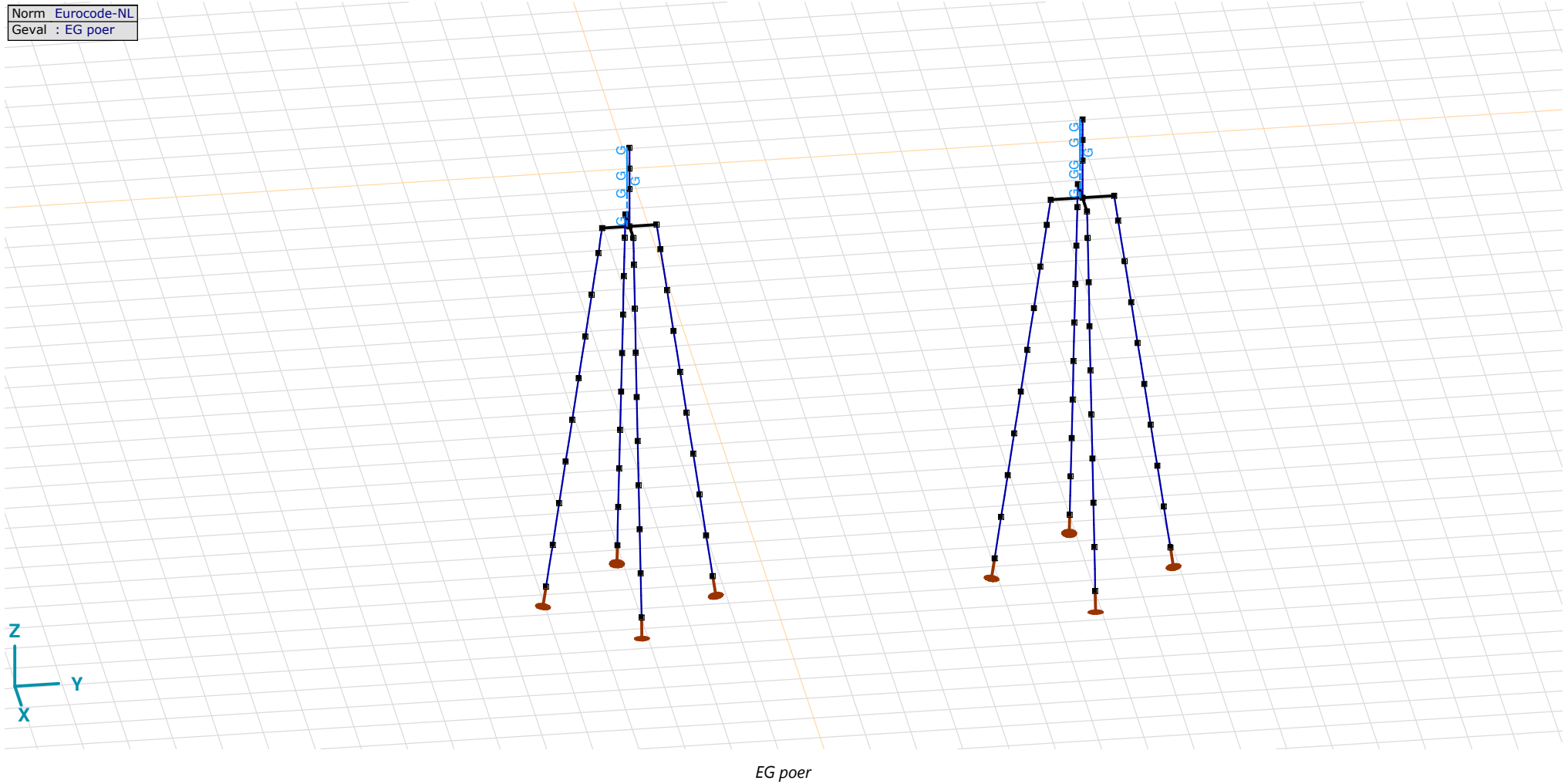
Analysis by

Model: **4P-O.axs**

23-5-2022

Pag. 17

Norm Eurocode-NL
Geval : EG poer



Project

Analysis by

Model: **4P-O.axs**

23-5-2022

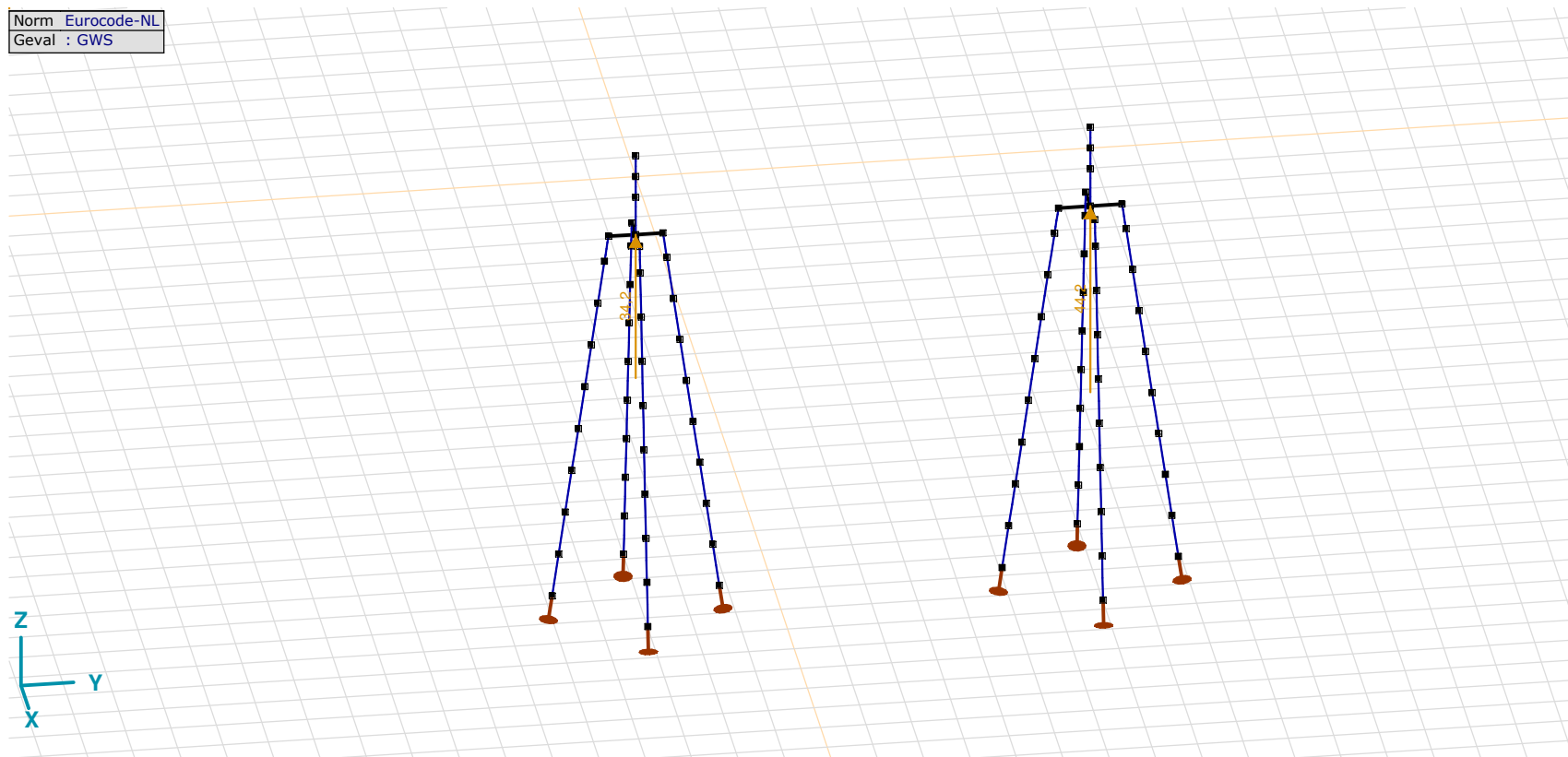
Pag. 18

EG poer: Staaf eigen gewicht

	Σ [kg]
65-68	3180,216
81-84	8551,250
153-156	4750,694
169-172	11042,419
177-184	7930,911
Totaal	35455,490

 Σ : Totale massa;

Norm Eurocode-NL
Geval : GWS



GWS

Project

Analysis by

Model: **4P-O.axs**

23-5-2022

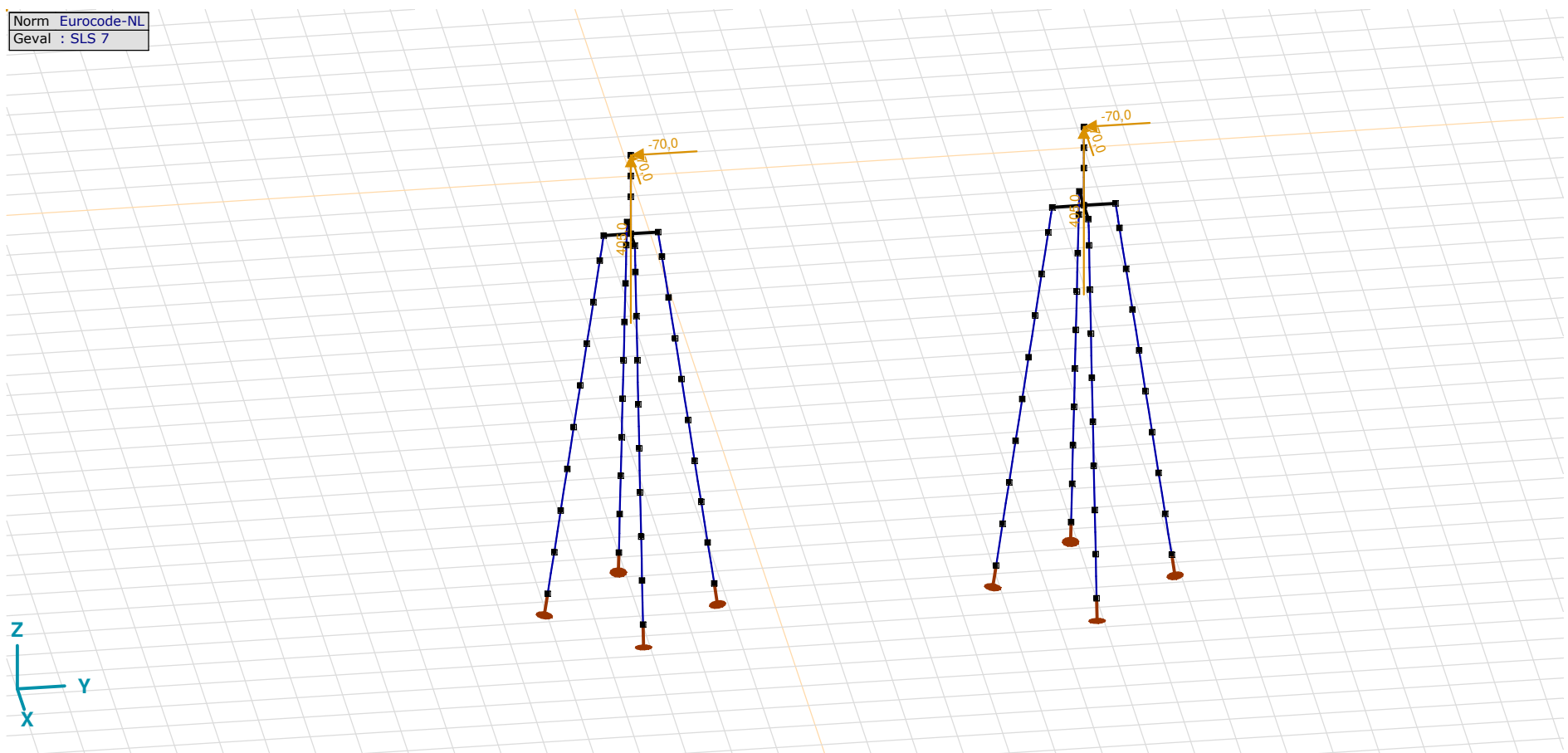
Pag. 19

GWS: Knoopbelastingen

	Richting	F_x [kN]	F_y [kN]	F_z [kN]	M_x [kNm]	M_y [kNm]	M_z [kNm]
2	Globaal	0	0	34,2	0	0	0
95	Globaal	0	0	44,2	0	0	0

F_x , F_y , F_z : Belastingkracht component; M_x , M_y , M_z : Belastingsmoment component;

Norm Eurocode-NL
Geval : SLS 7



SLS 7

Project

Analysis by

Model: **4P-O.axs**

23-5-2022

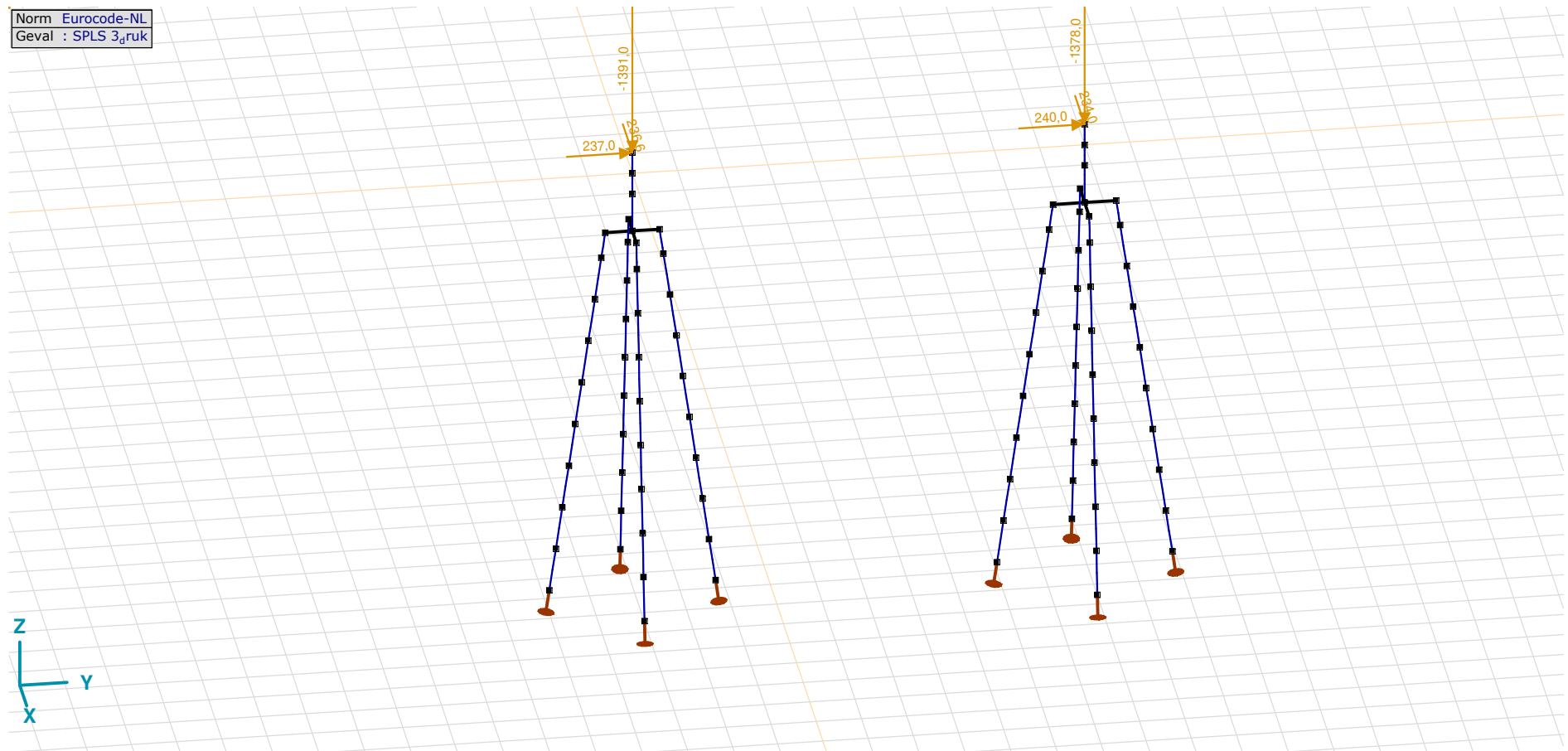
Pag. 20

SLS 7: Knoopbelastingen

	Richting	F_x [kN]	F_y [kN]	F_z [kN]	M_x [kNm]	M_y [kNm]	M_z [kNm]
6	Globaal	-70,0	-70,0	405,0	0	0	0
100	Globaal	-70,0	-70,0	405,0	0	0	0

F_x , F_y , F_z : Belastingkracht component; M_x , M_y , M_z : Belastingsmoment component;

Norm Eurocode-NL
Geval : SPS 3_{druk}

SPLS 3_{druk}

Project

Analysis by

Model: **4P-O.axs**

23-5-2022

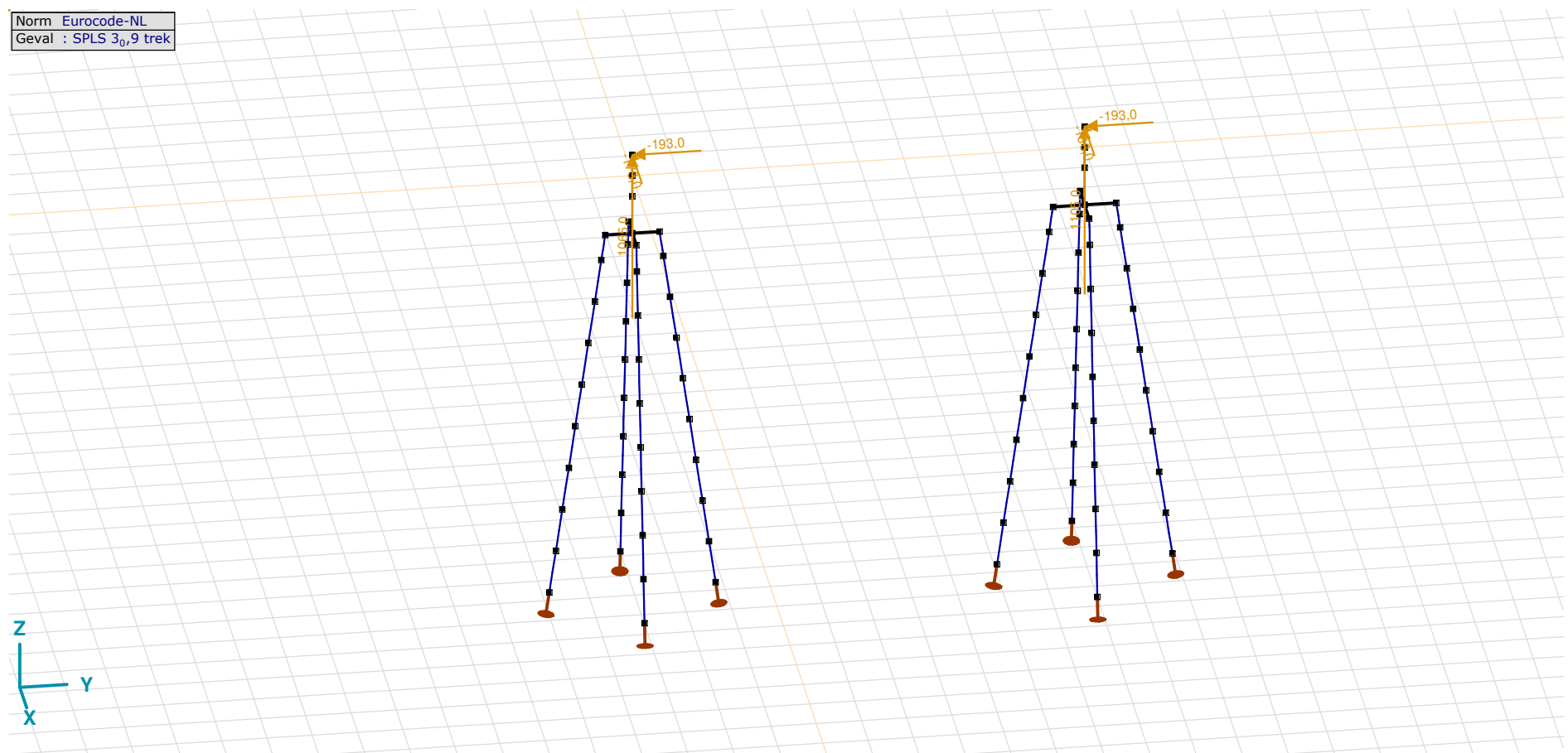
Pag. 21

SPLS 3_druk: Knoopbelastingen

	Richting	F_x [kN]	F_y [kN]	F_z [kN]	M_x [kNm]	M_y [kNm]	M_z [kNm]
6	Globaal	236,6	237,0	-1391,0	0	0	0
100	Globaal	234,0	240,0	-1378,0	0	0	0

F_x , F_y , F_z : Belastingkracht component; M_x , M_y , M_z : Belastingsmoment component;

Norm Eurocode-NL
Geval : SPLS 3_{0,9} trek



SPLS 3_0,9 trek

Project

Analysis by

Model: **4P-O.axs**

23-5-2022

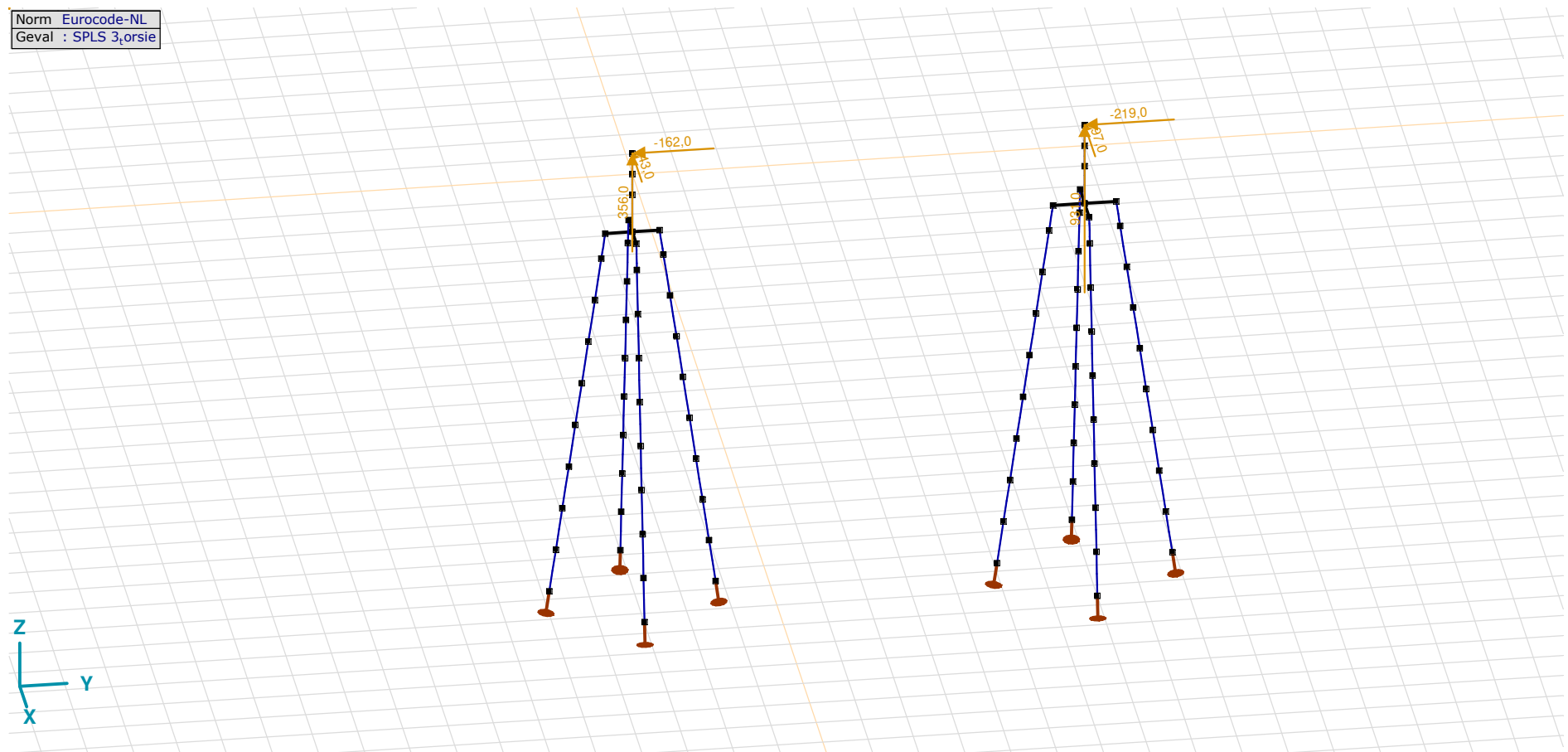
Pag. 22

SPLS 3_0,9 trek: Knoopbelastingen

	Richting	F_x [kN]	F_y [kN]	F_z [kN]	M_x [kNm]	M_y [kNm]	M_z [kNm]
6	Globaal	-173,0	-193,0	1065,0	0	0	0
100	Globaal	-186,0	-193,0	1105,0	0	0	0

F_x , F_y , F_z : Belastingkracht component; M_x , M_y , M_z : Belastingsmoment component;

Norm Eurocode-NL
Geval : SPLS 3_orsie



SPLS 3_torsie

Project

Analysis by

Model: **4P-O.axs**

23-5-2022

Pag. 23

SPLS 3_torsie: Knoopbelastingen

	<i>Richting</i>	<i>F_x</i> [kN]	<i>F_y</i> [kN]	<i>F_z</i> [kN]	<i>M_x</i> [kNm]	<i>M_y</i> [kNm]	<i>M_z</i> [kNm]
6	Globaal	-43,0	-162,0	356,0	0	0	0
100	Globaal	-97,0	-219,0	931,0	0	0	0

F_x, F_y, F_z: Belastingkracht component; **M_x, M_y, M_z**: Belastingsmoment component;

Gebruiker gedefinieerde belastingcombinaties uit belastinggevallen

	<i>Naam</i>	<i>Type</i>	<i>ST1</i>	<i>EG poer</i> (PERM1)	<i>GWS</i> (PERM1)	<i>SLS 7</i> (PERM1)	<i>SPLS 3_druk</i> (VER1)	<i>SPLS 3_0,9 trek</i> (VER1)	<i>SPLS 3_torsie</i> (VER1)	<i>Commentaar</i>
1	Co #1 max druk	UGT	0	1,20	0	0	1,00	0	0	
2	Co #2 max trek	UGT	0	0,90	1,00	0	0	1,00	0	
3	Co #3 max torsie	UGT	0	1,20	1,00	0	0	0	1,00	
4	Co #4 Perm	BGT Quasi-blijvend	0	1,00	0	1,00	0	0	0	

Naam: Naam belastingcombinatie; **Type**: Type belastingcombinatie; **ST1, EG poer (PERM1), GWS (PERM1), SLS 7 (PERM1), SPLS 3_druk (VER1), SPLS 3_0,9 trek (VER1), SPLS 3_torsie (VER1)**: Factor;

Project

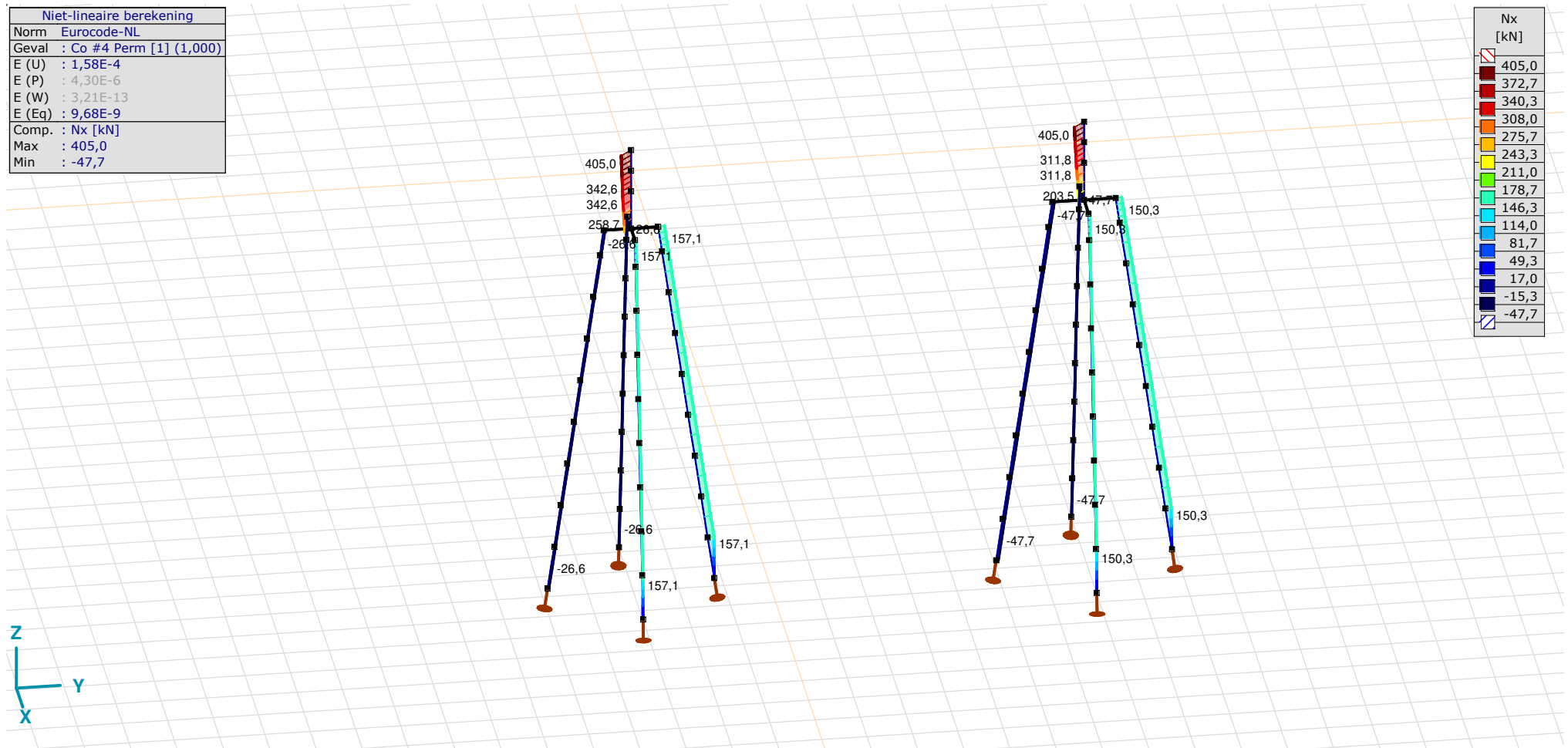
Analysis by

Model: **4P-O.axs**

23-5-2022

Pag. 24

Niet-lineaire berekening	
Norm	Eurocode-NL
Geval	Co #4 Perm [1] (1,000)
E (U)	: 1,58E-4
E (P)	: 4,30E-6
E (W)	: 3,21E-13
E (Eq)	: 9,68E-9
Comp.	Nx [kN]
Max	: 405,0
Min	: -47,7



[II], Non-lin., Co #4 Perm [1] (1,000), Nx, Lijnen (gevuld)(gevuld)

Project

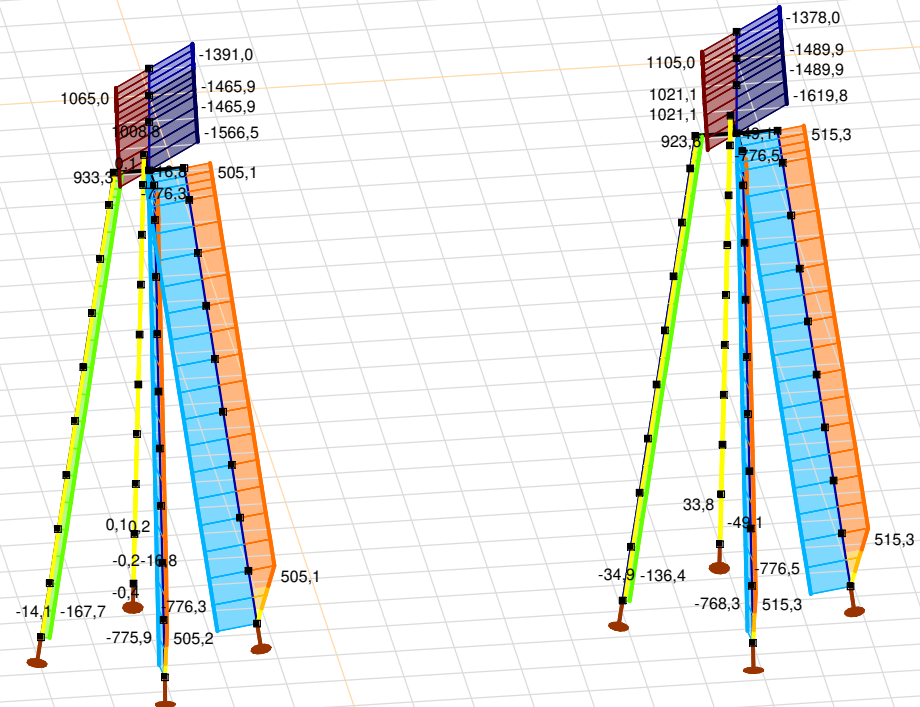
Analysis by

Model: **4P-O.axs**

23-5-2022

Pag. 25

Niet-lineaire berekening	
Norm	Eurocode-NL
Geval	: Omhullende Min,Max
Omhullende	: Alle UGT
E (U)	: 2,26E-4
E (P)	: 3,96E-6
E (W)	: 8,37E-8
E (Eq)	: 7,59E-9
Comp.	: Nx [kN]
Max	: 1105,0
Min	: -1619,8



Nx [kN]	
1105,0	910,4
715,8	521,1
326,5	131,9
-62,8	-257,4
-452,0	-646,7
-841,3	-1035,9
-1230,6	-1425,2
-1619,8	



[II], Non-lin., Omhullende (Alle UGT), Nx, Lijnen (gevuld)

Project

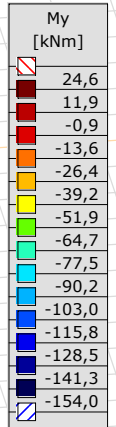
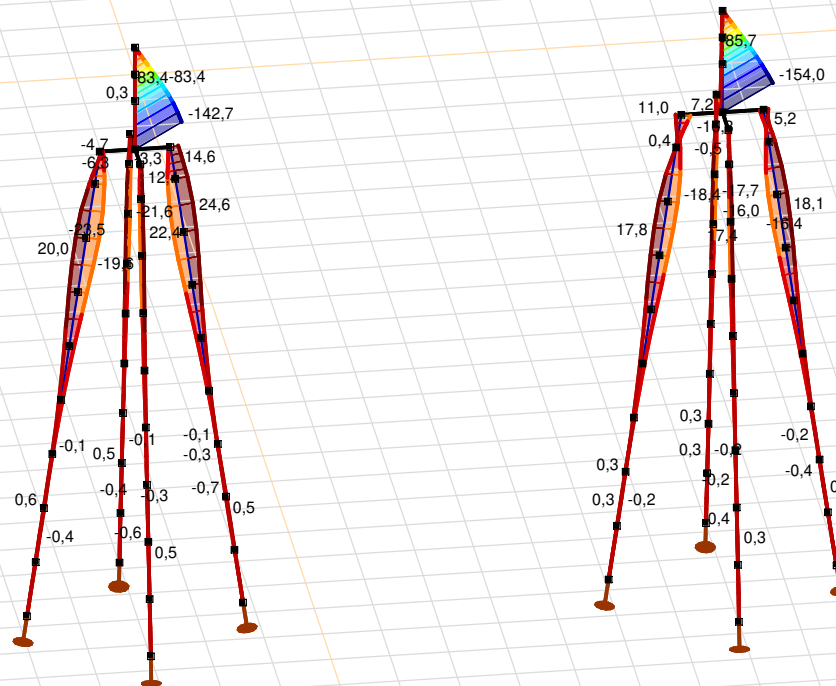
Analysis by

Model: **4P-O.axs**

23-5-2022

Pag. 26

Niet-lineaire berekening	
Norm	Eurocode-NL
Geval	: Omhullende Min,Max
Omhullende	: Alle UGT
E (U)	: 2,26E-4
E (P)	: 3,96E-6
E (W)	: 8,37E-8
E (Eq)	: 7,59E-9
Comp.	: My [kNm]
Max	: 24,6
Min	: -154,0



[II], Non-lin., Omhullende (Alle UGT), My, Lijnen (gevuld)

Project

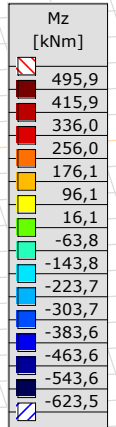
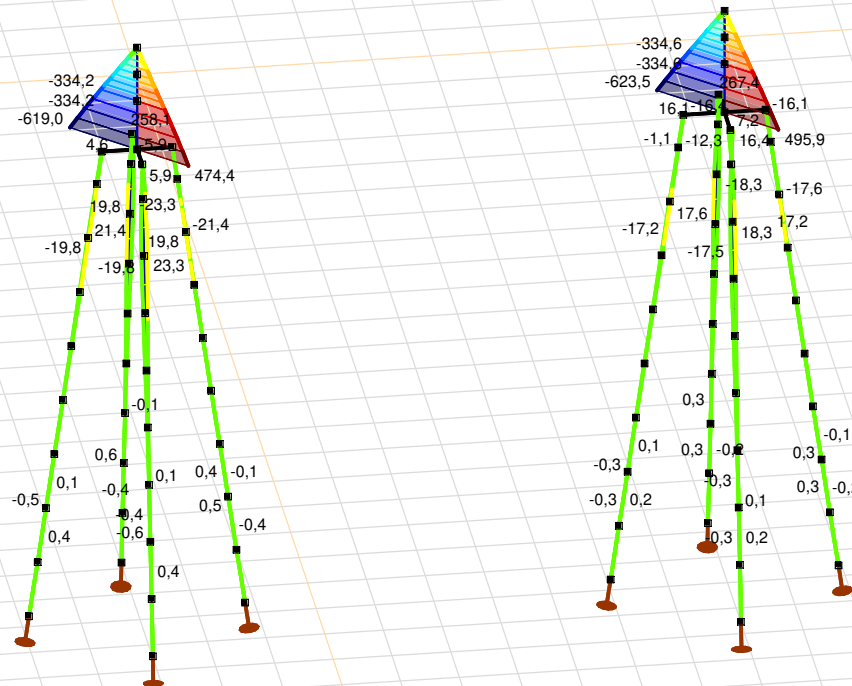
Analysis by

Model: **4P-O.axs**

23-5-2022

Pag. 27

Niet-lineaire berekening	
Norm	Eurocode-NL
Geval	: Omhullende Min,Max
Omhullende	: Alle UGT
E (U)	: 2,26E-4
E (P)	: 3,96E-6
E (W)	: 8,37E-8
E (Eq)	: 7,59E-9
Comp.	: Mz [kNm]
Max	: 495,9
Min	: -623,5



[III], Non-lin., Omhullende (Alle UGT), Mz, Lijnen (gevuld)

Project

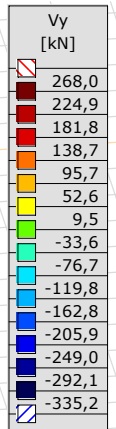
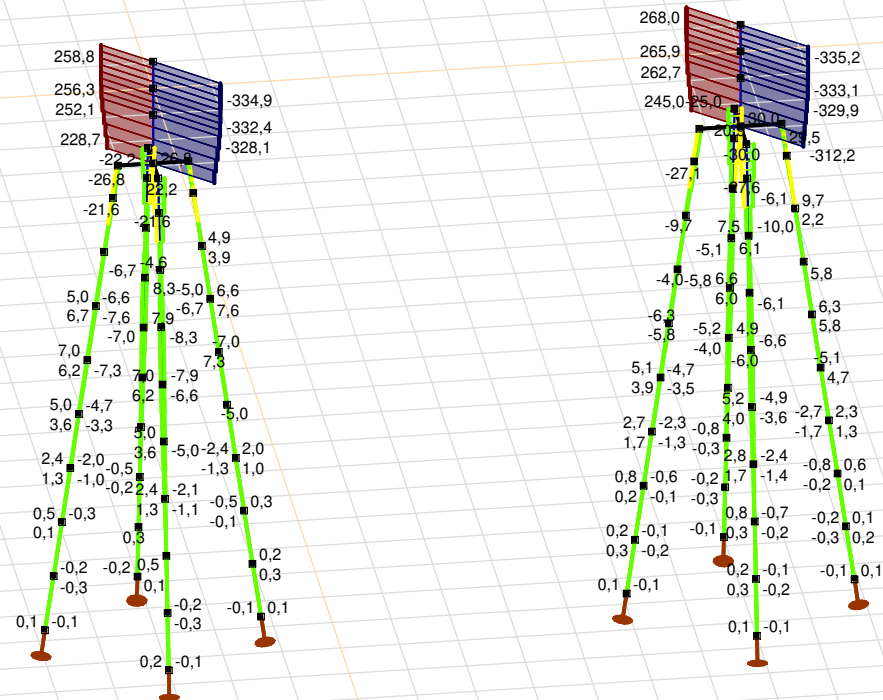
Analysis by

Model: **4P-O.axs**

23-5-2022

Pag. 28

Niet-lineaire berekening	
Norm	Eurocode-NL
Geval	: Omhullende Min,Max
Omhullende	: Alle UGT
E (U)	: 2,26E-4
E (P)	: 3,96E-6
E (W)	: 8,37E-8
E (Eq)	: 7,59E-9
Comp.	: Vy [kN]
Max	: 268,0
Min	: -335,2



[II], Non-lin., Omhullende (Alle UGT), Vy, Lijnen (gevuld)

Project

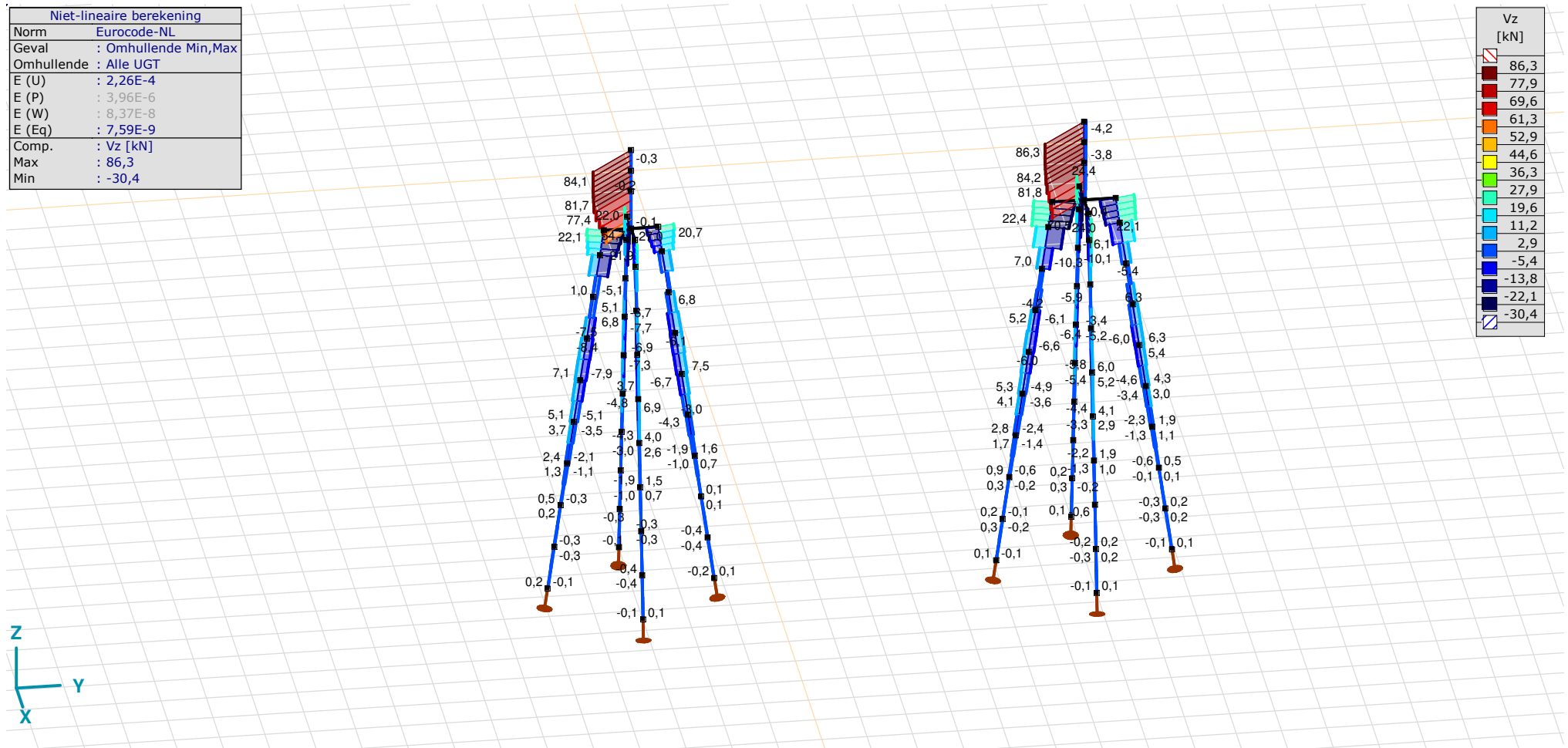
Analysis by

Model: **4P-O.axs**

23-5-2022

Pag. 29

Niet-lineaire berekening	
Norm	Eurocode-NL
Geval	: Omhullende Min,Max
Omhullende	: Alle UGT
E (U)	: 2,26E-4
E (P)	: 3,96E-6
E (W)	: 8,37E-8
E (Eq)	: 7,59E-9
Comp.	: Vz [kN]
Max	: 86,3
Min	: -30,4



[II], Non-lin., Omhullende (Alle UGT), Vz, Lijnen (gevuld)

Project

Analysis by

Model: **4P-O.axs**

23-5-2022

Pag. 30

Staafkrachten [Non-lin., Omhullende (Alle UGT), Palen]

	Prof.	Doorsnede naam	C	min. max.	Geval	Pos. [m]	Knoop	Nx [kN]	Vy [kN]	Vz [kN]	Tx [kNm]	My [kNm]	Mz [kNm]	B [kNm ²]
Ext.														
1	1	O 400	Nx	min	Co #3 max torsie [1] (1,000)	0	(4)	-167,7	0	0,1	0	0	0	0
1	1	O 400		max	Co #1 max druk [1] (1,000)	0	(4)	-14,1	-0,1	-0,1	0	0	0	0
1	1	O 400	Vy	min	Co #1 max druk [1] (1,000)	0,505	(45)	-14,1	-0,3	-0,3	0	-0,1	0,1	0
1	1	O 400		max	Co #2 max trek [1] (1,000)	0,505	(45)	-34,8	0,3	0,4	0	0,1	-0,1	0
1	1	O 400	Vz	min	Co #1 max druk [1] (1,000)	0,505	(45)	-14,1	-0,3	-0,3	0	-0,1	0,1	0
1	1	O 400		max	Co #2 max trek [1] (1,000)	0,505	(45)	-34,8	0,3	0,4	0	0,1	-0,1	0
1	1	O 400	My	min	Co #1 max druk [1] (1,000)	1,010	(5)	-14,1	-0,3	-0,3	0	-0,2	0,2	0
1	1	O 400		max	Co #2 max trek [1] (1,000)	1,010	(5)	-34,8	0,3	0,4	0	0,3	-0,3	0
1	1	O 400	Mz	min	Co #2 max trek [1] (1,000)	1,010	(5)	-34,8	0,3	0,4	0	0,3	-0,3	0
1	1	O 400		max	Co #1 max druk [1] (1,000)	1,010	(5)	-14,1	-0,3	-0,3	0	-0,2	0,2	0

Prof.: Profiel; **C:** Extreme component; **min. max.:** Extreme type; **Geval:** Belastinggeval van de extreme; **Pos.:** Lokale X-positie van de doorsnede op de staaf; **Nx:** Normalkracht; **Vy:** Dwarskracht in lokale y-richting; **Vz:** Dwarskracht in lokale z-richting; **Tx:** Torsiemoment; **My:** Buigend moment in lokale y-richting; **Mz:** Buigend moment in lokale z-richting; **B:** Bimoment;

Project

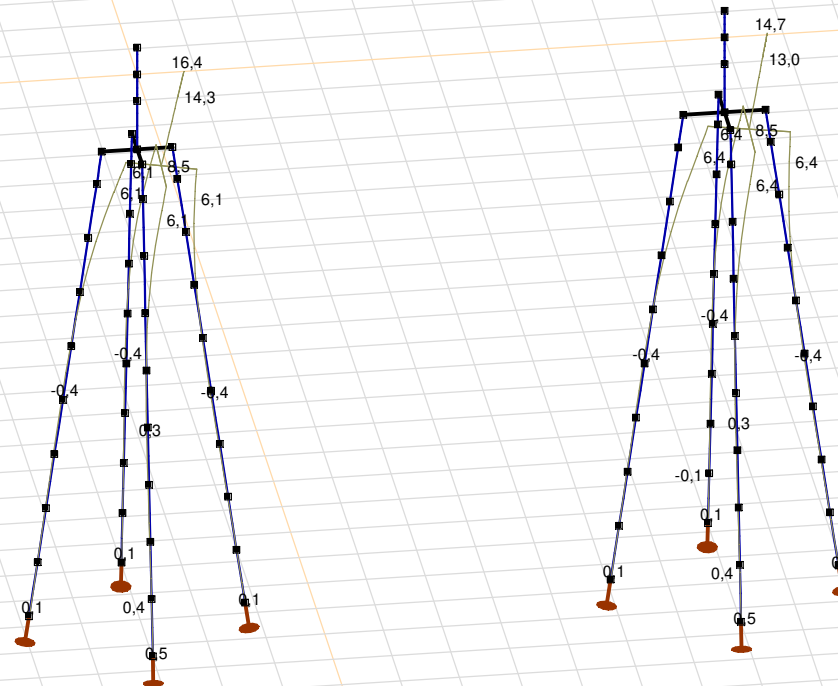
Analysis by

Model: **4P-O.axs**

23-5-2022

Pag. 31

Niet-lineaire berekening	
Norm	Eurocode-NL
Geval	Co #1 max druk [1] (1,000)
E (U)	: 2,26E-4
E (P)	: 3,96E-6
E (W)	: 8,37E-8
E (Eq)	: 7,59E-9
Comp.	: eX [mm]
Max	: 16,4
Min	: -0,4



[III], Non-lin., Co #1 max druk [1] (1,000), eX, Lijnen

Project

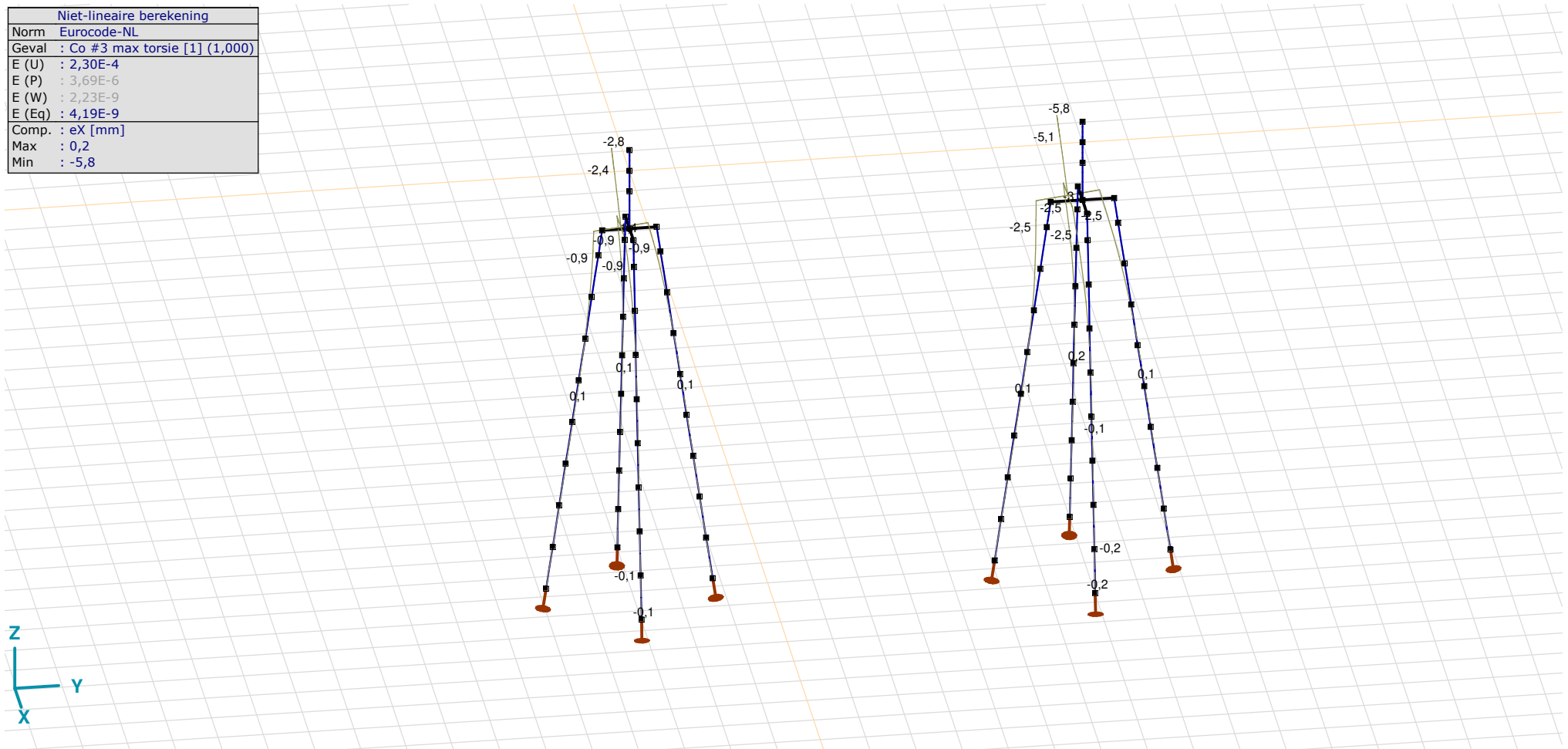
Analysis by

Model: **4P-O.axs**

23-5-2022

Pag. 32

Niet-lineaire berekening	
Norm	Eurocode-NL
Geval	Co #3 max torsie [1] (1,000)
E (U)	: 2,30E-4
E (P)	: 3,69E-6
E (W)	: 2,23E-9
E (Eq)	: 4,19E-9
Comp.	: eX [mm]
Max	: 0,2
Min	: -5,8



[II], Non-lin., Co #3 max torsie [1] (1,000), eX, Lijnen

Project

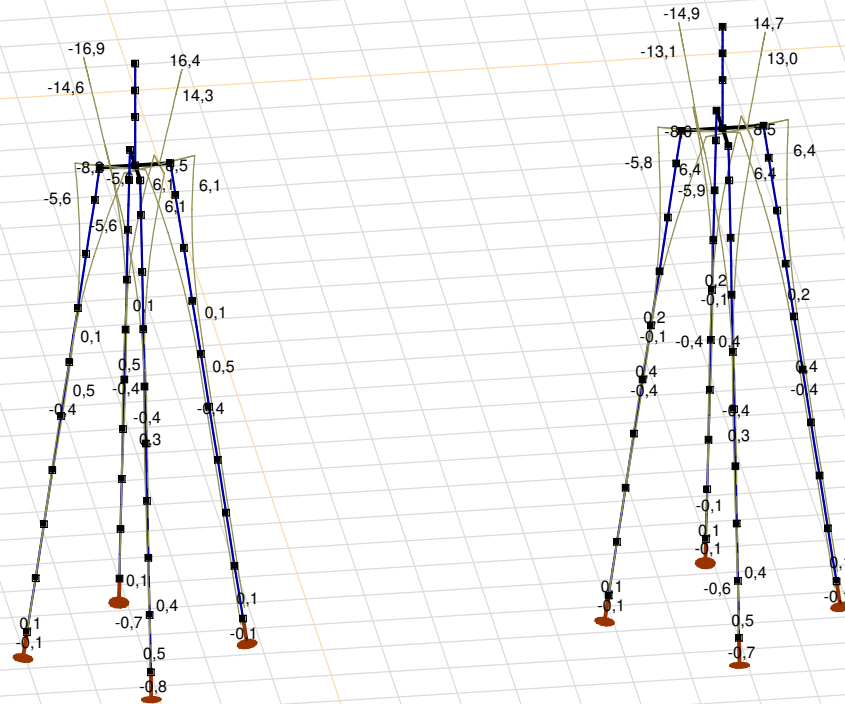
Analysis by

Model: **4P-O.axs**

23-5-2022

Pag. 33

Niet-lineaire berekening	
Norm	Eurocode-NL
Geval	: Omhullende Min,Max
Omhullende	: Alle UGT
E (U)	: 2,26E-4
E (P)	: 3,96E-6
E (W)	: 8,37E-8
E (Eq)	: 7,59E-9
Comp.	: eX [mm]
Max	: 16,4
Min	: -16,9



[II], Non-lin., Omhullende (Alle UGT), eX, Lijnen

Project

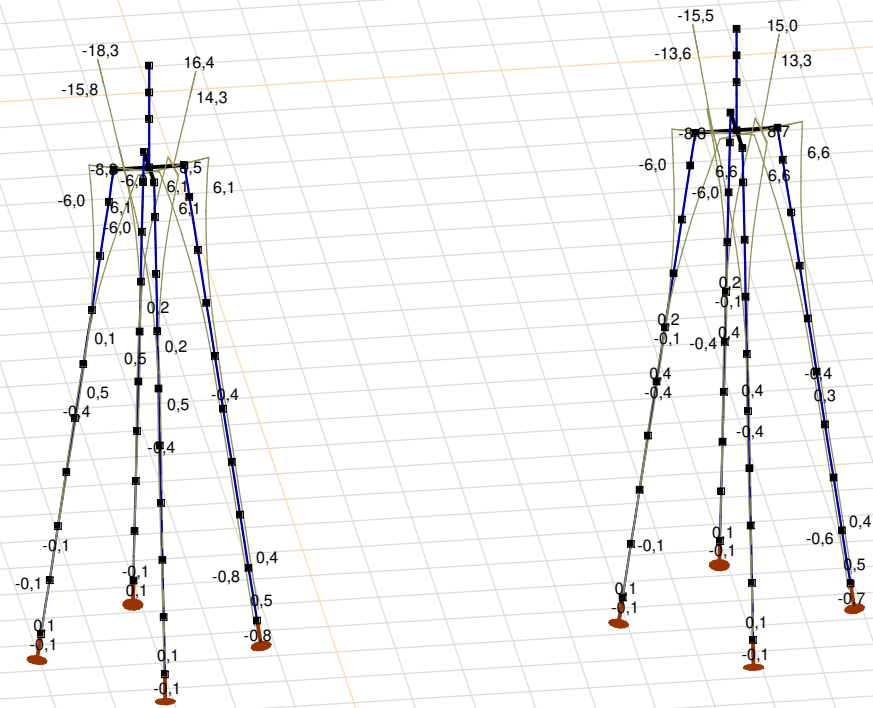
Analysis by

Model: **4P-O.axs**

23-5-2022

Pag. 34

Niet-lineaire berekening	
Norm	Eurocode-NL
Geval	: Omhullende Min,Max
Omhullende	: Alle UGT
E (U)	: 2,26E-4
E (P)	: 3,96E-6
E (W)	: 8,37E-8
E (Eq)	: 7,59E-9
Comp.	: eY [mm]
Max	: 16,4
Min	: -18,3



[III], Non-lin., Omhullende (Alle UGT), eY, Lijnen

Project

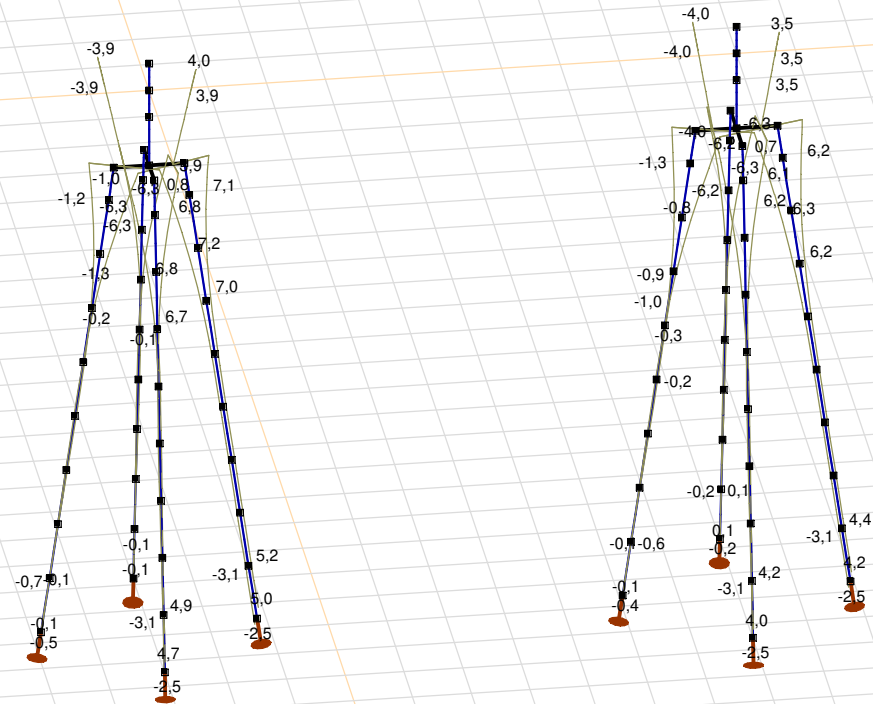
Analysis by

Model: **4P-O.axs**

23-5-2022

Pag. 35

Niet-lineaire berekening	
Norm	Eurocode-NL
Geval	: Omhullende Min,Max
Omhullende	: Alle UGT
E (U)	: 2,26E-4
E (P)	: 3,96E-6
E (W)	: 8,37E-8
E (Eq)	: 7,59E-9
Comp.	: eZ [mm]
Max	: 7,2
Min	: -6,3



[II], Non-lin., Omhullende (Alle UGT), eZ, Lijnen

Project

Analysis by

Model: **4P-O.axs**

23-5-2022

Pag. 36

Knoopverplaatsingen [Non-lin., Omhullende (Alle UGT)]

	C	min. max.	Geval	eX [mm]	eY [mm]	eZ [mm]	eR [mm]	fX [rad]	fY [rad]	fZ [rad]	fR [rad]
Ext.											
6	eX	min	Co #2 max trek [1] (1,000)	-16,9	-18,3	4,0	25,2	0,0050	-0,0046	0	0,0068
6		max	Co #1 max druk [1] (1,000)	16,4	16,4	-3,9	23,5	-0,0042	0,0042	0	0,0059
6	eY	min	Co #2 max trek [1] (1,000)	-16,9	-18,3	4,0	25,2	0,0050	-0,0046	0	0,0068
6		max	Co #1 max druk [1] (1,000)	16,4	16,4	-3,9	23,5	-0,0042	0,0042	0	0,0059
24	eZ	min	Co #1 max druk [1] (1,000)	6,1	6,1	-6,3	10,7	-0,0040	0,0037	0	0,0055
25		min	Co #1 max druk [1] (1,000)	8,5	8,5	-6,3	13,6	-0,0041	0,0041	0	0,0058
34		min	Co #1 max druk [1] (1,000)	6,1	6,1	-6,3	10,7	-0,0037	0,0040	0	0,0055
83		min	Co #1 max druk [1] (1,000)	7,9	7,9	-6,3	12,8	-0,0042	0,0041	0	0,0058
84		min	Co #1 max druk [1] (1,000)	7,3	7,3	-6,3	12,1	-0,0041	0,0040	0	0,0057
85		min	Co #1 max druk [1] (1,000)	6,7	6,7	-6,3	11,4	-0,0041	0,0039	0	0,0056
86		min	Co #1 max druk [1] (1,000)	7,9	7,9	-6,3	12,8	-0,0041	0,0041	0	0,0058
87		min	Co #1 max druk [1] (1,000)	7,3	7,3	-6,3	12,1	-0,0040	0,0041	0	0,0057
88		min	Co #1 max druk [1] (1,000)	6,7	6,7	-6,3	11,4	-0,0039	0,0041	0	0,0056
33		max	Co #2 max trek [1] (1,000)	-2,2	-2,7	7,2	8,0	0,0024	-0,0026	0,0003	0,0036
37	eR	min	Co #2 max trek [1] (1,000)	0	0	0	0	0	0,0001	0,0007	0,0007
6		max	Co #2 max trek [1] (1,000)	-16,9	-18,3	4,0	25,2	0,0050	-0,0046	0	0,0068

C: Extreme component; **min. max.:** Extreme type; **Geval:** Belastinggeval van de extreme; **eX:** Verplaatsing in X-richting; **eY:** Verplaatsing in Y-richting; **eZ:** Verplaatsing in Z-richting; **eR:** Resulterende verplaatsing; **fX:** Rotatie in X-richting; **fY:** Rotatie in Y-richting; **fZ:** Rotatie in Z-richting; **fR:** Resulterende rotatie;

Project

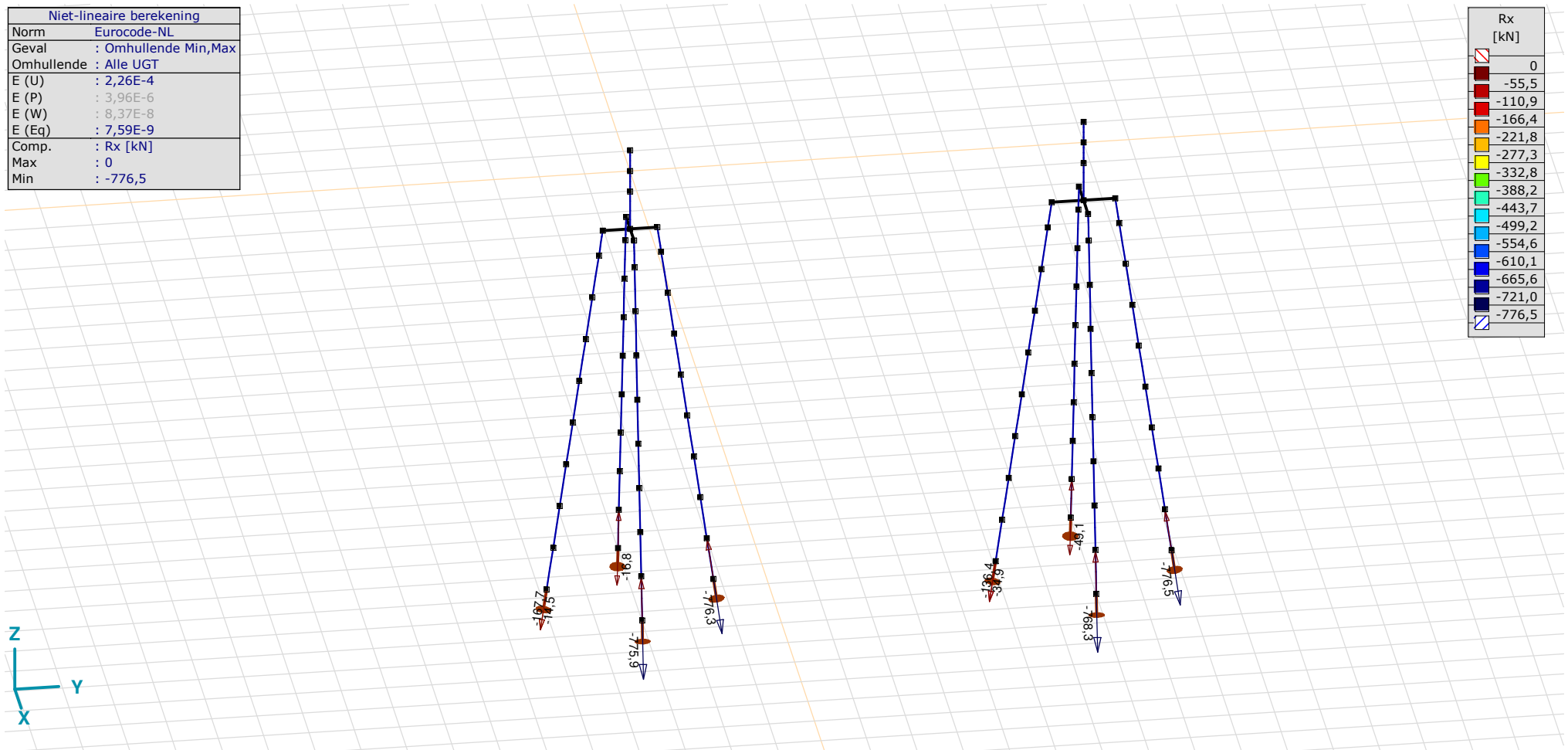
Analysis by

Model: **4P-O.axs**

23-5-2022

Pag. 37

Niet-lineaire berekening	
Norm	Eurocode-NL
Geval	: Omhullende Min,Max
Omhullende	: Alle UGT
E (U)	: 2,26E-4
E (P)	: 3,96E-6
E (W)	: 8,37E-8
E (Eq)	: 7,59E-9
Comp.	: Rx [kN]
Max	: 0
Min	: -776,5



[II], Non-lin., Omhullende (Alle UGT), Rx (knoopopl.), Lijnen

Project

Analysis by

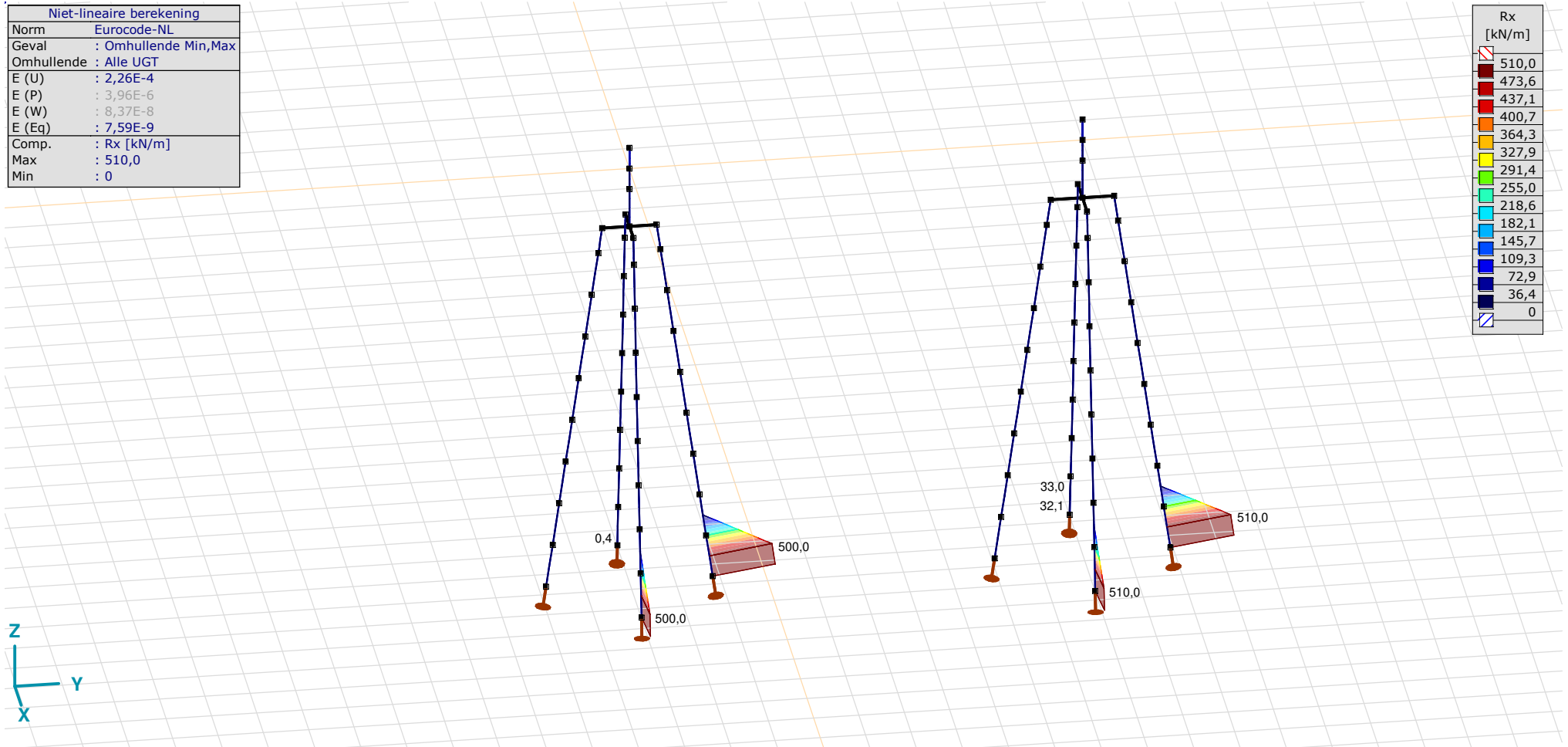
Model: **4P-O.axs**

23-5-2022

Pag. 38

Niet-lineaire berekening	
Norm	Eurocode-NL
Geval	: Omhullende Min,Max
Omhullende	: Alle UGT
E (U)	: 2,26E-4
E (P)	: 3,96E-6
E (W)	: 8,37E-8
E (Eq)	: 7,59E-9
Comp.	: Rx [kN/m]
Max	: 510,0
Min	: 0

Rx [kN/m]	
510,0	
473,6	
437,1	
400,7	
364,3	
327,9	
291,4	
255,0	
218,6	
182,1	
145,7	
109,3	
72,9	
36,4	
0	



III, Non-lin., Omhullende (Alle UGT), Rx (lijnopp.), Lijnen (gevuld)

Project

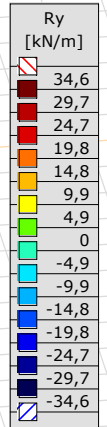
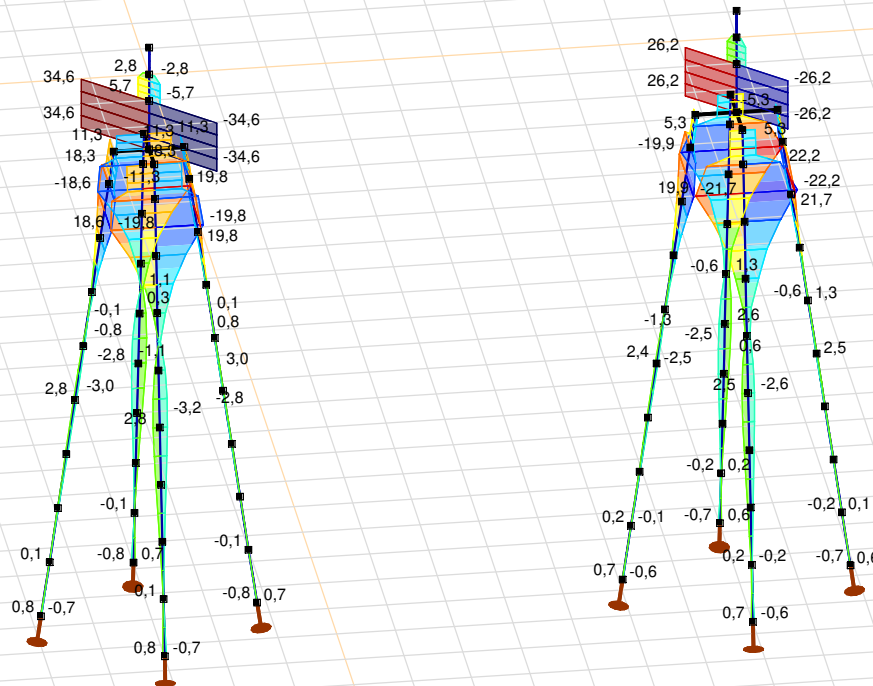
Analysis by

Model: **4P-O.axs**

23-5-2022

Pag. 39

Niet-lineaire berekening	
Norm	Eurocode-NL
Geval	: Omhullende Min,Max
Omhullende	: Alle UGT
E (U)	: 2,26E-4
E (P)	: 3,96E-6
E (W)	: 8,37E-8
E (Eq)	: 7,59E-9
Comp.	: Ry [kN/m]
Max	: 34,6
Min	: -34,6



[II], Non-lin., Omhullende (Alle UGT), Ry (lijnopp.), Lijnen (gevuld)

Project

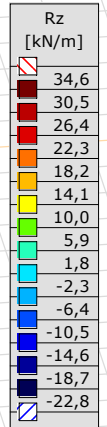
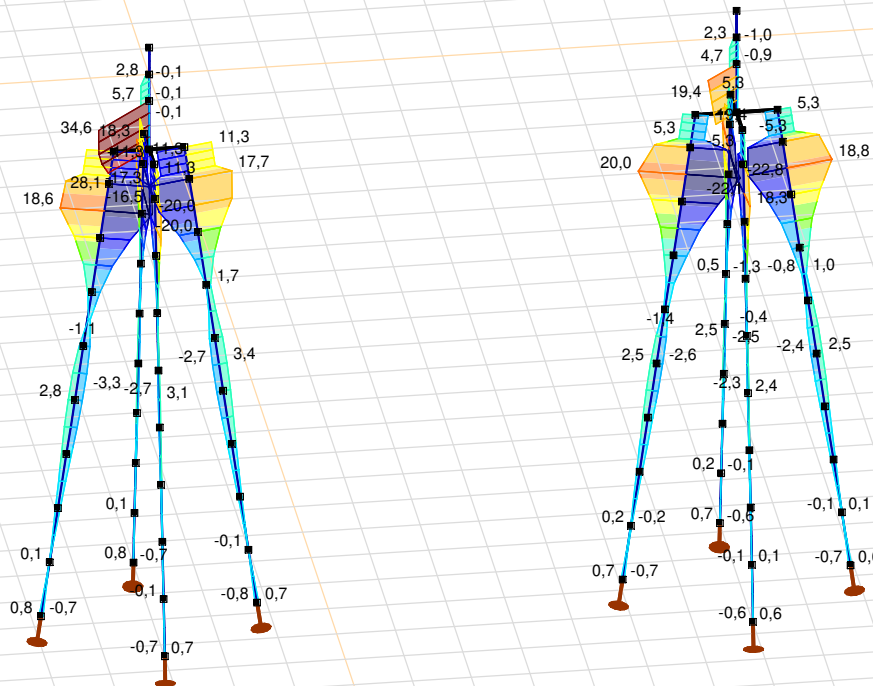
Analysis by

Model: **4P-O.axs**

23-5-2022

Pag. 40

Niet-lineaire berekening	
Norm	Eurocode-NL
Geval	: Omhullende Min,Max
Omhullende	: Alle UGT
E (U)	: 2,26E-4
E (P)	: 3,96E-6
E (W)	: 8,37E-8
E (Eq)	: 7,59E-9
Comp.	: Rz [kN/m]
Max	: 34,6
Min	: -22,8



[[I]], Non-lin., Omhullende (Alle UGT), Rz (lijnopp.), Lijnen (gevuld)

Project

Analysis by

Model: **4P-O.axs**

23-5-2022

Pag. 41

Interne krachten knooppoplegging [Non-lin., Omhullende (Alle UGT)]

	<i>Knoop</i>	<i>X [m]</i>	<i>Y [m]</i>	<i>Z [m]</i>	<i>Type</i>	<i>C</i>	<i>min. max.</i>	<i>Geval</i>	<i>R_x [kN]</i>
1	4	0	-1,838	-10,000	Staaft r.	Rx	min	Co #3 max torsie [1] (1,000)	-167,7
							max	Co #1 max druk [1] (1,000)	-14,5
2	16	1,838	0	-10,000	Staaft r.	Rx	min	Co #1 max druk [1] (1,000)	-775,9
							max	Co #2 max trek [1] (1,000)	0
3	26	0	1,838	-10,000	Staaft r.	Rx	min	Co #1 max druk [1] (1,000)	-776,3
							max	Co #2 max trek [1] (1,000)	0
4	36	-1,838	0	-10,000	Staaft r.	Rx	min	Co #3 max torsie [1] (1,000)	-16,8
							max	Co #2 max trek [1] (1,000)	0
5	102	0	8,062	-10,000	Staaft r.	Rx	min	Co #3 max torsie [1] (1,000)	-136,4
							max	Co #2 max trek [1] (1,000)	-34,9
6	119	1,938	10,000	-10,000	Staaft r.	Rx	min	Co #1 max druk [1] (1,000)	-768,3
							max	Co #2 max trek [1] (1,000)	0
7	136	0	11,938	-10,000	Staaft r.	Rx	min	Co #1 max druk [1] (1,000)	-776,5
							max	Co #2 max trek [1] (1,000)	0
8	153	-1,938	10,000	-10,000	Staaft r.	Rx	min	Co #1 max druk [1] (1,000)	-49,1
							max	Co #3 max torsie [1] (1,000)	0
Ext.									
2	16	1,838	0	-10,000	Staaft r.	Rx	min	Co #1 max druk [1] (1,000)	-775,9
3	26	0	1,838	-10,000	Staaft r.		min	Co #1 max druk [1] (1,000)	-776,3
7	136	0	11,938	-10,000	Staaft r.		min	Co #1 max druk [1] (1,000)	-776,5
3	26	0	1,838	-10,000	Staaft r.		max	Co #2 max trek [1] (1,000)	0

Knoop: Ondersteunde knoop; **Type:** Opleggingstype; **C:** Extreme component; **min. max.:** Extreme type; **Geval:** Belastinggeval van de extreme; **Rx:** X-component opleggingsreactiekracht;

Project

Analysis by

AxisVM X6 R1q · Geregistreerd aan DNV GL - Energy
4P-LD1.axs

Report

Report, Inhoudsopgave

<i>Onderdeel</i>	<i>Pagina</i>	<i>Onderdeel</i>	<i>Pagina</i>
Tekening render	3	SPLS 3_0,9 torsie: Knoopbelastingen	23
Materialen	4	Gebruiker gedefinieerde belastingcombinaties uit belastinggevallen	23
Profielen	4	[II], Non-lin., Co #4 Perm [1] (1,000), Nx, Lijnen (gevuld)(gevuld)	24
Tekening	7	[II], Non-lin., Omhullende (Alle UGT), Nx, Lijnen (gevuld)	25
Knopen	8	[II], Non-lin., Omhullende (Alle UGT), My, Lijnen (gevuld)	26
Staven	8	[II], Non-lin., Omhullende (Alle UGT), Mz, Lijnen (gevuld)	27
Knoopopleggingen	10	[II], Non-lin., Omhullende (Alle UGT), Vy, Lijnen (gevuld)	28
Tekening met beddingen	11	[II], Non-lin., Omhullende (Alle UGT), Vz, Lijnen (gevuld)	29
Lijnopleggingen	12	Staafrachten [Non-lin., Omhullende (Alle UGT), Palen]	30
EG poer	17	[II], Non-lin., Co #1 max druk [1] (1,000), eX, Lijnen	31
EG poer: Staaf eigen gewicht	18	[II], Non-lin., Co #3 max torsie [1] (1,000), eX, Lijnen	32
GWS	18	[II], Non-lin., Omhullende (Alle UGT), eX, Lijnen	33
GWS: Knoopbelastingen	19	[II], Non-lin., Omhullende (Alle UGT), eY, Lijnen	34
SLS 7	19	[II], Non-lin., Omhullende (Alle UGT), eZ, Lijnen	35
SLS 7: Knoopbelastingen	20	Knoopverplaatsingen [Non-lin., Omhullende (Alle UGT)]	36
SPLS 3_druk	20	[II], Non-lin., Omhullende (Alle UGT), Rx (knoopopl.), Lijnen	37
SPLS 3_druk: Knoopbelastingen	21	[II], Non-lin., Omhullende (Alle UGT), Rx (lijnopp.), Lijnen (gevuld)	38
SPLS 3_0,9 trek	21	[II], Non-lin., Omhullende (Alle UGT), Ry (lijnopp.), Lijnen (gevuld)	39
SPLS 3_0,9 trek: Knoopbelastingen	22	[II], Non-lin., Omhullende (Alle UGT), Rz (lijnopp.), Lijnen (gevuld)	40
SPLS 3_0,9 torsie	22	Interne krachten knoopoplegging [Non-lin., Omhullende (Alle UGT)]	41

Project

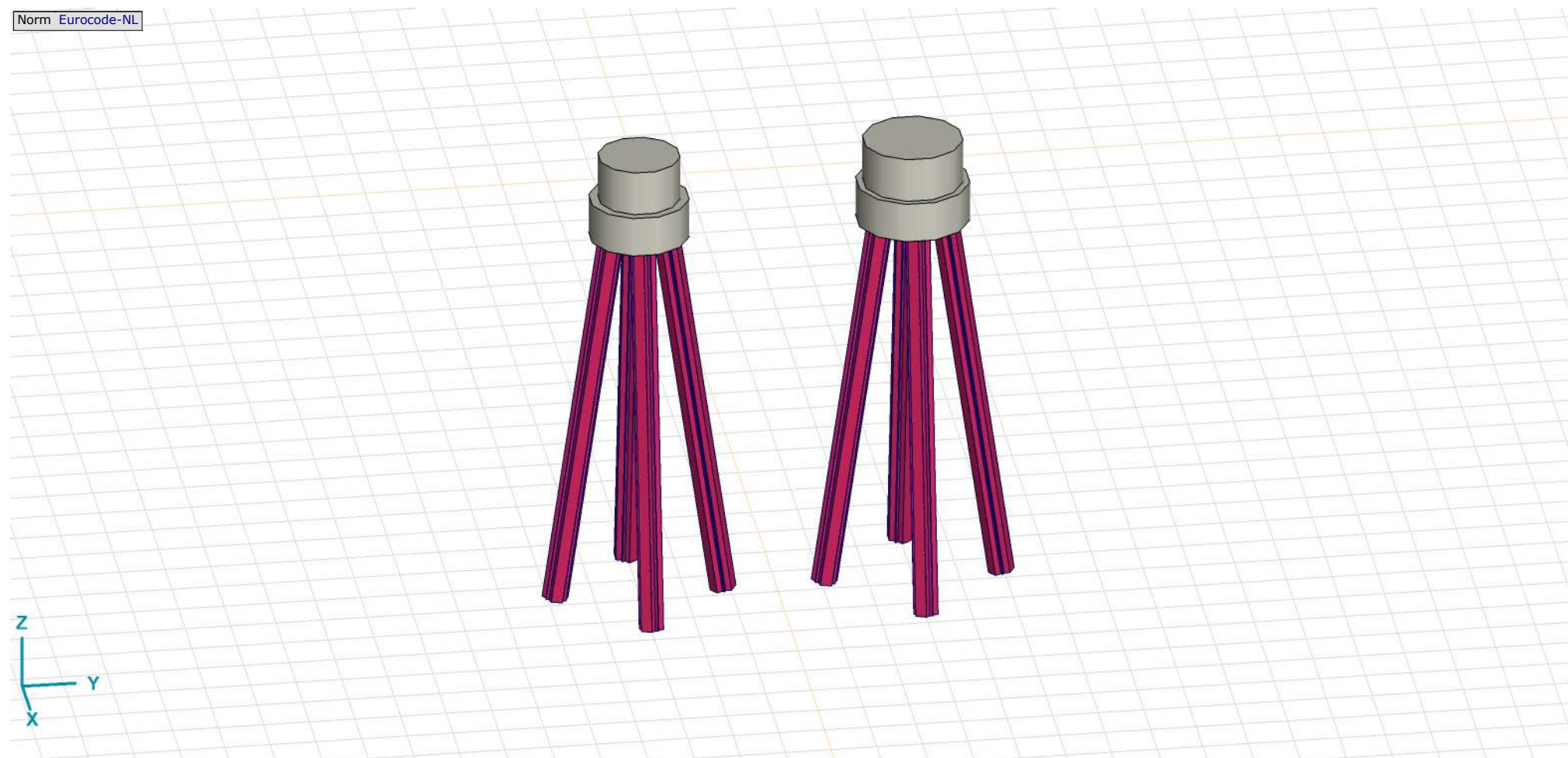
Analysis by

Model: **4P-LD1.axs**

23-5-2022

Pag. 3

Norm Eurocode-NL



Tekening render

Project

Analysis by

Model: **4P-LD1.axs**

23-5-2022

Pag. 4

Materialen

	Naam	Type	Nationale norm	Materiaalnorm	Model	E_x [N/mm ²]	E_y [N/mm ²]	ν	α_T [1/°C]	ρ [kg/m ³]	Materiaal kleur	Contour kleur	Structuur	P_1
1	C30/37	Beton	Eurocode-NL	EN 206	Lineair	11000	11000	0,20	1E-5	2500			Concrete A	f_{ck} [N/mm ²] = 30,00
2	S 235	Staal	Eurocode-NL	10025-2	Lineair	210000	210000	0,30	1,2E-5	7850			Steel	f_y [N/mm ²] = 235,00

	Naam	P_2	P_3	P_4	P_5	P_6	P_7	P_8	P_9	P_{10}	P_{11}	P_{12}	P_{13}	P_{14}
1	C30/37	$\gamma_c = 1,500$	$\alpha_{cc} = 1,00$	$\phi_t = 2,00$										
2	S 235	f_u [N/mm ²] = 360,00	f_y [N/mm ²] = 215,00	f_u [N/mm ²] = 360,00										

Naam: Materiaalnaam; **Type:** Type materiaal; **Model:** Materiaal model; **E_x :** Elasticiteitsmodulus in lokale x richting; **E_y :** Elasticiteitsmodulus in lokale y richting; **ν :** Poisson's verhouding; **α_T :** Warmteuitzettingscoëfficiënt; **ρ :** Dichtheid; **Materiaal kleur:** Materiaalkleur; **Contour kleur:** Contourkleur; **$P_1, P_2, P_3, P_4, P_5, P_6, P_7, P_8, P_9, P_{10}, P_{11}, P_{12}, P_{13}, P_{14}$:** Ontwerpparameter;

Profielen

	Naam	Tekening	Productie	Vorm	h [mm]	b [mm]	tw [mm]	tf [mm]	r_1 [mm]	r_2 [mm]	r_3 [mm]	A_x [mm ²]	A_y [mm ²]	A_z [mm ²]
1	O 400		Ander	Rond	400,0	400,0	0	0	0	0	0	125638,20	107689,90	107689,90
2	O 1500		Ander	Rond	1500,0	1500,0	0	0	0	0	0	1766787,00	1514389,00	1514389,00

	Naam	I_x [mm ⁴]	I_y [mm ⁴]	I_z [mm ⁴]	I_{yz} [mm ⁴]	I_1 [mm ⁴]	I_2 [mm ⁴]	α [°]	I_w [mm ⁶]	$W_{1,el,t}$ [mm ³]	$W_{1,el,b}$ [mm ³]	$W_{2,el,t}$ [mm ³]	$W_{2,el,b}$ [mm ³]	$W_{1,pl}$ [mm ³]	$W_{2,pl}$ [mm ³]
1	O 400	2,51E+09	1,26E+09	1,26E+09	0	1,26E+09	1,26E+09	0	0	6280634,00	6280634,00	6280634,00	6280634,00	1,07E+07	1,07E+07
2	O 1500	4,97E+11	2,48E+11	2,48E+11	0	2,48E+11	2,48E+11	0	0	3,31E+08	3,31E+08	3,31E+08	3,31E+08	5,62E+08	5,62E+08

	Naam	i_y [mm]	i_z [mm]	H_y [mm]	H_z [mm]	y_G [mm]	z_G [mm]	y_s [mm]	z_s [mm]	β_y [mm]	β_z [mm]	β_w [mm]	S.p.
1	O 400	100,0	100,0	400,0	400,0	200,0	200,0	0	0	0	0	0	5
2	O 1500	375,0	375,0	1500,0	1500,0	750,0	750,0	0	0	0	0	0	5

Project

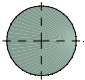
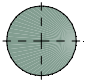
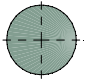
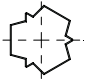
Analysis by

Model: **4P-LD1.axs**

23-5-2022

Pag. 5

Profielen

	Naam	Tekening	Productie	Vorm	h [mm]	b [mm]	tw [mm]	tf [mm]	r_1 [mm]	r_2 [mm]	r_3 [mm]	A_x [mm ²]	A_y [mm ²]	A_z [mm ²]
3	O 1300		Ander	Rond	1300,0	1300,0	0	0	0	0	0	1327053,00	1137474,00	1137474,00
4	O 2500		Ander	Rond	2500,0	2500,0	0	0	0	0	0	4907742,00	4206636,00	4206636,00
5	O 1800		Ander	Rond	1800,0	1800,0	0	0	0	0	0	2544173,00	2180720,00	2180720,00
6	514x570,1		Ander	Eigen gedefinieerd	570,1	514,0	0	0	0	0	0	15142,80	5219,72	5219,72

	Naam	I_x [mm ⁴]	I_y [mm ⁴]	I_z [mm ⁴]	I_{yz} [mm ⁴]	I_1 [mm ⁴]	I_2 [mm ⁴]	α [°]	$I\omega$ [mm ⁶]	$W_{1,e,t}$ [mm ³]	$W_{1,e,b}$ [mm ³]	$W_{2,e,t}$ [mm ³]	$W_{2,e,b}$ [mm ³]	$W_{1,p,l}$ [mm ³]	$W_{2,p,l}$ [mm ³]
3	O 1300	2,8E+11	1,4E+11	1,4E+11	0	1,4E+11	1,4E+11	0	0	2,16E+08	2,16E+08	2,16E+08	2,16E+08	3,66E+08	3,66E+08
4	O 2500	3,83E+12	1,92E+12	1,92E+12	0	1,92E+12	1,92E+12	0	0	1,53E+09	1,53E+09	1,53E+09	1,53E+09	2,6E+09	2,6E+09
5	O 1800	1,03E+12	5,15E+11	5,15E+11	0	5,15E+11	5,15E+11	0	0	5,72E+08	5,72E+08	5,72E+08	5,72E+08	9,72E+08	9,72E+08
6	514x570,1	6,22E+08	4,6E+08	4,6E+08	0	4,6E+08	4,6E+08	0	2,4E+11	1614516,00	1614516,00	1790846,00	1790845,00	2369310,00	2357912,00

	Naam	i_y [mm]	i_z [mm]	H_y [mm]	H_z [mm]	y_G [mm]	z_G [mm]	y_s [mm]	z_s [mm]	β_y [mm]	β_z [mm]	β_w [mm]	S.p.
3	O 1300	325,0	325,0	1300,0	1300,0	650,0	650,0	0	0	0	0	0	5
4	O 2500	624,9	624,9	2500,0	2500,0	1250,0	1250,0	0	0	0	0	0	5
5	O 1800	450,0	450,0	1800,0	1800,0	900,0	900,0	0	0	0	0	0	5
6	514x570,1	174,3	174,3	514,0	570,1	257,0	285,1	0	0	0	0	0	9

Project

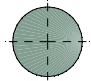
Analysis by

Model: **4P-LD1.axs**

23-5-2022

Pag. 6

Profielen

	Naam	Tekening	Productie	Vorm	h [mm]	b [mm]	tw [mm]	tf [mm]	r_1 [mm]	r_2 [mm]	r_3 [mm]	A_x [mm ²]	A_y [mm ²]	A_z [mm ²]
7	O 2200		Ander	Rond	2200,0	2200,0	0	0	0	0	0	3800555,00	3257619,00	3257619,00

	Naam	I_x [mm ⁴]	I_y [mm ⁴]	I_z [mm ⁴]	I_{yz} [mm ⁴]	I_1 [mm ⁴]	I_2 [mm ⁴]	α [°]	$I\omega$ [mm ⁶]	$W_{1,el,t}$ [mm ³]	$W_{1,el,b}$ [mm ³]	$W_{2,el,t}$ [mm ³]	$W_{2,el,b}$ [mm ³]	$W_{1,pl}$ [mm ³]	$W_{2,pl}$ [mm ³]
7	O 2200	2,3E+12	1,15E+12	1,15E+12	0	1,15E+12	1,15E+12	0	0	1,04E+09	1,04E+09	1,04E+09	1,04E+09	1,77E+09	1,77E+09

	Naam	i_y [mm]	i_z [mm]	H_y [mm]	H_z [mm]	y_G [mm]	z_G [mm]	y_s [mm]	z_s [mm]	β_y [mm]	β_z [mm]	β_w []	S.p.
7	O 2200	549,9	549,9	2200,0	2200,0	1100,0	1100,0	0	0	0	0	0	5

Naam: Doorsnede naam; **Productie:** Productieproces; **Vorm:** Profiel; **h:** Doorsnede hoogte; **b:** Doorsnede breedte; **tw:** Lijfdikte; **tf:** Flensdikte; **r₁, r₂, r₃:** Afrondingswaarde; **A_x:** Doorsnede-oppervlak; **A_y, A_z:** Afschuivingsoppervlak; **I_x:** Torsietraagheidsmoment; **I_y, I_z:** Buigtraagheidsmoment; **I_{yz}:** Centrifugaal traagheidsmoment; **I₁, I₂:** Hoofdbuigtraagheidsmoment; **α:** Hoofdrichtingen; **Iω:** Krommingsconstante; **W_{1,el,t}, W_{1,el,b}, W_{2,el,t}, W_{2,el,b}:** Elastisch weerstandsmoment; **W_{1,pl}, W_{2,pl}:** Plastisch weerstandsmoment; **i_y, i_z:** Traagheidsstraal; **H_y:** Afmeting in lokale Y-richting; **H_z:** Afmeting in lokale Z-richting; **y_G:** Y-coördinaat van het zwaartepunt; **z_G:** Z-coördinaat van het zwaartepunt; **y_s:** Y-coördinaat van het afschuivingsmiddelpunt (torsie); **z_s:** Z-coördinaat van het afschuivingsmiddelpunt (torsie); **β_y, β_z, β_w:** Wagner's coëfficiënt; **S.p.:** Spanningspunten;

Project

Analysis by

Model: 4P-LD1.axs

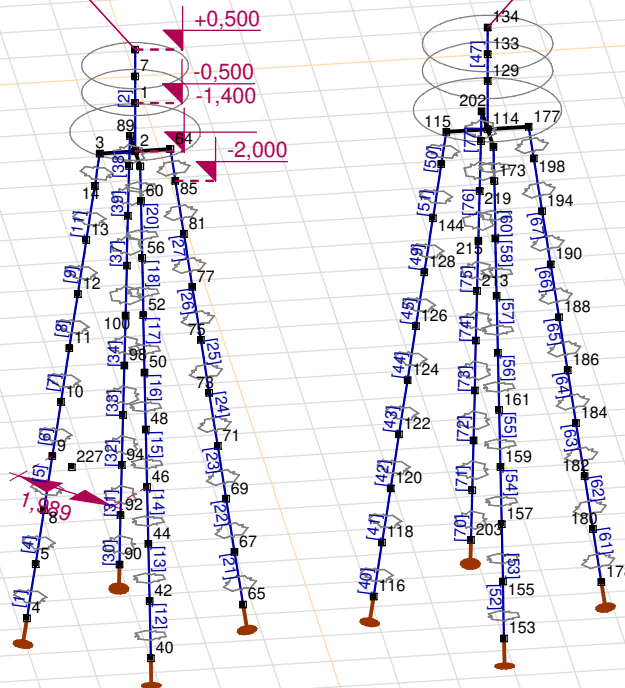
23-5-2022

Pag. 7

Norm Eurocode-NL

4P-LD-2 (1,8 m, mast 98)

4P-LD (2,2 m)



Tekening

Project

Analysis by

Model: **4P-LD1.axs**

23-5-2022

Pag. 8

Knopen

	X [m]	Y [m]	Z [m]		X [m]	Y [m]	Z [m]		X [m]	Y [m]	Z [m]		X [m]	Y [m]	Z [m]		X [m]	Y [m]	Z [m]
1	0	0	-0,500	46	1,406	0	-7,000	92	-1,694	0	-9,000	133	0	6,000	0	184	0	7,506	-7,000
2	0	0	-1,400	48	1,262	0	-6,000	94	-1,550	0	-8,000	134	0	6,000	0,500	186	0	7,362	-6,000
3	0	-0,600	-1,400	50	1,118	0	-5,000	96	-1,406	0	-7,000	144	0	5,070	-3,000	188	0	7,218	-5,000
4	0	-1,838	-10,000	52	0,974	0	-4,000	98	-1,262	0	-6,000	148	0	5,214	-2,000	190	0	7,074	-4,000
5	0	-1,694	-9,000	56	0,830	0	-3,000	100	-1,118	0	-5,000	152	0,700	6,000	-1,400	194	0	6,930	-3,000
6	0	0	0,500	60	0,686	0	-2,000	102	-0,974	0	-4,000	153	1,938	6,000	-10,000	198	0	6,786	-2,000
7	0	0	0	64	0	0,600	-1,400	106	-0,830	0	-3,000	155	1,794	6,000	-9,000	202	-0,700	6,000	-1,400
8	0	-1,550	-8,000	65	0	1,838	-10,000	110	-0,686	0	-2,000	157	1,650	6,000	-8,000	203	-1,938	6,000	-10,000
9	0	-1,406	-7,000	67	0	1,694	-9,000	114	0	6,000	-1,400	159	1,506	6,000	-7,000	205	-1,794	6,000	-9,000
10	0	-1,262	-6,000	69	0	1,550	-8,000	115	0	5,300	-1,400	161	1,362	6,000	-6,000	207	-1,650	6,000	-8,000
11	0	-1,118	-5,000	71	0	1,406	-7,000	116	0	4,062	-10,000	163	1,218	6,000	-5,000	209	-1,506	6,000	-7,000
12	0	-0,974	-4,000	73	0	1,262	-6,000	118	0	4,206	-9,000	165	1,074	6,000	-4,000	211	-1,362	6,000	-6,000
13	0	-0,830	-3,000	75	0	1,118	-5,000	120	0	4,350	-8,000	169	0,930	6,000	-3,000	213	-1,218	6,000	-5,000
14	0	-0,686	-2,000	77	0	0,974	-4,000	122	0	4,494	-7,000	173	0,786	6,000	-2,000	215	-1,074	6,000	-4,000
39	0,600	0	-1,400	81	0	0,830	-3,000	124	0	4,638	-6,000	177	0	6,700	-1,400	219	-0,930	6,000	-3,000
40	1,838	0	-10,000	85	0	0,686	-2,000	126	0	4,782	-5,000	178	0	7,938	-10,000	223	-0,786	6,000	-2,000
42	1,694	0	-9,000	89	-0,600	0	-1,400	128	0	4,926	-4,000	180	0	7,794	-9,000	227	14,900	-3,238	0
44	1,550	0	-8,000	90	-1,838	0	-10,000	129	0	6,000	-0,500	182	0	7,650	-8,000				

Staven

	Start-punt	Eind-punt	Lengte	Lokaal X	Materiaal	Doorsnede	Ref _z		Start-punt	Eind-punt	Lengte	Lokaal X	Materiaal	Doorsnede	Ref _z
1	4	5	1,010	i - j	S 235	6	↗ R4	14	44	46	1,010	i - j	S 235	6	↗ R9
2	1	7	0,500	i - j	C30/37	5	↗ R1	15	46	48	1,010	i - j	S 235	6	↗ R9
3	7	6	0,500	j - i	C30/37	5	↗ R1	16	48	50	1,010	i - j	S 235	6	↗ R9
4	5	8	1,010	i - j	S 235	6	↗ R4	17	50	52	1,010	i - j	S 235	6	↗ R9
5	8	9	1,010	i - j	S 235	6	↗ R4	18	52	56	1,010	i - j	S 235	6	↗ R9
6	9	10	1,010	i - j	S 235	6	↗ R4	19	60	39	0,606	j - i	S 235	6	↗ R9
7	10	11	1,010	i - j	S 235	6	↗ R4	20	56	60	1,010	i - j	S 235	6	↗ R9
8	11	12	1,010	i - j	S 235	6	↗ R4	21	65	67	1,010	i - j	S 235	6	↗ R5
9	12	13	1,010	i - j	S 235	6	↗ R4	22	67	69	1,010	i - j	S 235	6	↗ R5
10	14	3	0,606	j - i	S 235	6	↗ R4	23	69	71	1,010	i - j	S 235	6	↗ R5
11	13	14	1,010	i - j	S 235	6	↗ R4	24	71	73	1,010	i - j	S 235	6	↗ R5
12	40	42	1,010	i - j	S 235	6	↗ R9	25	73	75	1,010	i - j	S 235	6	↗ R5
13	42	44	1,010	i - j	S 235	6	↗ R9	26	75	77	1,010	i - j	S 235	6	↗ R5

Project

Analysis by

Model: **4P-LD1.axs**

23-5-2022

Pag. 9

Staven

	Start-punt	Eind-punt	Lengte	Lokaal X	Materiaal	Doorsnede	Ref _Z		Start-punt	Eind-punt	Lengte	Lokaal X	Materiaal	Doorsnede	Ref _Z
27	77	81	1,010	i - j	S 235	6	↗ R5	53	155	157	1,010	i - j	S 235	6	↗ R9
28	85	64	0,606	j - i	S 235	6	↗ R5	54	157	159	1,010	i - j	S 235	6	↗ R9
29	81	85	1,010	i - j	S 235	6	↗ R5	55	159	161	1,010	i - j	S 235	6	↗ R9
30	90	92	1,010	i - j	S 235	6	↗ R13	56	161	163	1,010	i - j	S 235	6	↗ R9
31	92	94	1,010	i - j	S 235	6	↗ R13	57	163	165	1,010	i - j	S 235	6	↗ R9
32	94	96	1,010	i - j	S 235	6	↗ R13	58	165	169	1,010	i - j	S 235	6	↗ R9
33	96	98	1,010	i - j	S 235	6	↗ R13	59	173	152	0,606	j - i	S 235	6	↗ R9
34	98	100	1,010	i - j	S 235	6	↗ R13	60	169	173	1,010	i - j	S 235	6	↗ R9
35	100	102	1,010	i - j	S 235	6	↗ R13	61	178	180	1,010	i - j	S 235	6	↗ R5
36	2	1	0,900	j - i	C30/37	7	↗ R1	62	180	182	1,010	i - j	S 235	6	↗ R5
37	102	106	1,010	i - j	S 235	6	↗ R13	63	182	184	1,010	i - j	S 235	6	↗ R5
38	110	89	0,606	j - i	S 235	6	↗ R13	64	184	186	1,010	i - j	S 235	6	↗ R5
39	106	110	1,010	i - j	S 235	6	↗ R13	65	186	188	1,010	i - j	S 235	6	↗ R5
40	116	118	1,010	i - j	S 235	6	↗ R4	66	188	190	1,010	i - j	S 235	6	↗ R5
41	118	120	1,010	i - j	S 235	6	↗ R4	67	190	194	1,010	i - j	S 235	6	↗ R5
42	120	122	1,010	i - j	S 235	6	↗ R4	68	198	177	0,606	j - i	S 235	6	↗ R5
43	122	124	1,010	i - j	S 235	6	↗ R4	69	194	198	1,010	i - j	S 235	6	↗ R5
44	124	126	1,010	i - j	S 235	6	↗ R4	70	203	205	1,010	i - j	S 235	6	↗ R13
45	126	128	1,010	i - j	S 235	6	↗ R4	71	205	207	1,010	i - j	S 235	6	↗ R13
46	129	133	0,500	i - j	C30/37	7	↗ R1	72	207	209	1,010	i - j	S 235	6	↗ R13
47	133	134	0,500	i - j	C30/37	7	↗ R1	73	209	211	1,010	i - j	S 235	6	↗ R13
48	114	129	0,900	i - j	C30/37	4	↗ R1	74	211	213	1,010	i - j	S 235	6	↗ R13
49	128	144	1,010	i - j	S 235	6	↗ R4	75	213	215	1,010	i - j	S 235	6	↗ R13
50	148	115	0,606	j - i	S 235	6	↗ R4	76	215	219	1,010	i - j	S 235	6	↗ R13
51	144	148	1,010	i - j	S 235	6	↗ R4	77	223	202	0,606	j - i	S 235	6	↗ R13
52	153	155	1,010	i - j	S 235	6	↗ R9	78	219	223	1,010	i - j	S 235	6	↗ R13

Lengte: Elementlengte; Lokaal X: Lokale X-richting; Ref_Z: Referentie voor lokale Z-richting;

Project

Analysis by

Model: **4P-LD1.axs**

23-5-2022

Pag. 10

Knooppopleggingen

	Knoop	X [m]	Y [m]	Z [m]	Type	Ref. elem.	Naam _x	Veermodel _x	K _x [kN/m]	K _{xV} [kN/m]	NL _x	Grenswaarde _x [kN]	Naam _y	Veermodel _y	K _y [kN/m]
1	4	0	-1,838	-10,000	StAAF r.	StAAF 1	Lineair 1E+5 kN/m	NL elastisch	3E+5	3E+5	Druk Alleen druk	-	—	-	-
2	40	1,838	0	-10,000	StAAF r.	StAAF 37	Lineair 1E+5 kN/m	NL elastisch	3E+5	3E+5	Druk Alleen druk	-	—	-	-
3	65	0	1,838	-10,000	StAAF r.	StAAF 61	Lineair 1E+5 kN/m	NL elastisch	3E+5	3E+5	Druk Alleen druk	-	—	-	-
4	90	-1,838	0	-10,000	StAAF r.	StAAF 85	Lineair 1E+5 kN/m	NL elastisch	3E+5	3E+5	Druk Alleen druk	-	—	-	-
5	116	0	4,062	-10,000	StAAF r.	StAAF 109	Lineair 1E+5 kN/m	NL elastisch	3E+5	3E+5	Druk Alleen druk	-	—	-	-
6	153	1,938	6,000	-10,000	StAAF r.	StAAF 145	Lineair 1E+5 kN/m	NL elastisch	3E+5	3E+5	Druk Alleen druk	-	—	-	-
7	178	0	7,938	-10,000	StAAF r.	StAAF 169	Lineair 1E+5 kN/m	NL elastisch	3E+5	3E+5	Druk Alleen druk	-	—	-	-
8	203	-1,938	6,000	-10,000	StAAF r.	StAAF 193	Lineair 1E+5 kN/m	NL elastisch	3E+5	3E+5	Druk Alleen druk	-	—	-	-

	Knoop	K _{yV} [kN/m]	Naam _z	Veermodel _z	K _z [kN/m]	K _{zV} [kN/m]	Naam _{xx}	Veermodel _{xx}	K _{xx} [kNm/rad]	K _{xxV} [kNm/rad]	Naam _{yy}	Veermodel _{yy}	K _{yy} [kNm/rad]	K _{yyV} [kNm/rad]	Naam _{zz}
1	4	-	—	-	-	-	—	-	-	-	—	-	-	-	—
2	40	-	—	-	-	-	—	-	-	-	—	-	-	-	—
3	65	-	—	-	-	-	—	-	-	-	—	-	-	-	—
4	90	-	—	-	-	-	—	-	-	-	—	-	-	-	—
5	116	-	—	-	-	-	—	-	-	-	—	-	-	-	—
6	153	-	—	-	-	-	—	-	-	-	—	-	-	-	—
7	178	-	—	-	-	-	—	-	-	-	—	-	-	-	—
8	203	-	—	-	-	-	—	-	-	-	—	-	-	-	—

	Knoop	Veermodel _{zz}	K _{zz} [kNm/rad]	K _{zzV} [kNm/rad]	Veermodel _w
1	4	-	-	-	-
2	40	-	-	-	-
3	65	-	-	-	-
4	90	-	-	-	-
5	116	-	-	-	-
6	153	-	-	-	-
7	178	-	-	-	-
8	203	-	-	-	-

Knoop: Ondersteunde knoop; **Type:** Opleggingstype; **Ref. elem.:** Referentie-element; **Naam_x:** Naam van de veereigenschappen; **Veermodel_x:** Veermodel; **K_x:** Initiële stijfheid; **K_{xV}:** Trillingsstijfheid; **NL_x:** Niet-lineaire parameters; **Grenswaarde_x:** Grenswaarde; **K_y, K_z, K_{xx}, K_{yy}, K_{zz}:** Initiële stijfheid;

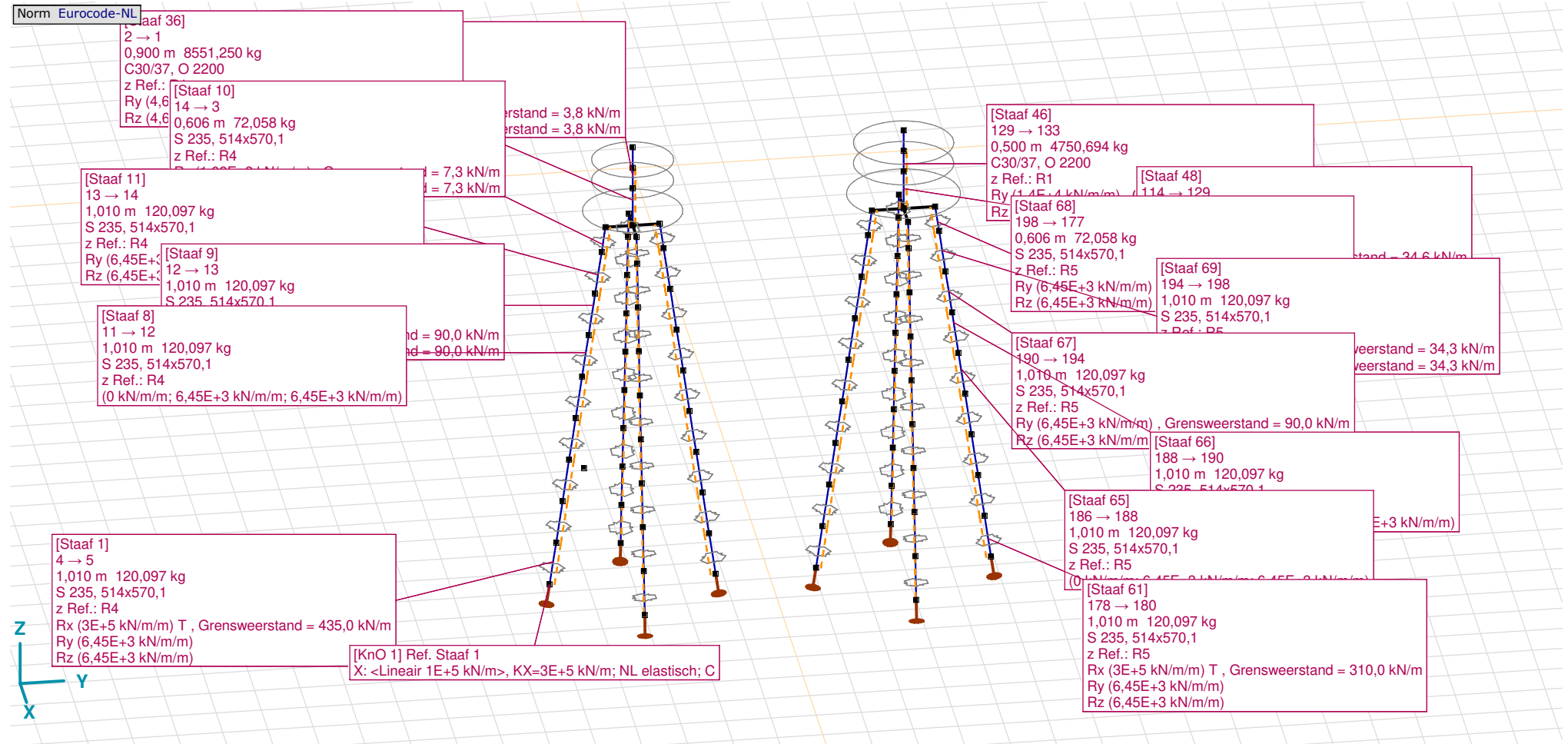
Project

Analysis by

Model: **4P-LD1.axs**

23-5-2022

Pag. 11



Tekening met beddingen

Project

Analysis by

Model: **4P-LD1.axs**

23-5-2022

Pag. 12

Lijnopleggingen

	Lijn	Type	Ref. elem.	Rx [kN/m/m]	Ry [kN/m/m]	Rz [kN/m/m]	Rxx [kNm/rad/m]	Ryy [kNm/rad/m]	Rzz [kNm/rad/m]	NL(x)	NL(y)	NL(z)	NL(xx)	NL(yy)	NL(zz)
		StAAF r.													
1	StAAF 1	StAAF r.		3E+5	6,45E+3	6,45E+3				Trek	Symmetrisch	Symmetrisch			
2	StAAF 2	StAAF r.		0	3,8E+3	3,8E+3					Symmetrisch	Symmetrisch			
3	StAAF 4	StAAF r.		0	6,45E+3	6,45E+3					Symmetrisch	Symmetrisch			
4	StAAF 5	StAAF r.		0	6,45E+3	6,45E+3					Symmetrisch	Symmetrisch			
5	StAAF 6	StAAF r.		0	6,45E+3	6,45E+3					Symmetrisch	Symmetrisch			
6	StAAF 7	StAAF r.		0	6,45E+3	6,45E+3					Symmetrisch	Symmetrisch			
7	StAAF 8	StAAF r.		0	6,45E+3	6,45E+3					Symmetrisch	Symmetrisch			
8	StAAF 9	StAAF r.		0	6,45E+3	6,45E+3					Symmetrisch	Symmetrisch			
9	StAAF 10	StAAF r.		0	1,08E+3	1,08E+3					Symmetrisch	Symmetrisch			
10	StAAF 11	StAAF r.		0	6,45E+3	6,45E+3					Symmetrisch	Symmetrisch			
11	StAAF 12	StAAF r.		3E+5	6,45E+3	6,45E+3				Trek	Symmetrisch	Symmetrisch			
12	StAAF 13	StAAF r.		0	6,45E+3	6,45E+3					Symmetrisch	Symmetrisch			
13	StAAF 14	StAAF r.		0	6,45E+3	6,45E+3					Symmetrisch	Symmetrisch			
14	StAAF 15	StAAF r.		0	6,45E+3	6,45E+3					Symmetrisch	Symmetrisch			
15	StAAF 16	StAAF r.		0	6,45E+3	6,45E+3					Symmetrisch	Symmetrisch			
16	StAAF 17	StAAF r.		0	6,45E+3	6,45E+3					Symmetrisch	Symmetrisch			

	Lijn	F(x) [kN/m]	F(y) [kN/m]	F(z) [kN/m]	M(x) [kNm/m]	M(y) [kNm/m]	M(z) [kNm/m]
1	StAAF 1	435,0					
2	StAAF 2		3,8	3,8			
3	StAAF 4						
4	StAAF 5						
5	StAAF 6						
6	StAAF 7						
7	StAAF 8						
8	StAAF 9		90,0	90,0			
9	StAAF 10		7,3	7,3			
10	StAAF 11		34,3	34,3			
11	StAAF 12	435,0					
12	StAAF 13						
13	StAAF 14						
14	StAAF 15						
15	StAAF 16						
16	StAAF 17						

Project

Analysis by

Model: **4P-LD1.axs**

23-5-2022

Pag. 13

Lijnopleggingen

	Lijn	Type	Ref. elem.	Rx [kN/m/m]	Ry [kN/m/m]	Rz [kN/m/m]	Rxx [kNm/rad/m]	Ryy [kNm/rad/m]	Rzz [kNm/rad/m]	NL(x)	NL(y)	NL(z)	NL(xx)	NL(yy)	NL(zz)
17	StAAF 18	StAAF r.		0	6,45E+3	6,45E+3					Symmetrisch	Symmetrisch			
18	StAAF 19	StAAF r.		0	1,08E+3	1,08E+3					Symmetrisch	Symmetrisch			
19	StAAF 20	StAAF r.		0	6,45E+3	6,45E+3					Symmetrisch	Symmetrisch			
20	StAAF 21	StAAF r.		3E+5	6,45E+3	6,45E+3				Trek	Symmetrisch	Symmetrisch			
21	StAAF 22	StAAF r.		0	6,45E+3	6,45E+3					Symmetrisch	Symmetrisch			
22	StAAF 23	StAAF r.		0	6,45E+3	6,45E+3					Symmetrisch	Symmetrisch			
23	StAAF 24	StAAF r.		0	6,45E+3	6,45E+3					Symmetrisch	Symmetrisch			
24	StAAF 25	StAAF r.		0	6,45E+3	6,45E+3					Symmetrisch	Symmetrisch			
25	StAAF 26	StAAF r.		0	6,45E+3	6,45E+3					Symmetrisch	Symmetrisch			
26	StAAF 27	StAAF r.		0	6,45E+3	6,45E+3					Symmetrisch	Symmetrisch			
27	StAAF 28	StAAF r.		0	1,08E+3	1,08E+3					Symmetrisch	Symmetrisch			
28	StAAF 29	StAAF r.		0	6,45E+3	6,45E+3					Symmetrisch	Symmetrisch			
29	StAAF 30	StAAF r.		3E+5	6,45E+3	6,45E+3				Trek	Symmetrisch	Symmetrisch			
30	StAAF 31	StAAF r.		0	6,45E+3	6,45E+3					Symmetrisch	Symmetrisch			
31	StAAF 32	StAAF r.		0	6,45E+3	6,45E+3					Symmetrisch	Symmetrisch			
32	StAAF 33	StAAF r.		0	6,45E+3	6,45E+3					Symmetrisch	Symmetrisch			
33	StAAF 34	StAAF r.		0	6,45E+3	6,45E+3					Symmetrisch	Symmetrisch			

	Lijn	F(x) [kN/m]	F(y) [kN/m]	F(z) [kN/m]	M(x) [kNm/m]	M(y) [kNm/m]	M(z) [kNm/m]
17	StAAF 18		90,0	90,0			
18	StAAF 19		7,3	7,3			
19	StAAF 20		34,3	34,3			
20	StAAF 21	435,0					
21	StAAF 22						
22	StAAF 23						
23	StAAF 24						
24	StAAF 25						
25	StAAF 26						
26	StAAF 27		90,0	90,0			
27	StAAF 28		7,3	7,3			
28	StAAF 29		34,3	34,3			
29	StAAF 30	435,0					
30	StAAF 31						
31	StAAF 32						
32	StAAF 33						
33	StAAF 34						

Project

Analysis by

Model: **4P-LD1.axs**

23-5-2022

Pag. 14

Lijnopleggingen

	Lijn	Type	Ref. elem.	Rx [kN/m/m]	Ry [kN/m/m]	Rz [kN/m/m]	Rxx [kNm/rad/m]	Ryy [kNm/rad/m]	Rzz [kNm/rad/m]	NL(x)	NL(y)	NL(z)	NL(xx)	NL(yy)	NL(zz)
34	StAAF 35	StAAF r.		0	6,45E+3	6,45E+3					Symmetrisch	Symmetrisch			
35	StAAF 36	StAAF r.		0	4,65E+3	4,65E+3					Symmetrisch	Symmetrisch			
36	StAAF 37	StAAF r.		0	6,45E+3	6,45E+3					Symmetrisch	Symmetrisch			
37	StAAF 38	StAAF r.		0	1,08E+3	1,08E+3					Symmetrisch	Symmetrisch			
38	StAAF 39	StAAF r.		0	6,45E+3	6,45E+3					Symmetrisch	Symmetrisch			
39	StAAF 40	StAAF r.		3E+5	6,45E+3	6,45E+3				Trek	Symmetrisch	Symmetrisch			
40	StAAF 41	StAAF r.		0	6,45E+3	6,45E+3					Symmetrisch	Symmetrisch			
41	StAAF 42	StAAF r.		0	6,45E+3	6,45E+3					Symmetrisch	Symmetrisch			
42	StAAF 43	StAAF r.		0	6,45E+3	6,45E+3					Symmetrisch	Symmetrisch			
43	StAAF 44	StAAF r.		0	6,45E+3	6,45E+3					Symmetrisch	Symmetrisch			
44	StAAF 45	StAAF r.		0	6,45E+3	6,45E+3					Symmetrisch	Symmetrisch			
45	StAAF 46	StAAF r.		0	1,4E+4	1,4E+4					Symmetrisch	Symmetrisch			
46	StAAF 48	StAAF r.		0	1,4E+4	1,4E+4					Symmetrisch	Symmetrisch			
47	StAAF 49	StAAF r.		0	6,45E+3	6,45E+3					Symmetrisch	Symmetrisch			
48	StAAF 50	StAAF r.		0	6,45E+3	6,45E+3					Symmetrisch	Symmetrisch			
49	StAAF 51	StAAF r.		0	6,45E+3	6,45E+3					Symmetrisch	Symmetrisch			
50	StAAF 52	StAAF r.		3E+5	6,45E+3	6,45E+3				Trek	Symmetrisch	Symmetrisch			

	Lijn	F(x) [kN/m]	F(y) [kN/m]	F(z) [kN/m]	M(x) [kNm/m]	M(y) [kNm/m]	M(z) [kNm/m]
34	StAAF 35						
35	StAAF 36		23,1	23,1			
36	StAAF 37		90,0	90,0			
37	StAAF 38		7,3	7,3			
38	StAAF 39		34,3	34,3			
39	StAAF 40	310,0					
40	StAAF 41						
41	StAAF 42						
42	StAAF 43						
43	StAAF 44						
44	StAAF 45						
45	StAAF 46		7,0	7,0			
46	StAAF 48		34,6	34,6			
47	StAAF 49		90,0	90,0			
48	StAAF 50		15,5	15,5			
49	StAAF 51		34,3	34,3			
50	StAAF 52	310,0					

Project

Analysis by

Model: **4P-LD1.axs**

23-5-2022

Pag. 15

Lijnopleggingen

	Lijn	Type	Ref. elem.	Rx [kN/m/m]	Ry [kN/m/m]	Rz [kN/m/m]	Rxx [kNm/rad/m]	Ryy [kNm/rad/m]	Rzz [kNm/rad/m]	NL(x)	NL(y)	NL(z)	NL(xx)	NL(yy)	NL(zz)
51	StAAF 53	StAAF r.		0	6,45E+3	6,45E+3					Symmetrisch	Symmetrisch			
52	StAAF 54	StAAF r.		0	6,45E+3	6,45E+3					Symmetrisch	Symmetrisch			
53	StAAF 55	StAAF r.		0	6,45E+3	6,45E+3					Symmetrisch	Symmetrisch			
54	StAAF 56	StAAF r.		0	6,45E+3	6,45E+3					Symmetrisch	Symmetrisch			
55	StAAF 57	StAAF r.		0	6,45E+3	6,45E+3					Symmetrisch	Symmetrisch			
56	StAAF 58	StAAF r.		0	6,45E+3	6,45E+3					Symmetrisch	Symmetrisch			
57	StAAF 59	StAAF r.		0	6,45E+3	6,45E+3					Symmetrisch	Symmetrisch			
58	StAAF 60	StAAF r.		0	6,45E+3	6,45E+3					Symmetrisch	Symmetrisch			
59	StAAF 61	StAAF r.		3E+5	6,45E+3	6,45E+3				Trek	Symmetrisch	Symmetrisch			
60	StAAF 62	StAAF r.		0	6,45E+3	6,45E+3					Symmetrisch	Symmetrisch			
61	StAAF 63	StAAF r.		0	6,45E+3	6,45E+3					Symmetrisch	Symmetrisch			
62	StAAF 64	StAAF r.		0	6,45E+3	6,45E+3					Symmetrisch	Symmetrisch			
63	StAAF 65	StAAF r.		0	6,45E+3	6,45E+3					Symmetrisch	Symmetrisch			
64	StAAF 66	StAAF r.		0	6,45E+3	6,45E+3					Symmetrisch	Symmetrisch			
65	StAAF 67	StAAF r.		0	6,45E+3	6,45E+3					Symmetrisch	Symmetrisch			
66	StAAF 68	StAAF r.		0	6,45E+3	6,45E+3					Symmetrisch	Symmetrisch			
67	StAAF 69	StAAF r.		0	6,45E+3	6,45E+3					Symmetrisch	Symmetrisch			

	Lijn	F(x) [kN/m]	F(y) [kN/m]	F(z) [kN/m]	M(x) [kNm/m]	M(y) [kNm/m]	M(z) [kNm/m]
51	StAAF 53						
52	StAAF 54						
53	StAAF 55						
54	StAAF 56						
55	StAAF 57						
56	StAAF 58		90,0	90,0			
57	StAAF 59		15,5	15,5			
58	StAAF 60		34,3	34,3			
59	StAAF 61	310,0					
60	StAAF 62						
61	StAAF 63						
62	StAAF 64						
63	StAAF 65						
64	StAAF 66						
65	StAAF 67		90,0	90,0			
66	StAAF 68		15,5	15,5			
67	StAAF 69		34,3	34,3			

Project

Analysis by

Model: **4P-LD1.axs**

23-5-2022

Pag. 16

Lijnopleggingen

	Lijn	Type	Ref. elem.	Rx [kN/m/m]	Ry [kN/m/m]	Rz [kN/m/m]	Rxx [kNm/rad/m]	Ryy [kNm/rad/m]	Rzz [kNm/rad/m]	NL(x)	NL(y)	NL(z)	NL(xx)	NL(yy)	NL(zz)
68	StAAF 70	StAAF r.		3E+5	6,45E+3	6,45E+3				Trek	Symmetrisch	Symmetrisch			
69	StAAF 71	StAAF r.		0	6,45E+3	6,45E+3					Symmetrisch	Symmetrisch			
70	StAAF 72	StAAF r.		0	6,45E+3	6,45E+3					Symmetrisch	Symmetrisch			
71	StAAF 73	StAAF r.		0	6,45E+3	6,45E+3					Symmetrisch	Symmetrisch			
72	StAAF 74	StAAF r.		0	6,45E+3	6,45E+3					Symmetrisch	Symmetrisch			
73	StAAF 75	StAAF r.		0	6,45E+3	6,45E+3					Symmetrisch	Symmetrisch			
74	StAAF 76	StAAF r.		0	6,45E+3	6,45E+3					Symmetrisch	Symmetrisch			
75	StAAF 77	StAAF r.		0	6,45E+3	6,45E+3					Symmetrisch	Symmetrisch			
76	StAAF 78	StAAF r.		0	6,45E+3	6,45E+3					Symmetrisch	Symmetrisch			

	Lijn	F(x) [kN/m]	F(y) [kN/m]	F(z) [kN/m]	M(x) [kNm/m]	M(y) [kNm/m]	M(z) [kNm/m]
68	StAAF 70	310,0					
69	StAAF 71						
70	StAAF 72						
71	StAAF 73						
72	StAAF 74						
73	StAAF 75						
74	StAAF 76		90,0	90,0			
75	StAAF 77		15,5	15,5			
76	StAAF 78		34,3	34,3			

Lijn: Ondersteund lijnelement; **Type:** Opleggingstype; **Ref. elem.:** Referentie-element; **Rx, Ry, Rz:** Verplaatsingsstijfheid; **Rxx, Ryy, Rzz:** Rotatiestijfheid; **NL(x), NL(y), NL(z), NL(xx), NL(yy), NL(zz):** Niet-lineaire parameters; **F(x):** Weerstand in X-richting; **F(y):** Weerstand in Y-richting; **F(z):** Weerstand in Z-richting; **M(x):** Weerstandsmoment in X-richting; **M(y):** Weerstandsmoment in Y-richting; **M(z):** Weerstandsmoment in Z-richting;

Project

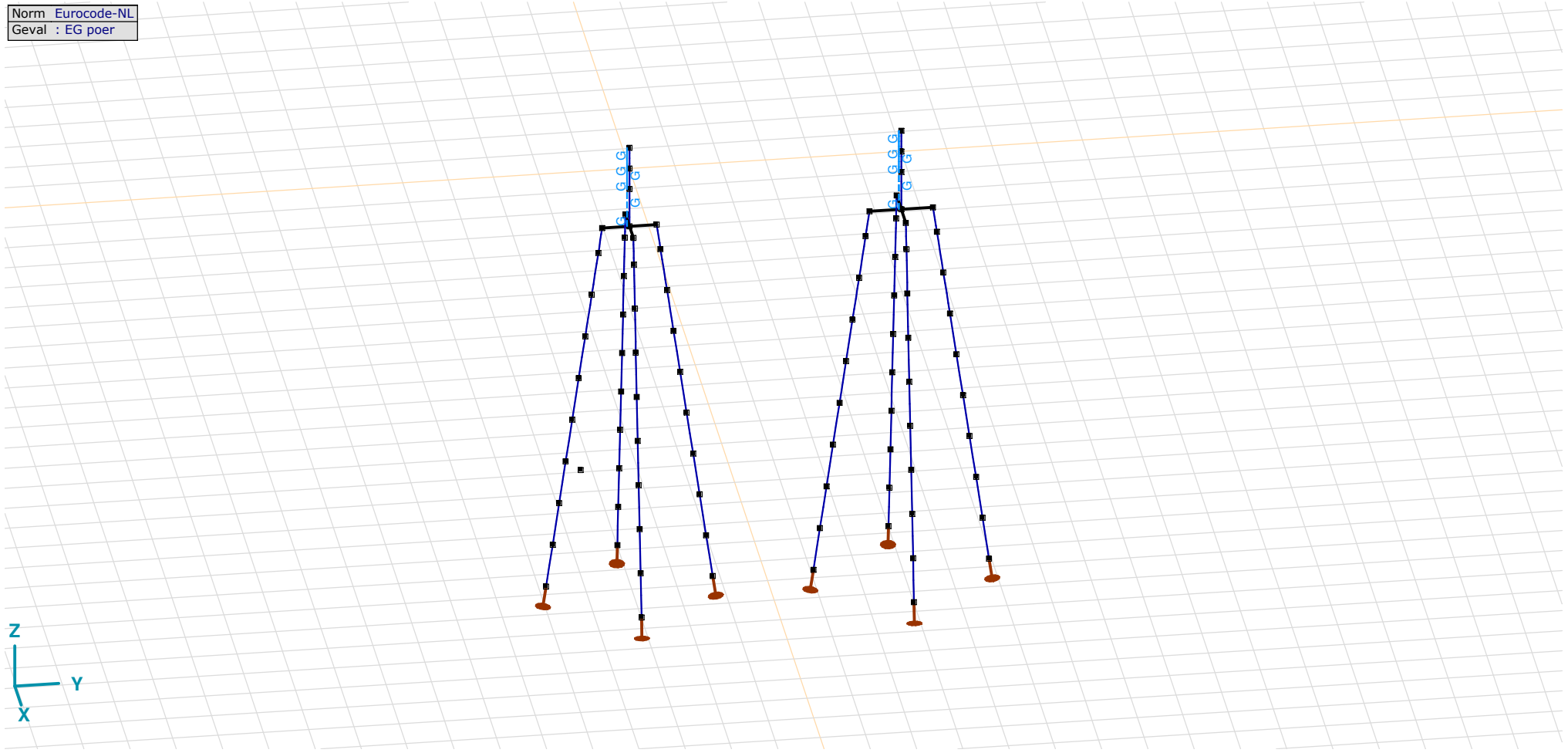
Analysis by

Model: **4P-LD1.axs**

23-5-2022

Pag. 17

Norm Eurocode-NL
Geval : EG poer



EG poer

Project

Analysis by

Model: **4P-LD1.axs**

23-5-2022

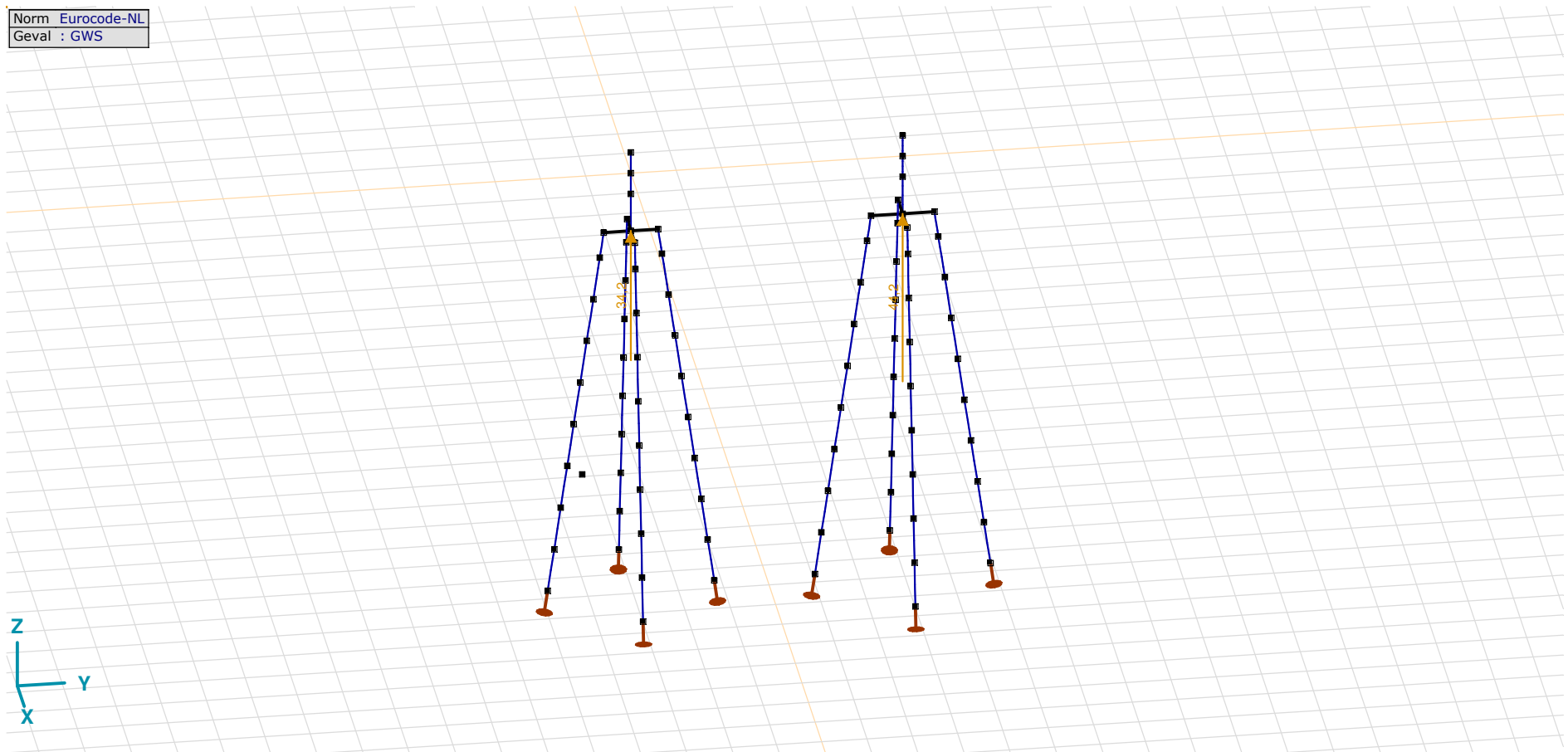
Pag. 18

EG poer: Staaf eigen gewicht

	Σ [kg]
13-24	14911,682
121-132	20543,807
Totaal	35455,490

 Σ : Totale massa;

Norm Eurocode-NL
Geval : GWS



GWS

Project

Analysis by

Model: **4P-LD1.axs**

23-5-2022

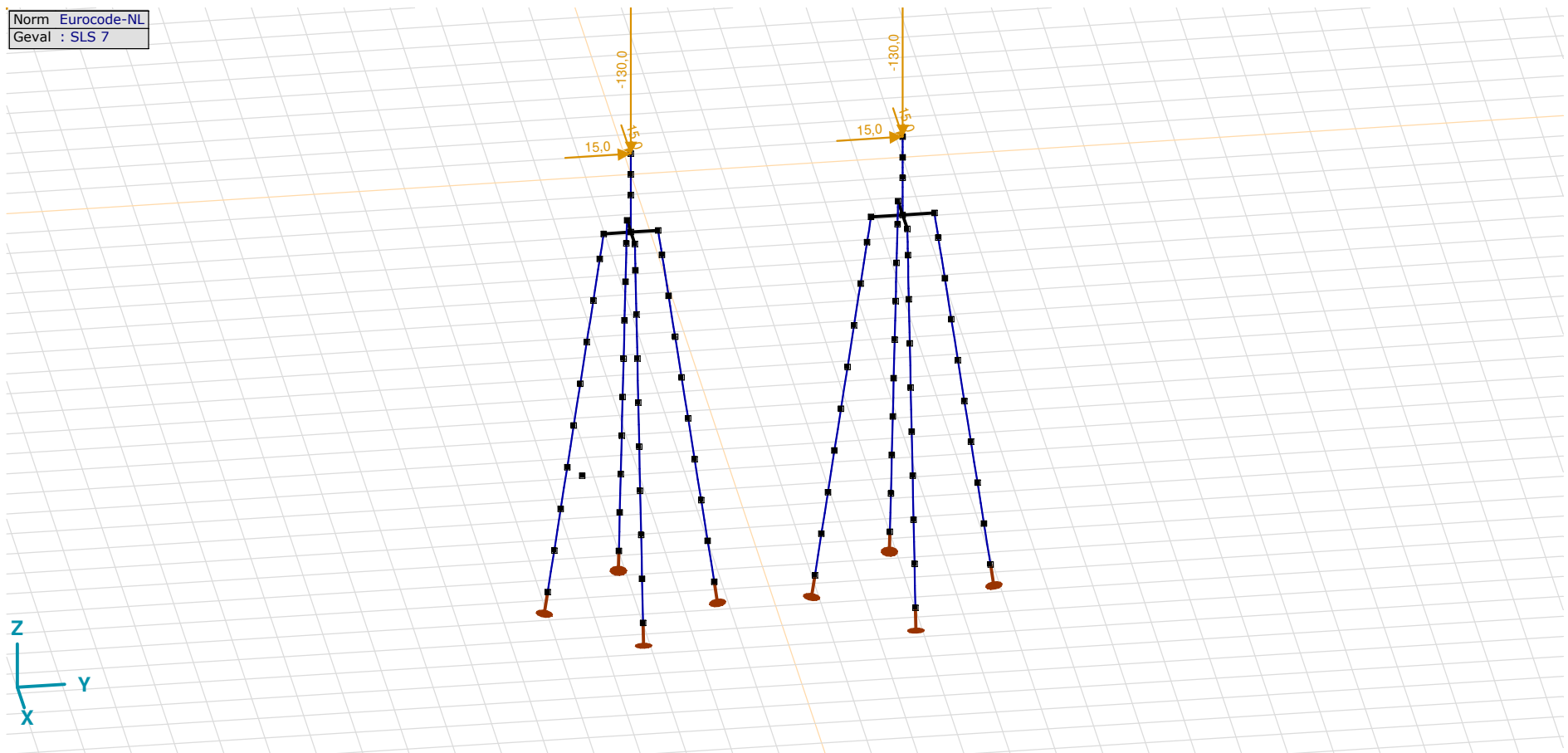
Pag. 19

GWS: Knoopbelastingen

	Richting	F_x [kN]	F_y [kN]	F_z [kN]	M_x [kNm]	M_y [kNm]	M_z [kNm]
2	Globaal	0	0	34,2	0	0	0
114	Globaal	0	0	44,2	0	0	0

F_x , F_y , F_z : Belastingkracht component; M_x , M_y , M_z : Belastingmoment component;

Norm Eurocode-NL
Geval : SLS 7



SLS 7

Project

Analysis by

Model: **4P-LD1.axs**

23-5-2022

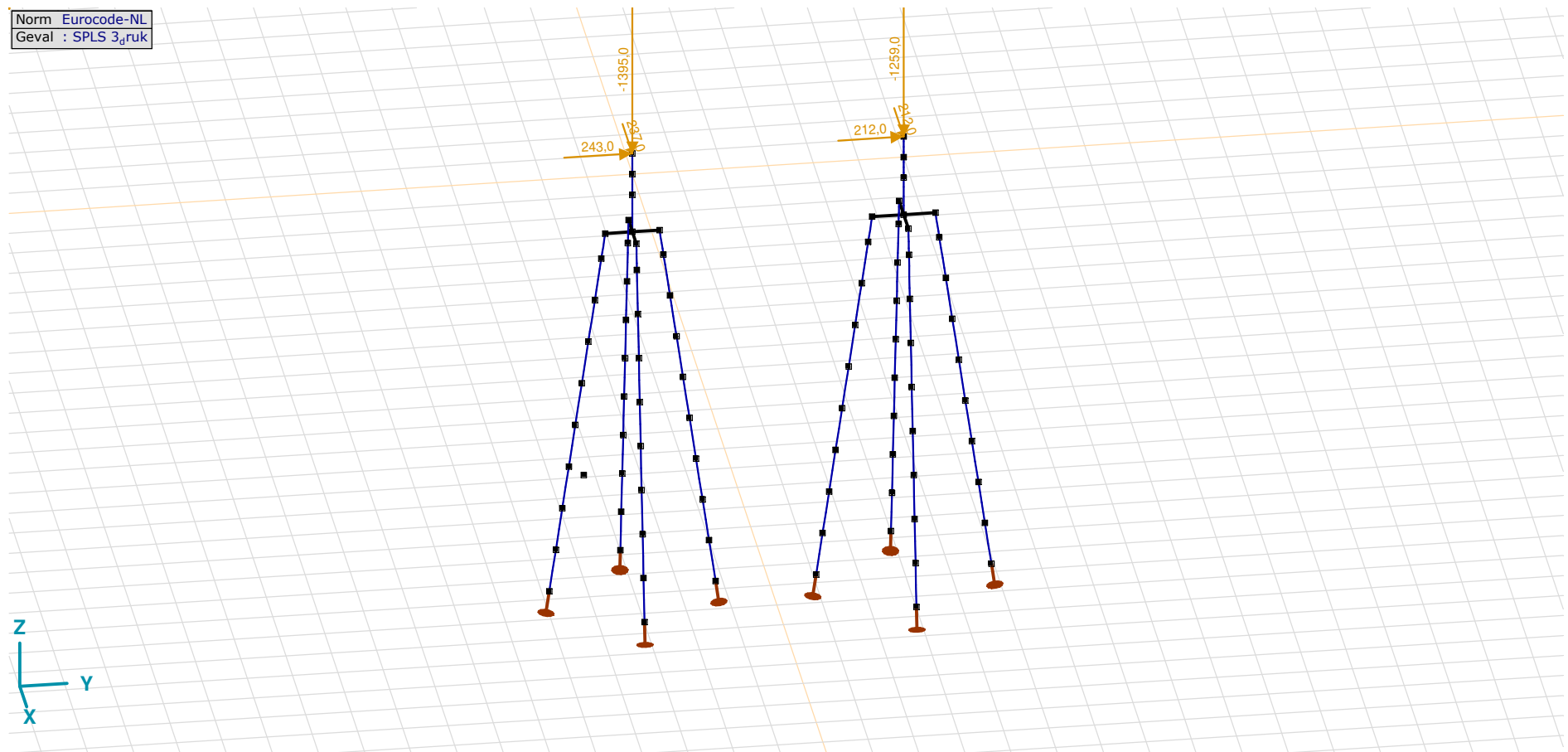
Pag. 20

SLS 7: Knoopbelastingen

	Richting	F_x [kN]	F_y [kN]	F_z [kN]	M_x [kNm]	M_y [kNm]	M_z [kNm]
6	Globaal	15,0	15,0	-130,0	0	0	0
134	Globaal	15,0	15,0	-130,0	0	0	0

F_x , F_y , F_z : Belastingkracht component; M_x , M_y , M_z : Belastingmoment component;

Norm Eurocode-NL
Geval : SPS 3_{druk}

SPLS 3_{druk}

Project

Analysis by

Model: **4P-LD1.axs**

23-5-2022

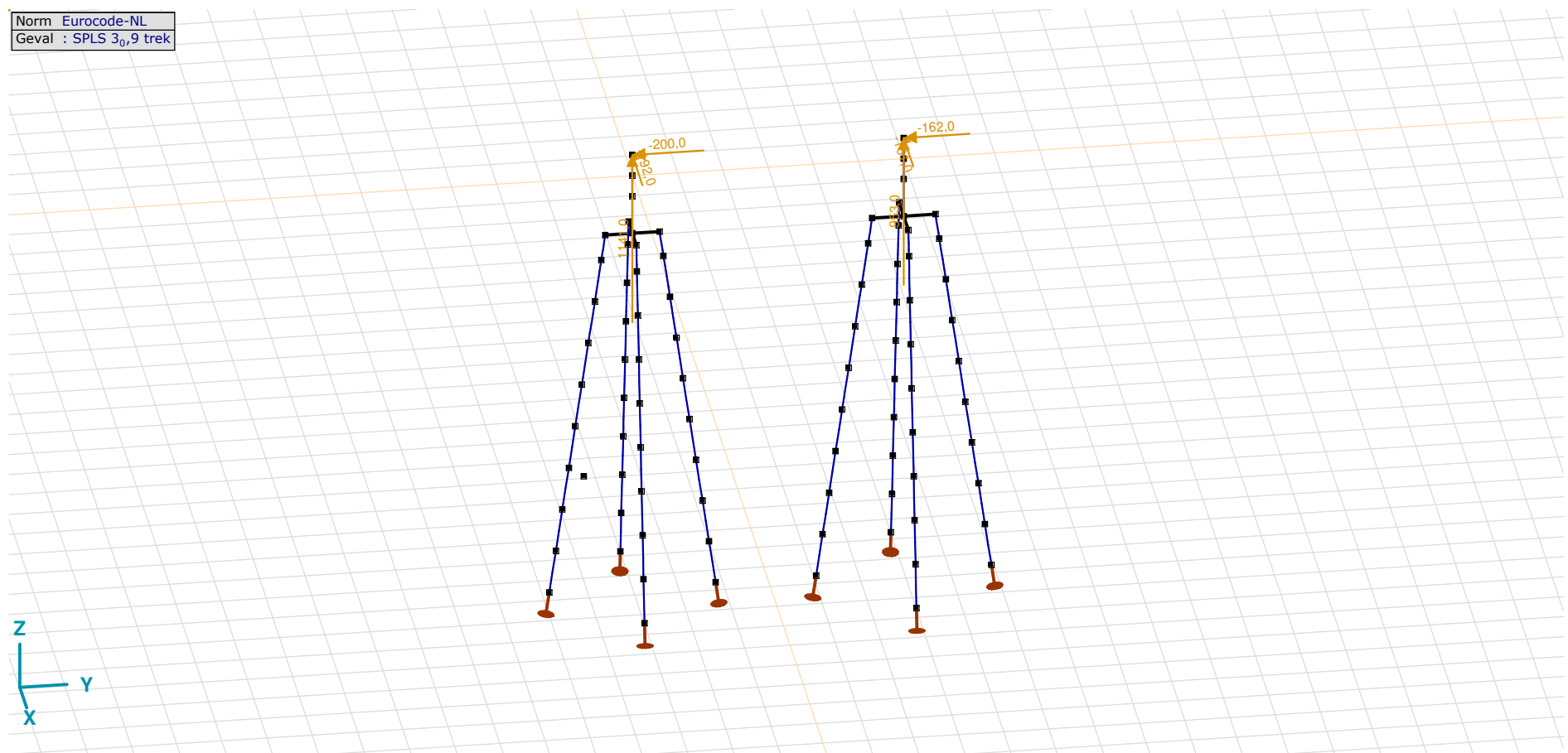
Pag. 21

SPLS 3_druk: Knoopbelastingen

	Richting	F_x [kN]	F_y [kN]	F_z [kN]	M_x [kNm]	M_y [kNm]	M_z [kNm]
6	Globaal	237,0	243,0	-1395,0	0	0	0
134	Globaal	212,0	212,0	-1259,0	0	0	0

F_x , F_y , F_z : Belastingkracht component; M_x , M_y , M_z : Belastingsmoment component;

Norm Eurocode-NL
Geval : SPLS 3_{0,9} trek



SPLS 3_0,9 trek

Project

Analysis by

Model: **4P-LD1.axs**

23-5-2022

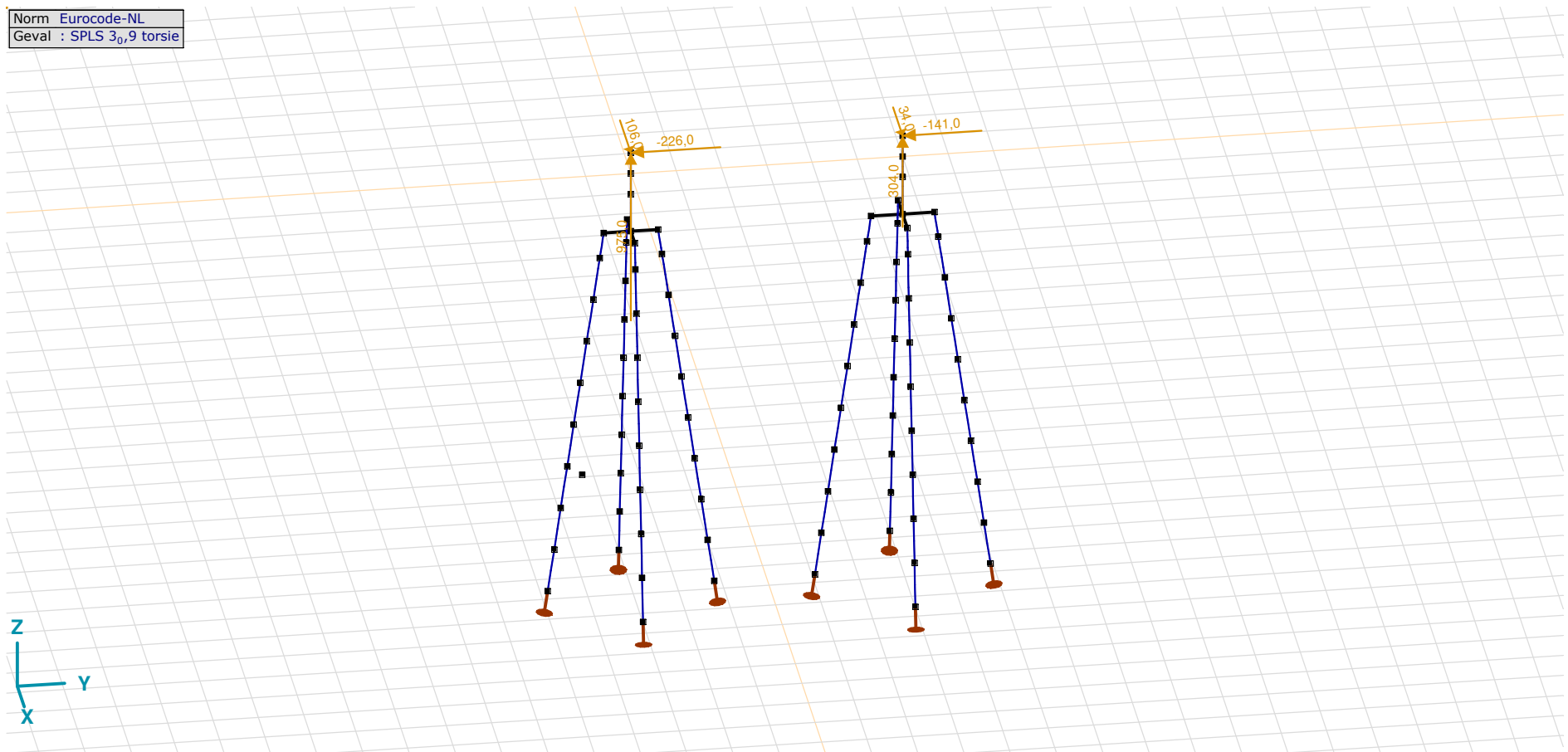
Pag. 22

SPLS 3_0,9 trek: Knoopbelastingen

	Richting	F_x [kN]	F_y [kN]	F_z [kN]	M_x [kNm]	M_y [kNm]	M_z [kNm]
6	Globaal	-192,0	-200,0	1141,0	0	0	0
134	Globaal	-161,0	-162,0	953,0	0	0	0

F_x , F_y , F_z : Belastingkracht component; M_x , M_y , M_z : Belastingsmoment component;

Norm Eurocode-NL
Geval : SPLS 3_{0,9} torsie



SPLS 3_0,9 torsie

Project

Analysis by

Model: **4P-LD1.axs**

23-5-2022

Pag. 23

SPLS 3_0,9 torsie: Knoopbelastingen

	<i>Richting</i>	<i>F_x</i> [kN]	<i>F_y</i> [kN]	<i>F_z</i> [kN]	<i>M_x</i> [kNm]	<i>M_y</i> [kNm]	<i>M_z</i> [kNm]
6	Globaal	106,0	-226,0	975,0	0	0	0
134	Globaal	34,0	-141,0	304,0	0	0	0

F_x, F_y, F_z: Belastingkracht component; **M_x, M_y, M_z**: Belastingsmoment component;

Gebruiker gedefinieerde belastingcombinaties uit belastinggevallen

	<i>Naam</i>	<i>Type</i>	<i>ST1</i>	<i>EG poer</i> (PERM1)	<i>GWS</i> (PERM1)	<i>SLS 7</i> (PERM1)	<i>SPLS 3_druk</i> (VER1)	<i>SPLS 3_0,9 trek</i> (VER1)	<i>SPLS 3_0,9 torsie</i> (VER1)	<i>Commentaar</i>
1	Co #1 max druk	UGT	0	1,20	0	0	1,00	0	0	
2	Co #2 max trek	UGT	0	0,90	1,00	0	0	1,00	0	
3	Co #3 max torsie	UGT	0	1,20	1,00	0	0	0	1,00	
4	Co #4 Perm	BGT Quasi-blijvend	0	1,00	0	1,00	0	0	0	

Naam: Naam belastingcombinatie; **Type**: Type belastingcombinatie; **ST1, EG poer (PERM1), GWS (PERM1), SLS 7 (PERM1), SPLS 3_druk (VER1), SPLS 3_0,9 trek (VER1), SPLS 3_0,9 torsie (VER1)**: Factor;

Project

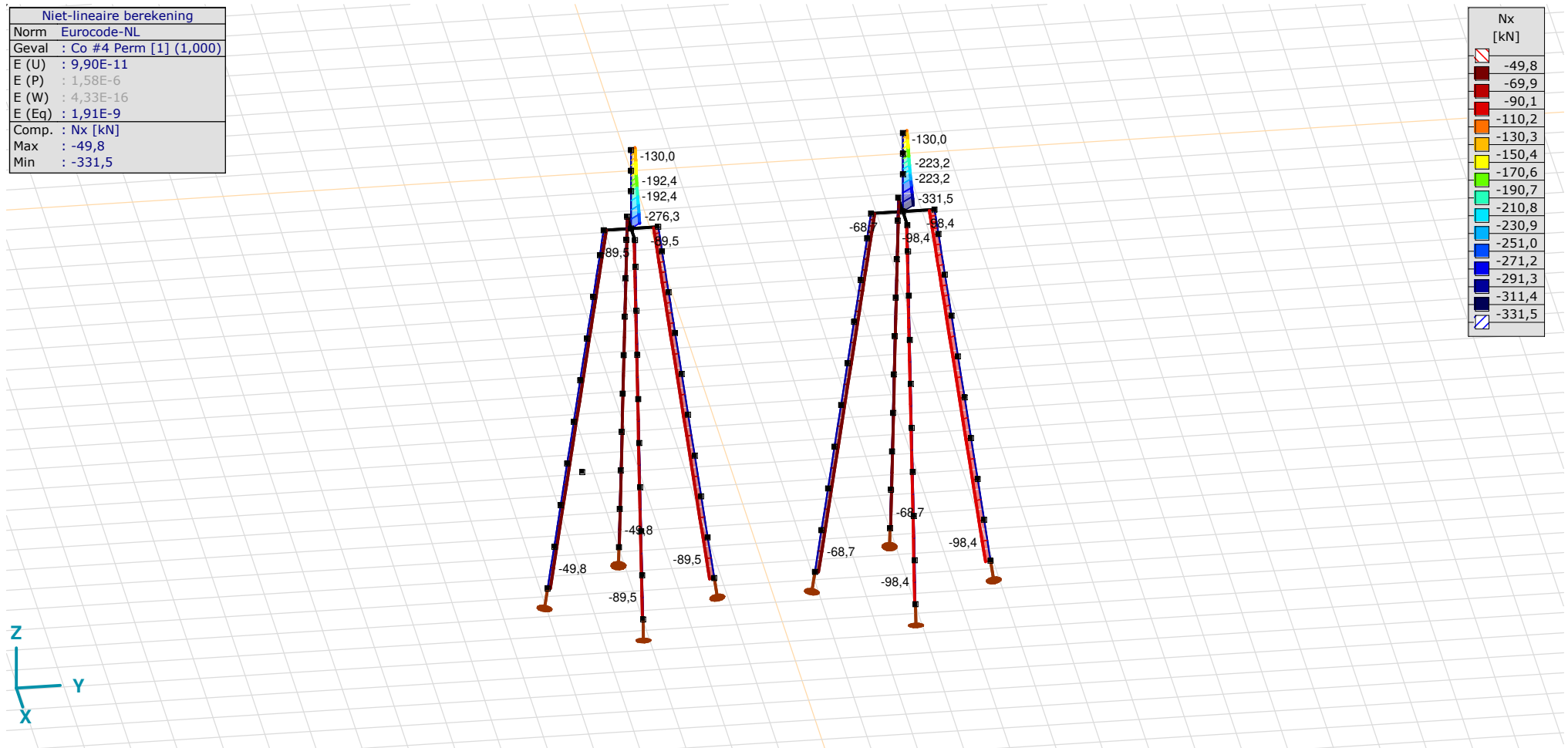
Analysis by

Model: **4P-LD1.axs**

23-5-2022

Pag. 24

Niet-lineaire berekening	
Norm	Eurocode-NL
Geval	Co #4 Perm [1] (1,000)
E (U)	: 9,90E-11
E (P)	: 1,58E-6
E (W)	: 4,33E-16
E (Eq)	: 1,91E-9
Comp.	Nx [kN]
Max	: -49,8
Min	: -331,5



[II], Non-lin., Co #4 Perm [1] (1,000), Nx, Lijnen (gevuld)(gevuld)

Project

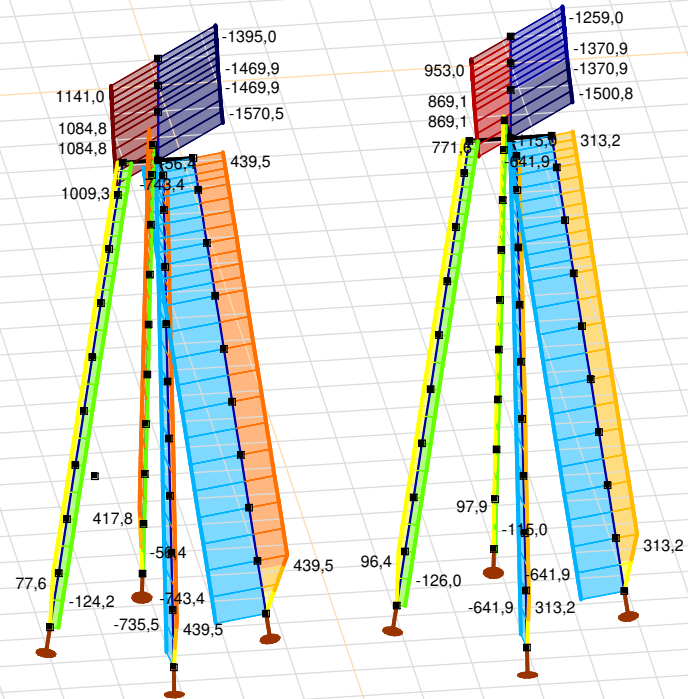
Analysis by

Model: **4P-LD1.axs**

23-5-2022

Pag. 25

Niet-lineaire berekening	
Norm	Eurocode-NL
Geval	: Omhullende Min,Max
Omhullende	: Alle UGT
E (U)	: 4,37E-12
E (P)	: 6,96E-7
E (W)	: 7,38E-18
E (Eq)	: 2,03E-9
Comp.	: Nx [kN]
Max	: 1141,0
Min	: -1570,5



Nx [kN]	
1141,0	947,3
753,7	560,0
366,3	172,6
-21,1	-214,8
-408,4	-602,1
-795,8	-989,5
-1183,2	-1376,9
-1570,5	

[II], Non-lin., Omhullende (Alle UGT), Nx, Lijnen (gevuld)

Project

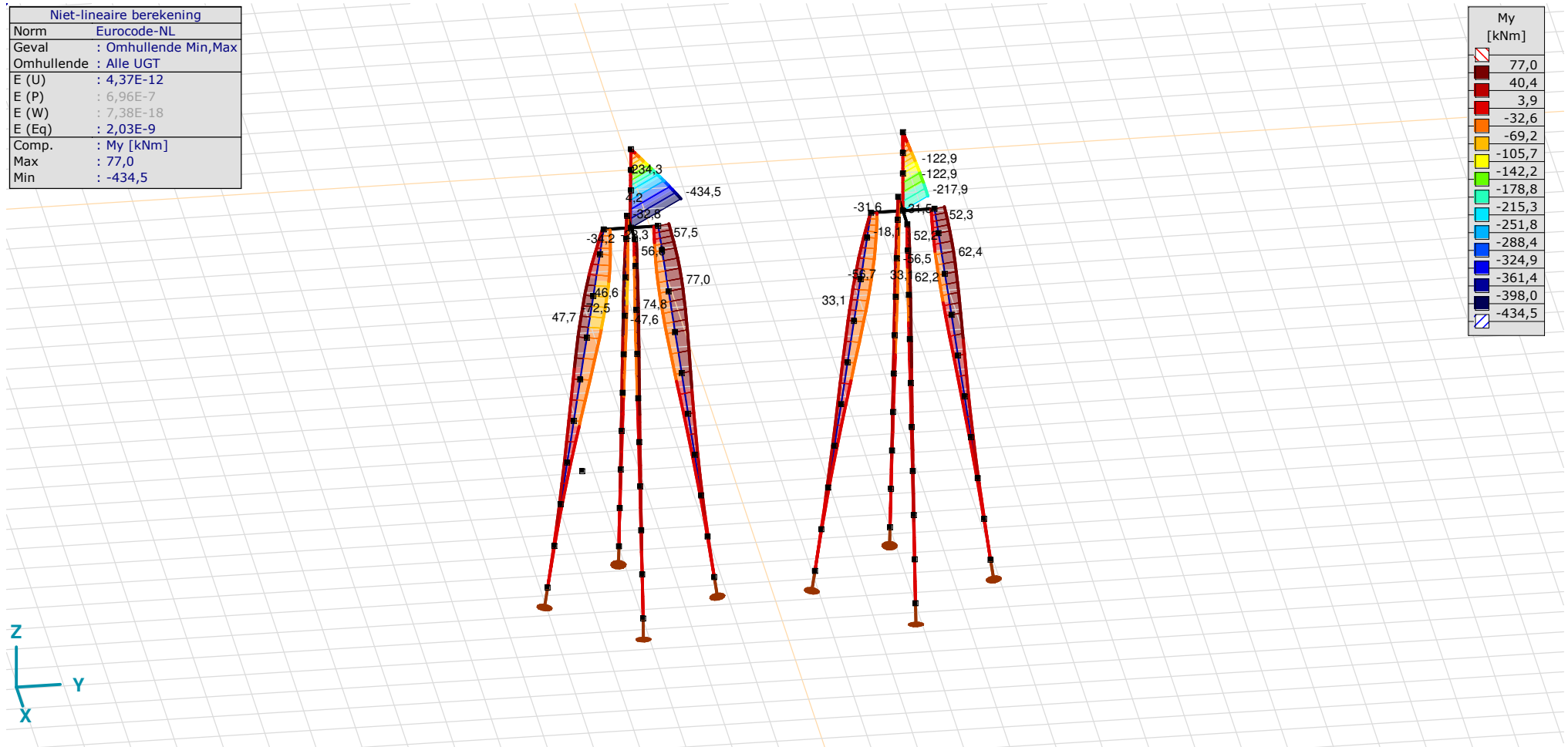
Analysis by

Model: **4P-LD1.axs**

23-5-2022

Pag. 26

Niet-lineaire berekening	
Norm	Eurocode-NL
Geval	: Omhullende Min,Max
Omhullende	: Alle UGT
E (U)	: 4,37E-12
E (P)	: 6,96E-7
E (W)	: 7,38E-18
E (Eq)	: 2,03E-9
Comp.	: My [kNm]
Max	: 77,0
Min	: -434,5



[II], Non-lin., Omhullende (Alle UGT), My, Lijnen (gevuld)

Project

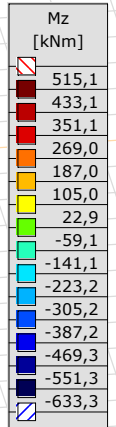
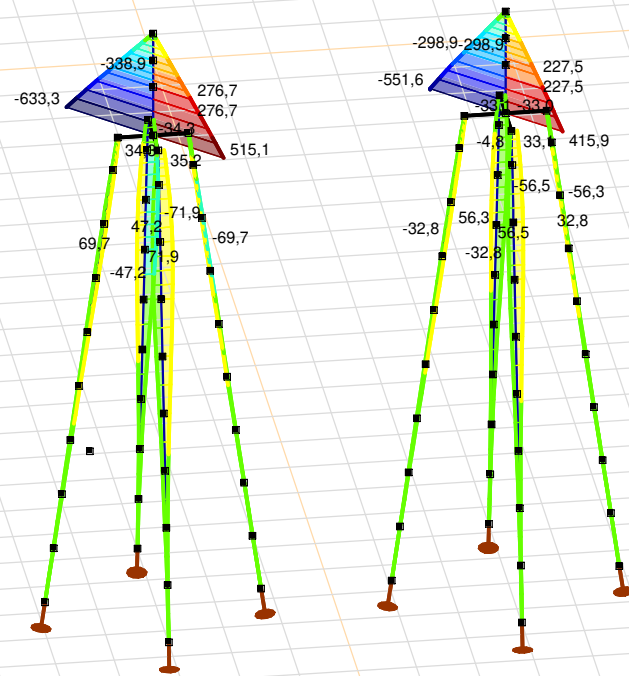
Analysis by

Model: **4P-LD1.axs**

23-5-2022

Pag. 27

Niet-lineaire berekening	
Norm	Eurocode-NL
Geval	: Omhullende Min,Max
Omhullende	: Alle UGT
E (U)	: 4,37E-12
E (P)	: 6,96E-7
E (W)	: 7,38E-18
E (Eq)	: 2,03E-9
Comp.	: Mz [kNm]
Max	: 515,1
Min	: -633,3



[II], Non-lin., Omhullende (Alle UGT), Mz, Lijnen (gevuld)

Project

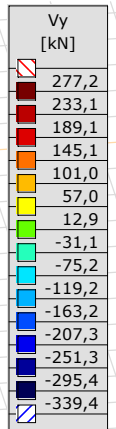
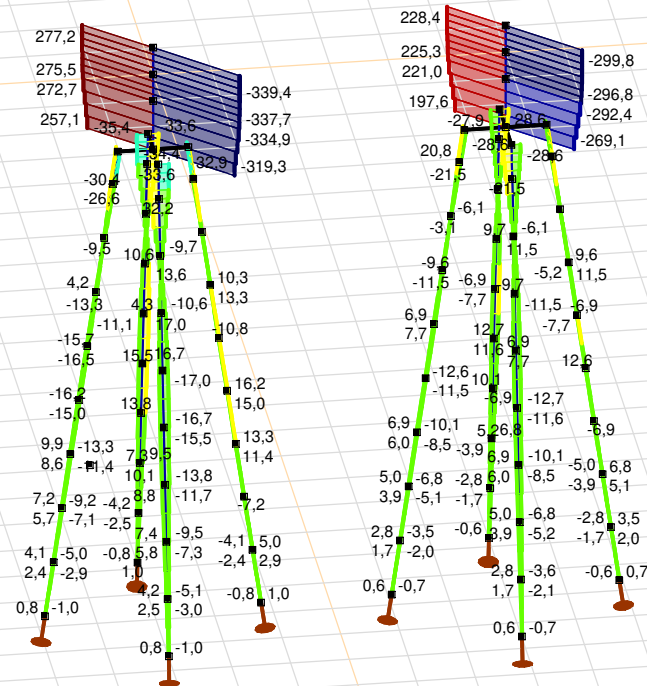
Analysis by

Model: **4P-LD1.axs**

23-5-2022

Pag. 28

Niet-lineaire berekening	
Norm	Eurocode-NL
Geval	: Omhullende Min,Max
Omhullende	: Alle UGT
E (U)	: 4,37E-12
E (P)	: 6,96E-7
E (W)	: 7,38E-18
E (Eq)	: 2,03E-9
Comp.	: Vy [kN]
Max	: 277,2
Min	: -339,4



[II], Non-lin., Omhullende (Alle UGT), Vy, Lijnen (gevuld)

Project

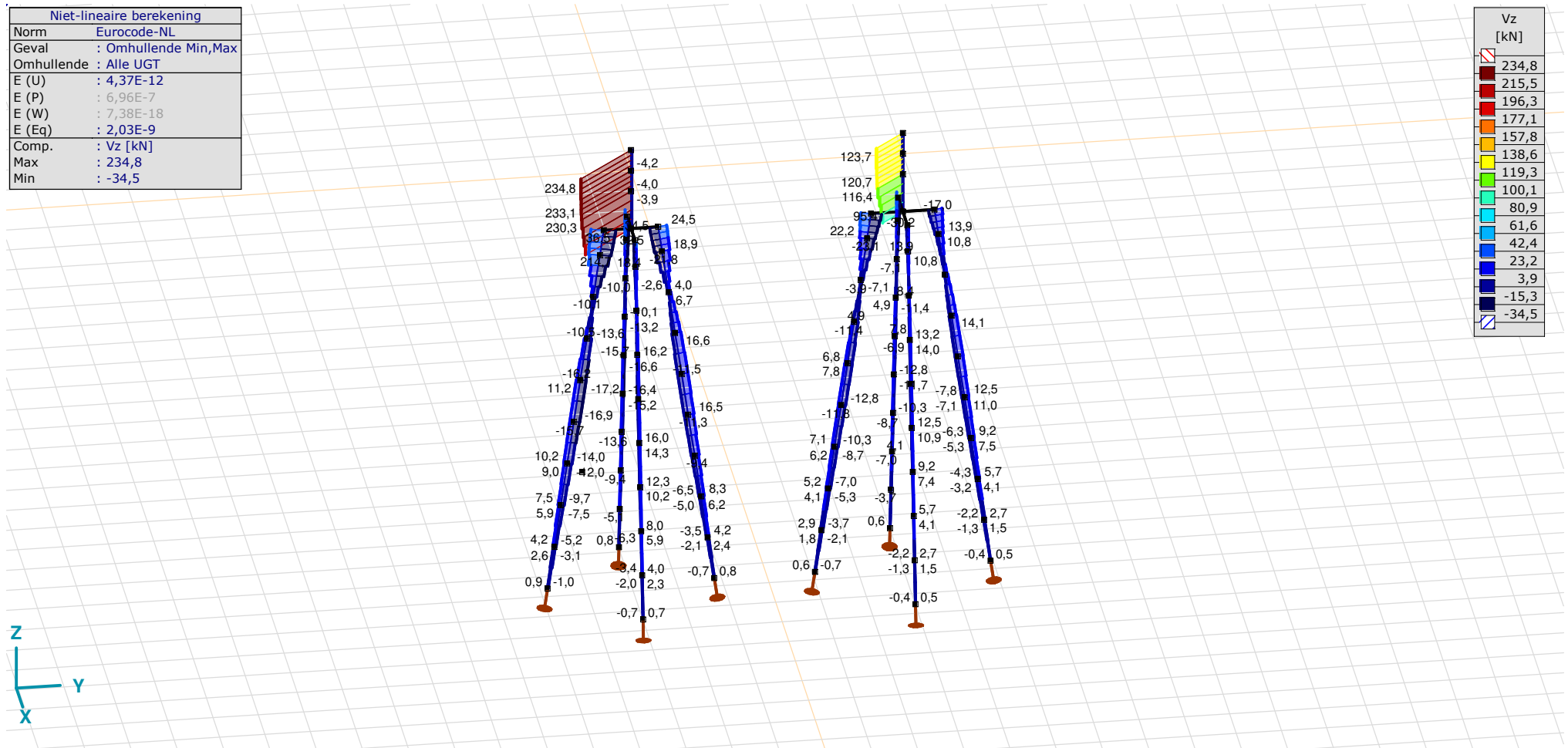
Analysis by

Model: **4P-LD1.axs**

23-5-2022

Pag. 29

Niet-lineaire berekening	
Norm	Eurocode-NL
Geval	: Omhullende Min,Max
Omhullende	: Alle UGT
E (U)	: 4,37E-12
E (P)	: 6,96E-7
E (W)	: 7,38E-18
E (Eq)	: 2,03E-9
Comp.	: Vz [kN]
Max	: 234,8
Min	: -34,5



[II], Non-lin., Omhullende (Alle UGT), Vz, Lijnen (gevuld)

Project

Analysis by

Model: **4P-LD1.axs**

23-5-2022

Pag. 30

Staafkrachten [Non-lin., Omhullende (Alle UGT), Palen]

	Prof.	Doorsnede naam	C	min. max.	Geval	Pos. [m]	Knoop	Nx [kN]	Vy [kN]	Vz [kN]	Tx [kNm]	My [kNm]	Mz [kNm]	B [kNm ²]
Ext.														
1	6	514x570,1	Nx	min	Co #3 max torsie [1] (1,000)	0	(4)	-124,2	0,4	-0,8	0	0	0	0
1	6	514x570,1		max	Co #2 max trek [1] (1,000)	1,010	(5)	77,6	-2,9	-3,1	0	-2,1	1,9	0
1	6	514x570,1	Vy	min	Co #2 max trek [1] (1,000)	0,505	(15)	38,4	-2,9	-3,1	0	-0,5	0,5	0
1	6	514x570,1		max	Co #1 max druk [1] (1,000)	0,505	(15)	-48,5	2,4	2,6	0	0,4	-0,4	0
1	6	514x570,1	Vz	min	Co #2 max trek [1] (1,000)	0,505	(15)	38,4	-2,9	-3,1	0	-0,5	0,5	0
1	6	514x570,1		max	Co #1 max druk [1] (1,000)	0,505	(15)	-48,5	2,4	2,6	0	0,4	-0,4	0
1	6	514x570,1	My	min	Co #2 max trek [1] (1,000)	1,010	(5)	77,6	-2,9	-3,1	0	-2,1	1,9	0
1	6	514x570,1		max	Co #1 max druk [1] (1,000)	1,010	(5)	-48,5	2,4	2,6	0	1,7	-1,6	0
1	6	514x570,1	Mz	min	Co #1 max druk [1] (1,000)	1,010	(5)	-48,5	2,4	2,6	0	1,7	-1,6	0
1	6	514x570,1		max	Co #2 max trek [1] (1,000)	1,010	(5)	77,6	-2,9	-3,1	0	-2,1	1,9	0

Prof.: Profiel; **C:** Extreme component; **min. max.:** Extreme type; **Geval:** Belastinggeval van de extreme; **Pos.:** Lokale X-positie van de doorsnede op de staaf; **Nx:** Normaalkracht; **Vy:** Dwarskracht in lokale y-richting; **Vz:** Dwarskracht in lokale z-richting; **Tx:** Torsiemoment; **My:** Buigend moment in lokale y-richting; **Mz:** Buigend moment in lokale z-richting; **B:** Bimoment;

Project

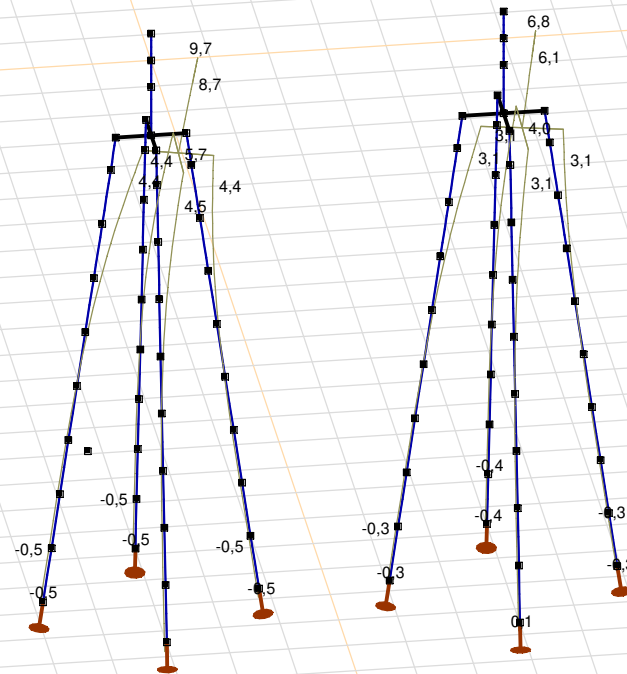
Analysis by

Model: **4P-LD1.axs**

23-5-2022

Pag. 31

Niet-lineaire berekening	
Norm	Eurocode-NL
Geval	Co #1 max druk [1] (1,000)
E (U)	4,37E-12
E (P)	6,96E-7
E (W)	7,38E-18
E (Eq)	2,03E-9
Comp.	eX [mm]
Max	9,7
Min	-0,5



[II], Non-lin., Co #1 max druk [1] (1,000), eX, Lijnen

Project

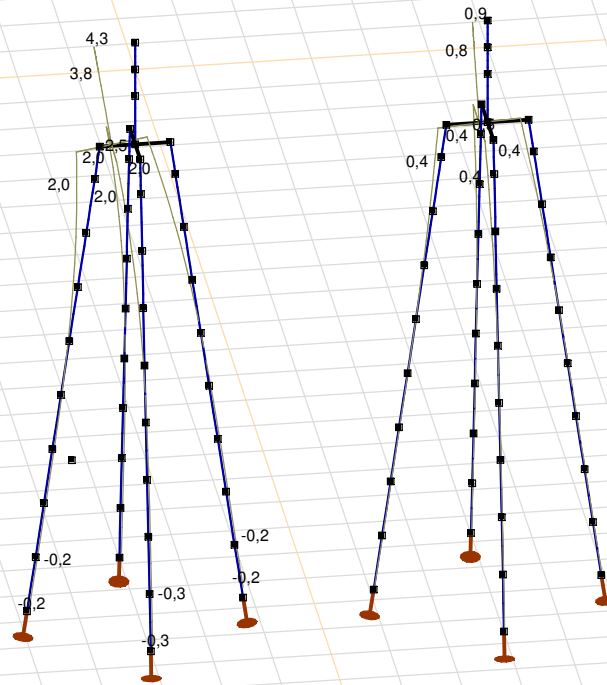
Analysis by

Model: **4P-LD1.axs**

23-5-2022

Pag. 32

Niet-lineaire berekening	
Norm	Eurocode-NL
Geval	Co #3 max torsie [1] (1,000)
E (U)	: 1,22E-11
E (P)	: 6,97E-7
E (W)	: 5,95E-19
E (Eq)	: 2,37E-9
Comp.	: eX [mm]
Max	: 4,3
Min	: -0,3



[II], Non-lin., Co #3 max torsie [1] (1,000), eX, Lijnen

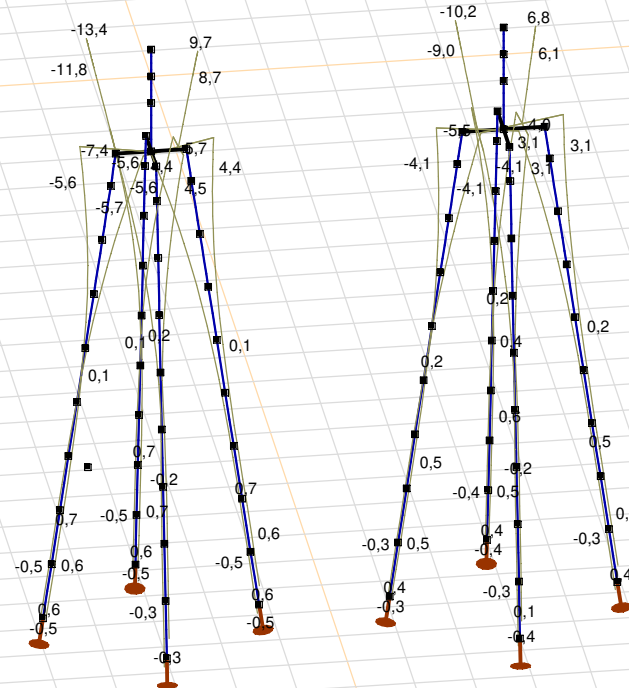
Project

Analysis by

Model: **4P-LD1.axs**

23-5-2022 Pag. 33

Niet-lineaire berekening	
Norm	Eurocode-NL
Geval	: Omhullende Min,Max
Omhullende	: Alle UGT
E (U)	: 4,37E-12
E (P)	: 6,96E-7
E (W)	: 7,38E-18
E (Eq)	: 2,03E-9
Comp.	: eX [mm]
Max	: 9,7
Min	: -13,4



[II], Non-lin., Omhullende (Alle UGT), eX, Lijnen

Project

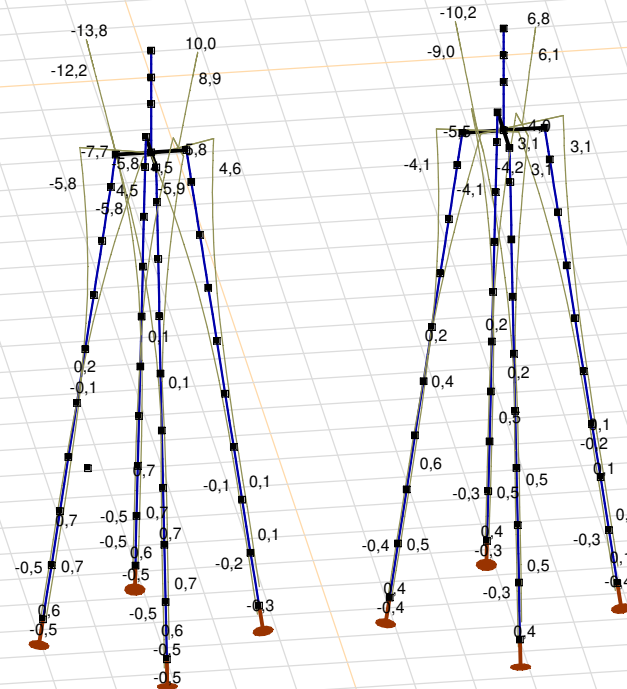
Analysis by

Model: **4P-LD1.axs**

23-5-2022

Pag. 34

Niet-lineaire berekening	
Norm	Eurocode-NL
Geval	: Omhullende Min,Max
Omhullende	: Alle UGT
E (U)	: 4,37E-12
E (P)	: 6,96E-7
E (W)	: 7,38E-18
E (Eq)	: 2,03E-9
Comp.	: eY [mm]
Max	: 10,0
Min	: -13,8



[[I]], Non-lin., Omhullende (Alle UGT), eY, Lijnen

Project

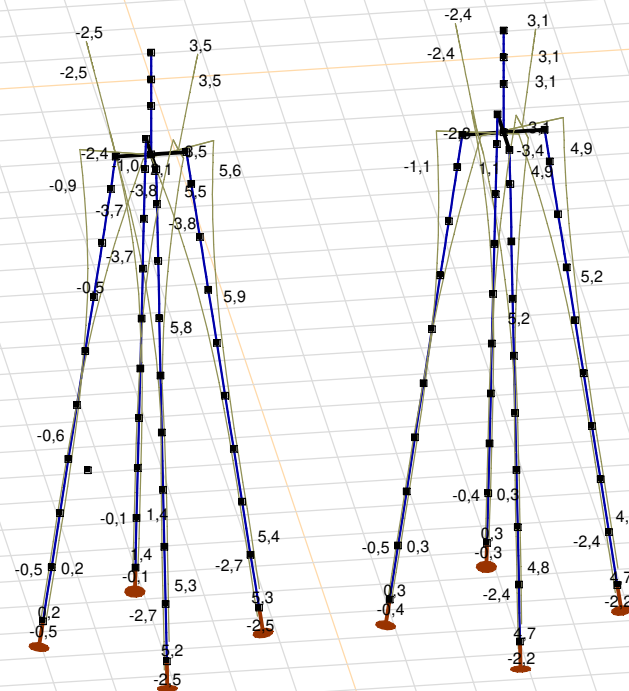
Analysis by

Model: **4P-LD1.axs**

23-5-2022

Pag. 35

Niet-lineaire berekening	
Norm	Eurocode-NL
Geval	: Omhullende Min,Max
Omhullende	: Alle UGT
E (U)	: 4,37E-12
E (P)	: 6,96E-7
E (W)	: 7,38E-18
E (Eq)	: 2,03E-9
Comp.	: eZ [mm]
Max	: 5,9
Min	: -3,8



[II], Non-lin., Omhullende (Alle UGT), eZ, Lijnen

Project

Analysis by

Model: **4P-LD1.axs**

23-5-2022

Pag. 36

Knoopverplaatsingen [Non-lin., Omhullende (Alle UGT)]

	C	min. max.	Geval	eX [mm]	eY [mm]	eZ [mm]	eR [mm]	fX [rad]	fY [rad]	fZ [rad]	fR [rad]
Ext.											
6	eX	min	Co #2 max trek [1] (1,000)	-13,4	-13,8	3,5	19,6	0,0032	-0,0031	0	0,0045
6		max	Co #1 max druk [1] (1,000)	9,7	10,0	-2,5	14,1	-0,0022	0,0021	0	0,0031
6	eY	min	Co #2 max trek [1] (1,000)	-13,4	-13,8	3,5	19,6	0,0032	-0,0031	0	0,0045
6		max	Co #1 max druk [1] (1,000)	9,7	10,0	-2,5	14,1	-0,0022	0,0021	0	0,0031
81	eZ	min	Co #1 max druk [1] (1,000)	2,6	2,8	-3,8	5,4	-0,0015	0,0016	-0,0001	0,0022
86		min	Co #1 max druk [1] (1,000)	3,0	3,2	-3,8	5,8	-0,0016	0,0017	-0,0001	0,0024
87		min	Co #1 max druk [1] (1,000)	3,5	3,6	-3,8	6,3	-0,0017	0,0018	0	0,0025
76		max	Co #2 max trek [1] (1,000)	-0,7	-1,2	5,9	6,1	0,0010	-0,0012	0,0003	0,0015
227	eR	min	Co #1 max druk [1] (1,000)	0	0	0	0	0	0	0	0
6		max	Co #2 max trek [1] (1,000)	-13,4	-13,8	3,5	19,6	0,0032	-0,0031	0	0,0045

C: Extreme component; **min. max.:** Extreme type; **Geval:** Belastinggeval van de extreme; **eX:** Verplaatsing in X-richting; **eY:** Verplaatsing in Y-richting; **eZ:** Verplaatsing in Z-richting; **eR:** Resulterende verplaatsing; **fX:** Rotatie in X-richting; **fY:** Rotatie in Y-richting; **fZ:** Rotatie in Z-richting; **fR:** Resulterende rotatie;

Project

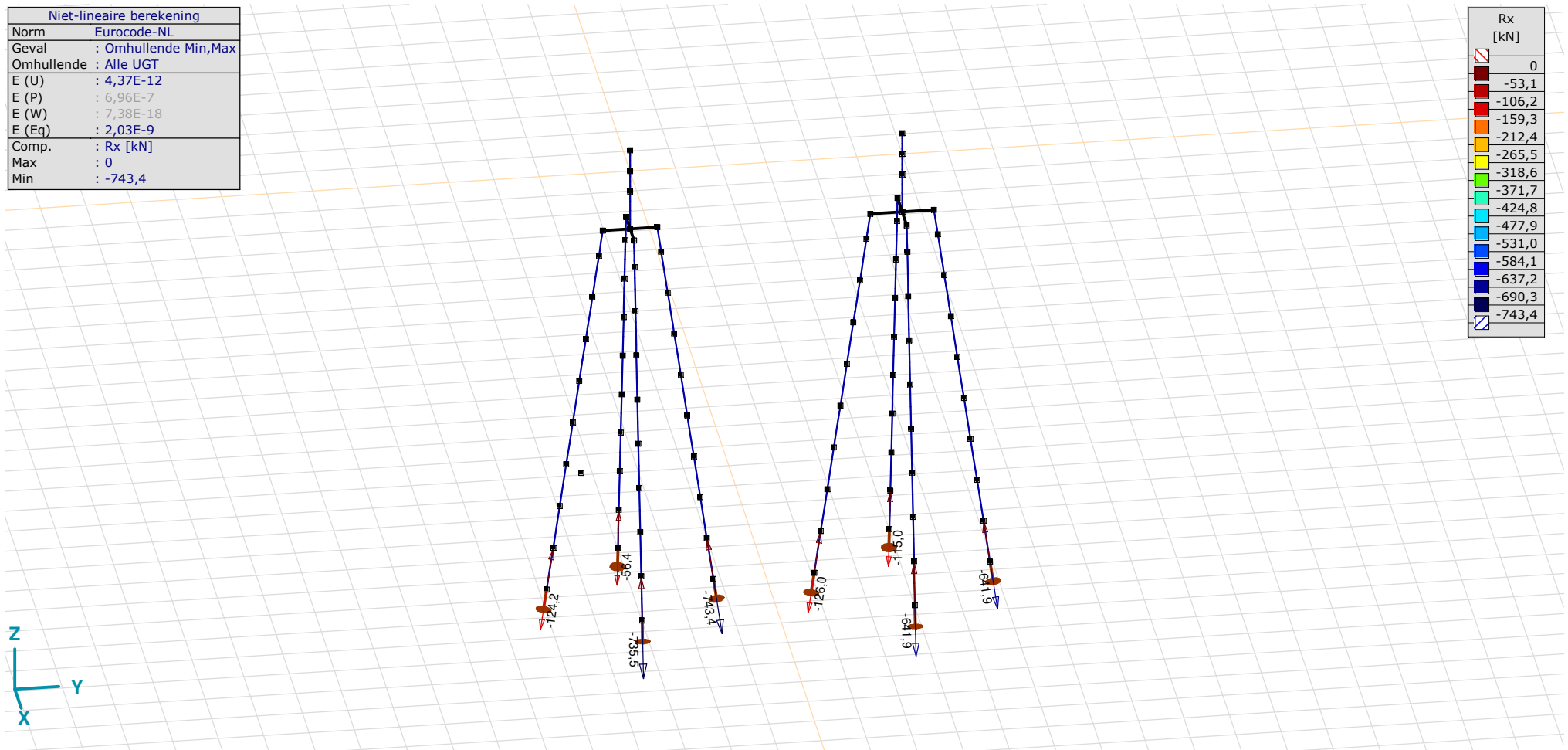
Analysis by

Model: **4P-LD1.axs**

23-5-2022

Pag. 37

Niet-lineaire berekening	
Norm	Eurocode-NL
Geval	: Omhullende Min,Max
Omhullende	: Alle UGT
E (U)	: 4,37E-12
E (P)	: 6,96E-7
E (W)	: 7,38E-18
E (Eq)	: 2,03E-9
Comp.	: Rx [kN]
Max	: 0
Min	: -743,4



[II], Non-lin., Omhullende (Alle UGT), Rx (knoopopl.), Lijnen

Project

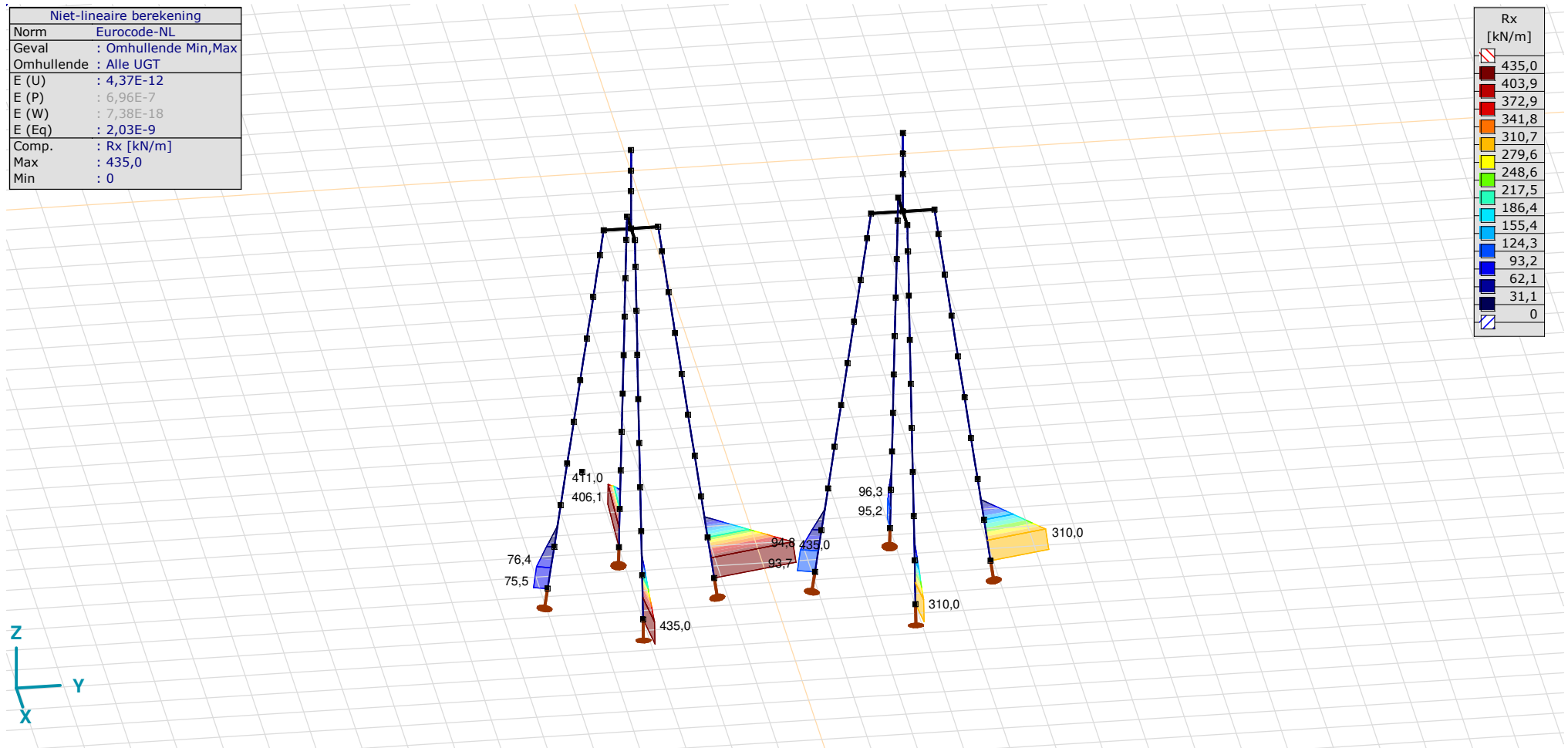
Analysis by

Model: **4P-LD1.axs**

23-5-2022

Pag. 38

Niet-lineaire berekening	
Norm	Eurocode-NL
Geval	: Omhullende Min,Max
Omhullende	: Alle UGT
E (U)	: 4,37E-12
E (P)	: 6,96E-7
E (W)	: 7,38E-18
E (Eq)	: 2,03E-9
Comp.	: Rx [kN/m]
Max	: 435,0
Min	: 0



[II], Non-lin., Omhullende (Alle UGT), Rx (lijnopp.), Lijnen (gevuld)

Project

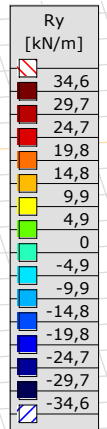
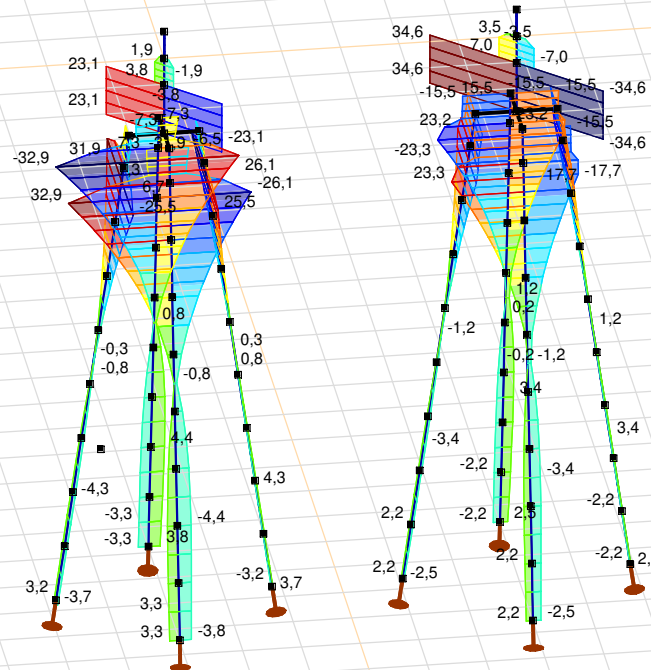
Analysis by

Model: **4P-LD1.axs**

23-5-2022

Pag. 39

Niet-lineaire berekening	
Norm	Eurocode-NL
Geval	: Omhullende Min,Max
Omhullende	: Alle UGT
E (U)	: 4,37E-12
E (P)	: 6,96E-7
E (W)	: 7,38E-18
E (Eq)	: 2,03E-9
Comp.	: Ry [kN/m]
Max	: 34,6
Min	: -34,6



[III], Non-lin., Omhullende (Alle UGT), Ry (lijnopp.), Lijnen (gevuld)

Project

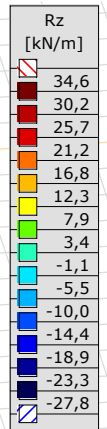
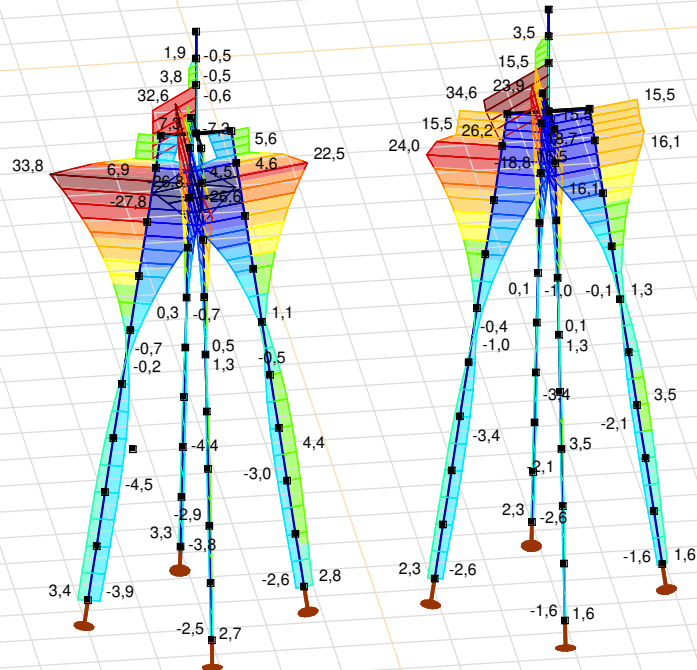
Analysis by

Model: **4P-LD1.axs**

23-5-2022

Pag. 40

Niet-lineaire berekening	
Norm	Eurocode-NL
Geval	: Omhullende Min,Max
Omhullende	: Alle UGT
E (U)	: 4,37E-12
E (P)	: 6,96E-7
E (W)	: 7,38E-18
E (Eq)	: 2,03E-9
Comp.	: Rz [kN/m]
Max	: 34,6
Min	: -27,8



[III], Non-lin., Omhullende (Alle UGT), Rz (lijnopp.), Lijnen (gevuld)

Project

Analysis by

Model: **4P-LD1.axs**

23-5-2022

Pag. 41

Interne krachten knooppoplegging [Non-lin., Omhullende (Alle UGT)]

	<i>Knoop</i>	<i>X [m]</i>	<i>Y [m]</i>	<i>Z [m]</i>	<i>Type</i>	<i>C</i>	<i>min. max.</i>	<i>Geval</i>	<i>R_x [kN]</i>
1	4	0	-1,838	-10,000	Staaft r.	Rx	min	Co #3 max torsie [1] (1,000)	-124,2
							max	Co #2 max trek [1] (1,000)	
2	40	1,838	0	-10,000	Staaft r.	Rx	min	Co #1 max druk [1] (1,000)	-735,5
							max	Co #2 max trek [1] (1,000)	
3	65	0	1,838	-10,000	Staaft r.	Rx	min	Co #1 max druk [1] (1,000)	-743,4
							max	Co #2 max trek [1] (1,000)	
4	90	-1,838	0	-10,000	Staaft r.	Rx	min	Co #1 max druk [1] (1,000)	-56,4
							max	Co #3 max torsie [1] (1,000)	
5	116	0	4,062	-10,000	Staaft r.	Rx	min	Co #3 max torsie [1] (1,000)	-126,0
							max	Co #2 max trek [1] (1,000)	
6	153	1,938	6,000	-10,000	Staaft r.	Rx	min	Co #1 max druk [1] (1,000)	-641,9
							max	Co #2 max trek [1] (1,000)	
7	178	0	7,938	-10,000	Staaft r.	Rx	min	Co #1 max druk [1] (1,000)	-641,9
							max	Co #2 max trek [1] (1,000)	
8	203	-1,938	6,000	-10,000	Staaft r.	Rx	min	Co #1 max druk [1] (1,000)	-115,0
							max	Co #2 max trek [1] (1,000)	
Ext.									
3	65	0	1,838	-10,000	Staaft r.	Rx	min	Co #1 max druk [1] (1,000)	-743,4
3	65	0	1,838	-10,000	Staaft r.		max	Co #2 max trek [1] (1,000)	0

Knoop: Ondersteunde knoop; **Type:** Opleggingstype; **C:** Extreme component; **min. max.:** Extreme type; **Geval:** Belastinggeval van de extreme; **Rx:** X-component opleggingsreactiekracht;

Project:

Constructeur:

AxisVM X6 R1q · Geregistreerd aan DNV GL - Energy
MBT-EHV 1P+2P Brandevoort.axs

Rapport

Rapport, Inhoudsopgave

<i>Onderdeel</i>	<i>Pagina</i>	<i>Onderdeel</i>	<i>Pagina</i>
Tekening render	3	[II], Non-lin., Omhullende (Standaard), Nx, Lijnen (gevuld)	17
Materialen	4	[II], Non-lin., Omhullende (Standaard), My, Lijnen (gevuld)	18
Profielen	5	[II], Non-lin., Omhullende (Standaard), Mz, Lijnen (gevuld)	19
> Mast 116 en 120	6	[II], Non-lin., Omhullende (Standaard), Vy, Lijnen (gevuld)	20
> Mast 117 en 118	7	[II], Non-lin., Omhullende (Standaard), Vz, Lijnen (gevuld)	21
Staven	8	Staafrachten [Non-lin., Omhullende (Standaard)]	22
Knoopopleggingen	9	[II], > S 235, Non-lin., Omhullende (Standaard), S _x ;minmax, Lijnen (gevuld)	23
Lijnopleggingen	9	Staaftspanningen [Non-lin., Omhullende (Standaard), Geselecteerd]	24
EG	12	[II], Non-lin., Omhullende (Standaard), Ry (lijnopp.), Lijnen (gevuld)	25
Trek	13	[II], Non-lin., Omhullende (Standaard), Rz (lijnopp.), Lijnen (gevuld)	26
Trek: Knoopbelastingen	14	[II], Non-lin., Omhullende (Standaard), Rx (lijnopp.), Lijnen (gevuld)	27
Druk	14	Knoopverplaatsingen [Non-lin., Omhullende (Standaard), Geselecteerd]	28
Druk: Knoopbelastingen	15	[II], Non-lin., Omhullende (Standaard), eX, Lijnen	28
Torsie	15	[II], Non-lin., Omhullende (Standaard), eY, Lijnen	29
Torsie: Knoopbelastingen	16	[II], Non-lin., Omhullende (Standaard), eZ, Lijnen	30
Gebruiker gedefinieerde belastingcombinaties uit belastinggevallen	16		

Project:

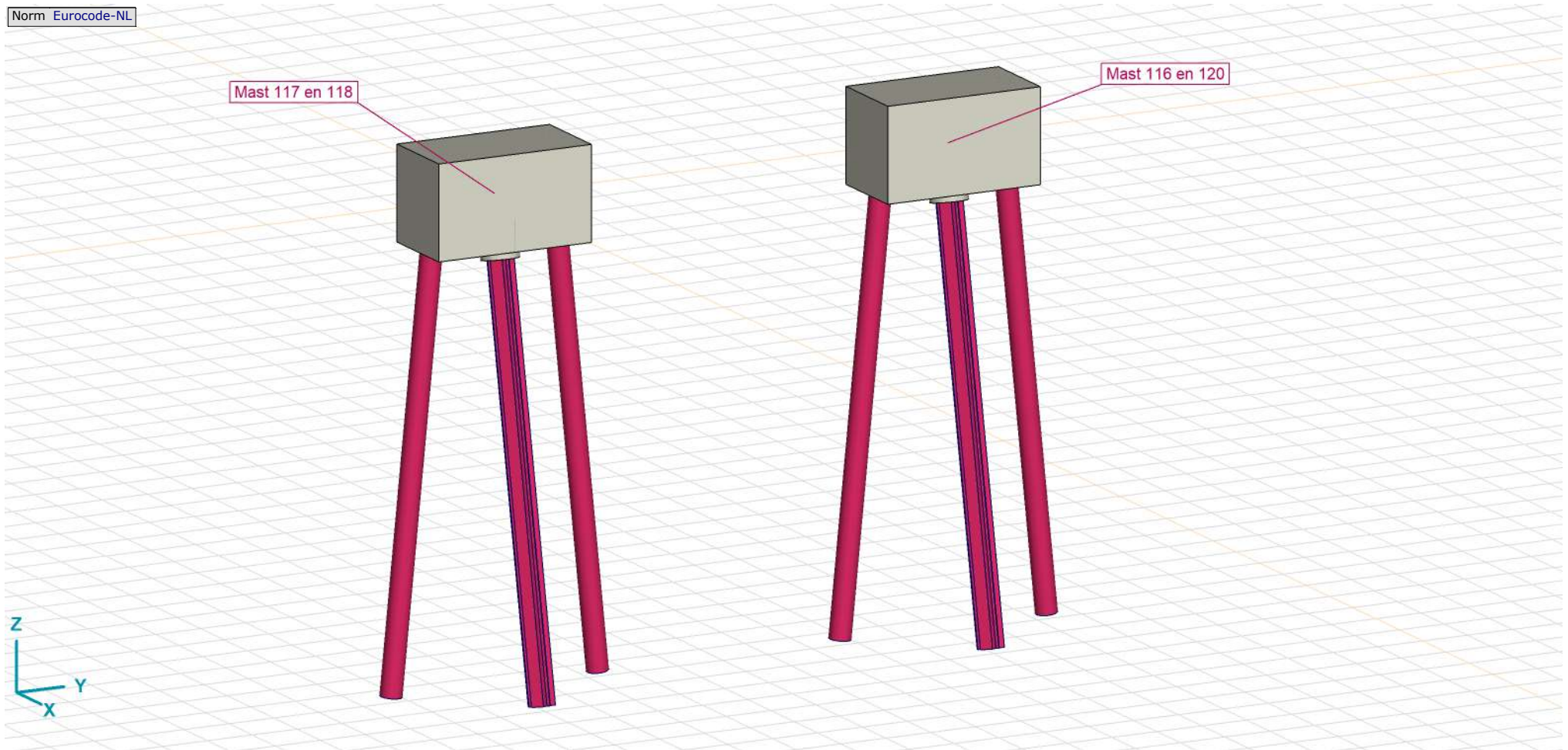
Constructeur:

Model: **MBT-EHV 1P+2P Brandevoort.axs**

23-5-2022

Pag. 3

Norm Eurocode-NL



Tekening render

Project:





Constructeur:

Model: **MBT-EHV 1P+2P Brandevoort.axs**

23-5-2022

Pag. 4

Materialen

	Naam	Type	Nationale norm	Materiaalnorm	Model	E_x [MPa]	E_y [MPa]	ν	α_T [1/°C]	ρ [kg/m ³]	Materiaal kleur	Contour kleur	Structuur	P_1
1	S 235	Staal	Eurocode-NL	10025-2	Lineair	210000	210000	0,30	1,2E-5	7850			Steel	f_y [MPa] = 235,00
2	C30/37	Beton	Eurocode-NL	EN 206	Lineair	10000	10000	0,20	1E-5	2500			Concrete A	f_{ck} [MPa] = 30,00

	Naam	P_2	P_3	P_4	P_5	P_6	P_7	P_8	P_9	P_{10}	P_{11}	P_{12}	P_{13}	P_{14}
1	S 235	f_u [MPa] = 360,00	f_y^* [MPa] = 215,00	f_u^* [MPa] = 360,00										
2	C30/37	$\gamma_c = 1,500$	$\alpha_{cc} = 1,00$	$\phi_t = 2,00$										

Naam: Materiaalnaam; **Type:** Type materiaal; **Model:** Materiaal model; **E_x :** Elasticiteitsmodulus in lokale x richting; **E_y :** Elasticiteitsmodulus in lokale y richting; **ν :** Poisson's verhouding; **α_T :** Warmteuitzettingscoëfficiënt; **ρ :** Dichtheid; **Materiaal kleur:** Materiaalkleur; **Contour kleur:** Contourkleur; **$P_1, P_2, P_3, P_4, P_5, P_6, P_7, P_8, P_9, P_{10}, P_{11}, P_{12}, P_{13}, P_{14}$:** Ontwerpparameter;

Project:

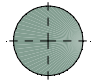
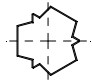
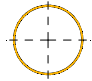
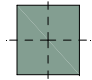
Constructeur:

Model: **MBT-EHV 1P+2P Brandevoort.axs**

23-5-2022

Pag. 5

Profielen

	Naam	Tekening	Productie	Vorm	h [mm]	b [mm]	tw [mm]	tf [mm]	A_x [mm ²]	A_y [mm ²]	A_z [mm ²]	I_x [mm ⁴]	I_y [mm ⁴]	I_z [mm ⁴]	α [°]	I_w [mm ⁶]
1	O 800		Ander	Rond	800,0	800,0	0	0	502552,80	430759,50	430759,50	4E+10	2E+10	2E+10	0	0
2	LD1		Ander	Eigen gedefinieerd	570,1	514,0	0	0	15142,80	5219,72	5219,72	6,2E+08	4,6E+08	4,6E+08	0	2,4E+11
3	O 457x8		Gewalst	Buis	457,0	457,0	8,0	8,0	11282,31	5644,12	5644,14	5,7E+08	2,8E+08	2,8E+08	0	0
4	1800x2000		Ander	Recht.	2000,0	1800,0	0	0	3600000,00	3000000,00	3000000,00	1,8E+12	1,2E+12	9,7E+11	0	9,7E+15

	Naam	$W_{1,el,t}$ [mm ³]	$W_{1,el,b}$ [mm ³]	i_y [mm]	i_z [mm]	H_y [mm]	H_z [mm]	y_G [mm]	z_G [mm]	y_s [mm]	z_s [mm]	S.p.
1	O 800	5E+07	5E+07	200,0	200,0	800,0	800,0	400,0	400,0	0	0	5
2	LD1	1614516,0	1614516,0	174,3	174,3	514,0	570,1	257,0	285,1	0	0	8
3	O 457x8	1244412,0	1244412,0	158,8	158,8	457,0	457,0	228,5	228,5	0	0	5
4	1800x2000	1,2E+09	1,2E+09	577,4	519,6	1800,0	2000,0	900,0	1000,0	0	0	5

Naam: Doorsnede naam; **Productie:** Productieproces; **Vorm:** Profiel; **h:** Doorsnede hoogte; **b:** Doorsnede breedte; **tw:** Lijfdikte; **tf:** Flensdikte; **Ax:** Doorsnede-oppervlak; **Ay, Az:** Afschuivingsoppervlak; **Ix:** Torsietraagheidsmoment; **Iy, Iz:** Buigtraagheidsmoment; **α:** Hoofdrichtingen; **Iw:** Krommingsconstante; **W_{1,el,t}, W_{1,el,b}:** Elastisch weerstandsmoment; **i_y, i_z:** Traagheidsstraal; **Hy:** Afmeting in lokale Y-richting; **Hz:** Afmeting in lokale Z-richting; **y_G:** Y-coördinaat van het zwaartepunt; **z_G:** Z-coördinaat van het zwaartepunt; **y_s:** Y-coördinaat van het afschuivingsmiddelpunt (torsie); **z_s:** Z-coördinaat van het afschuivingsmiddelpunt (torsie); **S.p.:** Spanningspunten;

Project:

Constructeur:

Model: **MBT-EHV 1P+2P Brandevoort.axs**

23-5-2022

Pag. 6

Norm Eurocode-NL
Detail : Mast 116 en 120

[Staal 54]
173 → 140
1,005 m 89,01 kg
S 235, O 457x8
z Ref.: Automatisch
Ry (7300 kN/m/m) , Grensweerstand = 26,7 kN/m
Rz (7300 kN/m/m) , Grensweerstand = 26,7 kN/m

[Staal 57]
148 → 136
0,400 m 3600,00 kg
C30/37, 1800x2000
z Ref.: Automatisch
Ry (21625 kN/m/m) , Grensweerstand = 9,0 kN/m
Rz (21625 kN/m/m) , Grensweerstand = 9,0 kN/m

[Staal 65]
177 → 173
1,005 m 89,01 kg
S 235, O 457x8
z Ref.: Automatisch
Ry (7300 kN/m/m) , Grensweerstand = 38,7 kN/m
Rz (7300 kN/m/m) , Grensweerstand = 38,7 kN/m

[Staal 68]
122 → 99
0,510 m 60,65 kg
S 235, LD1
z Ref.: R27
Ry (6450 kN/m/m) , Grensweerstand = 23,7 kN/m
Rz (6450 kN/m/m) , Grensweerstand = 23,7 kN/m

[Staal 69]
191 → 126
1,020 m 121,29 kg
S 235, LD1
z Ref.: R27
Ry (6450 kN/m/m) , Grensweerstand = 34,3 kN/m
Rz (6450 kN/m/m) , Grensweerstand = 34,3 kN/m

[Staal 66]
181 → 177
1,005 m 89,01 kg
S 235, O 457x8
z Ref.: Automatisch
Ry (7200 kN/m/m) , Grensweerstand = 50,8 kN/m
Rz (7200 kN/m/m) , Grensweerstand = 50,8 kN/m

[Staal 69]
191 → 126
1,020 m 121,29 kg
S 235, LD1
z Ref.: R27
Ry (6450 kN/m/m) , Grensweerstand = 45,0 kN/m
Rz (6450 kN/m/m) , Grensweerstand = 45,0 kN/m

[Staal 69]
191 → 126
1,020 m 121,29 kg
S 235, LD1
z Ref.: R27
Ry (11650 kN/m/m) , Grensweerstand = 11,0 kN/m
Rz (11650 kN/m/m) , Grensweerstand = 11,0 kN/m

[Staal 67]
108 → 181
1,005 m 89,01 kg
S 235, O 457x8
z Ref.: Automatisch
Ry (14825 kN/m/m) T , Grensweerstand = 125,6 kN/m
Rz (14825 kN/m/m) T , Grensweerstand = 125,6 kN/m

[Staal 51]
120 → 112
1,005 m 89,01 kg
S 235, O 457x8
z Ref.: Automatisch
Rx (100000 kN/m/m) , Grensweerstand = 450,0 kN/m
Ry (14825 kN/m/m) T
Rz (14825 kN/m/m) T

[Staal 53]
127 → 117
1,020 m 121,29 kg
S 235, LD1
z Ref.: R27
Rx (100000 kN/m/m) T , Grensweerstand = 308,0 kN/m
Ry (11650 kN/m/m) T
Rz (11650 kN/m/m) T



> Mast 116 en 120

Project:

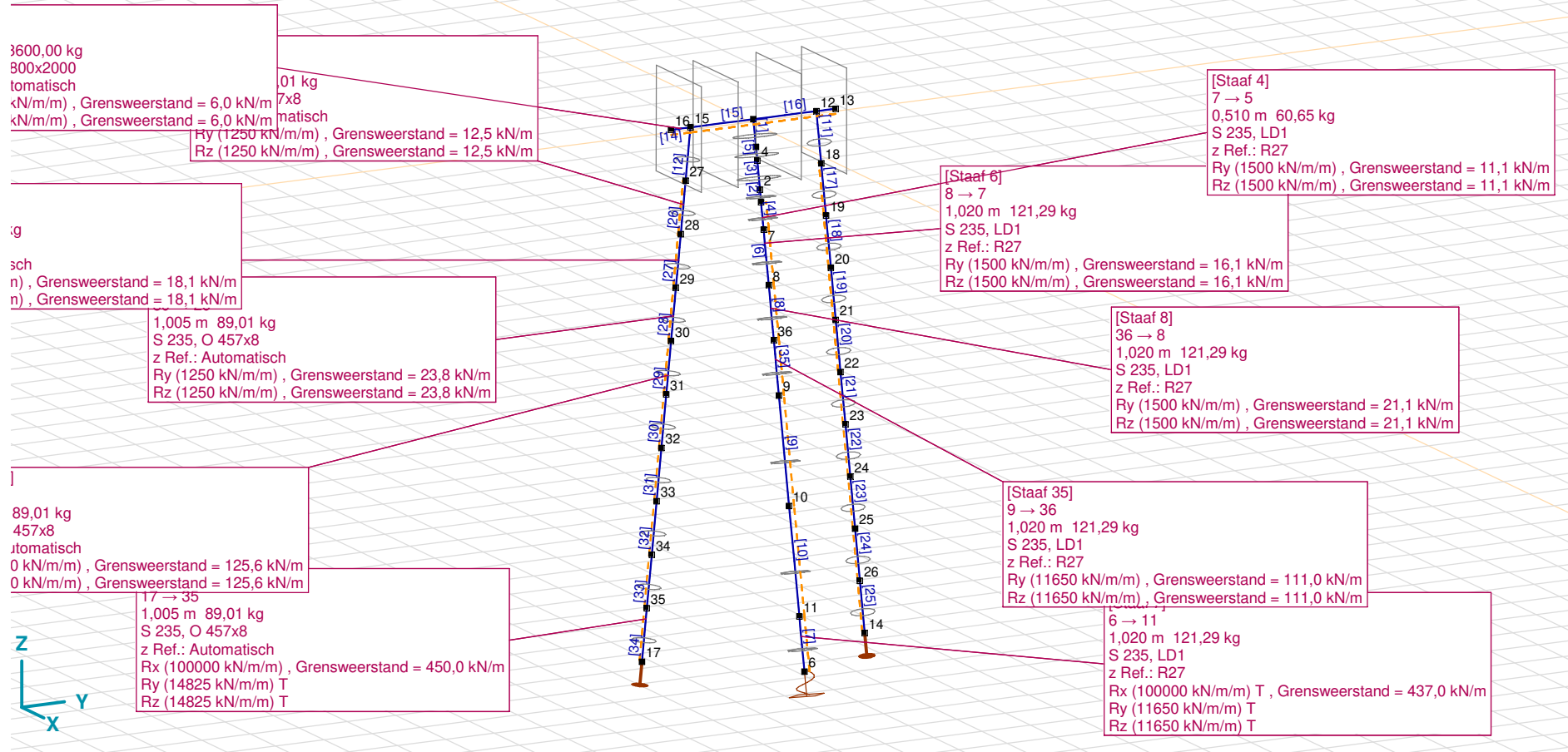
Constructeur:

Model: **MBT-EHV 1P+2P Brandevoort.axs**

23-5-2022

Pag. 7

Norm Eurocode-NL
Detail : Mast 117 en 118



> Mast 117 en 118

Project:

Constructeur:

Model: **MBT-EHV 1P+2P Brandevoort.axs**

23-5-2022

Pag. 8

Staven

	Start-punt	Eind-punt	Lengte	Lokaal X	Materiaal	Doorsnede	Ref _Z		Start-punt	Eind-punt	Lengte	Lokaal X	Materiaal	Doorsnede	Ref _Z
1	3	1	0,511	j - i	C30/37	1	↗ R27	36	99	98	0,231	j - i	S 235	2	↗ R27
2	5	2	0,231	j - i	S 235	2	↗ R27	37	101	100	0,511	j - i	C30/37	1	↗ R27
3	2	4	0,535	i - j	C30/37	1	↗ R27	38	98	102	0,535	i - j	C30/37	1	↗ R27
4	7	5	0,510	j - i	S 235	2	↗ R27	39	102	101	0,255	j - i	C30/37	1	↗ R27
5	4	3	0,255	j - i	C30/37	1	↗ R27	40	104	103	1,005	j - i	S 235	3	Auto
6	8	7	1,020	j - i	S 235	2	↗ R27	41	105	104	1,005	j - i	S 235	3	Auto
7	6	11	1,020	i - j	S 235	2	↗ R27	42	106	105	1,005	j - i	S 235	3	Auto
8	36	8	1,020	j - i	S 235	2	↗ R27	43	107	106	1,005	j - i	S 235	3	Auto
9	10	9	2,041	j - i	S 235	2	↗ R27	44	109	108	1,005	j - i	S 235	3	Auto
10	11	10	2,041	j - i	S 235	2	↗ R27	45	110	109	1,005	j - i	S 235	3	Auto
11	18	12	1,005	j - i	S 235	3	Auto	46	111	110	1,005	j - i	S 235	3	Auto
12	27	15	1,005	j - i	S 235	3	Auto	47	112	111	1,005	j - i	S 235	3	Auto
13	12	13	0,400	i - j	C30/37	4	Auto	48	115	113	2,041	j - i	S 235	2	↗ R27
14	16	15	0,400	j - i	C30/37	4	Auto	49	117	115	2,041	j - i	S 235	2	↗ R27
15	15	1	1,300	j - i	C30/37	4	Auto	50	118	107	1,005	j - i	S 235	3	Auto
16	1	12	1,300	i - j	C30/37	4	Auto	51	120	112	1,005	j - i	S 235	3	Auto
17	19	18	1,005	j - i	S 235	3	Auto	52	126	122	1,020	j - i	S 235	2	↗ R27
18	20	19	1,005	j - i	S 235	3	Auto	53	127	117	1,020	j - i	S 235	2	↗ R27
19	21	20	1,005	j - i	S 235	3	Auto	54	135	131	1,005	j - i	S 235	3	Auto
20	22	21	1,005	j - i	S 235	3	Auto	55	140	136	1,005	j - i	S 235	3	Auto
21	23	22	1,005	j - i	S 235	3	Auto	56	131	144	0,400	i - j	C30/37	4	Auto
22	24	23	1,005	j - i	S 235	3	Auto	57	148	136	0,400	j - i	C30/37	4	Auto
23	25	24	1,005	j - i	S 235	3	Auto	58	136	100	1,300	j - i	C30/37	4	Auto
24	26	25	1,005	j - i	S 235	3	Auto	59	100	131	1,300	i - j	C30/37	4	Auto
25	14	26	1,005	i - j	S 235	3	Auto	60	158	135	1,005	j - i	S 235	3	Auto
26	28	27	1,005	j - i	S 235	3	Auto	61	162	158	1,005	j - i	S 235	3	Auto
27	29	28	1,005	j - i	S 235	3	Auto	62	166	162	1,005	j - i	S 235	3	Auto
28	30	29	1,005	j - i	S 235	3	Auto	63	103	166	1,005	i - j	S 235	3	Auto
29	31	30	1,005	j - i	S 235	3	Auto	64	173	140	1,005	j - i	S 235	3	Auto
30	32	31	1,005	j - i	S 235	3	Auto	65	177	173	1,005	j - i	S 235	3	Auto
31	33	32	1,005	j - i	S 235	3	Auto	66	181	177	1,005	j - i	S 235	3	Auto
32	34	33	1,005	j - i	S 235	3	Auto	67	108	181	1,005	i - j	S 235	3	Auto
33	35	34	1,005	j - i	S 235	3	Auto	68	122	99	0,510	j - i	S 235	2	↗ R27
34	17	35	1,005	i - j	S 235	3	Auto	69	191	126	1,020	j - i	S 235	2	↗ R27
35	9	36	1,020	i - j	S 235	2	↗ R27	70	113	191	1,020	i - j	S 235	2	↗ R27

Lengte: Elementlengte; Lokaal X: Lokale X-richting; Ref_Z: Referentie voor lokale Z-richting;

Project:

Constructeur:

Model: **MBT-EHV 1P+2P Brandevoort.axs**

23-5-2022

Pag. 9

Knooppopleggingen

	Knoop	X [m]	Y [m]	Z [m]	Type	Ref. elem.	Naam _x	Veermodel _x	K _x [MN/m]	Naam _y	Veermodel _y	K _{yV} [MN/m]	Naam _z	Veermodel _z	K _{zV} [MN/m]
1	6	1,871	0,144	-10,000	StAAF r.	StAAF 25	Lineair 1E+5 kN/m	NL elastisch	1,1E+08	—	-	-	—	-	-
2	14	-0,161	2,444	-9,999	StAAF r.	StAAF 17	Lineair 1E+5 kN/m	NL elastisch	1,1E+08	—	-	-	—	-	-
3	17	-0,161	-2,156	-10,000	StAAF r.	StAAF 19	Lineair 1E+5 kN/m	NL elastisch	1,1E+08	—	-	-	—	-	-
4	127	1,871	10,144	-9,999	StAAF r.	StAAF 121	Lineair 1E+5 kN/m	NL elastisch	1,1E+08	—	-	-	—	-	-
5	118	-0,161	12,444	-9,999	StAAF r.	StAAF 113	Lineair 1E+5 kN/m	NL elastisch	1,1E+08	—	-	-	—	-	-
6	120	-0,161	7,844	-9,999	StAAF r.	StAAF 115	Lineair 1E+5 kN/m	NL elastisch	1,1E+08	—	-	-	—	-	-

	Knoop	Naam _{xx}	Veermodel _{xx}	K _{xx} [kNm/rad]	K _{xxV} [kNm/rad]	Naam _{yy}	Veermodel _{yy}	K _{yyV} [kNm/rad]	Naam _{zz}	Veermodel _{zz}	K _{zzV} [kNm/rad]	Veermodel _w
1	6	Vast - rotatie	Lineair	1E+10	1E+10	—	-	-	—	-	-	-
2	14	—	-	-	-	—	-	-	—	-	-	-
3	17	—	-	-	-	—	-	-	—	-	-	-
4	127	Vast - rotatie	Lineair	1E+10	1E+10	—	-	-	—	-	-	-
5	118	—	-	-	-	—	-	-	—	-	-	-
6	120	—	-	-	-	—	-	-	—	-	-	-

Knoop: Ondersteunde knoop; **Type:** Opleggingstype; **Ref. elem.:** Referentie-element; **Naam_x:** Naam van de veereigenschappen; **Veermodel_x:** Veermodel; **K_x, K_{xx}:** Initiële stijfheid;

Lijnopleggingen

	Lijn	Type	Ref. elem.	R _x [kN/m/m]	R _y [kN/m/m]	R _z [kN/m/m]	NL(y)	NL(z)	F(y) [kN/m]	F(z) [kN/m]
		StAAF r.								
1	StAAF 4	StAAF r.		0	1500	1500	Symmetrisch	Symmetrisch	11,1	11,1
2	StAAF 6	StAAF r.		0	1500	1500	Symmetrisch	Symmetrisch	16,1	16,1
3	StAAF 7	StAAF r.		100000	11650	11650	Trek	Trek		
4	StAAF 8	StAAF r.		0	1500	1500	Symmetrisch	Symmetrisch	21,1	21,1
5	StAAF 9	StAAF r.		0	11650	11650	Symmetrisch	Symmetrisch		
6	StAAF 10	StAAF r.		0	11650	11650	Symmetrisch	Symmetrisch		
7	StAAF 13	StAAF r.		0	7200	7200	Symmetrisch	Symmetrisch	6,0	6,0
8	StAAF 14	StAAF r.		0	7200	7200	Symmetrisch	Symmetrisch	6,0	6,0
9	StAAF 15	StAAF r.		0	7200	7200	Symmetrisch	Symmetrisch	6,0	6,0
10	StAAF 16	StAAF r.		0	7200	7200	Symmetrisch	Symmetrisch	6,0	6,0
11	StAAF 17	StAAF r.		0	1250	1250	Symmetrisch	Symmetrisch	12,5	12,5
12	StAAF 18	StAAF r.		0	1250	1250	Symmetrisch	Symmetrisch	18,1	18,1
13	StAAF 19	StAAF r.		0	1250	1250	Symmetrisch	Symmetrisch	23,8	23,8

Project:

Constructeur:

Model: **MBT-EHV 1P+2P Brandevoort.axs**

23-5-2022

Pag. 10

Lijnopleggingen

	Lijn	Type	Ref. elem.	R _x [kN/m/m]	R _y [kN/m/m]	R _z [kN/m/m]	NL(y)	NL(z)	F(y) [kN/m]	F(z) [kN/m]
14	Staafl 20	Staafl r.		0	13150	13150	Symmetrisch	Symmetrisch	125,6	125,6
15	Staafl 21	Staafl r.		0	13150	13150	Symmetrisch	Symmetrisch		
16	Staafl 22	Staafl r.		0	13150	13150	Symmetrisch	Symmetrisch		
17	Staafl 23	Staafl r.		0	13150	13150	Symmetrisch	Symmetrisch		
18	Staafl 24	Staafl r.		0	13150	13150	Symmetrisch	Symmetrisch		
19	Staafl 25	Staafl r.		100000	14825	14825	Trek	Trek		
20	Staafl 26	Staafl r.		0	1250	1250	Symmetrisch	Symmetrisch	12,5	12,5
21	Staafl 27	Staafl r.		0	1250	1250	Symmetrisch	Symmetrisch	18,1	18,1
22	Staafl 28	Staafl r.		0	1250	1250	Symmetrisch	Symmetrisch	23,8	23,8
23	Staafl 29	Staafl r.		0	13150	13150	Symmetrisch	Symmetrisch	125,6	125,6
24	Staafl 30	Staafl r.		0	13150	13150	Symmetrisch	Symmetrisch		
25	Staafl 31	Staafl r.		0	13150	13150	Symmetrisch	Symmetrisch		
26	Staafl 32	Staafl r.		0	13150	13150	Symmetrisch	Symmetrisch		
27	Staafl 33	Staafl r.		0	13150	13150	Symmetrisch	Symmetrisch		
28	Staafl 34	Staafl r.		100000	14825	14825	Trek	Trek		
29	Staafl 35	Staafl r.		0	11650	11650	Symmetrisch	Symmetrisch	111,0	111,0
30	Staafl 40	Staafl r.		0	13150	13150	Symmetrisch	Symmetrisch		
31	Staafl 41	Staafl r.		0	13150	13150	Symmetrisch	Symmetrisch		
32	Staafl 42	Staafl r.		0	13150	13150	Symmetrisch	Symmetrisch		
33	Staafl 43	Staafl r.		0	13150	13150	Symmetrisch	Symmetrisch		
34	Staafl 44	Staafl r.		0	13150	13150	Symmetrisch	Symmetrisch		
35	Staafl 45	Staafl r.		0	13150	13150	Symmetrisch	Symmetrisch		
36	Staafl 46	Staafl r.		0	13150	13150	Symmetrisch	Symmetrisch		
37	Staafl 47	Staafl r.		0	13150	13150	Symmetrisch	Symmetrisch		
38	Staafl 48	Staafl r.		0	11650	11650	Symmetrisch	Symmetrisch		
39	Staafl 49	Staafl r.		0	11650	11650	Symmetrisch	Symmetrisch		
40	Staafl 50	Staafl r.		100000	14825	14825	Trek	Trek		
41	Staafl 51	Staafl r.		100000	14825	14825	Trek	Trek		
42	Staafl 52	Staafl r.		0	6450	6450	Symmetrisch	Symmetrisch	34,3	34,3
43	Staafl 53	Staafl r.		100000	11650	11650	Trek	Trek		
44	Staafl 56	Staafl r.		0	21625	21625	Symmetrisch	Symmetrisch	9,0	9,0
45	Staafl 57	Staafl r.		0	21625	21625	Symmetrisch	Symmetrisch	9,0	9,0
46	Staafl 58	Staafl r.		0	21625	21625	Symmetrisch	Symmetrisch	9,0	9,0
47	Staafl 59	Staafl r.		0	21625	21625	Symmetrisch	Symmetrisch	9,0	9,0
48	Staafl 60	Staafl r.		0	7300	7300	Symmetrisch	Symmetrisch	26,7	26,7
49	Staafl 61	Staafl r.		0	7300	7300	Symmetrisch	Symmetrisch	38,7	38,7
50	Staafl 62	Staafl r.		0	7200	7200	Symmetrisch	Symmetrisch	50,8	50,8

Project:

Constructeur:

Model: **MBT-EHV 1P+2P Brandevoort.axs**

23-5-2022

Pag. 11

Lijnopleggingen

	<i>Lijn</i>	<i>Type</i>	<i>Ref. elem.</i>	<i>R_x</i> [kN/m/m]	<i>R_y</i> [kN/m/m]	<i>R_z</i> [kN/m/m]	<i>NL(y)</i>	<i>NL(z)</i>	<i>F(y)</i> [kN/m]	<i>F(z)</i> [kN/m]
51	Staafl 63	Staafl r.		0	13150	13150	Symmetrisch	Symmetrisch	125,6	125,6
52	Staafl 64	Staafl r.		0	7300	7300	Symmetrisch	Symmetrisch	26,7	26,7
53	Staafl 65	Staafl r.		0	7300	7300	Symmetrisch	Symmetrisch	38,7	38,7
54	Staafl 66	Staafl r.		0	7200	7200	Symmetrisch	Symmetrisch	50,8	50,8
55	Staafl 67	Staafl r.		0	13150	13150	Symmetrisch	Symmetrisch	125,6	125,6
56	Staafl 68	Staafl r.		0	6450	6450	Symmetrisch	Symmetrisch	23,7	23,7
57	Staafl 69	Staafl r.		0	6450	6450	Symmetrisch	Symmetrisch	45,0	45,0
58	Staafl 70	Staafl r.		0	11650	11650	Symmetrisch	Symmetrisch	111,0	111,0

Lijn: Ondersteund lijnelement; **Type:** Opleggingstype; **Ref. elem.:** Referentie-element; **R_x, R_y, R_z:** Verplaatsingsstijfheid; **NL(y), NL(z):** Niet-lineaire parameters; **F(y):** Weerstand in Y-richting; **F(z):** Weerstand in Z-richting;

Project:

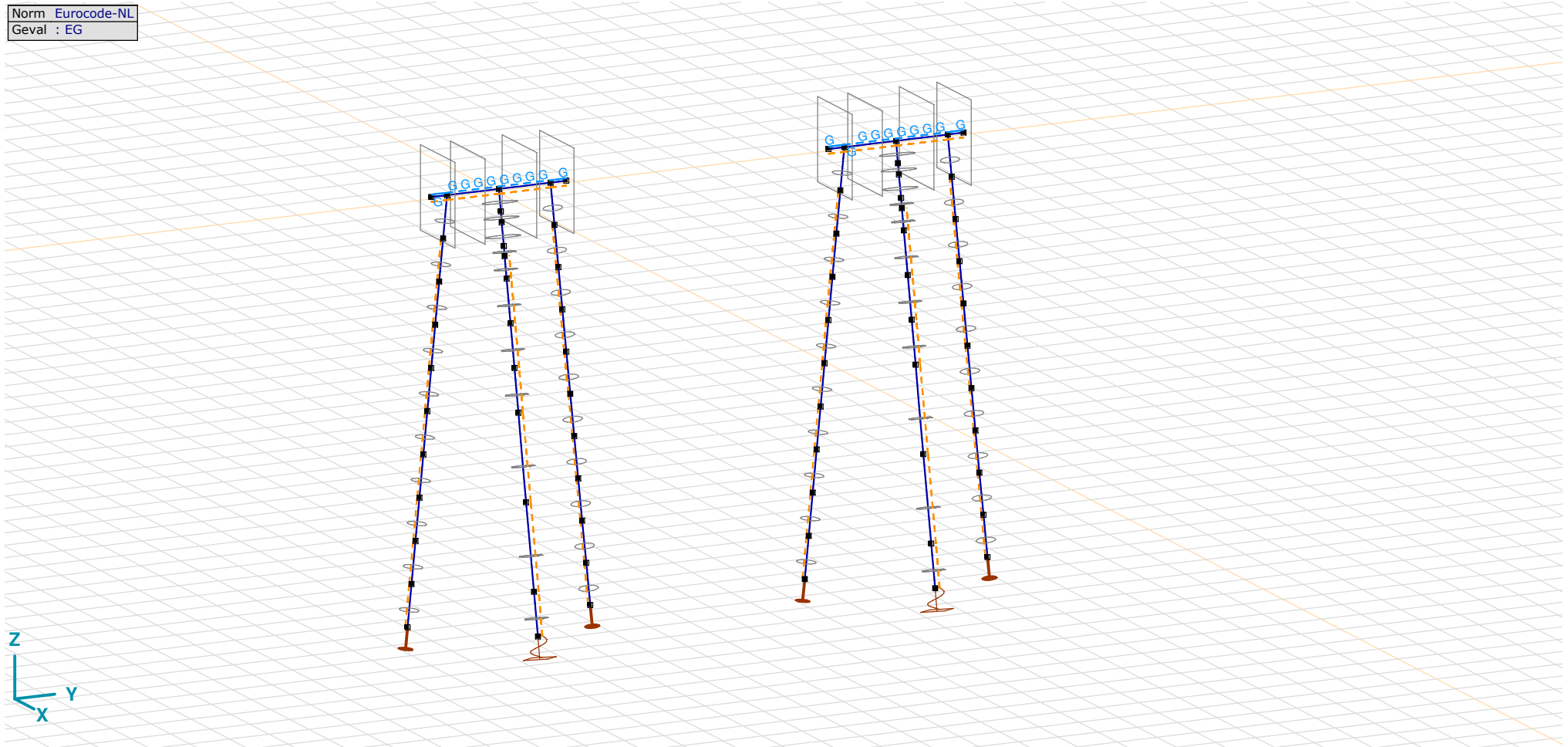
Constructeur:

Model: **MBT-EHV 1P+2P Brandevoort.axs**

23-5-2022

Pag. 12

Norm Eurocode-NL
Geval : EG



EG

Project:

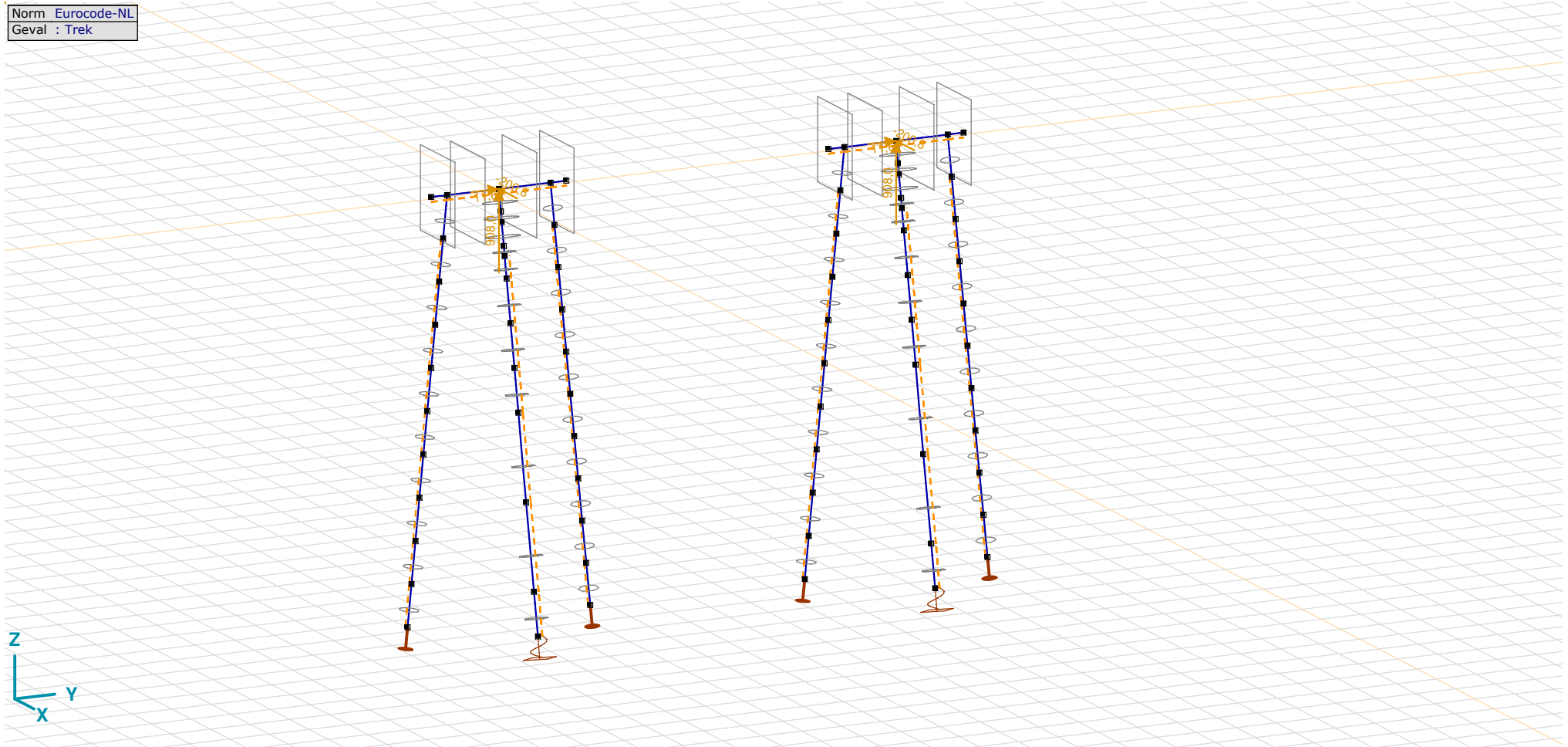
Constructeur:

Model: **MBT-EHV 1P+2P Brandevoort.axs**

23-5-2022

Pag. 13

Norm Eurocode-NL
Geval : Trek



Trek

Project:

Constructeur:

Model: **MBT-EHV 1P+2P Brandevoort.axs**

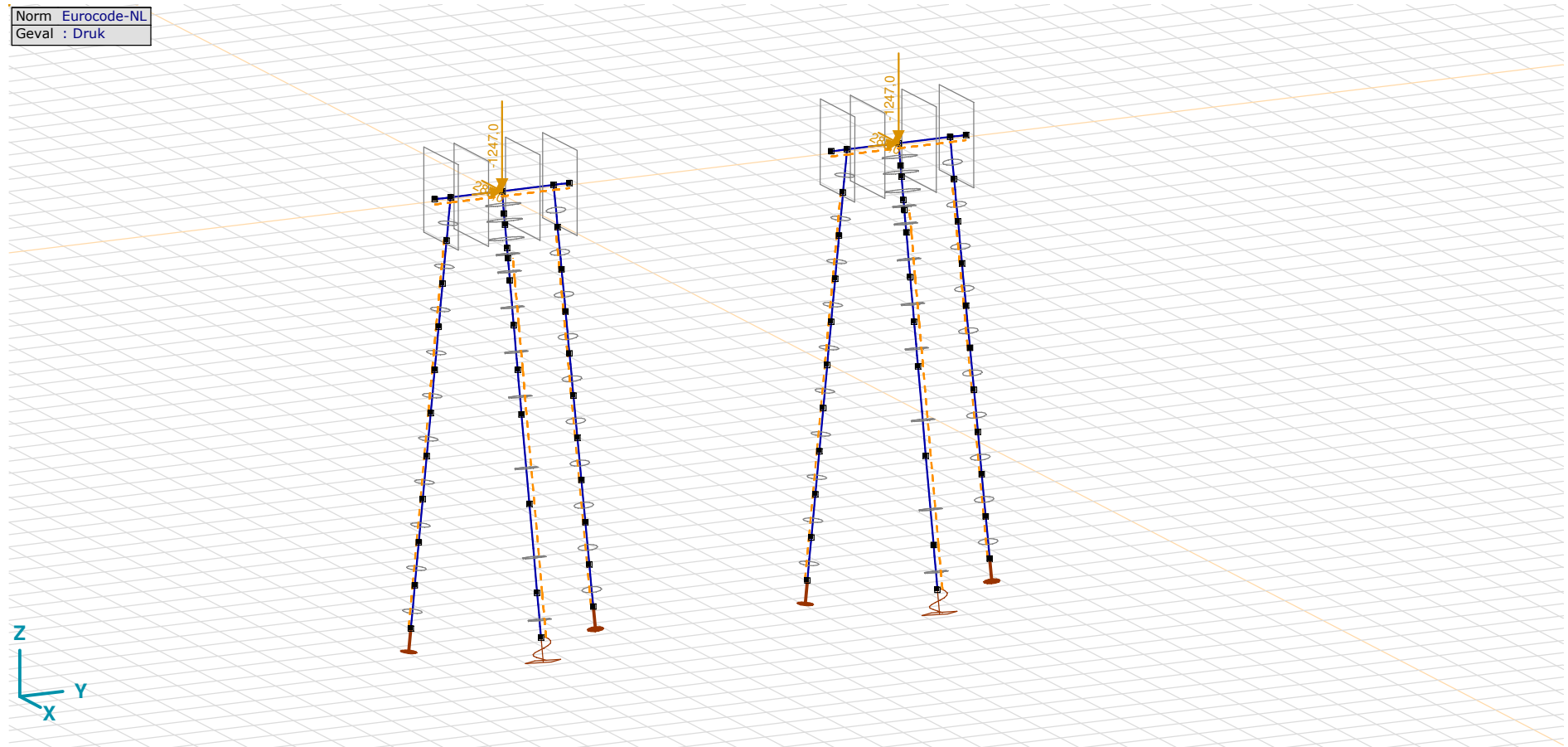
23-5-2022

Pag. 14

Trek: Knoopbelastingen

	Richting	F_x [kN]	F_y [kN]	F_z [kN]	M_x [kNm]	M_y [kNm]	M_z [kNm]
1	Globaal	-200,8	11,6	908,0	0	0	0
100	Globaal	-200,8	11,6	908,0	0	0	0

F_x , F_y , F_z : Belastingkracht component; M_x , M_y , M_z : Belastingsmoment component;



Druk

Project:

Constructeur:

Model: **MBT-EHV 1P+2P Brandevoort.axs**

23-5-2022

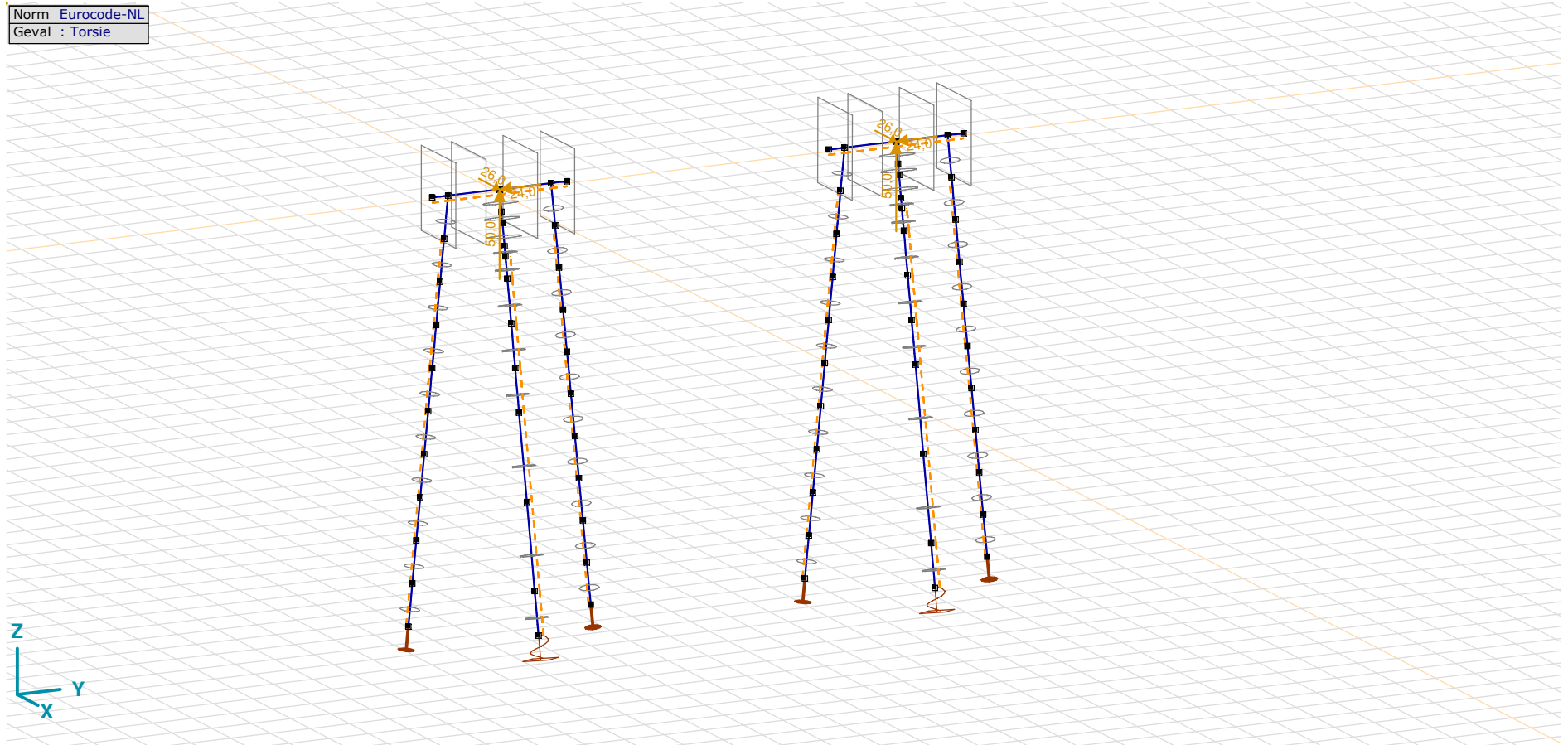
Pag. 15

Druk: Knoopbelastingen

	Richting	F_x [kN]	F_y [kN]	F_z [kN]	M_x [kNm]	M_y [kNm]	M_z [kNm]
1	Globaal	289,0	12,0	-1247,0	0	0	0
100	Globaal	289,0	12,0	-1247,0	0	0	0

F_x , F_y , F_z : Belastingkracht component; M_x , M_y , M_z : Belastingsmoment component;

Norm Eurocode-NL
Geval : Torsie



Torsie

Project:

Constructeur:

Model: **MBT-EHV 1P+2P Brandevoort.axs**

23-5-2022

Pag. 16

Torsie: Knoopbelastingen

	<i>Richting</i>	<i>F_x</i> [kN]	<i>F_y</i> [kN]	<i>F_z</i> [kN]	<i>M_x</i> [kNm]	<i>M_y</i> [kNm]	<i>M_z</i> [kNm]
1	Globaal	26,0	-24,0	50,0	0	0	0
100	Globaal	26,0	-24,0	50,0	0	0	0

F_x, F_y, F_z: Belastingkracht component; **M_x, M_y, M_z**: Belastingsmoment component;

Gebruiker gedefinieerde belastingcombinaties uit belastinggevallen

	<i>Naam</i>	<i>Type</i>	<i>EG</i> (PERM1)	<i>GWS</i> (PERM1)	<i>Trek</i> (VER1)	<i>Druk</i> (VER1)	<i>Torsie</i> (VER1)	<i>Commentaar</i>
1	Co #1 max druk	UGT	1,20	0	0	1,00	0	
2	Co #2 max trek	UGT	0,90	0	1,00	0	0	
3	Co #3 torsie	UGT	0,90	0	0	0	1,00	

Naam: Naam belastingcombinatie; **Type**: Type belastingcombinatie; **EG (PERM1), GWS (PERM1), Trek (VER1), Druk (VER1), Torsie (VER1)**: Factor;

Project:

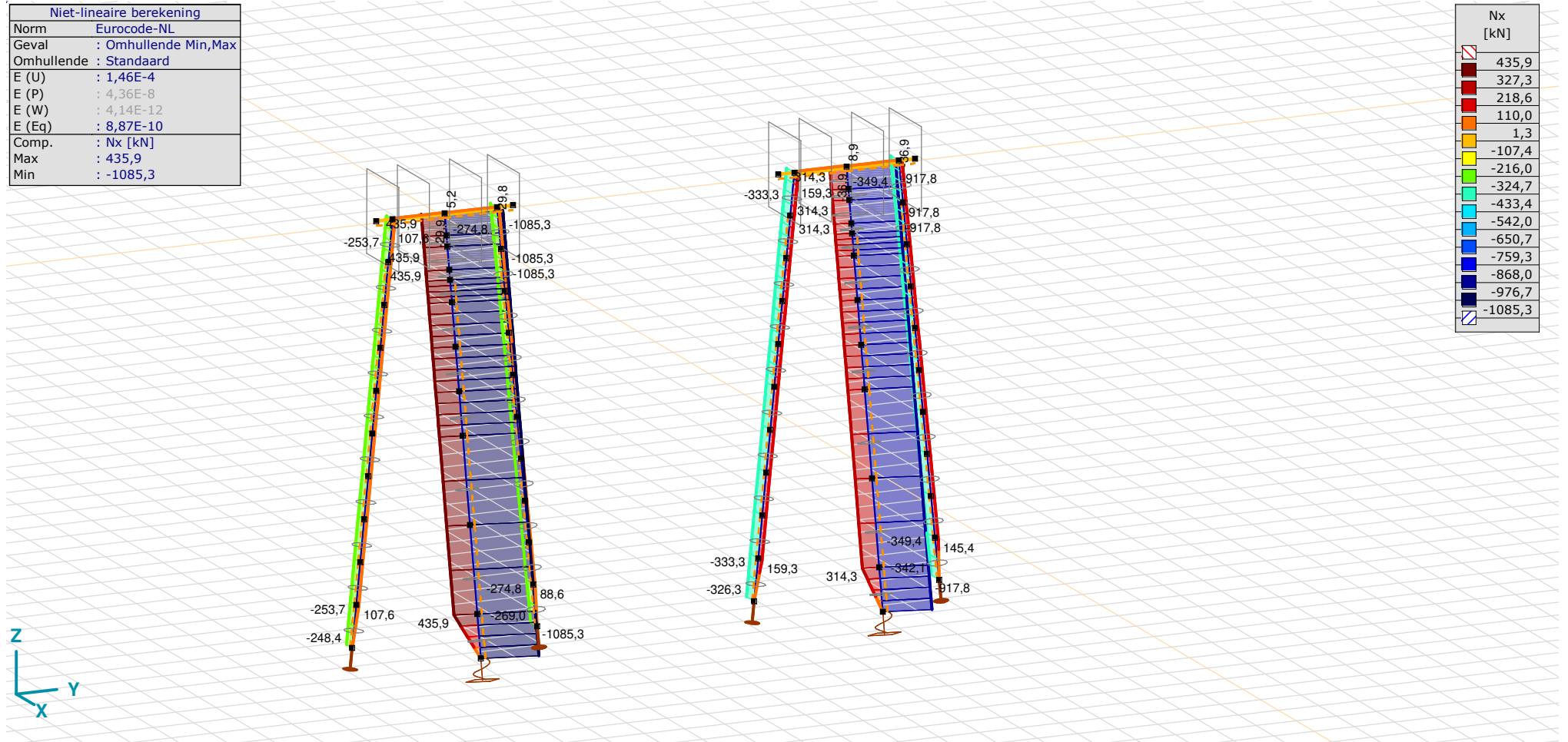
Constructeur:

Model: **MBT-EHV 1P+2P Brandevoort.axs**

23-5-2022

Pag. 17

Niet-lineaire berekening	
Norm	Eurocode-NL
Geval	: Omhullende Min,Max
Omhullende	: Standaard
E (U)	: 1,46E-4
E (P)	: 4,36E-8
E (W)	: 4,14E-12
E (Eq)	: 8,87E-10
Comp.	: Nx [kN]
Max	: 435,9
Min	: -1085,3



[II], Non-lin., Omhullende (Standaard), Nx, Lijnen (gevuld)

Project:

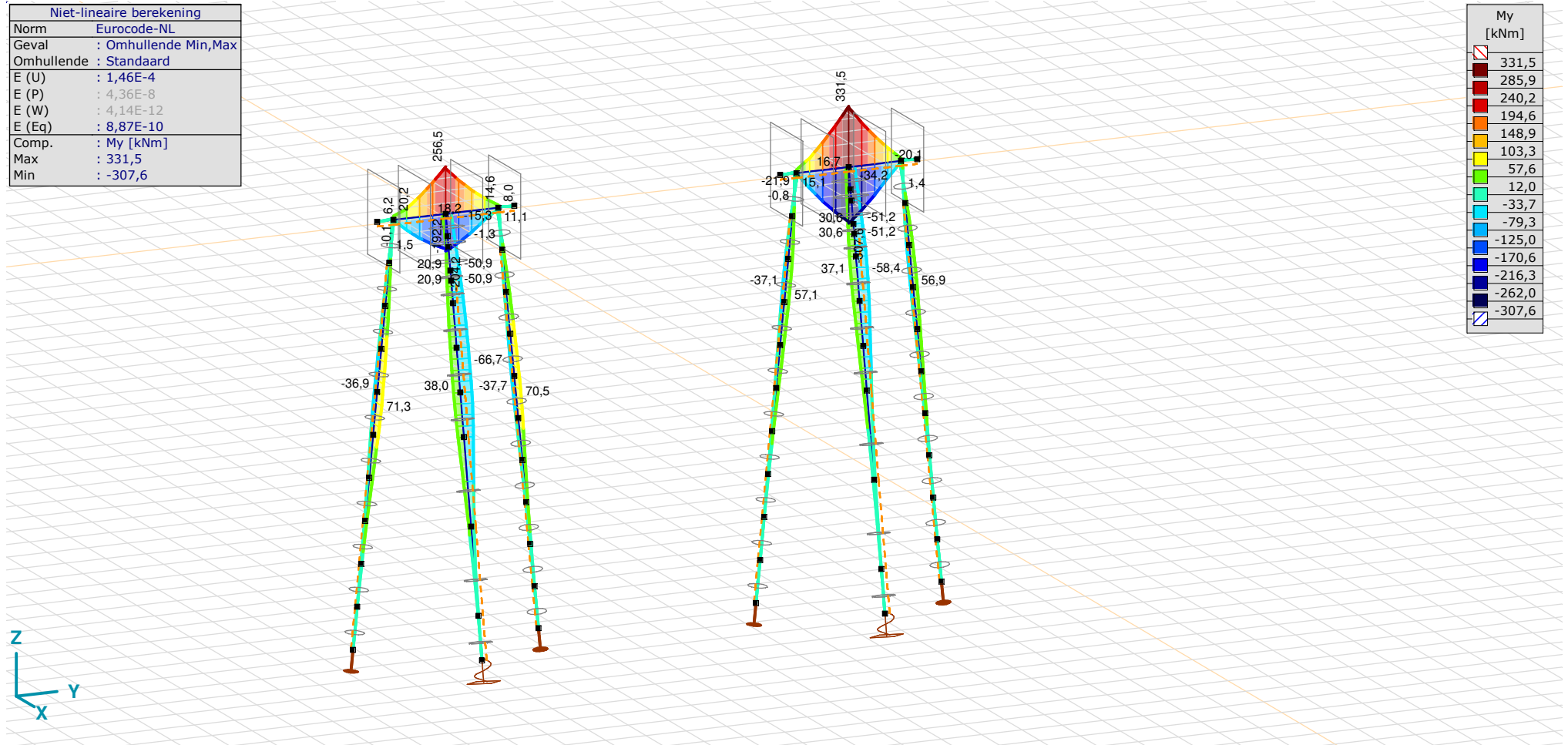
Constructeur:

Model: **MBT-EHV 1P+2P Brandevoort.axs**

23-5-2022

Pag. 18

Niet-lineaire berekening	
Norm	Eurocode-NL
Geval	: Omhullende Min,Max
Omhullende	: Standaard
E (U)	: 1,46E-4
E (P)	: 4,36E-8
E (W)	: 4,14E-12
E (Eq)	: 8,87E-10
Comp.	: My [kNm]
Max	: 331,5
Min	: -307,6



[III], Non-lin., Omhullende (Standaard), My, Lijnen (gevuld)

Project:

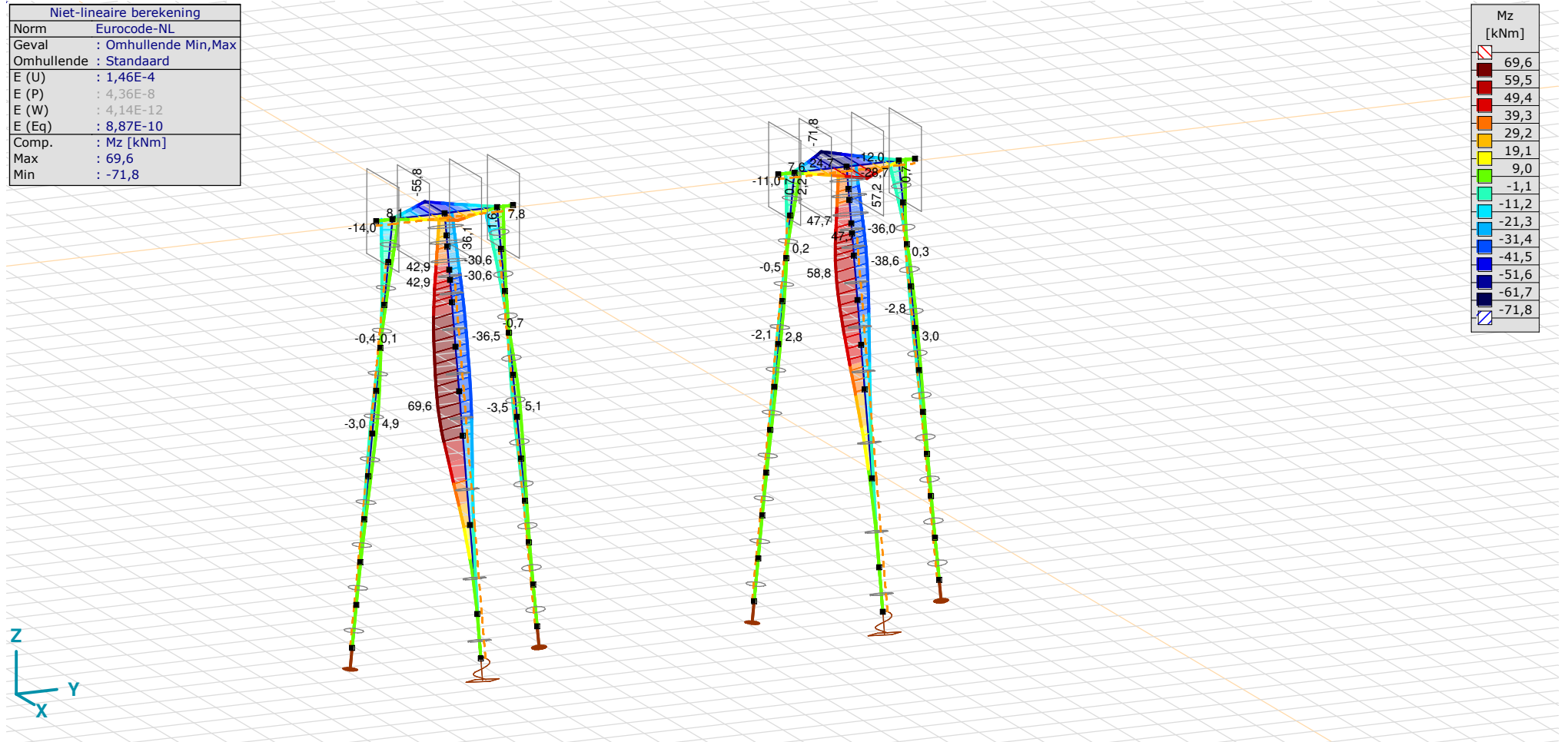
Constructeur:

Model: **MBT-EHV 1P+2P Brandevoort.axs**

23-5-2022

Pag. 19

Niet-lineaire berekening	
Norm	Eurocode-NL
Geval	: Omhullende Min,Max
Omhullende	: Standaard
E (U)	: 1,46E-4
E (P)	: 4,36E-8
E (W)	: 4,14E-12
E (Eq)	: 8,87E-10
Comp.	: Mz [kNm]
Max	: 69,6
Min	: -71,8



[II], Non-lin., Omhullende (Standaard), Mz, Lijnen (gevuld)

Project:

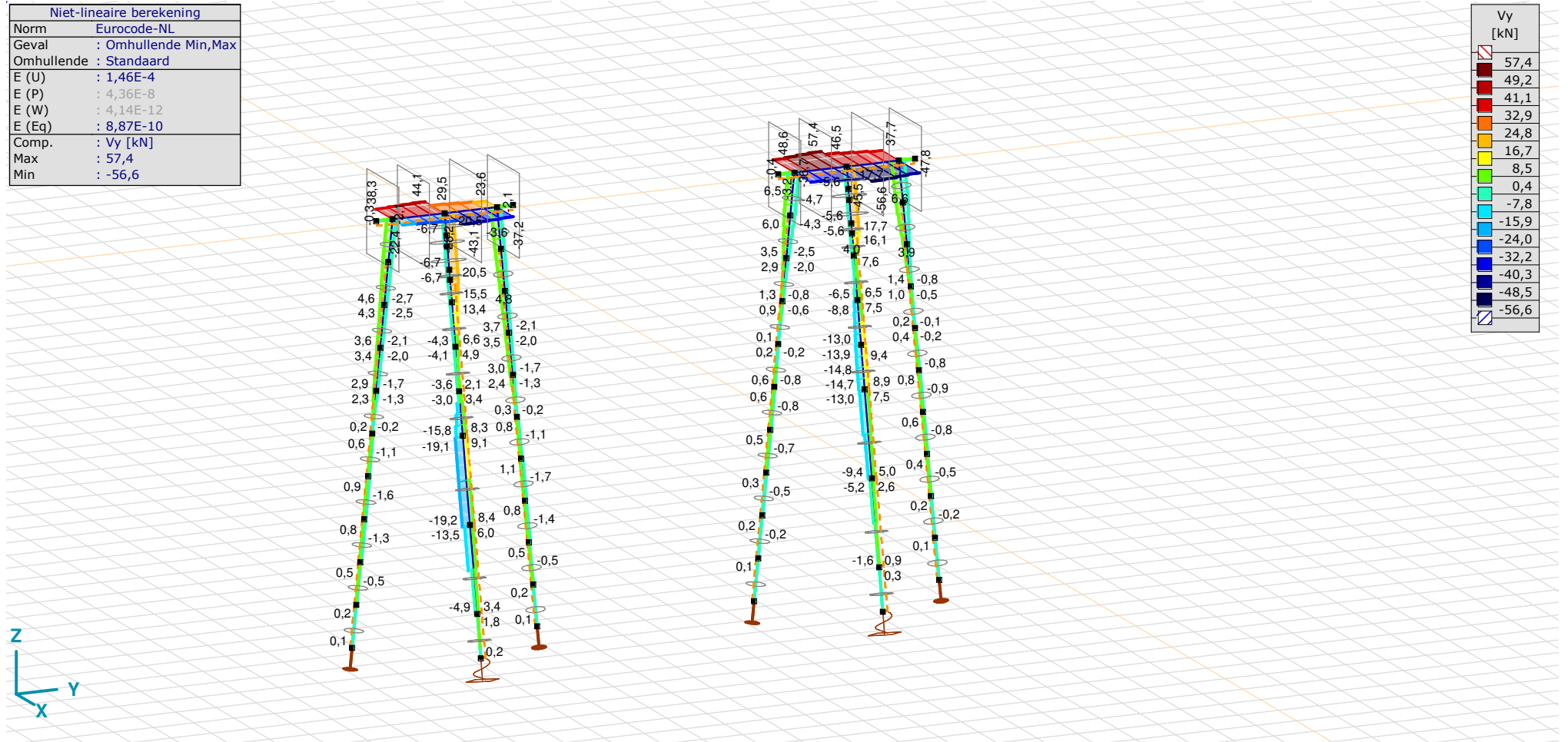
Constructeur:

Model: **MBT-EHV 1P+2P Brandevoort.axs**

23-5-2022

Pag. 20

Niet-lineaire berekening	
Norm	Eurocode-NL
Geval	: Omhullende Min,Max
Omhullende	: Standaard
E (U)	: 1,46E-4
E (P)	: 4,36E-8
E (W)	: 4,14E-12
E (Eq)	: 8,87E-10
Comp.	: Vy [kN]
Max	: 57,4
Min	: -56,6



[II], Non-lin., Omhullende (Standaard), Vy, Lijnen (gevuld)

Project:

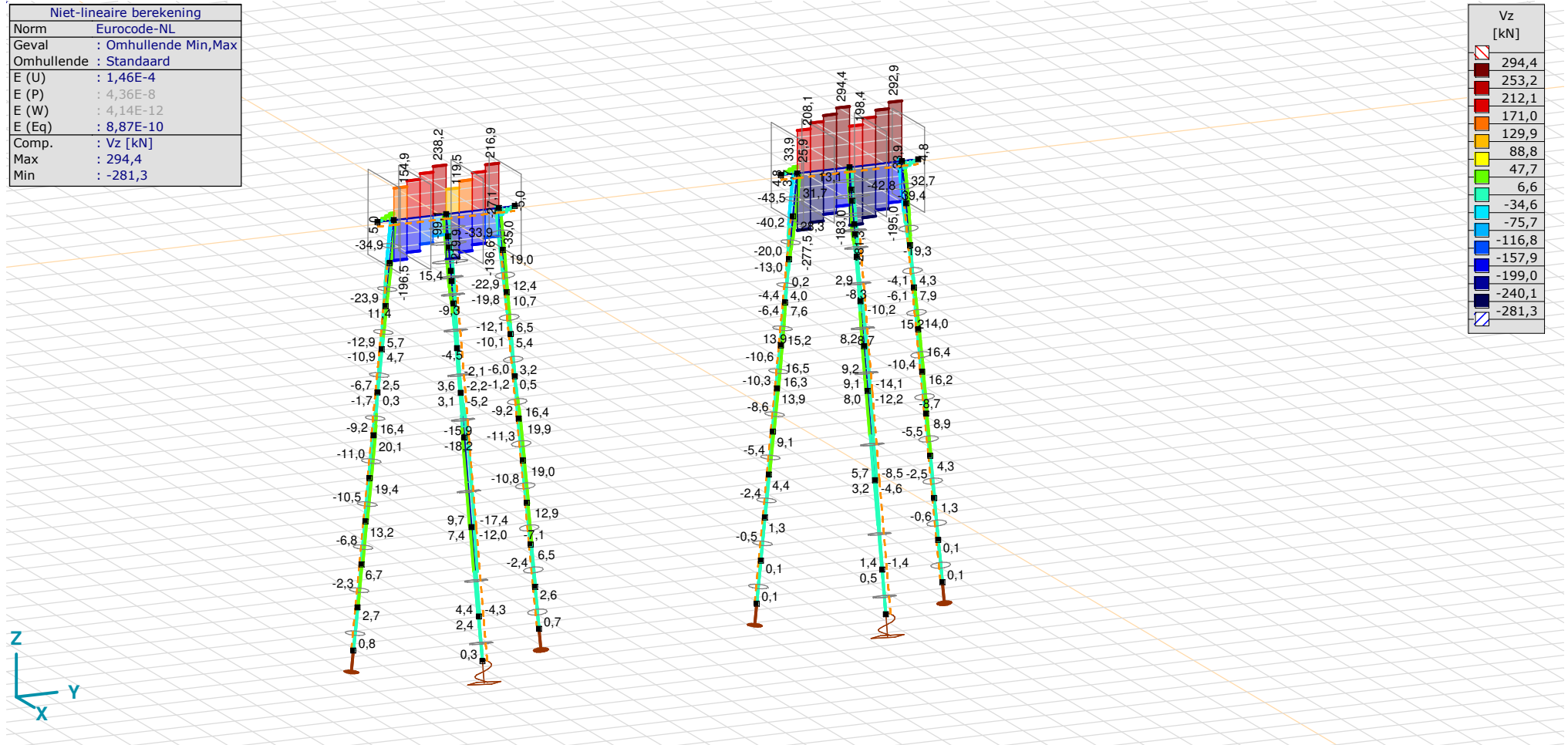
Constructeur:

Model: **MBT-EHV 1P+2P Brandevoort.axs**

23-5-2022

Pag. 21

Niet-lineaire berekening	
Norm	Eurocode-NL
Geval	: Omhullende Min,Max
Omhullende	: Standaard
E (U)	: 1,46E-4
E (P)	: 4,36E-8
E (W)	: 4,14E-12
E (Eq)	: 8,87E-10
Comp.	: Vz [kN]
Max	: 294,4
Min	: -281,3



[II], Non-lin., Omhullende (Standaard), Vz, Lijnen (gevuld)

Project:

Constructeur:

Model: **MBT-EHV 1P+2P Brandevoort.axs**

23-5-2022

Pag. 22

Staafkrachten [Non-lin., Omhullende (Standaard)]

	Prof.	Doorsnede naam	C	min. max.	Geval	Pos. [m]	Knoop	Nx [kN]	Vy [kN]	Vz [kN]	Tx [kNm]	My [kNm]	Mz [kNm]	B [kNm ²]
Ext.														
1	1	O 800	Nx	min	Co #1 max druk [1] (1,000)	0	(3)	-1085,3	-6,7	-12,4	-0,5	11,1	-25,3	0
2	2	LD1		min	Co #1 max druk [1] (1,000)	0	(5)	-1085,3	-6,7	-12,4	-0,5	23,7	-32,2	0
3	1	O 800		min	Co #1 max druk [1] (1,000)	0	(2)	-1085,3	-6,7	-12,4	-0,5	20,9	-30,6	0
4	2	LD1		min	Co #1 max druk [1] (1,000)	0	(7)	-1085,3	-4,2	-9,3	-0,5	29,1	-34,8	0
5	1	O 800		min	Co #1 max druk [1] (1,000)	0	(4)	-1085,3	-6,7	-12,4	-0,5	14,3	-27,0	0
6	2	LD1		min	Co #1 max druk [1] (1,000)	0	(8)	-1085,3	-0,3	-4,5	-0,5	35,5	-36,5	0
7	2	LD1		min	Co #1 max druk [1] (1,000)	0	(6)	-1085,3	0,2	0,3	-0,5	0	0	0
8	2	LD1		min	Co #1 max druk [1] (1,000)	0	(36)	-1085,3	2,1	-1,5	-0,5	38,0	-35,2	0
9	2	LD1		min	Co #1 max druk [1] (1,000)	0	(10)	-1085,3	8,4	9,7	-0,5	13,4	-10,6	0
10	2	LD1		min	Co #1 max druk [1] (1,000)	0	(11)	-1085,3	3,4	4,4	-0,5	1,4	-1,0	0
35	2	LD1		min	Co #1 max druk [1] (1,000)	0	(9)	-1085,3	8,3	7,6	-0,5	33,6	-28,9	0
1	1	O 800		max	Co #2 max trek [1] (1,000)	0	(3)	435,9	20,5	15,4	-0,4	-38,7	26,7	0
2	2	LD1		max	Co #2 max trek [1] (1,000)	0	(5)	435,9	20,5	15,4	-0,4	-54,4	47,6	0
3	1	O 800		max	Co #2 max trek [1] (1,000)	0	(2)	435,9	20,5	15,4	-0,4	-50,9	42,9	0
4	2	LD1		max	Co #2 max trek [1] (1,000)	0	(7)	435,9	15,5	10,5	-0,4	-60,8	56,6	0
5	1	O 800		max	Co #2 max trek [1] (1,000)	0	(4)	435,9	20,5	15,4	-0,4	-42,6	31,9	0
6	2	LD1		max	Co #2 max trek [1] (1,000)	0	(8)	435,9	6,6	2,6	-0,4	-66,4	66,7	0
7	2	LD1		max	Co #2 max trek [1] (1,000)	1,020	(11)	435,9	0	0	-0,4	0	0	0
8	2	LD1		max	Co #2 max trek [1] (1,000)	0	(36)	435,9	1,0	-2,2	-0,4	-65,8	69,6	0
9	2	LD1		max	Co #2 max trek [1] (1,000)	0	(10)	435,9	-19,2	-17,4	-0,4	-16,9	19,2	0
10	2	LD1		max	Co #2 max trek [1] (1,000)	0	(11)	435,9	-4,9	-4,3	-0,4	0	0	0
35	2	LD1		max	Co #2 max trek [1] (1,000)	0	(9)	435,9	-15,8	-15,9	-0,4	-54,4	59,6	0
59	4	1800x2000	My	min	Co #1 max druk [1] (1,000)	0	(100)	-36,9	46,5	198,4	17,1	-307,6	57,2	0
58	4	1800x2000		max	Co #2 max trek [1] (1,000)	1,300	(100)	17,4	57,4	294,4	21,7	331,5	-71,8	0
58	4	1800x2000	Mz	min	Co #2 max trek [1] (1,000)	1,300	(100)	17,4	57,4	294,4	21,7	331,5	-71,8	0
8	2	LD1		max	Co #2 max trek [1] (1,000)	0	(36)	435,9	1,0	-2,2	-0,4	-65,8	69,6	0
35	2	LD1		max	Co #2 max trek [1] (1,000)	1,020	(36)	435,9	-2,5	-5,2	-0,4	-65,8	69,6	0

Prof.: Profiel; **C:** Extreme component; **min. max.:** Extreme type; **Geval:** Belastinggeval van de extreme; **Pos.:** Lokale X-positie van de doorsnede op de staaf; **Nx:** Normalkracht; **Vy:** Dwarskracht in lokale y-richting; **Vz:** Dwarskracht in lokale z-richting; **Tx:** Torsiemoment; **My:** Buigend moment in lokale y-richting; **Mz:** Buigend moment in lokale z-richting; **B:** Bimoment;

Project:

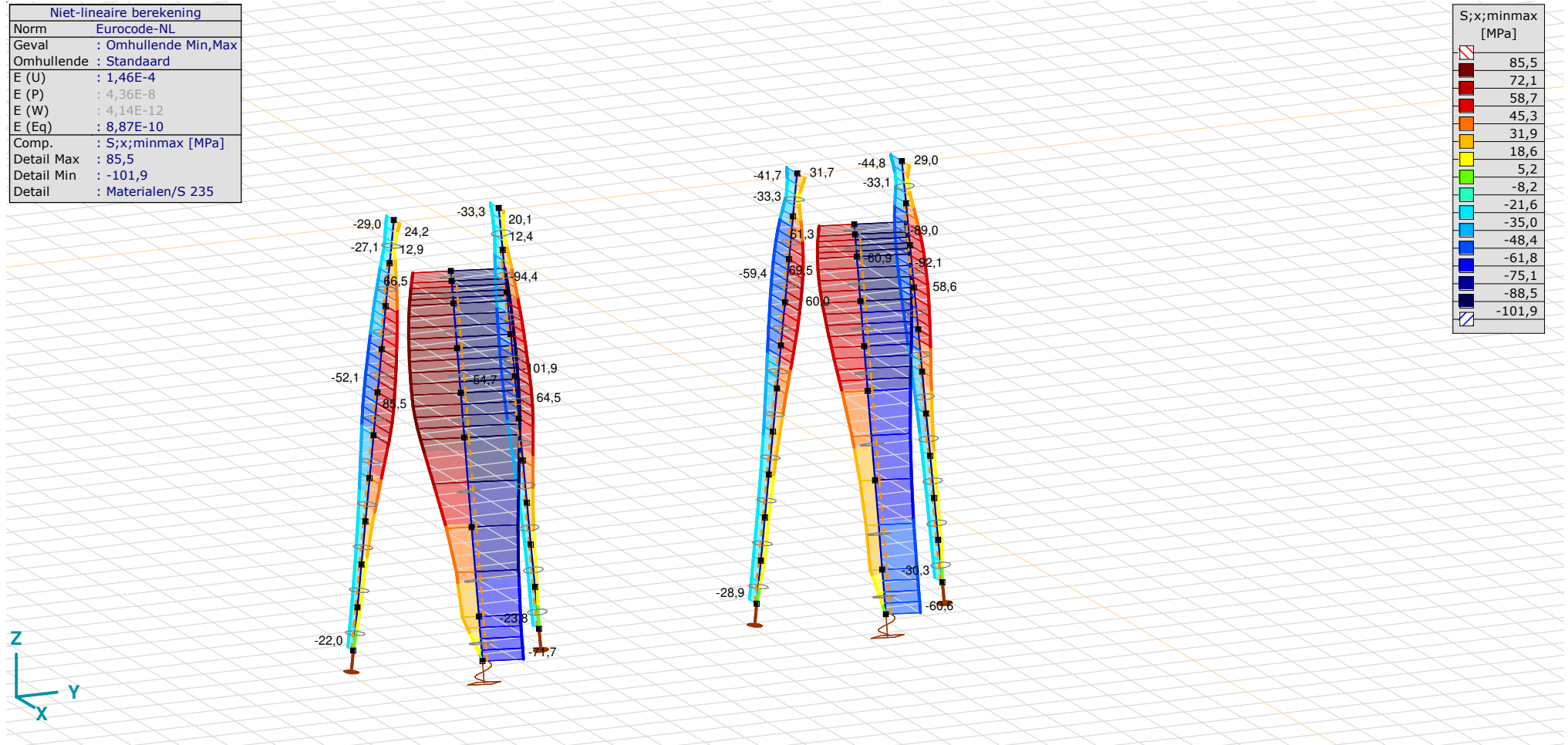
Constructeur:

Model: **MBT-EHV 1P+2P Brandevoort.axs**

23-5-2022

Pag. 23

Niet-lineaire berekening	
Norm	Eurocode-NL
Geval	: Omhullende Min,Max
Omhullende	: Standaard
E (U)	: 1,46E-4
E (P)	: 4,36E-8
E (W)	: 4,14E-12
E (Eq)	: 8,87E-10
Comp.	: S;x;minmax [MPa]
Detail Max	: 85,5
Detail Min	: -101,9
Detail	: Materialen/S 235



[III], > S 235, Non-lin., Omhullende (Standaard), S;x;minmax, Lijnen (gevuld)

Project:

Constructeur:

Model: **MBT-EHV 1P+2P Brandevoort.axs**

23-5-2022

Pag. 24

Staafspanningen [Non-lin., Omhullende (Standaard), Geselecteerd]

	Prof.	Doorsnede naam	C	min. max.	Geval	Pos. [m]	Knoop	S _x ;min [MPa]	S _x ;max [MPa]	V _{min} [MPa]	V _{max} [MPa]	S _{omin} [MPa]	S _{omax} [MPa]	V _y ;gem [MPa]	V _z ;gem [MPa]
Ext.															
7	2	LD1	Somin	min	Co #2 max trek [1] (1,000)	0	(6)	0	0	0	0	0	0,1	0	0
7	2	LD1		max	Co #1 max druk [1] (1,000)	0	(6)	-71,7	-71,7	0	0	71,7	71,7	0	0
7	2	LD1	Somax	min	Co #2 max trek [1] (1,000)	0	(6)	0	0	0	0	0	0,1	0	0
8	2	LD1		max	Co #1 max druk [1] (1,000)	0,510	(93)	-101,9	-40,2	0	0,2	40,2	101,9	0,1	-0,2

Prof.: Profiel; **C:** Extreme component; **min. max.:** Extreme type; **Geval:** Belastinggeval van de extreme; **Pos.:** Lokale X-positie van de doorsnede op de staaf; **S_x;min:** Doorsnede minimum normaalspanning; **S_x;max:** Doorsnede maximum normaalspanning;

V_{min}: Doorsnede minimum afschuifspanning; **V_{max}:** Doorsnede maximum afschuifspanning; **S_{omin}:** Doorsnede minimum Von Mises spanning; **S_{omax}:** Doorsnede maximum Von Mises spanning; **V_y;gem:** Afschuifspanning in lokale Y-richting;

V_z;gem: Afschuifspanning in lokale Z-richting;

Project:

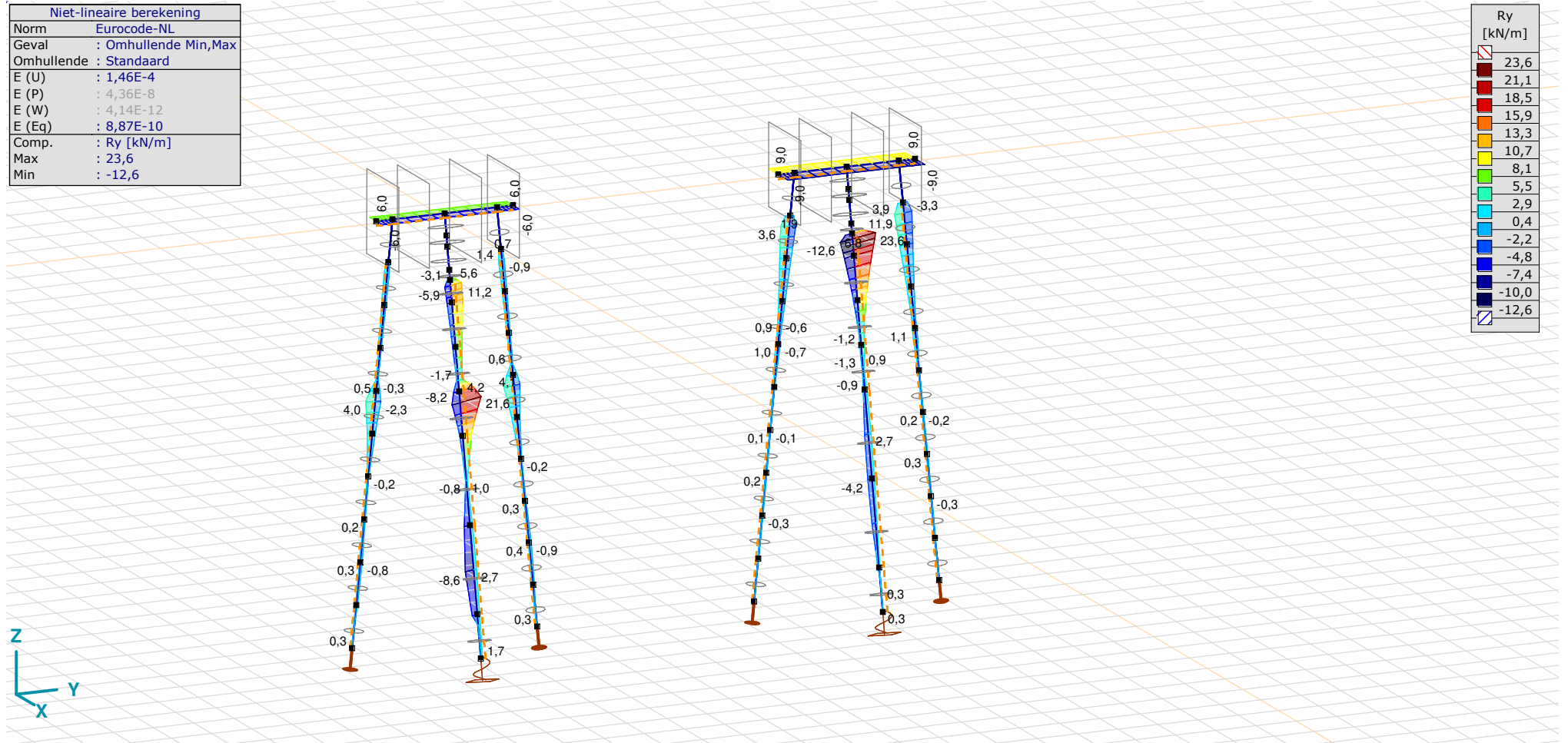
Constructeur:

Model: **MBT-EHV 1P+2P Brandevoort.axs**

23-5-2022

Pag. 25

Niet-lineaire berekening	
Norm	Eurocode-NL
Geval	: Omhullende Min,Max
Omhullende	: Standaard
E (U)	: 1,46E-4
E (P)	: 4,36E-8
E (W)	: 4,14E-12
E (Eq)	: 8,87E-10
Comp.	: Ry [kN/m]
Max	: 23,6
Min	: -12,6



[II], Non-lin., Omhullende (Standaard), Ry (lijnopp.), Lijnen (gevuld)

Project:

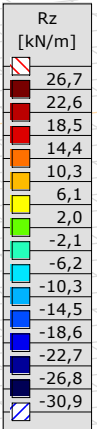
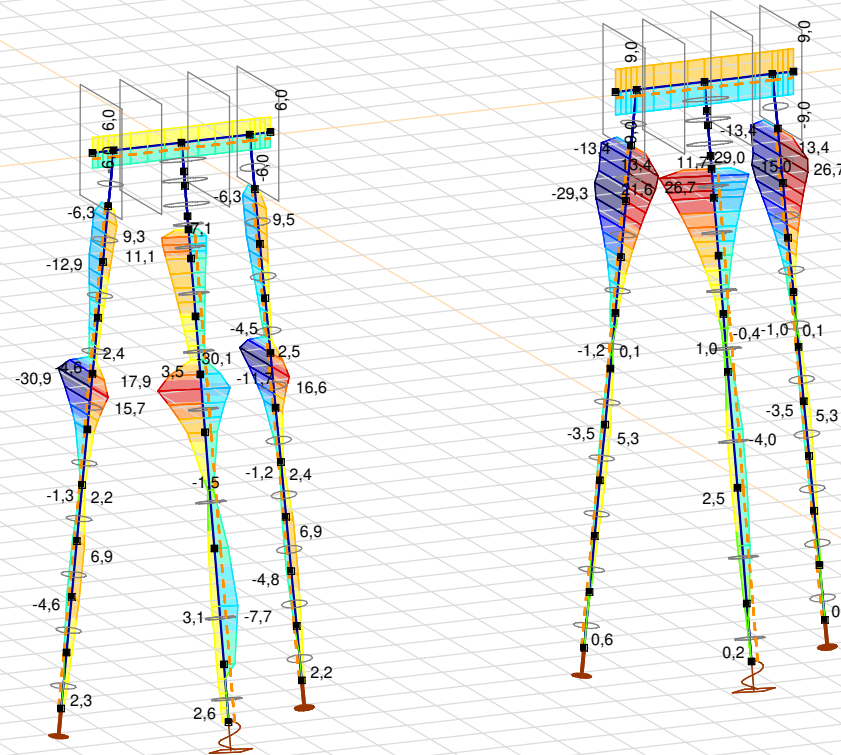
Constructeur:

Model: **MBT-EHV 1P+2P Brandevoort.axs**

23-5-2022

Pag. 26

Niet-lineaire berekening	
Norm	Eurocode-NL
Geval	: Omhullende Min,Max
Omhullende	: Standaard
E (U)	: 1,46E-4
E (P)	: 4,36E-8
E (W)	: 4,14E-12
E (Eq)	: 8,87E-10
Comp.	: Rz [kN/m]
Max	: 26,7
Min	: -30,9



[I], Non-lin., Omhullende (Standaard), Rz (lijnopp.), Lijnen (gevuld)

Project:

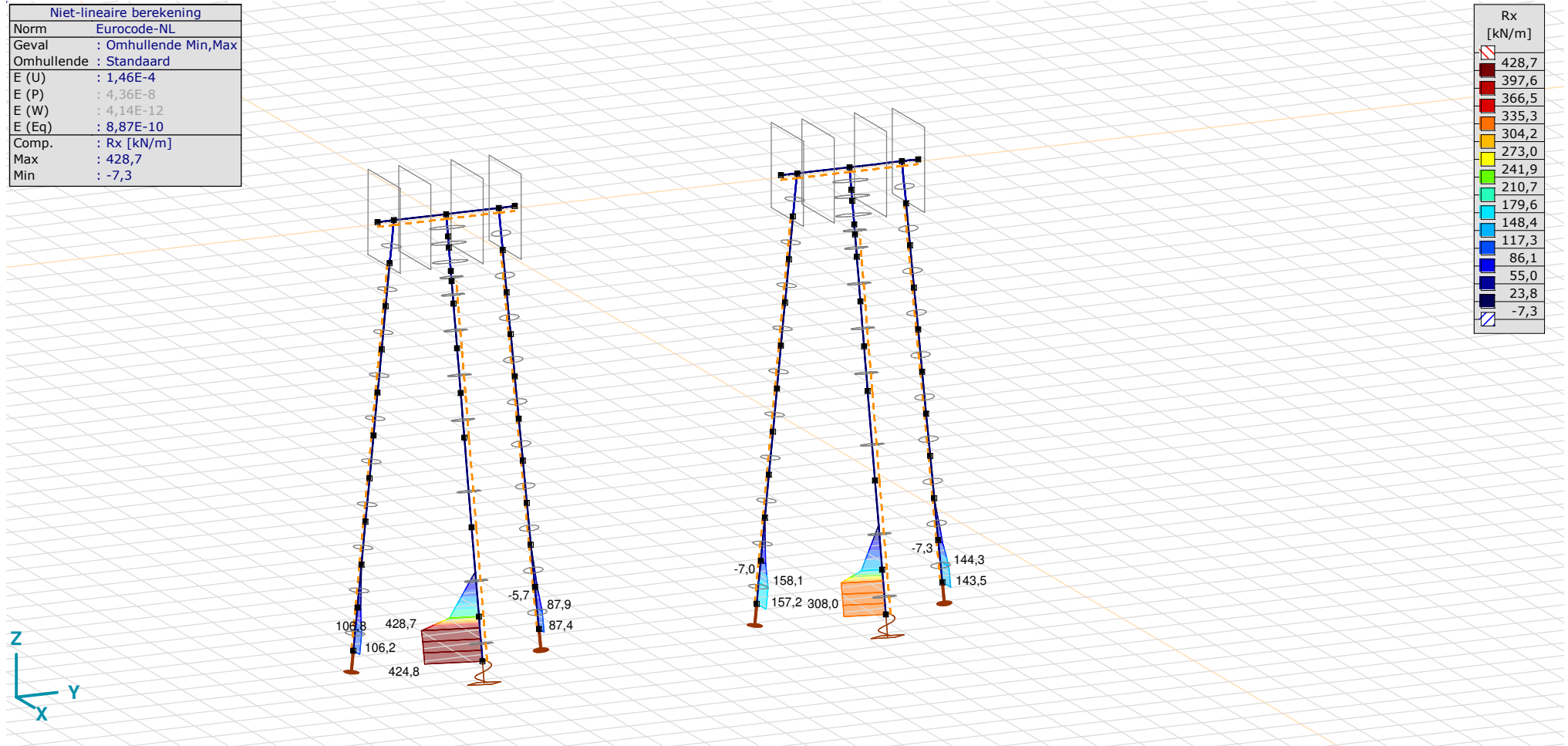
Constructeur:

Model: **MBT-EHV 1P+2P Brandevoort.axs**

23-5-2022

Pag. 27

Niet-lineaire berekening	
Norm	Eurocode-NL
Geval	: Omhullende Min,Max
Omhullende	: Standaard
E (U)	: 1,46E-4
E (P)	: 4,36E-8
E (W)	: 4,14E-12
E (Eq)	: 8,87E-10
Comp.	: Rx [kN/m]
Max	: 428,7
Min	: -7,3



[II], Non-lin., Omhullende (Standaard), Rx (lijnopp.), Lijnen (gevuld)

Project:

Constructeur:

Model: **MBT-EHV 1P+2P Brandevoort.axs**

23-5-2022

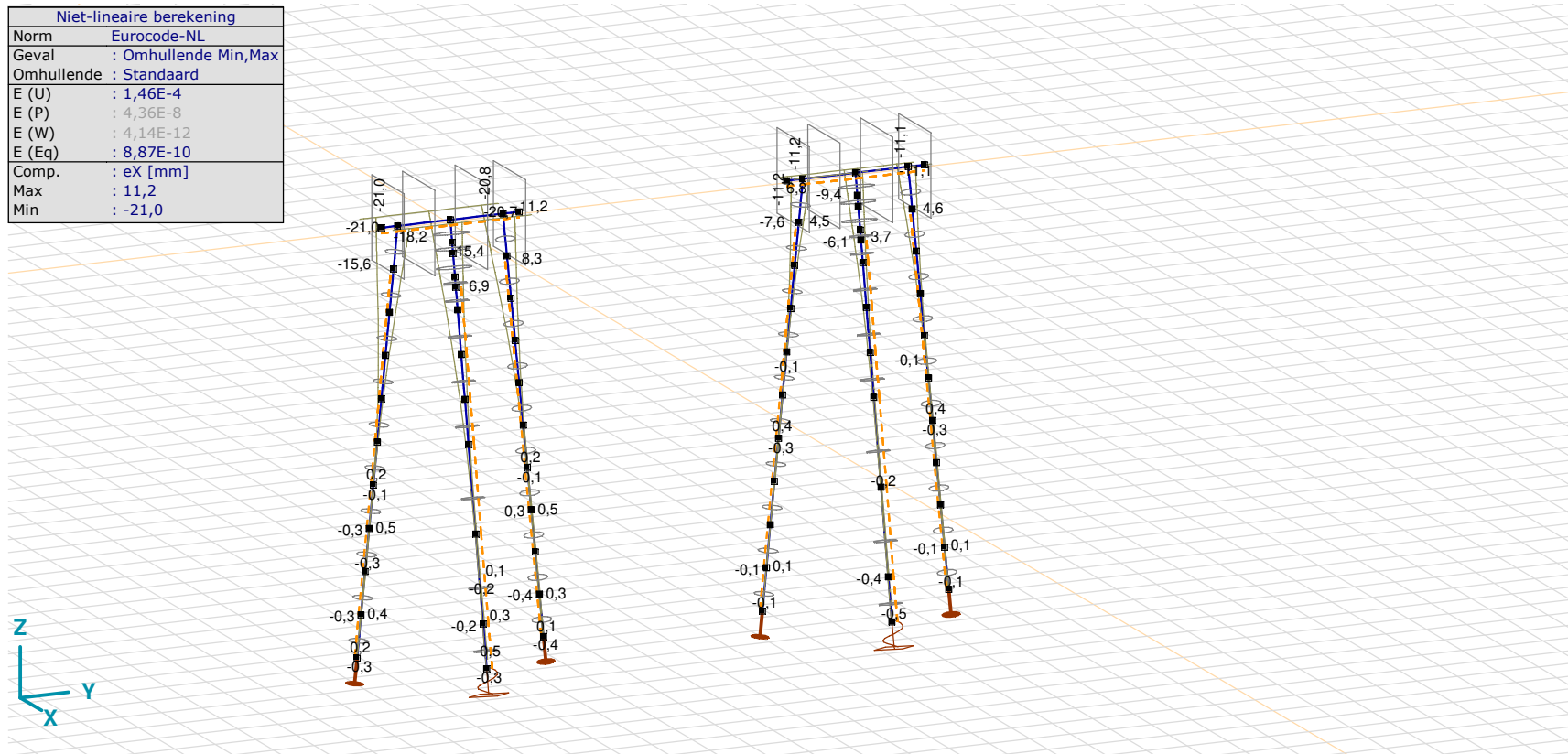
Pag. 28

Knoopverplaatsingen [Non-lin., Omhullende (Standaard), Geselecteerd]

	C	min. max.	Geval	eX [mm]	eY [mm]	eZ [mm]	eR [mm]	fX [rad]	fY [rad]	fZ [rad]	fR [rad]
1	eX	min	Co #2 max trek [1] (1,000)	-20,9	0,8	1,4	20,9	0	-0,005	0	0,005
		max	Co #1 max druk [1] (1,000)	11,1	0,6	-1,1	11,2	0	0,003	0	0,003
	eY	min	Co #3 torsie [1] (1,000)	0,2	-1,2	-0,3	1,3	0	0	0	0
		max	Co #2 max trek [1] (1,000)	-20,9	0,8	1,4	20,9	0	-0,005	0	0,005

C: Extreme component; **min. max.:** Extreme type; **Geval:** Belastinggeval van de extreme; **eX:** Verplaatsing in X-richting; **eY:** Verplaatsing in Y-richting; **eZ:** Verplaatsing in Z-richting; **eR:** Resulterende verplaatsing; **fX:** Rotatie in X-richting; **fY:** Rotatie in Y-richting; **fZ:** Rotatie in Z-richting; **fR:** Resulterende rotatie;

Niet-lineaire berekening	
Norm	Eurocode-NL
Geval	: Omhullende Min,Max
Omhullende	: Standaard
E (U)	: 1,46E-4
E (P)	: 4,36E-8
E (W)	: 4,14E-12
E (Eq)	: 8,87E-10
Comp.	: eX [mm]
Max	: 11,2
Min	: -21,0



[II], Non-lin., Omhullende (Standaard), eX, Lijnen

Project:

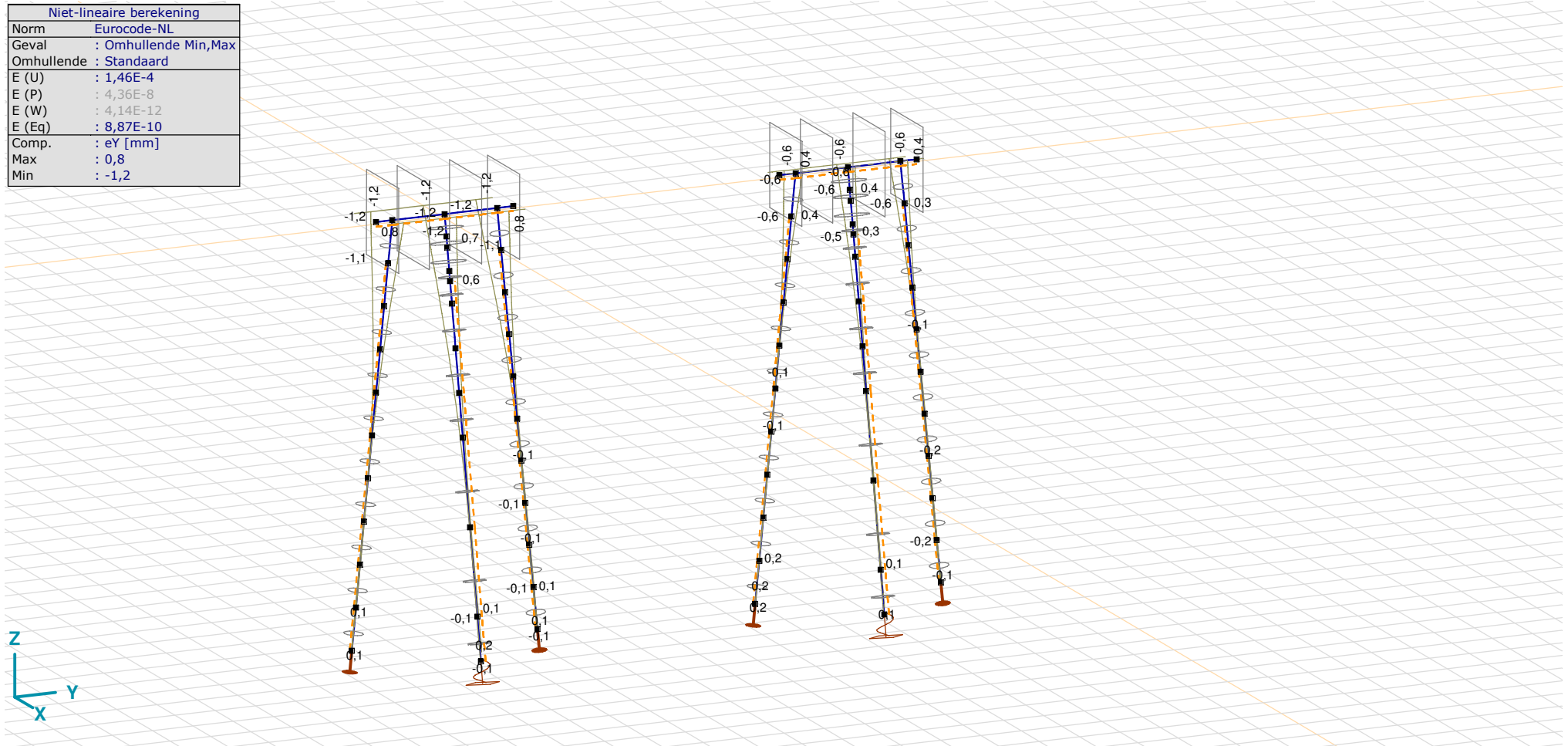
Constructeur:

Model: **MBT-EHV 1P+2P Brandevoort.axs**

23-5-2022

Pag. 29

Niet-lineaire berekening	
Norm	Eurocode-NL
Geval	: Omhullende Min,Max
Omhullende	: Standaard
E (U)	: 1,46E-4
E (P)	: 4,36E-8
E (W)	: 4,14E-12
E (Eq)	: 8,87E-10
Comp.	: eY [mm]
Max	: 0,8
Min	: -1,2



[II], Non-lin., Omhullende (Standaard), eY, Lijnen

Project:

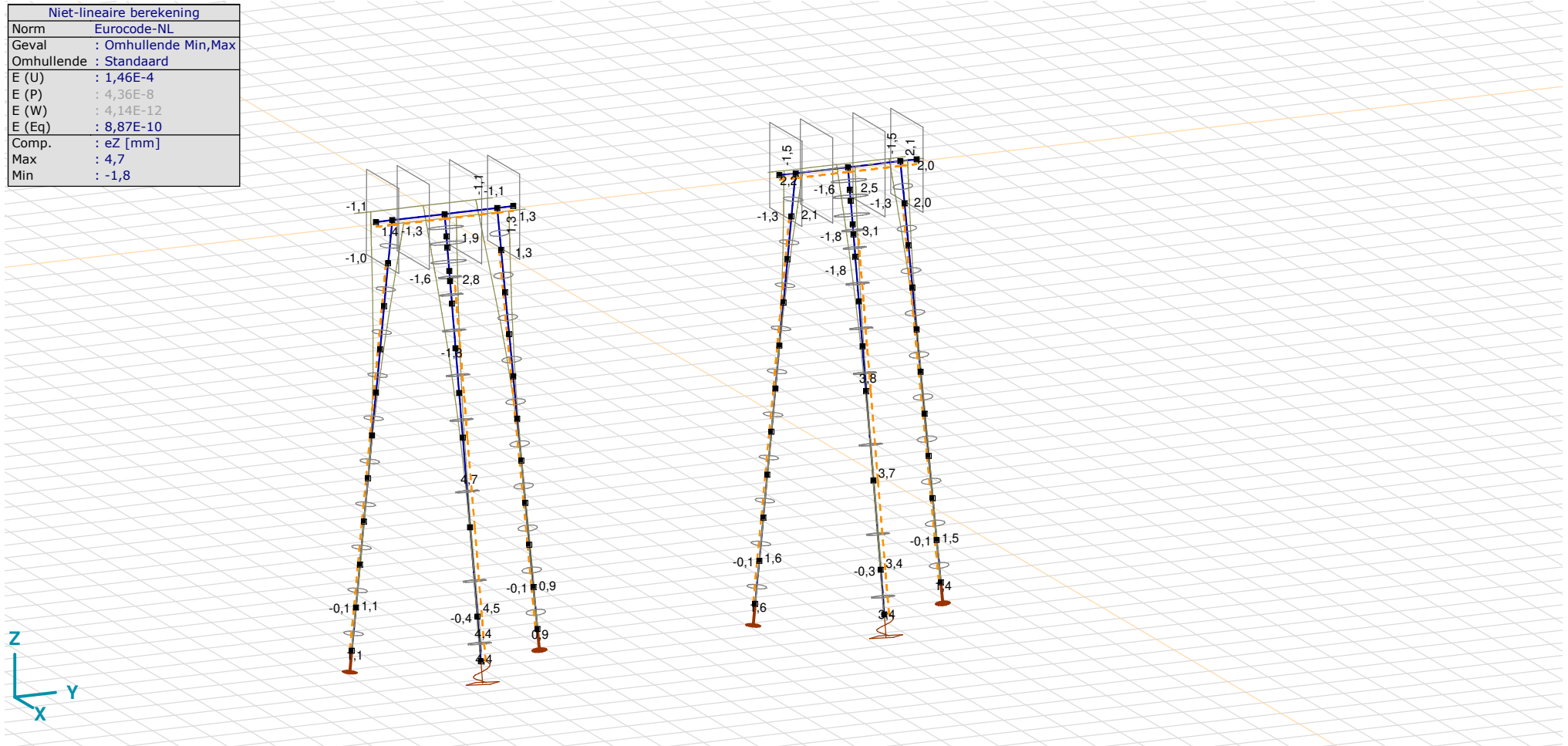
Constructeur:

Model: **MBT-EHV 1P+2P Brandevoort.axs**

23-5-2022

Pag. 30

Niet-lineaire berekening	
Norm	Eurocode-NL
Geval	: Omhullende Min,Max
Omhullende	: Standaard
E (U)	: 1,46E-4
E (P)	: 4,36E-8
E (W)	: 4,14E-12
E (Eq)	: 8,87E-10
Comp.	: eZ [mm]
Max	: 4,7
Min	: -1,8



[II], Non-lin., Omhullende (Standaard), eZ, Lijnen

Project

Analysis by

AxisVM X6 R1q · Geregistreerd aan DNV GL - Energy
3P-LD-L1 met ballast.axs

Report

Report, Inhoudsopgave

<i>Onderdeel</i>	<i>Pagina</i>	<i>Onderdeel</i>	<i>Pagina</i>
Tekening render	3	Gebruiker gedefinieerde belastingcombinaties uit belastinggevallen	20
Materialen	4	[II], Non-lin., Co #4 Perm [1] (1,000), Nx, Lijnen (gevuld)(gevuld)	21
Profielen	4	[II], Non-lin., Omhullende (Alle UGT), Nx, Lijnen (gevuld)	22
Tekening	7	[II], Non-lin., Omhullende (Alle UGT), My, Lijnen (gevuld)	23
Knopen	8	[II], Non-lin., Omhullende (Alle UGT), Mz, Lijnen (gevuld)	24
Staven	8	[II], Non-lin., Omhullende (Alle UGT), Vy, Lijnen (gevuld)	25
Knoopopleggingen	9	[II], Non-lin., Omhullende (Alle UGT), Vz, Lijnen (gevuld)	26
Tekening met beddingen	10	Staaftkrachten [Non-lin., Omhullende (Alle UGT), Palen]	27
Lijnopleggingen	11	[II], Non-lin., Co #1 max druk [1] (1,000), eX, Lijnen	28
EG poer	14	[II], Non-lin., Co #3 max torsie [1] (1,000), eX, Lijnen	29
GWS	15	[II], Non-lin., Omhullende (Alle UGT), eX, Lijnen	30
GWS: Knoopbelastingen	16	[II], Non-lin., Omhullende (Alle UGT), eY, Lijnen	31
SLS 7	16	[II], Non-lin., Omhullende (Alle UGT), eZ, Lijnen	32
SLS 7: Knoopbelastingen	17	Knoopverplaatsingen [Non-lin., Omhullende (Alle UGT)]	33
SPLS 3_druk	17	[II], Non-lin., Omhullende (Alle UGT), Rx (knoopopl.), Lijnen	34
SPLS 3_druk: Knoopbelastingen	18	[II], Non-lin., Omhullende (Alle UGT), Rx (lijnopp.), Lijnen (gevuld)	35
SPLS 3_trek	18	[II], Non-lin., Omhullende (Alle UGT), Ry (lijnopp.), Lijnen (gevuld)	36
SPLS 3_trek: Knoopbelastingen	19	[II], Non-lin., Omhullende (Alle UGT), Rz (lijnopp.), Lijnen (gevuld)	37
SPLS 3_torsie	19	Interne krachten knoopoplegging [Non-lin., Omhullende (Alle UGT)]	38
SPLS 3_torsie: Knoopbelastingen	20		

Project

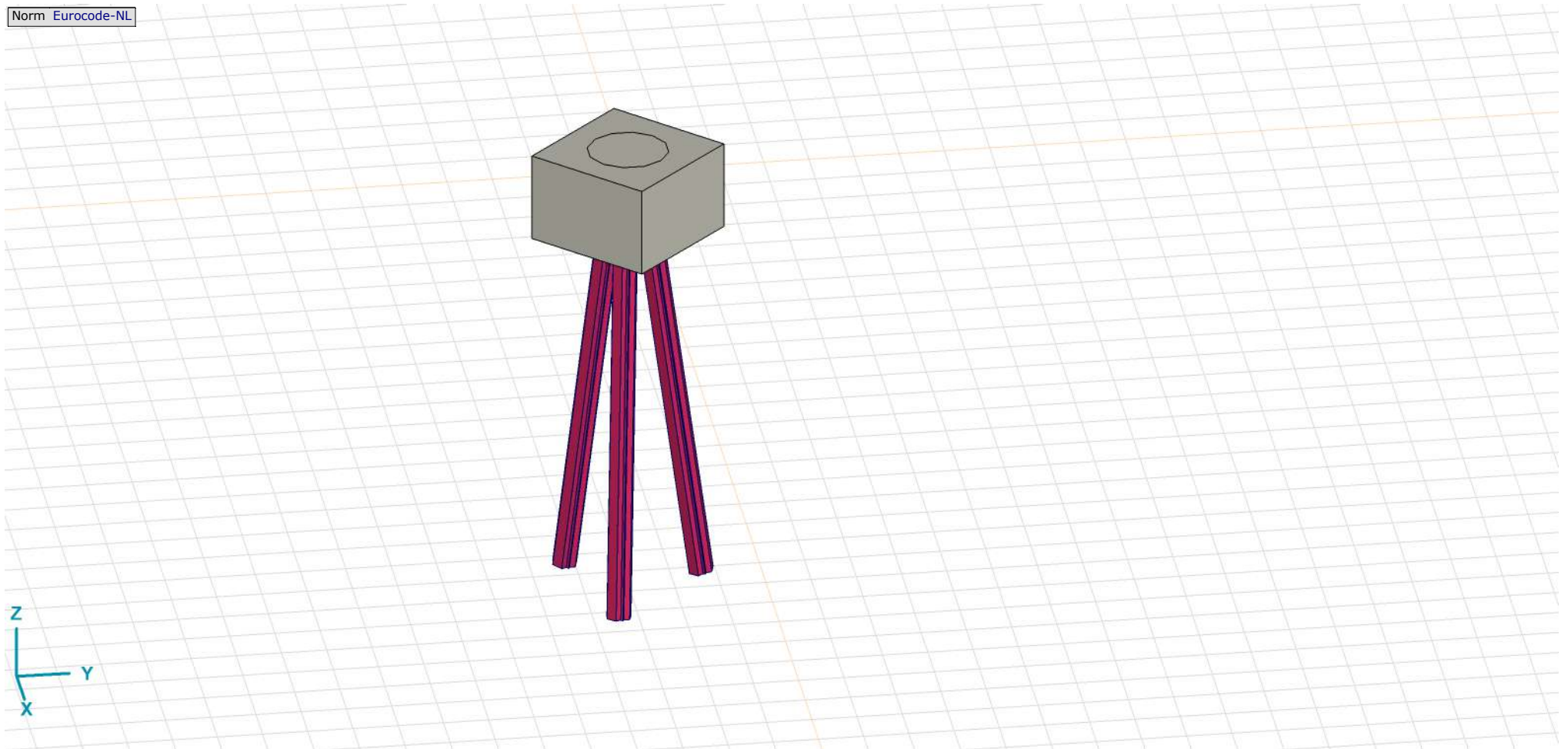
Analysis by

Model: **3P-LD-L1 met ballast.axs**

3-6-2022

Pag. 3

Norm Eurocode-NL



Tekening render

Project





Analysis by

Model: **3P-LD-L1 met ballast.axs**

3-6-2022

Pag. 4

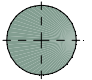
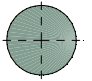
Materialen

	Naam	Type	Nationale norm	Materiaalnorm	Model	E_x [N/mm ²]	E_y [N/mm ²]	ν	α_T [1/°C]	ρ [kg/m ³]	Materiaal kleur	Contour kleur	Structuur	P_1
1	C30/37	Beton	Eurocode-NL	EN 206	Lineair	11000	11000	0,20	1E-5	2500			Concrete A	f_{ck} [N/mm ²] = 30,00
2	S 235	Staal	Eurocode-NL	10025-2	Lineair	210000	210000	0,30	1,2E-5	7850			Steel	f_y [N/mm ²] = 235,00

	Naam	P_2	P_3	P_4	P_5	P_6	P_7	P_8	P_9	P_{10}	P_{11}	P_{12}	P_{13}	P_{14}
1	C30/37	$\gamma_c = 1,500$	$\alpha_{cc} = 1,00$	$\phi_t = 2,00$										
2	S 235	f_u [N/mm ²] = 360,00	f_y [N/mm ²] = 215,00	f_u [N/mm ²] = 360,00										

Naam: Materiaalnaam; **Type:** Type materiaal; **Model:** Materiaal model; **E_x :** Elasticiteitsmodulus in lokale x richting; **E_y :** Elasticiteitsmodulus in lokale y richting; **ν :** Poisson's verhouding; **α_T :** Warmteuitzettingscoëfficiënt; **ρ :** Dichtheid; **Materiaal kleur:** Materiaalkleur; **Contour kleur:** Contourkleur; **$P_1, P_2, P_3, P_4, P_5, P_6, P_7, P_8, P_9, P_{10}, P_{11}, P_{12}, P_{13}, P_{14}$:** Ontwerpparameter;

Profielen

	Naam	Tekening	Productie	Vorm	h [mm]	b [mm]	tw [mm]	tf [mm]	r_1 [mm]	r_2 [mm]	r_3 [mm]	A_x [mm ²]	A_y [mm ²]	A_z [mm ²]
1	O 400		Ander	Rond	400,0	400,0	0	0	0	0	0	125638,20	107689,90	107689,90
2	O 1500		Ander	Rond	1500,0	1500,0	0	0	0	0	0	1766787,00	1514389,00	1514389,00

	Naam	I_x [mm ⁴]	I_y [mm ⁴]	I_z [mm ⁴]	I_{yz} [mm ⁴]	I_1 [mm ⁴]	I_2 [mm ⁴]	α [°]	I_w [mm ⁶]	$W_{1,el,t}$ [mm ³]	$W_{1,el,b}$ [mm ³]	$W_{2,el,t}$ [mm ³]	$W_{2,el,b}$ [mm ³]	$W_{1,pl}$ [mm ³]	$W_{2,pl}$ [mm ³]
1	O 400	2,51E+09	1,26E+09	1,26E+09	0	1,26E+09	1,26E+09	0	0	6280634,00	6280634,00	6280634,00	6280634,00	1,07E+07	1,07E+07
2	O 1500	4,97E+11	2,48E+11	2,48E+11	0	2,48E+11	2,48E+11	0	0	3,31E+08	3,31E+08	3,31E+08	3,31E+08	5,62E+08	5,62E+08

	Naam	i_y [mm]	i_z [mm]	H_y [mm]	H_z [mm]	y_G [mm]	z_G [mm]	y_s [mm]	z_s [mm]	β_y [mm]	β_z [mm]	β_w [mm]	S.p.
1	O 400	100,0	100,0	400,0	400,0	200,0	200,0	0	0	0	0	0	5
2	O 1500	375,0	375,0	1500,0	1500,0	750,0	750,0	0	0	0	0	0	5

Project

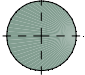
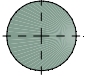
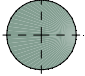

Analysis by

Model: **3P-LD-L1 met ballast.axs**

3-6-2022

Pag. 5

Profielen

	Naam	Tekening	Productie	Vorm	h [mm]	b [mm]	tw [mm]	tf [mm]	r_1 [mm]	r_2 [mm]	r_3 [mm]	A_x [mm ²]	A_y [mm ²]	A_z [mm ²]
3	O 1300		Ander	Rond	1300,0	1300,0	0	0	0	0	0	1327053,00	1137474,00	1137474,00
4	O 2500		Ander	Rond	2500,0	2500,0	0	0	0	0	0	4907742,00	4206636,00	4206636,00
5	O 1800		Ander	Rond	1800,0	1800,0	0	0	0	0	0	2544173,00	2180720,00	2180720,00
6	514x570,1		Ander	Eigen gedefinieerd	570,1	514,0	0	0	0	0	0	15142,80	5219,72	5219,72

	Naam	I_x [mm ⁴]	I_y [mm ⁴]	I_z [mm ⁴]	I_{yz} [mm ⁴]	I_1 [mm ⁴]	I_2 [mm ⁴]	α [°]	$I\omega$ [mm ⁶]	$W_{1,e,t}$ [mm ³]	$W_{1,e,b}$ [mm ³]	$W_{2,e,t}$ [mm ³]	$W_{2,e,b}$ [mm ³]	$W_{1,pl}$ [mm ³]	$W_{2,pl}$ [mm ³]
3	O 1300	2,8E+11	1,4E+11	1,4E+11	0	1,4E+11	1,4E+11	0	0	2,16E+08	2,16E+08	2,16E+08	2,16E+08	3,66E+08	3,66E+08
4	O 2500	3,83E+12	1,92E+12	1,92E+12	0	1,92E+12	1,92E+12	0	0	1,53E+09	1,53E+09	1,53E+09	1,53E+09	2,6E+09	2,6E+09
5	O 1800	1,03E+12	5,15E+11	5,15E+11	0	5,15E+11	5,15E+11	0	0	5,72E+08	5,72E+08	5,72E+08	5,72E+08	9,72E+08	9,72E+08
6	514x570,1	6,22E+08	4,6E+08	4,6E+08	0	4,6E+08	4,6E+08	0	2,4E+11	1614516,00	1614516,00	1790846,00	1790845,00	2369310,00	2357912,00

	Naam	i_y [mm]	i_z [mm]	H_y [mm]	H_z [mm]	y_G [mm]	z_G [mm]	y_s [mm]	z_s [mm]	β_y [mm]	β_z [mm]	β_w [mm]	$S.p.$
3	O 1300	325,0	325,0	1300,0	1300,0	650,0	650,0	0	0	0	0	0	5
4	O 2500	624,9	624,9	2500,0	2500,0	1250,0	1250,0	0	0	0	0	0	5
5	O 1800	450,0	450,0	1800,0	1800,0	900,0	900,0	0	0	0	0	0	5
6	514x570,1	174,3	174,3	514,0	570,1	257,0	285,1	0	0	0	0	0	9

Project

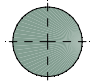
Analysis by

Model: **3P-LD-L1 met ballast.axs**

3-6-2022

Pag. 6

Profielen

	Naam	Tekening	Productie	Vorm	h [mm]	b [mm]	tw [mm]	tf [mm]	r_1 [mm]	r_2 [mm]	r_3 [mm]	A_x [mm ²]	A_y [mm ²]	A_z [mm ²]
7	O 2200		Ander	Rond	2200,0	2200,0	0	0	0	0	0	3800555,00	3257619,00	3257619,00

	Naam	I_x [mm ⁴]	I_y [mm ⁴]	I_z [mm ⁴]	I_{yz} [mm ⁴]	I_1 [mm ⁴]	I_2 [mm ⁴]	α [°]	$I\omega$ [mm ⁶]	$W_{1,el,t}$ [mm ³]	$W_{1,el,b}$ [mm ³]	$W_{2,el,t}$ [mm ³]	$W_{2,el,b}$ [mm ³]	$W_{1,pl}$ [mm ³]	$W_{2,pl}$ [mm ³]
7	O 2200	2,3E+12	1,15E+12	1,15E+12	0	1,15E+12	1,15E+12	0	0	1,04E+09	1,04E+09	1,04E+09	1,04E+09	1,77E+09	1,77E+09

	Naam	i_y [mm]	i_z [mm]	H_y [mm]	H_z [mm]	y_G [mm]	z_G [mm]	y_s [mm]	z_s [mm]	β_y [mm]	β_z [mm]	β_w []	S.p.
7	O 2200	549,9	549,9	2200,0	2200,0	1100,0	1100,0	0	0	0	0	0	5

Naam: Doorsnede naam; **Productie:** Productieproces; **Vorm:** Profiel; **h:** Doorsnede hoogte; **b:** Doorsnede breedte; **tw:** Lijfdikte; **tf:** Flensdikte; **r₁, r₂, r₃:** Afrondingswaarde; **A_x:** Doorsnede-oppervlak; **A_y, A_z:** Afschuivingsoppervlak; **I_x:** Torsietraagheidsmoment; **I_y, I_z:** Buigtraagheidsmoment; **I_{yz}:** Centrifugaal traagheidsmoment; **I₁, I₂:** Hoofdbuigtraagheidsmoment; **α:** Hoofdrichtingen; **Iω:** Krommingsconstante; **W_{1,el,t}, W_{1,el,b}, W_{2,el,t}, W_{2,el,b}:** Elastisch weerstandsmoment; **W_{1,pl}, W_{2,pl}:** Plastisch weerstandsmoment; **i_y, i_z:** Traagheidsstraal; **H_y:** Afmeting in lokale Y-richting; **H_z:** Afmeting in lokale Z-richting; **y_G:** Y-coördinaat van het zwaartepunt; **z_G:** Z-coördinaat van het zwaartepunt; **y_s:** Y-coördinaat van het afschuivingsmiddelpunt (torsie); **z_s:** Z-coördinaat van het afschuivingsmiddelpunt (torsie); **β_y, β_z, β_w:** Wagner's coëfficiënt; **S.p.:** Spanningspunten;

Project

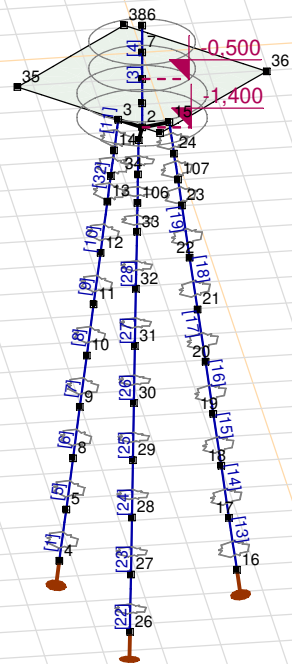
Analysis by

Model: **3P-LD-L1 met ballast.axs**

3-6-2022

Pag. 7

Norm Eurocode-NL



Tekening

Project

Analysis by

Model: **3P-LD-L1 met ballast.axs**

3-6-2022

Pag. 8

Knopen

	X [m]	Y [m]	Z [m]		X [m]	Y [m]	Z [m]		X [m]	Y [m]	Z [m]		X [m]	Y [m]	Z [m]		X [m]	Y [m]	Z [m]
1	0	0	-0,500	10	-0,822	-0,822	-6,000	19	-0,338	1,262	-7,000	28	1,401	-0,375	-8,000	37	2,121	0	-0,500
2	0	0	-1,400	11	-0,720	-0,720	-5,000	20	-0,301	1,123	-6,000	29	1,262	-0,338	-7,000	38	-2,121	0	-0,500
3	-0,354	-0,354	-1,400	12	-0,618	-0,618	-4,000	21	-0,264	0,984	-5,000	30	1,123	-0,301	-6,000	39	0	0	-0,950
4	-1,229	-1,229	-10,000	13	-0,516	-0,516	-3,000	22	-0,226	0,845	-4,000	31	0,984	-0,264	-5,000	106	0,636	-0,170	-2,500
5	-1,127	-1,127	-9,000	14	-0,415	-0,415	-2,000	23	-0,189	0,706	-3,000	32	0,845	-0,226	-4,000	107	-0,170	0,636	-2,500
6	0	0	0,500	15	-0,129	0,483	-1,400	24	-0,152	0,566	-2,000	33	0,706	-0,189	-3,000	108	-0,466	-0,466	-2,500
7	0	0	0	16	-0,450	1,679	-10,000	25	0,483	-0,129	-1,400	34	0,566	-0,152	-2,000				
8	-1,026	-1,026	-8,000	17	-0,413	1,540	-9,000	26	1,679	-0,450	-10,000	35	0	-2,121	-0,500				
9	-0,924	-0,924	-7,000	18	-0,375	1,401	-8,000	27	1,540	-0,413	-9,000	36	0	2,121	-0,500				

Staven

	Start-punt	Eind-punt	Lengte	Lokaal X	Materiaal	Doorsnede	Ref _Z		Start-punt	Eind-punt	Lengte	Lokaal X	Materiaal	Doorsnede	Ref _Z
1	4	5	1,010	i - j	S 235	6	↗ R2	18	21	22	1,010	i - j	S 235	6	↗ R8
2	39	1	0,450	j - i	C30/37	7	↗ R1	19	22	23	1,010	i - j	S 235	6	↗ R8
3	1	7	0,500	i - j	C30/37	5	↗ R1	20	24	15	0,606	j - i	S 235	6	↗ R8
4	7	6	0,500	j - i	C30/37	5	↗ R1	21	23	107	0,505	i - j	S 235	6	↗ R8
5	5	8	1,010	i - j	S 235	6	↗ R2	22	26	27	1,010	i - j	S 235	6	↗ R7
6	8	9	1,010	i - j	S 235	6	↗ R2	23	27	28	1,010	i - j	S 235	6	↗ R7
7	9	10	1,010	i - j	S 235	6	↗ R2	24	28	29	1,010	i - j	S 235	6	↗ R7
8	10	11	1,010	i - j	S 235	6	↗ R2	25	29	30	1,010	i - j	S 235	6	↗ R7
9	11	12	1,010	i - j	S 235	6	↗ R2	26	30	31	1,010	i - j	S 235	6	↗ R7
10	12	13	1,010	i - j	S 235	6	↗ R2	27	31	32	1,010	i - j	S 235	6	↗ R7
11	14	3	0,606	j - i	S 235	6	↗ R2	28	32	33	1,010	i - j	S 235	6	↗ R7
12	13	108	0,505	i - j	S 235	6	↗ R2	29	34	25	0,606	j - i	S 235	6	↗ R7
13	16	17	1,010	i - j	S 235	6	↗ R8	30	33	106	0,505	i - j	S 235	6	↗ R7
14	17	18	1,010	i - j	S 235	6	↗ R8	31	2	39	0,450	i - j	C30/37	7	↗ R1
15	18	19	1,010	i - j	S 235	6	↗ R8	32	108	14	0,505	j - i	S 235	6	↗ R2
16	19	20	1,010	i - j	S 235	6	↗ R8	33	107	24	0,505	j - i	S 235	6	↗ R8
17	20	21	1,010	i - j	S 235	6	↗ R8	34	106	34	0,505	j - i	S 235	6	↗ R7

Lengte: Elementlengte; Lokaal X: Lokale X-richting; Ref_Z: Referentie voor lokale Z-richting;

Project

Analysis by

Model: **3P-LD-L1 met ballast.axs**

3-6-2022

Pag. 9

Knooppopleggingen

	Knoop	X [m]	Y [m]	Z [m]	Type	Ref. elem.	Naam _x	Veermodel _x	K _x [kN/m]	K _{xV} [kN/m]	NL _x	Grenswaarde _x [kN]	Naam _y	Veermodel _y	K _y [kN/m]
1	4	-1,229	-1,229	-10,000	Staaf r.	Staaf 16	Lineair 1E+5 kN/m	NL elastisch	3E+5	3E+5	Druk Alleen druk	1145,0	—	-	-
2	16	-0,450	1,679	-10,000	Staaf r.	Staaf 40	Lineair 1E+5 kN/m	NL elastisch	3E+5	3E+5	Druk Alleen druk	1145,0	—	-	-
3	26	1,679	-0,450	-10,000	Staaf r.	Staaf 52	Lineair 1E+5 kN/m	NL elastisch	3E+5	3E+5	Druk Alleen druk	1145,0	—	-	-

	Knoop	K _{yV} [kN/m]	Naam _z	Veermodel _z	K _z [kN/m]	K _{zV} [kN/m]	Naam _{xx}	Veermodel _{xx}	K _{xx} [kNm/rad]	K _{xxV} [kNm/rad]	Naam _{yy}	Veermodel _{yy}	K _{yy} [kNm/rad]	K _{yyV} [kNm/rad]	Naam _{zz}
1	4	-	—	-	-	-	—	-	-	-	—	-	-	-	—
2	16	-	—	-	-	-	—	-	-	-	—	-	-	-	—
3	26	-	—	-	-	-	—	-	-	-	—	-	-	-	—

	Knoop	Veermodel _{zz}	K _{zz} [kNm/rad]	K _{zzV} [kNm/rad]	Veermodel _w
1	4	-	-	-	-
2	16	-	-	-	-
3	26	-	-	-	-

Knoop: Ondersteunde knoop; **Type:** Opleggingstype; **Ref. elem.:** Referentie-element; **Naam_x:** Naam van de veereigenschappen; **Veermodel_x:** Veermodel; **K_x:** Initiële stijfheid; **K_{xV}:** Trillingsstijfheid; **NL_x:** Niet-lineaire parameters; **Grenswaarde_x:** Grenswaarde; **K_y, K_z, K_{xx}, K_{yy}, K_{zz}:** Initiële stijfheid;

Project

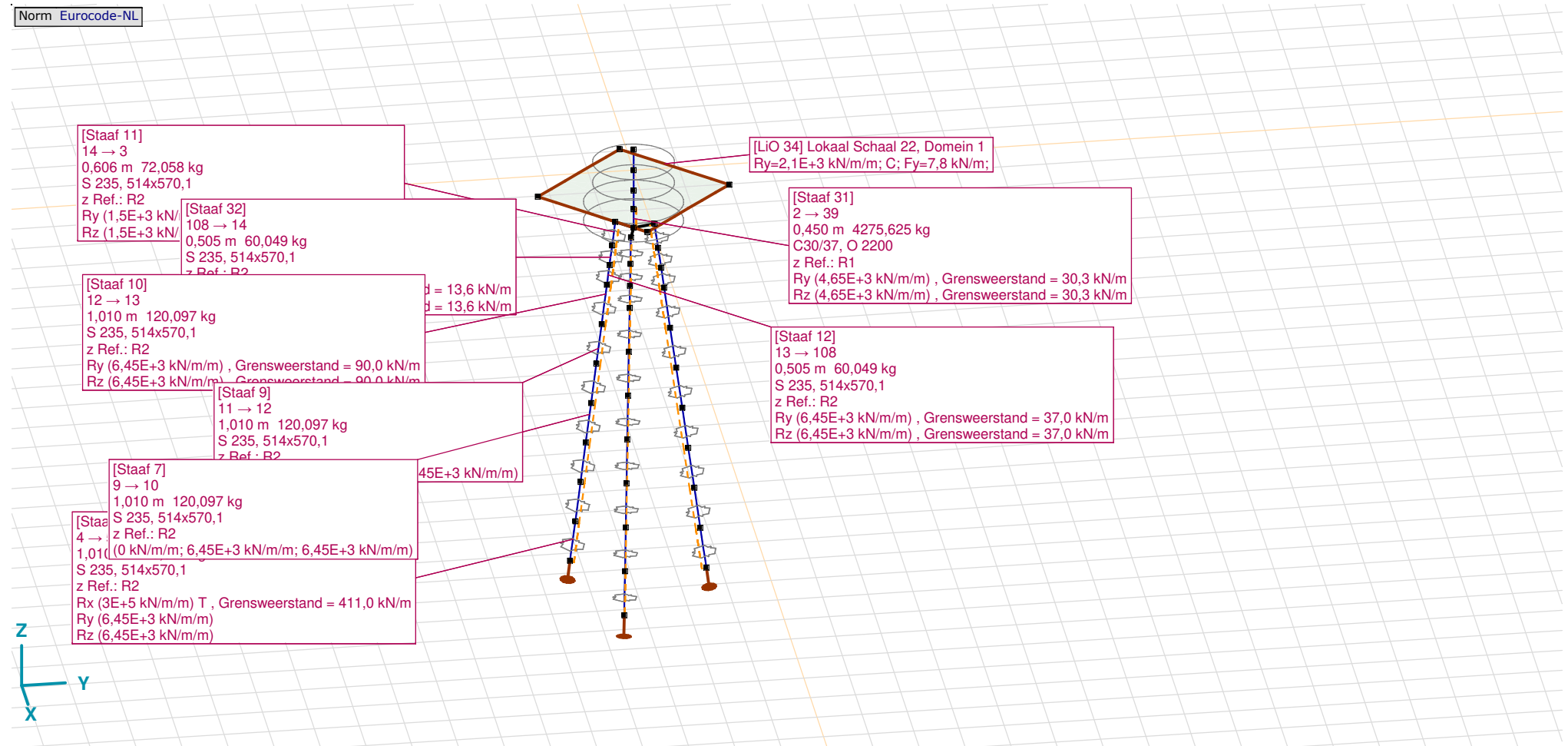
Analysis by

Model: **3P-LD-L1 met ballast.axs**

3-6-2022

Pag. 10

Norm Eurocode-NL



Tekening met beddingen

Project

Analysis by

Model: **3P-LD-L1 met ballast.axs**

3-6-2022

Pag. 11

Lijnopleggingen

	Lijn	Type	Ref. elem.	Rx [kN/m/m]	Ry [kN/m/m]	Rz [kN/m/m]	Rxx [kNm/rad/m]	Ryy [kNm/rad/m]	Rzz [kNm/rad/m]	NL(x)	NL(y)	NL(z)	NL(xx)	NL(yy)	NL(zz)
32	Rand (19)	Rand r.	Domein 1	0	2,1E+3	0	0	0	0		Druk				
33	Rand (25)	Rand r.	Domein 1	0	2,1E+3	0	0	0	0		Druk				
34	Rand (31)	Rand r.	Domein 1	0	2,1E+3	0	0	0	0		Druk				
35	Rand (37)	Rand r.	Domein 1	0	2,1E+3	0	0	0	0		Druk				
		Staafr.													
1	Staafr. 1	Staafr. r.		3E+5	6,45E+3	6,45E+3				Trek	Symmetrisch	Symmetrisch			
2	Staafr. 5	Staafr. r.		0	6,45E+3	6,45E+3					Symmetrisch	Symmetrisch			
3	Staafr. 6	Staafr. r.		0	6,45E+3	6,45E+3					Symmetrisch	Symmetrisch			
4	Staafr. 7	Staafr. r.		0	6,45E+3	6,45E+3					Symmetrisch	Symmetrisch			
5	Staafr. 8	Staafr. r.		0	6,45E+3	6,45E+3					Symmetrisch	Symmetrisch			
6	Staafr. 9	Staafr. r.		0	6,45E+3	6,45E+3					Symmetrisch	Symmetrisch			
7	Staafr. 10	Staafr. r.		0	6,45E+3	6,45E+3					Symmetrisch	Symmetrisch			
8	Staafr. 11	Staafr. r.		0	1,5E+3	1,5E+3					Symmetrisch	Symmetrisch			
9	Staafr. 12	Staafr. r.		0	6,45E+3	6,45E+3					Symmetrisch	Symmetrisch			
10	Staafr. 13	Staafr. r.		3E+5	6,45E+3	6,45E+3				Trek	Symmetrisch	Symmetrisch			
11	Staafr. 14	Staafr. r.		0	6,45E+3	6,45E+3					Symmetrisch	Symmetrisch			
12	Staafr. 15	Staafr. r.		0	6,45E+3	6,45E+3					Symmetrisch	Symmetrisch			

	Lijn	F(x) [kN/m]	F(y) [kN/m]	F(z) [kN/m]	M(x) [kNm/m]	M(y) [kNm/m]	M(z) [kNm/m]
32	Rand (19)		7,8				
33	Rand (25)		7,8				
34	Rand (31)		7,8				
35	Rand (37)		7,8				
1	Staafr. 1	411,0					
2	Staafr. 5						
3	Staafr. 6						
4	Staafr. 7						
5	Staafr. 8						
6	Staafr. 9						
7	Staafr. 10		90,0	90,0			
8	Staafr. 11		7,3	7,3			
9	Staafr. 12		37,0	37,0			
10	Staafr. 13	411,0					
11	Staafr. 14						
12	Staafr. 15						

Project

Analysis by

Model: **3P-LD-L1 met ballast.axs**

3-6-2022

Pag. 12

Lijnopleggingen

	Lijn	Type	Ref. elem.	Rx [kN/m/m]	Ry [kN/m/m]	Rz [kN/m/m]	Rxx [kNm/rad/m]	Ryy [kNm/rad/m]	Rzz [kNm/rad/m]	NL(x)	NL(y)	NL(z)	NL(xx)	NL(yy)	NL(zz)
13	Staaf 16	Staaf r.		0	6,45E+3	6,45E+3					Symmetrisch	Symmetrisch			
14	Staaf 17	Staaf r.		0	6,45E+3	6,45E+3					Symmetrisch	Symmetrisch			
15	Staaf 18	Staaf r.		0	6,45E+3	6,45E+3					Symmetrisch	Symmetrisch			
16	Staaf 19	Staaf r.		0	6,45E+3	6,45E+3					Symmetrisch	Symmetrisch			
17	Staaf 20	Staaf r.		0	1,5E+3	1,5E+3					Symmetrisch	Symmetrisch			
18	Staaf 21	Staaf r.		0	6,45E+3	6,45E+3					Symmetrisch	Symmetrisch			
19	Staaf 22	Staaf r.		3E+5	6,45E+3	6,45E+3				Trek	Symmetrisch	Symmetrisch			
20	Staaf 23	Staaf r.		0	6,45E+3	6,45E+3					Symmetrisch	Symmetrisch			
21	Staaf 24	Staaf r.		0	6,45E+3	6,45E+3					Symmetrisch	Symmetrisch			
22	Staaf 25	Staaf r.		0	6,45E+3	6,45E+3					Symmetrisch	Symmetrisch			
23	Staaf 26	Staaf r.		0	6,45E+3	6,45E+3					Symmetrisch	Symmetrisch			
24	Staaf 27	Staaf r.		0	6,45E+3	6,45E+3					Symmetrisch	Symmetrisch			
25	Staaf 28	Staaf r.		0	6,45E+3	6,45E+3					Symmetrisch	Symmetrisch			
26	Staaf 29	Staaf r.		0	1,5E+3	1,5E+3					Symmetrisch	Symmetrisch			
27	Staaf 30	Staaf r.		0	6,45E+3	6,45E+3					Symmetrisch	Symmetrisch			
28	Staaf 31	Staaf r.		0	4,65E+3	4,65E+3					Symmetrisch	Symmetrisch			
29	Staaf 32	Staaf r.		0	1,5E+3	1,5E+3					Symmetrisch	Symmetrisch			

	Lijn	F(x) [kN/m]	F(y) [kN/m]	F(z) [kN/m]	M(x) [kNm/m]	M(y) [kNm/m]	M(z) [kNm/m]
13	Staaf 16						
14	Staaf 17						
15	Staaf 18						
16	Staaf 19		90,0	90,0			
17	Staaf 20		7,3	7,3			
18	Staaf 21		37,0	37,0			
19	Staaf 22	411,0					
20	Staaf 23						
21	Staaf 24						
22	Staaf 25						
23	Staaf 26						
24	Staaf 27						
25	Staaf 28		90,0	90,0			
26	Staaf 29		7,3	7,3			
27	Staaf 30		37,0	37,0			
28	Staaf 31		30,3	30,3			
29	Staaf 32		13,6	13,6			

Project

Analysis by

Model: **3P-LD-L1 met ballast.axs**

3-6-2022

Pag. 13

Lijnopleggingen

	Lijn	Type	Ref. elem.	R_x [kN/m/m]	R_y [kN/m/m]	R_z [kN/m/m]	R_{xx} [kNm/rad/m]	R_{yy} [kNm/rad/m]	R_{zz} [kNm/rad/m]	NL(x)	NL(y)	NL(z)	NL(xx)	NL(yy)	NL(zz)
30	Staaf 33	Staaf r.		0	1,5E+3	1,5E+3					Symmetrisch	Symmetrisch			
31	Staaf 34	Staaf r.		0	1,5E+3	1,5E+3					Symmetrisch	Symmetrisch			

	Lijn	$F(x)$ [kN/m]	$F(y)$ [kN/m]	$F(z)$ [kN/m]	$M(x)$ [kNm/m]	$M(y)$ [kNm/m]	$M(z)$ [kNm/m]
30	Staaf 33		13,6	13,6			
31	Staaf 34		13,6	13,6			

Lijn: Ondersteund lijnelement; **Type:** Opleggingstype; **Ref. elem.:** Referentie-element; **Rx, Ry, Rz:** Verplaatsingsstijfheid; **Rxx, Ryy, Rzz:** Rotatiestijfheid; **NL(x), NL(y), NL(z), NL(xx), NL(yy), NL(zz):** Niet-lineaire parameters; **F(x):** Weerstand in X-richting; **F(y):** Weerstand in Y-richting; **F(z):** Weerstand in Z-richting; **M(x):** Weerstandsmoment in X-richting; **M(y):** Weerstandsmoment in Y-richting; **M(z):** Weerstandsmoment in Z-richting;

Project

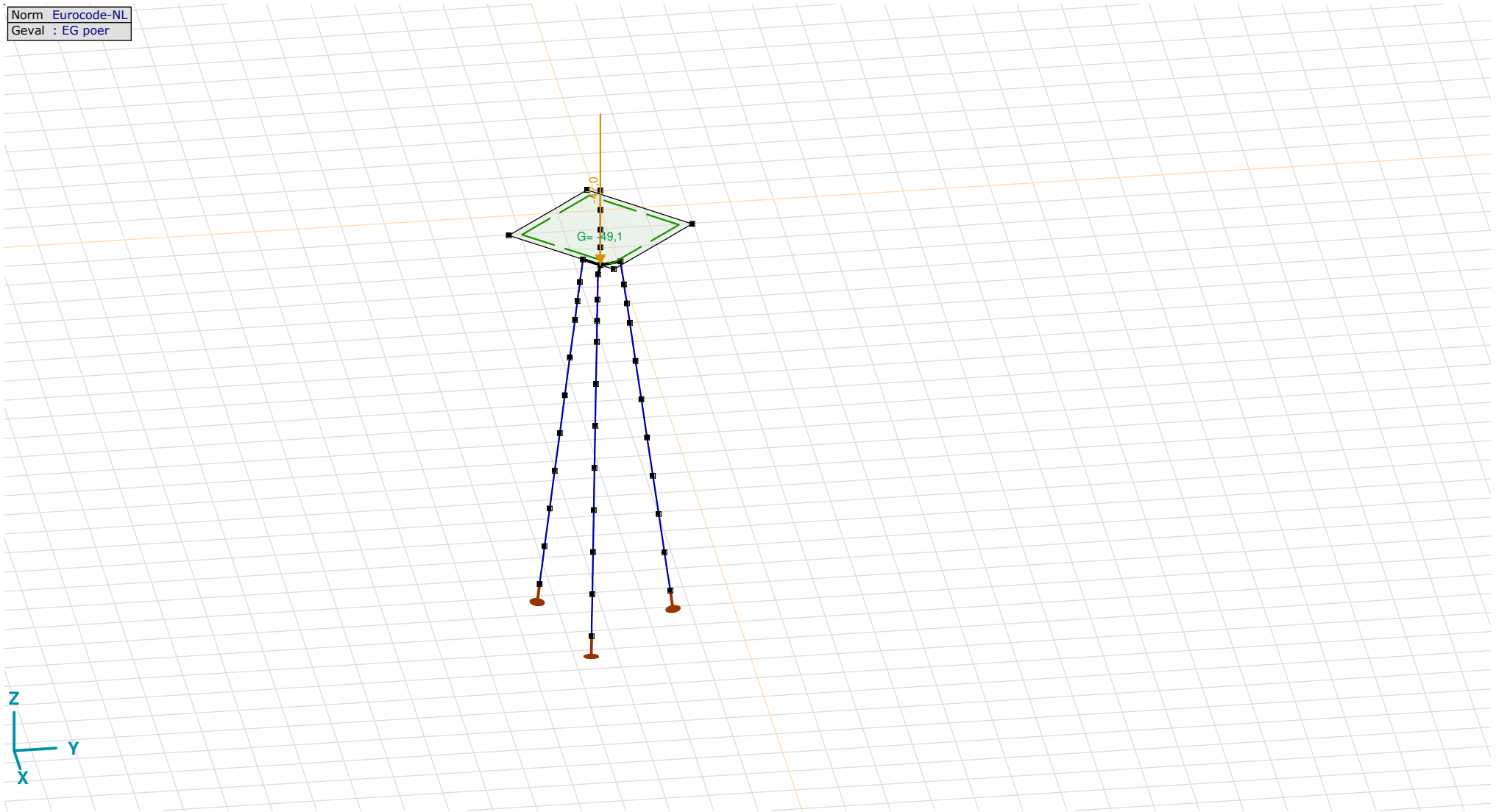
Analysis by

Model: **3P-LD-L1 met ballast.axs**

3-6-2022

Pag. 14

Norm Eurocode-NL
Geval : EG poer



EG poer

Project

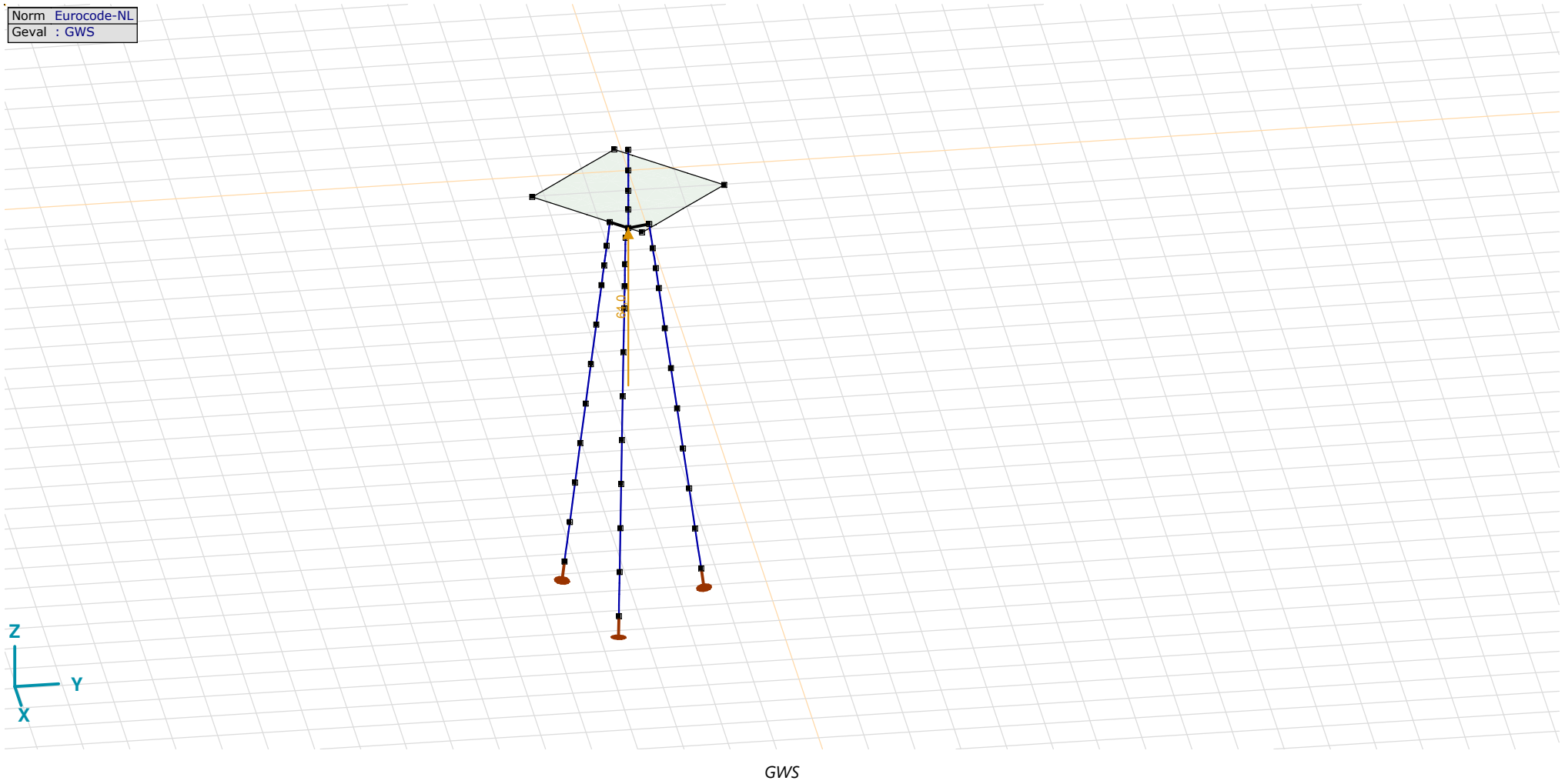
Analysis by

Model: **3P-LD-L1 met ballast.axs**

3-6-2022

Pag. 15

Norm Eurocode-NL
Geval : GWS



Project

Analysis by

Model: **3P-LD-L1 met ballast.axs**

3-6-2022

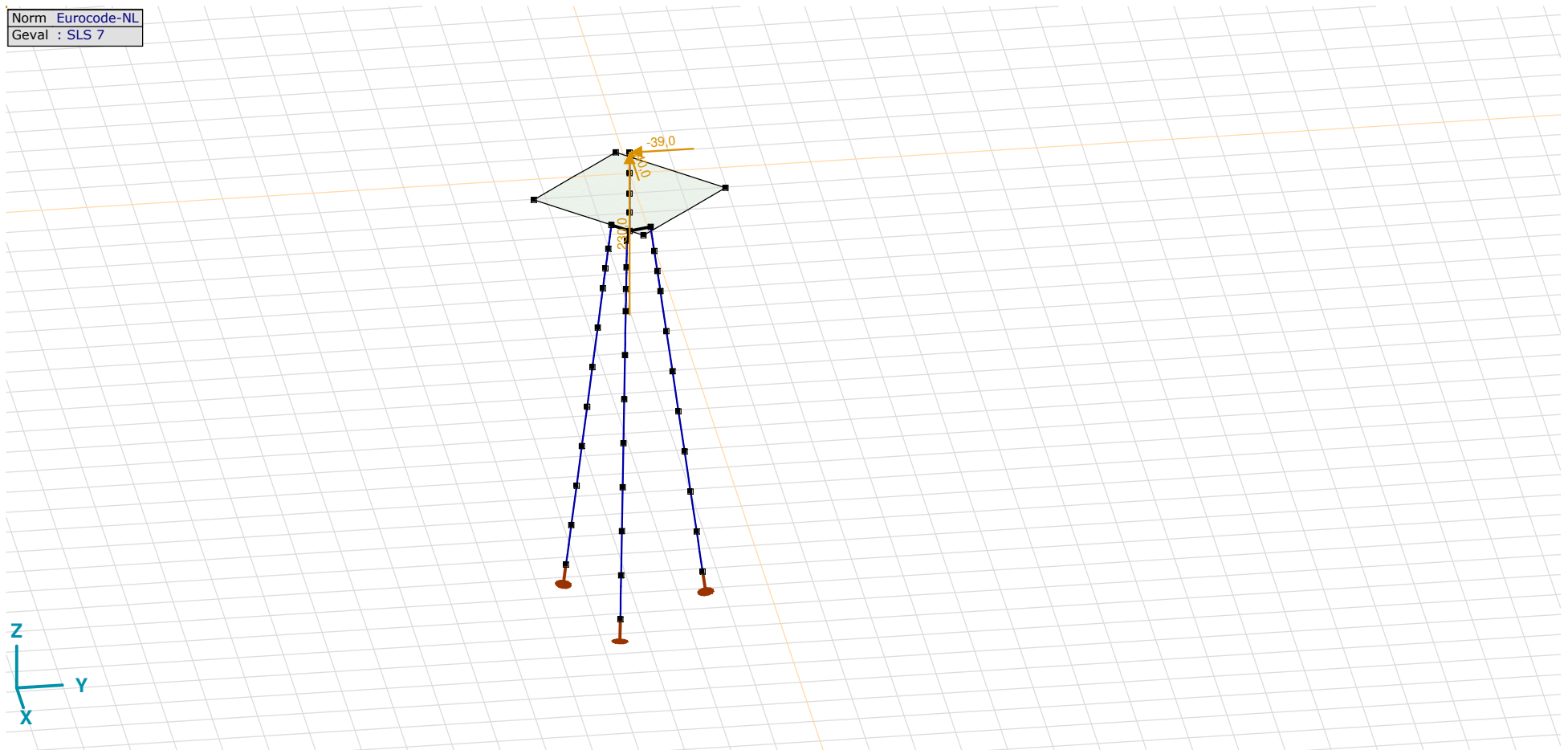
Pag. 16

GWS: Knoopbelastingen

	Richting	F_x [kN]	F_y [kN]	F_z [kN]	M_x [kNm]	M_y [kNm]	M_z [kNm]
2	Globaal	0	0	64,0	0	0	0

F_x , F_y , F_z : Belastingkracht component; M_x , M_y , M_z : Belastingsmoment component;

Norm Eurocode-NL
Geval : SLS 7



SLS 7

Project

Analysis by

Model: **3P-LD-L1 met ballast.axs**

3-6-2022

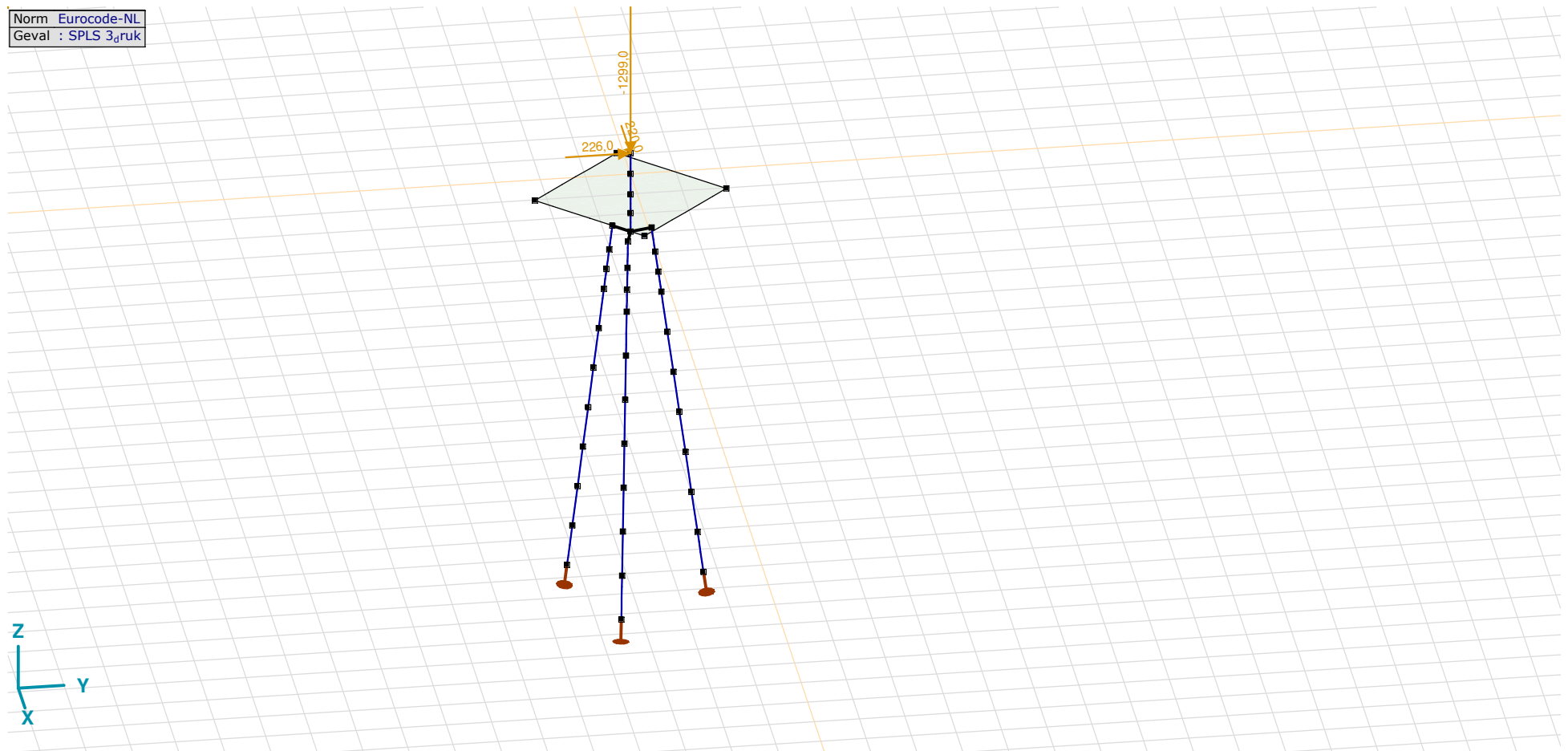
Pag. 17

SLS 7: Knoopbelastingen

	Richting	F_x [kN]	F_y [kN]	F_z [kN]	M_x [kNm]	M_y [kNm]	M_z [kNm]
6	Globaal	-40,0	-39,0	230,0	0	0	0

F_x , F_y , F_z : Belastingkracht component; M_x , M_y , M_z : Belastingsmoment component;

Norm Eurocode-NL
Geval : SPLS 3_{druk}

SPLS 3_{druk}

Project

Analysis by

Model: **3P-LD-L1 met ballast.axs**

3-6-2022

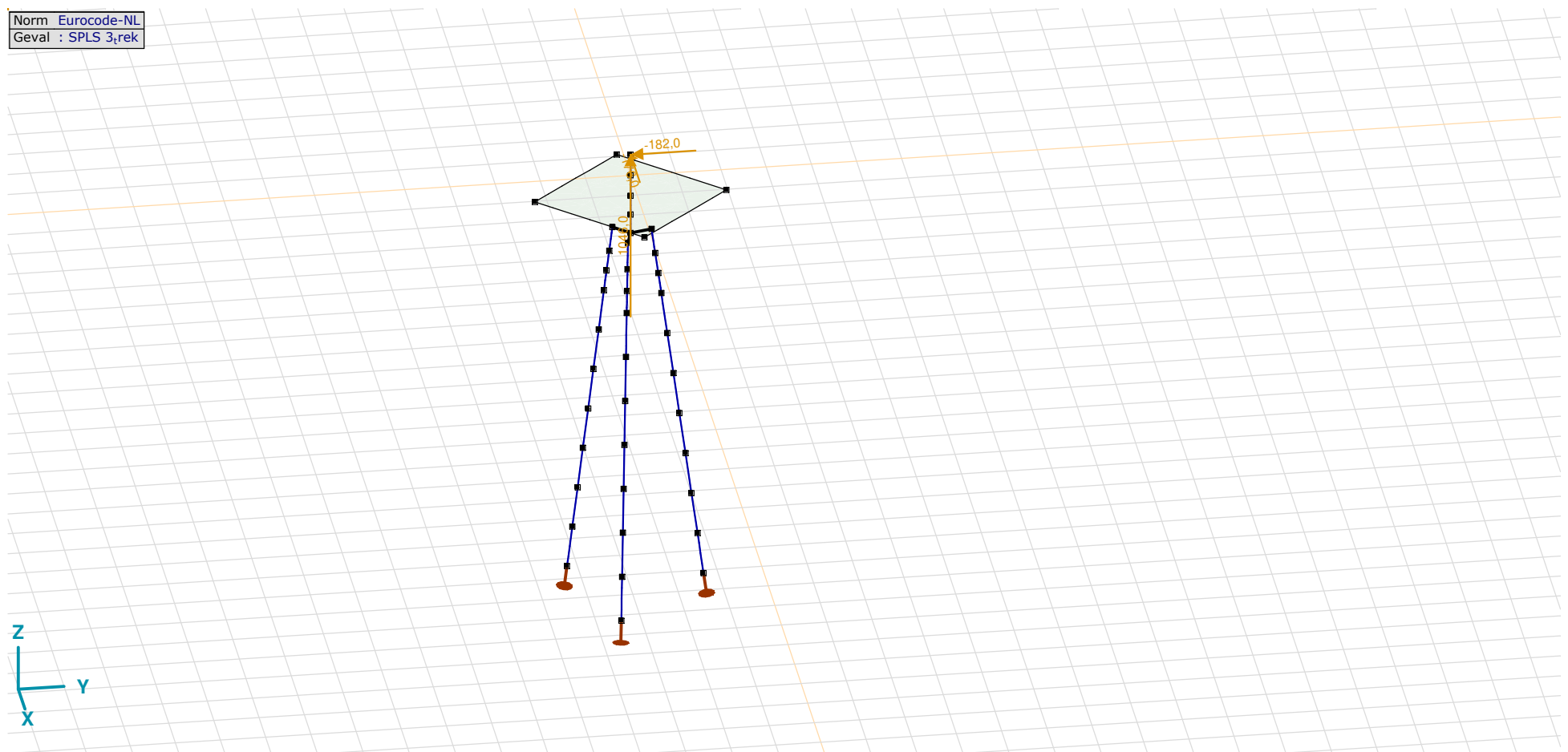
Pag. 18

SPLS 3_druk: Knoopbelastingen

	Richting	F_x [kN]	F_y [kN]	F_z [kN]	M_x [kNm]	M_y [kNm]	M_z [kNm]
6	Globaal	220,0	226,0	-1299,0	0	0	0

F_x , F_y , F_z : Belastingkracht component; M_x , M_y , M_z : Belastingsmoment component;

Norm Eurocode-NL
Geval : SPLS 3_rek



SPLS 3_trek

Project

Analysis by

Model: **3P-LD-L1 met ballast.axs**

3-6-2022

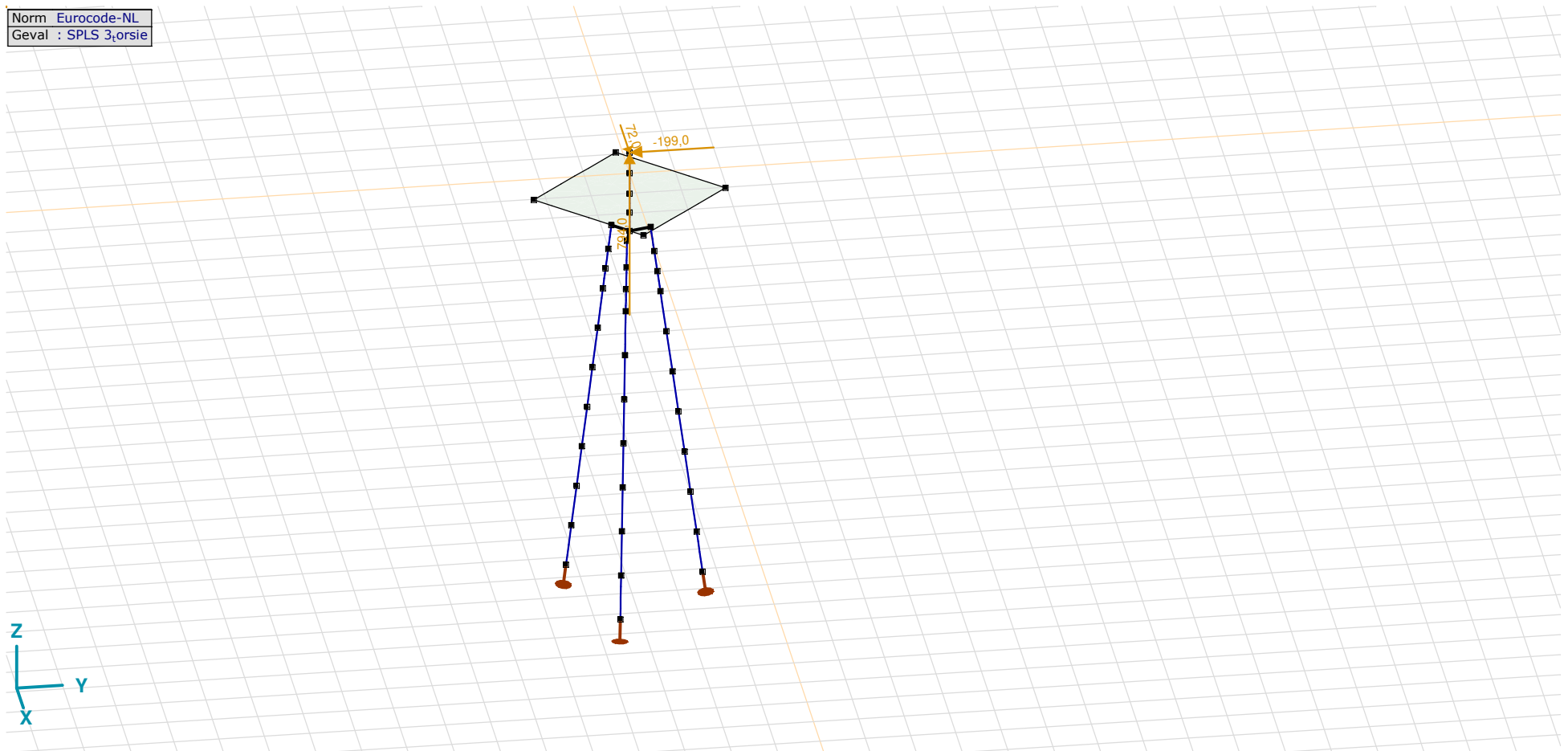
Pag. 19

SPLS 3_trek: Knoopbelastingen

	Richting	F_x [kN]	F_y [kN]	F_z [kN]	M_x [kNm]	M_y [kNm]	M_z [kNm]
6	Globaal	-176,0	-182,0	1046,0	0	0	0

F_x , F_y , F_z : Belastingkracht component; M_x , M_y , M_z : Belastingmoment component;

Norm Eurocode-NL
Geval : SPLS 3,orsie



SPLS 3_torsie

Project

Analysis by

Model: **3P-LD-L1 met ballast.axs**

3-6-2022

Pag. 20

SPLS 3_torsie: Knoopbelastingen

	<i>Richting</i>	<i>F_x</i> [kN]	<i>F_y</i> [kN]	<i>F_z</i> [kN]	<i>M_x</i> [kNm]	<i>M_y</i> [kNm]	<i>M_z</i> [kNm]
6	Globaal	72,0	-199,0	794,0	0	0	0

F_x, F_y, F_z: Belastingkracht component; **M_x, M_y, M_z**: Belastingsmoment component;

Gebruiker gedefinieerde belastingcombinaties uit belastinggevallen

	<i>Naam</i>	<i>Type</i>	<i>ST1</i>	<i>EG poer</i> (PERM1)	<i>GWS</i> (PERM1)	<i>SLS 7</i> (PERM1)	<i>SPLS 3_druk</i> (VER1)	<i>SPLS 3_trek</i> (VER1)	<i>SPLS 3_torsie</i> (VER1)	<i>Commentaar</i>
1	Co #1 max druk	UGT	0	1,20	0	0	1,00	0	0	
2	Co #2 max trek	UGT	0	0,90	1,00	0	0	1,00	0	
3	Co #3 max torsie	UGT	0	1,20	1,00	0	0	0	1,00	
4	Co #4 Perm	BGT Quasi-blijvend	0	1,00	0	1,00	0	0	0	

Naam: Naam belastingcombinatie; **Type**: Type belastingcombinatie; **ST1, EG poer (PERM1), GWS (PERM1), SLS 7 (PERM1), SPLS 3_druk (VER1), SPLS 3_trek (VER1), SPLS 3_torsie (VER1)**: Factor;

Project

Analysis by

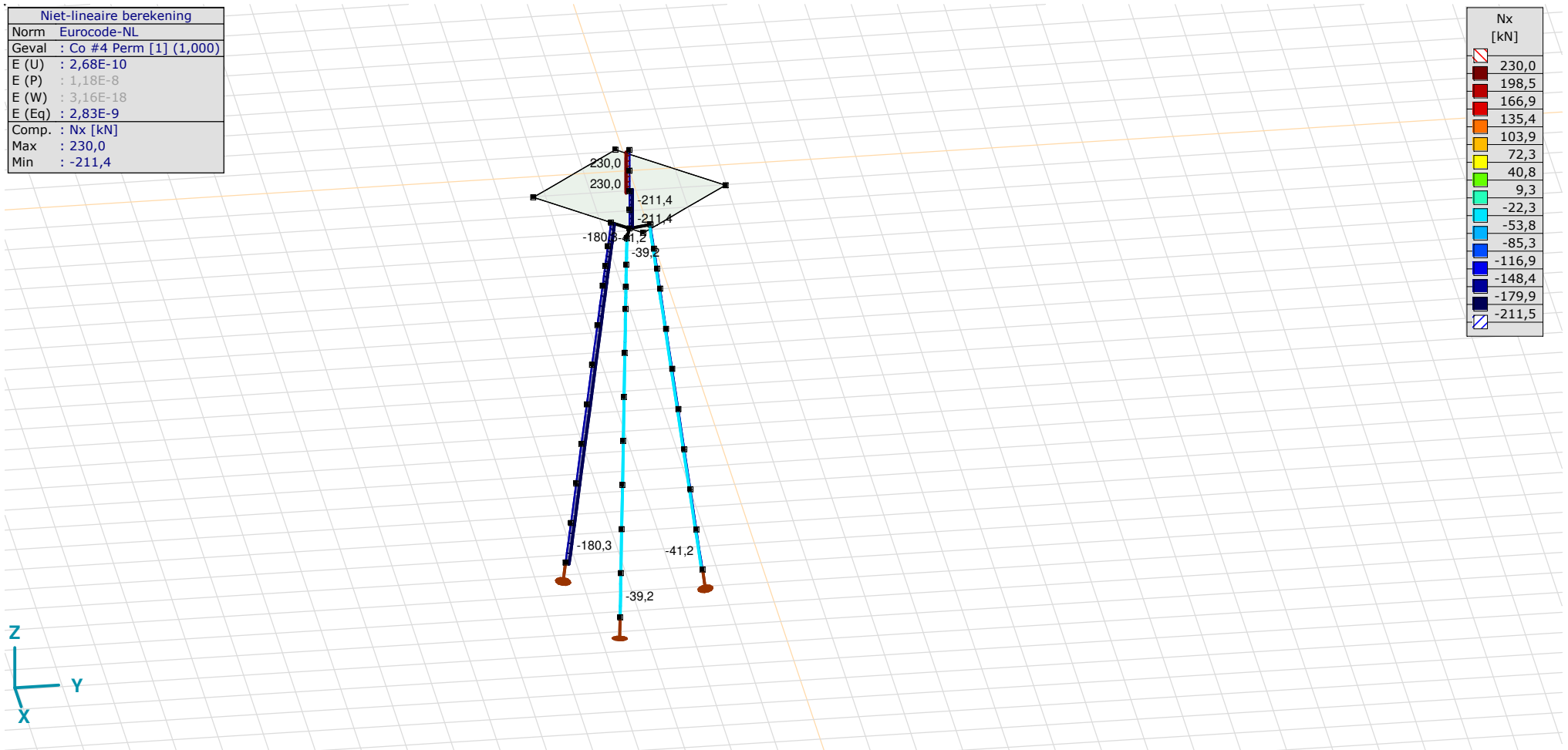
Model: **3P-LD-L1 met ballast.axs**

3-6-2022

Pag. 21

Niet-lineaire berekening	
Norm	Eurocode-NL
Geval	Co #4 Perm [1] (1,000)
E (U)	: 2,68E-10
E (P)	: 1,18E-8
E (W)	: 3,16E-18
E (Eq)	: 2,83E-9
Comp.	Nx [kN]
Max	: 230,0
Min	: -211,4

Nx [kN]	
230,0	
198,5	
166,9	
135,4	
103,9	
72,3	
40,8	
9,3	
-22,3	
-53,8	
-85,3	
-116,9	
-148,4	
-179,9	
-211,5	



[II], Non-lin., Co #4 Perm [1] (1,000), Nx, Lijnen (gevuld)(gevuld)

Project

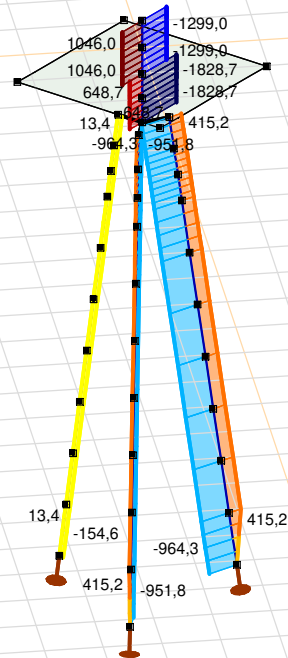
Analysis by

Model: **3P-LD-L1 met ballast.axs**

3-6-2022

Pag. 22

Niet-lineaire berekening	
Norm	Eurocode-NL
Geval	: Omhullende Min,Max
Omhullende	: Alle UGT
E (U)	: 1,44E-5
E (P)	: 8,52E-9
E (W)	: 1,49E-13
E (Eq)	: 3,84E-9
Comp.	: Nx [kN]
Max	: 1046,0
Min	: -1828,7



Nx [kN]	
1046,0	1046,0
840,7	840,7
635,3	635,3
430,0	430,0
224,7	224,7
19,3	19,3
-186,0	-186,0
-391,4	-391,4
-596,7	-596,7
-802,0	-802,0
-1007,4	-1007,4
-1212,7	-1212,7
-1418,1	-1418,1
-1623,4	-1623,4
-1828,7	-1828,7

[II], Non-lin., Omhullende (Alle UGT), Nx, Lijnen (gevuld)

Project

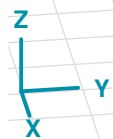
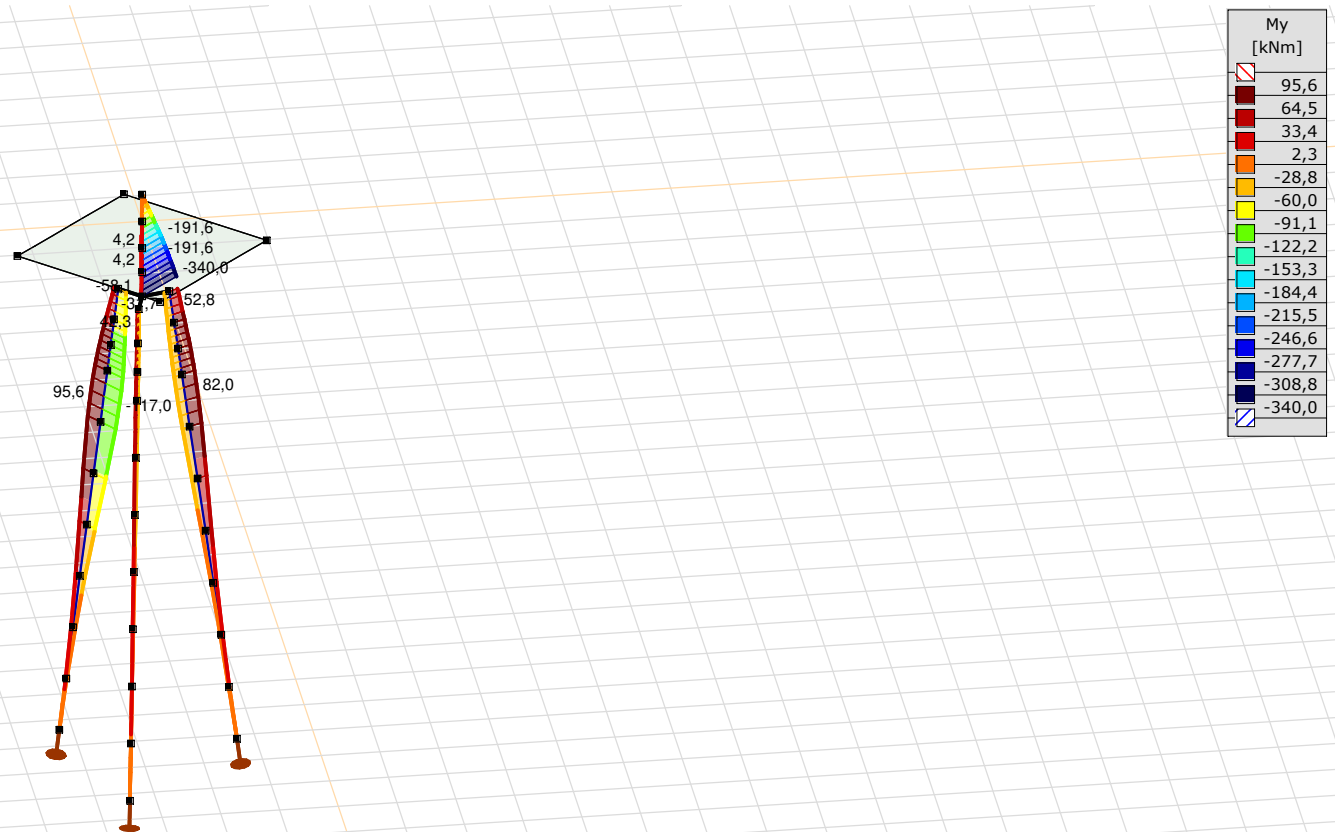
Analysis by

Model: **3P-LD-L1 met ballast.axs**

3-6-2022

Pag. 23

Niet-lineaire berekening	
Norm	Eurocode-NL
Geval	: Omhullende Min,Max
Omhullende	: Alle UGT
E (U)	: 1,44E-5
E (P)	: 8,52E-9
E (W)	: 1,49E-13
E (Eq)	: 3,84E-9
Comp.	: My [kNm]
Max	: 95,6
Min	: -340,0



[II], Non-lin., Omhullende (Alle UGT), My, Lijnen (gevuld)

Project

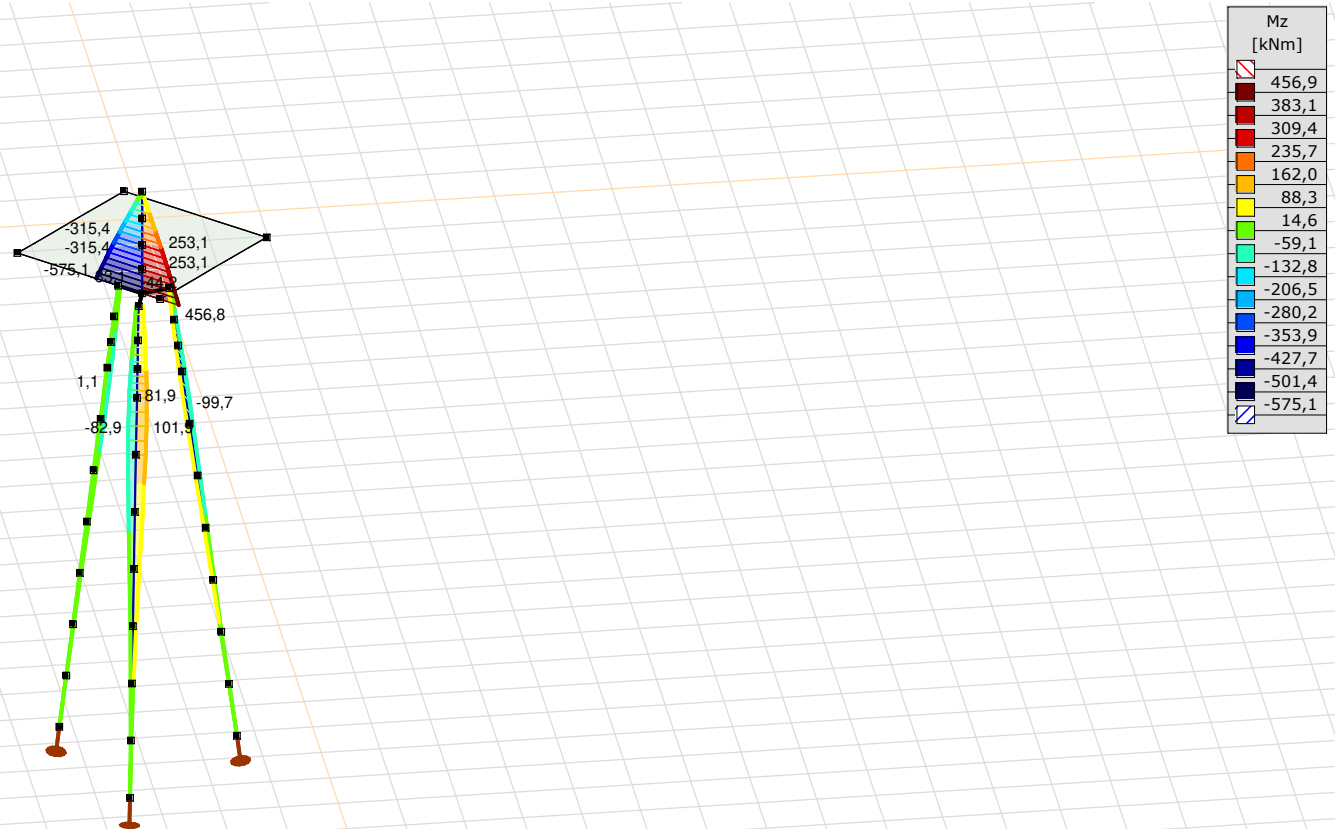
Analysis by

Model: **3P-LD-L1 met ballast.axs**

3-6-2022

Pag. 24

Niet-lineaire berekening	
Norm	Eurocode-NL
Geval	: Omhullende Min,Max
Omhullende	: Alle UGT
E (U)	: 1,44E-5
E (P)	: 8,52E-9
E (W)	: 1,49E-13
E (Eq)	: 3,84E-9
Comp.	: Mz [kNm]
Max	: 456,8
Min	: -575,1



[III], Non-lin., Omhullende (Alle UGT), Mz, Lijnen (gevuld)

Project

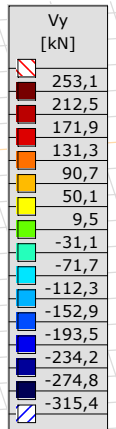
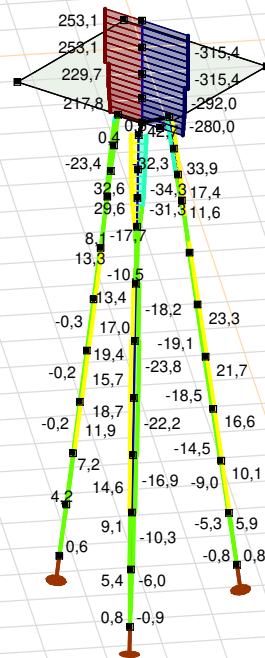
Analysis by

Model: **3P-LD-L1 met ballast.axs**

3-6-2022

Pag. 25

Niet-lineaire berekening	
Norm	Eurocode-NL
Geval	: Omhullende Min,Max
Omhullende	: Alle UGT
E (U)	: 1,44E-5
E (P)	: 8,52E-9
E (W)	: 1,49E-13
E (Eq)	: 3,84E-9
Comp.	: Vy [kN]
Max	: 253,1
Min	: -315,4



[II], Non-lin., Omhullende (Alle UGT), Vy, Lijnen (gevuld)

Project

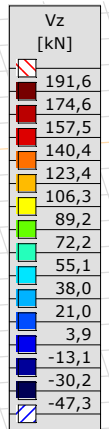
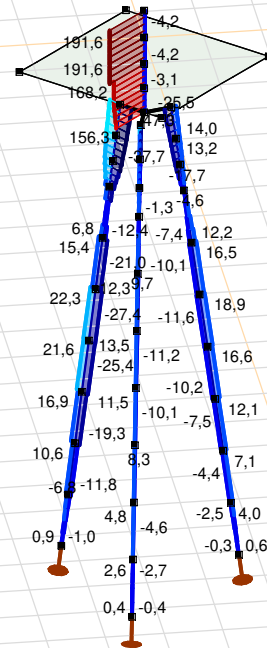
Analysis by

Model: **3P-LD-L1 met ballast.axs**

3-6-2022

Pag. 26

Niet-lineaire berekening	
Norm	Eurocode-NL
Geval	: Omhullende Min,Max
Omhullende	: Alle UGT
E (U)	: 1,44E-5
E (P)	: 8,52E-9
E (W)	: 1,49E-13
E (Eq)	: 3,84E-9
Comp.	: Vz [kN]
Max	: 191,6
Min	: -47,3



[II], Non-lin., Omhullende (Alle UGT), Vz, Lijnen (gevuld)

Project

Analysis by

Model: **3P-LD-L1 met ballast.axs**

3-6-2022

Pag. 27

Staafkrachten [Non-lin., Omhullende (Alle UGT), Palen]

	Prof.	Doorsnede naam	C	min. max.	Geval	Pos. [m]	Knoop	Nx [kN]	Vy [kN]	Vz [kN]	Tx [kNm]	My [kNm]	Mz [kNm]	B [kNm ²]
Ext.														
1	6	514x570,1	Nx	min	Co #2 max trek [1] (1,000)	0	(4)	-154,6	0	-1,0	0	0	0	0
1	6	514x570,1		max	Co #1 max druk [1] (1,000)	1,010	(5)	13,4	-0,1	6,3	0	3,6	0	0
1	6	514x570,1	Vy	min	Co #1 max druk [1] (1,000)	0,758	(111)	10,0	-0,1	6,3	0	2,0	0	0
1	6	514x570,1		max	Co #3 max torsie [1] (1,000)	0,758	(111)	-23,4	4,2	-1,7	0	-0,6	-1,3	0
1	6	514x570,1	Vz	min	Co #2 max trek [1] (1,000)	0,758	(111)	-154,6	0,1	-6,8	0	-2,2	0	0
1	6	514x570,1		max	Co #1 max druk [1] (1,000)	0,758	(111)	10,0	-0,1	6,3	0	2,0	0	0
1	6	514x570,1	My	min	Co #2 max trek [1] (1,000)	1,010	(5)	-154,6	0,1	-6,8	0	-3,9	-0,1	0
1	6	514x570,1		max	Co #1 max druk [1] (1,000)	1,010	(5)	13,4	-0,1	6,3	0	3,6	0	0
1	6	514x570,1	Mz	min	Co #3 max torsie [1] (1,000)	1,010	(5)	-23,4	4,2	-1,7	0	-1,0	-2,4	0
1	6	514x570,1		max	Co #1 max druk [1] (1,000)	1,010	(5)	13,4	-0,1	6,3	0	3,6	0	0

Prof.: Profiel; **C:** Extreme component; **min. max.:** Extreme type; **Geval:** Belastinggeval van de extreme; **Pos.:** Lokale X-positie van de doorsnede op de staaf; **Nx:** Normaalkracht; **Vy:** Dwarskracht in lokale y-richting; **Vz:** Dwarskracht in lokale z-richting; **Tx:** Torsiemoment; **My:** Buigend moment in lokale y-richting; **Mz:** Buigend moment in lokale z-richting; **B:** Bimoment;

Project

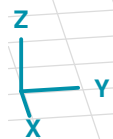
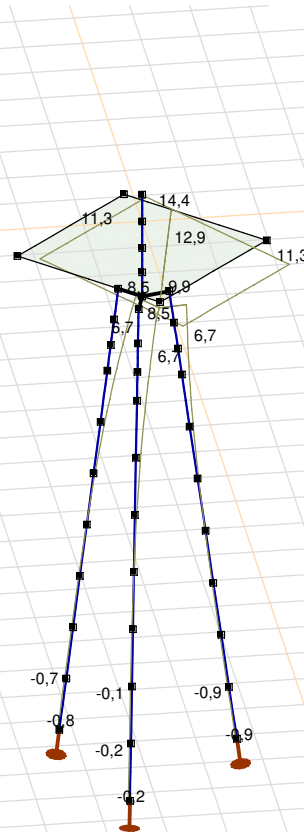
Analysis by

Model: **3P-LD-L1 met ballast.axs**

3-6-2022

Pag. 28

Niet-lineaire berekening	
Norm	Eurocode-NL
Geval	Co #1 max druk [1] (1,000)
E (U)	: 1,44E-5
E (P)	: 8,52E-9
E (W)	: 1,49E-13
E (Eq)	: 3,84E-9
Comp.	: eX [mm]
Max	: 14,4
Min	: -0,9



[1], Non-lin., Co #1 max druk [1] (1,000), eX, Lijnen

Project

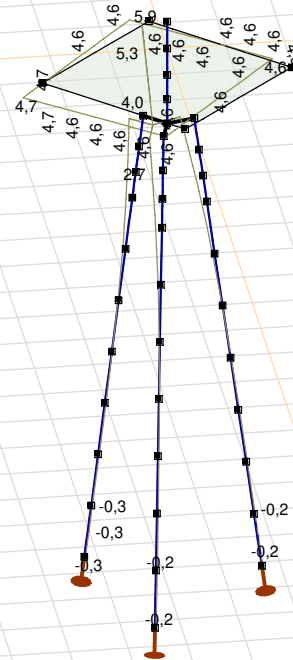
Analysis by

Model: **3P-LD-L1 met ballast.axs**

3-6-2022

Pag. 29

Niet-lineaire berekening	
Norm	Eurocode-NL
Geval	Co #3 max torsie [1] (1,000)
E (U)	: 7,27E-4
E (P)	: 8,99E-6
E (W)	: 1,80E-8
E (Eq)	: 1,05E-8
Comp.	: eX [mm]
Max	: 5,9
Min	: -0,3



[III], Non-lin., Co #3 max torsie [1] (1,000), eX, Lijnen

Project

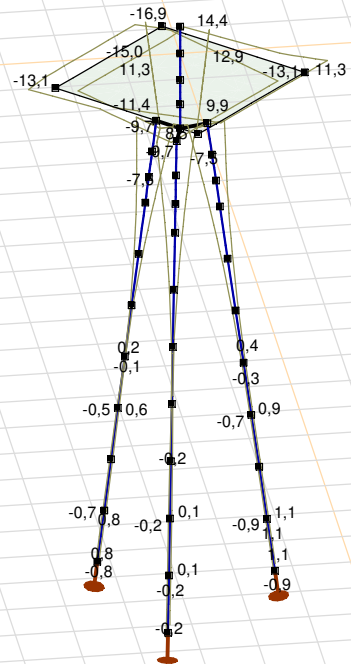
Analysis by

Model: **3P-LD-L1 met ballast.axs**

3-6-2022

Pag. 30

Niet-lineaire berekening	
Norm	Eurocode-NL
Geval	: Omhullende Min,Max
Omhullende	: Alle UGT
E (U)	: 1,44E-5
E (P)	: 8,52E-9
E (W)	: 1,49E-13
E (Eq)	: 3,84E-9
Comp.	: eX [mm]
Max	: 14,4
Min	: -16,9



[II], Non-lin., Omhullende (Alle UGT), eX, Lijnen

Project

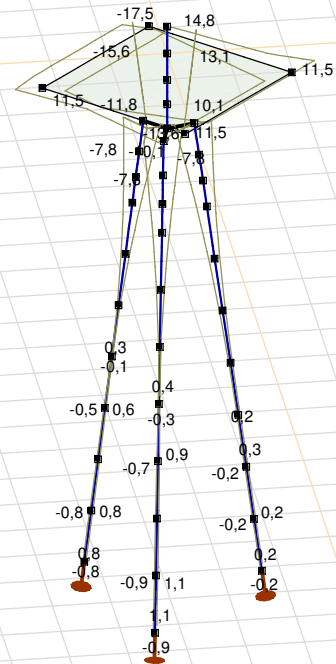
Analysis by

Model: **3P-LD-L1 met ballast.axs**

3-6-2022

Pag. 31

Niet-lineaire berekening	
Norm	Eurocode-NL
Geval	: Omhullende Min,Max
Omhullende	: Alle UGT
E (U)	: 1,44E-5
E (P)	: 8,52E-9
E (W)	: 1,49E-13
E (Eq)	: 3,84E-9
Comp.	: eY [mm]
Max	: 14,8
Min	: -17,5



[II], Non-lin., Omhullende (Alle UGT), eY, Lijnen

Project

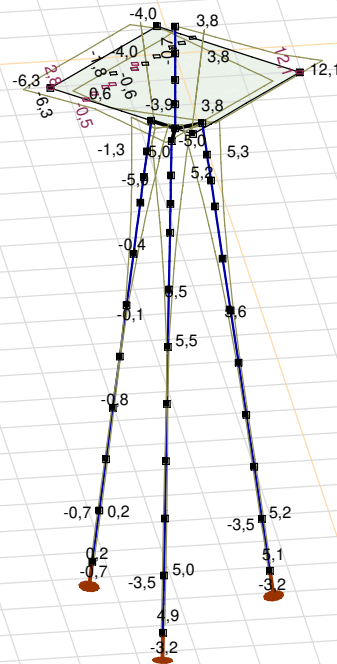
Analysis by

Model: **3P-LD-L1 met ballast.axs**

3-6-2022

Pag. 32

Niet-lineaire berekening	
Norm	Eurocode-NL
Geval	: Omhullende Min,Max
Omhullende	: Alle UGT
E (U)	: 1,44E-5
E (P)	: 8,52E-9
E (W)	: 1,49E-13
E (Eq)	: 3,84E-9
Comp.	: eZ [mm]
Max	: 12,1
Min	: -10,8



[II], Non-lin., Omhullende (Alle UGT), eZ, Lijnen

Project

Analysis by

Model: **3P-LD-L1 met ballast.axs**

3-6-2022

Pag. 33

Knoopverplaatsingen [Non-lin., Omhullende (Alle UGT)]

	C	min. max.	Geval	eX [mm]	eY [mm]	eZ [mm]	eR [mm]	fX [rad]	fY [rad]	fZ [rad]	fR [rad]
Ext.											
6	eX	min	Co #2 max trek [1] (1,000)	-16,9	-17,5	3,8	24,7	0,0039	-0,0038	0	0,0055
6		max	Co #1 max druk [1] (1,000)	14,4	14,8	-4,0	21,0	-0,0032	0,0031	0	0,0045
6	eY	min	Co #2 max trek [1] (1,000)	-16,9	-17,5	3,8	24,7	0,0039	-0,0038	0	0,0055
6		max	Co #1 max druk [1] (1,000)	14,4	14,8	-4,0	21,0	-0,0032	0,0031	0	0,0045
36	eZ	min	Co #1 max druk [1] (1,000)	11,3	11,5	-10,8	19,4	-0,0032	0,0031	0	0,0045
36		max	Co #2 max trek [1] (1,000)	-13,1	-13,6	12,1	22,4	0,0039	-0,0038	0	0,0054
10	eR	min	Co #1 max druk [1] (1,000)	-0,1	-0,1	0,1	0,2	-0,0006	0,0006	0	0,0008
6		max	Co #2 max trek [1] (1,000)	-16,9	-17,5	3,8	24,7	0,0039	-0,0038	0	0,0055

C: Extreme component; **min. max.:** Extreme type; **Geval:** Belastinggeval van de extreme; **eX:** Verplaatsing in X-richting; **eY:** Verplaatsing in Y-richting; **eZ:** Verplaatsing in Z-richting; **eR:** Resulterende verplaatsing; **fX:** Rotatie in X-richting; **fY:** Rotatie in Y-richting; **fZ:** Rotatie in Z-richting; **fR:** Resulterende rotatie;

Project

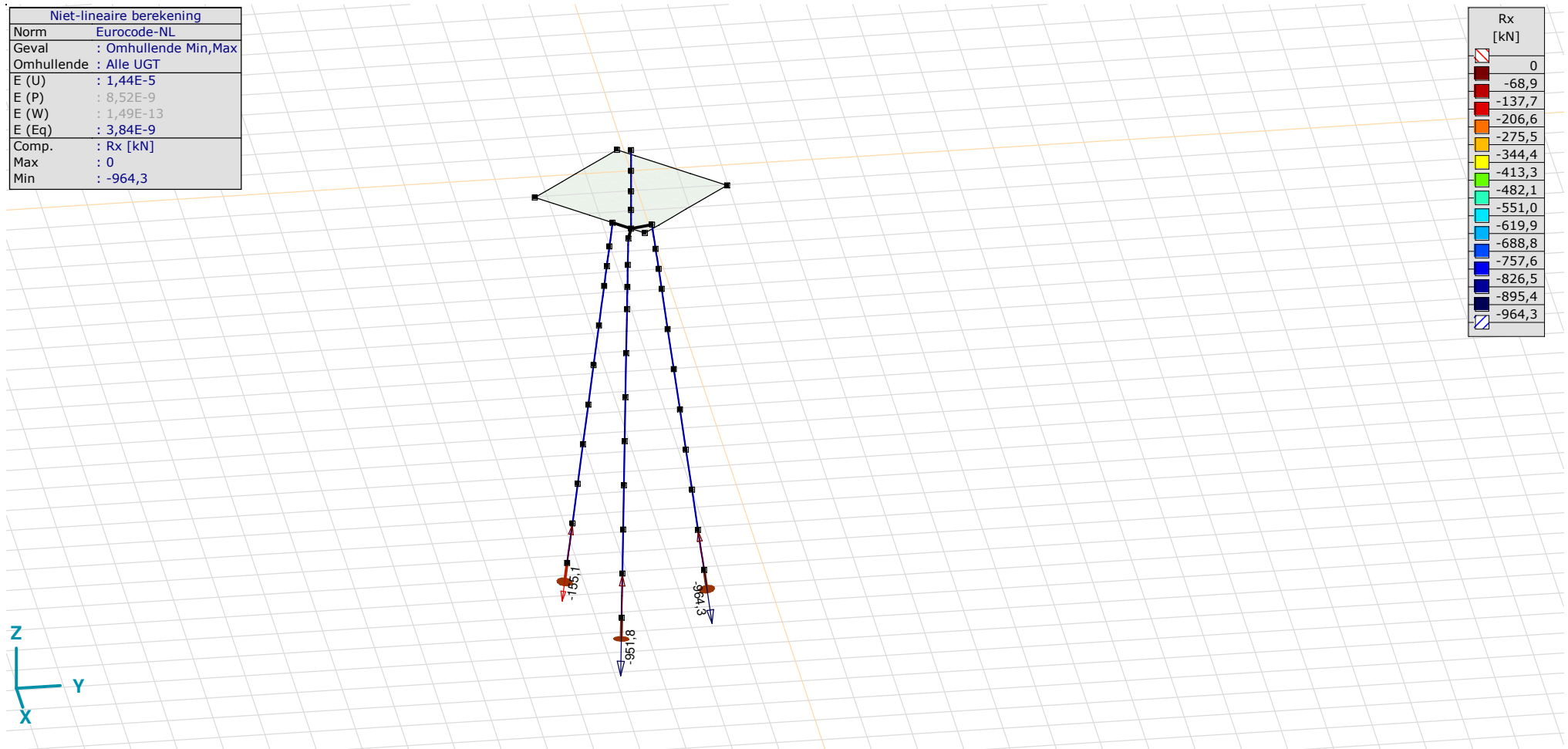
Analysis by

Model: **3P-LD-L1 met ballast.axs**

3-6-2022

Pag. 34

Niet-lineaire berekening	
Norm	Eurocode-NL
Geval	: Omhullende Min,Max
Omhullende	: Alle UGT
E (U)	: 1,44E-5
E (P)	: 8,52E-9
E (W)	: 1,49E-13
E (Eq)	: 3,84E-9
Comp.	: Rx [kN]
Max	: 0
Min	: -964,3



[II], Non-lin., Omhullende (Alle UGT), Rx (knoopopl.), Lijnen

Project

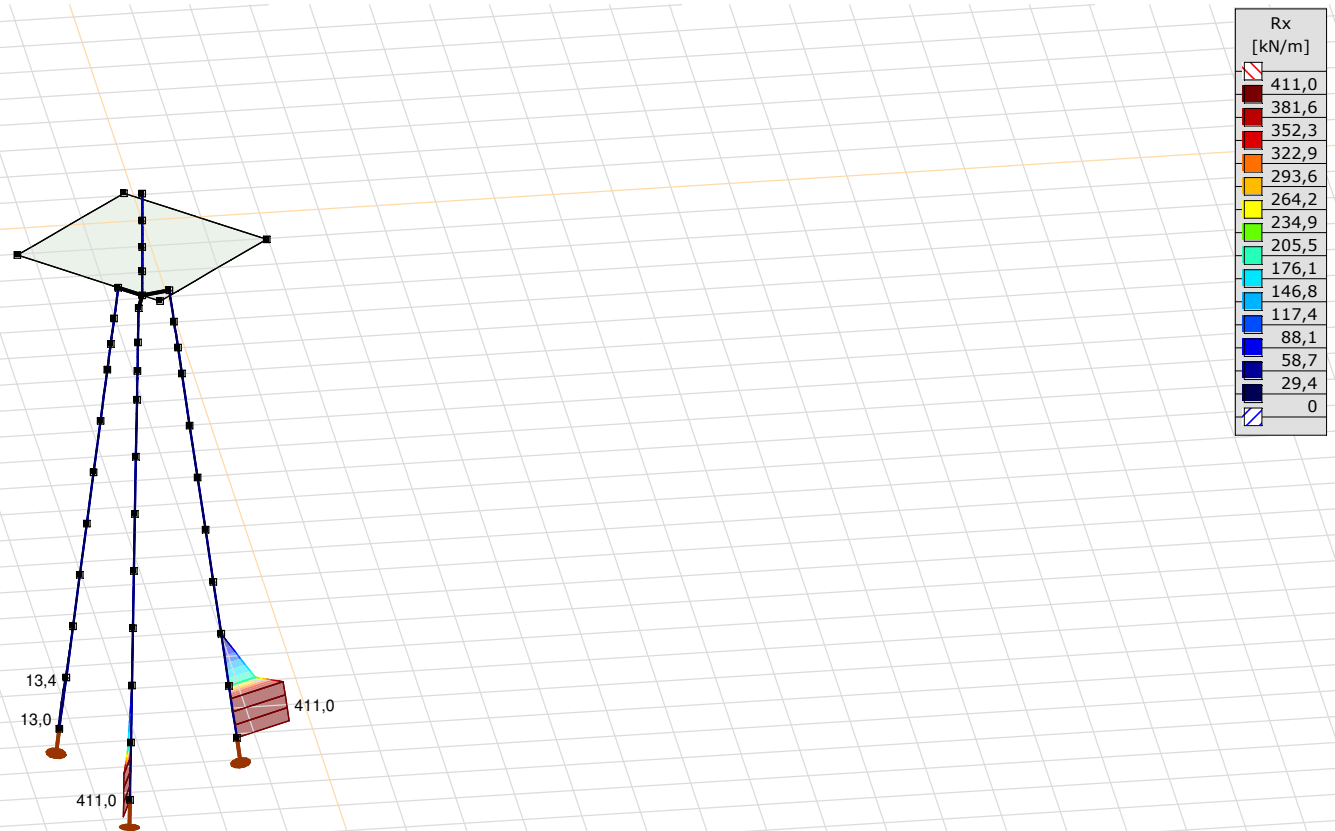
Analysis by

Model: **3P-LD-L1 met ballast.axs**

3-6-2022

Pag. 35

Niet-lineaire berekening	
Norm	Eurocode-NL
Geval	: Omhullende Min,Max
Omhullende	: Alle UGT
E (U)	: 1,44E-5
E (P)	: 8,52E-9
E (W)	: 1,49E-13
E (Eq)	: 3,84E-9
Comp.	: Rx [kN/m]
Max	: 411,0
Min	: 0



[III], Non-lin., Omhullende (Alle UGT), Rx (lijnopp.), Lijnen (gevuld)

Project

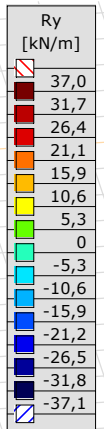
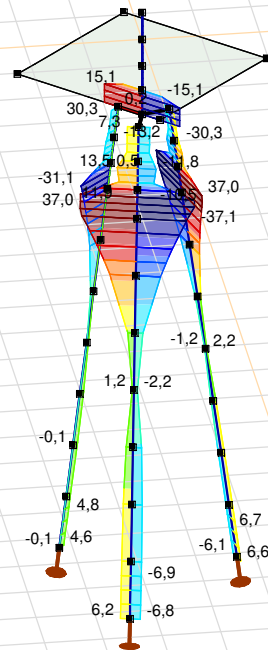
Analysis by

Model: **3P-LD-L1 met ballast.axs**

3-6-2022

Pag. 36

Niet-lineaire berekening	
Norm	Eurocode-NL
Geval	: Omhullende Min,Max
Omhullende	: Alle UGT
E (U)	: 1,44E-5
E (P)	: 8,52E-9
E (W)	: 1,49E-13
E (Eq)	: 3,84E-9
Comp.	: Ry [kN/m]
Max	: 37,0
Min	: -37,1



[III], Non-lin., Omhullende (Alle UGT), Ry (lijnopp.), Lijnen (gevuld)

Project

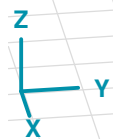
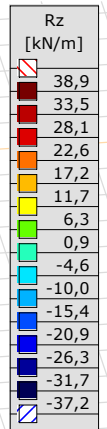
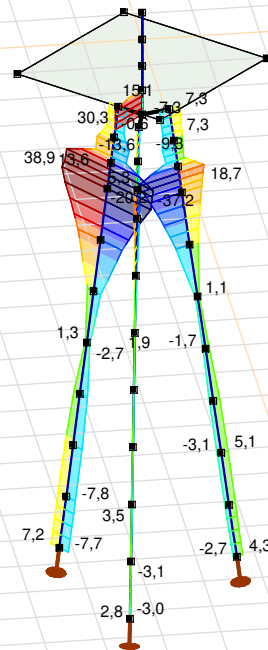
Analysis by

Model: **3P-LD-L1 met ballast.axs**

3-6-2022

Pag. 37

Niet-lineaire berekening	
Norm	Eurocode-NL
Geval	: Omhullende Min,Max
Omhullende	: Alle UGT
E (U)	: 1,44E-5
E (P)	: 8,52E-9
E (W)	: 1,49E-13
E (Eq)	: 3,84E-9
Comp.	: Rz [kN/m]
Max	: 38,9
Min	: -37,2



[II], Non-lin., Omhullende (Alle UGT), Rz (lijnopp.), Lijnen (gevuld)

Project

Analysis by

Model: **3P-LD-L1 met ballast.axs**

3-6-2022 Pag. 38

Interne krachten knooppogging [Non-lin., Omhullende (Alle UGT)]

	<i>Knoop</i>	<i>X [m]</i>	<i>Y [m]</i>	<i>Z [m]</i>	<i>Type</i>	<i>C</i>	<i>min. max.</i>	<i>Geval</i>	<i>R_x [kN]</i>
1	4	-1,229	-1,229	-10,000	Staa f r.	Rx	min	Co #2 max trek [1] (1,000)	-155,1
							max	Co #1 max druk [1] (1,000)	0
2	16	-0,450	1,679	-10,000	Staa f r.	Rx	min	Co #1 max druk [1] (1,000)	-964,3
							max	Co #2 max trek [1] (1,000)	0
3	26	1,679	-0,450	-10,000	Staa f r.	Rx	min	Co #1 max druk [1] (1,000)	-951,8
							max	Co #2 max trek [1] (1,000)	0
Ext.									
2	16	-0,450	1,679	-10,000	Staa f r.	Rx	min	Co #1 max druk [1] (1,000)	-964,3
2	16	-0,450	1,679	-10,000	Staa f r.		max	Co #2 max trek [1] (1,000)	0

Knoop: Ondersteunde knoop; **Type:** Opleggingstype; **C:** Extreme component; **min. max.:** Extreme type; **Geval:** Belastinggeval van de extreme; **R_x:** X-component opleggingsreactiekracht;

Project

Analysis by

AxisVM X6 R1q · Geregistreerd aan DNV GL - Energy
4P-O ballast.axs

Report

Report, Inhoudsopgave

<i>Onderdeel</i>	<i>Pagina</i>	<i>Onderdeel</i>	<i>Pagina</i>
Tekening render	3	SPLS 3_115 Ba_Ct1: Knoopbelastingen	30
Materialen	4	Gebruiker gedefinieerde belastingcombinaties uit belastinggevallen	30
Profielen	4	[II], Non-lin., Co #5 max druk afk [1] (1,000), Nx, Lijnen (gevuld)(gevuld)	31
Tekening	7	[II], Non-lin., Co #6 max trek afk [1] (1,000), Nx, Lijnen (gevuld)(gevuld)	32
Knopen	7	[II], Non-lin., Omhullende (Alle UGT), Nx, Lijnen (gevuld)	33
Staven	9	[II], Non-lin., Omhullende (Alle UGT), My, Lijnen (gevuld)	34
Knoopopleggingen	12	[II], Non-lin., Omhullende (Alle UGT), Mz, Lijnen (gevuld)	35
Tekening met beddingen	14	[II], Non-lin., Omhullende (Alle UGT), Vz, Lijnen (gevuld)	36
Lijnopleggingen	15	[II], Non-lin., Omhullende (Alle UGT), Vy, Lijnen (gevuld)	37
EG poer	24	Staafrachten [Non-lin., Omhullende (Alle UGT), 1500x900]	38
EG poer: Staaft eigen gewicht	25	Staafrachten [Non-lin., Omhullende (Alle UGT), 400x900]	39
GWS	25	[II], Non-lin., Co #6 max trek afk [1] (1,000), eZ, Lijnen	40
GWS: Knoopbelastingen	26	[II], Non-lin., Omhullende (Alle UGT), eX, Lijnen	41
SLS 7	26	[II], Non-lin., Omhullende (Alle UGT), eY, Lijnen	42
SLS 7: Knoopbelastingen	27	[II], Non-lin., Omhullende (Alle UGT), eZ, Lijnen	43
SPLS_90 Ba_All cts	27	Knoopverplaatsingen [Non-lin., Omhullende (Alle UGT)]	44
SPLS_90 Ba_All cts: Knoopbelastingen	28	[II], Non-lin., Omhullende (Alle UGT), Rx (lijnopp.), Lijnen (gevuld)	45
SPLS 3_0,9_90 Ba_All cts	28	[II], Non-lin., Omhullende (Alle UGT), Ry (lijnopp.), Lijnen (gevuld)	46
SPLS 3_0,9_90 Ba_All cts: Knoopbelastingen	29	[II], Non-lin., Omhullende (Alle UGT), Rz (lijnopp.), Lijnen (gevuld)	47
SPLS 3_115 Ba_Ct1	29	Interne krachten knoopoplegging [Non-lin., Omhullende (Alle UGT)]	48

Project

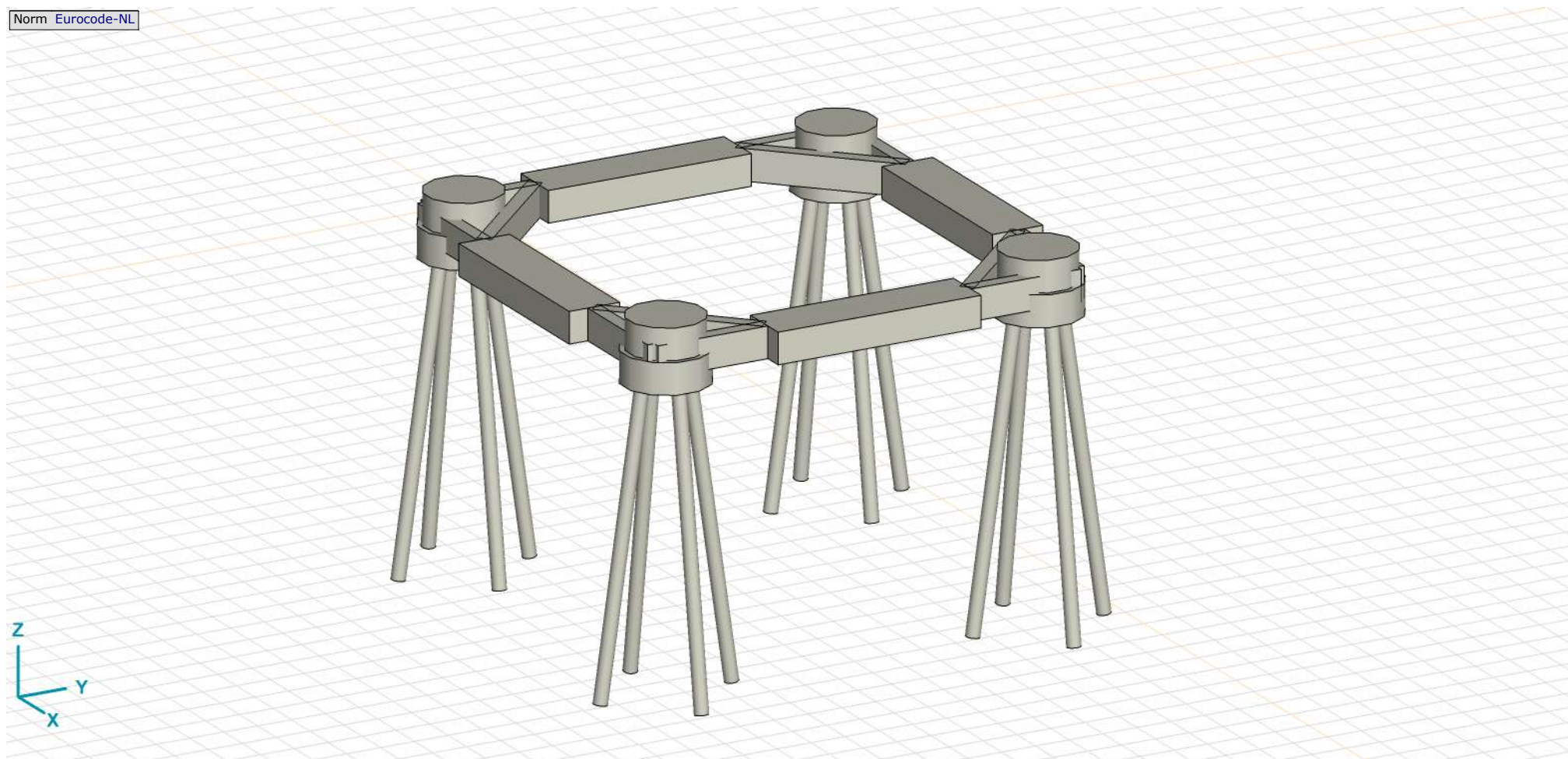
Analysis by

Model: **4P-O ballast.axs**

3-6-2022

Pag. 3

Norm Eurocode-NL



Tekening render

Project





Analysis by

Model: **4P-O ballast.axs**

3-6-2022

Pag. 4

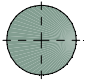
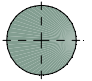
Materialen

	Naam	Type	Nationale norm	Materiaalnorm	Model	E_x [N/mm ²]	E_y [N/mm ²]	ν	α_T [1/°C]	ρ [kg/m ³]	Materiaal kleur	Contour kleur	Structuur	P_1
1	C30/37	Beton	Eurocode-NL	EN 206	Lineair	11000	11000	0,20	1E-5	2500			Concrete A	f_{ck} [N/mm ²] = 30,00
2	S 235	Staal	Eurocode-NL	10025-2	Lineair	210000	210000	0,30	1,2E-5	7850			Steel	f_y [N/mm ²] = 235,00

	Naam	P_2	P_3	P_4	P_5	P_6	P_7	P_8	P_9	P_{10}	P_{11}	P_{12}	P_{13}	P_{14}
1	C30/37	$\gamma_c = 1,500$	$\alpha_{cc} = 1,00$	$\phi_t = 2,00$										
2	S 235	f_u [N/mm ²] = 360,00	f_y [N/mm ²] = 215,00	f_u [N/mm ²] = 360,00										

Naam: Materiaalnaam; **Type:** Type materiaal; **Model:** Materiaal model; **E_x :** Elasticiteitsmodulus in lokale x richting; **E_y :** Elasticiteitsmodulus in lokale y richting; **ν :** Poisson's verhouding; **α_T :** Warmteuitzettingscoëfficiënt; **ρ :** Dichtheid; **Materiaal kleur:** Materiaalkleur; **Contour kleur:** Contourkleur; **$P_1, P_2, P_3, P_4, P_5, P_6, P_7, P_8, P_9, P_{10}, P_{11}, P_{12}, P_{13}, P_{14}$:** Ontwerpparameter;

Profielen

	Naam	Tekening	Productie	Vorm	h [mm]	b [mm]	tw [mm]	tf [mm]	r_1 [mm]	r_2 [mm]	r_3 [mm]	A_x [mm ²]	A_y [mm ²]	A_z [mm ²]
1	O 400		Ander	Rond	400,0	400,0	0	0	0	0	0	125638,20	107689,90	107689,90
2	O 1500		Ander	Rond	1500,0	1500,0	0	0	0	0	0	1766787,00	1514389,00	1514389,00

	Naam	I_x [mm ⁴]	I_y [mm ⁴]	I_z [mm ⁴]	I_{yz} [mm ⁴]	I_1 [mm ⁴]	I_2 [mm ⁴]	α [°]	I_w [mm ⁶]	$W_{1,el,t}$ [mm ³]	$W_{1,el,b}$ [mm ³]	$W_{2,el,t}$ [mm ³]	$W_{2,el,b}$ [mm ³]	$W_{1,pl}$ [mm ³]	$W_{2,pl}$ [mm ³]
1	O 400	2,51E+09	1,26E+09	1,26E+09	0	1,26E+09	1,26E+09	0	0	6280634,00	6280634,00	6280634,00	6280634,00	1,07E+07	1,07E+07
2	O 1500	4,97E+11	2,48E+11	2,48E+11	0	2,48E+11	2,48E+11	0	0	3,31E+08	3,31E+08	3,31E+08	3,31E+08	5,62E+08	5,62E+08

	Naam	i_y [mm]	i_z [mm]	H_y [mm]	H_z [mm]	y_G [mm]	z_G [mm]	y_s [mm]	z_s [mm]	β_y [mm]	β_z [mm]	β_w [mm]	$S.p.$
1	O 400	100,0	100,0	400,0	400,0	200,0	200,0	0	0	0	0	0	5
2	O 1500	375,0	375,0	1500,0	1500,0	750,0	750,0	0	0	0	0	0	5

Project

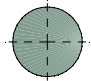
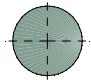
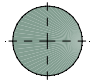
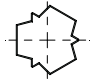
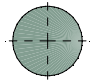
Analysis by

Model: **4P-O ballast.axs**

3-6-2022

Pag. 5

Profielen

	Naam	Tekening	Productie	Vorm	h [mm]	b [mm]	tw [mm]	tf [mm]	r_1 [mm]	r_2 [mm]	r_3 [mm]	A_x [mm ²]	A_y [mm ²]	A_z [mm ²]
3	O 1300		Ander	Rond	1300,0	1300,0	0	0	0	0	0	1327053,00	1137474,00	1137474,00
4	O 2500		Ander	Rond	2500,0	2500,0	0	0	0	0	0	4907742,00	4206636,00	4206636,00
5	O 1800		Ander	Rond	1800,0	1800,0	0	0	0	0	0	2544173,00	2180720,00	2180720,00
6	514x570,1		Ander	Eigen gedefinieerd	570,1	514,0	0	0	0	0	0	15142,80	5219,72	5219,72
7	O 2200		Ander	Rond	2200,0	2200,0	0	0	0	0	0	3800555,00	3257619,00	3257619,00

	Naam	I_x [mm ⁴]	I_y [mm ⁴]	I_z [mm ⁴]	I_{yz} [mm ⁴]	I_1 [mm ⁴]	I_2 [mm ⁴]	α [°]	I_ω [mm ⁶]	$W_{1,el,t}$ [mm ³]	$W_{1,el,b}$ [mm ³]	$W_{2,el,t}$ [mm ³]	$W_{2,el,b}$ [mm ³]	$W_{1,pl}$ [mm ³]	$W_{2,pl}$ [mm ³]
3	O 1300	2,8E+11	1,4E+11	1,4E+11	0	1,4E+11	1,4E+11	0	0	2,16E+08	2,16E+08	2,16E+08	2,16E+08	3,66E+08	3,66E+08
4	O 2500	3,83E+12	1,92E+12	1,92E+12	0	1,92E+12	1,92E+12	0	0	1,53E+09	1,53E+09	1,53E+09	1,53E+09	2,6E+09	2,6E+09
5	O 1800	1,03E+12	5,15E+11	5,15E+11	0	5,15E+11	5,15E+11	0	0	5,72E+08	5,72E+08	5,72E+08	5,72E+08	9,72E+08	9,72E+08
6	514x570,1	6,22E+08	4,6E+08	4,6E+08	0	4,6E+08	4,6E+08	0	2,4E+11	1614516,00	1614516,00	1790846,00	1790845,00	2369310,00	2357912,00
7	O 2200	2,3E+12	1,15E+12	1,15E+12	0	1,15E+12	1,15E+12	0	0	1,04E+09	1,04E+09	1,04E+09	1,04E+09	1,77E+09	1,77E+09

	Naam	i_y [mm]	i_z [mm]	H_y [mm]	H_z [mm]	y_G [mm]	z_G [mm]	y_s [mm]	z_s [mm]	β_y [mm]	β_z [mm]	β_w [mm]	S.p.
3	O 1300	325,0	325,0	1300,0	1300,0	650,0	650,0	0	0	0	0	0	5
4	O 2500	624,9	624,9	2500,0	2500,0	1250,0	1250,0	0	0	0	0	0	5
5	O 1800	450,0	450,0	1800,0	1800,0	900,0	900,0	0	0	0	0	0	5
6	514x570,1	174,3	174,3	514,0	570,1	257,0	285,1	0	0	0	0	0	9
7	O 2200	549,9	549,9	2200,0	2200,0	1100,0	1100,0	0	0	0	0	0	5

Project

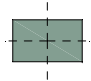
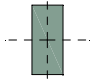
Analysis by

Model: **4P-O ballast.axs**

3-6-2022

Pag. 6

Profielen

	Naam	Tekening	Productie	Vorm	h [mm]	b [mm]	tw [mm]	tf [mm]	r_1 [mm]	r_2 [mm]	r_3 [mm]	A_x [mm ²]	A_y [mm ²]	A_z [mm ²]
8	1500x900		Ander	Recht.	900,0	1500,0	0	0	0	0	0	1350000,00	1125000,00	1125000,00
9	400x900		Ander	Recht.	900,0	400,0	0	0	0	0	0	360000,00	300000,00	300000,00

	Naam	I_x [mm ⁴]	I_y [mm ⁴]	I_z [mm ⁴]	I_{yz} [mm ⁴]	I_1 [mm ⁴]	I_2 [mm ⁴]	α [°]	I_ω [mm ⁶]	$W_{1,el,t}$ [mm ³]	$W_{1,el,b}$ [mm ³]	$W_{2,el,t}$ [mm ³]	$W_{2,el,b}$ [mm ³]	$W_{1,pl}$ [mm ³]	$W_{2,pl}$ [mm ³]
8	1500x900	2,28E+11	9,11E+10	2,53E+11	0	2,53E+11	9,11E+10	90,00	4E+15	3,37E+08	3,37E+08	2,02E+08	2,02E+08	5,06E+08	3,04E+08
9	400x900	1,38E+10	2,43E+10	4,8E+09	0	2,43E+10	4,8E+09	0	1,5E+14	5,4E+07	5,4E+07	2,4E+07	2,4E+07	8,1E+07	3,6E+07

	Naam	i_y [mm]	i_z [mm]	H_y [mm]	H_z [mm]	y_G [mm]	z_G [mm]	y_s [mm]	z_s [mm]	β_y [mm]	β_z [mm]	β_w [mm]	S.p.
8	1500x900	259,8	433,0	1500,0	900,0	750,0	450,0	0	0	0	0	0	5
9	400x900	259,8	115,5	400,0	900,0	200,0	450,0	0	0	0	0	0	5

Naam: Doorsnede naam; **Productie:** Productieproces; **Vorm:** Profiel; **h:** Doorsnede hoogte; **b:** Doorsnede breedte; **tw:** Lijfdikte; **tf:** Flensdikte; **r₁, r₂, r₃:** Afrondingswaarde; **A_x:** Doorsnede-oppervlak; **A_y, A_z:** Afschuivingsoppervlak; **I_x:** Torsietraagheidsmoment; **I_y, I_z:** Buigtraagheidsmoment; **I_{yz}:** Centrifugaal traagheidsmoment; **I₁, I₂:** Hoofdbuigtraagheidsmoment; **α:** Hoofdrichtingen; **I_ω:** Krommingsconstante; **W_{1,el,t}, W_{1,el,b}, W_{2,el,t}, W_{2,el,b}:** Elastisch weerstandsmoment; **W_{1,pl}, W_{2,pl}:** Plastisch weerstandsmoment; **i_y, i_z:** Traagheidsstraal; **H_y:** Afmeting in lokale Y-richting; **H_z:** Afmeting in lokale Z-richting; **y_G:** Y-coördinaat van het zwaartepunt; **z_G:** Z-coördinaat van het zwaartepunt; **y_s:** Y-coördinaat van het afschuivingsmiddelpunt (torsie); **z_s:** Z-coördinaat van het afschuivingsmiddelpunt (torsie); **β_y, β_z, β_w:** Wagner's coëfficiënt; **S.p.:** Spanningspunten;

Project

Analysis by

Model: **4P-O ballast.axs**

3-6-2022

Pag. 8

Knopen

	X [m]	Y [m]	Z [m]		X [m]	Y [m]	Z [m]		X [m]	Y [m]	Z [m]		X [m]	Y [m]	Z [m]		X [m]	Y [m]	Z [m]
6	0	0	0,400	76	0	0	-0,500	151	9,494	0	-7,000	234	9,926	11,000	-4,000	317	0	9,206	-9,000
7	0	0	0	95	-0,750	-0,750	-0,500	153	9,638	0	-6,000	236	10,070	11,000	-3,000	319	0	9,350	-8,000
8	0	-1,938	-10,000	96	-0,750	0	-0,500	155	9,782	0	-5,000	238	10,214	11,000	-2,000	321	0	9,494	-7,000
10	0	-1,794	-9,000	97	0	-0,750	-0,500	157	9,926	0	-4,000	239	11,000	9,062	-10,000	323	0	9,638	-6,000
12	0	-1,650	-8,000	98	11,750	11,750	-0,500	159	10,070	0	-3,000	241	11,000	9,206	-9,000	325	0	9,782	-5,000
14	0	-1,506	-7,000	99	11,750	-0,750	-0,500	161	10,214	0	-2,000	243	11,000	9,350	-8,000	327	0	9,926	-4,000
16	0	-1,362	-6,000	100	-0,750	11,750	-0,500	162	11,000	-1,938	-10,000	245	11,000	9,494	-7,000	329	0	10,070	-3,000
18	0	-1,218	-5,000	101	11,000	11,000	-0,500	164	11,000	-1,794	-9,000	247	11,000	9,638	-6,000	331	0	10,214	-2,000
20	0	-1,074	-4,000	102	11,000	11,750	-0,500	166	11,000	-1,650	-8,000	249	11,000	9,782	-5,000	332	1,938	11,000	-10,000
22	0	-0,930	-3,000	103	11,750	11,000	-0,500	168	11,000	-1,506	-7,000	251	11,000	9,926	-4,000	334	1,794	11,000	-9,000
24	0	-0,786	-2,000	104	11,000	0	-1,400	170	11,000	-1,362	-6,000	253	11,000	10,070	-3,000	336	1,650	11,000	-8,000
25	1,938	0	-10,000	105	11,700	0	-1,400	172	11,000	-1,218	-5,000	255	11,000	10,214	-2,000	338	1,506	11,000	-7,000
27	1,794	0	-9,000	106	11,000	0,700	-1,400	174	11,000	-1,074	-4,000	256	12,938	11,000	-10,000	340	1,362	11,000	-6,000
29	1,650	0	-8,000	107	10,300	0	-1,400	176	11,000	-0,930	-3,000	258	12,794	11,000	-9,000	342	1,218	11,000	-5,000
31	1,506	0	-7,000	108	11,000	-0,700	-1,400	178	11,000	-0,786	-2,000	260	12,650	11,000	-8,000	344	1,074	11,000	-4,000
33	1,362	0	-6,000	109	11,000	0	0,400	179	11,000	0	-0,500	262	12,506	11,000	-7,000	346	0,930	11,000	-3,000
35	1,218	0	-5,000	110	11,000	0	0	198	11,000	11,000	-1,400	264	12,362	11,000	-6,000	348	0,786	11,000	-2,000
37	1,074	0	-4,000	111	12,938	0	-10,000	199	11,000	11,700	-1,400	266	12,218	11,000	-5,000	349	0	12,938	-10,000
39	0,930	0	-3,000	113	12,794	0	-9,000	200	10,300	11,000	-1,400	268	12,074	11,000	-4,000	351	0	12,794	-9,000
41	0,786	0	-2,000	115	12,650	0	-8,000	201	11,000	10,300	-1,400	270	11,930	11,000	-3,000	353	0	12,650	-8,000
42	0	1,938	-10,000	117	12,506	0	-7,000	202	11,700	11,000	-1,400	272	11,786	11,000	-2,000	355	0	12,506	-7,000
44	0	1,794	-9,000	119	12,362	0	-6,000	203	11,000	11,000	0,400	291	0	11,000	-1,400	357	0	12,362	-6,000
46	0	1,650	-8,000	121	12,218	0	-5,000	204	11,000	11,000	0	292	-0,700	11,000	-1,400	359	0	12,218	-5,000
48	0	1,506	-7,000	123	12,074	0	-4,000	205	11,000	12,938	-10,000	293	0	10,300	-1,400	361	0	12,074	-4,000
50	0	1,362	-6,000	125	11,930	0	-3,000	207	11,000	12,794	-9,000	294	0,700	11,000	-1,400	363	0	11,930	-3,000
52	0	1,218	-5,000	127	11,786	0	-2,000	209	11,000	12,650	-8,000	295	0	11,700	-1,400	365	0	11,786	-2,000
54	0	1,074	-4,000	128	11,000	1,938	-10,000	211	11,000	12,506	-7,000	296	0	11,000	0,400	366	0	11,000	-0,500
56	0	0,930	-3,000	130	11,000	1,794	-9,000	213	11,000	12,362	-6,000	297	0	11,000	0	385	2,500	-0,750	-0,500
58	0	0,786	-2,000	132	11,000	1,650	-8,000	215	11,000	12,218	-5,000	298	-1,938	11,000	-10,000	386	-0,750	2,500	-0,500
59	-1,938	0	-10,000	134	11,000	1,506	-7,000	217	11,000	12,074	-4,000	300	-1,794	11,000	-9,000	387	0,875	0,875	-0,500
61	-1,794	0	-9,000	136	11,000	1,362	-6,000	219	11,000	11,930	-3,000	302	-1,650	11,000	-8,000	388	11,750	2,500	-0,500
63	-1,650	0	-8,000	138	11,000	1,218	-5,000	221	11,000	11,786	-2,000	304	-1,506	11,000	-7,000	389	10,125	0,875	-0,500
65	-1,506	0	-7,000	140	11,000	1,074	-4,000	222	9,062	11,000	-10,000	306	-1,362	11,000	-6,000	390	8,500	-0,750	-0,500
67	-1,362	0	-6,000	142	11,000	0,930	-3,000	224	9,206	11,000	-9,000	308	-1,218	11,000	-5,000	391	8,500	11,750	-0,500
69	-1,218	0	-5,000	144	11,000	0,786	-2,000	226	9,350	11,000	-8,000	310	-1,074	11,000	-4,000	392	10,125	10,125	-0,500
71	-1,074	0	-4,000	145	9,062	0	-10,000	228	9,494	11,000	-7,000	312	-0,930	11,000	-3,000	393	11,750	8,500	-0,500
73	-0,930	0	-3,000	147	9,206	0	-9,000	230	9,638	11,000	-6,000	314	-0,786	11,000	-2,000	394	-0,750	8,500	-0,500
75	-0,786	0	-2,000	149	9,350	0	-8,000	232	9,782	11,000	-5,000	315	0	9,062	-10,000	395	0,875	10,125	-0,500

Project

Analysis by

Model: **4P-O ballast.axs**

3-6-2022

Pag. 9

Knopen

	X [m]	Y [m]	Z [m]		X [m]	Y [m]	Z [m]		X [m]	Y [m]	Z [m]		X [m]	Y [m]	Z [m]
396	2,500	11,750	-0,500												

Staven

	Start-punt	Eind-punt	Lengte	Lokaal X	Materiaal	Doorsnede	Ref _z		Start-punt	Eind-punt	Lengte	Lokaal X	Materiaal	Doorsnede	Ref _z
1	7	6	0,400	j - i	C30/37	7	↗ R1	31	69	71	1,010	i - j	C30/37	1	↗ R13
2	8	10	1,010	i - j	C30/37	1	↗ R4	32	71	73	1,010	i - j	C30/37	1	↗ R13
3	10	12	1,010	i - j	C30/37	1	↗ R4	33	73	75	1,010	i - j	C30/37	1	↗ R13
4	12	14	1,010	i - j	C30/37	1	↗ R4	34	76	7	0,500	j - i	C30/37	7	↗ R1
5	14	16	1,010	i - j	C30/37	1	↗ R4	35	24	2	0,606	j - i	C30/37	1	↗ R4
6	16	18	1,010	i - j	C30/37	1	↗ R4	36	41	3	0,606	j - i	C30/37	1	↗ R9
7	18	20	1,010	i - j	C30/37	1	↗ R4	37	58	4	0,606	j - i	C30/37	1	↗ R5
8	20	22	1,010	i - j	C30/37	1	↗ R4	38	1	76	0,900	i - j	C30/37	4	↗ R1
9	22	24	1,010	i - j	C30/37	1	↗ R4	39	75	5	0,606	j - i	C30/37	1	↗ R13
10	25	27	1,010	i - j	C30/37	1	↗ R9	40	110	109	0,400	j - i	C30/37	7	↗ R10
11	27	29	1,010	i - j	C30/37	1	↗ R9	41	111	113	1,010	i - j	C30/37	1	↗ R9
12	29	31	1,010	i - j	C30/37	1	↗ R9	42	113	115	1,010	i - j	C30/37	1	↗ R9
13	31	33	1,010	i - j	C30/37	1	↗ R9	43	115	117	1,010	i - j	C30/37	1	↗ R9
14	33	35	1,010	i - j	C30/37	1	↗ R9	44	117	119	1,010	i - j	C30/37	1	↗ R9
15	35	37	1,010	i - j	C30/37	1	↗ R9	45	119	121	1,010	i - j	C30/37	1	↗ R9
16	37	39	1,010	i - j	C30/37	1	↗ R9	46	121	123	1,010	i - j	C30/37	1	↗ R9
17	39	41	1,010	i - j	C30/37	1	↗ R9	47	123	125	1,010	i - j	C30/37	1	↗ R9
18	42	44	1,010	i - j	C30/37	1	↗ R5	48	125	127	1,010	i - j	C30/37	1	↗ R9
19	44	46	1,010	i - j	C30/37	1	↗ R5	49	128	130	1,010	i - j	C30/37	1	↗ R5
20	46	48	1,010	i - j	C30/37	1	↗ R5	50	130	132	1,010	i - j	C30/37	1	↗ R5
21	48	50	1,010	i - j	C30/37	1	↗ R5	51	132	134	1,010	i - j	C30/37	1	↗ R5
22	50	52	1,010	i - j	C30/37	1	↗ R5	52	134	136	1,010	i - j	C30/37	1	↗ R5
23	52	54	1,010	i - j	C30/37	1	↗ R5	53	136	138	1,010	i - j	C30/37	1	↗ R5
24	54	56	1,010	i - j	C30/37	1	↗ R5	54	138	140	1,010	i - j	C30/37	1	↗ R5
25	56	58	1,010	i - j	C30/37	1	↗ R5	55	140	142	1,010	i - j	C30/37	1	↗ R5
26	59	61	1,010	i - j	C30/37	1	↗ R13	56	142	144	1,010	i - j	C30/37	1	↗ R5
27	61	63	1,010	i - j	C30/37	1	↗ R13	57	145	147	1,010	i - j	C30/37	1	↗ R13
28	63	65	1,010	i - j	C30/37	1	↗ R13	58	147	149	1,010	i - j	C30/37	1	↗ R13
29	65	67	1,010	i - j	C30/37	1	↗ R13	59	149	151	1,010	i - j	C30/37	1	↗ R13
30	67	69	1,010	i - j	C30/37	1	↗ R13	60	151	153	1,010	i - j	C30/37	1	↗ R13

Project

Analysis by

Model: **4P-O ballast.axs**

3-6-2022

Pag. 10

Staven

	Start-punt	Eind-punt	Lengte	Lokaal X	Materiaal	Doorsnede	Ref _z		Start-punt	Eind-punt	Lengte	Lokaal X	Materiaal	Doorsnede	Ref _z
61	153	155	1,010	i - j	C30/37	1	↗ R13	98	243	245	1,010	i - j	C30/37	1	↗ R4
62	155	157	1,010	i - j	C30/37	1	↗ R13	99	245	247	1,010	i - j	C30/37	1	↗ R4
63	157	159	1,010	i - j	C30/37	1	↗ R13	100	247	249	1,010	i - j	C30/37	1	↗ R4
64	159	161	1,010	i - j	C30/37	1	↗ R13	101	249	251	1,010	i - j	C30/37	1	↗ R4
65	162	164	1,010	i - j	C30/37	1	↗ R4	102	251	253	1,010	i - j	C30/37	1	↗ R4
66	164	166	1,010	i - j	C30/37	1	↗ R4	103	253	255	1,010	i - j	C30/37	1	↗ R4
67	166	168	1,010	i - j	C30/37	1	↗ R4	104	256	258	1,010	i - j	C30/37	1	↗ R9
68	168	170	1,010	i - j	C30/37	1	↗ R4	105	258	260	1,010	i - j	C30/37	1	↗ R9
69	170	172	1,010	i - j	C30/37	1	↗ R4	106	260	262	1,010	i - j	C30/37	1	↗ R9
70	172	174	1,010	i - j	C30/37	1	↗ R4	107	262	264	1,010	i - j	C30/37	1	↗ R9
71	174	176	1,010	i - j	C30/37	1	↗ R4	108	264	266	1,010	i - j	C30/37	1	↗ R9
72	176	178	1,010	i - j	C30/37	1	↗ R4	109	266	268	1,010	i - j	C30/37	1	↗ R9
73	179	110	0,500	j - i	C30/37	7	↗ R10	110	268	270	1,010	i - j	C30/37	1	↗ R9
74	127	105	0,606	j - i	C30/37	1	↗ R9	111	270	272	1,010	i - j	C30/37	1	↗ R9
75	144	106	0,606	j - i	C30/37	1	↗ R5	112	101	204	0,500	i - j	C30/37	7	↗ R11
76	161	107	0,606	j - i	C30/37	1	↗ R13	113	221	199	0,606	j - i	C30/37	1	↗ R5
77	104	179	0,900	i - j	C30/37	4	↗ R10	114	238	200	0,606	j - i	C30/37	1	↗ R13
78	178	108	0,606	j - i	C30/37	1	↗ R4	115	255	201	0,606	j - i	C30/37	1	↗ R4
79	204	203	0,400	j - i	C30/37	7	↗ R11	116	198	101	0,900	j - i	C30/37	4	↗ R11
80	205	207	1,010	i - j	C30/37	1	↗ R5	117	272	202	0,606	j - i	C30/37	1	↗ R9
81	207	209	1,010	i - j	C30/37	1	↗ R5	118	297	296	0,400	j - i	C30/37	7	↗ R15
82	209	211	1,010	i - j	C30/37	1	↗ R5	119	298	300	1,010	i - j	C30/37	1	↗ R13
83	211	213	1,010	i - j	C30/37	1	↗ R5	120	300	302	1,010	i - j	C30/37	1	↗ R13
84	213	215	1,010	i - j	C30/37	1	↗ R5	121	302	304	1,010	i - j	C30/37	1	↗ R13
85	215	217	1,010	i - j	C30/37	1	↗ R5	122	304	306	1,010	i - j	C30/37	1	↗ R13
86	217	219	1,010	i - j	C30/37	1	↗ R5	123	306	308	1,010	i - j	C30/37	1	↗ R13
87	219	221	1,010	i - j	C30/37	1	↗ R5	124	308	310	1,010	i - j	C30/37	1	↗ R13
88	222	224	1,010	i - j	C30/37	1	↗ R13	125	310	312	1,010	i - j	C30/37	1	↗ R13
89	224	226	1,010	i - j	C30/37	1	↗ R13	126	312	314	1,010	i - j	C30/37	1	↗ R13
90	226	228	1,010	i - j	C30/37	1	↗ R13	127	315	317	1,010	i - j	C30/37	1	↗ R4
91	228	230	1,010	i - j	C30/37	1	↗ R13	128	317	319	1,010	i - j	C30/37	1	↗ R4
92	230	232	1,010	i - j	C30/37	1	↗ R13	129	319	321	1,010	i - j	C30/37	1	↗ R4
93	232	234	1,010	i - j	C30/37	1	↗ R13	130	321	323	1,010	i - j	C30/37	1	↗ R4
94	234	236	1,010	i - j	C30/37	1	↗ R13	131	323	325	1,010	i - j	C30/37	1	↗ R4
95	236	238	1,010	i - j	C30/37	1	↗ R13	132	325	327	1,010	i - j	C30/37	1	↗ R4
96	239	241	1,010	i - j	C30/37	1	↗ R4	133	327	329	1,010	i - j	C30/37	1	↗ R4
97	241	243	1,010	i - j	C30/37	1	↗ R4	134	329	331	1,010	i - j	C30/37	1	↗ R4

Project

Analysis by

Model: **4P-O ballast.axs**

3-6-2022

Pag. 11

Staven

	Start-punt	Eind-punt	Lengte	Lokaal X	Materiaal	Doorsnede	Ref _Z		Start-punt	Eind-punt	Lengte	Lokaal X	Materiaal	Doorsnede	Ref _Z
135	332	334	1,010	i - j	C30/37	1	↗ R9	158	386	387	2,298	i - j	C30/37	9	Auto
136	334	336	1,010	i - j	C30/37	1	↗ R9	159	389	388	2,298	j - i	C30/37	9	Auto
137	336	338	1,010	i - j	C30/37	1	↗ R9	160	390	389	2,298	j - i	C30/37	9	Auto
138	338	340	1,010	i - j	C30/37	1	↗ R9	161	391	392	2,298	i - j	C30/37	9	Auto
139	340	342	1,010	i - j	C30/37	1	↗ R9	162	392	393	2,298	i - j	C30/37	9	Auto
140	342	344	1,010	i - j	C30/37	1	↗ R9	163	394	395	2,298	i - j	C30/37	9	Auto
141	344	346	1,010	i - j	C30/37	1	↗ R9	164	395	396	2,298	i - j	C30/37	9	Auto
142	346	348	1,010	i - j	C30/37	1	↗ R9	165	95	97	0,750	i - j	C30/37	9	Auto
143	349	351	1,010	i - j	C30/37	1	↗ R5	166	95	96	0,750	i - j	C30/37	9	Auto
144	351	353	1,010	i - j	C30/37	1	↗ R5	167	103	98	0,750	j - i	C30/37	9	Auto
145	353	355	1,010	i - j	C30/37	1	↗ R5	168	102	98	0,750	j - i	C30/37	9	Auto
146	355	357	1,010	i - j	C30/37	1	↗ R5	169	97	385	2,500	i - j	C30/37	9	Auto
147	357	359	1,010	i - j	C30/37	1	↗ R5	170	96	386	2,500	i - j	C30/37	9	Auto
148	359	361	1,010	i - j	C30/37	1	↗ R5	171	99	388	3,250	i - j	C30/37	9	Auto
149	361	363	1,010	i - j	C30/37	1	↗ R5	172	390	99	3,250	j - i	C30/37	9	Auto
150	363	365	1,010	i - j	C30/37	1	↗ R5	173	391	102	2,500	j - i	C30/37	9	Auto
151	366	297	0,500	j - i	C30/37	7	↗ R15	174	393	103	2,500	j - i	C30/37	9	Auto
152	314	292	0,606	j - i	C30/37	1	↗ R13	175	394	100	3,250	j - i	C30/37	9	Auto
153	331	293	0,606	j - i	C30/37	1	↗ R4	176	100	396	3,250	i - j	C30/37	9	Auto
154	348	294	0,606	j - i	C30/37	1	↗ R9	177	385	390	6,000	i - j	C30/37	8	Auto
155	291	366	0,900	i - j	C30/37	4	↗ R15	178	388	393	6,000	i - j	C30/37	8	Auto
156	365	295	0,606	j - i	C30/37	1	↗ R5	179	386	394	6,000	i - j	C30/37	8	Auto
157	385	387	2,298	i - j	C30/37	9	Auto	180	396	391	6,000	j - i	C30/37	8	Auto

Lengte: Elementlengte; Lokaal X: Lokale X-richting; Ref_Z: Referentie voor lokale Z-richting;

Project

Analysis by

Model: **4P-O ballast.axs**

3-6-2022

Pag. 12

Knooppopleggingen

	Knoop	X [m]	Y [m]	Z [m]	Type	Ref. elem.	Naam _x	Veermodel _x	K _x [kN/m]	K _{xV} [kN/m]	NL _x	Grenswaarde _x [kN]	Naam _y	Veermodel _y	K _y [kN/m]
1	8	0	-1,938	-10,000	StAAF r.	StAAF 2	Lineair 1E+5 kN/m	NL elastisch	3E+5	3E+5	Druk Alleen druk	740,0	—	-	-
2	25	1,938	0	-10,000	StAAF r.	StAAF 18	Lineair 1E+5 kN/m	NL elastisch	3E+5	3E+5	Druk Alleen druk	740,0	—	-	-
3	42	0	1,938	-10,000	StAAF r.	StAAF 34	Lineair 1E+5 kN/m	NL elastisch	3E+5	3E+5	Druk Alleen druk	740,0	—	-	-
4	59	-1,938	0	-10,000	StAAF r.	StAAF 50	Lineair 1E+5 kN/m	NL elastisch	3E+5	3E+5	Druk Alleen druk	740,0	—	-	-
5	111	12,938	0	-10,000	StAAF r.	StAAF 95	Lineair 1E+5 kN/m	NL elastisch	3E+5	3E+5	Druk Alleen druk	740,0	—	-	-
6	128	11,000	1,938	-10,000	StAAF r.	StAAF 111	Lineair 1E+5 kN/m	NL elastisch	3E+5	3E+5	Druk Alleen druk	740,0	—	-	-
7	145	9,062	0	-10,000	StAAF r.	StAAF 127	Lineair 1E+5 kN/m	NL elastisch	3E+5	3E+5	Druk Alleen druk	740,0	—	-	-
8	162	11,000	-1,938	-10,000	StAAF r.	StAAF 143	Lineair 1E+5 kN/m	NL elastisch	3E+5	3E+5	Druk Alleen druk	740,0	—	-	-
9	205	11,000	12,938	-10,000	StAAF r.	StAAF 184	Lineair 1E+5 kN/m	NL elastisch	3E+5	3E+5	Druk Alleen druk	740,0	—	-	-
10	222	9,062	11,000	-10,000	StAAF r.	StAAF 200	Lineair 1E+5 kN/m	NL elastisch	3E+5	3E+5	Druk Alleen druk	740,0	—	-	-

	Knoop	K _{yV} [kN/m]	Naam _z	Veermodel _z	K _z [kN/m]	K _{zV} [kN/m]	Naam _{xx}	Veermodel _{xx}	K _{xx} [kNm/rad]	K _{xxV} [kNm/rad]	Naam _{yy}	Veermodel _{yy}	K _{yy} [kNm/rad]	K _{yyV} [kNm/rad]	Naam _{zz}
1	8	-	—	-	-	-	—	-	-	-	—	-	-	-	—
2	25	-	—	-	-	-	—	-	-	-	—	-	-	-	—
3	42	-	—	-	-	-	—	-	-	-	—	-	-	-	—
4	59	-	—	-	-	-	—	-	-	-	—	-	-	-	—
5	111	-	—	-	-	-	—	-	-	-	—	-	-	-	—
6	128	-	—	-	-	-	—	-	-	-	—	-	-	-	—
7	145	-	—	-	-	-	—	-	-	-	—	-	-	-	—
8	162	-	—	-	-	-	—	-	-	-	—	-	-	-	—
9	205	-	—	-	-	-	—	-	-	-	—	-	-	-	—
10	222	-	—	-	-	-	—	-	-	-	—	-	-	-	—

	Knoop	Veermodel _{zz}	K _{zz} [kNm/rad]	K _{zzV} [kNm/rad]	Veermodel _w
1	8	-	-	-	-
2	25	-	-	-	-
3	42	-	-	-	-
4	59	-	-	-	-
5	111	-	-	-	-
6	128	-	-	-	-
7	145	-	-	-	-
8	162	-	-	-	-
9	205	-	-	-	-
10	222	-	-	-	-

Project

Analysis by

Model: **4P-O ballast.axs**

3-6-2022

Pag. 13

Knooppopleggingen

	Knoop	X [m]	Y [m]	Z [m]	Type	Ref. elem.	Naam _x	Veermodel _x	K _x [kN/m]	K _{xV} [kN/m]	NL _x	Grenswaarde _x [kN]	Naam _y	Veermodel _y	K _y [kN/m]
11	239	11,000	9,062	-10,000	Staafr.	Staafr. 216	Lineair 1E+5 kN/m	NL elastisch	3E+5	3E+5	Druk Alleen druk	740,0	—	—	—
12	256	12,938	11,000	-10,000	Staafr.	Staafr. 232	Lineair 1E+5 kN/m	NL elastisch	3E+5	3E+5	Druk Alleen druk	740,0	—	—	—
13	298	-1,938	11,000	-10,000	Staafr.	Staafr. 273	Lineair 1E+5 kN/m	NL elastisch	3E+5	3E+5	Druk Alleen druk	740,0	—	—	—
14	315	0	9,062	-10,000	Staafr.	Staafr. 289	Lineair 1E+5 kN/m	NL elastisch	3E+5	3E+5	Druk Alleen druk	740,0	—	—	—
15	332	1,938	11,000	-10,000	Staafr.	Staafr. 305	Lineair 1E+5 kN/m	NL elastisch	3E+5	3E+5	Druk Alleen druk	740,0	—	—	—
16	349	0	12,938	-10,000	Staafr.	Staafr. 321	Lineair 1E+5 kN/m	NL elastisch	3E+5	3E+5	Druk Alleen druk	740,0	—	—	—

	Knoop	K _{yV} [kN/m]	Naam _z	Veermodel _z	K _z [kN/m]	K _{zV} [kN/m]	Naam _{xx}	Veermodel _{xx}	K _{xx} [kNm/rad]	K _{xxV} [kNm/rad]	Naam _{yy}	Veermodel _{yy}	K _{yy} [kNm/rad]	K _{yyV} [kNm/rad]	Naam _{zz}
11	239	—	—	—	—	—	—	—	—	—	—	—	—	—	—
12	256	—	—	—	—	—	—	—	—	—	—	—	—	—	—
13	298	—	—	—	—	—	—	—	—	—	—	—	—	—	—
14	315	—	—	—	—	—	—	—	—	—	—	—	—	—	—
15	332	—	—	—	—	—	—	—	—	—	—	—	—	—	—
16	349	—	—	—	—	—	—	—	—	—	—	—	—	—	—

	Knoop	Veermodel _{zz}	K _{zz} [kNm/rad]	K _{zzV} [kNm/rad]	Veermodel _w
11	239	—	—	—	—
12	256	—	—	—	—
13	298	—	—	—	—
14	315	—	—	—	—
15	332	—	—	—	—
16	349	—	—	—	—

Knoop: Ondersteunde knoop; **Type:** Opleggingstype; **Ref. elem.:** Referentie-element; **Naam_x:** Naam van de veereigenschappen; **Veermodel_x:** Veermodel; **K_x:** Initiële stijfheid; **K_{xV}:** Trillingsstijfheid; **NL_x:** Niet-lineaire parameters; **Grenswaarde_x:** Grenswaarde; **K_y, K_z, K_{xx}, K_{yy}, K_{zz}:** Initiële stijfheid;

Project

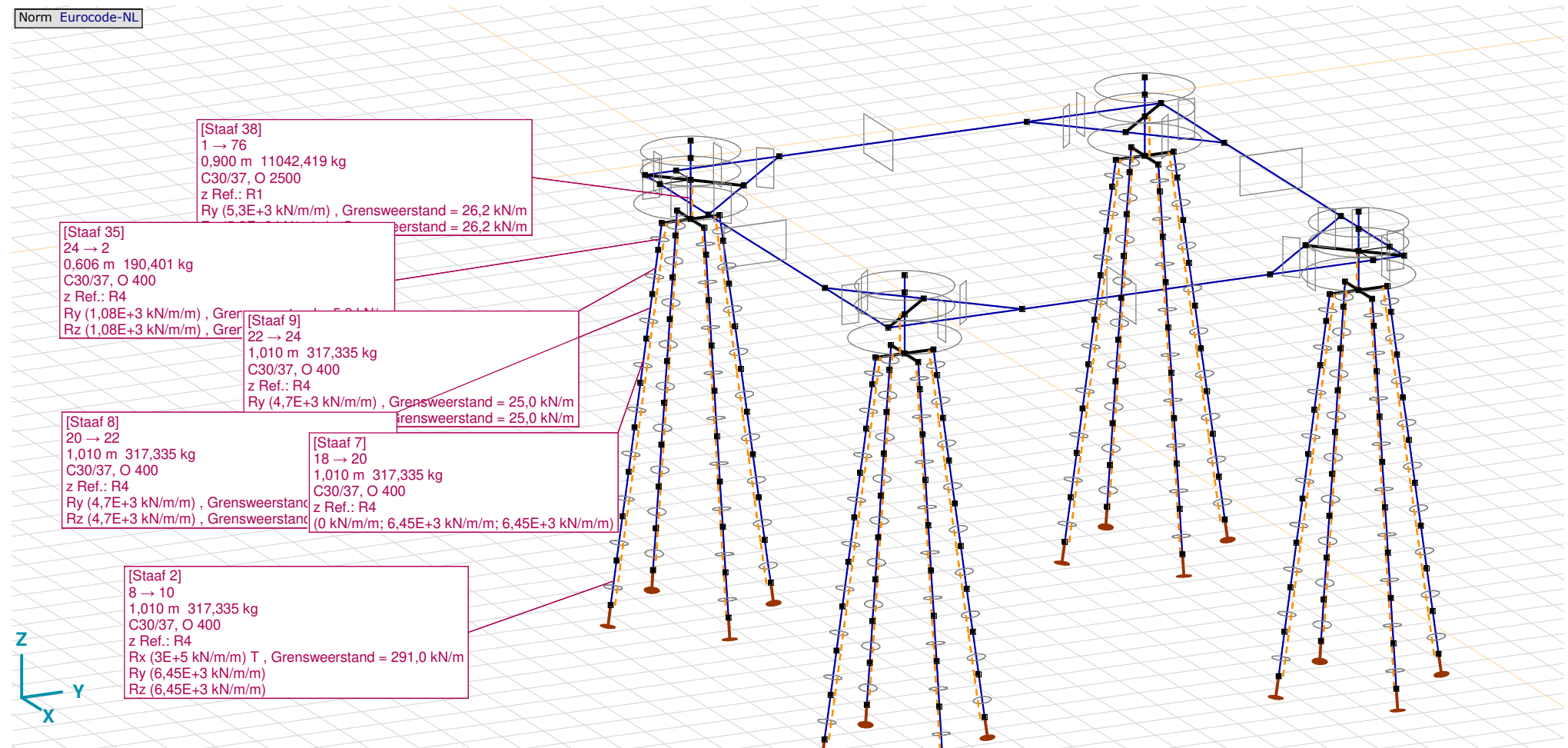
Analysis by

Model: **4P-O ballast.axs**

3-6-2022

Pag. 14

Norm Eurocode-NL



Tekening met beddingen

Project

Analysis by

Model: **4P-O ballast.axs**

3-6-2022

Pag. 15

Lijnopleggingen

	Lijn	Type	Ref. elem.	Rx [kN/m/m]	Ry [kN/m/m]	Rz [kN/m/m]	Rxx [kNm/rad/m]	Ryy [kNm/rad/m]	Rzz [kNm/rad/m]	NL(x)	NL(y)	NL(z)	NL(xx)	NL(yy)	NL(zz)
		StAAF r.													
1	Staaf 2	Staaf r.		3E+5	6,45E+3	6,45E+3				Trek	Symmetrisch	Symmetrisch			
2	Staaf 3	Staaf r.		0	6,45E+3	6,45E+3					Symmetrisch	Symmetrisch			
3	Staaf 4	Staaf r.		0	6,45E+3	6,45E+3					Symmetrisch	Symmetrisch			
4	Staaf 5	Staaf r.		0	6,45E+3	6,45E+3					Symmetrisch	Symmetrisch			
5	Staaf 6	Staaf r.		0	6,45E+3	6,45E+3					Symmetrisch	Symmetrisch			
6	Staaf 7	Staaf r.		0	6,45E+3	6,45E+3					Symmetrisch	Symmetrisch			
7	Staaf 8	Staaf r.		0	4,7E+3	4,7E+3					Symmetrisch	Symmetrisch			
8	Staaf 9	Staaf r.		0	4,7E+3	4,7E+3					Symmetrisch	Symmetrisch			
9	Staaf 10	Staaf r.		3E+5	6,45E+3	6,45E+3				Trek	Symmetrisch	Symmetrisch			
10	Staaf 11	Staaf r.		0	6,45E+3	6,45E+3					Symmetrisch	Symmetrisch			
11	Staaf 12	Staaf r.		0	6,45E+3	6,45E+3					Symmetrisch	Symmetrisch			
12	Staaf 13	Staaf r.		0	6,45E+3	6,45E+3					Symmetrisch	Symmetrisch			
13	Staaf 14	Staaf r.		0	6,45E+3	6,45E+3					Symmetrisch	Symmetrisch			
14	Staaf 15	Staaf r.		0	6,45E+3	6,45E+3					Symmetrisch	Symmetrisch			
15	Staaf 16	Staaf r.		0	4,7E+3	4,7E+3					Symmetrisch	Symmetrisch			
16	Staaf 17	Staaf r.		0	4,7E+3	4,7E+3					Symmetrisch	Symmetrisch			

	Lijn	F(x) [kN/m]	F(y) [kN/m]	F(z) [kN/m]	M(x) [kNm/m]	M(y) [kNm/m]	M(z) [kNm/m]
1	Staaf 2	291,0					
2	Staaf 3						
3	Staaf 4						
4	Staaf 5						
5	Staaf 6						
6	Staaf 7						
7	Staaf 8		65,5	65,5			
8	Staaf 9		25,0	25,0			
9	Staaf 10	291,0					
10	Staaf 11						
11	Staaf 12						
12	Staaf 13						
13	Staaf 14						
14	Staaf 15						
15	Staaf 16		65,5	65,5			
16	Staaf 17		25,0	25,0			

Project

Analysis by

Model: **4P-O ballast.axs**

3-6-2022

Pag. 16

Lijnopleggingen

	Lijn	Type	Ref. elem.	Rx [kN/m/m]	Ry [kN/m/m]	Rz [kN/m/m]	Rxx [kNm/rad/m]	Ryy [kNm/rad/m]	Rzz [kNm/rad/m]	NL(x)	NL(y)	NL(z)	NL(xx)	NL(yy)	NL(zz)
17	Staaaf 18	Staaaf r.		3E+5	6,45E+3	6,45E+3				Trek	Symmetrisch	Symmetrisch			
18	Staaaf 19	Staaaf r.		0	6,45E+3	6,45E+3					Symmetrisch	Symmetrisch			
19	Staaaf 20	Staaaf r.		0	6,45E+3	6,45E+3					Symmetrisch	Symmetrisch			
20	Staaaf 21	Staaaf r.		0	6,45E+3	6,45E+3					Symmetrisch	Symmetrisch			
21	Staaaf 22	Staaaf r.		0	6,45E+3	6,45E+3					Symmetrisch	Symmetrisch			
22	Staaaf 23	Staaaf r.		0	6,45E+3	6,45E+3					Symmetrisch	Symmetrisch			
23	Staaaf 24	Staaaf r.		0	4,7E+3	4,7E+3					Symmetrisch	Symmetrisch			
24	Staaaf 25	Staaaf r.		0	4,7E+3	4,7E+3					Symmetrisch	Symmetrisch			
25	Staaaf 26	Staaaf r.		3E+5	6,45E+3	6,45E+3				Trek	Symmetrisch	Symmetrisch			
26	Staaaf 27	Staaaf r.		0	6,45E+3	6,45E+3					Symmetrisch	Symmetrisch			
27	Staaaf 28	Staaaf r.		0	6,45E+3	6,45E+3					Symmetrisch	Symmetrisch			
28	Staaaf 29	Staaaf r.		0	6,45E+3	6,45E+3					Symmetrisch	Symmetrisch			
29	Staaaf 30	Staaaf r.		0	6,45E+3	6,45E+3					Symmetrisch	Symmetrisch			
30	Staaaf 31	Staaaf r.		0	6,45E+3	6,45E+3					Symmetrisch	Symmetrisch			
31	Staaaf 32	Staaaf r.		0	4,7E+3	4,7E+3					Symmetrisch	Symmetrisch			
32	Staaaf 33	Staaaf r.		0	4,7E+3	4,7E+3					Symmetrisch	Symmetrisch			
33	Staaaf 35	Staaaf r.		0	1,08E+3	1,08E+3					Symmetrisch	Symmetrisch			

	Lijn	F(x) [kN/m]	F(y) [kN/m]	F(z) [kN/m]	M(x) [kNm/m]	M(y) [kNm/m]	M(z) [kNm/m]
17	Staaaf 18	291,0					
18	Staaaf 19						
19	Staaaf 20						
20	Staaaf 21						
21	Staaaf 22						
22	Staaaf 23						
23	Staaaf 24		65,5	65,5			
24	Staaaf 25		25,0	25,0			
25	Staaaf 26	291,0					
26	Staaaf 27						
27	Staaaf 28						
28	Staaaf 29						
29	Staaaf 30						
30	Staaaf 31						
31	Staaaf 32		65,5	65,5			
32	Staaaf 33		25,0	25,0			
33	Staaaf 35		5,3	5,3			

Project

Analysis by

Model: **4P-O ballast.axs**

3-6-2022

Pag. 17

Lijnopleggingen

	Lijn	Type	Ref. elem.	Rx [kN/m/m]	Ry [kN/m/m]	Rz [kN/m/m]	Rxx [kNm/rad/m]	Ryy [kNm/rad/m]	Rzz [kNm/rad/m]	NL(x)	NL(y)	NL(z)	NL(xx)	NL(yy)	NL(zz)
34	Staaaf 36	Staaaf r.		0	1,08E+3	1,08E+3					Symmetrisch	Symmetrisch			
35	Staaaf 37	Staaaf r.		0	1,08E+3	1,08E+3					Symmetrisch	Symmetrisch			
36	Staaaf 38	Staaaf r.		0	5,3E+3	5,3E+3					Symmetrisch	Symmetrisch			
37	Staaaf 39	Staaaf r.		0	1,08E+3	1,08E+3					Symmetrisch	Symmetrisch			
38	Staaaf 41	Staaaf r.		3E+5	6,45E+3	6,45E+3				Trek	Symmetrisch	Symmetrisch			
39	Staaaf 42	Staaaf r.		0	6,45E+3	6,45E+3					Symmetrisch	Symmetrisch			
40	Staaaf 43	Staaaf r.		0	6,45E+3	6,45E+3					Symmetrisch	Symmetrisch			
41	Staaaf 44	Staaaf r.		0	6,45E+3	6,45E+3					Symmetrisch	Symmetrisch			
42	Staaaf 45	Staaaf r.		0	6,45E+3	6,45E+3					Symmetrisch	Symmetrisch			
43	Staaaf 46	Staaaf r.		0	6,45E+3	6,45E+3					Symmetrisch	Symmetrisch			
44	Staaaf 47	Staaaf r.		0	4,7E+3	4,7E+3					Symmetrisch	Symmetrisch			
45	Staaaf 48	Staaaf r.		0	4,7E+3	4,7E+3					Symmetrisch	Symmetrisch			
46	Staaaf 49	Staaaf r.		3E+5	6,45E+3	6,45E+3				Trek	Symmetrisch	Symmetrisch			
47	Staaaf 50	Staaaf r.		0	6,45E+3	6,45E+3					Symmetrisch	Symmetrisch			
48	Staaaf 51	Staaaf r.		0	6,45E+3	6,45E+3					Symmetrisch	Symmetrisch			
49	Staaaf 52	Staaaf r.		0	6,45E+3	6,45E+3					Symmetrisch	Symmetrisch			
50	Staaaf 53	Staaaf r.		0	6,45E+3	6,45E+3					Symmetrisch	Symmetrisch			

	Lijn	F(x) [kN/m]	F(y) [kN/m]	F(z) [kN/m]	M(x) [kNm/m]	M(y) [kNm/m]	M(z) [kNm/m]
34	Staaaf 36		5,3	5,3			
35	Staaaf 37		5,3	5,3			
36	Staaaf 38		26,2	26,2			
37	Staaaf 39		5,3	5,3			
38	Staaaf 41	291,0					
39	Staaaf 42						
40	Staaaf 43						
41	Staaaf 44						
42	Staaaf 45						
43	Staaaf 46						
44	Staaaf 47		65,5	65,5			
45	Staaaf 48		25,0	25,0			
46	Staaaf 49	291,0					
47	Staaaf 50						
48	Staaaf 51						
49	Staaaf 52						
50	Staaaf 53						

Project

Analysis by

Model: **4P-O ballast.axs**

3-6-2022

Pag. 18

Lijnopleggingen

	Lijn	Type	Ref. elem.	Rx [kN/m/m]	Ry [kN/m/m]	Rz [kN/m/m]	Rxx [kNm/rad/m]	Ryy [kNm/rad/m]	Rzz [kNm/rad/m]	NL(x)	NL(y)	NL(z)	NL(xx)	NL(yy)	NL(zz)
51	Staaaf 54	Staaaf r.		0	6,45E+3	6,45E+3					Symmetrisch	Symmetrisch			
52	Staaaf 55	Staaaf r.		0	4,7E+3	4,7E+3					Symmetrisch	Symmetrisch			
53	Staaaf 56	Staaaf r.		0	4,7E+3	4,7E+3					Symmetrisch	Symmetrisch			
54	Staaaf 57	Staaaf r.		3E+5	6,45E+3	6,45E+3				Trek	Symmetrisch	Symmetrisch			
55	Staaaf 58	Staaaf r.		0	6,45E+3	6,45E+3					Symmetrisch	Symmetrisch			
56	Staaaf 59	Staaaf r.		0	6,45E+3	6,45E+3					Symmetrisch	Symmetrisch			
57	Staaaf 60	Staaaf r.		0	6,45E+3	6,45E+3					Symmetrisch	Symmetrisch			
58	Staaaf 61	Staaaf r.		0	6,45E+3	6,45E+3					Symmetrisch	Symmetrisch			
59	Staaaf 62	Staaaf r.		0	6,45E+3	6,45E+3					Symmetrisch	Symmetrisch			
60	Staaaf 63	Staaaf r.		0	4,7E+3	4,7E+3					Symmetrisch	Symmetrisch			
61	Staaaf 64	Staaaf r.		0	4,7E+3	4,7E+3					Symmetrisch	Symmetrisch			
62	Staaaf 65	Staaaf r.		3E+5	6,45E+3	6,45E+3				Trek	Symmetrisch	Symmetrisch			
63	Staaaf 66	Staaaf r.		0	6,45E+3	6,45E+3					Symmetrisch	Symmetrisch			
64	Staaaf 67	Staaaf r.		0	6,45E+3	6,45E+3					Symmetrisch	Symmetrisch			
65	Staaaf 68	Staaaf r.		0	6,45E+3	6,45E+3					Symmetrisch	Symmetrisch			
66	Staaaf 69	Staaaf r.		0	6,45E+3	6,45E+3					Symmetrisch	Symmetrisch			
67	Staaaf 70	Staaaf r.		0	6,45E+3	6,45E+3					Symmetrisch	Symmetrisch			

	Lijn	F(x) [kN/m]	F(y) [kN/m]	F(z) [kN/m]	M(x) [kNm/m]	M(y) [kNm/m]	M(z) [kNm/m]
51	Staaaf 54						
52	Staaaf 55		65,5	65,5			
53	Staaaf 56		25,0	25,0			
54	Staaaf 57	291,0					
55	Staaaf 58						
56	Staaaf 59						
57	Staaaf 60						
58	Staaaf 61						
59	Staaaf 62						
60	Staaaf 63		65,5	65,5			
61	Staaaf 64		25,0	25,0			
62	Staaaf 65	291,0					
63	Staaaf 66						
64	Staaaf 67						
65	Staaaf 68						
66	Staaaf 69						
67	Staaaf 70						

Project

Analysis by

Model: **4P-O ballast.axs**

3-6-2022

Pag. 19

Lijnopleggingen

	Lijn	Type	Ref. elem.	Rx [kN/m/m]	Ry [kN/m/m]	Rz [kN/m/m]	Rxx [kNm/rad/m]	Ryy [kNm/rad/m]	Rzz [kNm/rad/m]	NL(x)	NL(y)	NL(z)	NL(xx)	NL(yy)	NL(zz)
68	Staaaf 71	Staaaf r.		0	4,7E+3	4,7E+3					Symmetrisch	Symmetrisch			
69	Staaaf 72	Staaaf r.		0	4,7E+3	4,7E+3					Symmetrisch	Symmetrisch			
70	Staaaf 74	Staaaf r.		0	1,08E+3	1,08E+3					Symmetrisch	Symmetrisch			
71	Staaaf 75	Staaaf r.		0	1,08E+3	1,08E+3					Symmetrisch	Symmetrisch			
72	Staaaf 76	Staaaf r.		0	1,08E+3	1,08E+3					Symmetrisch	Symmetrisch			
73	Staaaf 77	Staaaf r.		0	5,3E+3	5,3E+3					Symmetrisch	Symmetrisch			
74	Staaaf 78	Staaaf r.		0	1,08E+3	1,08E+3					Symmetrisch	Symmetrisch			
75	Staaaf 80	Staaaf r.		3E+5	6,45E+3	6,45E+3				Trek	Symmetrisch	Symmetrisch			
76	Staaaf 81	Staaaf r.		0	6,45E+3	6,45E+3					Symmetrisch	Symmetrisch			
77	Staaaf 82	Staaaf r.		0	6,45E+3	6,45E+3					Symmetrisch	Symmetrisch			
78	Staaaf 83	Staaaf r.		0	6,45E+3	6,45E+3					Symmetrisch	Symmetrisch			
79	Staaaf 84	Staaaf r.		0	6,45E+3	6,45E+3					Symmetrisch	Symmetrisch			
80	Staaaf 85	Staaaf r.		0	6,45E+3	6,45E+3					Symmetrisch	Symmetrisch			
81	Staaaf 86	Staaaf r.		0	4,7E+3	4,7E+3					Symmetrisch	Symmetrisch			
82	Staaaf 87	Staaaf r.		0	4,7E+3	4,7E+3					Symmetrisch	Symmetrisch			
83	Staaaf 88	Staaaf r.		3E+5	6,45E+3	6,45E+3				Trek	Symmetrisch	Symmetrisch			
84	Staaaf 89	Staaaf r.		0	6,45E+3	6,45E+3					Symmetrisch	Symmetrisch			

	Lijn	F(x) [kN/m]	F(y) [kN/m]	F(z) [kN/m]	M(x) [kNm/m]	M(y) [kNm/m]	M(z) [kNm/m]
68	Staaaf 71		65,5	65,5			
69	Staaaf 72		25,0	25,0			
70	Staaaf 74		5,3	5,3			
71	Staaaf 75		5,3	5,3			
72	Staaaf 76		5,3	5,3			
73	Staaaf 77		26,2	26,2			
74	Staaaf 78		5,3	5,3			
75	Staaaf 80	291,0					
76	Staaaf 81						
77	Staaaf 82						
78	Staaaf 83						
79	Staaaf 84						
80	Staaaf 85						
81	Staaaf 86		65,5	65,5			
82	Staaaf 87		25,0	25,0			
83	Staaaf 88	291,0					
84	Staaaf 89						

Project

Analysis by

Model: **4P-O ballast.axs**

3-6-2022

Pag. 20

Lijnopleggingen

	Lijn	Type	Ref. elem.	Rx [kN/m/m]	Ry [kN/m/m]	Rz [kN/m/m]	Rxx [kNm/rad/m]	Ryy [kNm/rad/m]	Rzz [kNm/rad/m]	NL(x)	NL(y)	NL(z)	NL(xx)	NL(yy)	NL(zz)
85	Staaf 90	Staaf r.		0	6,45E+3	6,45E+3					Symmetrisch	Symmetrisch			
86	Staaf 91	Staaf r.		0	6,45E+3	6,45E+3					Symmetrisch	Symmetrisch			
87	Staaf 92	Staaf r.		0	6,45E+3	6,45E+3					Symmetrisch	Symmetrisch			
88	Staaf 93	Staaf r.		0	6,45E+3	6,45E+3					Symmetrisch	Symmetrisch			
89	Staaf 94	Staaf r.		0	4,7E+3	4,7E+3					Symmetrisch	Symmetrisch			
90	Staaf 95	Staaf r.		0	4,7E+3	4,7E+3					Symmetrisch	Symmetrisch			
91	Staaf 96	Staaf r.		3E+5	6,45E+3	6,45E+3				Trek	Symmetrisch	Symmetrisch			
92	Staaf 97	Staaf r.		0	6,45E+3	6,45E+3					Symmetrisch	Symmetrisch			
93	Staaf 98	Staaf r.		0	6,45E+3	6,45E+3					Symmetrisch	Symmetrisch			
94	Staaf 99	Staaf r.		0	6,45E+3	6,45E+3					Symmetrisch	Symmetrisch			
95	Staaf 100	Staaf r.		0	6,45E+3	6,45E+3					Symmetrisch	Symmetrisch			
96	Staaf 101	Staaf r.		0	6,45E+3	6,45E+3					Symmetrisch	Symmetrisch			
97	Staaf 102	Staaf r.		0	4,7E+3	4,7E+3					Symmetrisch	Symmetrisch			
98	Staaf 103	Staaf r.		0	4,7E+3	4,7E+3					Symmetrisch	Symmetrisch			
99	Staaf 104	Staaf r.		3E+5	6,45E+3	6,45E+3				Trek	Symmetrisch	Symmetrisch			
100	Staaf 105	Staaf r.		0	6,45E+3	6,45E+3					Symmetrisch	Symmetrisch			
101	Staaf 106	Staaf r.		0	6,45E+3	6,45E+3					Symmetrisch	Symmetrisch			

	Lijn	F(x) [kN/m]	F(y) [kN/m]	F(z) [kN/m]	M(x) [kNm/m]	M(y) [kNm/m]	M(z) [kNm/m]
85	Staaf 90						
86	Staaf 91						
87	Staaf 92						
88	Staaf 93						
89	Staaf 94		65,5	65,5			
90	Staaf 95		25,0	25,0			
91	Staaf 96	291,0					
92	Staaf 97						
93	Staaf 98						
94	Staaf 99						
95	Staaf 100						
96	Staaf 101						
97	Staaf 102		65,5	65,5			
98	Staaf 103		25,0	25,0			
99	Staaf 104	291,0					
100	Staaf 105						
101	Staaf 106						

Project

Analysis by

Model: **4P-O ballast.axs**

3-6-2022

Pag. 21

Lijnopleggingen

	Lijn	Type	Ref. elem.	Rx [kN/m/m]	Ry [kN/m/m]	Rz [kN/m/m]	Rxx [kNm/rad/m]	Ryy [kNm/rad/m]	Rzz [kNm/rad/m]	NL(x)	NL(y)	NL(z)	NL(xx)	NL(yy)	NL(zz)
102	Staafl 107	Staafl r.		0	6,45E+3	6,45E+3					Symmetrisch	Symmetrisch			
103	Staafl 108	Staafl r.		0	6,45E+3	6,45E+3					Symmetrisch	Symmetrisch			
104	Staafl 109	Staafl r.		0	6,45E+3	6,45E+3					Symmetrisch	Symmetrisch			
105	Staafl 110	Staafl r.		0	4,7E+3	4,7E+3					Symmetrisch	Symmetrisch			
106	Staafl 111	Staafl r.		0	4,7E+3	4,7E+3					Symmetrisch	Symmetrisch			
107	Staafl 113	Staafl r.		0	1,08E+3	1,08E+3					Symmetrisch	Symmetrisch			
108	Staafl 114	Staafl r.		0	1,08E+3	1,08E+3					Symmetrisch	Symmetrisch			
109	Staafl 115	Staafl r.		0	1,08E+3	1,08E+3					Symmetrisch	Symmetrisch			
110	Staafl 116	Staafl r.		0	5,3E+3	5,3E+3					Symmetrisch	Symmetrisch			
111	Staafl 117	Staafl r.		0	1,08E+3	1,08E+3					Symmetrisch	Symmetrisch			
112	Staafl 119	Staafl r.		3E+5	6,45E+3	6,45E+3				Trek	Symmetrisch	Symmetrisch			
113	Staafl 120	Staafl r.		0	6,45E+3	6,45E+3					Symmetrisch	Symmetrisch			
114	Staafl 121	Staafl r.		0	6,45E+3	6,45E+3					Symmetrisch	Symmetrisch			
115	Staafl 122	Staafl r.		0	6,45E+3	6,45E+3					Symmetrisch	Symmetrisch			
116	Staafl 123	Staafl r.		0	6,45E+3	6,45E+3					Symmetrisch	Symmetrisch			
117	Staafl 124	Staafl r.		0	6,45E+3	6,45E+3					Symmetrisch	Symmetrisch			
118	Staafl 125	Staafl r.		0	4,7E+3	4,7E+3					Symmetrisch	Symmetrisch			

	Lijn	F(x) [kN/m]	F(y) [kN/m]	F(z) [kN/m]	M(x) [kNm/m]	M(y) [kNm/m]	M(z) [kNm/m]
102	Staafl 107						
103	Staafl 108						
104	Staafl 109						
105	Staafl 110		65,5	65,5			
106	Staafl 111		25,0	25,0			
107	Staafl 113		5,3	5,3			
108	Staafl 114		5,3	5,3			
109	Staafl 115		5,3	5,3			
110	Staafl 116		26,2	26,2			
111	Staafl 117		5,3	5,3			
112	Staafl 119	291,0					
113	Staafl 120						
114	Staafl 121						
115	Staafl 122						
116	Staafl 123						
117	Staafl 124						
118	Staafl 125		65,5	65,5			

Project

Analysis by

Model: **4P-O ballast.axs**

3-6-2022

Pag. 22

Lijnopleggingen

	Lijn	Type	Ref. elem.	Rx [kN/m/m]	Ry [kN/m/m]	Rz [kN/m/m]	Rxx [kNm/rad/m]	Ryy [kNm/rad/m]	Rzz [kNm/rad/m]	NL(x)	NL(y)	NL(z)	NL(xx)	NL(yy)	NL(zz)
119	Staafl 126	Staafl r.		0	4,7E+3	4,7E+3					Symmetrisch	Symmetrisch			
120	Staafl 127	Staafl r.		3E+5	6,45E+3	6,45E+3				Trek	Symmetrisch	Symmetrisch			
121	Staafl 128	Staafl r.		0	6,45E+3	6,45E+3					Symmetrisch	Symmetrisch			
122	Staafl 129	Staafl r.		0	6,45E+3	6,45E+3					Symmetrisch	Symmetrisch			
123	Staafl 130	Staafl r.		0	6,45E+3	6,45E+3					Symmetrisch	Symmetrisch			
124	Staafl 131	Staafl r.		0	6,45E+3	6,45E+3					Symmetrisch	Symmetrisch			
125	Staafl 132	Staafl r.		0	6,45E+3	6,45E+3					Symmetrisch	Symmetrisch			
126	Staafl 133	Staafl r.		0	4,7E+3	4,7E+3					Symmetrisch	Symmetrisch			
127	Staafl 134	Staafl r.		0	4,7E+3	4,7E+3					Symmetrisch	Symmetrisch			
128	Staafl 135	Staafl r.		3E+5	6,45E+3	6,45E+3				Trek	Symmetrisch	Symmetrisch			
129	Staafl 136	Staafl r.		0	6,45E+3	6,45E+3					Symmetrisch	Symmetrisch			
130	Staafl 137	Staafl r.		0	6,45E+3	6,45E+3					Symmetrisch	Symmetrisch			
131	Staafl 138	Staafl r.		0	6,45E+3	6,45E+3					Symmetrisch	Symmetrisch			
132	Staafl 139	Staafl r.		0	6,45E+3	6,45E+3					Symmetrisch	Symmetrisch			
133	Staafl 140	Staafl r.		0	6,45E+3	6,45E+3					Symmetrisch	Symmetrisch			
134	Staafl 141	Staafl r.		0	4,7E+3	4,7E+3					Symmetrisch	Symmetrisch			
135	Staafl 142	Staafl r.		0	4,7E+3	4,7E+3					Symmetrisch	Symmetrisch			

	Lijn	F(x) [kN/m]	F(y) [kN/m]	F(z) [kN/m]	M(x) [kNm/m]	M(y) [kNm/m]	M(z) [kNm/m]
119	Staafl 126		25,0	25,0			
120	Staafl 127	291,0					
121	Staafl 128						
122	Staafl 129						
123	Staafl 130						
124	Staafl 131						
125	Staafl 132						
126	Staafl 133		65,5	65,5			
127	Staafl 134		25,0	25,0			
128	Staafl 135	291,0					
129	Staafl 136						
130	Staafl 137						
131	Staafl 138						
132	Staafl 139						
133	Staafl 140						
134	Staafl 141		65,5	65,5			
135	Staafl 142		25,0	25,0			

Project

Analysis by

Model: **4P-O ballast.axs**

3-6-2022

Pag. 23

Lijnopleggingen

	Lijn	Type	Ref. elem.	Rx [kN/m/m]	Ry [kN/m/m]	Rz [kN/m/m]	Rxx [kNm/rad/m]	Ryy [kNm/rad/m]	Rzz [kNm/rad/m]	NL(x)	NL(y)	NL(z)	NL(xx)	NL(yy)	NL(zz)
136	StAAF 143	StAAF r.		3E+5	6,45E+3	6,45E+3				Trek	Symmetrisch	Symmetrisch			
137	StAAF 144	StAAF r.		0	6,45E+3	6,45E+3					Symmetrisch	Symmetrisch			
138	StAAF 145	StAAF r.		0	6,45E+3	6,45E+3					Symmetrisch	Symmetrisch			
139	StAAF 146	StAAF r.		0	6,45E+3	6,45E+3					Symmetrisch	Symmetrisch			
140	StAAF 147	StAAF r.		0	6,45E+3	6,45E+3					Symmetrisch	Symmetrisch			
141	StAAF 148	StAAF r.		0	6,45E+3	6,45E+3					Symmetrisch	Symmetrisch			
142	StAAF 149	StAAF r.		0	4,7E+3	4,7E+3					Symmetrisch	Symmetrisch			
143	StAAF 150	StAAF r.		0	4,7E+3	4,7E+3					Symmetrisch	Symmetrisch			
144	StAAF 152	StAAF r.		0	1,08E+3	1,08E+3					Symmetrisch	Symmetrisch			
145	StAAF 153	StAAF r.		0	1,08E+3	1,08E+3					Symmetrisch	Symmetrisch			
146	StAAF 154	StAAF r.		0	1,08E+3	1,08E+3					Symmetrisch	Symmetrisch			
147	StAAF 155	StAAF r.		0	5,3E+3	5,3E+3					Symmetrisch	Symmetrisch			
148	StAAF 156	StAAF r.		0	1,08E+3	1,08E+3					Symmetrisch	Symmetrisch			

	Lijn	F(x) [kN/m]	F(y) [kN/m]	F(z) [kN/m]	M(x) [kNm/m]	M(y) [kNm/m]	M(z) [kNm/m]
136	StAAF 143	291,0					
137	StAAF 144						
138	StAAF 145						
139	StAAF 146						
140	StAAF 147						
141	StAAF 148						
142	StAAF 149		65,5	65,5			
143	StAAF 150		25,0	25,0			
144	StAAF 152		5,3	5,3			
145	StAAF 153		5,3	5,3			
146	StAAF 154		5,3	5,3			
147	StAAF 155		26,2	26,2			
148	StAAF 156		5,3	5,3			

Lijn: Ondersteund lijnelement; **Type:** Opleggingstype; **Ref. elem.:** Referentie-element; **Rx, Ry, Rz:** Verplaatsingsstijfheid; **Rxx, Ryy, Rzz:** Rotatiestijfheid; **NL(x), NL(y), NL(z), NL(xx), NL(yy), NL(zz):** Niet-lineaire parameters; **F(x):** Weerstand in X-richting; **F(y):** Weerstand in Y-richting; **F(z):** Weerstand in Z-richting; **M(x):** Weerstandsmoment in X-richting; **M(y):** Weerstandsmoment in Y-richting; **M(z):** Weerstandsmoment in Z-richting;

Project

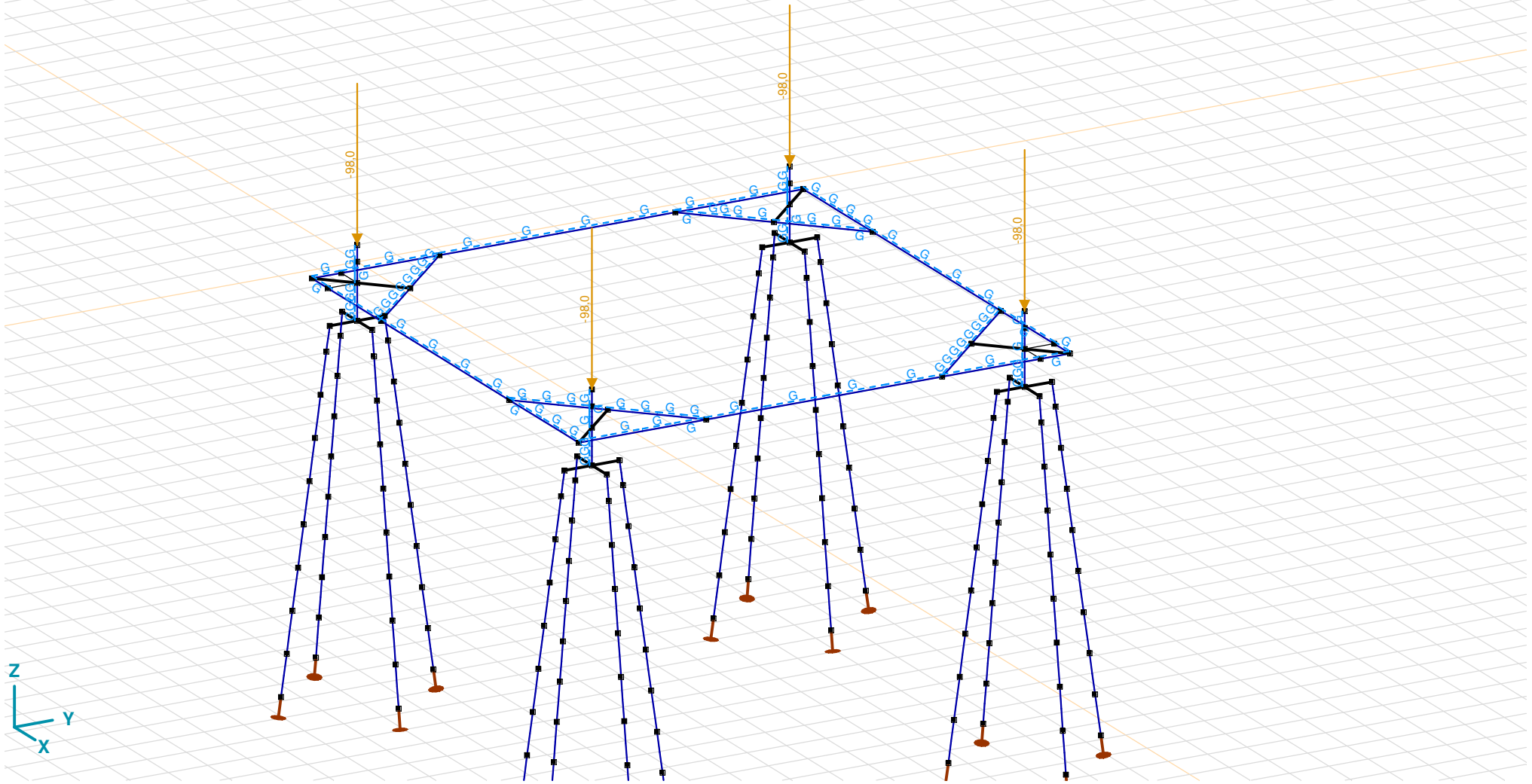
Analysis by

Model: **4P-O ballast.axs**

3-6-2022

Pag. 24

Norm Eurocode-NL
Geval : EG poer



EG poer

Project

Analysis by

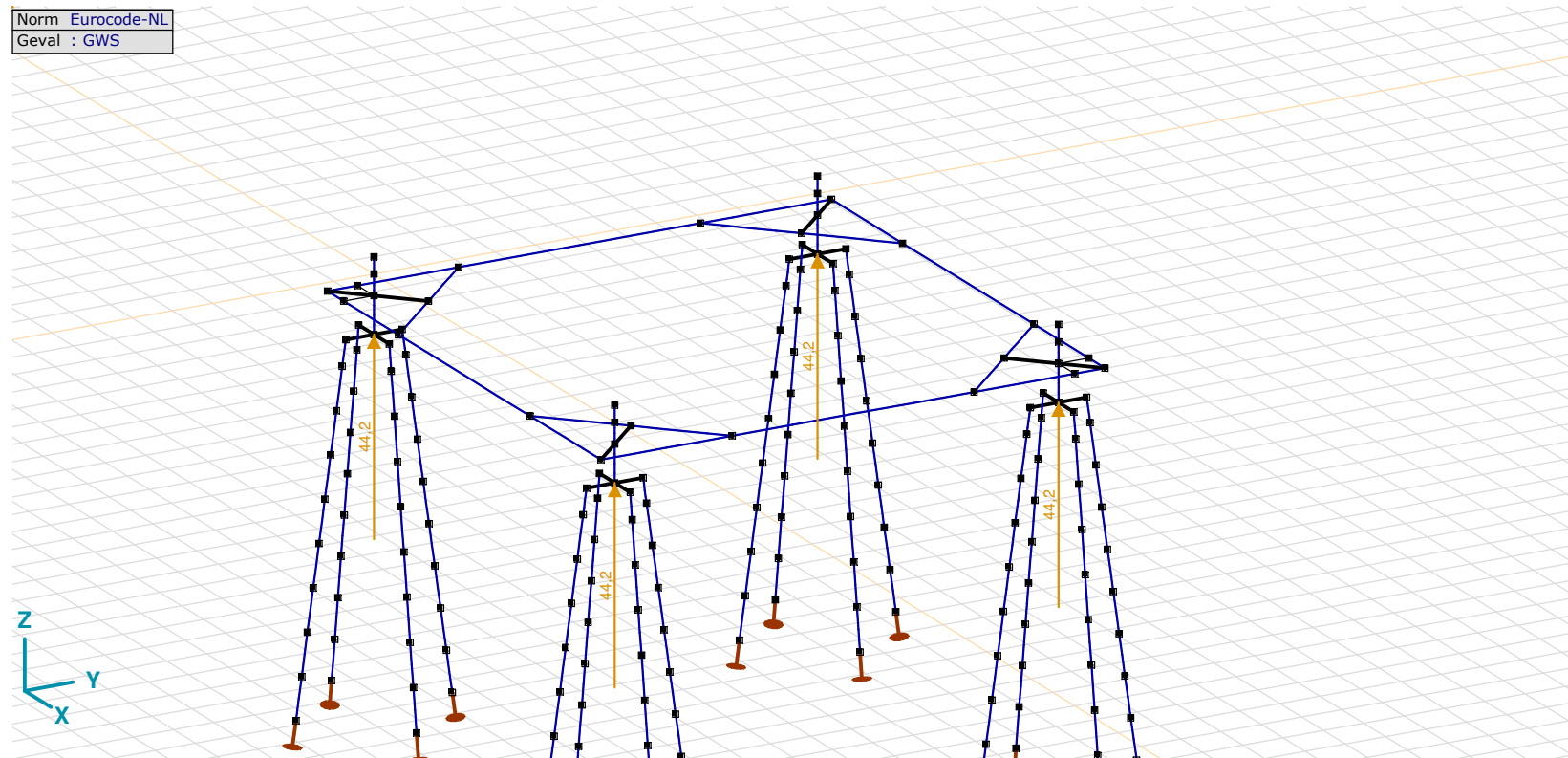
Model: **4P-O ballast.axs**

3-6-2022

Pag. 25

EG poer: Staaf eigen gewicht

	Σ [kg]		Σ [kg]
1	3800,555	248-251	4750,694
66-69	4750,694	264-267	11042,419
82-85	11042,419	272	3800,555
90-94	6500,555	337-340	4750,694
159-162	4750,694	353-356	11042,419
175-178	11042,419	361-428	118246,296
183	3800,555	Totaal	199320,970

 Σ : Totale massa;

GWS

Project

Analysis by

Model: **4P-O ballast.axs**

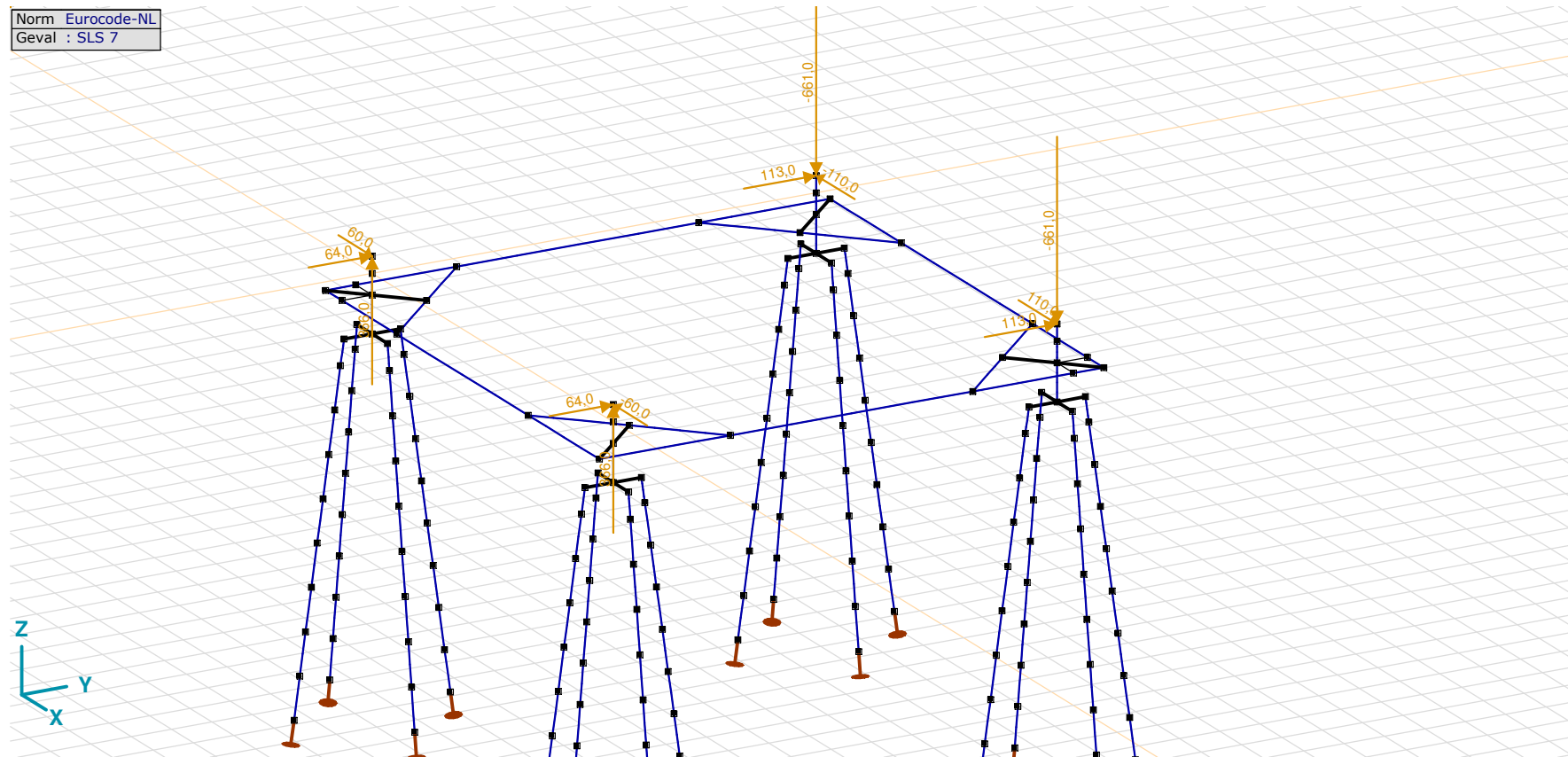
3-6-2022

Pag. 26

GWS: Knoopbelastingen

	Richting	F_x [kN]	F_y [kN]	F_z [kN]	M_x [kNm]	M_y [kNm]	M_z [kNm]
1	Globaal	0	0	44,2	0	0	0
104	Globaal	0	0	44,2	0	0	0
198	Globaal	0	0	44,2	0	0	0
291	Globaal	0	0	44,2	0	0	0

F_x , F_y , F_z : Belastingkracht component; M_x , M_y , M_z : Belastingmoment component;



SLS 7

Project

Analysis by

Model: **4P-O ballast.axs**

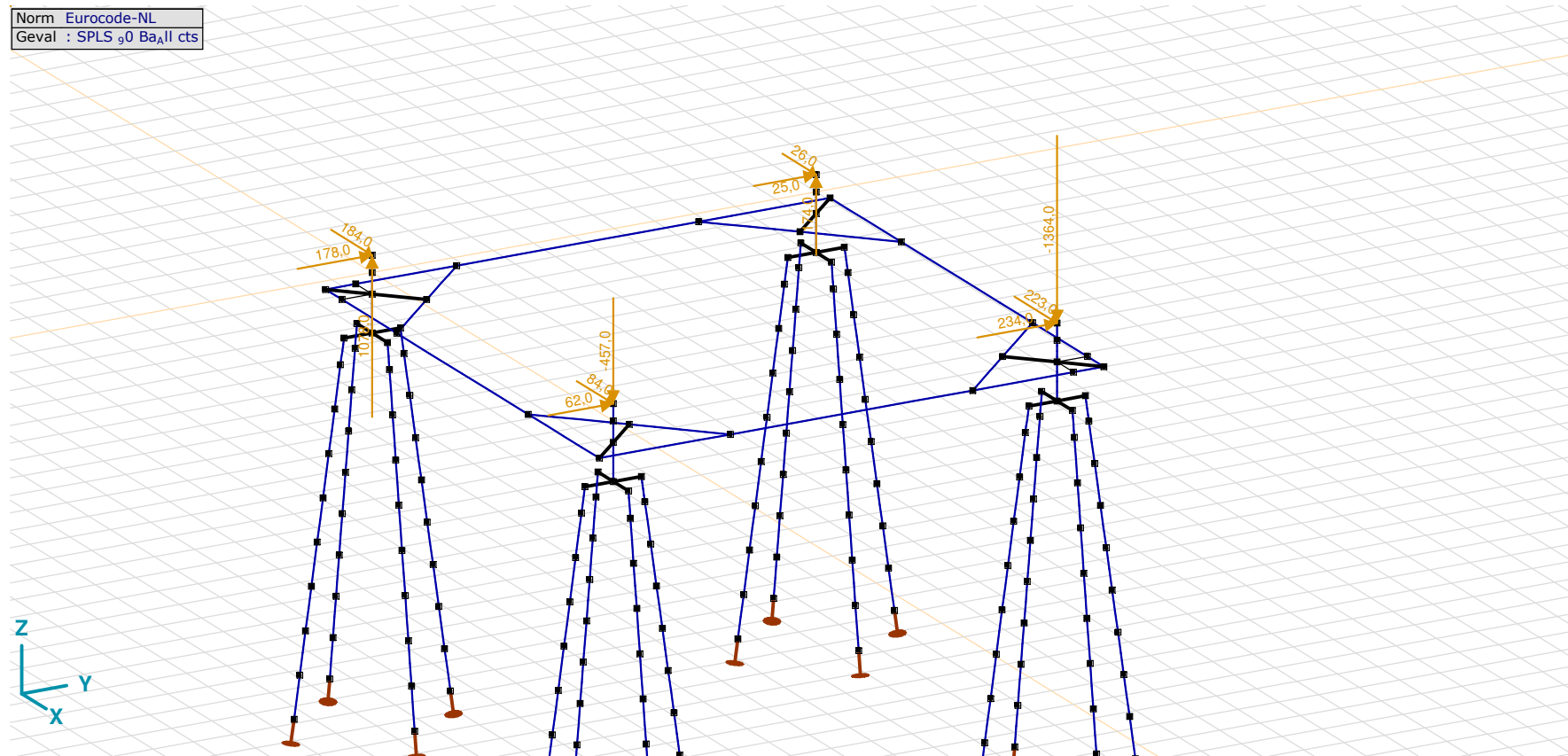
3-6-2022

Pag. 27

SLS 7: Knoopbelastingen

	Richting	F_x [kN]	F_y [kN]	F_z [kN]	M_x [kNm]	M_y [kNm]	M_z [kNm]
6	Globaal	60,0	64,0	366,0	0	0	0
109	Globaal	-60,0	64,0	366,0	0	0	0
203	Globaal	110,0	113,0	-661,0	0	0	0
296	Globaal	-110,0	113,0	-661,0	0	0	0

F_x , F_y , F_z : Belastingkracht component; M_x , M_y , M_z : Belastingmoment component;



SPLS_90 Ba_All cts

Project

Analysis by

Model: **4P-O ballast.axs**

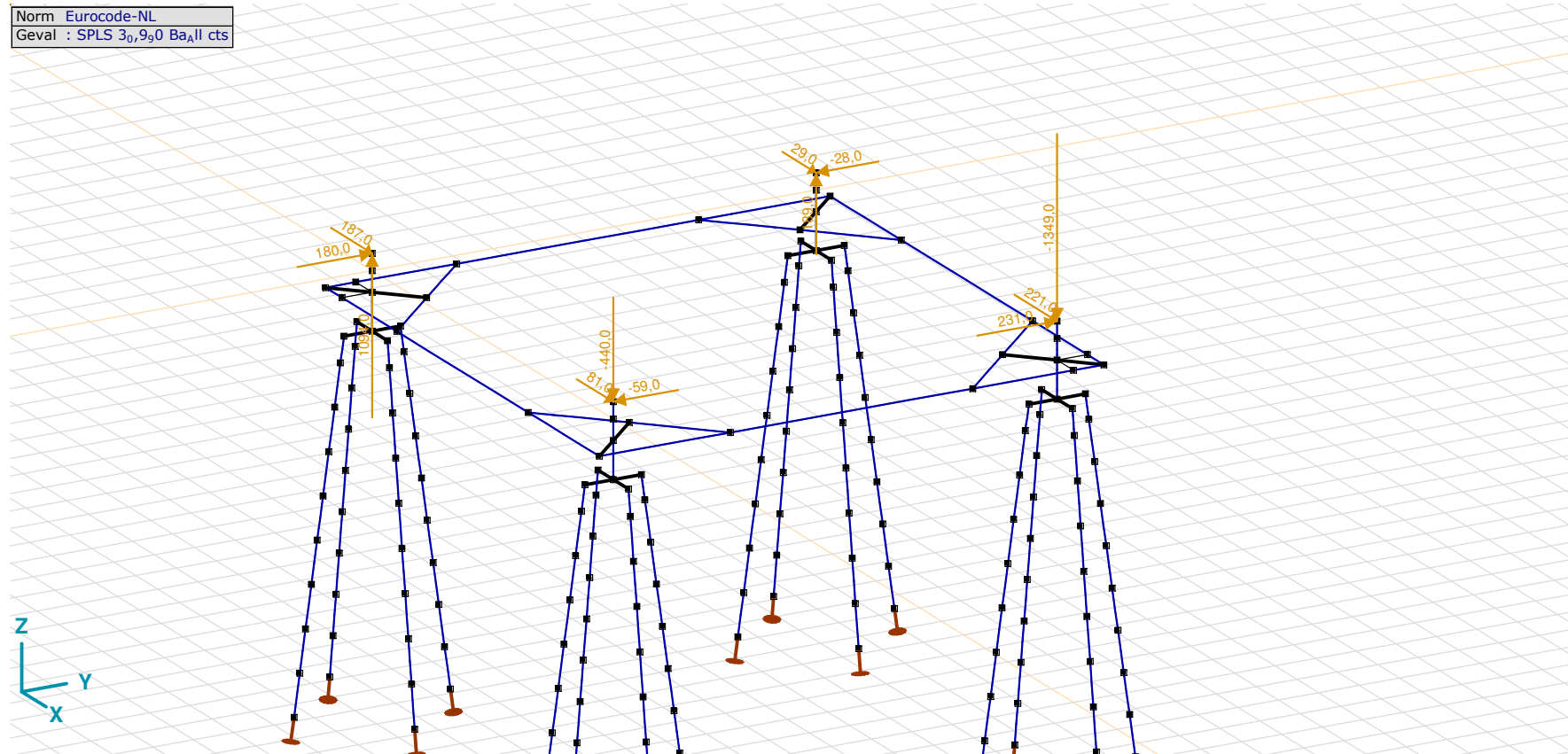
3-6-2022

Pag. 28

SPLS_90 Ba_All cts: Knoopbelastingen

	Richting	F_x [kN]	F_y [kN]	F_z [kN]	M_x [kNm]	M_y [kNm]	M_z [kNm]
6	Globaal	184,0	178,0	1078,0	0	0	0
109	Globaal	84,0	62,0	-457,0	0	0	0
203	Globaal	223,0	234,0	-1364,0	0	0	0
296	Globaal	26,0	25,0	174,0	0	0	0

F_x , F_y , F_z : Belastingkracht component; M_x , M_y , M_z : Belastingmoment component;

SPLS 3_{0,9}0 Ba_{II} cts

Project

Analysis by

Model: **4P-O ballast.axs**

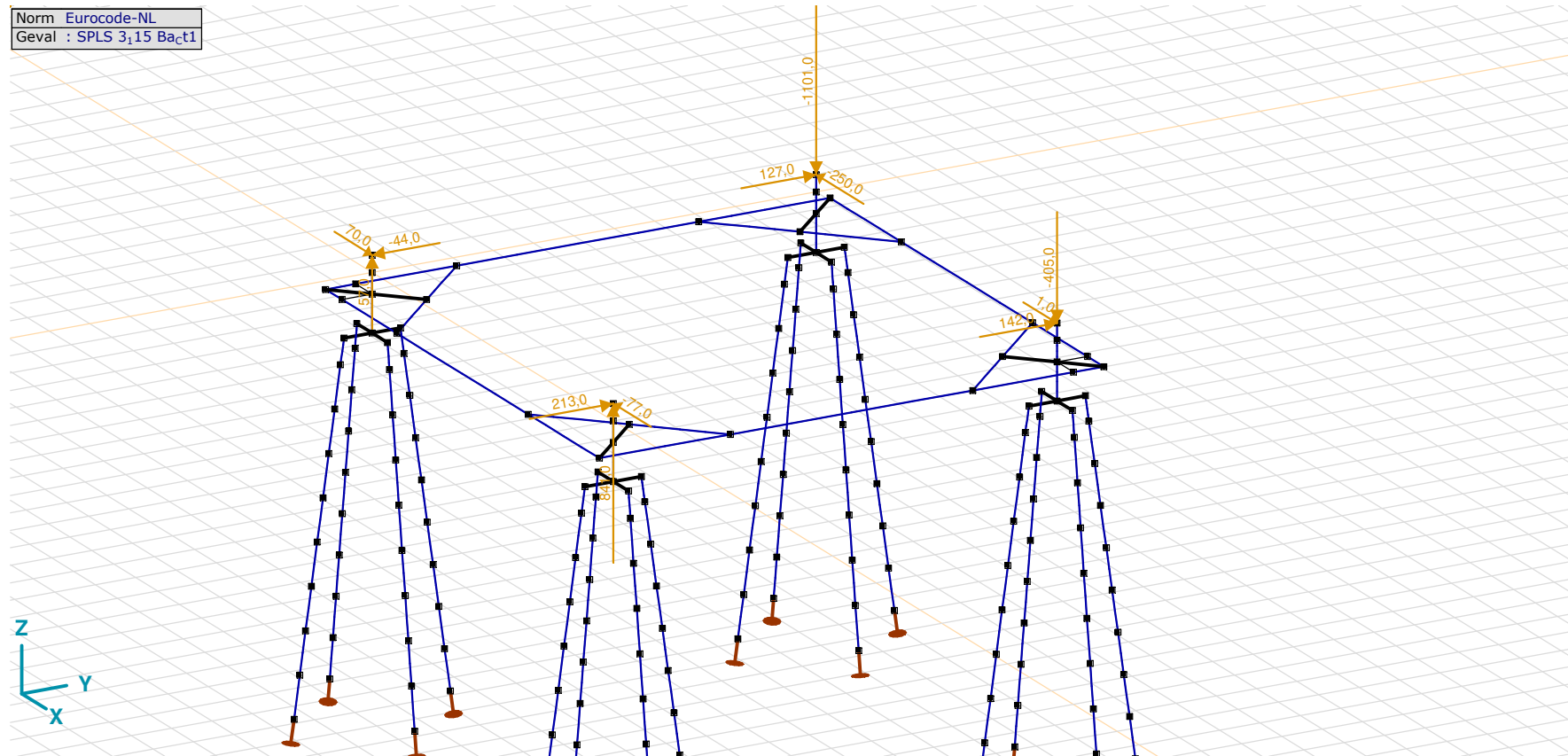
3-6-2022

Pag. 29

SPLS 3_0,9_90 Ba_All cts: Knoopbelastingen

	Richting	F_x [kN]	F_y [kN]	F_z [kN]	M_x [kNm]	M_y [kNm]	M_z [kNm]
6	Globaal	187,0	180,0	1094,0	0	0	0
109	Globaal	81,0	-59,0	-440,0	0	0	0
203	Globaal	221,0	231,0	-1349,0	0	0	0
296	Globaal	29,0	-28,0	189,0	0	0	0

F_x , F_y , F_z : Belastingkracht component; M_x , M_y , M_z : Belastingmoment component;



SPLS 3_115 Ba_Ct1

Project

Analysis by

Model: **4P-O ballast.axs**

3-6-2022 Pag. 30

SPLS 3_115 Ba_Ct1: Knoopbelastingen

	<i>Richting</i>	<i>F_x</i> [kN]	<i>F_y</i> [kN]	<i>F_z</i> [kN]	<i>M_x</i> [kNm]	<i>M_y</i> [kNm]	<i>M_z</i> [kNm]
6	Globaal	70,0	-44,0	57,0	0	0	0
109	Globaal	-77,0	213,0	841,0	0	0	0
203	Globaal	1,0	142,0	-405,0	0	0	0
296	Globaal	-250,0	127,0	-1101,0	0	0	0

F_x, F_y, F_z: Belastingkracht component; **M_x, M_y, M_z**: Belastingsmoment component;

Gebruiker gedefinieerde belastingcombinaties uit belastinggevallen

	<i>Naam</i>	<i>Type</i>	<i>ST1</i>	<i>EG poer</i> (PERM1)	<i>GWS</i> (PERM1)	<i>SLS 7</i> (PERM1)	<i>SPLS_90 Ba_All cts</i> (VER1)	<i>SPLS 3_0,9_90 Ba_All cts</i> (VER1)	<i>SPLS 3_115 Ba_Ct1</i> (VER1)	<i>Puntlast1</i> (Puntlast)	<i>Commentaar</i>
1	Co #1 max druk	UGT	0	1,15	0	0	1,15	0	0	0	
2	Co #2 max trek	UGT	0	0,90	1,00	0	0	1,15	0	0	
3	Co #3 max torsie	UGT	0	1,15	1,00	0	0	0	1,15	0	
4	Co #4 ULS+puntlast	UGT	0	1,15	0	1,15	0	0	0	1,40	
5	Co #5 max druk afk	UGT	0	1,05	0	0	1,00	0	0	0	
6	Co #6 max trek afk	UGT	0	0,90	1,00	0	0	1,00	0	0	
7	Co #7 max torsie	UGT	0	1,05	1,00	0	0	0	1,00	0	
8	Co #8 PB	BGT Quasi-blijvend	0	1,00	0	1,00	0	0	0	0	

Naam: Naam belastingcombinatie; **Type**: Type belastingcombinatie; **ST1**, **EG poer (PERM1)**, **GWS (PERM1)**, **SLS 7 (PERM1)**, **SPLS 90 Ba_AII cts (VER1)**, **SPLS 3_{0,9}0 Ba_AII cts (VER1)**, **SPLS 3₁₅ Ba_Ct1 (VER1)**, **Puntlast1 (Puntlast)**: Factor;

Project

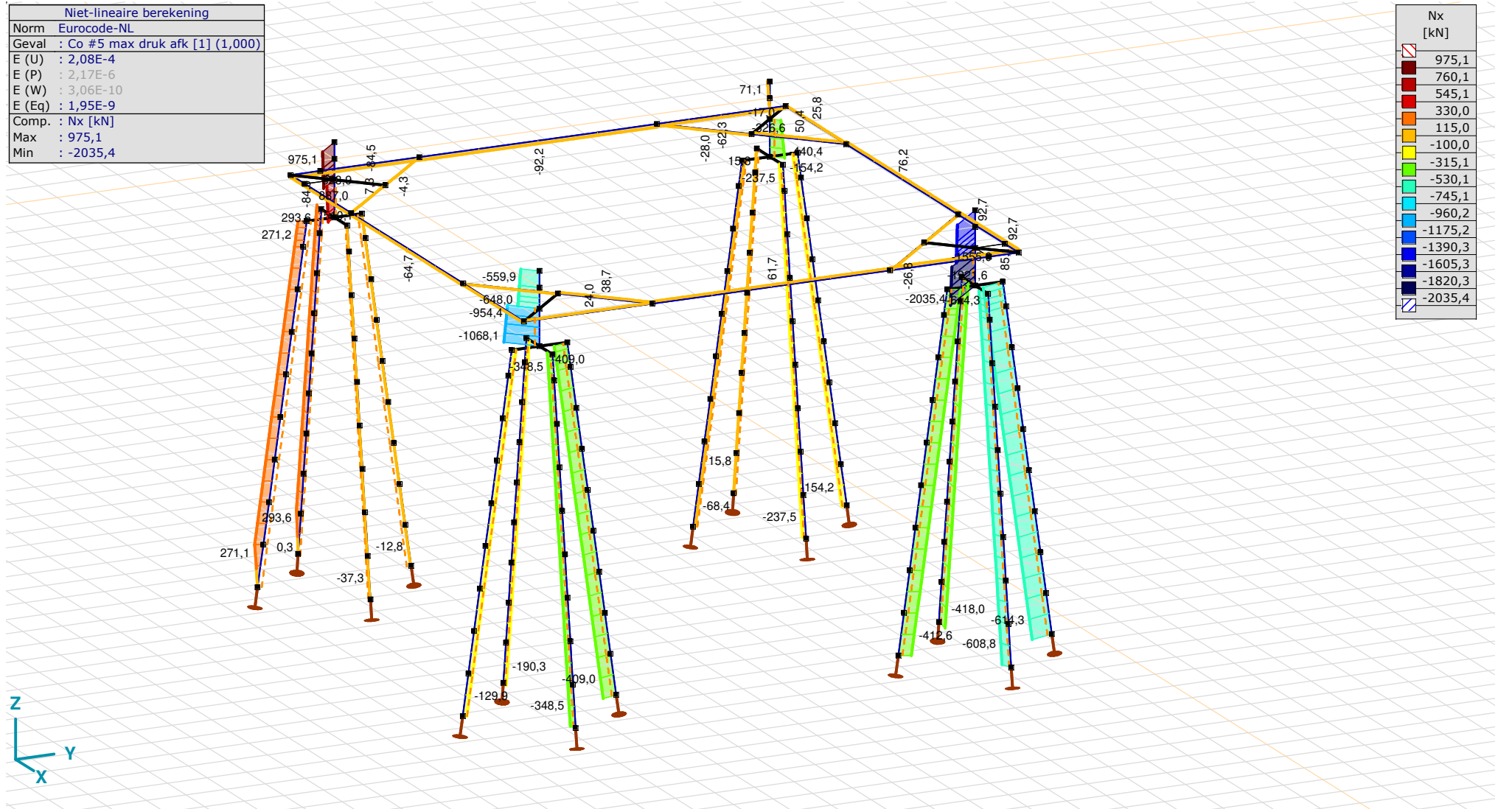
Analysis by

Model: **4P-O ballast.axs**

3-6-2022

Pag. 31

Niet-lineaire berekening	
Norm	Eurocode-NL
Geval	Co #5 max druk afk [1] (1,000)
E (U)	: 2,08E-4
E (P)	: 2,17E-6
E (W)	: 3,06E-10
E (Eq)	: 1,95E-9
Comp.	Nx [kN]
Max	: 975,1
Min	: -2035,4



[III], Non-lin., Co #5 max druk afk [1] (1,000), Nx, Lijnen (gevuld)(gevuld)

Project

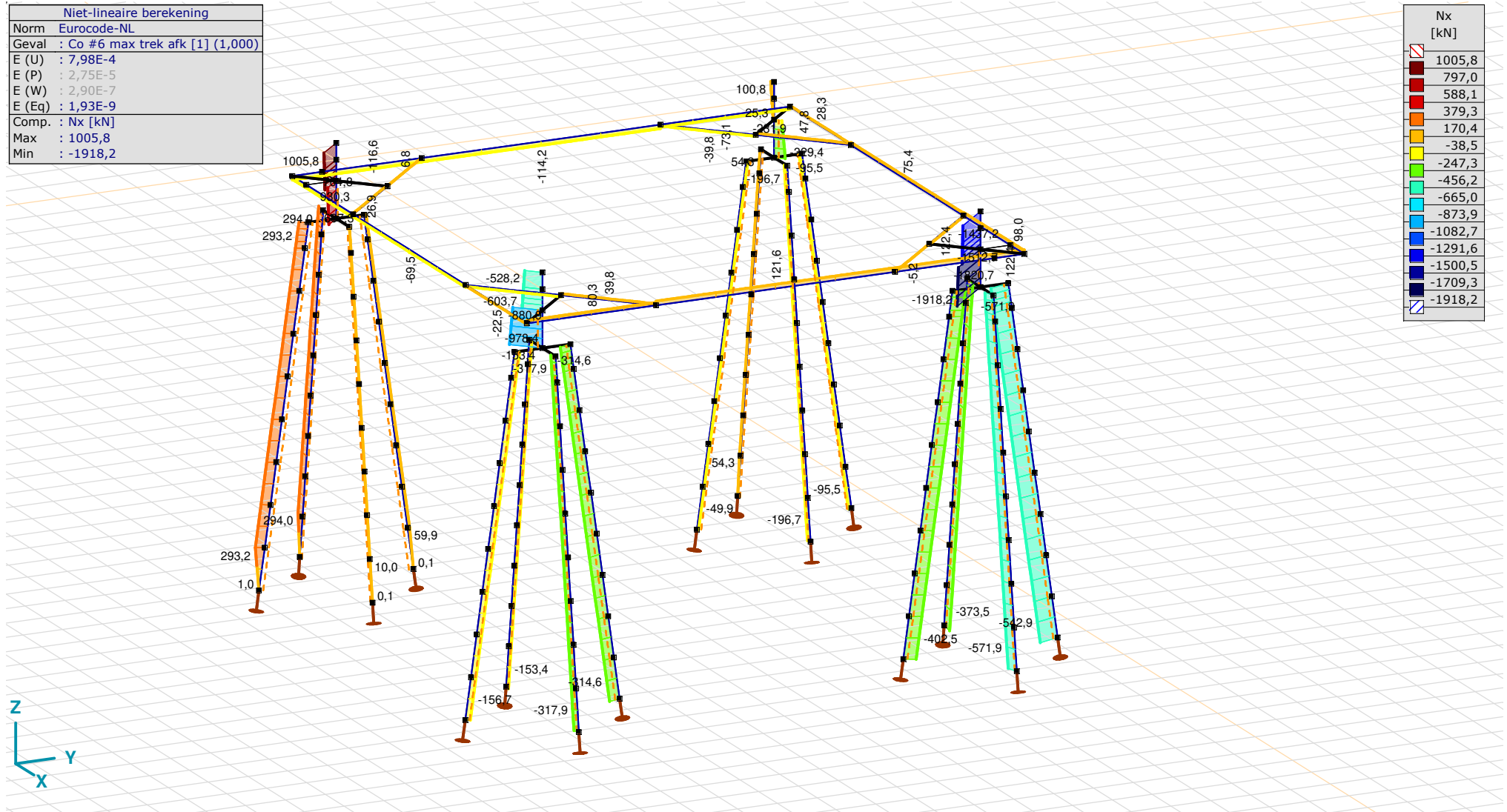
Analysis by

Model: **4P-O ballast.axs**

3-6-2022

Pag. 32

Niet-lineaire berekening	
Norm	Eurocode-NL
Geval	Co #6 max trek afk [1] (1,000)
E (U)	: 7,98E-4
E (P)	: 2,75E-5
E (W)	: 2,90E-7
E (Eq)	: 1,93E-9
Comp.	Nx [kN]
Max	: 1005,8
Min	: -1918,2



[III], Non-lin., Co #6 max trek afk [1] (1,000), Nx, Lijnen (gevuld)(gevuld)

Project

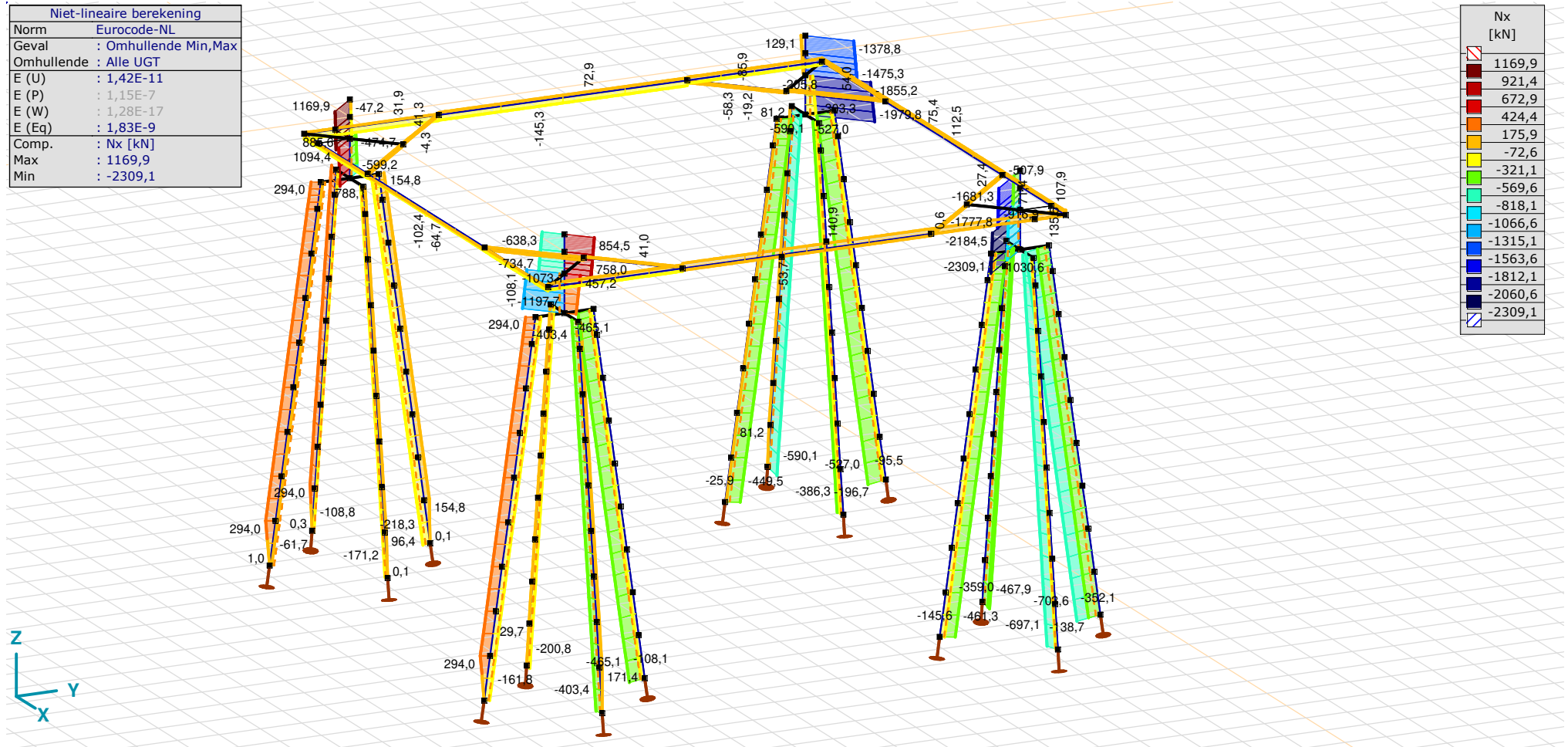
Analysis by

Model: **4P-O ballast.axs**

3-6-2022

Pag. 33

Niet-lineaire berekening	
Norm	Eurocode-NL
Geval	: Omhullende Min,Max
Omhullende	: Alle UGT
E (U)	: 1,42E-11
E (P)	: 1,15E-7
E (W)	: 1,28E-17
E (Eq)	: 1,83E-9
Comp.	: Nx [kN]
Max	: 1169,9
Min	: -2309,1



[II], Non-lin., Omhullende (Alle UGT), Nx, Lijnen (gevuld)

Project

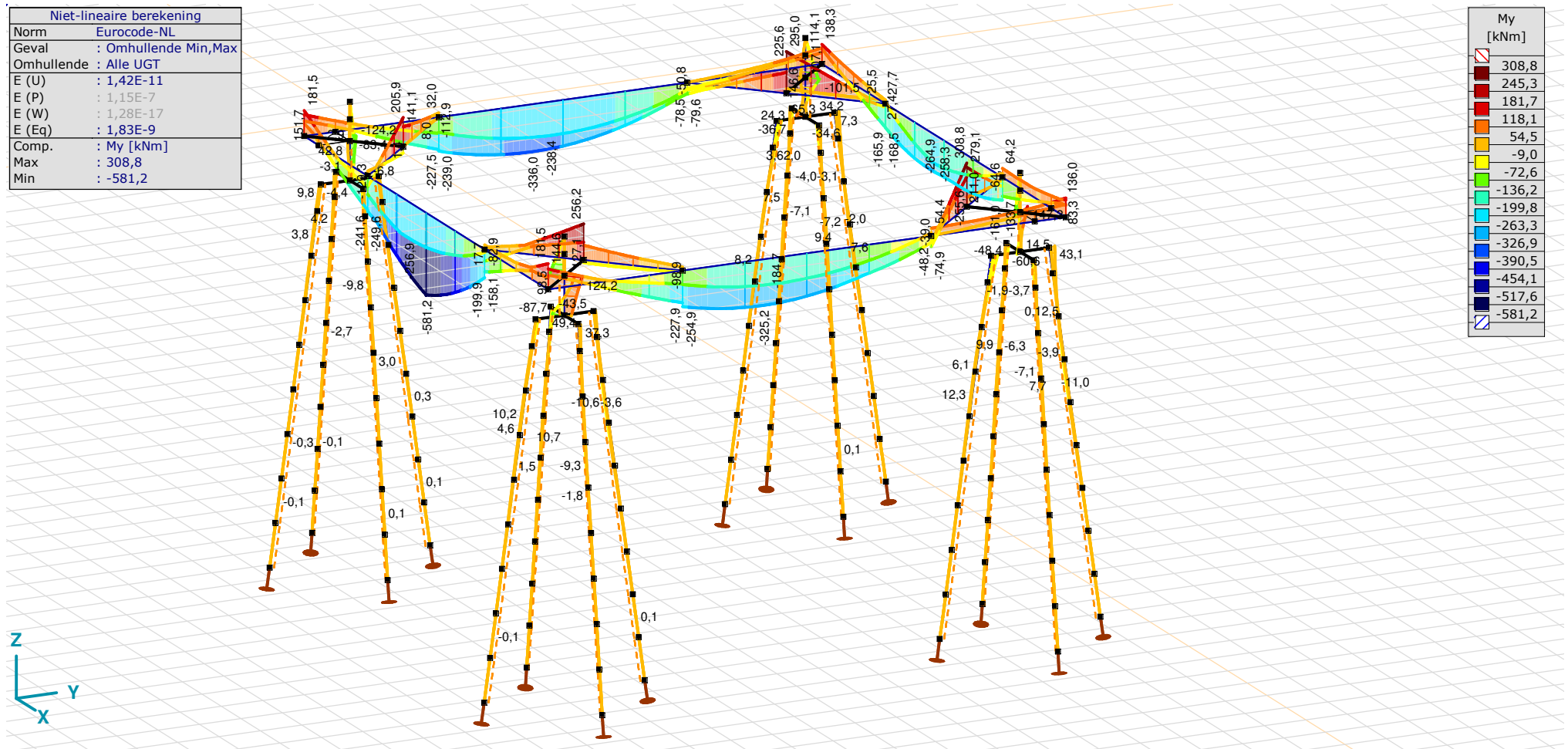
Analysis by

Model: **4P-O ballast.axs**

3-6-2022

Pag. 34

Niet-lineaire berekening	
Norm	Eurocode-NL
Geval	: Omhullende Min,Max
Omhullende	: Alle UGT
E (U)	: 1,42E-11
E (P)	: 1,15E-7
E (W)	: 1,28E-17
E (Eq)	: 1,83E-9
Comp.	: My [kNm]
Max	: 308,8
Min	: -581,2



[III], Non-lin., Omhullende (Alle UGT), My, Lijnen (gevuld)

Project

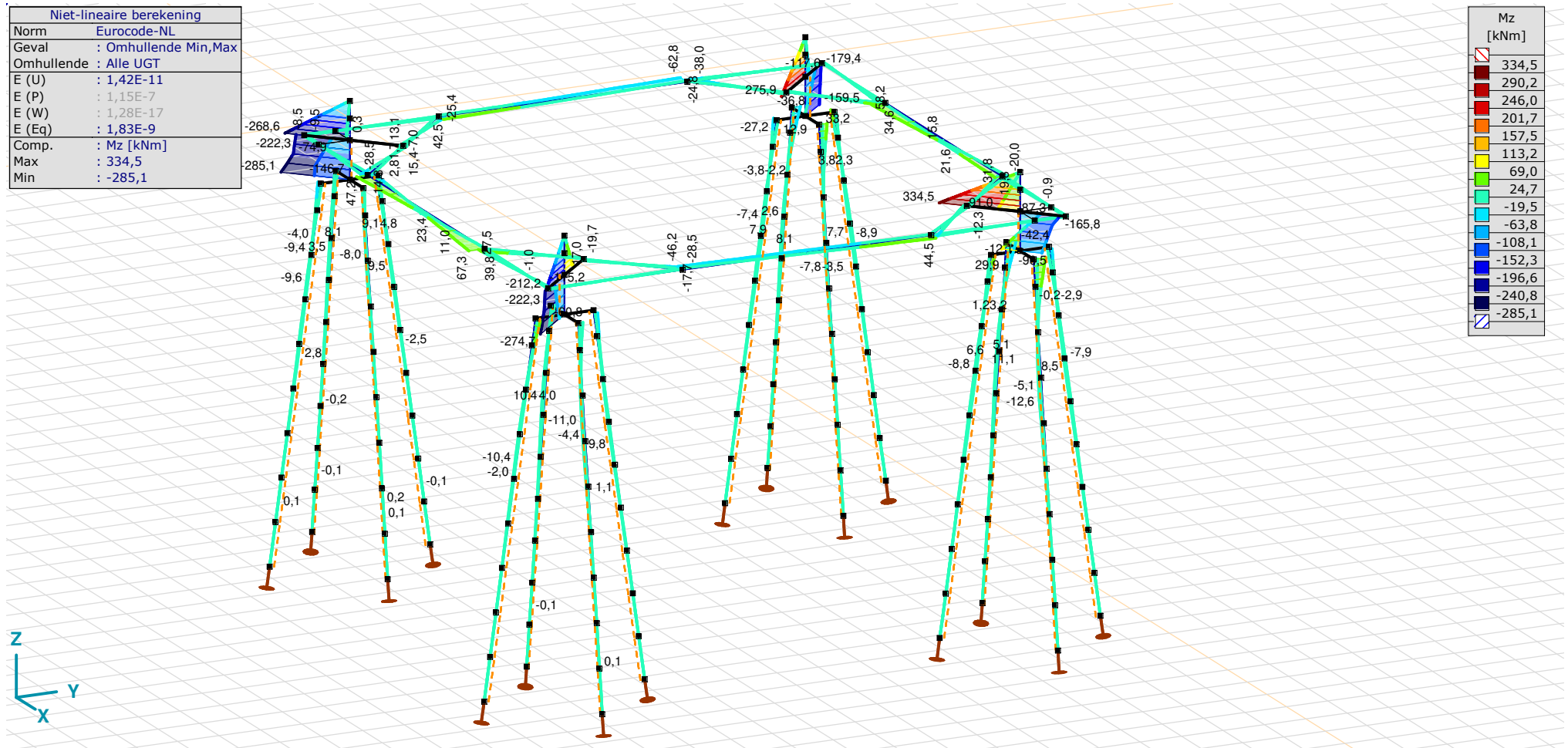
Analysis by

Model: **4P-O ballast.axs**

3-6-2022

Pag. 35

Niet-lineaire berekening	
Norm	Eurocode-NL
Geval	: Omhullende Min,Max
Omhullende	: Alle UGT
E (U)	: 1,42E-11
E (P)	: 1,15E-7
E (W)	: 1,28E-17
E (Eq)	: 1,83E-9
Comp.	: Mz [kNm]
Max	: 334,5
Min	: -285,1



[III], Non-lin., Omhullende (Alle UGT), Mz, Lijnen (gevuld)

Project

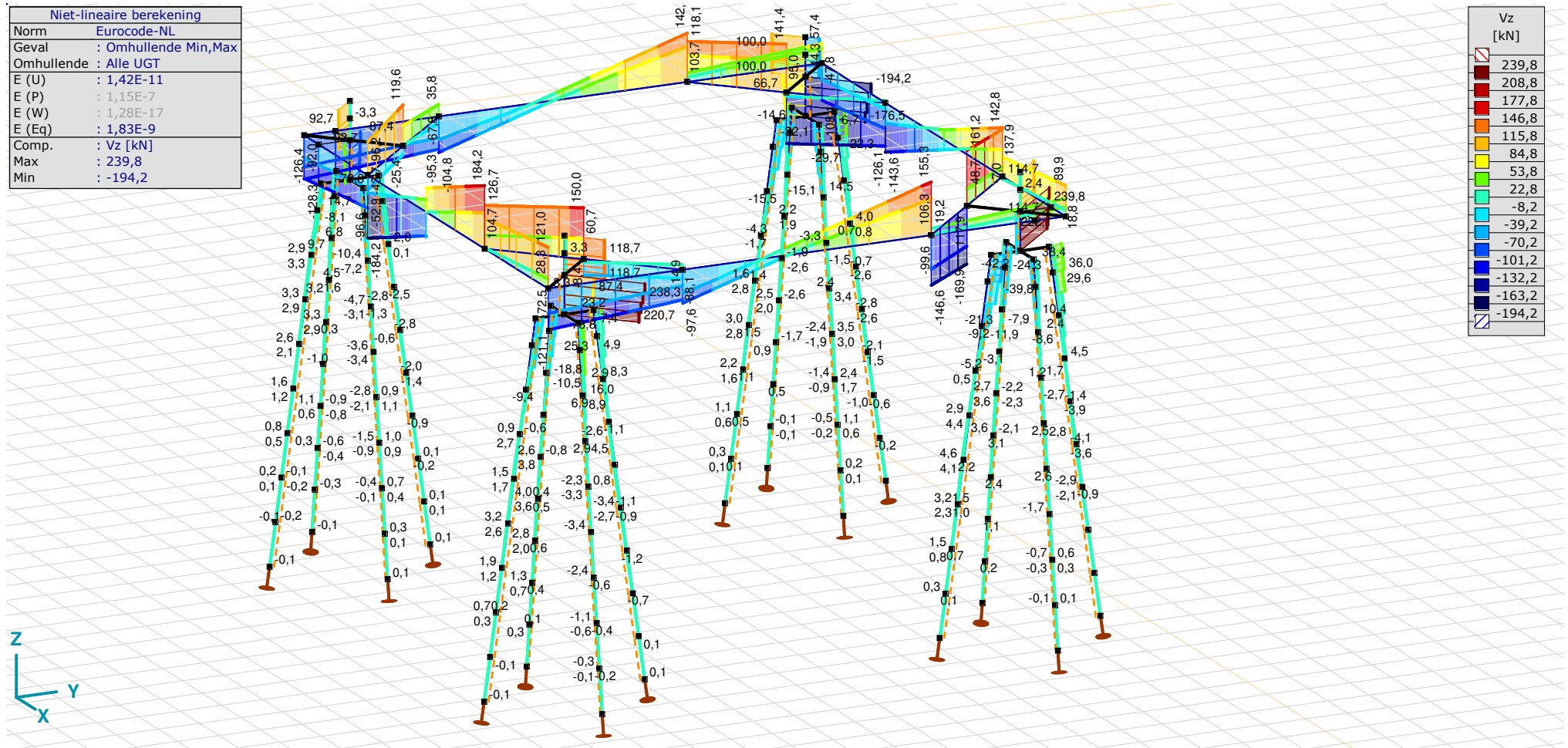
Analysis by

Model: **4P-O ballast.axs**

3-6-2022

Pag. 36

Niet-lineaire berekening	
Norm	Eurocode-NL
Geval	: Omhullende Min,Max
Omhullende	: Alle UGT
E (U)	: 1,42E-11
E (P)	: 1,15E-7
E (W)	: 1,28E-17
E (Eq)	: 1,83E-9
Comp.	: Vz [kN]
Max	: 239,8
Min	: -194,2



[II], Non-lin., Omhullende (Alle UGT), Vz, Lijnen (gevuld)

Project

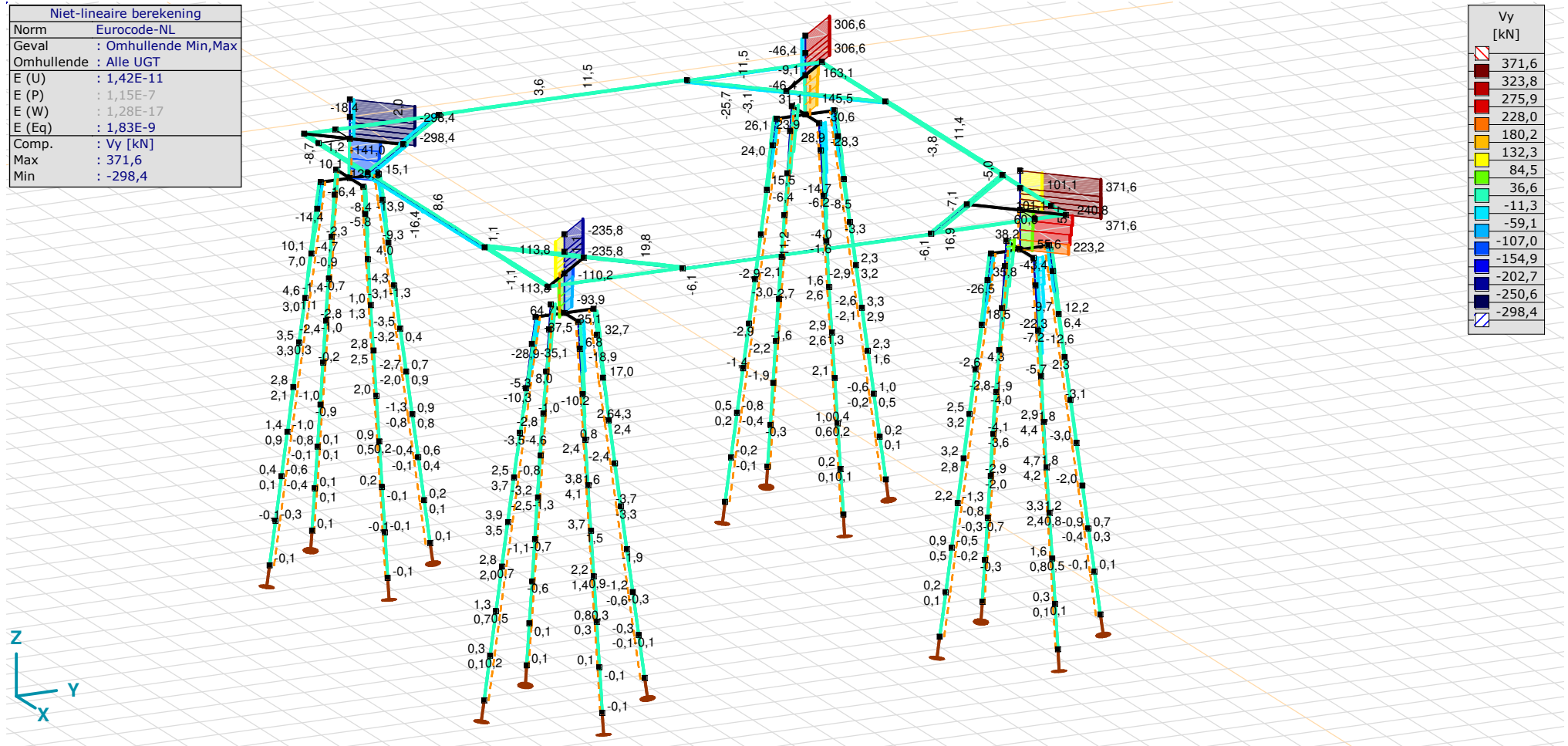
Analysis by

Model: **4P-O ballast.axs**

3-6-2022

Pag. 37

Niet-lineaire berekening	
Norm	Eurocode-NL
Geval	: Omhullende Min,Max
Omhullende	: Alle UGT
E (U)	: 1,42E-11
E (P)	: 1,15E-7
E (W)	: 1,28E-17
E (Eq)	: 1,83E-9
Comp.	: Vy [kN]
Max	: 371,6
Min	: -298,4



[II], Non-lin., Omhullende (Alle UGT), Vy, Lijnen (gevuld)

Project

Analysis by

Model: **4P-O ballast.axs**

3-6-2022

Pag. 38

Staafkrachten [Non-lin., Omhullende (Alle UGT), 1500x900]

	Prof.	Doorsnede naam	C	min. max.	Geval	Pos. [m]	Knoop	Nx [kN]	Vy [kN]	Vz [kN]	Tx [kNm]	My [kNm]	Mz [kNm]	B [kNm ²]
Ext.														
179	8	1500x900	Nx	min	Co #2 max trek [1] (1,000)	0	(386)	-145,3	11,5	-67,8	-47,6	-207,5	6,2	0
178	8	1500x900		max	Co #2 max trek [1] (1,000)	0	(388)	140,9	-6,1	-68,4	26,6	-106,1	-46,2	0
177	8	1500x900	Vy	min	Co #2 max trek [1] (1,000)	0	(385)	-92,9	-16,4	-52,9	60,5	-239,8	-31,3	0
179	8	1500x900		max	Co #2 max trek [1] (1,000)	0	(386)	-145,3	11,5	-67,8	-47,6	-207,5	6,2	0
177	8	1500x900	Vz	min	Co #4 ULS+puntlast [1] (1,000)	0	(385)	-102,4	0	-184,2	0	-199,9	23,4	0
177	8	1500x900		max	Co #4 ULS+puntlast [1] (1,000)	6,000	(390)	-102,4	0	184,2	0	-199,9	23,4	0
179	8	1500x900	Tx	min	Co #3 max torsie [1] (1,000)	0	(386)	72,9	9,5	-104,8	-53,7	-116,0	42,5	0
177	8	1500x900		max	Co #2 max trek [1] (1,000)	0	(385)	-92,9	-16,4	-52,9	60,5	-239,8	-31,3	0
177	8	1500x900	My	min	Co #4 ULS+puntlast [1] (1,000)	3,000	(428)	-102,4	0	70,0	0	-581,2	23,4	0
180	8	1500x900		max	Co #2 max trek [1] (1,000)	6,000	(391)	88,5	11,3	118,6	-47,1	27,2	-16,2	0
179	8	1500x900	Mz	min	Co #2 max trek [1] (1,000)	6,000	(394)	-145,3	11,5	111,0	-47,6	-77,7	-62,8	0
177	8	1500x900		max	Co #2 max trek [1] (1,000)	6,000	(390)	-92,9	-16,4	125,9	60,5	-20,8	67,3	0

Prof.: Profiel; **C:** Extreme component; **min. max.:** Extreme type; **Geval:** Belastinggeval van de extreme; **Pos.:** Lokale X-positie van de doorsnede op de staaf; **Nx:** Normalkracht; **Vy:** Dwarskracht in lokale y-richting; **Vz:** Dwarskracht in lokale z-richting; **Tx:** Torsiemoment; **My:** Buigend moment in lokale y-richting; **Mz:** Buigend moment in lokale z-richting; **B:** Bimoment;

Project

Analysis by

Model: **4P-O ballast.axs**

3-6-2022

Pag. 39

Staafkrachten [Non-lin., Omhullende (Alle UGT), 400x900]

	Prof.	Doorsnede naam	C	min. max.	Geval	Pos. [m]	Knoop	Nx [kN]	Vy [kN]	Vz [kN]	Tx [kNm]	My [kNm]	Mz [kNm]	B [kNm ²]
Ext.														
166	9	400x900	Nx	min	Co #2 max trek [1] (1,000)	0	(95)	-156,2	-1,6	-111,4	-14,0	116,0	-0,3	0
170	9	400x900		min	Co #2 max trek [1] (1,000)	0	(96)	-156,2	-1,6	-105,5	-14,0	34,7	0,9	0
167	9	400x900		max	Co #2 max trek [1] (1,000)	0	(103)	135,5	-1,5	21,5	-7,3	72,5	1,6	0
174	9	400x900		max	Co #2 max trek [1] (1,000)	0	(393)	135,5	-1,5	1,6	-7,3	43,6	-2,1	0
163	9	400x900	Vy	min	Co #2 max trek [1] (1,000)	0	(394)	-58,3	-25,7	90,7	-0,5	-72,8	-38,0	0
160	9	400x900		max	Co #2 max trek [1] (1,000)	0	(390)	-66,9	25,9	123,4	8,1	-82,9	39,8	0
162	9	400x900	Vz	min	Co #1 max druk [1] (1,000)	0	(392)	-26,2	5,6	-169,9	8,9	308,8	1,8	0
161	9	400x900		max	Co #1 max druk [1] (1,000)	2,298	(392)	-19,9	-1,0	161,2	-8,1	279,1	-1,8	0
158	9	400x900	Tx	min	Co #1 max druk [1] (1,000)	0	(386)	1,8	5,7	-9,3	-28,5	12,3	6,1	0
157	9	400x900		max	Co #2 max trek [1] (1,000)	0	(385)	40,5	8,5	-43,7	31,3	33,8	16,5	0
169	9	400x900	My	min	Co #2 max trek [1] (1,000)	2,500	(385)	-127,6	6,2	-96,6	14,5	-241,6	-14,8	0
162	9	400x900		max	Co #1 max druk [1] (1,000)	0	(392)	-26,2	5,6	-169,9	8,9	308,8	1,8	0
163	9	400x900	Mz	min	Co #2 max trek [1] (1,000)	0	(394)	-58,3	-25,7	90,7	-0,5	-72,8	-38,0	0
160	9	400x900		max	Co #2 max trek [1] (1,000)	0	(390)	-66,9	25,9	123,4	8,1	-82,9	39,8	0

Prof.: Profiel; **C:** Extreme component; **min. max.:** Extreme type; **Geval:** Belastinggeval van de extreme; **Pos.:** Lokale X-positie van de doorsnede op de staaf; **Nx:** Normalkracht; **Vy:** Dwarskracht in lokale y-richting; **Vz:** Dwarskracht in lokale z-richting; **Tx:** Torsiemoment; **My:** Buigend moment in lokale y-richting; **Mz:** Buigend moment in lokale z-richting; **B:** Bimoment;

Project

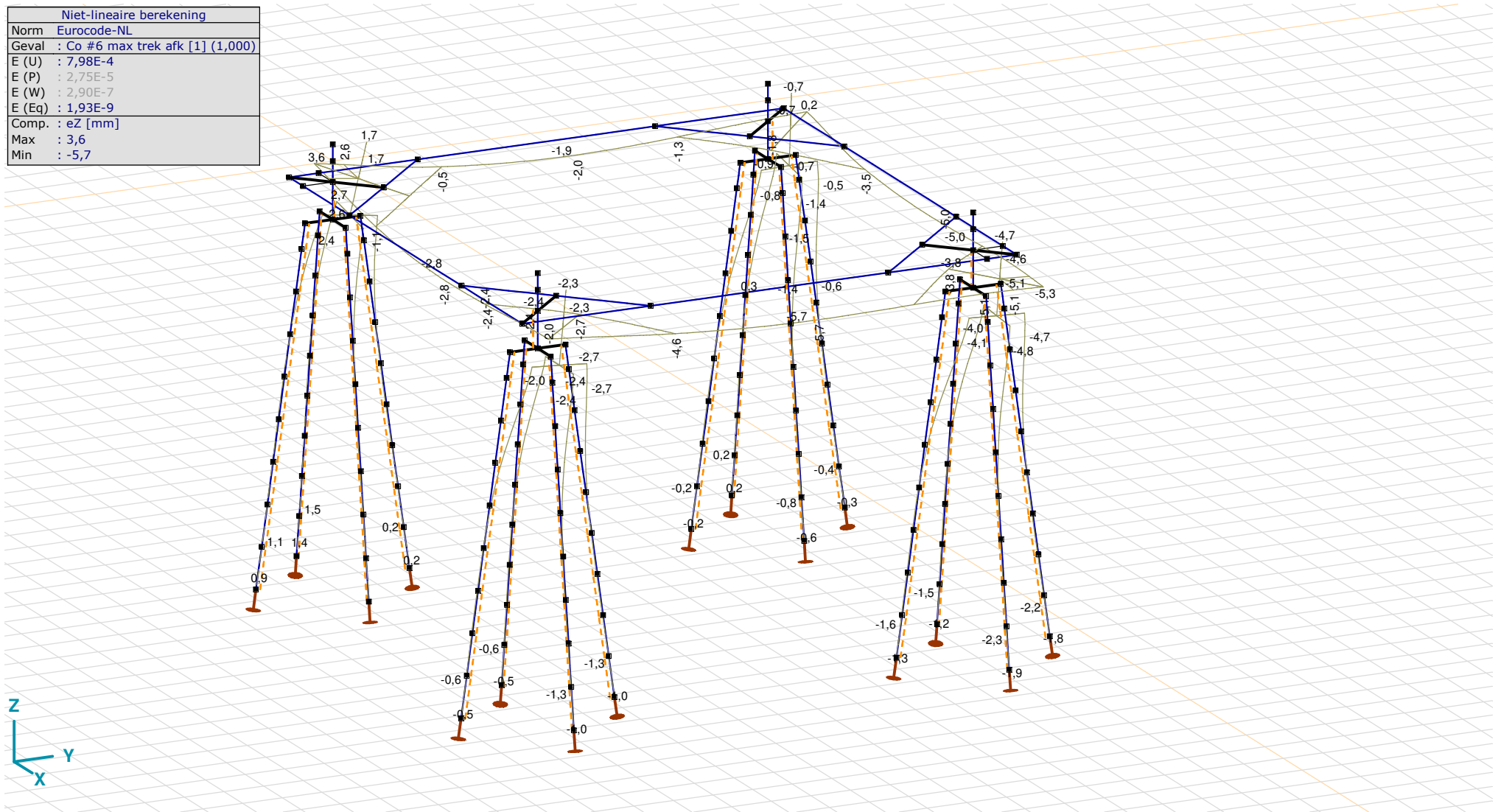
Analysis by

Model: **4P-O ballast.axs**

3-6-2022

Pag. 40

Niet-lineaire berekening	
Norm	Eurocode-NL
Geval	Co #6 max trek afk [1] (1,000)
E (U)	: 7,98E-4
E (P)	: 2,75E-5
E (W)	: 2,90E-7
E (Eq)	: 1,93E-9
Comp.	: eZ [mm]
Max	: 3,6
Min	: -5,7



[III], Non-lin., Co #6 max trek afk [1] (1,000), eZ, Lijnen

Project

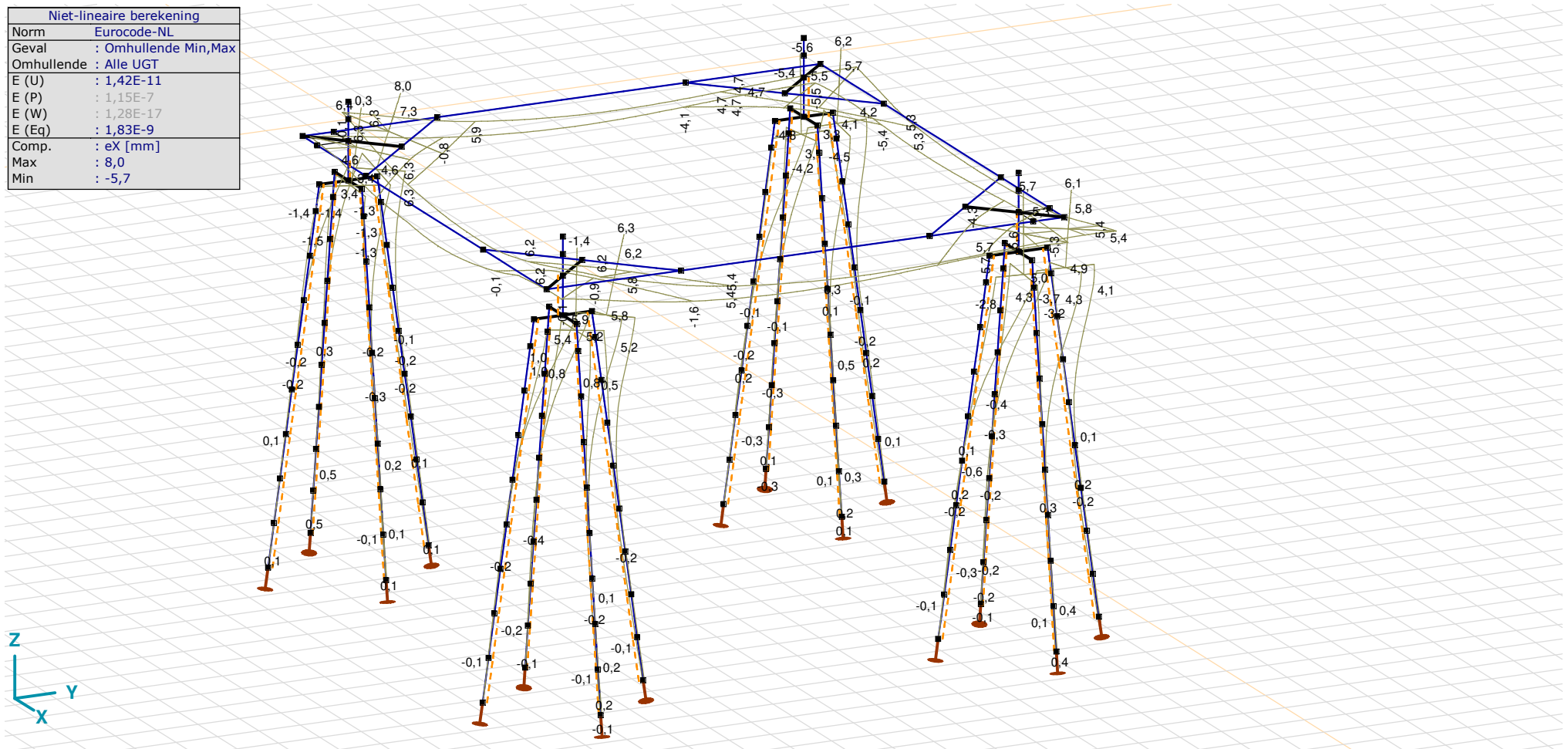
Analysis by

Model: **4P-O ballast.axs**

3-6-2022

Pag. 41

Niet-lineaire berekening	
Norm	Eurocode-NL
Geval	: Omhullende Min,Max
Omhullende	: Alle UGT
E (U)	: 1,42E-11
E (P)	: 1,15E-7
E (W)	: 1,28E-17
E (Eq)	: 1,83E-9
Comp.	: eX [mm]
Max	: 8,0
Min	: -5,7



[II], Non-lin., Omhullende (Alle UGT), eX, Lijnen

Project

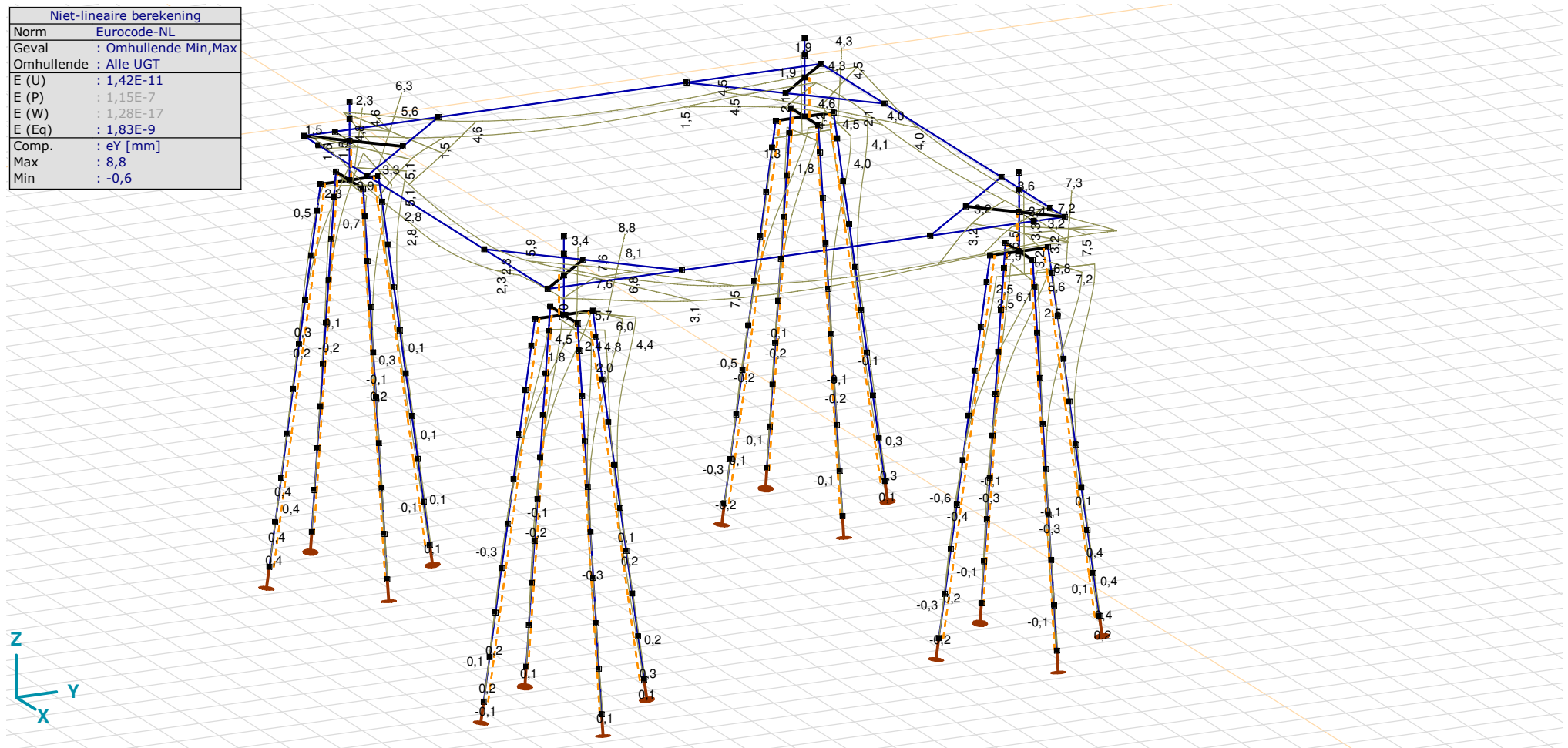
Analysis by

Model: **4P-O ballast.axs**

3-6-2022

Pag. 42

Niet-lineaire berekening	
Norm	Eurocode-NL
Geval	: Omhullende Min,Max
Omhullende	: Alle UGT
E (U)	: 1,42E-11
E (P)	: 1,15E-7
E (W)	: 1,28E-17
E (Eq)	: 1,83E-9
Comp.	: eY [mm]
Max	: 8,8
Min	: -0,6



[II], Non-lin., Omhullende (Alle UGT), eY, Lijnen

Project

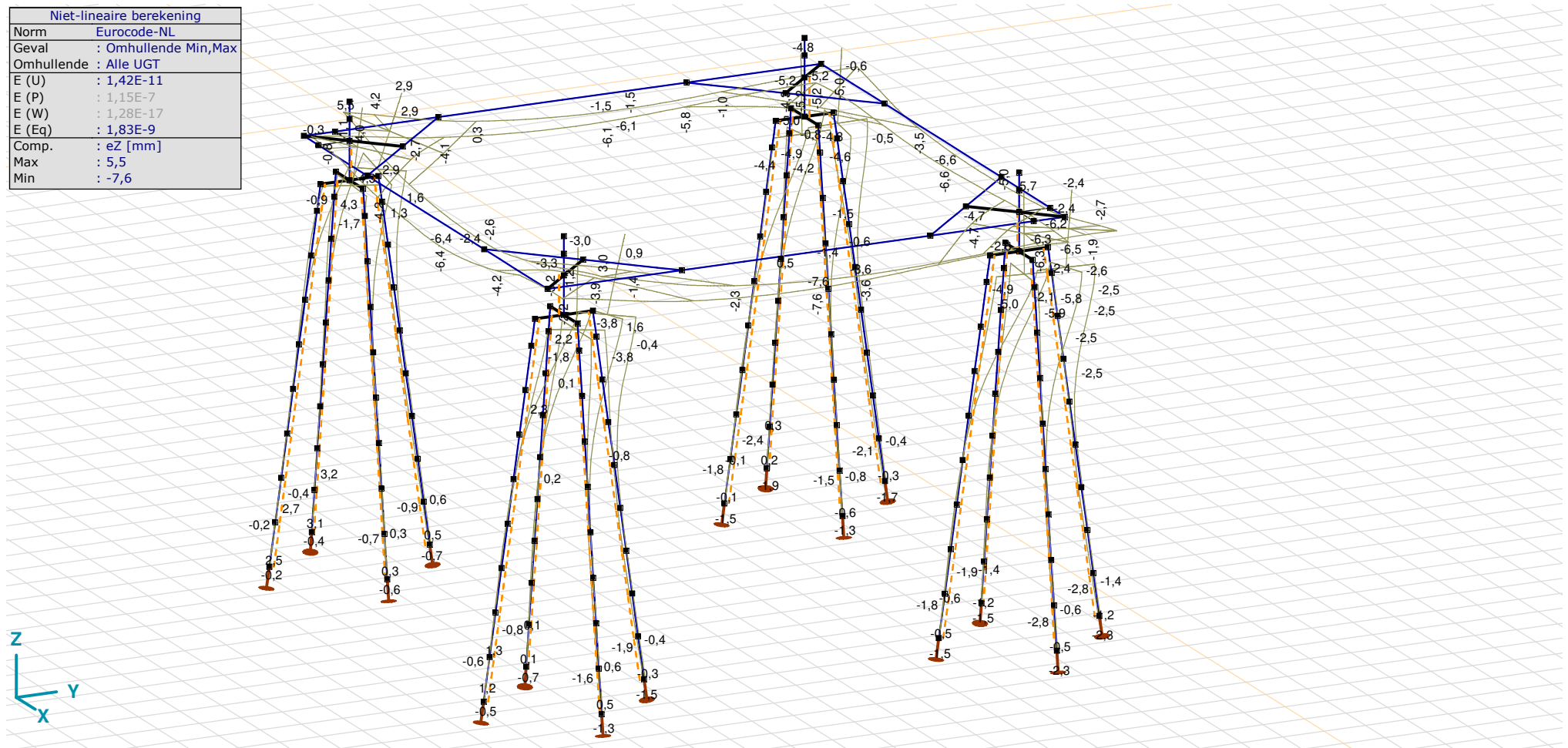
Analysis by

Model: **4P-O ballast.axs**

3-6-2022

Pag. 43

Niet-lineaire berekening	
Norm	Eurocode-NL
Geval	: Omhullende Min,Max
Omhullende	: Alle UGT
E (U)	: 1,42E-11
E (P)	: 1,15E-7
E (W)	: 1,28E-17
E (Eq)	: 1,83E-9
Comp.	: eZ [mm]
Max	: 5,5
Min	: -7,6



[[I]], Non-lin., Omhullende (Alle UGT), eZ, Lijnen

Project

Analysis by

Model: **4P-O ballast.axs**

3-6-2022

Pag. 44

Knoopverplaatsingen [Non-lin., Omhullende (Alle UGT)]

	C	min. max.	Geval	eX [mm]	eY [mm]	eZ [mm]	eR [mm]	fX [rad]	fY [rad]	fZ [rad]	fR [rad]
Ext.											
203	eX	min	Co #3 max torsie [1] (1,000)	-5,7	7,3	-2,7	9,7	-0,0003	-0,0009	0,0006	0,0012
6		max	Co #2 max trek [1] (1,000)	8,0	5,3	2,9	10,0	-0,0016	0,0019	0,0001	0,0025
246	eY	min	Co #1 max druk [1] (1,000)	-0,2	-0,6	-2,7	2,7	-0,0001	0,0001	0,0002	0,0003
109		max	Co #3 max torsie [1] (1,000)	-1,4	8,8	0,9	9,0	-0,0018	-0,0010	0,0005	0,0021
431	eZ	min	Co #1 max druk [1] (1,000)	5,5	6,2	-7,6	11,3	0	0,0010	-0,0001	0,0010
95		max	Co #2 max trek [1] (1,000)	6,4	3,8	5,5	9,2	-0,0016	0,0019	0,0001	0,0025
60	eR	min	Co #4 ULS+puntlast [1] (1,000)	0	0	0	0	0	0	-0,0003	0,0003
431		max	Co #1 max druk [1] (1,000)	5,5	6,2	-7,6	11,3	0	0,0010	-0,0001	0,0010

C: Extreme component; **min. max.:** Extreme type; **Geval:** Belastinggeval van de extreme; **eX:** Verplaatsing in X-richting; **eY:** Verplaatsing in Y-richting; **eZ:** Verplaatsing in Z-richting; **eR:** Resulterende verplaatsing; **fX:** Rotatie in X-richting; **fY:** Rotatie in Y-richting; **fZ:** Rotatie in Z-richting; **fR:** Resulterende rotatie;

Project

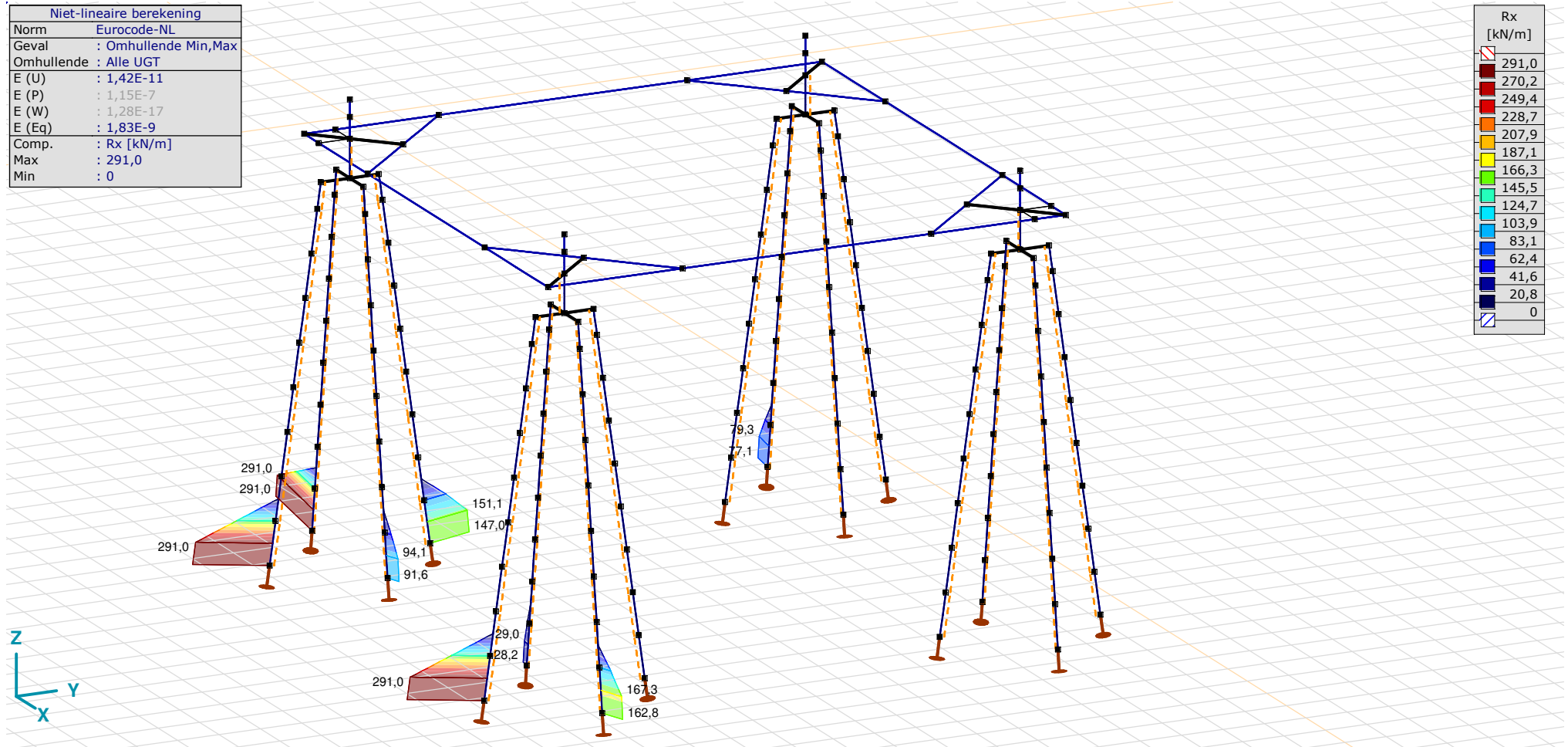
Analysis by

Model: **4P-O ballast.axs**

3-6-2022

Pag. 45

Niet-lineaire berekening	
Norm	Eurocode-NL
Geval	: Omhullende Min,Max
Omhullende	: Alle UGT
E (U)	: 1,42E-11
E (P)	: 1,15E-7
E (W)	: 1,28E-17
E (Eq)	: 1,83E-9
Comp.	: Rx [kN/m]
Max	: 291,0
Min	: 0



III, Non-lin., Omhullende (Alle UGT), Rx (lijnopp.), Lijnen (gevuld)

Project

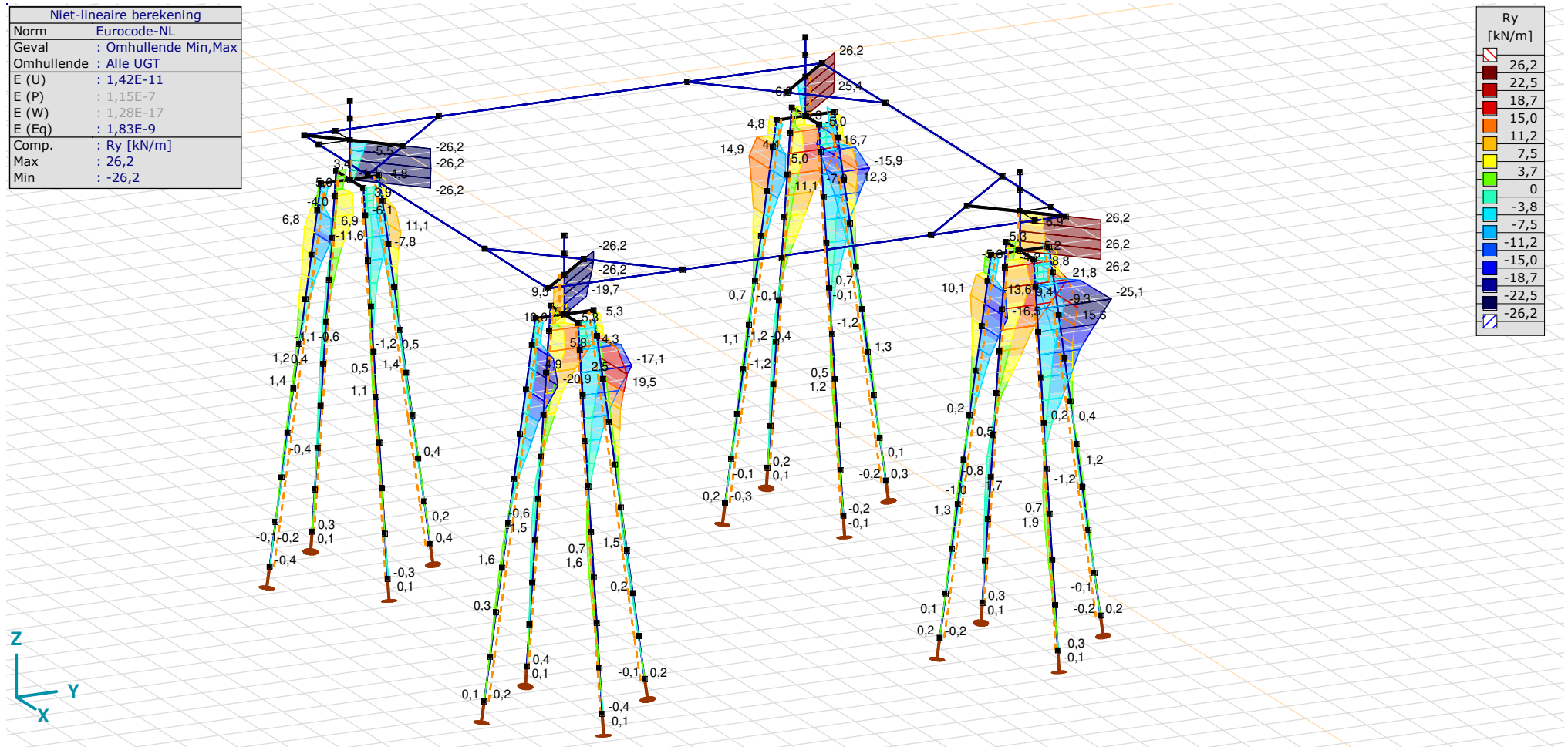
Analysis by

Model: **4P-O ballast.axs**

3-6-2022

Pag. 46

Niet-lineaire berekening	
Norm	Eurocode-NL
Geval	: Omhullende Min,Max
Omhullende	: Alle UGT
E (U)	: 1,42E-11
E (P)	: 1,15E-7
E (W)	: 1,28E-17
E (Eq)	: 1,83E-9
Comp.	: Ry [kN/m]
Max	: 26,2
Min	: -26,2



III], Non-lin., Omhullende (Alle UGT), Ry (lijnopp.), Lijnen (gevuld)

Project

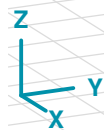
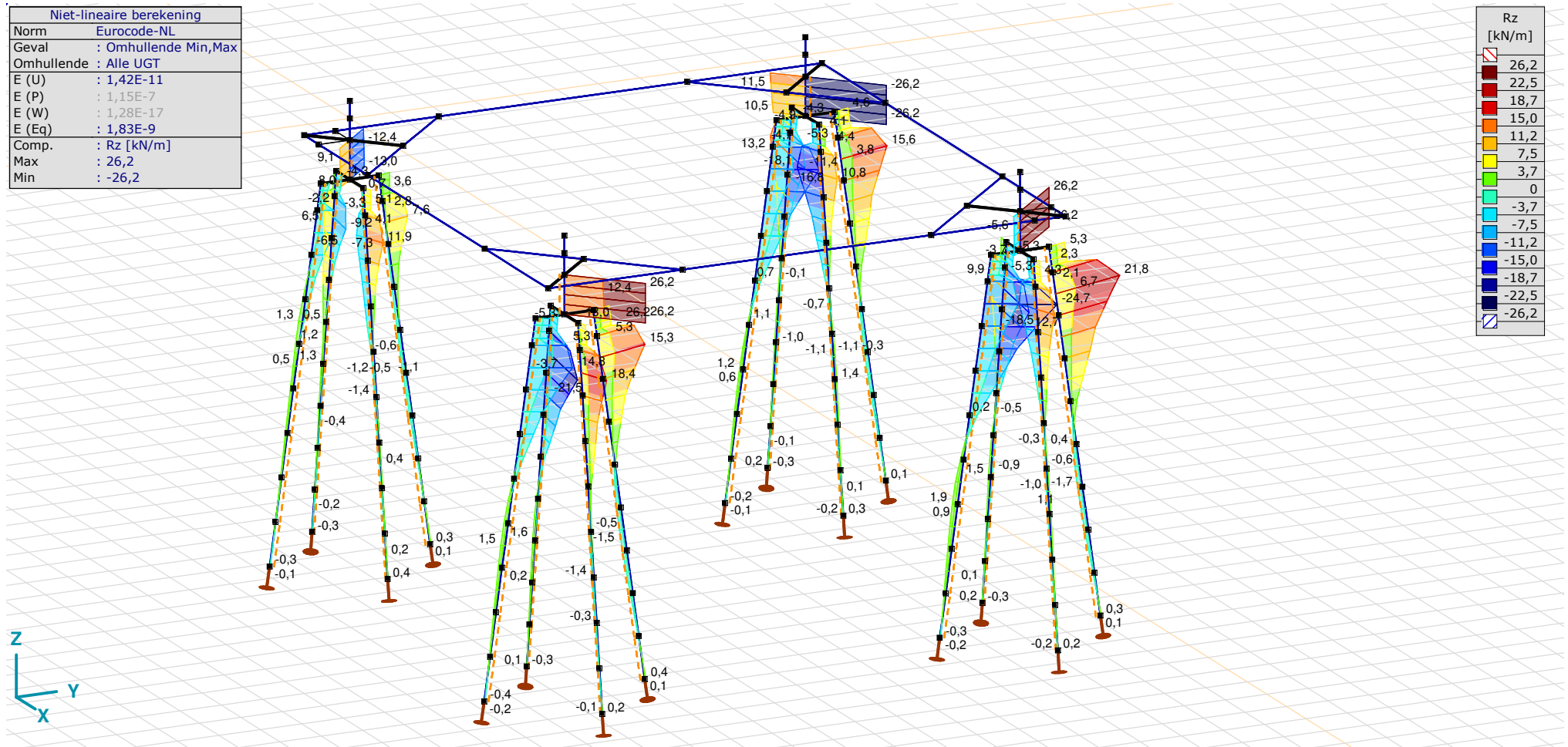
Analysis by

Model: **4P-O ballast.axs**

3-6-2022

Pag. 47

Niet-lineaire berekening	
Norm	Eurocode-NL
Geval	: Omhullende Min,Max
Omhullende	: Alle UGT
E (U)	: 1,42E-11
E (P)	: 1,15E-7
E (W)	: 1,28E-17
E (Eq)	: 1,83E-9
Comp.	: Rz [kN/m]
Max	: 26,2
Min	: -26,2



[[I]], Non-lin., Omhullende (Alle UGT), Rz (lijnopp.), Lijnen (gevuld)

Project

Analysis by

Model: **4P-O ballast.axs**

3-6-2022 Pag. 48

Interne krachten knooppogging [Non-lin., Omhullende (Alle UGT)]

	<i>Knoop</i>	<i>X [m]</i>	<i>Y [m]</i>	<i>Z [m]</i>	<i>Type</i>	<i>C</i>	<i>min. max.</i>	<i>Geval</i>	<i>R_x [kN]</i>
1	8	0	-1,938	-10,000	Staaft r.	Rx	min	Co #3 max torsie [1] (1,000)	-61,7
							max	Co #2 max trek [1] (1,000)	0
2	25	1,938	0	-10,000	Staaft r.	Rx	min	Co #3 max torsie [1] (1,000)	-171,2
							max	Co #2 max trek [1] (1,000)	0
3	42	0	1,938	-10,000	Staaft r.	Rx	min	Co #3 max torsie [1] (1,000)	-218,3
							max	Co #2 max trek [1] (1,000)	0
4	59	-1,938	0	-10,000	Staaft r.	Rx	min	Co #3 max torsie [1] (1,000)	-108,8
							max	Co #2 max trek [1] (1,000)	0
5	111	12,938	0	-10,000	Staaft r.	Rx	min	Co #1 max druk [1] (1,000)	-403,4
							max	Co #3 max torsie [1] (1,000)	0
6	128	11,000	1,938	-10,000	Staaft r.	Rx	min	Co #1 max druk [1] (1,000)	-465,1
							max	Co #7 max torsie [1] (1,000)	-108,1
7	145	9,062	0	-10,000	Staaft r.	Rx	min	Co #1 max druk [1] (1,000)	-200,9
							max	Co #3 max torsie [1] (1,000)	0
8	162	11,000	-1,938	-10,000	Staaft r.	Rx	min	Co #2 max trek [1] (1,000)	-161,9
							max	Co #3 max torsie [1] (1,000)	0
9	205	11,000	12,938	-10,000	Staaft r.	Rx	min	Co #1 max druk [1] (1,000)	-703,6
							max	Co #7 max torsie [1] (1,000)	-352,1
10	222	9,062	11,000	-10,000	Staaft r.	Rx	min	Co #1 max druk [1] (1,000)	-467,9
							max	Co #7 max torsie [1] (1,000)	-359,0
11	239	11,000	9,062	-10,000	Staaft r.	Rx	min	Co #1 max druk [1] (1,000)	-461,4
							max	Co #7 max torsie [1] (1,000)	-145,6
12	256	12,938	11,000	-10,000	Staaft r.	Rx	min	Co #1 max druk [1] (1,000)	-697,1
							max	Co #7 max torsie [1] (1,000)	-138,7
13	298	-1,938	11,000	-10,000	Staaft r.	Rx	min	Co #3 max torsie [1] (1,000)	-590,1

Project

Analysis by

Model: **4P-O ballast.axs**

3-6-2022 Pag. 49

Interne krachten knooppolegging [Non-lin., Omhullende (Alle UGT)]

	<i>Knoop</i>	<i>X [m]</i>	<i>Y [m]</i>	<i>Z [m]</i>	<i>Type</i>	<i>C</i>	<i>min. max.</i>	<i>Geval</i>	<i>R_x [kN]</i>
							max	Co #2 max trek [1] (1,000)	0
14	315	0	9,062	-10,000	Staaft r.	Rx	min	Co #3 max torsie [1] (1,000)	-449,5
							max	Co #2 max trek [1] (1,000)	-26,0
15	332	1,938	11,000	-10,000	Staaft r.	Rx	min	Co #3 max torsie [1] (1,000)	-386,3
							max	Co #6 max trek afk [1] (1,000)	-196,7
16	349	0	12,938	-10,000	Staaft r.	Rx	min	Co #3 max torsie [1] (1,000)	-527,0
							max	Co #6 max trek afk [1] (1,000)	-95,5
Ext.									
9	205	11,000	12,938	-10,000	Staaft r.	Rx	min	Co #1 max druk [1] (1,000)	-703,6
4	59	-1,938	0	-10,000	Staaft r.	Rx	max	Co #2 max trek [1] (1,000)	0

Knoop: Ondersteunde knoop; **Type:** Opleggingstype; **C:** Extreme component; **min. max.:** Extreme type; **Geval:** Belastinggeval van de extreme; **Rx:** X-component opleggingsreactiekracht;

Project

Analysis by

AxisVM X6 R1q · Geregistreerd aan DNV GL - Energy
2P-LD verzwaard mast 27.axs

Report

Report, Inhoudsopgave

Onderdeel	Pagina	Onderdeel	Pagina
Tekening render	3	[II], Non-lin., Omhullende (Alle UGT), Vy, Lijnen (gevuld)	27
Materialen	4	[II], Non-lin., Omhullende (Alle UGT), Vz, Lijnen (gevuld)	28
Profielen	4	Staafkrachten [Non-lin., Omhullende (UGT), Palen]	29
Tekening	8	[II], > Nieuwe poer, Non-lin., Omhullende (UGT), Nx, Lijnen (gevuld)	30
Knopen	9	[II], > Nieuwe poer, Non-lin., Omhullende (UGT), My, Lijnen (gevuld)	31
Staven	10	[II], > Nieuwe poer, Non-lin., Omhullende (UGT), Mz, Lijnen (gevuld)	32
Knoopopleggingen	11	[II], > Nieuwe poer, Non-lin., Omhullende (UGT), Tx, Lijnen (gevuld)	33
Tekening met beddingen	12	[II], > Nieuwe poer, Non-lin., Omhullende (UGT), Vy, Lijnen (gevuld)	34
Lijnopleggingen	13	[II], > Nieuwe poer, Non-lin., Omhullende (UGT), Vz, Lijnen (gevuld)	35
EG poer	16	Staafkrachten [Non-lin., Omhullende (UGT), Nieuwe poer]	36
EG poer: Staaf eigen gewicht	17	[II], > Nieuwe palen, Non-lin., Omhullende (UGT), Nx, Lijnen (gevuld)	37
GWS	17	Staafkrachten [Non-lin., Omhullende (UGT), Nieuwe palen]	38
GWS: Knoopbelastingen	18	[II], Non-lin., Co #1 max druk [1] (1,000), eX, Lijnen	39
SLS 7	18	[II], Non-lin., Co #3 max torsie [1] (1,000), eX, Lijnen	40
SLS 7: Knoopbelastingen	19	[II], Non-lin., Omhullende (Alle UGT), eX, Lijnen	41
ULS 1a_45	19	[II], Non-lin., Omhullende (Alle UGT), eY, Lijnen	42
ULS 1a_45: Knoopbelastingen	20	[II], Non-lin., Omhullende (Alle UGT), eZ, Lijnen	43
ULS 1a_45_0,9_0,9	20	Knoopverplaatsingen [Non-lin., Omhullende (Alle UGT)]	44
ULS 1a_45_0,9_0,9: Knoopbelastingen	21	[II], Non-lin., Omhullende (Alle UGT), Rx (knoopopl.), Lijnen	45
ULS 5a	21	[II], Non-lin., Omhullende (Alle UGT), Rx (lijnopp.), Lijnen (gevuld)	46
ULS 5a: Knoopbelastingen	22	[II], Non-lin., Omhullende (Alle UGT), Ry (lijnopp.), Lijnen (gevuld)	47
Gebruiker gedefinieerde belastingcombinaties uit belastinggevallen	22	[II], Non-lin., Omhullende (Alle UGT), Rz (lijnopp.), Lijnen (gevuld)	48
[II], Non-lin., Co #4 Perm [1] (1,000), Nx, Lijnen (gevuld)(gevuld)	23	Interne krachten knoopoplegging [Non-lin., Omhullende (Alle UGT)]	49
[II], Non-lin., Omhullende (Alle UGT), Nx, Lijnen (gevuld)	24	[II], > Palen, Non-lin., Omhullende (UGT), S;x;minmax, Lijnen (gevuld)	50
[II], Non-lin., Omhullende (Alle UGT), My, Lijnen (gevuld)	25	[II], > Nieuwe palen, Non-lin., Omhullende (UGT), S;x;minmax, Lijnen (gevuld)	51
[II], Non-lin., Omhullende (Alle UGT), Mz, Lijnen (gevuld)	26		

Project

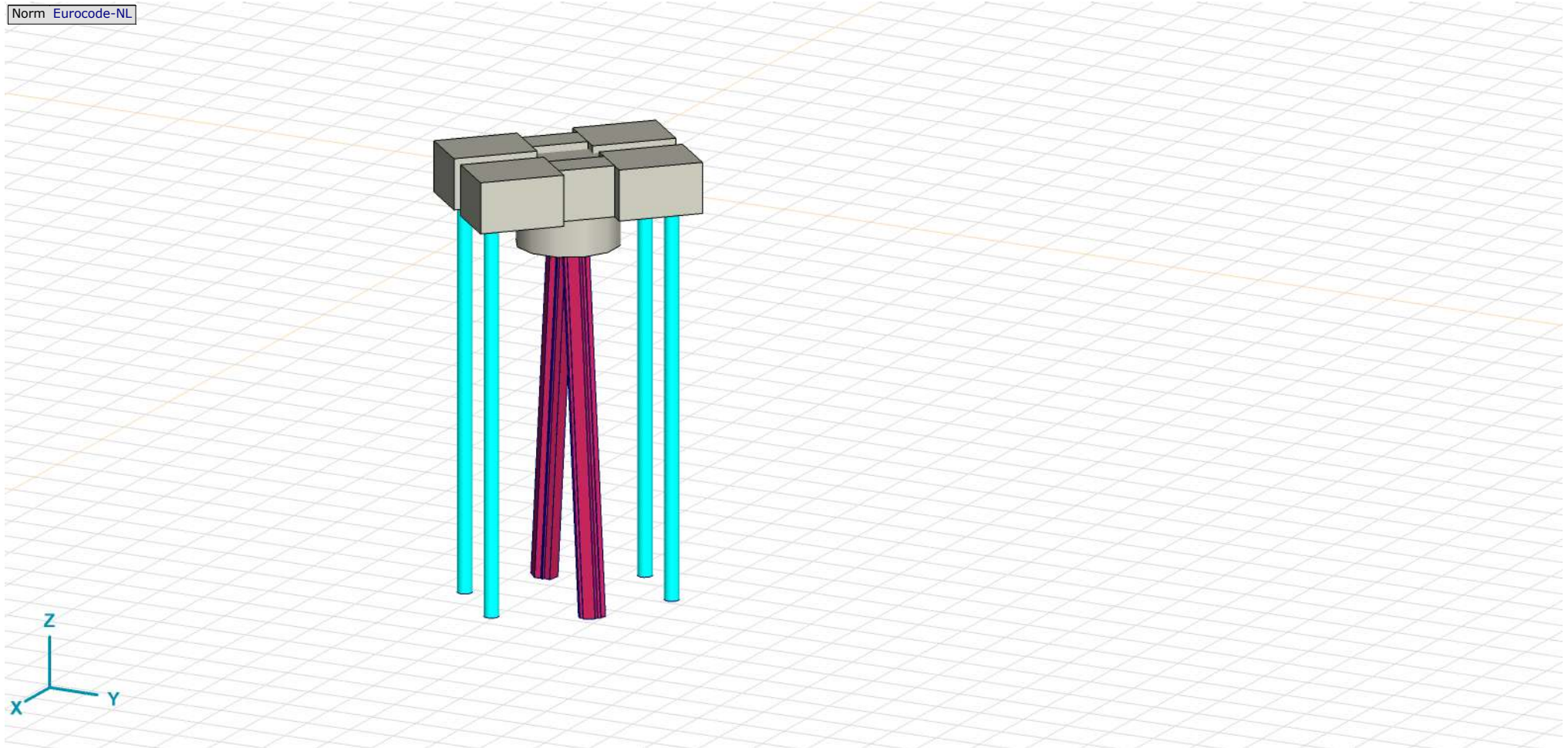
Analysis by

Model: **2P-LD verzaard mast 27.axs**

3-6-2022

Pag. 3

Norm Eurocode-NL



Tekening render

Project

Analysis by

Model: **2P-LD verzwaaard mast 27.axs**

3-6-2022

Pag. 4

Materialen

	Naam	Type	Nationale norm	Materiaalnorm	Model	E_x [N/mm ²]	E_y [N/mm ²]	ν	α_T [1/°C]	ρ [kg/m ³]	Materiaal kleur	Contour kleur	Structuur	P_1
1	C30/37	Beton	Eurocode-NL	EN 206	Lineair	11000	11000	0,20	1E-5	2500			Concrete A	f_{ck} [N/mm ²] = 30,00
2	S 235	Staal	Eurocode-NL	10025-2	Lineair	210000	210000	0,30	1,2E-5	7850			Steel	f_y [N/mm ²] = 235,00
3	S 355	Staal	Eurocode-NL	10025-2	Lineair	210000	210000	0,30	1,2E-5	7850			Steel	f_y [N/mm ²] = 355,00

	Naam	P_2	P_3	P_4	P_5	P_6	P_7	P_8	P_9	P_{10}	P_{11}	P_{12}	P_{13}	P_{14}
1	C30/37	$\gamma_c = 1,500$	$\alpha_{cc} = 1,00$	$\phi_t = 2,00$										
2	S 235	f_u [N/mm ²] = 360,00	f_y [N/mm ²] = 215,00	f_u [N/mm ²] = 360,00										
3	S 355	f_u [N/mm ²] = 510,00	f_y [N/mm ²] = 335,00	f_u [N/mm ²] = 470,00										

Naam: Materiaalnaam; **Type:** Type materiaal; **Model:** Materiaal model; **E_x :** Elasticiteitsmodulus in lokale x richting; **E_y :** Elasticiteitsmodulus in lokale y richting; **ν :** Poisson's verhouding; **α_T :** Warmteuitzettingscoëfficiënt; **ρ :** Dichtheid; **Materiaal kleur:** Materiaalkleur; **Contour kleur:** Contourkleur; **$P_1, P_2, P_3, P_4, P_5, P_6, P_7, P_8, P_9, P_{10}, P_{11}, P_{12}, P_{13}, P_{14}$:** Ontwerpparameter;

Profielen

	Naam	Tekening	Productie	Vorm	h [mm]	b [mm]	tw [mm]	tf [mm]	r_1 [mm]	r_2 [mm]	r_3 [mm]	A_x [mm ²]	A_y [mm ²]	A_z [mm ²]
1	O 400		Ander	Rond	400,0	400,0	0	0	0	0	0	125638,20	107689,90	107689,90

	Naam	I_x [mm ⁴]	I_y [mm ⁴]	I_z [mm ⁴]	I_{yz} [mm ⁴]	I_1 [mm ⁴]	I_2 [mm ⁴]	α [°]	I_w [mm ⁶]	$W_{1,elt}$ [mm ³]	$W_{1,elb}$ [mm ³]	$W_{2,elt}$ [mm ³]	$W_{2,elb}$ [mm ³]
1	O 400	2,51E+09	1,26E+09	1,26E+09	0	1,26E+09	1,26E+09	0	0	6280634,00	6280634,00	6280634,00	6280634,00

	Naam	$W_{1,pl}$ [mm ³]	$W_{2,pl}$ [mm ³]	i_y [mm]	i_z [mm]	H_y [mm]	H_z [mm]	y_G [mm]	z_G [mm]	y_s [mm]	z_s [mm]	β_y [mm]	β_z [mm]	β_w [°]	S.p.
1	O 400	1,07E+07	1,07E+07	100,0	100,0	400,0	400,0	200,0	200,0	0	0	0	0	0	5

Project

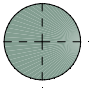
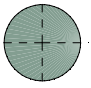
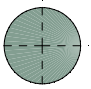
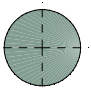
Analysis by

Model: **2P-LD verzaard mast 27.axs**

3-6-2022

Pag. 5

Profielen

	Naam	Tekening	Productie	Vorm	h [mm]	b [mm]	tw [mm]	tf [mm]	r ₁ [mm]	r ₂ [mm]	r ₃ [mm]	A _x [mm ²]	A _y [mm ²]	A _z [mm ²]
2	O 1500		Ander	Rond	1500,0	1500,0	0	0	0	0	0	1766787,00	1514389,00	1514389,00
3	O 1300		Ander	Rond	1300,0	1300,0	0	0	0	0	0	1327053,00	1137474,00	1137474,00
4	O 2500		Ander	Rond	2500,0	2500,0	0	0	0	0	0	4907742,00	4206636,00	4206636,00
5	O 1800		Ander	Rond	1800,0	1800,0	0	0	0	0	0	2544173,00	2180720,00	2180720,00

	Naam	I _x [mm ⁴]	I _y [mm ⁴]	I _z [mm ⁴]	I _{yz} [mm ⁴]	I ₁ [mm ⁴]	I ₂ [mm ⁴]	α [°]	I _w [mm ⁶]	W _{1,el,t} [mm ³]	W _{1,el,b} [mm ³]	W _{2,el,t} [mm ³]	W _{2,el,b} [mm ³]
2	O 1500	4,97E+11	2,48E+11	2,48E+11	0	2,48E+11	2,48E+11	0	0	3,31E+08	3,31E+08	3,31E+08	3,31E+08
3	O 1300	2,8E+11	1,4E+11	1,4E+11	0	1,4E+11	1,4E+11	0	0	2,16E+08	2,16E+08	2,16E+08	2,16E+08
4	O 2500	3,83E+12	1,92E+12	1,92E+12	0	1,92E+12	1,92E+12	0	0	1,53E+09	1,53E+09	1,53E+09	1,53E+09
5	O 1800	1,03E+12	5,15E+11	5,15E+11	0	5,15E+11	5,15E+11	0	0	5,72E+08	5,72E+08	5,72E+08	5,72E+08

	Naam	W _{1,pl} [mm ³]	W _{2,pl} [mm ³]	i _y [mm]	i _z [mm]	H _y [mm]	H _z [mm]	y _G [mm]	z _G [mm]	y _s [mm]	z _s [mm]	β _y [mm]	β _z [mm]	β _w [°]	S.p.
2	O 1500	5,62E+08	5,62E+08	375,0	375,0	1500,0	1500,0	750,0	750,0	0	0	0	0	0	5
3	O 1300	3,66E+08	3,66E+08	325,0	325,0	1300,0	1300,0	650,0	650,0	0	0	0	0	0	5
4	O 2500	2,6E+09	2,6E+09	624,9	624,9	2500,0	2500,0	1250,0	1250,0	0	0	0	0	0	5
5	O 1800	9,72E+08	9,72E+08	450,0	450,0	1800,0	1800,0	900,0	900,0	0	0	0	0	0	5

Project

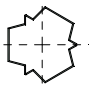
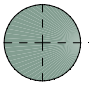
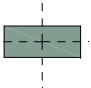
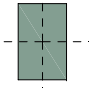
Analysis by

Model: **2P-LD verzwaaard mast 27.axs**

3-6-2022

Pag. 6

Profielen

	Naam	Tekening	Productie	Vorm	h [mm]	b [mm]	tw [mm]	tf [mm]	r_1 [mm]	r_2 [mm]	r_3 [mm]	A_x [mm ²]	A_y [mm ²]	A_z [mm ²]
6	514x570,1		Ander	Eigen gedefinieerd	570,1	514,0	0	0	0	0	0	15142,80	5219,72	5219,72
7	O 2200		Ander	Rond	2200,0	2200,0	0	0	0	0	0	3800555,00	3257619,00	3257619,00
8	2700x1100		Ander	Recht.	1100,0	2700,0	0	0	0	0	0	2970000,00	2475000,00	2475000,00
9	700x1100		Ander	Recht.	1100,0	700,0	0	0	0	0	0	770000,00	641666,70	641666,70

	Naam	I_x [mm ⁴]	I_y [mm ⁴]	I_z [mm ⁴]	I_{yz} [mm ⁴]	I_1 [mm ⁴]	I_2 [mm ⁴]	α [°]	I_w [mm ⁶]	$W_{1,elt}$ [mm ³]	$W_{1,elb}$ [mm ³]	$W_{2,elt}$ [mm ³]	$W_{2,elb}$ [mm ³]
6	514x570,1	6,22E+08	4,6E+08	4,6E+08	0	4,6E+08	4,6E+08	0	2,4E+11	1614516,00	1614516,00	1790846,00	1790845,00
7	O 2200	2,3E+12	1,15E+12	1,15E+12	0	1,15E+12	1,15E+12	0	0	1,04E+09	1,04E+09	1,04E+09	1,04E+09
8	2700x1100	8,91E+11	2,99E+11	1,8E+12	0	1,8E+12	2,99E+11	90,00	9,3E+16	1,34E+09	1,34E+09	5,44E+08	5,44E+08
9	700x1100	7,6E+10	7,76E+10	3,14E+10	0	7,76E+10	3,14E+10	0	6,1E+14	1,41E+08	1,41E+08	8,98E+07	8,98E+07

	Naam	$W_{1,pl}$ [mm ³]	$W_{2,pl}$ [mm ³]	i_y [mm]	i_z [mm]	H_y [mm]	H_z [mm]	y_G [mm]	z_G [mm]	y_s [mm]	z_s [mm]	β_y [mm]	β_z [mm]	β_w [°]	S.p.
6	514x570,1	2369310,00	2357912,00	174,3	174,3	514,0	570,1	257,0	285,1	0	0	0	0	0	9
7	O 2200	1,77E+09	1,77E+09	549,9	549,9	2200,0	2200,0	1100,0	1100,0	0	0	0	0	0	5
8	2700x1100	2E+09	8,17E+08	317,5	779,4	2700,0	1100,0	1350,0	550,0	0	0	0	0	0	5
9	700x1100	2,12E+08	1,35E+08	317,5	202,1	700,0	1100,0	350,0	550,0	0	0	0	0	0	5

Project

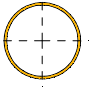
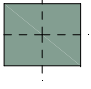
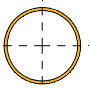
Analysis by

Model: **2P-LD verzwaaard mast 27.axs**

3-6-2022

Pag. 7

Profielen

	Naam	Tekening	Productie	Vorm	h [mm]	b [mm]	tw [mm]	tf [mm]	r ₁ [mm]	r ₂ [mm]	r ₃ [mm]	A _x [mm ²]	A _y [mm ²]	A _z [mm ²]
10	ROR 323,90* 10,0		Gewalst	Buis	323,9	323,9	10,0	10,0	0	0	0	9848,95	4932,33	4932,83
11	1350x1100		Ander	Recht.	1100,0	1350,0	0	0	0	0	0	1485000,00	1237500,00	1237500,00
12	ROR 273,00* 10,0		Gewalst	Buis	273,0	273,0	10,0	10,0	0	0	0	8251,91	4135,55	4135,91

	Naam	I _x [mm ⁴]	I _y [mm ⁴]	I _z [mm ⁴]	I _{yz} [mm ⁴]	I ₁ [mm ⁴]	I ₂ [mm ⁴]	α [°]	I _w [mm ⁶]	W _{1,elt} [mm ³]	W _{1,elb} [mm ³]	W _{2,elt} [mm ³]	W _{2,elb} [mm ³]
10	ROR 323,90* 10,0	2,43E+08	1,21E+08	1,21E+08	0	1,21E+08	1,21E+08	0	3	748843,20	748843,20	748843,20	748843,20
11	1350x1100	3,04E+11	1,5E+11	2,26E+11	0	2,26E+11	1,5E+11	90,00	1,3E+15	3,34E+08	3,34E+08	2,72E+08	2,72E+08
12	ROR 273,00* 10,0	1,43E+08	7,14E+07	7,14E+07	0	7,14E+07	7,14E+07	0	2	522780,40	522780,40	522780,40	522780,40

	Naam	W _{1,pl} [mm ³]	W _{2,pl} [mm ³]	i _y [mm]	i _z [mm]	H _y [mm]	H _z [mm]	y _G [mm]	z _G [mm]	y _s [mm]	z _s [mm]	β _y [mm]	β _z [mm]	β _w [mm]	S.p.
10	ROR 323,90* 10,0	983790,00	983790,00	111,0	111,0	323,9	323,9	161,9	161,9	0	0	0	0	160,4	5
11	1350x1100	5,01E+08	4,08E+08	317,5	389,7	1350,0	1100,0	675,0	550,0	0	0	0	0	0	5
12	ROR 273,00* 10,0	690706,70	690706,70	93,0	93,0	273,0	273,0	136,5	136,5	0	0	0	0	-103,3	5

Naam: Doorsnede naam; **Productie:** Productieproces; **Vorm:** Profiel; **h:** Doorsnede hoogte; **b:** Doorsnede breedte; **tw:** Lijfdikte; **tf:** Flensdikte; **r₁, r₂, r₃:** Afrondingswaarde; **A_x:** Doorsnede-oppervlak; **A_y, A_z:** Afschuivingsoppervlak; **I_x:** Torsietraagheidsmoment; **I_y, I_z:** Buigtraagheidsmoment; **I_{yz}:** Centrifugaal traagheidsmoment; **I₁, I₂:** Hoofdbuigtraagheidsmoment; **α:** Hoofdrichtingen; **I_w:** Krommingsconstante; **W_{1,elt}, W_{1,elb}, W_{2,elt}, W_{2,elb}:** Elastisch weerstandsmoment; **W_{1,pl}, W_{2,pl}:** Plastisch weerstandsmoment; **i_y, i_z:** Traagheidsstraal; **H_y:** Afmeting in lokale Y-richting; **H_z:** Afmeting in lokale Z-richting; **y_G:** Y-coördinaat van het zwaartepunt; **z_G:** Z-coördinaat van het zwaartepunt; **y_s:** Y-coördinaat van het afschuivingsmiddelpunt (torsie); **z_s:** Z-coördinaat van het afschuivingsmiddelpunt (torsie); **β_y, β_z, β_w:** Wagner's coëfficiënt; **S.p.:** Spanningspunten;

Project

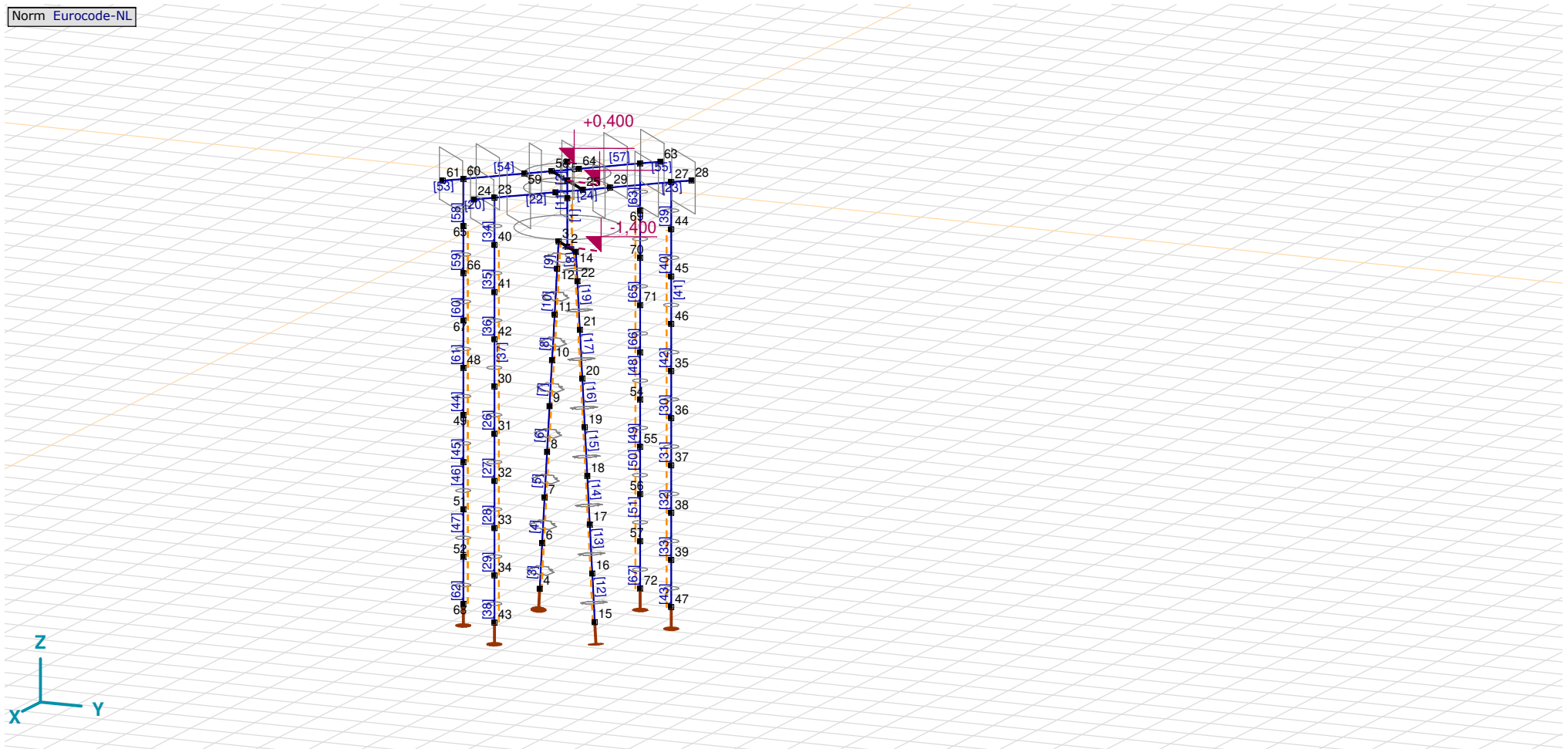
Analysis by

Model: 2P-LD verzw aard mast 27.axs

3-6-2022

Pag. 8

Norm Eurocode-NL



Tekening

Project

Analysis by

Model: **2P-LD verzwaaard mast 27.axs**

3-6-2022

Pag. 9

Knopen

	X [m]	Y [m]	Z [m]		X [m]	Y [m]	Z [m]		X [m]	Y [m]	Z [m]		X [m]	Y [m]	Z [m]		X [m]	Y [m]	Z [m]
1	0	0	0	16	1,026	1,026	-8,000	31	2,015	-0,742	-5,000	46	-0,742	2,015	-3,000	61	1,061	-2,333	0
2	0	0	-1,400	17	0,924	0,924	-7,000	32	2,015	-0,742	-6,000	47	-0,742	2,015	-9,000	62	-2,015	0,742	0
3	-0,354	-0,354	-1,400	18	0,822	0,822	-6,000	33	2,015	-0,742	-7,000	48	0,742	-2,015	-4,000	63	-2,333	1,061	0
4	-1,127	-1,127	-9,000	19	0,720	0,720	-5,000	34	2,015	-0,742	-8,000	49	0,742	-2,015	-5,000	64	-1,061	-0,212	0
5	0	0	0,400	20	0,618	0,618	-4,000	35	-0,742	2,015	-4,000	50	0,742	-2,015	-6,000	65	0,742	-2,015	-1,000
6	-1,026	-1,026	-8,000	21	0,516	0,516	-3,000	36	-0,742	2,015	-5,000	51	0,742	-2,015	-7,000	66	0,742	-2,015	-2,000
7	-0,924	-0,924	-7,000	22	0,415	0,415	-2,000	37	-0,742	2,015	-6,000	52	0,742	-2,015	-8,000	67	0,742	-2,015	-3,000
8	-0,822	-0,822	-6,000	23	2,015	-0,742	0	38	-0,742	2,015	-7,000	53	-2,015	0,742	-4,000	68	0,742	-2,015	-9,000
9	-0,720	-0,720	-5,000	24	2,333	-1,061	0	39	-0,742	2,015	-8,000	54	-2,015	0,742	-5,000	69	-2,015	0,742	-1,000
10	-0,618	-0,618	-4,000	25	0,636	0,636	0	40	2,015	-0,742	-1,000	55	-2,015	0,742	-6,000	70	-2,015	0,742	-2,000
11	-0,516	-0,516	-3,000	26	1,061	0,212	0	41	2,015	-0,742	-2,000	56	-2,015	0,742	-7,000	71	-2,015	0,742	-3,000
12	-0,415	-0,415	-2,000	27	-0,742	2,015	0	42	2,015	-0,742	-3,000	57	-2,015	0,742	-8,000	72	-2,015	0,742	-9,000
13	0	0	-0,375	28	-1,061	2,333	0	43	2,015	-0,742	-9,000	58	-0,636	-0,636	0				
14	0,354	0,354	-1,400	29	0,212	1,061	0	44	-0,742	2,015	-1,000	59	-0,212	-1,061	0				
15	1,127	1,127	-9,000	30	2,015	-0,742	-4,000	45	-0,742	2,015	-2,000	60	0,742	-2,015	0				

Project

Analysis by

Model: **2P-LD verzaard mast 27.axs**

3-6-2022

Pag. 10

Staven

	Start-punt	Eind-punt	Lengte	Lokaal X	Materiaal	Doorsnede	Ref _Z		Start-punt	Eind-punt	Lengte	Lokaal X	Materiaal	Doorsnede	Ref _Z
1	2	13	1,025	i - j	C30/37	7	↗ R14	35	41	40	1,000	j - i	S 355	10	↗ R17
2	1	5	0,400	i - j	C30/37	5	↗ R14	36	42	41	1,000	j - i	S 355	10	↗ R17
3	4	6	1,010	i - j	S 235	6	↗ R4	37	30	42	1,000	i - j	S 355	10	↗ R17
4	6	7	1,010	i - j	S 235	6	↗ R4	38	43	34	1,000	j - i	S 355	10	↗ R17
5	7	8	1,010	i - j	S 235	6	↗ R4	39	44	27	1,000	j - i	S 355	10	↗ R9
6	8	9	1,010	i - j	S 235	6	↗ R4	40	45	44	1,000	j - i	S 355	10	↗ R9
7	9	10	1,010	i - j	S 235	6	↗ R4	41	46	45	1,000	j - i	S 355	10	↗ R9
8	10	11	1,010	i - j	S 235	6	↗ R4	42	35	46	1,000	i - j	S 355	10	↗ R9
9	12	3	0,606	j - i	S 235	6	↗ R4	43	47	39	1,000	j - i	S 355	10	↗ R9
10	11	12	1,010	i - j	S 235	6	↗ R4	44	49	48	1,000	j - i	S 355	10	↗ R17
11	1	13	0,375	i - j	C30/37	5	↗ R14	45	50	49	1,000	j - i	S 355	10	↗ R17
12	15	16	1,010	i - j	S 235	6	↗ R3	46	51	50	1,000	j - i	S 355	10	↗ R17
13	16	17	1,010	i - j	S 235	6	↗ R3	47	52	51	1,000	j - i	S 355	10	↗ R17
14	17	18	1,010	i - j	S 235	6	↗ R3	48	54	53	1,000	j - i	S 355	10	↗ R9
15	18	19	1,010	i - j	S 235	6	↗ R3	49	55	54	1,000	j - i	S 355	10	↗ R9
16	19	20	1,010	i - j	S 235	6	↗ R3	50	56	55	1,000	j - i	S 355	10	↗ R9
17	20	21	1,010	i - j	S 235	6	↗ R3	51	57	56	1,000	j - i	S 355	10	↗ R9
18	22	14	0,606	j - i	S 235	6	↗ R3	52	59	58	0,600	j - i	C30/37	9	Auto
19	21	22	1,010	i - j	S 235	6	↗ R3	53	61	60	0,450	j - i	C30/37	11	Auto
20	24	23	0,450	j - i	C30/37	11	Auto	54	60	59	1,350	j - i	C30/37	11	Auto
21	26	25	0,600	j - i	C30/37	9	Auto	55	63	62	0,450	j - i	C30/37	11	Auto
22	23	26	1,350	i - j	C30/37	11	Auto	56	64	58	0,600	j - i	C30/37	9	Auto
23	28	27	0,450	j - i	C30/37	11	Auto	57	62	64	1,350	i - j	C30/37	11	Auto
24	29	25	0,600	j - i	C30/37	9	Auto	58	65	60	1,000	j - i	S 355	10	↗ R17
25	27	29	1,350	i - j	C30/37	11	Auto	59	66	65	1,000	j - i	S 355	10	↗ R17
26	31	30	1,000	j - i	S 355	10	↗ R17	60	67	66	1,000	j - i	S 355	10	↗ R17
27	32	31	1,000	j - i	S 355	10	↗ R17	61	48	67	1,000	i - j	S 355	10	↗ R17
28	33	32	1,000	j - i	S 355	10	↗ R17	62	68	52	1,000	j - i	S 355	10	↗ R17
29	34	33	1,000	j - i	S 355	10	↗ R17	63	69	62	1,000	j - i	S 355	10	↗ R9
30	36	35	1,000	j - i	S 355	10	↗ R9	64	70	69	1,000	j - i	S 355	10	↗ R9
31	37	36	1,000	j - i	S 355	10	↗ R9	65	71	70	1,000	j - i	S 355	10	↗ R9
32	38	37	1,000	j - i	S 355	10	↗ R9	66	53	71	1,000	i - j	S 355	10	↗ R9
33	39	38	1,000	j - i	S 355	10	↗ R9	67	72	57	1,000	j - i	S 355	10	↗ R9
34	40	23	1,000	j - i	S 355	10	↗ R17								

Lengte: Elementlengte; Lokaal X: Lokale X-richting; Ref_Z: Referentie voor lokale Z-richting;

Project

Analysis by

Model: **2P-LD verzwaaard mast 27.axs**

3-6-2022

Pag. 11

Knooppopleggingen

	Knoop	X [m]	Y [m]	Z [m]	Type	Ref. elem.	Naam _x	Veermodel _x	K _x [kN/m]	K _{xv} [kN/m]	NL _x	Grenswaarde _x [kN]	Naam _y	Veermodel _y	K _y [kN/m]
1	4	-1,127	-1,127	-9,000	Staafr.	Staafr. 79	Verend alleen druk LD1	NL elastisch	3E+5	3E+5	Druk Alleen druk	633,0	—	—	—
2	15	1,127	1,127	-9,000	Staafr.	Staafr. 95	Verend alleen druk LD1	NL elastisch	3E+5	3E+5	Druk Alleen druk	633,0	—	—	—
3	43	2,015	-0,742	-9,000	Staafr.	Staafr. 34	Verend alleen druk	NL elastisch	3E+5	3E+5	Druk Alleen druk	350,0	—	—	—
4	47	-0,742	2,015	-9,000	Staafr.	Staafr. 42	Verend alleen druk	NL elastisch	3E+5	3E+5	Druk Alleen druk	350,0	—	—	—
5	68	0,742	-2,015	-9,000	Staafr.	Staafr. 66	Verend alleen druk	NL elastisch	3E+5	3E+5	Druk Alleen druk	350,0	—	—	—
6	72	-2,015	0,742	-9,000	Staafr.	Staafr. 74	Verend alleen druk	NL elastisch	3E+5	3E+5	Druk Alleen druk	350,0	—	—	—

	Knoop	K _{yv} [kN/m]	Naam _z	Veermodel _z	K _z [kN/m]	K _{zv} [kN/m]	Naam _{xx}	Veermodel _{xx}	K _{xx} [kNm/rad]	K _{xv} [kNm/rad]	Naam _{yy}	Veermodel _{yy}	K _{yy} [kNm/rad]	K _{yv} [kNm/rad]	Naam _{zz}
1	4	—	—	—	—	—	—	—	—	—	—	—	—	—	—
2	15	—	—	—	—	—	—	—	—	—	—	—	—	—	—
3	43	—	—	—	—	—	—	—	—	—	—	—	—	—	—
4	47	—	—	—	—	—	—	—	—	—	—	—	—	—	—
5	68	—	—	—	—	—	—	—	—	—	—	—	—	—	—
6	72	—	—	—	—	—	—	—	—	—	—	—	—	—	—

	Knoop	Veermodel _{zz}	K _{zz} [kNm/rad]	K _{zzv} [kNm/rad]	Veermodel _w
1	4	—	—	—	—
2	15	—	—	—	—
3	43	—	—	—	—
4	47	—	—	—	—
5	68	—	—	—	—
6	72	—	—	—	—

Knoop: Ondersteunde knoop; **Type:** Opleggingstype; **Ref. elem.:** Referentie-element; **Naam_x:** Naam van de veereigenschappen; **Veermodel_x:** Veermodel; **K_x:** Initiële stijfheid; **K_{xv}:** Trillingsstijfheid; **NL_x:** Niet-lineaire parameters; **Grenswaarde_x:** Grenswaarde; **K_y, K_z, K_{xx}, K_{yy}, K_{zz}:** Initiële stijfheid;

Project

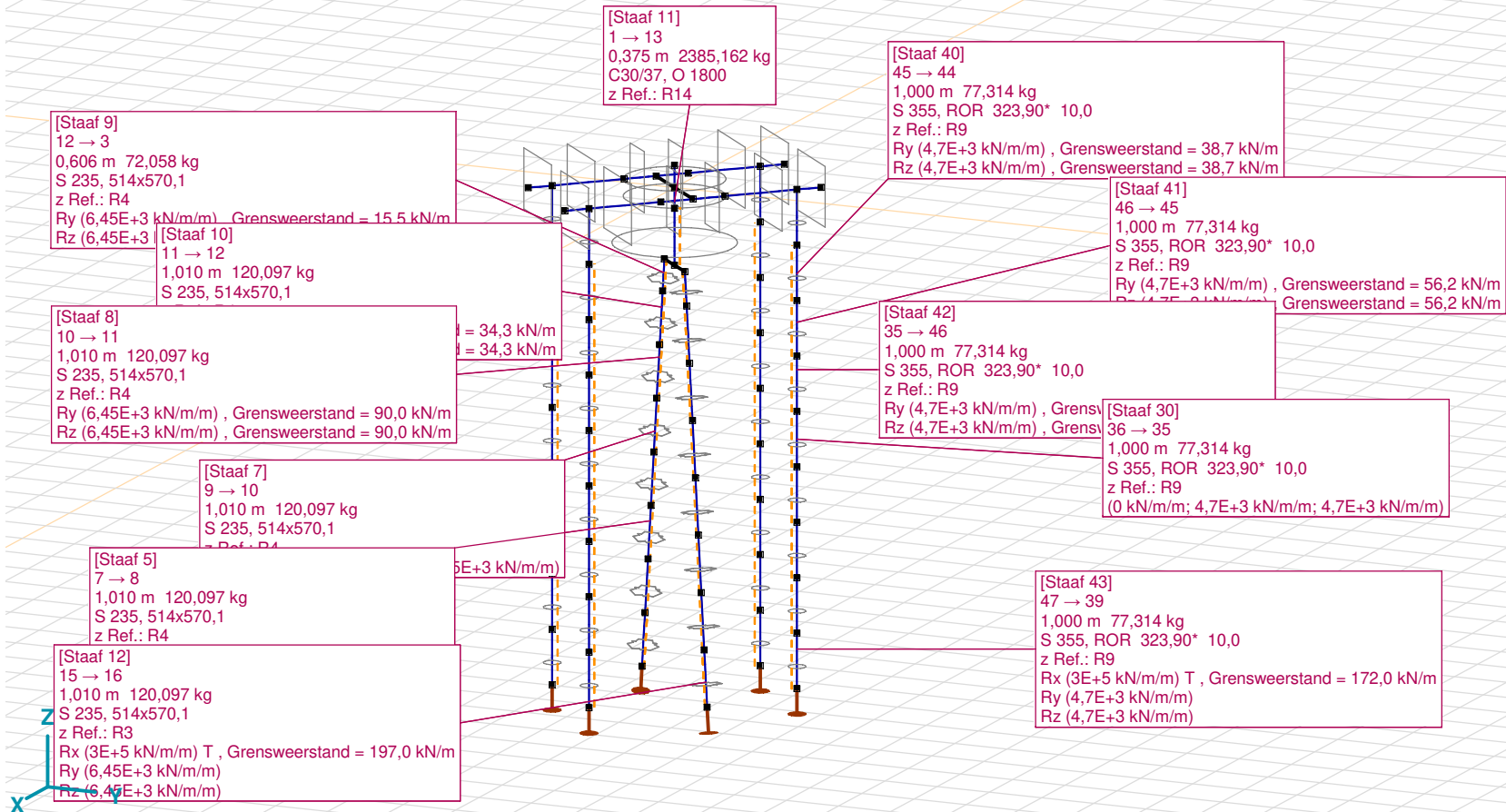
Analysis by

Model: **2P-LD verzwaaard mast 27.axs**

3-6-2022

Pag. 12

Norm Eurocode-NL



Tekening met beddingen

Project

Analysis by

Model: **2P-LD verzaard mast 27.axs**

3-6-2022

Pag. 13

Lijnopleggingen

	Lijn	Type	Ref. elem.	Rx [kN/m/m]	Ry [kN/m/m]	Rz [kN/m/m]	Rxx [kNm/rad/m]	Ryy [kNm/rad/m]	Rzz [kNm/rad/m]	NL(x)	NL(y)	NL(z)	NL(xx)	NL(yy)	NL(zz)
		StAAF r.													
1	StAAF 1	StAAF r.		0	4,65E+3	4,65E+3					Symmetrisch	Symmetrisch			
5	StAAF 3	StAAF r.		3E+5	6,45E+3	6,45E+3				Trek	Symmetrisch	Symmetrisch			
6	StAAF 4	StAAF r.		0	6,45E+3	6,45E+3					Symmetrisch	Symmetrisch			
7	StAAF 5	StAAF r.		0	6,45E+3	6,45E+3					Symmetrisch	Symmetrisch			
8	StAAF 6	StAAF r.		0	6,45E+3	6,45E+3					Symmetrisch	Symmetrisch			
9	StAAF 7	StAAF r.		0	6,45E+3	6,45E+3					Symmetrisch	Symmetrisch			
4	StAAF 8	StAAF r.		0	6,45E+3	6,45E+3					Symmetrisch	Symmetrisch			
2	StAAF 9	StAAF r.		0	6,45E+3	6,45E+3					Symmetrisch	Symmetrisch			
3	StAAF 10	StAAF r.		0	6,45E+3	6,45E+3					Symmetrisch	Symmetrisch			
10	StAAF 12	StAAF r.		3E+5	6,45E+3	6,45E+3				Trek	Symmetrisch	Symmetrisch			
11	StAAF 13	StAAF r.		0	6,45E+3	6,45E+3					Symmetrisch	Symmetrisch			
12	StAAF 14	StAAF r.		0	6,45E+3	6,45E+3					Symmetrisch	Symmetrisch			
13	StAAF 15	StAAF r.		0	6,45E+3	6,45E+3					Symmetrisch	Symmetrisch			
14	StAAF 16	StAAF r.		0	6,45E+3	6,45E+3					Symmetrisch	Symmetrisch			
15	StAAF 17	StAAF r.		0	6,45E+3	6,45E+3					Symmetrisch	Symmetrisch			
16	StAAF 18	StAAF r.		0	6,45E+3	6,45E+3					Symmetrisch	Symmetrisch			

	Lijn	F(x) [kN/m]	F(y) [kN/m]	F(z) [kN/m]	M(x) [kNm/m]	M(y) [kNm/m]	M(z) [kNm/m]
1	StAAF 1		23,1	23,1			
5	StAAF 3	197,0					
6	StAAF 4						
7	StAAF 5						
8	StAAF 6						
9	StAAF 7						
4	StAAF 8		90,0	90,0			
2	StAAF 9		15,5	15,5			
3	StAAF 10		34,3	34,3			
10	StAAF 12	197,0					
11	StAAF 13						
12	StAAF 14						
13	StAAF 15						
14	StAAF 16						
15	StAAF 17		90,0	90,0			
16	StAAF 18		15,5	15,5			

Project

Analysis by

Model: **2P-LD verzaard mast 27.axs**

3-6-2022

Pag. 14

Lijnopleggingen

	Lijn	Type	Ref. elem.	Rx [kN/m/m]	Ry [kN/m/m]	Rz [kN/m/m]	Rxx [kNm/rad/m]	Ryy [kNm/rad/m]	Rzz [kNm/rad/m]	NL(x)	NL(y)	NL(z)	NL(xx)	NL(yy)	NL(zz)
17	StAAF 19	StAAF r.		0	6,45E+3	6,45E+3					Symmetrisch	Symmetrisch			
18	StAAF 26	StAAF r.		0	4,7E+3	4,7E+3					Symmetrisch	Symmetrisch			
19	StAAF 27	StAAF r.		0	4,7E+3	4,7E+3					Symmetrisch	Symmetrisch			
20	StAAF 28	StAAF r.		0	4,7E+3	4,7E+3					Symmetrisch	Symmetrisch			
21	StAAF 29	StAAF r.		0	4,7E+3	4,7E+3					Symmetrisch	Symmetrisch			
22	StAAF 30	StAAF r.		0	4,7E+3	4,7E+3					Symmetrisch	Symmetrisch			
23	StAAF 31	StAAF r.		0	4,7E+3	4,7E+3					Symmetrisch	Symmetrisch			
24	StAAF 32	StAAF r.		0	4,7E+3	4,7E+3					Symmetrisch	Symmetrisch			
25	StAAF 33	StAAF r.		0	4,7E+3	4,7E+3					Symmetrisch	Symmetrisch			
26	StAAF 35	StAAF r.		0	4,7E+3	4,7E+3					Symmetrisch	Symmetrisch			
27	StAAF 36	StAAF r.		0	4,7E+3	4,7E+3					Symmetrisch	Symmetrisch			
28	StAAF 37	StAAF r.		0	4,7E+3	4,7E+3					Symmetrisch	Symmetrisch			
29	StAAF 38	StAAF r.		3E+5	4,7E+3	4,7E+3				Trek	Symmetrisch	Symmetrisch			
30	StAAF 40	StAAF r.		0	4,7E+3	4,7E+3					Symmetrisch	Symmetrisch			
31	StAAF 41	StAAF r.		0	4,7E+3	4,7E+3					Symmetrisch	Symmetrisch			
32	StAAF 42	StAAF r.		0	4,7E+3	4,7E+3					Symmetrisch	Symmetrisch			
33	StAAF 43	StAAF r.		3E+5	4,7E+3	4,7E+3				Trek	Symmetrisch	Symmetrisch			

	Lijn	F(x) [kN/m]	F(y) [kN/m]	F(z) [kN/m]	M(x) [kNm/m]	M(y) [kNm/m]	M(z) [kNm/m]
17	StAAF 19		34,3	34,3			
18	StAAF 26						
19	StAAF 27						
20	StAAF 28						
21	StAAF 29						
22	StAAF 30						
23	StAAF 31						
24	StAAF 32						
25	StAAF 33						
26	StAAF 35		38,7	38,7			
27	StAAF 36		56,2	56,2			
28	StAAF 37		73,7	73,7			
29	StAAF 38	172,0					
30	StAAF 40		38,7	38,7			
31	StAAF 41		56,2	56,2			
32	StAAF 42		73,7	73,7			
33	StAAF 43	172,0					

Project

Analysis by

Model: **2P-LD verzaard mast 27.axs**

3-6-2022

Pag. 15

Lijnopleggingen

	Lijn	Type	Ref. elem.	R _x [kN/m/m]	R _y [kN/m/m]	R _z [kN/m/m]	R _{xx} [kNm/rad/m]	R _{yy} [kNm/rad/m]	R _{zz} [kNm/rad/m]	NL(x)	NL(y)	NL(z)	NL(xx)	NL(yy)	NL(zz)
34	Staafl 44	Staafl r.		0	4,7E+3	4,7E+3					Symmetrisch	Symmetrisch			
35	Staafl 45	Staafl r.		0	4,7E+3	4,7E+3					Symmetrisch	Symmetrisch			
36	Staafl 46	Staafl r.		0	4,7E+3	4,7E+3					Symmetrisch	Symmetrisch			
37	Staafl 47	Staafl r.		0	4,7E+3	4,7E+3					Symmetrisch	Symmetrisch			
38	Staafl 48	Staafl r.		0	4,7E+3	4,7E+3					Symmetrisch	Symmetrisch			
39	Staafl 49	Staafl r.		0	4,7E+3	4,7E+3					Symmetrisch	Symmetrisch			
40	Staafl 50	Staafl r.		0	4,7E+3	4,7E+3					Symmetrisch	Symmetrisch			
41	Staafl 51	Staafl r.		0	4,7E+3	4,7E+3					Symmetrisch	Symmetrisch			
42	Staafl 59	Staafl r.		0	4,7E+3	4,7E+3					Symmetrisch	Symmetrisch			
43	Staafl 60	Staafl r.		0	4,7E+3	4,7E+3					Symmetrisch	Symmetrisch			
44	Staafl 61	Staafl r.		0	4,7E+3	4,7E+3					Symmetrisch	Symmetrisch			
45	Staafl 62	Staafl r.		3E+5	4,7E+3	4,7E+3				Trek	Symmetrisch	Symmetrisch			
46	Staafl 64	Staafl r.		0	4,7E+3	4,7E+3					Symmetrisch	Symmetrisch			
47	Staafl 65	Staafl r.		0	4,7E+3	4,7E+3					Symmetrisch	Symmetrisch			
48	Staafl 66	Staafl r.		0	4,7E+3	4,7E+3					Symmetrisch	Symmetrisch			
49	Staafl 67	Staafl r.		3E+5	4,7E+3	4,7E+3				Trek	Symmetrisch	Symmetrisch			

	Lijn	F(x) [kN/m]	F(y) [kN/m]	F(z) [kN/m]	M(x) [kNm/m]	M(y) [kNm/m]	M(z) [kNm/m]
34	Staafl 44						
35	Staafl 45						
36	Staafl 46						
37	Staafl 47						
38	Staafl 48						
39	Staafl 49						
40	Staafl 50						
41	Staafl 51						
42	Staafl 59		38,7	38,7			
43	Staafl 60		56,2	56,2			
44	Staafl 61		73,7	73,7			
45	Staafl 62	172,0					
46	Staafl 64		38,7	38,7			
47	Staafl 65		56,2	56,2			
48	Staafl 66		73,7	73,7			
49	Staafl 67	172,0					

Lijn: Ondersteund lijnelement; **Type:** Opleggingstype; **Ref. elem.:** Referentie-element; **R_x, R_y, R_z:** Verplaatsingsstijfheid; **R_{xx}, R_{yy}, R_{zz}:** Rotatiestijfheid; **NL(x), NL(y), NL(z), NL(xx), NL(yy), NL(zz):** Niet-lineaire parameters; **F(x):** Weerstand in X-richting; **F(y):** Weerstand in Y-richting; **F(z):** Weerstand in Z-richting; **M(x):** Weerstandsmoment in X-richting; **M(y):** Weerstandsmoment in Y-richting; **M(z):** Weerstandsmoment in Z-richting;

Project

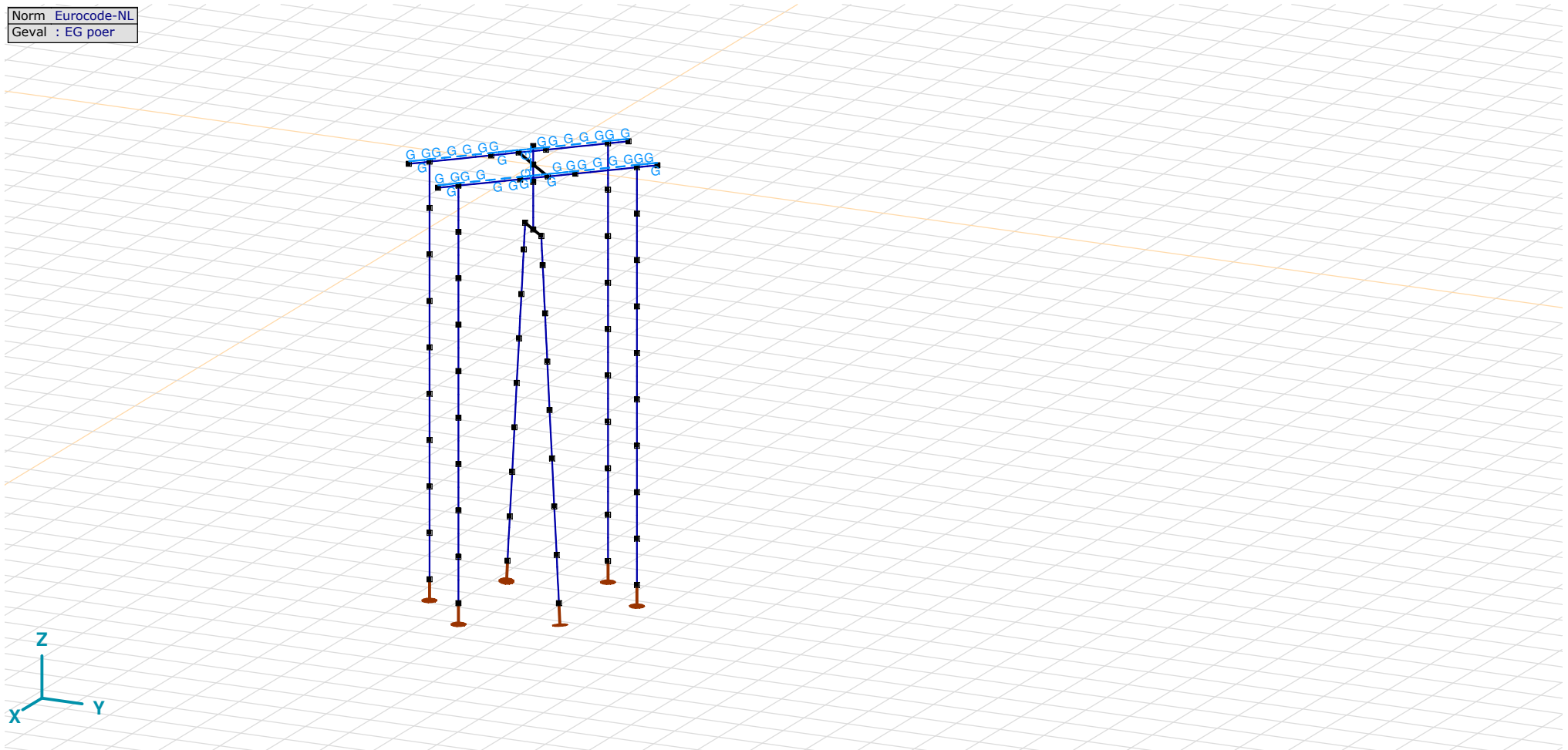
Analysis by

Model: **2P-LD verzaard mast 27.axs**

3-6-2022

Pag. 16

Norm Eurocode-NL
Geval : EG poer



EG poer

Project

Analysis by

Model: **2P-LD verzwaaard mast 27.axs**

3-6-2022

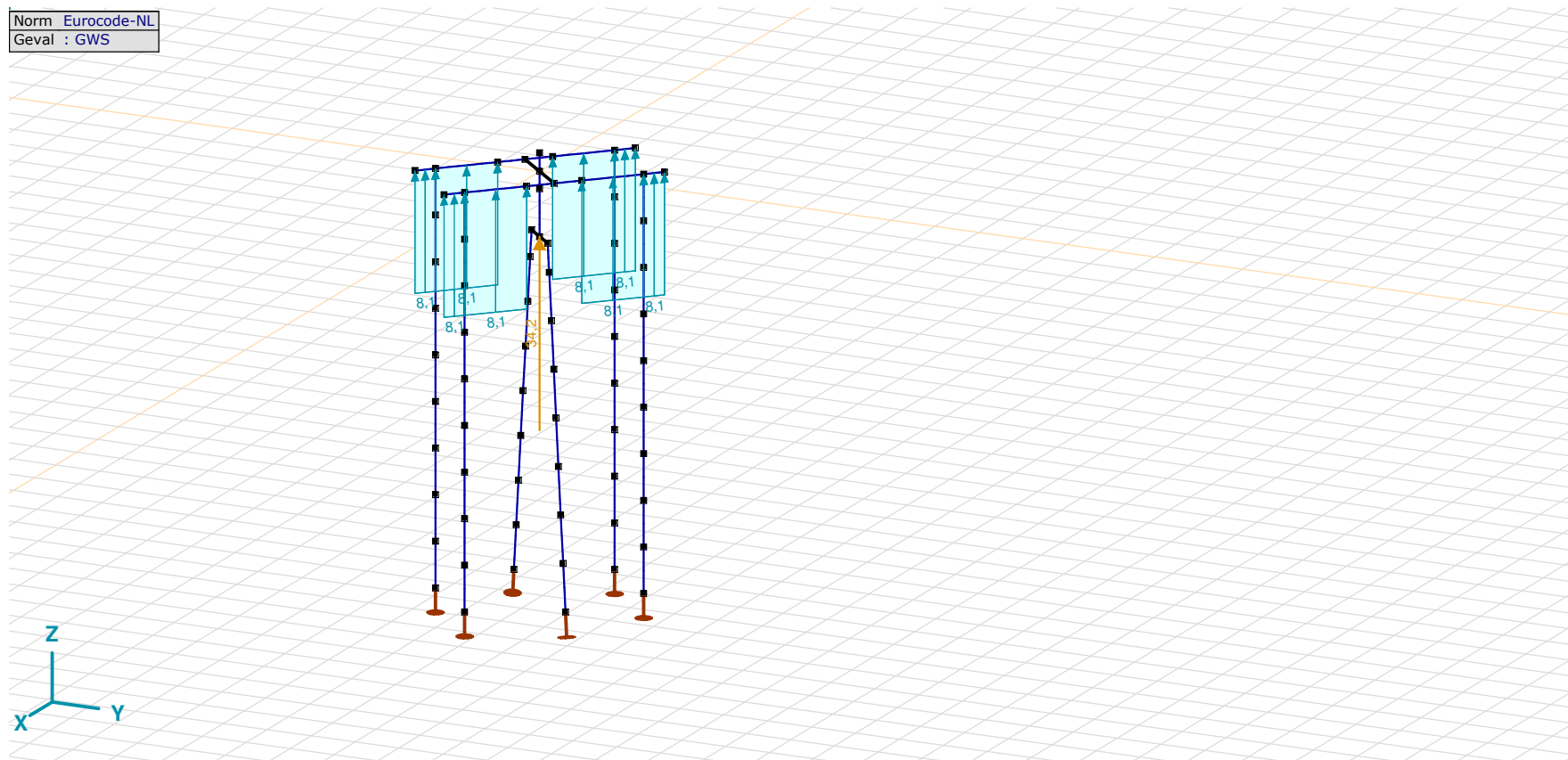
Pag. 17

EG poer: Staaf eigen gewicht

	Σ [kg]
1	2544,173
6	2385,162
111-134	15675,001
143-166	15675,001
Totaal	36279,337

 Σ : Totale massa;

Norm Eurocode-NL
Geval : GWS



GWS

Project

Analysis by

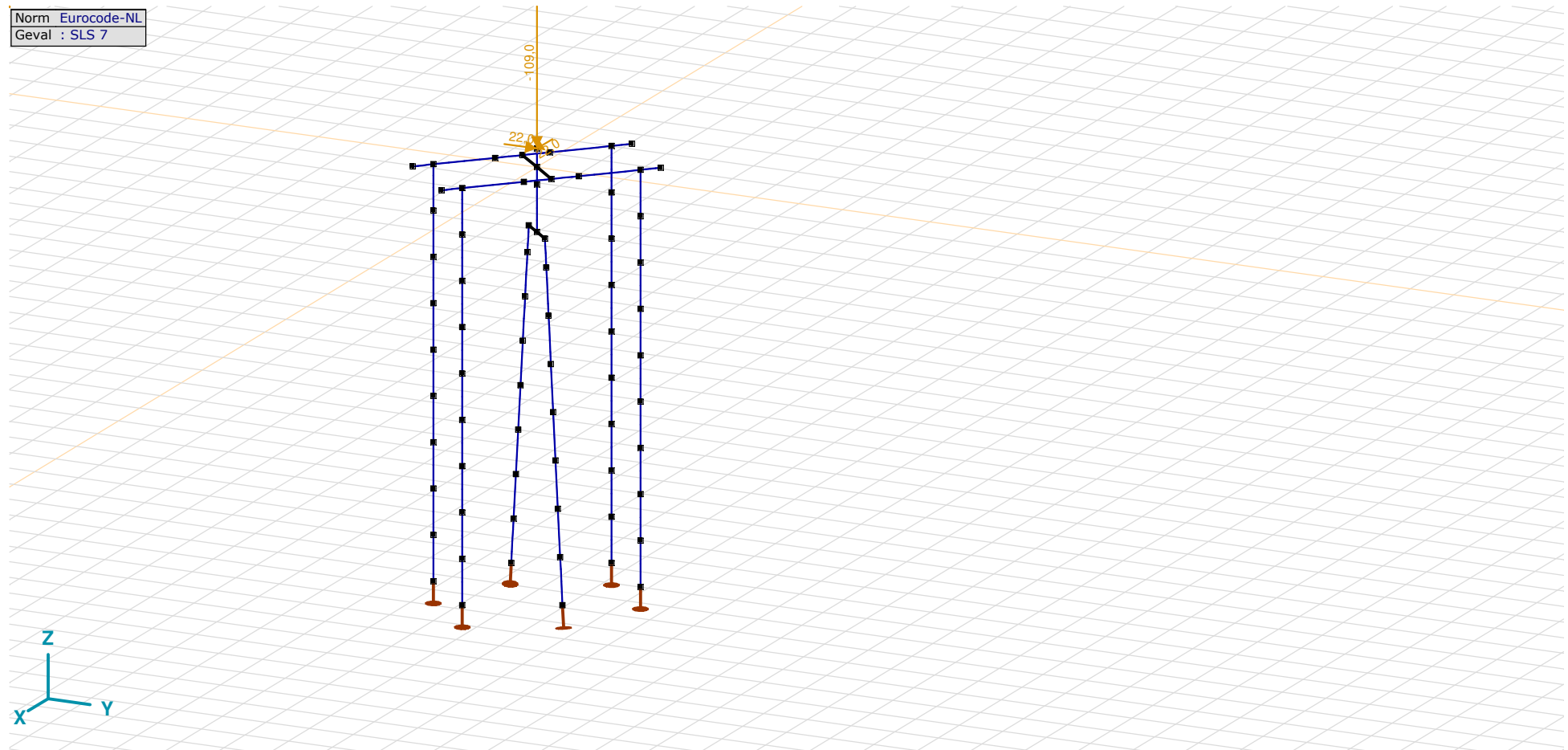
Model: **2P-LD verzaard mast 27.axs**

3-6-2022

Pag. 18

GWS: Knoopbelastingen

	Richting	F_x [kN]	F_y [kN]	F_z [kN]	M_x [kNm]	M_y [kNm]	M_z [kNm]
2	Globaal	0	0	34,2	0	0	0

 F_x , F_y , F_z : Belastingkracht component; M_x , M_y , M_z : Belastingsmoment component;

SLS 7

Project

Analysis by

Model: **2P-LD verzaard mast 27.axs**

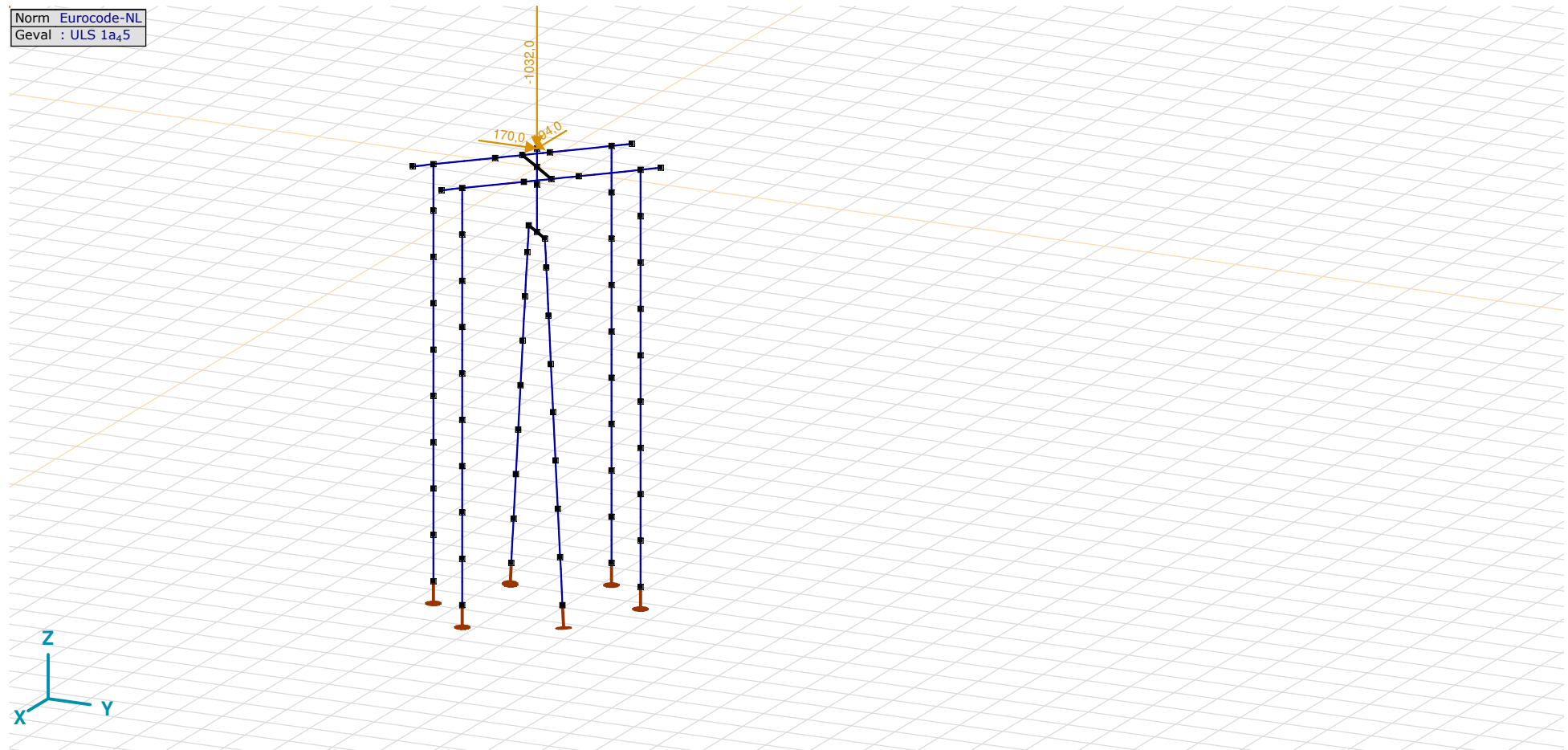
3-6-2022

Pag. 19

SLS 7: Knoopbelastingen

	Richting	F_x [kN]	F_y [kN]	F_z [kN]	M_x [kNm]	M_y [kNm]	M_z [kNm]
5	Globaal	22,0	22,0	-109,0	0	0	0

F_x , F_y , F_z : Belastingkracht component; M_x , M_y , M_z : Belastingmoment component;

ULS 1a₄₅

Project

Analysis by

Model: **2P-LD verzaard mast 27.axs**

3-6-2022

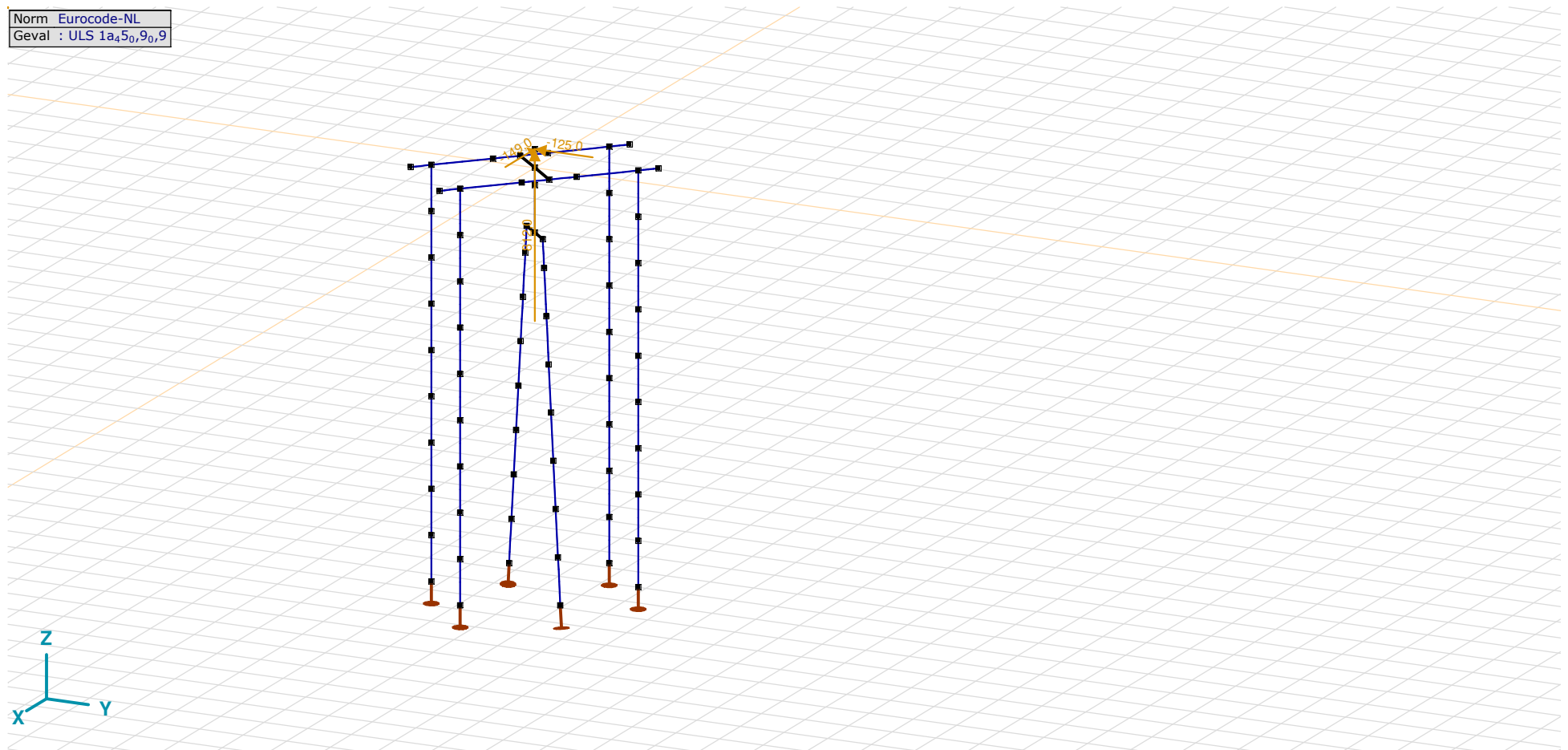
Pag. 20

ULS 1a_45: Knoopbelastingen

	Richting	F_x [kN]	F_y [kN]	F_z [kN]	M_x [kNm]	M_y [kNm]	M_z [kNm]
5	Globaal	194,0	170,0	-1032,0	0	0	0

F_x , F_y , F_z : Belastingkracht component; M_x , M_y , M_z : Belastingmoment component;

Norm Eurocode-NL
Geval : ULS 1a₄₅,9₀,9



ULS 1a_45_0,9_0,9

Project

Analysis by

Model: **2P-LD verzaard mast 27.axs**

3-6-2022

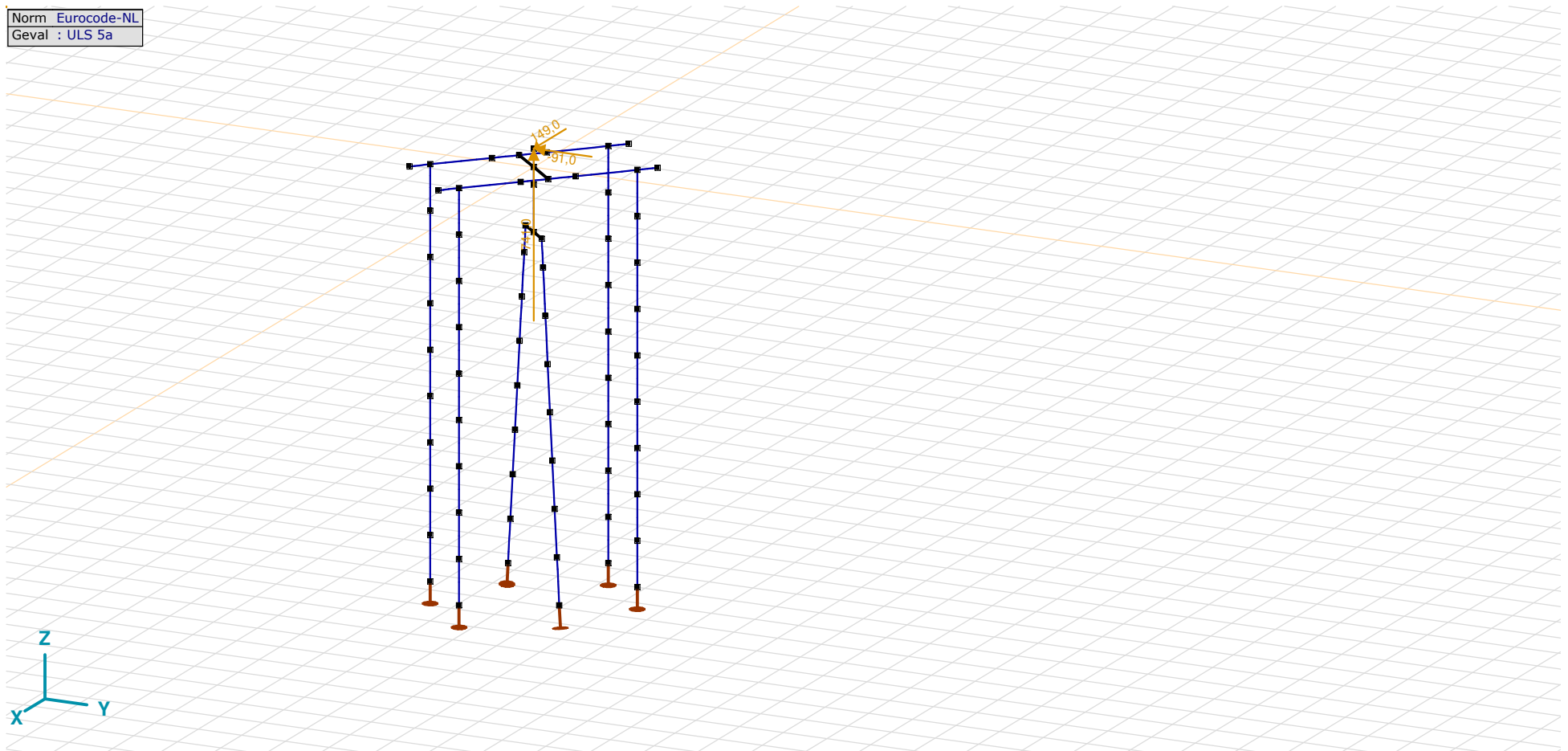
Pag. 21

ULS 1a_45_0,9_0,9: Knoopbelastingen

	Richting	F_x [kN]	F_y [kN]	F_z [kN]	M_x [kNm]	M_y [kNm]	M_z [kNm]
5	Globaal	-149,0	-125,0	812,0	0	0	0

F_x , F_y , F_z : Belastingkracht component; M_x , M_y , M_z : Belastingmoment component;

Norm Eurocode-NL
Geval : ULS 5a



ULS 5a

Project

Analysis by

Model: **2P-LD verzwaaard mast 27.axs**

3-6-2022

Pag. 22

ULS 5a: Knoopbelastingen

	<i>Richting</i>	<i>F_x</i> [kN]	<i>F_y</i> [kN]	<i>F_z</i> [kN]	<i>M_x</i> [kNm]	<i>M_y</i> [kNm]	<i>M_z</i> [kNm]
5	Globaal	149,0	-91,0	741,0	0	0	0

F_x, F_y, F_z: Belastingkracht component; **M_x, M_y, M_z**: Belastingsmoment component;

Gebruiker gedefinieerde belastingcombinaties uit belastinggevallen

	<i>Naam</i>	<i>Type</i>	<i>ST1</i>	<i>EG poer</i> (PERM1)	<i>GWS</i> (PERM1)	<i>SLS 7</i> (PERM1)	<i>ULS 1a_45</i> (VER1)	<i>ULS 1a_45_0,9_0,9</i> (VER1)	<i>ULS 5a</i> (VER1)	<i>Commentaar</i>
1	Co #1 max druk	UGT	0	1,20	0	0	1,00	0	0	
2	Co #2 max trek	UGT	0	0,90	1,00	0	0	1,00	0	
3	Co #3 max torsie	UGT	0	1,20	1,00	0	0	0	1,00	
4	Co #4 Perm	BGT Quasi-blijvend	0	1,00	0	1,00	0	0	0	

Naam: Naam belastingcombinatie; **Type**: Type belastingcombinatie; **ST1, EG poer (PERM1), GWS (PERM1), SLS 7 (PERM1), ULS 1a₄₅ (VER1), ULS 1a₄₅_{0,9,9} (VER1), ULS 5a (VER1)**: Factor;

Project

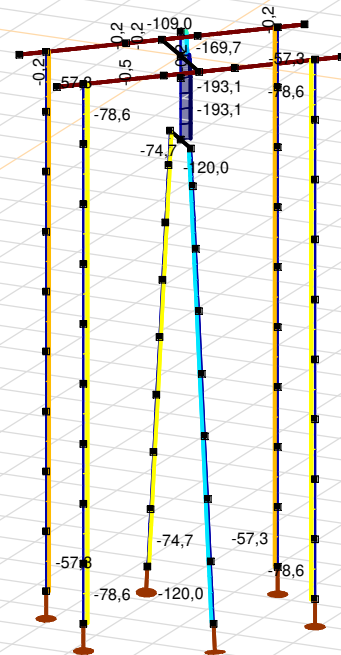
Analysis by

Model: **2P-LD verzaard mast 27.axs**

3-6-2022

Pag. 23

Niet-lineaire berekening	
Norm	Eurocode-NL
Geval	Co #4 Perm [1] (1,000)
E (U)	: 7,33E-11
E (P)	: 1,47E-7
E (W)	: 1,72E-17
E (Eq)	: 7,24E-10
Comp.	Nx [kN]
Max	: 0
Min	: -193,1



Nx [kN]	
[White]	0
[Dark Red]	-13,8
[Red]	-27,6
[Orange-Red]	-41,4
[Orange]	-55,2
[Yellow-Orange]	-69,0
[Yellow]	-82,8
[Light Green]	-96,6
[Green]	-110,4
[Cyan]	-124,1
[Blue-Cyan]	-137,9
[Blue]	-151,7
[Dark Blue]	-165,5
[Very Dark Blue]	-179,3
[Black]	-193,1



[II], Non-lin., Co #4 Perm [1] (1,000), Nx, Lijnen (gevuld)(gevuld)

Project

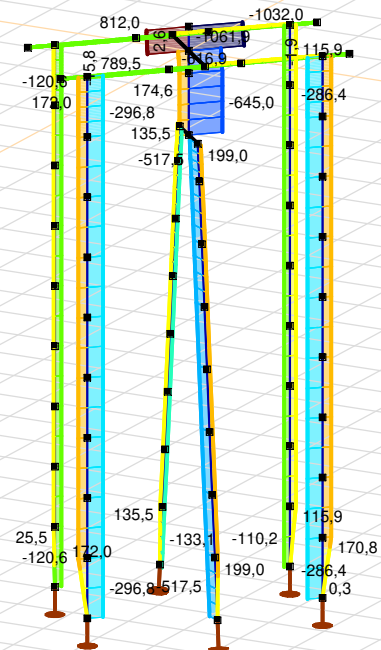
Analysis by

Model: **2P-LD verzaard mast 27.axs**

3-6-2022

Pag. 24

Niet-lineaire berekening	
Norm	Eurocode-NL
Geval	: Omhullende Min,Max
Omhullende	: Alle UGT
E (U)	: 1,30E-11
E (P)	: 1,68E-9
E (W)	: 1,01E-18
E (Eq)	: 7,24E-10
Comp.	: Nx [kN]
Max	: 812,0
Min	: -1061,9



Nx [kN]	
812,0	
678,2	
544,3	
410,5	
276,6	
142,7	
8,9	
-125,0	
-258,8	
-392,7	
-526,5	
-660,4	
-794,2	
-928,1	
-1062,0	

[II], Non-lin., Omhullende (Alle UGT), Nx, Lijnen (gevuld)

Project

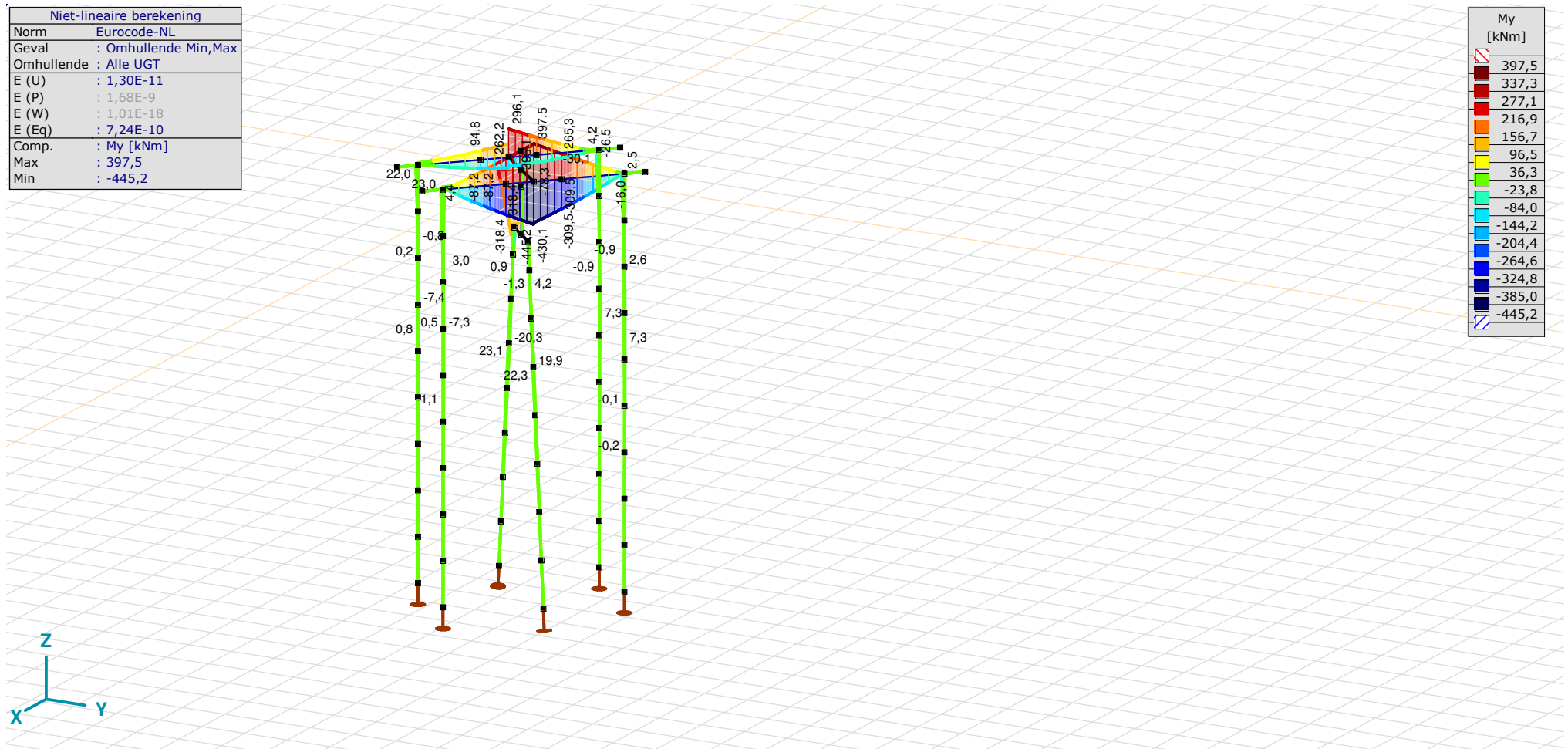
Analysis by

Model: **2P-LD verzwaaard mast 27.axs**

3-6-2022

Pag. 25

Niet-lineaire berekening	
Norm	Eurocode-NL
Geval	: Omhullende Min,Max
Omhullende	: Alle UGT
E (U)	: 1,30E-11
E (P)	: 1,68E-9
E (W)	: 1,01E-18
E (Eq)	: 7,24E-10
Comp.	: My [kNm]
Max	: 397,5
Min	: -445,2



[II], Non-lin., Omhullende (Alle UGT), My, Lijnen (gevuld)

Project

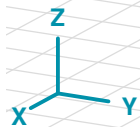
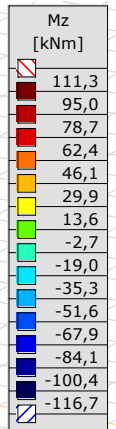
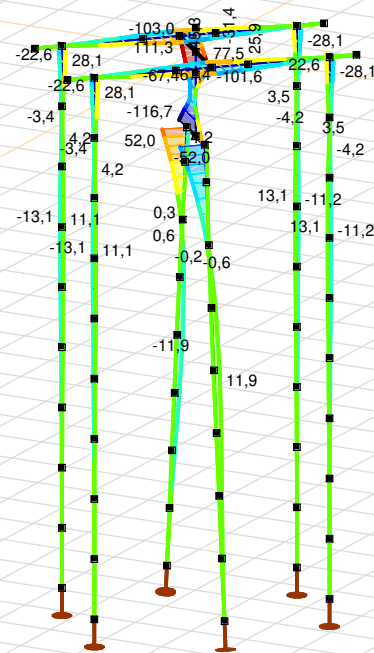
Analysis by

Model: **2P-LD verzwaid mast 27.axs**

3-6-2022

Pag. 26

Niet-lineaire berekening	
Norm	Eurocode-NL
Geval	: Omhullende Min,Max
Omhullende	: Alle UGT
E (U)	: 1,30E-11
E (P)	: 1,68E-9
E (W)	: 1,01E-18
E (Eq)	: 7,24E-10
Comp.	: Mz [kNm]
Max	: 111,3
Min	: -116,7



[III], Non-lin., Omhullende (Alle UGT), Mz, Lijnen (gevuld)

Project

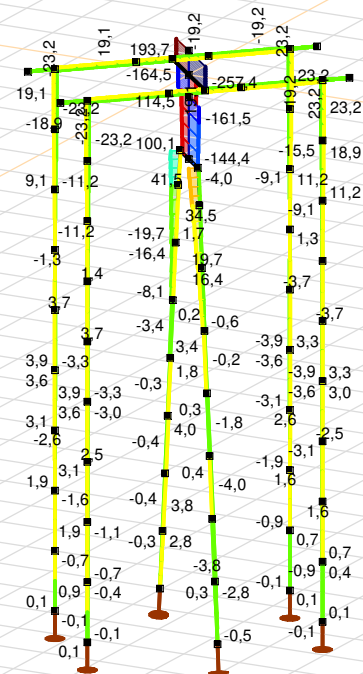
Analysis by

Model: **2P-LD verzaard mast 27.axs**

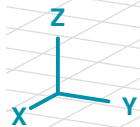
3-6-2022

Pag. 27

Niet-lineaire berekening	
Norm	Eurocode-NL
Geval	: Omhullende Min,Max
Omhullende	: Alle UGT
E (U)	: 1,30E-11
E (P)	: 1,68E-9
E (W)	: 1,01E-18
E (Eq)	: 7,24E-10
Comp.	: Vy [kN]
Max	: 193,7
Min	: -257,4



Vy [kN]	
193,8	193,8
161,5	161,5
129,3	129,3
97,1	97,1
64,9	64,9
32,6	32,6
0,4	0,4
-31,8	-31,8
-64,0	-64,0
-96,3	-96,3
-128,5	-128,5
-160,7	-160,7
-192,9	-192,9
-225,2	-225,2
-257,4	-257,4



[II], Non-lin., Omhullende (Alle UGT), Vy, Lijnen (gevuld)

Project

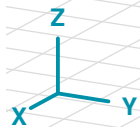
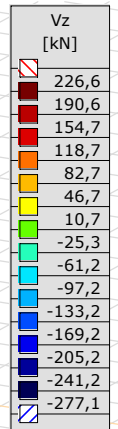
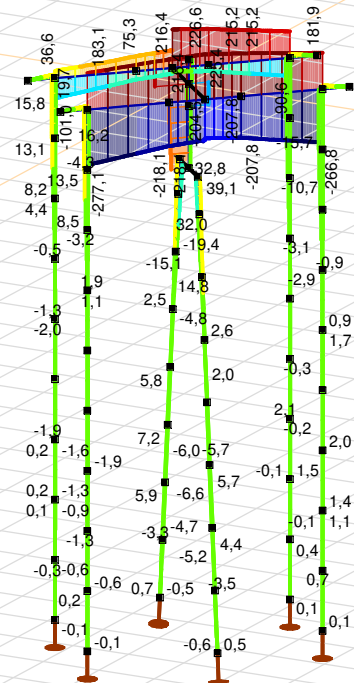
Analysis by

Model: **2P-LD verzaard mast 27.axs**

3-6-2022

Pag. 28

Niet-lineaire berekening	
Norm	Eurocode-NL
Geval	: Omhullende Min,Max
Omhullende	: Alle UGT
E (U)	: 1,30E-11
E (P)	: 1,68E-9
E (W)	: 1,01E-18
E (Eq)	: 7,24E-10
Comp.	: Vz [kN]
Max	: 226,6
Min	: -277,1



[II], Non-lin., Omhullende (Alle UGT), Vz, Lijnen (gevuld)

Project

Analysis by

Model: **2P-LD verzaard mast 27.axs**

3-6-2022

Pag. 29

Staafkrachten [Non-lin., Omhullende (UGT), Palen]

	Prof.	Doorsnede naam	C	min. max.	Geval	Pos. [m]	Knoop	Nx [kN]	Vy [kN]	Vz [kN]	Tx [kNm]	My [kNm]	Mz [kNm]	B [kNm ²]
Ext.														
12	6	514x570,1	Nx	min	Co #1 max druk [1] (1,000)	0	(15)	-517,5	0	-0,6	0	0	0	0
13	6	514x570,1		min	Co #1 max druk [1] (1,000)	0	(16)	-517,5	-0,4	-5,2	0	-2,1	0,2	0
14	6	514x570,1		min	Co #1 max druk [1] (1,000)	0	(17)	-517,5	-0,4	-6,6	0	-7,5	0,6	0
15	6	514x570,1		min	Co #1 max druk [1] (1,000)	0	(18)	-517,5	-0,2	-5,7	0	-14,3	1,0	0
16	6	514x570,1		min	Co #1 max druk [1] (1,000)	0	(19)	-517,5	0,3	-1,6	0	-20,4	1,2	0
17	6	514x570,1		min	Co #1 max druk [1] (1,000)	0	(20)	-517,5	0,8	2,6	0	-22,3	0,9	0
18	6	514x570,1		min	Co #1 max druk [1] (1,000)	0	(22)	-517,5	3,4	32,0	0	5,8	-2,8	0
19	6	514x570,1		min	Co #1 max druk [1] (1,000)	0	(21)	-517,5	1,9	14,8	0	-15,6	-0,3	0
12	6	514x570,1		max	Co #2 max trek [1] (1,000)	1,010	(16)	199,0	0,3	3,0	0	1,8	-0,2	0
13	6	514x570,1		max	Co #2 max trek [1] (1,000)	0	(16)	199,0	0,4	4,4	0	1,8	-0,2	0
14	6	514x570,1		max	Co #2 max trek [1] (1,000)	0	(17)	199,0	0,4	5,7	0	6,3	-0,6	0
15	6	514x570,1		max	Co #2 max trek [1] (1,000)	0	(18)	199,0	0,3	5,2	0	12,2	-1,1	0
16	6	514x570,1		max	Co #2 max trek [1] (1,000)	0	(19)	199,0	-0,2	2,0	0	17,6	-1,4	0
17	6	514x570,1		max	Co #2 max trek [1] (1,000)	0	(20)	199,0	-0,6	-1,3	0	19,9	-1,2	0
18	6	514x570,1		max	Co #2 max trek [1] (1,000)	0	(22)	199,0	-3,2	-25,7	0	-1,5	2,1	0
19	6	514x570,1		max	Co #2 max trek [1] (1,000)	0	(21)	199,0	-1,7	-11,2	0	15,3	-0,2	0
9	6	514x570,1	Vy	min	Co #3 max torsie [1] (1,000)	0,455	(114)	135,5	-41,5	-5,7	0	-2,2	45,7	0
18	6	514x570,1		max	Co #3 max torsie [1] (1,000)	0,455	(126)	74,2	41,5	8,5	0	5,8	-45,7	0
9	6	514x570,1	Vz	min	Co #1 max druk [1] (1,000)	0,455	(114)	-133,1	-4,2	-46,4	0	-32,9	4,4	0
18	6	514x570,1		max	Co #1 max druk [1] (1,000)	0,455	(126)	-517,5	4,2	39,1	0	21,5	-4,4	0
3	6	514x570,1	Tx	min	Co #2 max trek [1] (1,000)	0,758	(110)	8,5	-0,3	-3,3	0	-1,1	0,1	0
3	6	514x570,1		max	Co #3 max torsie [1] (1,000)	0,758	(110)	100,9	2,8	0,5	0	0,2	-1,0	0
9	6	514x570,1	My	min	Co #1 max druk [1] (1,000)	0,606	(3)	-133,1	-4,2	-46,4	0	-39,9	5,1	0
18	6	514x570,1		max	Co #1 max druk [1] (1,000)	0,606	(14)	-517,5	4,2	39,1	0	27,4	-5,1	0
18	6	514x570,1	Mz	min	Co #3 max torsie [1] (1,000)	0,606	(14)	74,2	41,5	8,5	0	7,1	-52,0	0
9	6	514x570,1		max	Co #3 max torsie [1] (1,000)	0,606	(3)	135,5	-41,5	-5,7	0	-3,1	52,0	0

Prof.: Profiel; **C:** Extreme component; **min. max.:** Extreme type; **Geval:** Belastinggeval van de extreme; **Pos.:** Lokale X-positie van de doorsnede op de staaf; **Nx:** Normaalkracht; **Vy:** Dwarskracht in lokale y-richting; **Vz:** Dwarskracht in lokale z-richting; **Tx:** Torsiemoment; **My:** Buigend moment in lokale y-richting; **Mz:** Buigend moment in lokale z-richting; **B:** Bimoment;

Project

Analysis by

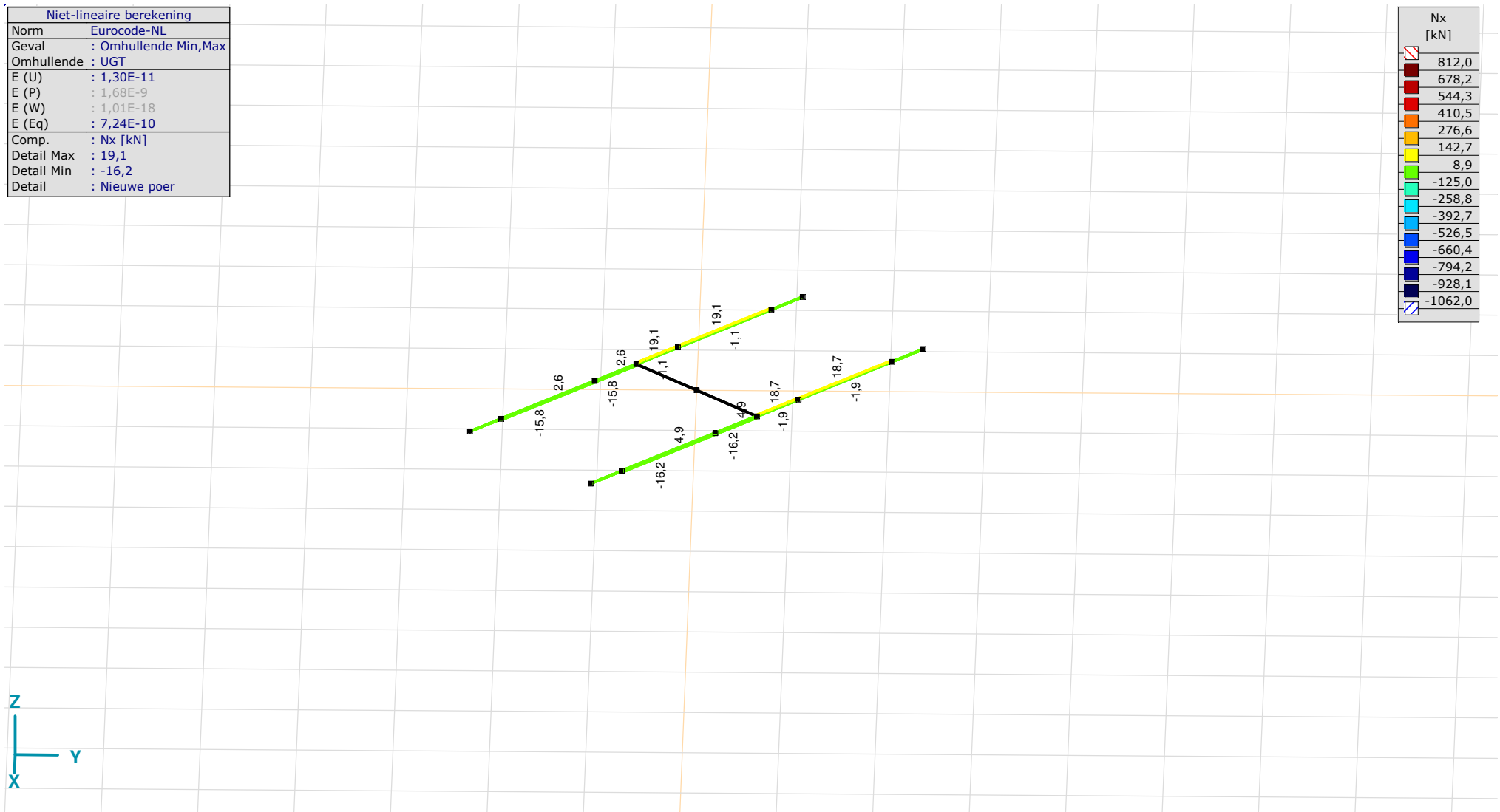
Model: **2P-LD verzw aard mast 27.axs**

3-6-2022

Pag. 30

Niet-lineaire berekening	
Norm	Eurocode-NL
Geval	: Omhullende Min,Max
Omhullende	: UGT
E (U)	: 1,30E-11
E (P)	: 1,68E-9
E (W)	: 1,01E-18
E (Eq)	: 7,24E-10
Comp.	: Nx [kN]
Detail Max	: 19,1
Detail Min	: -16,2
Detail	: Nieuwe poer

Nx [kN]	
	812,0
	678,2
	544,3
	410,5
	276,6
	142,7
	8,9
	-125,0
	-258,8
	-392,7
	-526,5
	-660,4
	-794,2
	-928,1
	-1062,0



[[I]], > Nieuwe poer, Non-lin., Omhullende (UGT), Nx, Lijnen (gevuld)

Project

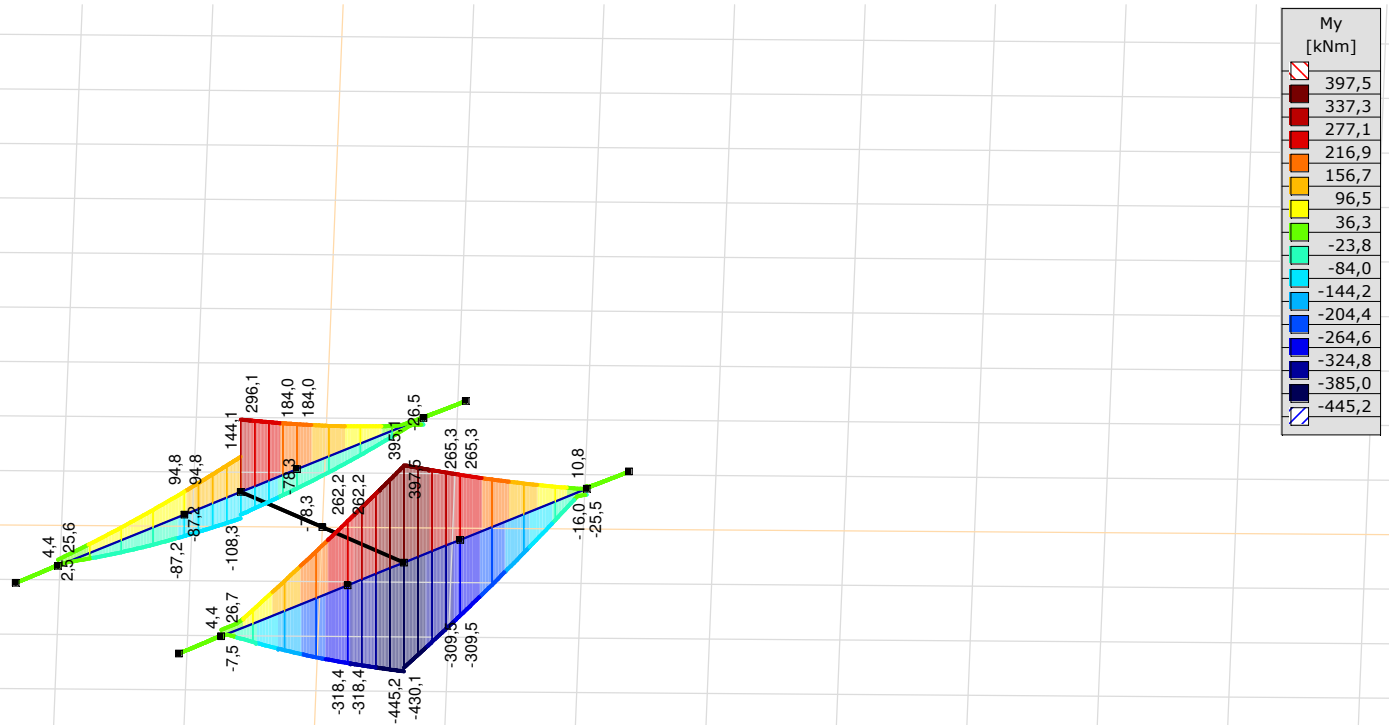
Analysis by

Model: **2P-LD verzw aard mast 27.axs**

3-6-2022

Pag. 31

Niet-lineaire berekening	
Norm	Eurocode-NL
Geval	: Omhullende Min,Max
Omhullende	: UGT
E (U)	: 1,30E-11
E (P)	: 1,68E-9
E (W)	: 1,01E-18
E (Eq)	: 7,24E-10
Comp.	: My [kNm]
Detail Max	: 397,5
Detail Min	: -445,2
Detail	: Nieuwe poer



[III], > Nieuwe poer, Non-lin., Omhullende (UGT), My, Lijnen (gevuld)

Project

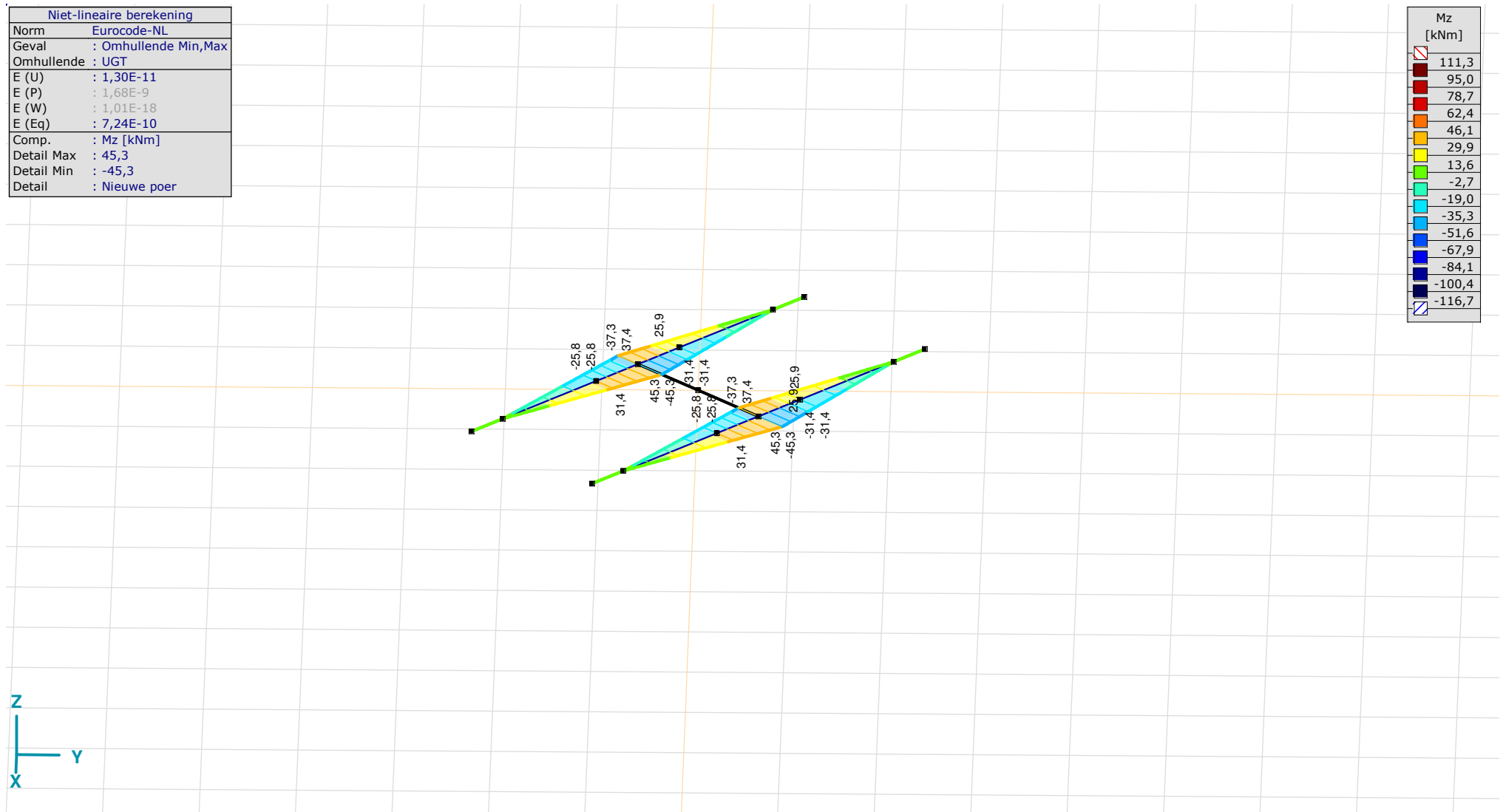
Analysis by

Model: **2P-LD verzaard mast 27.axs**

3-6-2022

Pag. 32

Niet-lineaire berekening	
Norm	Eurocode-NL
Geval	: Omhullende Min,Max
Omhullende	: UGT
E (U)	: 1,30E-11
E (P)	: 1,68E-9
E (W)	: 1,01E-18
E (Eq)	: 7,24E-10
Comp.	: Mz [kNm]
Detail Max	: 45,3
Detail Min	: -45,3
Detail	: Nieuwe poer



[III], > Nieuwe poer, Non-lin., Omhullende (UGT), Mz, Lijnen (gevuld)

Project

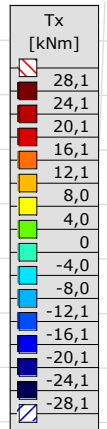
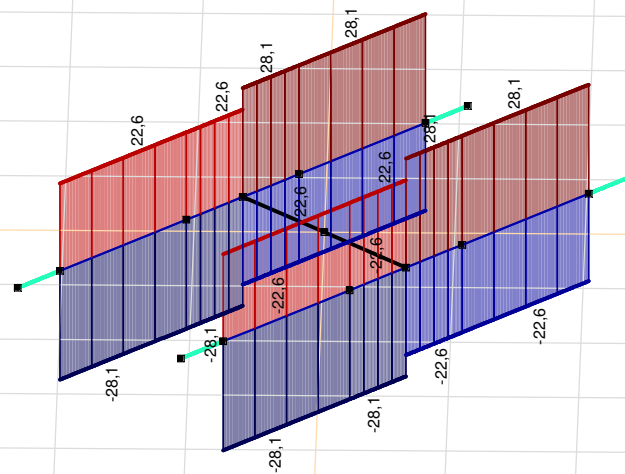
Analysis by

Model: **2P-LD verzw aard mast 27.axs**

3-6-2022

Pag. 33

Niet-lineaire berekening	
Norm	Eurocode-NL
Geval	: Omhullende Min,Max
Omhullende	: UGT
E (U)	: 1,30E-11
E (P)	: 1,68E-9
E (W)	: 1,01E-18
E (Eq)	: 7,24E-10
Comp.	: Tx [kNm]
Detail Max	: 28,1
Detail Min	: -28,1
Detail	: Nieuwe poer



[II], > Nieuwe poer, Non-lin., Omhullende (UGT), Tx, Lijnen (gevuld)

Project

Analysis by

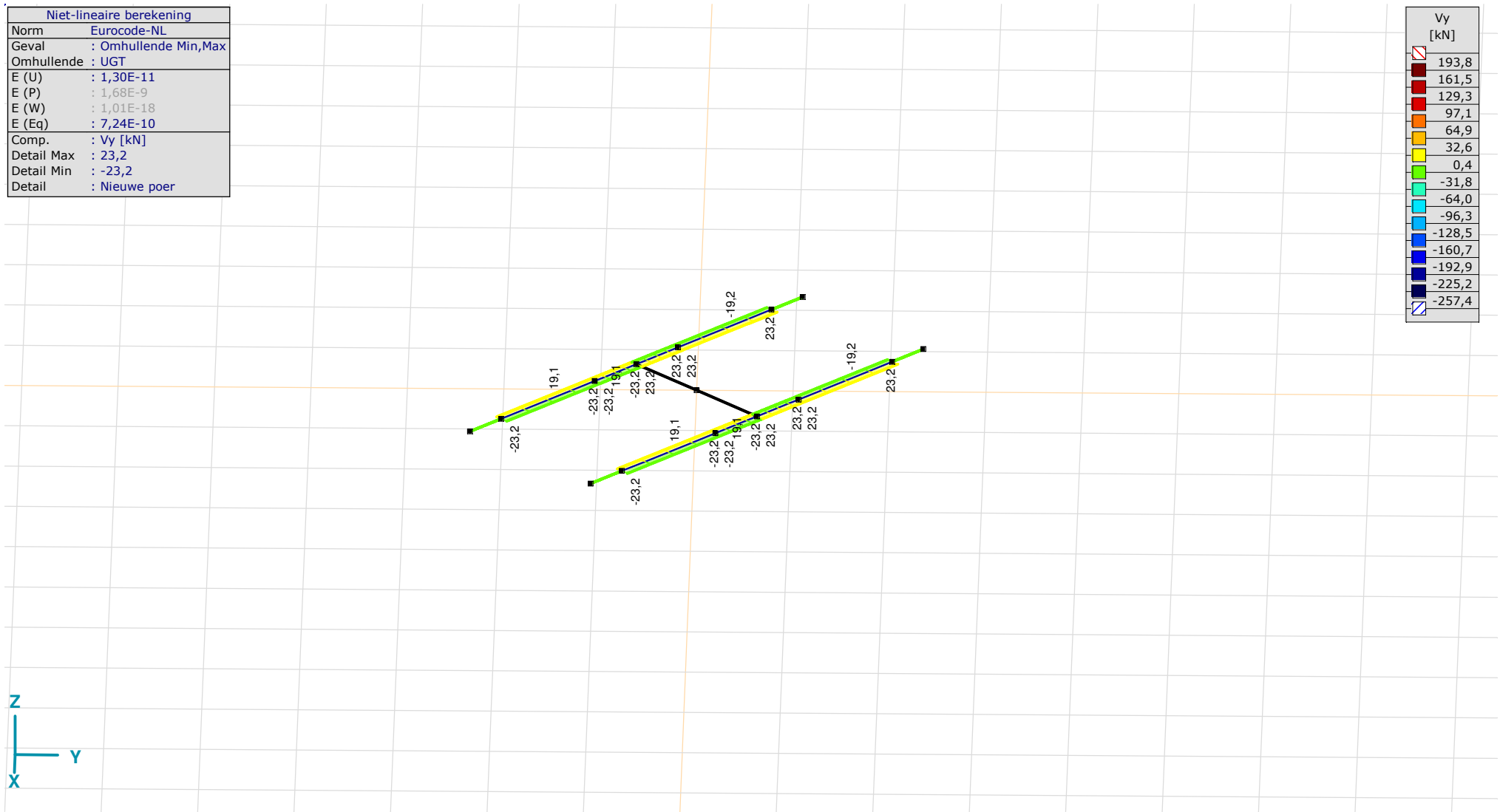
Model: **2P-LD verzaard mast 27.axs**

3-6-2022

Pag. 34

Niet-lineaire berekening	
Norm	Eurocode-NL
Geval	: Omhullende Min,Max
Omhullende	: UGT
E (U)	: 1,30E-11
E (P)	: 1,68E-9
E (W)	: 1,01E-18
E (Eq)	: 7,24E-10
Comp.	: Vy [kN]
Detail Max	: 23,2
Detail Min	: -23,2
Detail	: Nieuwe poer

Vy [kN]	
	193,8
	161,5
	129,3
	97,1
	64,9
	32,6
	0,4
	-31,8
	-64,0
	-96,3
	-128,5
	-160,7
	-192,9
	-225,2
	-257,4



[III], > Nieuwe poer, Non-lin., Omhullende (UGT), Vy, Lijnen (gevuld)

Project

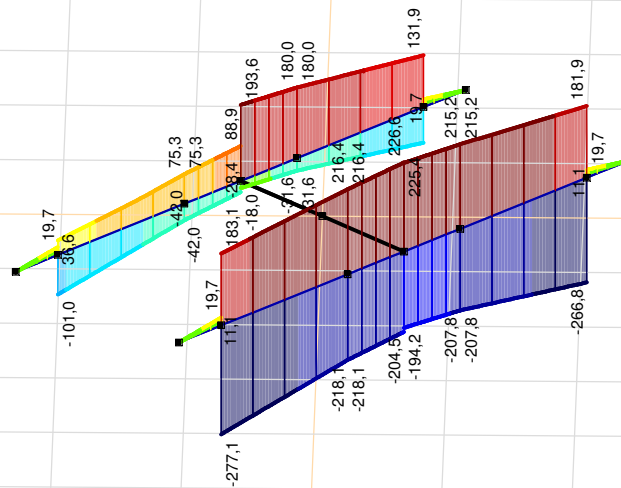
Analysis by

Model: **2P-LD verzwaaard mast 27.axs**

3-6-2022

Pag. 35

Niet-lineaire berekening	
Norm	Eurocode-NL
Geval	: Omhullende Min,Max
Omhullende	: UGT
E (U)	: 1,30E-11
E (P)	: 1,68E-9
E (W)	: 1,01E-18
E (Eq)	: 7,24E-10
Comp.	: Vz [kN]
Detail Max	: 226,6
Detail Min	: -277,1
Detail	: Nieuwe poer



[III], > Nieuwe poer, Non-lin., Omhullende (UGT), Vz, Lijnen (gevuld)

Project

Analysis by

Model: **2P-LD verzaard mast 27.axs**

3-6-2022

Pag. 36

Staafkrachten [Non-lin., Omhullende (UGT), Nieuwe poer]

	Prof.	Doorsnede naam	C	min. max.	Geval	Pos. [m]	Knoop	Nx [kN]	Vy [kN]	Vz [kN]	Tx [kNm]	My [kNm]	Mz [kNm]	B [kNm ²]
Ext.														
21	9	700x1100	Nx	min	Co #3 max torsie [1] (1,000)	0	(26)	-16,2	-3,5	47,7	-4,2	58,6	4,7	0
22	11	1350x1100		min	Co #3 max torsie [1] (1,000)	0	(23)	-16,2	-3,5	-0,3	-4,2	26,7	0	0
56	9	700x1100		max	Co #3 max torsie [1] (1,000)	0	(64)	19,1	3,5	180,0	4,2	184,0	-4,7	0
57	11	1350x1100		max	Co #3 max torsie [1] (1,000)	0	(62)	19,1	3,5	131,9	4,2	-26,5	0	0
21	9	700x1100	Vy	min	Co #1 max druk [1] (1,000)	0,300	(136)	-5,4	-23,2	-211,3	-28,1	-382,8	38,3	0
22	11	1350x1100		min	Co #1 max druk [1] (1,000)	0,338	(138)	-5,4	-23,2	-262,4	-28,1	-75,1	7,8	0
52	9	700x1100		min	Co #1 max druk [1] (1,000)	0,450	(156)	-2,7	-23,2	-31,8	-28,1	-103,8	41,8	0
54	11	1350x1100		min	Co #1 max druk [1] (1,000)	0,338	(164)	-2,7	-23,2	-86,2	-28,1	-22,3	7,8	0
24	9	700x1100		max	Co #1 max druk [1] (1,000)	0	(29)	-1,9	23,2	-207,8	28,1	-309,5	-31,4	0
25	11	1350x1100		max	Co #1 max druk [1] (1,000)	0	(27)	-1,9	23,2	-266,8	28,1	10,8	0	0
56	9	700x1100		max	Co #1 max druk [1] (1,000)	0,450	(168)	0,8	23,2	-21,4	28,1	-90,2	-41,8	0
57	11	1350x1100		max	Co #1 max druk [1] (1,000)	0,338	(171)	0,8	23,2	-75,8	28,1	-23,9	-7,8	0
22	11	1350x1100	Vz	min	Co #1 max druk [1] (1,000)	0	(23)	-5,4	-23,2	-277,1	-28,1	15,9	0	0
21	9	700x1100		max	Co #2 max trek [1] (1,000)	0,600	(25)	4,9	19,1	226,6	22,6	395,1	-37,3	0
21	9	700x1100	Tx	min	Co #1 max druk [1] (1,000)	0	(26)	-5,4	-23,2	-218,1	-28,1	-318,4	31,4	0
22	11	1350x1100		min	Co #1 max druk [1] (1,000)	0	(23)	-5,4	-23,2	-277,1	-28,1	15,9	0	0
52	9	700x1100		min	Co #1 max druk [1] (1,000)	0	(59)	-2,7	-23,2	-42,0	-28,1	-87,2	31,4	0
54	11	1350x1100		min	Co #1 max druk [1] (1,000)	0	(60)	-2,7	-23,2	-101,0	-28,1	9,3	0	0
24	9	700x1100		max	Co #1 max druk [1] (1,000)	0	(29)	-1,9	23,2	-207,8	28,1	-309,5	-31,4	0
25	11	1350x1100		max	Co #1 max druk [1] (1,000)	0	(27)	-1,9	23,2	-266,8	28,1	10,8	0	0
56	9	700x1100		max	Co #1 max druk [1] (1,000)	0	(64)	0,8	23,2	-31,6	28,1	-78,3	-31,4	0
57	11	1350x1100		max	Co #1 max druk [1] (1,000)	0	(62)	0,8	23,2	-90,6	28,1	4,2	0	0
21	9	700x1100	My	min	Co #1 max druk [1] (1,000)	0,600	(25)	-5,4	-23,2	-204,5	-28,1	-445,2	45,3	0
24	9	700x1100		max	Co #2 max trek [1] (1,000)	0,600	(25)	1,4	-19,2	225,4	-22,6	397,5	37,4	0
24	9	700x1100	Mz	min	Co #1 max druk [1] (1,000)	0,600	(25)	-1,9	23,2	-194,2	28,1	-430,1	-45,3	0
56	9	700x1100		min	Co #1 max druk [1] (1,000)	0,600	(58)	0,8	23,2	-18,0	28,1	-93,1	-45,3	0
21	9	700x1100		max	Co #1 max druk [1] (1,000)	0,600	(25)	-5,4	-23,2	-204,5	-28,1	-445,2	45,3	0
52	9	700x1100		max	Co #1 max druk [1] (1,000)	0,600	(58)	-2,7	-23,2	-28,4	-28,1	-108,3	45,3	0

Prof.: Profiel; **C:** Extreme component; **min. max.:** Extreme type; **Geval:** Belastinggeval van de extreme; **Pos.:** Lokale X-positie van de doorsnede op de staaf; **Nx:** Normalkracht; **Vy:** Dwarskracht in lokale y-richting; **Vz:** Dwarskracht in lokale z-richting; **Tx:** Torsiemoment; **My:** Buigend moment in lokale y-richting; **Mz:** Buigend moment in lokale z-richting; **B:** Bimoment;

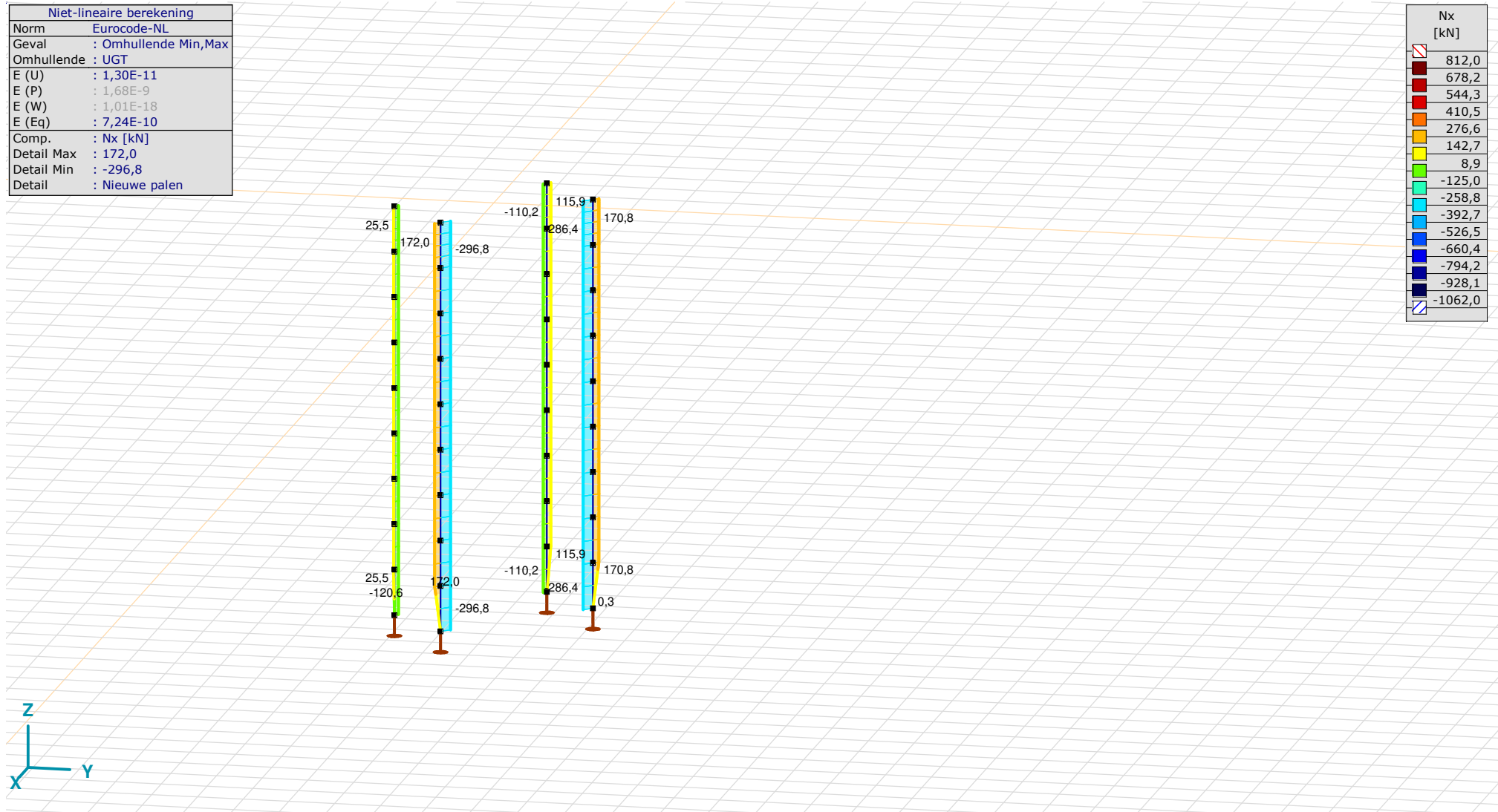
Project

Analysis by

Model: **2P-LD verzw aard mast 27.axs**

3-6-2022

Pag. 37



[II], > Nieuwe palen, Non-lin., Omhullende (UGT), Nx, Lijnen (gevuld)

Project

Analysis by

Model: **2P-LD verzaard mast 27.axs**

3-6-2022

Pag. 38

Staafkrachten [Non-lin., Omhullende (UGT), Nieuwe palen]

	Prof.	Doorsnede naam	C	min. max.	Geval	Pos. [m]	Knoop	Nx [kN]	Vy [kN]	Vz [kN]	Tx [kNm]	My [kNm]	Mz [kNm]	B [kNm ²]
Ext.														
26	10	ROR 323,90* 10,0	Nx	min	Co #1 max druk [1] (1,000)	0	(31)	-296,8	3,9	-0,1	0	-1,1	-7,0	0
27	10	ROR 323,90* 10,0		min	Co #1 max druk [1] (1,000)	0	(32)	-296,8	3,1	-0,4	0	-0,7	-3,6	0
28	10	ROR 323,90* 10,0		min	Co #1 max druk [1] (1,000)	0	(33)	-296,8	1,9	-0,4	0	-0,4	-1,4	0
29	10	ROR 323,90* 10,0		min	Co #1 max druk [1] (1,000)	0	(34)	-296,8	0,9	-0,2	0	-0,1	-0,3	0
34	10	ROR 323,90* 10,0		min	Co #1 max druk [1] (1,000)	0	(40)	-296,8	-23,2	5,4	0	6,1	4,9	0
35	10	ROR 323,90* 10,0		min	Co #1 max druk [1] (1,000)	0	(41)	-296,8	-11,2	3,7	0	1,9	-9,9	0
36	10	ROR 323,90* 10,0		min	Co #1 max druk [1] (1,000)	0	(42)	-296,8	-1,3	1,8	0	-0,3	-13,1	0
37	10	ROR 323,90* 10,0		min	Co #1 max druk [1] (1,000)	0	(30)	-296,8	3,0	0,5	0	-1,1	-10,8	0
38	10	ROR 323,90* 10,0		min	Co #1 max druk [1] (1,000)	0	(43)	-296,8	0,1	-0,1	0	0	0	0
26	10	ROR 323,90* 10,0		max	Co #2 max trek [1] (1,000)	0	(31)	172,0	-3,3	0,2	0	1,0	5,8	0
27	10	ROR 323,90* 10,0		max	Co #2 max trek [1] (1,000)	0	(32)	172,0	-2,6	0,3	0	0,7	3,0	0
28	10	ROR 323,90* 10,0		max	Co #2 max trek [1] (1,000)	0	(33)	172,0	-1,6	0,3	0	0,3	1,1	0
29	10	ROR 323,90* 10,0		max	Co #2 max trek [1] (1,000)	0	(34)	172,0	-0,7	0,2	0	0,1	0,2	0
34	10	ROR 323,90* 10,0		max	Co #2 max trek [1] (1,000)	0	(40)	172,0	19,1	-4,9	0	-5,1	-3,4	0
35	10	ROR 323,90* 10,0		max	Co #2 max trek [1] (1,000)	0	(41)	172,0	9,1	-3,2	0	-1,4	8,7	0
36	10	ROR 323,90* 10,0		max	Co #2 max trek [1] (1,000)	0	(42)	172,0	0,9	-1,5	0	0,5	11,1	0
37	10	ROR 323,90* 10,0		max	Co #2 max trek [1] (1,000)	0	(30)	172,0	-2,6	-0,4	0	1,1	9,1	0
38	10	ROR 323,90* 10,0		max	Co #2 max trek [1] (1,000)	1,000	(34)	172,0	-0,4	0,1	0	0,1	0,2	0
34	10	ROR 323,90* 10,0	Vy	min	Co #1 max druk [1] (1,000)	0	(40)	-296,8	-23,2	5,4	0	6,1	4,9	0
58	10	ROR 323,90* 10,0		min	Co #1 max druk [1] (1,000)	0	(65)	-120,6	-23,2	2,7	0	2,2	4,9	0
39	10	ROR 323,90* 10,0		max	Co #1 max druk [1] (1,000)	0	(44)	-286,4	23,2	1,9	0	4,4	-4,9	0
63	10	ROR 323,90* 10,0		max	Co #1 max druk [1] (1,000)	0	(69)	-110,2	23,2	-0,8	0	0,5	-4,9	0
63	10	ROR 323,90* 10,0	Vz	min	Co #3 max torsie [1] (1,000)	0	(69)	115,9	3,5	-19,1	0	-11,0	-0,7	0
34	10	ROR 323,90* 10,0		max	Co #3 max torsie [1] (1,000)	0	(40)	-16,4	-3,5	16,2	0	6,8	0,7	0
26	10	ROR 323,90* 10,0	Tx	min	Co #1 max druk [1] (1,000)	0	(31)	-296,8	3,9	-0,1	0	-1,1	-7,0	0
26	10	ROR 323,90* 10,0		max	Co #1 max druk [1] (1,000)	0	(31)	-296,8	3,9	-0,1	0	-1,1	-7,0	0
63	10	ROR 323,90* 10,0	My	min	Co #3 max torsie [1] (1,000)	1,000	(62)	115,9	3,5	-19,1	0	-30,1	-4,2	0
34	10	ROR 323,90* 10,0		max	Co #3 max torsie [1] (1,000)	1,000	(23)	-16,4	-3,5	16,2	0	23,0	4,2	0
39	10	ROR 323,90* 10,0	Mz	min	Co #1 max druk [1] (1,000)	1,000	(27)	-286,4	23,2	1,9	0	6,4	-28,1	0
63	10	ROR 323,90* 10,0		min	Co #1 max druk [1] (1,000)	1,000	(62)	-110,2	23,2	-0,8	0	-0,2	-28,1	0
34	10	ROR 323,90* 10,0		max	Co #1 max druk [1] (1,000)	1,000	(23)	-296,8	-23,2	5,4	0	11,5	28,1	0
58	10	ROR 323,90* 10,0		max	Co #1 max druk [1] (1,000)	1,000	(60)	-120,6	-23,2	2,7	0	4,9	28,1	0

Prof.: Profiel; **C:** Extreme component; **min. max.:** Extreme type; **Geval:** Belastinggeval van de extreme; **Pos.:** Lokale X-positie van de doorsnede op de staaf; **Nx:** Normalkracht; **Vy:** Dwarskracht in lokale y-richting; **Vz:** Dwarskracht in lokale z-richting; **Tx:** Torsiemoment; **My:** Buigend moment in lokale y-richting; **Mz:** Buigend moment in lokale z-richting; **B:** Bimoment;

Project

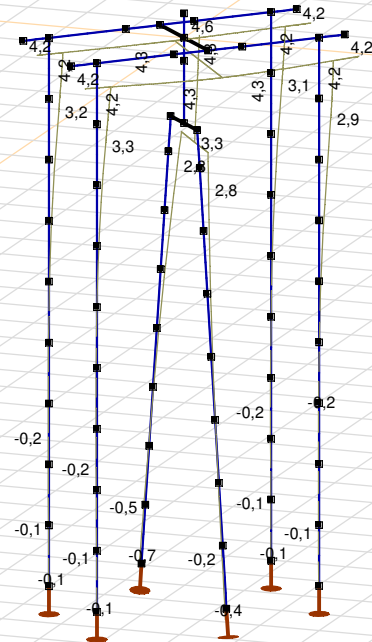
Analysis by

Model: 2P-LD verzwaid mast 27.axs

3-6-2022

Pag. 39

Niet-lineaire berekening	
Norm	Eurocode-NL
Geval	Co #1 max druk [1] (1,000)
E (U)	: 7,60E-13
E (P)	: 1,54E-7
E (W)	: 1,17E-19
E (Eq)	: 6,31E-10
Comp.	: eX [mm]
Max	: 4,6
Min	: -0,7



[III], Non-lin., Co #1 max druk [1] (1,000), eX, Lijnen

Project

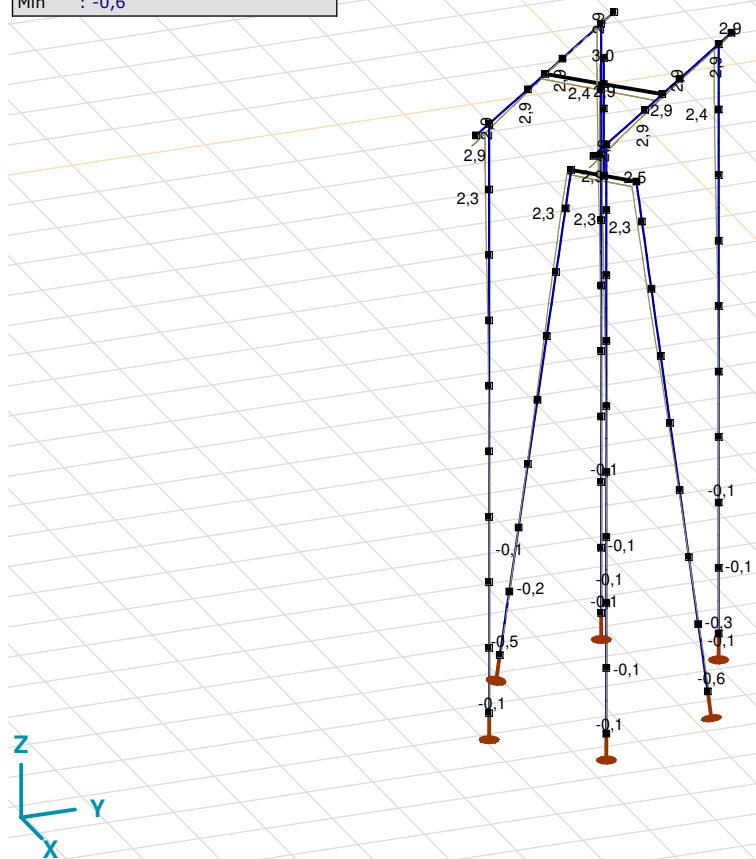
Analysis by

Model: **2P-LD verzwaaard mast 27.axs**

3-6-2022

Pag. 40

Niet-lineaire berekening	
Norm	Eurocode-NL
Geval	Co #3 max torsie [1] (1,000)
E (U)	: 3,09E-12
E (P)	: 3,21E-7
E (W)	: 9,76E-19
E (Eq)	: 6,95E-10
Comp.	: eX [mm]
Max	: 3,0
Min	: -0,6



[II], Non-lin., Co #3 max torsie [1] (1,000), eX, Lijnen

Project

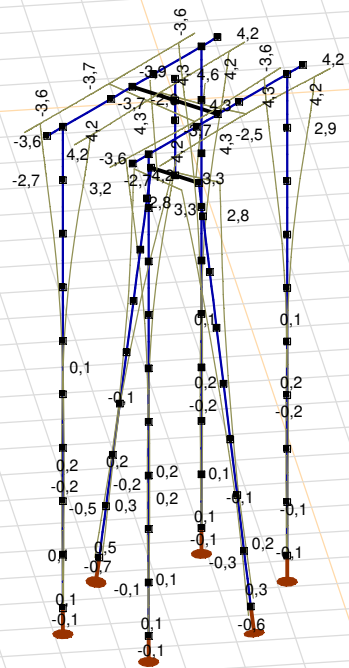
Analysis by

Model: **2P-LD verzw aard mast 27.axs**

3-6-2022

Pag. 41

Niet-lineaire berekening	
Norm	Eurocode-NL
Geval	: Omhullende Min,Max
Omhullende	: Alle UGT
E (U)	: 1,30E-11
E (P)	: 1,68E-9
E (W)	: 1,01E-18
E (Eq)	: 7,24E-10
Comp.	: eX [mm]
Max	: 4,6
Min	: -3,9



[[I]], Non-lin., Omhullende (Alle UGT), eX, Lijnen

Project

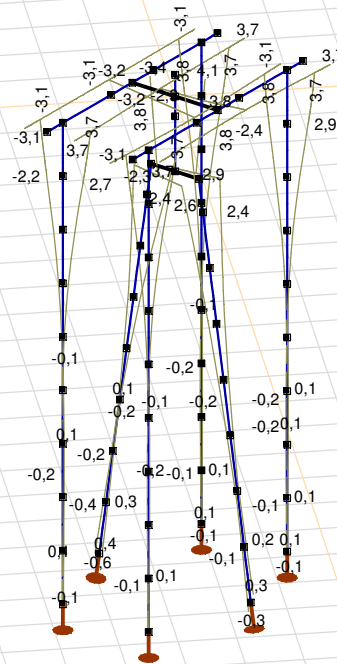
Analysis by

Model: **2P-LD verzwaaard mast 27.axs**

3-6-2022

Pag. 42

Niet-lineaire berekening	
Norm	Eurocode-NL
Geval	: Omhullende Min,Max
Omhullende	: Alle UGT
E (U)	: 1,30E-11
E (P)	: 1,68E-9
E (W)	: 1,01E-18
E (Eq)	: 7,24E-10
Comp.	: eY [mm]
Max	: 4,1
Min	: -3,4



[II], Non-lin., Omhullende (Alle UGT), eY, Lijnen

Project

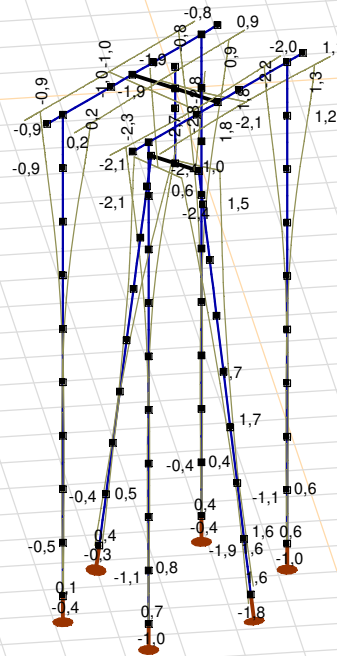
Analysis by

Model: **2P-LD verzw aard mast 27.axs**

3-6-2022

Pag. 43

Niet-lineaire berekening	
Norm	Eurocode-NL
Geval	: Omhullende Min,Max
Omhullende	: Alle UGT
E (U)	: 1,30E-11
E (P)	: 1,68E-9
E (W)	: 1,01E-18
E (Eq)	: 7,24E-10
Comp.	: eZ [mm]
Max	: 1,8
Min	: -2,8



[[I]], Non-lin., Omhullende (Alle UGT), eZ, Lijnen

Project

Analysis by

Model: **2P-LD verzwaaard mast 27.axs**

3-6-2022

Pag. 44

Knoopverplaatsingen [Non-lin., Omhullende (Alle UGT)]

	C	min. max.	Geval	eX [mm]	eY [mm]	eZ [mm]	eR [mm]	fX [rad]	fY [rad]	fZ [rad]	fR [rad]
Ext.											
5	eX	min	Co #2 max trek [1] (1,000)	-3,9	-3,4	1,0	5,3	0,0006	-0,0007	0	0,0009
5		max	Co #1 max druk [1] (1,000)	4,6	4,1	-1,9	6,4	-0,0007	0,0007	0	0,0010
5	eY	min	Co #2 max trek [1] (1,000)	-3,9	-3,4	1,0	5,3	0,0006	-0,0007	0	0,0009
5		max	Co #1 max druk [1] (1,000)	4,6	4,1	-1,9	6,4	-0,0007	0,0007	0	0,0010
25	eZ	min	Co #1 max druk [1] (1,000)	4,3	3,8	-2,8	6,4	-0,0007	0,0007	0	0,0010
135		min	Co #1 max druk [1] (1,000)	4,3	3,8	-2,8	6,4	-0,0007	0,0007	0	0,0010
25		max	Co #2 max trek [1] (1,000)	-3,7	-3,2	1,8	5,2	0,0006	-0,0007	0	0,0009
135		max	Co #2 max trek [1] (1,000)	-3,7	-3,2	1,8	5,2	0,0007	-0,0006	0	0,0009
93	eR	min	Co #2 max trek [1] (1,000)	0	0	0	0	0,0002	-0,0002	-0,0001	0,0003
5		max	Co #1 max druk [1] (1,000)	4,6	4,1	-1,9	6,4	-0,0007	0,0007	0	0,0010

C: Extreme component; **min. max.:** Extreme type; **Geval:** Belastinggeval van de extreme; **eX:** Verplaatsing in X-richting; **eY:** Verplaatsing in Y-richting; **eZ:** Verplaatsing in Z-richting; **eR:** Resulterende verplaatsing; **fX:** Rotatie in X-richting; **fY:** Rotatie in Y-richting; **fZ:** Rotatie in Z-richting; **fR:** Resulterende rotatie;

Project

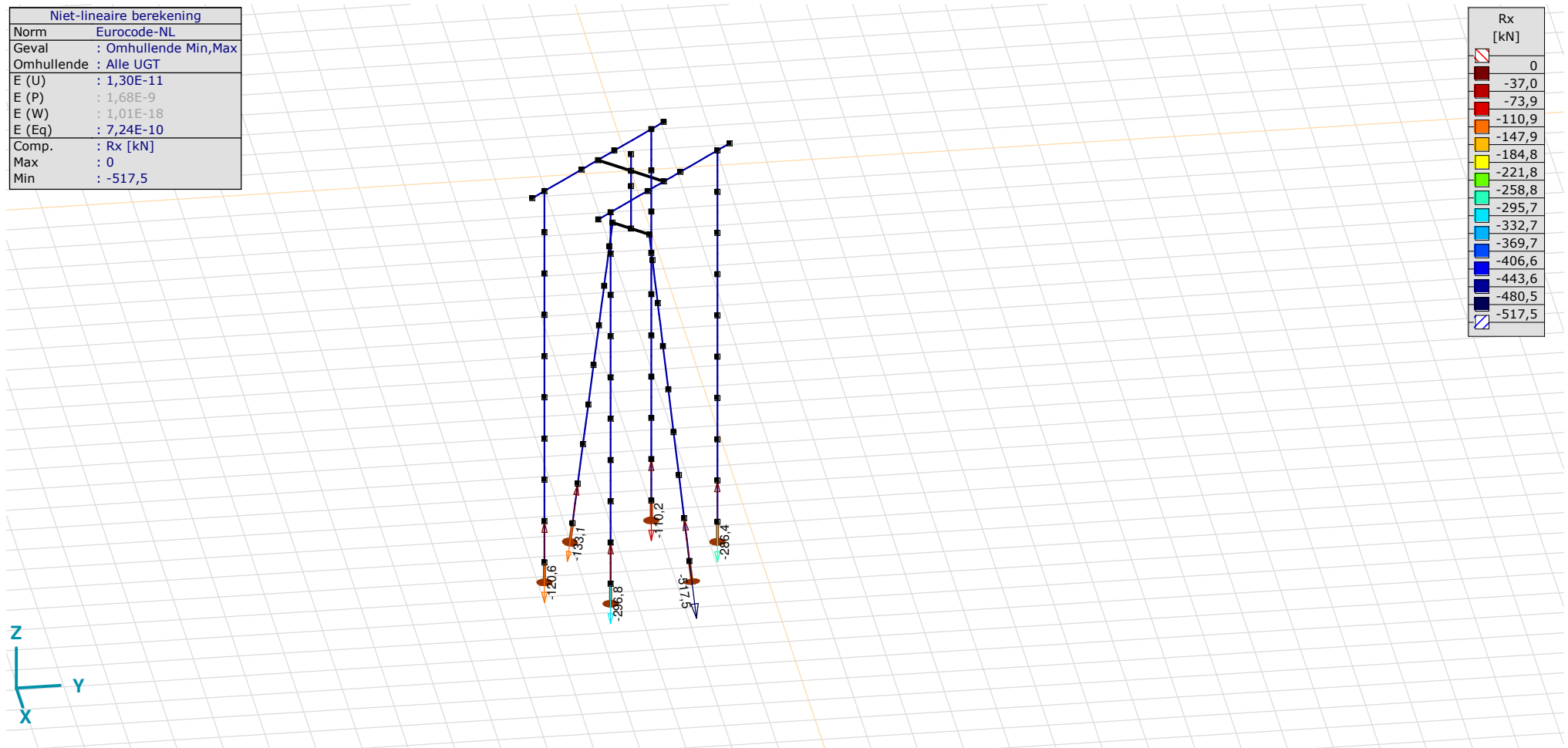
Analysis by

Model: **2P-LD verzaard mast 27.axs**

3-6-2022

Pag. 45

Niet-lineaire berekening	
Norm	Eurocode-NL
Geval	: Omhullende Min,Max
Omhullende	: Alle UGT
E (U)	: 1,30E-11
E (P)	: 1,68E-9
E (W)	: 1,01E-18
E (Eq)	: 7,24E-10
Comp.	: Rx [kN]
Max	: 0
Min	: -517,5



[II], Non-lin., Omhullende (Alle UGT), Rx (knoopopl.), Lijnen

Project

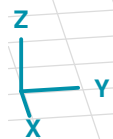
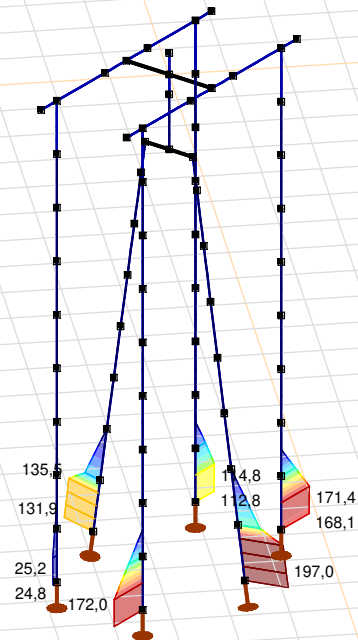
Analysis by

Model: **2P-LD verzw aard mast 27.axs**

3-6-2022

Pag. 46

Niet-lineaire berekening	
Norm	Eurocode-NL
Geval	: Omhullende Min,Max
Omhullende	: Alle UGT
E (U)	: 1,30E-11
E (P)	: 1,68E-9
E (W)	: 1,01E-18
E (Eq)	: 7,24E-10
Comp.	: Rx [kN/m]
Max	: 197,0
Min	: 0



[[I]], Non-lin., Omhullende (Alle UGT), Rx (lijnopp.), Lijnen (gevuld)

Project

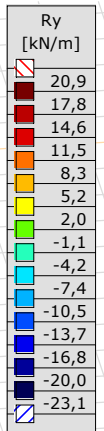
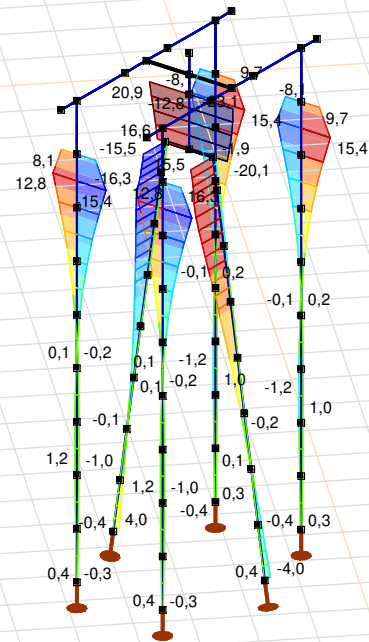
Analysis by

Model: **2P-LD verzwaaard mast 27.axs**

3-6-2022

Pag. 47

Niet-lineaire berekening	
Norm	Eurocode-NL
Geval	: Omhullende Min,Max
Omhullende	: Alle UGT
E (U)	: 1,30E-11
E (P)	: 1,68E-9
E (W)	: 1,01E-18
E (Eq)	: 7,24E-10
Comp.	: Ry [kN/m]
Max	: 20,9
Min	: -23,1



[III], Non-lin., Omhullende (Alle UGT), Ry (lijnopp.), Lijnen (gevuld)

Project

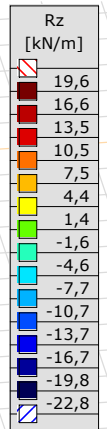
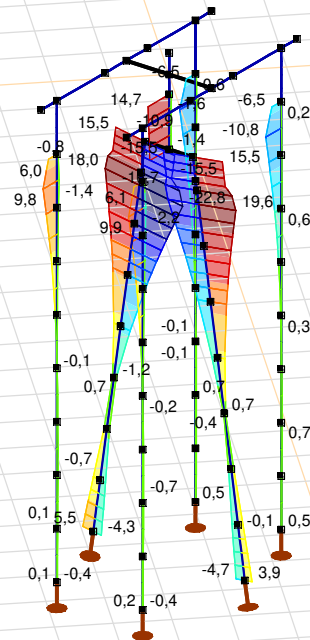
Analysis by

Model: **2P-LD verzaard mast 27.axs**

3-6-2022

Pag. 48

Niet-lineaire berekening	
Norm	Eurocode-NL
Geval	: Omhullende Min,Max
Omhullende	: Alle UGT
E (U)	: 1,30E-11
E (P)	: 1,68E-9
E (W)	: 1,01E-18
E (Eq)	: 7,24E-10
Comp.	: Rz [kN/m]
Max	: 19,6
Min	: -22,8



[II], Non-lin., Omhullende (Alle UGT), Rz (lijnopp.), Lijnen (gevuld)

Project

Analysis by

Model: **2P-LD verzwaaard mast 27.axs**

3-6-2022 Pag. 49

Interne krachten knoopplegging [Non-lin., Omhullende (Alle UGT)]

	<i>Knoop</i>	<i>X [m]</i>	<i>Y [m]</i>	<i>Z [m]</i>	<i>Type</i>	<i>C</i>	<i>min. max.</i>	<i>Geval</i>	<i>R_x [kN]</i>
1	4	-1,127	-1,127	-9,000	Staaf r.	Rx	min max	Co #1 max druk [1] (1,000) Co #3 max torsie [1] (1,000)	-133,1 0
2	15	1,127	1,127	-9,000	Staaf r.	Rx	min max	Co #1 max druk [1] (1,000) Co #2 max trek [1] (1,000)	-517,5 0
3	43	2,015	-0,742	-9,000	Staaf r.	Rx	min max	Co #1 max druk [1] (1,000) Co #2 max trek [1] (1,000)	-296,8 0
4	47	-0,742	2,015	-9,000	Staaf r.	Rx	min max	Co #1 max druk [1] (1,000) Co #2 max trek [1] (1,000)	-286,4 0
5	68	0,742	-2,015	-9,000	Staaf r.	Rx	min max	Co #1 max druk [1] (1,000) Co #2 max trek [1] (1,000)	-120,6 0
6	72	-2,015	0,742	-9,000	Staaf r.	Rx	min max	Co #1 max druk [1] (1,000) Co #3 max torsie [1] (1,000)	-110,2 0
Ext.									
2	15	1,127	1,127	-9,000	Staaf r.	Rx	min	Co #1 max druk [1] (1,000)	-517,5
2	15	1,127	1,127	-9,000	Staaf r.		max	Co #2 max trek [1] (1,000)	0

Knoop: Ondersteunde knoop; **Type:** Opleggingstype; **C:** Extreme component; **min. max.:** Extreme type; **Geval:** Belastinggeval van de extreme; **Rx:** X-component opleggingsreactiekracht;

Project

Analysis by

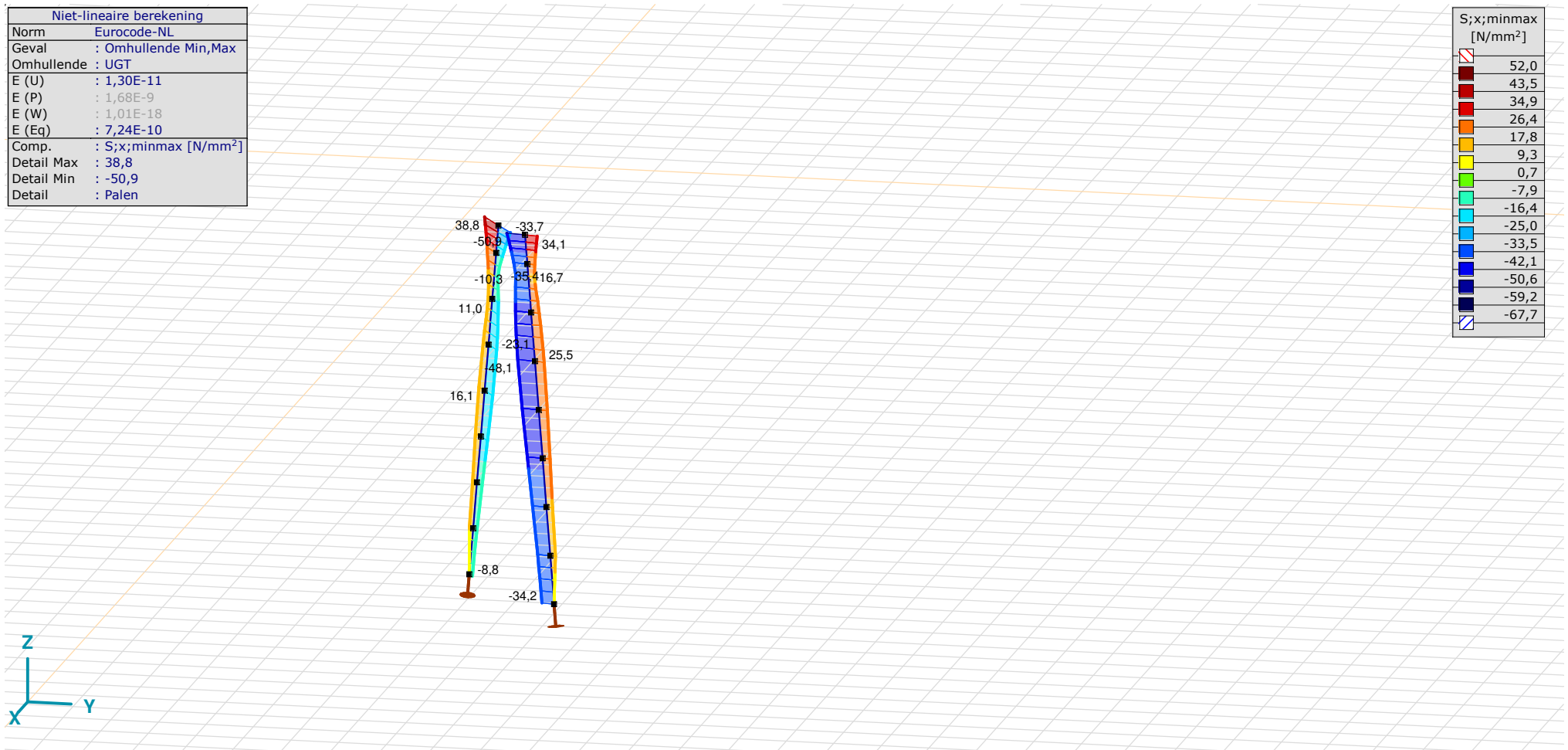
Model: **2P-LD verzwaaard mast 27.axs**

3-6-2022

Pag. 50

Niet-lineaire berekening	
Norm	Eurocode-NL
Geval	: Omhullende Min,Max
Omhullende	: UGT
E (U)	: 1,30E-11
E (P)	: 1,68E-9
E (W)	: 1,01E-18
E (Eq)	: 7,24E-10
Comp.	: S;x;minmax [N/mm ²]
Detail Max	: 38,8
Detail Min	: -50,9
Detail	: Palen

S;x;minmax [N/mm ²]
52,0
43,5
34,9
26,4
17,8
9,3
0,7
-7,9
-16,4
-25,0
-33,5
-42,1
-50,6
-59,2
-67,7



[II], > Palen, Non-lin., Omhullende (UGT), S;x;minmax, Lijnen (gevuld)

Project

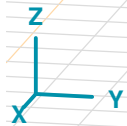
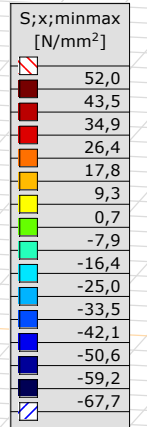
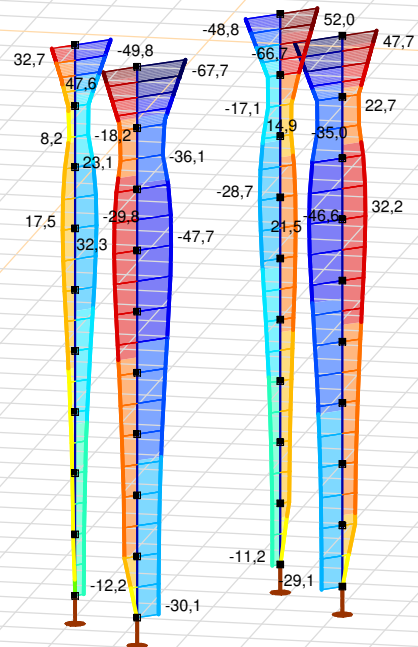
Analysis by

Model: **2P-LD verzwaaard mast 27.axs**

3-6-2022

Pag. 51

Niet-lineaire berekening	
Norm	Eurocode-NL
Geval	: Omhullende Min,Max
Omhullende	: UGT
E (U)	: 1,30E-11
E (P)	: 1,68E-9
E (W)	: 1,01E-18
E (Eq)	: 7,24E-10
Comp.	: S;x;minmax [N/mm ²]
Detail Max	: 52,0
Detail Min	: -67,7
Detail	: Nieuwe palen



[II], > Nieuwe palen, Non-lin., Omhullende (UGT), S;x;minmax, Lijnen (gevuld)



APPENDIX H

Fundatiebelastingen

Project: **MBT-EHV**
 Uitgangspunt: **Initiële situatie**
 Datum: **7-6-2022**

Betreft **Trekbelasting**
 Richting **Globale assenstelsel**

Mastrnummer	Masttype	Verticaal trek [kN]	x-richting [kN]	y-richting [kN]	Betrouwbaarheidsniveau	Bijbehorende loadcase
74	S+0	-401,8	74,3	62,7	Afkeur CC2-0	ULS 1a_0,9_0,9_45
58	S+0	-412,8	76,5	64,3	Afkeur CC2-0	ULS 1a_0,9_0,9_45
59	S+3	-371,6	68,3	65,7	Afkeur CC2-0	ULS 1a_0,9_0,9_45
35	S+3 T3	-371,7	69,8	67,7	Afkeur CC2-0	ULS 1a_0,9_0,9_45
33	S+6	-461,8	83,8	70,7	Afkeur CC2-0	ULS 1a_0,9_0,9_45
32	S+6 T3	-482,5	89,0	76,0	Afkeur CC2-0	ULS 1a_0,9_0,9_45
16	S+9	-492,8	91,9	77,2	Afkeur CC2-0	ULS 1a_0,9_0,9_45
112	S+9	-550,6	100,7	89,3	Afkeur CC2-0	ULS 1a_0,9_0,9_45
15	S+12	-554,2	101,6	84,2	Afkeur CC2-0	ULS 1a_0,9_0,9_45
7	S+15	-627,4	97,8	86,7	Afkeur CC2-0	ULS 1a_0,9_0,9_45
17	S+15 T1	-728,7	113,1	101,7	Afkeur CC2-0	ULS 1a_0,9_0,9_45
115	S+0_xc T1	-1650,4	321,4	-289,4	Nieuwbouw CC2	ULS 1a_0,9_135
116	S+9(c)	-775,5	136,7	125,8	Afkeur CC2-0	ULS 1a_0,9_0,9_45
117	S+9(tc)	-825,0	148,1	141,3	Afkeur CC2-0	ULS 1a_0,9_0,9_45
120	S+0(tc)	-907,6	150,2	133,8	Afkeur CC2-0	ULS 1a_0,9_0,9_45
121	S+0(c)	-1011,4	172,0	154,3	Nieuwbouw CC2	ULS 1a_0,9_0,9_45
122	S+0_xc	-1646,8	321,9	-287,5	Nieuwbouw CC2	ULS 1a_0,9_135
9	HA+0	-1032,5	-175,1	184,7	Afkeur CC2-0	SPLS 1a_0,9_90 Ah All Cts
23	HA+0	-891,4	-150,9	160,9	Afkeur CC2-0	SPLS 1a_0,9_90 Ah All Cts
75	HA+0	-977,7	-165,7	175,3	Afkeur CC2-0	SPLS 1a_0,9_90 Ah All Cts
128	HA+0 T1	-1030,8	175,6	184,4	Afkeur CC2-0	SPLS 1a_0,9_83 Ba All Cts
39	WA+0	-965,7	164,5	173,7	Afkeur CC2-0	SPLS 1a_0,9_83,9 Ba All Cts
54	HB+0	-1046,0	176,4	182,4	Afkeur CC2-0	SPLS 3_0,9_107,5 Ba All Cts
61	HB+0	-1001,1	-169,8	179,6	Afkeur CC2-0	SPLS 1a_0,9_90 Ah All Cts
90	HB+0	-1059,6	178,5	185,9	Afkeur CC2-0	SPLS 3_0,9_108 Ba All Cts
4	HC+0	-1115,7	187,6	195,3	Afkeur CC2-0	SPLS 3_0,9_117 Ba All Cts
82	HC+0	-1105,2	185,8	193,5	Afkeur CC2-0	SPLS 3_0,9_115 Ba All Cts
98	HC+0	-1140,6	191,9	199,6	Afkeur CC2-0	SPLS 3_0,9_116 Ba All Cts
1	EA+0	-1065,4	-173,4	-192,7	Afkeur CC2-0	ULS 1a_0,9_90
133	EA+0_133	-953,1	-161,3	-162,3	Afkeur CC2-0	SPLS 1a_0,9_77,5 Ba All Cts
119	HB+0(tc)	-1628,0	277,1	311,3	Afkeur CC2-0	SPLS 1a_0,9_90 Ba All Cts

Project: **MBT-EHV**
 Uitgangspunt: **Initiële situatie**
 Datum: **7-6-2022**

Betreft **Drukbelasting**
 Richting **Globale assenstelsel**

Mastrnummer	Masttype	Verticaal trek [kN]	x-richting [kN]	y-richting [kN]	Betrouwbaarheidsniveau	Bijbehorende loadcase
74	S+0	567,0	107,5	95,9	Afkeur CC2-0	ULS 1a_45
58	S+0	574,9	109,1	96,9	Afkeur CC2-0	ULS 1a_45
59	S+3	545,1	102,6	103,0	Afkeur CC2-0	ULS 1a_45
35	S+3 T3	546,4	104,4	104,9	Afkeur CC2-0	ULS 1a_45
33	S+6	645,3	120,3	107,1	Afkeur CC2-0	ULS 1a_45
32	S+6 T3	670,0	126,3	113,2	Afkeur CC2-0	ULS 1a_45
16	S+9	693,0	132,2	117,5	Afkeur CC2-0	ULS 1a_45
112	S+9	778,3	146,5	135,1	Afkeur CC2-0	ULS 1a_45
15	S+12	763,7	143,8	126,4	Afkeur CC2-0	ULS 1a_45
7	S+15	828,1	130,0	118,8	Afkeur CC2-0	ULS 1a_45
17	S+15 T1	931,4	145,5	134,2	Afkeur CC2-0	ULS 1a_45
115	S+0_xc T1	2148,1	419,1	-411,1	Nieuwbouw CC2	ULS 1a_135
116	S+9(c)	1124,4	201,8	190,9	Afkeur CC2-0	ULS 1a_45
117	S+9(tc)	1176,5	213,7	207,0	Afkeur CC2-0	ULS 1a_45
120	S+0(tc)	1246,7	212,5	196,2	Afkeur CC2-0	ULS 1a_45
121	S+0(c)	1372,3	239,2	221,5	Nieuwbouw CC2	ULS 1a_45
122	S+0_xc	2155,9	423,5	-410,6	Nieuwbouw CC2	ULS 1a_135
9	HA+0	1267,2	-215,8	224,9	Afkeur CC2-0	SPLS 1a_90 Ah All Cts
23	HA+0	1126,0	191,5	201,0	Afkeur CC2-0	SPLS 1a_90 Ba All Cts
75	HA+0	1216,0	-207,0	216,1	Afkeur CC2-0	SPLS 1a_90 Ah All Cts
128	HA+0 T1	1264,5	216,0	224,2	Afkeur CC2-0	SPLS 1a_83 Ba All Cts
39	WA+0	1216,1	207,5	217,0	Afkeur CC2-0	SPLS 1a_83,9 Ba All Cts
54	HB+0	1299,0	220,2	225,6	Afkeur CC2-0	SPLS 3_107,5 Ba All Cts
61	HB+0	1257,7	-214,1	219,8	Afkeur CC2-0	SPLS 3_90 Ah All Cts
90	HB+0	1313,3	-222,8	228,9	Afkeur CC2-0	SPLS 3_72 Ah All Cts
4	HC+0	1385,3	-234,8	240,7	Afkeur CC2-0	SPLS 3_63 Ah All Cts
82	HC+0	1378,2	233,6	239,6	Afkeur CC2-0	SPLS 3_115 Ba All Cts
98	HC+0	1395,4	236,6	242,6	Afkeur CC2-0	SPLS 3_116 Ba All Cts
1	EA+0	1390,9	-236,6	-237,0	Afkeur CC2-0	ULS 1a_90
133	EA+0_133	1259,0	-212,4	-212,2	Afkeur CC2-0	SPLS 1a_77,5 Ba All Cts
119	HB+0(tc)	2099,1	372,5	407,2	Afkeur CC2-0	SPLS 1a_90 Ba All Cts

Project: **MBT-EHV**
 Uitgangspunt: **Initiële situatie**
 Datum: **7-6-2022**

Betreft **Trekbelasting**
 Richting **Lokale assenstelsel**

Mastrnummer	Masttype	Lokaal trek [kN]	Xi-richting [kN]	Eta-richting [kN]	Betrouwbaarheidsniveau	Bijbehorende loadcase
74	S+0	-410,0	15,3	-8,2	Afkeur CC2-0	ULS 1a_0,9_0,9_45
58	S+0	-421,2	15,7	-8,6	Afkeur CC2-0	ULS 1a_0,9_0,9_45
59	S+3	-379,2	19,3	-1,8	Afkeur CC2-0	ULS 1a_0,9_0,9_45
35	S+3 T3	-379,3	21,8	-1,5	Afkeur CC2-0	ULS 1a_0,9_0,9_45
33	S+6	-471,0	16,6	-9,3	Afkeur CC2-0	ULS 1a_0,9_0,9_45
32	S+6 T3	-492,1	19,9	-9,2	Afkeur CC2-0	ULS 1a_0,9_0,9_45
16	S+9	-502,9	19,5	-10,4	Afkeur CC2-0	ULS 1a_0,9_0,9_45
112	S+9	-561,9	22,4	-8,0	Afkeur CC2-0	ULS 1a_0,9_0,9_45
15	S+12	-565,6	18,7	-12,3	Afkeur CC2-0	ULS 1a_0,9_0,9_45
7	S+15	-635,6	29,0	-7,9	Afkeur CC2-0	ULS 1a_0,9_0,9_45
17	S+15 T1	-738,2	34,0	-8,0	Afkeur CC2-0	ULS 1a_0,9_0,9_45
115	S+0_xc T1	-1703,3	-97,7	22,6	Nieuwbouw CC2	ULS 1a_0,9_135
116	S+9(c)	-791,4	28,0	-7,7	Afkeur CC2-0	ULS 1a_0,9_0,9_45
117	S+9(tc)	-841,8	37,0	-4,8	Afkeur CC2-0	ULS 1a_0,9_0,9_45
120	S+0(tc)	-925,6	19,2	-11,6	Afkeur CC2-0	ULS 1a_0,9_0,9_45
121	S+0(c)	-1032,0	26,0	-12,5	Nieuwbouw CC2	ULS 1a_0,9_0,9_45
122	S+0_xc	-1699,6	-97,5	24,3	Nieuwbouw CC2	ULS 1a_0,9_135
9	HA+0	-1057,4	26,3	-6,8	Afkeur CC2-0	SPLS 1a_0,9_90 Ah All Cts
23	HA+0	-912,9	23,5	-7,1	Afkeur CC2-0	SPLS 1a_0,9_90 Ah All Cts
75	HA+0	-1001,3	25,1	-6,8	Afkeur CC2-0	SPLS 1a_0,9_90 Ah All Cts
128	HA+0 T1	-1055,7	26,7	6,2	Afkeur CC2-0	SPLS 1a_0,9_83 Ba All Cts
39	WA+0	-989,0	25,8	6,5	Afkeur CC2-0	SPLS 1a_0,9_83,9 Ba All Cts
54	HB+0	-1071,3	22,6	4,2	Afkeur CC2-0	SPLS 3_0,9_107,5 Ba All Cts
61	HB+0	-1025,3	25,8	-6,9	Afkeur CC2-0	SPLS 1a_0,9_90 Ah All Cts
90	HB+0	-1085,2	23,6	5,2	Afkeur CC2-0	SPLS 3_0,9_108 Ba All Cts
4	HC+0	-1142,6	24,2	5,4	Afkeur CC2-0	SPLS 3_0,9_117 Ba All Cts
82	HC+0	-1131,9	24,0	5,4	Afkeur CC2-0	SPLS 3_0,9_115 Ba All Cts
98	HC+0	-1168,1	24,8	5,4	Afkeur CC2-0	SPLS 3_0,9_116 Ba All Cts
1	EA+0	-1096,2	-23,5	13,6	Afkeur CC2-0	ULS 1a_0,9_90
133	EA+0_133	-980,0	-18,2	0,7	Afkeur CC2-0	SPLS 1a_0,9_77,5 Ba All Cts
119	HB+0(tc)	-1667,3	56,3	24,2	Afkeur CC2-0	SPLS 1a_0,9_90 Ba All Cts

Project: **MBT-EHV**
 Uitgangspunt: **Initiële situatie**
 Datum: **7-6-2022**

Betreft **Drukbelasting**
 Richting **Lokale assenstelsel**

Mastrnummer	Masttype	Lokaal druk [kN]	Xi-richting [kN]	Eta-richting [kN]	Betrouwbaarheidsniveau	Bijbehorende loadcase
74	S+0	578,6	-28,7	8,2	Afkeur CC2-0	ULS 1a_45
58	S+0	586,6	-28,9	8,6	Afkeur CC2-0	ULS 1a_45
59	S+3	556,2	-34,8	-0,3	Afkeur CC2-0	ULS 1a_45
35	S+3 T3	557,6	-37,1	-0,4	Afkeur CC2-0	ULS 1a_45
33	S+6	658,2	-31,3	9,3	Afkeur CC2-0	ULS 1a_45
32	S+6 T3	683,4	-34,9	9,2	Afkeur CC2-0	ULS 1a_45
16	S+9	707,2	-35,7	10,4	Afkeur CC2-0	ULS 1a_45
112	S+9	794,2	-40,9	8,0	Afkeur CC2-0	ULS 1a_45
15	S+12	779,3	-35,7	12,3	Afkeur CC2-0	ULS 1a_45
7	S+15	838,8	-41,9	7,9	Afkeur CC2-0	ULS 1a_45
17	S+15 T1	943,5	-47,1	8,0	Afkeur CC2-0	ULS 1a_45
115	S+0_xc T1	2221,9	152,1	-5,6	Nieuwbouw CC2	ULS 1a_135
116	S+9(c)	1147,3	-49,2	7,7	Afkeur CC2-0	ULS 1a_45
117	S+9(tc)	1200,6	-58,4	4,8	Afkeur CC2-0	ULS 1a_45
120	S+0(tc)	1271,4	-39,6	11,6	Afkeur CC2-0	ULS 1a_45
121	S+0(c)	1400,2	-47,9	12,5	Nieuwbouw CC2	ULS 1a_45
122	S+0_xc	2230,0	153,2	-9,1	Nieuwbouw CC2	ULS 1a_135
9	HA+0	1297,8	-31,6	6,5	Afkeur CC2-0	SPLS 1a_90 Ah All Cts
23	HA+0	1153,2	-28,7	-6,7	Afkeur CC2-0	SPLS 1a_90 Ba All Cts
75	HA+0	1245,3	-30,4	6,5	Afkeur CC2-0	SPLS 1a_90 Ah All Cts
128	HA+0 T1	1295,0	-31,9	-5,8	Afkeur CC2-0	SPLS 1a_83 Ba All Cts
39	WA+0	1245,4	-31,5	-6,7	Afkeur CC2-0	SPLS 1a_83,9 Ba All Cts
54	HB+0	1330,3	-28,2	-3,8	Afkeur CC2-0	SPLS 3_107,5 Ba All Cts
61	HB+0	1288,1	-28,9	4,0	Afkeur CC2-0	SPLS 3_90 Ah All Cts
90	HB+0	1345,0	-29,2	4,3	Afkeur CC2-0	SPLS 3_72 Ah All Cts
4	HC+0	1418,7	-30,1	4,2	Afkeur CC2-0	SPLS 3_63 Ah All Cts
82	HC+0	1411,4	-30,1	-4,2	Afkeur CC2-0	SPLS 3_115 Ba All Cts
98	HC+0	1429,1	-30,5	-4,2	Afkeur CC2-0	SPLS 3_116 Ba All Cts
1	EA+0	1430,4	27,5	-0,3	Afkeur CC2-0	ULS 1a_90
133	EA+0_133	1294,1	22,0	0,2	Afkeur CC2-0	SPLS 1a_77,5 Ba All Cts
119	HB+0(tc)	2149,7	-87,6	-24,5	Afkeur CC2-0	SPLS 1a_90 Ba All Cts

Project: **MBT-EHV**
 Uitgangspunt: **Initiële situatie**
 Datum: **7-6-2022**

Betreft **Torsiebelasting hoekmasten**
 Richting **Lokale assenstelsel**

Mastrnummer	Masttype	Lokaal trek [kN]	Xi-richting [kN]	Eta-richting [kN]	Betrouwbaarheidsniveau	Bijbehorende loadcase
9	HA+0	-740,6	21,5	-113,3	Afkeur CC2-0	SPLS 1a_0,9_90 Ah Ct2
23	HA+0	-912,9	23,5	-7,1	Afkeur CC2-0	SPLS 1a_0,9_90 Ah All Cts
75	HA+0	-720,4	18,3	100,9	Afkeur CC2-0	SPLS 1a_0,9_98,5 Ah Ct1
128	HA+0 T1	-1054,2	25,9	6,9	Afkeur CC2-0	SPLS 1a_0,9_90 Ba All Cts
39	WA+0	-989,0	25,8	6,5	Afkeur CC2-0	SPLS 1a_0,9_83,9 Ba All Cts
54	HB+0	-813,7	16,1	-89,4	Afkeur CC2-0	SPLS 3_90 Ba Ct2
61	HB+0	-1025,3	25,8	-6,9	Afkeur CC2-0	SPLS 1a_0,9_90 Ah All Cts
90	HB+0	-827,8	17,2	-89,4	Afkeur CC2-0	SPLS 3_0,9_90 Ba Ct2
4	HC+0	-982,3	18,6	-84,2	Afkeur CC2-0	SPLS 3_0,9_117 Ba Ct2
82	HC+0	-953,6	18,0	-86,0	Afkeur CC2-0	SPLS 3_0,9_115 Ba Ct2
98	HC+0	-998,7	19,0	-85,1	Afkeur CC2-0	SPLS 3_0,9_116 Ba Ct2
1	EA+0	-366,1	-5,6	144,9	Afkeur CC2-0	SPLS 3_0,9_90 Ah Ct1
133	EA+0_133	-312,8	-8,2	123,6	Afkeur CC2-0	SPLS 1a_0,9_77,5 Ah Ct1
119	HB+0(tc)	-1659,1	53,0	30,5	Afkeur CC2-0	SPLS 3_90 Ba All Cts

Project: **MBT-EHV**
 Uitgangspunt: **Initiële situatie**
 Datum: **7-6-2022**

Betreft **Torsiebelasting steunmasten**
 Richting **Lokale assenstelsel**

Mastrnummer	Masttype	Lokaal trek [kN]	Xi-richting [kN]	Eta-richting [kN]	Betrouwbaarheidsniveau	Bijbehorende loadcase
74	S+0	-205,0	7,6	37,9	Afkeur CC2-0	ULS 5a Ba 21
58	S+0	-210,6	7,9	37,3	Afkeur CC2-0	ULS 5a Ah 10
59	S+3	-189,6	9,7	40,9	Afkeur CC2-0	ULS 5a Ah 10
35	S+3 T3	-189,7	10,9	40,8	Afkeur CC2-0	ULS 5a Ah 10
33	S+6	-235,5	8,3	35,9	Afkeur CC2-0	ULS 5a Ah 10
32	S+6 T3	-246,1	9,9	36,0	Afkeur CC2-0	ULS 5a Ba 21
16	S+9	-251,4	9,7	33,9	Afkeur CC2-0	ULS 5a Ah 10
112	S+9	-280,9	11,2	26,5	Afkeur CC2-0	ULS 5a Ba 21
15	S+12	-282,8	9,3	34,4	Afkeur CC2-0	ULS 5a Ba 21
7	S+15	-317,8	14,5	31,9	Afkeur CC2-0	ULS 5a Ba 21
17	S+15 T1	-369,1	17,0	31,8	Afkeur CC2-0	ULS 5a Ah 10
115	S+0_xc T1	-851,6	-48,8	143,5	Nieuwbouw CC2	SPLS 6a_90 Ah Ct1 Ah Ct2
116	S+9(c)	-395,7	14,0	25,3	Afkeur CC2-0	ULS 5a Ba 21
117	S+9(tc)	-420,9	18,5	25,7	Afkeur CC2-0	ULS 5a Ah 11
120	S+0(tc)	-462,8	9,6	35,3	Afkeur CC2-0	ULS 1a_45
121	S+0(c)	-516,0	13,0	35,5	Nieuwbouw CC2	ULS 1a_45
122	S+0_xc	-849,8	-48,7	142,2	Nieuwbouw CC2	SPLS 6a_90 Ah Ct1 Ah Ct2

Project: **MBT-EHV**
 Uitgangspunt: **Aangepaste situatie (verbouw)**
 Datum: **7-6-2022**

Betreft **Trekbelasting**
 Richting **Globale assenstelsel**

Mastrnummer	Masttype	Verticaal trek [kN]	Xi-richting [kN]	Eta-richting [kN]	Betrouwbaarheidsniveau	Bijbehorende loadcase
74	S+0	-603,3	112,2	95,4	Verbouw CC2	ULS 1a_0,9_0,9_45
58	S+0	-605,8	112,7	95,7	Verbouw CC2	ULS 1a_0,9_0,9_45
59	S+3	-571,6	105,9	98,5	Verbouw CC2	ULS 1a_0,9_0,9_45
35	S+3 T3	-571,9	108,2	101,2	Verbouw CC2	ULS 1a_0,9_0,9_45
33	S+6	-678,5	123,8	105,4	Verbouw CC2	ULS 1a_0,9_0,9_45
32	S+6 T3	-708,0	131,1	112,9	Verbouw CC2	ULS 1a_0,9_0,9_45
16	S+9	-724,0	135,6	115,0	Verbouw CC2	ULS 1a_0,9_0,9_45
112	S+9	-810,5	148,9	133,1	Verbouw CC2	ULS 1a_0,9_0,9_45
15	S+12	-811,7	149,5	125,2	Verbouw CC2	ULS 1a_0,9_0,9_45
7	S+15	-912,7	142,5	126,9	Verbouw CC2	ULS 1a_0,9_0,9_45
17	S+15 T1	-1054,5	163,8	148,0	Verbouw CC2	ULS 1a_0,9_0,9_45
115	S+0_xc T1	-1650,4	321,4	-289,4	Nieuwbouw CC2	ULS 1a_0,9_135
116	S+9(c)	-1012,7	178,9	165,2	Verbouw CC2	ULS 1a_0,9_0,9_45
117	S+9(tc)	-1075,7	193,4	184,9	Verbouw CC2	ULS 1a_0,9_0,9_45
120	S+0(tc)	-1177,1	195,5	175,0	Verbouw CC2	ULS 1a_0,9_0,9_45
121	S+0(c)	-1011,4	172,0	154,3	Nieuwbouw CC2	ULS 1a_0,9_0,9_45
122	S+0_xc	-1646,8	321,9	-287,5	Nieuwbouw CC2	ULS 1a_0,9_135
9	HA+0	-1077,6	-182,9	192,5	Verbouw CC2	SPLS 1a_0,9_90 Ah All Cts
23	HA+0	-890,0	149,9	-154,5	Afkeur CC2-0	SPLS 1a_0,9_90 Ah All Cts
75	HA+0	-1025,6	-175,3	183,5	Verbouw CC2	SPLS 1a_0,9_98,5 Ah All Cts
128	HA+0 T1	-1075,7	183,3	192,1	Verbouw CC2	SPLS 1a_0,9_83 Ba All Cts
39	WA+0	-1012,0	172,5	181,7	Verbouw CC2	SPLS 1a_0,9_83,9 Ba All Cts
54	HB+0	-1104,6	186,5	192,5	Verbouw CC2	SPLS 3_0,9_107,5 Ba All Cts
61	HB+0	-1001,1	-169,8	179,6	Afkeur CC2-0	SPLS 1a_0,9_90 Ah All Cts
90	HB+0	-1116,4	188,3	195,7	Verbouw CC2	SPLS 3_0,9_108 Ba All Cts
4	HC+0	-1234,8	-202,4	223,7	Verbouw CC2	ULS 1a_0,9_63
82	HC+0	-1215,1	199,7	220,4	Verbouw CC2	ULS 1a_0,9_115
98	HC+0	-1295,8	213,5	234,5	Verbouw CC2	ULS 1a_0,9_116
1	EA+0	-1293,8	-211,6	-233,5	Verbouw CC2	ULS 1a_0,9_90
133	EA+0_133	-1075,6	-181,0	-193,6	Verbouw CC2	ULS 1a_0,9_77,5
119	HB+0(tc)	-1700,9	282,4	327,9	Verbouw CC2	SPLS 3_0,9_90 Ba All Cts

Project: **MBT-EHV**
 Uitgangspunt: **Aangepaste situatie (verbouw)**
 Datum: **7-6-2022**

Betreft **Drukbelasting**
 Richting **Globale assenstelsel**

Mastrummer	Masttype	Verticaal druk [kN]	Xi-richting [kN]	Eta-richting [kN]	Betrouwbaarheidsniveau	Bijbehorende loadcase
74	S+0	773,3	146,4	129,6	Verbouw CC2	ULS 1a_45
58	S+0	776,0	146,9	129,9	Verbouw CC2	ULS 1a_45
59	S+3	749,0	140,8	137,9	Verbouw CC2	ULS 1a_45
35	S+3 T3	750,7	143,3	140,6	Verbouw CC2	ULS 1a_45
33	S+6	871,5	162,1	143,7	Verbouw CC2	ULS 1a_45
32	S+6 T3	905,4	170,4	152,1	Verbouw CC2	ULS 1a_45
16	S+9	934,6	178,0	157,4	Verbouw CC2	ULS 1a_45
112	S+9	1050,2	197,2	181,3	Verbouw CC2	ULS 1a_45
15	S+12	1032,2	193,9	169,6	Verbouw CC2	ULS 1a_45
7	S+15	1124,0	176,3	160,7	Verbouw CC2	ULS 1a_45
17	S+15 T1	1268,0	198,0	182,2	Verbouw CC2	ULS 1a_45
115	S+0_xc T1	2148,1	419,1	-411,1	Nieuwbouw CC2	ULS 1a_135
116	S+9(c)	1379,9	247,5	233,8	Verbouw CC2	ULS 1a_45
117	S+9(tc)	1444,8	-262,3	253,9	Verbouw CC2	ULS 1a_135
120	S+0(tc)	1533,8	261,1	240,6	Verbouw CC2	ULS 1a_45
121	S+0(c)	1372,3	239,2	221,5	Nieuwbouw CC2	ULS 1a_45
122	S+0_xc	2155,9	423,5	-410,6	Nieuwbouw CC2	ULS 1a_135
9	HA+0	1326,5	-226,0	235,1	Verbouw CC2	SPLS 1a_90 Ah All Cts
23	HA+0	1129,3	-188,6	-194,3	Afkeur CC2-0	SPLS 1a_90 Ba All Cts
75	HA+0	1280,1	-217,9	223,4	Verbouw CC2	SPLS 3_90 Ah All Cts
128	HA+0 T1	1323,9	226,3	234,4	Verbouw CC2	SPLS 1a_83 Ba All Cts
39	WA+0	1276,7	218,0	227,6	Verbouw CC2	SPLS 1a_83,9 Ba All Cts
54	HB+0	1372,7	232,9	238,2	Verbouw CC2	SPLS 3_107,5 Ba All Cts
61	HB+0	1257,7	-214,1	219,8	Afkeur CC2-0	SPLS 3_90 Ah All Cts
90	HB+0	1385,5	-235,2	241,3	Verbouw CC2	SPLS 3_72 Ah All Cts
4	HC+0	1544,8	-258,2	274,8	Verbouw CC2	ULS 1a_63
82	HC+0	1531,8	256,5	272,8	Verbouw CC2	ULS 1a_115
98	HC+0	1591,4	266,7	283,2	Verbouw CC2	ULS 1a_116
1	EA+0	1640,5	-277,9	-280,9	Verbouw CC2	ULS 1a_90
133	EA+0_133	1435,8	-248,6	-243,8	Verbouw CC2	ULS 1a_77,5
119	HB+0(tc)	2207,3	384,9	431,0	Verbouw CC2	SPLS 3_90 Ba All Cts

Project: **MBT-EHV**
 Uitgangspunt: **Aangepaste situatie (verbouw)**
 Datum: **7-6-2022**

Betreft **Trekbelasting**
 Richting **Lokale assenstelsel**

Mastrnummer	Masttype	Lokaal trek [kN]	Xi-richting [kN]	Eta-richting [kN]	Betrouwbaarheidsniveau	Bijbehorende loadcase
74	S+0	-615,6	24,3	-11,9	Verbouw CC2	ULS 1a_0,9_0,9_45
58	S+0	-618,1	24,4	-12,0	Verbouw CC2	ULS 1a_0,9_0,9_45
59	S+3	-583,3	28,5	-5,2	Verbouw CC2	ULS 1a_0,9_0,9_45
35	S+3 T3	-583,6	32,0	-4,9	Verbouw CC2	ULS 1a_0,9_0,9_45
33	S+6	-692,0	25,9	-13,0	Verbouw CC2	ULS 1a_0,9_0,9_45
32	S+6 T3	-722,1	30,5	-12,9	Verbouw CC2	ULS 1a_0,9_0,9_45
16	S+9	-738,8	30,1	-14,6	Verbouw CC2	ULS 1a_0,9_0,9_45
112	S+9	-827,0	34,7	-11,2	Verbouw CC2	ULS 1a_0,9_0,9_45
15	S+12	-828,3	29,2	-17,1	Verbouw CC2	ULS 1a_0,9_0,9_45
7	S+15	-924,6	42,8	-11,0	Verbouw CC2	ULS 1a_0,9_0,9_45
17	S+15 T1	-1068,2	49,9	-11,2	Verbouw CC2	ULS 1a_0,9_0,9_45
115	S+0_xc T1	-1703,3	-97,7	22,6	Nieuwbouw CC2	ULS 1a_0,9_135
116	S+9(c)	-1033,4	37,5	-9,6	Verbouw CC2	ULS 1a_0,9_0,9_45
117	S+9(tc)	-1097,7	48,9	-6,0	Verbouw CC2	ULS 1a_0,9_0,9_45
120	S+0(tc)	-1200,5	26,4	-14,5	Verbouw CC2	ULS 1a_0,9_0,9_45
121	S+0(c)	-1032,0	26,0	-12,5	Nieuwbouw CC2	ULS 1a_0,9_0,9_45
122	S+0_xc	-1699,6	-97,5	24,3	Nieuwbouw CC2	ULS 1a_0,9_135
9	HA+0	-1103,6	27,3	-6,8	Verbouw CC2	SPLS 1a_0,9_90 Ah All Cts
23	HA+0	-915,5	-18,6	-3,2	Afkeur CC2-0	SPLS 1a_0,9_90 Ah All Cts
75	HA+0	-1050,4	27,1	-5,8	Verbouw CC2	SPLS 1a_0,9_98,5 Ah All Cts
128	HA+0 T1	-1101,7	27,7	6,2	Verbouw CC2	SPLS 1a_0,9_83 Ba All Cts
39	WA+0	-1036,4	26,8	6,5	Verbouw CC2	SPLS 1a_0,9_83,9 Ba All Cts
54	HB+0	-1131,2	23,9	4,2	Verbouw CC2	SPLS 3_0,9_107,5 Ba All Cts
61	HB+0	-1025,3	25,8	-6,9	Afkeur CC2-0	SPLS 1a_0,9_90 Ah All Cts
90	HB+0	-1143,3	24,8	5,2	Verbouw CC2	SPLS 3_0,9_108 Ba All Cts
4	HC+0	-1264,6	28,5	-15,1	Verbouw CC2	ULS 1a_0,9_63
82	HC+0	-1244,4	28,6	14,7	Verbouw CC2	ULS 1a_0,9_115
98	HC+0	-1327,1	30,4	14,9	Verbouw CC2	ULS 1a_0,9_116
1	EA+0	-1331,2	-28,8	15,5	Verbouw CC2	ULS 1a_0,9_90
133	EA+0_133	-1107,4	-27,2	8,9	Verbouw CC2	ULS 1a_0,9_77,5
119	HB+0(tc)	-1741,9	55,6	32,2	Verbouw CC2	SPLS 3_0,9_90 Ba All Cts

Project: **MBT-EHV**
 Uitgangspunt: **Aangepaste situatie (verbouw)**
 Datum: **7-6-2022**

Betreft **Drukbelasting**
 Richting **Lokale assenstelsel**

Mastrnummer	Masttype	Lokaal druk [kN]	Xi-richting [kN]	Eta-richting [kN]	Betrouwbaarheidsniveau	Bijbehorende loadcase
74	S+0	789,1	-38,1	11,9	Verbouw CC2	ULS 1a_45
58	S+0	791,9	-38,2	12,0	Verbouw CC2	ULS 1a_45
59	S+3	764,3	-45,1	2,0	Verbouw CC2	ULS 1a_45
35	S+3 T3	766,0	-48,4	1,9	Verbouw CC2	ULS 1a_45
33	S+6	888,8	-41,4	13,0	Verbouw CC2	ULS 1a_45
32	S+6 T3	923,4	-46,3	12,9	Verbouw CC2	ULS 1a_45
16	S+9	953,7	-47,2	14,6	Verbouw CC2	ULS 1a_45
112	S+9	1071,6	-54,2	11,2	Verbouw CC2	ULS 1a_45
15	S+12	1053,3	-47,1	17,1	Verbouw CC2	ULS 1a_45
7	S+15	1138,7	-56,5	11,0	Verbouw CC2	ULS 1a_45
17	S+15 T1	1284,5	-63,7	11,2	Verbouw CC2	ULS 1a_45
115	S+0_xc T1	2221,9	152,1	-5,6	Nieuwbouw CC2	ULS 1a_135
116	S+9(c)	1408,1	-59,9	9,6	Verbouw CC2	ULS 1a_45
117	S+9(tc)	1474,4	-71,4	-6,0	Verbouw CC2	ULS 1a_135
120	S+0(tc)	1564,2	-47,8	14,5	Verbouw CC2	ULS 1a_45
121	S+0(c)	1400,2	-47,9	12,5	Nieuwbouw CC2	ULS 1a_45
122	S+0_xc	2230,0	153,2	-9,1	Nieuwbouw CC2	ULS 1a_135
9	HA+0	1358,5	-32,9	6,5	Verbouw CC2	SPLS 1a_90 Ah All Cts
23	HA+0	1161,1	21,2	-4,1	Afkeur CC2-0	SPLS 1a_90 Ba All Cts
75	HA+0	1310,9	-29,2	3,9	Verbouw CC2	SPLS 3_90 Ah All Cts
128	HA+0 T1	1355,8	-33,2	-5,8	Verbouw CC2	SPLS 1a_83 Ba All Cts
39	WA+0	1307,5	-33,0	-6,8	Verbouw CC2	SPLS 1a_83,9 Ba All Cts
54	HB+0	1405,8	-29,8	-3,8	Verbouw CC2	SPLS 3_107,5 Ba All Cts
61	HB+0	1288,1	-28,9	4,0	Afkeur CC2-0	SPLS 3_90 Ah All Cts
90	HB+0	1418,9	-30,8	4,3	Verbouw CC2	SPLS 3_72 Ah All Cts
4	HC+0	1582,0	-35,5	11,7	Verbouw CC2	ULS 1a_63
82	HC+0	1568,7	-35,8	-11,5	Verbouw CC2	ULS 1a_115
98	HC+0	1629,7	-37,2	-11,6	Verbouw CC2	ULS 1a_116
1	EA+0	1687,1	32,6	-2,1	Verbouw CC2	ULS 1a_90
133	EA+0_133	1477,1	30,9	3,5	Verbouw CC2	ULS 1a_77,5
119	HB+0(tc)	2260,5	-89,2	-32,6	Verbouw CC2	SPLS 3_90 Ba All Cts

Project: **MBT-EHV**
 Uitgangspunt: **Aangepaste situatie (verbouw)**
 Datum: **7-6-2022**

Betreft **Torsiebelasting steunmasten**
 Richting **Lokale assenstelsel**

Mastrnummer	Masttype	Verticaal trek [kN]	Xi-richting [kN]	Eta-richting [kN]	Betrouwbaarheidsniveau	Bijbehorende loadcase
74	S+0	-307,8	12,2	37,9	Afkeur CC2-0	ULS 5a Ba 21
58	S+0	-309,1	12,2	37,3	Afkeur CC2-0	ULS 5a Ah 10
59	S+3	-291,6	14,3	40,9	Afkeur CC2-0	ULS 5a Ah 10
35	S+3 T3	-291,8	16,0	40,8	Afkeur CC2-0	ULS 5a Ah 10
33	S+6	-346,0	12,9	35,9	Afkeur CC2-0	ULS 5a Ah 10
32	S+6 T3	-361,0	15,3	36,0	Afkeur CC2-0	ULS 5a Ba 21
16	S+9	-369,4	15,1	33,9	Afkeur CC2-0	ULS 5a Ah 10
112	S+9	-413,5	17,3	26,5	Afkeur CC2-0	ULS 5a Ba 21
15	S+12	-414,1	14,6	34,4	Afkeur CC2-0	ULS 5a Ba 21
7	S+15	-462,3	21,4	31,9	Afkeur CC2-0	ULS 5a Ba 21
17	S+15 T1	-534,1	24,9	31,8	Afkeur CC2-0	ULS 5a Ah 10
115	S+0_xc T1	-851,6	-48,8	143,5	Nieuwbouw CC2	SPLS 6a_90 Ah Ct1 Ah Ct2
116	S+9(c)	-516,7	18,8	25,3	Afkeur CC2-0	ULS 5a Ba 21
117	S+9(tc)	-548,9	24,4	25,7	Afkeur CC2-0	ULS 5a Ah 11
120	S+0(tc)	-600,2	13,2	35,3	Afkeur CC2-0	ULS 1a_45
121	S+0(c)	-516,0	13,0	35,5	Nieuwbouw CC2	ULS 1a_45
122	S+0_xc	-849,8	-48,7	142,2	Nieuwbouw CC2	SPLS 6a_90 Ah Ct1 Ah Ct2

Project: **MBT-EHV**
 Uitgangspunt: **Aangepaste situatie (verbouw)**
 Datum: **7-6-2022**

Betreft **Torsiebelasting hoekmasten**
 Richting **Lokale assenstelsel**

Mastrnummer	Masttype	Verticaal trek [kN]	Xi-richting [kN]	Eta-richting [kN]	Betrouwbaarheidsniveau	Bijbehorende loadcase
9	HA+0	-620,2	15,5	140,5	Verbouw CC2	SPLS 6a_90 Ba Ct2 Ah Ct2
23	HA+0	-426,1	-8,8	-129,5	Afkeur CC2-0	SPLS 6a_90 Ah Ct2 Ba Ct2
75	HA+0	-578,8	14,5	-135,3	Verbouw CC2	SPLS 6a_90 Ah Ct2 Ba Ct2
128	HA+0 T1	-568,9	13,7	-137,8	Verbouw CC2	SPLS 6a_90 Ah Ct2 Ba Ct2
39	WA+0	-522,1	14,1	-138,2	Verbouw CC2	SPLS 6a_90 Ah Ct2 Ba Ct2
54	HB+0	-818,4	20,8	99,9	Verbouw CC2	SPLS 3_0,9_90 Ba Ct1
61	HB+0	-1025,3	25,8	-6,9	Afkeur CC2-0	SPLS 1a_0,9_90 Ah All Cts
90	HB+0	-832,4	21,7	101,0	Verbouw CC2	SPLS 3_0,9_90 Ba Ct1
4	HC+0	-994,6	22,1	-99,3	Verbouw CC2	SPLS 3_0,9_45 Ba Ct2
82	HC+0	-958,4	23,0	101,4	Verbouw CC2	SPLS 3_0,9_115 Ba Ct1
98	HC+0	-1004,1	24,0	100,5	Verbouw CC2	SPLS 3_0,9_116 Ba Ct1
1	EA+0	-385,0	-5,8	152,9	Verbouw CC2	SPLS 3_0,9_90 Ah Ct1
133	EA+0_133	-322,1	-8,2	129,8	Verbouw CC2	SPLS 1a_0,9_77,5 Ah Ct1
119	HB+0(tc)	-1741,9	55,6	32,2	Verbouw CC2	SPLS 3_0,9_90 Ba All Cts



About DNV

DNV is the independent expert in risk management and assurance, operating in more than 100 countries. Through its broad experience and deep expertise DNV advances safety and sustainable performance, sets industry benchmarks, and inspires and invents solutions.

Whether assessing a new ship design, optimizing the performance of a wind farm, analyzing sensor data from a gas pipeline or certifying a food company's supply chain, DNV enables its customers and their stakeholders to make critical decisions with confidence.

Driven by its purpose, to safeguard life, property, and the environment, DNV helps tackle the challenges and global transformations facing its customers and the world today and is a trusted voice for many of the world's most successful and forward-thinking companies.

Bijlage 12 Rapportage mastconstructie HA+0 & HA+0 T

“TOETSING EN HERONTWERP MASTEN EN FUNDATIES BBB380”
MBT-EHV380 – HA+0 & HA+0 T
Rapport

TenneT TSO B.V.

Rapport Nr.: 22-0816, Rev. 0

Meridian doc. Nr.: 002.586.40 0945279

Datum: 2022-07-06

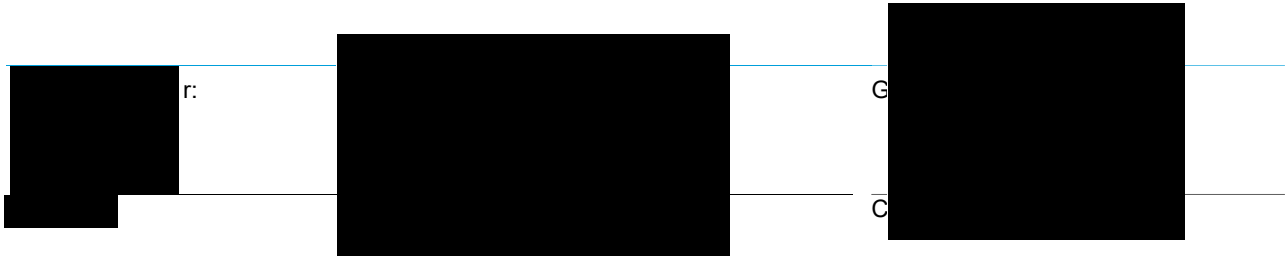




Projectnaam: "TOETSING EN HERONTWERP MASTEN EN
FUNDATIES BBB380"
Rapport titel: MBT-EHV380 – HA+0 & HA+0 T Rapport
Klant: TenneT TSO B.V.,
Contactpersoon klant: [REDACTED]
Datum uitgave: 2022-07-06
Project nr.: 10166260
Organisatie unit: TDT
Meridian doc.nr.: 002.586.40 0945279
Rapport nr.: 22-0816, Rev. 0

Energy Systems
DNV Netherlands B.V.
Utrechtseweg 310-B50
6812 AR Arnhem
The Netherlands

Tel: [REDACTED]
Handelsregister Arnhem 09006400



Copyright © DNV 2022. All rights reserved. Unless otherwise agreed in writing: (i) This publication or parts thereof may not be copied, reproduced or transmitted in any form, or by any means, whether digitally or otherwise; (ii) The content of this publication shall be kept confidential by the customer; (iii) No third party may rely on its contents; and (iv) DNV undertakes no duty of care toward any third party. Reference to part of this publication which may lead to misinterpretation is prohibited..

DNV Distributie:

- Open
- Intern
- Commercieel vertrouwelijk
- Vertrouwelijk
- Geheim

*Specificatie distributie: -

Rev.	Datum	Reden van uitgave	Auteur	Beoordelaar	Goedkeuder
0	2022-07-06	Eerste uitgave	[REDACTED]	[REDACTED]	[REDACTED]

Inhoudsopgave

1	INLEIDING	1
1.1	Inleiding	1
1.2	Doelstelling en scope van dit rapport	2
1.3	Relatie overige documenten	2
2	EISEN	2
3	BEREKENINGEN	3
3.1	Mastbeeld	3
3.2	Mastenlijst	4
3.3	Telecommunicatieapparatuur	4
3.4	Uitgangspunten berekening	5
3.5	Processtappen	6
3.6	Geleiderbelastingen	6
3.7	Reacties op de fundering	6
3.8	Modellering	6
3.9	Bestaande aanpassingen	7
4	TOETSING MAST	8
5	AANPASSINGEN	12
5.1	Inleiding	12
5.2	Aanpassingen	12
5.3	Verificatie eisen	15
6	REFERENTIES	16
Appendix A	GELEIDERBELASTINGEN	
Appendix B	UITVOER PLS-TOWER	
Appendix C	TOETSING KNIKVERKORTERS	
Appendix D	TOETSING BLOKDEUVELS EN OVERIGE BEREKENINGEN	
Appendix E	TEKENINGEN	

1 INLEIDING

1.1 Inleiding

Om in de toekomst meer elektriciteit te kunnen transporteren is het noodzakelijk om naast de nieuwbouw van verbindingen bestaande hoogspanningsverbindingen aan te passen zodat er een grotere transportcapaciteit mogelijk wordt gemaakt. Om die reden is de opdrachtgever (OG) voornemens de bestaande 380 kV-koppeling op te waarderen. Het opwaarderen van de bestaande verbindingen valt onder het programma “Beter benutten bestaande 380 kV-ring” en omvat de volgende deelprojecten:

- Opwaardering 380 kV-verbinding Lelystad – Ens (LLS-ENS380)
- Opwaardering 380 kV-verbinding Diemen – Lelystad (DIM-LLS380)
- Opwaardering 380 kV-verbinding Rilland – Zandvliet (RLL-ZVL380)
- Opwaardering 380 kV-verbinding Krimpen aan de IJssel - Geertruidenberg (KIJ-GT380)
- Opwaardering 380 kV-verbinding Maasbracht - Eindhoven (MBT-EHV380)

Om te komen tot een DO waarmee de werkzaamheden kunnen worden gestart is door TenneT aan DNV opdracht verstrekt voor de volgende onderdelen:

1. In eerste fase het opstellen en creëren van:

- 1.1 E-studie deel 1
- 1.2 Uitgangspuntenrapporten ten behoeve van de constructieve analyse van masten en fundaties
- 1.3 Sonderingmodellen
- 1.4 Fundatiemodellen
- 1.5 Mastmodellen

2. In tweede fase de uitvoering van de DO-fase bevattende:

- 2.1 Toetsing conform het uitgangspuntenrapport van de bestaande fundaties
- 2.2 Algemene specificatie van benodigde fundatieversterkingen ten behoeve van aanbesteding
- 2.3 Toetsing conform het uitgangspuntenrapport van de bestaande masten
- 2.4 Algemene specificatie van benodigde mastversterkingen ten behoeve van aanbesteding
- 2.5 E-studie deel 2

In dit rapport worden de aanpassingen besproken die nodig zijn voor masttypen HA+0 en HA+0 T van de verbinding Maasbracht - Eindhoven 380 kV.

Inhoudelijk is de Nederlandse versie van de rapportage ongewijzigd ten opzichte van de Engelse versie. Om deze reden zijn de bijlagen in dit rapport één op één overgenomen uit de Engelse versie. Hierdoor wijkt het revisienummer van de bijlagen af van het revisienummer van deze rapportage.

1.2 Doelstelling en scope van dit rapport

Het doel van deze studie is om te bepalen of het in dit rapport beschreven masttype geschikt is om te worden uitgerust met de ACCC-Warsaw geleider.

Nadat de wijzigingen zijn toegepast dient aantoonbaar geverifieerd te worden dat het systeem voldoet aan de vigerende eisen.

1.3 Relatie overige documenten

1.3.1 Verificatie & validatie plan

De door TenneT aangeleverde set met eisen is beoordeeld op relevantie en voor de relevante eisen is aangegeven in welk document wordt aangetoond dat er aan de eis wordt voldaan. De resultaten hiervan zijn opgenomen in het rapport "Verificatie & Validatieplan 380 kV verbinding Maasbracht – Eindhoven" [1].

1.3.2 E-studie deel 1

In het rapport "MBT-EHV380 - E-studie deel 1" [2] is bepaald welke aanpassingen benodigd zijn om de ACCC-Warsaw geleider toe te passen binnen de verbinding Maasbracht - Eindhoven. Voor masttype HA+0 en HA+0 T, zijn de volgende aanpassingen aan de constructie vereist:

- Mast 9: Naar buiten verschuiven van het bevestigingspunt van de bliksemdraad met een horizontale afstand van 0,3 m;
- Alle andere masten: toepassing van post-isolatoren om de bretellen aan één zijde van de ondertraverse te fixeren.

De hierboven vermelde wijzigingen zijn slechts de wijzigingen die het meest relevant zijn voor de constructieanalyse in dit verslag. Zie "MBT-EHV380 - E-studie deel 1" [2] voor een volledige lijst van wijzigingen.

1.3.3 Uitgangspunten rapport

De uitgangspunten op basis waarvan de berekeningen in deze rapportage zijn uitgevoerd zijn opgenomen in het rapport "Uitgangspuntenrapport 380kV verbinding Maasbracht - Eindhoven" [3].

2 EISEN

In Tabel 1 zijn de eisen opgenomen die binnen deze rapportage worden getoetst.

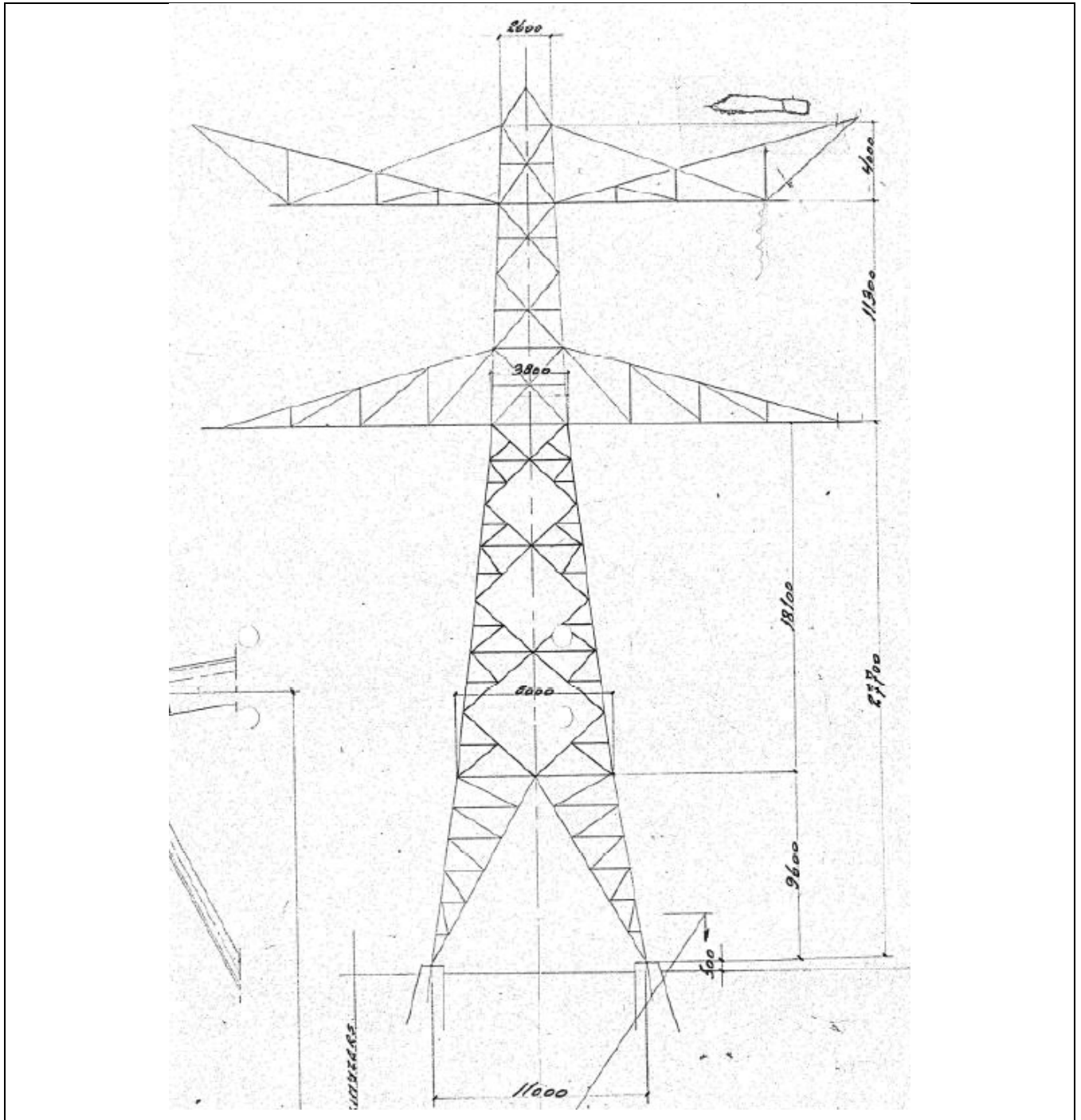
Tabel 1 Relevante eisen

Eis Id	Titel	Eis Tekst	Bewijsvoering
BO Eis: H2.7-6	Omgeving, beperkings- factoren	Het ontwerp dient geverifieerd te worden op de uitvoerbaarheid.	Tabel 10
PVE.05.001 5.14	Masten	Aanwijzingen t.a.v. klimvoorziening en valbeveiliging: Huidige klimweg blijft gehandhaafd en zal voldoen aan de eisen zoals opgenomen in de NEN 1060:1964. Valbeveiliging is/zal worden uitgevoerd in het type "latch way". Indien staaldelen in de nabijheid (aangrenzend profiel) van de klimweg gewijzigd worden, dient geverifieerd te worden dat de klimvoorziening in overeenstemming is met de NEN 1060:1964.	Tabel 10

3 BEREKENINGEN

3.1 Mastbeeld

Het mastbeeld op basis van de asset-data is weergegeven in Figuur 1.



Figuur 1 Mastbeeld HA+0/ HA+0 T

3.2 Mastenlijst

In dit rapport worden masttype HA+0 en HA+0 T getoetst. Voor de HA+0 zijn de belastingen van de masten 9 en 75 gebruikt voor de toetsing. Mast 9 is maatgevend op basis van de lijnhoek en het hoogteverschil met de aangrenzende masten 8 en 10, terwijl de overspanning relatief kort is¹. Mast 75 werd geselecteerd op basis van de wind en weight span magnitudes. Om voor vergelijkbare aanpassingen aan de masten te zorgen, werden de zwaardere belastingen van mast 9 op alle locaties gebruikt, echter met de aanname van een lagere aangrenzende mast, om de grotere weight span van mast 75 te overbruggen.

Voor de HA+0 T werden de masten 34 en 128 geanalyseerd met de locatiespecifieke belastingen. Op verzoek van TenneT moeten alle telecommunicatiemasten worden geanalyseerd.

Alle masten bevinden zich in windgebied III. De windbelasting is aangepast op basis van de hoogte van naburige masten (positieve waarden duiden op een toename van de hoogte). Tabel 2 geeft een overzicht van de wind en weight span voor de masten en het geldende mastnummer.

Tabel 2 Mastnummers

Mastnummer	Masttype	Maatgevend mastnummer	Wind span (m)	Weight span (m)	Hoogteverschil (m)
9	HA+0	9	352	285	18.4
13	HA+0	9	336	295	11.7
23	HA+0	9	347	365	-3.7
34	HA+0 T	34	400	373	8.1
69	HA+0	9	384	391	-1.3
75	HA+0	9	403	413	-1.9
103	HA+0	9	376	383	-1.3
114	HA+0	9	294	227	17.0
128	HA+0 T	128	396	391	1.9
130	HA+0	9	399	402	-0.3

3.3 Telecommunicatieapparatuur

Mast 34 en 128 bevatten telecommunicatieapparatuur op het hoogste punt. De gegevens van de apparatuur zijn opgenomen in Tabel 3 en Tabel 4 en toegepast in het PLS-TOWER-model, gebaseerd op de asset-data.

Tabel 3 Telecommunicatieapparatuur voor mast 128

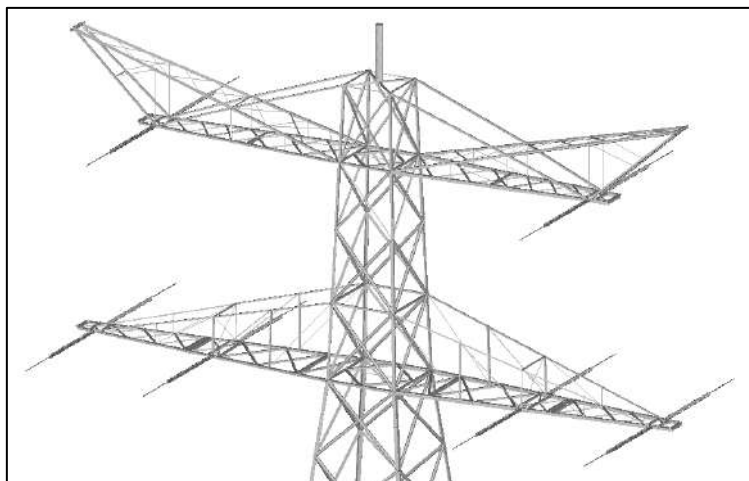
Apparatuur label	Aantal	A _{opp} /m [m ² /m]	A _{opp} [m ²]	Gewicht [kg]	Gewicht [kg/m]
Kathrein 80010486V01 Dualband D-paneel	1		0.66	30.00	
Kathrein 80010486V01 Dualband D-paneel	1		0.35	30.00	
Kathrein 80010486V01 Dualband D-paneel	1		0.35	30.00	
Schotel 300mm	1		0.07	25.00	
Schotel 300mm	1		0.06	25.00	
Buis 139.7 x 10 mm met klimvoorziening per m	7		0.98	222.46	
Kathrein (D)TMA	1		0.04	3.50	
Kathrein (D)TMA	1		0.02	3.50	
Kathrein (D)TMA	1		0.02	3.50	
UNP 120 per m	5		0.60	66.50	
Ericsson KRY12163/1	2		0.02	1.00	
Ericsson KRY12163/1	2		0.02	1.00	
Ericsson KRY12163/1	2		0.02	1.00	
7/8" feederbundel 3x2 per m	48	0.110			3.06
1 1/4" feederbundel 4x2 per m	48	0.170			6.88
Rail per m	48	0.035			
Totaal		0.315	3.2	442.5	9.94

¹ De korte overspanning is ongunstig in het geval van belasting door een lijnwagen.

Tabel 4 Telecommunicatieapparatuur voor mast 34

Apparatuur label	Aantal	A _{opp} /m [m ² /m]	A _{opp} [m ²]	Gewicht [kg]	Gewicht [kg/m]
HUAWEI ATR4518R7 Tri-Band	1		0.88	29.50	
HUAWEI ATR4518R7 Tri-Band	1		0.42	29.50	
HUAWEI ATR4518R7 Tri-Band	1		0.42	29.50	
T-Mobile RRU 3 st boven elkaar (900/1800/2100MHz)	1		0.36	48.00	
T-Mobile RRU 3 st boven elkaar (900/1800/2100MHz)	1		0.17	48.00	
T-Mobile RRU 3 st boven elkaar (900/1800/2100MHz)	1		0.17	48.00	
Schotel 600 mm	1		0.28	40.00	
Buis 139.7 x 6.3 mm per m	7		0.98	144.13	
UNP 100 per m	4		0.40	42.40	
UNP 100 per m	4		0.40	42.40	
Voeding T-mob 3x3 14mm per m (zonder railsysteem)	47	0.04			2.67
Fiber T-mob 2x9 7mm per m (zonder railsysteem)	47	0.06			0.79
Trunkrail 41x41mm per m	47	0.09			2.58
RG214-50 1x1 per m (zonder railsysteem)	46	0.01			0.19
Totaal		0.20	4.48	501.43	6.23

Figuur 2 toont de positie van de telecommunicatieapparatuur in het mastmodel.



Figuur 2 Positie van telecommunicatieapparatuur op mast 34 en 128

3.4 Uitgangspunten berekening

De berekening is uitgevoerd op basis van de uitgangspunten zoals opgenomen in het uitgangspuntenrapport [3]. Hierin is een volledig overzicht opgenomen van de belastingcombinaties en toegepaste belastingfactoren.

Tabel 5 Uitgangspunten berekening

Algemeen	Norm	NEN-EN50341-2-15:2019
	Windgebied	III
	Terreincategorie	II (onbebouwde omgeving)
	Reductiefactor cd _{ir}	1,00
Situatie initieel	Gevolgklasse	CC2-0
	Betrouwbaarheidsniveau	Afkeur CC2-0
	Referentieperiode	30 jaar
Situatie na aanpassingen	Gevolgklasse	CC2
	Betrouwbaarheidsniveau	Verbouw
	Referentieperiode	50 jaar

3.5 Processtappen

Het proces van het bepalen van eventueel benodigde versterkingen bestaat uit de volgende stappen:

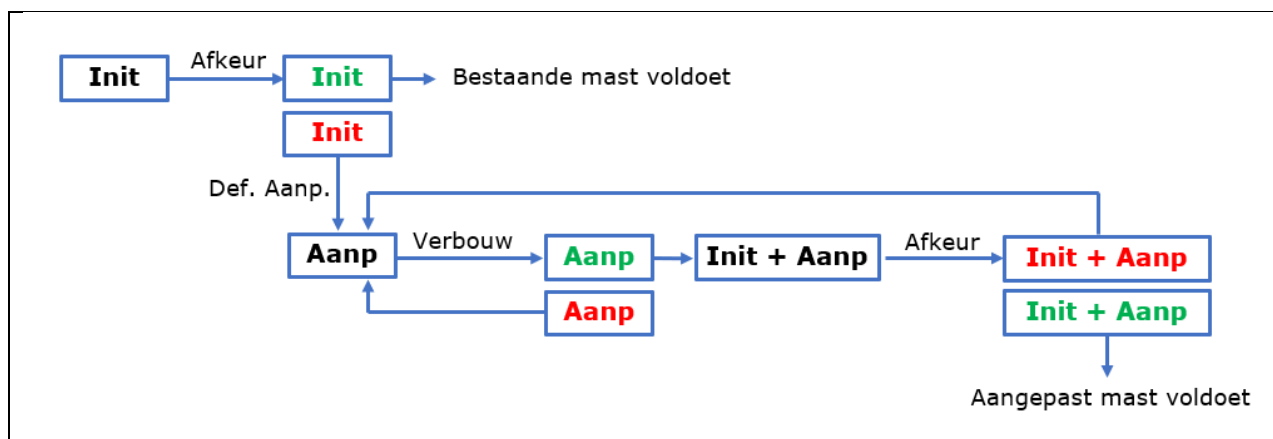
Stap 1: Toets bestaande (Init) mast op Afkeur

Stap 2: Definiëren benodigde aanpassingen indien initiële mast niet voldoet aan toets op Afkeur (Def. Aanp.)

Stap 3: Het toetsen van (alleen) de uitgewerkte aanpassingen (Aanp) op Verbouw

Stap 4: Het opnieuw toetsen van de complete mast inclusief aanpassingen (Initi + Aanp) op Afkeur

Het hierboven omschreven proces is in Figuur 3 weergegeven.



Figuur 3 Procesdiagram

3.6 Geleiderbelastingen

De berekeningen zijn uitgevoerd met het geleiderbelastingenprogramma van DNV. In Appendix A zijn de resultaten van de geleiderbelastingen samengevat.

3.7 Reacties op de fundering

De oplegreacties op de fundering worden ontleend aan de uitvoer van het geleiderbelastingenprogramma, zie Appendix A.

3.8 Modelling

Op basis van de as-built tekeningen is de mast in PLS-TOWER ingevoerd. De hoofdelementen zijn gemodelleerd. Niet-dragende profielen als knikverkorters zijn weggelaten en worden separaat getoetst. De profielen inclusief de boutverbindingen zijn in PLS-TOWER ingevoerd en getoetst. Controle van de schetsplaten en andere detailverbindingen valt buiten de scope.

De geleiderbelastingen vanuit het geleiderbelastingenprogramma zijn als invoer voor de belastingen gebruikt.

Diagonalen in voor- en achtervlak respectievelijk de twee zijvlakken zijn gegroepeerd en de toetsing wordt per staafgroep uitgevoerd. Ingeval dat een element uit een groep is overbelast, geldt dit voor alle elementen uit de betreffende groep.

3.9 Bestaande aanpassingen

Op basis van het rapport van Petersburg consultants [4] zijn er reeds aanpassingen gedaan aan mast 34. Deze aanpassingen zijn opgenomen in het initiële PLS-TOWER model. Tabel 6 geeft een overzicht van de wijzigingen volgens de in Appendix B gebruikte groepsindeling.

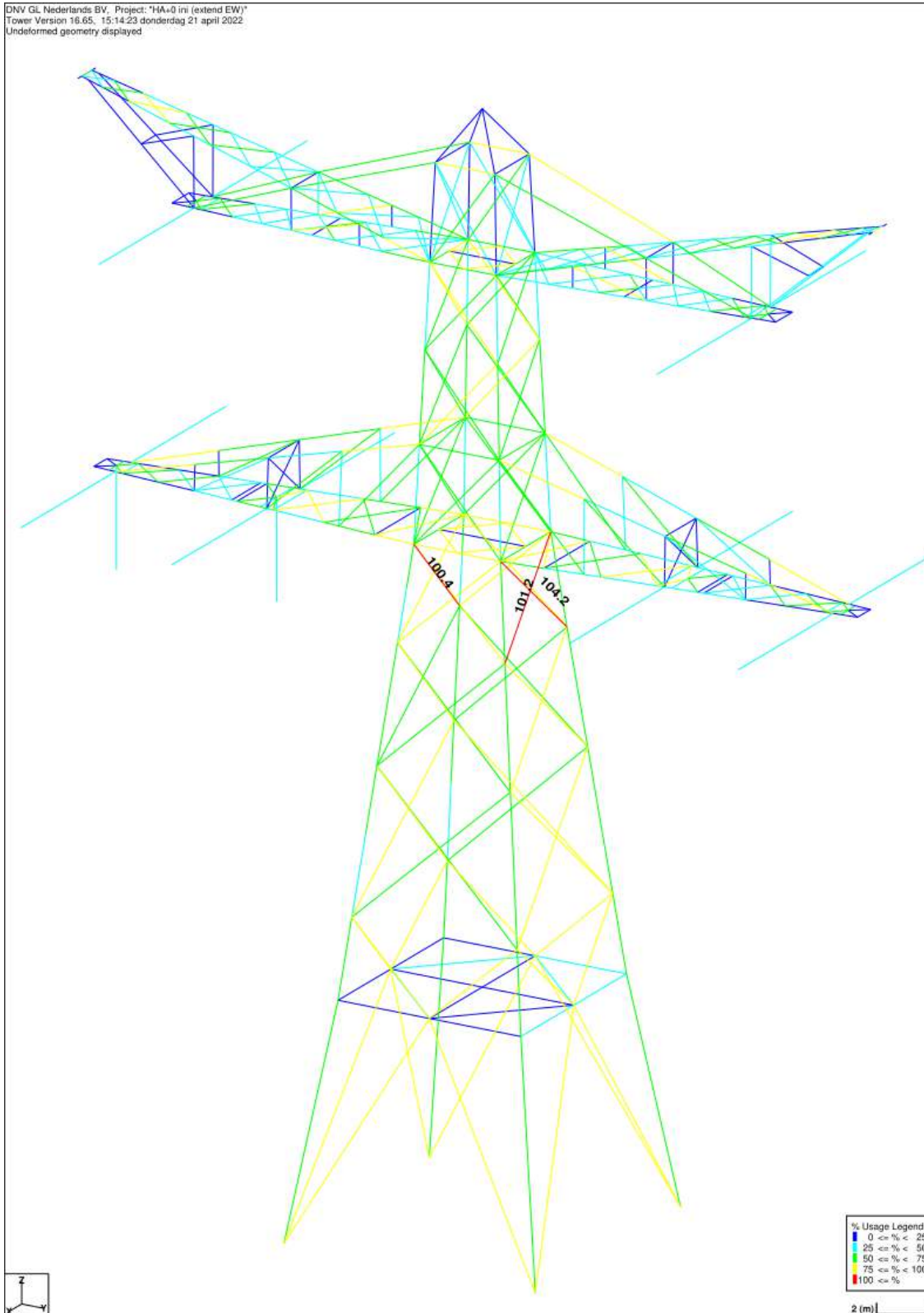
Tabel 6 Samenvatting aanpassingen in initiële rekenmodel voor mast 34

Groepslabel	Aanpassing
103A	Bouten gewijzigd in klasse 8.8
104A/C	Bouten
105A/C	Bouten
201L	Profielafmeting aangepast naar L100x10 (S355) Bouten gewijzigd in klasse 8.8
202L	Bouten gewijzigd in klasse 8.8
202T	Bouten gewijzigd in klasse 8.8
203L	Bouten gewijzigd in klasse 8.8
204L	Bouten gewijzigd in klasse 8.8
205L	Bouten gewijzigd in klasse 8.8
205T	Bouten gewijzigd in klasse 8.8
206T	Bouten gewijzigd in klasse 8.8
208L	Bouten gewijzigd in klasse 8.8
207T	Bouten gewijzigd in klasse 8.8
208T	Bouten gewijzigd in klasse 8.8
209L	Bouten gewijzigd in klasse 8.8
209T	Bouten gewijzigd in klasse 8.8
223	Profiel gewijzigd in L120x12 (S355) Bouten gewijzigd in klasse 8.8
217	Bouten gewijzigd in klasse 8.8

Voor mast 128 bleek uit het rapport van Petersburg Consultants [5] dat er geen wijzigingen aan de constructie zijn aangebracht.

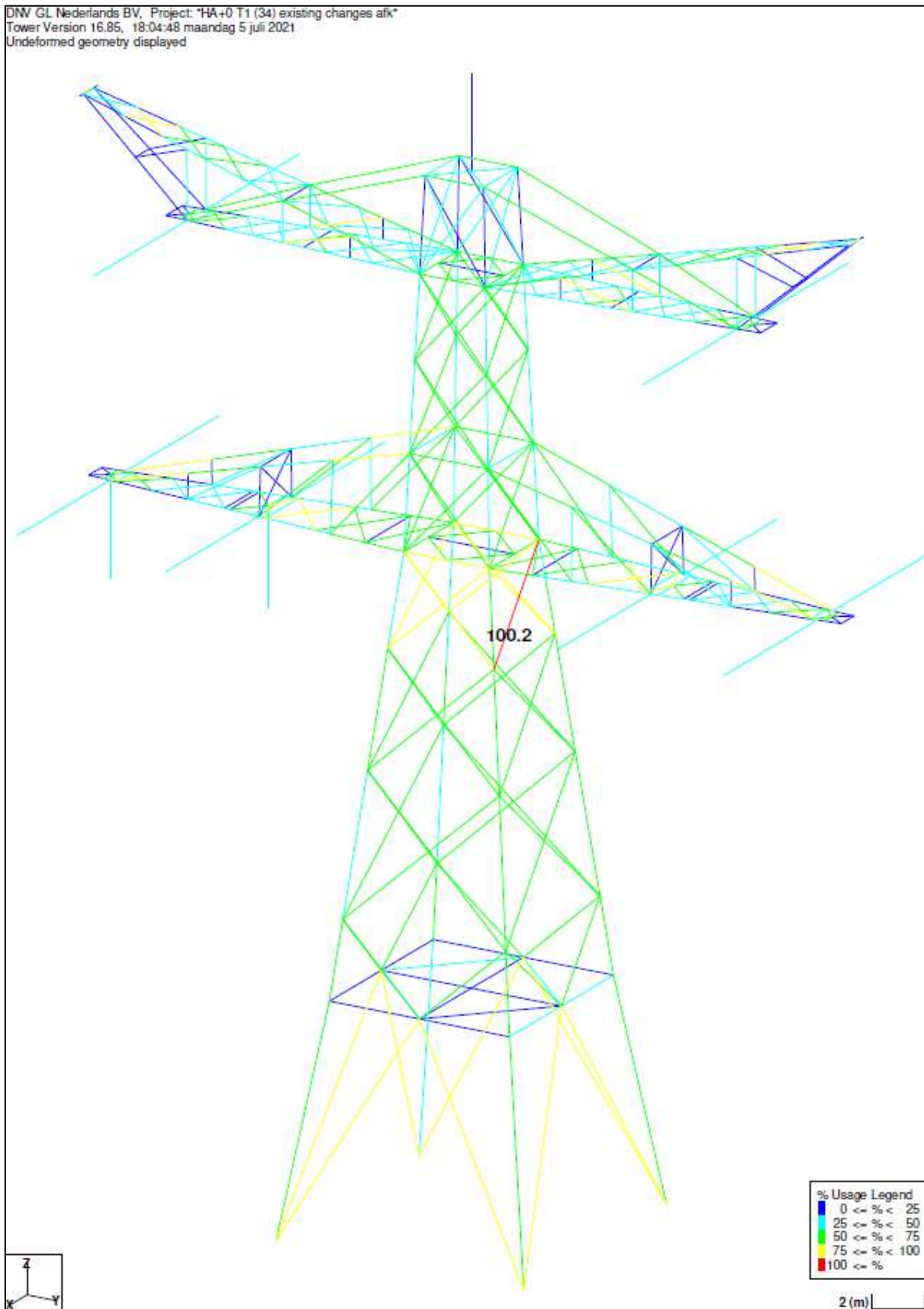
4 TOETSING MAST

Het resultaat van de toetsing van masttypen HA+0 en HA+0 T met belastingen op afkeurniveau is weergegeven in Figuur 4, Figuur 5 en Figuur 6.



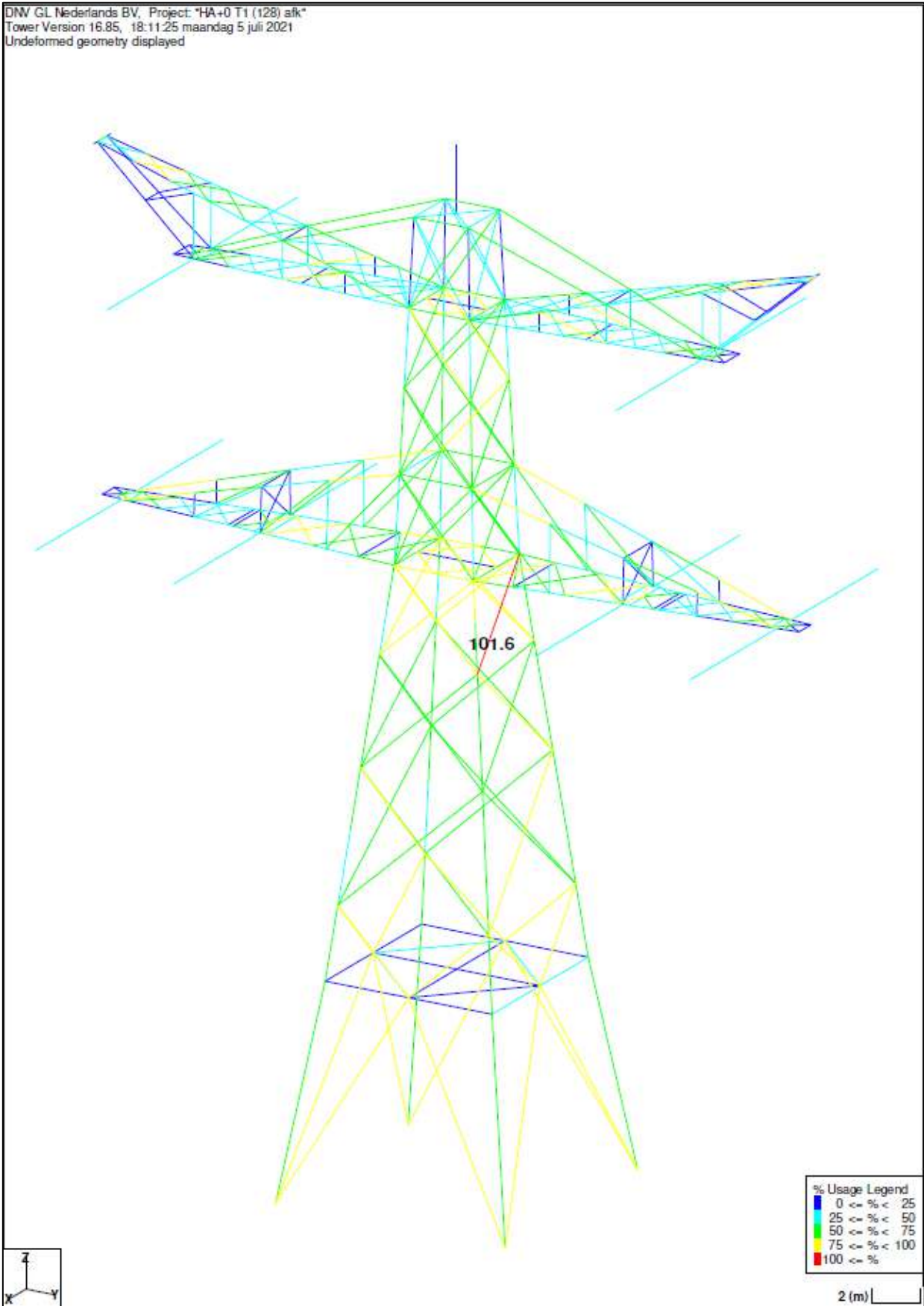
Figuur 4 Resultaat PLS-TOWER HA+0 (9)

DNV GL Nederlands BV, Project: "HA+0 T1 (34) existing changes afk"
 Tower Version 16.85, 18:04:48 maandag 5 juli 2021
 Undeformed geometry displayed



Figuur 5 Resultaat PLS-TOWER HA+0 T (34)

DNV GL Nederlands BV, Project: "HA+0 T1 (128) a1k"
 Tower Version 16.85, 18:11:25 maandag 5 juli 2021
 Undeformed geometry displayed



Figuur 6 Resultaat PLS-TOWER HA+0 T (128)

De resultaten van de toetsing van ankerprofielen, knikverkorters en blokdeuvels randstijl zijn opgenomen in Tabel 7.

Tabel 7 Samenvatting controle

Controle van	Beoordeling		Referentie
Profielen		Voldoen niet	Figuur 4 Figuur 5 Figuur 6 Appendix B
Knikverkorters	Voldoen		Appendix C
Blokdeuvels	Voldoen		Appendix D

N.B.: De controle van de blokdeuvels voor de masttypen HA+0 en HA+0 T is gebaseerd op de masttekeningen van masttype HB+0 aangezien er geen informatie is verstrekt voor het masttype HA+0. Deze aanname is gedaan omdat de randstijl van zowel de HA+0 als de HB+0 dezelfde afmetingen hebben en bepaalde details van de HA+0 vergelijkbaar zijn met de details van de HB+0.

5 AANPASSINGEN

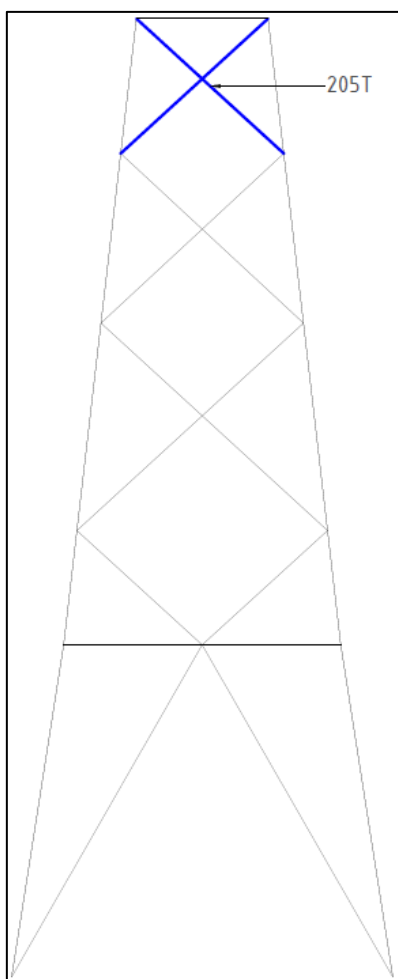
5.1 Inleiding

In dit deel worden versterkingen van de masten voorgesteld om ervoor te zorgen dat de masten voldoet aan afkeurniveau. Nieuwe profielen of bouten moeten voldoen aan de eisen op basis van verbouwniveau. Het voorstel bevat de volgende maatregelen:

- Vervanging van diagonalen in het zijvlak van het mastlichaam;
- Aanpassing van het bliksem draad bevestigingspunt om te voldoen aan de eisen van de E-studie (alleen mast 9);
- Toevoeging van post-isolatoren aan de ondertraverse voor fixatie van de bretel.

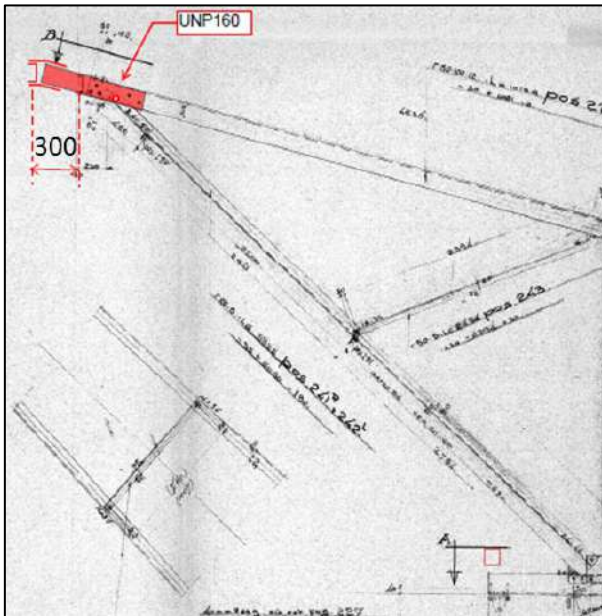
5.2 Aanpassingen

Conform de berekeningen in Appendix B moeten de diagonalen in het zijvlak van het mastlichaam worden vervangen. Deze aanpassing geldt voor alle masten. Figuur 7 geeft de relevante kruisende diagonalen weer. Voor nadere informatie, zoals de afmetingen van de profielen, wordt verwezen naar Appendix E.

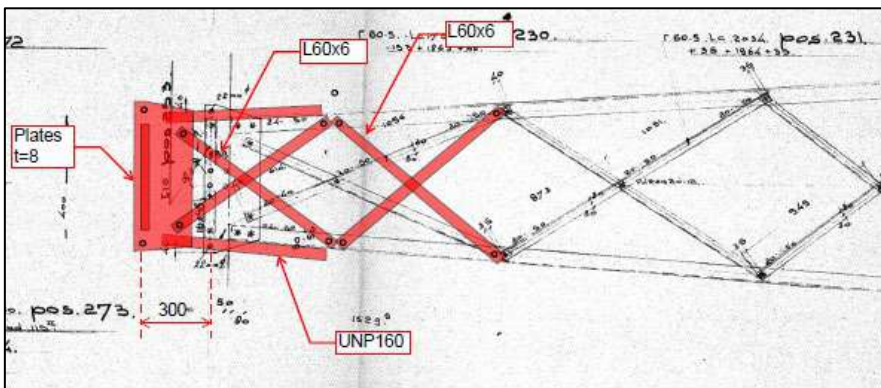


Figuur 7 Zijaanzicht van de mast met aanduiding van de diagonalen die moeten worden vervangen

Volgens de resultaten van de E-studie moet het bliksemraadbevestigingspunt op mast 9 horizontaal 0,3 m naar buiten worden verplaatst. Om deze aanpassing mogelijk te maken zijn nieuwe UNP-profielen en kruisverbanden nodig, zoals weergegeven in Figuur 8 en Figuur 9.

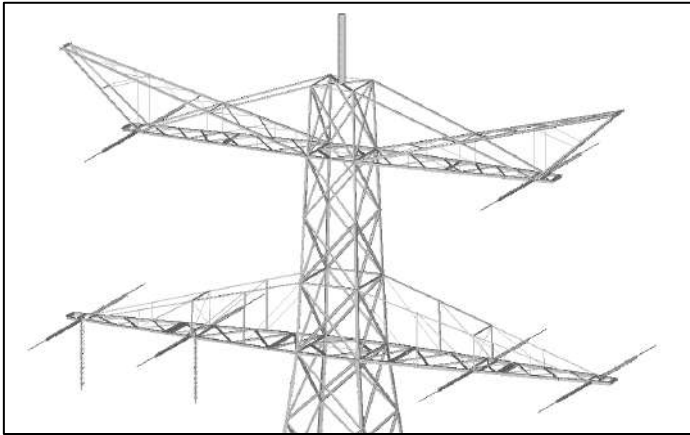


Figuur 8 Aanpassing van het bliksemraadbevestigingspunt (vooraanzicht)

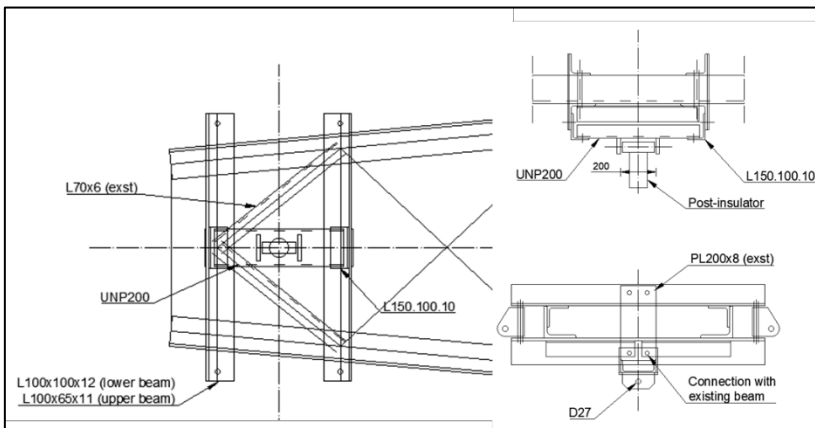


Figuur 9 Aanpassing van het bliksemraadbevestigingspunt (bovenaanzicht)

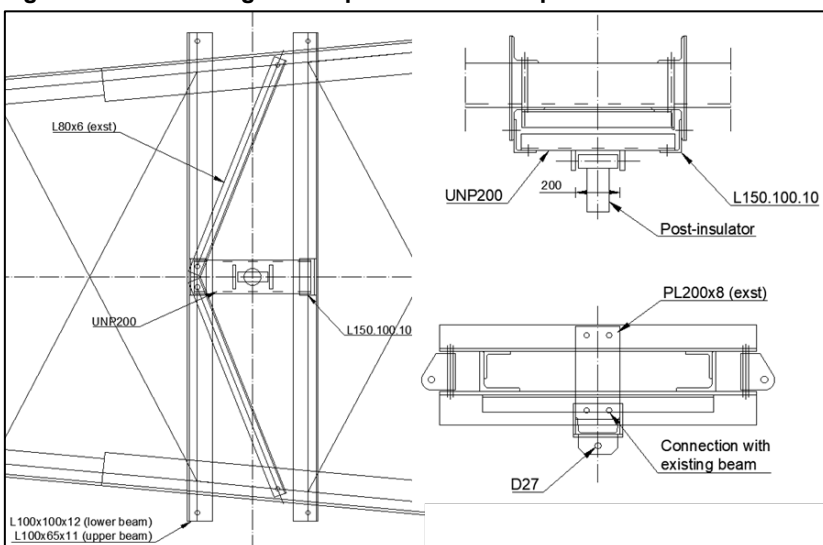
De resultaten van de E-studie schrijven het gebruik van post-isolatoren voor om de bretellen aan één kant van de mast te fixeren. Relevante berekeningen met betrekking tot de sterkte van de verbinding tussen de post-isolator en de ondertraverse zijn te vinden in Appendix D. Figuur 10 toont de post-isolatoren op de ondertraverse, terwijl Figuur 11 en Figuur 12 bevestigingsdetails tonen.



Figuur 10 Post-isolatoren op de ondertraverse van mast 34 (ook van toepassing op andere masten)



Figuur 11 Verbinding van de post-isolatoren op het uiteinde van de traverse



Figuur 12 Verbinding van de post-isolatoren in het midden van de traverse

Tabel 8 geeft een overzicht van het gewicht van de profielen dat nodig is voor de aanpassingen aan mast HA+0. Het gewicht voor mast 9 met verlengde bliksemkraadverbinding is samengevat in

Tabel 9. De verbindingsonderdelen voor de post-isolatoren zijn niet in de gewichtsberekeningen opgenomen.

Tabel 8 Gewicht profielen noodzakelijk voor aanpassingen masttype HA+0

Groep-label	Profiel	Materiaal	Bouten	Profiel nieuw	Materiaal nieuw	Bouten nieuw	Maatregel	Aantal	Lengte (m)	Gewicht (kg)
205T	L150x10	S235	5M24-5.6t	L150x12	S355	5M24-8.8t	Profiel uitgewisseld	4	5.79	636.3

Tabel 9 Gewicht profielen noodzakelijk voor aanpassingen masttype HA+0 (9)

Groep-label	Profiel	Materiaal	Bouten	Profiel nieuw	Materiaal nieuw	Bouten nieuw	Maatregelen	Aantal	Lengte (m)	Gewicht (kg)
205T	150x10	S235	5M24-5.6t	150x12	S355	5M24-8.8t	Profiel uitgewisseld	4	5.79	636.3
425	60x60x6	S355	1M16-8.8t	60x60x6	S355	1M16-8.8t	Profiel toegevoegd	4	1.58	34.4
427	UNP160	S355	2M16-8.8t	UNP160	S355	2M16-8.8t	Profiel toegevoegd	2	0.76	28.7
4291	60x60x6	S355	1M16-8.8t	60x60x6	S355	1M16-8.8t	Profiel toegevoegd	4	1.28	27.9
4292	UNP160	S355		UNP160	S355		Profiel toegevoegd	4	1.00	75.5
								18		802.8

5.3 Verificatie eisen

De verificatie van de van toepassing zijnde eisen is uitgevoerd in Tabel 10.

Tabel 10 Verificatie eisen

Eis Id	Eis tekst	Ja	Nee	N.v.t.	Toelichting
BO Eis: H2.7-6	Aanpassingen uitvoerbaar?	X			De toe te voegen staalonderdelen zijn met geboute verbindingen te bevestigen. Dit is een bewezen methode. De aanpassing kan worden toegepast zonder de draagprofielen te verwijderen.
PVE.05.001 5.14	Staaldelen in nabijheid van klimweg gewijzigd? Klimvoorziening nog in overeenstemming is met de NEN 1060:1964?			X	Geen wijzigingen
				X	Geen wijzigingen

6 REFERENTIES

- [1] „002.586.40 0825946 - 21-0463 - Verificatie & validatieplan 380 kV verbinding Maasbracht - Eindhoven”.
- [2] „002.586.40 0825934 - 21-0483 - E-studie deel 1 380 kV verbinding Maasbracht - Eindhoven”.
- [3] „002.586.40 0825942 - 21-0138 - Uitgangspuntenrapport 380 kV verbinding Maasbracht - Eindhoven”.
- [4] Petersburg Consultants, „Controle mast 34, 380 kV-lijn Maasbracht-Eindhoven t.b.v. T-Mobile antenne-opstelpunt 33300,” 2018.
- [5] Petersburg Consultants, „Controle mast 128, 380 kV Maasbracht-Eindhoven t.b.v. Vodafone antenne-opstelpunt 3614”.



APPENDIX A

GELEIDERBELASTINGEN

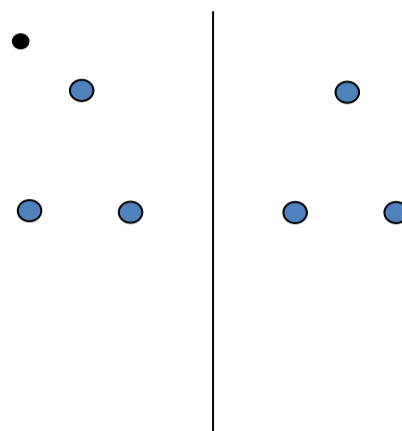
Project: MBT-EHV
Tower: HA+0
Number: 9

Auteur: TBR
Versie: v11.9

Conductor loads

General

Description HA+0
Tower type Hoekmast
Number of circuits 2
Configuration 2-circuit-donau
Number of earth wires 2



Configuratie geleiders

Starting points

Norm NEN-EN50341-2-15:2019
Consequence class CC2-0
Reliability level initial Afkeur CC2-0
Reference period initial 30 jaar
Consequence class modified CC2
Reliability level modified Verbouw
Reference period modified 50 jaar
Wind zone III
Wind speed (m/s) 24,5 m/s
Terrain category II
Reduction factor C_{dir} 1,00
Ice region phase conductor B
Ice region earth conductor B

Conductors back

Description	Voltage	Conductor Back	Bundle Ba	Ice region	Additional weight	Additional diameter	Catenary P_{back}
Circuit 1	380 kV	ACCC-Warsaw	3	B	3 %	3 %	1400
Circuit 2	380 kV	ACCC-Warsaw	3	B	3 %	3 %	1400
Bliksemdraad 1		OPGW AFL-226/38	1	B	3 %	3 %	1550
Bliksemdraad 2		AACSR 241-AL3-39-A20SA	1	B	3 %	3 %	1550

Conductors ahead

Description	Voltage	Conductor Ahead	Bundle Ah	Ice region	Additional weight	Additional diameter	Catenary P_{ahead}
Circuit 1	380 kV	ACCC-Warsaw	3	B	3 %	3 %	1400
Circuit 2	380 kV	ACCC-Warsaw	3	B	3 %	3 %	1400
Bliksemdraad 1		OPGW AFL-226/38	1	B	3 %	3 %	1550
Bliksemdraad 2		AACSR 241-AL3-39-A20SA	1	B	3 %	3 %	1550

Insulators (1)

Description	Suspension	Weight [kN]	Length [m]	Wind area [m ²]
Circuit 1	Afspanketting	4,00	4,50	2,00
Circuit 2	Afspanketting	4,00	4,50	2,00
Bliksemdraad 1	Vast (Bliksemdraad)	0,10	0,30	0,10
Bliksemdraad 2	Vast (Bliksemdraad)	0,10	0,30	0,10

1. Properties apply to the entire isolator set

Suspension height and position in mast

Circuits	Designation	Number	Suspension height	Attach point	Position in tower Horizontal distance
Circuit 1	10	380ct1f1	27,7 m	27,7 m	-15,7 m
Circuit 1	11	380ct1f2	27,7 m	27,7 m	-8,7 m
Circuit 1	12	380ct1f3	39,0 m	39,0 m	-12,2 m
Circuit 2	20	380ct2f1	27,7 m	27,7 m	8,7 m
Circuit 2	21	380ct2f2	27,7 m	27,7 m	15,7 m
Circuit 2	22	380ct2f3	39,0 m	39,0 m	12,2 m
Bliksemdraad 1	1	bl1	42,9 m	43,2 m	-17,0 m
Bliksemdraad 2	3	bl2	42,9 m	43,2 m	17,0 m

Project: MBT-EHV
 Tower: HA+0
 Number: 9

Height adjustment adjacent masts (wind and weight span adjustment)

	Back	Ahead	
Height increase for wind pressure	14,4 m	2,5 m	(positive: higher)
Height decrease for vertical load	-6,0 m	-6,0 m	(negative: decrease, more weight span)
Decrease: Niet in 0,9EG-combinaties			

Height difference adjacent tower and change of direction with respect to Line direction

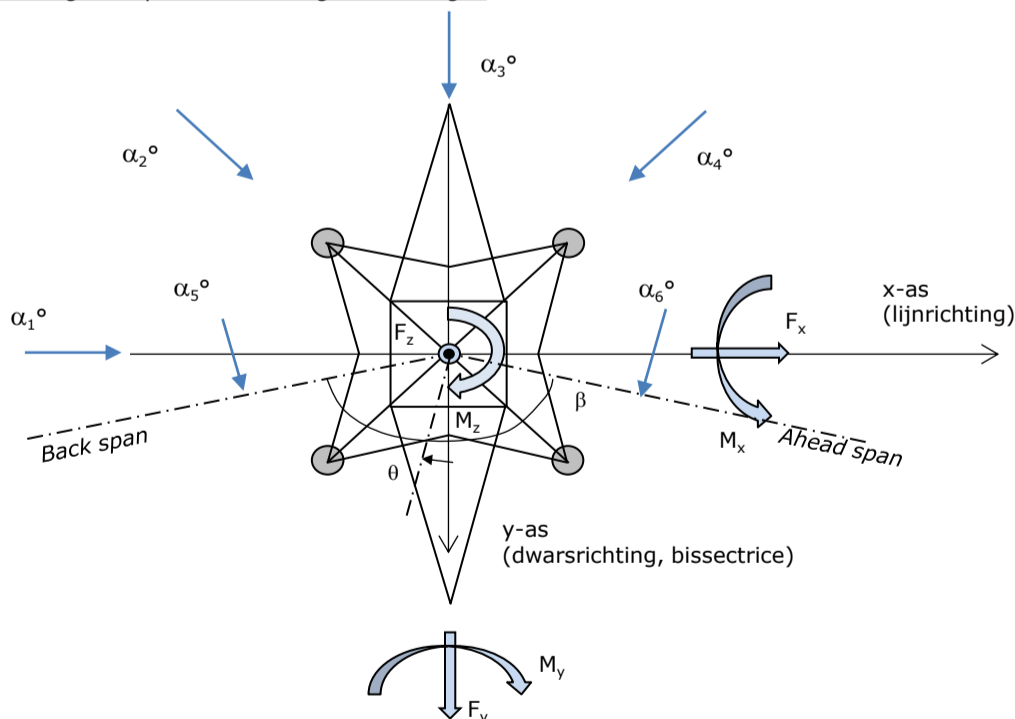
Circuits	Aanduiding	Nummer	Hoogteverschil		Richtingsverandering	
			Δh_{back}	Δh_{ahead}	Δy_{back}	Δy_{ahead}
Circuit 1	10	380ct1f1	0,0	0,0 m	0,0	0,0 m
Circuit 1	11	380ct1f2	0,0	0,0 m	0,0	0,0 m
Circuit 1	12	380ct1f3	0,0	0,0 m	0,0	0,0 m
Circuit 2	20	380ct2f1	0,0	0,0 m	0,0	0,0 m
Circuit 2	21	380ct2f2	0,0	0,0 m	0,0	0,0 m
Circuit 2	22	380ct2f3	0,0	0,0 m	0,0	0,0 m
Bliksemdraad 1	1	bl1	0,0	0,0 m	0,0	0,0 m
Bliksemdraad 2	3	bl2	0,0	0,0 m	0,0	0,0 m

Line and tower data

	Back	Ahead
Ruling span $\sqrt{(\Sigma L^3)/\Sigma L}$	404,0	300,0 m
Line angle β	364,9	309,4 m
Tower orientation with respect to bis: θ	161 °	
Section length	0 °	
Height bottom of tower to ground level	1770	1227 m
Wind directions considered α_1	0,5 m	
Wind directions according to: α_2	0 °	
<i>Geleiderbelastingen</i> α_3	45 °	
α_4	90 °	
α_5	135 °	
α_6	80,5 °	
	99,5 °	

Wind directions apply to the main direction of mast construction, not to the bisector.

Windrichtingen en positieve richtingen belastingen



Considered number of wind directions

1a	6
3	6
4	1
6	1
Overig	1

Project: MBT-EHV
 Tower: HA+0
 Number: 9

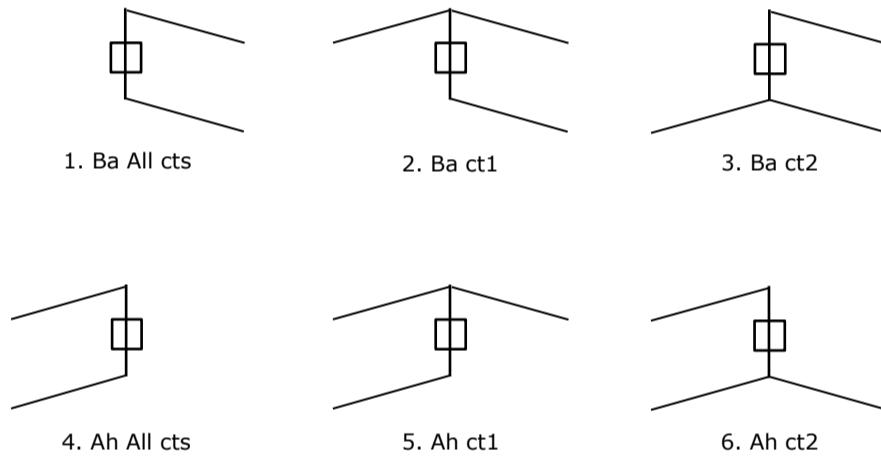
Absence of conductors

		SPLS - torsie		SPLS - Enkelzijdige trek		5a - geleiderbreuk	
		Aanw.	Afw.	Aanw.	Afw.	Aanw.	Afw.
Circuit 1	380ct1f1	1	0	1	0	1	0
Circuit 1	380ct1f2	1	0	1	0	1	0
Circuit 1	380ct1f3	1	0	1	0	1	0
Circuit 2	380ct2f1	0	1	1	0	1	0
Circuit 2	380ct2f2	0	1	1	0	1	0
Circuit 2	380ct2f3	0	1	1	0	1	0
Bliksemraad 1	bl1	1	0	1	0	1	0
Bliksemraad 2	bl2	0	1	1	0	1	0

Load situations SPLS

Considered situations SPLS: 1 up to 6, All possible situations

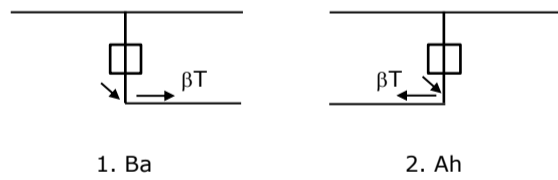
Principle of load situations:



Load situation 5a. Conductor failure

Considered situations conductor failure 5a: 1 and 2, all possible situations

Principle of load situations:



Project: MBT-EHV
 Tower: HA+0
 Number: 9

Load situations LC6. Construction and maintenance

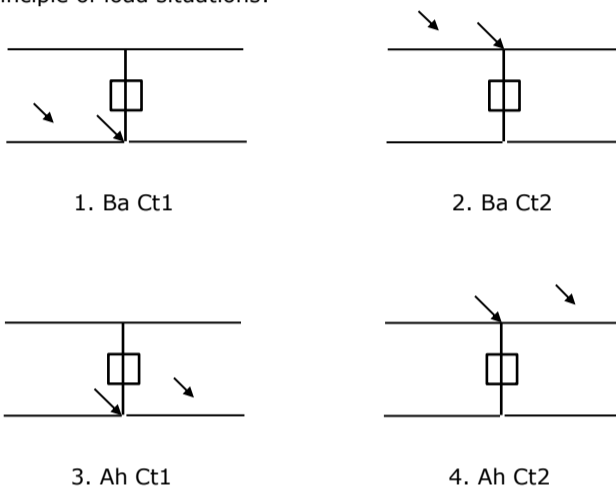
Under 6a, the load due to the presence of a line vehicle or line bicycle in combination with point load on the traverse is assessed. Combination 6b does not contain any loads in conductor or on traverse. This combination has been added to be able to combine with separate control platforms, etc. The situations are applied in ULS and in every SPLS situation (in case of angle tower).

	Phase	Earth
Line vehicle	3,0 kN	2,0 kN
Concentrated load cross arm	1,0 kN	1,0 kN

Beschouwde situaties bouw- en onderhoud 6a: 1 t/m 4, alle mogelijke situaties.

Presence line vehicle: Circuit, belasting tegelijk aanwezig in alle geleiders per circuit.

Principle of load situations:



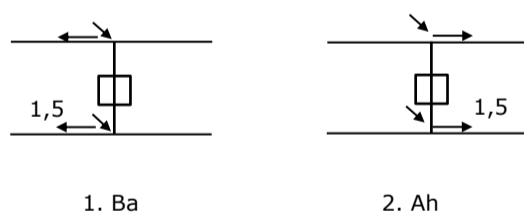
Load situations 8. Galloping as a static load

Conductor		
Suspension tower phase	0,866 W	1,5 W
Suspension tower earth	1,5 EDS	1,5 W
Strain tower phase and earth	1,5 EDS	1,5 W

Considered situations galloping 8: None (existing structure)

Load simultaneously present in all conductors of the circuit.

Principle of load situations:



Load combination 8. Galloping as a dynamic load

Only applies to tension towers

Load consists of EDS tensile load in one of the conductors on one side of the tower

Can be converted by user to fatigue spectrum via the load spectrum of table 4.11 / NL.1

Project: MBT-EHV
 Tower: HA+0
 Number: 9

Tower structure

Properties

Tower type	Hoekmast	
Tower designation	HA+0	
Base plate w.r.t. ground level	0,5 m	
Tower height w.r.t. base plate	45,0 m	
Tower self weight	365,0 kN	
<i>Width and slope at foundation</i>	x-ri.	y-ri.
Leg spread	11,00	11,00 m
Inclination of main leg	0,156	0,156 -
Horizontal force factor	1,1	1,1 -

Calculation Wind load

Dynamic factor G_T	1,00 (<i>Masthoogte < 60 m</i>)
Wind load diagonally to tower body proportional to:	$(A_1 C_1 \sin^2(\phi) + A_2 C_2 \cos^2(\phi))$
Wind load diagonally on traverse proportional to:	$(A_1 C_1 \sin^2(\phi) + A_2 C_2 \cos^2(\phi))$
Magnification factor diagonal wind to tower body	$(1 + 0,2 \sin^2(2\phi))$
Magnification factor diagonal wind to cross arm	$(1 + 0,2 \sin^2(2\phi))$
Magnification factor wind parallel to perpendicular to cross a	0,4

Properties mast sections longitudinal direction (front view, yz plane)

Description	h [m]	b ₁ [m]	b ₂ [m]	Δh [m]	Δ _x [m]	A ₀ [m ²]	A ₁ [m ²]	χ = A ₁ /A ₀ [-]	C _t
Broekstuk 1	9,60	11,00	8,00	9,60	0,156	91,20	11,42	0,13	3,28
Middenstuk 1	18,90	8,00	5,84	9,30	0,116	64,36	10,69	0,17	3,08
Middenstuk 2	27,70	5,84	3,80	8,80	0,116	42,42	9,71	0,23	2,81
Bovenstuk 1	35,50	3,80	3,19	7,80	0,039	27,26	6,30	0,23	2,80
Bovenstuk 2	43,00	3,19	2,60	7,50	0,039	21,71	4,90	0,23	2,82
Topstuk	45,00	2,60		2,00		2,60	0,48	0,18	3,00
Ondertraverse	27,70	13,80		4,00		27,60	5,38	0,20	2,95
Boventraverse	39,00	15,55		4,20		32,66	7,28	0,22	2,83

Properties tower sections transversal direction (side view, xz plane)

Description	h [m]	b ₁ [m]	b ₂ [m]	Δh [m]	Δ _x [m]	A ₀ [m ²]	A ₁ [m ²]	χ = A ₁ /A ₀ [-]	C _t
Broekstuk 1	9,60	11,00	8,00	9,60	0,156	91,20	11,42	0,13	3,28
Middenstuk 1	18,90	8,00	5,84	9,30	0,116	64,36	10,69	0,17	3,08
Middenstuk 2	27,70	5,84	3,80	8,80	0,116	42,42	9,71	0,23	2,81
Bovenstuk 1	35,50	3,80	3,19	7,80	0,039	27,26	6,30	0,23	2,80
Bovenstuk 2	43,00	3,19	2,60	7,50	0,039	21,71	4,90	0,23	2,82
Topstuk	45,00	2,60		2,00		2,60	0,48	0,18	3,00
Ondertraverse	27,70	13,80		4,00		27,60	5,38	0,20	2,95
Boventraverse	39,00	15,55		4,20		32,66	7,28	0,22	2,83

Note: Surface transverse direction is reduced in calculation.

Project: MBT-EHV
 Tower: HA+0
 Number: 9

Wind surface feeders telecom installations

Part	A (m ² /m)	Factor	Δh	A ₁
Broekstuk 1				
Middenstuk 1				
Middenstuk 2				
Bovenstuk 1				
Bovenstuk 2				

Input antennas

Description	A (m ²)	h (m)	C _r (m)
Antenne 1			
Schotel			
Schotel			

Tower section loads longitudinal (x-direction) per wind direction

Description	p _w [kN/m ²]	F _{x1} [kN]	F _{x2} [kN]	F _{x3} [kN]	F _{x4} [kN]	h _{ef} [m]	M _{y1} [kNm]	M _{y2} [kNm]	M _{y3} [kNm]	M _{y4} [kNm]
Broekstuk 1	0,70	26,3	22,3	0,0	-22,3	4,8	126,0	106,9	0,0	-106,9
Middenstuk 1	0,79	26,0	22,1	0,0	-22,1	14,3	370,7	314,6	0,0	-314,6
Middenstuk 2	0,92	25,1	21,3	0,0	-21,3	23,3	583,8	495,4	0,0	-495,4
Bovenstuk 1	1,01	17,8	15,1	0,0	-15,1	31,6	561,6	476,6	0,0	-476,6
Bovenstuk 2	1,06	14,7	12,5	0,0	-12,5	39,3	578,0	490,4	0,0	-490,4
Topstuk	1,10	1,6	1,3	0,0	-1,3	44,0	69,2	58,7	0,0	-58,7
Ondertraverse	0,98	31,1	18,5	0,0	-18,5	29,0	903,7	536,7	0,0	-536,7
Boventraverse	1,07	44,3	26,3	0,0	-26,3	40,4	1787,8	1061,9	0,0	-1061,9

Totaal		186,8	139,3	0,0	-139,3		4980,9	3541,3	0,0	-3541,3
---------------	--	-------	-------	-----	--------	--	--------	--------	-----	---------

Tower section loads transversal (y-direction) per wind direction

Description	p _w [kN/m ²]	F _{y1} [kN]	F _{y2} [kN]	F _{y3} [kN]	F _{x4} [kN]	h _{ef} [m]	M _{x1} [kNm]	M _{x2} [kNm]	M _{x3} [kNm]	M _{x4} [kNm]
Broekstuk 1	0,70	0,0	22,3	26,3	22,3	4,8	0,0	106,9	126,0	106,9
Middenstuk 1	0,79	0,0	22,1	26,0	22,1	14,3	0,0	314,6	370,7	314,6
Middenstuk 2	0,92	0,0	21,3	25,1	21,3	23,3	0,0	495,4	583,8	495,4
Bovenstuk 1	1,01	0,0	15,1	17,8	15,1	31,6	0,0	476,6	561,6	476,6
Bovenstuk 2	1,06	0,0	12,5	14,7	12,5	39,3	0,0	490,4	578,0	490,4
Topstuk	1,10	0,0	1,3	1,6	1,3	44,0	0,0	58,7	69,2	58,7
Ondertraverse	0,98	0,0	18,5	12,4	18,5	29,0	0,0	536,7	361,5	536,7
Boventraverse	1,07	0,0	26,3	17,7	26,3	40,4	0,0	1061,9	715,1	1061,9

Total		0,0	139,3	141,6	139,3		0,0	3541,3	3366,0	3541,3
--------------	--	-----	-------	-------	-------	--	-----	--------	--------	--------

Resulting loads from mast construction incl. Antenna without conductors level foundation (char. Value)

Load / wind direction	F _x [kN]	F _y [kN]	F _z [kN]	M _x [kNm]	M _y [kNm]	M _z [kNm]
Permanente belasting	0	0	365	0	0	0
Windrichting 0°	187	0	0	0	4981	0
Windrichting 45°	139	139	0	3541	3541	0
Windrichting 90°	0	142	0	3366	0	0
Windrichting 135°	-139	139	0	3541	-3541	0

Project: MBT-EHV
 Tower: HA+0
 Number: 9

Intermediate results for conductor loads

Conductors back

Circuit	Geleider	Diameter [mm]	A [mm ²]	G [N/m]	E [N/mm ²]	αT [-]
Circuit 1	ACCC-Warsaw	27,7	571,0	14,98	62700	1,88E-05
Circuit 2	ACCC-Warsaw	27,7	571,0	14,98	62700	1,88E-05
Bliksemdraad 1	OPGW AFL-226/38	21,7	264,0	9,13	72000	1,98E-05
Bliksemdraad 2	AACSR 241-AL3-39-A20SA	21,8	281,0	9,38	70165	1,97E-05

Conductors ahead

Circuit	Geleider	Diameter [mm]	A [mm ²]	G [N/m]	E [N/mm ²]	αT [-]
Circuit 1	ACCC-Warsaw	27,7	571,0	14,98	62700	1,88E-05
Circuit 2	ACCC-Warsaw	27,7	571,0	14,98	62700	1,88E-05
Bliksemdraad 1	OPGW AFL-226/38	21,7	264,0	9,13	72000	1,98E-05
Bliksemdraad 2	AACSR 241-AL3-39-A20SA	21,8	281,0	9,38	70165	1,97E-05

Vertical load back

Circuit	Bundle [-]	Additional [%]	$w_{z,G}$ [N/m]	Ice region	Formula	$w_{z,ijs}$ [N/m]	$w_{z,ijs,bundel}$ [N/m]
Circuit 1	3	3	46,3	B	4+0,2d	9,5	28,6
Circuit 2	3	3	46,3	B	4+0,2d	9,5	28,6
Bliksemdraad 1	1	3	9,4	B	4+0,2d	8,3	8,3
Bliksemdraad 2	1	3	9,7	B	4+0,2d	8,4	8,4

Vertical load ahead

Circuit	Bundle [-]	Additional [%]	$w_{z,G}$ [N/m]	Ice region	Formula	$w_{z,ijs}$ [N/m]	$w_{z,ijs,bundel}$ [N/m]
Circuit 1	3	3	46,3	B	4+0,2d	9,5	28,6
Circuit 2	3	3	46,3	B	4+0,2d	9,5	28,6
Bliksemdraad 1	1	3	9,4	B	4+0,2d	8,3	8,3
Bliksemdraad 2	1	3	9,7	B	4+0,2d	8,4	8,4

Insulators

Conductor	$G_{isolator}$ [kN]	Number	$F_{v,iso}$ [kN]	Length [m]	Wind surf. [m ²]	Wind height [m]	Pressure [kN/m ²]	Drag factor [-]	$F_{h,iso}$ [kN]
380ct1f1	4,00	1	4	4,5	2,0	28,20	0,97	1,2	2,33
380ct1f2	4,00	1	4	4,5	2,0	28,20	0,97	1,2	2,33
380ct1f3	4,00	1	4	4,5	2,0	39,50	1,07	1,2	2,56
380ct2f1	4,00	1	4	4,5	2,0	28,20	0,97	1,2	2,33
380ct2f2	4,00	1	4	4,5	2,0	28,20	0,97	1,2	2,33
380ct2f3	4,00	1	4	4,5	2,0	39,50	1,07	1,2	2,56
bl1	0,10	0,5	0,05	0,3	0,1	43,40	1,09	1,2	0,13
bl2	0,10	0,5	0,05	0,3	0,1	43,40	1,09	1,2	0,13

Project: MBT-EHV
 Tower: HA+0
 Number: 9

Wind load back

Conductor	Height		G_{c_dwars}	G_{c_trek}	C_c	$d_{additional}$	w_y	$w_{y,section}$	$D_{ijs,additional}$	$w_{y,ijs}$	$w_{y,ijs,section}$
	wind	Pressure									
	[m]	[kN/m ²]	[-]	[-]	[-]	[mm]	[N/m]	[N/m]	[mm]	[N/m]	[N/m]
380ct1f1	25,7	0,95	0,57	0,52	1,11	28,53	51,7	46,4	47,4	92,7	83,2
380ct1f2	25,7	0,95	0,57	0,52	1,11	28,53	51,7	46,4	47,4	92,7	83,2
380ct1f3	37,0	1,05	0,60	0,54	1,08	28,53	58,6	52,6	47,4	107,9	96,9
380ct2f1	25,7	0,95	0,57	0,52	1,11	28,53	51,7	46,4	47,4	92,7	83,2
380ct2f2	25,7	0,95	0,57	0,52	1,11	28,53	51,7	46,4	47,4	92,7	83,2
380ct2f3	37,0	1,05	0,60	0,54	1,08	28,53	58,6	52,6	47,4	107,9	96,9
bl1	41,8	1,08	0,61	0,55	1,20	22,35	17,8	16,0	41,8	33,4	29,9
bl2	41,8	1,08	0,61	0,55	1,20	22,45	17,8	16,0	41,9	33,4	30,0

Wind load ahead

Conductor	Height		G_{c_dwars}	G_{c_trek}	C_c	$d_{additional}$	w_y	$w_{y,section}$	$D_{ijs,additional}$	$w_{y,ijs}$	$w_{y,ijs,section}$
	wind	Pressure									
	[m]	[kN/m ²]	[-]	[-]	[-]	[mm]	[N/m]	[N/m]	[mm]	[N/m]	[N/m]
380ct1f1	24,1	0,93	0,57	0,53	1,12	28,53	50,5	47,2	47,4	90,1	84,2
380ct1f2	24,1	0,93	0,57	0,53	1,12	28,53	50,5	47,2	47,4	90,1	84,2
380ct1f3	35,4	1,04	0,60	0,56	1,09	28,53	57,8	53,9	47,4	106,0	99,0
380ct2f1	24,1	0,93	0,57	0,53	1,12	28,53	50,5	47,2	47,4	90,1	84,2
380ct2f2	24,1	0,93	0,57	0,53	1,12	28,53	50,5	47,2	47,4	90,1	84,2
380ct2f3	35,4	1,04	0,60	0,56	1,09	28,53	57,8	53,9	47,4	106,0	99,0
bl1	39,8	1,07	0,61	0,57	1,20	22,35	17,5	16,3	41,8	32,7	30,6
bl2	39,8	1,07	0,61	0,57	1,20	22,45	17,5	16,4	41,9	32,8	30,6

Project: MBT-EHV
 Tower: HA+0
 Number: 9

Auteur: TBR
 Versie: v11.9

Conductor loads

Starting points

Consequence class Afkeur CC2-0
 Reference period 30 jaar

ULS (strength)		NEN-EN50341-2-15:2019			γ _Q			γ _a
Load case	description	Temp °C	γ _G G _{k,mast}	γ _G G _{k,geleider}	Q _{pk}	Q _{wk}	Q _{ik}	A _k
ULS 1a	Wind	10°	1,05	1,05	0,00	1,12	0,00	0,0
ULS 1a_0,9	Wind 0,9Gk only tower	10°	0,90	1,05	0,00	1,12	0,00	0,0
ULS 1a_0,9_0,9	Wind 0,9Gk conductors too	10°	0,90	0,90	0,00	1,12	0,00	0,0
ULS 3	Wind+ice	-5°	1,05	1,05	0,00	0,34	0,97	0,0
ULS 3_0,9	Wind+ice 0,9Gk	-5°	0,90	1,05	0,00	0,34	0,97	0,0
ULS 4	Cold+wind	-20°	1,05	1,05	0,00	0,22	0,00	0,0
ULS 4_0,9	Cold+wind 0,9Gk	-20°	0,90	1,05	0,00	0,22	0,00	0,0
ULS 5a	Torsional loads	10°	1,00	1,00	1,00	0,00	0,00	1,0
ULS 5b	Longitudinal loads	10°	1,00	1,00	0,00	0,00	0,00	1,0
ULS 6	Construction + maintenance	5°	1,05	1,05	1,20	0,22	0,00	0,0
ULS 6_0,9	Construction + maintenance	5°	1,05	1,05	0,00	0,22	0,00	0,0
ULS 7	Permanent	10°	1,15	1,15	0,00	0,00	0,00	0,0
ULS 8	Special	10°	1,00	1,00	0,00	0,00	0,00	1,0
SPLS (strength, for angle towers: absence of conductors)			γ _G G _k		γ _Q			A _k
SPLS 1a	Wind	10°	1,05	1,05	0,0	0,78	0,00	0,0
SPLS 1a_0,9	Wind 0,9	10°	0,90	1,05	0,0	0,78	0,00	0,0
SPLS 1a_0,9_0,9	Wind 0,9	10°	0,90	0,90	0,0	0,78	0,00	0,0
SPLS 3	Wind+ice	-5°	1,05	1,05	0,0	0,36	0,34	0,0
SPLS 3_0,9	Wind+ice 0,9	-5°	0,90	1,05	0,0	0,36	0,34	0,0
SPLS 4	Cold+wind	-20°	1,05	1,05	0,0	0,24	0,00	0,0
SPLS 4_0,9	Cold+wind 0,9	-20°	0,90	1,05	0,0	0,24	0,00	0,0
SPLS 6	Maintenance	5°	1,05	1,05	1,2	0,24	0,0	0,0
SPLS 6_0,9	Maintenance	5°	1,05	1,05	0,0	0,24	0,0	0,0
SLS (deformations, fatigue, EDS)			G _k		Q _{pk}	Q _{wk}	Q _{ik}	A _k
SLS 1a	Wind	10°	1,00	1,00	0,0	0,94	0,0	0,0
SLS 3	Wind+ice	-5°	1,00	1,00	0,0	0,28	0,88	0,0
SLS 4	Wind	-20°	1,00	1,00	0,0	0,19	0,0	0,0
SLS 6	Maintenance	5°	1,00	1,00	0,0	0,19	0,0	0,0
SLS 7	EDS, no wind	10°	1,00	1,00	0,0	0,00	0,0	0,0

Number of wind directions 6
 Number of load combinations for ULS 54
 Number of load combinations for SPLS 222
 Number of load combinations for SLS 15
 Number of concentrated loads 5238

Project: MBT-EHV
 Tower: HA+0
 Number: 9

Summary table - Conductor loads

The four tables below show:

- The maximum conductor load in the global axis system, split into proportion of back and ahead span
- The combined conductor load (Ba+Ah) in the global axis system with the maximum tensile force in the local axes. Components Fx and Fy as absolute values
- The everyday (EDS) values of the combined conductor loads (Ba+Ah) with corresponding tensile forces
- Check for uplift, where a negative value indicates uplift

Note: Maximum values for Fx, Fy and Fz do not necessarily belong to the same load combination.

Maximum values for back and ahead span

Geleider	Fx_ba [kN]	Fx_ah [kN]	Fy_ba [kN]	Fy_ah [kN]	Fz_ba [kN]	Fz_ah [kN]
bl1	-30,7	31,9	8,6	7,4	6,4	5,7
380ct1f1	-108,2	107,7	29,7	26,5	21,3	18,1
380ct1f2	-108,2	107,7	29,7	26,5	21,3	18,1
380ct1f3	-109,9	109,6	32,3	28,7	21,3	18,1
380ct2f1	-108,2	107,7	29,7	26,5	21,3	18,1
380ct2f2	-108,2	107,7	29,7	26,5	21,3	18,1
380ct2f3	-109,9	109,6	32,3	28,7	21,3	18,1
bl2	-31,2	32,4	8,7	7,5	6,4	5,8
Post 1	0,0	0,0	0,0	0,0	0,0	
Post 2	0,0	0,0	0,0	0,0	0,0	

Min. Weight span (m)

Weight spar Combinatie1

Geleider	SLS 1a	SLS 4	SLS 7
bl1	406,1	416,7	406,0
380ct1f1	400,8	407,7	400,8
380ct1f2	400,8	407,7	400,8
380ct1f3	400,8	408,0	400,8
380ct2f1	400,8	407,7	400,8
380ct2f2	400,8	407,7	400,8
380ct2f3	400,8	408,0	400,8
bl2	406,1	416,6	406,0
Post 1			
Post 2			

Max. Weight span (m)

Weight spar Combinatie1

Geleider	ULS 1a	ULS 3
bl1	447,2	407,6
380ct1f1	418,9	402,3
380ct1f2	418,9	402,3
380ct1f3	423,2	403,2
380ct2f1	418,9	402,3
380ct2f2	418,9	402,3
380ct2f3	423,2	403,2
bl2	445,9	407,6
Post 1		
Post 2		

Envelop of weight span over all combinations (incl. 0,9 combinations)

For all conductors

	Wind / Weight span ratio
Max. weight span	447,2 m / 1,270 -
Min. weight span	213,8 m / 0,607 -

Project: MBT-EHV
 Tower: HA+0
 Number: 9

Geleider	Maximum values back + ahead span			Maximum tension in conductor	
	Fx [kN]	Fy [kN]	Fz [kN]	Ft_ba [kN]	Ft_ah [kN]
bl1	31,9	15,7	6,4	-31,3	32,4
380ct1f1	95,3	55,1	21,3	-110,8	110,1
380ct1f2	95,3	55,1	21,3	-110,8	110,1
380ct1f3	95,5	59,8	21,3	-112,8	112,1
380ct2f1	95,3	55,1	21,3	-110,8	110,1
380ct2f2	95,3	55,1	21,3	-110,8	110,1
380ct2f3	95,5	59,8	21,3	-112,8	112,1
bl2	32,4	15,9	6,4	-31,8	32,9
Post 1	2,6	2,6	4,0	0,0	
Post 2	2,6	2,6	4,0	0,0	

EDS-loads conductor					
Geleider	Fx [kN]	Fy [kN]	Fz [kN]	Ft_ba [kN]	Ft_ah [kN]
bl1	14,4	2,4	2,2	-14,6	14,6
380ct1f1	63,9	10,7	14,3	-64,8	64,8
380ct1f2	63,9	10,7	14,3	-64,8	64,8
380ct1f3	63,9	10,7	14,3	-64,8	64,8
380ct2f1	63,9	10,7	14,3	-64,8	64,8
380ct2f2	63,9	10,7	14,3	-64,8	64,8
380ct2f3	63,9	10,7	14,3	-64,8	64,8
bl2	14,8	2,5	2,2	-15,0	15,0
Post 1	0,0	0,0	3,5	0,0	
Post 2	0,0	0,0	3,5	0,0	

1 Control uplift SLS-wind			
Combinatie: Geleider		Fz_ba [kN]	Fz_ah [kN]
SLS 4	bl1	0,0	0,0
	380ct1f1	0,0	0,0
	380ct1f2	0,0	0,0
	380ct1f3	0,0	0,0
	380ct2f1	0,0	0,0
	380ct2f2	0,0	0,0
	380ct2f3	0,0	0,0
	bl2	0,0	0,0
	Post 1	0,0	
	Post 2	0,0	

Project: MBT-EHV
 Tower: HA+0
 Number: 9

ULS foundation loads for LC 1 and 3, wind perpendicular to the line or bisector and EDS, from conductors

Combination	Combination	F_x [kN]	F_y [kN]	F_z [kN]	M_x [kNm]	M_y [kNm]	M_z [kNm]
ULS 1a_90		-1	377	189	12184	-32	1
ULS 1a_0,9_0		5	145	147	4600	146	-65
ULS 1a_0,9_0,9_90		1	366	118	11858	40	1
ULS 3_0		-2	225	255	7198	-79	-19
SLS 7		0	138	174	4374	0	0

ULS foundation loads, LC 1 and 3, wind perpendicular to the line or bisector and EDS, total conductors and tower

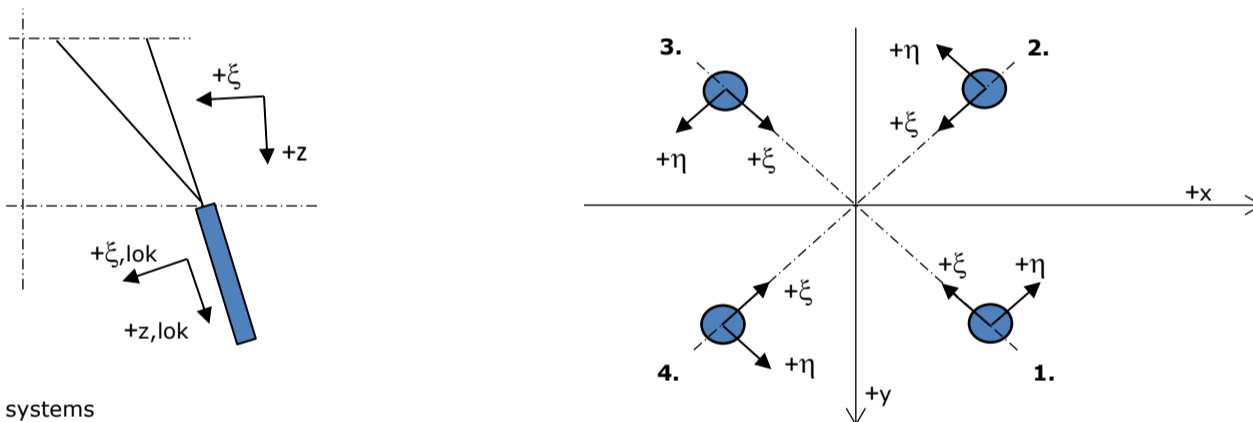
Combination	F_x [kN]	F_y [kN]	F_z [kN]	M_x [kNm]	M_y [kNm]	M_z [kNm]
ULS 1a_90	-1	535	573	15943	-32	1
ULS 1a_0,9_0,9_90	1	524	446	15617	40	1
SLS 7	0	138	539	4374	0	0

Foundation loads, selection of load combinations based on greatest value

Combination	F_x [kN]	F_y [kN]	F_z [kN]	M_x [kNm]	M_y [kNm]	M_z [kNm]
ULS 1a_0,9_90	-1	535	467	15956	-32	1
SPLS 3_90 Ba All Cts	595	181	510	5329	19311	7
SPLS 6a_90 Ah Ct2 Ah Ct1	-128	193	573	5338	-4035	-4039
SPLS 1a_0,9_90 Ah All Cts	-524	279	429	8018	-17057	-6

Note: Largest values can appear in multiple combinations, one combination is displayed.

Support reactions per leg



Maximum compression load

Index	Combination	R_x [kN]	R_y [kN]	R_z [kN]	R_η [kN]	R_ξ [kN]	$R_{\xi,lok}$ [kN]	$R_{z,lok}$ [kN]
1	SPLS 3_90 Ba All Cts	212	218	1247	-4	-304	-28	1278
2	SPLS 3_0 Ba All Cts	151	-149	870	-2	-212	-20	891
3	SPLS 3_135 Ah All Cts	-134	-130	774	3	-187	-16	793
4	SPLS 1a_90 Ah All Cts	-216	225	1267	6	-312	-32	1298

Maximum tension load

Index	Combination	R_x [kN]	R_y [kN]	R_z [kN]	R_η [kN]	R_ξ [kN]	$R_{\xi,lok}$ [kN]	$R_{z,lok}$ [kN]
1	SPLS 3_0,9_135 Ah All Cts	-92	-89	-532	-3	128	10	-544
2	SPLS 1a_0,9_90 Ah All Cts	-175	185	-1033	-7	254	26	-1057
3	SPLS 3_0,9_90 Ba All Cts	171	177	-1011	4	247	23	-1036
4	SPLS 3_0,9_0 Ba All Cts	110	-109	-633	1	155	15	-649

Maximum torsional load (positive)

Index	Combination	R_x [kN]	R_y [kN]	R_z [kN]	R_η [kN]	R_ξ [kN]	$R_{\xi,lok}$ [kN]	$R_{z,lok}$ [kN]
1	SPLS 6a_90 Ah Ct1 Ah Ct2	135	-50	253	131	-60	-4	259
2	SPLS 6a_90 Ah Ct1 Ah Ct2	-149	-37	-331	131	80	6	-339
3	SPLS 6a_90 Ba Ct2 Ah Ct2	8	196	-586	134	144	15	-600
4	SPLS 6a_90 Ba Ct2 Ah Ct2	104	82	-80	131	15	-2	-82

Maximum torsional load (negative)

Index	Combination	R_x [kN]	R_y [kN]	R_z [kN]	R_η [kN]	R_ξ [kN]	$R_{\xi,lok}$ [kN]	$R_{z,lok}$ [kN]
1	SPLS 6a_90 Ah Ct2 Ah Ct1	-57	133	202	-135	-54	-9	207
2	SPLS 6a_90 Ah Ct2 Ah Ct1	43	147	-283	-134	74	11	-290
3	SPLS 6a_90 Ba Ct1 Ah Ct1	194	13	-607	-128	147	13	-622
4	SPLS 6a_90 Ba Ct1 Ah Ct1	-83	-101	-57	-130	12	0	-58

Project: MBT-EHV
 Tower: HA+0
 Number: 9

Combination Ftensile+Fhor

Index	Combination	R _x [kN]	R _y [kN]	R _z [kN]	R _η [kN]	R _ξ [kN]	R _{ξ,lok} [kN]	R _{z,lok} [kN]
1	SPLS 6a_90 Ah All Cts Ba Ct1	-51	-99	-457	34	107	6	-468
2	SPLS 1a_0,9_90 Ah Ct2	-48	208	-723	-113	181	21	-741
3	SPLS 1a_0,9_90 Ba Ct2	46	207	-713	113	179	21	-730
4	SPLS 3_0,9_0 Ba All Cts	110	-109	-633	1	155	15	-649

Permanent load

Index	Combination	R _x [kN]	R _y [kN]	R _z [kN]	R _η [kN]	R _ξ [kN]	R _{ξ,lok} [kN]	R _{z,lok} [kN]
1	SLS 7	57	58	334	0	-81	-8	342
2	SLS 7	-11	11	-64	0	16	2	-66
3	SLS 7	11	11	-64	0	16	2	-66
4	SLS 7	-57	58	334	0	-81	-8	342

Envelope of load combinations for all of the legs

Index	Combination	R _x [kN]	R _y [kN]	R _z [kN]	R _η [kN]	R _ξ [kN]	R _{ξ,lok} [kN]	R _{z,lok} [kN]
Max. pressure	SPLS 1a_90 Ah All Cts	-216	225	1267	6	-312	-32	1298
Max. tension	SPLS 1a_0,9_90 Ah All Cts	-175	185	-1033	-7	254	26	-1057
Max. pos. torsie	SPLS 6a_90 Ba Ct2 Ah Ct2	8	196	-586	134	144	15	-600
Max. neg. torsie	SPLS 6a_90 Ah Ct2 Ah Ct1	-57	133	202	-135	-54	-9	207
Comb. tension+torsie	SPLS 1a_0,9_90 Ah Ct2	-48	208	-723	-113	181	21	-741

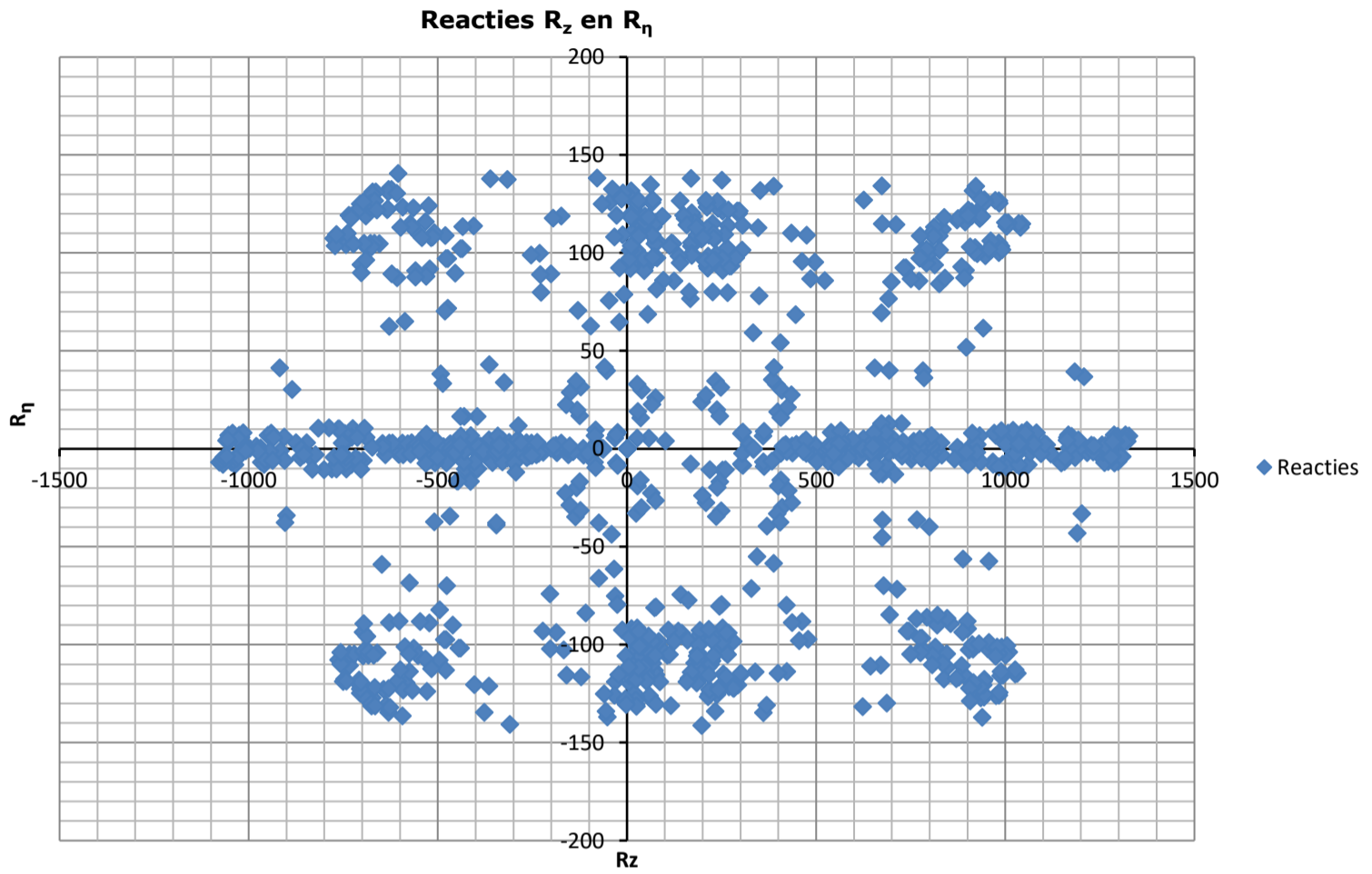
Maximum tension load - SLS

Index	Combination	R _x [kN]	R _y [kN]	R _z [kN]	R _η [kN]	R _ξ [kN]	R _{ξ,lok} [kN]	R _{z,lok} [kN]
1	SLS 7	57	58	334	0	-81	-8	342
2	SLS 1a_90	-85	93	-494	-5	126	16	-506
3	SLS 1a_90	85	93	-496	6	126	16	-508
4	SLS 1a_0	-13	19	114	4	-23	3	117

Maximum compression load - SLS

Index	Combination	R _x [kN]	R _y [kN]	R _z [kN]	R _η [kN]	R _ξ [kN]	R _{ξ,lok} [kN]	R _{z,lok} [kN]
1	SLS 1a_90	132	140	768	-5	-192	-22	787
2	SLS 1a_0	35	-25	155	-7	-43	-8	159
3	SLS 7	11	11	-64	0	16	2	-66
4	SLS 1a_90	-132	139	766	6	-192	-22	785

Project: MBT-EHV
Tower: HA+0
Number: 9



Project: MBT-EHV
 Tower: HA+0
 Number: 9

Conductor loads Auteur: TBR
Versie: v11.9

Starting points
 Consequence class Verbouw CC2
 Reference period 50 jaar

ULS (strength)		NEN-EN50341-2-15:2019			γ_Q			γ_a
Load case	description	Temp °C	γ_G $G_{k,mast}$	γ_G $G_{k,geleider}$	Q_{pk}	Q_{wk}	Q_{ik}	A_k
ULS 1a	Wind	10°	1,15	1,15	0,00	1,40	0,00	0,0
ULS 1a_0,9	Wind 0,9Gk only tower	10°	0,90	1,15	0,00	1,40	0,00	0,0
ULS 1a_0,9_0,9	Wind 0,9Gk conductors too	10°	0,90	0,90	0,00	1,40	0,00	0,0
ULS 3	Wind+ice	-5°	1,15	1,15	0,00	0,42	1,30	0,0
ULS 3_0,9	Wind+ice 0,9Gk	-5°	0,90	1,15	0,00	0,42	1,30	0,0
ULS 4	Cold+wind	-20°	1,15	1,15	0,00	0,28	0,00	0,0
ULS 4_0,9	Cold+wind 0,9Gk	-20°	0,90	1,15	0,00	0,28	0,00	0,0
ULS 5a	Torsional loads	10°	1,00	1,00	1,00	0,00	0,00	1,0
ULS 5b	Longitudinal loads	10°	1,00	1,00	0,00	0,00	0,00	1,0
ULS 6	Construction + maintenance	5°	1,15	1,15	1,30	0,28	0,00	0,0
ULS 6_0,9	Construction + maintenance	5°	1,15	1,15	0,00	0,28	0,00	0,0
ULS 7	Permanent	10°	1,30	1,30	0,00	0,00	0,00	0,0
ULS 8	Special	10°	1,00	1,00	0,00	0,00	0,00	1,0
SPLS (strength, for angle towers: absence of conductors)			γ_G G_k		γ_Q			A_k
SPLS 1a	Wind	10°	1,15	1,15	0,0	0,78	0,00	0,0
SPLS 1a_0,9	Wind 0,9	10°	0,90	1,15	0,0	0,78	0,00	0,0
SPLS 1a_0,9_0,9	Wind 0,9	10°	0,90	0,90	0,0	0,78	0,00	0,0
SPLS 3	Wind+ice	-5°	1,15	1,15	0,0	0,36	0,34	0,0
SPLS 3_0,9	Wind+ice 0,9	-5°	0,90	1,15	0,0	0,36	0,34	0,0
SPLS 4	Cold+wind	-20°	1,15	1,15	0,0	0,24	0,00	0,0
SPLS 4_0,9	Cold+wind 0,9	-20°	0,90	1,15	0,0	0,24	0,00	0,0
SPLS 6	Maintenance	5°	1,15	1,15	1,2	0,24	0,0	0,0
SPLS 6_0,9	Maintenance	5°	1,15	1,15	0,0	0,24	0,0	0,0
SLS (deformations, fatigue, EDS)			G_k		Q_{pk}	Q_{wk}	Q_{ik}	A_k
SLS 1a	Wind	10°	1,00	1,00	0,0	1,00	0,0	0,0
SLS 3	Wind+ice	-5°	1,00	1,00	0,0	0,30	1,00	0,0
SLS 4	Wind	-20°	1,00	1,00	0,0	0,20	0,0	0,0
SLS 6	Maintenance	5°	1,00	1,00	0,0	0,20	0,0	0,0
SLS 7	EDS, no wind	10°	1,00	1,00	0,0	0,00	0,0	0,0

Number of wind directions 6
 Number of load combinations for ULS 54
 Number of load combinations for SPLS 222
 Number of load combinations for SLS 15
 Number of concentrated loads 5238

Project: MBT-EHV
 Tower: HA+0
 Number: 9

Summary table - Conductor loads

The four tables below show:

- The maximum conductor load in the global axis system, split into proportion of back and ahead span
- The combined conductor load (Ba+Ah) in the global axis system with the maximum tensile force in the local axes. Components Fx and Fy as absolute values
- The everyday (EDS) values of the combined conductor loads (Ba+Ah) with corresponding tensile forces
- Check for uplift, where a negative value indicates uplift

Note: Maximum values for Fx, Fy and Fz do not necessarily belong to the same load combination.

Maximum values for back and ahead span

Geleider	Fx_ba [kN]	Fx_ah [kN]	Fy_ba [kN]	Fy_ah [kN]	Fz_ba [kN]	Fz_ah [kN]
bl1	-33,0	34,0	10,4	8,9	6,9	6,2
380ct1f1	-125,6	124,2	35,7	31,6	24,8	20,7
380ct1f2	-125,6	124,2	35,7	31,6	24,8	20,7
380ct1f3	-127,8	126,5	39,0	34,4	24,8	20,8
380ct2f1	-125,6	124,2	35,7	31,6	24,8	20,7
380ct2f2	-125,6	124,2	35,7	31,6	24,8	20,7
380ct2f3	-127,8	126,5	39,0	34,4	24,8	20,8
bl2	-33,5	34,5	10,5	9,0	7,0	6,2
Post 1	0,0	0,0	0,0	0,0	0,0	0,0
Post 2	0,0	0,0	0,0	0,0	0,0	0,0

Min. Weight span (m)

Weight spar Combinatie1

Geleider	SLS 1a	SLS 4	SLS 7
bl1	406,1	417,0	406,0
380ct1f1	400,8	407,8	400,8
380ct1f2	400,8	407,8	400,8
380ct1f3	400,8	408,1	400,8
380ct2f1	400,8	407,8	400,8
380ct2f2	400,8	407,8	400,8
380ct2f3	400,8	408,1	400,8
bl2	406,1	416,8	406,0
Post 1			
Post 2			

Max. Weight span (m)

Weight spar Combinatie1

Geleider	ULS 1a	ULS 3
bl1	453,2	405,4
380ct1f1	422,4	401,1
380ct1f2	422,4	401,1
380ct1f3	427,3	402,0
380ct2f1	422,4	401,1
380ct2f2	422,4	401,1
380ct2f3	427,3	402,0
bl2	451,9	405,5
Post 1		
Post 2		

Envelop of weight span over all combinations (incl. 0,9 combinations)

For all conductors	Wind / Weight span ratio
Max. weight span	453,2 m / 1,288 -
Min. weight span	191,3 m / 0,543 -

Project: MBT-EHV
 Tower: HA+0
 Number: 9

Geleider	Maximum values back + ahead span			Maximum tension in conductor	
	Fx [kN]	Fy [kN]	Fz [kN]	Ft_ba [kN]	Ft_ah [kN]
bl1	32,7	18,9	6,9	-33,9	34,6
380ct1f1	100,3	66,0	24,8	-128,8	127,0
380ct1f2	100,3	66,0	24,8	-128,8	127,0
380ct1f3	100,5	71,8	24,8	-131,2	129,5
380ct2f1	100,3	66,0	24,8	-128,8	127,0
380ct2f2	100,3	66,0	24,8	-128,8	127,0
380ct2f3	100,5	71,8	24,8	-131,2	129,5
bl2	33,3	19,1	7,0	-34,4	35,1
Post 1	3,2	3,2	4,6	0,0	
Post 2	3,2	3,2	4,6	0,0	

Geleider	EDS-loads conductor				
	Fx [kN]	Fy [kN]	Fz [kN]	Ft_ba [kN]	Ft_ah [kN]
bl1	14,4	2,4	2,2	-14,6	14,6
380ct1f1	63,9	10,7	14,3	-64,8	64,8
380ct1f2	63,9	10,7	14,3	-64,8	64,8
380ct1f3	63,9	10,7	14,3	-64,8	64,8
380ct2f1	63,9	10,7	14,3	-64,8	64,8
380ct2f2	63,9	10,7	14,3	-64,8	64,8
380ct2f3	63,9	10,7	14,3	-64,8	64,8
bl2	14,8	2,5	2,2	-15,0	15,0
Post 1	0,0	0,0	3,5	0,0	
Post 2	0,0	0,0	3,5	0,0	

1 Control uplift SLS-wind		
Combinatie: Geleider	Fz_ba [kN]	Fz_ah [kN]
SLS 4		
bl1	0,0	0,0
380ct1f1	0,0	0,0
380ct1f2	0,0	0,0
380ct1f3	0,0	0,0
380ct2f1	0,0	0,0
380ct2f2	0,0	0,0
380ct2f3	0,0	0,0
bl2	0,0	0,0
Post 1	0,0	
Post 2	0,0	

Project: MBT-EHV
 Tower: HA+0
 Number: 9

ULS foundation loads for LC 1 and 3, wind perpendicular to the line or bisector and EDS, from conductors

Combination	Combination	F_x [kN]	F_y [kN]	F_z [kN]	M_x [kNm]	M_y [kNm]	M_z [kNm]
ULS 1a_90		-4	452	209	14633	-146	1
ULS 1a_0,9_0		5	157	161	4992	139	-81
ULS 1a_0,9_0,9_90		-1	437	114	14170	-32	1
ULS 3_0		-8	259	297	8299	-272	-24
SLS 7		0	138	174	4374	0	0

ULS foundation loads, LC 1 and 3, wind perpendicular to the line or bisector and EDS, total conductors and tower

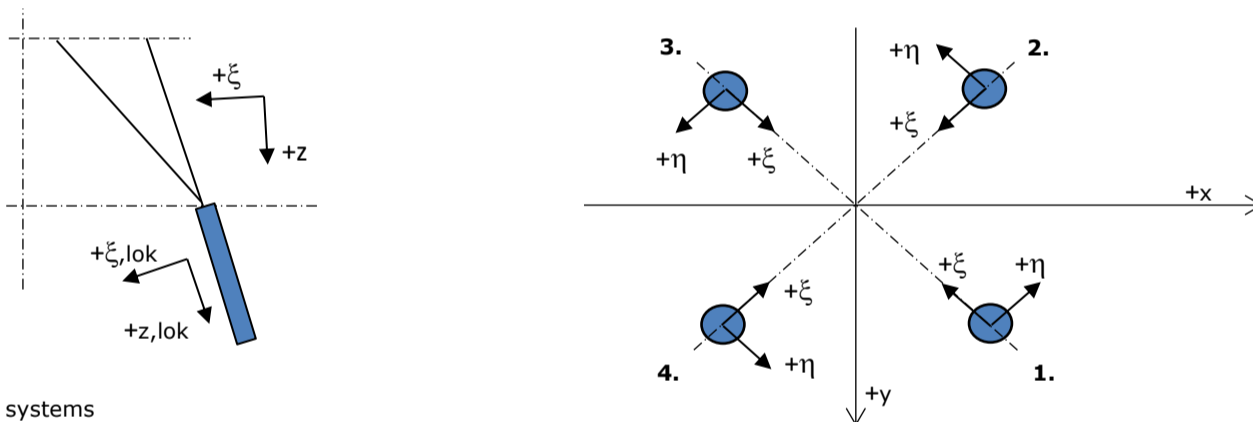
Combination	F_x [kN]	F_y [kN]	F_z [kN]	M_x [kNm]	M_y [kNm]	M_z [kNm]
ULS 1a_90	-4	650	629	19346	-146	1
ULS 1a_0,9_0,9_90	-1	635	442	18882	-32	1
SLS 7	0	138	539	4374	0	0

Foundation loads, selection of load combinations based on greatest value

Combination	F_x [kN]	F_y [kN]	F_z [kN]	M_x [kNm]	M_y [kNm]	M_z [kNm]
ULS 1a_0,9_90	-4	650	478	19367	-146	1
SPLS 3_90 Ba All Cts	624	186	557	5479	20257	8
SPLS 6a_90 Ah Ct2 Ah Ct1	-148	202	624	5575	-4681	-4236
SPLS 1a_0,9_90 Ah All Cts	-552	284	439	8168	-17953	-6

Note: Largest values can appear in multiple combinations, one combination is displayed.

Support reactions per leg



Maximum compression load

Index	Combination	R_x [kN]	R_y [kN]	R_z [kN]	R_η [kN]	R_ξ [kN]	$R_{\xi,lok}$ [kN]	$R_{z,lok}$ [kN]
1	SPLS 3_90 Ba All Cts	223	228	1309	-4	-319	-30	1341
2	SPLS 3_0 Ba All Cts	161	-158	925	-2	-225	-21	947
3	SPLS 3_135 Ah All Cts	-144	-139	830	3	-200	-17	850
4	SPLS 1a_90 Ah All Cts	-226	235	1326	6	-326	-33	1358

Maximum tension load

Index	Combination	R_x [kN]	R_y [kN]	R_z [kN]	R_η [kN]	R_ξ [kN]	$R_{\xi,lok}$ [kN]	$R_{z,lok}$ [kN]
1	SPLS 3_0,9_135 Ah All Cts	-99	-96	-573	-3	138	11	-586
2	SPLS 1a_0,9_90 Ah All Cts	-183	192	-1078	-7	265	27	-1104
3	SPLS 3_0,9_90 Ba All Cts	180	186	-1059	4	258	24	-1085
4	SPLS 3_0,9_0 Ba All Cts	117	-116	-673	1	164	16	-690

Maximum torsional load (positive)

Index	Combination	R_x [kN]	R_y [kN]	R_z [kN]	R_η [kN]	R_ξ [kN]	$R_{\xi,lok}$ [kN]	$R_{z,lok}$ [kN]
1	SPLS 6a_90 Ah Ct1 Ah Ct2	139	-55	250	137	-59	-4	256
2	SPLS 6a_90 Ah Ct1 Ah Ct2	-159	-36	-362	138	87	7	-370
3	SPLS 6a_90 Ba Ct2 Ah Ct2	6	205	-606	141	149	15	-620
4	SPLS 6a_90 Ba Ct2 Ah Ct2	108	87	-79	138	15	-3	-81

Maximum torsional load (negative)

Index	Combination	R_x [kN]	R_y [kN]	R_z [kN]	R_η [kN]	R_ξ [kN]	$R_{\xi,lok}$ [kN]	$R_{z,lok}$ [kN]
1	SPLS 6a_90 Ah Ct2 Ah Ct1	-63	137	197	-141	-52	-9	201
2	SPLS 6a_90 Ah Ct2 Ah Ct1	43	156	-310	-141	81	12	-318
3	SPLS 6a_90 Ba Ct1 Ah Ct1	203	13	-631	-135	152	13	-646
4	SPLS 6a_90 Ba Ct1 Ah Ct1	-89	-105	-52	-137	11	0	-53

Project: MBT-EHV
 Tower: HA+0
 Number: 9

Combination Ftensile+Fhor

Index	Combination	R _x [kN]	R _y [kN]	R _z [kN]	R _η [kN]	R _ξ [kN]	R _{ξ,lok} [kN]	R _{z,lok} [kN]
1	SPLS 6a_90 Ah All Cts Ba Ct1	-57	-104	-487	33	114	6	-499
2	SPLS 1a_0,9_90 Ah Ct2	-49	217	-751	-119	188	22	-769
3	SPLS 1a_0,9_90 Ba Ct2	46	215	-736	119	185	22	-754
4	SPLS 3_0,9_0 Ba All Cts	117	-116	-673	1	164	16	-690

Permanent load

Index	Combination	R _x [kN]	R _y [kN]	R _z [kN]	R _η [kN]	R _ξ [kN]	R _{ξ,lok} [kN]	R _{z,lok} [kN]
1	SLS 7	57	58	334	0	-81	-8	342
2	SLS 7	-11	11	-64	0	16	2	-66
3	SLS 7	11	11	-64	0	16	2	-66
4	SLS 7	-57	58	334	0	-81	-8	342

Envelope of load combinations for all of the legs

Index	Combination	R _x [kN]	R _y [kN]	R _z [kN]	R _η [kN]	R _ξ [kN]	R _{ξ,lok} [kN]	R _{z,lok} [kN]
Max. pressure	SPLS 1a_90 Ah All Cts	-226	235	1326	6	-326	-33	1358
Max. tension	SPLS 1a_0,9_90 Ah All Cts	-183	192	-1078	-7	265	27	-1104
Max. pos. torsie	SPLS 6a_90 Ba Ct2 Ah Ct2	6	205	-606	141	149	15	-620
Max. neg. torsie	SPLS 6a_90 Ah Ct2 Ah Ct1	-63	137	197	-141	-52	-9	201
Comb. tension+torsie	SPLS 1a_0,9_90 Ah Ct2	-49	217	-751	-119	188	22	-769

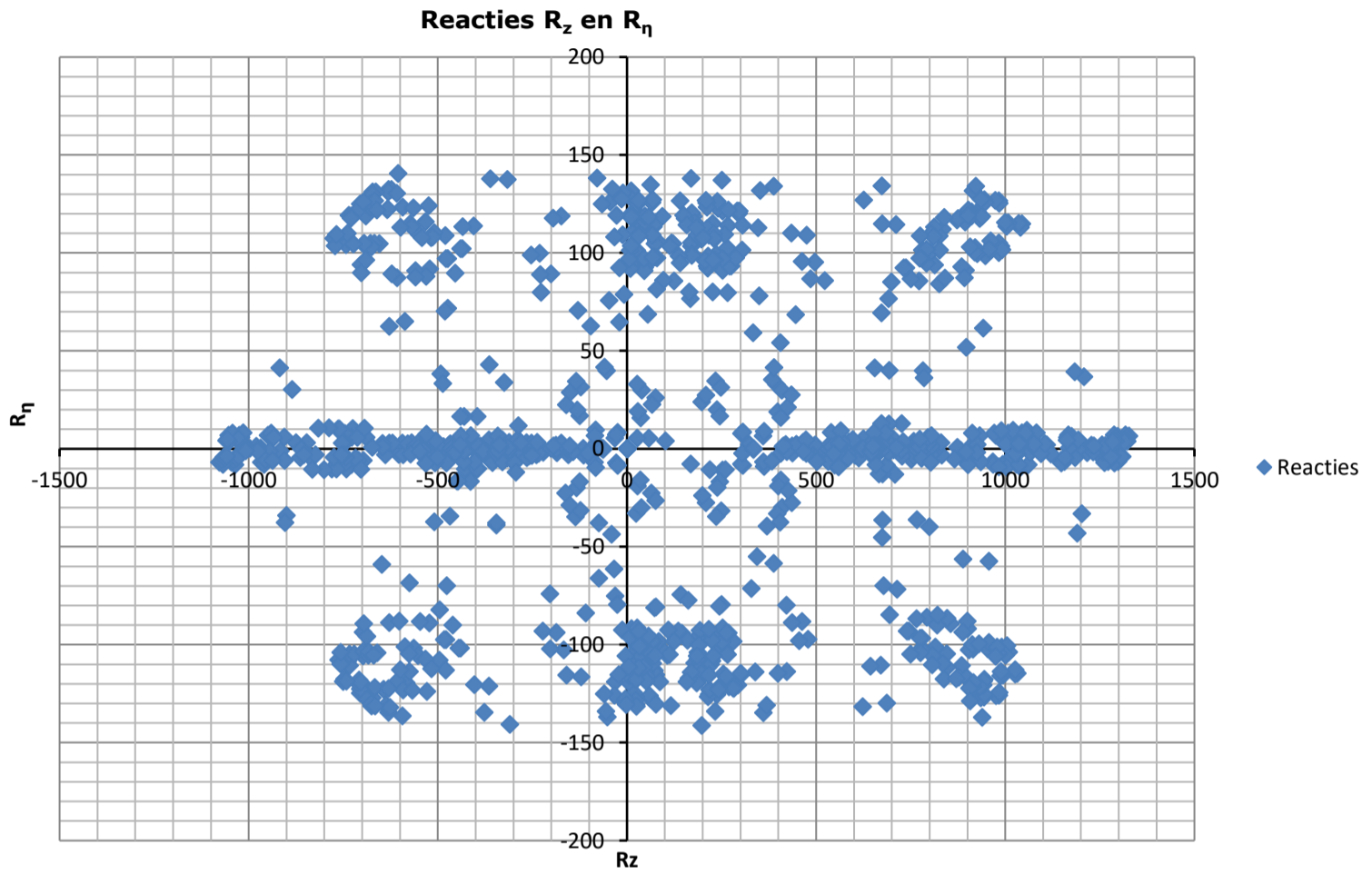
Maximum tension load - SLS

Index	Combination	R _x [kN]	R _y [kN]	R _z [kN]	R _η [kN]	R _ξ [kN]	R _{ξ,lok} [kN]	R _{z,lok} [kN]
1	SLS 7	57	58	334	0	-81	-8	342
2	SLS 1a_90	-90	98	-523	-6	133	17	-536
3	SLS 1a_90	90	98	-524	6	133	17	-537
4	SLS 1a_0	-11	16	101	4	-19	3	104

Maximum compression load - SLS

Index	Combination	R _x [kN]	R _y [kN]	R _z [kN]	R _η [kN]	R _ξ [kN]	R _{ξ,lok} [kN]	R _{z,lok} [kN]
1	SLS 1a_90	137	145	797	-6	-199	-23	816
2	SLS 1a_0	38	-27	168	-8	-46	-9	172
3	SLS 7	11	11	-64	0	16	2	-66
4	SLS 1a_90	-137	145	795	6	-199	-23	815

Project: MBT-EHV
Tower: HA+0
Number: 9



Project: MBT-EHV
 Tower: HA+0 T1
 Number: 34

Auteur: TBR
 Versie: v11.7

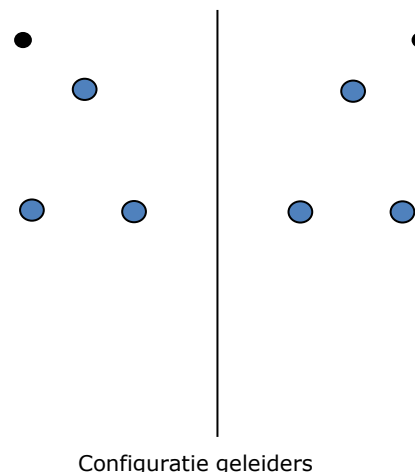
Conductor loads

General

Description HA+0 T1
 Tower type Hoekmast
 Number of circuits 2
 Configuration 2-circuit-donau
 Number of earth wires 2

Starting points

Norm NEN-EN50341-2-15:2019
 Consequence class CC2-0
 Reliability level initial Afkeur CC2-0
 Reference period initial 30 jaar
 Consequence class modified CC2
 Reliability level modified Verbouw
 Reference period modified 50 jaar
 Wind zone III
 Wind speed (m/s) 24,5 m/s
 Terrain category II
 Reduction factor c_{dir} 1,00
 Ice region phase conductor B
 Ice region earth conductor B



Configuratie geleiders

Conductors back

Description	Voltage	Conductor Back	Bundle Ba	Ice region	Additional weight	Additional diameter	Catenary P_{back}
Circuit 1	380 kV	ACCC-Warsaw	3	B	3 %	3 %	1400
Circuit 2	380 kV	ACCC-Warsaw	3	B	3 %	3 %	1400
Bliksemdraad 1		OPGW AFL-226/38	1	B	3 %	3 %	1550
Bliksemdraad 2		AACSR 241-AL3-39-A20SA	1	B	3 %	3 %	1550

Conductors ahead

Description	Voltage	Conductor Ahead	Bundle Ah	Ice region	Additional weight	Additional diameter	Catenary P_{ahead}
Circuit 1	380 kV	ACCC-Warsaw	3	B	3 %	3 %	1400
Circuit 2	380 kV	ACCC-Warsaw	3	B	3 %	3 %	1400
Bliksemdraad 1		OPGW AFL-226/38	1	B	3 %	3 %	1550
Bliksemdraad 2		AACSR 241-AL3-39-A20SA	1	B	3 %	3 %	1550

Insulators (1)

Description	Suspension	Weight [kN]	Length [m]	Wind area [m ²]
Circuit 1	Afspanketting	4,00	4,50	2,00
Circuit 2	Afspanketting	4,00	4,50	2,00
Bliksemdraad 1	Vast (Bliksemdraad)	0,10	0,30	0,10
Bliksemdraad 2	Vast (Bliksemdraad)	0,10	0,30	0,10

1. Properties apply to the entire isolator set

Suspension height and position in mast

Circuits	Designation	Number	Suspension height	Attach point	Position in tower Horizontal distance
Circuit 1	10	380ct1f1	27,7 m	27,7 m	-15,7 m
Circuit 1	11	380ct1f2	27,7 m	27,7 m	-8,7 m
Circuit 1	12	380ct1f3	39,0 m	39,0 m	-12,2 m
Circuit 2	20	380ct2f1	27,7 m	27,7 m	8,7 m
Circuit 2	21	380ct2f2	27,7 m	27,7 m	15,7 m
Circuit 2	22	380ct2f3	39,0 m	39,0 m	12,2 m
Bliksemdraad 1	1	bl1	42,9 m	43,2 m	-17,0 m
Bliksemdraad 2	3	bl2	42,9 m	43,2 m	17,0 m

Project: MBT-EHV
 Tower: HA+0 T1
 Number: 34

Height adjustment adjacent masts (wind and weight span adjustment)

	Back	Ahead	
Height increase for wind pressure	0,0 m	0,0 m	(positive: higher)
Height decrease for vertical load	0,0 m	0,0 m	(negative: decrease, more weight span)
Decrease: Niet in 0,9EG-combinaties			

Height difference adjacent tower and change of direction with respect to Line direction

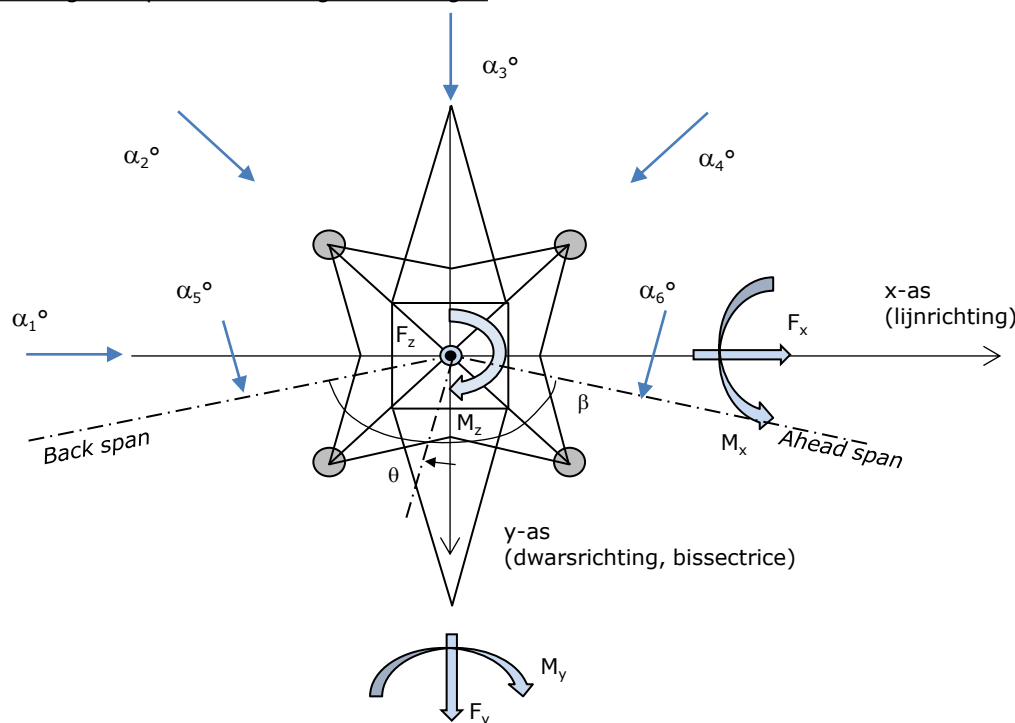
Circuits	Aanduiding	Nummer	Hoogteverschil		Richtingsverandering	
			Δh_{back}	Δh_{ahead}	Δy_{back}	Δy_{ahead}
Circuit 1	10	380ct1f1	5,1	2,3 m	0,0	0,0 m
Circuit 1	11	380ct1f2	5,1	2,3 m	0,0	0,0 m
Circuit 1	12	380ct1f3	5,1	2,3 m	0,0	0,0 m
Circuit 2	20	380ct2f1	5,1	2,3 m	0,0	0,0 m
Circuit 2	21	380ct2f2	5,1	2,3 m	0,0	0,0 m
Circuit 2	22	380ct2f3	5,1	2,3 m	0,0	0,0 m
Bliksemdraad 1	1	bl1	5,8	3,0 m	0,0	0,0 m
Bliksemdraad 2	3	bl2	5,8	3,0 m	0,0	0,0 m

Line and tower data

	Back	Ahead
Ruling span $\sqrt{(\Sigma L^3)/\Sigma L}$	400,6	399,6 m
Line angle	385,8	400,5 m
Line angle β	173,33 °	
Tower orientation with respect to bisector θ	0 °	
Section length	4178	2000 m
Height bottom of tower to ground level	0,5 m	
Wind directions considered α_1	0 °	
Wind directions according to: α_2	45 °	
<i>Geleiderbelastingen</i> α_3	90 °	
α_4	135 °	
α_5	86,665 °	
α_6	93,335 °	

Wind directions apply to the main direction of mast construction, not to the bisector.

Windrichtingen en positieve richtingen belastingen



Considered number of wind directions

1a	6
3	6
4	1
6	1
Overig	1

Project: MBT-EHV
 Tower: HA+0 T1
 Number: 34

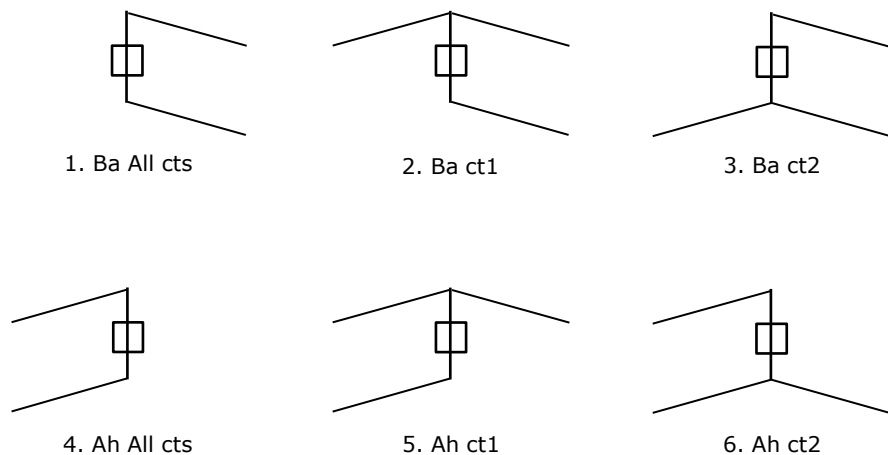
Absence of conductors

		SPLS - torsie		SPLS - Enkelzijdige trek		5a - geleiderbreuk	
		Aanw.	Afw.	Aanw.	Afw.	Aanw.	Afw.
Circuit 1	380ct1f1	1	0	1	0	1	0
Circuit 1	380ct1f2	1	0	1	0	1	0
Circuit 1	380ct1f3	1	0	1	0	1	0
Circuit 2	380ct2f1	0	1	1	0	1	0
Circuit 2	380ct2f2	0	1	1	0	1	0
Circuit 2	380ct2f3	0	1	1	0	1	0
Bliksemraad 1	bl1	1	0	1	0	1	0
Bliksemraad 2	bl2	0	1	1	0	1	0

Load situations SPLS

Considered situations SPLS: 1 up to 6, All possible situations

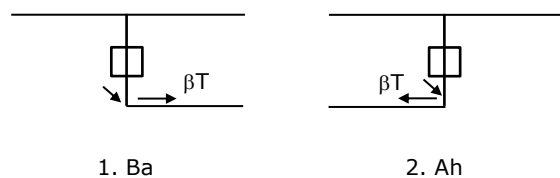
Principle of load situations:



Load situation 5a. Conductor failure

Considered situations conductor failure 5a: 1 and 2, all possible situations

Principle of load situations:



Project: MBT-EHV
 Tower: HA+0 T1
 Number: 34

Load situations LC6. Construction and maintenance

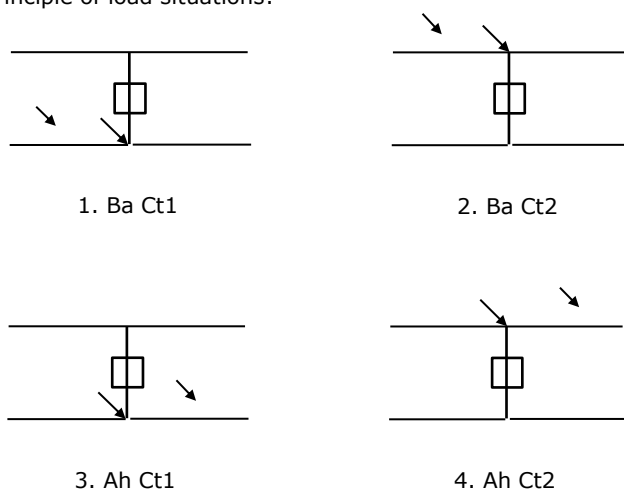
Under 6a, the load due to the presence of a line vehicle or line bicycle in combination with point load on the traverse is assessed. Combination 6b does not contain any loads in conductor or on traverse. This combination has been added to be able to combine with separate control platforms, etc. The situations are applied in ULS and in every SPLS situation (in case of angle tower).

	Phase	Earth
Line vehicle	3,0 kN	2,0 kN
Concentrated load cross arm	1,0 kN	1,0 kN

Beschouwde situaties bouw- en onderhoud 6a: 1 t/m 4, alle mogelijke situaties.

Presence line vehicle: Circuit, belasting tegelijk aanwezig in alle geleiders per circuit.

Principle of load situations:



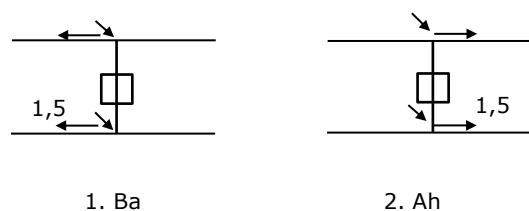
Load situations 8. Galloping as a static load

Conductor		
Suspension tower phase	0,866 W	1,5 W
Suspension tower earth	1,5 EDS	1,5 W
Strain tower phase and earth	1,5 EDS	1,5 W

Considered situations galloping 8: None (existing structure)

Belasting tegelijk aanwezig in alle geleiders van het circuit.

Principle of load situations:



Load combination 8. Galloping as a dynamic load

Only applies to tension towers
 Load consists of EDS tensile load in one of the conductors on one side of the tower
 Can be converted by user to fatigue spectrum via the load spectrum of table 4.11 / NL.1

Project: MBT-EHV
 Tower: HA+0 T1
 Number: 34

Tower structure

Properties

Tower type	Hoekmast	
Tower designation	HA+0 T1	
Base plate w.r.t. ground level	0,5 m	
Tower height w.r.t. base plate	45,0 m	
Tower self weight	365,0 kN	
<i>Width and slope at foundation</i>	x-ri.	y-ri.
Leg spread	11,00	11,00 m
Inclination of main leg	0,156	0,156 -
Horizontal force factor	1,1	1,1 -

Calculation Wind load

Dynamic factor G_T	1,00 (<i>Masthoogte < 60 m</i>)
Wind load diagonally to tower body proportional to:	$(A1C1\sin^2(\phi)+A2C2\cos^2(\phi))$
Wind load diagonally on traverse proportional to:	$(A1C1\sin^2(\phi)+A2C2\cos^2(\phi))$
Magnification factor diagonal wind to tower body	$(1+0,2\sin^2(2\phi))$
Magnification factor diagonal wind to cross arm	$(1+0,2\sin^2(2\phi))$
Magnification factor wind parallel to perpendicular to cross a	0,4

Properties mast sections longitudinal direction (front view, yz plane)

Description	h [m]	b ₁ [m]	b ₂ [m]	Δh [m]	Δ _x [m]	A ₀ [m ²]	A ₁ [m ²]	χ = A ₁ /A ₀ [-]	C _t
Broekstuk 1	9,60	11,00	8,00	9,60	0,156	91,20	12,78	0,14	3,21
Middenstuk 1	18,90	8,00	5,84	9,30	0,116	64,36	12,00	0,19	2,99
Middenstuk 2	27,70	5,84	3,80	8,80	0,116	42,42	10,96	0,26	2,69
Bovenstuk 1	35,50	3,80	3,19	7,80	0,039	27,26	7,41	0,27	2,64
Bovenstuk 2	43,00	3,19	2,60	7,50	0,039	21,71	5,96	0,27	2,63
Topstuk	45,00	2,60		2,00		2,60			
Ondertraverse	27,70	13,80		4,00		27,60	5,38	0,20	2,95
Boventraverse	39,00	15,55		4,20		32,66	7,28	0,22	2,83

Properties tower sections transversal direction (side view, xz plane)

Description	h [m]	b ₁ [m]	b ₂ [m]	Δh [m]	Δ _x [m]	A ₀ [m ²]	A ₁ [m ²]	χ = A ₁ /A ₀ [-]	C _t
Broekstuk 1	9,60	11,00	8,00	9,60	0,156	91,20	12,78	0,14	3,21
Middenstuk 1	18,90	8,00	5,84	9,30	0,116	64,36	12,00	0,19	2,99
Middenstuk 2	27,70	5,84	3,80	8,80	0,116	42,42	10,96	0,26	2,69
Bovenstuk 1	35,50	3,80	3,19	7,80	0,039	27,26	7,41	0,27	2,64
Bovenstuk 2	43,00	3,19	2,60	7,50	0,039	21,71	5,96	0,27	2,63
Topstuk	45,00	2,60		2,00		2,60			
Ondertraverse	27,70	13,80		4,00		27,60	5,38	0,20	2,95
Boventraverse	39,00	15,55		4,20		32,66	7,28	0,22	2,83

Note: Surface transverse direction is reduced in calculation.

Project: MBT-EHV
 Tower: HA+0 T1
 Number: 34

Wind surface feeders telecom installations

Part	A (m ² /m)	Factor	Δh	A ₁
Broekstuk 1	0,20	0,71	9,6	1,4
Middenstuk 1	0,20	0,71	9,3	1,3
Middenstuk 2	0,20	0,71	8,8	1,2
Bovenstuk 1	0,20	0,71	7,8	1,1
Bovenstuk 2	0,20	0,71	0,1	0,0

Input antennas

Description	A (m ²)	h (m)	C _f (m)
Antenne 1	4,48	47	1,47
Schotel			
Schotel			

Tower section loads longitudinal (x-direction) per wind direction

Description	p _w [kN/m ²]	F _{x1} [kN]	F _{x2} [kN]	F _{x3} [kN]	F _{x4} [kN]	h _{ef} [m]	M _{y1} [kNm]	M _{y2} [kNm]	M _{y3} [kNm]	M _{y4} [kNm]
Broekstuk 1	0,70	28,7	24,4	0,0	-24,4	4,8	137,9	117,0	0,0	-117,0
Middenstuk 1	0,79	28,3	24,0	0,0	-24,0	14,3	403,8	342,6	0,0	-342,6
Middenstuk 2	0,92	27,1	23,0	0,0	-23,0	23,3	631,0	535,5	0,0	-535,5
Bovenstuk 1	1,01	19,7	16,7	0,0	-16,7	31,6	622,2	528,0	0,0	-528,0
Bovenstuk 2	1,06	16,7	14,2	0,0	-14,2	39,3	654,8	555,6	0,0	-555,6
Topstuk	1,10					44,0				
Ondertraverse	0,98	31,1	18,5	0,0	-18,5	29,0	903,7	536,7	0,0	-536,7
Boventraverse	1,07	44,3	26,3	0,0	-26,3	40,4	1787,8	1061,9	0,0	-1061,9
Totaal		195,9	147,0	0,0	-147,0		5141,2	3677,3	0,0	-3677,3

Tower section loads transversal (y-direction) per wind direction

Description	p _w [kN/m ²]	F _{y1} [kN]	F _{y2} [kN]	F _{y3} [kN]	F _{x4} [kN]	h _{ef} [m]	M _{x1} [kNm]	M _{x2} [kNm]	M _{x3} [kNm]	M _{x4} [kNm]
Broekstuk 1	0,70	0,0	24,4	28,7	24,4	4,8	0,0	117,0	137,9	117,0
Middenstuk 1	0,79	0,0	24,0	28,3	24,0	14,3	0,0	342,6	403,8	342,6
Middenstuk 2	0,92	0,0	23,0	27,1	23,0	23,3	0,0	535,5	631,0	535,5
Bovenstuk 1	1,01	0,0	16,7	19,7	16,7	31,6	0,0	528,0	622,2	528,0
Bovenstuk 2	1,06	0,0	14,2	16,7	14,2	39,3	0,0	555,6	654,8	555,6
Topstuk	1,10					44,0				
Ondertraverse	0,98	0,0	18,5	12,4	18,5	29,0	0,0	536,7	361,5	536,7
Boventraverse	1,07	0,0	26,3	17,7	26,3	40,4	0,0	1061,9	715,1	1061,9
Total		0,0	147,0	150,7	147,0		0,0	3677,3	3526,3	3677,3

Resulting loads from mast construction incl. Antenna without conductors level foundation (char. Value)

Load / wind direction	F _x [kN]	F _y [kN]	F _z [kN]	M _x [kNm]	M _y [kNm]	M _z [kNm]
Permanente belasting	0	0	365	0	0	0
Windrichting 0°	203	0	0	0	5487	0
Windrichting 45°	152	152	0	3922	3922	0
Windrichting 90°	0	158	0	3872	0	0
Windrichting 135°	-152	152	0	3922	-3922	0

Project: MBT-EHV
 Tower: HA+0 T1
 Number: 34

Intermediate results for conductor loads

Conductors back

Circuit	Geleider	Diameter [mm]	A [mm ²]	G [N/m]	E [N/mm ²]	αT [-]
Circuit 1	ACCC-Warsaw	27,7	569,0	14,93	63750	1,90E-05
Circuit 2	ACCC-Warsaw	27,7	569,0	14,93	63750	1,90E-05
Bliksemdraad 1	OPGW AFL-226/38	21,7	264,0	9,13	72000	1,98E-05
Bliksemdraad 2	AACSR 241-AL3-39-A20SA	21,8	281,0	9,38	70165	1,97E-05

Conductors ahead

Circuit	Geleider	Diameter [mm]	A [mm ²]	G [N/m]	E [N/mm ²]	αT [-]
Circuit 1	ACCC-Warsaw	27,7	569,0	14,93	63750	1,90E-05
Circuit 2	ACCC-Warsaw	27,7	569,0	14,93	63750	1,90E-05
Bliksemdraad 1	OPGW AFL-226/38	21,7	264,0	9,13	72000	1,98E-05
Bliksemdraad 2	AACSR 241-AL3-39-A20SA	21,8	281,0	9,38	70165	1,97E-05

Vertical load back

Circuit	Bundle [-]	Additional [%]	$w_{z,G}$ [N/m]	Ice region	Formula	$w_{z,ijs}$ [N/m]	$w_{z,ijs,bundel}$ [N/m]
Circuit 1	3	3	46,1	B	4+0,2d	9,5	28,6
Circuit 2	3	3	46,1	B	4+0,2d	9,5	28,6
Bliksemdraad 1	1	3	9,4	B	4+0,2d	8,3	8,3
Bliksemdraad 2	1	3	9,7	B	4+0,2d	8,4	8,4

Vertical load ahead

Circuit	Bundle [-]	Additional [%]	$w_{z,G}$ [N/m]	Ice region	Formula	$w_{z,ijs}$ [N/m]	$w_{z,ijs,bundel}$ [N/m]
Circuit 1	3	3	46,1	B	4+0,2d	9,5	28,6
Circuit 2	3	3	46,1	B	4+0,2d	9,5	28,6
Bliksemdraad 1	1	3	9,4	B	4+0,2d	8,3	8,3
Bliksemdraad 2	1	3	9,7	B	4+0,2d	8,4	8,4

Insulators

Conductor	$G_{isolator}$ [kN]	Number	$F_{v,iso}$ [kN]	Length [m]	Wind surf. [m ²]	Wind heighth [m]	Pressure [kN/m ²]	Drag factor [-]	$F_{h,iso}$ [kN]
380ct1f1	4,00	1	4	4,5	2,0	28,20	0,97	1,2	2,33
380ct1f2	4,00	1	4	4,5	2,0	28,20	0,97	1,2	2,33
380ct1f3	4,00	1	4	4,5	2,0	39,50	1,07	1,2	2,56
380ct2f1	4,00	1	4	4,5	2,0	28,20	0,97	1,2	2,33
380ct2f2	4,00	1	4	4,5	2,0	28,20	0,97	1,2	2,33
380ct2f3	4,00	1	4	4,5	2,0	39,50	1,07	1,2	2,56
bl1	0,10	0,5	0,05	0,3	0,1	43,40	1,09	1,2	0,13
bl2	0,10	0,5	0,05	0,3	0,1	43,40	1,09	1,2	0,13

Project: MBT-EHV
 Tower: HA+0 T1
 Number: 34

Wind load back

Conductor	Height		G _{c,dwars} [-]	G _{c,trek} [-]	C _c [-]	d _{additional} [mm]	W _y [N/m]	W _{y,section} [N/m]	D _{ijs,additional} [mm]	W _{y,ijs} [N/m]	W _{y,ijs,section} [N/m]
	wind [m]	Pressure [kN/m ²]									
380ct1f1	21,2	0,89	0,55	0,47	1,13	28,53	47,3	40,2	47,4	83,7	71,2
380ct1f2	21,2	0,89	0,55	0,47	1,13	28,53	47,3	40,2	47,4	83,7	71,2
380ct1f3	32,5	1,01	0,58	0,49	1,09	28,53	55,2	46,8	47,4	100,6	85,3
380ct2f1	21,2	0,89	0,55	0,47	1,13	28,53	47,3	40,2	47,4	83,7	71,2
380ct2f2	21,2	0,89	0,55	0,47	1,13	28,53	47,3	40,2	47,4	83,7	71,2
380ct2f3	32,5	1,01	0,58	0,49	1,09	28,53	55,2	46,8	47,4	100,6	85,3
bl1	37,7	1,05	0,60	0,50	1,20	22,35	16,8	14,2	41,8	31,5	26,6
bl2	37,7	1,05	0,60	0,50	1,20	22,45	16,9	14,3	41,9	31,5	26,7

Wind load ahead

Conductor	Height		G _{c,dwars} [-]	G _{c,trek} [-]	C _c [-]	d _{additional} [mm]	W _y [N/m]	W _{y,section} [N/m]	D _{ijs,additional} [mm]	W _{y,ijs} [N/m]	W _{y,ijs,section} [N/m]
	wind [m]	Pressure [kN/m ²]									
380ct1f1	19,8	0,88	0,54	0,49	1,13	28,53	46,2	41,7	47,4	81,3	73,4
380ct1f2	19,8	0,88	0,54	0,49	1,13	28,53	46,2	41,7	47,4	81,3	73,4
380ct1f3	31,1	1,00	0,58	0,52	1,10	28,53	54,4	49,1	47,4	98,9	89,2
380ct2f1	19,8	0,88	0,54	0,49	1,13	28,53	46,2	41,7	47,4	81,3	73,4
380ct2f2	19,8	0,88	0,54	0,49	1,13	28,53	46,2	41,7	47,4	81,3	73,4
380ct2f3	31,1	1,00	0,58	0,52	1,10	28,53	54,4	49,1	47,4	98,9	89,2
bl1	36,3	1,04	0,59	0,53	1,20	22,35	16,6	14,9	41,8	31,0	28,0
bl2	36,3	1,04	0,59	0,53	1,20	22,45	16,6	15,0	41,9	31,1	28,0

Project: MBT-EHV
 Tower: HA+0 T1
 Number: 34

Auteur: TBR
 Versie: v11.7

Conductor loads

Starting points

Consequence class Afkeur CC2-0
 Reference period 30 jaar

ULS (strength)		NEN-EN50341-2-15:2019			γ _Q			γ _a
Load case	description	Temp °C	γ _G G _{k,mast}	γ _G G _{k,geleider}	Q _{pk}	Q _{wk}	Q _{ik}	A _k
ULS 1a	Wind	10°	1,05	1,05	0,00	1,12	0,00	0,0
ULS 1a_0,9	Wind 0,9Gk only tower	10°	0,90	1,05	0,00	1,12	0,00	0,0
ULS 1a_0,9_0,9	Wind 0,9Gk conductors too	10°	0,90	0,90	0,00	1,12	0,00	0,0
ULS 3	Wind+ice	-5°	1,05	1,05	0,00	0,34	0,97	0,0
ULS 3_0,9	Wind+ice 0,9Gk	-5°	0,90	1,05	0,00	0,34	0,97	0,0
ULS 4	Cold+wind	-20°	1,05	1,05	0,00	0,22	0,00	0,0
ULS 4_0,9	Cold+wind 0,9Gk	-20°	0,90	1,05	0,00	0,22	0,00	0,0
ULS 5a	Torsional loads	10°	1,00	1,00	1,00	0,00	0,00	1,0
ULS 5b	Longitudinal loads	10°	1,00	1,00	0,00	0,00	0,00	1,0
ULS 6	Construction + maintenance	5°	1,05	1,05	1,20	0,22	0,00	0,0
ULS 6_0,9	Construction + maintenance	5°	1,05	1,05	0,00	0,22	0,00	0,0
ULS 7	Permanent	10°	1,15	1,15	0,00	0,00	0,00	0,0
ULS 8	Special	10°	1,00	1,00	0,00	0,00	0,00	1,0
SPLS (strength, for angle towers: absence of conductors)			γ _G G _k		γ _Q			A _k
SPLS 1a	Wind	10°	1,05	1,05	0,0	0,78	0,00	0,0
SPLS 1a_0,9	Wind 0,9	10°	0,90	1,05	0,0	0,78	0,00	0,0
SPLS 1a_0,9_0,9	Wind 0,9	10°	0,90	1,05	0,0	0,78	0,00	0,0
SPLS 3	Wind+ice	-5°	1,05	1,05	0,0	0,36	0,34	0,0
SPLS 3_0,9	Wind+ice 0,9	-5°	0,90	1,05	0,0	0,36	0,34	0,0
SPLS 4	Cold+wind	-20°	1,05	1,05	0,0	0,24	0,00	0,0
SPLS 4_0,9	Cold+wind 0,9	-20°	0,90	1,05	0,0	0,24	0,00	0,0
SPLS 6	Maintenance	5°	1,05	1,05	1,2	0,24	0,0	0,0
SPLS 6_0,9	Maintenance	5°	1,05	1,05	0,0	0,24	0,0	0,0
SLS (deformations, fatigue, EDS)			G _k		Q _{pk} Q _{wk} Q _{ik}			A _k
SLS 1a	Wind	10°	1,00	1,00	0,0	0,94	0,0	0,0
SLS 3	Wind+ice	-5°	1,00	1,00	0,0	0,28	0,88	0,0
SLS 4	Wind	-20°	1,00	1,00	0,0	0,19	0,0	0,0
SLS 6	Maintenance	5°	1,00	1,00	0,0	0,19	0,0	0,0
SLS 7	EDS, no wind	10°	1,00	1,00	0,0	0,00	0,0	0,0

Number of wind directions 6
 Number of load combinations for ULS 54
 Number of load combinations for SPLS 222
 Number of load combinations for SLS 15
 Number of concentrated loads 5238

Project: MBT-EHV
 Tower: HA+0 T1
 Number: 34

Summary table - Conductor loads

The four tables below show:

- The maximum conductor load in the global axis system, split into proportion of back and ahead span
- The combined conductor load (Ba+Ah) in the global axis system with the maximum tensile force in the local axes. Components Fx and Fy as absolute values
- The everyday (EDS) values of the combined conductor loads (Ba+Ah) with corresponding tensile forces
- Check for uplift, where a negative value indicates uplift

Note: Maximum values for Fx, Fy and Fz do not necessarily belong to the same load combination.

Maximum values for back and ahead span

Geleider	Fx_ba [kN]	Fx_ah [kN]	Fy_ba [kN]	Fy_ah [kN]	Fz_ba [kN]	Fz_ah [kN]
bl1	-30,7	30,4	5,3	5,3	5,3	5,4
380ct1f1	-108,9	109,3	18,4	18,2	18,1	18,8
380ct1f2	-108,9	109,3	18,4	18,2	18,1	18,8
380ct1f3	-110,7	111,4	20,5	20,4	18,1	18,8
380ct2f1	-108,9	109,3	18,4	18,2	18,1	18,8
380ct2f2	-108,9	109,3	18,4	18,2	18,1	18,8
380ct2f3	-110,7	111,4	20,5	20,4	18,1	18,8
bl2	-31,2	30,9	5,4	5,4	5,3	5,4
Post 1	0,0	0,0	0,0	0,0	0,0	
Post 2	0,0	0,0	0,0	0,0	0,0	

Min. Weight span (m)

Weight spar Combinatie1

Geleider	SLS 1a	SLS 4	SLS 7
bl1	344,9	360,9	366,0
380ct1f1	367,7	371,9	374,6
380ct1f2	367,7	371,9	374,6
380ct1f3	365,7	371,8	374,6
380ct2f1	367,7	371,9	374,6
380ct2f2	367,7	371,9	374,6
380ct2f3	365,7	371,8	374,6
bl2	345,6	361,0	366,0
Post 1			
Post 2			

Max. Weight span (m)

Weight spar Combinatie1

Geleider	ULS 1a	ULS 3
bl1	366,2	367,9
380ct1f1	374,7	374,9
380ct1f2	374,7	374,9
380ct1f3	374,7	374,9
380ct2f1	374,7	374,9
380ct2f2	374,7	374,9
380ct2f3	374,7	374,9
bl2	366,2	367,8
Post 1		
Post 2		

Envelop of weight span over all combinations (incl. 0,9 combinations)

For all conductors

	Wind / Weight span ratio
Max. weight span	374,9 m 0,937 -
Min. weight span	333,7 m 0,834 -

Project: MBT-EHV
 Tower: HA+0 T1
 Number: 34

Maximum values back + ahead span Maximum tension in conductor

Geleider	Fx [kN]	Fy [kN]	Fz [kN]	Ft_ba [kN]	Ft_ah [kN]
bl1	30,7	10,6	5,4	-30,8	30,5
380ct1f1	92,2	36,4	18,8	-109,5	109,9
380ct1f2	92,2	36,4	18,8	-109,5	109,9
380ct1f3	92,8	40,8	18,8	-111,3	112,0
380ct2f1	92,2	36,4	18,8	-109,5	109,9
380ct2f2	92,2	36,4	18,8	-109,5	109,9
380ct2f3	92,8	40,8	18,8	-111,3	112,0
bl2	31,2	10,7	5,4	-31,3	31,0
Post 1	2,6	2,6	4,0	0,0	
Post 2	2,6	2,6	4,0	0,0	

EDS-loads conductor

Geleider	Fx [kN]	Fy [kN]	Fz [kN]	Ft_ba [kN]	Ft_ah [kN]
bl1	14,5	0,8	1,8	-14,6	14,6
380ct1f1	64,5	3,8	12,9	-64,6	64,6
380ct1f2	64,5	3,8	12,9	-64,6	64,6
380ct1f3	64,5	3,8	12,9	-64,6	64,6
380ct2f1	64,5	3,8	12,9	-64,6	64,6
380ct2f2	64,5	3,8	12,9	-64,6	64,6
380ct2f3	64,5	3,8	12,9	-64,6	64,6
bl2	14,9	0,9	1,9	-15,0	15,0
Post 1	0,0	0,0	3,5	0,0	
Post 2	0,0	0,0	3,5	0,0	

1 Control uplift SLS-wind

Combinatie: Geleider	Fz_ba [kN]	Fz_ah [kN]
SLS 4 bl1	0,0	0,0
380ct1f1	0,0	0,0
380ct1f2	0,0	0,0
380ct1f3	0,0	0,0
380ct2f1	0,0	0,0
380ct2f2	0,0	0,0
380ct2f3	0,0	0,0
bl2	0,0	0,0
Post 1	0,0	
Post 2	0,0	

Project: MBT-EHV
 Tower: HA+0 T1
 Number: 34

ULS foundation loads for LC 1 and 3, wind purpendicular to the line or bisector and EDS, from conductors

Combination	Combination	F _x [kN]	F _y [kN]	F _z [kN]	M _x [kNm]	M _y [kNm]	M _z [kNm]
ULS 1a_90		13	254	171	8193	452	0
ULS 1a_0,9_0		5	51	173	1562	149	-65
ULS 1a_0,9_0,9_90		14	250	146	8073	471	0
ULS 3_0		2	80	242	2486	68	-19
SLS 7		0	49	166	1481	0	0

ULS foundation loads, LC 1 and 3, wind purpendicular to the line or bisector and EDS, total conductors and tower

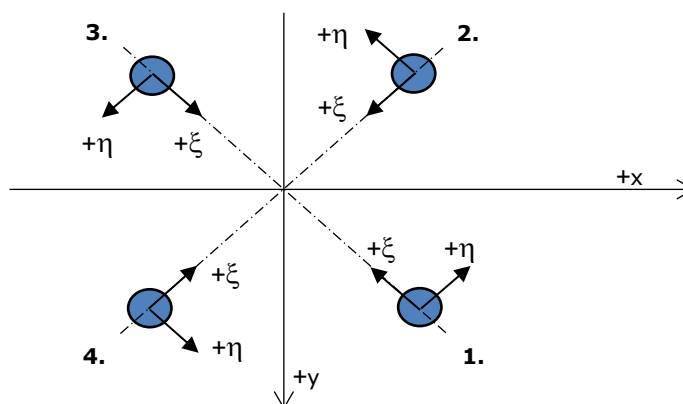
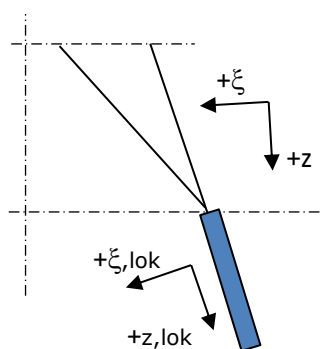
Combination	F _x [kN]	F _y [kN]	F _z [kN]	M _x [kNm]	M _y [kNm]	M _z [kNm]
ULS 1a_90	13	430	554	12517	452	0
ULS 1a_0,9_0,9_90	14	426	474	12397	471	0
SLS 7	0	49	531	1481	0	0

Foundation loads, selection of load combinations based on greatest value

Combination	F _x [kN]	F _y [kN]	F _z [kN]	M _x [kNm]	M _y [kNm]	M _z [kNm]
ULS 1a_0,9_90	13	430	498	12530	452	0
SPLS 3_0 Ba All Cts	610	31	513	915	19337	-13
SPLS 6a_90 Ah Ct2 Ba Ct2	-308	114	559	3096	-10053	-3913
SPLS 1a_0,9_86,665 Ba All Cts	534	230	444	6400	17325	4

Note: Largest values can appear in multiple combinations, one combination is displayed.

Support reactions per leg



Axis systems

Maximum compression load

Index	Combination	R _x [kN]	R _y [kN]	R _z [kN]	R _η [kN]	R _ξ [kN]	R _{ξ,lok} [kN]	R _{z,lok} [kN]
1	SPLS 1a_86,665 Ba All Cts	205	214	1203	-7	-296	-31	1232
2	SPLS 3_0 Ba All Cts	168	-165	966	-2	-235	-22	989
3	SPLS 3_135 Ah All Cts	-150	-145	866	3	-209	-18	886
4	SPLS 1a_93,335 Ah All Cts	-203	212	1191	6	-294	-30	1220

Maximum tension load

Index	Combination	R _x [kN]	R _y [kN]	R _z [kN]	R _η [kN]	R _ξ [kN]	R _{ξ,lok} [kN]	R _{z,lok} [kN]
1	SPLS 3_0,9_135 Ah All Cts	-108	-104	-624	-3	150	12	-639
2	SPLS 1a_0,9_93,335 Ah All Cts	-163	172	-957	-7	237	25	-980
3	SPLS 1a_0,9_86,665 Ba All Cts	164	174	-967	7	239	25	-991
4	SPLS 3_0,9_0 Ba All Cts	125	-124	-722	1	176	17	-740

Maximum torsional load (positive)

Index	Combination	R _x [kN]	R _y [kN]	R _z [kN]	R _η [kN]	R _ξ [kN]	R _{ξ,lok} [kN]	R _{z,lok} [kN]
1	SPLS 6a_90 Ah Ct1 Ba Ct1	63	-115	-157	126	36	2	-160
2	SPLS 6a_90 Ah Ct1 Ah Ct2	-130	-48	-241	126	58	5	-247
3	SPLS 6a_90 Ba Ct2 Ba Ct1	-55	128	-192	130	52	9	-196
4	SPLS 6a_90 Ba Ct2 Ba Ct1	79	106	61	131	-19	-6	62

Maximum torsional load (negative)

Index	Combination	R _x [kN]	R _y [kN]	R _z [kN]	R _η [kN]	R _ξ [kN]	R _{ξ,lok} [kN]	R _{z,lok} [kN]
1	SPLS 6a_90 Ah Ct2 Ah Ct1	-79	105	58	-130	-19	-6	59
2	SPLS 6a_90 Ah Ct2 Ba Ct2	12	172	-458	-130	113	12	-469
3	SPLS 6a_90 Ba Ct1 Ba Ct2	130	-49	-238	-127	57	5	-244
4	SPLS 6a_90 Ba Ct1 Ba Ct2	-107	-71	109	-126	-25	-1	112

Project: MBT-EHV
 Tower: HA+0 T1
 Number: 34

Combination Ftensile+Fhor

Index	Combination	R _x [kN]	R _y [kN]	R _z [kN]	R _η [kN]	R _ξ [kN]	R _{ξ,lok} [kN]	R _{z,lok} [kN]
1	SPLS 6a_90 Ah All Cts Ba Ct1	-67	-114	-544	33	128	8	-557
2	SPLS 1a_0,9_93,335 Ah All Cts	-163	172	-957	-7	237	25	-980
3	SPLS 1a_0,9_86,665 Ba All Cts	164	174	-967	7	239	25	-991
4	SPLS 3_0,9_0 Ba All Cts	125	-124	-722	1	176	17	-740

Permanent load

Index	Combination	R _x [kN]	R _y [kN]	R _z [kN]	R _η [kN]	R _ξ [kN]	R _{ξ,lok} [kN]	R _{z,lok} [kN]
1	SLS 7	34	35	200	0	-49	-5	205
2	SLS 7	11	-11	65	0	-15	-1	67
3	SLS 7	-11	-11	65	0	-15	-1	67
4	SLS 7	-34	35	200	0	-49	-5	205

Envelope of load combinations for all of the legs

Index	Combination	R _x [kN]	R _y [kN]	R _z [kN]	R _η [kN]	R _ξ [kN]	R _{ξ,lok} [kN]	R _{z,lok} [kN]
Max. pressure	SPLS 1a_86,665 Ba All Cts	205	214	1203	-7	-296	-31	1232
Max. tension	SPLS 1a_0,9_86,665 Ba All Cts	164	174	-967	7	239	25	-991
Max. pos. torsie	SPLS 6a_90 Ba Ct2 Ba Ct1	79	106	61	131	-19	-6	62
Max. neg. torsie	SPLS 6a_90 Ah Ct2 Ba Ct2	12	172	-458	-130	113	12	-469
Comb. tension+torsie	SPLS 1a_0,9_86,665 Ba All Cts	164	174	-967	7	239	25	-991

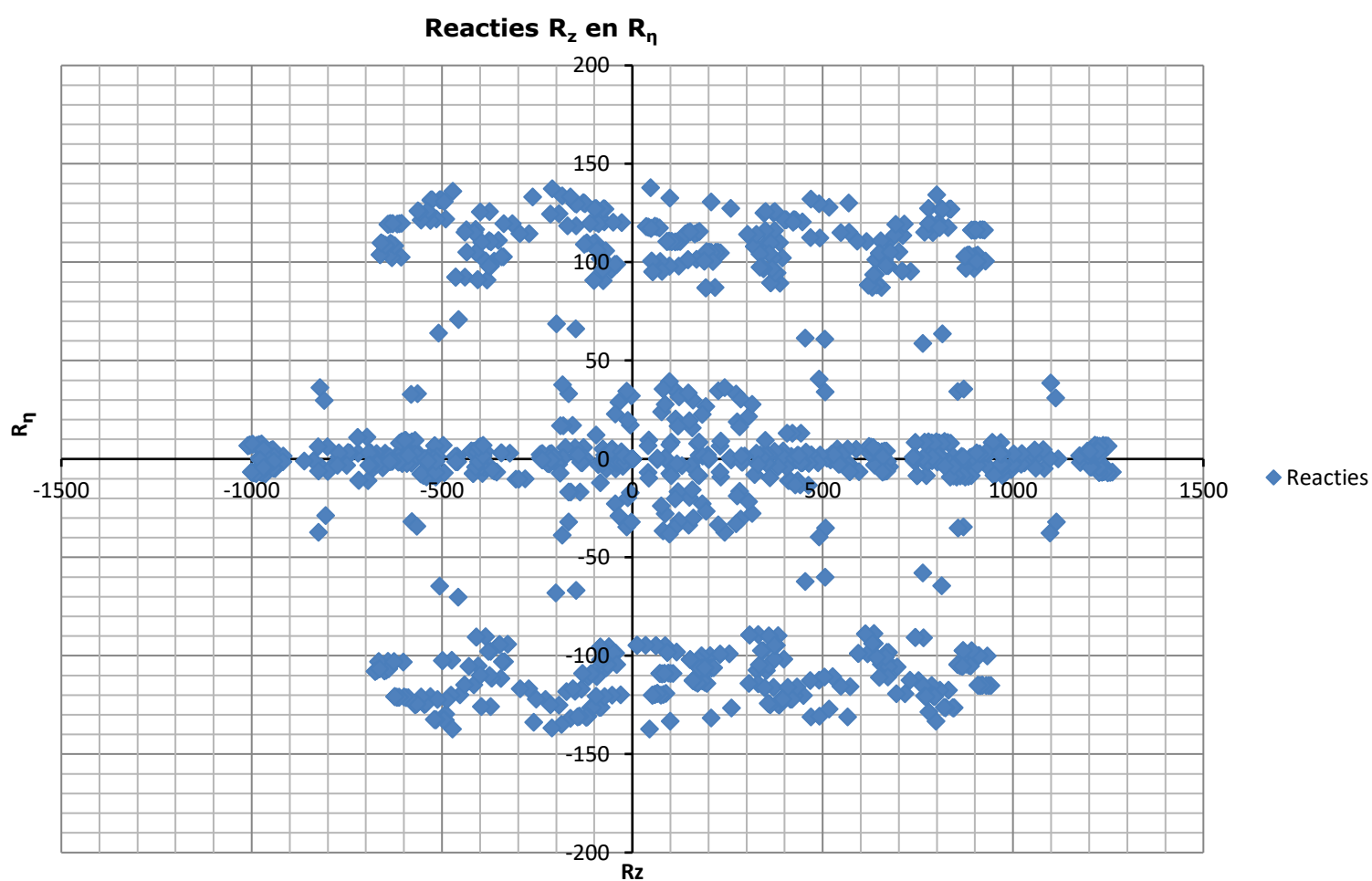
Maximum tension load - SLS

Index	Combination	R _x [kN]	R _y [kN]	R _z [kN]	R _η [kN]	R _ξ [kN]	R _{ξ,lok} [kN]	R _{z,lok} [kN]
1	SLS 7	34	35	200	0	-49	-5	205
2	SLS 1a_135	-71	69	-368	1	100	18	-376
3	SLS 1a_45	73	71	-378	-1	102	19	-388
4	SLS 1a_0	13	-8	-41	4	15	6	-42

Maximum compression load - SLS

Index	Combination	R _x [kN]	R _y [kN]	R _z [kN]	R _η [kN]	R _ξ [kN]	R _{ξ,lok} [kN]	R _{z,lok} [kN]
1	SLS 1a_45	117	119	643	-1	-167	-24	659
2	SLS 1a_0	62	-51	306	-8	-79	-12	314
3	SLS 7	-11	-11	65	0	-15	-1	67
4	SLS 1a_135	-115	117	633	1	-164	-24	648

Project: MBT-EHV
 Tower: HA+0 T1
 Number: 34



Project: MBT-EHV
 Tower: HA+0 T1
 Number: 34

Auteur: TBR
 Versie: v11.7

Conductor loads

Starting points

Consequence class Verbouw CC2
 Reference period 50 jaar

ULS (strength)		NEN-EN50341-2-15:2019			γ_Q			γ_a	
Load case	description	Temp °C	γ_G $G_{k,mast}$	γ_G $G_{k,geleider}$	Q_{pk}	Q_{wk}	Q_{ik}	A_k	
ULS 1a	Wind	10°	1,15	1,15	0,00	1,40	0,00	0,0	
ULS 1a_0,9	Wind 0,9Gk only tower	10°	0,90	1,15	0,00	1,40	0,00	0,0	
ULS 1a_0,9_0,9	Wind 0,9Gk conductors too	10°	0,90	0,90	0,00	1,40	0,00	0,0	
ULS 3	Wind+ice	-5°	1,15	1,15	0,00	0,42	1,30	0,0	
ULS 3_0,9	Wind+ice 0,9Gk	-5°	0,90	1,15	0,00	0,42	1,30	0,0	
ULS 4	Cold+wind	-20°	1,15	1,15	0,00	0,28	0,00	0,0	
ULS 4_0,9	Cold+wind 0,9Gk	-20°	0,90	1,15	0,00	0,28	0,00	0,0	
ULS 5a	Torsional loads	10°	1,00	1,00	1,00	0,00	0,00	1,0	
ULS 5b	Longitudinal loads	10°	1,00	1,00	0,00	0,00	0,00	1,0	
ULS 6	Construction + maintenance	5°	1,15	1,15	1,30	0,28	0,00	0,0	
ULS 6_0,9	Construction + maintenance	5°	1,15	1,15	0,00	0,28	0,00	0,0	
ULS 7	Permanent	10°	1,30	1,30	0,00	0,00	0,00	0,0	
ULS 8	Special	10°	1,00	1,00	0,00	0,00	0,00	1,0	
SPLS (strength, for angle towers: absence of conductors)				γ_G G_k	γ_Q Q_{pk}		Q_{wk}	Q_{ik}	A_k
SPLS 1a	Wind	10°	1,15	1,15	0,0	0,78	0,00	0,0	
SPLS 1a_0,9	Wind 0,9	10°	0,90	1,15	0,0	0,78	0,00	0,0	
SPLS 1a_0,9_0,9	Wind 0,9	10°	0,90	1,15	0,0	0,78	0,00	0,0	
SPLS 3	Wind+ice	-5°	1,15	1,15	0,0	0,36	0,34	0,0	
SPLS 3_0,9	Wind+ice 0,9	-5°	0,90	1,15	0,0	0,36	0,34	0,0	
SPLS 4	Cold+wind	-20°	1,15	1,15	0,0	0,24	0,00	0,0	
SPLS 4_0,9	Cold+wind 0,9	-20°	0,90	1,15	0,0	0,24	0,00	0,0	
SPLS 6	Maintenance	5°	1,15	1,15	1,2	0,24	0,0	0,0	
SPLS 6_0,9	Maintenance	5°	1,15	1,15	0,0	0,24	0,0	0,0	
SLS (deformations, fatigue, EDS)				G_k	Q_{pk}	Q_{wk}	Q_{ik}	A_k	
SLS 1a	Wind	10°	1,00	1,00	0,0	1,00	0,0	0,0	
SLS 3	Wind+ice	-5°	1,00	1,00	0,0	0,30	1,00	0,0	
SLS 4	Wind	-20°	1,00	1,00	0,0	0,20	0,0	0,0	
SLS 6	Maintenance	5°	1,00	1,00	0,0	0,20	0,0	0,0	
SLS 7	EDS, no wind	10°	1,00	1,00	0,0	0,00	0,0	0,0	

Number of wind directions 6
 Number of load combinations for ULS 54
 Number of load combinations for SPLS 222
 Number of load combinations for SLS 15
 Number of concentrated loads 5238

Project: MBT-EHV
 Tower: HA+0 T1
 Number: 34

Summary table - Conductor loads

The four tables below show:

- The maximum conductor load in the global axis system, split into proportion of back and ahead span
- The combined conductor load (Ba+Ah) in the global axis system with the maximum tensile force in the local axes. Components Fx and Fy as absolute values
- The everyday (EDS) values of the combined conductor loads (Ba+Ah) with corresponding tensile forces
- Check for uplift, where a negative value indicates uplift

Note: Maximum values for Fx, Fy and Fz do not necessarily belong to the same load combination.

Maximum values for back and ahead span

Geleider	Fx_ba [kN]	Fx_ah [kN]	Fy_ba [kN]	Fy_ah [kN]	Fz_ba [kN]	Fz_ah [kN]
bl1	-33,3	33,8	6,6	6,6	5,7	5,9
380ct1f1	-126,7	127,4	22,5	22,2	21,1	21,9
380ct1f2	-126,7	127,4	22,5	22,2	21,1	21,9
380ct1f3	-128,9	130,0	25,1	25,1	21,1	21,9
380ct2f1	-126,7	127,4	22,5	22,2	21,1	21,9
380ct2f2	-126,7	127,4	22,5	22,2	21,1	21,9
380ct2f3	-128,9	130,0	25,1	25,1	21,1	21,9
bl2	-33,8	34,3	6,6	6,6	5,8	5,9
Post 1	0,0	0,0	0,0	0,0	0,0	
Post 2	0,0	0,0	0,0	0,0	0,0	

Min. Weight span (m)

Weight spar Combinatie1

Geleider	SLS 1a	SLS 4	SLS 7
bl1	343,0	360,7	366,0
380ct1f1	367,0	371,9	374,6
380ct1f2	367,0	371,9	374,6
380ct1f3	364,8	371,7	374,6
380ct2f1	367,0	371,9	374,6
380ct2f2	367,0	371,9	374,6
380ct2f3	364,8	371,7	374,6
bl2	343,7	360,8	366,0
Post 1			
Post 2			

Max. Weight span (m)

Weight spar Combinatie1

Geleider	ULS 1a	ULS 3
bl1	366,6	369,1
380ct1f1	374,9	375,5
380ct1f2	374,9	375,5
380ct1f3	374,9	375,5
380ct2f1	374,9	375,5
380ct2f2	374,9	375,5
380ct2f3	374,9	375,5
bl2	366,6	369,0
Post 1		
Post 2		

Envelop of weight span over all combinations (incl. 0,9 combinations)

For all conductors	Wind / Weight span ratio
Max. weight span	375,5 m 0,938 -
Min. weight span	322,8 m 0,807 -

Project: MBT-EHV
 Tower: HA+0 T1
 Number: 34

Maximum values back + ahead span Maximum tension in conductor

Geleider	Fx [kN]	Fy [kN]	Fz [kN]	Ft_ba [kN]	Ft_ah [kN]
bl1	31,7	13,1	5,9	-33,5	34,0
380ct1f1	97,7	44,6	21,9	-127,4	128,1
380ct1f2	97,7	44,6	21,9	-127,4	128,1
380ct1f3	98,0	50,1	21,9	-129,7	130,8
380ct2f1	97,7	44,6	21,9	-127,4	128,1
380ct2f2	97,7	44,6	21,9	-127,4	128,1
380ct2f3	98,0	50,1	21,9	-129,7	130,8
bl2	32,2	13,2	5,9	-34,1	34,5
Post 1	3,2	3,2	4,6	0,0	
Post 2	3,2	3,2	4,6	0,0	

EDS-loads conductor

Geleider	Fx [kN]	Fy [kN]	Fz [kN]	Ft_ba [kN]	Ft_ah [kN]
bl1	14,5	0,8	1,8	-14,6	14,6
380ct1f1	64,5	3,8	12,9	-64,6	64,6
380ct1f2	64,5	3,8	12,9	-64,6	64,6
380ct1f3	64,5	3,8	12,9	-64,6	64,6
380ct2f1	64,5	3,8	12,9	-64,6	64,6
380ct2f2	64,5	3,8	12,9	-64,6	64,6
380ct2f3	64,5	3,8	12,9	-64,6	64,6
bl2	14,9	0,9	1,9	-15,0	15,0
Post 1	0,0	0,0	3,5	0,0	
Post 2	0,0	0,0	3,5	0,0	

1 Control uplift SLS-wind

Combinatie: Geleider	Fz_ba [kN]	Fz_ah [kN]
SLS 4 bl1	0,0	0,0
380ct1f1	0,0	0,0
380ct1f2	0,0	0,0
380ct1f3	0,0	0,0
380ct2f1	0,0	0,0
380ct2f2	0,0	0,0
380ct2f3	0,0	0,0
bl2	0,0	0,0
Post 1	0,0	
Post 2	0,0	

Project: MBT-EHV
 Tower: HA+0 T1
 Number: 34

ULS foundation loads for LC 1 and 3, wind purpendicular to the line or bisector and EDS, from conductors

Combination	Combination	F _x [kN]	F _y [kN]	F _z [kN]	M _x [kNm]	M _y [kNm]	M _z [kNm]
ULS 1a_90		18	311	187	10065	598	0
ULS 1a_0,9_0		7	55	189	1703	194	-81
ULS 1a_0,9_0,9_90		19	305	144	9892	632	0
ULS 3_0		4	92	283	2891	119	-24
SLS 7		0	49	166	1481	0	0

ULS foundation loads, LC 1 and 3, wind purpendicular to the line or bisector and EDS, total conductors and tower

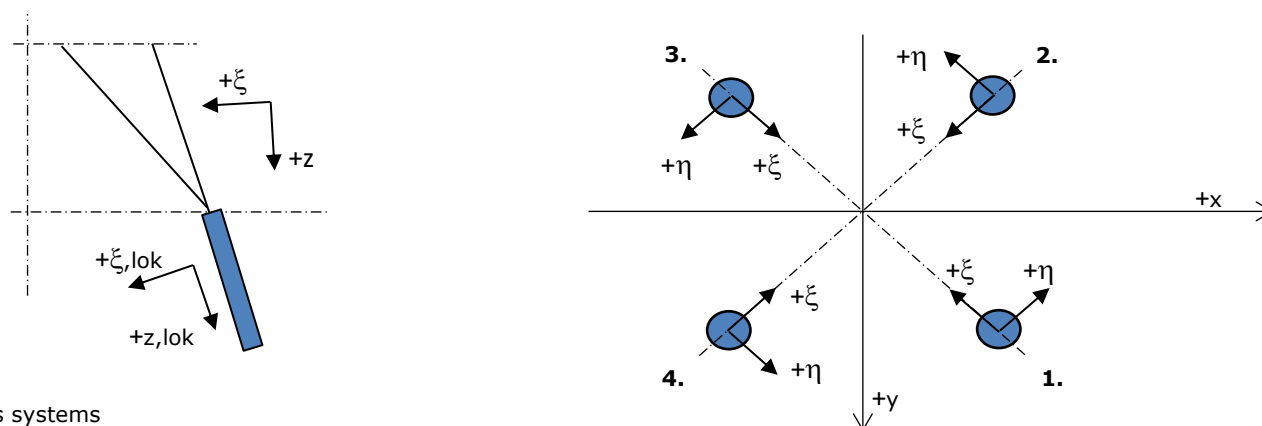
Combination	F _x [kN]	F _y [kN]	F _z [kN]	M _x [kNm]	M _y [kNm]	M _z [kNm]
ULS 1a_90	18	533	606	15486	598	0
ULS 1a_0,9_0,9_90	19	526	473	15313	632	0
SLS 7	0	49	531	1481	0	0

Foundation loads, selection of load combinations based on greatest value

Combination	F _x [kN]	F _y [kN]	F _z [kN]	M _x [kNm]	M _y [kNm]	M _z [kNm]
ULS 1a_0,9_90	18	533	513	15507	598	0
SPLS 3_0 Ba All Cts	648	33	561	977	20547	-13
SPLS 6a_90 Ah Ct2 Ba Ct2	-325	117	610	3154	-10613	-4133
SPLS 1a_0,9_86,665 Ba All Cts	564	232	455	6456	18279	4

Note: Largest values can appear in multiple combinations, one combination is displayed.

Support reactions per leg



Axis systems

Maximum compression load

Index	Combination	R _x [kN]	R _y [kN]	R _z [kN]	R _η [kN]	R _ξ [kN]	R _{ξ,lok} [kN]	R _{z,lok} [kN]
1	SPLS 1a_86,665 Ba All Cts	215	224	1260	-7	-310	-32	1291
2	SPLS 3_0 Ba All Cts	179	-176	1030	-2	-251	-23	1054
3	SPLS 3_135 Ah All Cts	-161	-156	928	3	-224	-19	950
4	SPLS 1a_93,335 Ah All Cts	-213	222	1249	7	-308	-32	1279

Maximum tension load

Index	Combination	R _x [kN]	R _y [kN]	R _z [kN]	R _η [kN]	R _ξ [kN]	R _{ξ,lok} [kN]	R _{z,lok} [kN]
1	SPLS 3_0,9_135 Ah All Cts	-116	-112	-672	-3	162	13	-688
2	SPLS 1a_0,9_93,335 Ah All Cts	-170	180	-1001	-7	247	26	-1025
3	SPLS 1a_0,9_86,665 Ba All Cts	172	181	-1011	7	250	26	-1035
4	SPLS 3_0,9_0 Ba All Cts	134	-132	-772	1	188	18	-790

Maximum torsional load (positive)

Index	Combination	R _x [kN]	R _y [kN]	R _z [kN]	R _η [kN]	R _ξ [kN]	R _{ξ,lok} [kN]	R _{z,lok} [kN]
1	SPLS 6a_90 Ah Ct1 Ba Ct1	67	-121	-164	133	38	2	-167
2	SPLS 6a_90 Ah Ct1 Ah Ct2	-139	-50	-263	133	63	5	-269
3	SPLS 6a_90 Ba Ct2 Ba Ct1	-57	137	-211	137	56	10	-216
4	SPLS 6a_90 Ba Ct2 Ba Ct1	86	109	48	138	-16	-6	49

Maximum torsional load (negative)

Index	Combination	R _x [kN]	R _y [kN]	R _z [kN]	R _η [kN]	R _ξ [kN]	R _{ξ,lok} [kN]	R _{z,lok} [kN]
1	SPLS 6a_90 Ah Ct2 Ah Ct1	-86	108	45	-137	-16	-6	46
2	SPLS 6a_90 Ah Ct2 Ba Ct2	14	180	-473	-137	117	13	-485
3	SPLS 6a_90 Ba Ct1 Ba Ct2	139	-51	-260	-134	62	5	-266
4	SPLS 6a_90 Ba Ct1 Ba Ct2	-110	-78	99	-133	-23	-1	101

Project: MBT-EHV
 Tower: HA+0 T1
 Number: 34

Combination Ftensile+Fhor

Index	Combination	R _x [kN]	R _y [kN]	R _z [kN]	R _η [kN]	R _ξ [kN]	R _{ξ,lok} [kN]	R _{z,lok} [kN]
1	SPLS 3_0,9_135 Ah All Cts	-116	-112	-672	-3	162	13	-688
2	SPLS 1a_0,9_93,335 Ah All Cts	-170	180	-1001	-7	247	26	-1025
3	SPLS 1a_0,9_86,665 Ba All Cts	172	181	-1011	7	250	26	-1035
4	SPLS 3_0,9_0 Ba All Cts	134	-132	-772	1	188	18	-790

Permanent load

Index	Combination	R _x [kN]	R _y [kN]	R _z [kN]	R _η [kN]	R _ξ [kN]	R _{ξ,lok} [kN]	R _{z,lok} [kN]
1	SLS 7	34	35	200	0	-49	-5	205
2	SLS 7	11	-11	65	0	-15	-1	67
3	SLS 7	-11	-11	65	0	-15	-1	67
4	SLS 7	-34	35	200	0	-49	-5	205

Envelope of load combinations for all of the legs

Index	Combination	R _x [kN]	R _y [kN]	R _z [kN]	R _η [kN]	R _ξ [kN]	R _{ξ,lok} [kN]	R _{z,lok} [kN]
Max. pressure	SPLS 1a_86,665 Ba All Cts	215	224	1260	-7	-310	-32	1291
Max. tension	SPLS 1a_0,9_86,665 Ba All Cts	172	181	-1011	7	250	26	-1035
Max. pos. torsie	SPLS 6a_90 Ba Ct2 Ba Ct1	86	109	48	138	-16	-6	49
Max. neg. torsie	SPLS 6a_90 Ah Ct2 Ba Ct2	14	180	-473	-137	117	13	-485
Comb. tension+torsie	SPLS 1a_0,9_86,665 Ba All Cts	172	181	-1011	7	250	26	-1035

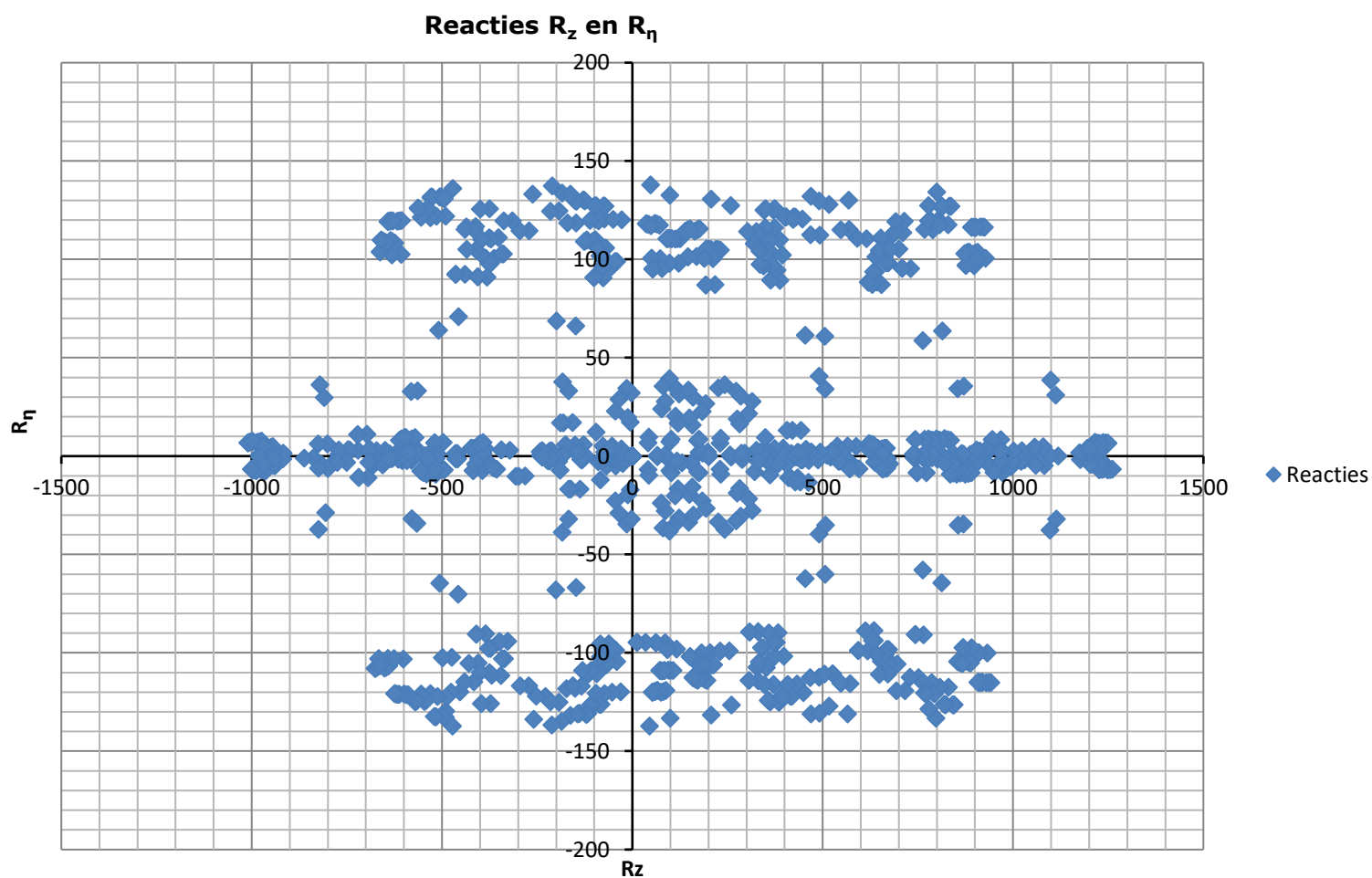
Maximum tension load - SLS

Index	Combination	R _x [kN]	R _y [kN]	R _z [kN]	R _η [kN]	R _ξ [kN]	R _{ξ,lok} [kN]	R _{z,lok} [kN]
1	SLS 7	34	35	200	0	-49	-5	205
2	SLS 1a_135	-76	74	-392	2	106	20	-402
3	SLS 1a_45	78	76	-405	-1	109	20	-414
4	SLS 1a_0	16	-10	-55	4	19	7	-57

Maximum compression load - SLS

Index	Combination	R _x [kN]	R _y [kN]	R _z [kN]	R _η [kN]	R _ξ [kN]	R _{ξ,lok} [kN]	R _{z,lok} [kN]
1	SLS 1a_45	122	124	670	-1	-174	-26	686
2	SLS 1a_0	65	-53	321	-8	-83	-12	328
3	SLS 7	-11	-11	65	0	-15	-1	67
4	SLS 1a_135	-120	121	658	1	-171	-25	673

Project: MBT-EHV
Tower: HA+0 T1
Number: 34



Project: MBT-EHV
 Tower: HA+0 T1
 Number: 128

Auteur: TBR
 Versie: v11.7

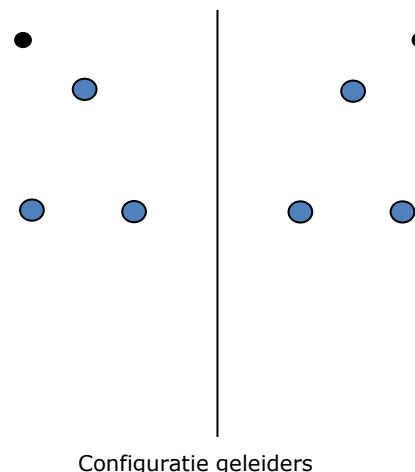
Conductor loads

General

Description HA+0 T1
 Tower type Hoekmast
 Number of circuits 2
 Configuration 2-circuit-donau
 Number of earth wires 2

Starting points

Norm NEN-EN50341-2-15:2019
 Consequence class CC2-0
 Reliability level initial Afkeur CC2-0
 Reference period initial 30 jaar
 Consequence class modified CC2
 Reliability level modified Verbouw
 Reference period modified 50 jaar
 Wind zone III
 Wind speed (m/s) 24,5 m/s
 Terrain category II
 Reduction factor c_{dir} 1,00
 Ice region phase conductor B
 Ice region earth conductor B



Conductors back

Description	Voltage	Conductor Back	Bundle Ba	Ice region	Additional weight	Additional diameter	Catenary P_{back}
Circuit 1	380 kV	ACCC-Warsaw	3	B	3 %	3 %	1400
Circuit 2	380 kV	ACCC-Warsaw	3	B	3 %	3 %	1400
Bliksemdraad 1		OPGW AFL-226/38	1	B	3 %	3 %	1550
Bliksemdraad 2		AACSR 241-AL3-39-A20SA	1	B	3 %	3 %	1550

Conductors ahead

Description	Voltage	Conductor Ahead	Bundle Ah	Ice region	Additional weight	Additional diameter	Catenary P_{ahead}
Circuit 1	380 kV	ACCC-Warsaw	3	B	3 %	3 %	1400
Circuit 2	380 kV	ACCC-Warsaw	3	B	3 %	3 %	1400
Bliksemdraad 1		OPGW AFL-226/38	1	B	3 %	3 %	1550
Bliksemdraad 2		AACSR 241-AL3-39-A20SA	1	B	3 %	3 %	1550

Insulators (1)

Description	Suspension	Weight [kN]	Length [m]	Wind area [m ²]
Circuit 1	Afspanketting	4,00	4,50	2,00
Circuit 2	Afspanketting	4,00	4,50	2,00
Bliksemdraad 1	Vast (Bliksemdraad)	0,10	0,30	0,10
Bliksemdraad 2	Vast (Bliksemdraad)	0,10	0,30	0,10

1. Properties apply to the entire isolator set

Suspension height and position in mast

Circuits	Designation	Number	Suspension height	Attach point	Position in tower Horizontal distance
Circuit 1	10	380ct1f1	27,7 m	27,7 m	-15,7 m
Circuit 1	11	380ct1f2	27,7 m	27,7 m	-8,7 m
Circuit 1	12	380ct1f3	39,0 m	39,0 m	-12,2 m
Circuit 2	20	380ct2f1	27,7 m	27,7 m	8,7 m
Circuit 2	21	380ct2f2	27,7 m	27,7 m	15,7 m
Circuit 2	22	380ct2f3	39,0 m	39,0 m	12,2 m
Bliksemdraad 1	1	bl1	42,9 m	43,2 m	-17,0 m
Bliksemdraad 2	3	bl2	42,9 m	43,2 m	17,0 m

Project: MBT-EHV
 Tower: HA+0 T1
 Number: 128

Height adjustment adjacent masts (wind and weight span adjustment)

	Back	Ahead	
Height increase for wind pressure	0,0 m	0,0 m	(positive: higher)
Height decrease for vertical load	0,0 m	0,0 m	(negative: decrease, more weight span)
Decrease: Niet in 0,9EG-combinaties			

Height difference adjacent tower and change of direction with respect to Line direction

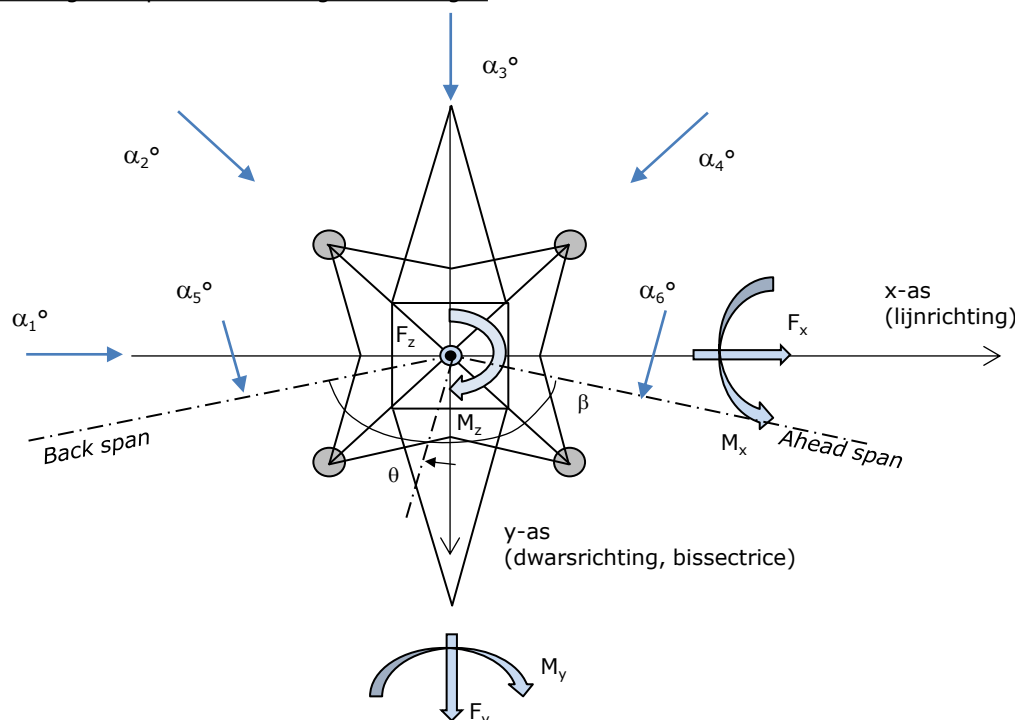
Circuits	Aanduiding	Nummer	Hoogteverschil		Richtingsverandering	
			Δh_{back}	Δh_{ahead}	Δy_{back}	Δy_{ahead}
Circuit 1	10	380ct1f1	0,1	0,2 m	0,0	0,0 m
Circuit 1	11	380ct1f2	0,1	0,2 m	0,0	0,0 m
Circuit 1	12	380ct1f3	0,1	0,2 m	0,0	0,0 m
Circuit 2	20	380ct2f1	0,1	0,2 m	0,0	0,0 m
Circuit 2	21	380ct2f2	0,1	0,2 m	0,0 </td <td>0,0 m</td>	0,0 m
Circuit 2	22	380ct2f3	0,1	0,2 m	0,0	0,0 m
Bliksemdraad 1	1	bl1	0,8	1,0 m	0,0	0,0 m
Bliksemdraad 2	3	bl2	0,8	1,0 m	0,0	0,0 m

Line and tower data

	Back	Ahead
Ruling span $\sqrt{(\Sigma L^3)/\Sigma L}$	399,0	394,0 m
Line angle β	359,0	396,5 m
Tower orientation with respect to bisector θ	166 °	
Section length	0 °	
Height bottom of tower to ground level	3179	793 m
Wind directions considered α_1	0,5 m	
Wind directions according to: α_2	0 °	
<i>Geleiderbelastingen</i> α_3	45 °	
α_4	90 °	
α_5	135 °	
α_6	83 °	
	97 °	

Wind directions apply to the main direction of mast construction, not to the bisector.

Windrichtingen en positieve richtingen belastingen



Considered number of wind directions

1a	6
3	6
4	1
6	1
Overig	1

Project: MBT-EHV
 Tower: HA+0 T1
 Number: 128

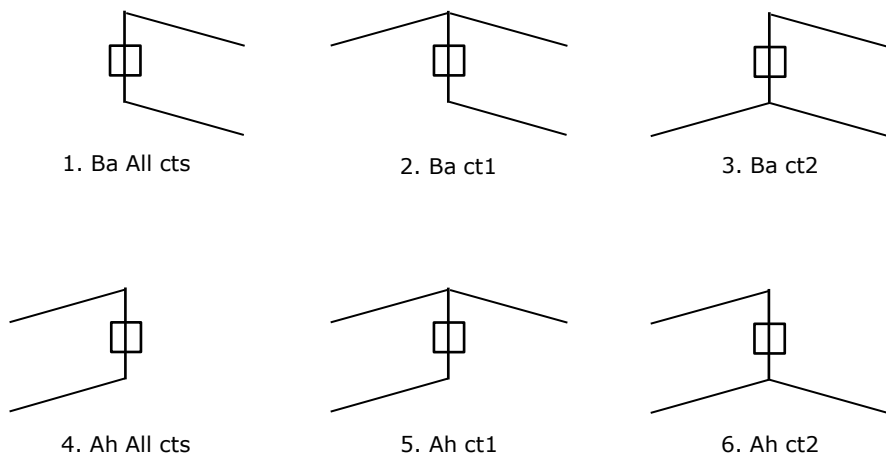
Absence of conductors

		SPLS - torsie		SPLS - Enkelzijdige trek		5a - geleiderbreuk	
		Aanw.	Afw.	Aanw.	Afw.	Aanw.	Afw.
Circuit 1	380ct1f1	1	0	1	0	1	0
Circuit 1	380ct1f2	1	0	1	0	1	0
Circuit 1	380ct1f3	1	0	1	0	1	0
Circuit 2	380ct2f1	0	1	1	0	1	0
Circuit 2	380ct2f2	0	1	1	0	1	0
Circuit 2	380ct2f3	0	1	1	0	1	0
Bliksemraad 1	bl1	1	0	1	0	1	0
Bliksemraad 2	bl2	0	1	1	0	1	0

Load situations SPLS

Considered situations SPLS: 1 up to 6, All possible situations

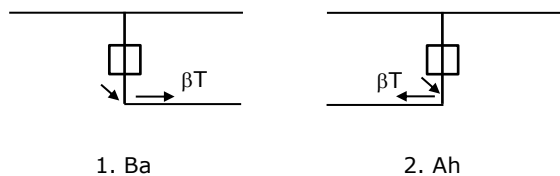
Principle of load situations:



Load situation 5a. Conductor failure

Considered situations conductor failure 5a: 1 and 2, all possible situations

Principle of load situations:



Project: MBT-EHV
 Tower: HA+0 T1
 Number: 128

Load situations LC6. Construction and maintenance

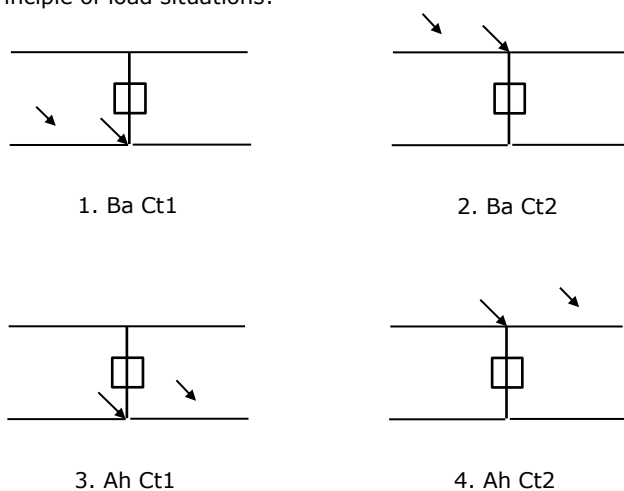
Under 6a, the load due to the presence of a line vehicle or line bicycle in combination with point load on the traverse is assessed. Combination 6b does not contain any loads in conductor or on traverse. This combination has been added to be able to combine with separate control platforms, etc. The situations are applied in ULS and in every SPLS situation (in case of angle tower).

	Phase	Earth
Line vehicle	3,0 kN	2,0 kN
Concentrated load cross arm	1,0 kN	1,0 kN

Beschouwde situaties bouw- en onderhoud 6a: 1 t/m 4, alle mogelijke situaties.

Presence line vehicle: Circuit, belasting tegelijk aanwezig in alle geleiders per circuit.

Principle of load situations:



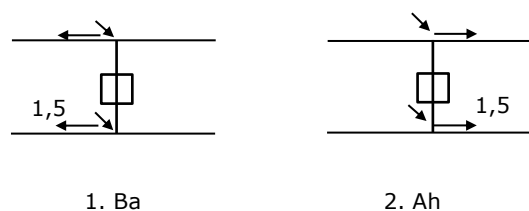
Load situations 8. Galloping as a static load

Conductor		
Suspension tower phase	0,866 W	1,5 W
Suspension tower earth	1,5 EDS	1,5 W
Strain tower phase and earth	1,5 EDS	1,5 W

Considered situations galloping 8: None (existing structure)

Belasting tegelijk aanwezig in alle geleiders van het circuit.

Principle of load situations:



Load combination 8. Galloping as a dynamic load

Only applies to tension towers
 Load consists of EDS tensile load in one of the conductors on one side of the tower
 Can be converted by user to fatigue spectrum via the load spectrum of table 4.11 / NL.1

Project: MBT-EHV
 Tower: HA+0 T1
 Number: 128

Tower structure

Properties

Tower type	Hoekmast	
Tower designation	HA+0 T1	
Base plate w.r.t. ground level	0,5 m	
Tower height w.r.t. base plate	45,0 m	
Tower self weight	365,0 kN	
<i>Width and slope at foundation</i>	x-ri.	y-ri.
Leg spread	11,00	11,00 m
Inclination of main leg	0,156	0,156 -
Horizontal force factor	1,1	1,1 -

Calculation Wind load

Dynamic factor G_T	1,00 (<i>Masthoogte < 60 m</i>)
Wind load diagonally to tower body proportional to:	$(A1C1\sin^2(\phi)+A2C2\cos^2(\phi))$
Wind load diagonally on traverse proportional to:	$(A1C1\sin^2(\phi)+A2C2\cos^2(\phi))$
Magnification factor diagonal wind to tower body	$(1+0,2\sin^2(2\phi))$
Magnification factor diagonal wind to cross arm	$(1+0,2\sin^2(2\phi))$
Magnification factor wind parallel to perpendicular to cross a	0,4

Properties mast sections longitudinal direction (front view, yz plane)

Description	h [m]	b ₁ [m]	b ₂ [m]	Δh [m]	Δ _x [m]	A ₀ [m ²]	A ₁ [m ²]	χ = A ₁ /A ₀ [-]	C _t
Broekstuk 1	9,60	11,00	8,00	9,60	0,156	91,20	13,60	0,15	3,16
Middenstuk 1	18,90	8,00	5,84	9,30	0,116	64,36	12,79	0,20	2,94
Middenstuk 2	27,70	5,84	3,80	8,80	0,116	42,42	11,70	0,28	2,62
Bovenstuk 1	35,50	3,80	3,19	7,80	0,039	27,26	8,07	0,30	2,55
Bovenstuk 2	43,00	3,19	2,60	7,50	0,039	21,71	6,60	0,30	2,52
Topstuk	45,00	2,60		2,00		2,60			
Ondertraverse	27,70	13,80		4,00		27,60	5,38	0,20	2,95
Boventraverse	39,00	15,55		4,20		32,66	7,28	0,22	2,83

Properties tower sections transversal direction (side view, xz plane)

Description	h [m]	b ₁ [m]	b ₂ [m]	Δh [m]	Δ _x [m]	A ₀ [m ²]	A ₁ [m ²]	χ = A ₁ /A ₀ [-]	C _t
Broekstuk 1	9,60	11,00	8,00	9,60	0,156	91,20	13,60	0,15	3,16
Middenstuk 1	18,90	8,00	5,84	9,30	0,116	64,36	12,79	0,20	2,94
Middenstuk 2	27,70	5,84	3,80	8,80	0,116	42,42	11,70	0,28	2,62
Bovenstuk 1	35,50	3,80	3,19	7,80	0,039	27,26	8,07	0,30	2,55
Bovenstuk 2	43,00	3,19	2,60	7,50	0,039	21,71	6,60	0,30	2,52
Topstuk	45,00	2,60		2,00		2,60			
Ondertraverse	27,70	13,80		4,00		27,60	5,38	0,20	2,95
Boventraverse	39,00	15,55		4,20		32,66	7,28	0,22	2,83

Note: Surface transverse direction is reduced in calculation.

Project: MBT-EHV
 Tower: HA+0 T1
 Number: 128

Wind surface feeders telecom installations

Part	A (m ² /m)	Factor	Δh	A ₁
Broekstuk 1	0,32	0,71	9,6	2,2
Middenstuk 1	0,32	0,71	9,3	2,1
Middenstuk 2	0,32	0,71	8,8	2,0
Bovenstuk 1	0,32	0,71	7,8	1,8
Bovenstuk 2	0,32	0,71	0,2	0,1

Input antennas

Description	A (m ²)	h (m)	C _f (m)
Antenne 1	3,8	46	1,8
Schotel			
Schotel			

Tower section loads longitudinal (x-direction) per wind direction

Description	p _w [kN/m ²]	F _{x1} [kN]	F _{x2} [kN]	F _{x3} [kN]	F _{x4} [kN]	h _{ef} [m]	M _{y1} [kNm]	M _{y2} [kNm]	M _{y3} [kNm]	M _{y4} [kNm]
Broekstuk 1	0,70	30,1	25,6	0,0	-25,6	4,8	144,7	122,8	0,0	-122,8
Middenstuk 1	0,79	29,7	25,2	0,0	-25,2	14,3	422,5	358,5	0,0	-358,5
Middenstuk 2	0,92	28,2	23,9	0,0	-23,9	23,3	657,2	557,6	0,0	-557,6
Bovenstuk 1	1,01	20,7	17,6	0,0	-17,6	31,6	654,8	555,6	0,0	-555,6
Bovenstuk 2	1,06	17,7	15,0	0,0	-15,0	39,3	695,2	589,9	0,0	-589,9
Topstuk	1,10					44,0				
Ondertraverse	0,98	31,1	18,5	0,0	-18,5	29,0	903,7	536,7	0,0	-536,7
Boventraverse	1,07	44,3	26,3	0,0	-26,3	40,4	1787,8	1061,9	0,0	-1061,9
Totaal		201,8	152,1	0,0	-152,1		5265,9	3783,1	0,0	-3783,1

Tower section loads transversal (y-direction) per wind direction

Description	p _w [kN/m ²]	F _{y1} [kN]	F _{y2} [kN]	F _{y3} [kN]	F _{x4} [kN]	h _{ef} [m]	M _{x1} [kNm]	M _{x2} [kNm]	M _{x3} [kNm]	M _{x4} [kNm]
Broekstuk 1	0,70	0,0	25,6	30,1	25,6	4,8	0,0	122,8	144,7	122,8
Middenstuk 1	0,79	0,0	25,2	29,7	25,2	14,3	0,0	358,5	422,5	358,5
Middenstuk 2	0,92	0,0	23,9	28,2	23,9	23,3	0,0	557,6	657,2	557,6
Bovenstuk 1	1,01	0,0	17,6	20,7	17,6	31,6	0,0	555,6	654,8	555,6
Bovenstuk 2	1,06	0,0	15,0	17,7	15,0	39,3	0,0	589,9	695,2	589,9
Topstuk	1,10					44,0				
Ondertraverse	0,98	0,0	18,5	12,4	18,5	29,0	0,0	536,7	361,5	536,7
Boventraverse	1,07	0,0	26,3	17,7	26,3	40,4	0,0	1061,9	715,1	1061,9
Total		0,0	152,1	156,6	152,1		0,0	3783,1	3651,0	3783,1

Resulting loads from mast construction incl. Antenna without conductors level foundation (char. Value)

Load / wind direction	F _x [kN]	F _y [kN]	F _z [kN]	M _x [kNm]	M _y [kNm]	M _z [kNm]
Permanente belasting	0	0	365	0	0	0
Windrichting 0°	209	0	0	0	5615	0
Windrichting 45°	157	157	0	4030	4030	0
Windrichting 90°	0	164	0	4001	0	0
Windrichting 135°	-157	157	0	4030	-4030	0

Project: MBT-EHV
 Tower: HA+0 T1
 Number: 128

Intermediate results for conductor loads

Conductors back

Circuit	Geleider	Diameter [mm]	A [mm ²]	G [N/m]	E [N/mm ²]	αT [-]
Circuit 1	ACCC-Warsaw	27,7	569,0	14,93	63750	1,90E-05
Circuit 2	ACCC-Warsaw	27,7	569,0	14,93	63750	1,90E-05
Bliksemdraad 1	OPGW AFL-226/38	21,7	264,0	9,13	72000	1,98E-05
Bliksemdraad 2	AACSR 241-AL3-39-A20SA	21,8	281,0	9,38	70165	1,97E-05

Conductors ahead

Circuit	Geleider	Diameter [mm]	A [mm ²]	G [N/m]	E [N/mm ²]	αT [-]
Circuit 1	ACCC-Warsaw	27,7	569,0	14,93	63750	1,90E-05
Circuit 2	ACCC-Warsaw	27,7	569,0	14,93	63750	1,90E-05
Bliksemdraad 1	OPGW AFL-226/38	21,7	264,0	9,13	72000	1,98E-05
Bliksemdraad 2	AACSR 241-AL3-39-A20SA	21,8	281,0	9,38	70165	1,97E-05

Vertical load back

Circuit	Bundle [-]	Additional [%]	w _{z,G} [N/m]	Ice region	Formula	w _{z,ijs} [N/m]	w _{z,ijs,bundel} [N/m]
Circuit 1	3	3	46,1	B	4+0,2d	9,5	28,6
Circuit 2	3	3	46,1	B	4+0,2d	9,5	28,6
Bliksemdraad 1	1	3	9,4	B	4+0,2d	8,3	8,3
Bliksemdraad 2	1	3	9,7	B	4+0,2d	8,4	8,4

Vertical load ahead

Circuit	Bundle [-]	Additional [%]	w _{z,G} [N/m]	Ice region	Formula	w _{z,ijs} [N/m]	w _{z,ijs,bundel} [N/m]
Circuit 1	3	3	46,1	B	4+0,2d	9,5	28,6
Circuit 2	3	3	46,1	B	4+0,2d	9,5	28,6
Bliksemdraad 1	1	3	9,4	B	4+0,2d	8,3	8,3
Bliksemdraad 2	1	3	9,7	B	4+0,2d	8,4	8,4

Insulators

Conductor	G _{isolator} [kN]	Number	F _{v,iso} [kN]	Length [m]	Wind surf. [m ²]	Wind heighth [m]	Pressure [kN/m ²]	Drag factor [-]	F _{h,iso} [kN]
380ct1f1	4,00	1	4	4,5	2,0	28,20	0,97	1,2	2,33
380ct1f2	4,00	1	4	4,5	2,0	28,20	0,97	1,2	2,33
380ct1f3	4,00	1	4	4,5	2,0	39,50	1,07	1,2	2,56
380ct2f1	4,00	1	4	4,5	2,0	28,20	0,97	1,2	2,33
380ct2f2	4,00	1	4	4,5	2,0	28,20	0,97	1,2	2,33
380ct2f3	4,00	1	4	4,5	2,0	39,50	1,07	1,2	2,56
bl1	0,10	0,5	0,05	0,3	0,1	43,40	1,09	1,2	0,13
bl2	0,10	0,5	0,05	0,3	0,1	43,40	1,09	1,2	0,13

Project: MBT-EHV
 Tower: HA+0 T1
 Number: 128

Wind load back

Conductor	Height		G _{c,dwars}	G _{c,trek}	C _c	d _{additional}	W _y	W _{y,section}	D _{ijs,additional}	W _{y,ijs}	W _{y,ijs,section}
	wind	Pressure									
	[m]	[kN/m ²]	[-]	[-]	[-]	[mm]	[N/m]	[N/m]	[mm]	[N/m]	[N/m]
380ct1f1	18,7	0,86	0,54	0,47	1,14	28,53	45,2	39,2	47,4	79,4	68,8
380ct1f2	18,7	0,86	0,54	0,47	1,14	28,53	45,2	39,2	47,4	79,4	68,8
380ct1f3	30,0	0,99	0,58	0,50	1,10	28,53	53,8	46,5	47,4	97,5	84,4
380ct2f1	18,7	0,86	0,54	0,47	1,14	28,53	45,2	39,2	47,4	79,4	68,8
380ct2f2	18,7	0,86	0,54	0,47	1,14	28,53	45,2	39,2	47,4	79,4	68,8
380ct2f3	30,0	0,99	0,58	0,50	1,10	28,53	53,8	46,5	47,4	97,5	84,4
bl1	35,2	1,03	0,59	0,51	1,20	22,35	16,4	14,2	41,8	30,7	26,5
bl2	35,2	1,03	0,59	0,51	1,20	22,45	16,5	14,2	41,9	30,7	26,6

Wind load ahead

Conductor	Height		G _{c,dwars}	G _{c,trek}	C _c	d _{additional}	W _y	W _{y,section}	D _{ijs,additional}	W _{y,ijs}	W _{y,ijs,section}
	wind	Pressure									
	[m]	[kN/m ²]	[-]	[-]	[-]	[mm]	[N/m]	[N/m]	[mm]	[N/m]	[N/m]
380ct1f1	19,1	0,87	0,54	0,54	1,13	28,53	45,5	45,5	47,4	80,0	80,0
380ct1f2	19,1	0,87	0,54	0,54	1,13	28,53	45,5	45,5	47,4	80,0	80,0
380ct1f3	30,4	0,99	0,58	0,58	1,10	28,53	54,0	54,0	47,4	98,0	98,0
380ct2f1	19,1	0,87	0,54	0,54	1,13	28,53	45,5	45,5	47,4	80,0	80,0
380ct2f2	19,1	0,87	0,54	0,54	1,13	28,53	45,5	45,5	47,4	80,0	80,0
380ct2f3	30,4	0,99	0,58	0,58	1,10	28,53	54,0	54,0	47,4	98,0	98,0
bl1	35,5	1,04	0,59	0,59	1,20	22,35	16,4	16,4	41,8	30,8	30,8
bl2	35,5	1,04	0,59	0,59	1,20	22,45	16,5	16,5	41,9	30,8	30,8

Project: MBT-EHV
 Tower: HA+0 T1
 Number: 128

Auteur: TBR
 Versie: v11.7

Conductor loads

Starting points

Consequence class Afkeur CC2-0
 Reference period 30 jaar

ULS (strength)		NEN-EN50341-2-15:2019			γ _Q			γ _a
Load case	description	Temp °C	γ _G G _{k,mast}	γ _G G _{k,geleider}	Q _{pk}	Q _{wk}	Q _{ik}	A _k
ULS 1a	Wind	10°	1,05	1,05	0,00	1,12	0,00	0,0
ULS 1a_0,9	Wind 0,9Gk only tower	10°	0,90	1,05	0,00	1,12	0,00	0,0
ULS 1a_0,9_0,9	Wind 0,9Gk conductors too	10°	0,90	0,90	0,00	1,12	0,00	0,0
ULS 3	Wind+ice	-5°	1,05	1,05	0,00	0,34	0,97	0,0
ULS 3_0,9	Wind+ice 0,9Gk	-5°	0,90	1,05	0,00	0,34	0,97	0,0
ULS 4	Cold+wind	-20°	1,05	1,05	0,00	0,22	0,00	0,0
ULS 4_0,9	Cold+wind 0,9Gk	-20°	0,90	1,05	0,00	0,22	0,00	0,0
ULS 5a	Torsional loads	10°	1,00	1,00	1,00	0,00	0,00	1,0
ULS 5b	Longitudinal loads	10°	1,00	1,00	0,00	0,00	0,00	1,0
ULS 6	Construction + maintenance	5°	1,05	1,05	1,20	0,22	0,00	0,0
ULS 6_0,9	Construction + maintenance	5°	1,05	1,05	0,00	0,22	0,00	0,0
ULS 7	Permanent	10°	1,15	1,15	0,00	0,00	0,00	0,0
ULS 8	Special	10°	1,00	1,00	0,00	0,00	0,00	1,0
SPLS (strength, for angle towers: absence of conductors)			γ _G G _k		γ _Q			A _k
SPLS 1a	Wind	10°	1,05	1,05	0,0	0,78	0,00	0,0
SPLS 1a_0,9	Wind 0,9	10°	0,90	1,05	0,0	0,78	0,00	0,0
SPLS 1a_0,9_0,9	Wind 0,9	10°	0,90	1,05	0,0	0,78	0,00	0,0
SPLS 3	Wind+ice	-5°	1,05	1,05	0,0	0,36	0,34	0,0
SPLS 3_0,9	Wind+ice 0,9	-5°	0,90	1,05	0,0	0,36	0,34	0,0
SPLS 4	Cold+wind	-20°	1,05	1,05	0,0	0,24	0,00	0,0
SPLS 4_0,9	Cold+wind 0,9	-20°	0,90	1,05	0,0	0,24	0,00	0,0
SPLS 6	Maintenance	5°	1,05	1,05	1,2	0,24	0,0	0,0
SPLS 6_0,9	Maintenance	5°	1,05	1,05	0,0	0,24	0,0	0,0
SLS (deformations, fatigue, EDS)			G _k		Q _{pk} Q _{wk} Q _{ik}			A _k
SLS 1a	Wind	10°	1,00	1,00	0,0	0,94	0,0	0,0
SLS 3	Wind+ice	-5°	1,00	1,00	0,0	0,28	0,88	0,0
SLS 4	Wind	-20°	1,00	1,00	0,0	0,19	0,0	0,0
SLS 6	Maintenance	5°	1,00	1,00	0,0	0,19	0,0	0,0
SLS 7	EDS, no wind	10°	1,00	1,00	0,0	0,00	0,0	0,0

Number of wind directions 6
 Number of load combinations for ULS 54
 Number of load combinations for SPLS 222
 Number of load combinations for SLS 15
 Number of concentrated loads 4656

Project: MBT-EHV
 Tower: HA+0 T1
 Number: 128

Summary table - Conductor loads

The four tables below show:

- The maximum conductor load in the global axis system, split into proportion of back and ahead span
- The combined conductor load (Ba+Ah) in the global axis system with the maximum tensile force in the local axes. Components Fx and Fy as absolute values
- The everyday (EDS) values of the combined conductor loads (Ba+Ah) with corresponding tensile forces
- Check for uplift, where a negative value indicates uplift

Note: Maximum values for Fx, Fy and Fz do not necessarily belong to the same load combination.

Maximum values for back and ahead span

Geleider	Fx_ba [kN]	Fx_ah [kN]	Fy_ba [kN]	Fy_ah [kN]	Fz_ba [kN]	Fz_ah [kN]
bl1	-31,0	30,3	6,8	7,2	5,8	5,5
380ct1f1	-107,4	109,1	23,3	24,0	19,4	19,1
380ct1f2	-107,4	109,1	23,3	24,0	19,4	19,1
380ct1f3	-109,1	111,6	26,0	26,9	19,4	19,1
380ct2f1	-107,4	109,1	23,3	24,0	19,4	19,1
380ct2f2	-107,4	109,1	23,3	24,0	19,4	19,1
380ct2f3	-109,1	111,6	26,0	26,9	19,4	19,1
bl2	-31,5	30,8	6,9	7,2	5,9	5,6

Min. Weight span (m)

Weight spar Combinatie1

Geleider	SLS 1a	SLS 4	SLS 7
bl1	384,7	388,3	389,4
380ct1f1	395,2	395,4	395,5
380ct1f2	395,2	395,4	395,5
380ct1f3	395,0	395,4	395,5
380ct2f1	395,2	395,4	395,5
380ct2f2	395,2	395,4	395,5
380ct2f3	395,0	395,4	395,5
bl2	384,9	388,3	389,4

Max. Weight span (m)

Weight spar Combinatie1

Geleider	ULS 1a	ULS 3
bl1	389,5	389,8
380ct1f1	395,5	395,5
380ct1f2	395,5	395,5
380ct1f3	395,5	395,5
380ct2f1	395,5	395,5
380ct2f2	395,5	395,5
380ct2f3	395,5	395,5
bl2	389,5	389,8

Envelop of weight span over all combinations (incl. 0,9 combinations)

For all conductors

	Wind / Weight span ratio
Max. weight span	395,5 m 0,997 -
Min. weight span	382,3 m 0,964 -

Project: MBT-EHV
 Tower: HA+0 T1
 Number: 128

Maximum values back + ahead span Maximum tension in conductor

Geleider	Fx [kN]	Fy [kN]	Fz [kN]	Ft_ba [kN]	Ft_ah [kN]
bl1	31,0	13,8	5,8	-31,3	30,6
380ct1f1	92,8	46,8	19,4	-108,9	110,7
380ct1f2	92,8	46,8	19,4	-108,9	110,7
380ct1f3	93,9	52,3	19,4	-110,9	113,3
380ct2f1	92,8	46,8	19,4	-108,9	110,7
380ct2f2	92,8	46,8	19,4	-108,9	110,7
380ct2f3	93,9	52,3	19,4	-110,9	113,3
bl2	31,5	13,9	5,9	-31,8	31,1

EDS-loads conductor

Geleider	Fx [kN]	Fy [kN]	Fz [kN]	Ft_ba [kN]	Ft_ah [kN]
bl1	14,5	1,8	1,9	-14,6	14,6
380ct1f1	64,1	7,9	13,2	-64,6	64,6
380ct1f2	64,1	7,9	13,2	-64,6	64,6
380ct1f3	64,1	7,9	13,2	-64,6	64,6
380ct2f1	64,1	7,9	13,2	-64,6	64,6
380ct2f2	64,1	7,9	13,2	-64,6	64,6
380ct2f3	64,1	7,9	13,2	-64,6	64,6
bl2	14,9	1,8	1,9	-15,0	15,0

1 Control uplift SLS-wind

Combinatie: Geleider	Fz_ba [kN]	Fz_ah [kN]
SLS 4 bl1	0,0	0,0
380ct1f1	0,0	0,0
380ct1f2	0,0	0,0
380ct1f3	0,0	0,0
380ct2f1	0,0	0,0
380ct2f2	0,0	0,0
380ct2f3	0,0	0,0
bl2	0,0	0,0

Project: MBT-EHV
 Tower: HA+0 T1
 Number: 128

ULS foundation loads for LC 1 and 3, wind purpendicular to the line or bisector and EDS, from conductors

Combination	Combination	F _x [kN]	F _y [kN]	F _z [kN]	M _x [kNm]	M _y [kNm]	M _z [kNm]
ULS 1a_90		47	320	173	10473	1572	0
ULS 1a_0,9_0		1	106	173	3434	22	0
ULS 1a_0,9_0,9_90		49	311	148	10202	1652	0
ULS 3_0		2	167	245	5393	72	0
SLS 7		0	102	165	3285	0	0

ULS foundation loads, LC 1 and 3, wind purpendicular to the line or bisector and EDS, total conductors and tower

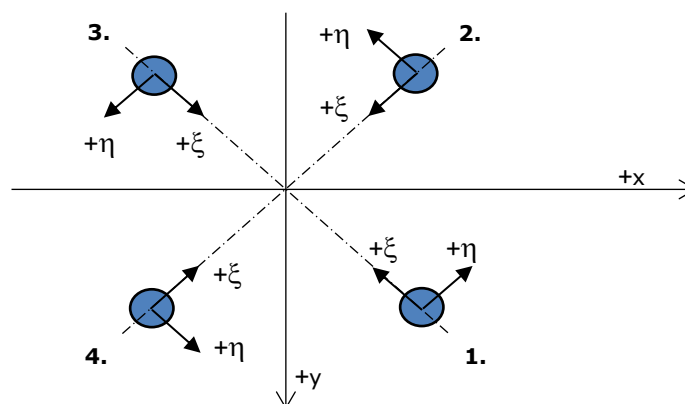
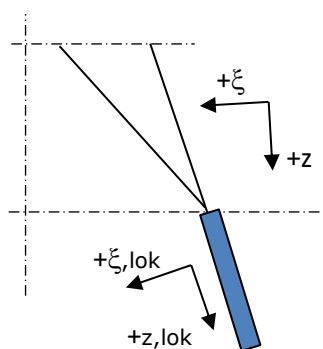
Combination	F _x [kN]	F _y [kN]	F _z [kN]	M _x [kNm]	M _y [kNm]	M _z [kNm]
ULS 1a_90	47	503	556	14941	1572	0
ULS 1a_0,9_0,9_90	49	495	477	14670	1652	0
SLS 7	0	102	530	3285	0	0

Foundation loads, selection of load combinations based on greatest value

Combination	F _x [kN]	F _y [kN]	F _z [kN]	M _x [kNm]	M _y [kNm]	M _z [kNm]
ULS 1a_90	47	503	556	14941	1572	0
SPLS 3_83 Ba All Cts	598	164	507	4844	19393	7
SPLS 6a_90 Ah Ct2 Ba Ct2	-309	162	560	4757	-10088	-3952
SPLS 1a_83 Ba All Cts	543	262	495	7492	17573	6

Note: Largest values can appear in multiple combinations, one combination is displayed.

Support reactions per leg



Axis systems

Maximum compression load

Index	Combination	R _x [kN]	R _y [kN]	R _z [kN]	R _η [kN]	R _ξ [kN]	R _{ξ,lok} [kN]	R _{z,lok} [kN]
1	SPLS 1a_83 Ba All Cts	216	224	1263	-6	-311	-32	1293
2	SPLS 3_0 Ba All Cts	157	-156	906	-1	-221	-21	928
3	SPLS 3_135 Ah All Cts	-139	-136	804	2	-195	-17	824
4	SPLS 1a_97 Ah All Cts	-209	217	1220	6	-301	-31	1249

Maximum tension load

Index	Combination	R _x [kN]	R _y [kN]	R _z [kN]	R _η [kN]	R _ξ [kN]	R _{ξ,lok} [kN]	R _{z,lok} [kN]
1	SPLS 3_0,9_135 Ah All Cts	-98	-94	-564	-3	136	12	-577
2	SPLS 1a_0,9_97 Ah All Cts	-168	177	-985	-6	244	26	-1009
3	SPLS 1a_0,9_83 Ba All Cts	175	184	-1029	6	254	27	-1054
4	SPLS 3_0,9_0 Ba All Cts	116	-114	-666	1	163	16	-682

Maximum torsional load (positive)

Index	Combination	R _x [kN]	R _y [kN]	R _z [kN]	R _η [kN]	R _ξ [kN]	R _{ξ,lok} [kN]	R _{z,lok} [kN]
1	SPLS 6a_90 Ah Ct1 Ba Ct1	77	-104	-84	128	19	1	-86
2	SPLS 6a_90 Ah Ct1 Ah Ct2	-142	-37	-312	126	74	5	-320
3	SPLS 6a_90 Ba Ct2 Ba Ct1	-45	140	-259	131	68	10	-265
4	SPLS 6a_90 Ba Ct2 Ba Ct1	66	120	139	131	-38	-7	142

Maximum torsional load (negative)

Index	Combination	R _x [kN]	R _y [kN]	R _z [kN]	R _η [kN]	R _ξ [kN]	R _{ξ,lok} [kN]	R _{z,lok} [kN]
1	SPLS 6a_90 Ah Ct2 Ah Ct1	-65	117	134	-129	-37	-7	138
2	SPLS 6a_90 Ah Ct2 Ba Ct2	-1	185	-535	-130	131	13	-548
3	SPLS 6a_90 Ba Ct1 Ba Ct2	143	-39	-311	-128	74	5	-318
4	SPLS 6a_90 Ba Ct1 Ba Ct2	-122	-59	192	-128	-45	-2	197

Project: MBT-EHV
 Tower: HA+0 T1
 Number: 128

Combination Ftensile+Fhor

Index	Combination	R _x [kN]	R _y [kN]	R _z [kN]	R _η [kN]	R _ξ [kN]	R _{ξ,lok} [kN]	R _{z,lok} [kN]
1	SPLS 6a_90 Ah All Cts Ba Ct1	-57	-107	-491	35	115	7	-503
2	SPLS 1a_0,9_97 Ah All Cts	-168	177	-985	-6	244	26	-1009
3	SPLS 1a_0,9_90 Ba All Cts	174	184	-1028	7	253	26	-1053
4	SPLS 3_0,9_0 Ba All Cts	116	-114	-666	1	163	16	-682

Permanent load

Index	Combination	R _x [kN]	R _y [kN]	R _z [kN]	R _η [kN]	R _ξ [kN]	R _{ξ,lok} [kN]	R _{z,lok} [kN]
1	SLS 7	48	48	282	0	-68	-6	289
2	SLS 7	-3	3	-17	0	4	0	-17
3	SLS 7	3	3	-17	0	4	0	-17
4	SLS 7	-48	48	282	0	-68	-6	289

Envelope of load combinations for all of the legs

Index	Combination	R _x [kN]	R _y [kN]	R _z [kN]	R _η [kN]	R _ξ [kN]	R _{ξ,lok} [kN]	R _{z,lok} [kN]
Max. pressure	SPLS 1a_83 Ba All Cts	216	224	1263	-6	-311	-32	1293
Max. tension	SPLS 1a_0,9_83 Ba All Cts	175	184	-1029	6	254	27	-1054
Max. pos. torsie	SPLS 6a_90 Ba Ct2 Ba Ct1	66	120	139	131	-38	-7	142
Max. neg. torsie	SPLS 6a_90 Ah Ct2 Ba Ct2	-1	185	-535	-130	131	13	-548
Comb. tension+torsie	SPLS 1a_0,9_90 Ba All Cts	174	184	-1028	7	253	26	-1053

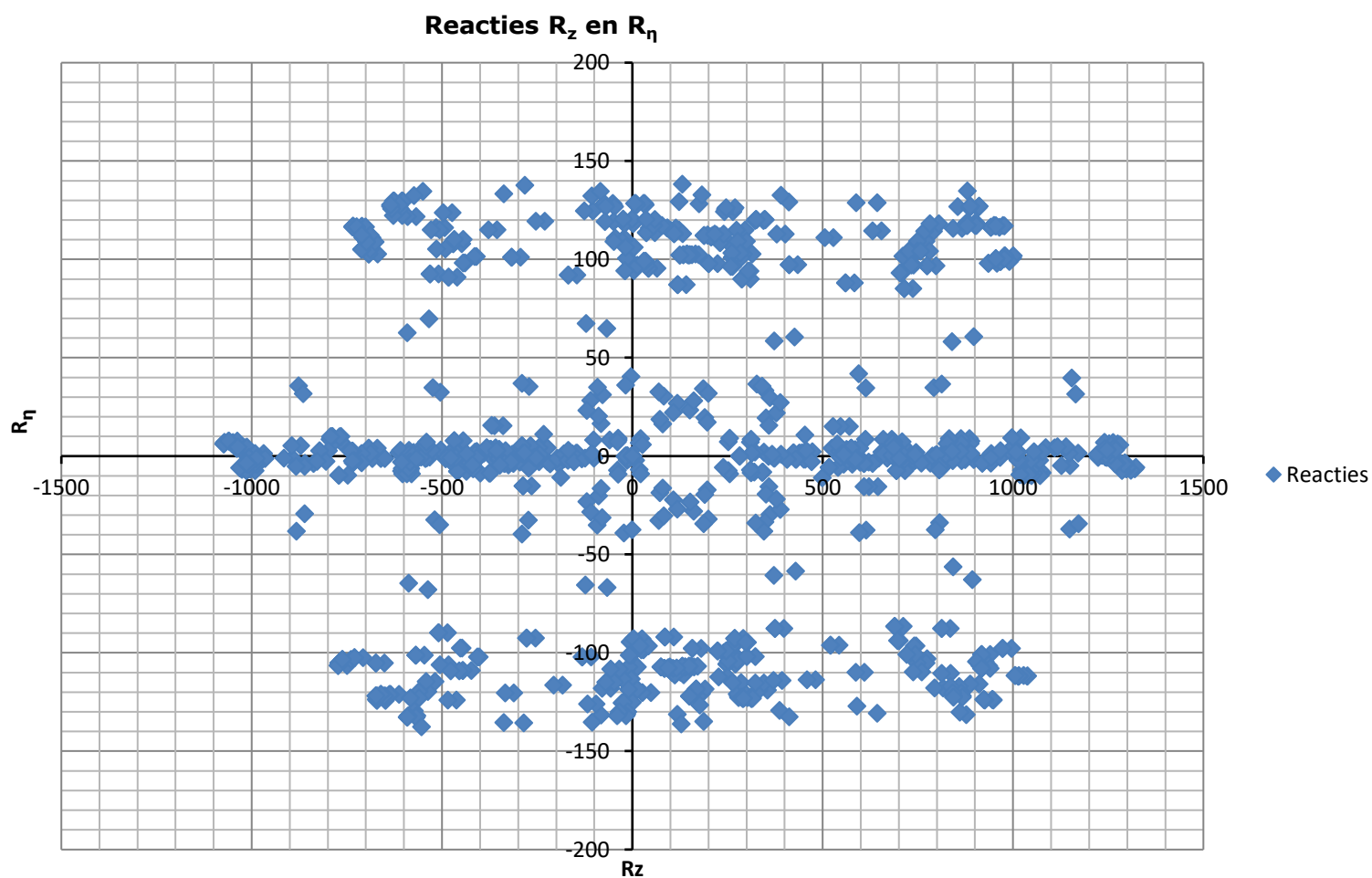
Maximum tension load - SLS

Index	Combination	R _x [kN]	R _y [kN]	R _z [kN]	R _η [kN]	R _ξ [kN]	R _{ξ,lok} [kN]	R _{z,lok} [kN]
1	SLS 7	48	48	282	0	-68	-6	289
2	SLS 1a_135	-79	78	-414	1	111	20	-424
3	SLS 1a_90	88	96	-512	6	130	16	-525
4	SLS 1a_0	1	7	41	5	-4	5	42

Maximum compression load - SLS

Index	Combination	R _x [kN]	R _y [kN]	R _z [kN]	R _η [kN]	R _ξ [kN]	R _{ξ,lok} [kN]	R _{z,lok} [kN]
1	SLS 1a_90	133	141	777	-6	-194	-22	796
2	SLS 1a_0	47	-39	224	-5	-60	-11	230
3	SLS 7	3	3	-17	0	4	0	-17
4	SLS 1a_135	-125	123	679	-1	-176	-25	696

Project: MBT-EHV
 Tower: HA+0 T1
 Number: 128



Project: MBT-EHV
 Tower: HA+0 T1
 Number: 128

Auteur: TBR
 Versie: v11.7

Conductor loads

Starting points

Consequence class Verbouw CC2
 Reference period 50 jaar

ULS (strength)		NEN-EN50341-2-15:2019			γ_Q			γ_a
Load case	description	Temp °C	γ_G $G_{k,mast}$	γ_G $G_{k,geleider}$	Q_{pk}	Q_{wk}	Q_{ik}	A_k
ULS 1a	Wind	10°	1,15	1,15	0,00	1,40	0,00	0,0
ULS 1a_0,9	Wind 0,9Gk only tower	10°	0,90	1,15	0,00	1,40	0,00	0,0
ULS 1a_0,9_0,9	Wind 0,9Gk conductors too	10°	0,90	0,90	0,00	1,40	0,00	0,0
ULS 3	Wind+ice	-5°	1,15	1,15	0,00	0,42	1,30	0,0
ULS 3_0,9	Wind+ice 0,9Gk	-5°	0,90	1,15	0,00	0,42	1,30	0,0
ULS 4	Cold+wind	-20°	1,15	1,15	0,00	0,28	0,00	0,0
ULS 4_0,9	Cold+wind 0,9Gk	-20°	0,90	1,15	0,00	0,28	0,00	0,0
ULS 5a	Torsional loads	10°	1,00	1,00	1,00	0,00	0,00	1,0
ULS 5b	Longitudinal loads	10°	1,00	1,00	0,00	0,00	0,00	1,0
ULS 6	Construction + maintenance	5°	1,15	1,15	1,30	0,28	0,00	0,0
ULS 6_0,9	Construction + maintenance	5°	1,15	1,15	0,00	0,28	0,00	0,0
ULS 7	Permanent	10°	1,30	1,30	0,00	0,00	0,00	0,0
ULS 8	Special	10°	1,00	1,00	0,00	0,00	0,00	1,0
SPLS (strength, for angle towers: absence of conductors)			γ_G G_k		γ_Q Q_{pk} Q_{wk} Q_{ik}			A_k
SPLS 1a	Wind	10°	1,15	1,15	0,0	0,78	0,00	0,0
SPLS 1a_0,9	Wind 0,9	10°	0,90	1,15	0,0	0,78	0,00	0,0
SPLS 1a_0,9_0,9	Wind 0,9	10°	0,90	1,15	0,0	0,78	0,00	0,0
SPLS 3	Wind+ice	-5°	1,15	1,15	0,0	0,36	0,34	0,0
SPLS 3_0,9	Wind+ice 0,9	-5°	0,90	1,15	0,0	0,36	0,34	0,0
SPLS 4	Cold+wind	-20°	1,15	1,15	0,0	0,24	0,00	0,0
SPLS 4_0,9	Cold+wind 0,9	-20°	0,90	1,15	0,0	0,24	0,00	0,0
SPLS 6	Maintenance	5°	1,15	1,15	1,2	0,24	0,0	0,0
SPLS 6_0,9	Maintenance	5°	1,15	1,15	0,0	0,24	0,0	0,0
SLS (deformations, fatigue, EDS)			G_k		Q_{pk} Q_{wk} Q_{ik}			A_k
SLS 1a	Wind	10°	1,00	1,00	0,0	1,00	0,0	0,0
SLS 3	Wind+ice	-5°	1,00	1,00	0,0	0,30	1,00	0,0
SLS 4	Wind	-20°	1,00	1,00	0,0	0,20	0,0	0,0
SLS 6	Maintenance	5°	1,00	1,00	0,0	0,20	0,0	0,0
SLS 7	EDS, no wind	10°	1,00	1,00	0,0	0,00	0,0	0,0

Number of wind directions 6
 Number of load combinations for ULS 54
 Number of load combinations for SPLS 222
 Number of load combinations for SLS 15
 Number of concentrated loads 4656

Project: MBT-EHV
 Tower: HA+0 T1
 Number: 128

Summary table - Conductor loads

The four tables below show:

- The maximum conductor load in the global axis system, split into proportion of back and ahead span
- The combined conductor load (Ba+Ah) in the global axis system with the maximum tensile force in the local axes. Components Fx and Fy as absolute values
- The everyday (EDS) values of the combined conductor loads (Ba+Ah) with corresponding tensile forces
- Check for uplift, where a negative value indicates uplift

Note: Maximum values for Fx, Fy and Fz do not necessarily belong to the same load combination.

Maximum values for back and ahead span

Geleider	Fx_ba [kN]	Fx_ah [kN]	Fy_ba [kN]	Fy_ah [kN]	Fz_ba [kN]	Fz_ah [kN]
bl1	-33,1	34,0	8,3	8,7	6,3	6,0
380ct1f1	-124,5	127,2	28,1	29,1	22,6	22,3
380ct1f2	-124,5	127,2	28,1	29,1	22,6	22,3
380ct1f3	-126,7	130,3	31,5	32,7	22,6	22,3
380ct2f1	-124,5	127,2	28,1	29,1	22,6	22,3
380ct2f2	-124,5	127,2	28,1	29,1	22,6	22,3
380ct2f3	-126,7	130,3	31,5	32,7	22,6	22,3
bl2	-33,7	34,6	8,4	8,8	6,4	6,0

Min. Weight span (m)

Weight spar Combinatie1

Geleider	SLS 1a	SLS 4	SLS 7
bl1	384,3	388,2	389,4
380ct1f1	395,1	395,4	395,5
380ct1f2	395,1	395,4	395,5
380ct1f3	395,0	395,4	395,5
380ct2f1	395,1	395,4	395,5
380ct2f2	395,1	395,4	395,5
380ct2f3	395,0	395,4	395,5
bl2	384,5	388,3	389,4

Max. Weight span (m)

Weight spar Combinatie1

Geleider	ULS 1a	ULS 3
bl1	389,6	390,1
380ct1f1	395,5	395,5
380ct1f2	395,5	395,5
380ct1f3	395,5	395,5
380ct2f1	395,5	395,5
380ct2f2	395,5	395,5
380ct2f3	395,5	395,5
bl2	389,6	390,1

Envelop of weight span over all combinations (incl. 0,9 combinations)

For all conductors	Wind / Weight span ratio
Max. weight span	395,5 m 0,997 -
Min. weight span	379,9 m 0,958 -

Project: MBT-EHV
 Tower: HA+0 T1
 Number: 128

Maximum values back + ahead span Maximum tension in conductor

Geleider	Fx [kN]	Fy [kN]	Fz [kN]	Ft_ba [kN]	Ft_ah [kN]
bl1	32,0	16,8	6,3	-33,5	34,6
380ct1f1	98,1	56,5	22,6	-126,3	129,0
380ct1f2	98,1	56,5	22,6	-126,3	129,0
380ct1f3	98,8	63,4	22,6	-128,8	132,4
380ct2f1	98,1	56,5	22,6	-126,3	129,0
380ct2f2	98,1	56,5	22,6	-126,3	129,0
380ct2f3	98,8	63,4	22,6	-128,8	132,4
bl2	32,5	16,9	6,4	-34,0	35,1

EDS-loads conductor

Geleider	Fx [kN]	Fy [kN]	Fz [kN]	Ft_ba [kN]	Ft_ah [kN]
bl1	14,5	1,8	1,9	-14,6	14,6
380ct1f1	64,1	7,9	13,2	-64,6	64,6
380ct1f2	64,1	7,9	13,2	-64,6	64,6
380ct1f3	64,1	7,9	13,2	-64,6	64,6
380ct2f1	64,1	7,9	13,2	-64,6	64,6
380ct2f2	64,1	7,9	13,2	-64,6	64,6
380ct2f3	64,1	7,9	13,2	-64,6	64,6
bl2	14,9	1,8	1,9	-15,0	15,0

1 Control uplift SLS-wind

Combinatie: Geleider	Fz_ba [kN]	Fz_ah [kN]
SLS 4 bl1	0,0	0,0
380ct1f1	0,0	0,0
380ct1f2	0,0	0,0
380ct1f3	0,0	0,0
380ct2f1	0,0	0,0
380ct2f2	0,0	0,0
380ct2f3	0,0	0,0
bl2	0,0	0,0

Project: MBT-EHV
 Tower: HA+0 T1
 Number: 128

ULS foundation loads for LC 1 and 3, wind purpendicular to the line or bisector and EDS, from conductors

Combination	Combination	F _x [kN]	F _y [kN]	F _z [kN]	M _x [kNm]	M _y [kNm]	M _z [kNm]
ULS 1a_90		62	386	190	12663	2065	0
ULS 1a_0,9_0		2	115	190	3727	50	0
ULS 1a_0,9_0,9_90		66	374	148	12269	2200	0
ULS 3_0		6	193	287	6246	184	0
SLS 7		0	102	165	3285	0	0

ULS foundation loads, LC 1 and 3, wind purpendicular to the line or bisector and EDS, total conductors and tower

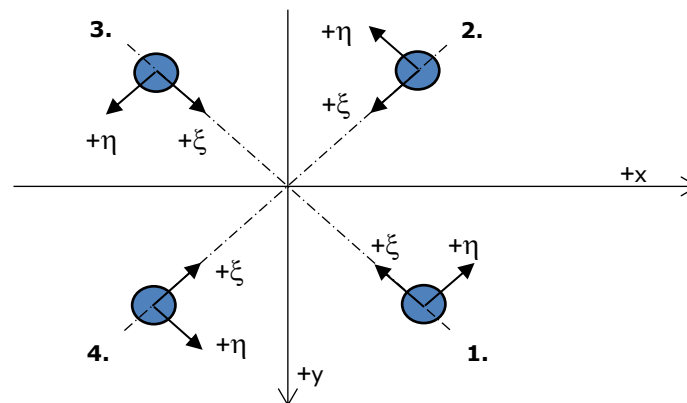
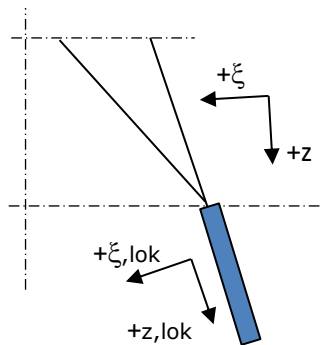
Combination	F _x [kN]	F _y [kN]	F _z [kN]	M _x [kNm]	M _y [kNm]	M _z [kNm]
ULS 1a_90	62	616	609	18263	2065	0
ULS 1a_0,9_0,9_90	66	604	477	17870	2200	0
SLS 7	0	102	530	3285	0	0

Foundation loads, selection of load combinations based on greatest value

Combination	F _x [kN]	F _y [kN]	F _z [kN]	M _x [kNm]	M _y [kNm]	M _z [kNm]
ULS 1a_90	62	616	609	18263	2065	0
SPLS 3_0 Ba All Cts	645	70	554	2252	20444	8
SPLS 6a_90 Ah Ct2 Ba Ct2	-326	168	610	4931	-10627	-4166
SPLS 1a_83 Ba All Cts	572	266	542	7606	18503	7

Note: Largest values can appear in multiple combinations, one combination is displayed.

Support reactions per leg



Axis systems

Maximum compression load

Index	Combination	R _x [kN]	R _y [kN]	R _z [kN]	R _η [kN]	R _ξ [kN]	R _{ξ,lok} [kN]	R _{z,lok} [kN]
1	SPLS 1a_83 Ba All Cts	226	234	1322	-6	-325	-33	1354
2	SPLS 3_0 Ba All Cts	167	-166	966	-1	-236	-23	989
3	SPLS 3_135 Ah All Cts	-149	-146	862	2	-209	-18	883
4	SPLS 1a_97 Ah All Cts	-219	227	1280	6	-315	-33	1311

Maximum tension load

Index	Combination	R _x [kN]	R _y [kN]	R _z [kN]	R _η [kN]	R _ξ [kN]	R _{ξ,lok} [kN]	R _{z,lok} [kN]
1	SPLS 3_0,9_135 Ah All Cts	-106	-102	-607	-3	147	12	-622
2	SPLS 1a_0,9_97 Ah All Cts	-176	185	-1032	-6	255	27	-1057
3	SPLS 1a_0,9_83 Ba All Cts	183	192	-1074	6	265	28	-1100
4	SPLS 3_0,9_0 Ba All Cts	124	-122	-711	1	174	17	-728

Maximum torsional load (positive)

Index	Combination	R _x [kN]	R _y [kN]	R _z [kN]	R _η [kN]	R _ξ [kN]	R _{ξ,lok} [kN]	R _{z,lok} [kN]
1	SPLS 6a_90 Ah Ct1 Ba Ct1	81	-109	-85	135	19	1	-87
2	SPLS 6a_90 Ah Ct1 Ah Ct2	-151	-37	-338	133	80	6	-346
3	SPLS 6a_90 Ba Ct2 Ba Ct1	-45	149	-283	138	74	11	-290
4	SPLS 6a_90 Ba Ct2 Ba Ct1	72	123	130	138	-36	-7	133

Maximum torsional load (negative)

Index	Combination	R _x [kN]	R _y [kN]	R _z [kN]	R _η [kN]	R _ξ [kN]	R _{ξ,lok} [kN]	R _{z,lok} [kN]
1	SPLS 6a_90 Ah Ct2 Ah Ct1	-71	121	128	-136	-35	-7	131
2	SPLS 6a_90 Ah Ct2 Ba Ct2	1	194	-555	-138	136	14	-568
3	SPLS 6a_90 Ba Ct1 Ba Ct2	153	-39	-338	-135	80	6	-346
4	SPLS 6a_90 Ba Ct1 Ba Ct2	-126	-65	187	-135	-43	-2	192

Project: MBT-EHV
 Tower: HA+0 T1
 Number: 128

Combination Ftensile+Fhor

Index	Combination	R _x [kN]	R _y [kN]	R _z [kN]	R _η [kN]	R _ξ [kN]	R _{ξ,lok} [kN]	R _{z,lok} [kN]
1	SPLS 6a_90 Ah All Cts Ba Ct1	-63	-112	-524	35	123	8	-537
2	SPLS 1a_0,9_97 Ah All Cts	-176	185	-1032	-6	255	27	-1057
3	SPLS 1a_0,9_83 Ba All Cts	183	192	-1074	6	265	28	-1100
4	SPLS 3_0,9_0 Ba All Cts	124	-122	-711	1	174	17	-728

Permanent load

Index	Combination	R _x [kN]	R _y [kN]	R _z [kN]	R _η [kN]	R _ξ [kN]	R _{ξ,lok} [kN]	R _{z,lok} [kN]
1	SLS 7	48	48	282	0	-68	-6	289
2	SLS 7	-3	3	-17	0	4	0	-17
3	SLS 7	3	3	-17	0	4	0	-17
4	SLS 7	-48	48	282	0	-68	-6	289

Envelope of load combinations for all of the legs

Index	Combination	R _x [kN]	R _y [kN]	R _z [kN]	R _η [kN]	R _ξ [kN]	R _{ξ,lok} [kN]	R _{z,lok} [kN]
Max. pressure	SPLS 1a_83 Ba All Cts	226	234	1322	-6	-325	-33	1354
Max. tension	SPLS 1a_0,9_83 Ba All Cts	183	192	-1074	6	265	28	-1100
Max. pos. torsie	SPLS 6a_90 Ba Ct2 Ba Ct1	72	123	130	138	-36	-7	133
Max. neg. torsie	SPLS 6a_90 Ah Ct2 Ba Ct2	1	194	-555	-138	136	14	-568
Comb. tension+torsie	SPLS 1a_83 Ba All Cts	183	192	-1074	6	265	28	-1100

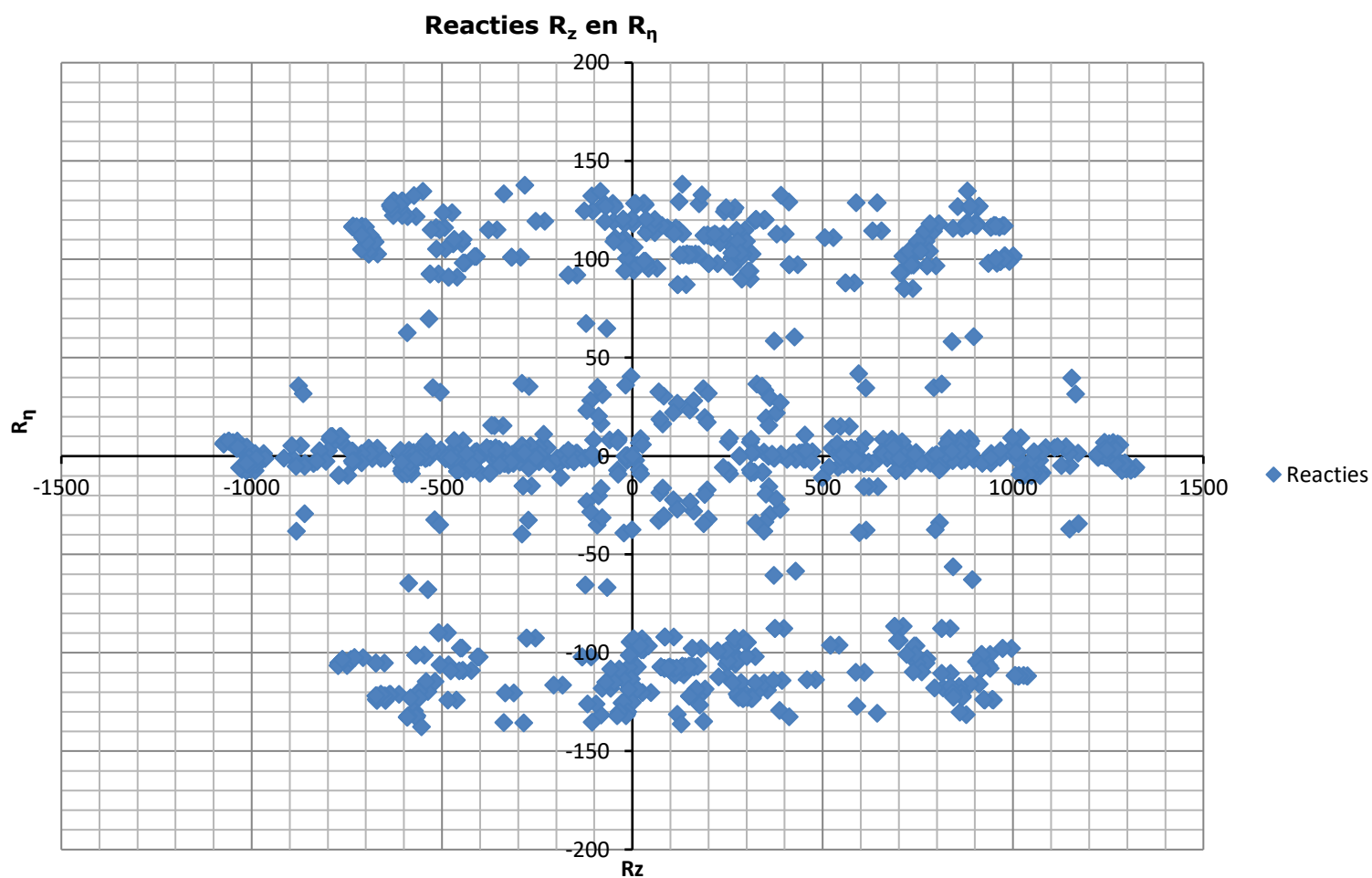
Maximum tension load - SLS

Index	Combination	R _x [kN]	R _y [kN]	R _z [kN]	R _η [kN]	R _ξ [kN]	R _{ξ,lok} [kN]	R _{z,lok} [kN]
1	SLS 7	48	48	282	0	-68	-6	289
2	SLS 1a_135	-84	82	-436	1	117	21	-446
3	SLS 1a_90	93	102	-546	6	138	17	-559
4	SLS 1a_0	4	4	26	6	0	6	27

Maximum compression load - SLS

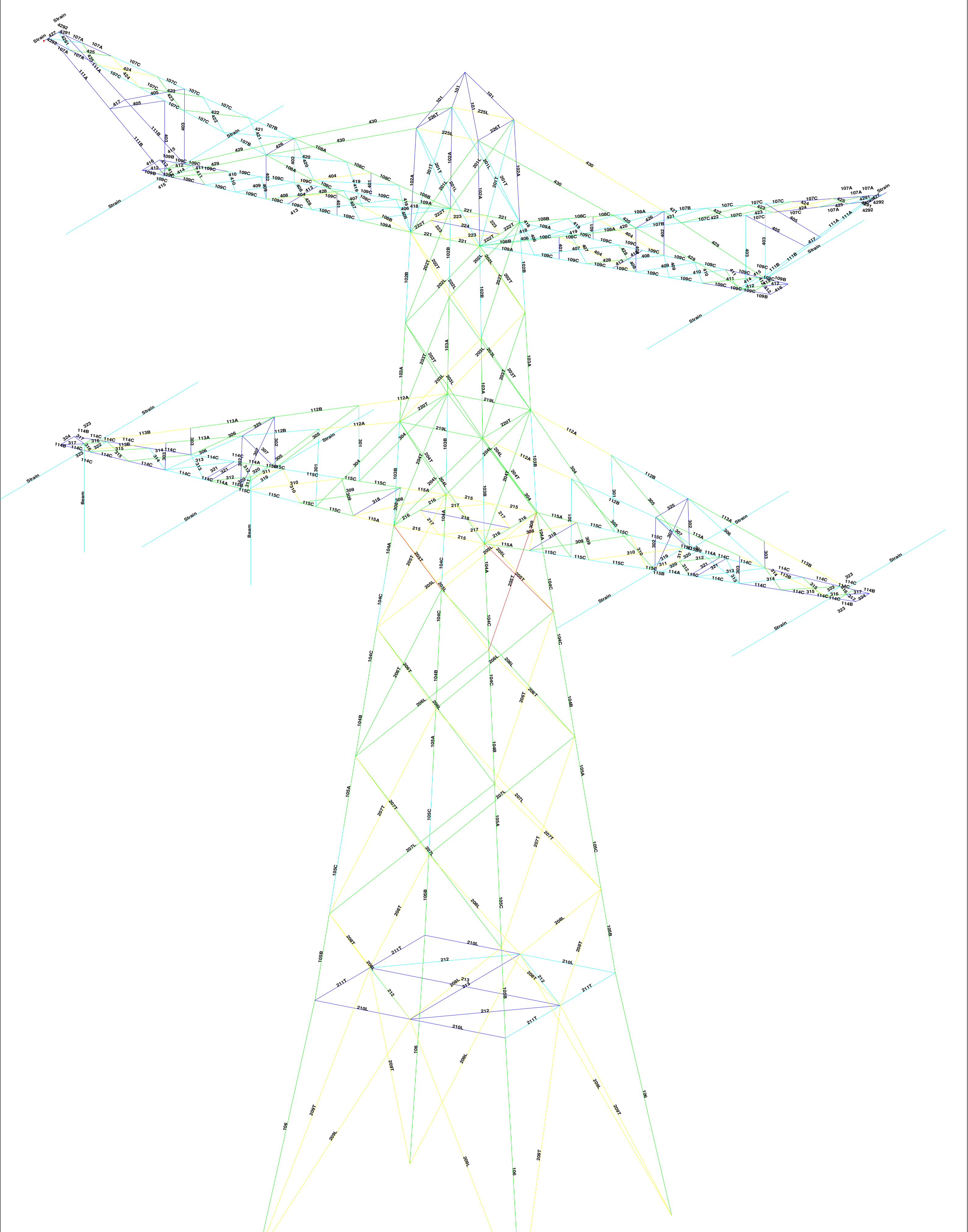
Index	Combination	R _x [kN]	R _y [kN]	R _z [kN]	R _η [kN]	R _ξ [kN]	R _{ξ,lok} [kN]	R _{z,lok} [kN]
1	SLS 1a_90	139	147	811	-6	-202	-23	830
2	SLS 1a_0	50	-41	239	-6	-64	-11	245
3	SLS 7	3	3	-17	0	4	0	-17
4	SLS 1a_135	-129	127	701	-1	-181	-27	718

Project: MBT-EHV
 Tower: HA+0 T1
 Number: 128





APPENDIX B
UITVOER PLS-TOWER





Assessment of groups for initial structure (afkeur level)

Date 21-4-2022
Author TBR
Version v4.3

MBT-EHV 380
HA+0
Mast 9

Table with columns: Group Label, Description, Profile, Steel Quality, Bolts, RLX, RLY, RLZ, Slenderness, Compression (kN), Load Case (Compression), Buckling, Shear (Comp), Bearing (Comp), U.C. (Comp), Exceedance (Comp), Tension (kN), Load Case (Tension), Net Section, Shear (Tens), Bearing (Tens), U.C. (Tens), Exceedance (Tens). Rows 106-318.



Assessment of groups for initial structure (afkeur level)

Date 21-4-2022
 Author TBR
 Version v4.3

MBT-EHV 380
 HA+0
 Mast 9

Group Label	Description	Profile	Steel					Compression					Tension						
			Quality	Bolts	RLX	RLY	RLZ	Slenderness	(kN)	Load Case (Compression)	Buckling	Shear (Comp)	Bearing (Comp)	U.C. (Comp)	Exceedance (Comp)	(kN)	Load Case (Tension)	Net Section	Shear (Tens)
319	100x100x12	S235	2M20-5.6t	1.00	1.00	1.00	133	0.0		218.3	117.6	259.2	0.00	49.7	ULS 3_90	278.4	117.6	259.2	0.42
320	100x100x12	S235	2M20-5.6t	1.00	2.00	1.00	81	0.0		316.3	117.6	259.2	0.00	55.5	ULS 3_0,9_80,5	278.4	117.6	259.2	0.47
321	HEA160	S235	2M20-5.6t	1.00	1.00	1.00	57	-5.5	ULS 3_0,9_90	679.1	117.6	216.0	0.05	1.7	ULS 1a_90	766.1	117.6	0.0	0.01
322	100x100x12	S235	2M20-5.6t	1.00	1.00	1.00	64	0.0		376.8	117.6	259.2	0.00	54.1	ULS 3_90	278.4	117.6	259.2	0.46
323	100x100x12	S235	2M20-5.6t	1.00	2.00	1.00	38	0.0		424.1	117.6	259.2	0.00	63.9	ULS 3_0,9_80,5	278.4	117.6	259.2	0.54
324	HEA160	S235	2M20-5.6t	1.00	1.00	1.00	25	-7.8	ULS 3_0,9_90	794.1	117.6	216.0	0.07	0.0		766.1	117.6	0.0	0.00
325	65x50x5	S235	1M20-5.6t	1.00	1.00	1.00	219	-3.2	ULS 3_0,9_90	22.0	58.8	54.0	0.15	0.0		61.9	58.8	31.9	0.00
401	50x50x5	S235	1M16-5.6t	1.00	1.00	1.00	89	-1.3	ULS 5a Ah 12	52.9	37.7	43.2	0.03	3.1	ULS 5a Ah 12	37.4	37.7	22.0	0.14
402	50x50x5	S235	1M16-5.6t	1.00	1.00	1.00	176	0.0		26.1	37.7	43.2	0.00	5.5	ULS 5a Ah 12	37.4	37.7	22.0	0.25
403	50x50x5	S235	1M16-5.6t	1.00	1.00	1.00	299	-3.1	SPLS 1a_80,5 Ah All Cts	11.9	37.7	43.2	0.26	0.0		37.4	37.7	22.0	0.00
404	50x50x5	S235	1M16-5.6t	1.00	1.00	1.00	333	-8.6	ULS 5a Ba 12	10.0	37.7	43.2	0.85	0.9	ULS 5a Ah 22	37.4	37.7	22.0	0.04
405	50x50x5	S235	1M16-5.6t	1.00	1.00	1.00	261	0.0		14.7	37.7	43.2	0.00	1.0	SPLS 1a_99,5 Ah All Cts	37.4	37.7	22.0	0.04
406	80x80x8	S235	1M24-5.6t	0.53	0.53	0.53	120	-30.3	SPLS 6a_90 Ba All Cts Ah Ct2	105.2	84.7	103.7	0.36	30.7	SPLS 6a_90 Ba All Cts Ah Ct2	124.4	84.7	88.6	0.36
407	80x80x8	S235	1M24-5.6t	0.53	0.53	0.53	110	-37.1	SPLS 6a_90 Ba All Cts Ah Ct2	114.3	84.7	103.7	0.44	37.6	SPLS 6a_90 Ba Ct2 Ah Ct2	124.4	84.7	88.6	0.44
408	80x80x6#	S235	2M20-5.6t	1.00	1.00	1.00	87	-40.8	SPLS 6a_90 Ba Ct2 Ah Ct2	132.3	117.6	129.6	0.35	37.2	SPLS 6a_90 Ba All Cts Ah Ct2	113.4	117.6	91.6	0.41
409	80x80x6#	S235	2M20-5.6t	0.54	0.54	0.54	80	-42.9	SPLS 6a_90 Ba All Cts Ah Ct2	139.3	117.6	129.6	0.37	44.3	SPLS 6a_90 Ba All Cts Ah Ct2	104.5	117.6	91.6	0.48
410	70x70x7	S235	2M20-5.6t	0.54	0.54	0.54	88	-49.2	SPLS 6a_90 Ba All Cts Ah Ct2	131.3	117.6	151.2	0.42	48.4	SPLS 6a_90 Ba All Cts Ah Ct2	104.1	117.6	106.9	0.47
411	70x70x7	S235	2M20-5.6t	0.55	0.55	0.55	86	-62.6	SPLS 6a_90 Ba All Cts Ah Ct2	132.9	117.6	151.2	0.53	59.5	SPLS 6a_90 Ba All Cts Ah Ct2	107.8	117.6	106.9	0.56
412	60x60x6	S235	1M20-5.6t	1.00	1.00	1.00	81	-24.8	SPLS 6a_90 Ba Ct1 Ah Ct1	80.2	58.8	64.8	0.42	27.7	SPLS 6a_90 Ba Ct1 Ah Ct1	65.7	58.8	38.8	0.71
413	HEA160	S235	2M20-5.6t	2.00	1.00	1.00	33	-2.0	SPLS 3_0,9_90 Ba All Cts	745.0	117.6	216.0	0.02	4.1	SPLS 6a_90 Ah All Cts Ba Ct1	766.1	117.6	0.0	0.03
414	100x65x11	S235	2M20-5.6t	1.00	1.00	1.00	107	0.0		203.8	117.6	237.6	0.00	53.4	ULS 3_90	180.0	117.6	208.8	0.45
415	100x65x11	S235	2M20-5.6t	1.00	1.00	1.00	50	0.0		308.3	117.6	237.6	0.00	63.0	ULS 3_0,9_80,5	180.0	117.6	208.8	0.54
416	HEA160	S235	2M20-5.6t	1.00	1.00	1.00	32	-8.9	ULS 3_0,9_90	771.1	117.6	216.0	0.08	0.0		766.1	117.6	0.0	0.00
417	50x50x5	S235	1M16-5.6t	1.00	1.00	1.00	115	0.0	SPLS 1a_0,9_0,9_99,5 Ah Ct1	43.0	37.7	43.2	0.00	0.0	SPLS 6a_90 Ah Ct2 Ba Ct2	37.4	37.7	22.0	0.00
418	50x50x5	S235	1M16-5.6t	0.55	0.55	0.55	200	-5.8	SPLS 1a_0,9_0 Ba All Cts	21.9	37.7	43.2	0.26	5.8	SPLS 6a_90 Ba All Cts Ah Ct2	37.4	37.7	22.0	0.26
419	50x50x5	S235	1M16-5.6t	0.55	0.55	0.55	187	-7.1	SPLS 6a_90 Ba All Cts Ah Ct2	24.0	37.7	43.2	0.30	6.9	SPLS 6a_90 Ba Ct1 Ah Ct1	37.4	37.7	22.0	0.31
420	50x50x5	S235	1M16-5.6t	0.55	0.55	0.55	175	-8.3	SPLS 6a_90 Ba Ct1 Ah Ct1	26.2	37.7	43.2	0.32	8.1	SPLS 6a_90 Ba All Cts Ah Ct2	37.4	37.7	22.0	0.37
421	50x50x5	S235	1M16-5.6t	0.53	0.53	0.53	148	-9.6	SPLS 6a_90 Ba All Cts Ah Ct2	32.4	37.7	43.2	0.30	9.2	SPLS 6a_90 Ba Ct2 Ah Ct2	37.4	37.7	22.0	0.42
422	50x50x5	S235	1M16-5.6t	0.54	0.54	0.54	142	-11.6	SPLS 6a_90 Ba All Cts Ah Ct2	34.2	37.7	43.2	0.34	11.7	SPLS 6a_90 Ba All Cts Ah Ct2	37.4	37.7	22.0	0.53
423	50x50x5	S235	1M16-5.6t	0.54	0.54	0.54	133	-15.4	SPLS 6a_90 Ba All Cts Ah Ct2	36.8	37.7	43.2	0.42	14.9	SPLS 6a_90 Ba All Cts Ah Ct2	37.4	37.7	22.0	0.68
424	50x50x5	S235	1M16-5.6t	0.55	0.55	0.55	127	-20.5	SPLS 6a_90 Ba All Cts Ah Ct2	38.5	37.7	43.2	0.54	21.0	SPLS 6a_90 Ba All Cts Ah Ct2	37.4	37.7	22.0	0.95
425	60x60x6	S355	1M16-8.8t	0.57	0.57	0.57	77	-22.1	SPLS 6a_90 Ba All Cts Ah Ct2	137.9	60.3	70.6	0.37	21.4	SPLS 6a_90 Ba Ct2 Ah Ct2	98.8	60.3	52.3	0.41
426	50x50x5	S235	1M16-5.6t	1.00	1.00	1.00	212	-3.3	ULS 3_90	20.2	37.7	43.2	0.17	0.0		37.4	37.7	22.0	0.00
427	UNP160	S355	2M16-8.8t	1.00	1.00	1.00	40	0.0		405.4	120.6	176.4	0.00	28.2	ULS 3_0,9_90	240.8	120.6	130.7	0.23
428	80x80x8	S235	1M24-5.6t	1.00	1.00	1.00	101	-44.0	SPLS 6a_90 Ba All Cts Ah Ct2	123.7	84.7	103.7	0.52	41.4	SPLS 6a_90 Ba All Cts Ah Ct2	124.4	84.7	79.8	0.52
4291	60x60x6	S355	1M16-8.8t	0.57	0.57	0.57	62	-22.3	SPLS 6a_90 Ba All Cts Ah Ct2	142.6	60.3	70.6	0.37	23.2	SPLS 6a_90 Ba All Cts Ah Ct2	98.8	60.3	52.3	0.44
4292	UNP160	S355		1.00	1.00	1.00	16	-24.1	SPLS 6a_90 Ba All Cts Ah Ct1	568.1	0.0	0.0	0.04	16.7	SPLS 6a_90 Ba All Cts Ah Ct2	852.0	0.0	0.0	0.02



Assessment of groups for modified structure (afkeur level)

Date 21-4-2022
Author TBR
Version v4.3

MBT-EHV 380
HA+0
Mast 9

Table with columns: Group Label, Description, Profile, Steel Quality, Bolts, RLX, RLY, RLZ, Slender ness, Compression (kN), Load Case (Compression), Buckling, Shear (Comp), Bearing (Comp), U.C. (Comp), Exceedance (Comp), Tension (kN), Load Case (Tension), Net Section, Shear (Tens), Bearing (Tens), U.C. (Tens), Exceedance (Tens). Rows 106-311.



Assessment of groups for modified structure (afkeur level)

Date 21-4-2022
Author TBR
Version v4.3

MBT-EHV 380
HA+0
Mast 9

Table with columns: Group Label, Description, Profile, Steel Quality, Bolts, RLX, RLY, RLZ, Slenderness, Compression (kN), Load Case (Compression), Buckling, Shear (Comp), Bearing (Comp), U.C. (Comp), Exceedance (Comp), Tension (kN), Load Case (Tension), Net Section, Shear (Tens), Bearing (Tens), U.C. (Tens), Exceedance (Tens). Rows 312-4292.



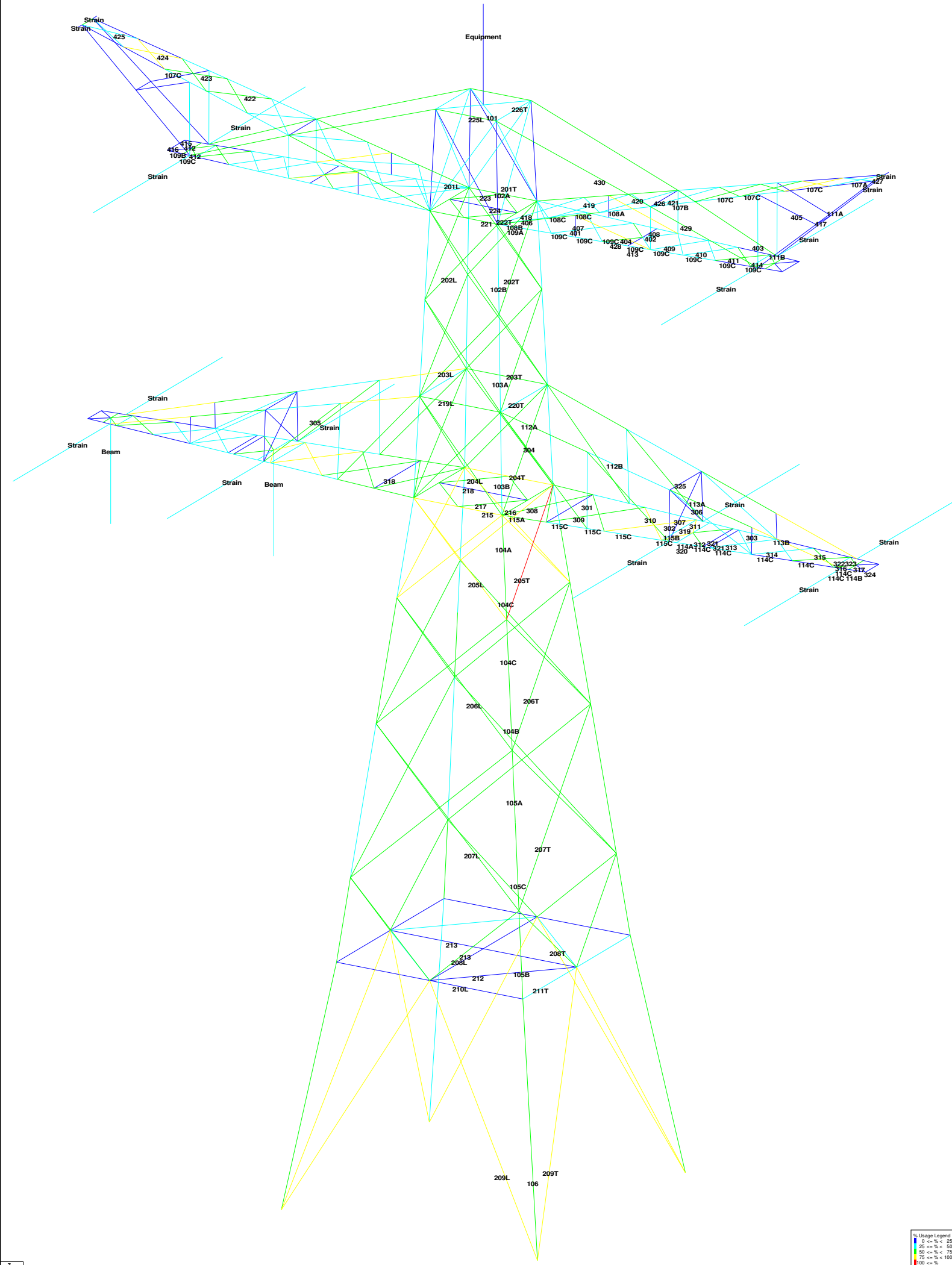
Assessment of groups for modified elements (verbouw level)

Date 21-4-2022
 Author TBR
 Version v4.3

**MBT-EHV 380
 HA+0
 Mast 9**

Group Label	Description	Profile	Steel Quality	Bolts	RLX	RLY	RLZ	Slenderne ss	Compression (kN) Load Case (Compression)	Buckling g	Shear (Comp)	Bearing (Comp)	U.C. (Comp)	Exceedance (Comp)	Tension (kN) Load Case (Tension)	Net Section	Shear (Tens)	Bearing (Tens)	U.C. (Tens)	Exceedance (Tens)
205T		150x150x12	S355	5M24-8.8t	0.55	0.28	0.28	70	-420.6 SPLS 6a_90 Ba Ct1 Ah Ct1	708.3	677.8	1058.4	0.62		424.1 SPLS 6a_90 Ba Ct2 Ah Ct2	620.9	677.8	732.7	0.68	
425		60x60x6	S355	1M16-8.8t	0.57	0.57	0.57	77	-22.7 SPLS 6a_90 Ba All Cts Ah Ct2	137.9	60.3	70.6	0.38		22.0 SPLS 6a_90 Ba Ct2 Ah Ct2	98.8	60.3	52.3	0.42	
427		UNP160	S355	2M16-8.8t	1.00	1.00	1.00	40	0.0	405.4	120.6	176.4	0.00		32.6 ULS 3_0_9_90	240.8	120.6	130.7	0.27	
4291		60x60x6	S355	1M16-8.8t	0.57	0.57	0.57	62	-22.9 SPLS 6a_90 Ba All Cts Ah Ct2	142.6	60.3	70.6	0.38		23.8 SPLS 6a_90 Ba All Cts Ah Ct2	98.8	60.3	52.3	0.46	
4292		UNP160	S355		1.00	1.00	1.00	16	-24.8 SPLS 6a_90 Ba All Cts Ah Ct1	568.1	0.0	0.0	0.04		17.2 SPLS 6a_90 Ba All Cts Ah Ct2	852.0	0.0	0.0	0.02	

Modifications to group 425, 427, 4291 and 4292 only apply to tower 9 (extended earth wire attachment)



1 (m)



Assessment of groups for initial structure (afkeur level)

Date 9-7-2021
Author TBR
Version v4.3

MBT-EHV 380
HA+0 T1
Mast 34

Table with columns: Group Label, Description, Steel (Profile, Quality, Bolts, RLX, RLY, RLZ, Slenderness), Compression (kN, Load Case, Buckling, Shear, Bearing, U.C., Exceedance), Tension (kN, Load Case, Net Section, Shear, Bearing, U.C., Exceedance). Rows include various steel profiles like 250x250x18#, 100x100x6, etc., with associated load cases and assessment values.



Assessment of groups for initial structure (afkeur level)

Date 9-7-2021
Author TBR
Version v4.3

MBT-EHV 380
HA+0 T1
Mast 34

Group Label	Description	Profile	Steel			Compression							Tension							
			Quality	Bolts	RLX	RLY	RLZ	Slenderness	(kN)	Load Case (Compression)	Buckling	Shear (Comp)	Bearing (Comp)	U.C. (Comp)	Exceedance (Comp)	(kN)	Load Case (Tension)	Net Section	Shear (Tens)	Bearing (Tens)
320	100x100x12	S235	2M20-5.6t	1,00	2,00	1,00	81	0,0		316,3	117,6	259,2	0,00	55,4	ULS 3 90	278,4	117,6	259,2	0,47	
321	HEA160	S235	2M20-5.6t	1,00	1,00	1,00	57	-5,2	ULS 3 0,9 90	679,1	117,6	216,0	0,04	1,4	ULS 5a Ba 11	766,1	117,6	0,0	0,01	
322	100x100x12	S235	2M20-5.6t	1,00	1,00	1,00	64	0,0		376,8	117,6	259,2	0,00	54,7	ULS 3 90	278,4	117,6	259,2	0,47	
323	100x100x12	S235	2M20-5.6t	1,00	2,00	1,00	38	0,0		424,1	117,6	259,2	0,00	63,8	ULS 3 0,9 93,335	278,4	117,6	259,2	0,54	
324	HEA160	S235	2M20-5.6t	1,00	1,00	1,00	25	-7,6	ULS 3 0,9 90	794,1	117,6	216,0	0,06	0,0		766,1	117,6	0,0	0,00	
325	65x50x5	S235	1M20-5.6t	1,00	1,00	1,00	219	-3,2	ULS 3 0,9 90	22,0	58,8	54,0	0,15	0,0		61,9	58,8	31,9	0,00	
401	50x50x5	S235	1M16-5.6t	1,00	1,00	1,00	89	-1,2	ULS 5a Ba 12	52,9	37,7	43,2	0,03	3,2	ULS 5a Ba 12	37,4	37,7	22,0	0,15	
402	50x50x5	S235	1M16-5.6t	1,00	1,00	1,00	176	0,0		26,1	37,7	43,2	0,00	5,9	ULS 5a Ba 12	37,4	37,7	22,0	0,27	
403	50x50x5	S235	1M16-5.6t	1,00	1,00	1,00	299	-3,3	SPLS 1a 86,665 Ba Ct2	11,9	37,7	43,2	0,28	0,0		37,4	37,7	22,0	0,00	
404	50x50x5	S235	1M16-5.6t	1,00	1,00	1,00	333	-9,1	ULS 5a Ah 12	10,0	37,7	43,2	0,91	0,4	ULS 5a Ba 12	37,4	37,7	22,0	0,02	
405	50x50x5	S235	1M16-5.6t	1,00	1,00	1,00	261	0,0		14,7	37,7	43,2	0,00	1,0	ULS 1a 86,665	37,4	37,7	22,0	0,05	
406	80x80x8	S235	1M24-5.6t	0,53	0,53	0,53	120	-30,0	SPLS 3 0,9 86,665 Ba All Cts	105,2	84,7	103,7	0,35	30,2	SPLS 3 86,665 Ba All Cts	124,4	84,7	88,6	0,36	
407	80x80x8	S235	1M24-5.6t	0,53	0,53	0,53	110	-35,8	SPLS 6a 90 Ah All Cts Ba Ct2	114,3	84,7	103,7	0,42	36,3	SPLS 3 0,9 86,665 Ba Ct1	124,4	84,7	88,6	0,43	
408	80x80x6#	S235	2M20-5.6t	1,00	1,00	1,00	87	-39,4	SPLS 6a 90 Ah Ct1 Ba Ct1	132,2	117,6	129,6	0,34	36,5	SPLS 3 0,9 90 Ba All Cts	113,4	117,6	91,6	0,40	
409	80x80x6#	S235	2M20-5.6t	0,54	0,54	0,54	80	-41,4	SPLS 3 90 Ba All Cts	139,3	117,6	129,6	0,35	42,8	SPLS 3 0,9 90 Ba Ct2	104,5	117,6	91,6	0,47	
410	70x70x7	S235	2M20-5.6t	0,54	0,54	0,54	88	-47,8	SPLS 3 0,9 90 Ba All Cts	131,3	117,6	151,2	0,41	46,6	SPLS 6a 90 Ah All Cts Ba Ct2	104,1	117,6	106,9	0,45	
411	70x70x7	S235	2M20-5.6t	0,55	0,55	0,55	86	-60,2	SPLS 6a 90 Ah All Cts Ba Ct2	132,9	117,6	151,2	0,51	58,1	SPLS 3 0,9 90 Ba All Cts	107,8	117,6	106,9	0,54	
412	60x60x6	S235	1M20-5.6t	1,00	1,00	1,00	81	-23,9	SPLS 6a 90 Ah Ct1 Ba Ct1	80,2	58,8	64,8	0,41	27,2	SPLS 3 0,9 90 Ba Ct1	65,7	58,8	38,8	0,70	
413	HEA160	S235	2M20-5.6t	2,00	1,00	1,00	33	-1,9	SPLS 3 0,9 86,665 Ba All Cts	745,0	117,6	216,0	0,02	3,8	SPLS 6a 90 Ah All Cts Ba Ct1	766,1	117,6	0,0	0,03	
414	100x65x11	S235	2M20-5.6t	1,00	1,00	1,00	107	0,0		203,8	117,6	237,6	0,00	53,7	ULS 3 90	180,0	117,6	208,8	0,46	
415	100x65x11	S235	2M20-5.6t	1,00	1,00	1,00	50	0,0		308,3	117,6	237,6	0,00	63,5	ULS 3 0,9 90	180,0	117,6	208,8	0,54	
416	HEA160	S235	2M20-5.6t	1,00	1,00	1,00	32	-8,8	ULS 3 0,9 90	771,1	117,6	216,0	0,08	0,0		766,1	117,6	0,0	0,00	
417	50x50x5	S235	1M16-5.6t	1,00	1,00	1,00	115	0,0	SPLS 1a 86,665 Ah Ct1	43,0	37,7	43,2	0,00	0,0	ULS 1a 0,9 86,665	37,4	37,7	22,0	0,00	
418	50x50x5	S235	1M16-5.6t	0,55	0,55	0,55	200	-5,9	SPLS 1a 0 Ba All Cts	21,9	37,7	43,2	0,27	5,8	SPLS 6a 90 Ah All Cts Ba Ct2	37,4	37,7	22,0	0,26	
419	50x50x5	S235	1M16-5.6t	0,55	0,55	0,55	187	-7,0	SPLS 6a 90 Ah All Cts Ba Ct2	24,0	37,7	43,2	0,29	6,9	SPLS 6a 90 Ah Ct1 Ba Ct1	37,4	37,7	22,0	0,31	
420	50x50x5	S235	1M16-5.6t	0,55	0,55	0,55	175	-8,3	SPLS 6a 90 Ah Ct1 Ba Ct1	26,2	37,7	43,2	0,32	8,0	SPLS 6a 90 Ah All Cts Ba Ct2	37,4	37,7	22,0	0,36	
421	50x50x5	S235	1M16-5.6t	0,53	0,53	0,53	148	-9,5	SPLS 6a 90 Ah All Cts Ba Ct2	32,4	37,7	43,2	0,29	9,4	SPLS 6a 90 Ah Ct2 Ba Ct2	37,4	37,7	22,0	0,43	
422	50x50x5	S235	1M16-5.6t	0,54	0,54	0,54	142	-11,8	SPLS 6a 90 Ah All Cts Ba Ct2	34,2	37,7	43,2	0,35	11,6	SPLS 6a 90 Ah All Cts Ba Ct2	37,4	37,7	22,0	0,53	
423	50x50x5	S235	1M16-5.6t	0,54	0,54	0,54	133	-15,0	SPLS 6a 90 Ah All Cts Ba Ct2	36,8	37,7	43,2	0,41	15,3	SPLS 6a 90 Ah All Cts Ba Ct2	37,4	37,7	22,0	0,69	
424	50x50x5	S235	1M16-5.6t	0,55	0,55	0,55	127	-21,6	SPLS 6a 90 Ah Ct2 Ba Ct2	38,5	37,7	43,2	0,57	20,8	SPLS 6a 90 Ah Ct2 Ba Ct2	37,4	37,7	22,0	0,95	
425	55x55x6	S235	2M16-5.6t	0,57	0,57	0,57	114	-30,7	SPLS 6a 90 Ah All Cts Ba Ct2	67,3	75,4	103,7	0,46	31,9	SPLS 6a 90 Ah All Cts Ba Ct2	66,1	75,4	67,2	0,48	
426	50x50x5	S235	1M16-5.6t	1,00	1,00	1,00	212	-3,0	ULS 3 90	20,2	37,7	43,2	0,15	0,0		37,4	37,7	22,0	0,00	
427	UNP160	S235	1M16-5.6t	1,00	1,00	1,00	42	0,0		288,5	37,7	64,8	0,00	28,9	ULS 3 0,9 90	90,7	37,7	48,0	0,77	
428	80x80x8	S235	1M24-5.6t	1,00	1,00	1,00	101	-42,4	SPLS 6a 90 Ah Ct1 Ba Ct1	123,8	84,7	103,7	0,50	40,5	SPLS 3 0,9 86,665 Ba All Cts	124,4	84,7	79,8	0,51	



Assessment of groups for modified structure (afkeur level)

Date 9-7-2021
Author TBR
Version v4.3

MBT-EHV 380
HA+0 T1
Mast 34

Table with columns: Group Label, Description, Profile, Steel Quality, Bolts, RLX, RLY, RLZ, Slenderness, Compression (kN), Load Case (Compression), Buckling, Shear (Comp), Bearing (Comp), U.C. (Comp), Exceedance (Comp), Tension (kN), Load Case (Tension), Net Section, Shear (Tens), Bearing (Tens), U.C. (Tens), Exceedance (Tens). Rows 106-312.



Assessment of groups for modified structure (afkeur level)

Date 9-7-2021
 Author TBR
 Version v4.3

MBT-EHV 380
 HA+0 T1
 Mast 34

Group Label	Description	Profile	Steel Quality	Bolts	RLX	RLY	RLZ	Slenderness	Compression (kN)	Load Case (Compression)	Buckling	Shear (Comp)	Bearing (Comp)	U.C. (Comp)	Exceedance (Comp)	Tension (kN)	Load Case (Tension)	Net Section	Shear (Tens)	Bearing (Tens)	U.C. (Tens)	Exceedance (Tens)
313	0	80x80x6#	S235	2M20-5.6t	0,55	0,55	0,55	93	-39,0	SPLS 6a_90 Ah All Cts Ba Ct2	126,3	117,6	129,6	0,33	37,9	SPLS 6a_90 Ah All Cts Ba Ct2	99,4	117,6	91,6	0,41		
314	0	80x80x6#	S235	2M20-5.6t	0,55	0,55	0,55	83	-44,2	SPLS 6a_90 Ah All Cts Ba Ct2	136,6	117,6	129,6	0,38	44,9	SPLS 6a_90 Ah All Cts Ba Ct2	107,0	117,6	91,6	0,49		
315	0	80x80x6#	S235	2M20-5.6t	0,55	0,55	0,55	76	-64,7	SPLS 6a_90 Ah All Cts Ba Ct2	143,9	117,6	129,6	0,55	60,7	SPLS 6a_90 Ah All Cts Ba Ct2	112,1	117,6	91,6	0,66		
316	0	70x70x6	S235	1M24-5.6t	1,00	1,00	1,00	63	-30,2	SPLS 6a_90 Ah Ct1 Ba Ct1	102,4	84,7	77,8	0,39	29,8	SPLS 6a_90 Ah Ct2 Ba Ct2	76,0	84,7	49,5	0,60		
317	0	50x50x5	S235	1M16-5.6t	1,00	1,00	1,00	89	-0,4	SPLS 1a_0 Ba All Cts	53,2	37,7	43,2	0,01	3,8	ULS 3_135	37,4	37,7	22,0	0,17		
318	0	HEA160	S235	2M20-5.6t	1,00	1,00	1,00	87	0,0		548,1	117,6	216,0	0,00	4,8	ULS 3_90	766,1	117,6	0,0	0,04		
319	0	100x100x12	S235	2M20-5.6t	1,00	1,00	1,00	133	0,0		218,3	117,6	259,2	0,00	49,5	ULS 3_90	278,4	117,6	259,2	0,42		
320	0	100x100x12	S235	2M20-5.6t	1,00	2,00	1,00	81	0,0		316,3	117,6	259,2	0,00	55,4	ULS 3_90	278,4	117,6	259,2	0,47		
321	0	HEA160	S235	2M20-5.6t	1,00	1,00	1,00	57	-5,2	ULS 3_0,9_90	679,1	117,6	216,0	0,04	1,4	ULS 5a Ba 11	766,1	117,6	0,0	0,01		
322	0	100x100x12	S235	2M20-5.6t	1,00	1,00	1,00	64	0,0		376,8	117,6	259,2	0,00	54,7	ULS 3_90	278,4	117,6	259,2	0,47		
323	0	100x100x12	S235	2M20-5.6t	1,00	2,00	1,00	38	0,0		424,1	117,6	259,2	0,00	63,8	ULS 3_0,9_93,335	278,4	117,6	259,2	0,54		
324	0	HEA160	S235	2M20-5.6t	1,00	1,00	1,00	25	-7,6	ULS 3_0,9_90	794,1	117,6	216,0	0,06	0,0		766,1	117,6	0,0	0,00		
325	0	65x50x5	S235	1M20-5.6t	1,00	1,00	1,00	219	-3,2	ULS 3_0,9_90	22,0	58,8	54,0	0,15	0,0		61,9	58,8	31,9	0,00		
401	0	50x50x5	S235	1M16-5.6t	1,00	1,00	1,00	89	-1,2	ULS 5a Ba 12	52,9	37,7	43,2	0,03	3,2	ULS 5a Ba 12	37,4	37,7	22,0	0,15		
402	0	50x50x5	S235	1M16-5.6t	1,00	1,00	1,00	176	0,0		26,1	37,7	43,2	0,00	5,9	ULS 5a Ba 12	37,4	37,7	22,0	0,27		
403	0	50x50x5	S235	1M16-5.6t	1,00	1,00	1,00	299	-3,3	SPLS 1a_86,665 Ba Ct2	11,9	37,7	43,2	0,28	0,0		37,4	37,7	22,0	0,00		
404	0	50x50x5	S235	1M16-5.6t	1,00	1,00	1,00	333	-9,1	ULS 5a Ah 12	10,0	37,7	43,2	0,91	0,4	ULS 5a Ba 12	37,4	37,7	22,0	0,02		
405	0	50x50x5	S235	1M16-5.6t	1,00	1,00	1,00	261	0,0		14,7	37,7	43,2	0,00	1,0	ULS 1a_86,665	37,4	37,7	22,0	0,05		
406	0	80x80x8	S235	1M24-5.6t	0,53	0,53	0,53	120	-30,0	SPLS 3_0,9_86,665 Ba All Cts	105,2	84,7	103,7	0,35	30,2	SPLS 3_86,665 Ba All Cts	124,4	84,7	88,6	0,36		
407	0	80x80x8	S235	1M24-5.6t	0,53	0,53	0,53	110	-35,8	SPLS 6a_90 Ah All Cts Ba Ct2	114,3	84,7	103,7	0,42	36,3	SPLS 3_0,9_86,665 Ba Ct1	124,4	84,7	88,6	0,43		
408	0	80x80x6#	S235	2M20-5.6t	1,00	1,00	1,00	87	-39,4	SPLS 6a_90 Ah Ct1 Ba Ct1	132,2	117,6	129,6	0,33	36,5	SPLS 3_0,9_90 Ba All Cts	113,4	117,6	91,6	0,40		
409	0	80x80x6#	S235	2M20-5.6t	0,54	0,54	0,54	80	-41,4	SPLS 3_90 Ba All Cts	139,3	117,6	129,6	0,35	42,8	SPLS 3_0,9_90 Ba Ct2	104,5	117,6	91,6	0,47		
410	0	70x70x7	S235	2M20-5.6t	0,54	0,54	0,54	88	-47,8	SPLS 3_0,9_90 Ba All Cts	131,3	117,6	151,2	0,41	46,6	SPLS 6a_90 Ah All Cts Ba Ct2	104,1	117,6	106,9	0,45		
411	0	70x70x7	S235	2M20-5.6t	0,55	0,55	0,55	86	-60,2	SPLS 6a_90 Ah All Cts Ba Ct2	132,9	117,6	151,2	0,51	58,1	SPLS 3_0,9_90 Ba All Cts	107,8	117,6	106,9	0,54		
412	0	60x60x6	S235	1M20-5.6t	1,00	1,00	1,00	81	-24,0	SPLS 6a_90 Ah Ct1 Ba Ct1	80,2	58,8	64,8	0,41	27,2	SPLS 3_0,9_90 Ba Ct1	65,7	58,8	38,8	0,70		
413	0	HEA160	S235	2M20-5.6t	2,00	1,00	1,00	33	-1,9	SPLS 3_0,9_86,665 Ba All Cts	745,0	117,6	216,0	0,02	3,8	SPLS 6a_90 Ah All Cts Ba Ct1	766,1	117,6	0,0	0,03		
414	0	100x65x11	S235	2M20-5.6t	1,00	1,00	1,00	107	0,0		203,8	117,6	237,6	0,00	53,7	ULS 3_90	180,0	117,6	208,8	0,46		
415	0	100x65x11	S235	2M20-5.6t	1,00	1,00	1,00	50	0,0		308,3	117,6	237,6	0,00	63,5	ULS 3_0,9_90	180,0	117,6	208,8	0,54		
416	0	HEA160	S235	2M20-5.6t	1,00	1,00	1,00	32	-8,8	ULS 3_0,9_90	771,1	117,6	216,0	0,08	0,0		766,1	117,6	0,0	0,00		
417	0	50x50x5	S235	1M16-5.6t	1,00	1,00	1,00	115	0,0	SPLS 1a_86,665 Ah Ct1	43,0	37,7	43,2	0,00	0,0	ULS 1a_0,9_86,665	37,4	37,7	22,0	0,00		
418	0	50x50x5	S235	1M16-5.6t	0,55	0,55	0,55	200	-5,9	SPLS 1a_0 Ba All Cts	21,9	37,7	43,2	0,27	5,8	SPLS 6a_90 Ah All Cts Ba Ct2	37,4	37,7	22,0	0,26		
419	0	50x50x5	S235	1M16-5.6t	0,55	0,55	0,55	187	-7,0	SPLS 6a_90 Ah All Cts Ba Ct2	24,0	37,7	43,2	0,29	6,9	SPLS 6a_90 Ah Ct1 Ba Ct1	37,4	37,7	22,0	0,31		
420	0	50x50x5	S235	1M16-5.6t	0,55	0,55	0,55	175	-8,3	SPLS 6a_90 Ah Ct1 Ba Ct1	26,2	37,7	43,2	0,32	8,0	SPLS 6a_90 Ah All Cts Ba Ct2	37,4	37,7	22,0	0,36		
421	0	50x50x5	S235	1M16-5.6t	0,53	0,53	0,53	148	-9,5	SPLS 6a_90 Ah All Cts Ba Ct2	32,4	37,7	43,2	0,29	9,4	SPLS 6a_90 Ah Ct2 Ba Ct2	37,4	37,7	22,0	0,43		
422	0	50x50x5	S235	1M16-5.6t	0,54	0,54	0,54	142	-11,8	SPLS 6a_90 Ah All Cts Ba Ct2	34,2	37,7	43,2	0,35	11,6	SPLS 6a_90 Ah All Cts Ba Ct2	37,4	37,7	22,0	0,53		
423	0	50x50x5	S235	1M16-5.6t	0,54	0,54	0,54	133	-15,0	SPLS 6a_90 Ah All Cts Ba Ct2	36,8	37,7	43,2	0,41	15,3	SPLS 6a_90 Ah All Cts Ba Ct2	37,4	37,7	22,0	0,69		
424	0	50x50x5	S235	1M16-5.6t	0,55	0,55	0,55	127	-21,6	SPLS 6a_90 Ah Ct2 Ba Ct2	38,5	37,7	43,2	0,57	20,8	SPLS 6a_90 Ah Ct2 Ba Ct2	37,4	37,7	22,0	0,95		
425	0	55x55x6	S235	2M16-5.6t	0,57	0,57	0,57	114	-30,7	SPLS 6a_90 Ah All Cts Ba Ct2	67,3	75,4	103,7	0,46	31,9	SPLS 6a_90 Ah All Cts Ba Ct2	66,1	75,4	67,2	0,48		
426	0	50x50x5	S235	1M16-5.6t	1,00	1,00	1,00	212	-3,0	ULS 3_90	20,2	37,7	43,2	0,15	0,0		37,4	37,7	22,0	0,00		
427	0	UNP160	S235	1M16-5.6t	1,00	1,00	1,00	42	0,0		288,5	37,7	64,8	0,00	28,9	ULS 3_0,9_90	90,7	37,7	48,0	0,77		
428	0	80x80x8	S235	1M24-5.6t	1,00	1,00	1,00	101	-42,4	SPLS 6a_90 Ah Ct1 Ba Ct1	123,8	84,7	103,7	0,50	40,5	SPLS 3_0,9_86,665 Ba All Cts	124,4	84,7	79,8	0,51		

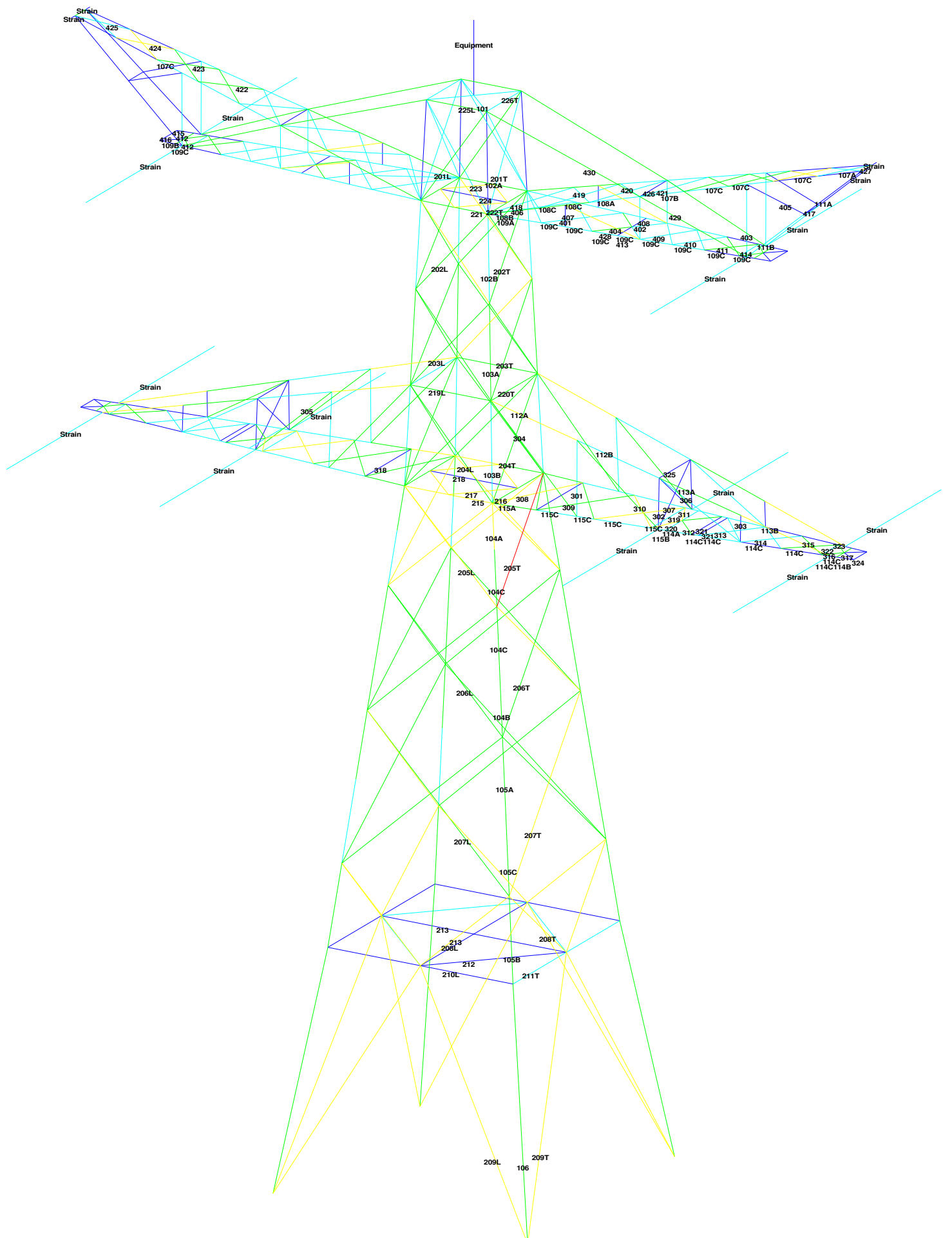


Assessment of groups for modified elements (verbouw level)

Date 9-7-2021
 Author TBR
 Version v4.3

**MBT-EHV 380
 HA+0 T1
 Mast 34**

Group Label	Description	Profile	Steel Quality	Bolts	RLX	RLY	RLZ	Slenderne ss	Compression (kN)	Load Case (Compression)	Bucklin g	Shear (Comp)	Bearing (Comp)	U.C. (Comp)	Exceedance (Comp)	Tension (kN)	Load Case (Tension)	Net Section	Shear (Tens)	Bearing (Tens)	U.C. (Tens)	Exceedance (Tens)
205T		150x150x12	S355	5M24-8.8t	0,55	0,28	0,28	70	-402,5	SPLS 6a 90 Ah Ct1 Ba Ct1	708,3	677,8	1058,4	0,59		409,8	SPLS 6a 90 Ah Ct2 Ba Ct2	620,9	677,8	732,7	0,66	



1 (m)



Assessment of groups for initial structure (afkeur level)

Date 9-7-2021
Author TBR
Version v4.3

MBT-EHV 380
HA+0 T1
Mast 128

Table with columns: Group Label, Description, Steel Profile, Quality, Bolts, RLX, RLY, RLZ, Slenderness, Compression (kN), Load Case (Compression), Buckling, Shear (Comp), Bearing (Comp), U.C. (Comp), Exceedance (Comp), Tension (kN), Load Case (Tension), Net Section, Shear (Tens), Bearing (Tens), U.C. (Tens), Exceedance (Tens). Rows include various steel profiles and their corresponding assessment values.



Date 9-7-2021
 Author TBR
 Version v4.3

Assessment of groups for initial structure (afkeur level)

MBT-EHV 380
 HA+0 T1
 Mast 128

Group Label	Description	Profile	Steel Quality	Bolts	RLX	RLY	RLZ	Slenderness	Compression					Tension				
									(kN)	Load Case (Compression)	Buckling	Shear (Comp)	Bearing (Comp)	U.C. (Comp)	Exceedance (Comp)	(kN)	Load Case (Tension)	Net Section
320	100x100x12	S235	2M20-5.6t	1,00	2,00	1,00	81	0,0	316,3	117,6	259,2	0,00	55,5	ULS 3_97	278,4	117,6	259,2	0,47
321	HEA160	S235	2M20-5.6t	1,00	1,00	1,00	57	-5,2	679,1	117,6	216,0	0,04	1,4	ULS 5a Ah 11	766,1	117,6	0,0	0,01
322	100x100x12	S235	2M20-5.6t	1,00	1,00	1,00	64	0,0	376,8	117,6	259,2	0,00	53,7	ULS 3_90	278,4	117,6	259,2	0,46
323	100x100x12	S235	2M20-5.6t	1,00	2,00	1,00	38	0,0	424,1	117,6	259,2	0,00	64,0	ULS 3_0,9_97	278,4	117,6	259,2	0,54
324	HEA160	S235	2M20-5.6t	1,00	1,00	1,00	25	-7,6	794,1	117,6	216,0	0,06	0,0		766,1	117,6	0,0	0,00
325	65x50x5	S235	1M20-5.6t	1,00	1,00	1,00	219	-3,2	22,0	58,8	54,0	0,14	0,0		61,9	58,8	31,9	0,00
401	50x50x5	S235	1M16-5.6t	1,00	1,00	1,00	89	-1,1	52,9	37,7	43,2	0,03	3,2	ULS 5a Ah 12	37,4	37,7	22,0	0,15
402	50x50x5	S235	1M16-5.6t	1,00	1,00	1,00	176	0,0	26,1	37,7	43,2	0,00	5,9	ULS 5a Ah 12	37,4	37,7	22,0	0,27
403	50x50x5	S235	1M16-5.6t	1,00	1,00	1,00	299	-3,3	11,9	37,7	43,2	0,28	0,0		37,4	37,7	22,0	0,00
404	50x50x5	S235	1M16-5.6t	1,00	1,00	1,00	333	-9,2	10,0	37,7	43,2	0,92	0,3	ULS 5a Ah 22	37,4	37,7	22,0	0,01
405	50x50x5	S235	1M16-5.6t	1,00	1,00	1,00	261	0,0	14,7	37,7	43,2	0,00	1,0	ULS 1a 83	37,4	37,7	22,0	0,05
406	80x80x8	S235	1M24-5.6t	0,53	0,53	0,53	120	-30,2	105,2	84,7	103,7	0,36	30,7	SPLS 3_0,9_90 Ba All Cts	124,4	84,7	88,6	0,36
407	80x80x8	S235	1M24-5.6t	0,53	0,53	0,53	110	-36,3	114,3	84,7	103,7	0,43	36,7	SPLS 3_0,9_90 Ba Ct2	124,4	84,7	88,6	0,43
408	80x80x6#	S235	2M20-5.6t	1,00	1,00	1,00	87	-39,7	132,2	117,6	129,6	0,34	37,0	SPLS 3_0,9_90 Ba All Cts	113,4	117,6	91,6	0,40
409	80x80x6#	S235	2M20-5.6t	0,54	0,54	0,54	80	-42,0	139,3	117,6	129,6	0,36	43,4	SPLS 3_0,9_97 Ba All Cts	104,5	117,6	91,6	0,47
410	70x70x7	S235	2M20-5.6t	0,54	0,54	0,54	88	-48,5	131,3	117,6	151,2	0,41	47,2	SPLS 3_97 Ba All Cts	104,1	117,6	106,9	0,45
411	70x70x7	S235	2M20-5.6t	0,55	0,55	0,55	86	-60,9	132,9	117,6	151,2	0,52	59,1	SPLS 3_0,9_97 Ba All Cts	107,8	117,6	106,9	0,55
412	60x60x6	S235	1M20-5.6t	1,00	1,00	1,00	81	-24,2	80,2	58,8	64,8	0,41	27,5	SPLS 3_0,9_97 Ba Ct1	65,7	58,8	38,8	0,71
413	HEA160	S235	2M20-5.6t	2,00	1,00	1,00	33	-2,0	745,0	117,6	216,0	0,02	3,9	SPLS 6a_90 Ah All Cts Ba Ct1	766,1	117,6	0,0	0,03
414	100x65x11	S235	2M20-5.6t	1,00	1,00	1,00	107	0,0	203,8	117,6	237,6	0,00	53,5	ULS 3_90	180,0	117,6	208,8	0,45
415	100x65x11	S235	2M20-5.6t	1,00	1,00	1,00	50	0,0	308,3	117,6	237,6	0,00	63,7	ULS 3_97	180,0	117,6	208,8	0,54
416	HEA160	S235	2M20-5.6t	1,00	1,00	1,00	32	-8,8	771,1	117,6	216,0	0,08	0,0		766,1	117,6	0,0	0,00
417	50x50x5	S235	1M16-5.6t	1,00	1,00	1,00	115	0,0	43,0	37,7	43,2	0,00	0,0	ULS 1a_0,9_90	37,4	37,7	22,0	0,00
418	50x50x5	S235	1M16-5.6t	0,55	0,55	0,55	200	-5,8	21,9	37,7	43,2	0,26	5,9	SPLS 6a_90 Ah All Cts Ba Ct2	37,4	37,7	22,0	0,27
419	50x50x5	S235	1M16-5.6t	0,55	0,55	0,55	187	-7,1	24,0	37,7	43,2	0,30	7,0	SPLS 6a_90 Ah Ct1 Ba Ct1	37,4	37,7	22,0	0,32
420	50x50x5	S235	1M16-5.6t	0,55	0,55	0,55	175	-8,4	26,2	37,7	43,2	0,32	8,1	SPLS 6a_90 Ah All Cts Ba Ct2	37,4	37,7	22,0	0,37
421	50x50x5	S235	1M16-5.6t	0,53	0,53	0,53	148	-9,6	32,4	37,7	43,2	0,30	9,6	SPLS 6a_90 Ah Ct2 Ba Ct2	37,4	37,7	22,0	0,43
422	50x50x5	S235	1M16-5.6t	0,54	0,54	0,54	142	-12,0	34,2	37,7	43,2	0,35	11,8	SPLS 6a_90 Ah All Cts Ba Ct2	37,4	37,7	22,0	0,53
423	50x50x5	S235	1M16-5.6t	0,54	0,54	0,54	133	-15,2	36,8	37,7	43,2	0,41	15,5	SPLS 6a_90 Ah All Cts Ba Ct2	37,4	37,7	22,0	0,71
424	50x50x5	S235	1M16-5.6t	0,55	0,55	0,55	127	-21,9	38,5	37,7	43,2	0,58	21,1	SPLS 6a_90 Ah Ct2 Ba Ct2	37,4	37,7	22,0	0,96
425	55x55x6	S235	2M16-5.6t	0,57	0,57	0,57	114	-31,1	67,3	75,4	103,7	0,46	32,4	SPLS 6a_90 Ah All Cts Ba Ct2	66,1	75,4	67,2	0,49
426	50x50x5	S235	1M16-5.6t	1,00	1,00	1,00	212	-3,2	20,2	37,7	43,2	0,16	0,0		37,4	37,7	22,0	0,00
427	UNP160	S235	1M16-5.6t	1,00	1,00	1,00	42	0,0	288,5	37,7	64,8	0,00	28,7	ULS 3_0,9_90	90,7	37,7	48,0	0,76
428	80x80x8	S235	1M24-5.6t	1,00	1,00	1,00	101	-42,7	123,7	84,7	103,7	0,50	41,1	SPLS 3_0,9_90 Ba All Cts	124,4	84,7	79,8	0,52



Assessment of groups for modified structure (afkeur level)

Date 9-7-2021
Author TBR
Version v4.3

MBT-EHV 380
HA+0 T1
Mast 128

Table with columns: Group Label, Description, Profile, Steel Quality, Bolts, RLX, RLY, RLZ, Slenderness, Compression (kN), Load Case (Compression), Buckling, Shear (Comp), Bearing (Comp), U.C. (Comp), Exceedance (Comp), Tension (kN), Load Case (Tension), Net Section, Shear (Tens), Bearing (Tens), U.C. (Tens), Exceedance (Tens). Rows 106-312.



Assessment of groups for modified structure (afkeur level)

Date 9-7-2021
Author TBR
Version v4.3

MBT-EHV 380
HA+0 T1
Mast 128

Table with 21 columns: Group Label, Description, Profile, Steel Quality, Bolts, RLX, RLY, RLZ, Slenderness, Compression (kN), Load Case (Compression), Buckling, Shear (Comp), Bearing (Comp), U.C. (Comp), Exceedance (Comp), Tension (kN), Load Case (Tension), Net Section, Shear (Tens), Bearing (Tens), U.C. (Tens), Exceedance (Tens). Rows 313-428.



Assessment of groups for modified elements (verbouw level)

Date 9-7-2021
 Author TBR
 Version v4.3

**MBT-EHV 380
 HA+0 T1
 Mast 128**

Group Label	Description	Profile	Steel Quality	Bolts	RLX	RLY	RLZ	Slenderne ss	Compression (kN)	Load Case (Compression)	Bucklin g	Shear (Comp)	Bearing (Comp)	U.C. (Comp)	Exceedance (Comp)	Tension (kN)	Load Case (Tension)	Net Section	Shear (Tens)	Bearing (Tens)	U.C. (Tens)	Exceedance (Tens)
205T		150x150x12	S355	5M24-8.8t	0,55	0,28	0,28	70	-410,0	SPLS 6a 90 Ah Ct1 Ba Ct1	708,3	677,8	1058,4	0,61		414,9	SPLS 6a 90 Ah Ct2 Ba Ct2	620,9	677,8	732,7	0,67	



APPENDIX C

TOETSING KNIKVERKORTERS

Knikverkorters initial structure (afkeur)

Date: 2021-07-09

Author: TBR

Version: v1.9

MBT-EHV

HA+0 & HA+0T

Masts 9,34,75 & 128

Posnr.	Section	Schematization	Profile	Steel Quality	Bolt	Quality	Length (m)	Angle (°)	Slenderness	Normal Force (kN)	Moment (kNm)	Buckling Cap. (kN)	Shear Cap. Bolt (kN)	Bearing Cap. (kN)	Net Section Cap. (kN)	Moment Cap. (kNm)	Highest U.C.	Exceedance Type	Notes
13	Onderstuk	Enkele staaf	L50x5	S235	M16	5.6	0.516	0	53	19.8	0.13	63.5	37.7	30.3	31.7	0.72	0.65		
18	Onderstuk	Enkele staaf	L60x5	S235	M16	5.6	1.62	80	138	19.8	0.00	42.7	37.7	32.0	60.5	1.05	0.62		
11	Onderstuk	Enkele staaf	L50x5	S235	M16	5.6	1.23	0	126	19.8	0.31	38.9	37.7	30.3	31.7	0.72	0.65		
17	Onderstuk	Enkele staaf	L60x5	S235	M16	5.6	1.91	57	163	19.8	0.00	35.1	37.7	32.0	60.5	1.1	0.62		
10	Onderstuk	Enkele staaf	L60x5	S235	M16	5.6	1.83	0	156	19.8	0.46	37.0	37.7	32.0	60.5	1.05	0.62		
16	Onderstuk	Enkele staaf	L70x6	S235	M16	5.6	2.25	45	164	19.8	0.00	48.3	37.7	38.4	89.9	1.71	0.52		
9	Onderstuk	Enkele staaf	L70x6	S235	M16	5.6	2.49	0	182	19.8	0.62	42.3	37.7	38.4	89.9	1.71	0.52		
15	Onderstuk	Enkele staaf	L70x6	S235	M16	5.6	2.76	35	201	19.8	0.00	36.8	37.7	38.4	89.9	1.71	0.54		
8	Onderstuk	Enkele staaf	L80x6	S235	M16	5.6	3.15	0	200	19.8	0.79	42.5	37.7	38.4	107.1	2.25	0.52		
14	Onderstuk	Enkele staaf	L80x6	S235	M16	5.6	3.40	27	216	19.8	0.76	38.1	37.7	38.4	107.1	2.25	0.52		
23	Pootverband	Enkele staaf	L50x5	S235	M16	5.6	1.25	0	128	3.4	0.31	38.2	37.7	30.3	31.7	0.72	0.44		
26	Pootverband	Enkele staaf	L50x5	S235	M16	5.6	2.76	77	284	3.4	0.00	13.0	37.7	30.3	31.7	0.72	0.26		
22	Pootverband	Kniksteun en verticale steur	L50x5	S235	M16	5.6	2.67	0	176	3.4	0.33	20.8	37.7	30.3	31.7	0.54	0.64		
25	Pootverband	Enkele staaf	L50x5	S235	M16	5.6	2.99	64	307	3.4	0.00	11.4	37.7	30.3	31.7	0.72	0.30		
21	Pootverband	Kniksteun en verticale steur	L50x5	S235	M16	5.6	4.08	0	270	3.4	0.51	11.8	37.7	30.3	31.7	0.54	0.98		
24	Pootverband	Enkele staaf	L60x5	S235	M16	5.6	3.39	53	288	3.4	0.00	15.3	37.7	32.0	60.5	1.05	0.22		
20	Tussenschot	Kniksteun en verticale steur	L60x5	S235	M16	5.6	5.66	0	309	1.8	0.71	11.7	37.7	32.0	60.5	0.81	0.91		
27	Tussenschot	Kruisende staaf halverwege	L70x5	S235	M16	5.6	7.86	0	368	1.8	0.98	10.5	37.7	32.0	74.9	1.78	0.55		
69	1e tussenstuk	Enkele staaf	L70x5	S235	M16	5.6	2.48	50	180	18.0	0.00	36.0	37.7	32.0	74.9	1.78	0.56		
59	1e tussenstuk	Enkele staaf	L60x5	S235	M16	5.6	1.86	0	158	18.0	0.47	36.3	37.7	32.0	60.5	1.05	0.56		
60	1e tussenstuk	Enkele staaf	L50x5	S235	M16	5.6	1.45	0	149	18.0	0.36	32.2	37.7	30.3	31.7	0.72	0.59		
70	1e tussenstuk	Enkele staaf	L60x5	S235	M16	5.6	2.11	54	179	18.0	0.00	30.8	37.7	32.0	60.5	1.05	0.58		
61	1e tussenstuk	Enkele staaf	L80x6	S235	M16	5.6	2.91	0	185	18.0	0.73	47.6	37.7	38.4	107.1	2.25	0.48		
71	1e tussenstuk	Enkele staaf	L60x5	S235	M16	5.6	2.06	38	175	18.0	0.00	31.8	37.7	32.0	60.5	1.05	0.57		
62	1e tussenstuk	Enkele staaf	L50x5	S235	M16	5.6	1.48	0	152	18.0	0.37	31.4	37.7	30.3	31.7	0.7	0.59		
63	2e tussenstuk	Enkele staaf	L50x5	S235	M16	5.6	1.19	0	122	13.5	0.30	40.2	37.7	30.3	31.7	0.72	0.45		
72	2e tussenstuk	Enkele staaf	L50x5	S235	M16	5.6	1.73	54	177	13.5	0.00	25.8	37.7	30.3	31.7	0.72	0.52		
64	2e tussenstuk	Enkele staaf	L60x6	S235	M16	5.6	2.52	0	216	13.5	0.63	28.3	37.7	38.4	72.6	1.24	0.51		
73	2e tussenstuk	Enkele staaf	L50x5	S235	M16	5.6	1.68	37	173	13.5	0.00	26.8	37.7	30.3	31.7	0.72	0.50		
65	2e tussenstuk	Enkele staaf	L50x5	S235	M16	5.6	1.22	0	125	13.5	0.31	39.2	37.7	30.3	31.7	0.72	0.45		
66	2e tussenstuk	Enkele staaf	L50x5	S235	M16	5.6	0.94	0	97	13.5	0.24	49.9	37.7	30.3	31.7	0.72	0.45		
74	2e tussenstuk	Enkele staaf	L50x5	S235	M16	5.6	1.37	54	141	13.5	0.00	34.5	37.7	30.3	31.7	0.7	0.45		
67	2e tussenstuk	Enkele staaf	L50x5	S235	M16	5.6	2.02	0	208	13.5	0.51	20.8	37.7	30.3	31.7	0.7	0.70		
75	2e tussenstuk	Enkele staaf	L50x5	S235	M16	5.6	1.32	37	136	13.5	0.00	36.0	37.7	30.3	31.7	0.72	0.45		
68	2e tussenstuk	Enkele staaf	L50x5	S235	M16	5.6	0.97	0	100	13.5	0.24	48.7	37.7	30.3	31.7	0.72	0.45		



APPENDIX D

TOETSING BLOKDEUVELS EN OVERIGE BEREKENINGEN

Project: MBT-EHV380
Mast: HA+0 (9)

Shear blocks

NEN-EN 1993-1-1 en NEN-EN 1994-1-1

Datum: 2021-07-09
Auteur: TBR
Versie: 1.4

Load		Results	
Compression	$F_{Ed,c}$	1318 kN	U.C. 0.56 < 1,00 OK
Tension	$F_{Ed,t}$	1076 kN	U.C. 0.56 < 1,00 OK

Main leg

Profile		L250.18
Steel material		S235
Cross section		8719 mm ²
Axial capacity	N_{pl}	2049 kN
Width	b	250 mm
Thickness	t	18 mm
Length in concrete		2000 mm

Capacity shear blocks main leg

$A_{f1} =$	6900 mm ²
$A_{f2} =$	25428 mm ²
Slope	1: 5
$C_A = \sqrt{(A_{f2}/A_{f1})} =$	1.92
$f_{jd} = C_A \times f_{cd} =$	20.5 N/mm ²
$F_{Rd,c} = n_c \times A_{f1} \times f_{jd} =$	1978 kN
$F_{Rd,t} = n_t \times A_{f1} \times f_{jd} =$	1978 kN

Shear blocks main leg

Width	b	50 mm
Thickness	h	30 mm
Length	L	230 mm
Welds	a	4 mm
c.t.c. separation	s	290 mm
Number for compr.	n_c	14 -
Number for tension	n_t	14 -

Capacity foot plate

$k_d =$	1.73 -
$f_{jd} = C_A \times f_{cd} =$	18.5 N/mm ²
$c = t \sqrt{(f_{yd} / 3f_{jd})} =$	39 mm
$m^* = \min(c, m) =$	12 mm
Type foot plate	Diagonally cut
Effective for	Compr. and tension
$A_{p,c} =$	20647 mm ²
$F_{Rd,c} = A_{p,druk} \times f_{jd} =$	381 kN
$A_{p,t} =$	11928 mm ²
$F_{Rd,t} = A_{p,t} \times f_{jd} =$	220 kN

Foot plate

Thickness	t	20 mm
Ext. length	m	12 mm
Welds	a	4 mm

Pile

Name		NVT
Diameter		NVT mm
Thickness		NVT mm
Cross section		NVT mm ²
Steel material		S235
Capacity		NVT kN
Concrete strength		C20/25

Capacities

$F_{rd,c,plate} =$	381 kN
$F_{rd,blocks,c} =$	1978 kN
$F_{rd,c} = F_{rd,block} + F_{rd,footplate} =$	2360 kN
U.C. compression	0.56 < 1,00 OK
Welds foot plate (see next page)	801 kN
$F_{rd,t} = \min. (welds / foot plate) =$	220 kN
$F_{rd,blocks,t} =$	1978 kN
$F_{rd,t} = F_{rd,block} + F_{rd,footplate} =$	2198 kN
U.C. tension	0.49 < 1,00 OK
U.C. welds	0.56 < 1,00 OK

Shear blocks pile

Width	b	NVT mm
Thickness	h	NVT mm
Length	L	NVT mm
Welds	a	NVT mm
c.t.c. separation	s	NVT mm
Number for compr.	n_c	NVT -
Number for tension	n_t	NVT -

Capacity shear blocks pile

$A_{f1} =$	NVT mm ²
$A_{f2} =$	NVT mm ²
$C_A = \sqrt{(A_{f2}/A_{f1})} =$	NVT -
$f_{jd} = k_d \times f_{cd} =$	NVT N/mm ²
$F_{Rd,c} = n_c \times A_{f1} \times f_{jd} =$	NVT kN
U.C. compression	NVT > 1,00 Not OK
$F_{Rd,t} = n_t \times A_{f1} \times f_{jd} =$	NVT kN
U.C. tension	NVT > 1,00 Not OK
U.C. welds	NVT > 1,00 Not OK

Design value concrete strength

Material factor	γ_c	1.5
Add. mat. factor	γ_m	1.25 -
$f_{cd} =$		10.7 N/mm ²

Steel tower stub

Yield strength	$f_{yd} =$	235 N/mm ²
Tensile strength	$f_{ud} =$	360 N/mm ²

"Splitting" of pile

Spread of forces		45 °
Length force flow		NVT mm
Splitting force		NVT kN/m
Yield strength wall	$f_{yd} =$	235 N/mm ²
Capacity tubular pile		NVT kN/m
U.C.		NVT > 1,00 Not OK

Project: MBT-EHV380
 Mast: HA+0 (9)

Welds of shear blocks of main leg

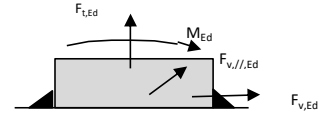
Out-of-plane loading

Plate

t = 50 mm
 Grade S235
 $f_{yd} = 235 \text{ N/mm}^2$
 $f_u = 360 \text{ N/mm}^2$

Welds

a = 4 mm
 l = 230 mm
 $\beta_w = 0.8$
 $\gamma_{M2} = 1.25$



Member forces

Factor 1.2
 $F_{t,Ed} = 0 \text{ kN}$
 $F_{v,Ed} = F_{rd,c} / n = 170 \text{ kN}$
 $F_{v//,Ed} = 0 \text{ kN}$
 $M_{Ed} = 1/2 b / h \times F_{v,Ed} = 2.54 \text{ kNm}$

Stress components

$\sigma_1 = \tau_1 = F_{t,Ed} \sqrt{2} / 4al = 0 \text{ N/mm}^2$
 $\sigma_1 = \tau_1 = F_{v,Ed} \sqrt{2} / 4al = 65 \text{ N/mm}^2$

 65 N/mm^2
 $b^* = b + 2/3av^2 = 53.8 \text{ mm}$
 $\sigma_1 = \tau_1 = 0,706M_{Ed} / al b^* = 36 \text{ N/mm}^2$
 $\tau_{//} = F_{v//,Ed} / 2al = 0 \text{ N/mm}^2$
 $\sigma_{vw,Ed} = \sqrt{(\sigma_1^2 + 3\tau_1^2 + 3\tau_{//}^2)} = 203 \text{ N/mm}^2$

Check

$\sigma_{vw,Ed} = 203 \text{ N/mm}^2 \leq f_u / \beta_w \gamma_{M2} = 360 \text{ N/mm}^2$ U.C. = **0.56 OK**
 $\sigma_1 = 101 \text{ N/mm}^2 \leq 0,9f_u / \gamma_{M2} = 259 \text{ N/mm}^2$ U.C. = **0.39 OK**

Welds of shear blocks of pile

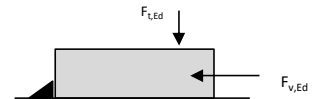
Out-of-plane loading

Plate

t = NVT mm
 Grade S235
 $f_{yd} = 235 \text{ N/mm}^2$
 $f_u = 360 \text{ N/mm}^2$

Welds

a = NVT mm
 l = NVT mm
 $\beta_w = 0.8$
 $\gamma_{M2} = 1.25$



Member forces

Factor 1.2
 $F_{t,Ed} = 1/2 b / h \times F_{v,Ed} = \text{NVT kN}$
 $F_{v,Ed} = \text{NVT kN}$
 $F_{v//,Ed} = 0 \text{ kN}$
 $M_{Ed} = 0.00 \text{ kNm}$

Stress components

$\sigma_1 = \tau_1 = F_{t,Ed} \sqrt{2} / 2al = \text{NVT N/mm}^2$
 $\sigma_1 = \tau_1 = F_{v,Ed} \sqrt{2} / 2al = \text{NVT N/mm}^2$

 NVT N/mm^2
 $\tau_{//} = F_{v//,Ed} / 2al = \text{NVT N/mm}^2$
 $\sigma_{vw,Ed} = \sqrt{(\sigma_1^2 + 3\tau_1^2 + 3\tau_{//}^2)} = \text{NVT N/mm}^2$

Check

$\sigma_{vw,Ed} = \text{NVT N/mm}^2 \leq f_u / \beta_w \gamma_{M2} = 360 \text{ N/mm}^2$ U.C. = **NVT** **NVT**
 $\sigma_1 = \text{NVT N/mm}^2 \leq 0,9f_u / \gamma_{M2} = 259 \text{ N/mm}^2$ U.C. = **NVT** **NVT**

Welds of foot plate

$f_u / \beta_w \gamma_{M2} = 360 \text{ N/mm}^2$
 Weld size a = 4 mm
 Length l = 2b + 2b - t = 964 mm
 Capacity $F_{Rd} = a \times l \times f_{w,d} / \sqrt{3} = 801 \text{ kN}$

Project: MBT-EHV380
Mast: HA+0 T (128)

Shear blocks

NEN-EN 1993-1-1 en NEN-EN 1994-1-1

Datum: 2021-07-09
Auteur: TBR
Versie: 1.4

Load		Results	
Compression	$F_{Ed,c}$	1322 kN	U.C. 0.56 < 1,00 OK
Tension	$F_{Ed,t}$	1074 kN	U.C. 0.56 < 1,00 OK

Main leg

Profile		L250.18
Steel material		S235
Cross section		8719 mm ²
Axial capacity	N_{pl}	2049 kN
Width	b	250 mm
Thickness	t	18 mm
Length in concrete		2000 mm

Capacity shear blocks main leg

A_{f1}		6900 mm ²
A_{f2}		25428 mm ²
Slope		1: 5
$C_A = \sqrt{(A_{f2}/A_{f1})}$		1.92
$f_{jd} = C_A \times f_{cd}$		20.5 N/mm ²
$F_{Rd,c} = n_c \times A_{f1} \times f_{jd}$		1978 kN
$F_{Rd,t} = n_t \times A_{f1} \times f_{jd}$		1978 kN

Shear blocks main leg

Width	b	50 mm
Thickness	h	30 mm
Length	L	230 mm
Welds	a	4 mm
c.t.c. separation	s	290 mm
Number for compr.	n_c	14 -
Number for tension	n_t	14 -

Capacity foot plate

k_d		1.73 -
$f_{jd} = C_A \times f_{cd}$		18.5 N/mm ²
$c = t\sqrt{(f_{yd} / 3f_{jd})}$		39 mm
$m^* = \min(c, m)$		12 mm
Type foot plate		Diagonally cut
Effective for		Compr. and tension
$A_{p,c}$		20647 mm ²
$F_{Rd,c} = A_{p,druk} \times f_{jd}$		381 kN
$A_{p,t}$		11928 mm ²
$F_{Rd,t} = A_{p,t} \times f_{jd}$		220 kN

Foot plate

Thickness	t	20 mm
Ext. length	m	12 mm
Welds	a	4 mm

Pile

Name		NVT
Diameter		NVT mm
Thickness		NVT mm
Cross section		NVT mm ²
Steel material		S235
Capacity	NVT	kN
Concrete strength		C20/25

Capacities

$F_{rd,c,plate}$		381 kN
$F_{rd,blocks,c}$		1978 kN
$F_{rd,c} = F_{rd,block} + F_{rd,footplate}$		2360 kN
U.C. compression		0.56 < 1,00 OK
Welds foot plate (see next page)		801 kN
$F_{rd,t} = \min. (welds / foot plate)$		220 kN
$F_{rd,blocks,t}$		1978 kN
$F_{rd,t} = F_{rd,block} + F_{rd,footplate}$		2198 kN
U.C. tension		0.49 < 1,00 OK
U.C. welds		0.56 < 1,00 OK

Shear blocks pile

Width	b	NVT mm
Thickness	h	NVT mm
Length	L	NVT mm
Welds	a	NVT mm
c.t.c. separation	s	NVT mm
Number for compr.	n_c	NVT -
Number for tension	n_t	NVT -

Capacity shear blocks pile

A_{f1}		NVT mm ²
A_{f2}		NVT mm ²
$C_A = \sqrt{(A_{f2}/A_{f1})}$		NVT -
$f_{jd} = k_d \times f_{cd}$		NVT N/mm ²
$F_{Rd,c} = n_c \times A_{f1} \times f_{jd}$		NVT kN
U.C. compression		NVT > 1,00 Not OK
$F_{Rd,t} = n_t \times A_{f1} \times f_{jd}$		NVT kN
U.C. tension		NVT > 1,00 Not OK
U.C. welds		NVT > 1,00 Not OK

Design value concrete strength

Material factor	γ_c	1.5
Add. mat. factor	γ_m	1.25 -
$f_{cd} =$		10.7 N/mm ²

Steel tower stub

Yield strength	f_{yd}	235 N/mm ²
Tensile strength	f_{ud}	360 N/mm ²

"Splitting" of pile

Spread of forces		45 °
Length force flow		#VALUE! mm
Splitting force		#VALUE! kN/m
Yield strength wall	$f_{yd} =$	235 N/mm ²
Capacity tubular pile		#VALUE! kN/m
U.C.		#VALUE! #VALUE!

Project: MBT-EHV380
 Mast: HA+0 T (128)

Welds of shear blocks of main leg

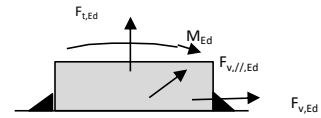
Out-of-plane loading

Plate

t =	50 mm
Grade	S235
f_{yd} =	235 N/mm ²
f_u =	360 N/mm ²

Welds

a =	4 mm
l =	230 mm
β_w =	0.8 -
γ_{M2} =	1.25 -



Member forces

Factor	1.2
$F_{t,Ed}$ =	0 kN
$F_{v,Ed} = F_{rd,c} / n$ =	170 kN
$F_{v//,Ed}$ =	0 kN
$M_{Ed} = 1/2 b / h \times F_{v,Ed}$ =	2.54 kNm

Stress components

$\sigma_1 = \tau_1 = F_{t,Ed} \sqrt{2} / 4al$ =	0 N/mm ²
$\sigma_1 = \tau_1 = F_{v,Ed} \sqrt{2} / 4al$ =	65 N/mm ²
	65 N/mm ²
$b^* = b + 2/3av^2$	53.8 mm
$\sigma_1 = \tau_1 = 0,706M_{Ed} / al b^*$ =	36 N/mm ²
$\tau_{//} = F_{v//,Ed} / 2al$ =	0 N/mm ²
$\sigma_{vw,Ed} = \sqrt{(\sigma_1^2 + 3\tau_1^2 + 3\tau_{//}^2)}$ =	203 N/mm ²

Check

$\sigma_{vw,Ed}$ =	203 N/mm ²	≤	$f_u / \beta_w \gamma_{M2}$ =	360 N/mm ²	U.C. =	0.56 OK
σ_1 =	101 N/mm ²	≤	$0,9f_u / \gamma_{M2}$ =	259 N/mm ²	U.C. =	0.39 OK

Welds of shear blocks of pile

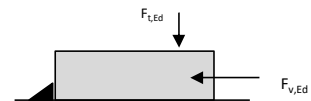
Out-of-plane loading

Plate

t =	NVT mm
Grade	S235
f_{yd} =	235 N/mm ²
f_u =	360 N/mm ²

Welds

a =	NVT mm
l =	NVT mm
β_w =	0.8 -
γ_{M2} =	1.25 -



Member forces

Factor	1.2
$F_{t,Ed} = 1/2 b / h \times F_{v,Ed}$ =	NVT kN
$F_{v,Ed}$ =	NVT kN
$F_{v//,Ed}$ =	0 kN
M_{Ed} =	0.00 kNm

Stress components

$\sigma_1 = \tau_1 = F_{t,Ed} \sqrt{2} / 2al$ =	NVT	N/mm ²
$\sigma_1 = \tau_1 = F_{v,Ed} \sqrt{2} / 2al$ =	NVT	N/mm ²
	NVT	N/mm ²
$\tau_{//} = F_{v//,Ed} / 2al$ =	NVT	N/mm ²
$\sigma_{vw,Ed} = \sqrt{(\sigma_1^2 + 3\tau_1^2 + 3\tau_{//}^2)}$ =	NVT	N/mm ²

Check

$\sigma_{vw,Ed}$ =	NVT	N/mm ²	≤	$f_u / \beta_w \gamma_{M2}$ =	360 N/mm ²	U.C. =	NVT	NVT
σ_1 =	NVT	N/mm ²	≤	$0,9f_u / \gamma_{M2}$ =	259 N/mm ²	U.C. =	NVT	NVT

Welds of foot plate

$f_u / \beta_w \gamma_{M2}$ =	360 N/mm ²
Weld size a =	4 mm
Length l = 2b + 2b - t =	964 mm
Capacity $F_{Rd} = a \times l \times f_{w,d} / \sqrt{3}$ =	801 kN

Project: BBB - MBT EHV
Mast: HA+0 & HA+0T

DNV

Pen-gatverbinding

Datum: 2021-07-09
Auteur: MKh
Versie: 1.3

Onderwerp	Post Insulator Attachment	Toetsing sterkte	0.52 < 1,0 OK
------------------	----------------------------------	------------------	---------------

Input

Dikte 15 mm
Gat 27 mm
Pendiameter 25 mm
Ringdikte 5 mm
Eindafstand 40 mm
Randafstand 35 mm

Staalsoort S235
Kwaliteit pen 8.8

Belasting

$F_{Ed} = 38.1$ kN

$\gamma_{m0,staal} = 1.20$
 $\gamma_{m0,pen} = 1.00$
 $\gamma_{m2} = 1.25$
 $\gamma_{m6,ser} = 1.00$

Toetsing

Afstanden
Randafstand OK
Eindafstand OK
Dikte OK

Sterkte-eisen

Afschuifsterkte pen 0.20 < 1,0 OK
Buigsterkte pen 0.52 < 1,0 OK
Combinatie M + V 0.31 < 1,0 OK
Stuik plaat 0.35 < 1,0 OK

Berekeningen

Controle eind- en randafstand

Aan de eisen van óf A óf B moet voldaan worden

Type A

Rand $a > F_{Ed} \gamma_{m0} / 2t f_y + 2 d_0/3 = 24$ mm OK
Eind $c > F_{Ed} \gamma_{m0} / 2t f_y + d_0/3 = 15$ mm OK

Type B

Min. eindafstand $e > 1,6d_0 = 43$ mm Niet OK
Min. randafstand $e > 1,25d_0 = 34$ mm OK
Min. dikte $t > 0,7\sqrt{(F_{Ed} \gamma_{m0} / f_y)} = 10$ mm OK

Pen

A = 491 mm²
 $W_{el} = 1534$ mm²
Excentriciteit
 $e = (132-102) + t_{clip}/2 = 20$ mm

Materiaalsterktes
 $f_y = \min(f_{y,staal}, f_{yp}) = 235$ N/mm²
 $f_{yp} = 640$ N/mm²
 $f_{up} = 800$ N/mm²
 $f_{y,staal} = 235$ N/mm²
 $f_{t,staal} = 360$ N/mm²

Afschuiving

$F_{v,Rd} = 0,6A f_{up} / \gamma_{m2} = 188$ kN
U.C. 0.20 < 1,0 OK

Buigweerstand

$M_{Ed} = F_{Ed} e = 0.76$ kNm
 $M_{Rd} = 1,5 W_{el} f_{yp} / \gamma_{m0} = 1.47$ kNm

Stuik

$F_{b,Rd} = 1,5 t d f_y / \gamma_{m0} = 110$ kN
U.C. 0.35 < 1,0 OK

U.C. = 0.52 < 1,0 OK

$(M_{Ed} / M_{Rd})^2 + (F_{v,Ed} / F_{v,Rd})^2 = 0.31 < 1,0$ OK

Calculation of Post Insulator Loads

The following parameters are calculated:

- The forces on the insulator attachment due to wind loading and weight
- The required measurements of the components

The diagram below is a representation of the loads on the insulator:

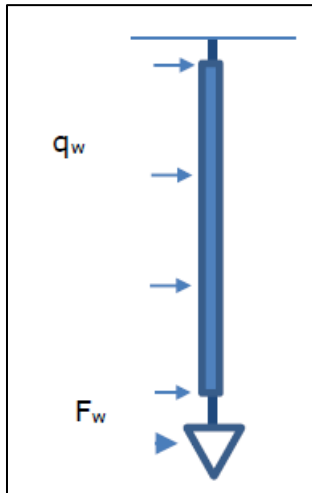


Figure D.1: Diagrammatic representation of the loads on the post insulator

1. Forces on the insulator attachment

Wind pressure based on non-urban terrain in wind zone III at a height of 28.2 m: $q_h = 0.972$ kN/m²

Wind load per meter based on an insulator diameter of 0.2 m and a drag factor of 1.2:

$$q_w = 1.2 \times 0.2 \times 0.972 = \underline{0.233 \text{ kN/m}}$$

Before calculating (F_w), the drag factor (C_c) is first calculated:

$$V_w = (2 \times 972 / 1.25)^{0.5} = 39.44 \text{ m.s}^{-1}$$

$$Re = 39.44 \times 0.0277 / (15 \times 10^{-6}) = 72832.53$$

$$C_c = \underline{1.104}$$

Then calculate F_w based on a supported length of 9 m and a structural factor of 1:

$$F_w = 9 \times 1 \times 1.104 \times 3 \times 0.0277 \times 0.972 = 0.803 \text{ kN}$$

Calculate the moment based on the wind loading and the point load:

$$M_w = 0.5 \times 0.233 \times 4^2 + 4 \times 0.803 = 5.08 \text{ kNm}$$

Design values:

$$M_{ED} = 1.4 \times 5.08 = 7.11 \text{ kNm}$$

$$V_{ED} = 1.4 \times (0.803 + 3.5 \times 0.233) = 2.27 \text{ kN}$$

2. Assessment of the pin

The figure below is a sketch of the insulator attachment mechanism indicating the location of the pin.

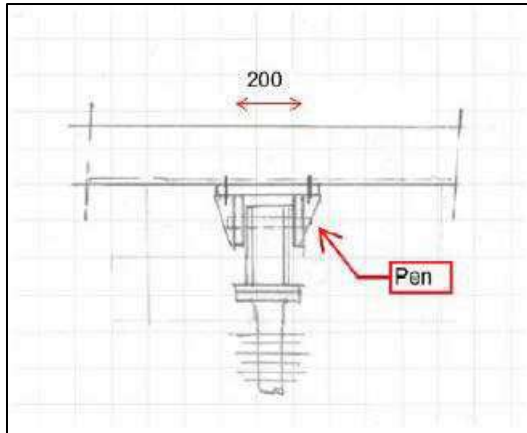


Figure D.2: Post insulator attachment mechanism

Calculation of the shear force on the pin:

Assuming a total vertical weight of 5 kN and an attachment fit of 200 mm:

$$F_v = 7.11 / 0.2 + 5/2 = 38.05 \text{ kN}$$

Using a pin with a diameter of 25 mm is sufficient; see the attached spreadsheet calculation at the end of this appendix. A minimum flange thickness of 15 mm is required.

3. Console thickness

To be determined in the subsequent design phases.

4. Attachment to the crossarm

The figure below depicts the additional members required for attachment to the crossarm.

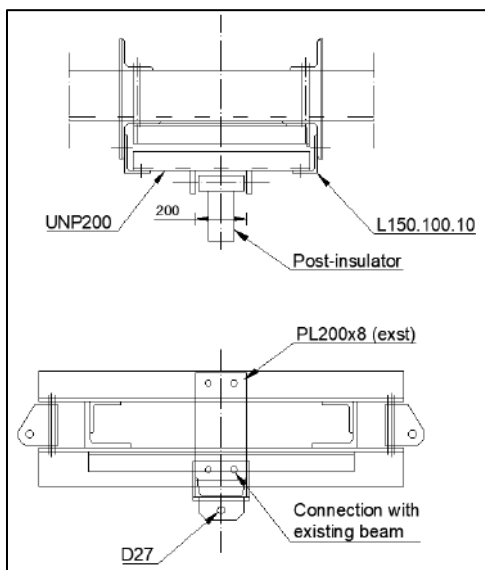


Figure D.3: Overview of the new members required for attachment



$$M = 0.5 \times 7.11 + 0.25 \times 5 \times 0.6 = 4.31 \text{ kNm}$$

$$\text{Proposition: } 1 \times \text{UNP200: } M_{rd} = 26900 \times 355 = 9.55 \text{ kNm}$$

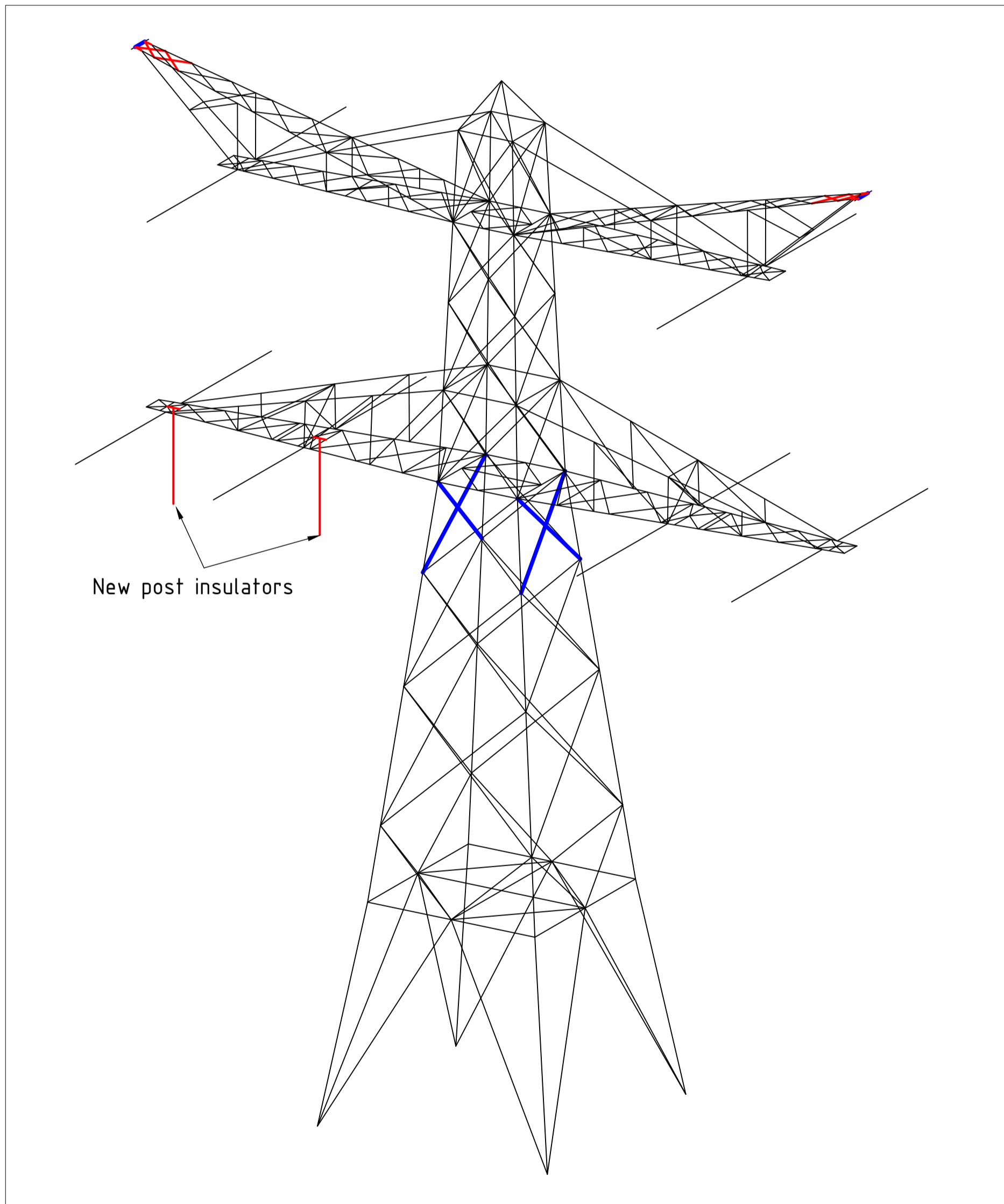
$$\text{U.C.} = 4.31 / 9.55 = 0.45 < 1 \text{ OK}$$



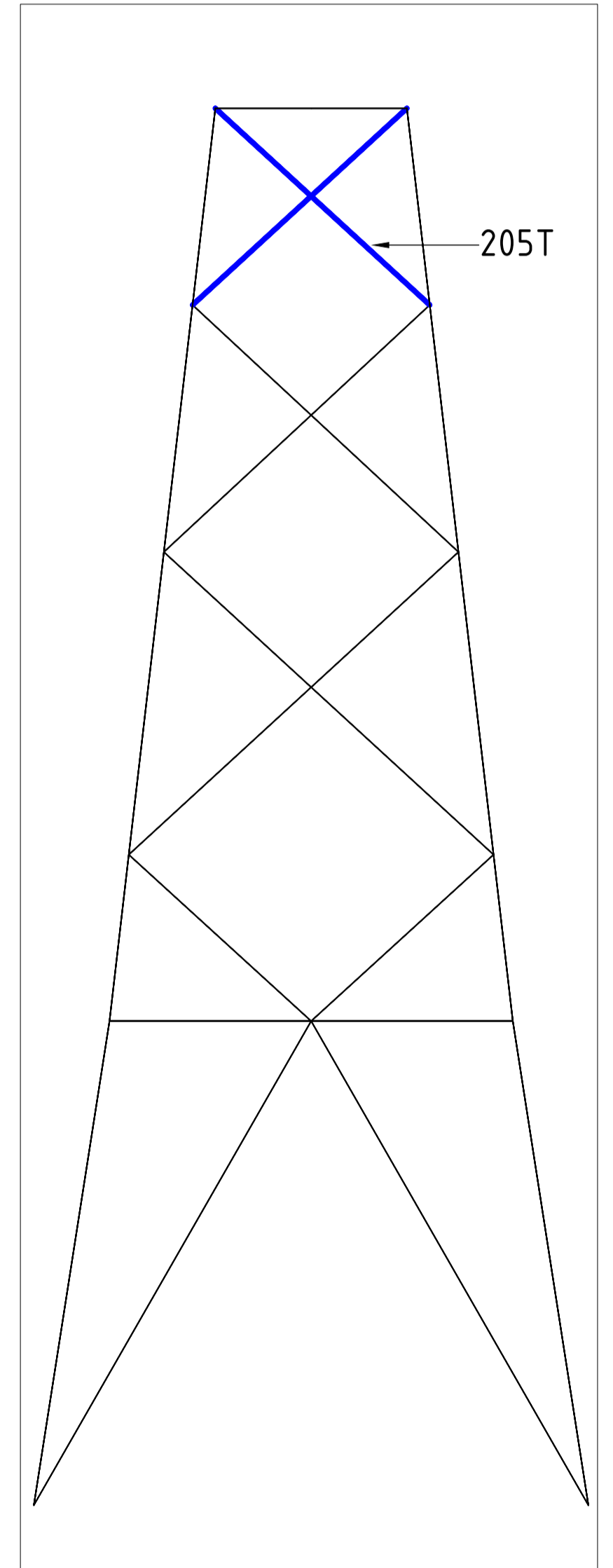
APPENDIX E TEKENINGEN

Initial Profiles and Bolts					Final Profiles and Bolts			
Group label	Profile type (ini)	Profile size (ini)	Steel quality (ini)	Bolt size and quality (ini)	Profile type (new)	Profile size (new)	Steel quality (new)	Bolt size and quality (new)
205T	EA	L150x10	S235 t<=40	5M24-5.6t-NEN2012	EA	L150x12	S355 t<=40	5M24-8.8t
425					EA	60x60x6	S355	1M16-8.8t
427					UNP	UNP160	S355	2M16-8.8t
4291					EA	60x60x6	S355	1M16-8.8t
4292					UNP	UNP160	S355	

Profiles indicated on page 2



Overview


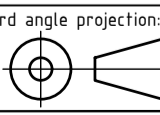


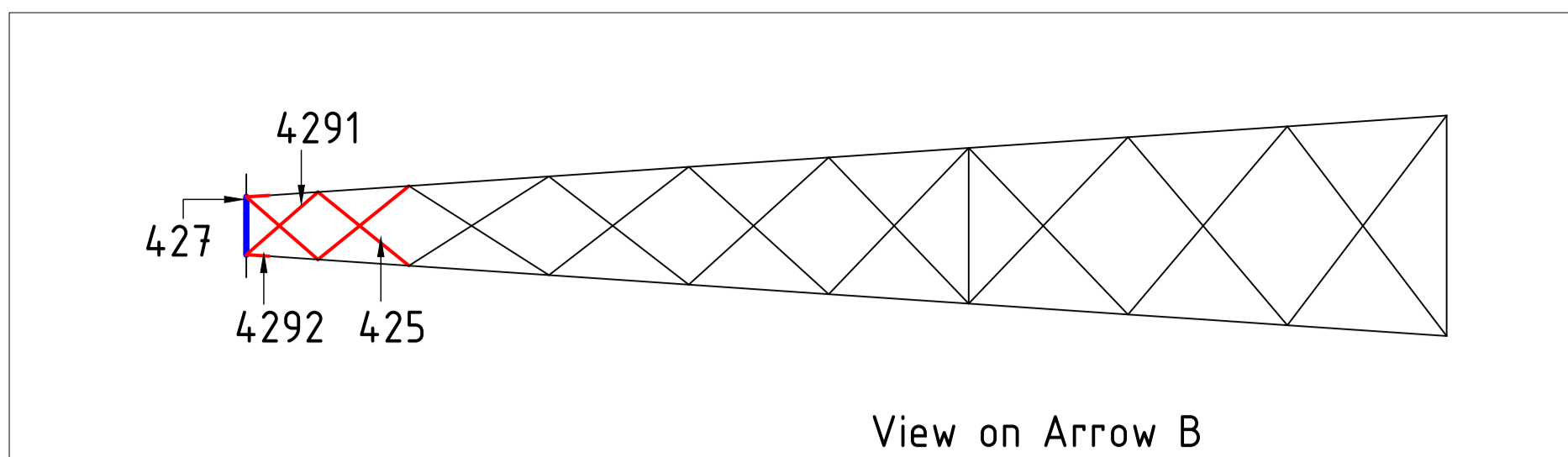
Side View

Notes and legend:

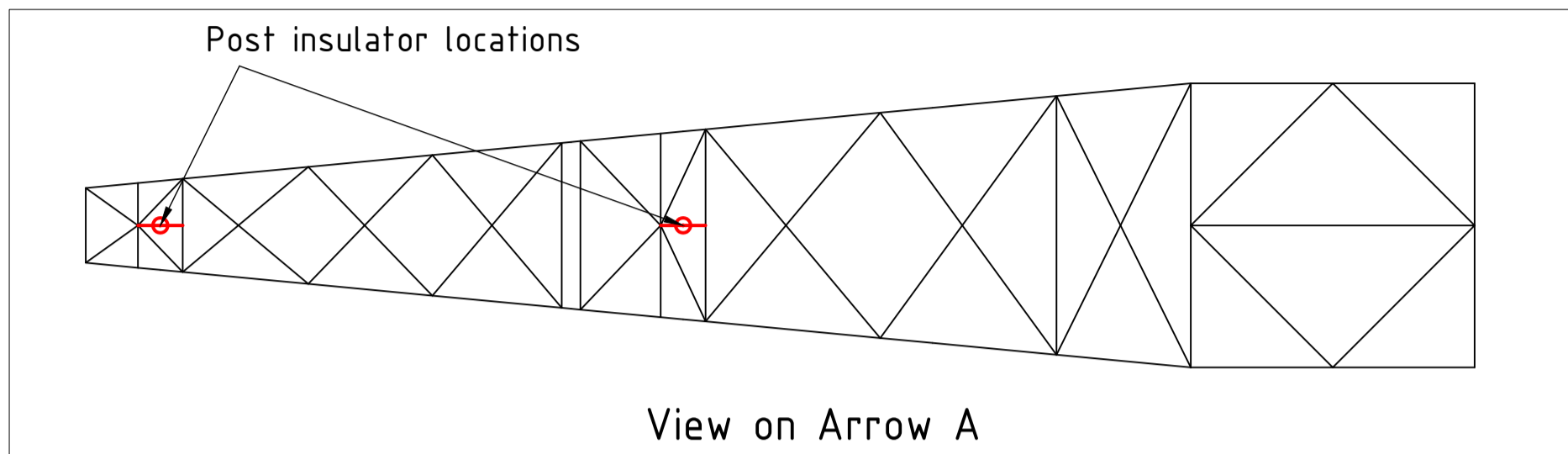
- New redundants according to drawing
- Size for new redundants is 50x50x5
- Other changes according to the table
- All changes are symmetrical unless otherwise indicated
- Material quality $t \leq 16\text{mm}$ S355J0
- Material quality $t > 16\text{mm}$ S355J2
- Bolt quality 8.8 rolled

- New bracing/ insulator
- Profile exchanged
- New redundant
- Bolt exchanged

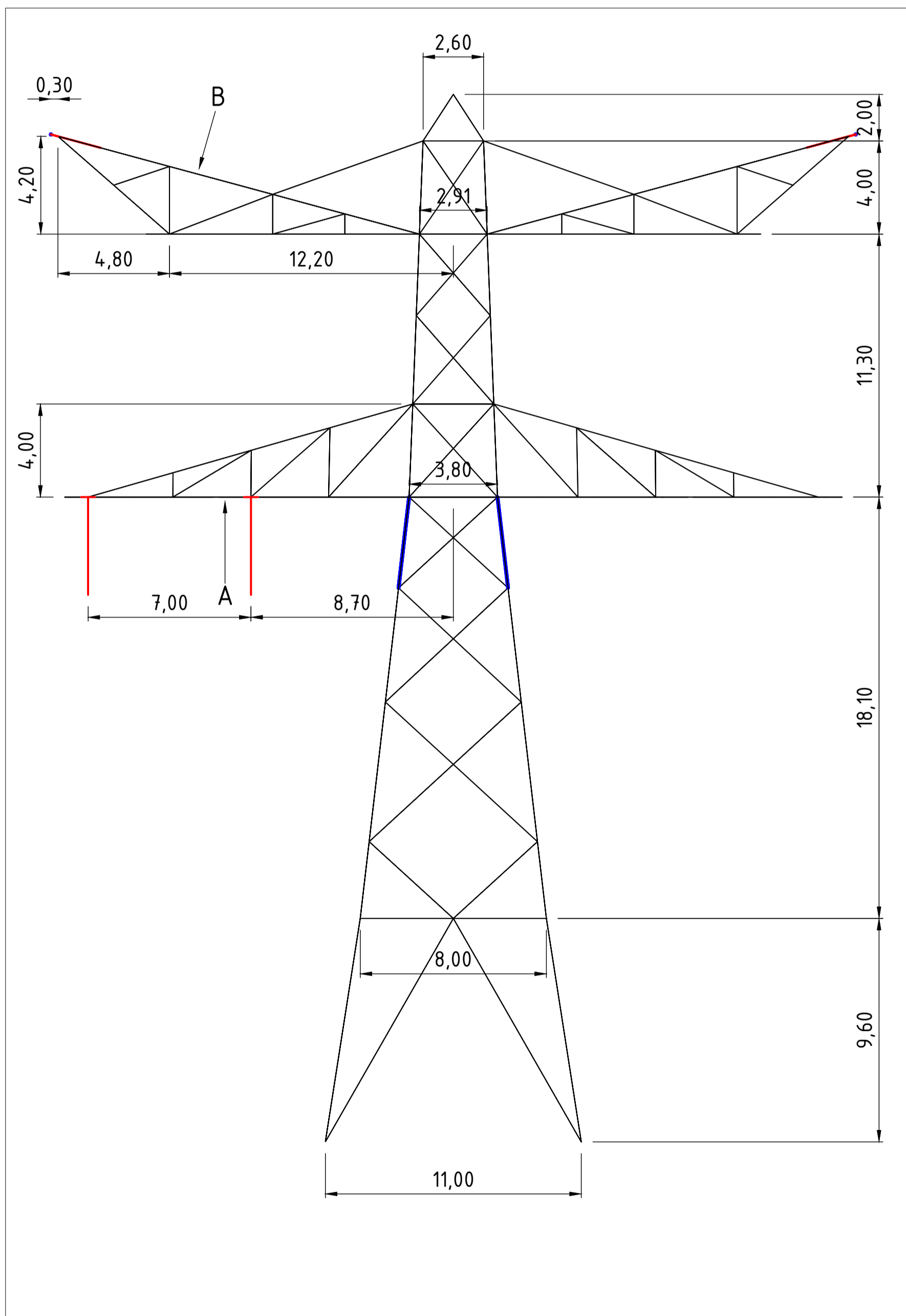
01	22-04-2022	Extended EW	Projectname: Mast constructions MBT - EHV 380 kV	
00	25-6-2021	Version 1.0	Drawing no.: 10166260-069	
			Description: Modifications overview for mast type HA+0 (Mast 9) Page 1 of 2	
Design state:	FINAL	Scale:	-	Revision:
Drawn by:	MKh 25-6-2021	Units:	m	00
Checked by:	TBR 25-6-2021	Project no:	10166260	Format:
Approved by:	JHu 25-6-2021	Company:	TenneT	A2
DNV GL Energy & Sustainability, Utrechtseweg 310, 6812 AR Arnhem, tel: +31 26 3 56 91 11, www.dnvgl.com				



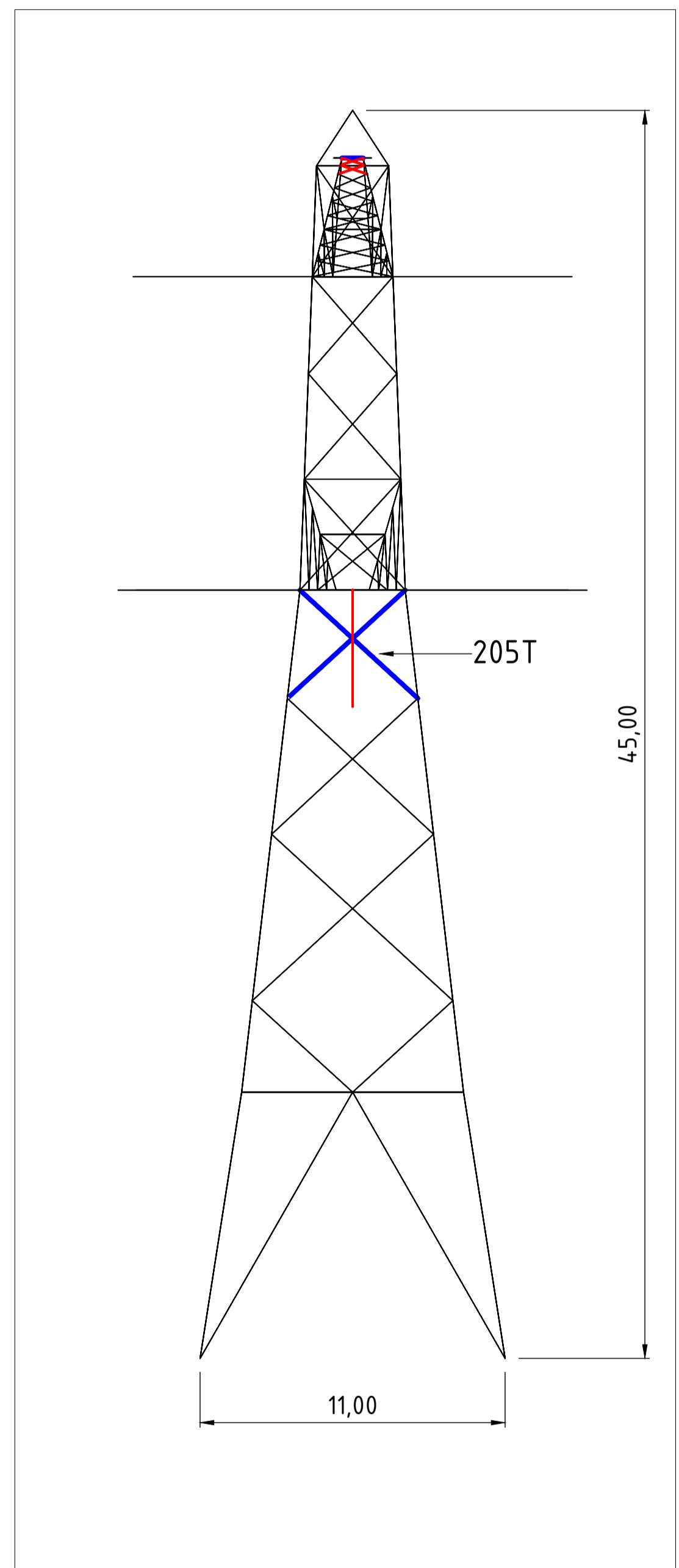
View on Arrow B



View on Arrow A



Front View


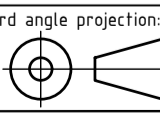


Side View

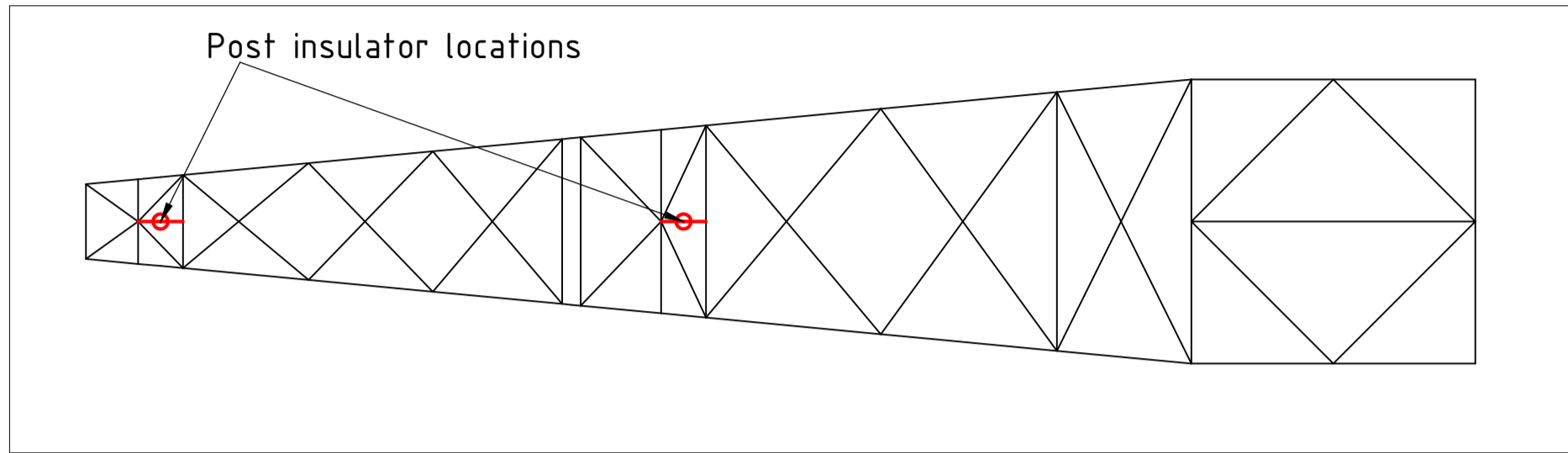
Notes and legend:

- New redundants according to drawing
- Size for new redundants is 50x50x5
- Other changes according to the table
- All changes are symmetrical unless otherwise indicated
- Material quality $t \leq 16\text{mm}$ S355J0
- Material quality $t > 16\text{mm}$ S355J2
- Bolt quality 8.8 rolled

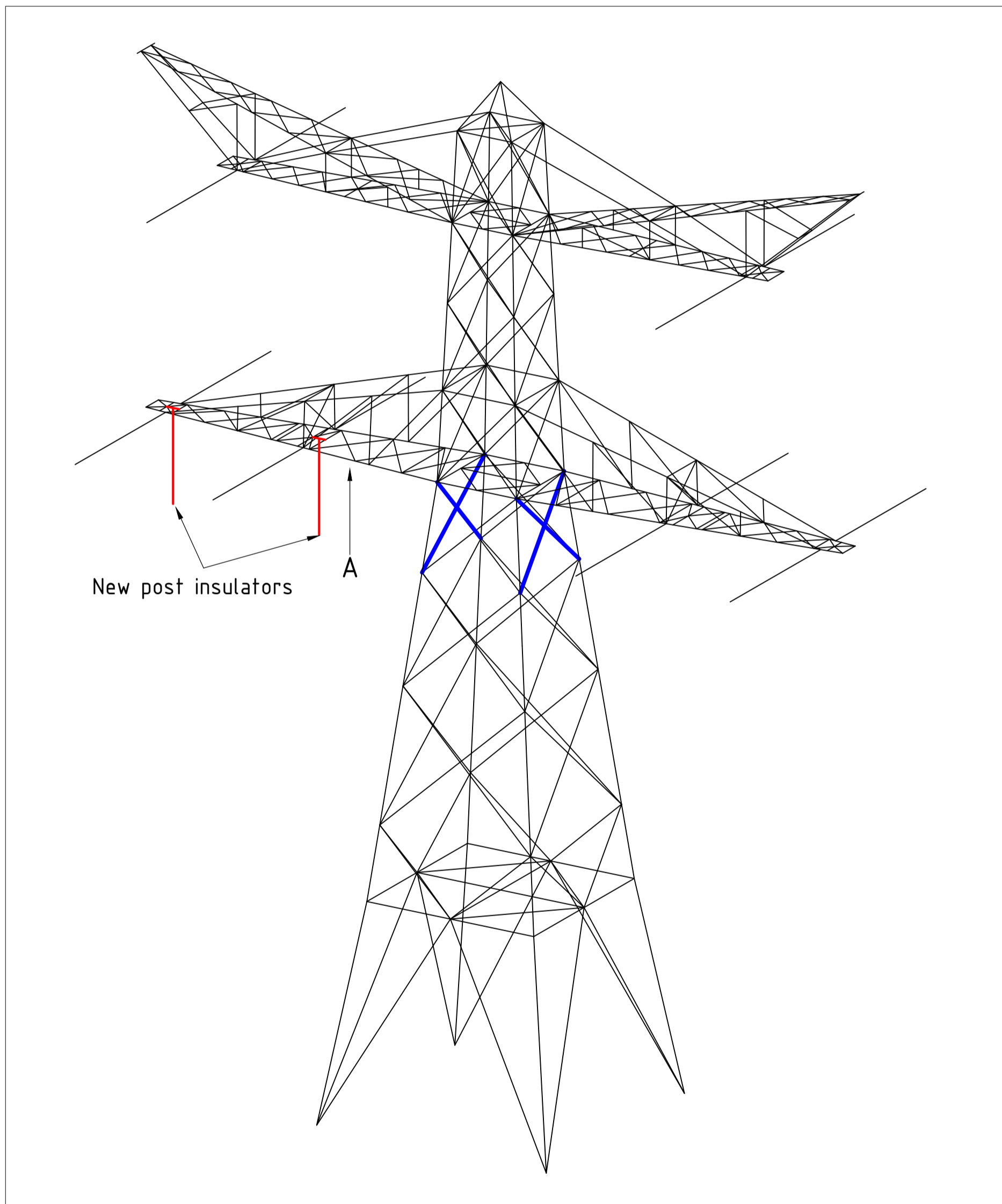
- New bracing/ insulator
- Profile exchanged
- New redundant
- Bolt exchanged

01	22-04-2022	Extended EW		
00	25-6-2021	Version 1.0		
		Projectname: Mast constructions MBT - EHV 380 kV		
		Third angle projection: 	Drawing no.: 10166260-069	
Design state: FINAL	Scale: -	Description: Modifications overview for mast type HA+0 (Mast 9) Page 2 of 2		Revision: 00
Drawn by: MKh 25-6-2021	Units: m	Project no: 10166260	Format: A2	
Checked by: TBR 25-6-2021	Company: TenneT			
Approved by: JHu 25-6-2021				

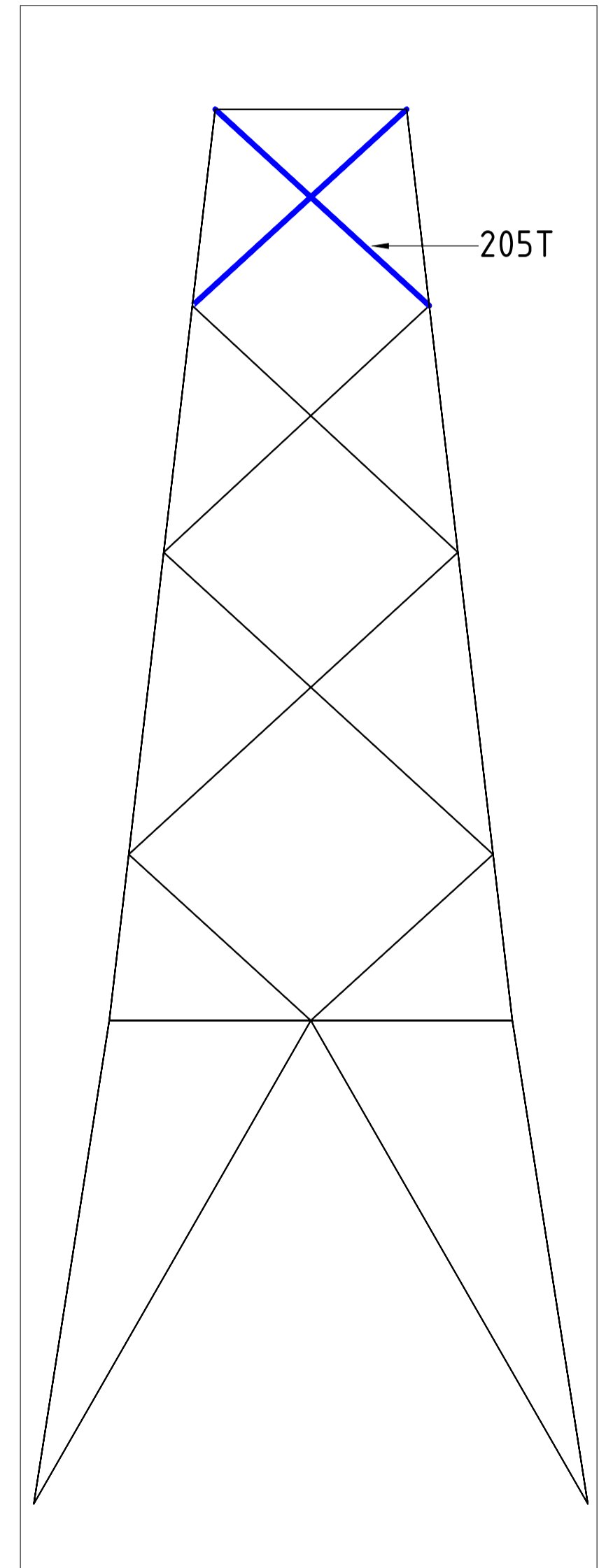
Initial Profiles and Bolts					Final Profiles and Bolts			
Group label	Profile type (ini)	Profile size (ini)	Steel quality (ini)	Bolt size and quality (ini)	Profile type (new)	Profile size (new)	Steel quality (new)	Bolt size and quality (new)
205T	EA	L150x10	S235 t<=40	5M24-8.8t-NEN2012	EA	L150x12	S355 t<=40	5M24-8.8t-NEN2012



View on Arrow A



Overview



Side View

Notes and legend:

- New redundants according to drawing
- Size for new redundants is 50x50x5
- Other changes according to the table
- All changes are symmetrical unless otherwise indicated
- Material quality $t \leq 16\text{mm}$ S355J0
- Material quality $t > 16\text{mm}$ S355J2
- Bolt quality 8.8 rolled

- New bracing/ insulator
- Profile exchanged
- New redundant
- Bolt exchanged

*NB: Mast dimensions are the same as mast 9

01	22-04-2022	All HA+0-towers except tower 9 similar	Projectname: Mast constructions MBT - EHV 380 kV	
00	25-6-2021	Version 1.0	Third angle projection: 	Drawing no.: 10166260-070
Design state: FINAL		Scale: -	Description: Modifications overview for mast type HA+0	Revision: 00
Drawn by: MKh	25-6-2021	Units: m	Company: TenneT	Format: A2
Checked by: TBR	25-6-2021	Project no: 10166260		
Approved by: JHu	25-6-2021	DNV GL Energy & Sustainability, Utrechtseweg 310, 6812 AR Arnhem, tel: +31 26 3 56 91 11, www.dnvgl.com		



About DNV

DNV is the independent expert in risk management and assurance, operating in more than 100 countries. Through its broad experience and deep expertise DNV advances safety and sustainable performance, sets industry benchmarks, and inspires and invents solutions.

Whether assessing a new ship design, optimizing the performance of a wind farm, analyzing sensor data from a gas pipeline or certifying a food company's supply chain, DNV enables its customers and their stakeholders to make critical decisions with confidence.

Driven by its purpose, to safeguard life, property, and the environment, DNV helps tackle the challenges and global transformations facing its customers and the world today and is a trusted voice for many of the world's most successful and forward-thinking companies.

Bijlage 13 Rapportage mastconstructie HB+0_tc

“TOETSING EN HERONTWERP MASTEN EN FUNDATIES BBB380”
MBT-EHV380 – HB+0_tc rapport

TenneT TSO B.V.

Rapport Nr.: 22-0860, Rev. 0

Meridian doc. Nr.: 002.586.40 0945307

Datum: 2022-07-06



Projectnaam: "TOETSING EN HERONTWERP MASTEN EN
 FUNDATIES BBB380"
 Rapport titel: MBT-EHV380 – HB+0_tc rapport
 Klant: TenneT TSO B.V.
 Contactpersoon klant: [REDACTED]
 Datum uitgave: 2022-07-06
 Project nr.: 10166260
 Organisatie unit: TDT
 Meridian doc.nr.: 002.586.40 0945307
 Rapport nr.: 22-0860, Rev. 0

Energy Systems
 DNV Netherlands B.V.
 Utrechtseweg 310-B50
 6812 AR Arnhem
 The Netherlands

Tel: [REDACTED]
 Handelsregister Arnhem 09006400

Ge[REDACTED] [REDACTED] [REDACTED] oor: [REDACTED]

Copyright © DNV 2022. All rights reserved. Unless otherwise agreed in writing: (i) This publication or parts thereof may not be copied, reproduced or transmitted in any form, or by any means, whether digitally or otherwise; (ii) The content of this publication shall be kept confidential by the customer; (iii) No third party may rely on its contents; and (iv) DNV undertakes no duty of care toward any third party. Reference to part of this publication which may lead to misinterpretation is prohibited..

DNV Distributie:

- Open
- Intern
- Commercieel vertrouwelijk
- Vertrouwelijk
- Geheim

*Specificatie distributie: -

Rev.	Datum	Reden van uitgave	Auteur	Beoordelaar	Goedkeuder
0	2022-07-06	Eerste uitgave	[REDACTED]	[REDACTED]	C. [REDACTED]

Inhoudsopgave

1	INLEIDING	1
1.1	Inleiding	1
1.2	Doelstelling en scope van dit rapport	2
1.3	Relatie overige documenten	2
2	EISEN	2
3	BEREKENINGEN	3
3.1	Mastbeeld	3
3.2	Mastenlijst	4
3.3	Uitgangspuntenberekening	4
3.4	Processtappen	4
3.5	Geleiderbelastingen	5
3.6	Reacties op de fundering	5
3.7	Modellering	5
4	TOETSING MAST	6
5	AANPASSINGEN	8
5.1	Inleiding	8
5.2	Aanpassingen	8
5.3	Verificatie eisen	12
6	REFERENTIES	13
Appendix A	GELEIDERBELASTINGEN	
Appendix B	UITVOER PLS-TOWER	
Appendix C	TOETSING KNIKVERKORTERS	
Appendix D	TOETSING BLOKDEUVELS EN ANDERE BEREKENINGEN	
Appendix E	TEKENINGEN	

1 INLEIDING

1.1 Inleiding

Om in de toekomst meer elektriciteit te kunnen transporteren is het noodzakelijk om naast de nieuwbouw van verbindingen bestaande hoogspanningsverbindingen aan te passen zodat er een grotere transportcapaciteit mogelijk wordt gemaakt. Om die reden is de opdrachtgever (OG) voornemens de bestaande 380 kV-koppeling op te waarderen. Het opwaarderen van de bestaande verbindingen valt onder het programma “Beter benutten bestaande 380 kV-ring” en omvat de volgende deelprojecten:

- Opwaardering 380 kV-verbinding Lelystad – Ens (LLS-ENS380)
- Opwaardering 380 kV-verbinding Diemen – Lelystad (DIM-LLS380)
- Opwaardering 380 kV-verbinding Rilland – Zandvliet (RLL-ZVL380)
- Opwaardering 380 kV-verbinding Krimpen aan de IJssel - Geertruidenberg (KIJ-GT380)
- Opwaardering 380 kV-verbinding Maasbracht - Eindhoven (MBT-EHV380)

Om te komen tot een DO waarmee de werkzaamheden kunnen worden gestart is door TenneT aan DNV opdracht verstrekt voor de volgende onderdelen:

1. In eerste fase het opstellen en creëren van:

- 1.1 E-studie deel 1
- 1.2 Uitgangspuntenrapporten ten behoeve van de constructieve analyse van masten en fundaties
- 1.3 Sonderingmodellen
- 1.4 Fundatiemodellen
- 1.5 Mastmodellen

2. In tweede fase de uitvoering van de DO-fase bevattende:

- 2.1 Toetsing conform het uitgangspuntenrapport van de bestaande fundaties
- 2.2 Algemene specificatie van benodigde fundatieversterkingen ten behoeve van aanbesteding
- 2.3 Toetsing conform het uitgangspuntenrapport van de bestaande masten
- 2.4 Algemene specificatie van benodigde mastversterkingen ten behoeve van aanbesteding
- 2.5 E-studie deel 2

In dit rapport worden de aanpassingen besproken die nodig zijn voor masttype HB+0_tc van de verbinding Maasbracht - Eindhoven 380 kV.

Inhoudelijk is de Nederlandse versie van de rapportage ongewijzigd ten opzichte van de Engelse versie. Om deze reden zijn de bijlagen in dit rapport één op één overgenomen uit de Engelse versie. Hierdoor wijkt het revisienummer van de bijlagen af van het revisienummer van deze rapportage.

1.2 Doelstelling en scope van dit rapport

Het doel van deze studie is om te bepalen of de in dit rapport beschreven bestaande mast geschikt is om te worden uitgerust met de ACCC-Warsaw geleider op het 380 kV-circuit en een Hawk geleider op het 150 kV-circuit.

Nadat de wijzigingen zijn toegepast dient aantoonbaar geverifieerd te worden dat het systeem voldoet aan de vigerende eisen.

1.3 Relatie overige documenten

1.3.1 Verificatie & validatie plan

De door TenneT aangeleverde set met eisen is beoordeeld op relevantie en voor de relevante eisen is aangegeven in welk document wordt aangetoond dat er aan de eis wordt voldaan. De resultaten hiervan zijn opgenomen in het rapport "Verificatie & Validatieplan 380 kV verbinding Maasbracht – Eindhoven" [1].

1.3.2 E-studie deel 1

In het rapport "MBT-EHV380 - E-studie deel 1" [2] is bepaald welke aanpassingen benodigd zijn om de ACCC-Warsaw geleider en Hawk geleider toe te passen binnen de verbinding Maasbracht - Eindhoven. Voor masttype HB+0_tc mast 119 zijn de volgende aanpassingen vereist:

- Installeren post-isolatoren op alle 380kV fasen.

1.3.3 Starting points document

De uitgangspunten op basis waarvan de berekeningen in deze rapportage zijn uitgevoerd zijn opgenomen in het rapport "Uitgangspuntenrapport 380kV verbinding Maasbracht - Eindhoven" [3].

2 EISEN

In Tabel 1 zijn de eisen opgenomen die binnen deze rapportage worden getoetst.

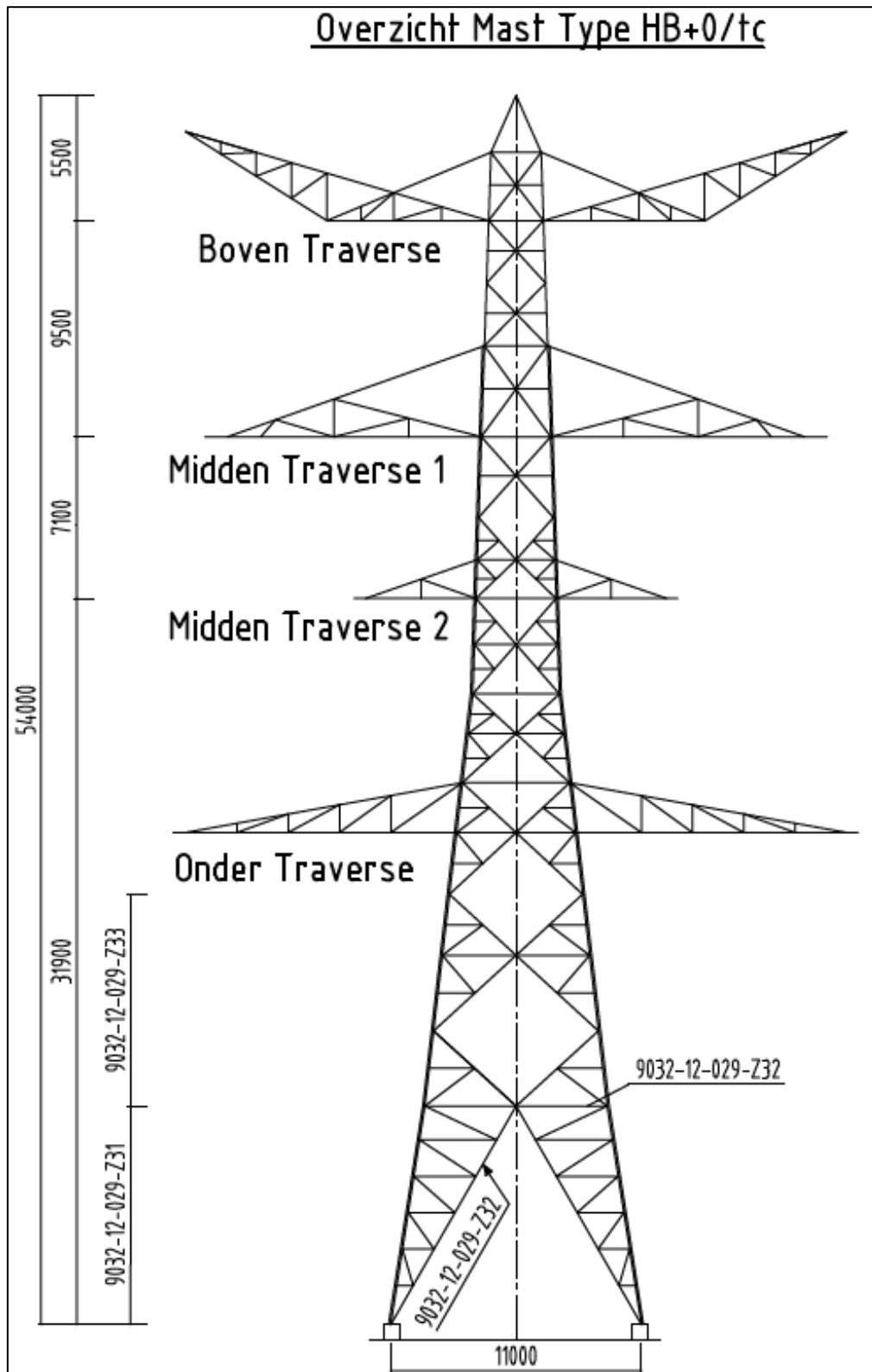
Tabel 1 Relevante eisen

Eis Id	Titel	Eis tekst	Bewijsvoering
BO Eis: H2.7-6	Omgeving, beperkings- factoren	Het ontwerp dient geverifieerd te worden op de uitvoerbaarheid.	Tabel 6
PVE.05.001 5.14	Masten	Aanwijzingen t.a.v. klimvoorziening en valbeveiliging: Huidige klimweg blijft gehandhaafd en zal voldoen aan de eisen zoals opgenomen in de NEN 1060:1964. Valbeveiliging is/zal worden uitgevoerd in het type "latch way". Indien staaldelen in de nabijheid (aangrenzend profiel) van de klimweg gewijzigd worden, dient geverifieerd te worden dat de klimvoorziening in overeenstemming is met de NEN 1060:1964.	Tabel 6

3 BEREKENINGEN

3.1 Mastbeeld

Het mastbeeld op basis van de asset-data is weergegeven in Figuur 1.



Figuur 1 Mastbeeld HB+0_tc

3.2 Mastenlijst

In dit rapport wordt masttype HB+0_tc getoetst op positie 119. De mast bevindt zich in windgebied III. Tabel 2 geeft een overzicht van de wind en weicht span voor mast 119.

Tabel 2 Mastnummers

Mastnummer	Masttype	Maatgevend mastnummer	Lijnhoek (°)	Wind span (m)	Weight span (m)	Hoogteverschil (m)
119	HB+0_tc	119	154.9	315	314	1.8

3.3 Uitgangspuntenberekening

De berekening is uitgevoerd op basis van de uitgangspunten zoals opgenomen in het uitgangspuntenrapport [3]. Hierin is een volledig overzicht opgenomen van de belastingcombinaties en toegepaste belastingfactoren.

Tabel 3 Uitgangspuntenberekening

Algemeen	Norm	NEN-EN50341-2-15:2019
	Windgebied	III
	Terreincategorie	II (onbebouwde omgeving)
Situatie initieel	Reductiefactor cdir	1,00
	Gevolgklasse	CC2-0
	Betrouwbaarheidsniveau	Afkeur CC2-0
	Referentieperiode	30 jaar
Situatie na aanpassingen	Gevolgklasse	CC2
	Betrouwbaarheidsniveau	Verbouw
	Referentieperiode	50 jaar

3.4 Processtappen

Het proces van het bepalen van eventueel benodigde versterkingen bestaat uit de volgende stappen:

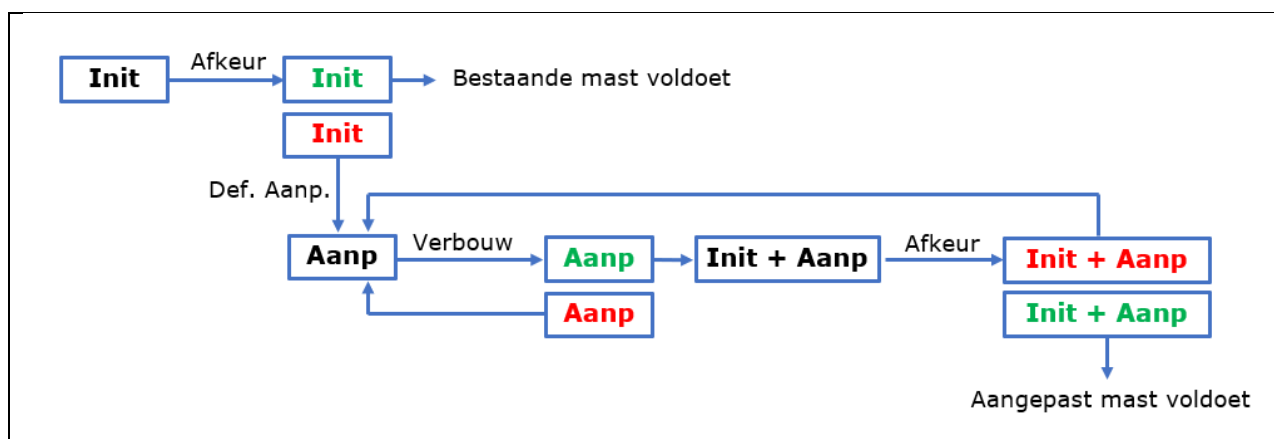
Stap 1: Toets bestaande (Init) mast op Afkeur

Stap 2: Definiëren benodigde aanpassingen indien initiële mast niet voldoet aan toets op Afkeur (Def. Aanp.)

Stap 3: Het toetsen van (alleen) de uitgewerkte aanpassingen (Aanp) op Verbouw

Stap 4: Het opnieuw toetsen van de complete mast inclusief aanpassingen (Initi + Aanp) op Afkeur

Het hierboven omschreven proces is in Figuur 2 weergegeven.



Figuur 2 Procesdiagram



3.5 Geleiderbelastingen

De berekeningen zijn uitgevoerd met het geleiderbelastingenprogramma van DNV. In Appendix A zijn de resultaten van de geleiderbelastingen samengevat.

3.6 Reacties op de fundering

De oplegreacties op de fundering worden ontleend aan de uitvoer van het geleiderbelastingenprogramma, zie Appendix A.

3.7 Modelling

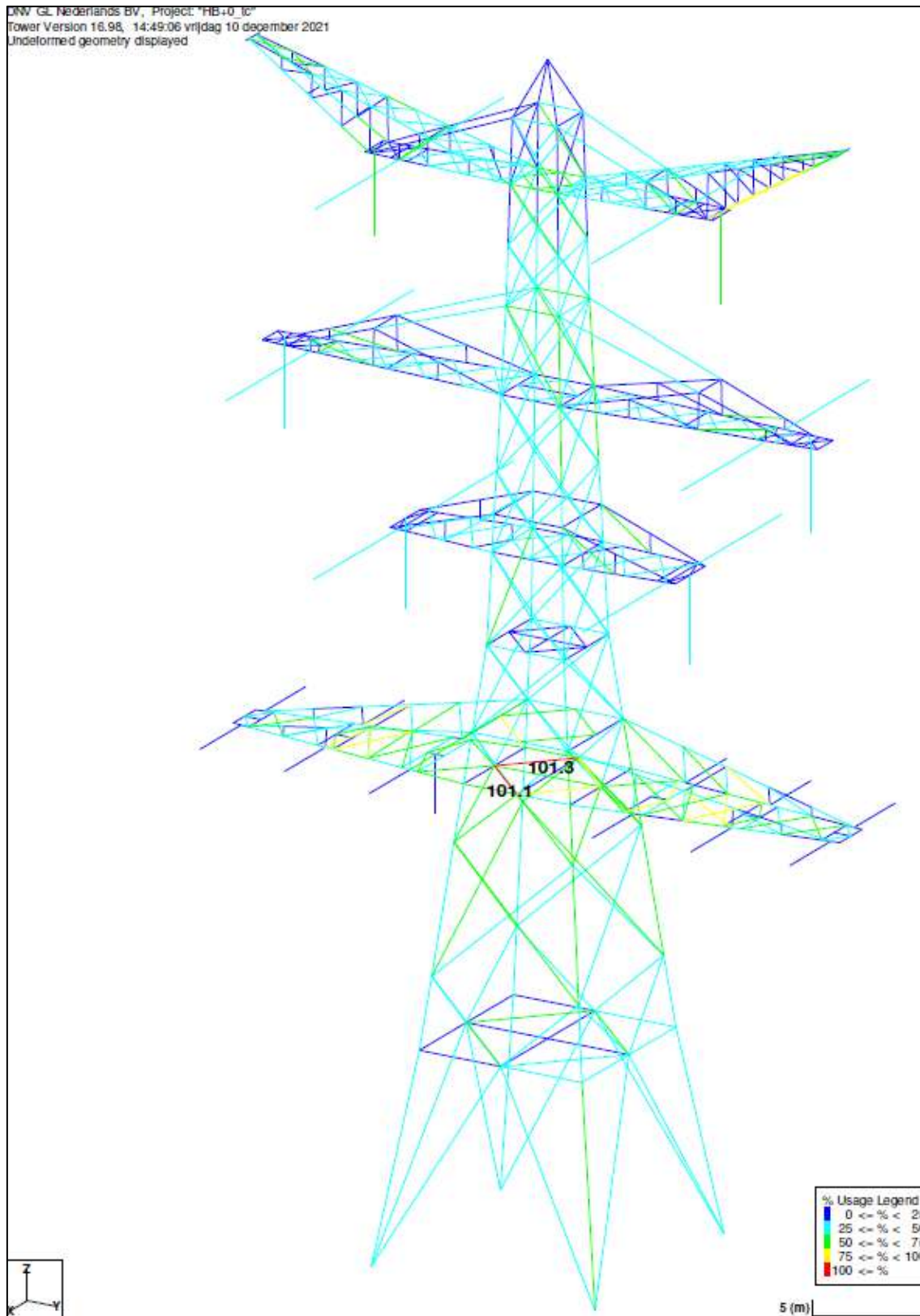
Op basis van de as-built tekeningen is de mast in PLS-TOWER ingevoerd. De hoofdelementen zijn gemodelleerd. Niet-dragende profielen als knikverkorters zijn weggelaten en worden separaat getoetst. De profielen inclusief de boutverbindingen zijn in PLS-TOWER ingevoerd en getoetst. Controle van de schetsplaten en andere detailverbindingen valt buiten de scope.

De geleiderbelastingen vanuit het geleiderbelastingenprogramma zijn als invoer voor de belastingen gebruikt.

Diagonalen in voor- en achtervlak respectievelijk de twee zijvlakken zijn gegroepeerd en de toetsing wordt per staafgroep uitgevoerd. Ingeval dat een element uit een groep is overbelast, geldt dit voor alle elementen uit de betreffende groep.

4 TOETSING MAST

Het resultaat van de toetsing van masttype HB+0_tc met belastingen op afkeurniveau is weergegeven in Figuur 3.



Figuur 3 Resultaat PLS-TOWER HB+0_tc (119)

De resultaten van de controles van profielen, knikverkorters en blokdeuvels randstijl zijn opgenomen in Tabel 4.

Tabel 4 Samenvatting controle

Ccontrole van	Beoordeling		Referentie
Profielen		Voldoen niet	Figuur 3 Appendix B
Knikverkorters		Voldoen niet	Appendix C
Blokdeuvels	Voldoen		Appendix D

5 AANPASSINGEN

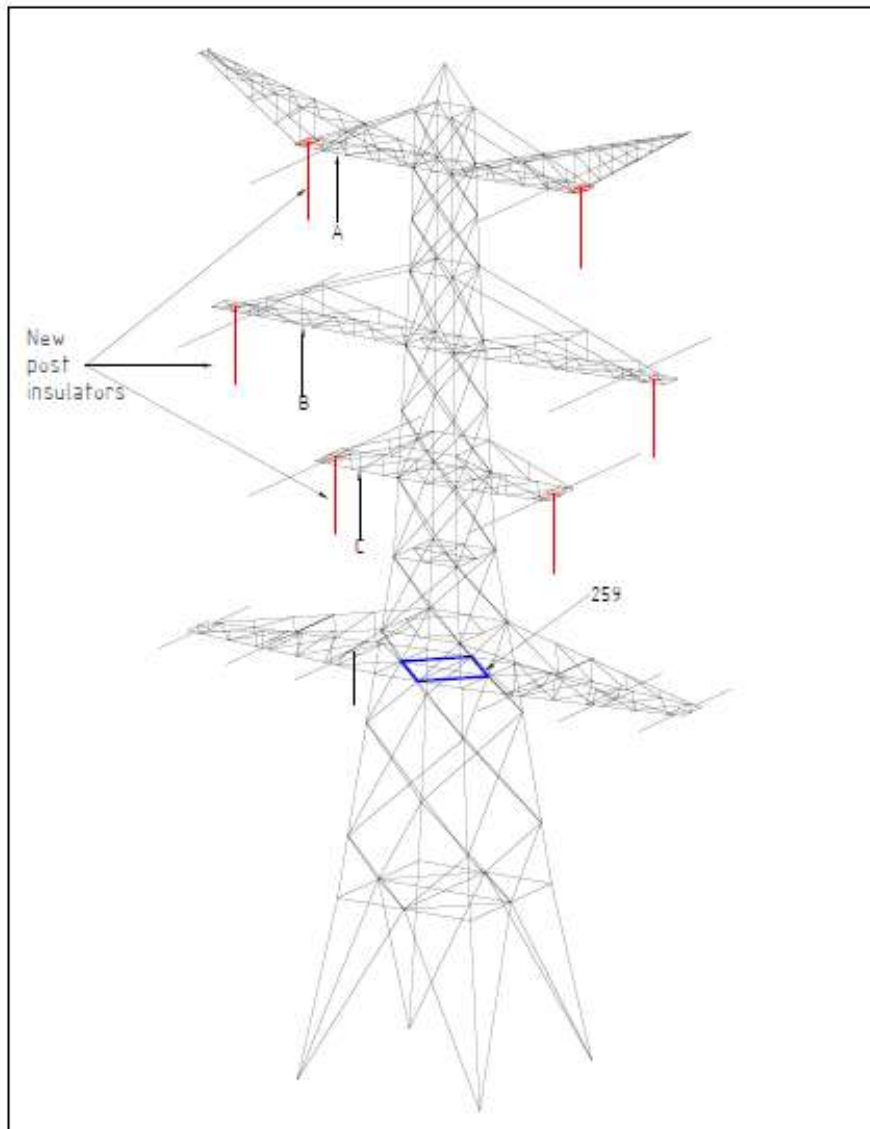
5.1 Inleiding

In dit deel worden versterkingen van de mast voorgesteld om ervoor te zorgen dat de mast voldoet aan afkeurniveau. Nieuwe profielen of bouten moeten voldoen aan de eisen op basis van verbouwniveau. Het voorstel bevat de volgende maatregelen:

- Vervanging van diagonalen in het tussenschot van de mast ter hoogte van de ondertraverse;
- Vervanging van knikverkorters in het onderste deel van de mast;
- Toevoeging van bevestigingspunten voor de nieuwe post-isolatoren.

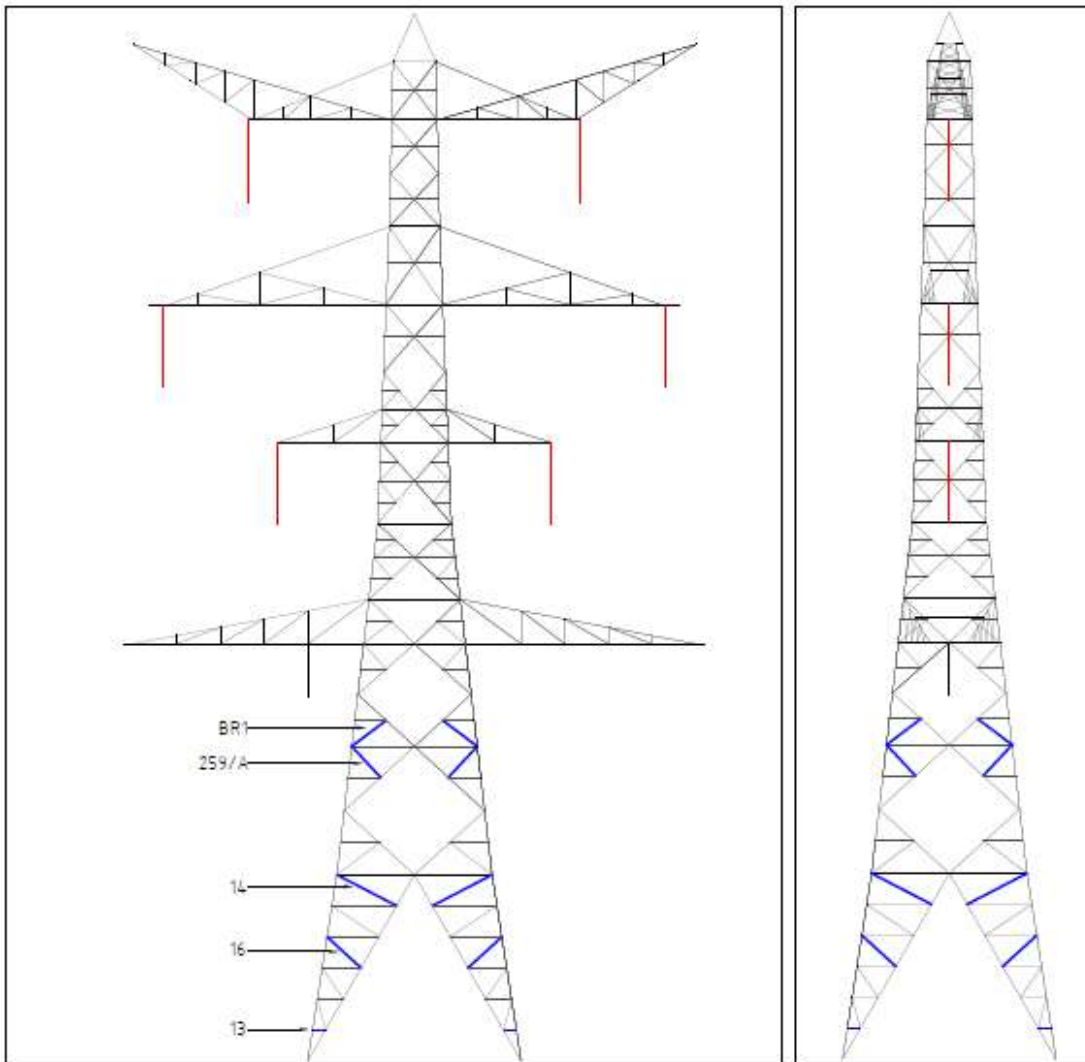
5.2 Aanpassingen

Conform de resultaten in Appendix B moet het diagonale profiel in het tussenschot ter hoogte van de ondertraverse vervangen worden, zoals weergegeven in Figuur 4 (groep 259). Zie Appendix E voor meer informatie, zoals de afmetingen van de profielen.



Figuur 4 Groep 259 masttype HB+0_tc

Figuur 5 geeft de knikverkorters weer die in het onderste gedeelte van de mast moeten worden vervangen. Zie Appendix E voor meer details.



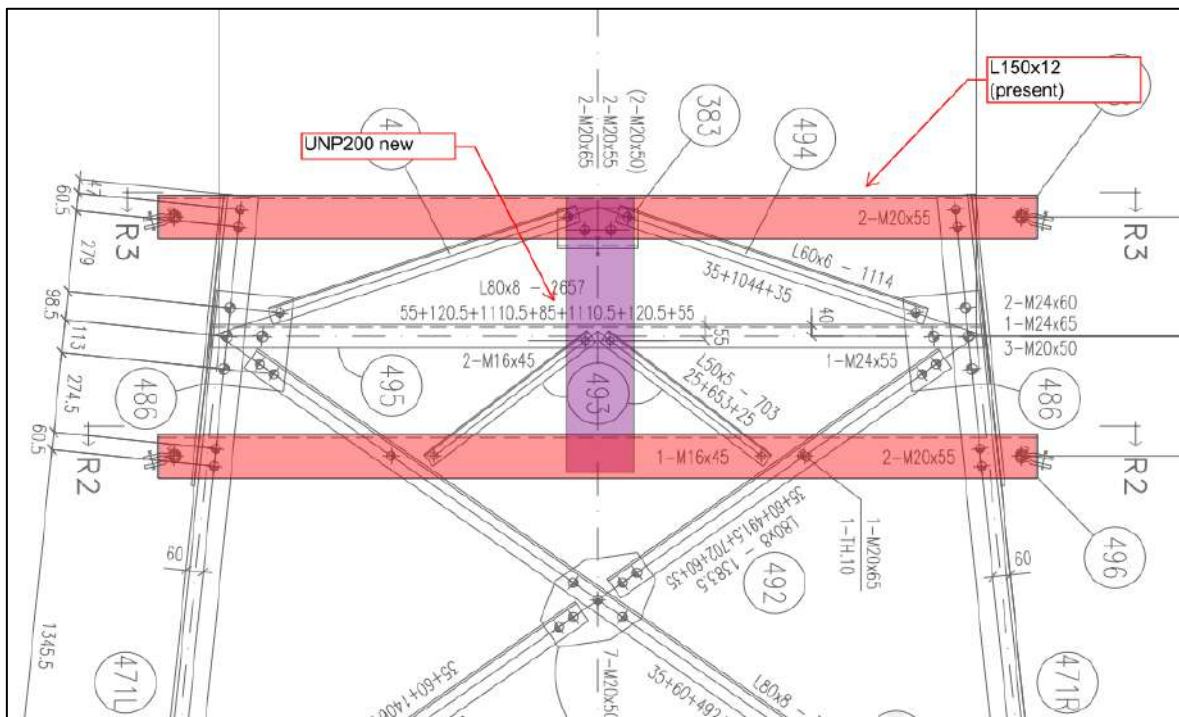
Figuur 5 Knikverkorters die moeten worden vervangen

De onderste horizontale knikverkorter in het broekstuk kan niet worden vervangen, omdat deze tijdens de reconstructie in de betonnen mastvoet is gestort, zie Figuur 6.

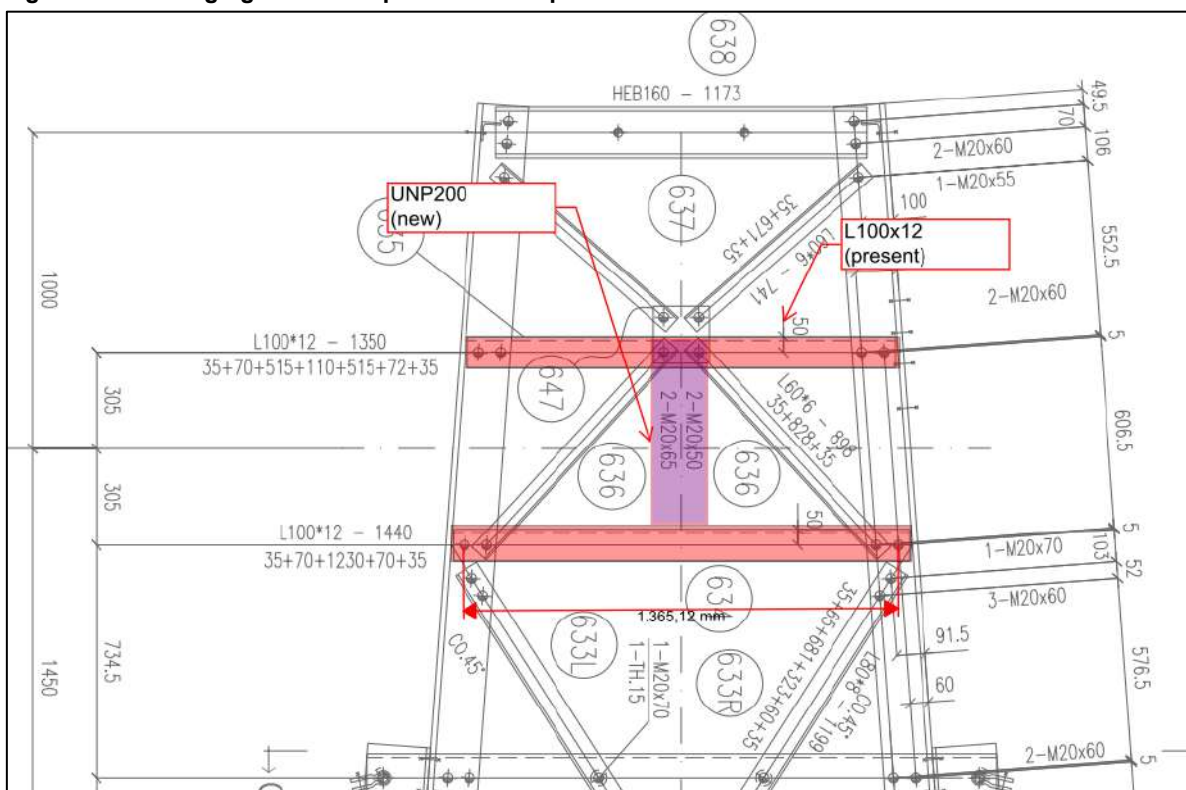


Figuur 6 Het onderste deel van het broekstuk is tijdens de reconstructie in de betonnen mastvoet gestort.

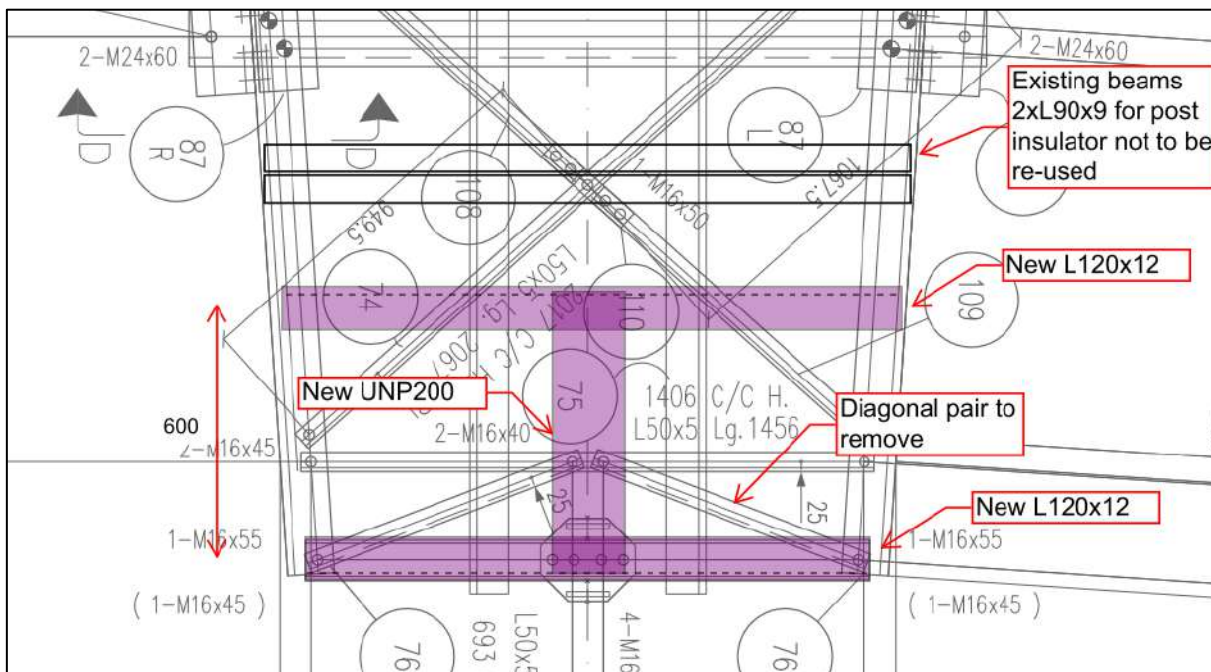
Voor alle 380kV fasen zijn nieuwe post-isolatoren vereist. Om de bevestiging van de isolatoren mogelijk te maken, moeten UNP200 profielen worden geïnstalleerd aan de traversen, zoals weergegeven in Figuur 7, Figuur 8, Figuur 9 en Figuur 10. Voor de boventraverse zijn extra nieuwe L120x12 profielen vereist. Berekeningen met betrekking tot de bevestiging van de post-isolatoren zijn opgenomen in Appendix D.



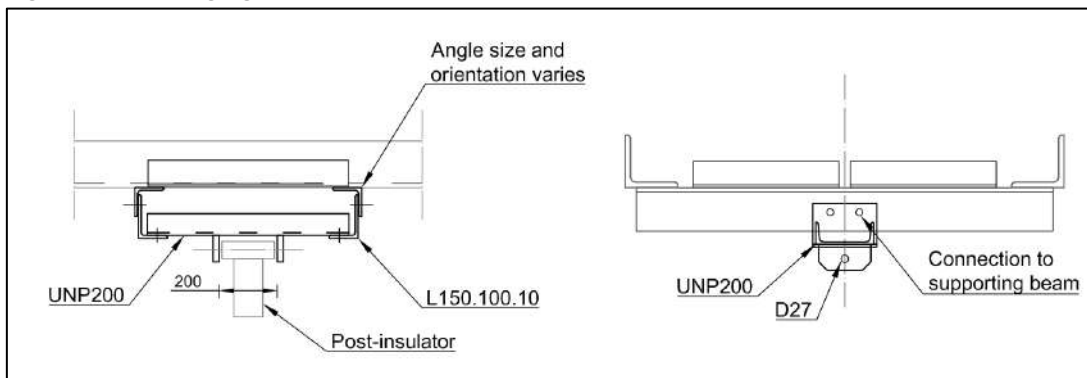
Figuur 7 Bevestigingen voor de post-isolator op de onderste middentraverse



Figuur 8 Bevestigingen voor de post-isolator op de middentraverse



Figuur 9 Bevestigingen voor de post-insulator op de boventransverse



Figuur 10 Constructiedetail van UNP200 voor post-insulator

Tabel 5 geeft een overzicht van het gewicht van de profielen voor de aanpassingen.

Tabel 5 Gewicht profielen noodzakelijk voor aanpassingen aan mast 119

Groep-label	Profiel	Materiaal	Bouten	Profiel nieuw	Materiaal nieuw	Bouten nieuw	Maatregel	Aantal	Lengte (m)	Gewicht (kg)
14	L80x6	S235	1M16-8.8t	L80x8	S355	1M16-8.8t	Profiel uitgewisseld	8	3.215	248.29
16	L70x6	S235	1M16-8.8t	L70x7	S355	1M16-8.8t	Profiel uitgewisseld	8	2.253	133.02
259A	L60x5	S355	1M16-8.8t	L60x6	S355	1M16-8.8t	Profiel uitgewisseld	8	2.057	89.24
BR1	L60x5	S355	1M16-8.8t	L60x6	S355	1M16-8.8t	Profiel uitgewisseld	8	2.059	89.33
259	L80x8	S355	1M16-8.8t	L90x9	S355	1M16-8.8t	Profiel uitgewisseld	4	3.704	179.02
P1				L120x12	S355	1M24-8.8t	Profiel toegevoegd	2	1.540	66.53
P2				L120x12	S355	1M24-8.8t	Profiel toegevoegd	2	1.605	69.34
P3				UNP200	S355	2M24-8.8t	Profiel toegevoegd	2	0.600	30.35
P4				UNP200	S355	2M24-8.8t	Profiel toegevoegd	2	0.610	30.86
P5				UNP200	S355	2M24-8.8t	Profiel toegevoegd	2	0.820	41.50
								54		977.5

5.3 Verificatie eisen

De verificatie van de van toepassing zijnde eisen is uitgevoerd in Tabel 6.

Tabel 6 Verificatie eisen

Eis Id	Eis tekst	Ja	Nee	N.v.t.	Toelichting
BO Eis: H2.7-6	Aanpassingen uitvoerbaar?	X			De toe te voegen staalonderdelen zijn met bout-verbindingen te bevestigen. Dit is een bewezen methode. De aanpassing kan worden toegepast zonder de ldraagprofielen te verwijderen.
PVE.05.001 5.14	Staaldelen in nabijheid van klimweg gewijzigd? Klimvoorziening nog in overeenstemming is met de NEN 1060:1964?			X	Geen wijzigingen
		X			Geen wijzigingen



6 REFERENTIES

- [1] "002.586.40 0825946 - 21-0463 - Verificatie & validatieplan 380kV verbinding Maasbracht - Eindhoven".
- [2] "002.586.40 0825934 - 21-0483 - E-studie deel 1 380kV verbinding Maasbracht - Eindhoven".
- [3] "002.586.40 0825942 - 21-0138 - Uitgangspuntenrapport 380kV verbinding Maasbracht - Eindhoven".



APPENDIX A

GELEIDERBELASTINGEN

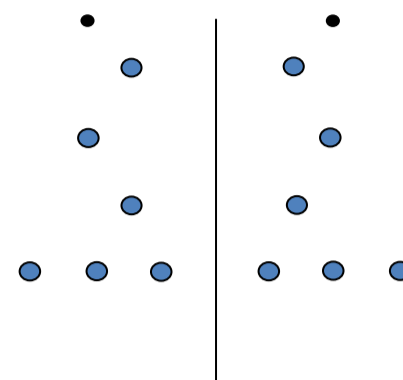
Project: MBT-EHV380
Tower: HB+0(tc)
Number: 119

Auteur: TBR
Versie: v12.0

Conductor loads

General

Description HB+0(tc)
Tower type Hoekmast
Number of circuits 4
Configuration 4-circuit-verticaal-vlak
Number of earth wires 2



Configuratie geleiders

Starting points

Norm NEN-EN50341-2-15:2019
Consequence class CC2-0
Reliability level initial Afkeur CC2-0
Reference period initial 30 jaar
Consequence class modified CC2
Reliability level modified Verbouw
Reference period modified 50 jaar
Wind zone III
Wind speed (m/s) 24.5 m/s
Terrain category II
Reduction factor C_{dir} 1.00
Ice region phase conductor B
Ice region earth conductor B

Conductors back

Description	Voltage	Conductor Back	Bundle Ba	Ice region	Additional weight	Additional diameter	Catenary P_{back}
Circuit 1	380 kV	ACCC-Warsaw	3	B	3 %	3 %	1400
Circuit 2	380 kV	ACCC-Warsaw	3	B	3 %	3 %	1400
Circuit 3	150 kV	AACSR 241-AL3-39-A20SA	2	B	3 %	3 %	1429
Circuit 4	150 kV	AACSR 241-AL3-39-A20SA	2	B	3 %	3 %	1429
Bliksemdraad 1		AACSR 241-AL3-39-A20SA	1	B	3 %	3 %	1550
Bliksemdraad 2		OPGW AFL-226/38	1	B	3 %	3 %	1550

Conductors ahead

Description	Voltage	Conductor Ahead	Bundle Ah	Ice region	Additional weight	Additional diameter	Catenary P_{ahead}
Circuit 1	380 kV	ACCC-Warsaw	3	B	3 %	3 %	1400
Circuit 2	380 kV	ACCC-Warsaw	3	B	3 %	3 %	1400
Circuit 3	150 kV	AACSR 241-AL3-39-A20SA	2	B	3 %	3 %	1688
Circuit 4	150 kV	AACSR 241-AL3-39-A20SA	2	B	3 %	3 %	1688
Bliksemdraad 1		AACSR 241-AL3-39-A20SA	1	B	3 %	3 %	1550
Bliksemdraad 2		OPGW AFL-226/38	1	B	3 %	3 %	1550

Insulators (1)

Description	Suspension	Weight [kN]	Length [m]	Wind area [m ²]
Circuit 1	Afspanketting	4.00	4.50	2.00
Circuit 2	Afspanketting	4.00	4.50	2.00
Circuit 3	Afspanketting	2.50	2.50	1.00
Circuit 4	Afspanketting	2.50	2.50	1.00
Bliksemdraad 1	Afspanketting	0.10	0.30	0.10
Bliksemdraad 2	Afspanketting	0.10	0.30	0.10

1. Properties apply to the entire isolator set

Suspension height and position in mast

Circuits	Designation	Number	Suspension height	Attach point	Position in tower Horizontal distance
Circuit 1	10	380ct1f1	48.5 m	48.5 m	-6.8 m
Circuit 1	11	380ct1f2	39.0 m	39.0 m	-11.2 m
Circuit 1	12	380ct1f3	31.9 m	31.9 m	-6.6 m
Circuit 2	20	380ct2f1	48.5 m	48.5 m	6.8 m
Circuit 2	21	380ct2f2	39.0 m	39.0 m	11.2 m
Circuit 2	22	380ct2f3	31.9 m	31.9 m	6.6 m
Circuit 3	30	150ct3f1	21.5 m	21.5 m	-14.5 m
Circuit 3	31	150ct3f2	21.5 m	21.5 m	-10.0 m
Circuit 3	32	150ct3f3	21.5 m	21.5 m	-5.5 m
Circuit 4	40	150ct4f1	21.5 m	21.5 m	14.5 m
Circuit 4	41	150ct4f2	21.5 m	21.5 m	10.0 m
Circuit 4	42	150ct4f3	21.5 m	21.5 m	5.5 m
Bliksemdraad 1	1	bl1	52.4 m	52.4 m	-14.5 m
Bliksemdraad 2	3	bl2	52.4 m	52.4 m	14.5 m

Project: MBT-EHV380
 Tower: HB+0(tc)
 Number: 119

Height adjustment adjacent masts (wind and weight span adjustment)

	Back	Ahead	
Height increase for wind pressure	0.0 m	0.0 m	(positive: higher)
Height decrease for vertical load	0.0 m	0.0 m	(negative: decrease, more weight span)
Decrease:	Niet in 0,9EG-combinaties		

Height difference adjacent tower and change of direction with respect to Line direction

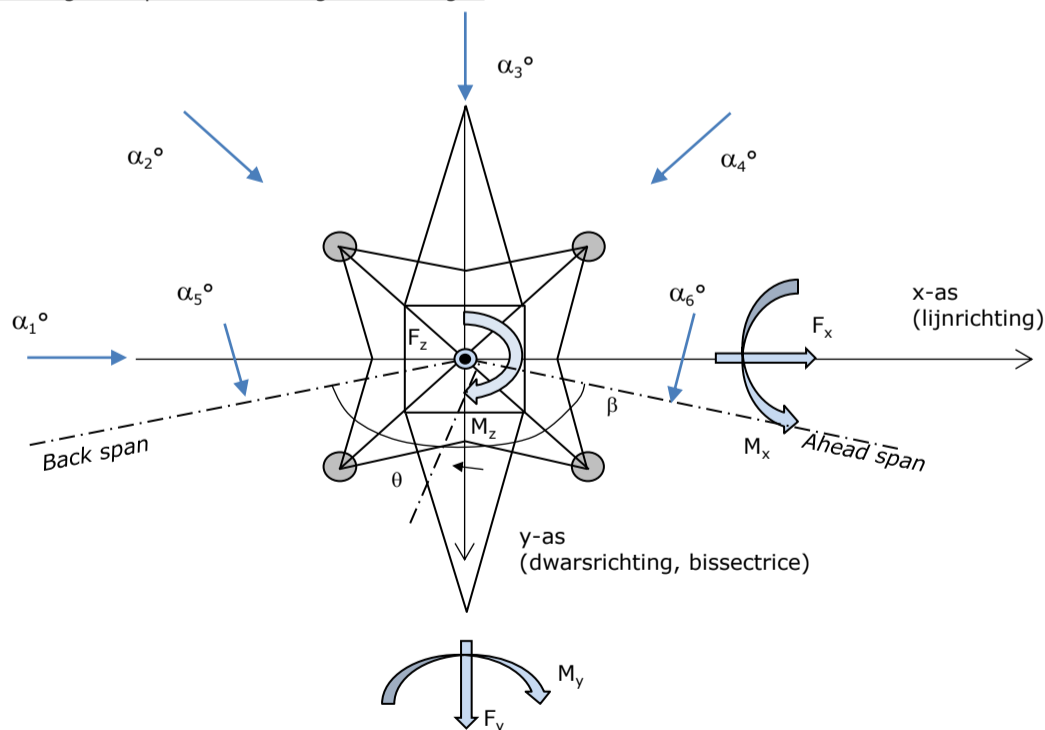
Circuits	Aanduiding	Nummer	Hoogteverschil		Richtingsverandering	
			Δh_{back}	Δh_{ahead}	Δy_{back}	Δy_{ahead}
Circuit 1	10	380ct1f1	0.6	2.3 m	0.0	0.0 m
Circuit 1	11	380ct1f2	0.3	2.8 m	0.0	0.0 m
Circuit 1	12	380ct1f3	-0.4	1.3 m	0.0	0.0 m
Circuit 2	20	380ct2f1	0.6	2.3 m	0.0	0.0 m
Circuit 2	21	380ct2f2	0.3	2.0 m	0.0	0.0 m
Circuit 2	22	380ct2f3	-0.4	1.3 m	0.0	0.0 m
Circuit 3	30	150ct3f1	-0.9	0.8 m	0.0	0.0 m
Circuit 3	31	150ct3f2	-0.9	0.8 m	0.0	0.0 m
Circuit 3	32	150ct3f3	-0.9	0.8 m	0.0	0.0 m
Circuit 4	40	150ct4f1	-0.9	0.8 m	0.0	0.0 m
Circuit 4	41	150ct4f2	-0.9	0.8 m	0.0	0.0 m
Circuit 4	42	150ct4f3	-0.9	0.8 m	0.0	0.0 m
Bliksemdraad 1	1	bl1	0.2	1.8 m	0.0	0.0 m
Bliksemdraad 2	3	bl2	0.1	1.8 m	0.0	0.0 m

Line and tower data

	Back	Ahead
Ruling span $\sqrt{(\sum L^3)/\sum L}$	300.0	330.0 m
Line angle β	154.92 °	359.1 m
Tower orientation with respect to bis θ	0 °	
Section length	1360	3180 m
Height bottom of tower to ground level	0.5 m	
Wind directions considered α_1	0 °	
Wind directions according to: α_2	45 °	
<i>Geleiderbelastingen</i> α_3	90 °	
α_4	135 °	
α_5	77.46 °	
α_6	102.54 °	

Wind directions apply to the main direction of mast construction, not to the bisector.

Windrichtingen en positieve richtingen belastingen



Considered number of wind directions

1a	6
3	6
4	1
6	1
Overig	1

Project: MBT-EHV380
 Tower: HB+0(tc)
 Number: 119

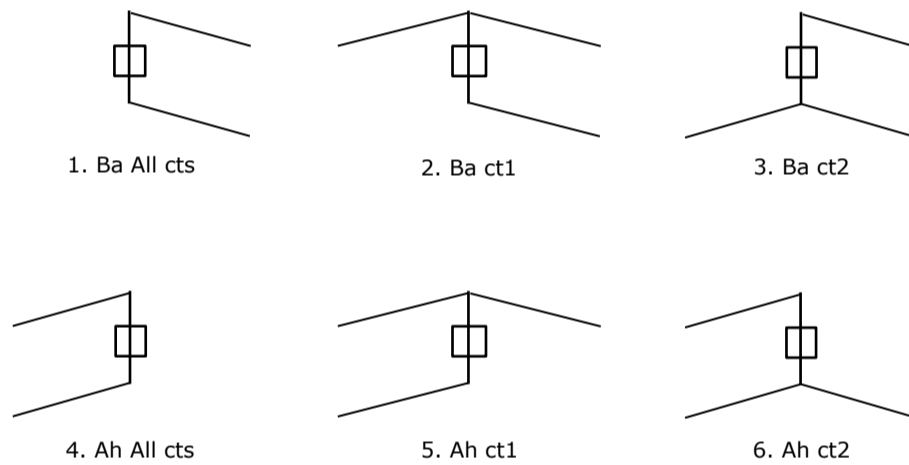
Absence of conductors

		SPLS - torsie		SPLS - Enkelzijdige trek		5a - geleiderbreuk	
		Aanw.	Afw.	Aanw.	Afw.	Aanw.	Afw.
Circuit 1	380ct1f1	1	0	1	0	1	0
Circuit 1	380ct1f2	1	0	1	0	1	0
Circuit 1	380ct1f3	1	0	1	0	1	0
Circuit 2	380ct2f1	0	1	1	0	1	0
Circuit 2	380ct2f2	0	1	1	0	1	0
Circuit 2	380ct2f3	0	1	1	0	1	0
Circuit 3	150ct3f1	1	0	1	0	1	0
Circuit 3	150ct3f2	1	0	1	0	1	0
Circuit 3	150ct3f3	1	0	1	0	1	0
Circuit 4	150ct4f1	0	1	1	0	1	0
Circuit 4	150ct4f2	0	1	1	0	1	0
Circuit 4	150ct4f3	0	1	1	0	1	0
Bliksemdraad 1	bl1	1	0	1	0	1	0
Bliksemdraad 2	bl2	0	1	1	0	1	0

Load situations SPLS

Considered situations SPLS: 1 up to 6, All possible situations

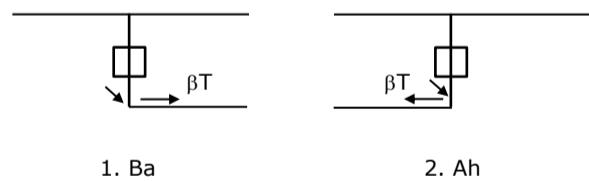
Principle of load situations:



Load situation 5a. Conductor failure

Considered situations conductor failure 5a: 1 and 2, all possible situations

Principle of load situations:



Project: MBT-EHV380
 Tower: HB+0(tc)
 Number: 119

Load situations LC6. Construction and maintenance

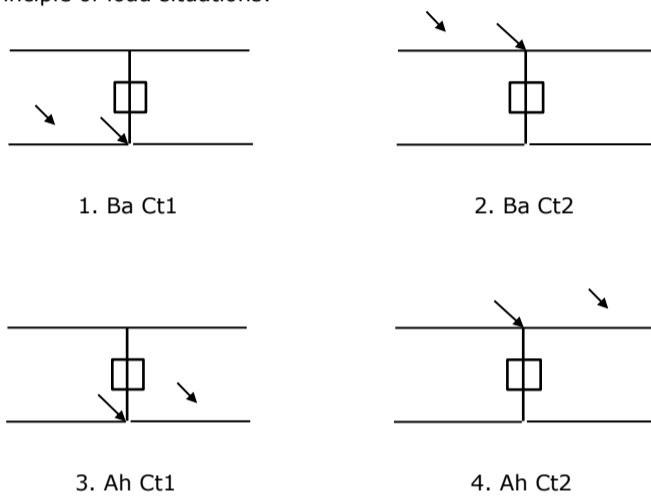
Under 6a, the load due to the presence of a line vehicle or line bicycle in combination with point load on the traverse is assessed. Combination 6b does not contain any loads in conductor or on traverse. This combination has been added to be able to combine with separate control platforms, etc. The situations are applied in ULS and in every SPLS situation (in case of angle tower).

	Phase	Earth
Line vehicle	3.0 kN	2.0 kN
Concentrated load cross arm	1.0 kN	1.0 kN

Beschouwde situaties bouw- en onderhoud 6a: 1 t/m 4, alle mogelijke situaties.

Presence line vehicle: Circuit, belasting tegelijk aanwezig in alle geleiders per circuit.

Principle of load situations:



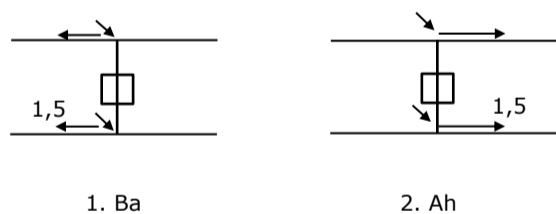
Load situations 8. Galloping as a static load

Conductor		
Suspension tower phase	0.866 W	1.5 W
Suspension tower earth	1.5 EDS	1.5 W
Strain tower phase and earth	1.5 EDS	1.5 W

Considered situations galloping 8: None (existing structure)

Load simultaneously present in all conductors of the circuit.

Principle of load situations:



Load combination 8. Galloping as a dynamic load

Only applies to tension towers
 Load consists of EDS tensile load in one of the conductors on one side of the tower
 Can be converted by user to fatigue spectrum via the load spectrum of table 4.11 / NL.1

Project: MBT-EHV380
 Tower: HB+0(tc)
 Number: 119

Tower structure

Properties

Tower type	Hoekmast	
Tower designation	HB+0(tc)	
Base plate w.r.t. ground level	0.5 m	
Tower height w.r.t. base plate	54.0 m	
Tower self weight	791.5 kN	
<i>Width and slope at foundation</i>		
	x-ri.	y-ri.
Leg spread	11.00	11.00 m
Inclination of main leg	0.156	0.156 -
Horizontal force factor	1.3	1.3 -

Calculation Wind load

Dynamic factor G_T	1.00 (<i>Masthoogte < 60 m</i>)
Wind load diagonally to tower body proportional to:	$(A1C1\sin^2(\phi)+A2C2\cos^2(\phi))$
Wind load diagonally on traverse proportional to:	$(A1C1\sin^2(\phi)+A2C2\cos^2(\phi))$
Magnification factor diagonal wind to tower body	$(1+0,2\sin^2(2\phi))$
Magnification factor diagonal wind to cross arm	$(1+0,2\sin^2(2\phi))$
Magnification factor wind parallel to perpendicular to cross arm	0.4

Properties mast sections longitudinal direction (front view, yz plane)

Description	h [m]	b_1 [m]	b_2 [m]	Δh [m]	Δ_x [m]	A_0 [m ²]	A_1 [m ²]	$\chi = A_1/A_0$ [-]	C_t
Broekstuk	9.60	11.00	8.00	9.60	0.156	91.20	24.65	0.27	2.64
1e tussenstuk	21.50	8.00	5.24	11.90	0.116	78.77	23.81	0.30	2.53
2e tussenstuk	31.90	5.24	3.47	10.40	0.085	45.29	21.79	0.48	2.02
3e tussenstuk	39.00	3.47	2.91	7.10	0.039	22.67	13.13	0.58	1.85
4e tussenstuk	51.50	2.91	2.20	12.50	0.029	31.95	12.94	0.41	2.20
Topstuk	54.00	2.20		2.51		2.76	1.27	0.46	2.06
Ondertraverse	21.50	11.88		2.30		13.66	6.00	0.44	2.11
Boventraverse	48.50	13.33		3.90		25.99	5.77	0.22	2.84
Middentraverse	39.00	11.19		1.64		9.20	7.43	0.81	1.75
Mid trav onder	31.90	5.28		1.70		4.48	2.34	0.52	1.94

Properties tower sections transversal direction (side view, xz plane)

Description	h [m]	b_1 [m]	b_2 [m]	Δh [m]	Δ_x [m]	A_0 [m ²]	A_1 [m ²]	$\chi = A_1/A_0$ [-]	C_t
Broekstuk	9.60	11.00	8.00	9.60	0.156	91.20	24.65	0.27	2.64
1e tussenstuk	21.50	8.00	5.24	11.90	0.116	78.77	23.81	0.30	2.53
2e tussenstuk	31.90	5.24	3.47	10.40	0.085	45.29	21.79	0.48	2.02
3e tussenstuk	39.00	3.47	2.91	7.10	0.039	22.67	13.13	0.58	1.85
4e tussenstuk	51.50	2.91	2.20	12.50	0.029	31.95	12.94	0.41	2.20
Topstuk	54.00	2.20		2.51		2.76	1.27	0.46	2.06
Ondertraverse	21.50	11.88		2.30		13.66	6.00	0.44	2.11
Boventraverse	48.50	13.33		3.90		25.99	5.77	0.22	2.84
Middentraverse	39.00	11.19		1.64		9.20	7.43	0.81	1.75
Mid trav onder	31.90	5.28		1.70		4.48	2.34	0.52	1.94

Note: Surface area transverse direction in table is reduced in calculation.

Note: surface area of cross arm is for each side, ie. half of the total of both cross arms.

Project: MBT-EHV380
 Tower: HB+0(tc)
 Number: 119

Wind surface feeders telecom installations

Part	A (m ² /m)	Factor	Δh	A ₁
Broekstuk				
1e tussenstuk				
2e tussenstuk				
3e tussenstuk				
4e tussenstuk				

Input antennas

Description	A (m ²)	h (m)	C _f (m)
Antenne top			
Antenne o.t.			

Tower section loads longitudinal (x-direction) per wind direction

Description	p _w [kN/m ²]	F _{x1} [kN]	F _{x2} [kN]	F _{x3} [kN]	F _{x4} [kN]	h _{ef} [m]	M _{y1} [kNm]	M _{y2} [kNm]	M _{y3} [kNm]	M _{y4} [kNm]
Broekstuk	0.70	45.7	38.8	0.0	-38.8	4.8	219.3	186.1	0.0	-186.1
1e tussenstuk	0.81	48.8	41.4	0.0	-41.4	15.6	759.5	644.4	0.0	-644.4
2e tussenstuk	0.96	42.1	35.7	0.0	-35.7	26.7	1123.1	953.0	0.0	-953.0
3e tussenstuk	1.04	25.2	21.4	0.0	-21.4	35.5	894.1	758.7	0.0	-758.7
4e tussenstuk	1.11	31.5	26.8	0.0	-26.8	45.2	1427.4	1211.2	0.0	-1211.2
Topstuk	1.15	3.0	2.6	0.0	-2.6	52.7	159.3	135.2	0.0	-135.2
Ondertraverse	0.91	23.0	13.7	0.0	-13.7	22.3	512.4	304.3	0.0	-304.3
Boventraverse	1.13	37.1	22.1	0.0	-22.1	49.8	1849.7	1098.7	0.0	-1098.7
Middentraverse	1.07	27.7	16.4	0.0	-16.4	39.5	1094.1	649.9	0.0	-649.9
Mid trav onder	1.01	9.2	5.4	0.0	-5.4	32.5	297.6	176.8	0.0	-176.8
Totaal		293.4	224.3	0.0	-224.3		8336.6	6118.3	0.0	-6118.3

Tower section loads transversal (y-direction) per wind direction

Description	p _w [kN/m ²]	F _{y1} [kN]	F _{y2} [kN]	F _{y3} [kN]	F _{y4} [kN]	h _{ef} [m]	M _{x1} [kNm]	M _{x2} [kNm]	M _{x3} [kNm]	M _{x4} [kNm]
Broekstuk	0.70	0.0	38.8	45.7	38.8	4.8	0.0	186.1	219.3	186.1
1e tussenstuk	0.81	0.0	41.4	48.8	41.4	15.6	0.0	644.4	759.5	644.4
2e tussenstuk	0.96	0.0	35.7	42.1	35.7	26.7	0.0	953.0	1123.1	953.0
3e tussenstuk	1.04	0.0	21.4	25.2	21.4	35.5	0.0	758.7	894.1	758.7
4e tussenstuk	1.11	0.0	26.8	31.5	26.8	45.2	0.0	1211.2	1427.4	1211.2
Topstuk	1.15	0.0	2.6	3.0	2.6	52.7	0.0	135.2	159.3	135.2
Ondertraverse	0.91	0.0	13.7	9.2	13.7	22.3	0.0	304.3	205.0	304.3
Boventraverse	1.13	0.0	22.1	14.9	22.1	49.8	0.0	1098.7	739.9	1098.7
Middentraverse	1.07	0.0	16.4	11.1	16.4	39.5	0.0	649.9	437.6	649.9
Mid trav onder	1.01	0.0	5.4	3.7	5.4	32.5	0.0	176.8	119.0	176.8
Total		0.0	224.3	235.2	224.3		0.0	6118.3	6084.3	6118.3

Resulting loads from mast construction incl. Antenna without conductors level foundation (char. Value)

Load / wind direction	F _x [kN]	F _y [kN]	F _z [kN]	M _x [kNm]	M _y [kNm]	M _z [kNm]
Permanente belasting	0	0	792	0	0	0
Windrichting 0°	293	0	0	0	8337	0
Windrichting 45°	224	224	0	6118	6118	0
Windrichting 90°	0	235	0	6084	0	0
Windrichting 135°	-224	224	0	6118	-6118	0

Project: MBT-EHV380
 Tower: HB+0(tc)
 Number: 119

Intermediate results for conductor loads

Conductors back

Circuit	Geleider	Diameter [mm]	A [mm ²]	G [N/m]	E [N/mm ²]	αT [-]
Circuit 1	ACCC-Warsaw	27.7	571.0	14.98	62700	1.88E-05
Circuit 2	ACCC-Warsaw	27.7	571.0	14.98	62700	1.88E-05
Circuit 3	AACSR 241-AL3-39-A20SA	21.8	281.0	9.38	70165	1.97E-05
Circuit 4	AACSR 241-AL3-39-A20SA	21.8	281.0	9.38	70165	1.97E-05
Bliksemdraad 1	AACSR 241-AL3-39-A20SA	21.8	281.0	9.38	70165	1.97E-05
Bliksemdraad 2	OPGW AFL-226/38	21.7	264.0	9.13	72000	1.98E-05

Conductors ahead

Circuit	Geleider	Diameter [mm]	A [mm ²]	G [N/m]	E [N/mm ²]	αT [-]
Circuit 1	ACCC-Warsaw	27.7	571.0	14.98	62700	1.88E-05
Circuit 2	ACCC-Warsaw	27.7	571.0	14.98	62700	1.88E-05
Circuit 3	AACSR 241-AL3-39-A20SA	21.8	281.0	9.38	70165	1.97E-05
Circuit 4	AACSR 241-AL3-39-A20SA	21.8	281.0	9.38	70165	1.97E-05
Bliksemdraad 1	AACSR 241-AL3-39-A20SA	21.8	281.0	9.38	70165	1.97E-05
Bliksemdraad 2	OPGW AFL-226/38	21.7	264.0	9.13	72000	1.98E-05

Vertical load back

Circuit	Bundle [-]	Additional [%]	$W_{z,G}$ [N/m]	Ice region	Formula	$W_{z,ijs}$ [N/m]	$W_{z,ijs,bundel}$ [N/m]
Circuit 1	3	3	46.3	B	4+0,2d	9.5	28.6
Circuit 2	3	3	46.3	B	4+0,2d	9.5	28.6
Circuit 3	2	3	19.3	B	4+0,2d	8.4	16.7
Circuit 4	2	3	19.3	B	4+0,2d	8.4	16.7
Bliksemdraad 1	1	3	9.7	B	4+0,2d	8.4	8.4
Bliksemdraad 2	1	3	9.4	B	4+0,2d	8.3	8.3

Vertical load ahead

Circuit	Bundle [-]	Additional [%]	$W_{z,G}$ [N/m]	Ice region	Formula	$W_{z,ijs}$ [N/m]	$W_{z,ijs,bundel}$ [N/m]
Circuit 1	3	3	46.3	B	4+0,2d	9.5	28.6
Circuit 2	3	3	46.3	B	4+0,2d	9.5	28.6
Circuit 3	2	3	19.3	B	4+0,2d	8.4	16.7
Circuit 4	2	3	19.3	B	4+0,2d	8.4	16.7
Bliksemdraad 1	1	3	9.7	B	4+0,2d	8.4	8.4
Bliksemdraad 2	1	3	9.4	B	4+0,2d	8.3	8.3

Insulators

Conductor	$G_{isolator}$ [kN]	Number	$F_{v,iso}$ [kN]	Length [m]	Wind surf. [m ²]	Wind height [m]	Pressure [kN/m ²]	Drag factor [-]	$F_{h,iso}$ [kN]
380ct1f1	4.00	1	4	4.5	2.0	49.00	1.13	1.2	2.71
380ct1f2	4.00	1	4	4.5	2.0	39.50	1.07	1.2	2.56
380ct1f3	4.00	1	4	4.5	2.0	32.40	1.01	1.2	2.42
380ct2f1	4.00	1	4	4.5	2.0	49.00	1.13	1.2	2.71
380ct2f2	4.00	1	4	4.5	2.0	39.50	1.07	1.2	2.56
380ct2f3	4.00	1	4	4.5	2.0	32.40	1.01	1.2	2.42
150ct3f1	2.50	1	2.5	2.5	1.0	22.00	0.90	1.2	1.08
150ct3f2	2.50	1	2.5	2.5	1.0	22.00	0.90	1.2	1.08
150ct3f3	2.50	1	2.5	2.5	1.0	22.00	0.90	1.2	1.08
150ct4f1	2.50	1	2.5	2.5	1.0	22.00	0.90	1.2	1.08
150ct4f2	2.50	1	2.5	2.5	1.0	22.00	0.90	1.2	1.08
150ct4f3	2.50	1	2.5	2.5	1.0	22.00	0.90	1.2	1.08
bl1	0.10	1	0.1	0.3	0.1	52.90	1.15	1.2	0.14
bl2	0.10	1	0.1	0.3	0.1	52.90	1.15	1.2	0.14

Project: MBT-EHV380
 Tower: HB+0(tc)
 Number: 119

Wind load back

Conductor	Height	Pressure	G_{c_dwars}	G_{c_trek}	C_c	$d_{additional}$	w_y	$w_{y,section}$	$D_{ijs,additional}$	$w_{y,ijs}$	$w_{y,ijs,section}$
	wind										
	[m]	[kN/m ²]	[-]	[-]	[-]	[mm]	[N/m]	[N/m]	[mm]	[N/m]	[N/m]
380ct1f1	43.9	1.10	0.63	0.57	1.07	28.53	63.0	57.2	47.4	117.3	106.7
380ct1f2	34.3	1.03	0.61	0.55	1.09	28.53	58.0	52.8	47.4	106.2	96.6
380ct1f3	26.8	0.96	0.59	0.53	1.11	28.53	53.3	48.5	47.4	95.8	87.2
380ct2f1	43.9	1.10	0.63	0.57	1.07	28.53	63.0	57.2	47.4	117.3	106.7
380ct2f2	34.3	1.03	0.61	0.55	1.09	28.53	58.0	52.8	47.4	106.2	96.6
380ct2f3	26.8	0.96	0.59	0.53	1.11	28.53	53.3	48.5	47.4	95.8	87.2
150ct3f1	16.3	0.82	0.55	0.50	1.20	22.45	24.2	22.0	41.9	45.2	41.2
150ct3f2	16.3	0.82	0.55	0.50	1.20	22.45	24.2	22.0	41.9	45.2	41.2
150ct3f3	16.3	0.82	0.55	0.50	1.20	22.45	24.2	22.0	41.9	45.2	41.2
150ct4f1	16.3	0.82	0.55	0.50	1.20	22.45	24.2	22.0	41.9	45.2	41.2
150ct4f2	16.3	0.82	0.55	0.50	1.20	22.45	24.2	22.0	41.9	45.2	41.2
150ct4f3	16.3	0.82	0.55	0.50	1.20	22.45	24.2	22.0	41.9	45.2	41.2
bl1	48.2	1.12	0.63	0.58	1.19	22.45	19.0	17.3	41.9	35.9	32.6
bl2	48.1	1.12	0.63	0.58	1.19	22.35	18.9	17.2	41.8	35.8	32.5

Wind load ahead

Conductor	Height	Pressure	G_{c_dwars}	G_{c_trek}	C_c	$d_{additional}$	w_y	$w_{y,section}$	$D_{ijs,additional}$	$w_{y,ijs}$	$w_{y,ijs,section}$
	wind										
	[m]	[kN/m ²]	[-]	[-]	[-]	[mm]	[N/m]	[N/m]	[mm]	[N/m]	[N/m]
380ct1f1	43.7	1.10	0.63	0.52	1.07	28.53	62.8	52.6	47.4	117.1	98.0
380ct1f2	34.4	1.03	0.61	0.51	1.09	28.53	58.1	48.7	47.4	106.4	89.2
380ct1f3	26.6	0.95	0.59	0.49	1.11	28.53	53.1	44.6	47.4	95.4	80.1
380ct2f1	43.7	1.10	0.63	0.52	1.07	28.53	62.8	52.6	47.4	117.1	98.0
380ct2f2	34.0	1.02	0.61	0.51	1.09	28.53	57.9	48.5	47.4	105.9	88.7
380ct2f3	26.6	0.95	0.59	0.49	1.11	28.53	53.1	44.6	47.4	95.4	80.1
150ct3f1	17.0	0.84	0.55	0.46	1.20	22.45	24.7	20.8	41.9	46.2	38.8
150ct3f2	17.0	0.84	0.55	0.46	1.20	22.45	24.7	20.8	41.9	46.2	38.8
150ct3f3	17.0	0.84	0.55	0.46	1.20	22.45	24.7	20.8	41.9	46.2	38.8
150ct4f1	17.0	0.84	0.55	0.46	1.20	22.45	24.7	20.8	41.9	46.2	38.8
150ct4f2	17.0	0.84	0.55	0.46	1.20	22.45	24.7	20.8	41.9	46.2	38.8
150ct4f3	17.0	0.84	0.55	0.46	1.20	22.45	24.7	20.8	41.9	46.2	38.8
bl1	47.9	1.12	0.63	0.53	1.19	22.45	19.0	15.9	41.9	35.8	30.0
bl2	47.9	1.12	0.63	0.53	1.19	22.35	18.9	15.8	41.8	35.7	29.9

Note: loads w_v are applicable to the sum of the conductors within the bundle

Project: MBT-EHV380
 Tower: HB+0(tc)
 Number: 119

Auteur: TBR
 Versie: v12.0

Conductor loads

Starting points

Consequence class Afkeur CC2-0
 Reference period 30 jaar

ULS (strength)		NEN-EN50341-2-15:2019						
Load case	description	Temp °C	γ_G $G_{k,mast}$	γ_G $G_{k,geleider}$	γ_Q Q_{pk}	γ_Q Q_{wk}	Q_{ik}	γ_a A_k
ULS 1a	Wind	10°	1.05	1.05	0.00	1.12	0.00	0.0
ULS 1a_0,9	Wind 0,9Gk only tower	10°	0.90	1.05	0.00	1.12	0.00	0.0
ULS 1a_0,9_0,9	Wind 0,9Gk conductors too	10°	0.90	0.90	0.00	1.12	0.00	0.0
ULS 3	Wind+ice	-5°	1.05	1.05	0.00	0.34	0.97	0.0
ULS 3_0,9	Wind+ice 0,9Gk	-5°	0.90	1.05	0.00	0.34	0.97	0.0
ULS 4	Cold+wind	-20°	1.05	1.05	0.00	0.22	0.00	0.0
ULS 4_0,9	Cold+wind 0,9Gk	-20°	0.90	1.05	0.00	0.22	0.00	0.0
ULS 5a	Torsional loads	10°	1.00	1.00	1.00	0.00	0.00	1.0
ULS 5b	Longitudinal loads	10°	1.00	1.00	0.00	0.00	0.00	1.0
ULS 6	Construction + maintenance	5°	1.05	1.05	1.20	0.22	0.00	0.0
ULS 6_0,9	Construction + maintenance	5°	1.05	1.05	0.00	0.22	0.00	0.0
ULS 7	Permanent	10°	1.15	1.15	0.00	0.00	0.00	0.0
ULS 8	Special	10°	1.00	1.00	0.00	0.00	0.00	1.0
SPLS (strength, for angle towers: absence of conductors)			γ_G G_k		γ_Q Q_{pk}	γ_Q Q_{wk}	Q_{ik}	A_k
SPLS 1a	Wind	10°	1.05	1.05	0.0	0.78	0.00	0.0
SPLS 1a_0,9	Wind 0,9	10°	0.90	1.05	0.0	0.78	0.00	0.0
SPLS 1a_0,9_0,9	Wind 0,9	10°	0.90	0.90	0.0	0.78	0.00	0.0
SPLS 3	Wind+ice	-5°	1.05	1.05	0.0	0.36	0.34	0.0
SPLS 3_0,9	Wind+ice 0,9	-5°	0.90	1.05	0.0	0.36	0.34	0.0
SPLS 4	Cold+wind	-20°	1.05	1.05	0.0	0.24	0.00	0.0
SPLS 4_0,9	Cold+wind 0,9	-20°	0.90	1.05	0.0	0.24	0.00	0.0
SPLS 6	Maintenance	5°	1.05	1.05	1.2	0.24	0.0	0.0
SPLS 6_0,9	Maintenance	5°	1.05	1.05	0.0	0.24	0.0	0.0
SLS (deformations, fatigue, EDS)			G_k		Q_{pk}	Q_{wk}	Q_{ik}	A_k
SLS 1a	Wind	10°	1.00	1.00	0.0	0.94	0.0	0.0
SLS 3	Wind+ice	-5°	1.00	1.00	0.0	0.28	0.88	0.0
SLS 4	Wind	-20°	1.00	1.00	0.0	0.19	0.0	0.0
SLS 6	Maintenance	5°	1.00	1.00	0.0	0.19	0.0	0.0
SLS 7	EDS, no wind	10°	1.00	1.00	0.0	0.00	0.0	0.0

Number of wind directions 6
 Number of load combinations for ULS 70
 Number of load combinations for SPLS 246
 Number of load combinations for SLS 15
 Number of concentrated loads 11254

Project: MBT-EHV380
 Tower: HB+0(tc)
 Number: 119

Summary table - Conductor loads

The four tables below show:

- The maximum conductor load in the global axis system, split into proportion of back and ahead span
- The combined conductor load (Ba+Ah) in the global axis system with the maximum tensile force in the local axes. Components Fx and Fy as absolute values
- The everyday (EDS) values of the combined conductor loads (Ba+Ah) with corresponding tensile forces
- Check for uplift, where a negative value indicates uplift

Note: Maximum values for Fx, Fy and Fz do not necessarily belong to the same load combination.

Maximum values for back and ahead span

Geleider	Fx_ba [kN]	Fx_ah [kN]	Fy_ba [kN]	Fy_ah [kN]	Fz_ba [kN]	Fz_ah [kN]
bl1	-32.3	30.9	9.4	9.6	5.3	5.0
bl2	-31.8	30.5	9.3	9.5	5.2	5.0
380ct1f1	-108.7	108.6	35.6	36.1	16.2	16.1
380ct1f2	-107.4	107.4	33.9	34.5	16.3	15.9
380ct1f3	-106.3	106.4	32.3	32.7	16.5	16.4
380ct2f1	-108.7	108.6	35.6	36.1	16.2	16.1
380ct2f2	-107.4	107.4	33.9	34.4	16.3	16.2
380ct2f3	-106.3	106.4	32.3	32.7	16.5	16.4
150ct3f1	-54.0	58.1	14.2	15.9	10.7	10.3
150ct3f2	-54.0	58.1	14.2	15.9	10.7	10.3
150ct3f3	-54.0	58.1	14.2	15.9	10.7	10.3
150ct4f1	-54.0	58.1	14.2	15.9	10.7	10.3
150ct4f2	-54.0	58.1	14.2	15.9	10.7	10.3
150ct4f3	-54.0	58.1	14.2	15.9	10.7	10.3
Post 1	0.0	0.0	0.0	0.0	0.0	
Post 2	0.0	0.0	0.0	0.0	0.0	
Post 3	0.0	0.0	0.0	0.0	0.0	
Post 4	0.0	0.0	0.0	0.0	0.0	
Post 5	0.0	0.0	0.0	0.0	0.0	
Post 6	0.0	0.0	0.0	0.0	0.0	

Min. Weight span (m)

Weight spar Combinatie1

Geleider	SLS 1a	SLS 4	SLS 7
bl1	299.4	303.8	305.5
bl2	300.4	304.8	306.3
380ct1f1	297.9	301.0	302.7
380ct1f2	297.5	300.4	302.0
380ct1f3	310.4	311.3	311.6
380ct2f1	297.9	301.0	302.7
380ct2f2	302.0	304.1	305.3
380ct2f3	310.4	311.3	311.6
150ct3f1	314.9	315.6	315.5
150ct3f2	314.9	315.6	315.5
150ct3f3	314.9	315.6	315.5
150ct4f1	314.9	315.6	315.5
150ct4f2	314.9	315.6	315.5
150ct4f3	314.9	315.6	315.5

Max. Weight span (m)

Weight spar Combinatie1

Geleider	ULS 1a	ULS 3
bl1	305.6	306.1
bl2	306.4	306.9
380ct1f1	302.7	302.9
380ct1f2	302.1	302.3
380ct1f3	311.9	311.7
380ct2f1	302.7	302.9
380ct2f2	305.4	305.5
380ct2f3	311.9	311.7
150ct3f1	316.4	315.6
150ct3f2	316.4	315.6
150ct3f3	316.4	315.6
150ct4f1	316.4	315.6
150ct4f2	316.4	315.6
150ct4f3	316.4	315.6

Post 1

Post 1

Post 2

Post 2

Post 3

Post 3

Post 4

Post 4

Post 5

Post 5

Post 6

Post 6

Envelop of weight span over all combinations (incl. 0,9 combinations)

For all conductors

Wind / Weight span ratio

Max. weight span	316.8 m	1.006 -
Min. weight span	294.7 m	0.936 -

Project: MBT-EHV380
 Tower: HB+0(tc)
 Number: 119

Maximum values back + ahead span Maximum tension in conductor

Geleider	Fx [kN]	Fy [kN]	Fz [kN]	Ft_ba [kN]	Ft_ah [kN]
bl1	32.3	18.3	5.3	-33.3	31.9
bl2	31.8	18.1	5.2	-32.8	31.4
380ct1f1	95.4	69.4	16.2	-112.9	112.9
380ct1f2	95.2	66.1	16.3	-111.4	111.6
380ct1f3	95.1	63.0	16.5	-110.2	110.4
380ct2f1	95.4	69.4	16.2	-112.9	112.9
380ct2f2	95.2	66.1	16.3	-111.4	111.5
380ct2f3	95.1	63.0	16.5	-110.2	110.4
150ct3f1	58.1	29.2	10.7	-55.5	59.8
150ct3f2	58.1	29.2	10.7	-55.5	59.8
150ct3f3	58.1	29.2	10.7	-55.5	59.8
150ct4f1	58.1	29.2	10.7	-55.5	59.8
150ct4f2	58.1	29.2	10.7	-55.5	59.8
150ct4f3	58.1	29.2	10.7	-55.5	59.8
Post 1	3.0	3.0	4.0	0.0	
Post 2	2.8	2.8	4.0	0.0	
Post 3	2.7	2.7	4.0	0.0	
Post 4	3.0	3.0	4.0	0.0	
Post 5	2.8	2.8	4.0	0.0	
Post 6	2.7	2.7	4.0	0.0	

EDS-loads conductor

Geleider	Fx [kN]	Fy [kN]	Fz [kN]	Ft_ba [kN]	Ft_ah [kN]
bl1	14.6	3.2	1.6	-15.0	15.0
bl2	14.2	3.2	1.6	-14.6	14.6
380ct1f1	63.3	14.1	11.2	-64.8	64.8
380ct1f2	63.3	14.1	11.1	-64.8	64.8
380ct1f3	63.3	14.1	11.4	-64.8	64.8
380ct2f1	63.3	14.1	11.2	-64.8	64.8
380ct2f2	63.3	14.1	11.2	-64.8	64.8
380ct2f3	63.3	14.1	11.4	-64.8	64.8
150ct3f1	31.8	7.1	5.6	-27.6	32.6
150ct3f2	31.8	7.1	5.6	-27.6	32.6
150ct3f3	31.8	7.1	5.6	-27.6	32.6
150ct4f1	31.8	7.1	5.6	-27.6	32.6
150ct4f2	31.8	7.1	5.6	-27.6	32.6
150ct4f3	31.8	7.1	5.6	-27.6	32.6
Post 1	0.0	0.0	3.5	0.0	
Post 2	0.0	0.0	3.5	0.0	
Post 3	0.0	0.0	3.5	0.0	
Post 4	0.0	0.0	3.5	0.0	
Post 5	0.0	0.0	3.5	0.0	
Post 6	0.0	0.0	3.5	0.0	

1 Control uplift SLS-wind

Combinatie: Geleider		Fz_ba [kN]	Fz_ah [kN]
SLS 4	bl1	0.0	0.0
	bl2	0.0	0.0
	380ct1f1	0.0	0.0
	380ct1f2	0.0	0.0
	380ct1f3	0.0	0.0
	380ct2f1	0.0	0.0
	380ct2f2	0.0	0.0
	380ct2f3	0.0	0.0
	150ct3f1	0.0	0.0
	150ct3f2	0.0	0.0
	150ct3f3	0.0	0.0
	150ct4f1	0.0	0.0
	150ct4f2	0.0	0.0
	150ct4f3	0.0	0.0
	Post 1	0.0	
	Post 2	0.0	
	Post 3	0.0	
	Post 4	0.0	
	Post 5	0.0	
	Post 6	0.0	

Project: MBT-EHV380
 Tower: HB+0(tc)
 Number: 119

ULS foundation loads for LC 1 and 3, wind purpendicular to the line or bisector and EDS, from conductors

Combination	Combination	F_x [kN]	F_y [kN]	F_z [kN]	M_x [kNm]	M_y [kNm]	M_z [kNm]
ULS 1a_90		21	626	237	22263	205	-1
ULS 1a_0.9_0		51	271	235	9469	1462	0
ULS 1a_0.9_0.9_90		15	606	203	21596	-11	-1
ULS 3_0		59	433	325	14996	1475	0
SLS 7		29	260	227	9079	630	0

ULS foundation loads, LC 1 and 3, wind purpendicular to the line or bisector and EDS, total conductors and tower

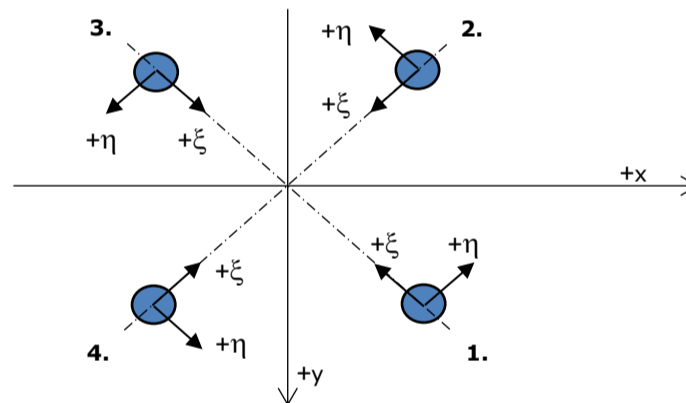
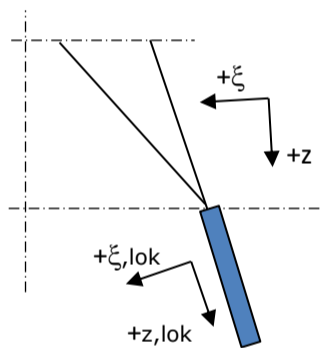
Combination	F_x [kN]	F_y [kN]	F_z [kN]	M_x [kNm]	M_y [kNm]	M_z [kNm]
ULS 1a_90	21	888	1068	29058	205	-1
ULS 1a_0.9_0.9_90	15	869	915	28390	-11	-1
SLS 7	29	260	1018	9079	630	0

Foundation loads, selection of load combinations based on greatest value

Combination	F_x [kN]	F_y [kN]	F_z [kN]	M_x [kNm]	M_y [kNm]	M_z [kNm]
ULS 1a_90	21	888	1068	29058	205	-1
SPLS 3_0 Ba All Cts	895	173	1019	5947	30204	-6
SPLS 3_102.54 Ah Ct1	-399	425	1057	14559	-14185	3972
SPLS 1a_90 Ba All Cts	747	463	1003	14621	26042	-6

Note: Largest values can appear in multiple combinations, one combination is displayed.

Support reactions per leg



Axis systems

Maximum compression load

Index	Combination	R_x [kN]	R_y [kN]	R_z [kN]	R_η [kN]	R_ξ [kN]	$R_{\xi,lok}$ [kN]	$R_{z,lok}$ [kN]
1	SPLS 1a_90 Ba All Cts	373	407	2099	-25	-551	-88	2150
2	SPLS 3_0 Ba All Cts	221	-287	1357	47	-359	-59	1390
3	SPLS 3_135 Ah All Cts	-180	-251	1167	-50	-305	-47	1195
4	SPLS 3_90 Ah All Cts	-357	404	2072	33	-538	-80	2122

Maximum tension load

Index	Combination	R_x [kN]	R_y [kN]	R_z [kN]	R_η [kN]	R_ξ [kN]	$R_{\xi,lok}$ [kN]	$R_{z,lok}$ [kN]
1	SPLS 3_0.9_135 Ah All Cts	-83	-155	-690	51	168	16	-706
2	SPLS 1a_0.9_90 Ah All Cts	-269	305	-1600	-26	406	52	-1639
3	SPLS 1a_0.9_90 Ba All Cts	277	311	-1628	24	416	56	-1667
4	SPLS 3_0.9_0 Ba All Cts	123	-190	-878	-48	222	28	-899

Maximum torsional load (positive)

Index	Combination	R_x [kN]	R_y [kN]	R_z [kN]	R_η [kN]	R_ξ [kN]	$R_{\xi,lok}$ [kN]	$R_{z,lok}$ [kN]
1	SPLS 3_90 Ah Ct1	179	-62	275	170	-82	-22	281
2	SPLS 3_90 Ba Ct2	-52	-170	308	157	-84	-16	316
3	SPLS 3_77.46 Ba Ct2	98	277	-1040	126	265	35	-1065
4	SPLS 6a_90 Ah Ct1 Ba Ct1	-172	360	1458	133	-376	-54	1494

Maximum torsional load (negative)

Index	Combination	R_x [kN]	R_y [kN]	R_z [kN]	R_η [kN]	R_ξ [kN]	$R_{\xi,lok}$ [kN]	$R_{z,lok}$ [kN]
1	SPLS 6a_90 Ba Ct1 Ah Ct1	184	358	1473	-123	-384	-58	1508
2	SPLS 6a_90 Ah Ct2 Ba Ct2	-58	250	-900	-135	218	19	-922
3	SPLS 3_90 Ah Ct2	64	-169	287	-165	-74	-11	294
4	SPLS 3_90 Ba Ct1	-166	-63	253	-162	-73	-17	259

Project: MBT-EHV380
 Tower: HB+0(tc)
 Number: 119

Combination Ftensile+Fhor

Index	Combination	R _x [kN]	R _y [kN]	R _z [kN]	R _η [kN]	R _ξ [kN]	R _{ξ,lok} [kN]	R _{z,lok} [kN]
1	SPLS 3_0.9_135 Ah All Cts	-83	-155	-690	51	168	16	-706
2	SPLS 3_0.9_90 Ah All Cts	-261	307	-1595	-32	401	49	-1633
3	SPLS 3_0.9_90 Ba All Cts	269	312	-1620	30	411	53	-1659
4	SPLS 3_0.9_0 Ba All Cts	123	-190	-878	-48	222	28	-899

Permanent load

Index	Combination	R _x [kN]	R _y [kN]	R _z [kN]	R _η [kN]	R _ξ [kN]	R _{ξ,lok} [kN]	R _{z,lok} [kN]
1	SLS 7	143	123	696	14	-188	-34	713
2	SLS 7	-25	7	-129	12	23	-6	-133
3	SLS 7	39	19	-187	-14	41	0	-191
4	SLS 7	-128	111	639	-12	-169	-28	654

Envelope of load combinations for all of the legs

Index	Combination	R _x [kN]	R _y [kN]	R _z [kN]	R _η [kN]	R _ξ [kN]	R _{ξ,lok} [kN]	R _{z,lok} [kN]
Max. pressure	SPLS 1a_90 Ba All Cts	373	407	2099	-25	-551	-88	2150
Max. tension	SPLS 1a_0.9_90 Ba All Cts	277	311	-1628	24	416	56	-1667
Max. pos. torsie	SPLS 3_90 Ah Ct1	179	-62	275	170	-82	-22	281
Max. neg. torsie	SPLS 3_0.9_90 Ah Ct2	71	-163	256	-165	-65	-9	262
Comb. tension+torsie	SPLS 3_90 Ba All Cts	269	312	-1620	30	411	53	-1659

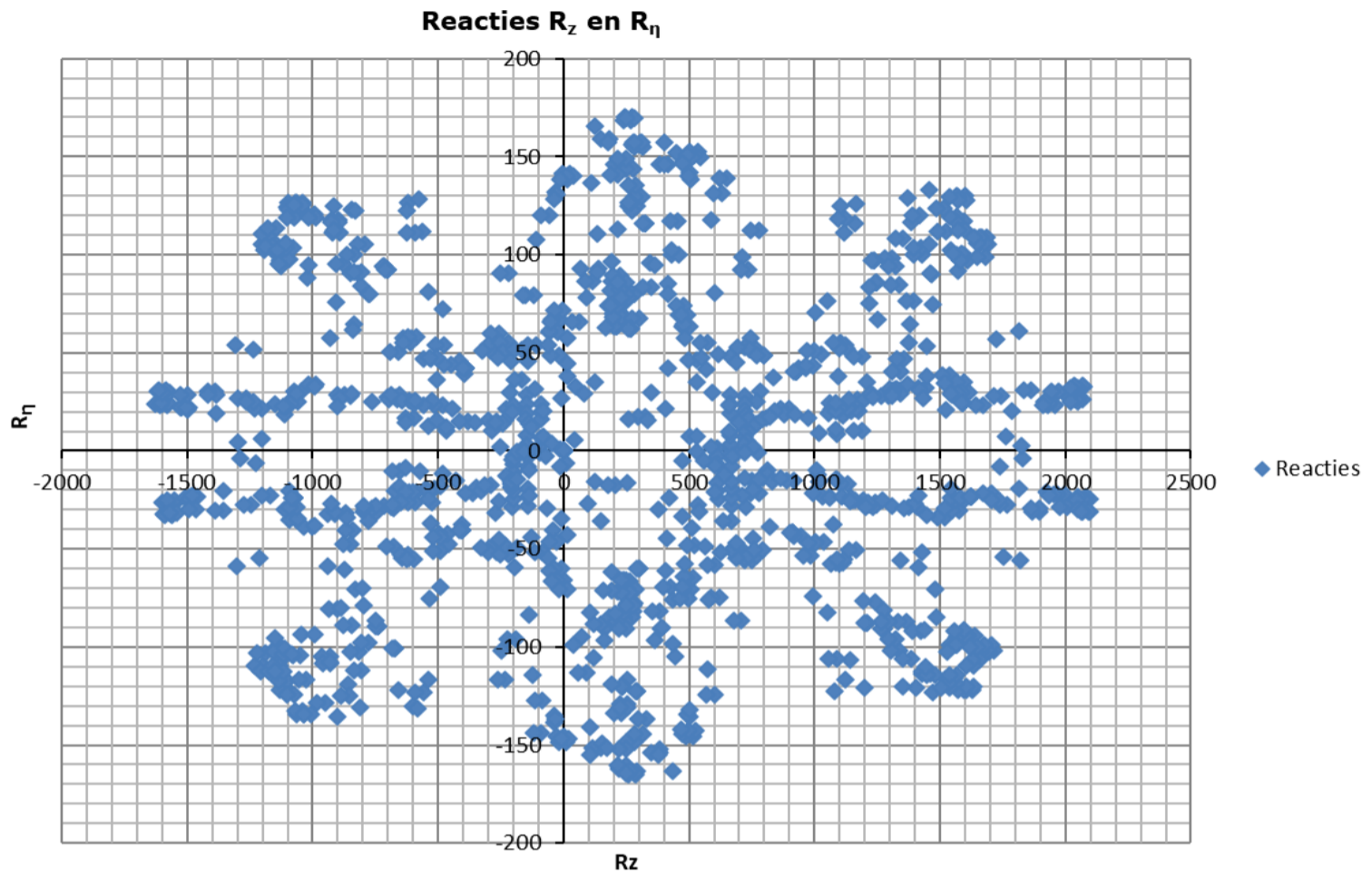
Maximum tension load - SLS

Index	Combination	R _x [kN]	R _y [kN]	R _z [kN]	R _η [kN]	R _ξ [kN]	R _{ξ,lok} [kN]	R _{z,lok} [kN]
1	SPLS 3_0.9_90 Ah All Cts	-66	-147	-638	57	151	10	-653
2	SPLS 1a_0.9_90 Ah All Cts	-269	305	-1600	-26	406	52	-1639
3	SPLS 1a_0.9_90 Ba All Cts	277	311	-1628	24	416	56	-1667
4	SPLS 3_0.9_0 Ba All Cts	123	-190	-878	-48	222	28	-899

Maximum compression load - SLS

Index	Combination	R _x [kN]	R _y [kN]	R _z [kN]	R _η [kN]	R _ξ [kN]	R _{ξ,lok} [kN]	R _{z,lok} [kN]
1	SPLS 1a_0.9_90 Ba All Cts	366	401	2069	-25	-543	-86	2119
2	SPLS 3_0.9_0 Ba All Cts	215	-281	1327	47	-350	-57	1359
3	SPLS 3_0.9_90 Ah All Cts	-157	-237	1085	-57	-279	-39	1111
4	SPLS 3_0.9_90 Ah All Cts	-351	398	2041	33	-529	-78	2091

Project: MBT-EHV380
Tower: HB+0(tc)
Number: 119



Project: MBT-EHV380
 Tower: HB+0(tc)
 Number: 119

Auteur: TBR
 Versie: v12.0

Conductor loads

Starting points

Consequence class Verbouw CC2
 Reference period 50 jaar

ULS (strength)		NEN-EN50341-2-15:2019						
Load case	description	Temp °C	γ_G $G_{k,mast}$	γ_G $G_{k,geleider}$	γ_Q Q_{pk}	γ_Q Q_{wk}	Q_{ik}	γ_a A_k
ULS 1a	Wind	10°	1.15	1.15	0.00	1.40	0.00	0.0
ULS 1a_0,9	Wind 0,9Gk only tower	10°	0.90	1.15	0.00	1.40	0.00	0.0
ULS 1a_0,9_0,9	Wind 0,9Gk conductors too	10°	0.90	0.90	0.00	1.40	0.00	0.0
ULS 3	Wind+ice	-5°	1.15	1.15	0.00	0.42	1.30	0.0
ULS 3_0,9	Wind+ice 0,9Gk	-5°	0.90	1.15	0.00	0.42	1.30	0.0
ULS 4	Cold+wind	-20°	1.15	1.15	0.00	0.28	0.00	0.0
ULS 4_0,9	Cold+wind 0,9Gk	-20°	0.90	1.15	0.00	0.28	0.00	0.0
ULS 5a	Torsional loads	10°	1.00	1.00	1.00	0.00	0.00	1.0
ULS 5b	Longitudinal loads	10°	1.00	1.00	0.00	0.00	0.00	1.0
ULS 6	Construction + maintenance	5°	1.15	1.15	1.30	0.28	0.00	0.0
ULS 6_0,9	Construction + maintenance	5°	1.15	1.15	0.00	0.28	0.00	0.0
ULS 7	Permanent	10°	1.30	1.30	0.00	0.00	0.00	0.0
ULS 8	Special	10°	1.00	1.00	0.00	0.00	0.00	1.0
SPLS (strength, for angle towers: absence of conductors)			γ_G G_k		γ_Q Q_{pk} Q_{wk} Q_{ik}			A_k
SPLS 1a	Wind	10°	1.15	1.15	0.0	0.78	0.00	0.0
SPLS 1a_0,9	Wind 0,9	10°	0.90	1.15	0.0	0.78	0.00	0.0
SPLS 1a_0,9_0,9	Wind 0,9	10°	0.90	0.90	0.0	0.78	0.00	0.0
SPLS 3	Wind+ice	-5°	1.15	1.15	0.0	0.36	0.34	0.0
SPLS 3_0,9	Wind+ice 0,9	-5°	0.90	1.15	0.0	0.36	0.34	0.0
SPLS 4	Cold+wind	-20°	1.15	1.15	0.0	0.24	0.00	0.0
SPLS 4_0,9	Cold+wind 0,9	-20°	0.90	1.15	0.0	0.24	0.00	0.0
SPLS 6	Maintenance	5°	1.15	1.15	1.2	0.24	0.0	0.0
SPLS 6_0,9	Maintenance	5°	1.15	1.15	0.0	0.24	0.0	0.0
SLS (deformations, fatigue, EDS)			G_k		Q_{pk} Q_{wk} Q_{ik}			A_k
SLS 1a	Wind	10°	1.00	1.00	0.0	1.00	0.0	0.0
SLS 3	Wind+ice	-5°	1.00	1.00	0.0	0.30	1.00	0.0
SLS 4	Wind	-20°	1.00	1.00	0.0	0.20	0.0	0.0
SLS 6	Maintenance	5°	1.00	1.00	0.0	0.20	0.0	0.0
SLS 7	EDS, no wind	10°	1.00	1.00	0.0	0.00	0.0	0.0

Number of wind directions 6
 Number of load combinations for ULS 70
 Number of load combinations for SPLS 246
 Number of load combinations for SLS 15
 Number of concentrated loads 11254

Project: MBT-EHV380
 Tower: HB+0(tc)
 Number: 119

Summary table - Conductor loads

The four tables below show:

- The maximum conductor load in the global axis system, split into proportion of back and ahead span
- The combined conductor load (Ba+Ah) in the global axis system with the maximum tensile force in the local axes. Components Fx and Fy as absolute values
- The everyday (EDS) values of the combined conductor loads (Ba+Ah) with corresponding tensile forces
- Check for uplift, where a negative value indicates uplift

Note: Maximum values for Fx, Fy and Fz do not necessarily belong to the same load combination.

Maximum values for back and ahead span

Geleider	Fx_ba [kN]	Fx_ah [kN]	Fy_ba [kN]	Fy_ah [kN]	Fz_ba [kN]	Fz_ah [kN]
bl1	-34.4	33.1	11.2	11.5	5.7	5.5
bl2	-33.9	32.6	11.1	11.4	5.7	5.4
380ct1f1	-125.2	126.1	42.5	43.3	17.9	18.7
380ct1f2	-123.6	124.7	40.3	41.2	18.1	18.5
380ct1f3	-122.2	123.4	38.3	39.0	18.4	19.0
380ct2f1	-125.2	126.1	42.5	43.3	17.9	18.7
380ct2f2	-123.6	124.6	40.3	41.1	18.1	18.8
380ct2f3	-122.2	123.4	38.3	39.0	18.4	19.0
150ct3f1	-57.6	66.2	16.8	18.9	11.7	11.3
150ct3f2	-57.6	66.2	16.8	18.9	11.7	11.3
150ct3f3	-57.6	66.2	16.8	18.9	11.7	11.3
150ct4f1	-57.6	66.2	16.8	18.9	11.7	11.3
150ct4f2	-57.6	66.2	16.8	18.9	11.7	11.3
150ct4f3	-57.6	66.2	16.8	18.9	11.7	11.3
Post 1	0.0	0.0	0.0	0.0	0.0	
Post 2	0.0	0.0	0.0	0.0	0.0	
Post 3	0.0	0.0	0.0	0.0	0.0	
Post 4	0.0	0.0	0.0	0.0	0.0	
Post 5	0.0	0.0	0.0	0.0	0.0	
Post 6	0.0	0.0	0.0	0.0	0.0	

Min. Weight span (m)

Weight spar Combinatie1

Geleider	SLS 1a	SLS 4	SLS 7
bl1	298.8	303.8	305.5
bl2	299.9	304.8	306.3
380ct1f1	297.4	300.9	302.7
380ct1f2	297.1	300.3	302.0
380ct1f3	310.3	311.3	311.6
380ct2f1	297.4	300.9	302.7
380ct2f2	301.7	304.1	305.3
380ct2f3	310.3	311.3	311.6
150ct3f1	314.8	315.6	315.5
150ct3f2	314.8	315.6	315.5
150ct3f3	314.8	315.6	315.5
150ct4f1	314.8	315.6	315.5
150ct4f2	314.8	315.6	315.5
150ct4f3	314.8	315.6	315.5

Max. Weight span (m)

Weight spar Combinatie1

Geleider	ULS 1a	ULS 3
bl1	305.7	306.5
bl2	306.5	307.2
380ct1f1	302.8	303.2
380ct1f2	302.2	302.6
380ct1f3	311.9	311.7
380ct2f1	302.8	303.2
380ct2f2	305.5	305.8
380ct2f3	311.9	311.7
150ct3f1	316.6	315.6
150ct3f2	316.6	315.6
150ct3f3	316.6	315.6
150ct4f1	316.6	315.6
150ct4f2	316.6	315.6
150ct4f3	316.6	315.6

Post 1

Post 1

Post 2

Post 2

Post 3

Post 3

Post 4

Post 4

Post 5

Post 5

Post 6

Post 6

Envelop of weight span over all combinations (incl. 0,9 combinations)

For all conductors

Wind / Weight span ratio

Max. weight span	317.3 m	1.007 -
Min. weight span	291.9 m	0.927 -

Project: MBT-EHV380
 Tower: HB+0(tc)
 Number: 119

Maximum values back + ahead span Maximum tension in conductor

Geleider	Fx [kN]	Fy [kN]	Fz [kN]	Ft_ba [kN]	Ft_ah [kN]
bl1	33.2	21.9	5.7	-35.4	34.3
bl2	32.6	21.7	5.7	-34.9	33.8
380ct1f1	100.1	82.8	18.7	-130.2	131.3
380ct1f2	100.0	78.8	18.5	-128.3	129.6
380ct1f3	99.9	74.8	19.0	-126.8	128.1
380ct2f1	100.1	82.8	18.7	-130.2	131.3
380ct2f2	100.0	78.7	18.8	-128.3	129.6
380ct2f3	99.9	74.8	19.0	-126.8	128.1
150ct3f1	60.2	34.5	11.7	-59.4	68.7
150ct3f2	60.2	34.5	11.7	-59.4	68.7
150ct3f3	60.2	34.5	11.7	-59.4	68.7
150ct4f1	60.2	34.5	11.7	-59.4	68.7
150ct4f2	60.2	34.5	11.7	-59.4	68.7
150ct4f3	60.2	34.5	11.7	-59.4	68.7
Post 1	3.8	3.8	4.6	0.0	
Post 2	3.6	3.6	4.6	0.0	
Post 3	3.4	3.4	4.6	0.0	
Post 4	3.8	3.8	4.6	0.0	
Post 5	3.6	3.6	4.6	0.0	
Post 6	3.4	3.4	4.6	0.0	

EDS-loads conductor

Geleider	Fx [kN]	Fy [kN]	Fz [kN]	Ft_ba [kN]	Ft_ah [kN]
bl1	14.6	3.2	1.6	-15.0	15.0
bl2	14.2	3.2	1.6	-14.6	14.6
380ct1f1	63.3	14.1	11.2	-64.8	64.8
380ct1f2	63.3	14.1	11.1	-64.8	64.8
380ct1f3	63.3	14.1	11.4	-64.8	64.8
380ct2f1	63.3	14.1	11.2	-64.8	64.8
380ct2f2	63.3	14.1	11.2	-64.8	64.8
380ct2f3	63.3	14.1	11.4	-64.8	64.8
150ct3f1	31.8	7.1	5.6	-27.6	32.6
150ct3f2	31.8	7.1	5.6	-27.6	32.6
150ct3f3	31.8	7.1	5.6	-27.6	32.6
150ct4f1	31.8	7.1	5.6	-27.6	32.6
150ct4f2	31.8	7.1	5.6	-27.6	32.6
150ct4f3	31.8	7.1	5.6	-27.6	32.6
Post 1	0.0	0.0	3.5	0.0	
Post 2	0.0	0.0	3.5	0.0	
Post 3	0.0	0.0	3.5	0.0	
Post 4	0.0	0.0	3.5	0.0	
Post 5	0.0	0.0	3.5	0.0	
Post 6	0.0	0.0	3.5	0.0	

1 Control uplift SLS-wind

Combinatie: Geleider		Fz_ba [kN]	Fz_ah [kN]
SLS 4	bl1	0.0	0.0
	bl2	0.0	0.0
	380ct1f1	0.0	0.0
	380ct1f2	0.0	0.0
	380ct1f3	0.0	0.0
	380ct2f1	0.0	0.0
	380ct2f2	0.0	0.0
	380ct2f3	0.0	0.0
	150ct3f1	0.0	0.0
	150ct3f2	0.0	0.0
	150ct3f3	0.0	0.0
	150ct4f1	0.0	0.0
	150ct4f2	0.0	0.0
	150ct4f3	0.0	0.0
	Post 1	0.0	
	Post 2	0.0	
	Post 3	0.0	
	Post 4	0.0	
	Post 5	0.0	
	Post 6	0.0	

Project: MBT-EHV380
 Tower: HB+0(tc)
 Number: 119

ULS foundation loads for LC 1 and 3, wind perpendicular to the line or bisector and EDS, from conductors

Combination	Combination	F_x [kN]	F_y [kN]	F_z [kN]	M_x [kNm]	M_y [kNm]	M_z [kNm]
ULS 1a_90		25	745	259	26546	304	-2
ULS 1a_0.9_0		60	293	256	10241	1781	0
ULS 1a_0.9_0.9_90		15	717	202	25591	-33	-2
ULS 3_0		75	498	377	17252	2004	0
SLS 7		29	260	227	9079	630	0

ULS foundation loads, LC 1 and 3, wind perpendicular to the line or bisector and EDS, total conductors and tower

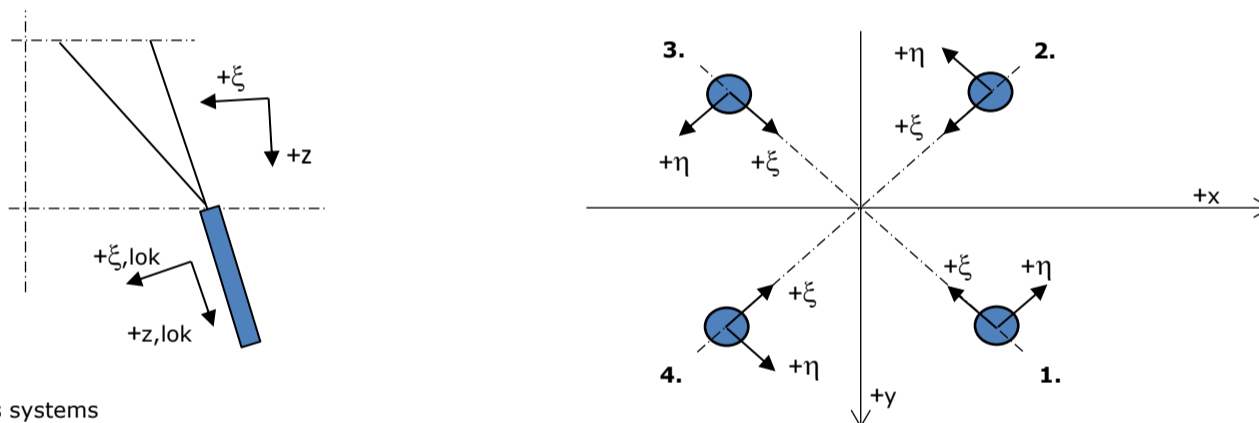
Combination	F_x [kN]	F_y [kN]	F_z [kN]	M_x [kNm]	M_y [kNm]	M_z [kNm]
ULS 1a_90	25	1074	1169	35064	304	-2
ULS 1a_0.9_0.9_90	15	1047	915	34109	-33	-2
SLS 7	29	260	1018	9079	630	0

Foundation loads, selection of load combinations based on greatest value

Combination	F_x [kN]	F_y [kN]	F_z [kN]	M_x [kNm]	M_y [kNm]	M_z [kNm]
ULS 1a_90	25	1074	1169	35064	304	-2
SPLS 3_0 Ba All Cts	945	184	1115	6341	31973	-7
SPLS 3_102.54 Ah Ct1	-419	439	1156	15073	-14862	4165
SPLS 3_90 Ba All Cts	906	338	1114	11055	31376	-7

Note: Largest values can appear in multiple combinations, one combination is displayed.

Support reactions per leg



Maximum compression load

Index	Combination	R_x [kN]	R_y [kN]	R_z [kN]	R_η [kN]	R_ξ [kN]	$R_{\xi,lok}$ [kN]	$R_{z,lok}$ [kN]
1	SPLS 3_90 Ba All Cts	385	431	2207	-33	-577	-89	2261
2	SPLS 3_0 Ba All Cts	235	-306	1444	50	-382	-63	1479
3	SPLS 3_135 Ah All Cts	-193	-268	1248	-53	-326	-51	1278
4	SPLS 3_90 Ah All Cts	-375	423	2172	34	-564	-84	2224

Maximum tension load

Index	Combination	R_x [kN]	R_y [kN]	R_z [kN]	R_η [kN]	R_ξ [kN]	$R_{\xi,lok}$ [kN]	$R_{z,lok}$ [kN]
1	SPLS 3_0.9_135 Ah All Cts	-90	-166	-743	54	182	17	-761
2	SPLS 3_0.9_90 Ah All Cts	-272	321	-1667	-34	419	51	-1707
3	SPLS 3_0.9_90 Ba All Cts	282	328	-1701	32	431	56	-1742
4	SPLS 3_0.9_0 Ba All Cts	131	-203	-937	-51	236	29	-960

Maximum torsional load (positive)

Index	Combination	R_x [kN]	R_y [kN]	R_z [kN]	R_η [kN]	R_ξ [kN]	$R_{\xi,lok}$ [kN]	$R_{z,lok}$ [kN]
1	SPLS 3_90 Ah Ct1	188	-64	294	179	-88	-23	302
2	SPLS 3_90 Ba Ct2	-49	-184	350	164	-95	-18	359
3	SPLS 6a_90 Ba Ct2 Ba Ct3	21	209	-662	133	163	17	-678
4	SPLS 6a_90 Ah Ct1 Ba Ct1	-182	380	1540	140	-398	-57	1578

Maximum torsional load (negative)

Index	Combination	R_x [kN]	R_y [kN]	R_z [kN]	R_η [kN]	R_ξ [kN]	$R_{\xi,lok}$ [kN]	$R_{z,lok}$ [kN]
1	SPLS 6a_90 Ba Ct1 Ah Ct1	197	380	1565	-129	-408	-62	1603
2	SPLS 6a_90 Ah Ct2 Ba Ct2	-58	260	-930	-143	225	20	-952
3	SPLS 3_90 Ah Ct2	64	-181	319	-173	-83	-13	326
4	SPLS 3_90 Ba Ct1	-174	-66	263	-170	-76	-18	269

Project: MBT-EHV380
 Tower: HB+0(tc)
 Number: 119

Combination Ftensile+Fhor

Index	Combination	R _x [kN]	R _y [kN]	R _z [kN]	R _η [kN]	R _ξ [kN]	R _{ξ,lok} [kN]	R _{z,lok} [kN]
1	SPLS 3_0.9_135 Ah All Cts	-90	-166	-743	54	182	17	-761
2	SPLS 3_0.9_90 Ah All Cts	-272	321	-1667	-34	419	51	-1707
3	SPLS 3_0.9_90 Ba All Cts	282	328	-1701	32	431	56	-1742
4	SPLS 3_0.9_0 Ba All Cts	131	-203	-937	-51	236	29	-960

Permanent load

Index	Combination	R _x [kN]	R _y [kN]	R _z [kN]	R _η [kN]	R _ξ [kN]	R _{ξ,lok} [kN]	R _{z,lok} [kN]
1	SLS 7	143	123	696	14	-188	-34	713
2	SLS 7	-25	7	-129	12	23	-6	-133
3	SLS 7	39	19	-187	-14	41	0	-191
4	SLS 7	-128	111	639	-12	-169	-28	654

Envelope of load combinations for all of the legs

Index	Combination	R _x [kN]	R _y [kN]	R _z [kN]	R _η [kN]	R _ξ [kN]	R _{ξ,lok} [kN]	R _{z,lok} [kN]
Max. pressure	SPLS 3_90 Ba All Cts	385	431	2207	-33	-577	-89	2261
Max. tension	SPLS 3_0.9_90 Ba All Cts	282	328	-1701	32	431	56	-1742
Max. pos. torsie	SPLS 3_90 Ah Ct1	188	-64	294	179	-88	-23	302
Max. neg. torsie	SPLS 3_0.9_90 Ah Ct2	74	-171	268	-173	-68	-9	274
Comb. tension+torsie	SPLS 3_90 Ba All Cts	282	328	-1701	32	431	56	-1742

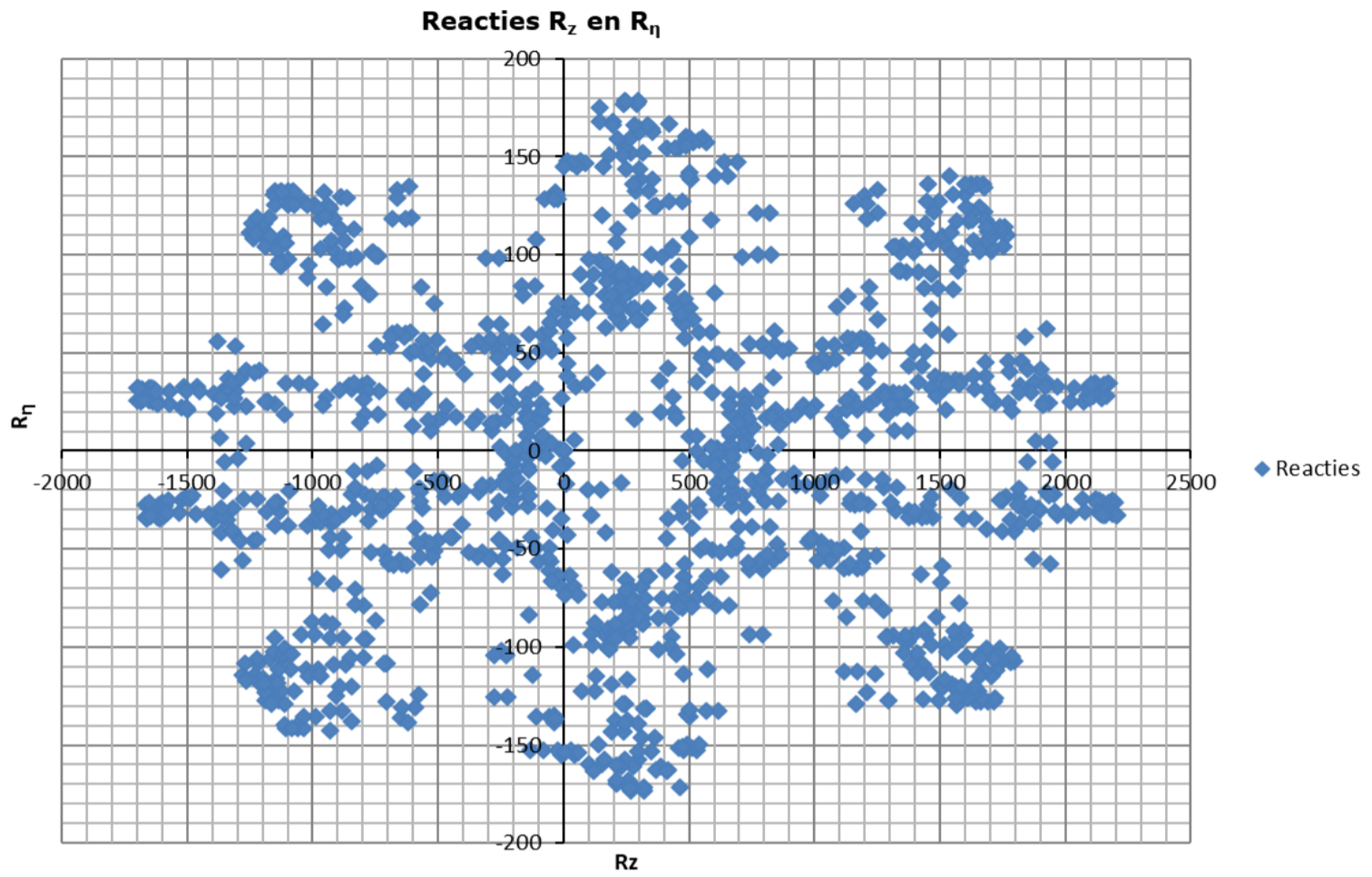
Maximum tension load - SLS

Index	Combination	R _x [kN]	R _y [kN]	R _z [kN]	R _η [kN]	R _ξ [kN]	R _{ξ,lok} [kN]	R _{z,lok} [kN]
1	SPLS 3_0.9_90 Ah All Cts	-72	-157	-683	60	162	11	-699
2	SPLS 3_0.9_90 Ah All Cts	-272	321	-1667	-34	419	51	-1707
3	SPLS 3_0.9_90 Ba All Cts	282	328	-1701	32	431	56	-1742
4	SPLS 3_0.9_0 Ba All Cts	131	-203	-937	-51	236	29	-960

Maximum compression load - SLS

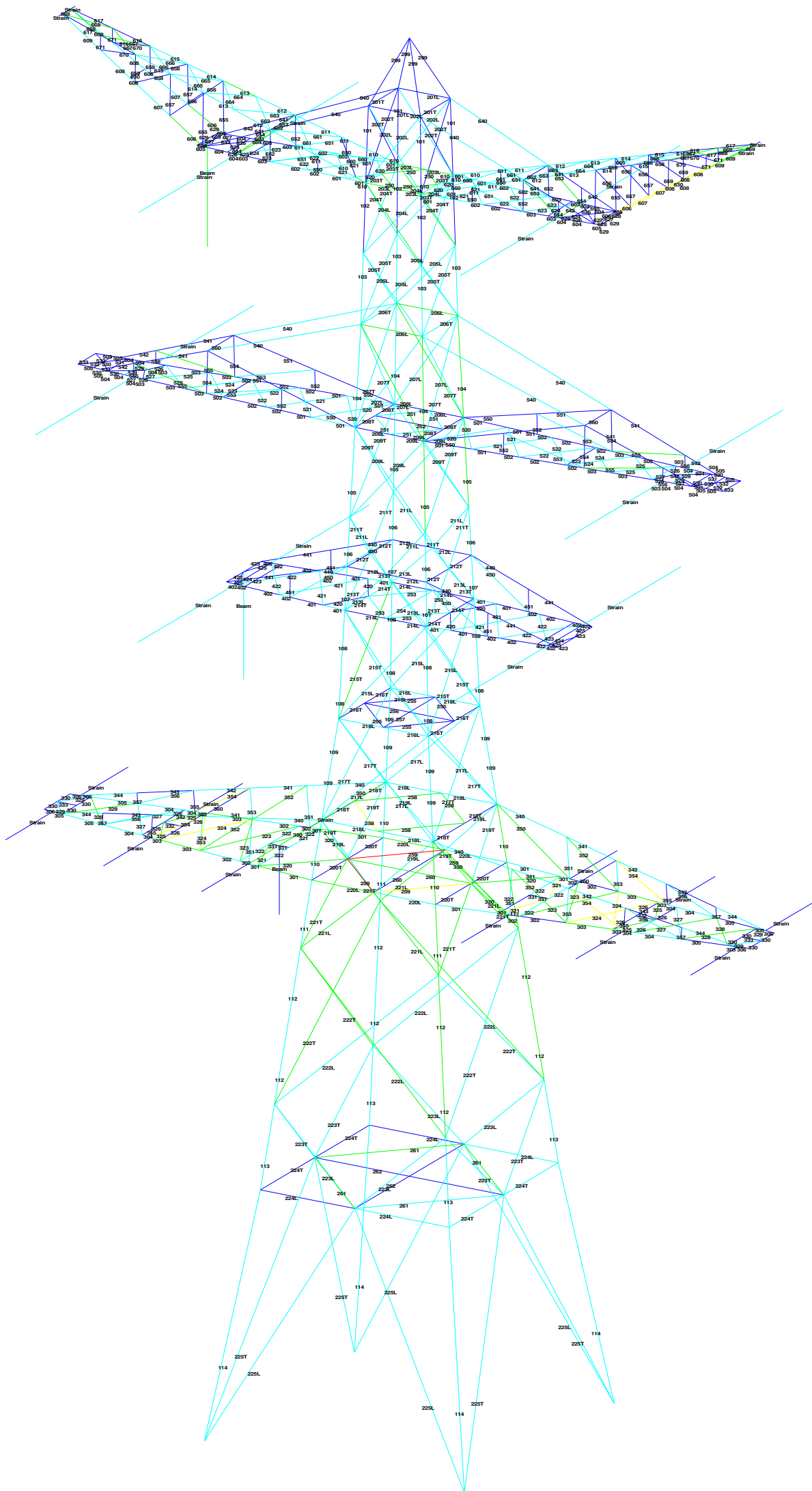
Index	Combination	R _x [kN]	R _y [kN]	R _z [kN]	R _η [kN]	R _ξ [kN]	R _{ξ,lok} [kN]	R _{z,lok} [kN]
1	SPLS 3_0.9_90 Ba All Cts	375	421	2156	-33	-562	-86	2208
2	SPLS 3_0.9_0 Ba All Cts	224	-295	1393	50	-367	-60	1427
3	SPLS 3_0.9_90 Ah All Cts	-165	-249	1136	-59	-292	-41	1164
4	SPLS 3_0.9_90 Ah All Cts	-364	413	2121	34	-550	-81	2172

Project: MBT-EHV380
Tower: HB+0(tc)
Number: 119





APPENDIX B
UITVOER PLS-TOWER





Assessment of groups for initial structure (afkeur level)

Date 10-12-2021
Author MKh
Version v4.3

MBT-EHV 380
HB+0_tc
Mast 119

Table with columns: Group Label, Description, Profile, Steel Quality, Bolts, RLX, RLY, RLZ, Slenderness, Compression (kN), Load Case (Compression), Buckling, Shear (Comp), Bearing (Comp), U.C. (Comp), Exceedance (Comp), Tension (kN), Load Case (Tension), Net Section, Shear (Tens), Bearing (Tens), U.C. (Tens), Exceedance (Tens). Rows 299-527.



Assessment of groups for initial structure (afkeur level)

Date 10-12-2021
Author MKh
Version v4.3

MBT-EHV 380
HB+0_tc
Mast 119

Table with columns: Group Label, Description, Steel Profile, Quality, Bolts, RLX, RLY, RLZ, Slenderness, Compression (kN), Load Case (Compression), Buckling, Shear (Comp), Bearing (Comp), U.C. (Comp), Exceedance (Comp), Tension (kN), Load Case (Tension), Net Section, Shear (Tens), Bearing (Tens), U.C. (Tens), Exceedance (Tens). Rows 528-641.



Assessment of groups for initial structure (afkeur level)

Date 10-12-2021
 Author MKh
 Version v4.3

MBT-EHV 380
 HB+0_tc
 Mast 119

Group Label	Description	Profile	Steel Quality	Bolts	RLX	RLY	RLZ	Slenderness	Compression					Tension								
									(kN)	Load Case (Compression)	Buckling	Shear (Comp)	Bearing (Comp)	U.C. (Comp)	Exceedance (Comp)	(kN)	Load Case (Tension)	Net Section	Shear (Tens)	Bearing (Tens)	U.C. (Tens)	Exceedance (Tens)
642		100x100x10	S355	4M20-8.8t	1.00	1.96	1.00	105	0.0		271.5	376.3	588.0	0.00	0.00	62.2	SPLS 6a_90 Ba Ct1 Ba Ct4	333.2	376.3	434.1	0.19	
650		50x50x5	S355	1M16-8.8t	1.00	1.00	1.00	63	0.0		85.5	60.3	58.8	0.00	0.00	2.0	ULS 5a Ah 10	62.7	60.3	31.8	0.06	
651		50x50x5	S355	1M16-8.8t	1.00	1.00	1.00	224	-6.8	ULS 5a Ba 10	20.4	60.3	58.8	0.33	0.00	0.0		62.7	60.3	31.8	0.00	
652		50x50x5	S355	1M16-8.8t	1.00	1.00	1.00	126	0.0		46.3	60.3	58.8	0.00	0.00	3.0	SPLS 6a_90 Ah Ct1 Ba Ct3	62.7	60.3	31.8	0.09	
653		70x70x7	S355	1M16-8.8t	1.00	1.00	1.00	139	0.0		80.0	60.3	82.3	0.00	0.00	30.8	SPLS 6a_90 Ba Ct1 Ba Ct2	142.7	60.3	50.8	0.61	
654		50x50x5	S355	1M16-8.8t	1.00	1.00	1.00	64	-2.1	ULS 1a_90	85.0	60.3	58.8	0.04	0.00	1.2	ULS 1a_0,9_90	62.7	60.3	31.8	0.04	
655		50x50x5	S355	1M16-8.8t	1.00	1.00	1.00	215	-3.1	ULS 7	21.8	60.3	58.8	0.14	0.00	0.0		62.7	60.3	31.8	0.00	
656		50x50x5	S355	1M16-8.8t	1.00	1.00	1.00	192	0.0		25.9	60.3	58.8	0.00	0.00	2.6	ULS 1a_45	62.7	60.3	31.8	0.08	
657		50x50x5	S355	1M16-8.8t	1.00	1.00	1.00	165	-2.4	ULS 1a_77,46	32.5	60.3	58.8	0.07	0.00	0.0		62.7	60.3	31.8	0.00	
658		50x50x5	S355	1M16-8.8t	1.00	1.00	1.00	171	0.0		30.7	60.3	58.8	0.00	0.00	2.8	ULS 1a_77,46	62.7	60.3	31.8	0.09	
659		50x50x5	S355	1M16-8.8t	1.00	1.00	1.00	112	-1.4	SPLS 6a_90 Ah Ct2 Ba Ct2	53.7	60.3	58.8	0.03	0.00	0.0		62.7	60.3	31.8	0.00	
670		50x50x5	S355	1M16-8.8t	1.00	1.00	1.00	159	0.0		34.2	60.3	58.8	0.00	0.00	2.4	SPLS 6a_90 Ah Ct2 Ba Ct2	62.7	60.3	31.8	0.08	
671		50x50x5	S355	1M16-8.8t	1.00	1.00	1.00	58	-0.9	SPLS 6a_90 Ah Ct1 Ba Ct2	88.1	60.3	58.8	0.02	0.00	0.0		62.7	60.3	31.8	0.00	
660		50x50x5	S355	1M16-8.8t	0.53	0.53	0.53	160	-8.8	SPLS 6a_90 Ah Ct2 Ba Ct2	33.9	60.3	58.8	0.26	0.00	7.8	SPLS 6a_90 Ah All Cts Ba Ct1	62.7	60.3	31.8	0.24	
661		50x50x5	S355	1M16-8.8t	0.53	0.53	0.53	151	-8.9	SPLS 6a_90 Ah Ct1 Ba Ct1	36.8	60.3	58.8	0.24	0.00	9.7	SPLS 6a_90 Ah Ct2 Ba Ct2	62.7	60.3	31.8	0.31	
662		50x50x5	S355	1M16-8.8t	1.00	1.00	1.00	188	-1.3	ULS 1a_90	26.8	60.3	58.8	0.05	0.00	0.1	ULS 1a_0,9_90	62.7	60.3	31.8	0.00	
663		50x50x5	S355	1M16-8.8t	0.54	0.54	0.54	134	-8.8	SPLS 6a_90 Ah Ct1 Ba Ct1	42.8	60.3	58.8	0.21	0.00	9.1	SPLS 6a_90 Ah All Cts Ba Ct2	62.7	60.3	31.8	0.29	
664		50x50x5	S355	1M16-8.8t	0.53	0.53	0.53	112	-9.3	SPLS 6a_90 Ah All Cts Ba Ct4	53.3	60.3	58.8	0.17	0.00	8.9	SPLS 6a_90 Ah All Cts Ba Ct4	62.7	60.3	31.8	0.28	
665		50x50x5	S355	1M16-8.8t	0.54	0.54	0.54	113	-11.8	SPLS 6a_90 Ah All Cts Ba Ct2	53.0	60.3	58.8	0.22	0.00	11.5	SPLS 6a_90 Ah All Cts Ba Ct2	62.7	60.3	31.8	0.36	
666		50x50x5	S355	1M16-8.8t	0.55	0.55	0.55	112	-15.3	SPLS 6a_90 Ah Ct1 Ba Ct1	53.5	60.3	58.8	0.29	0.00	15.7	SPLS 6a_90 Ah All Cts Ba Ct2	62.7	60.3	31.8	0.50	
667		50x50x5	S355	1M16-8.8t	0.56	0.56	0.56	108	-22.3	SPLS 6a_90 Ah All Cts Ba Ct2	55.9	60.3	58.8	0.40	0.00	20.9	SPLS 6a_90 Ah Ct1 Ba Ct1	62.7	60.3	31.8	0.66	
668		60x60x6	S355	1M16-8.8t	0.58	0.58	0.58	94	-35.0	SPLS 6a_90 Ah All Cts Ba Ct3	92.2	60.3	70.6	0.58	0.00	37.4	SPLS 6a_90 Ah All Cts Ba Ct4	98.8	60.3	52.3	0.72	
669		HEB120	S355	4M20-8.8t	1.00	1.00	1.00	21	0.0		990.3	752.6	382.2	0.00	0.00	27.6	ULS 3_0,9_90	1067.8	752.6	215.2	0.13	



Assessment of groups for modified structure (afkeur level)

Date 10-12-2021
Author MKh
Version v4.3

MBT-EHV 380
HB+0_tc
Mast 119

Table with columns: Group Label, Description, Profile, Steel Quality, Bolts, RLX, RLY, RLZ, Slenderness, Compression (kN), Load Case (Compression), Buckling, Shear (Comp), Bearing (Comp), U.C. (Comp), Exceedance (Comp), Tension (kN), Load Case (Tension), Net Section, Shear (Tens), Bearing (Tens), U.C. (Tens), Exceedance (Tens). Rows 299-260.



Assessment of groups for modified structure (afkeur level)

Date 10-12-2021
Author MKh
Version v4.3

MBT-EHV 380
HB+0_tc
Mast 119

Table with columns: Group Label, Description, Profile, Steel Quality, Bolts, RLX, RLY, RLZ, Slenderness, Compression (kN), Load Case (Compression), Buckling, Shear (Comp), Bearing (Comp), U.C. (Comp), Exceedance (Comp), Tension (kN), Load Case (Tension), Net Section, Shear (Tens), Bearing (Tens), U.C. (Tens), Exceedance (Tens). Rows 261-610.



Assessment of groups for modified structure (afkeur level)

Date 10-12-2021
 Author MKh
 Version v4.3

MBT-EHV 380
HB+0_tc
Mast 119

Group Label	Description	Profile	Steel Quality	Bolts	RLX	RLY	RLZ	Slenderness	Compression (kN)	Load Case (Compression)	Buckling	Shear (Comp)	Bearing (Comp)	U.C. (Comp)	Exceedance (Comp)	Tension (kN)	Load Case (Tension)	Net Section	Shear (Tens)	Bearing (Tens)	U.C. (Tens)	Exceedance (Tens)
611		110x110x10	S355		1.11	1.00	1.00	91	-182.3	SPLS 6a_90 Ah All Cts Ba Ct1	366.3			0.50	188.1	SPLS 6a_90 Ah All Cts Ba Ct2	749.8				0.25	
612		110x110x10	S355	4M20-8.8t	1.81	1.00	1.00	91	-153.8	SPLS 6a_90 Ah All Cts Ba Ct1	344.3	752.6	588.0	0.45	174.6	SPLS 6a_90 Ah All Cts Ba Ct2	589.9	752.6	475.2	475.2	0.37	
613		100x100x10	S355	4M20-8.8t	2.23	1.00	1.00	101	-141.4	SPLS 6a_90 Ah All Cts Ba Ct1	282.5	752.6	588.0	0.50	162.7	SPLS 6a_90 Ah All Cts Ba Ct2	522.1	752.6	475.2	475.2	0.34	
614		100x100x10	S355		1.00	1.00	1.00	78	-128.8	SPLS 6a_90 Ah All Cts Ba Ct1	380.9			0.34	145.8	SPLS 6a_90 Ah All Cts Ba Ct2	681.6				0.21	
615		100x100x10	S355		1.00	1.00	1.00	82	-109.9	SPLS 6a_90 Ah All Cts Ba Ct1	363.6			0.30	121.8	SPLS 6a_90 Ah All Cts Ba Ct2	681.6				0.18	
616		100x100x10	S355		1.00	1.00	1.00	82	-80.3	SPLS 6a_90 Ah All Cts Ba Ct1	363.6			0.22	89.6	SPLS 6a_90 Ah All Cts Ba Ct2	681.6				0.13	
617		100x100x10	S355	4M20-8.8t	1.00	1.00	1.00	90	-30.0	SPLS 6a_90 Ah All Cts Ba Ct1	335.7	376.3	588.0	0.09	36.6	SPLS 6a_90 Ah Ct1 Ba Ct1	522.1	376.3	352.3	352.3	0.10	
620		70x70x7	S355	2M16-8.8t	1.00	1.00	1.00	103	-42.3	SPLS 6a_90 Ah All Cts Ba Ct2	143.0	120.6	164.6	0.35	39.9	SPLS 6a_90 Ah All Cts Ba Ct2	202.1	120.6	101.6	101.6	0.39	
621		80x80x8	S355	2M16-8.8t	0.53	0.53	0.53	93	-48.1	SPLS 6a_90 Ah Ct2 Ba Ct2	208.7	120.6	188.2	0.40	50.3	SPLS 6a_90 Ah All Cts Ba Ct2	289.5	120.6	116.1	116.1	0.43	
622		80x80x8	S355	2M20-8.8t	0.53	0.53	0.53	88	-56.2	SPLS 6a_90 Ah All Cts Ba Ct2	219.7	188.2	235.2	0.30	53.0	SPLS 6a_90 Ah All Cts Ba Ct2	244.1	188.2	166.3	166.3	0.32	
623		80x80x8	S355	2M20-8.8t	0.53	0.53	0.53	79	-57.2	SPLS 6a_90 Ah Ct2 Ba Ct2	241.6	188.2	235.2	0.30	58.6	SPLS 6a_90 Ah All Cts Ba Ct2	236.3	188.2	166.3	166.3	0.35	
624		150x150x12 (not cr)	S355	2M24-8.8t	1.00	1.00	1.00	57			1676.8	271.1	423.4		12.8	ULS 3_90	2130.9	271.1	65.9	65.9	0.19	
625		80x80x8	S355	1M24-8.8t	1.00	1.00	1.00	111			138.6	135.6	141.1		80.8	ULS 3_90	169.3	135.6	108.6	108.6	0.74	
626		50x50x5	S355	1M16-8.8t	0.53	0.53	0.53	122	-4.9	ULS 1a_0,9_0,9_0	48.4	60.3	58.8	0.10	7.1	ULS 1a_0,9_0	62.7	60.3	31.8	31.8	0.22	
627		50x50x5	S355	1M16-8.8t	1.00	2.00	1.00	104	-7.4	ULS 1a_0,9_45	61.9	60.3	58.8	0.13	3.8	SPLS 1a_45 Ba Ct1	62.7	60.3	31.8	31.8	0.12	
628		50x50x5	S355	1M16-8.8t	1.00	1.00	1.00	83	-4.6	ULS 1a_0	71.9	60.3	58.8	0.08	4.5	ULS 1a_0	62.7	60.3	31.8	31.8	0.14	
629		UNP100	S355	1M16-8.8t	2.00	2.00	2.00	105	-2.6	ULS 1a_0,9_0,9_135	166.1	60.3	70.6	0.04	3.3	ULS 1a_135	192.9	60.3	52.3	52.3	0.06	
630		50x50x5	S355	1M16-8.8t	1.00	1.00	1.00	112	-0.1	SPLS 1a_0 Ah Ct2	53.4	60.3	58.8	0.00			62.7	60.3	31.8	31.8		
640		100x100x10	S355	4M20-8.8t	1.00	1.00	1.00	237			94.0	376.3	588.0		103.8	SPLS 6a_90 Ba Ct1 Ba Ct2	333.2	376.3	434.1	434.1	0.31	
641		100x100x10	S355	4M20-8.8t	1.00	2.04	1.00	105			271.5	376.3	588.0		61.9	SPLS 6a_90 Ba Ct1 Ba Ct4	333.2	376.3	434.1	434.1	0.19	
642		100x100x10	S355	4M20-8.8t	1.00	1.96	1.00	105			271.5	376.3	588.0		62.2	SPLS 6a_90 Ba Ct1 Ba Ct4	333.2	376.3	434.1	434.1	0.19	
650		50x50x5	S355	1M16-8.8t	1.00	1.00	1.00	63			85.5	60.3	58.8		2.0	ULS 5a Ah 10	62.7	60.3	31.8	31.8	0.06	
651		50x50x5	S355	1M16-8.8t	1.00	1.00	1.00	224	-6.8	ULS 5a Ba 10	20.4	60.3	58.8	0.33			62.7	60.3	31.8	31.8		
652		50x50x5	S355	1M16-8.8t	1.00	1.00	1.00	126			46.3	60.3	58.8		3.0	SPLS 6a_90 Ah Ct1 Ba Ct3	62.7	60.3	31.8	31.8	0.09	
653		70x70x7	S355	1M16-8.8t	1.00	1.00	1.00	139			80.0	60.3	82.3		30.8	SPLS 6a_90 Ba Ct1 Ba Ct2	142.7	60.3	50.8	50.8	0.61	
654		50x50x5	S355	1M16-8.8t	1.00	1.00	1.00	64	-2.1	ULS 1a_90	85.0	60.3	58.8	0.04	1.2	ULS 1a_0,9_90	62.7	60.3	31.8	31.8	0.04	
655		50x50x5	S355	1M16-8.8t	1.00	1.00	1.00	215	-3.1	ULS 7	21.8	60.3	58.8	0.14			62.7	60.3	31.8	31.8		
656		50x50x5	S355	1M16-8.8t	1.00	1.00	1.00	192			25.9	60.3	58.8		2.6	ULS 1a_45	62.7	60.3	31.8	31.8	0.08	
657		50x50x5	S355	1M16-8.8t	1.00	1.00	1.00	165	-2.4	ULS 1a_77,46	32.5	60.3	58.8	0.07			62.7	60.3	31.8	31.8		
658		50x50x5	S355	1M16-8.8t	1.00	1.00	1.00	171			30.7	60.3	58.8		2.8	ULS 1a_77,46	62.7	60.3	31.8	31.8	0.09	
659		50x50x5	S355	1M16-8.8t	1.00	1.00	1.00	112	-1.4	SPLS 6a_90 Ah Ct2 Ba Ct2	53.7	60.3	58.8	0.03			62.7	60.3	31.8	31.8		
670		50x50x5	S355	1M16-8.8t	1.00	1.00	1.00	159			34.2	60.3	58.8		2.4	SPLS 6a_90 Ah Ct2 Ba Ct2	62.7	60.3	31.8	31.8	0.08	
671		50x50x5	S355	1M16-8.8t	1.00	1.00	1.00	58	-0.9	SPLS 6a_90 Ah Ct1 Ba Ct2	88.1	60.3	58.8	0.02			62.7	60.3	31.8	31.8		
660		50x50x5	S355	1M16-8.8t	0.53	0.53	0.53	160	-8.8	SPLS 6a_90 Ah Ct2 Ba Ct2	33.9	60.3	58.8	0.26	7.8	SPLS 6a_90 Ah All Cts Ba Ct1	62.7	60.3	31.8	31.8	0.24	
661		50x50x5	S355	1M16-8.8t	0.53	0.53	0.53	151	-8.9	SPLS 6a_90 Ah Ct1 Ba Ct1	36.8	60.3	58.8	0.24	9.7	SPLS 6a_90 Ah Ct2 Ba Ct2	62.7	60.3	31.8	31.8	0.31	
662		50x50x5	S355	1M16-8.8t	1.00	1.00	1.00	188	-1.3	ULS 1a_90	26.8	60.3	58.8	0.05	0.1	ULS 1a_0,9_90	62.7	60.3	31.8	31.8	0.00	
663		50x50x5	S355	1M16-8.8t	0.54	0.54	0.54	134	-8.8	SPLS 6a_90 Ah Ct1 Ba Ct1	42.8	60.3	58.8	0.21	9.1	SPLS 6a_90 Ah All Cts Ba Ct2	62.7	60.3	31.8	31.8	0.29	
664		50x50x5	S355	1M16-8.8t	0.53	0.53	0.53	112	-9.3	SPLS 6a_90 Ah All Cts Ba Ct4	53.3	60.3	58.8	0.17	8.9	SPLS 6a_90 Ah All Cts Ba Ct4	62.7	60.3	31.8	31.8	0.28	
665		50x50x5	S355	1M16-8.8t	0.54	0.54	0.54	113	-11.8	SPLS 6a_90 Ah All Cts Ba Ct2	53.0	60.3	58.8	0.22	11.5	SPLS 6a_90 Ah All Cts Ba Ct2	62.7	60.3	31.8	31.8	0.36	
666		50x50x5	S355	1M16-8.8t	0.55	0.55	0.55	112	-15.3	SPLS 6a_90 Ah Ct1 Ba Ct1	53.5	60.3	58.8	0.29	15.7	SPLS 6a_90 Ah All Cts Ba Ct2	62.7	60.3	31.8	31.8	0.50	
667		50x50x5	S355	1M16-8.8t	0.56	0.56	0.56	108	-22.3	SPLS 6a_90 Ah All Cts Ba Ct2	55.9	60.3	58.8	0.40	20.9	SPLS 6a_90 Ah Ct1 Ba Ct1	62.7	60.3	31.8	31.8	0.66	
668		60x60x6	S355	1M16-8.8t	0.58	0.58	0.58	94	-35.0	SPLS 6a_90 Ah All Cts Ba Ct3	92.2	60.3	70.6	0.58	37.4	SPLS 6a_90 Ah All Cts Ba Ct4	98.8	60.3	52.3	52.3	0.72	
669		HEB120	S355	4M20-8.8t	1.00	1.00	1.00	21			990.3	752.6	382.2		27.6	ULS 3_0,9_90	1067.8	752.6	215.2	215.2	0.13	



Assessment of groups for modified elements (verbouw level)

Date 10-12-2021
 Author MKh
 Version v4.3

MBT-EHV 380
HB+0_tc
Mast 119

Group Label	Description	Profile	Steel Quality	Bolts	RLX	RLY	RLZ	Slenderne ss	Compression (kN)	Load Case (Compression)	Bucklin g	Shear (Comp)	Bearing (Comp)	U.C. (Comp)	Exceedance (Comp)	Tension (kN)	Load Case (Tension)	Net Section	Shear (Tens)	Bearing (Tens)	U.C. (Tens)	Exceedance (Tens)
259		90x90x9	S355	1M16-8.8t	1.00	1.00	1.00	210	-55.8	SPLS 6a 90 Ah Ct2 Ah Ct3	72.4	60.3	105.8	0.93		36.9	SPLS 6a 90 Ah Ct1 Ba Ct3	218.7	60.3	91.5	0.61	



APPENDIX C

TOETSING KNIKVERKORTERS

Knikverkorters initial structure (afkeur)

Date: 2022-04-20
 Author: MKh
 Version: v1.9

MBT-EHV
 HB+0_tc
 Tower 119

Posnr.	Section	Schematization	Profile	Steel Quality	Bolt	Quality	Length (m)	Angle (°)	Slenderness	Normal Force (kN)	Moment (kNm)	Buckling Cap. (kN)	Shear Cap. Bolt (kN)	Bearing Cap. (kN)	Net Section Cap. (kN)	Moment Cap. (kNm)	Highest U.C.	Exceedance Type	Notes
13	Broekstuk	Enkele staaf	L50x5	S235	M16	8,8	0,516	0	53	40,7	0,13	63,5	60,3	30,3	31,7	0,72	1,34	Bearing Net section	
909	Broekstuk	Enkele staaf	L60x6	S355	M16	8,8	1,69	80	145	40,7	0,00	56,0	60,3	52,3	98,8	1,88	0,78		
910	Broekstuk	Enkele staaf	L50x5	S355	M16	8,8	1,25	0	128	40,7	0,31	45,5	60,3	41,3	43,1	1,08	0,99		
908	Broekstuk	Enkele staaf	L60x6	S355	M16	8,8	1,92	60	164	40,7	0,00	46,9	60,3	52,3	98,8	1,9	0,87		
907	Broekstuk	Enkele staaf	L70x7	S355	M16	8,8	1,91	0	140	40,7	0,48	79,7	60,3	61,0	142,7	2,99	0,68		
16	Broekstuk	Enkele staaf	L70x6	S235	M16	8,8	2,25	45	164	40,7	0,00	48,3	60,3	38,4	89,9	1,71	1,06	Bearing	
905	Broekstuk	Enkele staaf	L80x8	S355	M16	8,8	2,56	0	165	40,7	0,64	83,4	60,3	69,7	194,4	4,46	0,68		
906	Broekstuk	Enkele staaf	L70x7	S355	M16	8,8	2,76	35	202	40,7	0,00	47,0	60,3	61,0	142,7	2,99	0,87		
904	Broekstuk	Enkele staaf	L80x8	S355	M16	8,8	3,22	0	207	40,7	0,81	59,5	60,3	69,7	194,4	4,46	0,69		
14	Broekstuk	Enkele staaf	L80x6	S235	M16	8,8	3,22	29	204	40,7	0,70	41,3	60,3	38,4	107,1	2,25	1,06	Bearing	
963	Pootverband	Enkele staaf	L50x5	S355	M16	8,8	1,41	0	145	7,5	0,35	38,7	60,3	41,3	43,1	1,08	0,33		
962	Pootverband	Enkele staaf	L70x7	S355	M16	8,8	2,69	75	197	7,5	0,00	48,9	60,3	61,0	142,7	2,99	0,15		
961	Pootverband	Kniksteun en verticale steur	L70x7	S355	M16	8,8	2,90	0	137	7,5	0,36	65,3	60,3	61,0	142,7	2,23	0,17		
960	Pootverband	Enkele staaf	L70x7	S355	M16	8,8	2,95	60	216	7,5	0,00	42,4	60,3	61,0	142,7	2,99	0,18		
959	Pootverband	Kniksteun en verticale steur	L70x7	S355	M16	8,8	4,32	0	203	7,5	0,54	38,9	60,3	61,0	142,7	2,23	0,25		
958	Pootverband	Enkele staaf	L70x7	S355	M16	8,8	3,33	50	244	7,5	0,00	35,1	60,3	61,0	142,7	3,0	0,21		
957	Doorsnede A-A	Kniksteun en verticale steur	L60x5	S355	M16	8,8	5,45	0	298	2,2	0,68	13,7	60,3	43,6	82,3	1,2	0,58		
956	Doorsnede A-A	Kruisende staaf halverwege	L70x5	S355	M16	8,8	7,86	0	368	2,2	0,98	11,5	60,3	43,6	101,9	2,7	0,37		
263	1e Tussenstuk	Enkele staaf	L70x5	S355	M16	8,8	2,38	36	173	40,6	0,00	43,2	60,3	43,6	101,9	2,7	0,94		
252	1e Tussenstuk	Enkele staaf	L70x7	S355	M16	8,8	1,93	0	142	40,6	0,48	78,2	60,3	61,0	142,7	3,0	0,67		
258	1e Tussenstuk	Enkele staaf	L60x6	S355	M16	8,8	1,52	0	130	40,6	0,38	64,3	60,3	52,3	98,8	1,9	0,78		
259	1e Tussenstuk	Enkele staaf	L60x5	S355	M16	8,8	2,06	47	175	40,6	0,00	36,1	60,3	43,6	82,3	1,6	1,13	Buckling	
320	1e Tussenstuk	Enkele staaf	L80x6	S355	M16	8,8	2,95	0	188	40,6	0,74	52,4	60,3	52,3	145,8	3,4	0,78		
BR1	1e Tussenstuk	Enkele staaf	L60x5	S355	M16	8,8	2,06	38	175	40,6	0,00	36,0	60,3	43,6	82,3	1,6	1,13	Buckling	
260	1e Tussenstuk	Enkele staaf	L60x6	S355	M16	8,8	1,48	0	127	40,6	0,37	66,4	60,3	52,3	98,8	1,9	0,78		
282	2e Tussenstuk	Enkele staaf	L50x5	S355	M16	8,8	1,22	0	126	32,0	0,31	46,6	60,3	41,3	43,1	1,1	0,77		
283	2e Tussenstuk	Enkele staaf	L60x6	S355	M16	8,8	1,48	48	127	32,0	0,00	66,3	60,3	52,3	98,8	1,9	0,61		
286	2e Tussenstuk	Enkele staaf	L60x6	S355	M16	8,8	1,55	39	133	32,0	0,00	62,7	60,3	52,3	98,8	1,9	0,61		
287	2e Tussenstuk	Enkele staaf	L50x5	S355	M16	8,8	1,16	0	119	32,0	0,29	49,7	60,3	41,3	43,1	1,1	0,77		
BR2	2e Tussenstuk	Enkele staaf	L50x5	S355	M16	8,8	0,94	0	96	32,0	0,23	62,9	60,3	41,3	43,1	1,1	0,77		
BR3	2e Tussenstuk	Enkele staaf	L50x5	S355	M16	8,8	1,37	52	141	32,0	0,00	40,3	60,3	41,3	43,1	1,1	0,79		
299	2e Tussenstuk	Enkele staaf	L60x6	S355	M16	8,8	1,89	0	161	32,0	0,47	48,1	60,3	52,3	98,8	1,88	0,66		
BR4	2e Tussenstuk	Enkele staaf	L50x5	S355	M16	8,8	1,32	41	136	32,0	0,00	42,3	60,3	41,3	43,1	1,08	0,77		
BR5	2e Tussenstuk	Enkele staaf	L50x5	S355	M16	8,8	1,03	0	105	32,0	0,26	57,2	60,3	41,3	43,1	1,08	0,77		
379	3e Tussenstuk	Enkele staaf	L50x5	S355	M16	8,8	0,77	0	79	25,0	0,19	75,0	60,3	41,3	43,1	1,08	0,61		
377	3e Tussenstuk	Enkele staaf	L50x5	S355	M16	8,8	1,26	49	129	25,0	0,00	44,9	60,3	41,3	43,1	1,1	0,61		
376	3e Tussenstuk	Enkele staaf	L60x6	S355	M16	8,8	1,56	0	134	25,0	0,39	62,0	60,3	52,3	98,8	1,9	0,48		
375	3e Tussenstuk	Enkele staaf	L50x5	S355	M16	8,8	1,31	46	135	25,0	0,00	42,6	60,3	41,3	43,1	1,1	0,61		
373	3e Tussenstuk	Enkele staaf	L50x5	S355	M16	8,8	0,87	0	89	25,0	0,22	67,6	60,3	41,3	43,1	1,1	0,61		
369	4e Tussenstuk	Enkele staaf	L50x5	S355	M16	8,8	0,82	0	84	23,1	0,20	71,6	60,3	41,3	43,1	1,1	0,56		

Knikverkorters initial structure (afkeur)

Date: 2022-04-20
 Author: MKh
 Version: v1.9

MBT-EHV
 HB+0_tc
 Tower 119

Posnr.	Section	Schematization	Profile	Steel Quality	Bolt Quality	Length (m)	Angle (°)	Slenderness	Normal Force (kN)	Moment (kNm)	Buckling Cap. (kN)	Shear Cap. Bolt (kN)	Bearing Cap. (kN)	Net Section Cap. (kN)	Moment Cap. (kNm)	Highest U.C.	Exceedance Type	Notes
367	4e Tussenstuk	Enkele staaf	L50x5	S355	M16	8,8	0,94	46	96	23,1	0,00	62,8	60,3	41,3	43,1	1,1	0,56	
365	4e Tussenstuk	Enkele staaf	L50x5	S355	M16	8,8	0,99	53	102	23,1	0,00	59,4	60,3	41,3	43,1	1,1	0,56	
363	4e Tussenstuk	Enkele staaf	L50x5	S355	M16	8,8	0,81	0	84	23,1	0,20	71,7	60,3	41,3	43,1	1,1	0,56	
514	4e Tussenstuk	Enkele staaf	L80x8	S355	M16	8,8	2,45	0	157	23,1	0,61	88,9	60,3	69,7	194,4	4,5	0,38	
112	5e Tussenstuk	Enkele staaf	L50x5	S235	M16	8,8	1,41	0	145	12,2	0,35	33,3	60,3	30,3	31,7	0,7	0,49	
410	6e Tussenstuk	Enkele staaf	L50x5	S355	M16	8,8	1,22	0	126	6,2	0,31	46,6	60,3	41,3	43,1	1,08	0,28	
BR6	7e Tussenstuk	Enkele staaf	L50x5	S355	M16	8,8	1,15	0	118	7,6	0,29	50,5	60,3	41,3	43,1	1,08	0,26	
12	7e Tussenstuk	Enkele staaf	L50x5	S355	M16	8,8	1,09	0	112	7,6	0,27	53,4	60,3	41,3	43,1	1,08	0,25	
11	7e Tussenstuk	Enkele staaf	L50x5	S355	M16	8,8	1,08	0	111	7,6	0,27	53,8	60,3	41,3	43,1	1,08	0,25	

Notes:

- 1) Members with Pos numbers which contain "BR" were not labelled on the construction drawings



DNV

Knikverkorters modified structure (verbouw)

Date: 2022-04-20

Author: MKh

Version: v1.9

MBT-EHV
HB+0_tc
Tower 119

Posnr.	Section	Schematization	Profile	Steel Quality	Bolt	Quality	Length (m)	Angle (°)	Slender ness (-)	Normal Force (kN)	Moment (kNm)	Buckling Cap. (kN)	Shear Cap. Bolt (kN)	Bearing Cap. (kN)	Block Tearing Cap. (kN)	Moment		Exceedance Type	Mitigation
																Cap. (kNm)	Highest U.C.		
16	Broekstuk	Enkele staaf	L70x7	S355	M16	8,8	2,25	45	165	40,7	0,00	63,4	60,3	61,0	170,1	2,99	0,68	Profile exchanged	
14	Broekstuk	Enkele staaf	L80x8	S355	M16	8,8	3,22	29	206	40,7	0,91	59,7	60,3	69,7	257,2	4,46	0,68	Profile exchanged	
259	1e Tussenstuk	Enkele staaf	L60x6	S355	M16	8,8	2,06	47	176	40,6	0,00	42,5	60,3	52,3	98,8	1,88	0,96	Profile exchanged	
BR1	1e Tussenstuk	Enkele staaf	L60x6	S355	M16	8,8	2,06	38	176	40,6	0,00	42,5	60,3	52,3	98,8	1,88	0,96	Profile exchanged	

Notes:

- 1) Members with Pos numbers which contain "BR" were not labelled on the construction drawings



APPENDIX D

TOETSING BLOKDEUVELS EN ANDERE BEREKENINGEN

Project: MBT-EHV380
Mast: HB+0_tc (119)

Shear blocks

NEN-EN 1993-1-1 en NEN-EN 1994-1-1

Datum: 2021-12-15
Auteur: TBR
Versie: 1.4

Load		Results	
Compression	$F_{Ed,c}$	2099 kN	U.C. 0,85 < 1,00 OK
Tension	$F_{Ed,t}$	1628 kN	U.C. 0,85 < 1,00 OK

Main leg

Profile		L250.18
Steel material		S235
Cross section		8719 mm ²
Axial capacity	N_{pl}	2049 kN
Width	b	250 mm
Thickness	t	18 mm
Length in concrete		2000 mm

Capacity shear blocks main leg

$A_{f1} =$	6900 mm ²
$A_{f2} =$	25428 mm ²
Slope	1: 5
$C_A = \sqrt{A_{f2}/A_{f1}} =$	1,92
$f_{jd} = C_A \times f_{cd} =$	30,7 N/mm ²
$F_{Rd,c} = n_c \times A_{f1} \times f_{jd} =$	2543 kN
$F_{Rd,t} = n_t \times A_{f1} \times f_{jd} =$	2543 kN

Shear blocks main leg

Width	b	50 mm
Thickness	h	30 mm
Length	L	230 mm
Welds	a	4 mm
c.t.c. separation	s	290 mm
Number for compr.	n_c	12 -
Number for tension	n_t	12 -

Capacity foot plate

$k_d =$	1,73 -
$f_{jd} = C_A \times f_{cd} =$	27,7 N/mm ²
$c = t\sqrt{f_{yd} / 3f_{jd}} =$	32 mm
$m^* = \min(c, m) =$	19 mm
Type foot plate	Diagonally cut
Effective for	Compr. and tension
$A_{p,c} =$	26961 mm ²
$F_{Rd,c} = A_{p,druk} \times f_{jd} =$	747 kN
$A_{p,t} =$	18242 mm ²
$F_{Rd,t} = A_{p,t} \times f_{jd} =$	506 kN

Foot plate

Thickness	t	20 mm
Ext. length	m	19 mm
Welds	a	4 mm

Pile

Name		nvt
Diameter		nvt mm
Thickness		nvt mm
Cross section		nvt mm ²
Steel material		S235
Capacity		nvt kN
Concrete strength		C30/37

Capacities

$F_{Rd,c,plate} =$	747 kN
$F_{Rd,blocks,c} =$	2543 kN
$F_{Rd,c} = F_{Rd,block} + F_{Rd,footplate} =$	3290 kN
U.C. compression	0,64 < 1,00 OK
Welds foot plate (see next page)	801 kN
$F_{Rd,t} = \min. (welds / foot plate) =$	506 kN
$F_{Rd,blocks,t} =$	2543 kN
$F_{Rd,t} = F_{Rd,block} + F_{Rd,footplate} =$	3049 kN
U.C. tension	0,53 < 1,00 OK
U.C. welds	0,85 < 1,00 OK

Shear blocks pile

Width	b	nvt	mm
Thickness	h	nvt	mm
Length	L	nvt	mm
Welds	a	nvt	mm
c.t.c. separation	s	nvt	mm
Number for compr.	n_c	nvt	-
Number for tension	n_t	nvt	-

Capacity shear blocks pile

$A_{f1} =$	nvt	mm ²
$A_{f2} =$	nvt	mm ²
$C_A = \sqrt{A_{f2}/A_{f1}} =$	mvt	-
$f_{jd} = k_d \times f_{cd} =$	nvt	N/mm ²
$F_{Rd,c} = n_c \times A_{f1} \times f_{jd} =$	nvt	kN
U.C. compression	nvt	> 1,00 Not OK
$F_{Rd,t} = n_t \times A_{f1} \times f_{jd} =$	nvt	kN
U.C. tension	nvt	> 1,00 Not OK
U.C. welds	nvt	> 1,00 Not OK

Design value concrete strength

Material factor	γ_c	1,5
Add. mat. factor	γ_m	1,25 -
$f_{cd} =$		16,0 N/mm ²

Steel tower stub

Yield strength	$f_{yd} =$	235 N/mm ²
Tensile strength	$f_{ud} =$	360 N/mm ²

"Splitting" of pile

Spread of forces		45 °
Length force flow	nvt	mm
Splitting force	nvt	kN/m
Yield strength wall	$f_{yd} =$	nvt N/mm ²
Capacity tubular pile	nvt	kN/m
U.C.	nvt	> 1,00 Not OK

Project: MBT-EHV380
Mast: HB+0_tc (119)

Welds of shear blocks of main leg

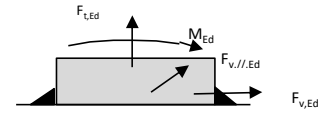
Out-of-plane loading

Plate

t = 50 mm
Grade S235
f_{yd} = 235 N/mm²
f_u = 360 N/mm²

Welds

a = 4 mm
l = 230 mm
β_w = 0,8 -
γ_{M2} = 1,25 -



Member forces

Factor 1,2
F_{t,Ed} = 0 kN
F_{v,Ed} = F_{rd,c} / n = 254 kN
F_{v,||,Ed} = 0 kN
M_{Ed} = 1/2 b / h x F_{v,Ed} = 3,81 kNm

Stress components

σ₁ = τ₁ = F_{t,Ed} √2 / 4al = 0 N/mm²
σ₁ = τ₁ = F_{v,Ed} √2 / 4al = 98 N/mm²
σ₁ = τ₁ = F_{v,Ed} √2 / 4al = 98 N/mm²
b* = b + 2/3av² = 53,8 mm
τ₁ = τ₁ = 0,706M_{Ed} / al b* = 54 N/mm²
τ_{||} = F_{v,||,Ed} / 2al = 0 N/mm²
σ_{vw,Ed} = √(σ₁² + 3τ₁² + 3τ_{||}²) = 304 N/mm²

Check

σ_{vw,Ed} = 304 N/mm² ≤ f_u / β_w γ_{M2} = 360 N/mm² U.C. = **0,85 OK**
σ₁ = 152 N/mm² ≤ 0,9f_u / γ_{M2} = 259 N/mm² U.C. = **0,59 OK**

Welds of shear blocks of pile

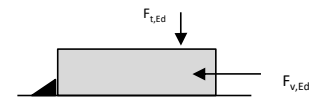
Out-of-plane loading

Plate

t = nvt mm
Grade S235
f_{yd} = 235 N/mm²
f_u = 360 N/mm²

Welds

a = nvt mm
l = nvt mm
β_w = 0,8 -
γ_{M2} = 1,25 -



Member forces

Factor 1,2
F_{t,Ed} = 1/2 b / h x F_{v,Ed} = nvt kN
F_{v,Ed} = nvt kN
F_{v,||,Ed} = 0 kN
M_{Ed} = 0,00 kNm

Stress components

σ₁ = τ₁ = F_{t,Ed} √2 / 2al = nvt N/mm²
σ₁ = τ₁ = F_{v,Ed} √2 / 2al = nvt N/mm²
σ₁ = τ₁ = F_{v,Ed} √2 / 2al = nvt N/mm²
τ_{||} = F_{v,||,Ed} / 2al = nvt N/mm²
σ_{vw,Ed} = √(σ₁² + 3τ₁² + 3τ_{||}²) = nvt N/mm²

Check

σ_{vw,Ed} = nvt N/mm² ≤ f_u / β_w γ_{M2} = 360 N/mm² U.C. = **nvt Not OK**
σ₁ = nvt N/mm² ≤ 0,9f_u / γ_{M2} = 259 N/mm² U.C. = **nvt Not OK**

Welds of foot plate

f_u / β_w γ_{M2} = 360 N/mm²
Weld size a = 4 mm
Length l = 2b + 2b - t = 964 mm
Capacity F_{Rd} = a x l x f_{w,d} / √3 = 801 kN

Calculation of Post Insulator Loads

The following parameters are calculated:

- The forces on the insulator attachment due to wind loading and weight
- The required measurements of the components

The diagram below is a representation of the loads on the insulator:

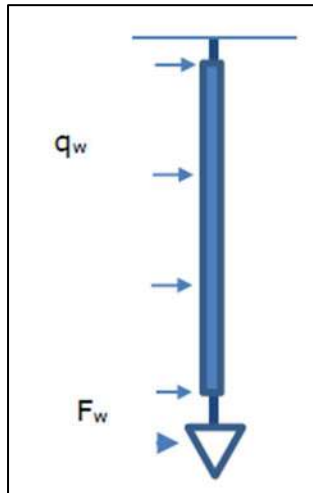


Figure D.1: Diagrammatic representation of the loads on the post insulator

1. Forces on the insulator attachment

Wind pressure based on non-urban terrain in wind zone III at a height of 49 m: $q_h = 1.134 \text{ kN/m}^2$

Wind load per meter based on an insulator diameter of 0.2 m and a drag factor of 1.2:

$$q_w = 1.2 \times 0.2 \times 1.134 = \underline{0.272 \text{ kN/m}}$$

Before calculating (F_w), the drag factor (C_c) is first calculated:

$$V_w = (2 \times 972 / 1.25)^{0.5} = 42.60 \text{ m.s}^{-1}$$

$$Re = 42.60 \times 0.0277 / (15 \times 10^{-6}) = 78668$$

$$C_c = \underline{1.06}$$

Then calculate F_w based on a supported length of 9 m and a structural factor of 1:

$$F_w = 9 \times 1 \times 1.06 \times 3 \times 0.0277 \times 1.134 = 0.900 \text{ kN}$$

Tensile force in the jumper loop, span 15 m, sag 4.5 m:

$$q = 1.2 \times 3 \times 0.015 + 1.4 \times 3 \times 1.10 \times 0.027 = 0.18 \text{ kN/m}$$

$$T = 0.18 \times 15^2 / 8 / 4.5 = 1.1 \text{ kN}$$

Horizontal component from line angle: $2 \times \sin 40 / 2 \times 1.1 = 0.75 \text{ kN}$

Calculate the moment based on the wind loading and the point load:

$$M_w = 0.5 \times 0.272 \times 4^2 + 4 \times 0.90 = 5.78 \text{ kNm}$$

Design values:

$$M_{ED} = 1.4 \times 5.78 + 4 \times 0.75 = 11.09 \text{ kNm}$$

$$V_{ED} = 1.4 \times (0.90 + 3.5 \times 0.272) + 0.75 = 3.34 \text{ kN}$$

2. Assessment of the pin

The figure below is a sketch of the insulator attachment mechanism indicating the location of the pin.

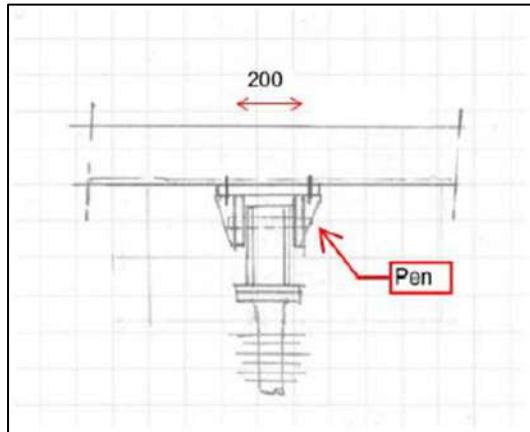


Figure D.2: Post insulator attachment mechanism

Calculation of the shear force on the pin:

Assuming a total vertical weight of 5 kN and an attachment fit of 200 mm:

$$F_v = 11.09 / 0.2 + 5/2 = 57.95 \text{ kN}$$

Using a pin with a diameter of 25 mm is sufficient; see the attached spreadsheet calculation at the end of this appendix. A minimum flange thickness of 15 mm is required.

3. Console thickness

To be determined in the subsequent design phases.

4. Attachment to the crossarm

The figure below depicts the additional members required for attachment to the crossarm.

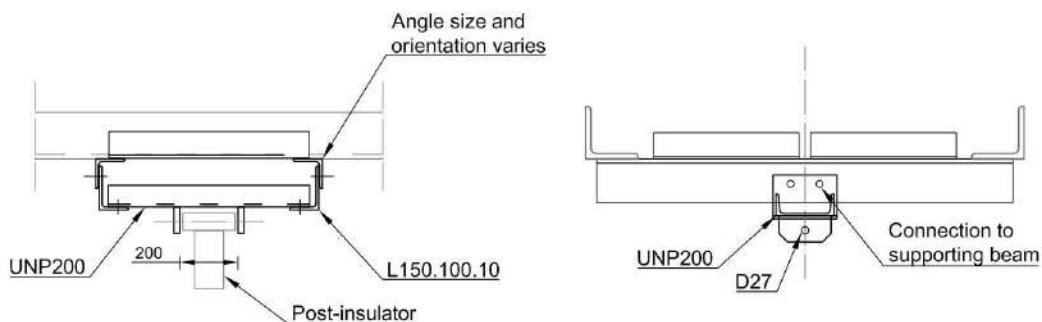


Figure D.3: Overview of the new members required for attachment



$$M = 0.5 \times 11.09 \text{ kNm} + 0.25 \times 5 \text{ kN} \times 0.6 = 6.30 \text{ kNm}$$

$$\text{Proposition: } 1 \times \text{UNP200: } M_{rd} = 26900 \times 355 = 9.55 \text{ kNm}$$

$$\text{U.C.} = 6.30 / 9.55 = 0.66 < 1 \text{ OK}$$

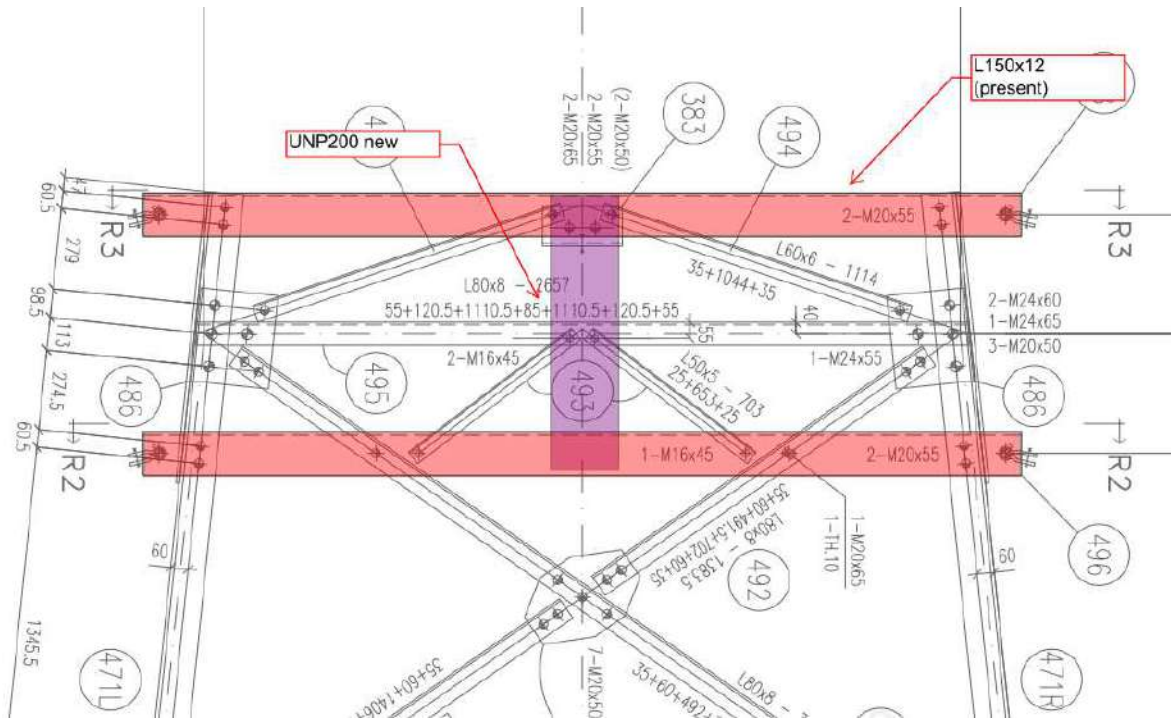
Supporting beams for UNP200 to lower chord of cross arm

The beams will be loaded by the support reaction of the UNP-member.

$$F_v = 10.1 / 0.6 + 5 / 2 = 19.3 \text{ kN}$$

Lower cross arm:

Existing beams can be re-used.



$$L = 2.6 \text{ m}$$

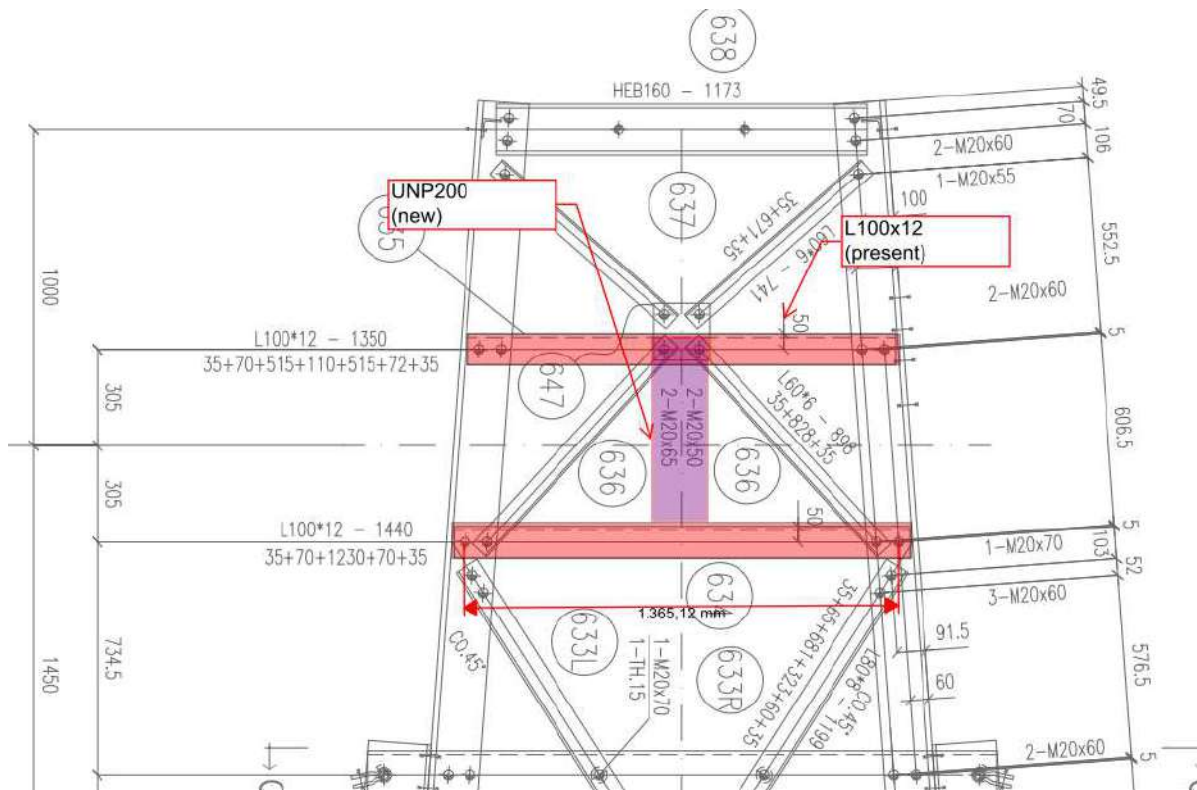
$$M_{Ed} = 1/4 \times 2.6 \times 19.3 = 12.5 \text{ kNm}$$

$$\text{Present } L150x150x12: M_{Rd} = 67.7 \times 355 \times 10^{-3} = 24.0 \text{ kNm}$$

$$\text{U.C.} = 12.5 / 24.0 = 0.52 \leq 1.00 \text{ OK}$$

Mid cross arm

Existing beams can be re-used.



$L = 1.4 \text{ m}$

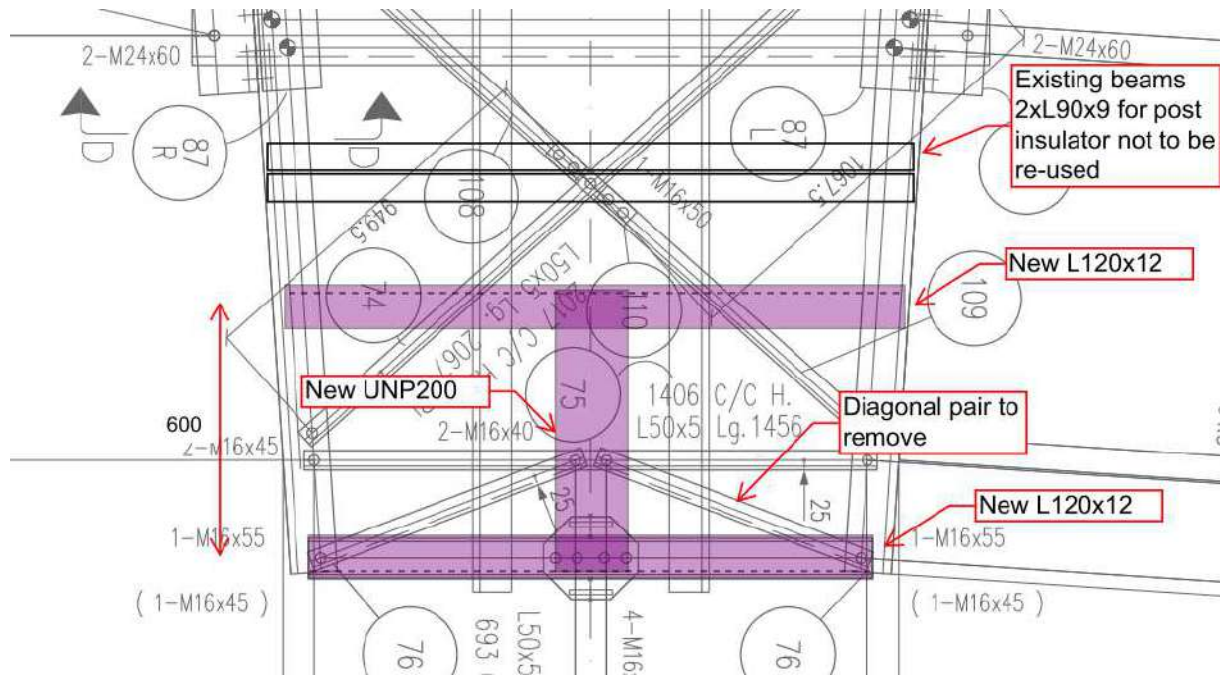
$M_{Ed} = 1/4 \times 1.4 \times 19.3 = 6.8 \text{ kNm}$

Present L100x100x12: $M_{Rd} = 29.11 \times 355 \times 10^{-3} = 10.3 \text{ kNm}$

$U.C. = 6.8 / 10.3 = 0.66 \leq 1.00$ OK

Top cross arm

Currently the top cross arm has no beams at the desired position that can be re-used.



$L = 1.5 \text{ m}$

$M_{Ed} = 1/4 \times 1.5 \times 19.3 = 7.3 \text{ kNm}$

New: L120x120x12: $M_{Rd} = 42.7 \times 355 \times 10^{-3} = 15.2 \text{ kNm}$

U.C. = $7.3 / 15.2 = 0.48 \leq 1.00$ **OK**

Project: BBB - MBT EHV
 Mast: HB+_tc (119)

DNV

Pen-gatverbinding

Datum: 2021-12-16
 Auteur: TBR
 Versie: 1.3

Onderwerp	Post Insulator Attachment	Toetsing sterkte	0.79 < 1,0 OK
------------------	----------------------------------	------------------	---------------

Input

Dikte 15 mm
 Gat 27 mm
 Pendiameter 25 mm
 Ringdikte 5 mm
 Eindafstand 40 mm
 Randafstand 35 mm

Staalsoort S235
 Kwaliteit pen 8.8

Belasting

$F_{Ed} = 58.0$ kN

$\gamma_{m0, \text{staal}} = 1.20$
 $\gamma_{m0, \text{pen}} = 1.00$
 $\gamma_{m2} = 1.25$
 $\gamma_{m6, \text{ser}} = 1.00$

Toetsing

Afstanden
 Randafstand OK
 Eindafstand OK
 Dikte OK

Sterkte-eisen

Afschuifsterkte pen 0.31 < 1,0 OK
 Buigsterkte pen 0.79 < 1,0 OK
 Combinatie M + V 0.72 < 1,0 OK
 Stuik plaat 0.53 < 1,0 OK

Berekeningen

Controle eind- en randafstand

Aan de eisen van óf A óf B moet voldaan worden

Type A

Rand $a > F_{Ed} \gamma_{m0} / 2t f_y + 2 d_0/3 = 28$ mm OK
 Eind $c > F_{Ed} \gamma_{m0} / 2t f_y + d_0/3 = 19$ mm OK

Type B

Min. eindafstand $e > 1,6d_0 = 43$ mm Niet OK
 Min. randafstand $e > 1,25d_0 = 34$ mm OK
 Min. dikte $t > 0,7\sqrt{(F_{Ed} \gamma_{m0} / f_y)} = 12$ mm OK

Pen

A = 491 mm²
 $W_{el} = 1534$ mm²
 Excentriciteit $e = (132-102)+t_{clip}/2 = 20$ mm

Materiaalsterktes
 $f_y = \min(f_{y, \text{staal}}, f_{yp}) = 235$ N/mm²
 $f_{yp} = 640$ N/mm²
 $f_{up} = 800$ N/mm²
 $f_{y, \text{staal}} = 235$ N/mm²
 $f_{t, \text{staal}} = 360$ N/mm²

Afschuiving

$F_{v, Rd} = 0,6A f_{up} / \gamma_{m2} = 188$ kN
 U.C. 0.31 < 1,0 OK

Buigweerstand

$M_{Ed} = F_{Ed} e = 1.16$ kNm
 $M_{Rd} = 1,5 W_{el} f_{yp} / \gamma_{m0} = 1.47$ kNm

Stuik

$F_{b, Rd} = 1,5 t d f_y / \gamma_{m0} = 110$ kN
 U.C. 0.53 < 1,0 OK

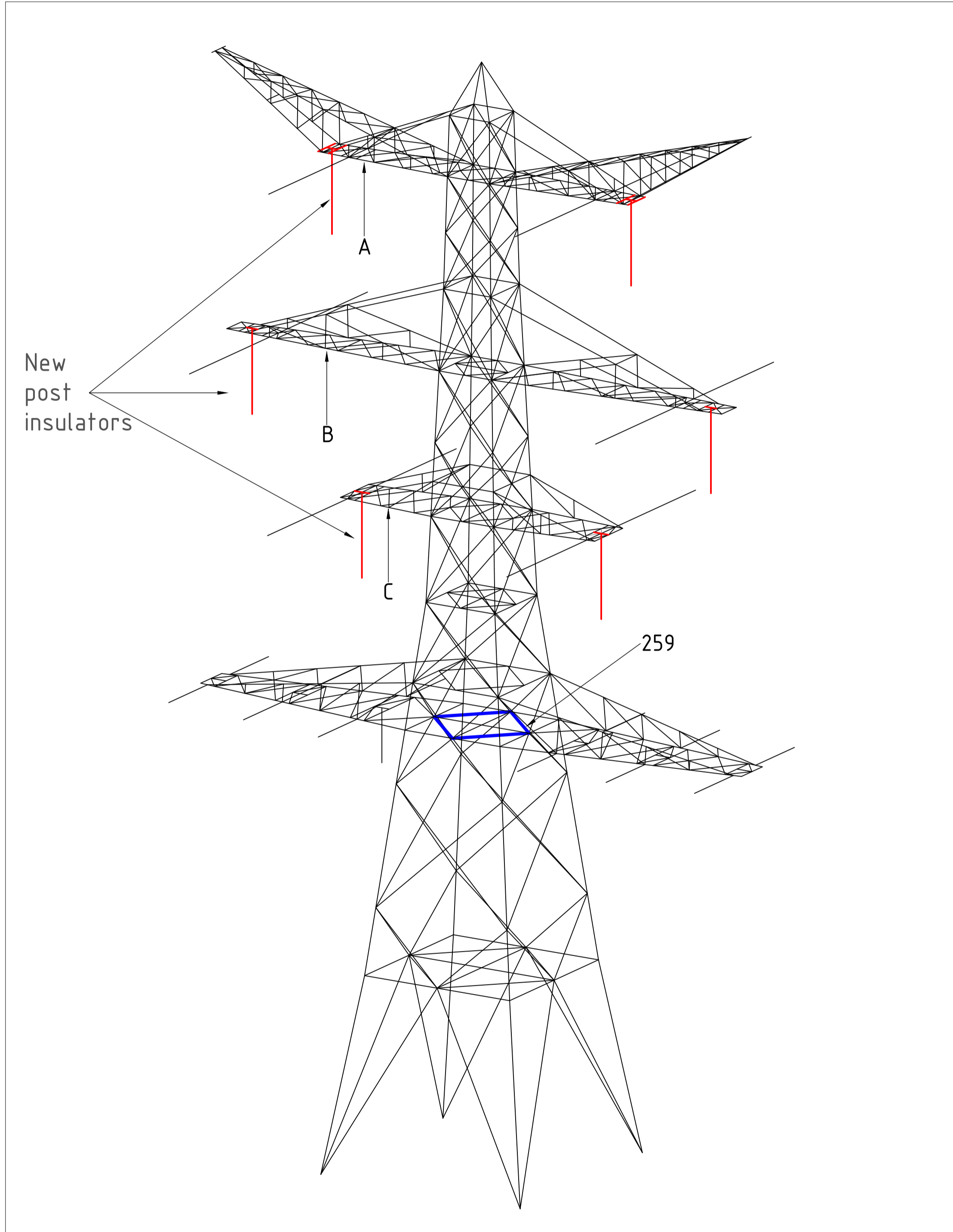
U.C. = 0.79 < 1,0 OK

$(M_{Ed} / M_{Rd})^2 + (F_{v, Ed} / F_{v, Rd})^2 = 0.72 < 1,0$ OK



APPENDIX E TEKENINGEN

Initial Profiles and Bolts					Final Profiles and Bolts			
Group label	Profile type (ini)	Profile size (ini)	Steel quality (ini)	Bolt size and quality (ini)	Profile type (new)	Profile size (new)	Steel quality (new)	Bolt size and quality (new)
14	EA	L80x6	S235 t<=40	1M16-8.8t	EA	L80x8	S355 t<=40	1M16-8.8t
16	EA	L70x6	S235 t<=40	1M16-8.8t	EA	L70x7	S355 t<=40	1M16-8.8t
259	EA	L80x8	S355 t<=40	1M16-8.8t	EA	L90x9	S355 t<=40	1M16-8.8t
259A	EA	L60x5	S355 t<=40	1M16-8.8t	EA	L60x6	S355 t<=40	1M16-8.8t
BR1	EA	L60x5	S355 t<=40	1M16-8.8t	EA	L60x6	S355 t<=40	1M16-8.8t
P1					EA	L120x12	S355 t<=40	1M24-8.8t
P2					EA	L120x12	S355 t<=40	1M24-8.8t
P3					UNP	UNP200	S355 t<=40	2M24-8.8t
P4					UNP	UNP200	S355 t<=40	2M24-8.8t
P5					UNP	UNP200	S355 t<=40	2M24-8.8t



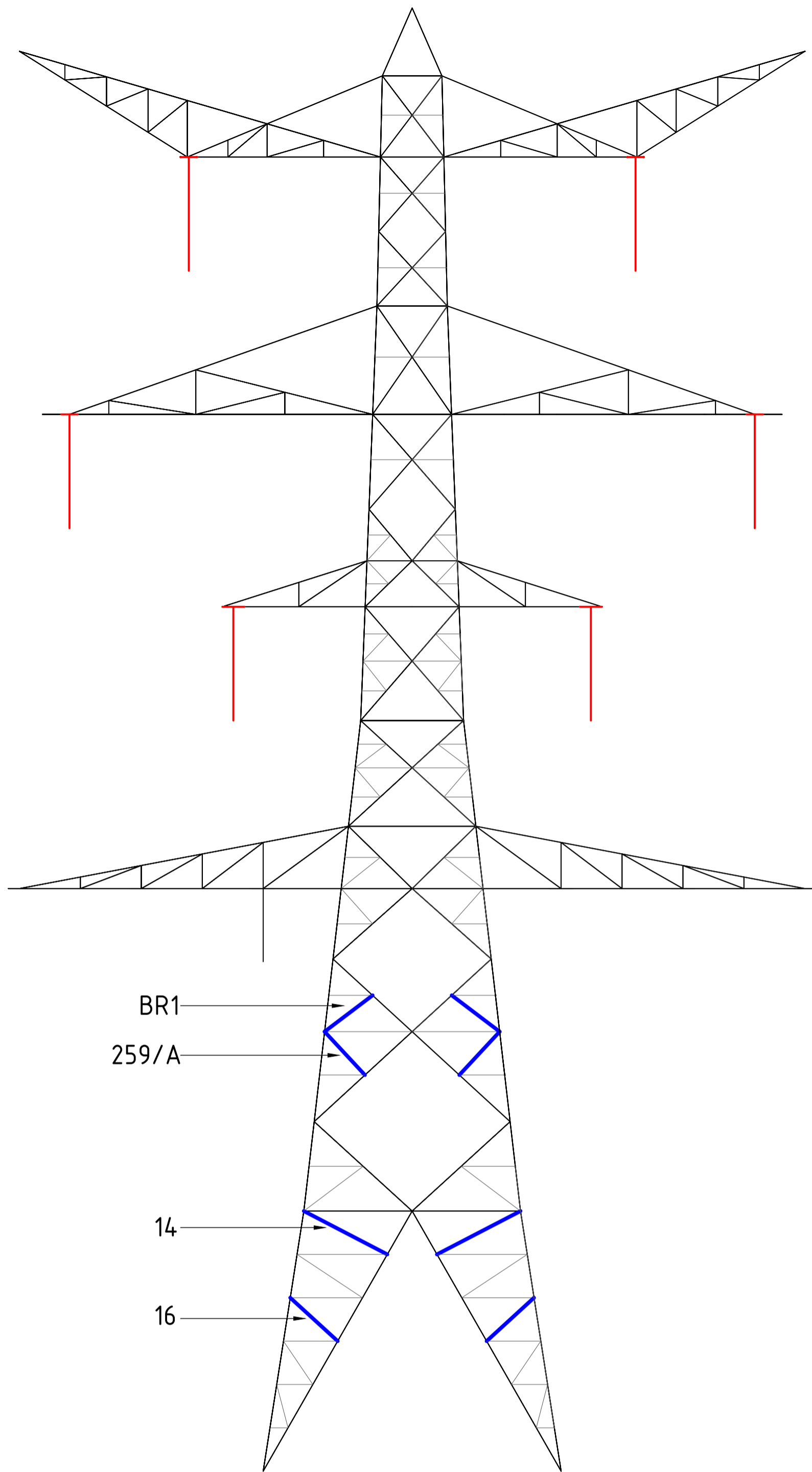
Overview

Notes and legend:

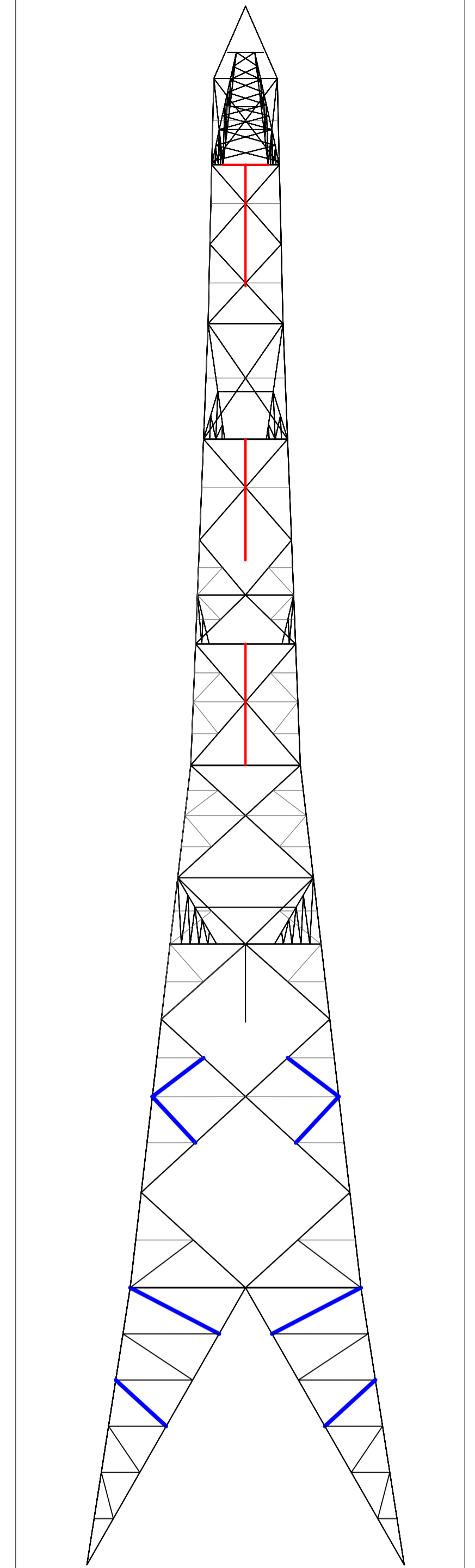
- New redundants according to drawing
- Size for new redundants is L50x50x5 unless otherwise indicated
- Other changes according to the table
- All changes are symmetrical unless otherwise indicated
- Material quality $t \leq 16\text{mm}$ S355J0
- Material quality $t > 16\text{mm}$ S355J2
- Bolt quality 8.8 rolled

- New member
- Profile exchanged
- New redundant
- Bolt exchanged
- Joint modification/ additional bolts required

01	20-04-2022	RFA-comments	Projectname: Mast constructions MBT - EHV 380 kV	
00	6-12-2021	Version 1.0	Third angle projection: 	Drawing no.: 10166260-086
Design state: FINAL		Scale: -	Description: Modifications overview for mast type HB+0_tc (Mast 119)	Revision: 00
Drawn by:	MKh 6-12-2021	Units: m	Page 1 of 3	Format: A2
Checked by:	TBR 6-12-2021	Project no: 10166260		
Approved by:	JHU 6-12-2021	Company: TenneT		

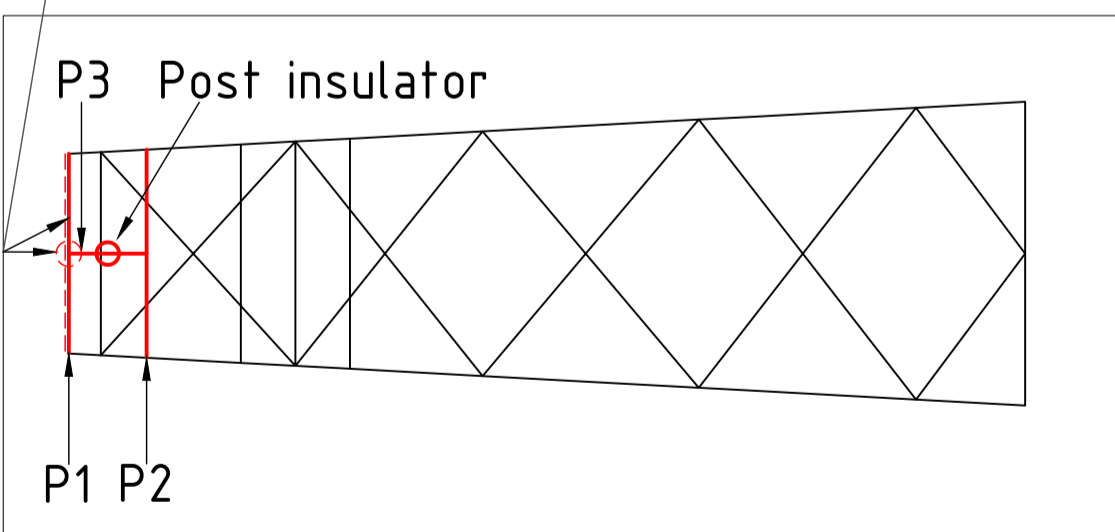


Front View

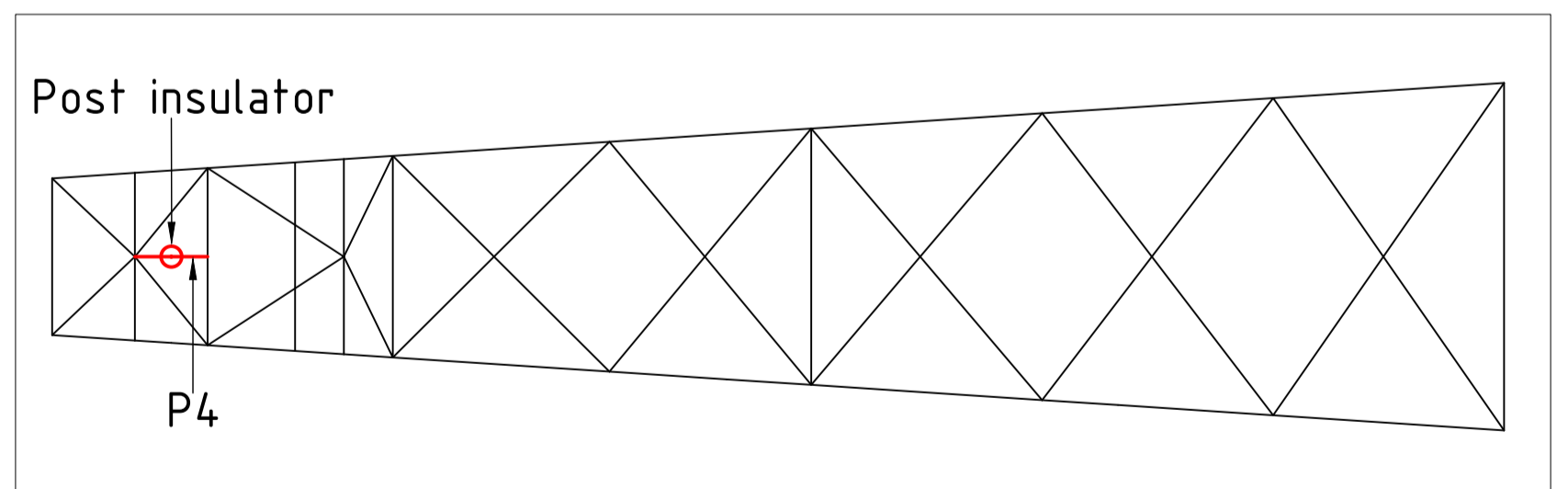


Side View

Existing beam and console to be removed



View on Arrow A - Underside Top Crossarm


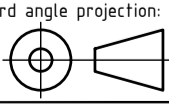


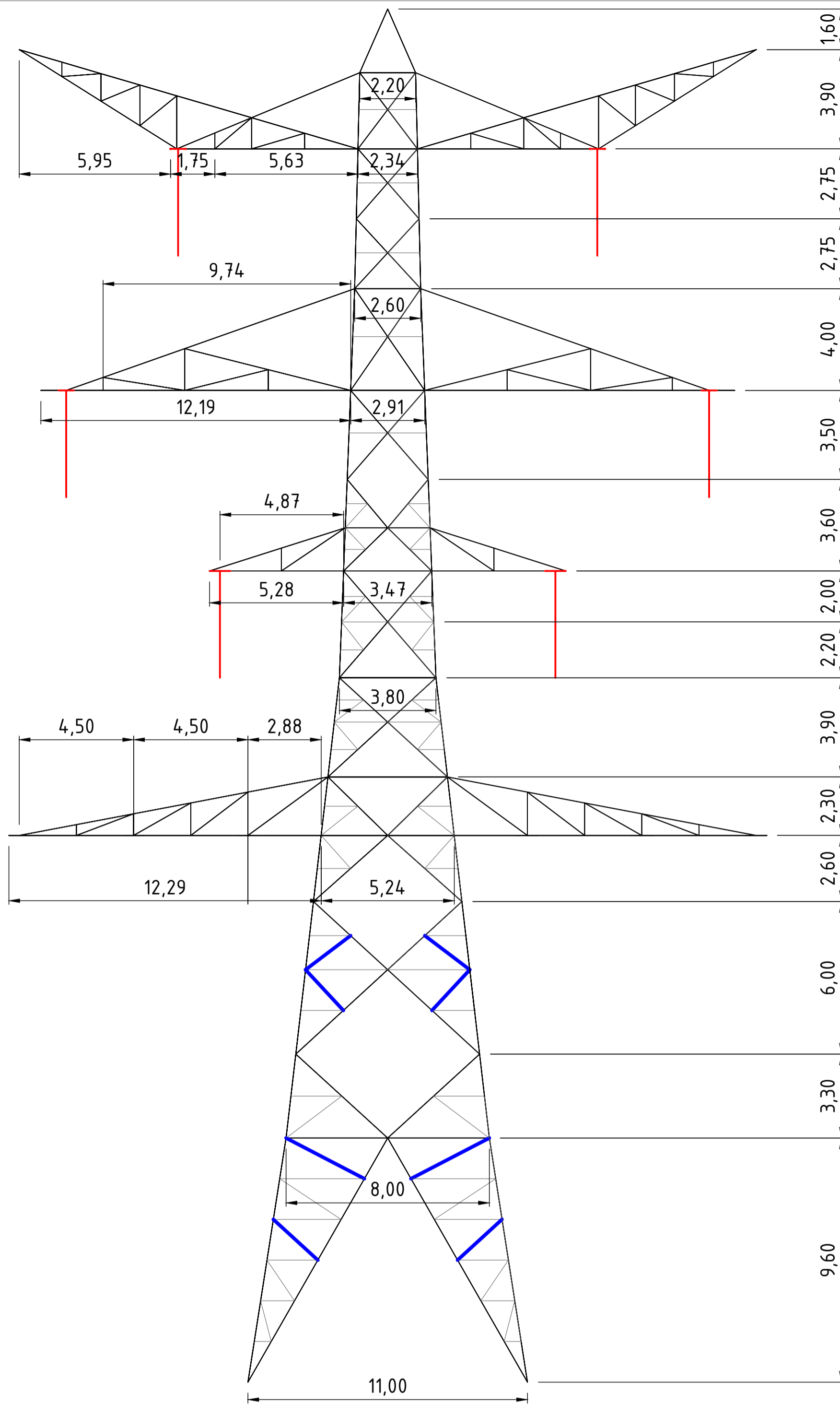
View on Arrow B - Underside Middle Crossarm

Notes and legend:

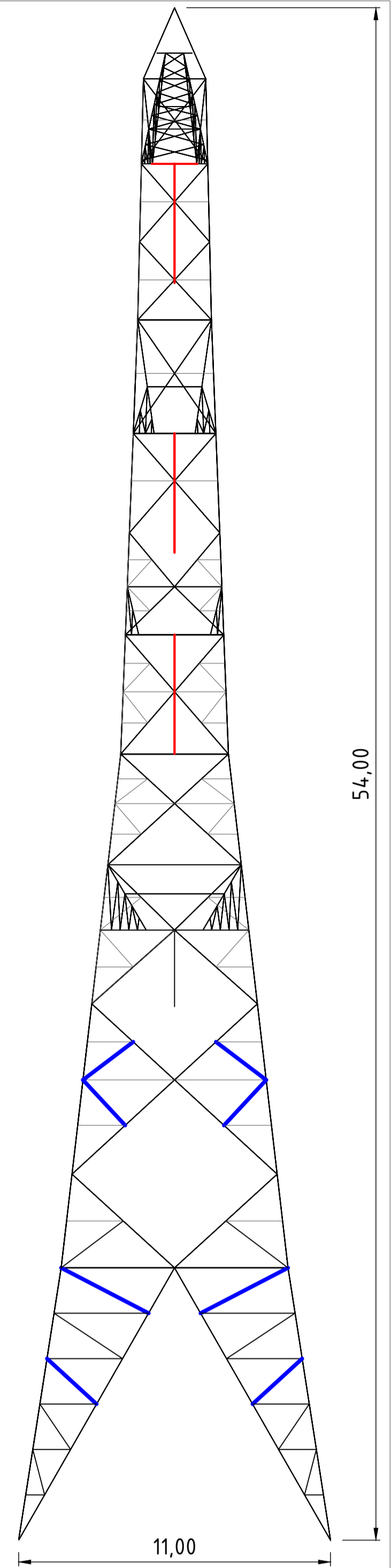
- New redundants according to drawing
- Size for new redundants is L50x50x5 unless otherwise indicated
- Other changes according to the table
- All changes are symmetrical unless otherwise indicated
- Material quality $t \leq 16\text{mm}$ S355J0
- Material quality $t > 16\text{mm}$ S355J2
- Bolt quality 8.8 rolled

- New member
- Profile exchanged
- New redundant
- Bolt exchanged
- Joint modification/ additional bolts required

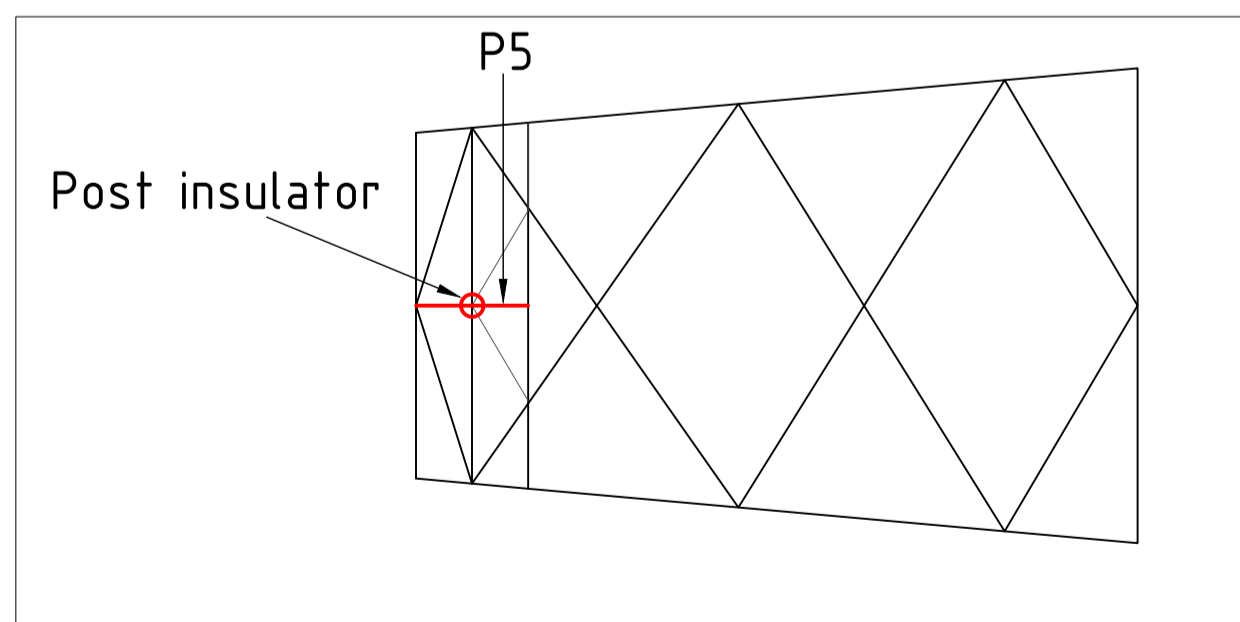
01	20-04-2022	RFA-comments	Projectname: Mast constructions MBT - EHV 380 kV	
00	6-12-2021	Version 1.0	Drawing no.: 10166260-086	
			Description: Modifications overview for mast type HB+0_tc (Mast 119) Page 2 of 3	
Design state: FINAL		Scale: -	Revision: 00	
Drawn by: MKh	6-12-2021	Units: m	Format: A2	
Checked by: TBR	6-12-2021	Project no: 10166260		
Approved by: JHu	6-12-2021	Company: TenneT		
<small>DNV GL Energy & Sustainability, Utrechtseweg 310, 6812 AR Arnhem, tel: +31 26 3 56 91 11, www.dnvgl.com</small>				



Front View



Side View



View on Arrow C - Underside Middle-Lower Crossarm

Notes and legend:

- New redundants according to drawing
- Size for new redundants is L50x50x5 unless otherwise indicated
- Other changes according to the table
- All changes are symmetrical unless otherwise indicated
- Material quality $t \leq 16\text{mm}$ S355J0
- Material quality $t > 16\text{mm}$ S355J2
- Bolt quality 8.8 rolled

- New member
- Profile exchanged
- New redundant
- Bolt exchanged
- Joint modification/ additional bolts required

01	20-04-2022	RFA-comments	Projectname: Mast constructions MBT - EHV 380 kV	
00	6-12-2021	Version 1.0	Third angle projection: 	Drawing no.: 10166260-086
Design state: FINAL		Scale: -	Description: Modifications overview for mast type HB+0_tc (Mast 119)	Revision: 00
Drawn by: MKh	6-12-2021	Units: m	Page 3 of 3	Format: A2
Checked by: TBR	6-12-2021	Project no: 10166260	Company: TenneT	
Approved by: JHu	6-12-2021	DNV GL Energy & Sustainability, Utrechtseweg 310, 6812 AR Arnhem, tel: +31 26 3 56 91 11, www.dnvgi.com		



About DNV

DNV is the independent expert in risk management and assurance, operating in more than 100 countries. Through its broad experience and deep expertise DNV advances safety and sustainable performance, sets industry benchmarks, and inspires and invents solutions.

Whether assessing a new ship design, optimizing the performance of a wind farm, analyzing sensor data from a gas pipeline or certifying a food company's supply chain, DNV enables its customers and their stakeholders to make critical decisions with confidence.

Driven by its purpose, to safeguard life, property, and the environment, DNV helps tackle the challenges and global transformations facing its customers and the world today and is a trusted voice for many of the world's most successful and forward-thinking companies.

Bijlage 14 Rapportage mastconstructie S+0_tc

“TOETSING EN HERONTWERP MASTEN EN FUNDATIES BBB380”
MBT-EHV380 – S+0_tc Rapport

TenneT TSO B.V.

Meridian doc. Nr.: 002.586.40 0945355

Rapport Nr.: 22-0775, Rev. 0

Datum: 2022-07-04



Projectnaam: "Toetsing en herontwerp masten en fundaties BBB380" Energy Systems
Report titel: MBT-EHV380 – S+0_tc Rapport DNV Netherlands B.V.
Klant: TenneT TSO B.V. Utrechtseweg 310-B50
Contactpersoon: [redacted] 6812 AR Arnhem
Datum uitgave: 2022-07-04 The Netherlands
Project nr.: 10166260
Organisation unit: TDT Tel: + [redacted]
Meridian doc.nr.: 002.586.40 0945355 Handelsregister Arnhem 09006400
Rapport Nr.: 22-0775, Rev. 0

[redacted] r: Beoordeeld door: [redacted] d door: [redacted]

Copyright © DNV 2022. All rights reserved. Unless otherwise agreed in writing: (i) This publication or parts thereof may not be copied, reproduced or transmitted in any form, or by any means, whether digitally or otherwise; (ii) The content of this publication shall be kept confidential by the customer; (iii) No third party may rely on its contents; and (iv) DNV undertakes no duty of care toward any third party. Reference to part of this publication which may lead to misinterpretation is prohibited..

DNV Distributie:

- Open
- Intern
- Commercieel vertrouwelijk
- Vertrouwelijk
- Geheim

*Specificatie distributie: -

Rev.	Datum	Reden van uitgave	Auteur	Beoordelaar	Goedkeuder
0	2022-07-04	Eerste uitgave	[redacted]	[redacted]	[redacted]

Inhoudsopgave

1	INLEIDING	1
1.1	Inleiding	1
1.2	Doelstelling en scope van dit rapport	2
1.3	Relatie overige documenten	2
2	EISEN	2
3	BEREKENINGEN	3
3.1	Mastbeeld	3
3.2	Mastenlijst	4
3.3	Uitgangspunten	4
3.4	Processtappen	4
3.5	Geleiderbelastingen	5
3.6	Reacties op de fundering	5
3.7	Modellering	5
4	TOETSING MAST	6
5	AANPASSINGEN	8
5.1	Verificatie eisen	8
6	REFERENTIES	9
Appendix A	GELEIDERBELASTINGEN	
Appendix B	UITVOER PLS-TOWER	
Appendix C	TOETSING KNIKVERKORTERS	
Appendix D	TOETSING BLOKDEUVELS	
Appendix E	TEKENINGEN	

1 INLEIDING

1.1 Inleiding

Om in de toekomst meer elektriciteit te kunnen transporteren is het noodzakelijk om naast de nieuwbouw van verbindingen bestaande hoogspanningsverbindingen aan te passen zodat er een grotere transportcapaciteit mogelijk wordt gemaakt. Om die reden is de opdrachtgever (OG) voornemens de bestaande 380 kV-koppeling op te waarderen. Het opwaarderen van de bestaande verbindingen valt onder het programma “Beter benutten bestaande 380 kV-ring” en omvat de volgende deelprojecten:

- Opwaardering 380 kV-verbinding Lelystad – Ens (LLS-ENS380)
- Opwaardering 380 kV-verbinding Diemen – Lelystad (DIM-LLS380)
- Opwaardering 380 kV-verbinding Rilland – Zandvliet (RLL-ZVL380)
- Opwaardering 380 kV-verbinding Krimpen aan de IJssel - Geertruidenberg (KIJ-GT380)
- Opwaardering 380 kV-verbinding Maasbracht - Eindhoven (MBT-EHV380)

Om te komen tot een DO waarmee de werkzaamheden kunnen worden gestart is door TenneT aan DNV opdracht verstrekt voor de volgende onderdelen:

1. In eerste fase het opstellen en creëren van:

- 1.1 E-studie deel 1
- 1.2 Uitgangspuntenrapporten ten behoeve van de constructieve analyse van masten en fundaties
- 1.3 Sonderingmodellen
- 1.4 Fundatiemodellen
- 1.5 Mastmodellen

2. In tweede fase de uitvoering van de DO-fase bevattende:

- 2.1 Toetsing conform het uitgangspuntenrapport van de bestaande fundaties
- 2.2 Algemene specificatie van benodigde fundatieversterkingen ten behoeve van aanbesteding
- 2.3 Toetsing conform het uitgangspuntenrapport van de bestaande masten
- 2.4 Algemene specificatie van benodigde mastversterkingen ten behoeve van aanbesteding
- 2.5 E-studie deel 2

In dit rapport worden de aanpassingen besproken die nodig zijn voor masttype S+0_tc van de verbinding Maasbracht - Eindhoven 380 kV.

Inhoudelijk is de Nederlandse versie van de rapportage ongewijzigd ten opzichte van de Engelse versie. Om deze reden zijn de bijlagen in dit rapport één op één overgenomen uit de Engelse versie. Hierdoor wijkt het revisienummer van de bijlagen af van het revisienummer van deze rapportage.

1.2 Doelstelling en scope van dit rapport

Het doel van deze studie is om te bepalen of de in dit rapport beschreven bestaande mast geschikt is om te worden uitgerust met de ACCC-Warsaw geleider op het 380 kV-circuit en een Hawk geleider op het 150 kV-circuit.

Nadat de wijzigingen zijn toegepast dient aantoonbaar geverifieerd te worden dat het systeem voldoet aan de vigerende eisen.

1.3 Relatie overige documenten

1.3.1 Verificatie & validatie plan

De door TenneT aangeleverde set met eisen is beoordeeld op relevantie en voor de relevante eisen is aangegeven in welk document wordt aangetoond dat er aan de eis wordt voldaan. De resultaten hiervan zijn opgenomen in het rapport "Verificatie & Validatieplan 380 kV verbinding Maasbracht - Eindhoven" [1].

1.3.2 E-studie deel 1

In de rapportage "MBT-EHV380 - E-studie deel 1" [2] is bepaald welke aanpassingen benodigd zijn om de ACCC-Warsaw en Hawk geleiders toe te passen binnen de verbinding Maasbracht - Eindhoven. Uit de E-studie volgen geen zaken die relevant zijn voor de constructie van masttype S+0_tc. Zie "MBT-EHV380 - E-studie deel 1" [2] voor een volledige lijst van aanpassingen aan alle constructies op de lijn.

1.3.3 Uitgangspuntenrapport

De uitgangspunten op basis waarvan de berekeningen in deze rapportage zijn uitgevoerd zijn opgenomen in het rapport "Uitgangspuntenrapport 380kV verbinding Maasbracht - Eindhoven [3].

2 EISEN

In onderstaande Tabel 1 zijn de eisen opgenomen die binnen deze rapportage worden getoetst.

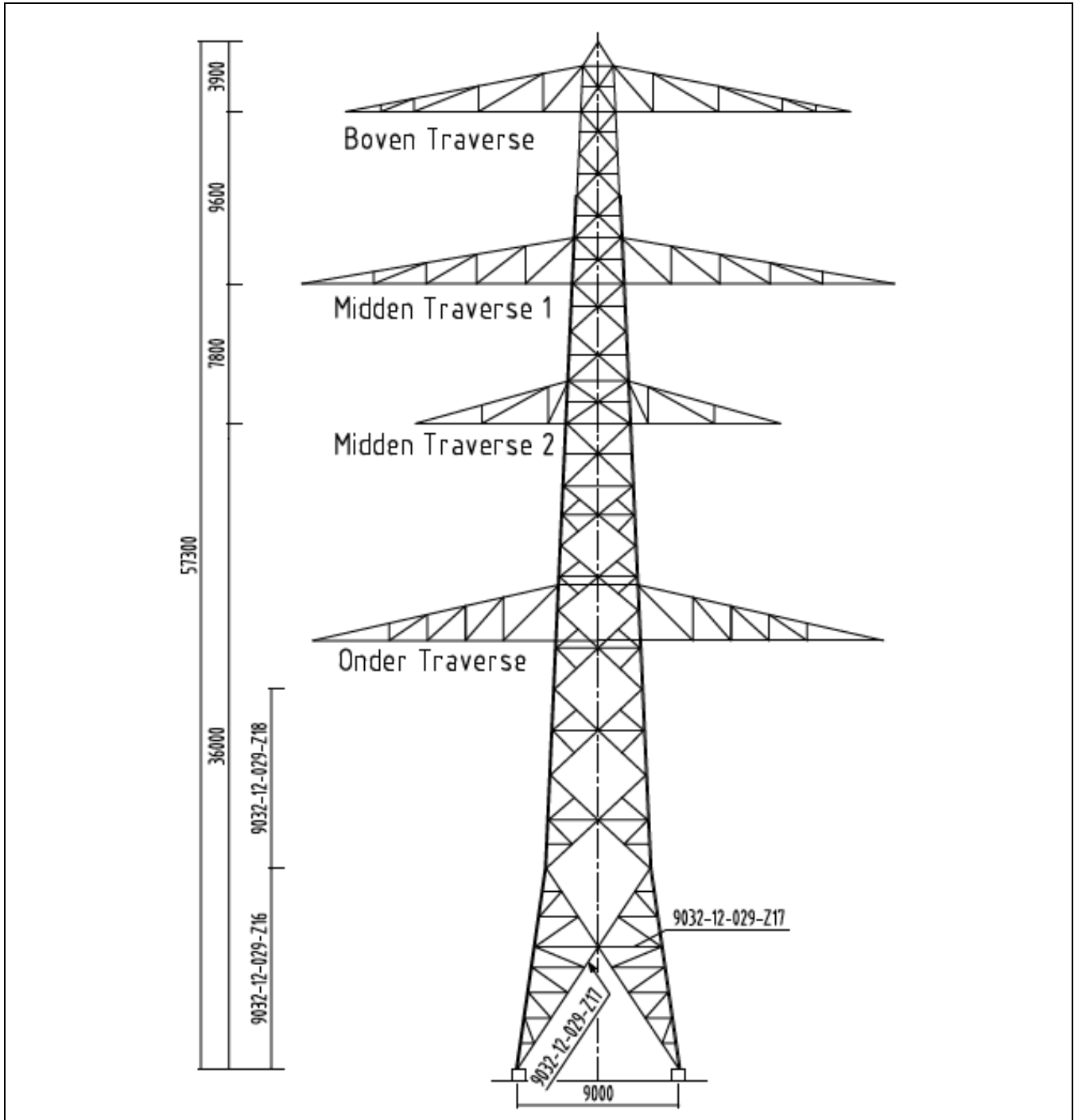
Tabel 1 Relevante eisen

Eis Id	Titel	Eis tekst	Bewijsvoering
BO Eis: H2.7-6	Omgeving, beperking s- factoren	Het ontwerp dient geverifieerd te worden op de uitvoerbaarheid.	Tabel 5
PVE.05.001 5.14	Masten	Aanwijzingen t.a.v. klimvoorziening en valbeveiliging: Huidige klimweg blijft gehandhaafd en zal voldoen aan de eisen zoals opgenomen in de NEN 1060:1964. Valbeveiliging is/zal worden uitgevoerd in het type "latch way". Indien staaldelen in de nabijheid (aangrenzend profiel) van de klimweg gewijzigd worden, dient geverifieerd te worden dat de klimvoorziening in overeenstemming is met de NEN 1060:1964.	Tabel 5

3 BEREKENINGEN

3.1 Mastbeeld

Het mastbeeld op basis van de asset-data is weergegeven in Figuur 1.



Figuur 1 Mastbeeld S+0_tc

3.2 Mastenlijst

In deze rapportage wordt masttype S+0_tc getoetst. De berekening is uitgevoerd voor windgebied III. De masten zijn in de Tabel 2 aangegeven.

Tabel 2 Mastnummers

Mastnummer	Masttype	Maatgevend mastnummer	Wind span (m)	Weight span (m)	Hoogteverschil (m)
118	S+0_tc	120	300	312	-2.1
120	S+0_tc	120	332	369	-8.2

Mastnummer 120 is aangehouden als maatgevende mast. Conservatief is er in de berekening voor mast 120 ook rekening gehouden met het hoogteverschil ter plaatse van mast 118.

3.3 Uitgangspunten

De berekening is uitgevoerd op basis van de uitgangspunten zoals opgenomen in het uitgangspuntenrapport [3]. Hierin is een volledig overzicht opgenomen van de belastingcombinaties en toegepaste belastingfactoren.

Tabel 3 Uitgangspunten berekening

Algemeen	Norm	NEN-EN50341-2-15:2019
	Windgebied	III
	Terreincategorie	II (onbebouwde omgeving)
	Reductiefactor cdir	1,00
Situatie initieel	Gevolgklasse	CC2-0
	Betrouwbaarheidsniveau	Afkeur CC2-0
	Referentieperiode	30 jaar
Situatie na aanpassingen	Gevolgklasse	CC2
	Betrouwbaarheidsniveau	Verbouw
	Referentieperiode	50 jaar

3.4 Processtappen

Het proces van het bepalen van eventueel benodigde versterkingen bestaat uit de volgende stappen:

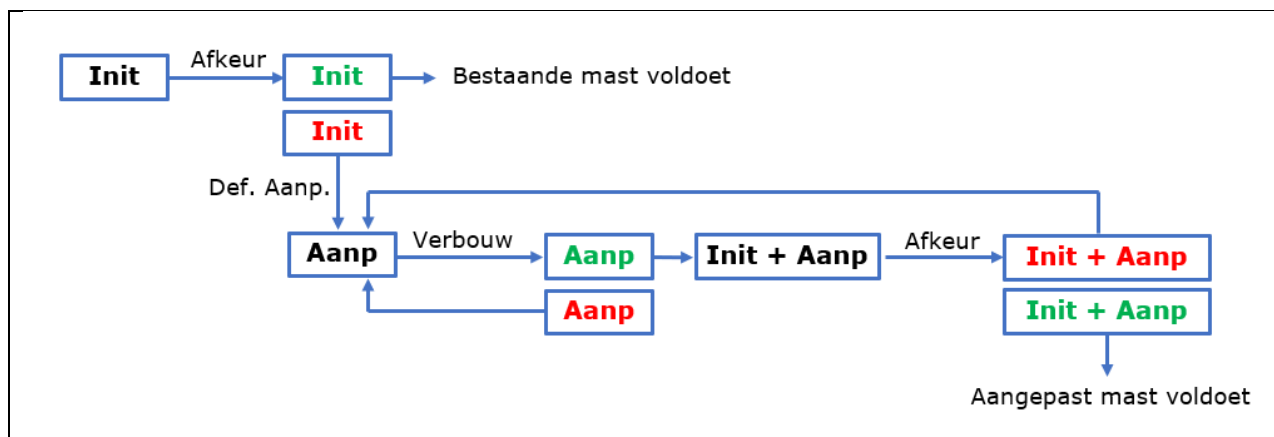
Stap 1: Toets bestaande (Init) mast op Afkeur

Stap 2: Definiëren benodigde aanpassingen indien initiële mast niet voldoet aan toets op Afkeur (Def. Aanp.)

Stap 3: Het toetsen van (alleen) de uitgewerkte aanpassingen (Aanp) op Verbouw

Stap 4: Het opnieuw toetsen van de complete mast inclusief aanpassingen (Initi + Aanp) op Afkeur.

Het hierboven omschreven proces is in Figuur 2 weergegeven.



Figuur 2 Procesdiagram



3.5 Geleiderbelastingen

De berekening is uitgevoerd met het geleiderbelastingenprogramma van DNV. In Appendix A zijn de resultaten van de geleiderbelastingen samengevat.

3.6 Reacties op de fundering

De oplegreacties op de fundering worden ontleend aan de uitvoer van het geleiderbelastingenprogramma, zie Appendix A.

3.7 Modelling

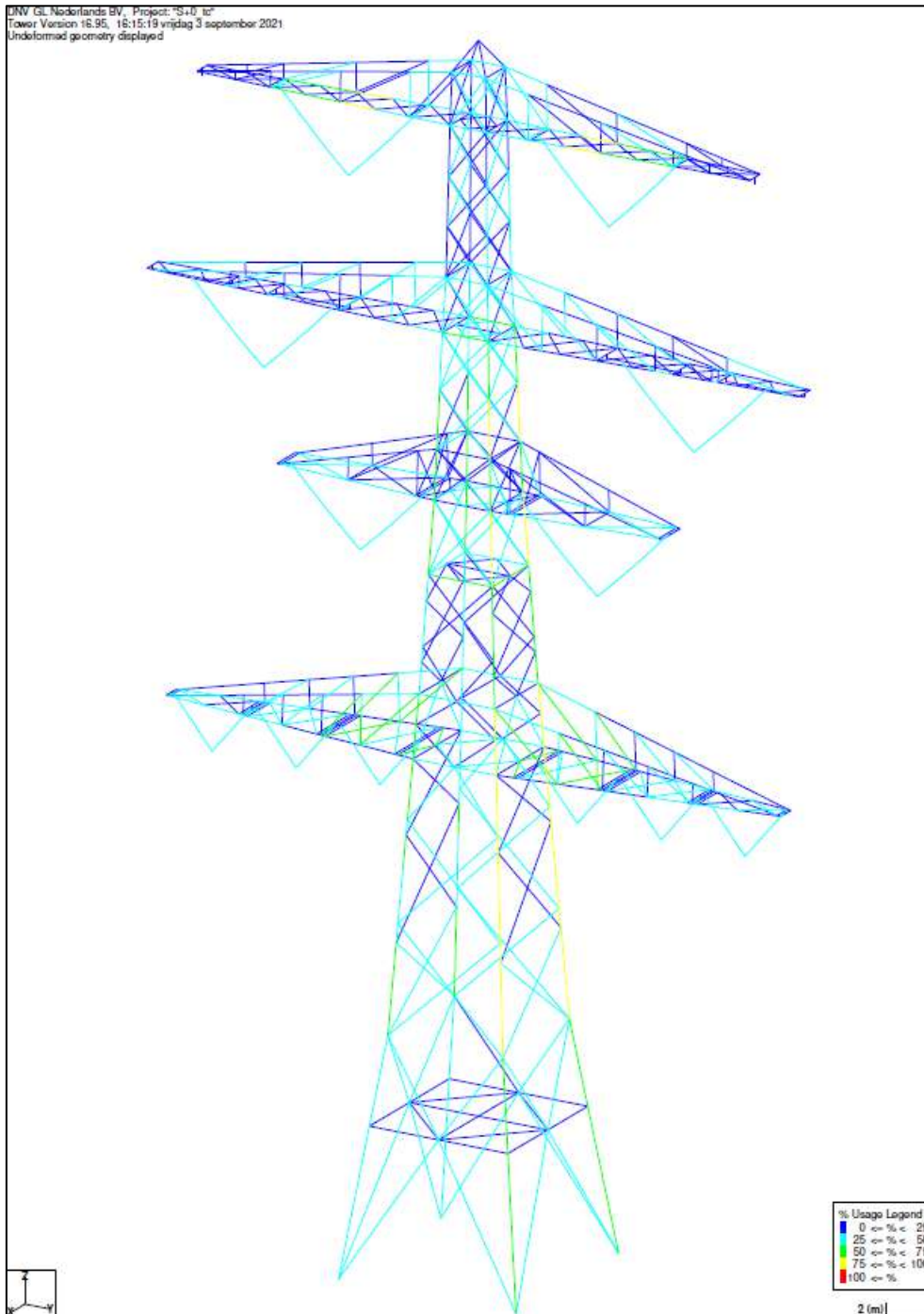
Op basis van de as-built tekeningen is de mast in PLS-TOWER ingevoerd. De hoofdelementen zijn gemodelleerd. Niet-dragende profielen als knikverkorters zijn weggelaten en worden separaat getoetst. De profielen inclusief de boutverbindingen zijn in PLS-TOWER ingevoerd en getoetst. Controle van de schetsplaten en andere detailverbindingen valt buiten de scope.

De geleiderbelastingen uit het bovengenoemde geleiderbelastingenprogramma werden gebruikt als invoer voor de berekeningen.

Diagonalen in voor- en achtervlak respectievelijk de twee zijvlakken zijn gegroepeerd en de toetsing wordt per staafgroep uitgevoerd. Ingeval dat een element uit een groep is overbelast, geldt dit voor alle elementen uit de betreffende groep.

4 TOETSING MAST

Het resultaat van de controle van de mastconstructie type S+0_tc met belastingen op afkeurniveau is weergegeven in Figuur 3.



Figuur 3 Resultaat PLS-TOWER S+0_tc (120)

De resultaten van de controles van ankerprofielen, knikverkorters en blokdeuvels randstijl zijn opgenomen in Tabel 4.

Tabel 4 Samenvatting controle

Controle van	Beoordeling	Referentie
Profielen	Voldoen	Figuur 3, Appendix B
Knikverkorters	Voldoen	Appendix C
Blokdeuvels	Voldoen	Appendix D

5 AANPASSINGEN

Er zijn geen aanpassingen nodig voor deze constructie, aangezien de constructie reeds aan de belastingen voldoet.

5.1 Verificatie eisen

De verificatie van de van toepassing zijnde eisen is uitgevoerd in Tabel 5.

Tabel 5 Verificatie eisen

Eis Id	Eis tekst	Ja	Nee	N.v.t.	Toelichting
BO Eis: H2.7-6	Aanpassingen uitvoerbaar?			X	Geen wijzigingen
	Staaldelen in nabijheid van klimweg gewijzigd?			X	Geen wijzigingen
PVE.05.001 5.14	Klimvoorziening nog in overeenstemming is met de NEN 1060:1964?			X	Geen wijzigingen

6 REFERENTIES

- [1] "002.586.40 0825946 - 21-0463 - Verificatie & validatieplan 380kV verbinding Maasbracht - Eindhoven".
- [2] "002.586.40 0825934 - 21-0483 - E-studie deel 1 380kV verbinding Maasbracht - Eindhoven".
- [3] "002.586.40 0825942 - 21-0138 - Uitgangspuntenrapport 380kV verbinding Maasbracht - Eindhoven".
- [4] "002.586.40 0825946 - 21-0463 - Verificatie & validatieplan 380kV verbinding Maasbracht - Eindhoven".
- [5] "002.586.40 0825934 - 21-0483 - E-studie deel 1 380kV verbinding Maasbracht - Eindhoven".
- [6] "002.586.40 0825942 - 21-0138 - Uitgangspuntenrapport 380kV verbinding Maasbracht - Eindhoven".



APPENDIX A

GELEIDERBELASTINGEN

Project: MBT-EHV380
Tower: S+0(tc)
Number: 120

Auteur: TBR
Versie: v12.0

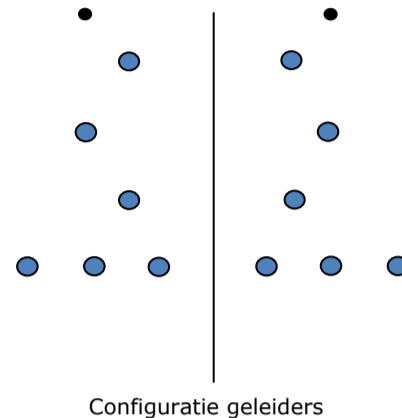
Conductor loads

General

Description S+0(tc)
Tower type Steunmast
Number of circuits 4
Configuration 4-circuit-verticaal-vlak
Number of earth wires 2

Starting points

Norm NEN-EN50341-2-15:2019
Consequence class CC2-0
Reliability level initial Afkeur CC2-0
Reference period initial 30 jaar
Consequence class modified CC2
Reliability level modified Verbouw
Reference period modified 50 jaar
Wind zone III
Wind speed (m/s) 24,5 m/s
Terrain category II
Reduction factor c_{dir} 1,00
Ice region phase conductor B
Ice region earth conductor B



Conductors back

Description	Voltage	Conductor Back	Bundle Ba	Ice region	Additional weight	Additional diameter	Catenary P_{back}
Circuit 1	380 kV	ACCC-Warsaw	3	B	3 %	3 %	1400
Circuit 2	380 kV	ACCC-Warsaw	3	B	3 %	3 %	1400
Circuit 3	150 kV	AACSR 241-AL3-39-A20SA	2	B	3 %	3 %	1688
Circuit 4	150 kV	AACSR 241-AL3-39-A20SA	2	B	3 %	3 %	1688
Bliksemdraad 1		OPGW AFL-226/38	1	B	3 %	3 %	1550
Bliksemdraad 2		AACSR 241-AL3-39-A20SA	1	B	3 %	3 %	1550

Conductors ahead

Description	Voltage	Conductor Ahead	Bundle Ah	Ice region	Additional weight	Additional diameter	Catenary P_{ahead}
Circuit 1	380 kV	ACCC-Warsaw	3	B	3 %	3 %	1400
Circuit 2	380 kV	ACCC-Warsaw	3	B	3 %	3 %	1400
Circuit 3	150 kV	AACSR 241-AL3-39-A20SA	2	B	3 %	3 %	1688
Circuit 4	150 kV	AACSR 241-AL3-39-A20SA	2	B	3 %	3 %	1688
Bliksemdraad 1		OPGW AFL-226/38	1	B	3 %	3 %	1550
Bliksemdraad 2		AACSR 241-AL3-39-A20SA	1	B	3 %	3 %	1550

Insulators (1)

Description	Suspension	Weight [kN]	Length [m]	Wind area [m ²]
Circuit 1	V-ketting	3,50	4,50	2,00
Circuit 2	V-ketting	3,50	4,50	2,00
Circuit 3	V-ketting	2,00	2,50	1,00
Circuit 4	V-ketting	2,00	2,50	1,00
Bliksemdraad 1	Vast (Bliksemdraad)	0,10	0,30	0,10
Bliksemdraad 2	Vast (Bliksemdraad)	0,10	0,30	0,10

1. Properties apply to the entire isolator set

Suspension height and position in mast

Circuits	Designation	Number	Suspension height	Attach point	Position in tower Horizontal distance
Circuit 1	10	380ct1f1	48,9 m	53,4 m	-6,6 m
Circuit 1	11	380ct1f2	39,1 m	43,6 m	-10,9 m
Circuit 1	12	380ct1f3	31,5 m	36,0 m	-6,0 m
Circuit 2	20	380ct2f1	48,9 m	53,4 m	6,6 m
Circuit 2	21	380ct2f2	39,1 m	43,6 m	10,9 m
Circuit 2	22	380ct2f3	31,5 m	36,0 m	6,0 m
Circuit 3	30	150ct3f1	21,5 m	24,0 m	-13,5 m
Circuit 3	31	150ct3f2	21,5 m	24,0 m	-9,3 m
Circuit 3	32	150ct3f3	21,5 m	24,0 m	-5,0 m
Circuit 4	40	150ct4f1	21,5 m	24,0 m	5,0 m
Circuit 4	41	150ct4f2	21,5 m	24,0 m	9,3 m
Circuit 4	42	150ct4f3	21,5 m	24,0 m	13,5 m
Bliksemdraad 1	1	bl1	53,1 m	53,4 m	-14,0 m
Bliksemdraad 2	3	bl2	53,1 m	53,4 m	14,0 m

Project: MBT-EHV380
 Tower: S+0(tc)
 Number: 120

Height adjustment adjacent masts (wind and weight span adjustment)

	Back	Ahead	
Height increase for wind pressure	0,8 m	5,5 m	(positive: higher)
Height decrease for vertical load	0,0 m	0,0 m	(negative: decrease, more weight span)
Decrease:	Niet in 0,9EG-combinaties		

Height difference adjacent tower and change of direction with respect to Line direction

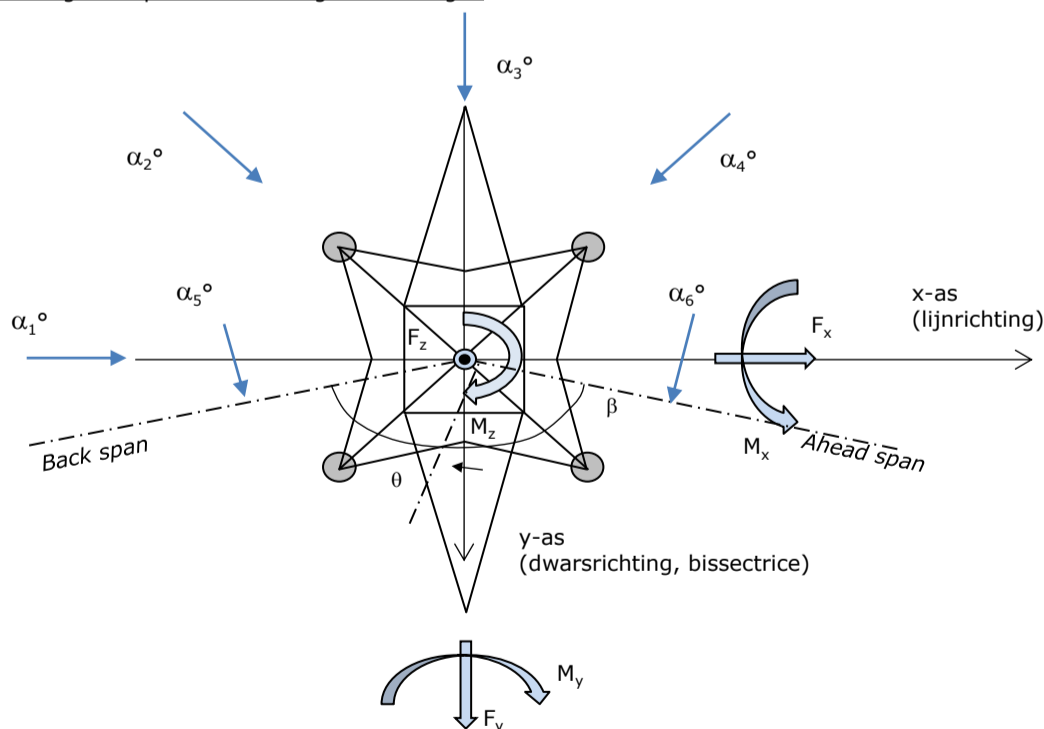
Circuits	Aanduiding	Nummer	Hoogteverschil		Richtingsverandering	
			Δh_{back}	Δh_{ahead}	Δy_{back}	Δy_{ahead}
Circuit 1	10	380ct1f1	-3,1	-6,3 m	0,0	0,0 m
Circuit 1	11	380ct1f2	-2,7	-6,7 m	0,0	0,0 m
Circuit 1	12	380ct1f3	-2,1	1,1 m	0,0	0,0 m
Circuit 2	20	380ct2f1	-3,1	-6,3 m	0,0	0,0 m
Circuit 2	21	380ct2f2	-2,8	-6,7 m	0,0	0,0 m
Circuit 2	22	380ct2f3	-2,1	1,1 m	0,0	0,0 m
Circuit 3	30	150ct3f1	-1,2	-0,7 m	0,0	0,0 m
Circuit 3	31	150ct3f2	-1,2	-0,7 m	0,0	0,0 m
Circuit 3	32	150ct3f3	-1,2	-0,7 m	0,0	0,0 m
Circuit 4	40	150ct4f1	-1,2	-0,7 m	0,0	0,0 m
Circuit 4	41	150ct4f2	-1,2	-0,7 m	0,0	0,0 m
Circuit 4	42	150ct4f3	-1,2	-0,7 m	0,0	0,0 m
Bliksemdraad 1	1	bl1	-1,8	-6,3 m	0,0	0,0 m
Bliksemdraad 2	3	bl2	-1,8	-6,3 m	0,0	0,0 m

Line and tower data

	Back	Ahead
Ruling span $\sqrt{(\Sigma L^3/\Sigma L)}$	330,0	335,0 m
Line angle β	180 °	
Tower orientation with respect to bisector	0 °	
Section length	3179	3179 m
Height bottom of tower to ground level	0,5 m	
Wind directions considered α_1	0 °	
Wind directions according to: α_2	45 °	
<i>Geleiderbelastingen</i> α_3	90 °	
α_4	135 °	
α_5	- °	
α_6	- °	

Wind directions apply to the main direction of mast construction, not to the bisector.

Windrichtingen en positieve richtingen belastingen



Considered number of wind directions

1a	4
3	4
4	1
6	1
Overig	1

Project: MBT-EHV380
 Tower: S+0(tc)
 Number: 120

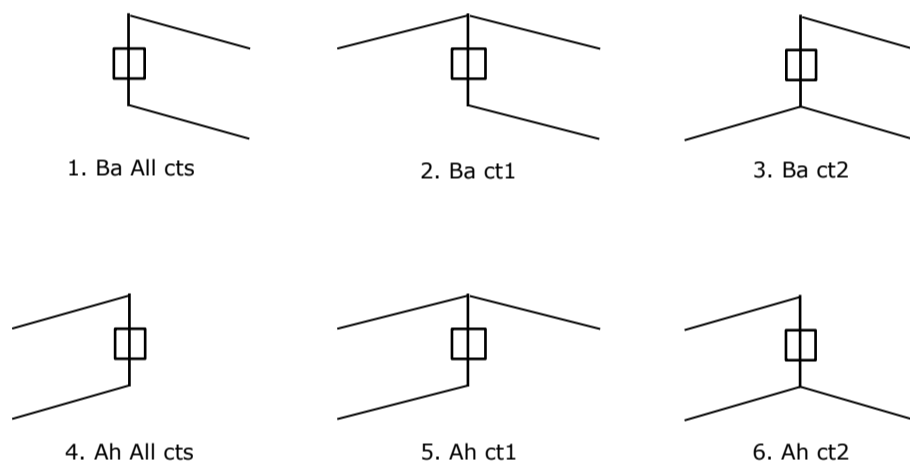
Absence of conductors

		SPLS - torsie		SPLS - Enkelzijdige trek		5a - geleiderbreuk	
		Aanw.	Afw.	Aanw.	Afw.	Aanw.	Afw.
Circuit 1	380ct1f1	1	0	1	0	0,8	0
Circuit 1	380ct1f2	1	0	1	0	0,8	0
Circuit 1	380ct1f3	1	0	1	0	0,8	0
Circuit 2	380ct2f1	0	1	1	0	0,8	0
Circuit 2	380ct2f2	0	1	1	0	0,8	0
Circuit 2	380ct2f3	0	1	1	0	0,8	0
Circuit 3	150ct3f1	1	0	1	0	0,8	0
Circuit 3	150ct3f2	1	0	1	0	0,8	0
Circuit 3	150ct3f3	1	0	1	0	0,8	0
Circuit 4	150ct4f1	0	1	1	0	0,8	0
Circuit 4	150ct4f2	0	1	1	0	0,8	0
Circuit 4	150ct4f3	0	1	1	0	0,8	0
Bliksemdraad 1	bl1	1	0	1	0	1	0
Bliksemdraad 2	bl2	0	1	1	0	1	0

Load situations SPLS

Considered situations SPLS: SPLS for suspension tower not applicable

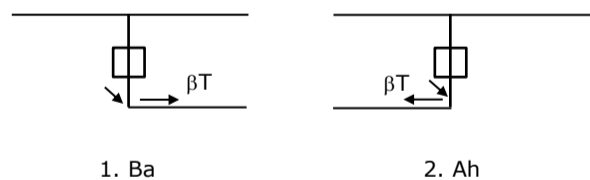
Principle of load situations:



Load situation 5a. Conductor failure

Considered situations conductor failure 5a: 1 and 2, all possible situations

Principle of load situations:



Project: MBT-EHV380
 Tower: S+0(tc)
 Number: 120

Load situations LC6. Construction and maintenance

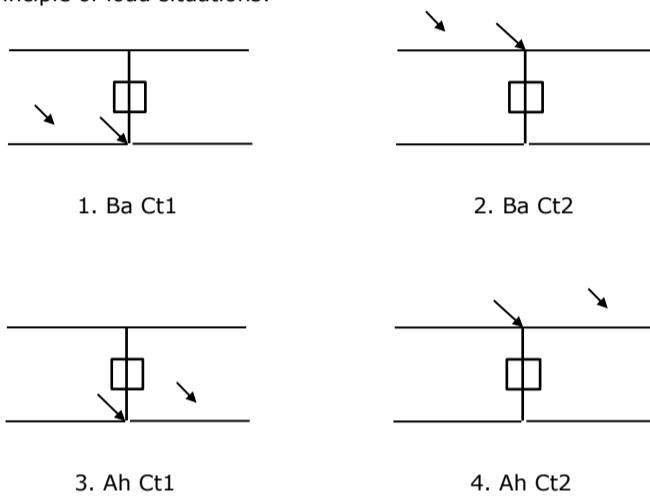
Under 6a, the load due to the presence of a line vehicle or line bicycle in combination with point load on the traverse is assessed. Combination 6b does not contain any loads in conductor or on traverse. This combination has been added to be able to combine with separate control platforms, etc. The situations are applied in ULS and in every SPLS situation (in case of angle tower).

	Phase	Earth
Line vehicle	3,0 kN	2,0 kN
Concentrated load cross arm	1,0 kN	1,0 kN

Beschouwde situaties bouw- en onderhoud 6a: 1 t/m 4, alle mogelijke situaties.

Presence line vehicle: Circuit, belasting tegelijk aanwezig in alle geleiders per circuit.

Principle of load situations:



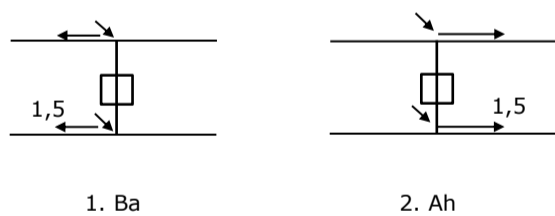
Load situations 8. Galloping as a static load

Conductor		
Suspension tower phase	0,866 W	1,5 W
Suspension tower earth	1,5 EDS	1,5 W
Strain tower phase and earth	1,5 EDS	1,5 W

Considered situations galloping 8: None (existing structure)

Load simultaneously present in all conductors of the circuit.

Principle of load situations:



Load combination 8. Galloping as a dynamic load

Only applies to tension towers

Load consists of EDS tensile load in one of the conductors on one side of the tower

Can be converted by user to fatigue spectrum via the load spectrum of table 4.11 / NL.1

Project: MBT-EHV380
 Tower: S+0(tc)
 Number: 120

Tower structure

Properties

Tower type	Steunmast	
Tower designation	S+0(tc)	
Base plate w.r.t. ground level	0,5 m	
Tower height w.r.t. base plate	57,3 m	
Tower self weight	520,4 kN	
<i>Width and slope at foundation</i>	x-ri.	y-ri.
Leg spread	9,00	9,00 m
Inclination of main leg	0,141	0,141 -
Horizontal force factor	1,3	1,3 -

Calculation Wind load

Dynamic factor G_T	1,00 (<i>Masthoogte < 60 m</i>)
Wind load diagonally to tower body proportional to:	$(A1C1\sin^2(\phi)+A2C2\cos^2(\phi))$
Wind load diagonally on traverse proportional to:	$(A1C1\sin^2(\phi)+A2C2\cos^2(\phi))$
Magnification factor diagonal wind to tower body	$(1+0,2\sin^2(2\phi))$
Magnification factor diagonal wind to cross arm	$(1+0,2\sin^2(2\phi))$
Magnification factor wind parallel to perpendicular to cross arm	0,4

Properties mast sections longitudinal direction (front view, yz plane)

Description	h [m]	b ₁ [m]	b ₂ [m]	Δh [m]	Δ_x [m]	A ₀ [m ²]	A ₁ [m ²]	$\chi = A_1/A_0$ [-]	C _t
Broekstuk	11,18	9,00	5,84	11,18	0,141	82,91	20,38	0,25	2,74
1e tussenstuk	24,00	5,84	4,21	12,82	0,063	64,42	15,90	0,25	2,74
2e tussenstuk	36,00	4,21	2,85	12,00	0,057	42,36	15,62	0,37	2,31
3e tussenstuk	43,80	2,85	2,33	7,80	0,033	20,19	8,28	0,41	2,19
4e tussenstuk	55,94	2,33	1,70	12,15	0,026	24,46	9,71	0,40	2,23
Topstuk	57,29	1,70		1,35		1,15	0,71	0,62	1,80
Ondertraverse	24,00	13,37		3,00		20,06	6,28	0,31	2,49
Boventraverse	53,44	13,08		2,50		16,35	6,08	0,37	2,30
Middentraverse	43,80	14,92		2,58		19,21	8,92	0,46	2,06
Mid trav onder	36,00	8,24		2,37		9,76	3,95	0,40	2,20

Properties tower sections transversal direction (side view, xz plane)

Description	h [m]	b ₁ [m]	b ₂ [m]	Δh [m]	Δ_x [m]	A ₀ [m ²]	A ₁ [m ²]	$\chi = A_1/A_0$ [-]	C _t
Broekstuk	11,18	9,00	5,84	11,18	0,141	82,91	20,38	0,25	2,74
1e tussenstuk	24,00	5,84	4,21	12,82	0,063	64,42	15,90	0,25	2,74
2e tussenstuk	36,00	4,21	2,85	12,00	0,057	42,36	15,62	0,37	2,31
3e tussenstuk	43,80	2,85	2,33	7,80	0,033	20,19	8,28	0,41	2,19
4e tussenstuk	55,94	2,33	1,70	12,15	0,026	24,46	9,71	0,40	2,23
Topstuk	57,29	1,70		1,35		1,15	0,71	0,62	1,80
Ondertraverse	24,00	13,37		3,00		20,06	6,28	0,31	2,49
Boventraverse	53,44	13,08		2,50		16,35	6,08	0,37	2,30
Middentraverse	43,80	14,92		2,58		19,21	8,92	0,46	2,06
Mid trav onder	36,00	8,24		2,37		9,76	3,95	0,40	2,20

Note: Surface area transverse direction in table is reduced in calculation.

Note: surface area of cross arm is for each side, ie. half of the total of both cross arms.

Project: MBT-EHV380
 Tower: S+0(tc)
 Number: 120

Wind surface feeders telecom installations

Part	A (m ² /m)	Factor	Δh	A ₁
Broekstuk				
1e tussenstuk				
2e tussenstuk				
3e tussenstuk				
4e tussenstuk				

Input antennas

Description	A (m ²)	h (m)	C _f (m)
Antenne top			
Antenne o.t.			

Tower section loads longitudinal (x-direction) per wind direction

Description	p _w [kN/m ²]	F _{x1} [kN]	F _{x2} [kN]	F _{x3} [kN]	F _{x4} [kN]	h _{ef} [m]	M _{y1} [kNm]	M _{y2} [kNm]	M _{y3} [kNm]	M _{y4} [kNm]
Broekstuk	0,70	39,1	33,2	0,0	-33,2	5,6	218,7	185,6	0,0	-185,6
1e tussenstuk	0,84	36,7	31,1	0,0	-31,1	17,6	645,3	547,5	0,0	-547,5
2e tussenstuk	0,99	35,6	30,2	0,0	-30,2	30,0	1068,9	907,0	0,0	-907,0
3e tussenstuk	1,07	19,5	16,5	0,0	-16,5	39,9	776,3	658,7	0,0	-658,7
4e tussenstuk	1,13	24,5	20,8	0,0	-20,8	49,9	1223,4	1038,1	0,0	-1038,1
Topstuk	1,17	1,5	1,3	0,0	-1,3	56,6	85,1	72,2	0,0	-72,2
Ondertraverse	0,94	29,3	17,4	0,0	-17,4	25,0	732,7	435,2	0,0	-435,2
Boventraverse	1,16	32,4	19,3	0,0	-19,3	54,3	1760,4	1045,7	0,0	-1045,7
Middentraverse	1,10	40,4	24,0	0,0	-24,0	44,7	1805,2	1072,3	0,0	-1072,3
Mid trav onder	1,05	18,2	10,8	0,0	-10,8	36,8	670,5	398,3	0,0	-398,3
Totaal		277,4	204,7	0,0	-204,7		8986,6	6360,5	0,0	-6360,5

Tower section loads transversal (y-direction) per wind direction

Description	p _w [kN/m ²]	F _{y1} [kN]	F _{y2} [kN]	F _{y3} [kN]	F _{y4} [kN]	h _{ef} [m]	M _{x1} [kNm]	M _{x2} [kNm]	M _{x3} [kNm]	M _{x4} [kNm]
Broekstuk	0,70	0,0	33,2	39,1	33,2	5,6	0,0	185,6	218,7	185,6
1e tussenstuk	0,84	0,0	31,1	36,7	31,1	17,6	0,0	547,5	645,3	547,5
2e tussenstuk	0,99	0,0	30,2	35,6	30,2	30,0	0,0	907,0	1068,9	907,0
3e tussenstuk	1,07	0,0	16,5	19,5	16,5	39,9	0,0	658,7	776,3	658,7
4e tussenstuk	1,13	0,0	20,8	24,5	20,8	49,9	0,0	1038,1	1223,4	1038,1
Topstuk	1,17	0,0	1,3	1,5	1,3	56,6	0,0	72,2	85,1	72,2
Ondertraverse	0,94	0,0	17,4	11,7	17,4	25,0	0,0	435,2	293,1	435,2
Boventraverse	1,16	0,0	19,3	13,0	19,3	54,3	0,0	1045,7	704,2	1045,7
Middentraverse	1,10	0,0	24,0	16,2	24,0	44,7	0,0	1072,3	722,1	1072,3
Mid trav onder	1,05	0,0	10,8	7,3	10,8	36,8	0,0	398,3	268,2	398,3
Total		0,0	204,7	205,1	204,7		0,0	6360,5	6005,2	6360,5

Resulting loads from mast construction incl. Antenna without conductors level foundation (char. Value)

Load / wind direction	F _x [kN]	F _y [kN]	F _z [kN]	M _x [kNm]	M _y [kNm]	M _z [kNm]
Permanente belasting	0	0	520	0	0	0
Windrichting 0°	277	0	0	0	8987	0
Windrichting 45°	205	205	0	6360	6360	0
Windrichting 90°	0	205	0	6005	0	0
Windrichting 135°	-205	205	0	6360	-6360	0

Project: MBT-EHV380
 Tower: S+0(tc)
 Number: 120

Intermediate results for conductor loads

Conductors back

Circuit	Geleider	Diameter [mm]	A [mm ²]	G [N/m]	E [N/mm ²]	αT [-]
Circuit 1	ACCC-Warsaw	27,7	571,0	14,98	62700	1,88E-05
Circuit 2	ACCC-Warsaw	27,7	571,0	14,98	62700	1,88E-05
Circuit 3	AACSR 241-AL3-39-A20SA	21,8	281,0	9,38	70165	1,97E-05
Circuit 4	AACSR 241-AL3-39-A20SA	21,8	281,0	9,38	70165	1,97E-05
Bliksemdraad 1	OPGW AFL-226/38	21,7	264,0	9,13	72000	1,98E-05
Bliksemdraad 2	AACSR 241-AL3-39-A20SA	21,8	281,0	9,38	70165	1,97E-05

Conductors ahead

Circuit	Geleider	Diameter [mm]	A [mm ²]	G [N/m]	E [N/mm ²]	αT [-]
Circuit 1	ACCC-Warsaw	27,7	571,0	14,98	62700	1,88E-05
Circuit 2	ACCC-Warsaw	27,7	571,0	14,98	62700	1,88E-05
Circuit 3	AACSR 241-AL3-39-A20SA	21,8	281,0	9,38	70165	1,97E-05
Circuit 4	AACSR 241-AL3-39-A20SA	21,8	281,0	9,38	70165	1,97E-05
Bliksemdraad 1	OPGW AFL-226/38	21,7	264,0	9,13	72000	1,98E-05
Bliksemdraad 2	AACSR 241-AL3-39-A20SA	21,8	281,0	9,38	70165	1,97E-05

Vertical load back

Circuit	Bundle [-]	Additional [%]	$W_{z,G}$ [N/m]	Ice region	Formula	$W_{z,ijs}$ [N/m]	$W_{z,ijs,bundel}$ [N/m]
Circuit 1	3	3	46,3	B	4+0,2d	9,5	28,6
Circuit 2	3	3	46,3	B	4+0,2d	9,5	28,6
Circuit 3	2	3	19,3	B	4+0,2d	8,4	16,7
Circuit 4	2	3	19,3	B	4+0,2d	8,4	16,7
Bliksemdraad 1	1	3	9,4	B	4+0,2d	8,3	8,3
Bliksemdraad 2	1	3	9,7	B	4+0,2d	8,4	8,4

Vertical load ahead

Circuit	Bundle [-]	Additional [%]	$W_{z,G}$ [N/m]	Ice region	Formula	$W_{z,ijs}$ [N/m]	$W_{z,ijs,bundel}$ [N/m]
Circuit 1	3	3	46,3	B	4+0,2d	9,5	28,6
Circuit 2	3	3	46,3	B	4+0,2d	9,5	28,6
Circuit 3	2	3	19,3	B	4+0,2d	8,4	16,7
Circuit 4	2	3	19,3	B	4+0,2d	8,4	16,7
Bliksemdraad 1	1	3	9,4	B	4+0,2d	8,3	8,3
Bliksemdraad 2	1	3	9,7	B	4+0,2d	8,4	8,4

Insulators

Conductor	$G_{isolator}$ [kN]	Number	$F_{v,iso}$ [kN]	Length [m]	Wind surf. [m ²]	Wind height [m]	Pressure [kN/m ²]	Drag factor [-]	$F_{h,iso}$ [kN]
380ct1f1	3,50	1	3,5	4,5	2,0	51,69	1,15	1,2	2,75
380ct1f2	3,50	1	3,5	4,5	2,0	41,85	1,08	1,2	2,60
380ct1f3	3,50	1	3,5	4,5	2,0	34,25	1,03	1,2	2,46
380ct2f1	3,50	1	3,5	4,5	2,0	51,69	1,15	1,2	2,75
380ct2f2	3,50	1	3,5	4,5	2,0	41,85	1,08	1,2	2,60
380ct2f3	3,50	1	3,5	4,5	2,0	34,25	1,03	1,2	2,46
150ct3f1	2,00	1	2	2,5	1,0	23,25	0,92	1,2	1,10
150ct3f2	2,00	1	2	2,5	1,0	23,25	0,92	1,2	1,10
150ct3f3	2,00	1	2	2,5	1,0	23,25	0,92	1,2	1,10
150ct4f1	2,00	1	2	2,5	1,0	23,25	0,92	1,2	1,10
150ct4f2	2,00	1	2	2,5	1,0	23,25	0,92	1,2	1,10
150ct4f3	2,00	1	2	2,5	1,0	23,25	0,92	1,2	1,10
bl1	0,10	1	0,1	0,3	0,1	53,79	1,16	1,2	0,14
bl2	0,10	1	0,1	0,3	0,1	53,79	1,16	1,2	0,14

Project: MBT-EHV380
 Tower: S+0(tc)
 Number: 120

Wind load back

Conductor	Height	Pressure	G _{c,dwars}	G _{c,trek}	C _c	d _{additional}	w _y	w _{y,section}	D _{ij,s,additional}	W _{y,ij,s}	W _{y,ij,s,section}
	wind										
	[m]	[kN/m ²]	[-]	[-]	[-]	[mm]	[N/m]	[N/m]	[mm]	[N/m]	[N/m]
380ct1f1	41,8	1,08	0,62	0,52	1,07	28,53	61,5	51,9	47,4	114,2	96,4
380ct1f2	32,2	1,01	0,60	0,50	1,09	28,53	56,4	47,6	47,4	102,7	86,8
380ct1f3	24,9	0,94	0,58	0,49	1,11	28,53	51,5	43,5	47,4	92,1	77,9
380ct2f1	41,8	1,08	0,62	0,52	1,07	28,53	61,5	51,9	47,4	114,2	96,4
380ct2f2	32,1	1,01	0,60	0,50	1,09	28,53	56,3	47,6	47,4	102,7	86,7
380ct2f3	24,9	0,94	0,58	0,49	1,11	28,53	51,5	43,5	47,4	92,1	77,9
150ct3f1	16,4	0,83	0,54	0,46	1,20	22,45	24,1	20,5	41,9	45,1	38,2
150ct3f2	16,4	0,83	0,54	0,46	1,20	22,45	24,1	20,5	41,9	45,1	38,2
150ct3f3	16,4	0,83	0,54	0,46	1,20	22,45	24,1	20,5	41,9	45,1	38,2
150ct4f1	16,4	0,83	0,54	0,46	1,20	22,45	24,1	20,5	41,9	45,1	38,2
150ct4f2	16,4	0,83	0,54	0,46	1,20	22,45	24,1	20,5	41,9	45,1	38,2
150ct4f3	16,4	0,83	0,54	0,46	1,20	22,45	24,1	20,5	41,9	45,1	38,2
bl1	47,3	1,12	0,63	0,53	1,19	22,35	18,7	15,8	41,8	35,3	29,7
bl2	47,3	1,12	0,63	0,53	1,19	22,45	18,8	15,8	41,9	35,4	29,8

Wind load ahead

Conductor	Height	Pressure	G _{c,dwars}	G _{c,trek}	C _c	d _{additional}	w _y	w _{y,section}	D _{ij,s,additional}	W _{y,ij,s}	W _{y,ij,s,section}
	wind										
	[m]	[kN/m ²]	[-]	[-]	[-]	[mm]	[N/m]	[N/m]	[mm]	[N/m]	[N/m]
380ct1f1	42,3	1,09	0,62	0,52	1,07	28,53	61,8	52,1	47,4	114,8	96,8
380ct1f2	32,3	1,01	0,60	0,50	1,09	28,53	56,4	47,7	47,4	102,9	86,9
380ct1f3	28,6	0,98	0,59	0,50	1,10	28,53	54,1	45,7	47,4	97,8	82,7
380ct2f1	42,3	1,09	0,62	0,52	1,07	28,53	61,8	52,1	47,4	114,8	96,8
380ct2f2	32,3	1,01	0,60	0,50	1,09	28,53	56,4	47,7	47,4	102,9	86,9
380ct2f3	28,6	0,98	0,59	0,50	1,10	28,53	54,1	45,7	47,4	97,8	82,7
150ct3f1	18,8	0,86	0,55	0,47	1,20	22,45	25,7	21,8	41,9	48,0	40,7
150ct3f2	18,8	0,86	0,55	0,47	1,20	22,45	25,7	21,8	41,9	48,0	40,7
150ct3f3	18,8	0,86	0,55	0,47	1,20	22,45	25,7	21,8	41,9	48,0	40,7
150ct4f1	18,8	0,86	0,55	0,47	1,20	22,45	25,7	21,8	41,9	48,0	40,7
150ct4f2	18,8	0,86	0,55	0,47	1,20	22,45	25,7	21,8	41,9	48,0	40,7
150ct4f3	18,8	0,86	0,55	0,47	1,20	22,45	25,7	21,8	41,9	48,0	40,7
bl1	47,2	1,12	0,63	0,53	1,19	22,35	18,7	15,8	41,8	35,3	29,7
bl2	47,2	1,12	0,63	0,53	1,19	22,45	18,7	15,8	41,9	35,3	29,8

Note: loads w_v are applicable to the sum of the conductors within the bundle

Project: MBT-EHV380
 Tower: S+0(tc)
 Number: 120

Auteur: TBR
 Versie: v12.0

Conductor loads

Starting points

Consequence class Afkeur CC2-0
 Reference period 30 jaar

ULS (strength)		NEN-EN50341-2-15:2019						
Load case	description	Temp °C	γ_G $G_{k,mast}$	γ_G $G_{k,geleider}$	γ_Q Q_{pk}	γ_Q Q_{wk}	γ_Q Q_{ik}	γ_a A_k
ULS 1a	Wind	10°	1,05	1,05	0,00	1,12	0,00	0,0
ULS 1a_0,9	Wind 0,9Gk only tower	10°	0,90	1,05	0,00	1,12	0,00	0,0
ULS 1a_0,9_0,9	Wind 0,9Gk conductors too	10°	0,90	0,90	0,00	1,12	0,00	0,0
ULS 3	Wind+ice	-5°	1,05	1,05	0,00	0,34	0,97	0,0
ULS 3_0,9	Wind+ice 0,9Gk	-5°	0,90	1,05	0,00	0,34	0,97	0,0
ULS 4	Cold+wind	-20°	1,05	1,05	0,00	0,22	0,00	0,0
ULS 4_0,9	Cold+wind 0,9Gk	-20°	0,90	1,05	0,00	0,22	0,00	0,0
ULS 5a	Torsional loads	10°	1,00	1,00	1,00	0,00	0,00	1,0
ULS 5b	Longitudinal loads	10°	1,00	1,00	0,00	0,00	0,00	1,0
ULS 6	Construction + maintenance	5°	1,05	1,05	1,20	0,22	0,00	0,0
ULS 6_0,9	Construction + maintenance	5°	1,05	1,05	0,00	0,22	0,00	0,0
ULS 7	Permanent	10°	1,15	1,15	0,00	0,00	0,00	0,0
ULS 8	Special	10°	1,00	1,00	0,00	0,00	0,00	1,0
SPLS (strength, for angle towers: absence of conductors)			γ_G G_k	γ_Q Q_{pk}	γ_Q Q_{wk}	γ_Q Q_{ik}	γ_a A_k	
SPLS 1a	Wind	10°	1,05	1,05	0,0	0,78	0,00	0,0
SPLS 1a_0,9	Wind 0,9	10°	0,90	1,05	0,0	0,78	0,00	0,0
SPLS 1a_0,9_0,9	Wind 0,9	10°	0,90	0,90	0,0	0,78	0,00	0,0
SPLS 3	Wind+ice	-5°	1,05	1,05	0,0	0,36	0,34	0,0
SPLS 3_0,9	Wind+ice 0,9	-5°	0,90	1,05	0,0	0,36	0,34	0,0
SPLS 4	Cold+wind	-20°	1,05	1,05	0,0	0,24	0,00	0,0
SPLS 4_0,9	Cold+wind 0,9	-20°	0,90	1,05	0,0	0,24	0,00	0,0
SPLS 6	Maintenance	5°	1,05	1,05	1,2	0,24	0,0	0,0
SPLS 6_0,9	Maintenance	5°	1,05	1,05	0,0	0,24	0,0	0,0
SLS (deformations, fatigue, EDS)			G_k	Q_{pk}	Q_{wk}	Q_{ik}	A_k	
SLS 1a	Wind	10°	1,00	1,00	0,0	0,94	0,0	0,0
SLS 3	Wind+ice	-5°	1,00	1,00	0,0	0,28	0,88	0,0
SLS 4	Wind	-20°	1,00	1,00	0,0	0,19	0,0	0,0
SLS 6	Maintenance	5°	1,00	1,00	0,0	0,19	0,0	0,0
SLS 7	EDS, no wind	10°	1,00	1,00	0,0	0,00	0,0	0,0

Number of wind directions 4
 Number of load combinations for ULS 60
 Number of load combinations for SPLS 0
 Number of load combinations for SLS 11
 Number of concentrated loads 994

Project: MBT-EHV380
 Tower: S+0(tc)
 Number: 120

Summary table - Conductor loads

The four tables below show:

- The maximum conductor load in the global axis system, split into proportion of back and ahead span
- The combined conductor load (Ba+Ah) in the global axis system with the maximum tensile force in the local axes. Components Fx and Fy as absolute values
- The everyday (EDS) values of the combined conductor loads (Ba+Ah) with corresponding tensile forces
- Check for uplift, where a negative value indicates uplift

Note: Maximum values for Fx, Fy and Fz do not necessarily belong to the same load combination.

*For Steunmast the special combination SPLS 6 don't apply.

Maximum values for back and ahead span

Geleider	Fx_ba [kN]	Fx_ah [kN]	Fy_ba [kN]	Fy_ah [kN]	Fz_ba [kN]	Fz_ah [kN]
bl1	-29,0	29,0	3,5	3,6	4,7	5,1
bl2	-29,4	29,4	3,5	3,6	4,7	5,2
380ct1f1	-112,7	112,7	12,9	13,1	15,5	16,7
380ct1f2	-111,3	111,3	11,8	12,0	15,3	16,8
380ct1f3	-110,4	110,4	10,9	11,5	15,1	14,3
380ct2f1	-112,7	112,7	12,9	13,1	15,5	16,7
380ct2f2	-111,3	111,3	11,8	12,0	15,4	16,8
380ct2f3	-110,4	110,4	10,9	11,5	15,1	14,3
150ct3f1	-59,6	59,6	5,1	5,4	8,5	8,5
150ct3f2	-59,6	59,6	5,1	5,4	8,5	8,5
150ct3f3	-59,6	59,6	5,1	5,4	8,5	8,5
150ct4f1	-59,6	59,6	5,1	5,4	8,5	8,5
150ct4f2	-59,6	59,6	5,1	5,4	8,5	8,5
150ct4f3	-59,6	59,6	5,1	5,4	8,5	8,5

Min. Weight span (m)

Weight spar Combinatie1

Geleider	SLS 1a	SLS 4	SLS 7
bl1	370,2	376,8	370,2
bl2	370,2	376,8	370,2
380ct1f1	371,9	377,0	371,9
380ct1f2	372,0	376,9	372,0
380ct1f3	336,8	337,3	336,8
380ct2f1	371,9	377,0	371,9
380ct2f2	372,3	377,2	372,3
380ct2f3	336,8	337,3	336,8
150ct3f1	342,2	343,8	342,2
150ct3f2	342,2	343,8	342,2
150ct3f3	342,1	343,7	342,1
150ct4f1	342,1	343,7	342,1
150ct4f2	342,1	343,7	342,1
150ct4f3	342,1	343,7	342,1

Max. Weight span (m)

Weight spar Combinatie1

Geleider	ULS 1a	ULS 3
bl1	400,0	371,8
bl2	399,1	371,8
380ct1f1	390,6	374,1
380ct1f2	388,3	373,7
380ct1f3	338,2	336,9
380ct2f1	390,6	374,1
380ct2f2	388,6	374,0
380ct2f3	338,2	336,9
150ct3f1	346,0	341,9
150ct3f2	346,0	341,9
150ct3f3	345,9	341,8
150ct4f1	345,9	341,8
150ct4f2	345,9	341,8
150ct4f3	345,9	341,8

Envelop of weight span over all combinations (incl. 0,9 combinations)

For all conductors

Wind / Weight span ratio

Max. weight span	400,0 m	1,203 -
Min. weight span	297,3 m	0,894 -

Project: MBT-EHV380
 Tower: S+0(tc)
 Number: 120

Maximum values back + ahead span Maximum tension in conductor

Geleider	Fx [kN]	Fy [kN]	Fz [kN]	Ft_ba [kN]	Ft_ah [kN]
bl1	14,6	7,1	7,5	-31,3	31,3
bl2	15,0	7,1	7,6	-31,8	31,8
380ct1f1	51,8	26,0	32,2	-112,6	112,7
380ct1f2	51,8	23,8	32,2	-111,2	111,3
380ct1f3	51,8	22,4	29,4	-110,1	110,7
380ct2f1	51,8	26,0	32,2	-112,6	112,7
380ct2f2	51,8	23,8	32,2	-111,2	111,3
380ct2f3	51,8	22,4	29,4	-110,1	110,7
150ct3f1	26,1	10,5	14,6	-59,8	59,8
150ct3f2	26,1	10,5	14,6	-59,8	59,8
150ct3f3	26,1	10,5	14,6	-59,8	59,8
150ct4f1	26,1	10,5	14,6	-59,8	59,8
150ct4f2	26,1	10,5	14,6	-59,8	59,8
150ct4f3	26,1	10,5	14,6	-59,8	59,8

EDS-loads conductor

Geleider	Fx [kN]	Fy [kN]	Fz [kN]	Ft_ba [kN]	Ft_ah [kN]
bl1	0,0	0,0	3,6	-14,6	14,6
bl2	0,0	0,0	3,7	-15,0	15,0
380ct1f1	0,0	0,0	20,7	-64,8	64,8
380ct1f2	0,0	0,0	20,7	-64,8	64,8
380ct1f3	0,0	0,0	19,1	-64,8	64,8
380ct2f1	0,0	0,0	20,7	-64,8	64,8
380ct2f2	0,0	0,0	20,7	-64,8	64,8
380ct2f3	0,0	0,0	19,1	-64,8	64,8
150ct3f1	0,0	0,0	8,6	-32,6	32,6
150ct3f2	0,0	0,0	8,6	-32,6	32,6
150ct3f3	0,0	0,0	8,6	-32,6	32,6
150ct4f1	0,0	0,0	8,6	-32,6	32,6
150ct4f2	0,0	0,0	8,6	-32,6	32,6
150ct4f3	0,0	0,0	8,6	-32,6	32,6

1 Control uplift SLS-wind

Combinatie: Geleider	Fz_ba [kN]	Fz_ah [kN]
SLS 4		
bl1	1,7	1,9
bl2	1,7	2,0
380ct1f1	10,1	10,9
380ct1f2	10,0	11,0
380ct1f3	9,8	9,3
380ct2f1	10,1	10,9
380ct2f2	10,0	11,0
380ct2f3	9,8	9,3
150ct3f1	4,3	4,3
150ct3f2	4,3	4,3
150ct3f3	4,3	4,3
150ct4f1	4,3	4,3
150ct4f2	4,3	4,3
150ct4f3	4,3	4,3

Project: MBT-EHV380
 Tower: S+0(tc)
 Number: 120

ULS foundation loads for LC 1 and 3, wind purpendicular to the line or bisector and EDS, from conductors

Combination	Combination	F_x [kN]	F_y [kN]	F_z [kN]	M_x [kNm]	M_y [kNm]	M_z [kNm]
ULS 1a_90		0	221	194	8735	0	0
ULS 1a_0,9_90		0	221	176	8735	0	0
ULS 3_90		0	116	289	4585	0	0
ULS 3_0,9_90		0	116	268	4585	0	0
SLS 7		0	0	180	1	0	0

ULS foundation loads, LC 1 and 3, wind purpendicular to the line or bisector and EDS, total conductors and tower

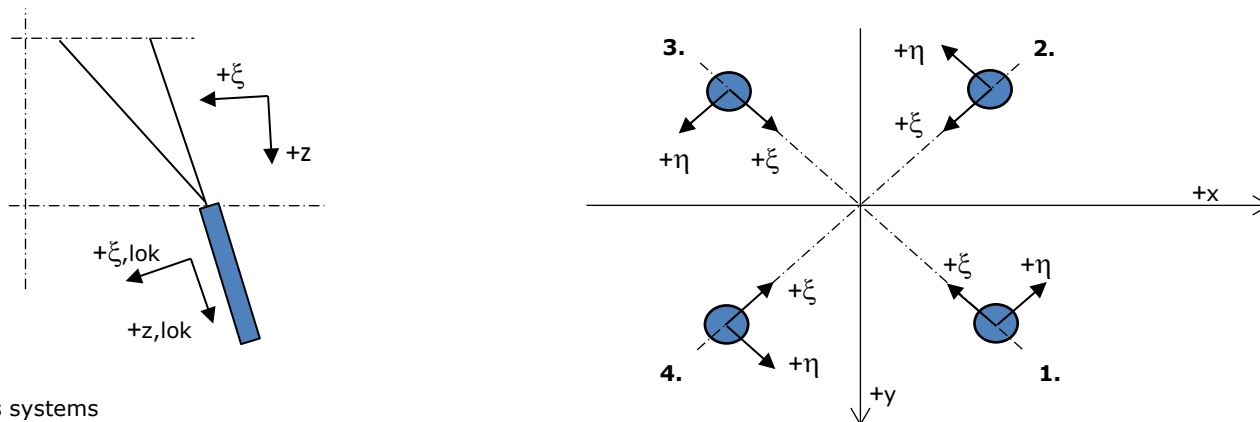
Combination	F_x [kN]	F_y [kN]	F_z [kN]	M_x [kNm]	M_y [kNm]	M_z [kNm]
ULS 1a_90	0	451	740	15441	0	0
ULS 3_90	0	185	835	6597	0	0
SLS 7	0	0	700	1	0	0

Foundation loads, selection of load combinations based on greatest value

Combination	F_x [kN]	F_y [kN]	F_z [kN]	M_x [kNm]	M_y [kNm]	M_z [kNm]
ULS 1a_90	0	451	740	15441	0	0
ULS 1a_0,9_0,9_0	322	0	620	1	10530	0
ULS 5a Ba 11	52	0	706	90	2260	-565
ULS 1a_45	238	345	737	11673	7453	0

Note: Largest values can appear in multiple combinations, one combination is displayed.

Support reactions per leg



Maximum compression load

Index	Combination	R_x [kN]	R_y [kN]	R_z [kN]	R_η [kN]	R_ξ [kN]	$R_{\xi,lok}$ [kN]	$R_{z,lok}$ [kN]
1	ULS 1a_45	213	196	1247	12	-289	-40	1271
2	ULS 1a_0	114	-141	769	19	-181	-27	784
3	ULS 5a Ah 20	-36	-70	333	-24	-75	-9	340
4	ULS 1a_135	-213	196	1247	-12	-289	-40	1271

Maximum tension load

Index	Combination	R_x [kN]	R_y [kN]	R_z [kN]	R_η [kN]	R_ξ [kN]	$R_{\xi,lok}$ [kN]	$R_{z,lok}$ [kN]
1	-	0	0	0	0	0	0	0
2	ULS 1a_0,9_0,9_135	-150	134	-908	12	201	19	-926
3	ULS 1a_0,9_0,9_45	150	134	-908	-12	201	19	-926
4	ULS 1a_0,9_0,9_0	52	-79	-430	-19	93	7	-439

Maximum torsional load (positive)

Index	Combination	R_x [kN]	R_y [kN]	R_z [kN]	R_η [kN]	R_ξ [kN]	$R_{\xi,lok}$ [kN]	$R_{z,lok}$ [kN]
1	ULS 1a_135	94	44	419	35	-97	-14	427
2	ULS 1a_45	-26	-24	-50	35	1	-9	-51
3	ULS 5a Ba 21	-36	6	56	30	-21	-10	57
4	ULS 5a Ah 11	-31	71	307	29	-72	-11	314

Maximum torsional load (negative)

Index	Combination	R_x [kN]	R_y [kN]	R_z [kN]	R_η [kN]	R_ξ [kN]	$R_{\xi,lok}$ [kN]	$R_{z,lok}$ [kN]
1	ULS 5a Ba 11	31	71	307	-29	-72	-11	313
2	ULS 5a Ah 21	36	6	56	-30	-21	-10	57
3	ULS 1a_135	26	-24	-50	-35	1	-9	-51
4	ULS 1a_45	-94	44	419	-35	-97	-14	427

Project: MBT-EHV380
 Tower: S+0(tc)
 Number: 120

Combination Ftensile+Fhor

Index	Combination	R _x [kN]	R _y [kN]	R _z [kN]	R _η [kN]	R _ξ [kN]	R _{ξ,lok} [kN]	R _{z,lok} [kN]
1	ULS 5a Ah 10	30	-5	26	25	-17	-12	26
2	ULS 1a_0,9_0,9_135	-150	134	-908	12	201	19	-926
3	ULS 1a_0,9_0,9_45	150	134	-908	-12	201	19	-926
4	ULS 1a_0,9_0,9_0	52	-79	-430	-19	93	7	-439

Permanent load

Index	Combination	R _x [kN]	R _y [kN]	R _z [kN]	R _η [kN]	R _ξ [kN]	R _{ξ,lok} [kN]	R _{z,lok} [kN]
1	SLS 7	32	32	175	0	-46	-11	179
2	SLS 7	32	-32	175	0	-46	-11	178
3	SLS 7	-32	-32	175	0	-46	-11	178
4	SLS 7	-32	32	175	0	-46	-11	179

Envelope of load combinations for all of the legs

Index	Combination	R _x [kN]	R _y [kN]	R _z [kN]	R _η [kN]	R _ξ [kN]	R _{ξ,lok} [kN]	R _{z,lok} [kN]
Max. pressure	ULS 1a_45	213	196	1247	12	-289	-40	1271
Max. tension	ULS 1a_0,9_0,9_45	150	134	-908	-12	201	19	-926
Max. pos. torsie	ULS 1a_45	-26	-24	-50	35	1	-9	-51
Max. neg. torsie	ULS 1a_135	26	-24	-50	-35	1	-9	-51
Comb. tension+torsie	ULS 1a_0,9_0,9_45	150	134	-908	-12	201	19	-926

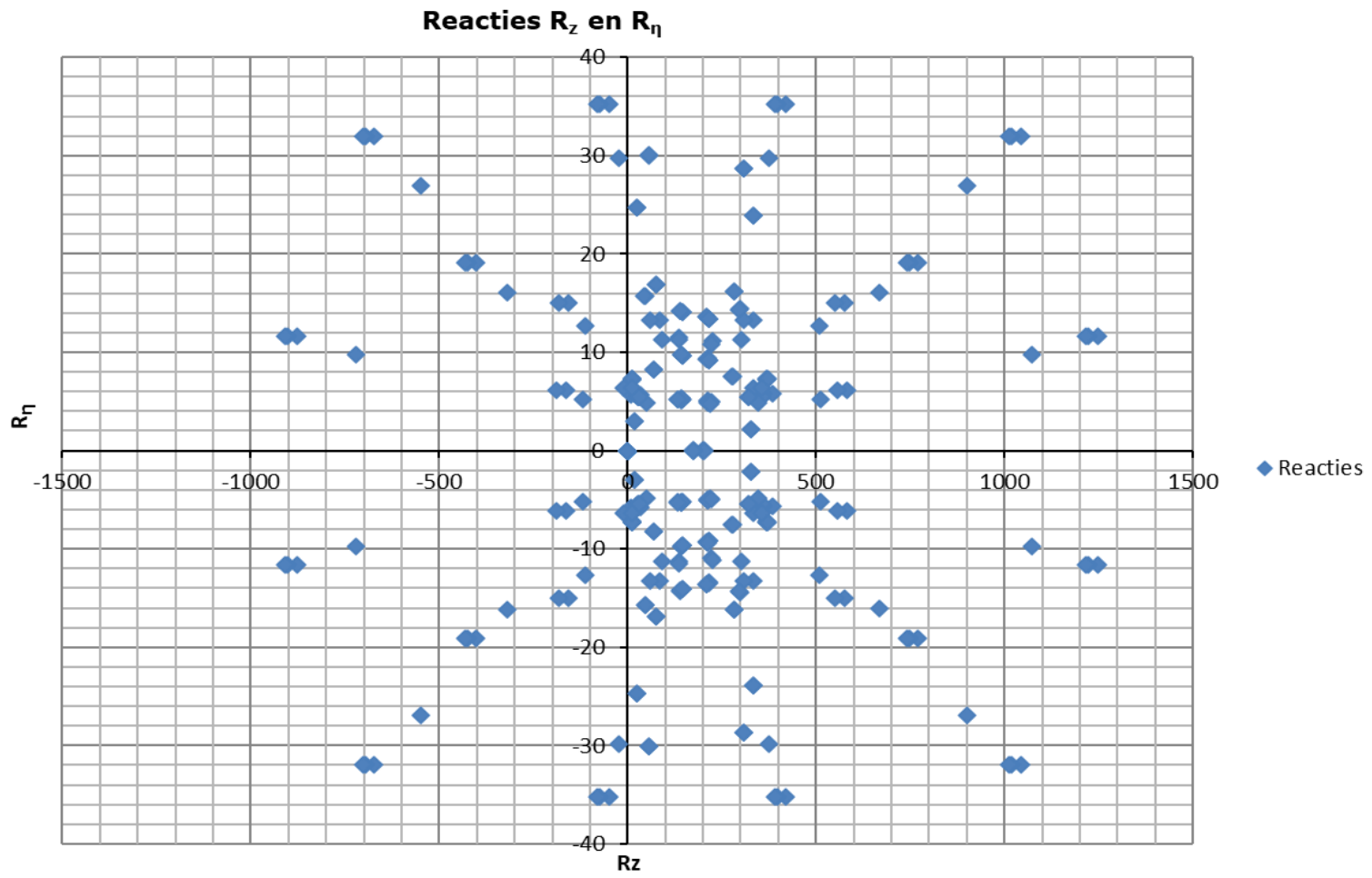
Maximum tension load - SLS

Index	Combination	R _x [kN]	R _y [kN]	R _z [kN]	R _η [kN]	R _ξ [kN]	R _{ξ,lok} [kN]	R _{z,lok} [kN]
1	SLS 7	32	32	175	0	-46	-11	179
2	SLS 1a_135	-119	105	-722	10	158	14	-736
3	SLS 1a_45	119	105	-722	-10	158	14	-736
4	SLS 1a_0	36	-59	-319	-16	67	3	-325

Maximum compression load - SLS

Index	Combination	R _x [kN]	R _y [kN]	R _z [kN]	R _η [kN]	R _ξ [kN]	R _{ξ,lok} [kN]	R _{z,lok} [kN]
1	SLS 1a_45	183	169	1073	10	-249	-35	1094
2	SLS 1a_0	100	-123	669	16	-158	-24	682
3	SLS 7	-32	-32	175	0	-46	-11	178
4	SLS 1a_135	-183	169	1073	-10	-249	-35	1094

Project: MBT-EHV380
Tower: S+0(tc)
Number: 120



Project: MBT-EHV380
 Tower: S+0(tc)
 Number: 120

Auteur: TBR
 Versie: v12.0

Conductor loads

Starting points

Consequence class Verbouw CC2
 Reference period 50 jaar

ULS (strength)		NEN-EN50341-2-15:2019			γ _Q			γ _a
Load case	description	Temp °C	γ _G G _{k,mast}	γ _G G _{k,geleider}	Q _{pk}	Q _{wk}	Q _{ik}	A _k
ULS 1a	Wind	10°	1,15	1,15	0,00	1,40	0,00	0,0
ULS 1a_0,9	Wind 0,9Gk only tower	10°	0,90	1,15	0,00	1,40	0,00	0,0
ULS 1a_0,9_0,9	Wind 0,9Gk conductors too	10°	0,90	0,90	0,00	1,40	0,00	0,0
ULS 3	Wind+ice	-5°	1,15	1,15	0,00	0,42	1,30	0,0
ULS 3_0,9	Wind+ice 0,9Gk	-5°	0,90	1,15	0,00	0,42	1,30	0,0
ULS 4	Cold+wind	-20°	1,15	1,15	0,00	0,28	0,00	0,0
ULS 4_0,9	Cold+wind 0,9Gk	-20°	0,90	1,15	0,00	0,28	0,00	0,0
ULS 5a	Torsional loads	10°	1,00	1,00	1,00	0,00	0,00	1,0
ULS 5b	Longitudinal loads	10°	1,00	1,00	0,00	0,00	0,00	1,0
ULS 6	Construction + maintenance	5°	1,15	1,15	1,30	0,28	0,00	0,0
ULS 6_0,9	Construction + maintenance	5°	1,15	1,15	0,00	0,28	0,00	0,0
ULS 7	Permanent	10°	1,30	1,30	0,00	0,00	0,00	0,0
ULS 8	Special	10°	1,00	1,00	0,00	0,00	0,00	1,0
SPLS (strength, for angle towers: absence of conductors)			γ _G G _k		γ _Q Q _{pk} Q _{wk} Q _{ik}			A _k
SPLS 1a	Wind	10°	1,15	1,15	0,0	0,78	0,00	0,0
SPLS 1a_0,9	Wind 0,9	10°	0,90	1,15	0,0	0,78	0,00	0,0
SPLS 1a_0,9_0,9	Wind 0,9	10°	0,90	0,90	0,0	0,78	0,00	0,0
SPLS 3	Wind+ice	-5°	1,15	1,15	0,0	0,36	0,34	0,0
SPLS 3_0,9	Wind+ice 0,9	-5°	0,90	1,15	0,0	0,36	0,34	0,0
SPLS 4	Cold+wind	-20°	1,15	1,15	0,0	0,24	0,00	0,0
SPLS 4_0,9	Cold+wind 0,9	-20°	0,90	1,15	0,0	0,24	0,00	0,0
SPLS 6	Maintenance	5°	1,15	1,15	1,2	0,24	0,0	0,0
SPLS 6_0,9	Maintenance	5°	1,15	1,15	0,0	0,24	0,0	0,0
SLS (deformations, fatigue, EDS)			G _k		Q _{pk} Q _{wk} Q _{ik}			A _k
SLS 1a	Wind	10°	1,00	1,00	0,0	1,00	0,0	0,0
SLS 3	Wind+ice	-5°	1,00	1,00	0,0	0,30	1,00	0,0
SLS 4	Wind	-20°	1,00	1,00	0,0	0,20	0,0	0,0
SLS 6	Maintenance	5°	1,00	1,00	0,0	0,20	0,0	0,0
SLS 7	EDS, no wind	10°	1,00	1,00	0,0	0,00	0,0	0,0

Number of wind directions 4
 Number of load combinations for ULS 60
 Number of load combinations for SPLS 0
 Number of load combinations for SLS 11
 Number of concentrated loads 994

Project: MBT-EHV380
 Tower: S+0(tc)
 Number: 120

Summary table - Conductor loads

The four tables below show:

- The maximum conductor load in the global axis system, split into proportion of back and ahead span
- The combined conductor load (Ba+Ah) in the global axis system with the maximum tensile force in the local axes. Components Fx and Fy as absolute values
- The everyday (EDS) values of the combined conductor loads (Ba+Ah) with corresponding tensile forces
- Check for uplift, where a negative value indicates uplift

Note: Maximum values for Fx, Fy and Fz do not necessarily belong to the same load combination.

*For Steunmast the special combination SPLS 6 don't apply.

Maximum values for back and ahead span

Geleider	Fx_ba [kN]	Fx_ah [kN]	Fy_ba [kN]	Fy_ah [kN]	Fz_ba [kN]	Fz_ah [kN]
bl1	-33,7	33,7	4,4	4,5	5,1	5,6
bl2	-34,3	34,3	4,4	4,5	5,1	5,6
380ct1f1	-131,0	131,0	16,1	16,4	18,1	19,6
380ct1f2	-129,2	129,2	14,8	15,1	18,0	19,8
380ct1f3	-128,1	128,1	13,6	14,4	17,7	16,8
380ct2f1	-131,0	131,0	16,1	16,4	18,1	19,6
380ct2f2	-129,2	129,2	14,8	15,1	18,0	19,8
380ct2f3	-128,1	128,1	13,6	14,4	17,7	16,8
150ct3f1	-68,8	68,8	6,3	6,8	9,3	9,3
150ct3f2	-68,8	68,8	6,3	6,8	9,3	9,3
150ct3f3	-68,8	68,8	6,3	6,8	9,3	9,3
150ct4f1	-68,8	68,8	6,3	6,8	9,3	9,3
150ct4f2	-68,8	68,8	6,3	6,8	9,3	9,3
150ct4f3	-68,8	68,8	6,3	6,8	9,3	9,3

Min. Weight span (m)

Weight spar Combinatie1

Geleider	SLS 1a	SLS 4	SLS 7
bl1	370,2	377,0	370,2
bl2	370,2	376,9	370,2
380ct1f1	371,9	377,1	371,9
380ct1f2	372,0	377,0	372,0
380ct1f3	336,8	337,3	336,8
380ct2f1	371,9	377,1	371,9
380ct2f2	372,3	377,3	372,3
380ct2f3	336,8	337,3	336,8
150ct3f1	342,2	343,8	342,2
150ct3f2	342,2	343,8	342,2
150ct3f3	342,1	343,8	342,1
150ct4f1	342,1	343,8	342,1
150ct4f2	342,1	343,8	342,1
150ct4f3	342,1	343,8	342,1

Max. Weight span (m)

Weight spar Combinatie1

Geleider	ULS 1a	ULS 3
bl1	404,6	370,4
bl2	403,6	370,5
380ct1f1	394,1	373,3
380ct1f2	391,4	372,9
380ct1f3	338,5	336,8
380ct2f1	394,1	373,3
380ct2f2	391,8	373,1
380ct2f3	338,5	336,8
150ct3f1	346,6	341,5
150ct3f2	346,6	341,5
150ct3f3	346,5	341,4
150ct4f1	346,5	341,4
150ct4f2	346,5	341,4
150ct4f3	346,5	341,4

Envelop of weight span over all combinations (incl. 0,9 combinations)

For all conductors	Wind / Weight span ratio
Max. weight span	404,6 m 1,217 -
Min. weight span	292,6 m 0,880 -

Project: MBT-EHV380
 Tower: S+0(tc)
 Number: 120

Maximum values back + ahead span Maximum tension in conductor

Geleider	Fx [kN]	Fy [kN]	Fz [kN]	Ft_ba [kN]	Ft_ah [kN]
bl1	14,6	8,9	8,2	-33,7	33,7
bl2	15,0	8,9	8,3	-34,3	34,3
380ct1f1	51,8	32,5	37,8	-131,0	131,0
380ct1f2	51,8	29,9	37,7	-129,2	129,2
380ct1f3	51,8	28,0	34,5	-127,7	128,5
380ct2f1	51,8	32,5	37,8	-131,0	131,0
380ct2f2	51,8	29,9	37,8	-129,2	129,2
380ct2f3	51,8	28,0	34,5	-127,7	128,5
150ct3f1	26,1	13,2	17,3	-68,6	69,0
150ct3f2	26,1	13,2	17,3	-68,6	69,0
150ct3f3	26,1	13,2	17,3	-68,6	69,0
150ct4f1	26,1	13,2	17,3	-68,6	69,0
150ct4f2	26,1	13,2	17,3	-68,6	69,0
150ct4f3	26,1	13,2	17,3	-68,6	69,0

EDS-loads conductor

Geleider	Fx [kN]	Fy [kN]	Fz [kN]	Ft_ba [kN]	Ft_ah [kN]
bl1	0,0	0,0	3,6	-14,6	14,6
bl2	0,0	0,0	3,7	-15,0	15,0
380ct1f1	0,0	0,0	20,7	-64,8	64,8
380ct1f2	0,0	0,0	20,7	-64,8	64,8
380ct1f3	0,0	0,0	19,1	-64,8	64,8
380ct2f1	0,0	0,0	20,7	-64,8	64,8
380ct2f2	0,0	0,0	20,7	-64,8	64,8
380ct2f3	0,0	0,0	19,1	-64,8	64,8
150ct3f1	0,0	0,0	8,6	-32,6	32,6
150ct3f2	0,0	0,0	8,6	-32,6	32,6
150ct3f3	0,0	0,0	8,6	-32,6	32,6
150ct4f1	0,0	0,0	8,6	-32,6	32,6
150ct4f2	0,0	0,0	8,6	-32,6	32,6
150ct4f3	0,0	0,0	8,6	-32,6	32,6

1 Control uplift SLS-wind

Combinatie: Geleider	Fz_ba [kN]	Fz_ah [kN]
SLS 4		
bl1	1,7	1,9
bl2	1,7	2,0
380ct1f1	10,1	10,9
380ct1f2	10,0	11,0
380ct1f3	9,8	9,3
380ct2f1	10,1	10,9
380ct2f2	10,0	11,0
380ct2f3	9,8	9,3
150ct3f1	4,3	4,3
150ct3f2	4,3	4,3
150ct3f3	4,3	4,3
150ct4f1	4,3	4,3
150ct4f2	4,3	4,3
150ct4f3	4,3	4,3

Project: MBT-EHV380
 Tower: S+0(tc)
 Number: 120

ULS foundation loads for LC 1 and 3, wind purpendicular to the line or bisector and EDS, from conductors

Combination	Combination	F_x [kN]	F_y [kN]	F_z [kN]	M_x [kNm]	M_y [kNm]	M_z [kNm]
ULS 1a_90		0	278	213	10950	0	0
ULS 1a_0,9_90		0	278	193	10950	0	0
ULS 3_90		0	146	340	5747	0	0
ULS 3_0,9_90		0	146	317	5747	0	0
SLS 7		0	0	180	1	0	0

ULS foundation loads, LC 1 and 3, wind purpendicular to the line or bisector and EDS, total conductors and tower

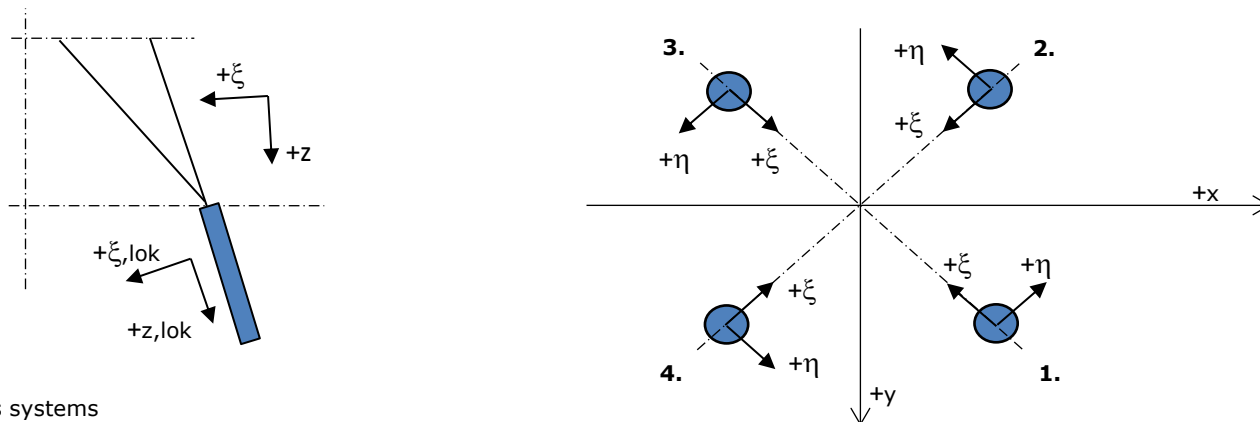
Combination	F_x [kN]	F_y [kN]	F_z [kN]	M_x [kNm]	M_y [kNm]	M_z [kNm]
ULS 1a_90	0	565	811	19358	0	0
ULS 3_90	0	232	939	8270	0	0
SLS 7	0	0	700	1	0	0

Foundation loads, selection of load combinations based on greatest value

Combination	F_x [kN]	F_y [kN]	F_z [kN]	M_x [kNm]	M_y [kNm]	M_z [kNm]
ULS 1a_90	0	565	811	19358	0	0
ULS 1a_0,9_0,9_0	404	0	620	1	13202	0
ULS 5a Ba 11	52	0	706	90	2260	-565
ULS 1a_45	298	432	807	14633	9343	0

Note: Largest values can appear in multiple combinations, one combination is displayed.

Support reactions per leg



Maximum compression load

Index	Combination	R_x [kN]	R_y [kN]	R_z [kN]	R_η [kN]	R_ξ [kN]	$R_{\xi,lok}$ [kN]	$R_{z,lok}$ [kN]
1	ULS 1a_45	261	241	1534	15	-355	-48	1564
2	ULS 1a_0	138	-172	935	24	-219	-32	953
3	ULS 5a Ah 20	-36	-70	333	-24	-75	-9	340
4	ULS 1a_135	-261	241	1534	-15	-355	-48	1564

Maximum tension load

Index	Combination	R_x [kN]	R_y [kN]	R_z [kN]	R_η [kN]	R_ξ [kN]	$R_{\xi,lok}$ [kN]	$R_{z,lok}$ [kN]
1	-	0	0	0	0	0	0	0
2	ULS 1a_0,9_0,9_135	-195	175	-1177	15	262	26	-1200
3	ULS 1a_0,9_0,9_45	195	175	-1177	-15	262	26	-1200
4	ULS 1a_0,9_0,9_0	73	-106	-578	-24	127	11	-590

Maximum torsional load (positive)

Index	Combination	R_x [kN]	R_y [kN]	R_z [kN]	R_η [kN]	R_ξ [kN]	$R_{\xi,lok}$ [kN]	$R_{z,lok}$ [kN]
1	ULS 1a_135	112	50	496	44	-114	-15	506
2	ULS 1a_45	-38	-25	-92	44	9	-9	-94
3	ULS 5a Ba 21	-36	6	56	30	-21	-10	57
4	ULS 5a Ah 11	-31	71	307	29	-72	-11	314

Maximum torsional load (negative)

Index	Combination	R_x [kN]	R_y [kN]	R_z [kN]	R_η [kN]	R_ξ [kN]	$R_{\xi,lok}$ [kN]	$R_{z,lok}$ [kN]
1	ULS 5a Ba 11	31	71	307	-29	-72	-11	313
2	ULS 5a Ah 21	36	6	56	-30	-21	-10	57
3	ULS 1a_135	38	-25	-92	-44	9	-9	-94
4	ULS 1a_45	-112	50	496	-44	-114	-15	506

Project: MBT-EHV380
 Tower: S+0(tc)
 Number: 120

Combination Ftensile+Fhor

Index	Combination	R _x [kN]	R _y [kN]	R _z [kN]	R _η [kN]	R _ξ [kN]	R _{ξ,lok} [kN]	R _{z,lok} [kN]
1	ULS 5a Ah 10	30	-5	26	25	-17	-12	26
2	ULS 1a_0,9_0,9_135	-195	175	-1177	15	262	26	-1200
3	ULS 1a_0,9_0,9_45	195	175	-1177	-15	262	26	-1200
4	ULS 1a_0,9_0,9_0	73	-106	-578	-24	127	11	-590

Permanent load

Index	Combination	R _x [kN]	R _y [kN]	R _z [kN]	R _η [kN]	R _ξ [kN]	R _{ξ,lok} [kN]	R _{z,lok} [kN]
1	SLS 7	32	32	175	0	-46	-11	179
2	SLS 7	32	-32	175	0	-46	-11	178
3	SLS 7	-32	-32	175	0	-46	-11	178
4	SLS 7	-32	32	175	0	-46	-11	179

Envelope of load combinations for all of the legs

Index	Combination	R _x [kN]	R _y [kN]	R _z [kN]	R _η [kN]	R _ξ [kN]	R _{ξ,lok} [kN]	R _{z,lok} [kN]
Max. pressure	ULS 1a_45	261	241	1534	15	-355	-48	1564
Max. tension	ULS 1a_0,9_0,9_45	195	175	-1177	-15	262	26	-1200
Max. pos. torsie	ULS 1a_45	-38	-25	-92	44	9	-9	-94
Max. neg. torsie	ULS 1a_135	38	-25	-92	-44	9	-9	-94
Comb. tension+torsie	ULS 1a_0,9_0,9_45	195	175	-1177	-15	262	26	-1200

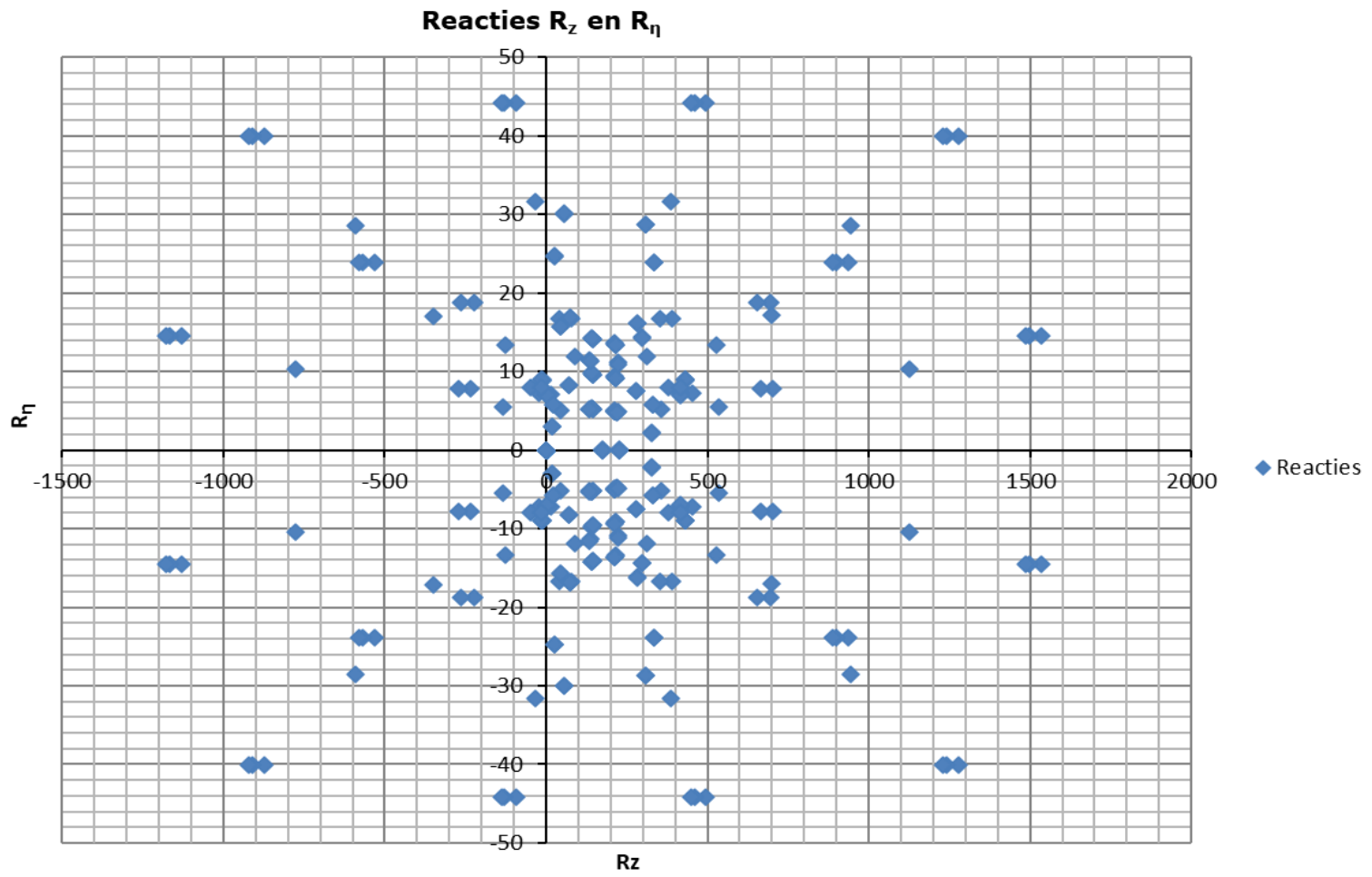
Maximum tension load - SLS

Index	Combination	R _x [kN]	R _y [kN]	R _z [kN]	R _η [kN]	R _ξ [kN]	R _{ξ,lok} [kN]	R _{z,lok} [kN]
1	SLS 7	32	32	175	0	-46	-11	179
2	SLS 1a_135	-128	113	-776	10	170	15	-791
3	SLS 1a_45	128	113	-776	-10	170	15	-791
4	SLS 1a_0	40	-64	-349	-17	74	4	-356

Maximum compression load - SLS

Index	Combination	R _x [kN]	R _y [kN]	R _z [kN]	R _η [kN]	R _ξ [kN]	R _{ξ,lok} [kN]	R _{z,lok} [kN]
1	SLS 1a_45	192	178	1127	10	-262	-36	1149
2	SLS 1a_0	104	-129	699	17	-165	-25	713
3	SLS 7	-32	-32	175	0	-46	-11	178
4	SLS 1a_135	-192	178	1127	-10	-262	-36	1149

Project: MBT-EHV380
Tower: S+0(tc)
Number: 120





APPENDIX B
UITVOER PLS-TOWER



Assessment of groups for initial structure (afkeur level)

Date 3-9-2021
Author MKH
Version v4.3

MBT-EHV 380
S+0_tc
Mast 120

Table with columns: Group Label, Description, Profile, Steel Quality, Bolts, RLX, RLY, RLZ, Slenderness, Compression (kN), Load Case (Compression), Buckling, Shear (Comp), Bearing (Comp), U.C. (Comp), Exceedance (Comp), Tension (kN), Load Case (Tension), Net Section, Shear (Tens), Bearing (Tens), U.C. (Tens), Exceedance (Tens). Rows include various structural components like legs, CD, and other broekstuk.



Assessment of groups for initial structure (afkeur level)

Date 3-9-2021
Author MKh
Version v4.3

MBT-EHV 380
S+0_tc
Mast 120

Table with columns: Group Label, Description, Profile, Steel Quality, Bolts, RLY, RLY, RLY, Slenderness, Compression (kN), Load Case (Compression), Buckling, Shear (Comp), Bearing (Comp), U.C. (Comp), Exceedance (Comp), Tension (kN), Load Case (Tension), Net Section, Shear (Tens), Bearing (Tens), U.C. (Tens), Exceedance (Tens). Rows 611-316.



Date 3-9-2021
 Author MKh
 Version v4.3

Assessment of groups for initial structure (afkeur level)

**MBT-EHV 380
 S+0_tc
 Mast 120**

Group Label	Description	Profile	Steel Quality	Bolts	RLX	RLY	RLZ	Slenderness	Compression					Tension						
									(kN)	Load Case (Compression)	Buckling	Shear (Comp)	Bearing (Comp)	U.C. (Comp)	Exceedance (Comp)	(kN)	Load Case (Tension)	Net Section	Shear (Tens)	Bearing (Tens)
317	Other	150x100x10	S355	1M20-8.8t	2.00	2.00	2.00	137	-12.3	ULS 5a Ba 41	235.3	94.1	147.0	0.13	3.6	ULS 5a Ah 31	345.0	94.1	118.8	0.04
318	Other	150x100x10	S355	1M20-8.8t	2.00	2.00	2.00	135	-5.3	ULS 1a 0,9_0,9_90	239.9	94.1	147.0	0.06	10.3	ULS 5a Ba 41	345.0	94.1	118.8	0.11
319	CD	50x50x5	S355	1M16-8.8t	0.55	0.55	0.55	186	-7.6	ULS 5a Ah 42	27.3	60.3	58.8	0.28	9.2	ULS 5a Ba 30	62.7	60.3	44.5	0.21
320	Other	50x50x5	S355	1M16-8.8t	0.56	0.56	0.56	168	-11.9	ULS 5a Ba 30	31.7	60.3	58.8	0.38	9.9	ULS 5a Ah 42	62.7	60.3	44.5	0.22
321	Other	150x100x10	S355	1M20-8.8t	2.00	2.00	2.00	91	-2.4	ULS 5a Ah 42	369.1	94.1	147.0	0.03	13.2	ULS 5a Ba 31	345.0	94.1	118.8	0.14
322	Other	150x100x10	S355	1M20-8.8t	2.00	2.00	2.00	89	-11.0	ULS 5a Ba 30	377.0	94.1	147.0	0.12	0.0		345.0	94.1	118.8	0.00
323	Other	150x100x10	S355	1M20-8.8t	2.00	2.00	2.00	88	-12.5	ULS 5a Ba 30	382.3	94.1	147.0	0.13	2.5	ULS 5a Ah 42	345.0	94.1	118.8	0.03
324	Other	150x100x10	S355	1M20-8.8t	2.00	2.00	2.00	86	-3.0	ULS 1a 0,9_0,9_90	390.3	94.1	147.0	0.03	8.8	ULS 5a Ba 42	345.0	94.1	118.8	0.09
325	CD	50x50x5	S355	1M16-8.8t	0.58	0.58	0.58	149	-4.8	ULS 5a Ah 42	37.4	60.3	58.8	0.13	6.8	ULS 5a Ba 30	62.7	60.3	44.5	0.15
326	Other	50x50x5	S355	1M16-8.8t	0.61	0.61	0.61	139	-11.6	ULS 5a Ba 30	41.0	60.3	58.8	0.28	8.4	ULS 5a Ah 42	62.7	60.3	44.5	0.19
327	Other	150x100x10	S355	1M20-8.8t	2.00	2.00	2.00	43	-1.4	ULS 1a 0,9_0,9_90	571.7	94.1	147.0	0.02	10.3	ULS 5a Ba 42	345.0	94.1	118.8	0.11
328	Other	150x100x10	S355	1M20-8.8t	2.00	2.00	2.00	41	-6.6	ULS 5a Ba 30	579.7	94.1	147.0	0.07	1.6	ULS 1a 0,9_0,9_90	345.0	94.1	118.8	0.02
340A	Other	90x90x9	S355	4M20-8.8t	1.00	4.39	1.00	512	0.0		19.8	376.3	529.2	0.00	78.3	ULS 3_90	272.4	376.3	465.1	0.29
340B	Other	90x90x9	S355	4M20-8.8t	1.00	6.39	1.00	512	0.0		19.8	564.5	793.8	0.00	62.4	ULS 3_90	403.3	564.5	721.6	0.15
341A	Other	70x70x7	S355	6M20-8.8t	1.00	6.39	1.00	660	0.0		7.6	564.5	617.4	0.00	52.2	ULS 3_90	223.0	564.5	561.3	0.23
341B	Other	70x70x7	S355	4M20-8.8t	1.00	3.31	1.00	659	0.0		7.6	376.3	411.6	0.00	34.7	ULS 1a_90	159.7	376.3	306.5	0.22
341C	Other	70x70x7	S355	4M20-8.8t	1.00	6.39	1.00	660	0.0		7.6	0.0	0.00	0.0	34.6	ULS 1a_90	333.7	0.0	0.0	0.10
350	Other	50x50x5	S355	1M16-8.8t	1.00	1.00	1.00	444	0.0		6.5	60.3	58.8	0.00	22.6	ULS 3_90	62.7	60.3	44.5	0.51
351	Other	60x60x6	S355	1M16-8.8t	1.00	1.00	1.00	199	-13.9	ULS 3_0	35.5	60.3	70.6	0.39	0.0		98.8	60.3	61.0	0.00
352	Other	50x50x5	S355	1M16-8.8t	1.00	1.00	1.00	324	0.0		11.2	60.3	58.8	0.00	23.0	ULS 3_0	62.7	60.3	44.5	0.52
353	Other	60x60x6	S355	1M16-8.8t	1.00	1.00	1.00	158	-6.9	ULS 3_135	49.4	60.3	70.6	0.14	0.0		98.8	60.3	61.0	0.00
354	Other	50x50x5	S355	1M16-8.8t	1.00	1.00	1.00	291	0.0		13.5	60.3	58.8	0.00	13.2	ULS 3_135	62.7	60.3	44.5	0.30
355	Other	60x60x6	S355	1M16-8.8t	1.00	1.00	1.00	118	-8.1	ULS 3_90	72.3	60.3	70.6	0.13	0.0		98.8	60.3	61.0	0.00
356	Other	50x50x5	S355	1M16-8.8t	1.00	1.00	1.00	262	0.0		16.0	60.3	58.8	0.00	21.3	ULS 3_90	62.7	60.3	44.5	0.48
357	Other	60x60x6	S355	1M16-8.8t	1.00	1.00	1.00	78	-0.5	ULS 1a_135	109.4	60.3	70.6	0.01	0.0		98.8	60.3	61.0	0.00



APPENDIX C
TOETSING KNIKVERKORTERS

Knikverkorters initial structure (afkeur)

Date: 2021-09-06

Author: MKh

Version: v1.9

 MBT-EHV
 S+0_tc
 Tower 120

Posnr.	Section	Schematization	Profile	Steel Quality	Bolt	Quality	Length (m)	Angle (°)	Slenderness	Normal Force (kN)	Moment (kNm)	Buckling Cap. (kN)	Shear Cap. Bolt (kN)	Bearing Cap. (kN)	Net Section Cap. (kN)	Moment Cap. (kNm)	Highest U.C.	Exceedance Type	Notes
920	Broekstuk	Enkele staaf	L50x5	S355	M16	8.8	0.668	0	69	16.0	0.17	82.8	60.3	41.3	43.1	1.08	0.39		
919	Broekstuk	Enkele staaf	L50x5	S355	M16	8.8	1.54	68	158	16.0	0.00	34.4	60.3	41.3	43.1	1.08	0.47		
918	Broekstuk	Enkele staaf	L50x5	S355	M16	8.8	1.37	0	140	16.0	0.34	40.4	60.3	41.3	43.1	1.08	0.40		
916	Broekstuk	Enkele staaf	L60x6	S355	M16	8.8	1.86	50	159	16.0	0.00	49.1	60.3	52.3	98.8	1.9	0.33		
915	Broekstuk	Enkele staaf	L60x6	S355	M16	8.8	2.07	0	177	16.0	0.52	42.2	60.3	52.3	98.8	1.88	0.38		
939	Broekstuk	Enkele staaf	L60x6	S355	M16	8.8	2.36	37	201	16.0	0.00	34.8	60.3	52.3	98.8	1.88	0.46		
937	Broekstuk	Enkele staaf	L60x6	S355	M16	8.8	2.77	0	237	16.0	0.69	27.1	60.3	52.3	98.8	1.88	0.59		
936	Broekstuk	Enkele staaf	L60x6	S355	M16	8.8	2.94	26	251	16.0	0.66	24.6	60.3	52.3	98.8	1.88	0.65		
923	Broekstuk	Enkele staaf	L60x6	S355	M16	8.8	2.80	30	240	16.0	0.61	26.5	60.3	52.3	98.8	1.88	0.60		
922	Broekstuk	Enkele staaf	L60x6	S355	M16	8.8	2.27	0	194	16.0	0.57	36.8	60.3	52.3	98.8	1.88	0.44		
921	Broekstuk	Enkele staaf	L60x6	S355	M16	8.8	1.94	47	166	16.0	0.00	46.3	60.3	52.3	98.8	1.88	0.35		
917	Broekstuk	Enkele staaf	L50x5	S355	M16	8.8	1.10	0	113	16.0	0.28	52.7	60.3	41.3	43.1	1.08	0.39		
984	Pootverband	Enkele staaf	L50x5	S355	M16	8.8	1.68	0	172	3.1	0.42	30.5	60.3	41.3	43.1	1.08	0.39		
983	Pootverband	Enkele staaf	L60x6	S355	M16	8.8	2.69	72	230	3.1	0.00	28.3	60.3	52.3	98.8	1.88	0.11		
981	Pootverband	Kniksteun en verticale steur	L70x7	S355	M16	8.8	3.32	0	157	3.1	0.42	55.2	60.3	61.0	142.7	2.23	0.19		
982	Pootverband	Enkele staaf	L60x6	S355	M16	8.8	3.03	57	259	3.1	0.00	23.3	60.3	52.3	98.8	1.9	0.13		
908	Tussenschot	Kniksteun en verticale steur	L60x5	S355	M16	8.8	4.74	0	259	1.3	0.59	16.9	60.3	43.6	82.3	1.2	0.50		
911	Tussenschot	Kruisende staaf halverwege	L100x50x6	S355	M16	8.8	6.97	0	328	1.3	0.87	19.9	60.3	49.6	51.7	4.9	0.18		
870	1e tussenstuk	Enkele staaf	L50x5	S355	M16	8.8	1.31	0	135	14.5	0.33	42.7	60.3	41.3	43.1	1.1	0.35		
869	1e tussenstuk	Enkele staaf	L50x5	S355	M16	8.8	1.90	51	196	14.5	0.00	25.2	60.3	41.3	43.1	1.1	0.58		
861	1e tussenstuk	Enkele staaf	L60x6	S355	M16	8.8	2.08	0	178	14.5	0.52	41.8	60.3	52.3	98.8	1.9	0.35		
863	1e tussenstuk	Enkele staaf	L60x6	S355	M16	8.8	1.98	41	169	14.5	0.00	44.9	60.3	52.3	98.8	1.9	0.32		
868	1e tussenstuk	Enkele staaf	L50x5	S355	M16	8.8	1.73	48	177	14.5	0.00	29.2	60.3	41.3	43.1	1.1	0.50		
860	1e tussenstuk	Enkele staaf	L70x7	S355	M16	8.8	2.32	0	170	14.5	0.58	60.9	60.3	61.0	142.7	3.0	0.24		
867	1e tussenstuk	Enkele staaf	L50x5	S355	M16	8.8	1.60	43	164	14.5	0.00	32.6	60.3	41.3	43.1	1.1	0.44		
872	1e tussenstuk	Enkele staaf	L50x5	S355	M16	8.8	1.32	0	136	14.5	0.33	42.3	60.3	41.3	43.1	1.1	0.35		
871	1e tussenstuk	Enkele staaf	L50x5	S355	M16	8.8	1.74	43	179	14.5	0.00	28.9	60.3	41.3	43.1	1.1	0.50		
862	1e tussenstuk	Enkele staaf	L60x6	S355	M16	8.8	2.68	0	229	14.5	0.67	28.5	60.3	52.3	98.8	1.9	0.51		
864	1e tussenstuk	Enkele staaf	L60x6	S355	M16	8.8	1.67	36	143	14.5	0.00	56.9	60.3	52.3	98.8	1.9	0.28		
866	1e tussenstuk	Enkele staaf	L60x6	S355	M16	8.8	1.71	51	146	14.5	0.00	55.1	60.3	52.3	98.8	1.9	0.28		
859	1e tussenstuk	Enkele staaf	L90x9	S355	M16	8.8	2.37	0	135	14.5	0.59	137.6	60.3	78.4	254.0	6.4	0.24		
865	1e tussenstuk	Enkele staaf	L60x6	S355	M16	8.8	1.72	43	147	14.5	0.00	54.7	60.3	52.3	98.8	1.88	0.28		
783	2e tussenstuk	Enkele staaf	L50x5	S355	M16	8.8	1.49	58	153	13.7	0.00	36.0	60.3	41.3	43.1	1.08	0.38		
782	2e tussenstuk	Enkele staaf	L50x5	S355	M16	8.8	1.06	26	108	13.7	0.24	55.4	60.3	41.3	43.1	1.08	0.33		
781	2e tussenstuk	Enkele staaf	L50x5	S355	M16	8.8	1.02	33	104	13.7	0.00	57.8	60.3	41.3	43.1	1.08	0.33		
780	2e tussenstuk	Enkele staaf	L50x5	S355	M16	8.8	1.29	46	133	13.7	0.00	43.6	60.3	41.3	43.1	1.1	0.33		
779	2e tussenstuk	Enkele staaf	L50x5	S355	M16	8.8	1.20	49	123	13.7	0.00	47.9	60.3	41.3	43.1	1.1	0.33		

Knikverkorters initial structure (afkeur)

Date: 2021-09-06
 Author: MKh
 Version: v1.9

MBT-EHV
 S+0_tc
 Tower 120

Posnr.	Section	Schematization	Profile	Steel Quality	Bolt	Quality	Length (m)	Angle (°)	Slenderness	Normal Force (kN)	Moment (kNm)	Buckling Cap. (kN)	Shear Cap. Bolt (kN)	Bearing Cap. (kN)	Net Section Cap. (kN)	Moment Cap. (kNm)	Highest U.C.	Exceedance Type	Notes
778	2e tussenstuk	Enkele staaf	L50x5	S355	M16	8.8	1.53	0	157	13.7	0.38	34.7	60.3	41.3	43.1	1.1	0.39		
777	2e tussenstuk	Enkele staaf	L50x5	S355	M16	8.8	1.06	45	109	13.7	0.00	55.2	60.3	41.3	43.1	1.1	0.33		
792	2e tussenstuk	Enkele staaf	L50x5	S355	M16	8.8	1.41	41	145	13.7	0.00	38.7	60.3	41.3	43.1	1.1	0.35		
791	2e tussenstuk	Enkele staaf	L60x6	S355	M16	8.8	2.09	0	179	13.7	0.52	41.5	60.3	52.3	98.8	1.9	0.33		
790	2e tussenstuk	Enkele staaf	L50x5	S355	M16	8.8	1.31	38	135	13.7	0.00	42.6	60.3	41.3	43.1	1.1	0.33		
789	2e tussenstuk	Enkele staaf	L50x5	S355	M16	8.8	1.66	62	170	13.7	0.00	30.9	60.3	41.3	43.1	1.1	0.44		
788	2e tussenstuk	Enkele staaf	L50x5	S355	M16	8.8	1.12	39	115	13.7	0.00	51.8	60.3	41.3	43.1	1.1	0.33		
787	2e tussenstuk	Enkele staaf	L50x5	S355	M16	8.8	1.12	46	115	13.7	0.00	52.1	60.3	41.3	43.1	1.1	0.33		
786	2e tussenstuk	Enkele staaf	L50x5	S355	M16	8.8	1.60	0	164	13.7	0.40	32.7	60.3	41.3	43.1	1.08	0.42		
785	2e tussenstuk	Enkele staaf	L50x5	S355	M16	8.8	1.08	40	111	13.7	0.00	54.0	60.3	41.3	43.1	1.08	0.33		
784	2e tussenstuk	Enkele staaf	L50x5	S355	M16	8.8	0.82	34	84	13.7	0.00	71.0	60.3	41.3	43.1	1.08	0.33		
679	3e tussenstuk	Enkele staaf	L50x5	S355	M16	8.8	1.36	0	140	6.7	0.34	40.7	60.3	41.3	43.1	1.08	0.31		
678	3e tussenstuk	Enkele staaf	L50x5	S355	M16	8.8	1.33	0	137	6.7	0.33	41.9	60.3	41.3	43.1	1.08	0.31		
677	3e tussenstuk	Enkele staaf	L50x5	S355	M16	8.8	1.24	0	127	6.7	0.31	46.0	60.3	41.3	43.1	1.1	0.28		
676	3e tussenstuk	Enkele staaf	L50x5	S355	M16	8.8	1.14	0	117	6.7	0.29	50.7	60.3	41.3	43.1	1.08	0.26		
675	3e tussenstuk	Enkele staaf	L50x5	S355	M16	8.8	1.46	0	150	6.7	0.37	37.0	60.3	41.3	43.1	1.08	0.34		
523	4e tussenstuk	Enkele staaf	L60x6	S355	M16	8.8	0.91	0	78	5.8	0.23	109.4	60.3	52.3	98.8	1.88	0.12		
522	4e tussenstuk	Enkele staaf	L50x5	S355	M16	8.8	0.87	0	89	5.8	0.22	67.5	60.3	41.3	43.1	1.08	0.20		
521	4e tussenstuk	Enkele staaf	L50x5	S355	M16	8.8	0.82	0	84	5.8	0.21	71.2	60.3	41.3	43.1	1.08	0.19		
516	4e tussenstuk	Enkele staaf	L50x5	S355	M16	8.8	0.79	0	81	5.8	0.20	73.5	60.3	41.3	43.1	1.08	0.18		

Project: MBT-EHV380
Mast: S+0(tc) (120)

Shear blocks

NEN-EN 1993-1-1 en NEN-EN 1994-1-1

Datum: 2021-09-07
Auteur: SSHD
Versie: 1.4

Load		Results	
Compression	$F_{Ed,c}$	1247 kN	U.C. 0.76 < 1,00 OK
Tension	$F_{Ed,t}$	908 kN	U.C. 0.64 < 1,00 OK

Main leg

Profile		L150.12
Steel material		S235
Cross section		3480 mm ²
Axial capacity	N_{pl}	818 kN
Width	b	150 mm
Thickness	t	12 mm
Length in concrete		1300 mm

Capacity shear blocks main leg

$A_{f1} =$	4800 mm ²
$A_{f2} =$	7728 mm ²
Slope	1: 5
$C_A = \sqrt{A_{f2}/A_{f1}} =$	1.27
$f_{jd} = C_A \times f_{cd} =$	20.3 N/mm ²
$F_{Rd,c} = n_c \times A_{f1} \times f_{jd} =$	1559 kN
$F_{Rd,t} = n_t \times A_{f1} \times f_{jd} =$	1559 kN

Shear blocks main leg

Width	b	40 mm
Thickness	h	30 mm
Length	L	160 mm
Welds	a	4 mm
c.t.c. separation	s	100 mm
Number for compr.	n_c	16 -
Number for tension	n_t	16 -

Capacity foot plate

$k_d =$	1.73 -
$f_{jd} = C_A \times f_{cd} =$	27.7 N/mm ²
$c = t\sqrt{f_{yd} / 3f_{jd}} =$	39 mm
$m^* = \min(c, m) =$	19 mm
Type foot plate	Diagonally cut
Effective for	Compr. and tension
$A_{p,c} =$	13990 mm ²
$F_{Rd,c} = A_{p,druk} \times f_{jd} =$	388 kN
$A_{p,t} =$	10510 mm ²
$F_{Rd,t} = A_{p,t} \times f_{jd} =$	291 kN

Foot plate

Thickness	t	20 mm
Ext. length	m	19 mm
Welds	a	4 mm

Pile

Name		Buispaal
Diameter		493 mm
Thickness		10 mm
Cross section		15174 mm ²
Steel material		S235
Capacity		3566 kN
Concrete strength		C30/37

Capacities

$F_{Rd,c,plate} =$	388 kN
$F_{Rd,blocks,c} =$	1559 kN
$F_{Rd,c} = F_{Rd,block} + F_{Rd,footplate} =$	1947 kN
U.C. compression	0.64 < 1,00 OK
Welds foot plate (see next page)	479 kN
$F_{Rd,t} = \min. (\text{welds} / \text{foot plate}) =$	291 kN
$F_{Rd,blocks,t} =$	1559 kN
$F_{Rd,t} = F_{Rd,block} + F_{Rd,footplate} =$	1850 kN
U.C. tension	0.49 < 1,00 OK
U.C. welds	0.64 < 1,00 OK

Shear blocks pile

Width	b	50 mm
Thickness	h	30 mm
Length	L	220 mm
Welds	a	4 mm
c.t.c. separation	s	405 mm
Number for compr.	n_c	9 -
Number for tension	n_t	9 -

Capacity shear blocks pile

$A_{f1} =$	6600 mm ²
$A_{f2} =$	19800 mm ²
$C_A = \sqrt{A_{f2}/A_{f1}} =$	1.73 -
$f_{jd} = k_d \times f_{cd} =$	27.7 N/mm ²
$F_{Rd,c} = n_c \times A_{f1} \times f_{jd} =$	1646 kN
U.C. compression	0.76 < 1,00 OK
$F_{Rd,t} = n_t \times A_{f1} \times f_{jd} =$	1646 kN
U.C. tension	0.55 < 1,00 OK
U.C. welds	0.64 < 1,00 OK

Design value concrete strength

Material factor	γ_c	1.5
Add. mat. factor	γ_m	1.25 -
$f_{cd} =$		16.0 N/mm ²

Steel tower stub

Yield strength	$f_{yd} =$	235 N/mm ²
Tensile strength	$f_{ud} =$	360 N/mm ²

"Splitting" of pile

Spread of forces		45 °
Length force flow		1064 mm
Splitting force		427 kN/m
Yield strength wall	$f_{yd} =$	235 N/mm ²
Capacity tubular pile		4700 kN/m
U.C.		0.09 < 1,00 OK

Project: MBT-EHV380
Mast: S+0(tc) (120)

Welds of shear blocks of main leg

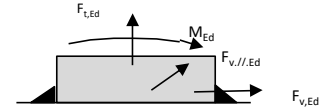
Out-of-plane loading

Plate

t = 40 mm
Grade S235
f_{yd} = 235 N/mm²
f_u = 360 N/mm²

Welds

a = 4 mm
l = 150 mm
β_w = 0.8 -
γ_{M2} = 1.25 -



Member forces

Factor 1.2
F_{t,Ed} = 0 kN
F_{v,Ed} = F_{rd,c} / n = 117 kN
F_{v//,Ed} = 0 kN
M_{Ed} = 1/2 b / h x F_{v,Ed} = 1.75 kNm

Stress components

σ₁ = τ₁ = F_{t,Ed} √2 / 4al = 0 N/mm²
σ₁ = τ₁ = F_{v,Ed} √2 / 4al = 69 N/mm²

69 N/mm²
b* = b + 2/3av² = 43.8 mm
σ₁ = τ₁ = 0,706M_{Ed} / al b* = 47 N/mm²
τ_{//} = F_{v//,Ed} / 2al = 0 N/mm²
σ_{w,Ed} = √(σ₁² + 3τ₁² + 3τ_{//}²) = 232 N/mm²

Check

σ_{w,Ed} = 232 N/mm² ≤ f_u / β_w γ_{M2} = 360 N/mm² U.C. = **0.64 OK**
σ₁ = 116 N/mm² ≤ 0,9f_u / γ_{M2} = 259 N/mm² U.C. = **0.45 OK**

Welds of shear blocks of pile

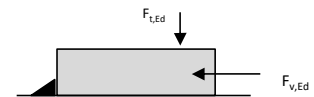
Out-of-plane loading

Plate

t = 50 mm
Grade S235
f_{yd} = 235 N/mm²
f_u = 360 N/mm²

Welds

a = 4 mm
l = 220 mm
β_w = 0.8 -
γ_{M2} = 1.25 -



Member forces

Factor 1.2
F_{t,Ed} = 1/2 b / h x F_{v,Ed} = 66 kN
F_{v,Ed} = 219 kN
F_{v//,Ed} = 0 kN
M_{Ed} = 0.00 kNm

Stress components

σ₁ = τ₁ = F_{t,Ed} √2 / 2al = 26 N/mm²
σ₁ = τ₁ = F_{v,Ed} √2 / 2al = 88 N/mm²

115 N/mm²
τ_{//} = F_{v//,Ed} / 2al = 0 N/mm²
σ_{w,Ed} = √(σ₁² + 3τ₁² + 3τ_{//}²) = 229 N/mm²

Check

σ_{w,Ed} = 229 N/mm² ≤ f_u / β_w γ_{M2} = 360 N/mm² U.C. = **0.64 OK**
σ₁ = 115 N/mm² ≤ 0,9f_u / γ_{M2} = 259 N/mm² U.C. = **0.44 OK**

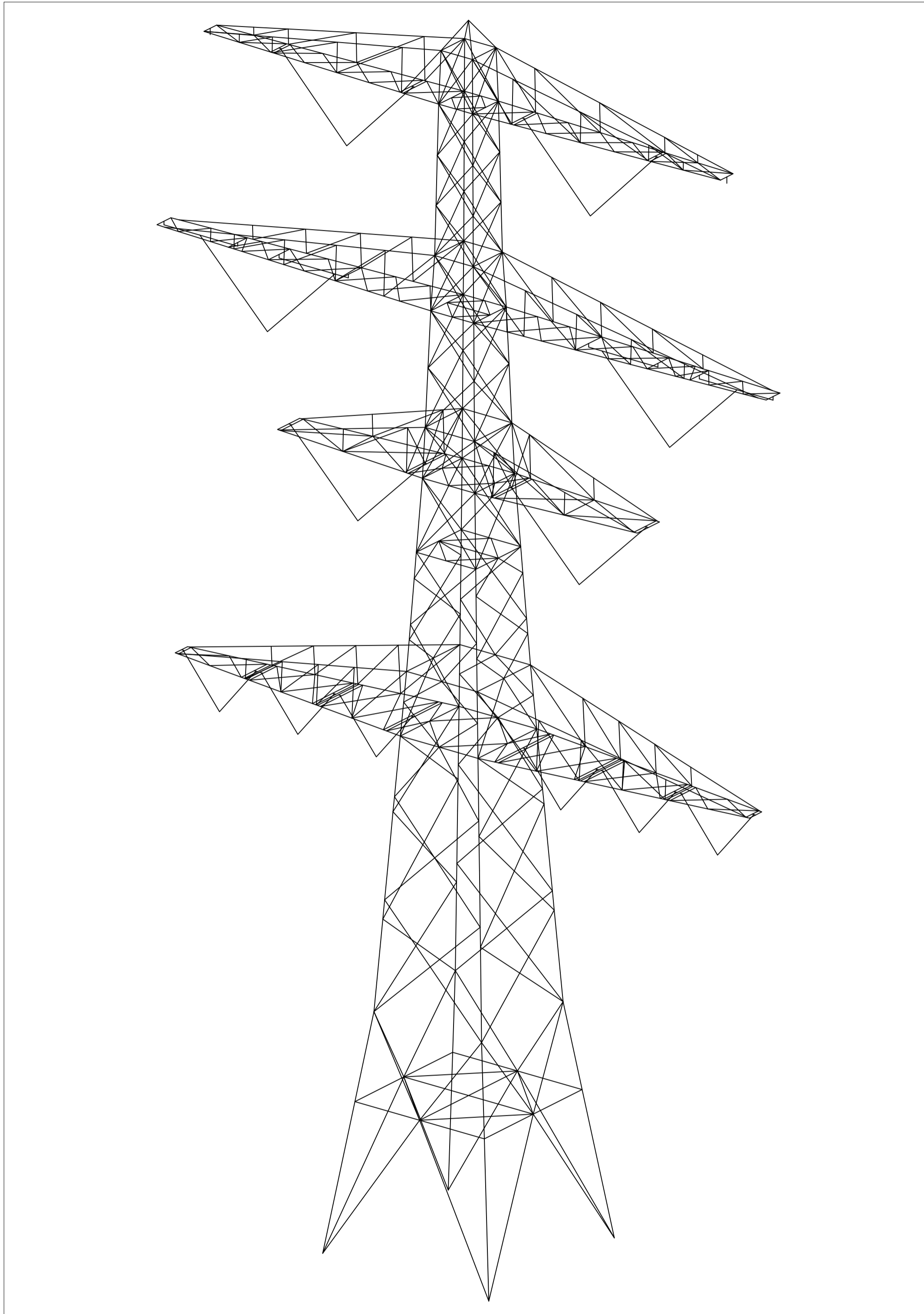
Welds of foot plate

f_u / β_w γ_{M2} = 360 N/mm²
Weld size a = 4 mm
Length l = 2b + 2b - t = 576 mm
Capacity F_{Rd} = a x l x f_{w,d} / √3 = 479 kN



APPENDIX E TEKENINGEN

Initial Profiles and Bolts					Final Profiles and Bolts			
Group label	Profile type (ini)	Profile size (ini)	Steel quality (ini)	Bolt size and quality (ini)	Profile type (new)	Profile size (new)	Steel quality (new)	Bolt size and quality (new)


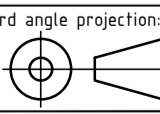


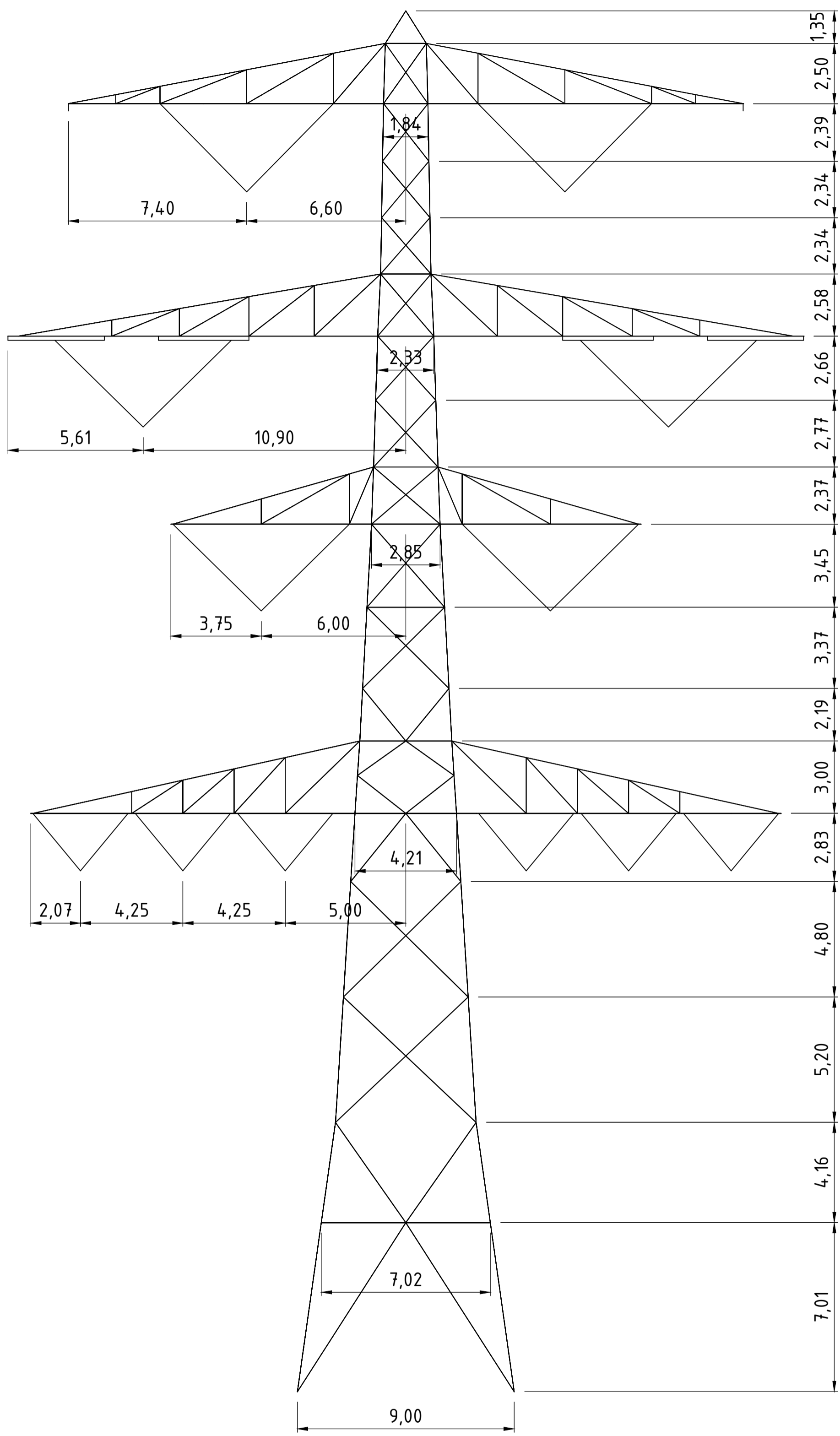
Overview

Notes and legend:

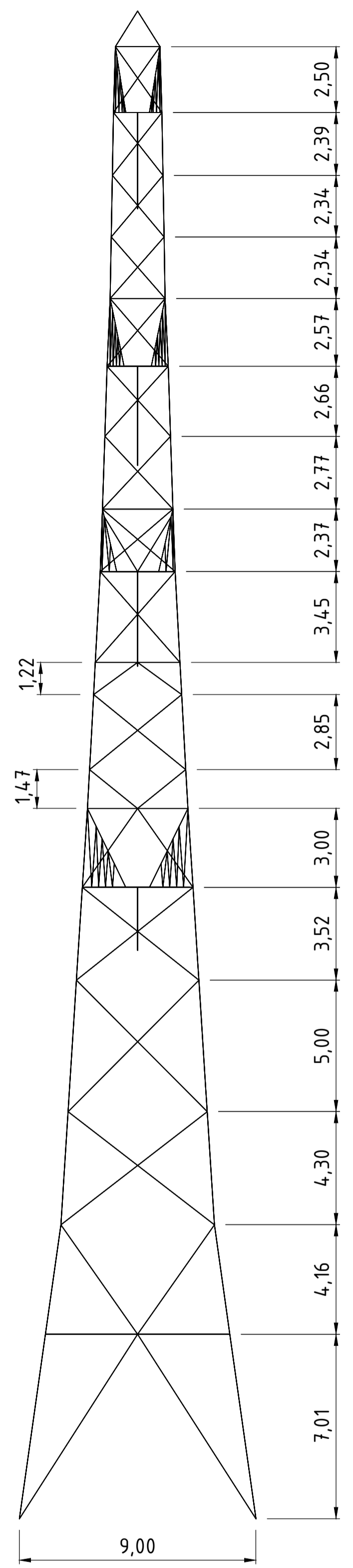
- New redundants according to drawing
- Size for new redundants is L50x50x5 unless otherwise indicated
- Other changes according to the table
- All changes are symmetrical unless otherwise indicated
- Material quality $t \leq 16\text{mm}$ S355J0
- Material quality $t > 16\text{mm}$ S355J2
- Bolt quality 8.8 rolled

- New member
- Profile exchanged
- New redundant
- Bolt exchanged
- Joint modification/ additional bolts required

00	6-9-2021	Version 1.0	Projectname: Mast constructions MBT - EHV 380 kV	
		Third angle projection:		Drawing no.: 10166260-081
		Description: Modifications overview for mast type S+0_fc (Mast 120) Page 1 of 2		Revision: 00
Design state: FINAL	Scale: -	Description:		Revision:
Drawn by: MKh	6-9-2021	Units: m	Modifications overview for mast type S+0_fc (Mast 120) Page 1 of 2	
Checked by: TBR	6-9-2021	Project no: 10166260	Revision:	
Approved by: JHu	6-9-2021	Company: TenneT	Format: A2	
DNV GL Energy & Sustainability, Utrechtseweg 310, 6812 AR Arnhem, tel: +31 26 3 56 91 11, www.dnvgl.com				



Front View


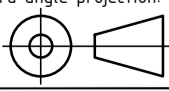


Side View

Notes and legend:

- New redundants according to drawing
- Size for new redundants is L50x50x5 unless otherwise indicated
- Other changes according to the table
- All changes are symmetrical unless otherwise indicated
- Material quality $t \leq 16\text{mm}$ S355J0
- Material quality $t > 16\text{mm}$ S355J2
- Bolt quality 8.8 rolled

- New member
- Profile exchanged
- New redundant
- Bolt exchanged
- Joint modification/ additional bolts required

00	6-9-2021	Version 1.0	Projectname: Mast constructions MBT - EHV 380 kV	
			Drawing no.: 10166260-081	
Design state: FINAL	Scale: -	Description: Modifications overview for mast type S+0_fc (Mast 120)		Revision: 00
Drawn by: MKh	6-9-2021	Units: m	Page 2 of 2	
Checked by: TBR	6-9-2021	Project no: 10166260	Format: A2	
Approved by: JHu	6-9-2021	Company: TenneT		



About DNV

DNV is the independent expert in risk management and assurance, operating in more than 100 countries. Through its broad experience and deep expertise DNV advances safety and sustainable performance, sets industry benchmarks, and inspires and invents solutions.

Whether assessing a new ship design, optimizing the performance of a wind farm, analyzing sensor data from a gas pipeline or certifying a food company's supply chain, DNV enables its customers and their stakeholders to make critical decisions with confidence.

Driven by its purpose, to safeguard life, property, and the environment, DNV helps tackle the challenges and global transformations facing its customers and the world today and is a trusted voice for many of the world's most successful and forward-thinking companies.

Bijlage 15 Rapportage mastconstructie S+0_xc & S+0_xcT

“TOETSING EN HERONTWERP MASTEN EN FUNDATIES BBB380”

MBT-EHV380 – S+0_xc en S+0_xc T Rapport

TenneT TSO B.V.

Rapport Nr.: 22-0928, Rev. 1

Meridian doc. Nr.: 002.586.40 0945356

Datum: 2022-07-21



Projectnaam: "TOETSING EN HERONTWERP MASTEN EN
 FUNDATIES BBB380"
 Rapport titel: MBT-EHV380 – S+0_xc en S+0_xc T Rapport
 Klant: TenneT TSO B.V.
 Contactpersoon klant: [REDACTED]
 Datum uitgave: 2022-07-21
 Project nr.: 10166260
 Organisatie unit: TDT
 Meridian doc.nr.: 002.586.40 0945356
 Rapport nr.: 22-0928, Rev. 1

Energy Systems
 DNV Netherlands B.V.
 Utrechtseweg 310-B50
 6812 AR Arnhem
 The Netherlands

Handelsregister Arnhem 09006400

[REDACTED] Go [REDACTED]

Copyright © DNV 2022. All rights reserved. Unless otherwise agreed in writing: (i) This publication or parts thereof may not be copied, reproduced or transmitted in any form, or by any means, whether digitally or otherwise; (ii) The content of this publication shall be kept confidential by the customer; (iii) No third party may rely on its contents; and (iv) DNV undertakes no duty of care toward any third party. Reference to part of this publication which may lead to misinterpretation is prohibited..

DNV Distributie:

- Open
- Intern
- Commercieel vertrouwelijk
- Vertrouwelijk
- Geheim

*Specificatie distributie: -

Rev.	Datum	Reden van uitgave	Auteur	Beoordelaar	Goedkeuder
0	2022-07-06	Eerste uitgave	[REDACTED]	[REDACTED]	[REDACTED]
1	2022-07-21	Tweede uitgave	[REDACTED]	[REDACTED]	[REDACTED]

Inhoudsopgave

1	INLEIDING	1
1.1	Inleiding	1
1.2	Doelstelling en scope van dit rapport	2
1.3	Relatie overige documenten	2
2	EISEN	2
3	BEREKENINGEN	3
3.1	Mastbeeld	3
3.2	Mastenlijst	4
3.3	Telecommunicatieapparatuur	4
3.4	Uitgangspunten	5
3.5	Processtappen	5
3.6	Geleiderbelastingen	5
3.7	Reacties op de fundering	5
3.8	Modellering	5
3.9	Bestaande aanpassingen	5
4	TOETSING MAST	6
5	AANPASSINGEN	9
5.1	Verificatie eisen	9
6	REFERENTIES	10
Appendix A	GELEIDERBELASTINGEN	
Appendix B	UITVOER PLS-TOWER	
Appendix C	TOETSING KNIKVERKORTERS	
Appendix D	TOETSING BLOKDEUVELS	
Appendix E	TEKENINGEN	

1 INLEIDING

1.1 Inleiding

Om in de toekomst meer elektriciteit te kunnen transporteren is het noodzakelijk om naast de nieuwbouw van verbindingen bestaande hoogspanningsverbindingen aan te passen zodat er een grotere transportcapaciteit mogelijk wordt gemaakt. Om die reden is de opdrachtgever (OG) voornemens de bestaande 380 kV-koppeling op te waarderen. Het opwaarderen van de bestaande verbindingen valt onder het programma “Beter benutten bestaande 380 kV-ring” en omvat de volgende deelprojecten:

- Opwaardering 380 kV-verbinding Lelystad – Ens (LLS-ENS380)
- Opwaardering 380 kV-verbinding Diemen – Lelystad (DIM-LLS380)
- Opwaardering 380 kV-verbinding Rilland – Zandvliet (RLL-ZVL380)
- Opwaardering 380 kV-verbinding Krimpen aan de IJssel - Geertruidenberg (KIJ-GT380)
- Opwaardering 380 kV-verbinding Maasbracht - Eindhoven (MBT-EHV380)

Om te komen tot een DO waarmee de werkzaamheden kunnen worden gestart is door TenneT aan DNV opdracht verstrekt voor de volgende onderdelen:

1. In eerste fase het opstellen en creëren van:

- 1.1 E-studie deel 1
- 1.2 Uitgangspuntenrapporten ten behoeve van de constructieve analyse van masten en fundaties
- 1.3 Sonderingmodellen
- 1.4 Fundatiemodellen
- 1.5 Mastmodellen

2. In tweede fase de uitvoering van de DO-fase bevattende:

- 2.1 Toetsing conform het uitgangspuntenrapport van de bestaande fundaties
- 2.2 Algemene specificatie van benodigde fundatieversterkingen ten behoeve van aanbesteding
- 2.3 Toetsing conform het uitgangspuntenrapport van de bestaande masten
- 2.4 Algemene specificatie van benodigde mastversterkingen ten behoeve van aanbesteding
- 2.5 E-studie deel 2

In dit rapport worden de aanpassingen besproken die nodig zijn voor masttypen S+0_xc and S+0_xc T van de verbinding Maasbracht - Eindhoven 380 kV.

Inhoudelijk is de Nederlandse versie van de rapportage ongewijzigd ten opzichte van de Engelse versie. Om deze reden zijn de bijlagen in dit rapport één op één overgenomen uit de Engelse versie. Hierdoor wijkt het revisienummer van de bijlagen af van het revisienummer van deze rapportage.

1.2 Doelstelling en scope van dit rapport

Het doel van deze studie is om te bepalen of het in dit rapport beschreven masttype geschikt is om te worden uitgerust met de ACCC-Warsaw geleider.

Nadat de wijzigingen zijn toegepast dient aantoonbaar geverifieerd te worden dat het systeem voldoet aan de vigerende eisen.

1.3 Relatie overige documenten

1.3.1 Verificatie & validatie plan

De door TenneT aangeleverde set met eisen is beoordeeld op relevantie en voor de relevante eisen is aangegeven in welk document wordt aangetoond dat er aan de eis wordt voldaan. De resultaten hiervan zijn opgenomen in het rapport "Verificatie & Validatieplan 380 kV verbinding Maasbracht – Eindhoven" [1].

1.3.2 E-studie deel 1

In het rapport "MBT-EHV380 - E-studie deel 1" [2] is bepaald welke aanpassingen benodigd zijn om de ACCC-Warsaw geleider toe te passen binnen de verbinding Maasbracht - Eindhoven. Voor masttypen S+0_xc en S+0_xc T, zijn geen aanpassingen aan de constructie vereist. Zie "MBT-EHV380 - E-studie deel 1" [2] voor een volledige lijst van aanpassingen.

1.3.3 Uitgangspunten rapport

De uitgangspunten op basis waarvan de berekeningen in deze rapportage zijn uitgevoerd zijn opgenomen in het rapport "Uitgangspuntenrapport 380kV verbinding Maasbracht - Eindhoven" [3].

2 EISEN

In Tabel 1 zijn de eisen opgenomen die binnen deze rapportage worden getoetst.

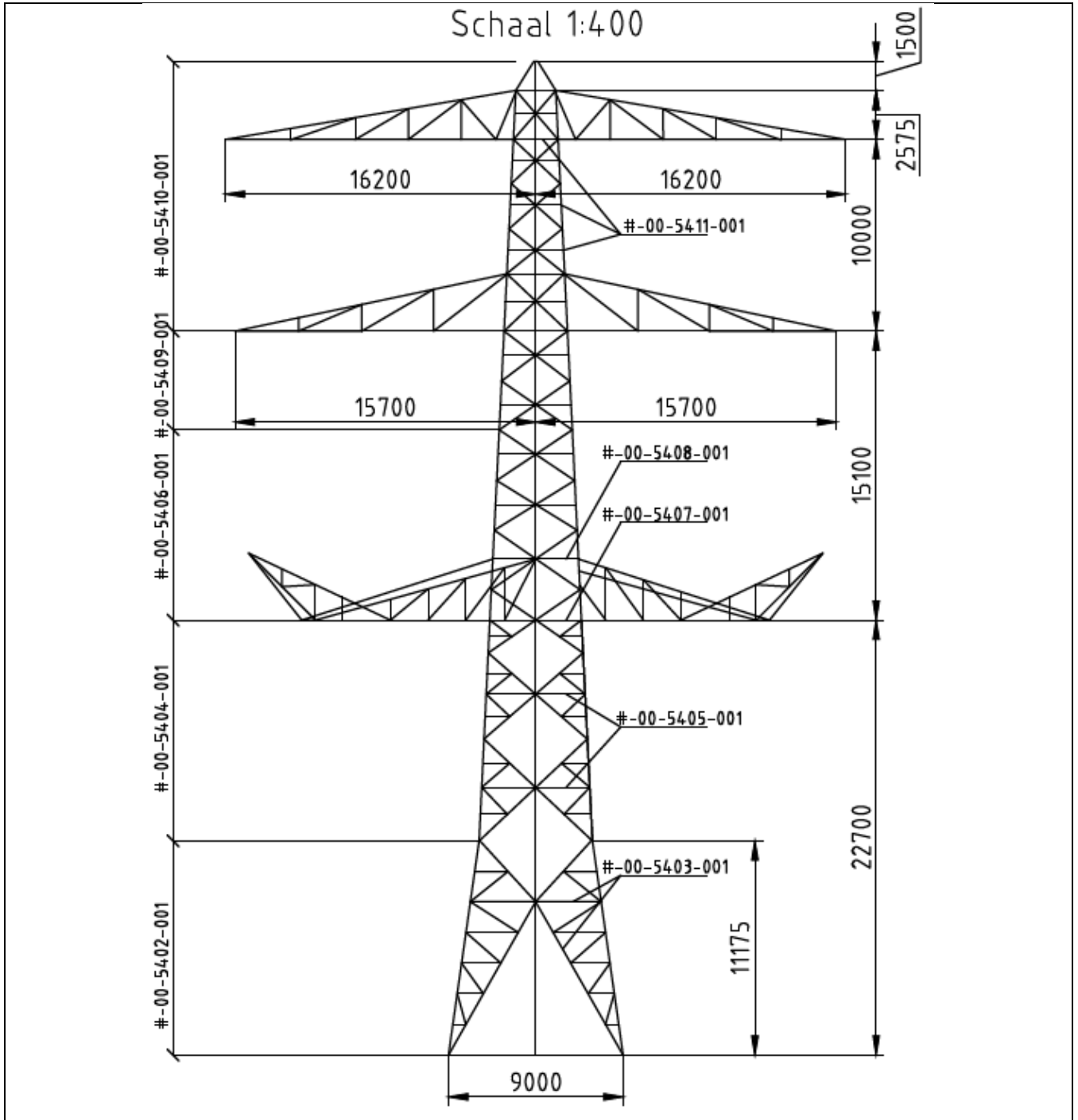
Tabel 1 Relevante eisen

Eis. Id	Titel	Eis tekst	Bewijsvoering
BO Eis: H2.7-6	Omgeving, beperkings- factoren	Het ontwerp dient geverifieerd te worden op de uitvoerbaarheid.	Tabel 6
PVE.05.001 5.14	Masten	Aanwijzingen t.a.v. klimvoorziening en valbeveiliging: Huidige klimweg blijft gehandhaafd en zal voldoen aan de eisen zoals opgenomen in de NEN 1060:1964. Valbeveiliging is/zal worden uitgevoerd in het type "latch way". Indien staaldelen in de nabijheid (aangrenzend profiel) van de klimweg gewijzigd worden, dient geverifieerd te worden dat de klimvoorziening in overeenstemming is met de NEN 1060:1964.	Tabel 6

3 BEREKENINGEN

3.1 Mastbeeld

Het mastbeeld op basis van de asset-data is weergegeven in Figuur 1.



Figuur 1 Mastbeeld S+0_xc and S+0_xc T

3.2 Mastenlijst

In deze rapportage worden de masttypen S+0_xc en S+0_xc T getoetst. Voor masttype S+0_xc is mast 122 getoetst en voor masttype S+0_xc T mast 115.

Alle masten bevinden zich in windgebied III. De windbelasting is aangepast op basis van de hoogte van naburige masten (negatieve waarden duiden op een afname van de hoogte). Tabel 2 geeft een overzicht van de wind en weight span voor de masten.

Tabel 2 Mastnummers

Mastnummer	Masttype	Maatgevend mastnummer	Wind span (m)	Weight span (m)	Hoogteverschil (m)
115	S+0_xc T	115	280	312	-3.1
122	S+0_xc	122	357	380	-6.8

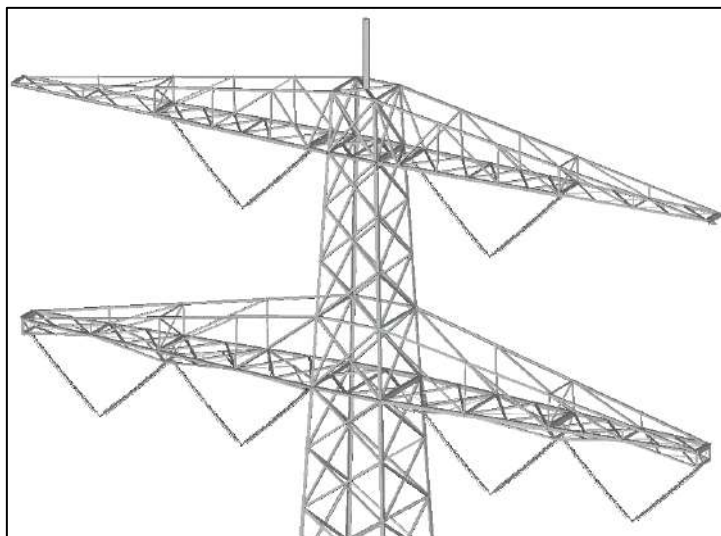
3.3 Telecommunicatieapparatuur

Mast 115 bevat telecommunicatieapparatuur op het hoogste punt. De gegevens van de apparatuur is opgenomen in Tabel 3 en toegepast in het PLS-TOWER-model, gebaseerd op de asset-data.

Tabel 3 Telecommunicatieapparatuur voor mast 115

Apparatuur label	Aantal	A_{opp}/m [m ² /m]	A_{opp} [m ²]	Gewicht [kg]	Gewicht [kg/m]
Kathrein 800 10486	1		0.66	28.00	
Kathrein 800 10486	1		0.35	28.00	
Kathrein 800 10486	1		0.35	28.00	
Ericsson KRY11242/3	1		0.05	5.00	
Ericsson KRY11242/4	1		0.03	5.00	
Ericsson KRY11242/5	1		0.03	5.00	
Buis 114.3 x 5 mm met klimvoorziening per m	7		0.77	93.45	
1 1/4" feederbundel 3x2 per m	50	0.14			0.79
Totaal		0.14	2.24	192.45	0.79

Figuur 2 toont de positie van de telecommunicatieapparatuur in het mastmodel.



Figuur 2 Positie telecommunicatieapparatuur op mast 115

3.4 Uitgangspunten

De berekening is uitgevoerd op basis van de uitgangspunten zoals opgenomen in het uitgangspuntenrapport [3]. Hierin is een volledig overzicht opgenomen van de belastingcombinaties en toegepaste belastingfactoren.

Tabel 4 Uitgangspunten berekening

Algemeen	Norm	NEN-EN50341-2-15:2019
	Windgebied	III
	Terreincategorie	II (onbebouwde omgeving)
	Reductiefactor cdir	1,00
Situatie initieel	Gevolgklasse	CC2
	Betrouwbaarheidsniveau	Nieuwbouw
	Referentieperiode	50 jaar

3.5 Processtappen

Het proces van het bepalen van eventueel benodigde verstevigingen bestaat uit de volgende stappen:

- Stap 1: Toets bestaande (Init) mast op Nieuwbouw;
- Stap 2: Definiëren benodigde aanpassingen indien initiële mast niet voldoet aan toets op Nieuwbouw (Def. Aanp);
- Stap 3: Het opnieuw toetsen van de complete mast inclusief aanpassingen (Initi + Aanp) op Nieuwbouw.

3.6 Geleiderbelastingen

De berekeningen zijn uitgevoerd met het geleiderbelastingenprogramma van DNV. In Appendix A zijn de resultaten van de geleiderbelastingen samengevat.

3.7 Reacties op de fundering

De oplegreacties op de fundering worden ontleend aan de uitvoer van het geleiderbelastingenprogramma, zie Appendix A.

3.8 Modelling

Op basis van de as-built tekeningen is de mast in PLS-TOWER ingevoerd. De hoofdelementen zijn gemodelleerd. Niet-dragende profielen als knikverkorters zijn weggelaten en worden separaat getoetst. De profielen inclusief de boutverbindingen zijn in PLS-TOWER ingevoerd en getoetst. Controle van de schetsplaten en andere detailverbindingen valt buiten de scope.

De geleiderbelastingen vanuit het geleiderbelastingenprogramma zijn als invoer voor de belastingen gebruikt.

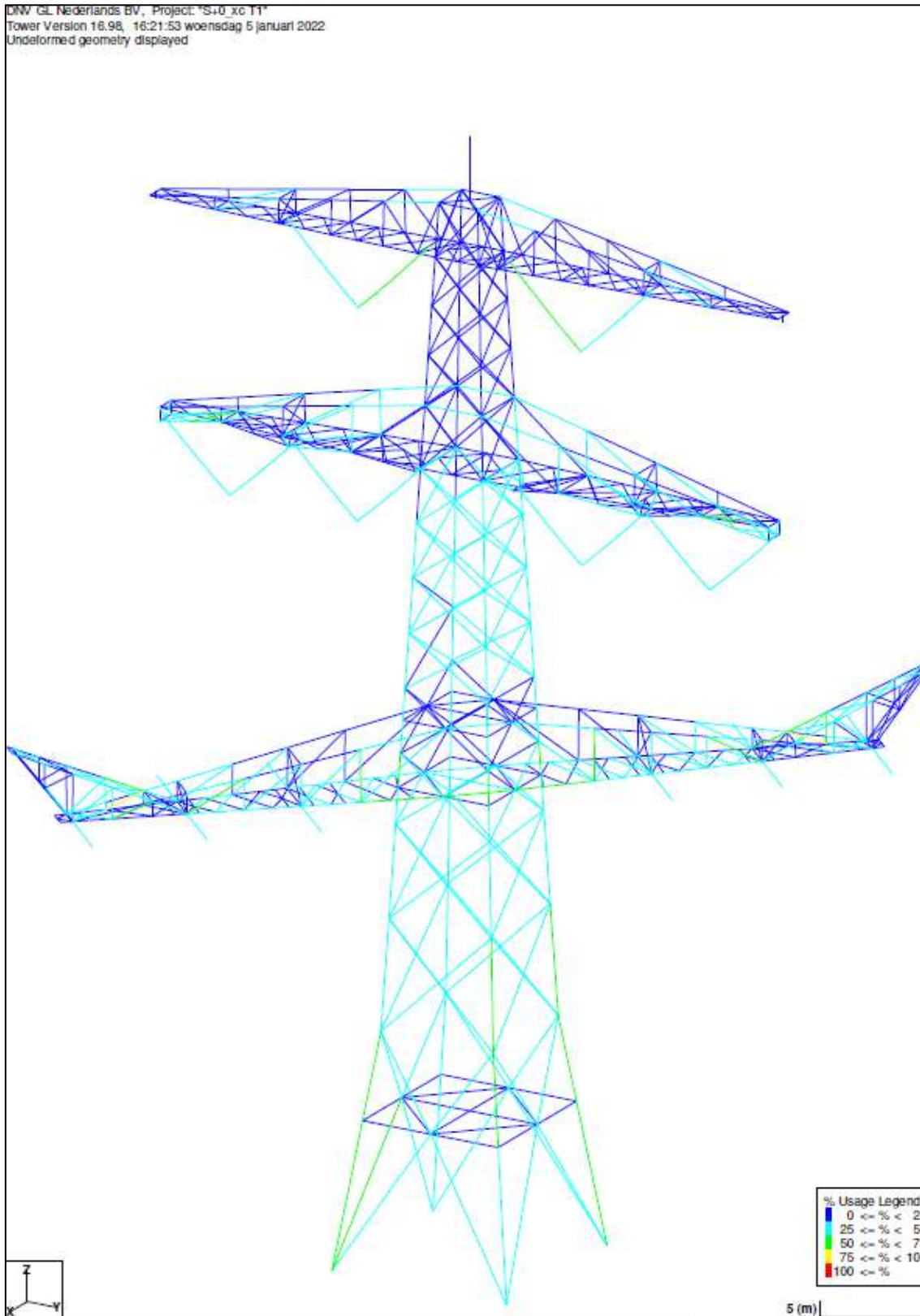
Diagonalen in voor- en achtervlak respectievelijk de twee zijvlakken gegroepeerd en de toetsing wordt per staafgroep uitgevoerd. Ingeval dat een element uit een groep is overbelast, geldt dit voor alle elementen uit de betreffende groep.

3.9 Bestaande aanpassingen

Op basis van het rapport van Petersburg [4] zijn er geen bestaande aanpassingen aan de mast waar rekening mee gehouden moet worden bij de toetsing.

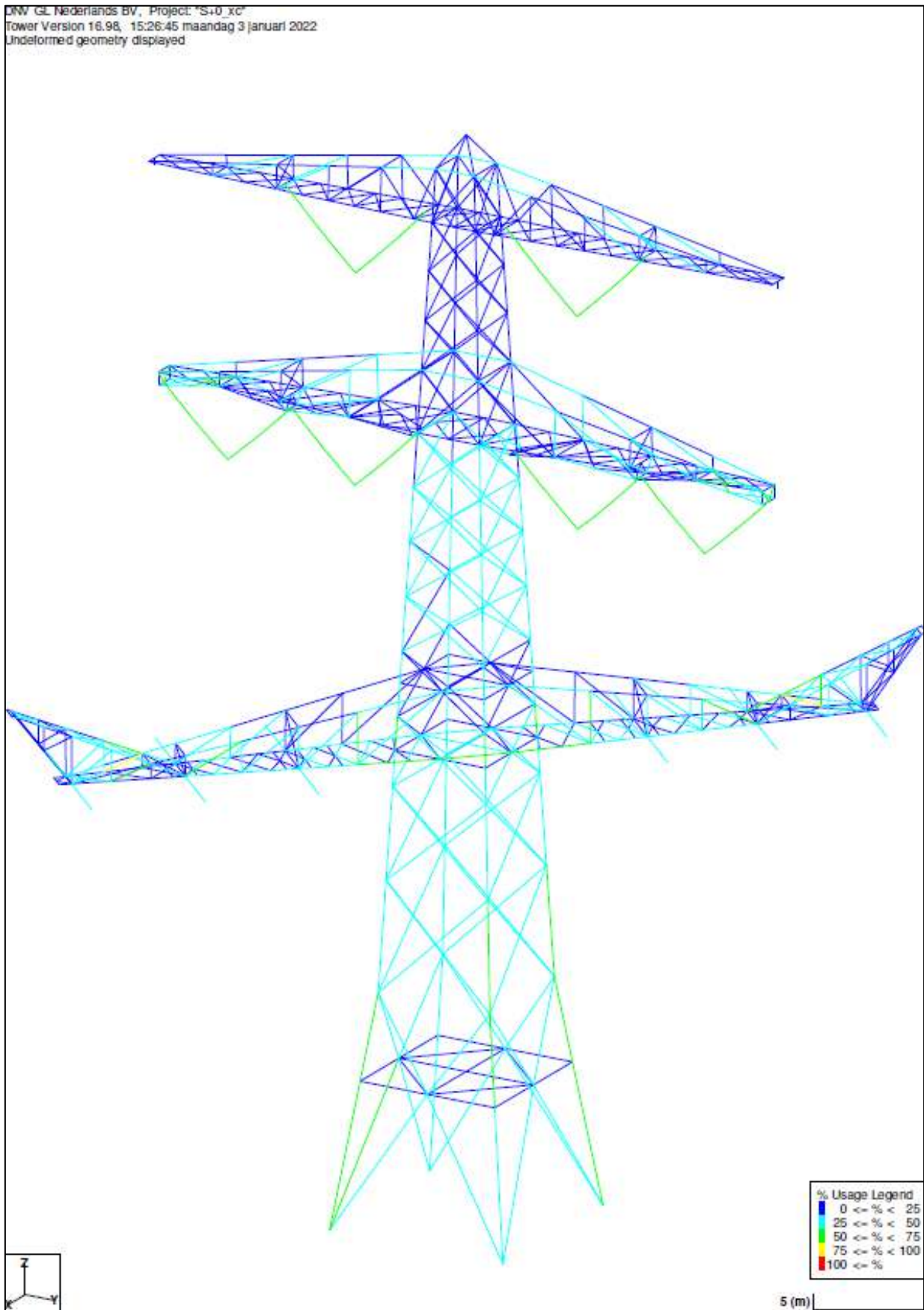
4 TOETSING MAST

Het resultaat van de toetsing van masttypen S+0_xc en S+0_xc T met belastingen op nieuwbouwniveau is weergegeven in Figuur 3 en Figuur 4.



Figuur 3 Resultaat PLS Tower S+0_xc T (115)

DNV GL Nederlands BV, Project: "S+0_xc"
 Tower Version 16.98, 15:26:45 maandag 3 januari 2022
 Undeformed geometry displayed



Figuur 4 Resultaat PLS-TOWER S+0_xc (122)

De resultaten van de toetsing van ankerprofielen, knikverkorters en blokdeuvels randstijl zijn opgenomen in Tabel 5.

Tabel 5 Samenvatting controle

Controle van	Beoordeling	Referentie
Profielen	Voldoen	Figuur 3 Figuur 4 Appendix B
Knikverkorters	Voldoen	Appendix C
Blokdeuvels	Voldoen	Appendix D

5 AANPASSINGEN

Er zijn geen aanpassingen vereist aan deze constructie.

5.1 Verificatie eisen

De verificatie van de van toepassing zijnde eisen is uitgevoerd in Tabel 6.

Tabel 6 Verificatie eisen

Eis Id	Eis tekst	Ja	Nee	N.v.t.	Toelichting
BO Eis: H2.7-6	Aanpassingen uitvoerbaar?			X	Geen wijzigingen
	Staaldelen in nabijheid van klimweg gewijzigd?			X	Geen wijzigingen
PVE.05.001 5.14	Klimvoorziening nog in overeenstemming is met de NEN 1060:1964?			X	Geen wijzigingen

6 REFERENTIES

- [1] "002.586.40 0825946 - 21-0463 - Verificatie & validatieplan 380kV verbinding Maasbracht - Eindhoven".
- [2] "002.586.40 0825934 - 21-0483 - E-studie deel 1 380kV verbinding Maasbracht - Eindhoven".
- [3] "002.586.40 0825942 - 21-0138 - Uitgangspuntenrapport 380kV verbinding Maasbracht - Eindhoven".
- [4] Petersburg Consultants, "Controle mast 115n 380/150 kV-lijn Maasbracht-Eindhoven t.b.v. KPN antenneopstelling 1705," 2012.
- [5] "002.586.40 0825942 - 21-0138 - Uitgangspuntenrapport 380kV verbinding Maasbracht - Eindhoven".

APPENDIX A

GELEIDERBELASTINGEN

De geleiderbelastingen zijn voor elke mast onderverdeeld in drie delen:

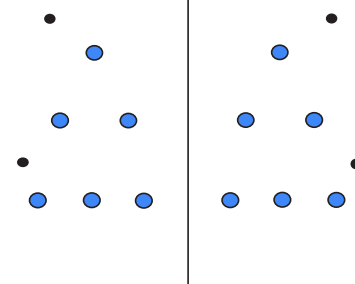
- De belastingen van de 150 kV circuits (pagina's 1 - 12)
- De belastingen van de 380 kV circuits (pagina's 13 - 24)
- De reactiekrachten die met alle belastingen tegelijk rekening houden.

Project: MBT-EHV380
Tower: S+0(xc) T1
Number: 115

Conductor loads Auteur: TBR
Versie: v12.0

General

Description S+0(xc) T1
Tower type Hoekmast
Number of circuits 2
Configuration 2-circuit-vlak
Number of earth wires 2



Configuratie geleiders

Starting points

Norm NEN-EN50341-2-15:2019
Consequence class CC2
Reliability level initial Nieuwbouw
Reference period initial 50 jaar
Reliability level modified n.v.t.
Wind zone III
Wind speed (m/s) 24,5 m/s
Terrain category II
Reduction factor C_{dir} 1,00
Ice region phase conductor B
Ice region earth conductor B

Conductors back

Description	Voltage	Conductor Back	Bundle Ba	Ice region	Additional weight	Additional diameter	Catenary P_{back}
Circuit 1	150 kV	AACSR 241-AL3-39-A20SA	2	B	3 %	3 %	1429
Circuit 2	150 kV	AACSR 241-AL3-39-A20SA	2	B	3 %	3 %	1429
Bliksemdraad 1		Niet aanwezig	1	B	3 %	3 %	1700
Bliksemdraad 2		Niet aanwezig	1	B	3 %	3 %	1700

Conductors ahead

Description	Voltage	Conductor Ahead	Bundle Ah	Ice region	Additional weight	Additional diameter	Catenary P_{ahead}
Circuit 1	150 kV	AACSR 241-AL3-39-A20SA	2	B	3 %	3 %	1400
Circuit 2	150 kV	AACSR 241-AL3-39-A20SA	2	B	3 %	3 %	1400
Bliksemdraad 1		AACSR 241-AL3-39-A20SA	1	B	3 %	3 %	1726
Bliksemdraad 2		AACSR 241-AL3-39-A20SA	1	B	3 %	3 %	1921

Insulators (1)

Description	Suspension	Weight [kN]	Length [m]	Wind area [m ²]
Circuit 1	Afspanketting	2,50	2,50	1,00
Circuit 2	Afspanketting	2,50	2,50	1,00
Bliksemdraad 1	Vast (Bliksemdraad)	0,10	0,30	0,10
Bliksemdraad 2	Vast (Bliksemdraad)	0,10	0,30	0,10

1. Properties apply to the entire isolator set

Suspension height and position in mast

Circuits	Designation	Number	Suspension height	Attach point	Position in tower Horizontal distance
Circuit 1	30	150ct1f1	22,7 m	22,7 m	-5,7 m
Circuit 1	31	150ct1f2	22,7 m	22,7 m	-9,4 m
Circuit 1	32	150ct1f3	22,7 m	22,7 m	-13,1 m
Circuit 2	40	150ct2f1	22,7 m	22,7 m	5,7 m
Circuit 2	41	150ct2f2	22,7 m	22,7 m	9,4 m
Circuit 2	42	150ct2f3	22,7 m	22,7 m	13,1 m
Bliksemdraad 1	2	bl1	25,9 m	26,2 m	-15,0 m
Bliksemdraad 2	5	bl2	25,9 m	26,2 m	15,0 m

Project: MBT-EHV380
 Tower: S+0(xc) T1
 Number: 115

Height adjustment adjacent masts (wind and weight span adjustment)

	Back	Ahead	
Height increase for wind pressure	0,0 m	0,0 m	(positive: higher)
Height decrease for vertical load	0,0 m	0,0 m	(negative: decrease, more weight span)
Decrease: Niet in 0,9EG-combinaties			

Height difference adjacent tower and change of direction with respect to Line direction

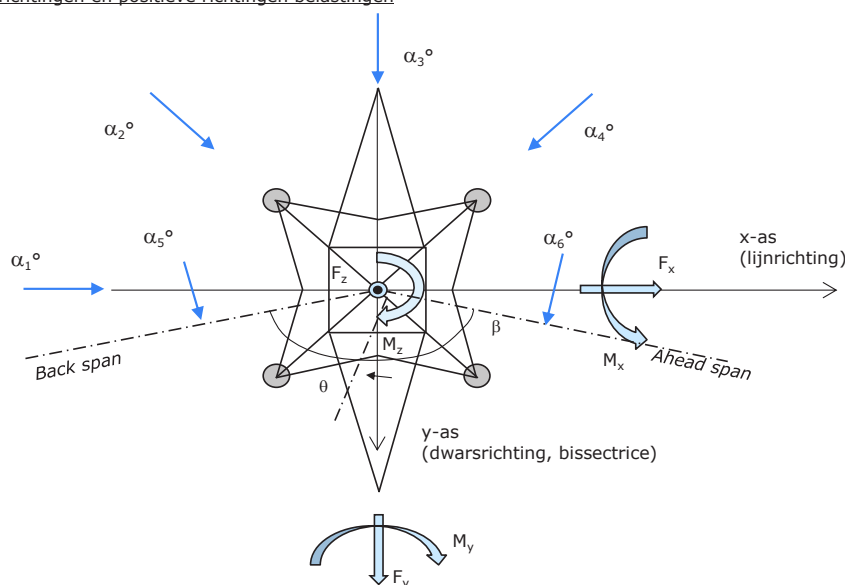
Circuits	Aanduiding	Nummer	Hoogteverschil		Richtingsverandering	
			Δh back	Δh ahead	Δy back	Δy ahead
Circuit 1	30	150ct1f1	4,5	0,0 m	0,0	3,8 m
Circuit 1	31	150ct1f2	4,5	0,0 m	0,0	4,6 m
Circuit 1	32	150ct1f3	4,5	8,0 m	0,0	13,0 m
Circuit 2	40	150ct2f1	4,5	0,0 m	0,0	-3,0 m
Circuit 2	41	150ct2f2	4,5	0,0 m	0,0	-3,8 m
Circuit 2	42	150ct2f3	4,5	8,0 m	0,0	-12,1 m
Bliksemdraad 1	2	bl1	0,0	7,9 m	0,0	12,2 m
Bliksemdraad 2	5	bl2	0,0	7,9 m	0,0	-11,6 m

Line and tower data

	Back	Ahead
Ruling span $\sqrt{(\Sigma L^3/\Sigma L)}$	362,4	261,6 m
Line angle β	120 °	
Tower orientation with respect to bis θ	-30 °	
Section length	1162	262 m
Height bottom of tower to ground level	0,5 m	
Wind directions considered α_1	0 °	
Wind directions according to: α_2	45 °	
<i>Geleiderbelastingen</i> α_3	90 °	
α_4	135 °	
α_5	150 °	
α_6	270 °	

Wind directions apply to the main direction of mast construction, not to the bisector.

Windrichtingen en positieve richtingen belastingen



Considered number of wind directions

1a	6
3	6
4	1
6	1
Overig	1

Project: MBT-EHV380
 Tower: S+0(xc) T1
 Number: 115

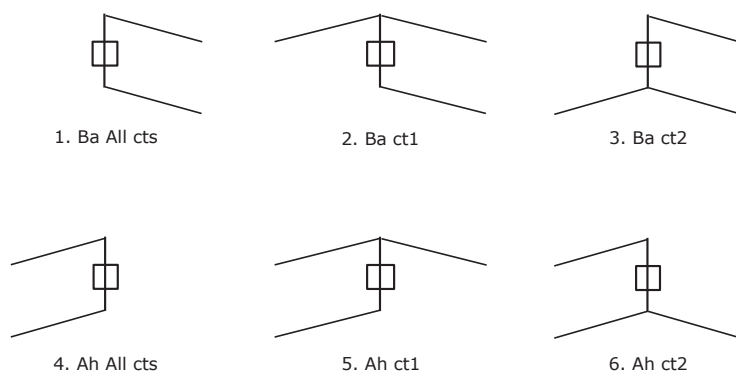
Absence of conductors

		SPLS - torsie		SPLS - Enkelzijdige trek		5a - geleiderbreuk	
		Aanw.	Afw.	Aanw.	Afw.	Aanw.	Afw.
Circuit 1	150ct1f1	1	0	1	0	1	0
Circuit 1	150ct1f2	1	0	1	0	1	0
Circuit 1	150ct1f3	1	0	1	0	1	0
Circuit 2	150ct2f1	0	1	1	0	1	0
Circuit 2	150ct2f2	0	1	1	0	1	0
Circuit 2	150ct2f3	0	1	1	0	1	0
Bliksemdraad 1	bl1	1	0	1	0	1	0
Bliksemdraad 2	bl2	0	1	1	0	1	0

Load situations SPLS

Considered situations SPLS: 1 up to 6, All possible situations

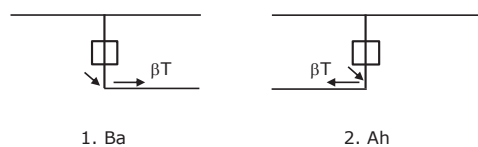
Principle of load situations:



Load situation 5a. Conductor failure

Considered situations conductor failure 5a: 1 and 2, all possible situations

Principle of load situations:



Project: MBT-EHV380
 Tower: S+0(xc) T1
 Number: 115

Load situations LC6. Construction and maintenance

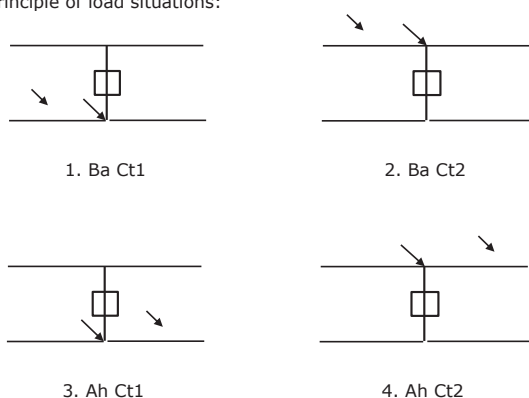
Under 6a, the load due to the presence of a line vehicle or line bicycle in combination with point load on the traverse is assessed. Combination 6b does not contain any loads in conductor or on traverse. This combination has been added to be able to combine with separate control platforms, etc. The situations are applied in ULS and in every SPLS situation (in case of angle tower).

	Phase	Earth
Line vehicle	3,0 kN	2,0 kN
Concentrated load cross arm	1,0 kN	1,0 kN

Beschouwde situaties bouw- en onderhoud 6a: 1 t/m 4, alle mogelijke situaties.

Presence line vehicle: Circuit, belasting tegelijk aanwezig in alle geleiders per circuit.

Principle of load situations:



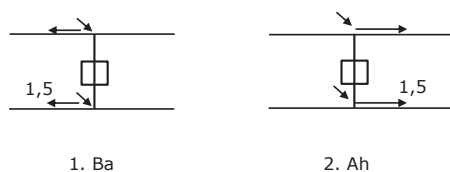
Load situations 8. Galloping as a static load

Conductor		
Suspension tower phase	0,866 W	1,5 W
Suspension tower earth	1,5 EDS	1,5 W
Strain tower phase and earth	1,5 EDS	1,5 W

Considered situations galloping 8: None (existing structure)

Load simultaneously present in all conductors of the circuit.

Principle of load situations:



Load combination 8. Galloping as a dynamic load

Only applies to tension towers

Load consists of EDS tensile load in one of the conductors on one side of the tower

Can be converted by user to fatigue spectrum via the load spectrum of table 4.11 / NL.1

Project: MBT-EHV380
 Tower: S+0(xc) T1
 Number: 115

Tower structure

Properties

Tower type	Hoekmast
Tower designation	S+0(xc) T1
Base plate w.r.t. ground level	0,5 m
Tower height w.r.t. base plate	51,9 m
Tower self weight	779,0 kN

<i>Width and slope at foundation</i>	x-ri.	y-ri.
Leg spread	9,00	9,00 m
Inclination of main leg	0,143	0,143 -
Horizontal force factor	1,3	1,3 -

Calculation Wind load

Dynamic factor G_T	1,00 (<i>Masthoogte < 60 m</i>)
Wind load diagonally to tower body proportional to:	$(A1C1\sin^2(\phi)+A2C2\cos^2(\phi))$
Wind load diagonally on traverse proportional to:	$(A1C1\sin^2(\phi)+A2C2\cos^2(\phi))$
Magnification factor diagonal wind to tower body	$(1+0,2\sin^2(2\phi))$
Magnification factor diagonal wind to cross arm	$(1+0,2\sin^2(2\phi))$
Magnification factor wind parallel to perpendicular to cross arm	0,4

Properties mast sections longitudinal direction (front view, yz plane)

Description	h [m]	b ₁ [m]	b ₂ [m]	Δh [m]	Δ _x [m]	A ₀ [m ²]	A ₁ [m ²]	χ = A ₁ /A ₀ [-]	C _t
Broekstuk	11,18	9,00	5,80	11,18	0,143	82,70	17,85	0,22	2,86
1e tussenstuk	22,70	5,80	4,68	11,53	0,049	60,39	19,12	0,32	2,48
2e tussenstuk	32,65	4,68	3,72	9,95	0,048	41,78	12,79	0,31	2,51
3e tussenstuk	37,80	3,72	3,22	5,15	0,048	17,86	5,98	0,33	2,42
4e tussenstuk	50,38	3,22	2,00	12,58	0,048	32,81	13,34	0,41	2,20
Topstuk	51,88	2,00		1,50		1,50	0,38	0,25	2,71
Ondertraverse	22,70	19,66		3,50		34,40	17,79	0,52	1,95
Middentraverse	37,80	14,09		3,00		21,14	7,51	0,36	2,35
Boventraverse	47,80	15,08		2,58		19,41	6,17	0,32	2,47

Properties tower sections transversal direction (side view, xz plane)

Description	h [m]	b ₁ [m]	b ₂ [m]	Δh [m]	Δ _x [m]	A ₀ [m ²]	A ₁ [m ²]	χ = A ₁ /A ₀ [-]	C _t
Broekstuk	11,18	9,00	5,80	11,18	0,143	82,70	17,85	0,22	2,86
1e tussenstuk	22,70	5,80	4,68	11,53	0,049	60,39	19,12	0,32	2,48
2e tussenstuk	32,65	4,68	3,72	9,95	0,048	41,78	12,79	0,31	2,51
3e tussenstuk	37,80	3,72	3,22	5,15	0,048	17,86	5,98	0,33	2,42
4e tussenstuk	50,38	3,22	2,00	12,58	0,048	32,81	13,34	0,41	2,20
Topstuk	51,88	2,00		1,50		1,50	0,38	0,25	2,71
Ondertraverse	22,70	19,66		3,50		34,40	17,79	0,52	1,95
Middentraverse	37,80	14,09		3,00		21,14	7,51	0,36	2,35
Boventraverse	47,80	15,08		2,58		19,41	6,17	0,32	2,47

Note: Surface area transverse direction in table is reduced in calculation.

Note: surface area of cross arm is for each side, ie. half of the total of both cross arms.

Project: MBT-EHV380
 Tower: S+0(xc) T1
 Number: 115

Wind surface feeders telecom installations

Part	A (m ² /m)	Factor	Δh	A ₁
Broekstuk	0,14	0,71	11,2	1,1
1e tussenstuk	0,14	0,71	11,5	1,1
2e tussenstuk	0,14	0,71	10,0	1,0
3e tussenstuk	0,14	0,71	5,2	0,5
4e tussenstuk	0,14	0,71	0,1	0,0

Input antennas

Description	A (m ²)	h (m)	C _r (m)
Antenne top	2,2	54	1,73
Antenne o.t.			

Tower section loads longitudinal (x-direction) per wind direction

Description	p _w [kN/m ²]	F _{x1} [kN]	F _{x2} [kN]	F _{x3} [kN]	F _{x4} [kN]	h _{ef} [m]	M _{y1} [kNm]	M _{y2} [kNm]	M _{y3} [kNm]	M _{y4} [kNm]
Broekstuk	0,70	35,8	30,4	0,0	-30,4	5,6	200,1	169,8	0,0	-169,8
1e tussenstuk	0,83	39,5	33,5	0,0	-33,5	16,9	668,9	567,5	0,0	-567,5
2e tussenstuk	0,97	31,1	26,3	0,0	-26,3	27,7	859,4	729,2	0,0	-729,2
3e tussenstuk	1,04	15,0	12,7	0,0	-12,7	35,2	528,0	448,0	0,0	-448,0
4e tussenstuk	1,10	32,2	27,4	0,0	-27,4	44,1	1421,4	1206,1	0,0	-1206,1
Topstuk	1,14	1,2	1,0	0,0	-1,0	51,1	60,1	51,0	0,0	-51,0
Ondertraverse	0,93	64,1	38,1	0,0	-38,1	23,9	1530,1	908,9	0,0	-908,9
Middentraverse	1,06	37,5	22,2	0,0	-22,2	38,8	1453,3	863,2	0,0	-863,2
Boventraverse	1,13	34,4	20,4	0,0	-20,4	48,7	1673,5	994,0	0,0	-994,0
Totaal		290,7	212,1	0,0	-212,1		8395,0	5937,9	0,0	-5937,9

Tower section loads transversal (y-direction) per wind direction

Description	p _w [kN/m ²]	F _{y1} [kN]	F _{y2} [kN]	F _{y3} [kN]	F _{y4} [kN]	h _{ef} [m]	M _{x1} [kNm]	M _{x2} [kNm]	M _{x3} [kNm]	M _{x4} [kNm]
Broekstuk	0,70	0,0	30,4	35,8	30,4	5,6	0,0	169,8	200,1	169,8
1e tussenstuk	0,83	0,0	33,5	39,5	33,5	16,9	0,0	567,5	668,9	567,5
2e tussenstuk	0,97	0,0	26,3	31,1	26,3	27,7	0,0	729,2	859,4	729,2
3e tussenstuk	1,04	0,0	12,7	15,0	12,7	35,2	0,0	448,0	528,0	448,0
4e tussenstuk	1,10	0,0	27,4	32,2	27,4	44,1	0,0	1206,1	1421,4	1206,1
Topstuk	1,14	0,0	1,0	1,2	1,0	51,1	0,0	51,0	60,1	51,0
Ondertraverse	0,93	0,0	38,1	25,6	38,1	23,9	0,0	908,9	612,1	908,9
Middentraverse	1,06	0,0	22,2	15,0	22,2	38,8	0,0	863,2	581,3	863,2
Boventraverse	1,13	0,0	20,4	13,8	20,4	48,7	0,0	994,0	669,4	994,0
Total		0,0	212,1	209,2	212,1		0,0	5937,9	5600,8	5937,9

Resulting loads from mast construction incl. Antenna without conductors level foundation (char. Value)

Load / wind direction	F _x [kN]	F _y [kN]	F _z [kN]	M _x [kNm]	M _y [kNm]	M _z [kNm]
Permanente belasting	0	0	779	0	0	0
Windrichting 0°	295	0	0	0	8633	0
Windrichting 45°	215	215	0	6106	6106	0
Windrichting 90°	0	214	0	5839	0	0
Windrichting 135°	-215	215	0	6106	-6106	0

Project: MBT-EHV380
 Tower: S+0(xc) T1
 Number: 115

Intermediate results for conductor loads

Conductors back

Circuit	Geleider	Diameter [mm]	A [mm ²]	G [N/m]	E [N/mm ²]	αT [-]
Circuit 1	AACSR 241-AL3-39-A20SA	21,8	281,0	9,38	70165	1,97E-05
Circuit 2	AACSR 241-AL3-39-A20SA	21,8	281,0	9,38	70165	1,97E-05
Bliksemdraad 1	Niet aanwezig					
Bliksemdraad 2	Niet aanwezig					

Conductors ahead

Circuit	Geleider	Diameter [mm]	A [mm ²]	G [N/m]	E [N/mm ²]	αT [-]
Circuit 1	AACSR 241-AL3-39-A20SA	21,8	281,0	9,38	70165	1,97E-05
Circuit 2	AACSR 241-AL3-39-A20SA	21,8	281,0	9,38	70165	1,97E-05
Bliksemdraad 1	AACSR 241-AL3-39-A20SA	21,8	281,0	9,38	70165	1,97E-05
Bliksemdraad 2	AACSR 241-AL3-39-A20SA	21,8	281,0	9,38	70165	1,97E-05

Vertical load back

Circuit	Bundle [-]	Additional [%]	$w_{z,G}$ [N/m]	Ice region	Formula	$w_{z,ijs}$ [N/m]	$w_{z,ijs,bundel}$ [N/m]
Circuit 1	2	3	19,3	B	4+0,2d	8,4	16,7
Circuit 2	2	3	19,3	B	4+0,2d	8,4	16,7
Bliksemdraad 1	1	3		B	4+0,2d		
Bliksemdraad 2	1	3		B	4+0,2d		

Vertical load ahead

Circuit	Bundle [-]	Additional [%]	$w_{z,G}$ [N/m]	Ice region	Formula	$w_{z,ijs}$ [N/m]	$w_{z,ijs,bundel}$ [N/m]
Circuit 1	2	3	19,3	B	4+0,2d	8,4	16,7
Circuit 2	2	3	19,3	B	4+0,2d	8,4	16,7
Bliksemdraad 1	1	3	9,7	B	4+0,2d	8,4	8,4
Bliksemdraad 2	1	3	9,7	B	4+0,2d	8,4	8,4

Insulators

Conductor	$G_{isolator}$ [kN]	Number	$F_{v,iso}$ [kN]	Length [m]	Wind surf. [m ²]	Wind heigth [m]	Pressure [kN/m ²]	Drag factor [-]	$F_{h,iso}$ [kN]
150ct1f1	2,50	1	2,5	2,5	1,0	23,20	0,92	1,2	1,10
150ct1f2	2,50	1	2,5	2,5	1,0	23,20	0,92	1,2	1,10
150ct1f3	2,50	1	2,5	2,5	1,0	23,20	0,92	1,2	1,10
150ct2f1	2,50	1	2,5	2,5	1,0	23,20	0,92	1,2	1,10
150ct2f2	2,50	1	2,5	2,5	1,0	23,20	0,92	1,2	1,10
150ct2f3	2,50	1	2,5	2,5	1,0	23,20	0,92	1,2	1,10
bl1	0,10	0,5	0,05	0,3	0,1	26,40	0,95	1,2	0,11
bl2	0,10	0,5	0,05	0,3	0,1	26,40	0,95	1,2	0,11

Project: MBT-EHV380
 Tower: S+0(xc) T1
 Number: 115

Wind load back

Conductor	Height		G_{c_dwars}	G_{c_trek}	C_c	$d_{additional}$	w_y	$w_{y,section}$	$D_{ijs,additional}$	$w_{y,ijs}$	$w_{y,ijs,section}$
	wind	Pressure									
	[m]	[kN/m ²]	[-]	[-]	[-]	[mm]	[N/m]	[N/m]	[mm]	[N/m]	[N/m]
150ct1f1	17,8	0,85	0,55	0,51	1,20	22,45	25,3	23,4	41,9	47,2	43,6
150ct1f2	17,8	0,85	0,55	0,51	1,20	22,45	25,3	23,4	41,9	47,2	43,6
150ct1f3	17,8	0,85	0,55	0,51	1,20	22,45	25,3	23,4	41,9	47,2	43,6
150ct2f1	17,8	0,85	0,55	0,51	1,20	22,45	25,3	23,4	41,9	47,2	43,6
150ct2f2	17,8	0,85	0,55	0,51	1,20	22,45	25,3	23,4	41,9	47,2	43,6
150ct2f3	17,8	0,85	0,55	0,51	1,20	22,45	25,3	23,4	41,9	47,2	43,6
bl1	20,0	0,88	0,56	0,52							
bl2	20,0	0,88	0,56	0,52							

Wind load ahead

Conductor	Height		G_{c_dwars}	G_{c_trek}	C_c	$d_{additional}$	w_y	$w_{y,section}$	$D_{ijs,additional}$	$w_{y,ijs}$	$w_{y,ijs,section}$
	wind	Pressure									
	[m]	[kN/m ²]	[-]	[-]	[-]	[mm]	[N/m]	[N/m]	[mm]	[N/m]	[N/m]
150ct1f1	19,1	0,87	0,56	0,64	1,20	22,45	26,1	29,7	41,9	48,8	55,5
150ct1f2	19,1	0,87	0,56	0,64	1,20	22,45	26,1	29,7	41,9	48,8	55,5
150ct1f3	23,1	0,92	0,58	0,65	1,20	22,45	28,4	32,3	41,9	53,1	60,4
150ct2f1	19,1	0,87	0,56	0,64	1,20	22,45	26,1	29,7	41,9	48,8	55,5
150ct2f2	19,1	0,87	0,56	0,64	1,20	22,45	26,1	29,7	41,9	48,8	55,5
150ct2f3	23,1	0,92	0,58	0,65	1,20	22,45	28,4	32,3	41,9	53,1	60,4
bl1	27,0	0,96	0,59	0,67	1,20	22,45	15,2	17,3	41,9	28,4	32,3
bl2	27,4	0,96	0,59	0,67	1,20	22,45	15,3	17,4	41,9	28,6	32,5

Note: loads w_v are applicable to the sum of the conductors within the bundle

Project: MBT-EHV380
Tower: S+0(xc) T1
Number: 115

Auteur: TBR
Versie: v12.0

Conductor loads

Starting points

Consequence class Nieuwbouw CC2
Reference period 50 jaar

ULS (strength)		NEN-EN50341-2-15:2019			Y _Q			Y _a
Load case	description	Temp °C	Y _G G _{k,mast}	Y _G G _{k,geleider}	Q _{pk}	Q _{wk}	Q _{lk}	A _k
ULS 1a	Wind	10°	1,20	1,20	0,00	1,50	0,00	0,0
ULS 1a_0,9	Wind 0,9Gk only tower	10°	0,90	1,20	0,00	1,50	0,00	0,0
ULS 1a_0,9_0,9	Wind 0,9Gk conductors too	10°	0,90	0,90	0,00	1,50	0,00	0,0
ULS 3	Wind+ice	-5°	1,20	1,20	0,00	0,45	1,50	0,0
ULS 3_0,9	Wind+ice 0,9Gk	-5°	0,90	1,20	0,00	0,45	1,50	0,0
ULS 4	Cold+wind	-20°	1,20	1,20	0,00	0,30	0,00	0,0
ULS 4_0,9	Cold+wind 0,9Gk	-20°	0,90	1,20	0,00	0,30	0,00	0,0
ULS 5a	Torsional loads	10°	1,00	1,00	1,00	0,00	0,00	1,0
ULS 5b	Longitudinal loads	10°	1,00	1,00	0,00	0,00	0,00	1,0
ULS 6	Construction + maintenance	5°	1,20	1,20	1,50	0,30	0,00	0,0
ULS 6_0,9	Construction + maintenance	5°	1,20	1,20	0,00	0,30	0,00	0,0
ULS 7	Permanent	10°	1,35	1,35	0,00	0,00	0,00	0,0
ULS 8	Special	10°	1,00	1,00	0,00	0,00	0,00	1,0
SPLS (strength, for angle towers: absence of conductors)			Y _G G _k		Y _Q Q _{pk} Q _{wk} Q _{lk}			A _k
SPLS 1a	Wind	10°	1,20	1,20	0,0	0,78	0,00	0,0
SPLS 1a_0,9	Wind 0,9	10°	0,90	1,20	0,0	0,78	0,00	0,0
SPLS 1a_0,9_0,9	Wind 0,9	10°	0,90	0,90	0,0	0,78	0,00	0,0
SPLS 3	Wind+ice	-5°	1,20	1,20	0,0	0,36	0,34	0,0
SPLS 3_0,9	Wind+ice 0,9	-5°	0,90	1,20	0,0	0,36	0,34	0,0
SPLS 4	Cold+wind	-20°	1,20	1,20	0,0	0,24	0,00	0,0
SPLS 4_0,9	Cold+wind 0,9	-20°	0,90	1,20	0,0	0,24	0,00	0,0
SPLS 6	Maintenance	5°	1,20	1,20	1,2	0,24	0,0	0,0
SPLS 6_0,9	Maintenance	5°	1,20	1,20	0,0	0,24	0,0	0,0
SLS (deformations, fatigue, EDS)			G _k		Q _{pk} Q _{wk} Q _{lk}			A _k
SLS 1a	Wind	10°	1,00	1,00	0,0	1,00	0,0	0,0
SLS 3	Wind+ice	-5°	1,00	1,00	0,0	0,30	1,00	0,0
SLS 4	Wind	-20°	1,00	1,00	0,0	0,20	0,0	0,0
SLS 6	Maintenance	5°	1,00	1,00	0,0	0,20	0,0	0,0
SLS 7	EDS, no wind	10°	1,00	1,00	0,0	0,00	0,0	0,0

Number of wind directions 6
Number of load combinations for ULS 54
Number of load combinations for SPLS 222
Number of load combinations for SLS 15
Number of concentrated loads 4656

Project: MBT-EHV380
 Tower: S+0(xc) T1
 Number: 115

Summary table - Conductor loads

The four tables below show:

- The maximum conductor load in the global axis system, split into proportion of back and ahead span
- The combined conductor load (Ba+Ah) in the global axis system with the maximum tensile force in the local axes. Components Fx and Fy as absolute values
- The everyday (EDS) values of the combined conductor loads (Ba+Ah) with corresponding tensile forces
- Check for uplift, where a negative value indicates uplift

Note: Maximum values for Fx, Fy and Fz do not necessarily belong to the same load combination.

Maximum values for back and ahead span

Geleider	Fx_ba [kN]	Fx_ah [kN]	Fy_ba [kN]	Fy_ah [kN]	Fz_ba [kN]	Fz_ah [kN]
bl1	0,0	18,5	0,0	36,1	0,0	4,9
bl2	0,0	22,7	0,0	35,9	0,0	4,8
150ct1f1	-64,5	32,2	8,5	57,1	13,2	12,0
150ct1f2	-64,5	32,1	8,5	57,2	13,2	12,0
150ct1f3	-64,5	31,0	8,5	58,9	13,2	10,1
150ct2f1	-64,5	33,4	8,5	56,4	13,2	12,0
150ct2f2	-64,5	33,5	8,5	56,3	13,2	12,0
150ct2f3	-64,5	35,4	8,5	56,2	13,2	10,1

Min. Weight span (m)

Weight spar Combinatie1

Geleider	SLS 1a	SLS 4	SLS 7
bl1	45,7	64,7	78,8
bl2	39,6	55,6	72,9
150ct1f1	286,2	291,0	294,3
150ct1f2	286,2	291,0	294,3
150ct1f3	221,0	239,3	251,3
150ct2f1	286,2	291,0	294,3
150ct2f2	286,2	291,0	294,3
150ct2f3	221,2	239,3	251,4

Max. Weight span (m)

Weight spar Combinatie1

Geleider	ULS 1a	ULS 3
bl1	80,9	89,3
bl2	76,6	86,7
150ct1f1	294,8	296,3
150ct1f2	294,8	296,3
150ct1f3	249,2	259,0
150ct2f1	294,8	296,3
150ct2f2	294,8	296,3
150ct2f3	249,8	259,1

Envelop of weight span over all combinations (incl. 0,9 combinations)

For all conductors

		Wind / Weight span ratio
Max. weight span	297,0 m	0,952 -
Min. weight span	6,1 m	0,020 -

Project: MBT-EHV380
 Tower: S+0(xc) T1
 Number: 115

Geleider	Maximum values back + ahead span			Maximum tension in conductor	
	Fx [kN]	Fy [kN]	Fz [kN]	Ft_ba [kN]	Ft_ah [kN]
bl1	18,5	36,1	4,9	0,0	40,5
bl2	22,7	35,9	4,8	0,0	42,5
150ct1f1	57,8	58,6	13,2	-64,5	64,2
150ct1f2	57,8	58,6	13,2	-64,5	64,2
150ct1f3	57,8	60,1	13,2	-64,5	64,4
150ct2f1	57,8	57,9	13,2	-64,5	64,2
150ct2f2	57,8	57,9	13,2	-64,5	64,2
150ct2f3	57,8	57,9	13,2	-64,5	64,4

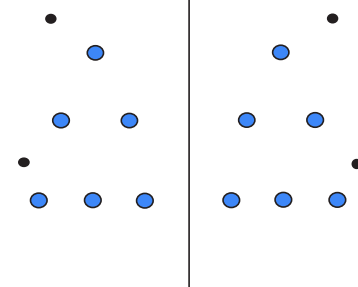
Geleider	EDS-loads conductor				
	Fx [kN]	Fy [kN]	Fz [kN]	Ft_ba [kN]	Ft_ah [kN]
bl1	7,7	14,8	0,8	0,0	16,7
bl2	10,0	15,6	0,8	0,0	18,5
150ct1f1	13,2	23,6	5,7	-27,6	27,0
150ct1f2	13,1	23,6	5,7	-27,6	27,0
150ct1f3	12,3	24,1	5,7	-27,6	27,0
150ct2f1	13,8	23,3	5,7	-27,6	27,0
150ct2f2	13,9	23,2	5,7	-27,6	27,0
150ct2f3	14,6	22,8	5,7	-27,6	27,0

1 Control uplift SLS-wind		
Combinatie: Geleider	Fz_ba [kN]	Fz_ah [kN]
SLS 4 bl1	0,0	0,0
bl2	0,0	0,0
150ct1f1	0,0	0,0
150ct1f2	0,0	0,0
150ct1f3	0,0	0,0
150ct2f1	0,0	0,0
150ct2f2	0,0	0,0
150ct2f3	0,0	0,0

Project: MBT-EHV380
Tower: S+0(xc) T1
Number: 115

Conductor loads Auteur: TBR
Versie: v12.0

General	
Description	S+0(xc) T1
Tower type	Steenmast
Number of circuits	2
Configuration	2-circuit-donau
Number of earth wires	2
Starting points	
Norm	NEN-EN50341-2-15:2019
Consequence class	CC2
Reliability level initial	Nieuwbouw
Reference period initial	50 jaar
	CC2
Reliability level modified	n.v.t.
	50 jaar
Wind zone	III
Wind speed (m/s)	24,5 m/s
Terrain category	II
Reduction factor C_{dir}	1,00
Ice region phase conductor	B
Ice region earth conductor	B



Configuratie geleiders

Conductors back

Description	Voltage	Conductor Back	Bundle Ba	Ice region	Additional weight	Additional diameter	Catenary P_{back}
Circuit 1	380 kV	ACCC-Warsaw	3	B	3 %	3 %	1400
Circuit 2	380 kV	ACCC-Warsaw	3	B	3 %	3 %	1400
Bliksemdraad 1		OPGW AFL-226/38	1	B	3 %	3 %	1550
Bliksemdraad 2		AACSR 241-AL3-39-A20SA	1	B	3 %	3 %	1550

Conductors ahead

Description	Voltage	Conductor Ahead	Bundle Ah	Ice region	Additional weight	Additional diameter	Catenary P_{ahead}
Circuit 1	380 kV	ACCC-Warsaw	3	B	3 %	3 %	1400
Circuit 2	380 kV	ACCC-Warsaw	3	B	3 %	3 %	1400
Bliksemdraad 1		OPGW AFL-226/38	1	B	3 %	3 %	1550
Bliksemdraad 2		AACSR 241-AL3-39-A20SA	1	B	3 %	3 %	1550

Insulators (1)

Description	Suspension	Weight [kN]	Length [m]	Wind area [m ²]
Circuit 1	V-ketting	3,50	4,50	2,00
Circuit 2	V-ketting	3,50	4,50	2,00
Bliksemdraad 1	Vast (Bliksemdraad)	0,10	0,30	0,10
Bliksemdraad 2	Vast (Bliksemdraad)	0,10	0,30	0,10

1. Properties apply to the entire isolator set

Suspension height and position in mast

Circuits	Designation	Number	Suspension height	Attach point	Position in tower Horizontal distance
Circuit 1	10	380ct1f1	32,7 m	37,2 m	-12,4 m
Circuit 1	11	380ct1f2	32,7 m	37,2 m	-5,8 m
Circuit 1	12	380ct1f3	43,3 m	47,8 m	-5,8 m
Circuit 2	20	380ct2f1	32,7 m	37,2 m	5,8 m
Circuit 2	21	380ct2f2	32,7 m	37,2 m	12,4 m
Circuit 2	22	380ct2f3	43,3 m	47,8 m	5,8 m
Bliksemdraad 1	1	bl1	47,5 m	47,8 m	-16,2 m
Bliksemdraad 2	3	bl2	47,5 m	47,8 m	16,2 m

Project: MBT-EHV380
 Tower: S+0(xc) T1
 Number: 115

Height adjustment adjacent masts (wind and weight span adjustment)

	Back	Ahead	
Height increase for wind pressure	0,0 m	0,0 m	(positive: higher)
Height decrease for vertical load	0,0 m	0,0 m	(negative: decrease, more weight span)
Decrease: Niet in 0,9EG-combinaties			

Height difference adjacent tower and change of direction with respect to Line direction

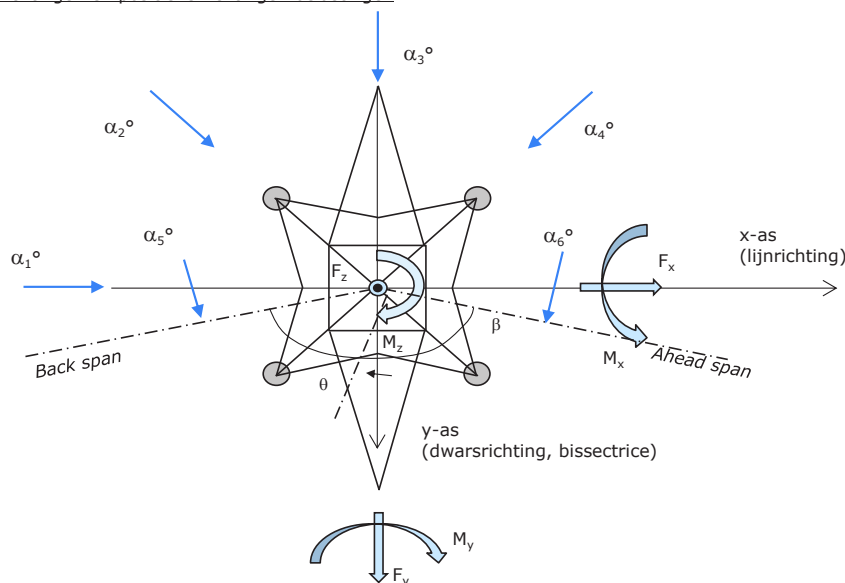
Circuits	Aanduiding	Nummer	Hoogteverschil		Richtingsverandering	
			Δh back	Δh ahead	Δy back	Δy ahead
Circuit 1	10	380ct1f1	2,9	-6,6 m	0,0	-3,8 m
Circuit 1	11	380ct1f2	2,9	-6,5 m	0,0	-3,4 m
Circuit 1	12	380ct1f3	2,8	-5,2 m	0,0	-6,9 m
Circuit 2	20	380ct2f1	2,9	-6,5 m	0,0	3,2 m
Circuit 2	21	380ct2f2	2,8	-6,6 m	0,0	3,5 m
Circuit 2	22	380ct2f3	2,8	-5,3 m	0,0	5,8 m
Bliksemdraad 1	1	bl1	4,3	-4,3 m	0,0	-1,0 m
Bliksemdraad 2	3	bl2	4,3	-4,3 m	0,0	0,7 m

Line and tower data

	Back	Ahead
Ruling span $\sqrt{(\Sigma L^3/\Sigma L)}$	362,4	197,5 m
Line angle β	180 °	293,6 m
Tower orientation with respect to bis θ	0 °	
Section length	1359	1359 m
Height bottom of tower to ground level	0,5 m	
Wind directions considered α_1	0 °	
Wind directions according to: α_2	45 °	
<i>Geleiderbelastingen</i> α_3	90 °	
α_4	135 °	
α_5	150 °	
α_6	270 °	

Wind directions apply to the main direction of mast construction, not to the bisector.

Windrichtingen en positieve richtingen belastingen



Considered number of wind directions

1a	6
3	6
4	1
6	1
Overig	1

Project: MBT-EHV380
 Tower: S+0(xc) T1
 Number: 115

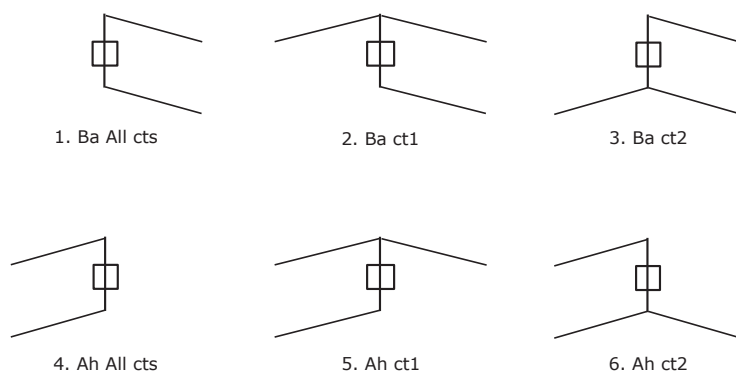
Absence of conductors

		SPLS - torsie		SPLS - Enkelzijdige trek		5a - geleiderbreuk	
		Aanw.	Afw.	Aanw.	Afw.	Aanw.	Afw.
Circuit 1	380ct1f1	1	0	1	0	0,8	0
Circuit 1	380ct1f2	1	0	1	0	0,8	0
Circuit 1	380ct1f3	1	0	1	0	0,8	0
Circuit 2	380ct2f1	0	1	1	0	0,8	0
Circuit 2	380ct2f2	0	1	1	0	0,8	0
Circuit 2	380ct2f3	0	1	1	0	0,8	0
Bliksemdraad 1	bl1	1	0	1	0	1	0
Bliksemdraad 2	bl2	0	1	1	0	1	0

Load situations SPLS

Considered situations SPLS: SPLS for suspension tower not applicable

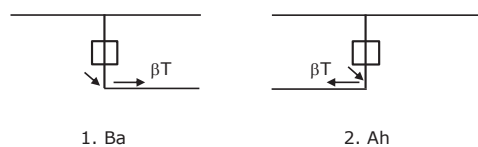
Principle of load situations:



Load situation 5a. Conductor failure

Considered situations conductor failure 5a: 1 and 2, all possible situations

Principle of load situations:



Project: MBT-EHV380
 Tower: S+0(xc) T1
 Number: 115

Load situations LC6. Construction and maintenance

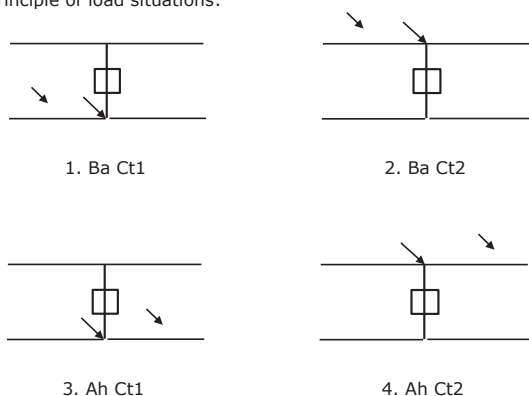
Under 6a, the load due to the presence of a line vehicle or line bicycle in combination with point load on the traverse is assessed. Combination 6b does not contain any loads in conductor or on traverse. This combination has been added to be able to combine with separate control platforms, etc. The situations are applied in ULS and in every SPLS situation (in case of angle tower).

	Phase	Earth
Line vehicle	3,0 kN	2,0 kN
Concentrated load cross arm	1,0 kN	1,0 kN

Beschouwde situaties bouw- en onderhoud 6a: 1 t/m 4, alle mogelijke situaties.

Presence line vehicle: Circuit, belasting tegelijk aanwezig in alle geleiders per circuit.

Principle of load situations:



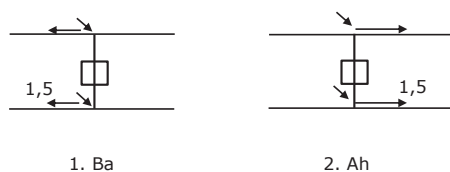
Load situations 8. Galloping as a static load

Conductor		
Suspension tower phase	0,866 W	1,5 W
Suspension tower earth	1,5 EDS	1,5 W
Strain tower phase and earth	1,5 EDS	1,5 W

Considered situations galloping 8: None (existing structure)

Load simultaneously present in all conductors of the circuit.

Principle of load situations:



Load combination 8. Galloping as a dynamic load

Only applies to tension towers

Load consists of EDS tensile load in one of the conductors on one side of the tower

Can be converted by user to fatigue spectrum via the load spectrum of table 4.11 / NL.1

Project: MBT-EHV380
 Tower: S+0(xc) T1
 Number: 115

Tower structure

Properties

Tower type	Steunmast
Tower designation	S+0(xc) T1
Base plate w.r.t. ground level	0,5 m
Tower height w.r.t. base plate	51,9 m
Tower self weight	779,0 kN

<i>Width and slope at foundation</i>	x-ri.	y-ri.
Leg spread	9,00	9,00 m
Inclination of main leg	0,143	0,143 -
Horizontal force factor	1,3	1,3 -

Calculation Wind load

Dynamic factor G_T	1,00 (<i>Masthoogte < 60 m</i>)
Wind load diagonally to tower body proportional to:	$(A1C1\sin^2(\phi)+A2C2\cos^2(\phi))$
Wind load diagonally on traverse proportional to:	$(A1C1\sin^2(\phi)+A2C2\cos^2(\phi))$
Magnification factor diagonal wind to tower body	$(1+0,2\sin^2(2\phi))$
Magnification factor diagonal wind to cross arm	$(1+0,2\sin^2(2\phi))$
Magnification factor wind parallel to perpendicular to cross arm	0,4

Properties mast sections longitudinal direction (front view, yz plane)

Description	h [m]	b ₁ [m]	b ₂ [m]	Δh [m]	Δ _x [m]	A ₀ [m ²]	A ₁ [m ²]	χ = A ₁ /A ₀ [-]	C _t
Broekstuk	11,18	9,00	5,80	11,18	0,143	82,70	17,85	0,22	2,86
1e tussenstuk	22,70	5,80	4,68	11,53	0,049	60,39	19,12	0,32	2,48
2e tussenstuk	32,65	4,68	3,72	9,95	0,048	41,78	12,79	0,31	2,51
3e tussenstuk	37,80	3,72	3,22	5,15	0,048	17,86	5,98	0,33	2,42
4e tussenstuk	50,38	3,22	2,00	12,58	0,048	32,81	13,34	0,41	2,20
Topstuk	51,88	2,00		1,50		1,50	0,38	0,25	2,71
Ondertraverse	22,70	19,66		3,50		34,40	17,79	0,52	1,95
Middentraverse	37,80	14,09		3,00		21,14	7,51	0,36	2,35
Boventraverse	47,80	15,08		2,58		19,41	6,17	0,32	2,47

Properties tower sections transversal direction (side view, xz plane)

Description	h [m]	b ₁ [m]	b ₂ [m]	Δh [m]	Δ _x [m]	A ₀ [m ²]	A ₁ [m ²]	χ = A ₁ /A ₀ [-]	C _t
Broekstuk	11,18	9,00	5,80	11,18	0,143	82,70	17,85	0,22	2,86
1e tussenstuk	22,70	5,80	4,68	11,53	0,049	60,39	19,12	0,32	2,48
2e tussenstuk	32,65	4,68	3,72	9,95	0,048	41,78	12,79	0,31	2,51
3e tussenstuk	37,80	3,72	3,22	5,15	0,048	17,86	5,98	0,33	2,42
4e tussenstuk	50,38	3,22	2,00	12,58	0,048	32,81	13,34	0,41	2,20
Topstuk	51,88	2,00		1,50		1,50	0,38	0,25	2,71
Ondertraverse	22,70	19,66		3,50		34,40	17,79	0,52	1,95
Middentraverse	37,80	14,09		3,00		21,14	7,51	0,36	2,35
Boventraverse	47,80	15,08		2,58		19,41	6,17	0,32	2,47

Note: Surface area transverse direction in table is reduced in calculation.

Note: surface area of cross arm is for each side, ie. half of the total of both cross arms.

Project: MBT-EHV380
 Tower: S+0(xc) T1
 Number: 115

Wind surface feeders telecom installations

Part	A (m ² /m)	Factor	Δh	A ₁
Broekstuk	0,14	0,71	11,2	1,1
1e tussenstuk	0,14	0,71	11,5	1,1
2e tussenstuk	0,14	0,71	10,0	1,0
3e tussenstuk	0,14	0,71	5,2	0,5
4e tussenstuk	0,14	0,71	0,1	0,0

Input antennas

Description	A (m ²)	h (m)	C _r (m)
Antenne top	2,2	54	1,73
Antenne o.t.			

Tower section loads longitudinal (x-direction) per wind direction

Description	p _w [kN/m ²]	F _{x1} [kN]	F _{x2} [kN]	F _{x3} [kN]	F _{x4} [kN]	h _{ef} [m]	M _{y1} [kNm]	M _{y2} [kNm]	M _{y3} [kNm]	M _{y4} [kNm]
Broekstuk	0,70	35,8	30,4	0,0	-30,4	5,6	200,1	169,8	0,0	-169,8
1e tussenstuk	0,83	39,5	33,5	0,0	-33,5	16,9	668,9	567,5	0,0	-567,5
2e tussenstuk	0,97	31,1	26,3	0,0	-26,3	27,7	859,4	729,2	0,0	-729,2
3e tussenstuk	1,04	15,0	12,7	0,0	-12,7	35,2	528,0	448,0	0,0	-448,0
4e tussenstuk	1,10	32,2	27,4	0,0	-27,4	44,1	1421,4	1206,1	0,0	-1206,1
Topstuk	1,14	1,2	1,0	0,0	-1,0	51,1	60,1	51,0	0,0	-51,0
Ondertraverse	0,93	64,1	38,1	0,0	-38,1	23,9	1530,1	908,9	0,0	-908,9
Middentraverse	1,06	37,5	22,2	0,0	-22,2	38,8	1453,3	863,2	0,0	-863,2
Boventraverse	1,13	34,4	20,4	0,0	-20,4	48,7	1673,5	994,0	0,0	-994,0
Totaal		290,7	212,1	0,0	-212,1		8395,0	5937,9	0,0	-5937,9

Tower section loads transversal (y-direction) per wind direction

Description	p _w [kN/m ²]	F _{y1} [kN]	F _{y2} [kN]	F _{y3} [kN]	F _{y4} [kN]	h _{ef} [m]	M _{x1} [kNm]	M _{x2} [kNm]	M _{x3} [kNm]	M _{x4} [kNm]
Broekstuk	0,70	0,0	30,4	35,8	30,4	5,6	0,0	169,8	200,1	169,8
1e tussenstuk	0,83	0,0	33,5	39,5	33,5	16,9	0,0	567,5	668,9	567,5
2e tussenstuk	0,97	0,0	26,3	31,1	26,3	27,7	0,0	729,2	859,4	729,2
3e tussenstuk	1,04	0,0	12,7	15,0	12,7	35,2	0,0	448,0	528,0	448,0
4e tussenstuk	1,10	0,0	27,4	32,2	27,4	44,1	0,0	1206,1	1421,4	1206,1
Topstuk	1,14	0,0	1,0	1,2	1,0	51,1	0,0	51,0	60,1	51,0
Ondertraverse	0,93	0,0	38,1	25,6	38,1	23,9	0,0	908,9	612,1	908,9
Middentraverse	1,06	0,0	22,2	15,0	22,2	38,8	0,0	863,2	581,3	863,2
Boventraverse	1,13	0,0	20,4	13,8	20,4	48,7	0,0	994,0	669,4	994,0
Total		0,0	212,1	209,2	212,1		0,0	5937,9	5600,8	5937,9

Resulting loads from mast construction incl. Antenna without conductors level foundation (char. Value)

Load / wind direction	F _x [kN]	F _y [kN]	F _z [kN]	M _x [kNm]	M _y [kNm]	M _z [kNm]
Permanente belasting	0	0	779	0	0	0
Windrichting 0°	295	0	0	0	8633	0
Windrichting 45°	215	215	0	6106	6106	0
Windrichting 90°	0	214	0	5839	0	0
Windrichting 135°	-215	215	0	6106	-6106	0

Project: MBT-EHV380
 Tower: S+0(xc) T1
 Number: 115

Intermediate results for conductor loads

Conductors back

Circuit	Geleider	Diameter [mm]	A [mm ²]	G [N/m]	E [N/mm ²]	αT [-]
Circuit 1	ACCC-Warsaw	27,7	571,0	14,98	62700	1,88E-05
Circuit 2	ACCC-Warsaw	27,7	571,0	14,98	62700	1,88E-05
Bliksemdraad 1	OPGW AFL-226/38	21,7	264,0	9,13	72000	1,98E-05
Bliksemdraad 2	AACSR 241-AL3-39-A20SA	21,8	281,0	9,38	70165	1,97E-05

Conductors ahead

Circuit	Geleider	Diameter [mm]	A [mm ²]	G [N/m]	E [N/mm ²]	αT [-]
Circuit 1	ACCC-Warsaw	27,7	571,0	14,98	62700	1,88E-05
Circuit 2	ACCC-Warsaw	27,7	571,0	14,98	62700	1,88E-05
Bliksemdraad 1	OPGW AFL-226/38	21,7	264,0	9,13	72000	1,98E-05
Bliksemdraad 2	AACSR 241-AL3-39-A20SA	21,8	281,0	9,38	70165	1,97E-05

Vertical load back

Circuit	Bundle [-]	Additional [%]	$w_{z,G}$ [N/m]	Ice region	Formula	$w_{z,ijs}$ [N/m]	$w_{z,ijs,bundel}$ [N/m]
Circuit 1	3	3	46,3	B	4+0,2d	9,5	28,6
Circuit 2	3	3	46,3	B	4+0,2d	9,5	28,6
Bliksemdraad 1	1	3	9,4	B	4+0,2d	8,3	8,3
Bliksemdraad 2	1	3	9,7	B	4+0,2d	8,4	8,4

Vertical load ahead

Circuit	Bundle [-]	Additional [%]	$w_{z,G}$ [N/m]	Ice region	Formula	$w_{z,ijs}$ [N/m]	$w_{z,ijs,bundel}$ [N/m]
Circuit 1	3	3	46,3	B	4+0,2d	9,5	28,6
Circuit 2	3	3	46,3	B	4+0,2d	9,5	28,6
Bliksemdraad 1	1	3	9,4	B	4+0,2d	8,3	8,3
Bliksemdraad 2	1	3	9,7	B	4+0,2d	8,4	8,4

Insulators

Conductor	$G_{isolator}$ [kN]	Number	$F_{v,iso}$ [kN]	Length [m]	Wind surf. [m ²]	Wind heigth [m]	Pressure [kN/m ²]	Drag factor [-]	$F_{h,iso}$ [kN]
380ct1f1	3,50	1	3,5	4,5	2,0	35,41	1,04	1,2	2,48
380ct1f2	3,50	1	3,5	4,5	2,0	35,41	1,04	1,2	2,48
380ct1f3	3,50	1	3,5	4,5	2,0	46,05	1,11	1,2	2,67
380ct2f1	3,50	1	3,5	4,5	2,0	35,41	1,04	1,2	2,48
380ct2f2	3,50	1	3,5	4,5	2,0	35,41	1,04	1,2	2,48
380ct2f3	3,50	1	3,5	4,5	2,0	46,05	1,11	1,2	2,67
bl1	0,10	1	0,1	0,3	0,1	48,15	1,12	1,2	0,13
bl2	0,10	1	0,1	0,3	0,1	48,15	1,12	1,2	0,13

Project: MBT-EHV380
 Tower: S+0(xc) T1
 Number: 115

Wind load back

Conductor	Height		G_{c_dwars}	G_{c_trek}	C_c	$d_{additional}$	w_y	$w_{y,section}$	$D_{ij,s,additional}$	$w_{y,ijs}$	$w_{y,ijs,section}$
	wind	Pressure									
	[m]	[kN/m ²]	[-]	[-]	[-]	[mm]	[N/m]	[N/m]	[mm]	[N/m]	[N/m]
380ct1f1	26,8	0,96	0,60	0,53	1,11	28,53	54,1	48,4	47,4	97,3	87,1
380ct1f2	26,8	0,96	0,60	0,53	1,11	28,53	54,1	48,4	47,4	97,3	87,1
380ct1f3	37,4	1,05	0,62	0,56	1,08	28,53	60,7	54,3	47,4	111,8	100,0
380ct2f1	26,8	0,96	0,60	0,53	1,11	28,53	54,1	48,4	47,4	97,3	87,1
380ct2f2	26,7	0,96	0,60	0,53	1,11	28,53	54,1	48,4	47,4	97,3	87,1
380ct2f3	37,4	1,05	0,62	0,56	1,08	28,53	60,7	54,3	47,4	111,8	100,0
bl1	43,1	1,09	0,64	0,57	1,20	22,35	18,6	16,6	41,8	34,8	31,2
bl2	43,1	1,09	0,64	0,57	1,19	22,45	18,6	16,6	41,9	34,9	31,2

Wind load ahead

Conductor	Height		G_{c_dwars}	G_{c_trek}	C_c	$d_{additional}$	w_y	$w_{y,section}$	$D_{ij,s,additional}$	$w_{y,ijs}$	$w_{y,ijs,section}$
	wind	Pressure									
	[m]	[kN/m ²]	[-]	[-]	[-]	[mm]	[N/m]	[N/m]	[mm]	[N/m]	[N/m]
380ct1f1	27,6	0,96	0,60	0,54	1,11	28,53	54,7	48,9	47,4	98,5	88,2
380ct1f2	27,6	0,97	0,60	0,54	1,11	28,53	54,7	48,9	47,4	98,6	88,2
380ct1f3	38,9	1,06	0,63	0,56	1,08	28,53	61,5	55,0	47,4	113,6	101,6
380ct2f1	27,6	0,97	0,60	0,54	1,11	28,53	54,7	48,9	47,4	98,6	88,2
380ct2f2	27,6	0,96	0,60	0,54	1,11	28,53	54,7	48,9	47,4	98,5	88,2
380ct2f3	38,9	1,06	0,63	0,56	1,08	28,53	61,5	55,0	47,4	113,6	101,6
bl1	43,8	1,10	0,64	0,57	1,20	22,35	18,7	16,7	41,8	35,1	31,4
bl2	43,8	1,10	0,64	0,57	1,19	22,45	18,7	16,7	41,9	35,1	31,4

Note: loads w_v are applicable to the sum of the conductors within the bundle

Project: MBT-EHV380
Tower: S+0(xc) T1
Number: 115

Auteur: TBR
Versie: v12.0

Conductor loads

Starting points

Consequence class Nieuwbouw CC2
Reference period 50 jaar

ULS (strength)		NEN-EN50341-2-15:2019			Y _Q			Y _a
Load case	description	Temp °C	Y _G G _{k,mast}	Y _G G _{k,geleider}	Q _{pk}	Q _{wk}	Q _{lk}	A _k
ULS 1a	Wind	10°	1,20	1,20	0,00	1,50	0,00	0,0
ULS 1a_0,9	Wind 0,9Gk only tower	10°	0,90	1,20	0,00	1,50	0,00	0,0
ULS 1a_0,9_0,9	Wind 0,9Gk conductors too	10°	0,90	0,90	0,00	1,50	0,00	0,0
ULS 3	Wind+ice	-5°	1,20	1,20	0,00	0,45	1,50	0,0
ULS 3_0,9	Wind+ice 0,9Gk	-5°	0,90	1,20	0,00	0,45	1,50	0,0
ULS 4	Cold+wind	-20°	1,20	1,20	0,00	0,30	0,00	0,0
ULS 4_0,9	Cold+wind 0,9Gk	-20°	0,90	1,20	0,00	0,30	0,00	0,0
ULS 5a	Torsional loads	10°	1,00	1,00	1,00	0,00	0,00	1,0
ULS 5b	Longitudinal loads	10°	1,00	1,00	0,00	0,00	0,00	1,0
ULS 6	Construction + maintenance	5°	1,20	1,20	1,50	0,30	0,00	0,0
ULS 6_0,9	Construction + maintenance	5°	1,20	1,20	0,00	0,30	0,00	0,0
ULS 7	Permanent	10°	1,35	1,35	0,00	0,00	0,00	0,0
ULS 8	Special	10°	1,00	1,00	0,00	0,00	0,00	1,0
SPLS (strength, for angle towers: absence of conductors)			Y _G G _k		Y _Q Q _{pk} Q _{wk} Q _{lk}			A _k
SPLS 1a	Wind	10°	1,20	1,20	0,0	0,78	0,00	0,0
SPLS 1a_0,9	Wind 0,9	10°	0,90	1,20	0,0	0,78	0,00	0,0
SPLS 1a_0,9_0,9	Wind 0,9	10°	0,90	0,90	0,0	0,78	0,00	0,0
SPLS 3	Wind+ice	-5°	1,20	1,20	0,0	0,36	0,34	0,0
SPLS 3_0,9	Wind+ice 0,9	-5°	0,90	1,20	0,0	0,36	0,34	0,0
SPLS 4	Cold+wind	-20°	1,20	1,20	0,0	0,24	0,00	0,0
SPLS 4_0,9	Cold+wind 0,9	-20°	0,90	1,20	0,0	0,24	0,00	0,0
SPLS 6	Maintenance	5°	1,20	1,20	1,2	0,24	0,0	0,0
SPLS 6_0,9	Maintenance	5°	1,20	1,20	0,0	0,24	0,0	0,0
SLS (deformations, fatigue, EDS)			G _k		Q _{pk}	Q _{wk}	Q _{lk}	A _k
SLS 1a	Wind	10°	1,00	1,00	0,0	1,00	0,0	0,0
SLS 3	Wind+ice	-5°	1,00	1,00	0,0	0,30	1,00	0,0
SLS 4	Wind	-20°	1,00	1,00	0,0	0,20	0,0	0,0
SLS 6	Maintenance	5°	1,00	1,00	0,0	0,20	0,0	0,0
SLS 7	EDS, no wind	10°	1,00	1,00	0,0	0,00	0,0	0,0

Number of wind directions 6
Number of load combinations for ULS 54
Number of load combinations for SPLS 0
Number of load combinations for SLS 15
Number of concentrated loads 552

Project: MBT-EHV380
 Tower: S+0(xc) T1
 Number: 115

Summary table - Conductor loads

The four tables below show:

- The maximum conductor load in the global axis system, split into proportion of back and ahead span
- The combined conductor load (Ba+Ah) in the global axis system with the maximum tensile force in the local axes. Components Fx and Fy as absolute values
- The everyday (EDS) values of the combined conductor loads (Ba+Ah) with corresponding tensile forces
- Check for uplift, where a negative value indicates uplift

Note: Maximum values for Fx, Fy and Fz do not necessarily belong to the same load combination.

*For Steunmast the special combination SPLS 6 don't apply.

Maximum values for back and ahead span

Geleider	Fx_ba [kN]	Fx_ah [kN]	Fy_ba [kN]	Fy_ah [kN]	Fz_ba [kN]	Fz_ah [kN]
bl1	-34,8	34,8	5,1	2,7	6,1	4,8
bl2	-35,4	35,4	5,2	3,0	6,2	4,8
380ct1f1	-135,3	135,4	16,6	7,9	18,9	16,3
380ct1f2	-135,3	135,4	16,6	8,1	18,9	16,3
380ct1f3	-137,6	137,7	18,5	7,1	19,0	15,5
380ct2f1	-135,3	135,4	16,6	11,8	18,9	16,3
380ct2f2	-135,3	135,4	16,6	12,0	18,9	16,3
380ct2f3	-137,6	137,7	18,5	14,7	19,0	15,5

Min. Weight span (m)

Weight spar Combinatie1

Geleider	SLS 1a	SLS 4	SLS 7
bl1	294,9	298,5	294,9
bl2	294,9	298,5	294,9
380ct1f1	315,3	321,6	315,3
380ct1f2	315,0	321,3	315,0
380ct1f3	306,3	311,2	306,3
380ct2f1	315,0	321,3	315,0
380ct2f2	315,4	321,8	315,4
380ct2f3	306,4	311,2	306,4

Max. Weight span (m)

Weight spar Combinatie1

Geleider	ULS 1a	ULS 3
bl1	308,3	294,1
bl2	308,0	294,1
380ct1f1	332,3	314,7
380ct1f2	331,9	314,4
380ct1f3	321,6	306,3
380ct2f1	331,9	314,4
380ct2f2	332,5	314,8
380ct2f3	321,6	306,4

Envelop of weight span over all combinations (incl. 0,9 combinations)

For all conductors

		Wind / Weight span ratio
Max. weight span	345,3 m	1,233 -
Min. weight span	291,4 m	1,041 -

Project: MBT-EHV380
 Tower: S+0(xc) T1
 Number: 115

Geleider	Maximum values back + ahead span			Maximum tension in conductor	
	Fx [kN]	Fy [kN]	Fz [kN]	Ft_ba [kN]	Ft_ah [kN]
bl1	14,6	8,2	8,4	-37,7	37,7
bl2	15,0	8,2	8,5	-38,3	38,3
380ct1f1	51,8	28,8	35,2	-135,2	135,4
380ct1f2	51,8	28,5	35,2	-135,2	135,4
380ct1f3	51,8	33,8	34,4	-137,5	137,8
380ct2f1	51,8	28,4	35,2	-135,2	135,4
380ct2f2	51,8	28,6	35,2	-135,2	135,4
380ct2f3	51,8	33,2	34,4	-137,5	137,8

EDS-loads conductor

Geleider	Fx [kN]	Fy [kN]	Fz [kN]	Ft_ba [kN]	Ft_ah [kN]
bl1	0,0	-0,1	2,9	-14,6	14,6
bl2	0,0	0,1	2,9	-15,0	15,0
380ct1f1	0,0	-1,3	18,1	-64,8	64,8
380ct1f2	0,0	-1,1	18,1	-64,8	64,8
380ct1f3	0,0	-2,2	17,7	-64,8	64,8
380ct2f1	0,0	1,0	18,1	-64,8	64,8
380ct2f2	0,0	1,1	18,1	-64,8	64,8
380ct2f3	0,0	1,9	17,7	-64,8	64,8

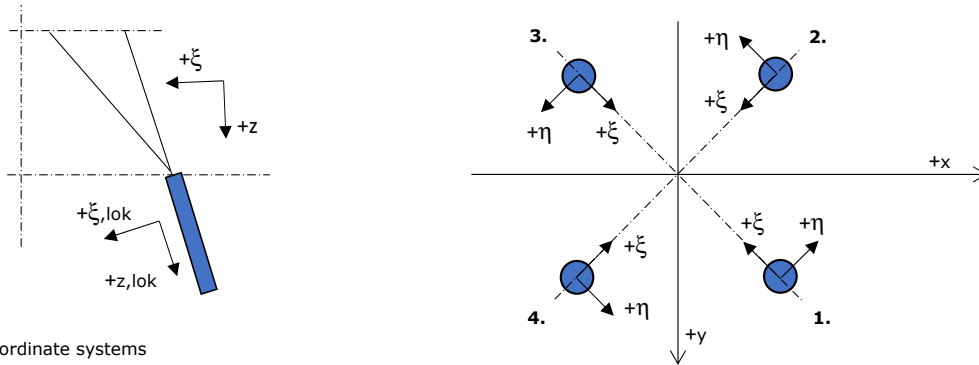
1 Control uplift SLS-wind

Combinatie: Geleider		Fz_ba [kN]	Fz_ah [kN]
SLS 4	bl1	1,5	1,4
	bl2	1,6	1,4
	380ct1f1	9,5	8,9
	380ct1f2	9,5	8,8
	380ct1f3	9,5	8,4
	380ct2f1	9,5	8,8
	380ct2f2	9,5	8,9
	380ct2f3	9,5	8,4

Project: BBB MBT EHV
Mast type: S+0_xc T1
Mast: 115

Author: M Khan
Version: 1.3

Foundation Reactions



Co-ordinate systems

Maximum compression force

Leg	Combination	R_x [kN]	R_y [kN]	R_z [kN]	R_η [kN]	R_ξ [kN]	$R_{\xi,lok}$ [kN]	$R_{z,lok}$ [kN]
1	ULS 1a_45	-340	-326	-1716	10	-471	124	-1775
2	SPLS 1a_270 Ba All Cts	-184	142	-860	-29	-230	56	-889
3	SPLS 1a_270 Ah All Cts	283	222	-1307	43	-357	93	-1351
4	ULS 1a_135	419	-411	-2148	-6	-587	152	-2222

Maximum tension force

Leg	Combination	R_x [kN]	R_y [kN]	R_z [kN]	R_η [kN]	R_ξ [kN]	$R_{\xi,lok}$ [kN]	$R_{z,lok}$ [kN]
1	ULS 1a_0,9_0,9_270	157	106	782	-36	186	-28	804
2	ULS 1a_0,9_135	321	-289	1650	23	432	-98	1703
3	ULS 1a_0,9_45	-214	-214	1183	0	303	-64	1220
4	SPLS 1a_0,9_0,9_270 Ba All Cts	-87	35	404	37	86	-4	413

Maximum torsion force (positive)

Leg	Combination	R_x [kN]	R_y [kN]	R_z [kN]	R_η [kN]	R_ξ [kN]	$R_{\xi,lok}$ [kN]	$R_{z,lok}$ [kN]
1	SPLS 6a_90 Ah Ct1 Ah Ct2	-229	-26	-602	144	-181	59	-626
2	SPLS 6a_90 Ah Ct1 Ah Ct2	137	55	262	135	58	-5	269
3	SPLS 6a_90 Ah Ct1 Ah Ct2	88	-71	-1	112	-12	12	-4
4	SPLS 1a_270 Ah Ct1	-71	-81	84	108	-7	24	81

Maximum torsion force (negative)

Leg	Combination	R_x [kN]	R_y [kN]	R_z [kN]	R_η [kN]	R_ξ [kN]	$R_{\xi,lok}$ [kN]	$R_{z,lok}$ [kN]
1	SPLS 6a_90 Ah Ct2 Ah Ct1	-46	-205	-594	-112	-178	57	-617
2	SPLS 1a_270 Ah Ct2	-187	53	-647	-95	-169	38	-668
3	SPLS 6a_90 Ah Ct2 Ah Ct1	-77	99	-11	-125	-15	13	-14
4	SPLS 6a_90 Ah Ct2 Ah Ct1	254	-78	-802	-125	-235	72	-832

Combination Ftrek+Fh

Leg	Combination	R_x [kN]	R_y [kN]	R_z [kN]	R_η [kN]	R_ξ [kN]	$R_{\xi,lok}$ [kN]	$R_{z,lok}$ [kN]
1	ULS 1a_0,9_0,9_270	157	106	782	-36	186	-28	804
2	ULS 1a_0,9_135	321	-289	1650	23	432	-98	1703
3	ULS 1a_0,9_45	-214	-214	1183	0	303	-64	1220
4	SPLS 1a_0,9_0,9_270 Ba Ct2	-96	-20	294	82	53	6	299

Permanent load

Leg	Combination	R_x [kN]	R_y [kN]	R_z [kN]	R_η [kN]	R_ξ [kN]	$R_{\xi,lok}$ [kN]	$R_{z,lok}$ [kN]
1	SLS 7	-90	-81	-386	7	-121	43	-402
2	SLS 7	16	-1	70	11	12	2	72
3	SLS 7	27	23	-108	3	-36	14	-113
4	SLS 7	114	-112	-534	-1	-159	51	-555

Enveloping forces across all legs

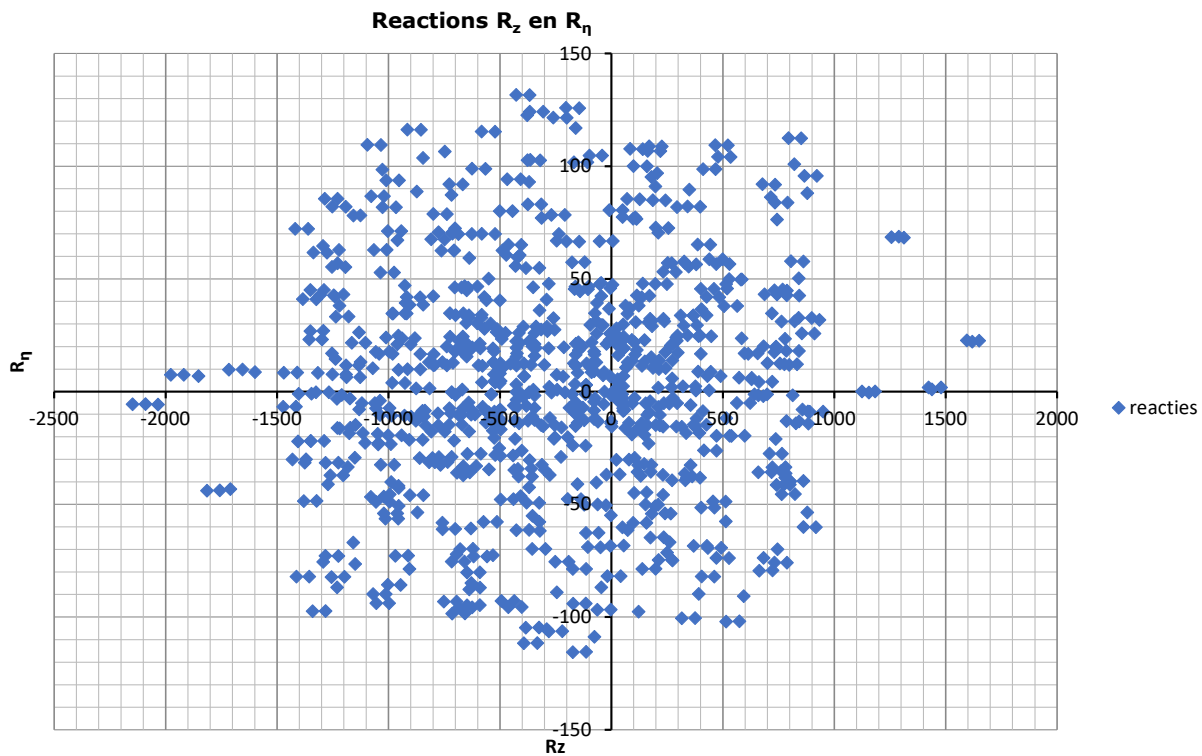
Belasting	Combinatie	R_x [kN]	R_y [kN]	R_z [kN]	R_η [kN]	R_ξ [kN]	$R_{\xi,lok}$ [kN]	$R_{z,lok}$ [kN]
Max. comp	ULS 1a_135	419	-411	-2148	-6	-587	152	-2222
Max. tens	ULS 1a_0,9_135	321	-289	1650	23	432	-98	1703
Max. pos. torsion	SPLS 6a_90 Ah Ct1 Ah Ct2	-229	-26	-602	144	-181	59	-626
Max. neg. torsion	SPLS 6a_90 Ah Ct2 Ah Ct1	-77	99	-11	-125	-15	13	-14
Comb. tens + torsion	ULS 1a_0,9_135	321	-289	1650	23	432	-98	1703

Maximum compression force (SLS)

Stijl	Combinatie	R_x [kN]	R_y [kN]	R_z [kN]	R_η [kN]	R_ξ [kN]	$R_{\xi,lok}$ [kN]	$R_{z,lok}$ [kN]
1	ULS 1a_45	-340	-326	-1716	10	-471	124	-1775
2	SLS 1a_0	-57	105	-419	34	-115	30	-434
3	ULS 5a Ah 22	35	65	-258	-21	-70	18	-267
4	ULS 1a_135	419	-411	-2148	-6	-587	152	-2222

Maximum tension force (SLS)

Stijl	Combinatie	R_x [kN]	R_y [kN]	R_z [kN]	R_η [kN]	R_ξ [kN]	$R_{\xi,lok}$ [kN]	$R_{z,lok}$ [kN]
1	ULS 5a Ah 22	-69	-58	-245	8	-90	40	-258
2	ULS 1a_0,9_135	321	-289	1650	23	432	-98	1703
3	ULS 1a_0,9_45	-214	-214	1183	0	303	-64	1220
4	SLS 1a_0	44	-2	-44	-30	-32	23	-50

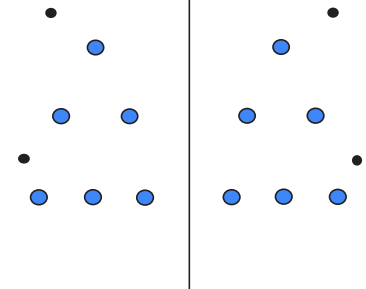


Project: MBT-EHV380
Tower: S+0(xc)
Number: 122

Conductor loads Auteur: TBR
Versie: v12.0

General

Description S+0(xc)
Tower type Hoekmast
Number of circuits 2
Configuration 2-circuit-vlak
Number of earth wires 2



Configuratie geleiders

Starting points

Norm NEN-EN50341-2-15:2019
Consequence class CC2
Reliability level initial Nieuwbouw
Reference period initial 50 jaar
Reliability level modified CC2
n.v.t.
50 jaar
Wind zone III
Wind speed (m/s) 24,5 m/s
Terrain category II
Reduction factor C_{dir} 1,00
Ice region phase conductor B
Ice region earth conductor B

Conductors back

Description	Voltage	Conductor Back	Bundle Ba	Ice region	Additional weight	Additional diameter	Catenary P_{back}
Circuit 1	150 kV	AACSR 241-AL3-39-A20SA	2	B	3 %	3 %	1688
Circuit 2	150 kV	AACSR 241-AL3-39-A20SA	2	B	3 %	3 %	1688
Bliksemdraad 1		Niet aanwezig	1	B	3 %	3 %	1700
Bliksemdraad 2		Niet aanwezig	1	B	3 %	3 %	1700

Conductors ahead

Description	Voltage	Conductor Ahead	Bundle Ah	Ice region	Additional weight	Additional diameter	Catenary P_{ahead}
Circuit 1	150 kV	AACSR 241-AL3-39-A20SA	2	B	3 %	3 %	1400
Circuit 2	150 kV	AACSR 241-AL3-39-A20SA	2	B	3 %	3 %	1400
Bliksemdraad 1		AACSR 241-AL3-39-A20SA	1	B	3 %	3 %	1700
Bliksemdraad 2		AACSR 241-AL3-39-A20SA	1	B	3 %	3 %	1700

Insulators (1)

Description	Suspension	Weight [kN]	Length [m]	Wind area [m ²]
Circuit 1	Afspanketting	2,50	2,50	1,00
Circuit 2	Afspanketting	2,50	2,50	1,00
Bliksemdraad 1	Vast (Bliksemdraad)	0,10	0,30	0,10
Bliksemdraad 2	Vast (Bliksemdraad)	0,10	0,30	0,10

1. Properties apply to the entire isolator set

Suspension height and position in mast

Circuits	Designation	Number	Suspension height	Attach point	Position in tower Horizontal distance
Circuit 1	30	150ct1f1	22,7 m	22,7 m	-5,7 m
Circuit 1	31	150ct1f2	22,7 m	22,7 m	-9,4 m
Circuit 1	32	150ct1f3	22,7 m	22,7 m	-13,1 m
Circuit 2	40	150ct2f1	22,7 m	22,7 m	5,7 m
Circuit 2	41	150ct2f2	22,7 m	22,7 m	9,4 m
Circuit 2	42	150ct2f3	22,7 m	22,7 m	13,1 m
Bliksemdraad 1	2	bl1	25,9 m	26,2 m	-15,0 m
Bliksemdraad 2	5	bl2	25,9 m	26,2 m	15,0 m

Project: MBT-EHV380
 Tower: S+0(xc)
 Number: 122

Height adjustment adjacent masts	(wind and weight span adjustment)		
	Back	Ahead	
Height increase for wind pressure	0,0 m	0,0 m	(positive: higher)
Height decrease for vertical load	0,0 m	0,0 m	(negative: decrease, more weight span)
Decrease: Niet in 0,9EG-combinaties			

Height difference adjacent tower and change of direction with respect to Line direction

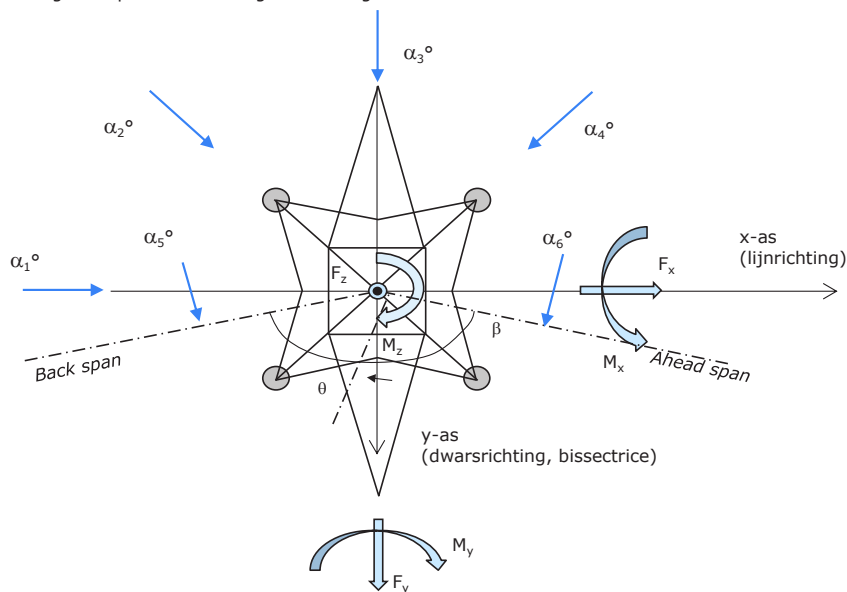
Circuits	Aanduiding	Nummer	Hoogteverschil		Richtingsverandering	
			Δh_{back}	Δh_{ahead}	Δy_{back}	Δy_{ahead}
Circuit 1	30	150ct1f1	-0,7	-0,5 m	0,0	4,2 m
Circuit 1	31	150ct1f2	-0,7	-0,5 m	0,0	5,4 m
Circuit 1	32	150ct1f3	-0,7	7,7 m	0,0	13,6 m
Circuit 2	40	150ct2f1	-0,7	-0,5 m	0,0	-3,5 m
Circuit 2	41	150ct2f2	-0,7	-0,5 m	0,0	-4,7 m
Circuit 2	42	150ct2f3	-0,7	7,7 m	0,0	-13,0 m
Bliksemdraad 1	2	bl1	0,0	7,5 m	0,0	12,9 m
Bliksemdraad 2	5	bl2	0,0	7,5 m	0,0	-12,2 m

Line and tower data

	Back	Ahead
Ruling span $\sqrt{(\Sigma L^3/\Sigma L)}$	290,1	306,7 m
Line angle β	320,0	306,7 m
Tower orientation with respect to bis θ	123 °	
Section length	-28,5 °	
Height bottom of tower to ground level	955	307 m
Wind directions considered α_1	0 °	
Wind directions according to: α_2	45 °	
<i>Geleiderbelastingen</i> α_3	90 °	
α_4	135 °	
α_5	147 °	
α_6	270 °	

Wind directions apply to the main direction of mast construction, not to the bisector.

Windrichtingen en positieve richtingen belastingen



Considered number of wind directions

1a	6
3	6
4	1
6	1
Overig	1

Project: MBT-EHV380
 Tower: S+0(xc)
 Number: 122

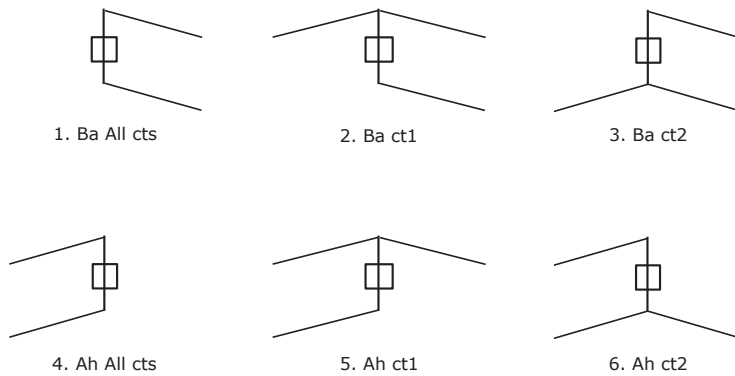
Absence of conductors

		SPLS - torsie		SPLS - Enkelzijdige trek		5a - geleiderbreuk	
		Aanw.	Afw.	Aanw.	Afw.	Aanw.	Afw.
Circuit 1	150ct1f1	1	0	1	0	1	0
Circuit 1	150ct1f2	1	0	1	0	1	0
Circuit 1	150ct1f3	1	0	1	0	1	0
Circuit 2	150ct2f1	0	1	1	0	1	0
Circuit 2	150ct2f2	0	1	1	0	1	0
Circuit 2	150ct2f3	0	1	1	0	1	0
Bliksemdraad 1	bl1	1	0	1	0	1	0
Bliksemdraad 2	bl2	0	1	1	0	1	0

Load situations SPLS

Considered situations SPLS: 1 up to 6, All possible situations

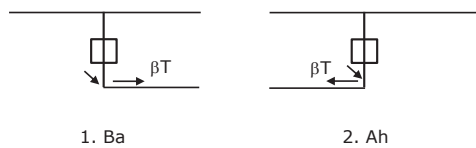
Principle of load situations:



Load situation 5a. Conductor failure

Considered situations conductor failure 5a: 1 and 2, all possible situations

Principle of load situations:



Project: MBT-EHV380
 Tower: S+0(xc)
 Number: 122

Load situations LC6. Construction and maintenance

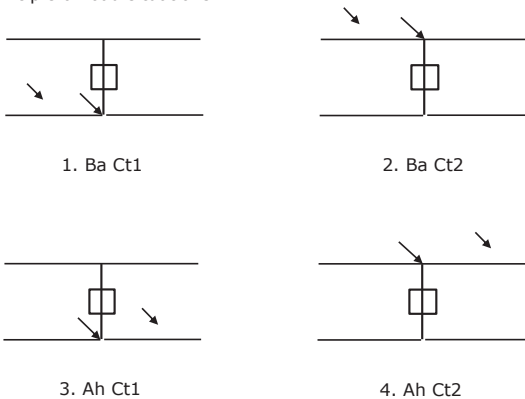
Under 6a, the load due to the presence of a line vehicle or line bicycle in combination with point load on the traverse is assessed. Combination 6b does not contain any loads in conductor or on traverse. This combination has been added to be able to combine with separate control platforms, etc. The situations are applied in ULS and in every SPLS situation (in case of angle tower).

	Phase	Earth
Line vehicle	3,0 kN	2,0 kN
Concentrated load cross arm	1,0 kN	1,0 kN

Beschouwde situaties bouw- en onderhoud 6a: 1 t/m 4, alle mogelijke situaties.

Presence line vehicle: Circuit, belasting tegelijk aanwezig in alle geleiders per circuit.

Principle of load situations:



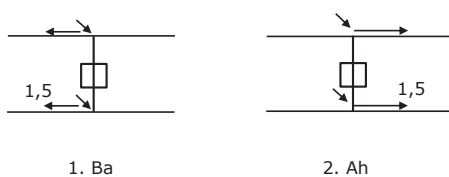
Load situations 8. Galloping as a static load

Conductor		
Suspension tower phase	0,866 W	1,5 W
Suspension tower earth	1,5 EDS	1,5 W
Strain tower phase and earth	1,5 EDS	1,5 W

Considered situations galloping 8: None (existing structure)

Load simultaneously present in all conductors of the circuit.

Principle of load situations:



Load combination 8. Galloping as a dynamic load

Only applies to tension towers

Load consists of EDS tensile load in one of the conductors on one side of the tower

Can be converted by user to fatigue spectrum via the load spectrum of table 4.11 / NL.1

Project: MBT-EHV380
 Tower: S+0(xc)
 Number: 122

Tower structure

Properties

Tower type	Hoekmast	
Tower designation	S+0(xc)	
Base plate w.r.t. ground level	0,5 m	
Tower height w.r.t. base plate	51,9 m	
Tower self weight	779,0 kN	
<i>Width and slope at foundation</i>	x-ri.	y-ri.
Leg spread	9,00	9,00 m
Inclination of main leg	0,143	0,143 -
Horizontal force factor	1,3	1,3 -

Calculation Wind load

Dynamic factor G_T	1,00 (<i>Masthoogte < 60 m</i>)
Wind load diagonally to tower body proportional to:	$(A1C1\sin^2(\phi)+A2C2\cos^2(\phi))$
Wind load diagonally on traverse proportional to:	$(A1C1\sin^2(\phi)+A2C2\cos^2(\phi))$
Magnification factor diagonal wind to tower body	$(1+0,2\sin^2(2\phi))$
Magnification factor diagonal wind to cross arm	$(1+0,2\sin^2(2\phi))$
Magnification factor wind parallel to perpendicular to cross arm	0,4

Properties mast sections longitudinal direction (front view, yz plane)

Description	h [m]	b ₁ [m]	b ₂ [m]	Δh [m]	Δ _x [m]	A ₀ [m ²]	A ₁ [m ²]	χ = A ₁ /A ₀ [-]	C _t
Broekstuk	11,18	9,00	5,80	11,18	0,143	82,70	16,74	0,20	2,92
1e tussenstuk	22,70	5,80	4,68	11,53	0,049	60,39	17,98	0,30	2,54
2e tussenstuk	32,65	4,68	3,72	9,95	0,048	41,78	11,81	0,28	2,60
3e tussenstuk	37,80	3,72	3,22	5,15	0,048	17,86	5,47	0,31	2,51
4e tussenstuk	50,38	3,22	2,00	12,58	0,048	32,81	12,10	0,37	2,31
Topstuk	51,88	2,00		1,50		1,50	0,38	0,25	2,71
Ondertraverse	22,70	19,66		3,50		34,40	17,79	0,52	1,95
Middentraverse	37,80	14,09		3,00		21,14	7,51	0,36	2,35
Boventraverse	47,80	15,08		2,58		19,41	6,17	0,32	2,47

Properties tower sections transversal direction (side view, xz plane)

Description	h [m]	b ₁ [m]	b ₂ [m]	Δh [m]	Δ _x [m]	A ₀ [m ²]	A ₁ [m ²]	χ = A ₁ /A ₀ [-]	C _t
Broekstuk	11,18	9,00	5,80	11,18	0,143	82,70	16,74	0,20	2,92
1e tussenstuk	22,70	5,80	4,68	11,53	0,049	60,39	17,98	0,30	2,54
2e tussenstuk	32,65	4,68	3,72	9,95	0,048	41,78	11,81	0,28	2,60
3e tussenstuk	37,80	3,72	3,22	5,15	0,048	17,86	5,47	0,31	2,51
4e tussenstuk	50,38	3,22	2,00	12,58	0,048	32,81	12,10	0,37	2,31
Topstuk	51,88	2,00		1,50		1,50	0,38	0,25	2,71
Ondertraverse	22,70	19,66		3,50		34,40	17,79	0,52	1,95
Middentraverse	37,80	14,09		3,00		21,14	7,51	0,36	2,35
Boventraverse	47,80	15,08		2,58		19,41	6,17	0,32	2,47

Note: Surface area transverse direction in table is reduced in calculation.

Note: surface area of cross arm is for each side, ie. half of the total of both cross arms.

Project: MBT-EHV380
 Tower: S+0(xc)
 Number: 122

Wind surface feeders telecom installations

Part	A (m ² /m)	Factor	Δh	A ₁
Broekstuk				
1e tussenstuk				
2e tussenstuk				
3e tussenstuk				
4e tussenstuk				

Input antennas

Description	A (m ²)	h (m)	C _r (m)
Antenne top			
Antenne o.t.			

Tower section loads longitudinal (x-direction) per wind direction

Description	p _w [kN/m ²]	F _{x1} [kN]	F _{x2} [kN]	F _{x3} [kN]	F _{x4} [kN]	h _{ef} [m]	M _{y1} [kNm]	M _{y2} [kNm]	M _{y3} [kNm]	M _{y4} [kNm]
Broekstuk	0,70	34,3	29,1	0,0	-29,1	5,6	191,5	162,5	0,0	-162,5
1e tussenstuk	0,83	38,1	32,4	0,0	-32,4	16,9	645,8	548,0	0,0	-548,0
2e tussenstuk	0,97	29,6	25,1	0,0	-25,1	27,7	820,1	695,9	0,0	-695,9
3e tussenstuk	1,04	14,3	12,1	0,0	-12,1	35,2	502,4	426,3	0,0	-426,3
4e tussenstuk	1,10	30,7	26,0	0,0	-26,0	44,1	1352,6	1147,8	0,0	-1147,8
Topstuk	1,14	1,2	1,0	0,0	-1,0	51,1	60,1	51,0	0,0	-51,0
Ondertraverse	0,93	64,1	38,1	0,0	-38,1	23,9	1530,1	908,9	0,0	-908,9
Middentraverse	1,06	37,5	22,2	0,0	-22,2	38,8	1453,3	863,2	0,0	-863,2
Boventraverse	1,13	34,4	20,4	0,0	-20,4	48,7	1673,5	994,0	0,0	-994,0
Totaal		284,1	206,5	0,0	-206,5		8229,5	5797,5	0,0	-5797,5

Tower section loads transversal (y-direction) per wind direction

Description	p _w [kN/m ²]	F _{y1} [kN]	F _{y2} [kN]	F _{y3} [kN]	F _{x4} [kN]	h _{ef} [m]	M _{x1} [kNm]	M _{x2} [kNm]	M _{x3} [kNm]	M _{x4} [kNm]
Broekstuk	0,70	0,0	29,1	34,3	29,1	5,6	0,0	162,5	191,5	162,5
1e tussenstuk	0,83	0,0	32,4	38,1	32,4	16,9	0,0	548,0	645,8	548,0
2e tussenstuk	0,97	0,0	25,1	29,6	25,1	27,7	0,0	695,9	820,1	695,9
3e tussenstuk	1,04	0,0	12,1	14,3	12,1	35,2	0,0	426,3	502,4	426,3
4e tussenstuk	1,10	0,0	26,0	30,7	26,0	44,1	0,0	1147,8	1352,6	1147,8
Topstuk	1,14	0,0	1,0	1,2	1,0	51,1	0,0	51,0	60,1	51,0
Ondertraverse	0,93	0,0	38,1	25,6	38,1	23,9	0,0	908,9	612,1	908,9
Middentraverse	1,06	0,0	22,2	15,0	22,2	38,8	0,0	863,2	581,3	863,2
Boventraverse	1,13	0,0	20,4	13,8	20,4	48,7	0,0	994,0	669,4	994,0
Total		0,0	206,5	202,5	206,5		0,0	5797,5	5435,3	5797,5

Resulting loads from mast construction incl. Antenna without conductors level foundation (char. Value)

Load / wind direction	F _x [kN]	F _y [kN]	F _z [kN]	M _x [kNm]	M _y [kNm]	M _z [kNm]
Permanente belasting	0	0	779	0	0	0
Windrichting 0°	284	0	0	0	8230	0
Windrichting 45°	206	206	0	5798	5798	0
Windrichting 90°	0	203	0	5435	0	0
Windrichting 135°	-206	206	0	5798	-5798	0

Project: MBT-EHV380
 Tower: S+0(xc)
 Number: 122

Intermediate results for conductor loads

Conductors back

Circuit	Geleider	Diameter [mm]	A [mm ²]	G [N/m]	E [N/mm ²]	αT [-]
Circuit 1	AACSR 241-AL3-39-A20SA	21,8	281,0	9,38	70165	1,97E-05
Circuit 2	AACSR 241-AL3-39-A20SA	21,8	281,0	9,38	70165	1,97E-05
Bliksemdraad 1	Niet aanwezig					
Bliksemdraad 2	Niet aanwezig					

Conductors ahead

Circuit	Geleider	Diameter [mm]	A [mm ²]	G [N/m]	E [N/mm ²]	αT [-]
Circuit 1	AACSR 241-AL3-39-A20SA	21,8	281,0	9,38	70165	1,97E-05
Circuit 2	AACSR 241-AL3-39-A20SA	21,8	281,0	9,38	70165	1,97E-05
Bliksemdraad 1	AACSR 241-AL3-39-A20SA	21,8	281,0	9,38	70165	1,97E-05
Bliksemdraad 2	AACSR 241-AL3-39-A20SA	21,8	281,0	9,38	70165	1,97E-05

Vertical load back

Circuit	Bundle [-]	Additional [%]	$w_{z,G}$ [N/m]	Ice region	Formula	$w_{z,ijs}$ [N/m]	$w_{z,ijs,bundel}$ [N/m]
Circuit 1	2	3	19,3	B	4+0,2d	8,4	16,7
Circuit 2	2	3	19,3	B	4+0,2d	8,4	16,7
Bliksemdraad 1	1	3		B	4+0,2d		
Bliksemdraad 2	1	3		B	4+0,2d		

Vertical load ahead

Circuit	Bundle [-]	Additional [%]	$w_{z,G}$ [N/m]	Ice region	Formula	$w_{z,ijs}$ [N/m]	$w_{z,ijs,bundel}$ [N/m]
Circuit 1	2	3	19,3	B	4+0,2d	8,4	16,7
Circuit 2	2	3	19,3	B	4+0,2d	8,4	16,7
Bliksemdraad 1	1	3	9,7	B	4+0,2d	8,4	8,4
Bliksemdraad 2	1	3	9,7	B	4+0,2d	8,4	8,4

Insulators

Conductor	$G_{isolator}$ [kN]	Number	$F_{v,iso}$ [kN]	Length [m]	Wind surf. [m ²]	Wind height [m]	Pressure [kN/m ²]	Drag factor [-]	$F_{h,iso}$ [kN]
150ct1f1	2,50	1	2,5	2,5	1,0	23,20	0,92	1,2	1,10
150ct1f2	2,50	1	2,5	2,5	1,0	23,20	0,92	1,2	1,10
150ct1f3	2,50	1	2,5	2,5	1,0	23,20	0,92	1,2	1,10
150ct2f1	2,50	1	2,5	2,5	1,0	23,20	0,92	1,2	1,10
150ct2f2	2,50	1	2,5	2,5	1,0	23,20	0,92	1,2	1,10
150ct2f3	2,50	1	2,5	2,5	1,0	23,20	0,92	1,2	1,10
bl1	0,10	0,5	0,05	0,3	0,1	26,40	0,95	1,2	0,11
bl2	0,10	0,5	0,05	0,3	0,1	26,40	0,95	1,2	0,11

Project: MBT-EHV380
 Tower: S+0(xc)
 Number: 122

Wind load back

Conductor	Height		G_{c_dwars}	G_{c_trek}	C_c	$d_{additional}$	w_y	$w_{y,section}$	$D_{ijs,additional}$	$w_{y,ijs}$	$w_{y,ijs,section}$
	wind	Pressure									
	[m]	[kN/m ²]	[-]	[-]	[-]	[mm]	[N/m]	[N/m]	[mm]	[N/m]	[N/m]
150ct1f1	18,7	0,86	0,56	0,53	1,20	22,45	26,0	24,5	41,9	48,6	45,7
150ct1f2	18,7	0,86	0,56	0,53	1,20	22,45	26,0	24,5	41,9	48,6	45,7
150ct1f3	18,7	0,86	0,56	0,53	1,20	22,45	26,0	24,5	41,9	48,6	45,7
150ct2f1	18,7	0,86	0,56	0,53	1,20	22,45	26,0	24,5	41,9	48,6	45,7
150ct2f2	18,7	0,86	0,56	0,53	1,20	22,45	26,0	24,5	41,9	48,6	45,7
150ct2f3	18,7	0,86	0,56	0,53	1,20	22,45	26,0	24,5	41,9	48,6	45,7
bl1	22,3	0,91	0,58	0,54							
bl2	22,3	0,91	0,58	0,54							

Wind load ahead

Conductor	Height		G_{c_dwars}	G_{c_trek}	C_c	$d_{additional}$	w_y	$w_{y,section}$	$D_{ijs,additional}$	$w_{y,ijs}$	$w_{y,ijs,section}$
	wind	Pressure									
	[m]	[kN/m ²]	[-]	[-]	[-]	[mm]	[N/m]	[N/m]	[mm]	[N/m]	[N/m]
150ct1f1	17,4	0,84	0,55	0,61	1,20	22,45	25,1	27,7	41,9	46,9	51,8
150ct1f2	17,4	0,84	0,55	0,61	1,20	22,45	25,1	27,7	41,9	46,9	51,8
150ct1f3	21,4	0,90	0,57	0,63	1,20	22,45	27,7	30,5	41,9	51,6	57,0
150ct2f1	17,4	0,84	0,55	0,61	1,20	22,45	25,1	27,7	41,9	46,9	51,8
150ct2f2	17,4	0,84	0,55	0,61	1,20	22,45	25,1	27,7	41,9	46,9	51,8
150ct2f3	21,4	0,90	0,57	0,63	1,20	22,45	27,7	30,5	41,9	51,6	57,0
bl1	25,5	0,94	0,59	0,65	1,20	22,45	14,9	16,5	41,9	27,9	30,7
bl2	25,5	0,94	0,59	0,65	1,20	22,45	14,9	16,5	41,9	27,9	30,7

Note: loads w_y are applicable to the sum of the conductors within the bundle

Project: MBT-EHV380
 Tower: S+0(xc)
 Number: 122

Auteur: TBR
 Versie: v12.0

Conductor loads

Starting points

Consequence class Nieuwbouw CC2
 Reference period 50 jaar

ULS (strength)		NEN-EN50341-2-15:2019						
Load case	description	Temp °C	γ_G		γ_Q			γ_a A_k
			$G_{k,mast}$	$G_{k,geleider}$	Q_{pk}	Q_{wk}	Q_{ik}	
ULS 1a	Wind	10°	1,20	1,20	0,00	1,50	0,00	0,0
ULS 1a_0,9	Wind 0,9Gk only tower	10°	0,90	1,20	0,00	1,50	0,00	0,0
ULS 1a_0,9_0,9	Wind 0,9Gk conductors too	10°	0,90	0,90	0,00	1,50	0,00	0,0
ULS 3	Wind+ice	-5°	1,20	1,20	0,00	0,45	1,50	0,0
ULS 3_0,9	Wind+ice 0,9Gk	-5°	0,90	1,20	0,00	0,45	1,50	0,0
ULS 4	Cold+wind	-20°	1,20	1,20	0,00	0,30	0,00	0,0
ULS 4_0,9	Cold+wind 0,9Gk	-20°	0,90	1,20	0,00	0,30	0,00	0,0
ULS 5a	Torsional loads	10°	1,00	1,00	1,00	0,00	0,00	1,0
ULS 5b	Longitudinal loads	10°	1,00	1,00	0,00	0,00	0,00	1,0
ULS 6	Construction + maintenance	5°	1,20	1,20	1,50	0,30	0,00	0,0
ULS 6_0,9	Construction + maintenance	5°	1,20	1,20	0,00	0,30	0,00	0,0
ULS 7	Permanent	10°	1,35	1,35	0,00	0,00	0,00	0,0
ULS 8	Special	10°	1,00	1,00	0,00	0,00	0,00	1,0
SPLS (strength, for angle towers: absence of conductors)				γ_G G_k	γ_Q Q_{pk} Q_{wk} Q_{ik}			A_k
SPLS 1a	Wind	10°	1,20	1,20	0,0	0,78	0,00	0,0
SPLS 1a_0,9	Wind 0,9	10°	0,90	1,20	0,0	0,78	0,00	0,0
SPLS 1a_0,9_0,9	Wind 0,9	10°	0,90	0,90	0,0	0,78	0,00	0,0
SPLS 3	Wind+ice	-5°	1,20	1,20	0,0	0,36	0,34	0,0
SPLS 3_0,9	Wind+ice 0,9	-5°	0,90	1,20	0,0	0,36	0,34	0,0
SPLS 4	Cold+wind	-20°	1,20	1,20	0,0	0,24	0,00	0,0
SPLS 4_0,9	Cold+wind 0,9	-20°	0,90	1,20	0,0	0,24	0,00	0,0
SPLS 6	Maintenance	5°	1,20	1,20	1,2	0,24	0,0	0,0
SPLS 6_0,9	Maintenance	5°	1,20	1,20	0,0	0,24	0,0	0,0
SLS (deformations, fatigue, EDS)				G_k	Q_{pk} Q_{wk} Q_{ik}			A_k
SLS 1a	Wind	10°	1,00	1,00	0,0	1,00	0,0	0,0
SLS 3	Wind+ice	-5°	1,00	1,00	0,0	0,30	1,00	0,0
SLS 4	Wind	-20°	1,00	1,00	0,0	0,20	0,0	0,0
SLS 6	Maintenance	5°	1,00	1,00	0,0	0,20	0,0	0,0
SLS 7	EDS, no wind	10°	1,00	1,00	0,0	0,00	0,0	0,0

Number of wind directions 6
 Number of load combinations for ULS 54
 Number of load combinations for SPLS 222
 Number of load combinations for SLS 15
 Number of concentrated loads 4656

Project: MBT-EHV380
 Tower: S+0(xc)
 Number: 122

Summary table - Conductor loads

The four tables below show:

- The maximum conductor load in the global axis system, split into proportion of back and ahead span
- The combined conductor load (Ba+Ah) in the global axis system with the maximum tensile force in the local axes. Components Fx and Fy as absolute values
- The everyday (EDS) values of the combined conductor loads (Ba+Ah) with corresponding tensile forces
- Check for uplift, where a negative value indicates uplift

Note: Maximum values for Fx, Fy and Fz do not necessarily belong to the same load combination.

Maximum values for back and ahead span

Geleider	Fx_ba [kN]	Fx_ah [kN]	Fy_ba [kN]	Fy_ah [kN]	Fz_ba [kN]	Fz_ah [kN]
bl1	0,0	20,0	0,0	34,2	0,0	5,4
bl2	0,0	22,7	0,0	32,5	0,0	5,4
150ct1f1	-72,7	35,6	7,3	57,0	12,1	12,7
150ct1f2	-72,7	35,5	7,3	57,1	12,1	12,7
150ct1f3	-72,7	34,7	7,3	58,9	12,1	11,0
150ct2f1	-72,7	36,8	7,3	56,2	12,1	12,7
150ct2f2	-72,7	36,9	7,3	56,0	12,1	12,7
150ct2f3	-72,7	38,6	7,3	56,1	12,1	11,0

Min. Weight span (m)

Weight spar Combinatie1

Geleider	SLS 1a	SLS 4	SLS 7
bl1	84,4	103,3	111,9
bl2	84,4	103,3	111,9
150ct1f1	305,0	305,6	304,5
150ct1f2	305,0	305,6	304,5
150ct1f3	243,6	262,7	267,2
150ct2f1	305,1	305,7	304,5
150ct2f2	305,1	305,7	304,6
150ct2f3	243,8	262,8	267,4

Max. Weight span (m)

Weight spar Combinatie1

Geleider	ULS 1a	ULS 3
bl1	113,4	118,9
bl2	113,6	118,9
150ct1f1	306,7	303,8
150ct1f2	306,7	303,8
150ct1f3	268,6	270,6
150ct2f1	306,9	303,9
150ct2f2	306,9	303,9
150ct2f3	268,9	270,7

Envelop of weight span over all combinations (incl. 0,9 combinations)

For all conductors		Wind / Weight span ratio
Max. weight span	308,8 m	1,035 -
Min. weight span	57,0 m	0,191 -

Project: MBT-EHV380
 Tower: S+0(xc)
 Number: 122

Maximum values back + ahead span Maximum tension in conductor

Geleider	Fx [kN]	Fy [kN]	Fz [kN]	Ft_ba [kN]	Ft_ah [kN]
bl1	20,0	34,2	5,4	0,0	39,6
bl2	22,7	32,5	5,4	0,0	39,6
150ct1f1	64,1	58,3	12,7	-72,7	65,0
150ct1f2	64,1	58,4	12,7	-72,7	65,0
150ct1f3	64,1	60,0	12,1	-72,7	65,9
150ct2f1	64,1	57,6	12,7	-72,7	65,0
150ct2f2	64,1	57,5	12,7	-72,7	65,0
150ct2f3	64,1	57,6	12,1	-72,7	65,9

EDS-loads conductor

Geleider	Fx [kN]	Fy [kN]	Fz [kN]	Ft_ba [kN]	Ft_ah [kN]
bl1	8,4	14,1	1,1	0,0	16,4
bl2	9,5	13,4	1,1	0,0	16,4
150ct1f1	14,4	22,9	5,5	-32,6	27,0
150ct1f2	14,3	22,9	5,5	-32,6	27,0
150ct1f3	13,7	23,3	5,4	-32,6	27,0
150ct2f1	15,0	22,5	5,5	-32,6	27,0
150ct2f2	15,1	22,4	5,5	-32,6	27,0
150ct2f3	15,7	22,0	5,4	-32,6	27,0

1 Control uplift SLS-wind

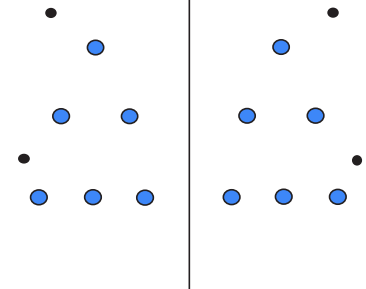
Combinatie: Geleider	Fz_ba [kN]	Fz_ah [kN]
SLS 4 bl1	0,0	0,0
bl2	0,0	0,0
150ct1f1	0,0	0,0
150ct1f2	0,0	0,0
150ct1f3	0,0	0,0
150ct2f1	0,0	0,0
150ct2f2	0,0	0,0
150ct2f3	0,0	0,0

Project: MBT-EHV380
Tower: S+0(xc)
Number: 122

Conductor loads Auteur: TBR
Versie: v12.0

General

Description S+0(xc)
Tower type Steunmast
Number of circuits 2
Configuration 2-circuit-donau
Number of earth wires 2



Configuratie geleiders

Starting points

Norm NEN-EN50341-2-15:2019
Consequence class CC2
Reliability level initial Nieuwbouw
Reference period initial 50 jaar
Reliability level modified CC2
n.v.t.
50 jaar
Wind zone III
Wind speed (m/s) 24,5 m/s
Terrain category II
Reduction factor C_{dir} 1,00
Ice region phase conductor B
Ice region earth conductor B

Conductors back

Description	Voltage	Conductor Back	Bundle Ba	Ice region	Additional weight	Additional diameter	Catenary P_{back}
Circuit 1	380 kV	ACCC-Warsaw	3	B	3 %	3 %	1400
Circuit 2	380 kV	ACCC-Warsaw	3	B	3 %	3 %	1400
Bliksemdraad 1		AACSR 241-AL3-39-A20SA	1	B	3 %	3 %	1550
Bliksemdraad 2		OPGW AFL-226/38	1	B	3 %	3 %	1550

Conductors ahead

Description	Voltage	Conductor Ahead	Bundle Ah	Ice region	Additional weight	Additional diameter	Catenary P_{ahead}
Circuit 1	380 kV	ACCC-Warsaw	3	B	3 %	3 %	1400
Circuit 2	380 kV	ACCC-Warsaw	3	B	3 %	3 %	1400
Bliksemdraad 1		AACSR 241-AL3-39-A20SA	1	B	3 %	3 %	1550
Bliksemdraad 2		OPGW AFL-226/38	1	B	3 %	3 %	1550

Insulators (1)

Description	Suspension	Weight [kN]	Length [m]	Wind area [m ²]
Circuit 1	V-ketting	3,50	4,50	2,00
Circuit 2	V-ketting	3,50	4,50	2,00
Bliksemdraad 1	Vast (Bliksemdraad)	0,10	0,30	0,10
Bliksemdraad 2	Vast (Bliksemdraad)	0,10	0,30	0,10

1. Properties apply to the entire insulator set

Suspension height and position in mast

Circuits	Designation	Number	Suspension height	Attach point	Position in tower Horizontal distance
Circuit 1	10	380ct1f1	32,7 m	37,2 m	-12,4 m
Circuit 1	11	380ct1f2	32,7 m	37,2 m	-5,8 m
Circuit 1	12	380ct1f3	43,3 m	47,8 m	-5,8 m
Circuit 2	20	380ct2f1	32,7 m	37,2 m	5,8 m
Circuit 2	21	380ct2f2	32,7 m	37,2 m	12,4 m
Circuit 2	22	380ct2f3	43,3 m	47,8 m	5,8 m
Bliksemdraad 1	1	bl1	47,5 m	47,8 m	-16,2 m
Bliksemdraad 2	3	bl2	47,5 m	47,8 m	16,2 m

Project: MBT-EHV380
 Tower: S+0(xc)
 Number: 122

Height adjustment adjacent masts	(wind and weight span adjustment)		
	Back	Ahead	
Height increase for wind pressure	0,0 m	0,0 m	(positive: higher)
Height decrease for vertical load	0,0 m	0,0 m	(negative: decrease, more weight span)
Decrease:	Niet in 0,9EG-combinaties		

Height difference adjacent tower and change of direction with respect to Line direction

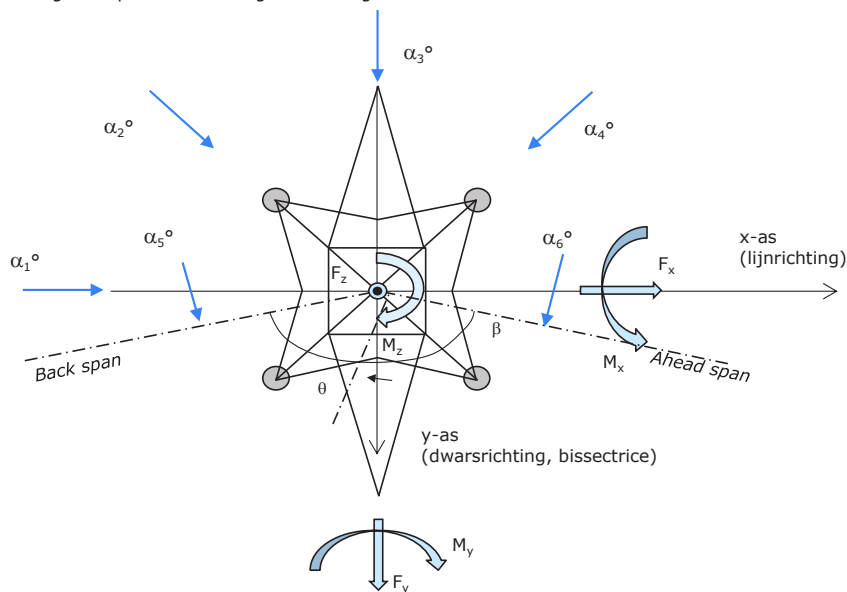
Circuits	Aanduiding	Nummer	Hoogteverschil		Richtingsverandering	
			Δh_{back}	Δh_{ahead}	Δy_{back}	Δy_{ahead}
Circuit 1	10	380ct1f1	0,5	-6,6 m	0,0	-3,5 m
Circuit 1	11	380ct1f2	0,6	-6,5 m	0,0	-3,3 m
Circuit 1	12	380ct1f3	0,6	-5,8 m	0,0	-6,2 m
Circuit 2	20	380ct2f1	0,6	-6,5 m	0,0	3,3 m
Circuit 2	21	380ct2f2	0,5	-6,6 m	0,0	3,5 m
Circuit 2	22	380ct2f3	0,6	-5,8 m	0,0	6,2 m
Bliksemdraad 1	1	bl1	0,6	-4,6 m	0,0	0,0 m
Bliksemdraad 2	3	bl2	0,6	-4,6 m	0,0	0,0 m

Line and tower data

	Back	Ahead
Ruling span $\sqrt{(\Sigma L^3/\Sigma L)}$	290,1	424,6 m
Line angle β	358,7	358,7 m
Tower orientation with respect to bis θ	180 °	
Section length	0 °	
Height bottom of tower to ground level	3177	3177 m
Wind directions considered α_1	0,5 m	
Wind directions according to: α_2	0 °	
<i>Geleiderbelastingen</i> α_3	45 °	
α_4	90 °	
α_5	135 °	
α_6	147 °	
	270 °	

Wind directions apply to the main direction of mast construction, not to the bisector.

Windrichtingen en positieve richtingen belastingen



Considered number of wind directions

1a	6
3	6
4	1
6	1
Overig	1

Project: MBT-EHV380
 Tower: S+0(xc)
 Number: 122

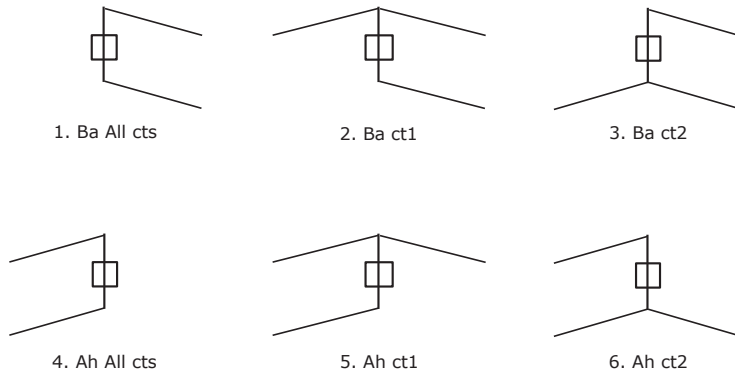
Absence of conductors

		SPLS - torsie		SPLS - Enkelzijdige trek		5a - geleiderbreuk	
		Aanw.	Afw.	Aanw.	Afw.	Aanw.	Afw.
Circuit 1	380ct1f1	1	0	1	0	0,8	0
Circuit 1	380ct1f2	1	0	1	0	0,8	0
Circuit 1	380ct1f3	1	0	1	0	0,8	0
Circuit 2	380ct2f1	0	1	1	0	0,8	0
Circuit 2	380ct2f2	0	1	1	0	0,8	0
Circuit 2	380ct2f3	0	1	1	0	0,8	0
Bliksemdraad 1	bl1	1	0	1	0	1	0
Bliksemdraad 2	bl2	0	1	1	0	1	0

Load situations SPLS

Considered situations SPLS: SPLS for suspension tower not applicable

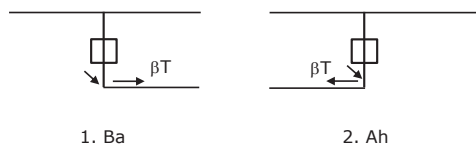
Principle of load situations:



Load situation 5a. Conductor failure

Considered situations conductor failure 5a: 1 and 2, all possible situations

Principle of load situations:



Project: MBT-EHV380
 Tower: S+0(xc)
 Number: 122

Load situations LC6. Construction and maintenance

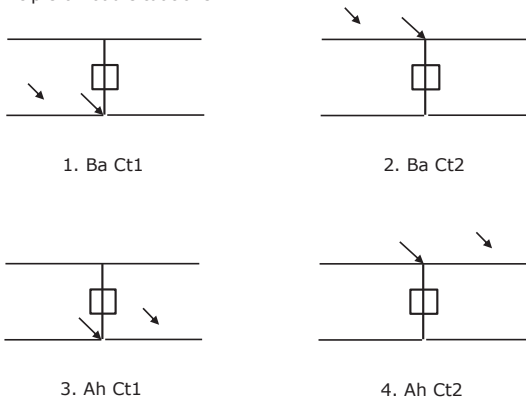
Under 6a, the load due to the presence of a line vehicle or line bicycle in combination with point load on the traverse is assessed. Combination 6b does not contain any loads in conductor or on traverse. This combination has been added to be able to combine with separate control platforms, etc. The situations are applied in ULS and in every SPLS situation (in case of angle tower).

	Phase	Earth
Line vehicle	3,0 kN	2,0 kN
Concentrated load cross arm	1,0 kN	1,0 kN

Beschouwde situaties bouw- en onderhoud 6a: 1 t/m 4, alle mogelijke situaties.

Presence line vehicle: Circuit, belasting tegelijk aanwezig in alle geleiders per circuit.

Principle of load situations:



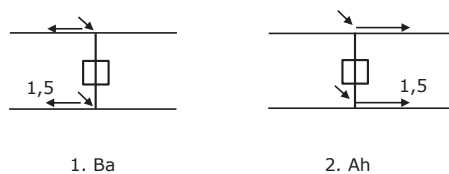
Load situations 8. Galloping as a static load

Conductor		
Suspension tower phase	0,866 W	1,5 W
Suspension tower earth	1,5 EDS	1,5 W
Strain tower phase and earth	1,5 EDS	1,5 W

Considered situations galloping 8: None (existing structure)

Load simultaneously present in all conductors of the circuit.

Principle of load situations:



Load combination 8. Galloping as a dynamic load

Only applies to tension towers

Load consists of EDS tensile load in one of the conductors on one side of the tower

Can be converted by user to fatigue spectrum via the load spectrum of table 4.11 / NL.1

Project: MBT-EHV380
 Tower: S+0(xc)
 Number: 122

Tower structure

Properties

Tower type	Steunmast	
Tower designation	S+0(xc)	
Base plate w.r.t. ground level	0,5 m	
Tower height w.r.t. base plate	51,9 m	
Tower self weight	779,0 kN	
<i>Width and slope at foundation</i>	x-ri.	y-ri.
Leg spread	9,00	9,00 m
Inclination of main leg	0,143	0,143 -
Horizontal force factor	1,3	1,3 -

Calculation Wind load

Dynamic factor G_T	1,00 (Masthoogte < 60 m)
Wind load diagonally to tower body proportional to:	$(A1C1\sin^2(\phi)+A2C2\cos^2(\phi))$
Wind load diagonally on traverse proportional to:	$(A1C1\sin^2(\phi)+A2C2\cos^2(\phi))$
Magnification factor diagonal wind to tower body	$(1+0,2\sin^2(2\phi))$
Magnification factor diagonal wind to cross arm	$(1+0,2\sin^2(2\phi))$
Magnification factor wind parallel to perpendicular to cross arm	0,4

Properties mast sections longitudinal direction (front view, yz plane)

Description	h [m]	b ₁ [m]	b ₂ [m]	Δh [m]	Δ_x [m]	A ₀ [m ²]	A ₁ [m ²]	$\chi = A_1/A_0$ [-]	C _t
Broekstuk	11,18	9,00	5,80	11,18	0,143	82,70	16,74	0,20	2,92
1e tussenstuk	22,70	5,80	4,68	11,53	0,049	60,39	17,98	0,30	2,54
2e tussenstuk	32,65	4,68	3,72	9,95	0,048	41,78	11,81	0,28	2,60
3e tussenstuk	37,80	3,72	3,22	5,15	0,048	17,86	5,47	0,31	2,51
4e tussenstuk	50,38	3,22	2,00	12,58	0,048	32,81	12,10	0,37	2,31
Topstuk	51,88	2,00		1,50		1,50	0,38	0,25	2,71
Ondertraverse	22,70	19,66		3,50		34,40	17,79	0,52	1,95
Middentraverse	37,80	14,09		3,00		21,14	7,51	0,36	2,35
Boventraverse	47,80	15,08		2,58		19,41	6,17	0,32	2,47

Properties tower sections transversal direction (side view, xz plane)

Description	h [m]	b ₁ [m]	b ₂ [m]	Δh [m]	Δ_x [m]	A ₀ [m ²]	A ₁ [m ²]	$\chi = A_1/A_0$ [-]	C _t
Broekstuk	11,18	9,00	5,80	11,18	0,143	82,70	16,74	0,20	2,92
1e tussenstuk	22,70	5,80	4,68	11,53	0,049	60,39	17,98	0,30	2,54
2e tussenstuk	32,65	4,68	3,72	9,95	0,048	41,78	11,81	0,28	2,60
3e tussenstuk	37,80	3,72	3,22	5,15	0,048	17,86	5,47	0,31	2,51
4e tussenstuk	50,38	3,22	2,00	12,58	0,048	32,81	12,10	0,37	2,31
Topstuk	51,88	2,00		1,50		1,50	0,38	0,25	2,71
Ondertraverse	22,70	19,66		3,50		34,40	17,79	0,52	1,95
Middentraverse	37,80	14,09		3,00		21,14	7,51	0,36	2,35
Boventraverse	47,80	15,08		2,58		19,41	6,17	0,32	2,47

Note: Surface area transverse direction in table is reduced in calculation.

Note: surface area of cross arm is for each side, ie. half of the total of both cross arms.

Project: MBT-EHV380
 Tower: S+0(xc)
 Number: 122

Wind surface feeders telecom installations

Part	A (m ² /m)	Factor	Δh	A ₁
Broekstuk				
1e tussenstuk				
2e tussenstuk				
3e tussenstuk				
4e tussenstuk				

Input antennas

Description	A (m ²)	h (m)	C _r (m)
Antenne top			
Antenne o.t.			

Tower section loads longitudinal (x-direction) per wind direction

Description	p _w [kN/m ²]	F _{x1} [kN]	F _{x2} [kN]	F _{x3} [kN]	F _{x4} [kN]	h _{ef} [m]	M _{y1} [kNm]	M _{y2} [kNm]	M _{y3} [kNm]	M _{y4} [kNm]
Broekstuk	0,70	34,3	29,1	0,0	-29,1	5,6	191,5	162,5	0,0	-162,5
1e tussenstuk	0,83	38,1	32,4	0,0	-32,4	16,9	645,8	548,0	0,0	-548,0
2e tussenstuk	0,97	29,6	25,1	0,0	-25,1	27,7	820,1	695,9	0,0	-695,9
3e tussenstuk	1,04	14,3	12,1	0,0	-12,1	35,2	502,4	426,3	0,0	-426,3
4e tussenstuk	1,10	30,7	26,0	0,0	-26,0	44,1	1352,6	1147,8	0,0	-1147,8
Topstuk	1,14	1,2	1,0	0,0	-1,0	51,1	60,1	51,0	0,0	-51,0
Ondertraverse	0,93	64,1	38,1	0,0	-38,1	23,9	1530,1	908,9	0,0	-908,9
Middentraverse	1,06	37,5	22,2	0,0	-22,2	38,8	1453,3	863,2	0,0	-863,2
Boventraverse	1,13	34,4	20,4	0,0	-20,4	48,7	1673,5	994,0	0,0	-994,0
Totaal		284,1	206,5	0,0	-206,5		8229,5	5797,5	0,0	-5797,5

Tower section loads transversal (y-direction) per wind direction

Description	p _w [kN/m ²]	F _{y1} [kN]	F _{y2} [kN]	F _{y3} [kN]	F _{x4} [kN]	h _{ef} [m]	M _{x1} [kNm]	M _{x2} [kNm]	M _{x3} [kNm]	M _{x4} [kNm]
Broekstuk	0,70	0,0	29,1	34,3	29,1	5,6	0,0	162,5	191,5	162,5
1e tussenstuk	0,83	0,0	32,4	38,1	32,4	16,9	0,0	548,0	645,8	548,0
2e tussenstuk	0,97	0,0	25,1	29,6	25,1	27,7	0,0	695,9	820,1	695,9
3e tussenstuk	1,04	0,0	12,1	14,3	12,1	35,2	0,0	426,3	502,4	426,3
4e tussenstuk	1,10	0,0	26,0	30,7	26,0	44,1	0,0	1147,8	1352,6	1147,8
Topstuk	1,14	0,0	1,0	1,2	1,0	51,1	0,0	51,0	60,1	51,0
Ondertraverse	0,93	0,0	38,1	25,6	38,1	23,9	0,0	908,9	612,1	908,9
Middentraverse	1,06	0,0	22,2	15,0	22,2	38,8	0,0	863,2	581,3	863,2
Boventraverse	1,13	0,0	20,4	13,8	20,4	48,7	0,0	994,0	669,4	994,0
Total		0,0	206,5	202,5	206,5		0,0	5797,5	5435,3	5797,5

Resulting loads from mast construction incl. Antenna without conductors level foundation (char. Value)

Load / wind direction	F _x [kN]	F _y [kN]	F _z [kN]	M _x [kNm]	M _y [kNm]	M _z [kNm]
Permanente belasting	0	0	779	0	0	0
Windrichting 0°	284	0	0	0	8230	0
Windrichting 45°	206	206	0	5798	5798	0
Windrichting 90°	0	203	0	5435	0	0
Windrichting 135°	-206	206	0	5798	-5798	0

Project: MBT-EHV380
 Tower: S+0(xc)
 Number: 122

Intermediate results for conductor loads

Conductors back

Circuit	Geleider	Diameter [mm]	A [mm ²]	G [N/m]	E [N/mm ²]	αT [-]
Circuit 1	ACCC-Warsaw	27,7	571,0	14,98	62700	1,88E-05
Circuit 2	ACCC-Warsaw	27,7	571,0	14,98	62700	1,88E-05
Bliksemdraad 1	AACSR 241-AL3-39-A20SA	21,8	281,0	9,38	70165	1,97E-05
Bliksemdraad 2	OPGW AFL-226/38	21,7	264,0	9,13	72000	1,98E-05

Conductors ahead

Circuit	Geleider	Diameter [mm]	A [mm ²]	G [N/m]	E [N/mm ²]	αT [-]
Circuit 1	ACCC-Warsaw	27,7	571,0	14,98	62700	1,88E-05
Circuit 2	ACCC-Warsaw	27,7	571,0	14,98	62700	1,88E-05
Bliksemdraad 1	AACSR 241-AL3-39-A20SA	21,8	281,0	9,38	70165	1,97E-05
Bliksemdraad 2	OPGW AFL-226/38	21,7	264,0	9,13	72000	1,98E-05

Vertical load back

Circuit	Bundle [-]	Additional [%]	$w_{z,G}$ [N/m]	Ice region	Formula	$w_{z,ijs}$ [N/m]	$w_{z,ijs,bundel}$ [N/m]
Circuit 1	3	3	46,3	B	4+0,2d	9,5	28,6
Circuit 2	3	3	46,3	B	4+0,2d	9,5	28,6
Bliksemdraad 1	1	3	9,7	B	4+0,2d	8,4	8,4
Bliksemdraad 2	1	3	9,4	B	4+0,2d	8,3	8,3

Vertical load ahead

Circuit	Bundle [-]	Additional [%]	$w_{z,G}$ [N/m]	Ice region	Formula	$w_{z,ijs}$ [N/m]	$w_{z,ijs,bundel}$ [N/m]
Circuit 1	3	3	46,3	B	4+0,2d	9,5	28,6
Circuit 2	3	3	46,3	B	4+0,2d	9,5	28,6
Bliksemdraad 1	1	3	9,7	B	4+0,2d	8,4	8,4
Bliksemdraad 2	1	3	9,4	B	4+0,2d	8,3	8,3

Insulators

Conductor	$G_{isolator}$ [kN]	Number	$F_{v,iso}$ [kN]	Length [m]	Wind surf. [m ²]	Wind height [m]	Pressure [kN/m ²]	Drag factor [-]	$F_{h,iso}$ [kN]
380ct1f1	3,50	1	3,5	4,5	2,0	35,41	1,04	1,2	2,48
380ct1f2	3,50	1	3,5	4,5	2,0	35,41	1,04	1,2	2,48
380ct1f3	3,50	1	3,5	4,5	2,0	46,05	1,11	1,2	2,67
380ct2f1	3,50	1	3,5	4,5	2,0	35,41	1,04	1,2	2,48
380ct2f2	3,50	1	3,5	4,5	2,0	35,41	1,04	1,2	2,48
380ct2f3	3,50	1	3,5	4,5	2,0	46,05	1,11	1,2	2,67
bl1	0,10	1	0,1	0,3	0,1	48,15	1,12	1,2	0,13
bl2	0,10	1	0,1	0,3	0,1	48,15	1,12	1,2	0,13

Project: MBT-EHV380
 Tower: S+0(xc)
 Number: 122

Wind load back

Conductor	Height		G_{c_dwars}	G_{c_trek}	C_c	$d_{additional}$	w_y	$w_{y,section}$	$D_{ijs,additional}$	$w_{y,ijs}$	$w_{y,ijs,section}$
	wind	Pressure									
	[m]	[kN/m ²]	[-]	[-]	[-]	[mm]	[N/m]	[N/m]	[mm]	[N/m]	[N/m]
380ct1f1	28,4	0,97	0,58	0,50	1,10	28,53	53,4	45,6	47,4	96,5	82,4
380ct1f2	28,4	0,97	0,58	0,50	1,10	28,53	53,5	45,6	47,4	96,6	82,5
380ct1f3	39,1	1,06	0,61	0,52	1,08	28,53	59,6	50,8	47,4	110,1	93,8
380ct2f1	28,4	0,97	0,58	0,50	1,10	28,53	53,5	45,6	47,4	96,6	82,5
380ct2f2	28,4	0,97	0,58	0,50	1,10	28,53	53,4	45,6	47,4	96,5	82,4
380ct2f3	39,1	1,06	0,61	0,52	1,08	28,53	59,6	50,8	47,4	110,1	93,8
bl1	43,8	1,10	0,62	0,52	1,19	22,45	18,1	15,4	41,9	34,0	28,9
bl2	43,8	1,10	0,62	0,52	1,20	22,35	18,0	15,4	41,8	33,9	28,9

Wind load ahead

Conductor	Height		G_{c_dwars}	G_{c_trek}	C_c	$d_{additional}$	w_y	$w_{y,section}$	$D_{ijs,additional}$	$w_{y,ijs}$	$w_{y,ijs,section}$
	wind	Pressure									
	[m]	[kN/m ²]	[-]	[-]	[-]	[mm]	[N/m]	[N/m]	[mm]	[N/m]	[N/m]
380ct1f1	19,1	0,87	0,55	0,47	1,13	28,53	46,2	39,5	47,4	81,2	69,4
380ct1f2	19,1	0,87	0,55	0,47	1,13	28,53	46,2	39,5	47,4	81,2	69,5
380ct1f3	30,2	0,99	0,59	0,50	1,10	28,53	54,6	46,6	47,4	99,0	84,5
380ct2f1	19,1	0,87	0,55	0,47	1,13	28,53	46,2	39,5	47,4	81,2	69,5
380ct2f2	19,1	0,87	0,55	0,47	1,13	28,53	46,2	39,5	47,4	81,2	69,4
380ct2f3	30,2	0,99	0,59	0,50	1,10	28,53	54,6	46,6	47,4	99,0	84,5
bl1	36,0	1,04	0,60	0,51	1,20	22,45	16,8	14,3	41,9	31,4	26,8
bl2	36,0	1,04	0,60	0,51	1,20	22,35	16,8	14,3	41,8	31,4	26,7

Note: loads w_y are applicable to the sum of the conductors within the bundle

Project: MBT-EHV380
 Tower: S+0(xc)
 Number: 122

Auteur: TBR
 Versie: v12.0

Conductor loads

Starting points

Consequence class Nieuwbouw CC2
 Reference period 50 jaar

ULS (strength)		NEN-EN50341-2-15:2019			γ _Q			γ _a
Load case	description	Temp °C	γ _G G _{k,mast}	γ _G G _{k,geleider}	Q _{pk}	Q _{wk}	Q _{ik}	A _k
ULS 1a	Wind	10°	1,20	1,20	0,00	1,50	0,00	0,0
ULS 1a_0,9	Wind 0,9Gk only tower	10°	0,90	1,20	0,00	1,50	0,00	0,0
ULS 1a_0,9_0,9	Wind 0,9Gk conductors too	10°	0,90	0,90	0,00	1,50	0,00	0,0
ULS 3	Wind+ice	-5°	1,20	1,20	0,00	0,45	1,50	0,0
ULS 3_0,9	Wind+ice 0,9Gk	-5°	0,90	1,20	0,00	0,45	1,50	0,0
ULS 4	Cold+wind	-20°	1,20	1,20	0,00	0,30	0,00	0,0
ULS 4_0,9	Cold+wind 0,9Gk	-20°	0,90	1,20	0,00	0,30	0,00	0,0
ULS 5a	Torsional loads	10°	1,00	1,00	1,00	0,00	0,00	1,0
ULS 5b	Longitudinal loads	10°	1,00	1,00	0,00	0,00	0,00	1,0
ULS 6	Construction + maintenance	5°	1,20	1,20	1,50	0,30	0,00	0,0
ULS 6_0,9	Construction + maintenance	5°	1,20	1,20	0,00	0,30	0,00	0,0
ULS 7	Permanent	10°	1,35	1,35	0,00	0,00	0,00	0,0
ULS 8	Special	10°	1,00	1,00	0,00	0,00	0,00	1,0
SPLS (strength, for angle towers: absence of conductors)			γ _G G _k		γ _Q Q _{pk} Q _{wk} Q _{ik}			A _k
SPLS 1a	Wind	10°	1,20	1,20	0,0	0,78	0,00	0,0
SPLS 1a_0,9	Wind 0,9	10°	0,90	1,20	0,0	0,78	0,00	0,0
SPLS 1a_0,9_0,9	Wind 0,9	10°	0,90	0,90	0,0	0,78	0,00	0,0
SPLS 3	Wind+ice	-5°	1,20	1,20	0,0	0,36	0,34	0,0
SPLS 3_0,9	Wind+ice 0,9	-5°	0,90	1,20	0,0	0,36	0,34	0,0
SPLS 4	Cold+wind	-20°	1,20	1,20	0,0	0,24	0,00	0,0
SPLS 4_0,9	Cold+wind 0,9	-20°	0,90	1,20	0,0	0,24	0,00	0,0
SPLS 6	Maintenance	5°	1,20	1,20	1,2	0,24	0,0	0,0
SPLS 6_0,9	Maintenance	5°	1,20	1,20	0,0	0,24	0,0	0,0
SLS (deformations, fatigue, EDS)			G _k		Q _{pk} Q _{wk} Q _{ik}			A _k
SLS 1a	Wind	10°	1,00	1,00	0,0	1,00	0,0	0,0
SLS 3	Wind+ice	-5°	1,00	1,00	0,0	0,30	1,00	0,0
SLS 4	Wind	-20°	1,00	1,00	0,0	0,20	0,0	0,0
SLS 6	Maintenance	5°	1,00	1,00	0,0	0,20	0,0	0,0
SLS 7	EDS, no wind	10°	1,00	1,00	0,0	0,00	0,0	0,0

Number of wind directions 6
 Number of load combinations for ULS 54
 Number of load combinations for SPLS 0
 Number of load combinations for SLS 15
 Number of concentrated loads 552

Project: MBT-EHV380
 Tower: S+0(xc)
 Number: 122

Summary table - Conductor loads

The four tables below show:

- The maximum conductor load in the global axis system, split into proportion of back and ahead span
- The combined conductor load (Ba+Ah) in the global axis system with the maximum tensile force in the local axes. Components Fx and Fy as absolute values
- The everyday (EDS) values of the combined conductor loads (Ba+Ah) with corresponding tensile forces
- Check for uplift, where a negative value indicates uplift

Note: Maximum values for Fx, Fy and Fz do not necessarily belong to the same load combination.

*For Steunmast the special combination SPLS 6 don't apply.

Maximum values for back and ahead span

Geleider	Fx_ba [kN]	Fx_ah [kN]	Fy_ba [kN]	Fy_ah [kN]	Fz_ba [kN]	Fz_ah [kN]
bl1	-36,3	36,3	4,0	5,5	4,8	7,2
bl2	-35,7	35,7	4,0	5,4	4,8	7,1
380ct1f1	-136,6	136,7	13,5	15,8	16,2	25,1
380ct1f2	-136,6	136,7	13,5	15,8	16,1	25,1
380ct1f3	-138,9	139,0	15,0	17,8	16,1	24,9
380ct2f1	-136,6	136,7	13,5	17,4	16,1	25,1
380ct2f2	-136,6	136,7	13,5	17,5	16,2	25,1
380ct2f3	-138,9	139,0	15,0	21,1	16,1	24,9

Min. Weight span (m)

Weight spar Combinatie1

Geleider	SLS 1a	SLS 4	SLS 7
bl1	371,0	373,3	371,0
bl2	371,0	373,3	371,0
380ct1f1	376,6	378,9	376,6
380ct1f2	376,1	378,3	376,1
380ct1f3	373,8	375,8	373,8
380ct2f1	376,1	378,3	376,1
380ct2f2	376,6	378,9	376,6
380ct2f3	373,8	375,8	373,8

Max. Weight span (m)

Weight spar Combinatie1

Geleider	ULS 1a	ULS 3
bl1	381,5	370,5
bl2	381,8	370,4
380ct1f1	383,5	376,3
380ct1f2	382,7	375,7
380ct1f3	381,5	373,7
380ct2f1	382,7	375,7
380ct2f2	383,5	376,3
380ct2f3	381,5	373,7

Envelop of weight span over all combinations (incl. 0,9 combinations)

For all conductors

		Wind / Weight span ratio
Max. weight span	388,8 m	1,088 -
Min. weight span	368,7 m	1,032 -

Project: MBT-EHV380
 Tower: S+0(xc)
 Number: 122

Geleider	Maximum values back + ahead span			Maximum tension in conductor	
	Fx [kN]	Fy [kN]	Fz [kN]	Ft_ba [kN]	Ft_ah [kN]
bl1	15,0	9,5	9,7	-36,9	36,8
bl2	14,6	9,5	9,6	-36,3	36,3
380ct1f1	51,8	31,0	41,3	-137,7	135,6
380ct1f2	51,8	30,9	41,2	-137,7	135,6
380ct1f3	51,8	36,0	41,0	-139,8	138,0
380ct2f1	51,8	30,9	41,2	-137,7	135,6
380ct2f2	51,8	31,0	41,3	-137,7	135,6
380ct2f3	51,8	36,0	41,0	-139,8	138,0

EDS-loads conductor

Geleider	Fx [kN]	Fy [kN]	Fz [kN]	Ft_ba [kN]	Ft_ah [kN]
bl1	0,0	0,0	3,7	-15,0	15,0
bl2	0,0	0,0	3,6	-14,6	14,6
380ct1f1	0,0	-0,5	20,9	-64,8	64,8
380ct1f2	0,0	-0,5	20,9	-64,8	64,8
380ct1f3	0,0	-1,0	20,8	-64,8	64,8
380ct2f1	0,0	0,5	20,9	-64,8	64,8
380ct2f2	0,0	0,5	20,9	-64,8	64,8
380ct2f3	0,0	1,0	20,8	-64,8	64,8

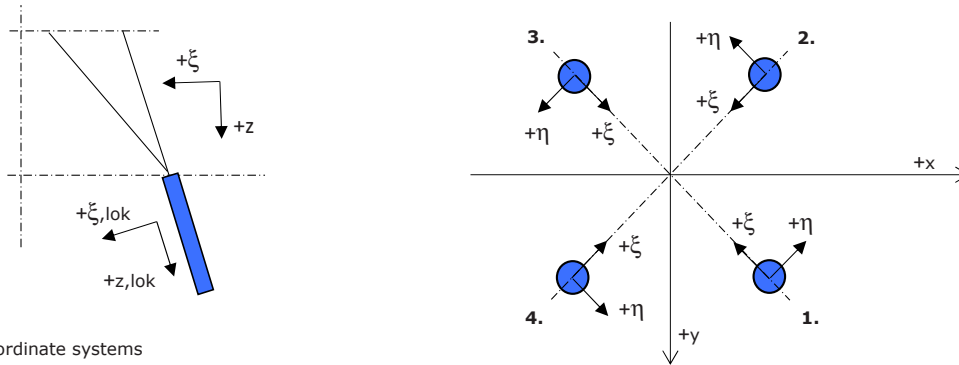
1 Control uplift SLS-wind

Combinatie: Geleider	Fz_ba [kN]	Fz_ah [kN]
SLS 4 bl1	1,4	2,3
bl2	1,4	2,2
380ct1f1	8,3	12,7
380ct1f2	8,3	12,7
380ct1f3	8,3	12,6
380ct2f1	8,3	12,7
380ct2f2	8,3	12,7
380ct2f3	8,3	12,6

Project: BBB MBT EHV
Mast type: S+0_xc
Mast: 122

Author: M Khan
Version: 1.3

Foundation Reactions



Co-ordinate systems

Maximum compression force

Leg	Combination	R_x [kN]	R_y [kN]	R_z [kN]	R_η [kN]	R_ξ [kN]	$R_{\xi,lok}$ [kN]	$R_{z,lok}$ [kN]
1	ULS 1a_45	-329	-312	-1652	12	-453	119	-1709
2	SPLS 1a_270 Ba All Cts	-200	152	-931	-34	-248	60	-962
3	SPLS 1a_270 Ah All Cts	302	236	-1395	47	-380	98	-1443
4	ULS 1a_135	423	-411	-2156	-9	-590	153	-2230

Maximum tension force

Leg	Combination	R_x [kN]	R_y [kN]	R_z [kN]	R_η [kN]	R_ξ [kN]	$R_{\xi,lok}$ [kN]	$R_{z,lok}$ [kN]
1	SPLS 1a_0,9_270 Ah All Cts	176	126	862	-36	214	-39	887
2	ULS 1a_0,9_135	322	-288	1647	24	431	-97	1700
3	ULS 1a_0,9_45	-201	-197	1107	-3	281	-57	1141
4	SPLS 1a_0,9_0,9_270 Ba All Cts	-99	43	464	39	100	-6	475

Maximum torsion force (positive)

Leg	Combination	R_x [kN]	R_y [kN]	R_z [kN]	R_η [kN]	R_ξ [kN]	$R_{\xi,lok}$ [kN]	$R_{z,lok}$ [kN]
1	SPLS 6a_90 Ah Ct1 Ah Ct2	-220	-19	-561	142	-168	55	-583
2	SPLS 6a_90 Ah Ct1 Ah Ct2	140	48	289	133	65	-6	296
3	SPLS 1a_270 Ah Ct1	306	145	-1182	113	-319	80	-1222
4	SPLS 1a_270 Ah Ct1	-72	-88	76	113	-11	26	72

Maximum torsion force (negative)

Leg	Combination	R_x [kN]	R_y [kN]	R_z [kN]	R_η [kN]	R_ξ [kN]	$R_{\xi,lok}$ [kN]	$R_{z,lok}$ [kN]
1	SPLS 6a_90 Ah Ct2 Ah Ct1	-41	-196	-557	-109	-167	54	-579
2	SPLS 1a_270 Ah Ct2	-189	49	-653	-98	-168	36	-673
3	SPLS 6a_90 Ah Ct2 Ah Ct1	-66	107	-58	-122	-29	17	-63
4	SPLS 6a_90 Ah Ct2 Ah Ct1	259	-85	-832	-123	-243	75	-863

Combination Ftrek+Fh

Leg	Combination	R_x [kN]	R_y [kN]	R_z [kN]	R_η [kN]	R_ξ [kN]	$R_{\xi,lok}$ [kN]	$R_{z,lok}$ [kN]
1	SPLS 1a_0,9_270 Ah All Cts	176	126	862	-36	214	-39	887
2	ULS 1a_0,9_135	322	-288	1647	24	431	-97	1700
3	ULS 1a_0,9_45	-201	-197	1107	-3	281	-57	1141
4	SPLS 1a_0,9_0,9_270 Ba Ct2	-107	-22	328	91	60	6	333

Permanent load

Leg	Combination	R_x [kN]	R_y [kN]	R_z [kN]	R_η [kN]	R_ξ [kN]	$R_{\xi,lok}$ [kN]	$R_{z,lok}$ [kN]
1	SLS 7	-83	-75	-354	6	-112	40	-369
2	SLS 7	19	-5	85	10	17	1	87
3	SLS 7	35	32	-150	2	-48	18	-156
4	SLS 7	119	-117	-558	-2	-167	53	-580

Enveloping forces across all legs

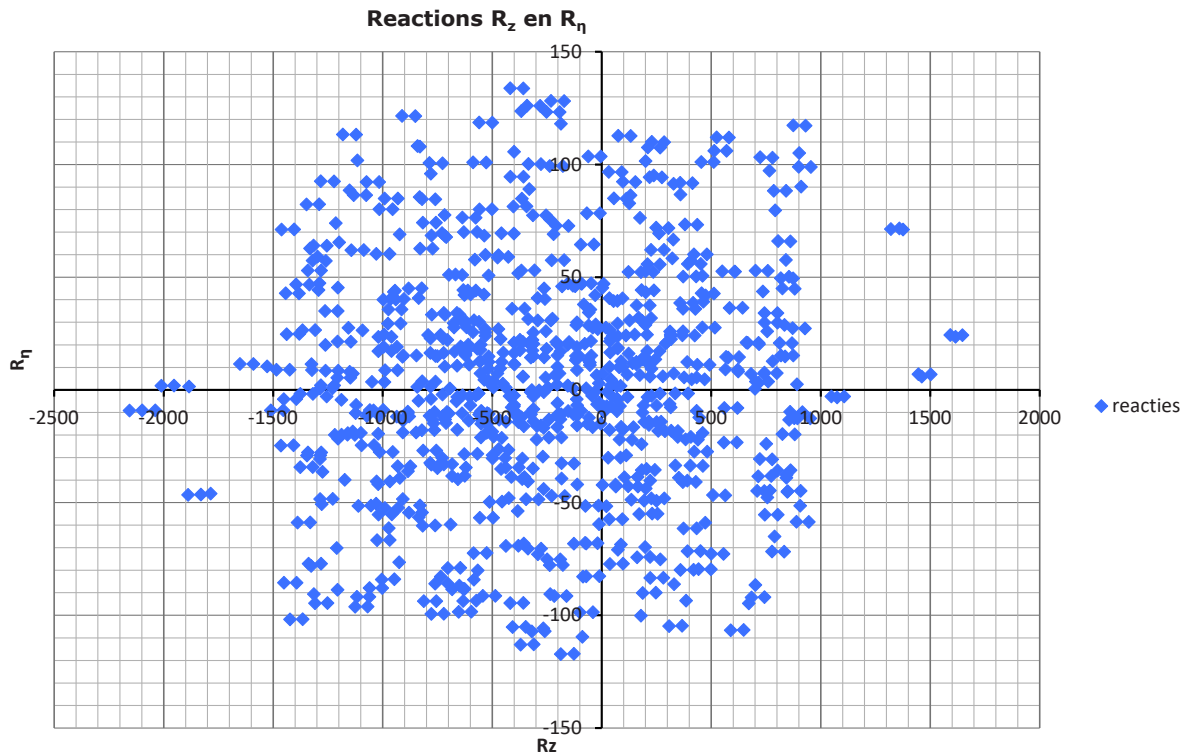
Belasting	Combinatie	R_x [kN]	R_y [kN]	R_z [kN]	R_η [kN]	R_ξ [kN]	$R_{\xi,lok}$ [kN]	$R_{z,lok}$ [kN]
Max. comp	ULS 1a_135	423	-411	-2156	-9	-590	153	-2230
Max. tens	ULS 1a_0,9_135	322	-288	1647	24	431	-97	1700
Max. pos. torsion	SPLS 6a_90 Ah Ct1 Ah Ct2	-220	-19	-561	142	-168	55	-583
Max. neg. torsion	SPLS 6a_90 Ah Ct2 Ah Ct1	259	-85	-832	-123	-243	75	-863
Comb. tens + torsion	ULS 1a_0,9_135	322	-288	1647	24	431	-97	1700

Maximum compression force (SLS)

Stijl	Combinatie	R_x [kN]	R_y [kN]	R_z [kN]	R_η [kN]	R_ξ [kN]	$R_{\xi,lok}$ [kN]	$R_{z,lok}$ [kN]
1	ULS 1a_45	-329	-312	-1652	12	-453	119	-1709
2	SLS 1a_0	-55	100	-397	32	-110	29	-411
3	ULS 5a Ah 22	42	73	-297	-22	-82	22	-308
4	ULS 1a_135	423	-411	-2156	-9	-590	153	-2230

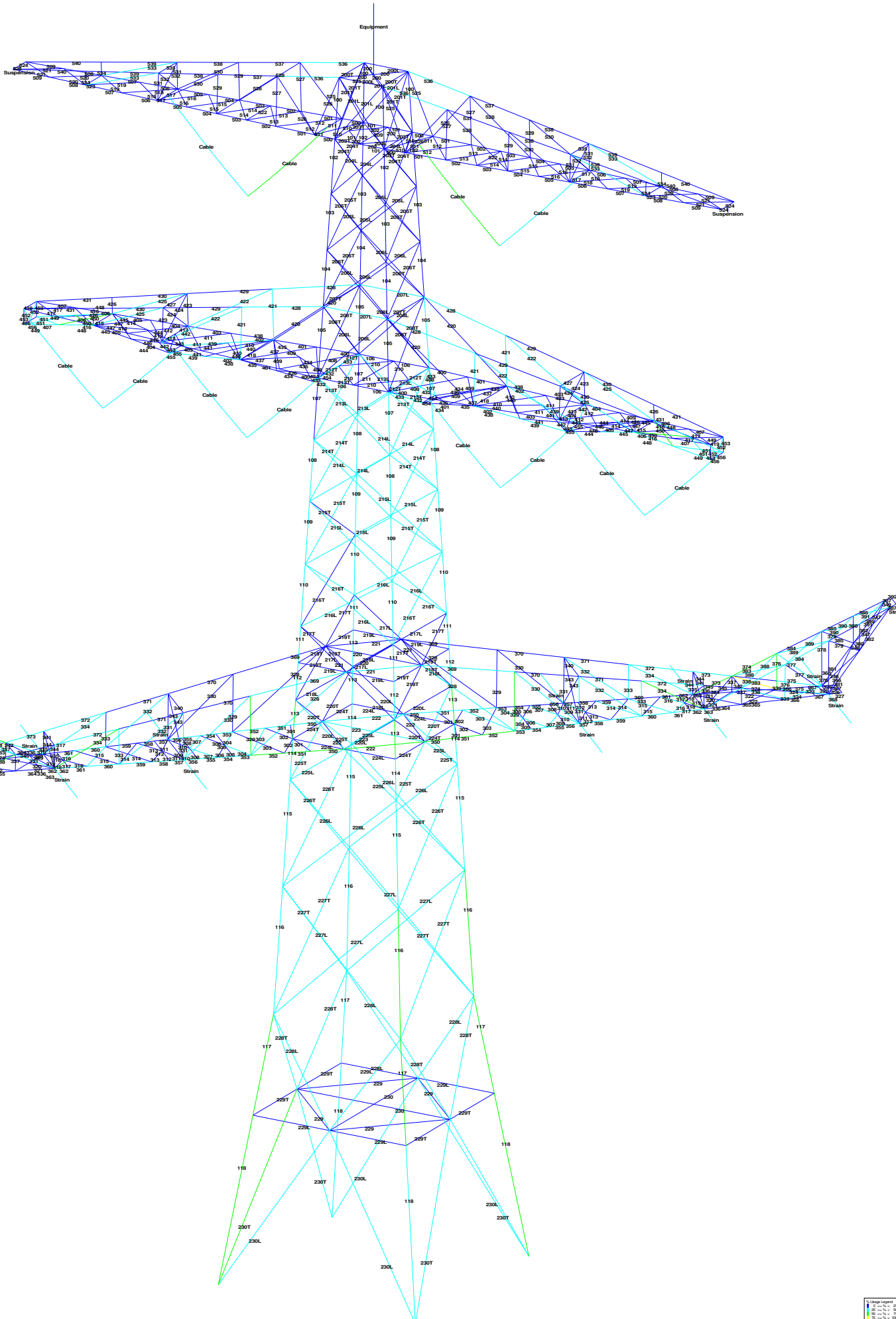
Maximum tension force (SLS)

Stijl	Combinatie	R_x [kN]	R_y [kN]	R_z [kN]	R_η [kN]	R_ξ [kN]	$R_{\xi,lok}$ [kN]	$R_{z,lok}$ [kN]
1	ULS 5a Ah 22	-62	-52	-213	7	-81	37	-225
2	ULS 1a_0,9_135	322	-288	1647	24	431	-97	1700
3	ULS 1a_0,9_45	-201	-197	1107	-3	281	-57	1141
4	SLS 1a_0	49	-8	-76	-29	-41	25	-83





APPENDIX B
UITVOER PLS-TOWER





Assessment of groups for initial structure (nieuwbouw level)

Date 5-1-2022
Author MKH
Version v4.3

MBT-EHV 380
S+0_xc T1
Mast 115

Table with columns: Group Label, Description, Profile, Steel Quality, Bolts, RLX, RLY, RLZ, Slenderness, Compression (kN), Load Case (Compression), Buckling, Shear (Comp), Bearing (Comp), U.C. (Comp), Exceedance (Comp), Tension (kN), Load Case (Tension), Net Section, Shear (Tens), Bearing (Tens), U.C. (Tens), Exceedance (Tens). Rows 100-314.



Assessment of groups for initial structure (nieuwbouw level)

Date 5-1-2022
Author MKH
Version v4.3

MBT-EHV 380
S+0_xc T1
Mast 115

Table with columns: Group Label, Description, Profile, Steel Quality, Bolts, R/LX, R/LY, R/LZ, Slenderness, Compression (kN), Load Case (Compression), Buckling, Shear (Comp), Bearing (Comp), U.C. (Comp), Exceedance (Comp), Tension (kN), Load Case (Tension), Net Section, Shear (Tens), Bearing (Tens), U.C. (Tens), Exceedance (Tens). Rows 315-413.

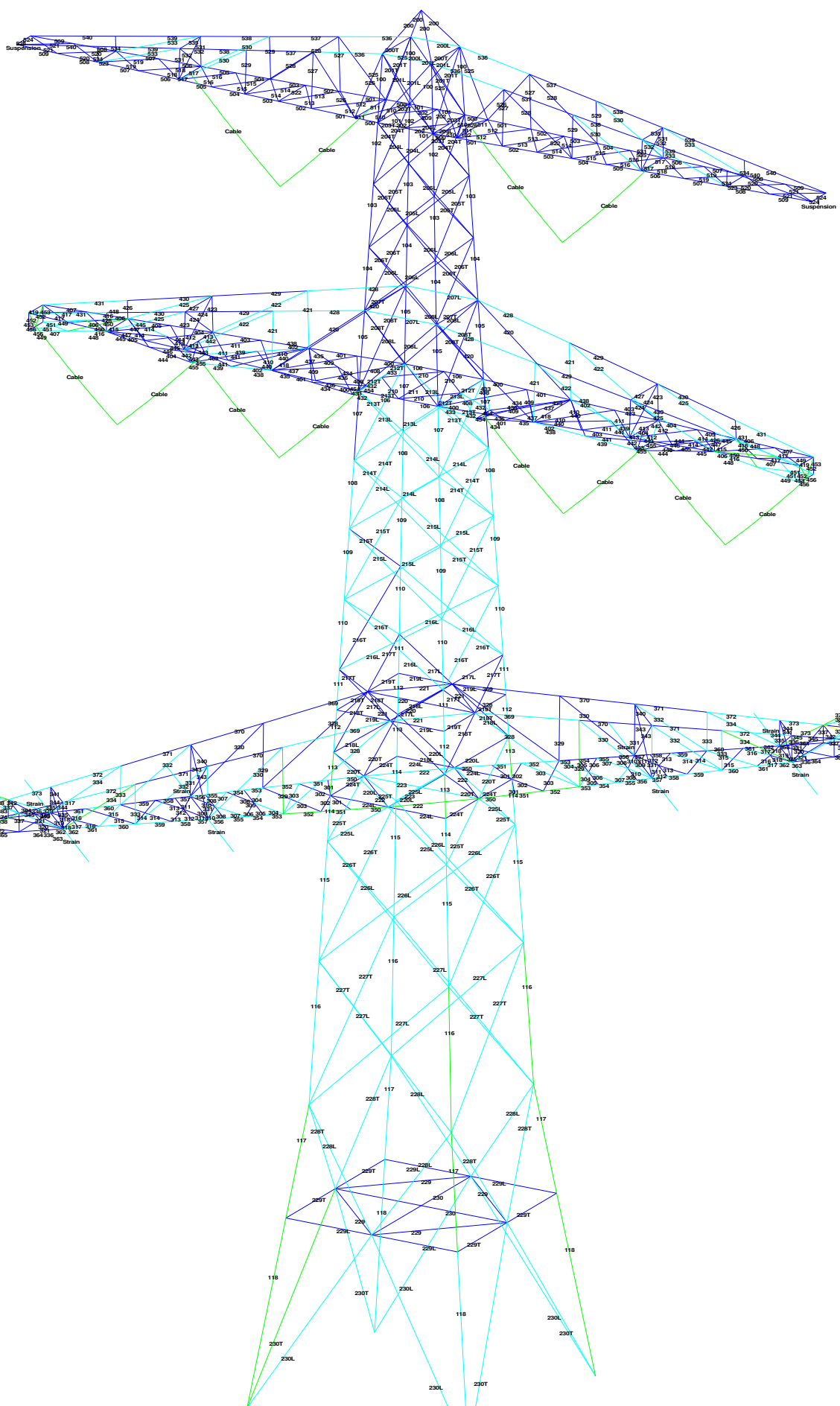


Assessment of groups for initial structure (nieuwbouw level)

Date 5-1-2022
Author MKH
Version v4.3

MBT-EHV 380
S+0_xc T1
Mast 115

Table with columns: Group Label, Description, Profile, Steel Quality, Bolts, RLY, RLY, RLY, Slenderness, Compression (kN), Load Case (Compression), Buckling, Shear (Comp), Bearing (Comp), U.C. (Comp), Exceedance (Comp), Tension (kN), Load Case (Tension), Net Section, Shear (Tens), Bearing (Tens), U.C. (Tens), Exceedance (Tens). Rows 414-540.





Assessment of groups for initial structure (nieuwbouw level)

Date 3-1-2022
Author MKH
Version v4.3

MBT-EHV 380

S+0_xc
Mast 122

Table with columns: Group Label, Description, Profile, Steel Quality, Bolts, RLX, RLY, RLZ, Slenderness, Compression (kN), Load Case (Compression), Buckling, Shear (Comp), Bearing (Comp), U.C. (Comp), Exceedance (Comp), Tension (kN), Load Case (Tension), Net Section, Shear (Tens), Bearing (Tens), U.C. (Tens), Exceedance (Tens). Rows 100-314.



Assessment of groups for initial structure (nieuwbouw level)

Date 3-1-2022
Author MKH
Version v4.3

MBT-EHV 380
S+0_xc
Mast 122

Table with columns: Group Label, Description, Profile, Steel Quality, Bolts, R/LX, R/LY, R/LZ, Slenderness, Compression (kN), Load Case (Compression), Buckling, Shear (Comp), Bearing (Comp), U.C. (Comp), Exceedance (Comp), Tension (kN), Load Case (Tension), Net Section, Shear (Tens), Bearing (Tens), U.C. (Tens), Exceedance (Tens). Rows 315-413.



Assessment of groups for initial structure (nieuwbouw level)

Date 3-1-2022
Author MKh
Version v4.3

MBT-EHV 380
S+0_xc
Mast 122

Table with columns: Group Label, Description, Profile, Steel Quality, Bolts, RLY, RLY, RLY, Slenderness, Compression (kN), Load Case (Compression), Buckling, Shear (Comp), Bearing (Comp), U.C. (Comp), Exceedance (Comp), Tension (kN), Load Case (Tension), Net Section, Shear (Tens), Bearing (Tens), U.C. (Tens), Exceedance (Tens). Rows 414-540.



APPENDIX C

TOETSING KNIKVERKORTERS



Knikverkorters initial structure (nieuwbouw)

Date: 2022-01-06
 Author: MKH
 Version: v1.9

MBT-EHV
 S+0_xc & S+0_xc T1
 Towers 115 & 122

Posnr.	Section	Schematization	Profile	Steel Quality	Bolt Quality	Length (m)	Angle (°)	Slenderness	Normal Force (kN)	Moment (kNm)	Buckling Cap. (kN)	Shear Cap. Bolt (kN)	Bearing Cap. (kN)	Net Section Cap. (kN)	Moment (kNm)	Highest U.C.	Exceedance Type	Notes
4	Broekstuk	Enkele staaf	L70x7	S355	M20	8,8	0,579	0	42	28,8	0,22	188,5	94,1	83,2	131,7	2,99	0,35	
5	Broekstuk	Enkele staaf	L70x7	S355	M20	8,8	1,71	73	125	28,8	0,00	91,5	94,1	83,2	131,7	2,99	0,35	
6	Broekstuk	Enkele staaf	L70x7	S355	M20	8,8	1,25	0	92	28,8	0,47	129,2	94,1	83,2	131,7	2,99	0,35	
7	Broekstuk	Enkele staaf	L70x7	S355	M20	8,8	1,95	57	143	28,8	0,00	77,6	94,1	83,2	131,7	3,0	0,37	
8	Broekstuk	Enkele staaf	L70x7	S355	M20	8,8	1,92	0	141	28,8	0,72	78,9	94,1	83,2	131,7	2,99	0,37	
9	Broekstuk	Enkele staaf	L70x7	S355	M20	8,8	2,36	41	173	28,8	0,00	59,3	94,1	83,2	131,7	2,99	0,49	
10	Broekstuk	Enkele staaf	L70x7	S355	M20	8,8	2,59	0	190	28,8	0,97	51,7	94,1	83,2	131,7	2,99	0,56	
11	Broekstuk	Enkele staaf	L70x7	S355	M20	8,8	2,81	32	206	28,8	0,00	45,6	94,1	83,2	131,7	2,99	0,63	
13	Broekstuk	Enkele staaf	L70x7	S355	M20	8,8	2,36	44	173	28,8	0,00	59,4	94,1	83,2	131,7	2,99	0,48	
14	Broekstuk	Enkele staaf	L70x7	S355	M20	8,8	1,61	0	118	28,8	0,60	98,3	94,1	83,2	131,7	2,99	0,35	
40	Broekstuk	Enkele staaf	L60x6	S355	M20	8,8	2,58	0	220	8,9	0,97	30,3	94,1	64,7	65,9	1,88	0,51	
25	Pootverband	Enkele staaf	L70x7	S355	M20	8,8	0,72	0	53	14,4	0,27	178,3	94,1	83,2	131,7	2,99	0,17	
24	Pootverband	Enkele staaf	L70x7	S355	M20	8,8	1,81	79	132	14,4	0,00	85,5	94,1	83,2	131,7	2,99	0,17	
23	Pootverband	Kniksteun en verticale steur	L70x7	S355	M20	8,8	1,67	0	78	14,4	0,31	114,1	94,1	83,2	131,7	2,23	0,17	
22	Pootverband	Enkele staaf	L70x7	S355	M20	8,8	1,94	65	142	14,4	0,00	77,7	94,1	83,2	131,7	2,99	0,19	
21	Pootverband	Kniksteun en verticale steur	L70x7	S355	M20	8,8	2,62	0	123	14,4	0,49	73,6	94,1	83,2	131,7	2,2	0,23	
20	Pootverband	Enkele staaf	L70x7	S355	M20	8,8	2,21	54	162	14,4	0,00	65,0	94,1	83,2	131,7	3,0	0,22	
19	Pootverband	Kniksteun en verticale steur	L70x7	S355	M20	8,8	3,59	0	169	14,4	0,67	50,1	94,1	83,2	131,7	2,2	0,31	
18	Pootverband	Enkele staaf	L70x7	S355	M20	8,8	2,42	42	177	14,4	0,00	57,2	94,1	83,2	131,7	3,0	0,25	
29	Doorsnede E-E	Kniksteun en verticale steur	L100x10	S355	M24	8,8	4,42	0	145	2,7	0,83	123,6	135,6	150,8	290,1	6,5	0,13	
32	Doorsnede E-E	Kruisende staaf halverwege	L90x9	S355	M24	8,8	6,51	0	238	2,7	1,22	51,2	135,6	135,7	225,8	6,4	0,19	
68	1e Tussenstuk	Enkele staaf	L70x7	S355	M20	8,8	1,33	0	97	31,4	0,50	121,6	94,1	83,2	131,7	3,0	0,38	
66	1e Tussenstuk	Enkele staaf	L70x7	S355	M20	8,8	1,84	45	135	31,4	0,00	83,7	94,1	83,2	131,7	3,0	0,38	
80	1e Tussenstuk	Enkele staaf	L70x7	S355	M20	8,8	2,53	0	185	31,4	0,95	53,6	94,1	83,2	131,7	3,0	0,59	
65	1e Tussenstuk	Enkele staaf	L70x7	S355	M20	8,8	1,91	43	140	31,4	0,00	79,6	94,1	83,2	131,7	3,0	0,39	
63	1e Tussenstuk	Enkele staaf	L70x7	S355	M20	8,8	1,31	0	96	31,4	0,49	123,1	94,1	83,2	131,7	3,0	0,38	
60	1e Tussenstuk	Enkele staaf	L70x7	S355	M20	8,8	1,21	0	89	31,4	0,45	133,4	94,1	83,2	131,7	3,0	0,38	
59	1e Tussenstuk	Enkele staaf	L70x7	S355	M20	8,8	1,61	42	118	31,4	0,00	98,4	94,1	83,2	131,7	3,0	0,38	
80	1e Tussenstuk	Enkele staaf	L70x7	S355	M20	8,8	2,29	0	168	31,4	0,86	62,0	94,1	83,2	131,7	3,0	0,51	
58	1e Tussenstuk	Enkele staaf	L60x6	S355	M16	8,8	1,67	41	143	31,4	0,00	56,9	60,3	52,3	98,8	1,9	0,60	
56	1e Tussenstuk	Enkele staaf	L60x6	S355	M16	8,8	1,17	0	100	31,4	0,44	86,9	60,3	52,3	98,8	1,9	0,60	
53	1e Tussenstuk	Enkele staaf	L60x6	S355	M16	8,8	1,11	0	95	31,4	0,42	91,5	60,3	52,3	98,8	1,88	0,60	
51	1e Tussenstuk	Enkele staaf	L60x6	S355	M16	8,8	0,97	50	83	31,4	0,00	103,5	60,3	52,3	98,8	1,88	0,60	
84	Doorsnede c-c	Enkele staaf	L90x9	S355	M16	8,8	3,25	0	185	31,4	1,22	88,8	60,3	78,4	254,0	6,37	0,52	
81	Doorsnede b-b	Enkele staaf	L90x9	S355	M16	8,8	3,59	0	204	31,4	1,35	76,2	60,3	78,4	254,0	6,37	0,52	
117	2e Tussenstuk	Enkele staaf	L70x7	S355	M16	8,8	1,81	0	133	17,8	0,68	85,3	60,3	61,0	142,7	3,0	0,30	
114	2e Tussenstuk	Enkele staaf	L60x6	S355	M16	8,8	1,69	0	145	17,8	0,63	56,0	60,3	52,3	98,8	1,9	0,34	
119	Doorsnede e-e	Enkele staaf	L60x6	S355	M16	8,8	1,99	0	170	17,8	0,75	44,7	60,3	52,3	98,8	1,9	0,40	
157	3e Tussenstuk	Enkele staaf	L60x6	S355	M16	8,8	1,61	0	138	14,7	0,60	59,8	60,3	52,3	98,8	1,9	0,32	
155	3e Tussenstuk	Enkele staaf	L60x6	S355	M16	8,8	1,49	0	127	14,7	0,56	66,1	60,3	52,3	98,8	1,9	0,30	



Knikverkorters initial structure (nieuwbouw)

Date: 2022-01-06
 Author: MKh
 Version: v1.9

MBT-EHV
 S+0_xc & S+0_xc T1
 Towers 115 & 122

Posnr.	Section	Schematization	Profile	Steel			Length (m)	Angle (°)	Slender ness	Normal Force (kN)	Moment (kNm)	Buckling Cap. (kN)	Shear Cap. Bolt (kN)	Bearing Cap. (kN)	Net Section Cap. (kN)	Moment Cap. (kNm)	Highest U.C.	Exceedance Type	Notes
				Quality	Bolt	Quality													
160	Doorsnede f-f	Enkele staaf	L60x6	S355	M16	8,8	2,09	0	179	14,7	0,78	41,5	60,3	52,3	98,8	1,9	0,42		
194	Bovenstuk	Enkele staaf	L60x6	S355	M16	8,8	1,39	0	119	11,0	0,52	71,8	60,3	52,3	98,8	1,9	0,28		
224	Bovenstuk	Enkele staaf	L60x6	S355	M16	8,8	1,25	0	107	11,0	0,47	81,0	60,3	52,3	98,8	1,9	0,25		
226	Doorsnede g-g	Enkele staaf	L60x6	S355	M16	8,8	1,30	0	112	11,0	0,49	77,3	60,3	52,3	98,8	1,9	0,26		
220	Bovenstuk	Enkele staaf	L60x6	S355	M16	8,8	1,14	0	97	11,0	0,43	89,5	60,3	52,3	98,8	1,9	0,23		
222	Doorsnede h-h	Enkele staaf	L80x8	S355	M16	8,8	1,89	0	121	11,0	0,71	125,1	60,3	69,7	194,4	4,5	0,18		
189	Bovenstuk	Enkele staaf	L60x6	S355	M16	8,8	1,03	0	88	11,0	0,39	98,6	60,3	52,3	98,8	1,9	0,21		
187	Bovenstuk	Enkele staaf	L60x6	S355	M16	8,8	0,92	0	79	11,0	0,34	108,6	60,3	52,3	98,8	1,9	0,21		

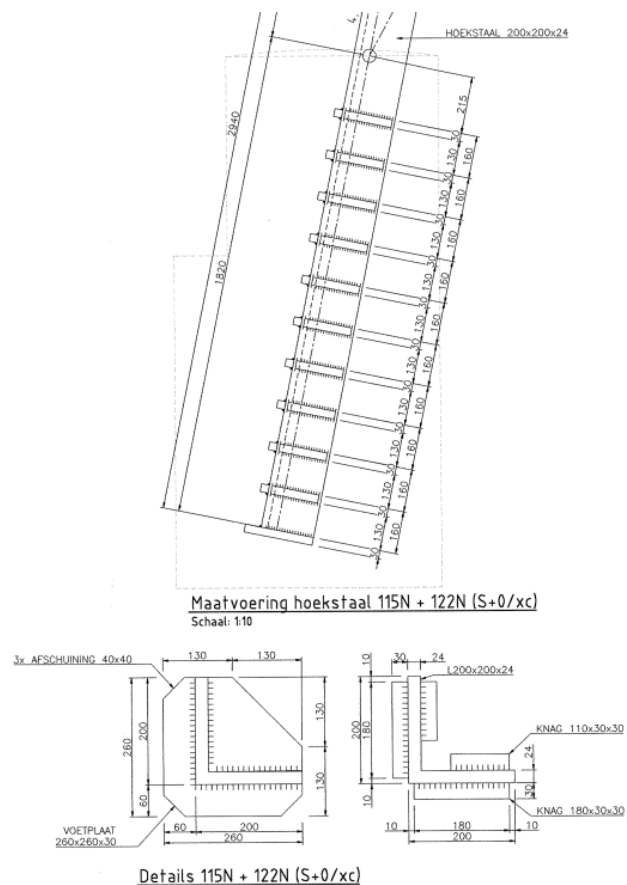
APPENDIX D

TOETSING BLOKDEUEVELS

Masttype S+0 xc is met blokdeuevels verbonden aan de sokkel van de fundering.

Er is gebruik gemaakt van de tekeningen:

- "2012 - Fundatie mast 115N+121N+122N.pdf"
- "Onderstuk sokkel S+0(xc) mast 115N en 122N.pdf"



Figuur 5 Deel van de funderingstekening

De controle van de blokdeuevels is opgenomen op de volgende bladzijde. Belastingen van Appendix A zijn gebruikt, de maximale waarden voor beide masten.

Project: MBT-EHV380
Mast: S+0(xc) (115 and 122)

Shear blocks	NEN-EN 1993-1-1 en NEN-EN 1994-1-1	Datum: 2022-01-07
		Auteur: TBR
		Versie: 1.4

Load			Results		
Compression	$F_{Ed,c}$	2156 kN	Compression	U.C.	0,68 < 1,00 OK
Tension	$F_{Ed,t}$	1650 kN	Tension	U.C.	0,55 < 1,00 OK

Main leg

Profile		L200.24
Steel material		S355
Cross section		9059 mm ²
Axial capacity	N_{pl}	3216 kN
Width	b	200 mm
Thickness	t	24 mm
Length in concrete		1825 mm

Shear blocks main leg

Width	b	30 mm
Thickness	h	30 mm
Length	L	145 mm
Welds	a	5 mm
c.t.c. separation	s	160 mm
Number for compr.	n_c	20 -
Number for tension	n_t	20 -

Foot plate

Thickness	t	30 mm
Ext. length	m	60 mm
Welds	a	5 mm

Pile

Name		Buispaal
Diameter		457 mm
Thickness		8 mm
Cross section		11285 mm ²
Steel material		S235
Capacity		2652 kN
Concrete strength		C30/37

Shear blocks pile

Width	b	nvt	mm
Thickness	h	nvt	mm
Length	L	nvt	mm
Welds	a	nvt	mm
c.t.c. separation	s	nvt	mm
Number for compr.	n_c	nvt	-
Number for tension	n_t	nvt	-

Design value concrete strength

Material factor	γ_c	1,5
Add. mat. factor	γ_m	1,25 -
$f_{cd} =$		16,0 N/mm ²

Steel tower stub

Yield strength	$f_{yd} =$	355 N/mm ²
Tensile strength	$f_{ud} =$	490 N/mm ²

Capacity shear blocks main leg

$A_{f1} =$	4350 mm ²
$A_{f2} =$	11032 mm ²
Slope	1: 5
$C_A = \sqrt{A_{f2}/A_{f1}} =$	1,59
$f_{jd} = C_A \times f_{cd} =$	25,5 N/mm ²
$F_{Rd,c} = n_c \times A_{f1} \times f_{jd} =$	2217 kN
$F_{Rd,t} = n_t \times A_{f1} \times f_{jd} =$	2217 kN

Capacity foot plate

$k_d =$	1,73 -
$f_{jd} = C_A \times f_{cd} =$	27,7 N/mm ²
$c = t\sqrt{f_{yd} / 3f_{jd}} =$	65 mm
$m^* = \min(c, m) =$	60 mm
Type foot plate	Diagonally cut
Effective for	Compr. and tension
$A_{p,c} =$	48131 mm ²
$F_{Rd,c} = A_{p,druk} \times f_{jd} =$	1334 kN
$A_{p,t} =$	39072 mm ²
$F_{Rd,t} = A_{p,t} \times f_{jd} =$	1083 kN

Capacities

$F_{Rd,c,plate} =$	946 kN
$F_{Rd,blocks,c} =$	2217 kN
$F_{Rd,c} = F_{Rd,block} + F_{Rd,footplate} =$	3162 kN
U.C. compression	0,68 < 1,00 OK
Welds foot plate (see next page)	946 kN
$F_{Rd,t} = \min. (\text{welds} / \text{foot plate}) =$	946 kN
$F_{Rd,blocks,t} =$	2217 kN
$F_{Rd,t} = F_{Rd,block} + F_{Rd,footplate} =$	3162 kN
U.C. tension	0,52 < 1,00 OK
U.C. welds	0,55 < 1,00 OK

Capacity shear blocks pile

$A_{f1} =$	nvt	mm ²
$A_{f2} =$	nvt	mm ²
$C_A = \sqrt{A_{f2}/A_{f1}} =$	nvt	-
$f_{jd} = k_d \times f_{cd} =$	nvt	N/mm ²
$F_{Rd,c} = n_c \times A_{f1} \times f_{jd} =$	nvt	kN
U.C. compression	nvt	> 1,00 Not OK
$F_{Rd,t} = n_t \times A_{f1} \times f_{jd} =$	nvt	kN
U.C. tension	nvt	> 1,00 Not OK
U.C. welds	nvt	> 1,00 Not OK

"Splitting" of pile

Spread of forces		45 °
Length force flow		1605 mm
Splitting force		514 kN/m
Yield strength wall	$f_{yd} =$	235 N/mm ²
Capacity tubular pile		3760 kN/m
U.C.		0,14 < 1,00 OK

Project: MBT-EHV380
Mast: S+0(xc) (115 and 122)

Welds of shear blocks of main leg

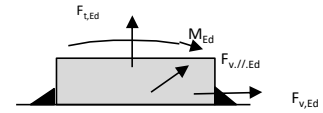
Out-of-plane loading

Plate

t = 30 mm
Grade S355
f_{yd} = 355 N/mm²
f_u = 490 N/mm²

Welds

a = 5 mm
l = 145 mm
β_w = 0,9 -
γ_{M2} = 1,25 -



Member forces

Factor 1,2
F_{t,Ed} = 0 kN
F_{v,Ed} = F_{rd,c} / n = 133 kN
F_{v,||,Ed} = 0 kN
M_{Ed} = 1/2 b / h x F_{v,Ed} = 2,00 kNm

Stress components

σ₁ = τ₁ = F_{t,Ed} √2 / 4al = 0 N/mm²
σ₁ = τ₁ = F_{v,Ed} √2 / 4al = 65 N/mm²
τ_{||} = F_{v,||,Ed} / 2al = 34,7 mm
σ₁ = τ₁ = 0,706M_{Ed} / al b* = 56 N/mm²
τ_{||} = F_{v,||,Ed} / 2al = 0 N/mm²
σ_{vw,Ed} = √(σ₁² + 3τ₁² + 3τ_{||}²) = 242 N/mm²

Check

σ_{vw,Ed} = 242 N/mm² ≤ f_u / β_w γ_{M2} = 436 N/mm² U.C. = **0,55 OK**
σ₁ = 121 N/mm² ≤ 0,9f_u / γ_{M2} = 353 N/mm² U.C. = **0,34 OK**

Welds of shear blocks of pile

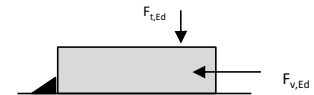
Out-of-plane loading

Plate

t = nvt mm
Grade S235
f_{yd} = 235 N/mm²
f_u = 360 N/mm²

Welds

a = nvt mm
l = nvt mm
β_w = 0,8 -
γ_{M2} = 1,25 -



Member forces

Factor 1,2
F_{t,Ed} = 1/2 b / h x F_{v,Ed} = nvt kN
F_{v,Ed} = nvt kN
F_{v,||,Ed} = 0 kN
M_{Ed} = 0,00 kNm

Stress components

σ₁ = τ₁ = F_{t,Ed} √2 / 2al = nvt N/mm²
σ₁ = τ₁ = F_{v,Ed} √2 / 2al = nvt N/mm²
τ_{||} = F_{v,||,Ed} / 2al = nvt N/mm²
σ_{vw,Ed} = √(σ₁² + 3τ₁² + 3τ_{||}²) = nvt N/mm²

Check

σ_{vw,Ed} = nvt N/mm² ≤ f_u / β_w γ_{M2} = 360 N/mm² U.C. = **nvt Not OK**
σ₁ = nvt N/mm² ≤ 0,9f_u / γ_{M2} = 259 N/mm² U.C. = **nvt Not OK**

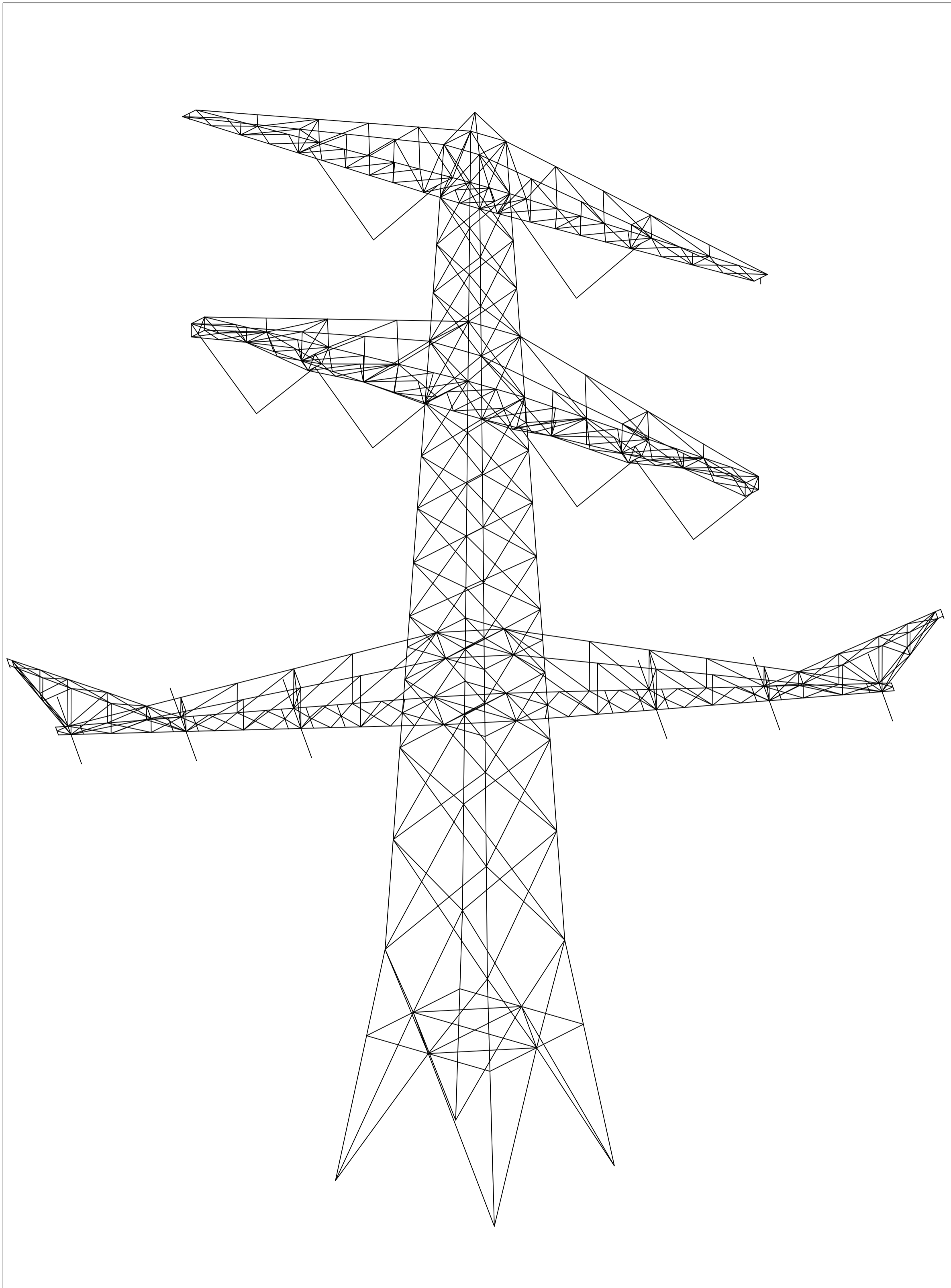
Welds of foot plate

f_u / β_w γ_{M2} = 436 N/mm²
Weld size a = 5 mm
Length l = 2b + 2b - t = 752 mm
Capacity F_{Rd} = a x l x f_{w,d} / √3 = 946 kN



APPENDIX E TEKENINGEN

Initial Profiles and Bolts					Final Profiles and Bolts			
Group label	Profile type (ini)	Profile size (ini)	Steel quality (ini)	Bolt size and quality (ini)	Profile type (new)	Profile size (new)	Steel quality (new)	Bolt size and quality (new)


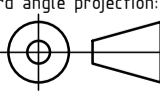


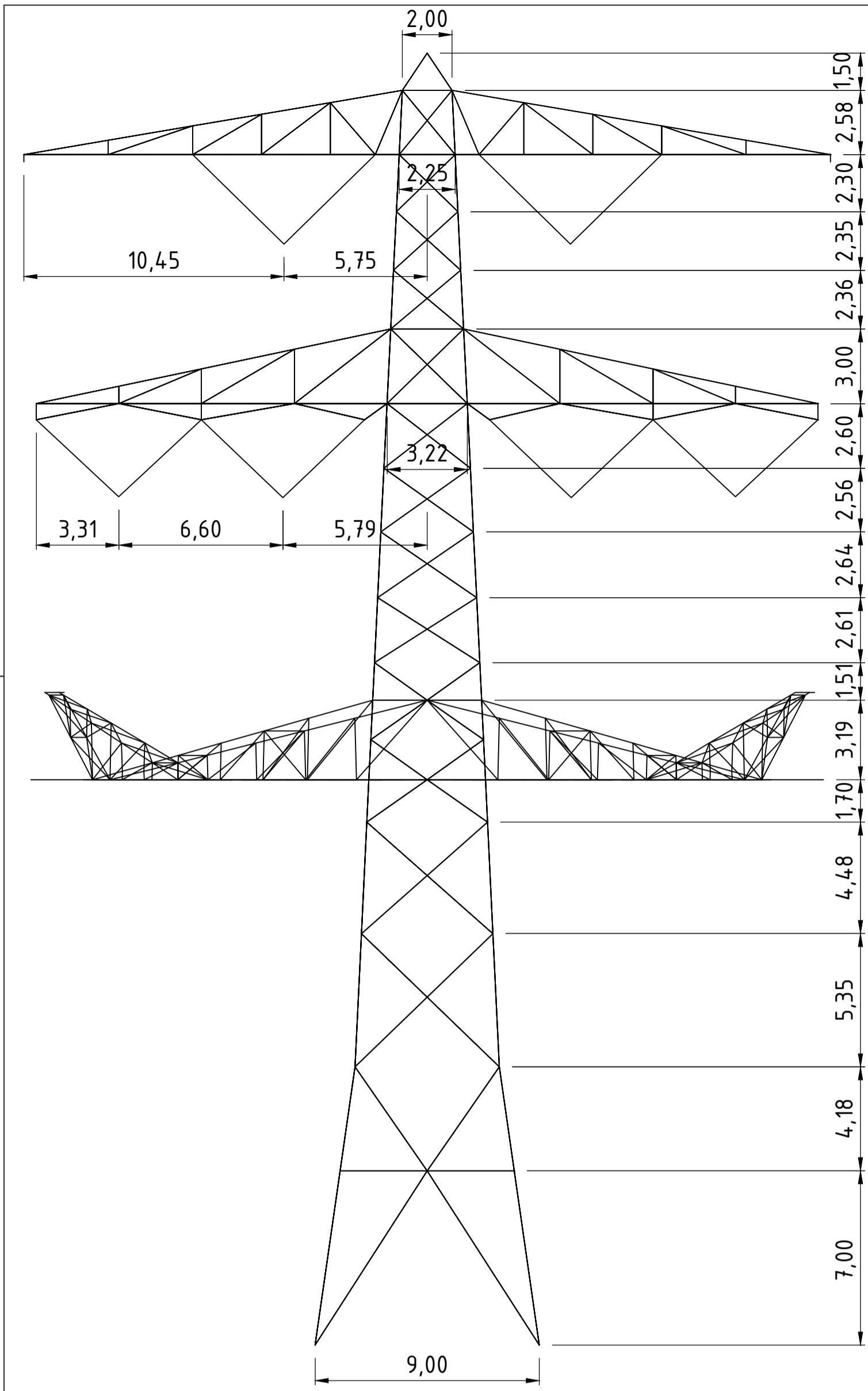
Overview

Notes and legend:

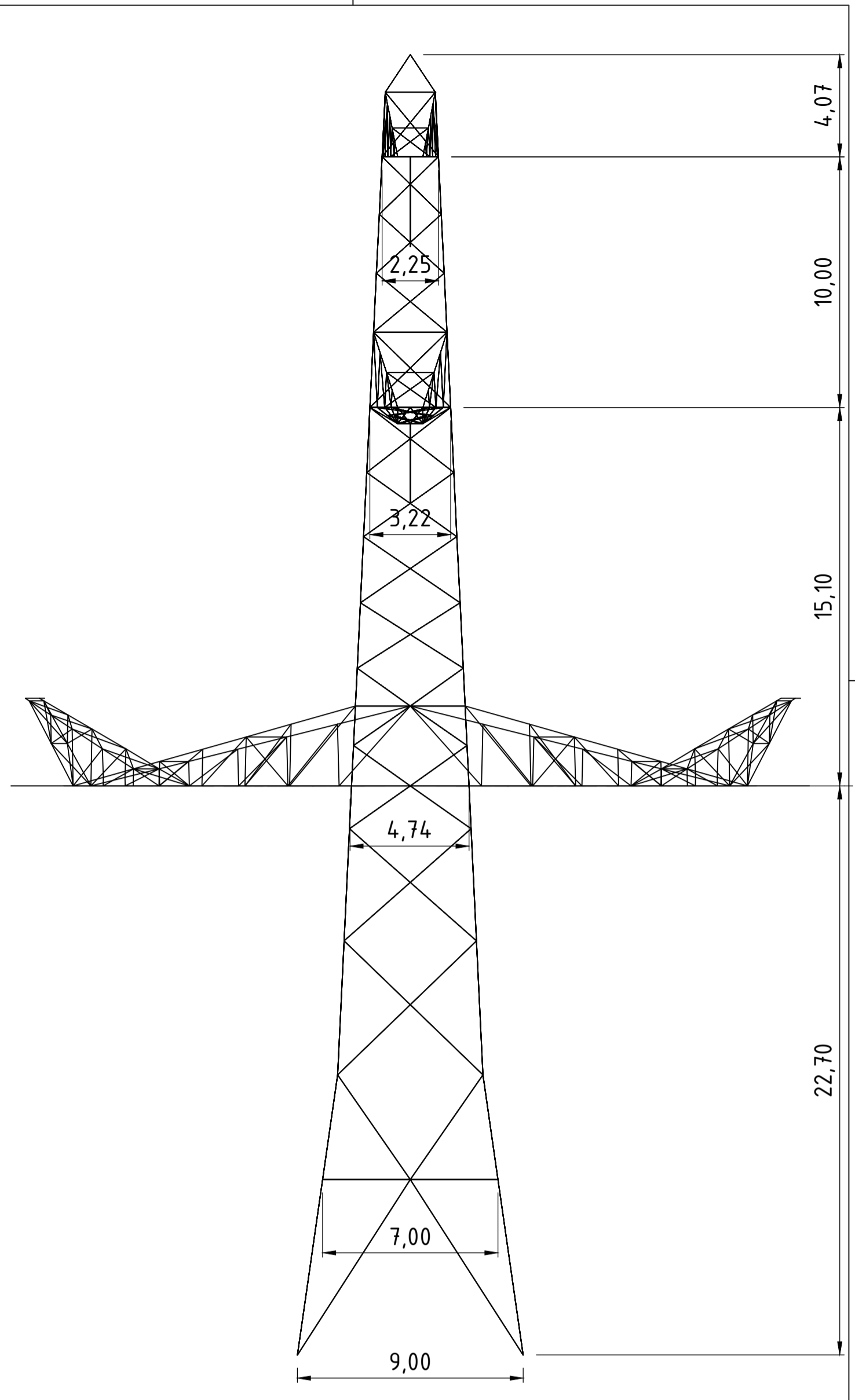
- New redundants according to drawing
- Size for new redundants is L50x50x5 unless otherwise indicated
- Other changes according to the table
- All changes are symmetrical unless otherwise indicated
- Material quality $t \leq 16\text{mm}$ S355J0
- Material quality $t > 16\text{mm}$ S355J2
- Bolt quality 8.8 rolled

- New member
- Profile exchanged
- New redundant
- Bolt exchanged
- Joint modification/ additional bolts required

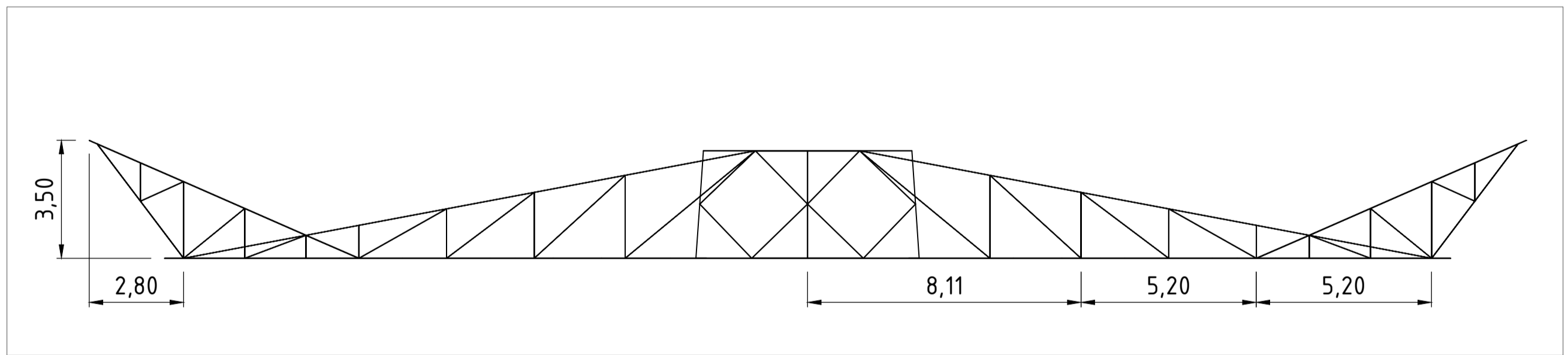
00	5-1-2022	Version 1.0	Projectname: Mast constructions MBT - EHV 380 kV	
		Third angle projection:	Drawing no.:	Revision:
			10166260-087	00
Design state: FINAL	Scale: -	Description:	Modifications overview for mast type S+0_xc (Masts 115 & 122)	
Drawn by: MKh	5-1-2022	Units: m	Page 1 of 2	
Checked by: TBR	5-1-2022	Project no: 10166260	Format: A2	
Approved by: JHu	5-1-2022	Company: TenneT		



Front View



Side View


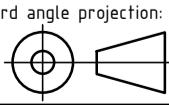


Lower Crossarm - View on 45 deg

Notes and legend:

- New redundants according to drawing
- Size for new redundants is L50x50x5 unless otherwise indicated
- Other changes according to the table
- All changes are symmetrical unless otherwise indicated
- Material quality $t \leq 16\text{mm}$ S355J0
- Material quality $t > 16\text{mm}$ S355J2
- Bolt quality 8.8 rolled

- New member
- Profile exchanged
- New redundant
- Bolt exchanged
- Joint modification/ additional bolts required

00	5-1-2022	Version 1.0	Projectname: Mast constructions MBT - EHV 380 kV		
		Third angle projection:	Drawing no.:	Revision:	
Design state: FINAL		Scale: -		10166260-087 Modifications overview for mast type S+0_xc (Masts 115 & 122) Page 2 of 2	00
Drawn by: MKh	5-1-2022	Units: m			Format:
Checked by: TBR	5-1-2022	Project no: 10166260			A2
Approved by: JHu	5-1-2022	Company: TenneT			



About DNV

DNV is the independent expert in risk management and assurance, operating in more than 100 countries. Through its broad experience and deep expertise DNV advances safety and sustainable performance, sets industry benchmarks, and inspires and invents solutions.

Whether assessing a new ship design, optimizing the performance of a wind farm, analyzing sensor data from a gas pipeline or certifying a food company's supply chain, DNV enables its customers and their stakeholders to make critical decisions with confidence.

Driven by its purpose, to safeguard life, property, and the environment, DNV helps tackle the challenges and global transformations facing its customers and the world today and is a trusted voice for many of the world's most successful and forward-thinking companies.

Bijlage 16 Rapportage mastconstructie S+9_c_mast116

“TOETSING EN HERONTWERP MASTEN EN FUNDATIES BBB380”
MBT-EHV380 – S+9_c Rapport

TenneT TSO B.V.

Rapport Nr.: 22-0800, Rev. 0

Meridian doc. Nr.: 002.586.40 0945363

Datum: 2022-07-06





Projectnaam: "TOETSING EN HERONTWERP MASTEN EN
FUNDATIES BBB380"
Rapport titel: MBT-EHV380 – S+9_c Rapport
Klant: TenneT TSO B.V.
Contactpersoon klant: [REDACTED]
Datum uitgave: 2022-07-06
Project nr.: 10166260
Organisatie unit: TDT
Meridian doc.nr.: 002.586.40 0945363
Rapport nr.: 22-0800, Rev. 0

Energy Systems
DNV Netherlands B.V.
Utrechtseweg 310-B50
6812 AR Arnhem
The Netherlands

Tel: [REDACTED]
Handelsregister Arnhem 09006400

[REDACTED] or:

[REDACTED]

[REDACTED]

Copyright © DNV 2022. All rights reserved. Unless otherwise agreed in writing: (i) This publication or parts thereof may not be copied, reproduced or transmitted in any form, or by any means, whether digitally or otherwise; (ii) The content of this publication shall be kept confidential by the customer; (iii) No third party may rely on its contents; and (iv) DNV undertakes no duty of care toward any third party. Reference to part of this publication which may lead to misinterpretation is prohibited..

DNV Distributie:

- Open
- Intern
- Commercieel vertrouwelijk
- Vertrouwelijk
- Geheim

*Specificatie distributie: -

Rev.	Datum	Reden van uitgave	Auteur	Beoordelaar	Goedkeuder
0	2022-07-06	Eerste uitgave	[REDACTED]	[REDACTED]	[REDACTED]

Inhoudsopgave

1	INLEIDING	1
1.1	Inleiding	1
1.2	Doelstelling en scope van dit rapport	2
1.3	Relatie overige documenten	2
2	EISEN	2
3	BEREKENINGEN	3
3.1	Mastbeeld	3
3.2	Mastenlijst	4
3.3	Uitgangspunten berekening	4
3.4	Processtappen	4
3.5	Geleiderbelastingen	5
3.6	Reacties op de fundering	5
3.7	Modellering	5
4	TOETSING MAST	6
5	AANPASSINGEN	8
5.1	Inleiding	8
5.2	Aanpassingen	8
5.3	Verificatie eisen	9
6	REFERENTIES	10
Appendix A	GELEIDERBELASTINGEN	
Appendix B	UITVOER PLS-TOWER	
Appendix C	TOETSING KNIKVERKORTERS	
Appendix D	TOETSING BLOKDEUVELS	
Appendix E	TEKENINGEN	

1 INLEIDING

1.1 Inleiding

Om in de toekomst meer elektriciteit te kunnen transporteren is het noodzakelijk om naast de nieuwbouw van verbindingen bestaande hoogspanningsverbindingen aan te passen zodat er een grotere transportcapaciteit mogelijk wordt gemaakt. Om die reden is de opdrachtgever (OG) voornemens de bestaande 380 kV-koppeling op te waarderen. Het opwaarderen van de bestaande verbindingen valt onder het programma “Beter benutten bestaande 380 kV-ring” en omvat de volgende deelprojecten:

- Opwaardering 380 kV-verbinding Lelystad – Ens (LLS-ENS380)
- Opwaardering 380 kV-verbinding Diemen – Lelystad (DIM-LLS380)
- Opwaardering 380 kV-verbinding Rilland – Zandvliet (RLL-ZVL380)
- Opwaardering 380 kV-verbinding Krimpen aan de IJssel - Geertruidenberg (KIJ-GT380)
- Opwaardering 380 kV-verbinding Maasbracht - Eindhoven (MBT-EHV380)

Om te komen tot een DO waarmee de werkzaamheden kunnen worden gestart is door TenneT aan DNV opdracht verstrekt voor de volgende onderdelen:

1. In eerste fase het opstellen en creëren van:

- 1.1 E-studie deel 1
- 1.2 Uitgangspuntenrapporten ten behoeve van de constructieve analyse van masten en fundaties
- 1.3 Sonderingmodellen
- 1.4 Fundatiemodellen
- 1.5 Mastmodellen

2. In tweede fase de uitvoering van de DO-fase bevattende:

- 2.1 Toetsing conform het uitgangspuntenrapport van de bestaande fundaties
- 2.2 Algemene specificatie van benodigde fundatieversterkingen ten behoeve van aanbesteding
- 2.3 Toetsing conform het uitgangspuntenrapport van de bestaande masten
- 2.4 Algemene specificatie van benodigde mastversterkingen ten behoeve van aanbesteding
- 2.5 E-studie deel 2

In dit rapport worden de aanpassingen besproken die nodig zijn voor masttype S+9_c van de verbinding Maasbracht - Eindhoven 380 kV.

Inhoudelijk is de Nederlandse versie van de rapportage ongewijzigd ten opzichte van de Engelse versie. Om deze reden zijn de bijlagen in dit rapport één op één overgenomen uit de Engelse versie. Hierdoor wijkt het revisienummer van de bijlagen af van het revisienummer van deze rapportage.

1.2 Doelstelling en scope van dit rapport

Het doel van deze studie is om te bepalen of de in dit rapport beschreven bestaande mast geschikt is om te worden uitgerust met de ACCC-Warsaw geleider op het 380 kV-circuit en een Hawk geleider op het 150 kV-circuit.

Nadat de wijzigingen zijn toegepast dient aantoonbaar geverifieerd te worden dat het systeem voldoet aan de vigerende eisen.

1.3 Relatie overige documenten

1.3.1 Verificatie & validatie plan

De door TenneT aangeleverde set met eisen is beoordeeld op relevantie en voor de relevante eisen is aangegeven in welk document wordt aangetoond dat er aan de eis wordt voldaan. De resultaten hiervan zijn opgenomen in het rapport "Verificatie & Validatieplan 380 kV verbinding Maasbracht - Eindhoven" [1].

1.3.2 E-studie deel 1

In het rapport "MBT-EHV380 - E-studie deel 1" [2] is bepaald welke aanpassingen benodigd zijn om de ACCC-Warsaw geleider en Hawk geleider toe te passen binnen de verbinding Maasbracht - Eindhoven. Voor masttype S+9_c, zijn geen aanpassingen vereist. Zie "MBT-EHV380 - E-studie deel 1" [2] voor een complete lijst van aanpassingen voor alle masten op de lijn.

1.3.3 Uitgangspunten rapport

De uitgangspunten op basis waarvan de berekeningen in deze rapportage zijn uitgevoerd zijn opgenomen in het rapport "Uitgangspuntenrapport 380kV verbinding Maasbracht - Eindhoven" [3].

2 EISEN

In onderstaande Tabel 1 zijn de eisen opgenomen die binnen deze rapportage worden getoetst.

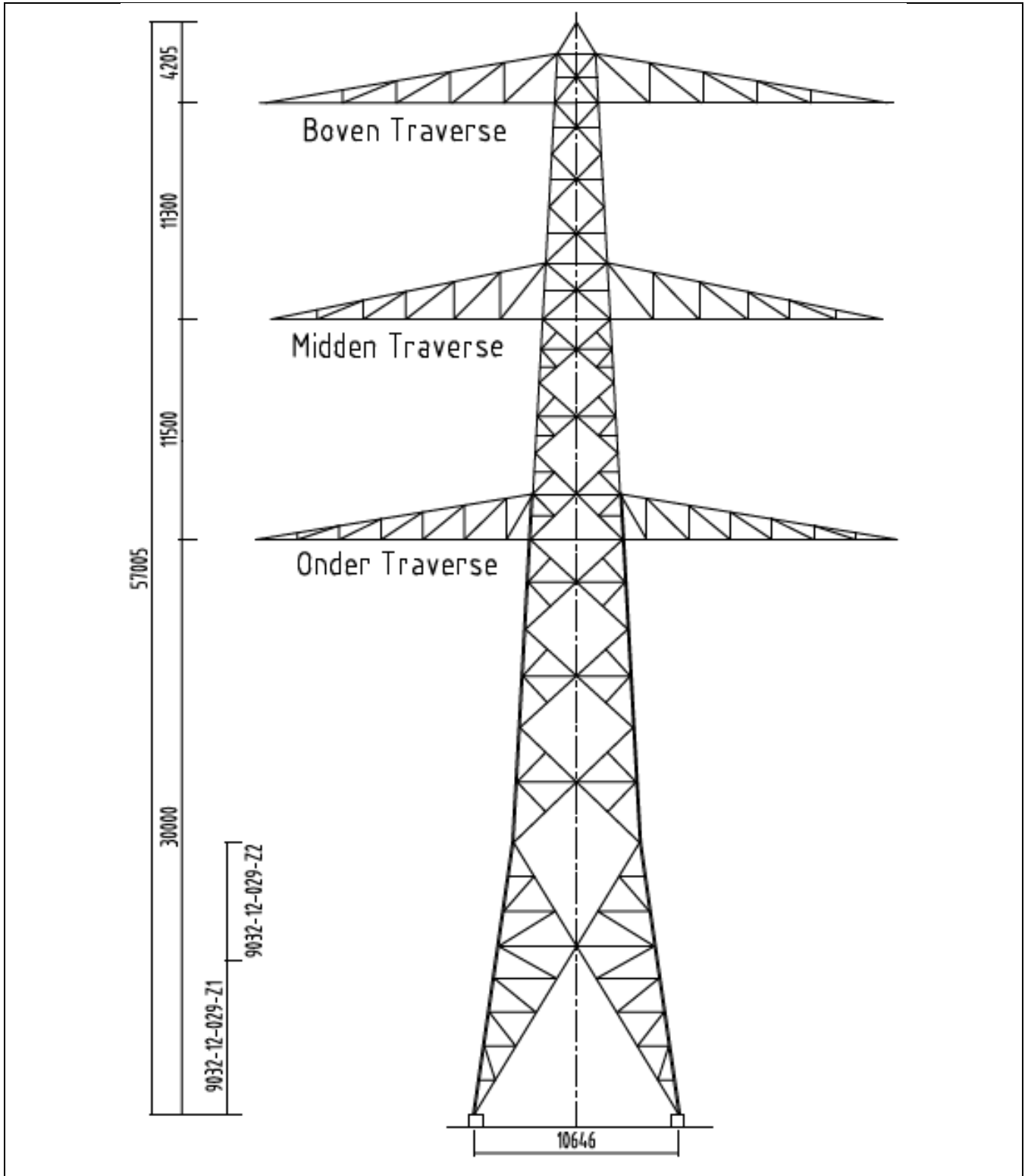
Tabel 1 Relevante eisen

Eis. Id	Titel	Eis tekst	Bewijsvoering
BO Eis: H2.7-6	Omgeving, beperkings- factoren	Het ontwerp dient geverifieerd te worden op de uitvoerbaarheid.	Tabel 5
PVE.05.001 5.14	Masten	Aanwijzingen t.a.v. klimvoorziening en valbeveiliging: Huidige klimweg blijft gehandhaafd en zal voldoen aan de eisen zoals opgenomen in de NEN 1060:1964. Valbeveiliging is/zal worden uitgevoerd in het type "latch way". Indien staaldelen in de nabijheid (aangrenzend profiel) van de klimweg gewijzigd worden, dient geverifieerd te worden dat de klimvoorziening in overeenstemming is met de NEN 1060:1964.	Tabel 5

3 BEREKENINGEN

3.1 Mastbeeld

Het mastbeeld op basis van de asset-data is weergegeven in Figuur 1.



Figuur 1 Mastbeeld S+9_c

3.2 Mastenlijst

In deze rapportage wordt masttype S+9_c getoetst. Mast 116 is de enige S+9_c mast op de lijn en bevindt zich in windgebied III. Tabel 2 geeft een overzicht van de wind en weight span voor de mast.

Tabel 2 Mastnummers

Mastnummer	Masttype	Maatgevend mastnummer	Wind span (m)	Weight span (m)	Hoogteverschil (m)
116	S+9_c	116	281	348	0

3.3 Uitgangspunten berekening

De berekening is uitgevoerd op basis van de uitgangspunten zoals opgenomen in het uitgangspuntenrapport [3]. Hierin is een volledig overzicht opgenomen van de belastingcombinaties en toegepaste belastingfactoren.

Tabel 3 Uitgangspunten berekening

Algemeen	Norm	NEN-EN50341-2-15:2019
	Windgebied	III
	Terreincategorie	II (onbebouwde omgeving)
Situatie initieel	Reductiefactor cdir	1,00
	Gevolgklasse	CC2-0
	Betrouwbaarheidsniveau	Afkeur CC2-0
	Referentieperiode	30 jaar
Situatie na aanpassingen	Gevolgklasse	CC2
	Betrouwbaarheidsniveau	Verbouw
	Referentieperiode	50 jaar

3.4 Processtappen

Het proces van het bepalen van eventueel benodigde versterkingen bestaat uit de volgende stappen:

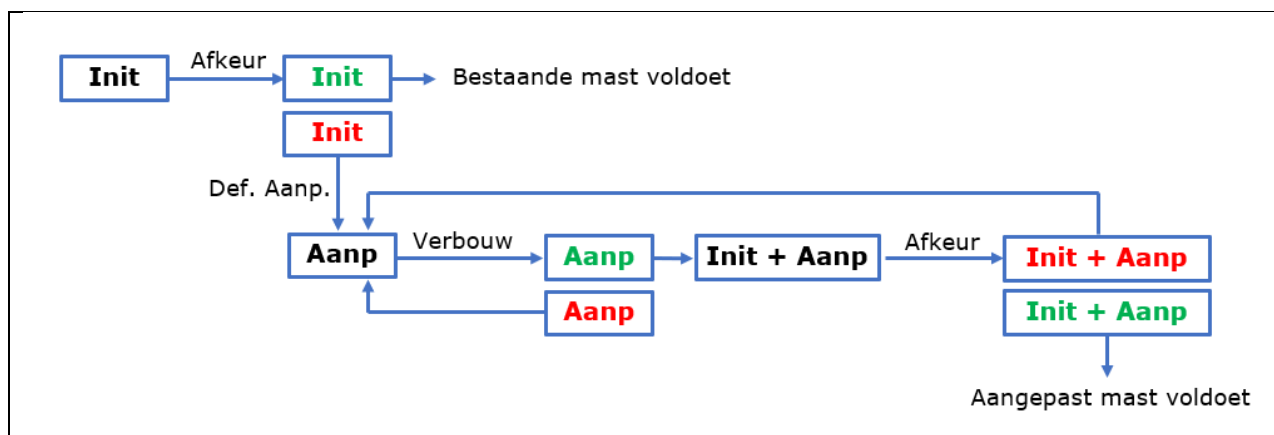
Stap 1: Toets bestaande (Init) mast op Afkeur

Stap 2: Definiëren benodigde aanpassingen indien initiële mast niet voldoet aan toets op Afkeur (Def. Aanp.)

Stap 3: Het toetsen van (alleen) de uitgewerkte aanpassingen (Aanp) op Verbouw

Stap 4: Het opnieuw toetsen van de complete mast inclusief aanpassingen (Initi + Aanp) op Afkeur.

Het hierboven omschreven proces is in Figuur 2.



Figuur 2 Procesdiagram

3.5 Geleiderbelastingen

De berekening is uitgevoerd met het geleiderbelastingenprogramma van DNV. In Appendix A zijn de resultaten van de geleiderbelastingen samengevat.

3.6 Reacties op de fundering

De oplegreacties op de fundering worden ontleend aan de uitvoer van het geleiderbelastingenprogramma, zie Appendix A.

3.7 Modelling

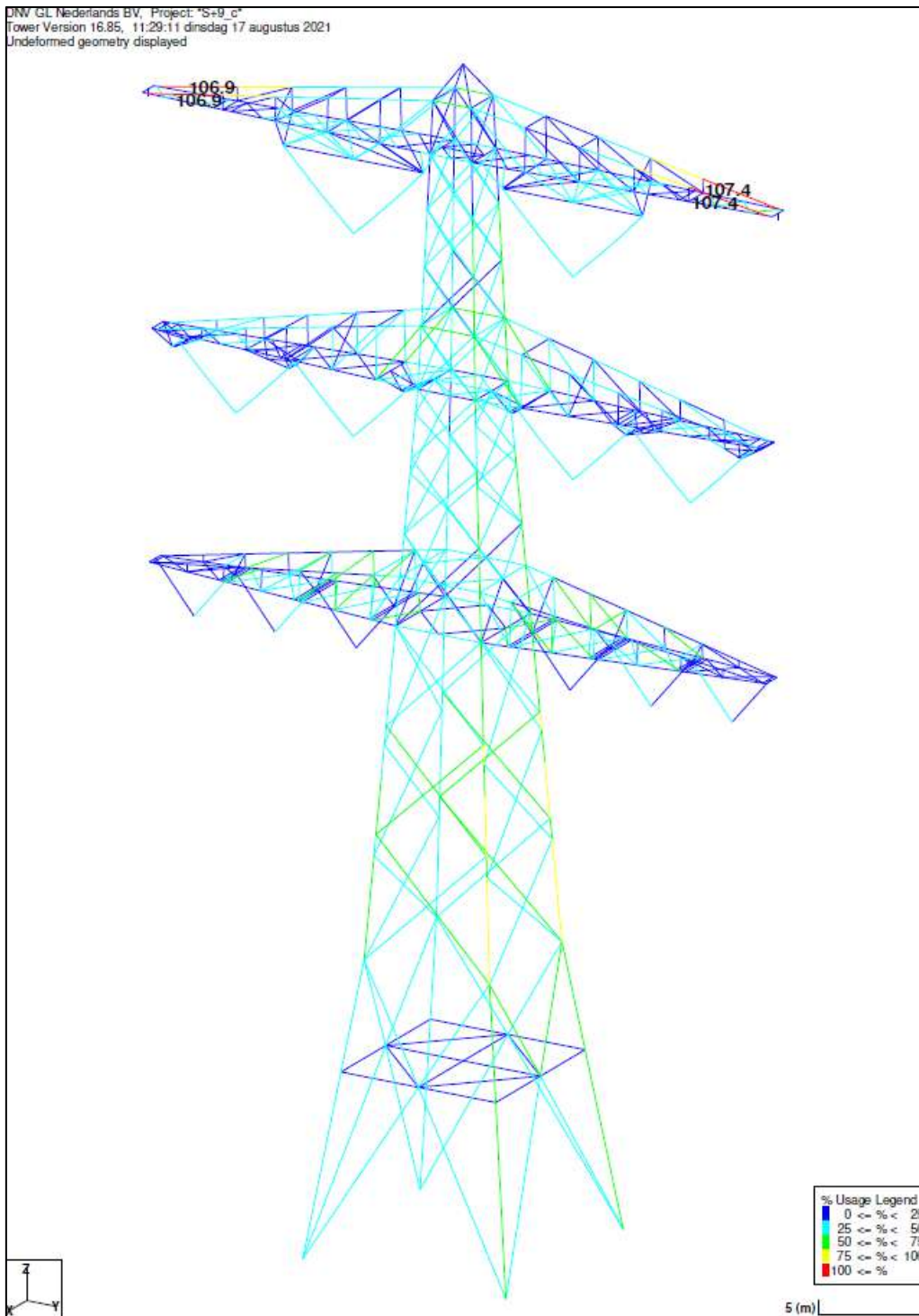
Op basis van de as-built tekeningen is de mast in PLS-TOWER ingevoerd. De hoofdelementen zijn gemodelleerd. Niet-dragende profielen als knikverkorters zijn weggelaten en worden separaat getoetst. De profielen inclusief de boutverbindingen zijn in PLS-TOWER ingevoerd en getoetst. Controle van de schetsplaten en andere detailverbindingen valt buiten de scope.

De geleiderbelastingen vanuit het geleiderbelastingenprogramma zijn als invoer voor de belastingen gebruikt.

Diagonalen in voor- en achtervlak respectievelijk de twee zijvlakken zijn gegroepeerd en de toetsing wordt per staafgroep uitgevoerd. Ingeval dat een element uit een groep is overbelast, geldt dit voor alle elementen uit de betreffende groep.

4 TOETSING MAST

Het resultaat van de controle van de masttype S+9_c met belastingen op afkeurniveau is weergegeven in Figuur 3.



Figuur 3 Resultaat PLS-TOWER S+9_c (116)

De resultaten van de controles van profielen, knikverkorters en blokdeuvels randstijl zijn opgenomen in Tabel 4.

Tabel 4 Samenvatting controle

Controle van	Beoordeling		Referentie
Profielen		Voldoen niet	Figuur 3 Appendix B
Knikverkorters	Voldoen		Appendix C
Ankers en voetplaat	Voldoen		Appendix D

5 AANPASSINGEN

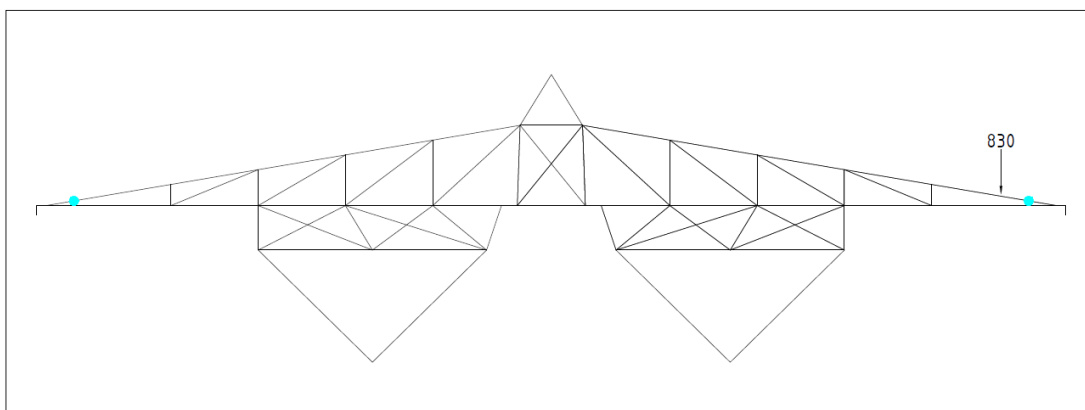
5.1 Inleiding

In dit deel worden versterkingen van de masten voorgesteld om ervoor te zorgen dat de masten voldoen aan afkeurniveau, nieuwe profielen of bouten moeten voldoen aan de eisen op basis van verbouwniveau. Het voorstel bevat de volgende maatregelen:

- Toevoegen van een extra bout aan de verbinding van boven- en onderrand van de boventraverse.

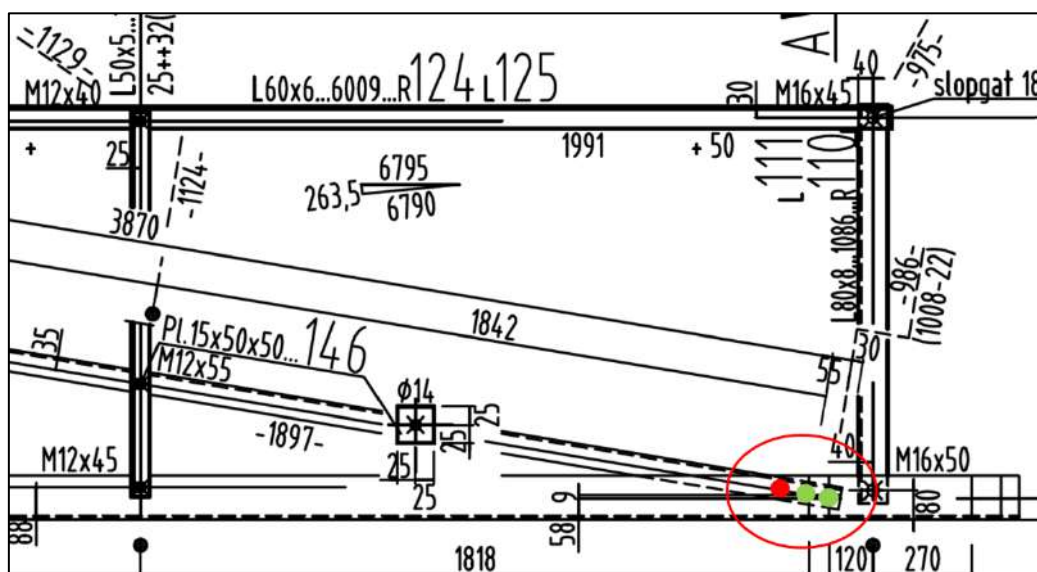
5.2 Aanpassingen

Conform de berekeningen in Appendix B, zijn aanpassingen benodigd in een verbinding van de boventraverse. De positie is in Figuur 4 met een cyaankleurige cirkel is aangegeven.



Figuur 4 Vereiste wijzigingen aan de boutverbinding tussen de onder- en bovenrand van de boventraverse

Figuur 5 is een tekening van de gewijzigde boutverbinding. Bestaande boutgaten zijn aangegeven in groen, en nieuwe boutgaten in rood. De afstand tussen de bouten moet gelijk gehouden worden aan de 55 mm in de bestaande verbinding. De randafstand is minimaal 30 mm. Op basis van de constructietekeningen blijkt dat er voldoende ruimte is voor het extra gat. De bestaande twee bouten hoeven niet te worden vervangen omdat de overbelasting in het profiel zit en niet in de bouten.



Figuur 5 Schets van de gewijzigde boutverbinding

Voor deze constructie is geen gewichtsberekening gemaakt omdat er geen onderdelen zijn uitgewisseld of toegevoegd.

5.3 Verificatie eisen

De verificatie van de van toepassing zijnde eisen is uitgevoerd in Tabel 5.

Tabel 5 Verificatie eisen

Eis Id	Eis tekst	Ja	Nee	N.v.t.	Toelichting
BO Eis: H2.7-6	Aanpassingen uitvoerbaar?	X			De stalen onderdelen die zullen worden toegevoegd, kunnen worden bevestigd met boutverbindingen. Dit is een bewezen methode. De wijziging kan worden toegepast zonder de draagprofielen te verwijderen.
PVE.05.001 5.14	Staaldelen in nabijheid van klimweg gewijzigd?			X	Geen wijzigingen
	Klimvoorziening nog in overeenstemming is met de NEN 1060:1964?			X	Geen wijzigingen



6 REFERENTIES

- [1] "002.586.40 0825946 - 21-0463 - Verificatie & validatieplan 380kV verbinding Maasbracht - Eindhoven".
- [2] "002.586.40 0825934 - 21-0483 - E-studie deel 1 380kV verbinding Maasbracht - Eindhoven".
- [3] "002.586.40 0825942 - 21-0138 - Uitgangspuntenrapport 380kV verbinding Maasbracht - Eindhoven".



APPENDIX A

GELEIDERBELASTINGEN

Project: MBT-EHV380
 Tower: S+9(c)
 Number: 116

Auteur: TBR
 Versie: v12.0

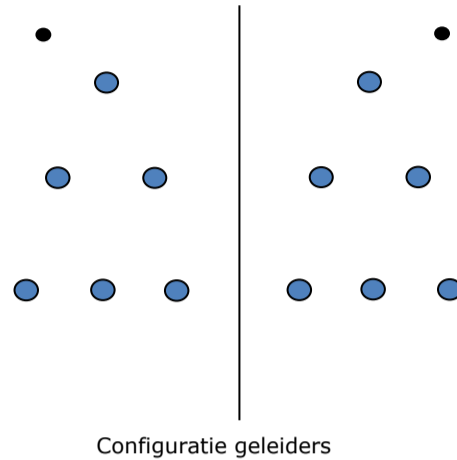
Conductor loads

General

Description S+9(c)
 Tower type Steunmast
 Number of circuits 4
 Configuration 4-circuit-verticaal-vlak
 Number of earth wires 2

Starting points

Norm NEN-EN50341-2-15:2019
 Consequence class CC2-0
 Reliability level initial Afkeur CC2-0
 Reference period initial 30 jaar
 Consequence class modified CC2
 Reliability level modified Verbouw
 Reference period modified 50 jaar
 Wind zone III
 Wind speed (m/s) 24,5 m/s
 Terrain category II
 Reduction factor c_{dir} 1,00
 Ice region phase conductor B
 Ice region earth conductor B



Conductors back

Description	Voltage	Conductor Back	Bundle Ba	Ice region	Additional weight	Additional diameter	Catenary P_{back}
Circuit 1	380 kV	ACCC-Warsaw	3	B	3 %	3 %	1400
Circuit 2	380 kV	ACCC-Warsaw	3	B	3 %	3 %	1400
Circuit 3	150 kV	AACSR 241-AL3-39-A20SA	2	B	3 %	3 %	1429
Circuit 4	150 kV	AACSR 241-AL3-39-A20SA	2	B	3 %	3 %	1429
Bliksemdraad 1		OPGW AFL-226/38	1	B	3 %	3 %	1550
Bliksemdraad 2		AACSR 241-AL3-39-A20SA	1	B	3 %	3 %	1550

Conductors ahead

Description	Voltage	Conductor Ahead	Bundle Ah	Ice region	Additional weight	Additional diameter	Catenary P_{ahead}
Circuit 1	380 kV	ACCC-Warsaw	3	B	3 %	3 %	1400
Circuit 2	380 kV	ACCC-Warsaw	3	B	3 %	3 %	1400
Circuit 3	150 kV	AACSR 241-AL3-39-A20SA	2	B	3 %	3 %	1429
Circuit 4	150 kV	AACSR 241-AL3-39-A20SA	2	B	3 %	3 %	1429
Bliksemdraad 1		OPGW AFL-226/38	1	B	3 %	3 %	1550
Bliksemdraad 2		AACSR 241-AL3-39-A20SA	1	B	3 %	3 %	1550

Insulators (1)

Description	Suspension	Weight [kN]	Length [m]	Wind area [m ²]
Circuit 1	V-ketting	3,50	4,50	2,00
Circuit 2	V-ketting	3,50	4,50	2,00
Circuit 3	V-ketting	2,00	2,50	1,00
Circuit 4	V-ketting	2,00	2,50	1,00
Bliksemdraad 1	Vast (Bliksemdraad)	0,10	0,30	0,10
Bliksemdraad 2	Vast (Bliksemdraad)	0,10	0,30	0,10

1. Properties apply to the entire isolator set

Suspension height and position in mast

Circuits	Designation	Number	Suspension height	Attach point	Position in tower Horizontal distance
Circuit 1	10	380ct1f1	37,0 m	41,5 m	-11,9 m
Circuit 1	11	380ct1f2	37,0 m	41,5 m	-5,8 m
Circuit 1	12	380ct1f3	48,3 m	52,8 m	-5,7 m
Circuit 2	20	380ct2f1	37,0 m	41,5 m	5,8 m
Circuit 2	21	380ct2f2	37,0 m	41,5 m	11,9 m
Circuit 2	22	380ct2f3	48,3 m	52,8 m	5,7 m
Circuit 3	30	150ct3f1	27,7 m	30,2 m	5,6 m
Circuit 3	31	150ct3f2	27,7 m	30,2 m	9,9 m
Circuit 3	32	150ct3f3	27,7 m	30,2 m	14,1 m
Circuit 4	40	150ct4f1	27,7 m	30,2 m	-14,1 m
Circuit 4	41	150ct4f2	27,7 m	30,2 m	-9,9 m
Circuit 4	42	150ct4f3	27,7 m	30,2 m	-5,6 m
Bliksemdraad 1	1	bl1	52,5 m	52,8 m	-16,5 m
Bliksemdraad 2	3	bl2	52,5 m	52,8 m	16,5 m

Project: MBT-EHV380
 Tower: S+9(c)
 Number: 116

Height adjustment adjacent masts (wind and weight span adjustment)

	Back	Ahead	
Height increase for wind pressure	0,0 m	0,0 m	(positive: higher)
Height decrease for vertical load	0,0 m	0,0 m	(negative: decrease, more weight span)
Decrease:	Niet in 0,9EG-combinaties		

Height difference adjacent tower and change of direction with respect to Line direction

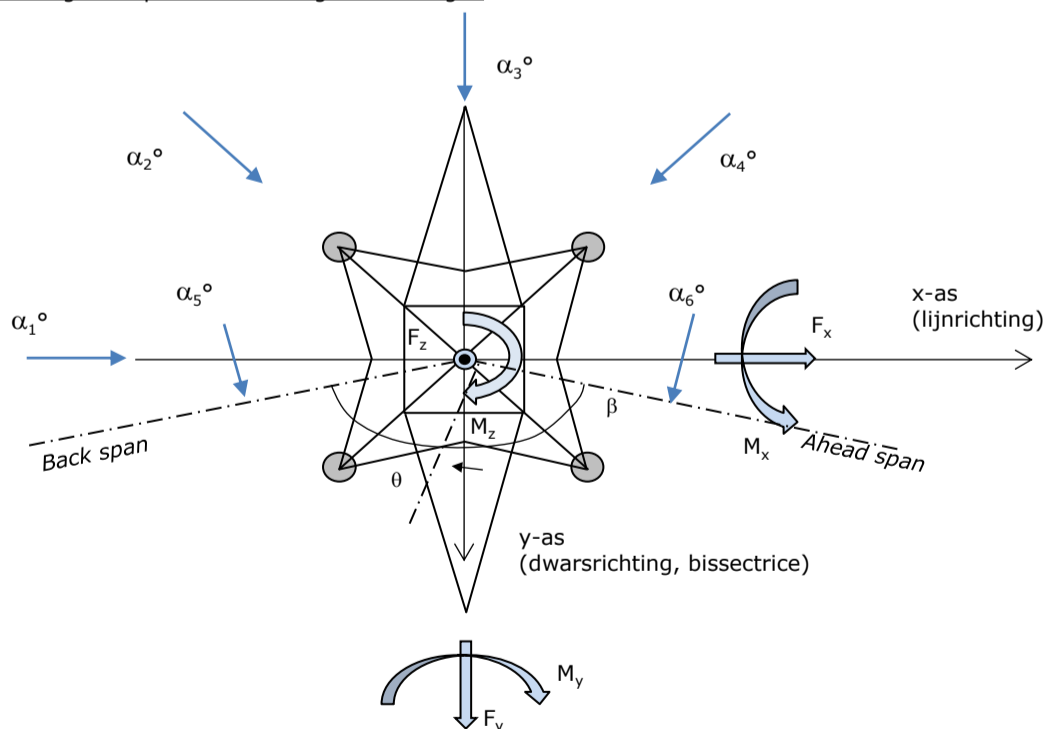
Circuits	Aanduiding	Nummer	Hoogteverschil		Richtingsverandering	
			Δh_{back}	Δh_{ahead}	Δy_{back}	Δy_{ahead}
Circuit 1	10	380ct1f1	-2,9	0,0 m	0,0	0,0 m
Circuit 1	11	380ct1f2	-2,9	-7,9 m	0,0	0,0 m
Circuit 1	12	380ct1f3	-2,8	0,1 m	0,0	0,0 m
Circuit 2	20	380ct2f1	-2,9	-7,9 m	0,0	0,0 m
Circuit 2	21	380ct2f2	-2,9	0,0 m	0,0	0,0 m
Circuit 2	22	380ct2f3	-2,8	0,1 m	0,0	0,0 m
Circuit 3	30	150ct3f1	-3,8	-8,7 m	0,0	0,0 m
Circuit 3	31	150ct3f2	-3,8	-8,7 m	0,0	0,0 m
Circuit 3	32	150ct3f3	-3,8	-8,7 m	0,0	0,0 m
Circuit 4	40	150ct4f1	-3,8	-8,7 m	0,0	0,0 m
Circuit 4	41	150ct4f2	-3,8	-8,7 m	0,0	0,0 m
Circuit 4	42	150ct4f3	-3,8	-8,7 m	0,0	0,0 m
Bliksemdraad 1	1	bl1	-4,3	-0,1 m	0,0	0,0 m
Bliksemdraad 2	3	bl2	-4,3	-0,1 m	0,0	0,0 m

Line and tower data

	Back	Ahead
Ruling span $\sqrt{(\Sigma L^3/\Sigma L)}$	363,0	200,0 m
Line angle β	180 °	
Tower orientation with respect to bisector	0 °	
Section length	1361	1361 m
Height bottom of tower to ground level	0,5 m	
Wind directions considered α_1	0 °	
Wind directions according to: α_2	45 °	
<i>Geleiderbelastingen</i> α_3	90 °	
α_4	135 °	
α_5	- °	
α_6	- °	

Wind directions apply to the main direction of mast construction, not to the bisector.

Windrichtingen en positieve richtingen belastingen



Considered number of wind directions

1a	4
3	4
4	1
6	1
Overig	1

Project: MBT-EHV380
 Tower: S+9(c)
 Number: 116

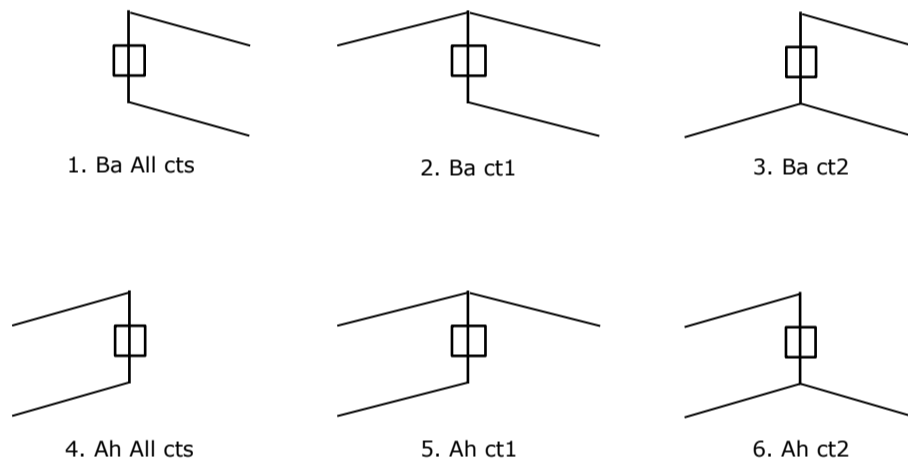
Absence of conductors

		SPLS - torsie		SPLS - Enkelzijdige trek		5a - geleiderbreuk	
		Aanw.	Afw.	Aanw.	Afw.	Aanw.	Afw.
Circuit 1	380ct1f1	1	0	1	0	0,8	0
Circuit 1	380ct1f2	1	0	1	0	0,8	0
Circuit 1	380ct1f3	1	0	1	0	0,8	0
Circuit 2	380ct2f1	0	1	1	0	0,8	0
Circuit 2	380ct2f2	0	1	1	0	0,8	0
Circuit 2	380ct2f3	0	1	1	0	0,8	0
Circuit 3	150ct3f1	1	0	1	0	0,8	0
Circuit 3	150ct3f2	1	0	1	0	0,8	0
Circuit 3	150ct3f3	1	0	1	0	0,8	0
Circuit 4	150ct4f1	0	1	1	0	0,8	0
Circuit 4	150ct4f2	0	1	1	0	0,8	0
Circuit 4	150ct4f3	0	1	1	0	0,8	0
Bliksemdraad 1	bl1	1	0	1	0	1	0
Bliksemdraad 2	bl2	0	1	1	0	1	0

Load situations SPLS

Considered situations SPLS: SPLS for suspension tower not applicable

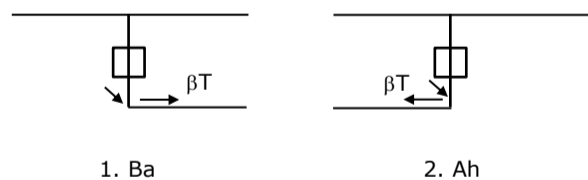
Principle of load situations:



Load situation 5a. Conductor failure

Considered situations conductor failure 5a: 1 and 2, all possible situations

Principle of load situations:



Project: MBT-EHV380
 Tower: S+9(c)
 Number: 116

Load situations LC6. Construction and maintenance

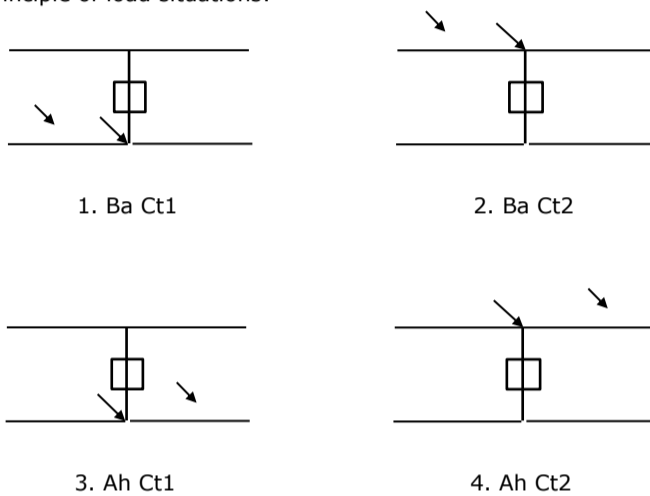
Under 6a, the load due to the presence of a line vehicle or line bicycle in combination with point load on the traverse is assessed. Combination 6b does not contain any loads in conductor or on traverse. This combination has been added to be able to combine with separate control platforms, etc. The situations are applied in ULS and in every SPLS situation (in case of angle tower).

	Phase	Earth
Line vehicle	3,0 kN	2,0 kN
Concentrated load cross arm	1,0 kN	1,0 kN

Beschouwde situaties bouw- en onderhoud 6a: 1 t/m 4, alle mogelijke situaties.

Presence line vehicle: Circuit, belasting tegelijk aanwezig in alle geleiders per circuit.

Principle of load situations:



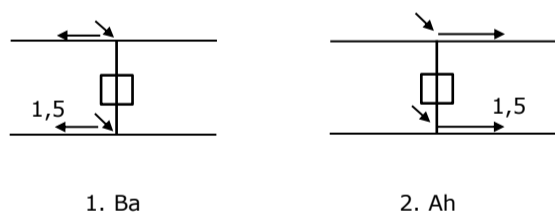
Load situations 8. Galloping as a static load

Conductor		
Suspension tower phase	0,866 W	1,5 W
Suspension tower earth	1,5 EDS	1,5 W
Strain tower phase and earth	1,5 EDS	1,5 W

Considered situations galloping 8: None (existing structure)

Load simultaneously present in all conductors of the circuit.

Principle of load situations:



Load combination 8. Galloping as a dynamic load

Only applies to tension towers

Load consists of EDS tensile load in one of the conductors on one side of the tower

Can be converted by user to fatigue spectrum via the load spectrum of table 4.11 / NL.1

Project: MBT-EHV380
 Tower: S+9(c)
 Number: 116

Tower structure

Properties

Tower type	Steunmast	
Tower designation	S+9(c)	
Base plate w.r.t. ground level	0,5 m	
Tower height w.r.t. base plate	57,0 m	
Tower self weight	545,5 kN	
<i>Width and slope at foundation</i>		
	x-ri.	y-ri.
Leg spread	10,65	10,65 m
Inclination of main leg	0,144	0,144 -
Horizontal force factor	1,3	1,3 -

Calculation Wind load

Dynamic factor G_T	1,00 (<i>Masthoogte < 60 m</i>)
Wind load diagonally to tower body proportional to:	$(A1C1\sin^2(\phi)+A2C2\cos^2(\phi))$
Wind load diagonally on traverse proportional to:	$(A1C1\sin^2(\phi)+A2C2\cos^2(\phi))$
Magnification factor diagonal wind to tower body	$(1+0,2\sin^2(2\phi))$
Magnification factor diagonal wind to cross arm	$(1+0,2\sin^2(2\phi))$
Magnification factor wind parallel to perpendicular to cross arm	0,4

Properties mast sections longitudinal direction (front view, yz plane)

Description	h [m]	b ₁ [m]	b ₂ [m]	Δh [m]	Δ _x [m]	A ₀ [m ²]	A ₁ [m ²]	χ = A ₁ /A ₀ [-]	C _t
Broekstuk	14,18	10,65	6,57	14,18	0,144	122,03	24,01	0,20	2,94
1e tussenstuk	20,18	6,57	5,79	6,00	0,065	37,08	6,35	0,17	3,06
2e tussenstuk	30,17	5,79	4,48	10,00	0,065	51,32	15,58	0,30	2,52
3e tussenstuk	41,50	4,48	3,00	11,33	0,065	42,38	11,68	0,28	2,62
4e tussenstuk	55,38	3,00	2,00	13,88	0,036	34,69	11,17	0,32	2,46
Topstuk	57,01	2,00		1,63		1,63	1,50	0,92	1,85
Ondertraverse	30,17	13,92		2,35		16,38	6,63	0,40	2,20
Boventraverse	52,80	15,41		2,58		19,84	10,83	0,55	1,90
Middentraverse	41,50	14,50		3,05		22,11	8,37	0,38	2,28

Properties tower sections transversal direction (side view, xz plane)

Description	h [m]	b ₁ [m]	b ₂ [m]	Δh [m]	Δ _x [m]	A ₀ [m ²]	A ₁ [m ²]	χ = A ₁ /A ₀ [-]	C _t
Broekstuk	14,18	10,65	6,57	14,18	0,144	122,03	24,01	0,20	2,94
1e tussenstuk	20,18	6,57	5,79	6,00	0,065	37,08	6,35	0,17	3,06
2e tussenstuk	30,17	5,79	4,48	10,00	0,065	51,32	15,58	0,30	2,52
3e tussenstuk	41,50	4,48	3,00	11,33	0,065	42,38	11,68	0,28	2,62
4e tussenstuk	55,38	3,00	2,00	13,88	0,036	34,69	11,17	0,32	2,46
Topstuk	57,01	2,00		1,63		1,63	1,50	0,92	1,85
Ondertraverse	30,17	13,92		2,35		16,38	6,63	0,40	2,20
Boventraverse	52,80	15,41		2,58		19,84	10,83	0,55	1,90
Middentraverse	41,50	14,50		3,05		22,11	8,37	0,38	2,28

Note: Surface area transverse direction in table is reduced in calculation.

Note: surface area of cross arm is for each side, ie. half of the total of both cross arms.

Project: MBT-EHV380
Tower: S+9(c)
Number: 116

Wind surface feeders telecom installations

Part	A (m ² /m)	Factor	Δh	A ₁
Broekstuk				
1e tussenstuk				
2e tussenstuk				
3e tussenstuk				
4e tussenstuk				

Input antennas

Description	A (m ²)	h (m)	C _f (m)
Antenne top			
Antenne o.t.			

Tower section loads longitudinal (x-direction) per wind direction

Description	p _w [kN/m ²]	F _{x1} [kN]	F _{x2} [kN]	F _{x3} [kN]	F _{x4} [kN]	h _{ef} [m]	M _{y1} [kNm]	M _{y2} [kNm]	M _{y3} [kNm]	M _{y4} [kNm]
Broekstuk	0,70	49,6	42,1	0,0	-42,1	7,1	351,4	298,2	0,0	-298,2
1e tussenstuk	0,84	16,3	13,8	0,0	-13,8	17,2	279,5	237,1	0,0	-237,1
2e tussenstuk	0,94	36,9	31,3	0,0	-31,3	25,2	929,4	788,6	0,0	-788,6
3e tussenstuk	1,04	32,0	27,1	0,0	-27,1	35,8	1145,0	971,5	0,0	-971,5
4e tussenstuk	1,13	30,9	26,2	0,0	-26,2	48,4	1497,7	1270,8	0,0	-1270,8
Topstuk	1,17	3,2	2,8	0,0	-2,8	56,2	182,2	154,6	0,0	-154,6
Ondertraverse	1,00	29,1	17,3	0,0	-17,3	31,0	902,3	535,9	0,0	-535,9
Boventraverse	1,16	47,5	28,2	0,0	-28,2	53,7	2550,2	1514,8	0,0	-1514,8
Middentraverse	1,09	41,5	24,7	0,0	-24,7	42,5	1764,8	1048,2	0,0	-1048,2
Totaal		287,1	213,5	0,0	-213,5		9602,4	6819,8	0,0	-6819,8

Tower section loads transversal (y-direction) per wind direction

Description	p _w [kN/m ²]	F _{y1} [kN]	F _{y2} [kN]	F _{y3} [kN]	F _{y4} [kN]	h _{ef} [m]	M _{x1} [kNm]	M _{x2} [kNm]	M _{x3} [kNm]	M _{x4} [kNm]
Broekstuk	0,70	0,0	42,1	49,6	42,1	7,1	0,0	298,2	351,4	298,2
1e tussenstuk	0,84	0,0	13,8	16,3	13,8	17,2	0,0	237,1	279,5	237,1
2e tussenstuk	0,94	0,0	31,3	36,9	31,3	25,2	0,0	788,6	929,4	788,6
3e tussenstuk	1,04	0,0	27,1	32,0	27,1	35,8	0,0	971,5	1145,0	971,5
4e tussenstuk	1,13	0,0	26,2	30,9	26,2	48,4	0,0	1270,8	1497,7	1270,8
Topstuk	1,17	0,0	2,8	3,2	2,8	56,2	0,0	154,6	182,2	154,6
Ondertraverse	1,00	0,0	17,3	11,7	17,3	31,0	0,0	535,9	360,9	535,9
Boventraverse	1,16	0,0	28,2	19,0	28,2	53,7	0,0	1514,8	1020,1	1514,8
Middentraverse	1,09	0,0	24,7	16,6	24,7	42,5	0,0	1048,2	705,9	1048,2
Total		0,0	213,5	216,2	213,5		0,0	6819,8	6472,0	6819,8

Resulting loads from mast construction incl. Antenna without conductors level foundation (char. Value)

Load / wind direction	F _x [kN]	F _y [kN]	F _z [kN]	M _x [kNm]	M _y [kNm]	M _z [kNm]
Permanente belasting	0	0	545	0	0	0
Windrichting 0°	287	0	0	0	9602	0
Windrichting 45°	214	214	0	6820	6820	0
Windrichting 90°	0	216	0	6472	0	0
Windrichting 135°	-214	214	0	6820	-6820	0

Project: MBT-EHV380
 Tower: S+9(c)
 Number: 116

Intermediate results for conductor loads

Conductors back

Circuit	Geleider	Diameter [mm]	A [mm ²]	G [N/m]	E [N/mm ²]	αT [-]
Circuit 1	ACCC-Warsaw	27,7	571,0	14,98	62700	1,88E-05
Circuit 2	ACCC-Warsaw	27,7	571,0	14,98	62700	1,88E-05
Circuit 3	AACSR 241-AL3-39-A20SA	21,8	281,0	9,38	70165	1,97E-05
Circuit 4	AACSR 241-AL3-39-A20SA	21,8	281,0	9,38	70165	1,97E-05
Bliksemdraad 1	OPGW AFL-226/38	21,7	264,0	9,13	72000	1,98E-05
Bliksemdraad 2	AACSR 241-AL3-39-A20SA	21,8	281,0	9,38	70165	1,97E-05

Conductors ahead

Circuit	Geleider	Diameter [mm]	A [mm ²]	G [N/m]	E [N/mm ²]	αT [-]
Circuit 1	ACCC-Warsaw	27,7	571,0	14,98	62700	1,88E-05
Circuit 2	ACCC-Warsaw	27,7	571,0	14,98	62700	1,88E-05
Circuit 3	AACSR 241-AL3-39-A20SA	21,8	281,0	9,38	70165	1,97E-05
Circuit 4	AACSR 241-AL3-39-A20SA	21,8	281,0	9,38	70165	1,97E-05
Bliksemdraad 1	OPGW AFL-226/38	21,7	264,0	9,13	72000	1,98E-05
Bliksemdraad 2	AACSR 241-AL3-39-A20SA	21,8	281,0	9,38	70165	1,97E-05

Vertical load back

Circuit	Bundle [-]	Additional [%]	$W_{z,G}$ [N/m]	Ice region	Formula	$W_{z,ijs}$ [N/m]	$W_{z,ijs,bundel}$ [N/m]
Circuit 1	3	3	46,3	B	4+0,2d	9,5	28,6
Circuit 2	3	3	46,3	B	4+0,2d	9,5	28,6
Circuit 3	2	3	19,3	B	4+0,2d	8,4	16,7
Circuit 4	2	3	19,3	B	4+0,2d	8,4	16,7
Bliksemdraad 1	1	3	9,4	B	4+0,2d	8,3	8,3
Bliksemdraad 2	1	3	9,7	B	4+0,2d	8,4	8,4

Vertical load ahead

Circuit	Bundle [-]	Additional [%]	$W_{z,G}$ [N/m]	Ice region	Formula	$W_{z,ijs}$ [N/m]	$W_{z,ijs,bundel}$ [N/m]
Circuit 1	3	3	46,3	B	4+0,2d	9,5	28,6
Circuit 2	3	3	46,3	B	4+0,2d	9,5	28,6
Circuit 3	2	3	19,3	B	4+0,2d	8,4	16,7
Circuit 4	2	3	19,3	B	4+0,2d	8,4	16,7
Bliksemdraad 1	1	3	9,4	B	4+0,2d	8,3	8,3
Bliksemdraad 2	1	3	9,7	B	4+0,2d	8,4	8,4

Insulators

Conductor	$G_{isolator}$ [kN]	Number	$F_{v,iso}$ [kN]	Length [m]	Wind surf. [m ²]	Wind height [m]	Pressure [kN/m ²]	Drag factor [-]	$F_{h,iso}$ [kN]
380ct1f1	3,50	1	3,5	4,5	2,0	39,75	1,07	1,2	2,56
380ct1f2	3,50	1	3,5	4,5	2,0	39,75	1,07	1,2	2,56
380ct1f3	3,50	1	3,5	4,5	2,0	51,05	1,14	1,2	2,74
380ct2f1	3,50	1	3,5	4,5	2,0	39,75	1,07	1,2	2,56
380ct2f2	3,50	1	3,5	4,5	2,0	39,75	1,07	1,2	2,56
380ct2f3	3,50	1	3,5	4,5	2,0	51,05	1,14	1,2	2,74
150ct3f1	2,00	1	2	2,5	1,0	29,42	0,98	1,2	1,18
150ct3f2	2,00	1	2	2,5	1,0	29,42	0,98	1,2	1,18
150ct3f3	2,00	1	2	2,5	1,0	29,42	0,98	1,2	1,18
150ct4f1	2,00	1	2	2,5	1,0	29,42	0,98	1,2	1,18
150ct4f2	2,00	1	2	2,5	1,0	29,42	0,98	1,2	1,18
150ct4f3	2,00	1	2	2,5	1,0	29,42	0,98	1,2	1,18
bl1	0,10	1	0,1	0,3	0,1	53,15	1,15	1,2	0,14
bl2	0,10	1	0,1	0,3	0,1	53,15	1,15	1,2	0,14

Project: MBT-EHV380
 Tower: S+9(c)
 Number: 116

Wind load back

Conductor	Height	Pressure	G _{c,dwars}	G _{c,trek}	C _c	d _{additional}	w _y	w _{y,section}	D _{ij,s,additional}	W _{y,ij,s}	W _{y,ij,s,section}
	wind										
	[m]	[kN/m ²]	[-]	[-]	[-]	[mm]	[N/m]	[N/m]	[mm]	[N/m]	[N/m]
380ct1f1	28,2	0,97	0,60	0,54	1,10	28,53	55,1	49,3	47,4	99,4	89,1
380ct1f2	28,2	0,97	0,60	0,54	1,10	28,53	55,1	49,3	47,4	99,4	89,1
380ct1f3	39,6	1,07	0,63	0,56	1,08	28,53	61,8	55,3	47,4	114,3	102,3
380ct2f1	28,2	0,97	0,60	0,54	1,10	28,53	55,1	49,3	47,4	99,4	89,1
380ct2f2	28,2	0,97	0,60	0,54	1,10	28,53	55,1	49,3	47,4	99,4	89,1
380ct2f3	39,6	1,07	0,63	0,56	1,08	28,53	61,8	55,3	47,4	114,3	102,3
150ct3f1	18,6	0,86	0,57	0,51	1,20	22,45	26,1	23,4	41,9	48,8	43,7
150ct3f2	18,6	0,86	0,57	0,51	1,20	22,45	26,1	23,4	41,9	48,8	43,7
150ct3f3	18,6	0,86	0,57	0,51	1,20	22,45	26,1	23,4	41,9	48,8	43,7
150ct4f1	18,6	0,86	0,57	0,51	1,20	22,45	26,1	23,4	41,9	48,8	43,7
150ct4f2	18,6	0,86	0,57	0,51	1,20	22,45	26,1	23,4	41,9	48,8	43,7
150ct4f3	18,6	0,86	0,57	0,51	1,20	22,45	26,1	23,4	41,9	48,8	43,7
bl1	43,7	1,10	0,64	0,57	1,20	22,35	18,6	16,7	41,8	35,0	31,3
bl2	43,7	1,10	0,64	0,57	1,19	22,45	18,7	16,7	41,9	35,1	31,4

Wind load ahead

Conductor	Height	Pressure	G _{c,dwars}	G _{c,trek}	C _c	d _{additional}	w _y	w _{y,section}	D _{ij,s,additional}	W _{y,ij,s}	W _{y,ij,s,section}
	wind										
	[m]	[kN/m ²]	[-]	[-]	[-]	[mm]	[N/m]	[N/m]	[mm]	[N/m]	[N/m]
380ct1f1	35,1	1,03	0,62	0,55	1,09	28,53	59,4	53,2	47,4	108,9	97,5
380ct1f2	31,2	1,00	0,61	0,54	1,10	28,53	57,0	51,1	47,4	103,7	92,8
380ct1f3	46,5	1,11	0,64	0,57	1,07	28,53	65,1	58,3	47,4	121,8	109,0
380ct2f1	31,2	1,00	0,61	0,54	1,10	28,53	57,0	51,1	47,4	103,7	92,8
380ct2f2	35,1	1,03	0,62	0,55	1,09	28,53	59,4	53,2	47,4	108,9	97,5
380ct2f3	46,5	1,11	0,64	0,57	1,07	28,53	65,1	58,3	47,4	121,8	109,0
150ct3f1	21,5	0,90	0,58	0,52	1,20	22,45	27,9	25,0	41,9	52,1	46,7
150ct3f2	21,5	0,90	0,58	0,52	1,20	22,45	27,9	25,0	41,9	52,1	46,7
150ct3f3	21,5	0,90	0,58	0,52	1,20	22,45	27,9	25,0	41,9	52,1	46,7
150ct4f1	21,5	0,90	0,58	0,52	1,20	22,45	27,9	25,0	41,9	52,1	46,7
150ct4f2	21,5	0,90	0,58	0,52	1,20	22,45	27,9	25,0	41,9	52,1	46,7
150ct4f3	21,5	0,90	0,58	0,52	1,20	22,45	27,9	25,0	41,9	52,1	46,7
bl1	50,8	1,14	0,65	0,58	1,19	22,35	19,6	17,5	41,8	37,1	33,2
bl2	50,8	1,14	0,65	0,58	1,18	22,45	19,7	17,6	41,9	37,2	33,3

Note: loads w_v are applicable to the sum of the conductors within the bundle

Project: MBT-EHV380
 Tower: S+9(c)
 Number: 116

Auteur: TBR
 Versie: v12.0

Conductor loads

Starting points

Consequence class Afkeur CC2-0
 Reference period 30 jaar

ULS (strength)		NEN-EN50341-2-15:2019			γ_Q			γ_a
Load case	description	Temp °C	γ_G $G_{k,mast}$	γ_G $G_{k,geleider}$	Q_{pk}	Q_{wk}	Q_{ik}	A_k
ULS 1a	Wind	10°	1,05	1,05	0,00	1,12	0,00	0,0
ULS 1a_0,9	Wind 0,9Gk only tower	10°	0,90	1,05	0,00	1,12	0,00	0,0
ULS 1a_0,9_0,9	Wind 0,9Gk conductors too	10°	0,90	0,90	0,00	1,12	0,00	0,0
ULS 3	Wind+ice	-5°	1,05	1,05	0,00	0,34	0,97	0,0
ULS 3_0,9	Wind+ice 0,9Gk	-5°	0,90	1,05	0,00	0,34	0,97	0,0
ULS 4	Cold+wind	-20°	1,05	1,05	0,00	0,22	0,00	0,0
ULS 4_0,9	Cold+wind 0,9Gk	-20°	0,90	1,05	0,00	0,22	0,00	0,0
ULS 5a	Torsional loads	10°	1,00	1,00	1,00	0,00	0,00	1,0
ULS 5b	Longitudinal loads	10°	1,00	1,00	0,00	0,00	0,00	1,0
ULS 6	Construction + maintenance	5°	1,05	1,05	1,20	0,22	0,00	0,0
ULS 6_0,9	Construction + maintenance	5°	1,05	1,05	0,00	0,22	0,00	0,0
ULS 7	Permanent	10°	1,15	1,15	0,00	0,00	0,00	0,0
ULS 8	Special	10°	1,00	1,00	0,00	0,00	0,00	1,0
SPLS (strength, for angle towers: absence of conductors)			γ_G G_k		γ_Q Q_{pk} Q_{wk} Q_{ik}			A_k
SPLS 1a	Wind	10°	1,05	1,05	0,0	0,78	0,00	0,0
SPLS 1a_0,9	Wind 0,9	10°	0,90	1,05	0,0	0,78	0,00	0,0
SPLS 1a_0,9_0,9	Wind 0,9	10°	0,90	0,90	0,0	0,78	0,00	0,0
SPLS 3	Wind+ice	-5°	1,05	1,05	0,0	0,36	0,34	0,0
SPLS 3_0,9	Wind+ice 0,9	-5°	0,90	1,05	0,0	0,36	0,34	0,0
SPLS 4	Cold+wind	-20°	1,05	1,05	0,0	0,24	0,00	0,0
SPLS 4_0,9	Cold+wind 0,9	-20°	0,90	1,05	0,0	0,24	0,00	0,0
SPLS 6	Maintenance	5°	1,05	1,05	1,2	0,24	0,0	0,0
SPLS 6_0,9	Maintenance	5°	1,05	1,05	0,0	0,24	0,0	0,0
SLS (deformations, fatigue, EDS)			G_k		Q_{pk} Q_{wk} Q_{ik}			A_k
SLS 1a	Wind	10°	1,00	1,00	0,0	0,94	0,0	0,0
SLS 3	Wind+ice	-5°	1,00	1,00	0,0	0,28	0,88	0,0
SLS 4	Wind	-20°	1,00	1,00	0,0	0,19	0,0	0,0
SLS 6	Maintenance	5°	1,00	1,00	0,0	0,19	0,0	0,0
SLS 7	EDS, no wind	10°	1,00	1,00	0,0	0,00	0,0	0,0

Number of wind directions 4
 Number of load combinations for ULS 60
 Number of load combinations for SPLS 0
 Number of load combinations for SLS 11
 Number of concentrated loads 994

Project: MBT-EHV380
 Tower: S+9(c)
 Number: 116

Summary table - Conductor loads

The four tables below show:

- The maximum conductor load in the global axis system, split into proportion of back and ahead span
- The combined conductor load (Ba+Ah) in the global axis system with the maximum tensile force in the local axes. Components Fx and Fy as absolute values
- The everyday (EDS) values of the combined conductor loads (Ba+Ah) with corresponding tensile forces
- Check for uplift, where a negative value indicates uplift

Note: Maximum values for Fx, Fy and Fz do not necessarily belong to the same load combination.

*For Steunmast the special combination SPLS 6 don't apply.

Maximum values for back and ahead span

Geleider	Fx_ba [kN]	Fx_ah [kN]	Fy_ba [kN]	Fy_ah [kN]	Fz_ba [kN]	Fz_ah [kN]
bl1	-28,5	28,5	3,9	2,3	5,8	3,3
bl2	-29,1	29,1	3,9	2,3	5,9	3,3
380ct1f1	-111,0	111,0	12,6	8,1	16,6	9,7
380ct1f2	-110,7	110,7	12,6	7,8	16,6	13,9
380ct1f3	-112,8	112,8	14,1	8,8	16,5	9,7
380ct2f1	-110,7	110,7	12,6	7,8	16,6	13,9
380ct2f2	-111,0	111,0	12,6	8,1	16,6	9,7
380ct2f3	-112,8	112,8	14,1	8,8	16,5	9,7
150ct3f1	-51,9	51,9	6,0	3,8	10,4	8,5
150ct3f2	-51,9	51,9	6,0	3,8	10,4	8,5
150ct3f3	-51,9	51,9	6,0	3,8	10,4	8,5
150ct4f1	-51,9	51,9	6,0	3,8	10,4	8,5
150ct4f2	-51,9	51,9	6,0	3,8	10,4	8,5
150ct4f3	-51,9	51,9	6,0	3,8	10,4	8,5

Min. Weight span (m)

Weight spar Combinatie1

Geleider	SLS 1a	SLS 4	SLS 7
bl1	301,1	305,7	301,1
bl2	301,1	305,7	301,1
380ct1f1	292,7	294,7	292,7
380ct1f2	348,2	360,1	348,2
380ct1f3	291,6	293,4	291,6
380ct2f1	348,2	360,1	348,2
380ct2f2	292,7	294,7	292,7
380ct2f3	291,6	293,4	291,6
150ct3f1	358,8	373,8	358,8
150ct3f2	358,8	373,8	358,8
150ct3f3	358,8	373,8	358,8
150ct4f1	358,8	373,8	358,8
150ct4f2	358,8	373,8	358,8
150ct4f3	358,8	373,8	358,8

Max. Weight span (m)

Weight spar Combinatie1

Geleider	ULS 1a	ULS 3
bl1	316,4	301,5
bl2	315,9	301,5
380ct1f1	297,2	293,1
380ct1f2	376,5	350,7
380ct1f3	296,5	292,1
380ct2f1	376,5	350,7
380ct2f2	297,2	293,1
380ct2f3	296,5	292,1
150ct3f1	398,8	358,7
150ct3f2	398,8	358,7
150ct3f3	398,8	358,7
150ct4f1	398,8	358,7
150ct4f2	398,8	358,7
150ct4f3	398,8	358,7

Envelop of weight span over all combinations (incl. 0,9 combinations)

For all conductors

Wind / Weight span ratio

Max. weight span	413,2 m	1,468 -
Min. weight span	291,2 m	1,034 -

Project: MBT-EHV380
 Tower: S+9(c)
 Number: 116

Maximum values back + ahead span Maximum tension in conductor

Geleider	Fx [kN]	Fy [kN]	Fz [kN]	Ft_ba [kN]	Ft_ah [kN]
bl1	14,6	6,1	7,4	-32,7	32,7
bl2	15,0	6,1	7,5	-33,2	33,3
380ct1f1	51,8	20,7	26,0	-110,4	111,6
380ct1f2	51,8	20,4	30,4	-110,4	110,9
380ct1f3	51,8	22,9	26,0	-112,3	113,3
380ct2f1	51,8	20,4	30,4	-110,4	110,9
380ct2f2	51,8	20,7	26,0	-110,4	111,6
380ct2f3	51,8	22,9	26,0	-112,3	113,3
150ct3f1	22,1	9,7	15,4	-55,5	55,6
150ct3f2	22,1	9,7	15,4	-55,5	55,6
150ct3f3	22,1	9,7	15,4	-55,5	55,6
150ct4f1	22,1	9,7	15,4	-55,5	55,6
150ct4f2	22,1	9,7	15,4	-55,5	55,6
150ct4f3	22,1	9,7	15,4	-55,5	55,6

EDS-loads conductor

Geleider	Fx [kN]	Fy [kN]	Fz [kN]	Ft_ba [kN]	Ft_ah [kN]
bl1	0,0	0,0	2,9	-14,6	14,6
bl2	0,0	0,0	3,0	-15,0	15,0
380ct1f1	0,0	0,0	17,0	-64,8	64,8
380ct1f2	0,0	0,0	19,6	-64,8	64,8
380ct1f3	0,0	0,0	17,0	-64,8	64,8
380ct2f1	0,0	0,0	19,6	-64,8	64,8
380ct2f2	0,0	0,0	17,0	-64,8	64,8
380ct2f3	0,0	0,0	17,0	-64,8	64,8
150ct3f1	0,0	0,0	8,9	-27,6	27,6
150ct3f2	0,0	0,0	8,9	-27,6	27,6
150ct3f3	0,0	0,0	8,9	-27,6	27,6
150ct4f1	0,0	0,0	8,9	-27,6	27,6
150ct4f2	0,0	0,0	8,9	-27,6	27,6
150ct4f3	0,0	0,0	8,9	-27,6	27,6

1 Control uplift SLS-wind

Combinatie: Geleider	Fz_ba [kN]	Fz_ah [kN]
SLS 4		
bl1	2,0	1,0
bl2	2,0	1,0
380ct1f1	10,8	6,4
380ct1f2	10,8	9,4
380ct1f3	10,7	6,3
380ct2f1	10,8	9,4
380ct2f2	10,8	6,4
380ct2f3	10,7	6,3
150ct3f1	4,9	4,4
150ct3f2	4,9	4,4
150ct3f3	4,9	4,4
150ct4f1	4,9	4,4
150ct4f2	4,9	4,4
150ct4f3	4,9	4,4

Project: MBT-EHV380
 Tower: S+9(c)
 Number: 116

ULS foundation loads for LC 1 and 3, wind purpendicular to the line or bisector and EDS, from conductors

Combination	Combination	F_x [kN]	F_y [kN]	F_z [kN]	M_x [kNm]	M_y [kNm]	M_z [kNm]
ULS 1a_90		0	198	184	8231	0	0
ULS 1a_0,9_90		0	198	184	8231	0	0
ULS 3_90		0	103	267	4287	0	0
ULS 3_0,9_90		0	103	267	4287	0	0
SLS 7		0	0	167	1	0	0

ULS foundation loads, LC 1 and 3, wind purpendicular to the line or bisector and EDS, total conductors and tower

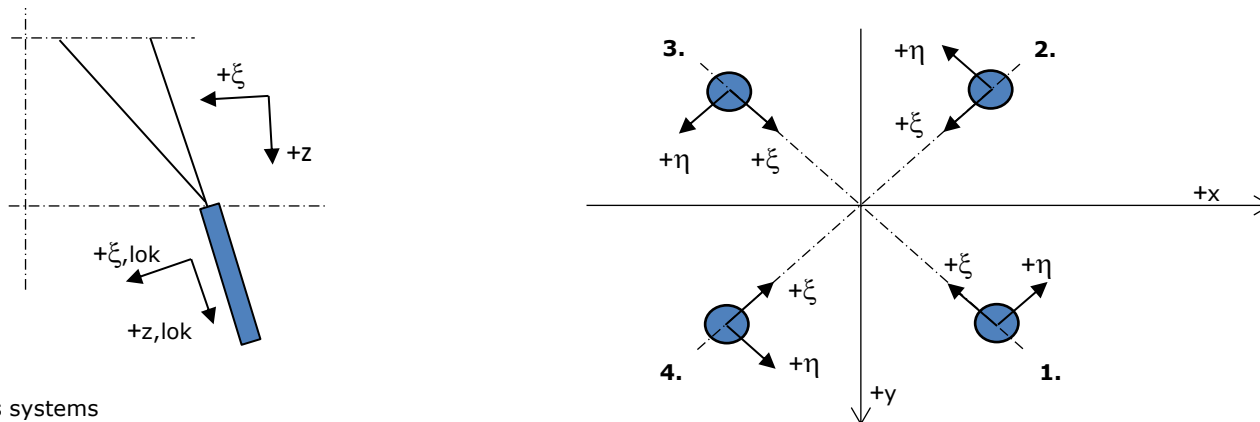
Combination	F_x [kN]	F_y [kN]	F_z [kN]	M_x [kNm]	M_y [kNm]	M_z [kNm]
ULS 1a_90	0	440	757	15458	0	0
ULS 3_90	0	176	840	6455	0	0
SLS 7	0	0	712	1	0	0

Foundation loads, selection of load combinations based on greatest value

Combination	F_x [kN]	F_y [kN]	F_z [kN]	M_x [kNm]	M_y [kNm]	M_z [kNm]
ULS 1a_90	0	440	757	15458	0	0
ULS 1a_0	334	0	748	1	11258	0
ULS 5a Ba 10	52	0	717	107	2151	-617
ULS 1a_45	248	343	751	11950	7994	0

Note: Largest values can appear in multiple combinations, one combination is displayed.

Support reactions per leg



Axis systems

Maximum compression load

Index	Combination	R_x [kN]	R_y [kN]	R_z [kN]	R_η [kN]	R_ξ [kN]	$R_{\xi,lok}$ [kN]	$R_{z,lok}$ [kN]
1	ULS 1a_45	202	191	1124	8	-278	-49	1147
2	ULS 1a_0	118	-134	716	11	-178	-33	730
3	ULS 5a Ah 22	-40	-65	310	-18	-74	-11	317
4	ULS 1a_135	-202	191	1124	-8	-278	-49	1147

Maximum tension load

Index	Combination	R_x [kN]	R_y [kN]	R_z [kN]	R_η [kN]	R_ξ [kN]	$R_{\xi,lok}$ [kN]	$R_{z,lok}$ [kN]
1	-	0	0	0	0	0	0	0
2	ULS 1a_0,9_0,9_135	-137	126	-776	8	186	28	-791
3	ULS 1a_0,9_0,9_45	137	126	-776	-8	186	28	-791
4	ULS 1a_0,9_0,9_0	53	-69	-368	-11	86	12	-376

Maximum torsional load (positive)

Index	Combination	R_x [kN]	R_y [kN]	R_z [kN]	R_η [kN]	R_ξ [kN]	$R_{\xi,lok}$ [kN]	$R_{z,lok}$ [kN]
1	ULS 5a Ah 10	36	0	82	25	-26	-9	84
2	ULS 5a Ba 21	33	-67	285	24	-71	-13	291
3	ULS 5a Ba 21	-36	0	83	25	-26	-9	85
4	ULS 5a Ah 10	-33	67	284	24	-71	-13	290

Maximum torsional load (negative)

Index	Combination	R_x [kN]	R_y [kN]	R_z [kN]	R_η [kN]	R_ξ [kN]	$R_{\xi,lok}$ [kN]	$R_{z,lok}$ [kN]
1	ULS 5a Ba 10	33	67	285	-24	-71	-13	291
2	ULS 5a Ah 21	36	0	82	-25	-26	-9	84
3	ULS 5a Ah 21	-33	-67	284	-24	-71	-13	290
4	ULS 5a Ba 10	-36	0	83	-25	-26	-9	85

Project: MBT-EHV380
 Tower: S+9(c)
 Number: 116

Combination Ftensile+Fhor

Index	Combination	R _x [kN]	R _y [kN]	R _z [kN]	R _η [kN]	R _ξ [kN]	R _{ξ,lok} [kN]	R _{z,lok} [kN]
1	ULS 5a Ah 12	28	3	53	18	-22	-11	54
2	ULS 1a_0,9_0,9_135	-137	126	-776	8	186	28	-791
3	ULS 1a_0,9_0,9_45	137	126	-776	-8	186	28	-791
4	ULS 1a_0,9_0,9_0	53	-69	-368	-11	86	12	-376

Permanent load

Index	Combination	R _x [kN]	R _y [kN]	R _z [kN]	R _η [kN]	R _ξ [kN]	R _{ξ,lok} [kN]	R _{z,lok} [kN]
1	SLS 7	33	33	178	0	-47	-11	182
2	SLS 7	33	-33	178	0	-47	-11	182
3	SLS 7	-33	-33	178	0	-47	-11	182
4	SLS 7	-33	33	178	0	-47	-11	182

Envelope of load combinations for all of the legs

Index	Combination	R _x [kN]	R _y [kN]	R _z [kN]	R _η [kN]	R _ξ [kN]	R _{ξ,lok} [kN]	R _{z,lok} [kN]
Max. pressure	ULS 1a_45	202	191	1124	8	-278	-49	1147
Max. tension	ULS 1a_0,9_0,9_45	137	126	-776	-8	186	28	-791
Max. pos. torsie	ULS 5a Ba 21	-36	0	83	25	-26	-9	85
Max. neg. torsie	ULS 5a Ba 10	-36	0	83	-25	-26	-9	85
Comb. tension+torsie	ULS 1a_0,9_0,9_45	137	126	-776	-8	186	28	-791

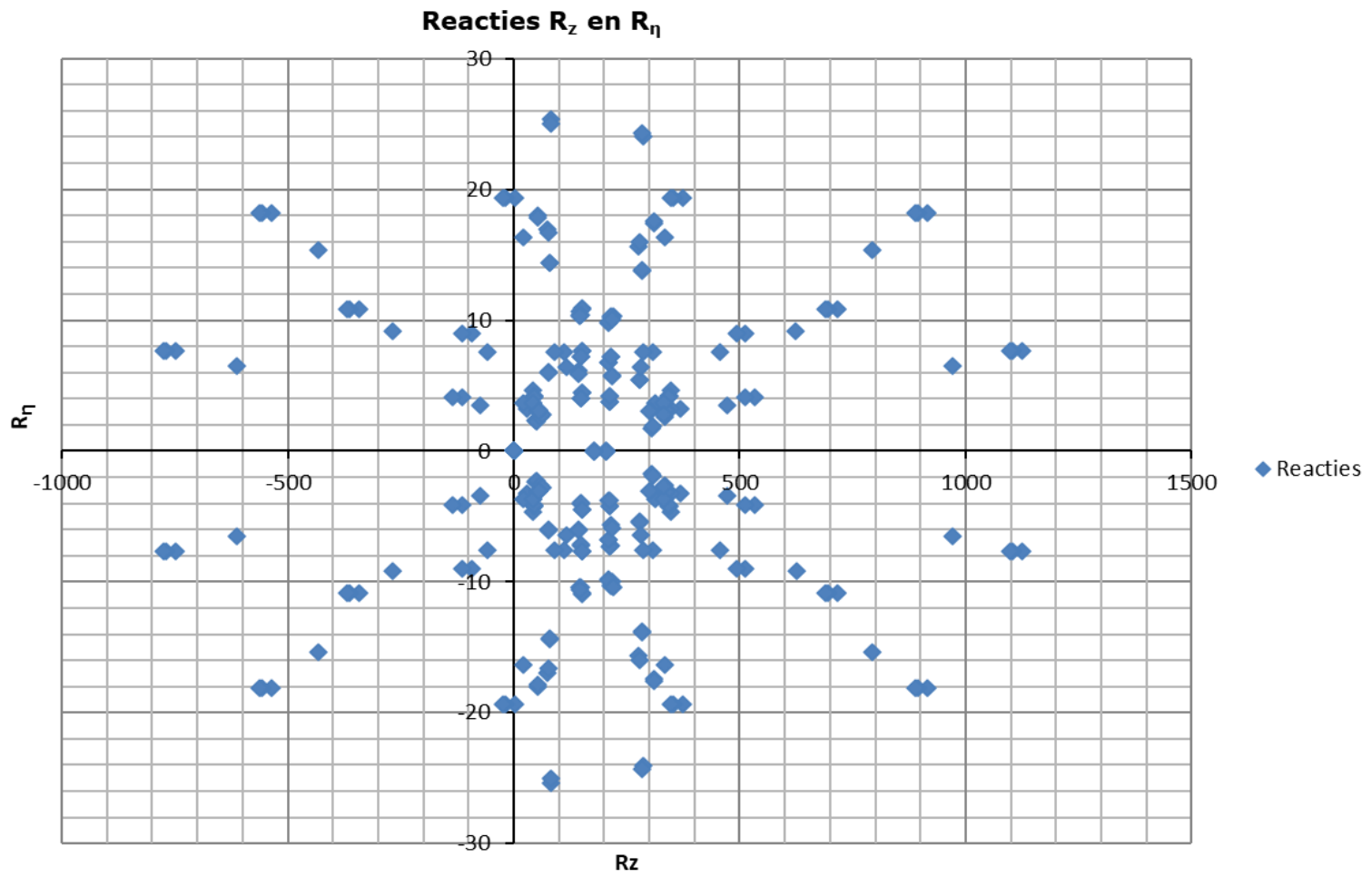
Maximum tension load - SLS

Index	Combination	R _x [kN]	R _y [kN]	R _z [kN]	R _η [kN]	R _ξ [kN]	R _{ξ,lok} [kN]	R _{z,lok} [kN]
1	SLS 7	33	33	178	0	-47	-11	182
2	SLS 1a_135	-107	98	-613	6	146	21	-625
3	SLS 1a_45	107	98	-613	-6	146	21	-625
4	SLS 1a_0	37	-50	-268	-9	62	7	-274

Maximum compression load - SLS

Index	Combination	R _x [kN]	R _y [kN]	R _z [kN]	R _η [kN]	R _ξ [kN]	R _{ξ,lok} [kN]	R _{z,lok} [kN]
1	SLS 1a_45	174	165	970	6	-240	-43	990
2	SLS 1a_0	104	-117	625	9	-156	-29	637
3	SLS 7	-33	-33	178	0	-47	-11	182
4	SLS 1a_135	-174	165	970	-6	-240	-43	990

Project: MBT-EHV380
Tower: S+9(c)
Number: 116



Project: MBT-EHV380
 Tower: S+9(c)
 Number: 116

Auteur: TBR
 Versie: v12.0

Conductor loads

Starting points

Consequence class Verbouw CC2
 Reference period 50 jaar

ULS (strength)		NEN-EN50341-2-15:2019						
Load case	description	Temp °C	γ_G $G_{k,mast}$	γ_G $G_{k,geleider}$	γ_Q Q_{pk}	γ_Q Q_{wk}	γ_Q Q_{ik}	γ_a A_k
ULS 1a	Wind	10°	1,15	1,15	0,00	1,40	0,00	0,0
ULS 1a_0,9	Wind 0,9Gk only tower	10°	0,90	1,15	0,00	1,40	0,00	0,0
ULS 1a_0,9_0,9	Wind 0,9Gk conductors too	10°	0,90	0,90	0,00	1,40	0,00	0,0
ULS 3	Wind+ice	-5°	1,15	1,15	0,00	0,42	1,30	0,0
ULS 3_0,9	Wind+ice 0,9Gk	-5°	0,90	1,15	0,00	0,42	1,30	0,0
ULS 4	Cold+wind	-20°	1,15	1,15	0,00	0,28	0,00	0,0
ULS 4_0,9	Cold+wind 0,9Gk	-20°	0,90	1,15	0,00	0,28	0,00	0,0
ULS 5a	Torsional loads	10°	1,00	1,00	1,00	0,00	0,00	1,0
ULS 5b	Longitudinal loads	10°	1,00	1,00	0,00	0,00	0,00	1,0
ULS 6	Construction + maintenance	5°	1,15	1,15	1,30	0,28	0,00	0,0
ULS 6_0,9	Construction + maintenance	5°	1,15	1,15	0,00	0,28	0,00	0,0
ULS 7	Permanent	10°	1,30	1,30	0,00	0,00	0,00	0,0
ULS 8	Special	10°	1,00	1,00	0,00	0,00	0,00	1,0
SPLS (strength, for angle towers: absence of conductors)				γ_G G_k	γ_Q Q_{pk}	γ_Q Q_{wk}	γ_Q Q_{ik}	A_k
SPLS 1a	Wind	10°	1,15	1,15	0,0	0,78	0,00	0,0
SPLS 1a_0,9	Wind 0,9	10°	0,90	1,15	0,0	0,78	0,00	0,0
SPLS 1a_0,9_0,9	Wind 0,9	10°	0,90	0,90	0,0	0,78	0,00	0,0
SPLS 3	Wind+ice	-5°	1,15	1,15	0,0	0,36	0,34	0,0
SPLS 3_0,9	Wind+ice 0,9	-5°	0,90	1,15	0,0	0,36	0,34	0,0
SPLS 4	Cold+wind	-20°	1,15	1,15	0,0	0,24	0,00	0,0
SPLS 4_0,9	Cold+wind 0,9	-20°	0,90	1,15	0,0	0,24	0,00	0,0
SPLS 6	Maintenance	5°	1,15	1,15	1,2	0,24	0,0	0,0
SPLS 6_0,9	Maintenance	5°	1,15	1,15	0,0	0,24	0,0	0,0
SLS (deformations, fatigue, EDS)				G_k	Q_{pk}	Q_{wk}	Q_{ik}	A_k
SLS 1a	Wind	10°	1,00	1,00	0,0	1,00	0,0	0,0
SLS 3	Wind+ice	-5°	1,00	1,00	0,0	0,30	1,00	0,0
SLS 4	Wind	-20°	1,00	1,00	0,0	0,20	0,0	0,0
SLS 6	Maintenance	5°	1,00	1,00	0,0	0,20	0,0	0,0
SLS 7	EDS, no wind	10°	1,00	1,00	0,0	0,00	0,0	0,0

Number of wind directions 4
 Number of load combinations for ULS 60
 Number of load combinations for SPLS 0
 Number of load combinations for SLS 11
 Number of concentrated loads 994

Project: MBT-EHV380
 Tower: S+9(c)
 Number: 116

Summary table - Conductor loads

The four tables below show:

- The maximum conductor load in the global axis system, split into proportion of back and ahead span
- The combined conductor load (Ba+Ah) in the global axis system with the maximum tensile force in the local axes. Components Fx and Fy as absolute values
- The everyday (EDS) values of the combined conductor loads (Ba+Ah) with corresponding tensile forces
- Check for uplift, where a negative value indicates uplift

Note: Maximum values for Fx, Fy and Fz do not necessarily belong to the same load combination.

*For Steunmast the special combination SPLS 6 don't apply.

Maximum values for back and ahead span

Geleider	Fx_ba [kN]	Fx_ah [kN]	Fy_ba [kN]	Fy_ah [kN]	Fz_ba [kN]	Fz_ah [kN]
bl1	-32,9	32,9	4,8	2,8	6,3	3,6
bl2	-33,5	33,5	4,8	2,8	6,4	3,6
380ct1f1	-127,8	127,8	15,8	10,1	19,4	11,1
380ct1f2	-127,4	127,4	15,8	9,8	19,4	16,1
380ct1f3	-130,0	130,0	17,6	11,0	19,4	11,0
380ct2f1	-127,4	127,4	15,8	9,8	19,4	16,1
380ct2f2	-127,8	127,8	15,8	10,1	19,4	11,1
380ct2f3	-130,0	130,0	17,6	11,0	19,4	11,0
150ct3f1	-60,0	60,0	7,5	4,7	11,3	9,3
150ct3f2	-60,0	60,0	7,5	4,7	11,3	9,3
150ct3f3	-60,0	60,0	7,5	4,7	11,3	9,3
150ct4f1	-60,0	60,0	7,5	4,7	11,3	9,3
150ct4f2	-60,0	60,0	7,5	4,7	11,3	9,3
150ct4f3	-60,0	60,0	7,5	4,7	11,3	9,3

Min. Weight span (m)

Weight spar Combinatie1

Geleider	SLS 1a	SLS 4	SLS 7
bl1	301,1	305,8	301,1
bl2	301,1	305,8	301,1
380ct1f1	292,7	294,7	292,7
380ct1f2	348,2	360,2	348,2
380ct1f3	291,6	293,5	291,6
380ct2f1	348,2	360,2	348,2
380ct2f2	292,7	294,7	292,7
380ct2f3	291,6	293,5	291,6
150ct3f1	358,8	374,0	358,8
150ct3f2	358,8	374,0	358,8
150ct3f3	358,8	374,0	358,8
150ct4f1	358,8	374,0	358,8
150ct4f2	358,8	374,0	358,8
150ct4f3	358,8	374,0	358,8

Max. Weight span (m)

Weight spar Combinatie1

Geleider	ULS 1a	ULS 3
bl1	318,4	300,6
bl2	317,9	300,7
380ct1f1	298,0	292,7
380ct1f2	381,5	348,7
380ct1f3	297,3	291,8
380ct2f1	381,5	348,7
380ct2f2	298,0	292,7
380ct2f3	297,3	291,8
150ct3f1	405,3	355,5
150ct3f2	405,3	355,5
150ct3f3	405,3	355,5
150ct4f1	405,3	355,5
150ct4f2	405,3	355,5
150ct4f3	405,3	355,5

Envelop of weight span over all combinations (incl. 0,9 combinations)

For all conductors Wind / Weight span ratio

Max. weight span	432,4 m	1,536 -
Min. weight span	291,0 m	1,034 -

Project: MBT-EHV380
 Tower: S+9(c)
 Number: 116

Maximum values back + ahead span Maximum tension in conductor

Geleider	Fx [kN]	Fy [kN]	Fz [kN]	Ft_ba [kN]	Ft_ah [kN]
bl1	14,6	7,7	8,1	-34,9	34,9
bl2	15,0	7,7	8,2	-35,4	35,5
380ct1f1	51,8	25,9	30,5	-127,1	128,5
380ct1f2	51,8	25,6	35,6	-127,1	127,7
380ct1f3	51,8	28,7	30,4	-129,4	130,6
380ct2f1	51,8	25,6	35,6	-127,1	127,7
380ct2f2	51,8	25,9	30,5	-127,1	128,5
380ct2f3	51,8	28,7	30,4	-129,4	130,6
150ct3f1	22,1	12,2	17,9	-59,8	60,3
150ct3f2	22,1	12,2	17,9	-59,8	60,3
150ct3f3	22,1	12,2	17,9	-59,8	60,3
150ct4f1	22,1	12,2	17,9	-59,8	60,3
150ct4f2	22,1	12,2	17,9	-59,8	60,3
150ct4f3	22,1	12,2	17,9	-59,8	60,3

EDS-loads conductor

Geleider	Fx [kN]	Fy [kN]	Fz [kN]	Ft_ba [kN]	Ft_ah [kN]
bl1	0,0	0,0	2,9	-14,6	14,6
bl2	0,0	0,0	3,0	-15,0	15,0
380ct1f1	0,0	0,0	17,0	-64,8	64,8
380ct1f2	0,0	0,0	19,6	-64,8	64,8
380ct1f3	0,0	0,0	17,0	-64,8	64,8
380ct2f1	0,0	0,0	19,6	-64,8	64,8
380ct2f2	0,0	0,0	17,0	-64,8	64,8
380ct2f3	0,0	0,0	17,0	-64,8	64,8
150ct3f1	0,0	0,0	8,9	-27,6	27,6
150ct3f2	0,0	0,0	8,9	-27,6	27,6
150ct3f3	0,0	0,0	8,9	-27,6	27,6
150ct4f1	0,0	0,0	8,9	-27,6	27,6
150ct4f2	0,0	0,0	8,9	-27,6	27,6
150ct4f3	0,0	0,0	8,9	-27,6	27,6

1 Control uplift SLS-wind

Combinatie: Geleider	Fz_ba [kN]	Fz_ah [kN]
SLS 4		
bl1	2,0	1,0
bl2	2,0	1,0
380ct1f1	10,8	6,4
380ct1f2	10,8	9,4
380ct1f3	10,7	6,3
380ct2f1	10,8	9,4
380ct2f2	10,8	6,4
380ct2f3	10,7	6,3
150ct3f1	4,9	4,4
150ct3f2	4,9	4,4
150ct3f3	4,9	4,4
150ct4f1	4,9	4,4
150ct4f2	4,9	4,4
150ct4f3	4,9	4,4

Project: MBT-EHV380
 Tower: S+9(c)
 Number: 116

ULS foundation loads for LC 1 and 3, wind purpendicular to the line or bisector and EDS, from conductors

Combination	Combination	F _x [kN]	F _y [kN]	F _z [kN]	M _x [kNm]	M _y [kNm]	M _z [kNm]
ULS 1a_90		0	249	203	10318	0	0
ULS 1a_0,9_90		0	249	203	10318	0	0
ULS 3_90		0	129	314	5374	0	0
ULS 3_0,9_90		0	129	314	5374	0	0
SLS 7		0	0	167	1	0	0

ULS foundation loads, LC 1 and 3, wind purpendicular to the line or bisector and EDS, total conductors and tower

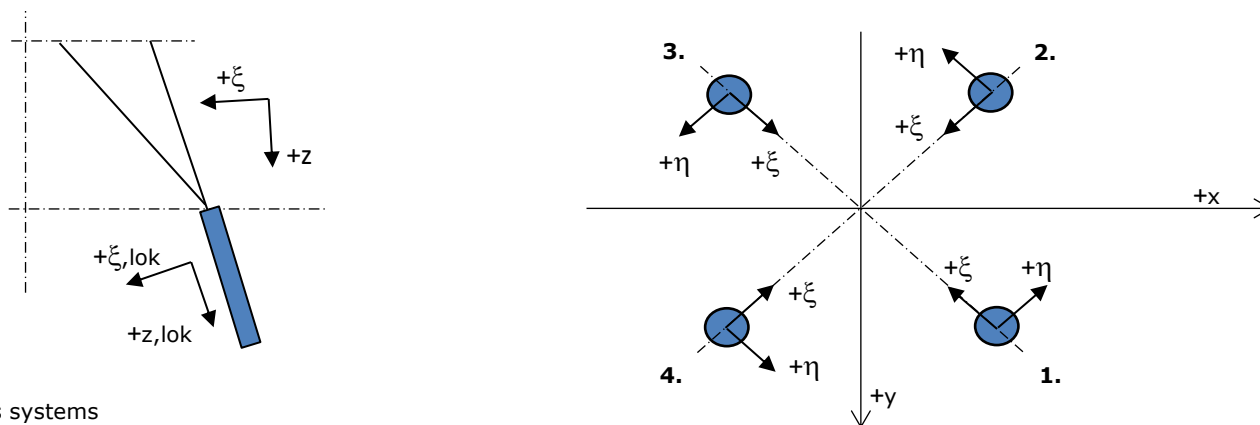
Combination	F _x [kN]	F _y [kN]	F _z [kN]	M _x [kNm]	M _y [kNm]	M _z [kNm]
ULS 1a_90	0	551	830	19379	0	0
ULS 3_90	0	220	941	8092	0	0
SLS 7	0	0	712	1	0	0

Foundation loads, selection of load combinations based on greatest value

Combination	F _x [kN]	F _y [kN]	F _z [kN]	M _x [kNm]	M _y [kNm]	M _z [kNm]
ULS 1a_90	0	551	830	19379	0	0
ULS 1a_0,9_0,9_0	418	0	641	1	14114	0
ULS 5a Ba 10	52	0	717	107	2151	-617
ULS 1a_45	310	430	823	14981	10022	0

Note: Largest values can appear in multiple combinations, one combination is displayed.

Support reactions per leg



Axis systems

Maximum compression load

Index	Combination	R _x [kN]	R _y [kN]	R _z [kN]	R _η [kN]	R _ξ [kN]	R _{ξ,lok} [kN]	R _{z,lok} [kN]
1	ULS 1a_45	247	234	1380	10	-340	-60	1408
2	ULS 1a_0	143	-162	867	14	-216	-39	885
3	ULS 5a Ah 22	-40	-65	310	-18	-74	-11	317
4	ULS 1a_135	-247	234	1380	-10	-340	-60	1408

Maximum tension load

Index	Combination	R _x [kN]	R _y [kN]	R _z [kN]	R _η [kN]	R _ξ [kN]	R _{ξ,lok} [kN]	R _{z,lok} [kN]
1	-	0	0	0	0	0	0	0
2	ULS 1a_0,9_0,9_135	-179	165	-1013	10	243	38	-1033
3	ULS 1a_0,9_0,9_45	179	165	-1013	-10	243	38	-1033
4	ULS 1a_0,9_0,9_0	75	-94	-502	-14	119	17	-513

Maximum torsional load (positive)

Index	Combination	R _x [kN]	R _y [kN]	R _z [kN]	R _η [kN]	R _ξ [kN]	R _{ξ,lok} [kN]	R _{z,lok} [kN]
1	ULS 5a Ah 10	36	0	82	25	-26	-9	84
2	ULS 1a_45	-15	-19	-27	24	-2	-8	-28
3	ULS 5a Ba 21	-36	0	83	25	-26	-9	85
4	ULS 5a Ah 10	-33	67	284	24	-71	-13	290

Maximum torsional load (negative)

Index	Combination	R _x [kN]	R _y [kN]	R _z [kN]	R _η [kN]	R _ξ [kN]	R _{ξ,lok} [kN]	R _{z,lok} [kN]
1	ULS 5a Ba 10	33	67	285	-24	-71	-13	291
2	ULS 5a Ah 21	36	0	82	-25	-25	-9	84
3	ULS 5a Ah 21	-33	-67	284	-24	-71	-13	290
4	ULS 5a Ba 10	-36	0	83	-25	-26	-9	85

Project: MBT-EHV380
 Tower: S+9(c)
 Number: 116

Combination Ftensile+Fhor

Index	Combination	R _x [kN]	R _y [kN]	R _z [kN]	R _η [kN]	R _ξ [kN]	R _{ξ,lok} [kN]	R _{z,lok} [kN]
1	ULS 5a Ah 12	28	3	53	18	-22	-11	54
2	ULS 1a_0,9_0,9_135	-179	165	-1013	10	243	38	-1033
3	ULS 1a_0,9_0,9_45	179	165	-1013	-10	243	38	-1033
4	ULS 1a_0,9_0,9_0	75	-94	-502	-14	119	17	-513

Permanent load

Index	Combination	R _x [kN]	R _y [kN]	R _z [kN]	R _η [kN]	R _ξ [kN]	R _{ξ,lok} [kN]	R _{z,lok} [kN]
1	SLS 7	33	33	178	0	-47	-11	182
2	SLS 7	33	-33	178	0	-47	-11	182
3	SLS 7	-33	-33	178	0	-47	-11	182
4	SLS 7	-33	33	178	0	-47	-11	182

Envelope of load combinations for all of the legs

Index	Combination	R _x [kN]	R _y [kN]	R _z [kN]	R _η [kN]	R _ξ [kN]	R _{ξ,lok} [kN]	R _{z,lok} [kN]
Max. pressure	ULS 1a_45	247	234	1380	10	-340	-60	1408
Max. tension	ULS 1a_0,9_0,9_45	179	165	-1013	-10	243	38	-1033
Max. pos. torsie	ULS 5a Ba 21	-36	0	83	25	-26	-9	85
Max. neg. torsie	ULS 5a Ba 10	-36	0	83	-25	-26	-9	85
Comb. tension+torsie	ULS 1a_0,9_0,9_45	179	165	-1013	-10	243	38	-1033

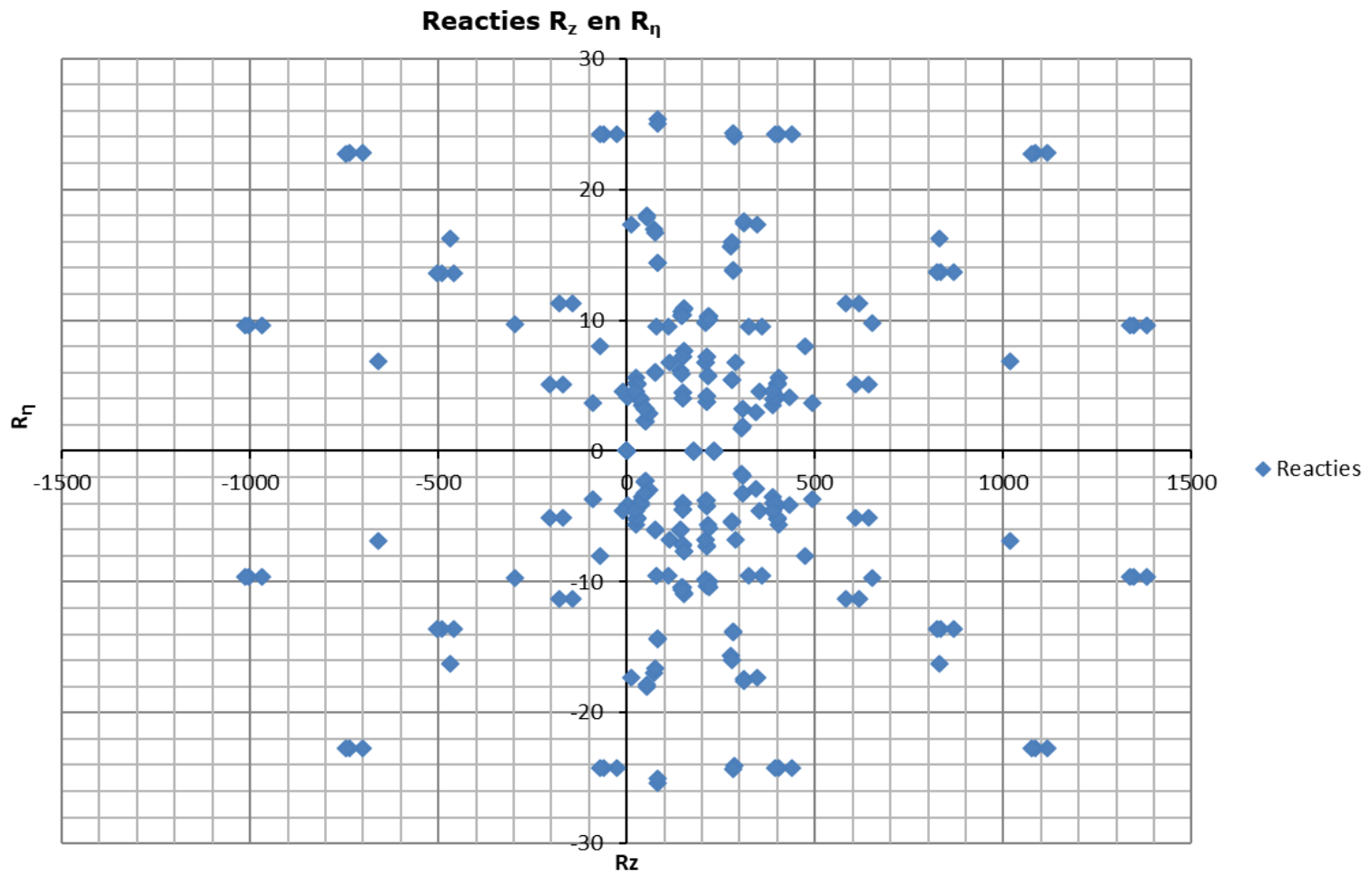
Maximum tension load - SLS

Index	Combination	R _x [kN]	R _y [kN]	R _z [kN]	R _η [kN]	R _ξ [kN]	R _{ξ,lok} [kN]	R _{z,lok} [kN]
1	SLS 7	33	33	178	0	-47	-11	182
2	SLS 1a_135	-116	106	-660	7	157	23	-674
3	SLS 1a_45	116	106	-660	-7	157	23	-674
4	SLS 1a_0	41	-55	-295	-10	68	8	-301

Maximum compression load - SLS

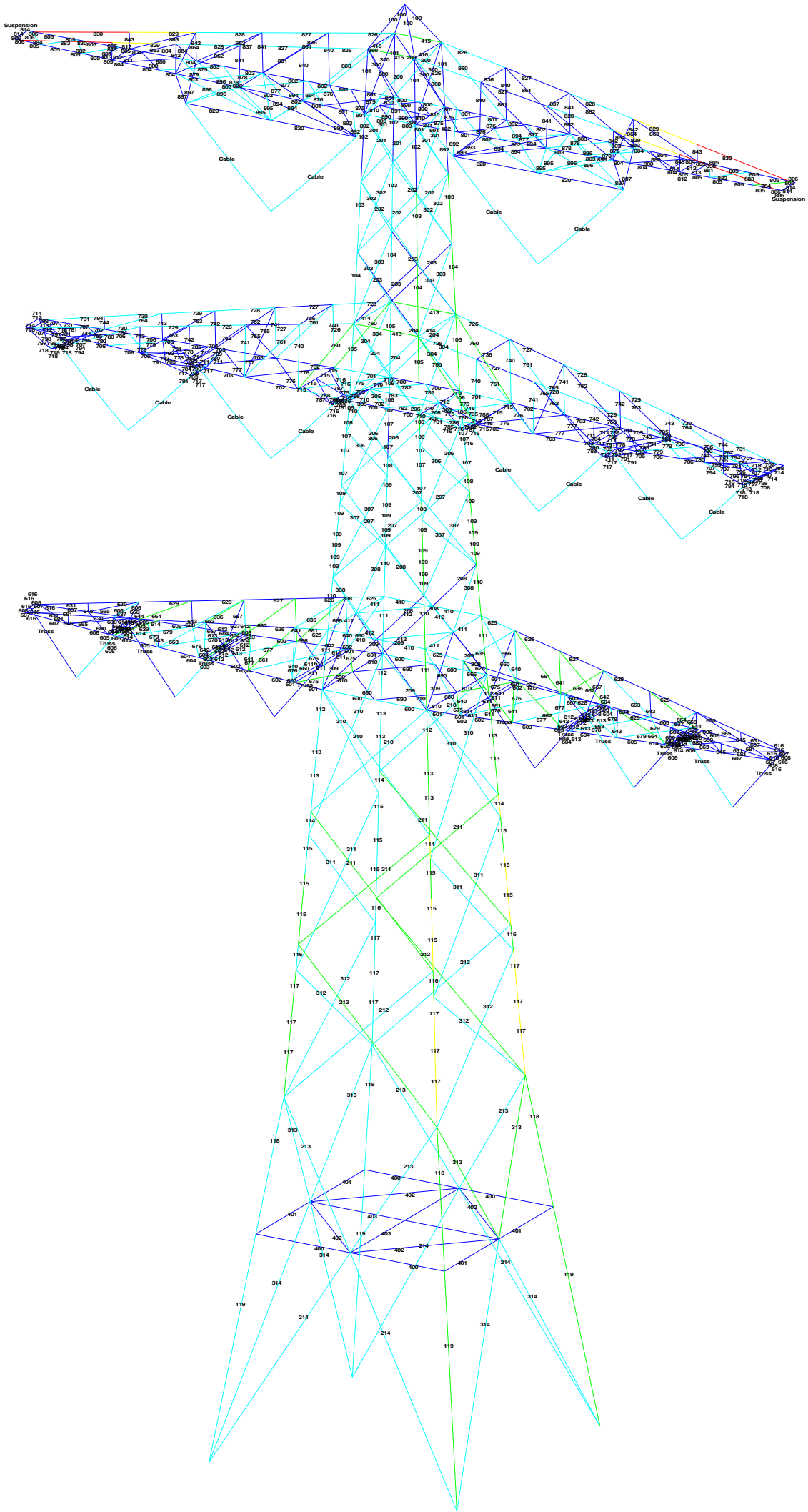
Index	Combination	R _x [kN]	R _y [kN]	R _z [kN]	R _η [kN]	R _ξ [kN]	R _{ξ,lok} [kN]	R _{z,lok} [kN]
1	SLS 1a_45	183	173	1017	7	-252	-45	1038
2	SLS 1a_0	108	-122	652	10	-162	-30	665
3	SLS 7	-33	-33	178	0	-47	-11	182
4	SLS 1a_135	-183	173	1017	-7	-252	-45	1038

Project: MBT-EHV380
Tower: S+9(c)
Number: 116





APPENDIX B
UITVOER PLS-TOWER





Assessment of groups for initial structure (afkeur level)

Date 17-8-2021
Author MKH
Version v4.3

MBT-EHV 380
S+9_c
Mast 116

Table with columns: Group Label, Description, Steel (Quality, Bolts, RLX, RLY, RLZ, Slenderness), Compression (kN, Load Case, Buckling, Shear, Bearing, U.C., Exceedance), Tension (kN, Load Case, Net Section, Shear, Bearing, U.C., Exceedance). Rows 100-643.



Assessment of groups for initial structure (afkeur level)

Date 17-8-2021
Author MKh
Version v4.3

MBT-EHV 380
S+9_c
Mast 116

Table with columns: Group Label, Description, Profile, Steel Quality, Bolts, RLX, RLY, RLZ, Slenderness, Compression (kN), Load Case (Compression), Buckling, Shear (Comp), Bearing (Comp), U.C. (Comp), Exceedance (Comp), Tension (kN), Load Case (Tension), Net Section, Shear (Tens), Bearing (Tens), U.C. (Tens), Exceedance (Tens)



Assessment of groups for initial structure (afkeur level)

Date 17-8-2021
 Author MKh
 Version v4.3

MBT-EHV 380
 S+9_c
 Mast 116

Group Label	Description	Profile	Steel					Compression						Tension						
			Quality	Bolts	RLX	RLY	RLZ	Slenderness	(kN)	Load Case (Compression)	Buckling	Shear (Comp)	Bearing (Comp)	U.C. (Comp)	Exceedance (Comp)	(kN)	Load Case (Tension)	Net Section	Shear (Tens)	Bearing (Tens)
827	100x65x9*	S235	4M20-8.8t	3.00	1.00	1.00	270	0.0		49.6	376.3	388.8	0.00	68.8	ULS 6a 90 Ba Ct1	264.1	376.3	314.2	0.26	
828	100x65x9*	S235	3M20-5.6t	3.00	1.00	1.00	270	0.0		49.6	176.4	291.6	0.00	64.4	ULS 6a 90 Ba Ct2	172.4	176.4	199.6	0.37	
829	60x60x6	S235	2M20-5.6t	1.00	2.43	1.00	379	0.0		14.1	117.6	129.6	0.00	50.0	ULS 6a 90 Ba Ct4	103.7	117.6	62.1	0.81	
830	60x60x6	S235	2M20-5.6t	1.00	1.70	1.00	379	0.0		14.1	117.6	129.6	0.00	50.0	ULS 6a 90 Ba Ct4	64.3	117.6	46.6	1.07	bearing
836	50x50x5	S235	1M16-5.6t	1.00	1.00	1.00	188	0.0	ULS 1a 90	23.9	37.7	43.2	0.00	0.0	ULS 1a 0,9 0,9 0	37.4	37.7	22.0	0.00	
837	50x50x5	S235	1M16-5.6t	1.00	1.00	1.00	169	0.0	ULS 6a 90 Ba Ct4	27.5	37.7	43.2	0.00	0.0		37.4	37.7	22.0	0.00	
840	70x70x7	S355	2M16-8.8t	1.00	1.00	1.00	155	-18.0	ULS 1a 90	86.9	120.6	164.6	0.21	0.0		159.5	120.6	142.3	0.00	
841	60x60x6	S355	2M16-8.8t	1.00	1.00	1.00	139	-5.8	ULS 1a 90	73.6	120.6	141.1	0.08	1.7	ULS 5a Ba 22	114.1	120.6	122.0	0.02	
842	60x60x6	S235	1M16-5.6t	1.00	1.00	1.00	107	-5.3	ULS 1a 0	55.1	37.7	43.2	0.14	0.0		37.4	37.7	22.0	0.00	
843	75x50x5	S235	1M16-5.6t	1.00	1.00	1.00	70	-1.1	ULS 7	58.8	37.7	43.2	0.03	0.0		37.4	37.7	18.4	0.00	
860	100x100x10	S355	2M20-8.8t	1.00	1.00	1.00	195	-5.3	ULS 5a Ba 12	126.8	188.2	294.0	0.04	55.5	ULS 5a Ah 22	284.7	188.2	258.4	0.29	
861	100x100x10	S355	2M20-8.8t	1.00	1.00	1.00	180	0.0		143.4	188.2	294.0	0.00	36.5	ULS 1a 90	284.7	188.2	258.4	0.19	
862	100x100x10	S355	2M20-8.8t	1.00	1.00	1.00	166	-7.2	ULS 5a Ba 22	160.6	188.2	294.0	0.05	13.6	ULS 1a 135	284.7	188.2	258.4	0.07	
863	60x60x6	S235	2M20-5.6t	1.00	1.00	1.00	259	0.0		26.8	117.6	129.6	0.00	17.1	ULS 7	77.4	117.6	88.7	0.22	
864	45x45x5	S235	1M12-5.6t	0.52	0.52	0.52	112	-1.8	ULS 1a 0	39.4	20.2	32.4	0.09	1.7	ULS 1a 0,9 0,9 0	37.4	20.2	23.7	0.08	
875	90x90x9	S355	1M20-8.8t	0.52	0.52	0.52	82	-21.3	ULS 5a Ah 12	233.2	94.1	132.3	0.23	17.4	ULS 5a Ba 22	239.9	94.1	120.3	0.18	
876	60x60x6	S235	1M20-5.6t	0.52	0.52	0.52	119	-13.6	ULS 1a 0,9 0	59.6	58.8	64.8	0.23	13.7	ULS 1a 0,9 0,9 0	65.7	58.8	44.4	0.31	
877	60x60x6	S235	1M20-5.6t	0.52	0.52	0.52	117	-19.9	ULS 1a 0	60.3	58.8	64.8	0.34	9.6	ULS 1a 0,9 0,9 0	65.7	58.8	44.4	0.22	
878	60x60x6	S235	1M20-5.6t	0.52	0.52	0.52	105	-16.4	ULS 1a 0	66.9	58.8	64.8	0.28	11.6	ULS 1a 0,9 0,9 0	65.7	58.8	44.4	0.26	
879	70x70x7	S235	1M24-5.6t	0.53	0.53	0.53	94	-7.9	ULS 1a 0,9 0	99.6	84.7	90.7	0.09	16.1	ULS 1a 0	88.7	84.7	51.3	0.31	
880	75x50x7	S235	1M24-5.6t	0.53	0.53	0.53	108	-10.2	ULS 5a Ah 3	76.0	84.7	90.7	0.13	6.9	ULS 5a Ba 3	98.8	84.7	58.0	0.12	
881	55x55x6	S235	1M16-5.6t	1.00	1.00	1.00	143	-16.0	ULS 5a Ah 3	42.3	37.7	51.8	0.42	15.8	ULS 5a Ba 3	63.9	37.7	38.4	0.42	
882	55x55x6	S235	1M16-5.6t	1.00	1.00	1.00	141	-16.3	ULS 5a Ba 3	42.9	37.7	51.8	0.43	16.3	ULS 5a Ah 3	63.9	37.7	38.4	0.43	
883	55x55x6	S235	1M16-5.6t	1.00	1.00	1.00	136	-17.0	ULS 5a Ah 3	44.8	37.7	51.8	0.45	16.9	ULS 5a Ba 3	63.9	37.7	38.4	0.45	
884	55x55x6	S235	1M16-5.6t	1.00	1.00	1.00	141	-19.3	ULS 5a Ba 3	43.1	37.7	51.8	0.51	18.8	ULS 5a Ah 3	63.9	37.7	38.4	0.50	
890	80x80x8	S235	2M24-5.6t	1.00	1.00	1.00	99	-30.0	ULS 5a Ah 3	156.9	169.4	207.4	0.19	29.1	ULS 5a Ba 3	206.0	169.4	159.5	0.18	
891	50x50x5	S235	1M16-5.6t	1.00	1.00	1.00	225	0.0		18.5	37.7	43.2	0.00	0.7	ULS 6a 90 Ba Ct4	37.4	37.7	22.0	0.03	
892	80x80x8	S355	1M20-8.8t	1.00	1.00	1.00	118	-27.5	ULS 5a Ba 22	128.5	94.1	117.6	0.29	16.1	ULS 5a Ah 12	181.9	94.1	106.9	0.17	
893	80x80x8	S355	1M20-8.8t	1.00	1.00	1.00	157	0.0		89.3	94.1	117.6	0.00	20.2	ULS 3 90	181.9	94.1	106.9	0.21	
894	80x80x8	S355	1M20-8.8t	0.57	0.57	0.57	95	-24.4	ULS 5a Ah 22	163.2	94.1	117.6	0.26	14.0	ULS 5a Ba 12	181.9	94.1	106.9	0.15	
895	60x60x5	S355	1M20-8.8t	1.00	1.00	1.00	161	0.0		40.5	94.1	73.5	0.00	18.8	ULS 5a Ah 22	74.5	94.1	56.6	0.33	
896	80x80x8	S355	1M20-8.8t	0.57	0.57	0.57	146	-28.7	ULS 5a Ah 22	98.1	94.1	117.6	0.30	33.7	ULS 5a Ah 22	181.9	94.1	106.9	0.36	
897	80x80x8	S355	1M20-8.8t	1.00	1.00	1.00	104	-12.2	ULS 5a Ba 22	148.8	94.1	117.6	0.13	12.3	ULS 5a Ah 12	181.9	94.1	106.9	0.13	



Assessment of groups for modified structure (afkeur level)

Date 17-8-2021
Author MKh
Version v4.3

MBT-EHV 380
S+9_c
Mast 116

Table with columns: Group Label, Description, Profile, Steel Quality, Bolts, RLX, RLY, RLZ, Slenderness, Compression (kN), Load Case (Compression), Buckling, Shear (Comp), Bearing (Comp), U.C. (Comp), Exceedance (Comp), Tension (kN), Load Case (Tension), Net Section, Shear (Tens), Bearing (Tens), U.C. (Tens), Exceedance (Tens). Rows 100-629.



Assessment of groups for modified structure (afkeur level)

Date 17-8-2021
Author MKh
Version v4.3

MBT-EHV 380
S+9_c
Mast 116

Table with columns: Group Label, Description, Profile, Steel Quality, Bolts, RLX, RLY, RLZ, Slenderness, Compression (kN), Load Case (Compression), Buckling, Shear (Comp), Bearing (Comp), U.C. (Comp), Exceedance (Comp), Tension (kN), Load Case (Tension), Net Section, Shear (Tens), Bearing (Tens), U.C. (Tens), Exceedance (Tens). Rows 630-792.



Assessment of groups for modified structure (afkeur level)

Date 17-8-2021
Author MKh
Version v4.3

MBT-EHV 380
S+9_c
Mast 116

Table with columns: Group Label, Description, Profile, Steel Quality, Bolts, RLX, RLY, RLZ, Slenderness, Compression (kN), Load Case (Compression), Buckling, Shear (Comp), Bearing (Comp), U.C. (Comp), Exceedance (Comp), Tension (kN), Load Case (Tension), Net Section, Shear (Tens), Bearing (Tens), U.C. (Tens), Exceedance (Tens). Rows 793-897.



Assessment of groups for modified elements (verbouw level)

Date 17-8-2021
 Author MKh
 Version v4.3

MBT-EHV 380
S+9_c
Mast 116

Group Label	Description	Profile	Steel Quality	Bolts	RLX	RLY	RLZ	Slenderne ss	Compression (kN) Load Case (Compression)	Bucklin g	Shear (Comp)	Bearing (Comp)	U.C. (Comp)	Exceedance (Comp)	Tension (kN) Load Case (Tension)	Net Section	Shear (Tens)	Bearing (Tens)	U.C. (Tens)	Exceedance (Tens)
830		60x60x6	S235	3M20-8.8t	1.00	1.70	1.00	379	0.0	14.1	282.2	194.4	0.00		54.6 ULS 6a 90 Ba Ct4	80.4	282.2	69.8	0.78	



APPENDIX C

TOETSING KNIKVERKORTERS

Knikverkorters initial structure (afkeur)

Date: 2021-08-17
 Author: MKh
 Version: v1.9

MBT-EHV
 S+9_c
 Tower 116

Posnr.	Section	Schematization	Profile	Steel Quality	Bolt	Quality	Length (m)	Angle (°)	Slenderness	Normal Force (kN)	Moment (kNm)	Buckling Cap. (kN)	Shear Cap. Bolt (kN)	Bearing Cap. (kN)	Net Section Cap. (kN)	Moment Cap. (kNm)	Highest U.C.	Exceedance Type	Notes
915	Broekstuk	Enkele staaf	L50x5	S355	M16	8.8	0.682	0	70	18.2	0.17	82.0	60.3	41.3	43.1	1.08	0.44		
910	Broekstuk	Enkele staaf	L70x7	S355	M16	8.8	1.82	76	134	18.2	0.00	84.5	60.3	61.0	142.7	2.99	0.30		
909	Broekstuk	Enkele staaf	L70x7	S355	M16	8.8	1.50	0	110	18.2	0.37	107.3	60.3	61.0	142.7	2.99	0.30		
908	Broekstuk	Enkele staaf	L70x7	S355	M16	8.8	2.16	55	158	18.2	0.00	67.3	60.3	61.0	142.7	3.0	0.30		
907	Broekstuk	Enkele staaf	L70x7	S355	M16	8.8	2.31	0	169	18.2	0.58	61.2	60.3	61.0	142.7	2.99	0.30		
906	Broekstuk	Enkele staaf	L70x7	S355	M16	8.8	2.71	41	199	18.2	0.00	48.3	60.3	61.0	142.7	2.99	0.38		
905	Broekstuk	Enkele staaf	L70x7	S355	M16	8.8	3.12	0	229	18.2	0.78	38.9	60.3	61.0	142.7	2.99	0.47		
904	Broekstuk	Enkele staaf	L70x7	S355	M16	8.8	3.37	32	247	18.2	0.00	34.4	60.3	61.0	142.7	2.99	0.53		
914	Pootverband	Enkele staaf	L70x7	S355	M16	8.8	1.87	0	137	2.5	0.47	81.7	60.3	61.0	142.7	2.99	0.16		
913	Pootverband	Enkele staaf	L70x7	S355	M16	8.8	3.32	33	243	2.5	0.00	35.2	60.3	61.0	142.7	2.99	0.07		
912	Pootverband	Kniksteun en verticale steur	L70x7	S355	M16	8.8	3.79	0	178	2.5	0.47	46.6	60.3	61.0	142.7	2.23	0.22		
911	Pootverband	Enkele staaf	L70x7	S355	M16	8.8	3.72	62	273	2.5	0.00	29.3	60.3	61.0	142.7	2.99	0.08		
855	Tussenschot	Kniksteun en verticale steur	L70x7	S355	M16	8.8	5.45	0	257	1.2	0.68	27.7	60.3	61.0	142.7	2.23	0.32		
856	Tussenschot	Kruisende staaf halverwege	L70x7	S355	M16	8.8	7.89	0	371	1.2	0.99	15.5	60.3	61.0	142.7	2.99	0.33		
859	Broekstuk	Enkele staaf	L70x7	S355	M16	8.8	3.31	33	243	18.2	0.00	35.3	60.3	61.0	142.7	2.99	0.51		
860	Broekstuk	Enkele staaf	L60x6	S355	M16	8.8	2.58	0	221	18.2	0.65	30.2	60.3	52.3	98.8	1.9	0.60		
861	Broekstuk	Enkele staaf	L60x6	S355	M16	8.8	2.35	51	201	18.2	0.00	34.9	60.3	52.3	98.8	1.9	0.52		
862	Broekstuk	Enkele staaf	L60x6	S355	M16	8.8	1.23	0	105	18.2	0.31	82.5	60.3	52.3	98.8	1.9	0.35		
808	1e Tussenstuk	Enkele staaf	L60x6	S355	M16	8.8	2.09	55	179	12.5	0.00	41.5	60.3	52.3	98.8	1.9	0.30		
807	1e Tussenstuk	Enkele staaf	L70x7	S355	M16	8.8	2.79	0	204	12.5	0.70	46.2	60.3	61.0	142.7	3.0	0.27		
809	1e Tussenstuk	Enkele staaf	L60x6	S355	M16	8.8	2.04	46	175	12.5	0.00	43.0	60.3	52.3	98.8	1.9	0.29		
813	1e Tussenstuk	Enkele staaf	L60x6	S355	M16	8.8	1.92	48	164	12.5	0.00	46.9	60.3	52.3	98.8	1.9	0.27		
806	1e Tussenstuk	Enkele staaf	L70x7	S355	M16	8.8	2.82	0	206	12.5	0.70	45.6	60.3	61.0	142.7	3.0	0.27		
814	1e Tussenstuk	Enkele staaf	L60x6	S355	M16	8.8	1.99	42	170	12.5	0.00	44.8	60.3	52.3	98.8	1.9	0.28		
811	2e Tussenstuk	Enkele staaf	L60x6	S355	M16	8.8	1.81	52	155	12.0	0.00	51.1	60.3	52.3	98.8	1.9	0.23		
810	2e Tussenstuk	Enkele staaf	L60x6	S355	M16	8.8	2.51	0	215	12.0	0.63	31.5	60.3	52.3	98.8	1.9	0.38		
812	2e Tussenstuk	Enkele staaf	L60x6	S355	M16	8.8	1.83	45	156	12.0	0.00	50.3	60.3	52.3	98.8	1.9	0.24		
827	2e Tussenstuk	Enkele staaf	L65x7	S355	M16	8.8	3.44	0	273	12.0	0.86	27.0	60.3	61.0	115.2	2.5	0.44		
826	2e Tussenstuk	Enkele staaf	L60x6	S355	M16	8.8	2.81	0	240	12.0	0.70	26.4	60.3	52.3	98.8	1.9	0.45		
762	2e Tussenstuk	Enkele staaf	L60x6	S355	M16	8.8	1.83	67	157	12.0	0.00	50.2	60.3	52.3	98.8	1.9	0.24		
760	2e Tussenstuk	Enkele staaf	L60x6	S355	M16	8.8	2.45	0	209	12.0	0.61	32.8	60.3	52.3	98.8	1.9	0.37		
761	2e Tussenstuk	Enkele staaf	L60x6	S355	M16	8.8	1.79	45	153	12.0	0.00	51.9	60.3	52.3	98.8	1.88	0.23		
759	2e Tussenstuk	Enkele staaf	L60x6	S355	M16	8.8	1.66	51	142	12.0	0.00	57.5	60.3	52.3	98.8	1.88	0.23		
757	2e Tussenstuk	Enkele staaf	L60x6	S355	M16	8.8	2.32	0	198	12.0	0.58	35.6	60.3	52.3	98.8	1.88	0.34		
758	2e Tussenstuk	Enkele staaf	L60x6	S355	M16	8.8	1.60	43	137	12.0	0.00	60.3	60.3	52.3	98.8	1.88	0.23		
765	2e Tussenstuk	Enkele staaf	L60x6	S355	M16	8.8	1.86	60	159	12.0	0.00	49.1	60.3	52.3	98.8	1.9	0.24		
763	2e Tussenstuk	Enkele staaf	L60x6	S355	M16	8.8	2.14	0	183	12.0	0.54	40.1	60.3	52.3	98.8	1.9	0.30		

Knikverkorters initial structure (afkeur)

Date: 2021-08-17

Author: MKh

Version: v1.9

MBT-EHV

S+9_c

Tower 116

Posnr.	Section	Schematization	Profile	Steel Quality	Bolt	Quality	Length (m)	Angle (°)	Slenderness	Normal Force (kN)	Moment (kNm)	Buckling Cap. (kN)	Shear Cap. Bolt (kN)	Bearing Cap. (kN)	Net Section Cap. (kN)	Moment Cap. (kNm)	Highest U.C.	Exceedance Type	Notes
764	2e Tussenstuk	Enkele staaf	L60x6	S355	M16	8.8	1.74	47	149	12.0	0.00	53.8	60.3	52.3	98.8	1.9	0.23		
629	2e Tussenstuk	Enkele staaf	L50x5	S355	M16	8.8	0.98	0	101	13.3	0.25	59.8	60.3	41.3	43.1	1.1	0.32		
621	2e Tussenstuk	Enkele staaf	L60x6	S355	M16	8.8	1.28	62	110	13.3	0.00	78.8	60.3	52.3	98.8	1.9	0.25		
622	3e Tussenstuk	Enkele staaf	L60x6	S355	M16	8.8	1.29	52	110	13.3	0.00	78.4	60.3	52.3	98.8	1.9	0.25		
629	3e Tussenstuk	Enkele staaf	L50x5	S355	M16	8.8	0.98	0	101	13.3	0.25	60.0	60.3	41.3	43.1	1.1	0.32		
631	3e Tussenstuk	Enkele staaf	L50x5	S355	M16	8.8	0.80	0	83	8.1	0.20	72.4	60.3	41.3	43.1	1.1	0.20		
632	3e Tussenstuk	Enkele staaf	L50x5	S355	M16	8.8	1.25	55	128	8.1	0.00	45.5	60.3	41.3	43.1	1.1	0.20		
623	3e Tussenstuk	Enkele staaf	L60x6	S355	M16	8.8	1.55	0	132	8.1	0.39	62.9	60.3	52.3	98.8	1.9	0.21		
633	3e Tussenstuk	Enkele staaf	L50x5	S355	M16	8.8	1.19	43	122	8.1	0.00	48.2	60.3	41.3	43.1	1.08	0.20		
634	3e Tussenstuk	Enkele staaf	L50x5	S355	M16	8.8	0.69	0	71	8.1	0.17	81.4	60.3	41.3	43.1	1.08	0.20		
635	3e Tussenstuk	Enkele staaf	L50x5	S355	M16	8.8	1.13	58	116	8.1	0.00	51.5	60.3	41.3	43.1	1.08	0.20		
624	3e Tussenstuk	Enkele staaf	L60x6	S355	M16	8.8	1.13	0	97	8.1	0.28	89.9	60.3	52.3	98.8	1.88	0.15		
636	3e Tussenstuk	Enkele staaf	L50x5	S355	M16	8.8	1.06	45	109	8.1	0.00	55.2	60.3	41.3	43.1	1.08	0.20		
628	2e Tussenstuk	Enkele staaf	L60x6	S355	M16	8.8	1.42	70	121	13.3	0.00	69.9	60.3	52.3	98.8	1.9	0.25		
*	2e Tussenstuk	Enkele staaf	L60x6	S355	M20	8.8	2.09	0	179	13.3	0.52	41.5	94.1	64.7	65.9	1.88	0.32		
627	2e Tussenstuk	Enkele staaf	L60x6	S355	M16	8.8	1.41	42	121	13.3	0.00	70.3	60.3	52.3	98.8	1.88	0.25		
666	2e Tussenstuk	Enkele staaf	L60x6	S355	M16	8.8	1.42	0	121	13.3	0.35	70.2	60.3	52.3	98.8	1.88	0.25		
644	3e Tussenstuk	Enkele staaf	L50x5	S355	M16	8.8	0.87	0	89	8.1	0.22	67.8	60.3	41.3	43.1	1.08	0.20		
643	3e Tussenstuk	Enkele staaf	L50x5	S355	M16	8.8	1.13	43	116	8.1	0.00	51.3	60.3	41.3	43.1	1.08	0.20		
626	3e Tussenstuk	Enkele staaf	L60x6	S355	M16	8.8	1.56	0	133	8.1	0.39	62.2	60.3	52.3	98.8	1.88	0.21		
642	3e Tussenstuk	Enkele staaf	L50x5	S355	M16	8.8	1.09	36	112	8.1	0.00	53.4	60.3	41.3	43.1	1.1	0.20		
641	3e Tussenstuk	Enkele staaf	L50x5	S355	M16	8.8	0.77	0	79	8.1	0.19	75.0	60.3	41.3	43.1	1.1	0.20		
640	3e Tussenstuk	Enkele staaf	L50x5	S355	M16	8.8	1.05	45	108	8.1	0.00	55.7	60.3	41.3	43.1	1.08	0.20		
625	3e Tussenstuk	Enkele staaf	L60x6	S355	M16	8.8	1.37	0	117	8.1	0.34	73.0	60.3	52.3	98.8	1.88	0.18		
639	3e Tussenstuk	Enkele staaf	L50x5	S355	M16	8.8	1.01	39	104	8.1	0.00	58.1	60.3	41.3	43.1	1.1	0.20		
638	3e Tussenstuk	Enkele staaf	L50x5	S355	M16	8.8	0.60	0	62	8.1	0.15	86.3	60.3	41.3	43.1	1.1	0.20		
637	3e Tussenstuk	Enkele staaf	L50x5	S355	M16	8.8	0.77	45	79	8.1	0.00	75.0	60.3	41.3	43.1	1.1	0.20		
519	4e Tussenstuk	Enkele staaf	L50x5	S355	M16	8.8	1.24	0	127	4.1	0.31	45.8	60.3	41.3	43.1	1.1	0.29		
517	4e Tussenstuk	Enkele staaf	L50x5	S355	M16	8.8	1.14	0	117	4.1	0.29	50.7	60.3	41.3	43.1	1.1	0.26		
513	4e Tussenstuk	Enkele staaf	L50x5	S355	M16	8.8	1.04	0	107	4.1	0.26	56.3	60.3	41.3	43.1	1.1	0.24		
509	4e Tussenstuk	Enkele staaf	L50x5	S355	M16	8.8	1.14	0	117	4.1	0.29	50.7	60.3	41.3	43.1	1.1	0.26		
507	4e Tussenstuk	Enkele staaf	L50x5	S355	M16	8.8	1.05	0	108	4.1	0.26	55.7	60.3	41.3	43.1	1.1	0.24		

Notes

1) Members with pos numbers denoted as * were not labelled on the construction drawings provided



APPENDIX D

TOETSING BLOKDEUVELS

Opm: Er zijn geen tekeningen van de blokdeuvels voor de masttype S+9(c) beschikbaar, daarom zijn de details gebruikt van masttype S+6. Hoewel de doorsnede van de randstijl van het masttype S+9(c) bestaat uit een dubbel kruisvormig element, is er slechts 1 element, het hoekstaal L180x16, opgenomen in de funderingspaal.

Project: MBT-EHV380
Mast: S+9(c) (116)

Shear blocks

NEN-EN 1993-1-1 en NEN-EN 1994-1-1

Datum: 2021-08-17
Auteur: SSHD
Versie: 1.4

Load			Results		
Compression	$F_{Ed,c}$	1124 kN	Compression	U.C.	0.86 < 1,00 OK
Tension	$F_{Ed,t}$	776 kN	Tension	U.C.	0.86 < 1,00 OK

Main leg

Profile		L180.16
Steel material		S235
Cross section		5540 mm ²
Axial capacity	N_{pl}	1302 kN
Width	b	180 mm
Thickness	t	16 mm
Length in concrete		1300 mm

Capacity shear blocks main leg

$A_{f1} =$	3000 mm ²
$A_{f2} =$	11352 mm ²
Slope	1: 5
$C_A = \sqrt{(A_{f2}/A_{f1})} =$	1.95
$f_{jd} = C_A \times f_{cd} =$	31.1 N/mm ²
$F_{Rd,c} = n_c \times A_{f1} \times f_{jd} =$	934 kN
$F_{Rd,t} = n_t \times A_{f1} \times f_{jd} =$	934 kN

Shear blocks main leg

Width	b	50 mm
Thickness	h	30 mm
Length	L	100 mm
Welds	a	4 mm
c.t.c. separation	s	230 mm
Number for compr.	n_c	10 -
Number for tension	n_t	10 -

Capacity foot plate

$k_d =$	1.73 -
$f_{jd} = C_A \times f_{cd} =$	27.7 N/mm ²
$c = t \sqrt{(f_{yd} / 3f_{jd})} =$	32 mm
$m^* = \min(c, m) =$	19 mm
Type foot plate	Diagonally cut
Effective for	Compr. and tension
$A_{p,c} =$	18402 mm ²
$F_{Rd,c} = A_{p,druk} \times f_{jd} =$	510 kN
$A_{p,t} =$	12862 mm ²
$F_{Rd,t} = A_{p,t} \times f_{jd} =$	356 kN

Foot plate

Thickness	t	20 mm
Ext. length	m	19 mm
Welds	a	4 mm

Pile

Name		Buispaal
Diameter		782 mm
Thickness		12.5 mm
Cross section		30218 mm ²
Steel material		S235
Capacity		7101 kN
Concrete strength		C30/37

Capacities

$F_{Rd,c,plate} =$	510 kN
$F_{Rd,blocks,c} =$	934 kN
$F_{Rd,c} = F_{Rd,block} + F_{Rd,footplate} =$	1444 kN
U.C. compression	0.78 < 1,00 OK
Welds foot plate (see next page)	572 kN
$F_{Rd,t} = \min. (welds / foot plate) =$	356 kN
$F_{Rd,blocks,t} =$	934 kN
$F_{Rd,t} = F_{Rd,block} + F_{Rd,footplate} =$	1290 kN
U.C. tension	0.60 < 1,00 OK
U.C. welds	0.86 < 1,00 OK

Shear blocks pile

Width	b	50 mm
Thickness	h	30 mm
Length	L	220 mm
Welds	a	4 mm
c.t.c. separation	s	405 mm
Number for compr.	n_c	12 -
Number for tension	n_t	12 -

Capacity shear blocks pile

$A_{f1} =$	6600 mm ²
$A_{f2} =$	19800 mm ²
$C_A = \sqrt{(A_{f2}/A_{f1})} =$	1.73 -
$f_{jd} = k_d \times f_{cd} =$	27.7 N/mm ²
$F_{Rd,c} = n_c \times A_{f1} \times f_{jd} =$	2195 kN
U.C. compression	0.51 < 1,00 OK
$F_{Rd,t} = n_t \times A_{f1} \times f_{jd} =$	2195 kN
U.C. tension	0.35 < 1,00 OK
U.C. welds	0.64 < 1,00 OK

Design value concrete strength

Material factor	γ_c	1.5
Add. mat. factor	γ_m	1.25 -
$f_{cd} =$		16.0 N/mm ²

Steel tower stub

Yield strength	$f_{yd} =$	235 N/mm ²
Tensile strength	$f_{ud} =$	360 N/mm ²

"Splitting" of pile

Spread of forces	$f_{yd} =$	45 °
Length force flow		922 mm
Splitting force		421 kN/m
Yield strength wall	$f_{yd} =$	235 N/mm ²
Capacity tubular pile		5875 kN/m
U.C.		0.07 < 1,00 OK

Project: MBT-EHV380
Mast: S+9(c) (116)

Welds of shear blocks of main leg

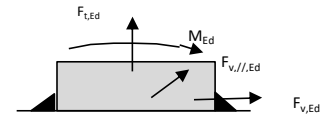
Out-of-plane loading

Plate

t = 50 mm
Grade S235
f_{yd} = 235 N/mm²
f_u = 360 N/mm²

Welds

a = 4 mm
l = 100 mm
β_w = 0.8 -
γ_{M2} = 1.25 -



Member forces

Factor 1.2
F_{t,Ed} = 0 kN
F_{v,Ed} = F_{rd,c} / n = 112 kN
F_{v//,Ed} = 0 kN
M_{Ed} = 1/2 b / h x F_{v,Ed} = 1.68 kNm

Stress components

σ₁ = τ₁ = F_{t,Ed} √2 / 4al = 0 N/mm²
σ₁ = τ₁ = F_{v,Ed} √2 / 4al = 99 N/mm²
σ₁ = τ₁ = F_{v,Ed} √2 / 4al = 99 N/mm²
b* = b + 2/3av² = 53.8 mm
σ₁ = τ₁ = 0,706M_{Ed} / al b* = 55 N/mm²
τ_{//} = F_{v//,Ed} / 2al = 0 N/mm²
σ_{w,Ed} = √(σ₁² + 3τ₁² + 3τ_{//}²) = 308 N/mm²

Check

σ_{w,Ed} = 308 N/mm² ≤ f_u / β_w γ_{M2} = 360 N/mm² U.C. = **0.86 OK**
σ₁ = 154 N/mm² ≤ 0,9f_u / γ_{M2} = 259 N/mm² U.C. = **0.59 OK**

Welds of shear blocks of pile

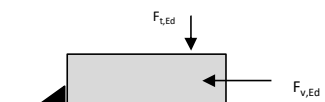
Out-of-plane loading

Plate

t = 50 mm
Grade S235
f_{yd} = 235 N/mm²
f_u = 360 N/mm²

Welds

a = 4 mm
l = 220 mm
β_w = 0.8 -
γ_{M2} = 1.25 -



Member forces

Factor 1.2
F_{t,Ed} = 1/2 b / h x F_{v,Ed} = 66 kN
F_{v,Ed} = 219 kN
F_{v//,Ed} = 0 kN
M_{Ed} = 0.00 kNm

Stress components

σ₁ = τ₁ = F_{t,Ed} √2 / 2al = 26 N/mm²
σ₁ = τ₁ = F_{v,Ed} √2 / 2al = 88 N/mm²
σ₁ = τ₁ = F_{v,Ed} √2 / 2al = 115 N/mm²
τ_{//} = F_{v//,Ed} / 2al = 0 N/mm²
σ_{w,Ed} = √(σ₁² + 3τ₁² + 3τ_{//}²) = 229 N/mm²

Check

σ_{w,Ed} = 229 N/mm² ≤ f_u / β_w γ_{M2} = 360 N/mm² U.C. = **0.64 OK**
σ₁ = 115 N/mm² ≤ 0,9f_u / γ_{M2} = 259 N/mm² U.C. = **0.44 OK**

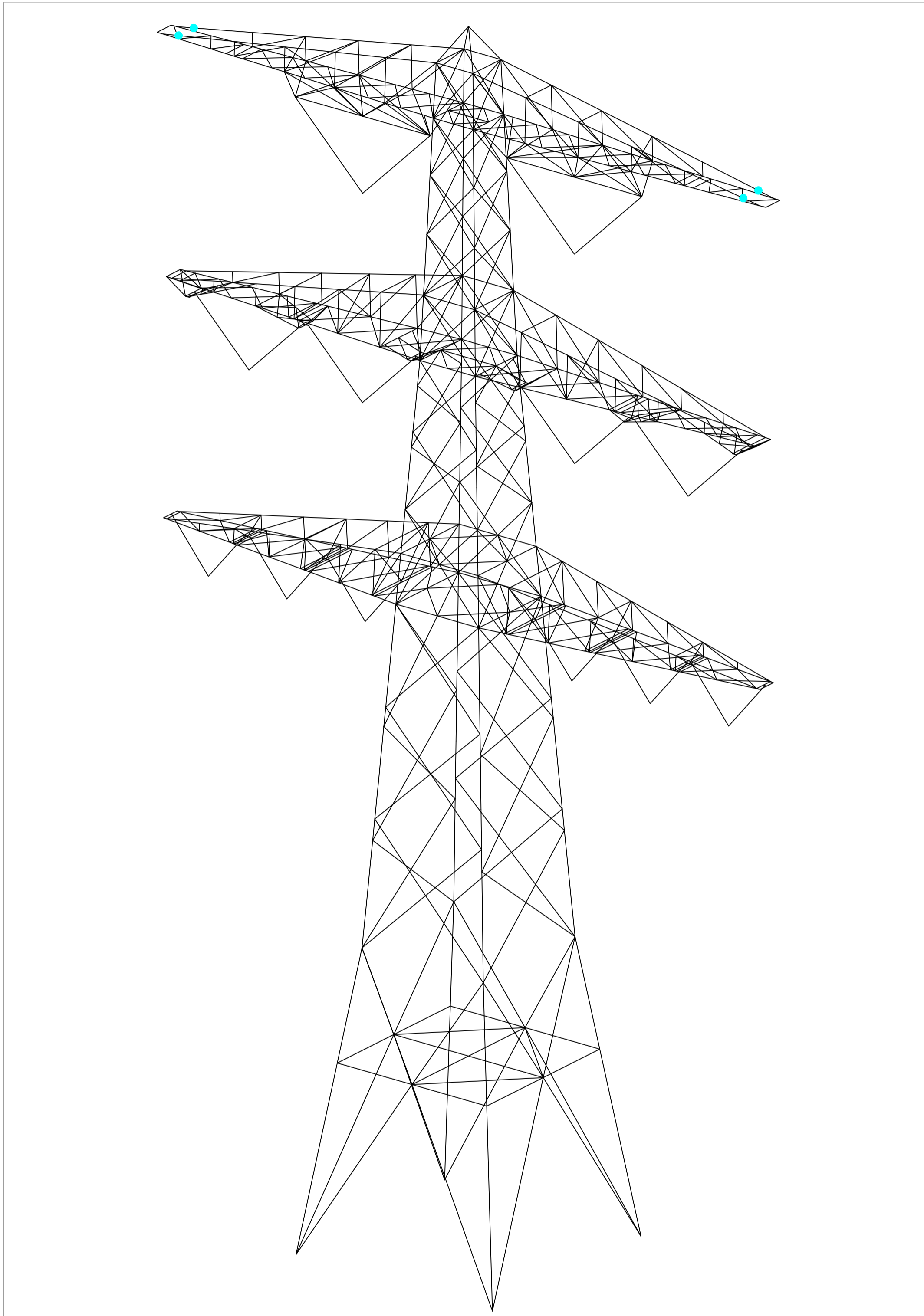
Welds of foot plate

f_u / β_w γ_{M2} = 360 N/mm²
Weld size a = 4 mm
Length l = 2b + 2b - t = 688 mm
Capacity F_{Rd} = a x l x f_{w,d} / √3 = 572 kN



APPENDIX E TEKENINGEN

Initial Profiles and Bolts					Final Profiles and Bolts			
Group label	Profile type (ini)	Profile size (ini)	Steel quality (ini)	Bolt size and quality (ini)	Profile type (new)	Profile size (new)	Steel quality (new)	Bolt size and quality (new)
830	EA	L60x6	S235	2xM20-5.6t	EA	L60x6	S235	3xM20-8.8t


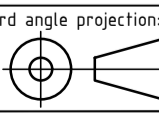


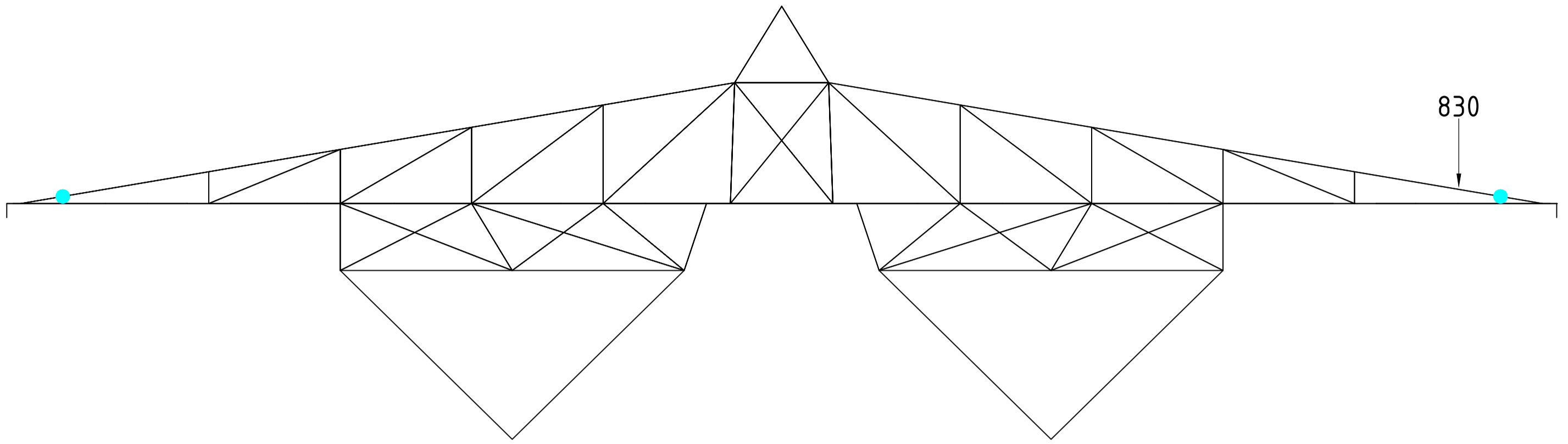
Overview

Notes and legend:

- New redundants according to drawing
- Size for new redundants is L50x50x5 unless otherwise indicated
- Other changes according to the table
- All changes are symmetrical unless otherwise indicated
- Material quality $t \leq 16\text{mm}$ S355J0
- Material quality $t > 16\text{mm}$ S355J2
- Bolt quality 8.8 rolled

- New member
- Profile exchanged
- New redundant
- Bolt exchanged
- Joint modification/ additional bolts required

00	18-8-2021	Version 1.0	Projectname: Mast constructions MBT - EHV 380 kV	
		Third angle projection:		Drawing no.: 10166260-078
		Description: Modifications overview for mast type S+9_c (Mast 116) Page 1 of 3		Revision: 00
Design state: FINAL	Scale: -	Description:		Format: A2
Drawn by: MKh	18-8-2021	Units: m	Modifications overview for mast type S+9_c (Mast 116) Page 1 of 3	
Checked by: TBR	18-8-2021	Project no: 10166260	Page 1 of 3	
Approved by: JHu	18-8-2021	Company: TenneT	Page 1 of 3	
<small>DNV GL Energy & Sustainability, Utrechtseweg 310, 6812 AR Arnhem, tel: +31 26 3 56 91 11, www.dnvgl.com</small>				




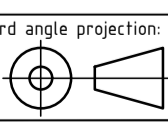
Front View (Boventraverse)

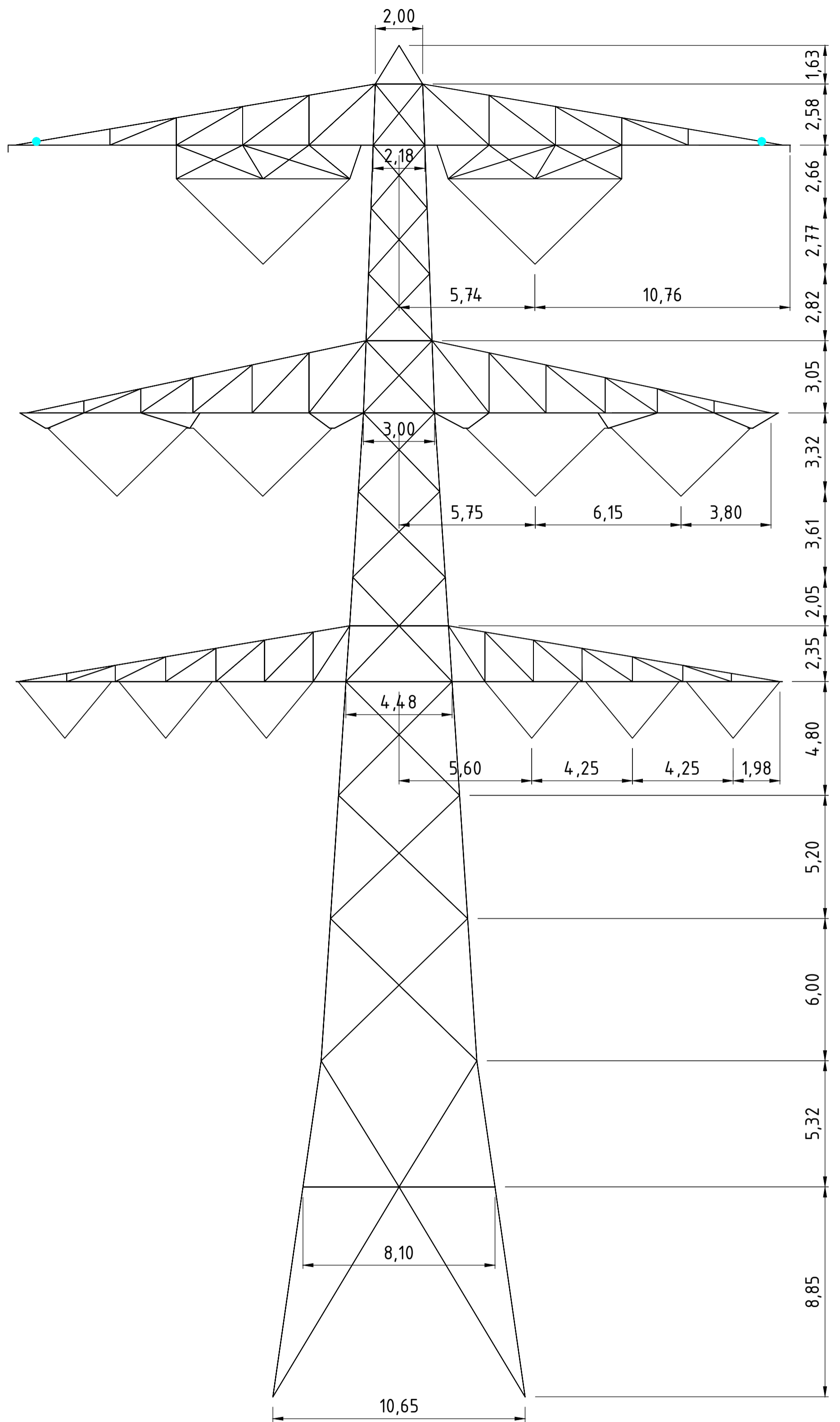
*NB: Group 830 requires an additional bolt to be installed.

Notes and legend:

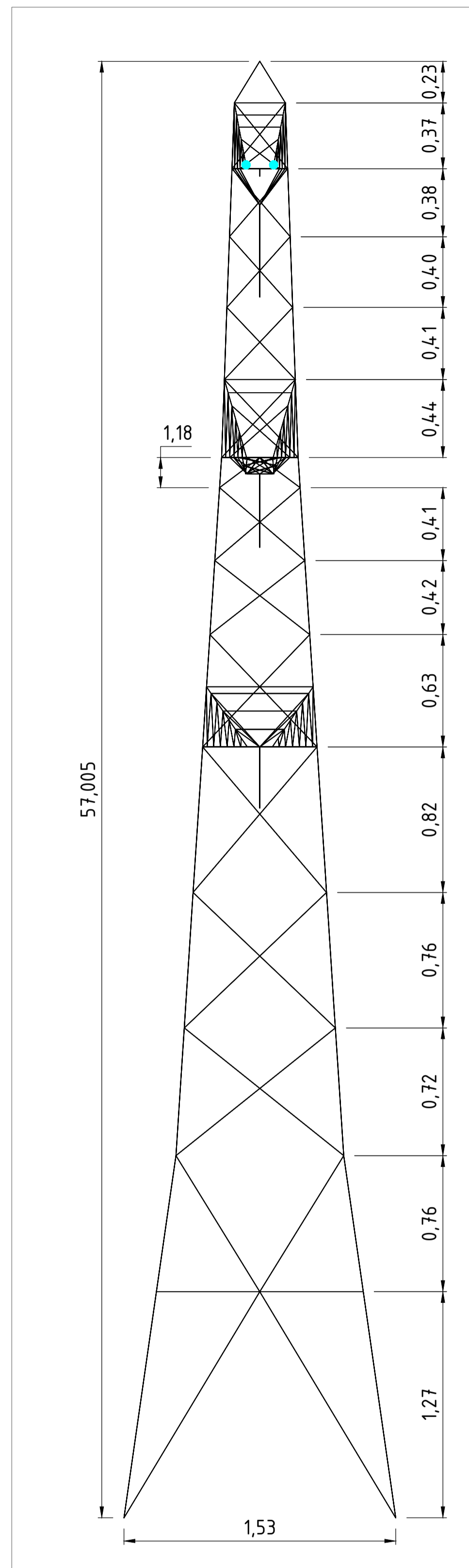
- New redundants according to drawing
- Size for new redundants is L50x50x5 unless otherwise indicated
- Other changes according to the table
- All changes are symmetrical unless otherwise indicated
- Material quality $t \leq 16\text{mm}$ S355J0
- Material quality $t > 16\text{mm}$ S355J2
- Bolt quality 8.8 rolled

- New member
- Profile exchanged
- New redundant
- Bolt exchanged
- Joint modification/ additional bolts required

00	18-8-2021	Version 1.0	Projectname: Mast constructions MBT - EHV 380 kV	
		Third angle projection:	Drawing no.: 10166260-078	
				
Design state: FINAL	Scale: -	Description: Modifications overview for mast type S+9_c (Mast 116)		Revision: 00
Drawn by: MKh	18-8-2021	Units: m	Page 2 of 3	
Checked by: TBR	18-8-2021	Project no: 10166260	Format: A2	
Approved by: JHu	18-8-2021	Company: TenneT		
DNV GL Energy & Sustainability, Utrechtseweg 310, 6812 AR Arnhem, tel: +31 26 3 56 91 11, www.dnvgl.com				



Front View


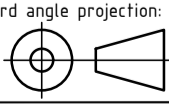


Side View

Notes and legend:

- New redundants according to drawing
- Size for new redundants is L50x50x5 unless otherwise indicated
- Other changes according to the table
- All changes are symmetrical unless otherwise indicated
- Material quality $t \leq 16\text{mm}$ S355J0
- Material quality $t > 16\text{mm}$ S355J2
- Bolt quality 8.8 rolled

- New member
- Profile exchanged
- New redundant
- Bolt exchanged
- Joint modification/ additional bolts required

00	18-8-2021	Version 1.0	Projectname: Mast constructions MBT - EHV 380 kV	
			Drawing no.: 10166260-078	
Design state: FINAL		Scale: -	Description: Modifications overview for mast type S+9_c (Mast 116)	
Drawn by: MKh	18-8-2021	Units: m	Revision: 00	
Checked by: TBR	18-8-2021	Project no: 10166260	Format: A2	
Approved by: JHu	18-8-2021	Company: TenneT		



About DNV

DNV is the independent expert in risk management and assurance, operating in more than 100 countries. Through its broad experience and deep expertise DNV advances safety and sustainable performance, sets industry benchmarks, and inspires and invents solutions.

Whether assessing a new ship design, optimizing the performance of a wind farm, analyzing sensor data from a gas pipeline or certifying a food company's supply chain, DNV enables its customers and their stakeholders to make critical decisions with confidence.

Driven by its purpose, to safeguard life, property, and the environment, DNV helps tackle the challenges and global transformations facing its customers and the world today and is a trusted voice for many of the world's most successful and forward-thinking companies.

Bijlage 17 Rapportage mastconstructie S+9_mast112en113

“TOETSING EN HERONTWERP MASTEN EN FUNDATIES BBB380”

MBT-EHV380 – S+9 (Masten 112 & 113) Rapport

TenneT TSO B.V.

Rapport Nr.: 22-0808, Rev. 0

Meridian doc. Nr.: 002.586.40 0945364

Datum: 2022-07-06

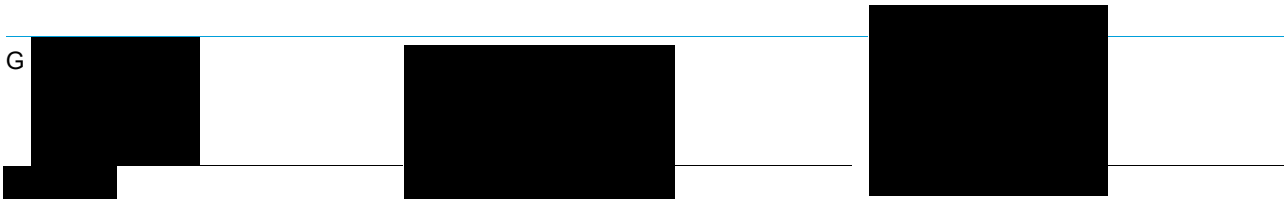




Projectnaam: "TOETSING EN HERONTWERP MASTEN EN
FUNDATIES BBB380"
Rapport titel: MBT-EHV380 – S+9 (Masten 112 & 113) Rapport
Klant: TenneT TSO B.V.
Contactpersoon klant: ■■■■■■■■■■
Datum uitgave: 2022-07-06
Project nr.: 10166260
Organisatie unit: TDT
Meridian doc.nr.: 002.586.40 0945364
Rapport nr.: 22-0808, Rev. 0

Energy Systems
DNV Netherlands B.V.
Utrechtseweg 310-B50
6812 AR Arnhem
The Netherlands

Tel: +■■■■■■■■■■
Handelsregister Arnhem 09006400



Copyright © DNV 2022. All rights reserved. Unless otherwise agreed in writing: (i) This publication or parts thereof may not be copied, reproduced or transmitted in any form, or by any means, whether digitally or otherwise; (ii) The content of this publication shall be kept confidential by the customer; (iii) No third party may rely on its contents; and (iv) DNV undertakes no duty of care toward any third party. Reference to part of this publication which may lead to misinterpretation is prohibited..

DNV Distributie:

- Open
- Intern
- Commercieel vertrouwelijk
- Vertrouwelijk
- Geheim

*Specificatie distributie: -

Rev.	Datum	Reden van uitgave	Auteur	Beoordelaar	Goedkeuder
0	2022-07-06	Eerste uitgave	■■■■■	■■■■■	■■■■■

Inhoudsopgave

1	INLEIDING	1
1.1	Inleiding	1
1.2	Doelstelling en scope van dit rapport	2
1.3	Relatie overige documenten	2
2	EISEN	2
3	BEREKENINGEN	3
3.1	Mastbeeld	3
3.2	Mastenlijst	4
3.3	Uitgangspunten berekening	4
3.4	Processtappen	5
3.5	Geleiderbelastingen	5
3.6	Reacties op de fundering	5
3.7	Modellering	5
4	TOETSING MAST	6
5	AANPASSINGEN	9
5.1	Inleiding	9
5.2	Aanpassingen	9
5.3	Verificatie eisen	10
6	REFERENTIES	11
Appendix A	GELEIDERBELASTINGEN	
Appendix B	UITVOER PLS-TOWER	
Appendix C	TOETSING KNIKVERKORTERS	
Appendix D	TOETSING BLOKDEUVELS	
Appendix E	TEKENINGEN	

1 INLEIDING

1.1 Inleiding

Om in de toekomst meer elektriciteit te kunnen transporteren is het noodzakelijk om naast de nieuwbouw van verbindingen bestaande hoogspanningsverbindingen aan te passen zodat er een grotere transportcapaciteit mogelijk wordt gemaakt. Om die reden is de opdrachtgever (OG) voornemens de bestaande 380 kV-koppeling op te waarderen. Het opwaarderen van de bestaande verbindingen valt onder het programma “Beter benutten bestaande 380 kV-ring” en omvat de volgende deelprojecten:

- Opwaardering 380 kV-verbinding Lelystad – Ens (LLS-ENS380)
- Opwaardering 380 kV-verbinding Diemen – Lelystad (DIM-LLS380)
- Opwaardering 380 kV-verbinding Rilland – Zandvliet (RLL-ZVL380)
- Opwaardering 380 kV-verbinding Krimpen aan de IJssel - Geertruidenberg (KIJ-GT380)
- Opwaardering 380 kV-verbinding Maasbracht - Eindhoven (MBT-EHV380)

Om te komen tot een DO waarmee de werkzaamheden kunnen worden gestart is door TenneT aan DNV opdracht verstrekt voor de volgende onderdelen:

1. In eerste fase het opstellen en creëren van:

- 1.1 E-studie deel 1
- 1.2 Uitgangspuntenrapporten ten behoeve van de constructieve analyse van masten en fundaties
- 1.3 Sonderingmodellen
- 1.4 Fundatiemodellen
- 1.5 Mastmodellen

2. In tweede fase de uitvoering van de DO-fase bevattende:

- 2.1 Toetsing conform het uitgangspuntenrapport van de bestaande fundaties
- 2.2 Algemene specificatie van benodigde fundatieversterkingen ten behoeve van aanbesteding
- 2.3 Toetsing conform het uitgangspuntenrapport van de bestaande masten
- 2.4 Algemene specificatie van benodigde mastversterkingen ten behoeve van aanbesteding
- 2.5 E-studie deel 2

In dit rapport worden de aanpassingen besproken die nodig zijn voor de mast 112 en 113 (S+9) van de verbinding Maasbracht - Eindhoven 380 kV.

Inhoudelijk is de Nederlandse versie van de rapportage ongewijzigd ten opzichte van de Engelse versie. Om deze reden zijn de bijlagen in dit rapport één op één overgenomen uit de Engelse versie. Hierdoor wijkt het revisienummer van de bijlagen af van het revisienummer van deze rapportage.

1.2 Doelstelling en scope van dit rapport

Het doel van deze studie is om te bepalen of het in dit rapport beschreven masttype geschikt is om te worden uitgerust met de ACCC-Warsaw geleider.

Nadat de wijzigingen zijn toegepast dient aantoonbaar geverifieerd te worden dat het systeem voldoet aan de vigerende eisen.

1.3 Relatie overige documenten

1.3.1 Verificatie & validatie plan

De door TenneT aangeleverde set met eisen is beoordeeld op relevantie en voor de relevante eisen is aangegeven in welk document wordt aangetoond dat er aan de eis wordt voldaan. De resultaten hiervan zijn opgenomen in het rapport "Verificatie & Validatieplan 380 kV verbinding Maasbracht – Eindhoven" [1].

1.3.2 E-studie deel 1

In het rapport "MBT-EHV380 - E-studie deel 1" [2] is bepaald welke aanpassingen benodigd zijn om de ACCC-Warsaw geleider toe te passen binnen de verbinding Maasbracht - Eindhoven. Voor masttype S+9 zijn voor mast 112 en 113 geen aanpassingen vereist. Zie Appendix E voor meer informatie.

1.3.3 Uitgangspunten rapport

De uitgangspunten op basis waarvan de berekeningen in deze rapportage zijn uitgevoerd zijn opgenomen in het rapport "Uitgangspuntenrapport 380kV verbinding Maasbracht - Eindhoven" [3].

2 EISEN

In Tabel 1 zijn de eisen opgenomen die binnen deze rapportage worden getoetst.

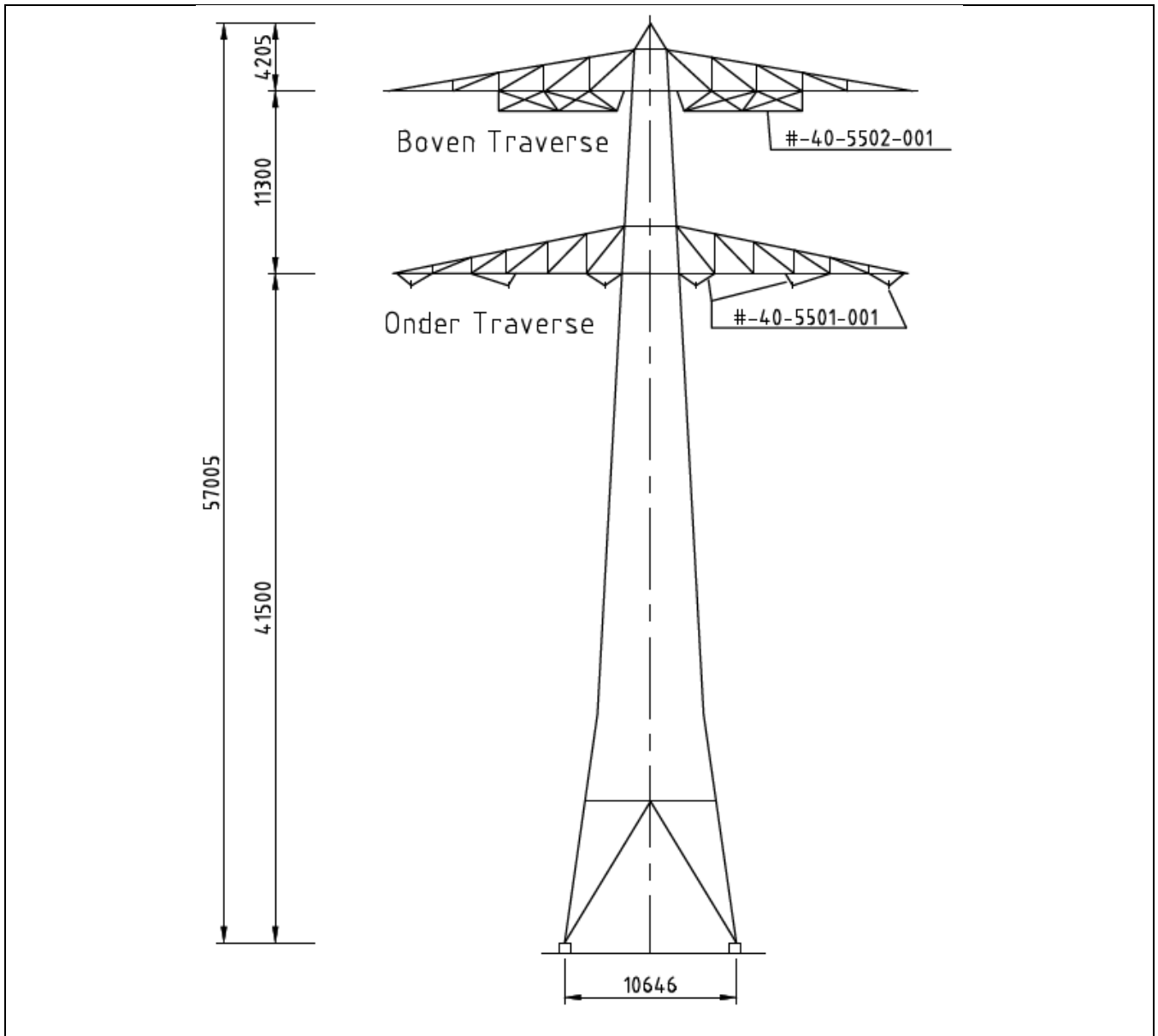
Tabel 1 Relevante eisen

Eis Id	Titel	Eis Tekst	Bewijsvoering
BO Eis: H2.7-6	Omgeving, beperkings- factoren	Het ontwerp dient geverifieerd te worden op de uitvoerbaarheid.	Tabel 6
PVE.05.001 5.14	Masten	Aanwijzingen t.a.v. klimvoorziening en valbeveiliging: Huidige klimweg blijft gehandhaafd en zal voldoen aan de eisen zoals opgenomen in de NEN 1060:1964. Valbeveiliging is/zal worden uitgevoerd in het type "latch way". Indien staaldelen in de nabijheid (aangrenzend profiel) van de klimweg gewijzigd worden, dient geverifieerd te worden dat de klimvoorziening in overeenstemming is met de NEN 1060:1964.	Tabel 6

3 BEREKENINGEN

3.1 Mastbeeld

Het mastbeeld op basis van de asset-data is weergegeven in Figuur 1.



Figuur 1 Mastbeeld gewijzigd masttype S+9

De mastconstructie is aangepast met betrekking tot de ophanging van de isolatorkettingen. Een constructie is onder de traverse toegevoegd. Op basis van de asset-data is de traverse niet aangepast met nieuwe onderdelen.

3.2 Mastenlijst

In dit rapport wordt het gewijzigde masttype S+9 getoetst dat voor mast 112 en 113 wordt gebruikt. Beide masten maken deel uit van het onlangs gewijzigde deel van de verbinding MBT-EHV en worden getoetst als locatie specifieke masten.

Beide masten bevinden zich in windgebied III. Tabel 2 geeft een overzicht van de wind en weight span voor de masten 112 en 113.

Tabel 2 Mastnummers

Mastnummer	Masttype	Maatgevend mastnummer	Wind span (m)	Weight span (m)	Hoogteverschil (m)
112	S+9	16	290	320	-8.4
113	S+9	16	304	353	-12.2

3.3 Uitgangspunten berekening

De berekening is uitgevoerd op basis van de uitgangspunten zoals opgenomen in het uitgangspuntenrapport [3]. Hierin is een volledig overzicht opgenomen van de belastingcombinaties en toegepaste belastingfactoren.

Tabel 3 Uitgangspunten berekening

Algemeen	Norm	NEN-EN50341-2-15:2019
	Windgebied	III
	Terreincategorie	II (onbebouwde omgeving)
Situatie initieel	Reductiefactor cdir	1,00
	Gevolgklasse	CC2-0
	Betrouwbaarheidsniveau	Afkeur CC2-0
Situatie na aanpassingen	Referentieperiode	30 jaar
	Gevolgklasse	CC2
	Betrouwbaarheidsniveau	Verbouw
	Referentieperiode	50 jaar

Tijdens het bezoek ter plaatse op 23-9-2021 werd bevestigd dat mast 112 geen telecommunicatieapparatuur bevat.

3.4 Processtappen

Het proces van het bepalen van eventueel benodigde versterkingen bestaat uit de volgende stappen:

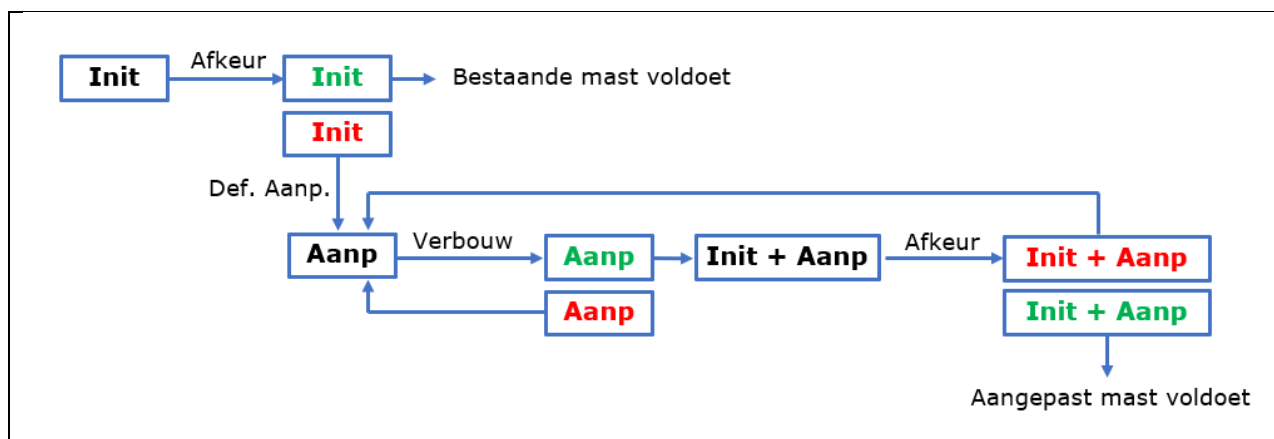
Stap 1: Toets bestaande (Init) mast op Afkeur

Stap 2: Definiëren benodigde aanpassingen indien initiële mast niet voldoet aan toets op Afkeur (Def. Aanp.)

Stap 3: Het toetsen van (alleen) de uitgewerkte aanpassingen (Aanp) op Verbouw

Stap 4: Het opnieuw toetsen van de complete mast inclusief aanpassingen (Initi + Aanp) op Afkeur.

Het hierboven omschreven proces is in Figuur 2.



Figuur 2 Procesdiagram

3.5 Geleiderbelastingen

De berekening is uitgevoerd met het geleiderbelastingenprogramma van DNV. In Appendix A zijn de resultaten van de geleiderbelastingen samengevat.

3.6 Reacties op de fundering

De oplegreacties op de fundering worden ontleend aan de uitvoer van het geleiderbelastingenprogramma, zie ook Appendix A.

3.7 Modelling

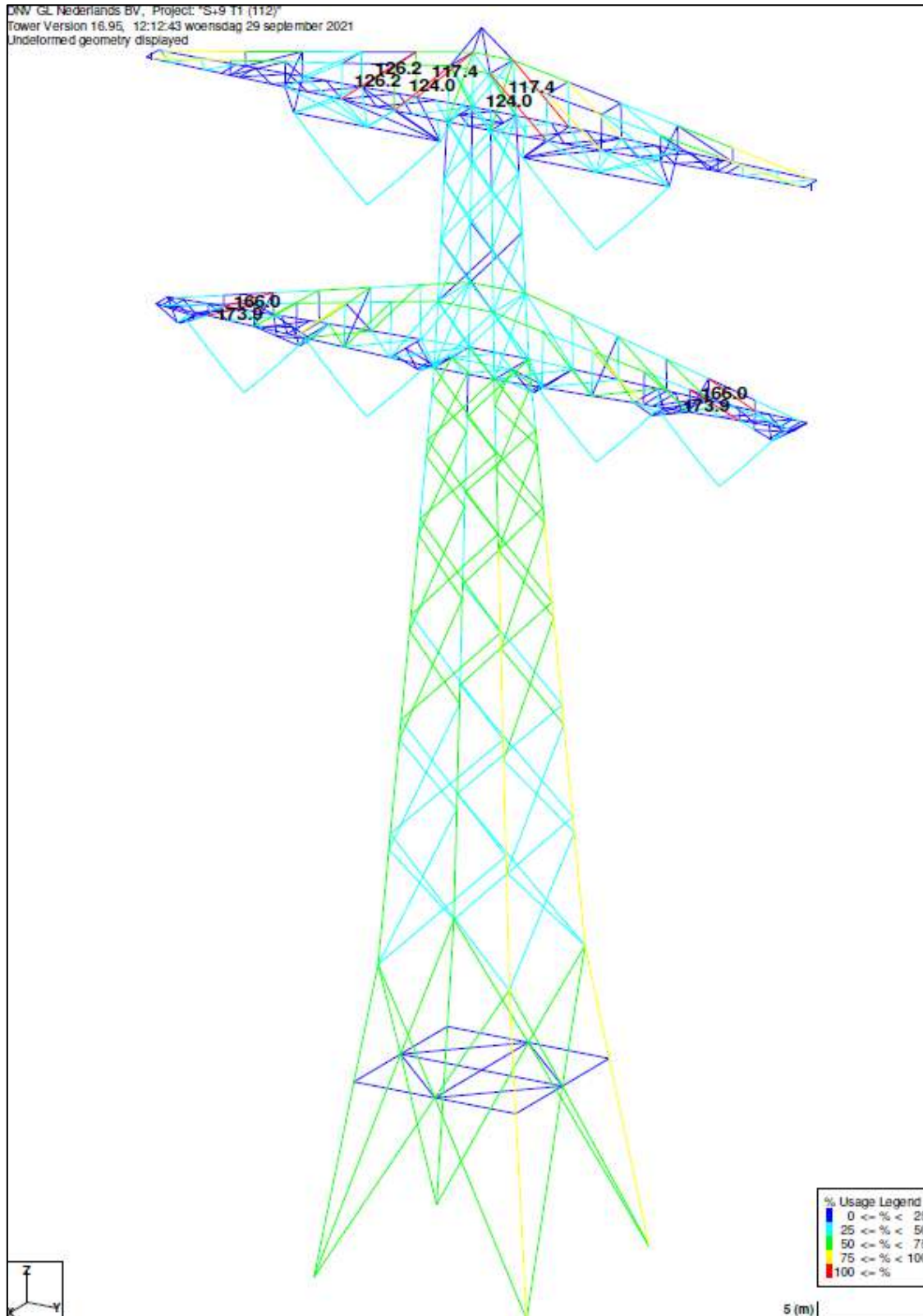
Op basis van de as-built tekeningen is de mast in PLS-TOWER ingevoerd. De hoofdelementen zijn gemodelleerd. Niet-dragende profielen als knikverkorters zijn weggelaten en worden separaat getoetst. De profielen inclusief de boutverbindingen zijn in PLS-TOWER ingevoerd en getoetst. Controle van de schetsplaten en andere detailverbindingen valt buiten de scope.

De geleiderbelastingen vanuit het geleiderbelastingenprogramma zijn als invoer voor de belastingen gebruikt.

Diagonalen in voor- en achtervlak respectievelijk de twee zijvlakken zijn ge groepeerd en de toetsing wordt per staafgroep uitgevoerd. Ingeval dat een element uit een groep is overbelast, geldt dit voor alle elementen uit de betreffende groep.

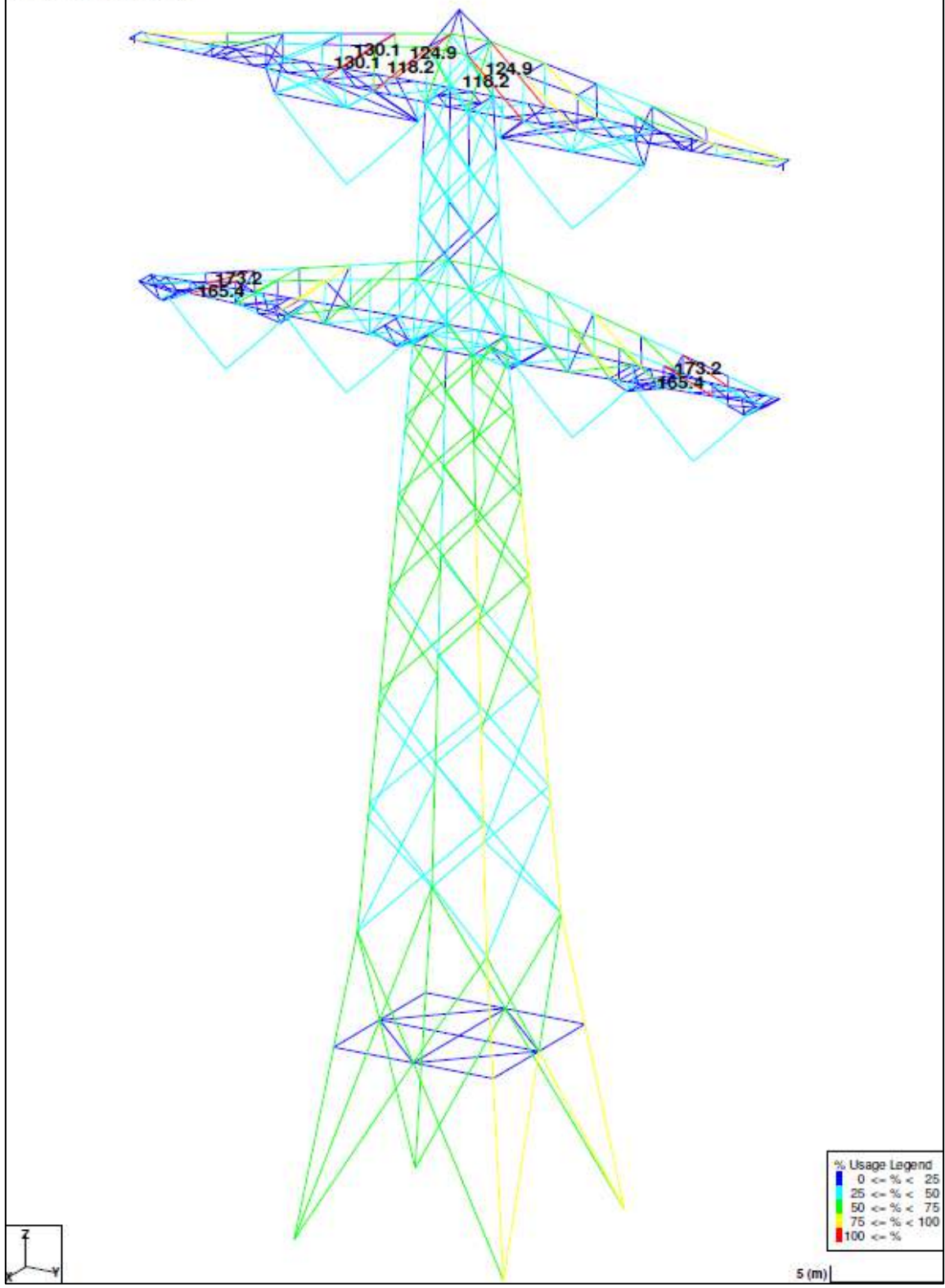
4 TOETSING MAST

Het resultaat van de controle van de masttype S+9 met belastingen op afkeurniveau is weergegeven in Figuur 3 en Figuur 4.



Figuur 3 Resultaat PLS-TOWER S+9 (112)

DNV GL Nederlands BV, Project: "S+9 (113)"
 Tower Version 16.95, 12:18:42 woensdag 29 september 2021
 Undeformed geometry displayed



Figuur 4 Resultaat PLS-TOWER S+9 (113)

De resultaten van de controles van profielen, knikverkorters en blokdeuvels randstijl zijn opgenomen in Tabel 4.

Tabel 4 Samenvatting controle

Controle van	Beoordeling		Referentie
Profielen		Voldoen niet	Figuur 3 Appendix B
Knikverkorters		Voldoen niet	Appendix C
Blokdeuvels	Voldoen		Appendix D

5 AANPASSINGEN

5.1 Inleiding

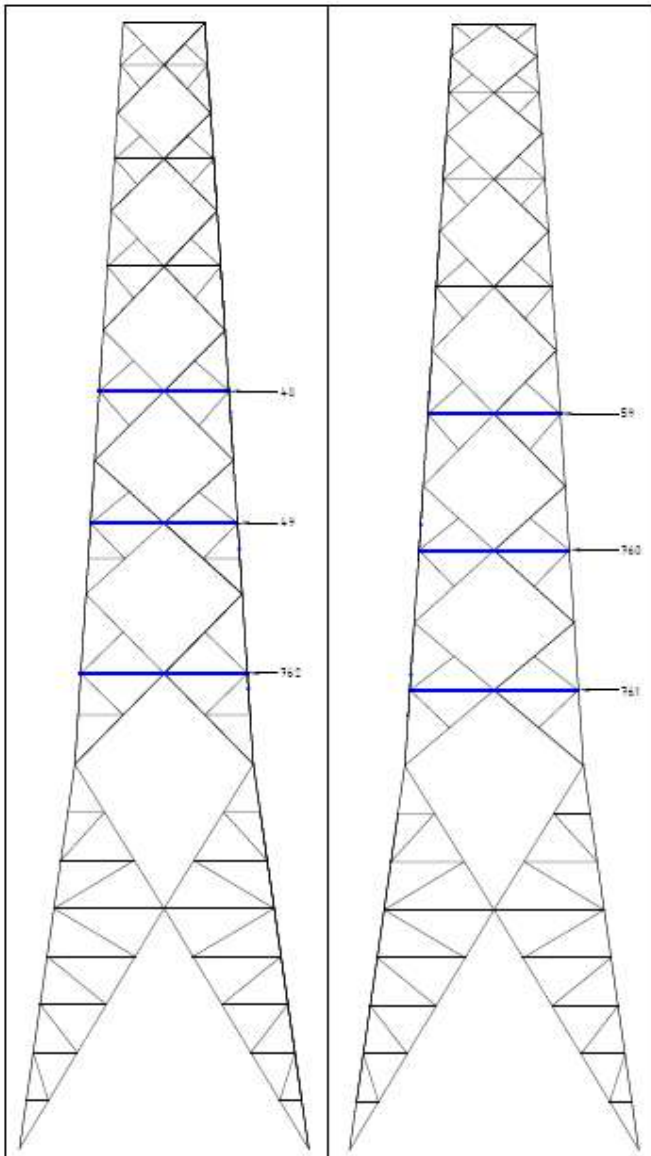
In dit deel worden versterkingen van de mast voorgesteld om ervoor te zorgen dat de mast voldoet aan afkeurniveau. Nieuwe profielen of bouten moeten voldoen aan de eisen op basis van verbouwniveau. Het voorstel bevat de volgende maatregelen:

- Vervanging horizontale knikverkorters
- Vervanging van diagonalen in beide traversen.

Alle wijzigingen zijn van toepassing op zowel mast 112 als mast 113.

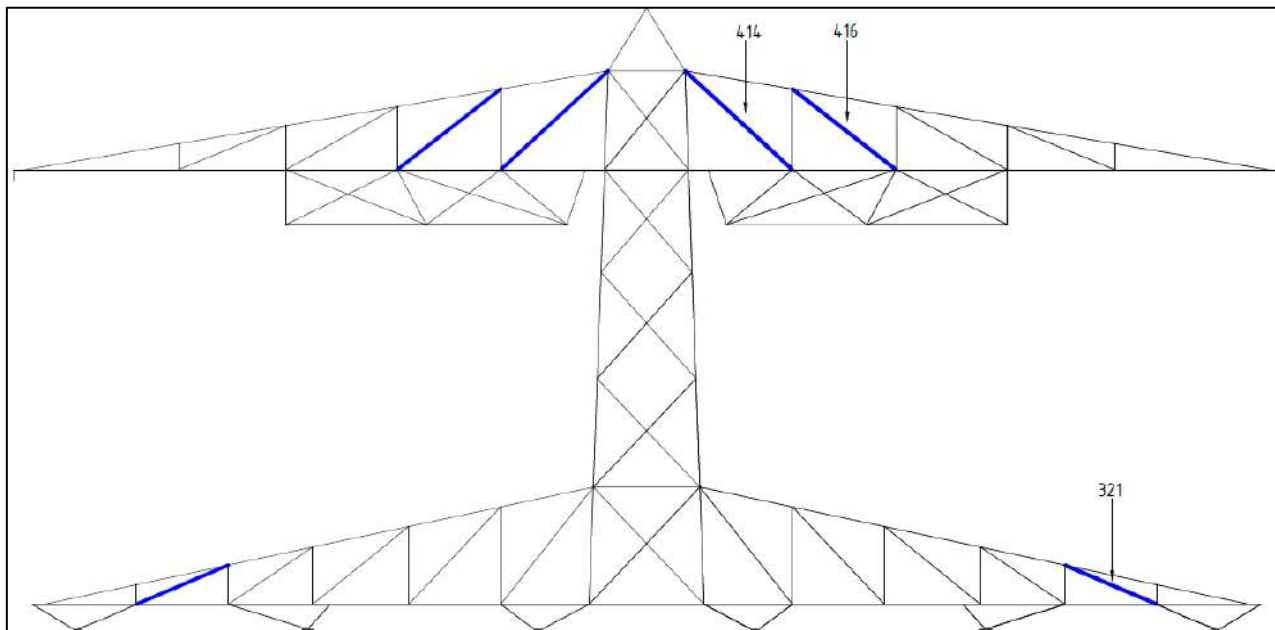
5.2 Aanpassingen

Conform de berekeningen in Appendix C moeten de knikverkorters in het mastlichaam worden vervangen zoals aangegeven in Figuur 5.



Figuur 5 Vervanging knikverkorters vooraanzicht (links) en zijaanzicht (rechts)

Figuur 6 toont de diagonalen die in de traversen moeten worden vervangen. Zie Appendix E voor meer details.



Figuur 6 Vervanging van diagonalen op beide dwarsbalken

Tabel 5 geeft een overzicht van het gewicht van de profielen (per mast) voor de wijzigingen en is van toepassing op zowel mast 112 als mast 113.

Tabel 5 Gewicht van profielen vereist voor wijzigingen aan mast 112 en 113

Groep-label	Profiel	Materiaal	Bouten	Profiel nieuw	Materiaal nieuw	Bouten nieuw	Maatregel	Aantal	Lengte (m)	Gewicht (kg)
762	L50.5	S235	1M12-5.6t	L70.7	S355	1M12-8.8t	Profielen uitgewisseld	4	3.00	88.56
761	L50.5	S235	1M12-5.6t	L70.7	S355	1M12-8.8t	Profielen uitgewisseld	4	3.03	89.45
760	L45.5	S235	1M12-5.6t	L60.6	S355	1M12-8.8t	Profielen uitgewisseld	4	2.70	59.70
49	L45.5	S235	1M12-5.6t	L55.6	S355	1M12-8.8t	Profielen uitgewisseld	4	2.64	53.31
48	L45.5	S235	1M12-5.6t	L50.5	S355	1M12-8.8t	Profielen uitgewisseld	4	2.32	35.64
59	L45.5	S235	1M12-5.6t	L50.5	S355	1M12-8.8t	Profielen uitgewisseld	4	2.37	36.40
321	L50.5	S235	1M16-5.6t	L60.6	S355	1M16-8.8t	Profielen uitgewisseld	4	2.62	56.83
414	L55.6	S235	1M16-5.6t	L55.6	S355	1M16-8.8t	Profielen uitgewisseld	4	3.80	74.45
416	L50.5	S235	1M16-5.6t	L55.6	S355	1M16-8.8t	Profielen uitgewisseld	4	3.42	67.00
								36		561.34

5.3 Verificatie eisen

De verificatie van de van toepassing zijnde eisen is uitgevoerd in Tabel 6.

Tabel 6 Verificatie eisen

Eis id	Eis tekst	Ja	Nee	N.v.t.	Toelichting
BO Eis: H2.7-6	Aanpassingen uitvoerbaar?	X			De stalen onderdelen die zullen worden toegevoegd kunnen worden bevestigd met boutverbindingen. Dit is een bewezen methode. De wijziging heeft gevolgen voor de dragende profielen. Tijdelijke maatregelen (tuien) om de belasting over te nemen kunnen noodzakelijk zijn.
PVE.05.001 5.14	Staaldelen in nabijheid van klimweg gewijzigd? Klimvoorziening nog in overeenstemming is met de NEN 1060:1964?			X	Geen wijzigingen
		X			Geen wijzigingen



6 REFERENTIES

- [1] "002.586.40 0825946 - 21-0463 - Verificatie & validatieplan 380kV verbinding Maasbracht - Eindhoven".
- [2] "002.586.40 0825934 - 21-0483 - E-studie deel 1 380kV verbinding Maasbracht - Eindhoven".
- [3] "002.586.40 0825942 - 21-0138 - Uitgangspuntenrapport 380kV verbinding Maasbracht - Eindhoven".



APPENDIX A

GELEIDERBELASTINGEN

Project: MBT-EHV
Tower: S+9
Number: 112

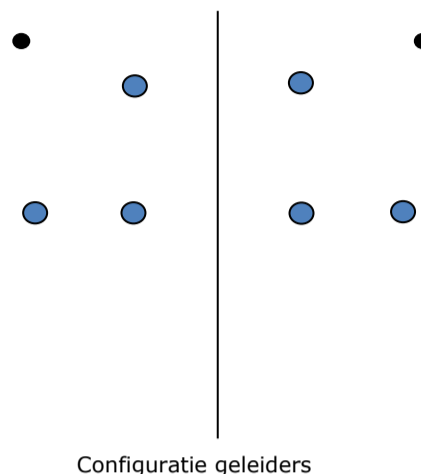
Conductor loads Auteur: TBR
Versie: v12.0

General

Description S+9
Tower type Steunmast
Number of circuits 2
Configuration 2-circuit-donau
Number of earth wires 2

Starting points

Norm NEN-EN50341-2-15:2019
Consequence class CC2-0
Reliability level initial Afkeur CC2-0
Reference period initial 30 jaar
Consequence class modified CC2
Reliability level modified Verbouw
Reference period modified 50 jaar
Wind zone III
Wind speed (m/s) 24,5 m/s
Terrain category II
Reduction factor c_{dir} 1,00
Ice region phase conductor B
Ice region earth conductor B



Conductors back

Description	Voltage	Conductor Back	Bundle Ba	Ice region	Additional weight	Additional diameter	Catenary P_{back}
Circuit 1	380 kV	ACCC-Warsaw	3	B	3 %	3 %	1400
Circuit 2	380 kV	ACCC-Warsaw	3	B	3 %	3 %	1400
Bliksemdraad 1		AACSR 241-AL3-39-A20SA	1	B	3 %	3 %	1550
Bliksemdraad 2		OPGW AFL-226/38	1	B	3 %	3 %	1550

Conductors ahead

Description	Voltage	Conductor Ahead	Bundle Ah	Ice region	Additional weight	Additional diameter	Catenary P_{ahead}
Circuit 1	380 kV	ACCC-Warsaw	3	B	3 %	3 %	1400
Circuit 2	380 kV	ACCC-Warsaw	3	B	3 %	3 %	1400
Bliksemdraad 1		AACSR 241-AL3-39-A20SA	1	B	3 %	3 %	1550
Bliksemdraad 2		OPGW AFL-226/38	1	B	3 %	3 %	1550

Insulators (1)

Description	Suspension	Weight [kN]	Length [m]	Wind area [m ²]
Circuit 1	V-ketting	3,50	4,50	2,00
Circuit 2	V-ketting	3,50	4,50	2,00
Bliksemdraad 1	Vast (Bliksemdraad)	0,10	0,50	0,05
Bliksemdraad 2	Vast (Bliksemdraad)	0,10	0,50	0,05

1. Properties apply to the entire isolator set

Suspension height and position in mast

Circuits	Designation	Number	Suspension height	Attach point	Position in tower Horizontal distance
Circuit 1	10	380ct1f1	37,0 m	41,5 m	-11,9 m
Circuit 1	11	380ct1f2	37,0 m	41,5 m	-5,8 m
Circuit 1	12	380ct1f3	48,3 m	52,8 m	-5,7 m
Circuit 2	20	380ct2f1	37,0 m	41,5 m	5,8 m
Circuit 2	21	380ct2f2	37,0 m	41,5 m	11,9 m
Circuit 2	22	380ct2f3	48,3 m	52,8 m	5,7 m
Bliksemdraad 1	1	bl1	52,3 m	52,8 m	-16,5 m
Bliksemdraad 2	3	bl2	52,3 m	52,8 m	16,5 m

Project: MBT-EHV
 Tower: S+9
 Number: 112

Height adjustment adjacent masts (wind and weight span adjustment)

	Back	Ahead	
Height increase for wind pressure	0,0 m	0,0 m	(positive: higher)
Height decrease for vertical load	0,0 m	0,0 m	(negative: decrease, more weight span)
Decrease: Niet in 0,9EG-combinaties			

Height difference adjacent tower and change of direction with respect to Line direction

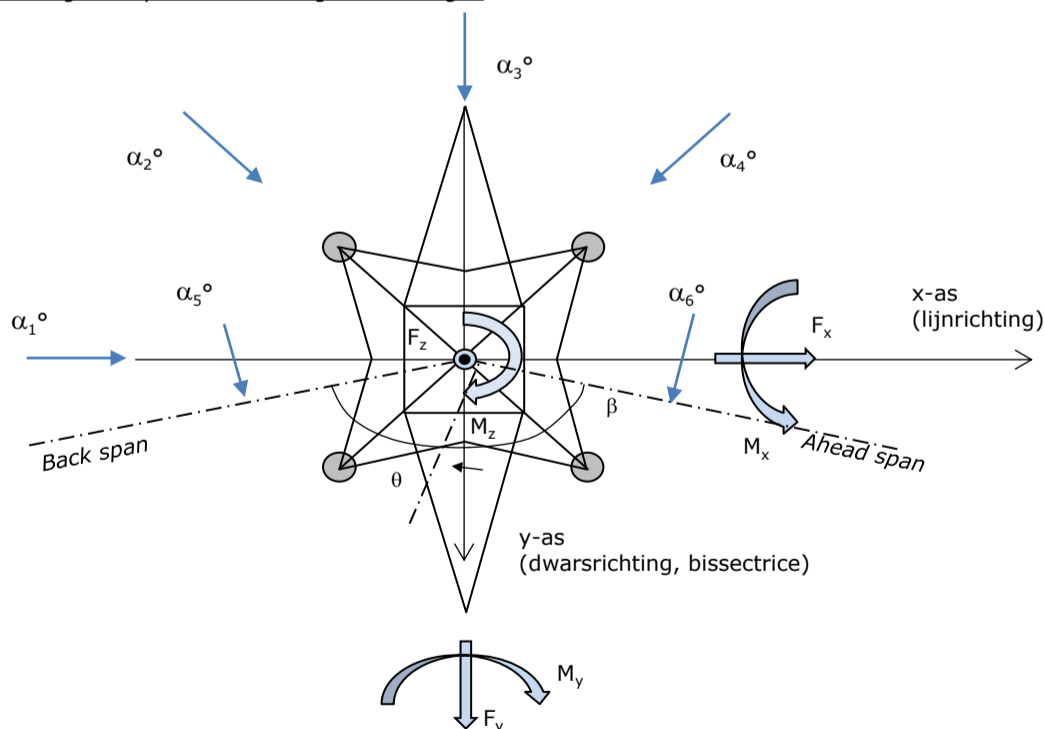
Circuits	Aanduiding	Nummer	Hoogteverschil		Richtingsverandering	
			Δh_{back}	Δh_{ahead}	Δy_{back}	Δy_{ahead}
Circuit 1	10	380ct1f1	-10,0	1,3 m	0,0	0,0 m
Circuit 1	11	380ct1f2	-10,1	1,3 m	0,0	0,0 m
Circuit 1	12	380ct1f3	-9,3	1,3 m	0,0	0,0 m
Circuit 2	20	380ct2f1	-10,1	1,3 m	0,0	0,0 m
Circuit 2	21	380ct2f2	-10,0	1,3 m	0,0	0,0 m
Circuit 2	22	380ct2f3	-9,3	1,3 m	0,0	0,0 m
Bliksemdraad 1	1	bl1	-9,2	1,3 m	0,0	0,0 m
Bliksemdraad 2	3	bl2	-9,2	1,3 m	0,0	0,0 m

Line and tower data

	Back	Ahead
Ruling span $\sqrt{(\Sigma L^3)/\Sigma L}$	361,0	219,0 m
Line angle β	180 °	
Tower orientation with respect to bisector θ	0 °	
Section length	3857	3857 m
Height bottom of tower to ground level	0,5 m	
Wind directions considered α_1	0 °	
Wind directions according to: α_2	45 °	
<i>Geleiderbelastingen</i> α_3	90 °	
α_4	135 °	
α_5	- °	
α_6	- °	

Wind directions apply to the main direction of mast construction, not to the bisector.

Windrichtingen en positieve richtingen belastingen



Considered number of wind directions

1a	4
3	4
4	1
6	1
Overig	1

Project: MBT-EHV
 Tower: S+9
 Number: 112

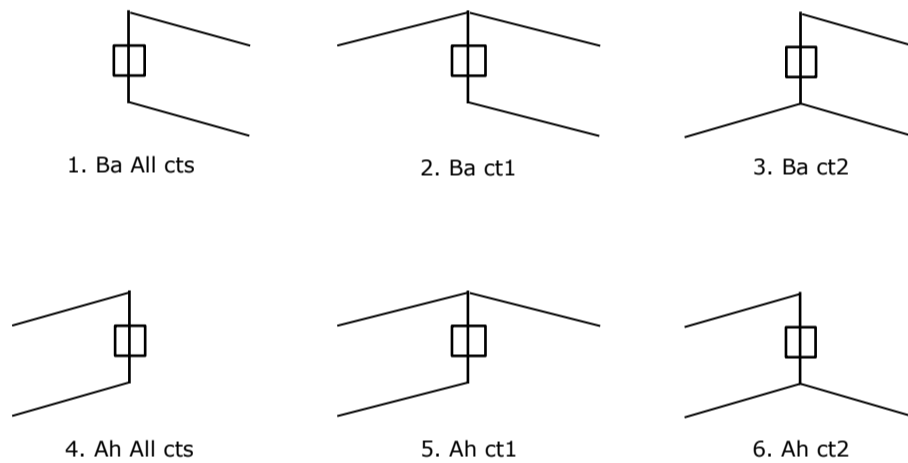
Absence of conductors

		SPLS - torsie		SPLS - Enkelzijdige trek		5a - geleiderbreuk	
		Aanw.	Afw.	Aanw.	Afw.	Aanw.	Afw.
Circuit 1	380ct1f1	1	0	1	0	0,8	0
Circuit 1	380ct1f2	1	0	1	0	0,8	0
Circuit 1	380ct1f3	1	0	1	0	0,8	0
Circuit 2	380ct2f1	0	1	1	0	0,8	0
Circuit 2	380ct2f2	0	1	1	0	0,8	0
Circuit 2	380ct2f3	0	1	1	0	0,8	0
Bliksemdraad 1	bl1	1	0	1	0	1	0
Bliksemdraad 2	bl2	0	1	1	0	1	0

Load situations SPLS

Considered situations SPLS: SPLS for suspension tower not applicable

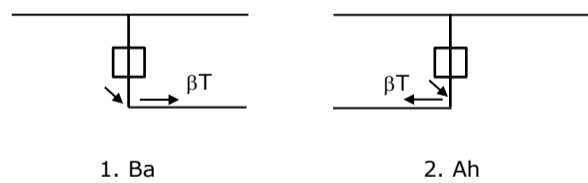
Principle of load situations:



Load situation 5a. Conductor failure

Considered situations conductor failure 5a: 1 and 2, all possible situations

Principle of load situations:



Project: MBT-EHV
 Tower: S+9
 Number: 112

Load situations LC6. Construction and maintenance

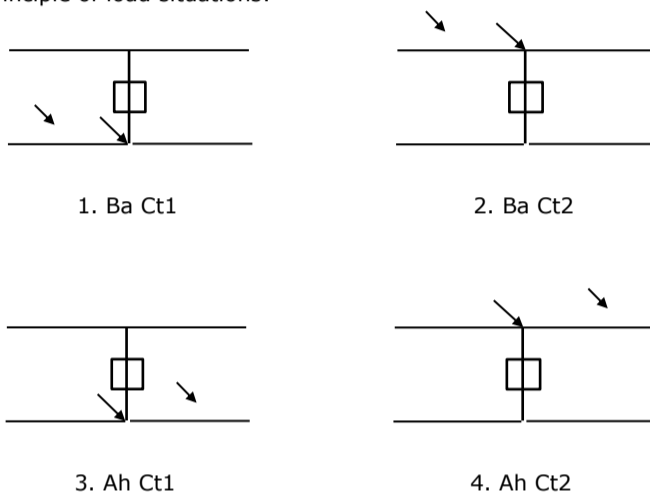
Under 6a, the load due to the presence of a line vehicle or line bicycle in combination with point load on the traverse is assessed. Combination 6b does not contain any loads in conductor or on traverse. This combination has been added to be able to combine with separate control platforms, etc. The situations are applied in ULS and in every SPLS situation (in case of angle tower).

	Phase	Earth
Line vehicle	3,0 kN	2,0 kN
Concentrated load cross arm	1,0 kN	1,0 kN

Beschouwde situaties bouw- en onderhoud 6a: 1 t/m 4, alle mogelijke situaties.

Presence line vehicle: Circuit, belasting tegelijk aanwezig in alle geleiders per circuit.

Principle of load situations:



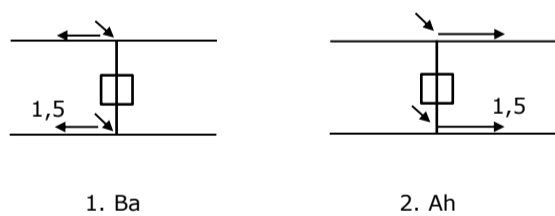
Load situations 8. Galloping as a static load

Conductor		
Suspension tower phase	0,866 W	1,5 W
Suspension tower earth	1,5 EDS	1,5 W
Strain tower phase and earth	1,5 EDS	1,5 W

Considered situations galloping 8: None (existing structure)

Load simultaneously present in all conductors of the circuit.

Principle of load situations:



Load combination 8. Galloping as a dynamic load

Only applies to tension towers

Load consists of EDS tensile load in one of the conductors on one side of the tower

Can be converted by user to fatigue spectrum via the load spectrum of table 4.11 / NL.1

Project: MBT-EHV
 Tower: S+9
 Number: 112

Tower structure

Properties

Tower type	Steunmast	
Tower designation	S+9	
Base plate w.r.t. ground level	0,5 m	
Tower height w.r.t. base plate	57,0 m	
Tower self weight	350,0 kN	
<i>Width and slope at foundation</i>		
	x-ri.	y-ri.
Leg spread	10,65	10,65 m
Inclination of main leg	0,144	0,144 -
Horizontal force factor	1,4	1,4 -

Calculation Wind load

Dynamic factor G_T	1,00 (<i>Masthoogte < 60 m</i>)
Wind load diagonally to tower body proportional to:	$(A1C1\sin^2(\phi)+A2C2\cos^2(\phi))$
Wind load diagonally on traverse proportional to:	$(A1C1\sin^2(\phi)+A2C2\cos^2(\phi))$
Magnification factor diagonal wind to tower body	$(1+0,2\sin^2(2\phi))$
Magnification factor diagonal wind to cross arm	$(1+0,2\sin^2(2\phi))$
Magnification factor wind parallel to perpendicular to cross arm	0,4

Properties mast sections longitudinal direction (front view, yz plane)

Description	h [m]	b ₁ [m]	b ₂ [m]	Δh [m]	Δ _x [m]	A ₀ [m ²]	A ₁ [m ²]	χ = A ₁ /A ₀ [-]	C _t
Broekstuk	14,18	10,65	6,57	14,18	0,144	122,03	18,68	0,15	3,14
Tussenstuk1	30,18	6,57	4,48	16,00	0,065	88,42	14,48	0,16	3,09
Tussenstuk2	41,50	4,48	3,00	11,33	0,065	42,36	10,11	0,24	2,77
Bovenstuk1	47,37	3,00	2,58	5,87	0,036	16,36	5,70	0,35	2,37
Bovenstuk2	55,38	2,58	2,00	8,01	0,036	18,31	6,55	0,36	2,34
Topstuk	57,01	2,00		1,63		1,63	0,40	0,25	2,74
Ondertraverse	41,50	14,50		3,05		22,11	5,16	0,23	2,79
Boventraverse	52,80	15,41		2,58		19,84	7,14	0,36	2,34

Properties tower sections transversal direction (side view, xz plane)

Description	h [m]	b ₁ [m]	b ₂ [m]	Δh [m]	Δ _x [m]	A ₀ [m ²]	A ₁ [m ²]	χ = A ₁ /A ₀ [-]	C _t
Broekstuk	14,18	10,65	6,57	14,18	0,144	122,03	18,68	0,15	3,14
Tussenstuk1	30,18	6,57	4,48	16,00	0,065	88,42	14,48	0,16	3,09
Tussenstuk2	41,50	4,48	3,00	11,33	0,065	42,36	10,11	0,24	2,77
Bovenstuk1	47,37	3,00	2,58	5,87	0,036	16,36	5,70	0,35	2,37
Bovenstuk2	55,38	2,58	2,00	8,01	0,036	18,31	6,55	0,36	2,34
Topstuk	57,01	2,00		1,63		1,63	0,40	0,25	2,74
Ondertraverse	41,50	14,50		3,05		22,11	5,16	0,23	2,79
Boventraverse	52,80	15,41		2,58		19,84	7,14	0,36	2,34

Note: Surface area transverse direction in table is reduced in calculation.

Note: surface area of cross arm is for each side, ie. half of the total of both cross arms.

Project: MBT-EHV
Tower: S+9
Number: 112

Wind surface feeders telecom installations

Part	A (m ² /m)	Factor	Δh	A ₁
Broekstuk				
Tussenstuk1				
Tussenstuk2				
Bovenstuk1				
Bovenstuk2				

Input antennas

Description	A (m ²)	h (m)	C _f (m)
Antenne o.t.			

Tower section loads longitudinal (x-direction) per wind direction

Description	p _w [kN/m ²]	F _{x1} [kN]	F _{x2} [kN]	F _{x3} [kN]	F _{x4} [kN]	h _{ef} [m]	M _{y1} [kNm]	M _{y2} [kNm]	M _{y3} [kNm]	M _{y4} [kNm]
Broekstuk	0,70	41,2	34,9	0,0	-34,9	7,1	291,8	247,6	0,0	-247,6
Tussenstuk1	0,91	40,6	34,4	0,0	-34,4	22,2	899,3	763,1	0,0	-763,1
Tussenstuk2	1,04	29,1	24,7	0,0	-24,7	35,8	1041,9	884,1	0,0	-884,1
Bovenstuk1	1,10	14,9	12,7	0,0	-12,7	44,4	663,4	562,9	0,0	-562,9
Bovenstuk2	1,14	17,5	14,9	0,0	-14,9	51,4	901,2	764,7	0,0	-764,7
Topstuk	1,17	1,3	1,1	0,0	-1,1	56,2	72,2	61,3	0,0	-61,3
Ondertraverse	1,09	31,3	18,6	0,0	-18,6	42,5	1330,9	790,5	0,0	-790,5
Boventraverse	1,16	38,6	22,9	0,0	-22,9	53,7	2068,9	1228,9	0,0	-1228,9

Totaal		214,4	164,2	0,0	-164,2		7269,7	5303,1	0,0	-5303,1
---------------	--	--------------	--------------	------------	---------------	--	---------------	---------------	------------	----------------

Tower section loads transversal (y-direction) per wind direction

Description	p _w [kN/m ²]	F _{y1} [kN]	F _{y2} [kN]	F _{y3} [kN]	F _{y4} [kN]	h _{ef} [m]	M _{x1} [kNm]	M _{x2} [kNm]	M _{x3} [kNm]	M _{x4} [kNm]
Broekstuk	0,70	0,0	34,9	41,2	34,9	7,1	0,0	247,6	291,8	247,6
Tussenstuk1	0,91	0,0	34,4	40,6	34,4	22,2	0,0	763,1	899,3	763,1
Tussenstuk2	1,04	0,0	24,7	29,1	24,7	35,8	0,0	884,1	1041,9	884,1
Bovenstuk1	1,10	0,0	12,7	14,9	12,7	44,4	0,0	562,9	663,4	562,9
Bovenstuk2	1,14	0,0	14,9	17,5	14,9	51,4	0,0	764,7	901,2	764,7
Topstuk	1,17	0,0	1,1	1,3	1,1	56,2	0,0	61,3	72,2	61,3
Ondertraverse	1,09	0,0	18,6	12,5	18,6	42,5	0,0	790,5	532,3	790,5
Boventraverse	1,16	0,0	22,9	15,4	22,9	53,7	0,0	1228,9	827,6	1228,9

Total		0,0	164,2	172,5	164,2		0,0	5303,1	5229,8	5303,1
--------------	--	------------	--------------	--------------	--------------	--	------------	---------------	---------------	---------------

Resulting loads from mast construction incl. Antenna without conductors level foundation (char. Value)

Load / wind direction	F _x [kN]	F _y [kN]	F _z [kN]	M _x [kNm]	M _y [kNm]	M _z [kNm]
Permanente belasting	0	0	350	0	0	0
Windrichting 0°	214	0	0	0	7270	0
Windrichting 45°	164	164	0	5303	5303	0
Windrichting 90°	0	173	0	5230	0	0
Windrichting 135°	-164	164	0	5303	-5303	0

Project: MBT-EHV
 Tower: S+9
 Number: 112

Intermediate results for conductor loads

Conductors back

Circuit	Geleider	Diameter [mm]	A [mm ²]	G [N/m]	E [N/mm ²]	αT [-]
Circuit 1	ACCC-Warsaw	27,7	571,0	14,98	62700	1,88E-05
Circuit 2	ACCC-Warsaw	27,7	571,0	14,98	62700	1,88E-05
Bliksemdraad 1	AACSR 241-AL3-39-A20SA	21,8	281,0	9,38	70165	1,97E-05
Bliksemdraad 2	OPGW AFL-226/38	21,7	264,0	9,13	72000	1,98E-05

Conductors ahead

Circuit	Geleider	Diameter [mm]	A [mm ²]	G [N/m]	E [N/mm ²]	αT [-]
Circuit 1	ACCC-Warsaw	27,7	571,0	14,98	62700	1,88E-05
Circuit 2	ACCC-Warsaw	27,7	571,0	14,98	62700	1,88E-05
Bliksemdraad 1	AACSR 241-AL3-39-A20SA	21,8	281,0	9,38	70165	1,97E-05
Bliksemdraad 2	OPGW AFL-226/38	21,7	264,0	9,13	72000	1,98E-05

Vertical load back

Circuit	Bundle [-]	Additional [%]	$W_{z,G}$ [N/m]	Ice region	Formula	$W_{z,ijs}$ [N/m]	$W_{z,ijs,bundel}$ [N/m]
Circuit 1	3	3	46,3	B	4+0,2d	9,5	28,6
Circuit 2	3	3	46,3	B	4+0,2d	9,5	28,6
Bliksemdraad 1	1	3	9,7	B	4+0,2d	8,4	8,4
Bliksemdraad 2	1	3	9,4	B	4+0,2d	8,3	8,3

Vertical load ahead

Circuit	Bundle [-]	Additional [%]	$W_{z,G}$ [N/m]	Ice region	Formula	$W_{z,ijs}$ [N/m]	$W_{z,ijs,bundel}$ [N/m]
Circuit 1	3	3	46,3	B	4+0,2d	9,5	28,6
Circuit 2	3	3	46,3	B	4+0,2d	9,5	28,6
Bliksemdraad 1	1	3	9,7	B	4+0,2d	8,4	8,4
Bliksemdraad 2	1	3	9,4	B	4+0,2d	8,3	8,3

Insulators

Conductor	$G_{isolator}$ [kN]	Number	$F_{v,iso}$ [kN]	Length [m]	Wind surf. [m ²]	Wind height [m]	Pressure [kN/m ²]	Drag factor [-]	$F_{h,iso}$ [kN]
380ct1f1	3,50	1	3,5	4,5	2,0	39,75	1,07	1,2	2,56
380ct1f2	3,50	1	3,5	4,5	2,0	39,75	1,07	1,2	2,56
380ct1f3	3,50	1	3,5	4,5	2,0	51,05	1,14	1,2	2,74
380ct2f1	3,50	1	3,5	4,5	2,0	39,75	1,07	1,2	2,56
380ct2f2	3,50	1	3,5	4,5	2,0	39,75	1,07	1,2	2,56
380ct2f3	3,50	1	3,5	4,5	2,0	51,05	1,14	1,2	2,74
bl1	0,10	1	0,1	0,5	0,1	53,05	1,15	1,2	0,07
bl2	0,10	1	0,1	0,5	0,1	53,05	1,15	1,2	0,07

Project: MBT-EHV
 Tower: S+9
 Number: 112

Wind load back

Conductor	Height		G_{c_dwars}	G_{c_trek}	C_c	$d_{additional}$	w_y	$w_{y,section}$	$D_{ijs,additional}$	$w_{y,ijs}$	$w_{y,ijs,section}$
	wind	Pressure									
	[m]	[kN/m ²]	[-]	[-]	[-]	[mm]	[N/m]	[N/m]	[mm]	[N/m]	[N/m]
380ct1f1	24,7	0,94	0,59	0,48	1,11	28,53	52,3	42,8	47,4	93,6	76,6
380ct1f2	24,7	0,93	0,59	0,48	1,11	28,53	52,3	42,8	47,4	93,5	76,5
380ct1f3	36,4	1,04	0,62	0,50	1,08	28,53	59,9	48,9	47,4	110,1	89,8
380ct2f1	24,7	0,93	0,59	0,48	1,11	28,53	52,3	42,8	47,4	93,5	76,5
380ct2f2	24,7	0,94	0,59	0,48	1,11	28,53	52,3	42,8	47,4	93,6	76,6
380ct2f3	36,4	1,04	0,62	0,50	1,08	28,53	59,9	48,9	47,4	110,1	89,8
bl1	41,2	1,08	0,63	0,51	1,20	22,45	18,2	14,9	41,9	34,1	27,8
bl2	41,2	1,08	0,63	0,51	1,20	22,35	18,2	14,8	41,8	34,0	27,8

Wind load ahead

Conductor	Height		G_{c_dwars}	G_{c_trek}	C_c	$d_{additional}$	w_y	$w_{y,section}$	$D_{ijs,additional}$	$w_{y,ijs}$	$w_{y,ijs,section}$
	wind	Pressure									
	[m]	[kN/m ²]	[-]	[-]	[-]	[mm]	[N/m]	[N/m]	[mm]	[N/m]	[N/m]
380ct1f1	35,3	1,03	0,62	0,50	1,09	28,53	59,2	48,4	47,4	108,7	88,7
380ct1f2	35,3	1,03	0,62	0,50	1,09	28,53	59,2	48,4	47,4	108,7	88,7
380ct1f3	46,6	1,11	0,64	0,52	1,07	28,53	64,9	52,9	47,4	121,4	98,9
380ct2f1	35,3	1,03	0,62	0,50	1,09	28,53	59,2	48,4	47,4	108,7	88,7
380ct2f2	35,3	1,03	0,62	0,50	1,09	28,53	59,2	48,4	47,4	108,7	88,7
380ct2f3	46,6	1,11	0,64	0,52	1,07	28,53	64,9	52,9	47,4	121,4	98,9
bl1	50,9	1,14	0,65	0,53	1,18	22,45	19,6	15,9	41,9	37,1	30,2
bl2	50,9	1,14	0,65	0,53	1,19	22,35	19,5	15,9	41,8	37,0	30,1

Note: loads w_v are applicable to the sum of the conductors within the bundle

Project: MBT-EHV
Tower: S+9
Number: 112

Auteur: TBR
Versie: v12.0

Conductor loads

Starting points

Consequence class Afkeur CC2-0
Reference period 30 jaar

ULS (strength)		NEN-EN50341-2-15:2019						
Load case	description	Temp °C	γ_G $G_{k,mast}$	γ_G $G_{k,geleider}$	γ_Q Q_{pk}	γ_Q Q_{wk}	γ_Q Q_{ik}	γ_a A_k
ULS 1a	Wind	10°	1,05	1,05	0,00	1,12	0,00	0,0
ULS 1a_0,9	Wind 0,9Gk only tower	10°	0,90	1,05	0,00	1,12	0,00	0,0
ULS 1a_0,9_0,9	Wind 0,9Gk conductors too	10°	0,90	0,90	0,00	1,12	0,00	0,0
ULS 3	Wind+ice	-5°	1,05	1,05	0,00	0,34	0,97	0,0
ULS 3_0,9	Wind+ice 0,9Gk	-5°	0,90	1,05	0,00	0,34	0,97	0,0
ULS 4	Cold+wind	-20°	1,05	1,05	0,00	0,22	0,00	0,0
ULS 4_0,9	Cold+wind 0,9Gk	-20°	0,90	1,05	0,00	0,22	0,00	0,0
ULS 5a	Torsional loads	10°	1,00	1,00	1,00	0,00	0,00	1,0
ULS 5b	Longitudinal loads	10°	1,00	1,00	0,00	0,00	0,00	1,0
ULS 6	Construction + maintenance	5°	1,05	1,05	1,20	0,22	0,00	0,0
ULS 6_0,9	Construction + maintenance	5°	1,05	1,05	0,00	0,22	0,00	0,0
ULS 7	Permanent	10°	1,15	1,15	0,00	0,00	0,00	0,0
ULS 8	Special	10°	1,00	1,00	0,00	0,00	0,00	1,0
SPLS (strength, for angle towers: absence of conductors)			γ_G G_k	γ_Q Q_{pk}	γ_Q Q_{wk}	γ_Q Q_{ik}	γ_a A_k	
SPLS 1a	Wind	10°	1,05	1,05	0,0	0,78	0,00	0,0
SPLS 1a_0,9	Wind 0,9	10°	0,90	1,05	0,0	0,78	0,00	0,0
SPLS 1a_0,9_0,9	Wind 0,9	10°	0,90	0,90	0,0	0,78	0,00	0,0
SPLS 3	Wind+ice	-5°	1,05	1,05	0,0	0,36	0,34	0,0
SPLS 3_0,9	Wind+ice 0,9	-5°	0,90	1,05	0,0	0,36	0,34	0,0
SPLS 4	Cold+wind	-20°	1,05	1,05	0,0	0,24	0,00	0,0
SPLS 4_0,9	Cold+wind 0,9	-20°	0,90	1,05	0,0	0,24	0,00	0,0
SPLS 6	Maintenance	5°	1,05	1,05	1,2	0,24	0,0	0,0
SPLS 6_0,9	Maintenance	5°	1,05	1,05	0,0	0,24	0,0	0,0
SLS (deformations, fatigue, EDS)			G_k	Q_{pk}	Q_{wk}	Q_{ik}	A_k	
SLS 1a	Wind	10°	1,00	1,00	0,0	0,94	0,0	0,0
SLS 3	Wind+ice	-5°	1,00	1,00	0,0	0,28	0,88	0,0
SLS 4	Wind	-20°	1,00	1,00	0,0	0,19	0,0	0,0
SLS 6	Maintenance	5°	1,00	1,00	0,0	0,19	0,0	0,0
SLS 7	EDS, no wind	10°	1,00	1,00	0,0	0,00	0,0	0,0

Number of wind directions 4
Number of load combinations for ULS 44
Number of load combinations for SPLS 0
Number of load combinations for SLS 11
Number of concentrated loads 440

Project: MBT-EHV
 Tower: S+9
 Number: 112

Summary table - Conductor loads

The four tables below show:

- The maximum conductor load in the global axis system, split into proportion of back and ahead span
- The combined conductor load (Ba+Ah) in the global axis system with the maximum tensile force in the local axes. Components Fx and Fy as absolute values
- The everyday (EDS) values of the combined conductor loads (Ba+Ah) with corresponding tensile forces
- Check for uplift, where a negative value indicates uplift

Note: Maximum values for Fx, Fy and Fz do not necessarily belong to the same load combination.

*For Steunmast the special combination SPLS 6 don't apply.

Maximum values for back and ahead span

Geleider	Fx_ba [kN]	Fx_ah [kN]	Fy_ba [kN]	Fy_ah [kN]	Fz_ba [kN]	Fz_ah [kN]
bl1	-29,3	29,3	3,7	2,4	5,7	3,0
bl2	-28,8	28,8	3,7	2,4	5,7	3,0
380ct1f1	-110,7	110,7	12,0	8,7	18,7	9,6
380ct1f2	-110,7	110,7	12,0	8,7	18,7	9,6
380ct1f3	-112,3	112,3	13,6	9,5	18,5	9,6
380ct2f1	-110,7	110,7	12,0	8,7	18,7	9,6
380ct2f2	-110,7	110,7	12,0	8,7	18,7	9,6
380ct2f3	-112,3	112,3	13,6	9,5	18,5	9,6

Min. Weight span (m)

Weight spar Combinatie1

Geleider	SLS 1a	SLS 4	SLS 7
bl1	320,6	325,7	320,6
bl2	320,6	325,8	320,6
380ct1f1	320,8	324,5	320,8
380ct1f2	321,0	324,7	321,0
380ct1f3	317,9	321,4	317,9
380ct2f1	321,0	324,7	321,0
380ct2f2	320,8	324,5	320,8
380ct2f3	317,9	321,4	317,9

Max. Weight span (m)

Weight spar Combinatie1

Geleider	ULS 1a	ULS 3
bl1	341,4	321,3
bl2	342,1	321,3
380ct1f1	330,7	321,6
380ct1f2	331,0	321,8
380ct1f3	329,4	319,1
380ct2f1	331,0	321,8
380ct2f2	330,7	321,6
380ct2f3	329,4	319,1

Envelop of weight span over all combinations (incl. 0,9 combinations)

For all conductors

Wind / Weight span ratio

Max. weight span	348,9 m	1,203 -
Min. weight span	316,5 m	1,091 -

Project: MBT-EHV
 Tower: S+9
 Number: 112

Geleider	Maximum values back + ahead span			Maximum tension in conductor	
	Fx [kN]	Fy [kN]	Fz [kN]	Ft_ba [kN]	Ft_ah [kN]
bl1	15,0	6,1	7,4	-31,8	31,9
bl2	14,6	6,1	7,3	-31,3	31,4
380ct1f1	51,8	20,7	28,2	-109,9	111,5
380ct1f2	51,8	20,7	28,2	-109,9	111,5
380ct1f3	51,8	23,1	28,0	-111,7	113,0
380ct2f1	51,8	20,7	28,2	-109,9	111,5
380ct2f2	51,8	20,7	28,2	-109,9	111,5
380ct2f3	51,8	23,1	28,0	-111,7	113,0

EDS-loads conductor					
Geleider	Fx [kN]	Fy [kN]	Fz [kN]	Ft_ba [kN]	Ft_ah [kN]
bl1	0,0	0,0	3,2	-15,0	15,0
bl2	0,0	0,0	3,1	-14,6	14,6
380ct1f1	0,0	0,0	18,3	-64,8	64,8
380ct1f2	0,0	0,0	18,4	-64,8	64,8
380ct1f3	0,0	0,0	18,2	-64,8	64,8
380ct2f1	0,0	0,0	18,4	-64,8	64,8
380ct2f2	0,0	0,0	18,3	-64,8	64,8
380ct2f3	0,0	0,0	18,2	-64,8	64,8

1 Control uplift SLS-wind			
Combinatie: Geleider		Fz_ba [kN]	Fz_ah [kN]
SLS 4	bl1	2,2	1,0
	bl2	2,2	1,0
	380ct1f1	12,1	6,4
	380ct1f2	12,1	6,4
	380ct1f3	12,0	6,4
	380ct2f1	12,1	6,4
	380ct2f2	12,1	6,4
	380ct2f3	12,0	6,4

Project: MBT-EHV
 Tower: S+9
 Number: 112

ULS foundation loads for LC 1 and 3, wind perpendicular to the line or bisector and EDS, from conductors

Combination	Combination	F_x [kN]	F_y [kN]	F_z [kN]	M_x [kNm]	M_y [kNm]	M_z [kNm]
ULS 1a_90		0	141	125	6510	0	0
ULS 1a_0,9_90		0	141	125	6510	0	0
ULS 3_90		0	73	181	3376	0	0
ULS 3_0,9_90		0	73	181	3376	0	0
SLS 7		0	0	116	-1	0	0

ULS foundation loads, LC 1 and 3, wind perpendicular to the line or bisector and EDS, total conductors and tower

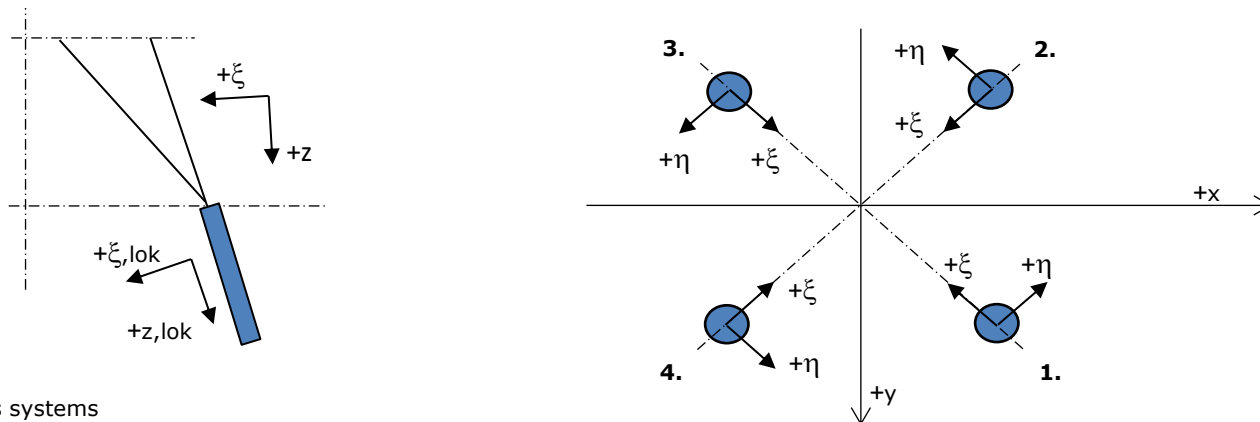
Combination	F_x [kN]	F_y [kN]	F_z [kN]	M_x [kNm]	M_y [kNm]	M_z [kNm]
ULS 1a_90	0	334	493	12351	0	0
ULS 3_90	0	131	548	5128	0	0
SLS 7	0	0	466	-1	0	0

Foundation loads, selection of load combinations based on greatest value

Combination	F_x [kN]	F_y [kN]	F_z [kN]	M_x [kNm]	M_y [kNm]	M_z [kNm]
ULS 1a_0,9_0,9_90	0	334	424	12351	0	0
ULS 1a_0	248	0	489	-1	8526	0
ULS 5a Ba 10	52	0	464	120	2151	-617
ULS 1a_0,9_0,9_45	190	257	421	9344	6210	0

Note: Largest values can appear in multiple combinations, one combination is displayed.

Support reactions per leg



Maximum compression load

Index	Combination	R_x [kN]	R_y [kN]	R_z [kN]	R_η [kN]	R_ξ [kN]	$R_{\xi,lok}$ [kN]	$R_{z,lok}$ [kN]
1	ULS 1a_45	160	148	853	9	-218	-44	871
2	ULS 1a_0	87	-105	523	13	-136	-29	534
3	ULS 5a Ah 22	-30	-56	247	-19	-61	-11	252
4	ULS 1a_135	-160	148	853	-9	-218	-44	871

Maximum tension load

Index	Combination	R_x [kN]	R_y [kN]	R_z [kN]	R_η [kN]	R_ξ [kN]	$R_{\xi,lok}$ [kN]	$R_{z,lok}$ [kN]
1	ULS 5a Ah 22	3	5	-13	-1	-6	-8	-13
2	ULS 1a_0,9_0,9_135	-115	102	-625	9	153	26	-638
3	ULS 1a_0,9_0,9_45	115	102	-625	-9	153	26	-638
4	ULS 1a_0,9_0,9_0	41	-59	-296	-13	71	11	-302

Maximum torsional load (positive)

Index	Combination	R_x [kN]	R_y [kN]	R_z [kN]	R_η [kN]	R_ξ [kN]	$R_{\xi,lok}$ [kN]	$R_{z,lok}$ [kN]
1	ULS 5a Ah 10	26	-11	19	26	-10	-6	19
2	ULS 5a Ba 21	23	-58	223	25	-57	-12	227
3	ULS 5a Ba 21	-26	11	21	27	-10	-6	21
4	ULS 5a Ah 10	-23	58	221	25	-57	-12	225

Maximum torsional load (negative)

Index	Combination	R_x [kN]	R_y [kN]	R_z [kN]	R_η [kN]	R_ξ [kN]	$R_{\xi,lok}$ [kN]	$R_{z,lok}$ [kN]
1	ULS 5a Ba 10	23	58	223	-25	-57	-12	227
2	ULS 5a Ah 21	26	11	19	-26	-10	-6	19
3	ULS 5a Ah 21	-23	-58	221	-25	-57	-12	226
4	ULS 5a Ba 10	-26	-11	21	-26	-10	-6	21

Project: MBT-EHV
 Tower: S+9
 Number: 112

Combination Ftensile+Fhor

Index	Combination	R _x [kN]	R _y [kN]	R _z [kN]	R _η [kN]	R _ξ [kN]	R _{ξ,lok} [kN]	R _{z,lok} [kN]
1	ULS 5a Ah 12	18	-9	-10	19	-6	-8	-10
2	ULS 1a_0,9_0,9_135	-115	102	-625	9	153	26	-638
3	ULS 1a_0,9_0,9_45	115	102	-625	-9	153	26	-638
4	ULS 1a_0,9_0,9_0	41	-59	-296	-13	71	11	-302

Permanent load

Index	Combination	R _x [kN]	R _y [kN]	R _z [kN]	R _η [kN]	R _ξ [kN]	R _{ξ,lok} [kN]	R _{z,lok} [kN]
1	SLS 7	23	23	116	0	-33	-9	119
2	SLS 7	23	-23	117	0	-33	-9	119
3	SLS 7	-23	-23	117	0	-33	-9	119
4	SLS 7	-23	23	116	0	-33	-9	119

Envelope of load combinations for all of the legs

Index	Combination	R _x [kN]	R _y [kN]	R _z [kN]	R _η [kN]	R _ξ [kN]	R _{ξ,lok} [kN]	R _{z,lok} [kN]
Max. pressure	ULS 1a_45	160	148	853	9	-218	-44	871
Max. tension	ULS 1a_0,9_0,9_45	115	102	-625	-9	153	26	-638
Max. pos. torsie	ULS 5a Ba 21	-26	11	21	27	-10	-6	21
Max. neg. torsie	ULS 5a Ba 10	-26	-11	21	-26	-10	-6	21
Comb. tension+torsie	ULS 1a_0,9_0,9_45	115	102	-625	-9	153	26	-638

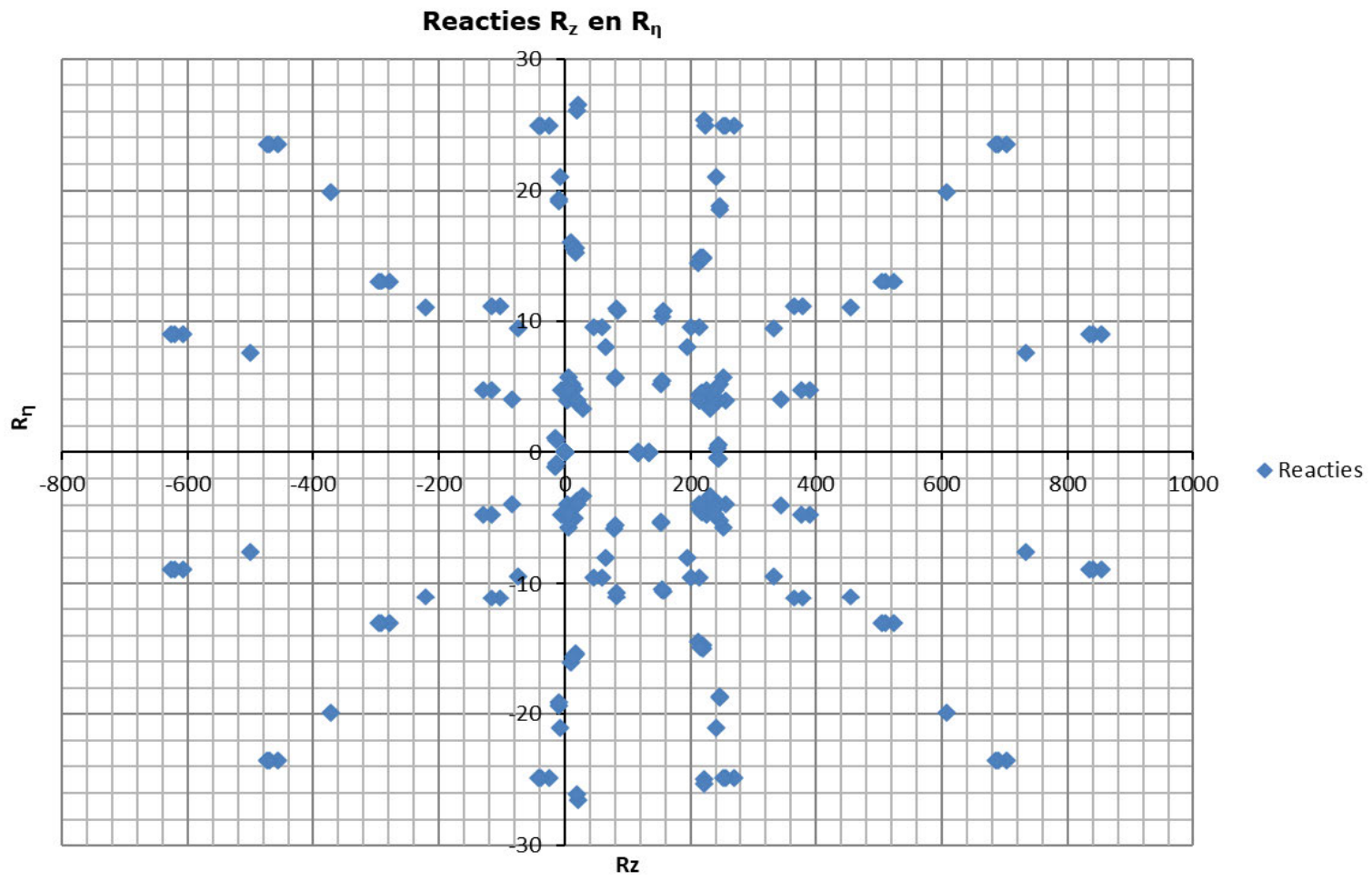
Maximum tension load - SLS

Index	Combination	R _x [kN]	R _y [kN]	R _z [kN]	R _η [kN]	R _ξ [kN]	R _{ξ,lok} [kN]	R _{z,lok} [kN]
1	SLS 7	23	23	116	0	-33	-9	119
2	SLS 1a_135	-91	80	-500	8	121	20	-510
3	SLS 1a_45	91	80	-500	-8	121	20	-510
4	SLS 1a_0	29	-45	-222	-11	52	7	-226

Maximum compression load - SLS

Index	Combination	R _x [kN]	R _y [kN]	R _z [kN]	R _η [kN]	R _ξ [kN]	R _{ξ,lok} [kN]	R _{z,lok} [kN]
1	SLS 1a_45	138	127	734	8	-188	-39	749
2	SLS 1a_0	76	-91	455	11	-118	-26	464
3	SLS 7	-23	-23	117	0	-33	-9	119
4	SLS 1a_135	-138	127	734	-8	-188	-39	749

Project: MBT-EHV
Tower: S+9
Number: 112



Project: MBT-EHV
Tower: S+9
Number: 112

Conductor loads Auteur: TBR
Versie: v12.0

Starting points
Consequence class Verbouw CC2
Reference period 50 jaar

ULS (strength)		NEN-EN50341-2-15:2019			γ_Q			γ_a
Load case	description	Temp °C	γ_G $G_{k,mast}$	γ_G $G_{k,geleider}$	Q_{pk}	Q_{wk}	Q_{ik}	A_k
ULS 1a	Wind	10°	1,15	1,15	0,00	1,40	0,00	0,0
ULS 1a_0,9	Wind 0,9Gk only tower	10°	0,90	1,15	0,00	1,40	0,00	0,0
ULS 1a_0,9_0,9	Wind 0,9Gk conductors too	10°	0,90	0,90	0,00	1,40	0,00	0,0
ULS 3	Wind+ice	-5°	1,15	1,15	0,00	0,42	1,30	0,0
ULS 3_0,9	Wind+ice 0,9Gk	-5°	0,90	1,15	0,00	0,42	1,30	0,0
ULS 4	Cold+wind	-20°	1,15	1,15	0,00	0,28	0,00	0,0
ULS 4_0,9	Cold+wind 0,9Gk	-20°	0,90	1,15	0,00	0,28	0,00	0,0
ULS 5a	Torsional loads	10°	1,00	1,00	1,00	0,00	0,00	1,0
ULS 5b	Longitudinal loads	10°	1,00	1,00	0,00	0,00	0,00	1,0
ULS 6	Construction + maintenance	5°	1,15	1,15	1,30	0,28	0,00	0,0
ULS 6_0,9	Construction + maintenance	5°	1,15	1,15	0,00	0,28	0,00	0,0
ULS 7	Permanent	10°	1,30	1,30	0,00	0,00	0,00	0,0
ULS 8	Special	10°	1,00	1,00	0,00	0,00	0,00	1,0
SPLS (strength, for angle towers: absence of conductors)			γ_G G_k		γ_Q Q_{pk} Q_{wk} Q_{ik}			A_k
SPLS 1a	Wind	10°	1,15	1,15	0,0	0,78	0,00	0,0
SPLS 1a_0,9	Wind 0,9	10°	0,90	1,15	0,0	0,78	0,00	0,0
SPLS 1a_0,9_0,9	Wind 0,9	10°	0,90	0,90	0,0	0,78	0,00	0,0
SPLS 3	Wind+ice	-5°	1,15	1,15	0,0	0,36	0,34	0,0
SPLS 3_0,9	Wind+ice 0,9	-5°	0,90	1,15	0,0	0,36	0,34	0,0
SPLS 4	Cold+wind	-20°	1,15	1,15	0,0	0,24	0,00	0,0
SPLS 4_0,9	Cold+wind 0,9	-20°	0,90	1,15	0,0	0,24	0,00	0,0
SPLS 6	Maintenance	5°	1,15	1,15	1,2	0,24	0,0	0,0
SPLS 6_0,9	Maintenance	5°	1,15	1,15	0,0	0,24	0,0	0,0
SLS (deformations, fatigue, EDS)			G_k		Q_{pk} Q_{wk} Q_{ik}			A_k
SLS 1a	Wind	10°	1,00	1,00	0,0	1,00	0,0	0,0
SLS 3	Wind+ice	-5°	1,00	1,00	0,0	0,30	1,00	0,0
SLS 4	Wind	-20°	1,00	1,00	0,0	0,20	0,0	0,0
SLS 6	Maintenance	5°	1,00	1,00	0,0	0,20	0,0	0,0
SLS 7	EDS, no wind	10°	1,00	1,00	0,0	0,00	0,0	0,0

Number of wind directions 4
Number of load combinations for ULS 44
Number of load combinations for SPLS 0
Number of load combinations for SLS 11
Number of concentrated loads 440

Project: MBT-EHV
 Tower: S+9
 Number: 112

Summary table - Conductor loads

The four tables below show:

- The maximum conductor load in the global axis system, split into proportion of back and ahead span
- The combined conductor load (Ba+Ah) in the global axis system with the maximum tensile force in the local axes. Components Fx and Fy as absolute values
- The everyday (EDS) values of the combined conductor loads (Ba+Ah) with corresponding tensile forces
- Check for uplift, where a negative value indicates uplift

Note: Maximum values for Fx, Fy and Fz do not necessarily belong to the same load combination.

*For Steunmast the special combination SPLS 6 don't apply.

Maximum values for back and ahead span

Geleider	Fx_ba [kN]	Fx_ah [kN]	Fy_ba [kN]	Fy_ah [kN]	Fz_ba [kN]	Fz_ah [kN]
bl1	-34,1	34,1	4,7	3,1	6,2	3,3
bl2	-33,6	33,6	4,6	3,0	6,1	3,3
380ct1f1	-128,5	128,5	15,0	10,9	21,9	11,2
380ct1f2	-128,5	128,5	15,0	10,9	21,9	11,2
380ct1f3	-130,6	130,6	17,0	11,9	21,7	11,2
380ct2f1	-128,5	128,5	15,0	10,9	21,9	11,2
380ct2f2	-128,5	128,5	15,0	10,9	21,9	11,2
380ct2f3	-130,6	130,6	17,0	11,9	21,7	11,2

Min. Weight span (m)

Weight spar Combinatie1

Geleider	SLS 1a	SLS 4	SLS 7
bl1	320,6	325,8	320,6
bl2	320,6	325,9	320,6
380ct1f1	320,8	324,5	320,8
380ct1f2	321,0	324,8	321,0
380ct1f3	317,9	321,5	317,9
380ct2f1	321,0	324,8	321,0
380ct2f2	320,8	324,5	320,8
380ct2f3	317,9	321,5	317,9

Max. Weight span (m)

Weight spar Combinatie1

Geleider	ULS 1a	ULS 3
bl1	344,7	320,2
bl2	345,5	320,2
380ct1f1	332,7	320,9
380ct1f2	333,0	321,1
380ct1f3	331,7	318,5
380ct2f1	333,0	321,1
380ct2f2	332,7	320,9
380ct2f3	331,7	318,5

Envelop of weight span over all combinations (incl. 0,9 combinations)

For all conductors

Wind / Weight span ratio

Max. weight span	358,4 m	1,236 -
Min. weight span	316,1 m	1,090 -

Project: MBT-EHV
 Tower: S+9
 Number: 112

Geleider	Maximum values back + ahead span			Maximum tension in conductor	
	Fx [kN]	Fy [kN]	Fz [kN]	Ft_ba [kN]	Ft_ah [kN]
bl1	15,0	7,7	8,0	-34,1	34,4
bl2	14,6	7,7	7,9	-33,6	33,8
380ct1f1	51,8	25,9	33,0	-127,5	129,5
380ct1f2	51,8	25,9	33,1	-127,5	129,5
380ct1f3	51,8	28,9	32,8	-129,7	131,4
380ct2f1	51,8	25,9	33,1	-127,5	129,5
380ct2f2	51,8	25,9	33,0	-127,5	129,5
380ct2f3	51,8	28,9	32,8	-129,7	131,4

EDS-loads conductor					
Geleider	Fx [kN]	Fy [kN]	Fz [kN]	Ft_ba [kN]	Ft_ah [kN]
bl1	0,0	0,0	3,2	-15,0	15,0
bl2	0,0	0,0	3,1	-14,6	14,6
380ct1f1	0,0	0,0	18,3	-64,8	64,8
380ct1f2	0,0	0,0	18,4	-64,8	64,8
380ct1f3	0,0	0,0	18,2	-64,8	64,8
380ct2f1	0,0	0,0	18,4	-64,8	64,8
380ct2f2	0,0	0,0	18,3	-64,8	64,8
380ct2f3	0,0	0,0	18,2	-64,8	64,8

1 Control uplift SLS-wind			
Combinatie: Geleider		Fz_ba [kN]	Fz_ah [kN]
SLS 4	bl1	2,2	1,0
	bl2	2,2	1,0
	380ct1f1	12,1	6,4
	380ct1f2	12,1	6,4
	380ct1f3	12,0	6,4
	380ct2f1	12,1	6,4
	380ct2f2	12,1	6,4
	380ct2f3	12,0	6,4

Project: MBT-EHV
 Tower: S+9
 Number: 112

ULS foundation loads for LC 1 and 3, wind perpendicular to the line or bisector and EDS, from conductors

Combination	Combination	F_x [kN]	F_y [kN]	F_z [kN]	M_x [kNm]	M_y [kNm]	M_z [kNm]
ULS 1a_90		0	177	138	8162	0	0
ULS 1a_0,9_90		0	177	138	8162	0	0
ULS 3_90		0	91	212	4233	0	0
ULS 3_0,9_90		0	91	212	4233	0	0
SLS 7		0	0	116	-1	0	0

ULS foundation loads, LC 1 and 3, wind perpendicular to the line or bisector and EDS, total conductors and tower

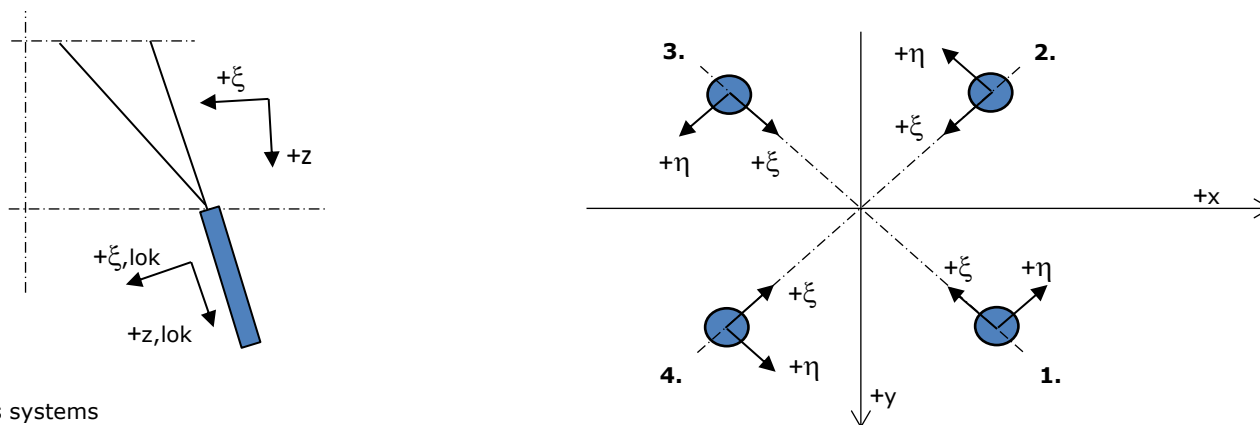
Combination	F_x [kN]	F_y [kN]	F_z [kN]	M_x [kNm]	M_y [kNm]	M_z [kNm]
ULS 1a_90	0	418	541	15484	0	0
ULS 3_90	0	164	615	6429	0	0
SLS 7	0	0	466	-1	0	0

Foundation loads, selection of load combinations based on greatest value

Combination	F_x [kN]	F_y [kN]	F_z [kN]	M_x [kNm]	M_y [kNm]	M_z [kNm]
ULS 1a_0,9_0,9_90	0	418	425	15484	0	0
ULS 1a_0,9_0,9_0	311	0	420	-1	10688	0
ULS 5a Ba 10	52	0	464	120	2151	-617
ULS 1a_0,9_0,9_45	238	323	421	11714	7785	0

Note: Largest values can appear in multiple combinations, one combination is displayed.

Support reactions per leg



Axis systems

Maximum compression load

Index	Combination	R_x [kN]	R_y [kN]	R_z [kN]	R_η [kN]	R_ξ [kN]	$R_{\xi,lok}$ [kN]	$R_{z,lok}$ [kN]
1	ULS 1a_45	197	181	1050	11	-268	-54	1072
2	ULS 1a_0	105	-128	636	16	-165	-35	649
3	ULS 5a Ah 22	-30	-56	247	-19	-61	-11	252
4	ULS 1a_135	-197	181	1050	-11	-268	-54	1072

Maximum tension load

Index	Combination	R_x [kN]	R_y [kN]	R_z [kN]	R_η [kN]	R_ξ [kN]	$R_{\xi,lok}$ [kN]	$R_{z,lok}$ [kN]
1	ULS 5a Ah 22	3	5	-13	-1	-6	-8	-13
2	ULS 1a_0,9_0,9_135	-149	133	-810	11	199	35	-827
3	ULS 1a_0,9_0,9_45	149	133	-810	-11	199	35	-827
4	ULS 1a_0,9_0,9_0	57	-80	-397	-16	97	16	-405

Maximum torsional load (positive)

Index	Combination	R_x [kN]	R_y [kN]	R_z [kN]	R_η [kN]	R_ξ [kN]	$R_{\xi,lok}$ [kN]	$R_{z,lok}$ [kN]
1	ULS 1a_0,9_0,9_135	72	28	290	31	-71	-12	296
2	ULS 1a_0,9_0,9_45	-30	-14	-79	31	11	-5	-81
3	ULS 5a Ba 21	-26	11	21	27	-10	-6	21
4	ULS 5a Ah 10	-23	58	221	25	-57	-12	225

Maximum torsional load (negative)

Index	Combination	R_x [kN]	R_y [kN]	R_z [kN]	R_η [kN]	R_ξ [kN]	$R_{\xi,lok}$ [kN]	$R_{z,lok}$ [kN]
1	ULS 5a Ba 10	23	58	223	-25	-57	-12	227
2	ULS 5a Ah 21	26	11	19	-26	-10	-6	19
3	ULS 1a_0,9_0,9_135	30	-14	-79	-31	11	-5	-81
4	ULS 1a_0,9_0,9_45	-72	28	290	-31	-71	-12	296

Project: MBT-EHV
 Tower: S+9
 Number: 112

Combination Ftensile+Fhor

Index	Combination	R _x [kN]	R _y [kN]	R _z [kN]	R _η [kN]	R _ξ [kN]	R _{ξ,lok} [kN]	R _{z,lok} [kN]
1	ULS 5a Ah 12	18	-9	-10	19	-6	-8	-10
2	ULS 1a_0,9_0,9_135	-149	133	-810	11	199	35	-827
3	ULS 1a_0,9_0,9_45	149	133	-810	-11	199	35	-827
4	ULS 1a_0,9_0,9_0	57	-80	-397	-16	97	16	-405

Permanent load

Index	Combination	R _x [kN]	R _y [kN]	R _z [kN]	R _η [kN]	R _ξ [kN]	R _{ξ,lok} [kN]	R _{z,lok} [kN]
1	SLS 7	23	23	116	0	-33	-9	119
2	SLS 7	23	-23	117	0	-33	-9	119
3	SLS 7	-23	-23	117	0	-33	-9	119
4	SLS 7	-23	23	116	0	-33	-9	119

Envelope of load combinations for all of the legs

Index	Combination	R _x [kN]	R _y [kN]	R _z [kN]	R _η [kN]	R _ξ [kN]	R _{ξ,lok} [kN]	R _{z,lok} [kN]
Max. pressure	ULS 1a_45	197	181	1050	11	-268	-54	1072
Max. tension	ULS 1a_0,9_0,9_45	149	133	-810	-11	199	35	-827
Max. pos. torsie	ULS 1a_0,9_0,9_45	-30	-14	-79	31	11	-5	-81
Max. neg. torsie	ULS 1a_0,9_0,9_135	30	-14	-79	-31	11	-5	-81
Comb. tension+torsie	ULS 1a_0,9_0,9_45	149	133	-810	-11	199	35	-827

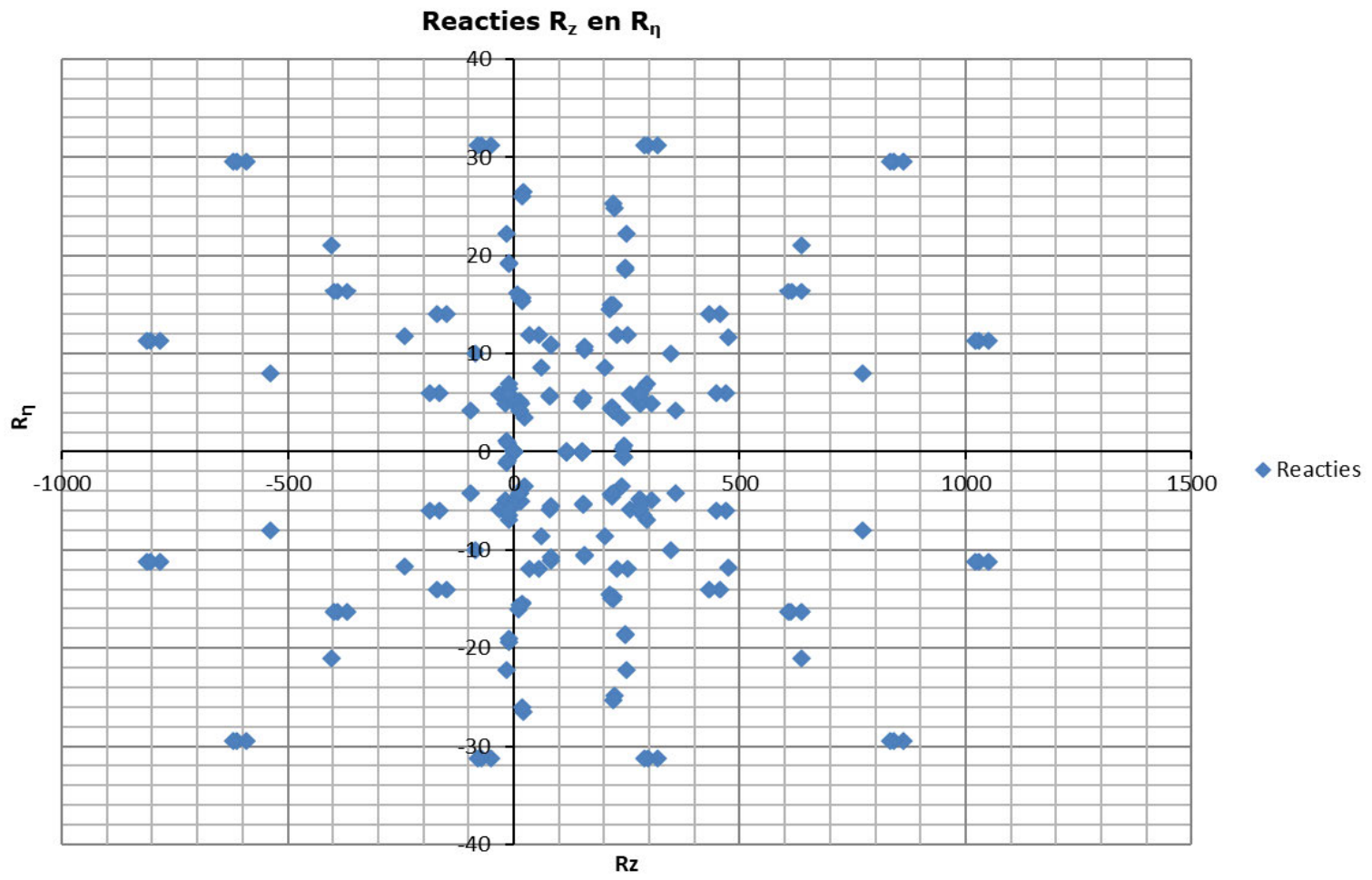
Maximum tension load - SLS

Index	Combination	R _x [kN]	R _y [kN]	R _z [kN]	R _η [kN]	R _ξ [kN]	R _{ξ,lok} [kN]	R _{z,lok} [kN]
1	SLS 7	23	23	116	0	-33	-9	119
2	SLS 1a_135	-98	87	-537	8	131	21	-548
3	SLS 1a_45	98	87	-537	-8	131	21	-548
4	SLS 1a_0	32	-49	-242	-12	57	8	-247

Maximum compression load - SLS

Index	Combination	R _x [kN]	R _y [kN]	R _z [kN]	R _η [kN]	R _ξ [kN]	R _{ξ,lok} [kN]	R _{z,lok} [kN]
1	SLS 1a_45	145	134	771	8	-197	-40	787
2	SLS 1a_0	79	-96	475	12	-123	-27	485
3	SLS 7	-23	-23	117	0	-33	-9	119
4	SLS 1a_135	-145	134	771	-8	-197	-40	787

Project: MBT-EHV
Tower: S+9
Number: 112



Project: MBT-EHV
Tower: S+9
Number: 113

Auteur: TBR
Versie: v12.0

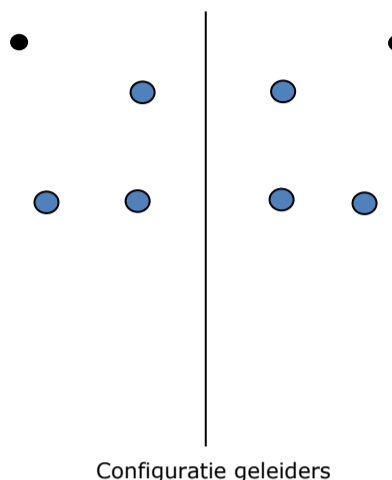
Conductor loads

General

Description S+9
Tower type Steunmast
Number of circuits 2
Configuration 2-circuit-donau
Number of earth wires 2

Starting points

Norm NEN-EN50341-2-15:2019
Consequence class CC2-0
Reliability level initial Afkeur CC2-0
Reference period initial 30 jaar
Consequence class modified CC2
Reliability level modified Verbouw
Reference period modified 50 jaar
Wind zone III
Wind speed (m/s) 24,5 m/s
Terrain category II
Reduction factor c_{dir} 1,00
Ice region phase conductor B
Ice region earth conductor B



Conductors back

Description	Voltage	Conductor Back	Bundle Ba	Ice region	Additional weight	Additional diameter	Catenary P_{back}
Circuit 1	380 kV	ACCC-Warsaw	3	B	3 %	3 %	1400
Circuit 2	380 kV	ACCC-Warsaw	3	B	3 %	3 %	1400
Bliksemdraad 1		OPGW AFL-226/38	1	B	3 %	3 %	1550
Bliksemdraad 2		AACSR 241-AL3-39-A20SA	1	B	3 %	3 %	1550

Conductors ahead

Description	Voltage	Conductor Ahead	Bundle Ah	Ice region	Additional weight	Additional diameter	Catenary P_{ahead}
Circuit 1	380 kV	ACCC-Warsaw	3	B	3 %	3 %	1400
Circuit 2	380 kV	ACCC-Warsaw	3	B	3 %	3 %	1400
Bliksemdraad 1		OPGW AFL-226/38	1	B	3 %	3 %	1550
Bliksemdraad 2		AACSR 241-AL3-39-A20SA	1	B	3 %	3 %	1550

Insulators (1)

Description	Suspension	Weight [kN]	Length [m]	Wind area [m ²]
Circuit 1	V-ketting	3,50	4,50	2,00
Circuit 2	V-ketting	3,50	4,50	2,00
Bliksemdraad 1	Vast (Bliksemdraad)	0,10	0,50	0,05
Bliksemdraad 2	Vast (Bliksemdraad)	0,10	0,50	0,05

1. Properties apply to the entire isolator set

Suspension height and position in mast

Circuits	Designation	Number	Suspension height	Attach point	Position in tower Horizontal distance
Circuit 1	10	380ct1f1	37,0 m	41,5 m	-11,9 m
Circuit 1	11	380ct1f2	37,0 m	41,5 m	-5,8 m
Circuit 1	12	380ct1f3	48,3 m	52,8 m	-5,7 m
Circuit 2	20	380ct2f1	37,0 m	41,5 m	5,8 m
Circuit 2	21	380ct2f2	37,0 m	41,5 m	11,9 m
Circuit 2	22	380ct2f3	48,3 m	52,8 m	5,7 m
Bliksemdraad 1	1	bl1	52,3 m	52,8 m	-16,5 m
Bliksemdraad 2	3	bl2	52,3 m	52,8 m	16,5 m

Project: MBT-EHV
 Tower: S+9
 Number: 113

Height adjustment adjacent masts (wind and weight span adjustment)

	Back	Ahead	
Height increase for wind pressure	0,0 m	0,0 m	(positive: higher)
Height decrease for vertical load	0,0 m	0,0 m	(negative: decrease, more weight span)
Decrease: Niet in 0,9EG-combinaties			

Height difference adjacent tower and change of direction with respect to Line direction

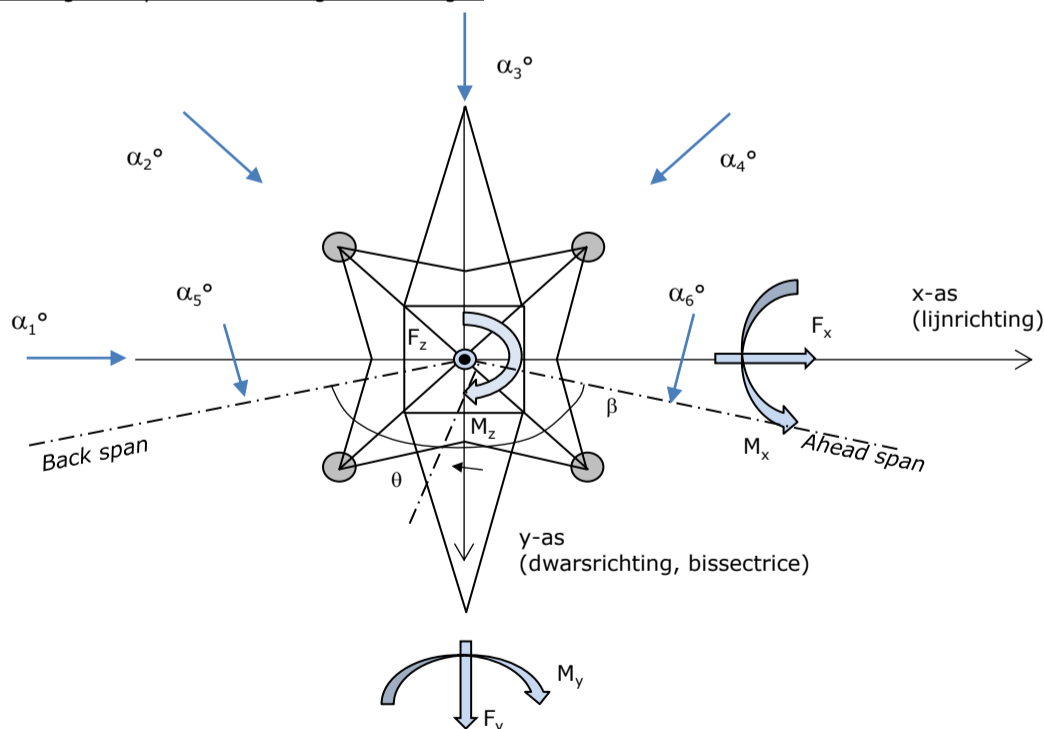
Circuits	Aanduiding	Nummer	Hoogteverschil		Richtingsverandering	
			Δh_{back}	Δh_{ahead}	Δy_{back}	Δy_{ahead}
Circuit 1	10	380ct1f1	-0,1	-9,0 m	0,0	0,0 m
Circuit 1	11	380ct1f2	-0,1	-9,0 m	0,0	0,0 m
Circuit 1	12	380ct1f3	-0,1	-9,0 m	0,0	0,0 m
Circuit 2	20	380ct2f1	-0,1	-9,0 m	0,0	0,0 m
Circuit 2	21	380ct2f2	-0,1	-9,0 m	0,0	0,0 m
Circuit 2	22	380ct2f3	-0,1	-9,0 m	0,0	0,0 m
Bliksemdraad 1	1	bl1	-0,1	-9,8 m	0,0	0,0 m
Bliksemdraad 2	3	bl2	-0,1	-9,8 m	0,0	0,0 m

Line and tower data

	Back	Ahead
Ruling span $\sqrt{(\Sigma L^3/\Sigma L)}$	218,9	389,7 m
Line angle β	180 °	
Tower orientation with respect to bisector θ	0 °	
Section length	3854	3854 m
Height bottom of tower to ground level	0,5 m	
Wind directions considered α_1	0 °	
Wind directions according to: α_2	45 °	
<i>Geleiderbelastingen</i> α_3	90 °	
α_4	135 °	
α_5	- °	
α_6	- °	

Wind directions apply to the main direction of mast construction, not to the bisector.

Windrichtingen en positieve richtingen belastingen



Considered number of wind directions

1a	4
3	4
4	1
6	1
Overig	1

Project: MBT-EHV
 Tower: S+9
 Number: 113

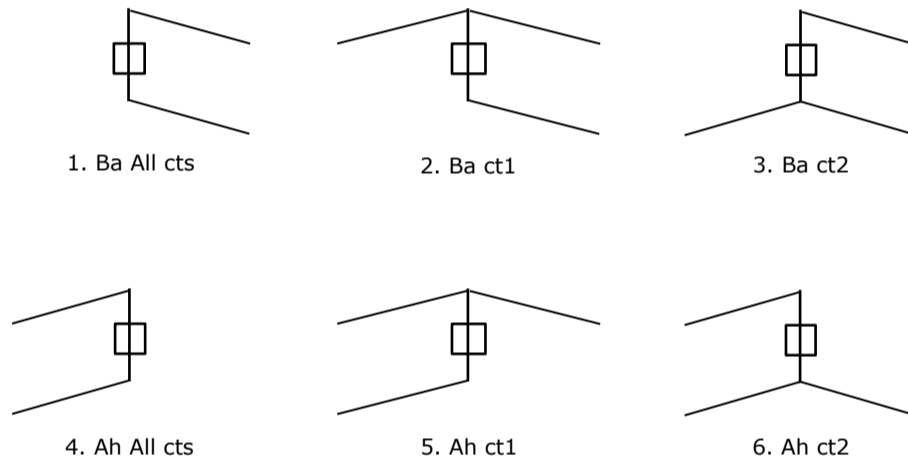
Absence of conductors

		SPLS - torsie		SPLS - Enkelzijdige trek		5a - geleiderbreuk	
		Aanw.	Afw.	Aanw.	Afw.	Aanw.	Afw.
Circuit 1	380ct1f1	1	0	1	0	0,8	0
Circuit 1	380ct1f2	1	0	1	0	0,8	0
Circuit 1	380ct1f3	1	0	1	0	0,8	0
Circuit 2	380ct2f1	0	1	1	0	0,8	0
Circuit 2	380ct2f2	0	1	1	0	0,8	0
Circuit 2	380ct2f3	0	1	1	0	0,8	0
Bliksemdraad 1	bl1	1	0	1	0	1	0
Bliksemdraad 2	bl2	0	1	1	0	1	0

Load situations SPLS

Considered situations SPLS: SPLS for suspension tower not applicable

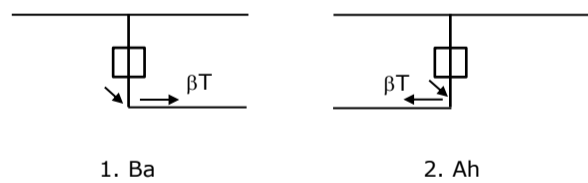
Principle of load situations:



Load situation 5a. Conductor failure

Considered situations conductor failure 5a: 1 and 2, all possible situations

Principle of load situations:



Project: MBT-EHV
 Tower: S+9
 Number: 113

Load situations LC6. Construction and maintenance

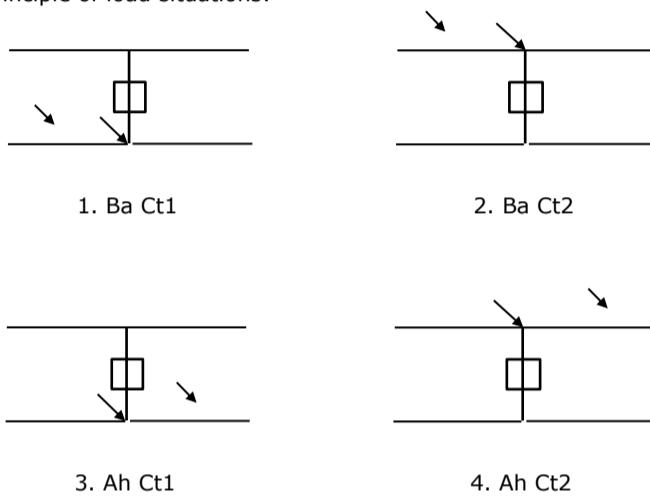
Under 6a, the load due to the presence of a line vehicle or line bicycle in combination with point load on the traverse is assessed. Combination 6b does not contain any loads in conductor or on traverse. This combination has been added to be able to combine with separate control platforms, etc. The situations are applied in ULS and in every SPLS situation (in case of angle tower).

	Phase	Earth
Line vehicle	3,0 kN	2,0 kN
Concentrated load cross arm	1,0 kN	1,0 kN

Beschouwde situaties bouw- en onderhoud 6a: 1 t/m 4, alle mogelijke situaties.

Presence line vehicle: Circuit, belasting tegelijk aanwezig in alle geleiders per circuit.

Principle of load situations:



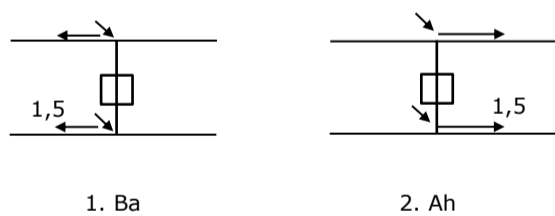
Load situations 8. Galloping as a static load

Conductor		
Suspension tower phase	0,866 W	1,5 W
Suspension tower earth	1,5 EDS	1,5 W
Strain tower phase and earth	1,5 EDS	1,5 W

Considered situations galloping 8: None (existing structure)

Load simultaneously present in all conductors of the circuit.

Principle of load situations:



Load combination 8. Galloping as a dynamic load

Only applies to tension towers

Load consists of EDS tensile load in one of the conductors on one side of the tower

Can be converted by user to fatigue spectrum via the load spectrum of table 4.11 / NL.1

Project: MBT-EHV
 Tower: S+9
 Number: 113

Tower structure

Properties

Tower type	Steunmast	
Tower designation	S+9	
Base plate w.r.t. ground level	0,5 m	
Tower height w.r.t. base plate	57,0 m	
Tower self weight	349,5 kN	
<i>Width and slope at foundation</i>		
	x-ri.	y-ri.
Leg spread	10,65	10,65 m
Inclination of main leg	0,144	0,144 -
Horizontal force factor	1,4	1,4 -

Calculation Wind load

Dynamic factor G_T	1,00 (<i>Masthoogte < 60 m</i>)
Wind load diagonally to tower body proportional to:	$(A1C1\sin^2(\phi)+A2C2\cos^2(\phi))$
Wind load diagonally on traverse proportional to:	$(A1C1\sin^2(\phi)+A2C2\cos^2(\phi))$
Magnification factor diagonal wind to tower body	$(1+0,2\sin^2(2\phi))$
Magnification factor diagonal wind to cross arm	$(1+0,2\sin^2(2\phi))$
Magnification factor wind parallel to perpendicular to cross arm	0,4

Properties mast sections longitudinal direction (front view, yz plane)

Description	h [m]	b_1 [m]	b_2 [m]	Δh [m]	Δ_x [m]	A_0 [m ²]	A_1 [m ²]	$\chi = A_1/A_0$ [-]	C_t
Broekstuk	14,18	10,65	6,57	14,18	0,144	122,03	18,68	0,15	3,14
Tussenstuk1	30,18	6,57	4,48	16,00	0,065	88,42	14,48	0,16	3,09
Tussenstuk2	41,50	4,48	3,00	11,33	0,065	42,36	10,11	0,24	2,77
Bovenstuk1	47,37	3,00	2,58	5,87	0,036	16,36	5,70	0,35	2,37
Bovenstuk2	55,38	2,58	2,00	8,01	0,036	18,31	6,55	0,36	2,34
Topstuk	57,01	2,00		1,63		1,63	0,40	0,25	2,74
Ondertraverse	41,50	14,50		3,05		22,11	5,16	0,23	2,79
Boventraverse	52,80	15,41		2,58		19,84	7,14	0,36	2,34

Properties tower sections transversal direction (side view, xz plane)

Description	h [m]	b_1 [m]	b_2 [m]	Δh [m]	Δ_x [m]	A_0 [m ²]	A_1 [m ²]	$\chi = A_1/A_0$ [-]	C_t
Broekstuk	14,18	10,65	6,57	14,18	0,144	122,03	18,68	0,15	3,14
Tussenstuk1	30,18	6,57	4,48	16,00	0,065	88,42	14,48	0,16	3,09
Tussenstuk2	41,50	4,48	3,00	11,33	0,065	42,36	10,11	0,24	2,77
Bovenstuk1	47,37	3,00	2,58	5,87	0,036	16,36	5,70	0,35	2,37
Bovenstuk2	55,38	2,58	2,00	8,01	0,036	18,31	6,55	0,36	2,34
Topstuk	57,01	2,00		1,63		1,63	0,40	0,25	2,74
Ondertraverse	41,50	14,50		3,05		22,11	5,16	0,23	2,79
Boventraverse	52,80	15,41		2,58		19,84	7,14	0,36	2,34

Note: Surface area transverse direction in table is reduced in calculation.

Note: surface area of cross arm is for each side, ie. half of the total of both cross arms.

Project: MBT-EHV
Tower: S+9
Number: 113

Wind surface feeders telecom installations

Part	A (m ² /m)	Factor	Δh	A ₁
Broekstuk				
Tussenstuk1				
Tussenstuk2				
Bovenstuk1				
Bovenstuk2				

Input antennas

Description	A (m ²)	h (m)	C _f (m)
Antenne o.t.			

Tower section loads longitudinal (x-direction) per wind direction

Description	p _w [kN/m ²]	F _{x1} [kN]	F _{x2} [kN]	F _{x3} [kN]	F _{x4} [kN]	h _{ef} [m]	M _{y1} [kNm]	M _{y2} [kNm]	M _{y3} [kNm]	M _{y4} [kNm]
Broekstuk	0,70	41,2	34,9	0,0	-34,9	7,1	291,8	247,6	0,0	-247,6
Tussenstuk1	0,91	40,6	34,4	0,0	-34,4	22,2	899,3	763,1	0,0	-763,1
Tussenstuk2	1,04	29,1	24,7	0,0	-24,7	35,8	1041,9	884,1	0,0	-884,1
Bovenstuk1	1,10	14,9	12,7	0,0	-12,7	44,4	663,4	562,9	0,0	-562,9
Bovenstuk2	1,14	17,5	14,9	0,0	-14,9	51,4	901,2	764,7	0,0	-764,7
Topstuk	1,17	1,3	1,1	0,0	-1,1	56,2	72,2	61,3	0,0	-61,3
Ondertraverse	1,09	31,3	18,6	0,0	-18,6	42,5	1330,9	790,5	0,0	-790,5
Boventraverse	1,16	38,6	22,9	0,0	-22,9	53,7	2068,9	1228,9	0,0	-1228,9

Totaal		214,4	164,2	0,0	-164,2		7269,7	5303,1	0,0	-5303,1
---------------	--	--------------	--------------	------------	---------------	--	---------------	---------------	------------	----------------

Tower section loads transversal (y-direction) per wind direction

Description	p _w [kN/m ²]	F _{y1} [kN]	F _{y2} [kN]	F _{y3} [kN]	F _{y4} [kN]	h _{ef} [m]	M _{x1} [kNm]	M _{x2} [kNm]	M _{x3} [kNm]	M _{x4} [kNm]
Broekstuk	0,70	0,0	34,9	41,2	34,9	7,1	0,0	247,6	291,8	247,6
Tussenstuk1	0,91	0,0	34,4	40,6	34,4	22,2	0,0	763,1	899,3	763,1
Tussenstuk2	1,04	0,0	24,7	29,1	24,7	35,8	0,0	884,1	1041,9	884,1
Bovenstuk1	1,10	0,0	12,7	14,9	12,7	44,4	0,0	562,9	663,4	562,9
Bovenstuk2	1,14	0,0	14,9	17,5	14,9	51,4	0,0	764,7	901,2	764,7
Topstuk	1,17	0,0	1,1	1,3	1,1	56,2	0,0	61,3	72,2	61,3
Ondertraverse	1,09	0,0	18,6	12,5	18,6	42,5	0,0	790,5	532,3	790,5
Boventraverse	1,16	0,0	22,9	15,4	22,9	53,7	0,0	1228,9	827,6	1228,9

Total		0,0	164,2	172,5	164,2		0,0	5303,1	5229,8	5303,1
--------------	--	------------	--------------	--------------	--------------	--	------------	---------------	---------------	---------------

Resulting loads from mast construction incl. Antenna without conductors level foundation (char. Value)

Load / wind direction	F _x [kN]	F _y [kN]	F _z [kN]	M _x [kNm]	M _y [kNm]	M _z [kNm]
Permanente belasting	0	0	350	0	0	0
Windrichting 0°	214	0	0	0	7270	0
Windrichting 45°	164	164	0	5303	5303	0
Windrichting 90°	0	173	0	5230	0	0
Windrichting 135°	-164	164	0	5303	-5303	0

Project: MBT-EHV
Tower: S+9
Number: 113

Intermediate results for conductor loads

Conductors back

Circuit	Geleider	Diameter [mm]	A [mm ²]	G [N/m]	E [N/mm ²]	αT [-]
Circuit 1	ACCC-Warsaw	27,7	571,0	14,98	62700	1,88E-05
Circuit 2	ACCC-Warsaw	27,7	571,0	14,98	62700	1,88E-05
Bliksemdraad 1	OPGW AFL-226/38	21,7	264,0	9,13	72000	1,98E-05
Bliksemdraad 2	AACSR 241-AL3-39-A20SA	21,8	281,0	9,38	70165	1,97E-05

Conductors ahead

Circuit	Geleider	Diameter [mm]	A [mm ²]	G [N/m]	E [N/mm ²]	αT [-]
Circuit 1	ACCC-Warsaw	27,7	571,0	14,98	62700	1,88E-05
Circuit 2	ACCC-Warsaw	27,7	571,0	14,98	62700	1,88E-05
Bliksemdraad 1	OPGW AFL-226/38	21,7	264,0	9,13	72000	1,98E-05
Bliksemdraad 2	AACSR 241-AL3-39-A20SA	21,8	281,0	9,38	70165	1,97E-05

Vertical load back

Circuit	Bundle [-]	Additional [%]	$W_{z,G}$ [N/m]	Ice region	Formula	$W_{z,ijs}$ [N/m]	$W_{z,ijs,bundel}$ [N/m]
Circuit 1	3	3	46,3	B	4+0,2d	9,5	28,6
Circuit 2	3	3	46,3	B	4+0,2d	9,5	28,6
Bliksemdraad 1	1	3	9,4	B	4+0,2d	8,3	8,3
Bliksemdraad 2	1	3	9,7	B	4+0,2d	8,4	8,4

Vertical load ahead

Circuit	Bundle [-]	Additional [%]	$W_{z,G}$ [N/m]	Ice region	Formula	$W_{z,ijs}$ [N/m]	$W_{z,ijs,bundel}$ [N/m]
Circuit 1	3	3	46,3	B	4+0,2d	9,5	28,6
Circuit 2	3	3	46,3	B	4+0,2d	9,5	28,6
Bliksemdraad 1	1	3	9,4	B	4+0,2d	8,3	8,3
Bliksemdraad 2	1	3	9,7	B	4+0,2d	8,4	8,4

Insulators

Conductor	$G_{isolator}$ [kN]	Number	$F_{v,iso}$ [kN]	Length [m]	Wind surf. [m ²]	Wind height [m]	Pressure [kN/m ²]	Drag factor [-]	$F_{h,iso}$ [kN]
380ct1f1	3,50	1	3,5	4,5	2,0	39,75	1,07	1,2	2,56
380ct1f2	3,50	1	3,5	4,5	2,0	39,75	1,07	1,2	2,56
380ct1f3	3,50	1	3,5	4,5	2,0	51,05	1,14	1,2	2,74
380ct2f1	3,50	1	3,5	4,5	2,0	39,75	1,07	1,2	2,56
380ct2f2	3,50	1	3,5	4,5	2,0	39,75	1,07	1,2	2,56
380ct2f3	3,50	1	3,5	4,5	2,0	51,05	1,14	1,2	2,74
bl1	0,10	1	0,1	0,5	0,1	53,05	1,15	1,2	0,07
bl2	0,10	1	0,1	0,5	0,1	53,05	1,15	1,2	0,07

Project: MBT-EHV
 Tower: S+9
 Number: 113

Wind load back

Conductor	Height	Pressure	G _{c,dwars}	G _{c,trek}	C _c	d _{additional}	w _y	w _{y,section}	D _{ij,s,additional}	W _{y,ij,s}	W _{y,ij,s,section}
	wind										
380ct1f1	34,6	1,03	0,61	0,50	1,09	28,53	58,5	48,1	47,4	107,1	88,0
380ct1f2	34,6	1,03	0,61	0,50	1,09	28,53	58,5	48,1	47,4	107,1	88,0
380ct1f3	45,9	1,11	0,63	0,52	1,07	28,53	64,2	52,6	47,4	119,9	98,4
380ct2f1	34,6	1,03	0,61	0,50	1,09	28,53	58,5	48,1	47,4	107,1	88,0
380ct2f2	34,6	1,03	0,61	0,50	1,09	28,53	58,5	48,1	47,4	107,1	88,0
380ct2f3	45,9	1,11	0,63	0,52	1,07	28,53	64,2	52,6	47,4	119,9	98,4
bl1	50,2	1,14	0,64	0,52	1,19	22,35	19,3	15,8	41,8	36,5	30,0
bl2	50,2	1,14	0,64	0,52	1,19	22,45	19,4	15,9	41,9	36,6	30,0

Wind load ahead

Conductor	Height	Pressure	G _{c,dwars}	G _{c,trek}	C _c	d _{additional}	w _y	w _{y,section}	D _{ij,s,additional}	W _{y,ij,s}	W _{y,ij,s,section}
	wind										
380ct1f1	24,0	0,93	0,58	0,48	1,12	28,53	51,4	42,3	47,4	91,7	75,5
380ct1f2	24,0	0,93	0,58	0,48	1,12	28,53	51,4	42,3	47,4	91,7	75,5
380ct1f3	35,3	1,03	0,61	0,50	1,09	28,53	58,8	48,4	47,4	107,9	88,7
380ct2f1	24,0	0,93	0,58	0,48	1,12	28,53	51,4	42,3	47,4	91,7	75,5
380ct2f2	24,0	0,93	0,58	0,48	1,12	28,53	51,4	42,3	47,4	91,7	75,5
380ct2f3	35,3	1,03	0,61	0,50	1,09	28,53	58,8	48,4	47,4	107,9	88,7
bl1	39,8	1,07	0,62	0,51	1,20	22,35	17,8	14,6	41,8	33,4	27,4
bl2	39,8	1,07	0,62	0,51	1,20	22,45	17,9	14,7	41,9	33,4	27,4

Note: loads w_v are applicable to the sum of the conductors within the bundle

Project: MBT-EHV
Tower: S+9
Number: 113

Conductor loads Auteur: TBR
Versie: v12.0

Starting points
Consequence class Afkeur CC2-0
Reference period 30 jaar

ULS (strength)		NEN-EN50341-2-15:2019			γ_Q			γ_a
Load case	description	Temp °C	γ_G $G_{k,mast}$	γ_G $G_{k,geleider}$	Q_{pk}	Q_{wk}	Q_{ik}	A_k
ULS 1a	Wind	10°	1,05	1,05	0,00	1,12	0,00	0,0
ULS 1a_0,9	Wind 0,9Gk only tower	10°	0,90	1,05	0,00	1,12	0,00	0,0
ULS 1a_0,9_0,9	Wind 0,9Gk conductors too	10°	0,90	0,90	0,00	1,12	0,00	0,0
ULS 3	Wind+ice	-5°	1,05	1,05	0,00	0,34	0,97	0,0
ULS 3_0,9	Wind+ice 0,9Gk	-5°	0,90	1,05	0,00	0,34	0,97	0,0
ULS 4	Cold+wind	-20°	1,05	1,05	0,00	0,22	0,00	0,0
ULS 4_0,9	Cold+wind 0,9Gk	-20°	0,90	1,05	0,00	0,22	0,00	0,0
ULS 5a	Torsional loads	10°	1,00	1,00	1,00	0,00	0,00	1,0
ULS 5b	Longitudinal loads	10°	1,00	1,00	0,00	0,00	0,00	1,0
ULS 6	Construction + maintenance	5°	1,05	1,05	1,20	0,22	0,00	0,0
ULS 6_0,9	Construction + maintenance	5°	1,05	1,05	0,00	0,22	0,00	0,0
ULS 7	Permanent	10°	1,15	1,15	0,00	0,00	0,00	0,0
ULS 8	Special	10°	1,00	1,00	0,00	0,00	0,00	1,0
SPLS (strength, for angle towers: absence of conductors)			γ_G		γ_Q			A_k
			G_k		Q_{pk}	Q_{wk}	Q_{ik}	
SPLS 1a	Wind	10°	1,05	1,05	0,0	0,78	0,00	0,0
SPLS 1a_0,9	Wind 0,9	10°	0,90	1,05	0,0	0,78	0,00	0,0
SPLS 1a_0,9_0,9	Wind 0,9	10°	0,90	0,90	0,0	0,78	0,00	0,0
SPLS 3	Wind+ice	-5°	1,05	1,05	0,0	0,36	0,34	0,0
SPLS 3_0,9	Wind+ice 0,9	-5°	0,90	1,05	0,0	0,36	0,34	0,0
SPLS 4	Cold+wind	-20°	1,05	1,05	0,0	0,24	0,00	0,0
SPLS 4_0,9	Cold+wind 0,9	-20°	0,90	1,05	0,0	0,24	0,00	0,0
SPLS 6	Maintenance	5°	1,05	1,05	1,2	0,24	0,0	0,0
SPLS 6_0,9	Maintenance	5°	1,05	1,05	0,0	0,24	0,0	0,0
SLS (deformations, fatigue, EDS)			G_k		Q_{pk}	Q_{wk}	Q_{ik}	A_k
SLS 1a	Wind	10°	1,00	1,00	0,0	0,94	0,0	0,0
SLS 3	Wind+ice	-5°	1,00	1,00	0,0	0,28	0,88	0,0
SLS 4	Wind	-20°	1,00	1,00	0,0	0,19	0,0	0,0
SLS 6	Maintenance	5°	1,00	1,00	0,0	0,19	0,0	0,0
SLS 7	EDS, no wind	10°	1,00	1,00	0,0	0,00	0,0	0,0

Number of wind directions 4
Number of load combinations for ULS 44
Number of load combinations for SPLS 0
Number of load combinations for SLS 11
Number of concentrated loads 440

Project: MBT-EHV
 Tower: S+9
 Number: 113

Summary table - Conductor loads

The four tables below show:

- The maximum conductor load in the global axis system, split into proportion of back and ahead span
- The combined conductor load (Ba+Ah) in the global axis system with the maximum tensile force in the local axes. Components Fx and Fy as absolute values
- The everyday (EDS) values of the combined conductor loads (Ba+Ah) with corresponding tensile forces
- Check for uplift, where a negative value indicates uplift

Note: Maximum values for Fx, Fy and Fz do not necessarily belong to the same load combination.

*For Steunmast the special combination SPLS 6 don't apply.

Maximum values for back and ahead span

Geleider	Fx_ba [kN]	Fx_ah [kN]	Fy_ba [kN]	Fy_ah [kN]	Fz_ba [kN]	Fz_ah [kN]
bl1	-28,8	28,8	2,4	3,9	3,2	6,0
bl2	-29,2	29,2	2,4	3,9	3,2	6,0
380ct1f1	-110,6	110,6	8,6	12,6	10,2	19,2
380ct1f2	-110,6	110,6	8,6	12,6	10,2	19,2
380ct1f3	-112,2	112,2	9,4	14,3	10,2	19,3
380ct2f1	-110,6	110,6	8,6	12,6	10,2	19,2
380ct2f2	-110,6	110,6	8,6	12,6	10,2	19,2
380ct2f3	-112,2	112,2	9,4	14,3	10,2	19,3

Min. Weight span (m)

Weight spar Combinatie1

Geleider	SLS 1a	SLS 4	SLS 7
bl1	343,6	350,3	343,6
bl2	343,6	350,2	343,6
380ct1f1	337,1	341,0	337,1
380ct1f2	337,1	341,0	337,1
380ct1f3	337,1	341,2	337,1
380ct2f1	337,1	341,0	337,1
380ct2f2	337,1	341,0	337,1
380ct2f3	337,1	341,2	337,1

Max. Weight span (m)

Weight spar Combinatie1

Geleider	ULS 1a	ULS 3
bl1	371,6	344,6
bl2	370,7	344,7
380ct1f1	348,1	338,0
380ct1f2	348,1	338,0
380ct1f3	350,9	338,5
380ct2f1	348,1	338,0
380ct2f2	348,1	338,0
380ct2f3	350,9	338,5

Envelop of weight span over all combinations (incl. 0,9 combinations)

For all conductors	Wind / Weight span ratio
Max. weight span	380,5 m 1,250 -
Min. weight span	336,4 m 1,105 -

Project: MBT-EHV
 Tower: S+9
 Number: 113

Geleider	Maximum values back + ahead span			Maximum tension in conductor	
	Fx [kN]	Fy [kN]	Fz [kN]	Ft_ba [kN]	Ft_ah [kN]
bl1	14,6	6,3	7,7	-31,4	31,3
bl2	15,0	6,3	7,8	-31,9	31,8
380ct1f1	51,8	21,2	29,5	-111,4	109,8
380ct1f2	51,8	21,2	29,5	-111,4	109,8
380ct1f3	51,8	23,7	29,5	-112,9	111,5
380ct2f1	51,8	21,2	29,5	-111,4	109,8
380ct2f2	51,8	21,2	29,5	-111,4	109,8
380ct2f3	51,8	23,7	29,5	-112,9	111,5

EDS-loads conductor					
Geleider	Fx [kN]	Fy [kN]	Fz [kN]	Ft_ba [kN]	Ft_ah [kN]
bl1	0,0	0,0	3,3	-14,6	14,6
bl2	0,0	0,0	3,4	-15,0	15,0
380ct1f1	0,0	0,0	19,1	-64,8	64,8
380ct1f2	0,0	0,0	19,1	-64,8	64,8
380ct1f3	0,0	0,0	19,1	-64,8	64,8
380ct2f1	0,0	0,0	19,1	-64,8	64,8
380ct2f2	0,0	0,0	19,1	-64,8	64,8
380ct2f3	0,0	0,0	19,1	-64,8	64,8

1 Control uplift SLS-wind			
Combinatie: Geleider		Fz_ba [kN]	Fz_ah [kN]
SLS 4	bl1	1,1	2,3
	bl2	1,1	2,4
	380ct1f1	6,8	12,4
	380ct1f2	6,8	12,4
	380ct1f3	6,8	12,5
	380ct2f1	6,8	12,4
	380ct2f2	6,8	12,4
	380ct2f3	6,8	12,5

Project: MBT-EHV
 Tower: S+9
 Number: 113

ULS foundation loads for LC 1 and 3, wind perpendicular to the line or bisector and EDS, from conductors

Combination	Combination	F _x [kN]	F _y [kN]	F _z [kN]	M _x [kNm]	M _y [kNm]	M _z [kNm]
ULS 1a_90		0	145	131	6691	0	0
ULS 1a_0,9_90		0	145	131	6691	0	0
ULS 3_90		0	75	189	3470	0	0
ULS 3_0,9_90		0	75	189	3470	0	0
SLS 7		0	0	121	1	0	0

ULS foundation loads, LC 1 and 3, wind perpendicular to the line or bisector and EDS, total conductors and tower

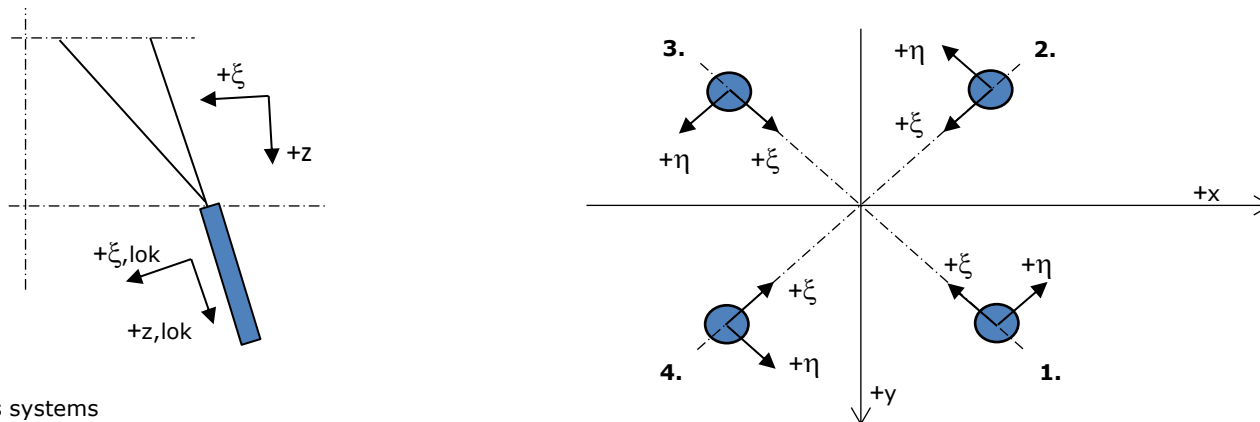
Combination	F _x [kN]	F _y [kN]	F _z [kN]	M _x [kNm]	M _y [kNm]	M _z [kNm]
ULS 1a_90	0	337	498	12531	0	0
ULS 3_90	0	133	556	5222	0	0
SLS 7	0	0	471	1	0	0

Foundation loads, selection of load combinations based on greatest value

Combination	F _x [kN]	F _y [kN]	F _z [kN]	M _x [kNm]	M _y [kNm]	M _z [kNm]
ULS 1a_90	0	337	498	12531	0	0
ULS 1a_0	248	0	494	2	8526	0
ULS 5a Ba 10	52	0	474	62	2151	-617
ULS 1a_45	190	259	496	9435	6210	0

Note: Largest values can appear in multiple combinations, one combination is displayed.

Support reactions per leg



Maximum compression load

Index	Combination	R _x [kN]	R _y [kN]	R _z [kN]	R _η [kN]	R _ξ [kN]	R _{ξ,lok} [kN]	R _{z,lok} [kN]
1	ULS 1a_45	161	148	859	9	-219	-45	876
2	ULS 1a_0	87	-105	524	13	-136	-30	535
3	ULS 5a Ah 22	-30	-56	248	-19	-61	-11	253
4	ULS 1a_135	-161	148	859	-9	-219	-45	876

Maximum tension load

Index	Combination	R _x [kN]	R _y [kN]	R _z [kN]	R _η [kN]	R _ξ [kN]	R _{ξ,lok} [kN]	R _{z,lok} [kN]
1	ULS 5a Ah 22	3	5	-14	-1	-5	-8	-15
2	ULS 1a_0,9_0,9_135	-115	102	-628	9	154	26	-641
3	ULS 1a_0,9_0,9_45	115	102	-628	-9	154	26	-641
4	ULS 1a_0,9_0,9_0	41	-59	-294	-13	71	11	-300

Maximum torsional load (positive)

Index	Combination	R _x [kN]	R _y [kN]	R _z [kN]	R _η [kN]	R _ξ [kN]	R _{ξ,lok} [kN]	R _{z,lok} [kN]
1	ULS 5a Ah 10	26	-11	22	27	-11	-6	22
2	ULS 5a Ba 21	23	-59	222	25	-58	-12	227
3	ULS 5a Ba 21	-26	11	20	26	-11	-6	21
4	ULS 5a Ah 10	-23	58	224	25	-58	-12	229

Maximum torsional load (negative)

Index	Combination	R _x [kN]	R _y [kN]	R _z [kN]	R _η [kN]	R _ξ [kN]	R _{ξ,lok} [kN]	R _{z,lok} [kN]
1	ULS 5a Ba 10	23	59	222	-25	-58	-12	227
2	ULS 5a Ah 21	26	11	22	-27	-11	-6	22
3	ULS 1a_135	17	-19	-28	-25	-1	-7	-28
4	ULS 5a Ba 10	-26	-11	20	-26	-11	-6	21

Project: MBT-EHV
 Tower: S+9
 Number: 113

Combination Ftensile+Fhor

Index	Combination	R _x [kN]	R _y [kN]	R _z [kN]	R _η [kN]	R _ξ [kN]	R _{ξ,lok} [kN]	R _{z,lok} [kN]
1	ULS 5a Ah 12	18	-9	-9	19	-6	-8	-9
2	ULS 1a_0,9_0,9_135	-115	102	-628	9	154	26	-641
3	ULS 1a_0,9_0,9_45	115	102	-628	-9	154	26	-641
4	ULS 1a_0,9_0,9_0	41	-59	-294	-13	71	11	-300

Permanent load

Index	Combination	R _x [kN]	R _y [kN]	R _z [kN]	R _η [kN]	R _ξ [kN]	R _{ξ,lok} [kN]	R _{z,lok} [kN]
1	SLS 7	24	24	118	0	-34	-10	120
2	SLS 7	24	-24	118	0	-33	-10	120
3	SLS 7	-24	-24	118	0	-33	-10	120
4	SLS 7	-24	24	118	0	-34	-10	120

Envelope of load combinations for all of the legs

Index	Combination	R _x [kN]	R _y [kN]	R _z [kN]	R _η [kN]	R _ξ [kN]	R _{ξ,lok} [kN]	R _{z,lok} [kN]
Max. pressure	ULS 1a_45	161	148	859	9	-219	-45	876
Max. tension	ULS 1a_0,9_0,9_45	115	102	-628	-9	154	26	-641
Max. pos. torsie	ULS 5a Ah 10	26	-11	22	27	-11	-6	22
Max. neg. torsie	ULS 5a Ah 21	26	11	22	-27	-11	-6	22
Comb. tension+torsie	ULS 1a_0,9_0,9_45	115	102	-628	-9	154	26	-641

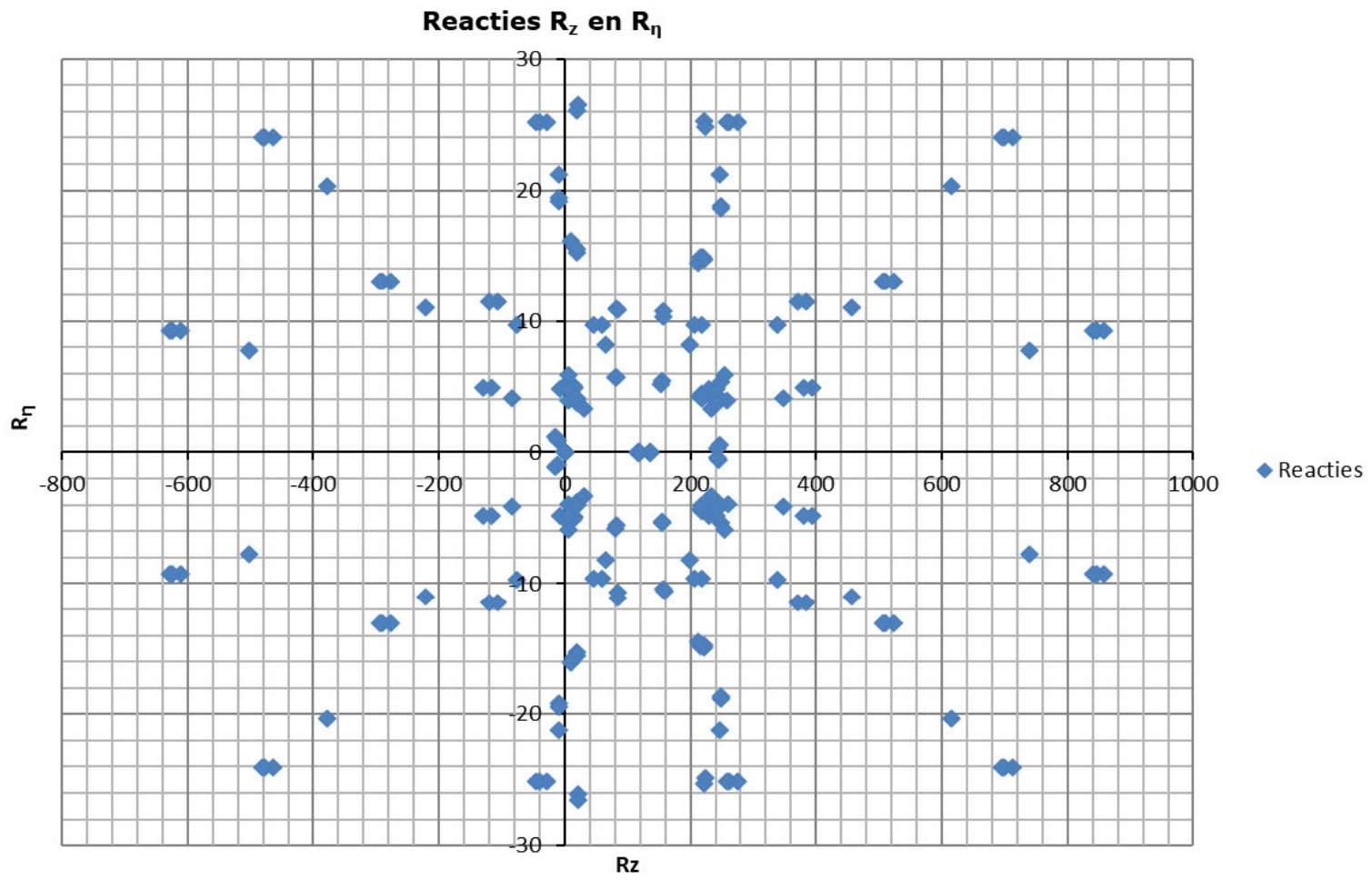
Maximum tension load - SLS

Index	Combination	R _x [kN]	R _y [kN]	R _z [kN]	R _η [kN]	R _ξ [kN]	R _{ξ,lok} [kN]	R _{z,lok} [kN]
1	SLS 7	24	24	118	0	-34	-10	120
2	SLS 1a_135	-92	81	-503	8	122	20	-513
3	SLS 1a_45	92	81	-503	-8	122	20	-513
4	SLS 1a_0	29	-44	-220	-11	52	7	-225

Maximum compression load - SLS

Index	Combination	R _x [kN]	R _y [kN]	R _z [kN]	R _η [kN]	R _ξ [kN]	R _{ξ,lok} [kN]	R _{z,lok} [kN]
1	SLS 1a_45	139	128	739	8	-189	-39	754
2	SLS 1a_0	76	-92	456	11	-119	-26	465
3	SLS 7	-24	-24	118	0	-33	-10	120
4	SLS 1a_135	-139	128	739	-8	-189	-39	754

Project: MBT-EHV
Tower: S+9
Number: 113



Project: MBT-EHV
Tower: S+9
Number: 113

Conductor loads Auteur: TBR
Versie: v12.0

Starting points
Consequence class Verbouw CC2
Reference period 50 jaar

ULS (strength)		NEN-EN50341-2-15:2019						
Load case	description	Temp °C	γ_G $G_{k,mast}$	γ_G $G_{k,geleider}$	γ_Q Q_{pk}	γ_Q Q_{wk}	Q_{ik}	γ_a A_k
ULS 1a	Wind	10°	1,15	1,15	0,00	1,40	0,00	0,0
ULS 1a_0,9	Wind 0,9Gk only tower	10°	0,90	1,15	0,00	1,40	0,00	0,0
ULS 1a_0,9_0,9	Wind 0,9Gk conductors too	10°	0,90	0,90	0,00	1,40	0,00	0,0
ULS 3	Wind+ice	-5°	1,15	1,15	0,00	0,42	1,30	0,0
ULS 3_0,9	Wind+ice 0,9Gk	-5°	0,90	1,15	0,00	0,42	1,30	0,0
ULS 4	Cold+wind	-20°	1,15	1,15	0,00	0,28	0,00	0,0
ULS 4_0,9	Cold+wind 0,9Gk	-20°	0,90	1,15	0,00	0,28	0,00	0,0
ULS 5a	Torsional loads	10°	1,00	1,00	1,00	0,00	0,00	1,0
ULS 5b	Longitudinal loads	10°	1,00	1,00	0,00	0,00	0,00	1,0
ULS 6	Construction + maintenance	5°	1,15	1,15	1,30	0,28	0,00	0,0
ULS 6_0,9	Construction + maintenance	5°	1,15	1,15	0,00	0,28	0,00	0,0
ULS 7	Permanent	10°	1,30	1,30	0,00	0,00	0,00	0,0
ULS 8	Special	10°	1,00	1,00	0,00	0,00	0,00	1,0
SPLS (strength, for angle towers: absence of conductors)				γ_G G_k	γ_Q Q_{pk}	Q_{wk}	Q_{ik}	A_k
SPLS 1a	Wind	10°	1,15	1,15	0,0	0,78	0,00	0,0
SPLS 1a_0,9	Wind 0,9	10°	0,90	1,15	0,0	0,78	0,00	0,0
SPLS 1a_0,9_0,9	Wind 0,9	10°	0,90	0,90	0,0	0,78	0,00	0,0
SPLS 3	Wind+ice	-5°	1,15	1,15	0,0	0,36	0,34	0,0
SPLS 3_0,9	Wind+ice 0,9	-5°	0,90	1,15	0,0	0,36	0,34	0,0
SPLS 4	Cold+wind	-20°	1,15	1,15	0,0	0,24	0,00	0,0
SPLS 4_0,9	Cold+wind 0,9	-20°	0,90	1,15	0,0	0,24	0,00	0,0
SPLS 6	Maintenance	5°	1,15	1,15	1,2	0,24	0,0	0,0
SPLS 6_0,9	Maintenance	5°	1,15	1,15	0,0	0,24	0,0	0,0
SLS (deformations, fatigue, EDS)				G_k	Q_{pk}	Q_{wk}	Q_{ik}	A_k
SLS 1a	Wind	10°	1,00	1,00	0,0	1,00	0,0	0,0
SLS 3	Wind+ice	-5°	1,00	1,00	0,0	0,30	1,00	0,0
SLS 4	Wind	-20°	1,00	1,00	0,0	0,20	0,0	0,0
SLS 6	Maintenance	5°	1,00	1,00	0,0	0,20	0,0	0,0
SLS 7	EDS, no wind	10°	1,00	1,00	0,0	0,00	0,0	0,0

Number of wind directions 4
Number of load combinations for ULS 44
Number of load combinations for SPLS 0
Number of load combinations for SLS 11
Number of concentrated loads 440

Project: MBT-EHV
 Tower: S+9
 Number: 113

Summary table - Conductor loads

The four tables below show:

- The maximum conductor load in the global axis system, split into proportion of back and ahead span
- The combined conductor load (Ba+Ah) in the global axis system with the maximum tensile force in the local axes. Components Fx and Fy as absolute values
- The everyday (EDS) values of the combined conductor loads (Ba+Ah) with corresponding tensile forces
- Check for uplift, where a negative value indicates uplift

Note: Maximum values for Fx, Fy and Fz do not necessarily belong to the same load combination.

*For Steunmast the special combination SPLS 6 don't apply.

Maximum values for back and ahead span

Geleider	Fx_ba [kN]	Fx_ah [kN]	Fy_ba [kN]	Fy_ah [kN]	Fz_ba [kN]	Fz_ah [kN]
bl1	-33,5	33,5	3,0	4,9	3,5	6,5
bl2	-34,1	34,1	3,0	4,9	3,5	6,6
380ct1f1	-128,4	128,4	10,8	15,8	12,0	22,6
380ct1f2	-128,4	128,4	10,8	15,8	12,0	22,6
380ct1f3	-130,4	130,4	11,7	18,0	12,0	22,6
380ct2f1	-128,4	128,4	10,8	15,8	12,0	22,6
380ct2f2	-128,4	128,4	10,8	15,8	12,0	22,6
380ct2f3	-130,4	130,4	11,7	18,0	12,0	22,6

Min. Weight span (m)

Weight spar Combinatie1

Geleider	SLS 1a	SLS 4	SLS 7
bl1	343,6	350,5	343,6
bl2	343,6	350,4	343,6
380ct1f1	337,1	341,1	337,1
380ct1f2	337,1	341,1	337,1
380ct1f3	337,1	341,3	337,1
380ct2f1	337,1	341,1	337,1
380ct2f2	337,1	341,1	337,1
380ct2f3	337,1	341,3	337,1

Max. Weight span (m)

Weight spar Combinatie1

Geleider	ULS 1a	ULS 3
bl1	376,0	343,2
bl2	375,1	343,3
380ct1f1	350,4	337,3
380ct1f2	350,4	337,3
380ct1f3	353,5	337,8
380ct2f1	350,4	337,3
380ct2f2	350,4	337,3
380ct2f3	353,5	337,8

Envelop of weight span over all combinations (incl. 0,9 combinations)

For all conductors	Wind / Weight span ratio
Max. weight span	392,8 m 1,291 -
Min. weight span	335,7 m 1,103 -

Project: MBT-EHV
 Tower: S+9
 Number: 113

Maximum values back + ahead span Maximum tension in conductor

Geleider	Fx [kN]	Fy [kN]	Fz [kN]	Ft_ba [kN]	Ft_ah [kN]
bl1	14,6	7,9	8,4	-33,8	33,6
bl2	15,0	7,9	8,5	-34,3	34,1
380ct1f1	51,8	26,6	34,5	-129,4	127,3
380ct1f2	51,8	26,6	34,5	-129,4	127,3
380ct1f3	51,8	29,7	34,6	-131,3	129,5
380ct2f1	51,8	26,6	34,5	-129,4	127,3
380ct2f2	51,8	26,6	34,5	-129,4	127,3
380ct2f3	51,8	29,7	34,6	-131,3	129,5

EDS-loads conductor

Geleider	Fx [kN]	Fy [kN]	Fz [kN]	Ft_ba [kN]	Ft_ah [kN]
bl1	0,0	0,0	3,3	-14,6	14,6
bl2	0,0	0,0	3,4	-15,0	15,0
380ct1f1	0,0	0,0	19,1	-64,8	64,8
380ct1f2	0,0	0,0	19,1	-64,8	64,8
380ct1f3	0,0	0,0	19,1	-64,8	64,8
380ct2f1	0,0	0,0	19,1	-64,8	64,8
380ct2f2	0,0	0,0	19,1	-64,8	64,8
380ct2f3	0,0	0,0	19,1	-64,8	64,8

1 Control uplift SLS-wind

Combinatie: Geleider	Fz_ba [kN]	Fz_ah [kN]
SLS 4 bl1	1,1	2,3
bl2	1,1	2,4
380ct1f1	6,8	12,4
380ct1f2	6,8	12,4
380ct1f3	6,8	12,5
380ct2f1	6,8	12,4
380ct2f2	6,8	12,4
380ct2f3	6,8	12,5

Project: MBT-EHV
 Tower: S+9
 Number: 113

ULS foundation loads for LC 1 and 3, wind perpendicular to the line or bisector and EDS, from conductors

Combination	Combination	F_x [kN]	F_y [kN]	F_z [kN]	M_x [kNm]	M_y [kNm]	M_z [kNm]
ULS 1a_90		0	182	145	8387	0	0
ULS 1a_0,9_90		0	182	145	8387	0	0
ULS 3_90		0	94	222	4350	0	0
ULS 3_0,9_90		0	94	222	4350	0	0
SLS 7		0	0	121	1	0	0

ULS foundation loads, LC 1 and 3, wind perpendicular to the line or bisector and EDS, total conductors and tower

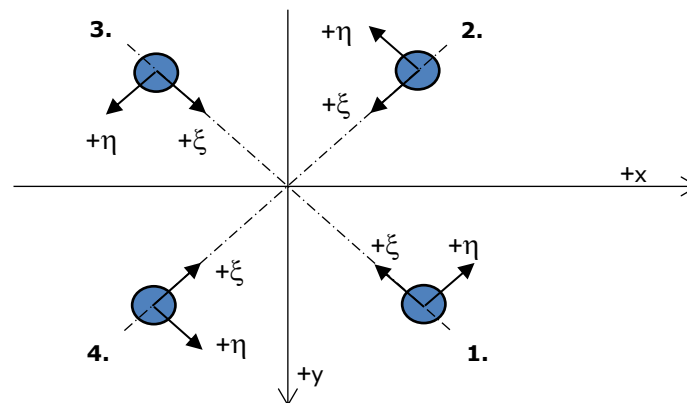
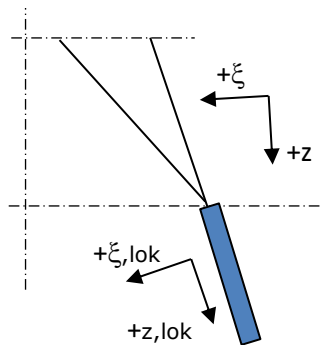
Combination	F_x [kN]	F_y [kN]	F_z [kN]	M_x [kNm]	M_y [kNm]	M_z [kNm]
ULS 1a_90	0	423	547	15709	0	0
ULS 3_90	0	166	624	6546	0	0
SLS 7	0	0	471	1	0	0

Foundation loads, selection of load combinations based on greatest value

Combination	F_x [kN]	F_y [kN]	F_z [kN]	M_x [kNm]	M_y [kNm]	M_z [kNm]
ULS 1a_90	0	423	547	15709	0	0
ULS 1a_0,9_0,9_0	311	0	424	1	10688	0
ULS 5a Ba 10	52	0	474	62	2151	-617
ULS 1a_45	238	325	543	11828	7785	0

Note: Largest values can appear in multiple combinations, one combination is displayed.

Support reactions per leg



Axis systems

Maximum compression load

Index	Combination	R_x [kN]	R_y [kN]	R_z [kN]	R_η [kN]	R_ξ [kN]	$R_{\xi,lok}$ [kN]	$R_{z,lok}$ [kN]
1	ULS 1a_45	199	182	1057	12	-269	-54	1079
2	ULS 1a_0	105	-128	637	16	-165	-35	650
3	ULS 5a Ah 22	-30	-56	248	-19	-61	-11	253
4	ULS 1a_135	-199	182	1057	-12	-269	-54	1079

Maximum tension load

Index	Combination	R_x [kN]	R_y [kN]	R_z [kN]	R_η [kN]	R_ξ [kN]	$R_{\xi,lok}$ [kN]	$R_{z,lok}$ [kN]
1	ULS 5a Ah 22	3	5	-14	-1	-5	-8	-15
2	ULS 1a_0,9_0,9_135	-150	133	-815	12	200	35	-831
3	ULS 1a_0,9_0,9_45	150	133	-815	-12	200	35	-831
4	ULS 1a_0,9_0,9_0	57	-80	-396	-16	96	16	-404

Maximum torsional load (positive)

Index	Combination	R_x [kN]	R_y [kN]	R_z [kN]	R_η [kN]	R_ξ [kN]	$R_{\xi,lok}$ [kN]	$R_{z,lok}$ [kN]
1	ULS 1a_135	80	35	326	32	-81	-15	332
2	ULS 1a_45	-25	-20	-54	32	4	-7	-55
3	ULS 5a Ba 21	-26	11	20	26	-11	-6	21
4	ULS 5a Ah 10	-23	58	224	25	-58	-12	229

Maximum torsional load (negative)

Index	Combination	R_x [kN]	R_y [kN]	R_z [kN]	R_η [kN]	R_ξ [kN]	$R_{\xi,lok}$ [kN]	$R_{z,lok}$ [kN]
1	ULS 5a Ba 10	23	59	222	-25	-58	-12	227
2	ULS 5a Ah 21	26	11	22	-27	-11	-6	22
3	ULS 1a_135	25	-20	-54	-32	4	-7	-55
4	ULS 1a_45	-80	35	326	-32	-81	-15	332

Project: MBT-EHV
 Tower: S+9
 Number: 113

Combination Ftensile+Fhor

Index	Combination	R _x [kN]	R _y [kN]	R _z [kN]	R _η [kN]	R _ξ [kN]	R _{ξ,lok} [kN]	R _{z,lok} [kN]
1	ULS 5a Ah 12	18	-9	-9	19	-6	-8	-9
2	ULS 1a_0,9_0,9_135	-150	133	-815	12	200	35	-831
3	ULS 1a_0,9_0,9_45	150	133	-815	-12	200	35	-831
4	ULS 1a_0,9_0,9_0	57	-80	-396	-16	96	16	-404

Permanent load

Index	Combination	R _x [kN]	R _y [kN]	R _z [kN]	R _η [kN]	R _ξ [kN]	R _{ξ,lok} [kN]	R _{z,lok} [kN]
1	SLS 7	24	24	118	0	-34	-10	120
2	SLS 7	24	-24	118	0	-33	-10	120
3	SLS 7	-24	-24	118	0	-33	-10	120
4	SLS 7	-24	24	118	0	-34	-10	120

Envelope of load combinations for all of the legs

Index	Combination	R _x [kN]	R _y [kN]	R _z [kN]	R _η [kN]	R _ξ [kN]	R _{ξ,lok} [kN]	R _{z,lok} [kN]
Max. pressure	ULS 1a_45	199	182	1057	12	-269	-54	1079
Max. tension	ULS 1a_0,9_0,9_45	150	133	-815	-12	200	35	-831
Max. pos. torsie	ULS 1a_45	-25	-20	-54	32	4	-7	-55
Max. neg. torsie	ULS 1a_135	25	-20	-54	-32	4	-7	-55
Comb. tension+torsie	ULS 1a_0,9_0,9_45	150	133	-815	-12	200	35	-831

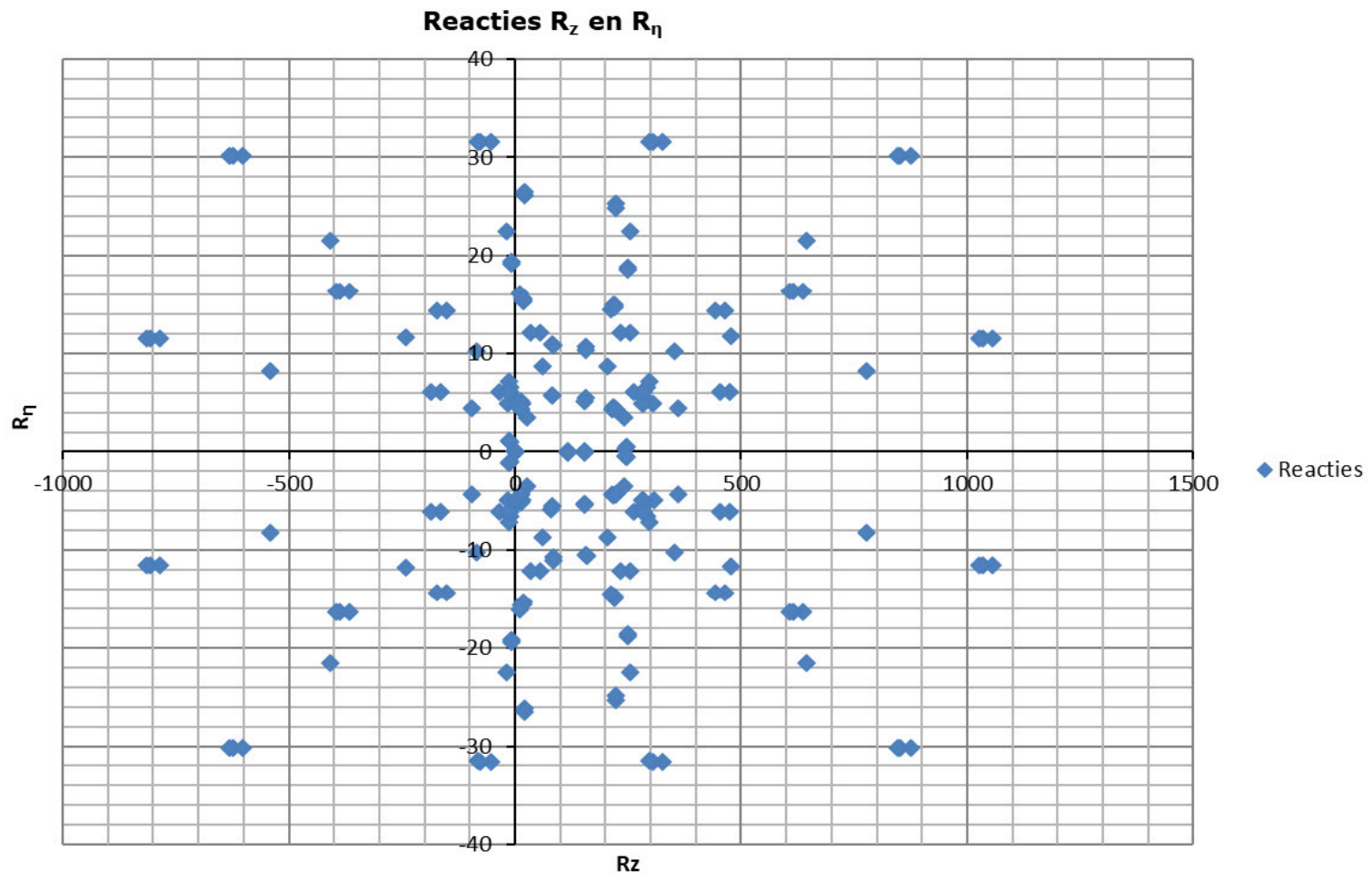
Maximum tension load - SLS

Index	Combination	R _x [kN]	R _y [kN]	R _z [kN]	R _η [kN]	R _ξ [kN]	R _{ξ,lok} [kN]	R _{z,lok} [kN]
1	SLS 7	24	24	118	0	-34	-10	120
2	SLS 1a_135	-99	87	-540	8	131	21	-551
3	SLS 1a_45	99	87	-540	-8	131	21	-551
4	SLS 1a_0	32	-48	-241	-12	57	8	-246

Maximum compression load - SLS

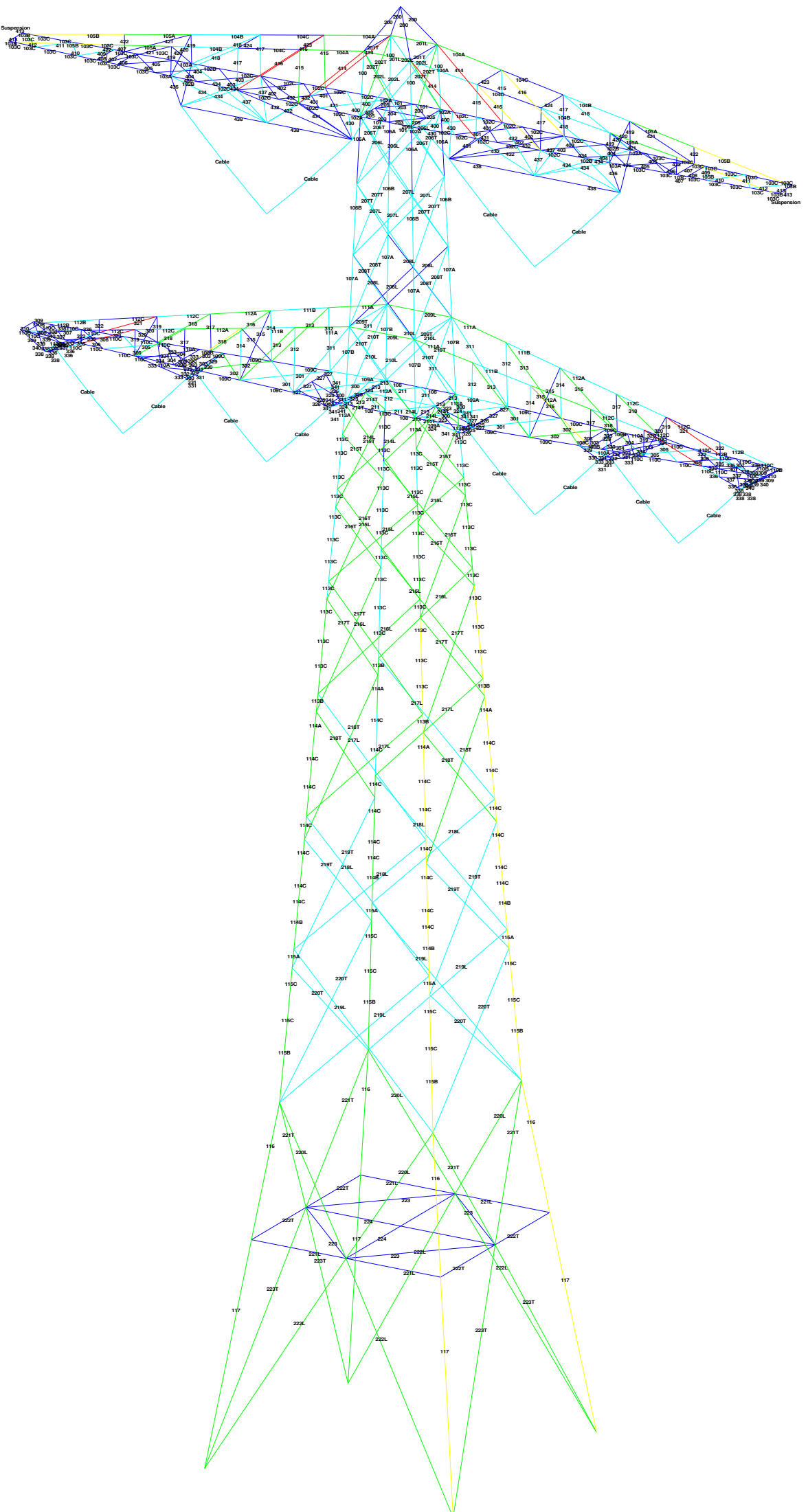
Index	Combination	R _x [kN]	R _y [kN]	R _z [kN]	R _η [kN]	R _ξ [kN]	R _{ξ,lok} [kN]	R _{z,lok} [kN]
1	SLS 1a_45	146	134	776	8	-198	-41	792
2	SLS 1a_0	79	-96	476	12	-124	-27	486
3	SLS 7	-24	-24	118	0	-33	-10	120
4	SLS 1a_135	-146	134	776	-8	-198	-41	792

Project: MBT-EHV
Tower: S+9
Number: 113





APPENDIX B
UITVOER PLS-TOWER





Assessment of groups for initial structure (afkeur level)

Date 29-9-2021
Author MKh
Version v4.3

MBT-EHV 380
S+9
Mast 112

Table with columns: Group Label, Description, Profile, Steel Quality, Bolts, RLX, RLY, RLZ, Slenderness, Compression (kN), Load Case (Compression), Buckling, Shear (Comp), Bearing (Comp), U.C. (Comp), Exceedance (Comp), Tension (kN), Load Case (Tension), Net Section, Shear (Tens), Bearing (Tens), U.C. (Tens), Exceedance (Tens). Rows 117-316.



Assessment of groups for initial structure (afkeur level)

Date 29-9-2021
Author MKh
Version v4.3

MBT-EHV 380
S+9
Mast 112

Table with columns: Group Label, Description, Profile, Steel Quality, Bolts, RLX, RLY, RLZ, Slenderness, Compression (kN), Load Case (Compression), Buckling, Shear (Comp), Bearing (Comp), U.C. (Comp), Exceedance (Comp), Tension (kN), Load Case (Tension), Net Section, Shear (Tens), Bearing (Tens), U.C. (Tens), Exceedance (Tens). Rows 318-341.



Assessment of groups for modified structure (afkeur level)

Date 29-9-2021
Author MKh
Version v4.3

MBT-EHV 380
S+9
Mast 112

Table with columns: Group Label, Description, Profile, Steel Quality, Bolts, RLX, RLY, RLZ, Slenderness, Compression (kN), Load Case (Compression), Buckling, Shear (Comp), Bearing (Comp), U.C. (Comp), Exceedance (Comp), Tension (kN), Load Case (Tension), Net Section, Shear (Tens), Bearing (Tens), U.C. (Tens), Exceedance (Tens). Rows include various mast sections like 117, 116, 115A, etc.



Assessment of groups for modified structure (afkeur level)

Date 29-9-2021
Author MKh
Version v4.3

MBT-EHV 380
S+9
Mast 112

Group Label	Description	Profile	Steel Quality	Bolts	RLX	RLY	RLZ	Slender ness	Compression (kN)	Load Case (Compression)	Buckling	Shear (Comp)	Bearing (Comp)	U.C. (Comp)	Exceedance (Comp)	Tension (kN)	Load Case (Tension)	Net Section	Shear (Tens)	Bearing (Tens)	U.C. (Tens)	Exceedance (Tens)
201T		50x50x5	S235	1M16-5.6t	1.00	1.00	1.00	206	-2.2	ULS 1a 90	21.0	37.7	43.2	0.10		1.6	ULS 1a_0,9_90	37.4	37.7	22.0	0.07	
312		70x70x7	S235	1M20-5.6t	1.00	1.00	1.00	187	-18.5	ULS 5a Ah 10	47.2	58.8	75.6	0.39				96.8	58.8	45.8		
314		65x65x7	S235	1M20-5.6t	1.00	1.00	1.00	161	-16.9	ULS 5a Ah 21	53.1	58.8	75.6	0.32		0.0	ULS 5a Ba 10	76.6	58.8	38.8	0.00	
317		50x50x5	S235	1M16-5.6t	1.00	1.00	1.00	154	-5.7	ULS 5a Ah 11	31.0	37.7	43.2	0.18		0.1	ULS 5a Ba 21	37.4	37.7	18.4	0.01	
319		75x50x5	S235	1M16-5.6t	1.00	1.00	1.00	95	-6.4	ULS 5a Ah 21	59.5	37.7	43.2	0.17		4.6	ULS 5a Ba 10	37.4	37.7	18.4	0.25	
322		50x50x5	S235	1M16-5.6t	1.00	1.00	1.00	53	-0.8	ULS 5a Ah 10	63.5	37.7	43.2	0.02				37.4	37.7	18.4		
311		60x60x6	S235	1M20-5.6t	1.00	1.00	1.00	332	-0.3	ULS 5a Ba 11	14.4	58.8	64.8	0.02		21.6	ULS 5a Ah 21	65.7	58.8	44.4	0.49	
313		60x60x6	S235	1M20-5.6t	1.00	1.00	1.00	298			17.2	58.8	64.8			30.9	ULS 5a Ah 10	65.7	58.8	44.4	0.70	
316		50x50x5	S235	2M16-5.6t	1.00	1.00	1.00	332	-1.3	ULS 5a Ba 10	12.6	75.4	86.4	0.11		35.2	ULS 5a Ah 21	52.4	75.4	44.1	0.80	
318		50x50x5	S235	1M16-5.6t	1.00	1.00	1.00	274	-2.1	ULS 5a Ba 21	13.7	37.7	43.2	0.16		13.2	ULS 5a Ah 11	37.4	37.7	22.0	0.60	
321		60x60x6	S355	1M16-8.8t	1.00	1.00	1.00	223	-25.9	ULS 5a Ba 10	29.6	60.3	70.6	0.87		29.0	ULS 5a Ah 21	98.8	60.3	52.3	0.56	
315		45x45x5	S235	1M12-5.6t	0.52	0.52	0.52	180	-1.1	ULS 1a 0	22.7	20.2	32.4	0.06		1.0	ULS 1a_0,9_0,9_0	37.4	20.2	23.7	0.05	
320		45x45x5	S235	1M12-5.6t	0.52	0.52	0.52	115	-1.0	ULS 1a 0	38.2	20.2	32.4	0.05		0.9	ULS 1a_0,9_0,9_0	37.4	20.2	23.7	0.04	
300		70x70x7	S235	1M20-5.6t	0.53	0.53	0.53	142	-21.1	ULS 5a Ah 20	66.6	58.8	75.6	0.36		12.7	ULS 5a Ba 11	96.8	58.8	53.5	0.24	
301		70x70x7	S235	1M20-5.6t	0.54	0.54	0.54	138	-23.8	ULS 5a Ah 10	69.0	58.8	75.6	0.40		22.6	ULS 5a Ba 21	96.8	58.8	53.5	0.42	
302		70x70x7	S235	1M24-5.6t	0.54	0.54	0.54	119	-25.6	ULS 5a Ba 21	80.7	84.7	90.7	0.32		25.7	ULS 5a Ah 10	88.7	84.7	44.9	0.57	
304		60x60x6	S235	1M20-5.6t	0.53	0.53	0.53	104	-7.0	ULS 1a 0	67.8	58.8	64.8	0.12		4.4	ULS 1a_0,9_0,9_0	65.7	58.8	44.4	0.10	
305		60x60x6	S235	1M20-5.6t	0.54	0.54	0.54	112	-14.5	ULS 5a Ah 21	63.0	58.8	64.8	0.25		13.7	ULS 5a Ba 21	65.7	58.8	44.4	0.31	
306		75x50x7	S235	1M24-5.6t	0.55	0.55	0.55	113	-11.5	ULS 5a Ah 21	73.4	84.7	90.7	0.16		11.0	ULS 5a Ba 21	98.8	84.7	58.0	0.19	
307		75x50x7	S235	1M24-5.6t	0.54	0.54	0.54	87	-4.3	ULS 1a 0	86.9	84.7	90.7	0.05		2.2	ULS 1a_0,9_0,9_0	98.8	84.7	58.0	0.04	
303		HEB160	S235		1.00	1.00	1.00	51	-12.4	ULS 3 90	910.9			0.01		3.1	ULS 1a_90	1276.1			0.00	
308		HEB160	S235		1.00	1.00	1.00	27			1015.5					2.5	ULS 1a_90	1276.1			0.00	
309		HEB160	S235		2.00	2.00	2.00	26	-1.2	ULS 1a 90	1021.6			0.00				1276.1				
310		HEB160	S235		1.00	1.00	1.00	25	-3.9	ULS 1a_0,9_90	1025.6			0.00		0.1	ULS 1a_0,9_0,9_90	1276.1				
415		55x55x6	S235	1M16-5.6t	1.00	1.00	1.00	198	-14.9	ULS 1a 90	27.7	37.7	51.8	0.54				55.3	37.7	28.0		
417		50x50x5	S235	1M16-5.6t	1.00	1.00	1.00	170	-6.6	ULS 1a 90	27.4	37.7	43.2	0.24		0.4	ULS 5a Ba 12	37.4	37.7	18.4	0.02	
419		75x50x5	S235	1M16-5.6t	1.00	1.00	1.00	107	-3.6	ULS 1a 0	55.1	37.7	43.2	0.10				37.4	37.7	22.0		
422		50x50x5	S235	1M16-5.6t	1.00	1.00	1.00	70	-0.7	ULS 6a 90 Ba Ct1	58.8	37.7	43.2	0.02				37.4	37.7	18.4		
414		55x55x6	S355	1M16-8.8t	1.00	1.00	1.00	359	-6.9	ULS 5a Ba 22	11.8	60.3	70.6	0.59		41.5	ULS 5a Ah 12	75.3	60.3	45.8	0.91	
416		55x55x6	S355	1M16-8.8t	1.00	1.00	1.00	323			14.1	60.3	70.6			29.6	ULS 1a_90	75.3	60.3	45.8	0.65	
418		50x50x5	S235	2M16-5.6t	1.00	1.00	1.00	344	-2.7	ULS 5a Ba 12	11.9	75.4	86.4	0.23		17.3	ULS 1a_90	56.2	75.4	44.1	0.39	
421		60x60x6	S235	2M20-5.6t	1.00	1.00	1.00	259			26.8	117.6	129.6			11.4	ULS 7	77.4	117.6	88.7	0.15	
420		45x45x5	S235	1M12-5.6t	0.52	0.52	0.52	112	-1.5	ULS 1a 0	39.4	20.2	32.4	0.07		1.4	ULS 1a_0,9_0,9_0	37.4	20.2	23.7	0.07	
400		60x60x6	S235	1M20-5.6t	0.52	0.52	0.52	124	-16.7	ULS 5a Ah 22	57.2	58.8	64.8	0.29		14.0	ULS 5a Ba 12	65.7	58.8	44.4	0.32	
401		60x60x6	S235	1M20-5.6t	0.52	0.52	0.52	119	-11.1	ULS 1a_0,9_0	59.6	58.8	64.8	0.19		10.1	ULS 1a_0,9_0,9_0	65.7	58.8	44.4	0.23	
402		60x60x6	S235	1M20-5.6t	0.52	0.52	0.52	114	-13.8	ULS 1a 0	61.9	58.8	64.8	0.23		8.2	ULS 1a_0,9_0,9_0	65.7	58.8	44.4	0.19	
403		60x60x6	S235	1M20-5.6t	0.52	0.52	0.52	108	-12.7	ULS 1a 0	65.0	58.8	64.8	0.22		9.5	ULS 1a_0,9_0,9_0	65.7	58.8	44.4	0.21	
404		70x70x7	S235	1M24-5.6t	0.52	0.52	0.52	93	-7.6	ULS 1a_0,9_0	101.1	84.7	90.7	0.09		11.1	ULS 1a 0	88.7	84.7	51.3	0.22	
405		75x50x7	S235	1M24-5.6t	0.53	0.53	0.53	108	-10.3	ULS 5a Ah 1	76.0	84.7	90.7	0.14		7.0	ULS 5a Ba 1	98.8	84.7	58.0	0.12	
409		55x55x6	S235	1M16-5.6t	1.00	1.00	1.00	143	-16.0	ULS 5a Ah 1	42.3	37.7	51.8	0.42		15.8	ULS 5a Ba 1	63.9	37.7	38.4	0.42	
410		55x55x6	S235	1M16-5.6t	1.00	1.00	1.00	141	-16.3	ULS 5a Ba 1	42.9	37.7	51.8	0.43		16.3	ULS 5a Ah 1	63.9	37.7	38.4	0.43	
411		55x55x6	S235	1M16-5.6t	1.00	1.00	1.00	136	-17.0	ULS 5a Ah 1	44.8	37.7	51.8	0.45		17.0	ULS 5a Ba 1	63.9	37.7	38.4	0.45	
412		55x55x6	S235	1M16-5.6t	1.00	1.00	1.00	141	-19.2	ULS 5a Ba 1	43.1	37.7	51.8	0.51		18.9	ULS 5a Ah 1	63.9	37.7	38.4	0.50	
406		HEB160	S235		1.00	1.00	1.00	34	-0.2	ULS 1a_0,9_0,9_90	989.4			0.00		3.0	ULS 1a_90	1276.1			0.00	
407		HEB160	S235		2.00	2.00	2.00	33	-1.0	ULS 1a 135	993.0			0.00		0.2	ULS 1a_0,9_0,9_45	1276.1			0.00	
408		HEB160	S235		1.00	1.00	1.00	32	-6.9	ULS 5a Ba 1	996.6			0.01		7.2	ULS 5a Ah 1	1276.1			0.01	
413		HEB160	S235	2M16-5.6t	2.00	2.00	2.00	25	-14.2	ULS 5a Ah 1	1067.2	75.4	138.2	0.19		14.1	ULS 5a Ba 1	1296.6	75.4	66.6	0.21	
423		50x50x5	S235	1M16-5.6t	1.00	1.00	1.00	188	0.0	ULS 1a_90	23.9	37.7	43.2	0.00		0.0	ULS 1a_0,9_0,9_0	37.4	37.7	22.0	0.00	
424		50x50x5	S235	1M16-5.6t	1.00	1.00	1.00	170	0.0	ULS 5a Ba 12	27.4	37.7	43.2	0.00				37.4	37.7	22.0		
430		80x80x8	S355	1M20-8.8t	1.00	1.00	1.00	118	-30.0	ULS 5a Ba 12	128.5	94.1	117.6	0.32		25.6	ULS 5a Ah 22	181.9	94.1	106.9	0.27	
431		80x80x8	S355	1M20-8.8t	1.00	1.00	1.00	157			89.3	94.1	117.6			16.1	ULS 3 90	181.9	94.1	106.9	0.17	
432		80x80x8	S355	1M20-8.8t	0.57	0.57	0.57	95	-25.2	ULS 5a Ah 12	163.2	94.1	117.6	0.27		17.7	ULS 5a Ba 22	181.9	94.1	106.9	0.19	
434		80x80x8	S355	1M20-8.8t	0.57	0.57	0.57	146	-26.8	ULS 5a Ah 12	98.1	94.1	117.6	0.28		30.7	ULS 5a Ah 12	181.9	94.1	106.9	0.33	
436		80x80x8	S355	1M20-8.8t	1.00	1.00	1.00	104	-9.6	ULS 5a Ba 12	148.8	94.1	117.6	0.10		14.4	ULS 5a Ah 22	181.9	94.1	106.9	0.15	
437		60x60x5	S355	1M20-8.8t	1.00	1.00	1.00	157	-3.3	ULS 5a Ba 22	41.8	94.1	73.5	0.08		17.0	ULS 5a Ah 12	74.5	94.1	56.6	0.30	
438		HEB160	S355	10M16-8.8t	1.00	1.00	1.00	90	-36.9	ULS 5a Ah 12	871.0	563.3	940.8	0.07				1814.1	481.6	752.6		
323		60x60x6	S355	1M20-8.8t	1.00	1.00	1.00	125	-5.4	ULS 5a Ba 11	67.2	94.1	88.2	0.08		16.1	ULS 5a Ah 20	89.4	94.1	67.9	0.24	
324		60x60x6	S355	1M20-8.8t	1.00	1.00	1.00	131	-4.5	ULS 5a Ba 20	63.6	94.1	88.2	0.07		20.3	ULS 5a Ah 11	89.4	94.1	67.9	0.30	
325		60x60x6	S355	1M20-8.8t	1.00	1.00	1.00	102	-4.6	ULS 5a Ah 11	85.4	94.1	88.2	0.05		5.9	ULS 5a Ba 20	89.4	94.1	67.9	0.09	
326		60x60x6	S355	1M20-8.8t	1.00	1.00	1.00	102	-9.2	ULS 5a Ba 11	85.4	94.1	88.2	0.11		6.6	ULS 5a Ba 10	89.4	94.1	67.9	0.10	
327																						



Assessment of groups for modified elements (verbouw level)

Date 29-9-2021
 Author MKh
 Version v4.3

MBT-EHV 380
S+9
Mast 112

Group Label	Description	Profile	Steel Quality	Bolts	RLX	RLY	RLZ	Slenderne ss	Compression (kN) Load Case (Compression)	Bucklin g	Shear (Comp)	Bearing (Comp)	U.C. (Comp)	Exceedance (Comp)	Tension (kN) Load Case (Tension)	Net Section	Shear (Tens)	Bearing (Tens)	U.C. (Tens)	Exceedance (Tens)
321		60x60x6	S355	1M16-8.8t	1.00	1.00	1.00	223	-25.9 ULS 5a Ba 10	29.6	60.3	70.6	0.87		29.0 ULS 5a Ah 21	98.8	60.3	52.3	0.56	
414		55x55x6	S355	1M16-8.8t	1.00	1.00	1.00	359	-6.9 ULS 5a Ba 22	11.8	60.3	70.6	0.59		41.5 ULS 5a Ah 12	75.3	60.3	45.8	0.91	
416		55x55x6	S355	1M16-8.8t	1.00	1.00	1.00	323	0.0	14.1	60.3	70.6	0.00		33.1 ULS 1a 90	75.3	60.3	45.8	0.72	



Assessment of groups for initial structure (afkeur level)

Date 29-9-2021
Author MKh
Version v4.3

MBT-EHV 380
S+9
Mast 113

Table with columns: Group Label, Description, Profile, Steel Quality, Bolts, RLX, RLY, RLZ, Slenderness, Compression (kN), Load Case (Compression), Buckling, Shear (Comp), Bearing (Comp), U.C. (Comp), Exceedance (Comp), Tension (kN), Load Case (Tension), Net Section, Shear (Tens), Bearing (Tens), U.C. (Tens), Exceedance (Tens). Rows 117-316.



Assessment of groups for initial structure (afkeur level)

Date 29-9-2021
Author MKh
Version v4.3

MBT-EHV 380
S+9
Mast 113

Table with columns: Group Label, Description, Profile, Steel Quality, Bolts, RLX, RLY, RLZ, Slenderness, Compression (kN), Load Case (Compression), Buckling, Shear (Comp), Bearing (Comp), U.C. (Comp), Exceedance (Comp), Tension (kN), Load Case (Tension), Net Section, Shear (Tens), Bearing (Tens), U.C. (Tens), Exceedance (Tens). Rows 318-341.



Assessment of groups for modified structure (afkeur level)

Date 29-9-2021
Author MKh
Version v4.3

MBT-EHV 380
S+9
Mast 113

Table with columns: Group Label, Description, Profile, Steel Quality, Bolts, RLX, RLY, RLZ, Slenderness, Compression (kN), Load Case (Compression), Buckling, Shear (Comp), Bearing (Comp), U.C. (Comp), Exceedance (Comp), Tension (kN), Load Case (Tension), Net Section, Shear (Tens), Bearing (Tens), U.C. (Tens), Exceedance (Tens). Rows include various structural components like 117, 116, 115A, etc.



Assessment of groups for modified structure (afkeur level)

Date 29-9-2021
 Author MKh
 Version v4.3

**MBT-EHV 380
 S+9
 Mast 113**

Group Label	Description	Profile	Steel Quality	Bolts	RLX	RLY	RLZ	Slender ness	Compression (kN)	Load Case (Compression)	Buckling	Shear (Comp)	Bearing (Comp)	U.C. (Comp)	Exceedance (Comp)	Tension (kN)	Load Case (Tension)	Net Section	Shear (Tens)	Bearing (Tens)	U.C. (Tens)	Exceedance (Tens)
201T		50x50x5	S235	1M16-5.6t	1.00	1.00	1.00	206	-2.3	ULS 1a 90	21.0	37.7	43.2	0.11		1.6	ULS 1a_0,9_90	37.4	37.7	22.0	0.07	
312		70x70x7	S235	1M20-5.6t	1.00	1.00	1.00	187	-18.7	ULS 5a Ba 21	47.2	58.8	75.6	0.40				96.8	58.8	45.8		
314		65x65x7	S235	1M20-5.6t	1.00	1.00	1.00	161	-17.1	ULS 5a Ba 10	53.1	58.8	75.6	0.32				76.6	58.8	38.8		
317		50x50x5	S235	1M16-5.6t	1.00	1.00	1.00	154	-5.8	ULS 1a 90	31.0	37.7	43.2	0.19		0.1	ULS 5a Ah 10	37.4	37.7	18.4	0.00	
319		75x50x5	S235	1M16-5.6t	1.00	1.00	1.00	95	-6.4	ULS 5a Ba 10	59.5	37.7	43.2	0.17		4.6	ULS 5a Ah 21	37.4	37.7	18.4	0.25	
322		50x50x5	S235	1M16-5.6t	1.00	1.00	1.00	53	-0.9	ULS 5a Ba 21	63.5	37.7	43.2	0.02				37.4	37.7	18.4		
311		60x60x6	S235	1M20-5.6t	1.00	1.00	1.00	332			14.4	58.8	64.8			21.9	ULS 5a Ba 10	65.7	58.8	44.4	0.49	
313		60x60x6	S235	1M20-5.6t	1.00	1.00	1.00	298			17.2	58.8	64.8			31.2	ULS 5a Ba 21	65.7	58.8	44.4	0.70	
316		50x50x5	S235	2M16-5.6t	1.00	1.00	1.00	332	-1.0	ULS 5a Ah 21	12.6	75.4	86.4	0.08		35.5	ULS 5a Ba 10	52.4	75.4	44.1	0.81	
318		50x50x5	S235	1M16-5.6t	1.00	1.00	1.00	274	-1.9	ULS 5a Ah 10	13.7	37.7	43.2	0.14		13.2	ULS 5a Ba 20	37.4	37.7	22.0	0.60	
321		60x60x6	S355	1M16-8.8t	1.00	1.00	1.00	223	-25.8	ULS 5a Ah 21	29.6	60.3	70.6	0.87		29.1	ULS 5a Ba 10	98.8	60.3	52.3	0.56	
315		45x45x5	S235	1M12-5.6t	0.52	0.52	0.52	180	-1.1	ULS 1a 0	22.7	20.2	32.4	0.06		1.0	ULS 1a_0,9_0,9_0	37.4	20.2	23.7	0.05	
320		45x45x5	S235	1M12-5.6t	0.52	0.52	0.52	115	-1.0	ULS 1a 0	38.2	20.2	32.4	0.05		0.9	ULS 1a_0,9_0,9_0	37.4	20.2	23.7	0.04	
300		70x70x7	S235	1M20-5.6t	0.53	0.53	0.53	142	-21.2	ULS 5a Ba 11	66.6	58.8	75.6	0.36		12.6	ULS 5a Ah 20	96.8	58.8	53.5	0.24	
301		70x70x7	S235	1M20-5.6t	0.54	0.54	0.54	138	-23.8	ULS 5a Ba 21	69.0	58.8	75.6	0.40		22.5	ULS 5a Ah 10	96.8	58.8	53.5	0.42	
302		70x70x7	S235	1M24-5.6t	0.54	0.54	0.54	119	-25.6	ULS 5a Ah 10	80.7	84.7	90.7	0.32		25.7	ULS 5a Ba 21	88.7	84.7	44.9	0.57	
304		60x60x6	S235	1M20-5.6t	0.53	0.53	0.53	104	-7.0	ULS 1a 0	67.8	58.8	64.8	0.12		4.3	ULS 1a_0,9_0,9_0	65.7	58.8	44.4	0.10	
305		60x60x6	S235	1M20-5.6t	0.54	0.54	0.54	112	-14.6	ULS 5a Ba 10	63.0	58.8	64.8	0.25		13.7	ULS 5a Ah 10	65.7	58.8	44.4	0.31	
306		75x50x7	S235	1M24-5.6t	0.55	0.55	0.55	113	-11.5	ULS 5a Ba 10	73.4	84.7	90.7	0.16		11.0	ULS 5a Ah 10	98.8	84.7	58.0	0.19	
307		75x50x7	S235	1M24-5.6t	0.54	0.54	0.54	87	-4.4	ULS 1a 0	86.9	84.7	90.7	0.05		2.2	ULS 1a_0,9_0,9_0	98.8	84.7	58.0	0.04	
303		HEB160	S235		1.00	1.00	1.00	51	-12.9	ULS 3 90	910.9			0.01		3.2	ULS 1a_90	1276.1			0.00	
308		HEB160	S235		1.00	1.00	1.00	27			1015.5					2.6	ULS 1a_90	1276.1			0.00	
309		HEB160	S235		2.00	2.00	2.00	26	-1.3	ULS 1a 90	1021.6			0.00				1276.1				
310		HEB160	S235		1.00	1.00	1.00	25	-4.0	ULS 1a_0,9_90	1025.6			0.00		0.1	ULS 1a_0,9_0,9_90	1276.1				
415		55x55x6	S235	1M16-5.6t	1.00	1.00	1.00	198	-15.3	ULS 1a 90	27.7	37.7	51.8	0.55				55.3	37.7	28.0		
417		50x50x5	S235	1M16-5.6t	1.00	1.00	1.00	170	-6.8	ULS 1a 90	27.4	37.7	43.2	0.25		0.4	ULS 5a Ah 22	37.4	37.7	18.4	0.02	
419		75x50x5	S235	1M16-5.6t	1.00	1.00	1.00	107	-3.6	ULS 1a 0	55.1	37.7	43.2	0.10				37.4	37.7	22.0		
422		50x50x5	S235	1M16-5.6t	1.00	1.00	1.00	70	-0.8	ULS 6a 90 Ah Ct1	58.8	37.7	43.2	0.02				37.4	37.7	18.4		
414		55x55x6	S355	1M16-8.8t	1.00	1.00	1.00	359	-6.7	ULS 5a Ah 12	11.8	60.3	70.6	0.57		41.8	ULS 5a Ba 22	75.3	60.3	45.8	0.91	
416		55x55x6	S355	1M16-8.8t	1.00	1.00	1.00	323			14.1	60.3	70.6			30.5	ULS 1a_90	75.3	60.3	45.8	0.67	
418		50x50x5	S235	2M16-5.6t	1.00	1.00	1.00	344	-2.7	ULS 5a Ah 22	11.9	75.4	86.4	0.23		17.9	ULS 1a_90	56.2	75.4	44.1	0.41	
421		60x60x6	S235	2M20-5.6t	1.00	1.00	1.00	259			26.8	117.6	129.6			11.4	ULS 7	77.4	117.6	88.7	0.15	
420		45x45x5	S235	1M12-5.6t	0.52	0.52	0.52	112	-1.5	ULS 1a 0	39.4	20.2	32.4	0.07		1.4	ULS 1a_0,9_0,9_0	37.4	20.2	23.7	0.07	
400		60x60x6	S235	1M20-5.6t	0.52	0.52	0.52	124	-16.7	ULS 5a Ba 12	57.2	58.8	64.8	0.29		14.0	ULS 5a Ah 22	65.7	58.8	44.4	0.32	
401		60x60x6	S235	1M20-5.6t	0.52	0.52	0.52	119	-11.1	ULS 1a_0,9_0	59.6	58.8	64.8	0.19		10.0	ULS 1a_0,9_0,9_0	65.7	58.8	44.4	0.23	
402		60x60x6	S235	1M20-5.6t	0.52	0.52	0.52	114	-13.8	ULS 1a 0	61.9	58.8	64.8	0.24		8.2	ULS 1a_0,9_0,9_0	65.7	58.8	44.4	0.18	
403		60x60x6	S235	1M20-5.6t	0.52	0.52	0.52	108	-12.7	ULS 1a 0	65.0	58.8	64.8	0.22		9.5	ULS 1a_0,9_0,9_0	65.7	58.8	44.4	0.21	
404		70x70x7	S235	1M24-5.6t	0.52	0.52	0.52	93	-7.6	ULS 1a_0,9_0	101.1	84.7	90.7	0.09		11.1	ULS 1a 0	88.7	84.7	51.3	0.22	
405		75x50x7	S235	1M24-5.6t	0.53	0.53	0.53	108	-10.3	ULS 5a Ba 3	76.0	84.7	90.7	0.14		7.0	ULS 5a Ah 3	98.8	84.7	58.0	0.12	
409		55x55x6	S235	1M16-5.6t	1.00	1.00	1.00	143	-16.0	ULS 5a Ah 3	42.3	37.7	51.8	0.42		15.8	ULS 5a Ba 3	63.9	37.7	38.4	0.42	
410		55x55x6	S235	1M16-5.6t	1.00	1.00	1.00	141	-16.3	ULS 5a Ba 3	42.9	37.7	51.8	0.43		16.3	ULS 5a Ah 3	63.9	37.7	38.4	0.43	
411		55x55x6	S235	1M16-5.6t	1.00	1.00	1.00	136	-17.0	ULS 5a Ah 3	44.8	37.7	51.8	0.45		16.9	ULS 5a Ba 3	63.9	37.7	38.4	0.45	
412		55x55x6	S235	1M16-5.6t	1.00	1.00	1.00	141	-19.2	ULS 5a Ba 3	43.1	37.7	51.8	0.51		18.9	ULS 5a Ah 3	63.9	37.7	38.4	0.50	
406		HEB160	S235		1.00	1.00	1.00	34	-0.2	ULS 1a_0,9_0,9_90	989.4			0.00		3.1	ULS 1a_90	1276.1			0.00	
407		HEB160	S235		2.00	2.00	2.00	33	-1.0	ULS 1a 135	993.0			0.00		0.2	ULS 1a_0,9_0,9_45	1276.1			0.00	
408		HEB160	S235		1.00	1.00	1.00	32	-6.8	ULS 5a Ba 3	996.6			0.01		7.2	ULS 5a Ah 3	1276.1			0.01	
413		HEB160	S235	2M16-5.6t	2.00	2.00	2.00	25	-14.2	ULS 5a Ah 3	1067.2	75.4	138.2	0.19		14.1	ULS 5a Ba 3	1296.6	75.4	66.6	0.21	
423		50x50x5	S235	1M16-5.6t	1.00	1.00	1.00	188	0.0	ULS 1a 90	23.9	37.7	43.2	0.00		0.0	ULS 1a_0,9_0,9_0	37.4	37.7	22.0	0.00	
424		50x50x5	S235	1M16-5.6t	1.00	1.00	1.00	170	0.0	ULS 5a Ah 22	27.4	37.7	43.2	0.00			ULS 1a_0,9_0,9_0	37.4	37.7	22.0		
430		80x80x8	S355	1M20-8.8t	1.00	1.00	1.00	118	-30.0	ULS 5a Ah 22	128.5	94.1	117.6	0.32		25.6	ULS 5a Ba 12	181.9	94.1	106.9	0.27	
431		80x80x8	S355	1M20-8.8t	1.00	1.00	1.00	157			89.3	94.1	117.6			16.6	ULS 3 90	181.9	94.1	106.9	0.18	
432		80x80x8	S355	1M20-8.8t	0.57	0.57	0.57	95	-25.2	ULS 5a Ba 22	163.2	94.1	117.6	0.27		17.6	ULS 5a Ah 12	181.9	94.1	106.9	0.19	
434		80x80x8	S355	1M20-8.8																		



Assessment of groups for modified elements (verbouw level)

Date 29-9-2021
 Author MKh
 Version v4.3

**MBT-EHV 380
 S+9
 Mast 113**

Group Label	Description	Profile	Steel Quality	Bolts	RLX	RLY	RLZ	Slenderne ss	Compression (kN) Load Case (Compression)	Bucklin g	Shear (Comp)	Bearing (Comp)	U.C. (Comp)	Exceedance (Comp)	Tension (kN) Load Case (Tension)	Net Section	Shear (Tens)	Bearing (Tens)	U.C. (Tens)	Exceedance (Tens)
321		60x60x6	S355	1M16-8.8t	1.00	1.00	1.00	223	-25.8 ULS 5a Ah 21	29.6	60.3	70.6	0.87		29.1 ULS 5a Ba 10	98.8	60.3	52.3	0.56	
414		55x55x6	S355	1M16-8.8t	1.00	1.00	1.00	359	-6.7 ULS 5a Ah 12	11.8	60.3	70.6	0.57		41.8 ULS 5a Ba 22	75.3	60.3	45.8	0.91	
416		55x55x6	S355	1M16-8.8t	1.00	1.00	1.00	323	0.0	14.1	60.3	70.6	0.00		34.2 ULS 1a 90	75.3	60.3	45.8	0.75	



APPENDIX C
TOETSING KNIKVERKORTERS

Knikverkorters initial structure (afkeur)

Date: 2021-09-29

Author: MKh

Version: v1.9

MBT-EHV

S+9

Towers 112 and 113

Posnr.	Section	Schematization	Profile	Steel Quality	Bolt	Quality	Length (m)	Angle (°)	Slenderness	Normal Force (kN)	Moment (kNm)	Buckling Cap. (kN)	Shear Cap. Bolt (kN)	Bearing Cap. (kN)	Net Section Cap. (kN)	Moment Cap. (kNm)	Highest U.C.	Exceedance Type	Notes
840	Onderstuk	Enkele staaf	L45x5	S235	M12	5.6	0.726	0	83	11.6	0.18	49.3	20.2	27.7	38.9	0.57	0.57		
847	Onderstuk	Enkele staaf	L45x5	S235	M12	5.6	1.87	77	215	11.6	0.00	17.7	20.2	27.7	38.9	0.57	0.65		
837	Onderstuk	Enkele staaf	L45x5	S235	M12	5.6	1.54	0	177	11.6	0.38	23.3	20.2	27.7	38.9	0.57	0.67		
846	Onderstuk	Enkele staaf	L45x5	S235	M12	5.6	2.21	55	254	11.6	0.00	13.8	20.2	27.7	38.9	0.6	0.84		
836	Onderstuk	Enkele staaf	L50x5	S235	M12	5.6	2.30	0	236	11.6	0.58	17.2	20.2	27.7	44.6	0.72	0.80		
845	Onderstuk	Enkele staaf	L50x5	S235	M16	5.6	2.70	41	277	11.6	0.00	13.4	37.7	30.3	31.7	0.72	0.86		
834	Onderstuk	Enkele staaf	L60x6	S235	M16	5.6	3.11	0	266	11.6	0.78	20.6	37.7	38.4	72.6	1.24	0.63		
844	Onderstuk	Enkele staaf	L60x6	S235	M16	5.6	3.36	32	287	11.6	0.00	18.2	37.7	38.4	72.6	1.24	0.63		
843	Onderstuk	Enkele staaf	L60x6	S235	M16	5.6	3.30	32	282	11.6	0.00	18.8	37.7	38.4	72.6	1.24	0.62		
831	Onderstuk	Enkele staaf	L60x6	S235	M16	5.6	2.58	0	221	11.6	0.65	27.3	37.7	38.4	72.6	1.24	0.52		
841	Onderstuk	Enkele staaf	L45x5	S235	M12	5.6	2.35	51	270	11.6	0.00	12.5	20.2	27.7	38.9	0.57	0.92		
829	Onderstuk	Enkele staaf	L45x5	S235	M12	5.6	1.22	0	140	11.6	0.31	31.1	20.2	27.7	38.9	0.57	0.57		
854	Pootverband	Enkele staaf	L60x6	S235	M16	5.6	1.80	0	154	1.7	0.45	44.6	37.7	38.4	72.6	1.24	0.36		
852	Pootverband	Enkele staaf	L60x6	S235	M16	5.6	3.41	76	292	1.7	0.00	17.8	37.7	38.4	72.6	1.24	0.09		
853	Pootverband	Kniksteun en verticale steur	L60x6	S235	M16	5.6	3.66	0	201	1.7	0.46	25.3	37.7	38.4	72.6	0.93	0.51		
851	Pootverband	Enkele staaf	L60x6	S235	M16	5.6	3.67	61	314	1.7	0.00	15.8	37.7	38.4	72.6	1.2	0.10		
849	Tussenschot	Kniksteun en verticale steur	L70x7	S235	M16	5.6	5.56	0	262	0.6	0.70	24.1	37.7	44.8	104.8	1.5	0.49		
848	Tussenschot	Kruisende staaf halverwege	L70x7	S235	M16	5.6	8.06	0	380	0.6	1.01	13.8	37.7	44.8	104.8	2.0	0.51		
763	1e tussenstuk	Enkele staaf	L45x5	S235	M12	5.6	1.41	0	162	9.5	0.35	26.0	20.2	27.7	38.9	0.6	0.62		
769	1e tussenstuk	Enkele staaf	L45x5	S235	M12	5.6	2.15	50	247	9.5	0.00	14.4	20.2	27.7	38.9	0.6	0.66		
762	1e tussenstuk	Enkele staaf	L50x5	S235	M12	5.6	3.00	0	308	9.5	0.75	11.3	20.2	27.7	44.6	0.7	1.04	Bending	
768	1e tussenstuk	Enkele staaf	L45x5	S235	M12	5.6	2.04	41	234	9.5	0.00	15.6	20.2	27.7	38.9	0.6	0.61		
767	1e tussenstuk	Enkele staaf	L45x5	S235	M12	5.6	1.97	44	226	9.5	0.00	16.4	20.2	27.7	38.9	0.6	0.58		
761	1e tussenstuk	Enkele staaf	L50x5	S235	M12	5.6	3.03	0	312	9.5	0.76	11.1	20.2	27.7	44.6	0.7	1.06	Bending	
766	1e tussenstuk	Enkele staaf	L45x5	S235	M12	5.6	1.92	35	221	9.5	0.00	17.0	20.2	27.7	38.9	0.6	0.55		
765	2e tussenstuk	Enkele staaf	L45x5	S235	M12	5.6	1.93	49	222	7.9	0.00	16.9	20.2	27.7	38.9	0.6	0.47		
760	2e tussenstuk	Enkele staaf	L45x5	S235	M12	5.6	2.70	0	310	7.9	0.68	10.1	20.2	27.7	38.9	0.6	1.18	Bending	
764	2e tussenstuk	Enkele staaf	L45x5	S235	M12	5.6	1.83	40	210	7.9	0.00	18.3	20.2	27.7	38.9	0.6	0.43		
50	2e tussenstuk	Enkele staaf	L45x5	S235	M12	5.6	1.24	0	142	7.9	0.31	30.5	20.2	27.7	38.9	0.6	0.54		
47	2e tussenstuk	Enkele staaf	L45x5	S235	M12	5.6	1.83	49	210	7.9	0.00	18.3	20.2	27.7	38.9	0.6	0.43		
49	2e tussenstuk	Enkele staaf	L45x5	S235	M12	5.6	2.64	0	303	7.9	0.66	10.4	20.2	27.7	38.9	0.6	1.15	Bending	
46	2e tussenstuk	Enkele staaf	L45x5	S235	M12	5.6	1.79	40	206	7.9	0.00	18.9	20.2	27.7	38.9	0.57	0.42		
45	2e tussenstuk	Enkele staaf	L45x5	S235	M12	5.6	1.66	51	191	7.9	0.00	21.0	20.2	27.7	38.9	0.57	0.39		
48	2e tussenstuk	Enkele staaf	L45x5	S235	M12	5.6	2.32	0	266	7.9	0.58	12.8	20.2	27.7	38.9	0.57	1.01	Bending	
44	2e tussenstuk	Enkele staaf	L45x5	S235	M12	5.6	1.60	41	184	7.9	0.00	22.1	20.2	27.7	38.9	0.57	0.39		
56	2e tussenstuk	Enkele staaf	L45x5	S235	M12	5.6	1.71	51	196	7.9	0.00	20.1	20.2	27.7	38.9	0.6	0.39		
59	2e tussenstuk	Enkele staaf	L45x5	S235	M12	5.6	2.37	0	272	7.9	0.59	12.4	20.2	27.7	38.9	0.6	1.04	Bending	

Knikverkorters initial structure (afkeur)

Date: 2021-09-29

Author: MKh

Version: v1.9

MBT-EHV

S+9

Towers 112 and 113

Posnr.	Section	Schematization	Profile	Steel Quality	Bolt	Quality	Length (m)	Angle (°)	Slenderness	Normal Force (kN)	Moment (kNm)	Buckling Cap. (kN)	Shear Cap. Bolt (kN)	Bearing Cap. (kN)	Net Section Cap. (kN)	Moment Cap. (kNm)	Highest U.C.	Exceedance Type	Notes
55	2e tussenstuk	Enkele staaf	L45x5	S235	M12	5.6	1.65	42	190	7.9	0.00	21.1	20.2	27.7	38.9	0.6	0.39		
346	2e tussenstuk	Kruisende staaf halverwege	L100x50x6	S235	M16	5.6	7.04	0	331	7.9	0.88	18.3	37.7	36.4	38.0	3.2	0.43		
80	3e tussenstuk	Enkele staaf	L45x5	S235	M12	5.6	1.49	52	171	7.5	0.00	24.3	20.2	27.7	38.9	0.6	0.37		
83	3e tussenstuk	Enkele staaf	L45x5	S235	M12	5.6	2.02	0	232	7.5	0.51	15.8	20.2	27.7	38.9	0.6	0.88		
79	3e tussenstuk	Enkele staaf	L45x5	S235	M12	5.6	1.42	42	163	7.5	0.00	25.8	20.2	27.7	38.9	0.6	0.37		
78	3e tussenstuk	Enkele staaf	L45x5	S235	M12	5.6	1.25	51	144	7.5	0.00	30.2	20.2	27.7	38.9	0.6	0.37		
82	3e tussenstuk	Enkele staaf	L45x5	S235	M12	5.6	1.76	0	202	7.5	0.44	19.3	20.2	27.7	38.9	0.6	0.77		
77	3e tussenstuk	Enkele staaf	L45x5	S235	M12	5.6	1.19	41	137	7.5	0.00	32.0	20.2	27.7	38.9	0.6	0.37		
76	3e tussenstuk	Enkele staaf	L45x5	S235	M12	5.6	1.13	53	130	7.5	0.00	33.9	20.2	27.7	38.9	0.57	0.37		
81	3e tussenstuk	Enkele staaf	L45x5	S235	M12	5.6	1.53	0	176	7.5	0.38	23.4	20.2	27.7	38.9	0.57	0.67		
75	3e tussenstuk	Enkele staaf	L45x5	S235	M12	5.6	1.06	43	122	7.5	0.00	36.2	20.2	27.7	38.9	0.57	0.37		
96	3e tussenstuk	Enkele staaf	L45x5	S235	M12	5.6	1.50	52	172	7.5	0.00	24.0	20.2	27.7	38.9	0.57	0.37		
99	3e tussenstuk	Enkele staaf	L45x5	S235	M12	5.6	2.06	0	237	7.5	0.52	15.3	20.2	27.7	38.9	0.57	0.90		
95	3e tussenstuk	Enkele staaf	L45x5	S235	M12	5.6	1.43	42	164	7.5	0.00	25.6	20.2	27.7	38.9	0.6	0.37		
94	3e tussenstuk	Enkele staaf	L45x5	S235	M12	5.6	1.26	50	145	7.5	0.00	29.9	20.2	27.7	38.9	0.57	0.37		
98	3e tussenstuk	Enkele staaf	L45x5	S235	M12	5.6	1.80	0	207	7.5	0.45	18.7	20.2	27.7	38.9	0.57	0.79		
93	3e tussenstuk	Enkele staaf	L45x5	S235	M12	5.6	1.21	40	139	7.5	0.00	31.4	20.2	27.7	38.9	0.57	0.37		
92	3e tussenstuk	Enkele staaf	L45x5	S235	M12	5.6	1.05	46	120	7.5	0.00	36.8	20.2	27.7	38.9	0.57	0.37		
97	3e tussenstuk	Enkele staaf	L45x5	S235	M12	5.6	1.60	0	183	7.5	0.40	22.1	20.2	27.7	38.9	0.57	0.70		
91	3e tussenstuk	Enkele staaf	L45x5	S235	M12	5.6	1.01	37	116	7.5	0.00	38.0	20.2	27.7	38.9	0.57	0.37		
90	3e tussenstuk	Enkele staaf	L45x5	S235	M12	5.6	0.96	42	110	7.5	0.00	39.9	20.2	27.7	38.9	0.6	0.37		



Knikverkorters modified structure (verbouw)

Date: 2021-09-29
 Author: MKh
 Version: v1.9

MBT-EHV
 S+9
 Towers 112 and 113

Posnr.	Section	Schematization	Profile	Steel Quality	Bolt	Quality	Length (m)	Angle (°)	Slenderness (-)	Normal Force (kN)	Moment (kNm)	Buckling Cap. (kN)	Shear Cap. Bolt (kN)	Bearing Cap. (kN)	Block Tearing Cap. (kN)	Moment Cap. (kNm)	Highest U.C.	Exceedance Type	Mitigation
762	1e tussenstuk	Enkele staaf	L70x7	S355	M12	8.8	3.00	0	220	9.5	0.98	41.3	32.3	52.8	238.7	2.99	0.33		Profile exchanged
761	1e tussenstuk	Enkele staaf	L70x7	S355	M12	8.8	3.03	0	222	9.5	0.99	40.6	32.3	52.8	238.7	2.99	0.33		Profile exchanged
760	2e tussenstuk	Enkele staaf	L60x6	S355	M12	8.8	2.70	0	231	7.9	0.88	28.1	32.3	45.2	157.6	1.88	0.47		Profile exchanged
49	2e tussenstuk	Enkele staaf	L55x6	S355	M12	8.8	2.64	0	246	7.9	0.9	23.1	32.3	45.2	134.1	1.6	0.55		Profile exchanged
48	2e tussenstuk	Enkele staaf	L50x5	S355	M12	8.8	2.32	0	238	7.9	0.8	18.6	32.3	37.7	92.1	1.1	0.70		Profile exchanged
59	2e tussenstuk	Enkele staaf	L50x5	S355	M12	8.8	2.37	0	244	7.9	0.8	18.0	32.3	37.7	92.1	1.08	0.71		Profile exchanged



APPENDIX D

TOETSING BLOKDEUVELS

Voor masttype S+9 is er alleen informatie beschikbaar over de blokdeuvels op de randstijl zelf. Er is geen informatie beschikbaar over de blokdeuvels in de paal.

Project: MBT-EHV380
Mast: S+9 (112 and 113)

Shear blocks	NEN-EN 1993-1-1 en NEN-EN 1994-1-1	Datum: 2021-09-30
		Auteur: SSHD
		Versie: 1.4

Load			Results		
Compression	$F_{Ed,c}$	859 kN	Compression	U.C.	0,79 < 1,00 OK
Tension	$F_{Ed,t}$	628 kN	Tension	U.C.	0,79 < 1,00 OK

Main leg

Profile		L180.16
Steel material		S235
Cross section		5540 mm ²
Axial capacity	N_{pl}	1302 kN
Width	b	180 mm
Thickness	t	16 mm
Length in concrete		1382 mm

Shear blocks main leg

Width	b	50 mm
Thickness	h	30 mm
Length	L	160 mm
Welds	a	4 mm
c.t.c. separation	s	230 mm
Number for compr.	n_c	10 -
Number for tension	n_t	10 -

Foot plate

Thickness	t	20 mm
Ext. length	m	19 mm
Welds	a	4 mm

Pile

Name		nvt
Diameter		nvt mm
Thickness		nvt mm
Cross section		nvt mm ²
Steel material		S235
Capacity		nvt kN
Concrete strength		C30/37

Shear blocks pile

Width	b	nvt	mm
Thickness	h	nvt	mm
Length	L	nvt	mm
Welds	a	nvt	mm
c.t.c. separation	s	nvt	mm
Number for compr.	n_c	nvt	-
Number for tension	n_t	nvt	-

Design value concrete strength

Material factor	γ_c	1,5
Add. mat. factor	γ_m	1,25 -
$f_{cd} =$		16,0 N/mm ²

Steel tower stub

Yield strength	$f_{yd} =$	235 N/mm ²
Tensile strength	$f_{ud} =$	360 N/mm ²

Capacity shear blocks main leg

$A_{f1} =$	4800 mm ²
$A_{f2} =$	15312 mm ²
Slope	1: 5
$C_A = \sqrt{A_{f2}/A_{f1}} =$	1,79
$f_{jd} = C_A \times f_{cd} =$	28,6 N/mm ²
$F_{Rd,c} = n_c \times A_{f1} \times f_{jd} =$	1372 kN
$F_{Rd,t} = n_t \times A_{f1} \times f_{jd} =$	1372 kN

Capacity foot plate

$k_d =$	1,73 -
$f_{jd} = C_A \times f_{cd} =$	27,7 N/mm ²
$c = t\sqrt{f_{yd} / 3f_{jd}} =$	33 mm
$m^* = \min(c, m) =$	19 mm
Type foot plate	Diagonally cut
Effective for	Compr. and tension
$A_{p,c} =$	18402 mm ²
$F_{Rd,c} = A_{p,druk} \times f_{jd} =$	510 kN
$A_{p,t} =$	12862 mm ²
$F_{Rd,t} = A_{p,t} \times f_{jd} =$	356 kN

Capacities

$F_{Rd,c,plate} =$	510 kN
$F_{Rd,blocks,c} =$	1372 kN
$F_{Rd,c} = F_{Rd,block} + F_{Rd,footplate} =$	1882 kN
U.C. compression	0,46 < 1,00 OK
Welds foot plate (see next page)	572 kN
$F_{Rd,t} = \min. (welds / foot plate) =$	356 kN
$F_{Rd,blocks,t} =$	1372 kN
$F_{Rd,t} = F_{Rd,block} + F_{Rd,footplate} =$	1728 kN
U.C. tension	0,36 < 1,00 OK
U.C. welds	0,79 < 1,00 OK

Capacity shear blocks pile

$A_{f1} =$	nvt	mm ²
$A_{f2} =$	nvt	mm ²
$C_A = \sqrt{A_{f2}/A_{f1}} =$	mvt	-
$f_{jd} = k_d \times f_{cd} =$	nvt	N/mm ²
$F_{Rd,c} = n_c \times A_{f1} \times f_{jd} =$	nvt	kN
U.C. compression	nvt	> 1,00 Not OK
$F_{Rd,t} = n_t \times A_{f1} \times f_{jd} =$	nvt	kN
U.C. tension	nvt	> 1,00 Not OK
U.C. welds	nvt	> 1,00 Not OK

"Splitting" of pile

Spread of forces		45 °
Length force flow	nvt	mm
Splitting force	nvt	kN/m
Yield strength wall	$f_{yd} =$	nvt N/mm ²
Capacity tubular pile	nvt	kN/m
U.C.	nvt	> 1,00 Not OK

Project: MBT-EHV380
Mast: S+9 (112 and 113)

Welds of shear blocks of main leg

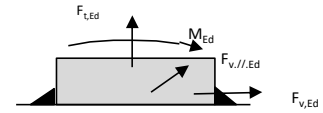
Out-of-plane loading

Plate

t = 50 mm
Grade S235
 $f_{yd} = 235 \text{ N/mm}^2$
 $f_u = 360 \text{ N/mm}^2$

Welds

a = 4 mm
l = 160 mm
 $\beta_w = 0,8$
 $\gamma_{M2} = 1,25$



Member forces

Factor 1,2
 $F_{t,Ed} = 0 \text{ kN}$
 $F_{v,Ed} = F_{rd,c} / n = 165 \text{ kN}$
 $F_{v//,Ed} = 0 \text{ kN}$
 $M_{Ed} = 1/2 b / h \times F_{v,Ed} = 2,47 \text{ kNm}$

Stress components

$\sigma_1 = \tau_1 = F_{t,Ed} \sqrt{2} / 4al = 0 \text{ N/mm}^2$
 $\sigma_1 = \tau_1 = F_{v,Ed} \sqrt{2} / 4al = 91 \text{ N/mm}^2$

 $b^* = b + 2/3av^2 = 53,8 \text{ mm}$
 $\sigma_1 = \tau_1 = 0,706M_{Ed} / al b^* = 51 \text{ N/mm}^2$
 $\tau_{//} = F_{v//,Ed} / 2al = 0 \text{ N/mm}^2$
 $\sigma_{vw,Ed} = \sqrt{(\sigma_1^2 + 3\tau_1^2 + 3\tau_{//}^2)} = 283 \text{ N/mm}^2$

Check

$\sigma_{vw,Ed} = 283 \text{ N/mm}^2 \leq f_u / \beta_w \gamma_{M2} = 360 \text{ N/mm}^2$ U.C. = **0,79 OK**
 $\sigma_1 = 142 \text{ N/mm}^2 \leq 0,9f_u / \gamma_{M2} = 259 \text{ N/mm}^2$ U.C. = **0,55 OK**

Welds of shear blocks of pile

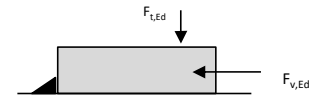
Out-of-plane loading

Plate

t = nvt mm
Grade S235
 $f_{yd} = 235 \text{ N/mm}^2$
 $f_u = 360 \text{ N/mm}^2$

Welds

a = nvt mm
l = nvt mm
 $\beta_w = 0,8$
 $\gamma_{M2} = 1,25$



Member forces

Factor 1,2
 $F_{t,Ed} = 1/2 b / h \times F_{v,Ed} = \text{nvt kN}$
 $F_{v,Ed} = \text{nvt kN}$
 $F_{v//,Ed} = 0 \text{ kN}$
 $M_{Ed} = 0,00 \text{ kNm}$

Stress components

$\sigma_1 = \tau_1 = F_{t,Ed} \sqrt{2} / 2al = \text{nvt N/mm}^2$
 $\sigma_1 = \tau_1 = F_{v,Ed} \sqrt{2} / 2al = \text{nvt N/mm}^2$

 $\tau_{//} = F_{v//,Ed} / 2al = \text{nvt N/mm}^2$
 $\sigma_{vw,Ed} = \sqrt{(\sigma_1^2 + 3\tau_1^2 + 3\tau_{//}^2)} = \text{nvt N/mm}^2$

Check

$\sigma_{vw,Ed} = \text{nvt N/mm}^2 \leq f_u / \beta_w \gamma_{M2} = 360 \text{ N/mm}^2$ U.C. = **nvt Not OK**
 $\sigma_1 = \text{nvt N/mm}^2 \leq 0,9f_u / \gamma_{M2} = 259 \text{ N/mm}^2$ U.C. = **nvt Not OK**

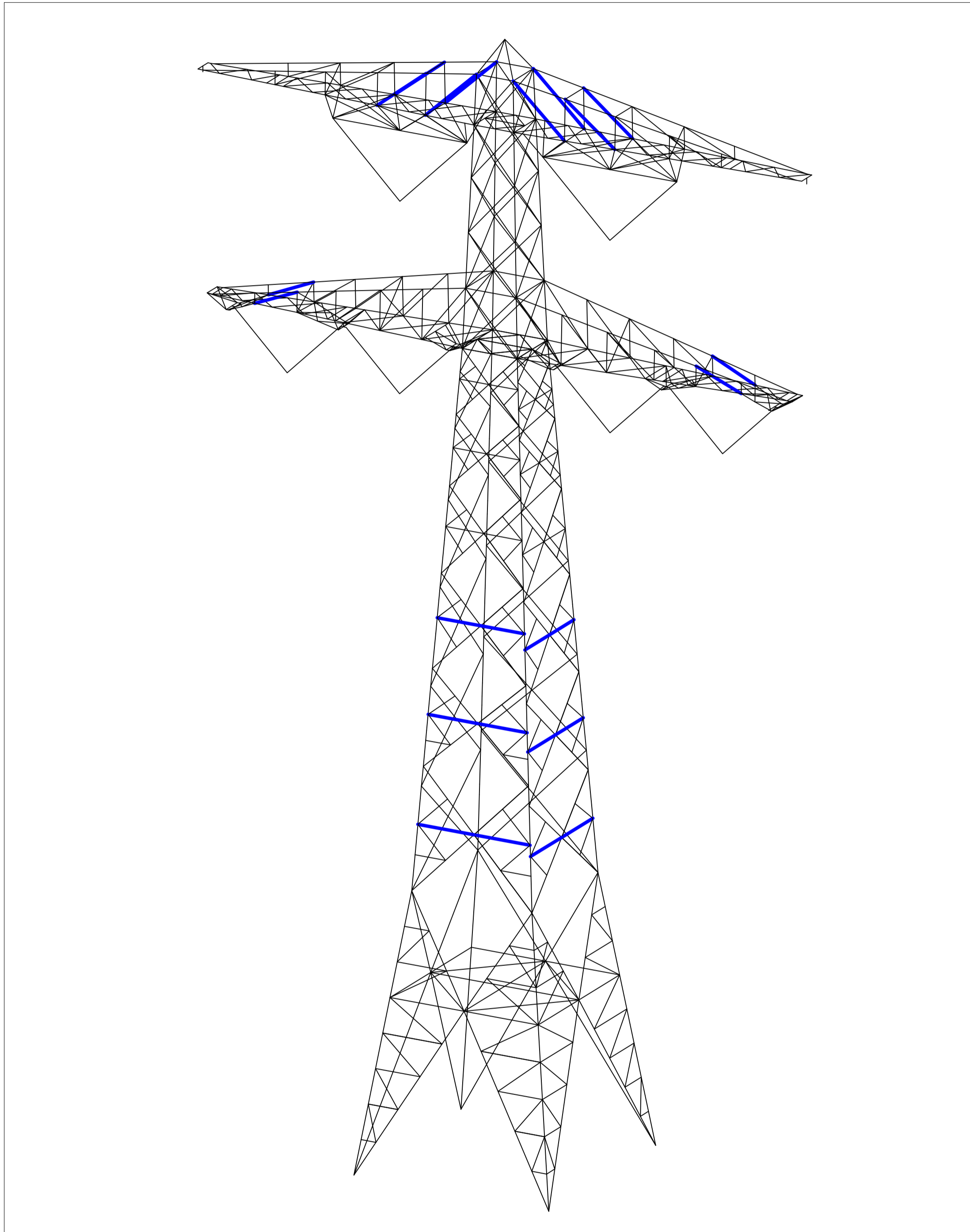
Welds of foot plate

$f_u / \beta_w \gamma_{M2} = 360 \text{ N/mm}^2$
Weld size a = 4 mm
Length l = 2b + 2b - t = 688 mm
Capacity $F_{Rd} = a \times l \times f_{w,d} / \sqrt{3} = 572 \text{ kN}$



APPENDIX E TEKENINGEN

Initial Profiles and Bolts					Final Profiles and Bolts			
Group label	Profile type (ini)	Profile size (ini)	Steel quality (ini)	Bolt size and quality (ini)	Profile type (new)	Profile size (new)	Steel quality (new)	Bolt size and quality (new)
48	EA	L45x5	S235	1M12-5.6t	EA	L50x5	S355	1M12-8.8t
49	EA	L45x5	S235	1M12-5.6t	EA	L55x6	S355	1M12-8.8t
59	EA	L45x5	S235	1M12-5.6t	EA	L50x5	S355	1M12-8.8t
762	EA	L50x5	S235	1M12-5.6t	EA	L70x7	S355	1M12-8.8t
761	EA	L50x5	S235	1M12-5.6t	EA	L70x7	S355	1M12-8.8t
760	EA	L45x5	S235	1M12-5.6t	EA	L60x6	S355	1M12-8.8t
321	EA	L50x5	S235	1M16-5.6t	EA	L60x6	S355	1M16-8.8t
414	EA	L55x6	S235	1M16-5.6t	EA	L55x6	S355	1M16-8.8t
416	EA	L50x5	S235	1M16-5.6t	EA	L55x6	S355	1M16-8.8t


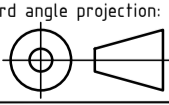


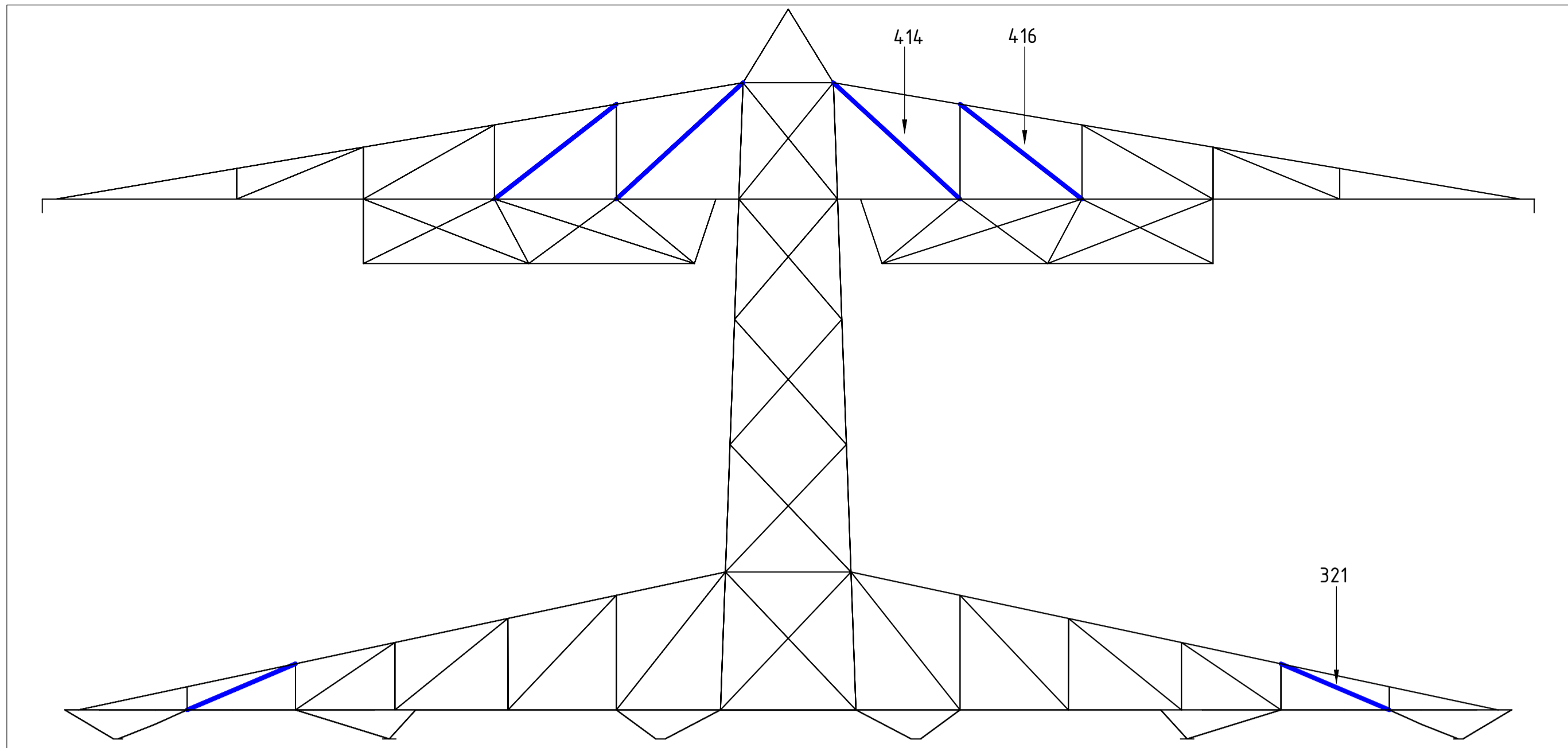
Overview

Notes and legend:

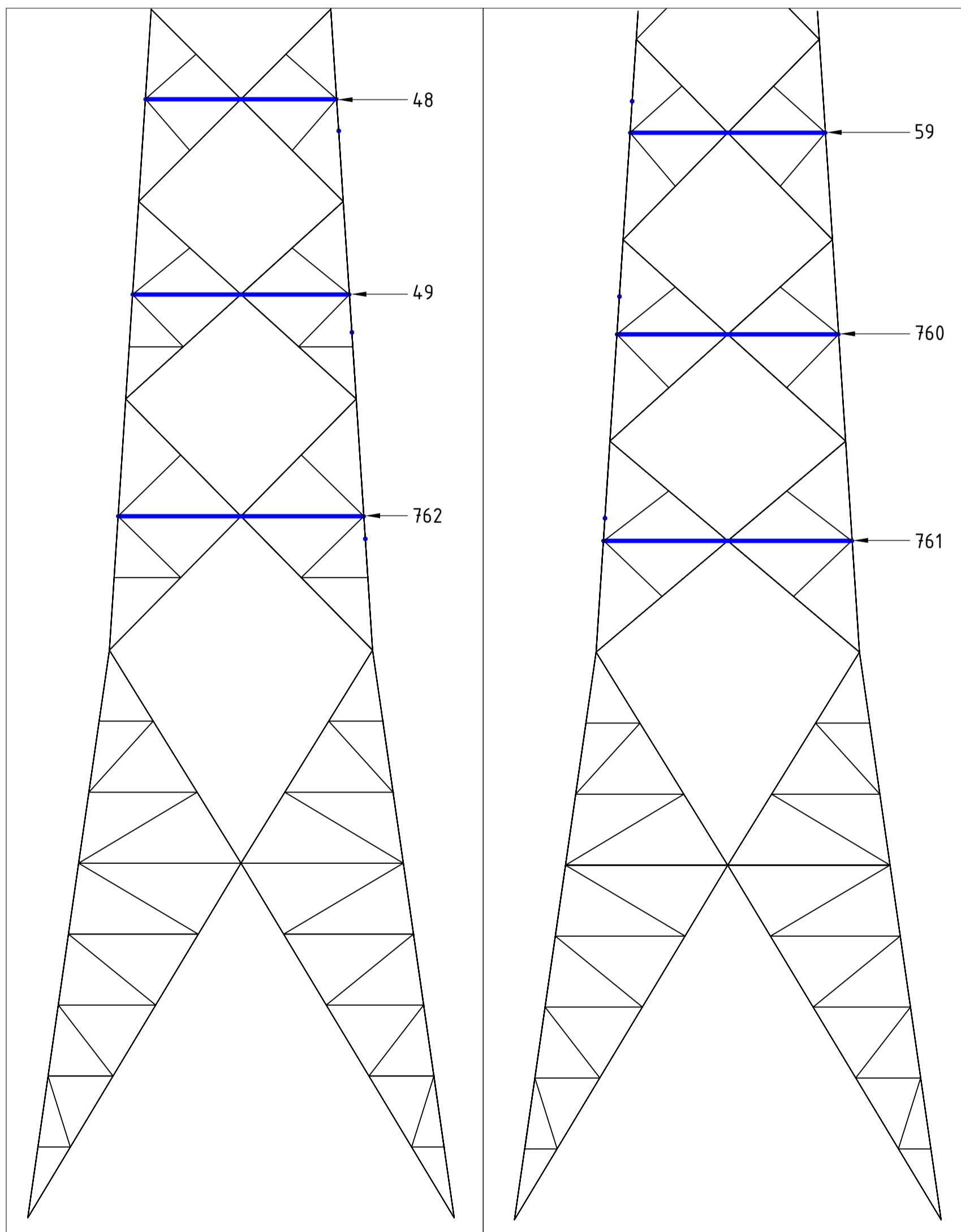
- New redundants according to drawing
- Size for new redundants is L50x50x5 unless otherwise indicated
- Other changes according to the table
- All changes are symmetrical unless otherwise indicated
- Material quality $t \leq 16\text{mm}$ S355J0
- Material quality $t > 16\text{mm}$ S355J2
- Bolt quality 8.8 rolled

- New member
- Profile exchanged
- New redundant
- Bolt exchanged
- Joint modification/ additional bolts required

00	29-9-2021	Version 1.0	Projectname: Mast constructions MBT - EHV 380 kV	
			Drawing no.: 10166260-083	
Design state: FINAL	Scale: -	Description: Modifications overview for mast type S+9 (Mast 112 & 113)		Revision: 00
Drawn by: MKh 29-9-2021	Units: m	Page 1 of 3		Format: A2
Checked by: TBR 29-9-2021	Project no: 10166260	Approved by: JHu 29-9-2021 Company: TenneT		
DNV GL Energy & Sustainability, Utrechtseweg 310, 6812 AR Arnhem, tel: +31 26 3 56 91 11, www.dnvgl.com				



Front View Crossarms




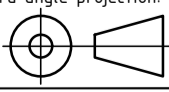
Front View

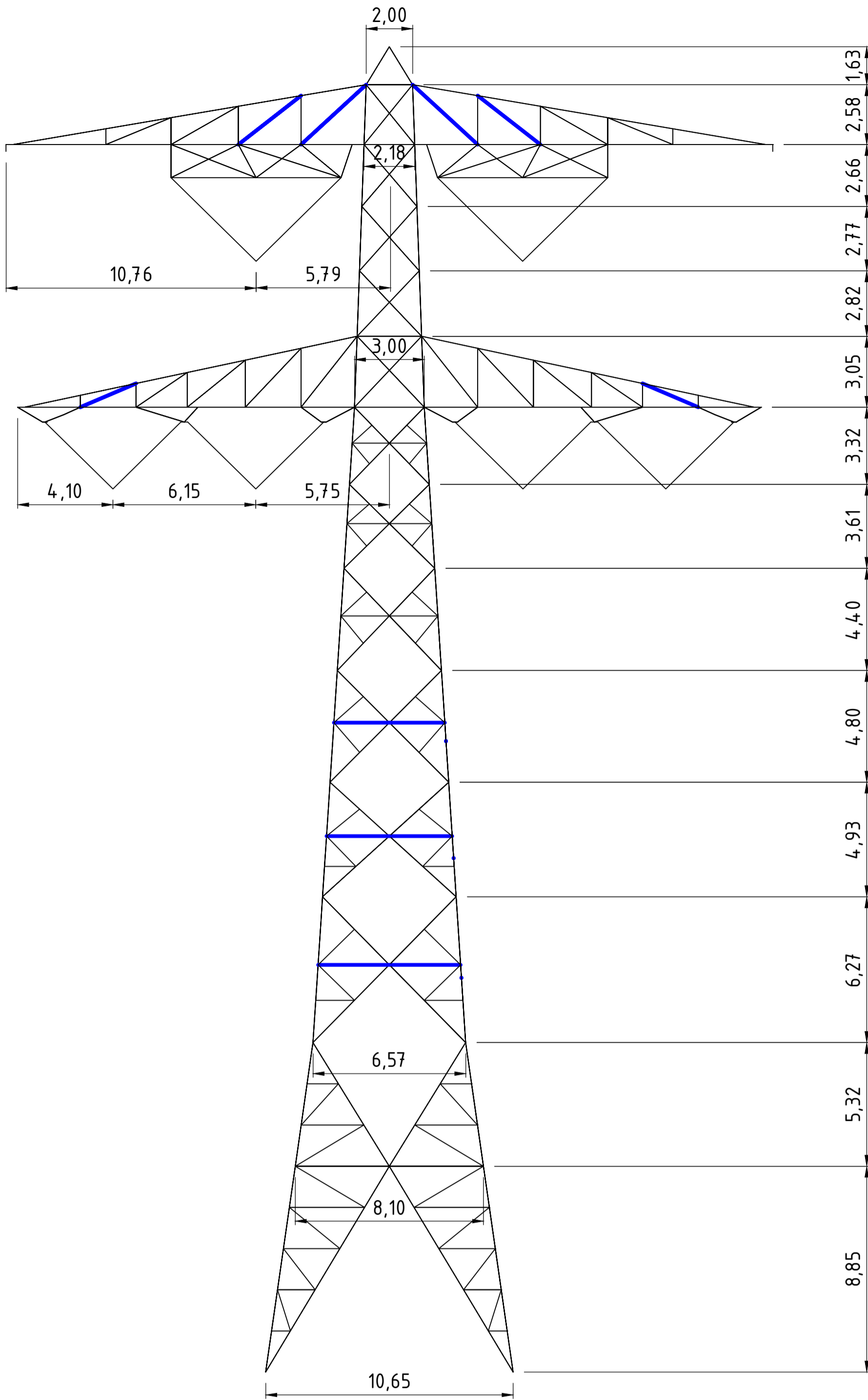
Side View

Notes and legend:

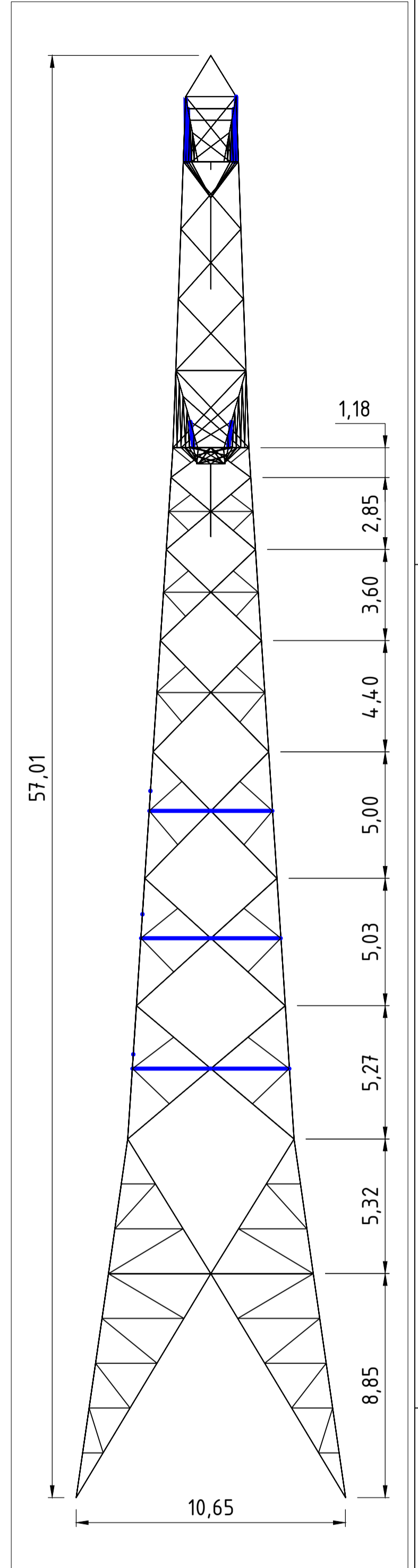
- New redundants according to drawing
- Size for new redundants is L50x50x5 unless otherwise indicated
- Other changes according to the table
- All changes are symmetrical unless otherwise indicated
- Material quality $t \leq 16\text{mm}$ S355J0
- Material quality $t > 16\text{mm}$ S355J2
- Bolt quality 8.8 rolled

- New member
- Profile exchanged
- New redundant
- Bolt exchanged
- Joint modification/ additional bolts required

00	29-9-2021	Version 1.0	Projectname: Mast constructions MBT - EHV 380 kV	
		Third angle projection:	Drawing no.: 10166260-083	
				
Design state: FINAL	Scale: -	Description: Modifications overview for mast type S+9 (Mast 112 & 113)		Revision: 00
Drawn by: MKh 29-9-2021	Units: m	Page 2 of 3		Format: A2
Checked by: TBR 29-9-2021	Project no: 10166260	Company: TenneT		
Approved by: JHu 29-9-2021				



Front View


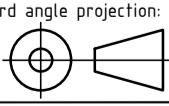


Side View

Notes and legend:

- New redundants according to drawing
- Size for new redundants is L50x50x5 unless otherwise indicated
- Other changes according to the table
- All changes are symmetrical unless otherwise indicated
- Material quality $t \leq 16\text{mm}$ S355J0
- Material quality $t > 16\text{mm}$ S355J2
- Bolt quality 8.8 rolled

- New member
- Profile exchanged
- New redundant
- Bolt exchanged
- Joint modification/ additional bolts required

00	29-9-2021	Version 1.0	Projectname: Mast constructions MBT - EHV 380 kV	
		Third angle projection:	Drawing no.: 10166260-083	
				
Design state: FINAL	Scale: -	Description: Modifications overview for mast type S+9 (Mast 112 & 113)		Revision: 00
Drawn by: MKh	29-9-2021	Units: m	Page 3 of 3	
Checked by: TBR	29-9-2021	Project no: 10166260	Format: A2	
Approved by: JHu	29-9-2021	Company: TenneT		



About DNV

DNV is the independent expert in risk management and assurance, operating in more than 100 countries. Through its broad experience and deep expertise DNV advances safety and sustainable performance, sets industry benchmarks, and inspires and invents solutions.

Whether assessing a new ship design, optimizing the performance of a wind farm, analyzing sensor data from a gas pipeline or certifying a food company's supply chain, DNV enables its customers and their stakeholders to make critical decisions with confidence.

Driven by its purpose, to safeguard life, property, and the environment, DNV helps tackle the challenges and global transformations facing its customers and the world today and is a trusted voice for many of the world's most successful and forward-thinking companies.

Bijlage 18 Rapportage mastconstructie S+9_tc_mast117

“TOETSING EN HERONTWERP MASTEN EN FUNDATIES BBB380”
MBT-EHV380 – S+9_tc Rapport

TenneT TSO B.V.

Meridian doc. Nr.: 002.586.40 0945365

Rapport Nr.: 22-0805, Rev. 0

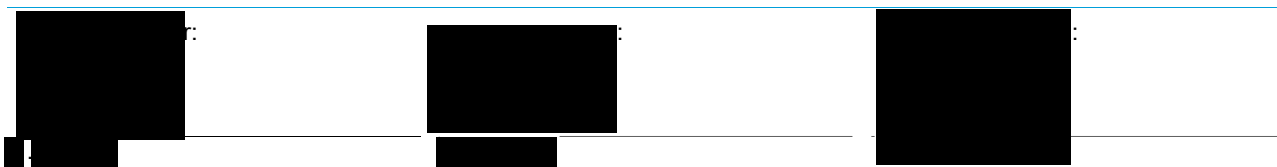
Datum: 2022-07-06





Projectnaam: "TOETSING EN HERONTWERP MASTEN EN
FUNDATIES BBB380"
Rapport titel: MBT-EHV380 – S+9_tc Rapport
Klant: TenneT TSO B.V.
Contactpersoon klant: J [REDACTED]
Datum uitgave: 2022-07-06
Project nr.: 10166260
Organisatie unit: TDT
Meridian doc.nr.: 002.586.40 0945365
Rapport nr.: 22-0805, Rev. 0

Energy Systems
DNV Netherlands B.V.
Utrechtseweg 310-B50
6812 AR Arnhem
The Netherlands
Tel: + [REDACTED]
Handelsregister Arnhem 09006400



Copyright © DNV 2022. All rights reserved. Unless otherwise agreed in writing: (i) This publication or parts thereof may not be copied, reproduced or transmitted in any form, or by any means, whether digitally or otherwise; (ii) The content of this publication shall be kept confidential by the customer; (iii) No third party may rely on its contents; and (iv) DNV undertakes no duty of care toward any third party. Reference to part of this publication which may lead to misinterpretation is prohibited..

DNV Distributie:

- Open
- Intern
- Commercieel vertrouwelijk
- Vertrouwelijk
- Geheim

*Specificatie distributie: -

Rev.	Datum	Reden van uitgave	Auteur	Beoordelaar	Goedkeuder
0	2022-07-06	Eerste uitgave	[REDACTED]	[REDACTED]	[REDACTED]

Inhoudsopgave

1	INLEIDING	1
1.1	Inleiding	1
1.2	Doelstelling en scope van dit rapport	2
1.3	Relatie overige documenten	2
2	EISEN	2
3	BEREKENINGEN	3
3.1	Mastbeeld	3
3.2	Mastenlijst	4
3.3	Telecommunicatieapparatuur	4
3.4	Uitgangspuntenberekening	5
3.5	Processtappen	5
3.6	Geleiderbelastingen	6
3.7	Reacties op de fundering	6
3.8	Modellering	6
3.9	Bestaande aanpassingen	6
4	TOETSING MAST	7
5	AANPASSINGEN	9
5.1	Inleiding	9
5.2	Aanpassingen	9
5.3	Verificatie eisen	10
6	REFERENTIES	11
Appendix A	GELEIDERBELASTINGEN	
Appendix B	UITVOER PLS-TOWER	
Appendix C	TOETSING KNIKVERKORTERS	
Appendix D	TOETSING BLOKDEUVELS	
Appendix E	TEKENINGEN	

1 INLEIDING

1.1 Inleiding

Om in de toekomst meer elektriciteit te kunnen transporteren is het noodzakelijk om naast de nieuwbouw van verbindingen bestaande hoogspanningsverbindingen aan te passen zodat er een grotere transportcapaciteit mogelijk wordt gemaakt. Om die reden is de opdrachtgever (OG) voornemens de bestaande 380 kV-koppeling op te waarderen. Het opwaarderen van de bestaande verbindingen valt onder het programma “Beter benutten bestaande 380 kV-ring” en omvat de volgende deelprojecten:

- Opwaardering 380 kV-verbinding Lelystad – Ens (LLS-ENS380)
- Opwaardering 380 kV-verbinding Diemen – Lelystad (DIM-LLS380)
- Opwaardering 380 kV-verbinding Rilland – Zandvliet (RLL-ZVL380)
- Opwaardering 380 kV-verbinding Krimpen aan de IJssel - Geertruidenberg (KIJ-GT380)
- Opwaardering 380 kV-verbinding Maasbracht - Eindhoven (MBT-EHV380)

Om te komen tot een DO waarmee de werkzaamheden kunnen worden gestart is door TenneT aan DNV opdracht verstrekt voor de volgende onderdelen:

1. In eerste fase het opstellen en creëren van:

- 1.1 E-studie deel 1
- 1.2 Uitgangspuntenrapporten ten behoeve van de constructieve analyse van masten en fundaties
- 1.3 Sonderingmodellen
- 1.4 Fundatiemodellen
- 1.5 Mastmodellen

2. In tweede fase de uitvoering van de DO-fase bevattende:

- 2.1 Toetsing conform het uitgangspuntenrapport van de bestaande fundaties
- 2.2 Algemene specificatie van benodigde fundatieversterkingen ten behoeve van aanbesteding
- 2.3 Toetsing conform het uitgangspuntenrapport van de bestaande masten
- 2.4 Algemene specificatie van benodigde mastversterkingen ten behoeve van aanbesteding
- 2.5 E-studie deel 2

In dit rapport worden de aanpassingen besproken die nodig zijn voor masttype S+9_tc van de verbinding Maasbracht - Eindhoven 380 kV.

Inhoudelijk is de Nederlandse versie van de rapportage ongewijzigd ten opzichte van de Engelse versie. Om deze reden zijn de bijlagen in dit rapport één op één overgenomen uit de Engelse versie. Hierdoor wijkt het revisienummer van de bijlagen af van het revisienummer van deze rapportage.

1.2 Doelstelling en scope van dit rapport

Het doel van deze studie is om te bepalen of de in dit rapport beschreven bestaande mast geschikt is om te worden uitgerust met de ACCC-Warsaw geleider op het 380 kV-circuit en een Hawk geleider op het 150 kV-circuit.

Nadat de wijzigingen zijn toegepast dient aantoonbaar geverifieerd te worden dat het systeem voldoet aan de vigerende eisen.

1.3 Relatie overige documenten

1.3.1 Verificatie & validatie plan

De door TenneT aangeleverde set met eisen is beoordeeld op relevantie en voor de relevante eisen is aangegeven in welk document wordt aangetoond dat er aan de eis wordt voldaan. De resultaten hiervan zijn opgenomen in het rapport "Verificatie & Validatieplan 380 kV verbinding Maasbracht - Eindhoven" [1].

1.3.2 E-studie deel 1

In het rapport "MBT-EHV380 - E-studie deel 1" [2] is bepaald welke aanpassingen nodig zijn om om de ACCC-Warsaw geleider en Hawk geleider toe te passen binnen de verbinding Maasbracht - Eindhoven. Voor masttype S+9_tc, zijn geen aanpassingen vereist. Zie "MBT-EHV380 - E-studie deel 1" [2] voor een complete lijst van aanpassingen voor alle masten op de lijn.

1.3.3 Uitgangspunten rapport

De uitgangspunten op basis waarvan de berekeningen in deze rapportage zijn uitgevoerd zijn opgenomen in het rapport "Uitgangspuntenrapport 380kV verbinding Maasbracht - Eindhoven" [3].

2 EISEN

In onderstaande Tabel 1 zijn de eisen opgenomen die binnen deze rapportage worden getoetst.

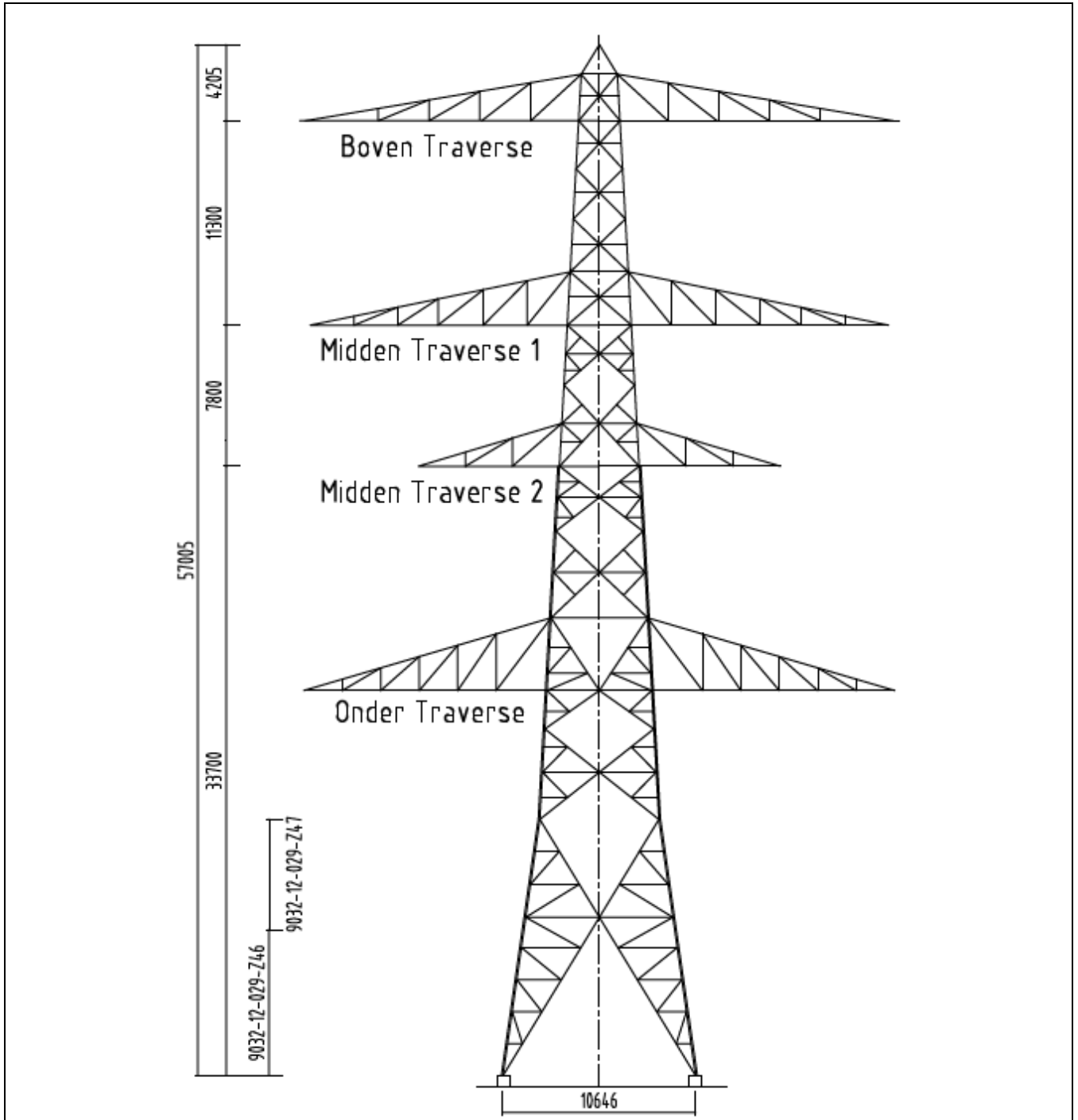
Tabel 1 Relevante eisen

Eis. Id	Titel	Eis Tekst	Bewijsvoering
BO Eis: H2.7-6	Omgeving, beperkings- factoren	Het ontwerp dient geverifieerd te worden op de uitvoerbaarheid.	Tabel 6
PVE.05.001 5.14	Masten	Aanwijzingen t.a.v. klimvoorziening en valbeveiliging: Huidige klimweg blijft gehandhaafd en zal voldoen aan de eisen zoals opgenomen in de NEN 1060:1964. Valbeveiliging is/zal worden uitgevoerd in het type "latch way". Indien staaldelen in de nabijheid (aangrenzend profiel) van de klimweg gewijzigd worden, dient geverifieerd te worden dat de klimvoorziening in overeenstemming is met de NEN 1060:1964.	Tabel 6

3 BEREKENINGEN

3.1 Mastbeeld

Het mastbeeld op basis van de asset-data is weergegeven in Figuur 1.



Figuur 1 Mastbeeld S+9_tc

3.2 Mastenlijst

In deze rapportage wordt masttype S+9_tc getoetst. Mast 117 is de enige S+9_tc mast op de lijn en bevindt zich in windgebied III. Tabel 2 geeft een overzicht van de wind- en gewichtparameters voor de mast.

Tabel 2 Mastnummers

Mastnummer	Masttype	Maatgevend mastnummer	Wind span (m)	Weight span (m)	Hoogteverschil (m)
117	S+9_tc	117	250	243	2

3.3 Telecommunicatieapparatuur

Mast 117 bevat telecommunicatieapparatuur op twee plaatsen op het mastlichaam:

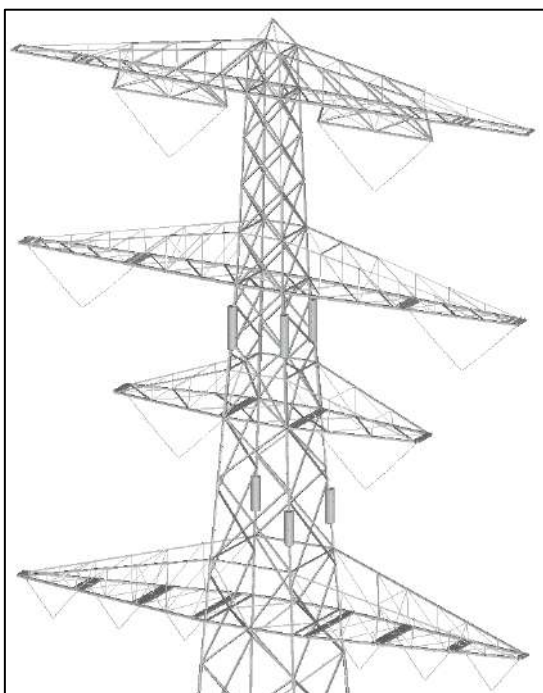
- 1) Tussen de ondertraverse en de onderste middentraverse (2);
- 2) Tussen de onderste middentraverse (2) en de bovenste middentraverse (1).

Om het gewicht en oppervlakte van de verschillende soorten apparatuur te bepalen, is gebruik gemaakt van een rapport van adviesbureau Petersburg [4]. De hoeveelheden en posities van de apparatuur zijn verkregen uit de technische tekeningen van Vodafone (ref 4 05-09-19) en foto's van de bouwplaats. De gegevens van de apparatuur is opgenomen in Tabel 3 en toegepast in het PLS-TOWER-model.

Tabel 3 Eigenschappen antennemast 117

Apparatuur label	Hoogte (op mast)	Aantal	A _{frontal} /m [m ² /m]	A _{frontal} [m ²]	Mass [kg]	Mass [kg/m]
Apparatuur tussen onderste en onderste-midden traverse						
Kathrein 80010691 Tripleband A-paneel - T-Mobile	26.5	1		0.62	28.5	
Kathrein 80010691 Tripleband A-paneel - T-Mobile	26.5	1		0.31	28.5	
Kathrein 80010691 Tripleband A-paneel - T-Mobile	26.5	1		0.31	28.5	
Buis 60.3 x 4mm per m		37.43	0.06			5.52
Total			0.06	1.24	85.5	5.52
Apparatuur tussen onderste-midden en bovenste-midden traverse						
Kathrein 80010699 Dualband A-paneel – Vodafone	37.5	1		0.68	28	
Kathrein 80010699 Dualband A-paneel – Vodafone	37.5	1		0.39	28	
Kathrein 80010699 Dualband A-paneel – Vodafone	37.5	1		0.39	28	
Schotel 300mm – Vodafone	39.3	1		0.07	25	
Buis 60.3 x 4mm per m		30.4	0.06			5.52
Total			0.06	1.53	109	5.52
Voedingskabels						
1 x 5/8" feederbundel 3x2 per m		30	0.16			9.87
1 x 1/4" feederbundel 3x2 per m		30	0.14			7.89
1 x 1/4" feederbundel 3x2 per m		36	0.14			7.89
1 x 7/8" feederbundel 3x2 per m		36	0.11			5.79
Totaal			0.55			31.44

Figuur 2 toont de apparatuur zoals toegepast in het PLS TOWER-model.



Figuur 2 Positie van telecomapparatuur op mast 117

3.4 Uitgangspuntenberekening

De berekening is uitgevoerd op basis van de uitgangspunten zoals opgenomen in het uitgangspuntenrapport [3]. Hierin is een volledig overzicht opgenomen van de belastingcombinaties en toegepaste belastingfactoren.

Tabel 4 Uitgangspuntenberekening

Algemeen	Norm	NEN-EN50341-2-15:2019
	Windgebied	III
	Terreincategorie	II (onbebouwde omgeving)
	Reductiefactor cdir	1,00
Situatie initieel	Gevolgklasse	CC2-0
	Betrouwbaarheidsniveau	Afkeur CC2-0
	Referentieperiode	30 jaar
Situatie na aanpassingen	Gevolgklasse	CC2
	Betrouwbaarheidsniveau	Verbouw
	Referentieperiode	50 jaar

3.5 Processtappen

Het proces van het bepalen van eventueel benodigde versterkingen bestaat uit de volgende stappen:

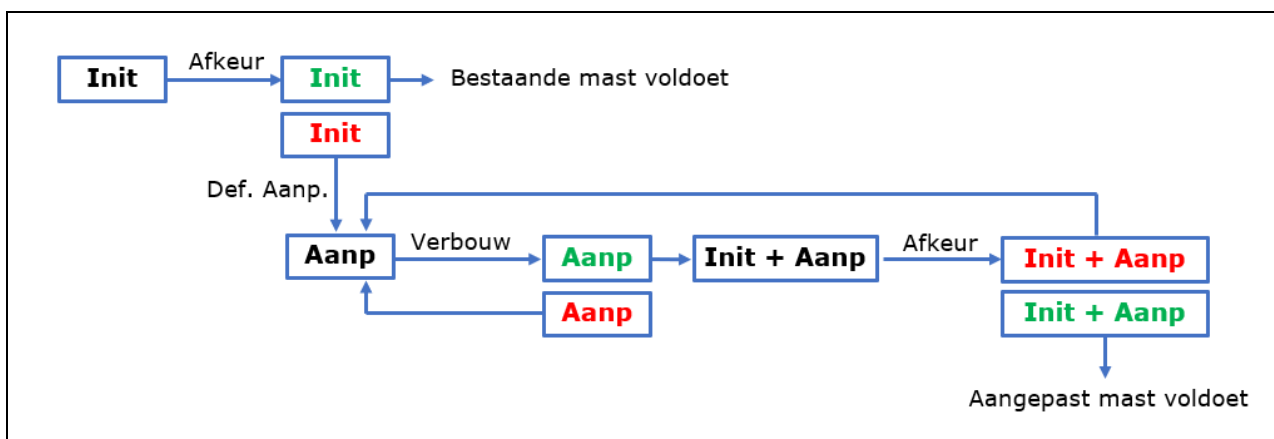
Stap 1: Toets bestaande (Init) mast op Afkeur

Stap 2: Definiëren benodigde aanpassingen indien initiële mast niet voldoet aan toets op Afkeur (Def. Aanp.)

Stap 3: Het toetsen van (alleen) de uitgewerkte aanpassingen (Aanp) op Verbouw

Stap 4: Het opnieuw toetsen van de complete mast inclusief aanpassingen (Initi + Aanp) op Afkeur

Het hierboven omschreven proces is in Figuur 3 weergegeven.



Figuur 3 Procesdiagram

3.6 Geleiderbelastingen

De berekening is uitgevoerd met het geleiderbelastingenprogramma van DNV. In Appendix A zijn de resultaten van de geleiderbelastingen samengevat.

3.7 Reacties op de fundering

De oplegreacties op de fundering worden ontleend aan de uitvoer van het geleiderbelastingenprogramma, zie Appendix A.

3.8 Modelling

Op basis van de as-built tekeningen is de mast in PLS-TOWER ingevoerd. De hoofdelementen zijn gemodelleerd. Niet-dragende profielen als knikverkorters zijn weggelaten en worden separaat getoetst. De profielen inclusief de boutverbindingen zijn in PLS-TOWER ingevoerd en getoetst. Controle van de schetsplaten en andere detailverbindingen valt buiten de scope.

De geleiderbelastingen vanuit het geleiderbelastingenprogramma zijn als invoer voor de belastingen gebruikt.

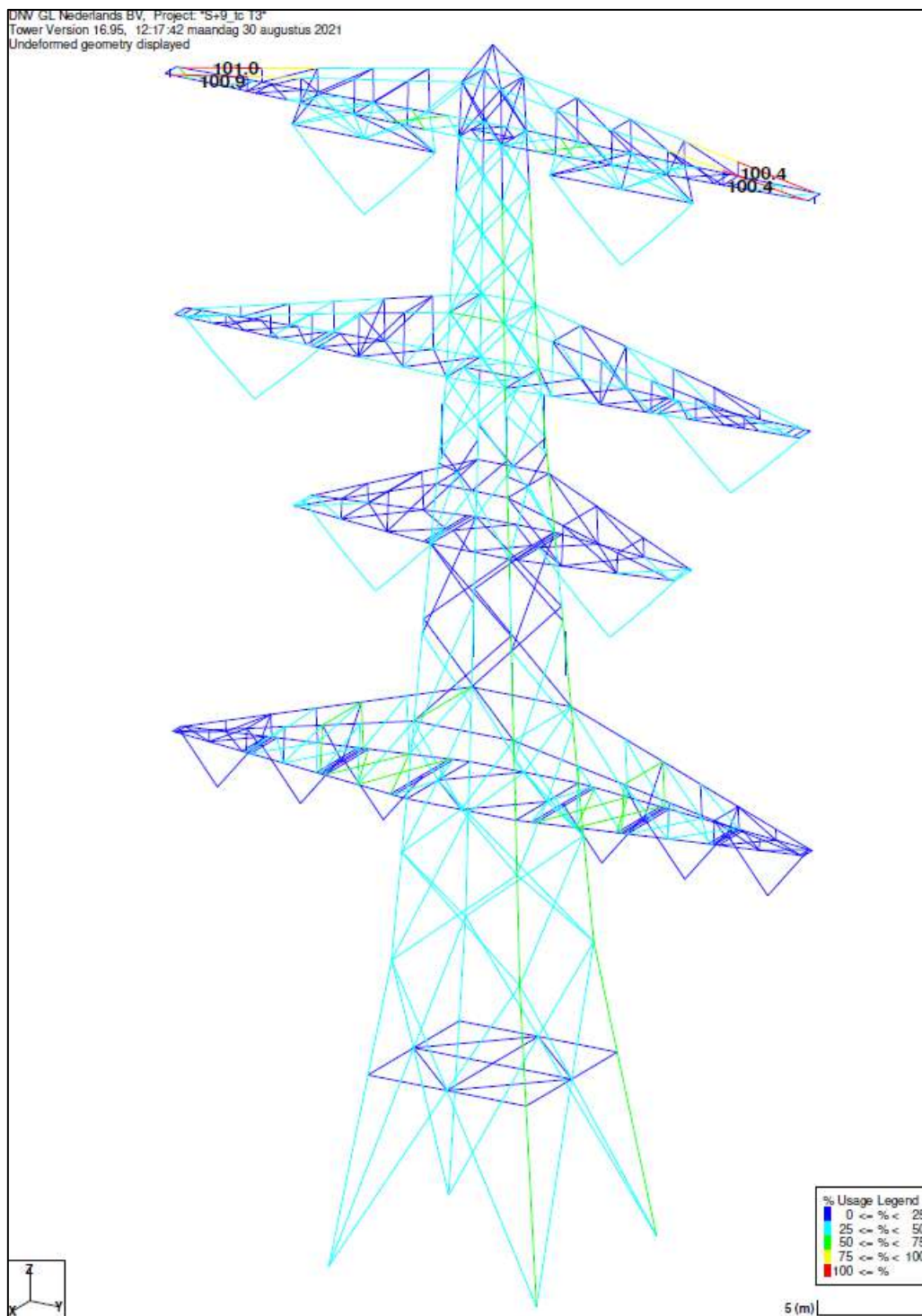
Diagonalen in voor- en achtervlak respectievelijk de twee zijvlakken zijn ge groepeerd en de toetsing wordt per staafgroep uitgevoerd. Ingeval dat een element uit een groep is overbelast, geldt dit voor alle elementen uit de betreffende groep.

3.9 Bestaande aanpassingen

Gebaseerd op het rapport van Petersburg Consultants [4], zijn er geen aanpassingen nodig voor de mast.

4 TOETSING MAST

Het resultaat van de controle van masttype S+9_tc met belastingen op afkeurniveau is weergegeven in Figuur 4.



Figuur 4 Resultaat PLS-TOWER S+9_tc (117)

De resultaten van de controles van profielen, knikverkorters en blokdeuvels randstijl zijn opgenomen in Tabel 5.

Tabel 5 Samenvatting controle

Controle van	Beoordeling		Referentie
Profielen		Voldoen niet	Figuur 4 Appendix B
Knikverkorters	Voldoen		Appendix C
Blokdeuvels	Voldoen		Appendix D

5 AANPASSINGEN

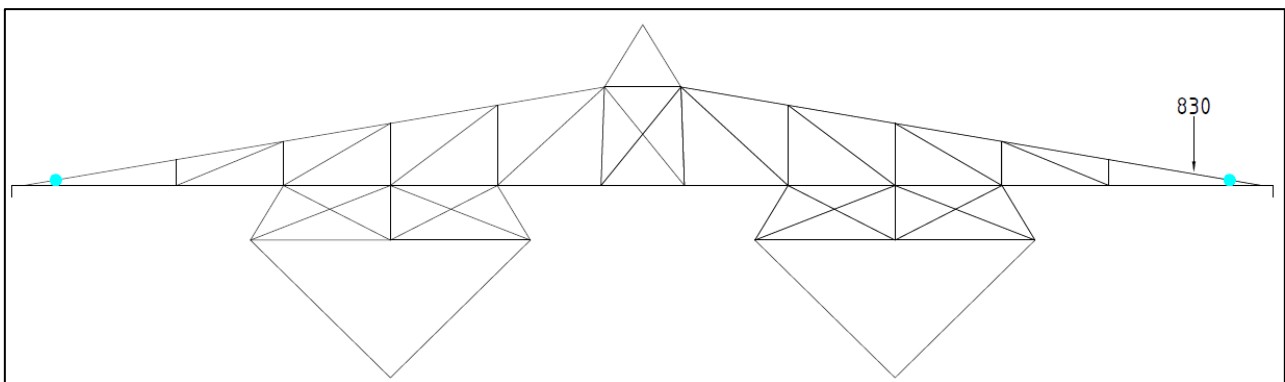
5.1 Inleiding

In dit deel worden versterkingen van de masten voorgesteld om ervoor te zorgen dat de masten voldoen aan afkeurniveau, nieuwe profielen of bouten moeten voldoen aan de eisen op basis van verbouwniveau. Het voorstel bevat de volgende maatregelen:

- Toevoegen van een extra bout aan de verbinding tussen boven- en onderrand van de boventraverse.

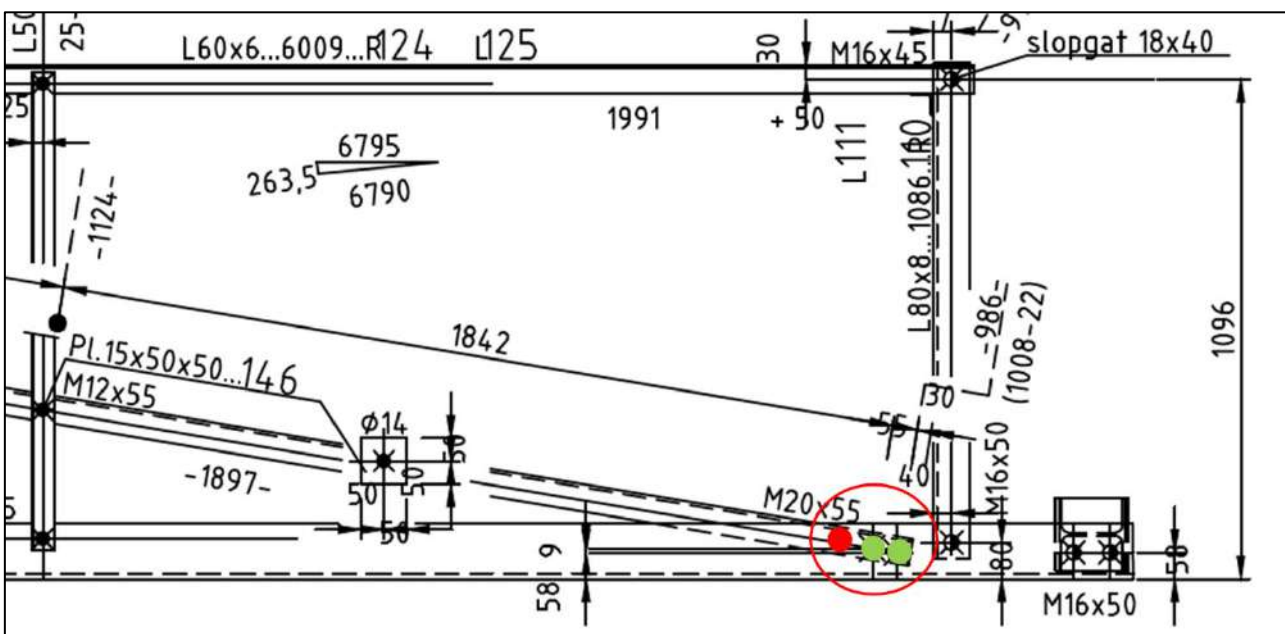
5.2 Aanpassingen

Conform de berekeningen in Appendix B zijn aanpassingen benodigd in een verbinding van de boventraverse. De positie is Figuur 5 aangegeven met een cyaankleurige cirkel.



Figuur 5 Vereiste wijzigingen aan de boutverbinding tussen de onder- en bovenrand van de boventraverse

Figuur 6 geeft een schets van de gewijzigde boutverbinding. Bestaande boutgaten zijn aangegeven in groen, en nieuwe boutgaten in rood. De afstand tussen de bouten moet gelijk gehouden worden aan de 55 mm in de bestaande verbinding. De randafstand is minimaal 30 mm. Op basis van de constructietekeningen blijkt dat er voldoende ruimte is voor het extra gat. De bestaande twee bouten hoeven niet te worden vervangen omdat de overbelasting in het profiel zit en niet in de bouten.



Figuur 6 Schets van de gewijzigde boutverbinding

Er is voor deze constructie is geen gewichtsberekening gemaakt omdat er geen profielen zijn uitgewisseld of toegevoegd.

5.3 Verificatie eisen

De verificatie van de van toepassing zijnde eisen is uitgevoerd in Tabel 6.

Tabel 6 Verificatie eisen

Eis Id	Eis tekst	Ja	Nee	N.v.t.	Toelichting
BO Eis: H2.7-6	Aanpassingen uitvoerbaar?	X			De stalen onderdelen die zullen worden toegevoegd, kunnen worden bevestigd met boutverbindingen. Dit is een bewezen methode. De aanpassing kan worden toegepast zonder de draagprofielen te verwijderen.
PVE.05.001 5.14	Staaldelen in nabijheid van klimweg gewijzigd?			X	Geen wijzigingen
	Klimvoorziening nog in overeenstemming is met de NEN 1060:1964?	X			Geen wijzigingen



6 REFERENTIES

- [1] "002.586.40 0825946 - 21-0463 - Verificatie & validatieplan 380kV verbinding Maasbracht - Eindhoven".
- [2] "002.586.40 0825934 - 21-0483 - E-studie deel 1 380kV verbinding Maasbracht - Eindhoven".
- [3] "002.586.40 0825942 - 21-0138 - Uitgangspuntenrapport 380kV verbinding Maasbracht - Eindhoven".
- [4] Petersburg Consultants, "Controle mast 117n 150/380 kV lijn Maasbracht-Eindhoven t.b.v. T-Mobile antenneopstelling 6974 en Vodafone antenneopstelling 3201," 2013.



APPENDIX A

GELEIDERBELASTINGEN

Project: MBT-EHV380
 Tower: S+9(tc)
 Number: 117

Auteur: TBR
 Versie: v12.0

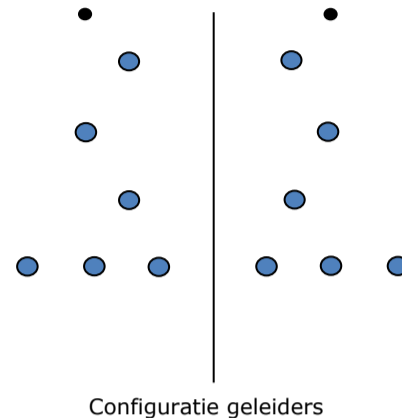
Conductor loads

General

Description S+9(tc)
 Tower type Steunmast
 Number of circuits 4
 Configuration 4-circuit-verticaal-vlak
 Number of earth wires 2

Starting points

Norm NEN-EN50341-2-15:2019
 Consequence class CC2-0
 Reliability level initial Afkeur CC2-0
 Reference period initial 30 jaar
 Consequence class modified CC2
 Reliability level modified Verbouw
 Reference period modified 50 jaar
 Wind zone III
 Wind speed (m/s) 24,5 m/s
 Terrain category II
 Reduction factor c_{dir} 1,00
 Ice region phase conductor B
 Ice region earth conductor B



Conductors back

Description	Voltage	Conductor Back	Bundle Ba	Ice region	Additional weight	Additional diameter	Catenary P_{back}
Circuit 1	380 kV	ACCC-Warsaw	3	B	3 %	3 %	1400
Circuit 2	380 kV	ACCC-Warsaw	3	B	3 %	3 %	1400
Circuit 3	150 kV	AACSR 241-AL3-39-A20SA	2	B	3 %	3 %	1429
Circuit 4	150 kV	AACSR 241-AL3-39-A20SA	2	B	3 %	3 %	1429
Bliksemdraad 1		AACSR 241-AL3-39-A20SA	1	B	3 %	3 %	1550
Bliksemdraad 2		OPGW AFL-226/38	1	B	3 %	3 %	1550

Conductors ahead

Description	Voltage	Conductor Ahead	Bundle Ah	Ice region	Additional weight	Additional diameter	Catenary P_{ahead}
Circuit 1	380 kV	ACCC-Warsaw	3	B	3 %	3 %	1400
Circuit 2	380 kV	ACCC-Warsaw	3	B	3 %	3 %	1400
Circuit 3	150 kV	AACSR 241-AL3-39-A20SA	2	B	3 %	3 %	1429
Circuit 4	150 kV	AACSR 241-AL3-39-A20SA	2	B	3 %	3 %	1429
Bliksemdraad 1		AACSR 241-AL3-39-A20SA	1	B	3 %	3 %	1550
Bliksemdraad 2		OPGW AFL-226/38	1	B	3 %	3 %	1550

Insulators (1)

Description	Suspension	Weight [kN]	Length [m]	Wind area [m ²]
Circuit 1	V-ketting	3,50	4,50	2,00
Circuit 2	V-ketting	3,50	4,50	2,00
Circuit 3	V-ketting	2,00	2,50	1,00
Circuit 4	V-ketting	2,00	2,50	1,00
Bliksemdraad 1	Vast (Bliksemdraad)	0,10	0,30	0,10
Bliksemdraad 2	Vast (Bliksemdraad)	0,10	0,30	0,10

1. Properties apply to the entire isolator set

Suspension height and position in mast

Circuits	Designation	Number	Suspension height	Attach point	Position in tower Horizontal distance
Circuit 1	10	380ct1f1	46,9 m	51,4 m	-6,6 m
Circuit 1	11	380ct1f2	37,0 m	41,5 m	-12,2 m
Circuit 1	12	380ct1f3	29,2 m	33,7 m	-6,0 m
Circuit 2	20	380ct2f1	46,9 m	51,4 m	6,6 m
Circuit 2	21	380ct2f2	37,0 m	41,5 m	12,2 m
Circuit 2	22	380ct2f3	29,2 m	33,7 m	6,0 m
Circuit 3	30	150ct3f1	19,2 m	21,7 m	-14,1 m
Circuit 3	31	150ct3f2	19,2 m	21,7 m	-9,9 m
Circuit 3	32	150ct3f3	19,2 m	21,7 m	-5,6 m
Circuit 4	40	150ct4f1	19,2 m	21,7 m	5,6 m
Circuit 4	41	150ct4f2	19,2 m	21,7 m	9,9 m
Circuit 4	42	150ct4f3	19,2 m	21,7 m	14,1 m
Bliksemdraad 1	1	bl1	52,5 m	52,8 m	-16,5 m
Bliksemdraad 2	3	bl2	52,5 m	52,8 m	16,5 m

Project: MBT-EHV380
 Tower: S+9(tc)
 Number: 117

Height adjustment adjacent masts (wind and weight span adjustment)

	Back	Ahead	
Height increase for wind pressure	0,0 m	0,0 m	(positive: higher)
Height decrease for vertical load	0,0 m	0,0 m	(negative: decrease, more weight span)
Decrease:	Niet in 0,9EG-combinaties		

Height difference adjacent tower and change of direction with respect to Line direction

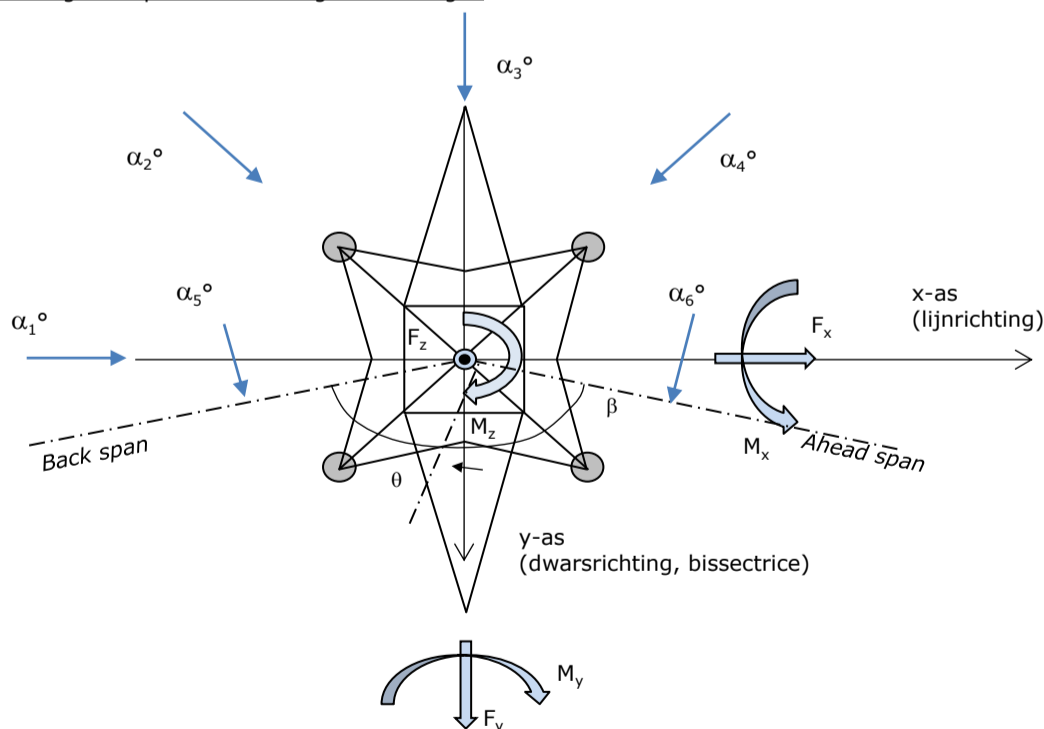
Circuits	Aanduiding	Nummer	Hoogteverschil		Richtingsverandering	
			Δh_{back}	Δh_{ahead}	Δy_{back}	Δy_{ahead}
Circuit 1	10	380ct1f1	0,4	1,6 m	0,0	0,0 m
Circuit 1	11	380ct1f2	0,0	2,0 m	0,0	0,0 m
Circuit 1	12	380ct1f3	7,8	2,0 m	0,0	0,0 m
Circuit 2	20	380ct2f1	0,4	1,6 m	0,0	0,0 m
Circuit 2	21	380ct2f2	0,0	2,0 m	0,0	0,0 m
Circuit 2	22	380ct2f3	7,8	2,0 m	0,0	0,0 m
Circuit 3	30	150ct3f1	8,7	2,0 m	0,0	0,0 m
Circuit 3	31	150ct3f2	8,7	2,0 m	0,0	0,0 m
Circuit 3	32	150ct3f3	8,7	2,0 m	0,0	0,0 m
Circuit 4	40	150ct4f1	8,7	2,0 m	0,0	0,0 m
Circuit 4	41	150ct4f2	8,7	2,0 m	0,0	0,0 m
Circuit 4	42	150ct4f3	8,7	2,0 m	0,0	0,0 m
Bliksemdraad 1	1	bl1	0,1	0,3 m	0,0	0,0 m
Bliksemdraad 2	3	bl2	0,1	0,3 m	0,0	0,0 m

Line and tower data

	Back	Ahead
Ruling span $\sqrt{(\Sigma L^3/\Sigma L)}$	200,0	300,0 m
Line angle β	180 °	
Tower orientation with respect to bisector	0 °	
Section length	1361	1361 m
Height bottom of tower to ground level	0,5 m	
Wind directions considered α_1	0 °	
Wind directions according to: α_2	45 °	
<i>Geleiderbelastingen</i> α_3	90 °	
α_4	135 °	
α_5	- °	
α_6	- °	

Wind directions apply to the main direction of mast construction, not to the bisector.

Windrichtingen en positieve richtingen belastingen



Considered number of wind directions

1a	4
3	4
4	1
6	1
Overig	1

Project: MBT-EHV380
 Tower: S+9(tc)
 Number: 117

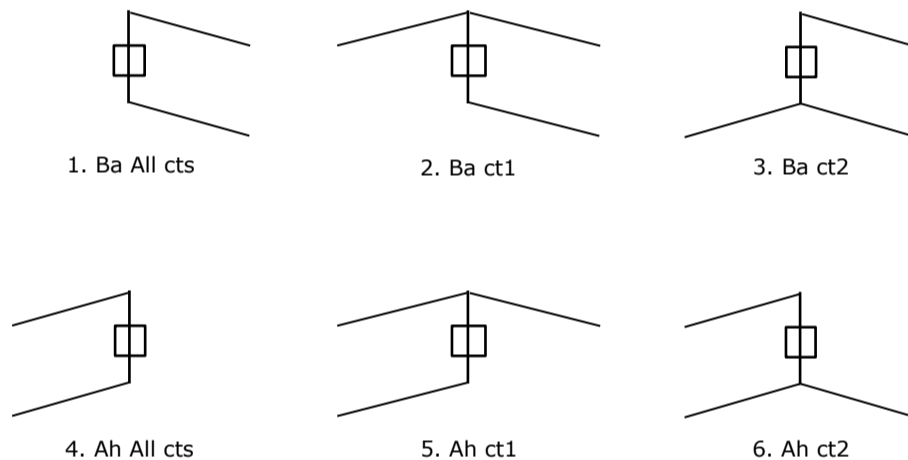
Absence of conductors

		SPLS - torsie		SPLS - Enkelzijdige trek		5a - geleiderbreuk	
		Aanw.	Afw.	Aanw.	Afw.	Aanw.	Afw.
Circuit 1	380ct1f1	1	0	1	0	0,8	0
Circuit 1	380ct1f2	1	0	1	0	0,8	0
Circuit 1	380ct1f3	1	0	1	0	0,8	0
Circuit 2	380ct2f1	0	1	1	0	0,8	0
Circuit 2	380ct2f2	0	1	1	0	0,8	0
Circuit 2	380ct2f3	0	1	1	0	0,8	0
Circuit 3	150ct3f1	1	0	1	0	0,8	0
Circuit 3	150ct3f2	1	0	1	0	0,8	0
Circuit 3	150ct3f3	1	0	1	0	0,8	0
Circuit 4	150ct4f1	0	1	1	0	0,8	0
Circuit 4	150ct4f2	0	1	1	0	0,8	0
Circuit 4	150ct4f3	0	1	1	0	0,8	0
Bliksemdraad 1	bl1	1	0	1	0	1	0
Bliksemdraad 2	bl2	0	1	1	0	1	0

Load situations SPLS

Considered situations SPLS: SPLS for suspension tower not applicable

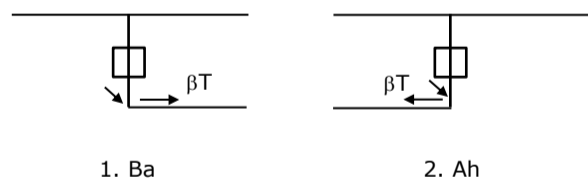
Principle of load situations:



Load situation 5a. Conductor failure

Considered situations conductor failure 5a: 1 and 2, all possible situations

Principle of load situations:



Project: MBT-EHV380
 Tower: S+9(tc)
 Number: 117

Load situations LC6. Construction and maintenance

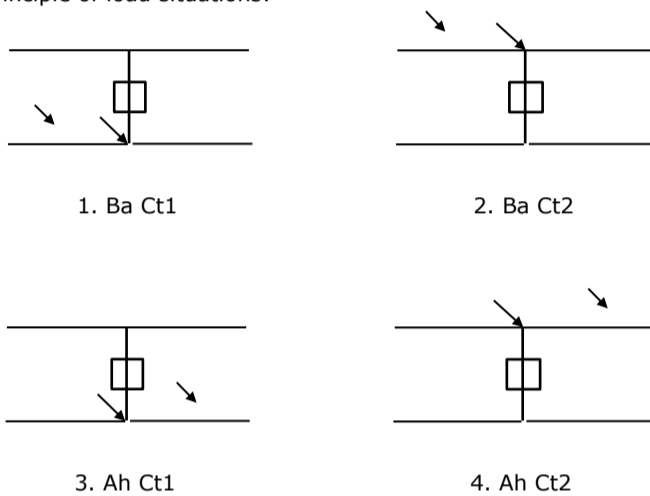
Under 6a, the load due to the presence of a line vehicle or line bicycle in combination with point load on the traverse is assessed. Combination 6b does not contain any loads in conductor or on traverse. This combination has been added to be able to combine with separate control platforms, etc. The situations are applied in ULS and in every SPLS situation (in case of angle tower).

	Phase	Earth
Line vehicle	3,0 kN	2,0 kN
Concentrated load cross arm	1,0 kN	1,0 kN

Beschouwde situaties bouw- en onderhoud 6a: 1 t/m 4, alle mogelijke situaties.

Presence line vehicle: Circuit, belasting tegelijk aanwezig in alle geleiders per circuit.

Principle of load situations:



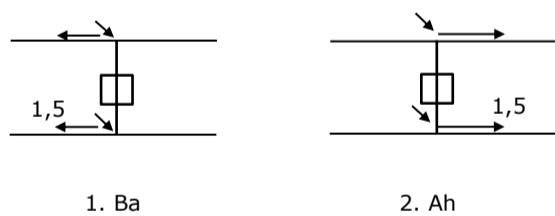
Load situations 8. Galloping as a static load

Conductor		
Suspension tower phase	0,866 W	1,5 W
Suspension tower earth	1,5 EDS	1,5 W
Strain tower phase and earth	1,5 EDS	1,5 W

Considered situations galloping 8: None (existing structure)

Load simultaneously present in all conductors of the circuit.

Principle of load situations:



Load combination 8. Galloping as a dynamic load

Only applies to tension towers

Load consists of EDS tensile load in one of the conductors on one side of the tower

Can be converted by user to fatigue spectrum via the load spectrum of table 4.11 / NL.1

Project: MBT-EHV380
 Tower: S+9(tc)
 Number: 117

Tower structure

Properties

Tower type	Steunmast	
Tower designation	S+9(tc)	
Base plate w.r.t. ground level	0,5 m	
Tower height w.r.t. base plate	57,0 m	
Tower self weight	603,7 kN	
<i>Width and slope at foundation</i>		
	x-ri.	y-ri.
Leg spread	10,65	10,65 m
Inclination of main leg	0,144	0,144 -
Horizontal force factor	1,3	1,3 -

Calculation Wind load

Dynamic factor G_T	1,00 (<i>Masthoogte < 60 m</i>)
Wind load diagonally to tower body proportional to:	$(A1C1\sin^2(\phi)+A2C2\cos^2(\phi))$
Wind load diagonally on traverse proportional to:	$(A1C1\sin^2(\phi)+A2C2\cos^2(\phi))$
Magnification factor diagonal wind to tower body	$(1+0,2\sin^2(2\phi))$
Magnification factor diagonal wind to cross arm	$(1+0,2\sin^2(2\phi))$
Magnification factor wind parallel to perpendicular to cross arm	0,4

Properties mast sections longitudinal direction (front view, yz plane)

Description	h [m]	b ₁ [m]	b ₂ [m]	Δh [m]	Δ _x [m]	A ₀ [m ²]	A ₁ [m ²]	χ = A ₁ /A ₀ [-]	C _t
Broekstuk	14,18	10,65	6,57	14,18	0,144	122,03	28,42	0,23	2,79
1e tussenstuk	21,74	6,57	5,58	7,57	0,065	45,98	12,13	0,26	2,67
2e tussenstuk	33,70	5,58	4,02	11,96	0,065	57,40	20,41	0,36	2,35
3e tussenstuk	41,50	4,02	3,00	7,81	0,065	27,40	11,83	0,43	2,13
4e tussenstuk	55,38	3,00	2,00	13,88	0,036	34,69	11,33	0,33	2,44
Topstuk	57,01	2,00		1,63		1,63	1,50	0,92	1,85
Ondertraverse	21,74	13,37		3,64		24,31	7,08	0,29	2,57
Boventraverse	52,80	15,41		2,58		19,84	11,00	0,55	1,88
Middentraverse	41,50	14,50		3,05		22,11	7,42	0,34	2,41
Mid trav onder	33,70	7,74		2,80		10,84	3,70	0,34	2,39

Properties tower sections transversal direction (side view, xz plane)

Description	h [m]	b ₁ [m]	b ₂ [m]	Δh [m]	Δ _x [m]	A ₀ [m ²]	A ₁ [m ²]	χ = A ₁ /A ₀ [-]	C _t
Broekstuk	14,18	10,65	6,57	14,18	0,144	122,03	28,42	0,23	2,79
1e tussenstuk	21,74	6,57	5,58	7,57	0,065	45,98	12,13	0,26	2,67
2e tussenstuk	33,70	5,58	4,02	11,96	0,065	57,40	20,41	0,36	2,35
3e tussenstuk	41,50	4,02	3,00	7,81	0,065	27,40	11,83	0,43	2,13
4e tussenstuk	55,38	3,00	2,00	13,88	0,036	34,69	11,33	0,33	2,44
Topstuk	57,01	2,00		1,63		1,63	1,50	0,92	1,85
Ondertraverse	21,74	13,37		3,64		24,31	7,08	0,29	2,57
Boventraverse	52,80	15,41		2,58		19,84	11,00	0,55	1,88
Middentraverse	41,50	14,50		3,05		22,11	7,42	0,34	2,41
Mid trav onder	33,70	7,74		2,80		10,84	3,70	0,34	2,39

Note: Surface area transverse direction in table is reduced in calculation.

Note: surface area of cross arm is for each side, ie. half of the total of both cross arms.

Project: MBT-EHV380
Tower: S+9(tc)
Number: 117

Wind surface feeders telecom installations

Part	A (m ² /m)	Factor	Δh	A ₁
Broekstuk	0,40	0,71	14,2	4,0
1e tussenstuk	0,40	0,71	7,6	2,1
2e tussenstuk	0,40	0,71	12,0	3,4
3e tussenstuk	0,20	0,71	7,8	1,1
4e tussenstuk				

Input antennas

Description	A (m ²)	h (m)	C _f (m)
Antenne m.t.	3,36	38,975	1,28
Antenne o.t.	3,5	27,929	1,21

Tower section loads longitudinal (x-direction) per wind direction

Description	p _w [kN/m ²]	F _{x1} [kN]	F _{x2} [kN]	F _{x3} [kN]	F _{x4} [kN]	h _{ef} [m]	M _{y1} [kNm]	M _{y2} [kNm]	M _{y3} [kNm]	M _{y4} [kNm]
Broekstuk	0,70	55,6	47,2	0,0	-47,2	7,1	394,3	334,6	0,0	-334,6
1e tussenstuk	0,85	27,5	23,3	0,0	-23,3	18,0	493,7	418,9	0,0	-418,9
2e tussenstuk	0,97	46,3	39,3	0,0	-39,3	27,7	1284,0	1089,5	0,0	-1089,5
3e tussenstuk	1,06	26,7	22,6	0,0	-22,6	37,6	1002,1	850,3	0,0	-850,3
4e tussenstuk	1,13	31,2	26,4	0,0	-26,4	48,4	1509,4	1280,8	0,0	-1280,8
Topstuk	1,17	3,2	2,8	0,0	-2,8	56,2	182,2	154,6	0,0	-154,6
Ondertraverse	0,91	33,2	19,7	0,0	-19,7	23,0	762,9	453,2	0,0	-453,2
Boventraverse	1,16	47,9	28,5	0,0	-28,5	53,7	2572,0	1527,7	0,0	-1527,7
Middentraverse	1,09	39,0	23,1	0,0	-23,1	42,5	1656,5	983,9	0,0	-983,9
Mid trav onder	1,03	18,2	10,8	0,0	-10,8	34,6	631,4	375,0	0,0	-375,0
Totaal		328,9	243,8	0,0	-243,8		10488,4	7468,4	0,0	-7468,4

Tower section loads transversal (y-direction) per wind direction

Description	p _w [kN/m ²]	F _{y1} [kN]	F _{y2} [kN]	F _{y3} [kN]	F _{y4} [kN]	h _{ef} [m]	M _{x1} [kNm]	M _{x2} [kNm]	M _{x3} [kNm]	M _{x4} [kNm]
Broekstuk	0,70	0,0	47,2	55,6	47,2	7,1	0,0	334,6	394,3	334,6
1e tussenstuk	0,85	0,0	23,3	27,5	23,3	18,0	0,0	418,9	493,7	418,9
2e tussenstuk	0,97	0,0	39,3	46,3	39,3	27,7	0,0	1089,5	1284,0	1089,5
3e tussenstuk	1,06	0,0	22,6	26,7	22,6	37,6	0,0	850,3	1002,1	850,3
4e tussenstuk	1,13	0,0	26,4	31,2	26,4	48,4	0,0	1280,8	1509,4	1280,8
Topstuk	1,17	0,0	2,8	3,2	2,8	56,2	0,0	154,6	182,2	154,6
Ondertraverse	0,91	0,0	19,7	13,3	19,7	23,0	0,0	453,2	305,2	453,2
Boventraverse	1,16	0,0	28,5	19,2	28,5	53,7	0,0	1527,7	1028,8	1527,7
Middentraverse	1,09	0,0	23,1	15,6	23,1	42,5	0,0	983,9	662,6	983,9
Mid trav onder	1,03	0,0	10,8	7,3	10,8	34,6	0,0	375,0	252,6	375,0
Total		0,0	243,8	245,9	243,8		0,0	7468,4	7114,8	7468,4

Resulting loads from mast construction incl. Antenna without conductors level foundation (char. Value)

Load / wind direction	F _x [kN]	F _y [kN]	F _z [kN]	M _x [kNm]	M _y [kNm]	M _z [kNm]
Permanente belasting	0	0	604	0	0	0
Windrichting 0°	338	0	0	0	10780	0
Windrichting 45°	250	250	0	7675	7675	0
Windrichting 90°	0	255	0	7407	0	0
Windrichting 135°	-250	250	0	7675	-7675	0

Project: MBT-EHV380
 Tower: S+9(tc)
 Number: 117

Intermediate results for conductor loads

Conductors back

Circuit	Geleider	Diameter [mm]	A [mm ²]	G [N/m]	E [N/mm ²]	αT [-]
Circuit 1	ACCC-Warsaw	27,7	571,0	14,98	62700	1,88E-05
Circuit 2	ACCC-Warsaw	27,7	571,0	14,98	62700	1,88E-05
Circuit 3	AACSR 241-AL3-39-A20SA	21,8	281,0	9,38	70165	1,97E-05
Circuit 4	AACSR 241-AL3-39-A20SA	21,8	281,0	9,38	70165	1,97E-05
Bliksemdraad 1	AACSR 241-AL3-39-A20SA	21,8	281,0	9,38	70165	1,97E-05
Bliksemdraad 2	OPGW AFL-226/38	21,7	264,0	9,13	72000	1,98E-05

Conductors ahead

Circuit	Geleider	Diameter [mm]	A [mm ²]	G [N/m]	E [N/mm ²]	αT [-]
Circuit 1	ACCC-Warsaw	27,7	571,0	14,98	62700	1,88E-05
Circuit 2	ACCC-Warsaw	27,7	571,0	14,98	62700	1,88E-05
Circuit 3	AACSR 241-AL3-39-A20SA	21,8	281,0	9,38	70165	1,97E-05
Circuit 4	AACSR 241-AL3-39-A20SA	21,8	281,0	9,38	70165	1,97E-05
Bliksemdraad 1	AACSR 241-AL3-39-A20SA	21,8	281,0	9,38	70165	1,97E-05
Bliksemdraad 2	OPGW AFL-226/38	21,7	264,0	9,13	72000	1,98E-05

Vertical load back

Circuit	Bundle [-]	Additional [%]	$W_{z,G}$ [N/m]	Ice region	Formula	$W_{z,ijs}$ [N/m]	$W_{z,ijs,bundel}$ [N/m]
Circuit 1	3	3	46,3	B	4+0,2d	9,5	28,6
Circuit 2	3	3	46,3	B	4+0,2d	9,5	28,6
Circuit 3	2	3	19,3	B	4+0,2d	8,4	16,7
Circuit 4	2	3	19,3	B	4+0,2d	8,4	16,7
Bliksemdraad 1	1	3	9,7	B	4+0,2d	8,4	8,4
Bliksemdraad 2	1	3	9,4	B	4+0,2d	8,3	8,3

Vertical load ahead

Circuit	Bundle [-]	Additional [%]	$W_{z,G}$ [N/m]	Ice region	Formula	$W_{z,ijs}$ [N/m]	$W_{z,ijs,bundel}$ [N/m]
Circuit 1	3	3	46,3	B	4+0,2d	9,5	28,6
Circuit 2	3	3	46,3	B	4+0,2d	9,5	28,6
Circuit 3	2	3	19,3	B	4+0,2d	8,4	16,7
Circuit 4	2	3	19,3	B	4+0,2d	8,4	16,7
Bliksemdraad 1	1	3	9,7	B	4+0,2d	8,4	8,4
Bliksemdraad 2	1	3	9,4	B	4+0,2d	8,3	8,3

Insulators

Conductor	$G_{isolator}$ [kN]	Number	$F_{v,iso}$ [kN]	Length [m]	Wind surf. [m ²]	Wind height [m]	Pressure [kN/m ²]	Drag factor [-]	$F_{h,iso}$ [kN]
380ct1f1	3,50	1	3,5	4,5	2,0	49,65	1,13	1,2	2,72
380ct1f2	3,50	1	3,5	4,5	2,0	39,75	1,07	1,2	2,56
380ct1f3	3,50	1	3,5	4,5	2,0	31,95	1,01	1,2	2,41
380ct2f1	3,50	1	3,5	4,5	2,0	49,65	1,13	1,2	2,72
380ct2f2	3,50	1	3,5	4,5	2,0	39,75	1,07	1,2	2,56
380ct2f3	3,50	1	3,5	4,5	2,0	31,95	1,01	1,2	2,41
150ct3f1	2,00	1	2	2,5	1,0	20,99	0,89	1,2	1,07
150ct3f2	2,00	1	2	2,5	1,0	20,99	0,89	1,2	1,07
150ct3f3	2,00	1	2	2,5	1,0	20,99	0,89	1,2	1,07
150ct4f1	2,00	1	2	2,5	1,0	20,99	0,89	1,2	1,07
150ct4f2	2,00	1	2	2,5	1,0	20,99	0,89	1,2	1,07
150ct4f3	2,00	1	2	2,5	1,0	20,99	0,89	1,2	1,07
bl1	0,10	1	0,1	0,3	0,1	53,15	1,15	1,2	0,14
bl2	0,10	1	0,1	0,3	0,1	53,15	1,15	1,2	0,14

Project: MBT-EHV380
 Tower: S+9(tc)
 Number: 117

Wind load back

Conductor	Height	Pressure	G _{c,dwars}	G _{c,trek}	C _c	d _{additional}	w _y	w _{y,section}	D _{ijs,additional}	W _{y,ijs}	W _{y,ijs,section}
	wind										
380ct1f1	45,2	1,11	0,65	0,57	1,07	28,53	65,6	57,8	47,4	122,5	107,9
380ct1f2	35,1	1,03	0,63	0,55	1,09	28,53	60,4	53,2	47,4	110,7	97,5
380ct1f3	31,2	1,00	0,62	0,54	1,10	28,53	58,0	51,1	47,4	105,5	92,9
380ct2f1	45,2	1,11	0,65	0,57	1,07	28,53	65,6	57,8	47,4	122,5	107,9
380ct2f2	35,1	1,03	0,63	0,55	1,09	28,53	60,4	53,2	47,4	110,8	97,5
380ct2f3	31,2	1,00	0,62	0,54	1,10	28,53	58,0	51,1	47,4	105,5	92,9
150ct3f1	21,8	0,90	0,59	0,52	1,20	22,45	28,5	25,1	41,9	53,3	47,0
150ct3f2	21,8	0,90	0,59	0,52	1,20	22,45	28,5	25,1	41,9	53,3	47,0
150ct3f3	21,8	0,90	0,59	0,52	1,20	22,45	28,5	25,1	41,9	53,3	47,0
150ct4f1	21,8	0,90	0,59	0,52	1,20	22,45	28,5	25,1	41,9	53,3	47,0
150ct4f2	21,8	0,90	0,59	0,52	1,20	22,45	28,5	25,1	41,9	53,3	47,0
150ct4f3	21,8	0,90	0,59	0,52	1,20	22,45	28,5	25,1	41,9	53,3	47,0
bl1	50,9	1,14	0,66	0,58	1,18	22,45	20,0	17,6	41,9	37,8	33,3
bl2	50,9	1,14	0,66	0,58	1,19	22,35	19,9	17,6	41,8	37,8	33,2

Wind load ahead

Conductor	Height	Pressure	G _{c,dwars}	G _{c,trek}	C _c	d _{additional}	w _y	w _{y,section}	D _{ijs,additional}	W _{y,ijs}	W _{y,ijs,section}
	wind										
380ct1f1	42,8	1,09	0,64	0,57	1,07	28,53	64,5	56,8	47,4	119,9	105,6
380ct1f2	33,1	1,02	0,62	0,55	1,09	28,53	59,2	52,1	47,4	108,1	95,2
380ct1f3	25,3	0,94	0,60	0,53	1,11	28,53	53,9	47,5	47,4	96,6	85,1
380ct2f1	42,8	1,09	0,64	0,57	1,07	28,53	64,5	56,8	47,4	119,9	105,6
380ct2f2	33,1	1,02	0,62	0,55	1,09	28,53	59,2	52,1	47,4	108,1	95,2
380ct2f3	25,3	0,94	0,60	0,53	1,11	28,53	53,9	47,5	47,4	96,6	85,1
150ct3f1	15,5	0,81	0,56	0,49	1,20	22,45	24,4	21,5	41,9	45,6	40,2
150ct3f2	15,5	0,81	0,56	0,49	1,20	22,45	24,4	21,5	41,9	45,6	40,2
150ct3f3	15,5	0,81	0,56	0,49	1,20	22,45	24,4	21,5	41,9	45,6	40,2
150ct4f1	15,5	0,81	0,56	0,49	1,20	22,45	24,4	21,5	41,9	45,6	40,2
150ct4f2	15,5	0,81	0,56	0,49	1,20	22,45	24,4	21,5	41,9	45,6	40,2
150ct4f3	15,5	0,81	0,56	0,49	1,20	22,45	24,4	21,5	41,9	45,6	40,2
bl1	48,3	1,13	0,65	0,58	1,19	22,45	19,6	17,3	41,9	37,1	32,6
bl2	48,3	1,13	0,65	0,58	1,19	22,35	19,6	17,2	41,8	37,0	32,6

Note: loads w_v are applicable to the sum of the conductors within the bundle

Project: MBT-EHV380
 Tower: S+9(tc)
 Number: 117

Auteur: TBR
 Versie: v12.0

Conductor loads

Starting points

Consequence class Afkeur CC2-0
 Reference period 30 jaar

ULS (strength)		NEN-EN50341-2-15:2019			γ _Q			γ _a
Load case	description	Temp °C	γ _G G _{k,mast}	γ _G G _{k,geleider}	Q _{pk}	Q _{wk}	Q _{ik}	A _k
ULS 1a	Wind	10°	1,05	1,05	0,00	1,12	0,00	0,0
ULS 1a_0,9	Wind 0,9Gk only tower	10°	0,90	1,05	0,00	1,12	0,00	0,0
ULS 1a_0,9_0,9	Wind 0,9Gk conductors too	10°	0,90	0,90	0,00	1,12	0,00	0,0
ULS 3	Wind+ice	-5°	1,05	1,05	0,00	0,34	0,97	0,0
ULS 3_0,9	Wind+ice 0,9Gk	-5°	0,90	1,05	0,00	0,34	0,97	0,0
ULS 4	Cold+wind	-20°	1,05	1,05	0,00	0,22	0,00	0,0
ULS 4_0,9	Cold+wind 0,9Gk	-20°	0,90	1,05	0,00	0,22	0,00	0,0
ULS 5a	Torsional loads	10°	1,00	1,00	1,00	0,00	0,00	1,0
ULS 5b	Longitudinal loads	10°	1,00	1,00	0,00	0,00	0,00	1,0
ULS 6	Construction + maintenance	5°	1,05	1,05	1,20	0,22	0,00	0,0
ULS 6_0,9	Construction + maintenance	5°	1,05	1,05	0,00	0,22	0,00	0,0
ULS 7	Permanent	10°	1,15	1,15	0,00	0,00	0,00	0,0
ULS 8	Special	10°	1,00	1,00	0,00	0,00	0,00	1,0
SPLS (strength, for angle towers: absence of conductors)			γ _G G _k		γ _Q			A _k
SPLS 1a	Wind	10°	1,05	1,05	0,0	0,78	0,00	0,0
SPLS 1a_0,9	Wind 0,9	10°	0,90	1,05	0,0	0,78	0,00	0,0
SPLS 1a_0,9_0,9	Wind 0,9	10°	0,90	0,90	0,0	0,78	0,00	0,0
SPLS 3	Wind+ice	-5°	1,05	1,05	0,0	0,36	0,34	0,0
SPLS 3_0,9	Wind+ice 0,9	-5°	0,90	1,05	0,0	0,36	0,34	0,0
SPLS 4	Cold+wind	-20°	1,05	1,05	0,0	0,24	0,00	0,0
SPLS 4_0,9	Cold+wind 0,9	-20°	0,90	1,05	0,0	0,24	0,00	0,0
SPLS 6	Maintenance	5°	1,05	1,05	1,2	0,24	0,0	0,0
SPLS 6_0,9	Maintenance	5°	1,05	1,05	0,0	0,24	0,0	0,0
SLS (deformations, fatigue, EDS)			G _k		Q _{pk} Q _{wk} Q _{ik}			A _k
SLS 1a	Wind	10°	1,00	1,00	0,0	0,94	0,0	0,0
SLS 3	Wind+ice	-5°	1,00	1,00	0,0	0,28	0,88	0,0
SLS 4	Wind	-20°	1,00	1,00	0,0	0,19	0,0	0,0
SLS 6	Maintenance	5°	1,00	1,00	0,0	0,19	0,0	0,0
SLS 7	EDS, no wind	10°	1,00	1,00	0,0	0,00	0,0	0,0

Number of wind directions 4
 Number of load combinations for ULS 60
 Number of load combinations for SPLS 0
 Number of load combinations for SLS 11
 Number of concentrated loads 994

Project: MBT-EHV380
 Tower: S+9(tc)
 Number: 117

Summary table - Conductor loads

The four tables below show:

- The maximum conductor load in the global axis system, split into proportion of back and ahead span
- The combined conductor load (Ba+Ah) in the global axis system with the maximum tensile force in the local axes. Components Fx and Fy as absolute values
- The everyday (EDS) values of the combined conductor loads (Ba+Ah) with corresponding tensile forces
- Check for uplift, where a negative value indicates uplift

Note: Maximum values for Fx, Fy and Fz do not necessarily belong to the same load combination.

*For Steunmast the special combination SPLS 6 don't apply.

Maximum values for back and ahead span

Geleider	Fx_ba [kN]	Fx_ah [kN]	Fy_ba [kN]	Fy_ah [kN]	Fz_ba [kN]	Fz_ah [kN]
bl1	-29,2	29,2	2,3	3,4	3,3	4,6
bl2	-28,7	28,7	2,3	3,4	3,2	4,6
380ct1f1	-112,9	112,9	8,8	12,3	9,6	12,9
380ct1f2	-111,4	111,4	8,2	11,4	9,8	12,8
380ct1f3	-110,4	110,4	7,8	10,4	5,9	12,8
380ct2f1	-112,9	112,9	8,8	12,3	9,6	12,9
380ct2f2	-111,4	111,4	8,2	11,4	9,7	12,8
380ct2f3	-110,4	110,4	7,8	10,4	5,9	12,8
150ct3f1	-51,7	51,7	3,8	4,7	3,7	8,0
150ct3f2	-51,7	51,7	3,8	4,7	3,7	8,0
150ct3f3	-51,7	51,7	3,8	4,7	3,7	8,0
150ct4f1	-51,7	51,7	3,8	4,7	3,7	8,0
150ct4f2	-51,7	51,7	3,8	4,7	3,7	8,0
150ct4f3	-51,7	51,7	3,8	4,7	3,7	8,0

Min. Weight span (m)

Weight spar Combinatie1

Geleider	SLS 1a	SLS 4	SLS 7
bl1	245,7	246,9	247,5
bl2	245,6	246,9	247,5
380ct1f1	235,8	238,3	240,1
380ct1f2	237,4	239,2	240,9
380ct1f3	163,3	174,9	186,2
380ct2f1	235,5	238,0	239,9
380ct2f2	237,0	238,9	240,6
380ct2f3	163,4	174,9	186,3
150ct3f1	146,8	164,6	178,5
150ct3f2	146,8	164,6	178,5
150ct3f3	146,8	164,6	178,5
150ct4f1	146,8	164,6	178,5
150ct4f2	146,8	164,6	178,5
150ct4f3	146,8	164,6	178,5

Max. Weight span (m)

Weight spar Combinatie1

Geleider	ULS 1a	ULS 3
bl1	247,5	247,7
bl2	247,5	247,7
380ct1f1	240,2	240,3
380ct1f2	240,9	241,1
380ct1f3	186,6	187,7
380ct2f1	239,9	240,1
380ct2f2	240,6	240,8
380ct2f3	186,7	187,7
150ct3f1	179,1	183,0
150ct3f2	179,1	183,0
150ct3f3	179,1	183,0
150ct4f1	179,1	183,0
150ct4f2	179,1	183,0
150ct4f3	179,1	183,0

Envelop of weight span over all combinations (incl. 0,9 combinations)

For all conductors	Wind / Weight span ratio
Max. weight span	248,0 m
Min. weight span	128,3 m

Project: MBT-EHV380
 Tower: S+9(tc)
 Number: 117

Maximum values back + ahead span Maximum tension in conductor

Geleider	Fx [kN]	Fy [kN]	Fz [kN]	Ft_ba [kN]	Ft_ah [kN]
bl1	15,0	5,7	6,2	-33,3	33,3
bl2	14,6	5,7	6,2	-32,7	32,7
380ct1f1	51,8	21,2	22,0	-113,1	112,8
380ct1f2	51,8	19,5	22,1	-111,6	111,3
380ct1f3	51,8	18,2	18,0	-110,9	109,9
380ct2f1	51,8	21,2	22,0	-113,1	112,8
380ct2f2	51,8	19,5	22,0	-111,6	111,3
380ct2f3	51,8	18,2	18,0	-110,9	109,9
150ct3f1	22,1	8,5	10,4	-55,6	55,5
150ct3f2	22,1	8,5	10,4	-55,6	55,5
150ct3f3	22,1	8,5	10,4	-55,6	55,5
150ct4f1	22,1	8,5	10,4	-55,6	55,5
150ct4f2	22,1	8,5	10,4	-55,6	55,5
150ct4f3	22,1	8,5	10,4	-55,6	55,5

EDS-loads conductor

Geleider	Fx [kN]	Fy [kN]	Fz [kN]	Ft_ba [kN]	Ft_ah [kN]
bl1	0,0	0,0	2,5	-15,0	15,0
bl2	0,0	0,0	2,4	-14,6	14,6
380ct1f1	0,0	0,0	14,6	-64,8	64,8
380ct1f2	0,0	0,0	14,6	-64,8	64,8
380ct1f3	0,0	0,0	12,1	-64,8	64,8
380ct2f1	0,0	0,0	14,6	-64,8	64,8
380ct2f2	0,0	0,0	14,6	-64,8	64,8
380ct2f3	0,0	0,0	12,1	-64,8	64,8
150ct3f1	0,0	0,0	5,4	-27,6	27,6
150ct3f2	0,0	0,0	5,4	-27,6	27,6
150ct3f3	0,0	0,0	5,4	-27,6	27,6
150ct4f1	0,0	0,0	5,4	-27,6	27,6
150ct4f2	0,0	0,0	5,4	-27,6	27,6
150ct4f3	0,0	0,0	5,4	-27,6	27,6

1 Control uplift SLS-wind

Combinatie: Geleider	Fz_ba [kN]	Fz_ah [kN]
SLS 4		
bl1	1,0	1,5
bl2	1,0	1,4
380ct1f1	6,2	8,3
380ct1f2	6,4	8,2
380ct1f3	3,4	8,2
380ct2f1	6,2	8,3
380ct2f2	6,4	8,2
380ct2f3	3,4	8,2
150ct3f1	1,5	3,7
150ct3f2	1,5	3,7
150ct3f3	1,5	3,7
150ct4f1	1,5	3,7
150ct4f2	1,5	3,7
150ct4f3	1,5	3,7

Project: MBT-EHV380
 Tower: S+9(tc)
 Number: 117

ULS foundation loads for LC 1 and 3, wind perpendicular to the line or bisector and EDS, from conductors

Combination	Combination	F_x [kN]	F_y [kN]	F_z [kN]	M_x [kNm]	M_y [kNm]	M_z [kNm]
ULS 1a_90		0	180	118	6726	0	0
ULS 1a_0,9_90		0	180	118	6726	0	0
ULS 3_90		0	93	184	3498	0	0
ULS 3_0,9_90		0	93	184	3498	0	0
SLS 7		0	0	120	-1	0	0

ULS foundation loads, LC 1 and 3, wind perpendicular to the line or bisector and EDS, total conductors and tower

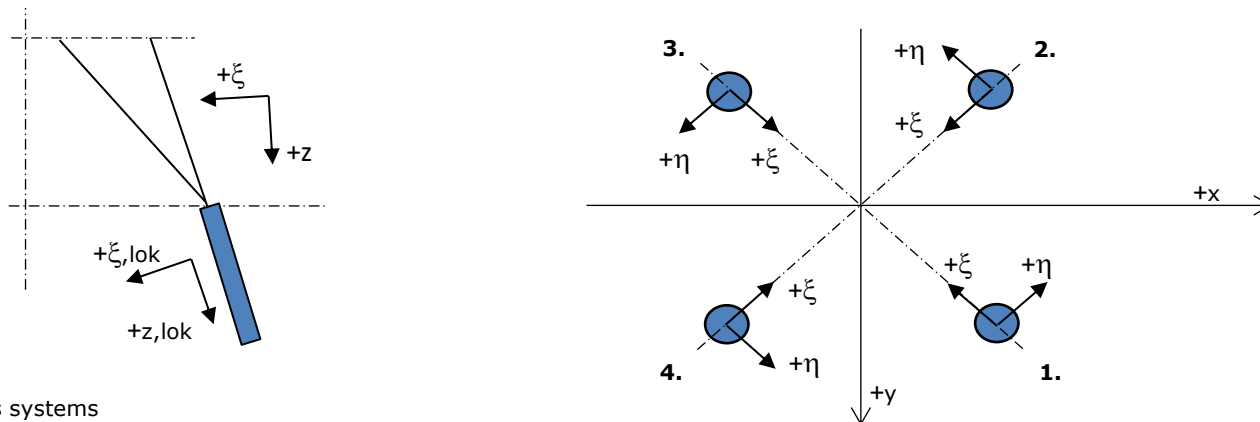
Combination	F_x [kN]	F_y [kN]	F_z [kN]	M_x [kNm]	M_y [kNm]	M_z [kNm]
ULS 1a_90	0	464	752	14998	0	0
ULS 3_90	0	179	818	5980	0	0
SLS 7	0	0	724	-1	0	0

Foundation loads, selection of load combinations based on greatest value

Combination	F_x [kN]	F_y [kN]	F_z [kN]	M_x [kNm]	M_y [kNm]	M_z [kNm]
ULS 1a_0,9_0,9_90	0	464	642	14998	0	0
ULS 1a_0	389	0	760	-1	12499	0
ULS 5a Ba 11	52	0	733	56	2151	-632
ULS 1a_0,9_0,9_45	288	374	648	12121	8896	0

Note: Largest values can appear in multiple combinations, one combination is displayed.

Support reactions per leg



Axis systems

Maximum compression load

Index	Combination	R_x [kN]	R_y [kN]	R_z [kN]	R_η [kN]	R_ξ [kN]	$R_{\xi,lok}$ [kN]	$R_{z,lok}$ [kN]
1	ULS 1a_45	214	207	1177	5	-298	-58	1201
2	ULS 1a_0	133	-145	777	9	-197	-39	793
3	ULS 5a Ah 20	-39	-66	310	-18	-74	-11	316
4	ULS 1a_135	-214	207	1177	-5	-298	-58	1201

Maximum tension load

Index	Combination	R_x [kN]	R_y [kN]	R_z [kN]	R_η [kN]	R_ξ [kN]	$R_{\xi,lok}$ [kN]	$R_{z,lok}$ [kN]
1	-	0	0	0	0	0	0	0
2	ULS 1a_0,9_0,9_135	-148	141	-825	5	205	37	-842
3	ULS 1a_0,9_0,9_45	148	141	-825	-5	205	37	-842
4	ULS 1a_0,9_0,9_0	67	-79	-424	-9	103	17	-433

Maximum torsional load (positive)

Index	Combination	R_x [kN]	R_y [kN]	R_z [kN]	R_η [kN]	R_ξ [kN]	$R_{\xi,lok}$ [kN]	$R_{z,lok}$ [kN]
1	ULS 5a Ah 11	37	0	86	26	-26	-9	87
2	ULS 5a Ba 21	33	-68	287	25	-71	-13	293
3	ULS 5a Ba 21	-37	-1	85	26	-26	-9	87
4	ULS 5a Ah 11	-33	68	288	25	-71	-13	293

Maximum torsional load (negative)

Index	Combination	R_x [kN]	R_y [kN]	R_z [kN]	R_η [kN]	R_ξ [kN]	$R_{\xi,lok}$ [kN]	$R_{z,lok}$ [kN]
1	ULS 5a Ba 11	33	68	287	-25	-71	-13	293
2	ULS 5a Ah 21	37	0	86	-26	-26	-9	87
3	ULS 5a Ah 21	-33	-68	288	-25	-71	-13	294
4	ULS 5a Ba 11	-37	1	85	-26	-26	-9	87

Project: MBT-EHV380
 Tower: S+9(tc)
 Number: 117

Combination Ftensile+Fhor

Index	Combination	R _x [kN]	R _y [kN]	R _z [kN]	R _η [kN]	R _ξ [kN]	R _{ξ,lok} [kN]	R _{z,lok} [kN]
1	-	0	0	0	0	0	0	0
2	ULS 1a_0,9_0,9_135	-148	141	-825	5	205	37	-842
3	ULS 1a_0,9_0,9_45	148	141	-825	-5	205	37	-842
4	ULS 1a_0,9_0,9_0	67	-79	-424	-9	103	17	-433

Permanent load

Index	Combination	R _x [kN]	R _y [kN]	R _z [kN]	R _η [kN]	R _ξ [kN]	R _{ξ,lok} [kN]	R _{z,lok} [kN]
1	SLS 7	34	34	181	0	-48	-11	185
2	SLS 7	34	-34	181	0	-48	-11	185
3	SLS 7	-34	-34	181	0	-48	-11	185
4	SLS 7	-34	34	181	0	-48	-11	185

Envelope of load combinations for all of the legs

Index	Combination	R _x [kN]	R _y [kN]	R _z [kN]	R _η [kN]	R _ξ [kN]	R _{ξ,lok} [kN]	R _{z,lok} [kN]
Max. pressure	ULS 1a_45	214	207	1177	5	-298	-58	1201
Max. tension	ULS 1a_0,9_0,9_45	148	141	-825	-5	205	37	-842
Max. pos. torsie	ULS 5a Ah 11	37	0	86	26	-26	-9	87
Max. neg. torsie	ULS 5a Ah 21	37	0	86	-26	-26	-9	87
Comb. tension+torsie	ULS 1a_0,9_0,9_45	148	141	-825	-5	205	37	-842

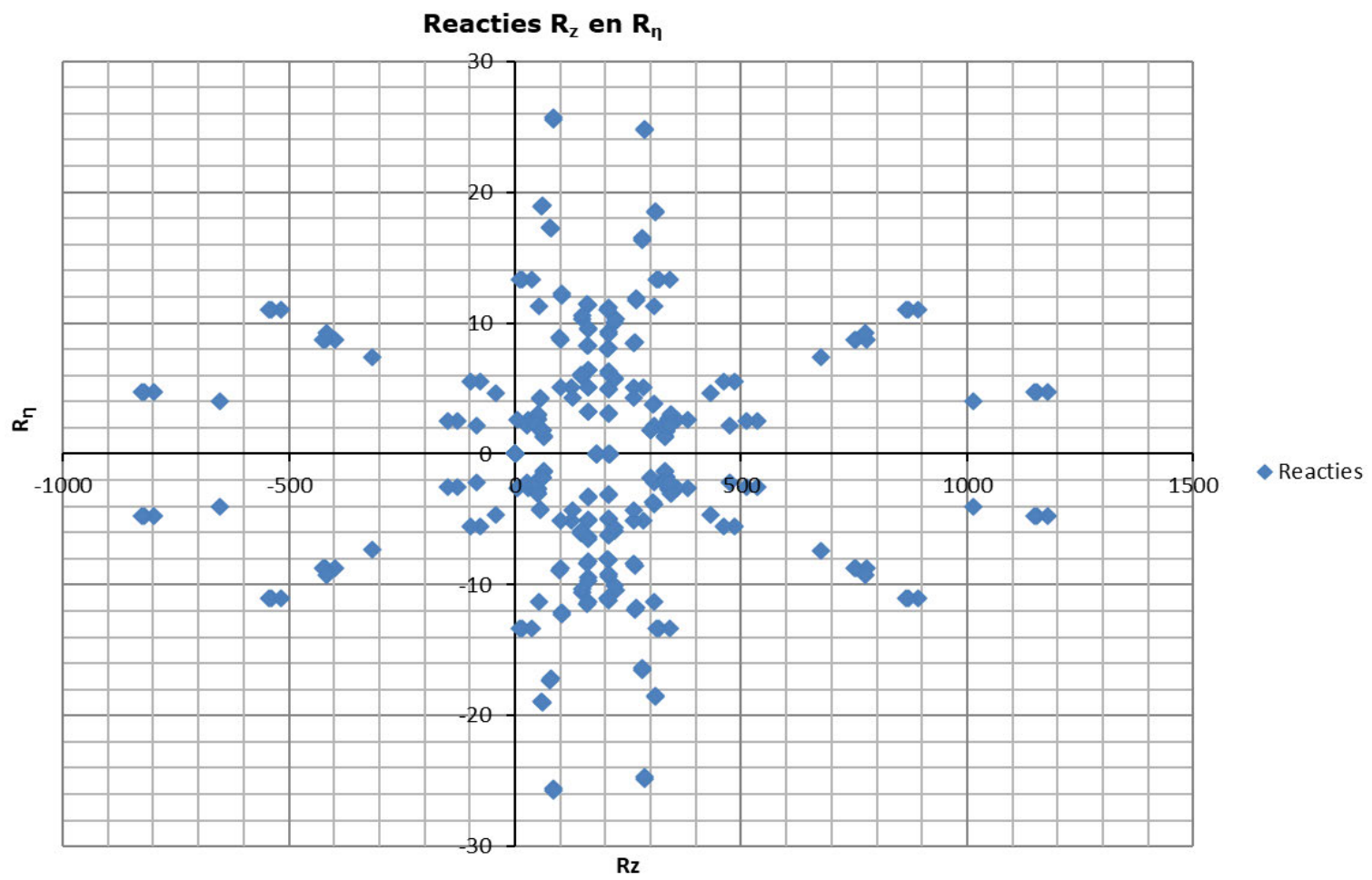
Maximum tension load - SLS

Index	Combination	R _x [kN]	R _y [kN]	R _z [kN]	R _η [kN]	R _ξ [kN]	R _{ξ,lok} [kN]	R _{z,lok} [kN]
1	SLS 7	34	34	181	0	-48	-11	185
2	SLS 1a_135	-117	111	-653	4	161	29	-667
3	SLS 1a_45	117	111	-653	-4	161	29	-667
4	SLS 1a_0	48	-59	-315	-7	76	12	-321

Maximum compression load - SLS

Index	Combination	R _x [kN]	R _y [kN]	R _z [kN]	R _η [kN]	R _ξ [kN]	R _{ξ,lok} [kN]	R _{z,lok} [kN]
1	SLS 1a_45	184	179	1014	4	-257	-51	1035
2	SLS 1a_0	116	-126	677	7	-171	-34	691
3	SLS 7	-34	-34	181	0	-48	-11	185
4	SLS 1a_135	-184	179	1014	-4	-257	-51	1035

Project: MBT-EHV380
Tower: S+9(tc)
Number: 117



Project: MBT-EHV380
 Tower: S+9(tc)
 Number: 117

Auteur: TBR
 Versie: v12.0

Conductor loads

Starting points

Consequence class Verbouw CC2
 Reference period 50 jaar

ULS (strength)		NEN-EN50341-2-15:2019						
Load case	description	Temp °C	γ_G G _{k,mast}	γ_G G _{k,geleider}	γ_Q Q _{pk}	γ_Q Q _{wk}	γ_Q Q _{ik}	γ_a A _k
ULS 1a	Wind	10°	1,15	1,15	0,00	1,40	0,00	0,0
ULS 1a_0,9	Wind 0,9Gk only tower	10°	0,90	1,15	0,00	1,40	0,00	0,0
ULS 1a_0,9_0,9	Wind 0,9Gk conductors too	10°	0,90	0,90	0,00	1,40	0,00	0,0
ULS 3	Wind+ice	-5°	1,15	1,15	0,00	0,42	1,30	0,0
ULS 3_0,9	Wind+ice 0,9Gk	-5°	0,90	1,15	0,00	0,42	1,30	0,0
ULS 4	Cold+wind	-20°	1,15	1,15	0,00	0,28	0,00	0,0
ULS 4_0,9	Cold+wind 0,9Gk	-20°	0,90	1,15	0,00	0,28	0,00	0,0
ULS 5a	Torsional loads	10°	1,00	1,00	1,00	0,00	0,00	1,0
ULS 5b	Longitudinal loads	10°	1,00	1,00	0,00	0,00	0,00	1,0
ULS 6	Construction + maintenance	5°	1,15	1,15	1,30	0,28	0,00	0,0
ULS 6_0,9	Construction + maintenance	5°	1,15	1,15	0,00	0,28	0,00	0,0
ULS 7	Permanent	10°	1,30	1,30	0,00	0,00	0,00	0,0
ULS 8	Special	10°	1,00	1,00	0,00	0,00	0,00	1,0
SPLS (strength, for angle towers: absence of conductors)				γ_G G _k	γ_Q Q _{pk}	γ_Q Q _{wk}	γ_Q Q _{ik}	A _k
SPLS 1a	Wind	10°	1,15	1,15	0,0	0,78	0,00	0,0
SPLS 1a_0,9	Wind 0,9	10°	0,90	1,15	0,0	0,78	0,00	0,0
SPLS 1a_0,9_0,9	Wind 0,9	10°	0,90	0,90	0,0	0,78	0,00	0,0
SPLS 3	Wind+ice	-5°	1,15	1,15	0,0	0,36	0,34	0,0
SPLS 3_0,9	Wind+ice 0,9	-5°	0,90	1,15	0,0	0,36	0,34	0,0
SPLS 4	Cold+wind	-20°	1,15	1,15	0,0	0,24	0,00	0,0
SPLS 4_0,9	Cold+wind 0,9	-20°	0,90	1,15	0,0	0,24	0,00	0,0
SPLS 6	Maintenance	5°	1,15	1,15	1,2	0,24	0,0	0,0
SPLS 6_0,9	Maintenance	5°	1,15	1,15	0,0	0,24	0,0	0,0
SLS (deformations, fatigue, EDS)				G _k	Q _{pk}	Q _{wk}	Q _{ik}	A _k
SLS 1a	Wind	10°	1,00	1,00	0,0	1,00	0,0	0,0
SLS 3	Wind+ice	-5°	1,00	1,00	0,0	0,30	1,00	0,0
SLS 4	Wind	-20°	1,00	1,00	0,0	0,20	0,0	0,0
SLS 6	Maintenance	5°	1,00	1,00	0,0	0,20	0,0	0,0
SLS 7	EDS, no wind	10°	1,00	1,00	0,0	0,00	0,0	0,0

Number of wind directions 4
 Number of load combinations for ULS 60
 Number of load combinations for SPLS 0
 Number of load combinations for SLS 11
 Number of concentrated loads 994

Project: MBT-EHV380
 Tower: S+9(tc)
 Number: 117

Summary table - Conductor loads

The four tables below show:

- The maximum conductor load in the global axis system, split into proportion of back and ahead span
- The combined conductor load (Ba+Ah) in the global axis system with the maximum tensile force in the local axes. Components Fx and Fy as absolute values
- The everyday (EDS) values of the combined conductor loads (Ba+Ah) with corresponding tensile forces
- Check for uplift, where a negative value indicates uplift

Note: Maximum values for Fx, Fy and Fz do not necessarily belong to the same load combination.

*For Steunmast the special combination SPLS 6 don't apply.

Maximum values for back and ahead span

Geleider	Fx_ba [kN]	Fx_ah [kN]	Fy_ba [kN]	Fy_ah [kN]	Fz_ba [kN]	Fz_ah [kN]
bl1	-33,6	33,6	2,9	4,2	3,6	5,0
bl2	-33,1	33,1	2,9	4,2	3,5	4,9
380ct1f1	-130,2	130,2	11,1	15,4	10,8	15,0
380ct1f2	-128,3	128,3	10,3	14,2	11,1	14,8
380ct1f3	-127,1	127,1	9,8	13,0	6,5	14,8
380ct2f1	-130,2	130,2	11,1	15,4	10,8	15,0
380ct2f2	-128,3	128,3	10,3	14,2	11,0	14,8
380ct2f3	-127,1	127,1	9,8	13,0	6,5	14,8
150ct3f1	-59,8	59,8	4,7	5,9	4,1	8,7
150ct3f2	-59,8	59,8	4,7	5,9	4,1	8,7
150ct3f3	-59,8	59,8	4,7	5,9	4,1	8,7
150ct4f1	-59,8	59,8	4,7	5,9	4,1	8,7
150ct4f2	-59,8	59,8	4,7	5,9	4,1	8,7
150ct4f3	-59,8	59,8	4,7	5,9	4,1	8,7

Min. Weight span (m)

Weight spar Combinatie1

Geleider	SLS 1a	SLS 4	SLS 7
bl1	245,6	246,8	247,5
bl2	245,5	246,8	247,5
380ct1f1	235,4	238,2	240,1
380ct1f2	237,1	239,2	240,9
380ct1f3	161,1	174,7	186,2
380ct2f1	235,1	238,0	239,9
380ct2f2	236,7	238,9	240,6
380ct2f3	161,2	174,8	186,3
150ct3f1	143,8	164,4	178,5
150ct3f2	143,8	164,4	178,5
150ct3f3	143,8	164,4	178,5
150ct4f1	143,8	164,4	178,5
150ct4f2	143,8	164,4	178,5
150ct4f3	143,8	164,4	178,5

Max. Weight span (m)

Weight spar Combinatie1

Geleider	ULS 1a	ULS 3
bl1	247,5	247,8
bl2	247,5	247,8
380ct1f1	240,3	240,6
380ct1f2	241,1	241,4
380ct1f3	187,5	189,8
380ct2f1	240,1	240,4
380ct2f2	240,8	241,1
380ct2f3	187,6	189,9
150ct3f1	180,2	185,9
150ct3f2	180,2	185,9
150ct3f3	180,2	185,9
150ct4f1	180,2	185,9
150ct4f2	180,2	185,9
150ct4f3	180,2	185,9

Envelop of weight span over all combinations (incl. 0,9 combinations)

For all conductors	Wind / Weight span ratio
Max. weight span	248,0 m
Min. weight span	110,6 m

Project: MBT-EHV380
 Tower: S+9(tc)
 Number: 117

Maximum values back + ahead span Maximum tension in conductor

Geleider	Fx [kN]	Fy [kN]	Fz [kN]	Ft_ba [kN]	Ft_ah [kN]
bl1	15,0	7,1	6,8	-35,5	35,5
bl2	14,6	7,1	6,7	-34,9	34,9
380ct1f1	51,8	26,5	25,8	-130,4	130,0
380ct1f2	51,8	24,5	25,9	-128,5	128,1
380ct1f3	51,8	22,8	21,2	-127,7	126,5
380ct2f1	51,8	26,5	25,8	-130,4	130,0
380ct2f2	51,8	24,5	25,8	-128,5	128,1
380ct2f3	51,8	22,8	21,2	-127,7	126,5
150ct3f1	22,1	10,6	11,3	-60,3	59,3
150ct3f2	22,1	10,6	11,3	-60,3	59,3
150ct3f3	22,1	10,6	11,3	-60,3	59,3
150ct4f1	22,1	10,6	11,3	-60,3	59,3
150ct4f2	22,1	10,6	11,3	-60,3	59,3
150ct4f3	22,1	10,6	11,3	-60,3	59,3

EDS-loads conductor

Geleider	Fx [kN]	Fy [kN]	Fz [kN]	Ft_ba [kN]	Ft_ah [kN]
bl1	0,0	0,0	2,5	-15,0	15,0
bl2	0,0	0,0	2,4	-14,6	14,6
380ct1f1	0,0	0,0	14,6	-64,8	64,8
380ct1f2	0,0	0,0	14,6	-64,8	64,8
380ct1f3	0,0	0,0	12,1	-64,8	64,8
380ct2f1	0,0	0,0	14,6	-64,8	64,8
380ct2f2	0,0	0,0	14,6	-64,8	64,8
380ct2f3	0,0	0,0	12,1	-64,8	64,8
150ct3f1	0,0	0,0	5,4	-27,6	27,6
150ct3f2	0,0	0,0	5,4	-27,6	27,6
150ct3f3	0,0	0,0	5,4	-27,6	27,6
150ct4f1	0,0	0,0	5,4	-27,6	27,6
150ct4f2	0,0	0,0	5,4	-27,6	27,6
150ct4f3	0,0	0,0	5,4	-27,6	27,6

1 Control uplift SLS-wind

Combinatie: Geleider	Fz_ba [kN]	Fz_ah [kN]
SLS 4		
bl1	1,0	1,5
bl2	1,0	1,4
380ct1f1	6,2	8,3
380ct1f2	6,4	8,2
380ct1f3	3,4	8,2
380ct2f1	6,2	8,3
380ct2f2	6,4	8,2
380ct2f3	3,4	8,2
150ct3f1	1,5	3,7
150ct3f2	1,5	3,7
150ct3f3	1,5	3,7
150ct4f1	1,5	3,7
150ct4f2	1,5	3,7
150ct4f3	1,5	3,7

Project: MBT-EHV380
 Tower: S+9(tc)
 Number: 117

ULS foundation loads for LC 1 and 3, wind perpendicular to the line or bisector and EDS, from conductors

Combination	Combination	F_x [kN]	F_y [kN]	F_z [kN]	M_x [kNm]	M_y [kNm]	M_z [kNm]
ULS 1a_90		0	226	128	8432	0	0
ULS 1a_0,9_90		0	226	128	8432	0	0
ULS 3_90		0	117	217	4386	0	0
ULS 3_0,9_90		0	117	217	4386	0	0
SLS 7		0	0	120	-1	0	0

ULS foundation loads, LC 1 and 3, wind perpendicular to the line or bisector and EDS, total conductors and tower

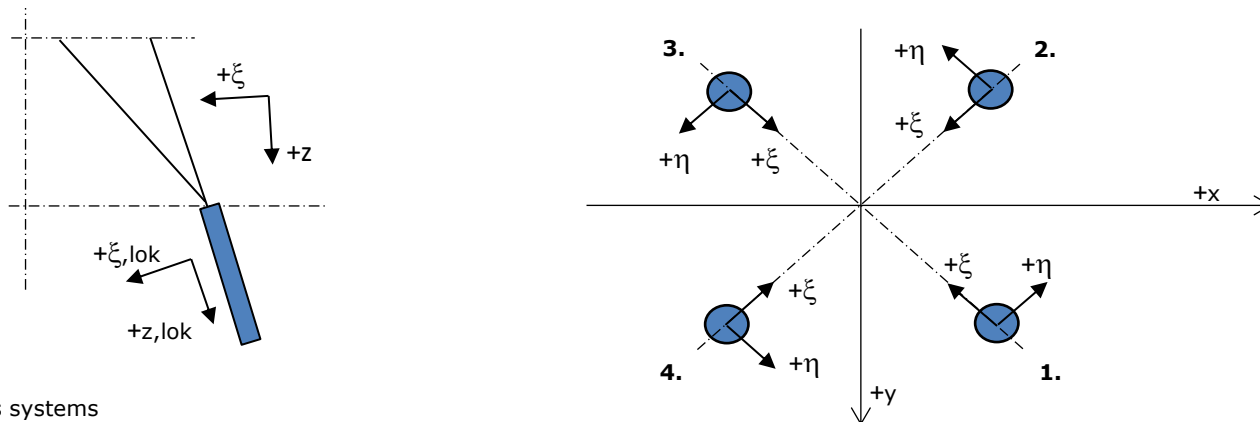
Combination	F_x [kN]	F_y [kN]	F_z [kN]	M_x [kNm]	M_y [kNm]	M_z [kNm]
ULS 1a_90	0	582	822	18802	0	0
ULS 3_90	0	224	912	7496	0	0
SLS 7	0	0	724	-1	0	0

Foundation loads, selection of load combinations based on greatest value

Combination	F_x [kN]	F_y [kN]	F_z [kN]	M_x [kNm]	M_y [kNm]	M_z [kNm]
ULS 1a_0,9_0,9_90	0	582	639	18802	0	0
ULS 1a_0	488	0	833	-1	15669	0
ULS 5a Ba 11	52	0	733	56	2151	-632
ULS 1a_0,9_0,9_45	361	469	647	15195	11153	0

Note: Largest values can appear in multiple combinations, one combination is displayed.

Support reactions per leg



Maximum compression load

Index	Combination	R_x [kN]	R_y [kN]	R_z [kN]	R_η [kN]	R_ξ [kN]	$R_{\xi,lok}$ [kN]	$R_{z,lok}$ [kN]
1	ULS 1a_45	262	254	1445	6	-365	-71	1474
2	ULS 1a_0	161	-176	944	11	-239	-47	964
3	ULS 5a Ah 20	-39	-66	310	-18	-74	-11	316
4	ULS 1a_135	-262	254	1445	-6	-365	-71	1474

Maximum tension load

Index	Combination	R_x [kN]	R_y [kN]	R_z [kN]	R_η [kN]	R_ξ [kN]	$R_{\xi,lok}$ [kN]	$R_{z,lok}$ [kN]
1	-	0	0	0	0	0	0	0
2	ULS 1a_0,9_0,9_135	-193	185	-1076	6	267	49	-1098
3	ULS 1a_0,9_0,9_45	193	185	-1076	-6	267	49	-1098
4	ULS 1a_0,9_0,9_0	92	-107	-573	-11	140	24	-585

Maximum torsional load (positive)

Index	Combination	R_x [kN]	R_y [kN]	R_z [kN]	R_η [kN]	R_ξ [kN]	$R_{\xi,lok}$ [kN]	$R_{z,lok}$ [kN]
1	ULS 5a Ah 11	37	0	86	26	-26	-9	87
2	ULS 5a Ba 21	33	-68	287	25	-71	-13	293
3	ULS 5a Ba 21	-37	-1	85	26	-26	-9	87
4	ULS 5a Ah 11	-33	68	288	25	-71	-13	293

Maximum torsional load (negative)

Index	Combination	R_x [kN]	R_y [kN]	R_z [kN]	R_η [kN]	R_ξ [kN]	$R_{\xi,lok}$ [kN]	$R_{z,lok}$ [kN]
1	ULS 5a Ba 11	33	68	287	-25	-71	-13	293
2	ULS 5a Ah 21	37	0	86	-26	-26	-9	87
3	ULS 5a Ah 21	-33	-68	288	-25	-71	-13	294
4	ULS 5a Ba 11	-37	1	85	-26	-26	-9	87

Project: MBT-EHV380
 Tower: S+9(tc)
 Number: 117

Combination Ftensile+Fhor

Index	Combination	R _x [kN]	R _y [kN]	R _z [kN]	R _η [kN]	R _ξ [kN]	R _{ξ,lok} [kN]	R _{z,lok} [kN]
1	-	0	0	0	0	0	0	0
2	ULS 1a_0,9_0,9_135	-193	185	-1076	6	267	49	-1098
3	ULS 1a_0,9_0,9_45	193	185	-1076	-6	267	49	-1098
4	ULS 1a_0,9_0,9_0	92	-107	-573	-11	140	24	-585

Permanent load

Index	Combination	R _x [kN]	R _y [kN]	R _z [kN]	R _η [kN]	R _ξ [kN]	R _{ξ,lok} [kN]	R _{z,lok} [kN]
1	SLS 7	34	34	181	0	-48	-11	185
2	SLS 7	34	-34	181	0	-48	-11	185
3	SLS 7	-34	-34	181	0	-48	-11	185
4	SLS 7	-34	34	181	0	-48	-11	185

Envelope of load combinations for all of the legs

Index	Combination	R _x [kN]	R _y [kN]	R _z [kN]	R _η [kN]	R _ξ [kN]	R _{ξ,lok} [kN]	R _{z,lok} [kN]
Max. pressure	ULS 1a_135	-262	254	1445	-6	-365	-71	1474
Max. tension	ULS 1a_0,9_0,9_45	193	185	-1076	-6	267	49	-1098
Max. pos. torsie	ULS 5a Ah 11	37	0	86	26	-26	-9	87
Max. neg. torsie	ULS 5a Ah 21	37	0	86	-26	-26	-9	87
Comb. tension+torsie	ULS 1a_0,9_0,9_45	193	185	-1076	-6	267	49	-1098

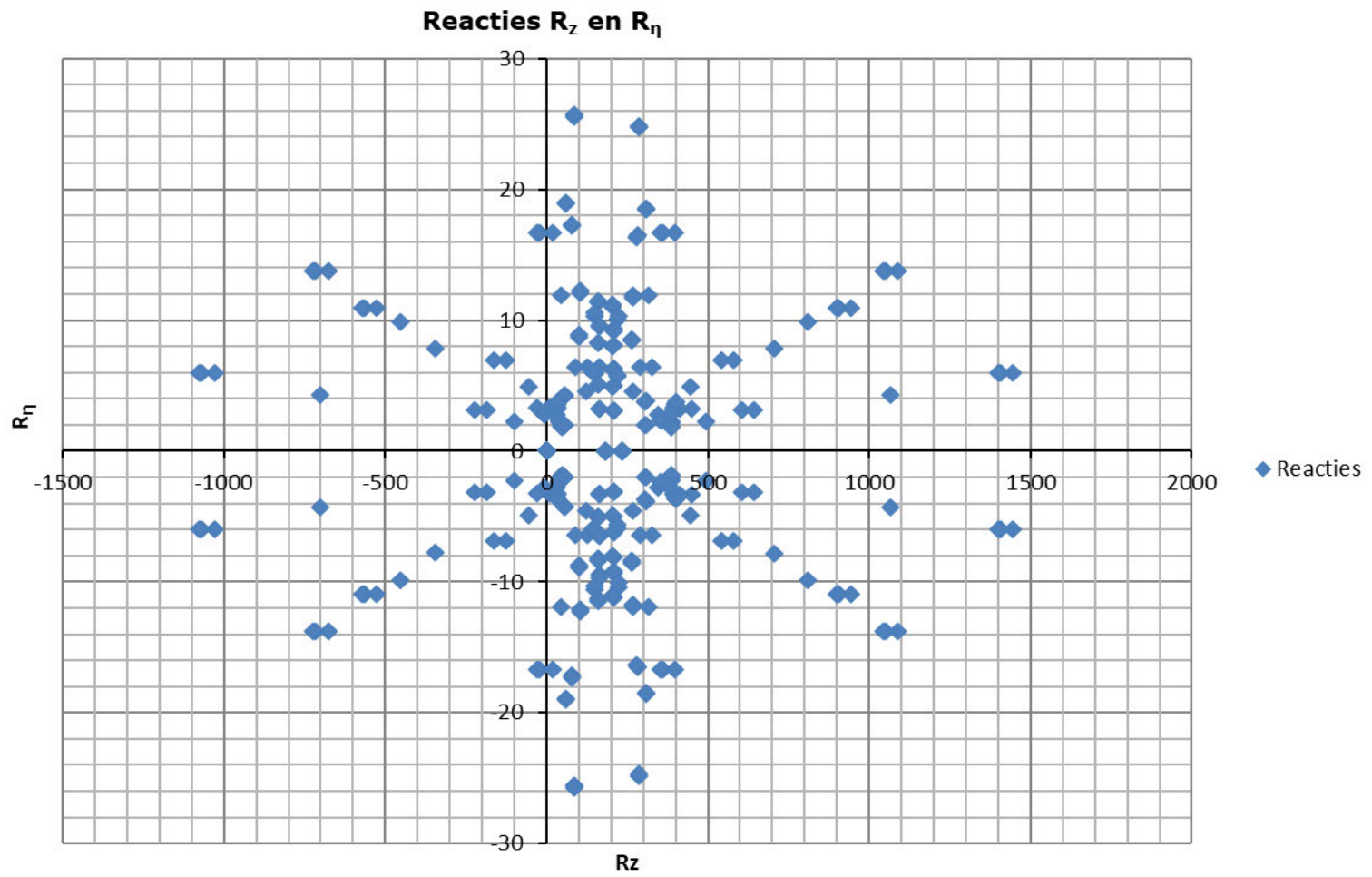
Maximum tension load - SLS

Index	Combination	R _x [kN]	R _y [kN]	R _z [kN]	R _η [kN]	R _ξ [kN]	R _{ξ,lok} [kN]	R _{z,lok} [kN]
1	SLS 7	34	34	181	0	-48	-11	185
2	SLS 1a_135	-126	120	-703	4	174	31	-718
3	SLS 1a_45	126	120	-703	-4	174	31	-718
4	SLS 1a_0	53	-64	-345	-8	83	13	-352

Maximum compression load - SLS

Index	Combination	R _x [kN]	R _y [kN]	R _z [kN]	R _η [kN]	R _ξ [kN]	R _{ξ,lok} [kN]	R _{z,lok} [kN]
1	SLS 1a_45	193	187	1064	4	-269	-53	1086
2	SLS 1a_0	121	-132	707	8	-179	-35	721
3	SLS 7	-34	-34	181	0	-48	-11	185
4	SLS 1a_135	-193	187	1064	-4	-269	-53	1086

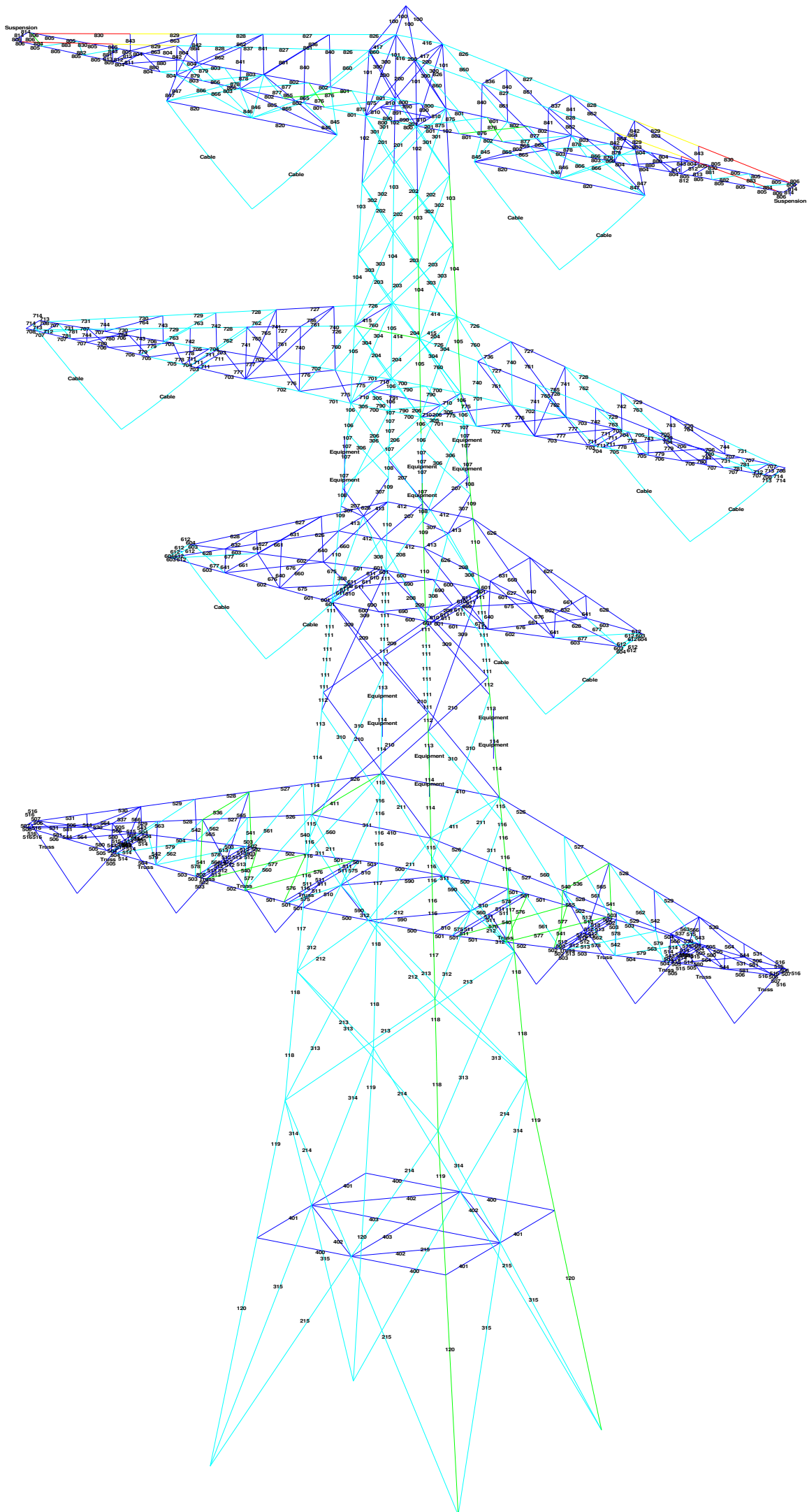
Project: MBT-EHV380
Tower: S+9(tc)
Number: 117





APPENDIX B

UITVOER PLS-TOWER





Assessment of groups for initial structure (afkeur level)

Date 30-8-2021
Author MKH
Version v4.3

MBT-EHV 380
S+9_tc
Mast 117

Table with columns: Group Label, Description, Steel (Quality, Bolts, RLX, RLY, RLZ, Slenderness), Compression (kN, Load Case, Buckling, Shear, Bearing, U.C., Exceedance), Tension (kN, Load Case, Net Section, Shear, Bearing, U.C., Exceedance). Rows 100-542.



Assessment of groups for initial structure (afkeur level)

Date 30-8-2021
Author MKh
Version v4.3

MBT-EHV 380
S+9_tc
Mast 117

Table with columns: Group Label, Description, Profile, Steel Quality, Bolts, RLX, RLY, RLZ, Slenderness, Compression (kN), Load Case (Compression), Buckling, Shear (Comp), Bearing (Comp), U.C. (Comp), Exceedance (Comp), Tension (kN), Load Case (Tension), Net Section, Shear (Tens), Bearing (Tens), U.C. (Tens), Exceedance (Tens). Rows 543-820.



Assessment of groups for initial structure (afkeur level)

Date 30-8-2021
 Author MKh
 Version v4.3

MBT-EHV 380
 S+9_tc
 Mast 117

Group Label	Description	Profile	Steel Quality	Bolts	RLX	RLY	RLZ	Slenderness	Compression					Tension					
									(kN)	Load Case (Compression)	Buckling	Shear (Comp)	Bearing (Comp)	U.C. (Comp)	Exceedance (Comp)	(kN)	Load Case (Tension)	Net Section	Shear (Tens)
826	100x100x10	S355	4M20-8.8t	3.00	1.00	1.00	280	0.0		69.1	376.3	588.0	0.00	105.4	ULS 3 90	369.5	376.3	588.0	0.29
827	100x65x9*	S235	4M20-8.8t	3.00	1.00	1.00	270	0.0		49.6	376.3	388.8	0.00	74.4	ULS 3 90	264.1	376.3	314.2	0.28
828	100x65x9*	S235	3M20-5.6t	3.00	1.00	1.00	270	0.0		49.6	176.4	291.6	0.00	62.2	ULS 6a 90 Ah Ct1	172.4	176.4	199.6	0.36
829	60x60x6	S235	2M20-5.6t	1.00	2.43	1.00	379	0.0		14.1	117.6	129.6	0.00	46.9	ULS 6a 90 Ah Ct3	103.7	117.6	62.1	0.76
830	60x60x6	S235	2M20-5.6t	1.00	1.70	1.00	379	0.0		14.1	117.6	129.6	0.00	47.0	ULS 6a 90 Ah Ct3	64.3	117.6	46.6	1.01 bearing
836	50x50x5	S235	1M16-5.6t	1.00	1.00	1.00	188	-0.1	ULS 1a 90	23.9	37.7	43.2	0.00	0.0	ULS 1a 0,9 0,9 0	37.4	37.7	22.0	0.00
837	50x50x5	S235	1M16-5.6t	1.00	1.00	1.00	169	0.0	ULS 5a Ba 10	27.5	37.7	43.2	0.00	0.0		37.4	37.7	22.0	0.00
840	70x70x7	S355	3M20-8.8t	1.00	1.00	1.00	155	-20.2	ULS 5a Ba 10	86.9	282.2	308.7	0.23	0.0		159.7	282.2	269.7	0.00
841	70x70x7	S355	3M20-8.8t	1.00	0.50	0.50	77	-9.2	ULS 1a 90	178.0	282.2	308.7	0.05	0.8	ULS 5a Ah 10	159.7	282.2	269.7	0.00
842	75x50x5	S235	1M16-5.6t	1.00	1.00	1.00	107	-5.5	ULS 1a 0	55.1	37.7	43.2	0.15	0.0		37.4	37.7	22.0	0.00
843	50x50x5	S235	1M16-5.6t	1.00	1.00	1.00	70	-1.2	ULS 7	58.8	37.7	43.2	0.03	0.0		37.4	37.7	18.4	0.00
845	100x100x10	S355	1M20-8.8t	1.00	1.00	1.00	99	-22.1	ULS 5a Ah 20	243.7	94.1	147.0	0.24	30.6	ULS 5a Ba 20	305.8	94.1	133.6	0.33
846	60x60x5	S355	1M20-8.8t	1.00	1.00	1.00	143	0.0		47.6	94.1	73.5	0.00	15.4	ULS 1a 45	74.5	94.1	56.6	0.27
847	100x100x10	S355	1M20-8.8t	1.00	1.00	1.00	94	-17.0	ULS 5a Ah 20	257.0	94.1	147.0	0.18	23.4	ULS 5a Ba 20	305.8	94.1	133.6	0.25
860	100x100x10	S355	2M20-8.8t	1.00	0.51	0.51	125	-34.1	ULS 5a Ah 20	222.0	188.2	294.0	0.18	69.3	ULS 5a Ba 20	284.7	188.2	258.4	0.37
861	100x100x10	S355	2M20-8.8t	1.00	0.50	0.50	115	0.0		244.9	188.2	294.0	0.00	41.6	ULS 5a Ba 10	284.7	188.2	258.4	0.22
862	100x100x10	S355	3M20-8.8t	1.00	0.50	0.50	106	-4.7	ULS 5a Ah 10	267.3	282.2	441.0	0.02	23.1	ULS 1a 90	345.3	282.2	387.5	0.08
863	70x70x7	S355	2M20-8.8t	1.00	1.00	1.00	223	0.0		50.6	188.2	205.8	0.00	18.0	ULS 7	148.5	188.2	187.1	0.12
864	45x45x5	S235	1M12-5.6t	0.52	0.52	0.52	112	-1.9	ULS 1a 0	39.4	20.2	32.4	0.10	1.8	ULS 1a 0,9 0,9 0	37.4	20.2	23.7	0.09
865	70x70x7	S355	1M20-8.8t	0.57	0.57	0.57	138	-29.5	ULS 5a Ba 10	81.0	94.1	102.9	0.36	8.0	ULS 5a Ba 1	131.7	94.1	93.5	0.09
866	70x70x7	S355	1M20-8.8t	0.57	0.57	0.57	136	-30.3	ULS 5a Ba 10	82.9	94.1	102.9	0.37	20.1	ULS 5a Ba 10	131.7	94.1	93.5	0.22
875	70x70x7	S355	1M20-8.8t	0.52	0.52	0.52	106	-33.9	ULS 5a Ba 20	110.9	94.1	102.9	0.36	30.3	ULS 5a Ah 10	131.7	94.1	93.5	0.32
876	60x60x6	S235	1M20-5.6t	0.52	0.52	0.52	119	-16.5	ULS 5a Ba 20	59.6	58.8	64.8	0.28	23.0	ULS 5a Ah 10	65.7	58.8	44.4	0.52
877	60x60x6	S235	1M20-5.6t	0.52	0.52	0.52	117	-19.1	ULS 1a 0	60.3	58.8	64.8	0.33	10.7	ULS 1a 0,9 0,9 0	65.7	58.8	44.4	0.24
878	60x60x6	S235	1M20-5.6t	0.52	0.52	0.52	105	-17.8	ULS 1a 0	66.9	58.8	64.8	0.30	11.7	ULS 1a 0,9 0,9 0	65.7	58.8	44.4	0.26
879	70x70x7	S235	1M24-5.6t	0.53	0.53	0.53	94	-9.2	ULS 1a 0,9 0	99.6	84.7	90.7	0.11	16.1	ULS 1a 0	88.7	84.7	51.3	0.31
880	75x50x7	S235	1M24-5.6t	0.53	0.53	0.53	108	-11.1	ULS 5a Ba 1	76.0	84.7	90.7	0.15	5.9	ULS 5a Ah 1	98.8	84.7	58.0	0.10
881	55x55x6	S235	1M16-5.6t	1.00	1.00	1.00	143	-16.0	ULS 5a Ah 1	42.3	37.7	51.8	0.42	15.8	ULS 5a Ba 1	63.9	37.7	38.4	0.42
882	55x55x6	S235	1M16-5.6t	1.00	1.00	1.00	141	-16.3	ULS 5a Ba 1	42.9	37.7	51.8	0.43	16.3	ULS 5a Ah 1	63.9	37.7	38.4	0.43
883	55x55x6	S235	1M16-5.6t	1.00	1.00	1.00	136	-17.0	ULS 5a Ah 1	44.8	37.7	51.8	0.45	17.0	ULS 5a Ba 1	63.9	37.7	38.4	0.45
884	55x55x6	S235	1M16-5.6t	1.00	1.00	1.00	141	-19.3	ULS 5a Ba 1	43.1	37.7	51.8	0.51	18.9	ULS 5a Ah 1	63.9	37.7	38.4	0.50
890	80x80x8	S235	2M24-5.6t	1.00	1.00	1.00	99	-30.2	ULS 5a Ah 1	156.9	169.4	207.4	0.19	30.4	ULS 5a Ah 1	206.0	169.4	159.5	0.19
891	50x50x5	S235	1M16-5.6t	1.00	1.00	1.00	225	-0.9	ULS 7	18.5	37.7	43.2	0.05	0.0		37.4	37.7	22.0	0.00



Assessment of groups for modified structure (afkeur level)

Date 30-8-2021
Author MKh
Version v4.3

MBT-EHV 380
S+9_tc
Mast 117

Table with columns: Group Label, Description, Profile, Steel Quality, Bolts, RLX, RLY, RLZ, Slender ness, Compression (kN), Load Case (Compression), Buckling, Shear (Comp), Bearing (Comp), U.C. (Comp), Exceedance (Comp), Tension (kN), Load Case (Tension), Net Section, Shear (Tens), Bearing (Tens), U.C. (Tens), Exceedance (Tens). Rows 100-527.



Assessment of groups for modified structure (afkeur level)

Date 30-8-2021
Author MKh
Version v4.3

MBT-EHV 380
S+9_tc
Mast 117

Group Label	Description	Profile	Steel Quality	Bolts	RLX	RLY	RLZ	Slenderness	Compression (kN)	Load Case (Compression)	Buckling	Shear (Comp)	Bearing (Comp)	U.C. (Comp)	Exceedance (Comp)	Tension (kN)	Load Case (Tension)	Net Section	Shear (Tens)	Bearing (Tens)	U.C. (Tens)	Exceedance (Tens)
528		100x100x10	S355	6M24-8.8t	1.00	2.00	1.00	146			181.8	813.3	1058.4			36.6 ULS 3_90		493.9	813.3	995.1	0.07	
529		100x100x10	S355	6M24-8.8t	1.00	2.00	1.00	146			181.8	813.3	1058.4			25.4 ULS 1a_90		493.9	813.3	995.1	0.05	
530		100x100x10	S355		1.00	1.93	1.00	141			190.6				22.7 ULS 1a_90		681.6				0.03	
531		100x100x10	S355	3M24-8.8t	1.00	2.08	1.00	141			190.7	406.7	529.2			22.8 ULS 1a_90		355.4	406.7	497.5	0.06	
536		50x50x5	S355	1M16-8.8t	1.00	1.00	1.00	357		-5.2 ULS 6a_90 Ah Ct4	9.5	60.3	58.8	0.54				62.7	60.3		44.5	
537		50x50x5	S355	1M16-8.8t	1.00	1.00	1.00	217		-4.8 ULS 6a_90 Ah Ct3	21.5	60.3	58.8	0.22				62.7	60.3		44.5	
540		70x70x7	S355	1M16-8.8t	1.00	1.00	1.00	208		-12.9 ULS 6a_90 Ah Ct4	45.1	60.3	82.3	0.28			142.7	60.3			71.1	
541		50x50x5	S355	1M16-8.8t	1.00	1.00	1.00	232		-12.5 ULS 6a_90 Ah Ct4	19.4	60.3	58.8	0.65				62.7	60.3		44.5	
542		50x50x5	S355	1M16-8.8t	1.00	1.00	1.00	173		-7.2 ULS 6a_90 Ah Ct3	30.3	60.3	58.8	0.24				62.7	60.3		44.5	
543		50x50x5	S355	1M16-8.8t	1.00	1.00	1.00	114		-5.7 ULS 6a_90 Ah Ct3	52.4	60.3	58.8	0.11				62.7	60.3		44.5	
544		50x50x5	S355	1M16-8.8t	1.00	1.00	1.00	55		-0.7 ULS 1a_45	89.9	60.3	58.8	0.01				62.7	60.3		44.5	
560		50x50x5	S355	1M16-8.8t	1.00	1.00	1.00	490			5.4	60.3	58.8			18.6 ULS 6a_90 Ah Ct3		62.7	60.3		44.5	
561		50x50x5	S355	1M16-8.8t	1.00	1.00	1.00	364			9.2	60.3	58.8			19.4 ULS 6a_90 Ah Ct4		62.7	60.3		44.5	
562		50x50x5	S355	1M16-8.8t	1.00	1.00	1.00	319			11.5	60.3	58.8			11.4 ULS 6a_90 Ah Ct3		62.7	60.3		44.5	
563		50x50x5	S355	1M16-8.8t	1.00	1.00	1.00	280			14.3	60.3	58.8			16.1 ULS 6a_90 Ah Ct4		62.7	60.3		44.5	
564		50x50x5	S355	1M16-8.8t	1.00	1.00	1.00	249			17.4	60.3	58.8			3.6 ULS 6a_90 Ah Ct4		62.7	60.3		44.5	
565		50x50x5	S355	1M16-8.8t	1.00	1.00	1.00	292			13.3	60.3	58.8			7.6 ULS 6a_90 Ah Ct4		62.7	60.3		44.5	
566		50x50x5	S355	1M16-8.8t	1.00	1.00	1.00	157			34.7	60.3	58.8			6.4 ULS 6a_90 Ah Ct3		62.7	60.3		44.5	
575		60x60x6	S355	1M16-8.8t	1.00	1.00	1.00	236		-9.7 ULS 5a_Ba 32	27.2	60.3	70.6	0.36		8.7 ULS 5a_Ah 40		98.8	60.3		61.0	
576		50x50x5	S355	1M16-8.8t	0.54	0.54	0.54	293		-7.2 ULS 5a_Ba 31	13.3	60.3	58.8	0.54		7.6 ULS 5a_Ah 41		62.7	60.3		44.5	
577		50x50x5	S355	1M16-8.8t	0.54	0.54	0.54	258		-9.3 ULS 5a_Ba 31	16.4	60.3	58.8	0.57		8.4 ULS 5a_Ah 41		62.7	60.3		44.5	
578		50x50x5	S355	1M16-8.8t	0.55	0.55	0.55	219		-5.8 ULS 5a_Ah 30	21.2	60.3	58.8	0.27		5.8 ULS 5a_Ba 42		62.7	60.3		44.5	
579		50x50x5	S355	1M16-8.8t	0.57	0.57	0.57	194		-8.1 ULS 5a_Ba 42	25.6	60.3	58.8	0.32		7.3 ULS 5a_Ah 30		62.7	60.3		44.5	
580		50x50x5	S355	1M16-8.8t	0.60	0.60	0.60	163		-3.5 ULS 5a_Ah 30	32.9	60.3	58.8	0.11		4.2 ULS 5a_Ba 42		62.7	60.3		44.5	
581		50x50x5	S355	1M16-8.8t	0.65	0.65	0.65	149		-8.1 ULS 5a_Ba 30	37.4	60.3	58.8	0.22		6.5 ULS 5a_Ah 30		62.7	60.3		44.5	
590		90x90x9	S355	1M16-8.8t	1.00	1.00	1.00	224		-10.1 ULS 5a_Ah 30	65.6	60.3	105.8	0.17		9.8 ULS 5a_Ah 30		254.0	60.3		91.5	
600		120x120x12	S355	11M24-8.8t	2.00	1.00	1.00	110		-44.4 ULS 5a_Ba 12	389.1	1478.6	2328.5	0.11		13.2 ULS 5a_Ah 22		750.1	1478.6	2189.2	0.02	
601		120x120x12	S355		1.21	1.00	1.00	88		-71.0 ULS 5a_Ba 12	549.0			0.13		37.3 ULS 5a_Ah 22		750.1	1220.0	1791.1	0.05	
602		120x120x12	S355		1.00	1.00	1.00	112		-74.3 ULS 5a_Ba 12	379.3			0.20				976.3				
603		120x120x12	S355		1.04	1.00	1.00	108		-34.4 ULS 1a_90	403.4			0.09		3.7 ULS 1a_0_9_0_9_90		976.3				0.00
604		120x120x12	S355		1.00	2.00	1.00	5		-11.0 ULS 5a_Ba 22	976.3			0.01		0.7 ULS 1a_0_9_0_9_90		976.3				0.00
610		100x100x10	S355	7M16-8.8t	2.00	1.00	1.00	132		-6.6 ULS 5a_Ah 22	207.4	422.0	823.2	0.03		6.4 ULS 5a_Ba 12		550.4	422.0		711.4	0.02
611		100x100x12 (not cr)	S355	1M20-8.8t	2.00	1.00	1.00	131		-22.1 ULS 5a_Ah 12	448.2	94.1	176.4	0.23		14.4 ULS 5a_Ba 12		319.9	94.1		142.5	0.15
612		150x100x10	S355	1M20-8.8t	2.00	2.00	2.00	73		-24.0 ULS 5a_Ba 12	444.6	94.1	147.0	0.26		40.3 ULS 5a_Ba 12		345.0	94.1		118.8	0.43
626		90x90x9	S355	4M20-8.8t	1.00	2.96	1.00	307			47.7	376.3	529.2			30.9 ULS 3_90		272.4	376.3		465.1	0.11
627		90x90x9	S355		1.00	3.02	1.00	307			47.7					28.7 ULS 3_90		546.3				0.05
628		90x90x9	S355	4M20-8.8t	1.00	3.02	1.00	307			47.7	376.3	529.2			28.8 ULS 3_90		272.4	376.3		465.1	0.11
631		50x50x5	S355	1M16-8.8t	1.00	1.00	1.00	305		-0.1 ULS 1a_90	12.4	60.3	58.8	0.01				62.7	60.3		44.5	
632		50x50x5	S355	1M16-8.8t	1.00	1.00	1.00	235		-0.1 ULS 1a_45	19.0	60.3	58.8	0.00		0.0 ULS 5a_Ah 22		62.7	60.3		44.5	0.00
640		50x50x5	S355	1M16-8.8t	1.00	1.00	1.00	192		-1.7 ULS 1a_0	26.0	60.3	58.8	0.06				62.7	60.3		44.5	
641		50x50x5	S355	1M16-8.8t	1.00	1.00	1.00	96		-0.8 ULS 1a_135	63.1	60.3	58.8	0.01				62.7	60.3		44.5	
660		50x50x5	S355	1M16-8.8t	1.00	1.00	1.00	398			7.9	60.3	58.8			3.7 ULS 1a_135		62.7	60.3		44.5	0.08
661		50x50x5	S355	1M16-8.8t	1.00	1.00	1.00	330			10.9	60.3	58.8			3.2 ULS 5a_Ah 21		62.7	60.3		44.5	0.07
675		90x90x9	S355	1M20-8.8t	1.00	1.00	1.00	148		-22.5 ULS 5a_Ba 12	120.5	94.1	132.3	0.24		1.4 ULS 1a_0_9_0_9_45		239.9	94.1		120.3	0.02
676		70x70x7	S355	1M20-8.8t	0.58	0.58	0.58	164		-1.3 ULS 1a_0_9_0_9_45	64.2	94.1	102.9	0.02		23.1 ULS 5a_Ba 12		131.7	94.1		93.5	0.25
677		70x70x7	S355	2M20-8.8t	0.60	0.60	0.60	142		-35.4 ULS 5a_Ba 12	97.4	188.2	205.8	0.36		1.5 ULS 1a_0_9_0_9_45		207.3	188.2		187.1	0.01
690		90x90x9	S355	2M20-8.8t	1.00	1.00	1.00	162		-6.8 ULS 5a_Ah 22	133.8	188.2	264.6	0.05		6.8 ULS 5a_Ba 12		224.6	188.2		232.5	0.04
700		150x100x16	S235	11M24-5.6t	2.00	1.00	1.00	70		-185.8 ULS 5a_Ba 21	714.3	931.9	2281.0	0.26		55.5 ULS 5a_Ah 11		767.8	931.9		1384.2	0.07
701		150x100x16	S235	11M24-5.6t	1.00	0.53	0.53	57		-230.1 ULS 5a_Ba 21	770.3	931.9	2281.0	0.30		104.7 ULS 5a_Ah 21		767.8	931.9		1384.2	0.14
702		150x100x16	S235		1.00	0.54	0.54	60		-199.3 ULS 5a_Ba 21	755.6			0.26		82.7 ULS 5a_Ah 21		891.6				0.09
703		150x100x16	S235		1.14	0.54	0.54	55		-154.4 ULS 5a_Ba 21	776.0			0.20		59.3 ULS 5a_Ah 21		891.6				0.07
704		150x100x16	S235	6M24-5.6t	7.35	1.00	1.00	47		-139.4 ULS 5a_Ba 21	809.0	508.3	1244.2	0.27		33.3 ULS 5a_Ah 21		767.8	508.3		1063.4	0.07
705		120x120x13	S235	6M24-5.6t	1.47	1.00	1.00	64		-131.9 ULS 5a_Ba 21	584.4	508.3	1010.9	0.26		26.3 ULS 5a_Ah 21		602.4	508.3		864.0	0.05
706		120x120x13	S235		1.71	1.29	1.00	66		-113.2 ULS 5a_Ba 21	578.0			0.20		17.1 ULS 5a_Ah 21		705.0				0.02
707		120x120x13	S235		3.43	2.43	1.00	66		-85.1 ULS 5a_Ba 21	577.9			0.15		3.1 ULS 5a_Ah 21		705.0				0.00
708		120x120x13	S235		1.00	1.00	1.00	13		-20.4 ULS 5a_Ba 11	705.0			0.03		0.1 ULS 1a_0_9_0_9_90		705.0				0.00
710		100x100x10	S355	4M24-8.8t	1.00	1.00	1.00	77		-22.1 ULS 5a_Ah 20	383.6	542.2	705.6	0.06		48.4 ULS 5a_Ba 10		493.9	542.2		603.1	0.10
711		HEB160	S235		2.00	2.00	2.00	51		-23.6 ULS 5a_Ba 11	913.6			0.03		13.6 ULS 5a_Ba 21		1276.1				0.01
712		HEB160	S235		1.00	1.00	1.00	27			1015.5					1.5 ULS 3_90		1276.1				0.00
713		HEB160	S235		2.00	2.00	2.00	26		-0.2 ULS 1a_0_9_0_9_135	1021.6			0.00		4.9 ULS 5a_Ah 11		1276.1				0.00
714		HEB160	S235		2.00	2.00	2.00	25		-19.3 ULS 5a_Ba 21	1025.6			0.02		6.5 ULS 5a_Ah 21		1276.1				0.01
726		90x90x9	S355	3M24-8.8t	1.00	2.00	1.00	181			108.9	406.7	47									



Assessment of groups for modified structure (afkeur level)

Date 30-8-2021
Author MKh
Version v4.3

MBT-EHV 380
S+9_tc
Mast 117

Table with columns: Group Label, Description, Profile, Steel Quality, Bolts, RLX, RLY, RLZ, Slenderness, Compression (kN), Load Case (Compression), Buckling, Shear (Comp), Bearing (Comp), U.C. (Comp), Exceedance (Comp), Tension (kN), Load Case (Tension), Net Section, Shear (Tens), Bearing (Tens), U.C. (Tens), Exceedance (Tens). Rows 777-891.



Assessment of groups for modified elements (verbouw level)

Date 30-8-2021
Author MKh
Version v4.3

MBT-EHV 380
S+9_tc
Mast 117

Group Label	Description	Profile	Steel Quality	Bolts	RLX	RLY	RLZ	Slenderne ss	Compression (kN) Load Case (Compression)	Bucklin g	Shear (Comp)	Bearing (Comp)	U.C. (Comp)	Exceedance (Comp)	Tension (kN) Load Case (Tension)	Net Section	Shear (Tens)	Bearing (Tens)	U.C. (Tens)	Exceedance (Tens)
830		60x60x6	S235	3M20-5.6t	1.00	1.70	1.00	379	0.0	14.1	176.4	194.4	0.00		51.4 ULS 6a 90 Ah Ct3	80.4	176.4	69.8	0.74	



APPENDIX C

TOETSING KNIKVERKORTERS

Knikverkorters initial structure (afkeur)

Date: 2021-08-30

Author: MKh

Version: v1.9

MBT-EHV

S+9_tc

Tower 117

Posnr.	Section	Schematization	Profile	Steel Quality	Bolt	Quality	Length (m)	Angle (°)	Slenderness	Normal Force (kN)	Moment (kNm)	Buckling Cap. (kN)	Shear Cap. Bolt (kN)	Bearing Cap. (kN)	Net Section Cap. (kN)	Moment Cap. (kNm)	Highest U.C.	Exceedance Type	Notes
915	Broekstuk	Enkele staaf	L50x5	S355	M16	8.8	0.682	0	70	18.2	0.17	82.0	60.3	41.3	43.1	1.08	0.44		
910	Broekstuk	Enkele staaf	L60x6	S355	M16	8.8	1.82	76	156	18.2	0.00	50.5	60.3	52.3	98.8	1.88	0.36		
909	Broekstuk	Enkele staaf	L60x6	S355	M16	8.8	1.50	0	128	18.2	0.37	65.6	60.3	52.3	98.8	1.88	0.35		
908	Broekstuk	Enkele staaf	L60x6	S355	M16	8.8	2.16	55	185	18.2	0.00	39.6	60.3	52.3	98.8	1.9	0.46		
907	Broekstuk	Enkele staaf	L60x6	S355	M16	8.8	2.31	0	197	18.2	0.58	35.8	60.3	52.3	98.8	1.88	0.51		
906	Broekstuk	Enkele staaf	L60x6	S355	M16	8.8	2.71	41	232	18.2	0.00	27.9	60.3	52.3	98.8	1.88	0.65		
905	Broekstuk	Enkele staaf	L70x7	S355	M16	8.8	3.12	0	229	18.2	0.78	38.9	60.3	61.0	142.7	2.99	0.47		
904	Broekstuk	Enkele staaf	L70x7	S355	M16	8.8	3.37	32	247	18.2	0.00	34.4	60.3	61.0	142.7	2.99	0.53		
914	Pootverband	Enkele staaf	L70x7	S355	M16	8.8	1.90	0	139	4.3	0.47	80.2	60.3	61.0	142.7	2.99	0.16		
913	Pootverband	Enkele staaf	L70x7	S355	M16	8.8	3.32	73	243	4.3	0.00	35.2	60.3	61.0	142.7	2.99	0.12		
912	Pootverband	Kniksteun en verticale steur	L70x7	S355	M16	8.8	3.81	0	179	4.3	0.48	46.2	60.3	61.0	142.7	2.23	0.22		
911	Pootverband	Enkele staaf	L70x7	S355	M16	8.8	3.72	60	273	4.3	0.00	29.3	60.3	61.0	142.7	2.99	0.15		
855	Tussenschot	Kniksteun en verticale steur	L70x7	S355	M16	8.8	5.45	0	257	1.0	0.68	27.7	60.3	61.0	142.7	2.23	0.32		
858	Tussenschot	Kruisende staaf halverwege	L70x7	S355	M16	8.8	7.89	0	371	1.0	0.99	15.5	60.3	61.0	142.7	2.99	0.33		
859	Broekstuk	Enkele staaf	L70x7	S355	M16	8.8	3.30	28	242	18.2	0.73	35.6	60.3	61.0	142.7	2.99	0.51		
860	Broekstuk	Enkele staaf	L60x6	S355	M16	8.8	2.57	0	220	18.2	0.64	30.4	60.3	52.3	98.8	1.9	0.60		
861	Broekstuk	Enkele staaf	L60x6	S355	M16	8.8	2.34	51	200	18.2	0.00	35.1	60.3	52.3	98.8	1.9	0.52		
862	Broekstuk	Enkele staaf	L50x5	S355	M16	8.8	1.21	0	125	18.2	0.30	47.1	60.3	41.3	43.1	1.1	0.44		
823	1e Tussenstuk	Enkele staaf	L50x5	S355	M16	8.8	1.48	0	152	16.6	0.37	36.4	60.3	41.3	43.1	1.1	0.46		
807	1e Tussenstuk	Enkele staaf	L60x6	S355	M16	8.8	1.93	42	165	16.6	0.00	46.6	60.3	52.3	98.8	1.9	0.36		
805	1e Tussenstuk	Enkele staaf	L70x7	S355	M16	8.8	3.03	0	222	16.6	0.76	40.7	60.3	61.0	142.7	3.0	0.41		
822	1e Tussenstuk	Enkele staaf	L60x6	S355	M16	8.8	1.98	31	169	16.6	0.00	44.9	60.3	52.3	98.8	1.9	0.37		
814	1e Tussenstuk	Enkele staaf	L50x5	S355	M16	8.8	1.59	0	163	16.6	0.40	32.9	60.3	41.3	43.1	1.1	0.51		
733	1e Tussenstuk	Enkele staaf	L50x5	S355	M16	8.8	1.25	0	128	15.3	0.31	45.3	60.3	41.3	43.1	1.1	0.37		
726	1e Tussenstuk	Enkele staaf	L60x6	S355	M16	8.8	1.52	41	130	15.3	0.00	64.3	60.3	52.3	98.8	1.9	0.29		
725	2e Tussenstuk	Enkele staaf	L60x6	S355	M16	8.8	1.91	30	163	15.0	0.41	47.3	60.3	52.3	98.8	1.9	0.32		
724	2e Tussenstuk	Enkele staaf	L60x6	S355	M16	8.8	1.80	0	154	15.0	0.45	51.5	60.3	52.3	98.8	1.9	0.29		
732	2e Tussenstuk	Enkele staaf	L50x5	S355	M16	8.8	1.47	50	151	15.0	0.00	36.7	60.3	41.3	43.1	1.1	0.41		
731	2e Tussenstuk	Enkele staaf	L50x5	S355	M16	8.8	0.87	0	90	15.0	0.22	67.2	60.3	41.3	43.1	1.1	0.36		
723	2e Tussenstuk	Enkele staaf	L60x6	S355	M16	8.8	1.66	55	142	15.0	0.00	57.5	60.3	52.3	98.8	1.9	0.29		
722	2e Tussenstuk	Enkele staaf	L60x6	S355	M16	8.8	2.32	0	198	15.0	0.58	35.6	60.3	52.3	98.8	1.9	0.42		
720	2e Tussenstuk	Enkele staaf	L70x7	S355	M16	8.8	1.60	43	117	15.0	0.00	99.4	60.3	61.0	142.7	2.99	0.25		
727	2e Tussenstuk	Enkele staaf	L60x6	S355	M16	8.8	1.73	41	148	15.0	0.00	54.3	60.3	52.3	98.8	1.88	0.29		
728	2e Tussenstuk	Enkele staaf	L60x6	S355	M16	8.8	1.90	39	163	15.0	0.00	47.5	60.3	52.3	98.8	1.88	0.31		
735	2e Tussenstuk	Enkele staaf	L50x5	S355	M16	8.8	1.34	0	137	15.0	0.33	41.6	60.3	41.3	43.1	1.08	0.36		
729	2e Tussenstuk	Enkele staaf	L60x6	S355	M16	8.8	1.65	46	141	15.0	0.00	57.8	60.3	52.3	98.8	1.9	0.29		
730	2e Tussenstuk	Enkele staaf	L60x6	S355	M16	8.8	2.24	0	192	15.0	0.56	37.5	60.3	52.3	98.8	1.9	0.40		

Knikverkorters initial structure (afkeur)

Date: 2021-08-30
 Author: MKh
 Version: v1.9

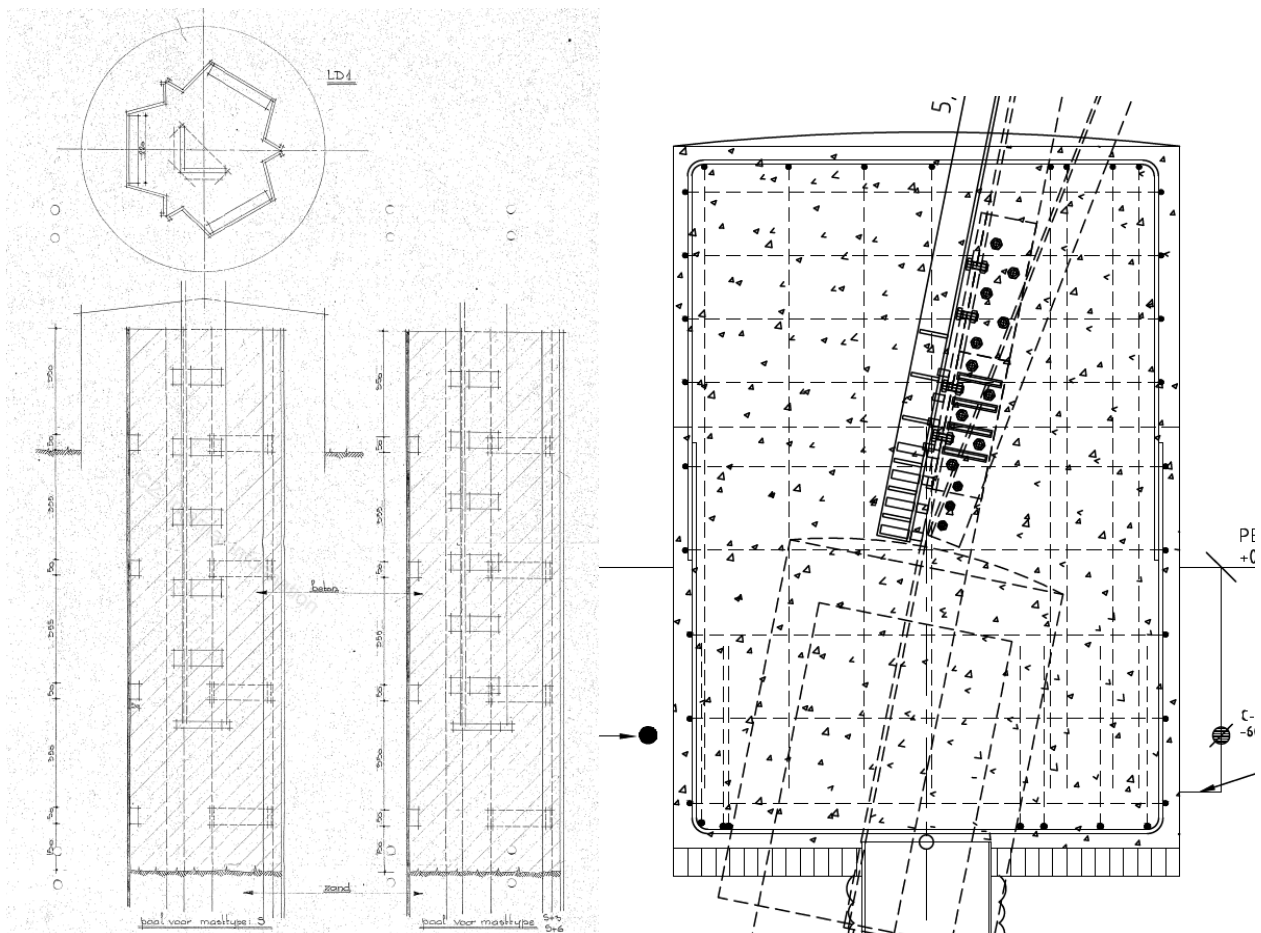
MBT-EHV
 S+9_tc
 Tower 117

Posnr.	Section	Schematization	Profile	Steel Quality	Bolt	Quality	Length (m)	Angle (°)	Slenderness	Normal Force (kN)	Moment (kNm)	Buckling Cap. (kN)	Shear Cap. Bolt (kN)	Bearing Cap. (kN)	Net Section Cap. (kN)	Moment Cap. (kNm)	Highest U.C.	Exceedance Type	Notes
721	2e Tussenstuk	Enkele staaf	L70x7	S355	M16	8.8	1.65	40	121	15.0	0.00	95.6	60.3	61.0	142.7	3.0	0.25		
629	2e Tussenstuk	Enkele staaf	L50x5	S355	M16	8.8	0.99	0	102	15.0	0.25	59.4	60.3	41.3	43.1	1.1	0.36		
631	2e Tussenstuk	Enkele staaf	L50x5	S355	M16	8.8	1.28	41	132	15.0	0.00	43.9	60.3	41.3	43.1	1.1	0.36		
622	2e Tussenstuk	Enkele staaf	L60x6	S355	M16	8.8	2.05	0	175	15.0	0.51	42.7	60.3	52.3	98.8	1.9	0.35		
630	2e Tussenstuk	Enkele staaf	L50x5	S355	M16	8.8	1.31	35	135	15.0	0.00	42.6	60.3	41.3	43.1	1.1	0.36		
632	2e Tussenstuk	Enkele staaf	L50x5	S355	M16	8.8	1.01	0	104	15.0	0.25	58.1	60.3	41.3	43.1	1.1	0.36		
642	2e Tussenstuk	Enkele staaf	L50x5	S355	M16	8.8	1.41	55	144	15.0	0.00	38.9	60.3	41.3	43.1	1.1	0.38		
623	2e Tussenstuk	Enkele staaf	L60x6	S355	M16	8.8	2.07	0	177	15.0	0.52	42.1	60.3	52.3	98.8	1.9	0.36		
633	2e Tussenstuk	Enkele staaf	L50x5	S355	M16	8.8	1.40	41	144	15.0	0.00	39.2	60.3	41.3	43.1	1.08	0.38		
628	3e Tussenstuk	Enkele staaf	L50x5	S355	M16	8.8	0.85	0	88	8.2	0.21	68.8	60.3	41.3	43.1	1.08	0.20		
627	3e Tussenstuk	Enkele staaf	L50x5	S355	M16	8.8	1.37	70	141	8.2	0.00	40.3	60.3	41.3	43.1	1.08	0.20		
626	3e Tussenstuk	Enkele staaf	L50x5	S355	M16	8.8	1.08	42	111	8.2	0.00	54.0	60.3	41.3	43.1	1.08	0.20		
635	3e Tussenstuk	Enkele staaf	L50x5	S355	M16	8.8	1.13	53	116	8.2	0.00	51.5	60.3	41.3	43.1	1.08	0.20		
624	3e Tussenstuk	Enkele staaf	L50x5	S355	M16	8.8	1.53	0	157	8.2	0.38	34.7	60.3	41.3	43.1	1.1	0.35		
636	3e Tussenstuk	Enkele staaf	L50x5	S355	M16	8.8	1.06	42	109	8.2	0.00	55.2	60.3	41.3	43.1	1.08	0.20		
634	3e Tussenstuk	Enkele staaf	L50x5	S355	M16	8.8	0.67	0	69	8.2	0.17	82.4	60.3	41.3	43.1	1.08	0.20		
643	3e Tussenstuk	Enkele staaf	L50x5	S355	M16	8.8	1.49	61	153	8.2	0.00	36.1	60.3	41.3	43.1	1.08	0.23		
644	3e Tussenstuk	Enkele staaf	L50x5	S355	M16	8.8	0.97	27	99	8.2	0.21	61.0	60.3	41.3	43.1	1.08	0.20		
640	3e Tussenstuk	Enkele staaf	L50x5	S355	M16	8.8	1.05	42	108	8.2	0.00	55.7	60.3	41.3	43.1	1.08	0.20		
625	3e Tussenstuk	Enkele staaf	L60x6	S355	M16	8.8	1.60	0	137	8.2	0.40	60.2	60.3	52.3	98.8	1.88	0.21		
639	3e Tussenstuk	Enkele staaf	L50x5	S355	M16	8.8	1.01	39	104	8.2	0.00	58.1	60.3	41.3	43.1	1.1	0.20		
641	3e Tussenstuk	Enkele staaf	L50x5	S355	M16	8.8	0.71	0	73	8.2	0.18	79.8	60.3	41.3	43.1	1.1	0.20		
638	3e Tussenstuk	Enkele staaf	L50x5	S355	M16	8.8	0.63	0	65	8.2	0.16	84.6	60.3	41.3	43.1	1.08	0.20		
637	3e Tussenstuk	Enkele staaf	L50x5	S355	M16	8.8	0.85	47	87	8.2	0.00	69.3	60.3	41.3	43.1	1.08	0.20		
519	4e Tussenstuk	Enkele staaf	L50x5	S355	M16	8.8	1.45	0	149	4.1	0.36	37.5	60.3	41.3	43.1	1.1	0.33		
517	4e Tussenstuk	Enkele staaf	L50x5	S355	M16	8.8	1.34	0	137	4.1	0.33	41.6	60.3	41.3	43.1	1.1	0.31		
513	4e Tussenstuk	Enkele staaf	L50x5	S355	M16	8.8	1.24	0	127	4.1	0.31	46.0	60.3	41.3	43.1	1.1	0.28		
509	4e Tussenstuk	Enkele staaf	L50x5	S355	M16	8.8	1.14	0	117	4.1	0.29	50.7	60.3	41.3	43.1	1.1	0.26		
508	4e Tussenstuk	Enkele staaf	L50x5	S355	M16	8.8	1.05	0	107	4.1	0.26	56.0	60.3	41.3	43.1	1.1	0.24		

APPENDIX D

TOETSING BLOKDEUELS

Opm: Er zijn geen tekeningen van de blokdeuels voor de masttype S+9_tc beschikbaar, daarom zijn de details gebruikt van masttype S+6. Hoewel de doorsnede van de randstijl van het masttype S+9_tc bestaat uit een dubbel kruisvormig element, is er slechts 1 element, de L180x16, in de funderingspaal opgenomen. Op het dubbele kruisvormige gedeelte zijn extra blokdeuels geïnstalleerd en deze zijn ook in het beton gestort, dit is echter niet het maatgevende faalmechanisme. De details van de blokdeuels in de paal zelf zijn overgenomen van de beschikbare LD1-tekening.



Project: MBT-EHV380
Mast: S+9(tc) (117)

Shear blocks

NEN-EN 1993-1-1 en NEN-EN 1994-1-1

Datum: 2021-09-02
Auteur: SSHD
Versie: 1.4

Load		Results	
Compression	$F_{Ed,c}$ 1445 kN	Compression	U.C. 1.00 > 1,00 Not OK
Tension	$F_{Ed,t}$ 1076 kN	Tension	U.C. 0.86 < 1,00 OK

Main leg

Profile	L180.16
Steel material	S235
Cross section	5540 mm ²
Axial capacity	N_{pl} 1302 kN
Width	b 180 mm
Thickness	t 16 mm
Length in concrete	1300 mm

Capacity shear blocks main leg

$A_{f1} =$	3000 mm ²
$A_{f2} =$	11352 mm ²
Slope	1: 5
$C_A = \sqrt{A_{f2}/A_{f1}} =$	1.95
$f_{jd} = C_A \times f_{cd} =$	31.1 N/mm ²
$F_{Rd,c} = n_c \times A_{f1} \times f_{jd} =$	934 kN
$F_{Rd,t} = n_t \times A_{f1} \times f_{jd} =$	934 kN

Shear blocks main leg

Width	b 50 mm
Thickness	h 30 mm
Length	L 100 mm
Welds	a 4 mm
c.t.c. separation	s 230 mm
Number for compr.	n_c 10 -
Number for tension	n_t 10 -

Capacity foot plate

$k_d =$	1.73 -
$f_{jd} = C_A \times f_{cd} =$	27.7 N/mm ²
$c = t\sqrt{f_{yd} / 3f_{jd}} =$	32 mm
$m^* = \min(c, m) =$	19 mm
Type foot plate	Diagonally cut
Effective for	Compr. and tension
$A_{p,c} =$	18402 mm ²
$F_{Rd,c} = A_{p,druk} \times f_{jd} =$	510 kN
$A_{p,t} =$	12862 mm ²
$F_{Rd,t} = A_{p,t} \times f_{jd} =$	356 kN

Foot plate

Thickness	t 20 mm
Ext. length	m 19 mm
Welds	a 4 mm

Pile

Name	Buispaal
Diameter	493 mm
Thickness	10 mm
Cross section	15174 mm ²
Steel material	S235
Capacity	3566 kN
Concrete strength	C30/37

Capacities

$F_{Rd,c,plate} =$	510 kN
$F_{Rd,blocks,c} =$	934 kN
$F_{Rd,c} = F_{Rd,block} + F_{Rd,footplate} =$	1444 kN
U.C. compression	1.00 > 1,00 Not OK
Welds foot plate (see next page)	572 kN
$F_{Rd,t} = \min. (welds / foot plate) =$	356 kN
$F_{Rd,blocks,t} =$	934 kN
$F_{Rd,t} = F_{Rd,block} + F_{Rd,footplate} =$	1290 kN
U.C. tension	0.83 < 1,00 OK
U.C. welds	0.86 < 1,00 OK

Shear blocks pile

Width	b 50 mm
Thickness	h 30 mm
Length	L 220 mm
Welds	a 4 mm
c.t.c. separation	s 405 mm
Number for compr.	n_c 9 -
Number for tension	n_t 9 -

Capacity shear blocks pile

$A_{f1} =$	6600 mm ²
$A_{f2} =$	19800 mm ²
$C_A = \sqrt{A_{f2}/A_{f1}} =$	1.73 -
$f_{jd} = k_d \times f_{cd} =$	27.7 N/mm ²
$F_{Rd,c} = n_c \times A_{f1} \times f_{jd} =$	1646 kN
U.C. compression	0.88 < 1,00 OK
$F_{Rd,t} = n_t \times A_{f1} \times f_{jd} =$	1646 kN
U.C. tension	0.65 < 1,00 OK
U.C. welds	0.64 < 1,00 OK

Design value concrete strength

Material factor	γ_c 1.5
Add. mat. factor	γ_m 1.25 -
$f_{cd} =$	16.0 N/mm ²

Steel tower stub

Yield strength	$f_{yd} =$ 235 N/mm ²
Tensile strength	$f_{ud} =$ 360 N/mm ²

"Splitting" of pile

Spread of forces	45 °
Length force flow	1064 mm
Splitting force	506 kN/m
Yield strength wall	$f_{yd} =$ 235 N/mm ²
Capacity tubular pile	4700 kN/m
U.C.	0.11 < 1,00 OK

Project: MBT-EHV380
Mast: S+9(tc) (117)

Welds of shear blocks of main leg

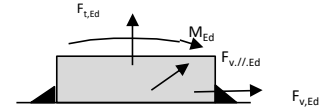
Out-of-plane loading

Plate

t = 50 mm
Grade S235
f_{yd} = 235 N/mm²
f_u = 360 N/mm²

Welds

a = 4 mm
l = 100 mm
β_w = 0.8 -
γ_{M2} = 1.25 -



Member forces

Factor 1.2
F_{t,Ed} = 0 kN
F_{v,Ed} = F_{rd,c} / n = 112 kN
F_{v//,Ed} = 0 kN
M_{Ed} = 1/2 b / h x F_{v,Ed} = 1.68 kNm

Stress components

σ₁ = τ₁ = F_{t,Ed} √2 / 4al = 0 N/mm²
σ₁ = τ₁ = F_{v,Ed} √2 / 4al = 99 N/mm²

99 N/mm²
b* = b + 2/3av² = 53.8 mm
σ₁ = τ₁ = 0,706M_{Ed} / al b* = 55 N/mm²
τ_{//} = F_{v//,Ed} / 2al = 0 N/mm²
σ_{w,Ed} = √(σ₁² + 3τ₁² + 3τ_{//}²) = 308 N/mm²

Check

σ_{w,Ed} = 308 N/mm² ≤ f_u / β_w γ_{M2} = 360 N/mm² U.C. = **0.86 OK**
σ₁ = 154 N/mm² ≤ 0,9f_u / γ_{M2} = 259 N/mm² U.C. = **0.59 OK**

Welds of shear blocks of pile

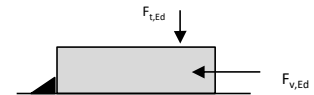
Out-of-plane loading

Plate

t = 50 mm
Grade S235
f_{yd} = 235 N/mm²
f_u = 360 N/mm²

Welds

a = 4 mm
l = 220 mm
β_w = 0.8 -
γ_{M2} = 1.25 -



Member forces

Factor 1.2
F_{t,Ed} = 1/2 b / h x F_{v,Ed} = 66 kN
F_{v,Ed} = 219 kN
F_{v//,Ed} = 0 kN
M_{Ed} = 0.00 kNm

Stress components

σ₁ = τ₁ = F_{t,Ed} √2 / 2al = 26 N/mm²
σ₁ = τ₁ = F_{v,Ed} √2 / 2al = 88 N/mm²

115 N/mm²
τ_{//} = F_{v//,Ed} / 2al = 0 N/mm²
σ_{w,Ed} = √(σ₁² + 3τ₁² + 3τ_{//}²) = 229 N/mm²

Check

σ_{w,Ed} = 229 N/mm² ≤ f_u / β_w γ_{M2} = 360 N/mm² U.C. = **0.64 OK**
σ₁ = 115 N/mm² ≤ 0,9f_u / γ_{M2} = 259 N/mm² U.C. = **0.44 OK**

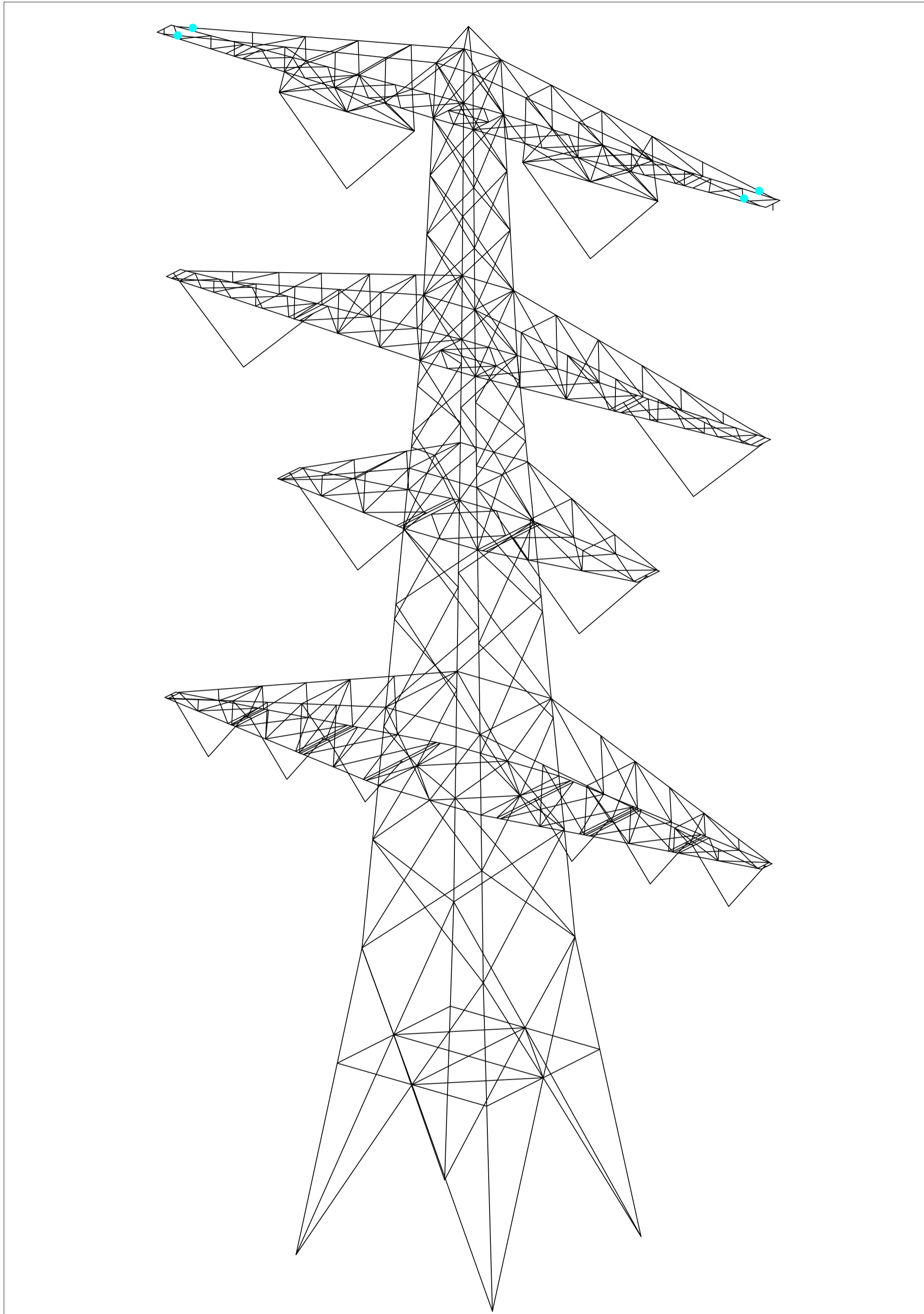
Welds of foot plate

f_u / β_w γ_{M2} = 360 N/mm²
Weld size a = 4 mm
Length l = 2b + 2b - t = 688 mm
Capacity F_{Rd} = a x l x f_{w,d} / √3 = 572 kN



APPENDIX E TEKENINGEN

Initial Profiles and Bolts					Final Profiles and Bolts			
Group label	Profile type (ini)	Profile size (ini)	Steel quality (ini)	Bolt size and quality (ini)	Profile type (new)	Profile size (new)	Steel quality (new)	Bolt size and quality (new)
830	EA	L60x6	S235	2xM20-5.6t	EA	L60x6	S235	3xM20-8.8t


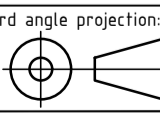


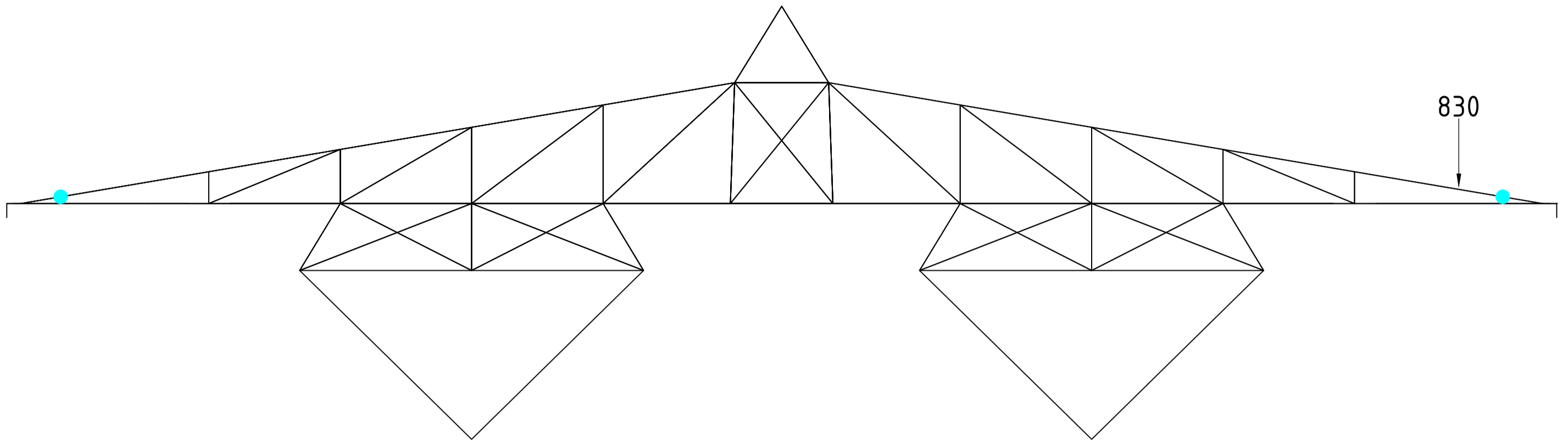
Overview

Notes and legend:

- New redundants according to drawing
- Size for new redundants is L50x50x5 unless otherwise indicated
- Other changes according to the table
- All changes are symmetrical unless otherwise indicated
- Material quality $t \leq 16\text{mm}$ S355J0
- Material quality $t > 16\text{mm}$ S355J2
- Bolt quality 8.8 rolled

- New member
- Profile exchanged
- New redundant
- Bolt exchanged
- Joint modification/ additional bolts required

00	31-8-2021	Version 1.0	Projectname: Mast constructions MBT - EHV 380 kV	
		Third angle projection:		Drawing no.: 10166260-080
		Description: Modifications overview for mast type S+9_fc (Mast 117) Page 1 of 3		Revision: 00
Design state: FINAL	Scale: -	Description:		Revision:
Drawn by: MKh	31-8-2021	Units: m	Modifications overview for mast type S+9_fc (Mast 117) Page 1 of 3	
Checked by: TBR	31-8-2021	Project no: 10166260	Revision:	
Approved by: JHu	31-8-2021	Company: TenneT	Format: A2	
<small>DNV GL Energy & Sustainability, Utrechtseweg 310, 6812 AR Arnhem, tel: +31 26 3 56 91 11, www.dnvgl.com</small>				




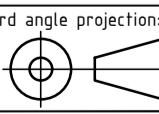
Front View (Boventraverse)

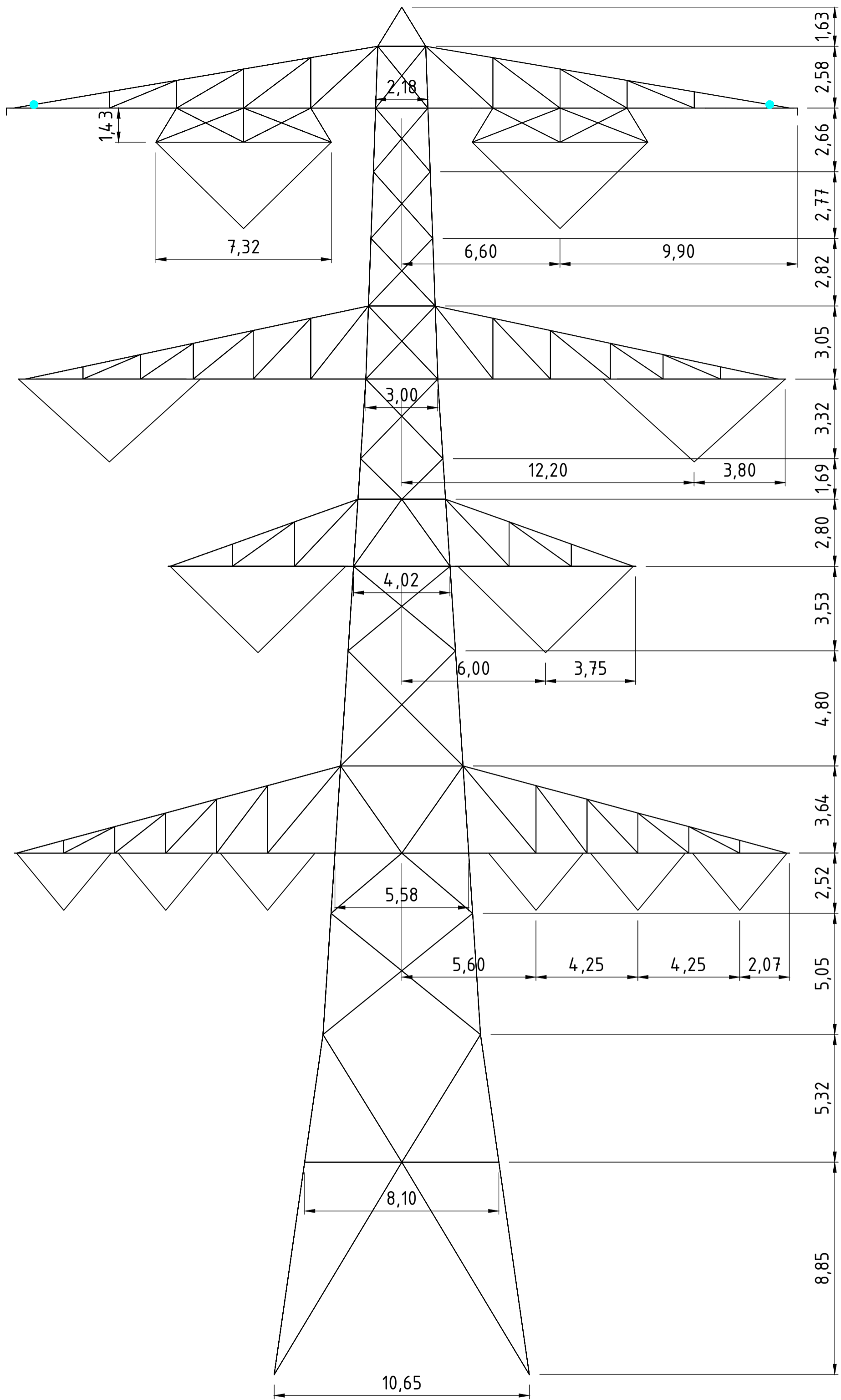
*NB: Group 830 requires an additional bolt to be installed.

Notes and legend:

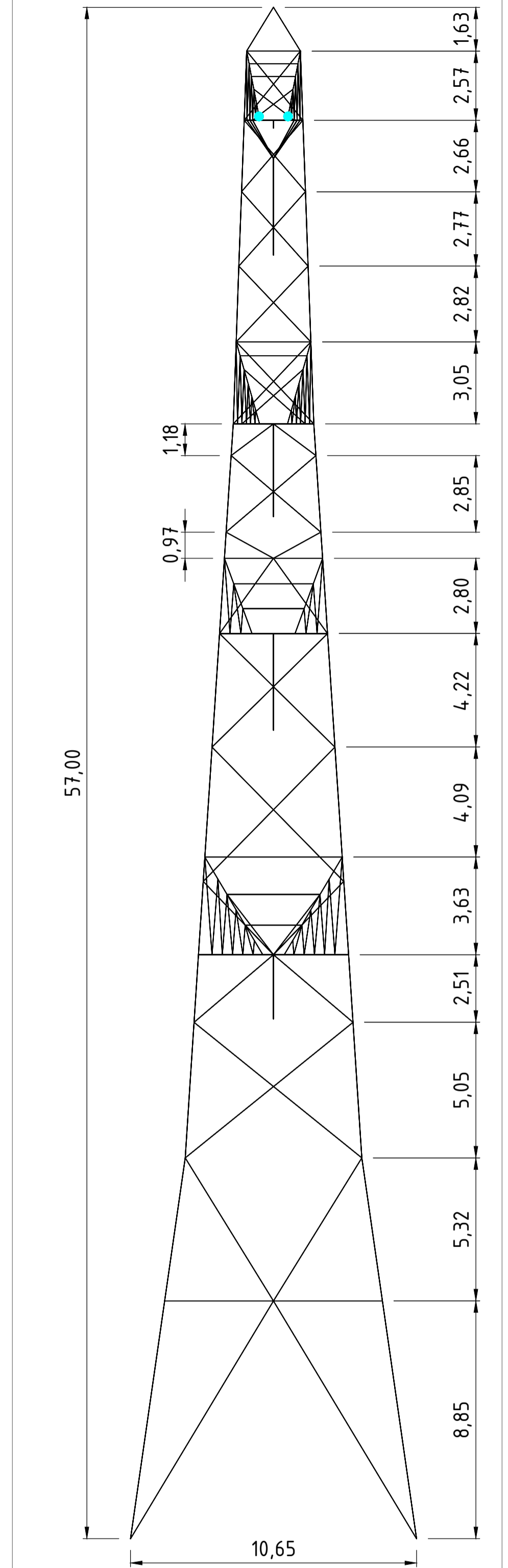
- New redundants according to drawing
- Size for new redundants is L50x50x5 unless otherwise indicated
- Other changes according to the table
- All changes are symmetrical unless otherwise indicated
- Material quality $t \leq 16\text{mm}$ S355J0
- Material quality $t > 16\text{mm}$ S355J2
- Bolt quality 8.8 rolled

- New member
- Profile exchanged
- New redundant
- Bolt exchanged
- Joint modification/ additional bolts required

00	31-8-2021	Version 1.0	Projectname: Mast constructions MBT - EHV 380 kV	
		Third angle projection:		Drawing no.: 10166260-080
		Description: Modifications overview for mast type S+9_tc (Mast 117) Page 2 of 3		Revision: 00
Design state: FINAL	Scale: -	Description: Modifications overview for mast type S+9_tc (Mast 117) Page 2 of 3		Format: A2
Drawn by: MKh	31-8-2021	Units: m	Revision: 00	
Checked by: TBR	31-8-2021	Project no: 10166260	Format: A2	
Approved by: JHu	31-8-2021	Company: TenneT	Revision: 00	
<small>DNV GL Energy & Sustainability, Utrechtseweg 310, 6812 AR Arnhem, tel: +31 26 3 56 91 11, www.dnvgl.com</small>				



Front View


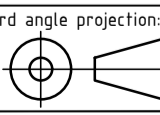


Side View

Notes and legend:

- New redundants according to drawing
- Size for new redundants is L50x50x5 unless otherwise indicated
- Other changes according to the table
- All changes are symmetrical unless otherwise indicated
- Material quality $t \leq 16\text{mm}$ S355J0
- Material quality $t > 16\text{mm}$ S355J2
- Bolt quality 8.8 rolled

- New member
- Profile exchanged
- New redundant
- Bolt exchanged
- Joint modification/ additional bolts required

00	31-8-2021	Version 1.0	Projectname: Mast constructions MBT - EHV 380 kV	
			Drawing no.: 10166260-080	
Design state: FINAL	Scale: -	Description: Modifications overview for mast type S+9_fc (Mast 117)		Revision: 00
Drawn by: MKh	31-8-2021	Units: m	Page 3 of 3	
Checked by: TBR	31-8-2021	Project no: 10166260	Format: A2	
Approved by: JHu	31-8-2021	Company: TenneT		



About DNV

DNV is the independent expert in risk management and assurance, operating in more than 100 countries. Through its broad experience and deep expertise DNV advances safety and sustainable performance, sets industry benchmarks, and inspires and invents solutions.

Whether assessing a new ship design, optimizing the performance of a wind farm, analyzing sensor data from a gas pipeline or certifying a food company's supply chain, DNV enables its customers and their stakeholders to make critical decisions with confidence.

Driven by its purpose, to safeguard life, property, and the environment, DNV helps tackle the challenges and global transformations facing its customers and the world today and is a trusted voice for many of the world's most successful and forward-thinking companies.